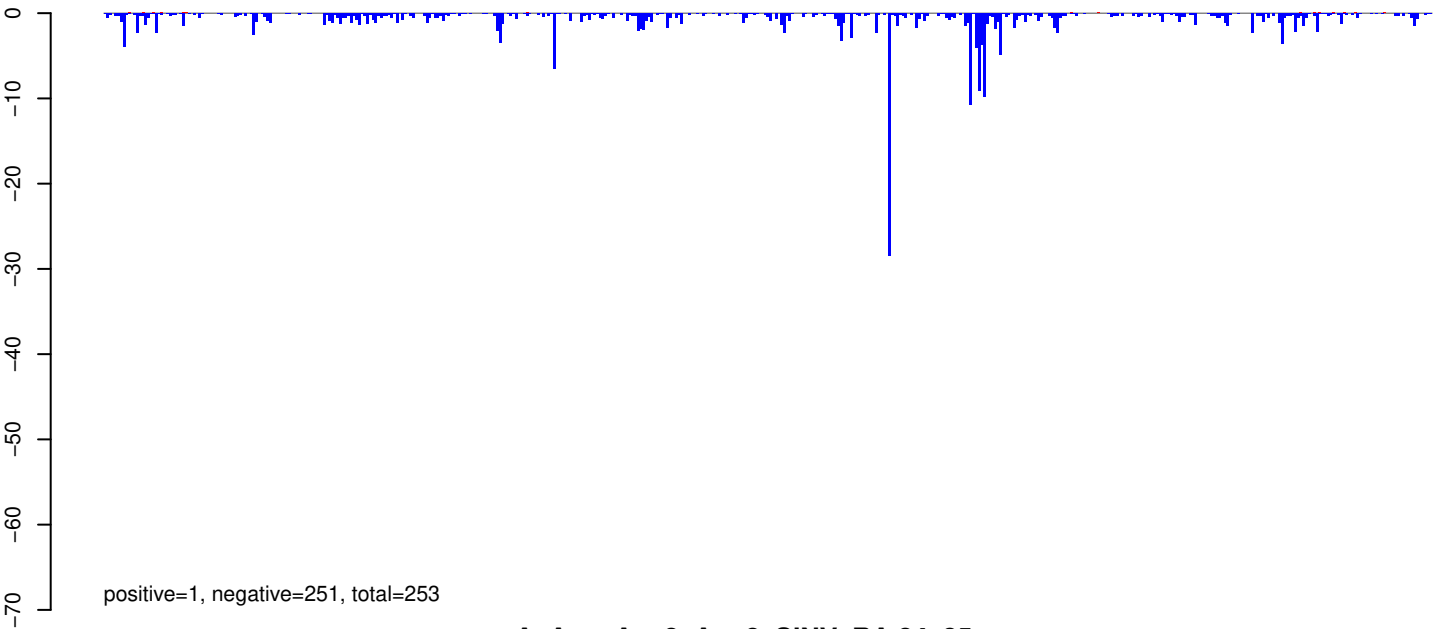
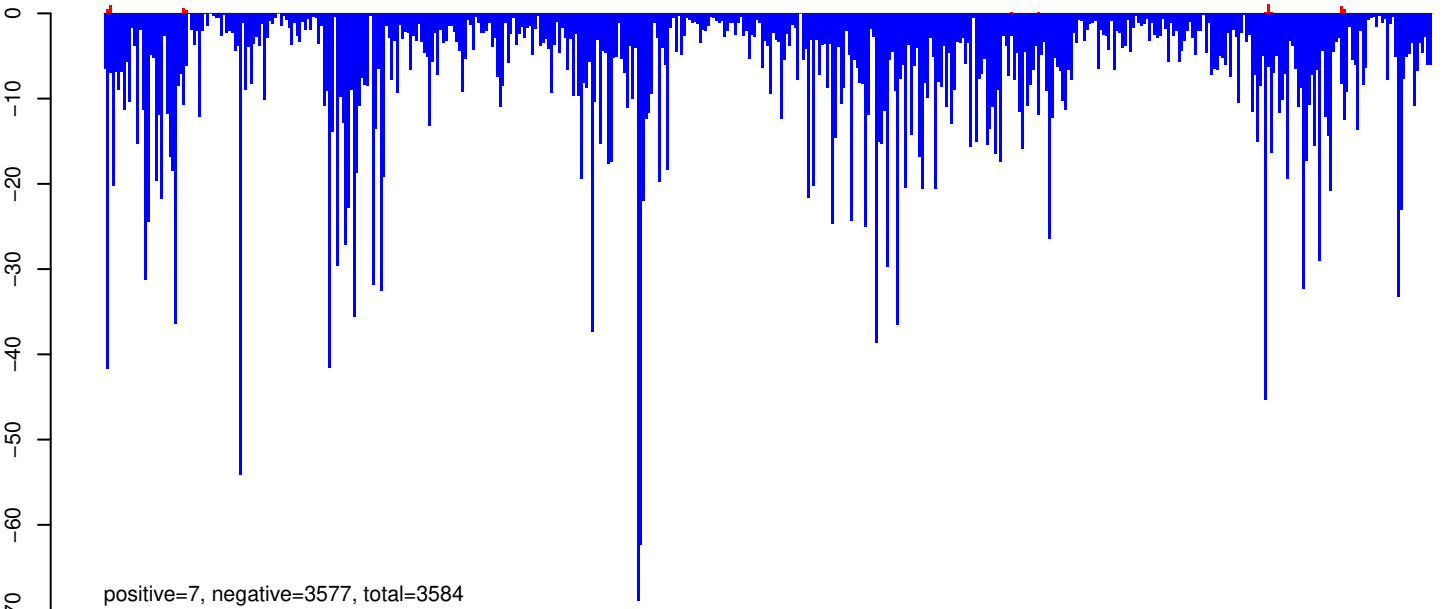


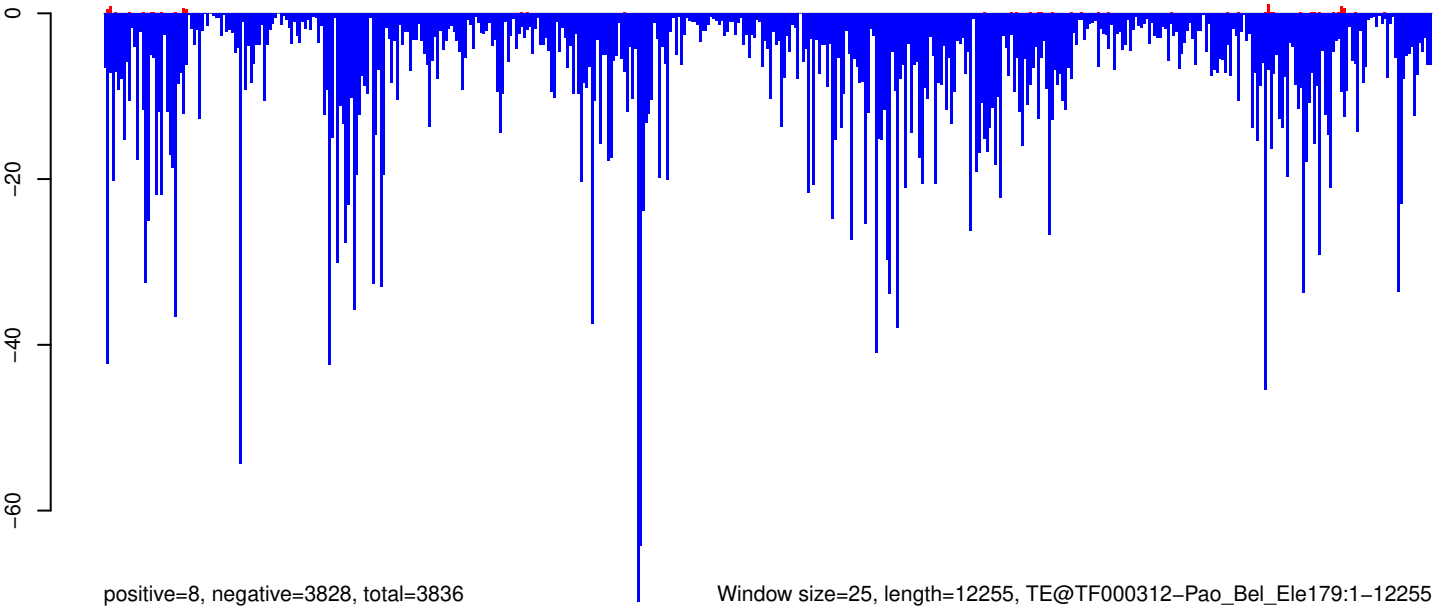
AeAeg_Aag2_Ago2_SINV_RA.18_23.rep



AeAeg_Aag2_Ago2_SINV_RA.24_35.rep

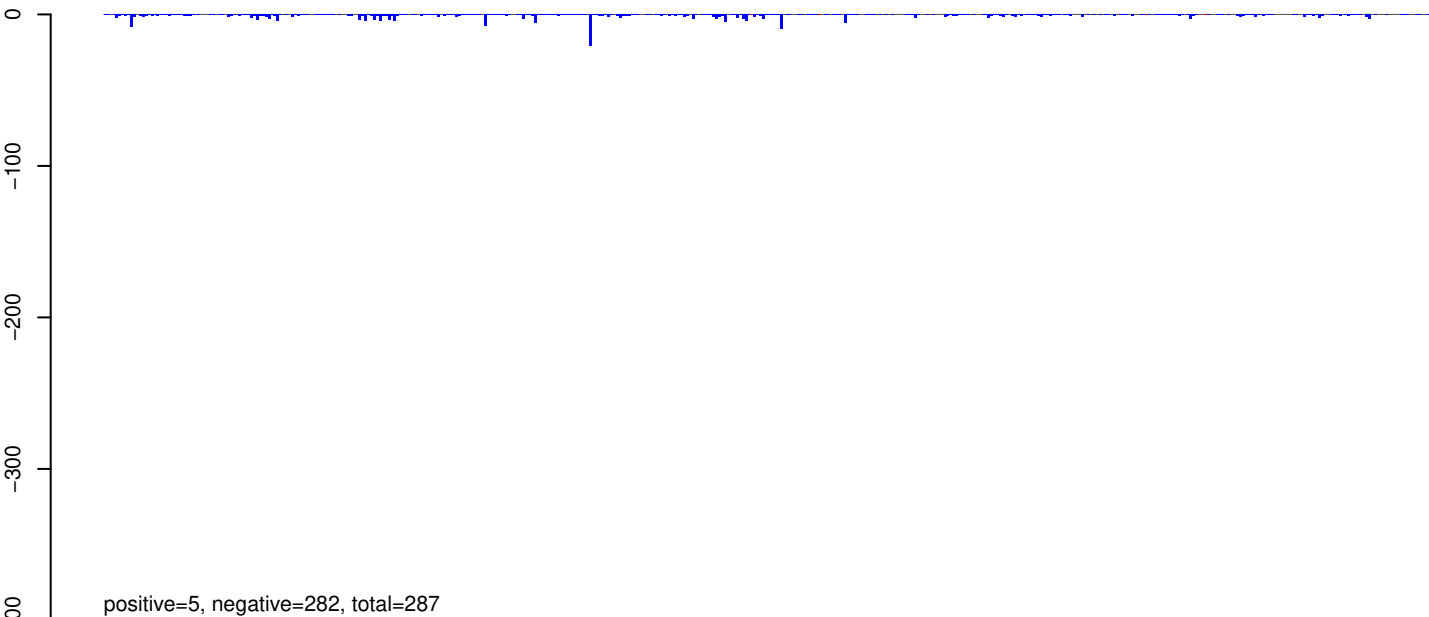


AeAeg_Aag2_Ago2_SINV_RA.rep

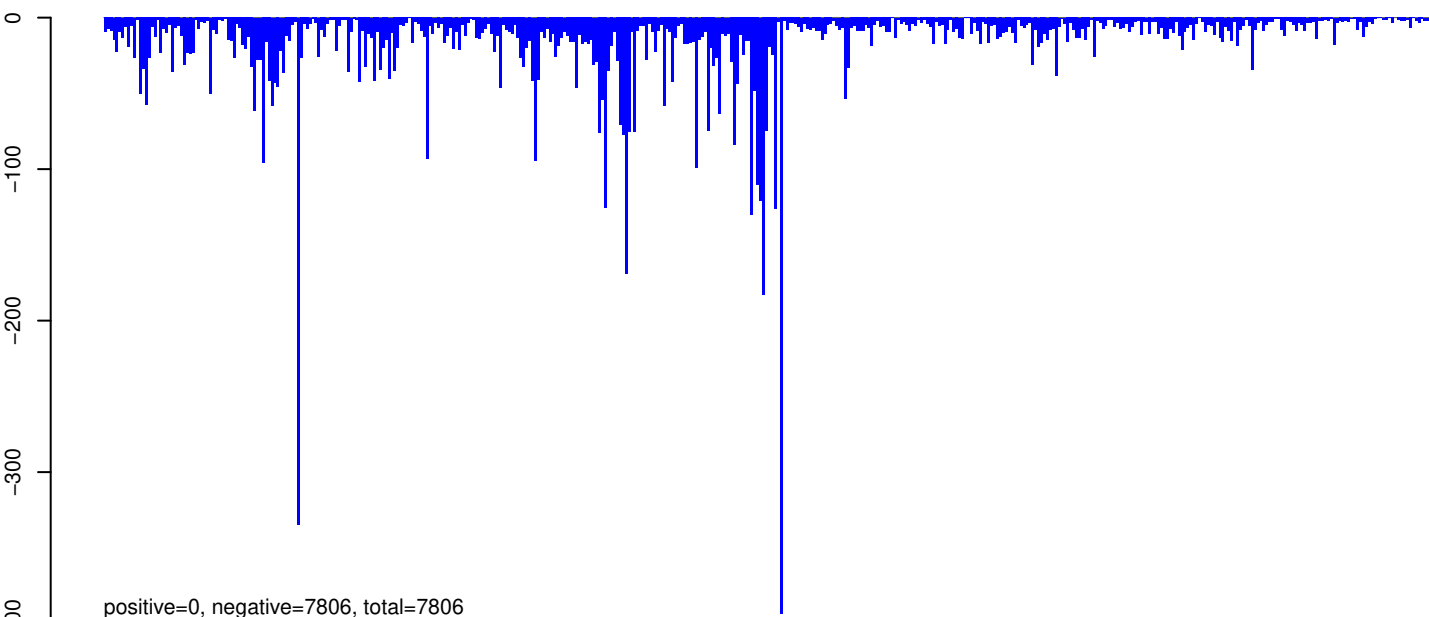


0 2000 4000 6000 8000 10000 12000

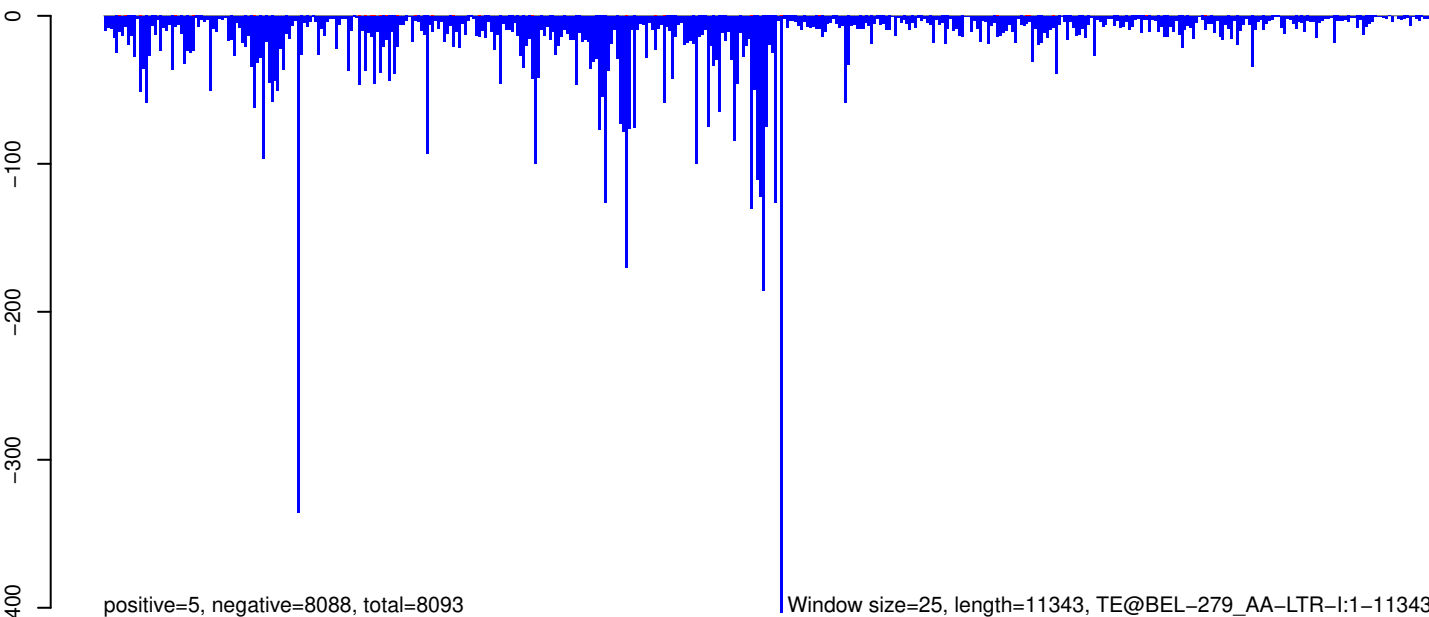
AeAeg_Aag2_Ago2_SINV_RA.18_23.rep



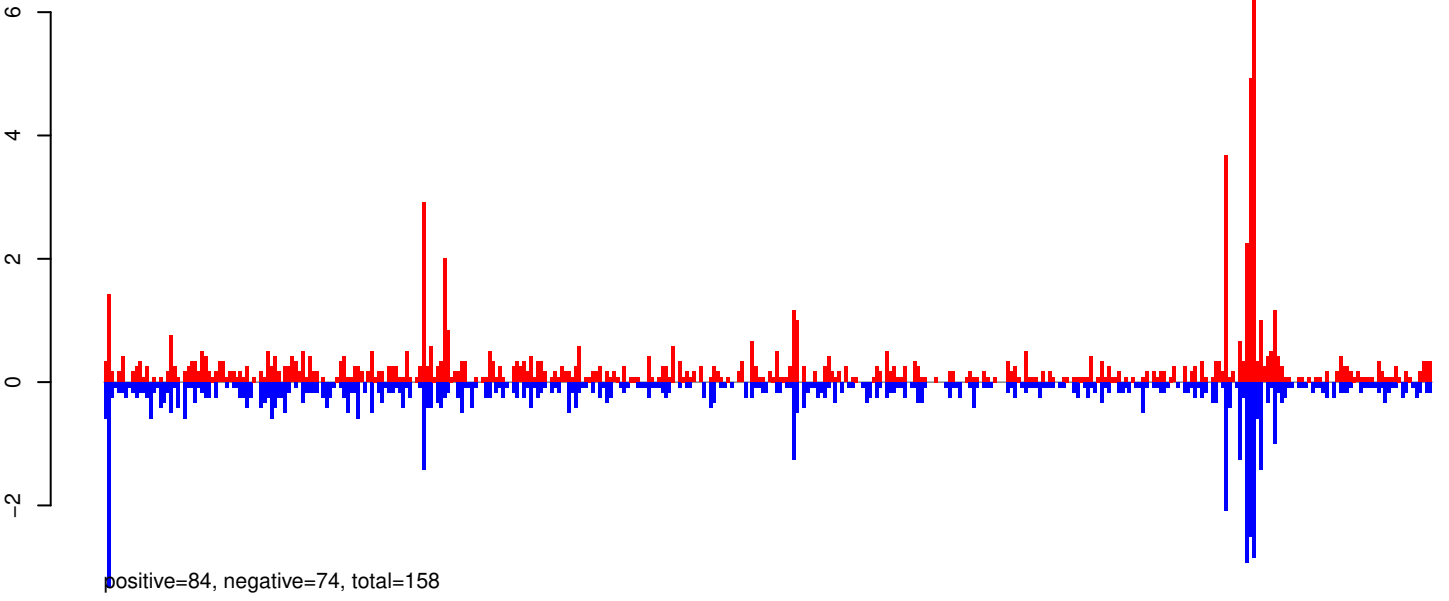
AeAeg_Aag2_Ago2_SINV_RA.24_35.rep



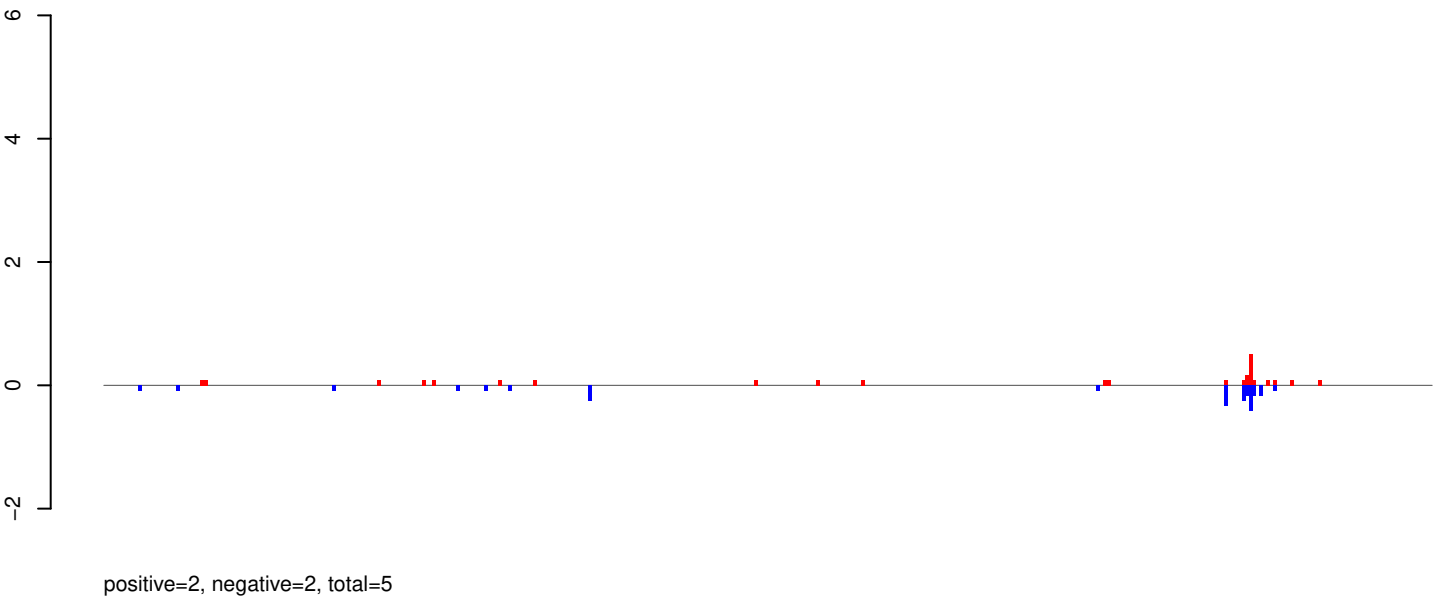
AeAeg_Aag2_Ago2_SINV_RA.rep



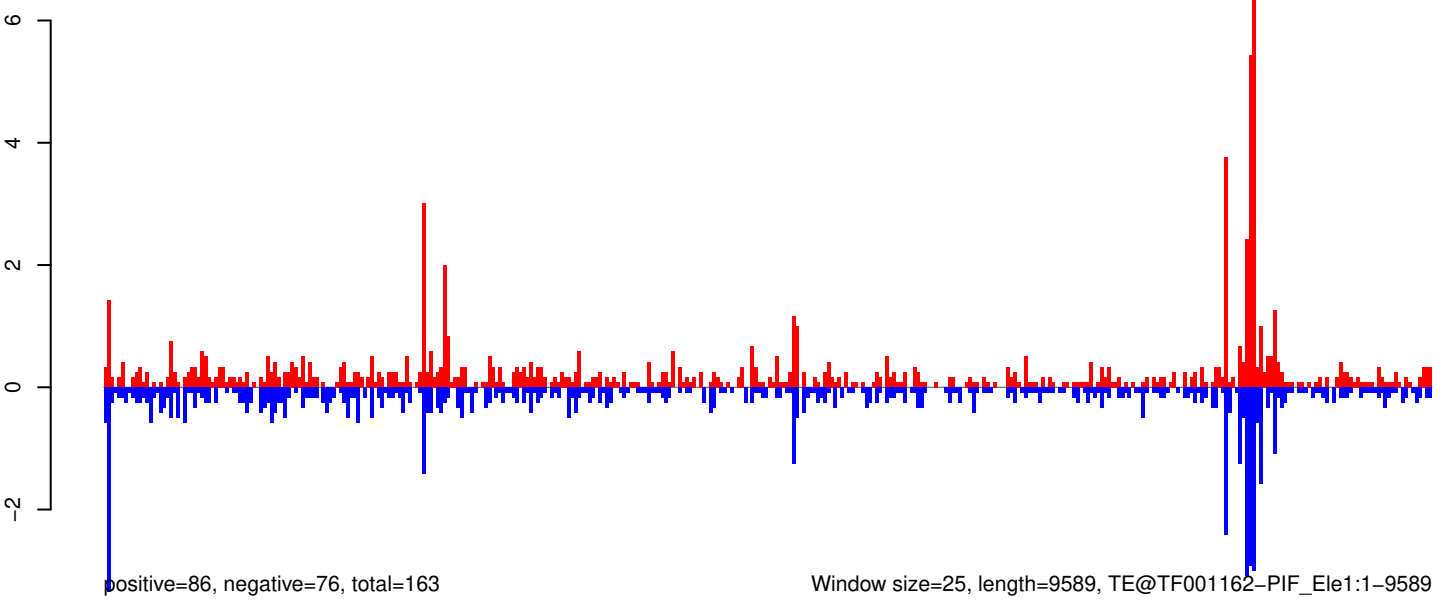
AeAeg_Aag2_Ago2_SINV_RA.18_23.rep



AeAeg_Aag2_Ago2_SINV_RA.24_35.rep



AeAeg_Aag2_Ago2_SINV_RA.rep

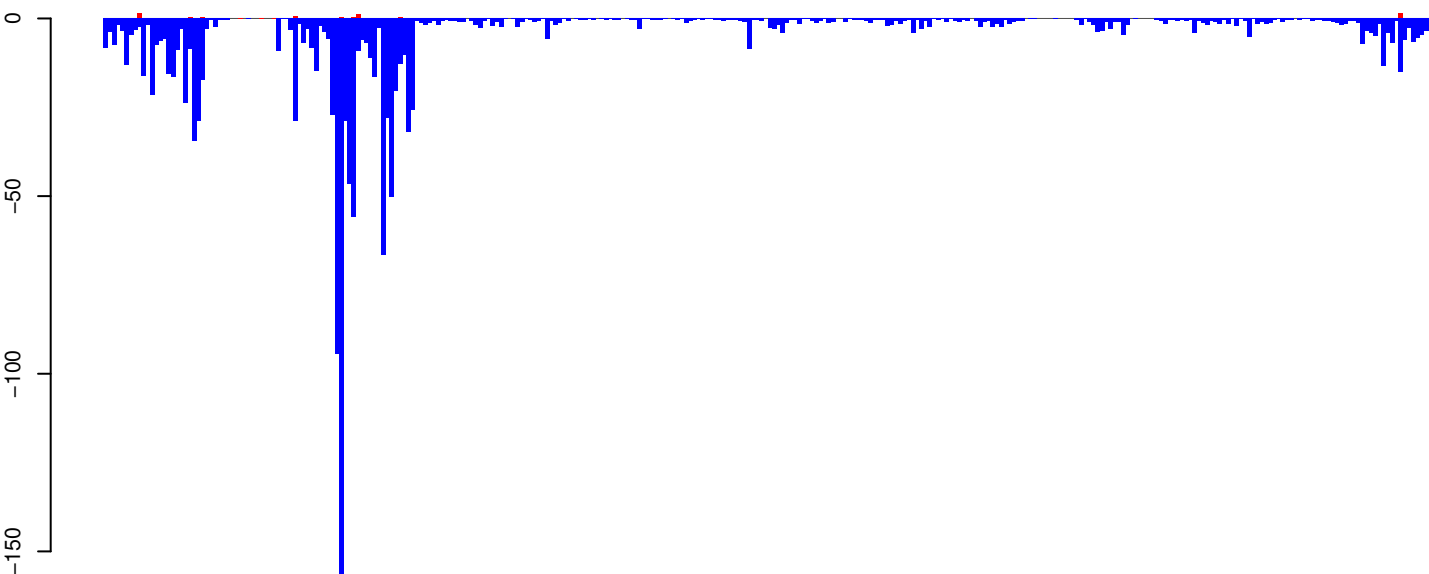


AeAeg_Aag2_Ago2_SINV_RA.18_23.rep



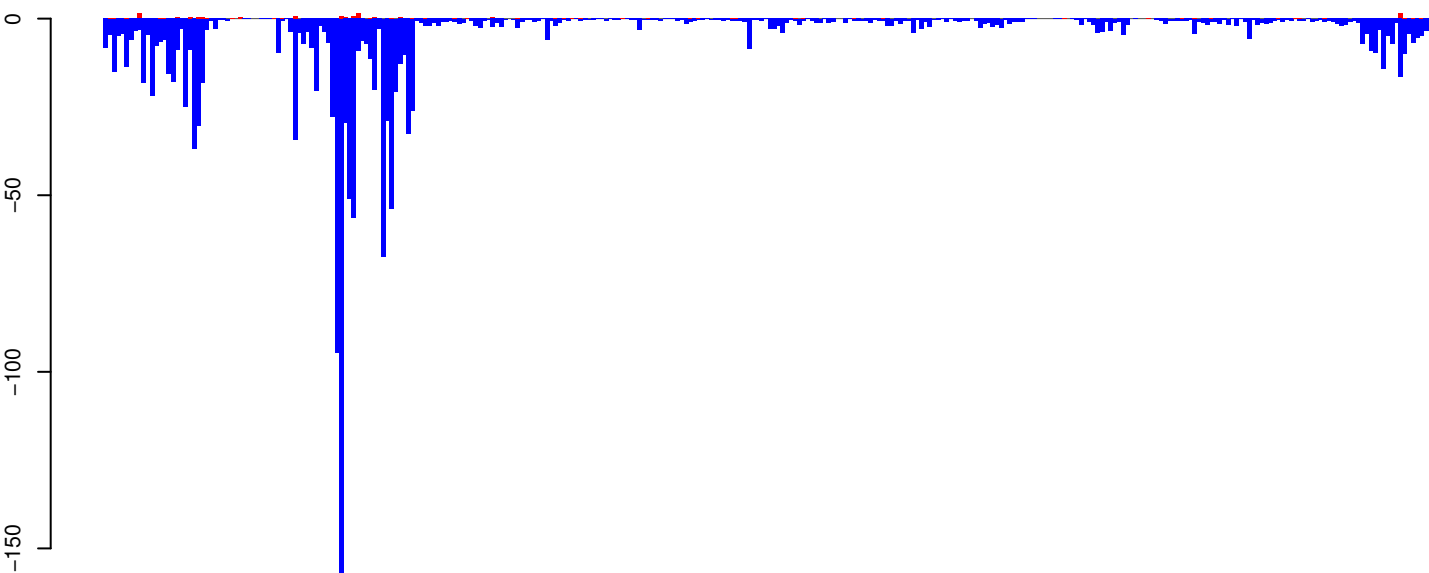
positive=15, negative=103, total=118

AeAeg_Aag2_Ago2_SINV_RA.24_35.rep



positive=13, negative=1375, total=1388

AeAeg_Aag2_Ago2_SINV_RA.rep

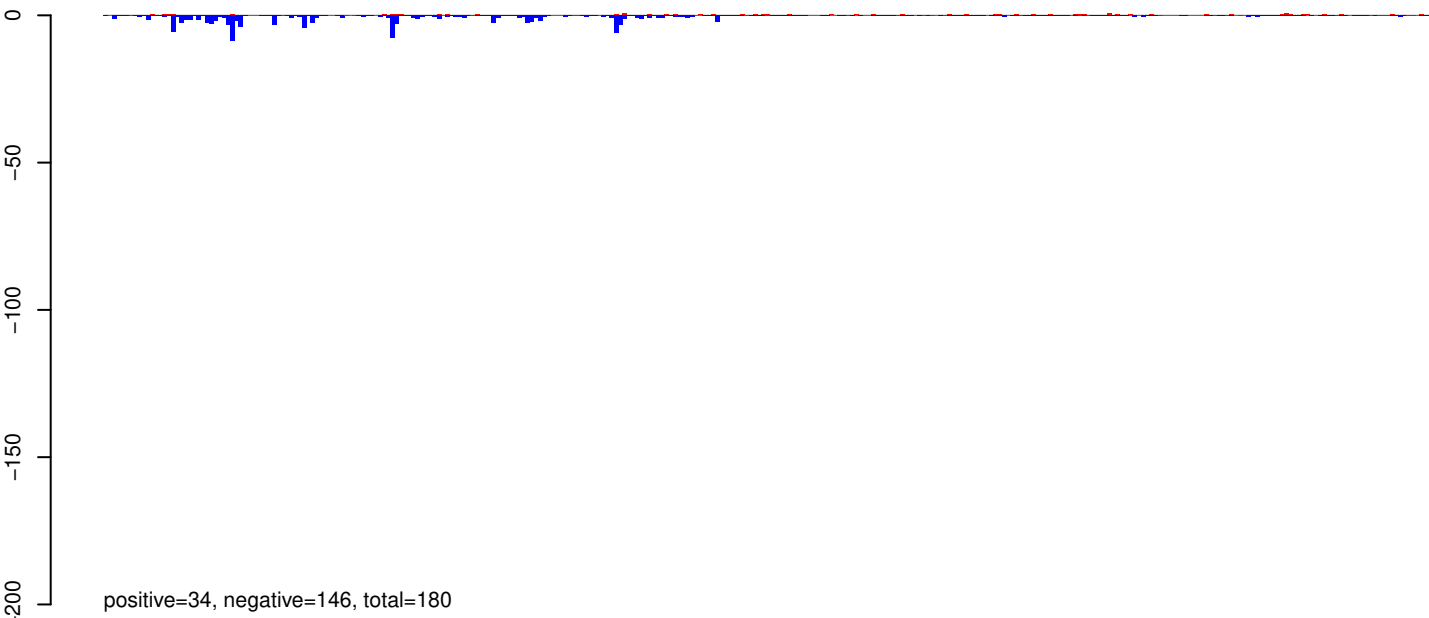


positive=28, negative=1478, total=1506

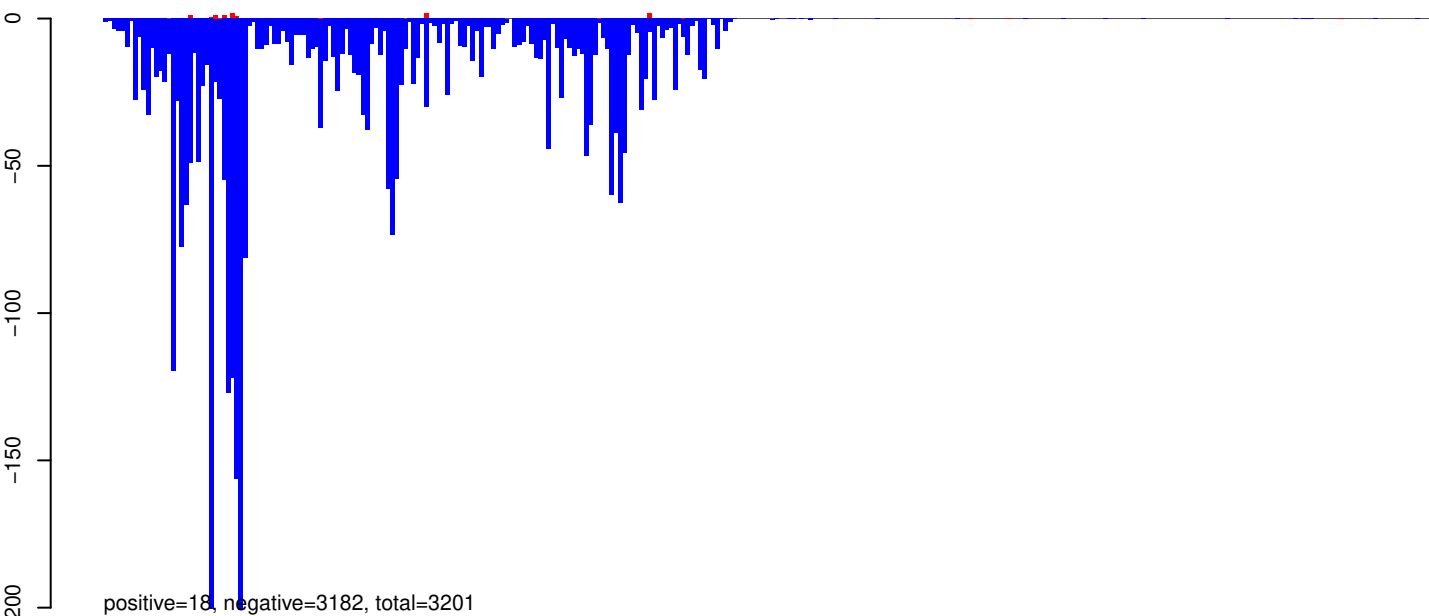
Window size=25, length=7897, TE@TF000419-Ty3_gypsy_Ele122:1-7897

0 2000 4000 6000 8000

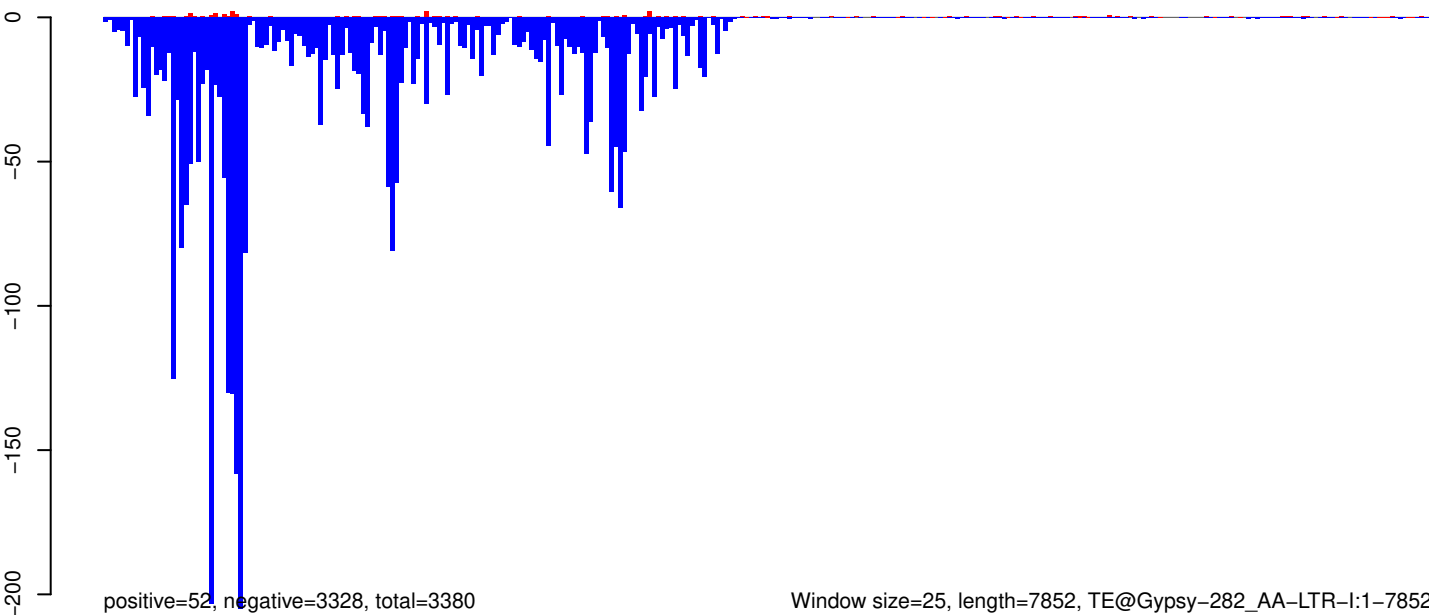
AeAeg_Aag2_Ago2_SINV_RA.18_23.rep



AeAeg_Aag2_Ago2_SINV_RA.24_35.rep



AeAeg_Aag2_Ago2_SINV_RA.rep

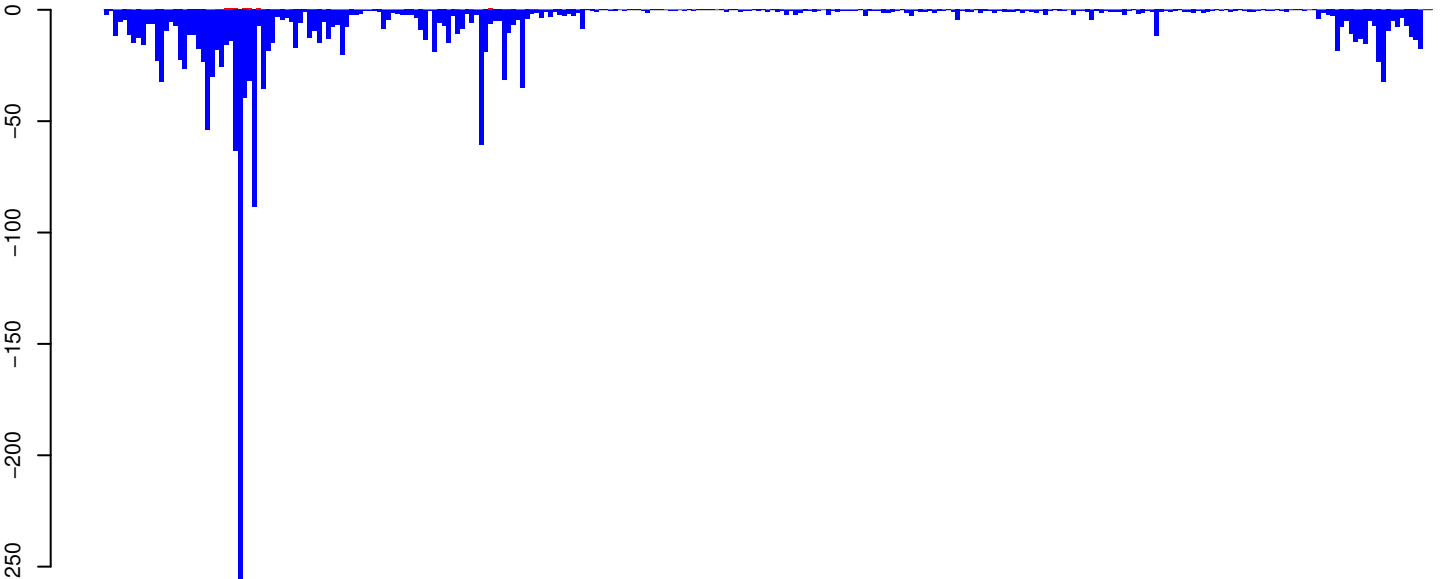


AeAeg_Aag2_Ago2_SINV_RA.18_23.rep



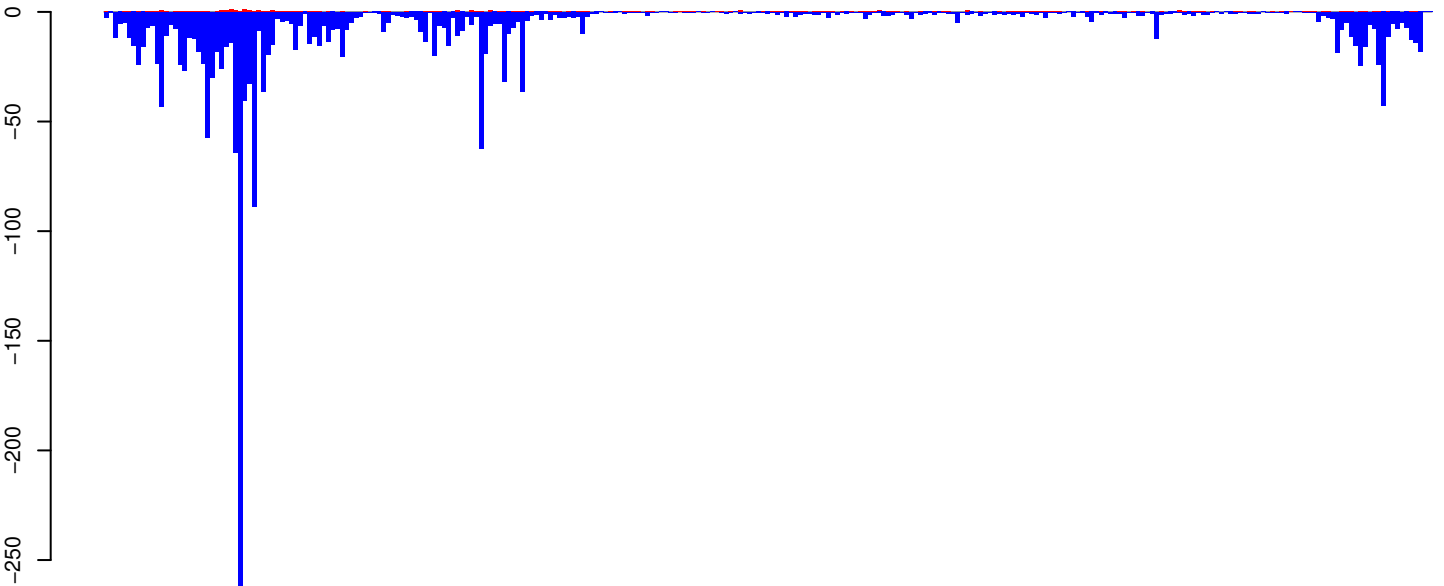
positive=35, negative=123, total=158

AeAeg_Aag2_Ago2_SINV_RA.24_35.rep



positive=10, negative=1843, total=1853

AeAeg_Aag2_Ago2_SINV_RA.rep



positive=45, negative=1966, total=2011

Window size=25, length=7167, TE@TF000321-Ty3_gypsy_Ele58:1-7167

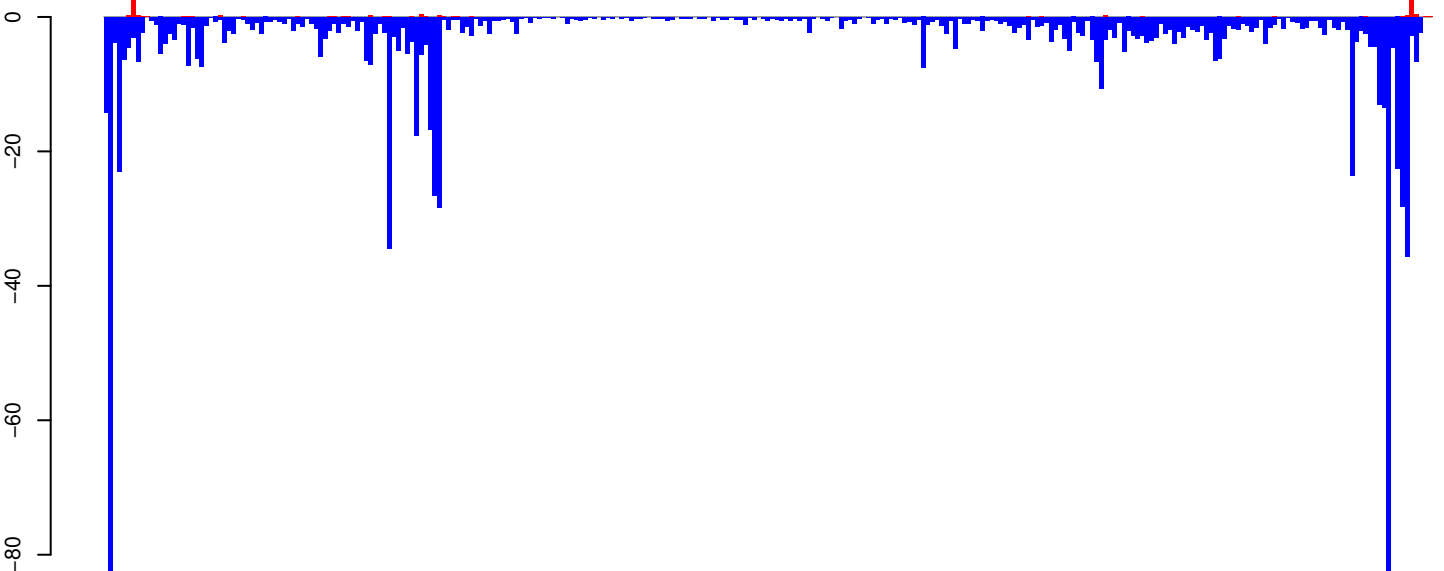
0 1000 2000 3000 4000 5000 6000 7000

AeAeg_Aag2_Ago2_SINV_RA.18_23.rep



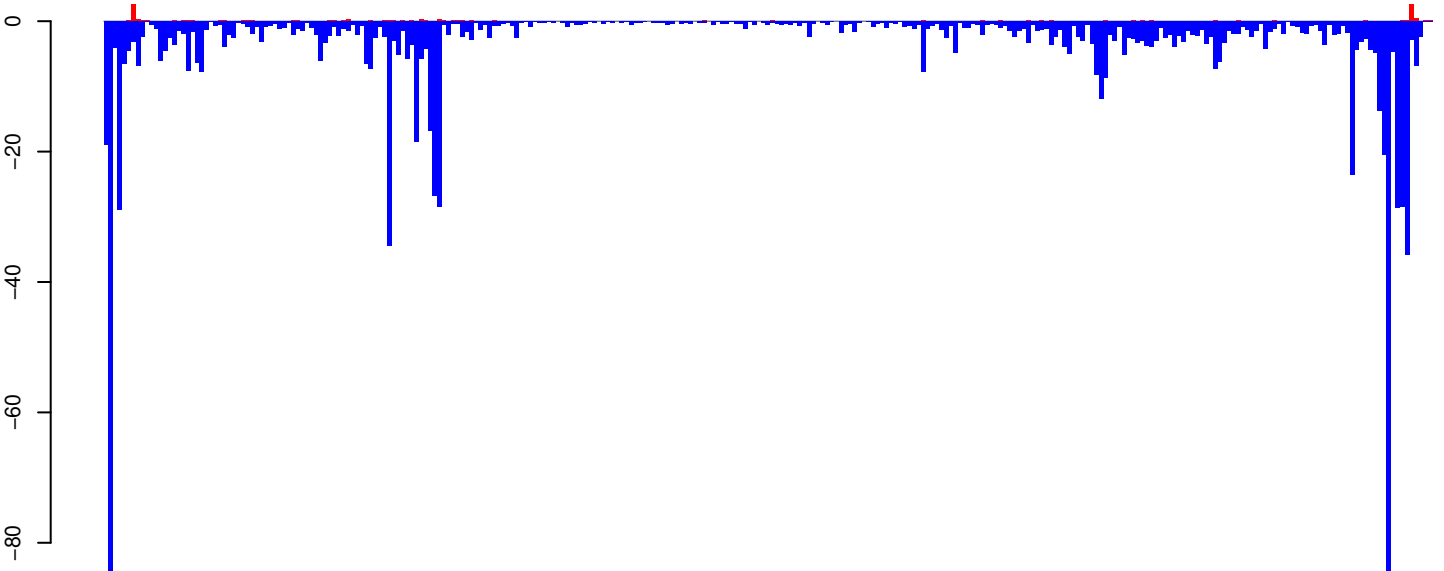
positive=2, negative=61, total=64

AeAeg_Aag2_Ago2_SINV_RA.24_35.rep



positive=9, negative=912, total=921

AeAeg_Aag2_Ago2_SINV_RA.rep

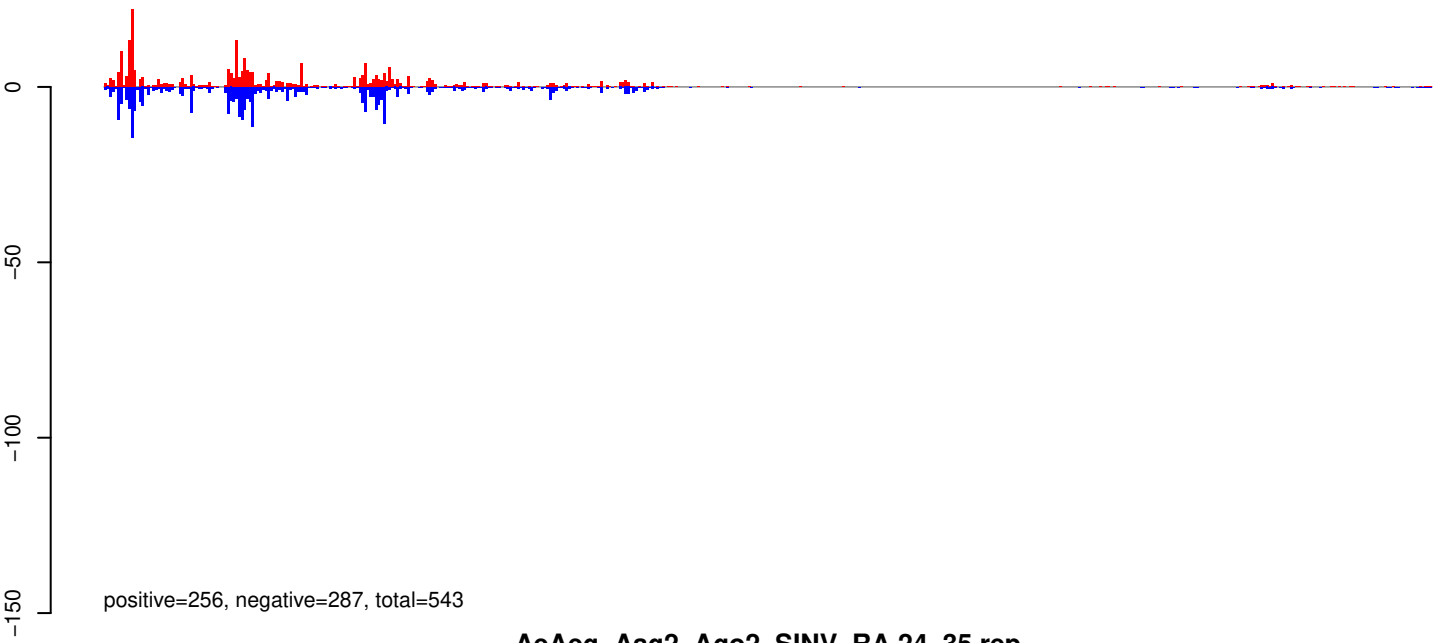


positive=12, negative=973, total=985

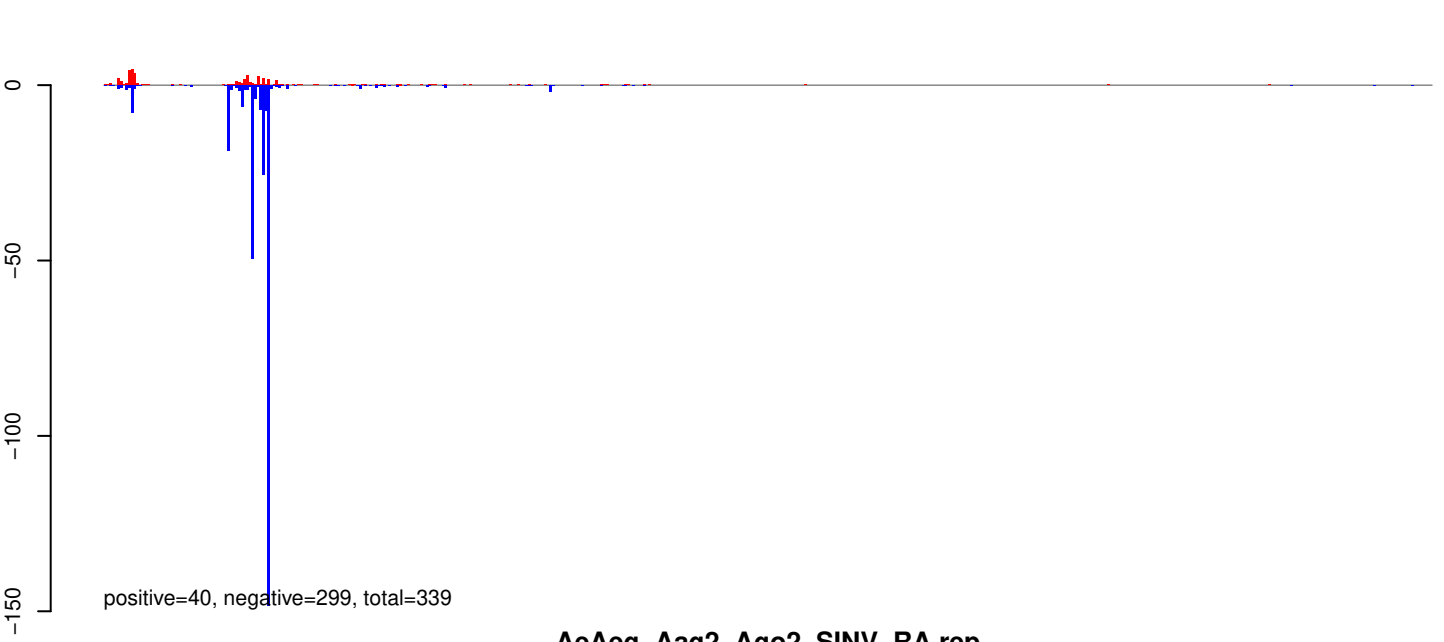
Window size=25, length=7262, TE@TF000317-Ty3_gypsy_Ele54:1-7262

0 2000 4000 6000

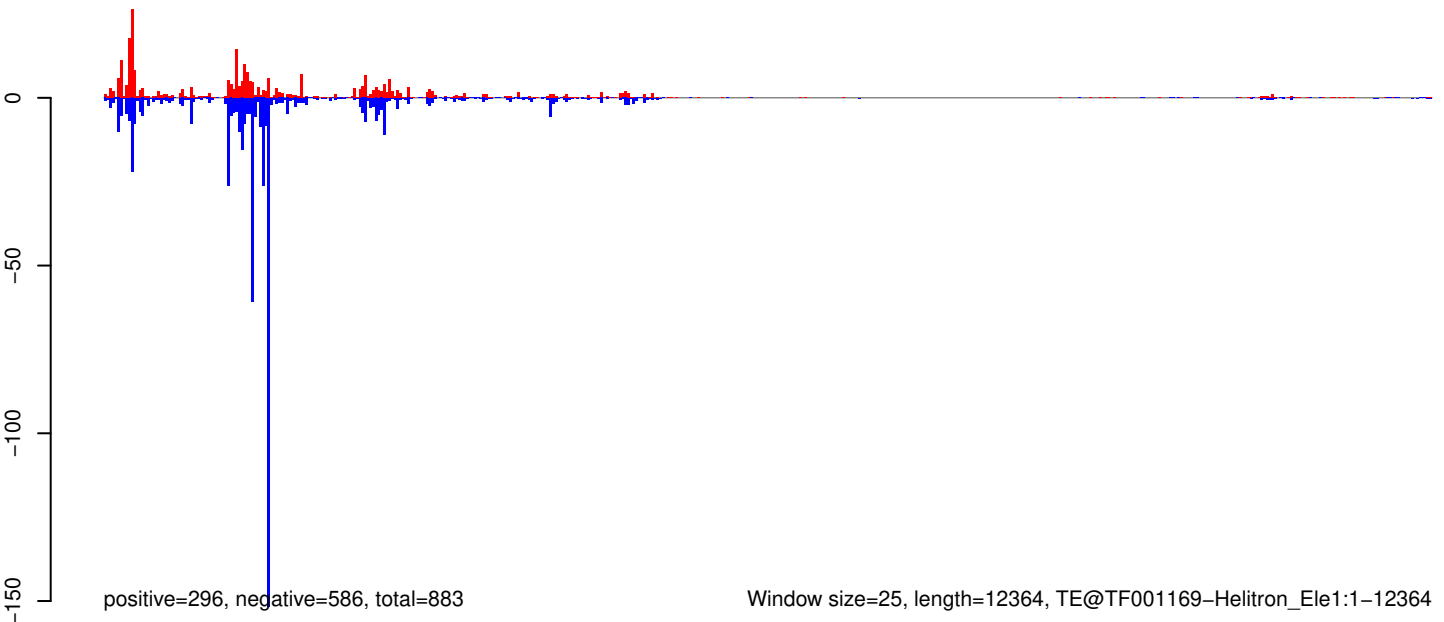
AeAeg_Aag2_Ago2_SINV_RA.18_23.rep



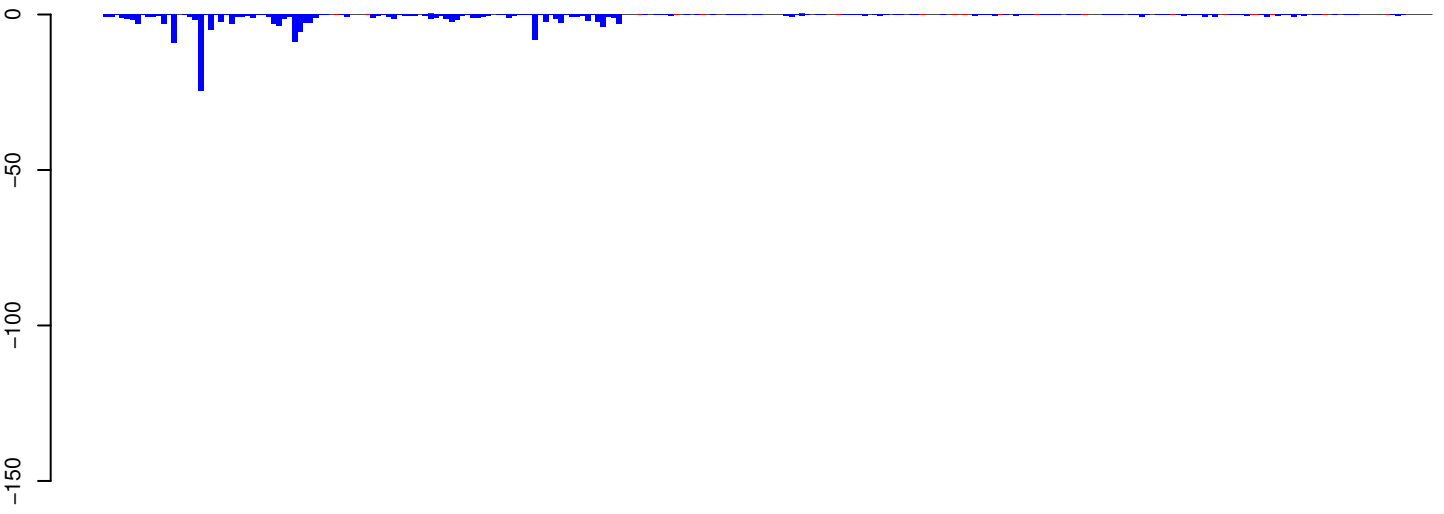
AeAeg_Aag2_Ago2_SINV_RA.24_35.rep



AeAeg_Aag2_Ago2_SINV_RA.rep

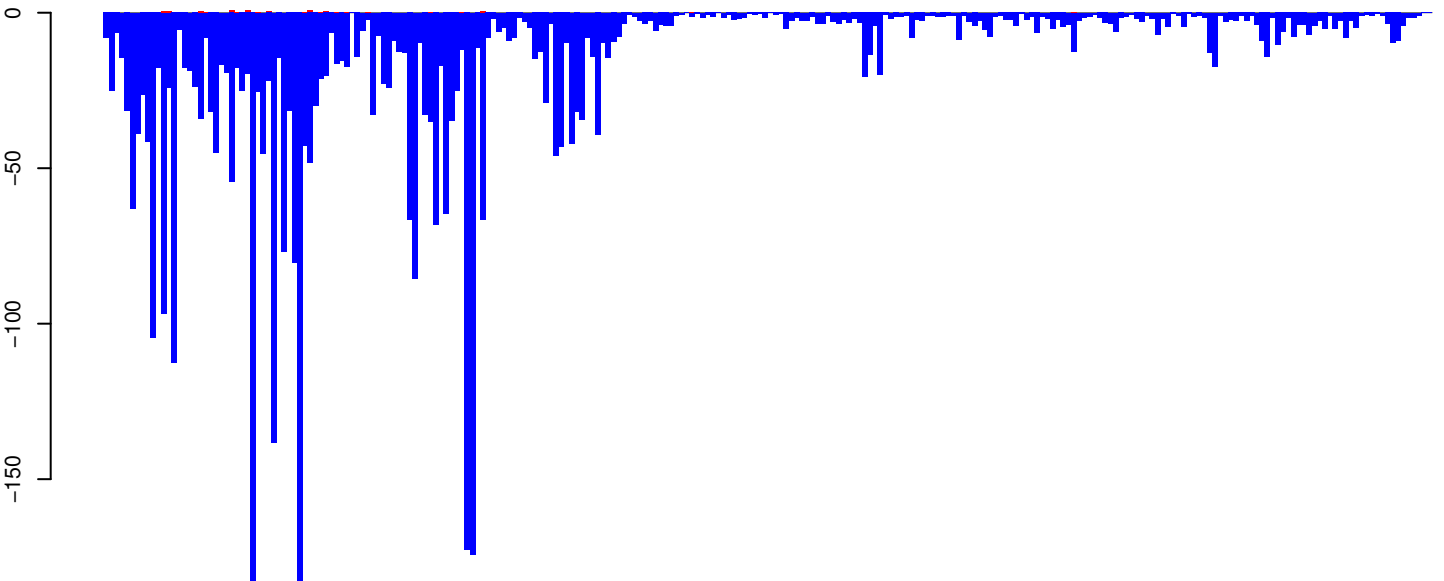


AeAeg_Aag2_Ago2_SINV_RA.18_23.rep



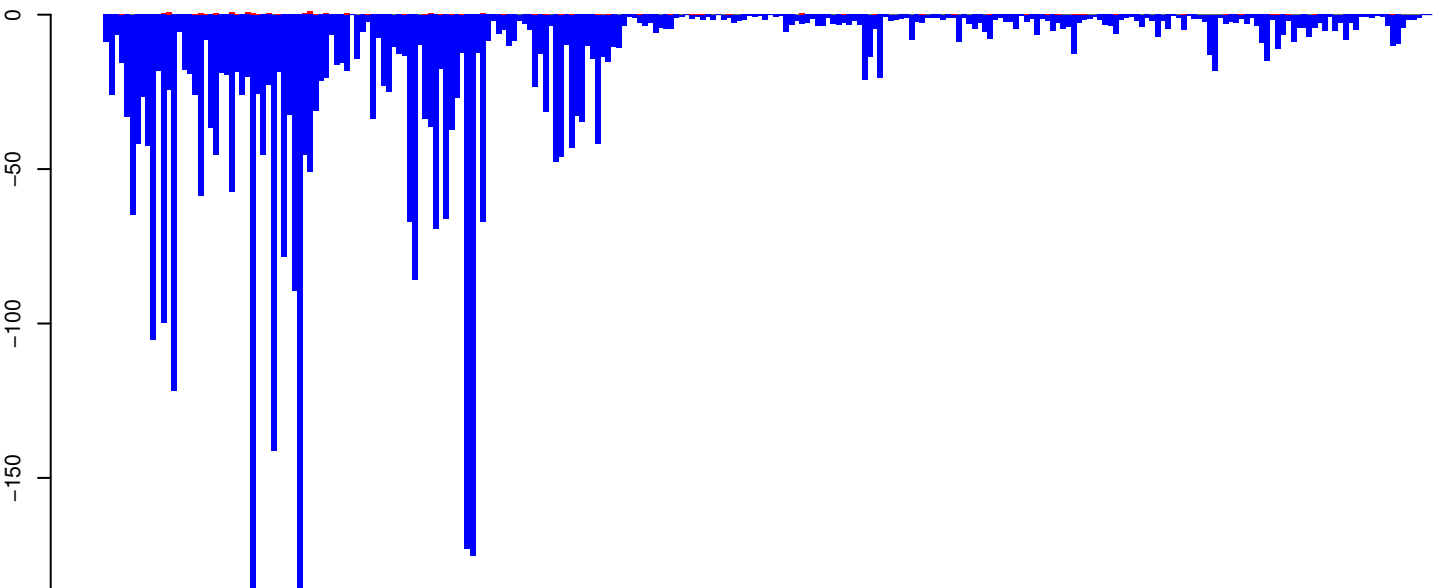
positive=13, negative=167, total=180

AeAeg_Aag2_Ago2_SINV_RA.24_35.rep



positive=8, negative=3917, total=3926

AeAeg_Aag2_Ago2_SINV_RA.rep



positive=21, negative=4085, total=4106

Window size=25, length=6336, TE@Gypsy-593_AA-LTR-I:1-6336

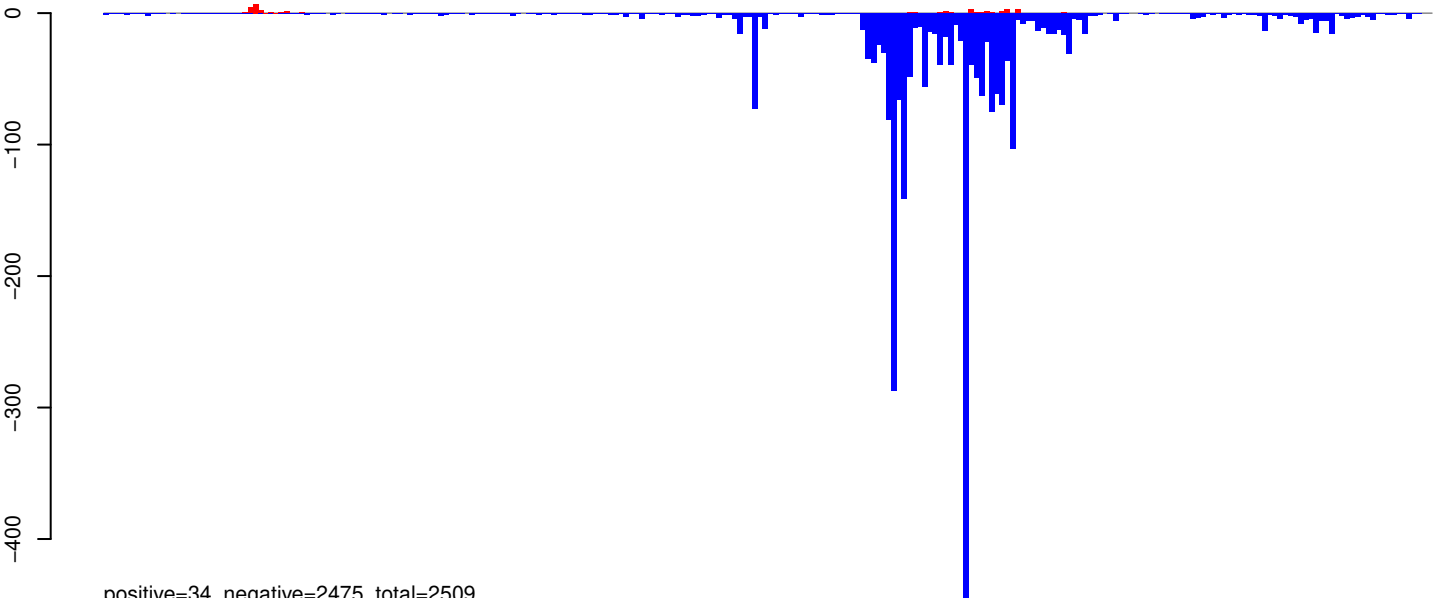
0 1000 2000 3000 4000 5000 6000

AeAeg_Aag2_Ago2_SINV_RA.18_23.rep



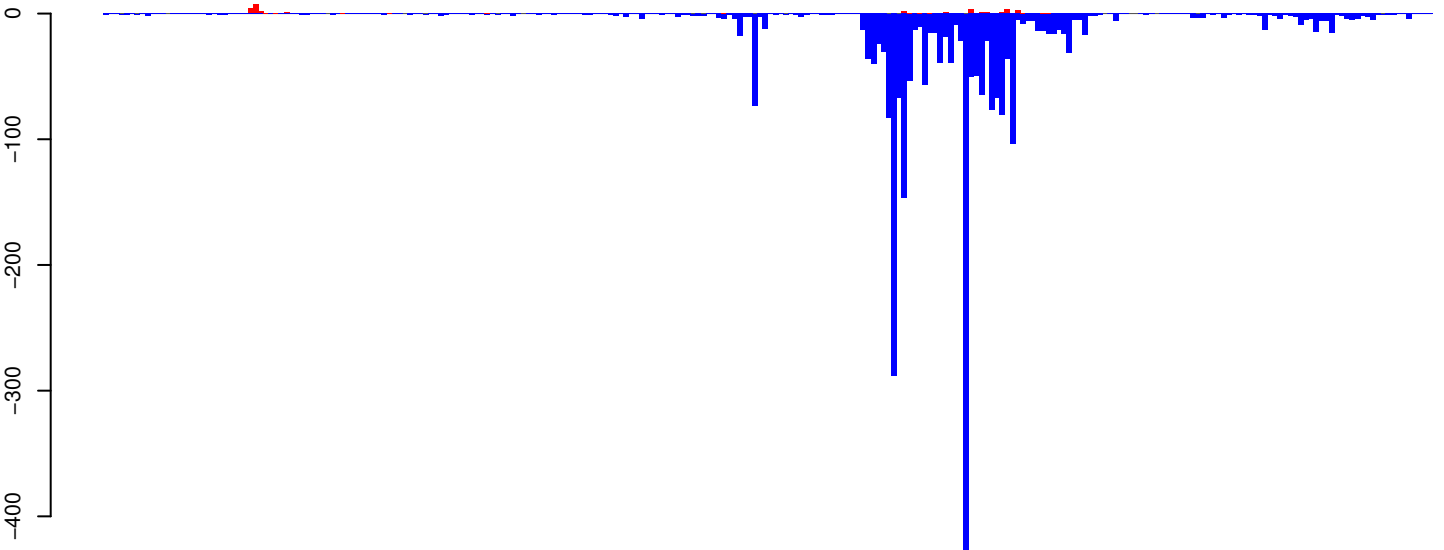
positive=10, negative=112, total=121

AeAeg_Aag2_Ago2_SINV_RA.24_35.rep



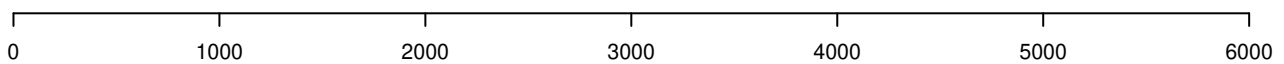
positive=34, negative=2475, total=2509

AeAeg_Aag2_Ago2_SINV_RA.rep

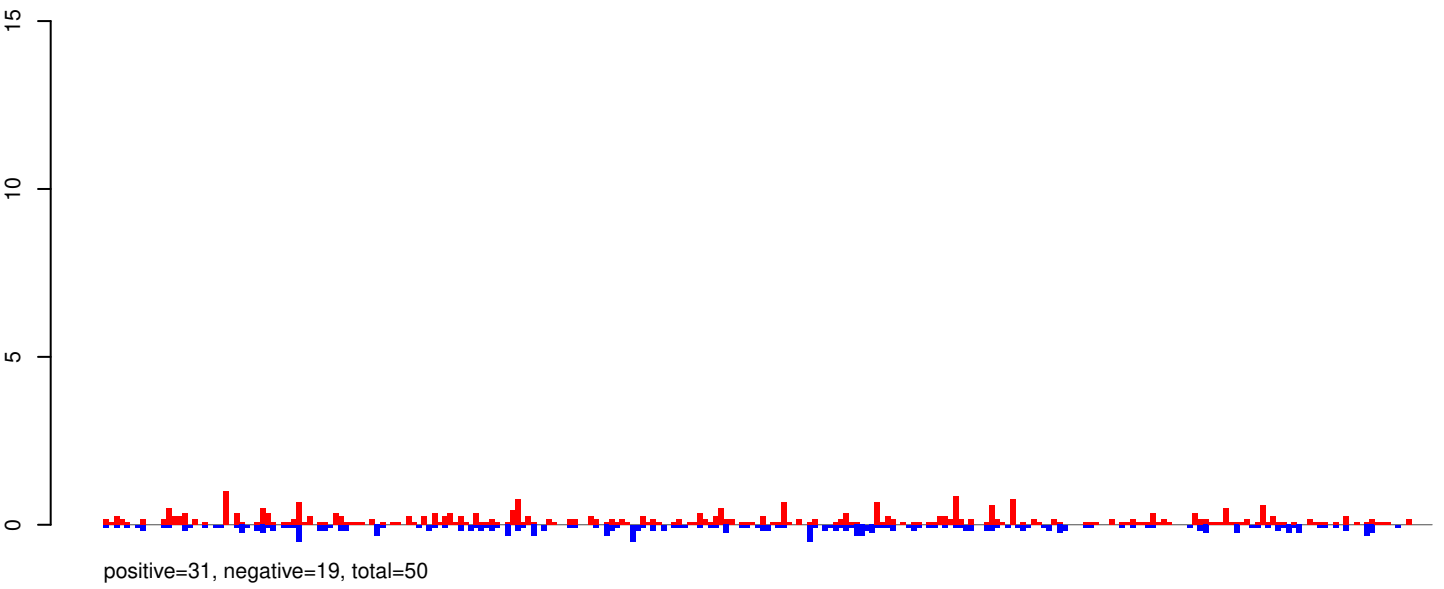


positive=43, negative=2587, total=2630

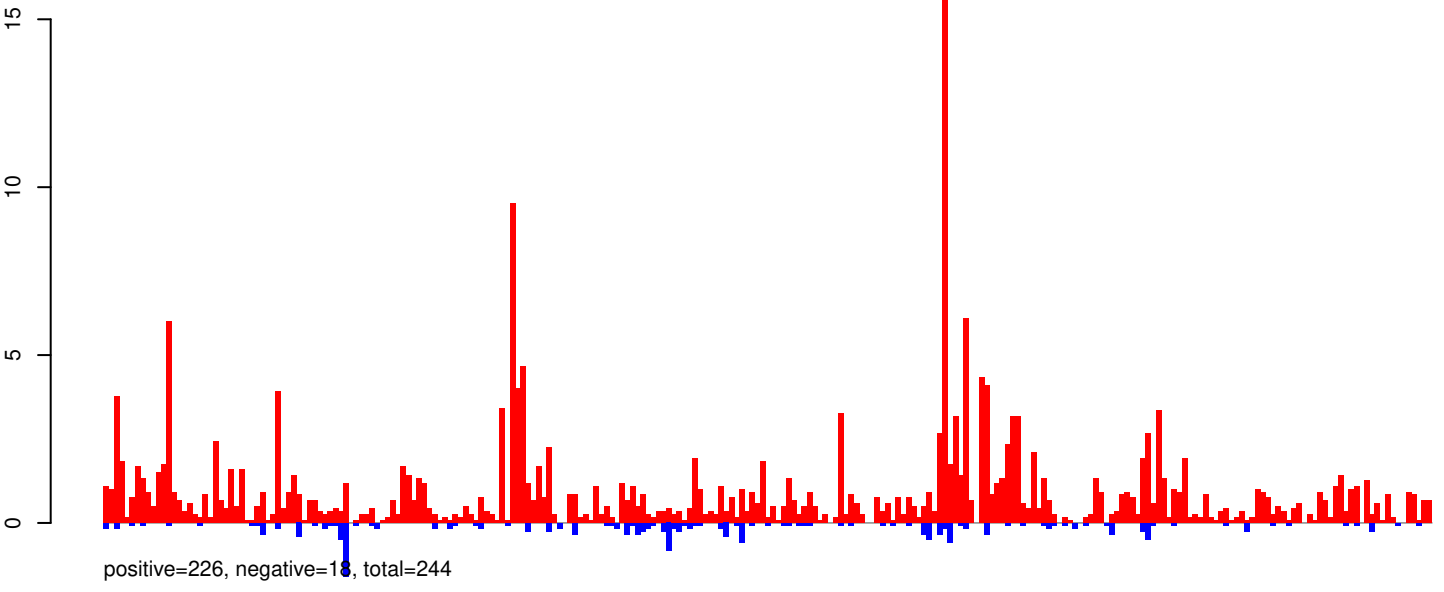
Window size=25, length=6432, TE@Gypsy-601_AA-LTR-I:1-6432



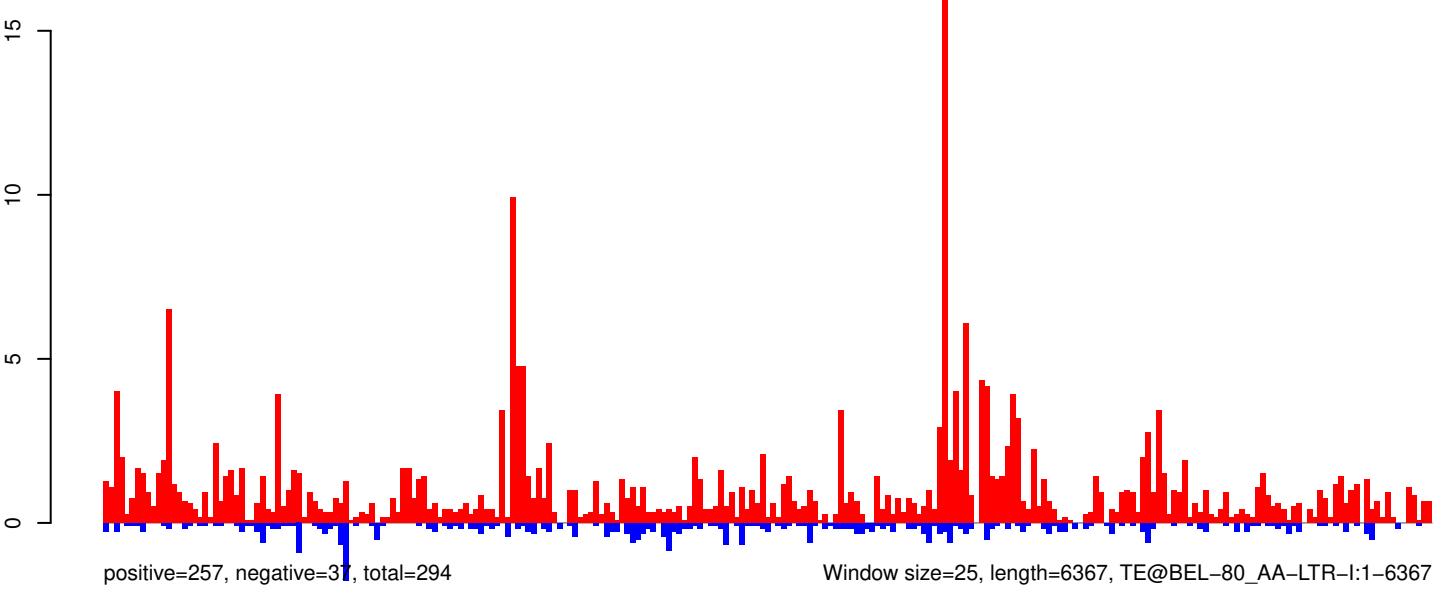
AeAeg_Aag2_Ago2_SINV_RA.18_23.rep



AeAeg_Aag2_Ago2_SINV_RA.24_35.rep

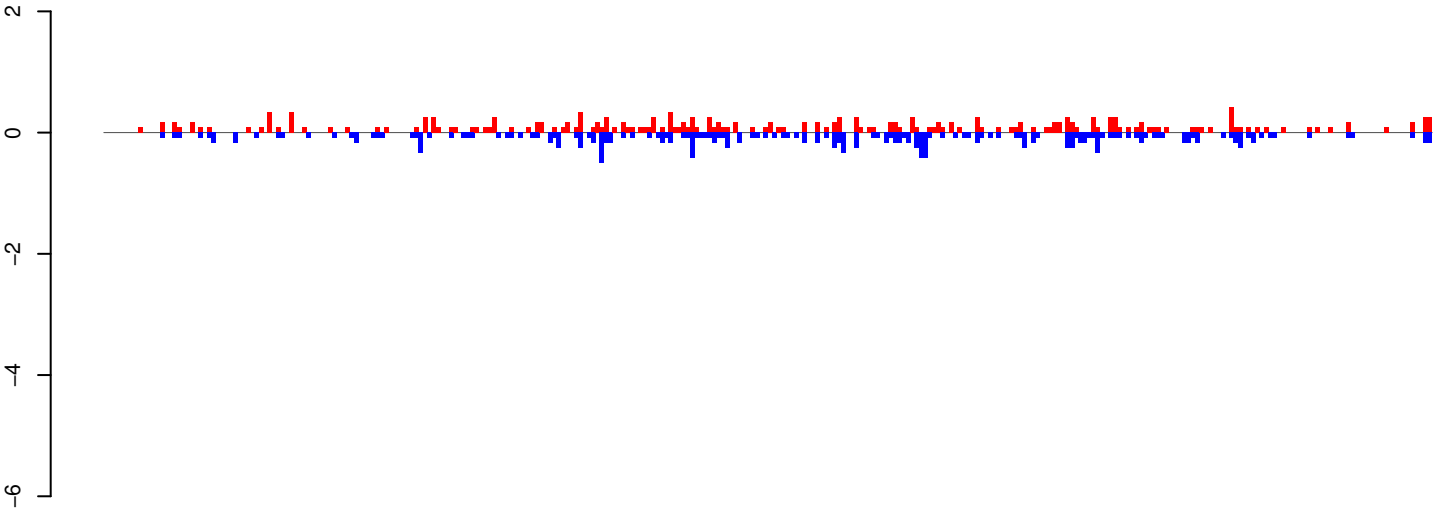


AeAeg_Aag2_Ago2_SINV_RA.rep



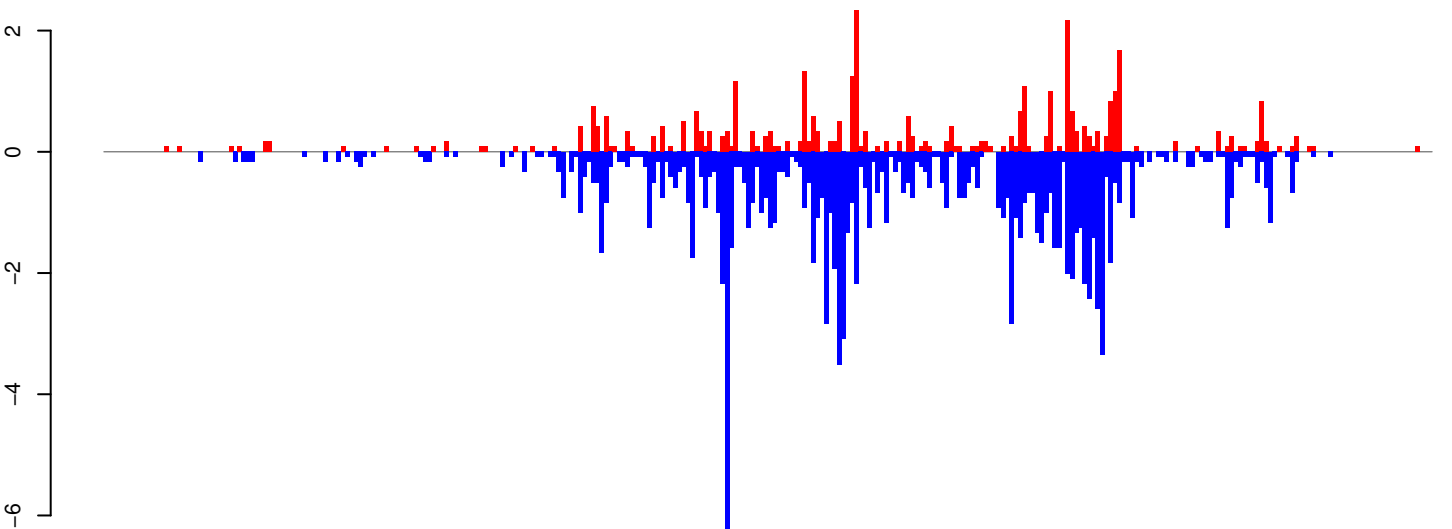
Window size=25, length=6367, TE@BEL-80_AA-LTR-I:1-6367

AeAeg_Aag2_Ago2_SINV_RA.18_23.rep



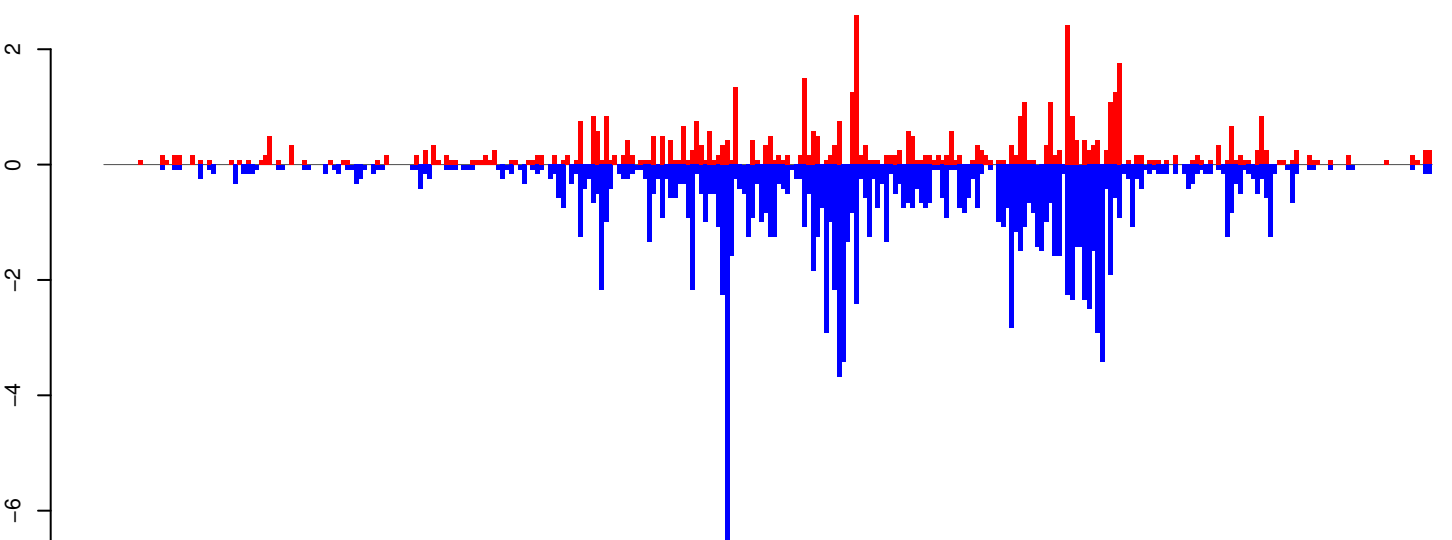
positive=17, negative=18, total=35

AeAeg_Aag2_Ago2_SINV_RA.24_35.rep



positive=35, negative=127, total=162

AeAeg_Aag2_Ago2_SINV_RA.rep

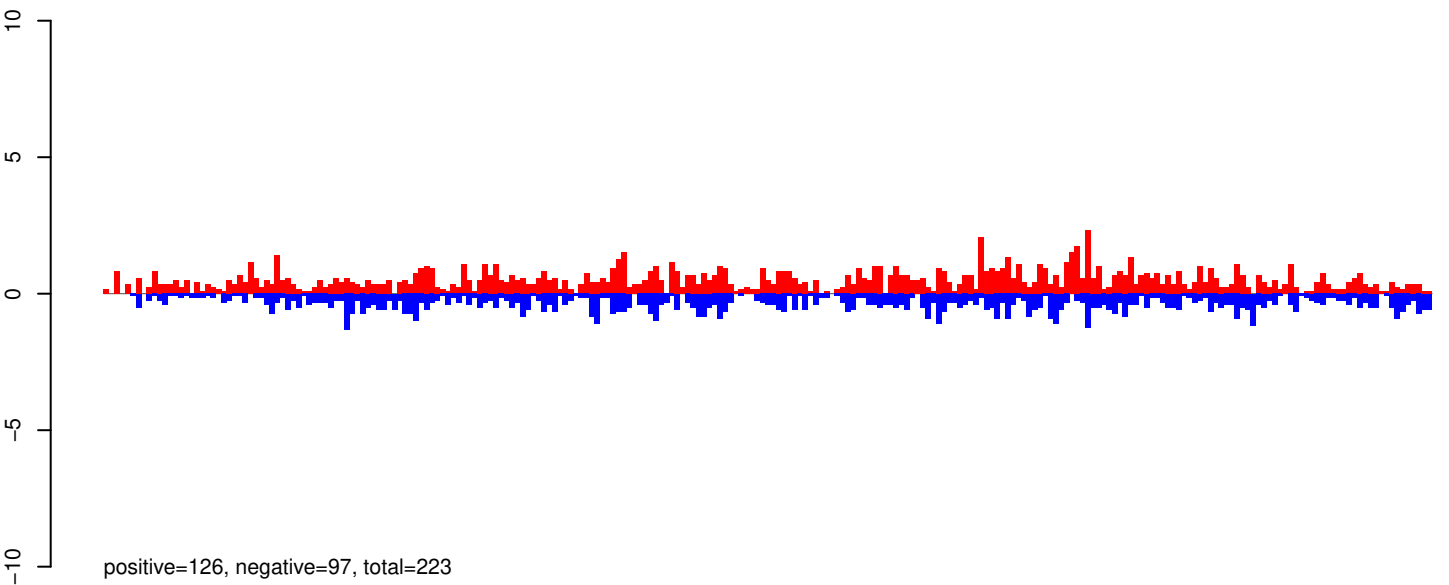


positive=53, negative=145, total=197

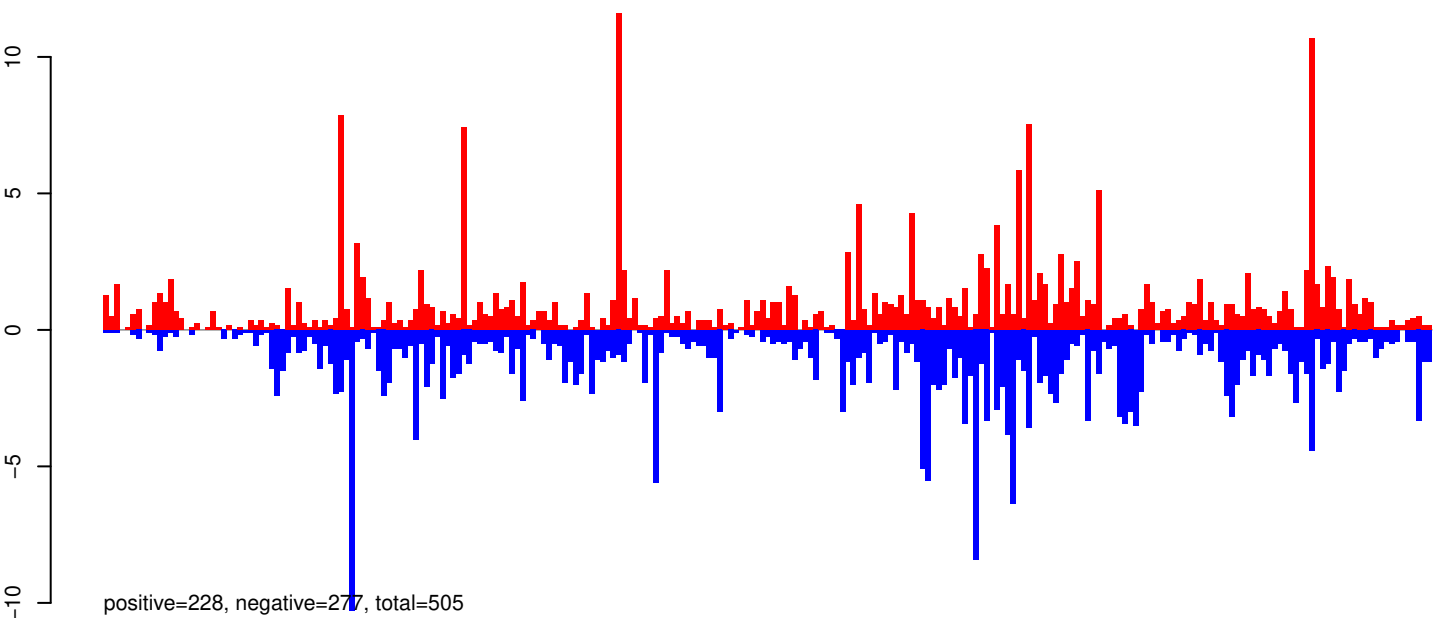
Window size=25, length=7699, TE@TF000508-Pao_Bel_Ele229:1-7699

0 2000 4000 6000 8000

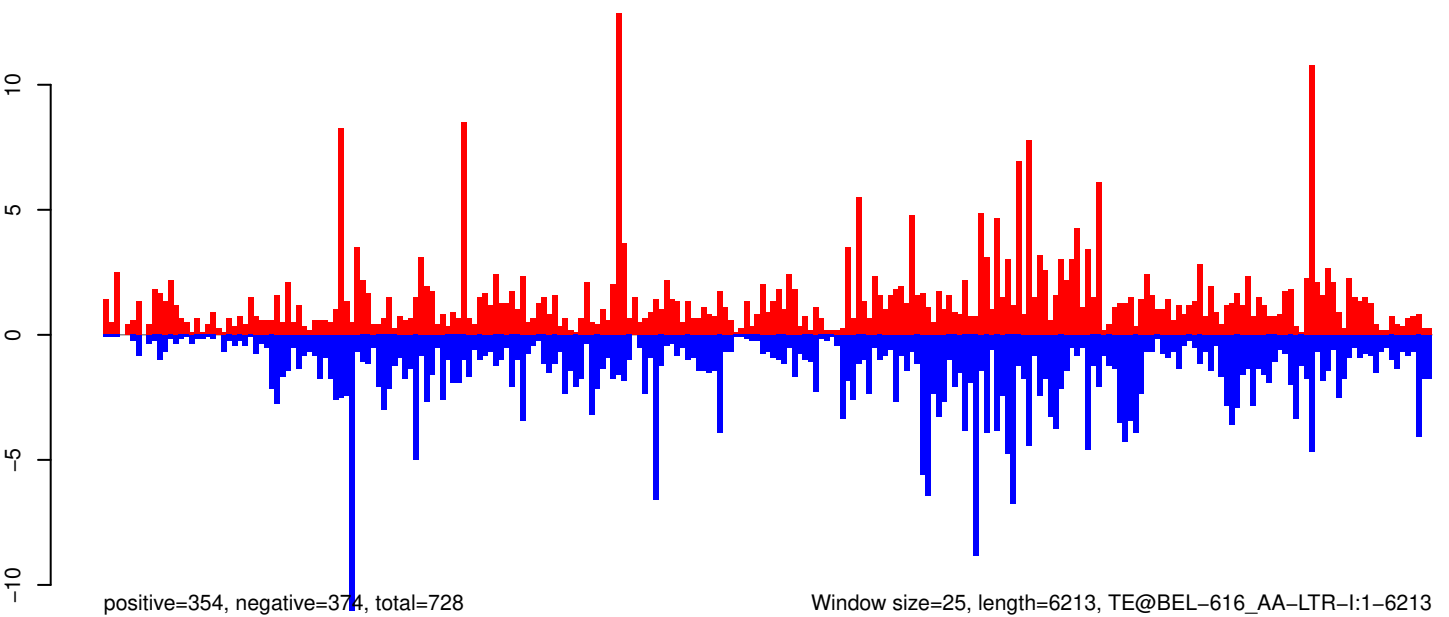
AeAeg_Aag2_Ago2_SINV_RA.18_23.rep



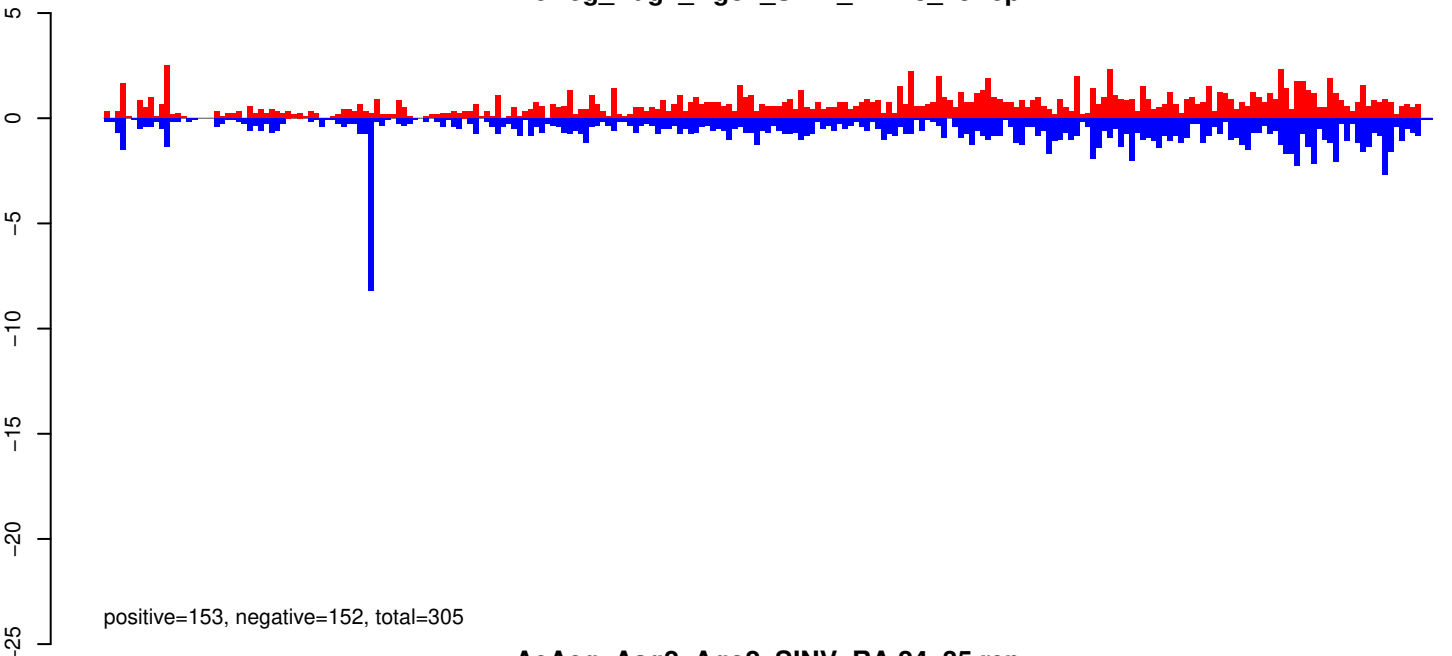
AeAeg_Aag2_Ago2_SINV_RA.24_35.rep



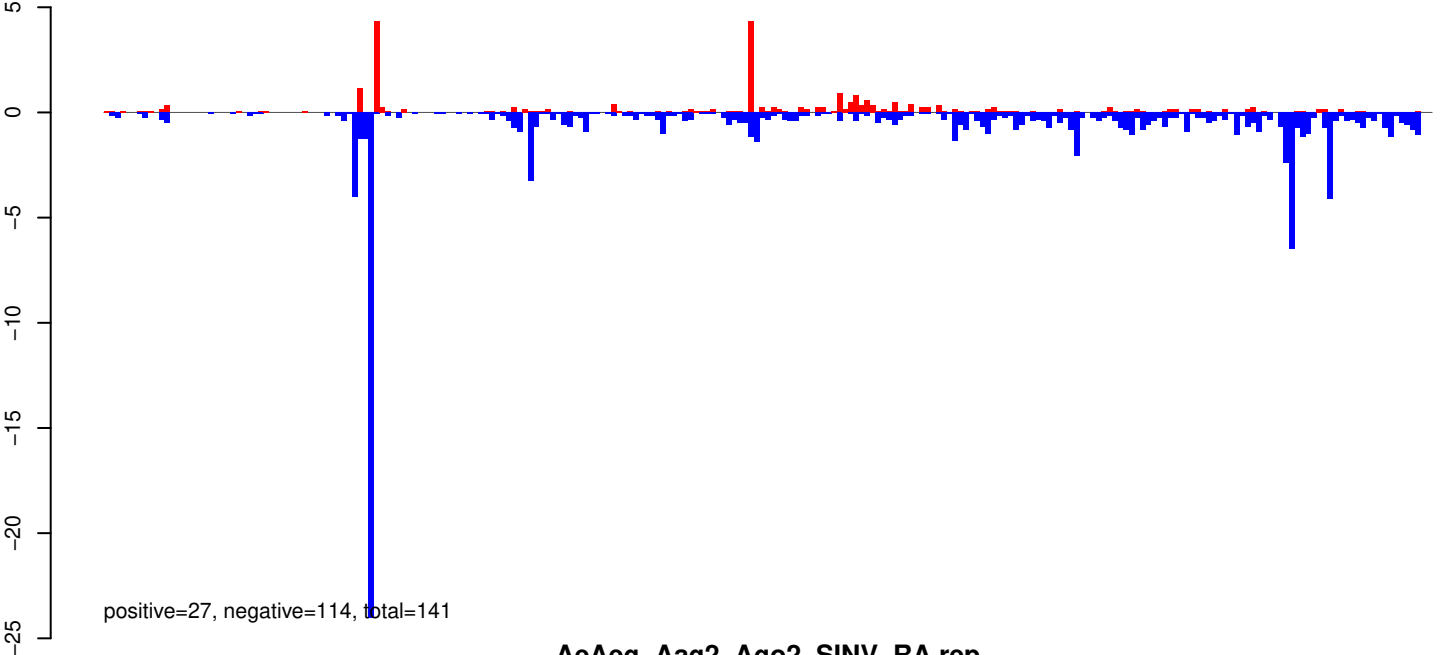
AeAeg_Aag2_Ago2_SINV_RA.rep



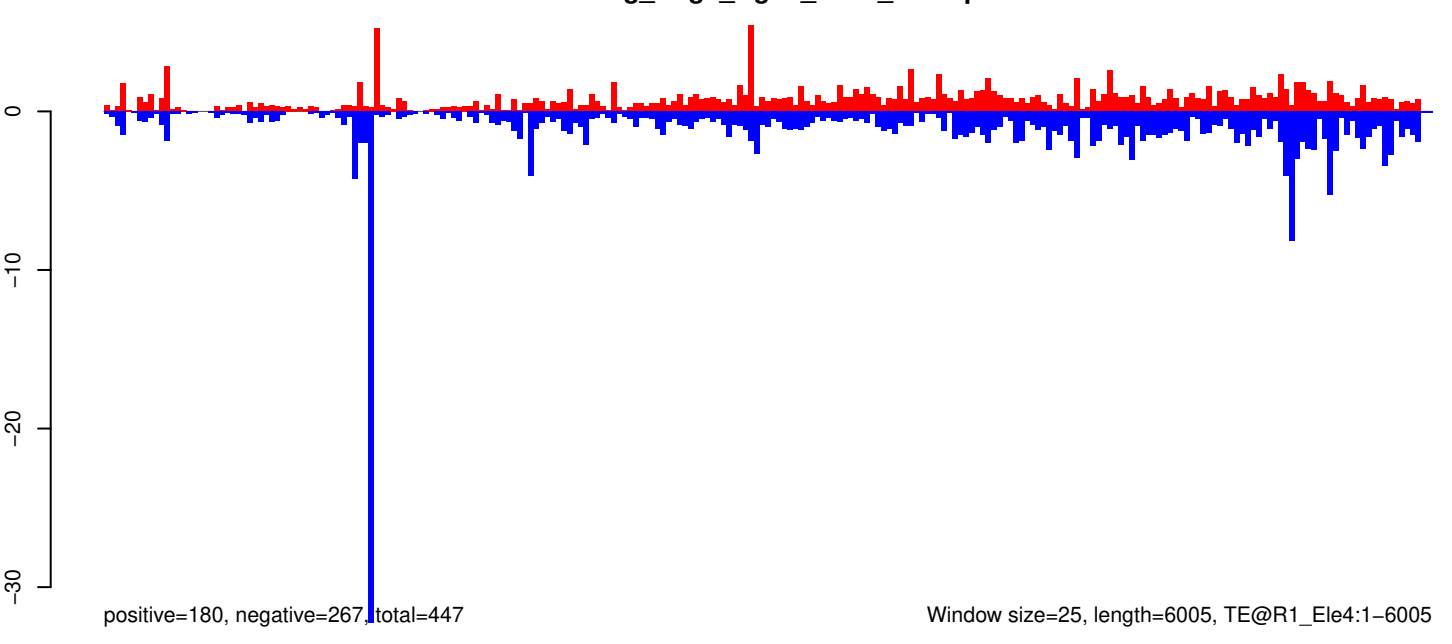
AeAeg_Aag2_Ago2_SINV_RA.18_23.rep



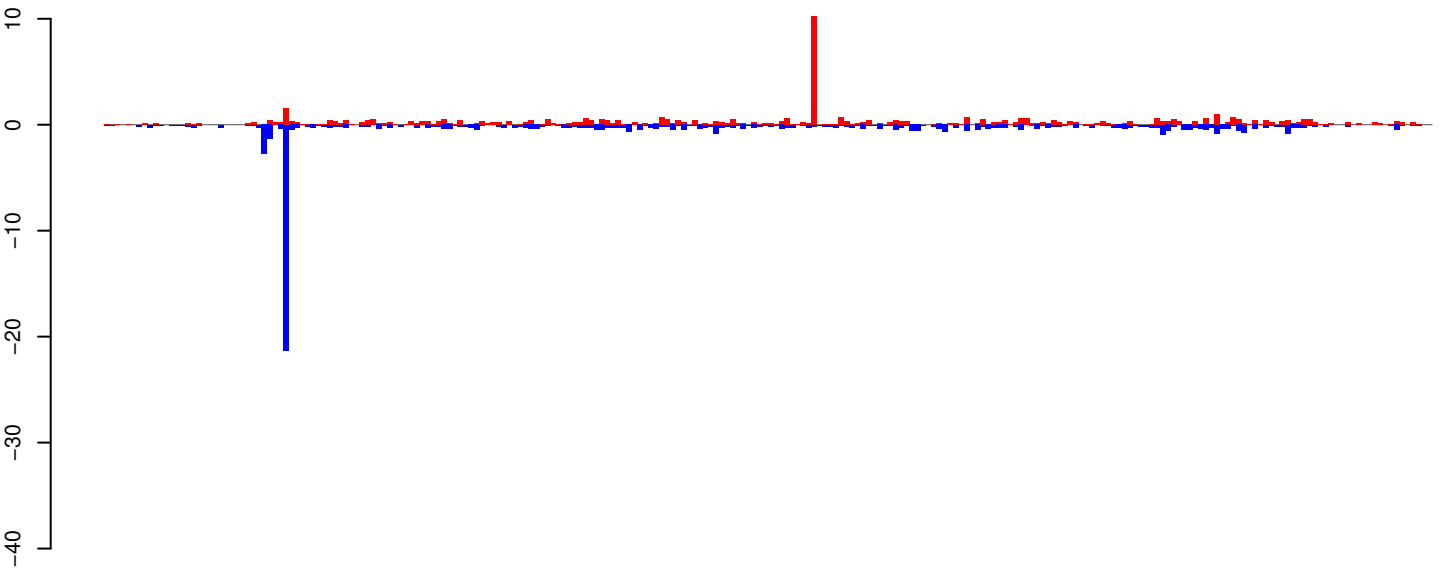
AeAeg_Aag2_Ago2_SINV_RA.24_35.rep



AeAeg_Aag2_Ago2_SINV_RA.rep

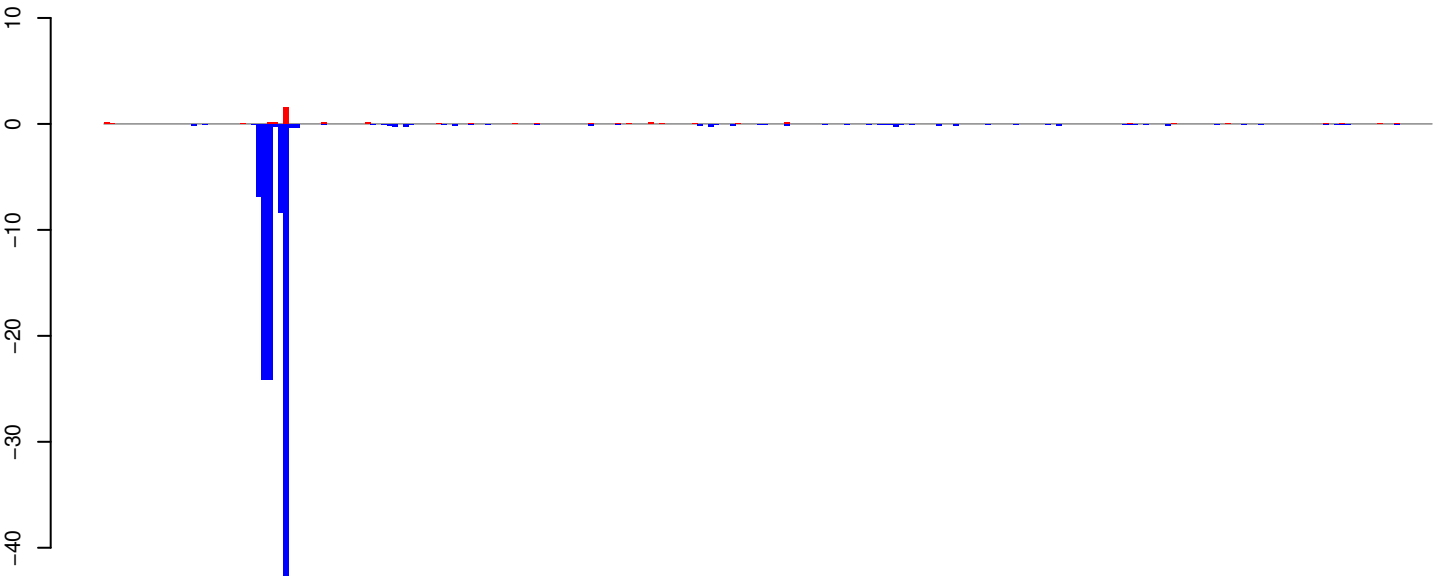


AeAeg_Aag2_Ago2_SINV_RA.18_23.rep



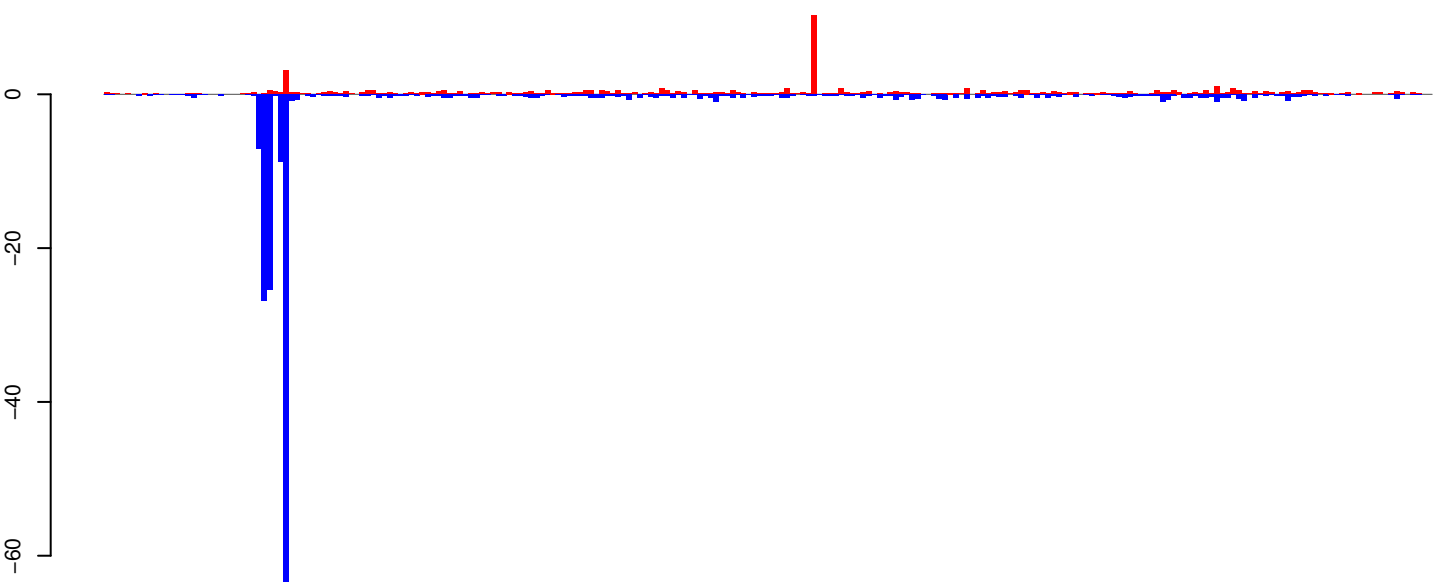
positive=59, negative=75, total=134

AeAeg_Aag2_Ago2_SINV_RA.24_35.rep



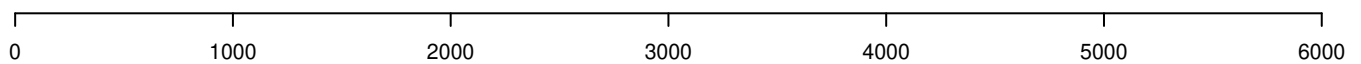
positive=4, negative=116, total=121

AeAeg_Aag2_Ago2_SINV_RA.rep

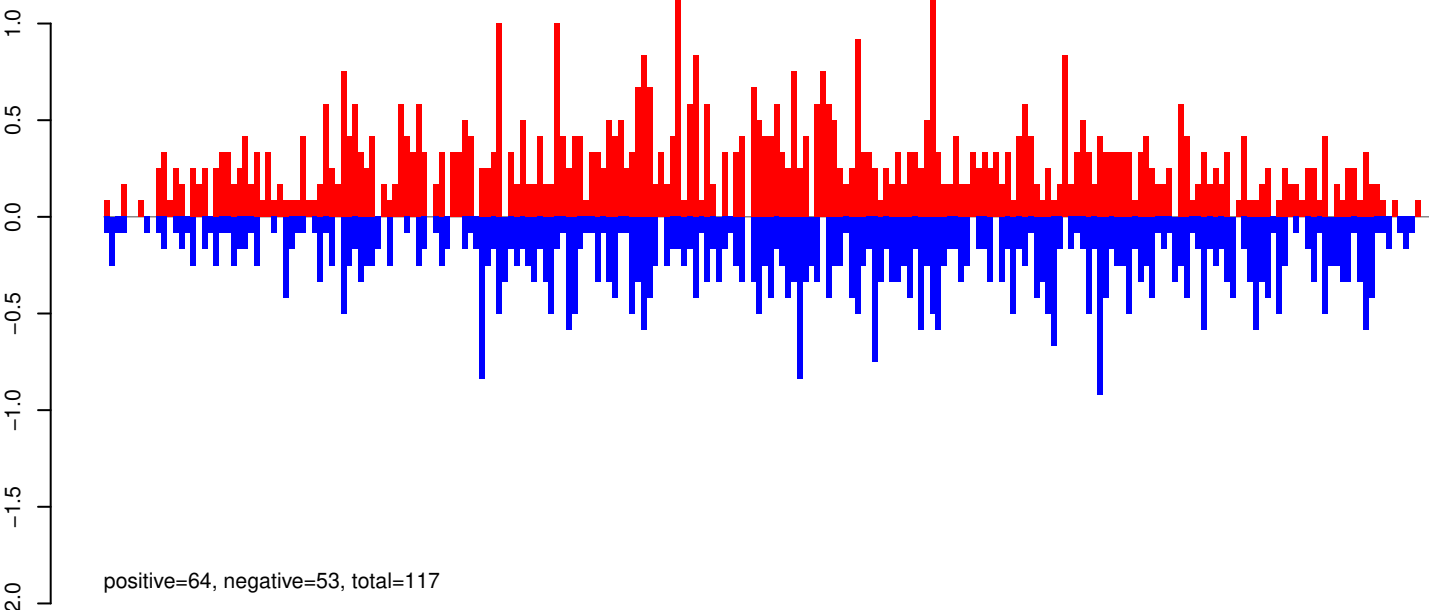


positive=64, negative=191, total=255

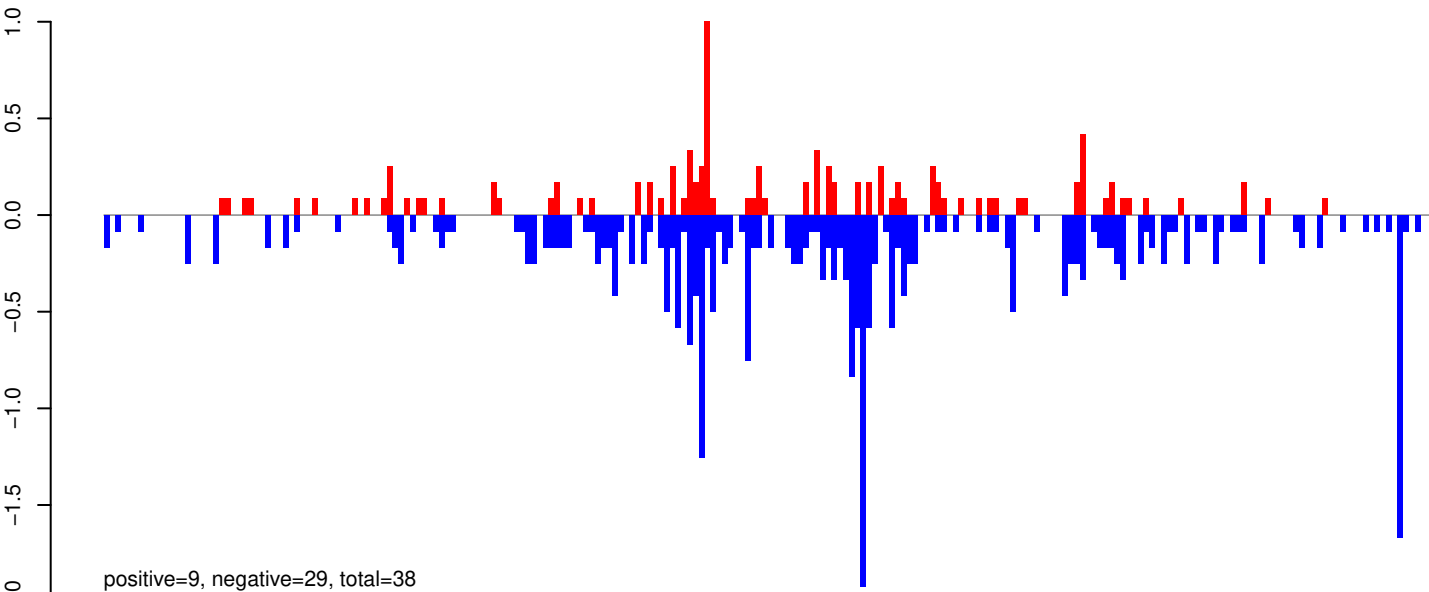
Window size=25, length=6094, TE@Loner_Ele1:1-6094



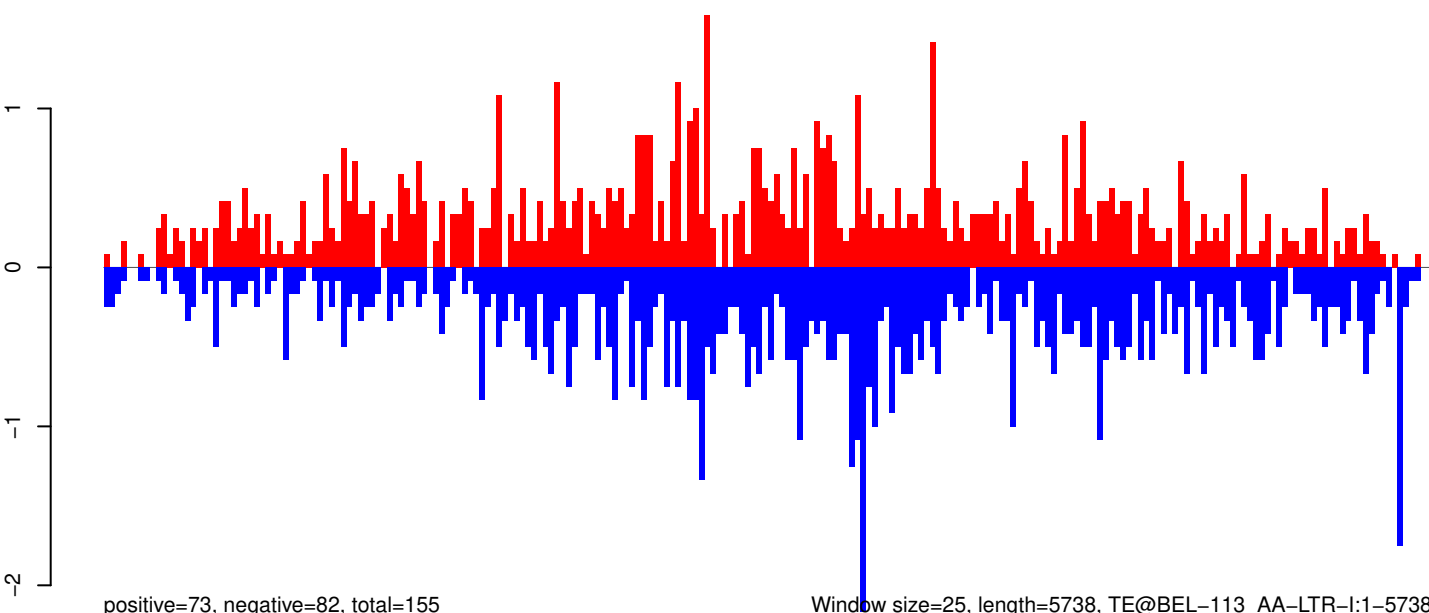
AeAeg_Aag2_Ago2_SINV_RA.18_23.rep



AeAeg_Aag2_Ago2_SINV_RA.24_35.rep

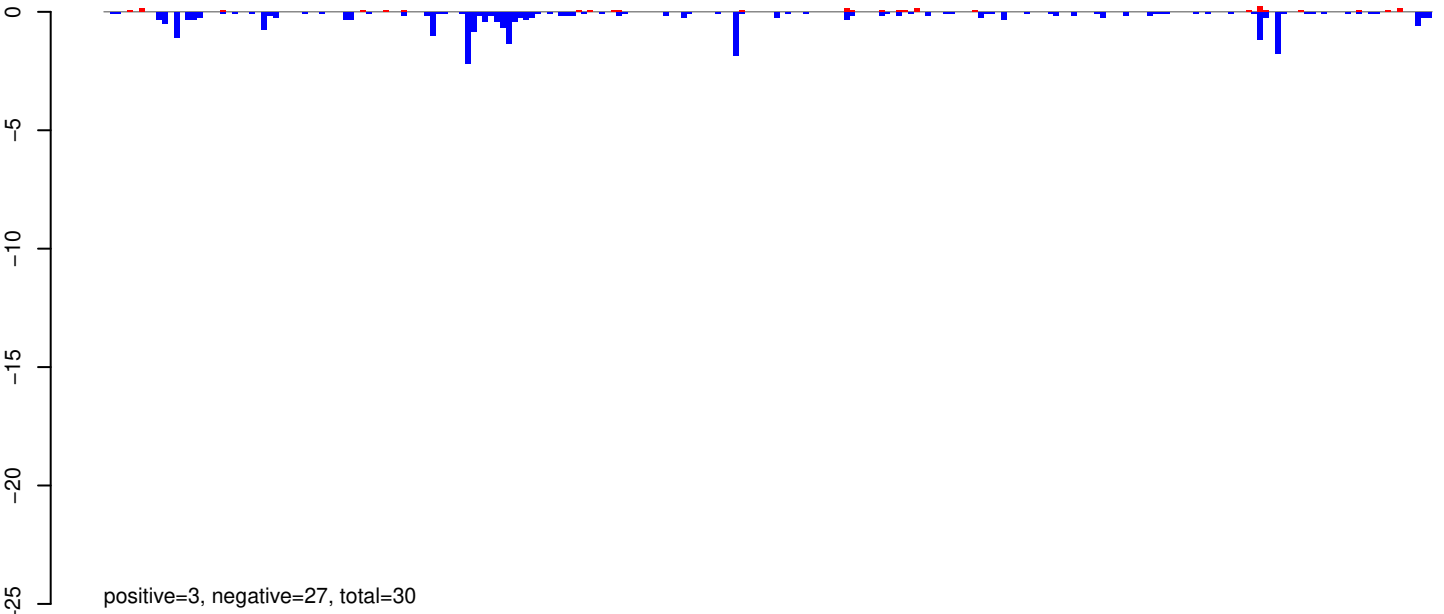


AeAeg_Aag2_Ago2_SINV_RA.rep

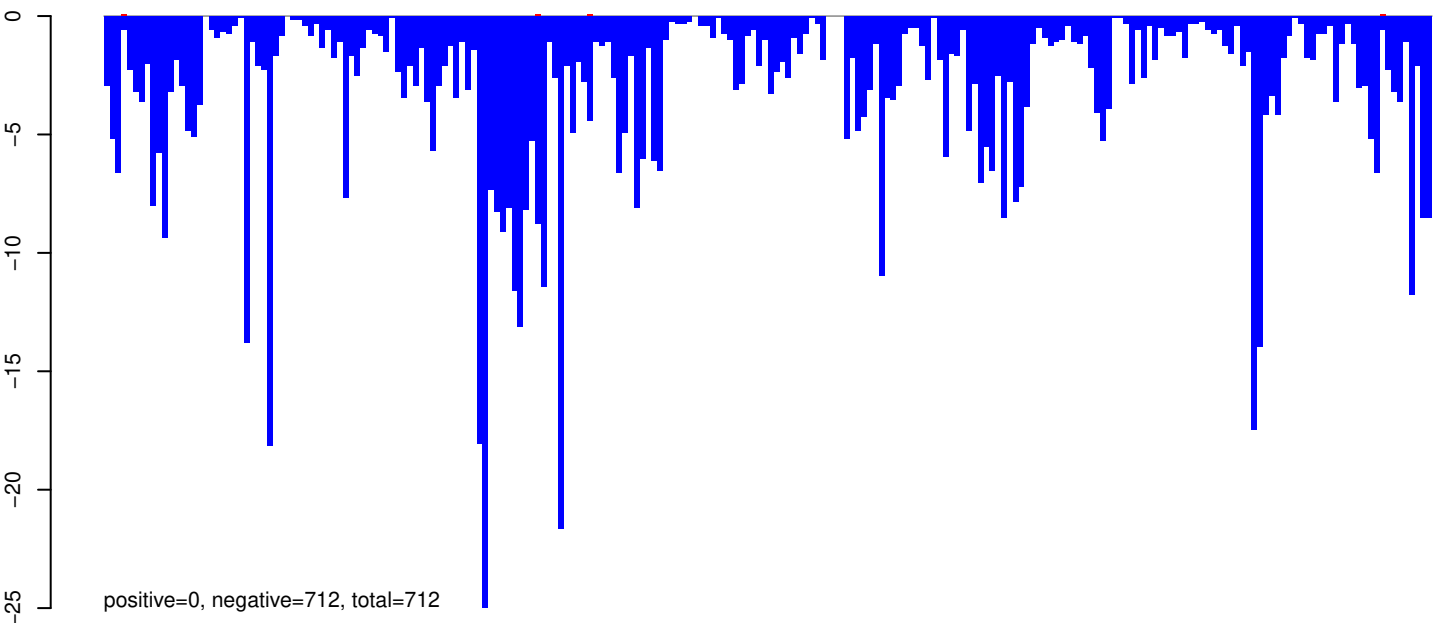


Window size=25, length=5738, TE@BEL-113_AA-LTR-I:1-5738

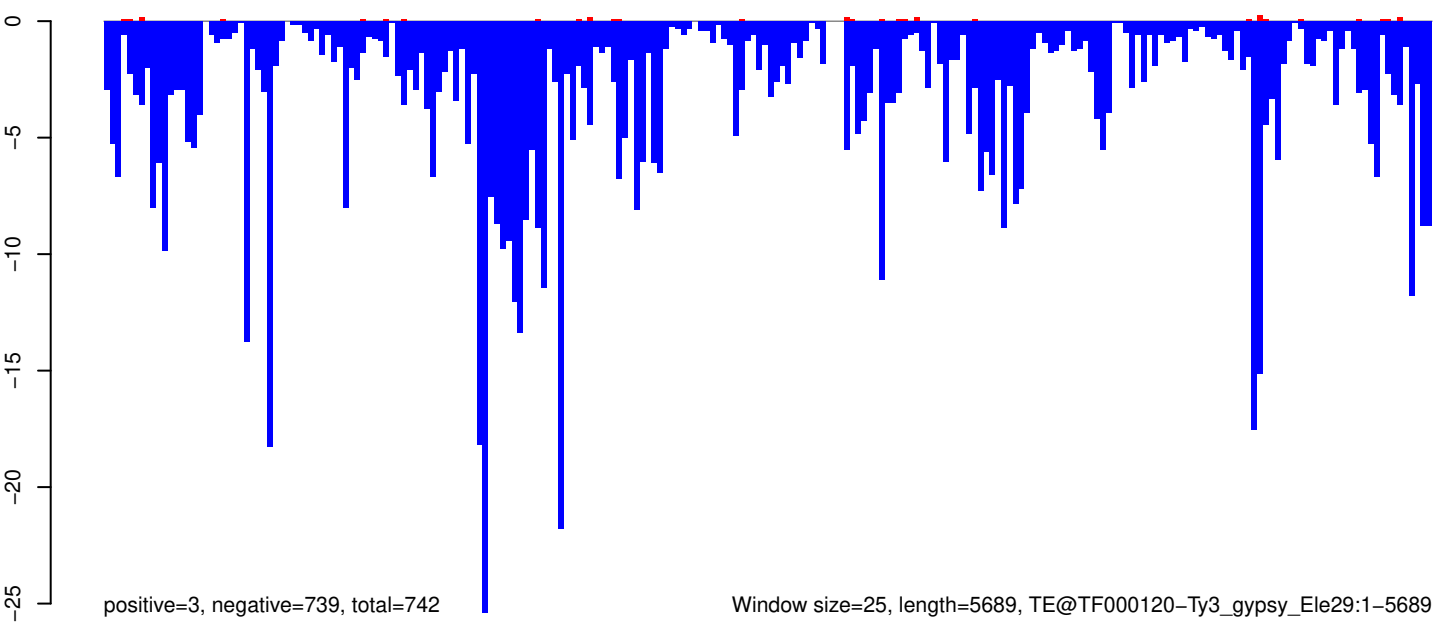
AeAeg_Aag2_Ago2_SINV_RA.18_23.rep



AeAeg_Aag2_Ago2_SINV_RA.24_35.rep

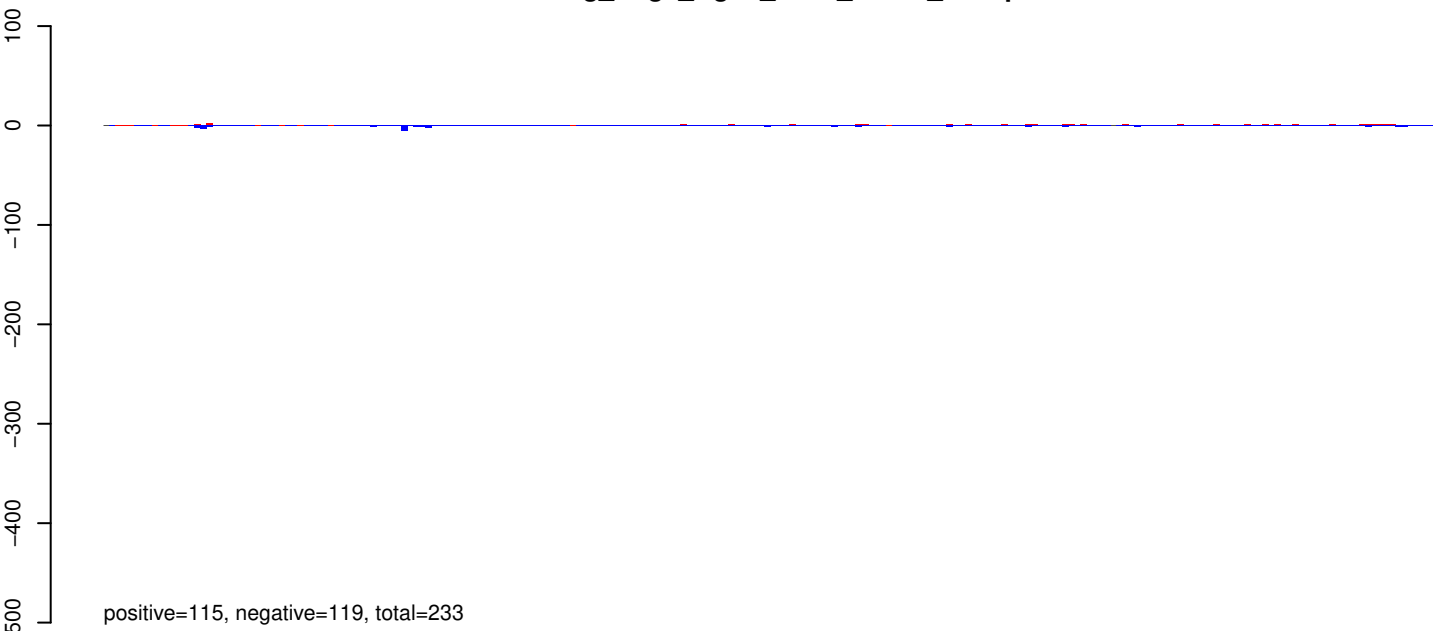


AeAeg_Aag2_Ago2_SINV_RA.rep

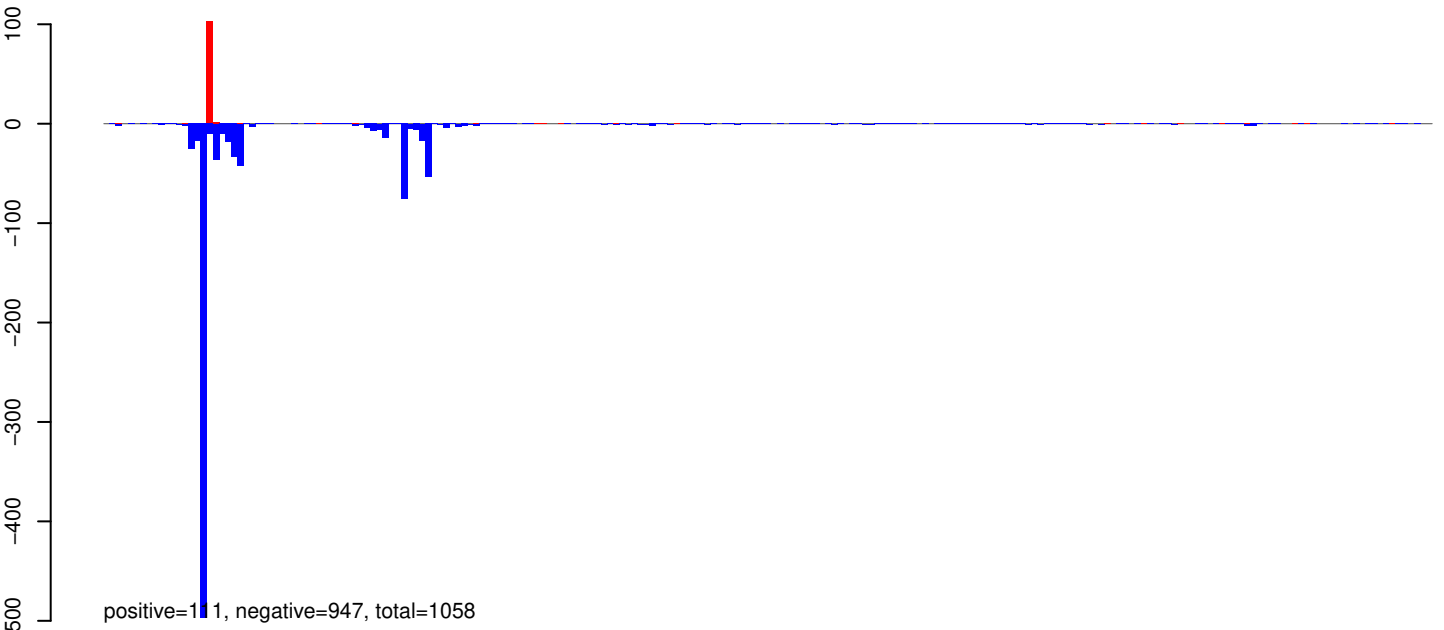


0 1000 2000 3000 4000 5000

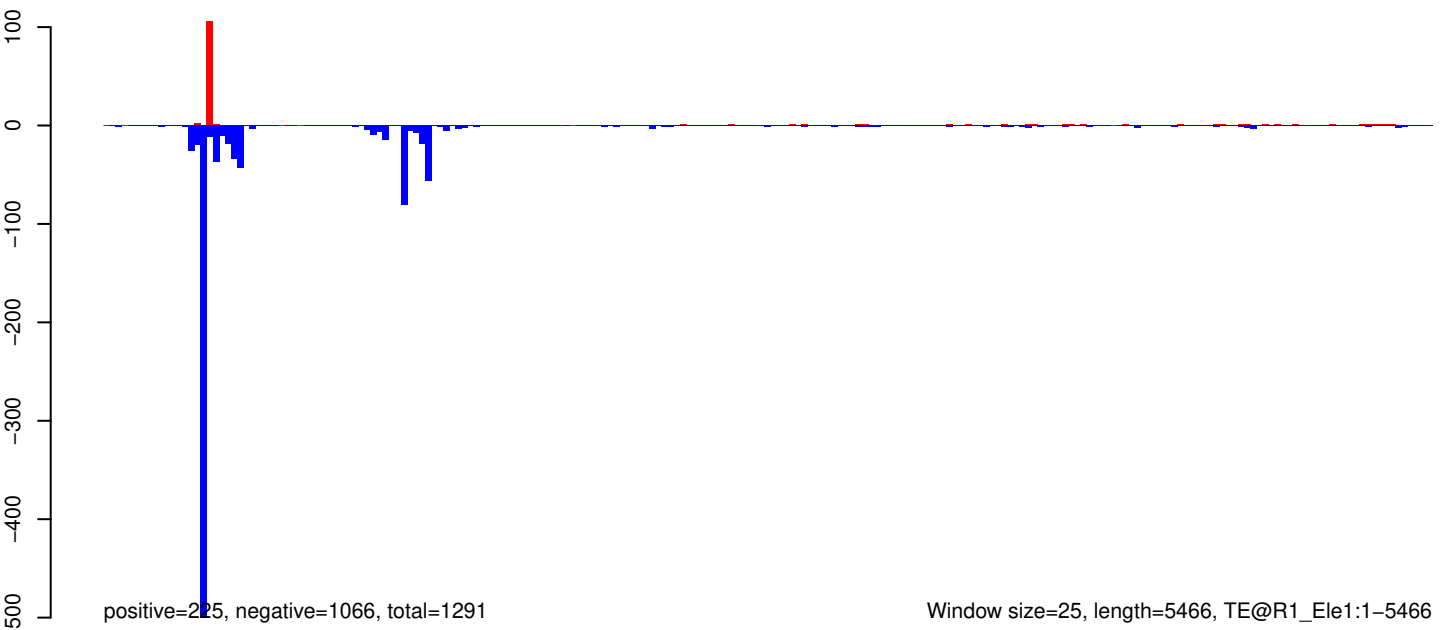
AeAeg_Aag2_Ago2_SINV_RA.18_23.rep



AeAeg_Aag2_Ago2_SINV_RA.24_35.rep

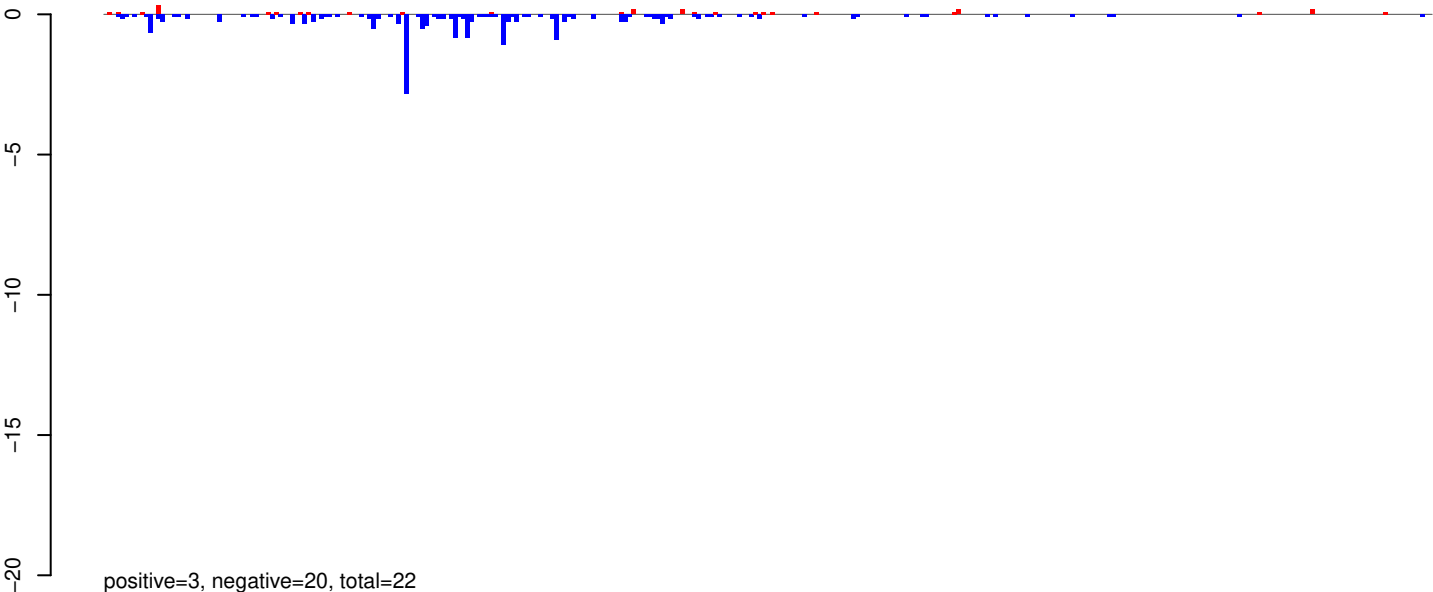


AeAeg_Aag2_Ago2_SINV_RA.rep

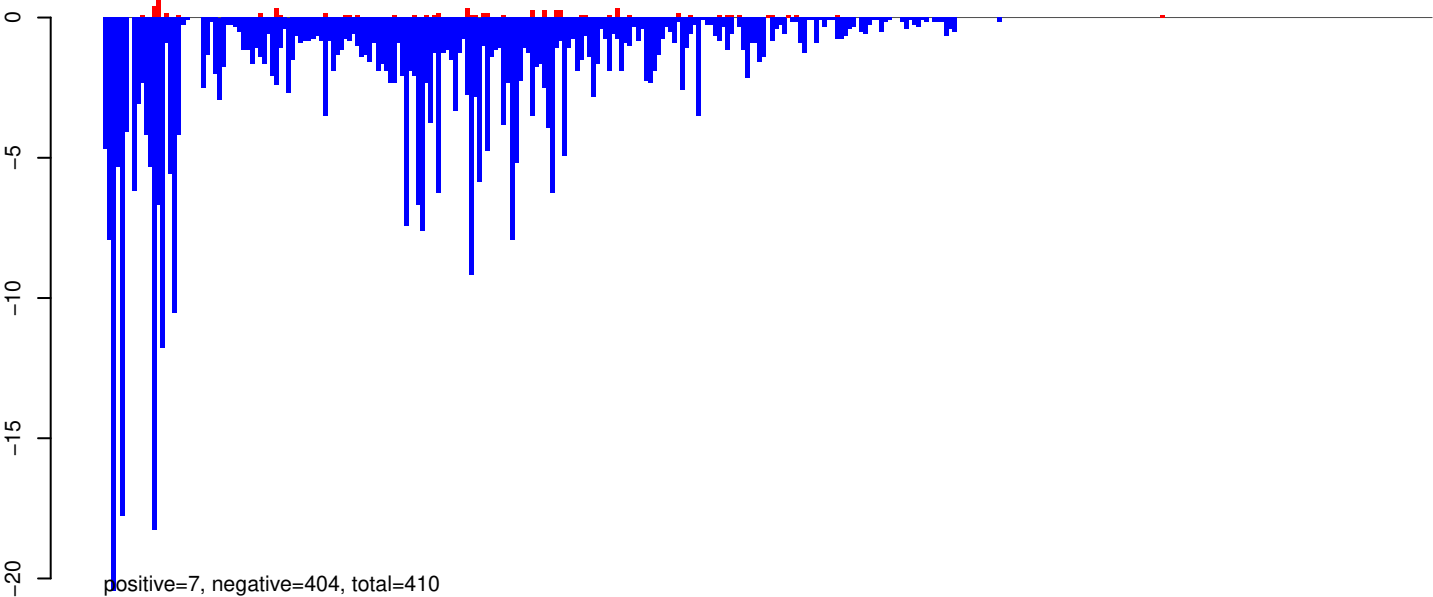


Window size=25, length=5466, TE@R1_Ele1:1-5466

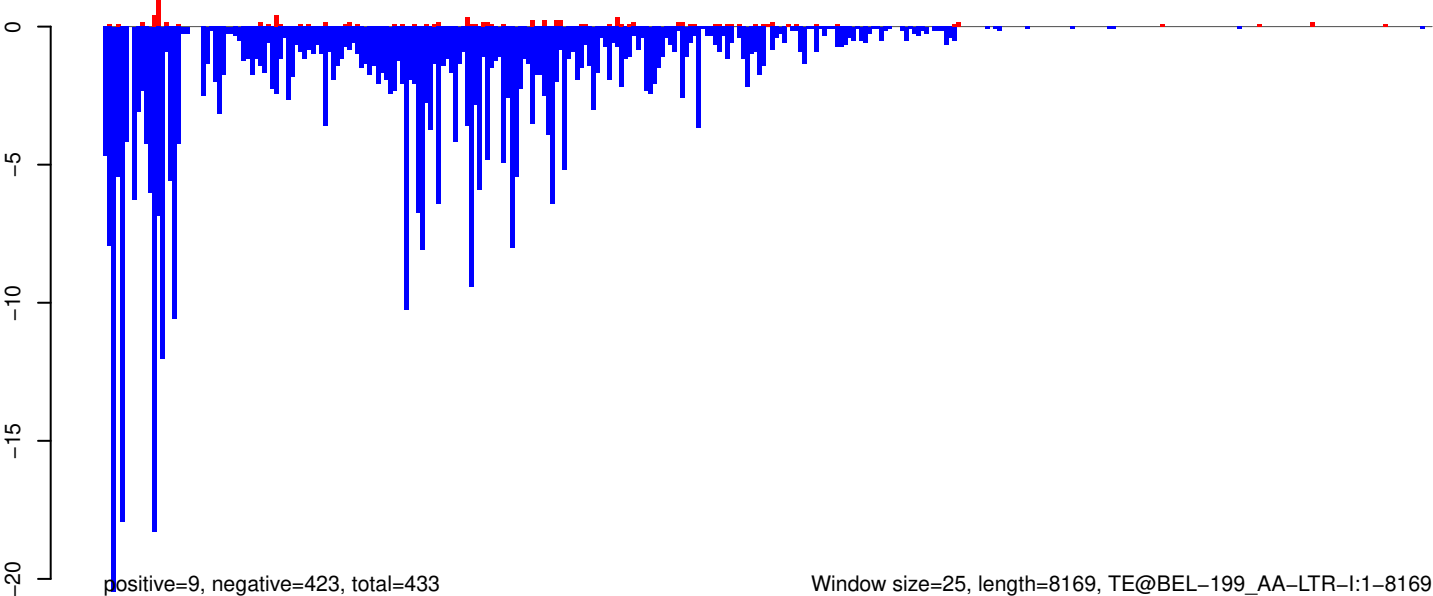
AeAeg_Aag2_Ago2_SINV_RA.18_23.rep



AeAeg_Aag2_Ago2_SINV_RA.24_35.rep



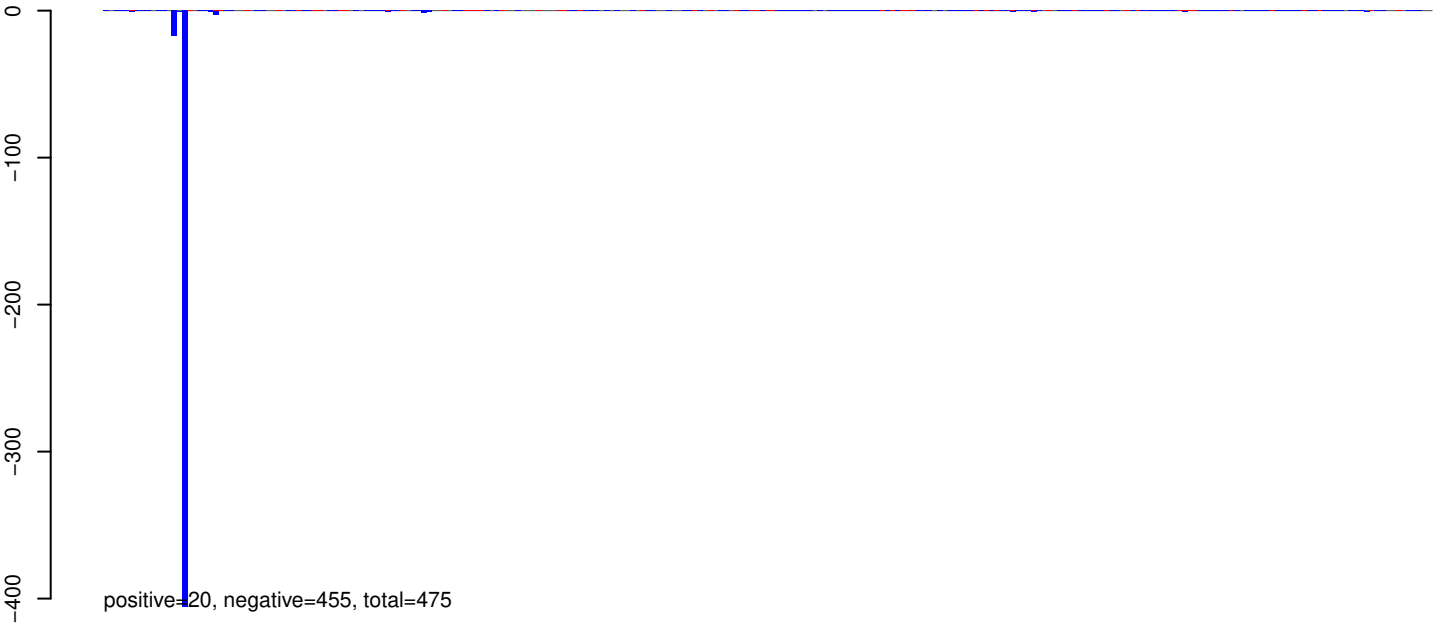
AeAeg_Aag2_Ago2_SINV_RA.rep



Window size=25, length=8169, TE@BEL-199_AA-LTR-I:1-8169

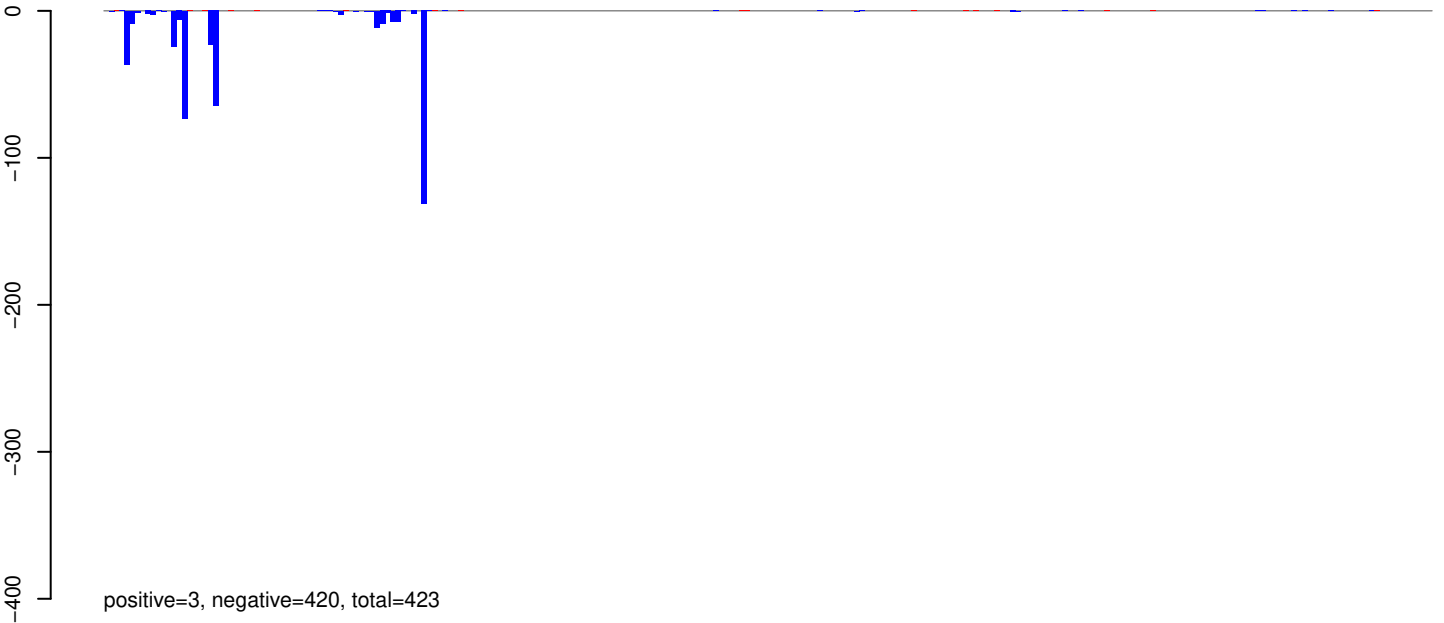
0 2000 4000 6000 8000

AeAeg_Aag2_Ago2_SINV_RA.18_23.rep



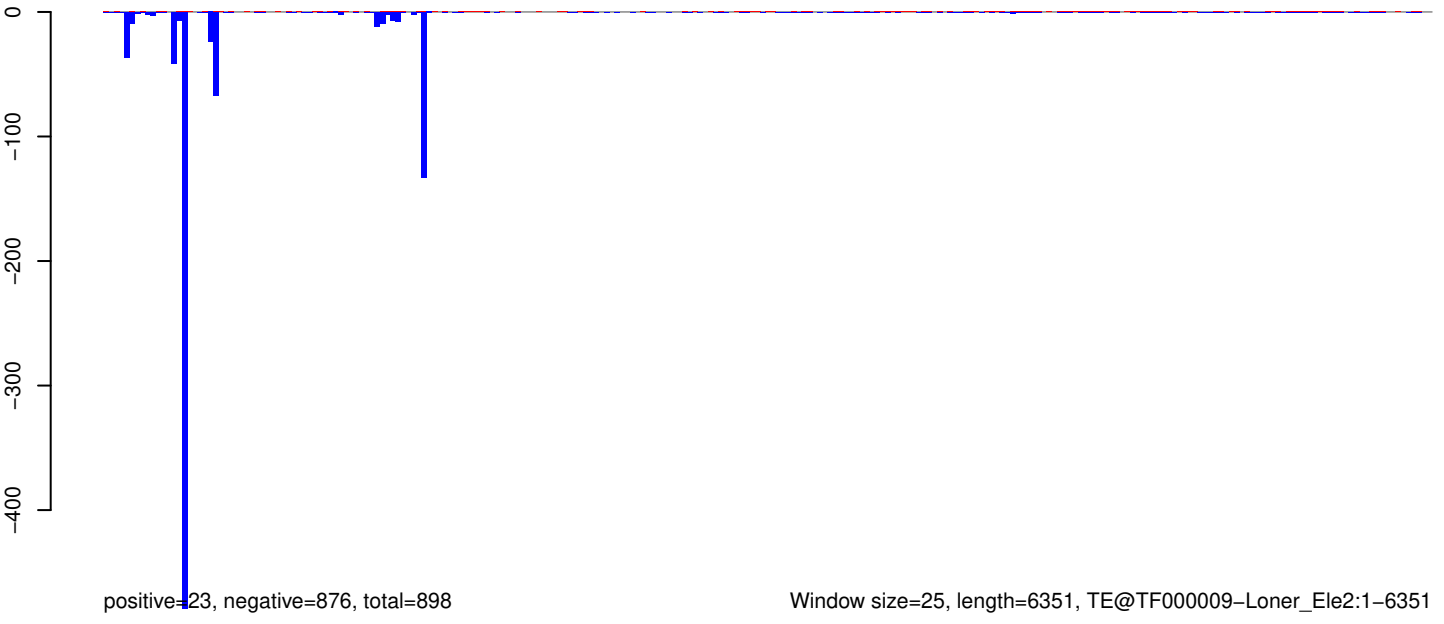
positive=20, negative=455, total=475

AeAeg_Aag2_Ago2_SINV_RA.24_35.rep



positive=3, negative=420, total=423

AeAeg_Aag2_Ago2_SINV_RA.rep



positive=23, negative=876, total=898

Window size=25, length=6351, TE@TF000009-Loner_Ele2:1-6351

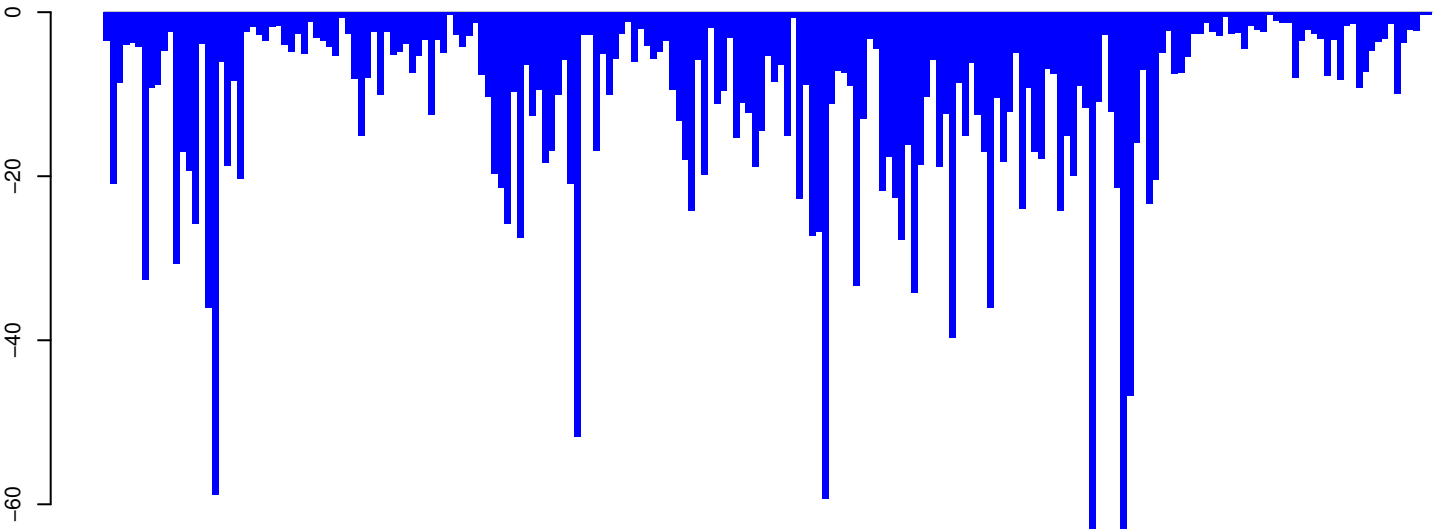
0 1000 2000 3000 4000 5000 6000

AeAeg_Aag2_Ago2_SINV_RA.18_23.rep



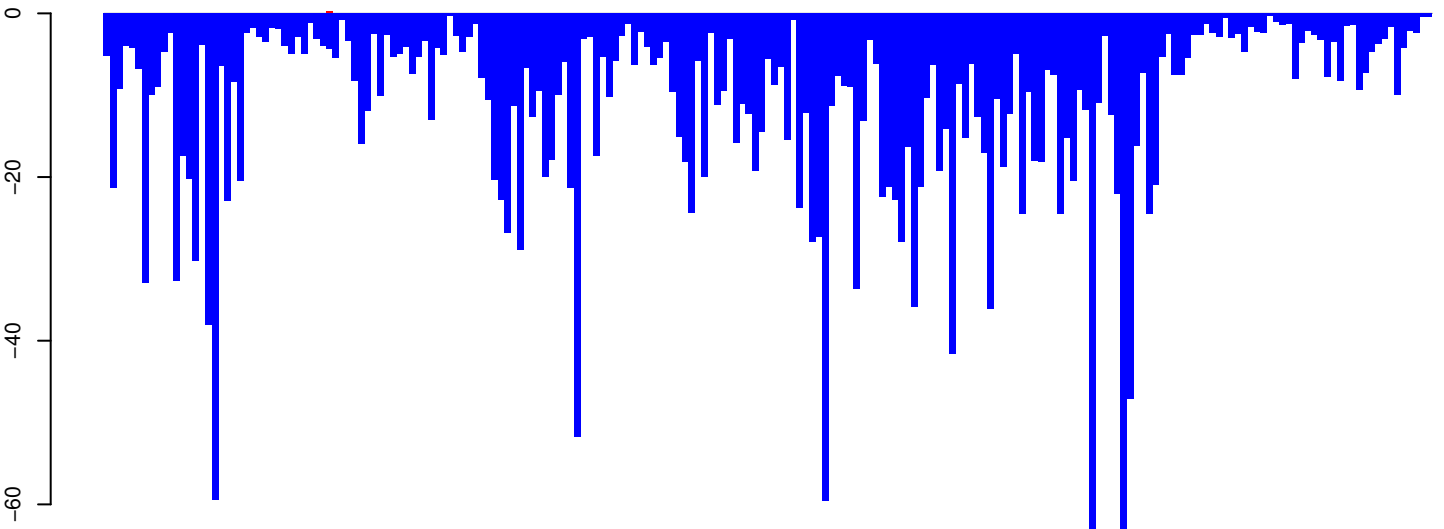
positive=1, negative=88, total=89

AeAeg_Aag2_Ago2_SINV_RA.24_35.rep



positive=0, negative=2310, total=2310

AeAeg_Aag2_Ago2_SINV_RA.rep

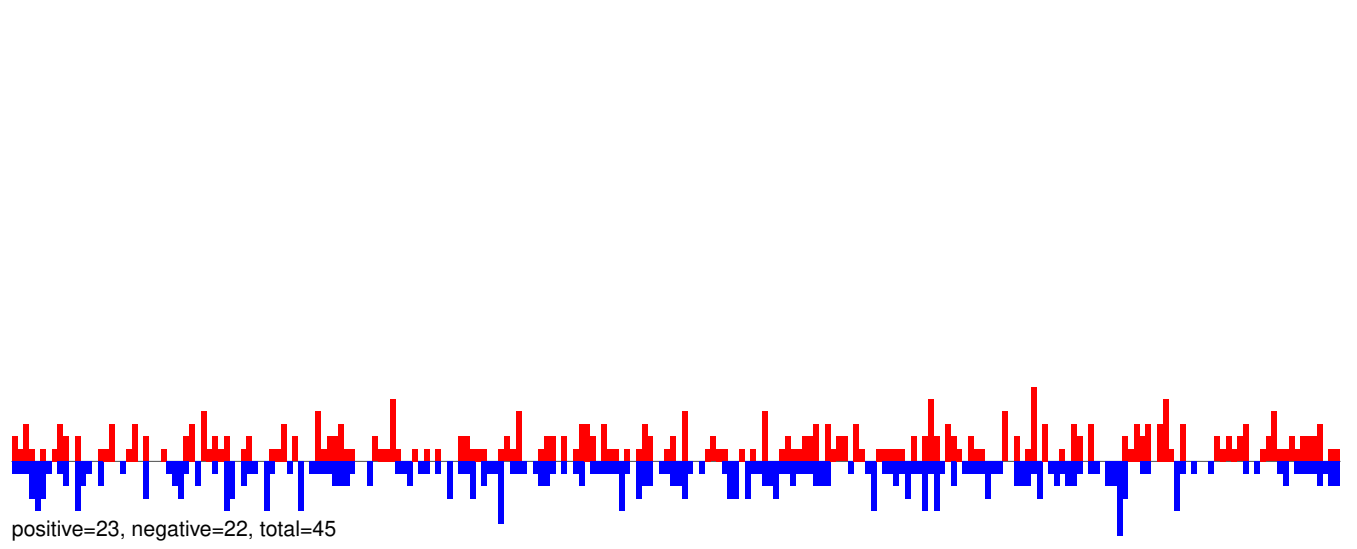


positive=1, negative=2399, total=2400

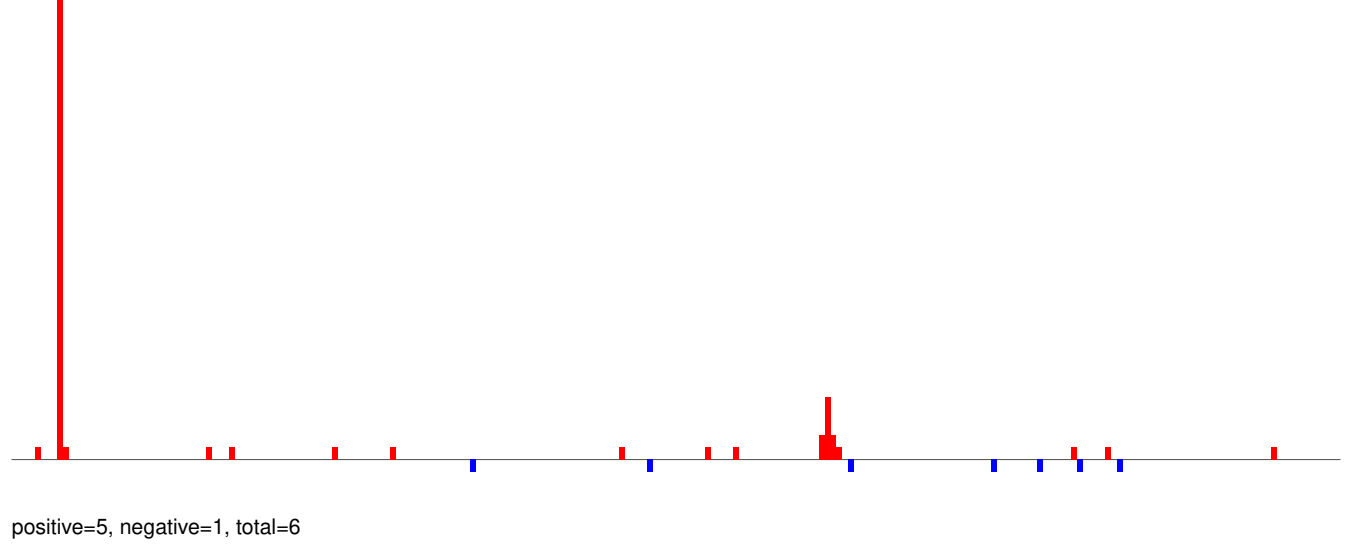
Window size=25, length=5212, TE@Gypsy-46_AA-LTR-I:1-5212

0 1000 2000 3000 4000 5000

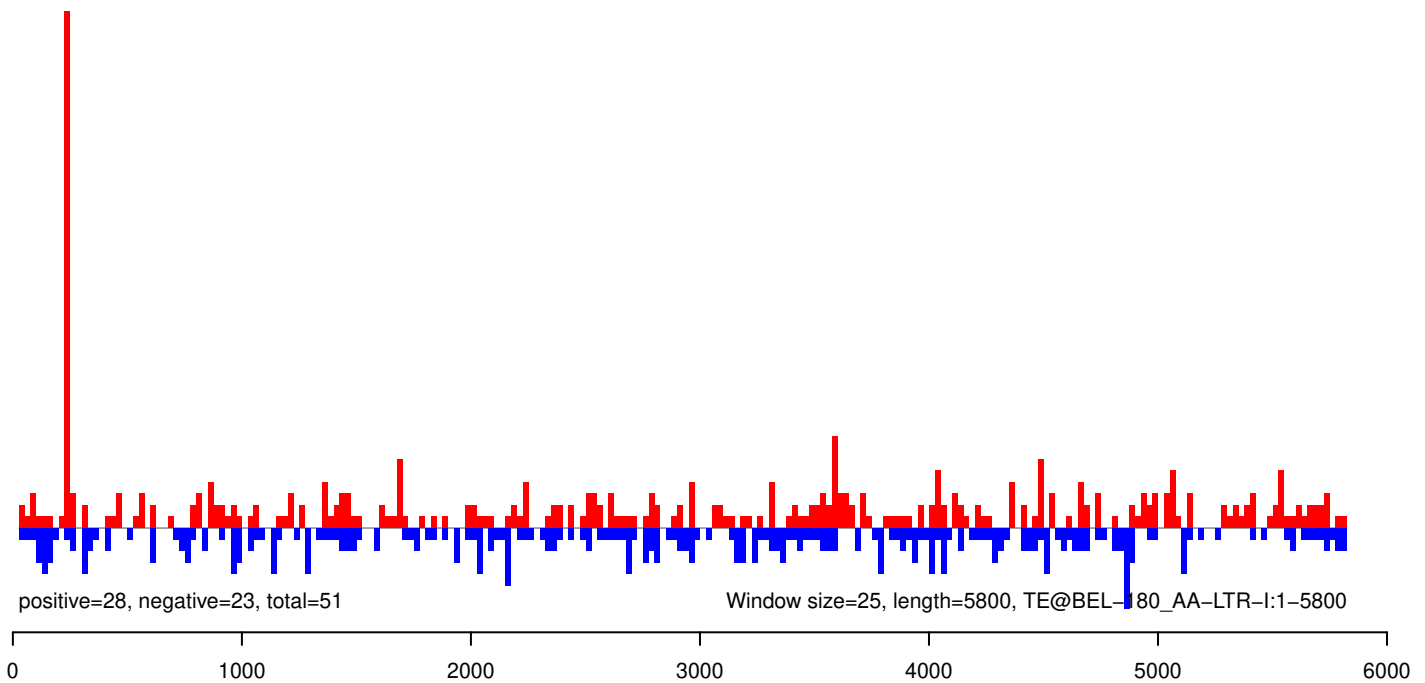
AeAeg_Aag2_Ago2_SINV_RA.18_23.rep



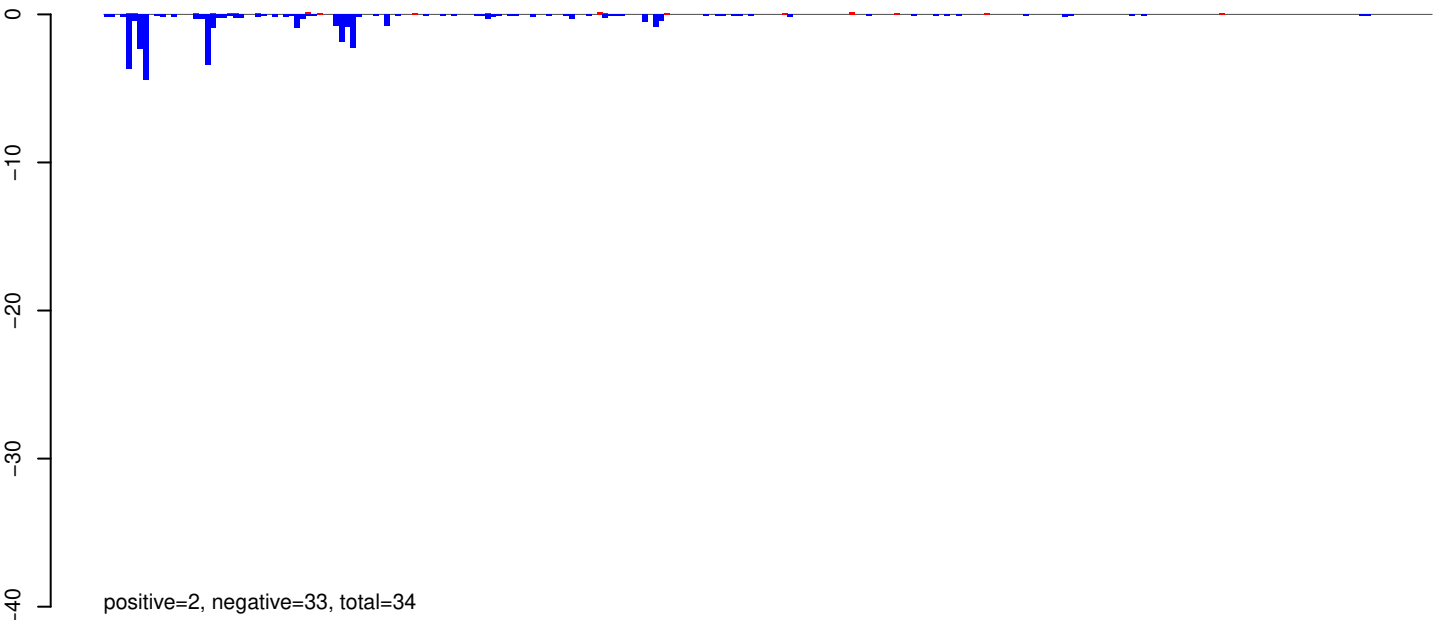
AeAeg_Aag2_Ago2_SINV_RA.24_35.rep



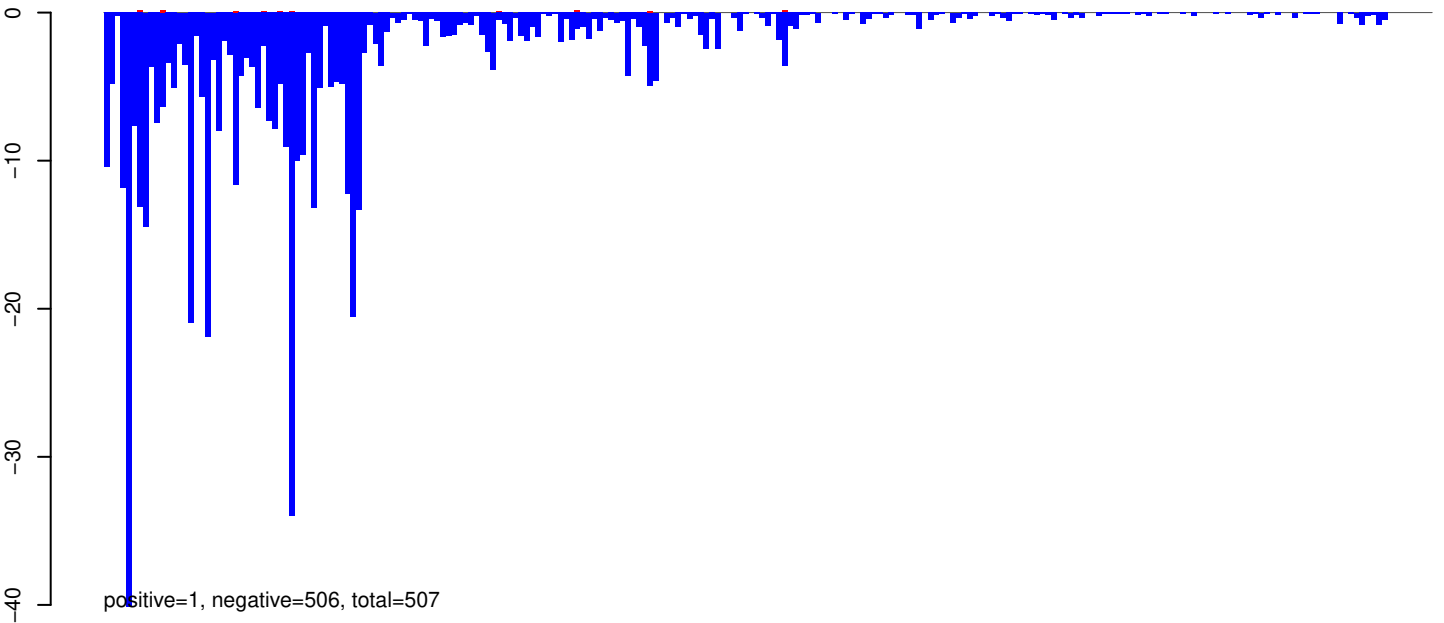
AeAeg_Aag2_Ago2_SINV_RA.rep



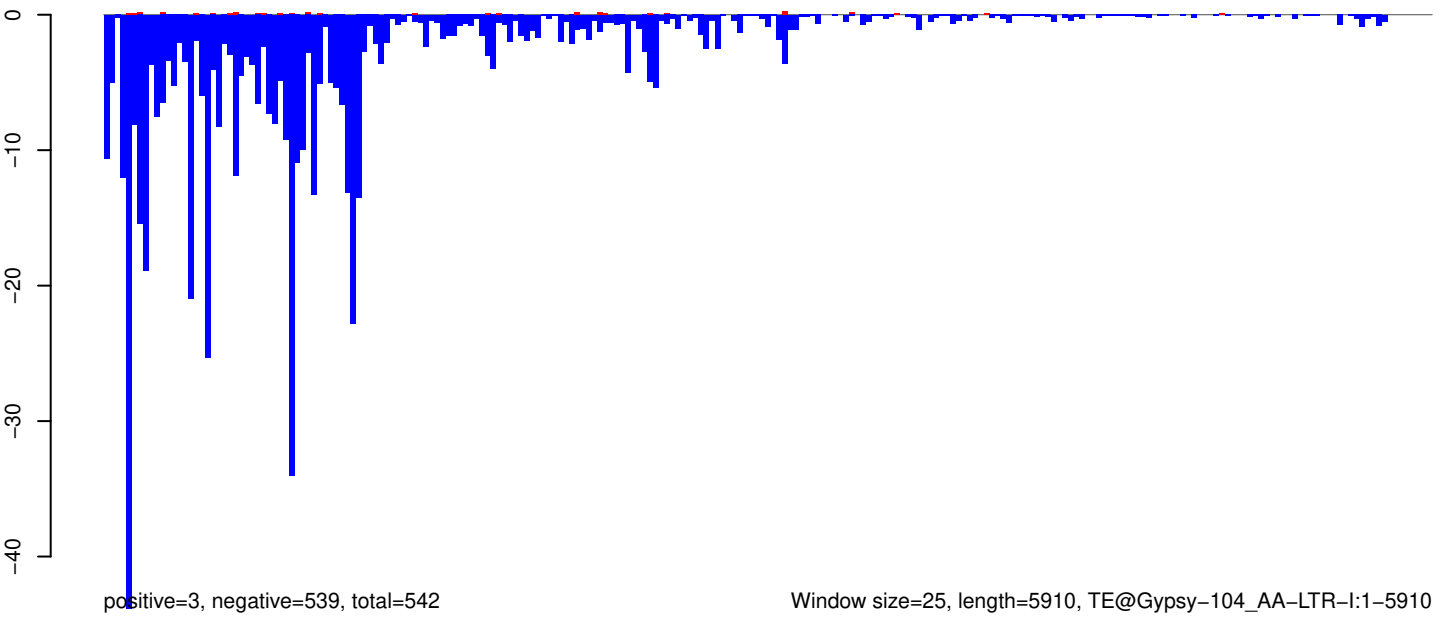
AeAeg_Aag2_Ago2_SINV_RA.18_23.rep



AeAeg_Aag2_Ago2_SINV_RA.24_35.rep



AeAeg_Aag2_Ago2_SINV_RA.rep



AeAeg_Aag2_Ago2_SINV_RA.18_23.rep

400
300
200
100
0
-100

positive=495, negative=551, total=1046

AeAeg_Aag2_Ago2_SINV_RA.24_35.rep

400
300
200
100
0
-100

positive=2639, negative=3215, total=5854

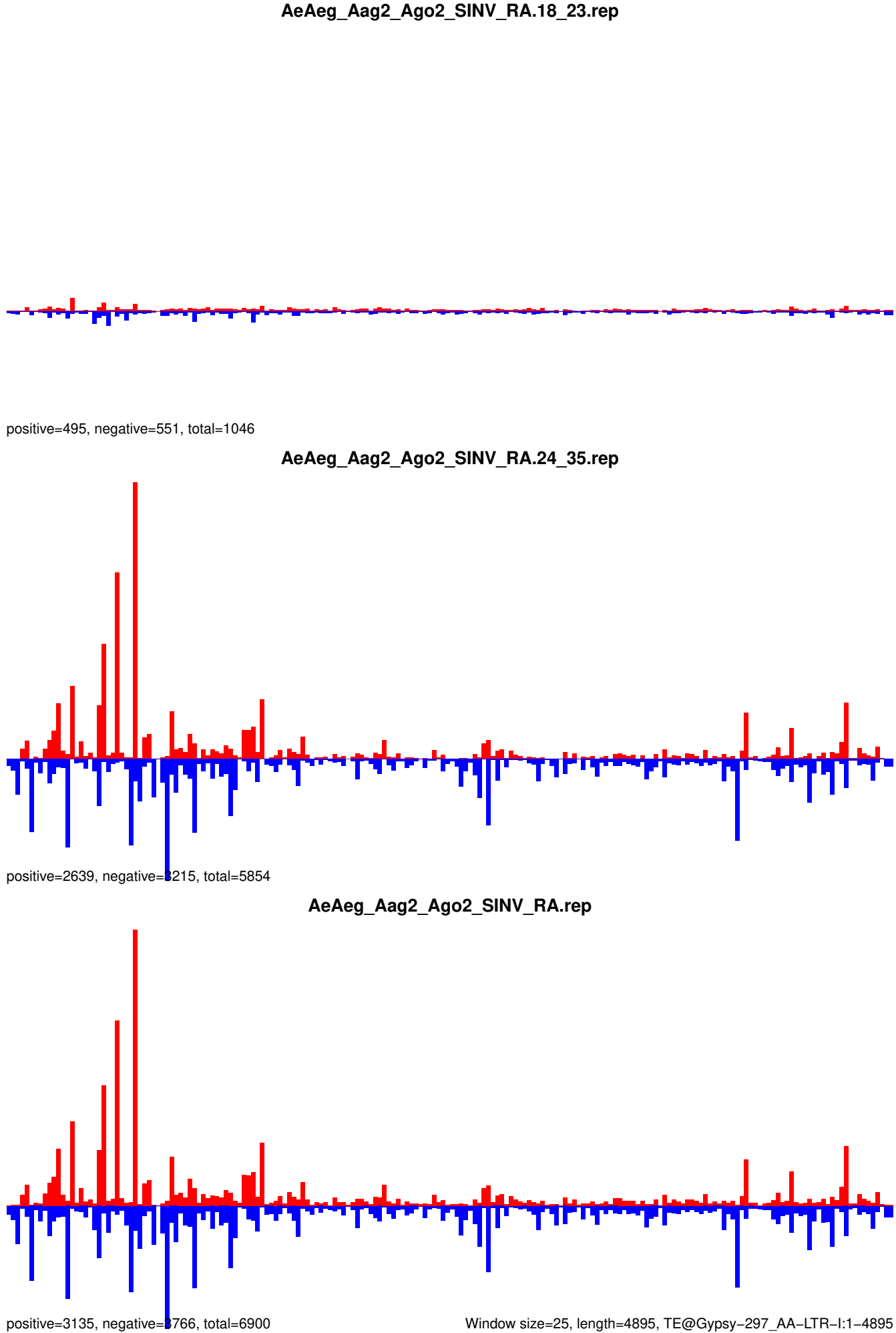
AeAeg_Aag2_Ago2_SINV_RA.rep

400
300
200
100
0
-100

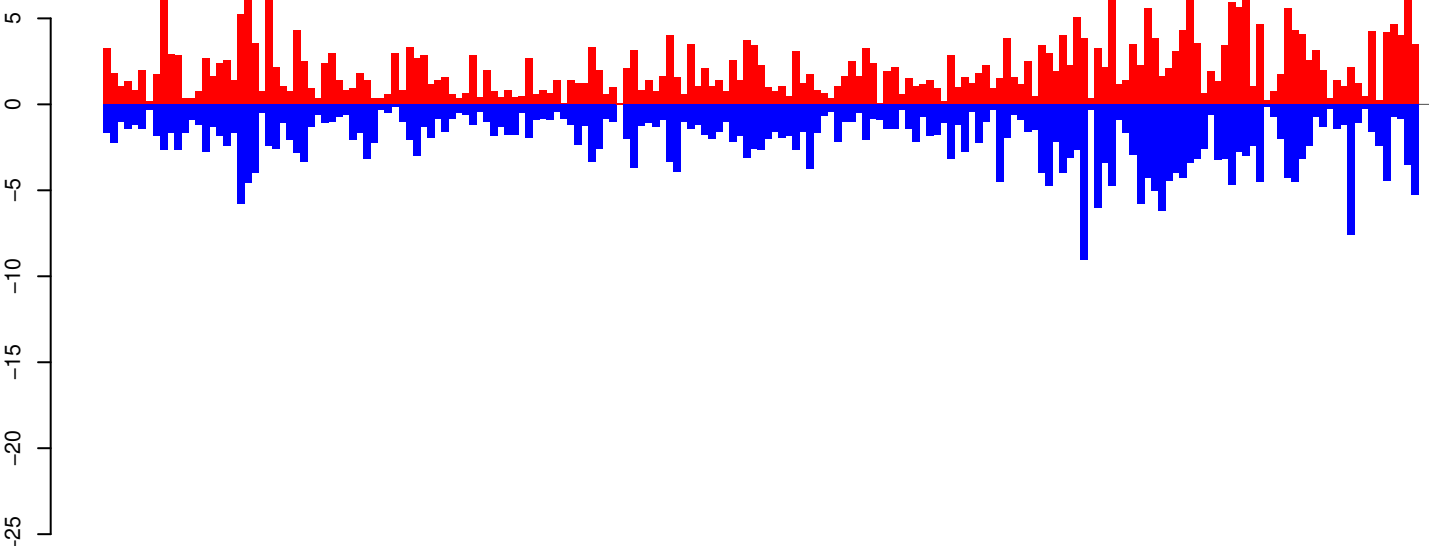
positive=3135, negative=3766, total=6900

Window size=25, length=4895, TE@Gypsy-297_AA-LTR-I:1-4895

0 1000 2000 3000 4000 5000

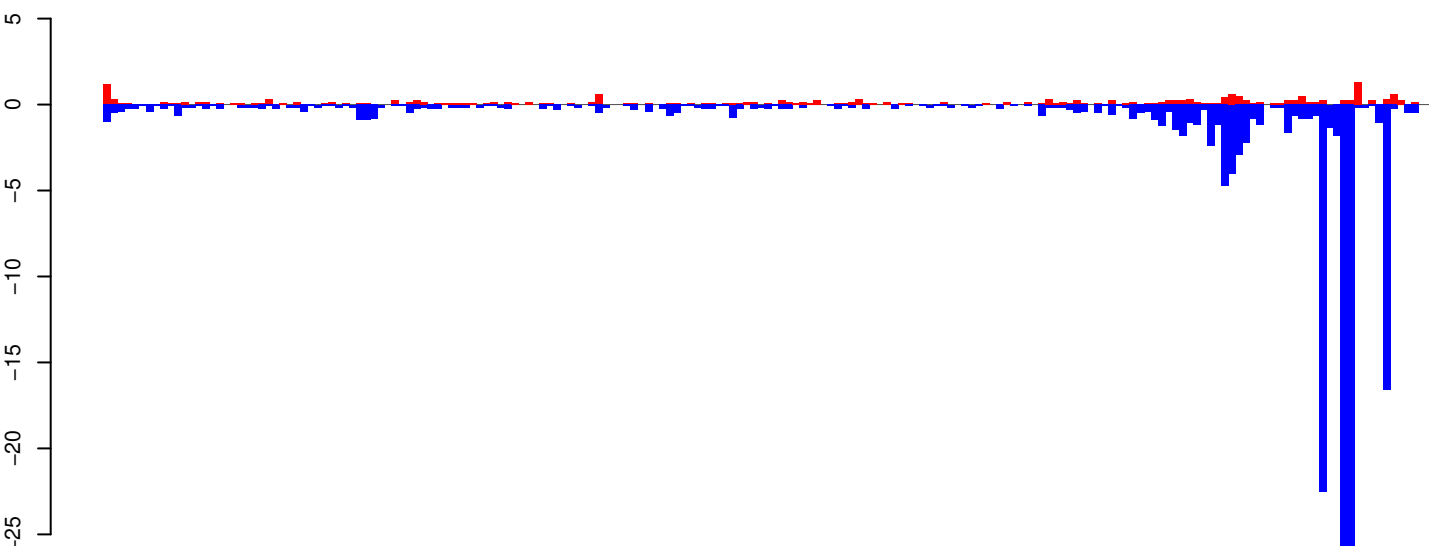


AeAeg_Aag2_Ago2_SINV_RA.18_23.rep



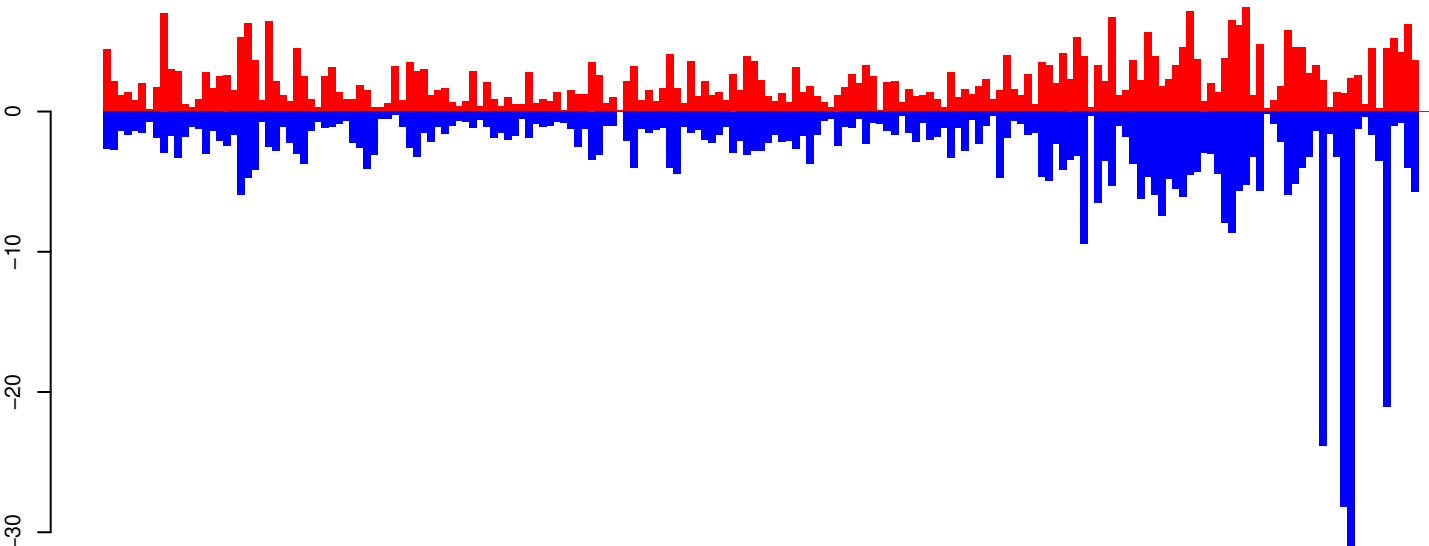
positive=391, negative=386, total=777

AeAeg_Aag2_Ago2_SINV_RA.24_35.rep



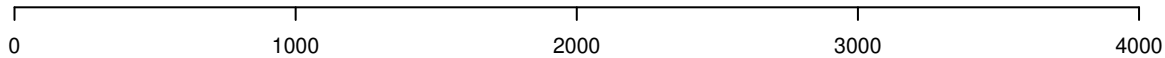
positive=22, negative=162, total=183

AeAeg_Aag2_Ago2_SINV_RA.rep

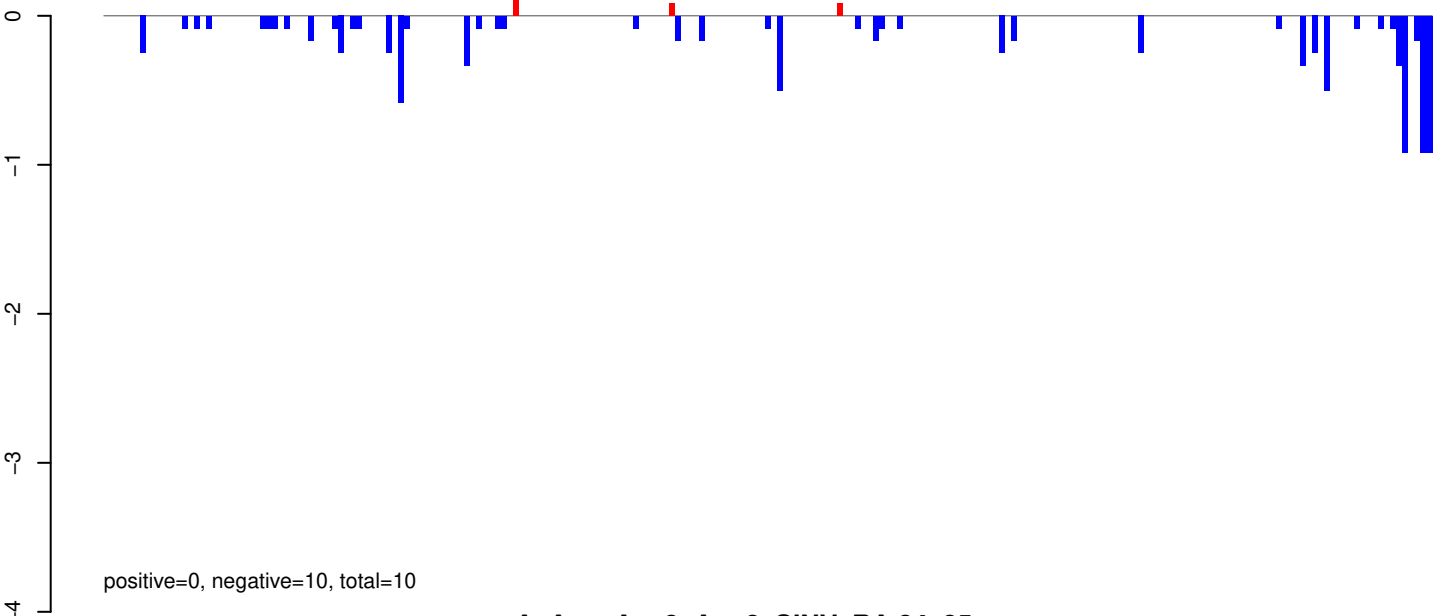


positive=413, negative=548, total=961

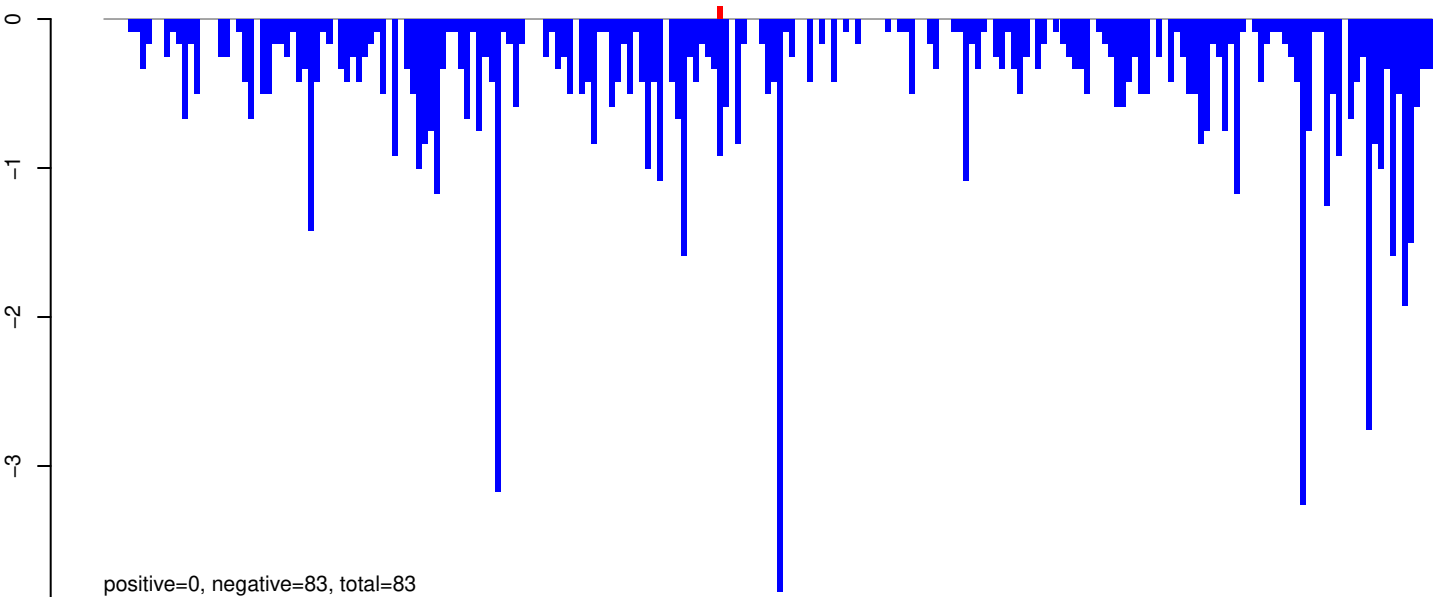
Window size=25, length=4709, TE@LINE-1_AA:1-4709



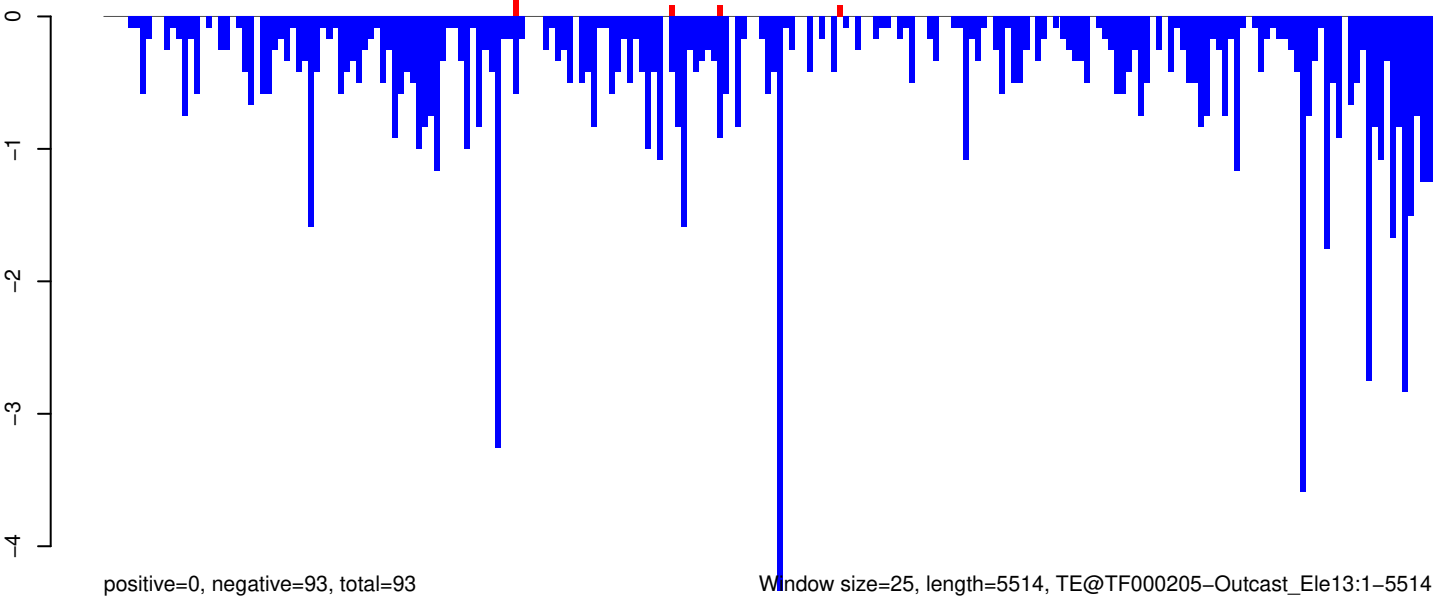
AeAeg_Aag2_Ago2_SINV_RA.18_23.rep



AeAeg_Aag2_Ago2_SINV_RA.24_35.rep



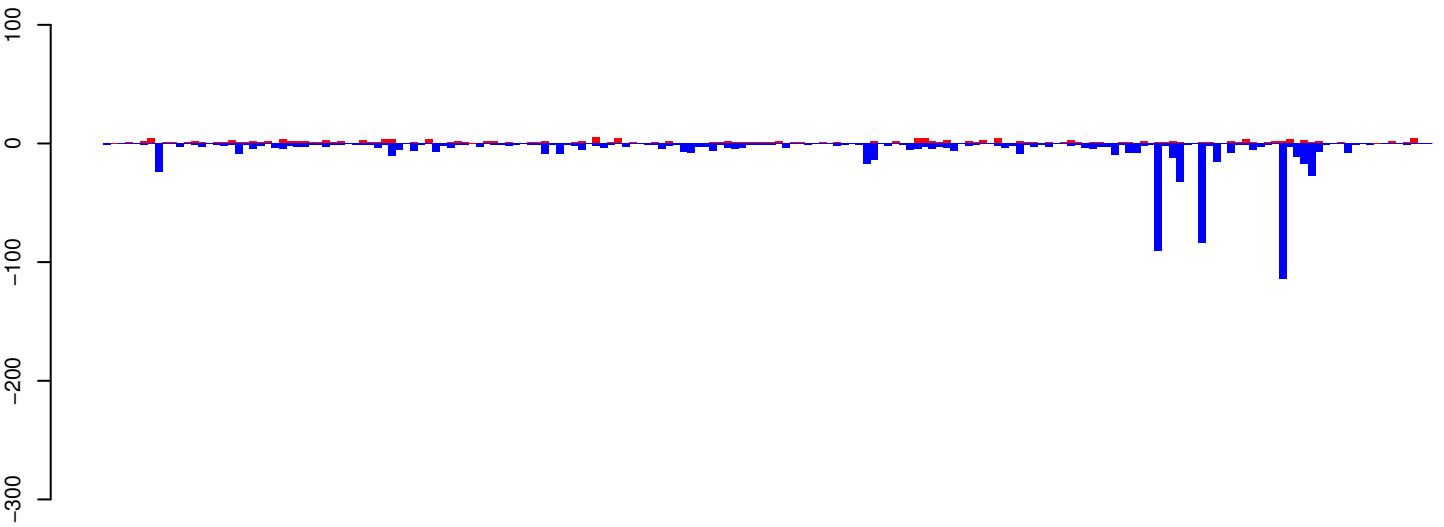
AeAeg_Aag2_Ago2_SINV_RA.rep



Window size=25, length=5514, TE@TF000205-Outcast_Ele13:1-5514

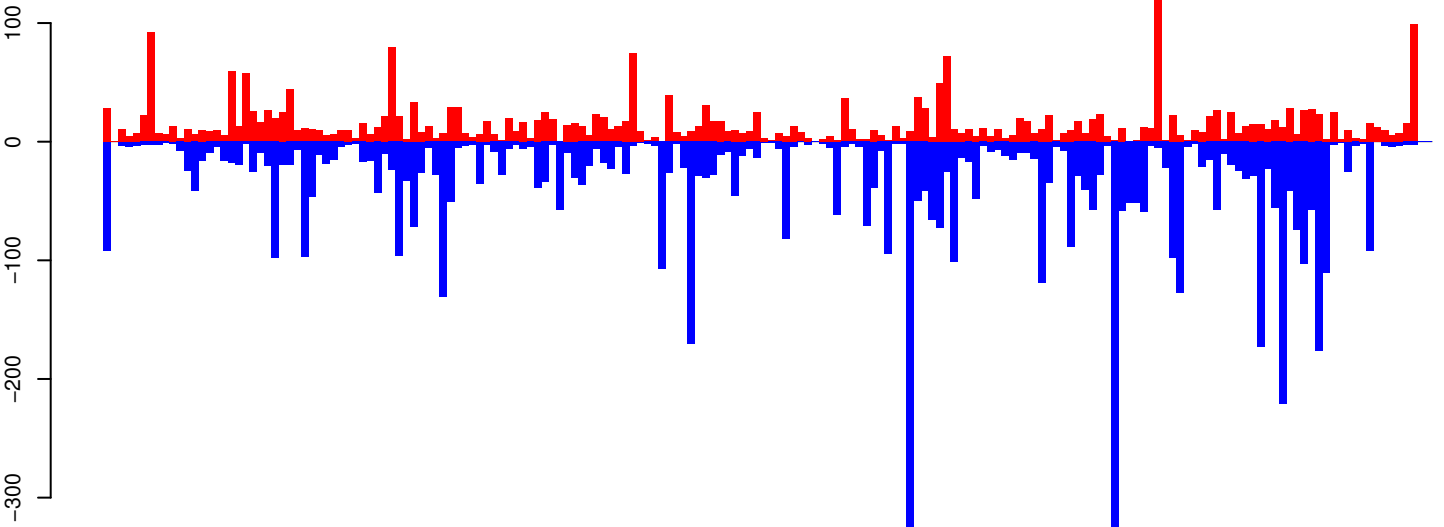
0 1000 2000 3000 4000 5000

AeAeg_Aag2_Ago2_SINV_RA.18_23.rep



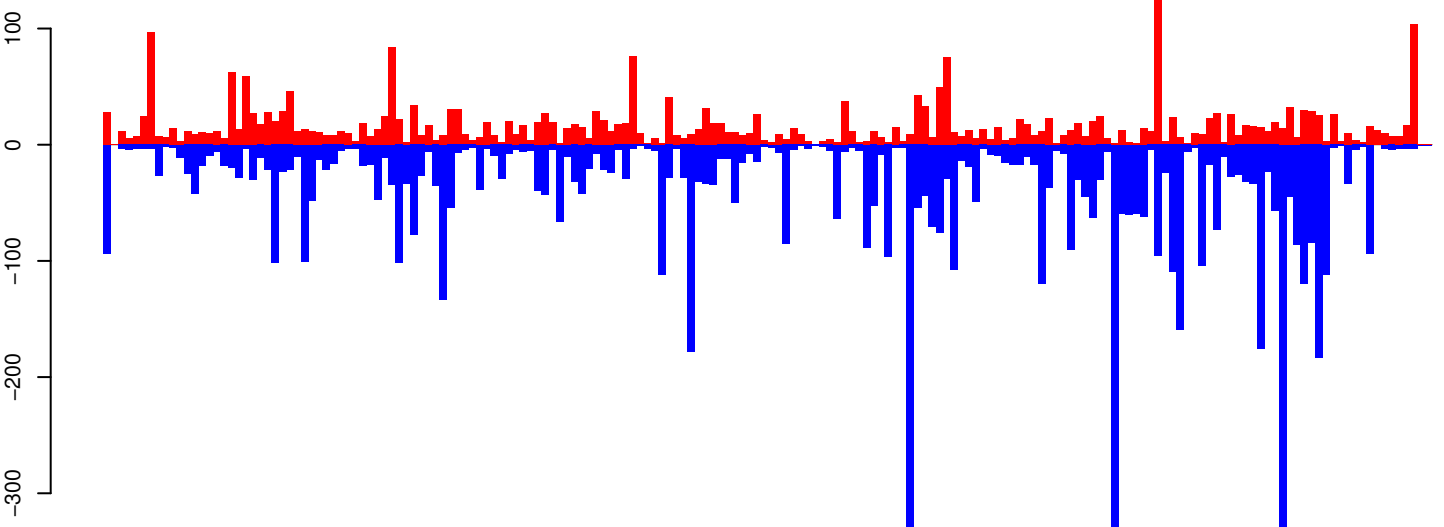
positive=229, negative=861, total=1090

AeAeg_Aag2_Ago2_SINV_RA.24_35.rep



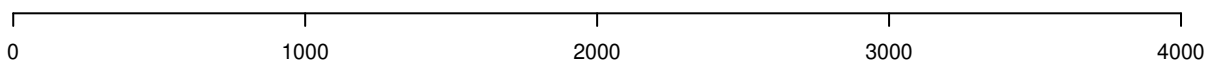
positive=2735, negative=6051, total=8785

AeAeg_Aag2_Ago2_SINV_RA.rep

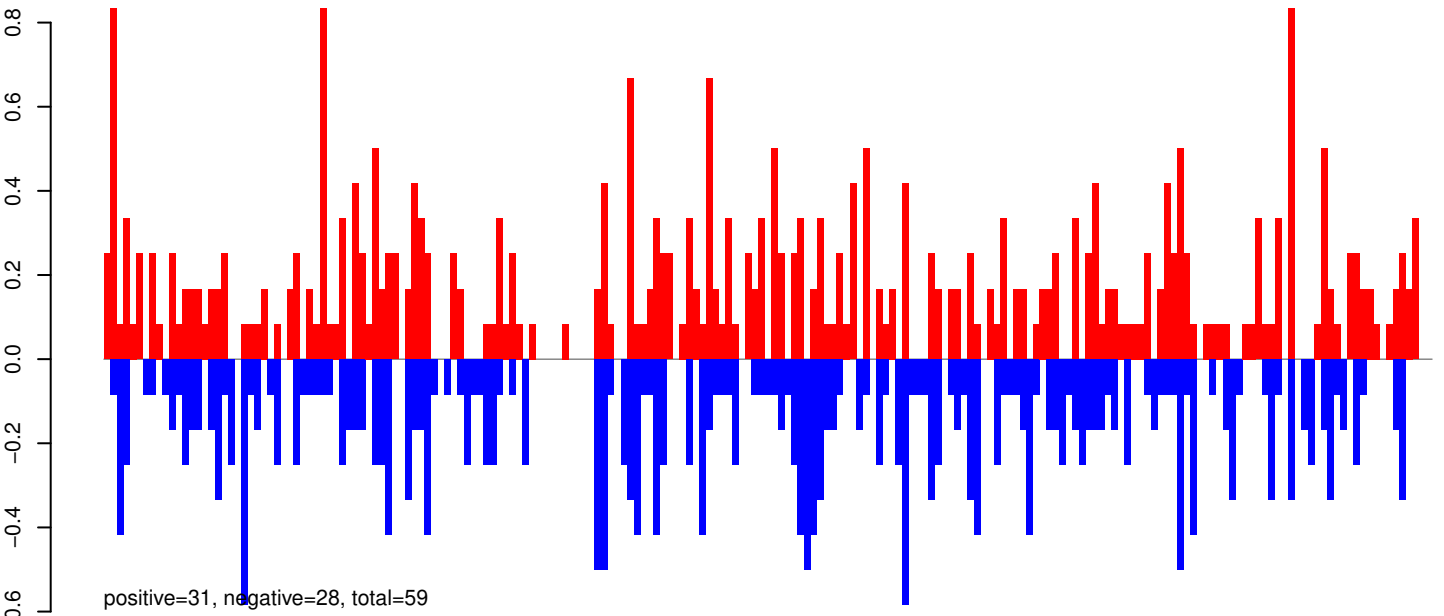


positive=2964, negative=6912, total=9876

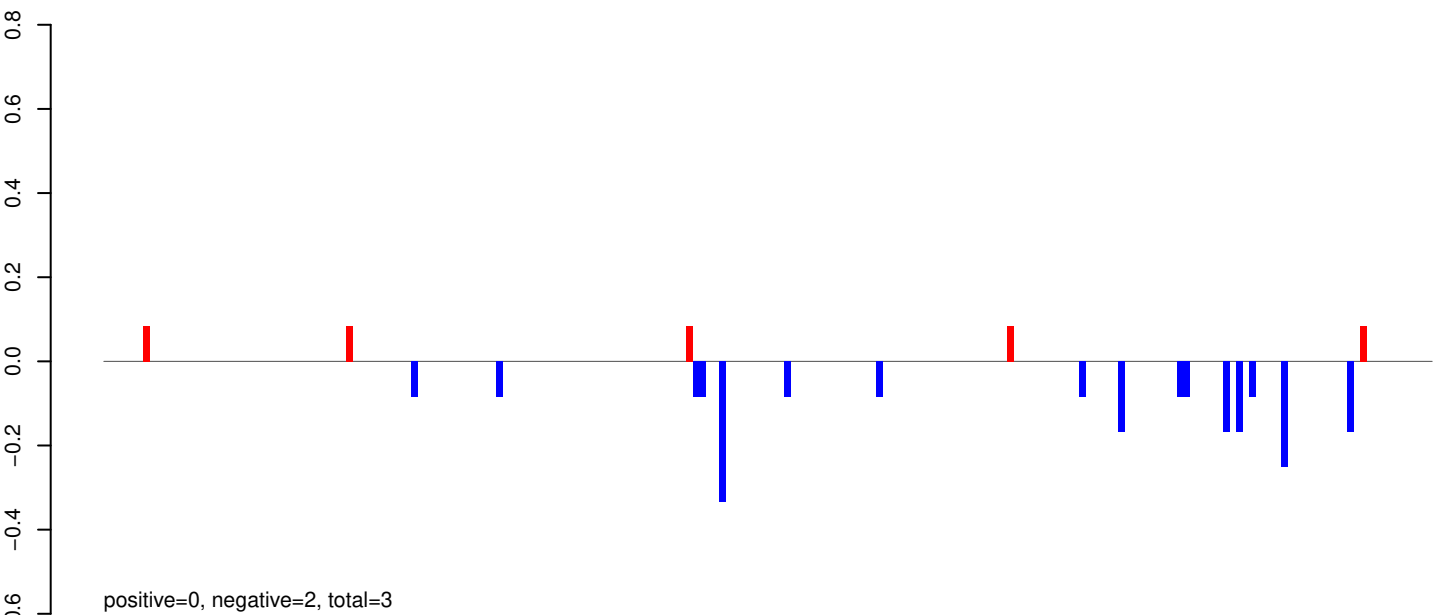
Window size=25, length=4531, TE@TF00691-Ty1_copia_Ele56:1-4531



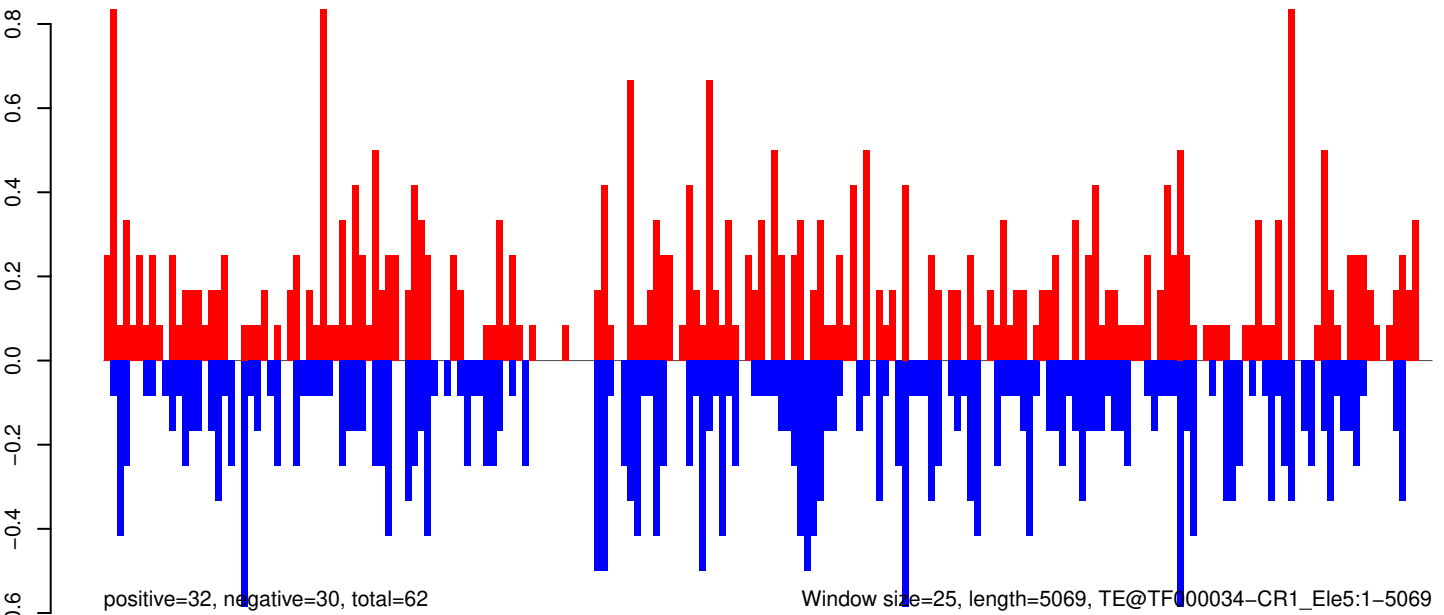
AeAeg_Aag2_Ago2_SINV_RA.18_23.rep



AeAeg_Aag2_Ago2_SINV_RA.24_35.rep

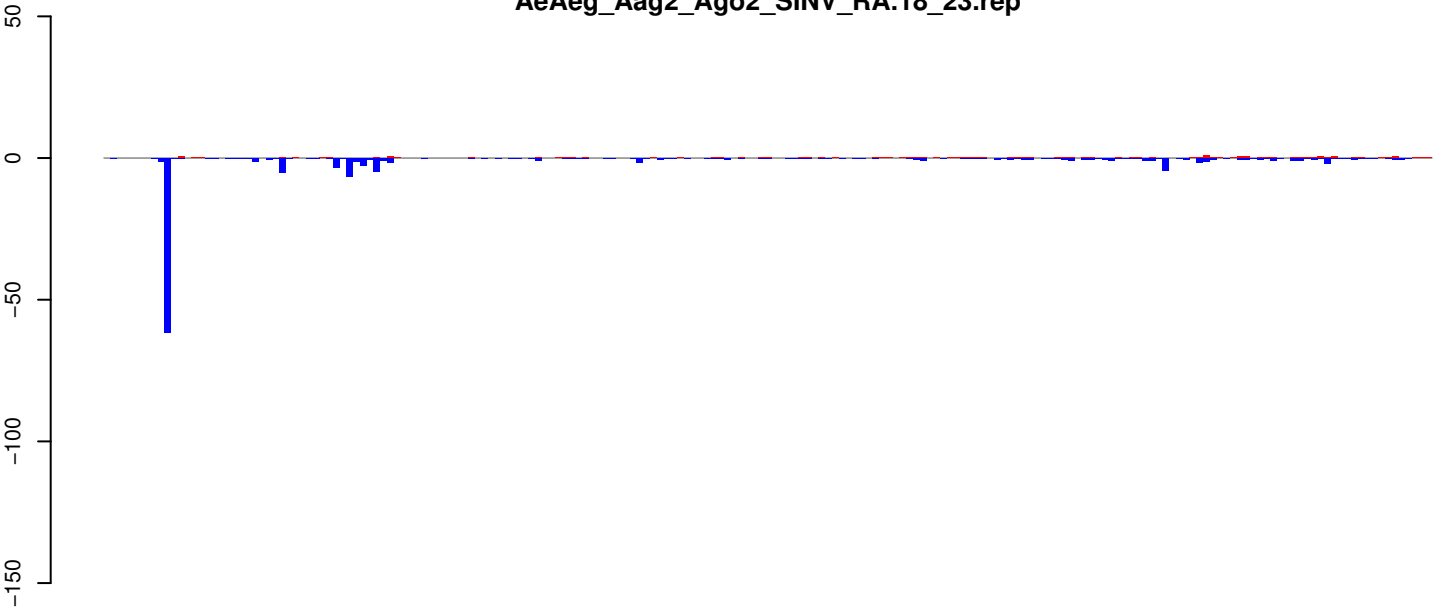


AeAeg_Aag2_Ago2_SINV_RA.rep

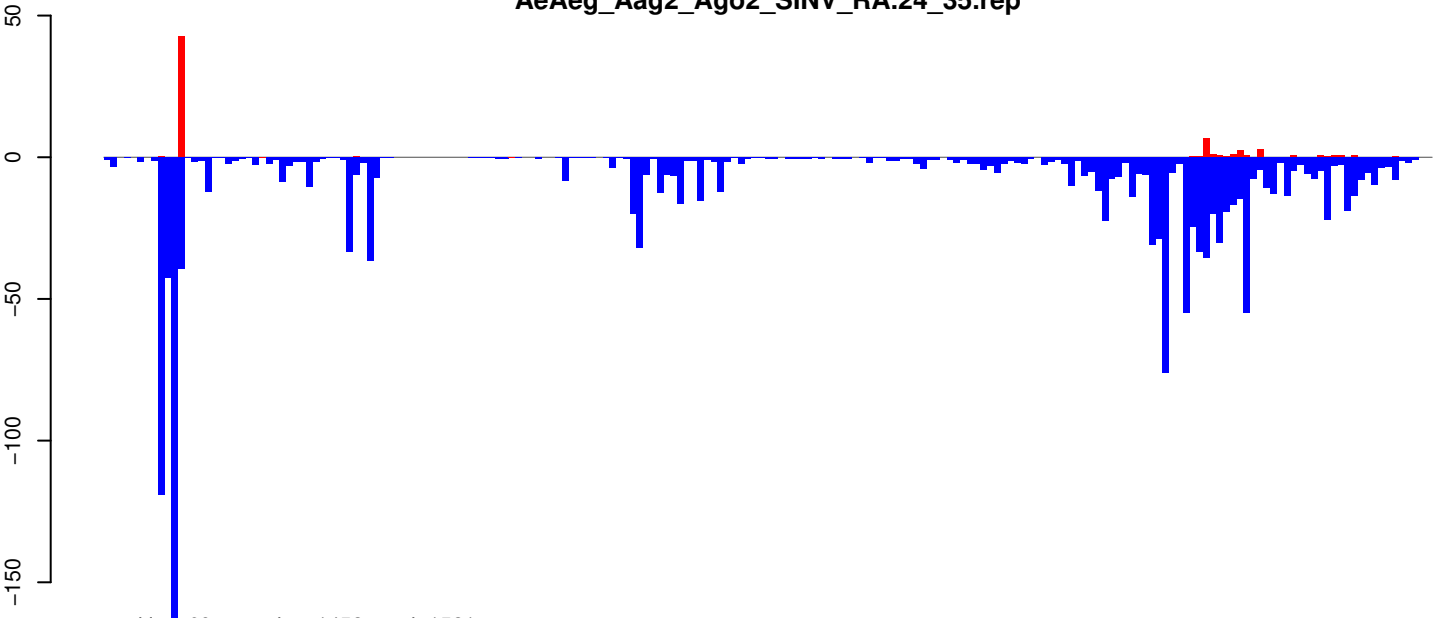


0 1000 2000 3000 4000 5000

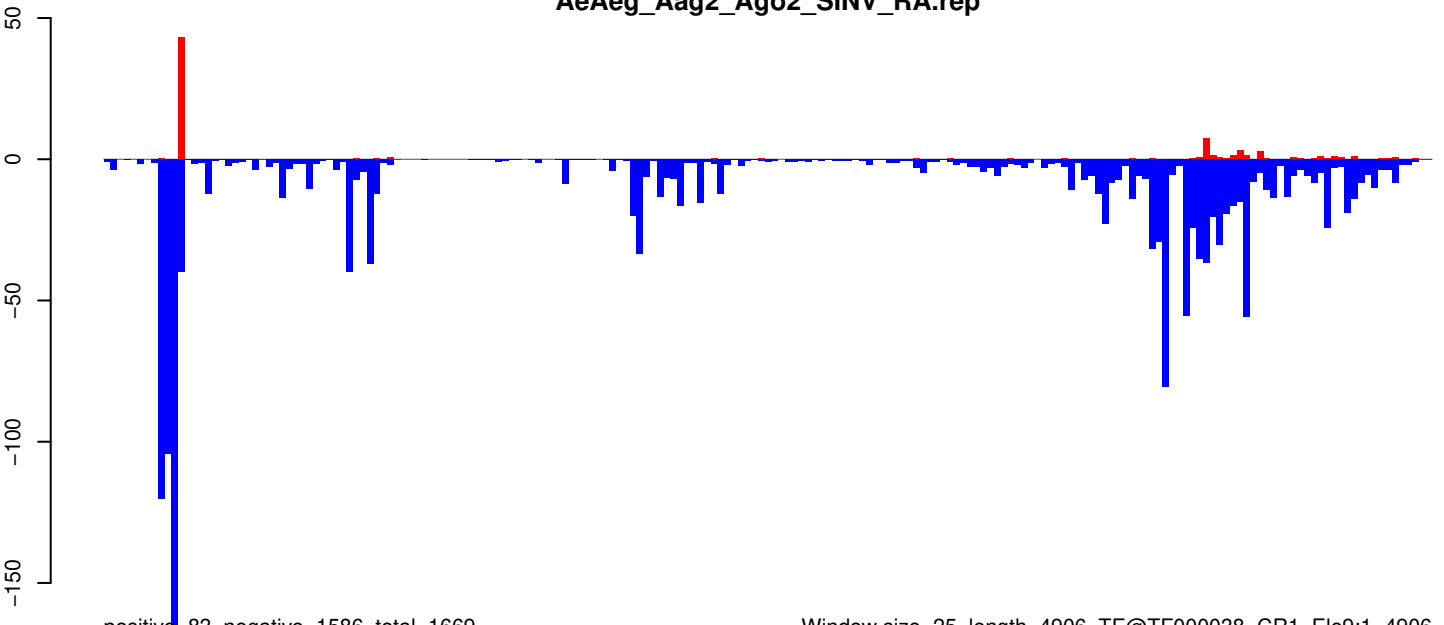
AeAeg_Aag2_Ago2_SINV_RA.18_23.rep



AeAeg_Aag2_Ago2_SINV_RA.24_35.rep



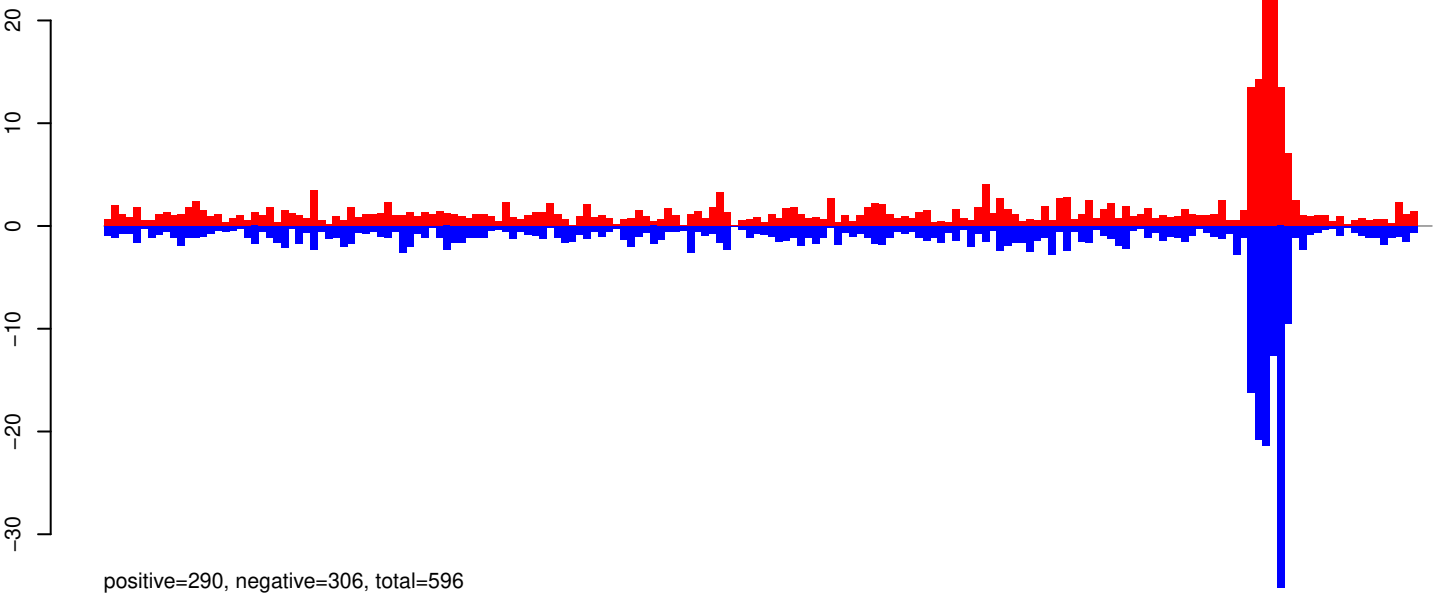
AeAeg_Aag2_Ago2_SINV_RA.rep



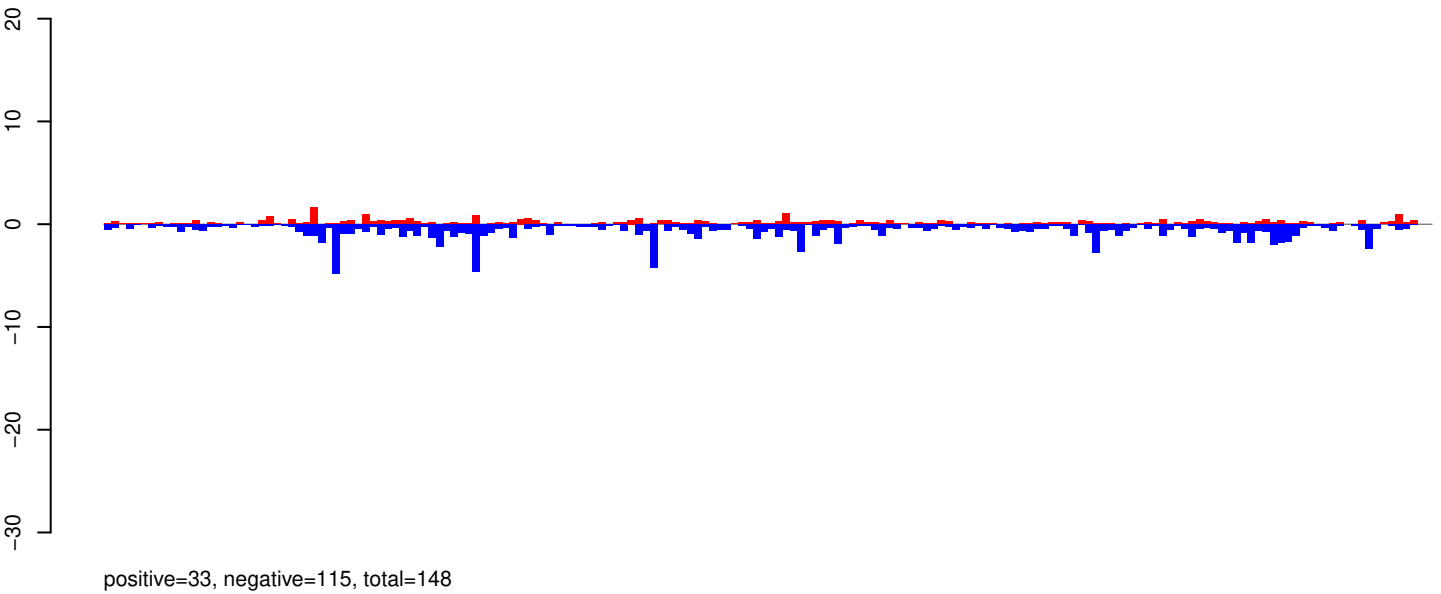
Window size=25, length=4906, TE@TF000038-CR1_Ele9:1-4906

0 1000 2000 3000 4000 5000

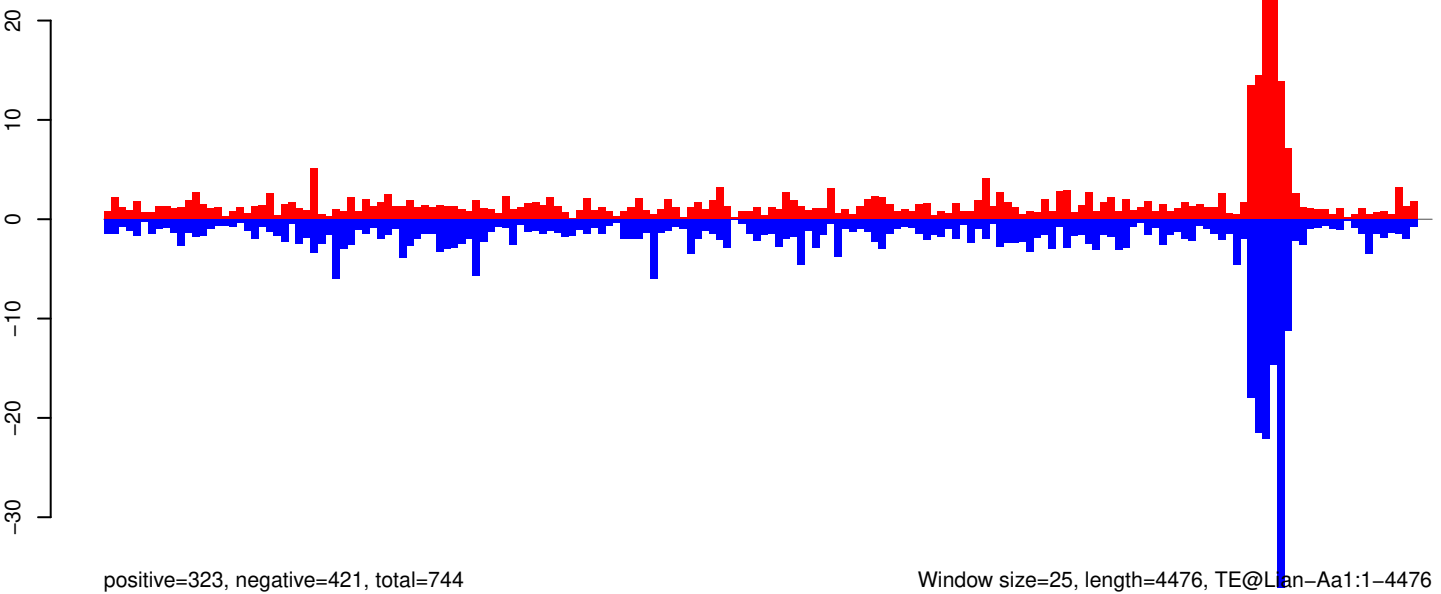
AeAeg_Aag2_Ago2_SINV_RA.18_23.rep



AeAeg_Aag2_Ago2_SINV_RA.24_35.rep



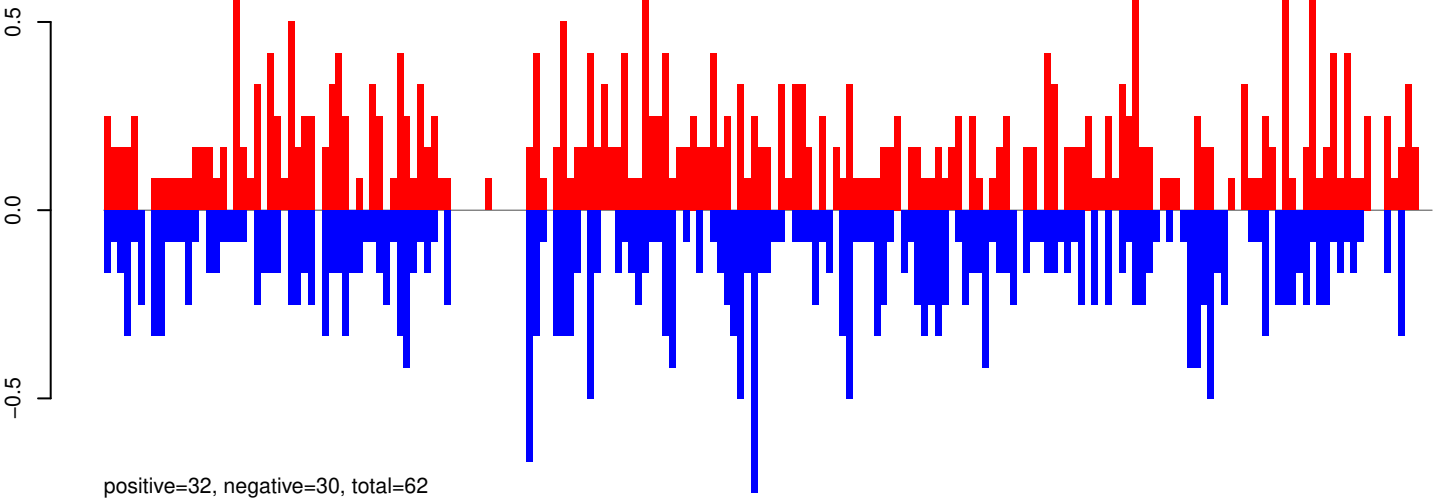
AeAeg_Aag2_Ago2_SINV_RA.rep



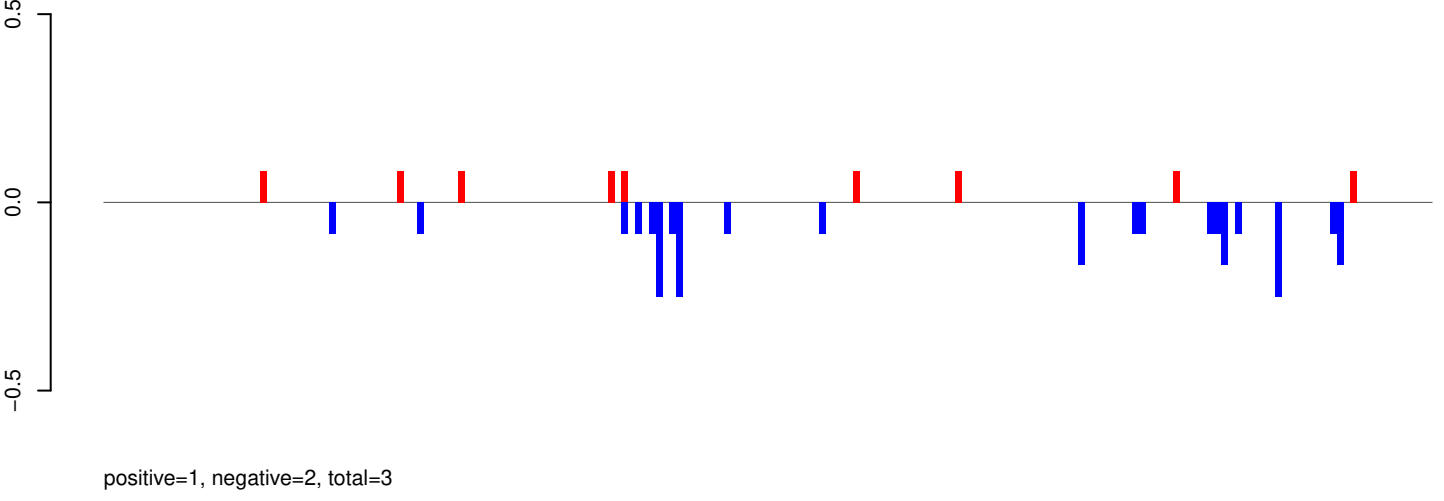
Window size=25, length=4476, TE@Lan-Aa1:1-4476

0 1000 2000 3000 4000

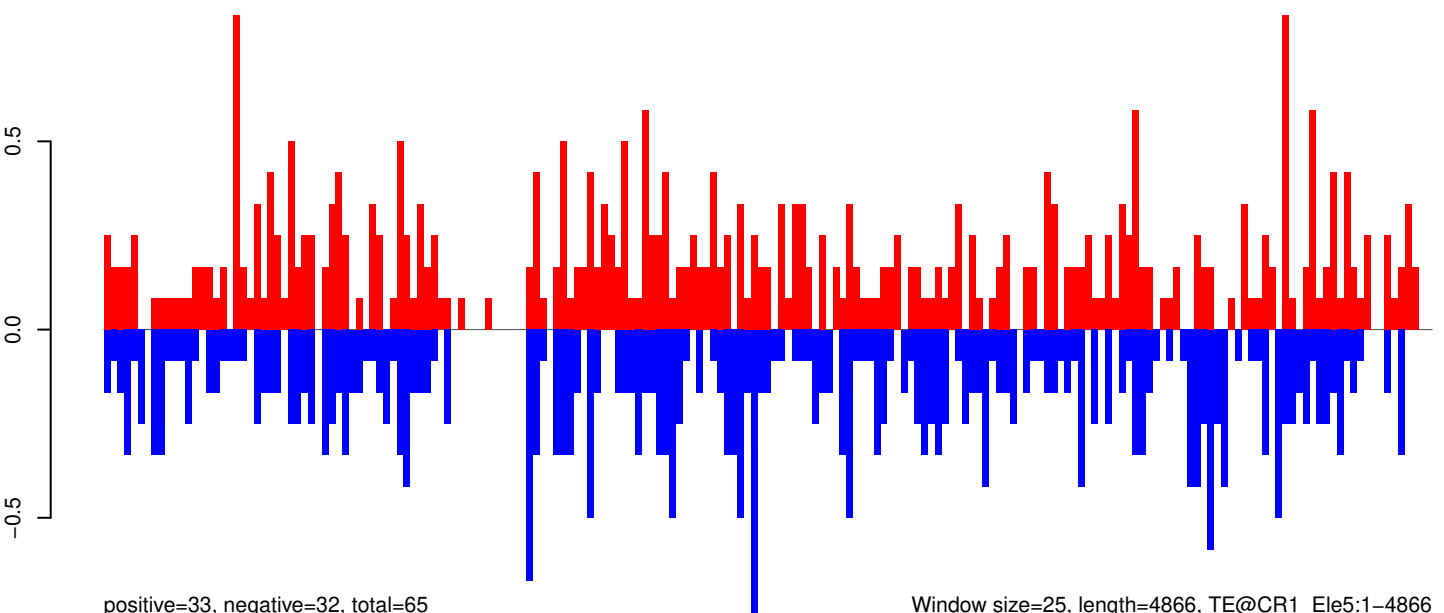
AeAeg_Aag2_Ago2_SINV_RA.18_23.rep



AeAeg_Aag2_Ago2_SINV_RA.24_35.rep



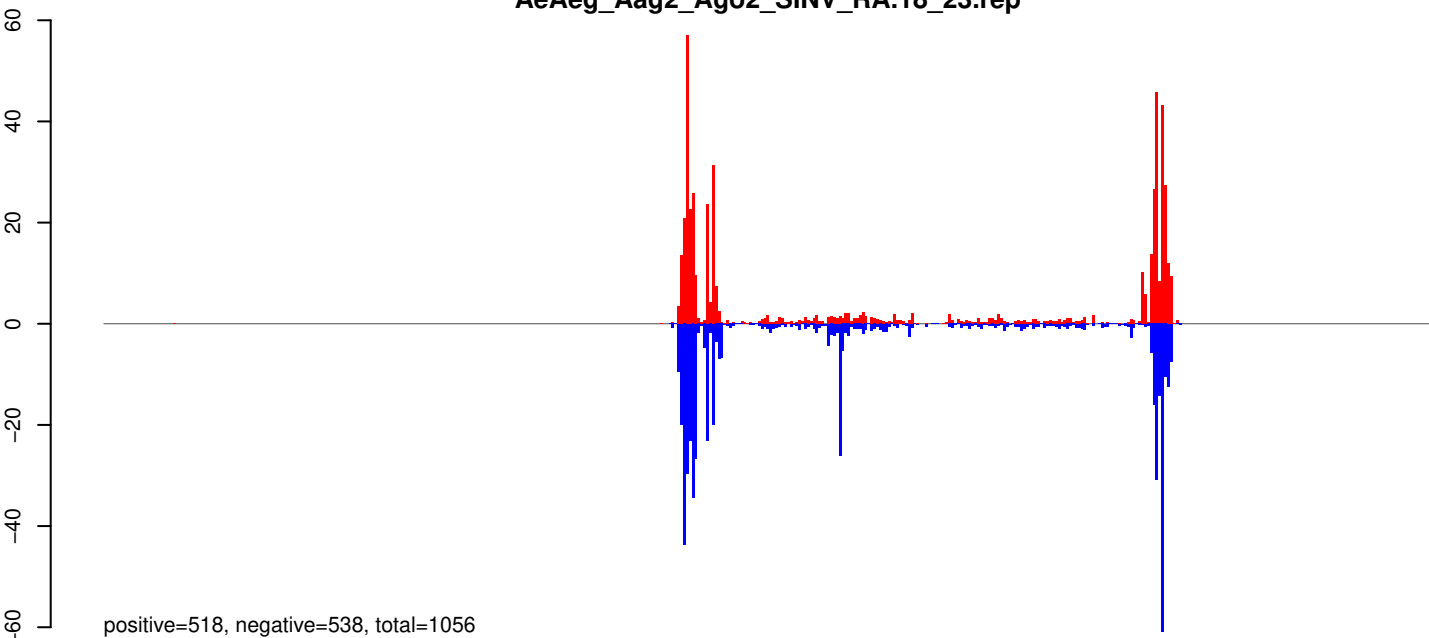
AeAeg_Aag2_Ago2_SINV_RA.rep



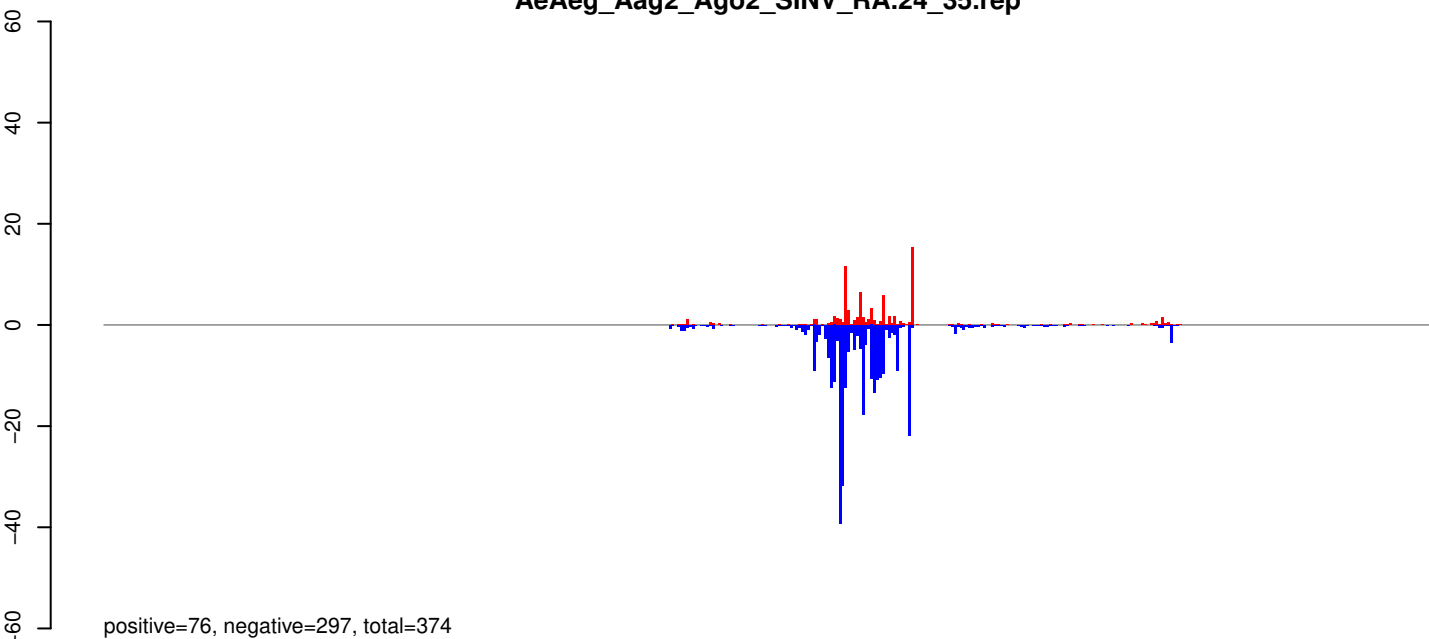
Window size=25, length=4866, TE@CR1_Ele5:1-4866

0 1000 2000 3000 4000 5000

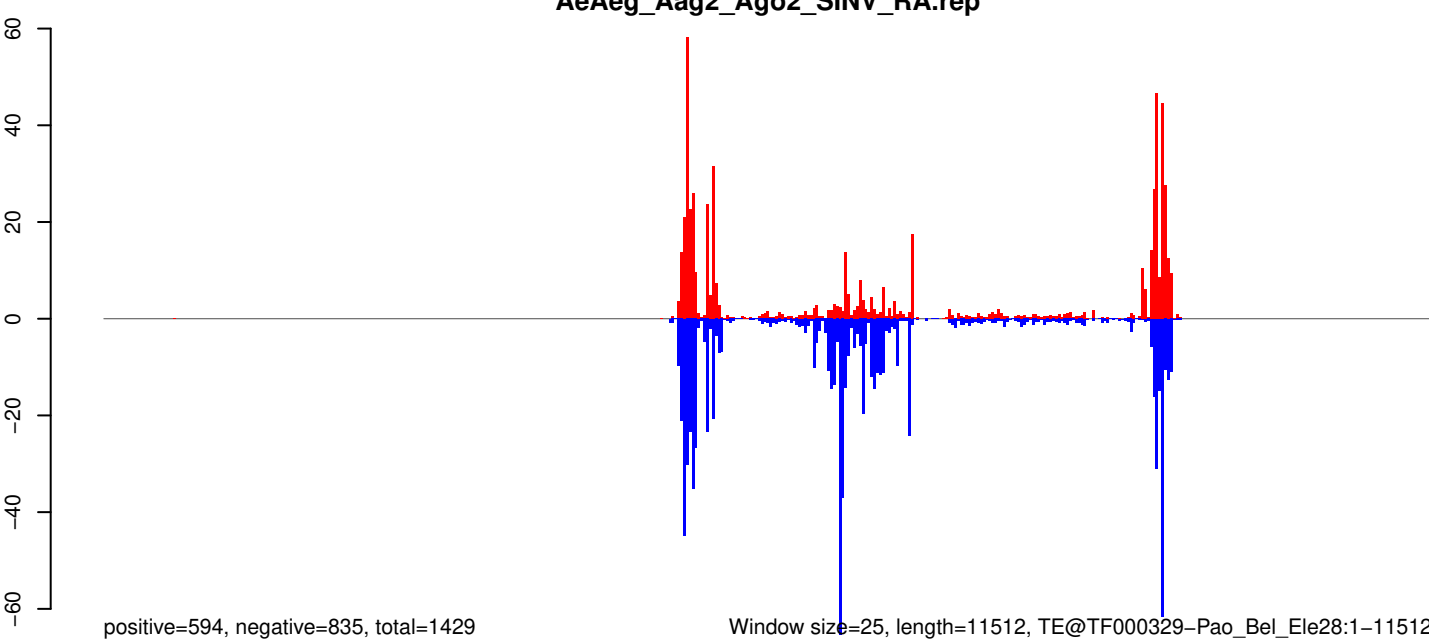
AeAeg_Aag2_Ago2_SINV_RA.18_23.rep



AeAeg_Aag2_Ago2_SINV_RA.24_35.rep

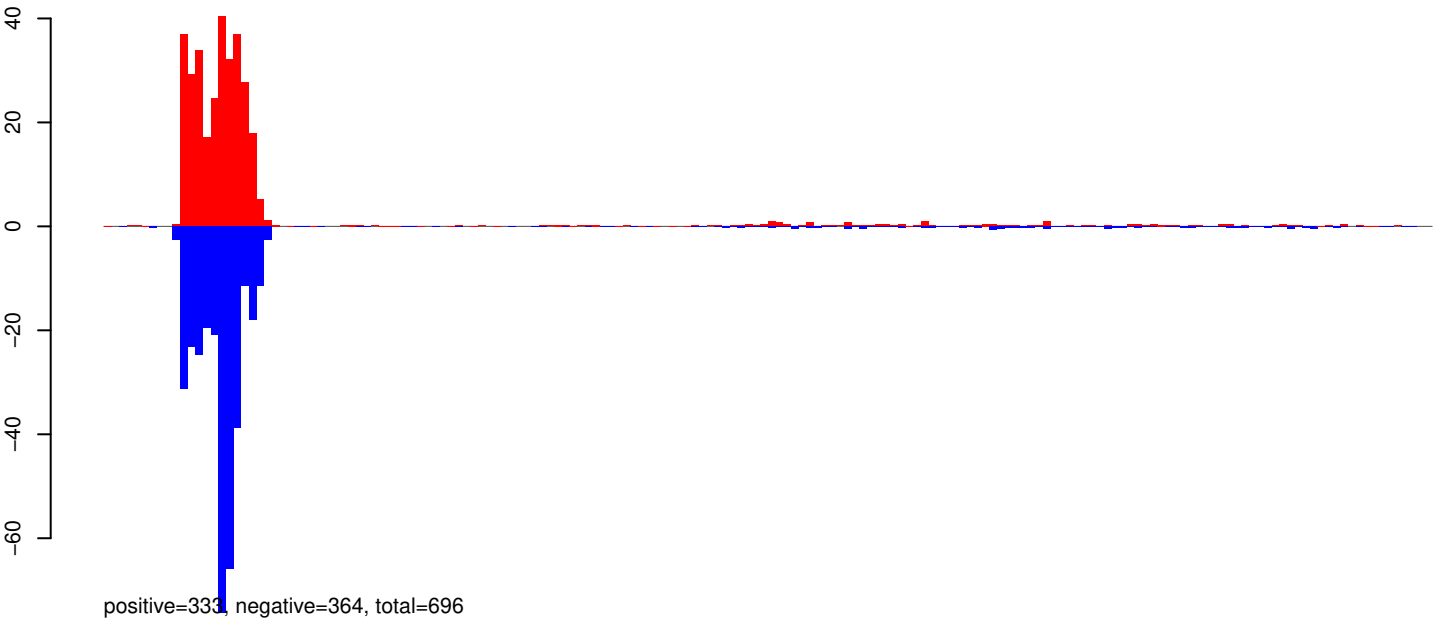


AeAeg_Aag2_Ago2_SINV_RA.rep

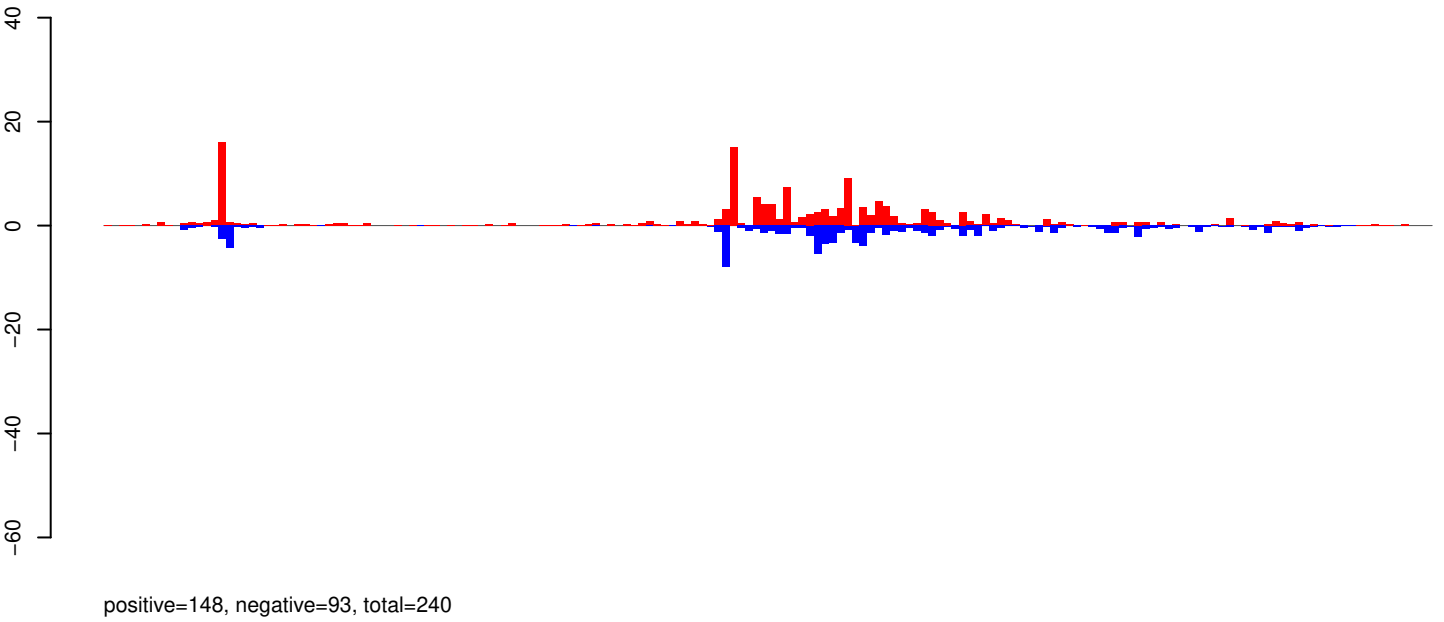


0 2000 4000 6000 8000 10000 12000

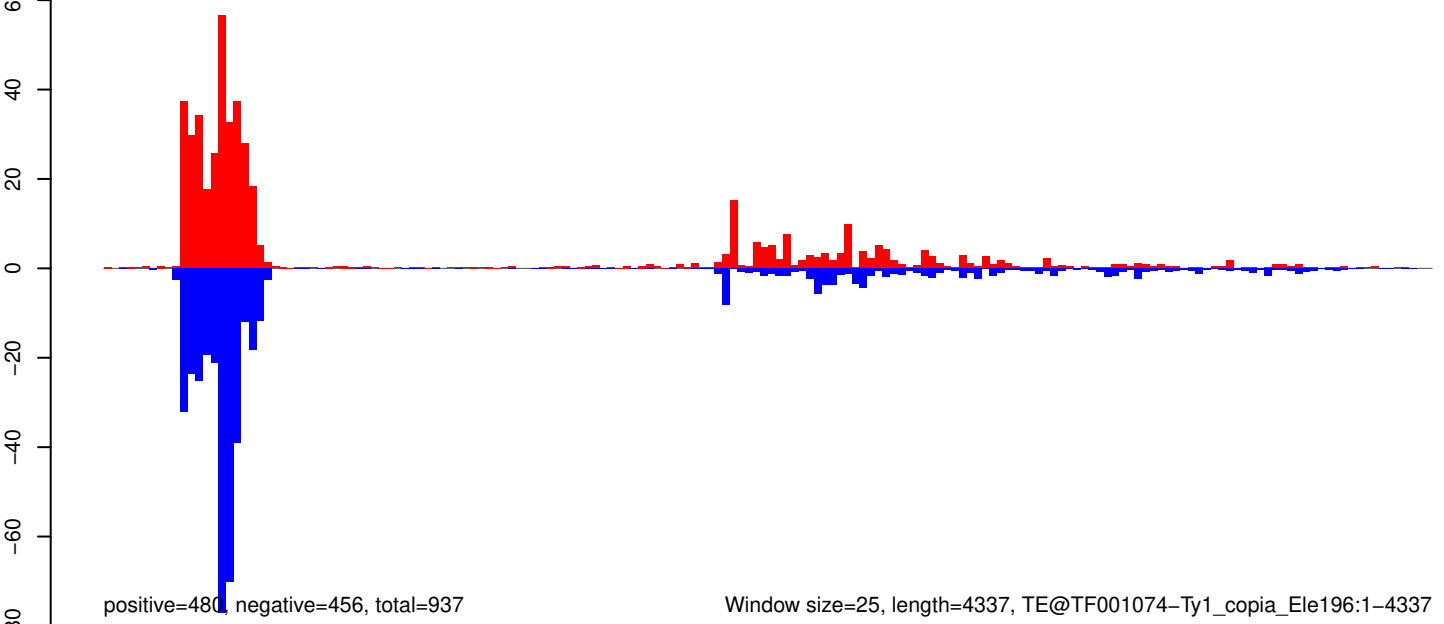
AeAeg_Aag2_Ago2_SINV_RA.18_23.rep



AeAeg_Aag2_Ago2_SINV_RA.24_35.rep



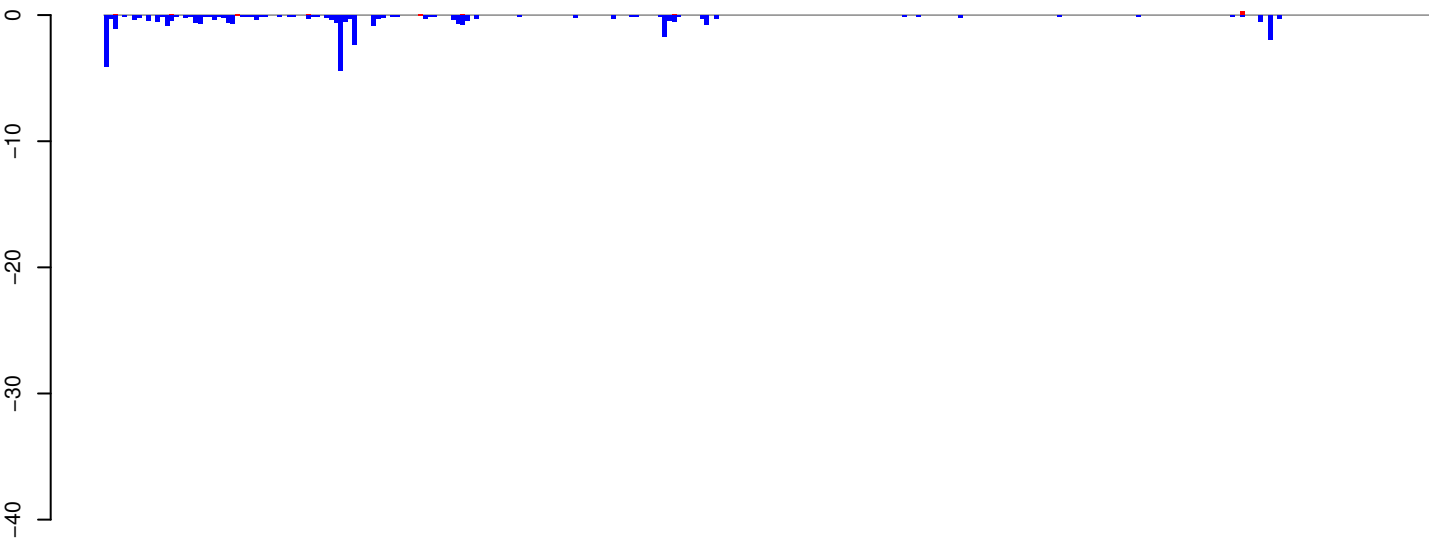
AeAeg_Aag2_Ago2_SINV_RA.rep



Window size=25, length=4337, TE@TF001074-Ty1_copia_Ele196:1-4337

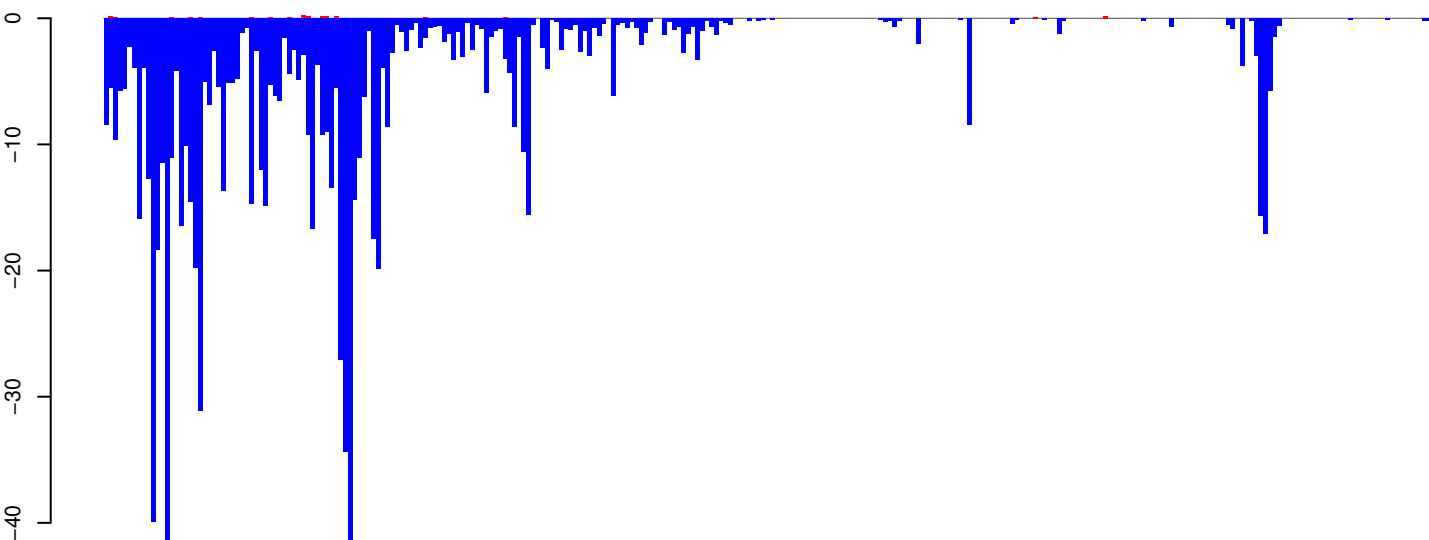
0 1000 2000 3000 4000

AeAeg_Aag2_Ago2_SINV_RA.18_23.rep



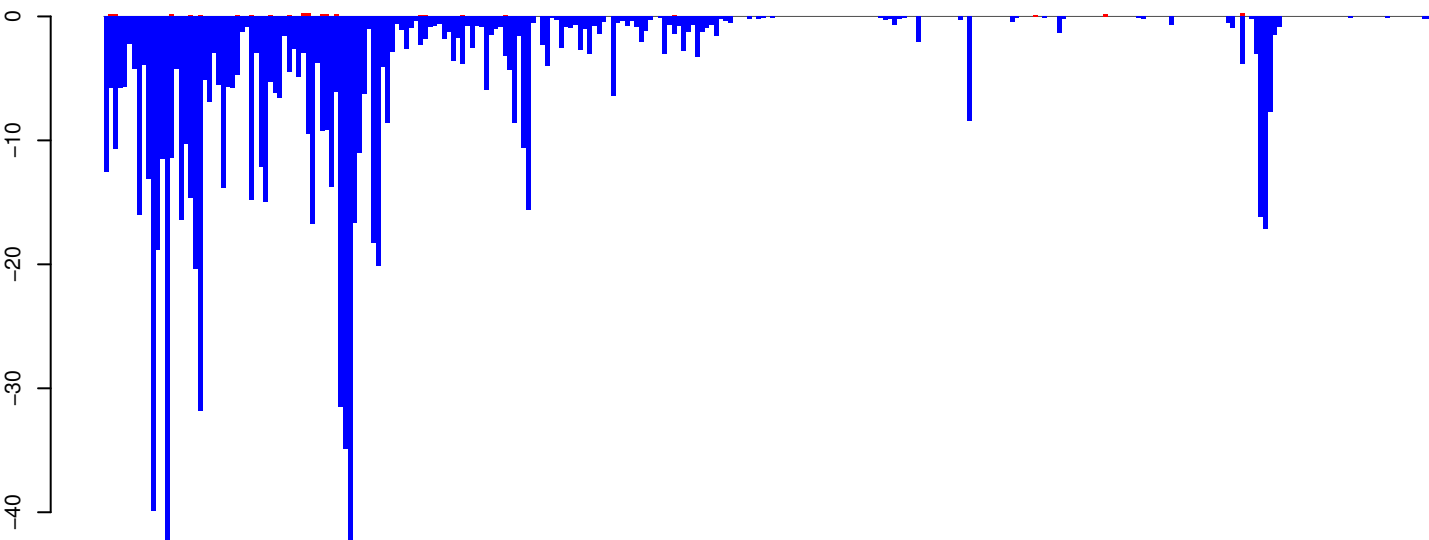
positive=1, negative=34, total=35

AeAeg_Aag2_Ago2_SINV_RA.24_35.rep



positive=2, negative=879, total=881

AeAeg_Aag2_Ago2_SINV_RA.rep

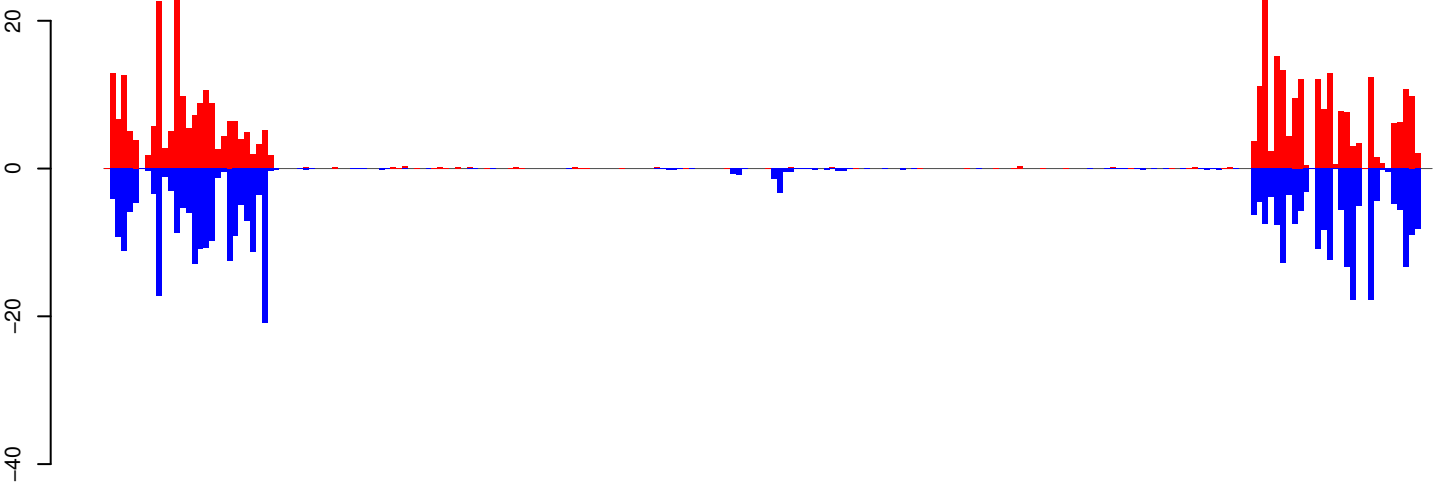


positive=3, negative=913, total=916

Window size=25, length=7067, TE@Gypsy-619_AA-LTR-I:1-7067

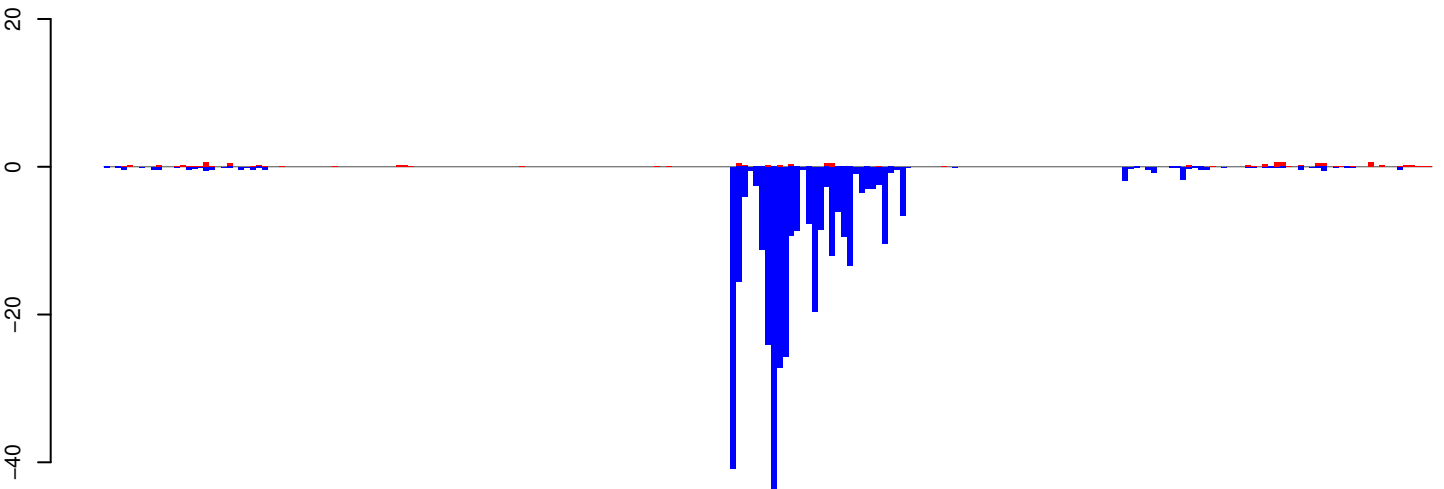
0 1000 2000 3000 4000 5000 6000 7000

AeAeg_Aag2_Ago2_SINV_RA.18_23.rep



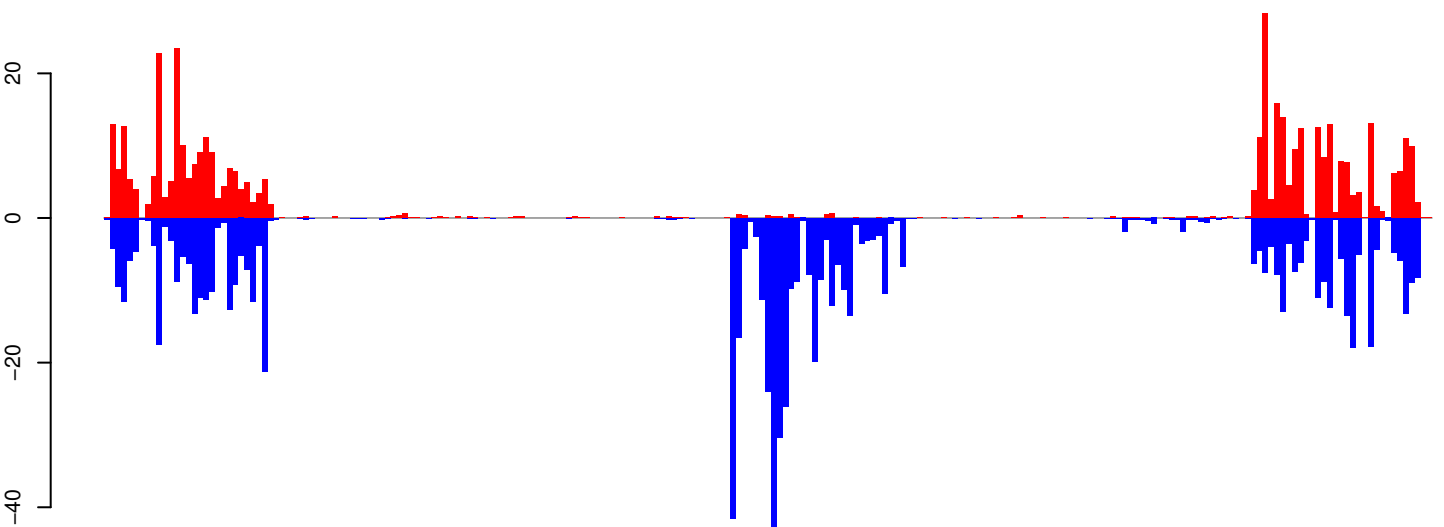
positive=407, negative=409, total=816

AeAeg_Aag2_Ago2_SINV_RA.24_35.rep



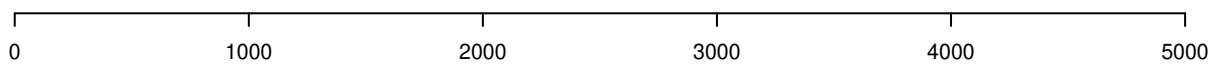
positive=11, negative=348, total=359

AeAeg_Aag2_Ago2_SINV_RA.rep

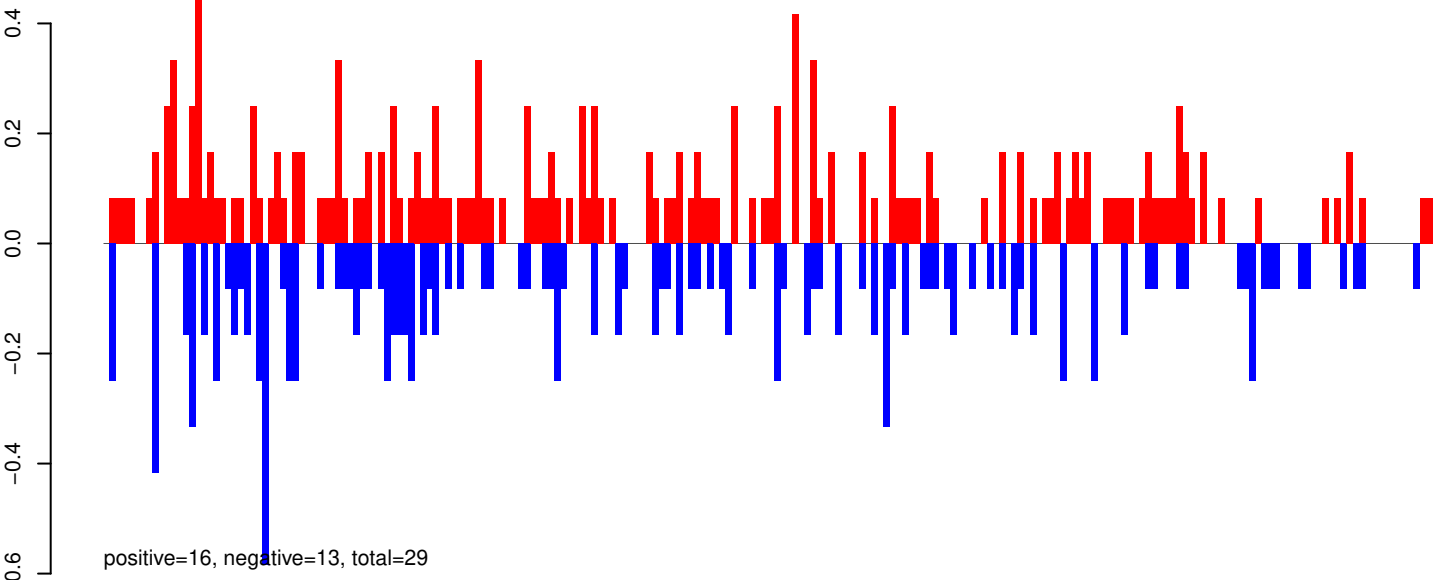


positive=419, negative=757, total=1175

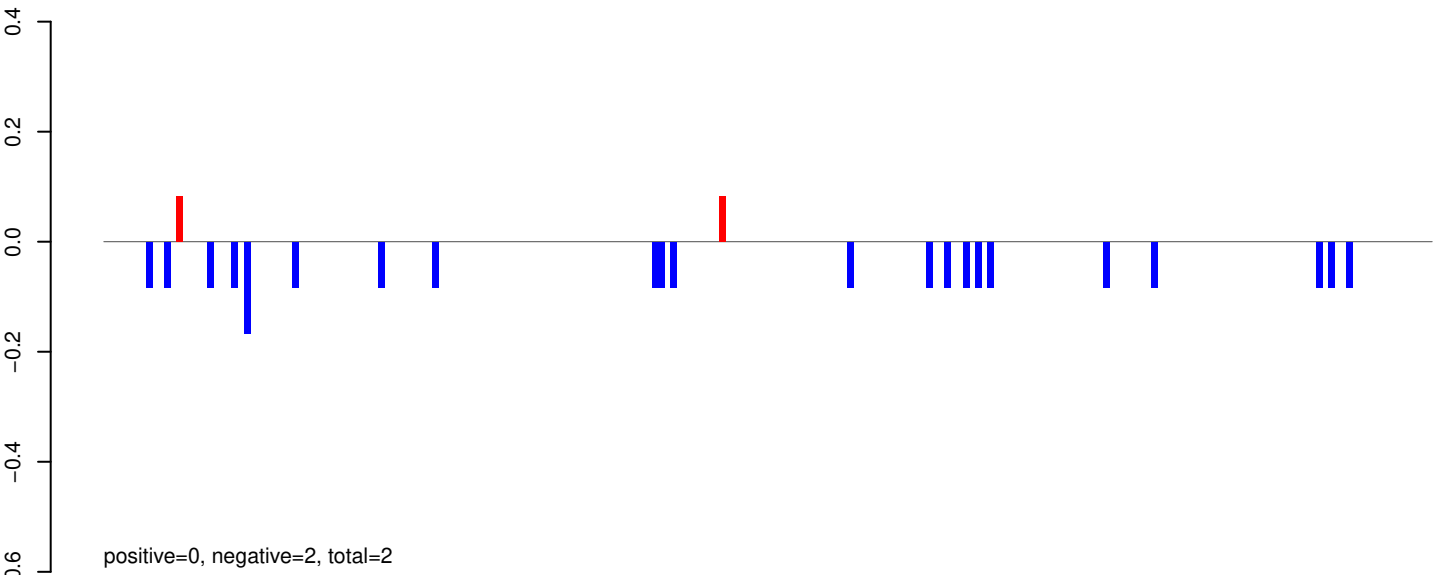
Window size=25, length=5665, TE@hATm-1_AA:1-5665



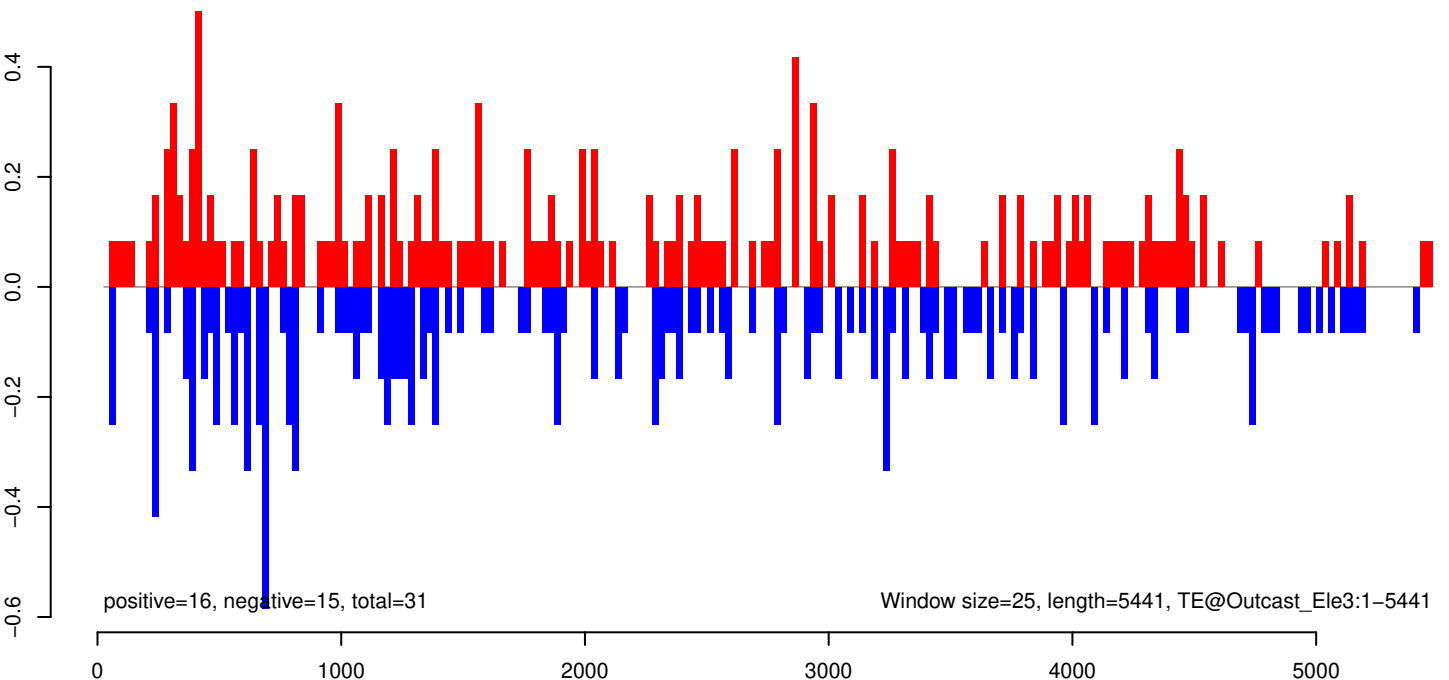
AeAeg_Aag2_Ago2_SINV_RA.18_23.rep



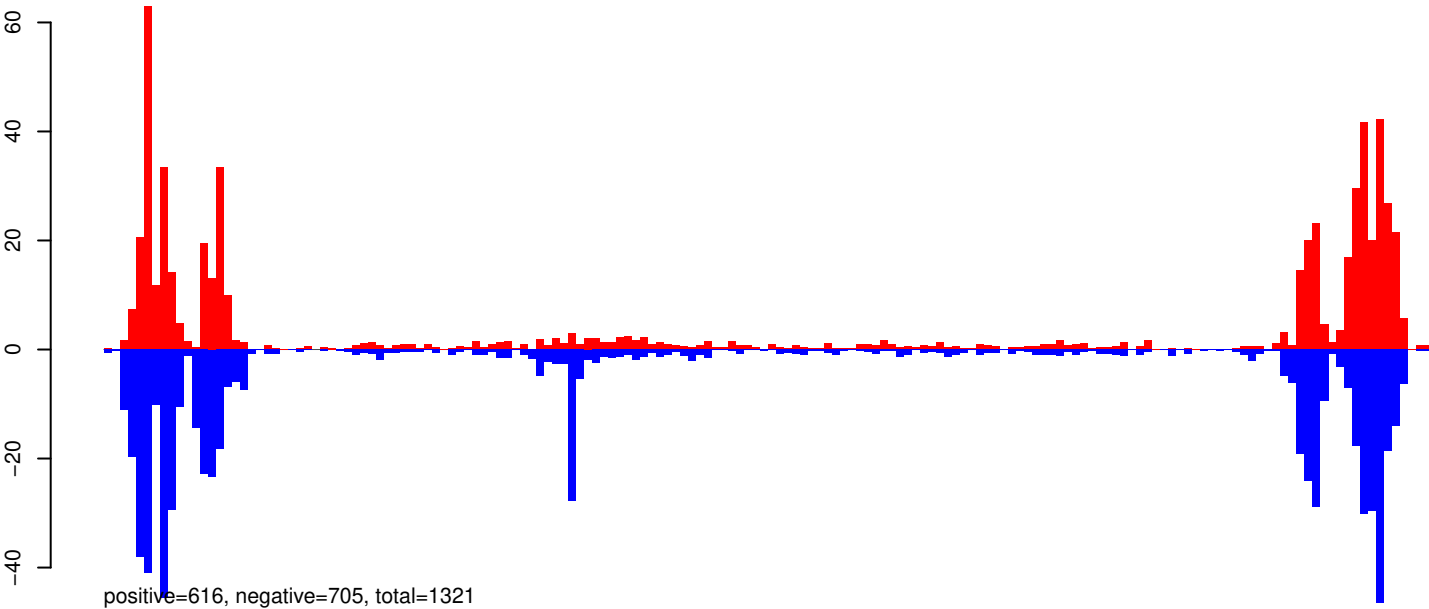
AeAeg_Aag2_Ago2_SINV_RA.24_35.rep



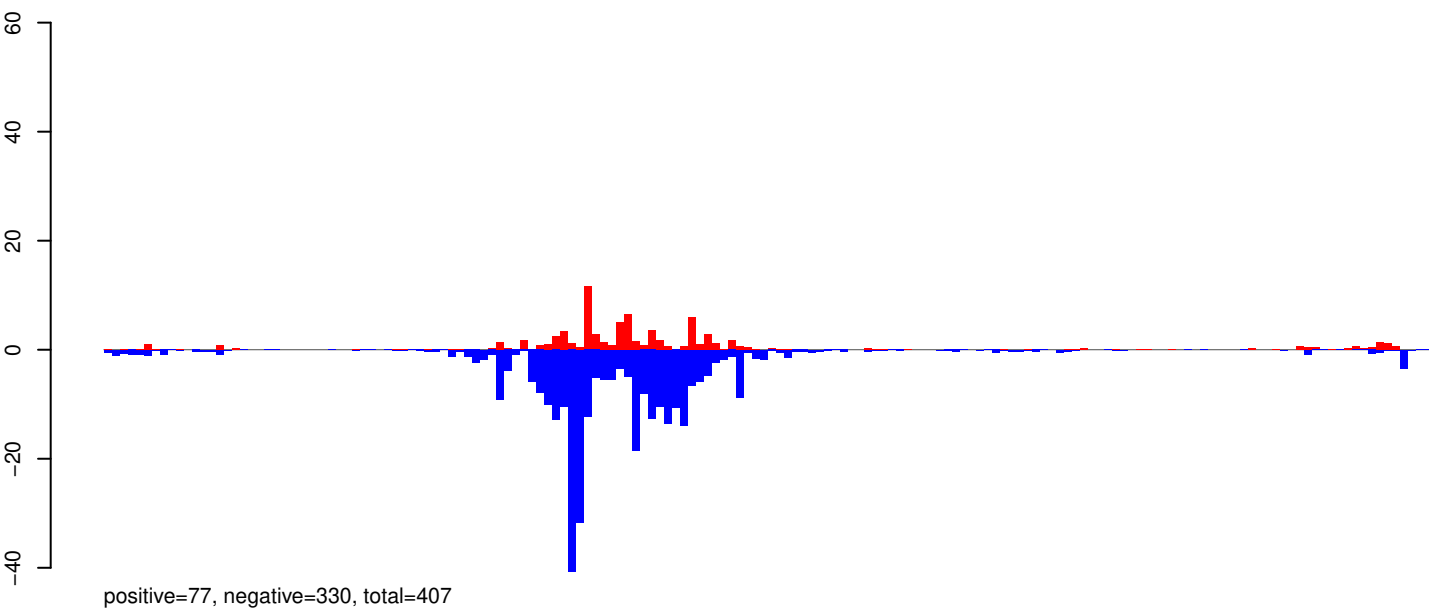
AeAeg_Aag2_Ago2_SINV_RA.rep



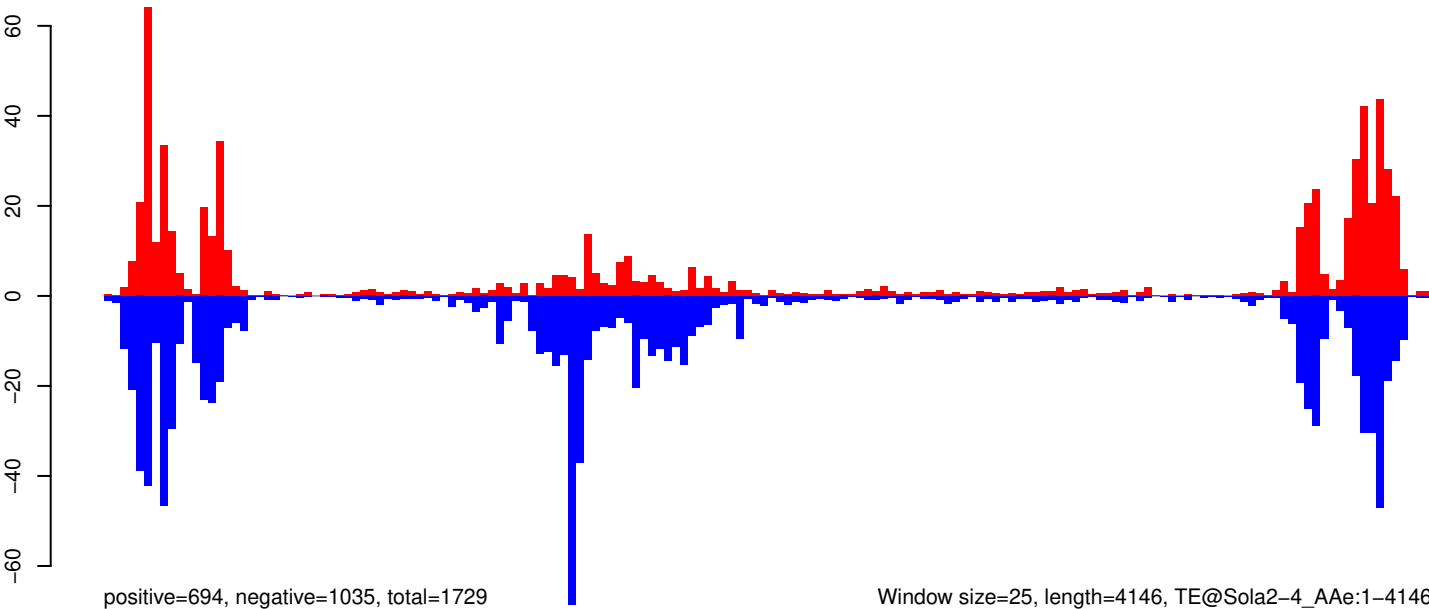
AeAeg_Aag2_Ago2_SINV_RA.18_23.rep



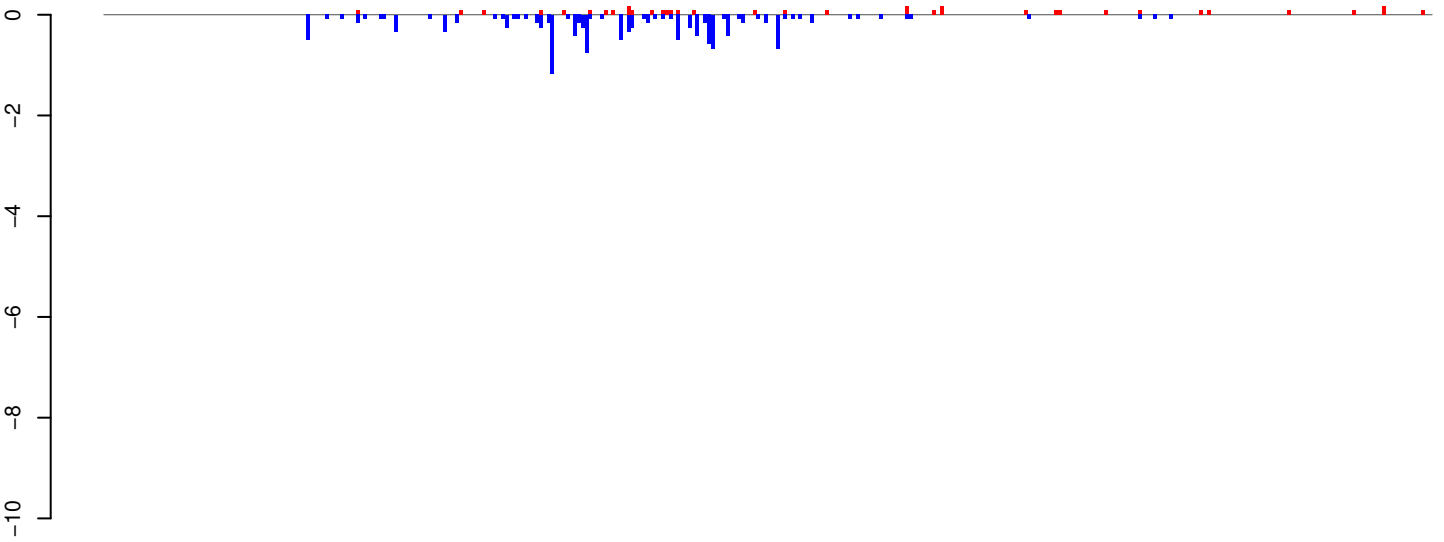
AeAeg_Aag2_Ago2_SINV_RA.24_35.rep



AeAeg_Aag2_Ago2_SINV_RA.rep

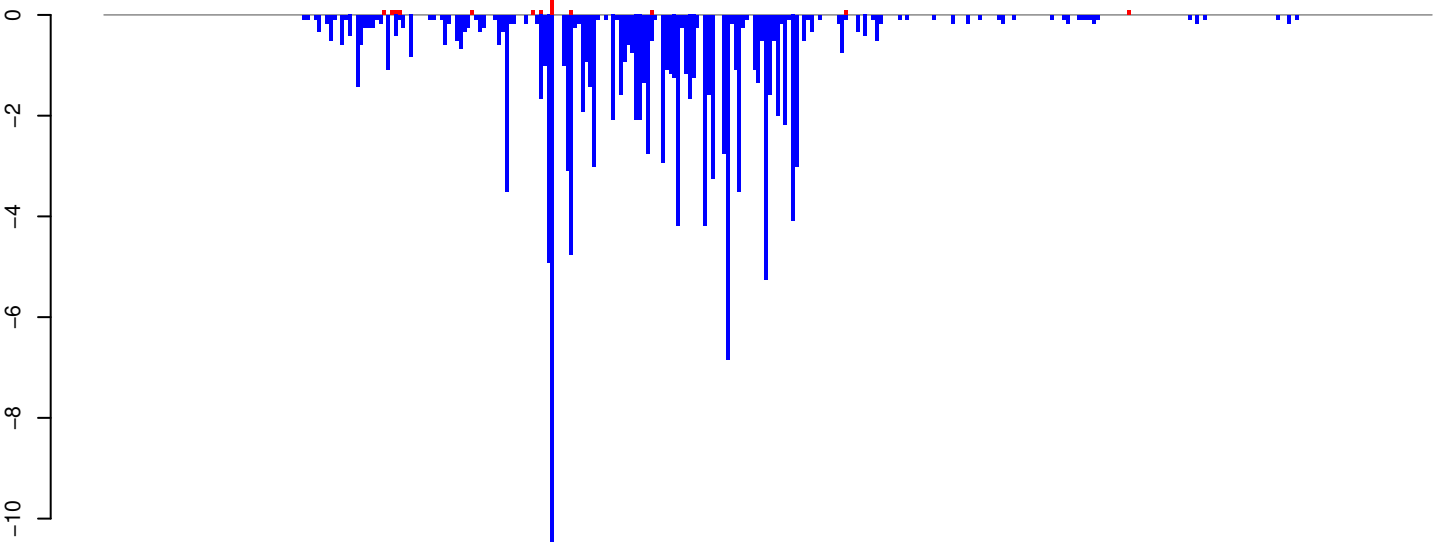


AeAeg_Aag2_Ago2_SINV_RA.18_23.rep



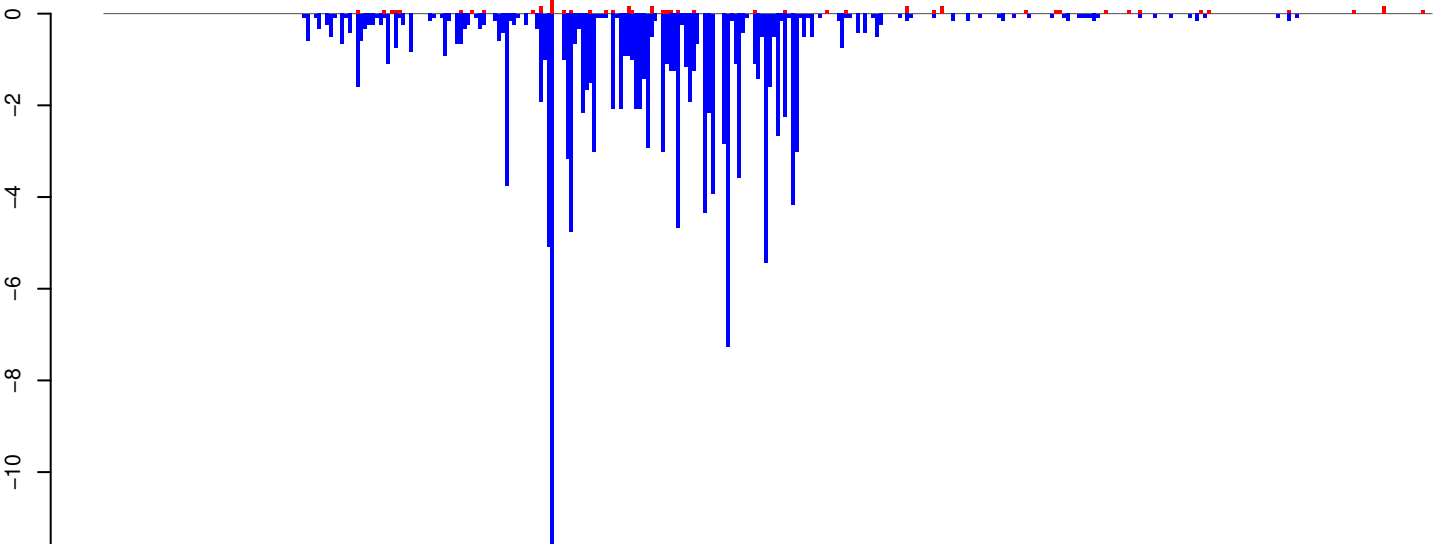
positive=3, negative=13, total=16

AeAeg_Aag2_Ago2_SINV_RA.24_35.rep



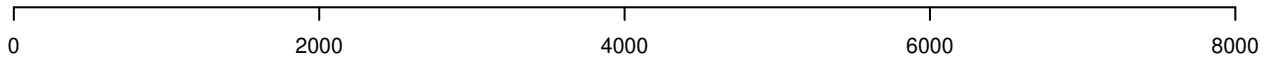
positive=1, negative=134, total=135

AeAeg_Aag2_Ago2_SINV_RA.rep

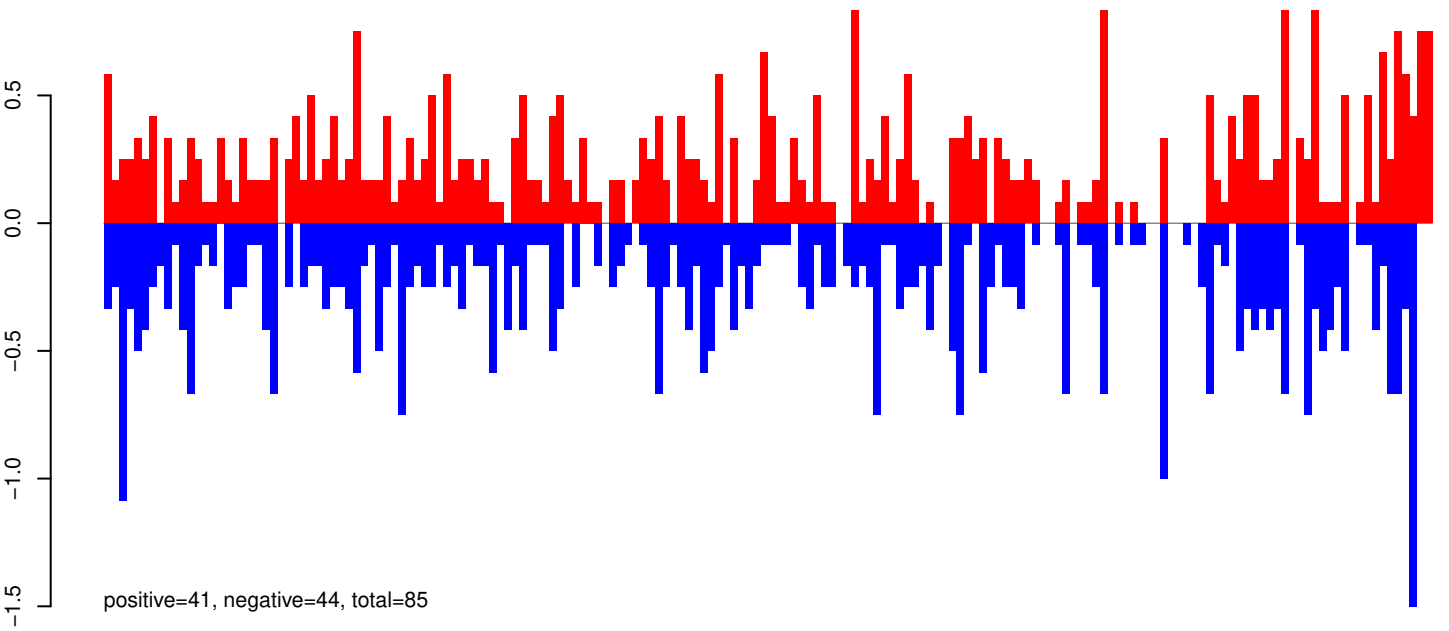


positive=4, negative=147, total=152

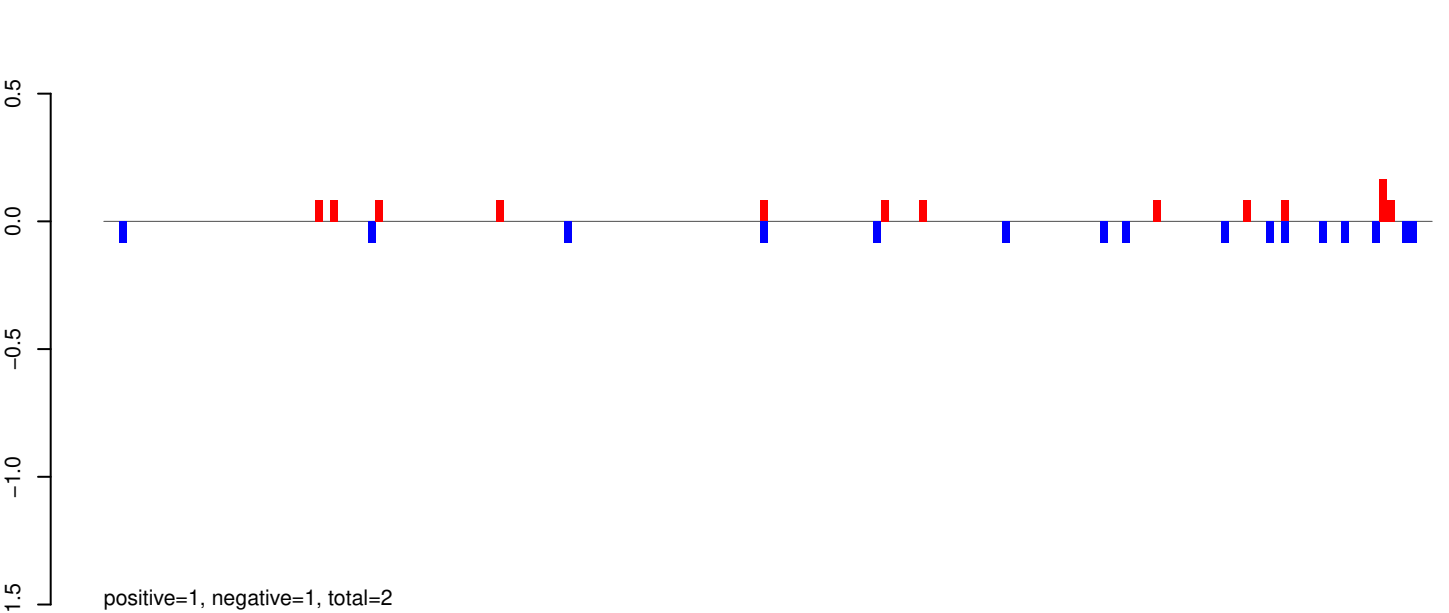
Window size=25, length=8679, TE@Gypsy-591_AA-LTR-I:1-8679



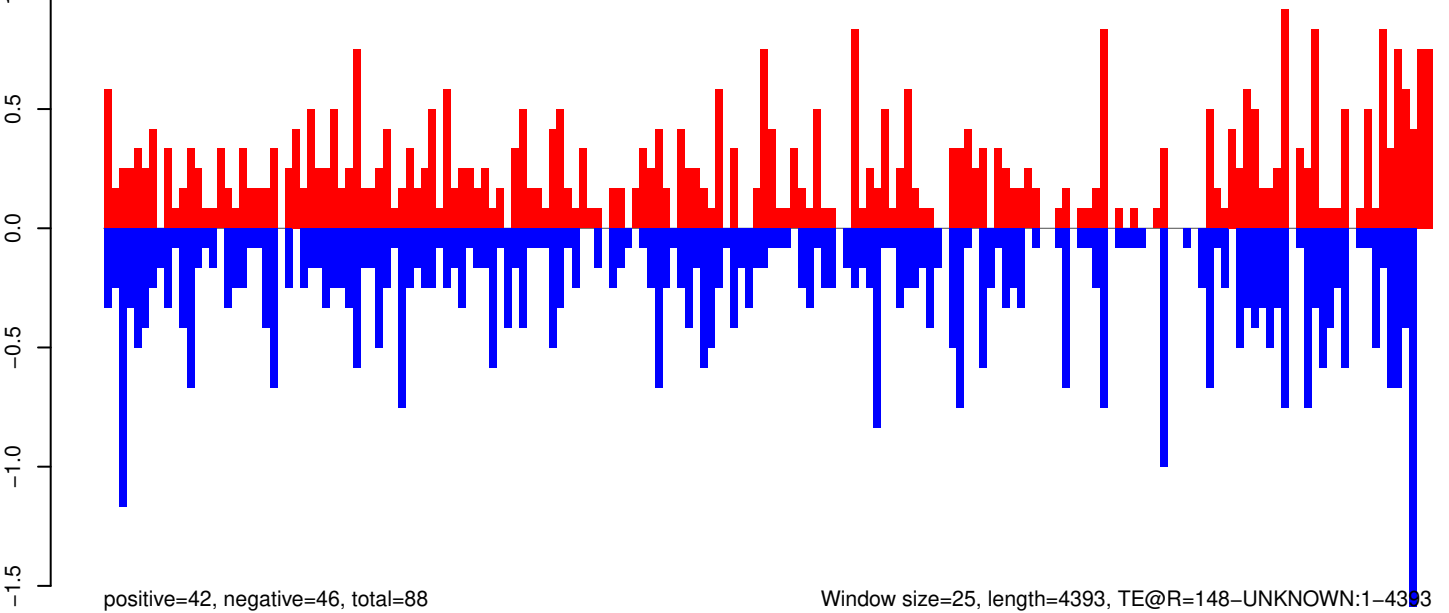
AeAeg_Aag2_Ago2_SINV_RA.18_23.rep



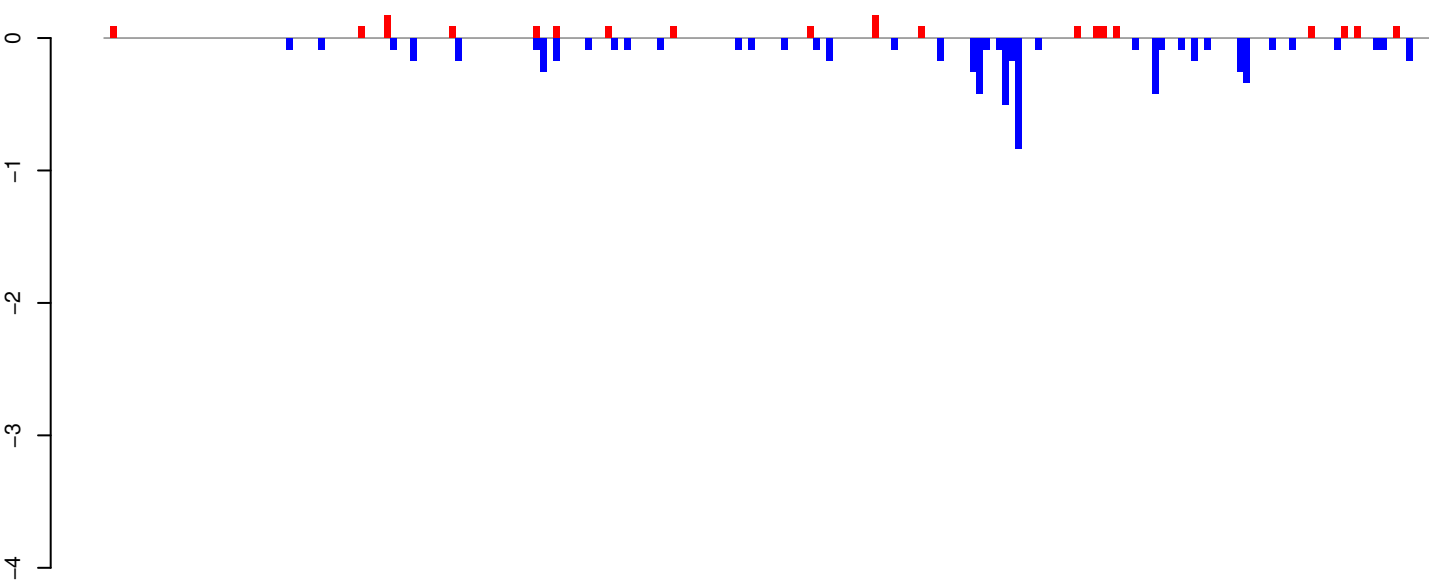
AeAeg_Aag2_Ago2_SINV_RA.24_35.rep



AeAeg_Aag2_Ago2_SINV_RA.rep

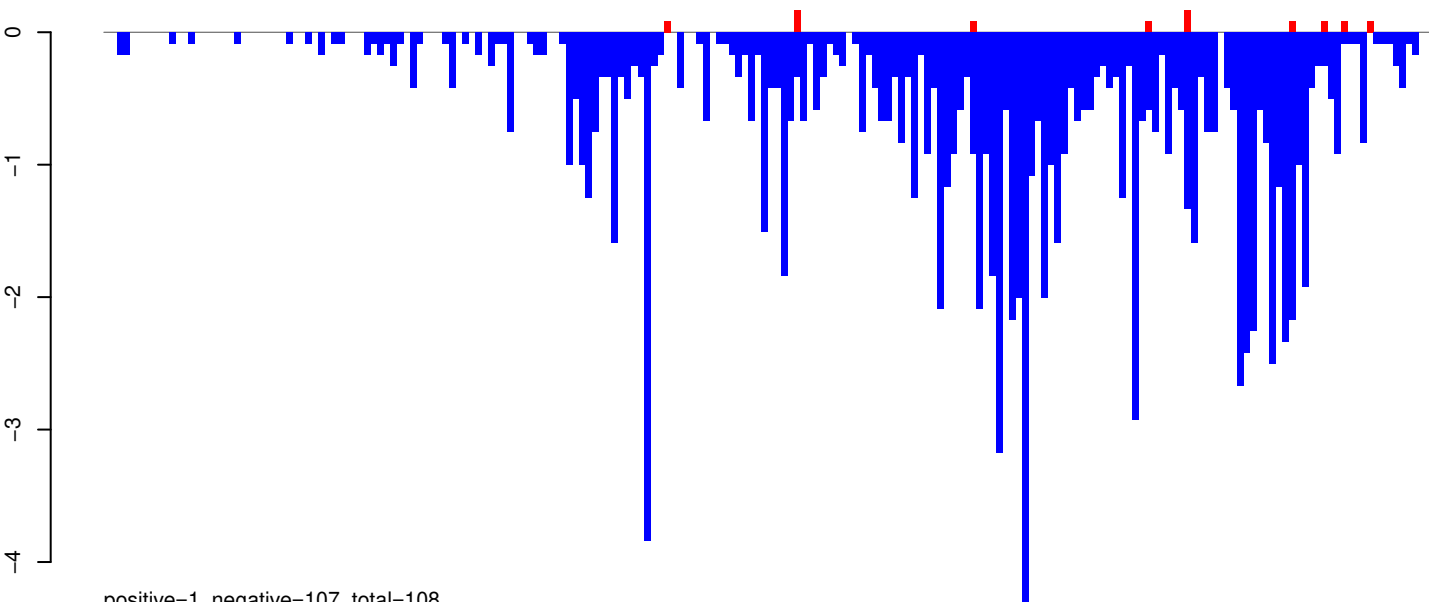


AeAeg_Aag2_Ago2_SINV_RA.18_23.rep



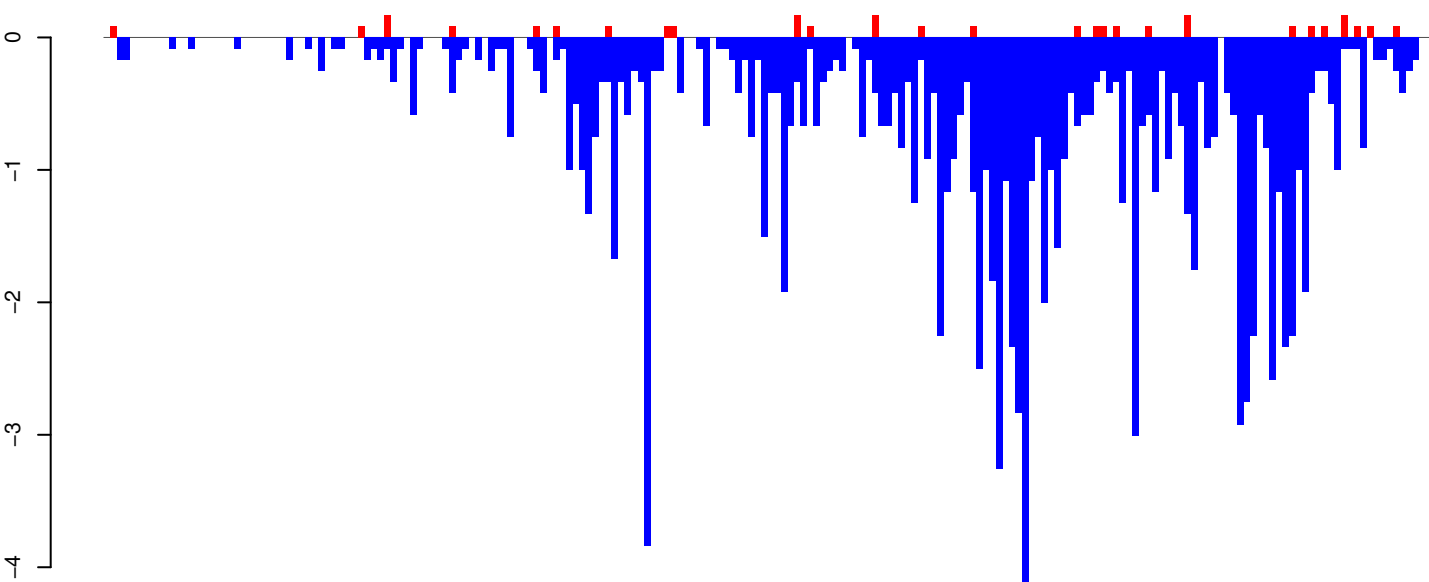
positive=2, negative=7, total=8

AeAeg_Aag2_Ago2_SINV_RA.24_35.rep



positive=1, negative=107, total=108

AeAeg_Aag2_Ago2_SINV_RA.rep

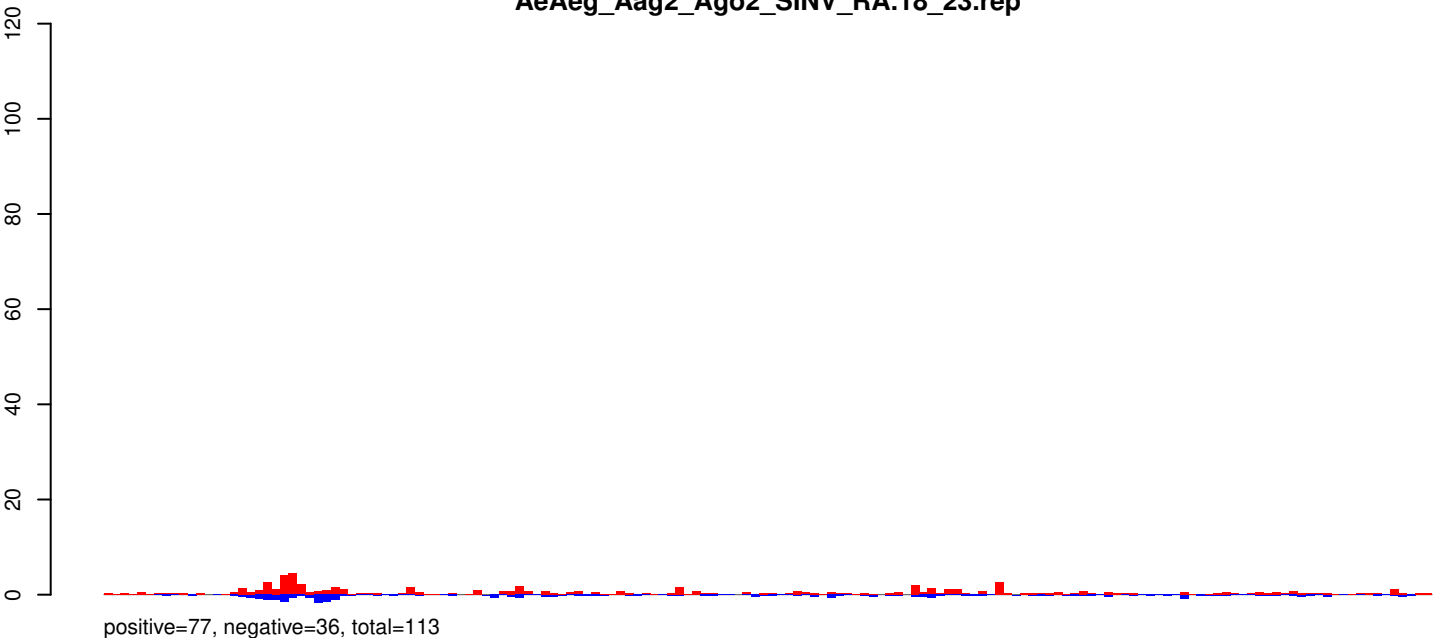


positive=3, negative=114, total=117

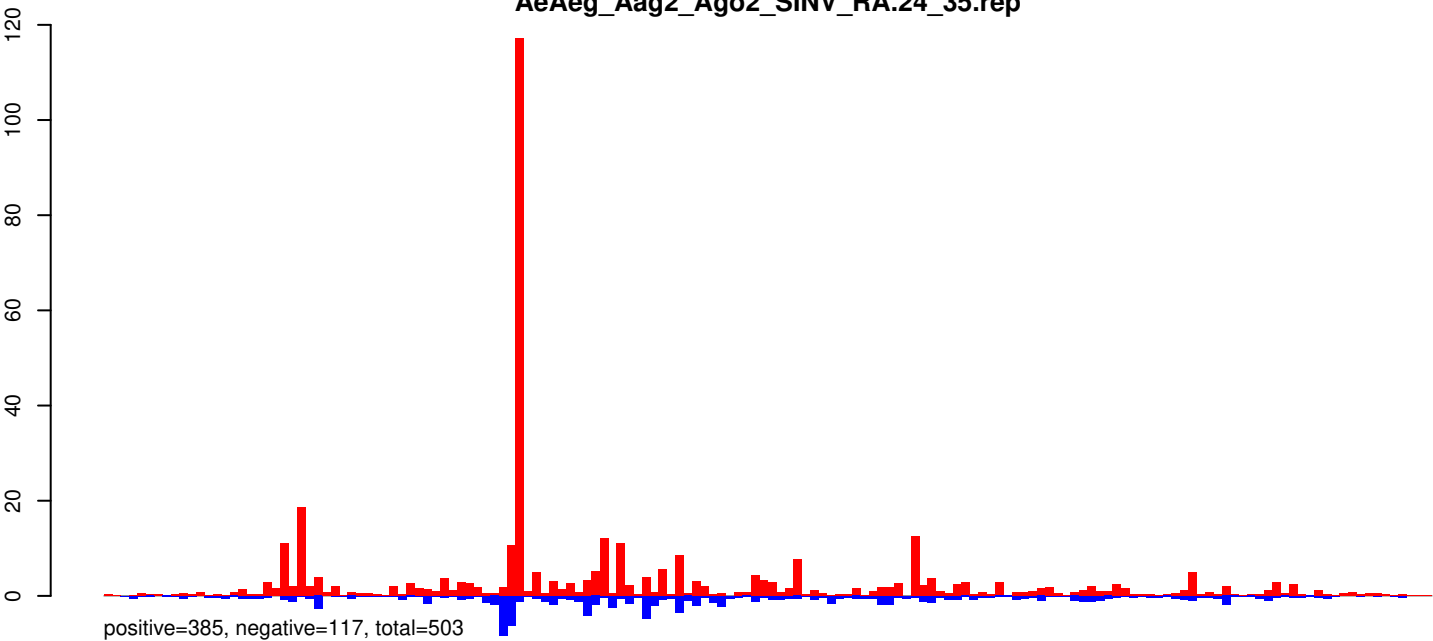
Window size=25, length=5091, TE@Gypsy-5_AA-LTR-I:1-5091

0 1000 2000 3000 4000 5000

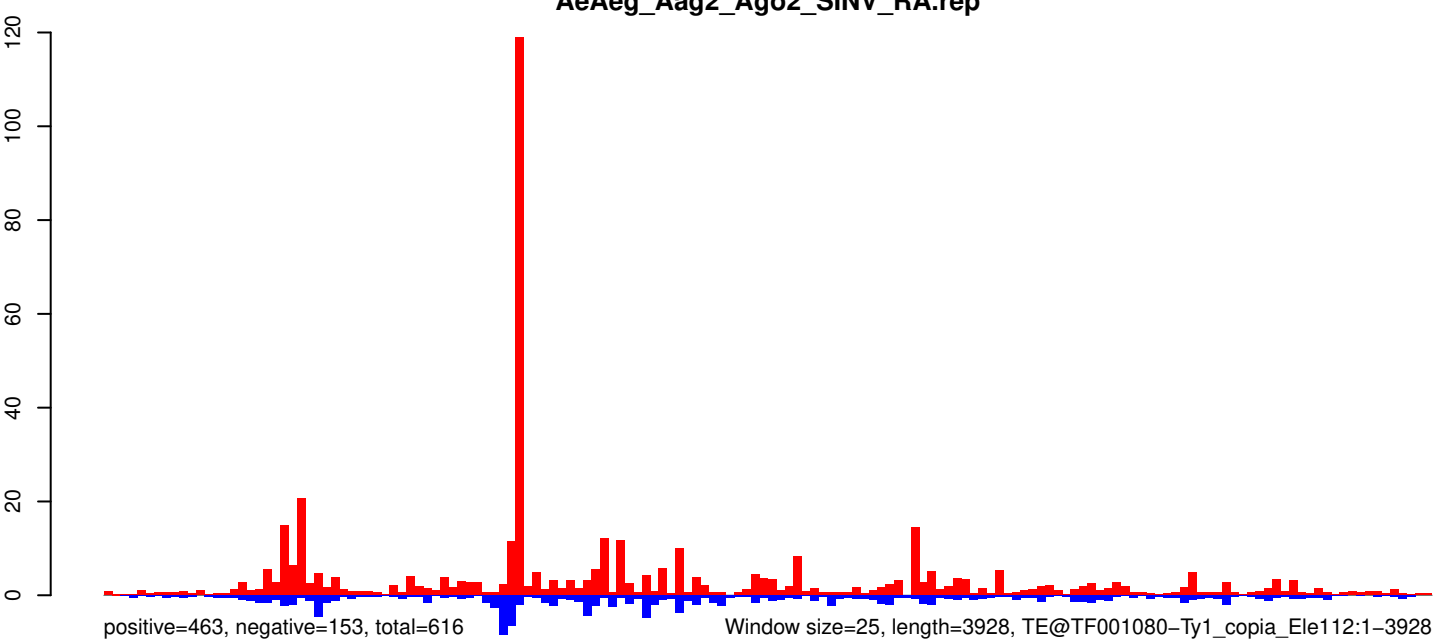
AeAeg_Aag2_Ago2_SINV_RA.18_23.rep



AeAeg_Aag2_Ago2_SINV_RA.24_35.rep



AeAeg_Aag2_Ago2_SINV_RA.rep



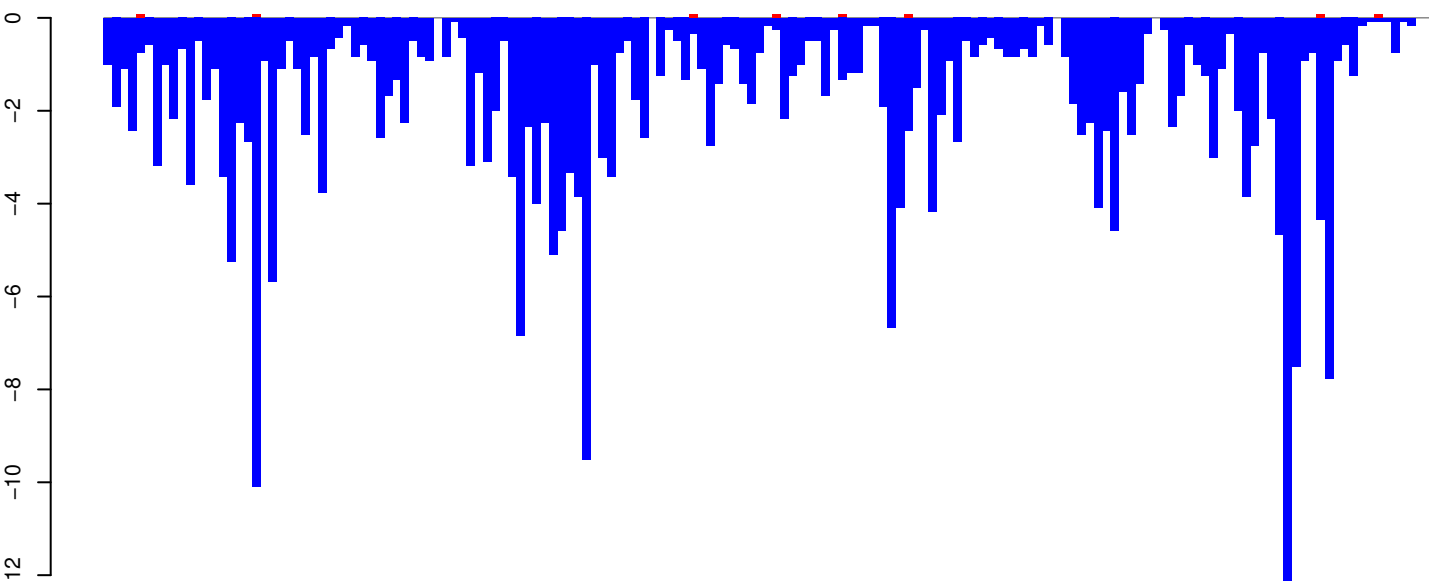
0 1000 2000 3000 4000

AeAeg_Aag2_Ago2_SINV_RA.18_23.rep



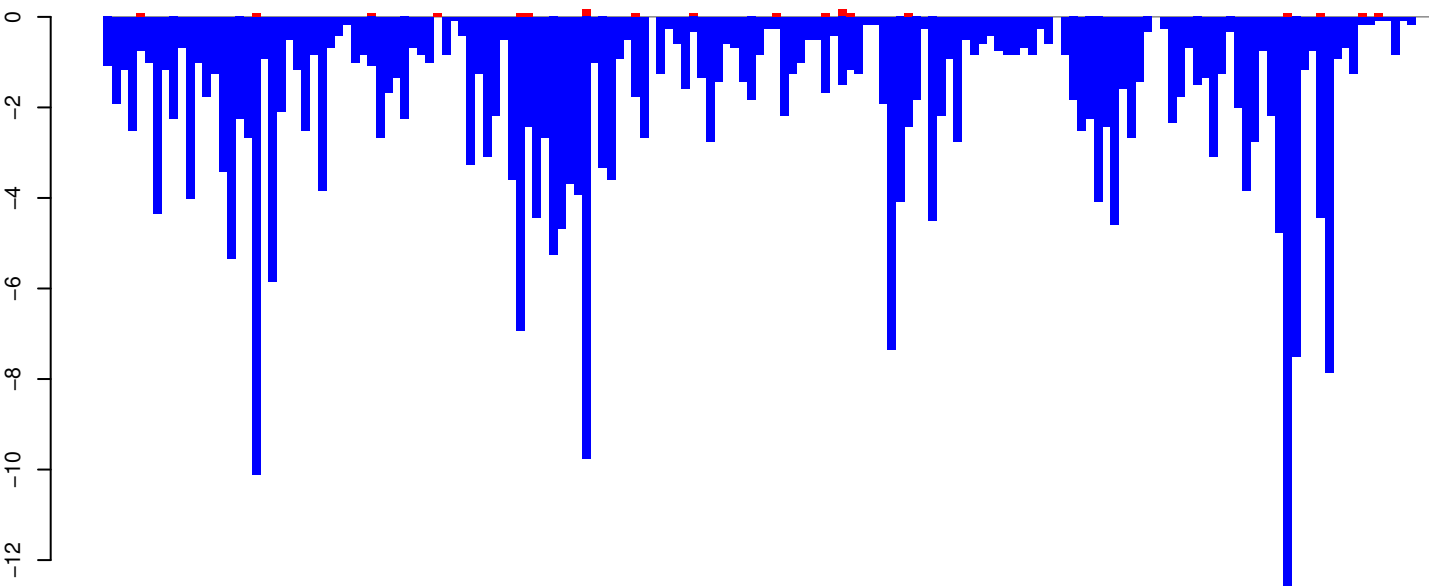
positive=1, negative=14, total=15

AeAeg_Aag2_Ago2_SINV_RA.24_35.rep



positive=1, negative=295, total=296

AeAeg_Aag2_Ago2_SINV_RA.rep

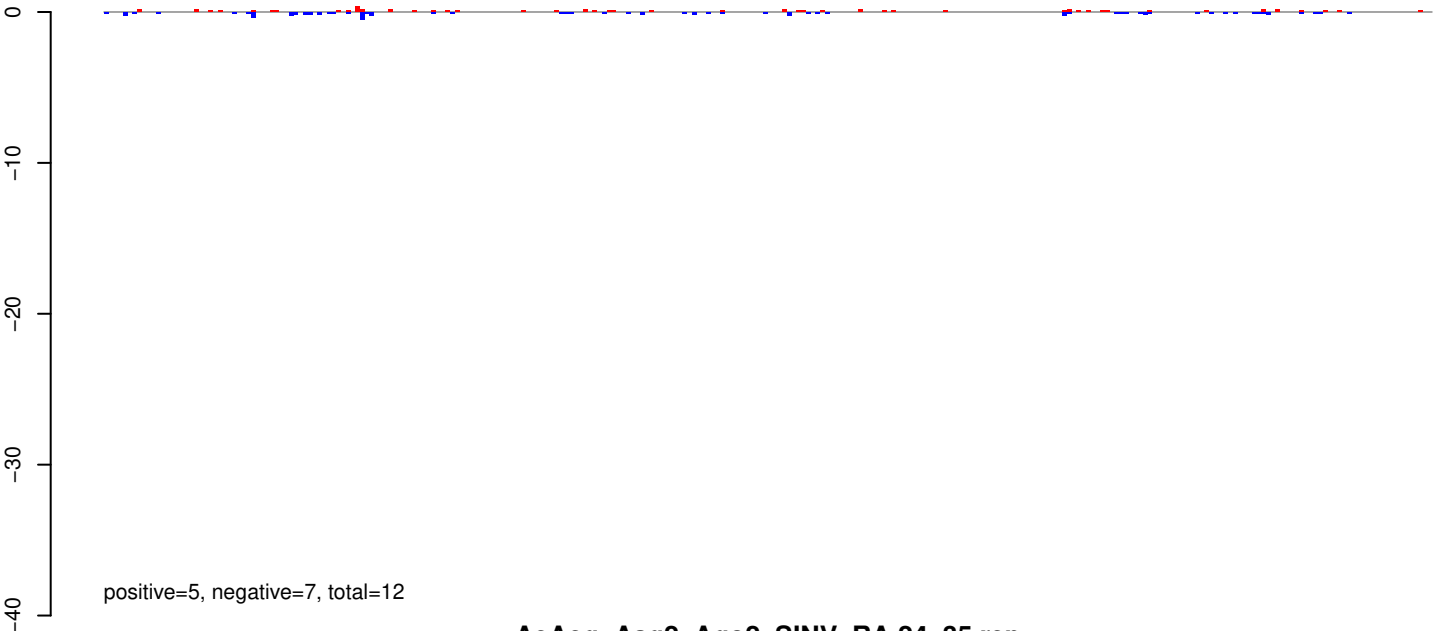


positive=2, negative=309, total=310

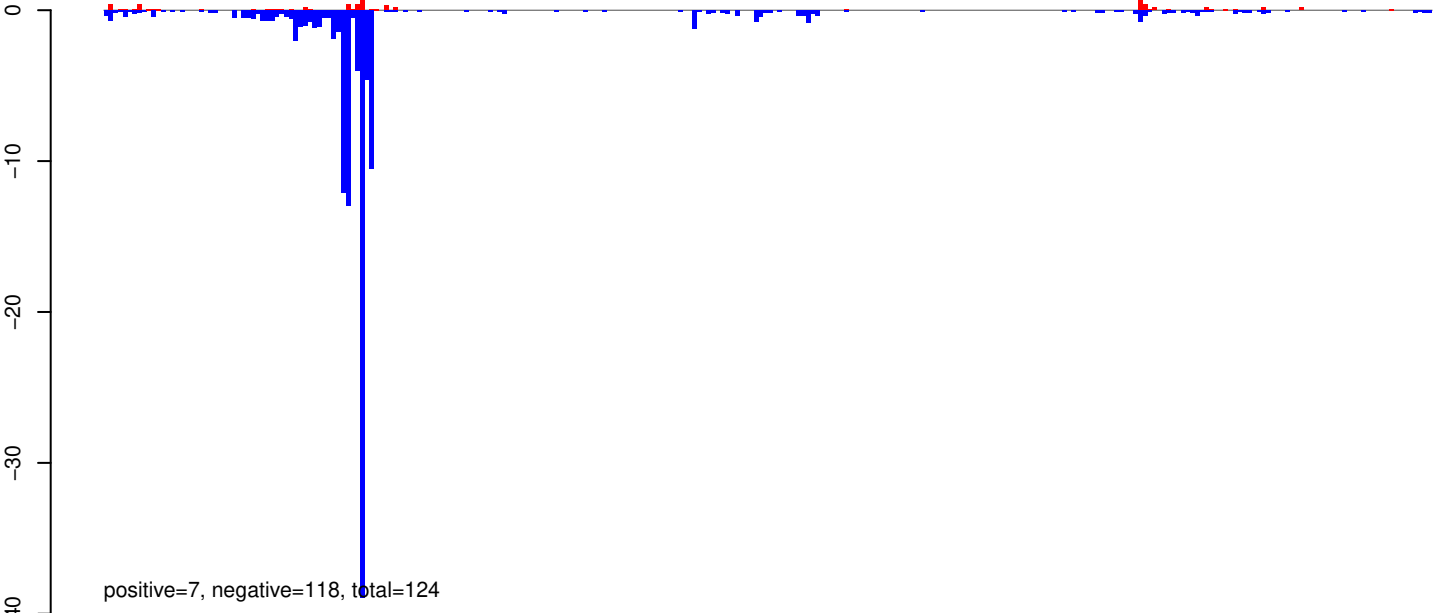
Window size=25, length=4007, TE@TF001073-Ty1_copia_Ele226:1-4007

0 1000 2000 3000 4000

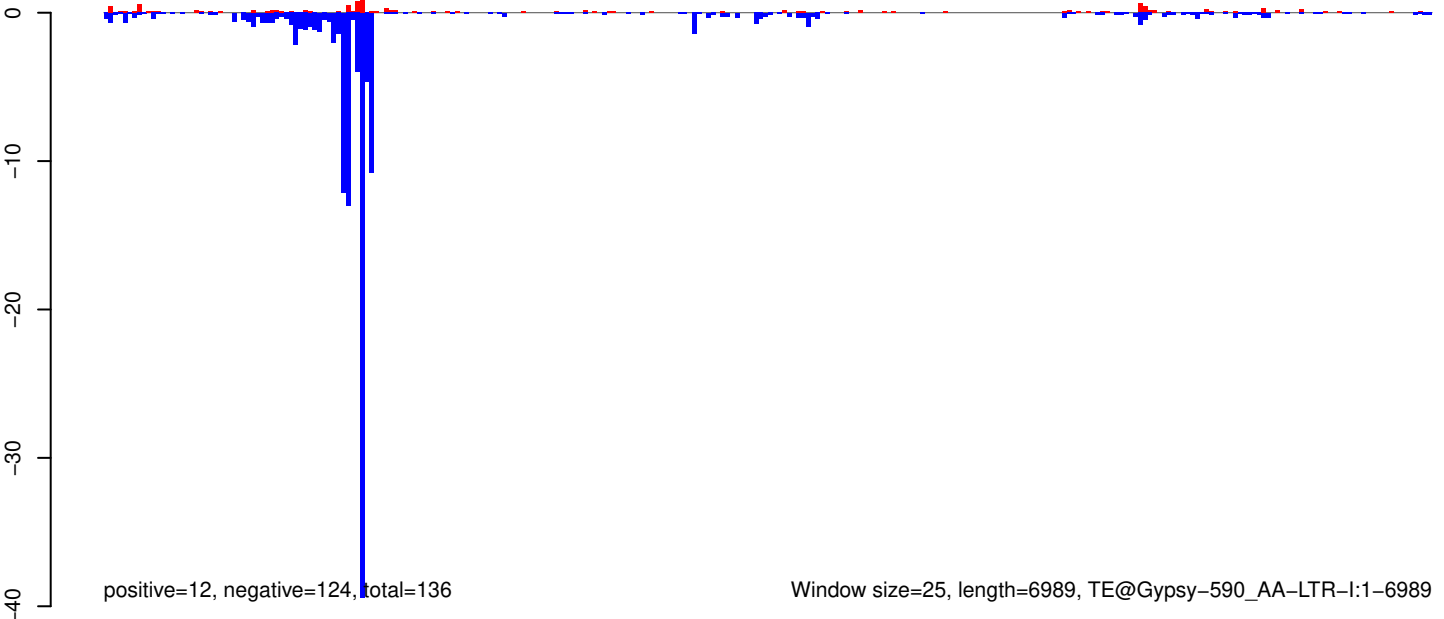
AeAeg_Aag2_Ago2_SINV_RA.18_23.rep



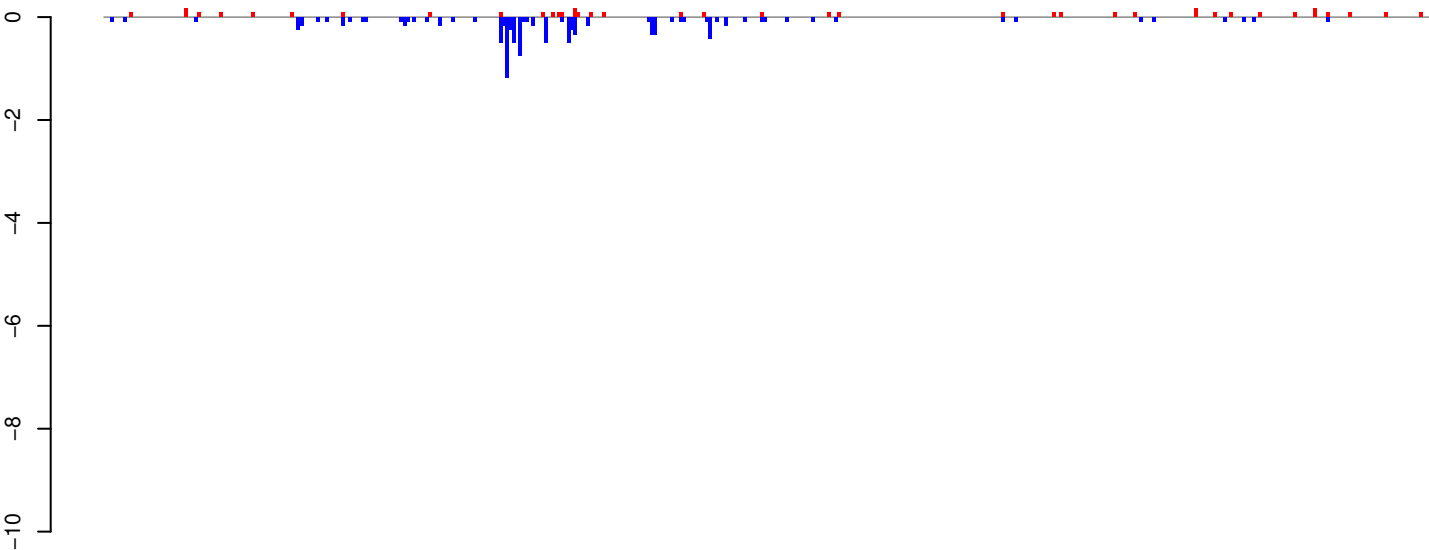
AeAeg_Aag2_Ago2_SINV_RA.24_35.rep



AeAeg_Aag2_Ago2_SINV_RA.rep

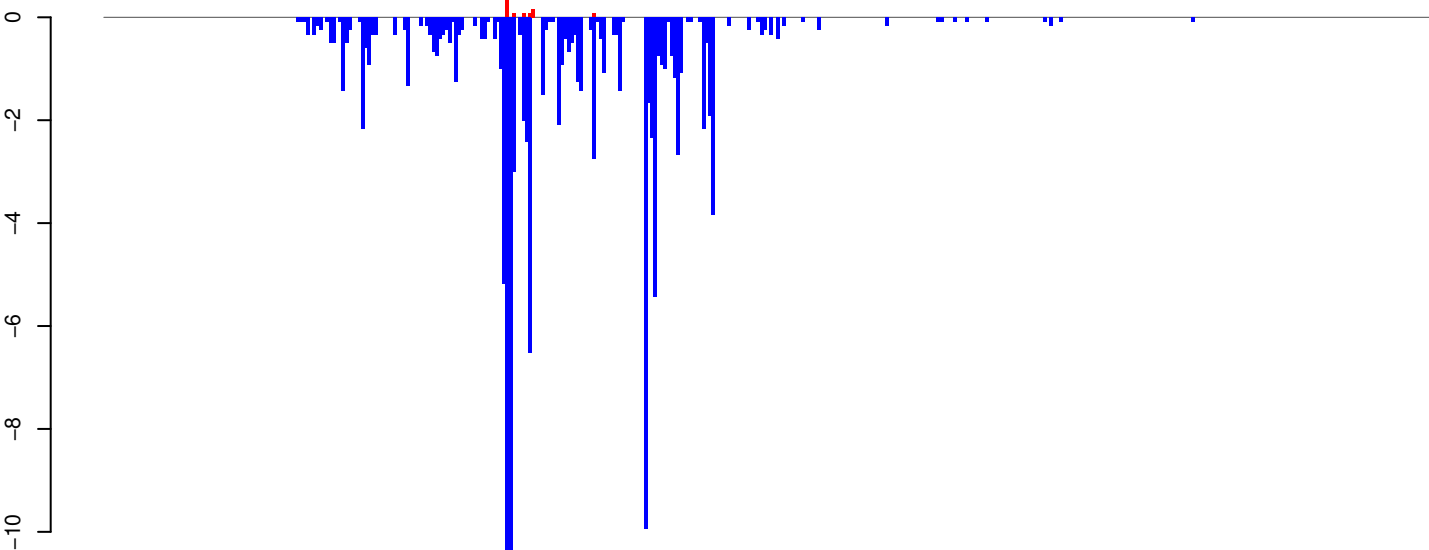


AeAeg_Aag2_Ago2_SINV_RA.18_23.rep



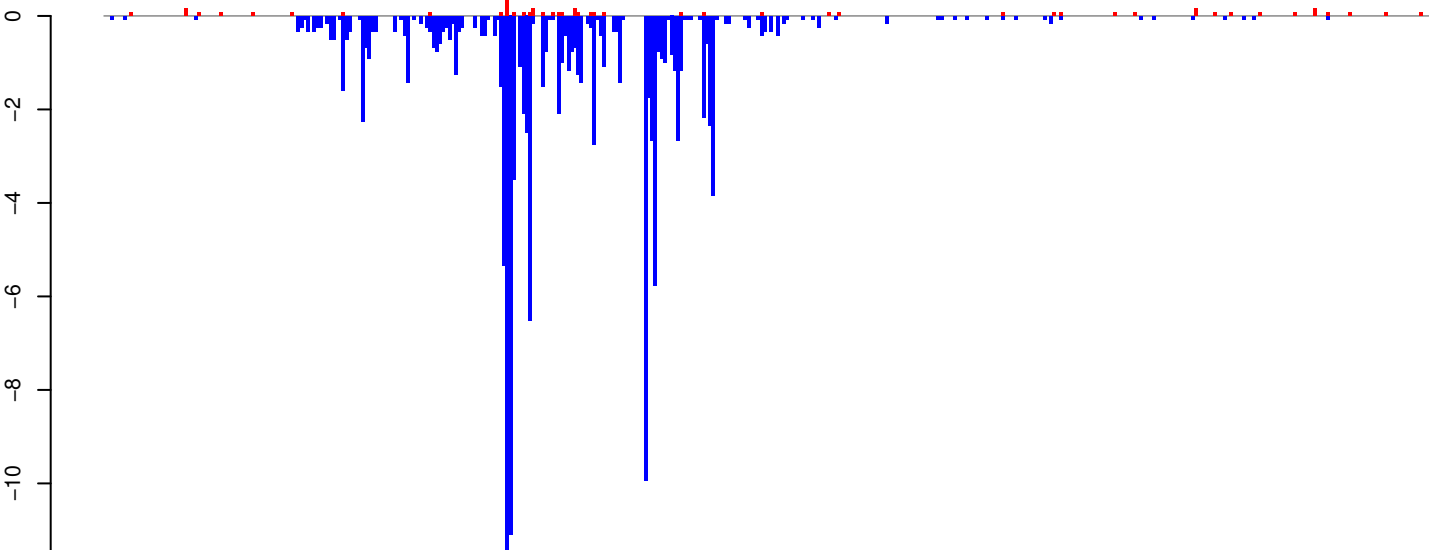
positive=3, negative=11, total=14

AeAeg_Aag2_Ago2_SINV_RA.24_35.rep



positive=1, negative=117, total=118

AeAeg_Aag2_Ago2_SINV_RA.rep

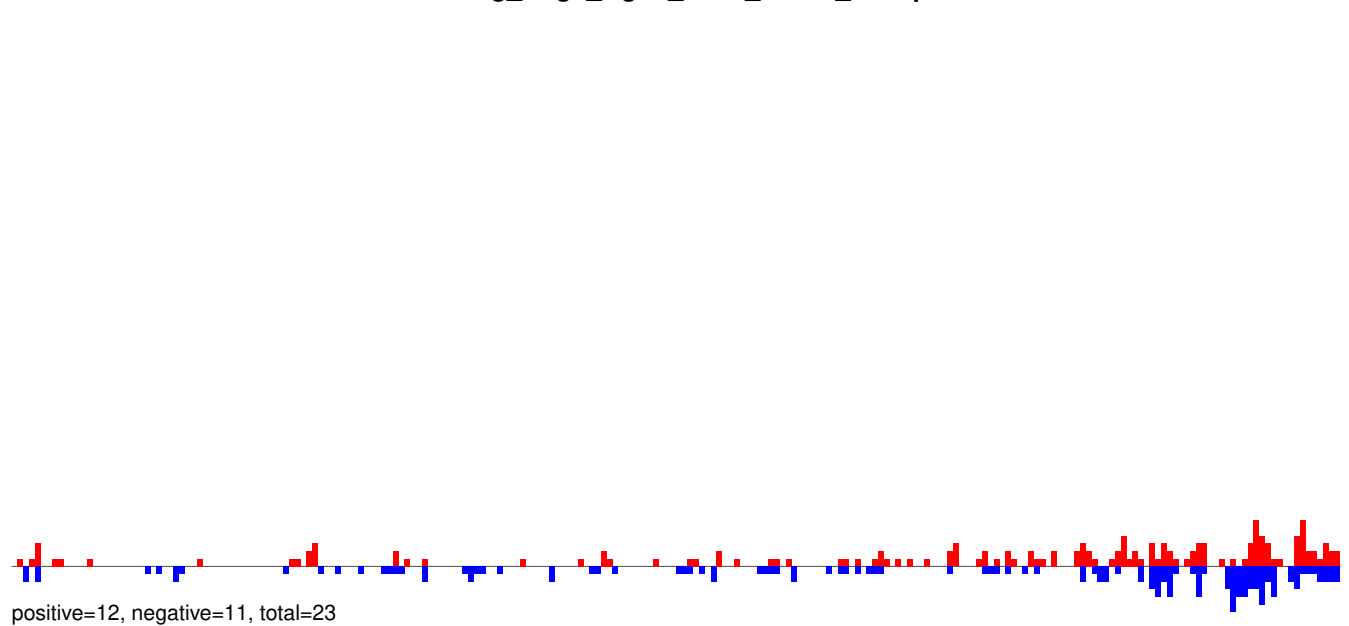


positive=4, negative=127, total=132

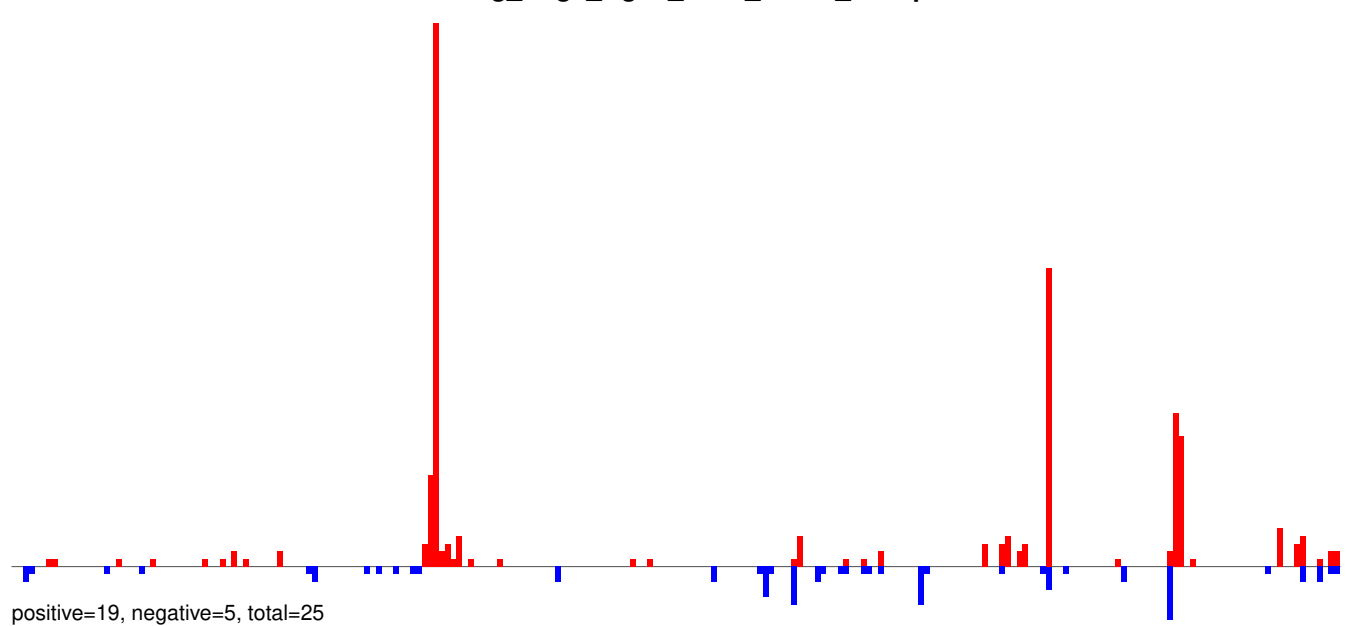
Window size=25, length=10314, TE@TF000415-Ty3_gypsy_Ele115:1-10314

0 2000 4000 6000 8000 10000

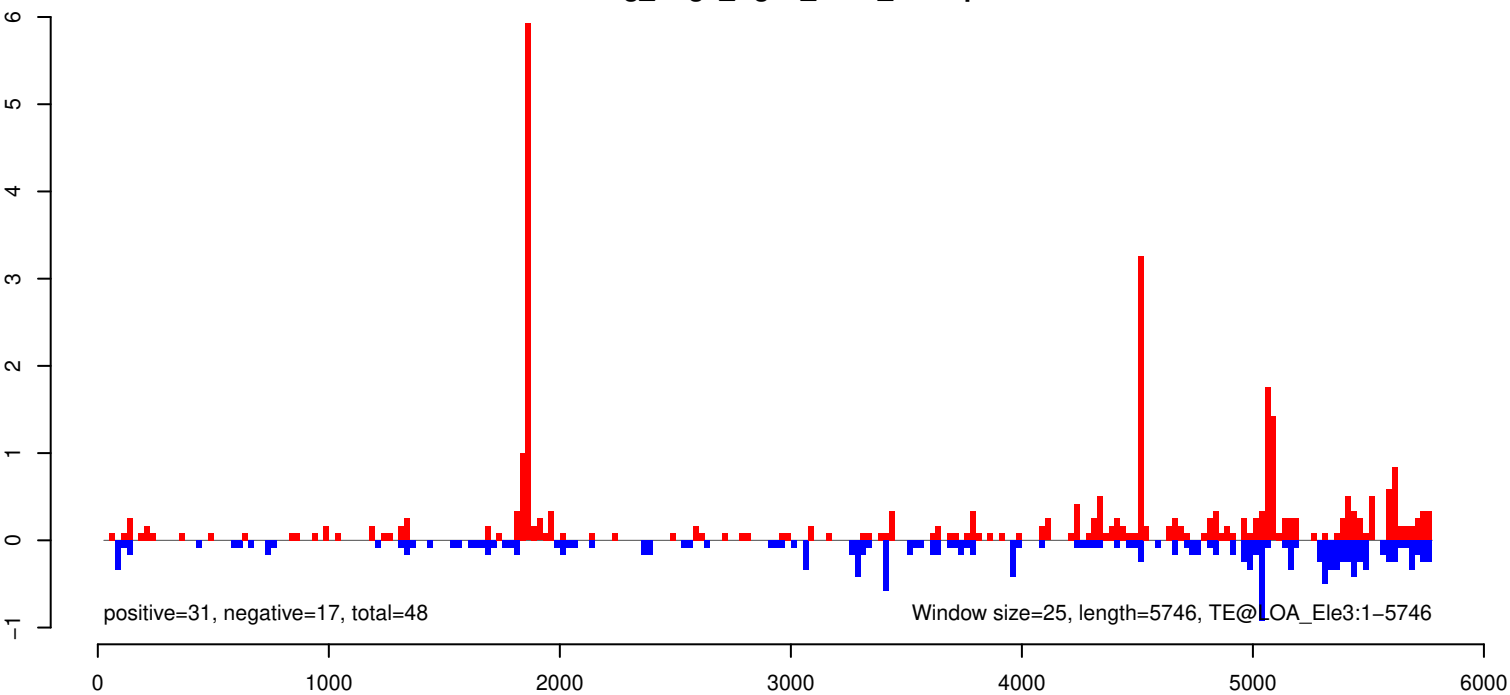
AeAeg_Aag2_Ago2_SINV_RA.18_23.rep



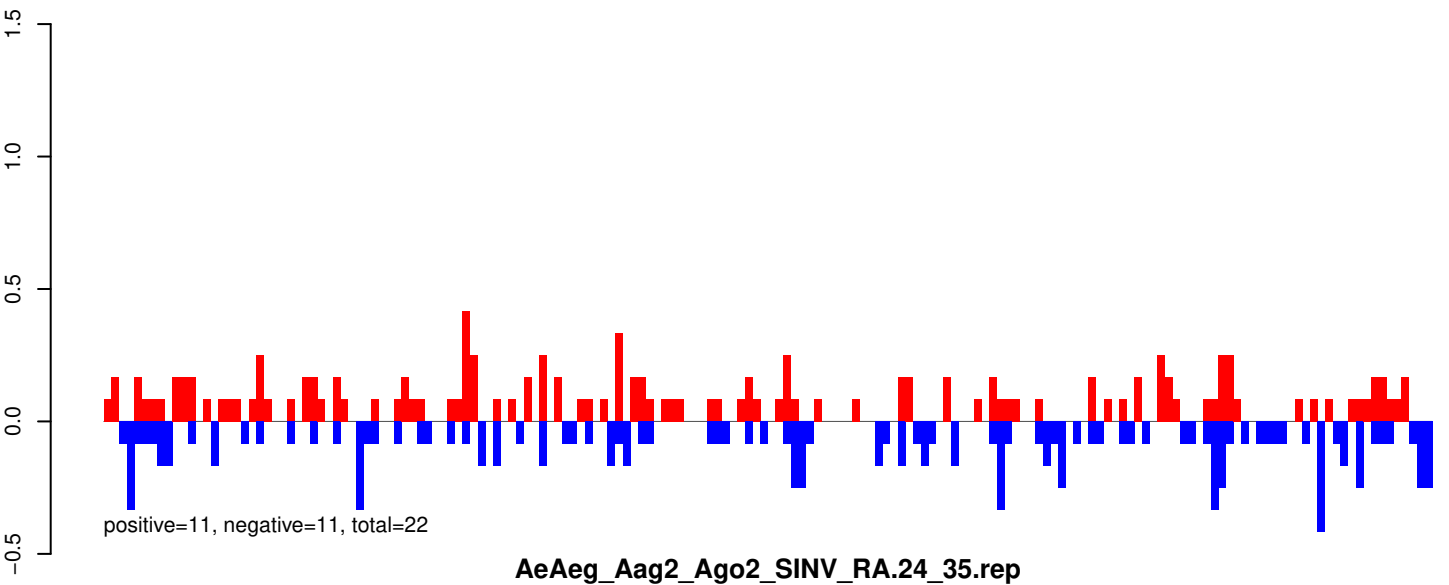
AeAeg_Aag2_Ago2_SINV_RA.24_35.rep



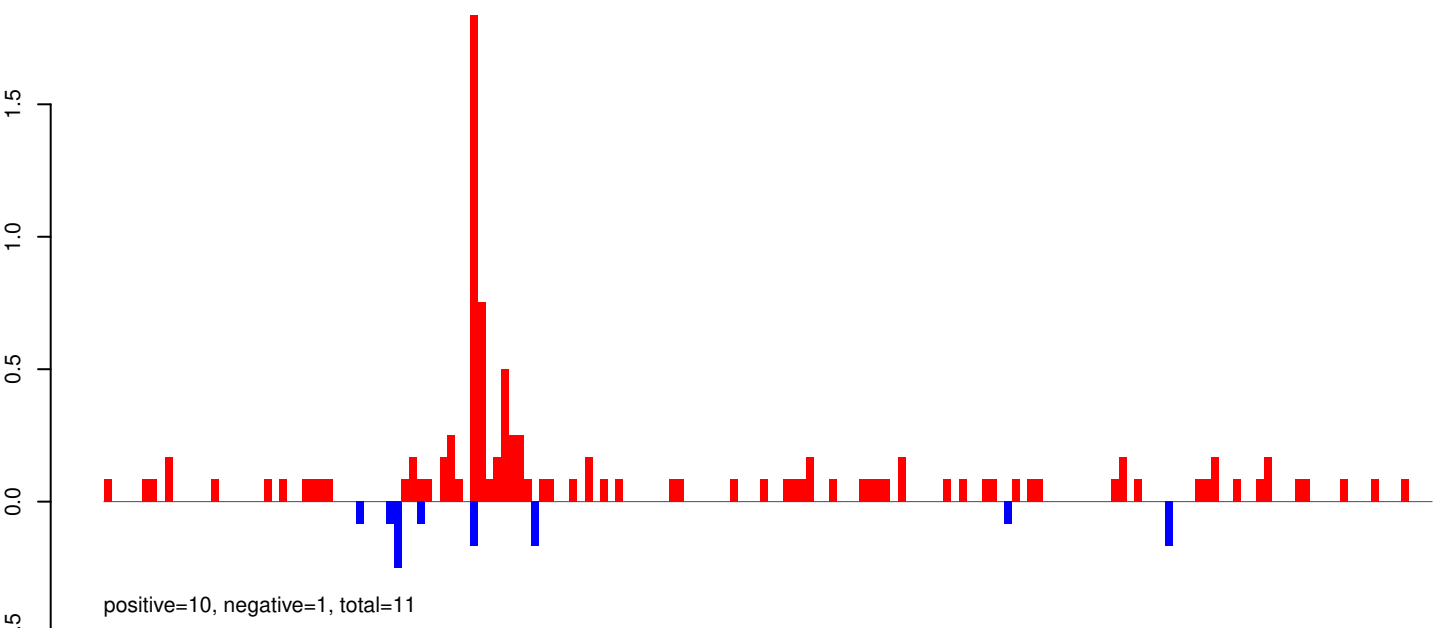
AeAeg_Aag2_Ago2_SINV_RA.rep



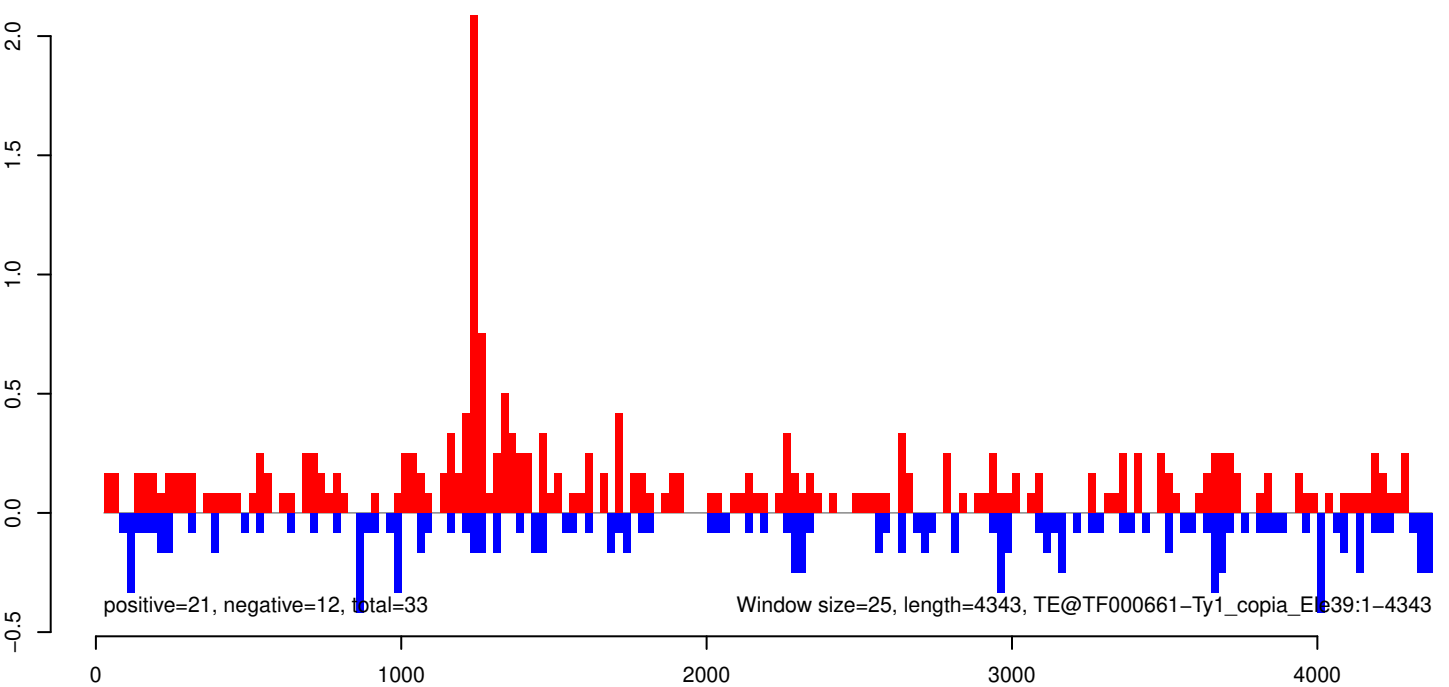
AeAeg_Aag2_Ago2_SINV_RA.18_23.rep



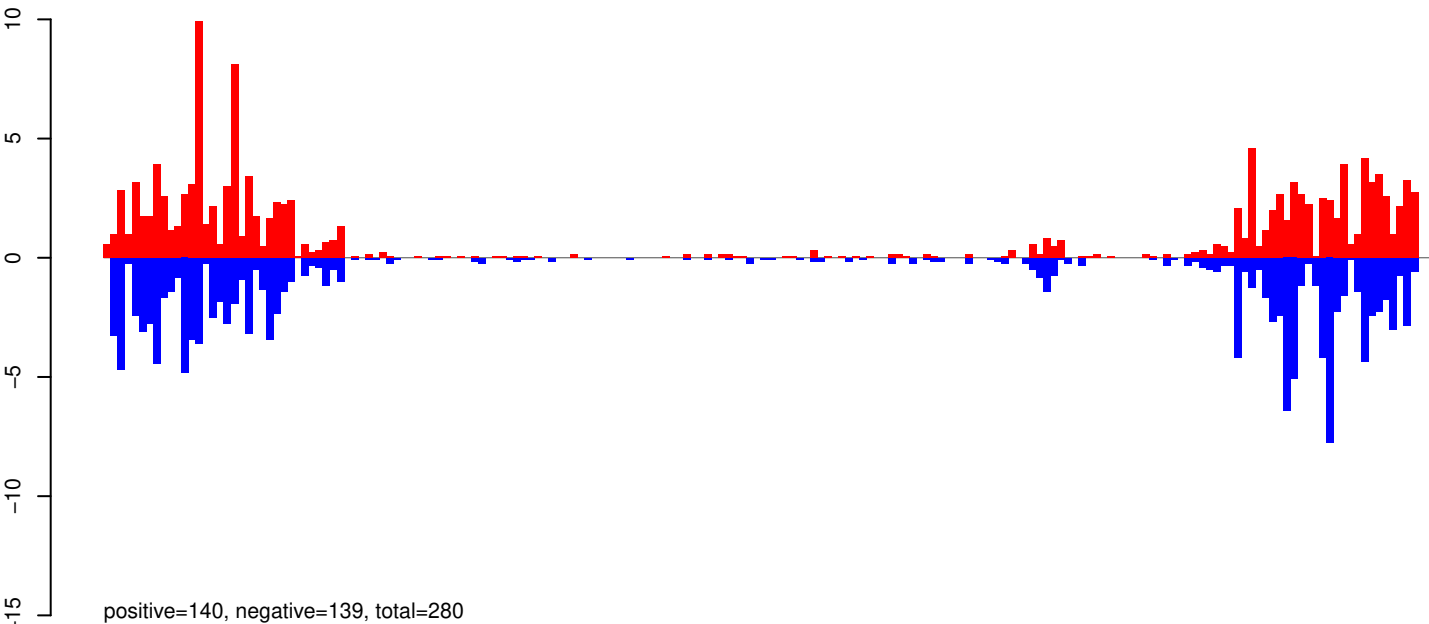
AeAeg_Aag2_Ago2_SINV_RA.24_35.rep



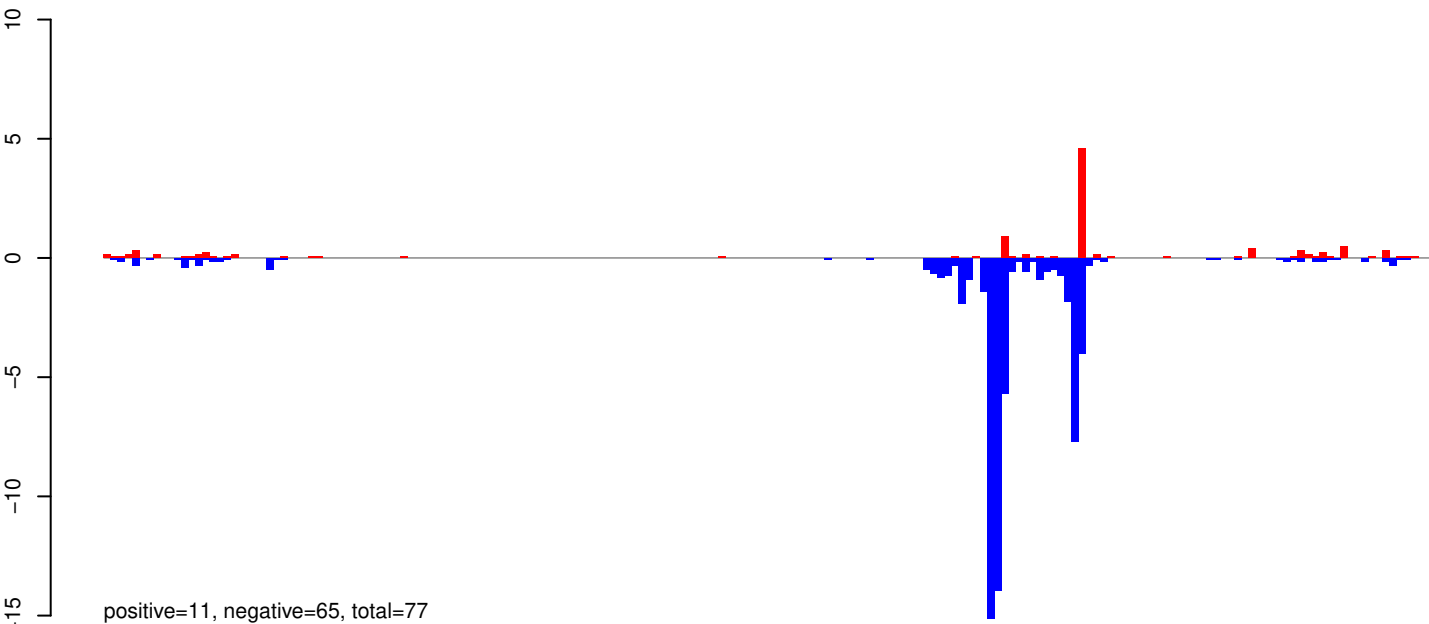
AeAeg_Aag2_Ago2_SINV_RA.rep



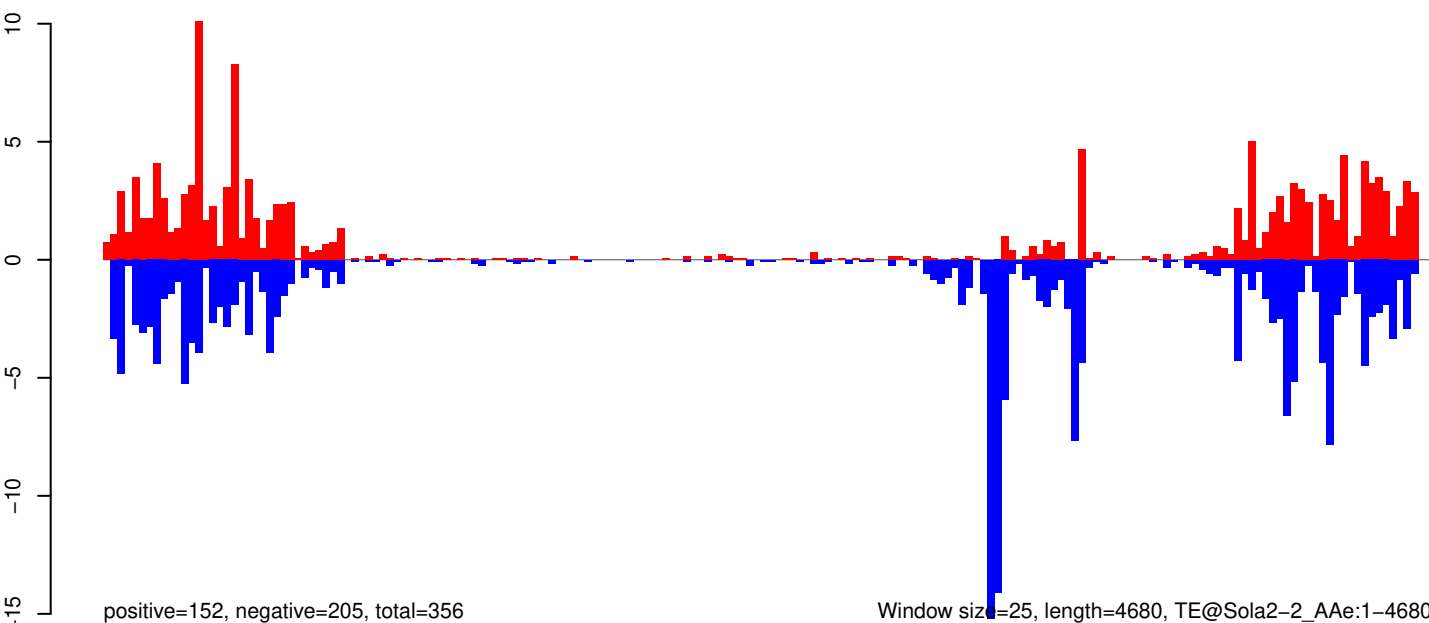
AeAeg_Aag2_Ago2_SINV_RA.18_23.rep



AeAeg_Aag2_Ago2_SINV_RA.24_35.rep



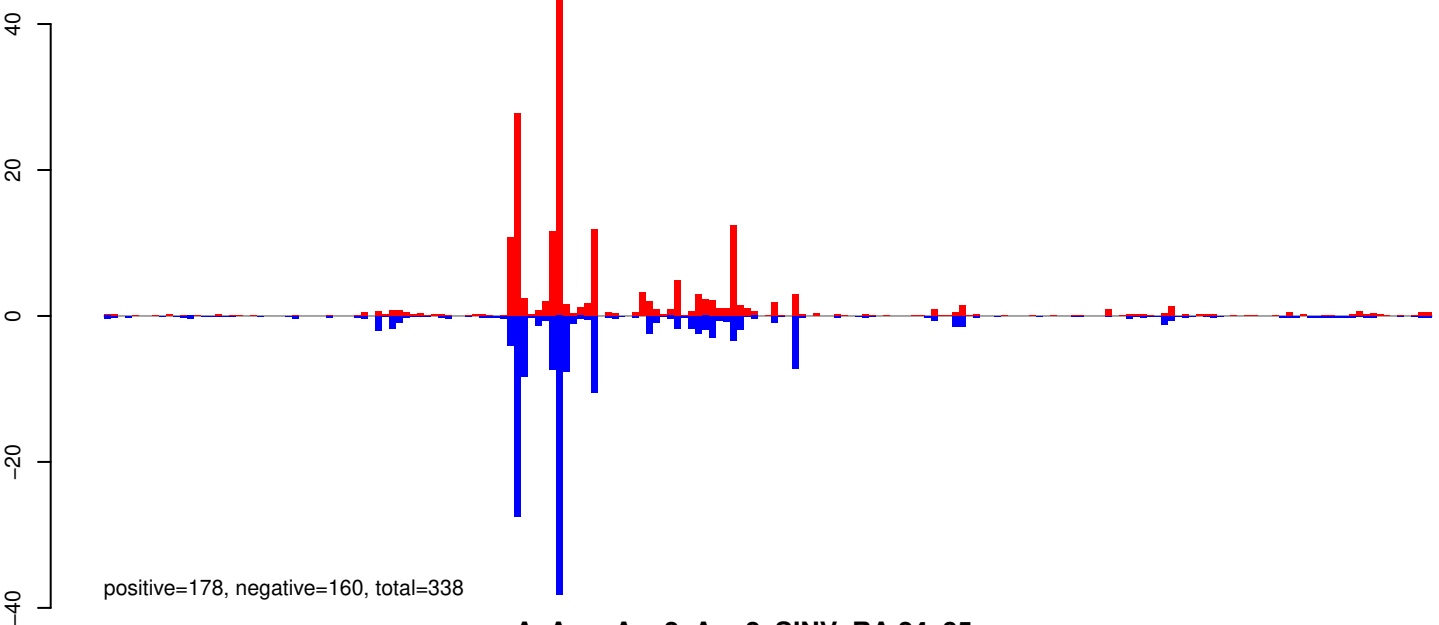
AeAeg_Aag2_Ago2_SINV_RA.rep



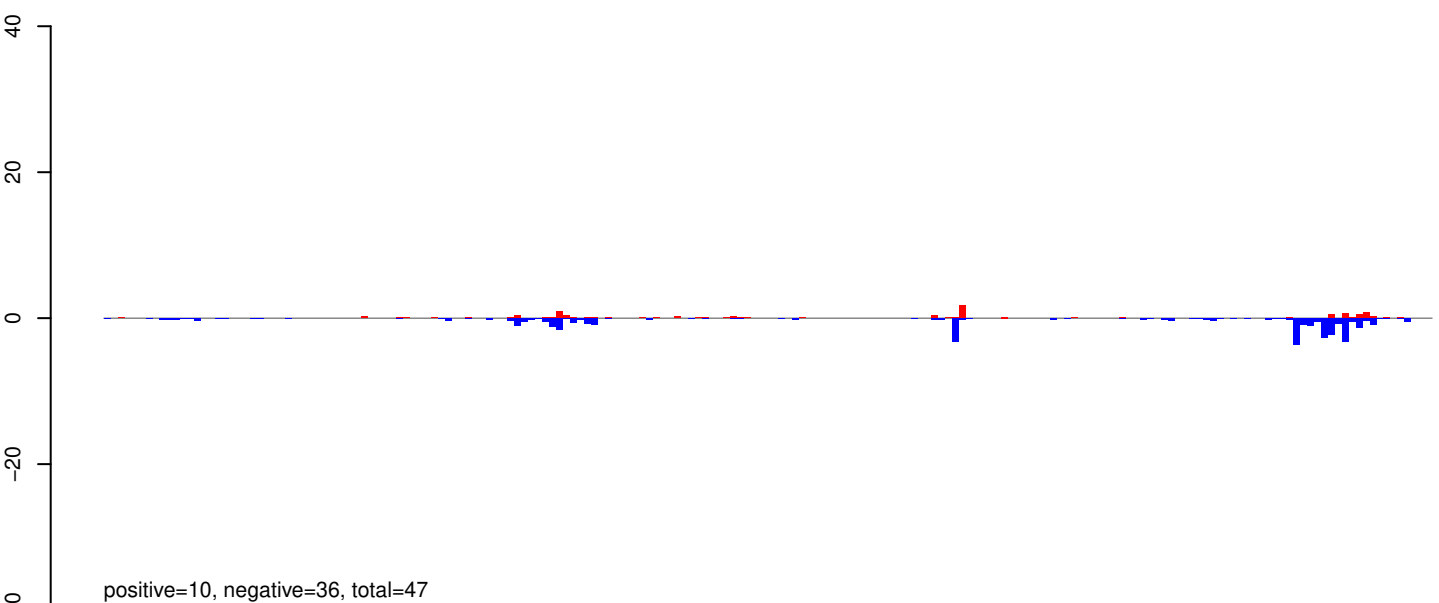
Window size=25, length=4680, TE@Sola2-2_AAe:1-4680

0 1000 2000 3000 4000

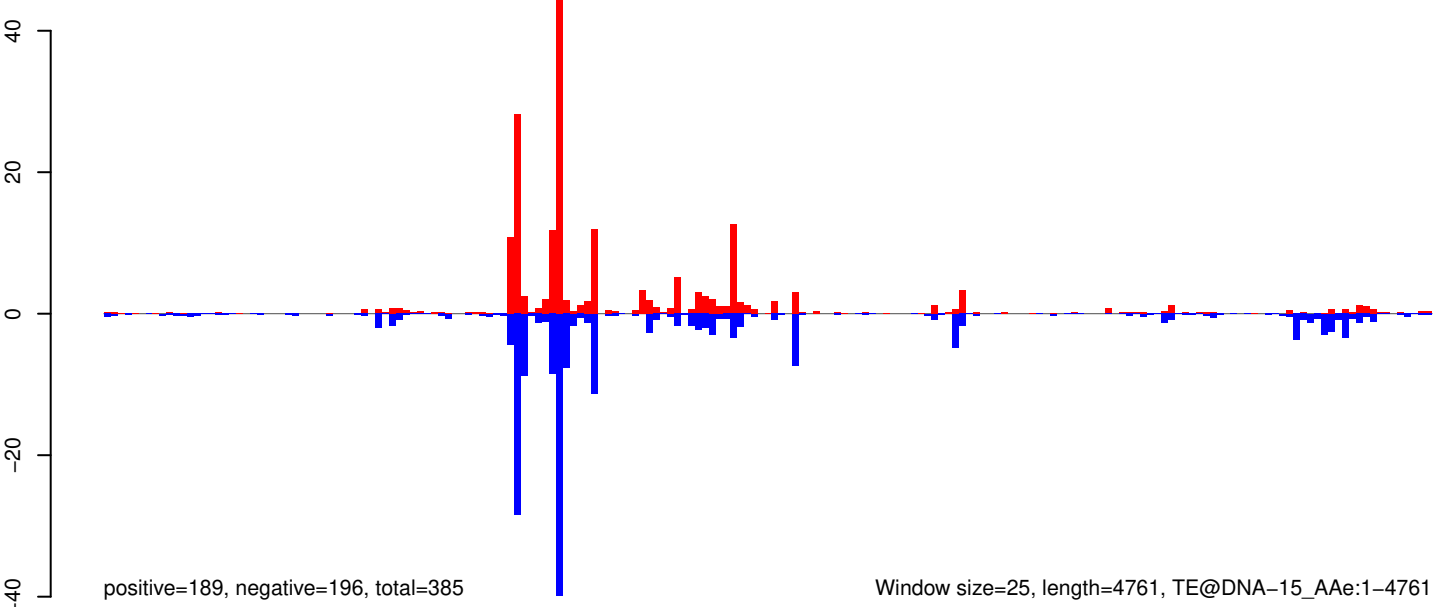
AeAeg_Aag2_Ago2_SINV_RA.18_23.rep



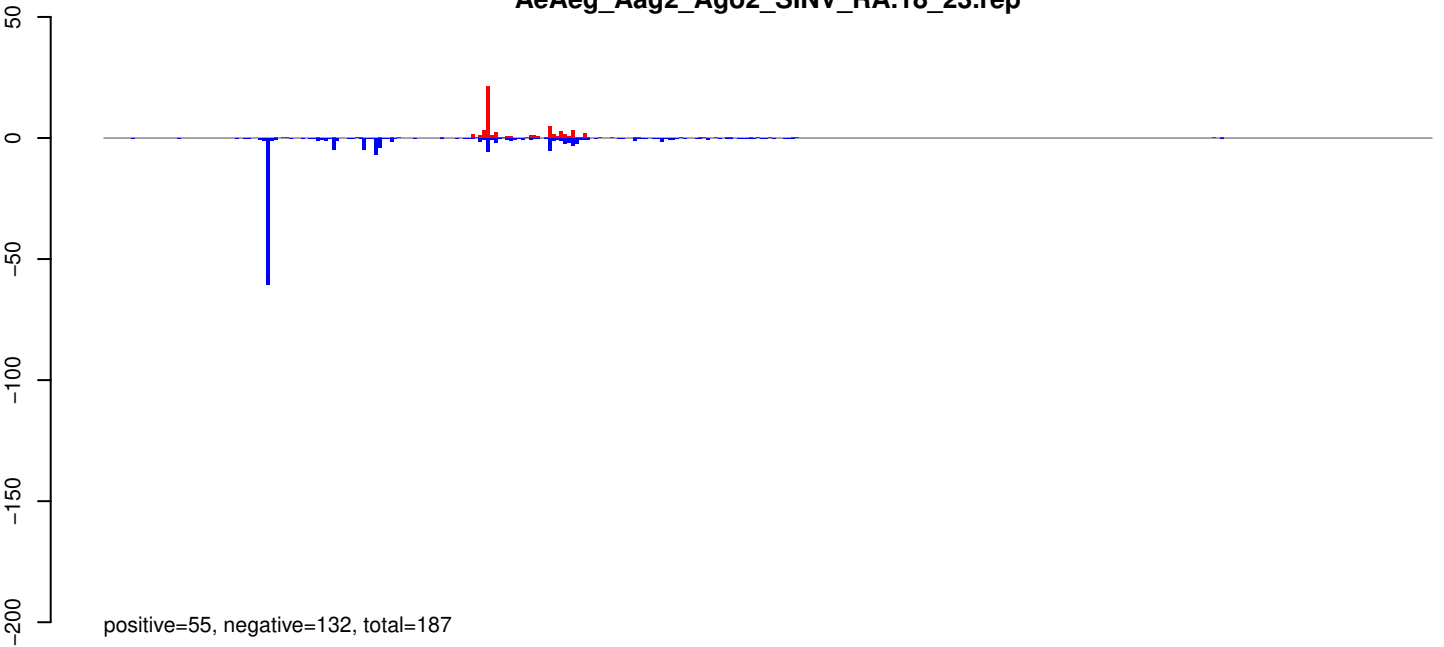
AeAeg_Aag2_Ago2_SINV_RA.24_35.rep



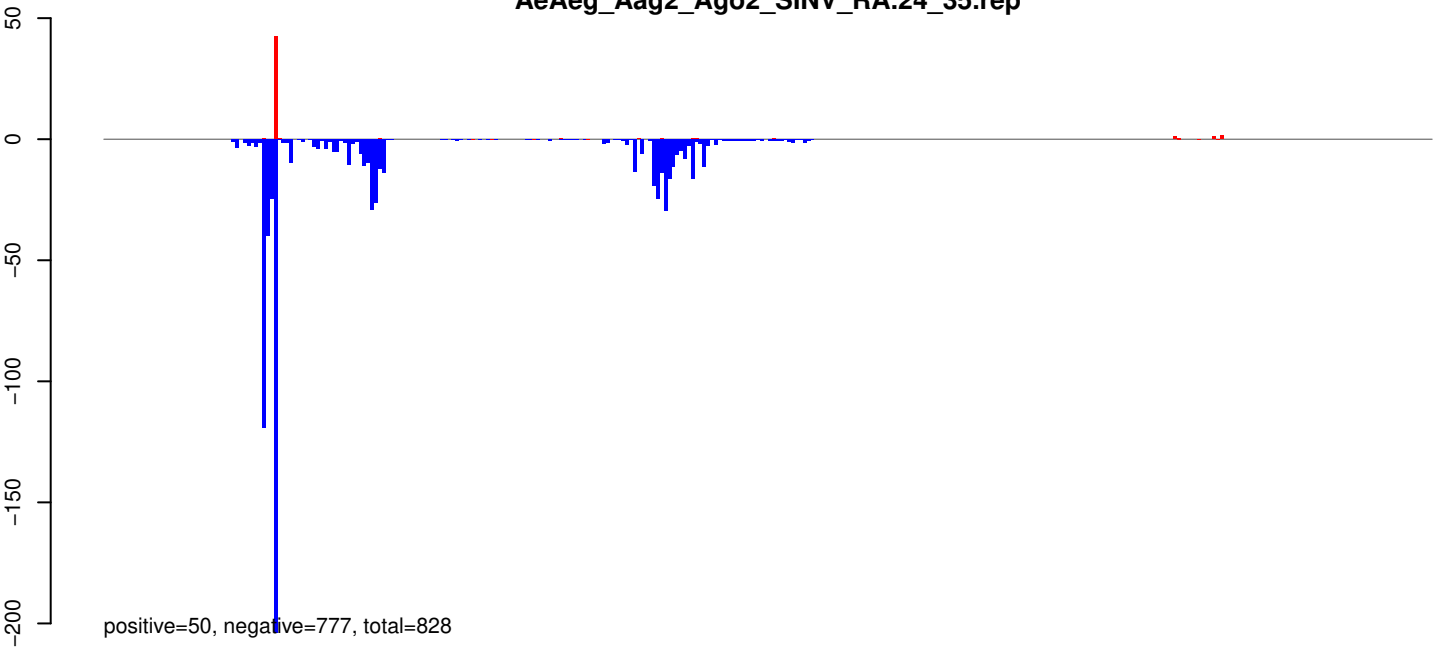
AeAeg_Aag2_Ago2_SINV_RA.rep



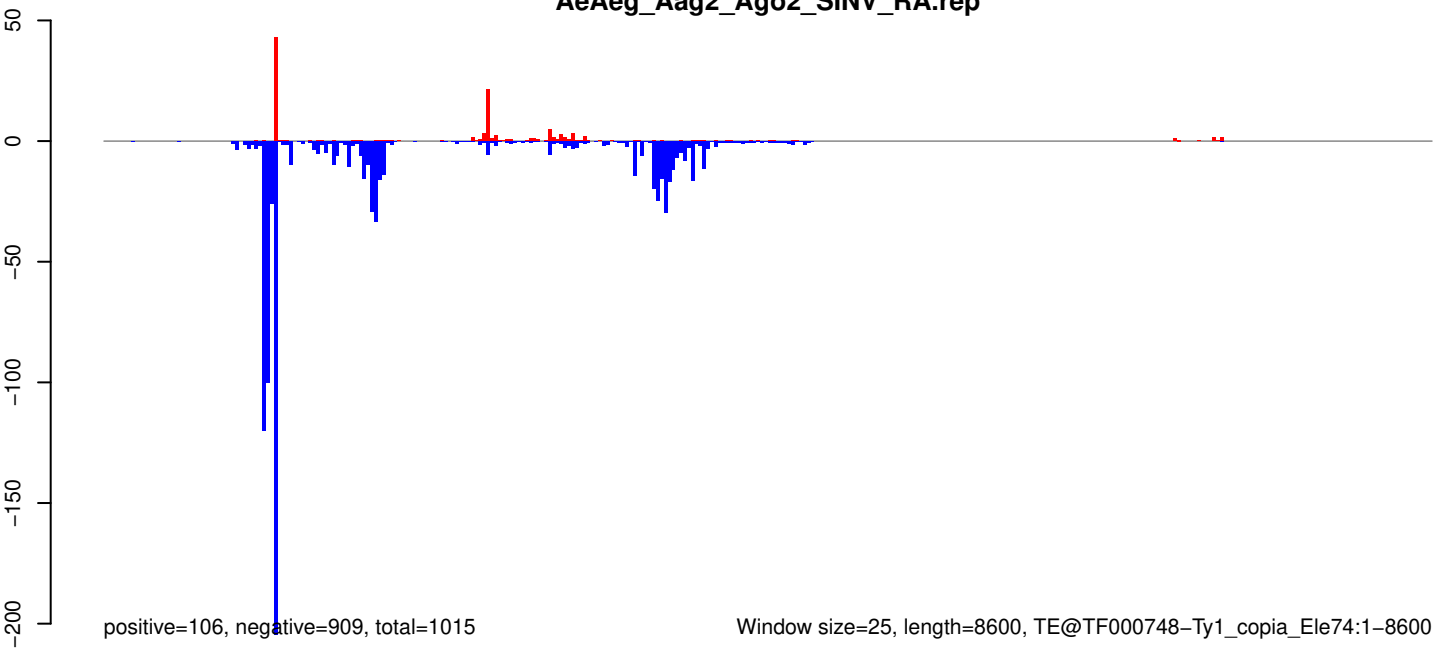
AeAeg_Aag2_Ago2_SINV_RA.18_23.rep



AeAeg_Aag2_Ago2_SINV_RA.24_35.rep



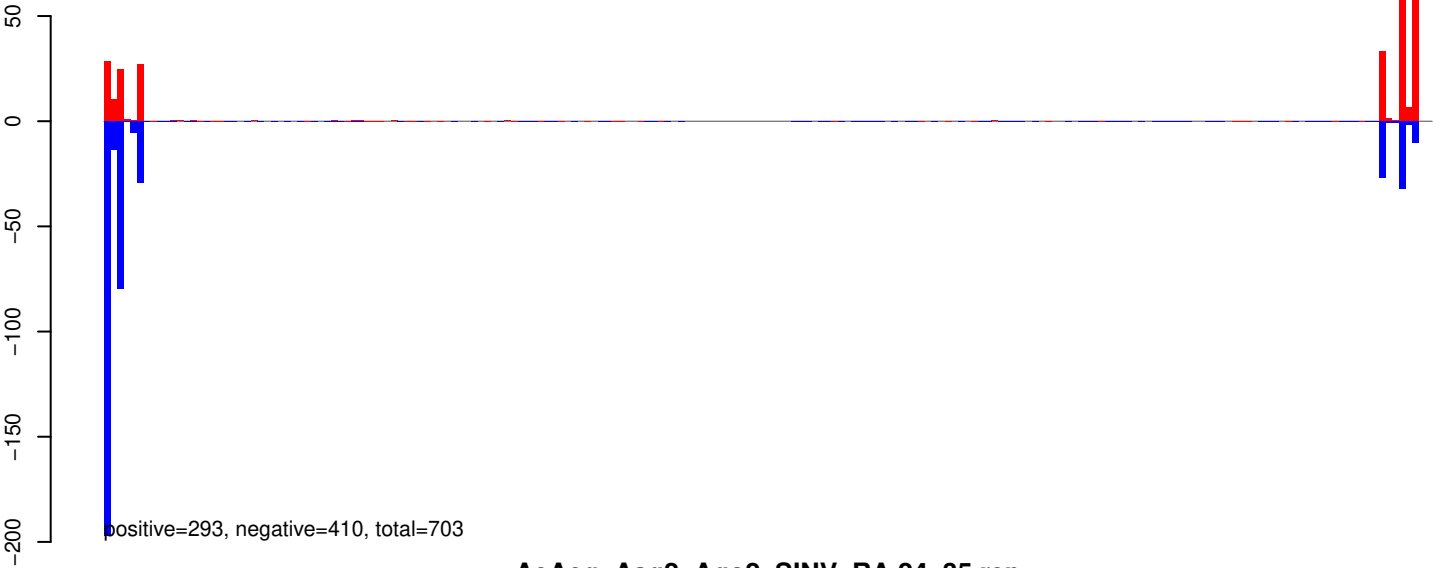
AeAeg_Aag2_Ago2_SINV_RA.rep



Window size=25, length=8600, TE@TF000748-Ty1_copia_Ele74:1-8600

0 2000 4000 6000 8000

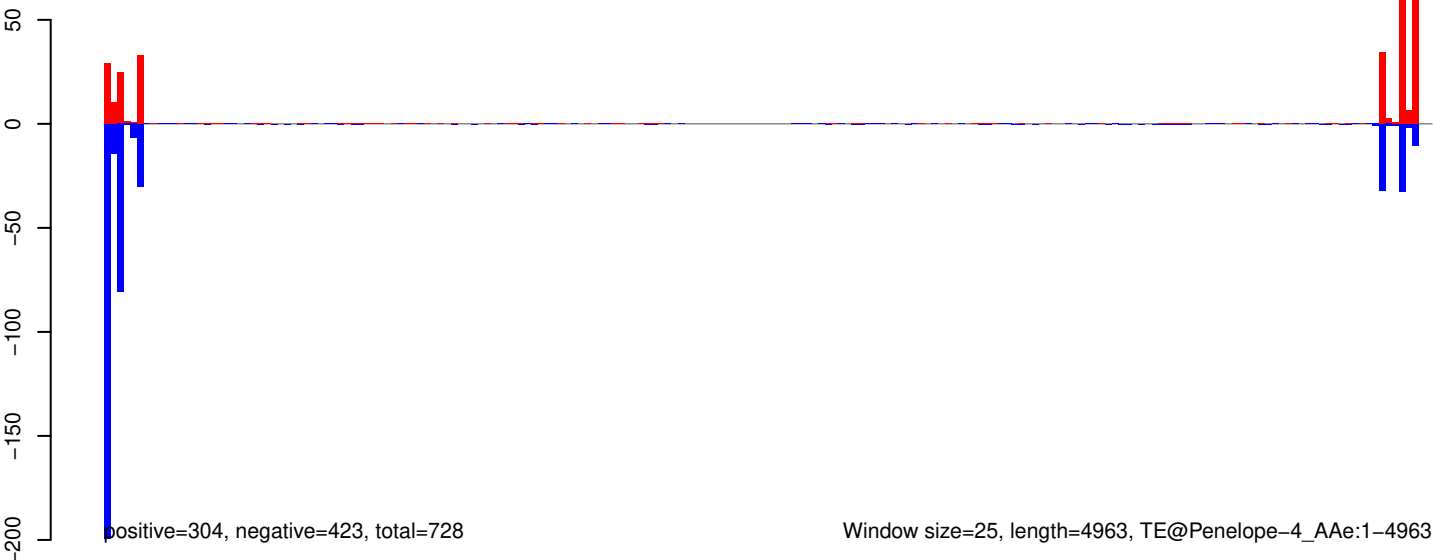
AeAeg_Aag2_Ago2_SINV_RA.18_23.rep



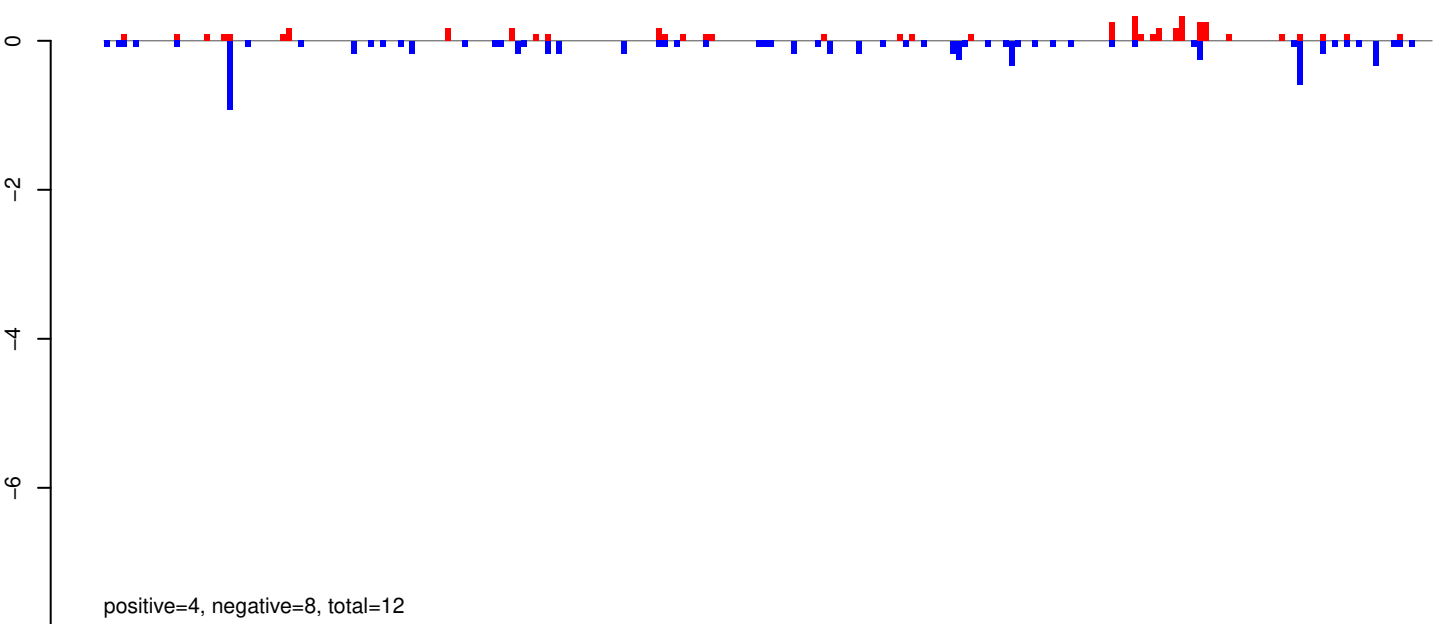
AeAeg_Aag2_Ago2_SINV_RA.24_35.rep



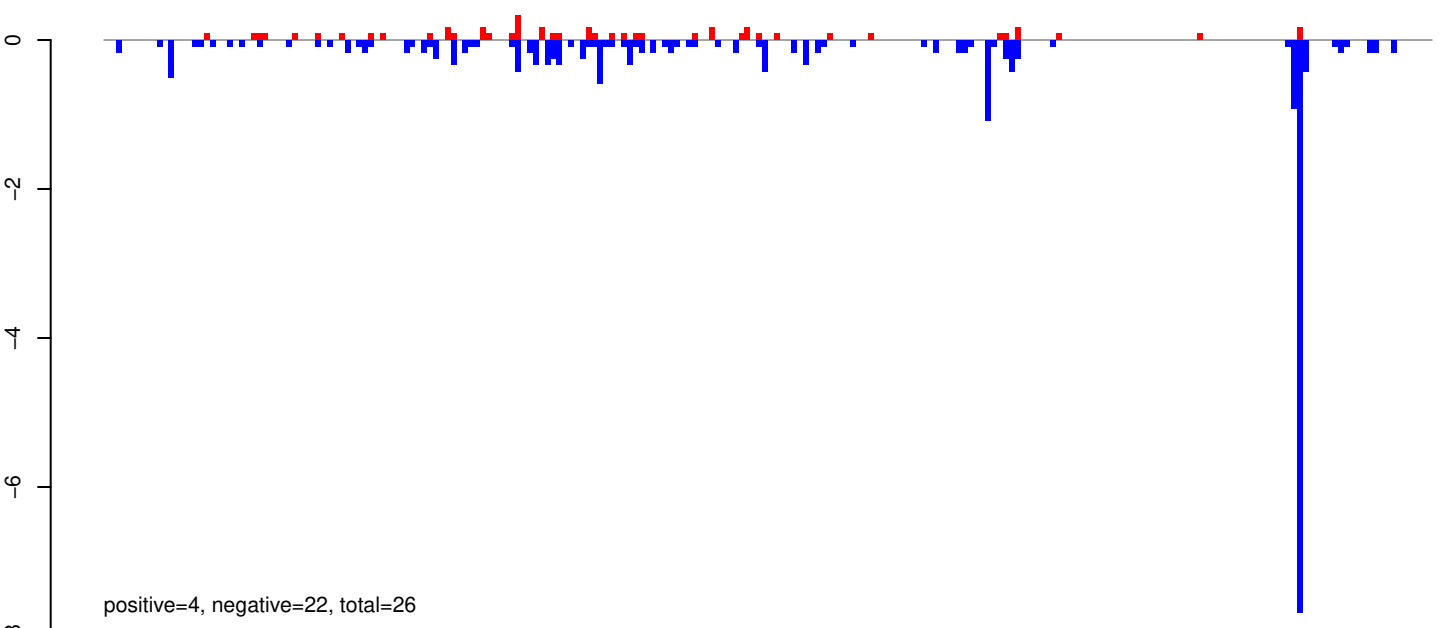
AeAeg_Aag2_Ago2_SINV_RA.rep



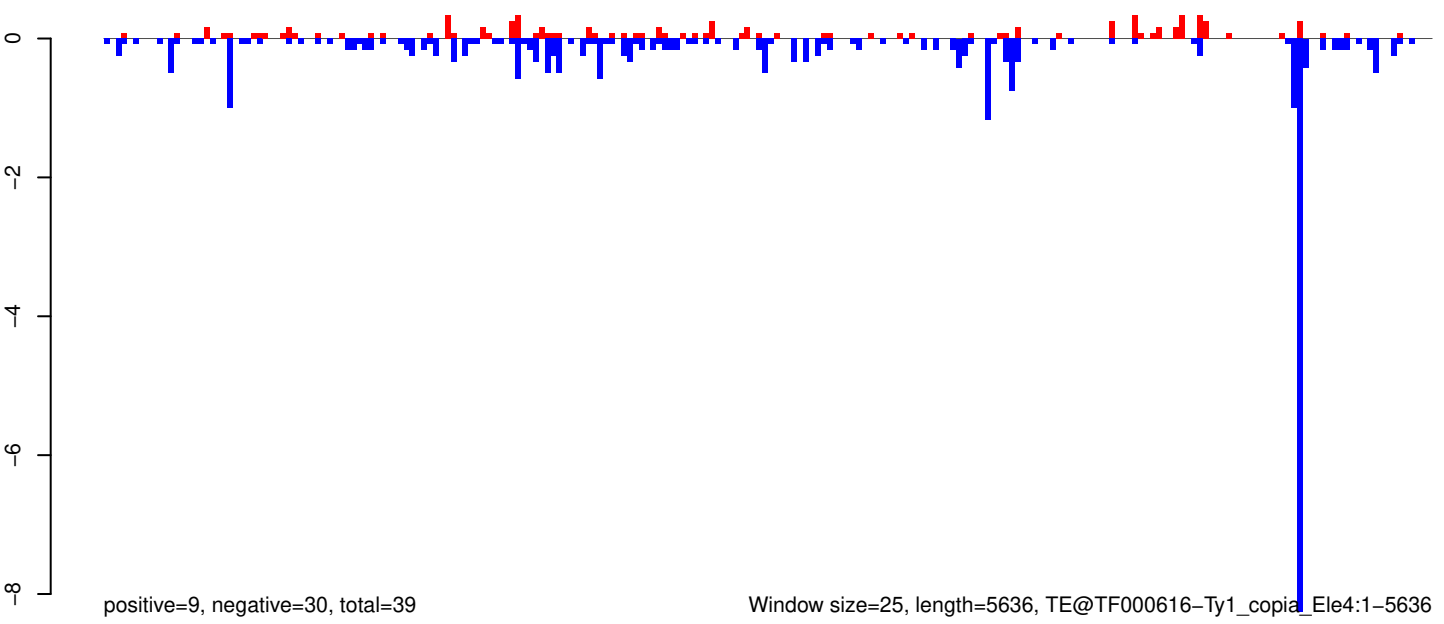
AeAeg_Aag2_Ago2_SINV_RA.18_23.rep



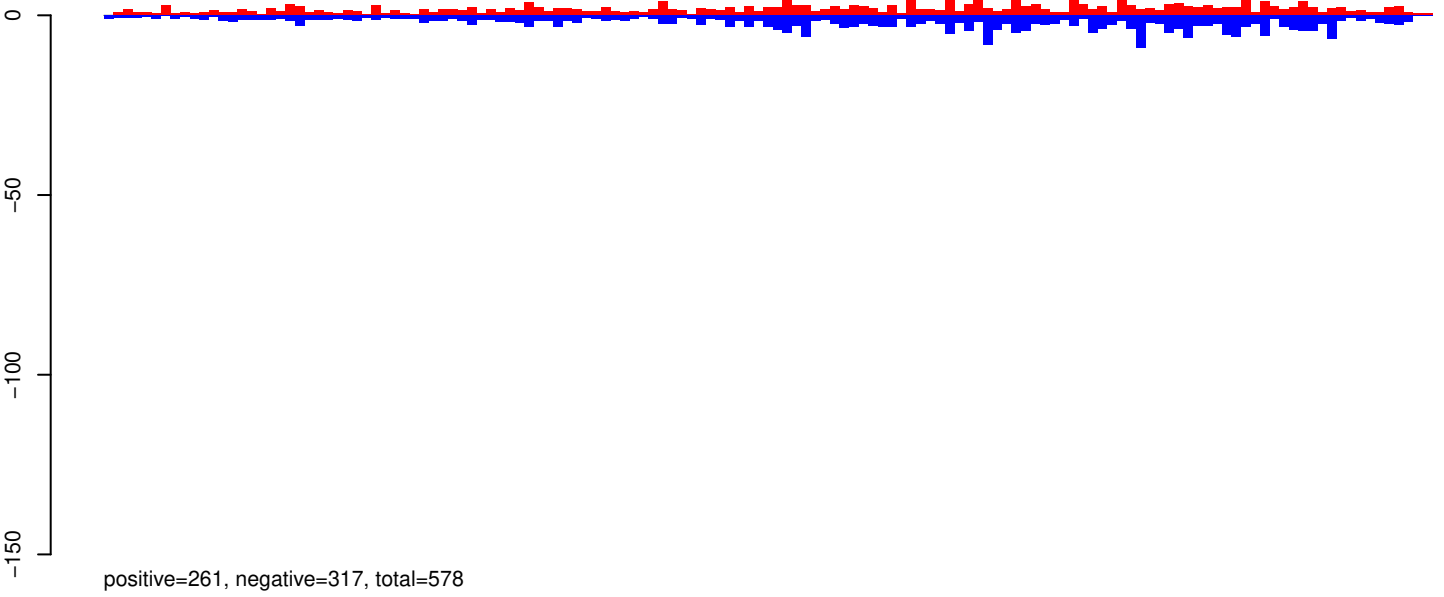
AeAeg_Aag2_Ago2_SINV_RA.24_35.rep



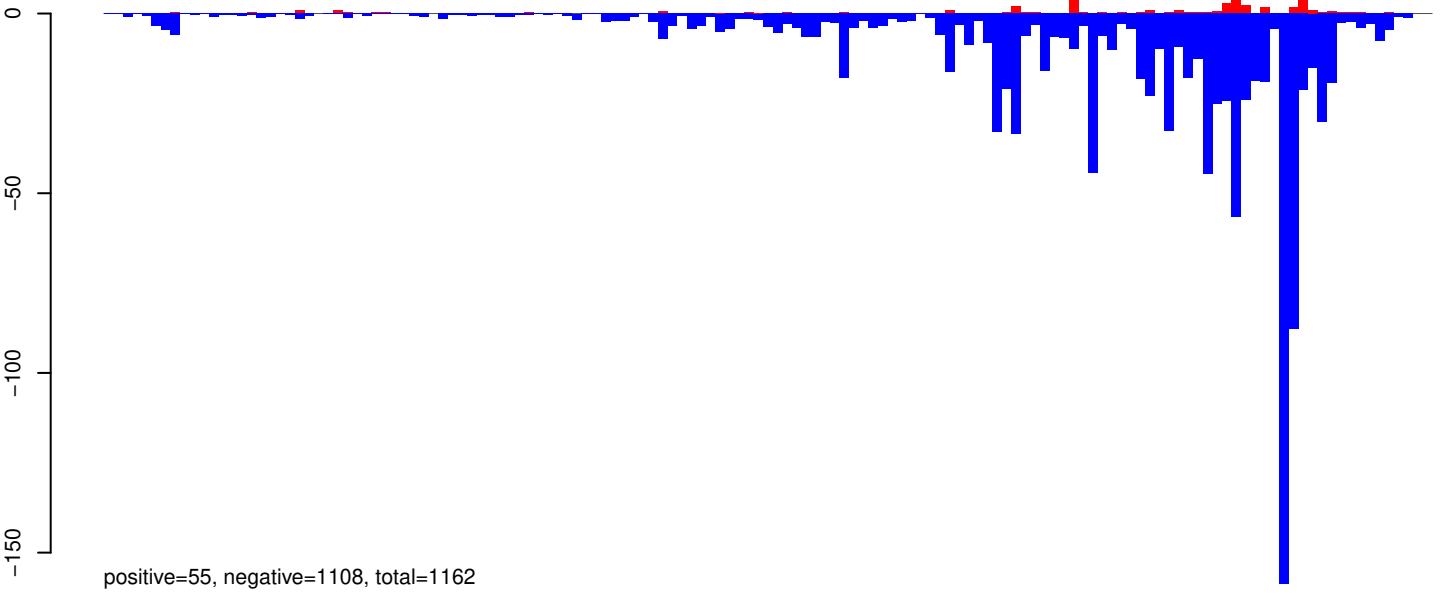
AeAeg_Aag2_Ago2_SINV_RA.rep



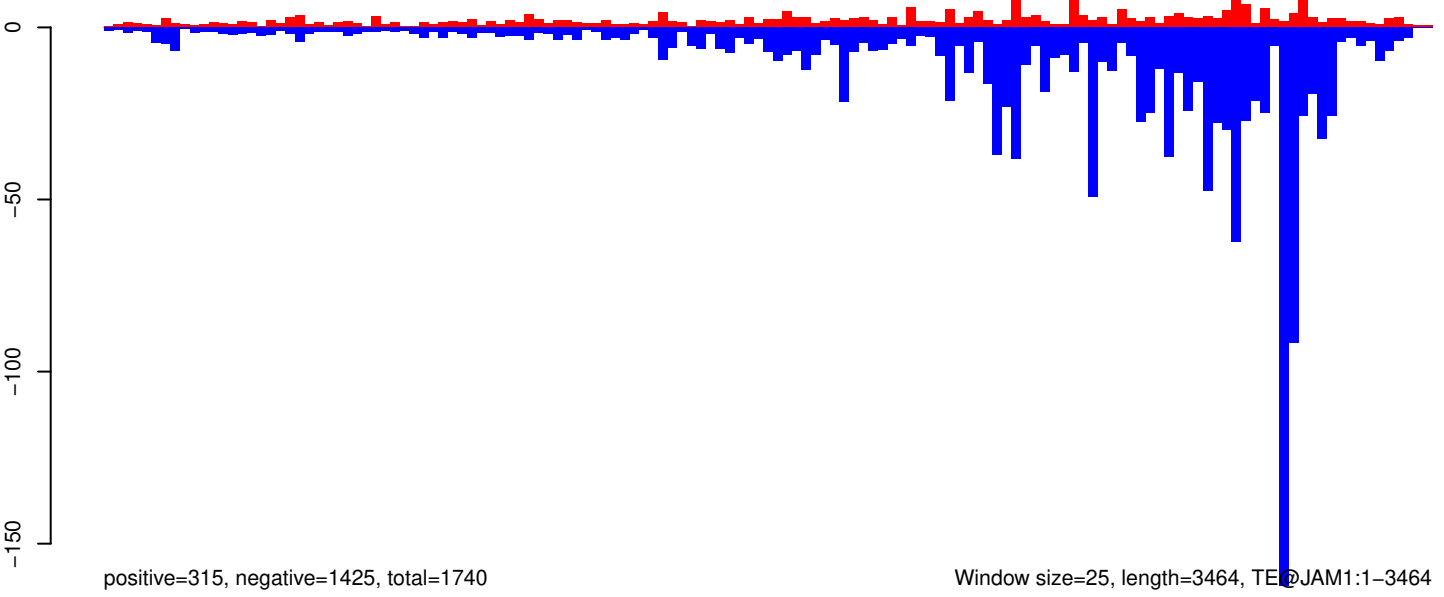
AeAeg_Aag2_Ago2_SINV_RA.18_23.rep



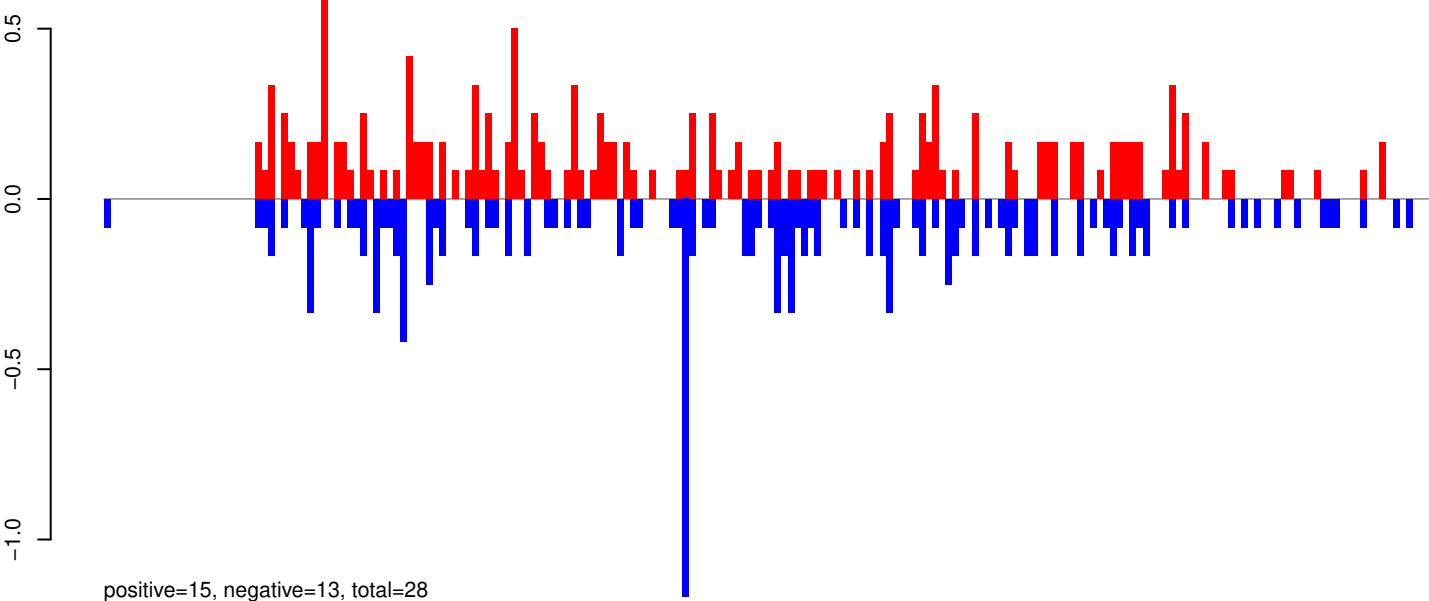
AeAeg_Aag2_Ago2_SINV_RA.24_35.rep



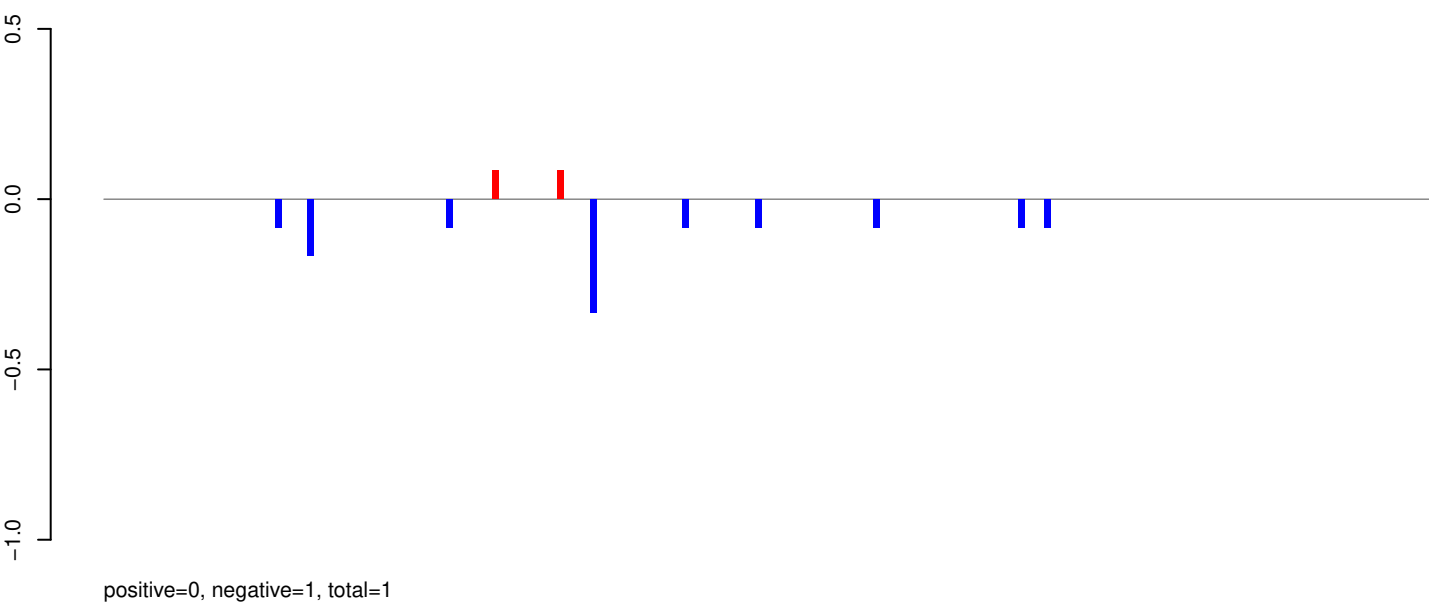
AeAeg_Aag2_Ago2_SINV_RA.rep



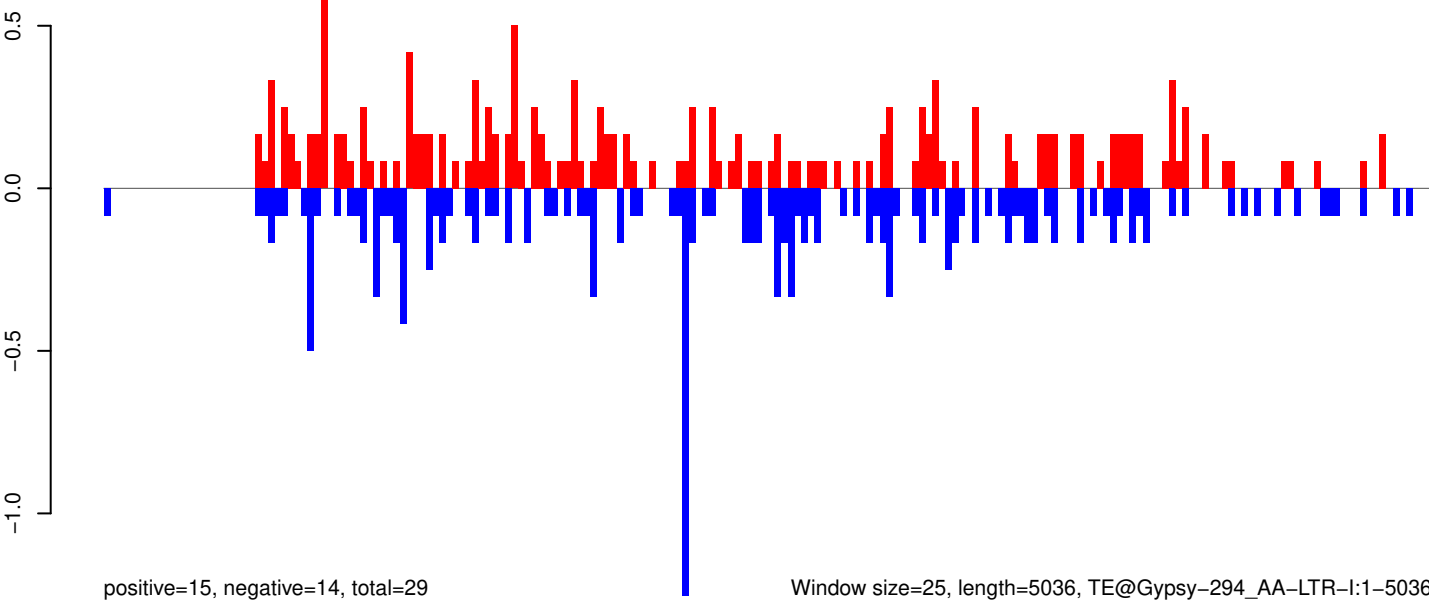
AeAeg_Aag2_Ago2_SINV_RA.18_23.rep



AeAeg_Aag2_Ago2_SINV_RA.24_35.rep



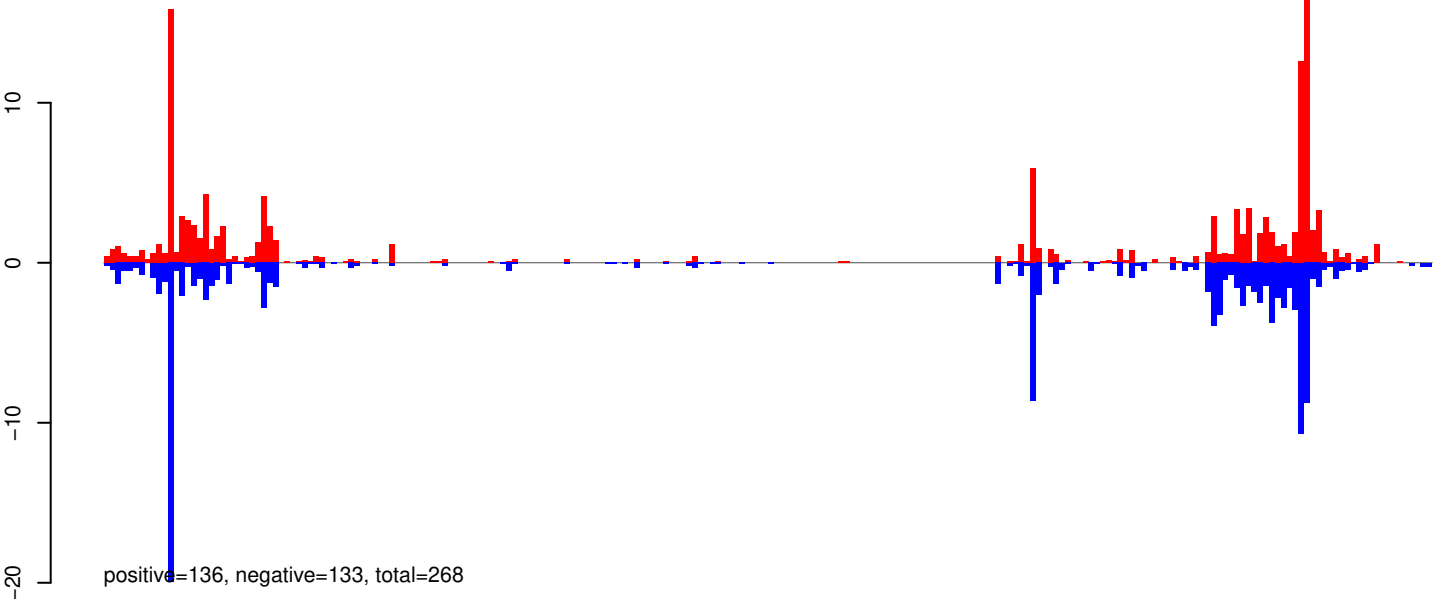
AeAeg_Aag2_Ago2_SINV_RA.rep



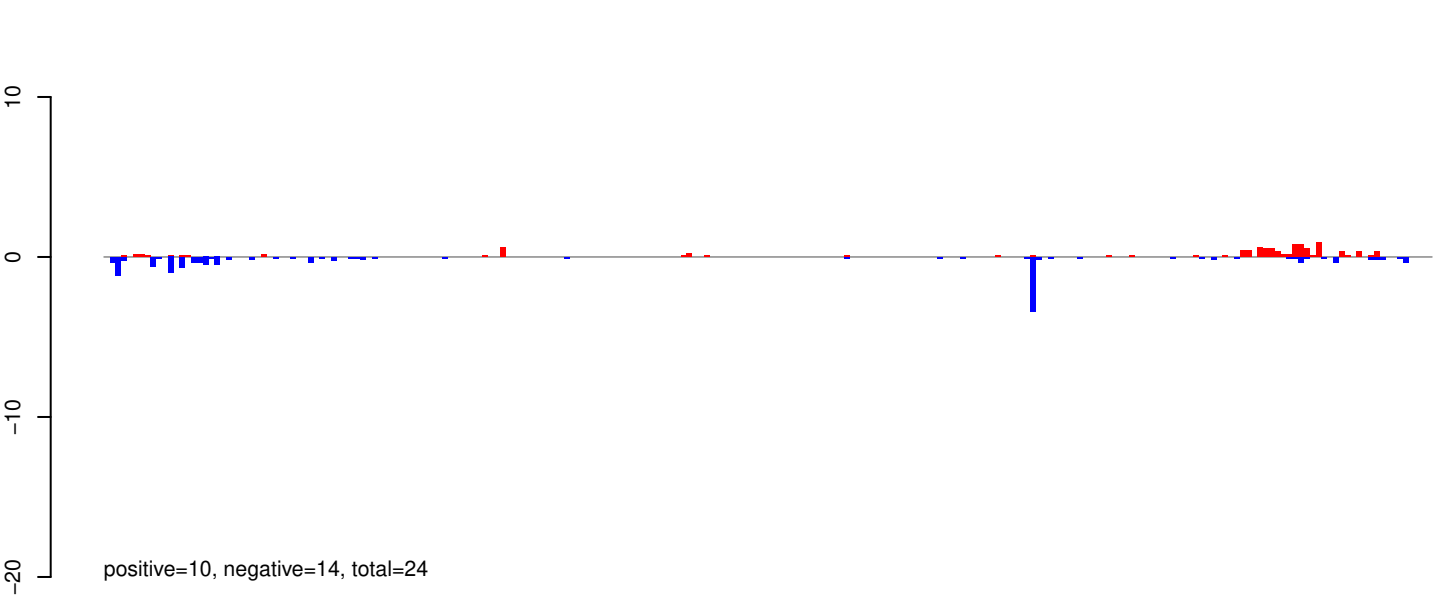
Window size=25, length=5036, TE@Gypsy-294_AA-LTR-I:1-5036

0 1000 2000 3000 4000 5000

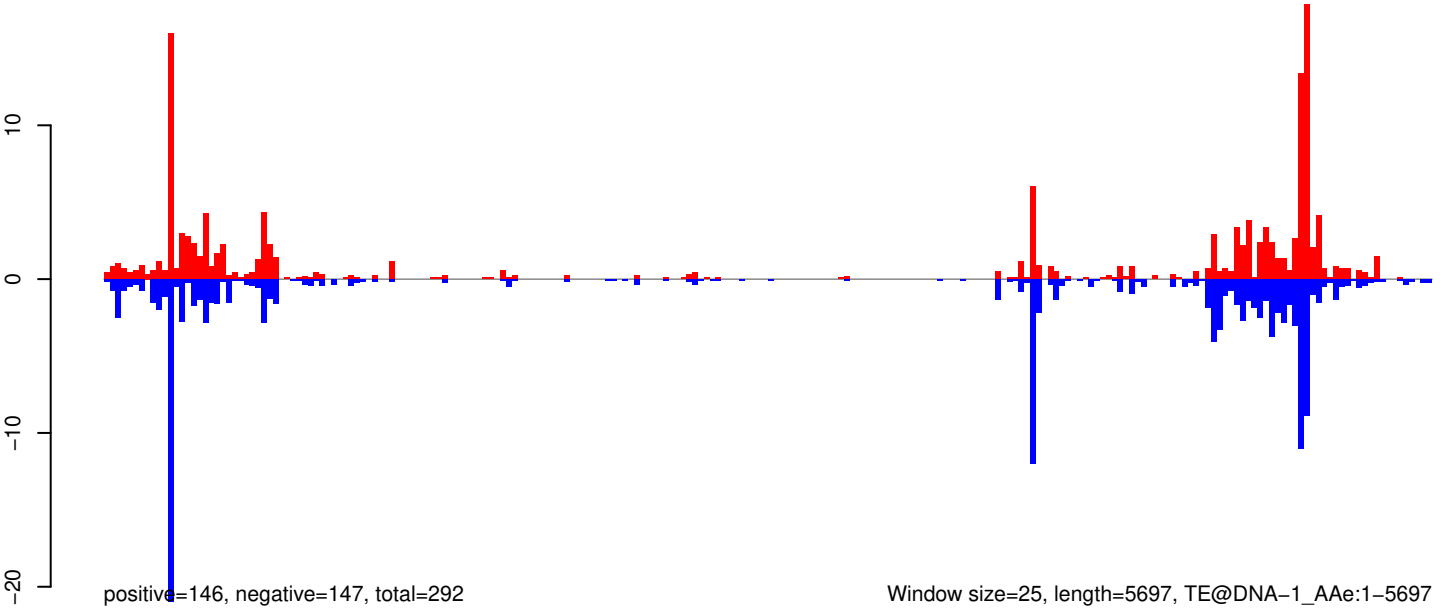
AeAeg_Aag2_Ago2_SINV_RA.18_23.rep



AeAeg_Aag2_Ago2_SINV_RA.24_35.rep

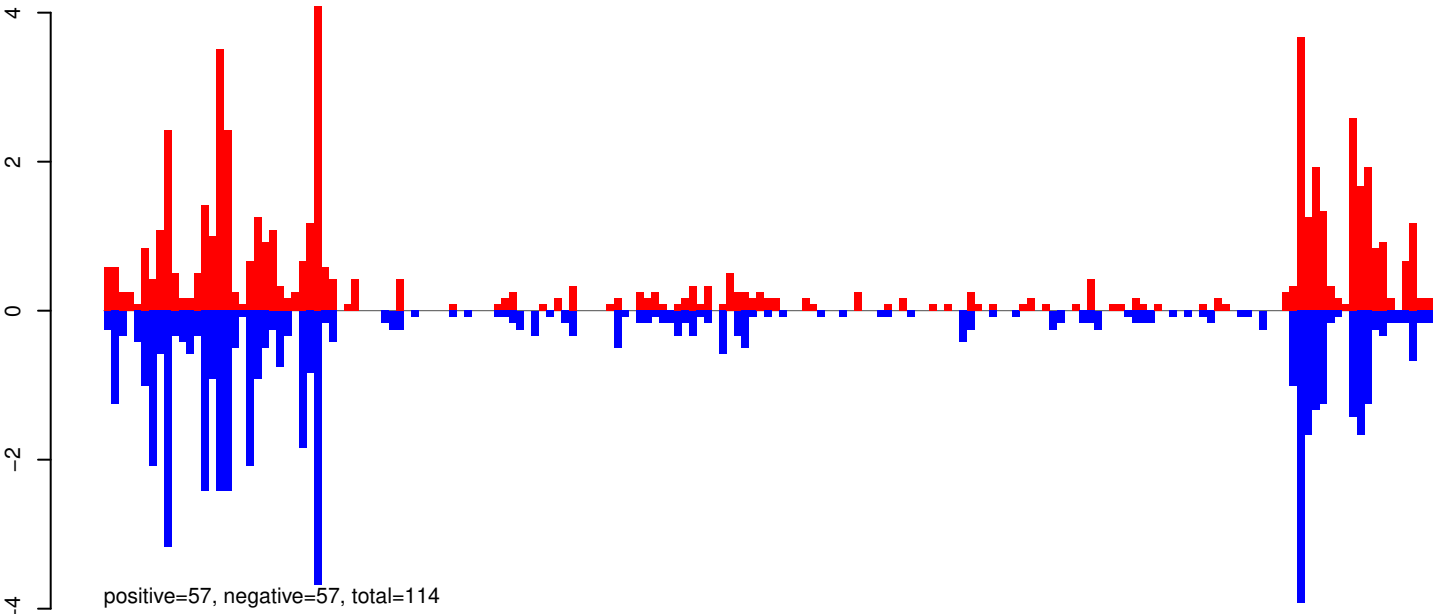


AeAeg_Aag2_Ago2_SINV_RA.rep

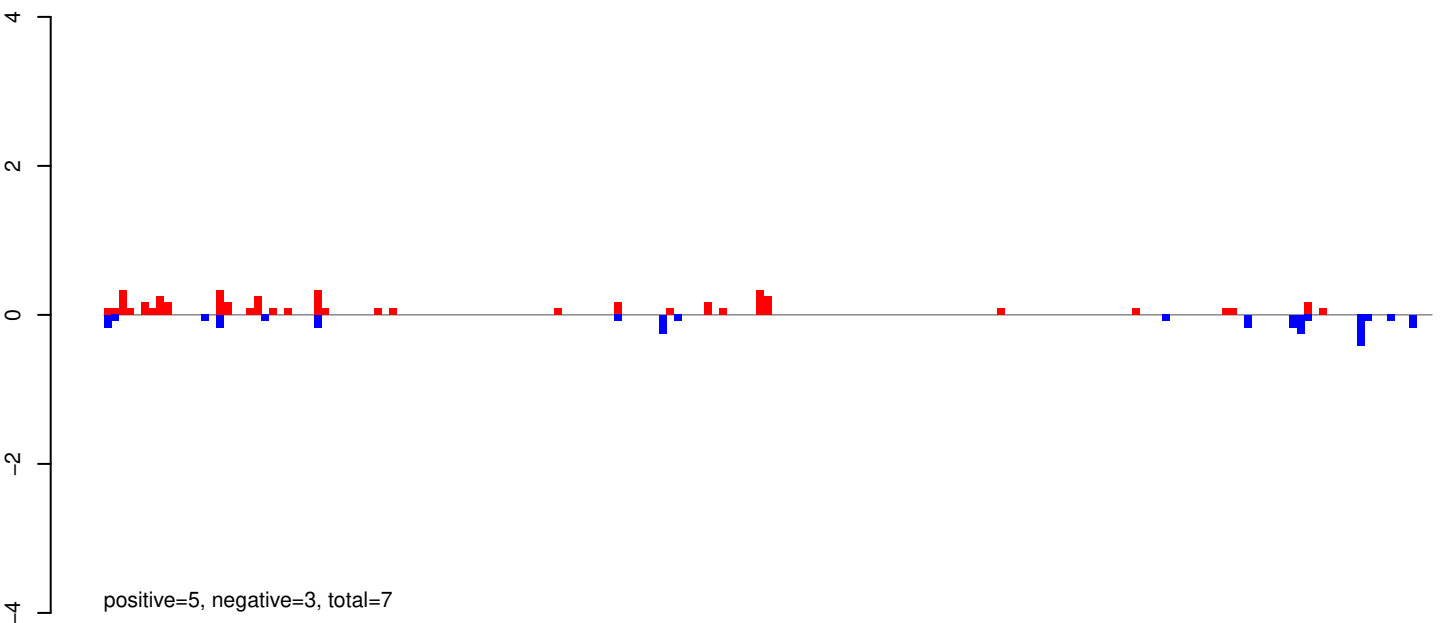


Window size=25, length=5697, TE@DNA-1_A Ae:1-5697

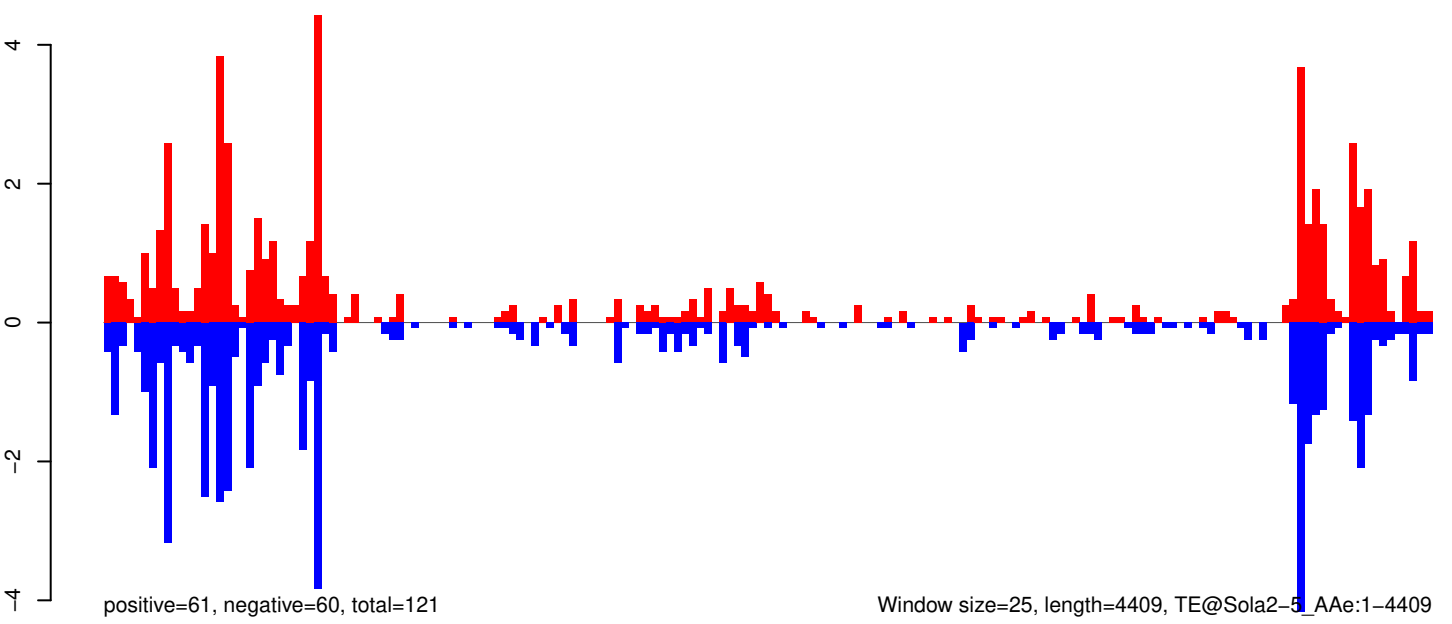
AeAeg_Aag2_Ago2_SINV_RA.18_23.rep



AeAeg_Aag2_Ago2_SINV_RA.24_35.rep

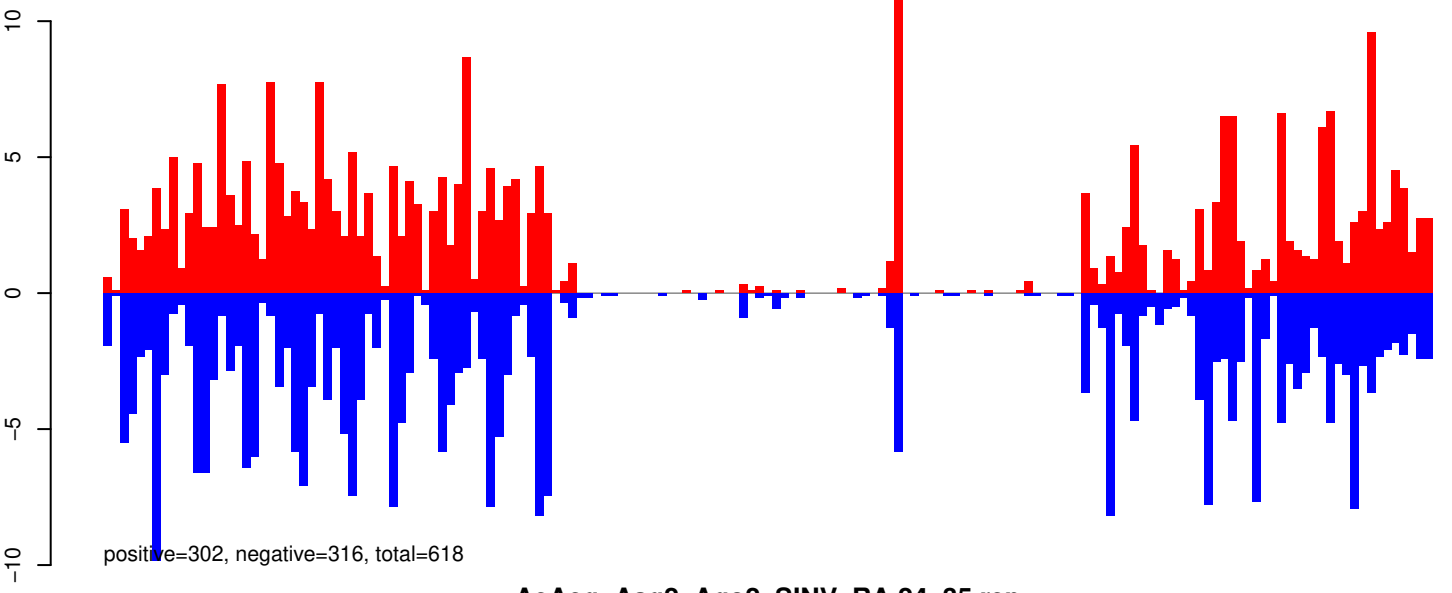


AeAeg_Aag2_Ago2_SINV_RA.rep

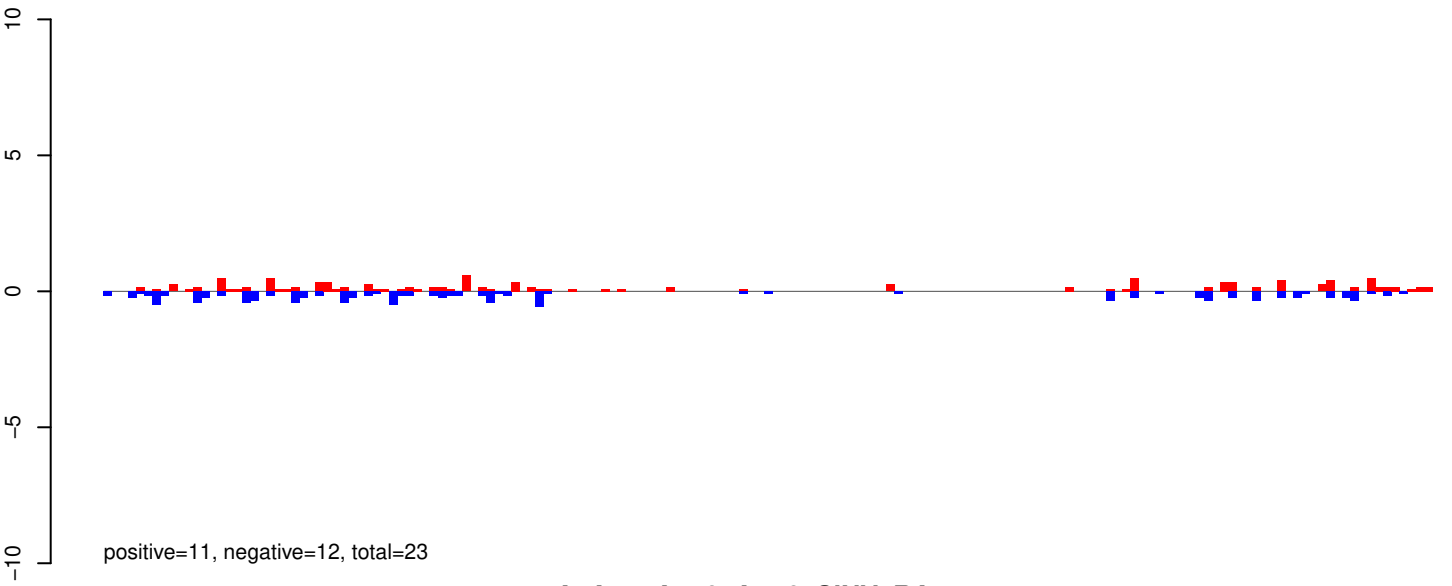


Window size=25, length=4409, TE@Sola2-5_A Ae:1-4409

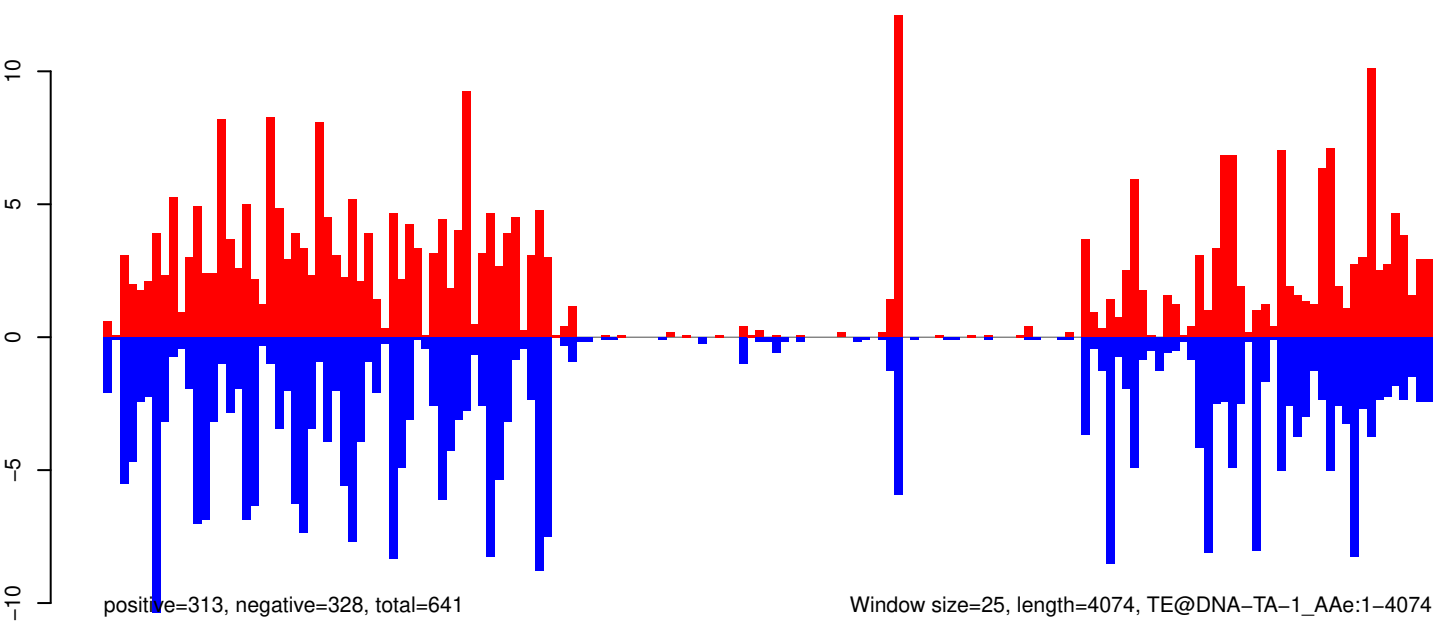
AeAeg_Aag2_Ago2_SINV_RA.18_23.rep



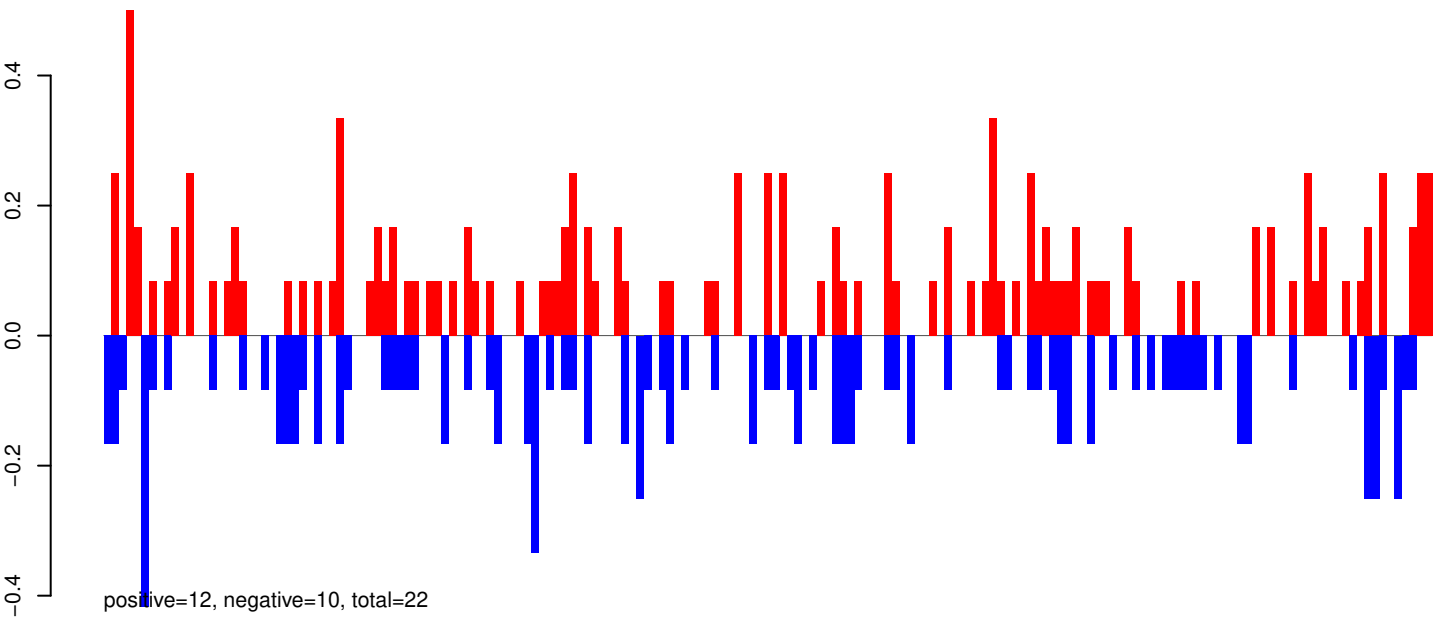
AeAeg_Aag2_Ago2_SINV_RA.24_35.rep



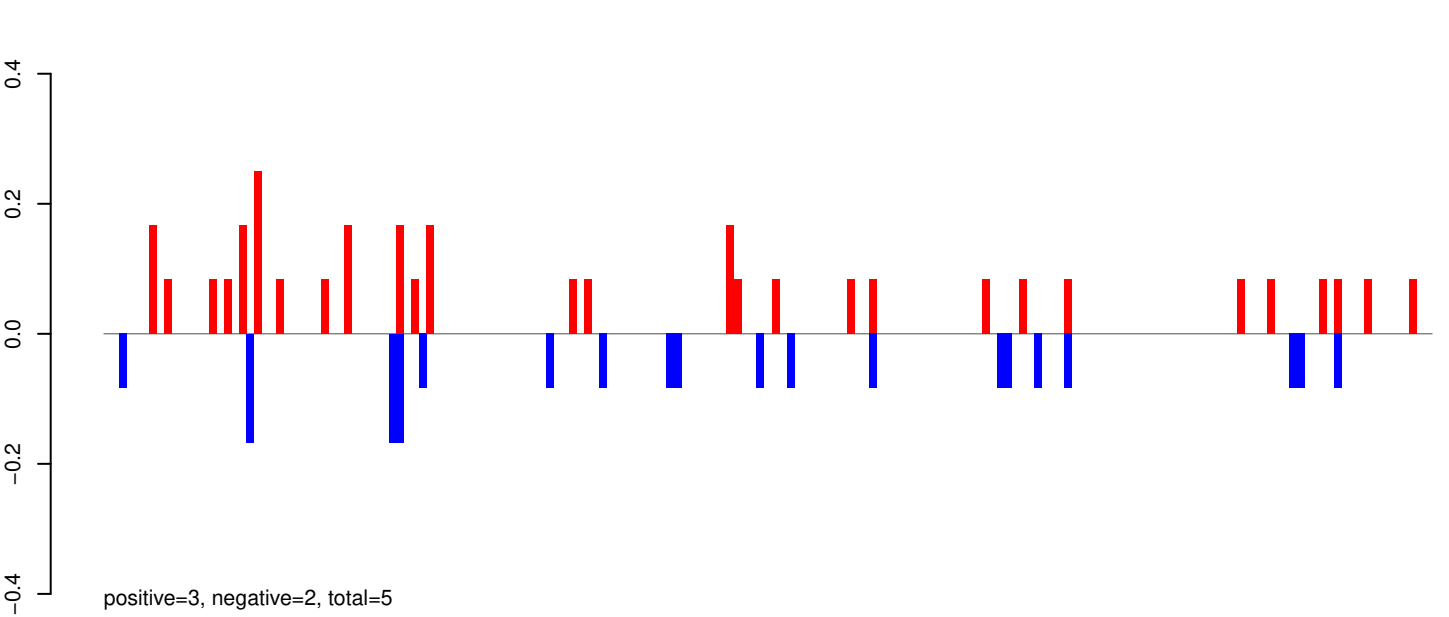
AeAeg_Aag2_Ago2_SINV_RA.rep



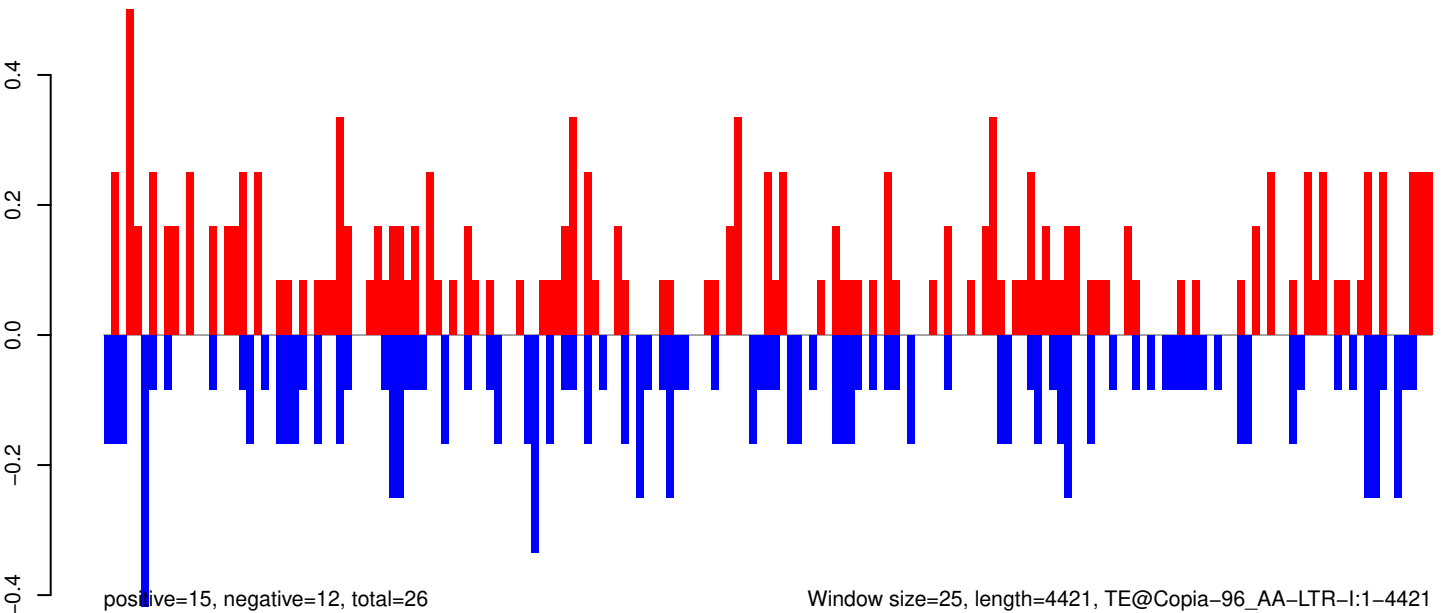
AeAeg_Aag2_Ago2_SINV_RA.18_23.rep



AeAeg_Aag2_Ago2_SINV_RA.24_35.rep

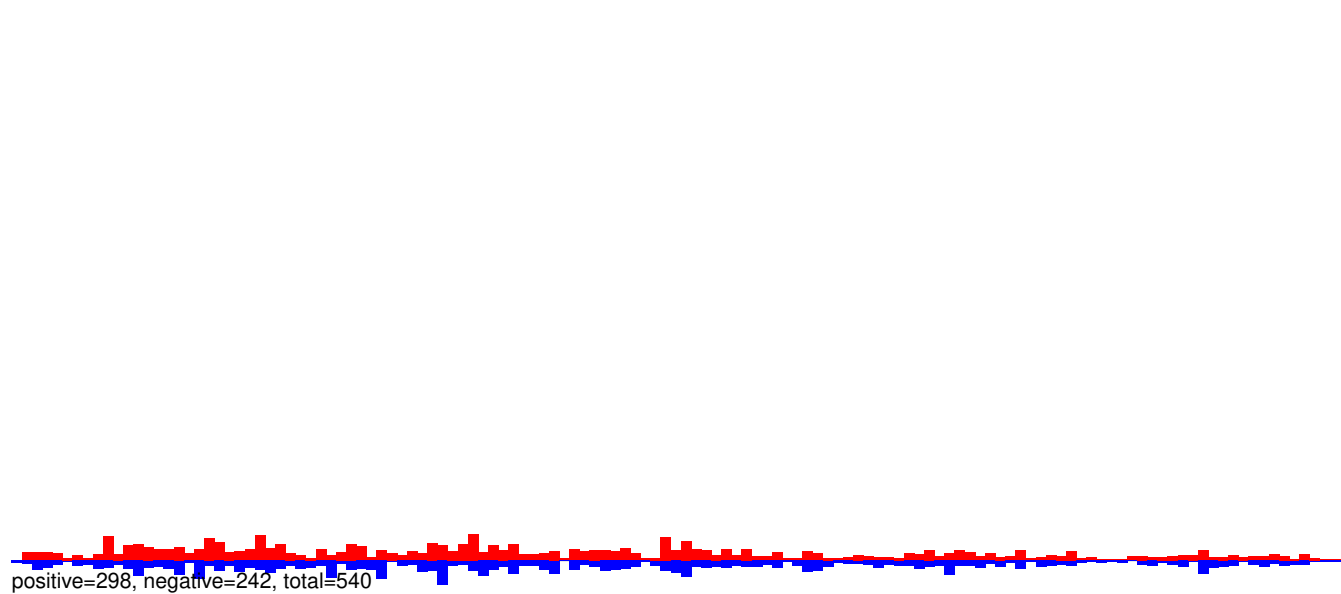


AeAeg_Aag2_Ago2_SINV_RA.rep

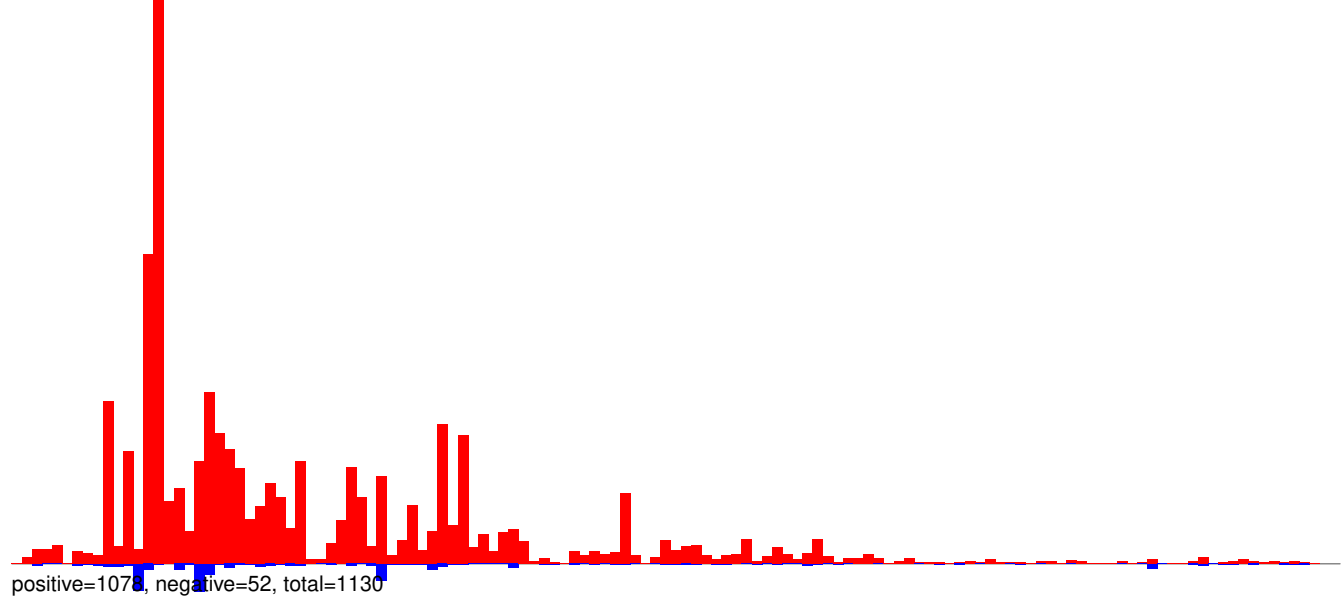


0 1000 2000 3000 4000

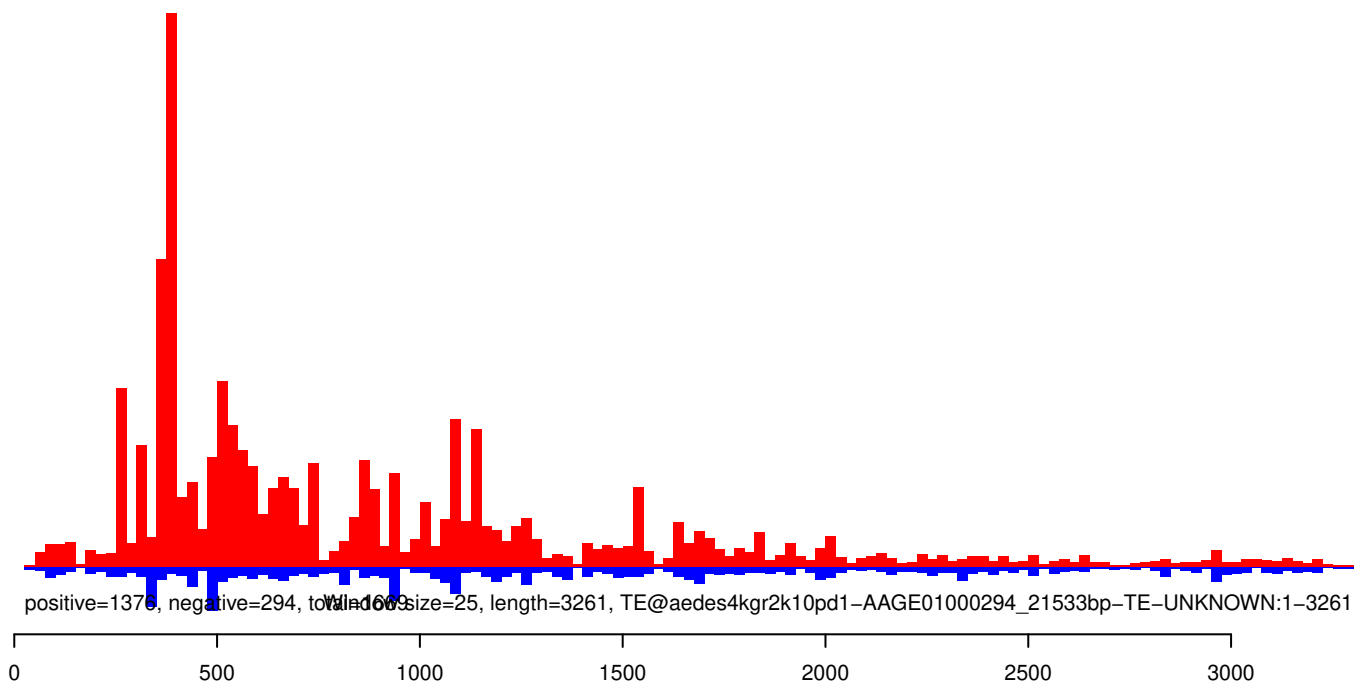
AeAeg_Aag2_Ago2_SINV_RA.18_23.rep



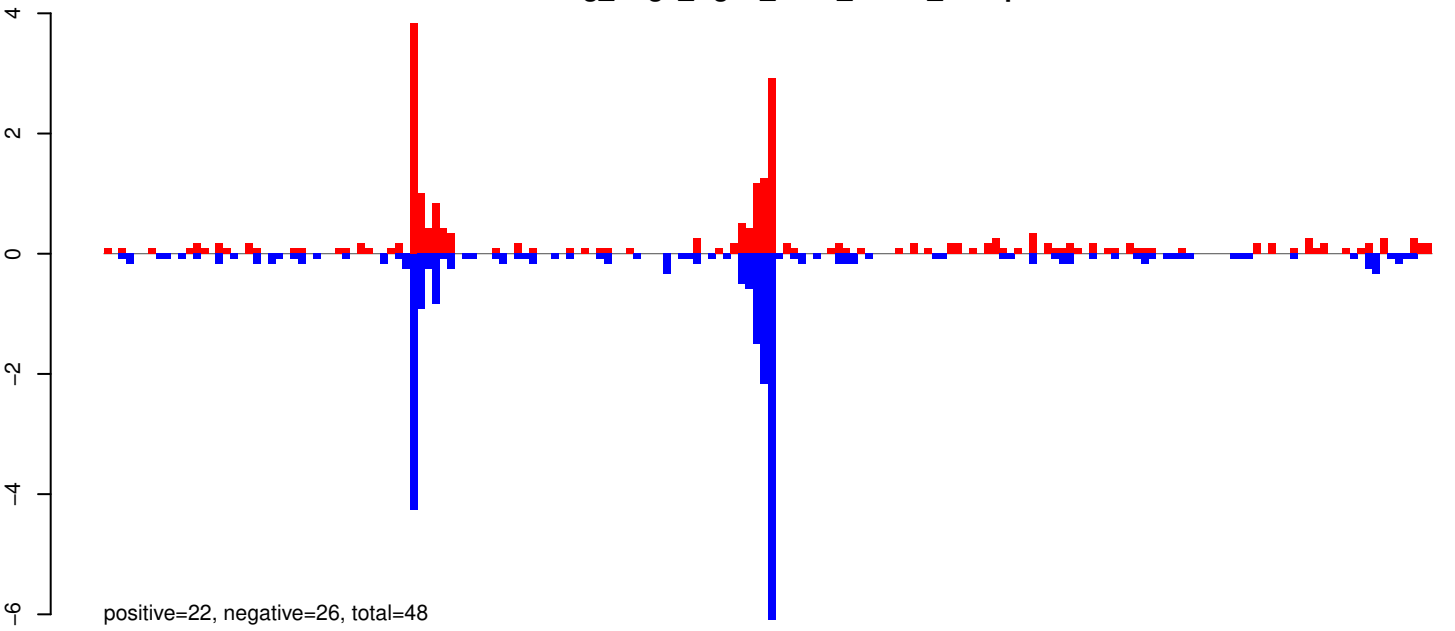
AeAeg_Aag2_Ago2_SINV_RA.24_35.rep



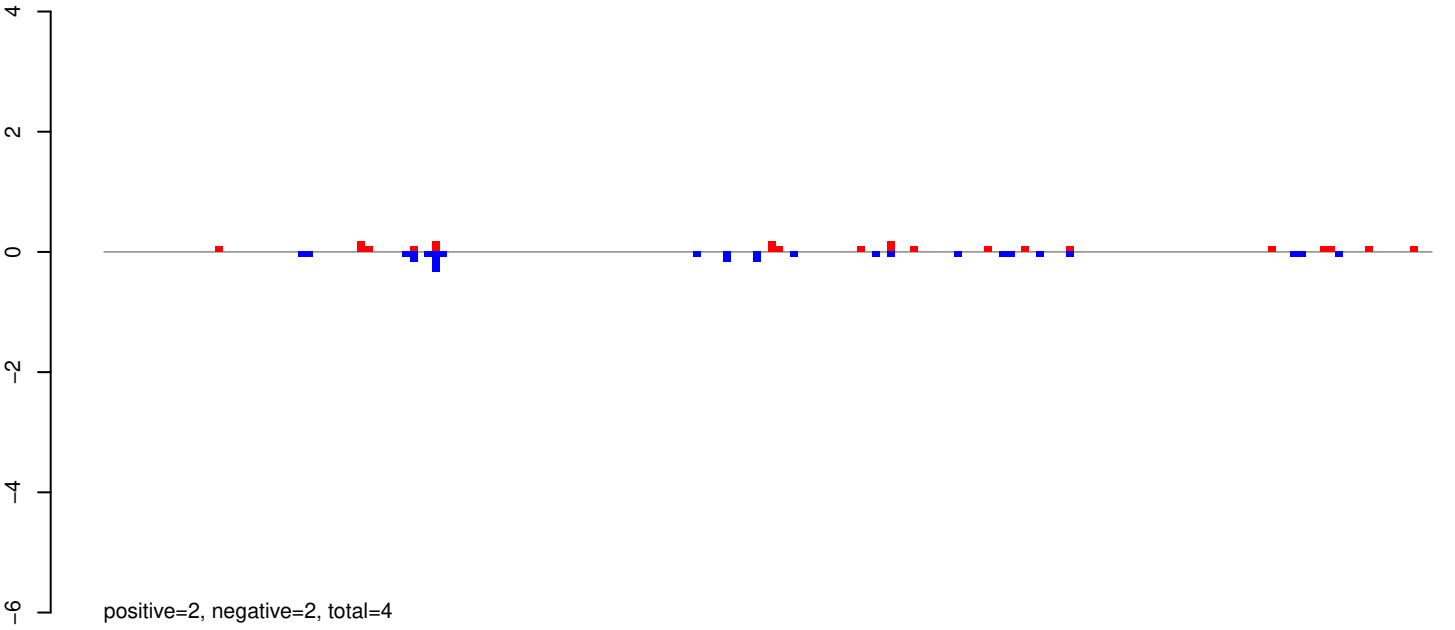
AeAeg_Aag2_Ago2_SINV_RA.rep



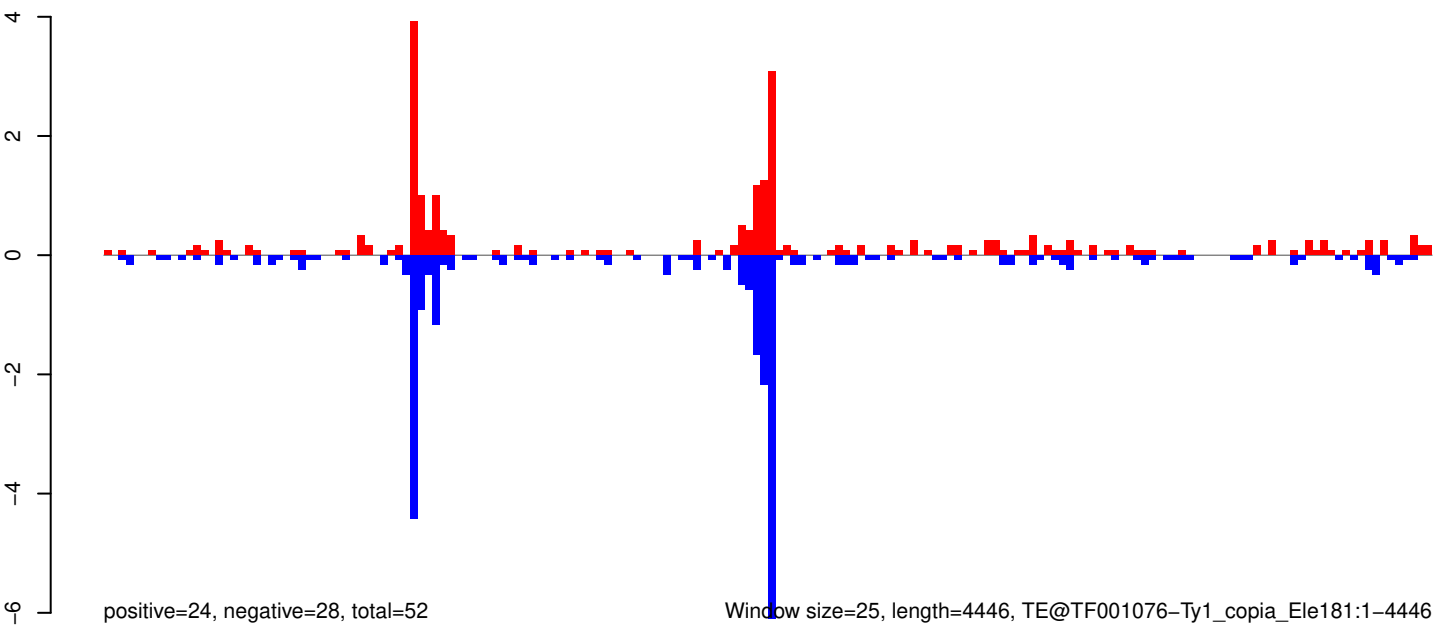
AeAeg_Aag2_Ago2_SINV_RA.18_23.rep



AeAeg_Aag2_Ago2_SINV_RA.24_35.rep



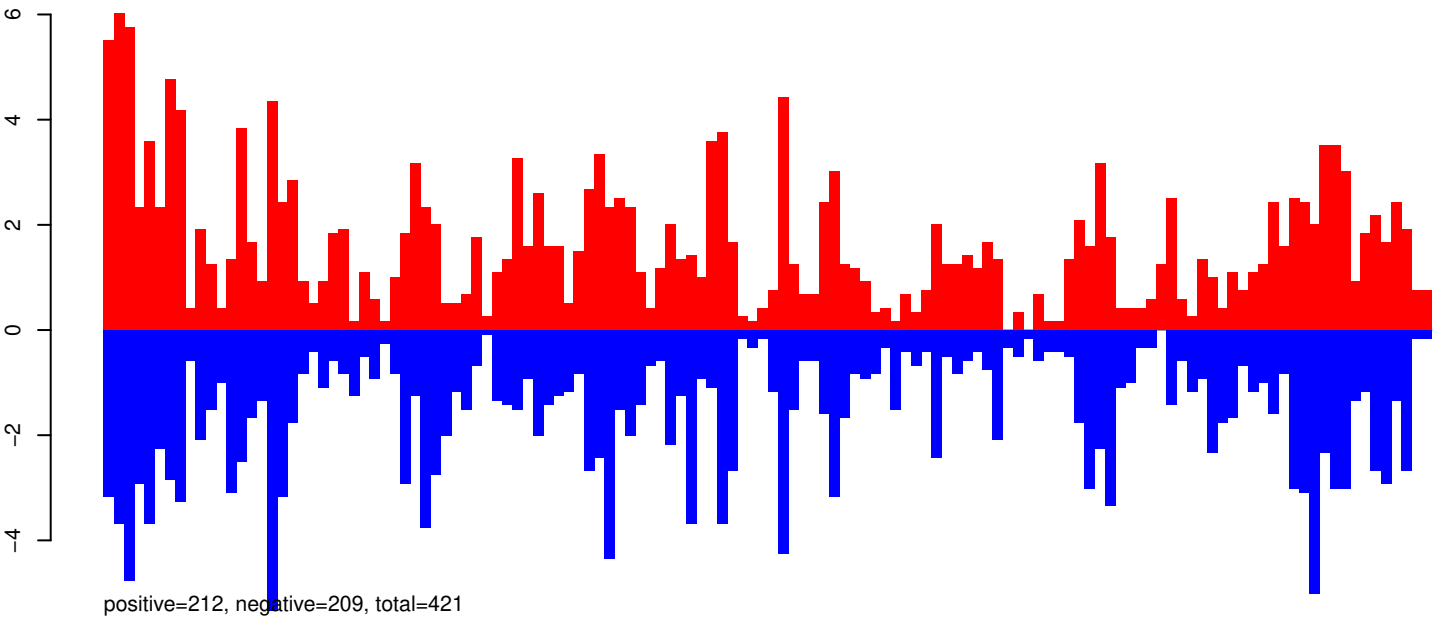
AeAeg_Aag2_Ago2_SINV_RA.rep



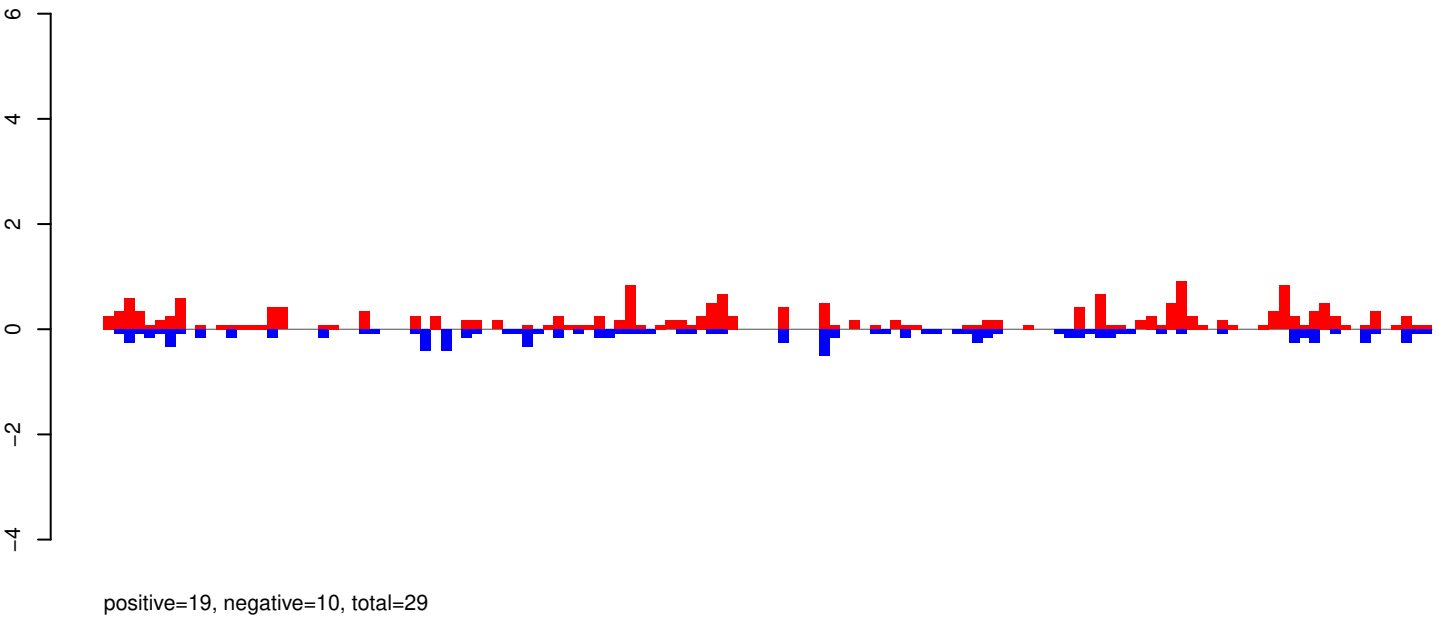
Window size=25, length=4446, TE@TF001076-Ty1_copia_Ele181:1-4446

0 1000 2000 3000 4000

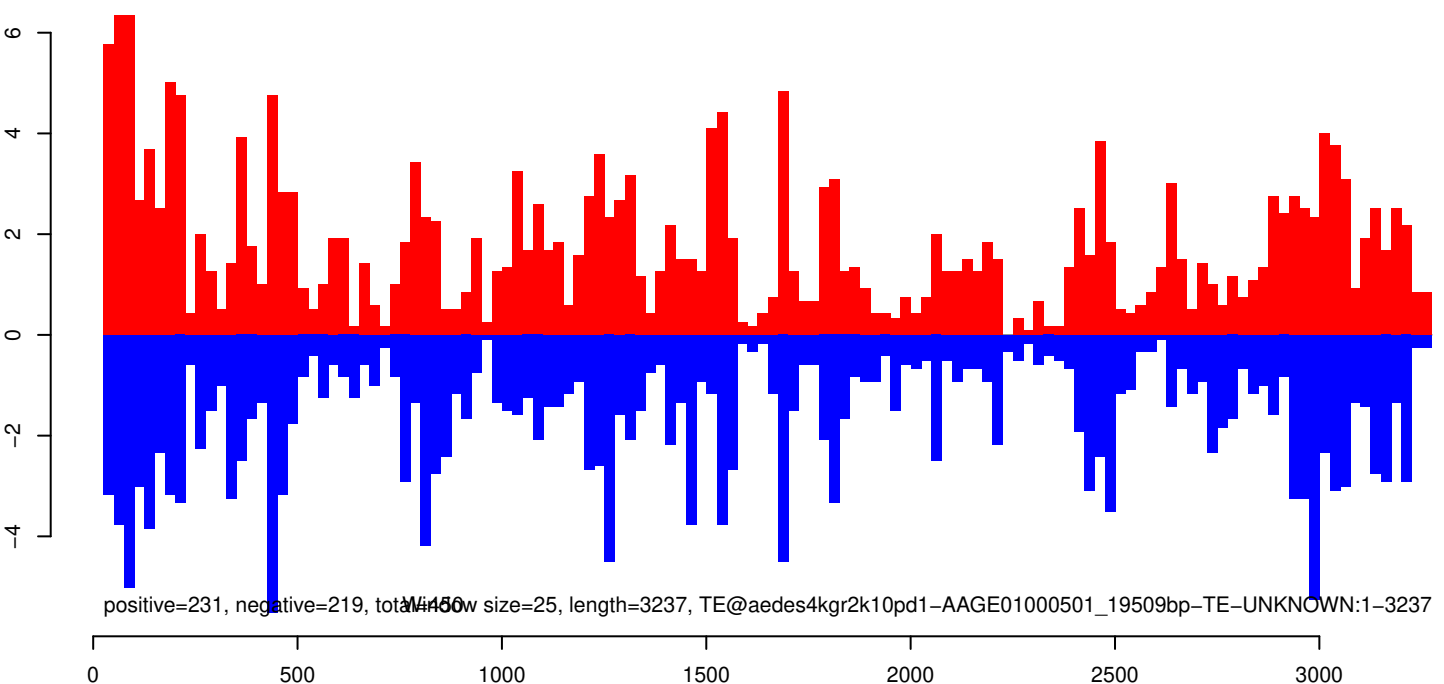
AeAeg_Aag2_Ago2_SINV_RA.18_23.rep



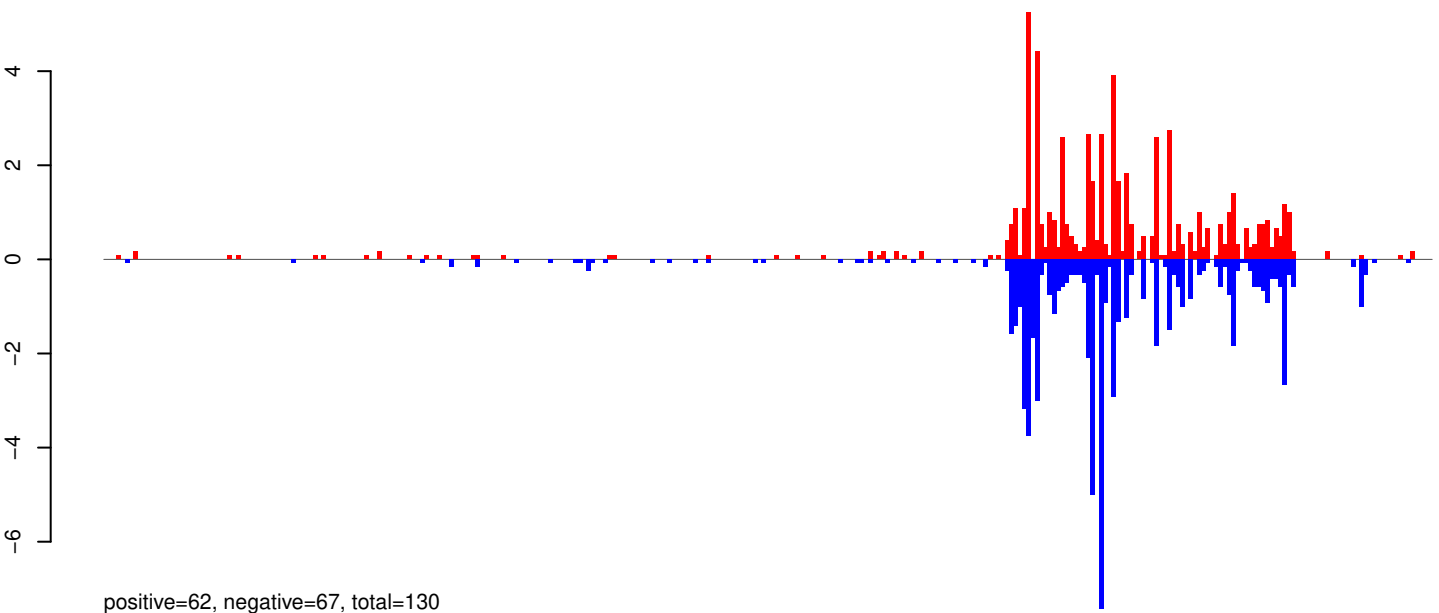
AeAeg_Aag2_Ago2_SINV_RA.24_35.rep



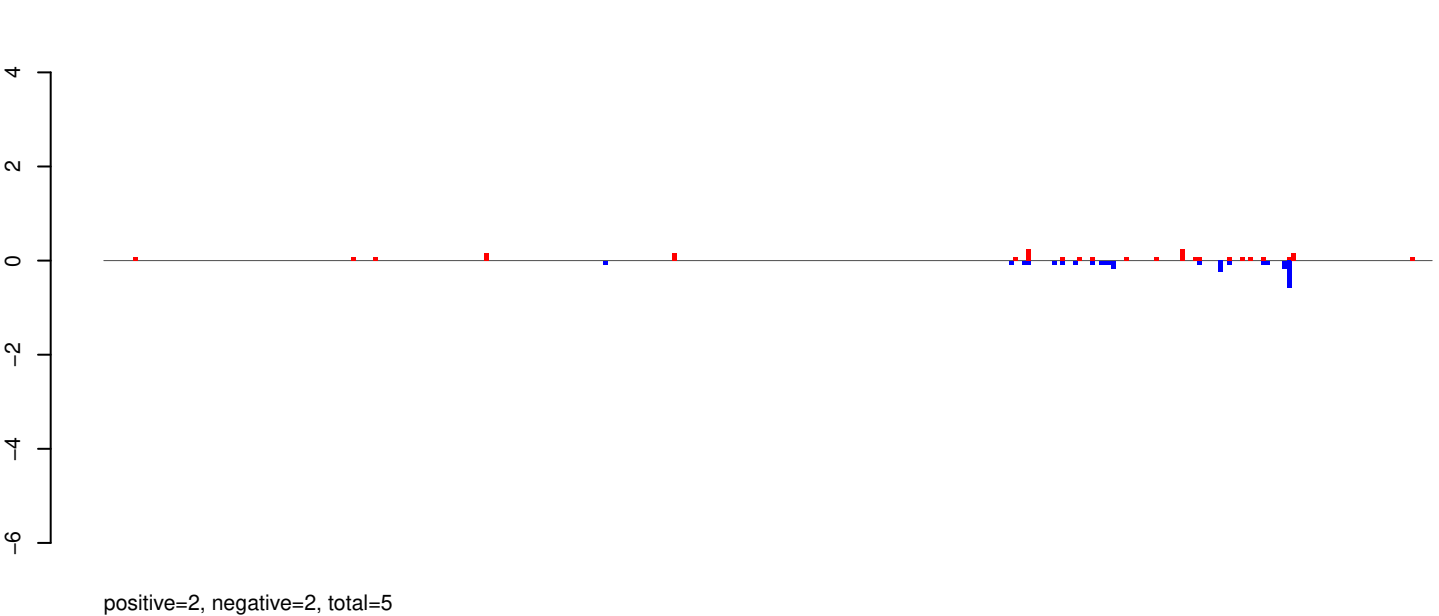
AeAeg_Aag2_Ago2_SINV_RA.rep



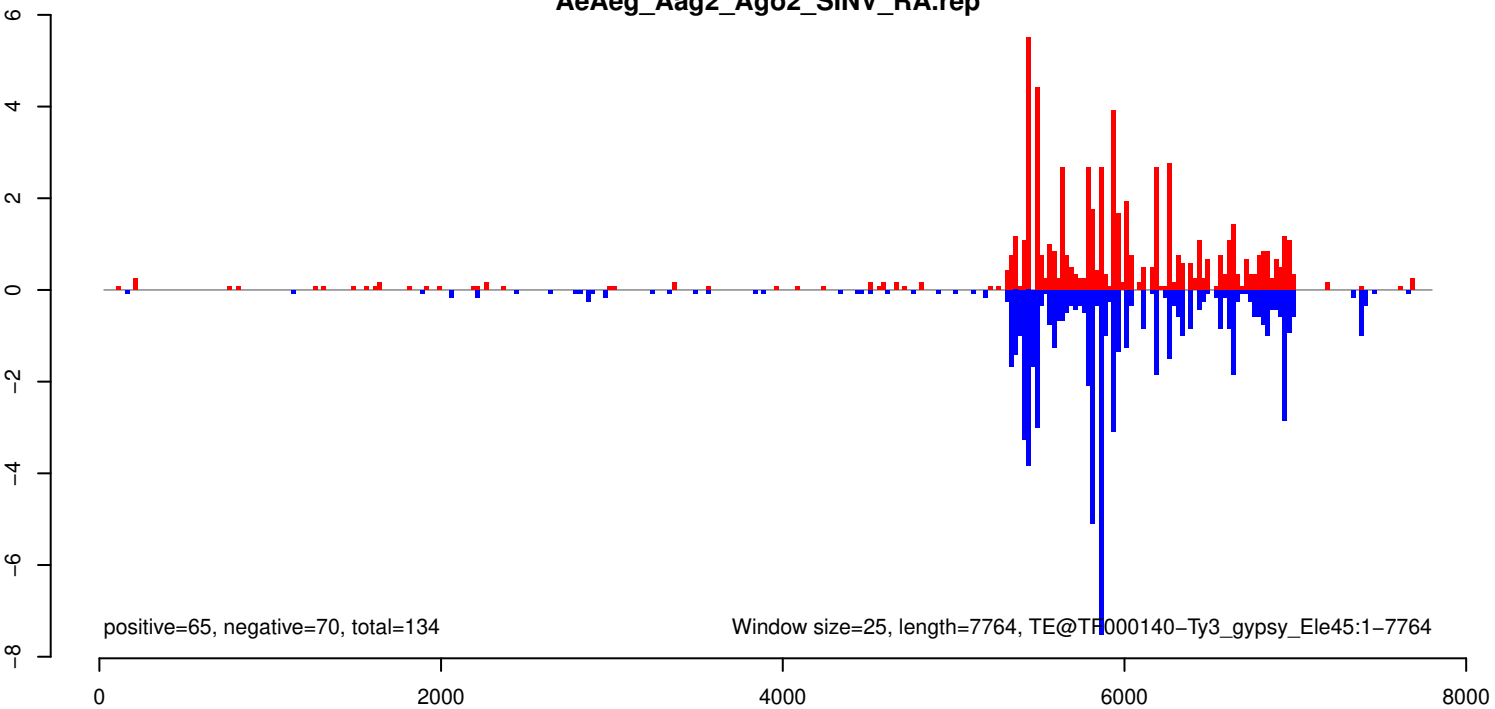
AeAeg_Aag2_Ago2_SINV_RA.18_23.rep



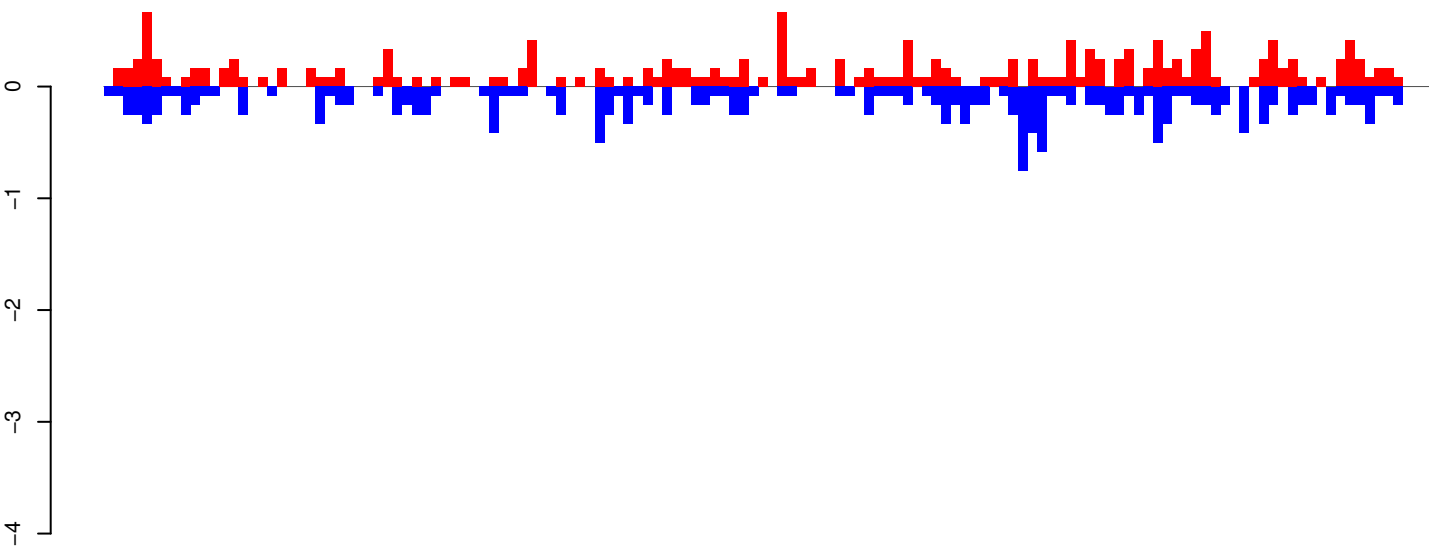
AeAeg_Aag2_Ago2_SINV_RA.24_35.rep



AeAeg_Aag2_Ago2_SINV_RA.rep

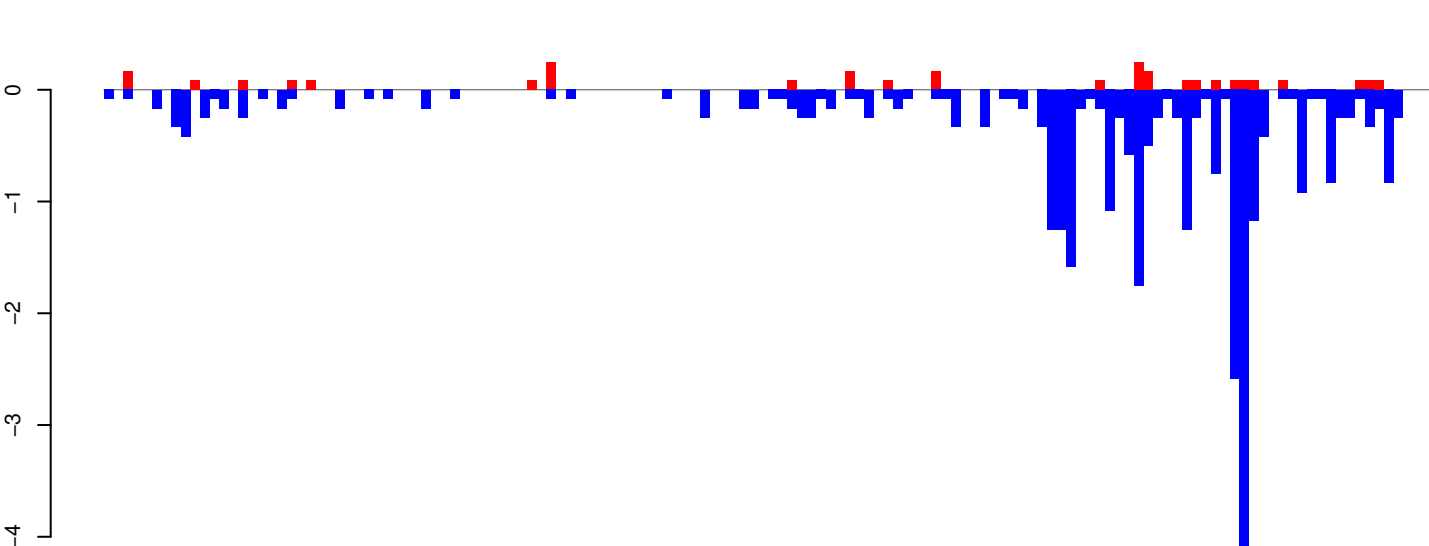


AeAeg_Aag2_Ago2_SINV_RA.18_23.rep



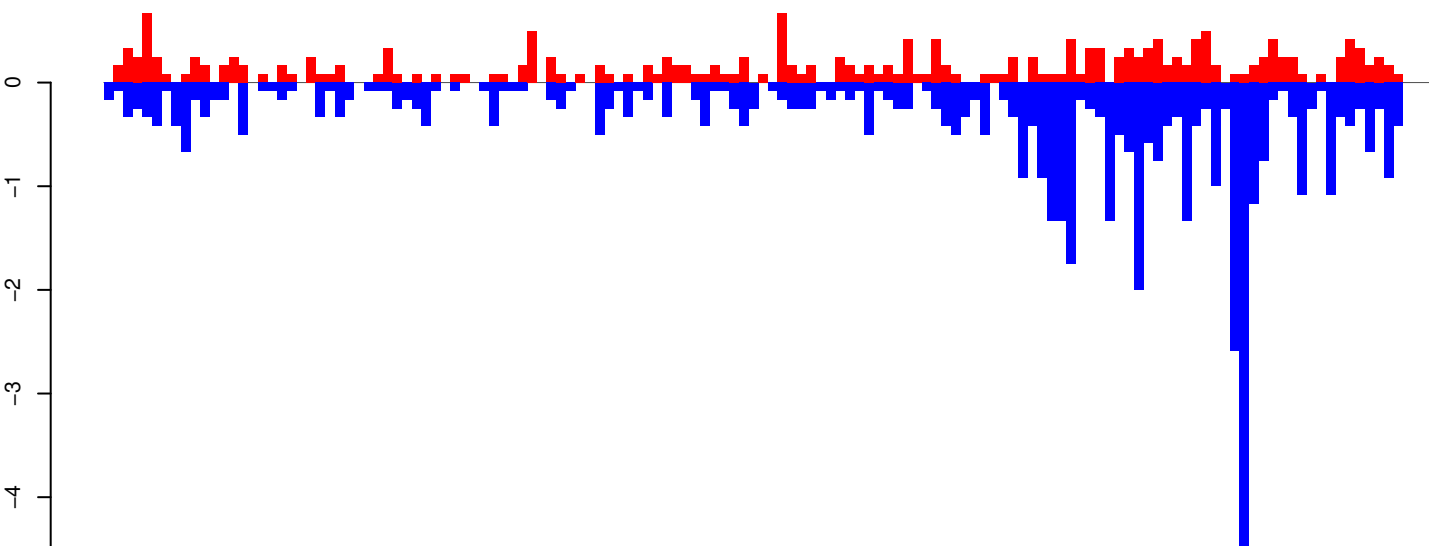
positive=17, negative=19, total=36

AeAeg_Aag2_Ago2_SINV_RA.24_35.rep



positive=3, negative=32, total=34

AeAeg_Aag2_Ago2_SINV_RA.rep

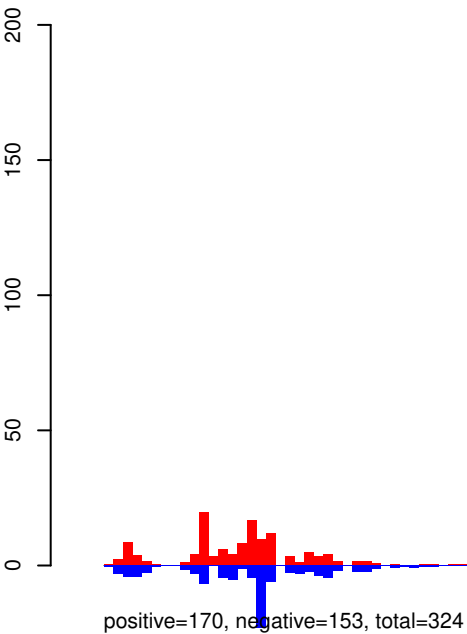


positive=20, negative=50, total=70

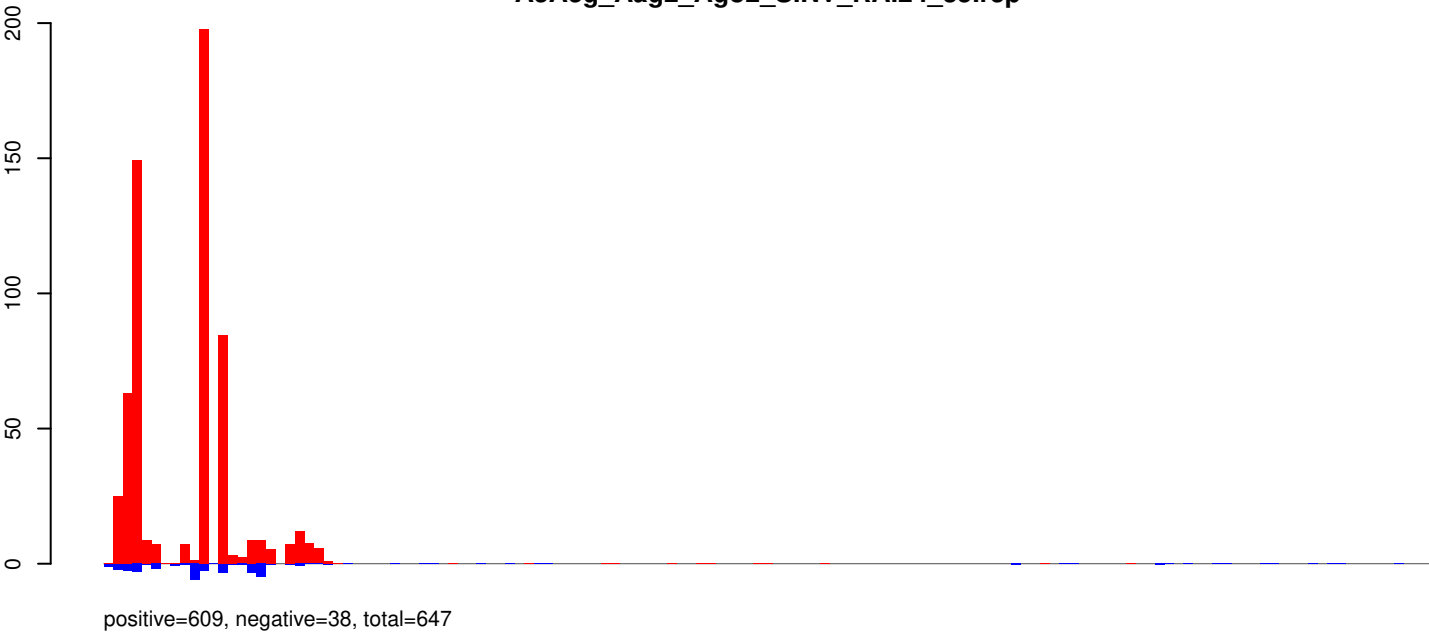
Window size=25, length=3436, TE@R=445-UNKNOWN:1-3436

0 500 1000 1500 2000 2500 3000 3500

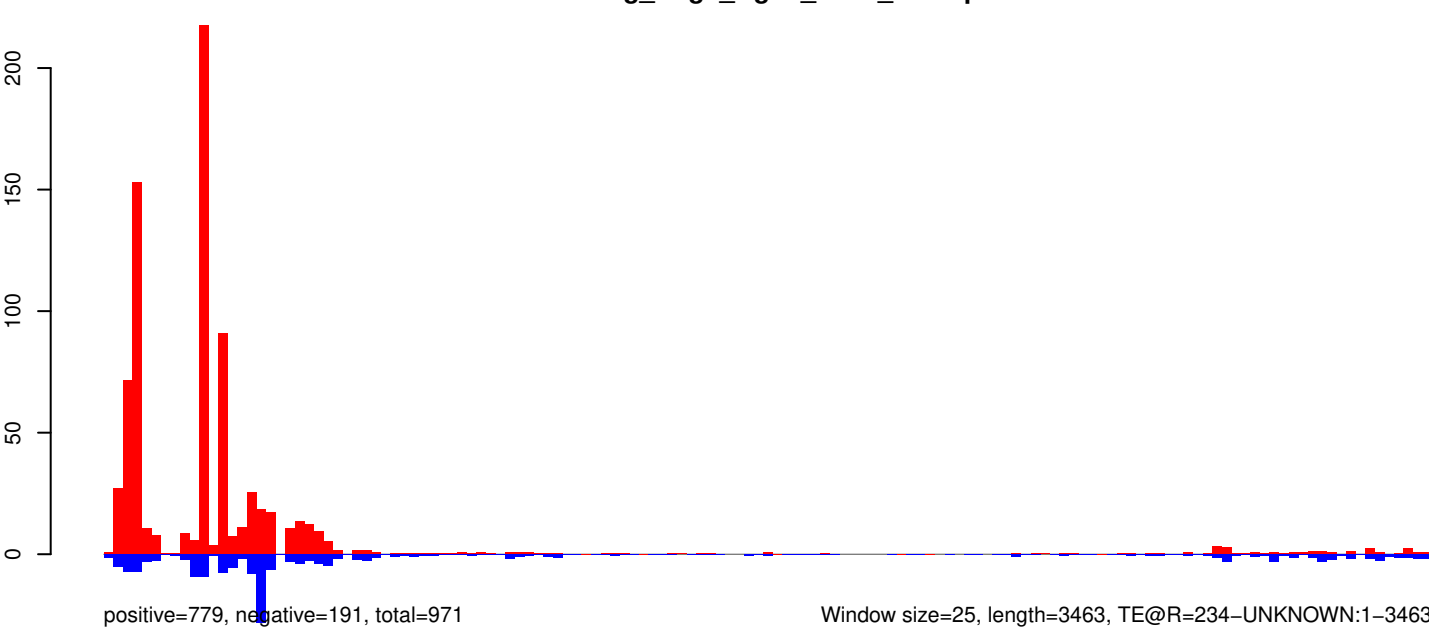
AeAeg_Aag2_Ago2_SINV_RA.18_23.rep



AeAeg_Aag2_Ago2_SINV_RA.24_35.rep



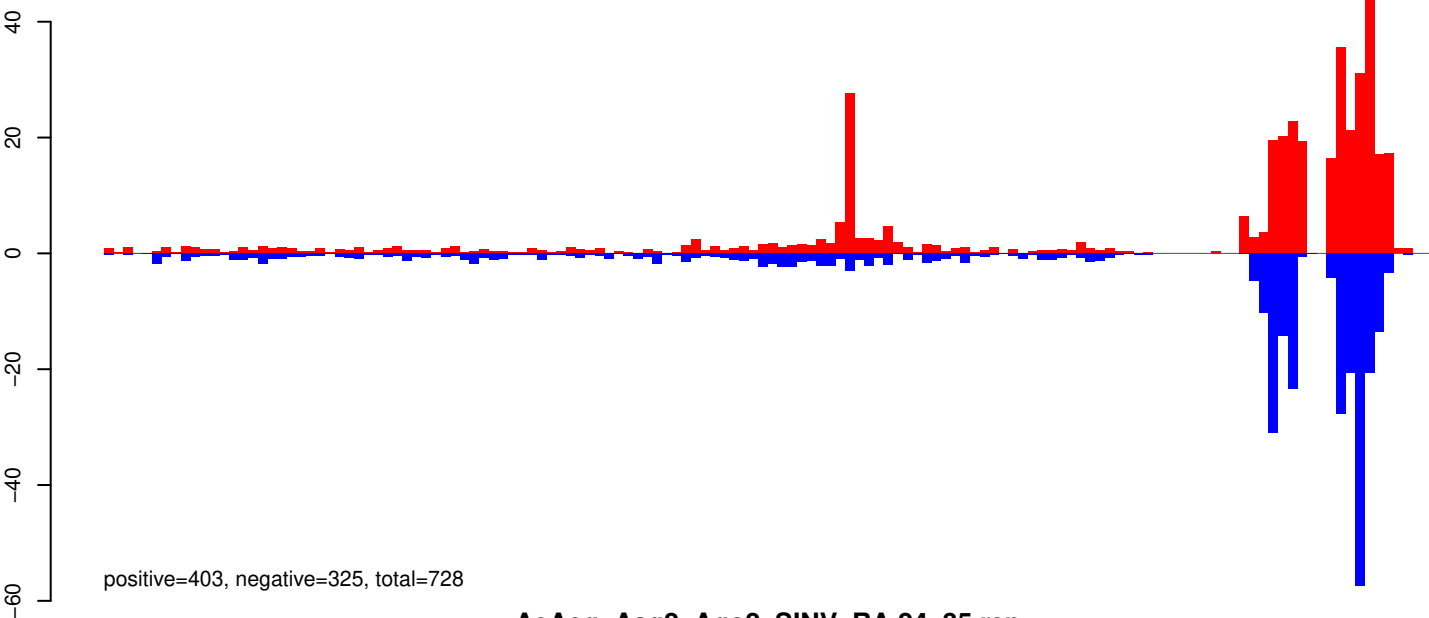
AeAeg_Aag2_Ago2_SINV_RA.rep



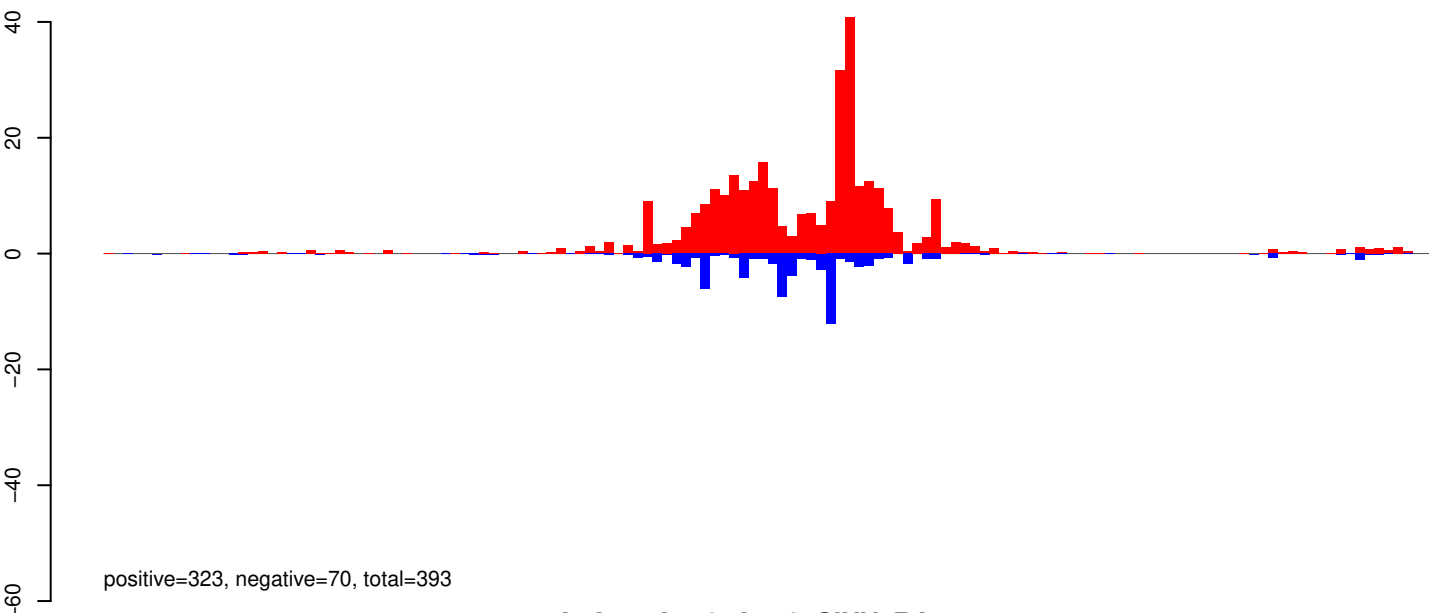
Window size=25, length=3463, TE@R=234-UNKNOWN:1-3463

0 500 1000 1500 2000 2500 3000 3500

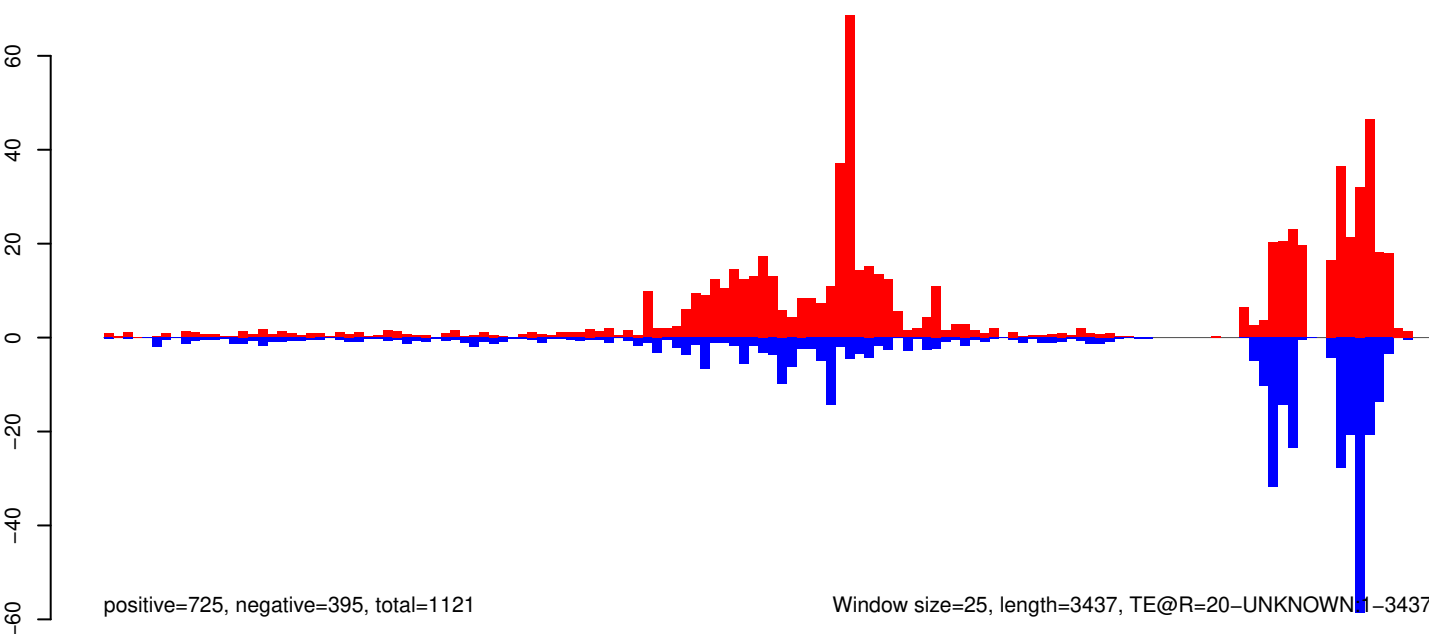
AeAeg_Aag2_Ago2_SINV_RA.18_23.rep



AeAeg_Aag2_Ago2_SINV_RA.24_35.rep

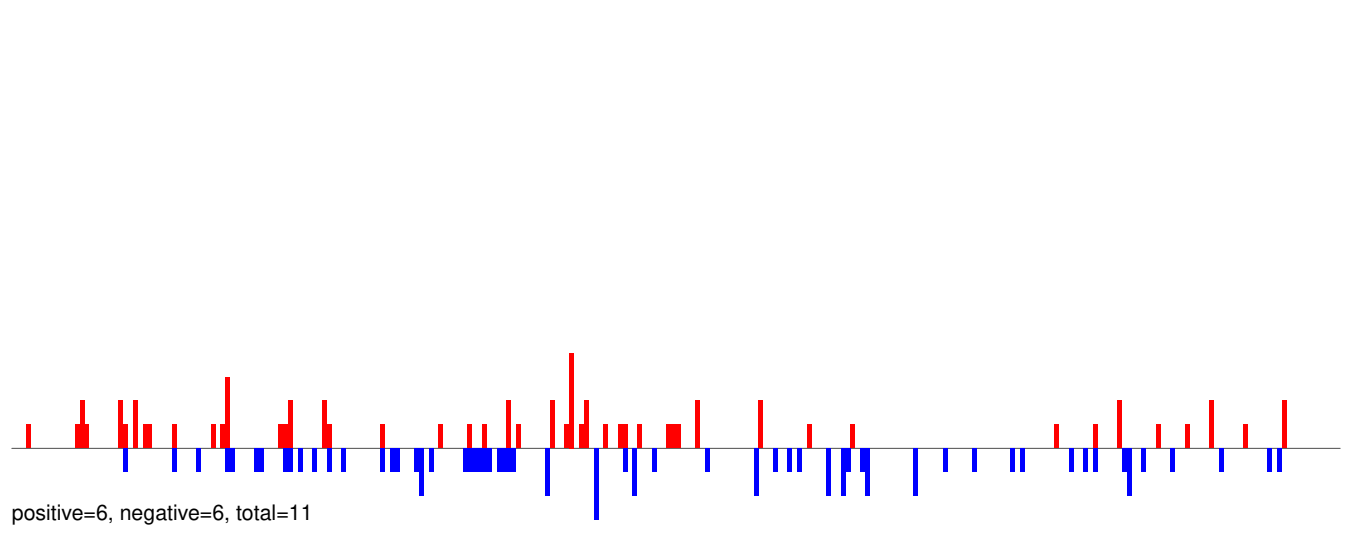


AeAeg_Aag2_Ago2_SINV_RA.rep

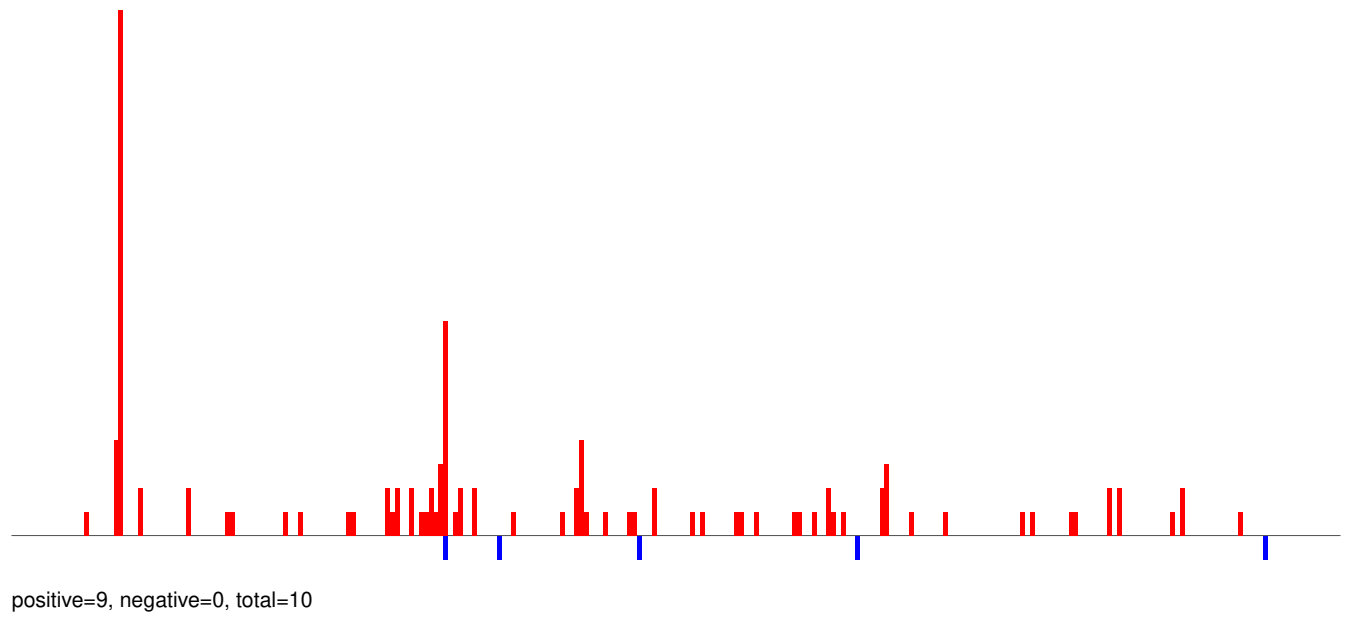


Window size=25, length=3437, TE@R=20-UNKNOWN1-3437

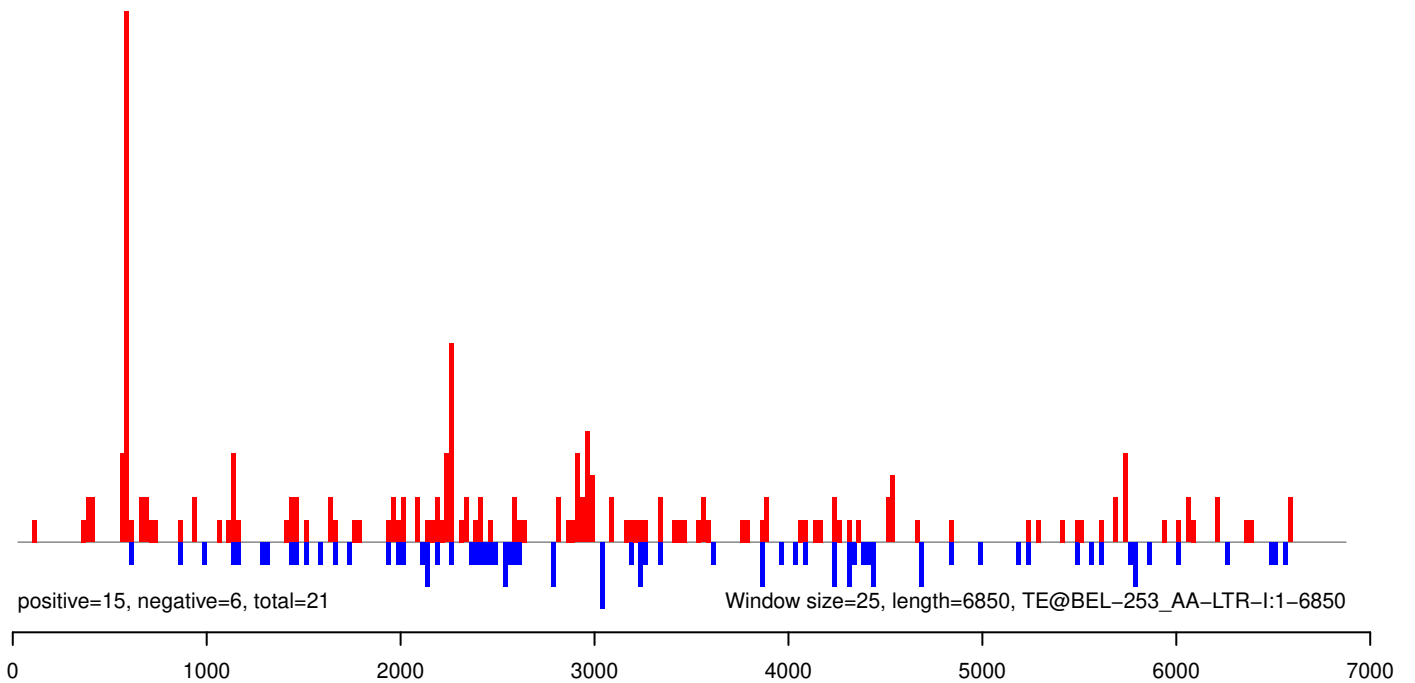
AeAeg_Aag2_Ago2_SINV_RA.18_23.rep



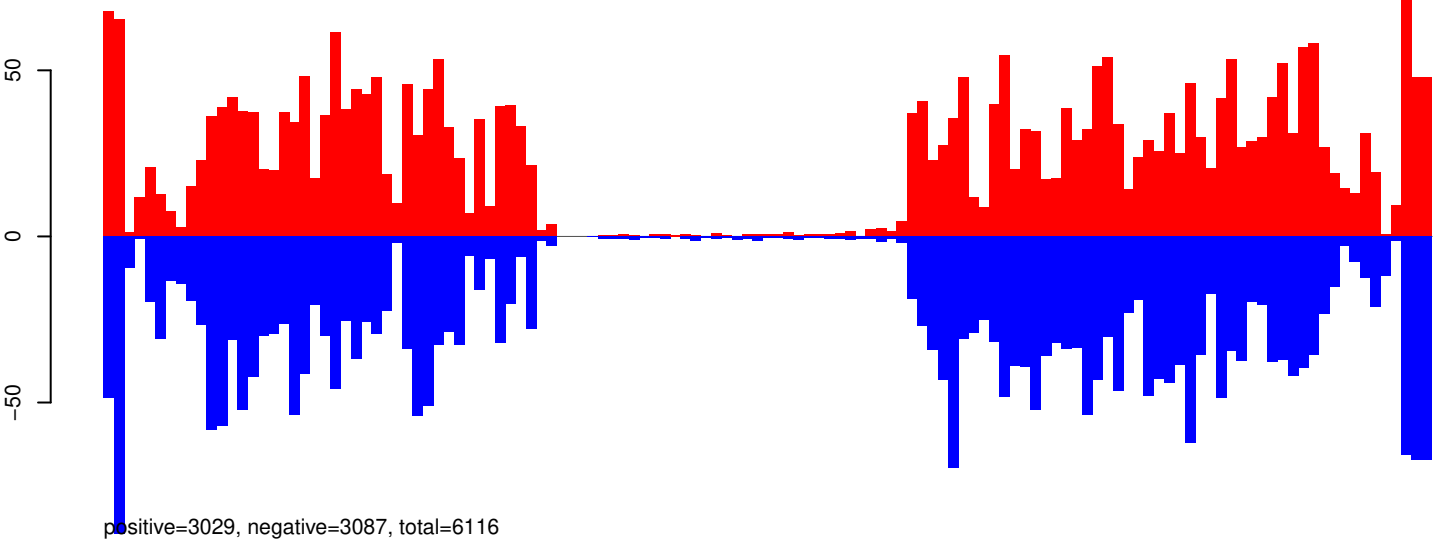
AeAeg_Aag2_Ago2_SINV_RA.24_35.rep



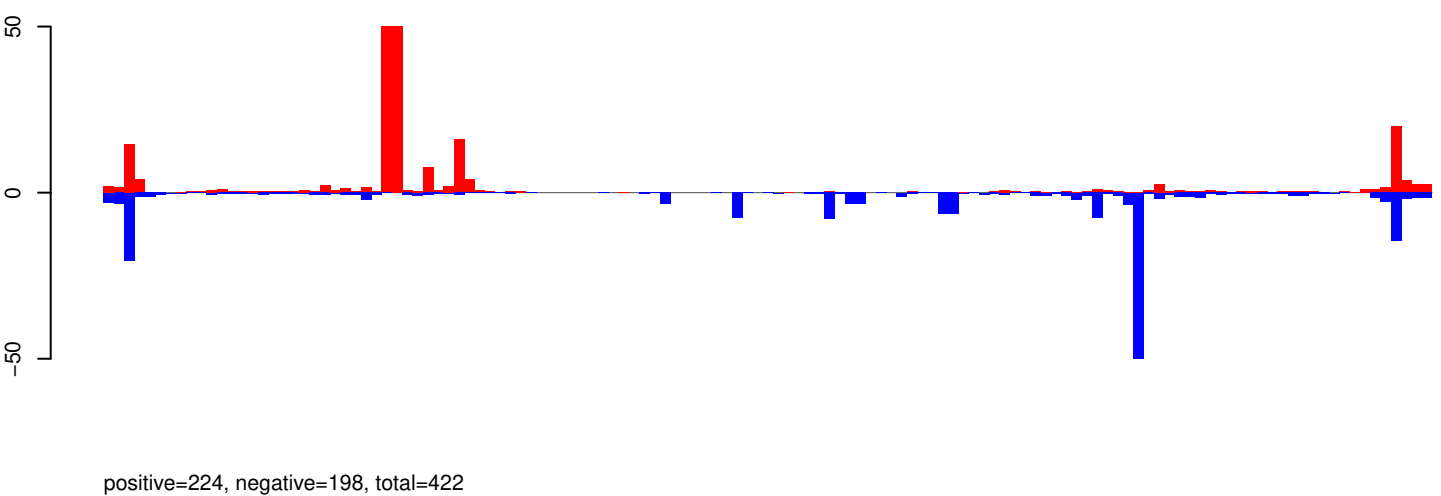
AeAeg_Aag2_Ago2_SINV_RA.rep



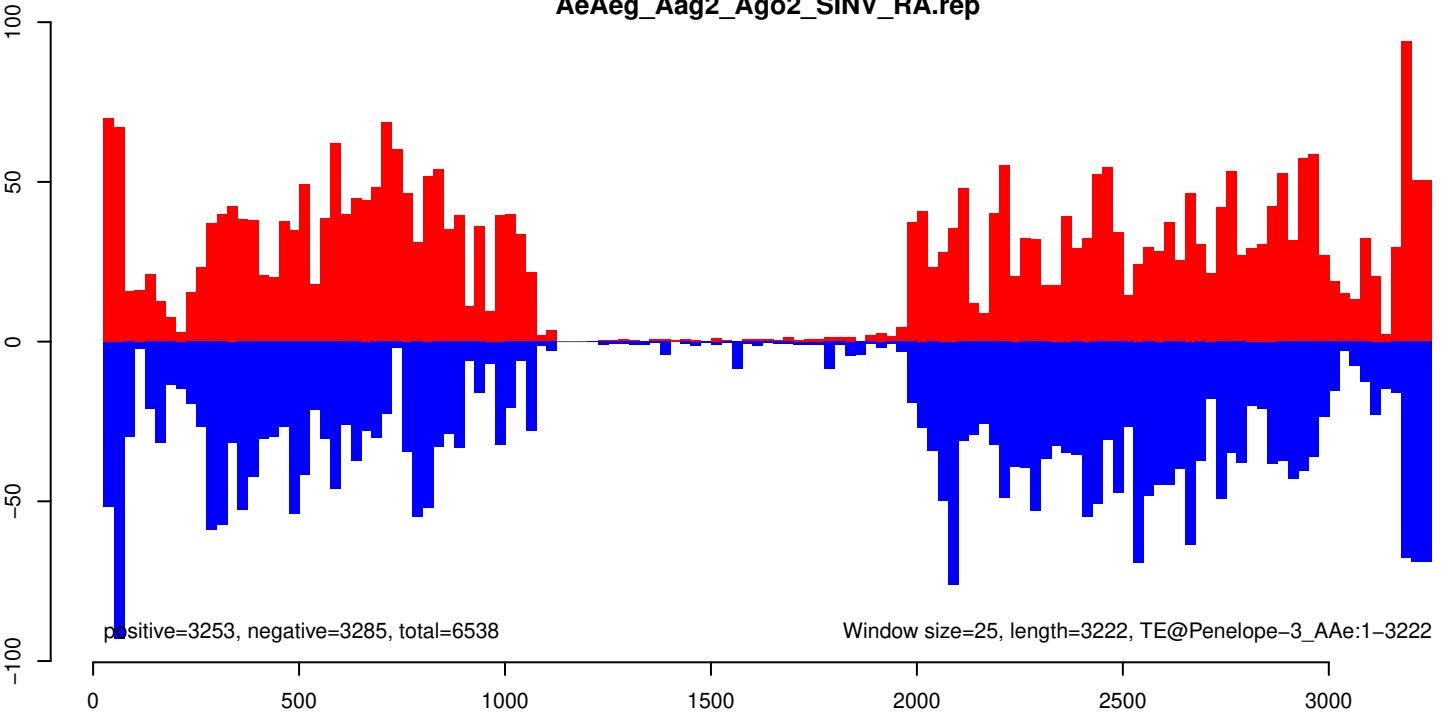
AeAeg_Aag2_Ago2_SINV_RA.18_23.rep



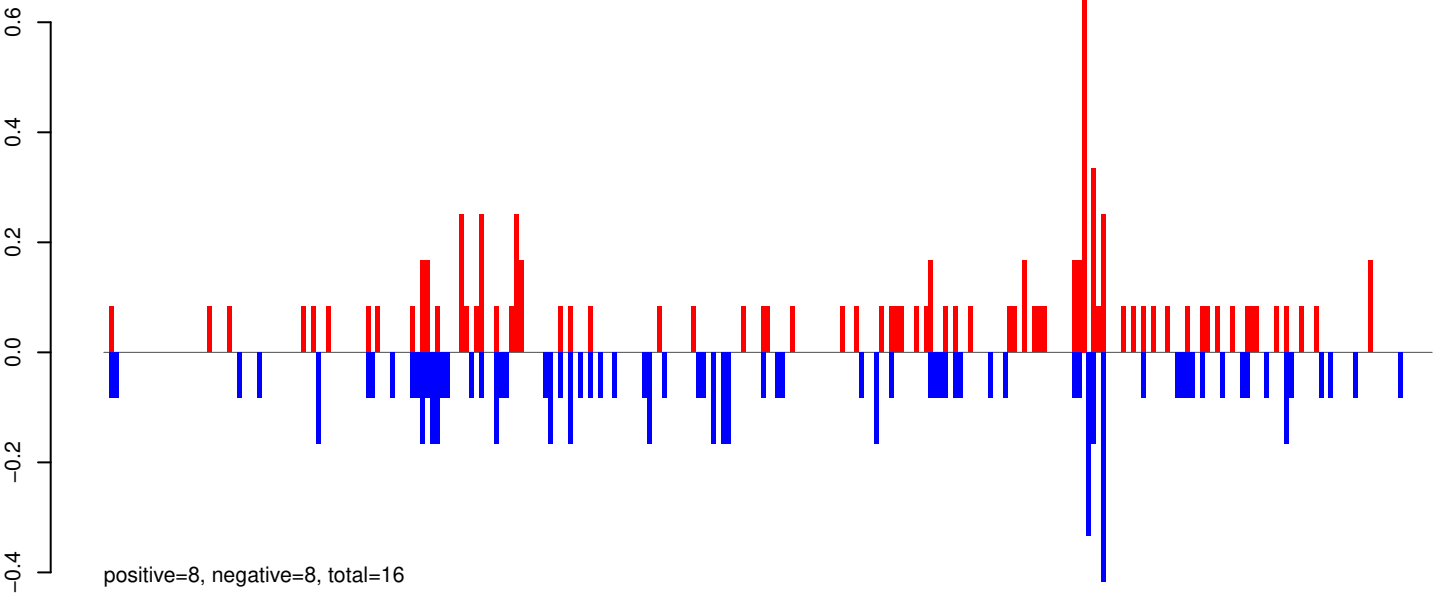
AeAeg_Aag2_Ago2_SINV_RA.24_35.rep



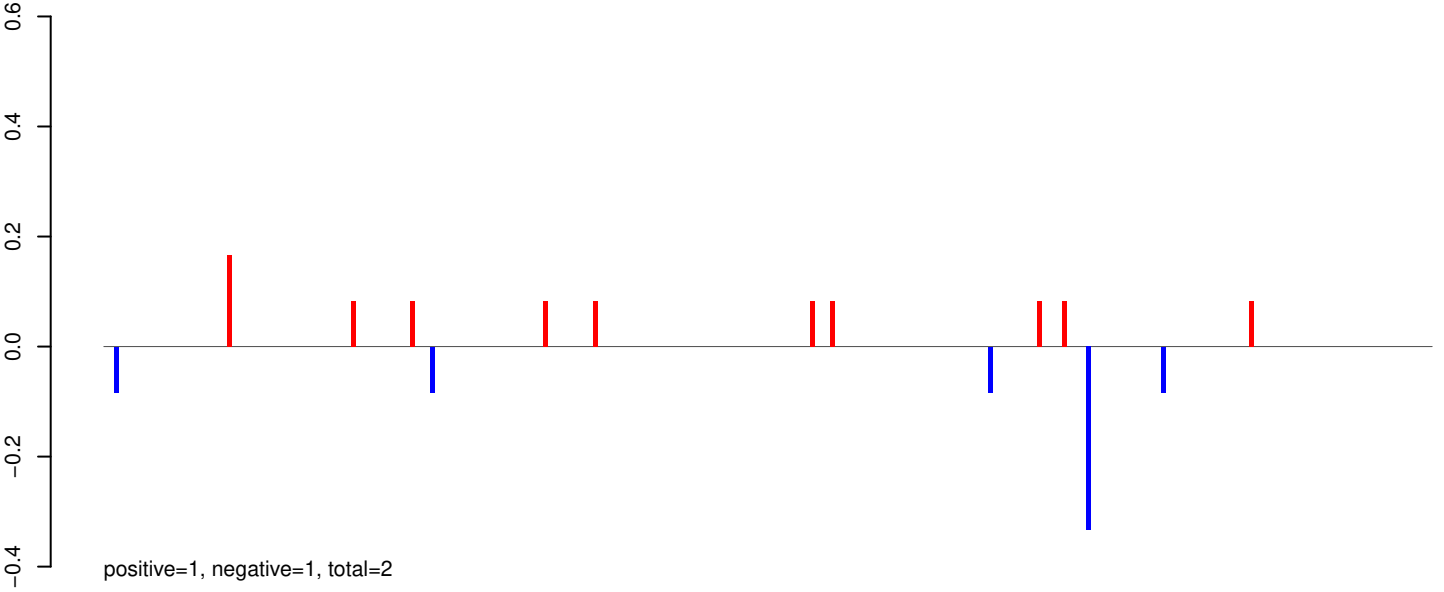
AeAeg_Aag2_Ago2_SINV_RA.rep



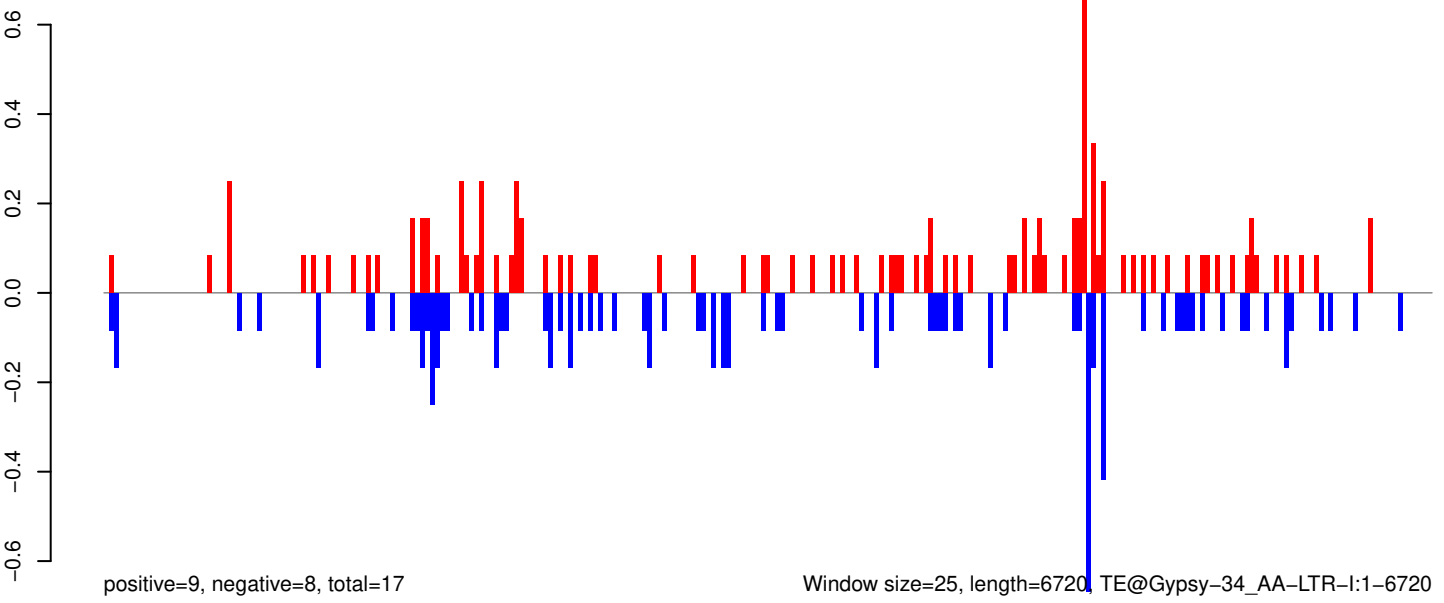
AeAeg_Aag2_Ago2_SINV_RA.18_23.rep



AeAeg_Aag2_Ago2_SINV_RA.24_35.rep



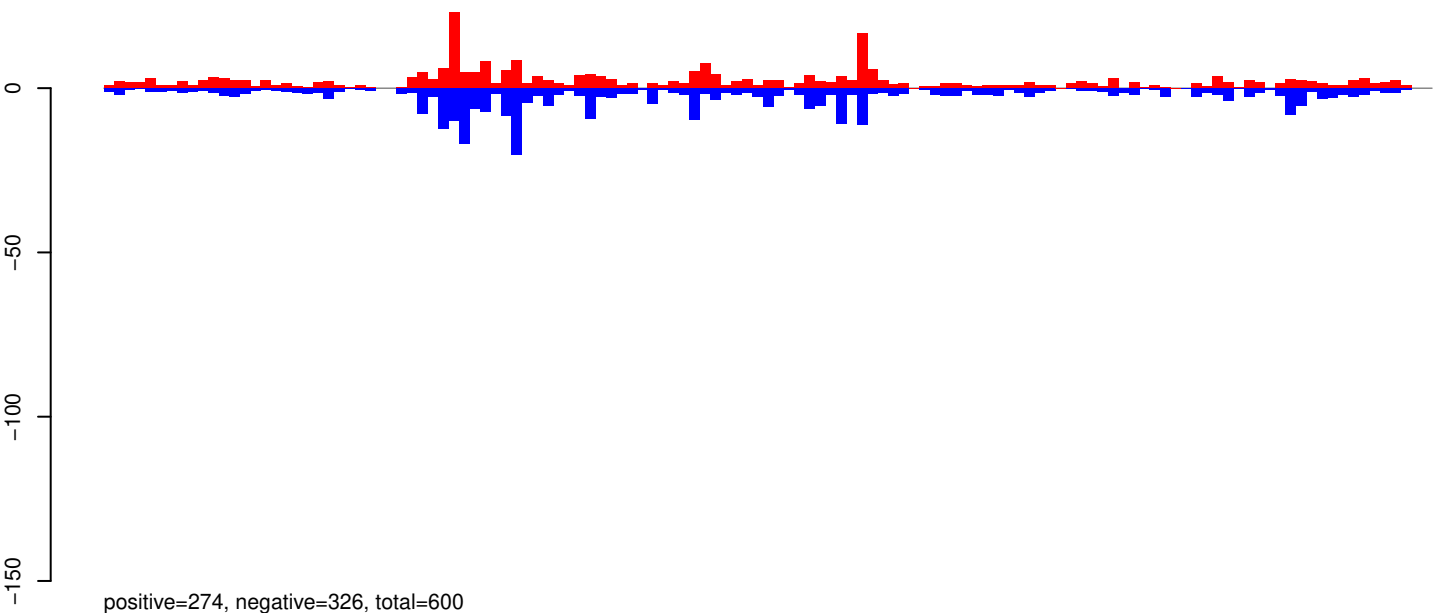
AeAeg_Aag2_Ago2_SINV_RA.rep



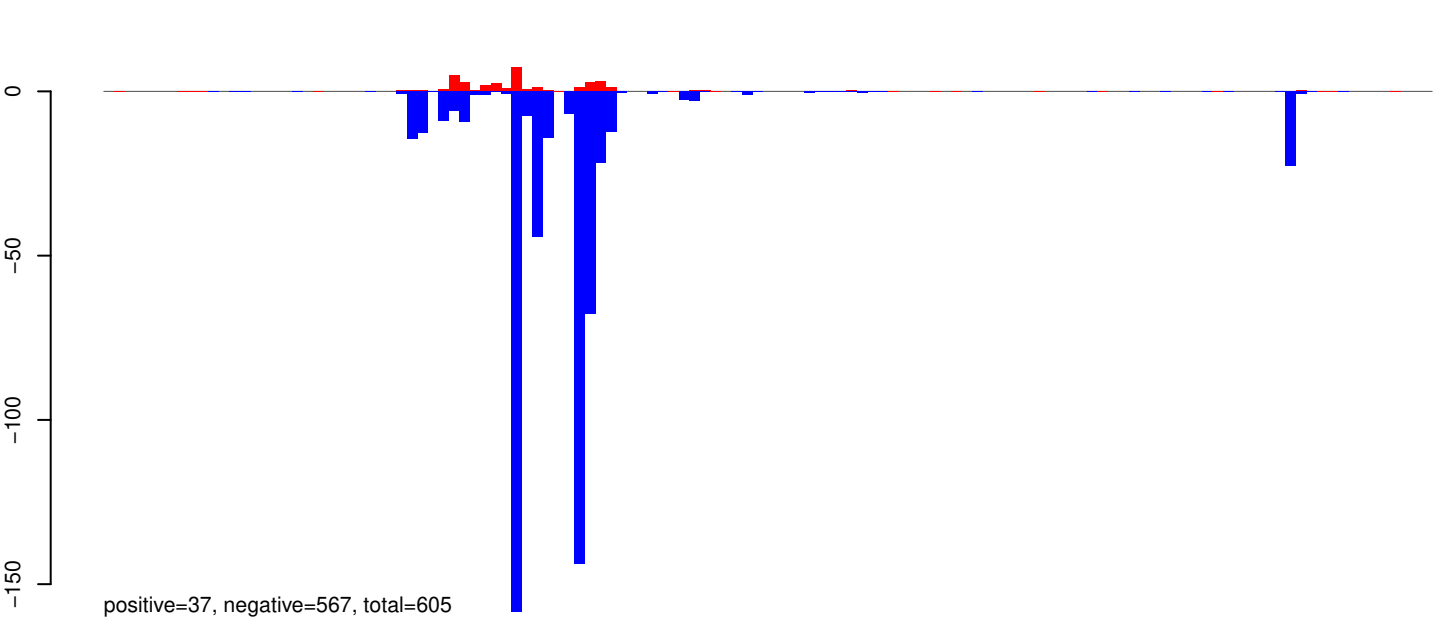
Window size=25, length=6720, TE@Gypsy-34_AA-LTR-I:1-6720

0 1000 2000 3000 4000 5000 6000 7000

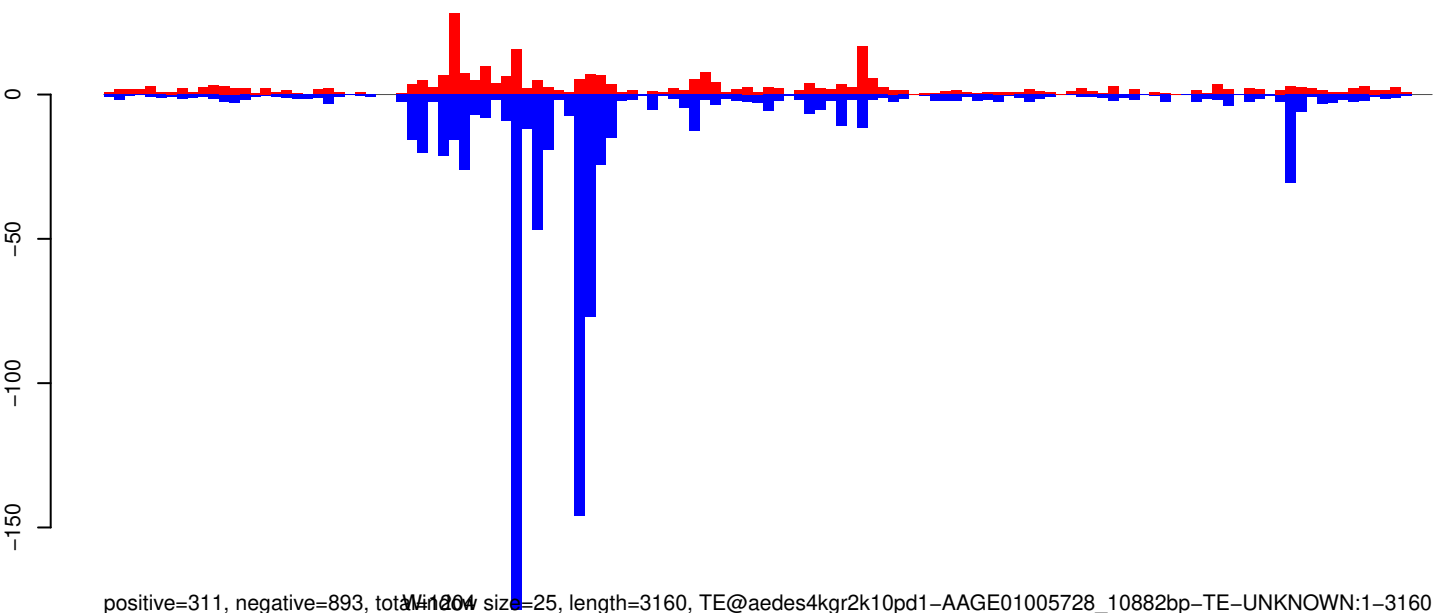
AeAeg_Aag2_Ago2_SINV_RA.18_23.rep



AeAeg_Aag2_Ago2_SINV_RA.24_35.rep

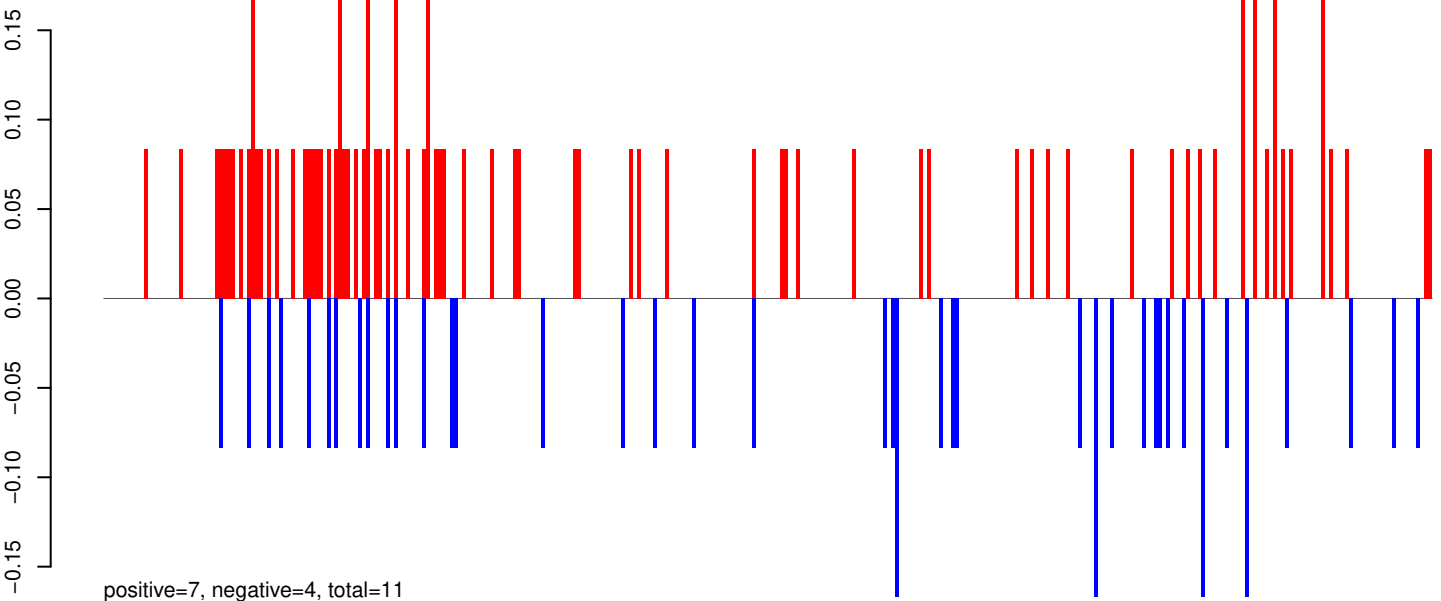


AeAeg_Aag2_Ago2_SINV_RA.rep

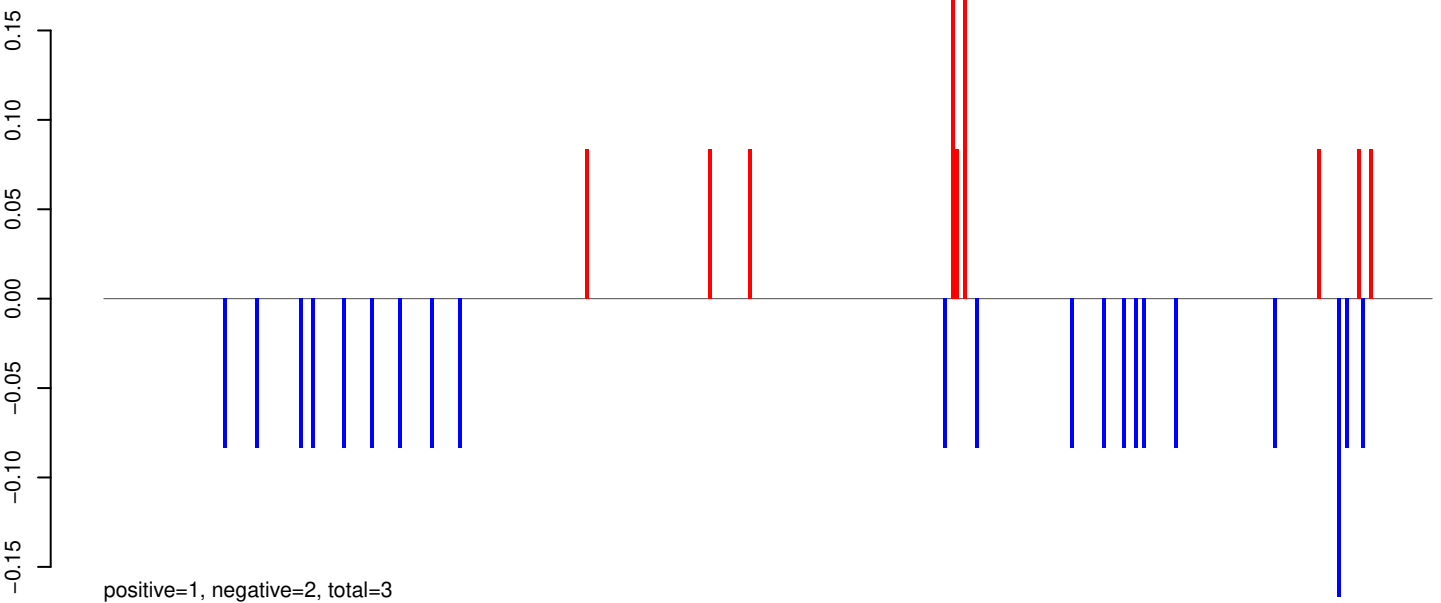


0 500 1000 1500 2000 2500 3000

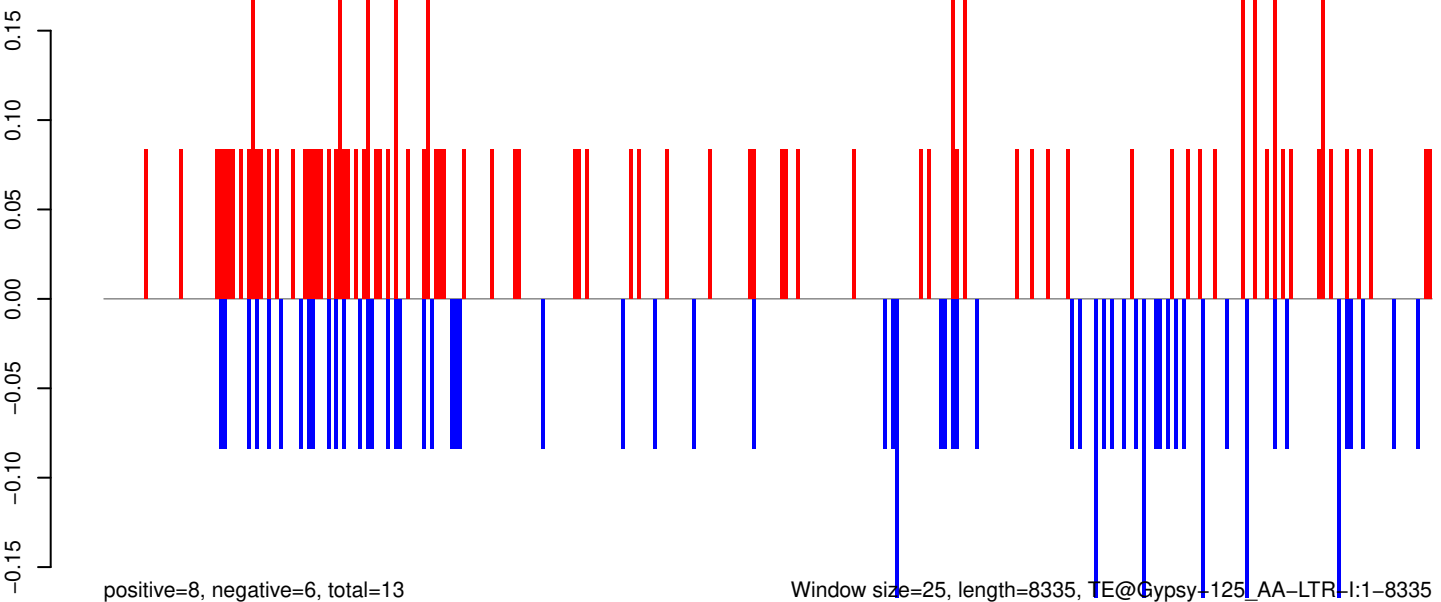
AeAeg_Aag2_Ago2_SINV_RA.18_23.rep



AeAeg_Aag2_Ago2_SINV_RA.24_35.rep



AeAeg_Aag2_Ago2_SINV_RA.rep



Window size=25, length=8335, TE@Gypsy-125_AA-LTR-I:1-8335

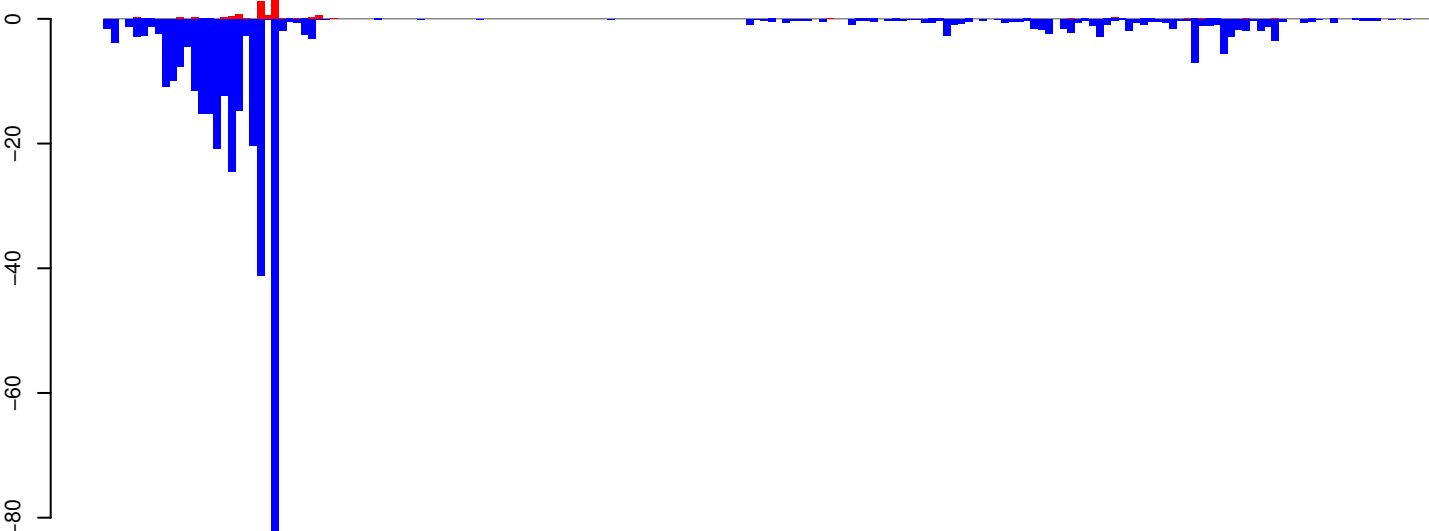
0 2000 4000 6000 8000

AeAeg_Aag2_Ago2_SINV_RA.18_23.rep



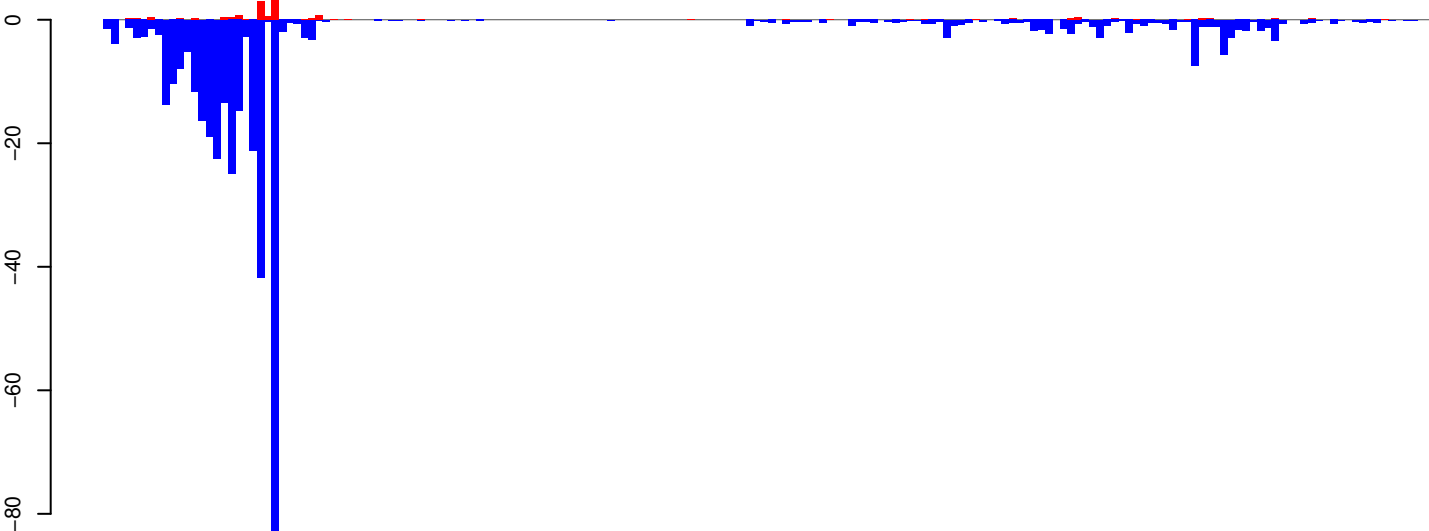
positive=4, negative=19, total=23

AeAeg_Aag2_Ago2_SINV_RA.24_35.rep



positive=14, negative=396, total=410

AeAeg_Aag2_Ago2_SINV_RA.rep

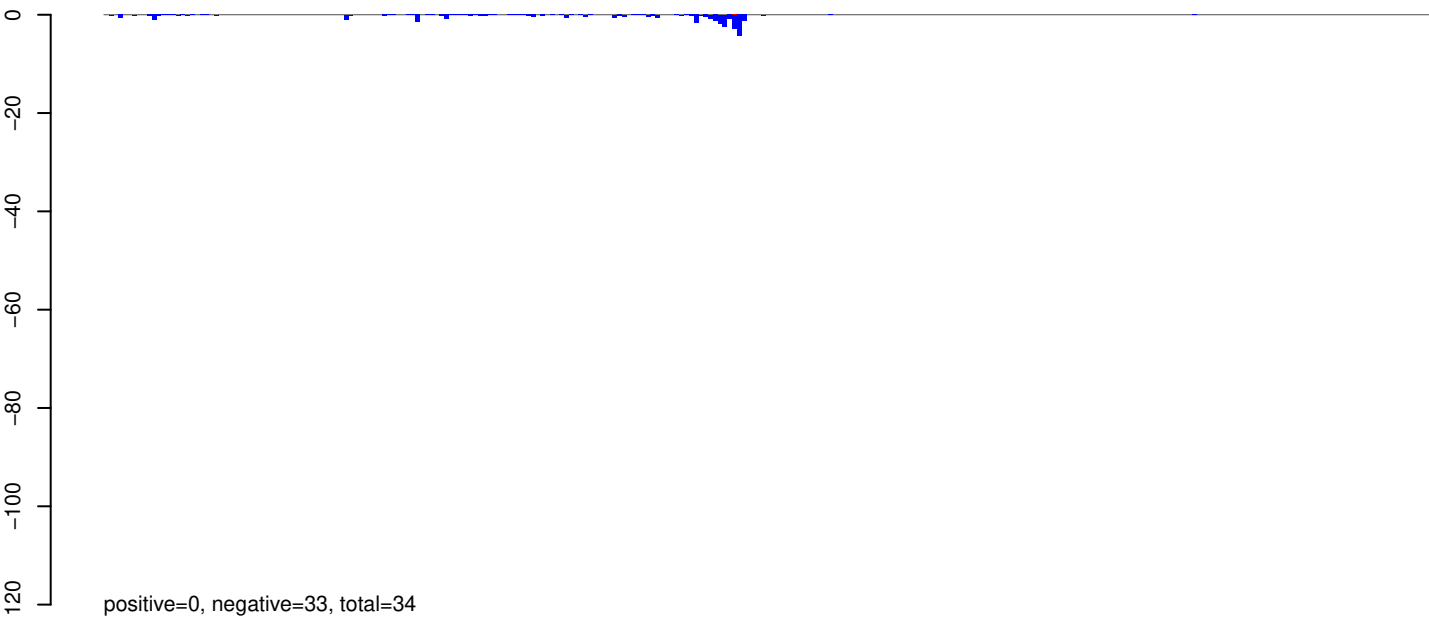


positive=18, negative=415, total=433

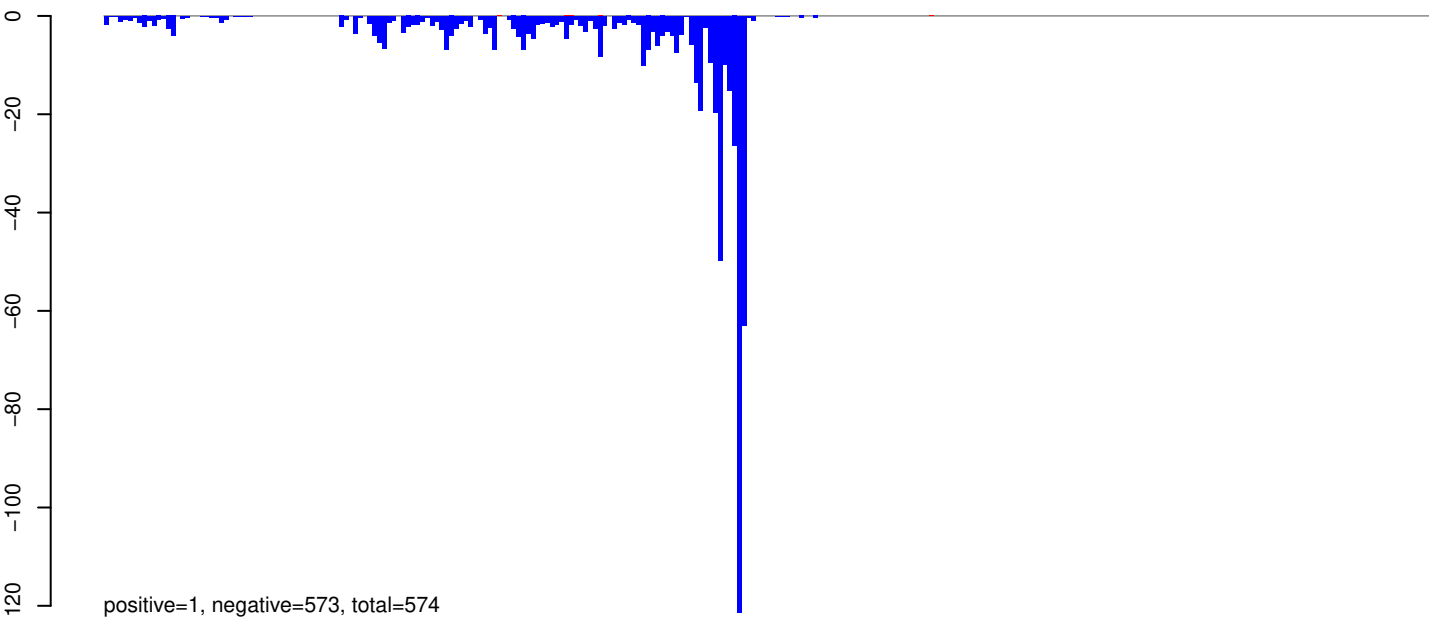
Window size=25, length=4542, TE@CR1-95_AAe:1-4542

0 1000 2000 3000 4000

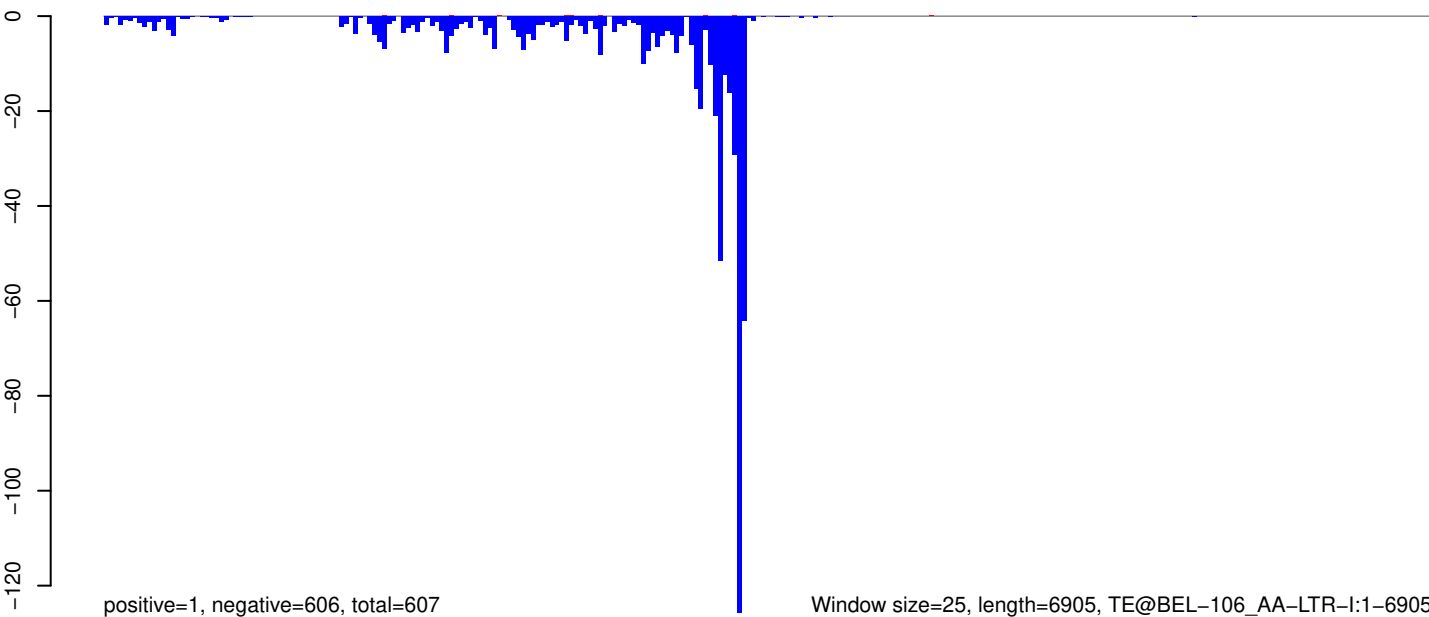
AeAeg_Aag2_Ago2_SINV_RA.18_23.rep



AeAeg_Aag2_Ago2_SINV_RA.24_35.rep

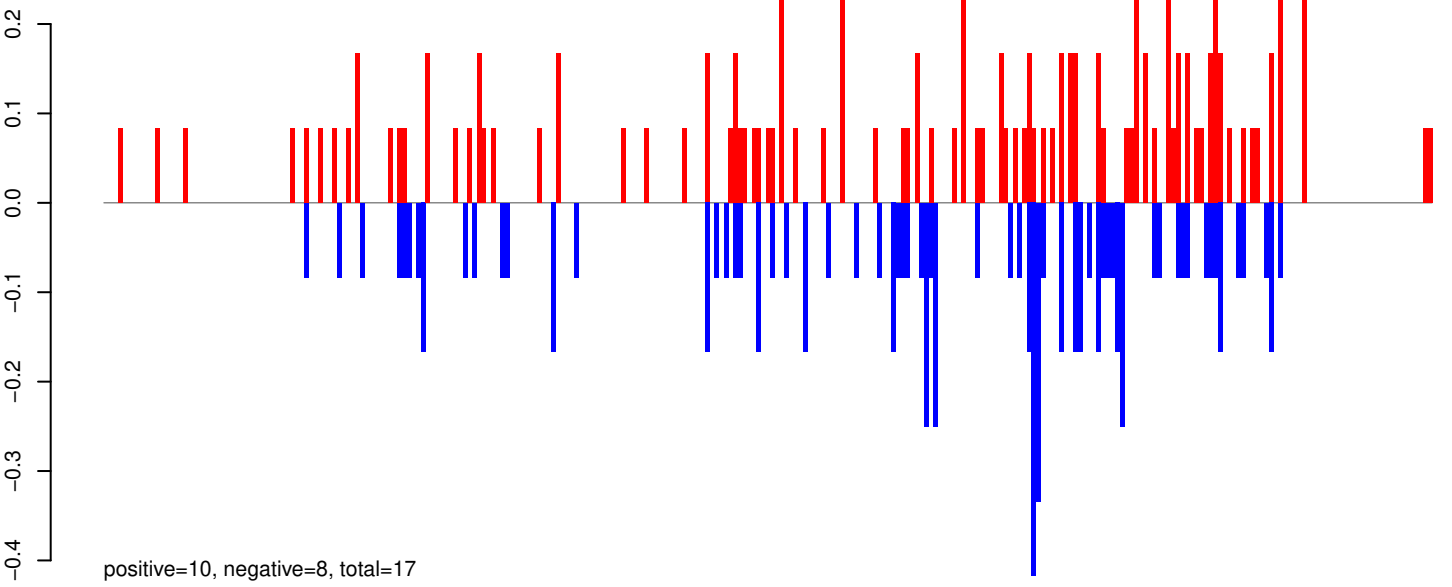


AeAeg_Aag2_Ago2_SINV_RA.rep

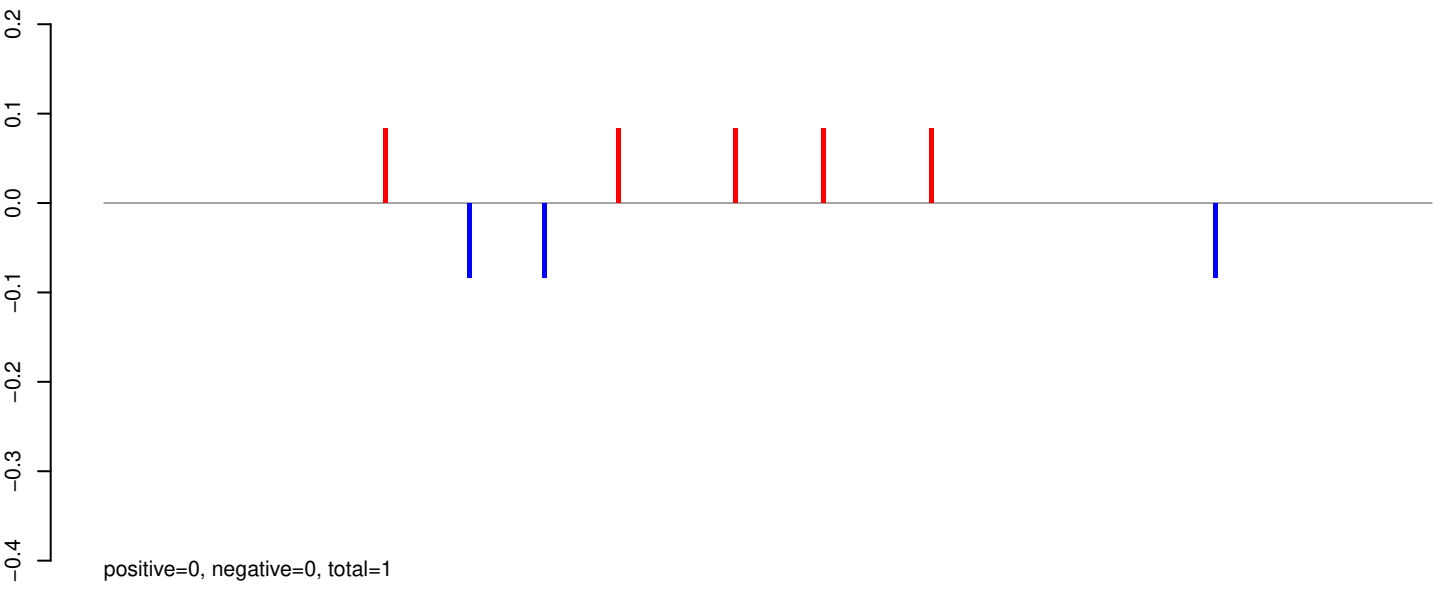


0 1000 2000 3000 4000 5000 6000 7000

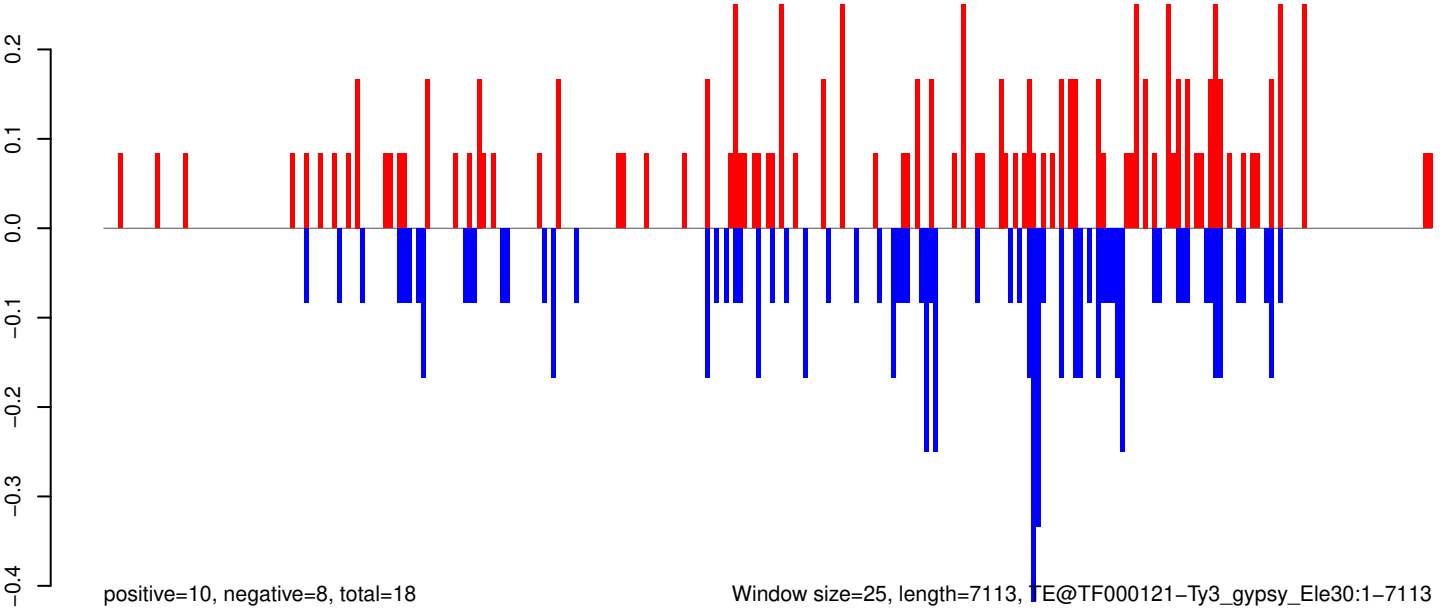
AeAeg_Aag2_Ago2_SINV_RA.18_23.rep



AeAeg_Aag2_Ago2_SINV_RA.24_35.rep

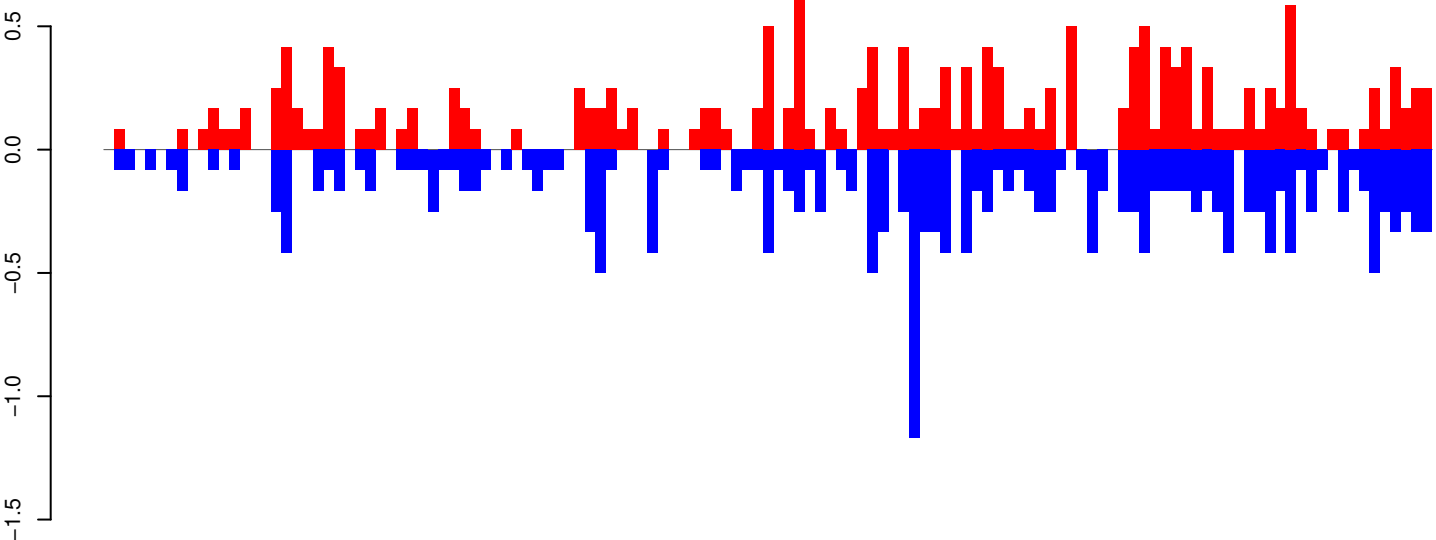


AeAeg_Aag2_Ago2_SINV_RA.rep



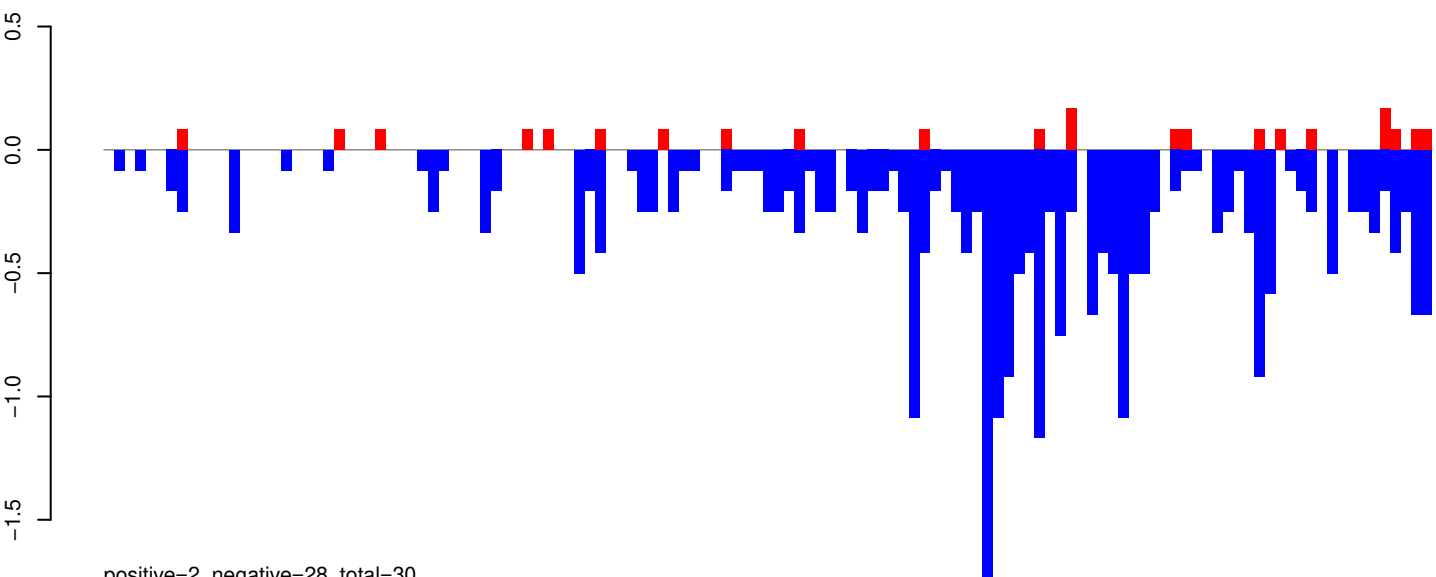
0 1000 2000 3000 4000 5000 6000 7000

AeAeg_Aag2_Ago2_SINV_RA.18_23.rep



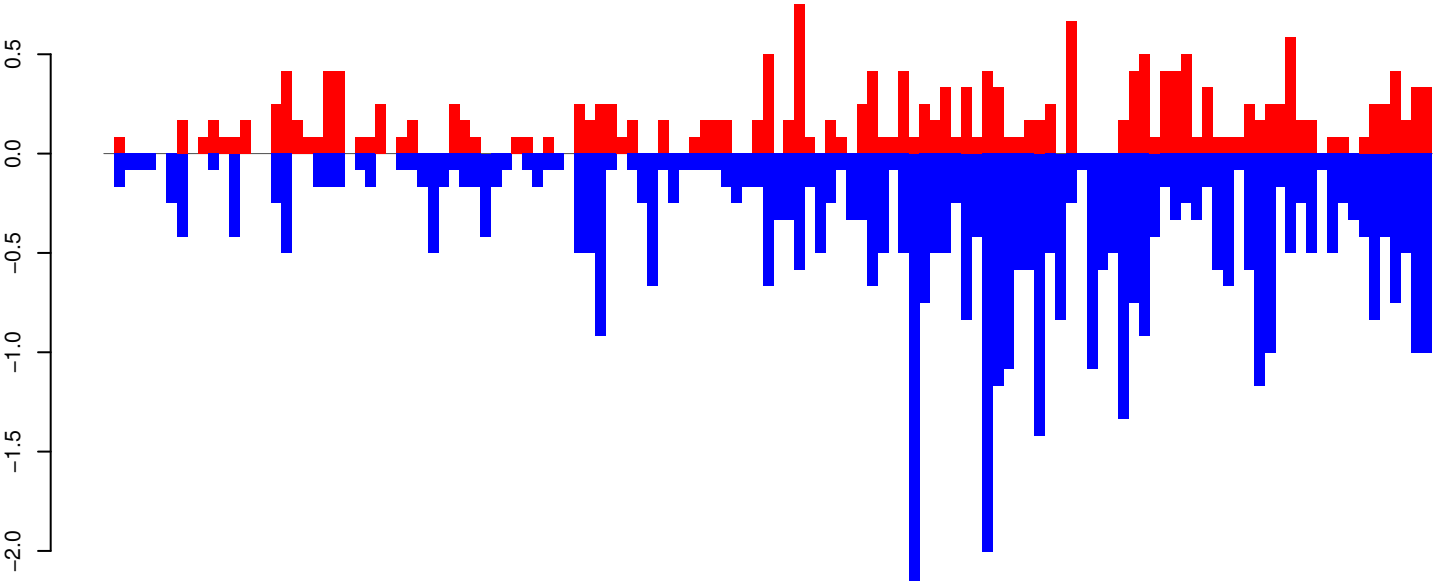
positive=18, negative=20, total=38

AeAeg_Aag2_Ago2_SINV_RA.24_35.rep



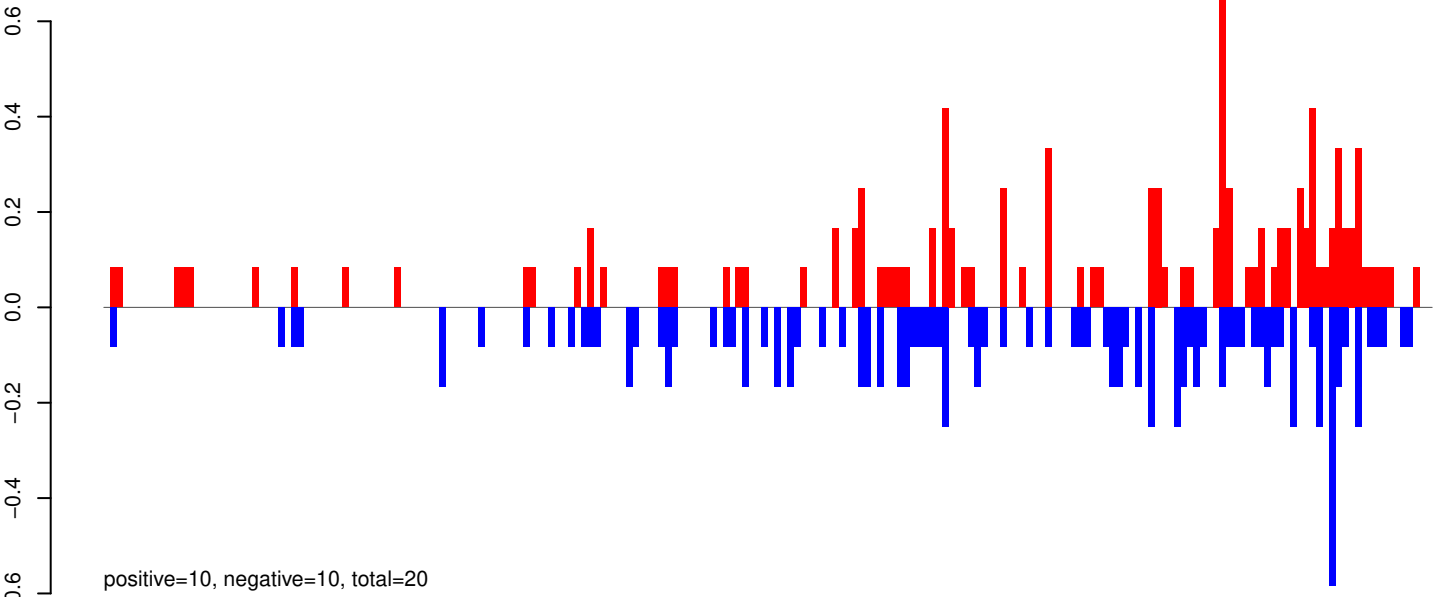
positive=2, negative=28, total=30

AeAeg_Aag2_Ago2_SINV_RA.rep

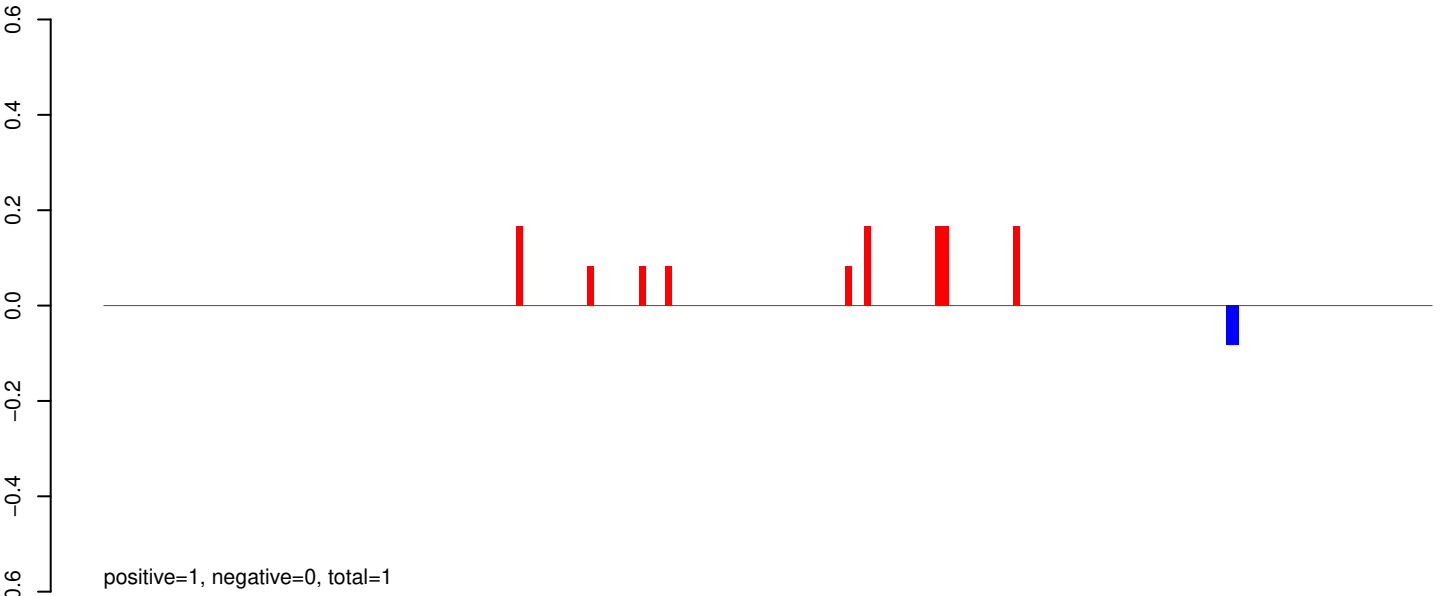


positive=20, negative=48, total=68 window size=25, length=3172, TE@aedes4kgr2k10p01-AAGE01001403_15771bp-TE-UNKNOWN:1-3172

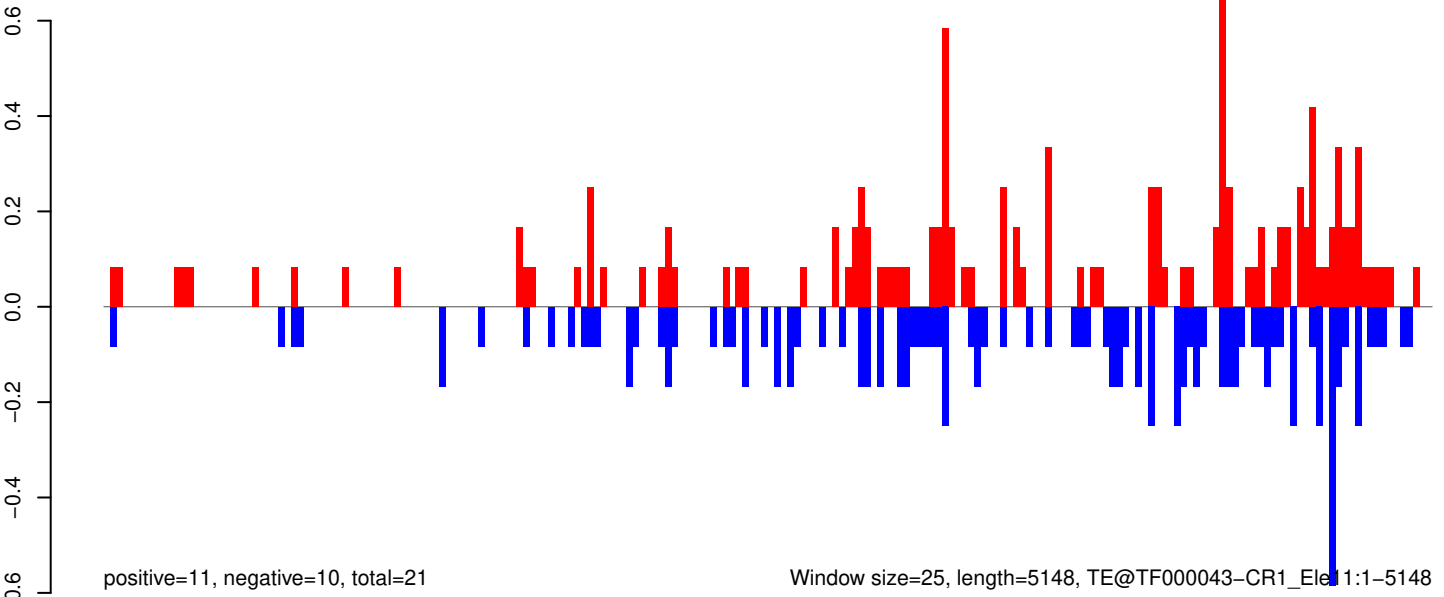
AeAeg_Aag2_Ago2_SINV_RA.18_23.rep



AeAeg_Aag2_Ago2_SINV_RA.24_35.rep



AeAeg_Aag2_Ago2_SINV_RA.rep



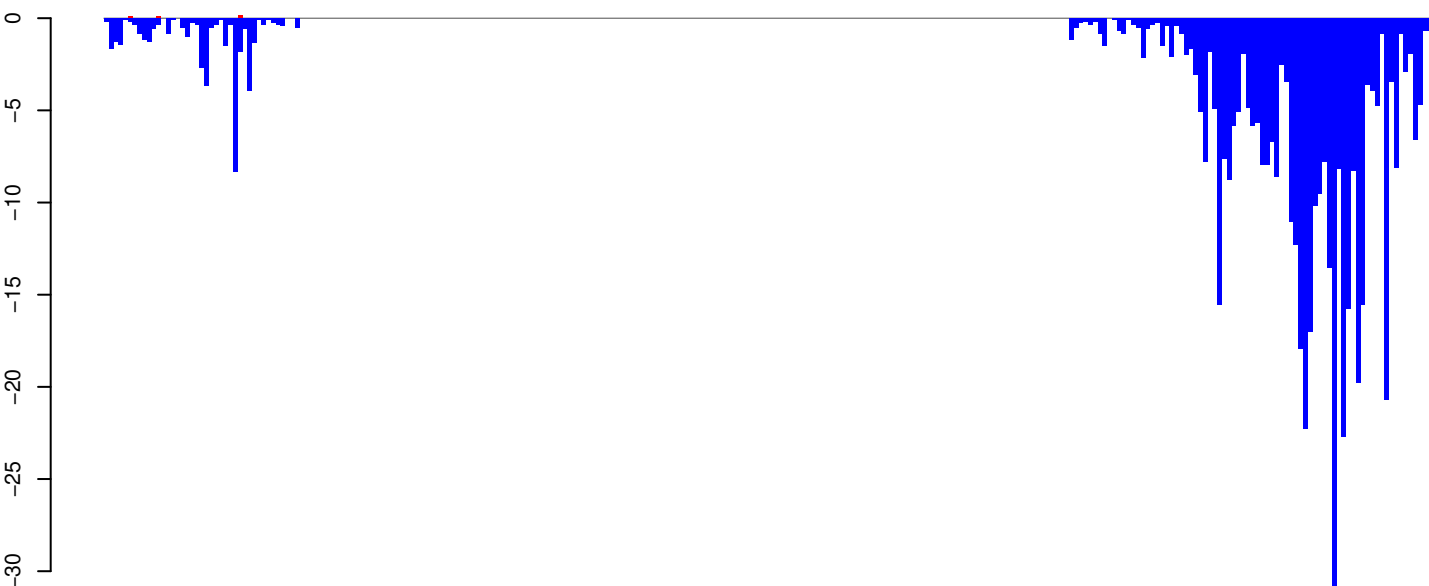
Window size=25, length=5148, TE@TF000043-CR1_Ele11:1-5148

AeAeg_Aag2_Ago2_SINV_RA.18_23.rep



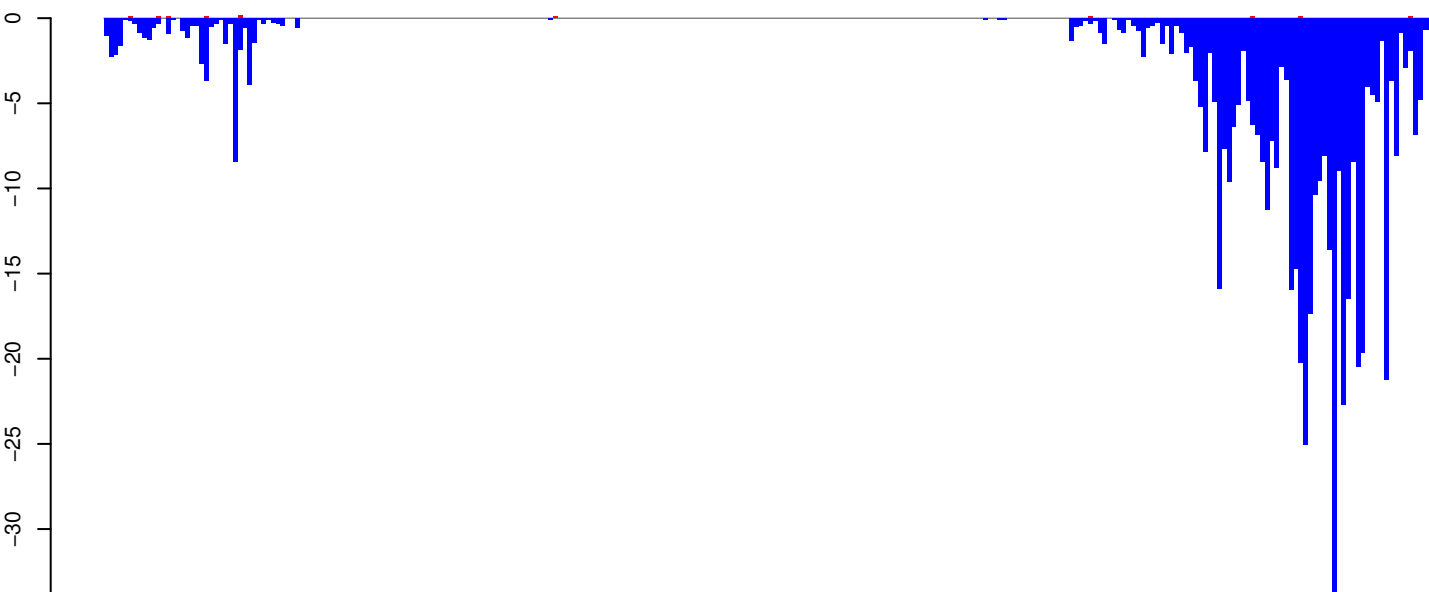
positive=1, negative=39, total=40

AeAeg_Aag2_Ago2_SINV_RA.24_35.rep



positive=0, negative=488, total=488

AeAeg_Aag2_Ago2_SINV_RA.rep

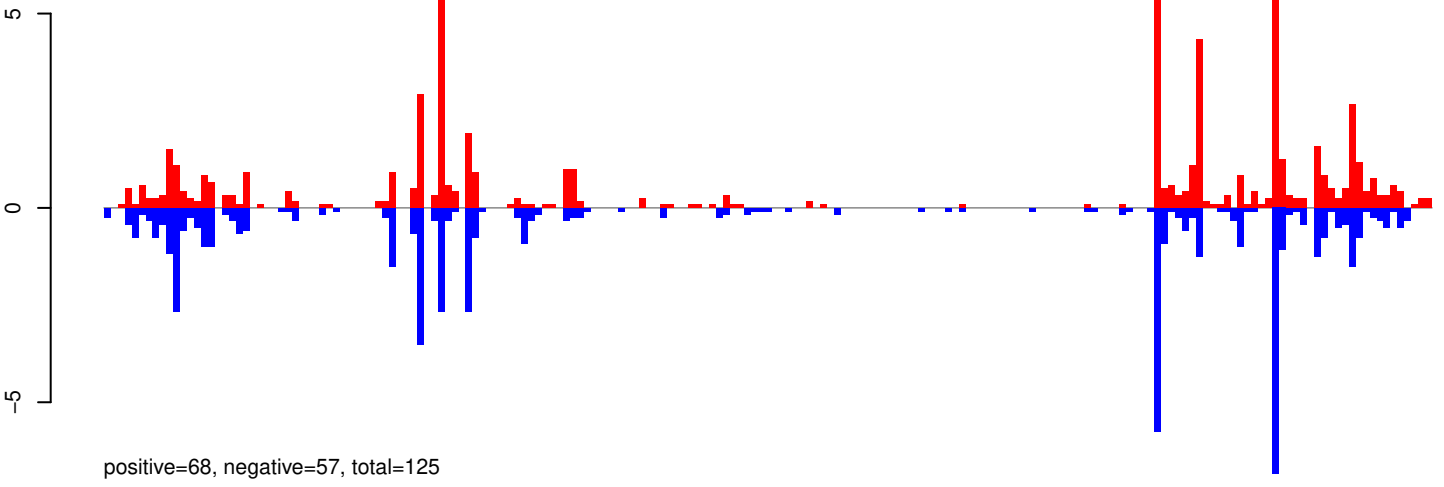


positive=1, negative=527, total=528

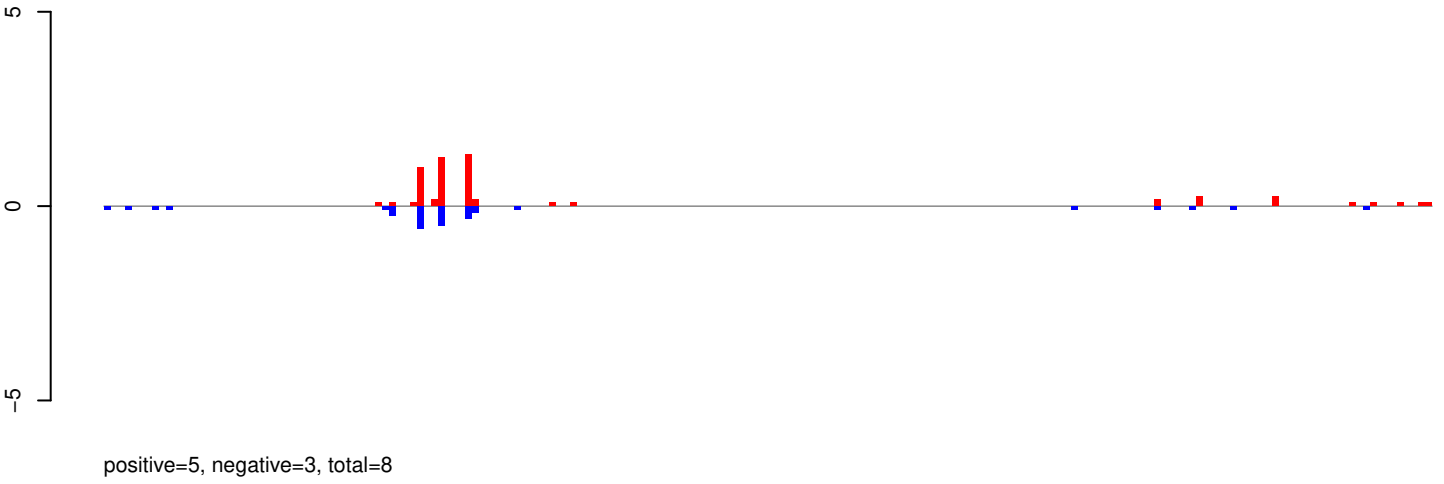
Window size=25, length=6931, TE@Gypsy-155_AA-LTR-I:1-6931

0 1000 2000 3000 4000 5000 6000 7000

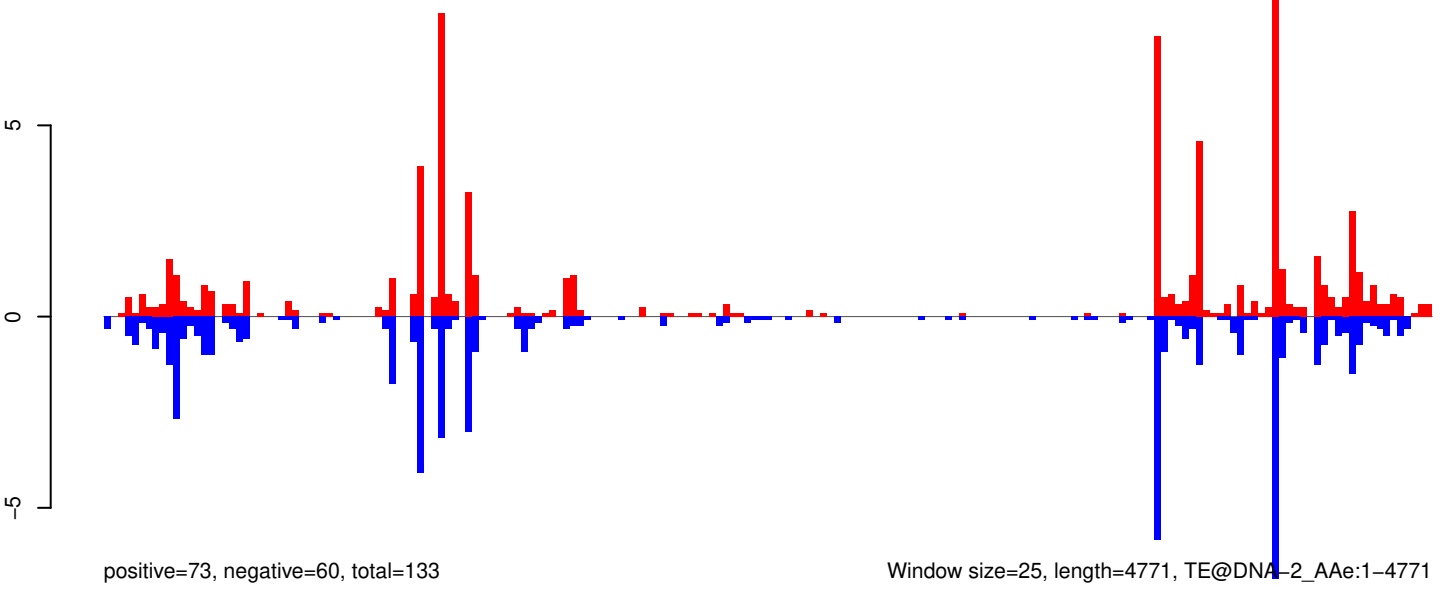
AeAeg_Aag2_Ago2_SINV_RA.18_23.rep



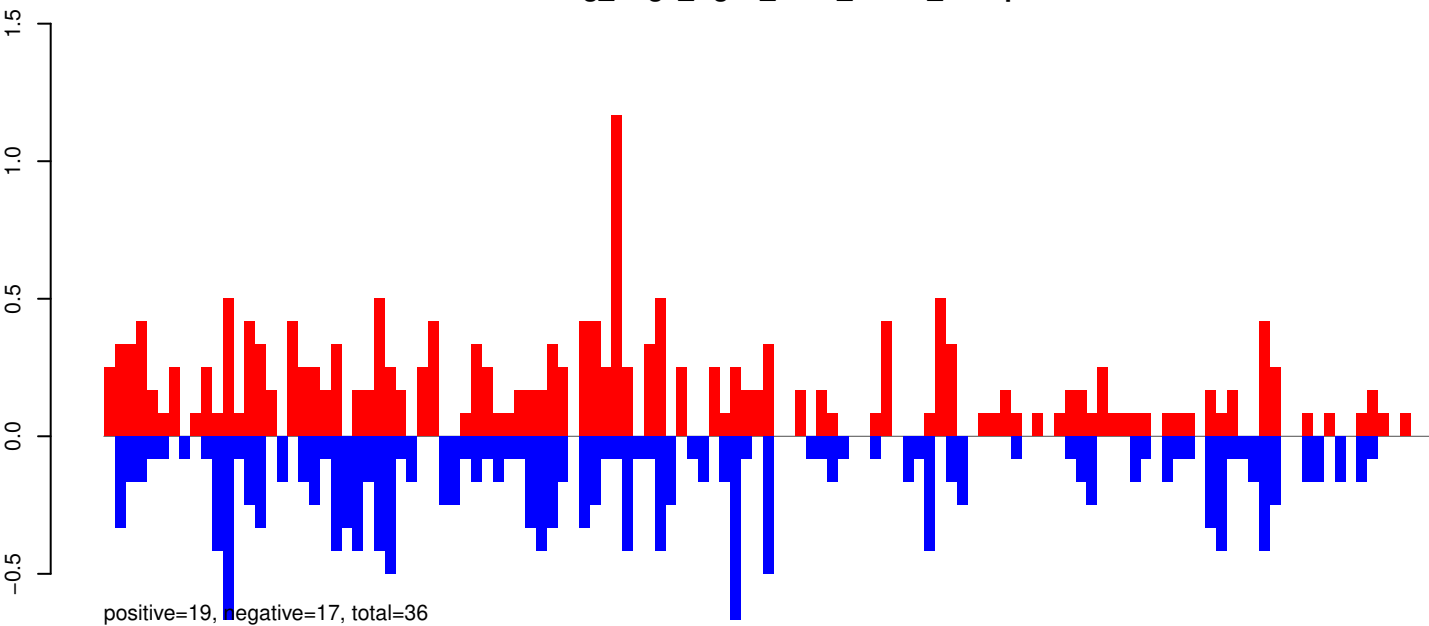
AeAeg_Aag2_Ago2_SINV_RA.24_35.rep



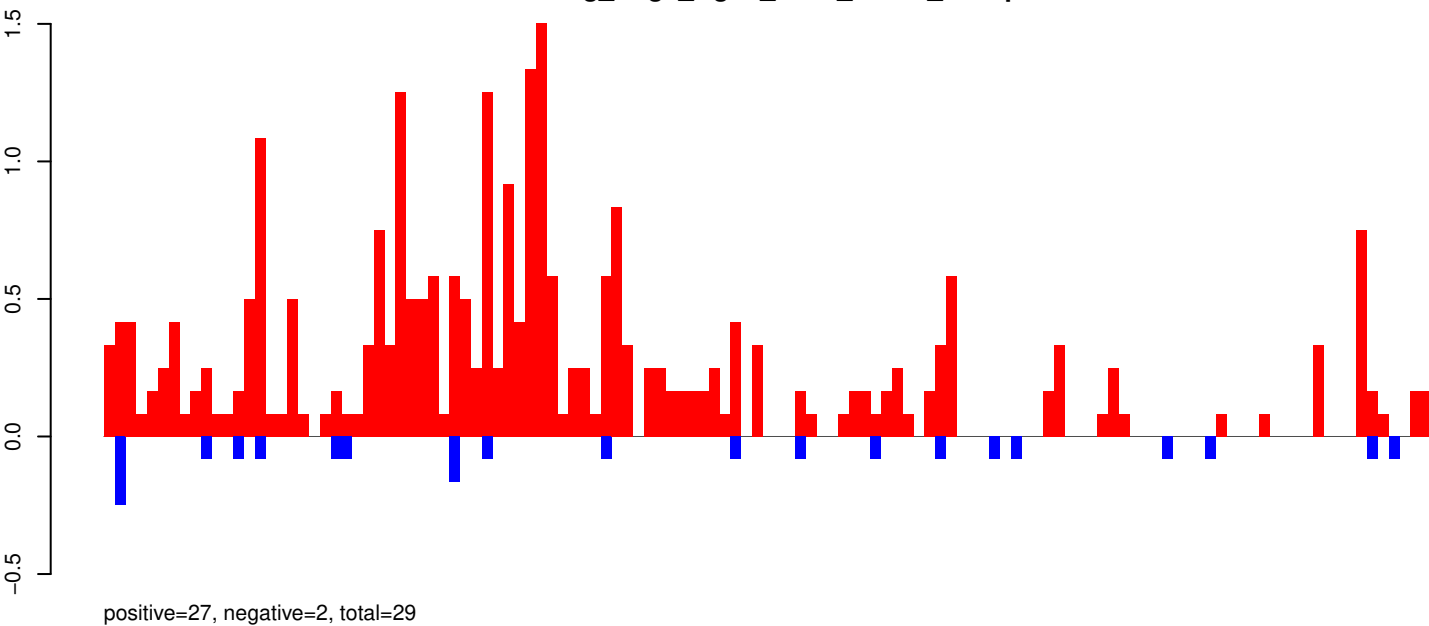
AeAeg_Aag2_Ago2_SINV_RA.rep



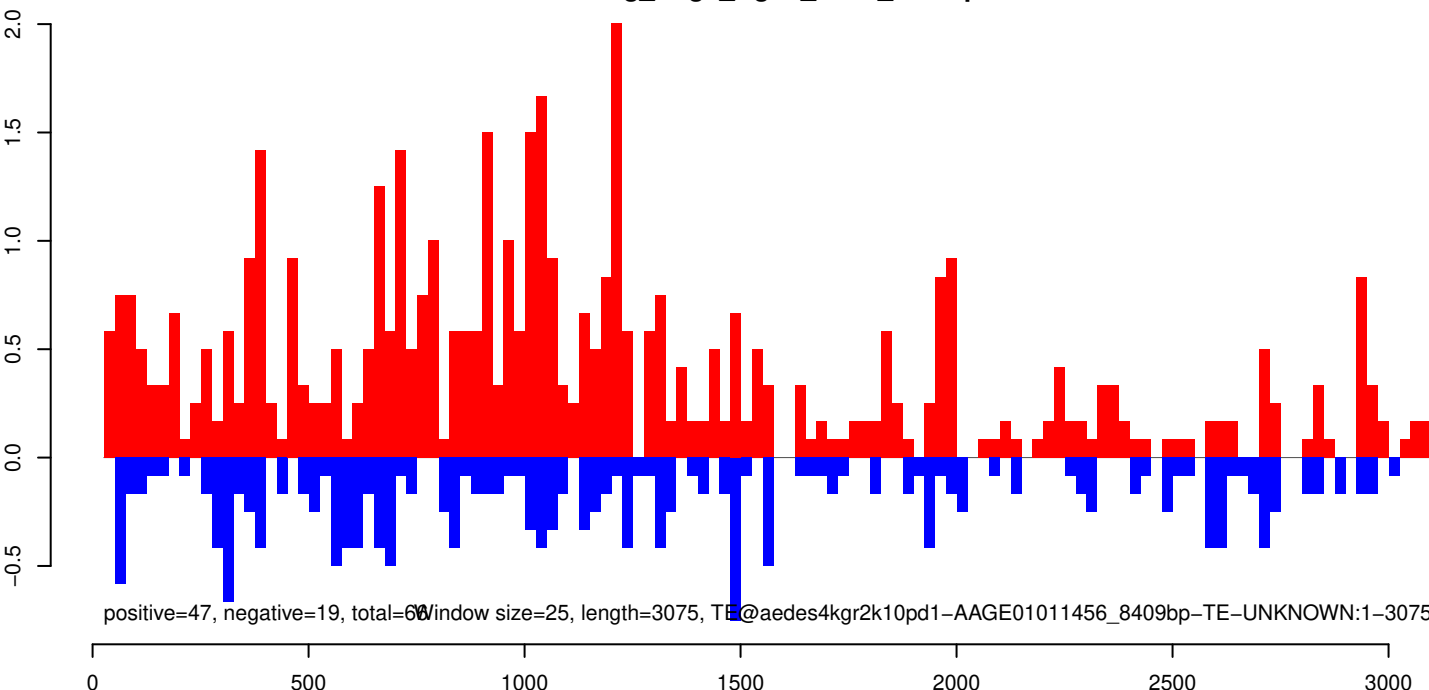
AeAeg_Aag2_Ago2_SINV_RA.18_23.rep



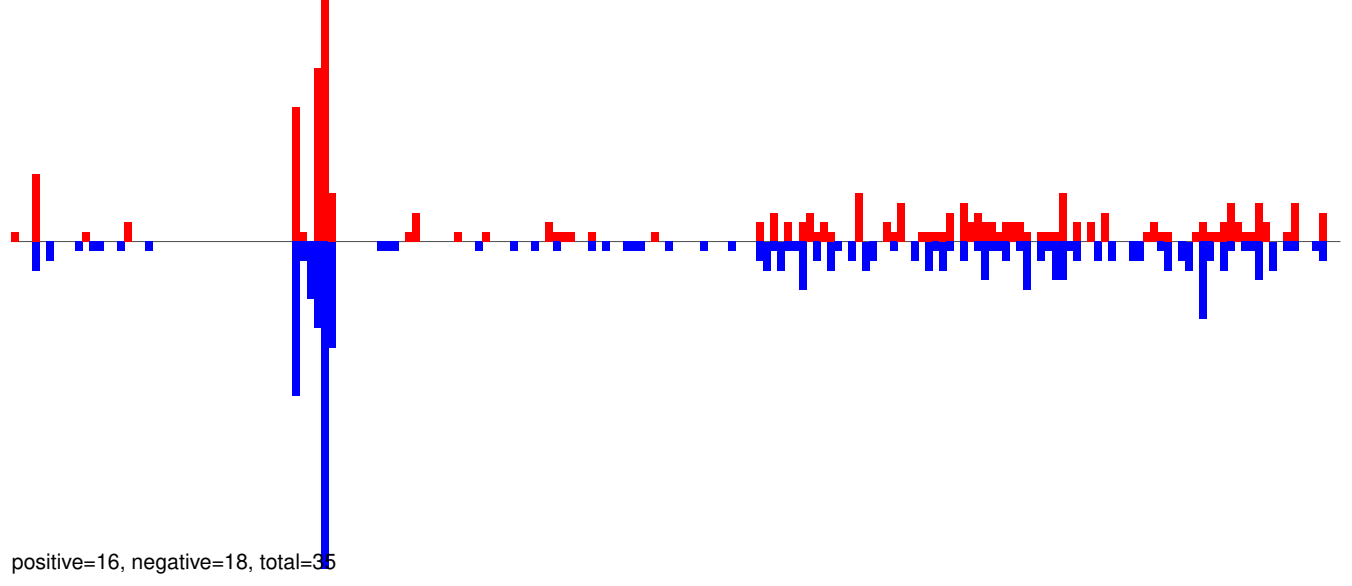
AeAeg_Aag2_Ago2_SINV_RA.24_35.rep



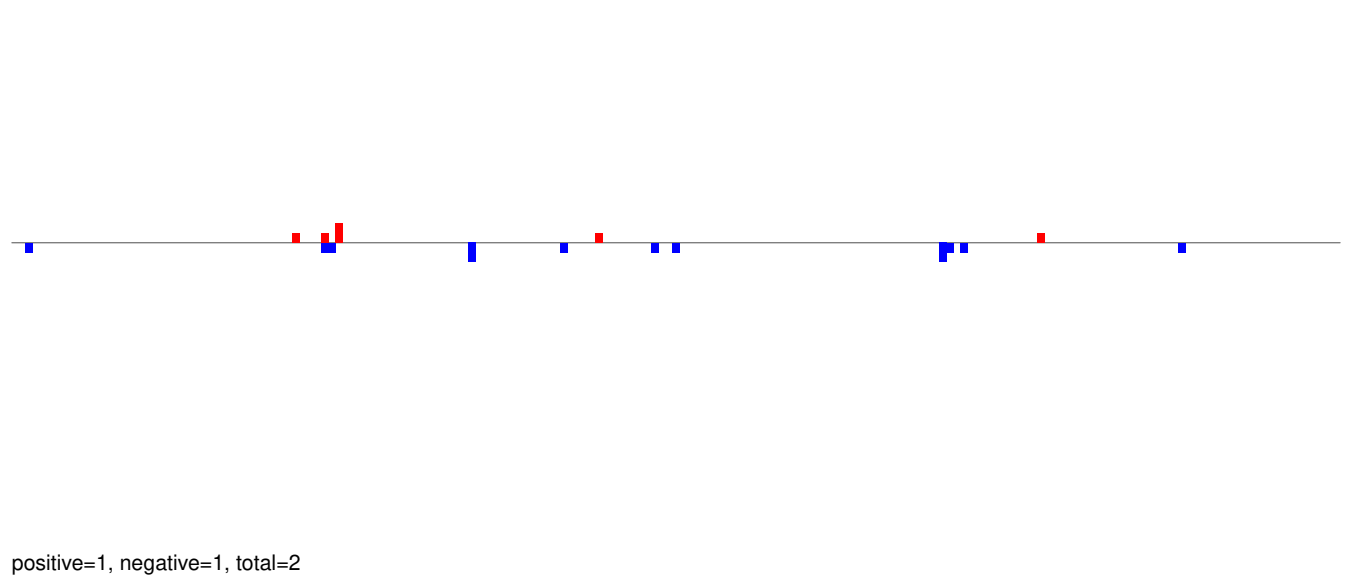
AeAeg_Aag2_Ago2_SINV_RA.rep



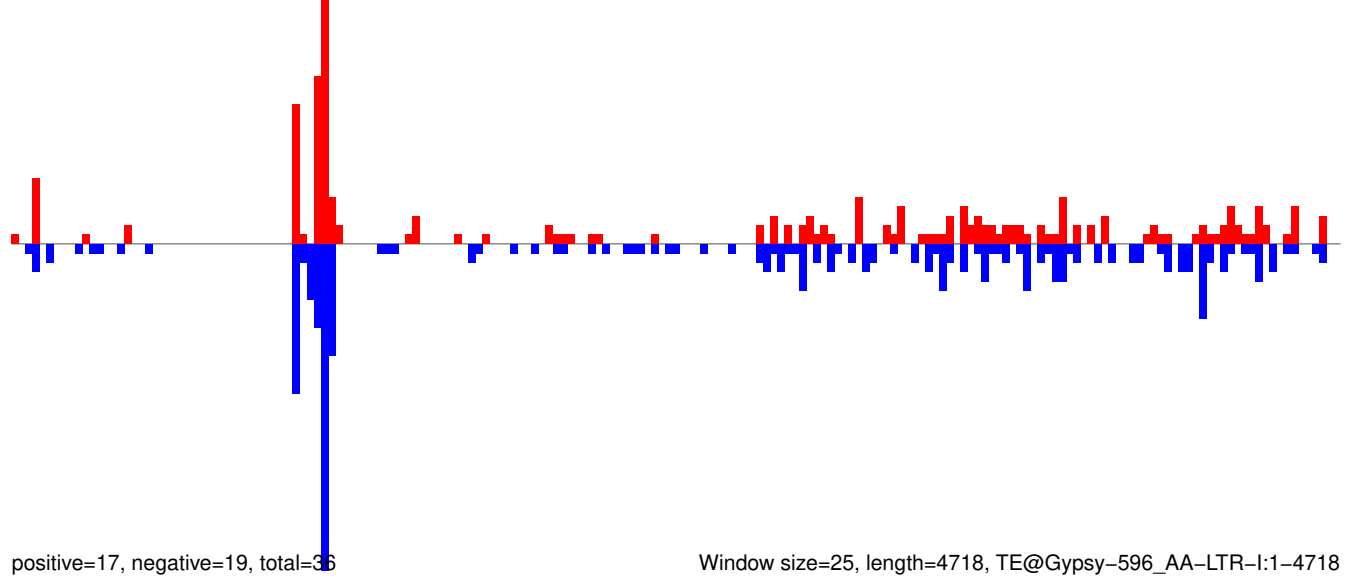
AeAeg_Aag2_Ago2_SINV_RA.18_23.rep



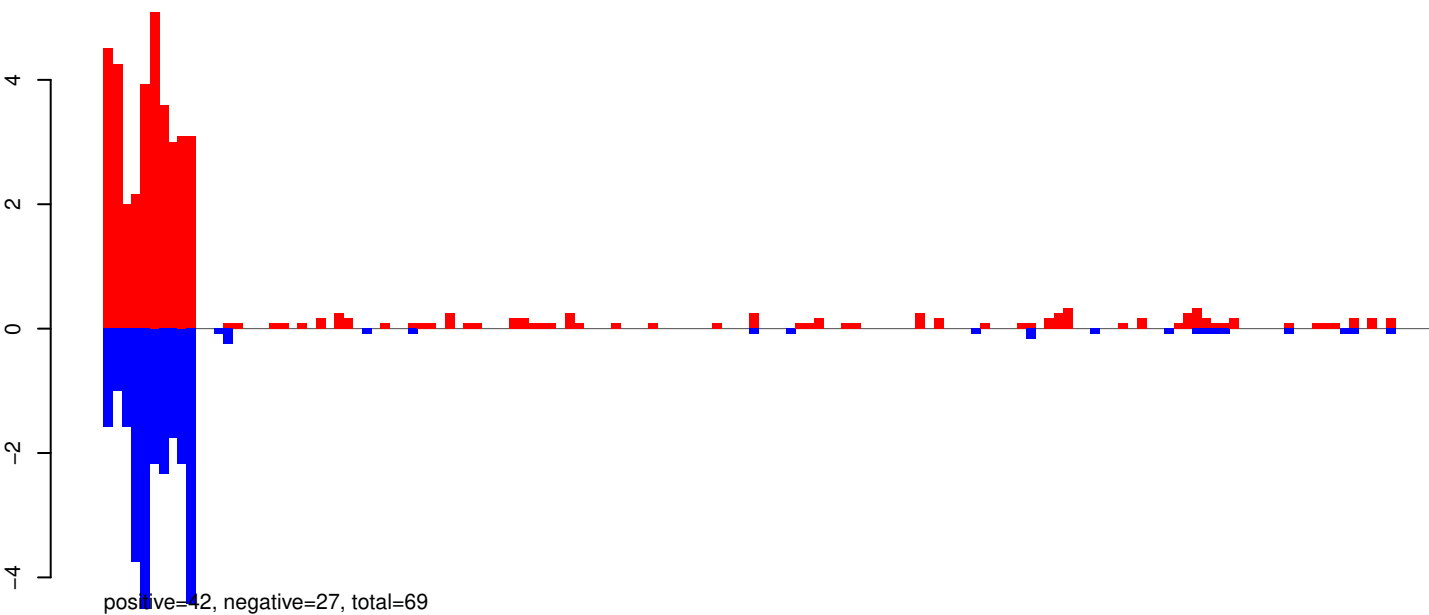
AeAeg_Aag2_Ago2_SINV_RA.24_35.rep



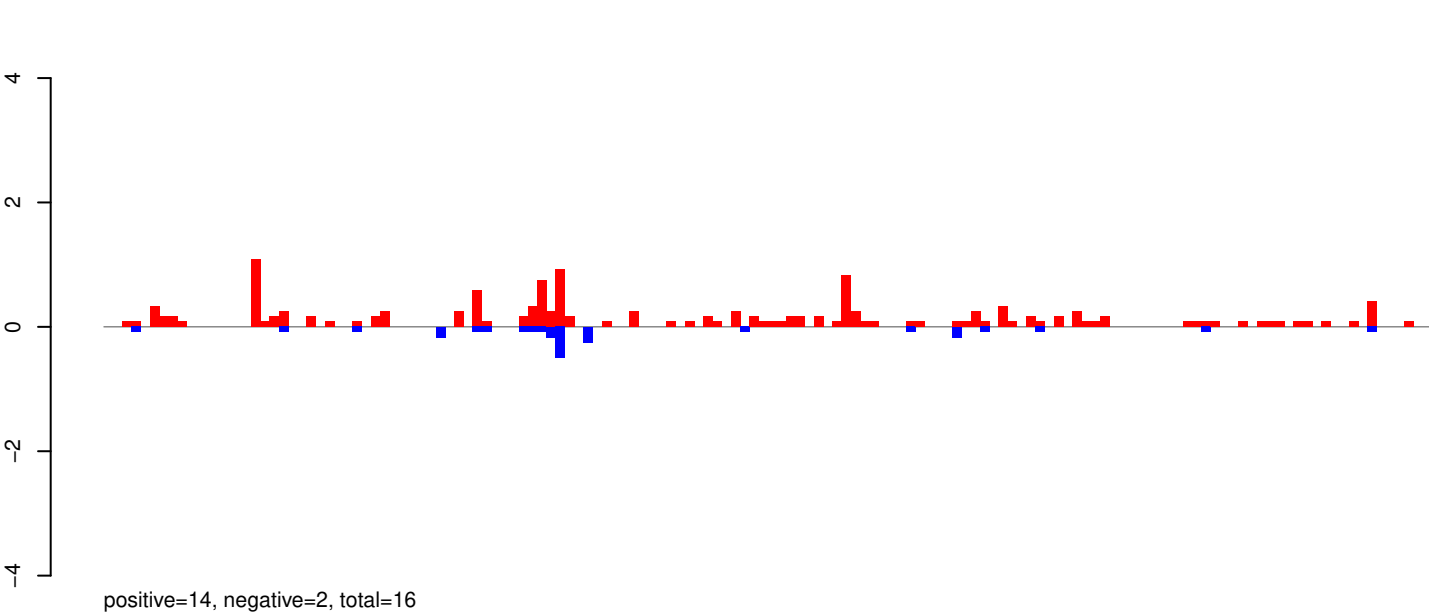
AeAeg_Aag2_Ago2_SINV_RA.rep



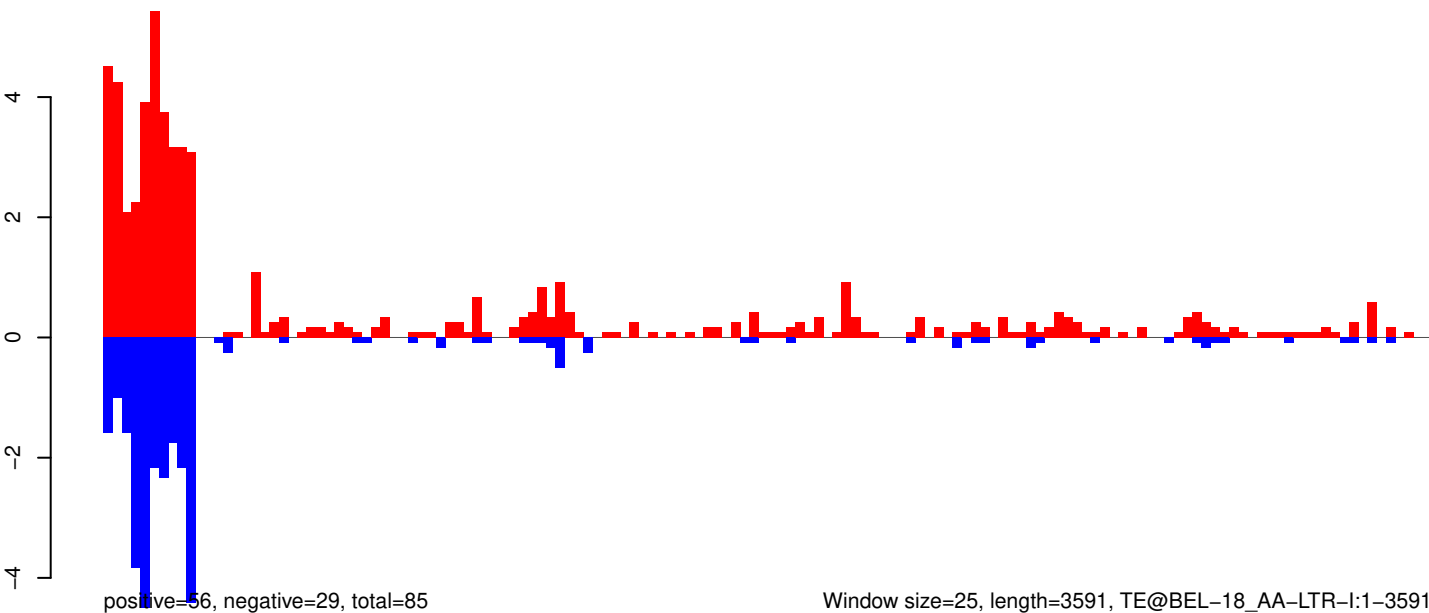
AeAeg_Aag2_Ago2_SINV_RA.18_23.rep



AeAeg_Aag2_Ago2_SINV_RA.24_35.rep

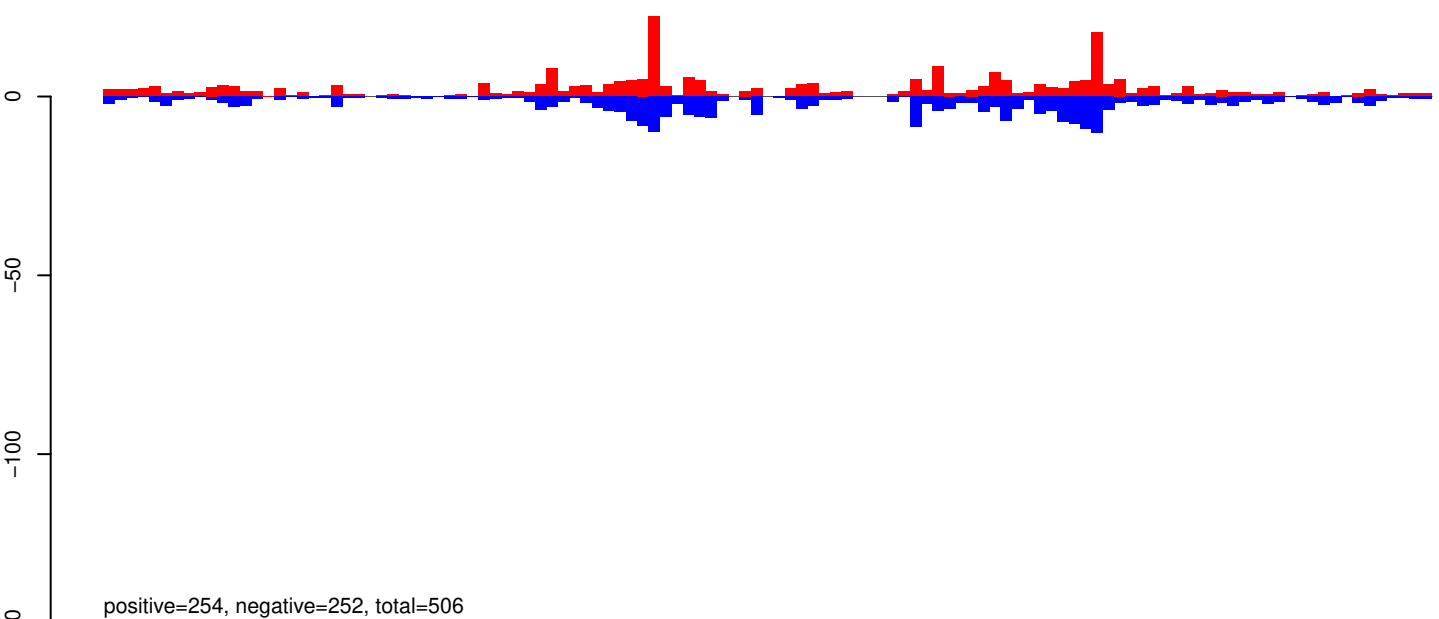


AeAeg_Aag2_Ago2_SINV_RA.rep

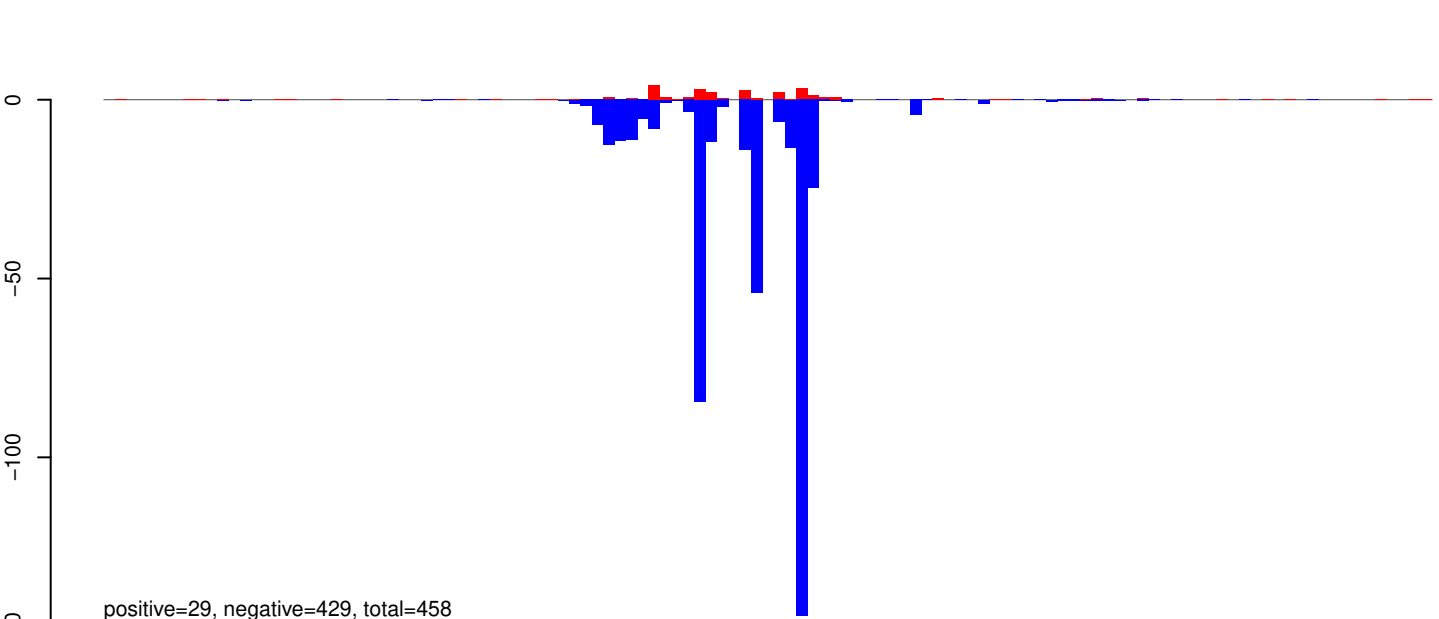


Window size=25, length=3591, TE@BEL-18_AA-LTR-I:1-3591

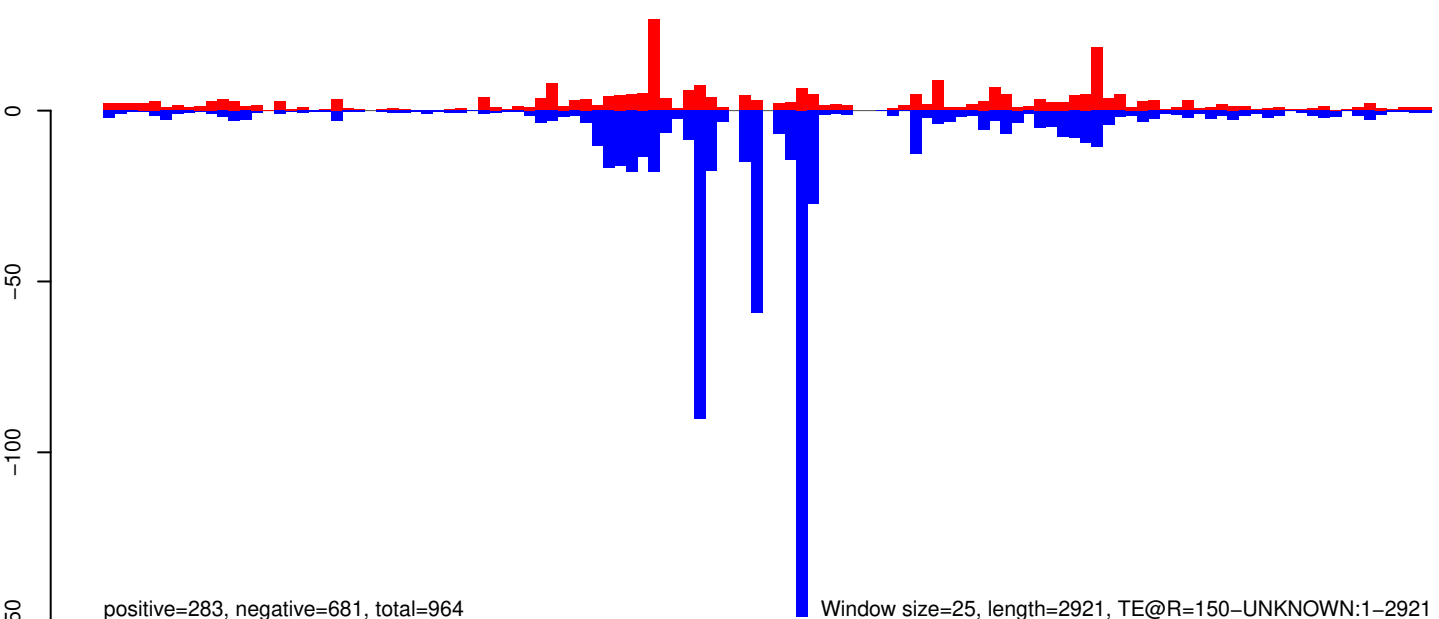
AeAeg_Aag2_Ago2_SINV_RA.18_23.rep



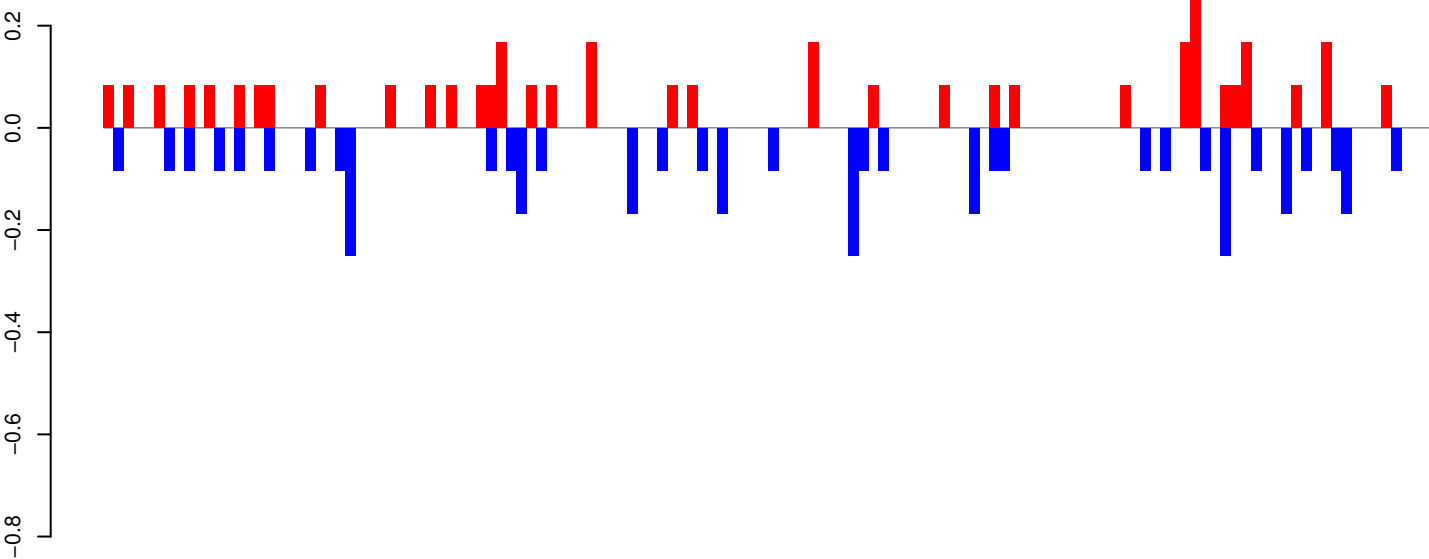
AeAeg_Aag2_Ago2_SINV_RA.24_35.rep



AeAeg_Aag2_Ago2_SINV_RA.rep

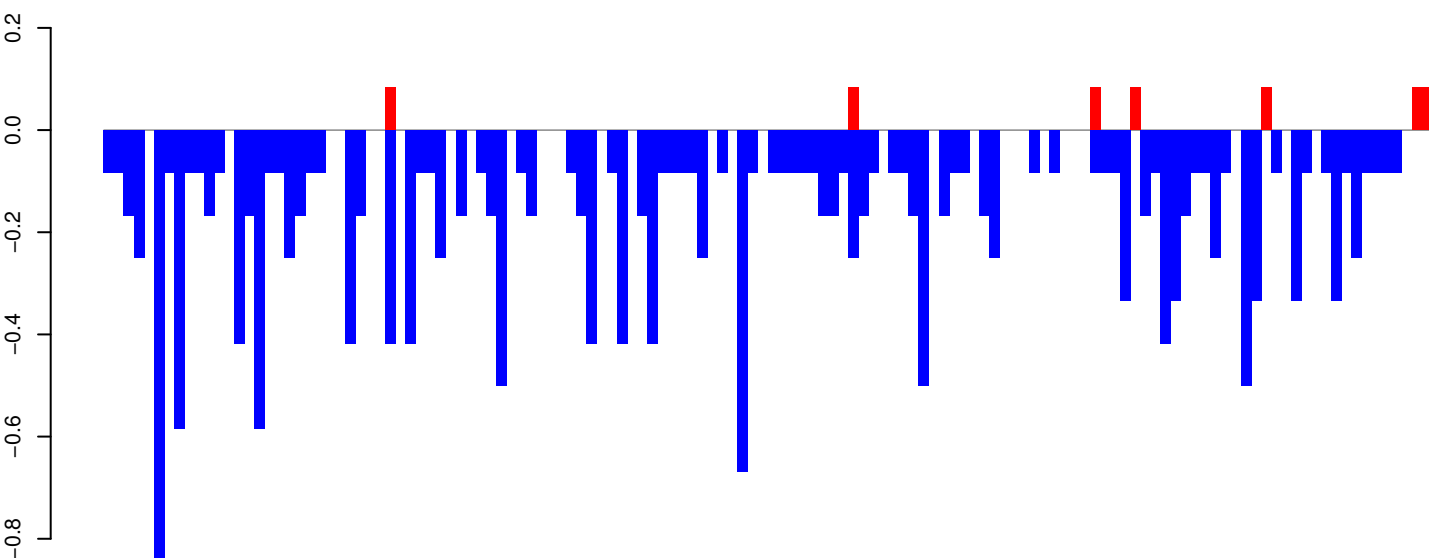


AeAeg_Aag2_Ago2_SINV_RA.18_23.rep



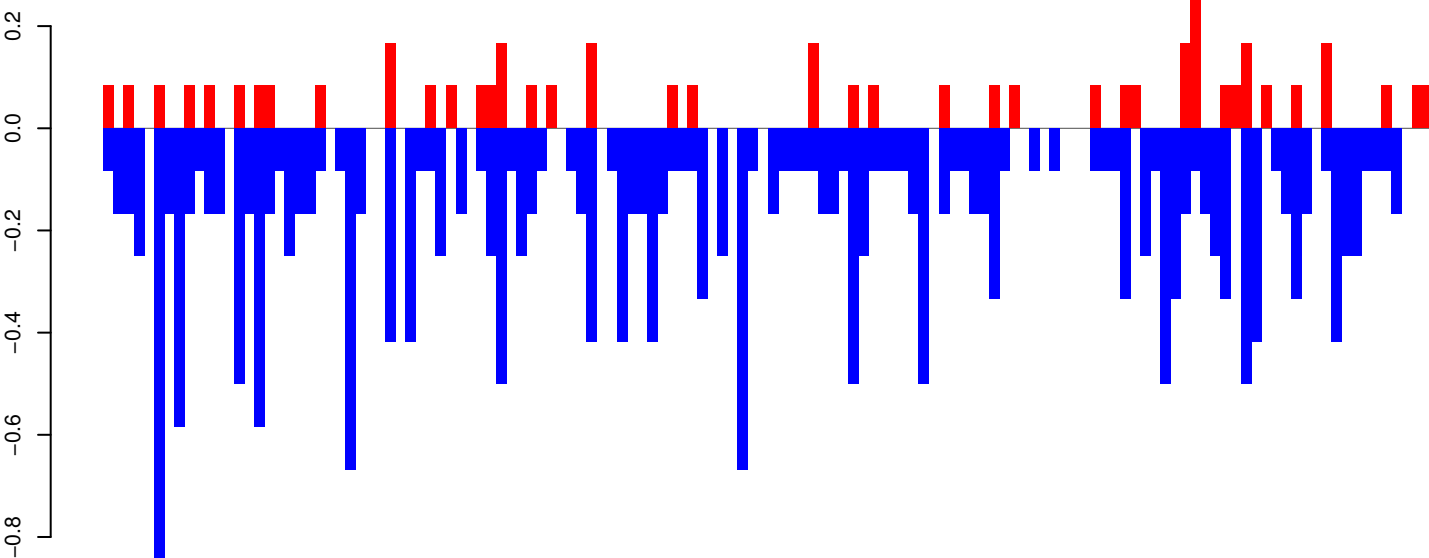
positive=4, negative=4, total=7

AeAeg_Aag2_Ago2_SINV_RA.24_35.rep



positive=1, negative=18, total=19

AeAeg_Aag2_Ago2_SINV_RA.rep

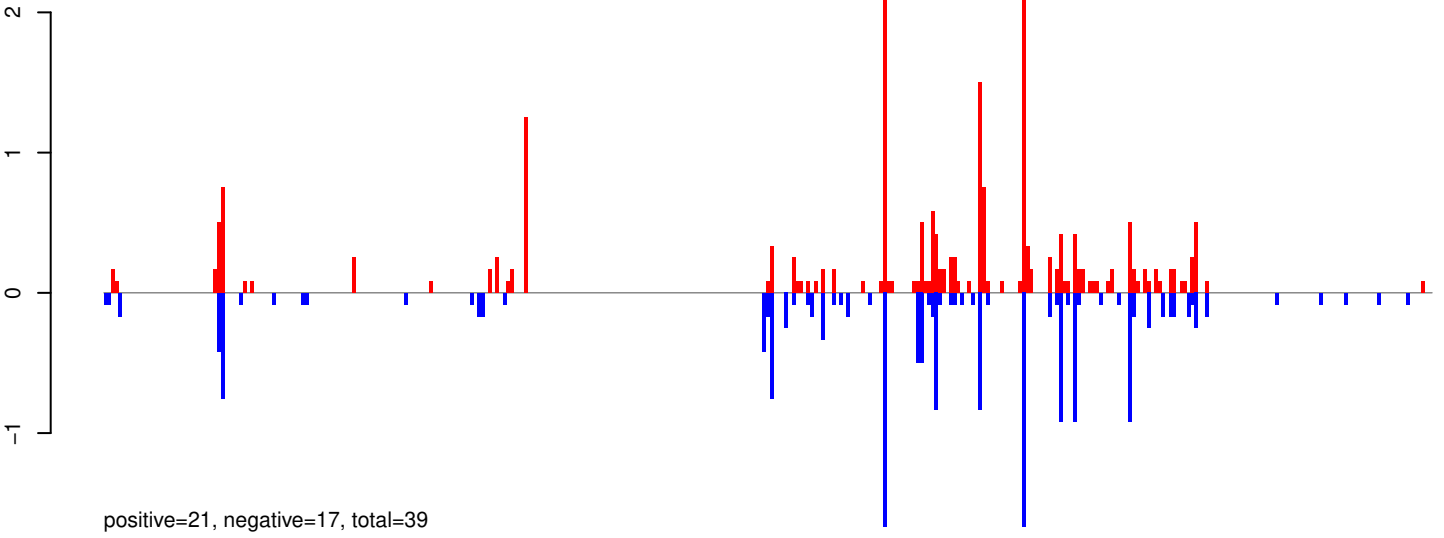


positive=4, negative=22, total=26

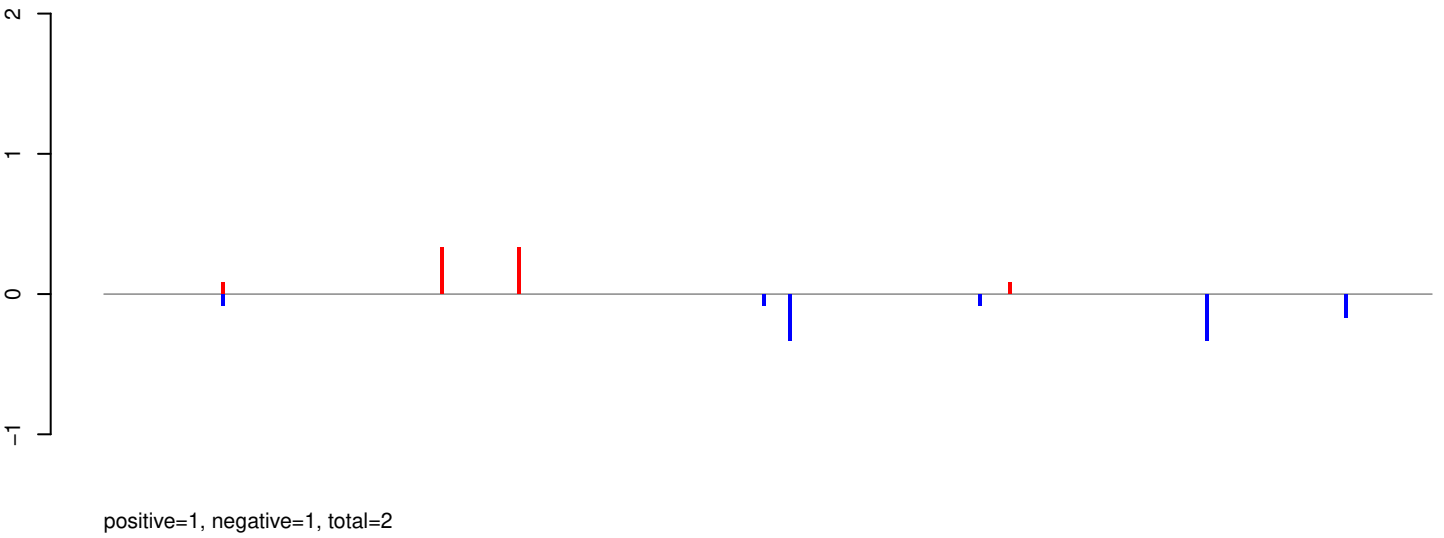
Window size=25, length=3288, TE@R=1147-UNKNOWN:1-3288

0 500 1000 1500 2000 2500 3000

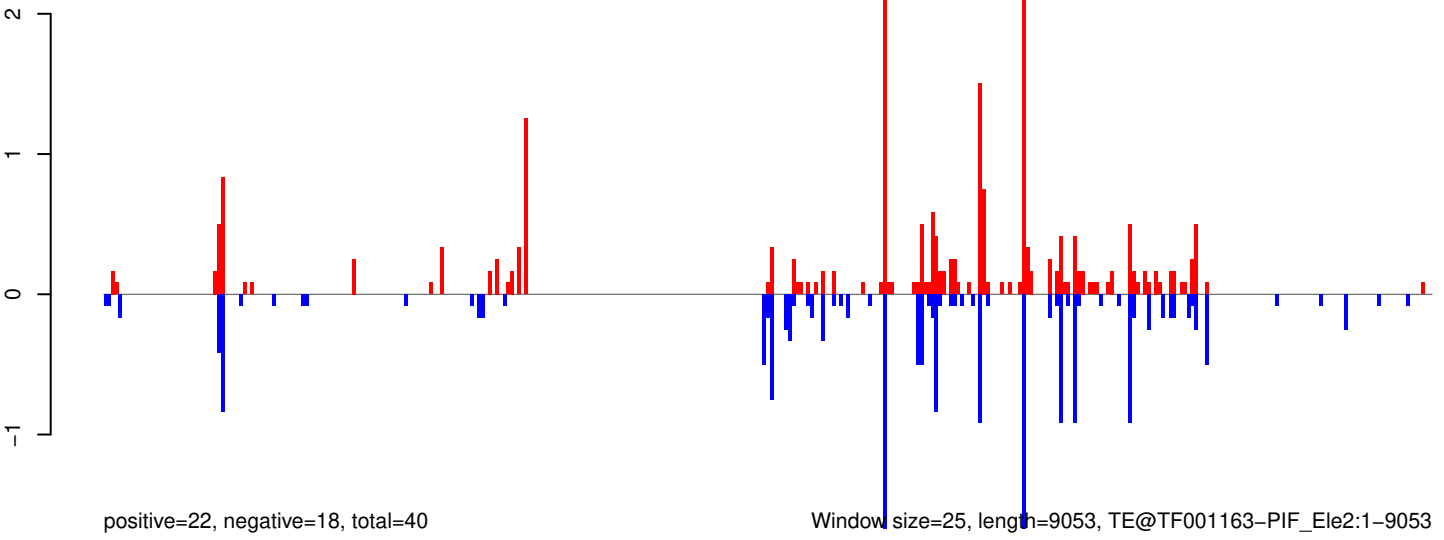
AeAeg_Aag2_Ago2_SINV_RA.18_23.rep



AeAeg_Aag2_Ago2_SINV_RA.24_35.rep

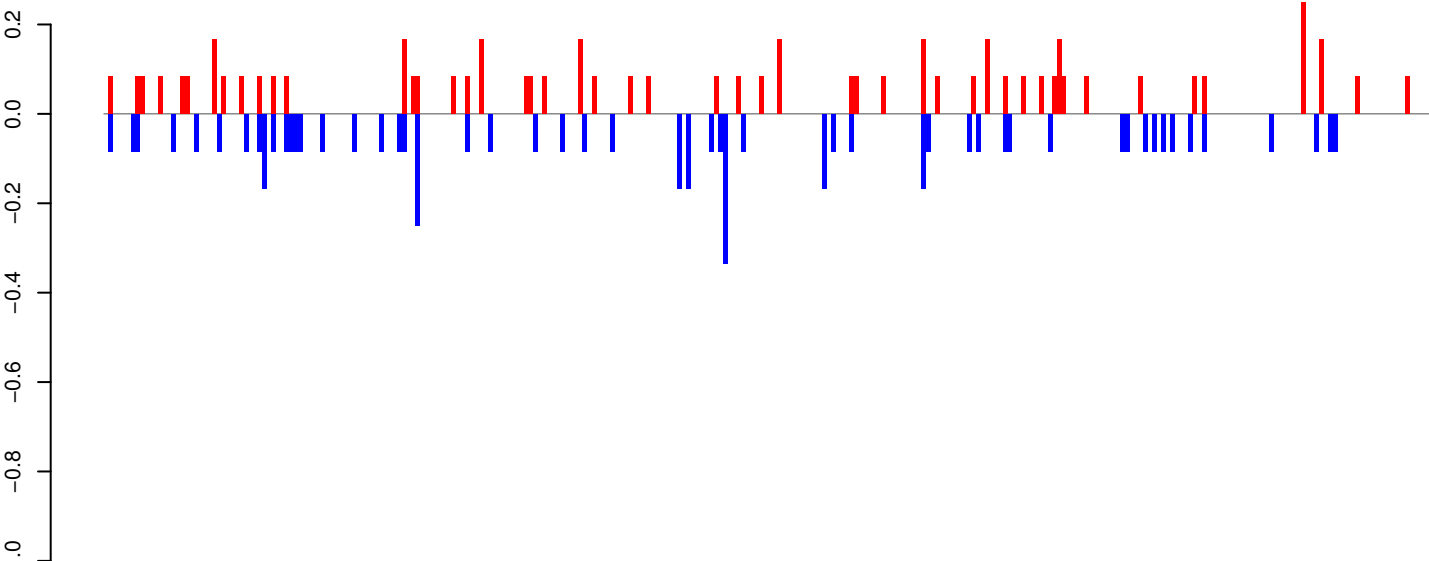


AeAeg_Aag2_Ago2_SINV_RA.rep



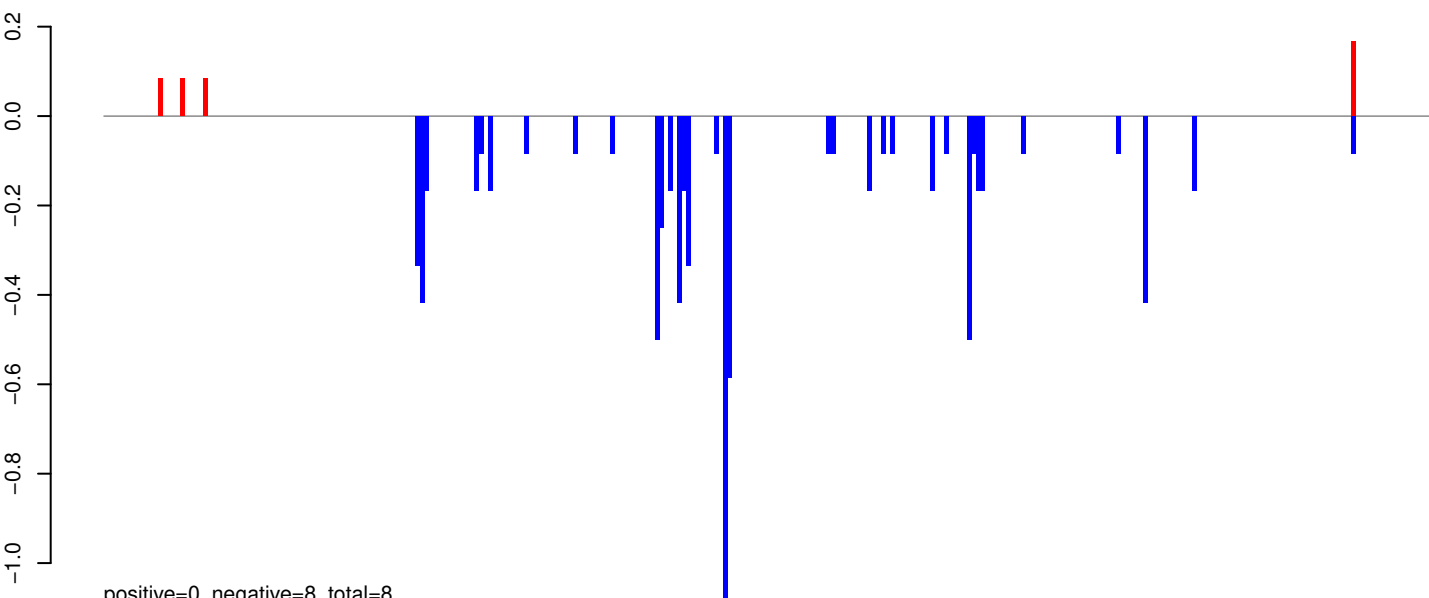
0 2000 4000 6000 8000

AeAeg_Aag2_Ago2_SINV_RA.18_23.rep



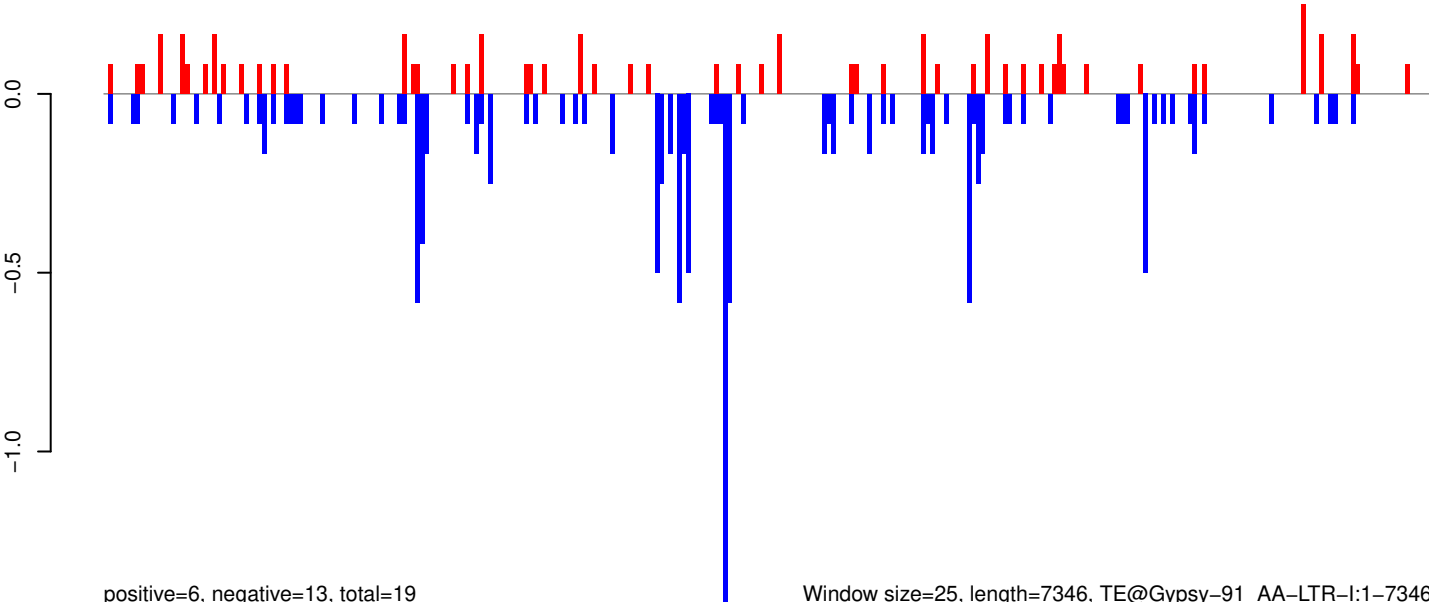
positive=5, negative=5, total=10

AeAeg_Aag2_Ago2_SINV_RA.24_35.rep



positive=0, negative=8, total=8

AeAeg_Aag2_Ago2_SINV_RA.rep



positive=6, negative=13, total=19

Window size=25, length=7346, TE@Gypsy-91_AA-LTR-I:1-7346

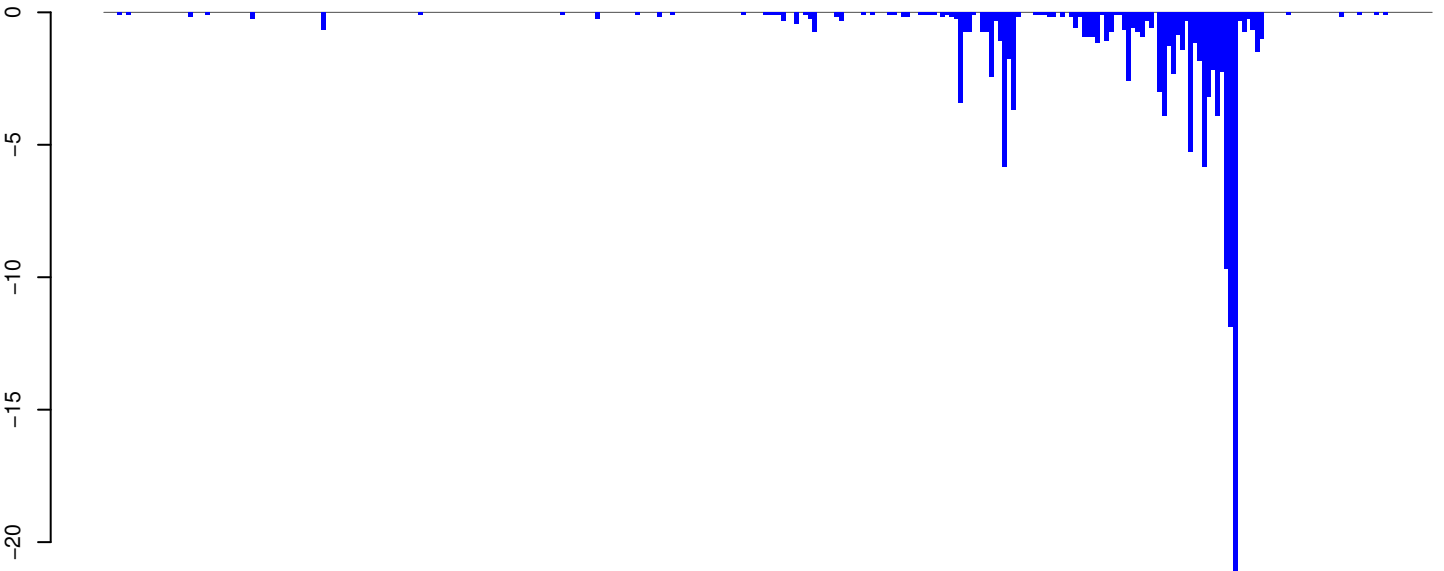
0 2000 4000 6000

AeAeg_Aag2_Ago2_SINV_RA.18_23.rep



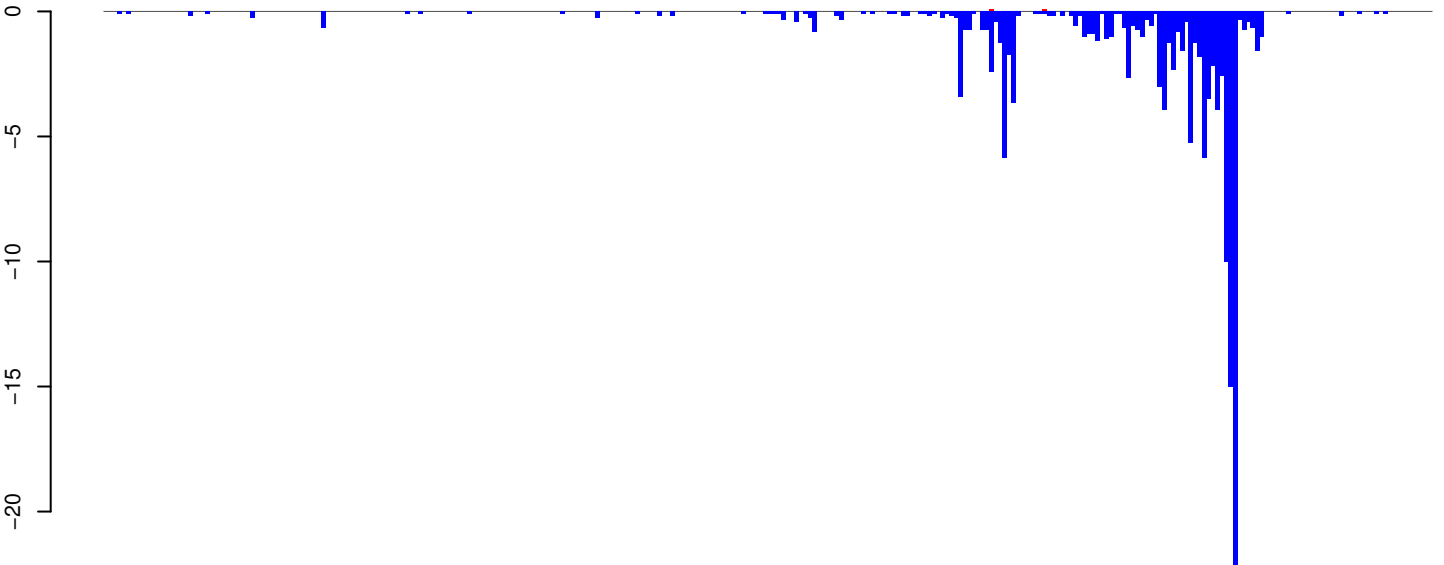
positive=0, negative=7, total=8

AeAeg_Aag2_Ago2_SINV_RA.24_35.rep



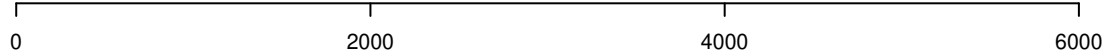
positive=0, negative=130, total=130

AeAeg_Aag2_Ago2_SINV_RA.rep

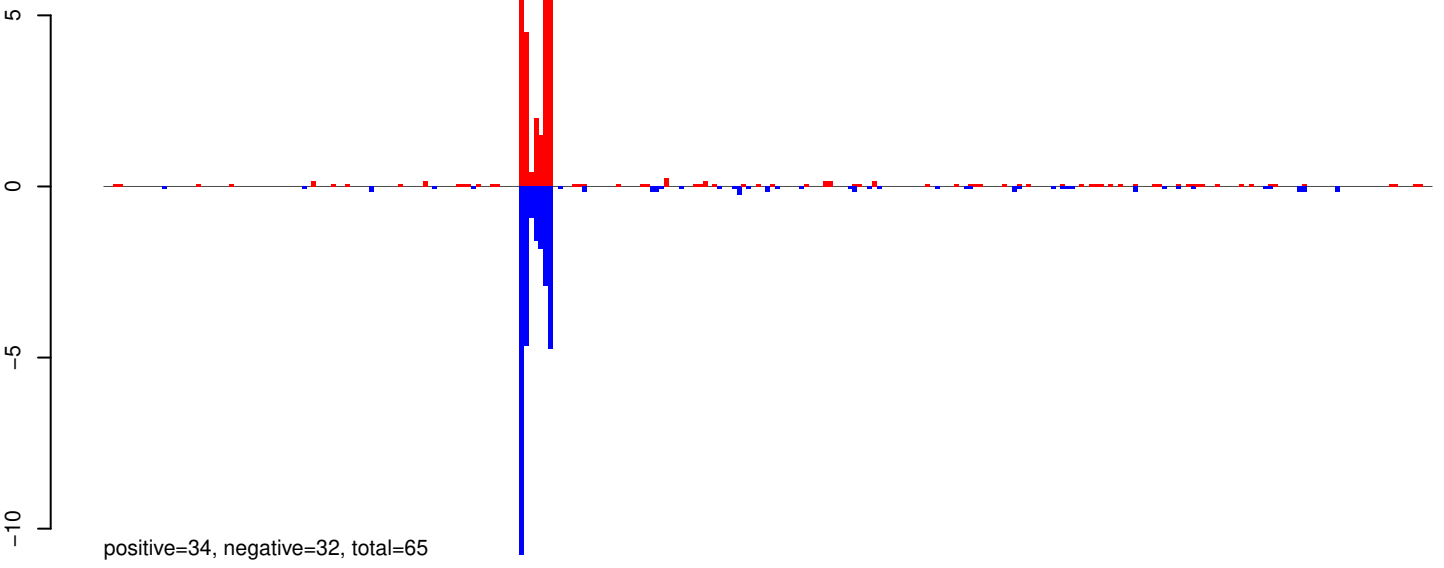


positive=0, negative=138, total=138

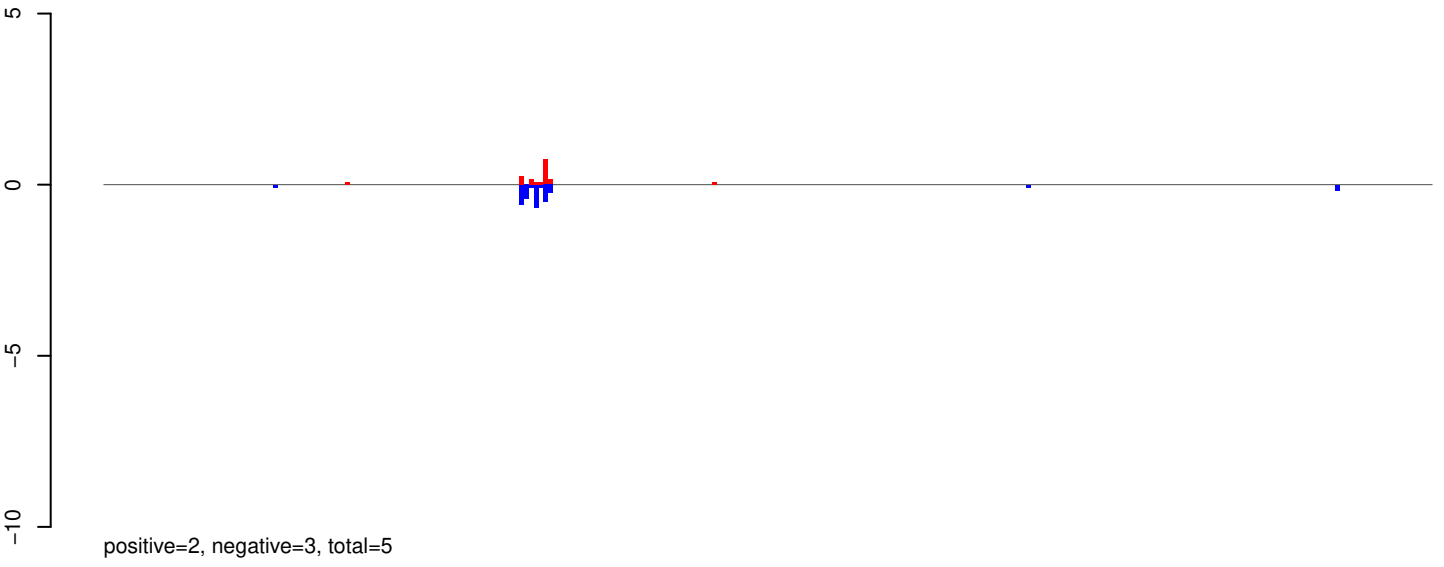
Window size=25, length=7479, TE@TF000319-Ty3_gypsy_Ele56:1-7479



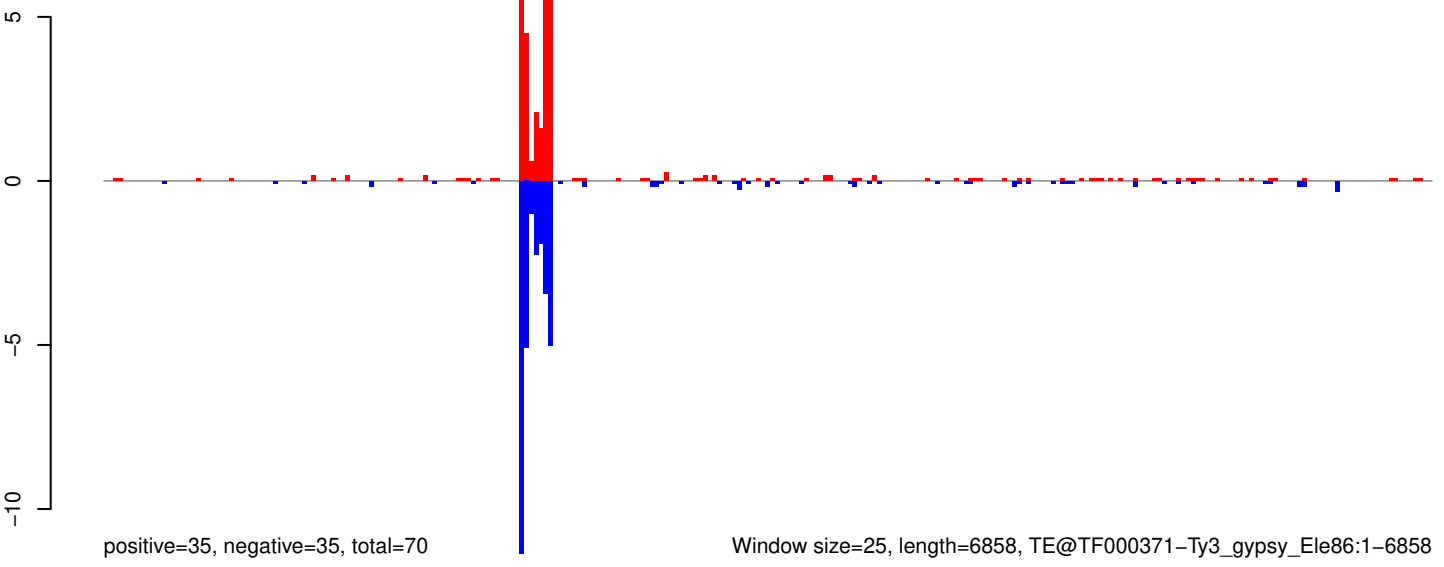
AeAeg_Aag2_Ago2_SINV_RA.18_23.rep



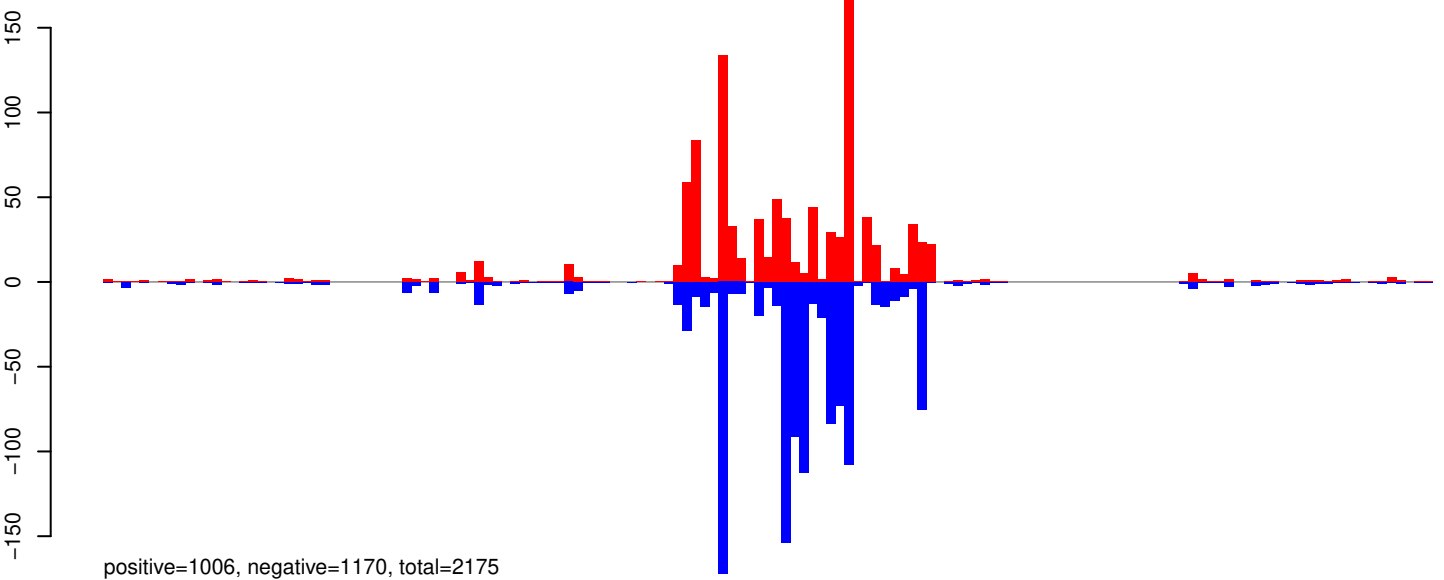
AeAeg_Aag2_Ago2_SINV_RA.24_35.rep



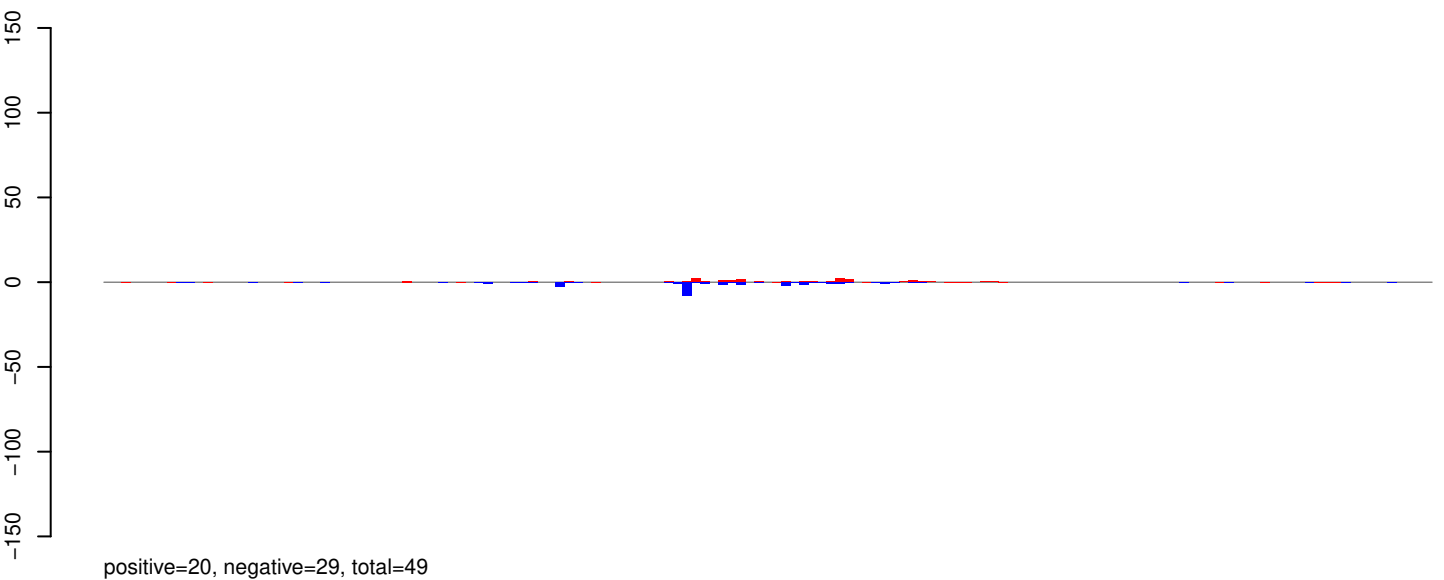
AeAeg_Aag2_Ago2_SINV_RA.rep



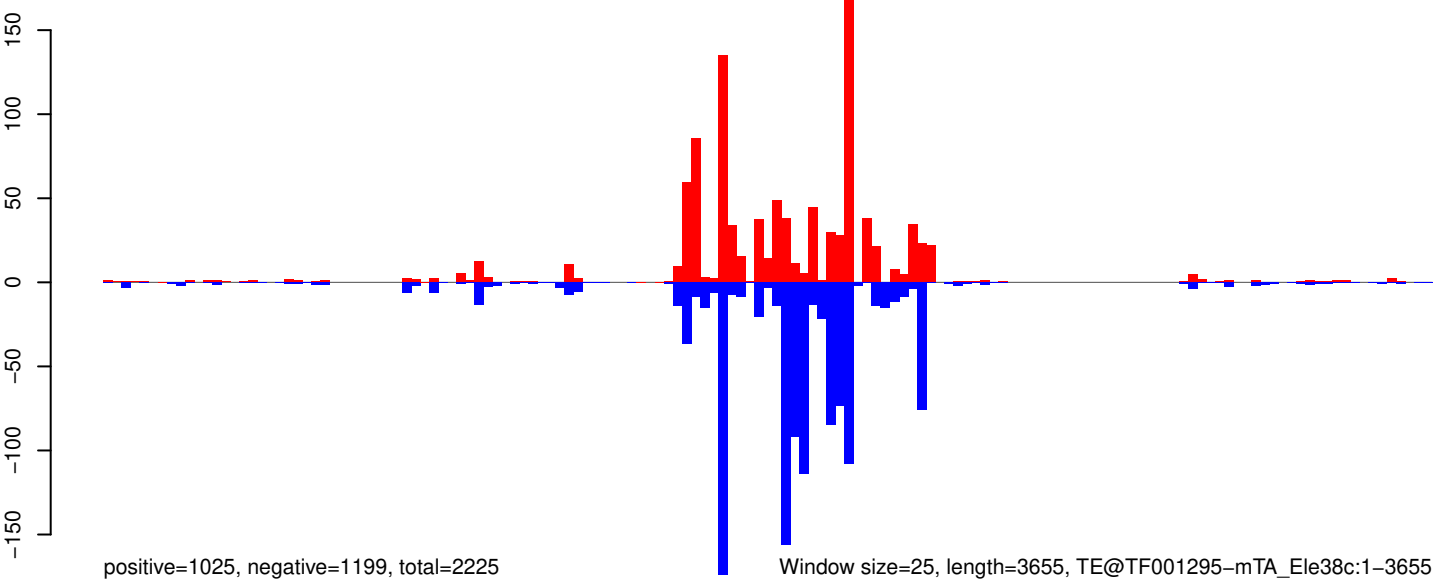
AeAeg_Aag2_Ago2_SINV_RA.18_23.rep



AeAeg_Aag2_Ago2_SINV_RA.24_35.rep

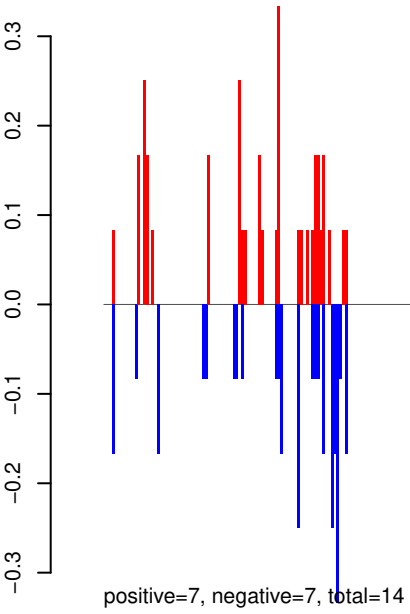


AeAeg_Aag2_Ago2_SINV_RA.rep

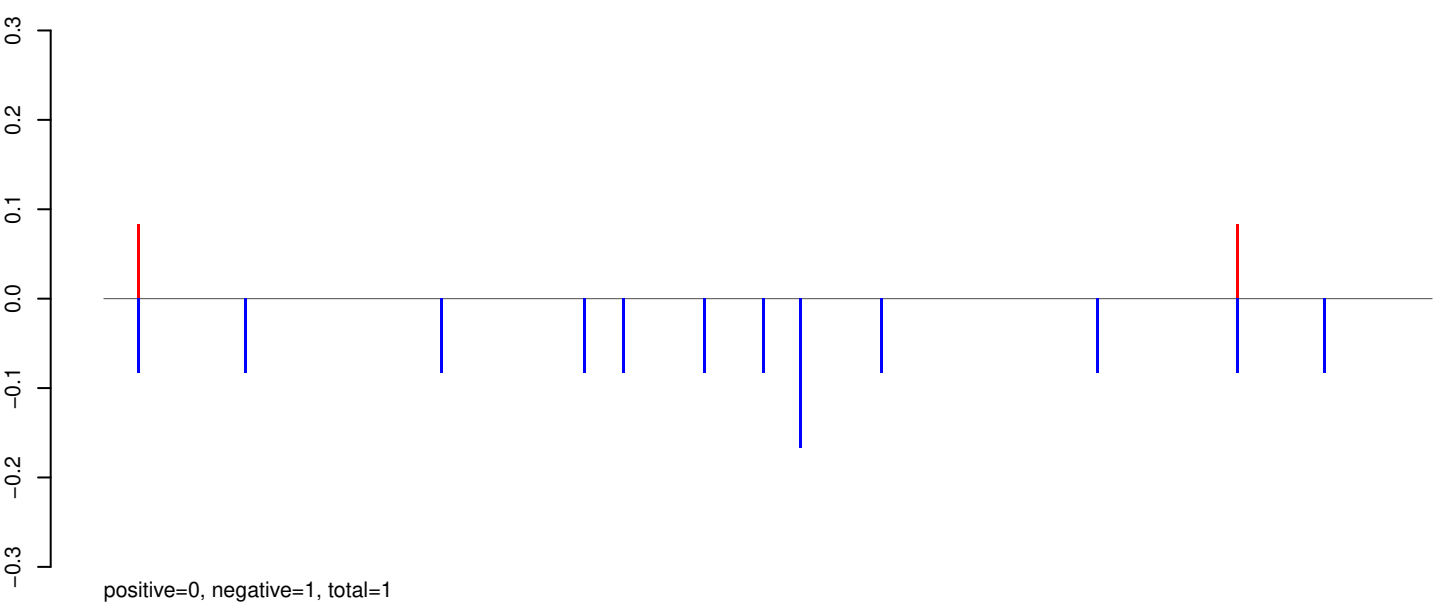


0 1000 2000 3000

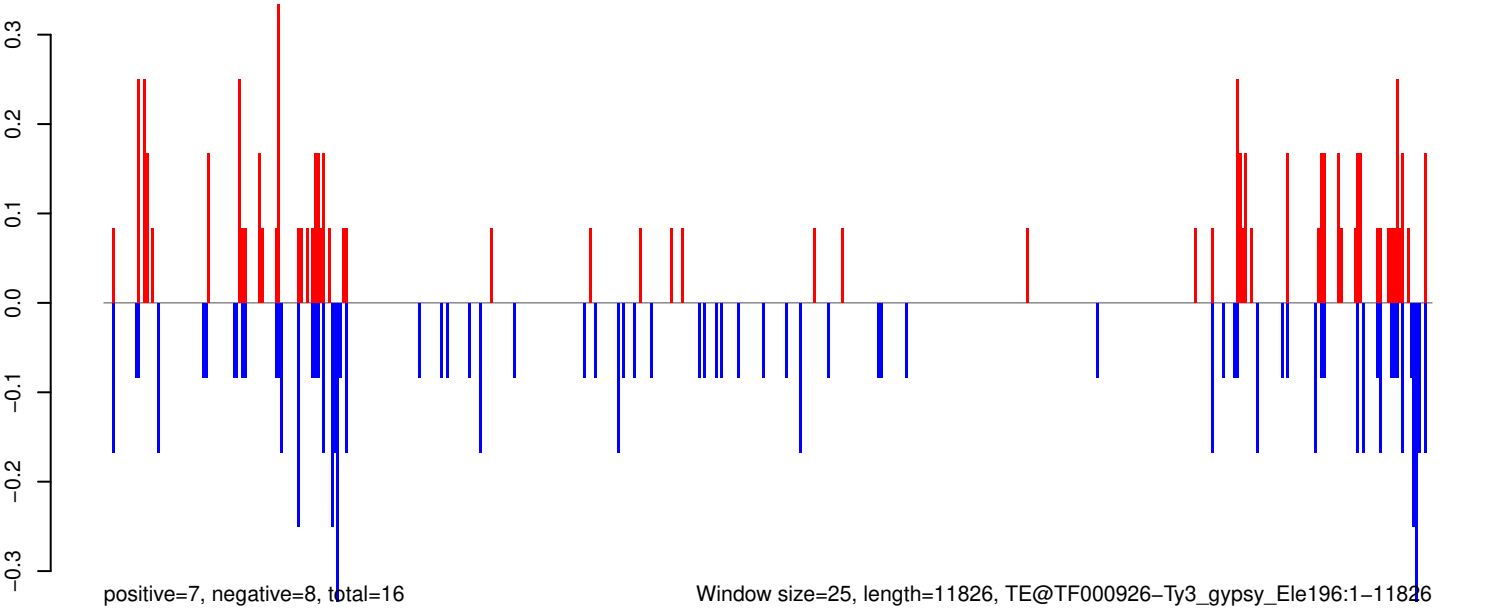
AeAeg_Aag2_Ago2_SINV_RA.18_23.rep



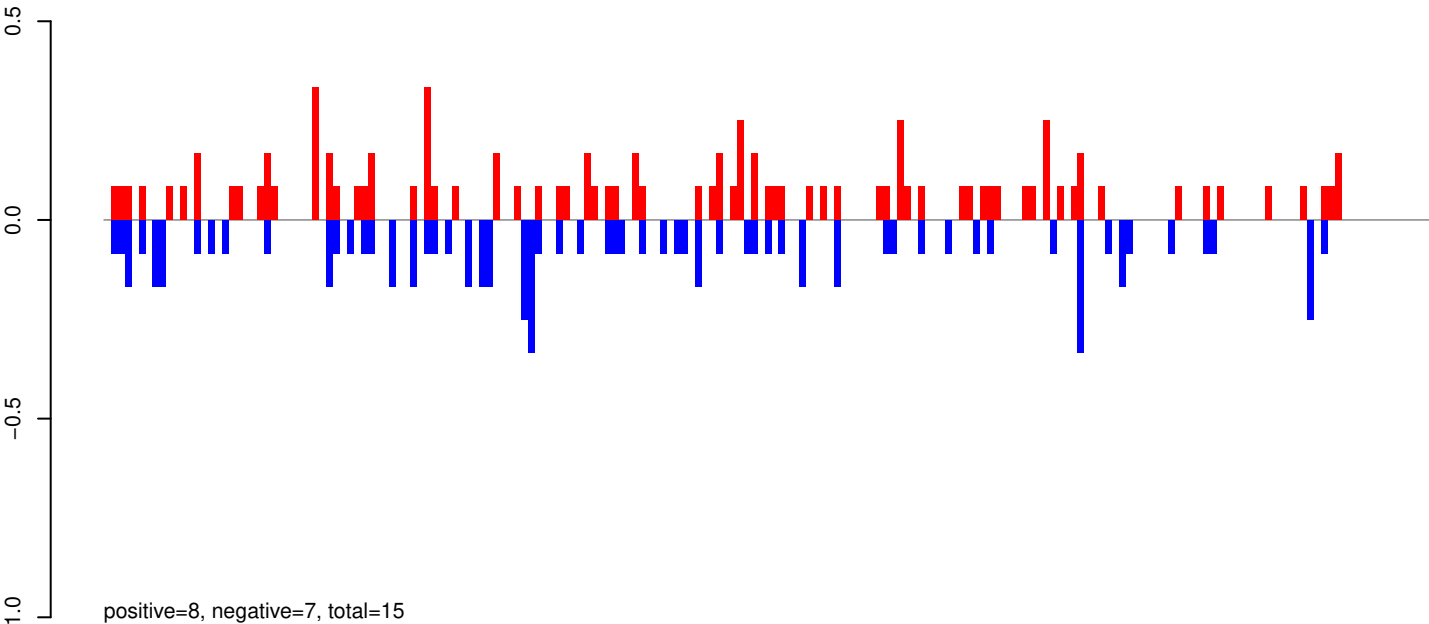
AeAeg_Aag2_Ago2_SINV_RA.24_35.rep



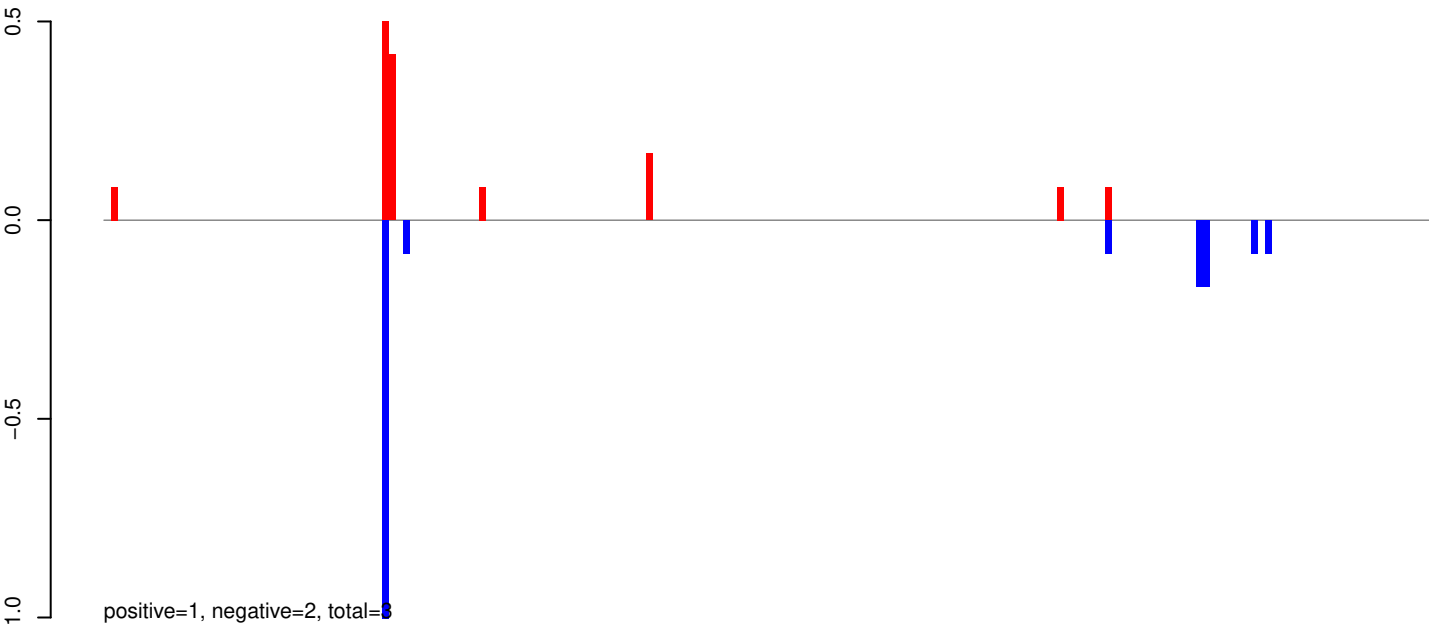
AeAeg_Aag2_Ago2_SINV_RA.rep



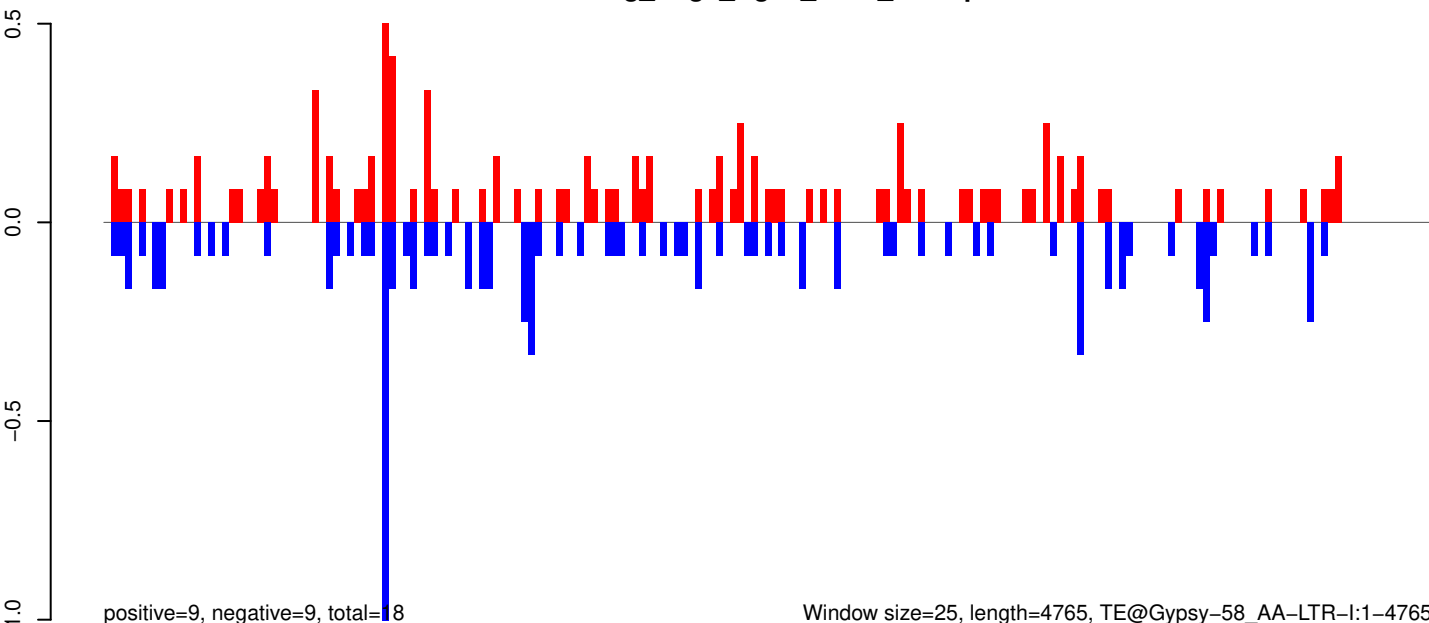
AeAeg_Aag2_Ago2_SINV_RA.18_23.rep



AeAeg_Aag2_Ago2_SINV_RA.24_35.rep



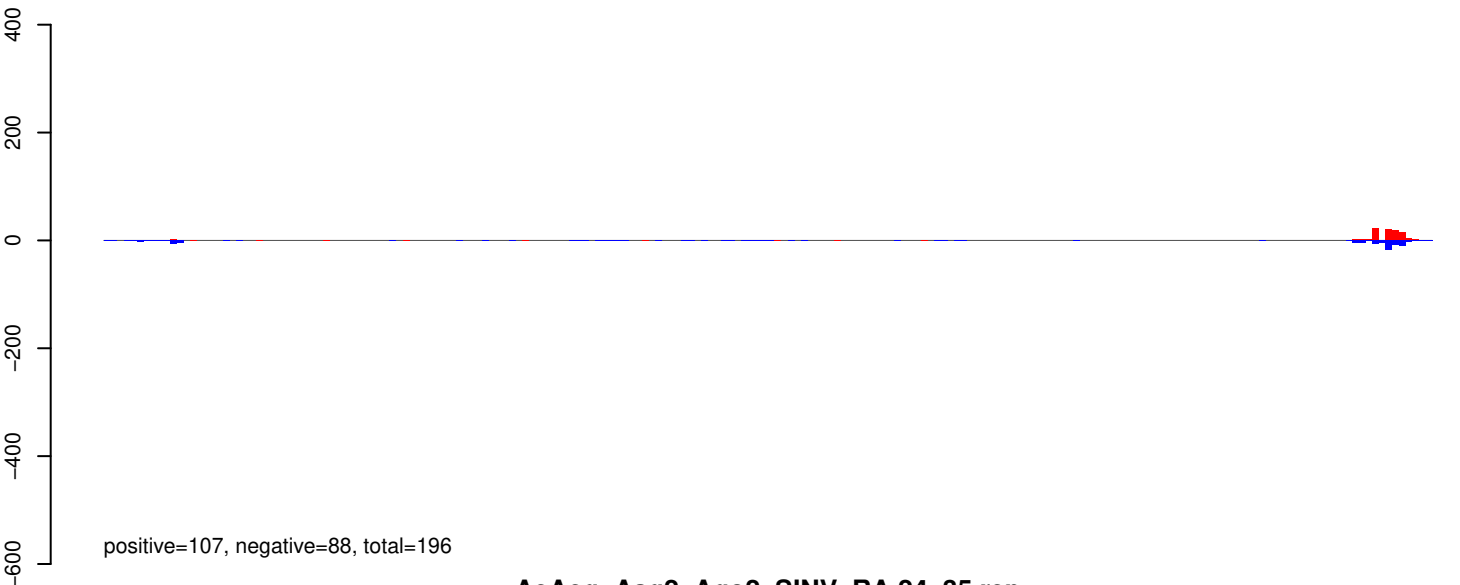
AeAeg_Aag2_Ago2_SINV_RA.rep



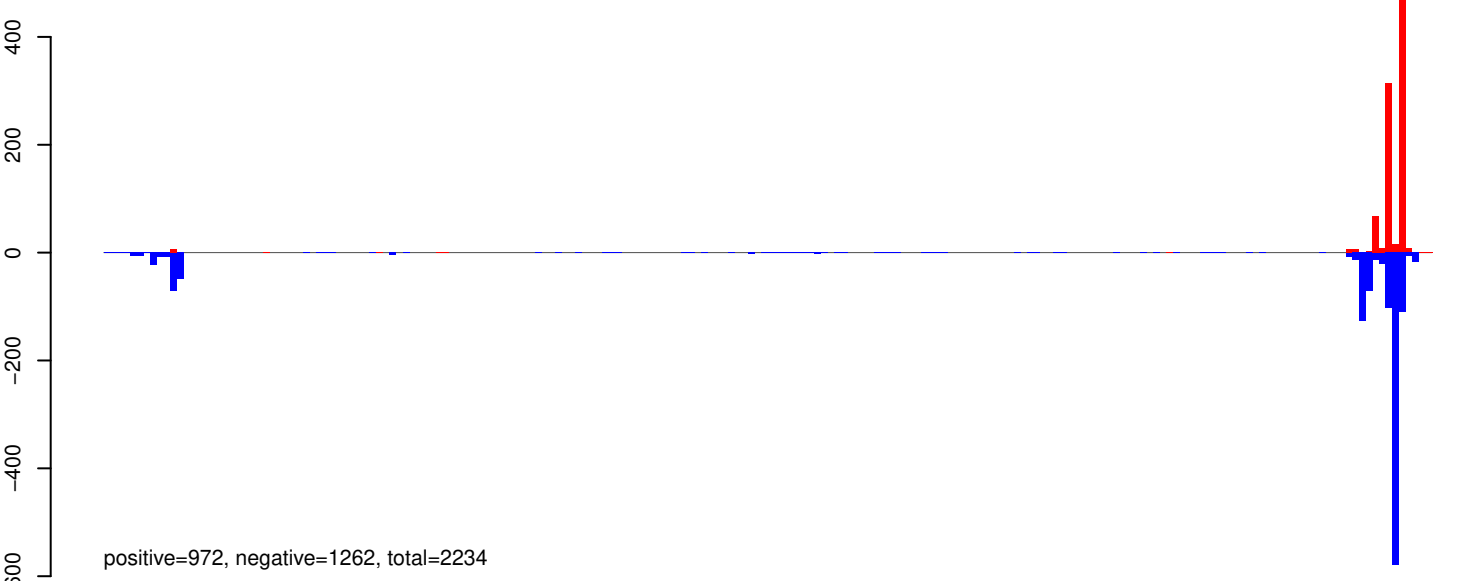
Window size=25, length=4765, TE@Gypsy-58_AA-LTR-I:1-4765

0 1000 2000 3000 4000

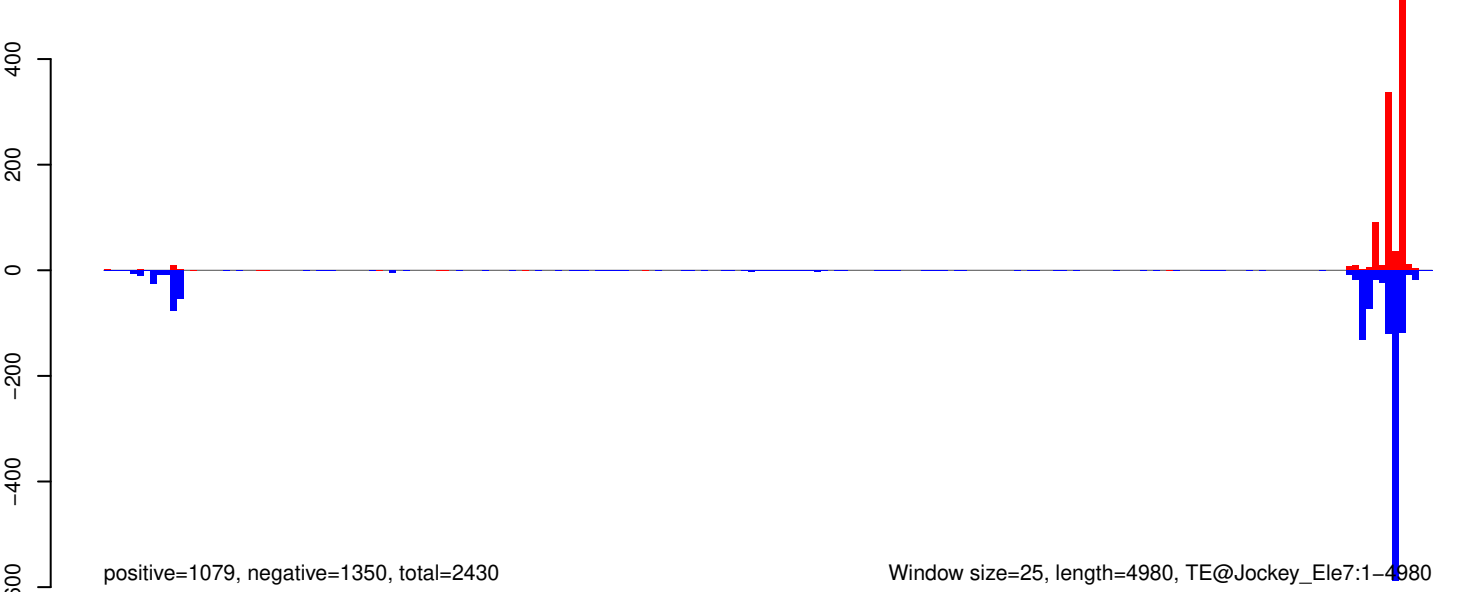
AeAeg_Aag2_Ago2_SINV_RA.18_23.rep



AeAeg_Aag2_Ago2_SINV_RA.24_35.rep



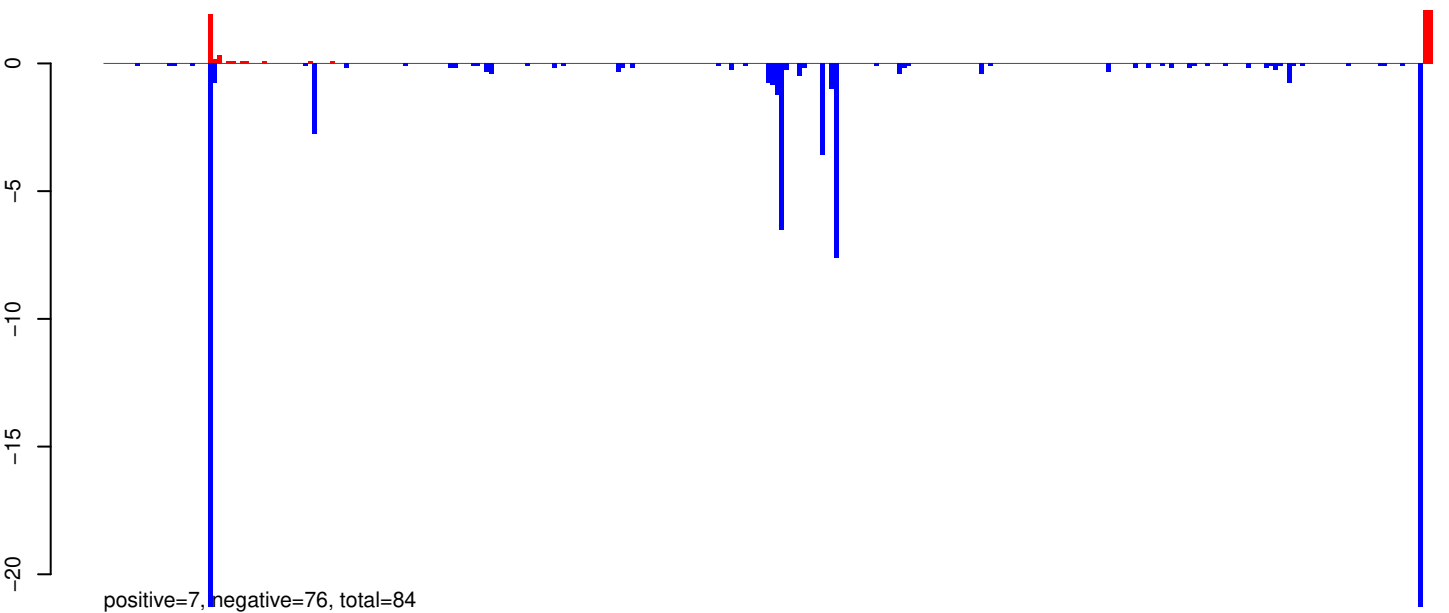
AeAeg_Aag2_Ago2_SINV_RA.rep



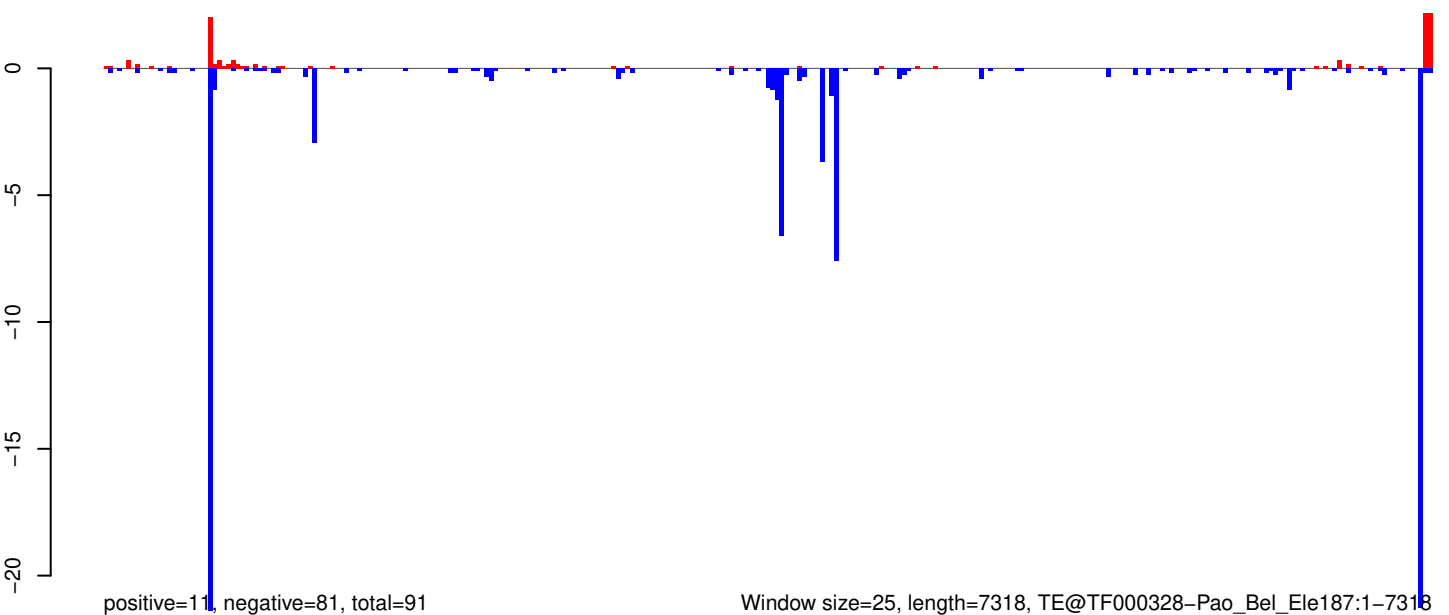
AeAeg_Aag2_Ago2_SINV_RA.18_23.rep



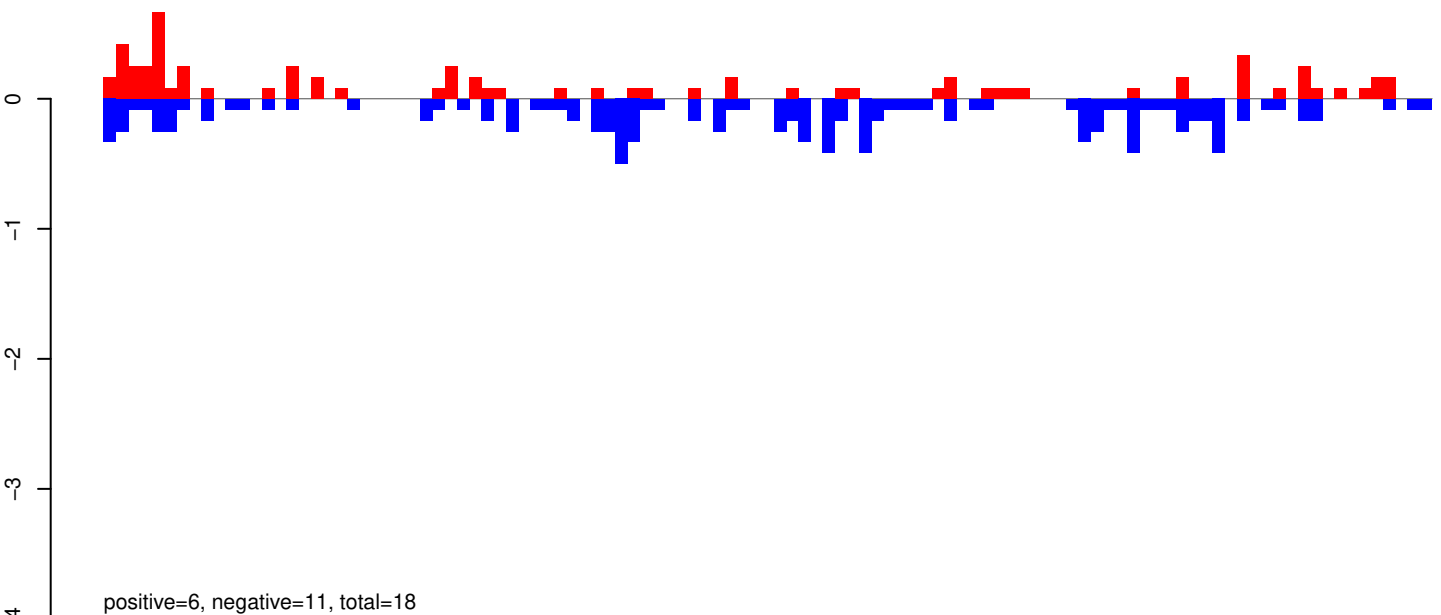
AeAeg_Aag2_Ago2_SINV_RA.24_35.rep



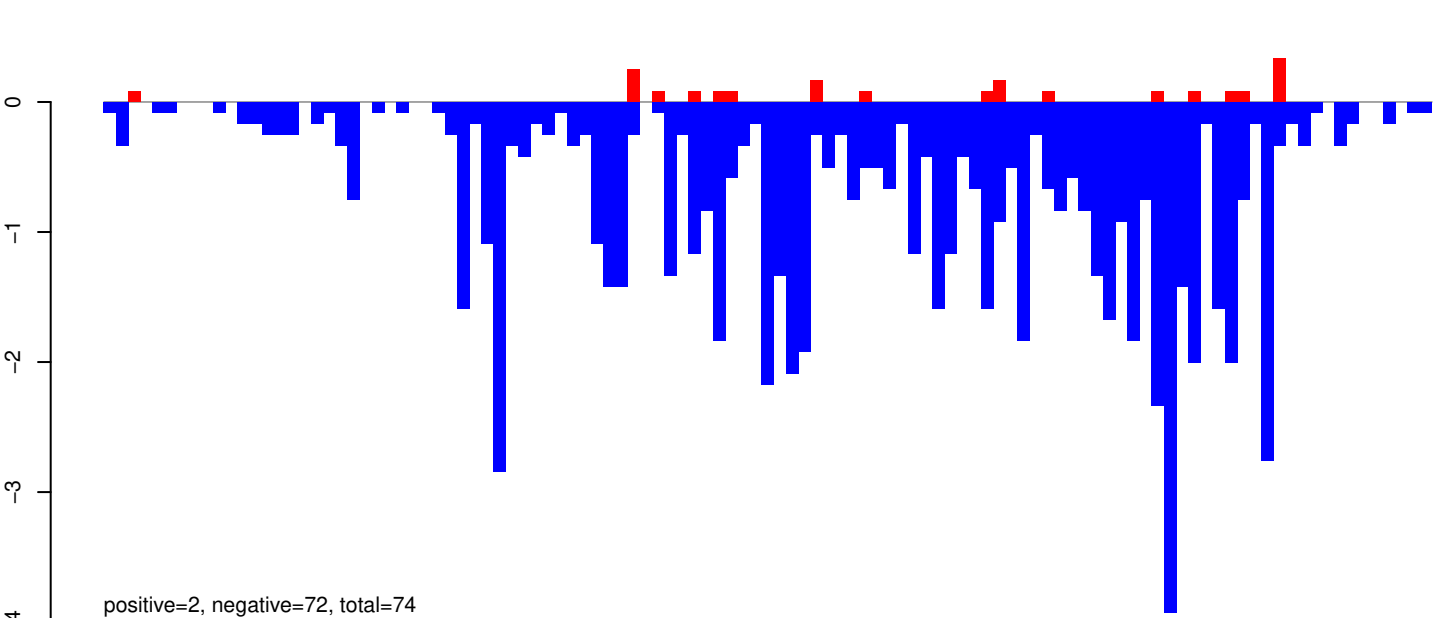
AeAeg_Aag2_Ago2_SINV_RA.rep



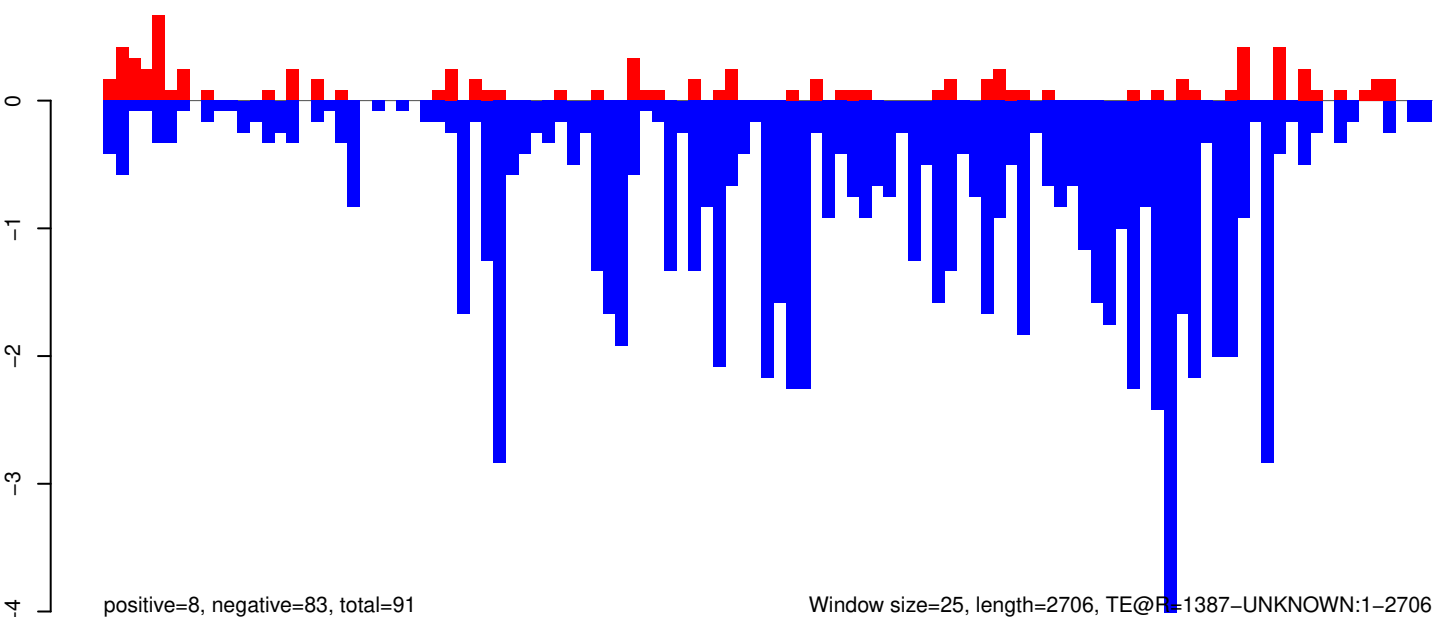
AeAeg_Aag2_Ago2_SINV_RA.18_23.rep



AeAeg_Aag2_Ago2_SINV_RA.24_35.rep



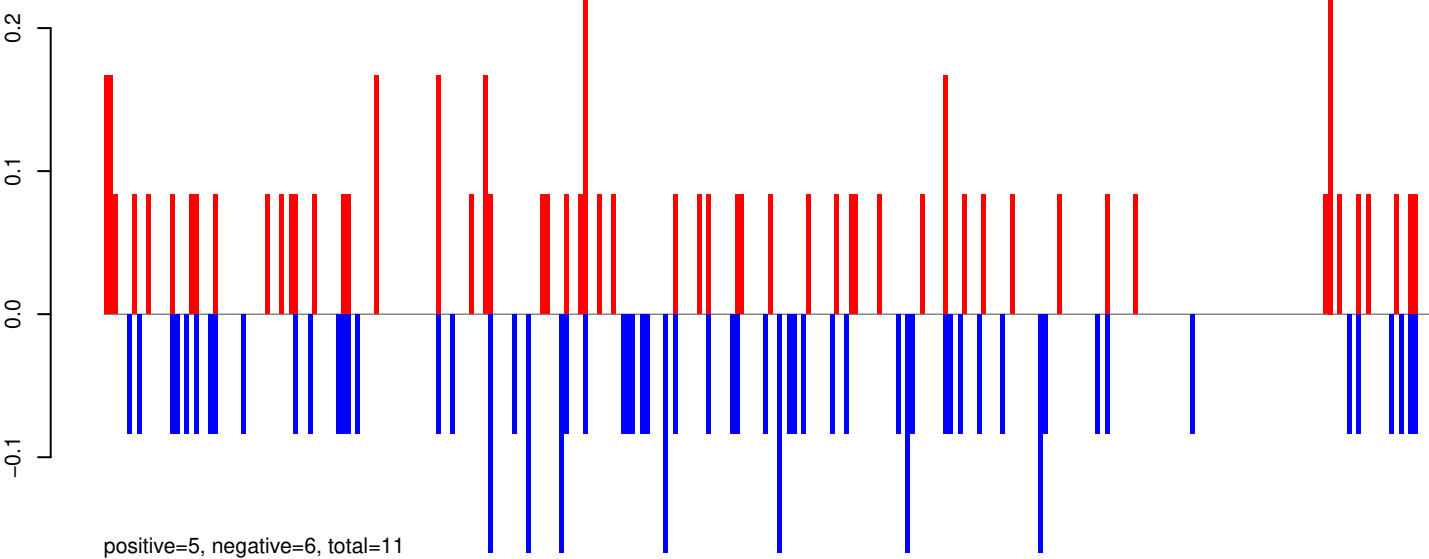
AeAeg_Aag2_Ago2_SINV_RA.rep



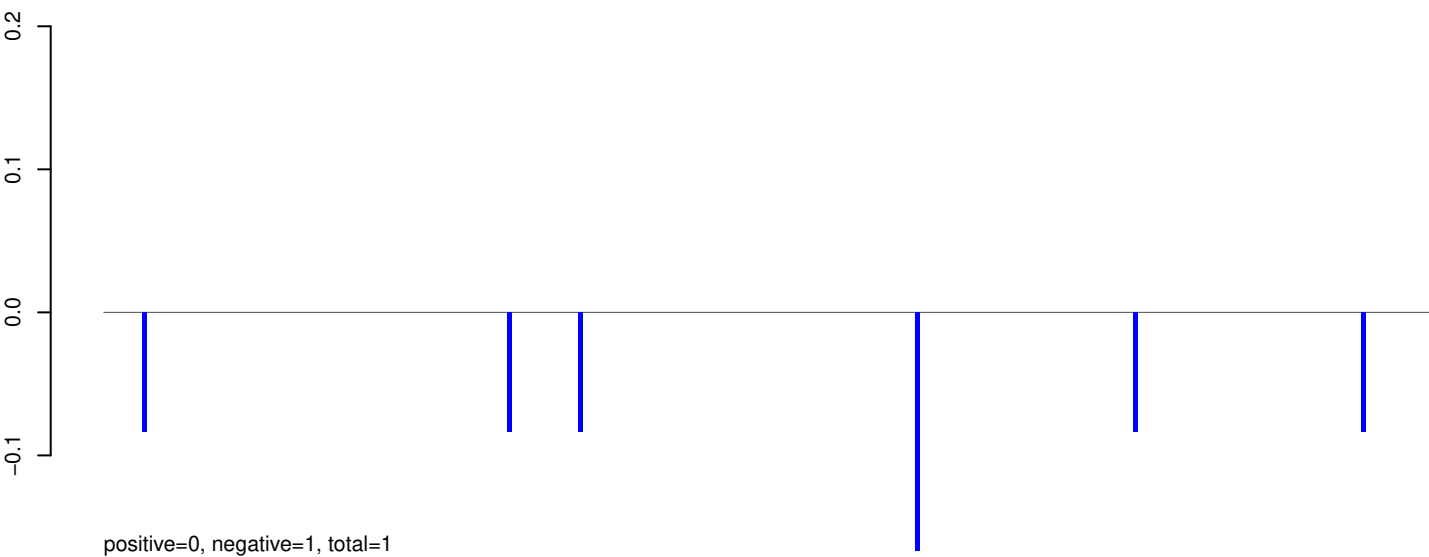
Window size=25, length=2706, TE@P=1387-UNKNOWN:1-2706

0 500 1000 1500 2000 2500

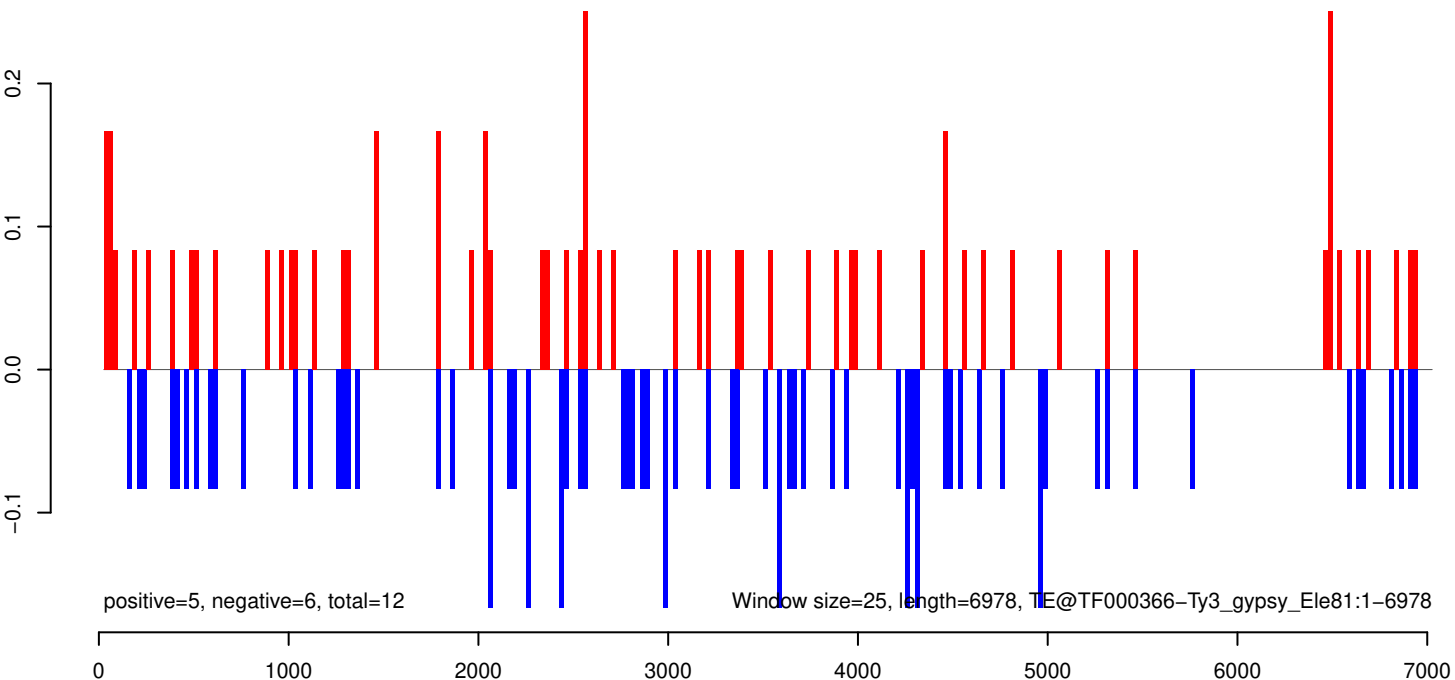
AeAeg_Aag2_Ago2_SINV_RA.18_23.rep



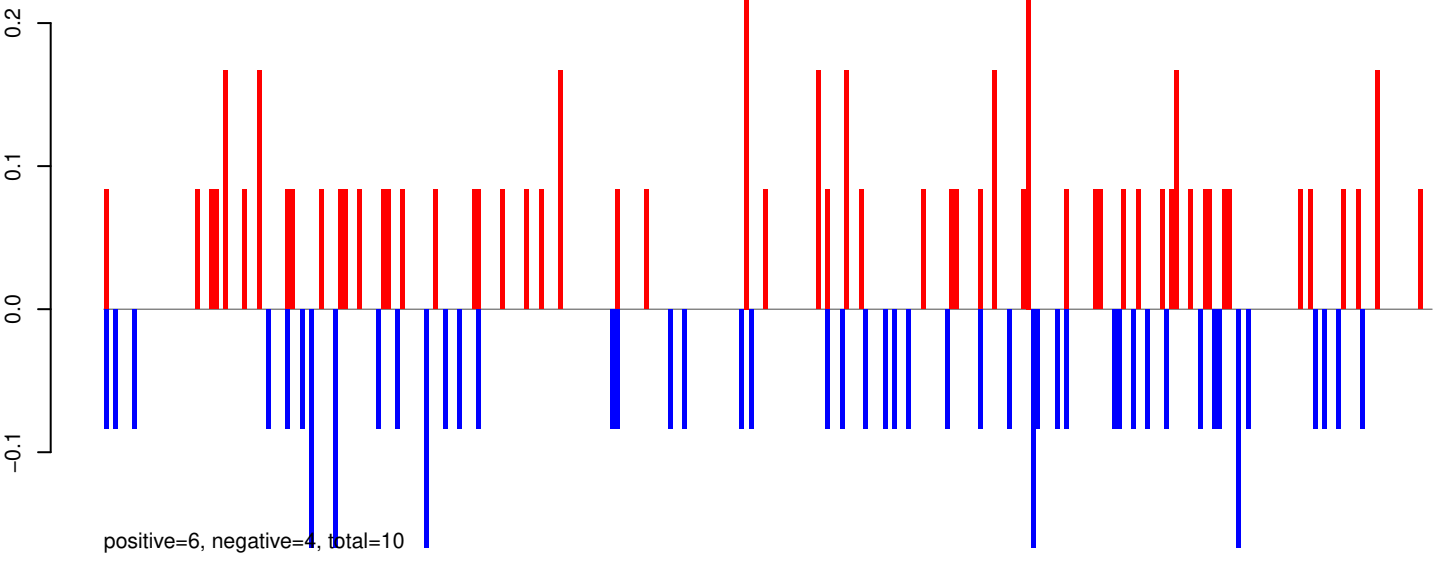
AeAeg_Aag2_Ago2_SINV_RA.24_35.rep



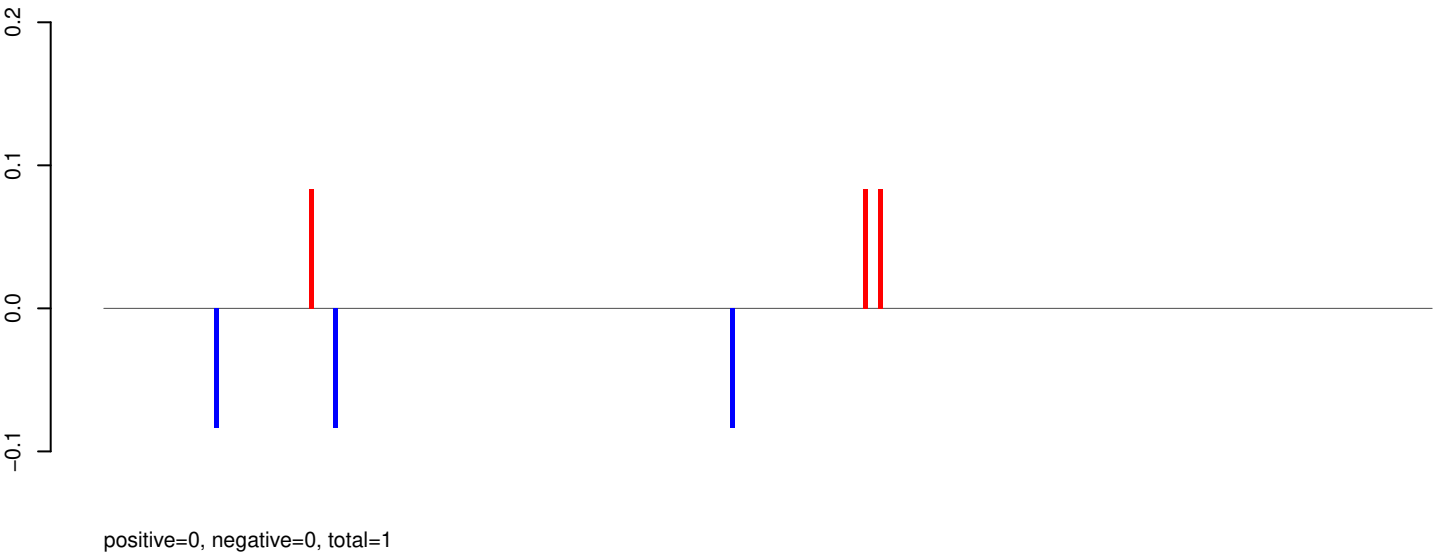
AeAeg_Aag2_Ago2_SINV_RA.rep



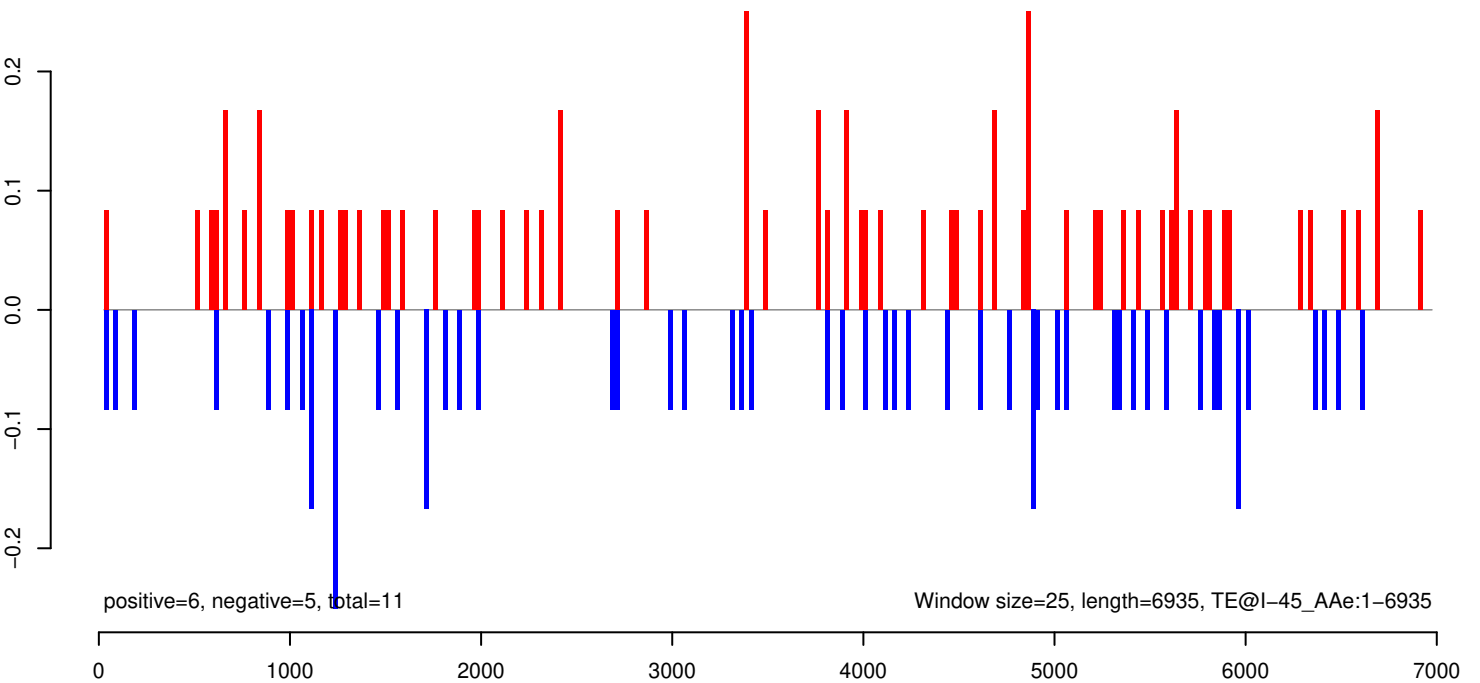
AeAeg_Aag2_Ago2_SINV_RA.18_23.rep



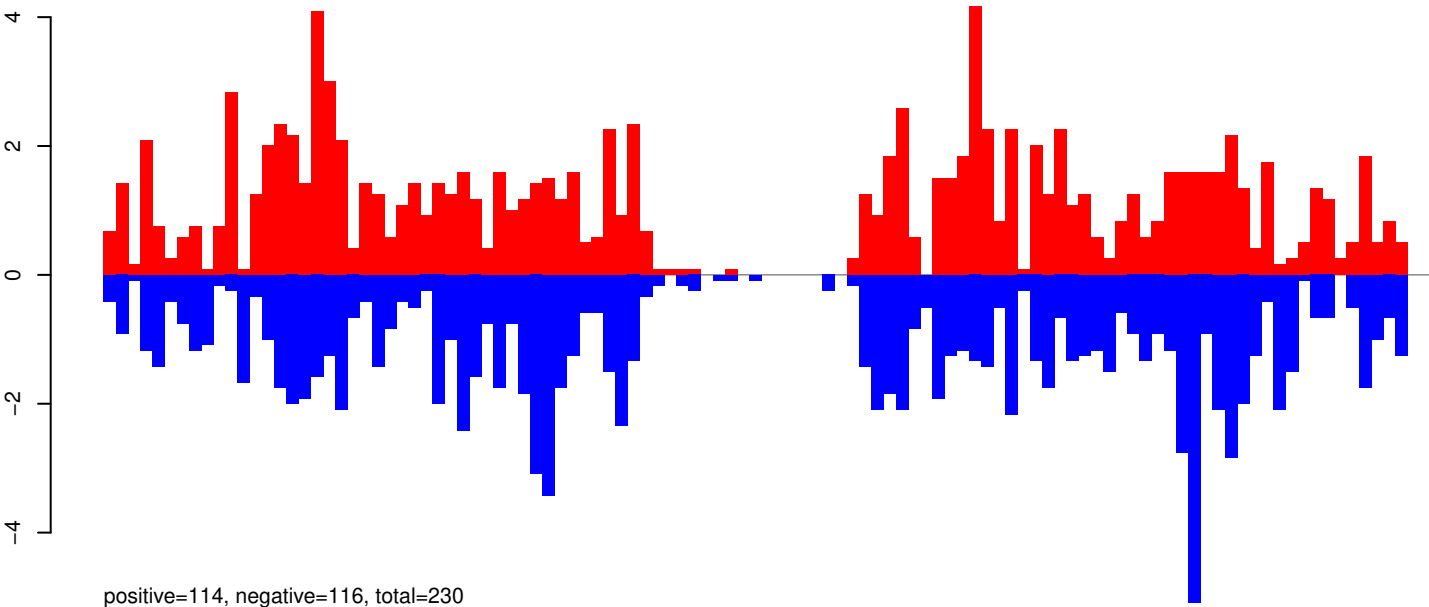
AeAeg_Aag2_Ago2_SINV_RA.24_35.rep



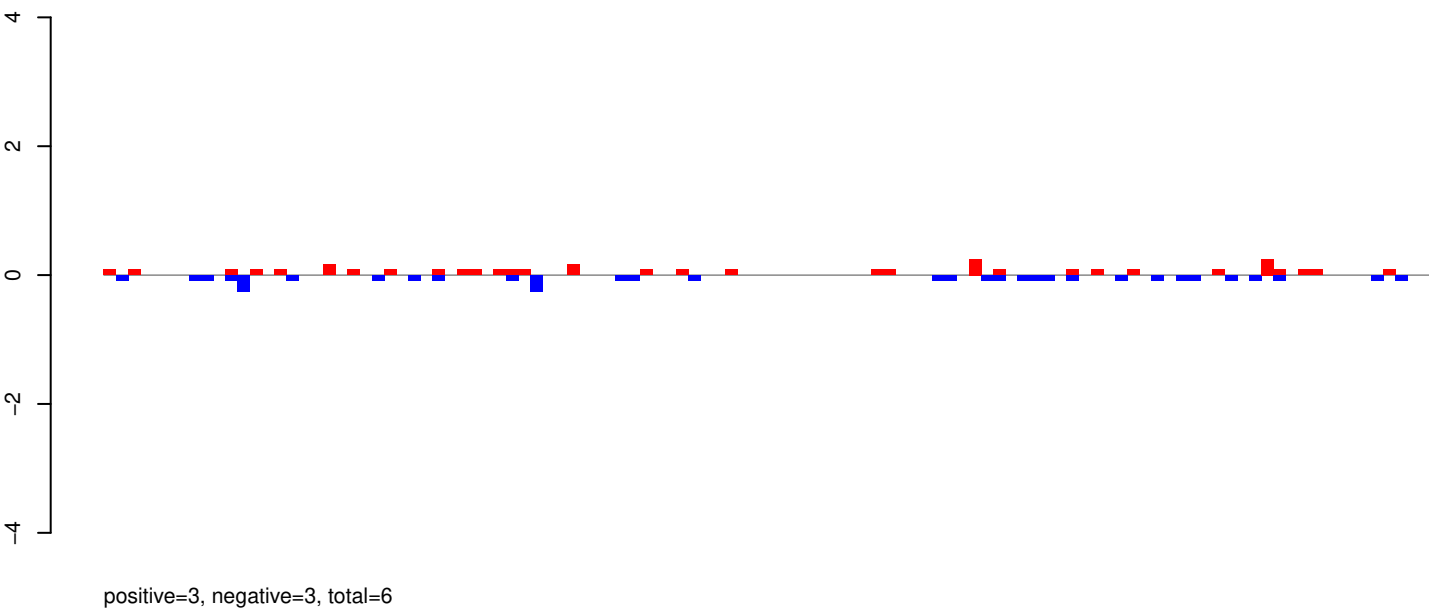
AeAeg_Aag2_Ago2_SINV_RA.rep



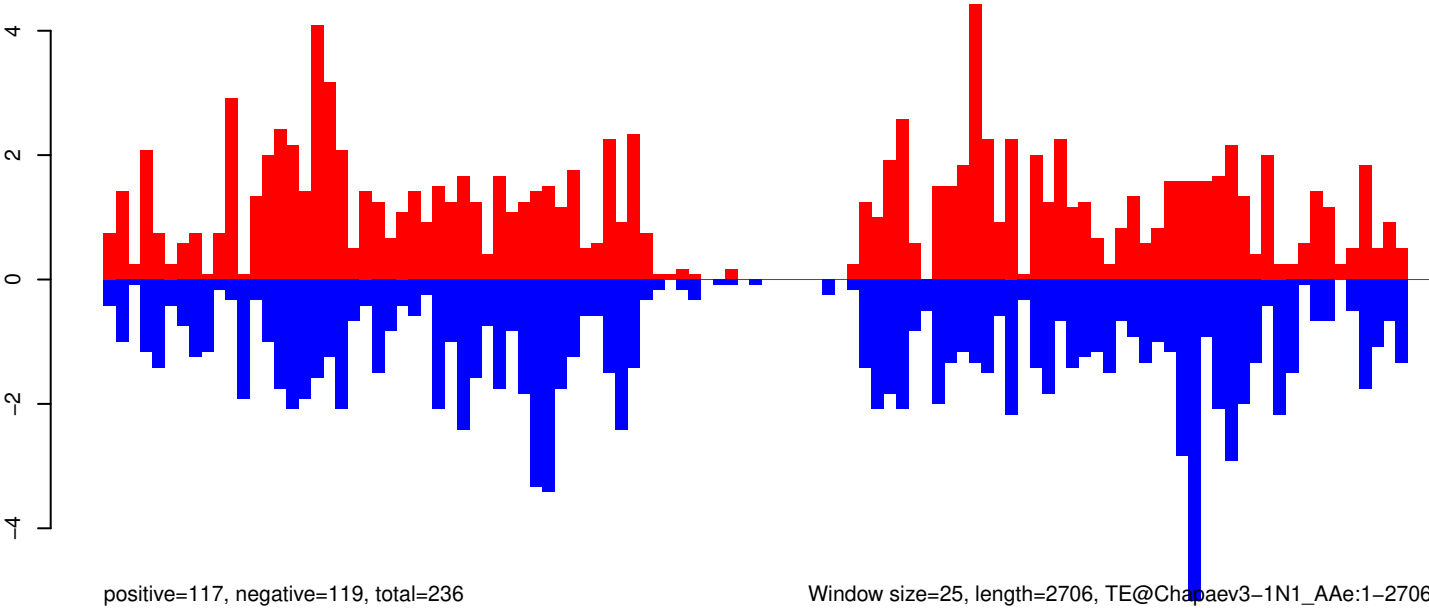
AeAeg_Aag2_Ago2_SINV_RA.18_23.rep



AeAeg_Aag2_Ago2_SINV_RA.24_35.rep

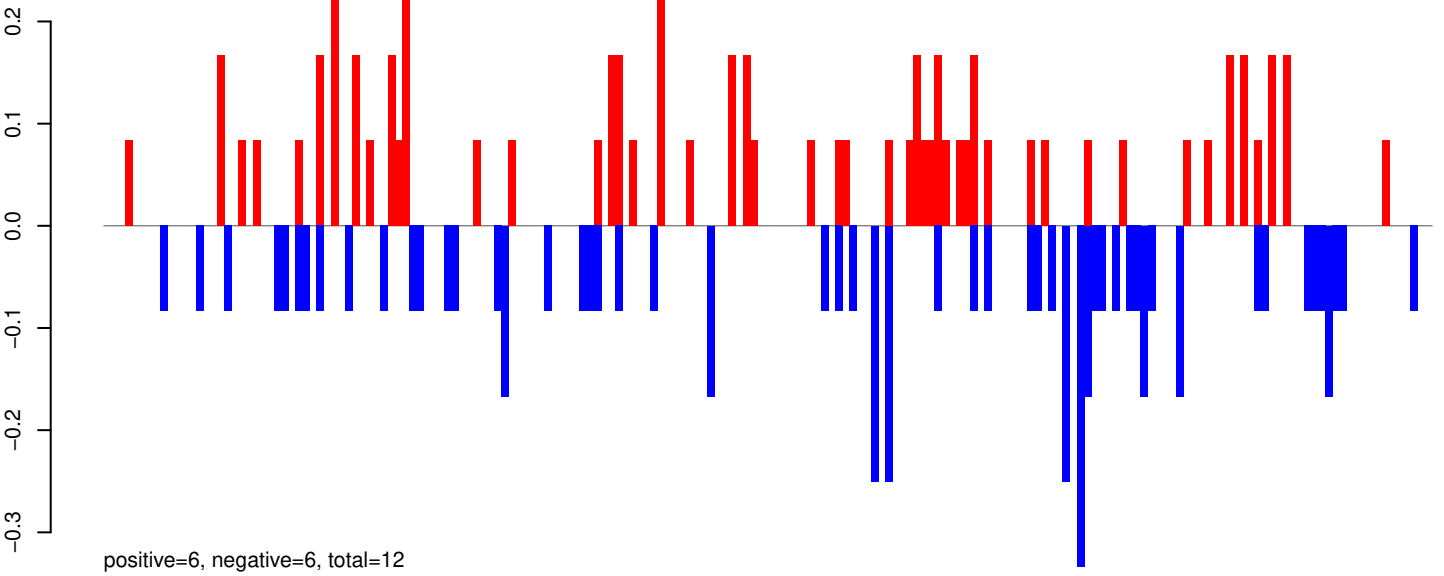


AeAeg_Aag2_Ago2_SINV_RA.rep

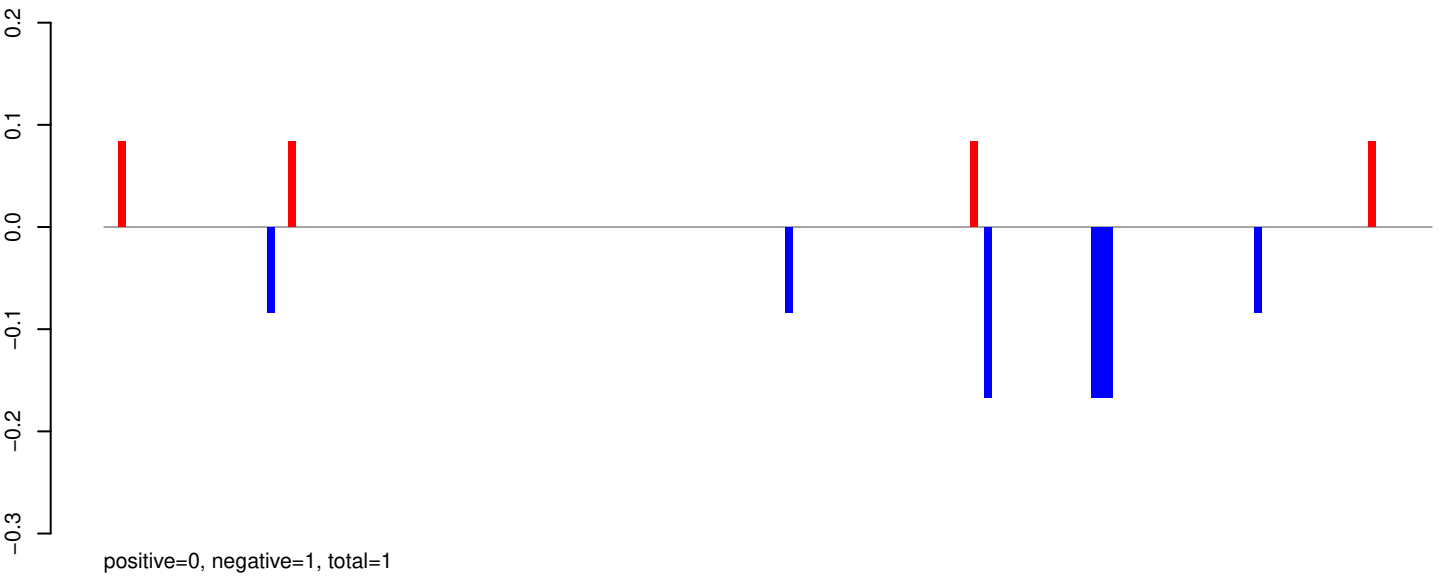


Window size=25, length=2706, TE@Chapaev3-1N1_A Ae:1-2706

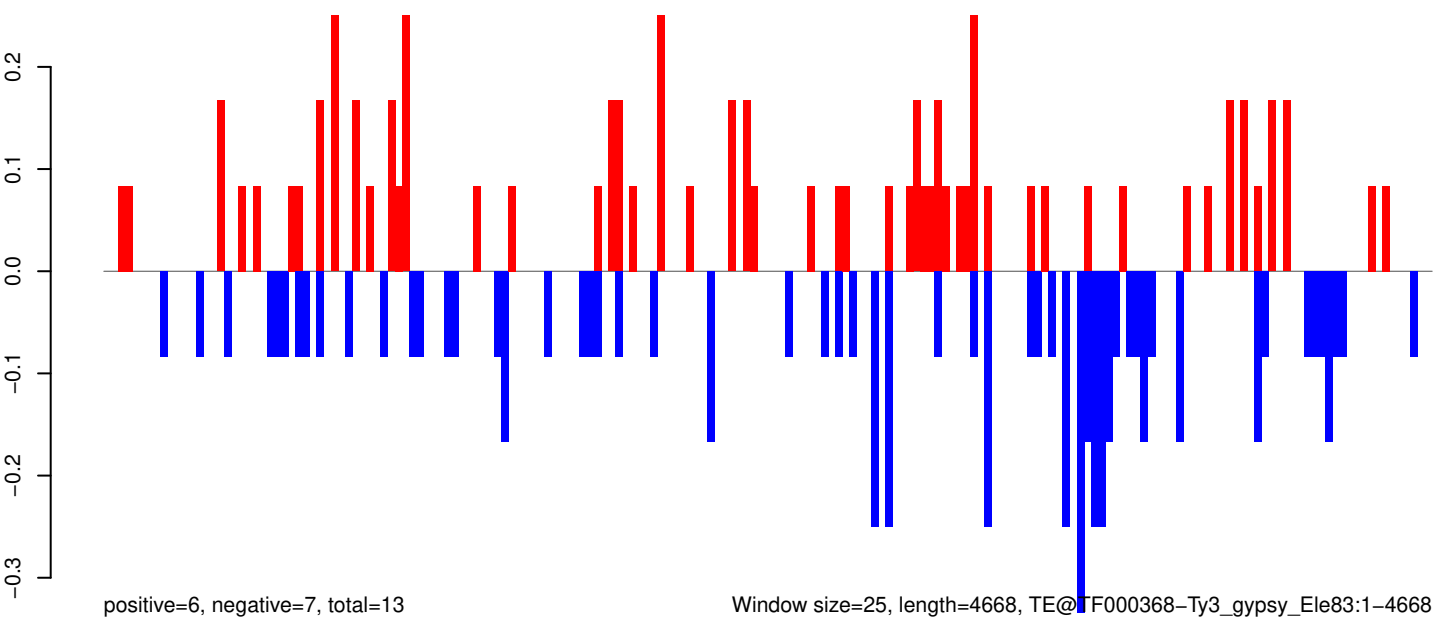
AeAeg_Aag2_Ago2_SINV_RA.18_23.rep



AeAeg_Aag2_Ago2_SINV_RA.24_35.rep



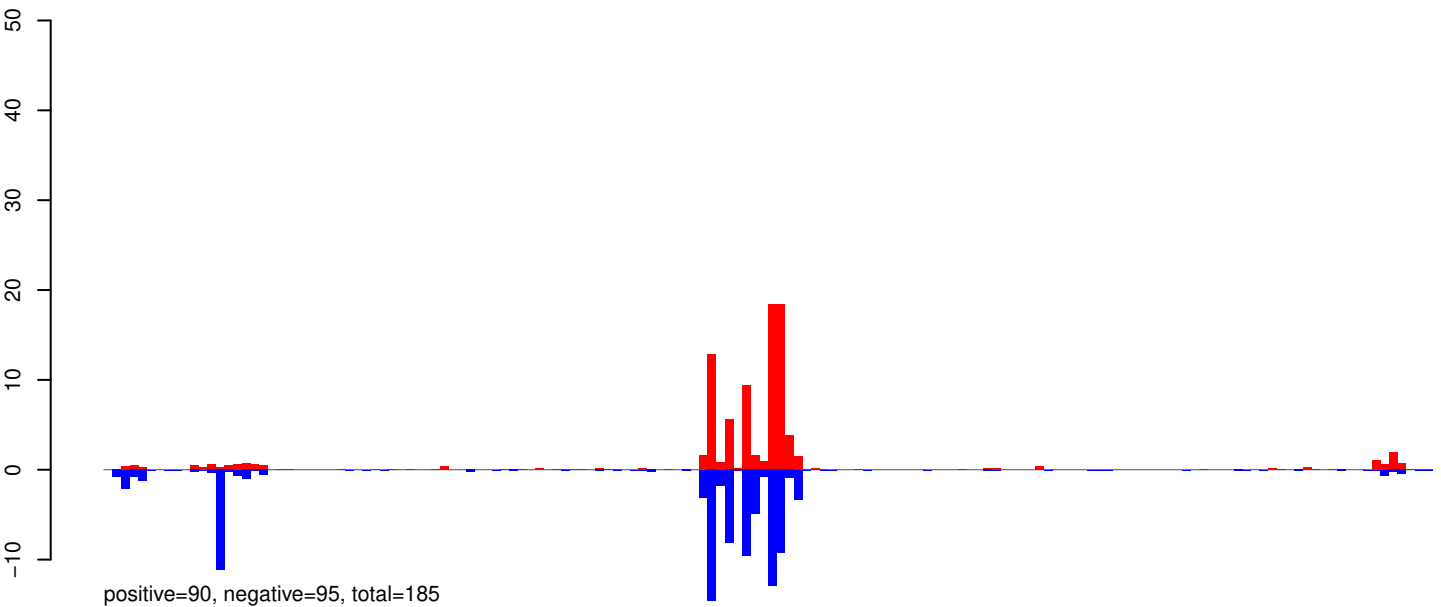
AeAeg_Aag2_Ago2_SINV_RA.rep



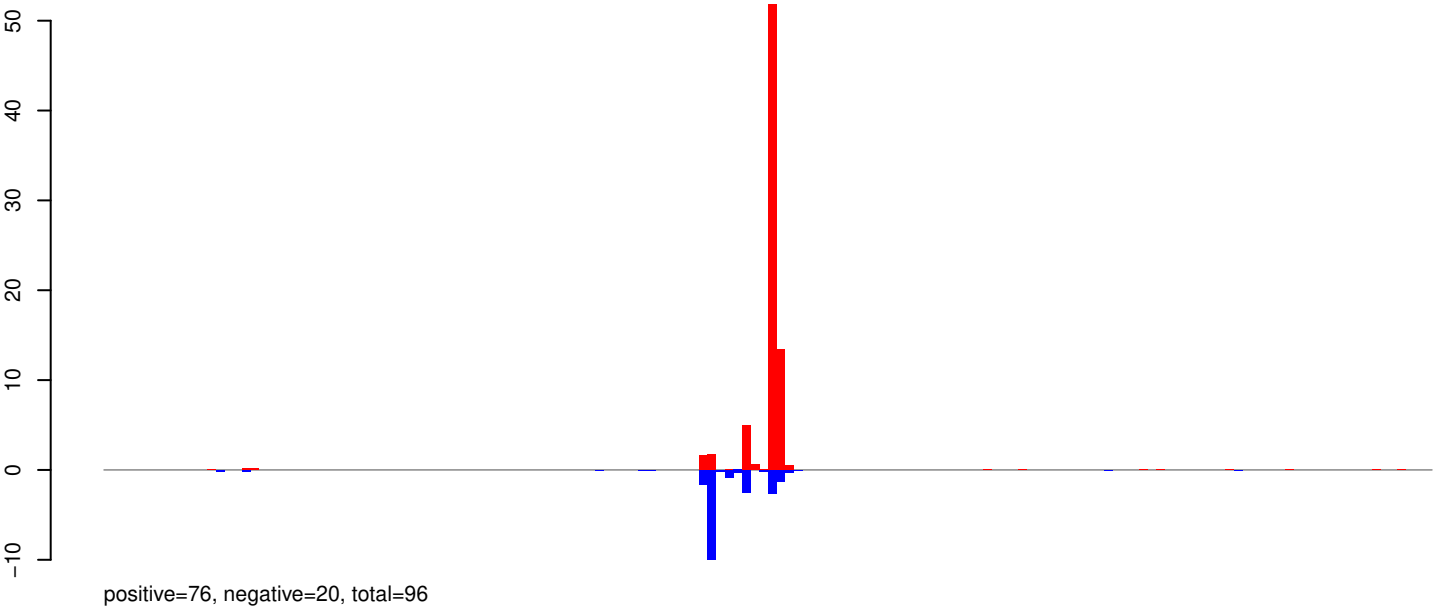
Window size=25, length=4668, TE@TF000368-Ty3_gypsy_Ele83:1-4668

0 1000 2000 3000 4000

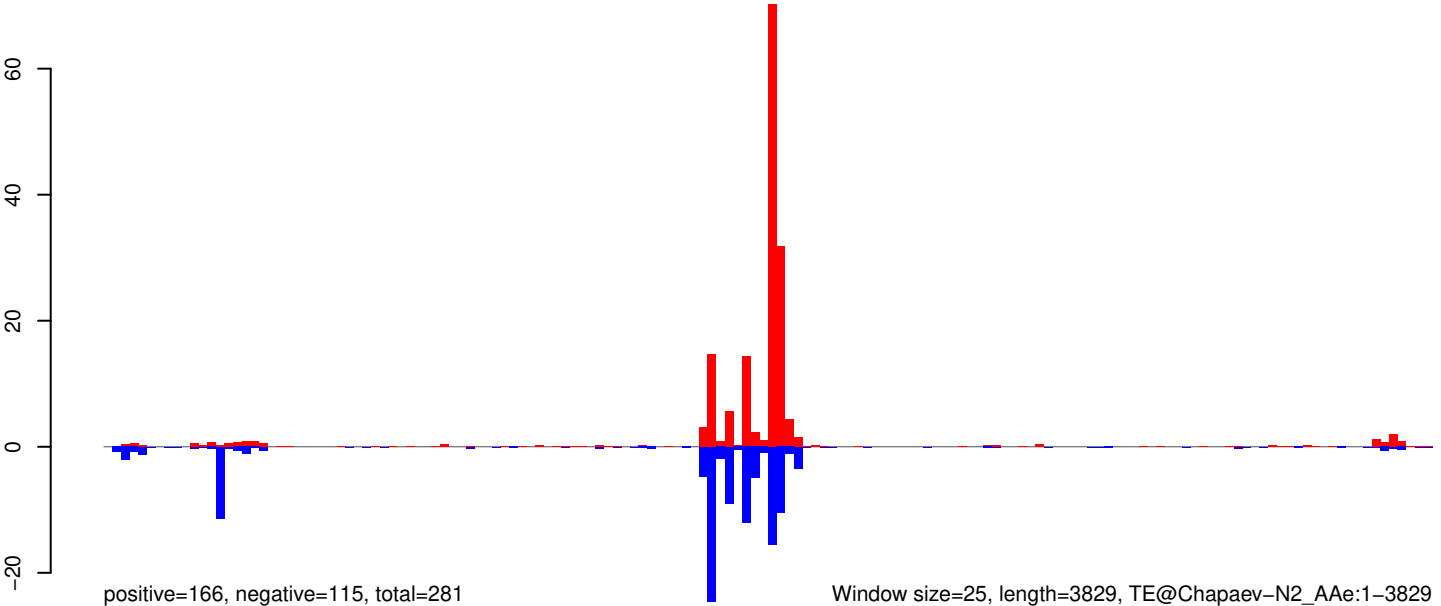
AeAeg_Aag2_Ago2_SINV_RA.18_23.rep



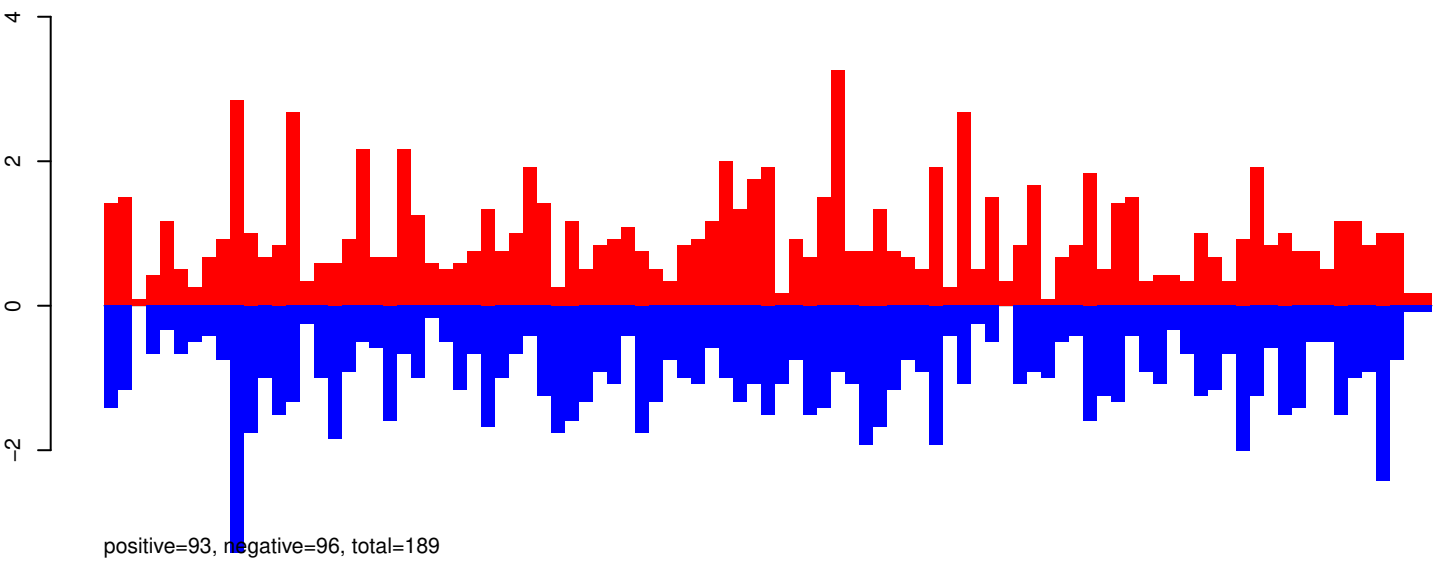
AeAeg_Aag2_Ago2_SINV_RA.24_35.rep



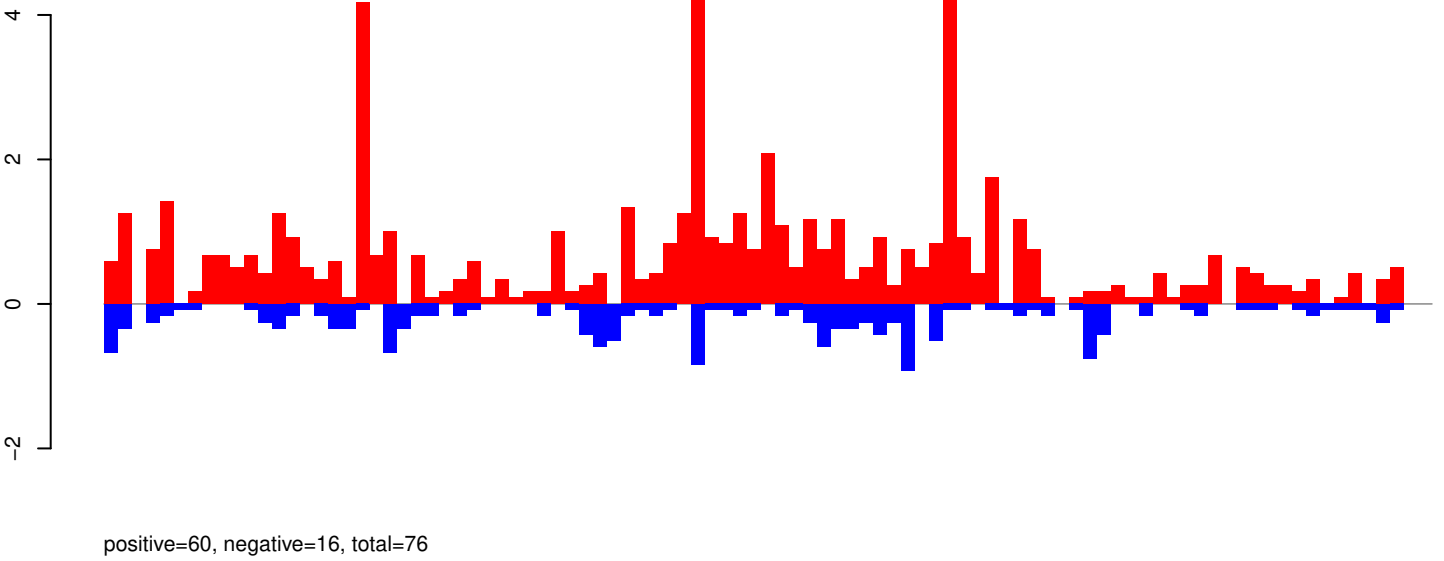
AeAeg_Aag2_Ago2_SINV_RA.rep



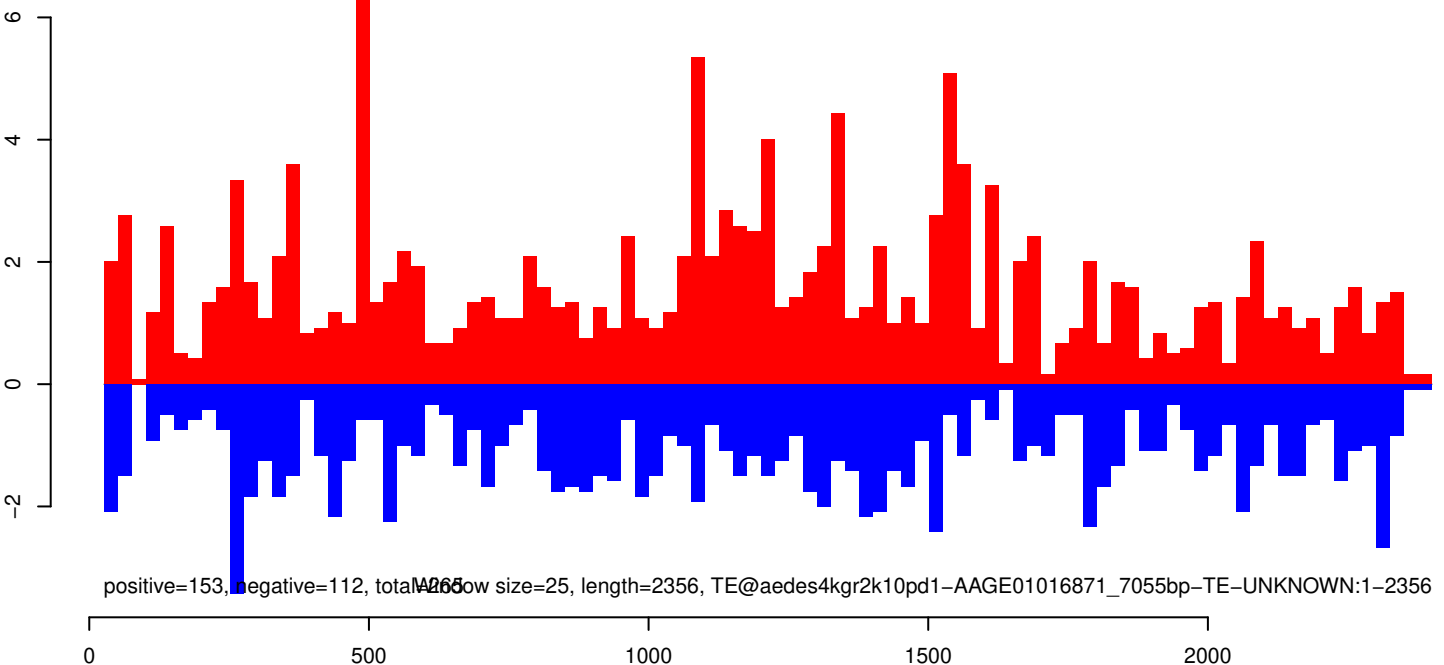
AeAeg_Aag2_Ago2_SINV_RA.18_23.rep



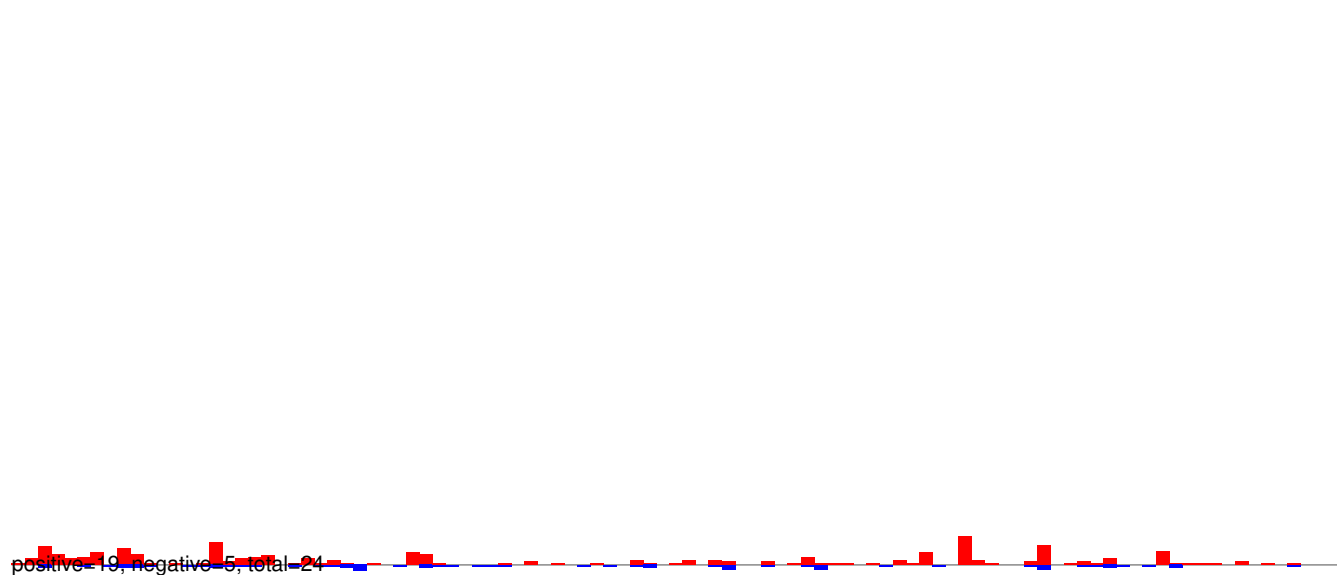
AeAeg_Aag2_Ago2_SINV_RA.24_35.rep



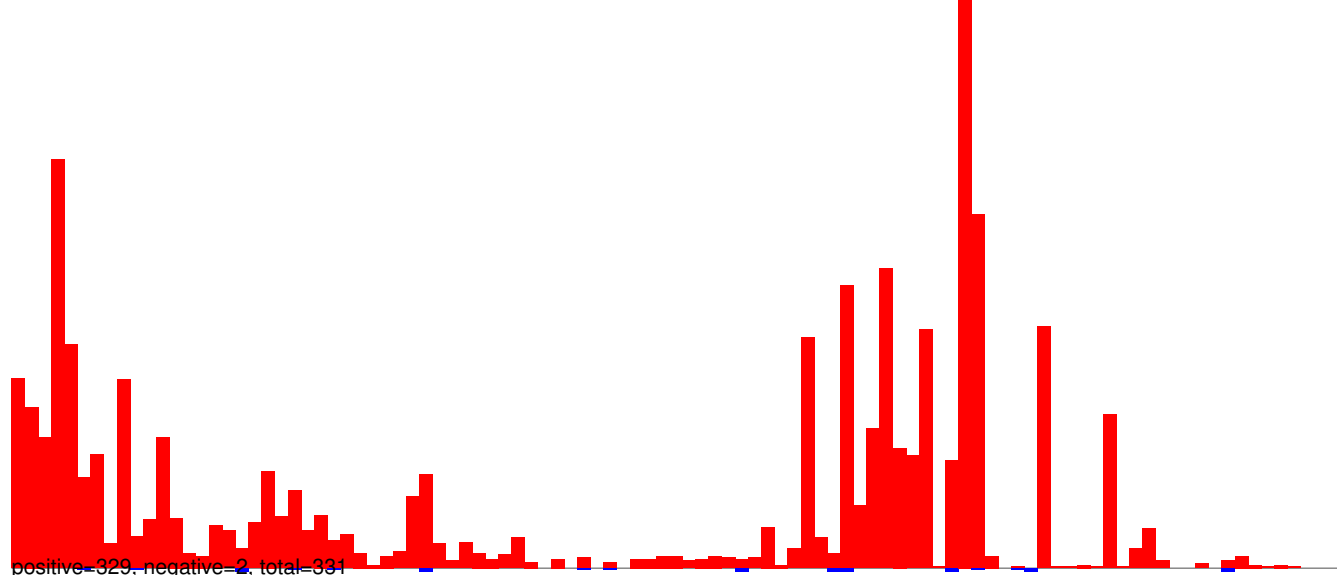
AeAeg_Aag2_Ago2_SINV_RA.rep



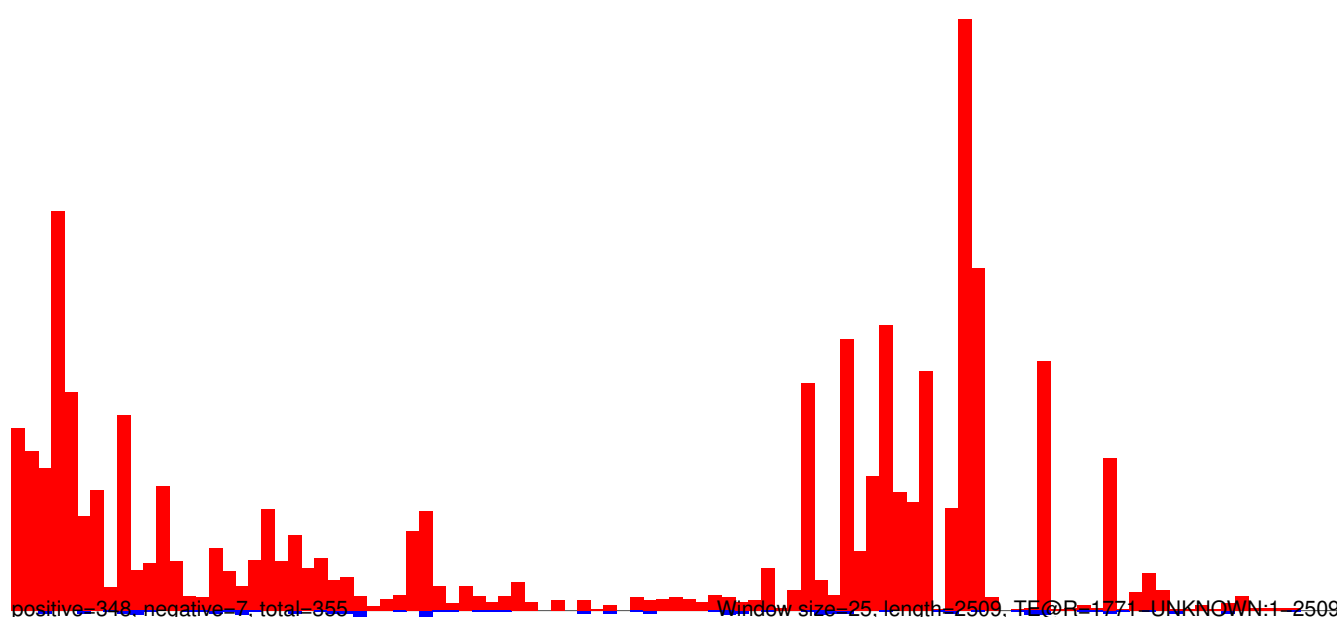
AeAeg_Aag2_Ago2_SINV_RA.18_23.rep



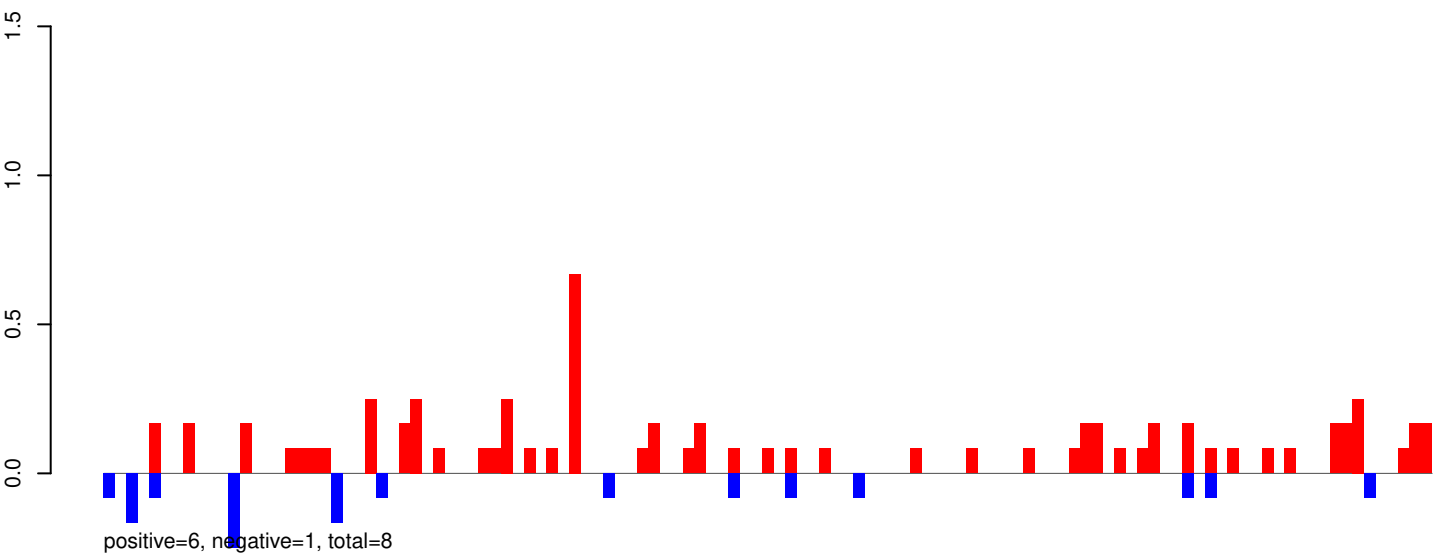
AeAeg_Aag2_Ago2_SINV_RA.24_35.rep



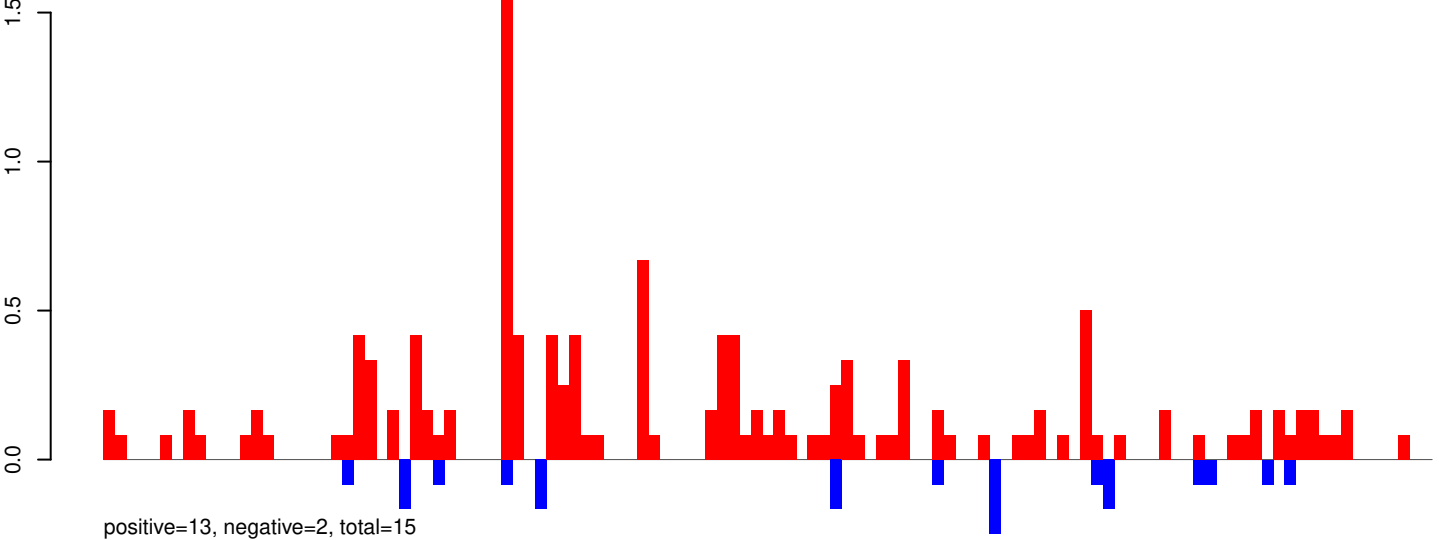
AeAeg_Aag2_Ago2_SINV_RA.rep



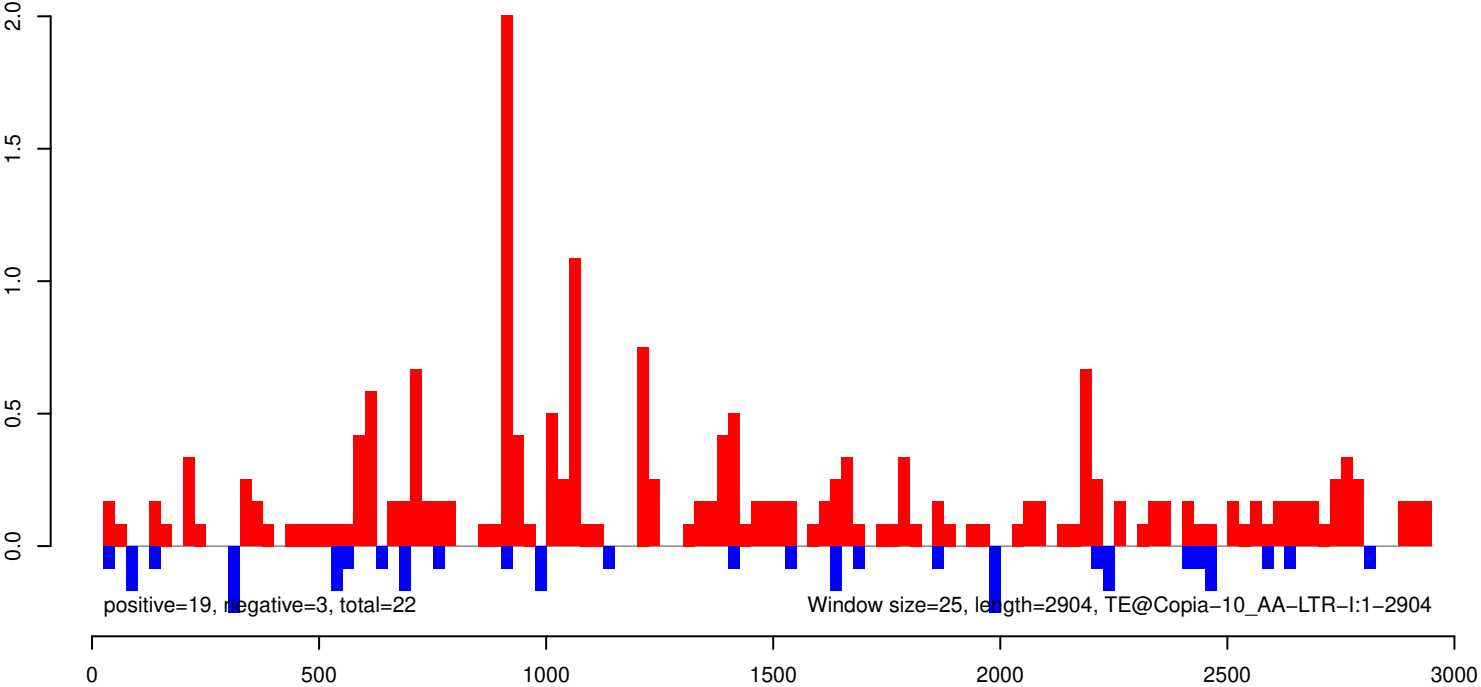
AeAeg_Aag2_Ago2_SINV_RA.18_23.rep



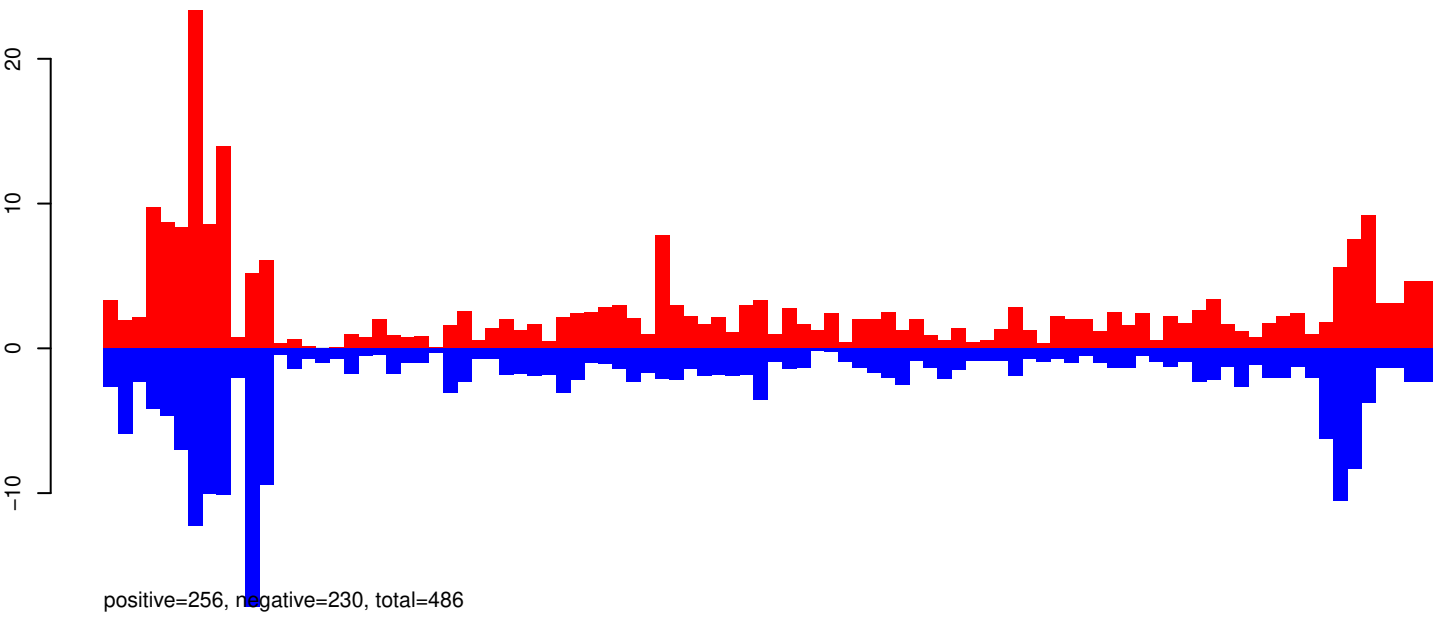
AeAeg_Aag2_Ago2_SINV_RA.24_35.rep



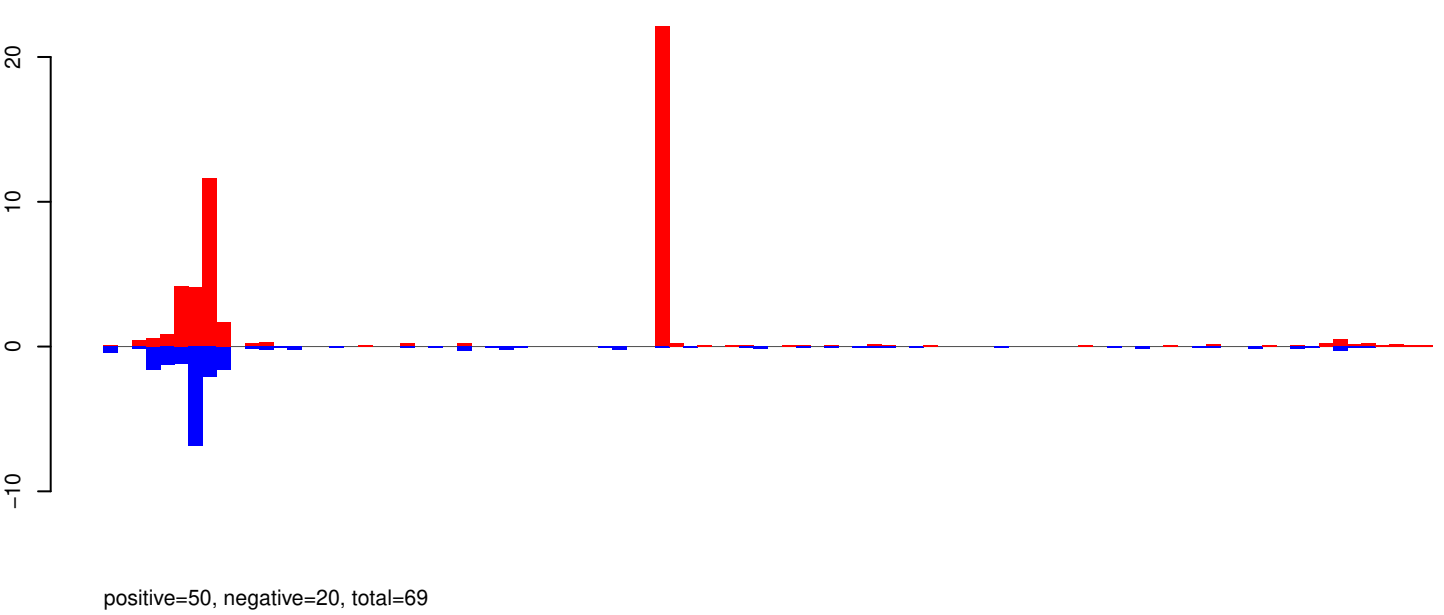
AeAeg_Aag2_Ago2_SINV_RA.rep



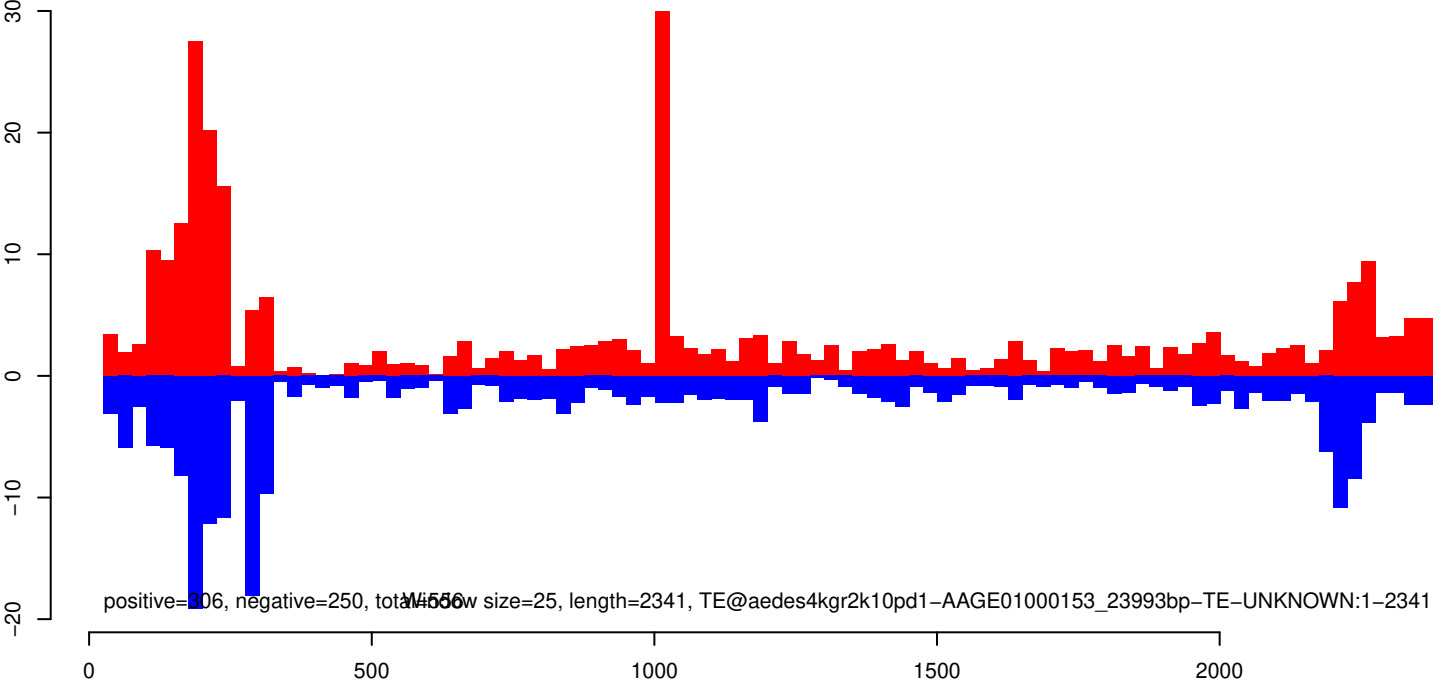
AeAeg_Aag2_Ago2_SINV_RA.18_23.rep



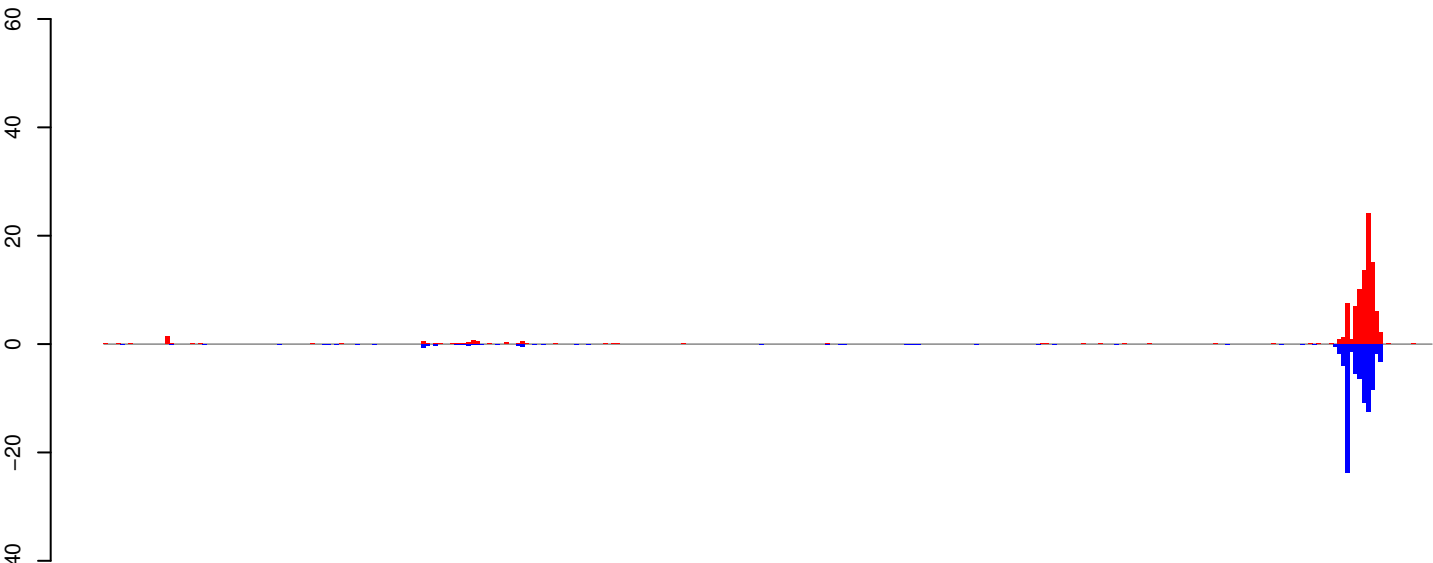
AeAeg_Aag2_Ago2_SINV_RA.24_35.rep



AeAeg_Aag2_Ago2_SINV_RA.rep

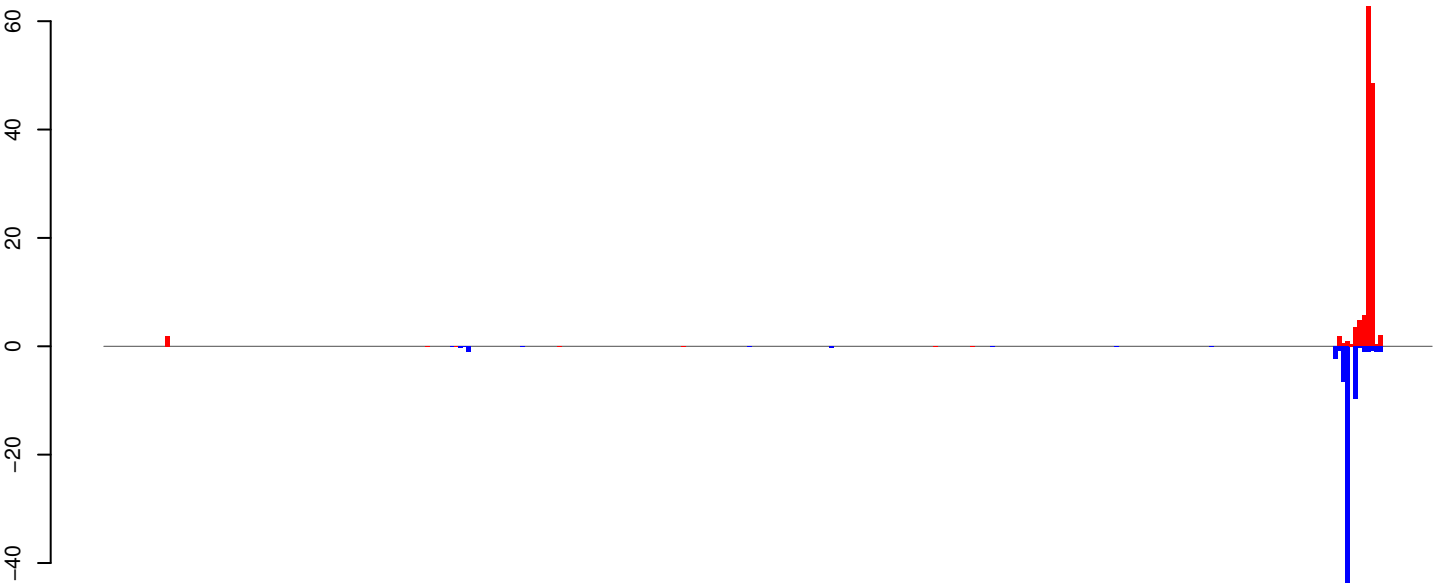


AeAeg_Aag2_Ago2_SINV_RA.18_23.rep



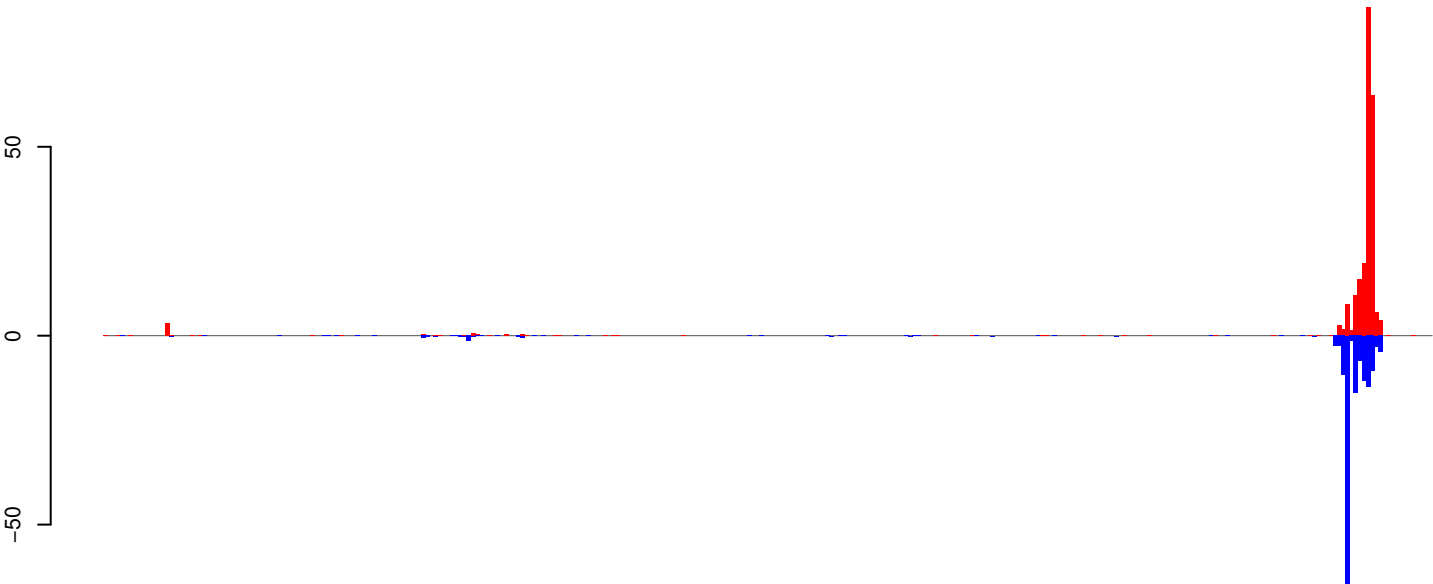
positive=96, negative=85, total=181

AeAeg_Aag2_Ago2_SINV_RA.24_35.rep



positive=134, negative=75, total=209

AeAeg_Aag2_Ago2_SINV_RA.rep

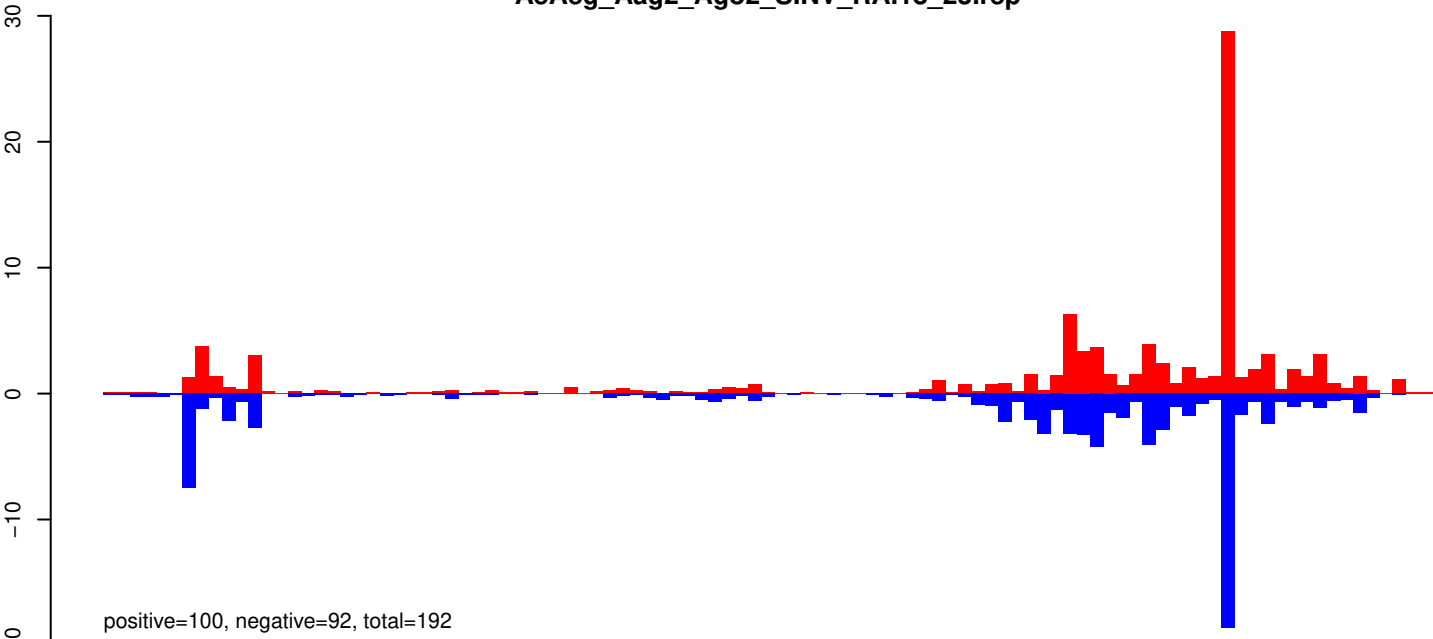


positive=230, negative=160, total=390

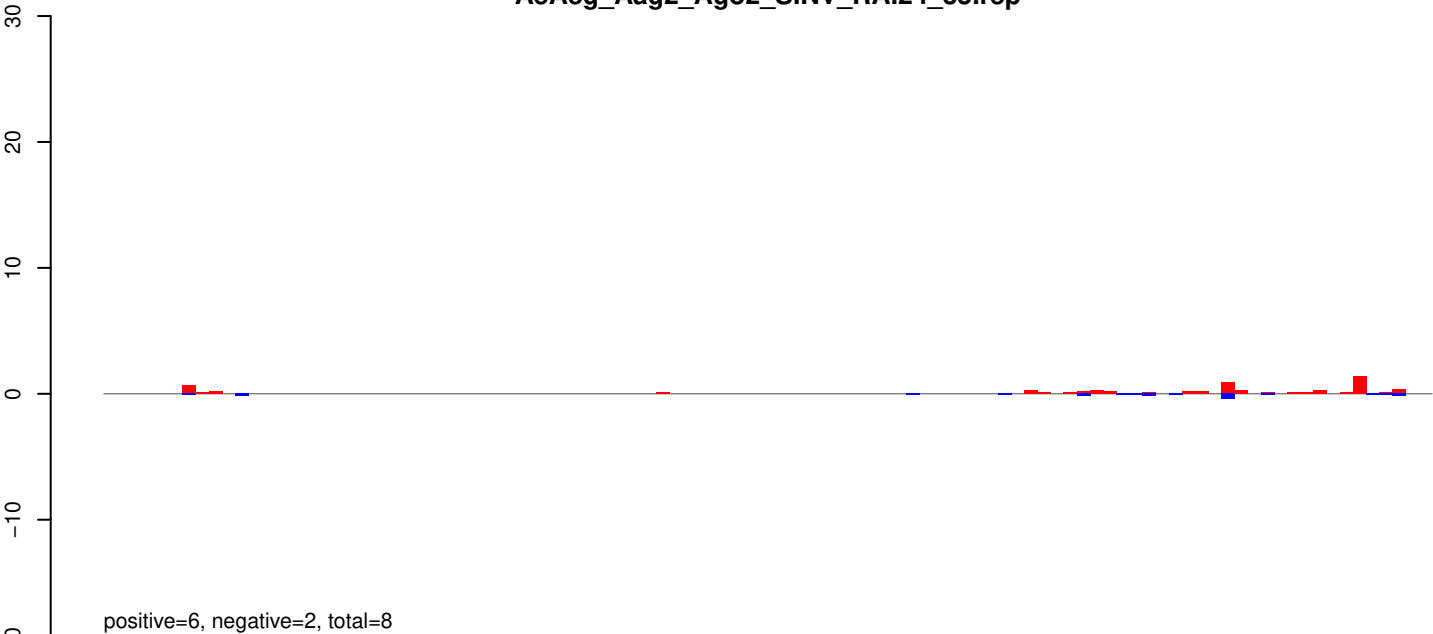
Window size=25, length=8043, TE@TF001175-Pao_Bel_Ele172:1-8043

0 2000 4000 6000 8000

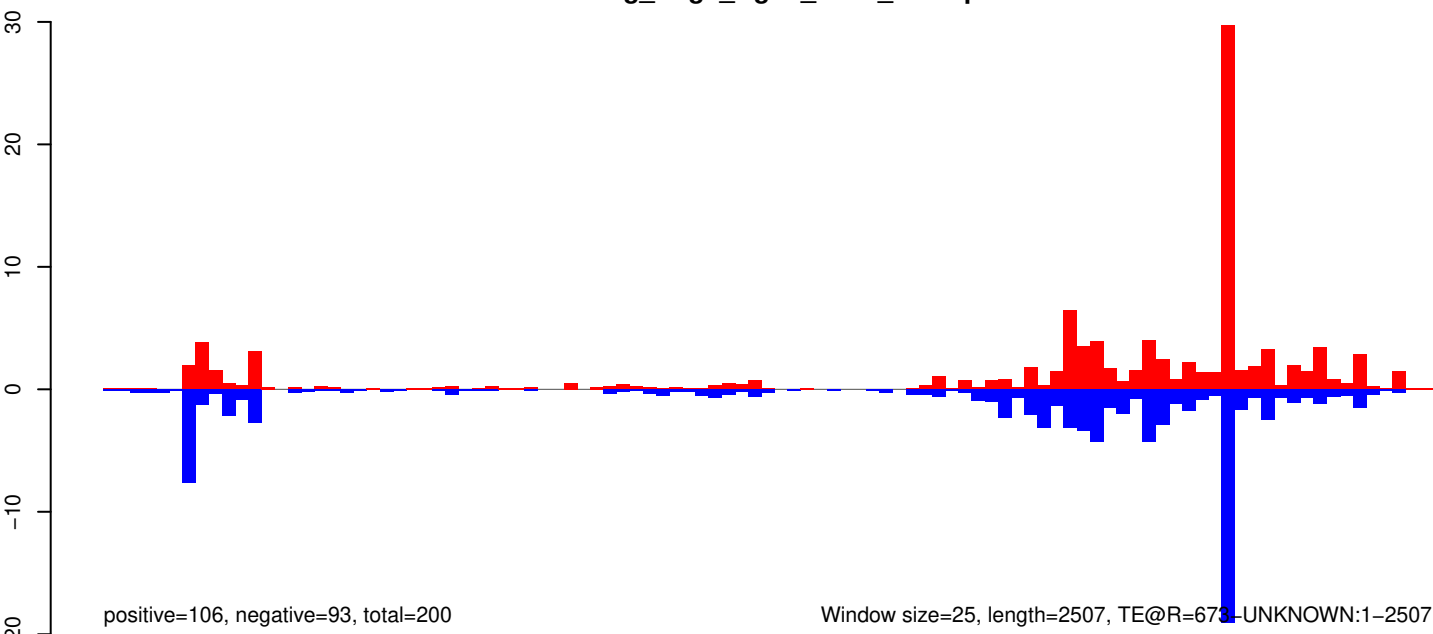
AeAeg_Aag2_Ago2_SINV_RA.18_23.rep



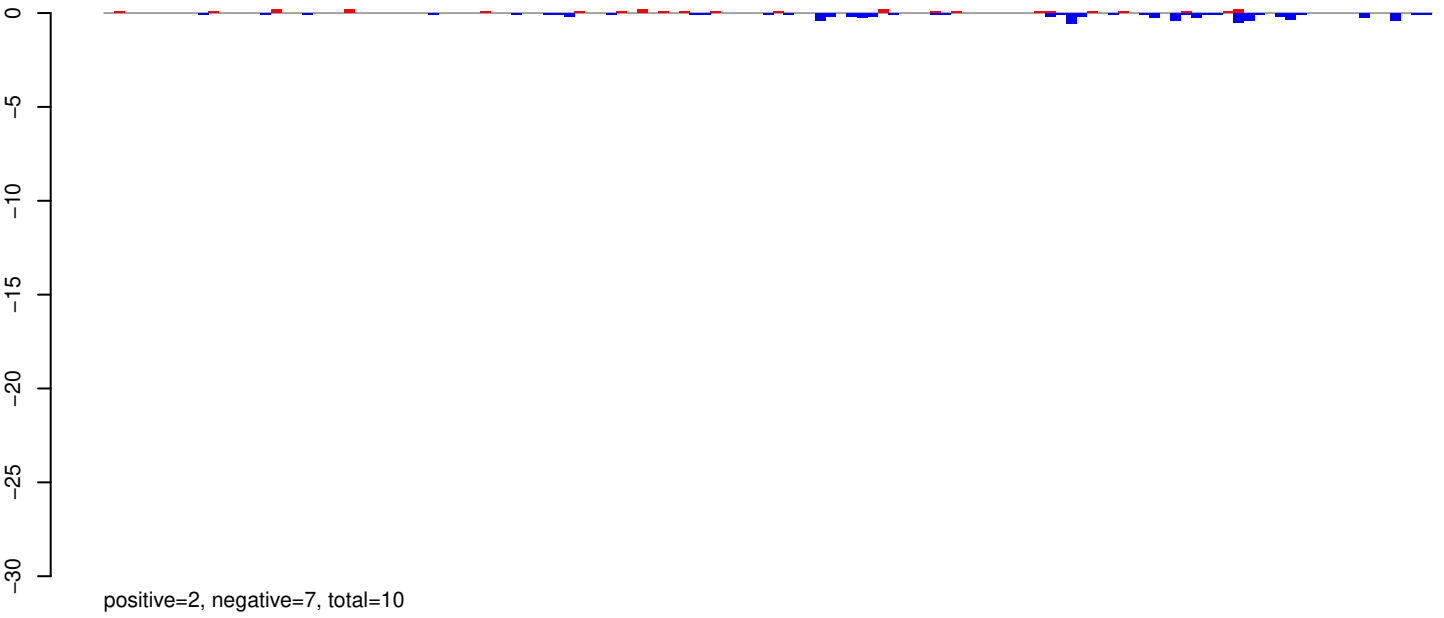
AeAeg_Aag2_Ago2_SINV_RA.24_35.rep



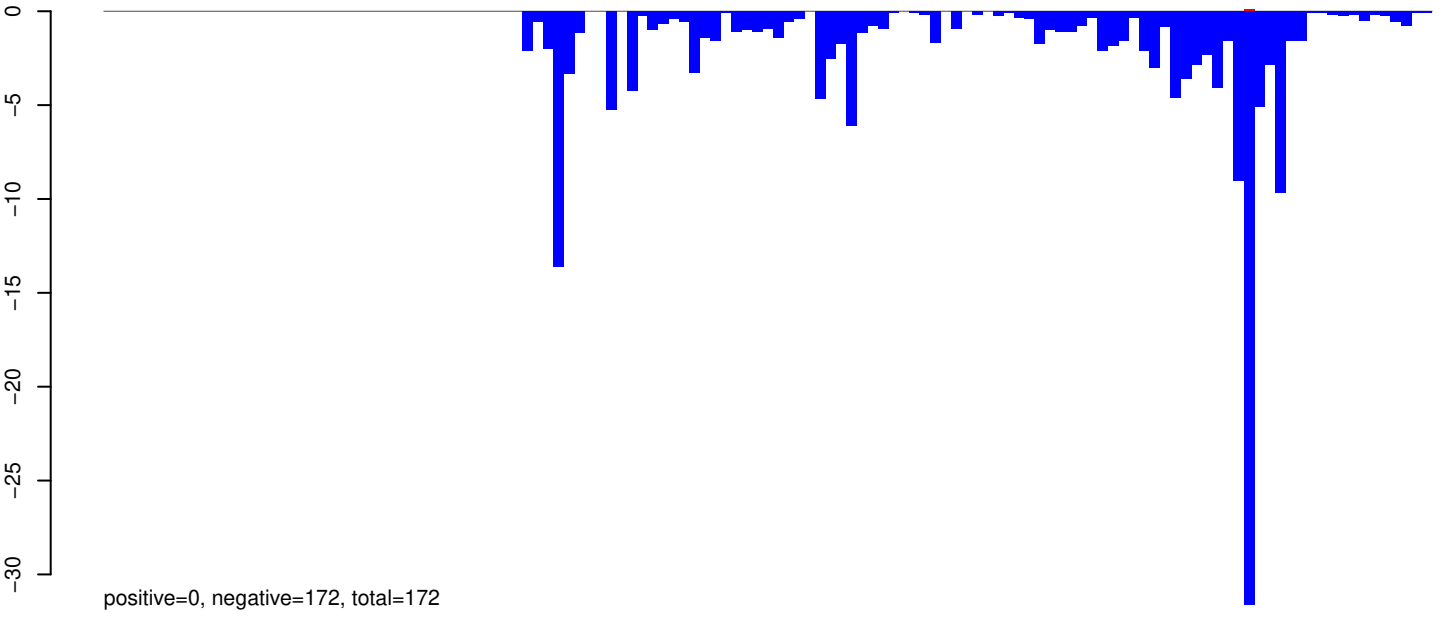
AeAeg_Aag2_Ago2_SINV_RA.rep



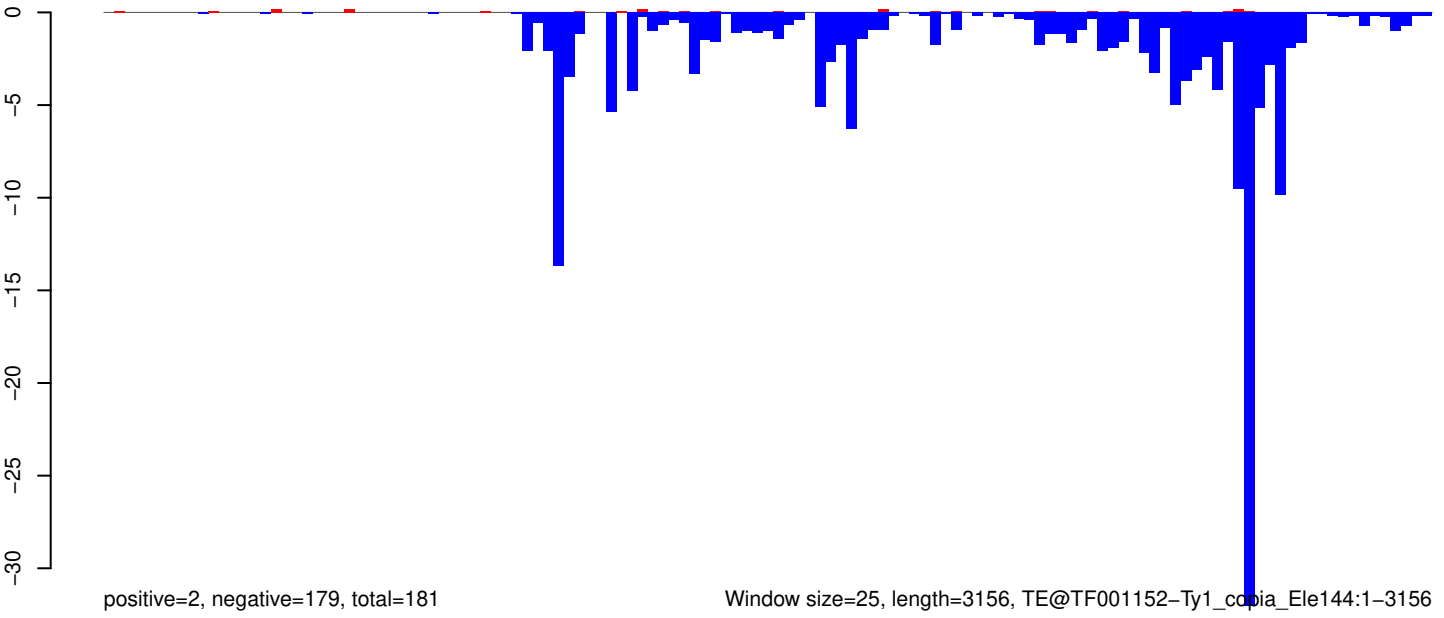
AeAeg_Aag2_Ago2_SINV_RA.18_23.rep



AeAeg_Aag2_Ago2_SINV_RA.24_35.rep



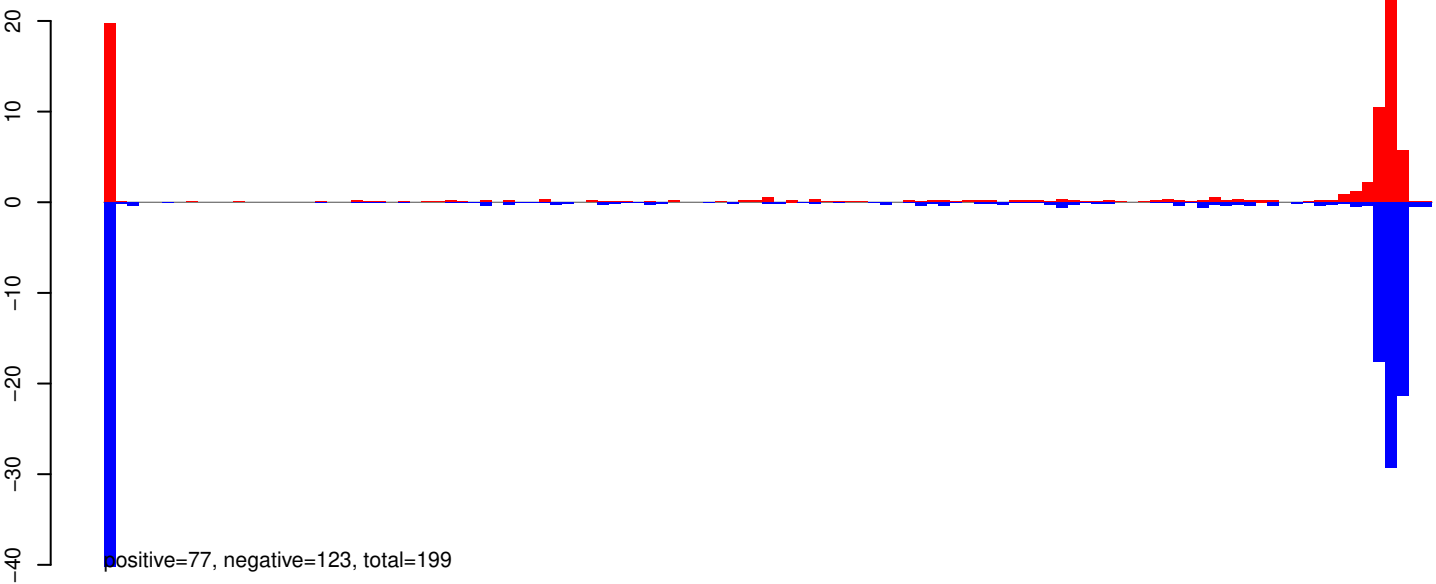
AeAeg_Aag2_Ago2_SINV_RA.rep



Window size=25, length=3156, TE@TF001152-Ty1_copia_Ele144:1-3156

0 500 1000 1500 2000 2500 3000

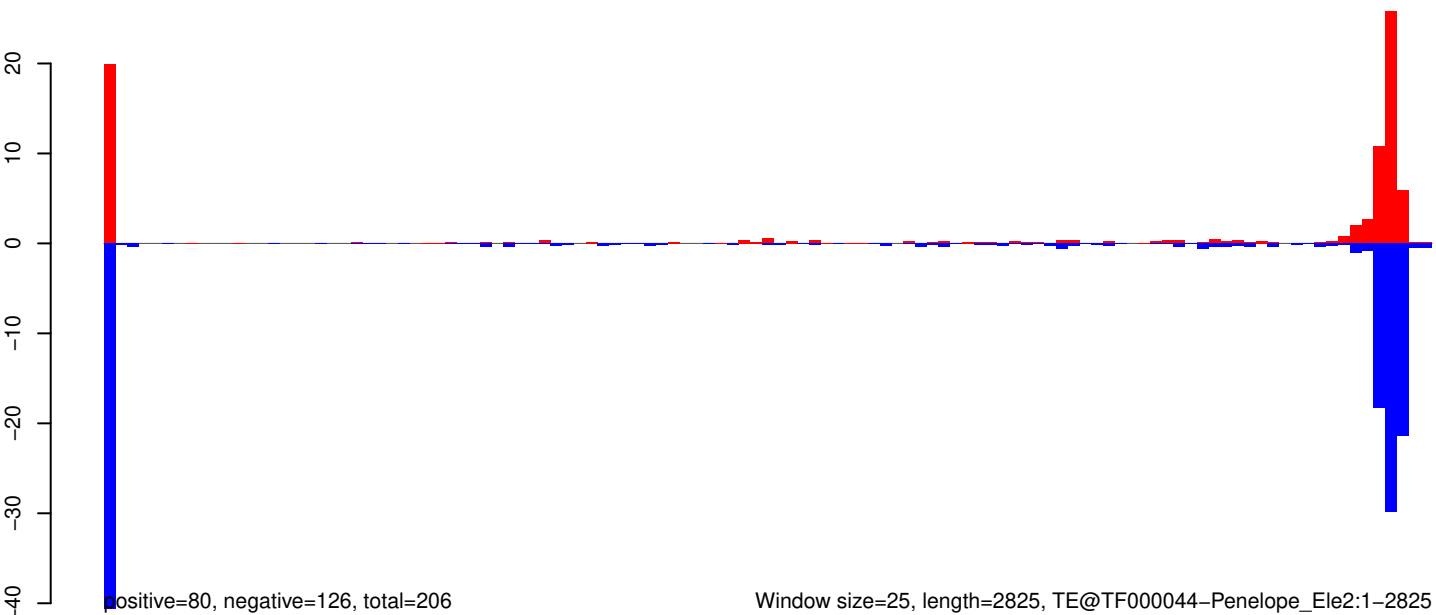
AeAeg_Aag2_Ago2_SINV_RA.18_23.rep



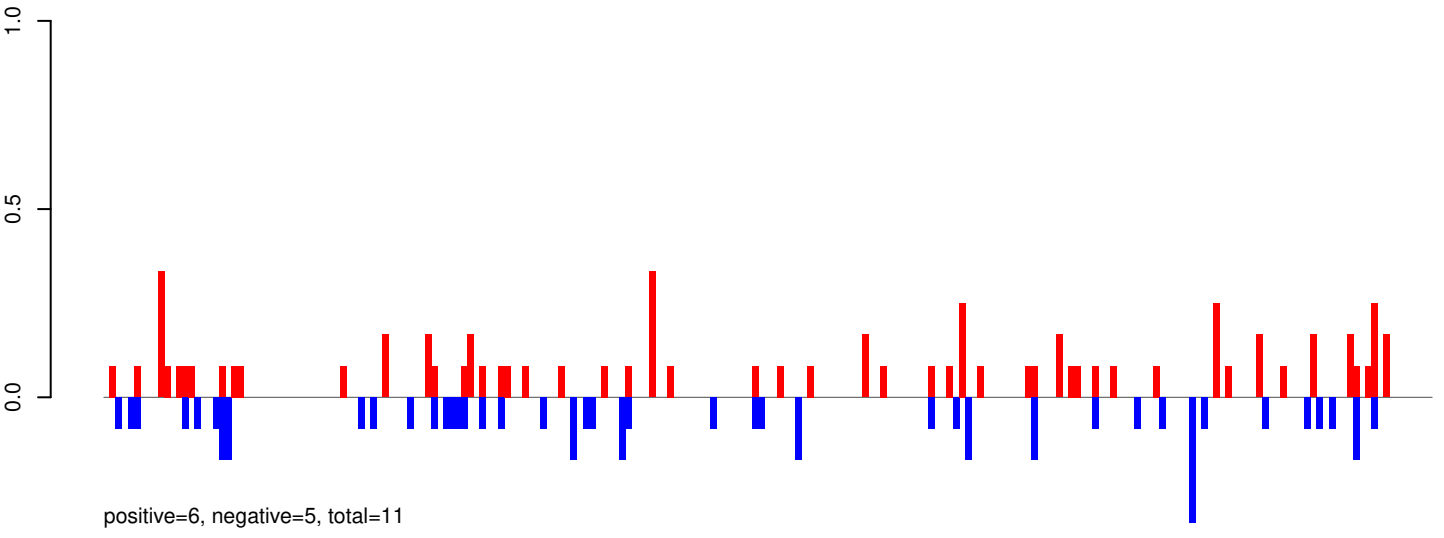
AeAeg_Aag2_Ago2_SINV_RA.24_35.rep



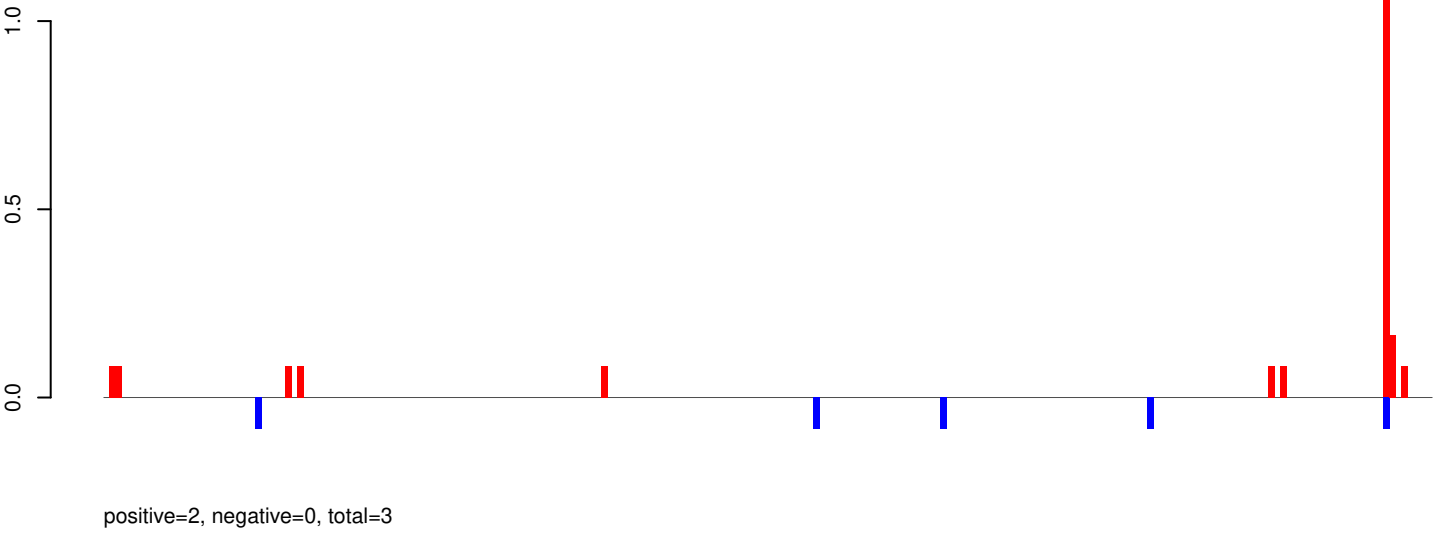
AeAeg_Aag2_Ago2_SINV_RA.rep



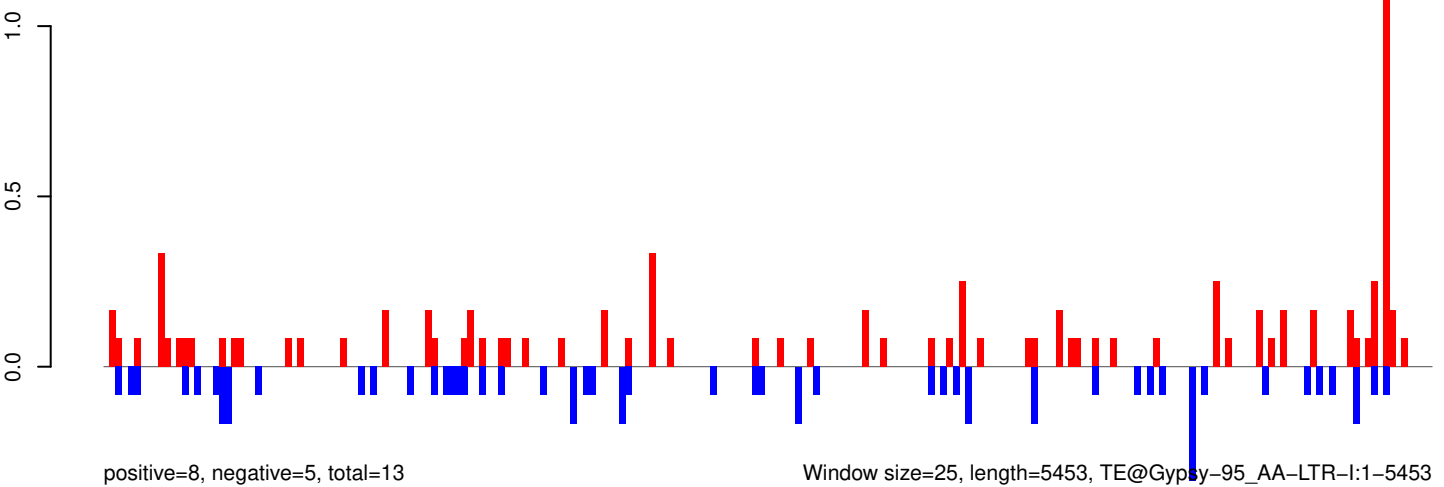
AeAeg_Aag2_Ago2_SINV_RA.18_23.rep



AeAeg_Aag2_Ago2_SINV_RA.24_35.rep

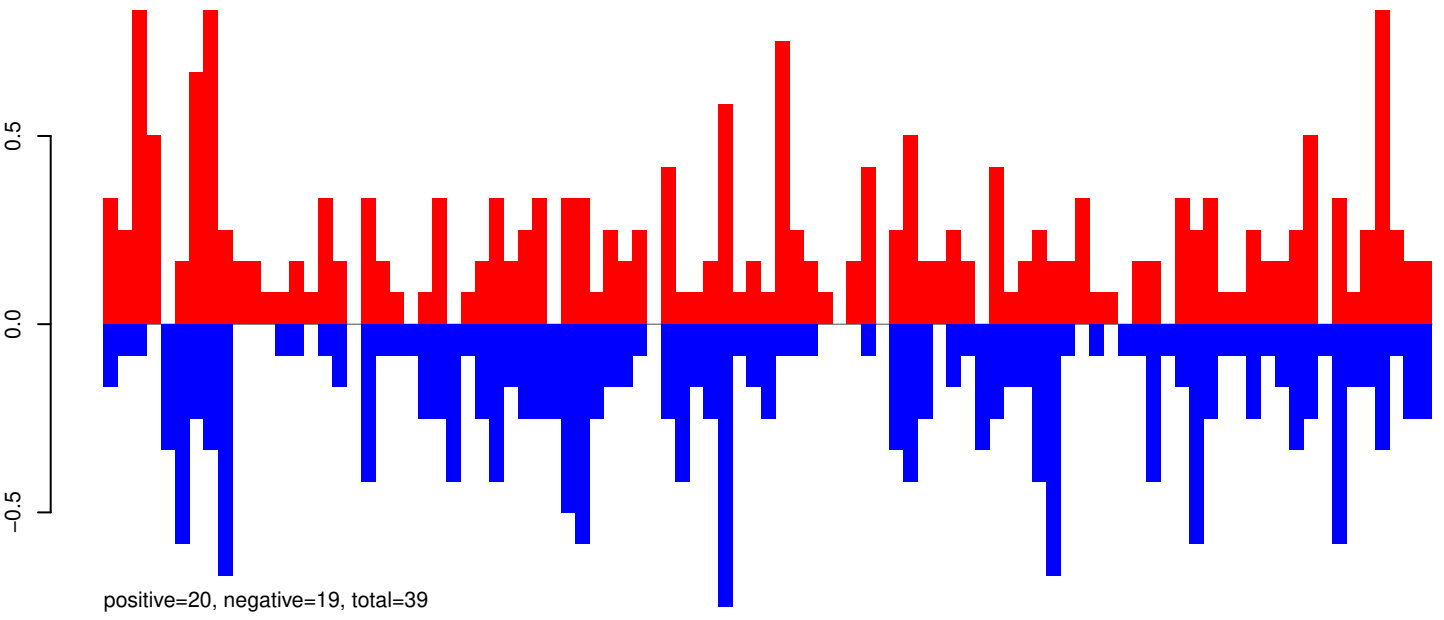


AeAeg_Aag2_Ago2_SINV_RA.rep

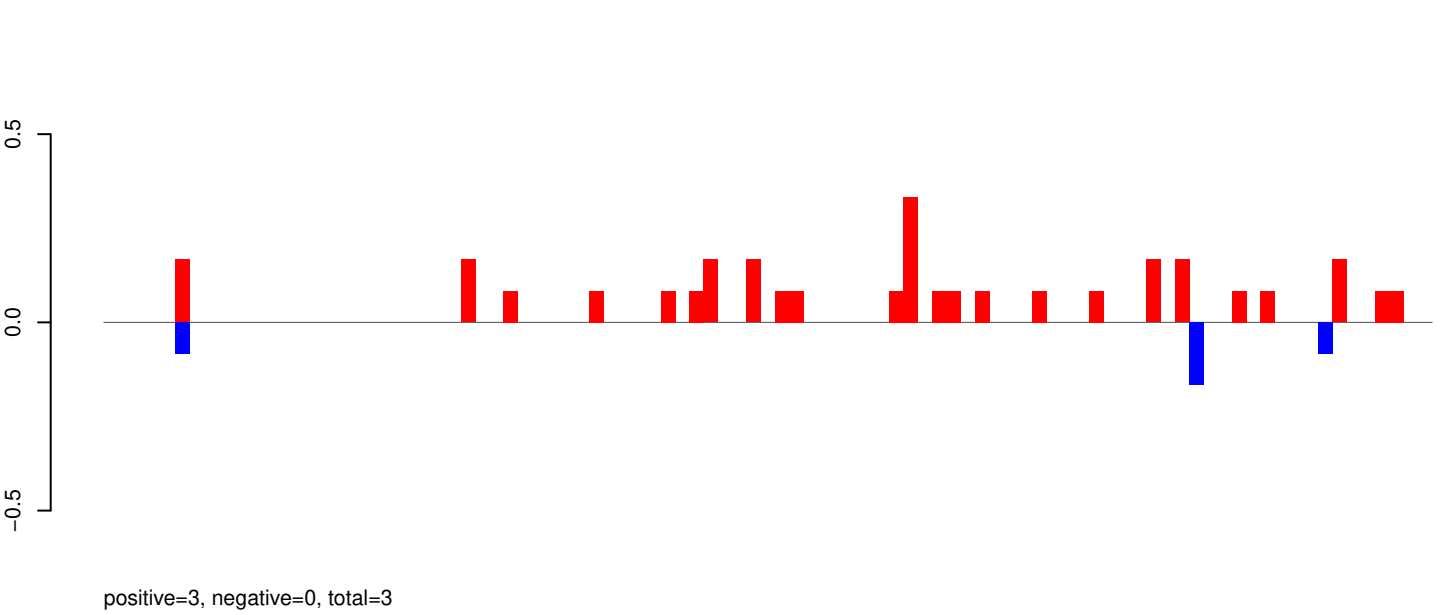


Window size=25, length=5453, TE@Gypsy-95_AA-LTR-I:1-5453

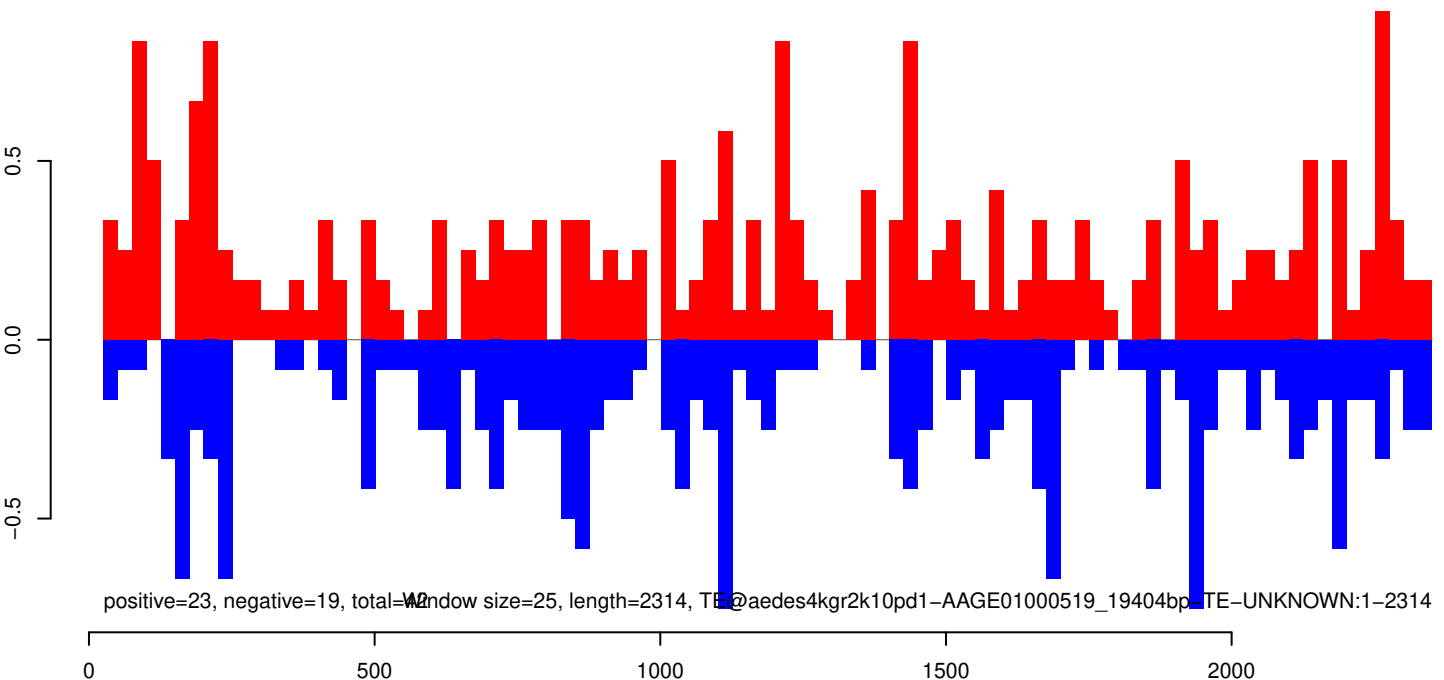
AeAeg_Aag2_Ago2_SINV_RA.18_23.rep



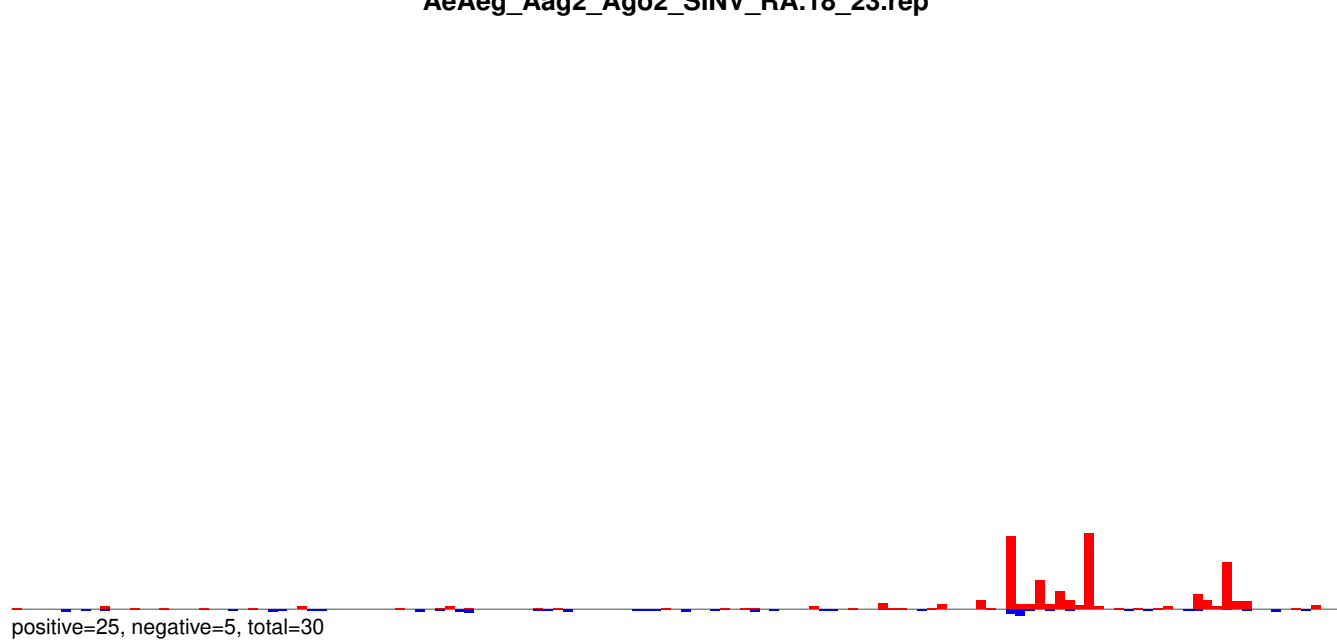
AeAeg_Aag2_Ago2_SINV_RA.24_35.rep



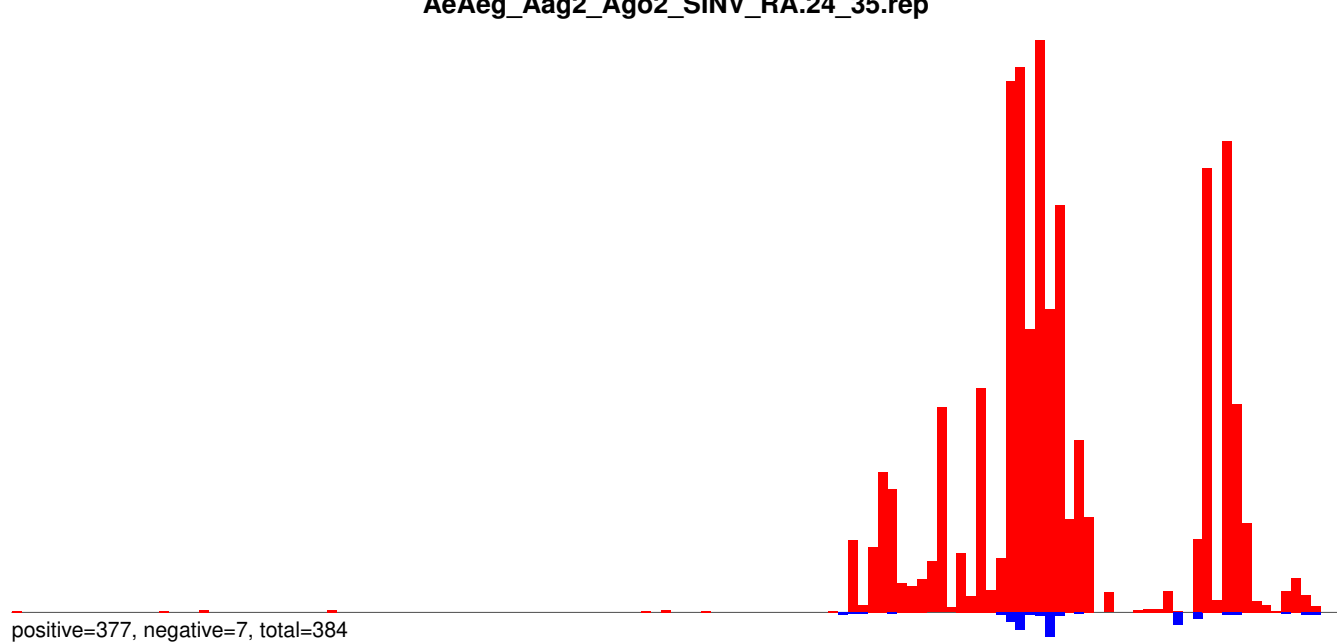
AeAeg_Aag2_Ago2_SINV_RA.rep



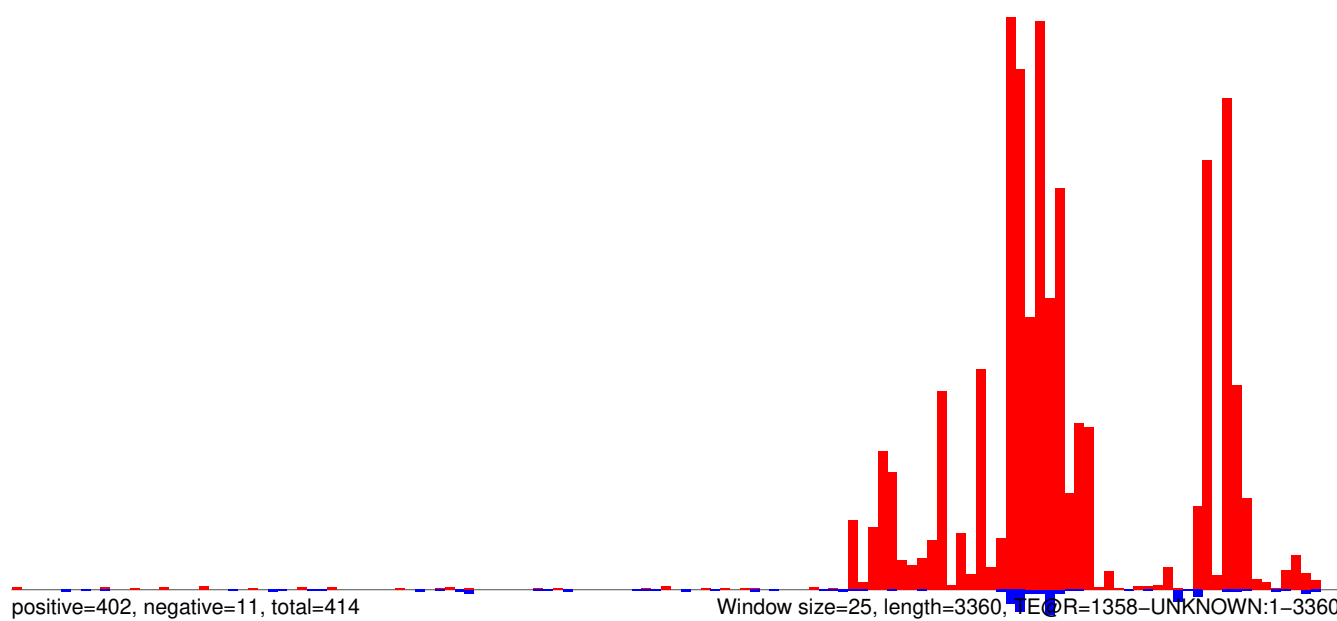
AeAeg_Aag2_Ago2_SINV_RA.18_23.rep



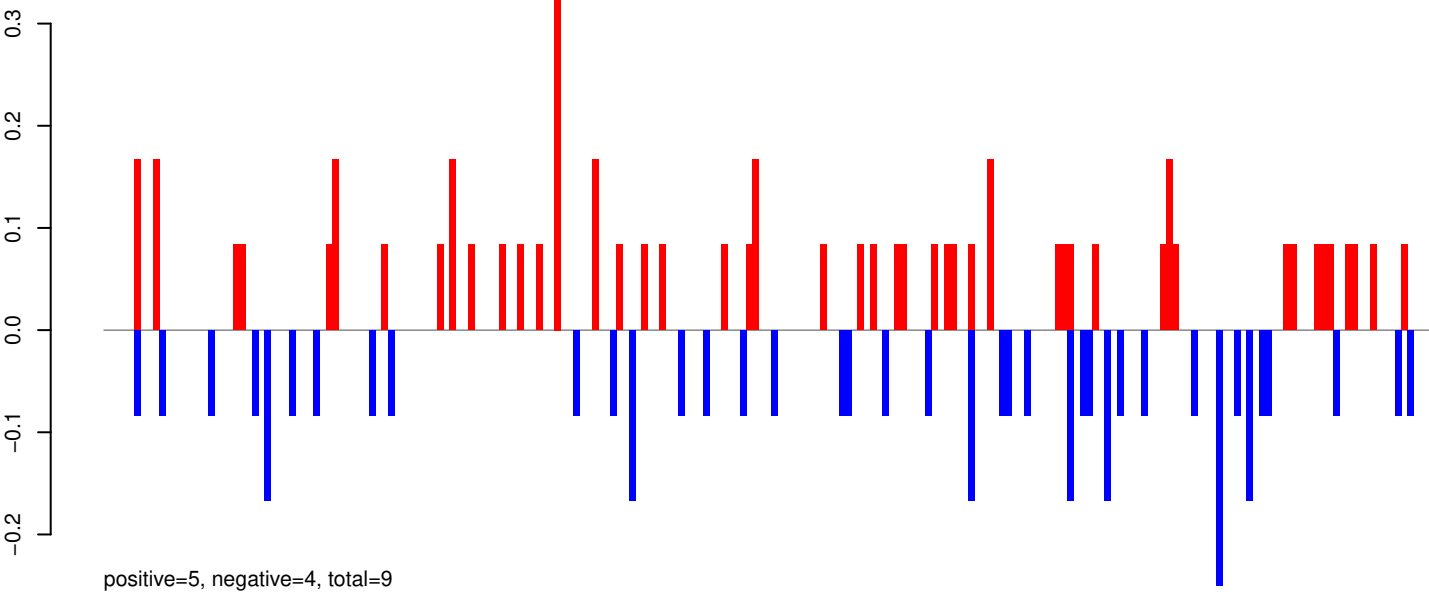
AeAeg_Aag2_Ago2_SINV_RA.24_35.rep



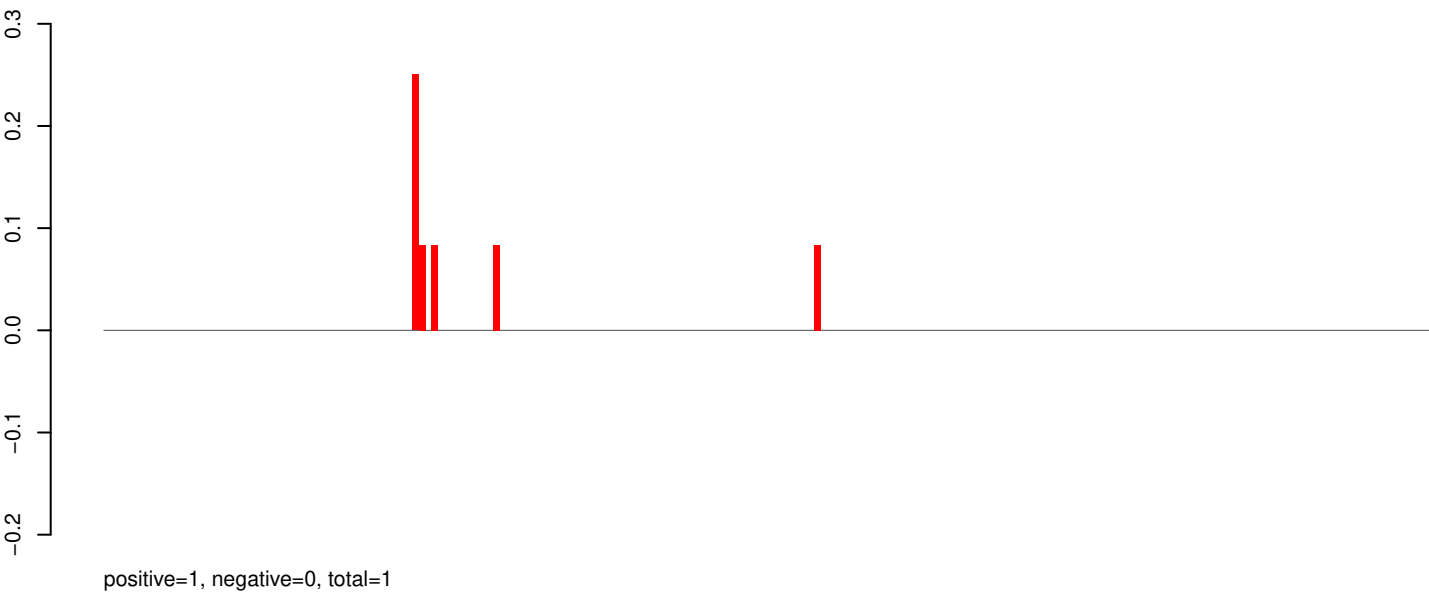
AeAeg_Aag2_Ago2_SINV_RA.rep



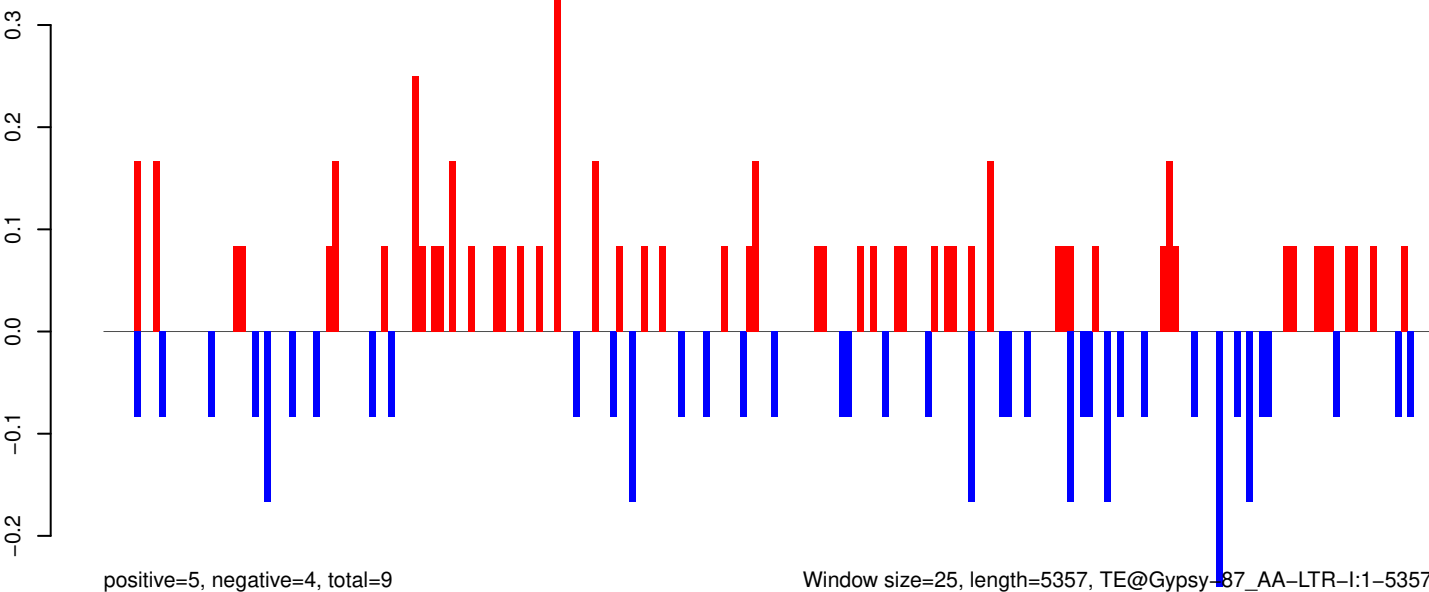
AeAeg_Aag2_Ago2_SINV_RA.18_23.rep



AeAeg_Aag2_Ago2_SINV_RA.24_35.rep

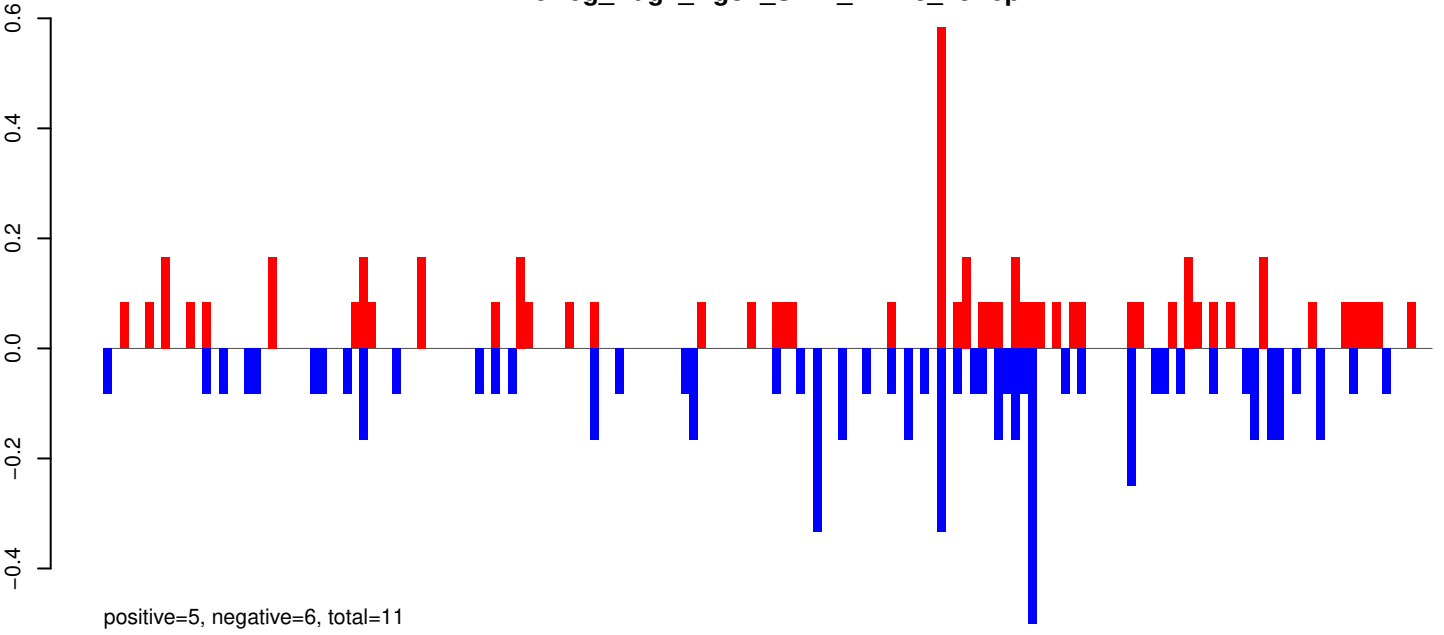


AeAeg_Aag2_Ago2_SINV_RA.rep

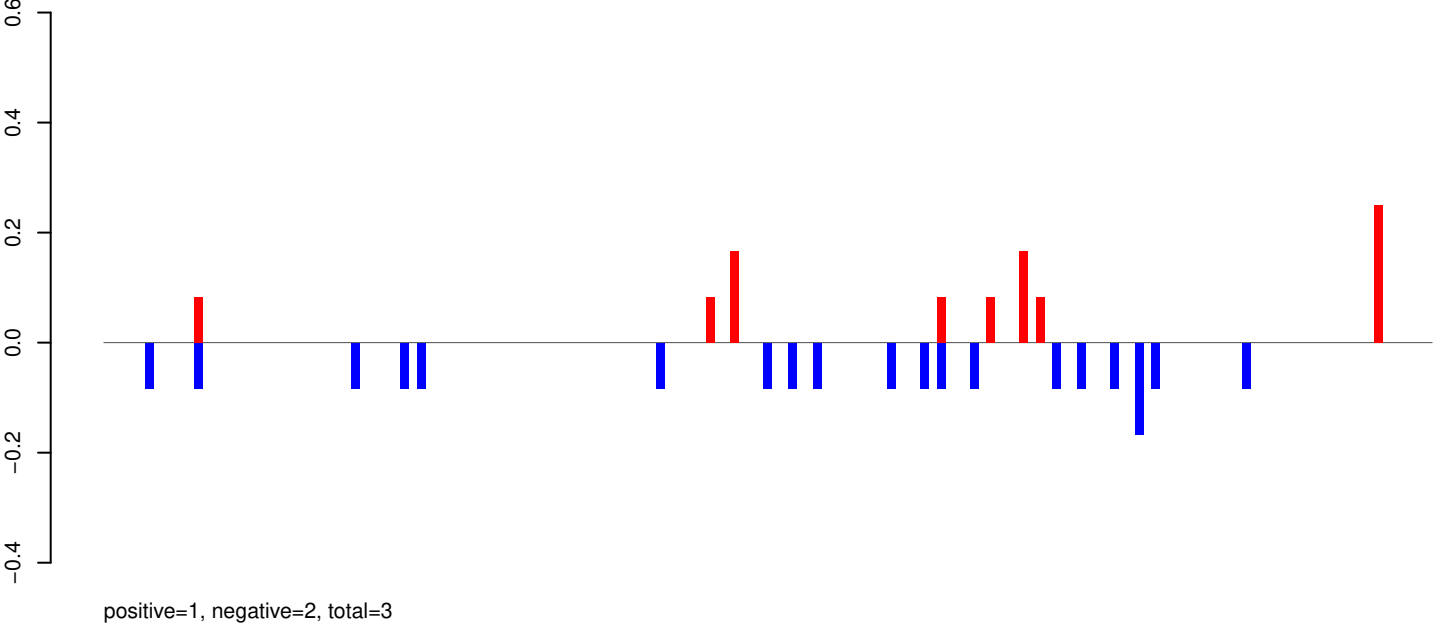


0 1000 2000 3000 4000 5000

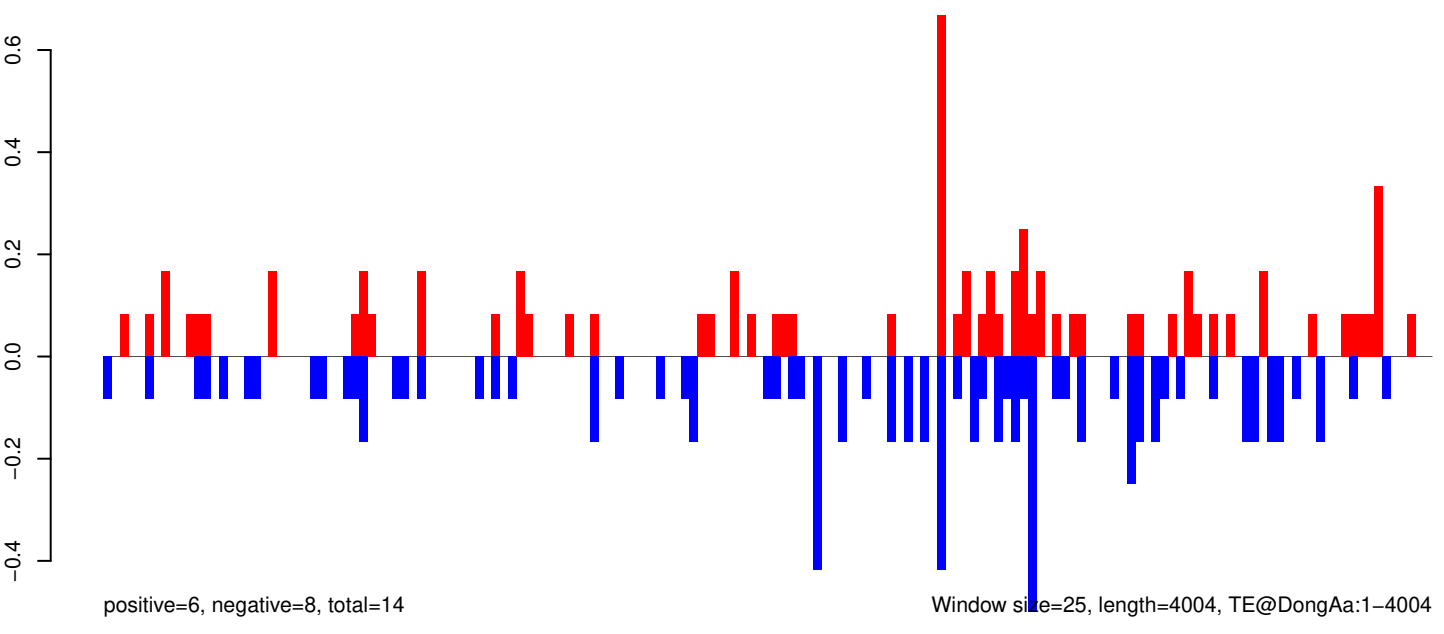
AeAeg_Aag2_Ago2_SINV_RA.18_23.rep



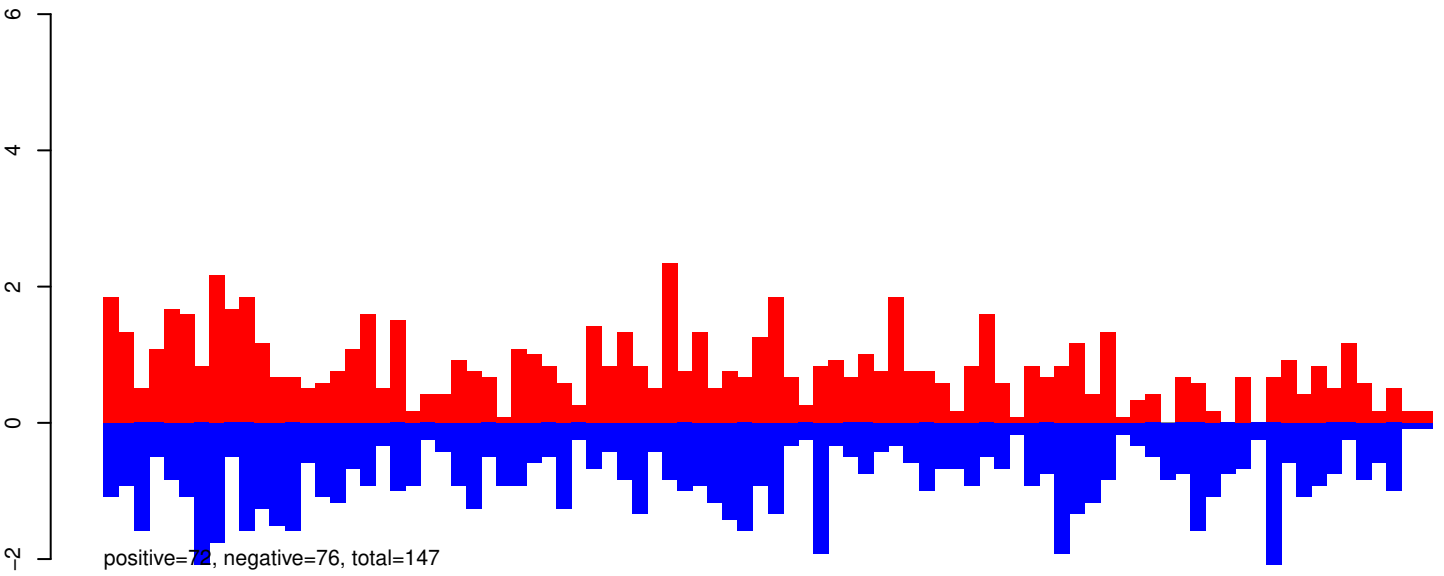
AeAeg_Aag2_Ago2_SINV_RA.24_35.rep



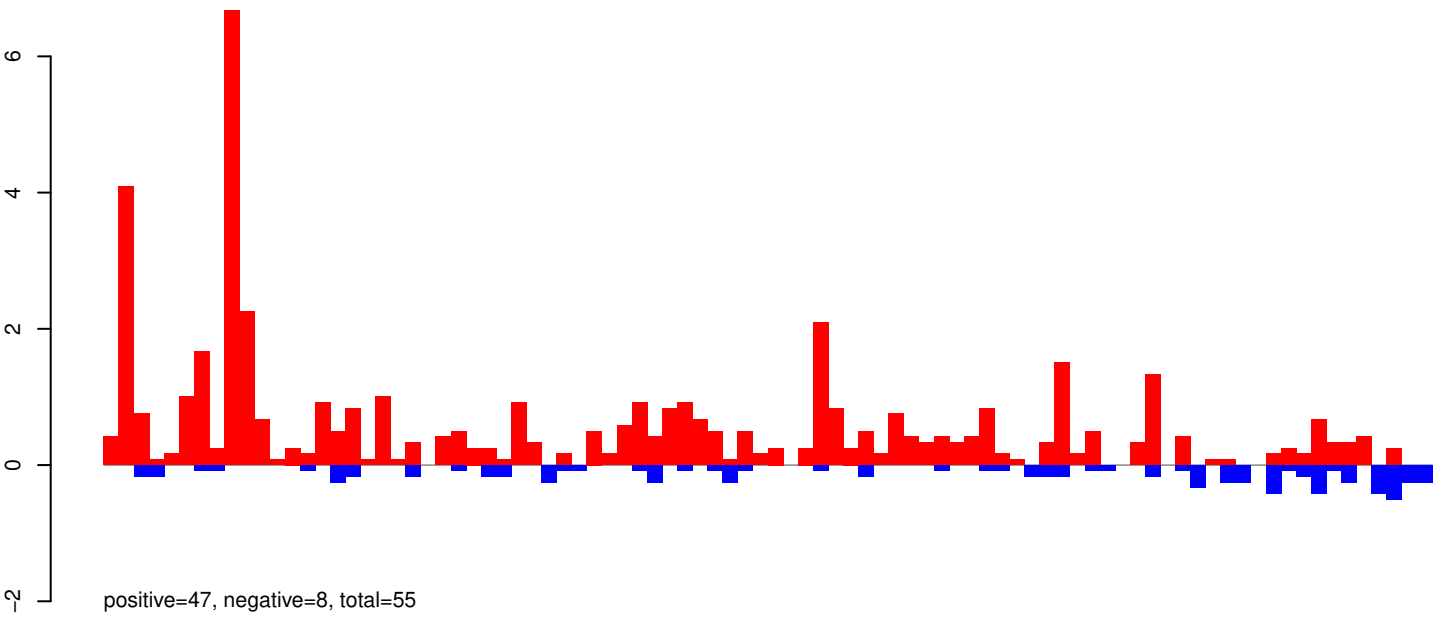
AeAeg_Aag2_Ago2_SINV_RA.rep



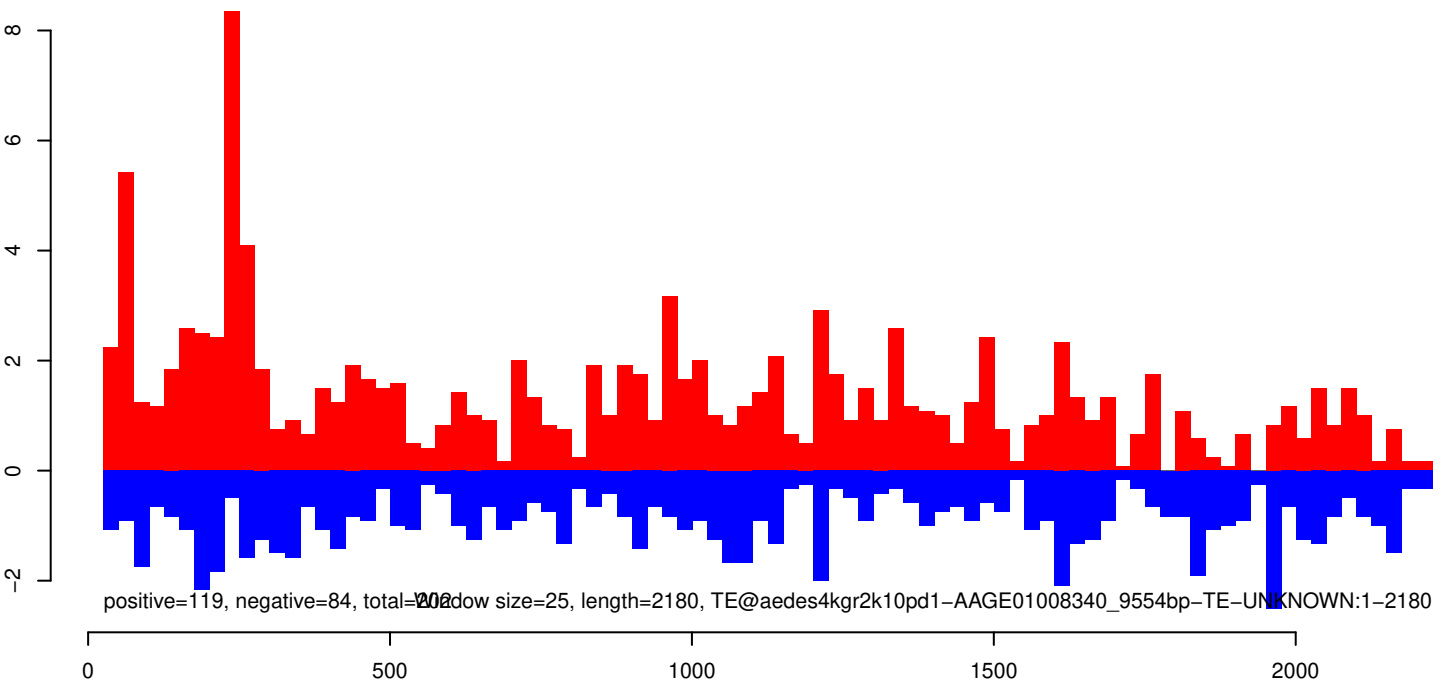
AeAeg_Aag2_Ago2_SINV_RA.18_23.rep



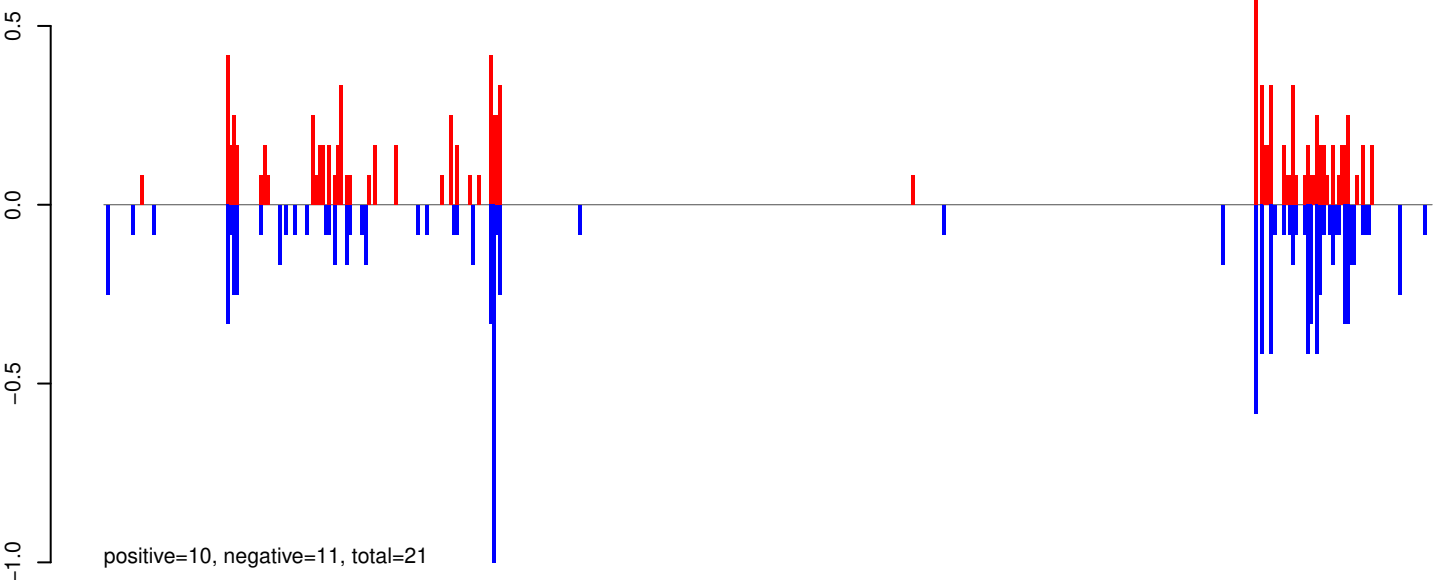
AeAeg_Aag2_Ago2_SINV_RA.24_35.rep



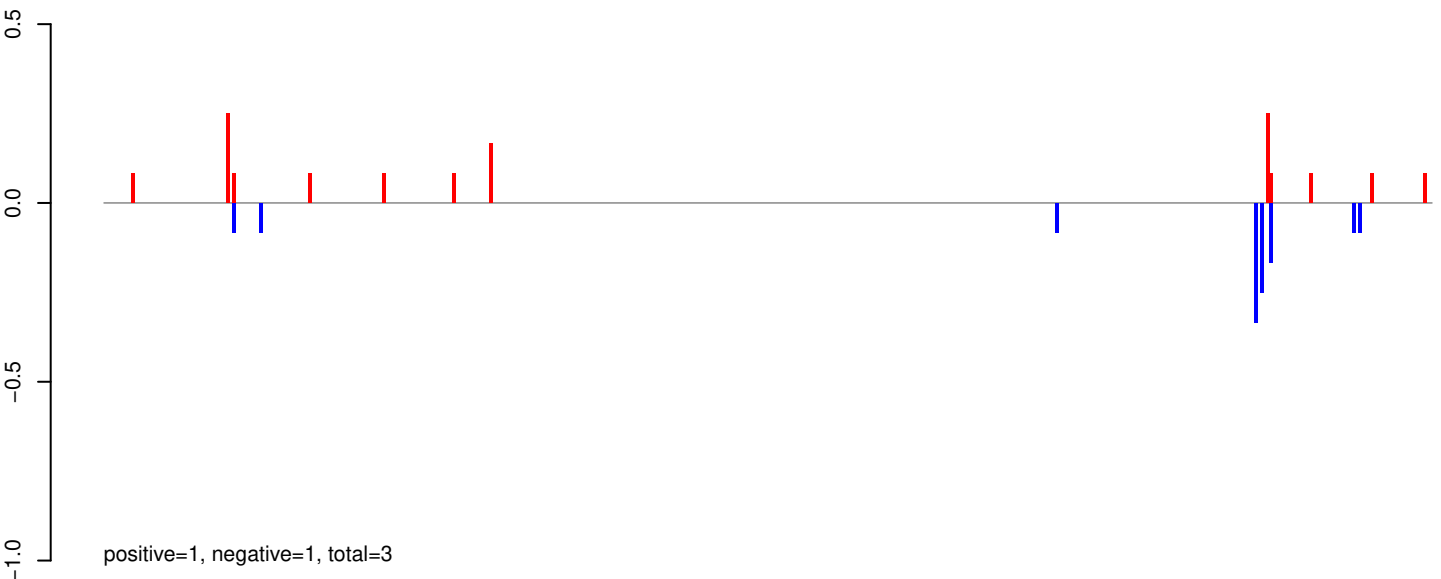
AeAeg_Aag2_Ago2_SINV_RA.rep



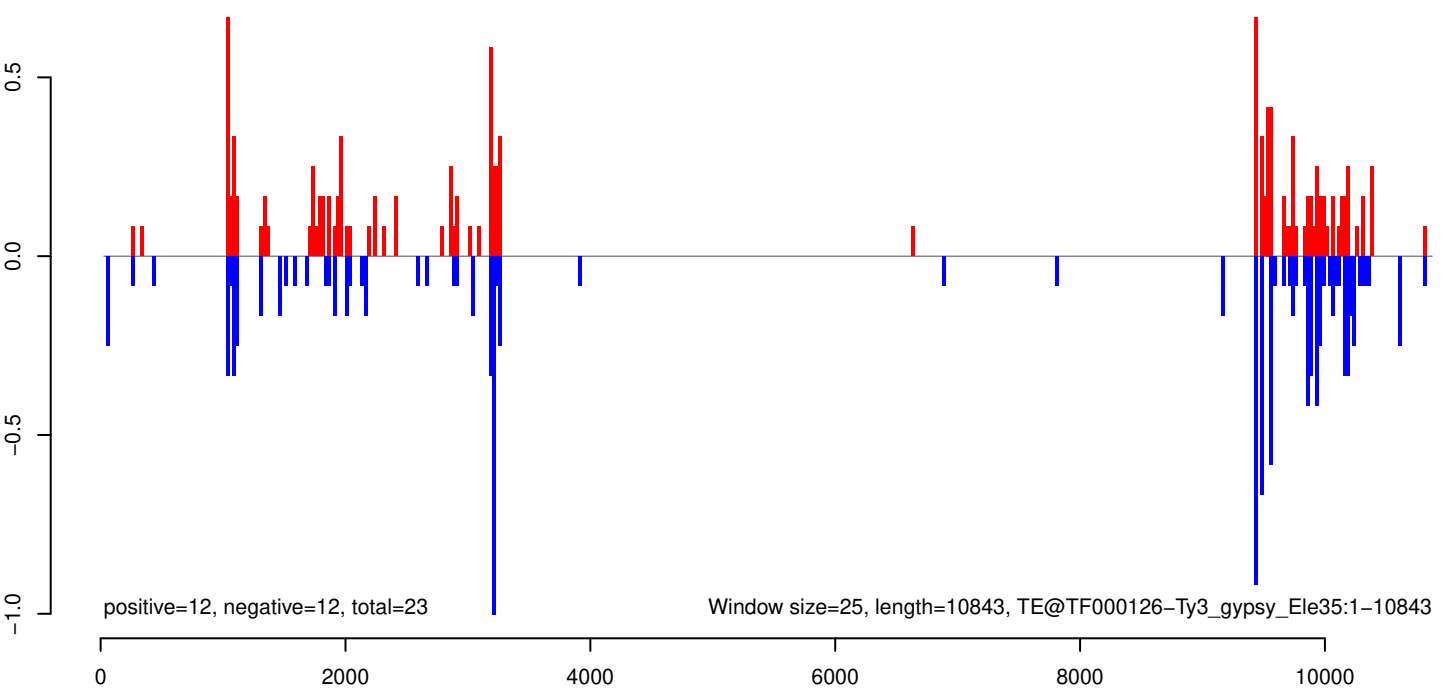
AeAeg_Aag2_Ago2_SINV_RA.18_23.rep



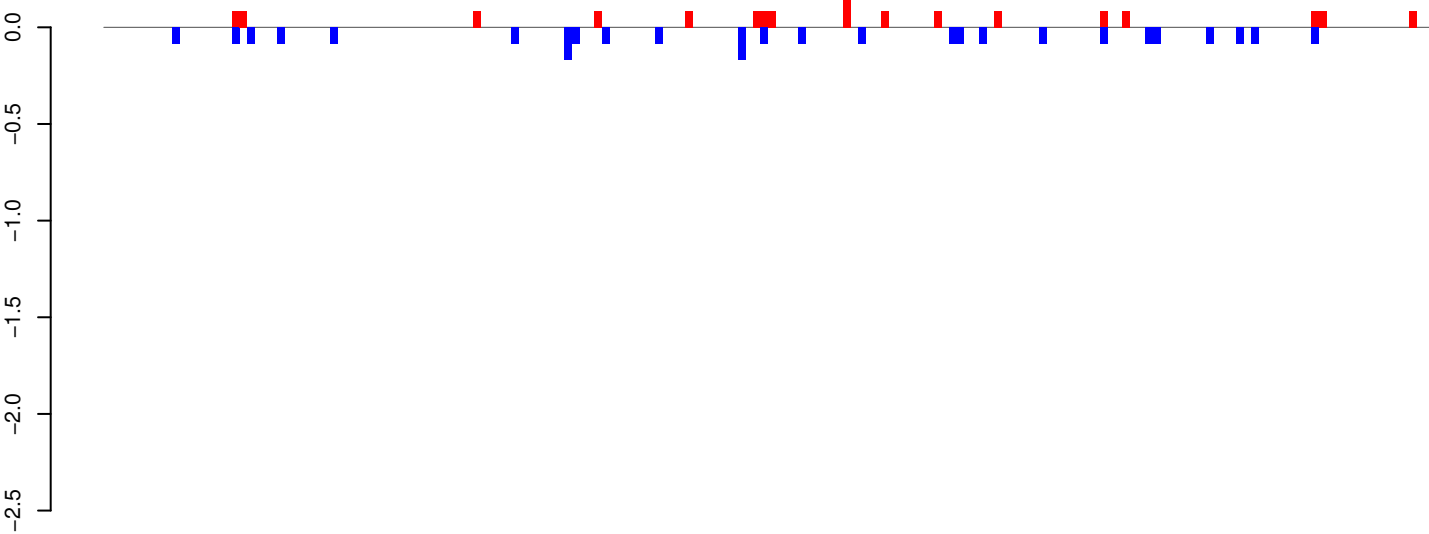
AeAeg_Aag2_Ago2_SINV_RA.24_35.rep



AeAeg_Aag2_Ago2_SINV_RA.rep

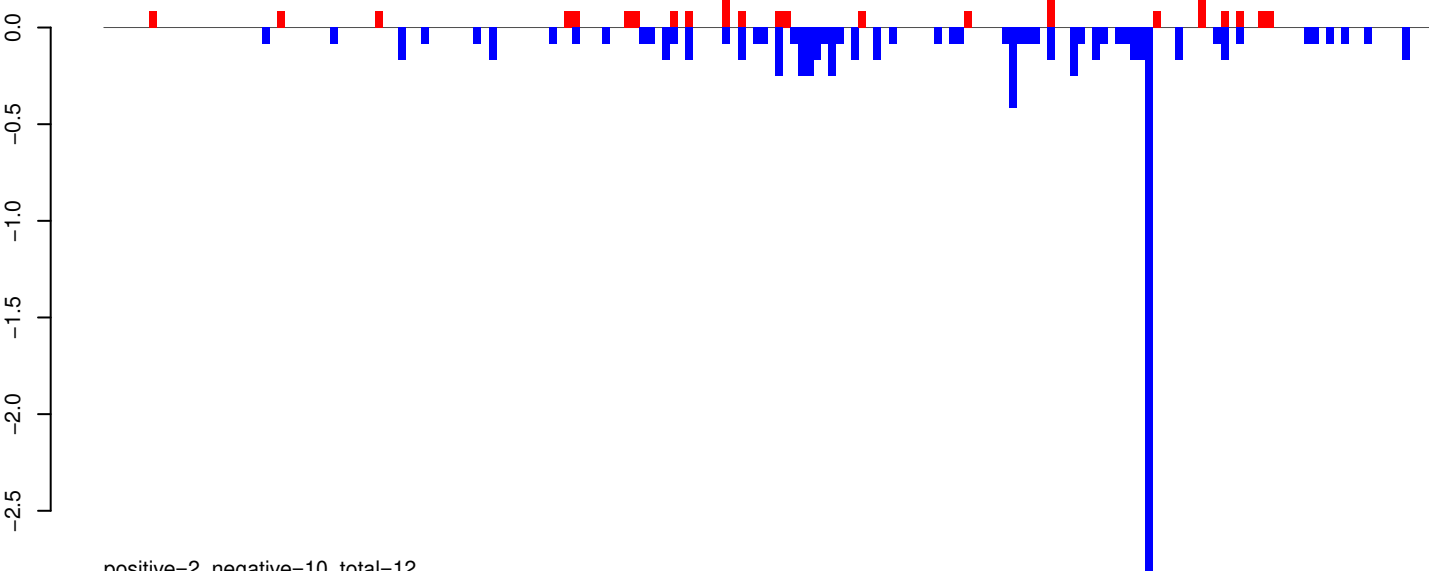


AeAeg_Aag2_Ago2_SINV_RA.18_23.rep



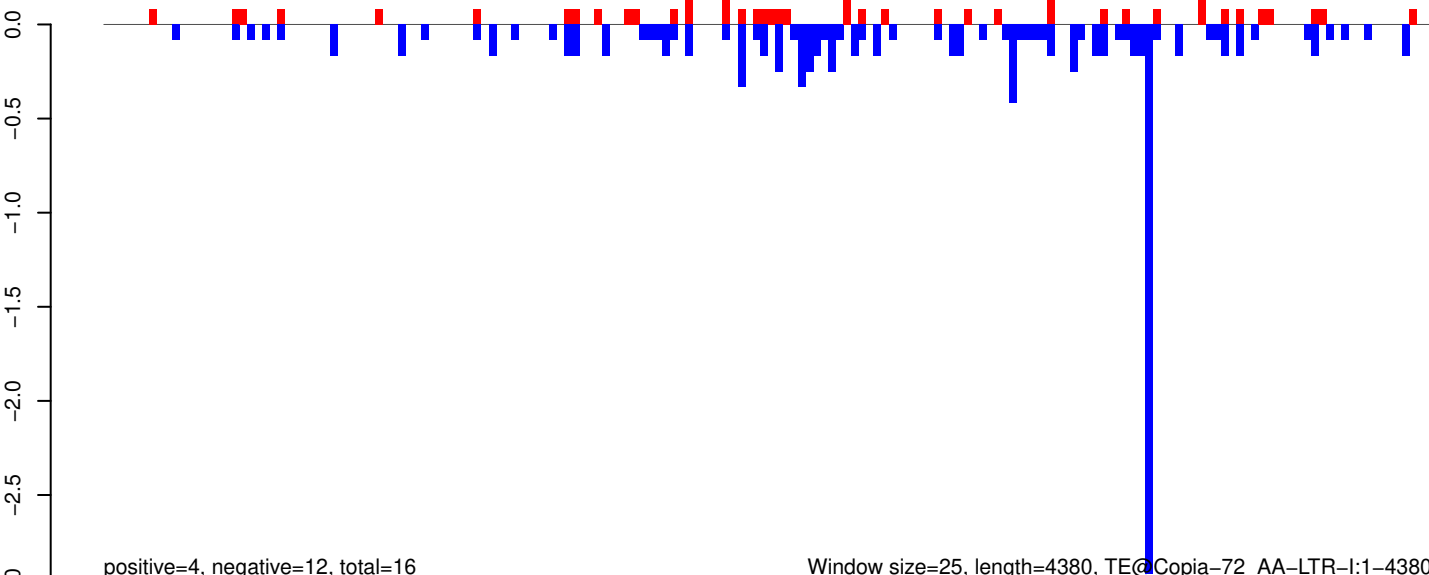
positive=2, negative=2, total=4

AeAeg_Aag2_Ago2_SINV_RA.24_35.rep



positive=2, negative=10, total=12

AeAeg_Aag2_Ago2_SINV_RA.rep

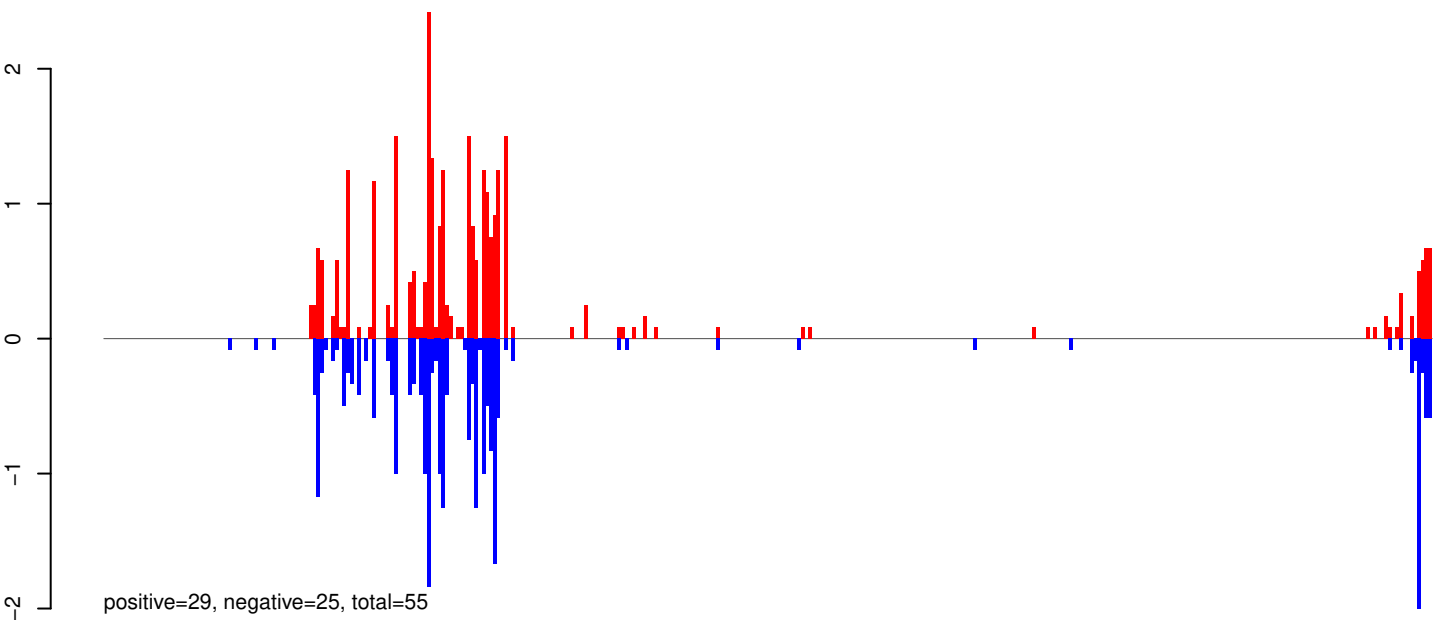


positive=4, negative=12, total=16

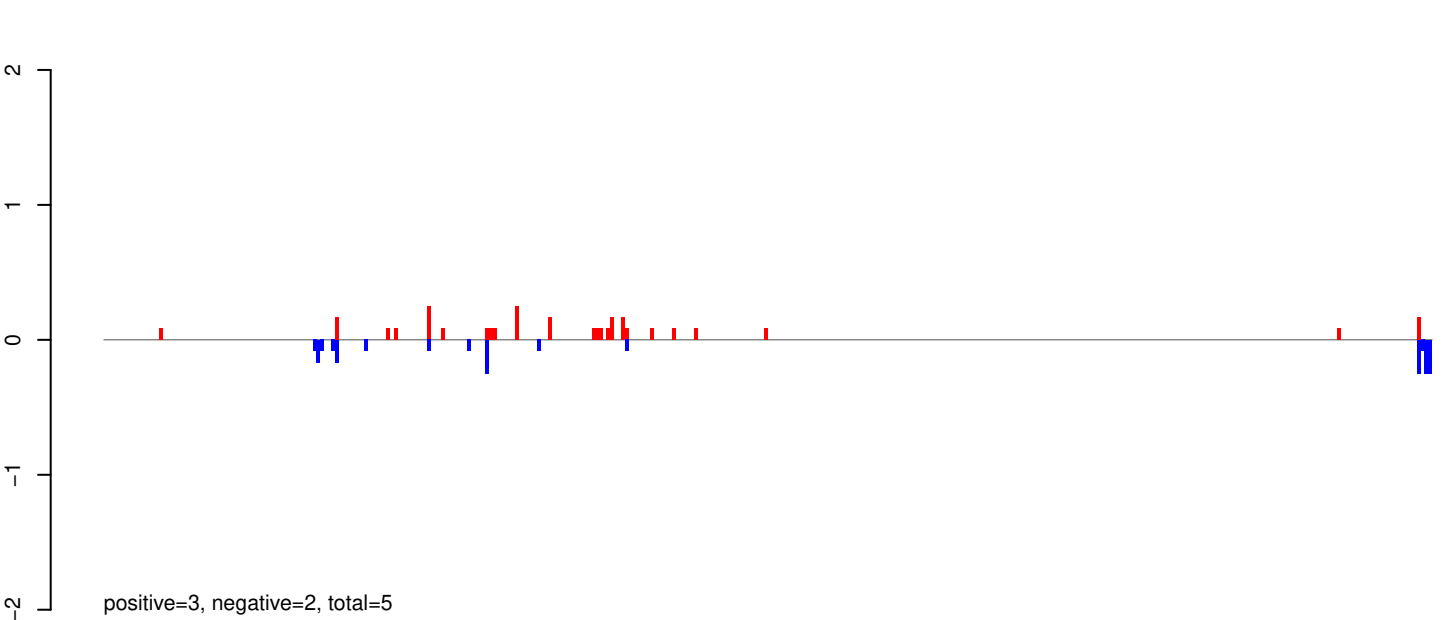
Window size=25, length=4380, TE@Copia-72_AA-LTR-I:1-4380

0 1000 2000 3000 4000

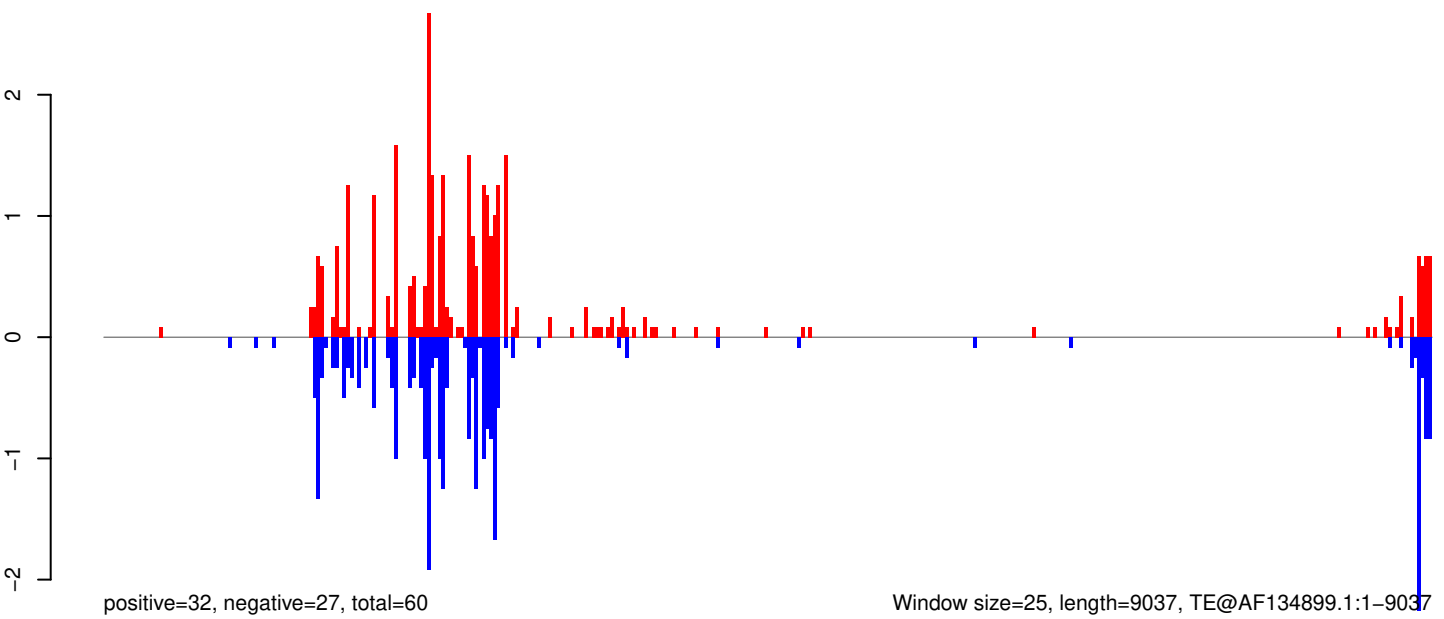
AeAeg_Aag2_Ago2_SINV_RA.18_23.rep



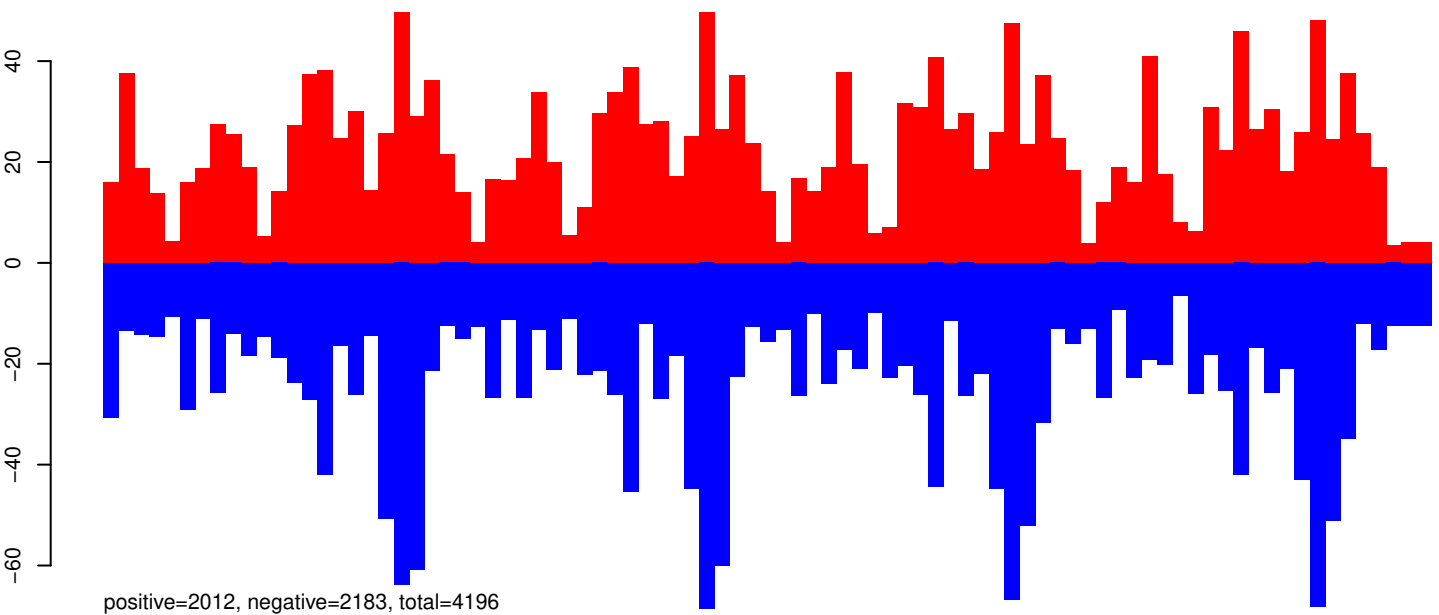
AeAeg_Aag2_Ago2_SINV_RA.24_35.rep



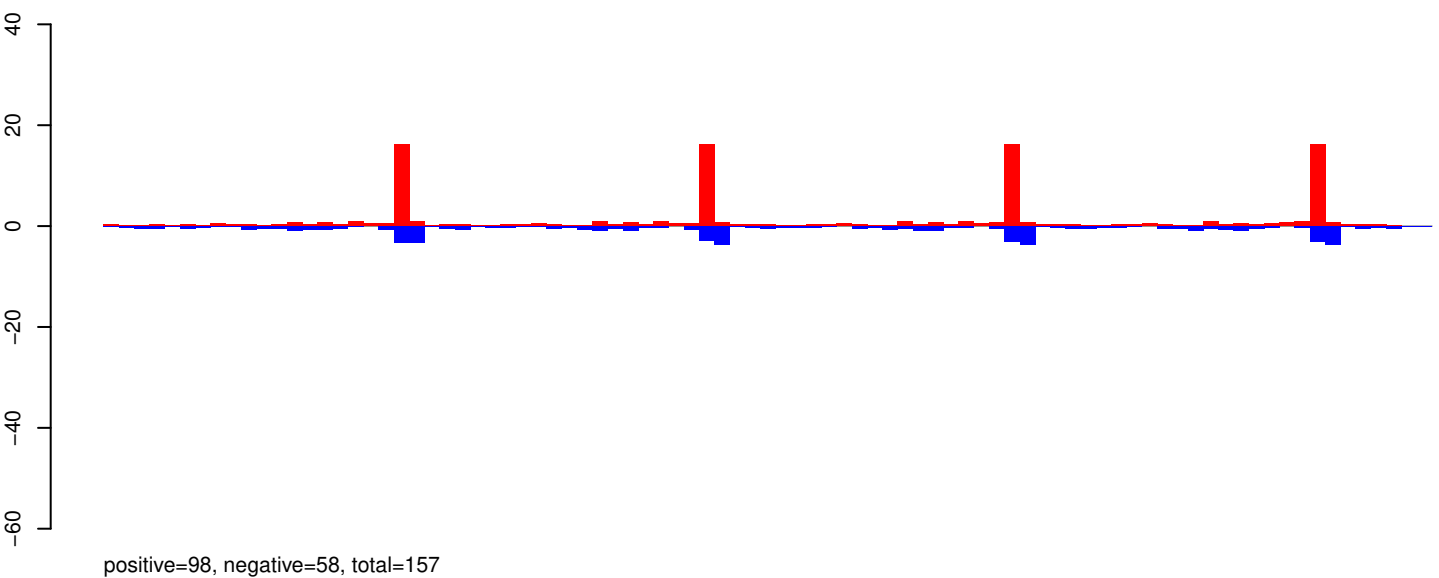
AeAeg_Aag2_Ago2_SINV_RA.rep



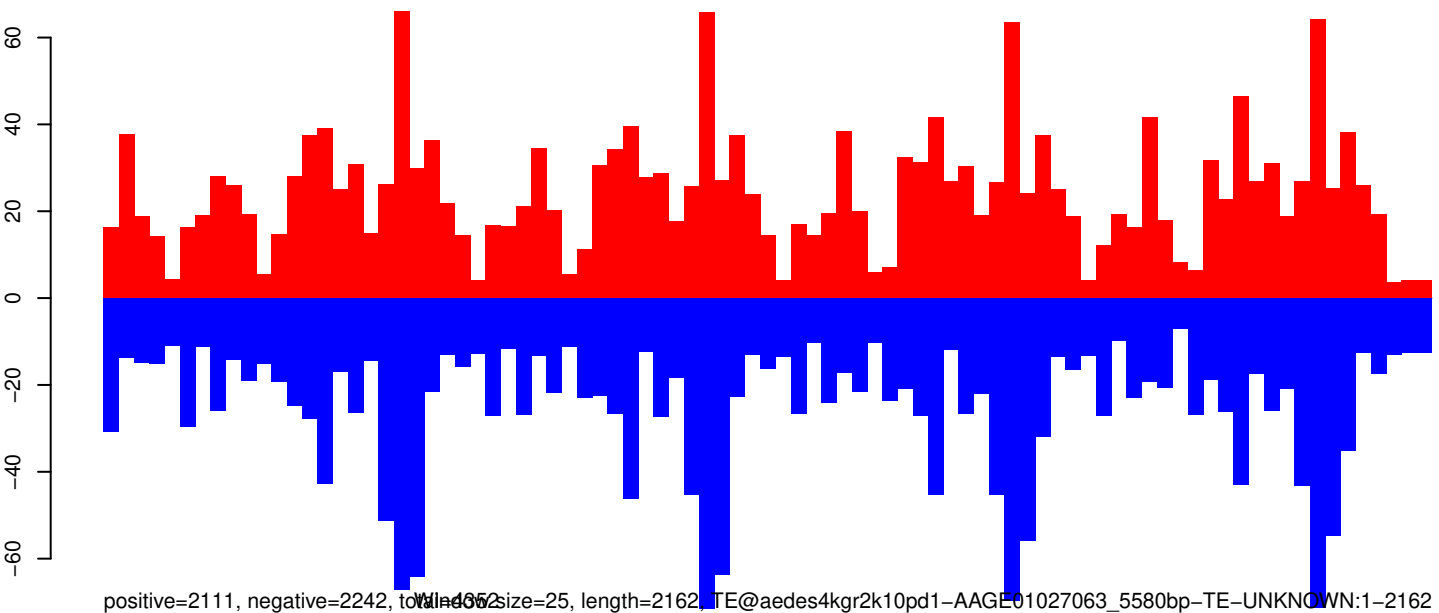
AeAeg_Aag2_Ago2_SINV_RA.18_23.rep



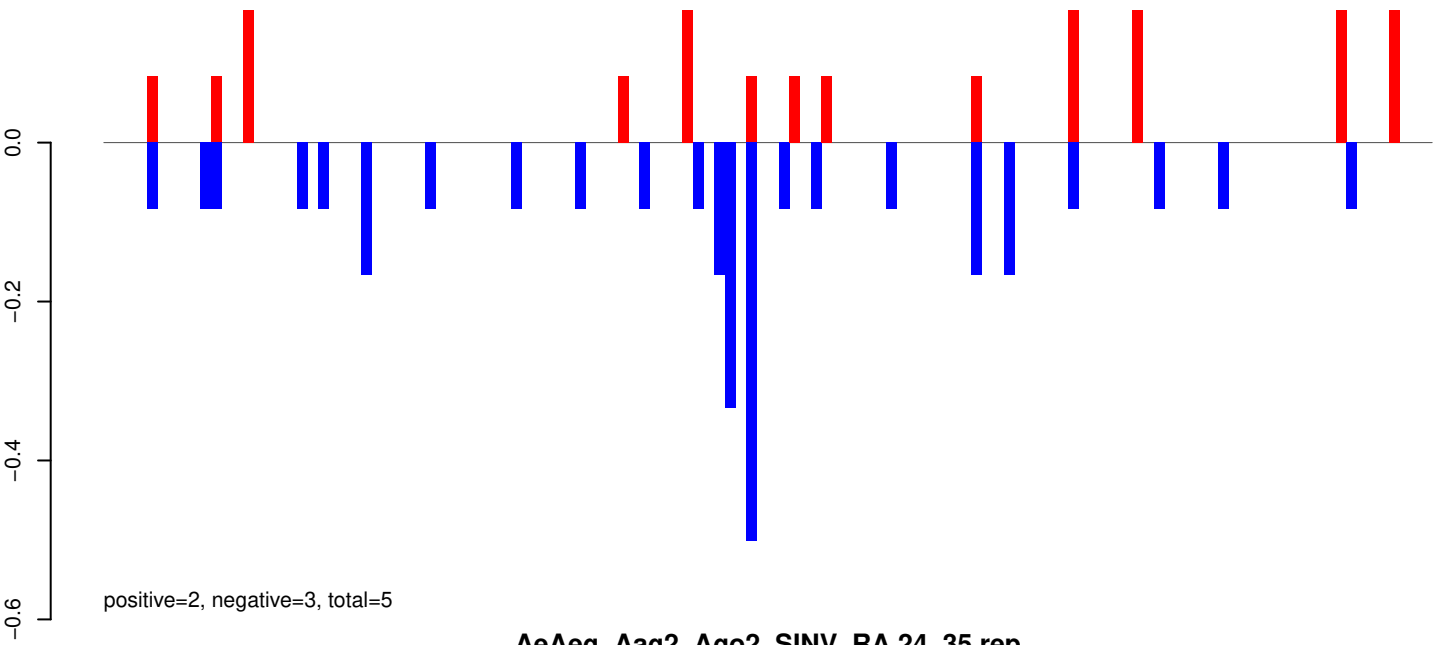
AeAeg_Aag2_Ago2_SINV_RA.24_35.rep



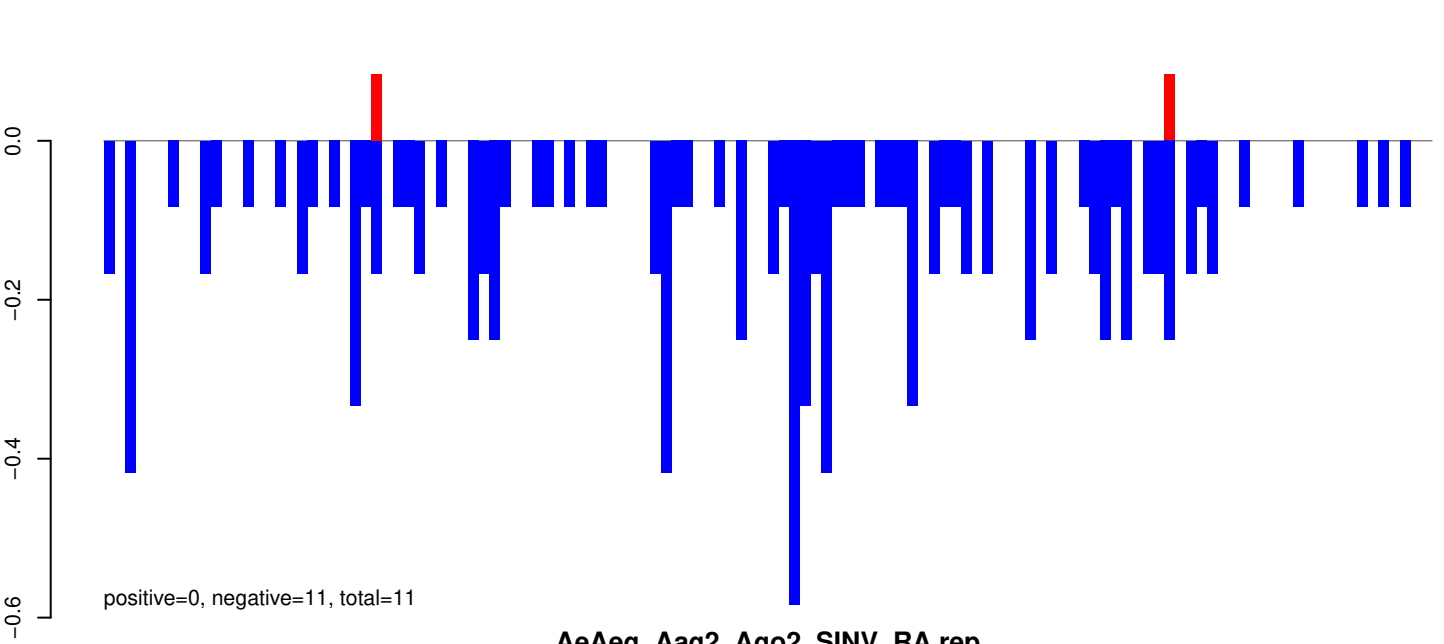
AeAeg_Aag2_Ago2_SINV_RA.rep



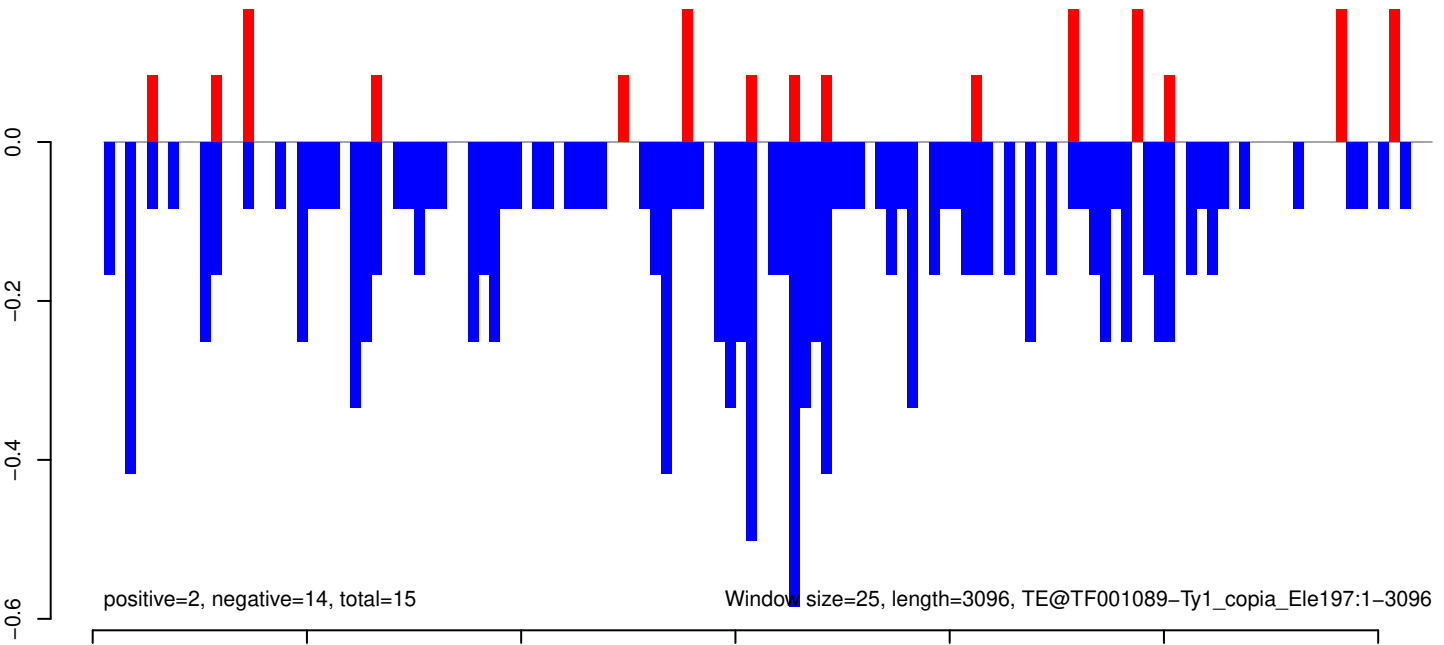
AeAeg_Aag2_Ago2_SINV_RA.18_23.rep



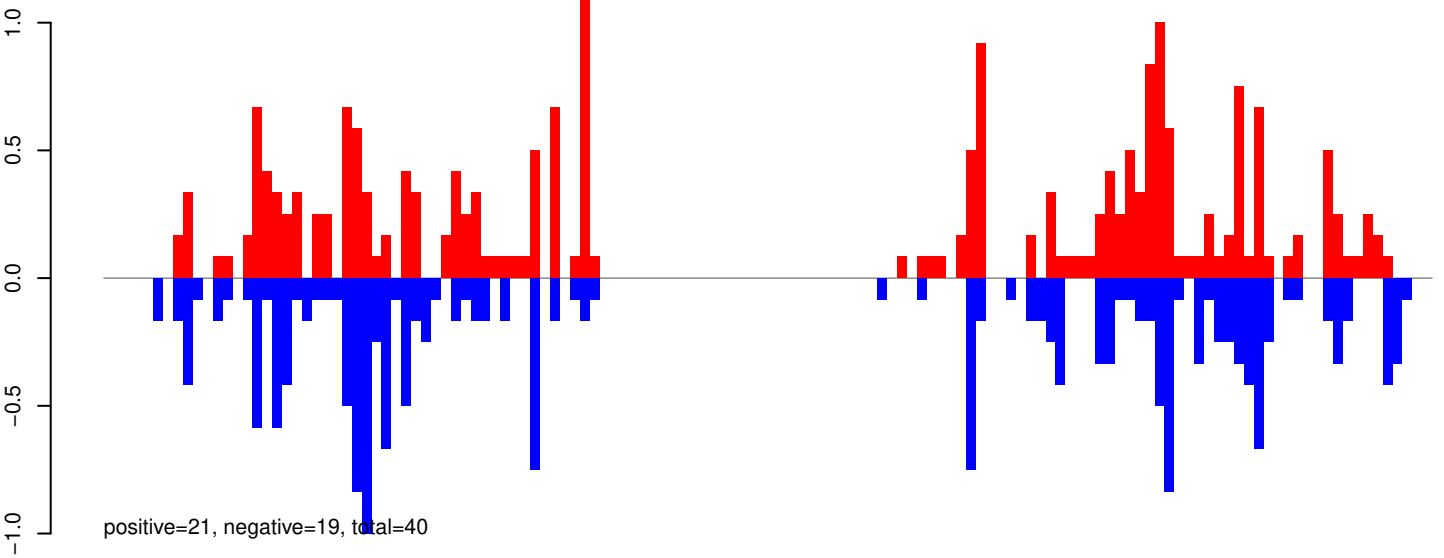
AeAeg_Aag2_Ago2_SINV_RA.24_35.rep



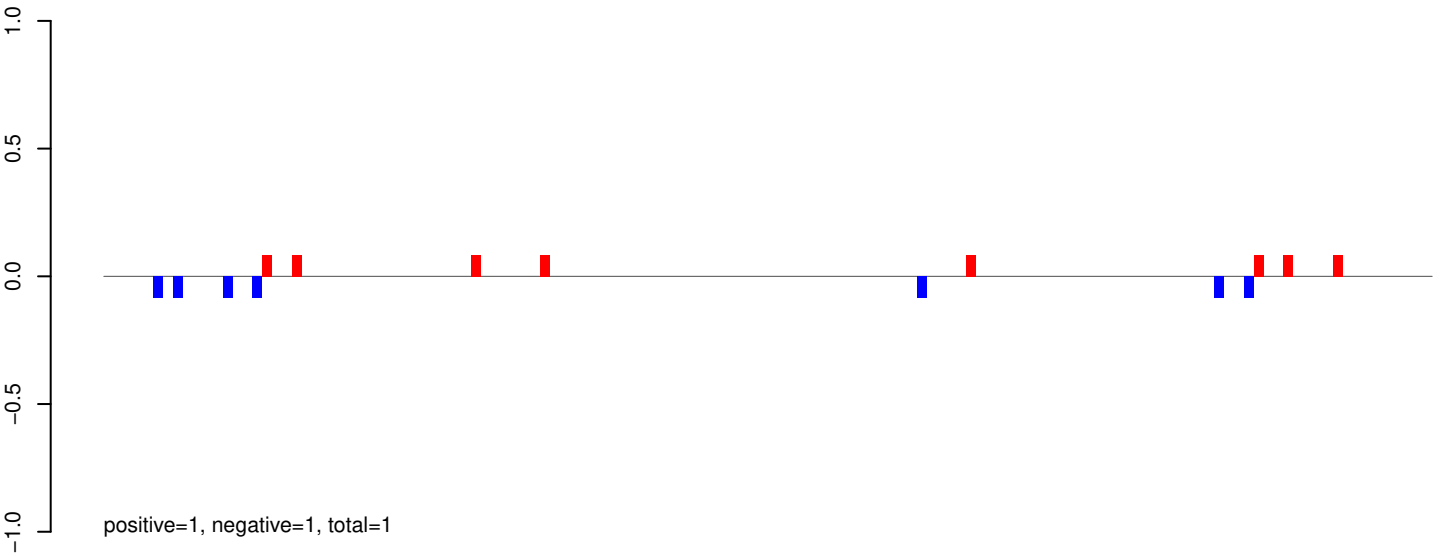
AeAeg_Aag2_Ago2_SINV_RA.rep



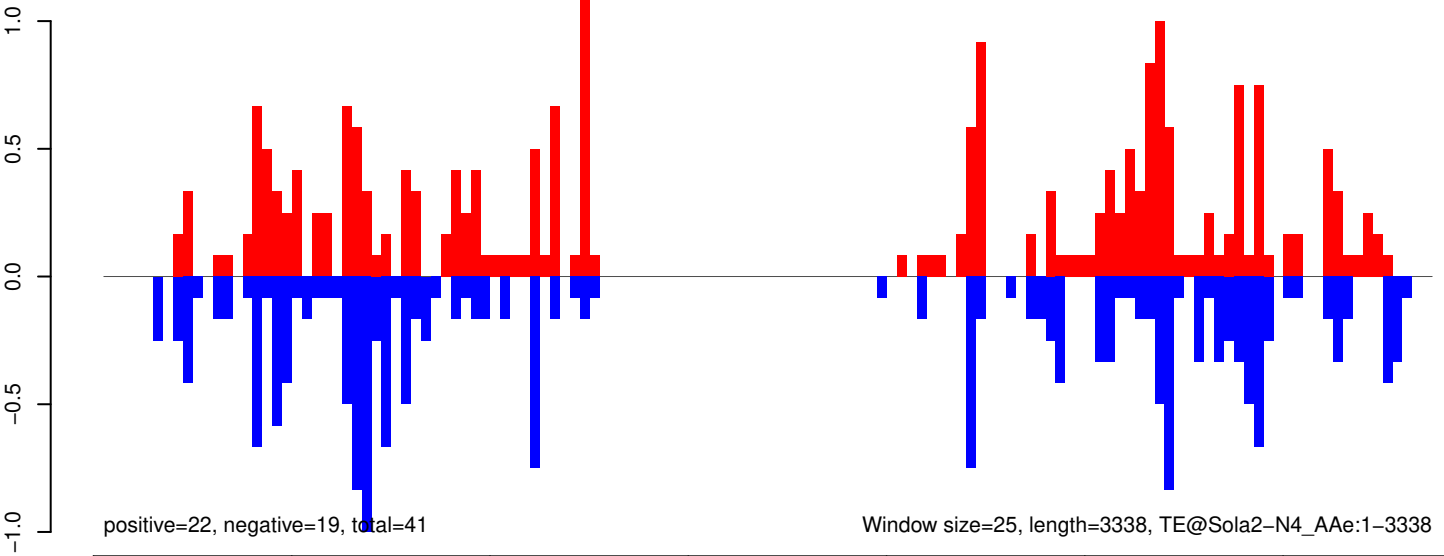
AeAeg_Aag2_Ago2_SINV_RA.18_23.rep



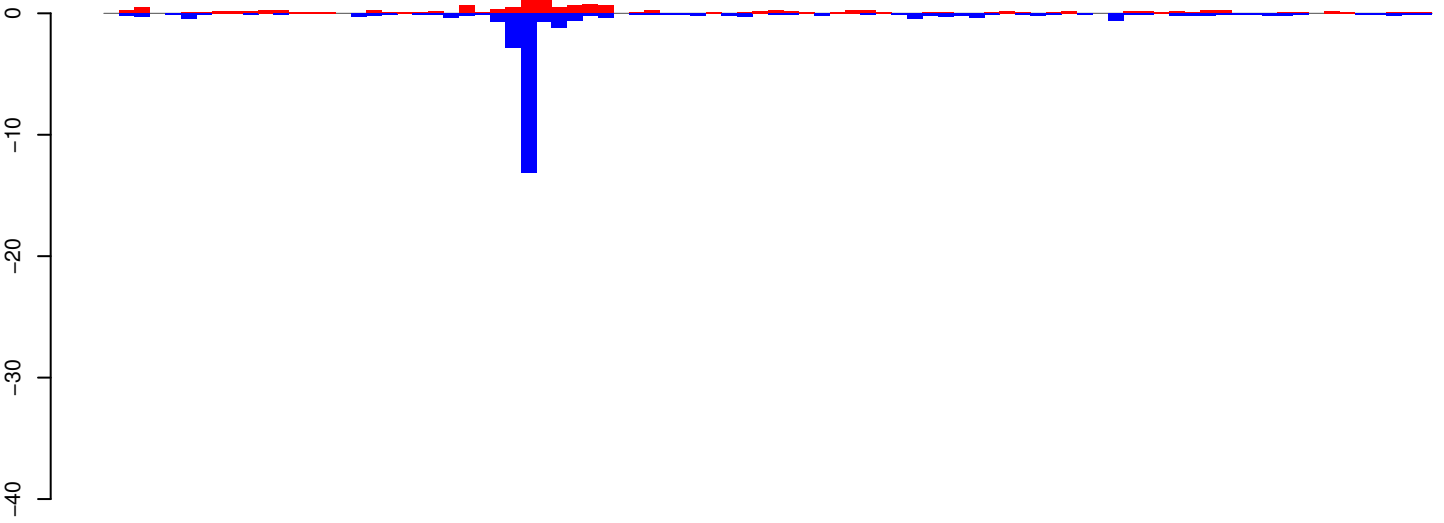
AeAeg_Aag2_Ago2_SINV_RA.24_35.rep



AeAeg_Aag2_Ago2_SINV_RA.rep

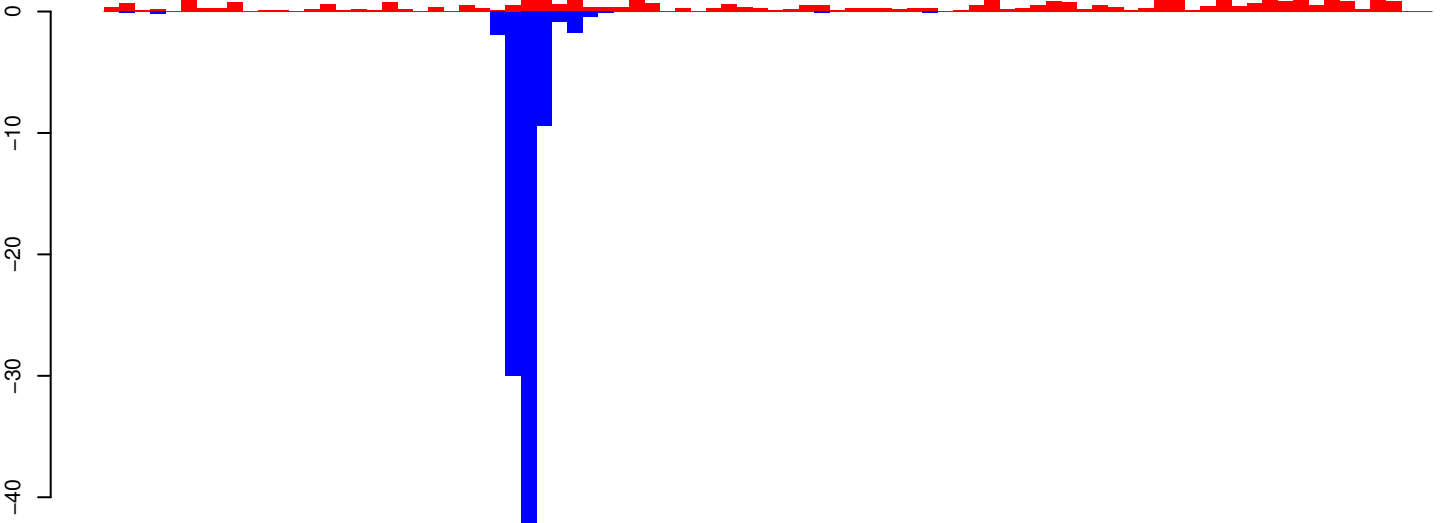


AeAeg_Aag2_Ago2_SINV_RA.18_23.rep



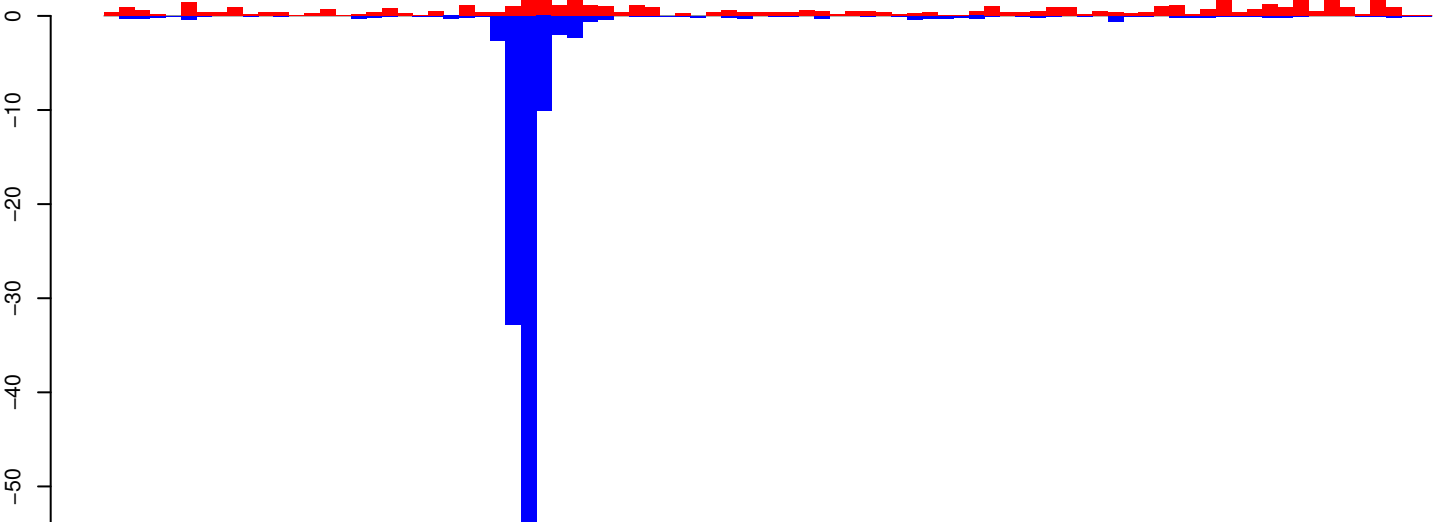
positive=14, negative=28, total=41

AeAeg_Aag2_Ago2_SINV_RA.24_35.rep



positive=42, negative=91, total=133

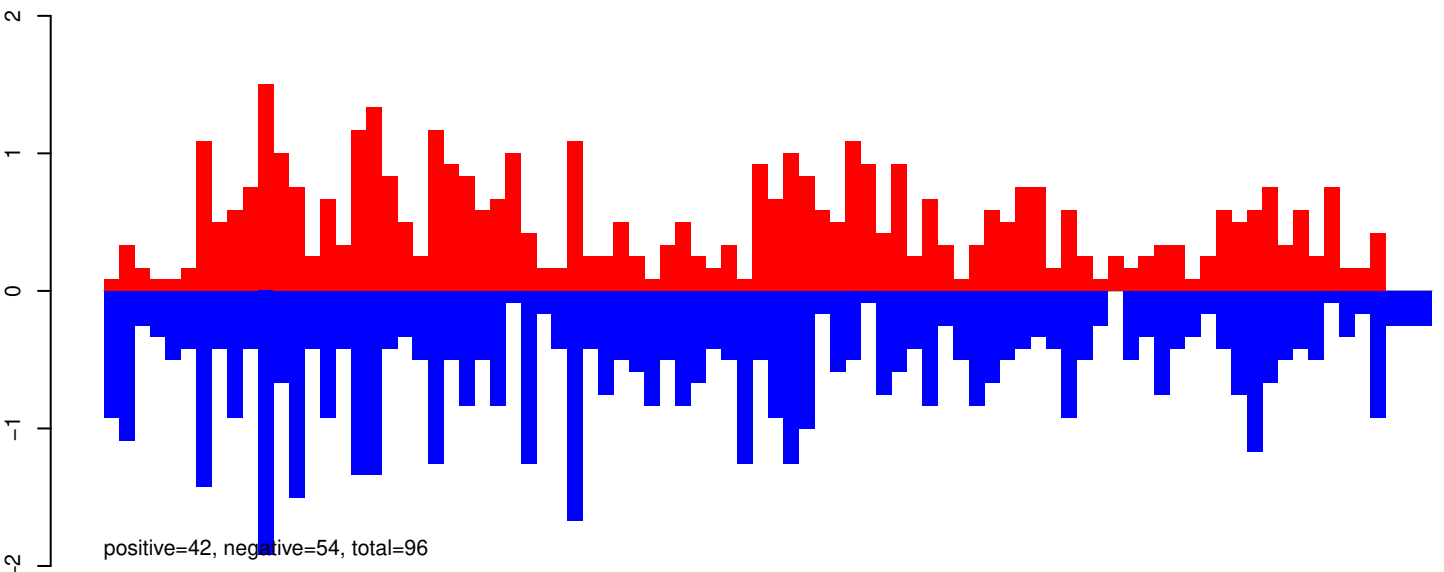
AeAeg_Aag2_Ago2_SINV_RA.rep



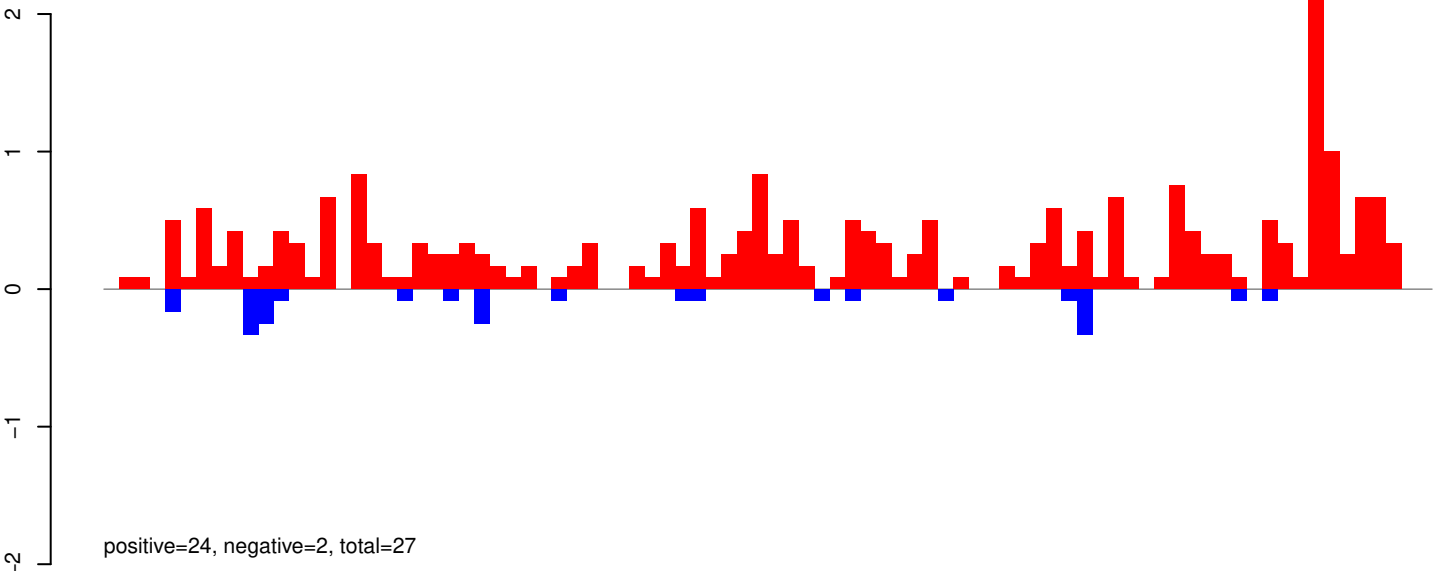
positive=56, negative=119, total=175, window size=25, length=2134, TE@aedes4kgr2k10pd1-AAGE01000514_19419bp-TE-UNKNOWN:1-2134

0 500 1000 1500 2000

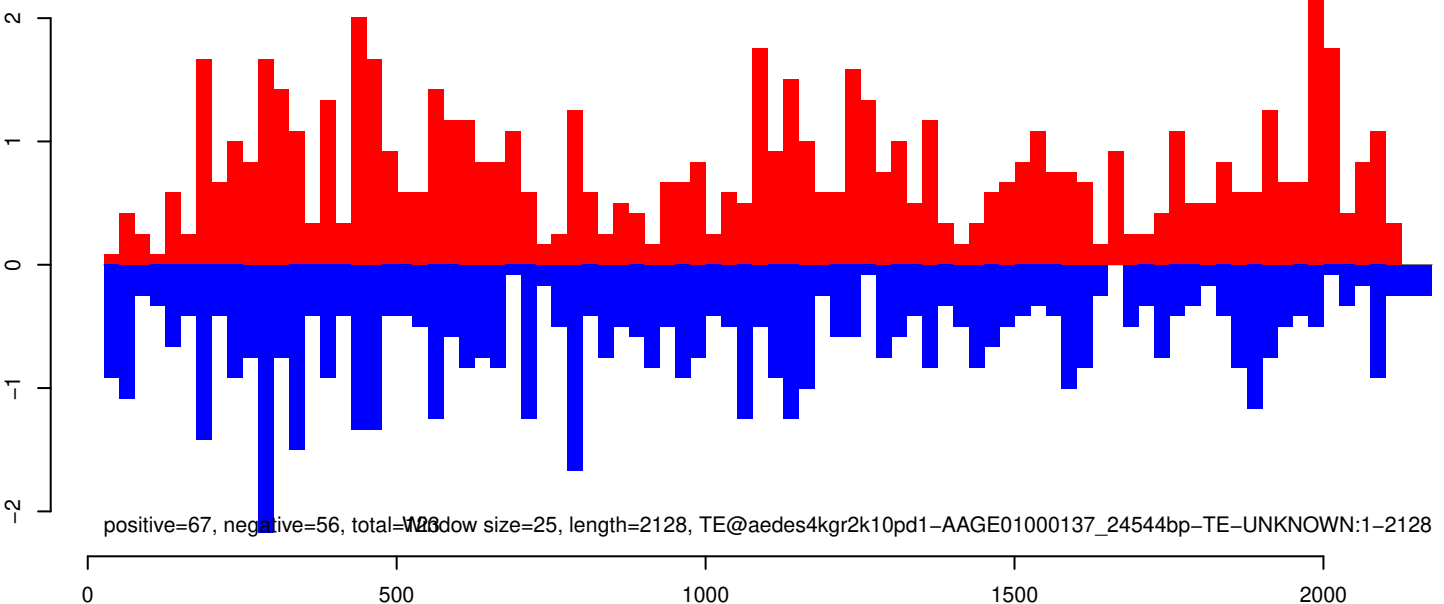
AeAeg_Aag2_Ago2_SINV_RA.18_23.rep



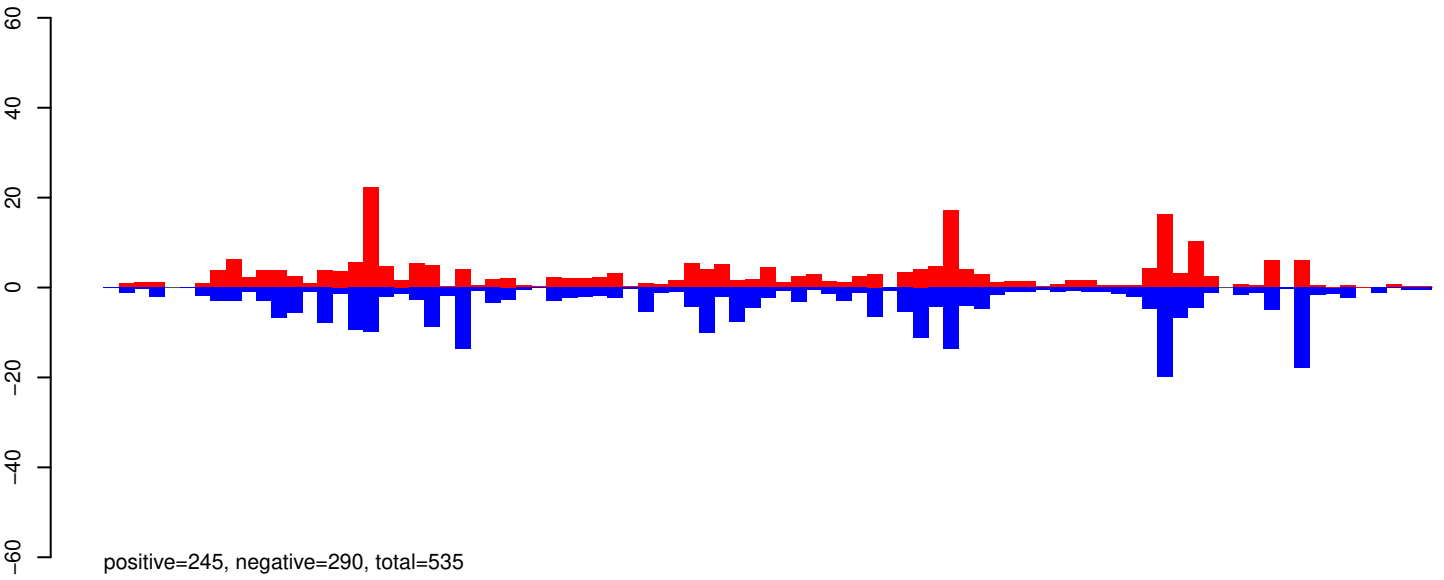
AeAeg_Aag2_Ago2_SINV_RA.24_35.rep



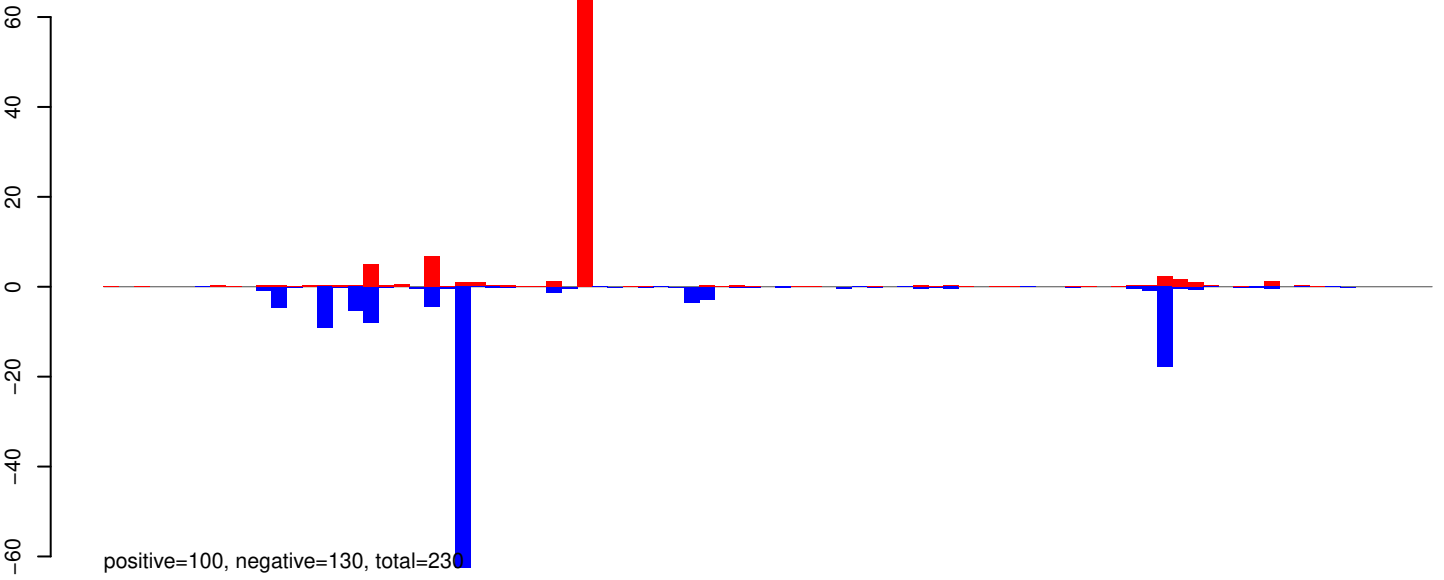
AeAeg_Aag2_Ago2_SINV_RA.rep



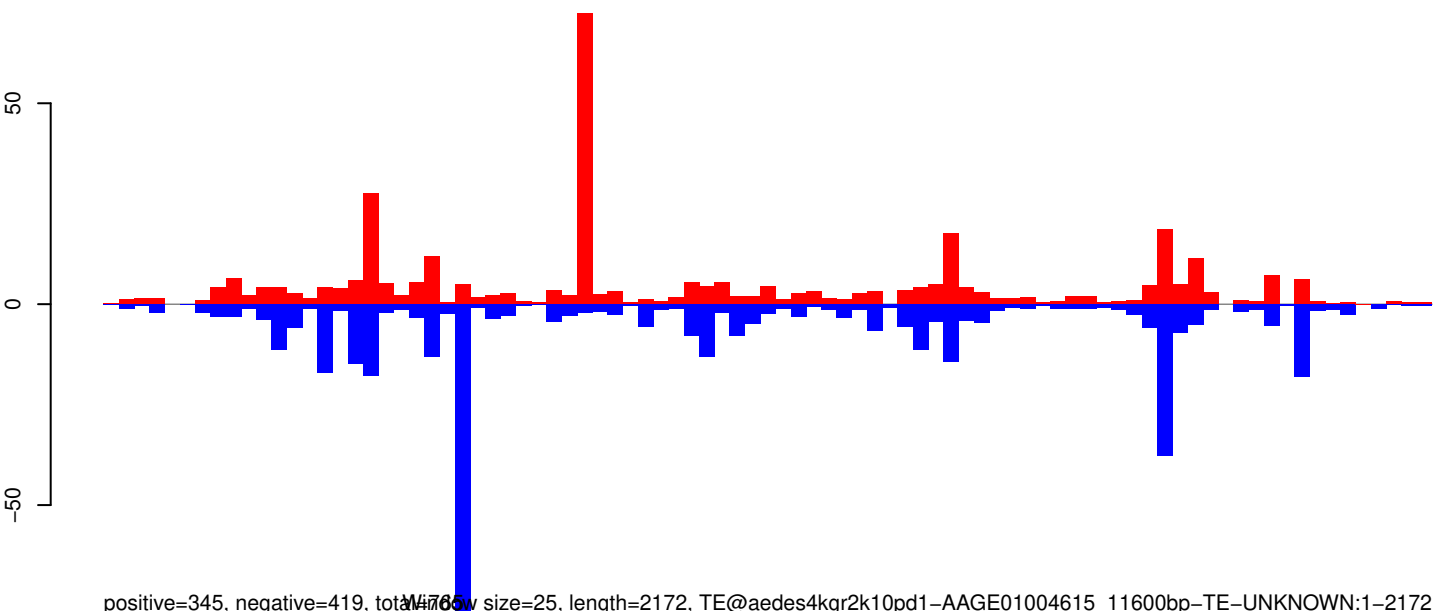
AeAeg_Aag2_Ago2_SINV_RA.18_23.rep



AeAeg_Aag2_Ago2_SINV_RA.24_35.rep

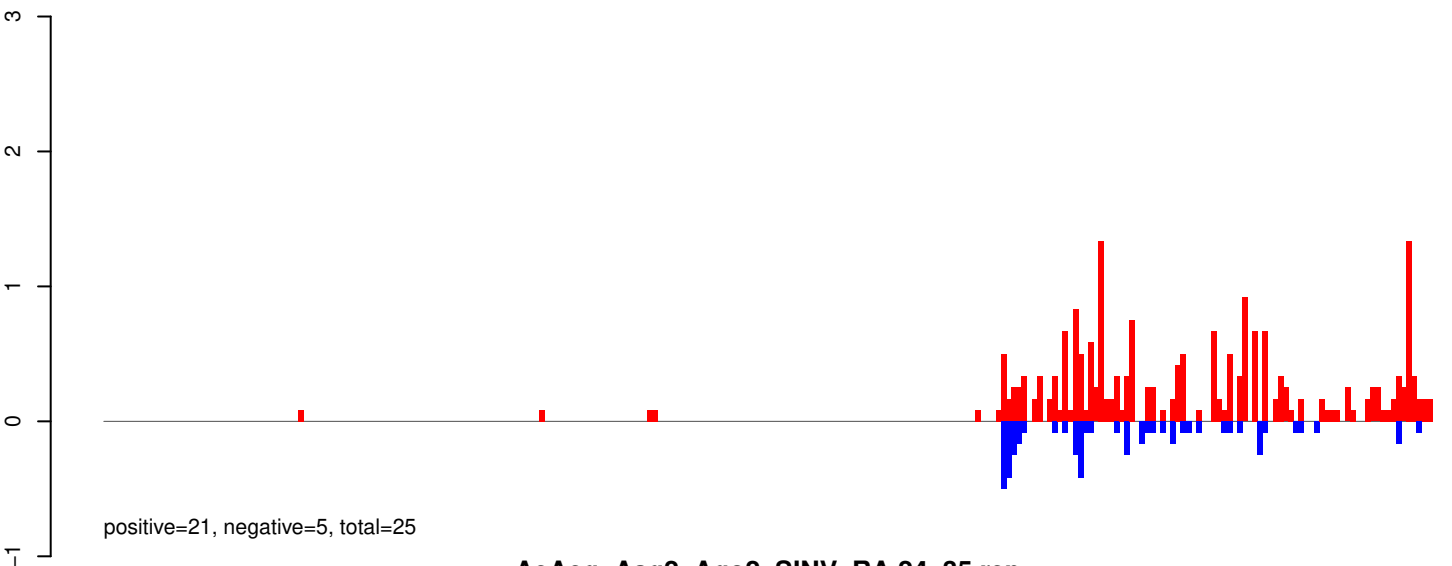


AeAeg_Aag2_Ago2_SINV_RA.rep

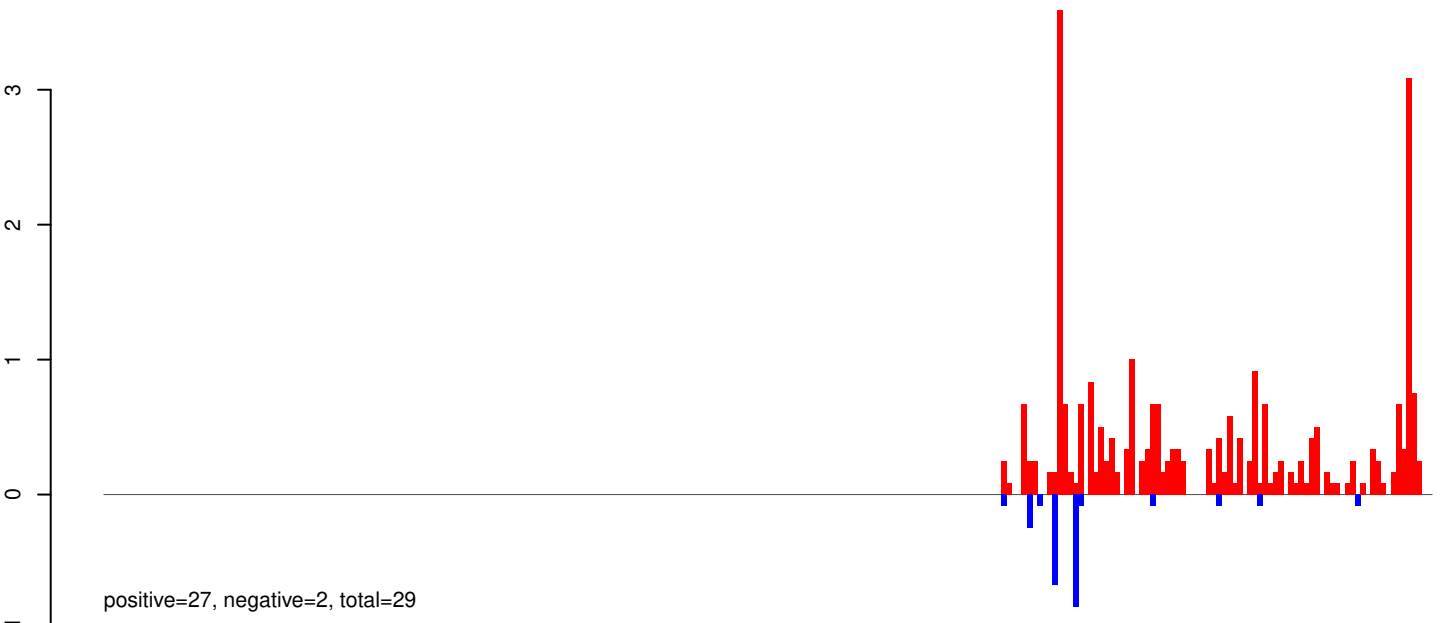


0 500 1000 1500 2000

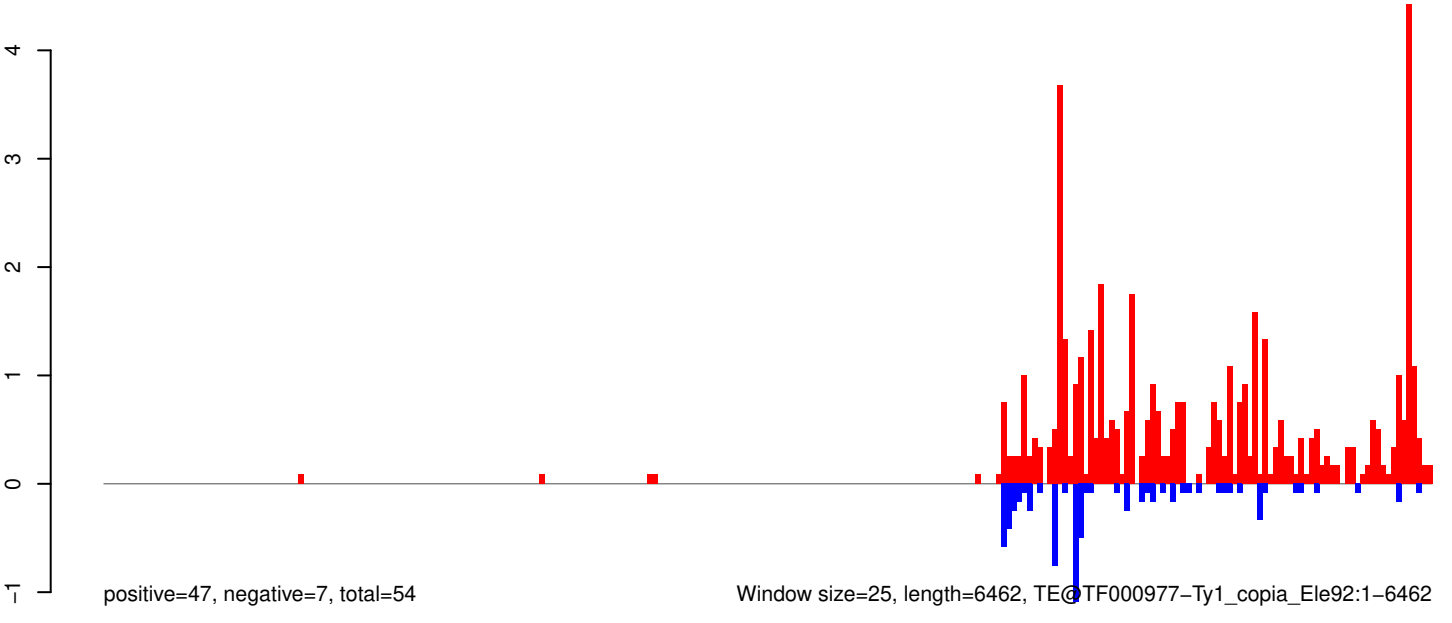
AeAeg_Aag2_Ago2_SINV_RA.18_23.rep



AeAeg_Aag2_Ago2_SINV_RA.24_35.rep

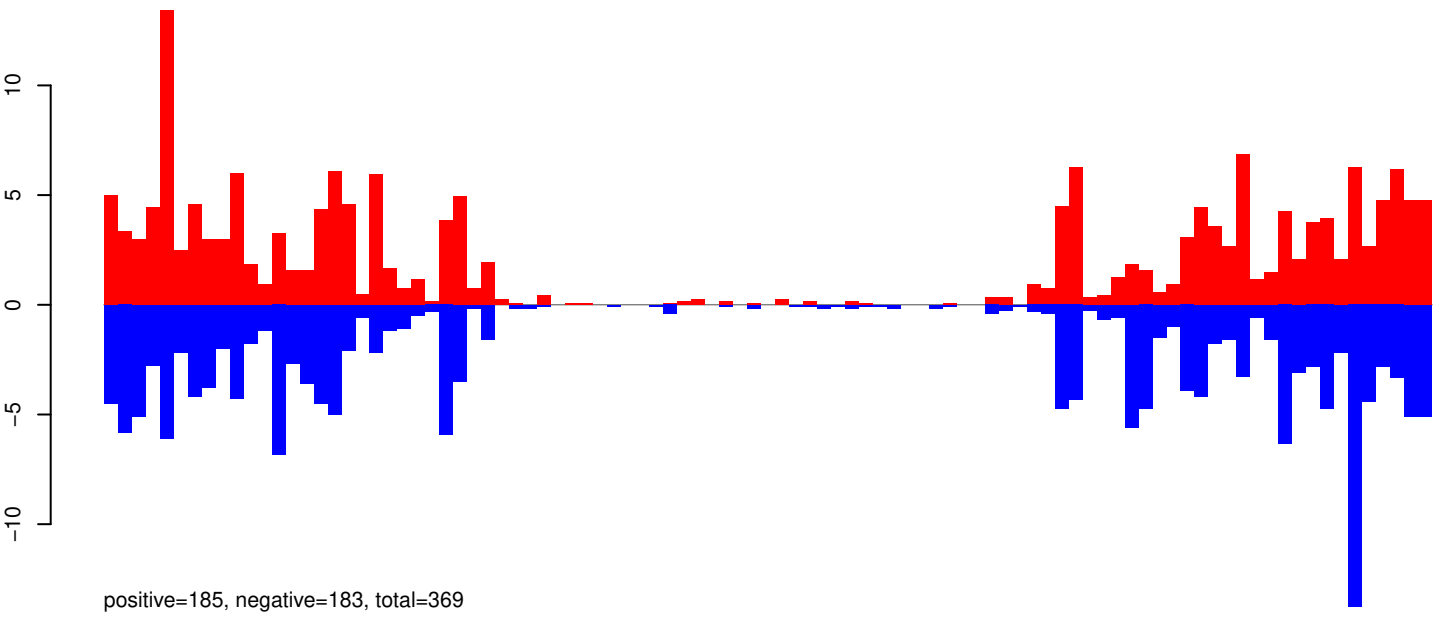


AeAeg_Aag2_Ago2_SINV_RA.rep

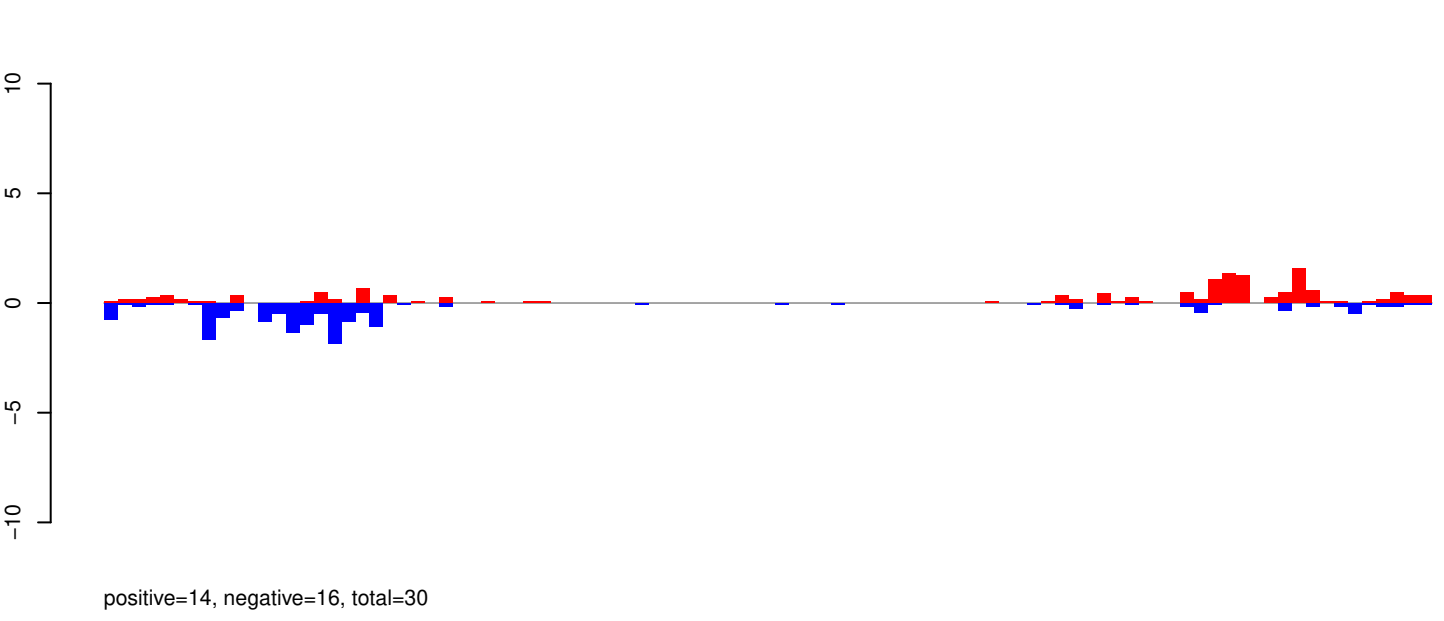


Window size=25, length=6462, TE@TF000977-Ty1_copia_Ele92:1-6462

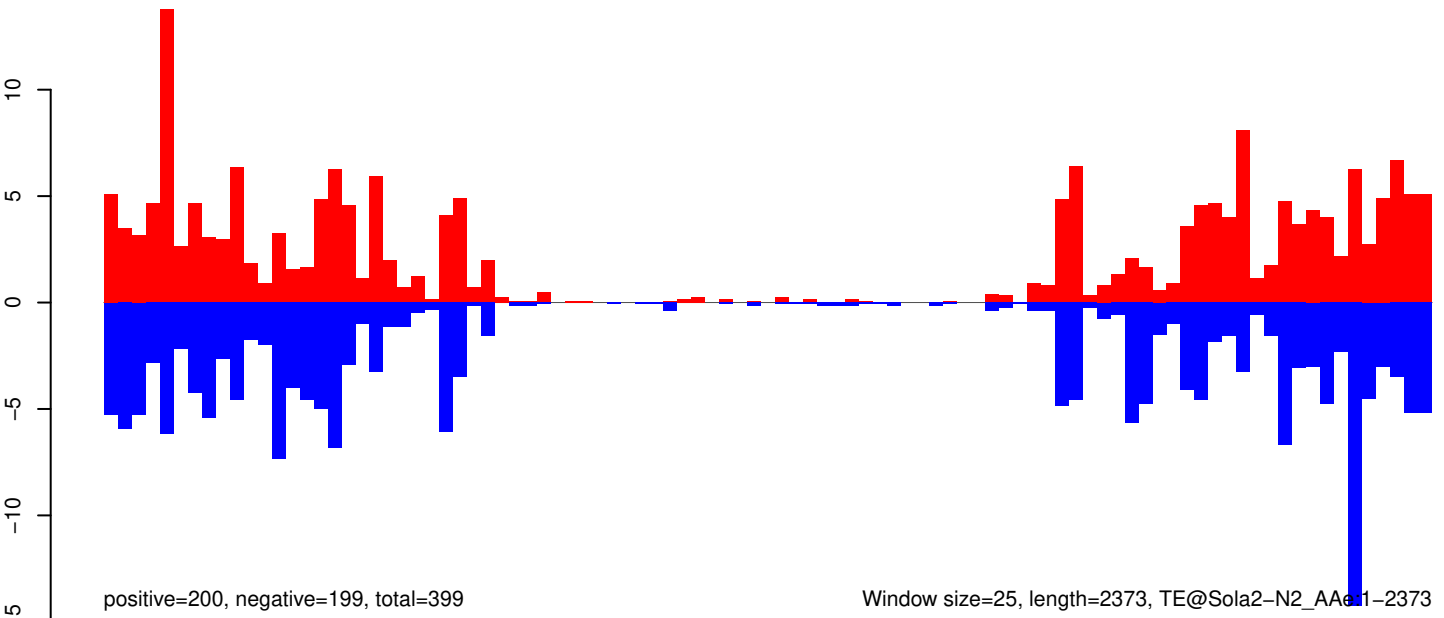
AeAeg_Aag2_Ago2_SINV_RA.18_23.rep



AeAeg_Aag2_Ago2_SINV_RA.24_35.rep

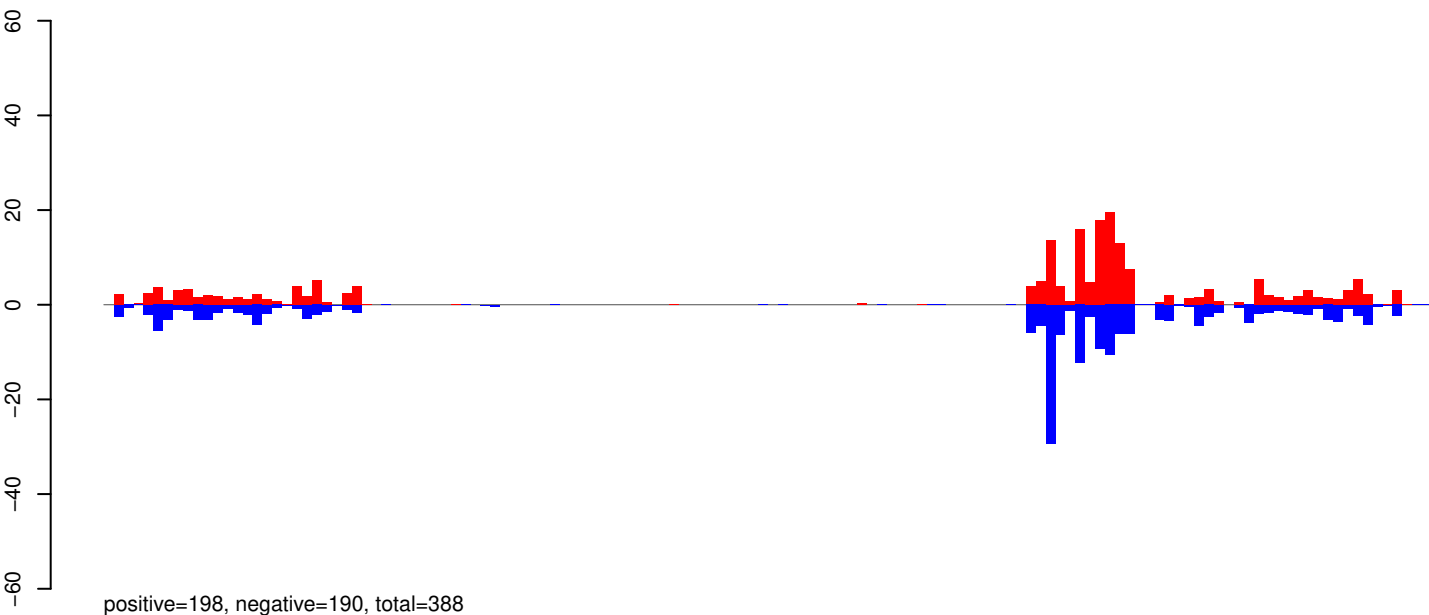


AeAeg_Aag2_Ago2_SINV_RA.rep



Window size=25, length=2373, TE@Sola2-N2_AAe1-2373

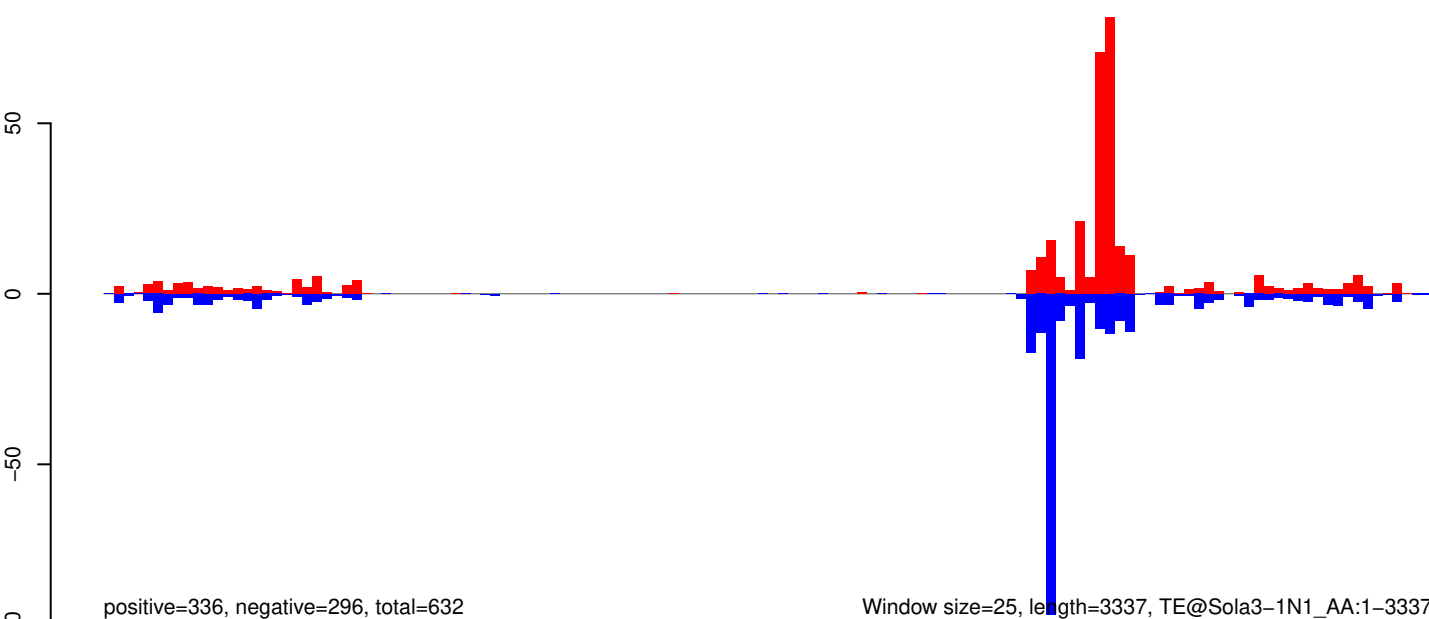
AeAeg_Aag2_Ago2_SINV_RA.18_23.rep



AeAeg_Aag2_Ago2_SINV_RA.24_35.rep



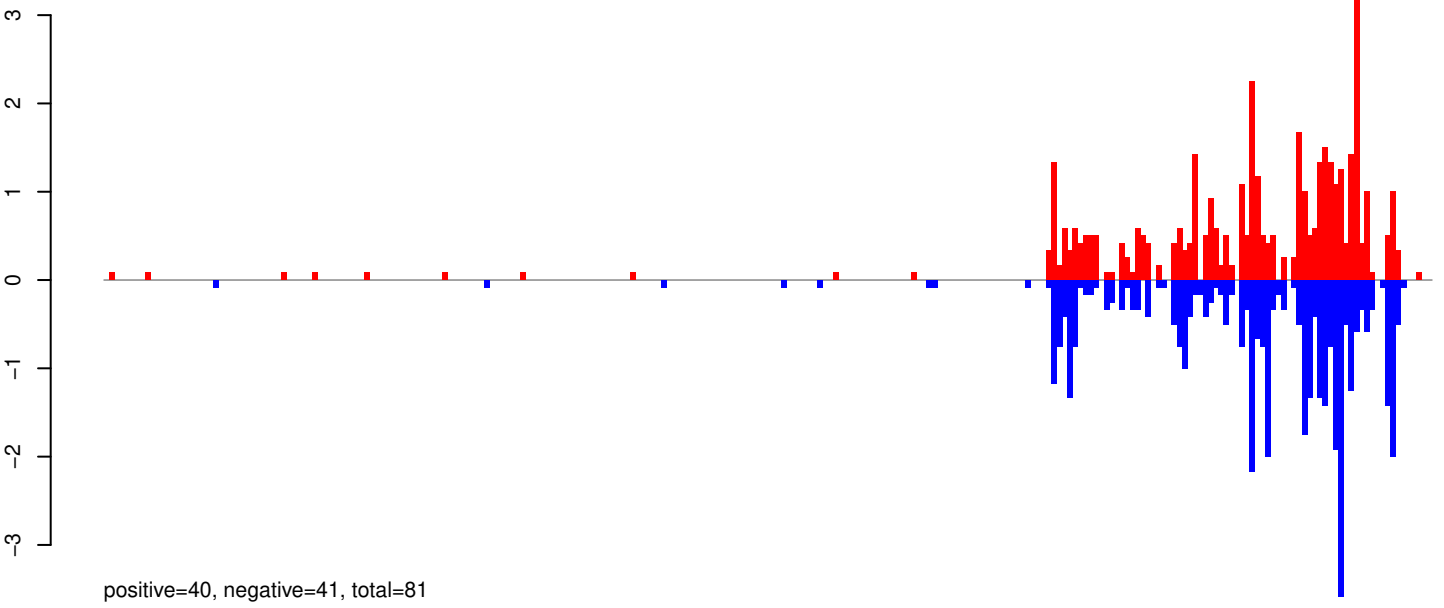
AeAeg_Aag2_Ago2_SINV_RA.rep



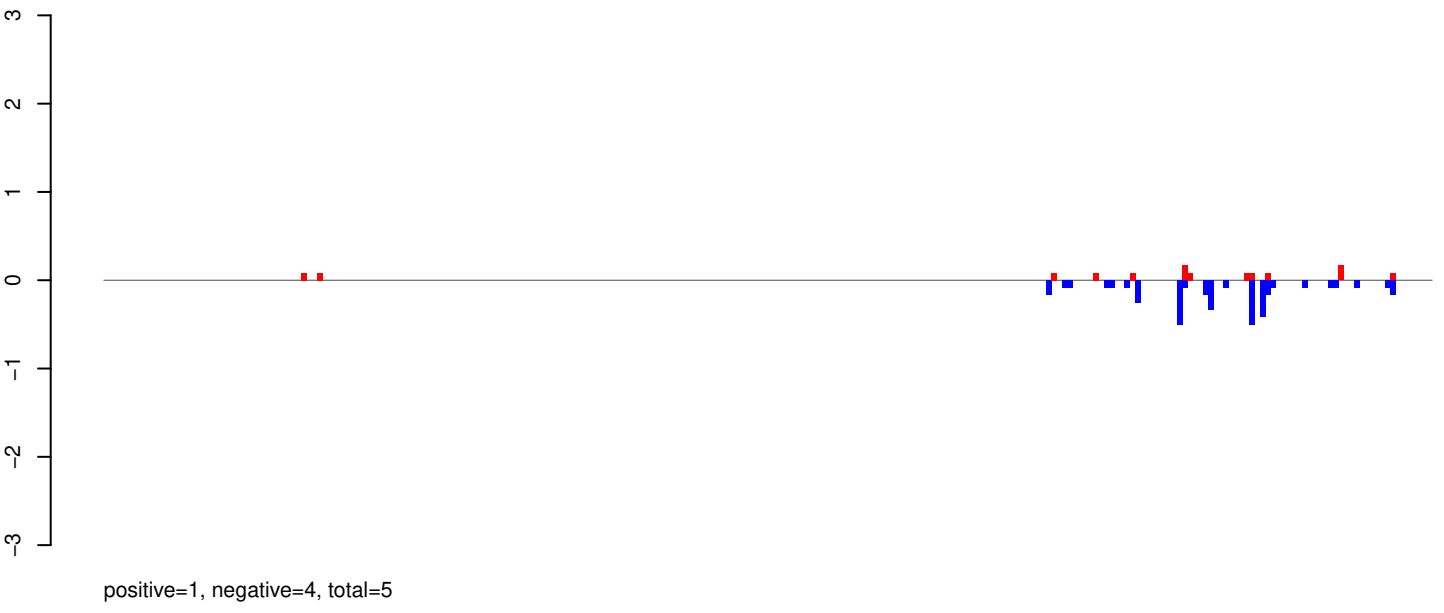
Window size=25, length=3337, TE@Sola3-1N1_AA:1-3337

0 500 1000 1500 2000 2500 3000 3500

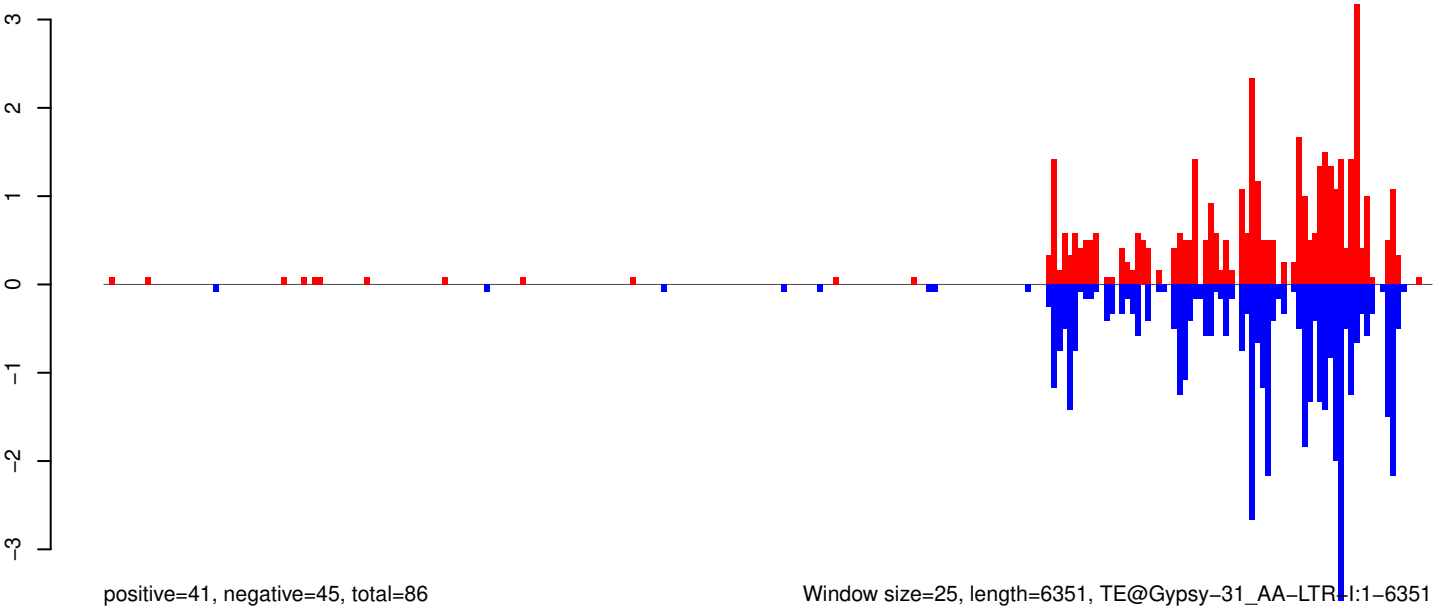
AeAeg_Aag2_Ago2_SINV_RA.18_23.rep



AeAeg_Aag2_Ago2_SINV_RA.24_35.rep



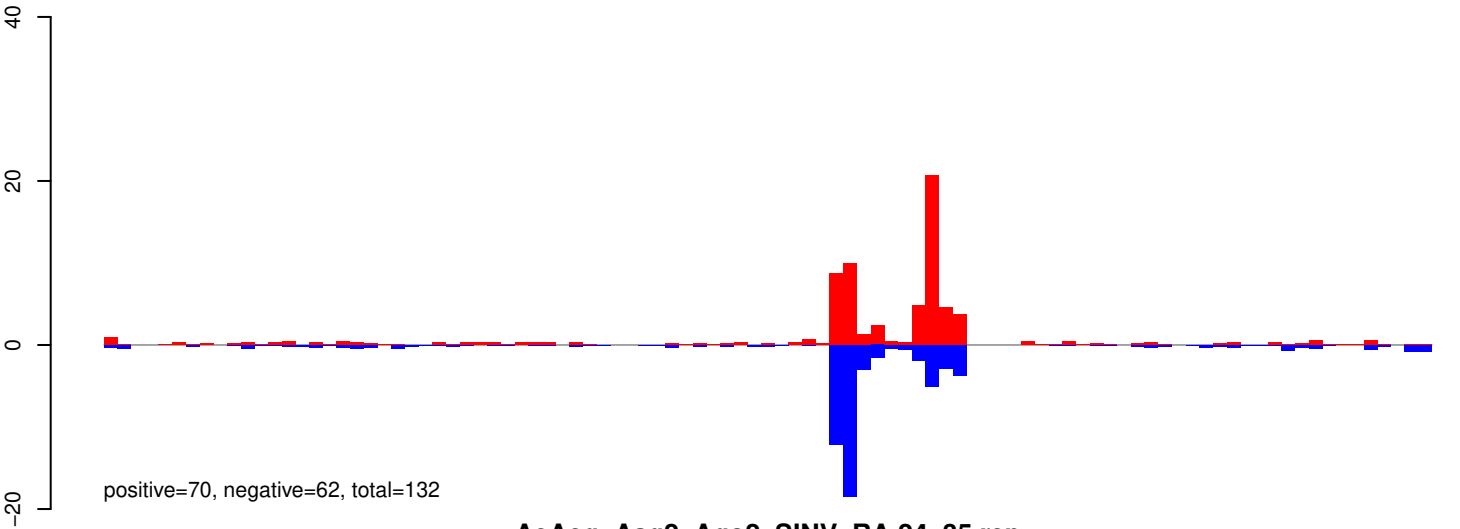
AeAeg_Aag2_Ago2_SINV_RA.rep



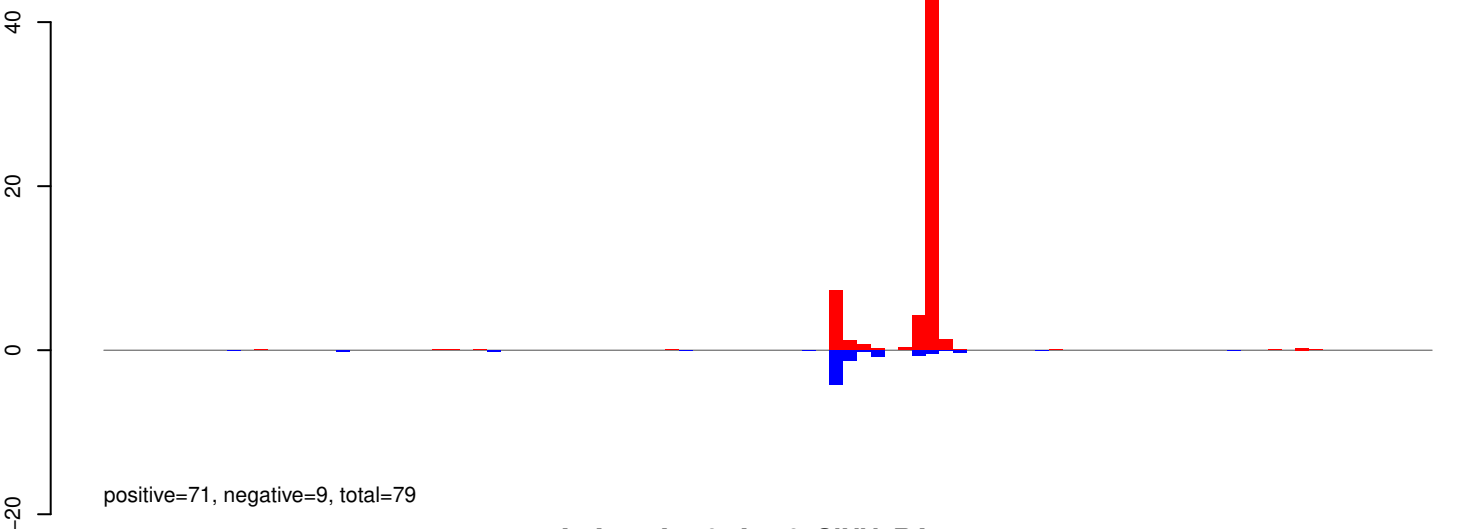
Window size=25, length=6351, TE@Gypsy-31_AA-LTR:I:1-6351

0 1000 2000 3000 4000 5000 6000

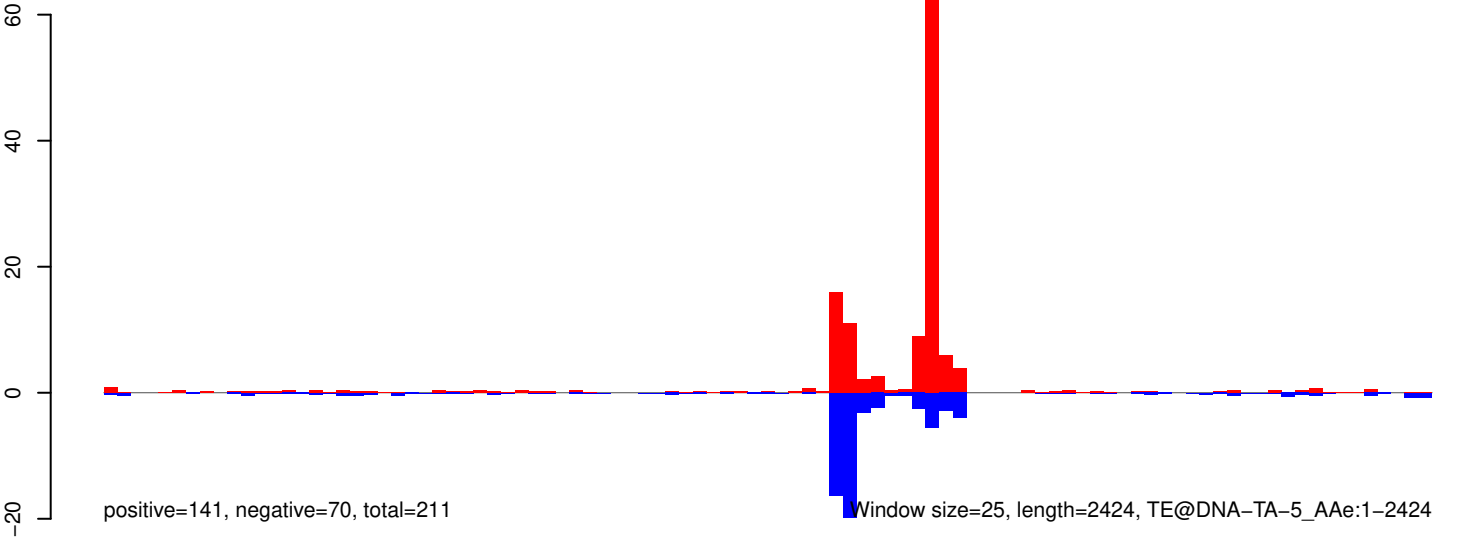
AeAeg_Aag2_Ago2_SINV_RA.18_23.rep



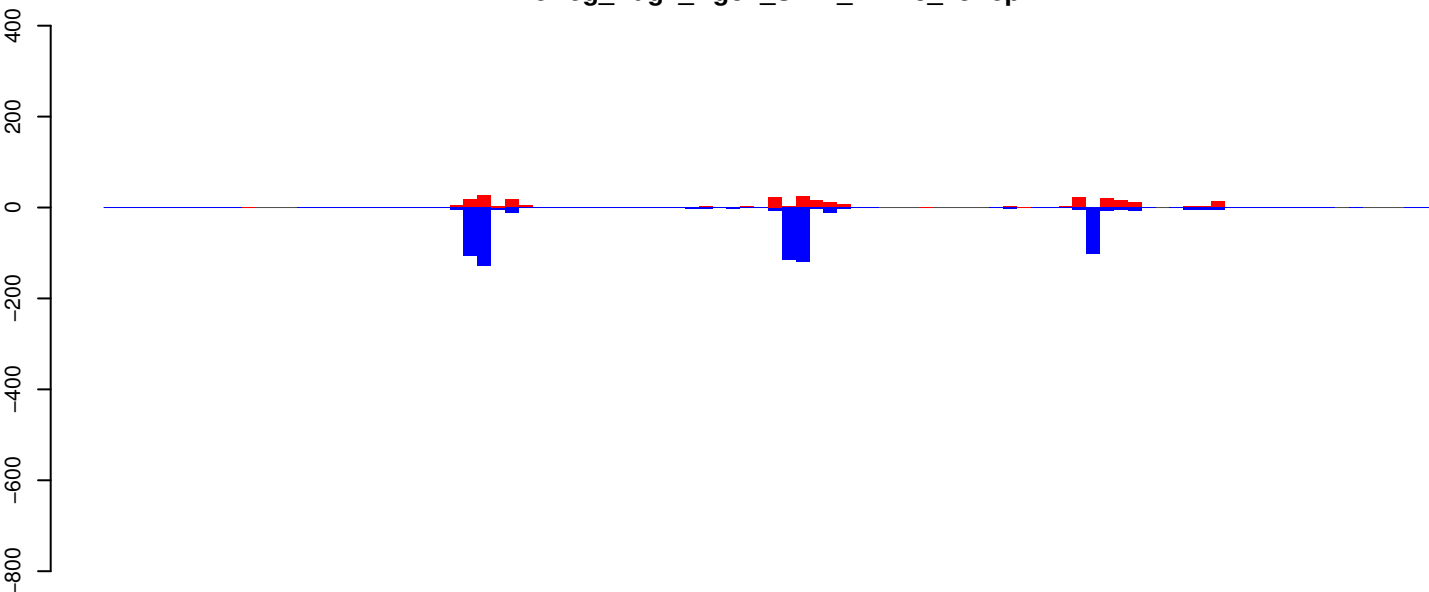
AeAeg_Aag2_Ago2_SINV_RA.24_35.rep



AeAeg_Aag2_Ago2_SINV_RA.rep

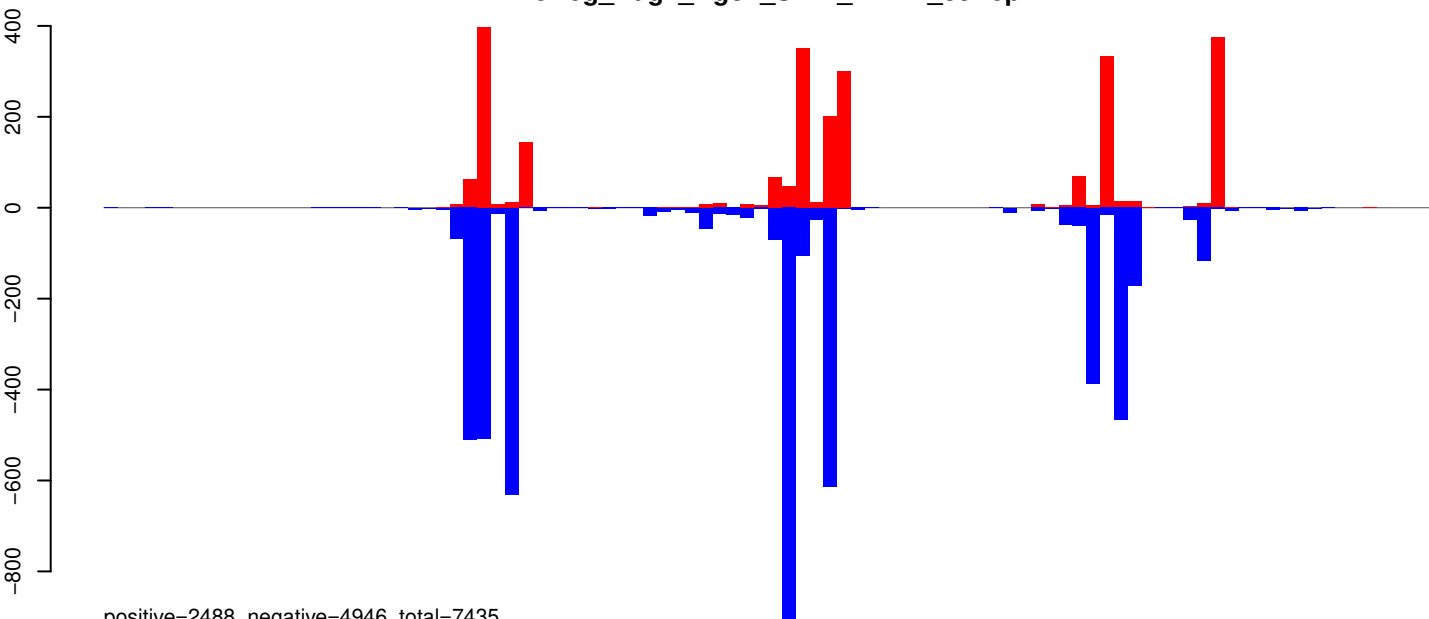


AeAeg_Aag2_Ago2_SINV_RA.18_23.rep



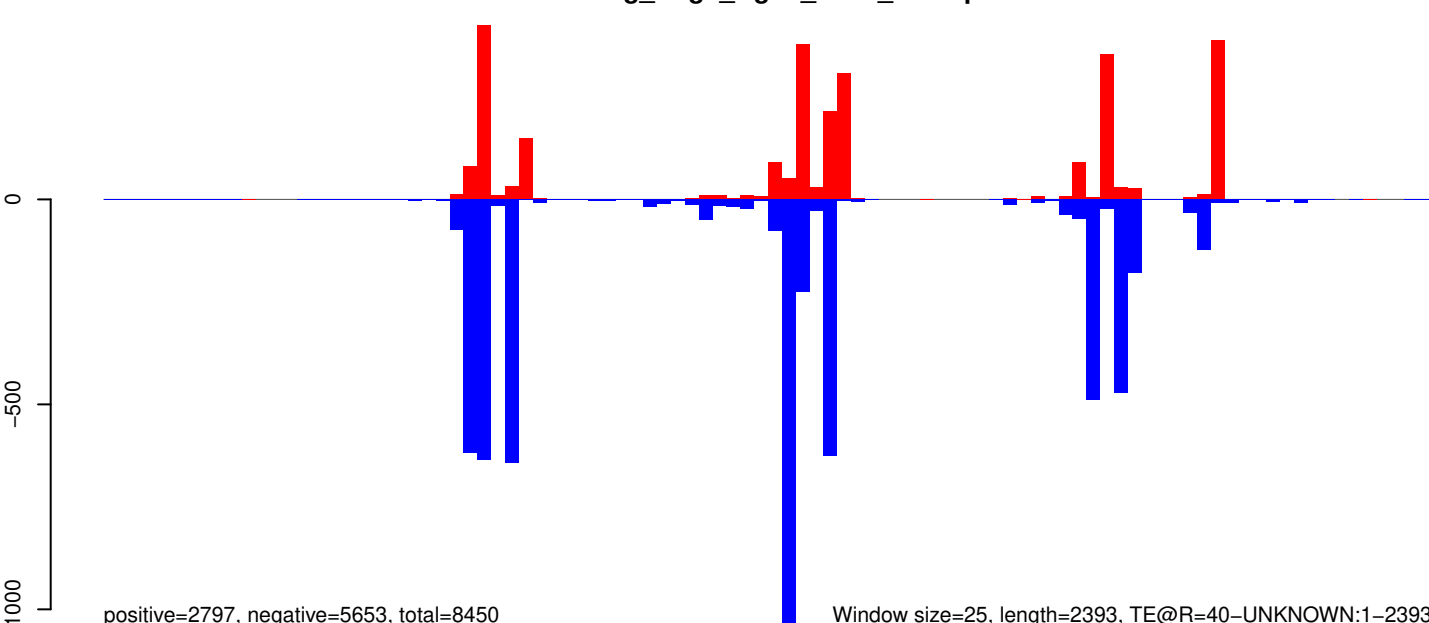
positive=309, negative=707, total=1016

AeAeg_Aag2_Ago2_SINV_RA.24_35.rep



positive=2488, negative=4946, total=7435

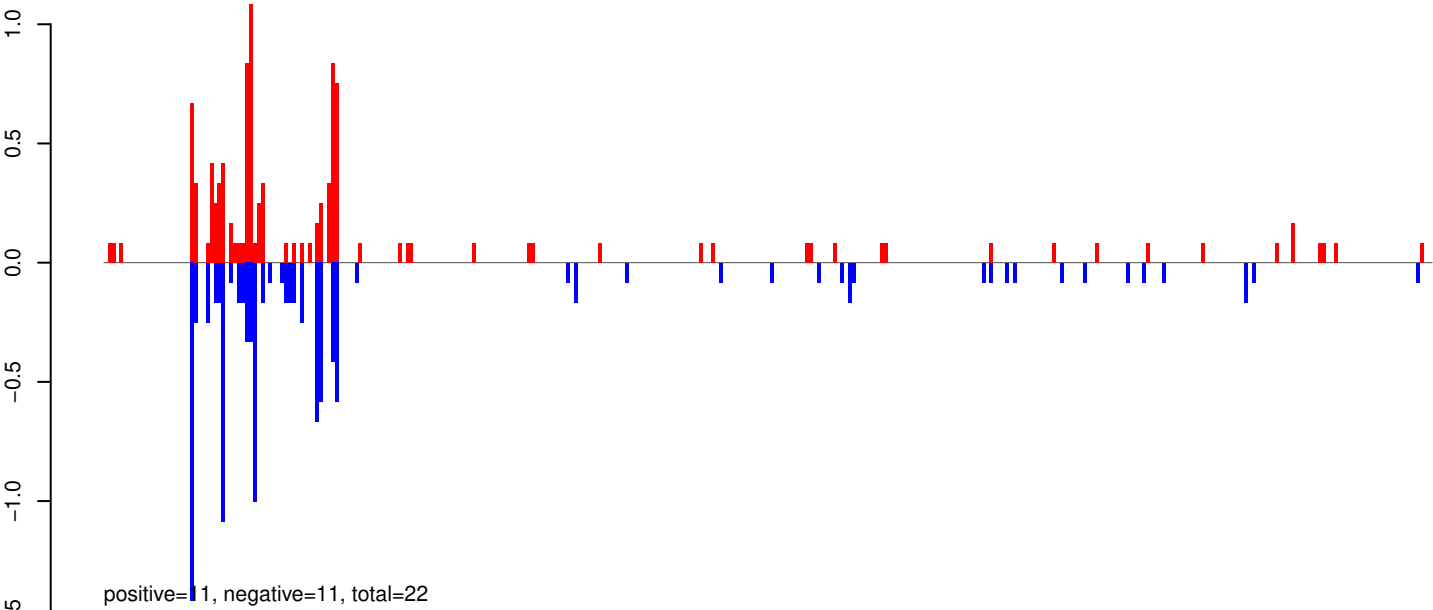
AeAeg_Aag2_Ago2_SINV_RA.rep



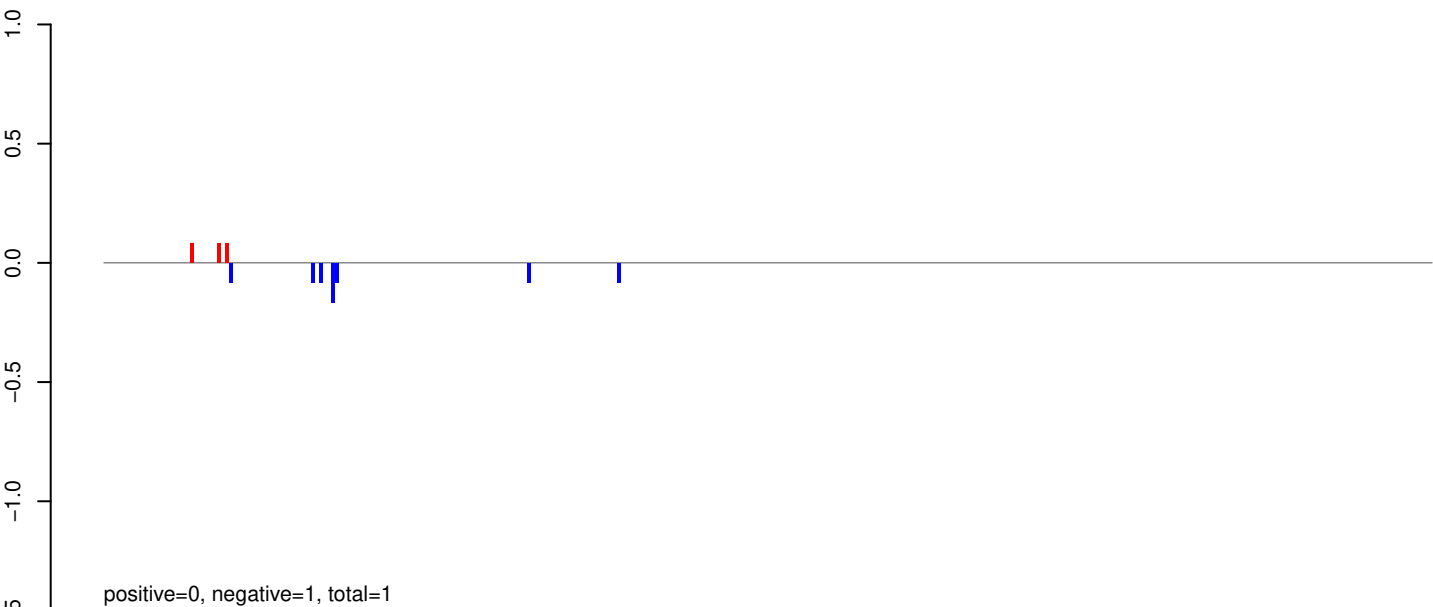
positive=2797, negative=5653, total=8450

Window size=25, length=2393, TE@R=40-UNKNOWN:1-2393

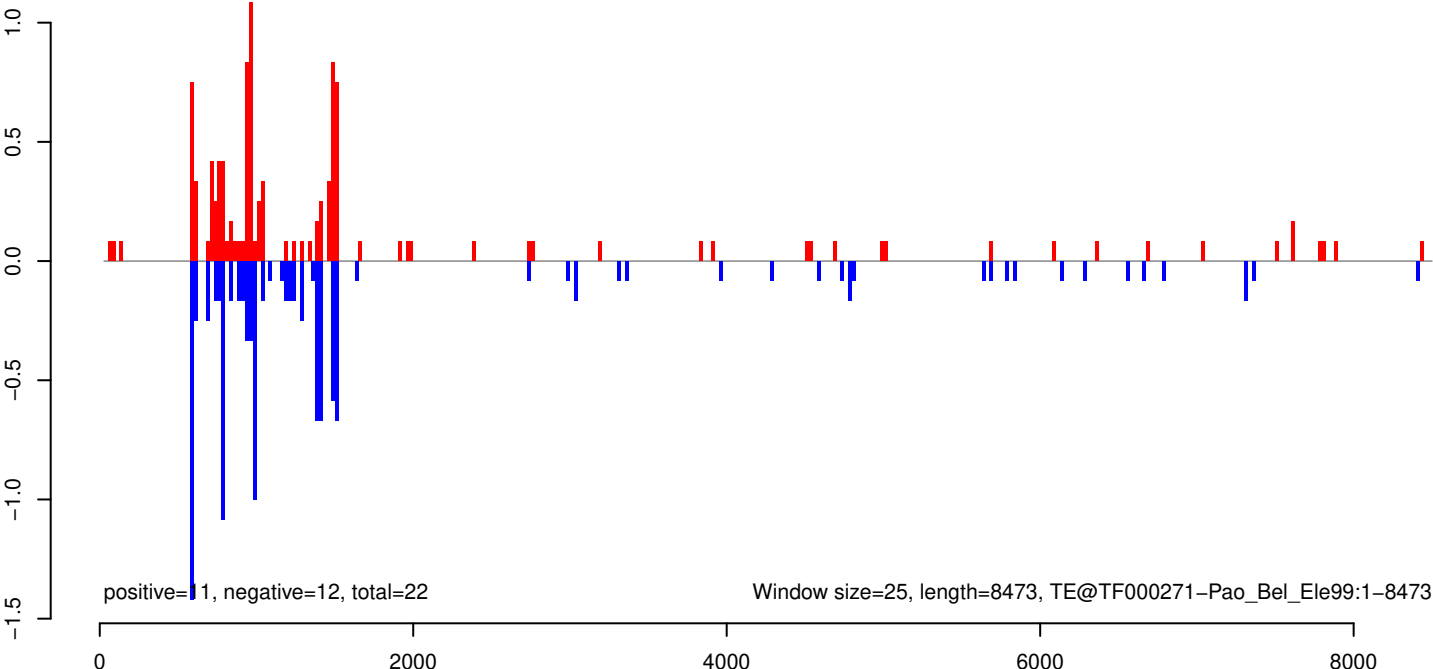
AeAeg_Aag2_Ago2_SINV_RA.18_23.rep



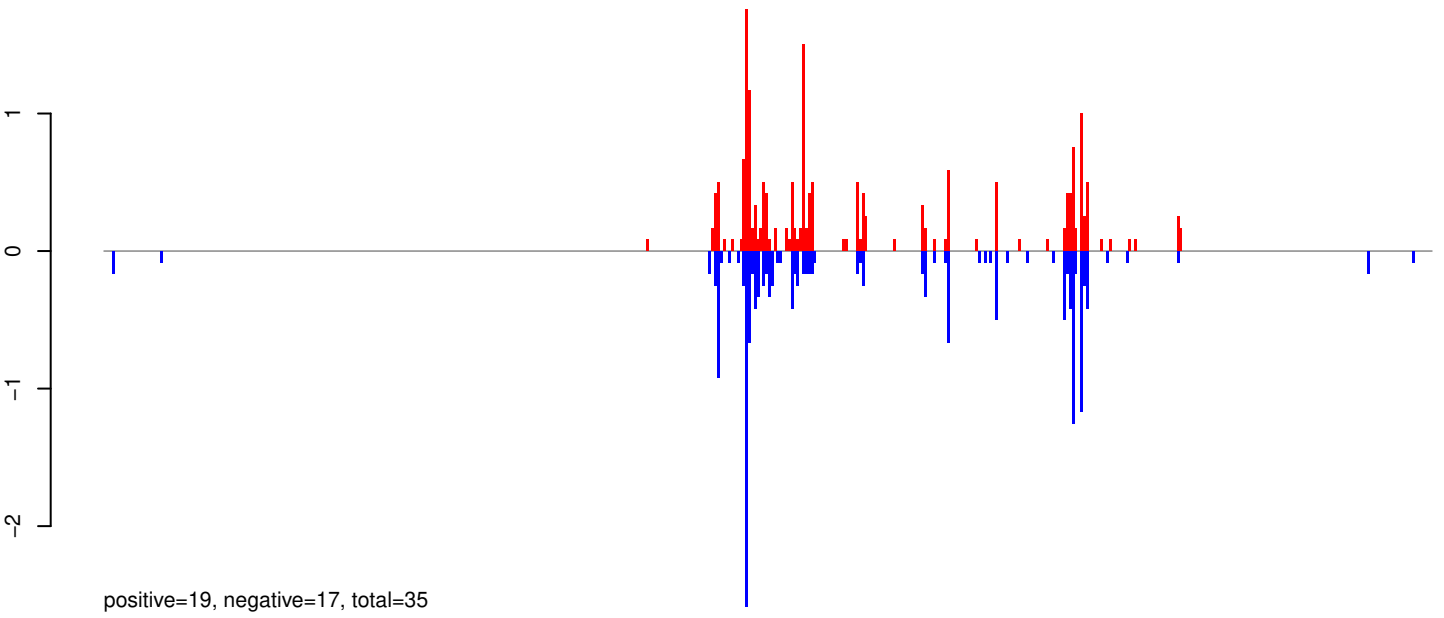
AeAeg_Aag2_Ago2_SINV_RA.24_35.rep



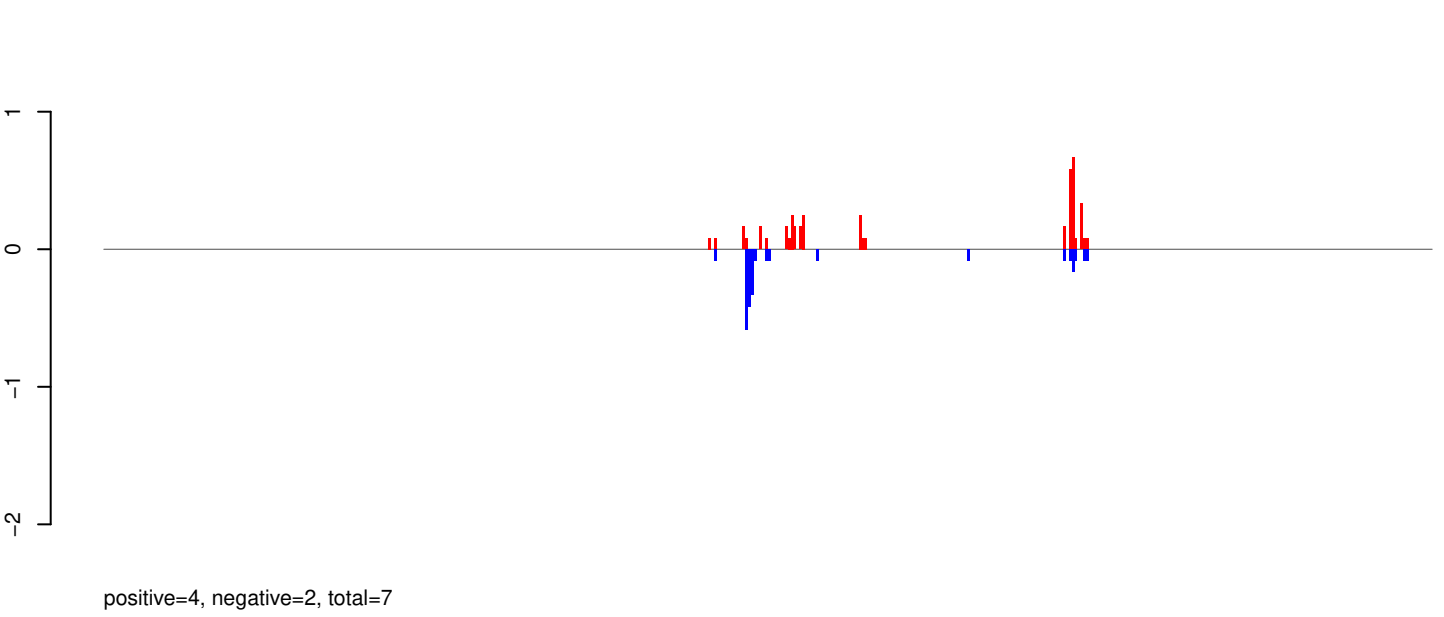
AeAeg_Aag2_Ago2_SINV_RA.rep



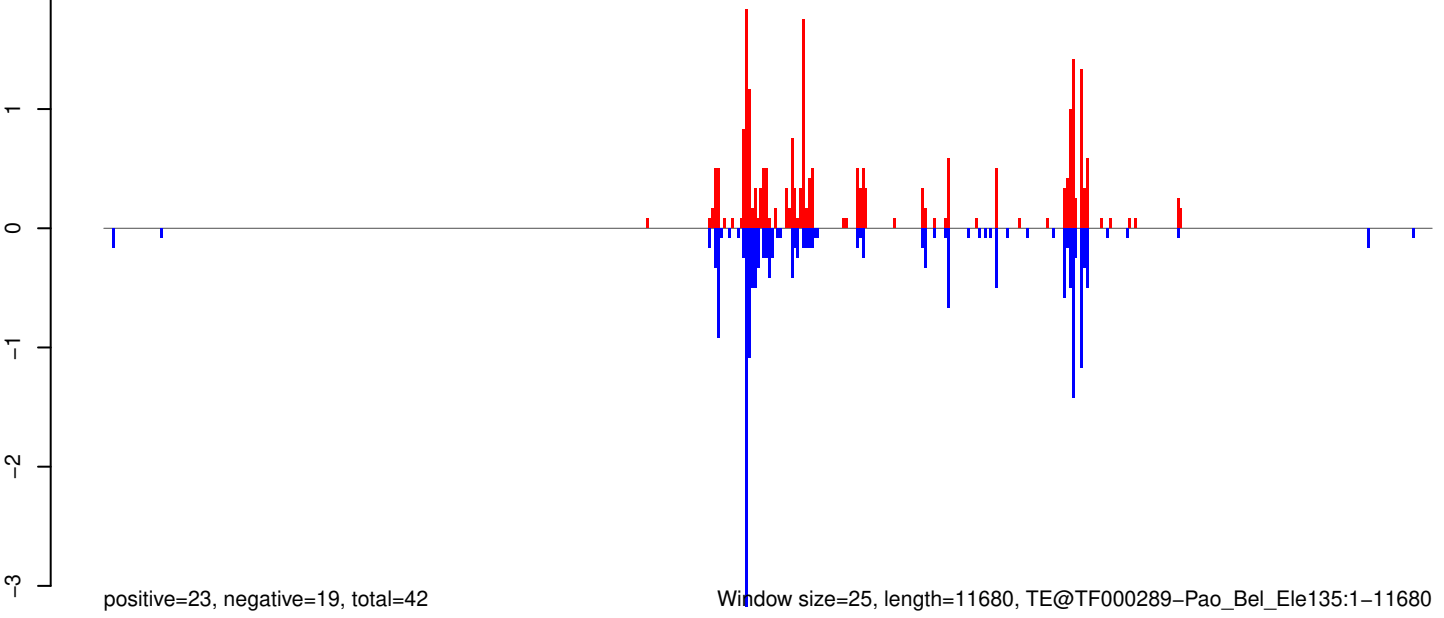
AeAeg_Aag2_Ago2_SINV_RA.18_23.rep



AeAeg_Aag2_Ago2_SINV_RA.24_35.rep



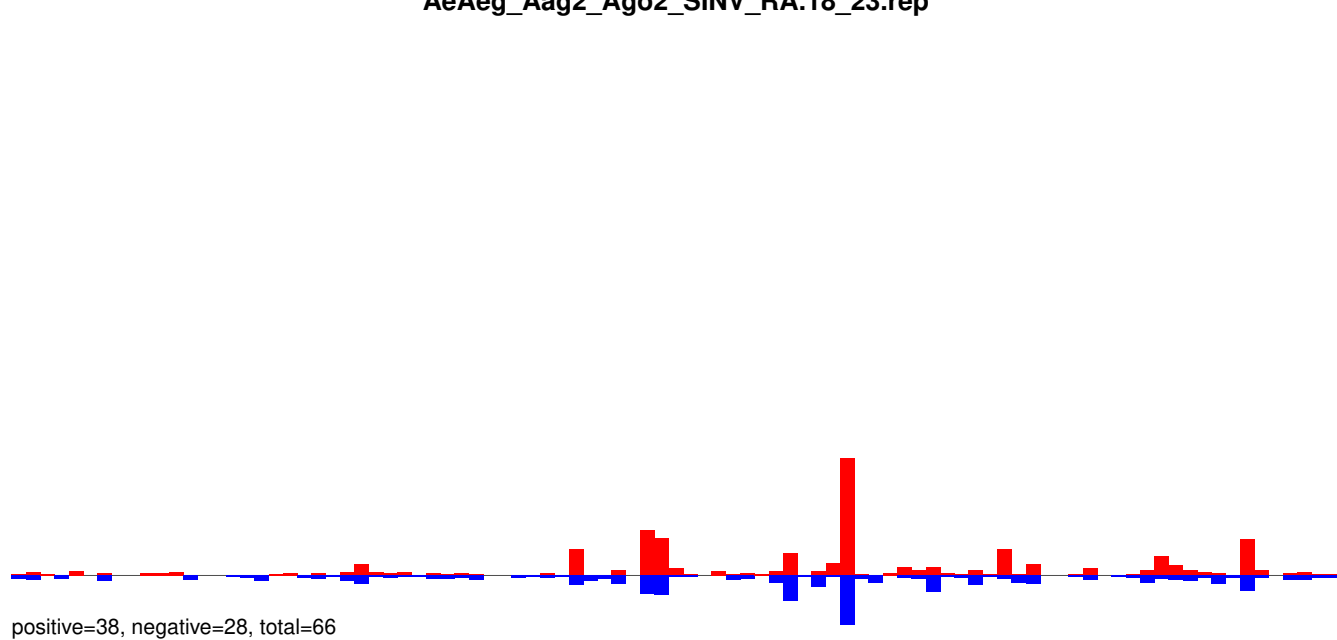
AeAeg_Aag2_Ago2_SINV_RA.rep



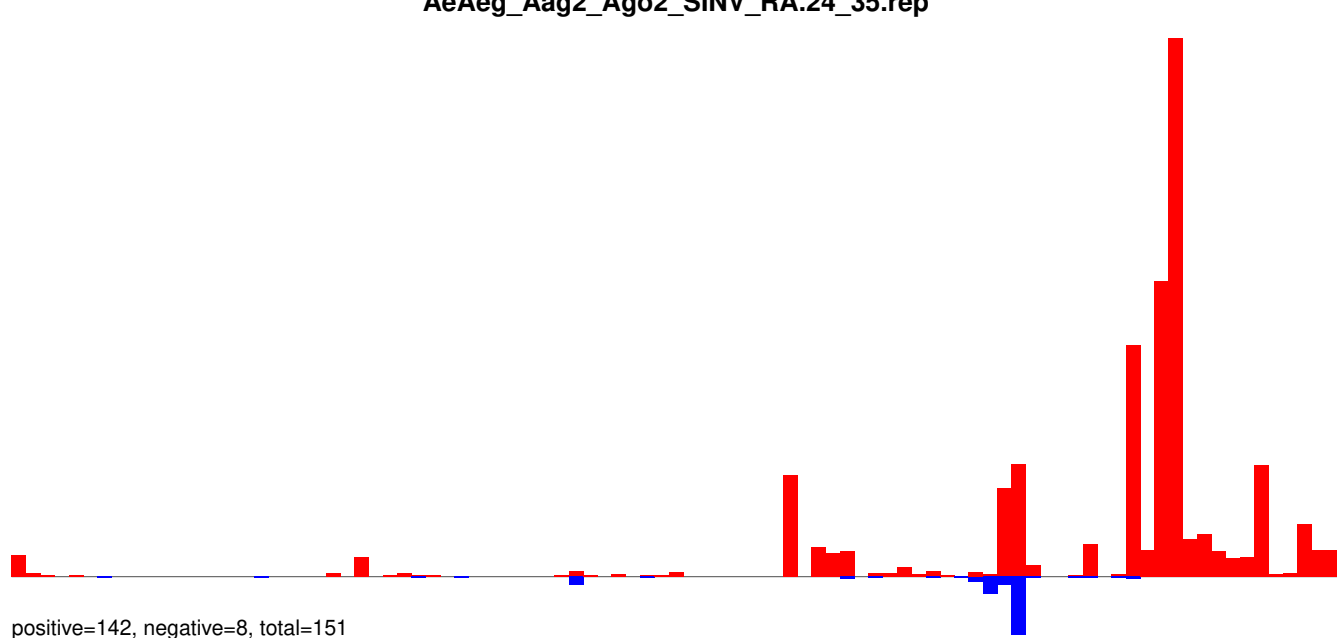
Window size=25, length=11680, TE@TF000289-Pao_Bel_Ele135:1-11680

0 2000 4000 6000 8000 10000 12000

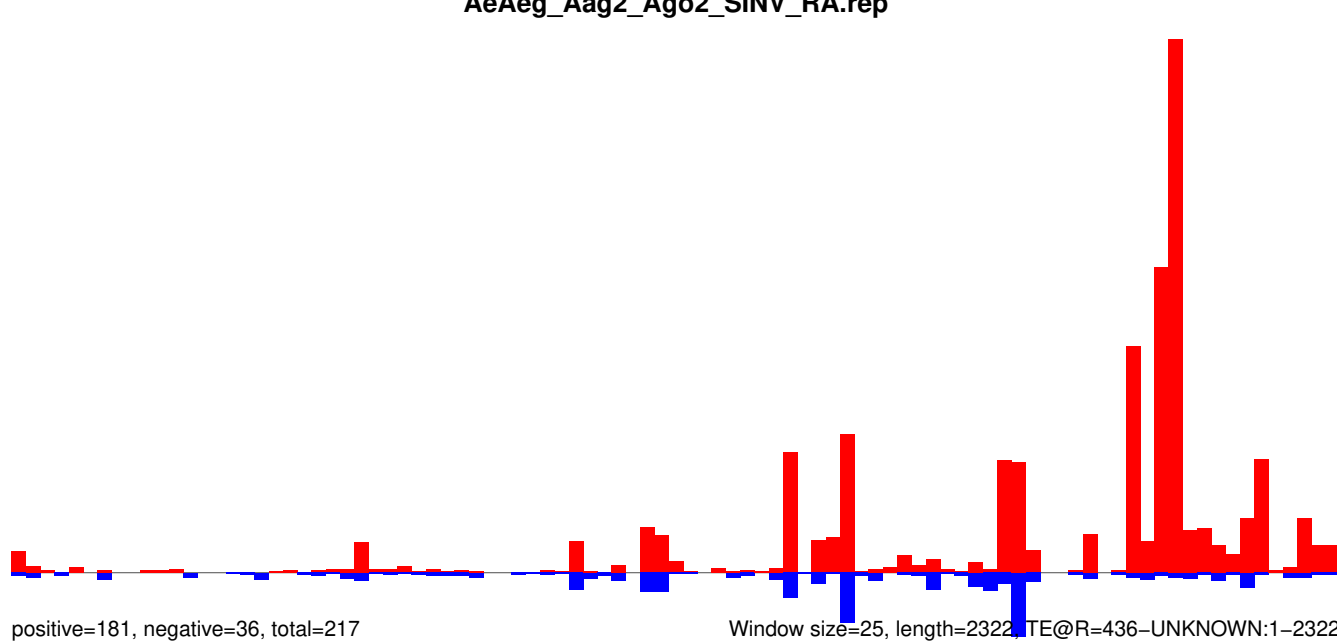
AeAeg_Aag2_Ago2_SINV_RA.18_23.rep



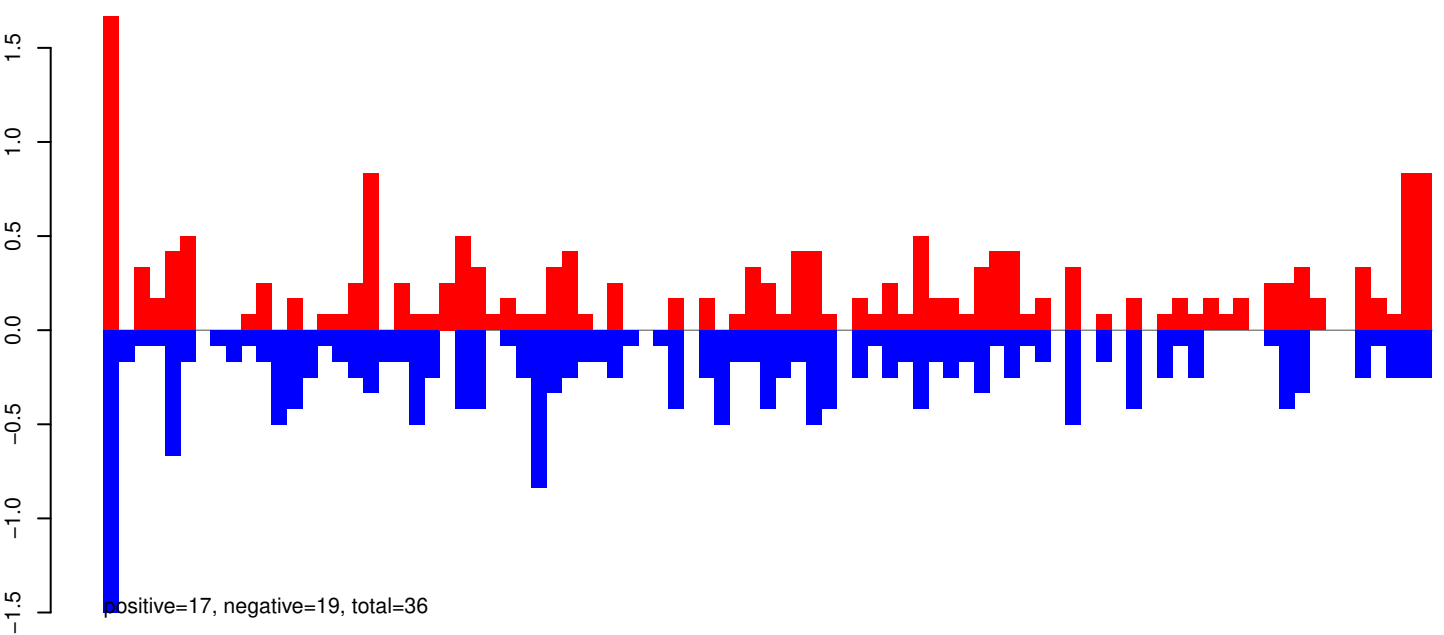
AeAeg_Aag2_Ago2_SINV_RA.24_35.rep



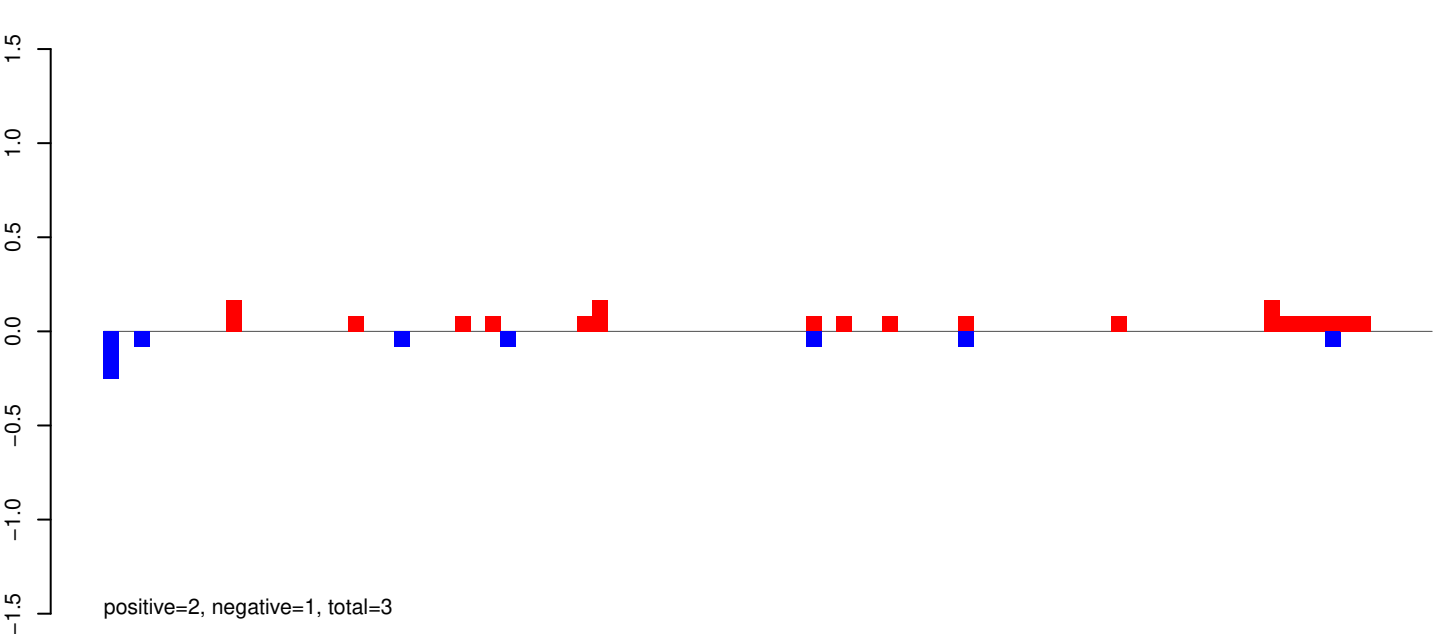
AeAeg_Aag2_Ago2_SINV_RA.rep



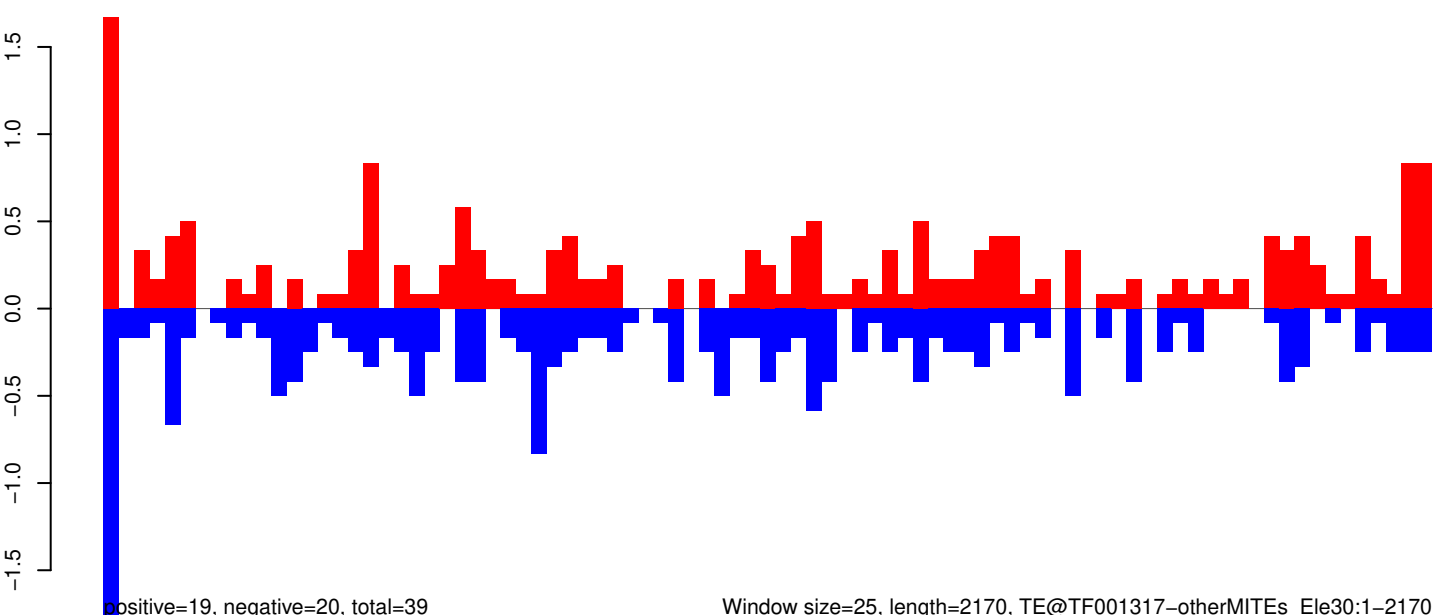
AeAeg_Aag2_Ago2_SINV_RA.18_23.rep



AeAeg_Aag2_Ago2_SINV_RA.24_35.rep

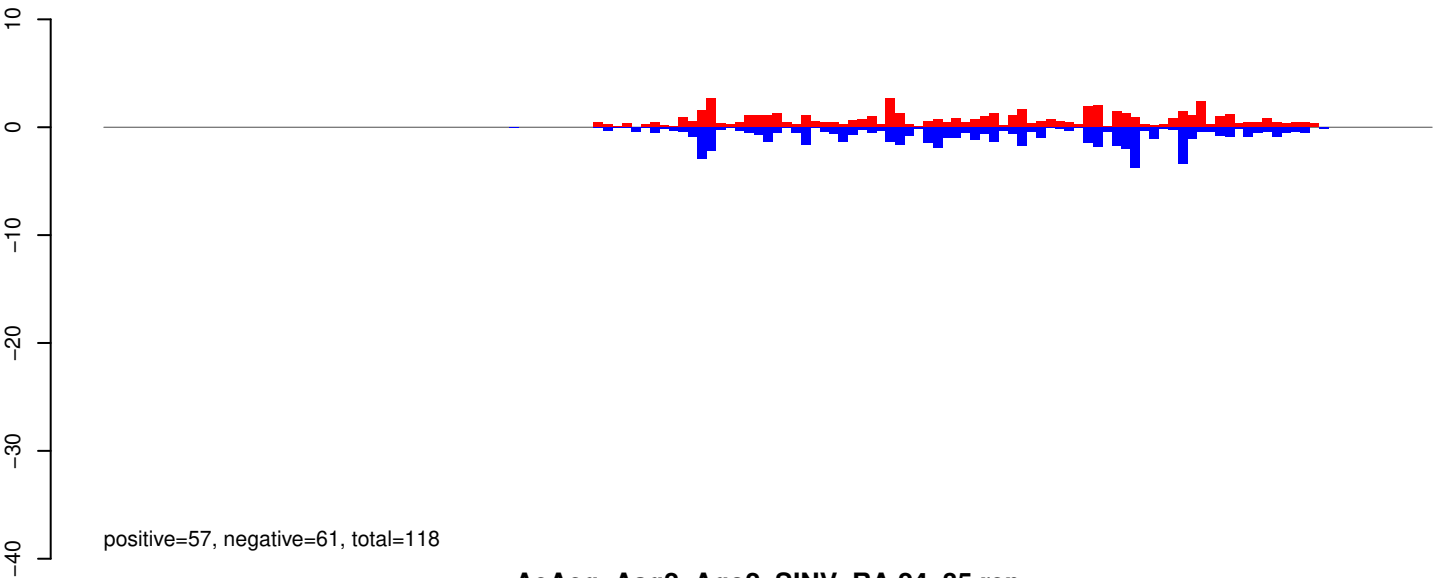


AeAeg_Aag2_Ago2_SINV_RA.rep

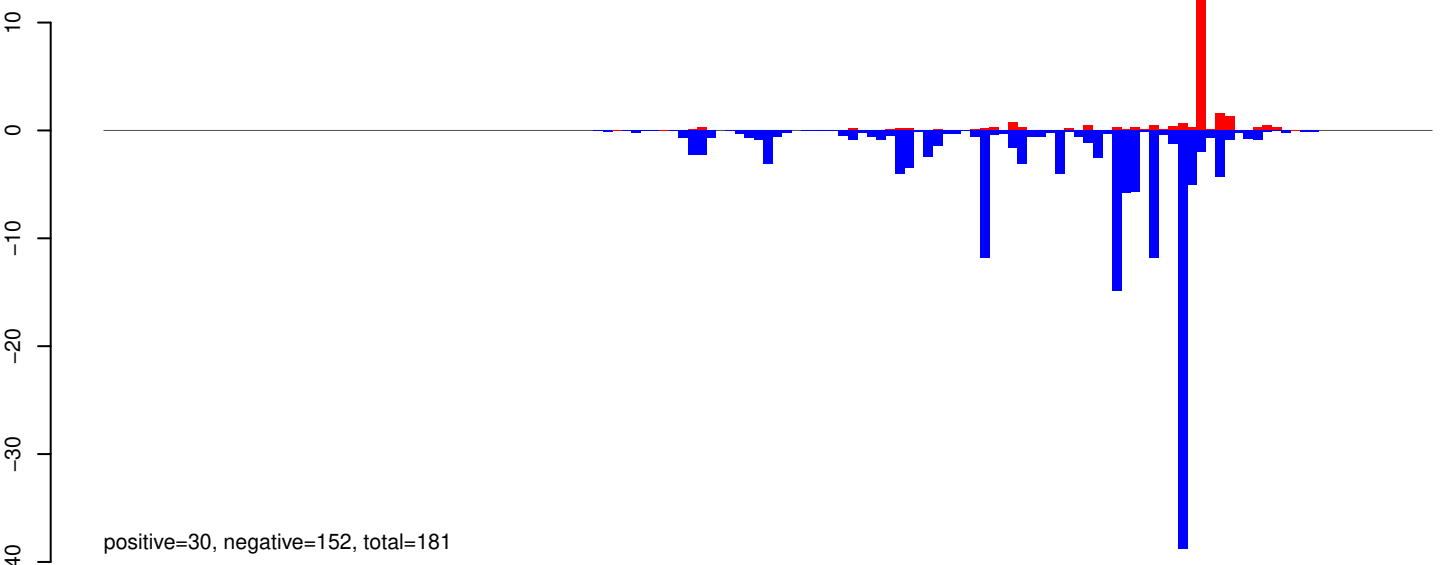


Window size=25, length=2170, TE@TF001317-otherMITEs_Ele30:1-2170

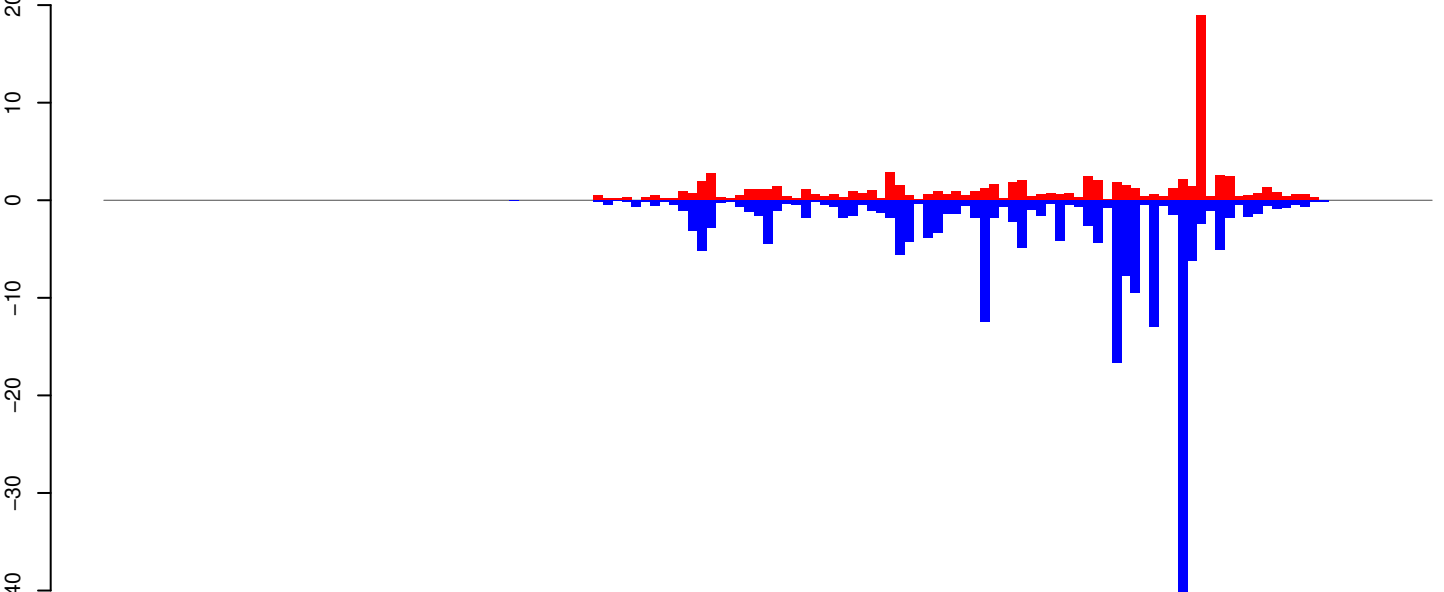
AeAeg_Aag2_Ago2_SINV_RA.18_23.rep



AeAeg_Aag2_Ago2_SINV_RA.24_35.rep



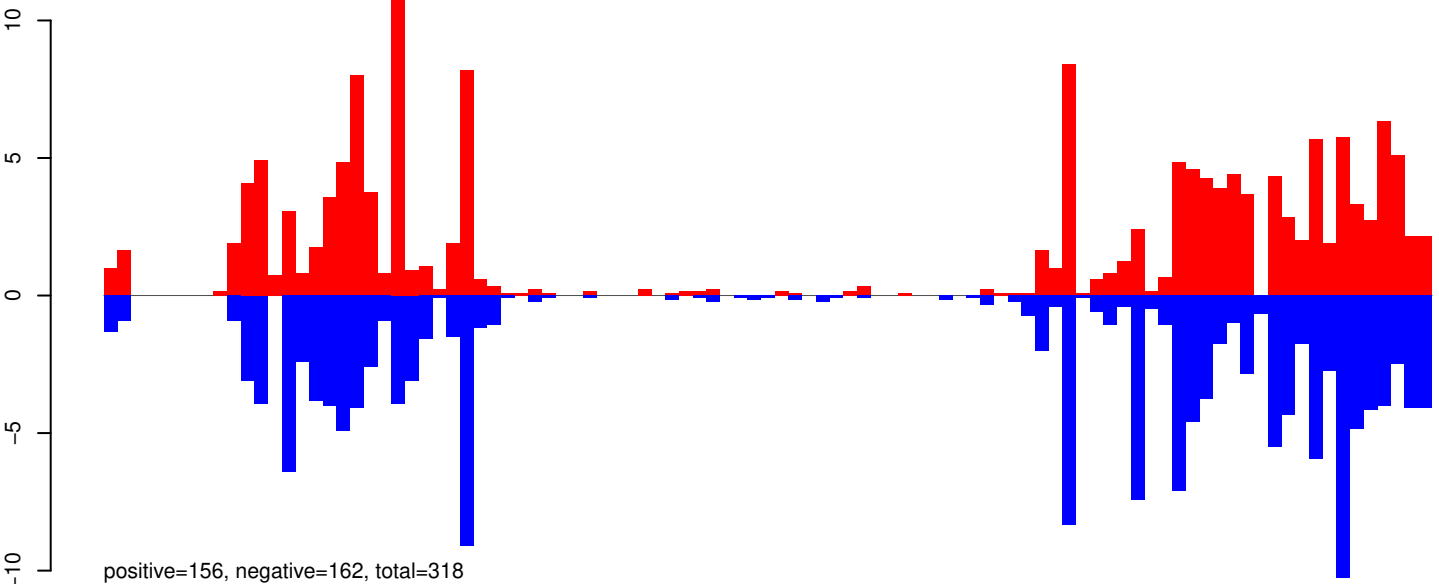
AeAeg_Aag2_Ago2_SINV_RA.rep



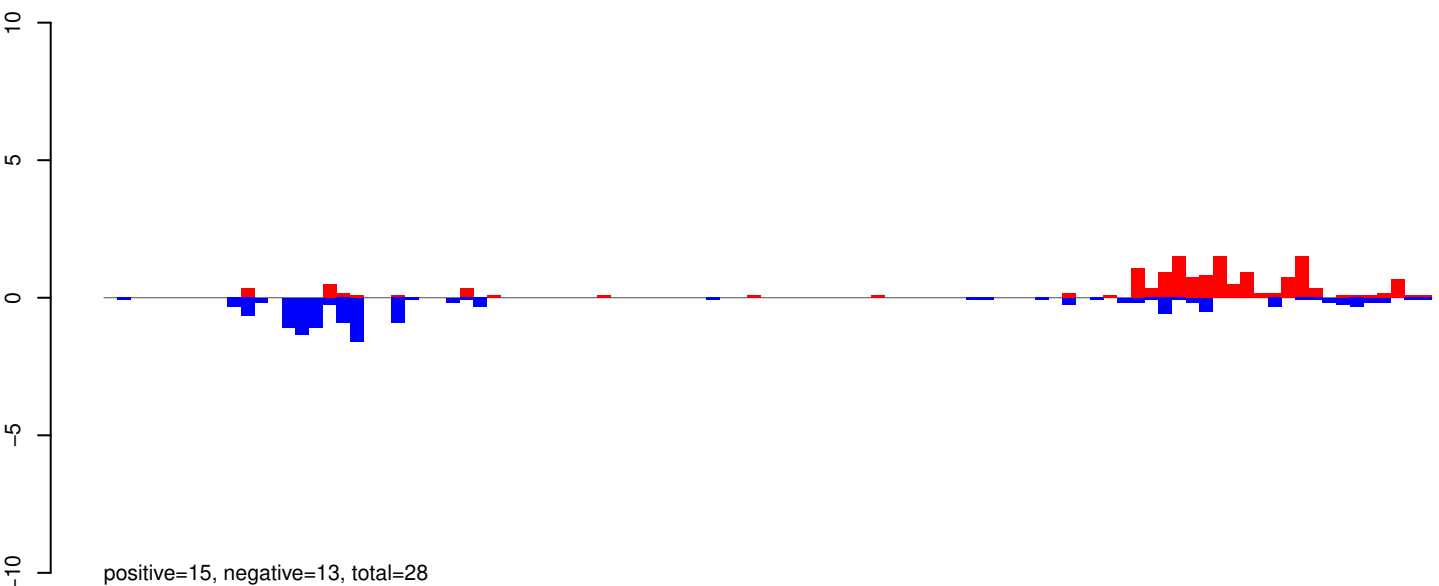
Window size=25, length=3502, TE@TF001037-Ty1_copia_Ele174:1-3502

0 500 1000 1500 2000 2500 3000 3500

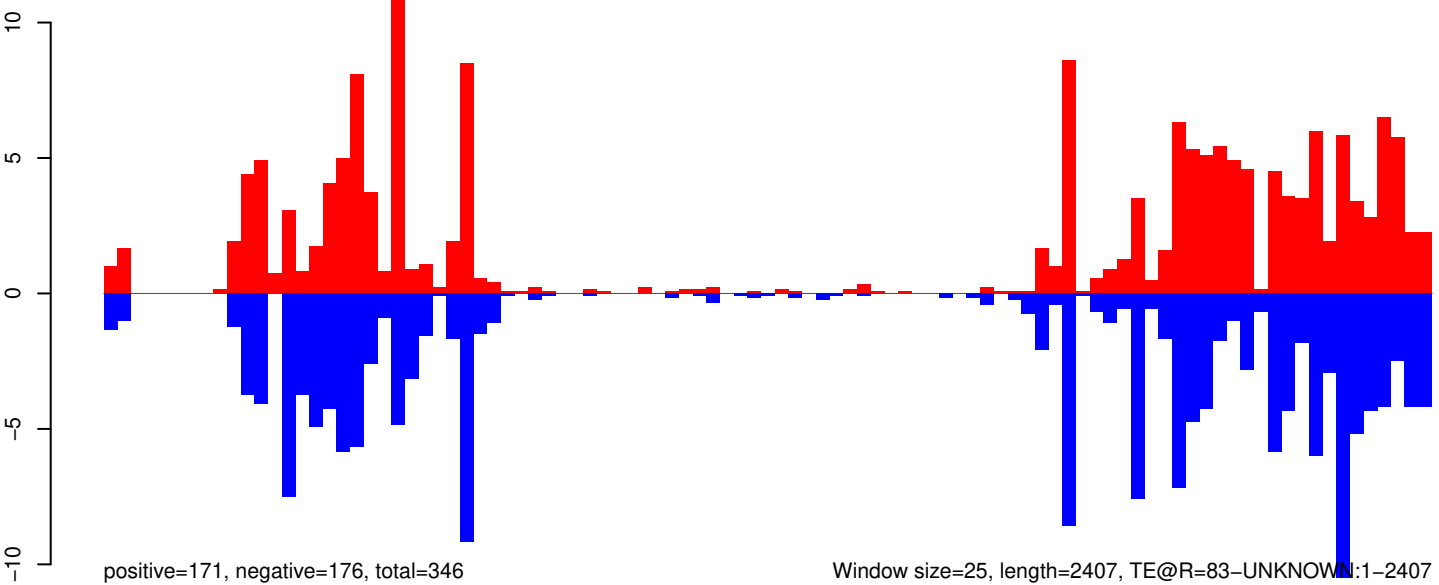
AeAeg_Aag2_Ago2_SINV_RA.18_23.rep



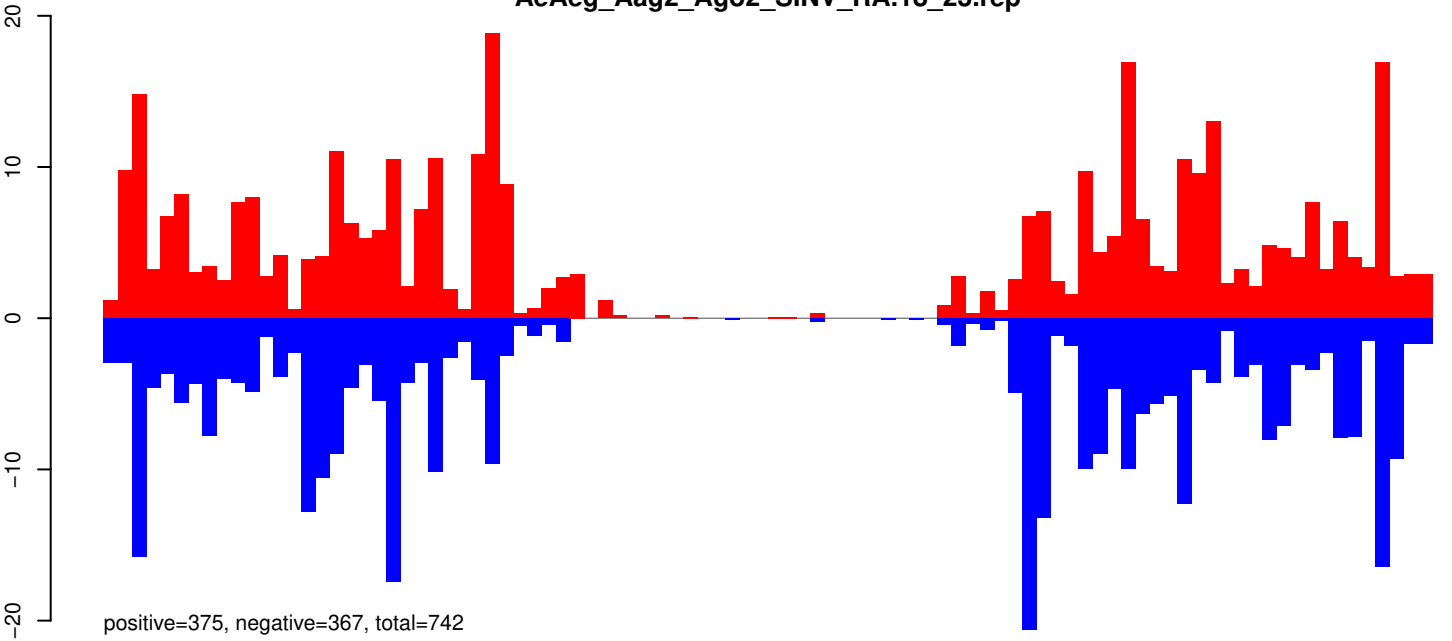
AeAeg_Aag2_Ago2_SINV_RA.24_35.rep



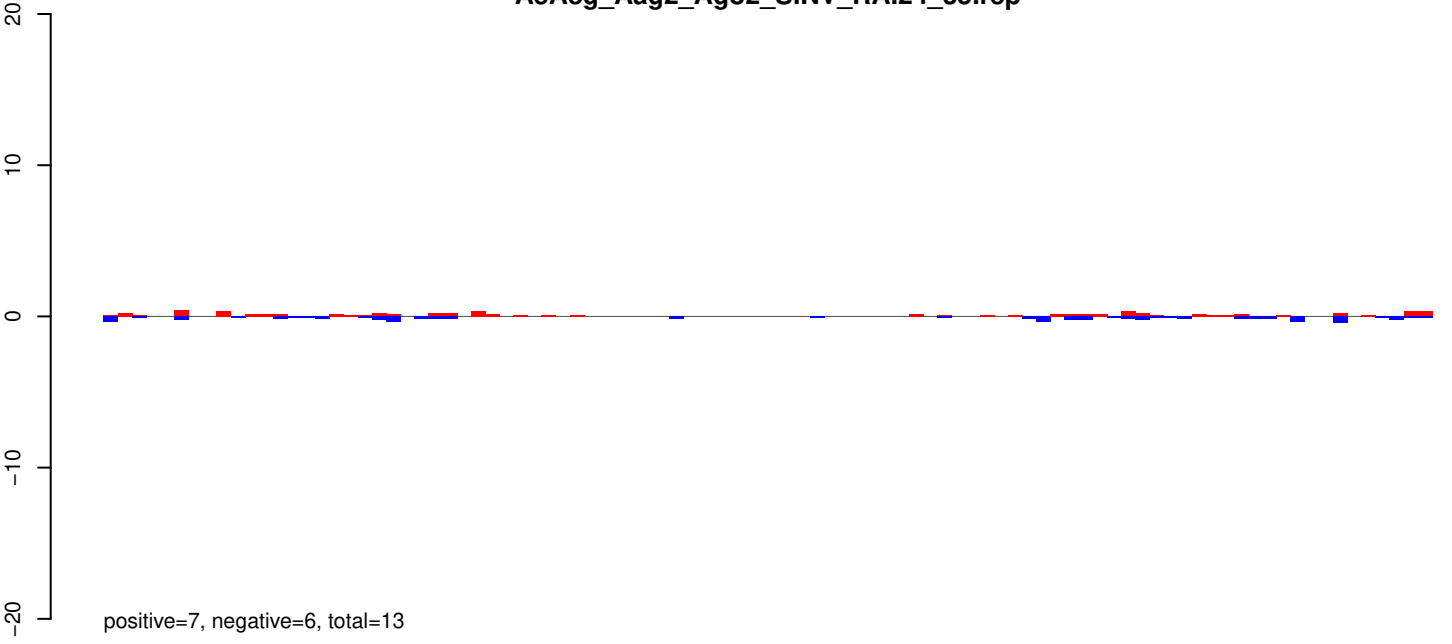
AeAeg_Aag2_Ago2_SINV_RA.rep



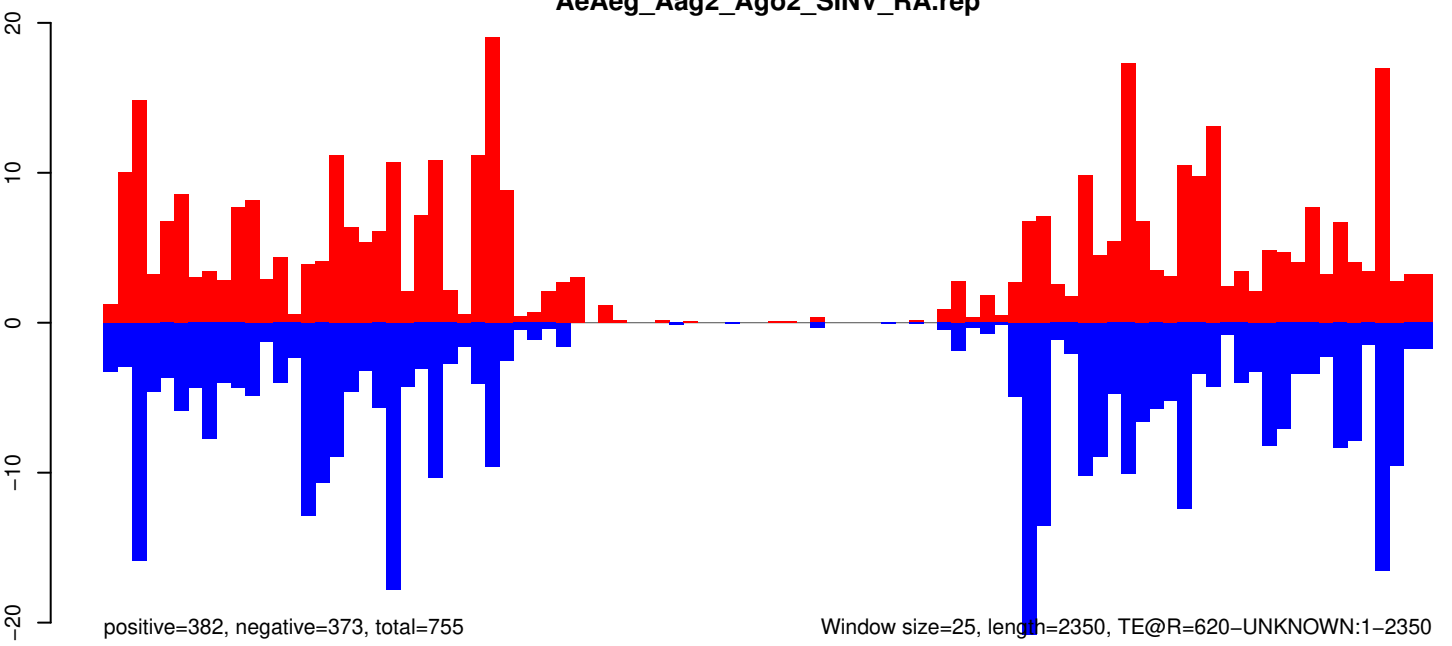
AeAeg_Aag2_Ago2_SINV_RA.18_23.rep



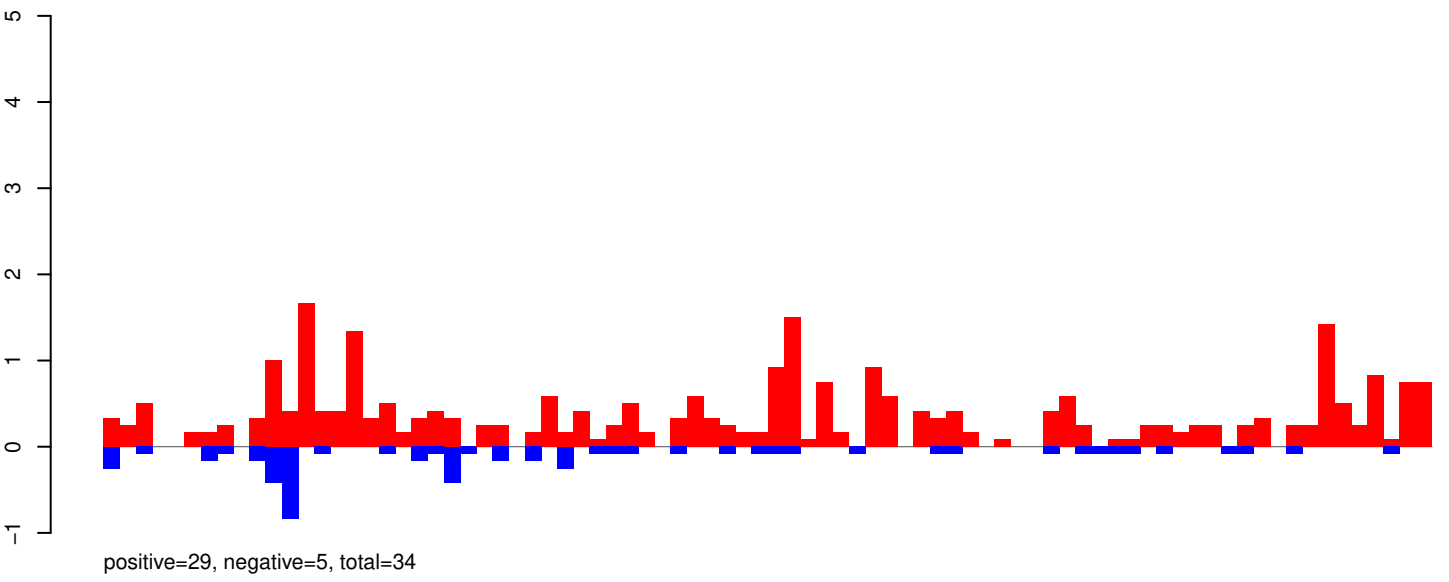
AeAeg_Aag2_Ago2_SINV_RA.24_35.rep



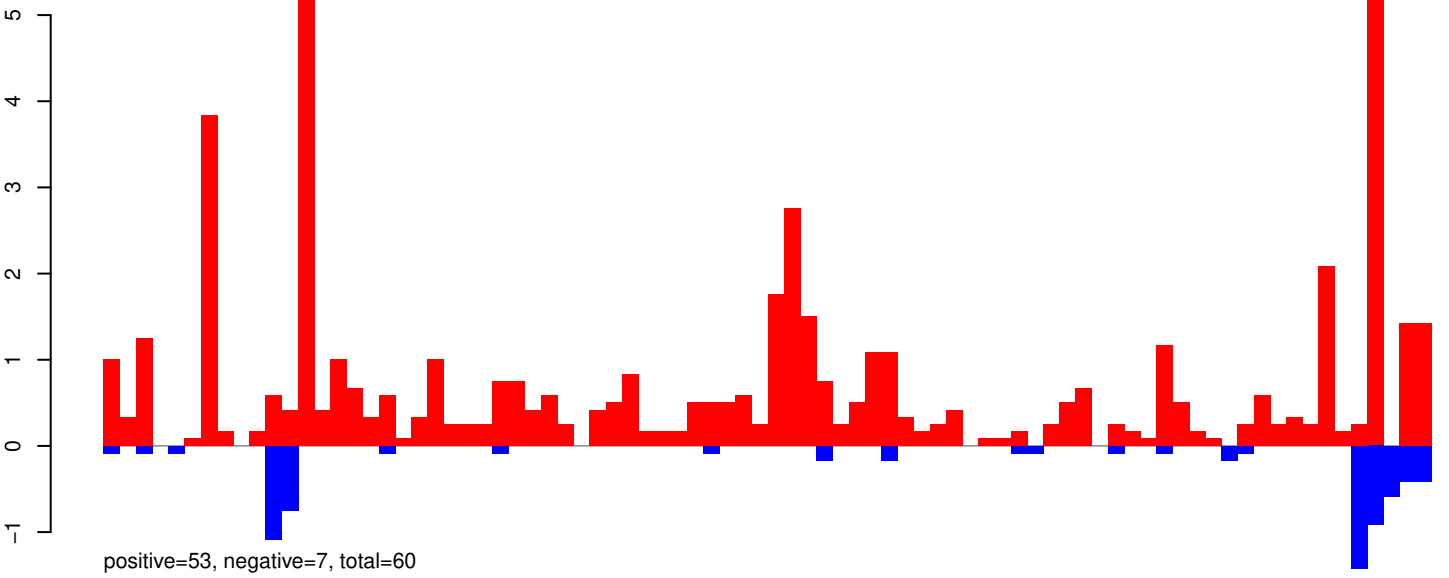
AeAeg_Aag2_Ago2_SINV_RA.rep



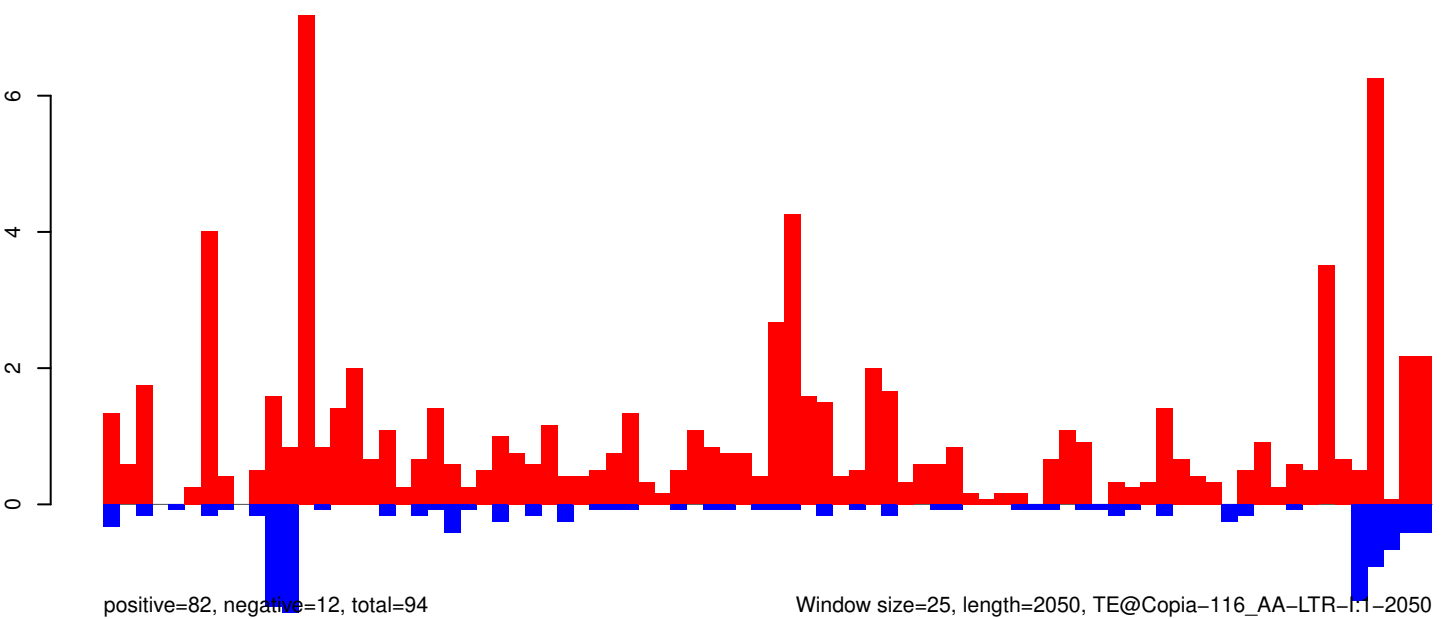
AeAeg_Aag2_Ago2_SINV_RA.18_23.rep



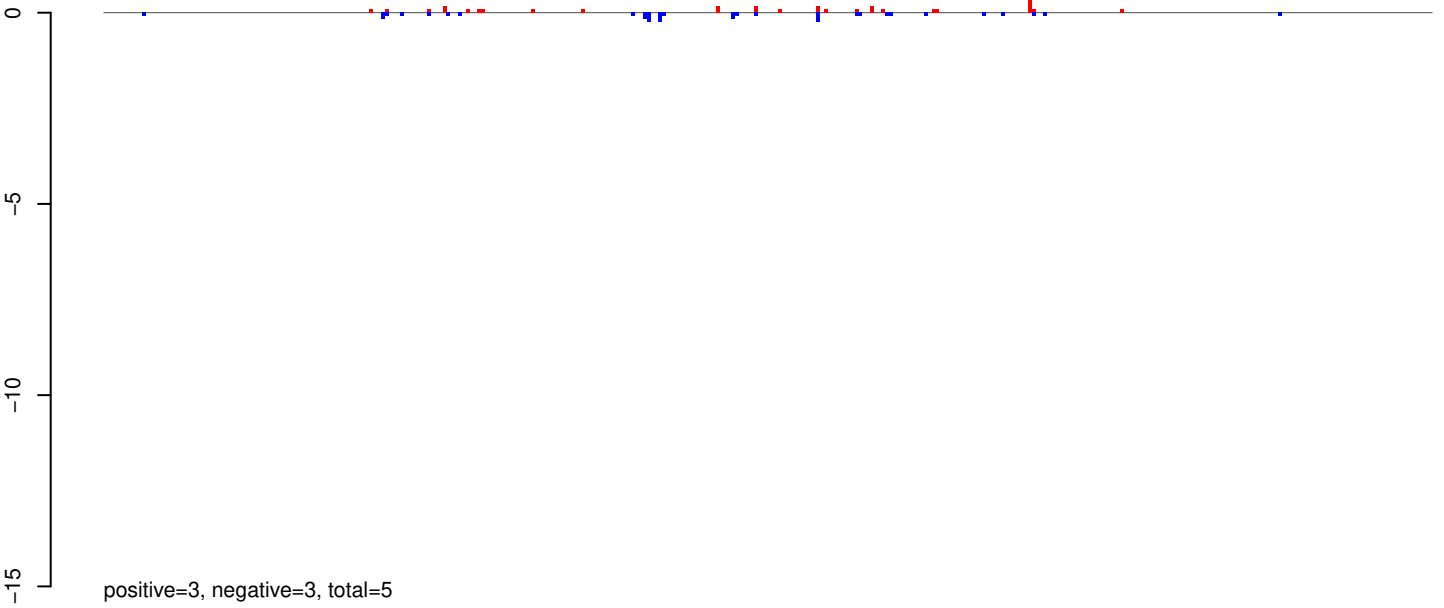
AeAeg_Aag2_Ago2_SINV_RA.24_35.rep



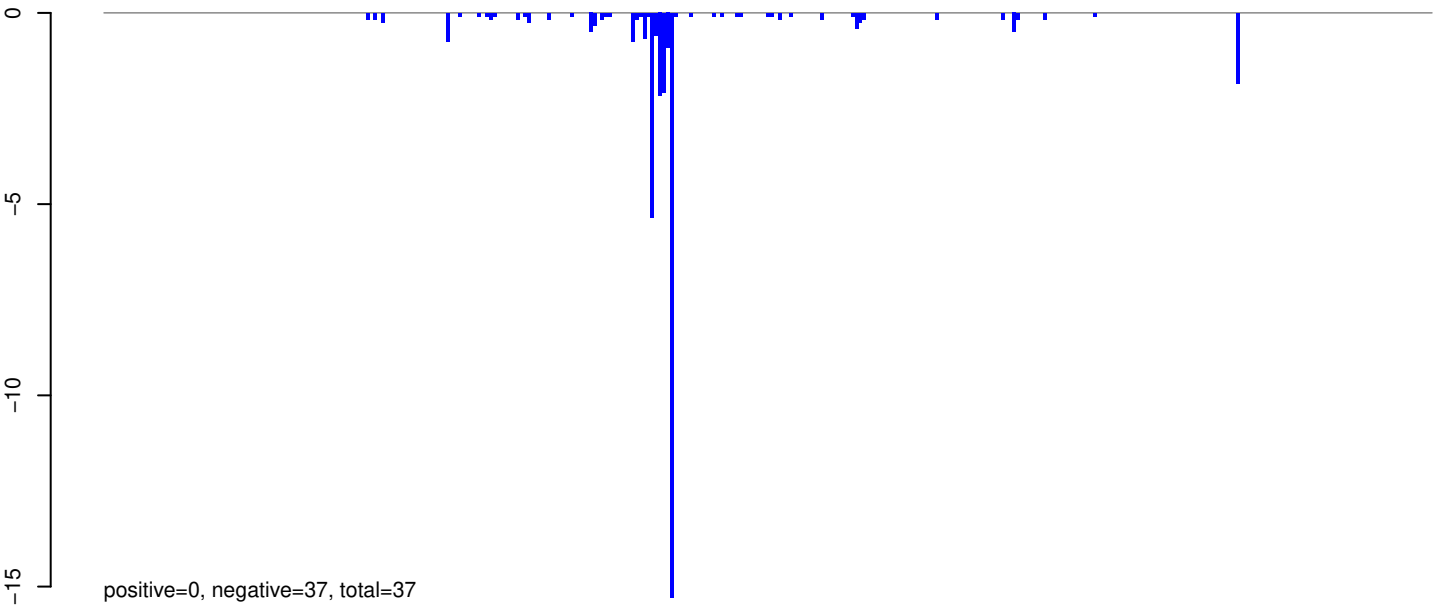
AeAeg_Aag2_Ago2_SINV_RA.rep



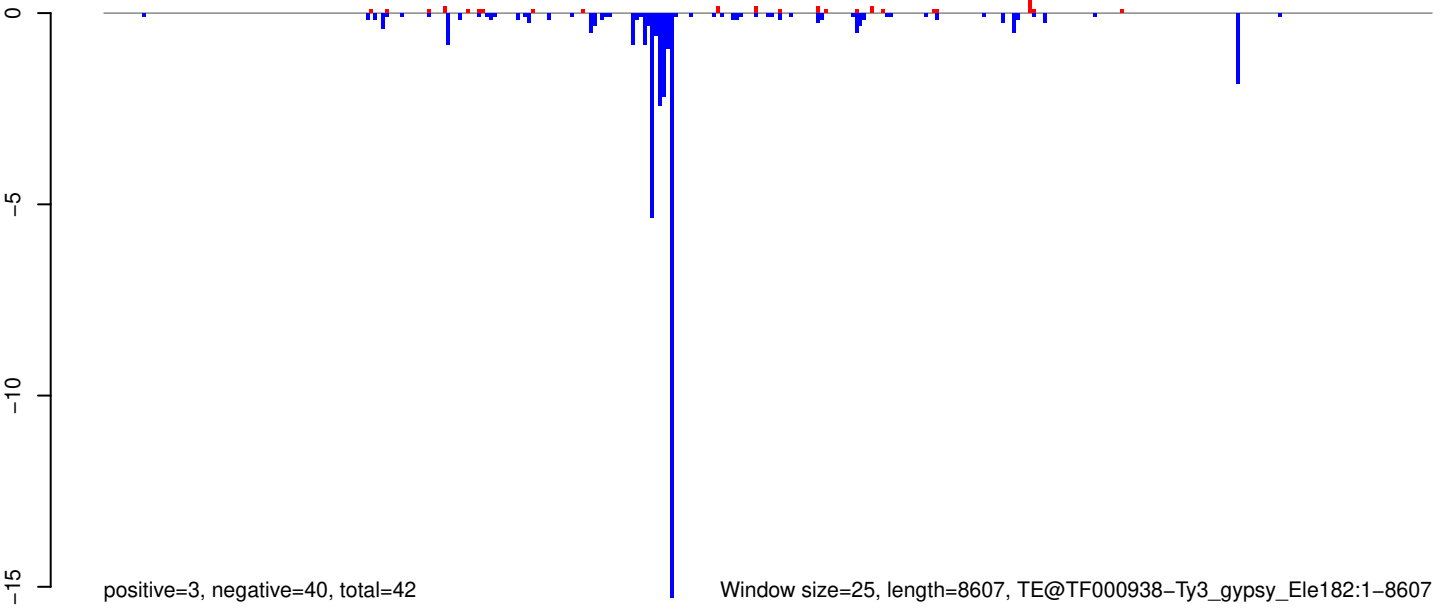
AeAeg_Aag2_Ago2_SINV_RA.18_23.rep



AeAeg_Aag2_Ago2_SINV_RA.24_35.rep



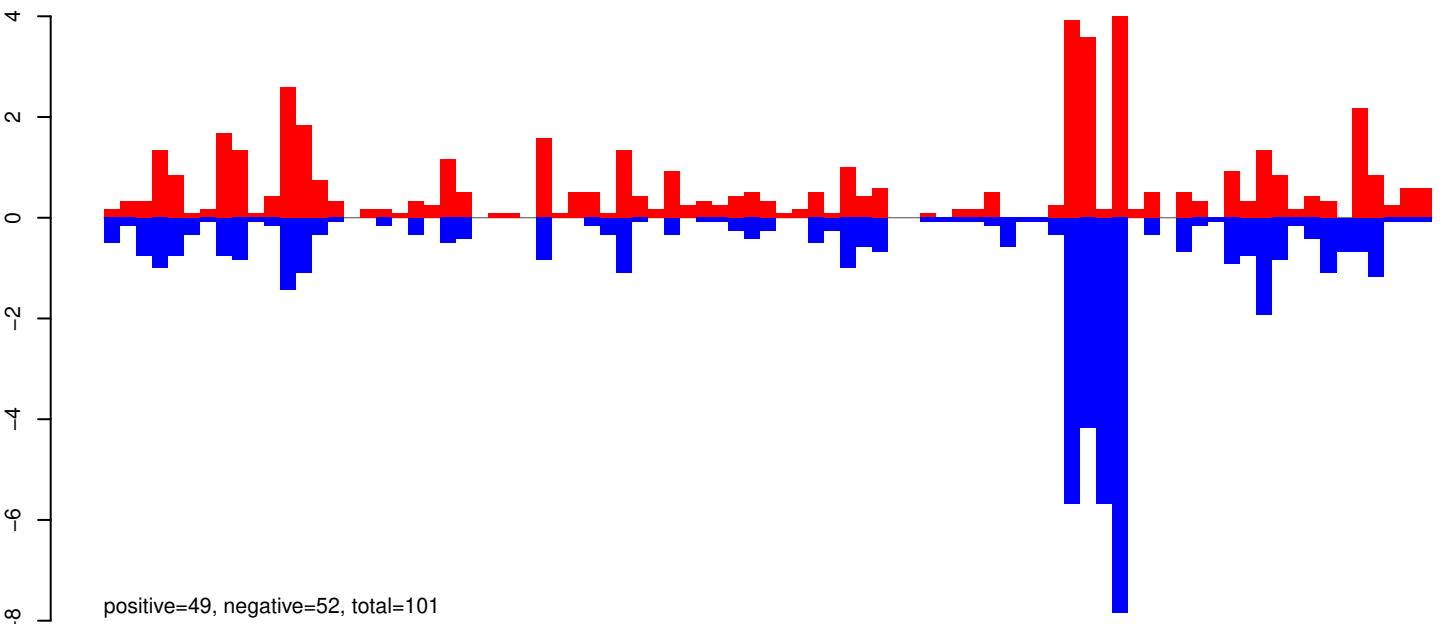
AeAeg_Aag2_Ago2_SINV_RA.rep



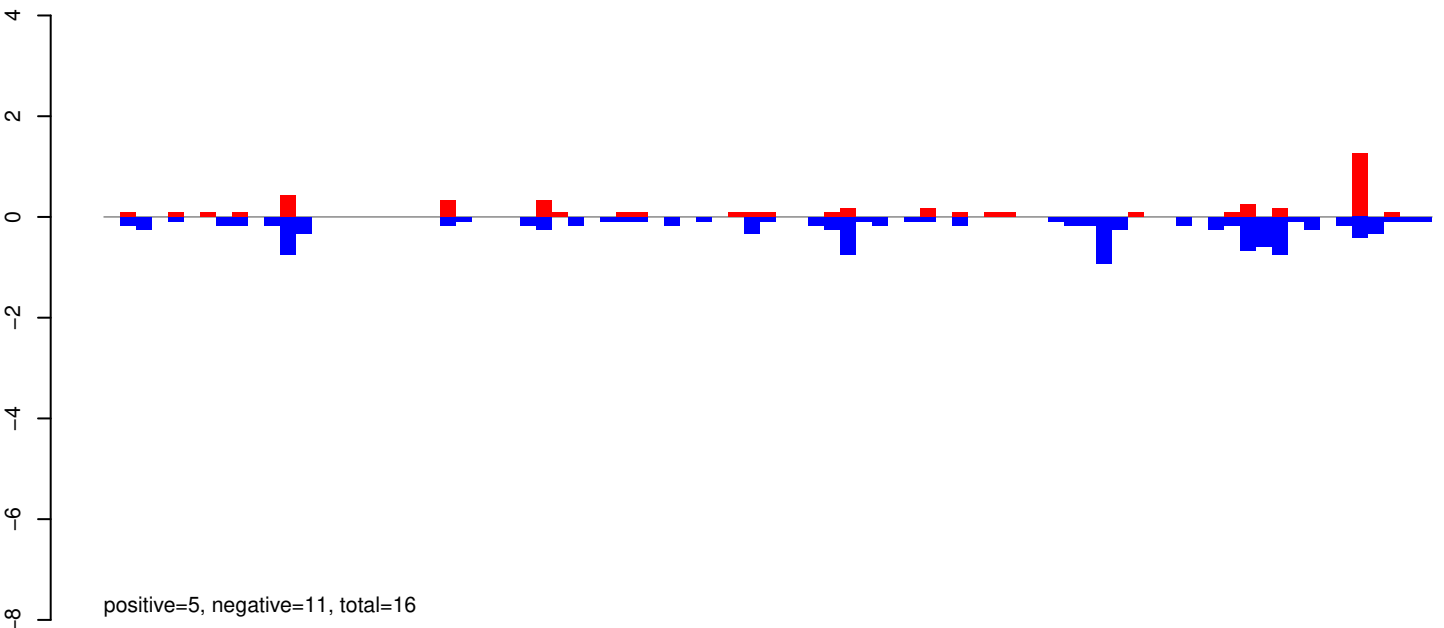
Window size=25, length=8607, TE@TF000938-Ty3_gypsy_Ele182:1-8607

0 2000 4000 6000 8000

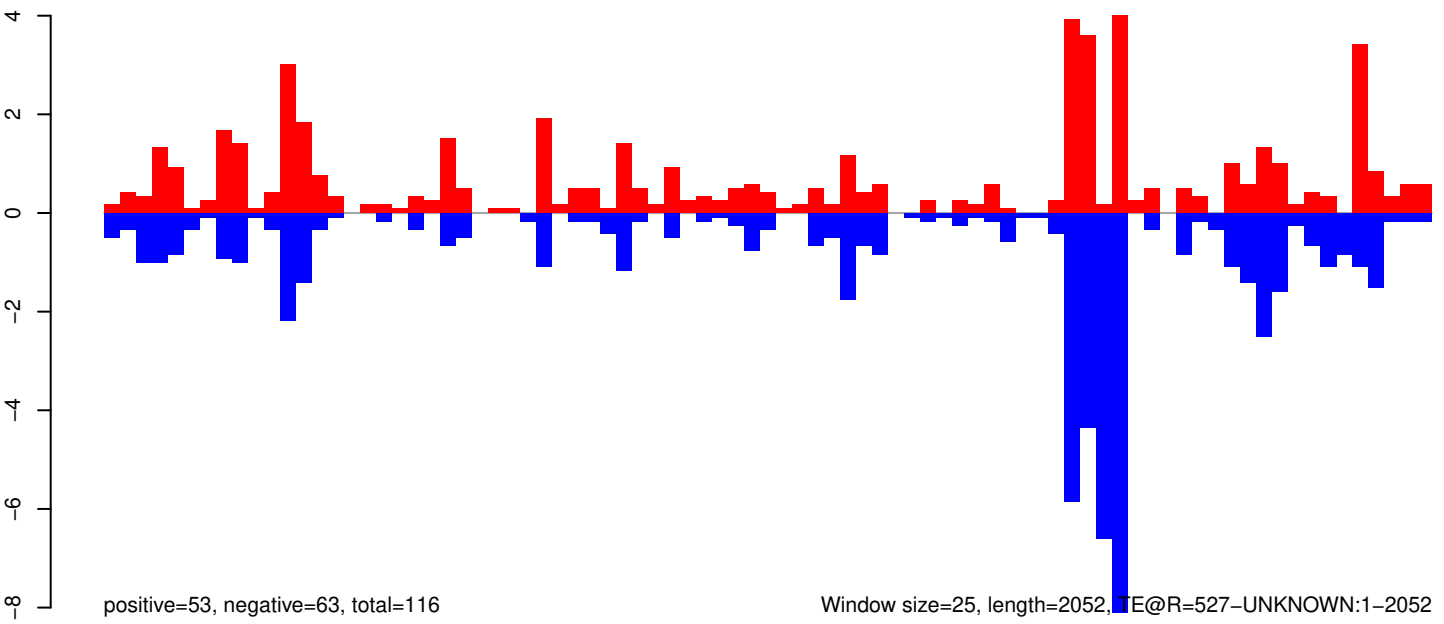
AeAeg_Aag2_Ago2_SINV_RA.18_23.rep



AeAeg_Aag2_Ago2_SINV_RA.24_35.rep

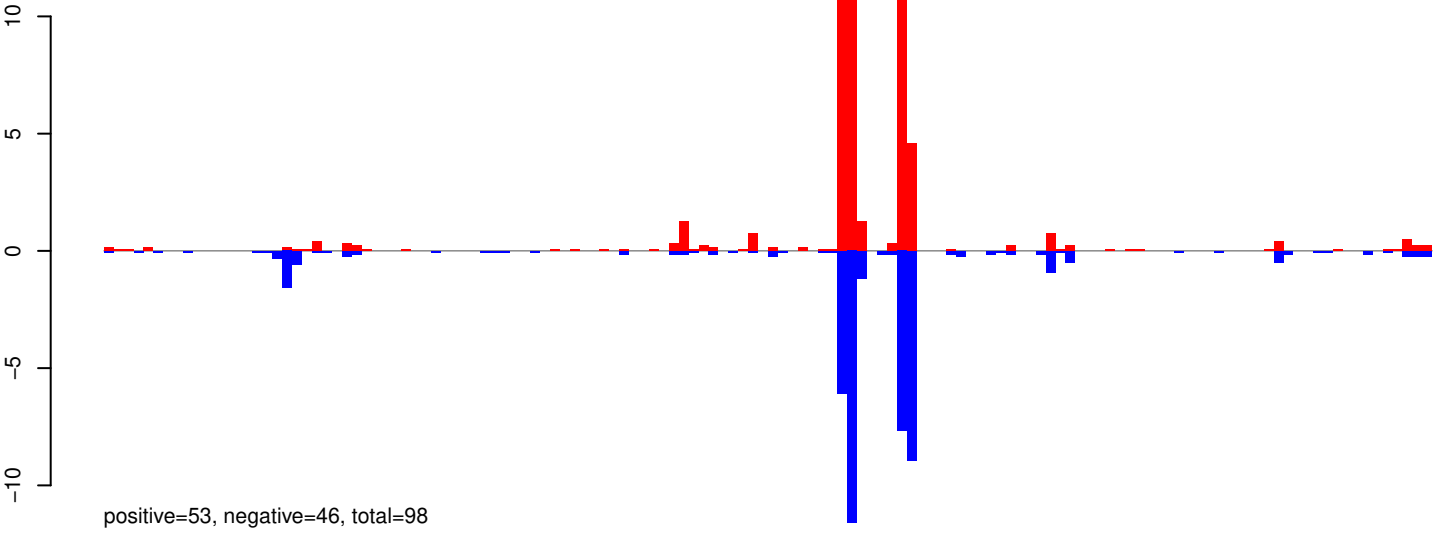


AeAeg_Aag2_Ago2_SINV_RA.rep

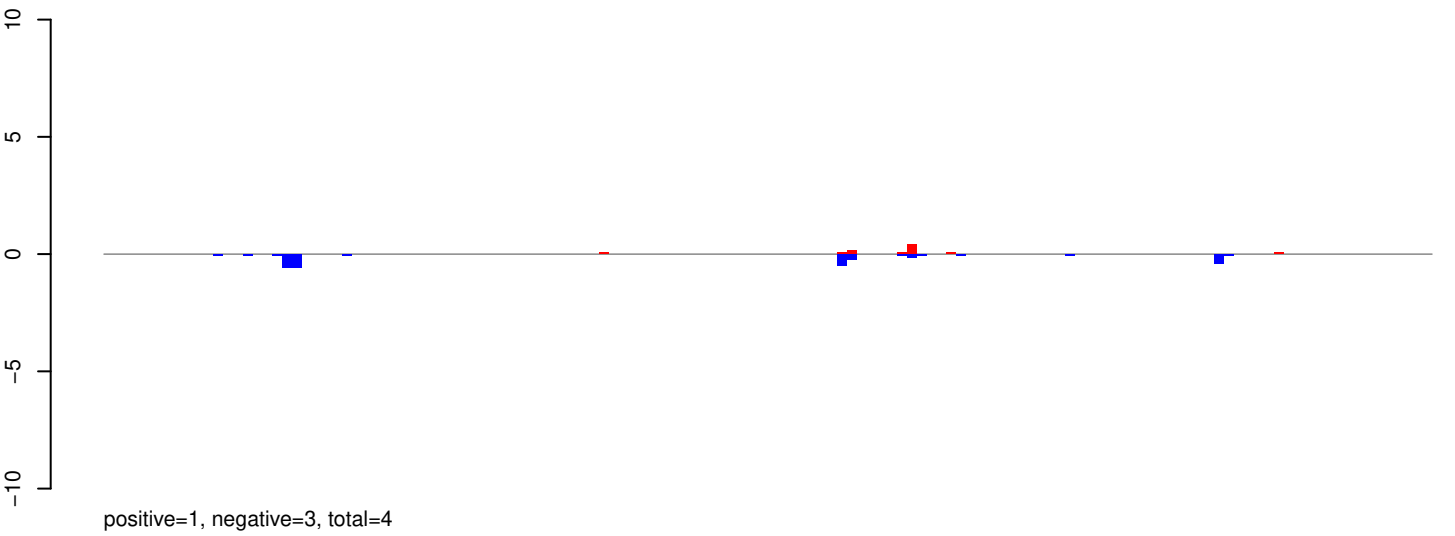


Window size=25, length=2052, TE@R=527-UNKNOWN:1-2052

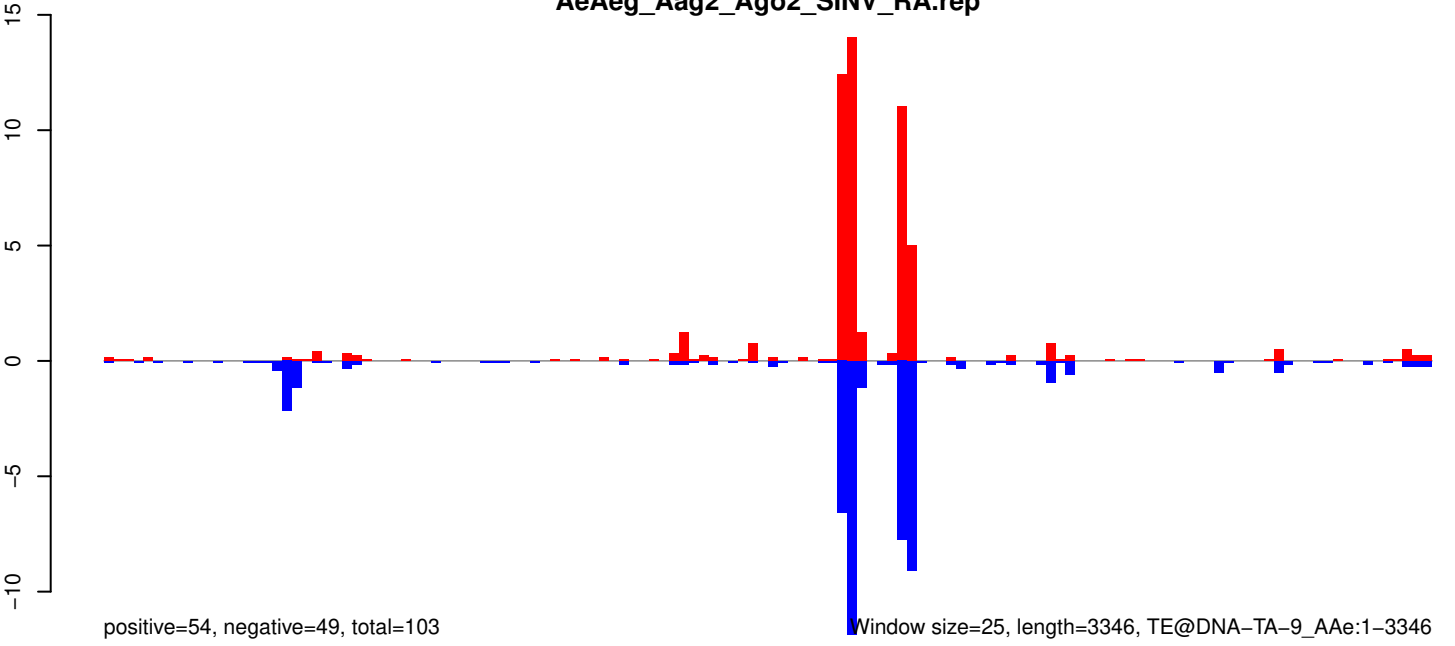
AeAeg_Aag2_Ago2_SINV_RA.18_23.rep



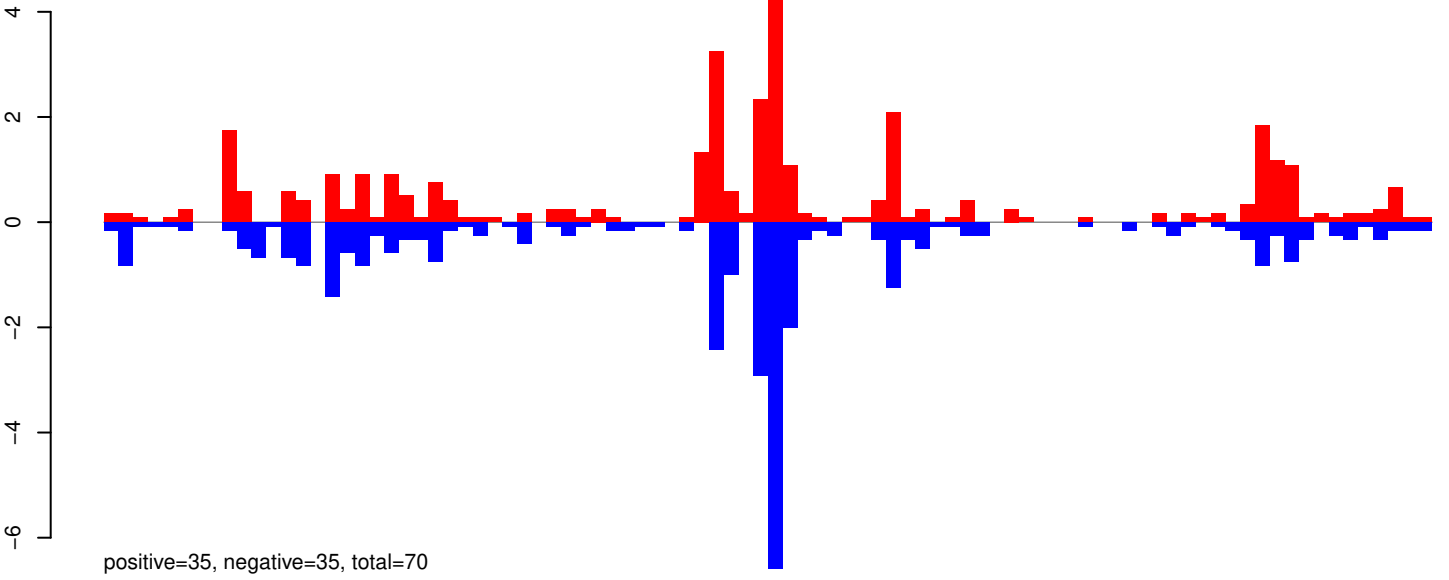
AeAeg_Aag2_Ago2_SINV_RA.24_35.rep



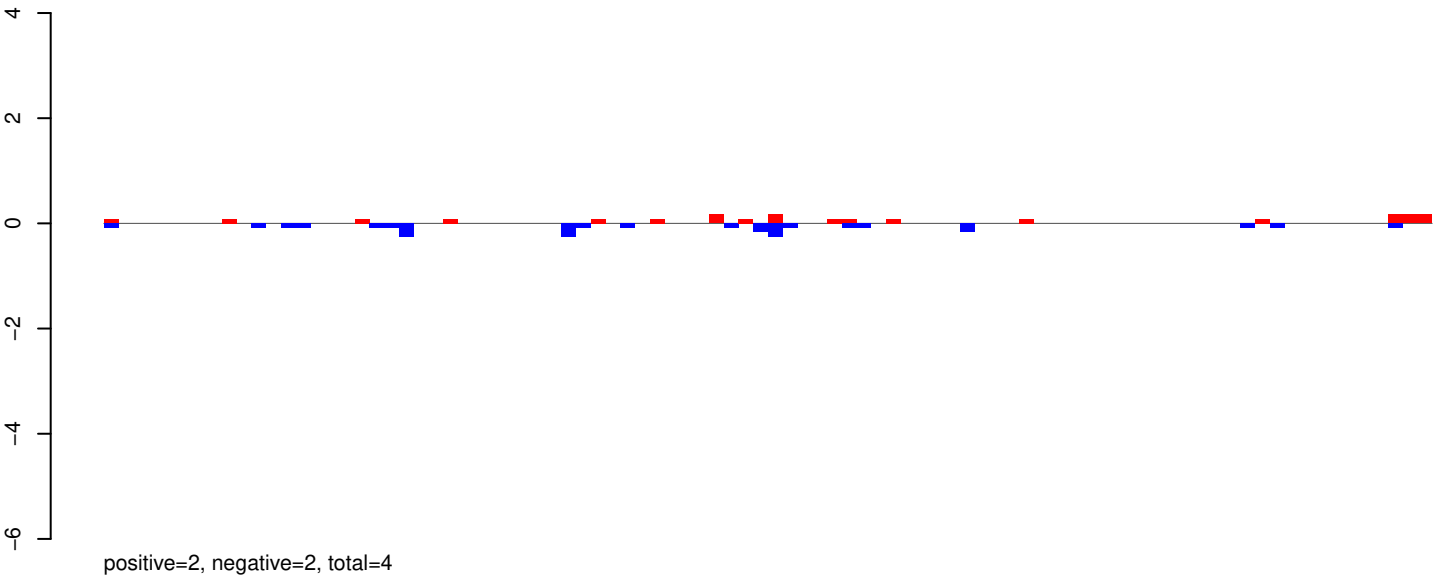
AeAeg_Aag2_Ago2_SINV_RA.rep



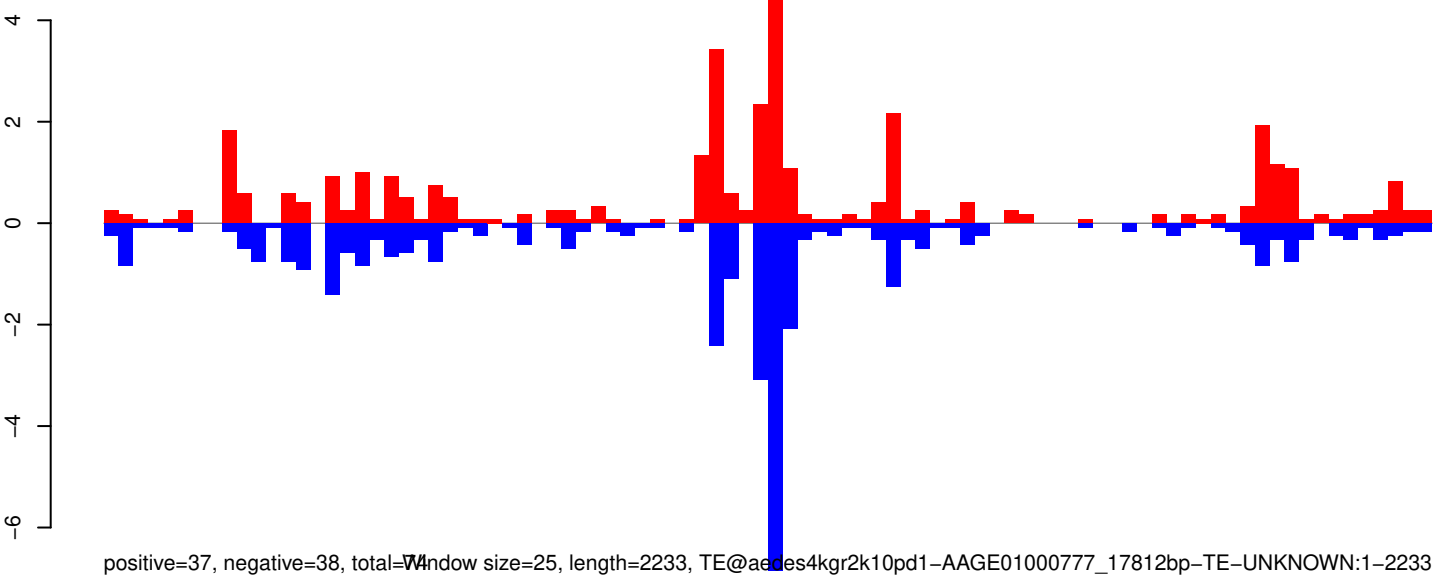
AeAeg_Aag2_Ago2_SINV_RA.18_23.rep



AeAeg_Aag2_Ago2_SINV_RA.24_35.rep



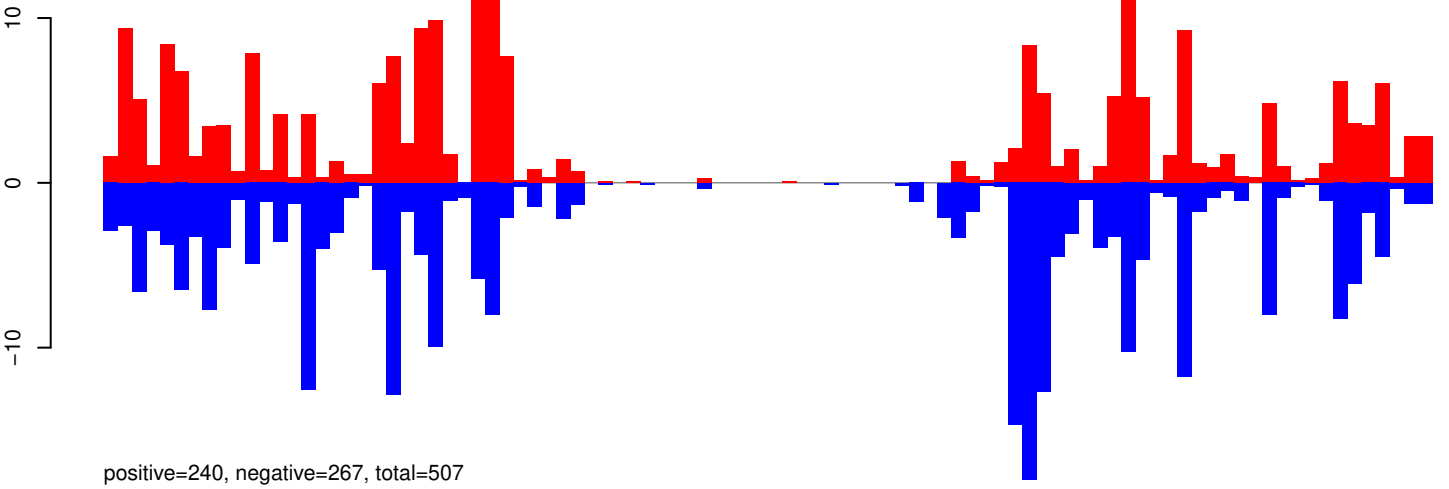
AeAeg_Aag2_Ago2_SINV_RA.rep



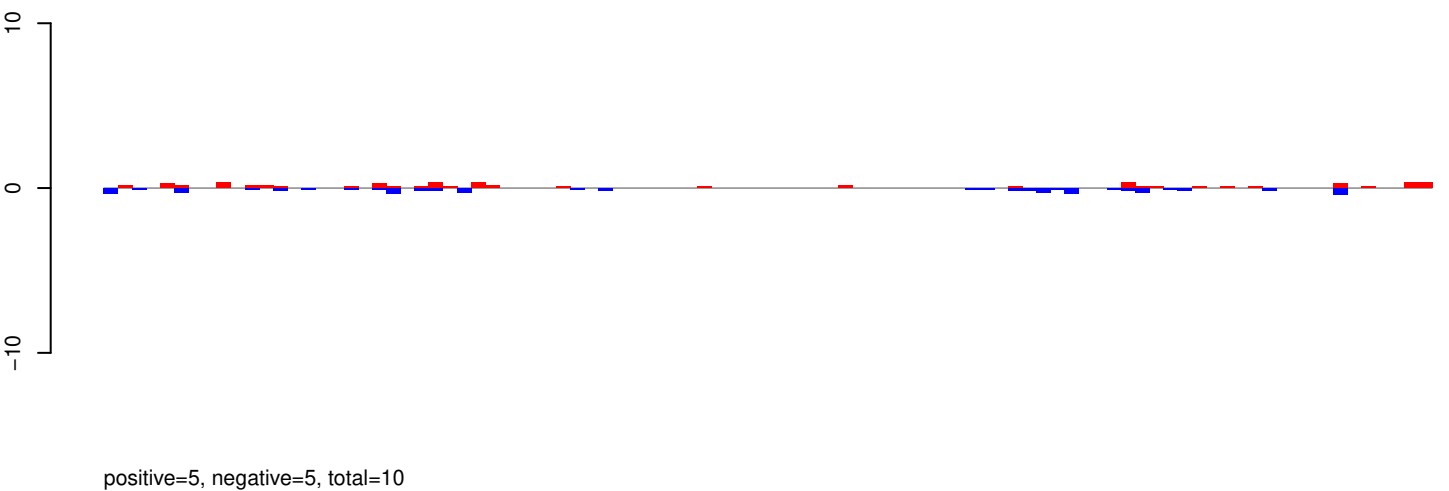
Window size=25, length=2233, TE@aedes4kgr2k10pd1-AAGE01000777_17812bp-TE-UNKNOWN:1-2233

0 500 1000 1500 2000

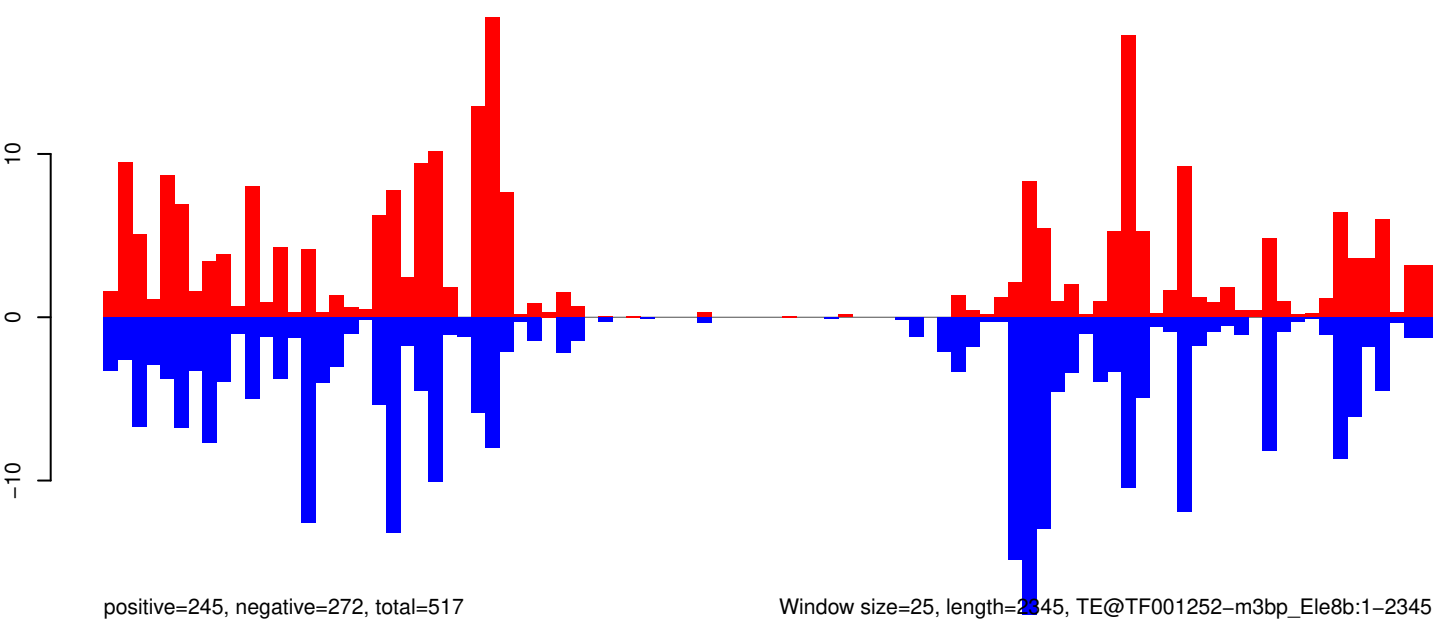
AeAeg_Aag2_Ago2_SINV_RA.18_23.rep



AeAeg_Aag2_Ago2_SINV_RA.24_35.rep



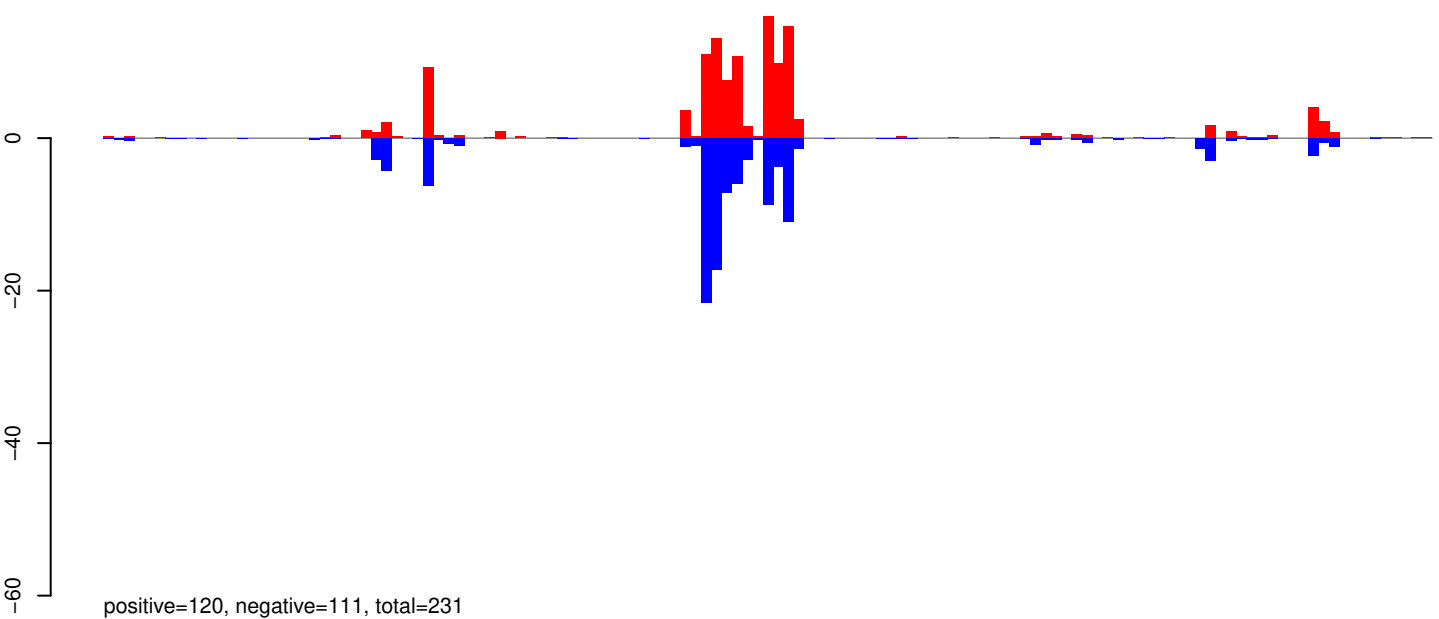
AeAeg_Aag2_Ago2_SINV_RA.rep



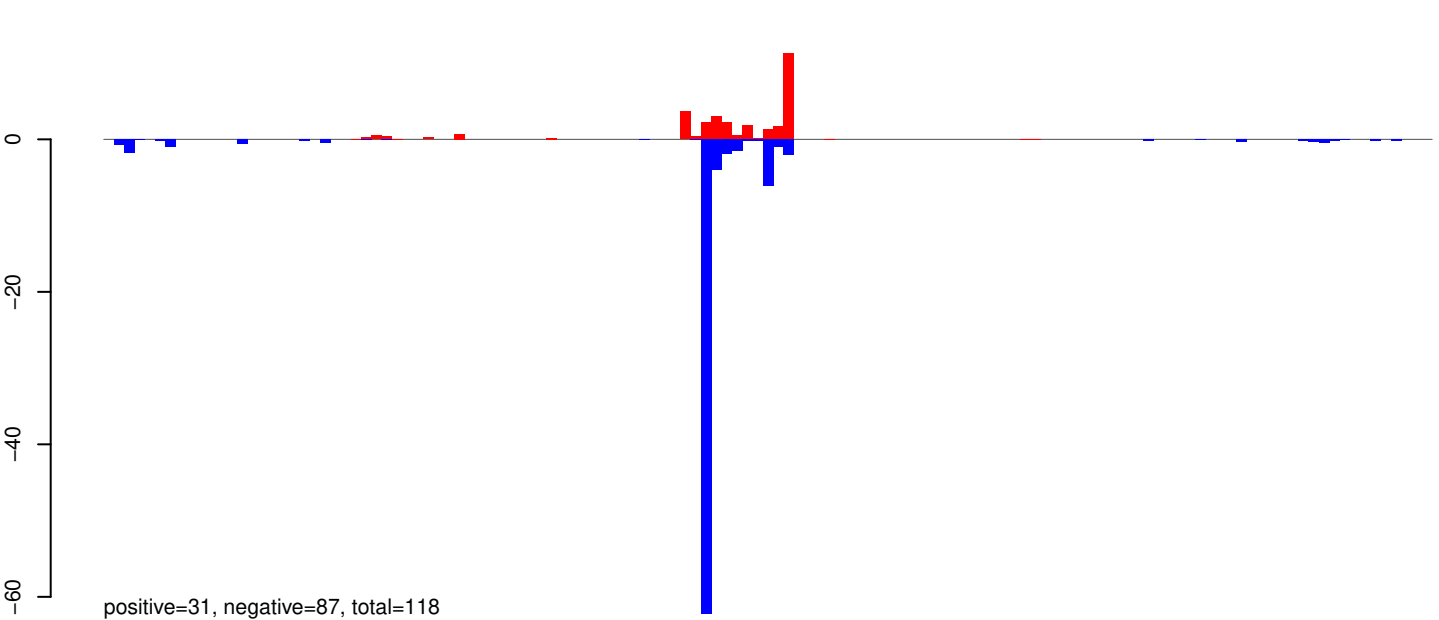
Window size=25, length=2345, TE@TF001252-m3bp_Ele8b:1-2345

0 500 1000 1500 2000

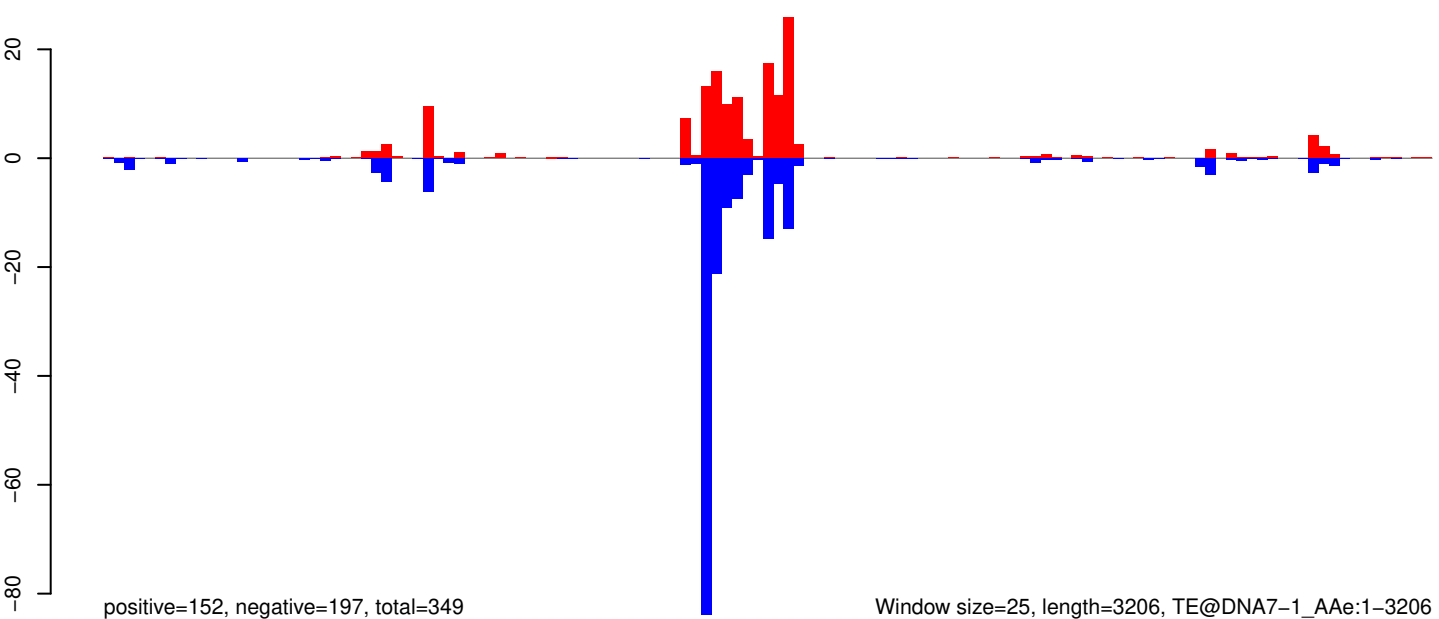
AeAeg_Aag2_Ago2_SINV_RA.18_23.rep



AeAeg_Aag2_Ago2_SINV_RA.24_35.rep



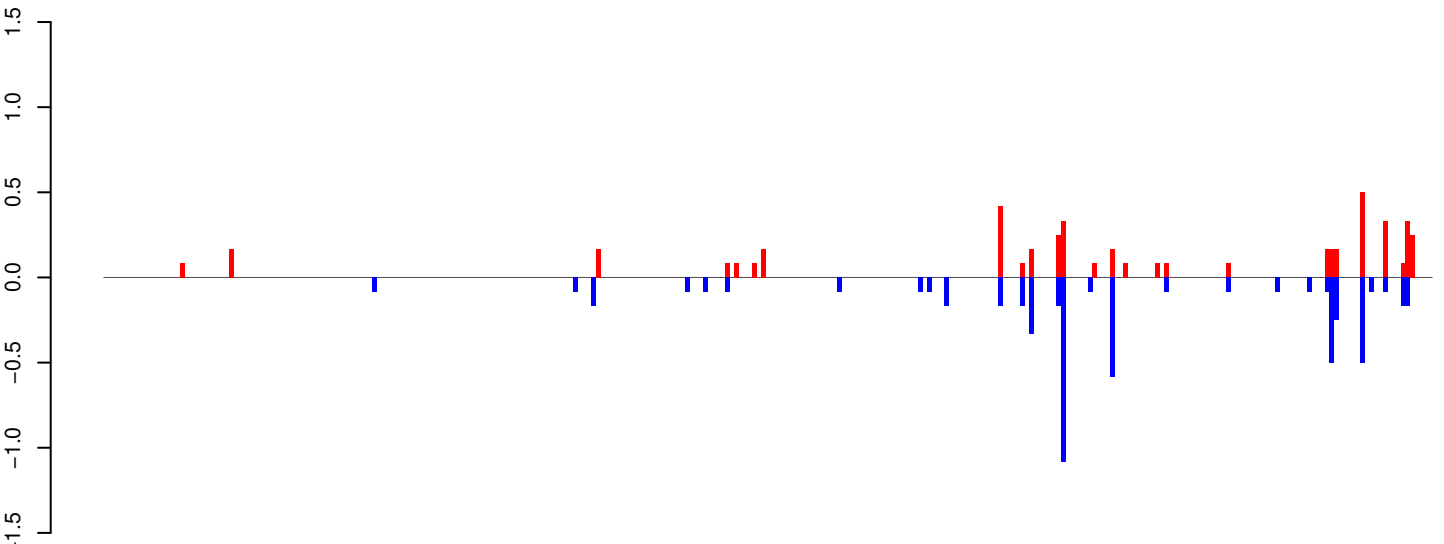
AeAeg_Aag2_Ago2_SINV_RA.rep



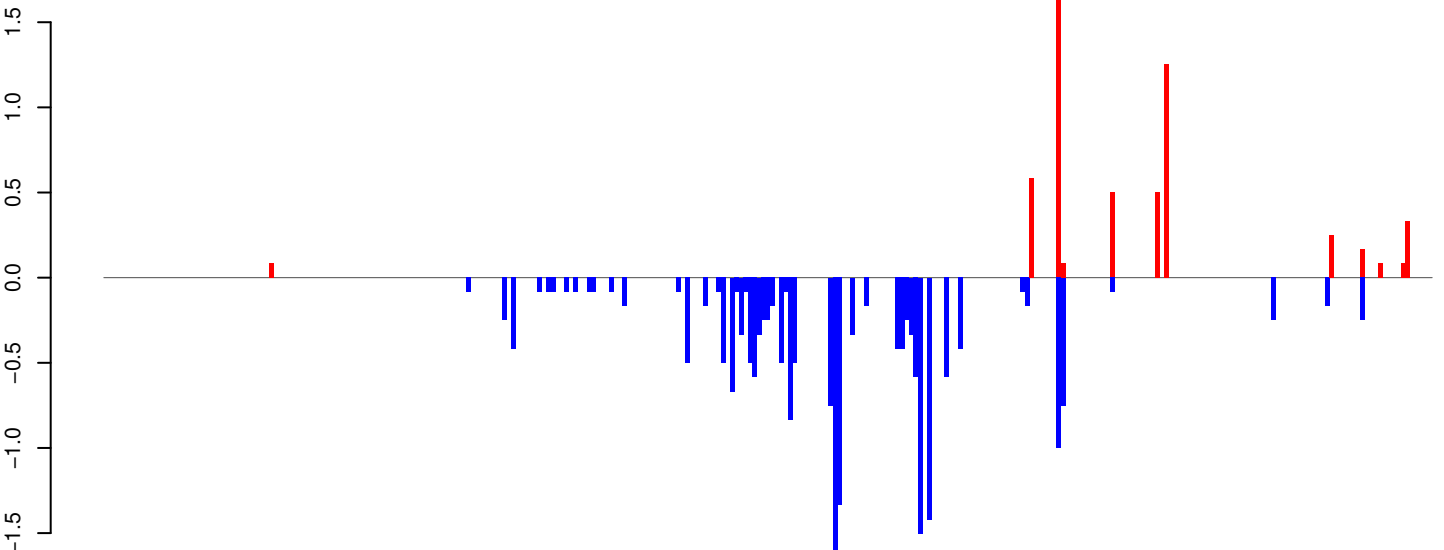
Window size=25, length=3206, TE@DNA7-1_AAe:1-3206

0 500 1000 1500 2000 2500 3000

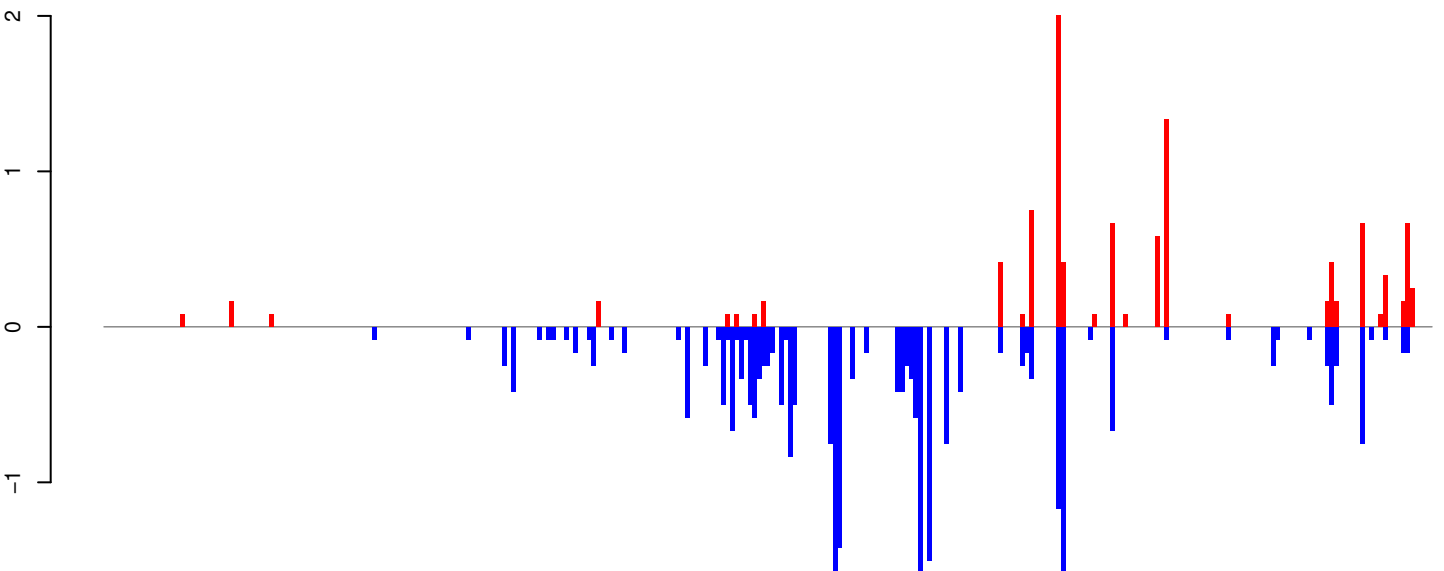
AeAeg_Aag2_Ago2_SINV_RA.18_23.rep



AeAeg_Aag2_Ago2_SINV_RA.24_35.rep



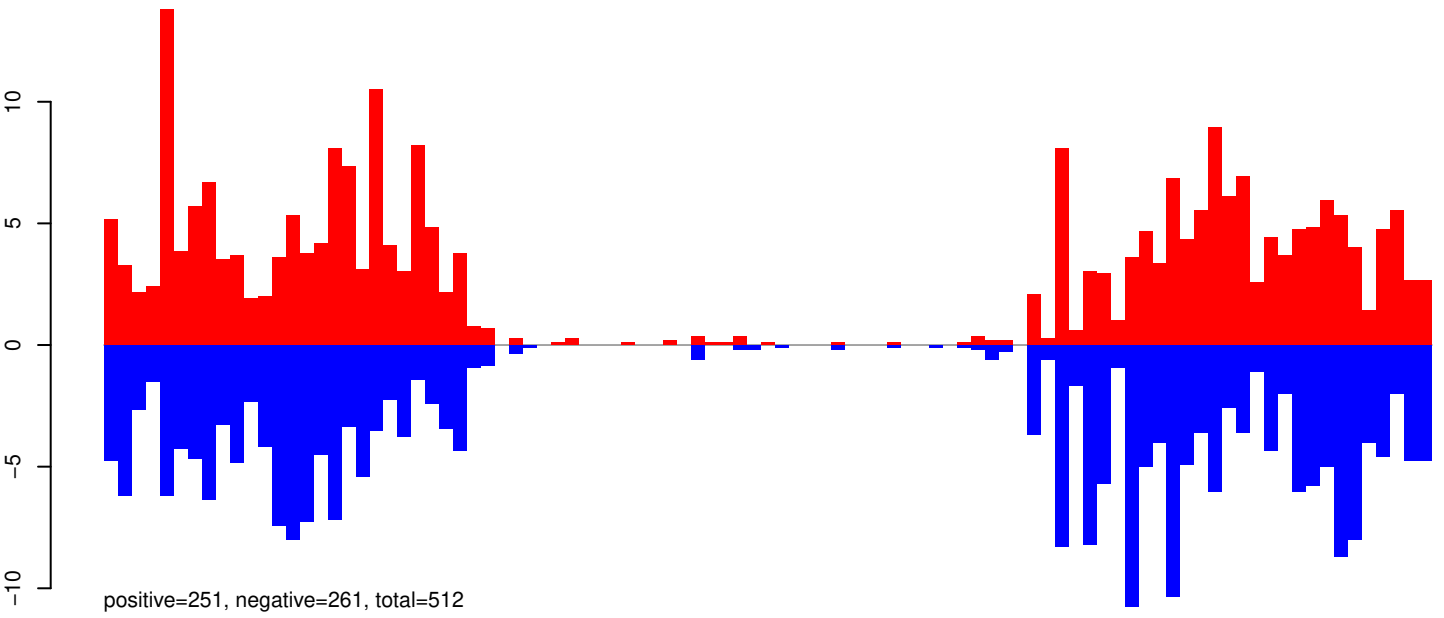
AeAeg_Aag2_Ago2_SINV_RA.rep



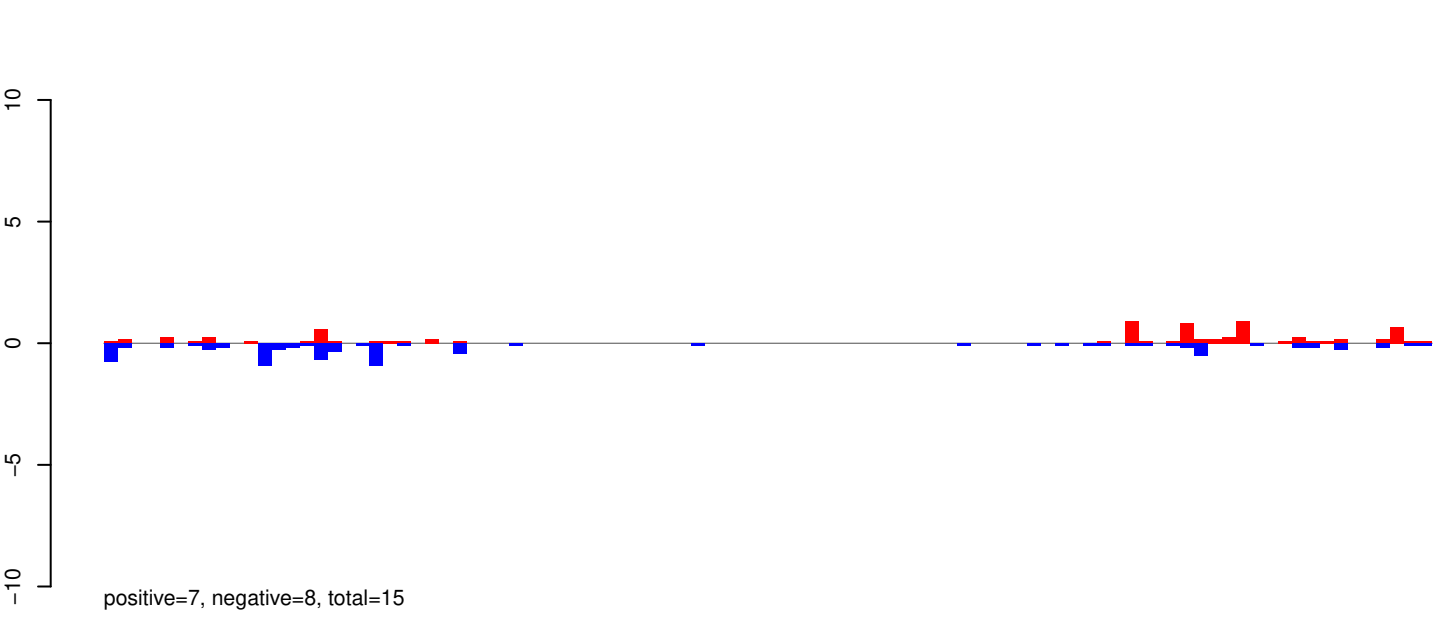
Window size=25, length=7425, TE@BEL-220_AA-LTR-I:1-7425

0 2000 4000 6000

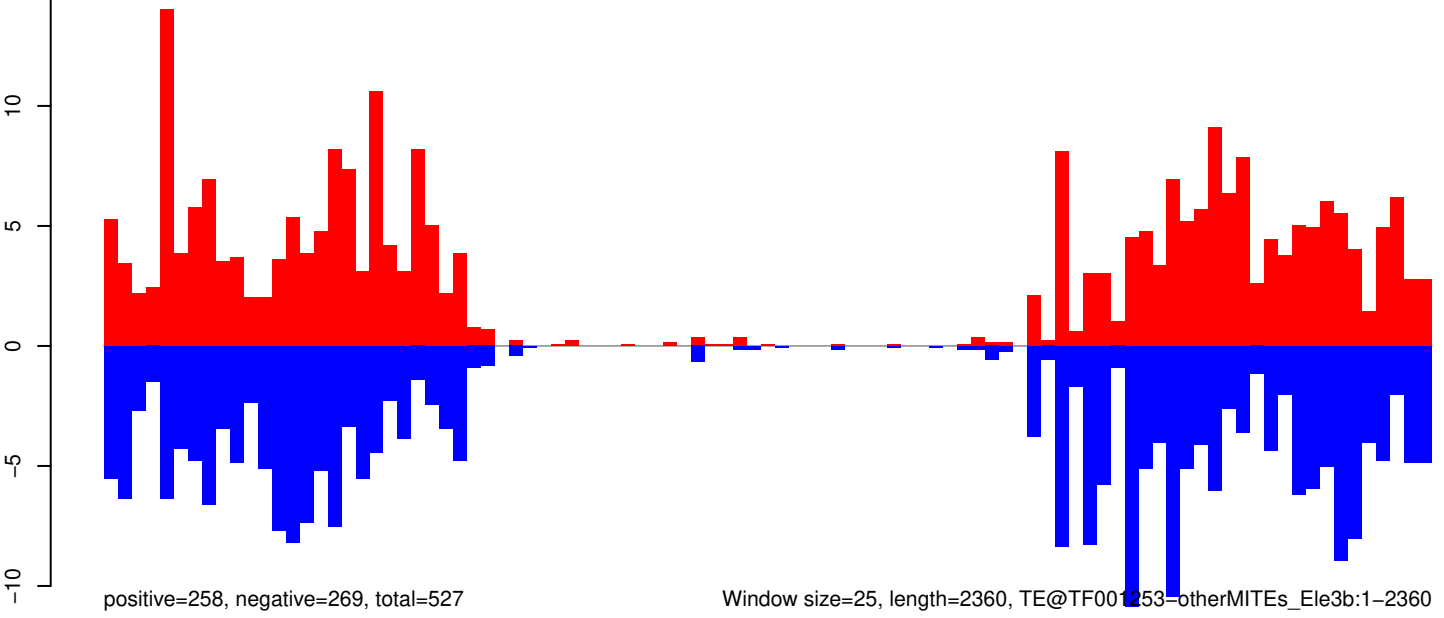
AeAeg_Aag2_Ago2_SINV_RA.18_23.rep



AeAeg_Aag2_Ago2_SINV_RA.24_35.rep



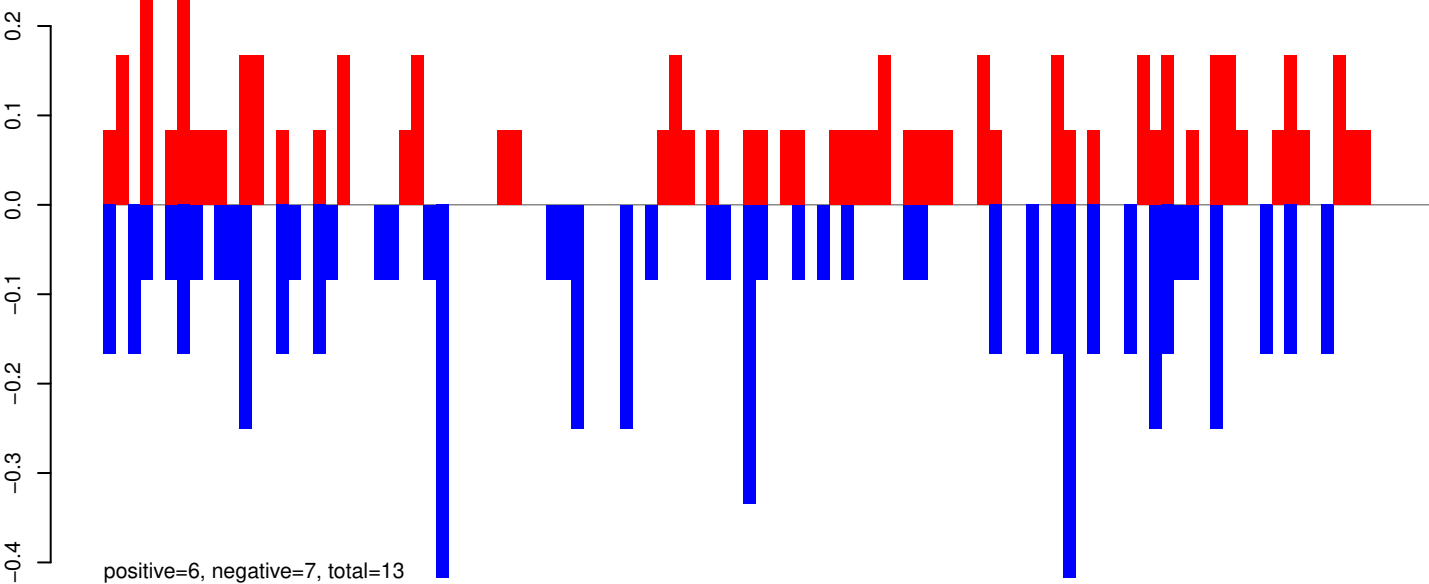
AeAeg_Aag2_Ago2_SINV_RA.rep



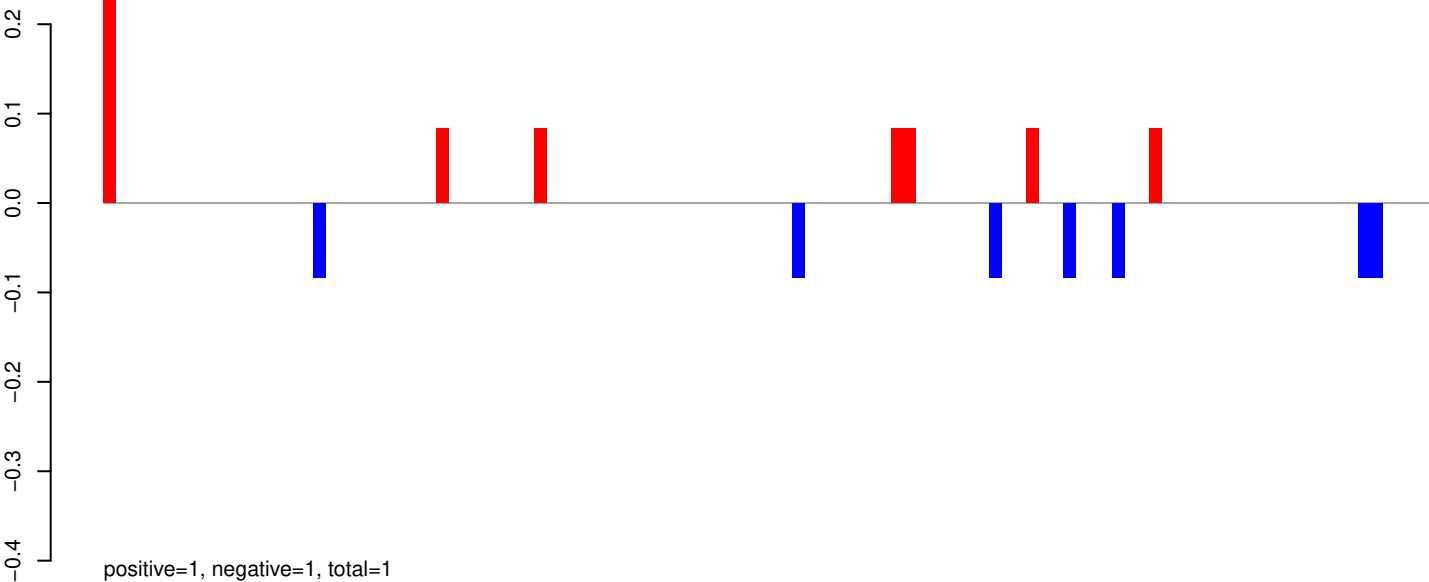
Window size=25, length=2360, TE@TF001253-otherMITEs_Ele3b:1-2360

0 500 1000 1500 2000

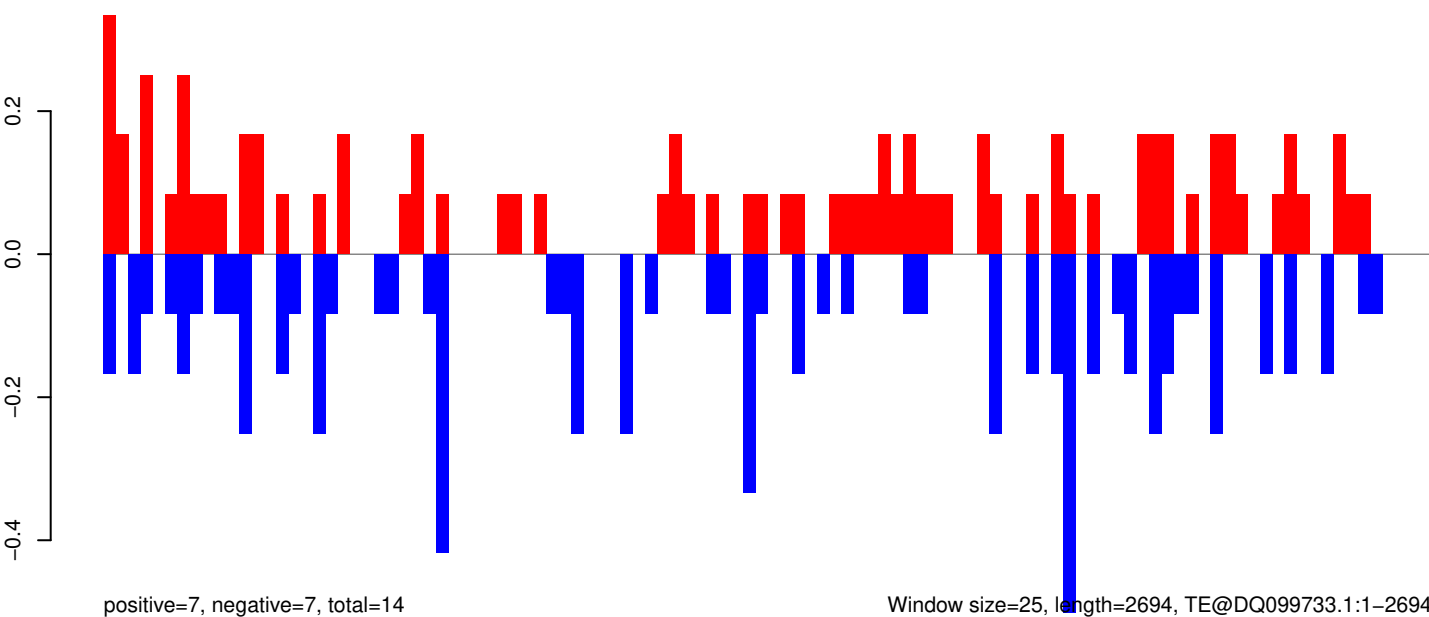
AeAeg_Aag2_Ago2_SINV_RA.18_23.rep



AeAeg_Aag2_Ago2_SINV_RA.24_35.rep

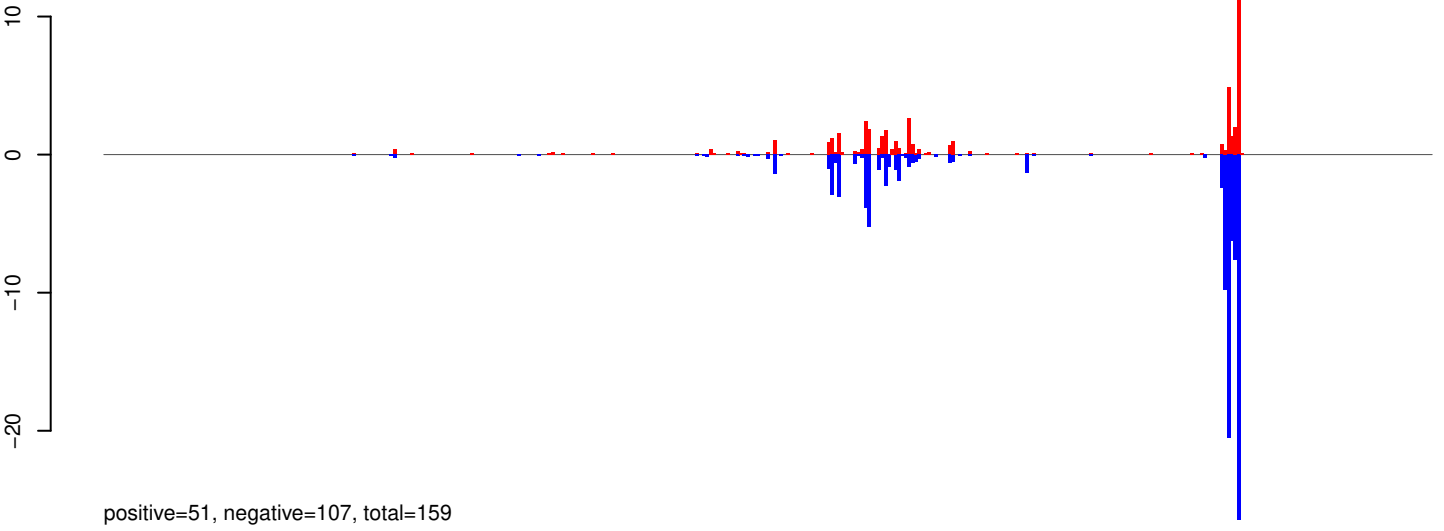


AeAeg_Aag2_Ago2_SINV_RA.rep

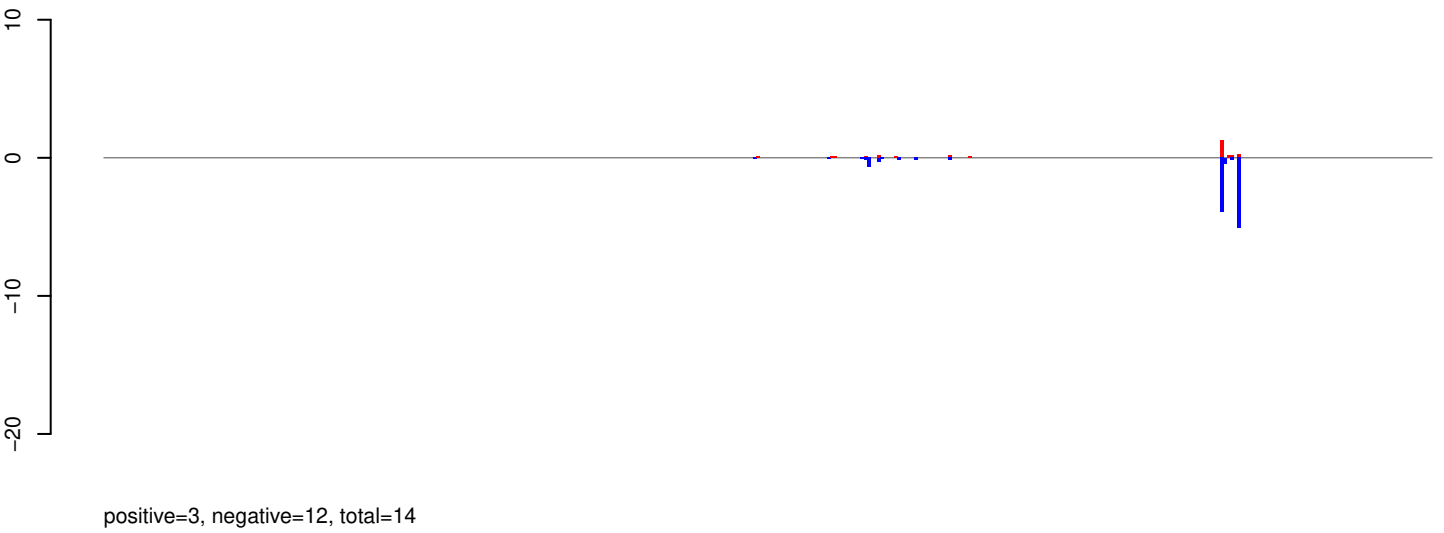


Window size=25, length=2694, TE@DQ099733.1:1-2694

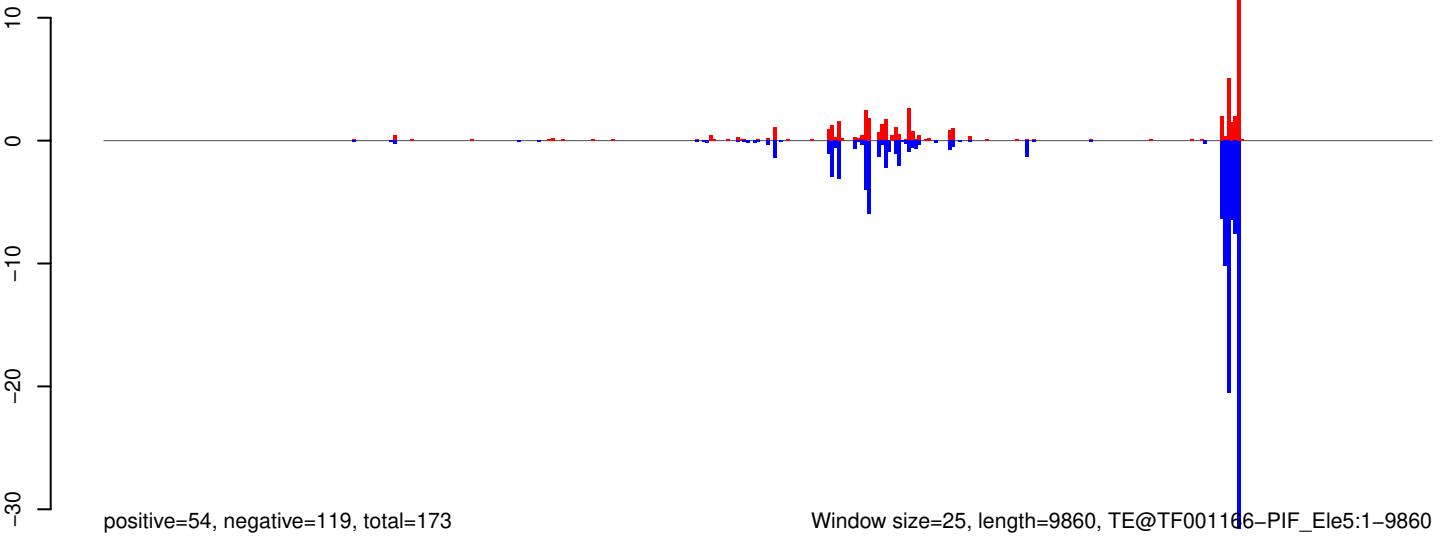
AeAeg_Aag2_Ago2_SINV_RA.18_23.rep



AeAeg_Aag2_Ago2_SINV_RA.24_35.rep

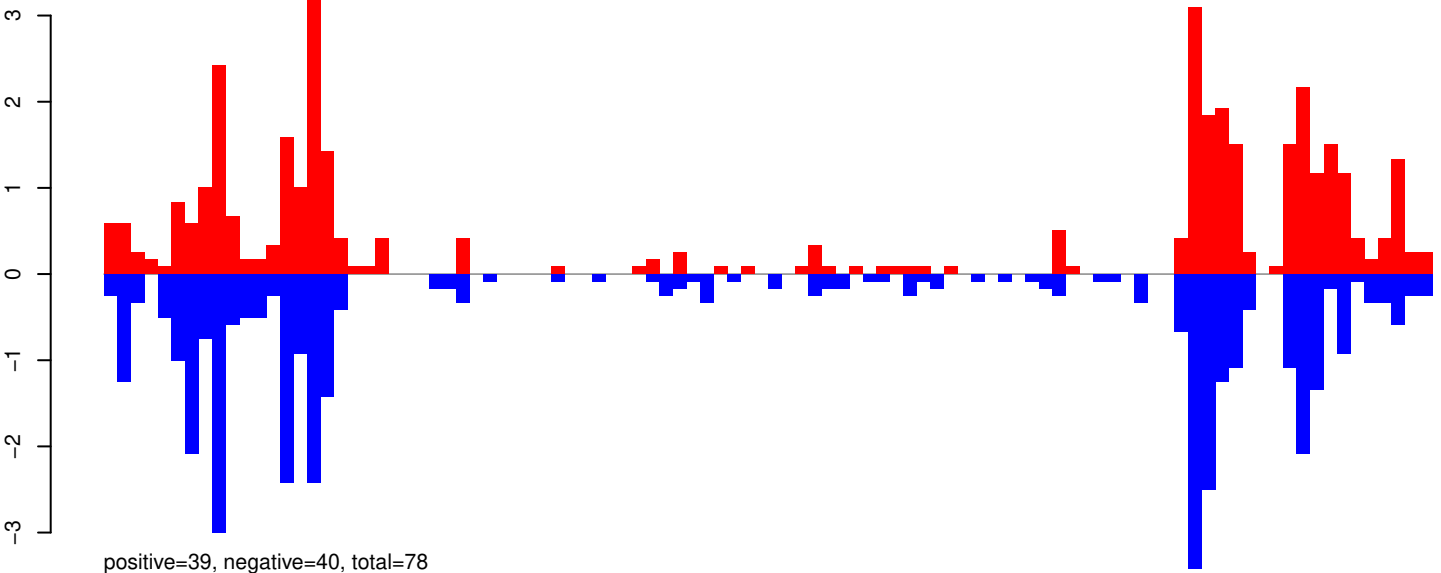


AeAeg_Aag2_Ago2_SINV_RA.rep

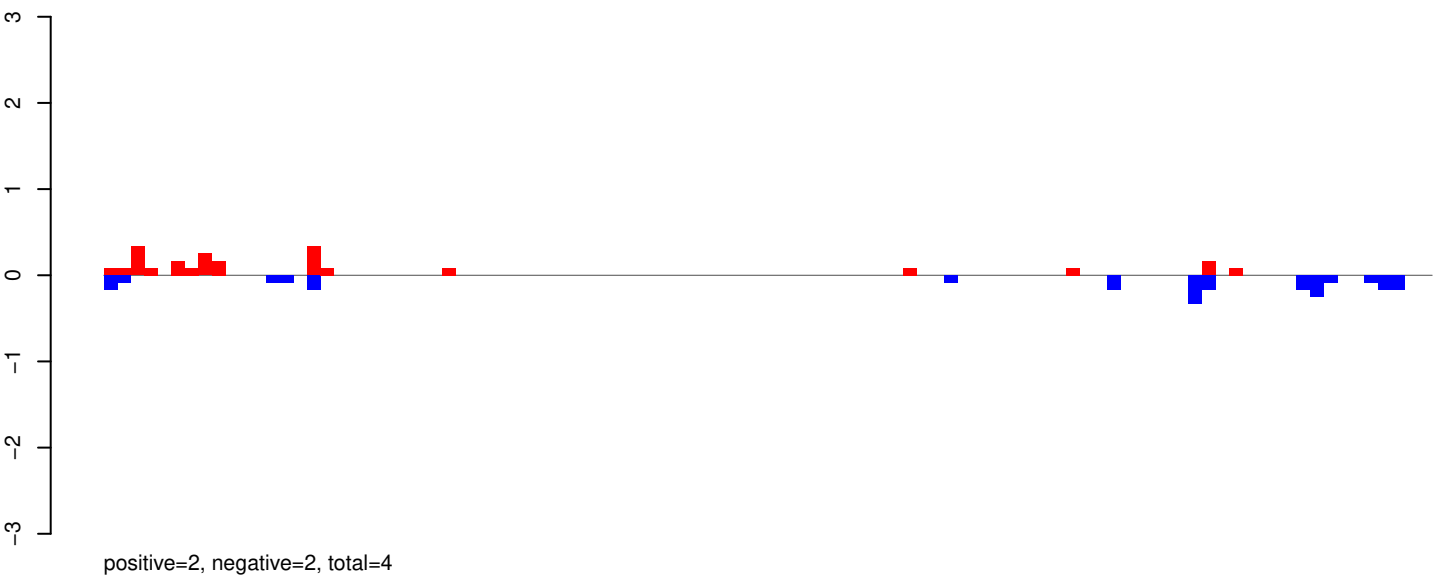


0 2000 4000 6000 8000 10000

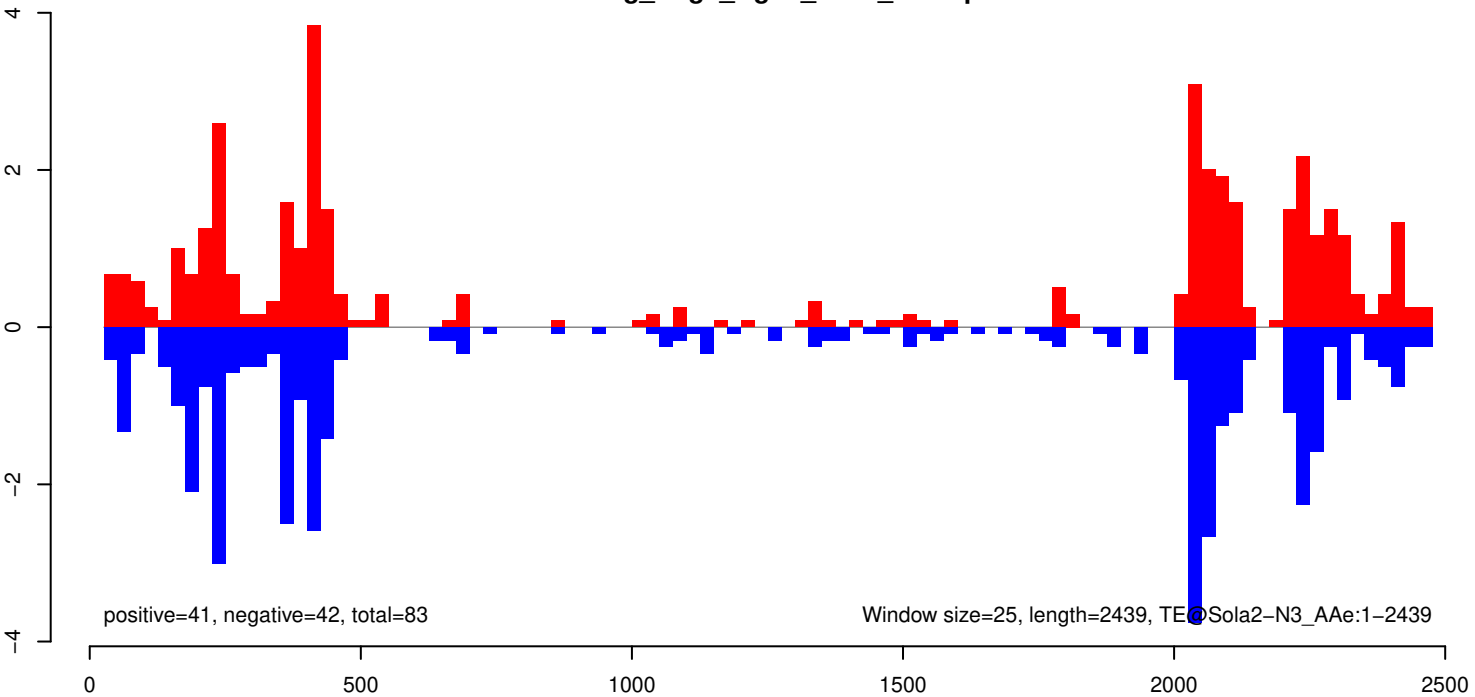
AeAeg_Aag2_Ago2_SINV_RA.18_23.rep



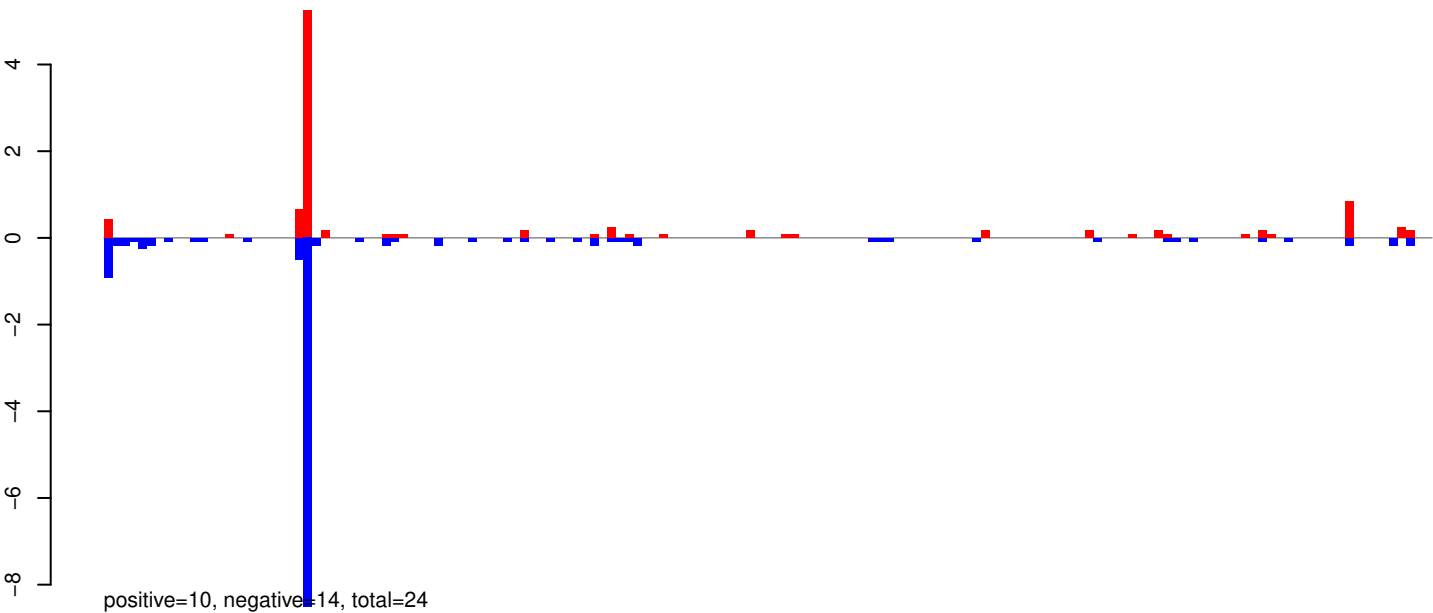
AeAeg_Aag2_Ago2_SINV_RA.24_35.rep



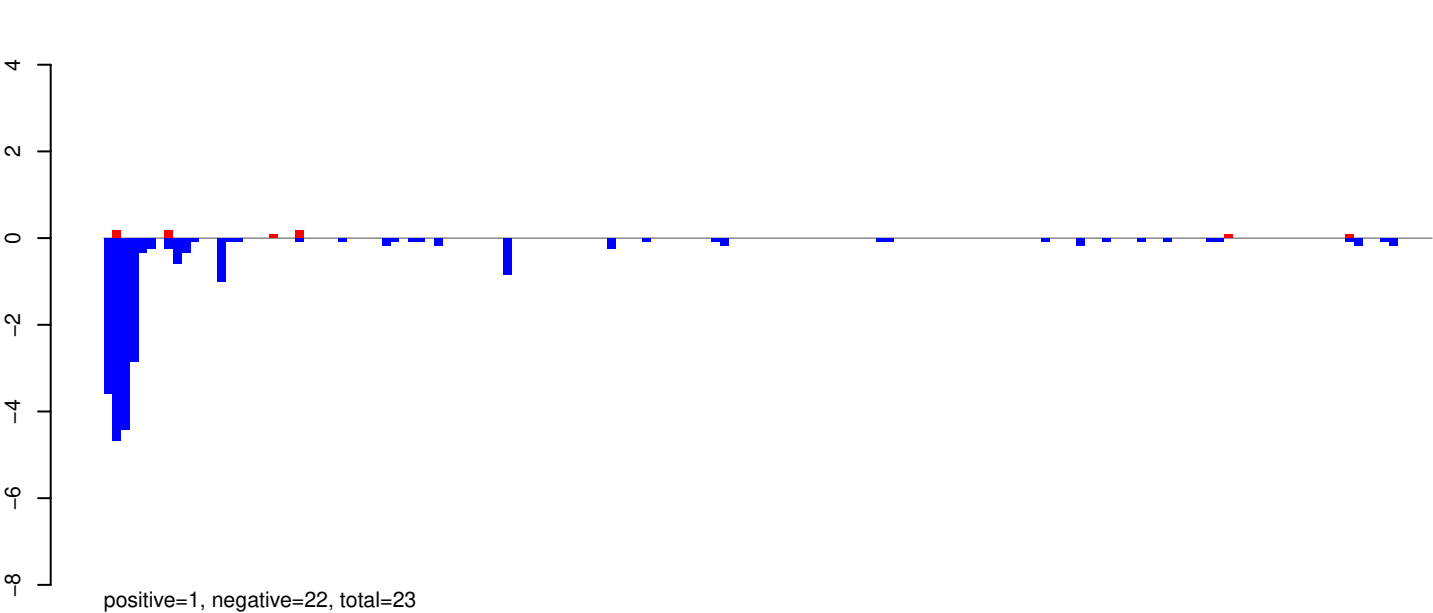
AeAeg_Aag2_Ago2_SINV_RA.rep



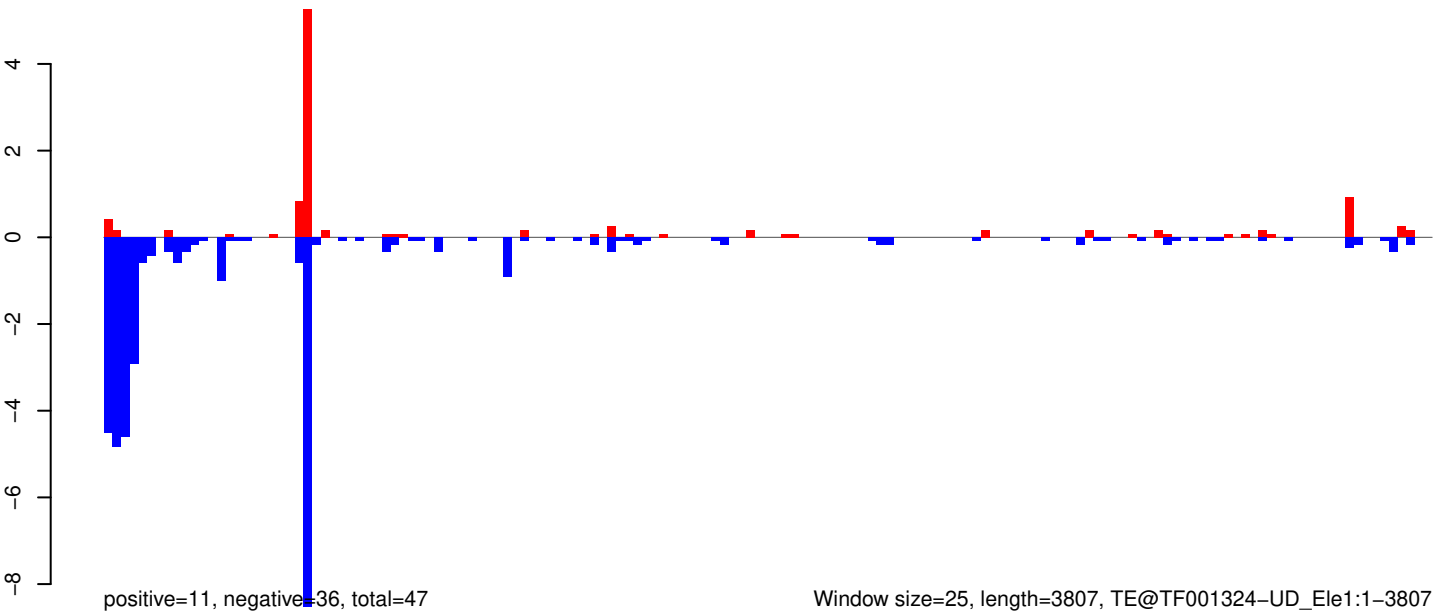
AeAeg_Aag2_Ago2_SINV_RA.18_23.rep



AeAeg_Aag2_Ago2_SINV_RA.24_35.rep

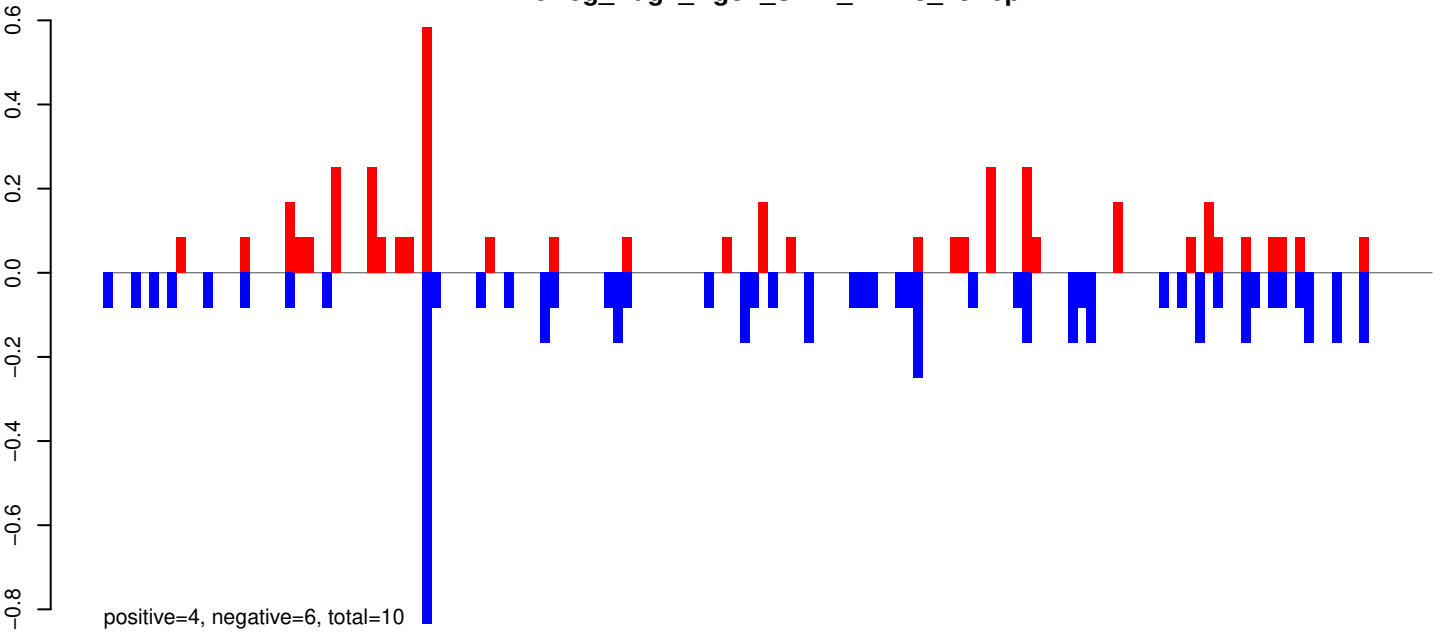


AeAeg_Aag2_Ago2_SINV_RA.rep

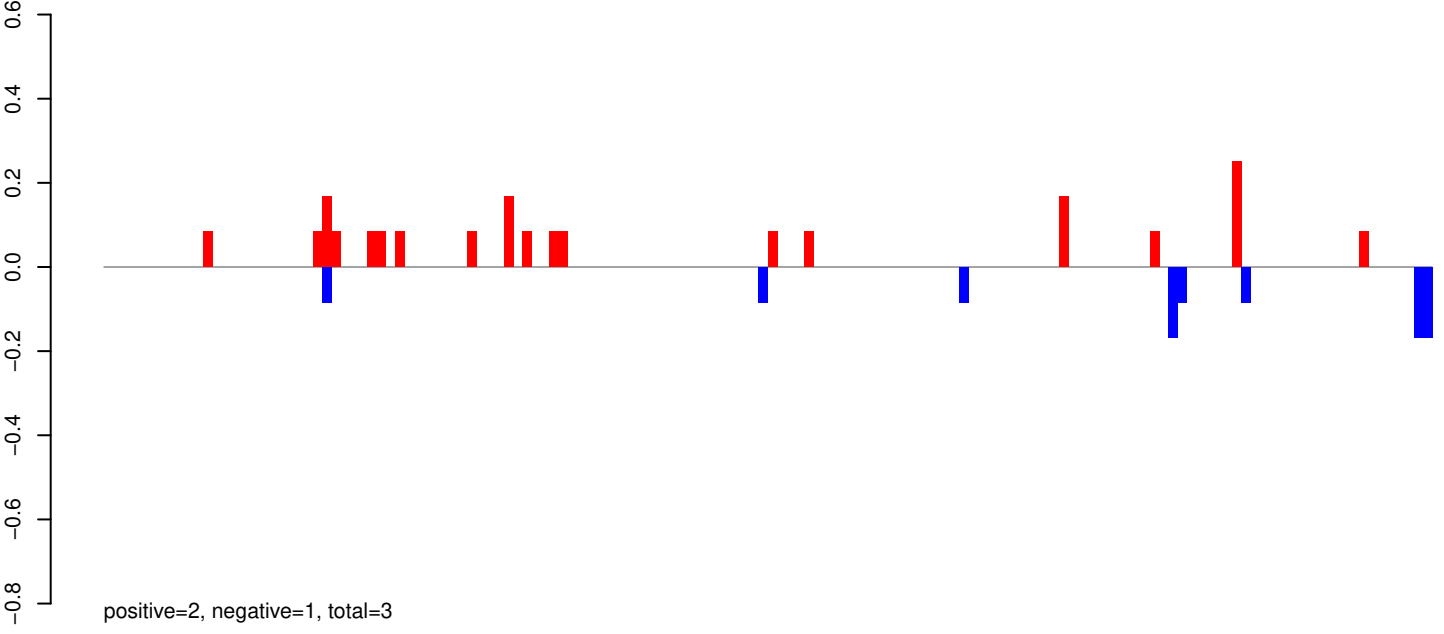


Window size=25, length=3807, TE@TF001324-UD_Ele1:1-3807

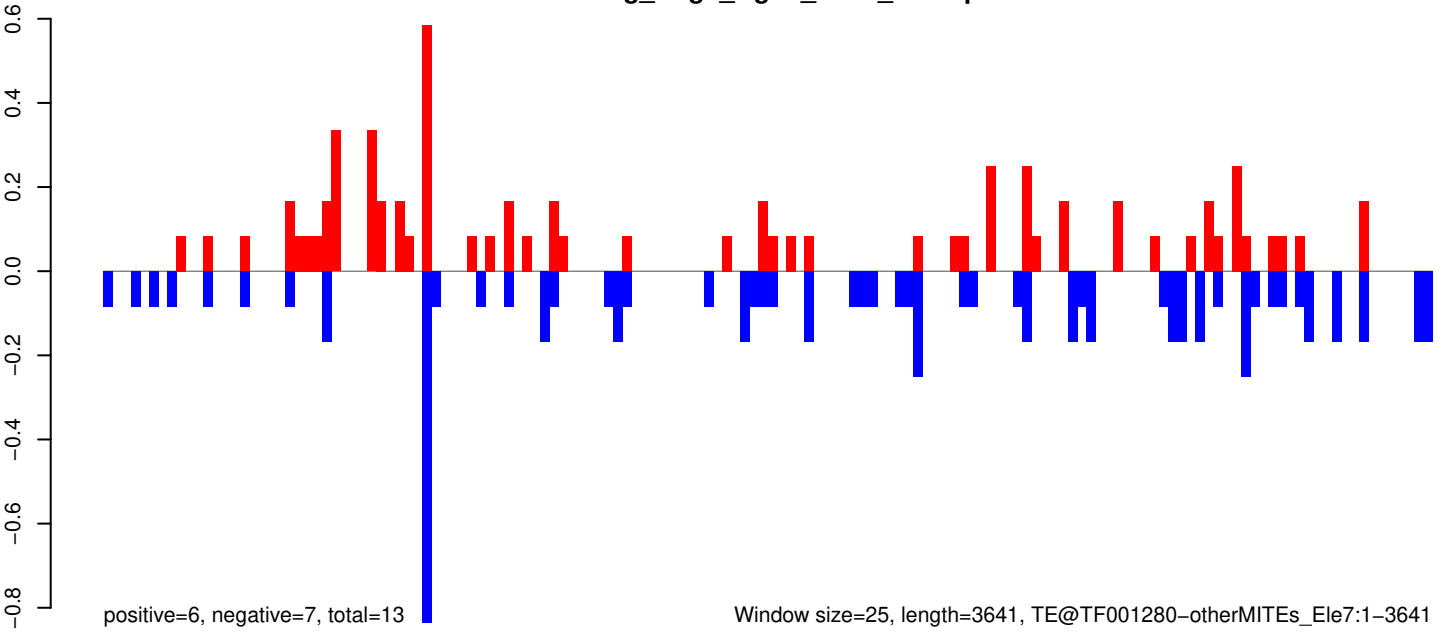
AeAeg_Aag2_Ago2_SINV_RA.18_23.rep



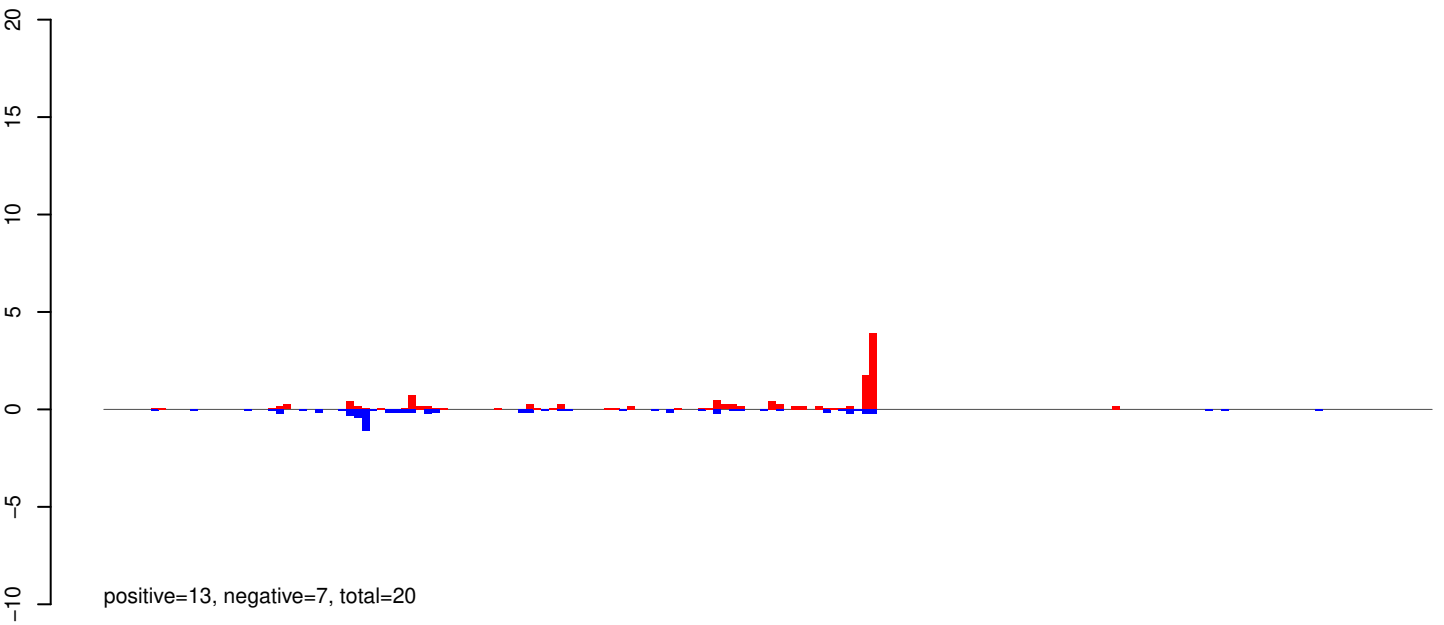
AeAeg_Aag2_Ago2_SINV_RA.24_35.rep



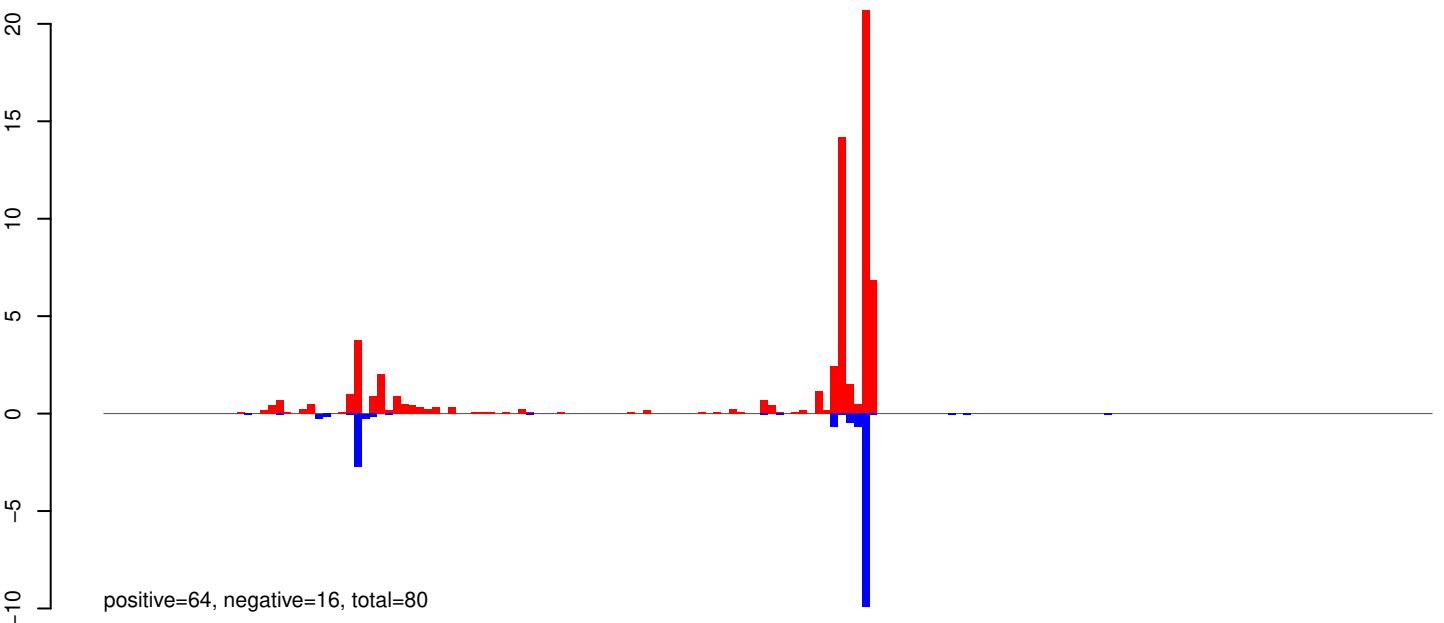
AeAeg_Aag2_Ago2_SINV_RA.rep



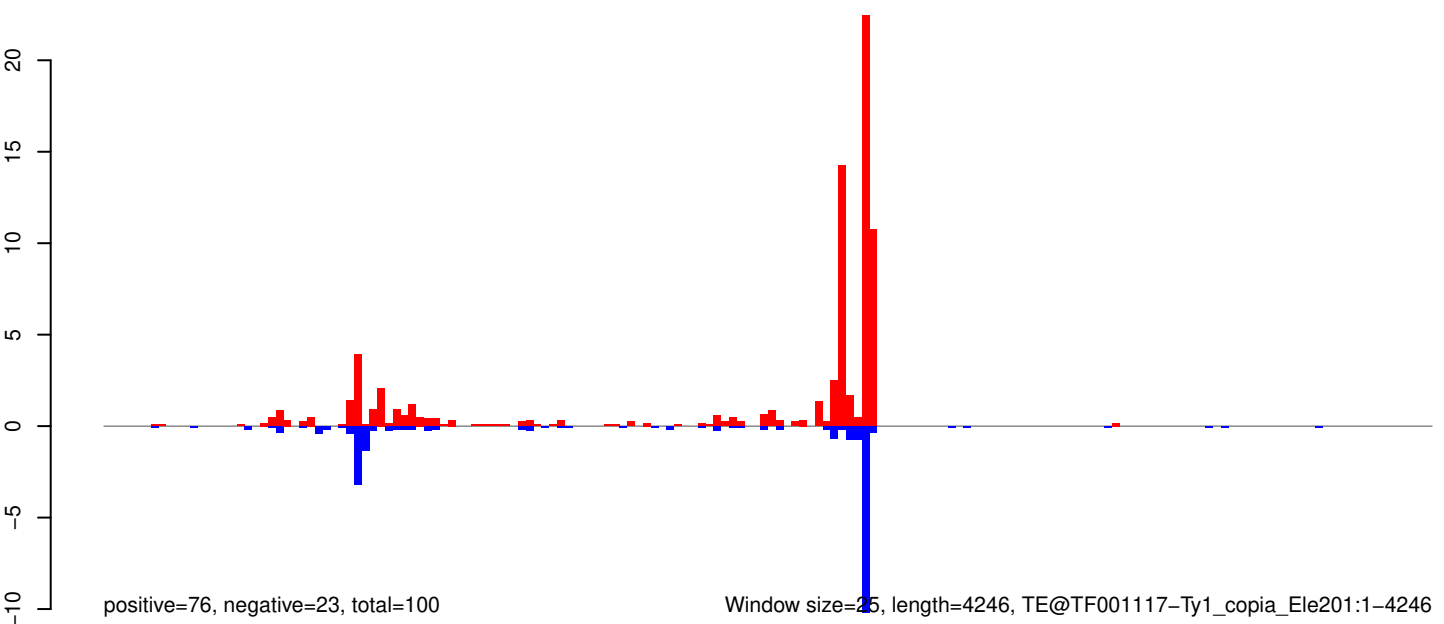
AeAeg_Aag2_Ago2_SINV_RA.18_23.rep



AeAeg_Aag2_Ago2_SINV_RA.24_35.rep



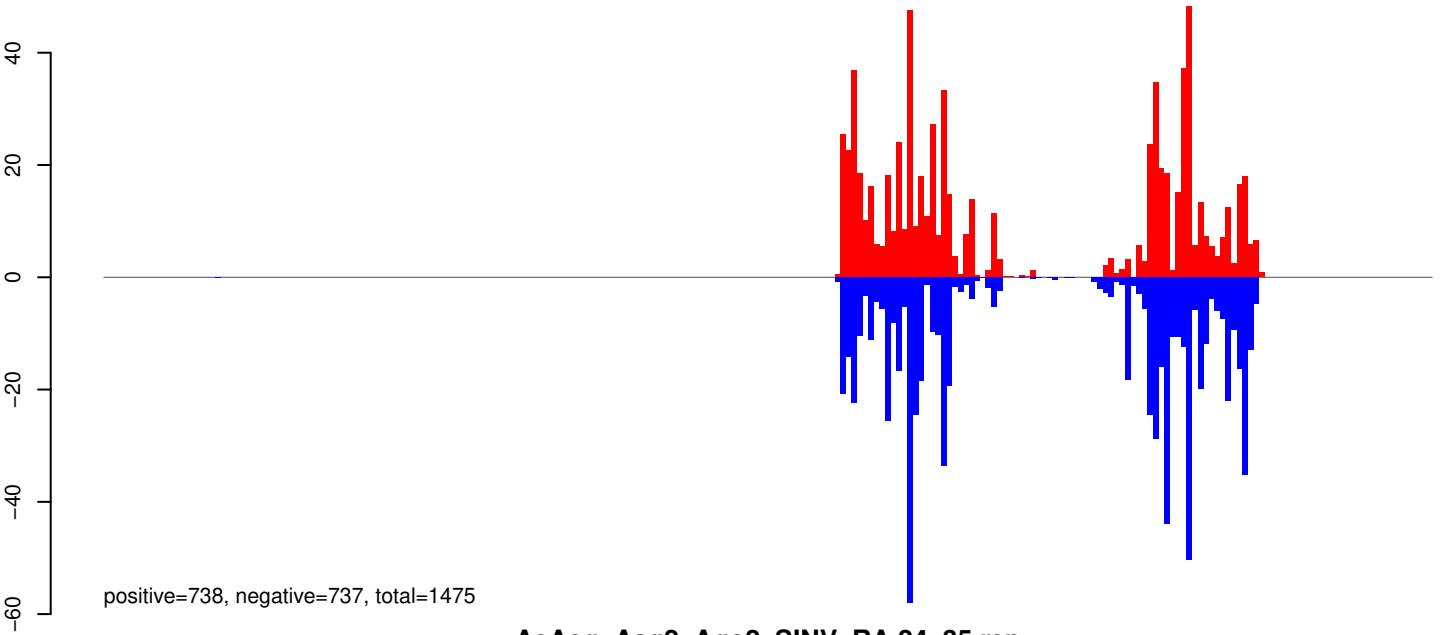
AeAeg_Aag2_Ago2_SINV_RA.rep



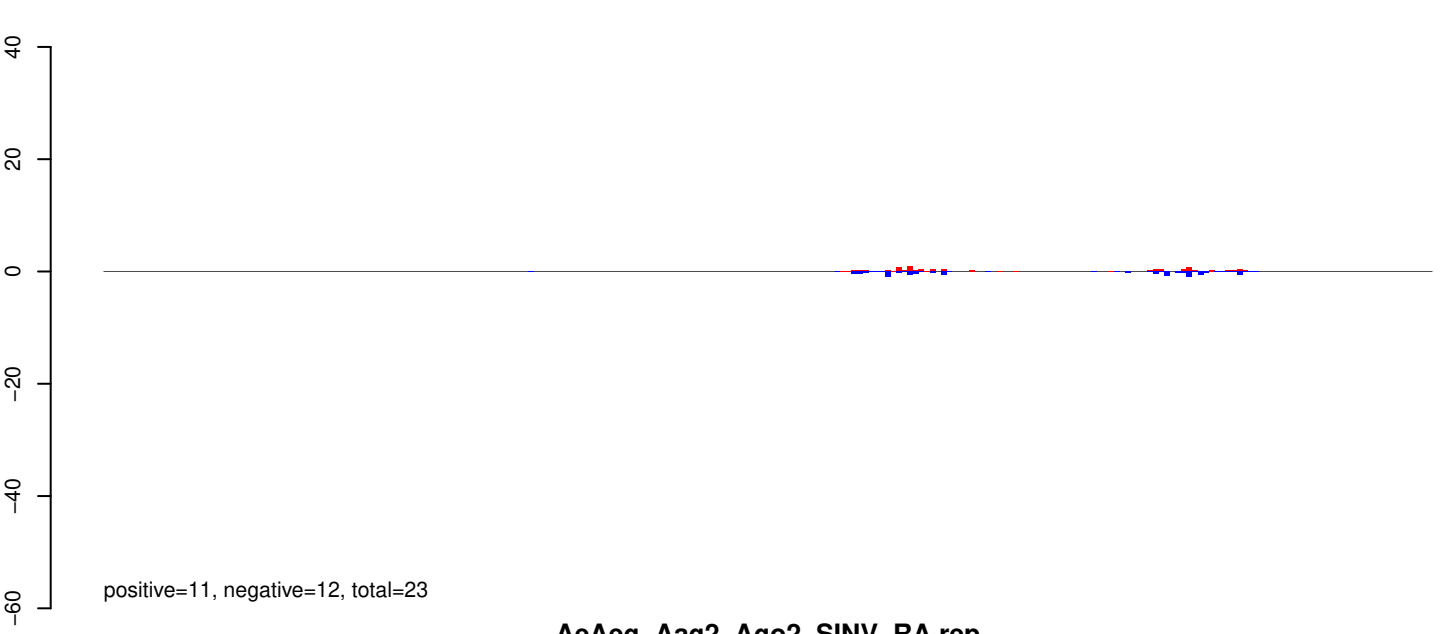
Window size=25, length=4246, TE@TF001117-Ty1_copia_Ele201:1-4246

0 1000 2000 3000 4000

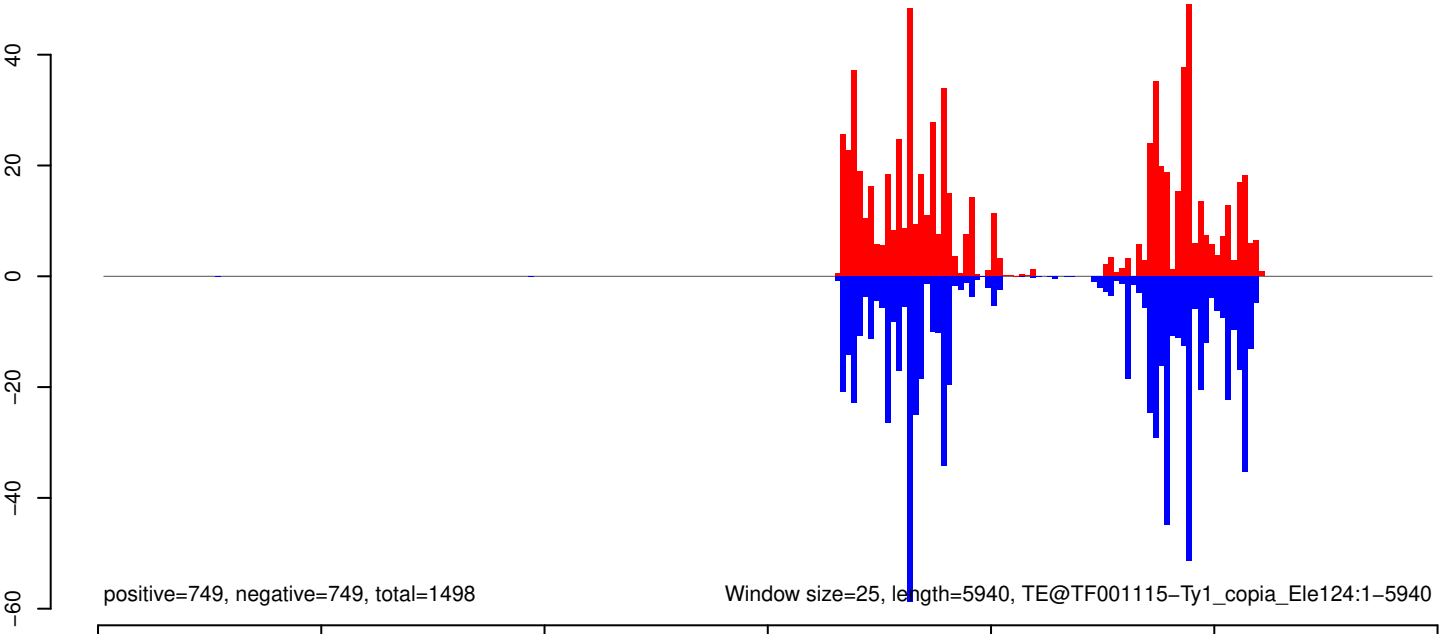
AeAeg_Aag2_Ago2_SINV_RA.18_23.rep



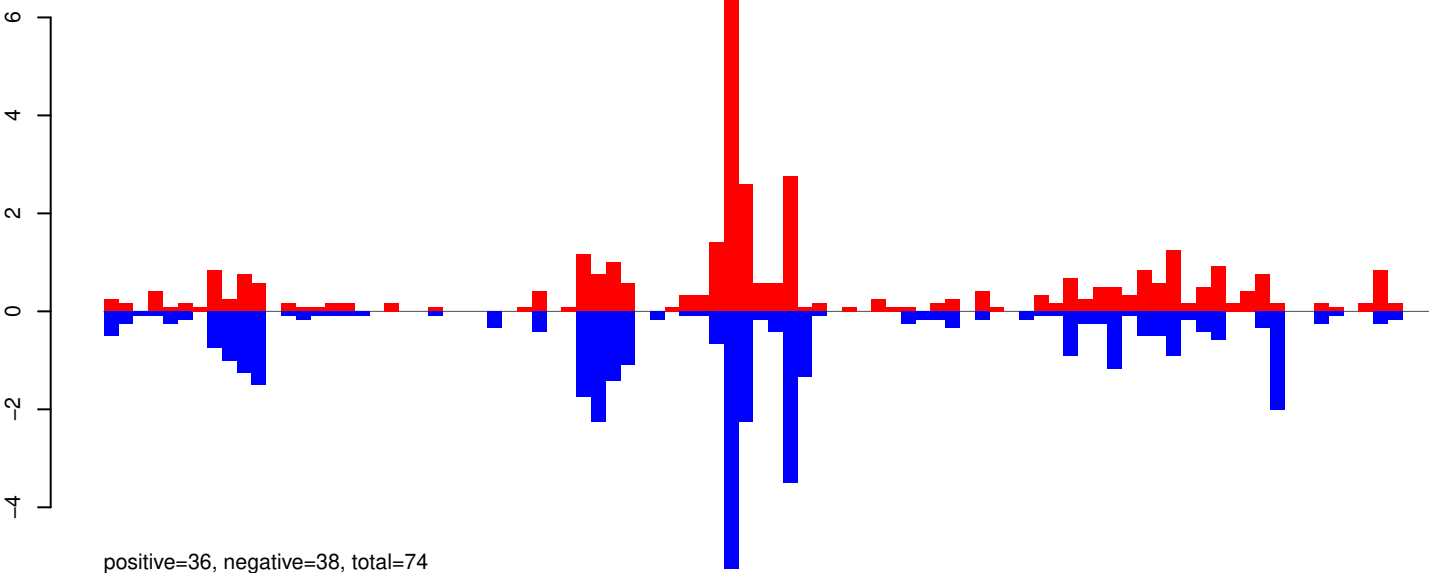
AeAeg_Aag2_Ago2_SINV_RA.24_35.rep



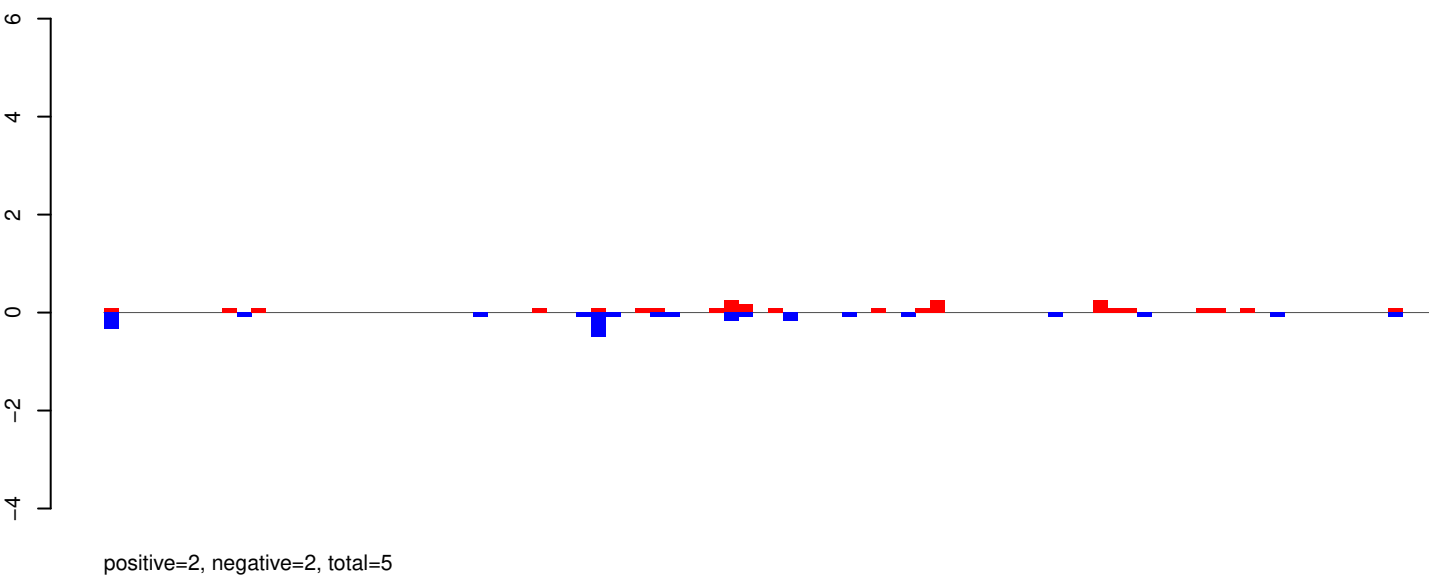
AeAeg_Aag2_Ago2_SINV_RA.rep



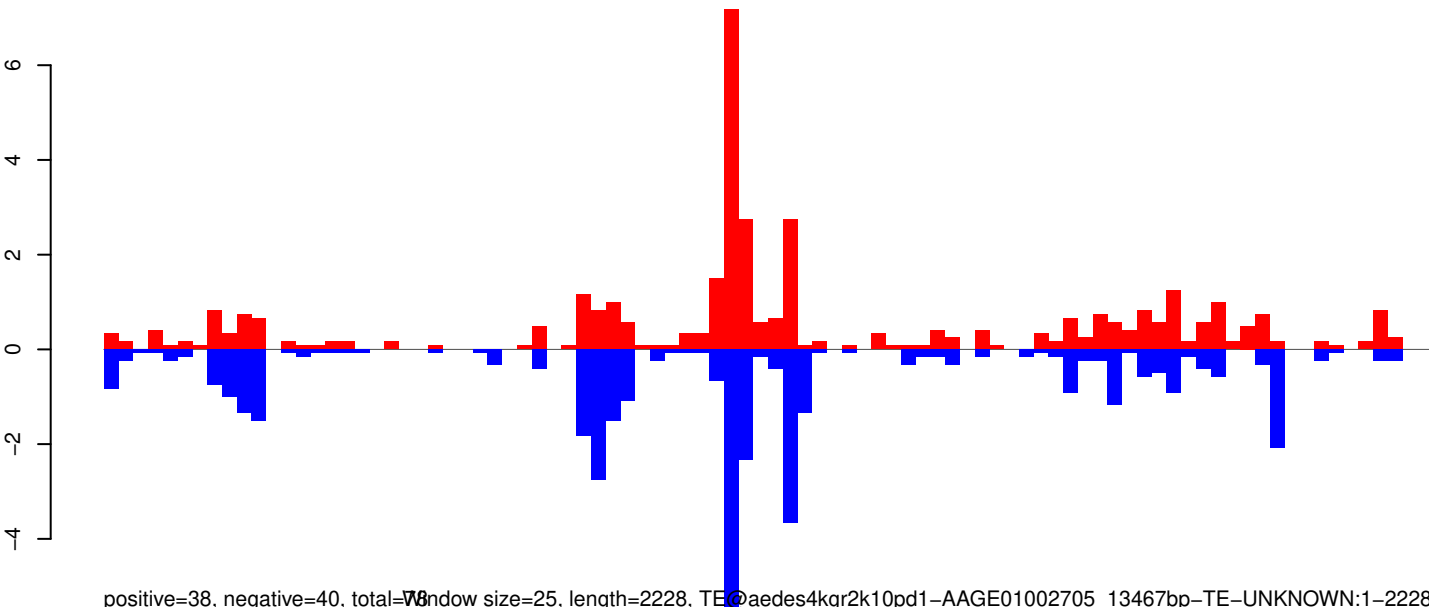
AeAeg_Aag2_Ago2_SINV_RA.18_23.rep



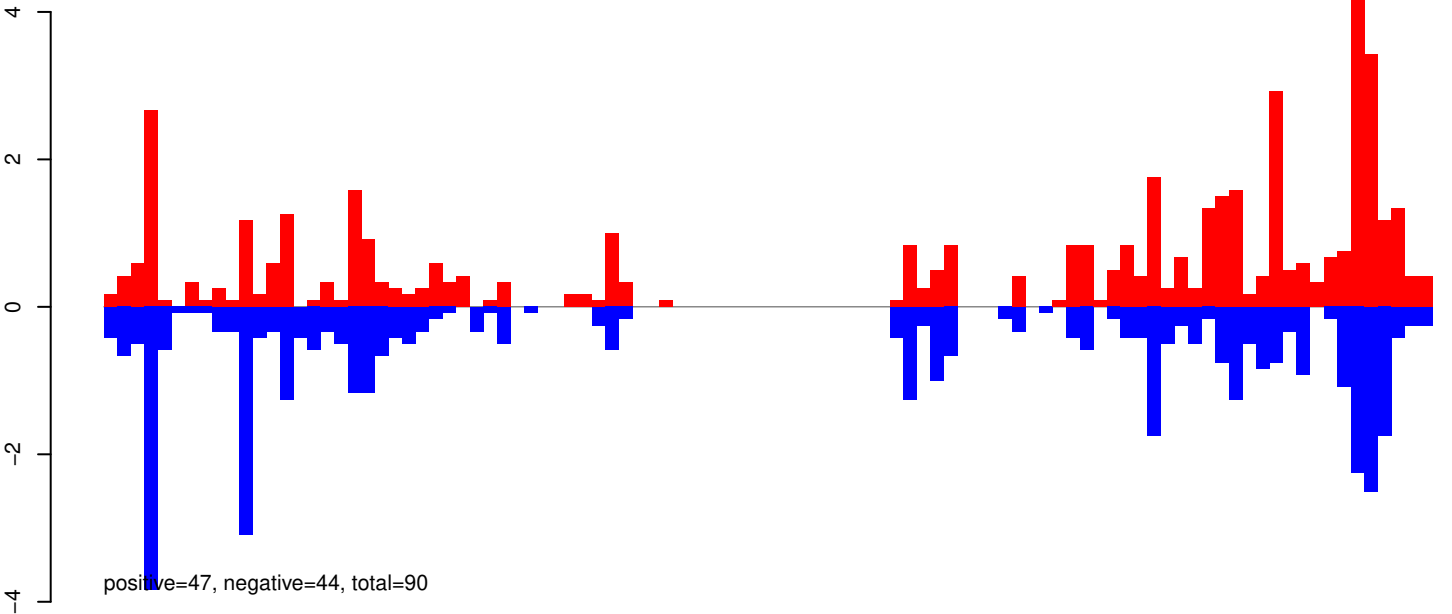
AeAeg_Aag2_Ago2_SINV_RA.24_35.rep



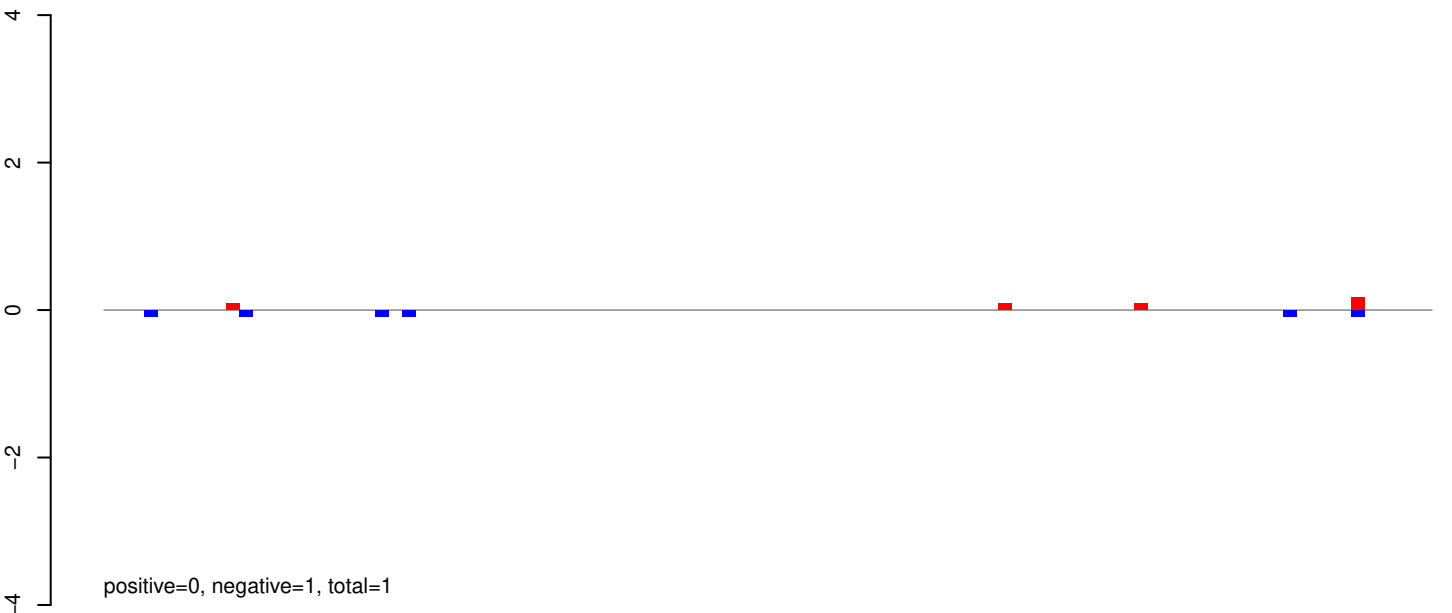
AeAeg_Aag2_Ago2_SINV_RA.rep



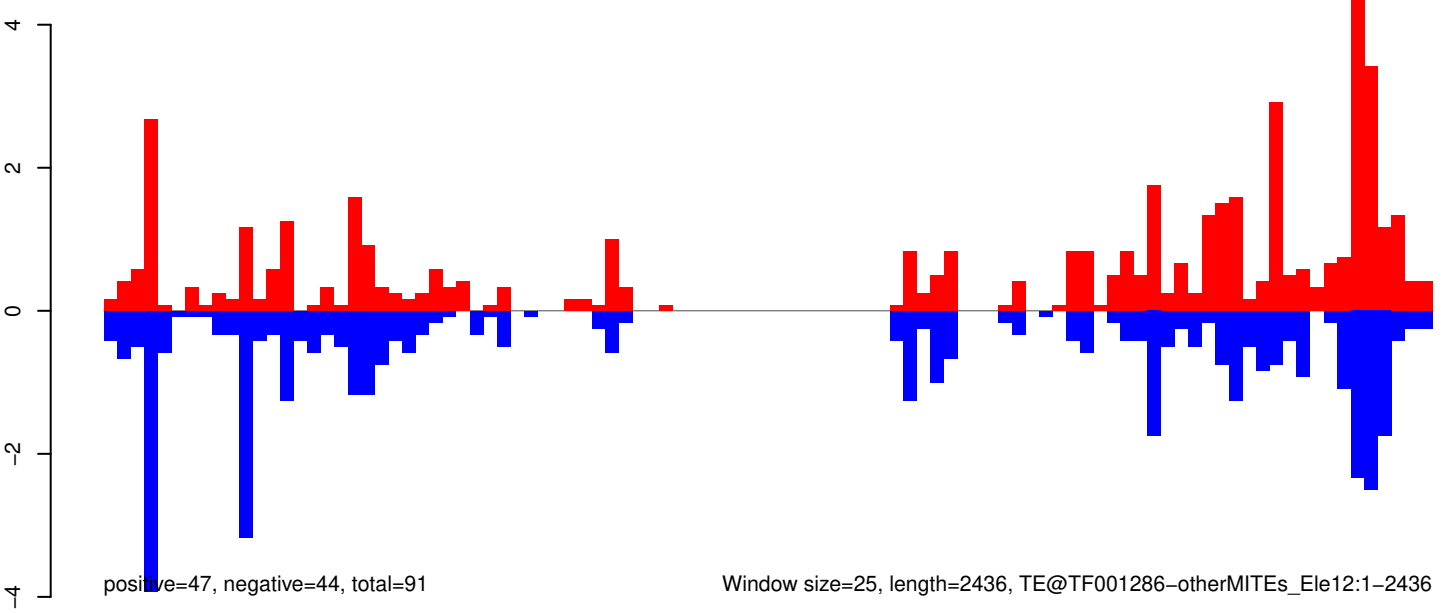
AeAeg_Aag2_Ago2_SINV_RA.18_23.rep



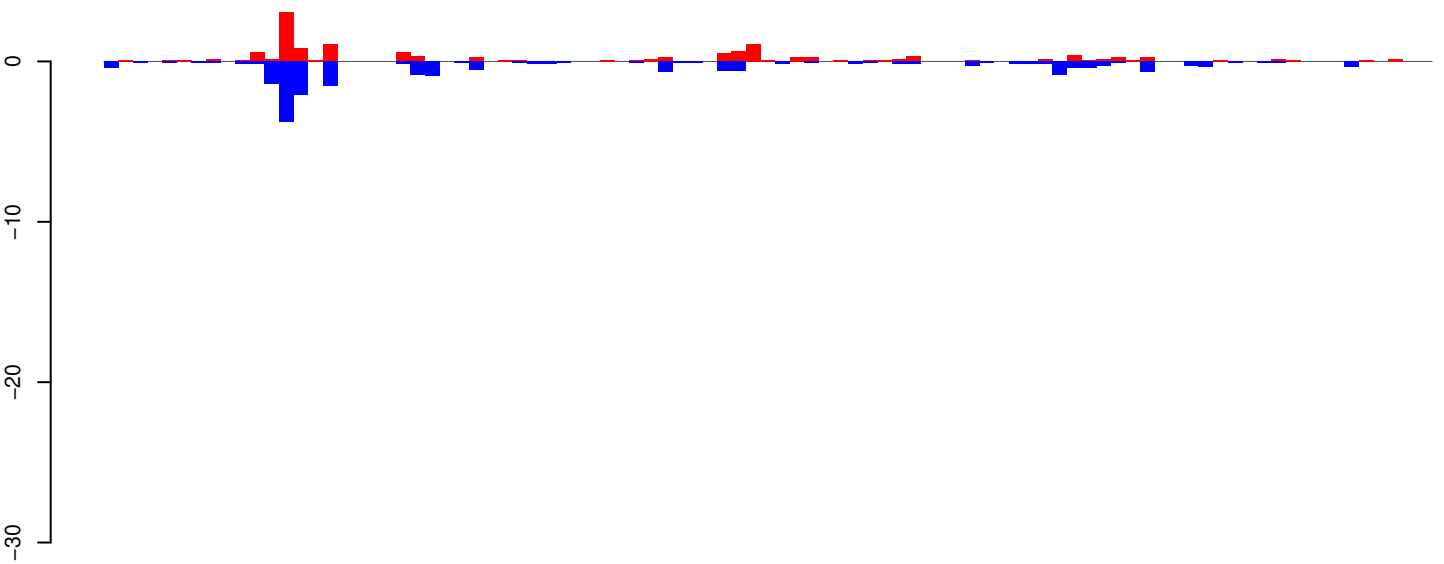
AeAeg_Aag2_Ago2_SINV_RA.24_35.rep



AeAeg_Aag2_Ago2_SINV_RA.rep

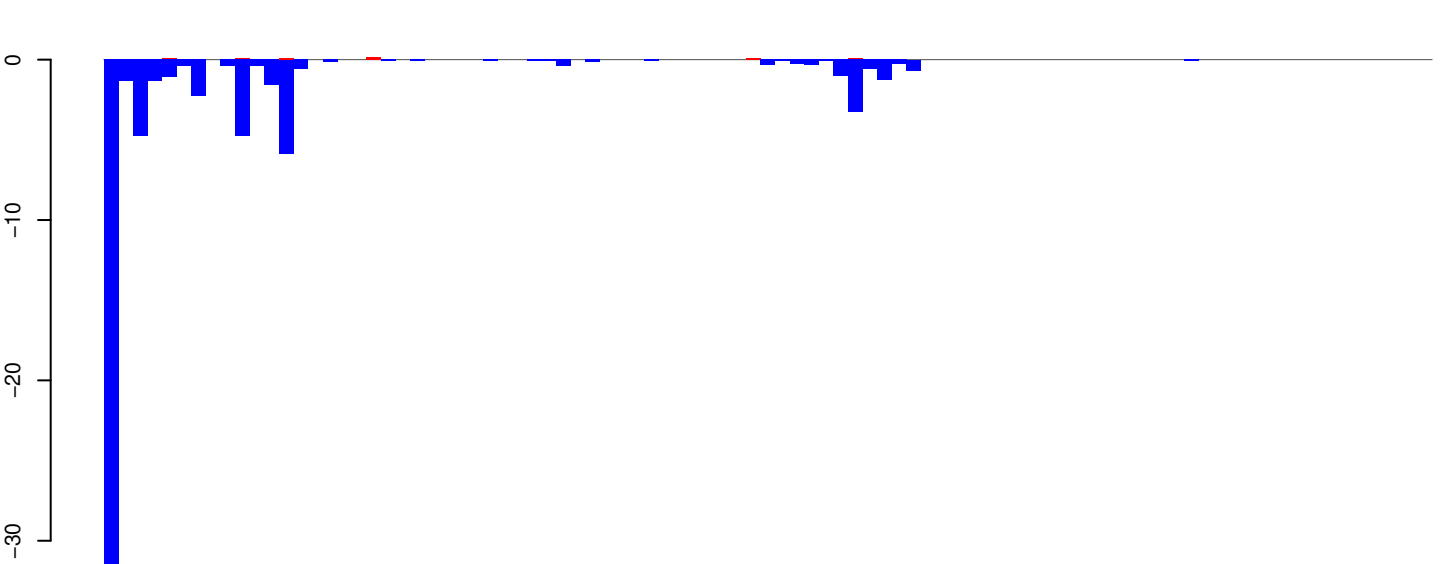


AeAeg_Aag2_Ago2_SINV_RA.18_23.rep



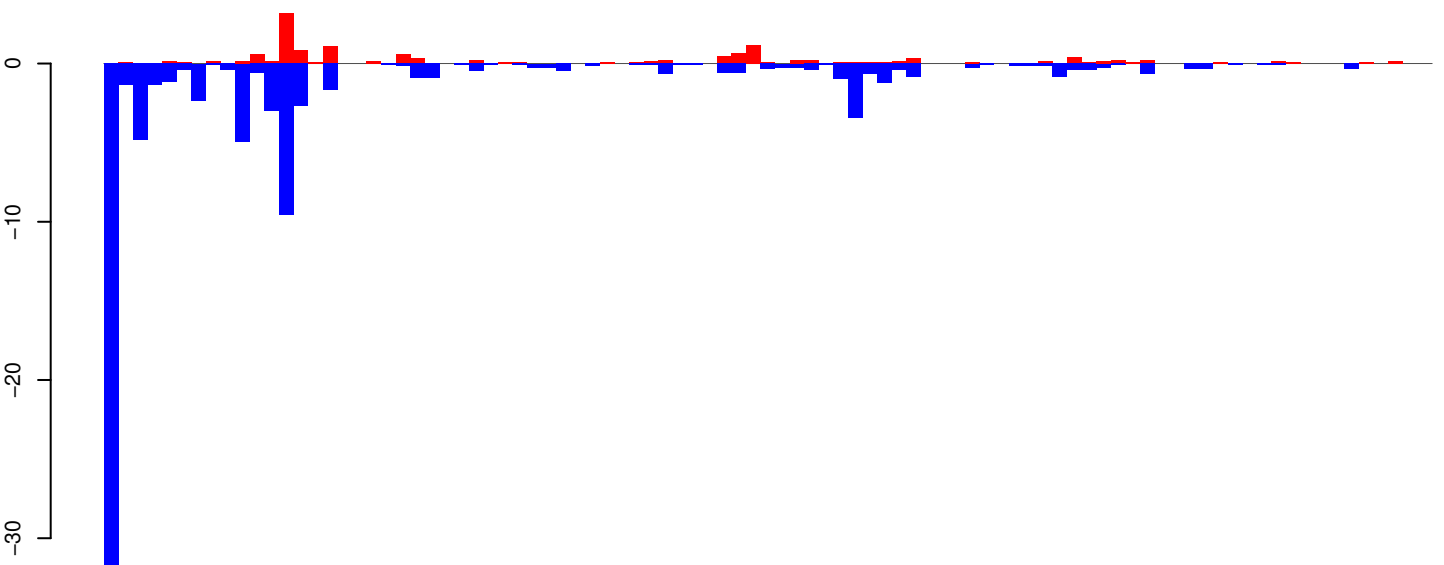
positive=14, negative=20, total=34

AeAeg_Aag2_Ago2_SINV_RA.24_35.rep



positive=1, negative=68, total=69

AeAeg_Aag2_Ago2_SINV_RA.rep

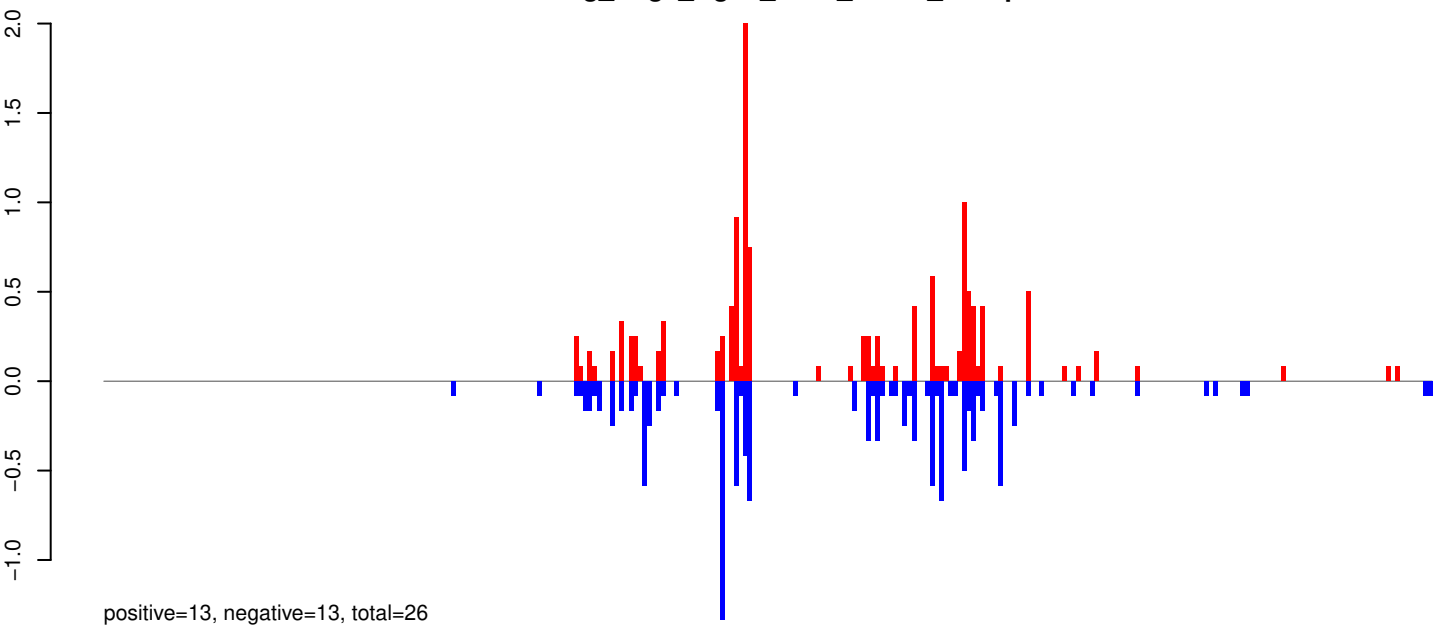


positive=15, negative=89, total=103

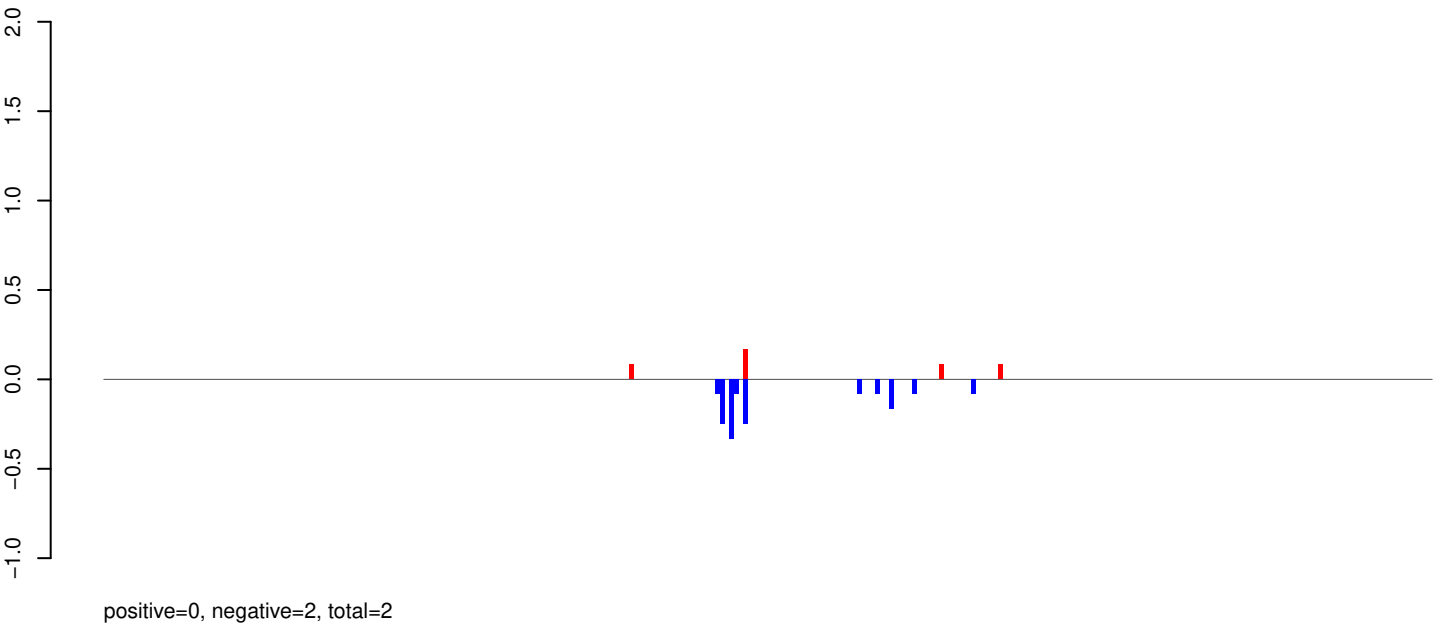
Window size=25, length=2258, TE@TF001255-m4bp_Ele14a:1-2258

0 500 1000 1500 2000

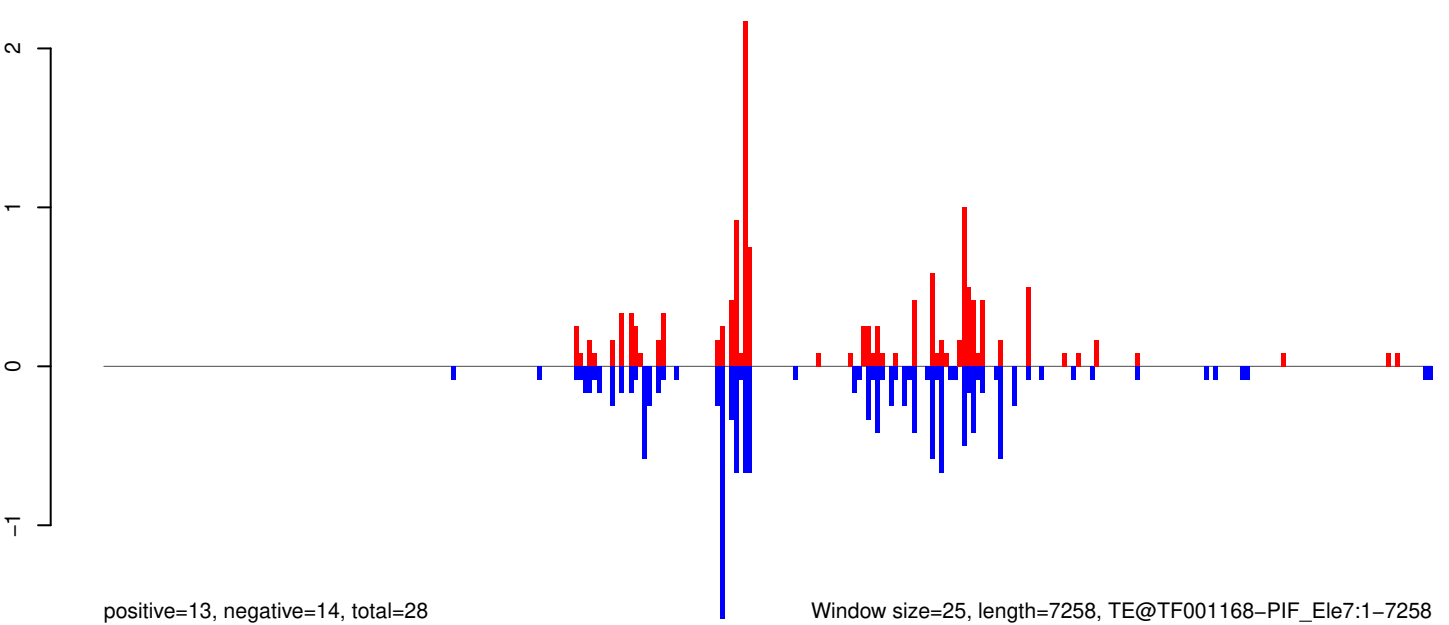
AeAeg_Aag2_Ago2_SINV_RA.18_23.rep



AeAeg_Aag2_Ago2_SINV_RA.24_35.rep



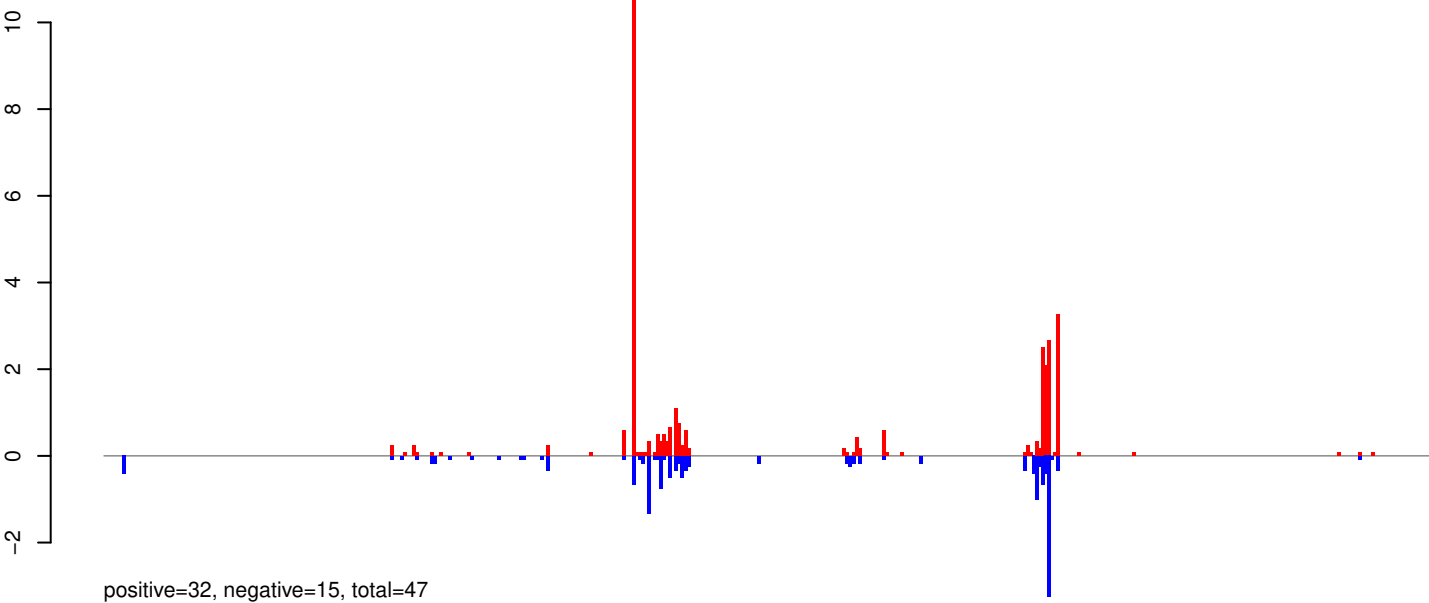
AeAeg_Aag2_Ago2_SINV_RA.rep



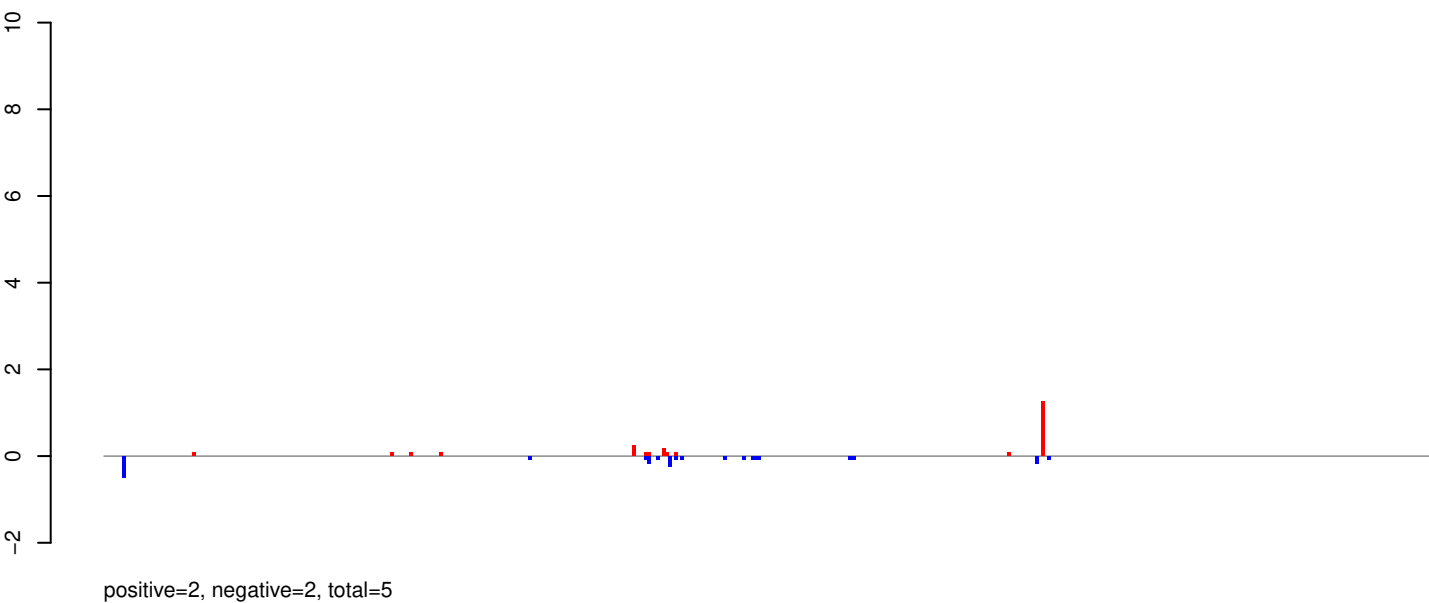
Window size=25, length=7258, TE@TF001168-PIF_Ele7:1-7258

0 2000 4000 6000

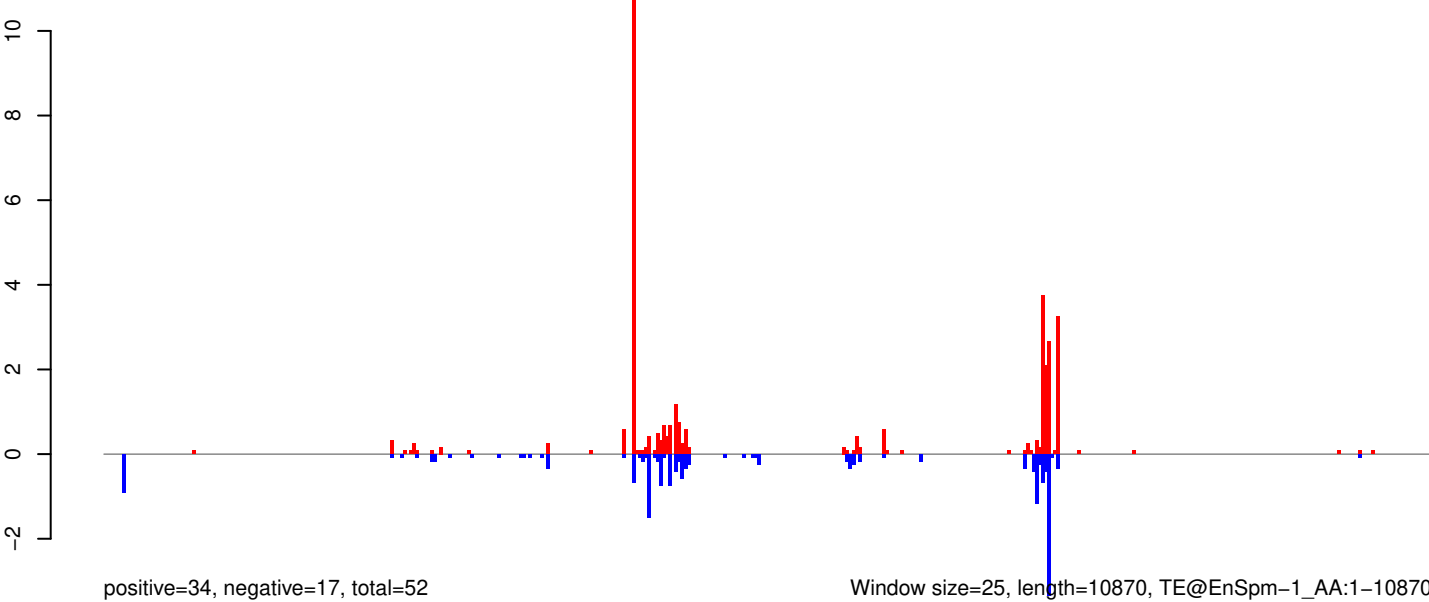
AeAeg_Aag2_Ago2_SINV_RA.18_23.rep



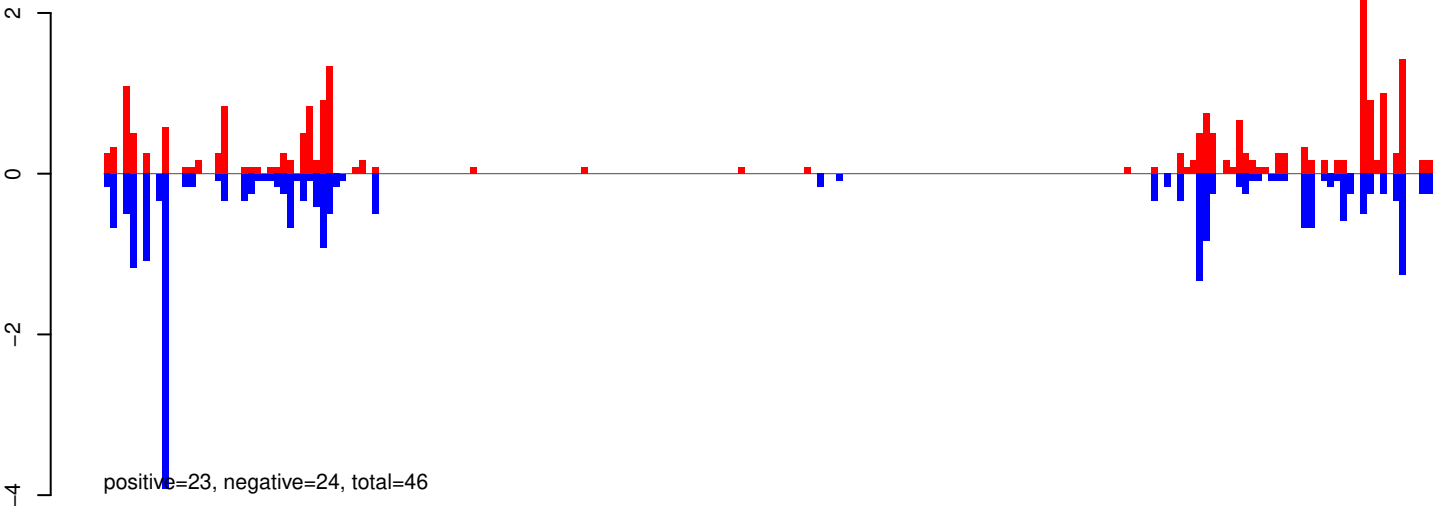
AeAeg_Aag2_Ago2_SINV_RA.24_35.rep



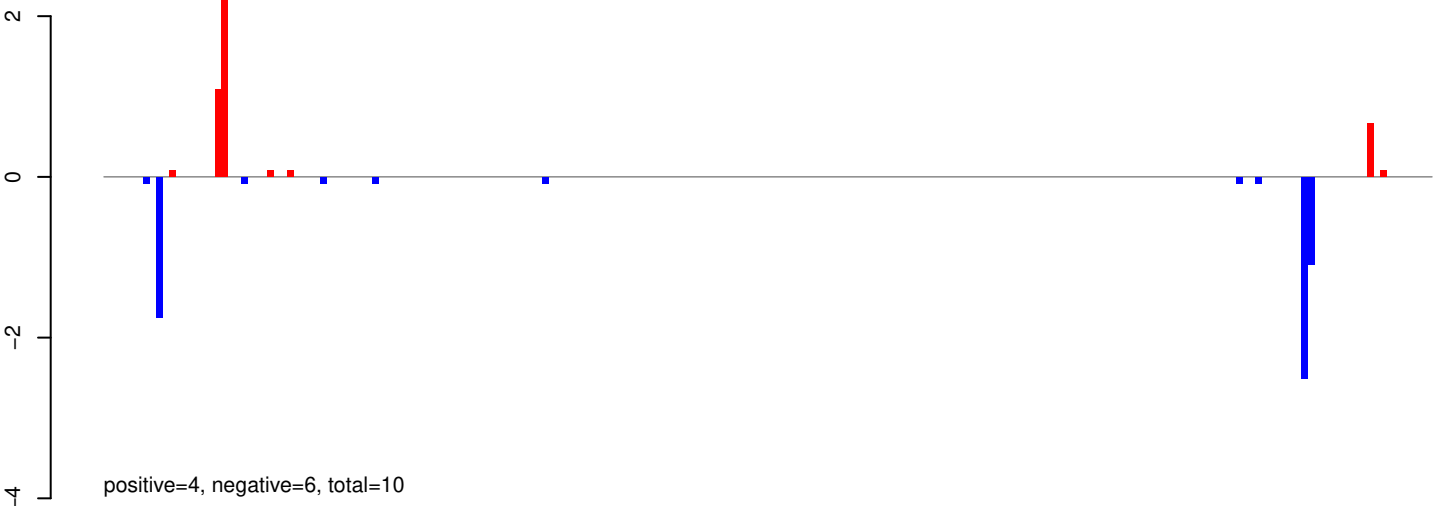
AeAeg_Aag2_Ago2_SINV_RA.rep



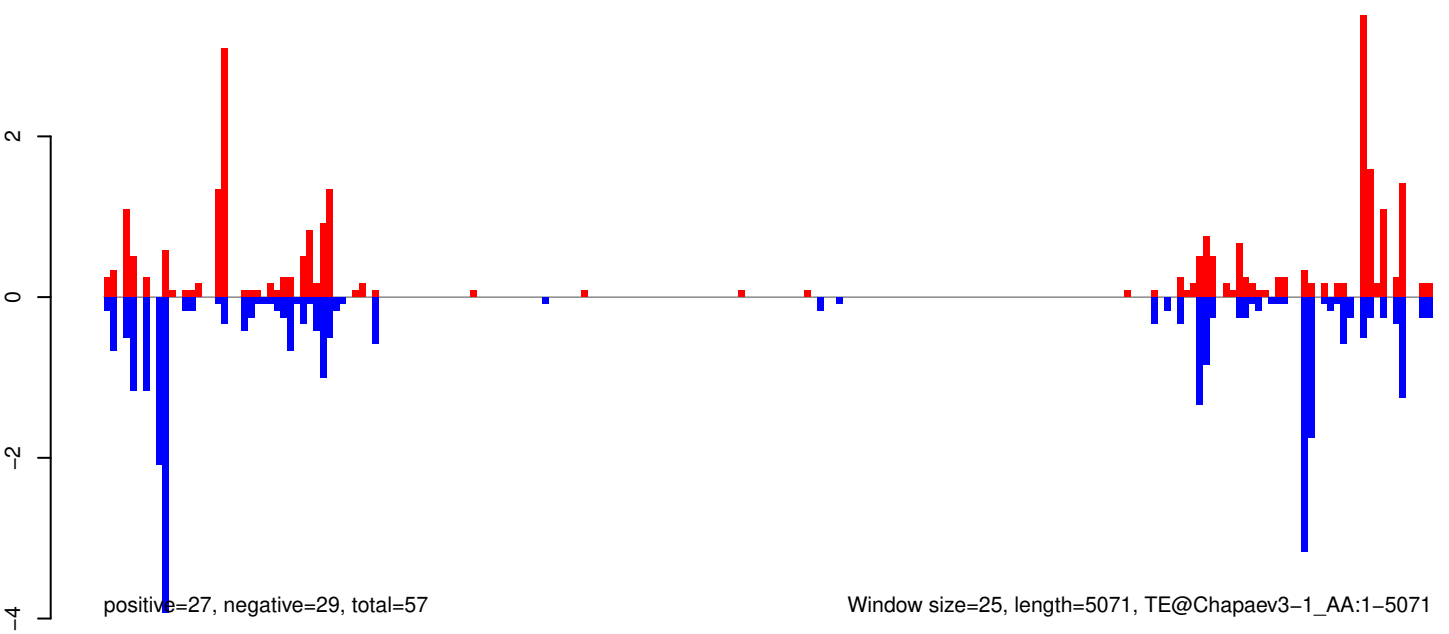
AeAeg_Aag2_Ago2_SINV_RA.18_23.rep



AeAeg_Aag2_Ago2_SINV_RA.24_35.rep

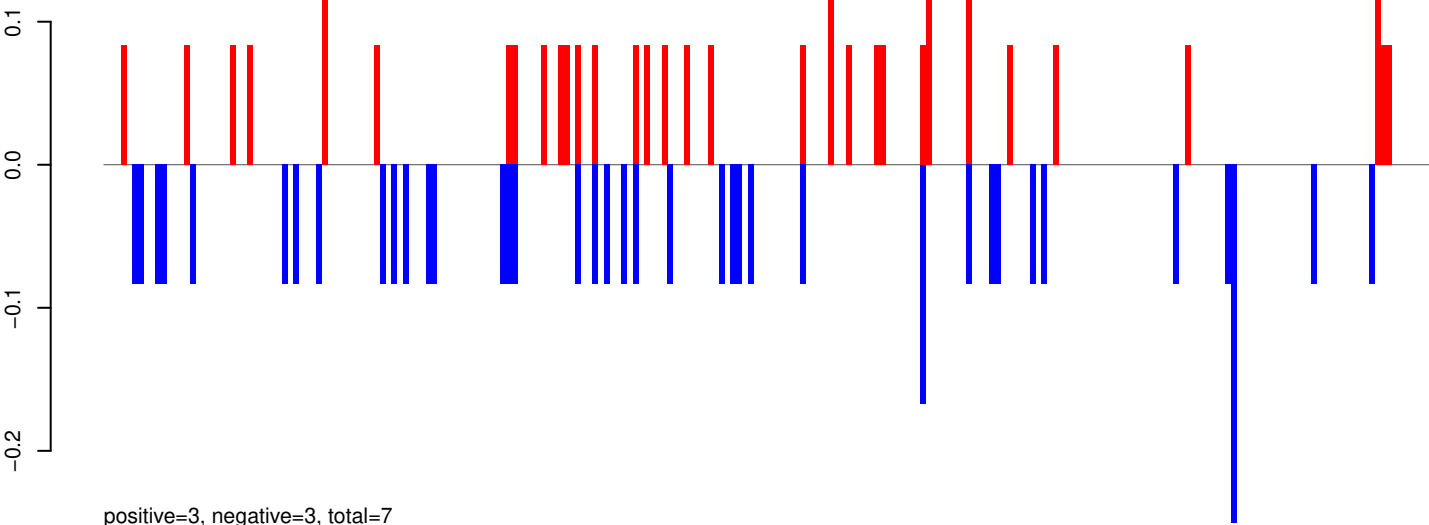


AeAeg_Aag2_Ago2_SINV_RA.rep

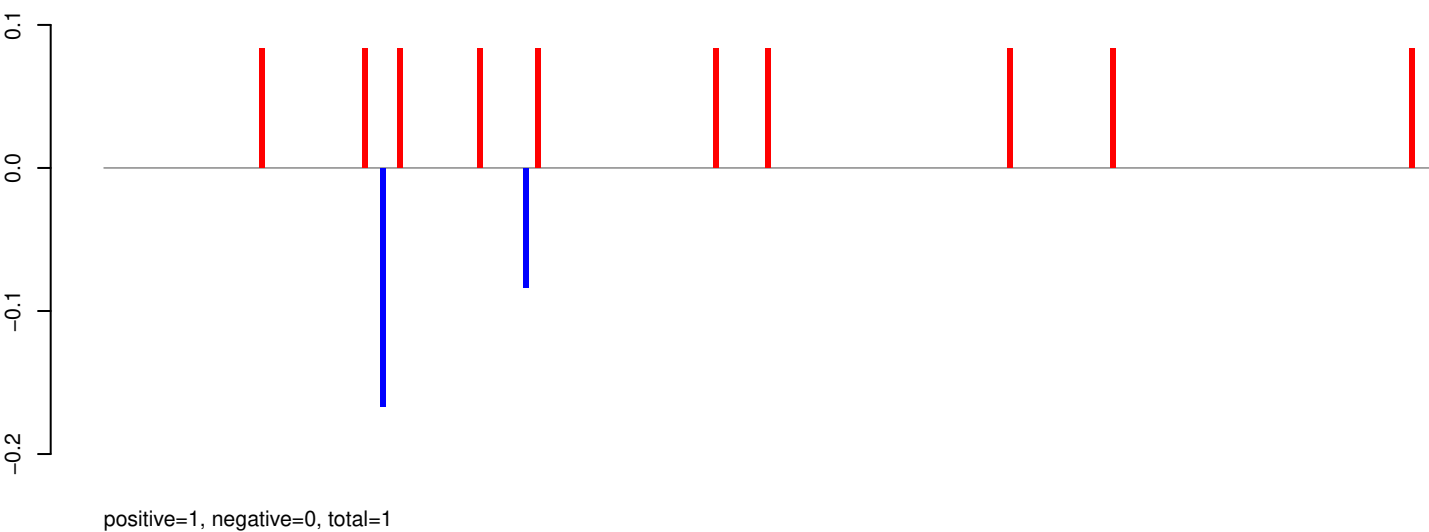


Window size=25, length=5071, TE@Chapaev3-1_AA:1-5071

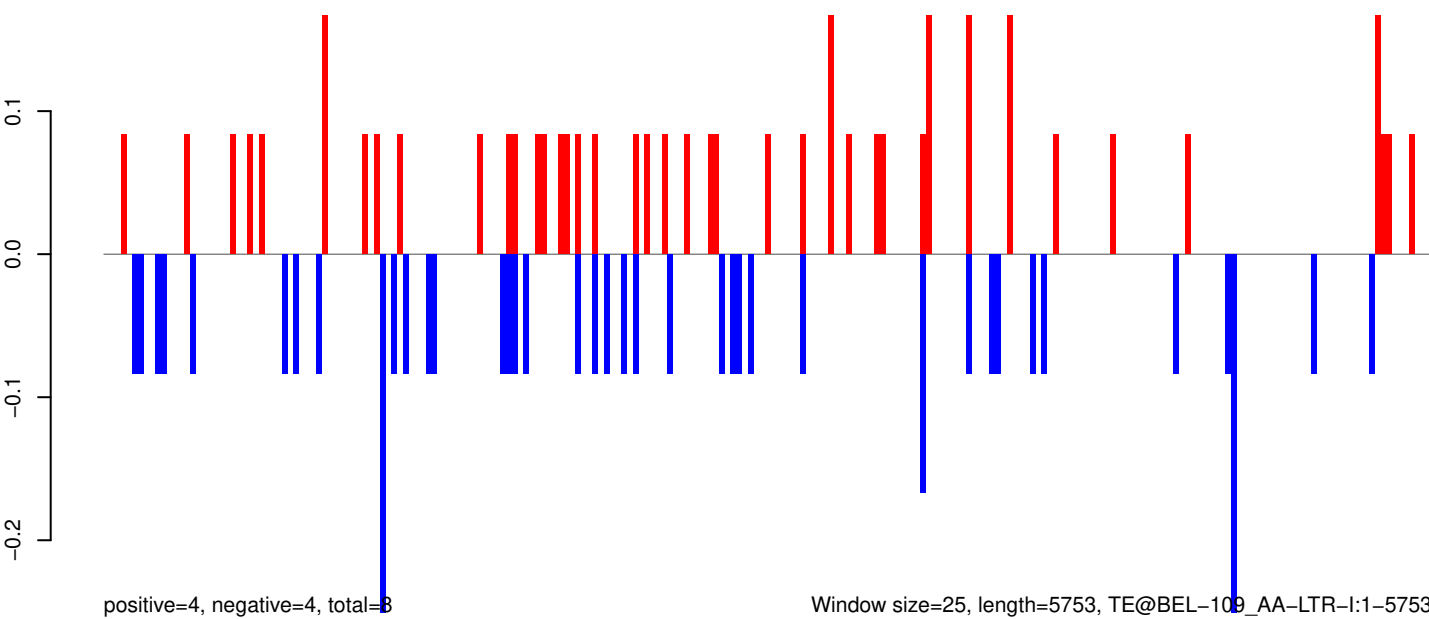
AeAeg_Aag2_Ago2_SINV_RA.18_23.rep



AeAeg_Aag2_Ago2_SINV_RA.24_35.rep



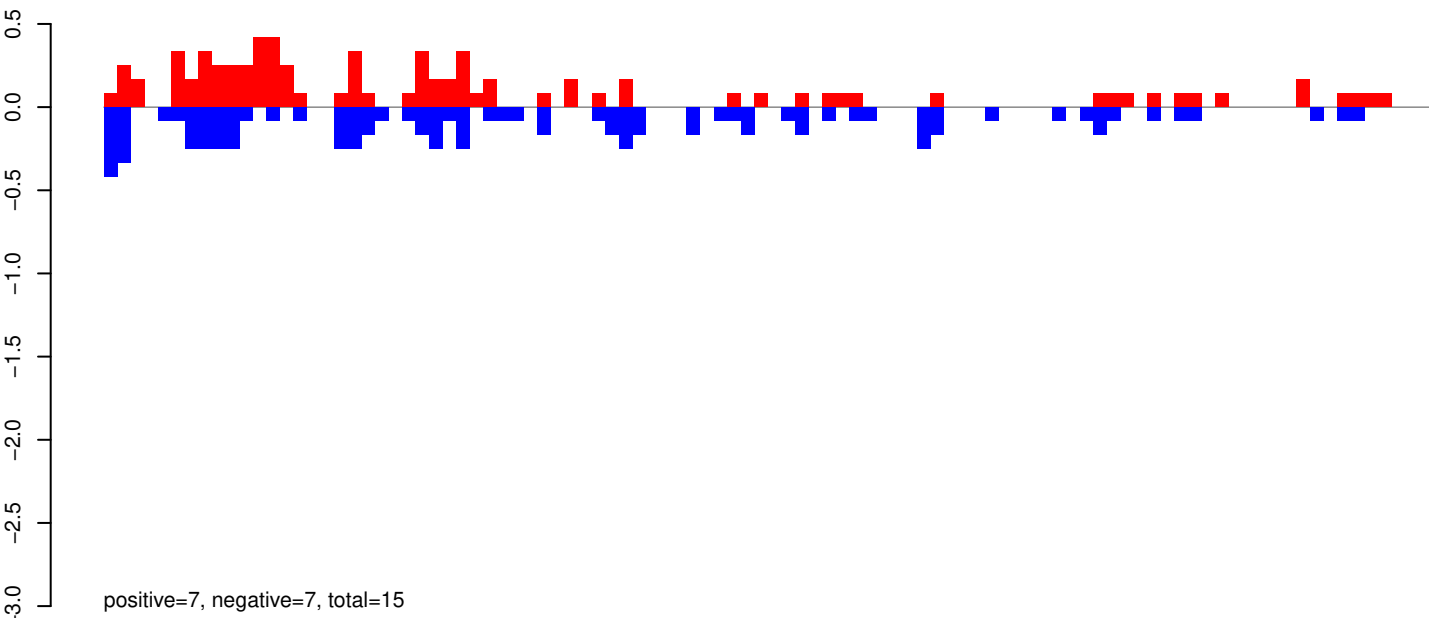
AeAeg_Aag2_Ago2_SINV_RA.rep



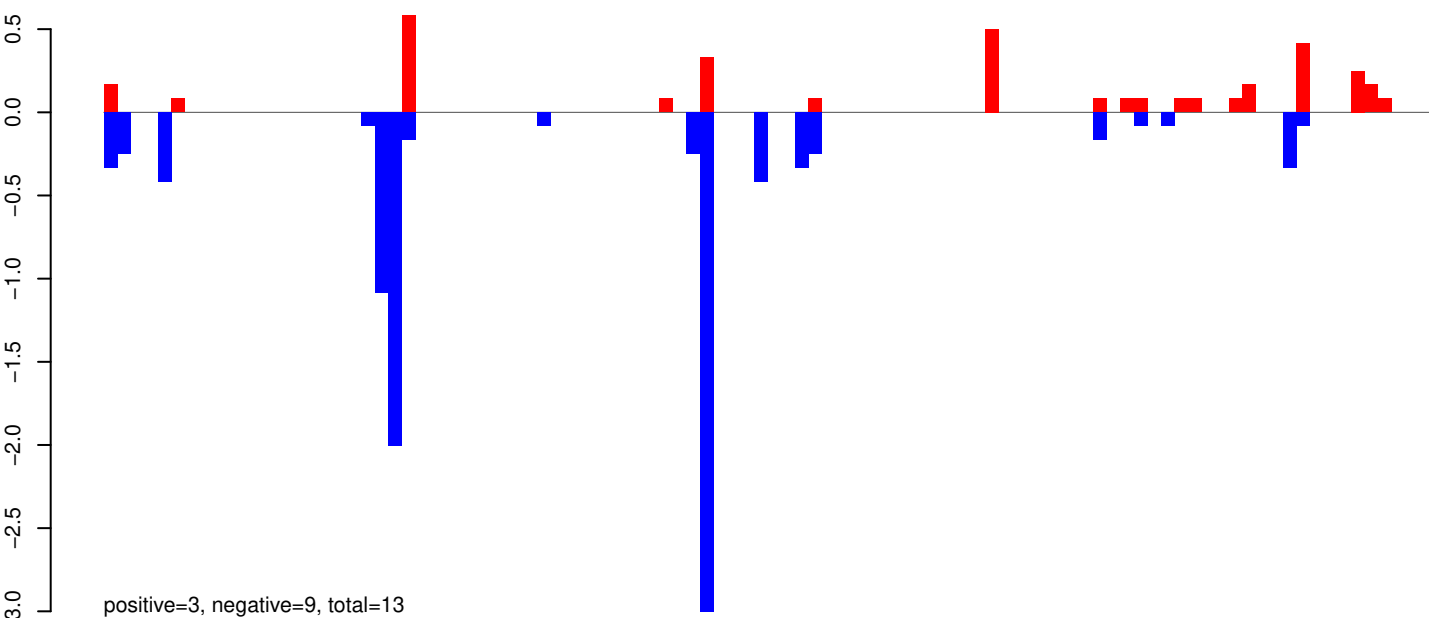
Window size=25, length=5753, TE@BEL-109_AA-LTR-I:1-5753

0 1000 2000 3000 4000 5000 6000

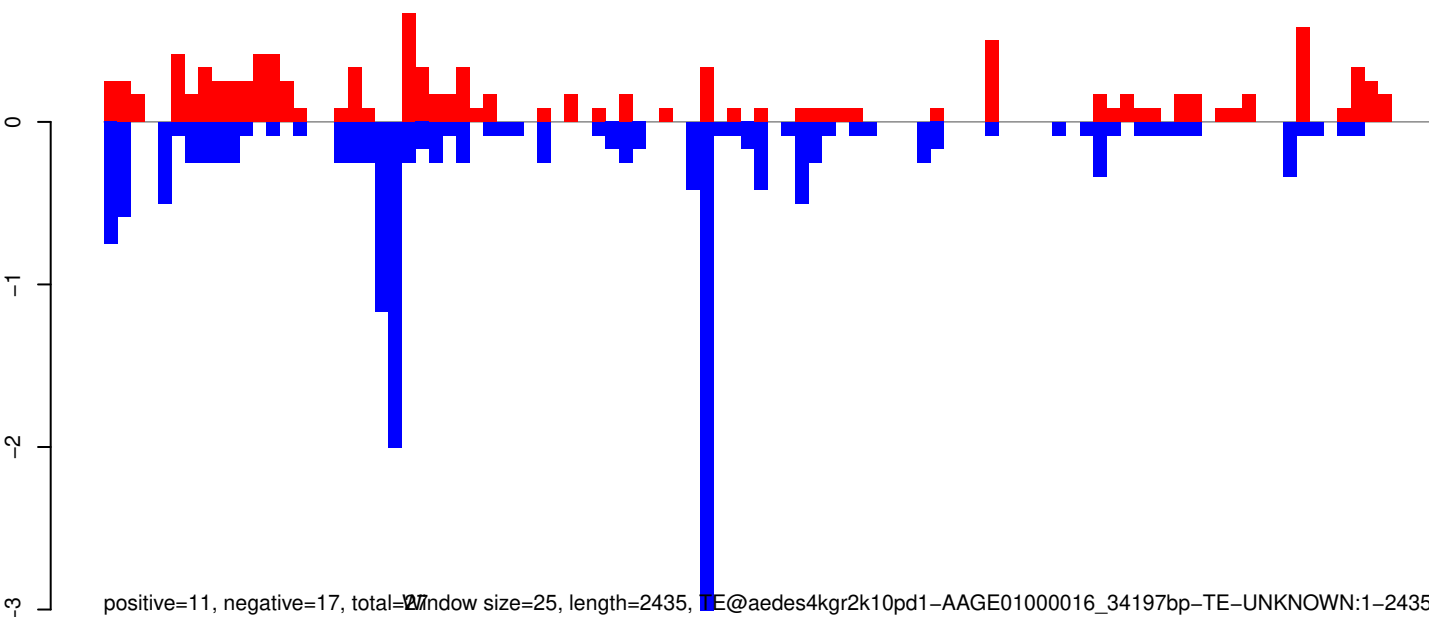
AeAeg_Aag2_Ago2_SINV_RA.18_23.rep



AeAeg_Aag2_Ago2_SINV_RA.24_35.rep



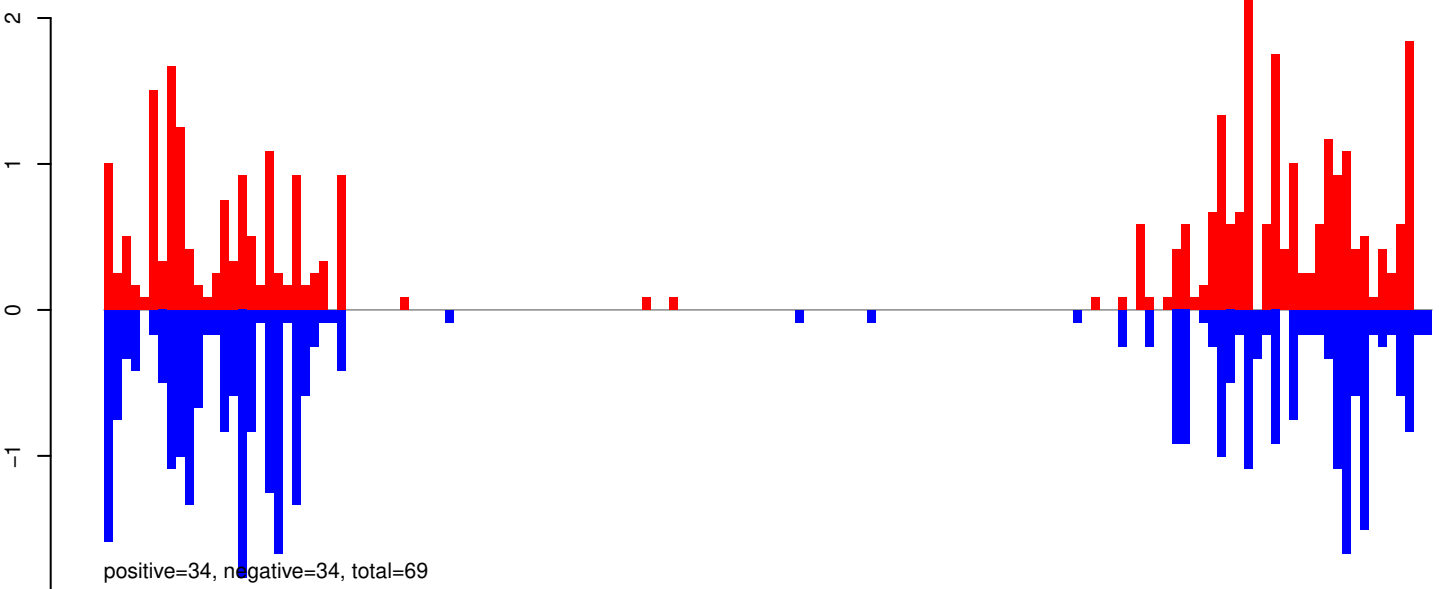
AeAeg_Aag2_Ago2_SINV_RA.rep



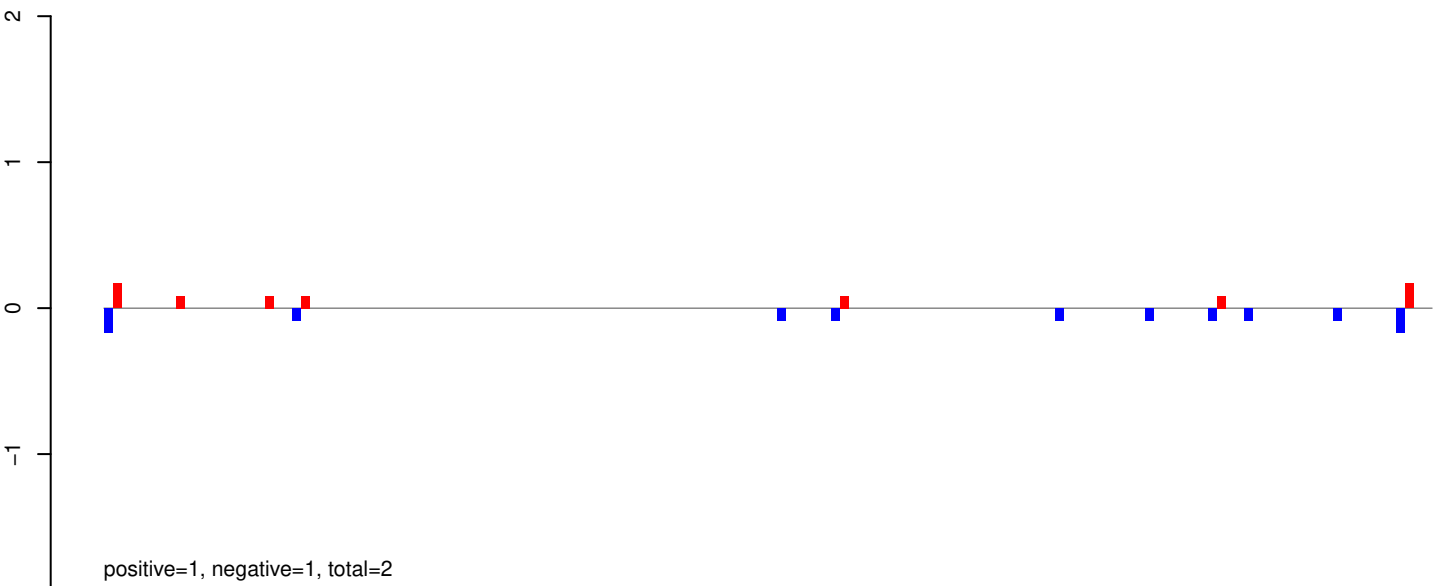
Window size=25, length=2435, TE@aedes4kgr2k10pd1-AAGE01000016_34197bp-TE-UNKNOWN:1-2435

0 500 1000 1500 2000 2500

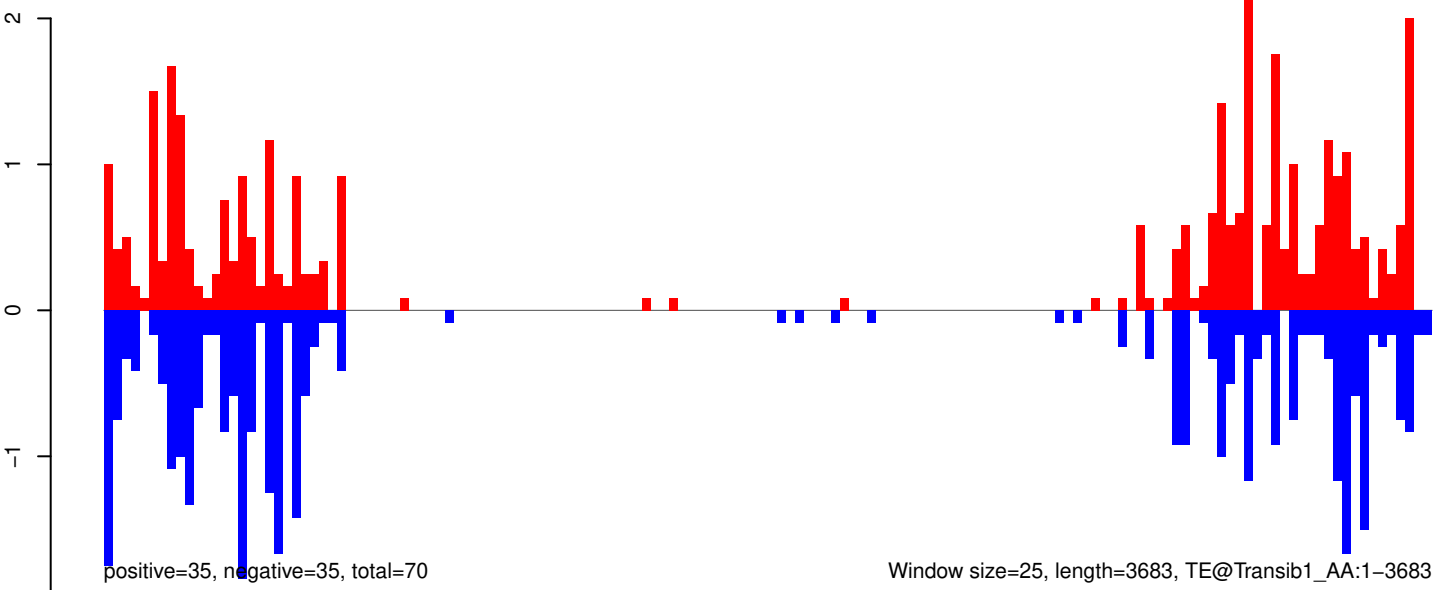
AeAeg_Aag2_Ago2_SINV_RA.18_23.rep



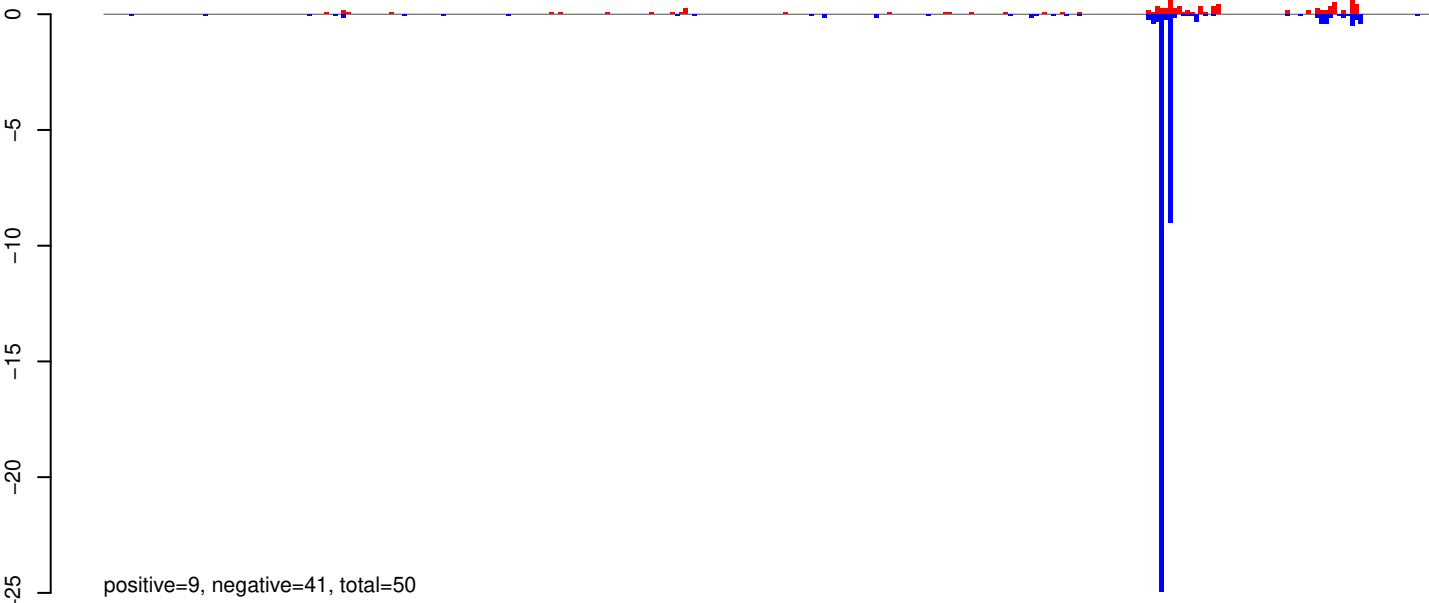
AeAeg_Aag2_Ago2_SINV_RA.24_35.rep



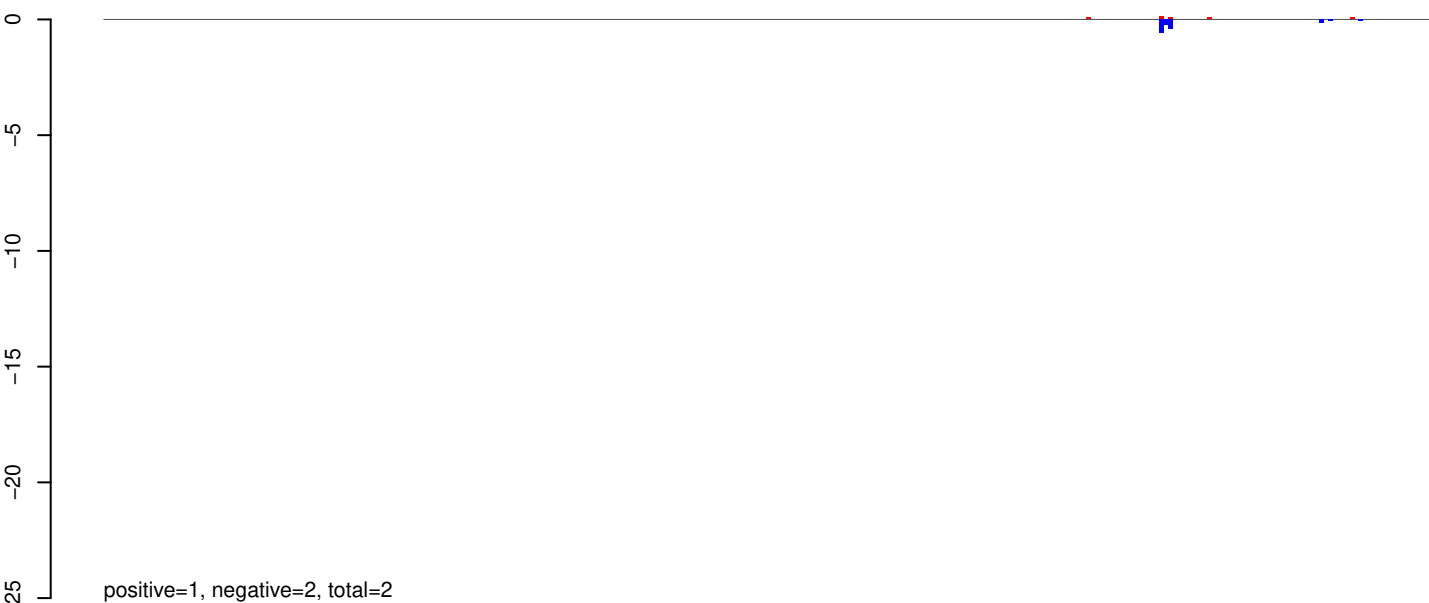
AeAeg_Aag2_Ago2_SINV_RA.rep



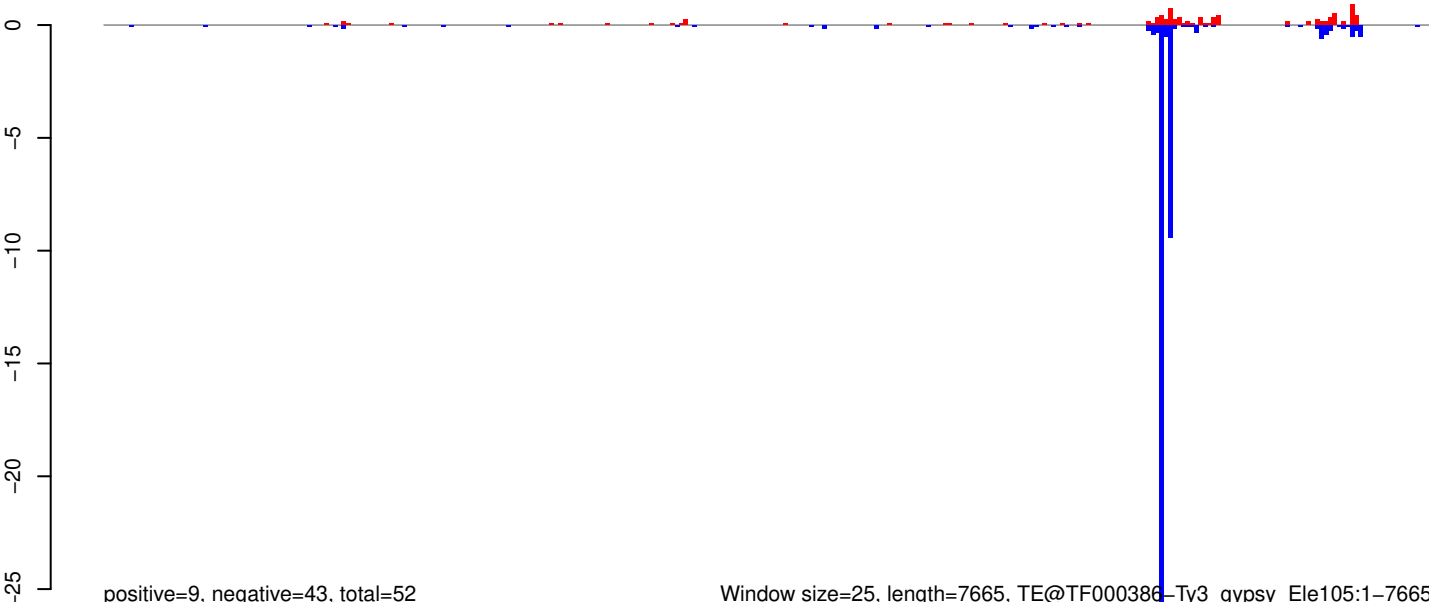
AeAeg_Aag2_Ago2_SINV_RA.18_23.rep



AeAeg_Aag2_Ago2_SINV_RA.24_35.rep

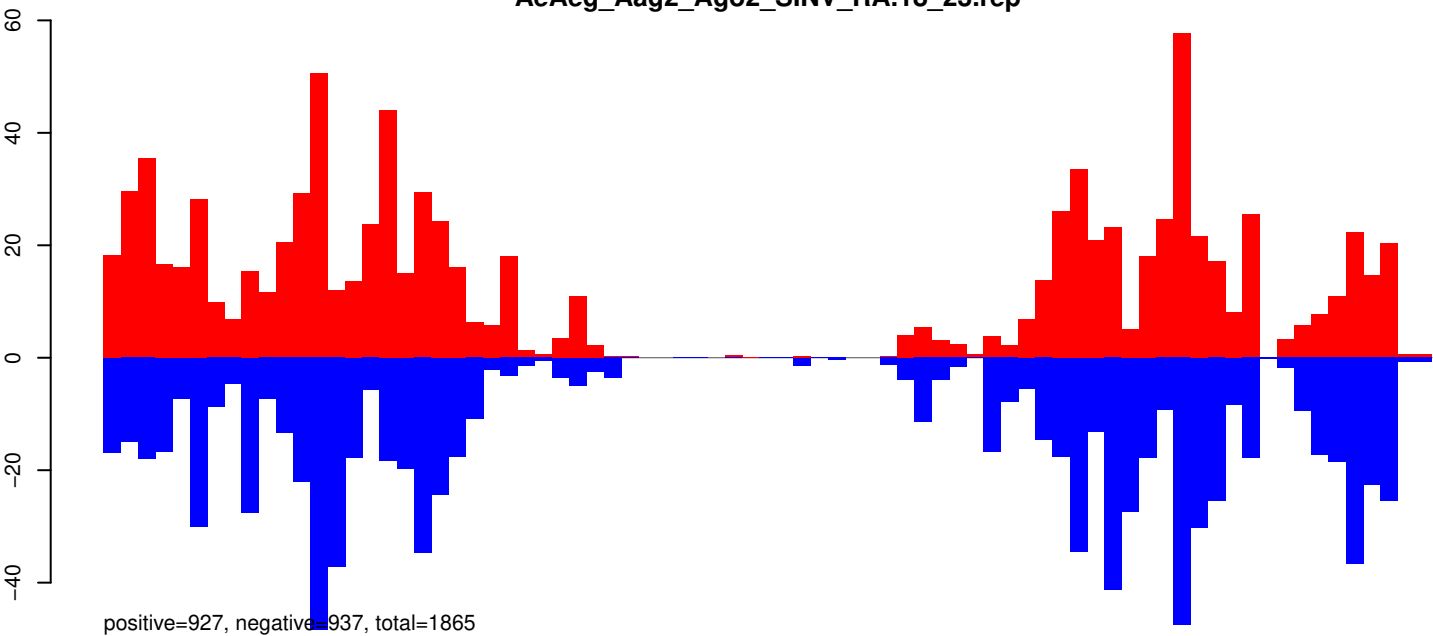


AeAeg_Aag2_Ago2_SINV_RA.rep

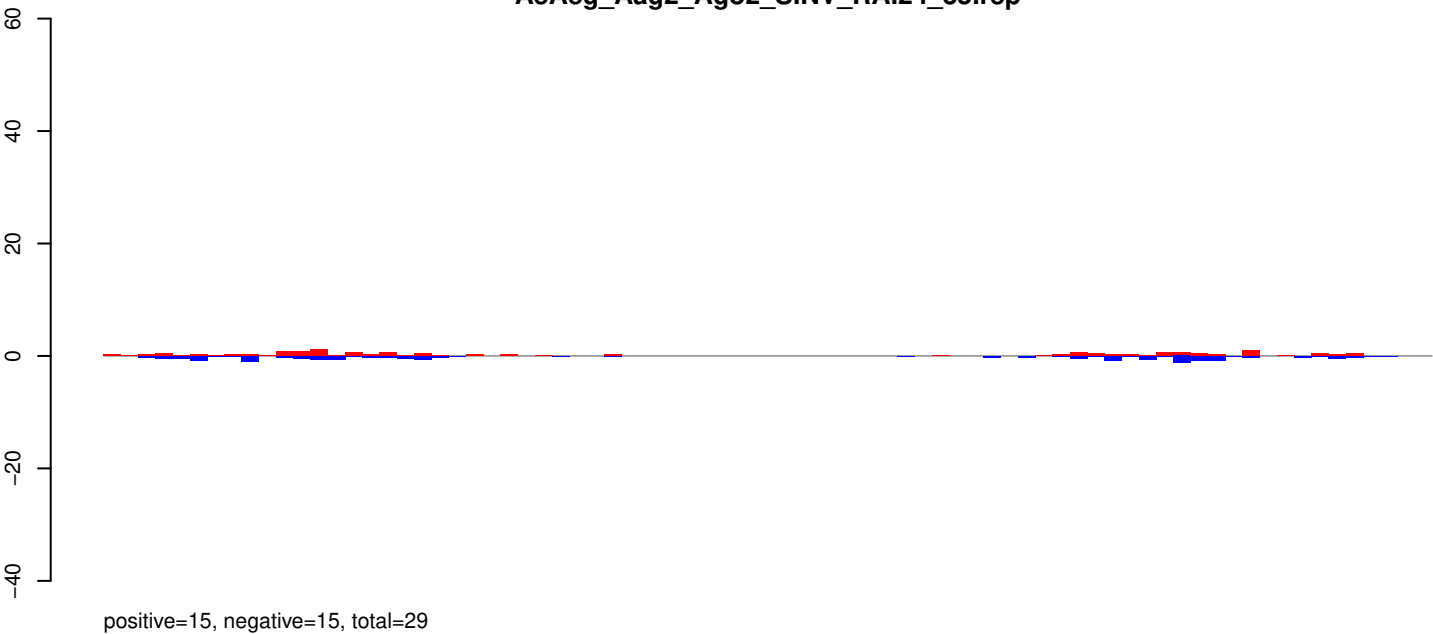


0 2000 4000 6000 8000

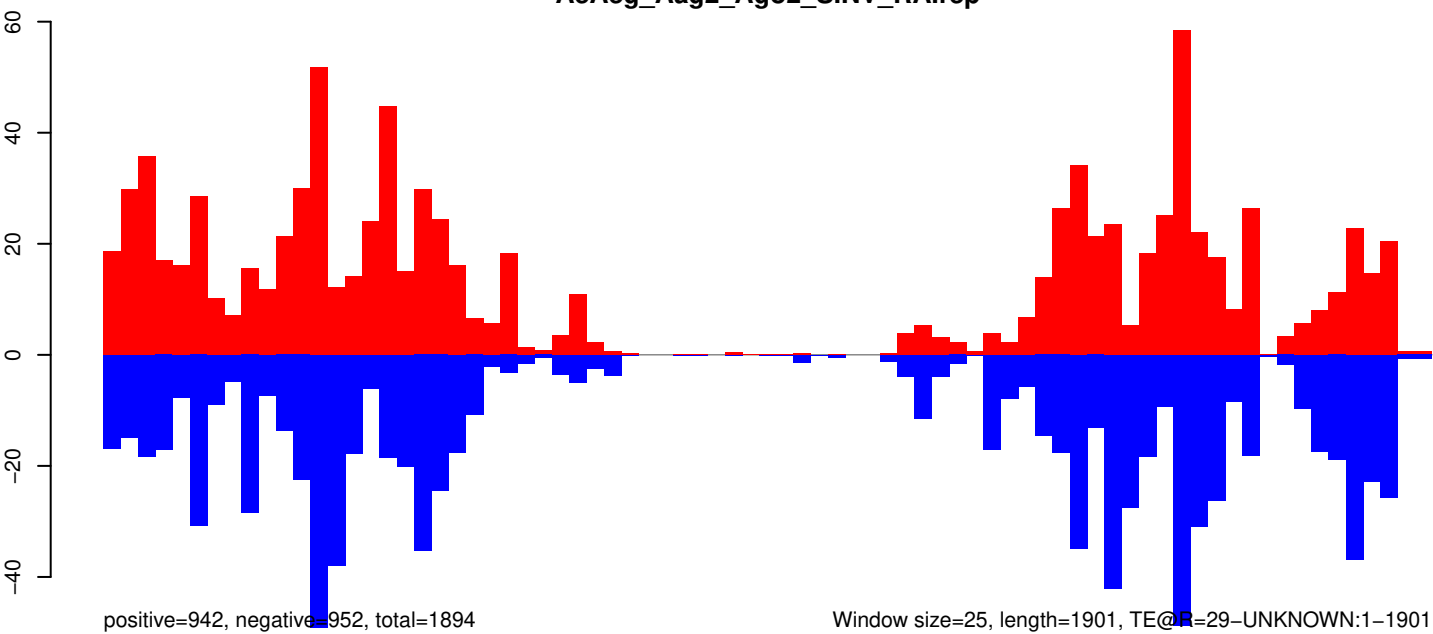
AeAeg_Aag2_Ago2_SINV_RA.18_23.rep



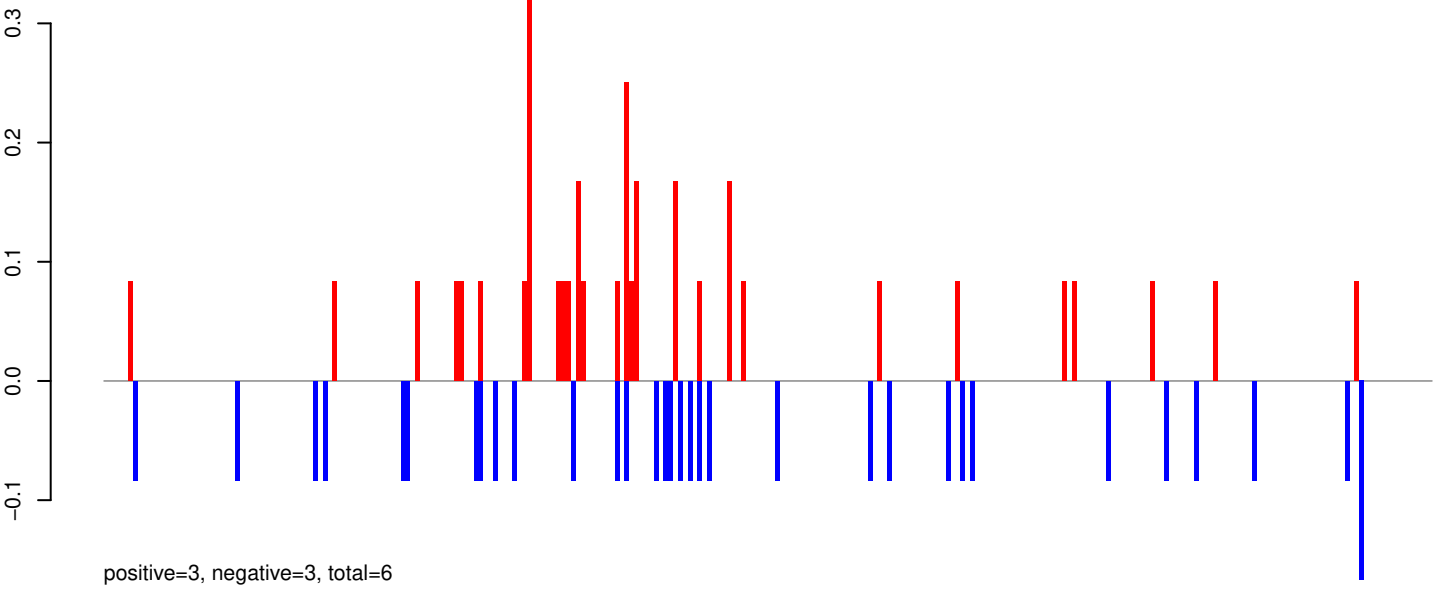
AeAeg_Aag2_Ago2_SINV_RA.24_35.rep



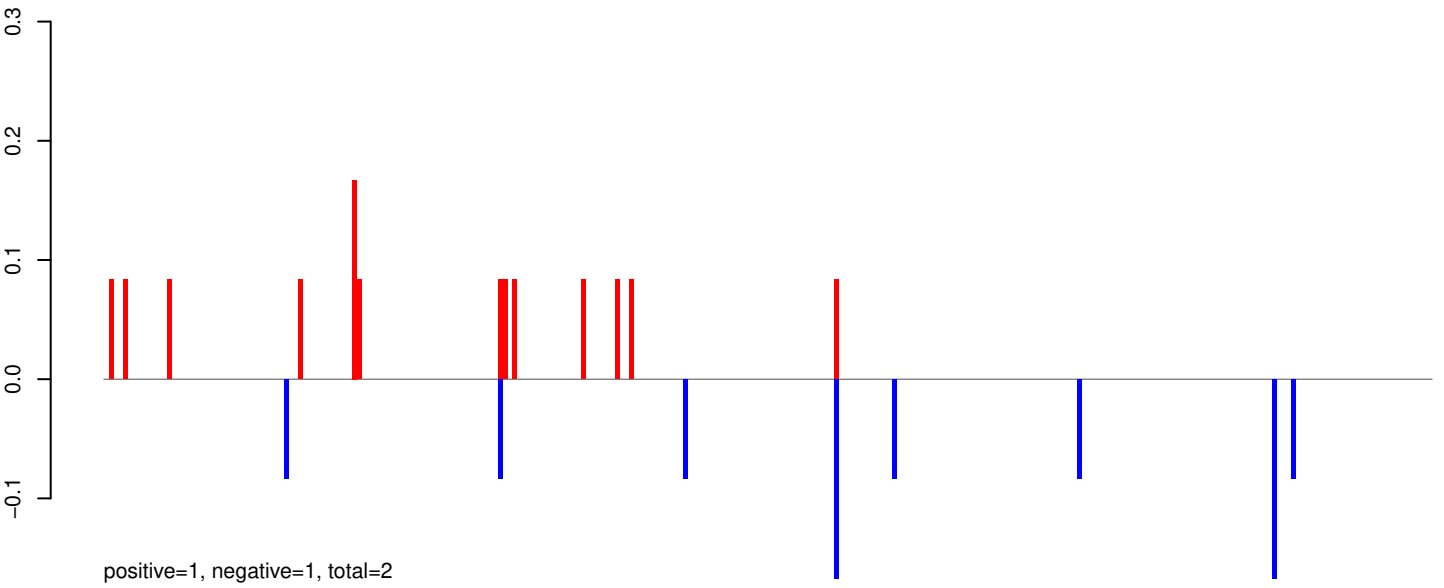
AeAeg_Aag2_Ago2_SINV_RA.rep



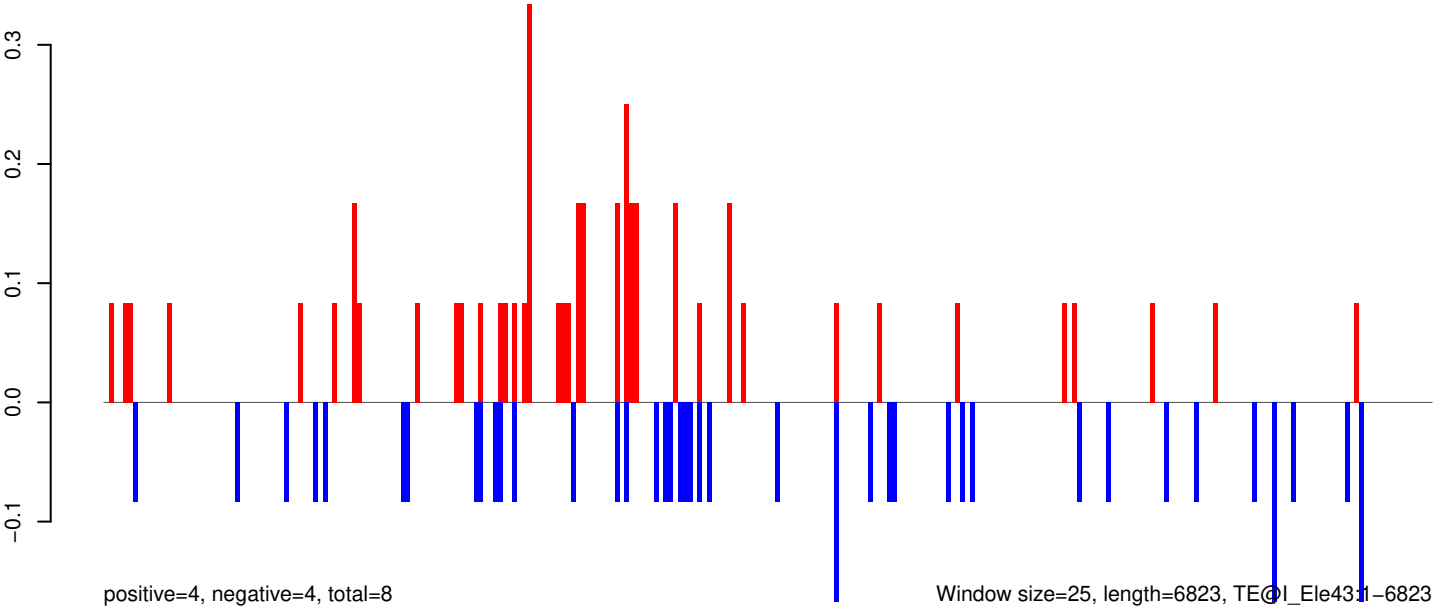
AeAeg_Aag2_Ago2_SINV_RA.18_23.rep



AeAeg_Aag2_Ago2_SINV_RA.24_35.rep

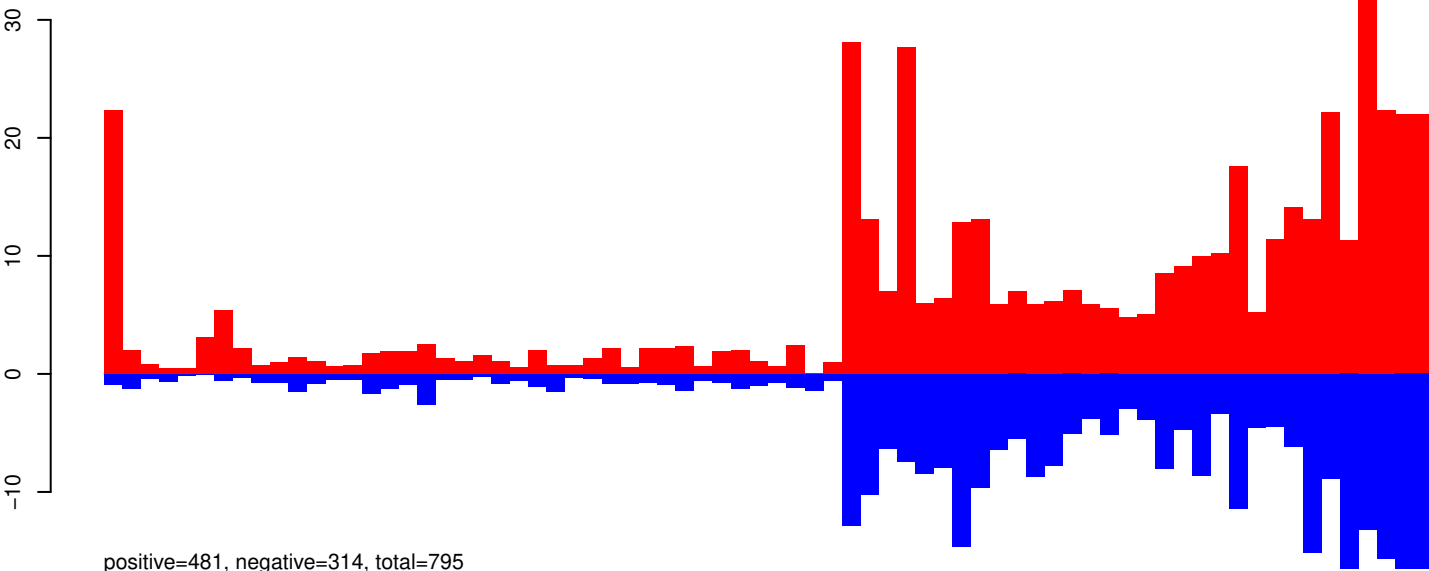


AeAeg_Aag2_Ago2_SINV_RA.rep

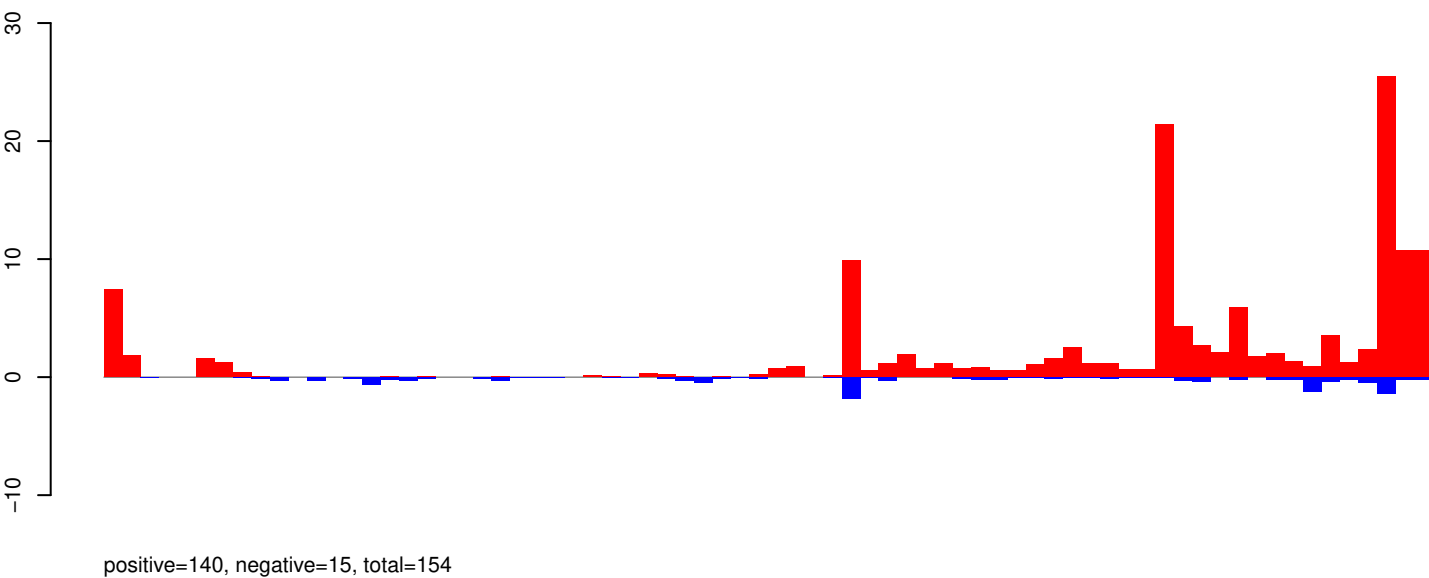


0 1000 2000 3000 4000 5000 6000 7000

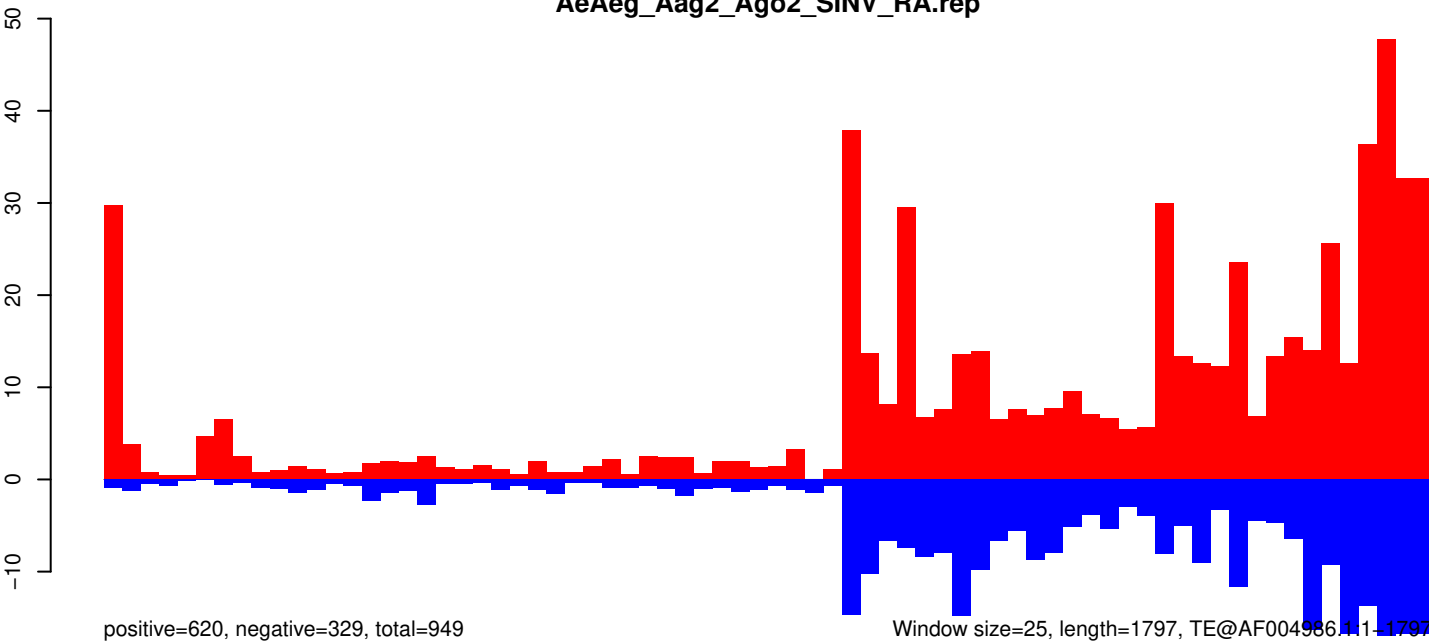
AeAeg_Aag2_Ago2_SINV_RA.18_23.rep



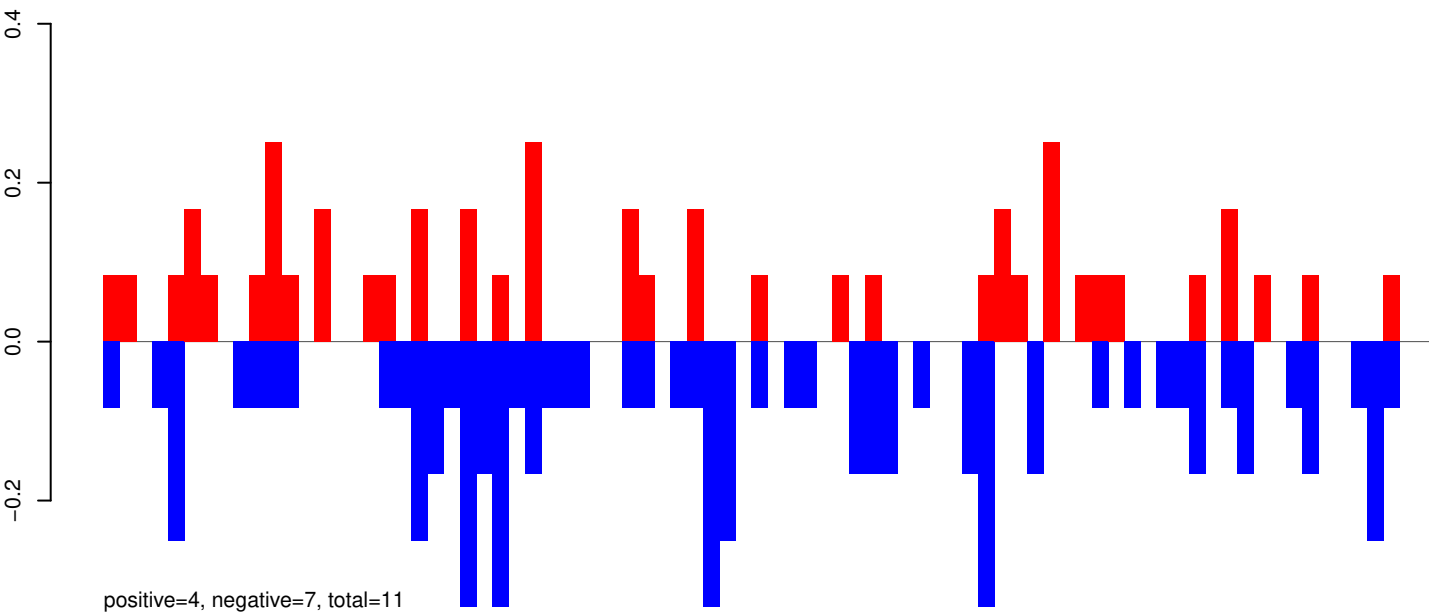
AeAeg_Aag2_Ago2_SINV_RA.24_35.rep



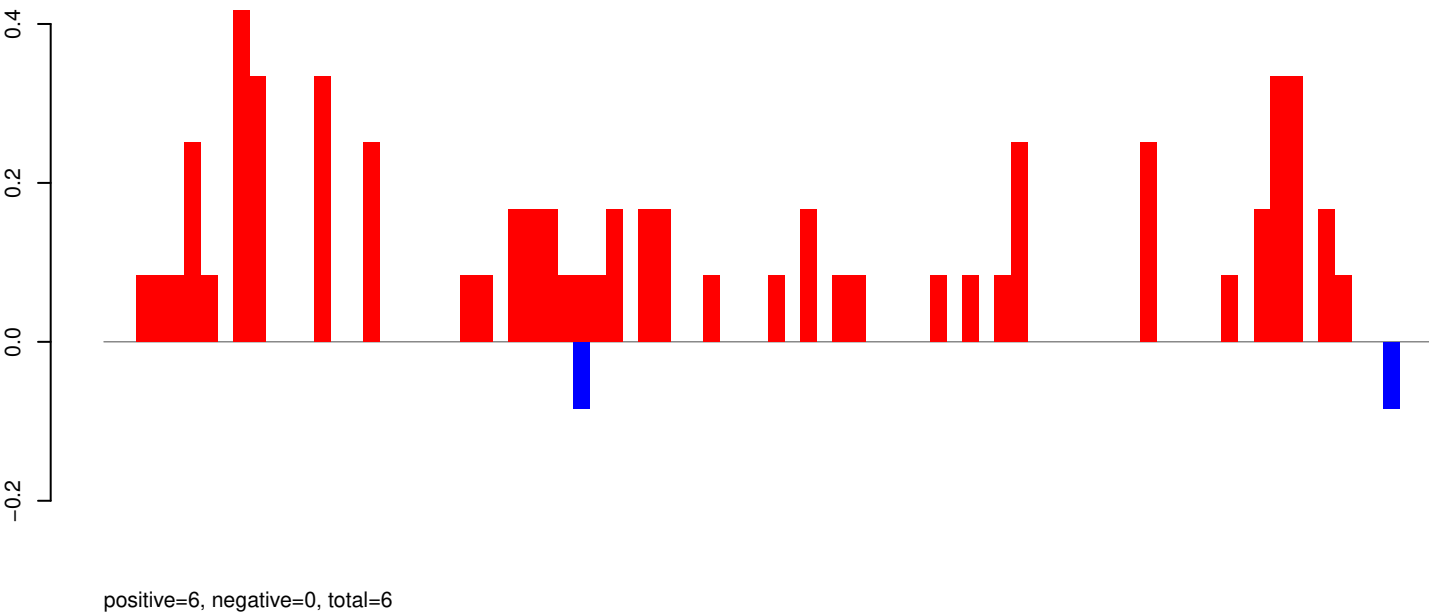
AeAeg_Aag2_Ago2_SINV_RA.rep



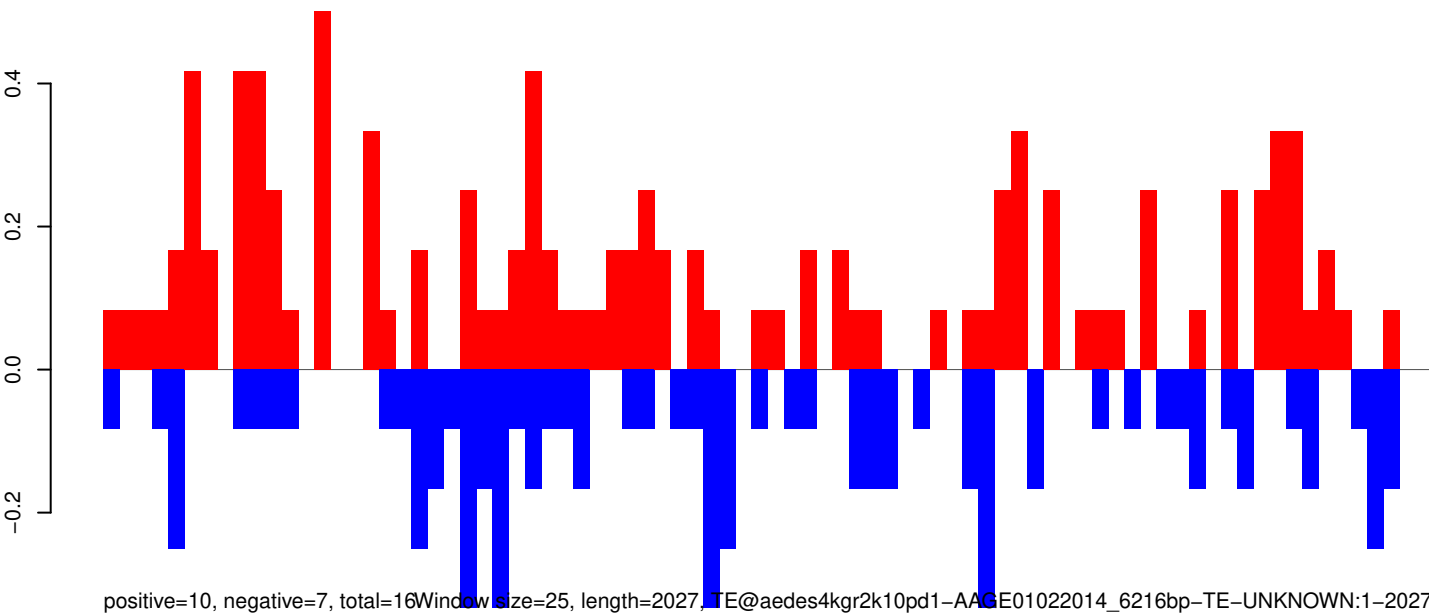
AeAeg_Aag2_Ago2_SINV_RA.18_23.rep



AeAeg_Aag2_Ago2_SINV_RA.24_35.rep

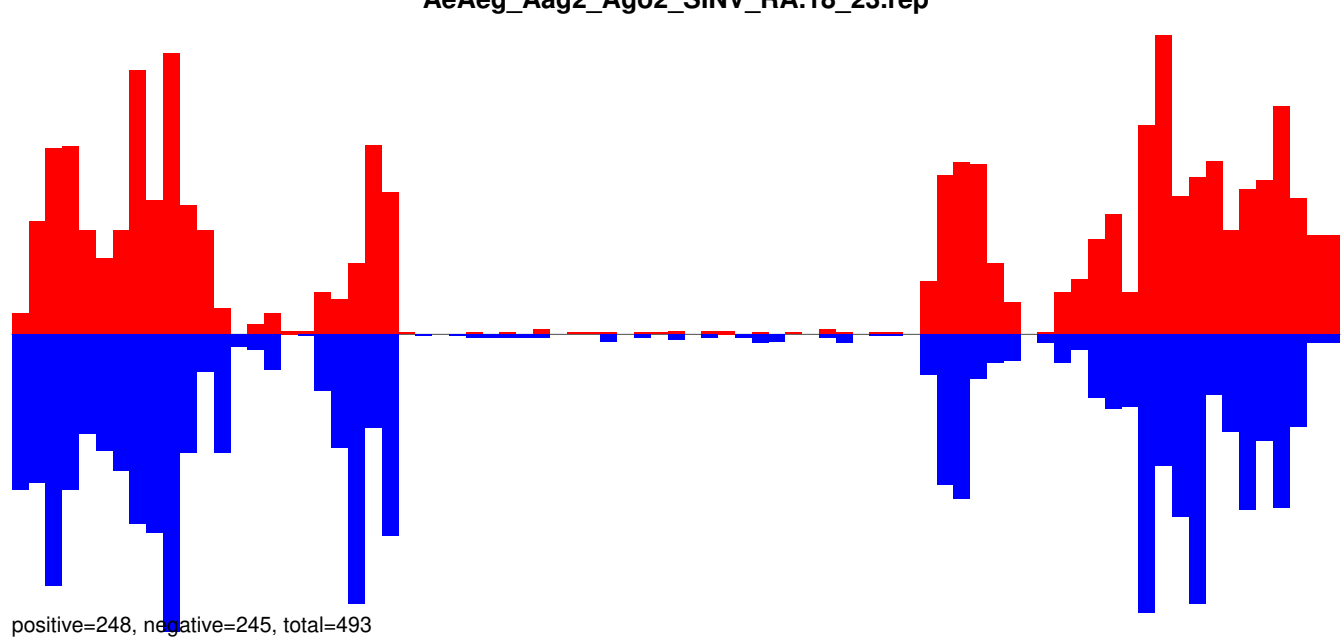


AeAeg_Aag2_Ago2_SINV_RA.rep

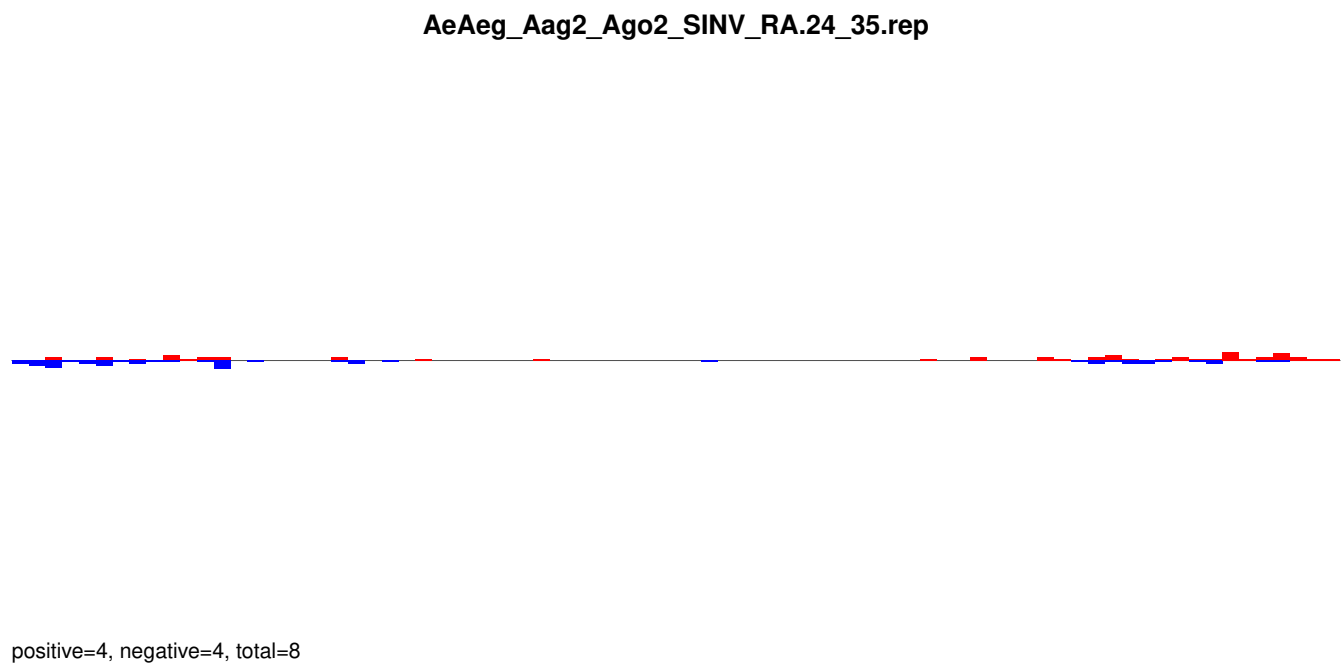


Window size=25, length=2027, TE@aedes4kgr2k10pd1-AAG E01022014_6216bp-TE-UNKNOWN:1-2027

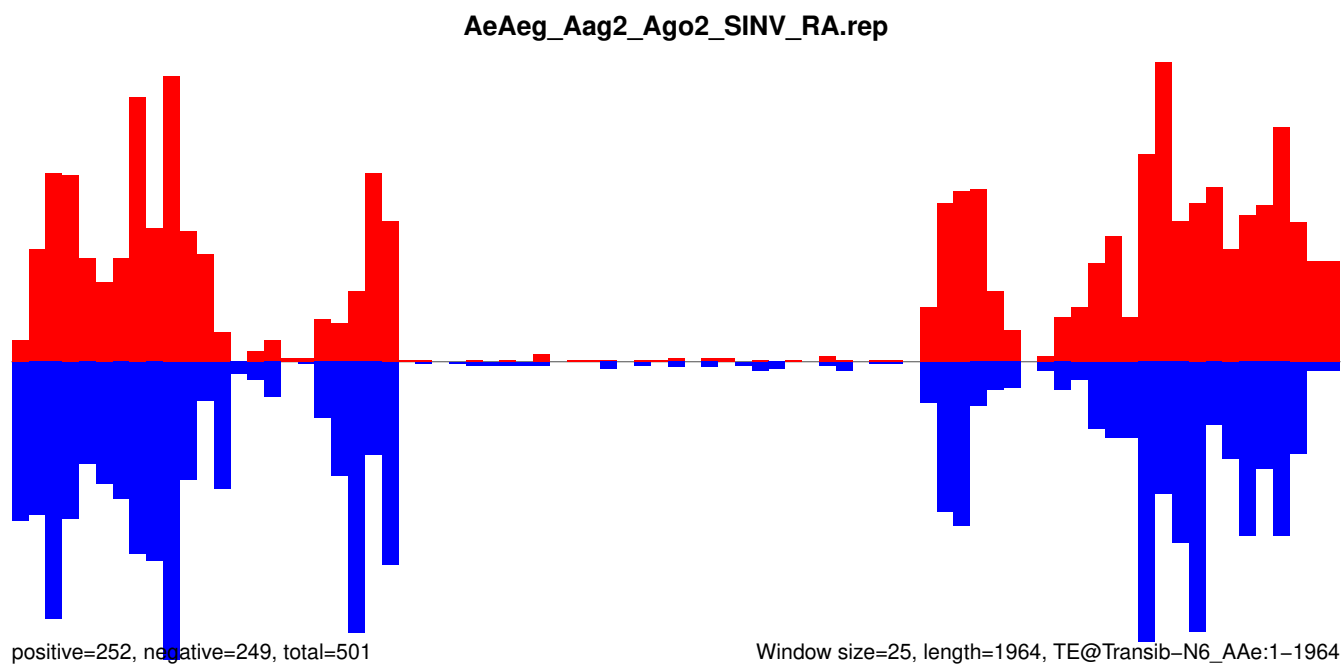
AeAeg_Aag2_Ago2_SINV_RA.18_23.rep



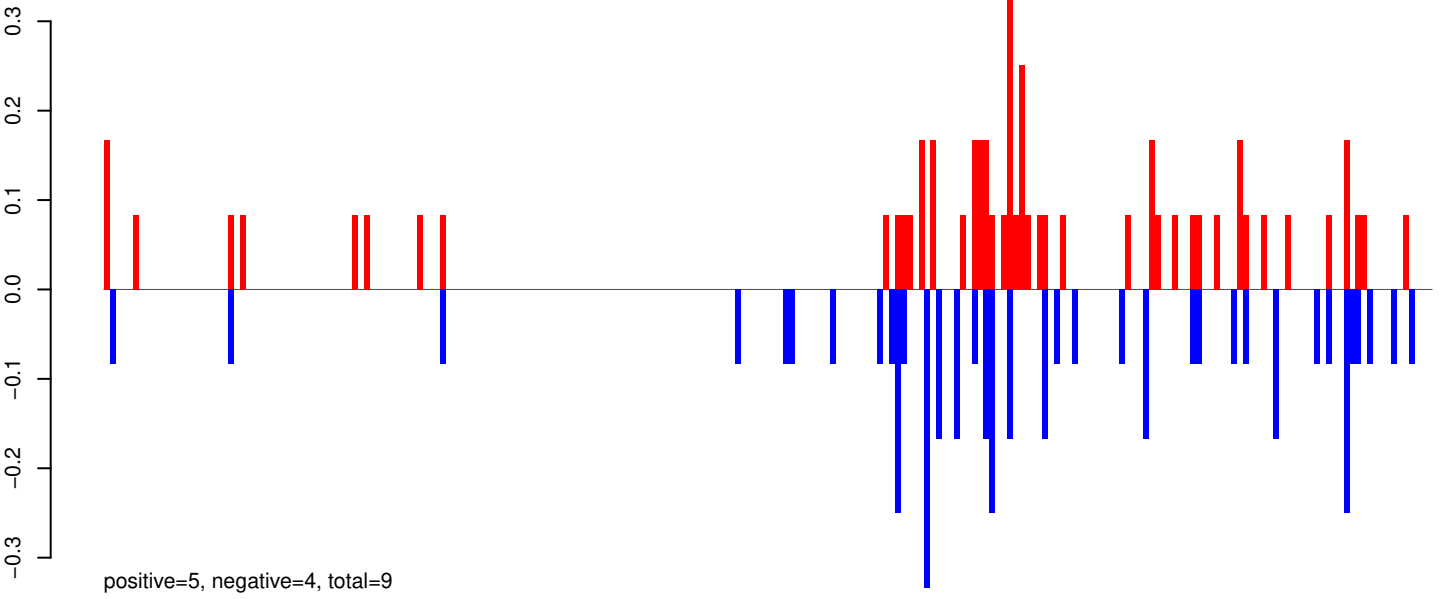
AeAeg_Aag2_Ago2_SINV_RA.24_35.rep



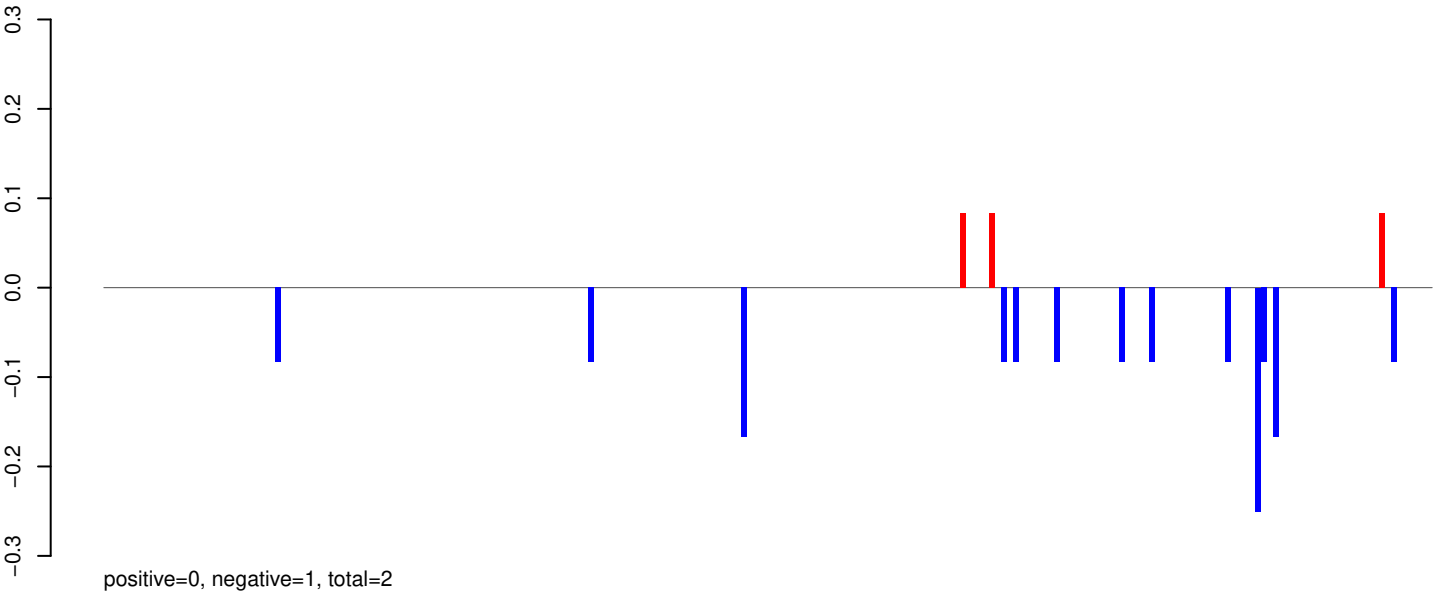
AeAeg_Aag2_Ago2_SINV_RA.rep



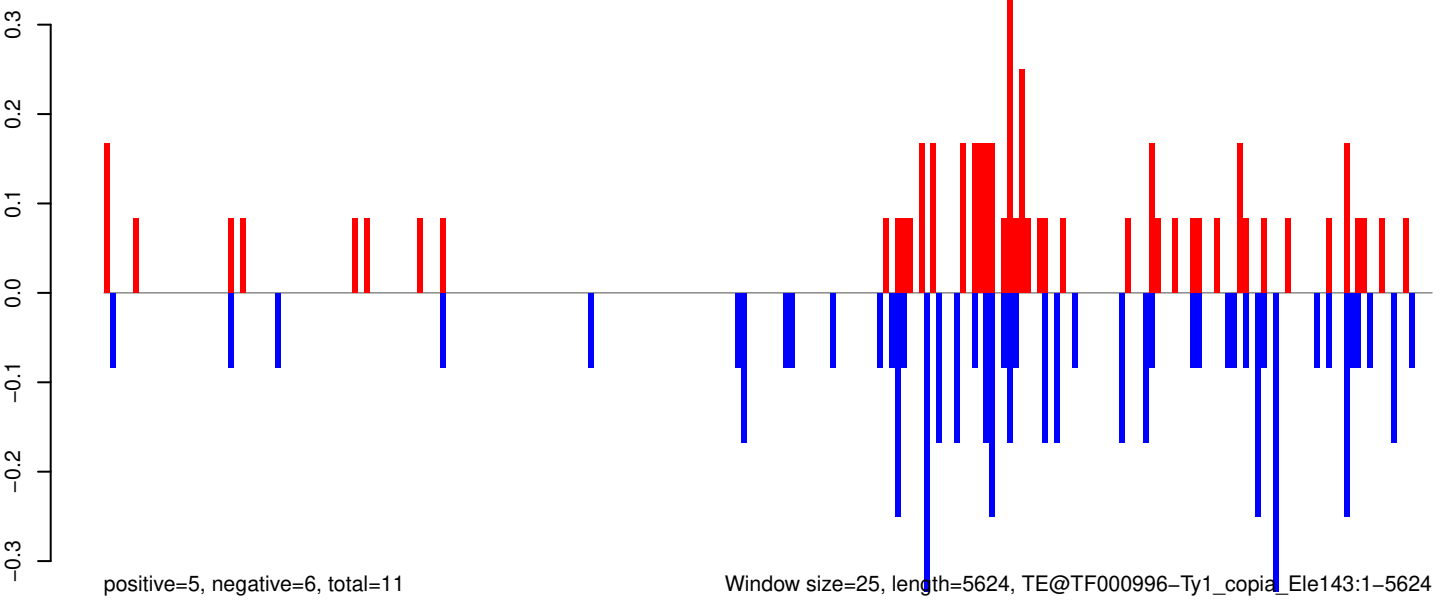
AeAeg_Aag2_Ago2_SINV_RA.18_23.rep



AeAeg_Aag2_Ago2_SINV_RA.24_35.rep

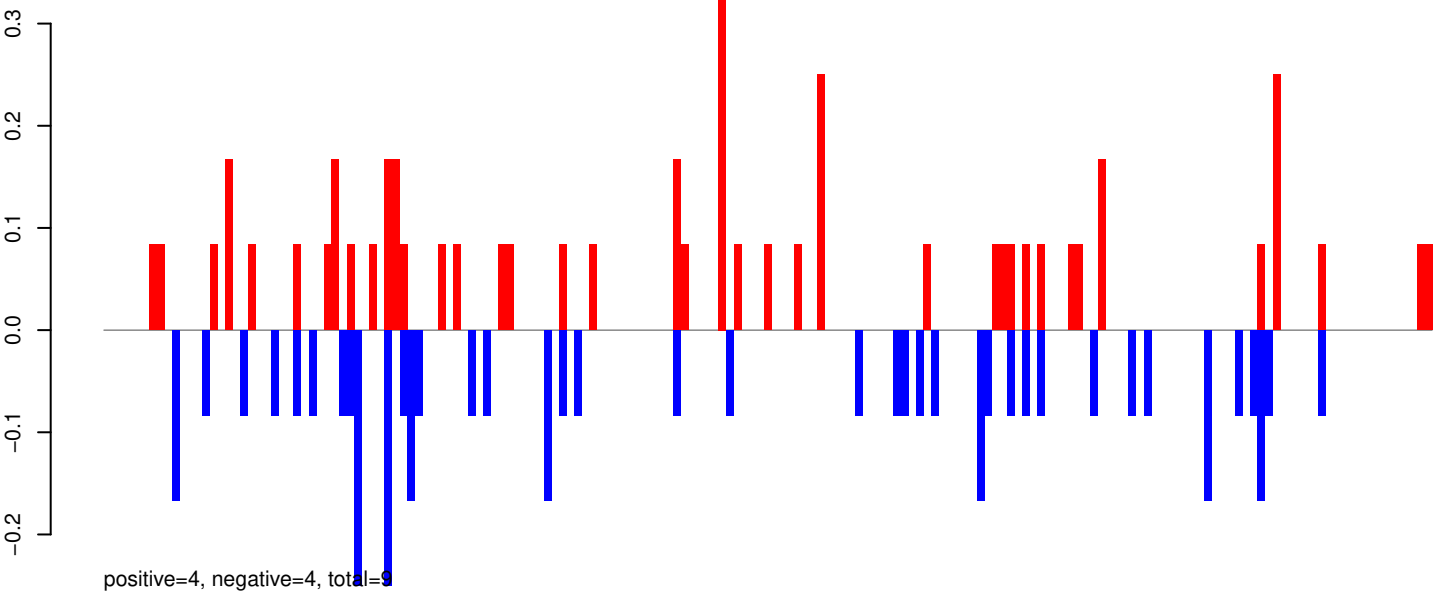


AeAeg_Aag2_Ago2_SINV_RA.rep

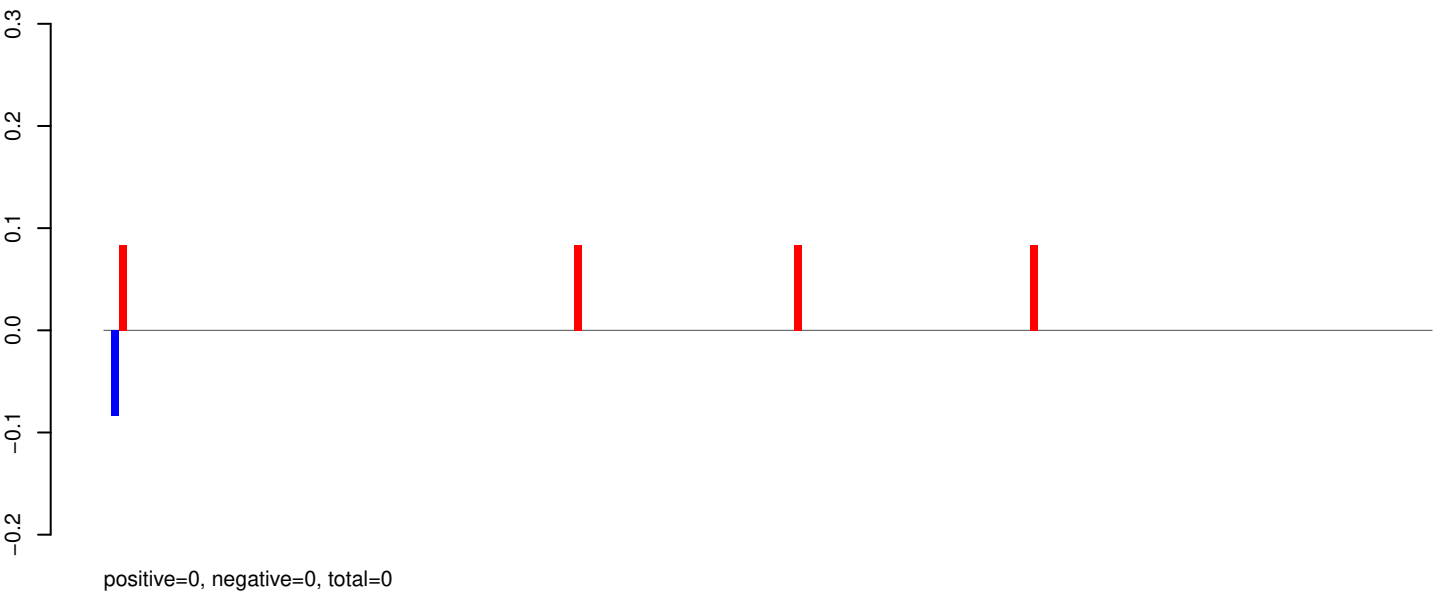


0 1000 2000 3000 4000 5000

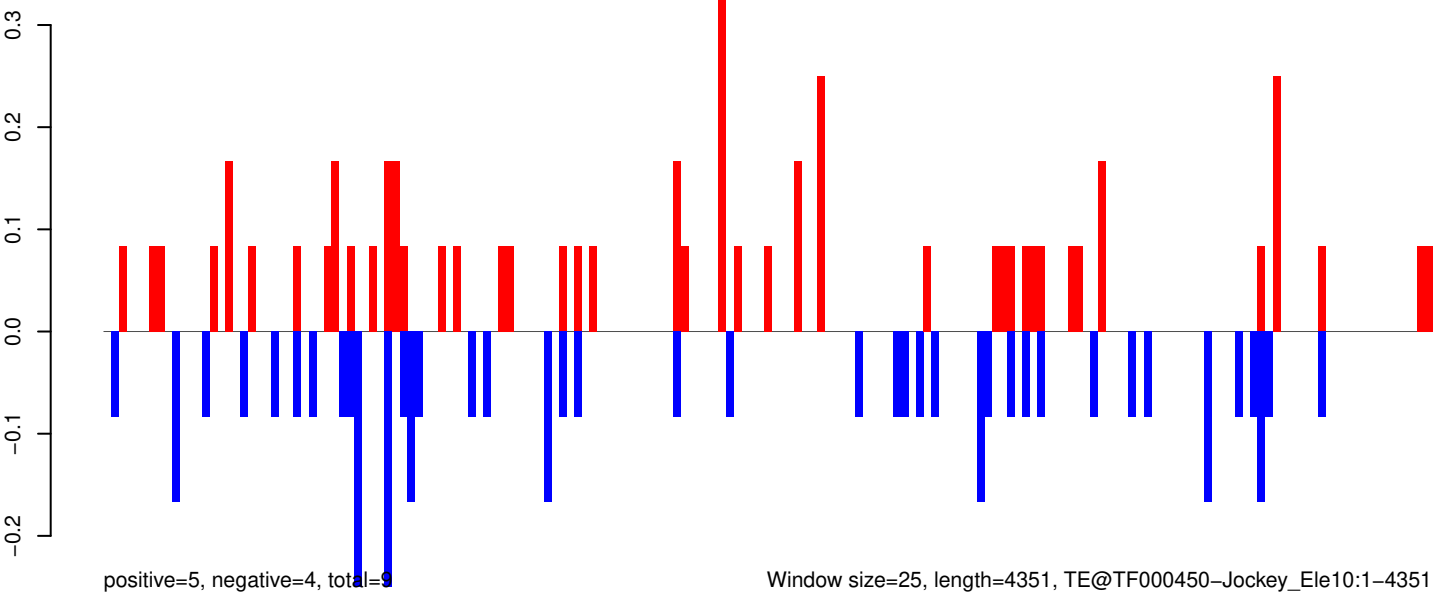
AeAeg_Aag2_Ago2_SINV_RA.18_23.rep



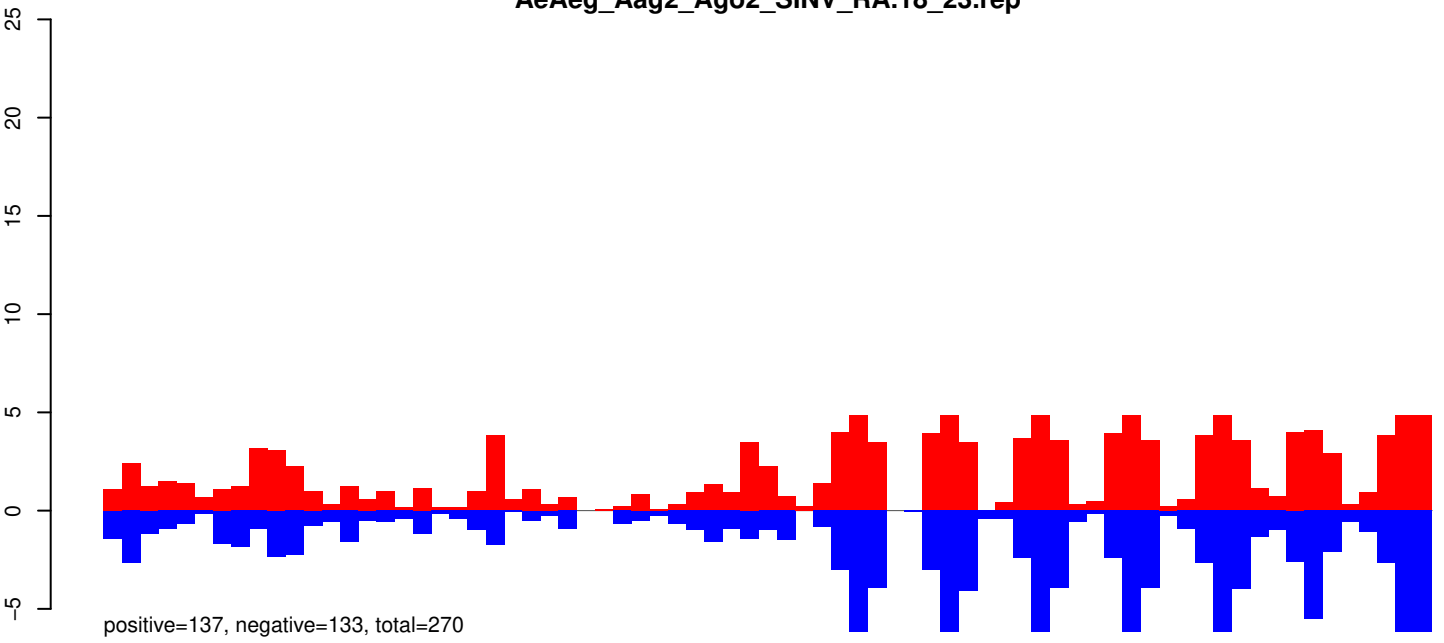
AeAeg_Aag2_Ago2_SINV_RA.24_35.rep



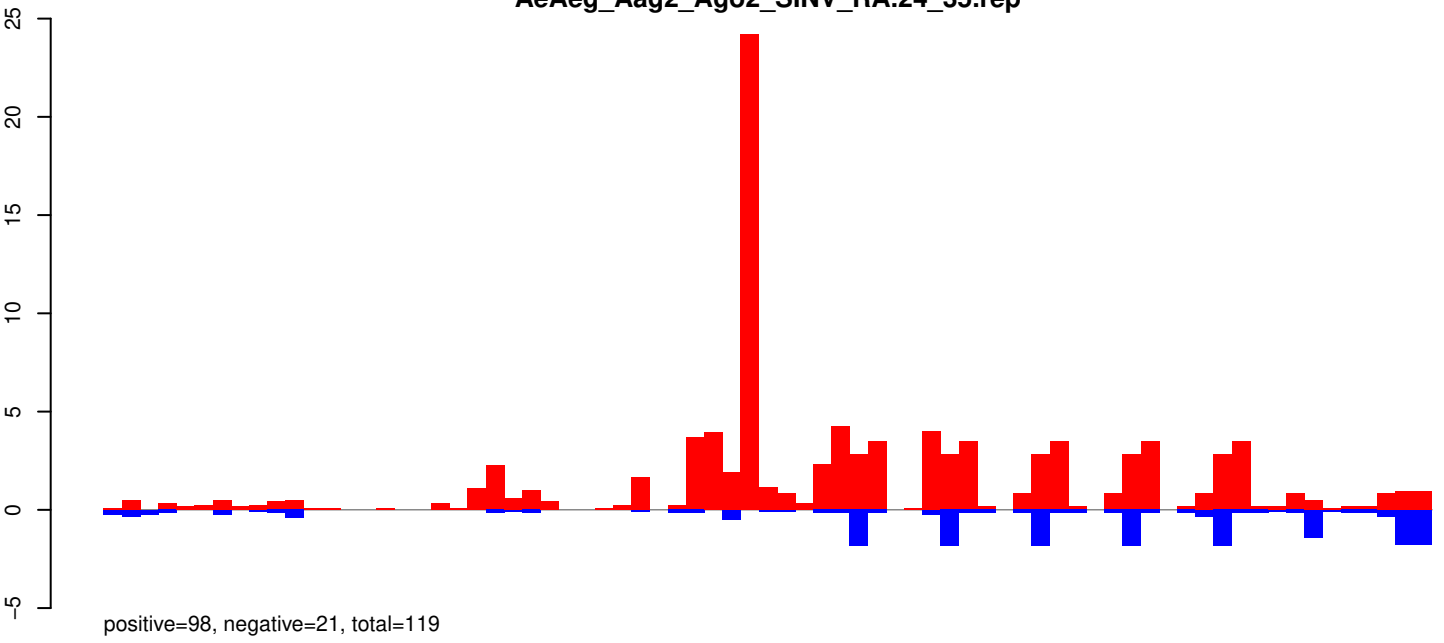
AeAeg_Aag2_Ago2_SINV_RA.rep



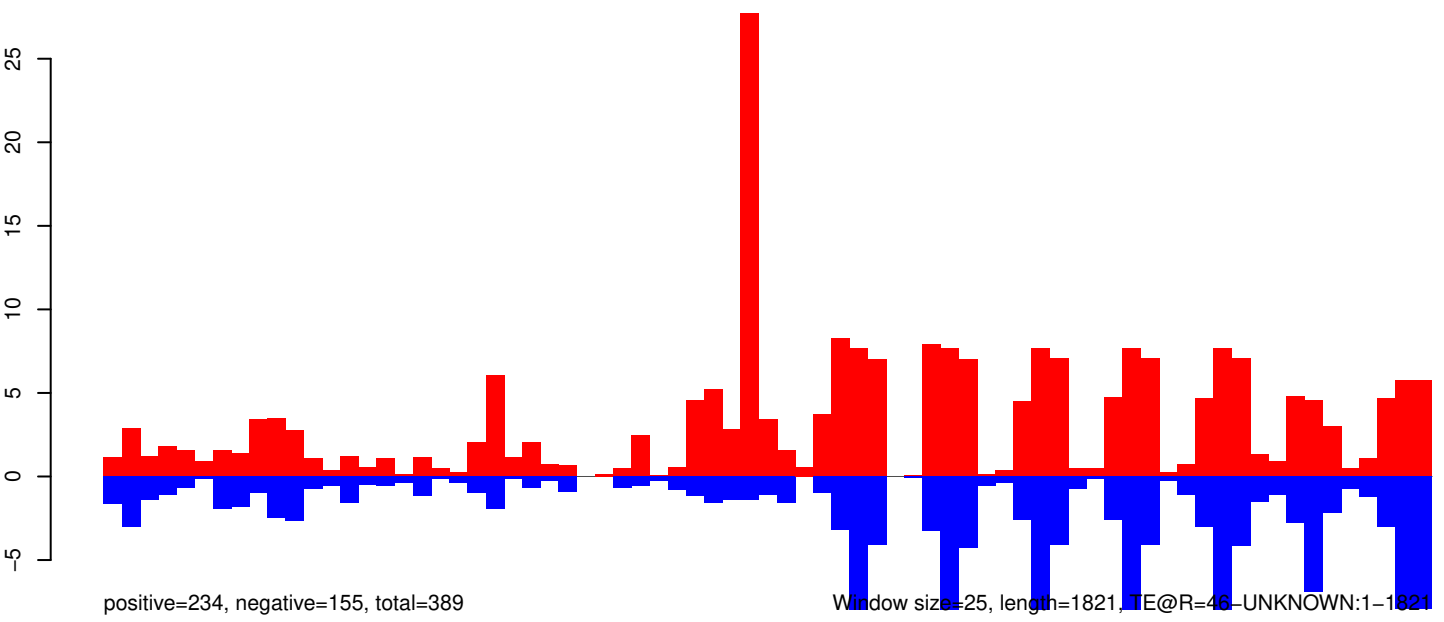
AeAeg_Aag2_Ago2_SINV_RA.18_23.rep



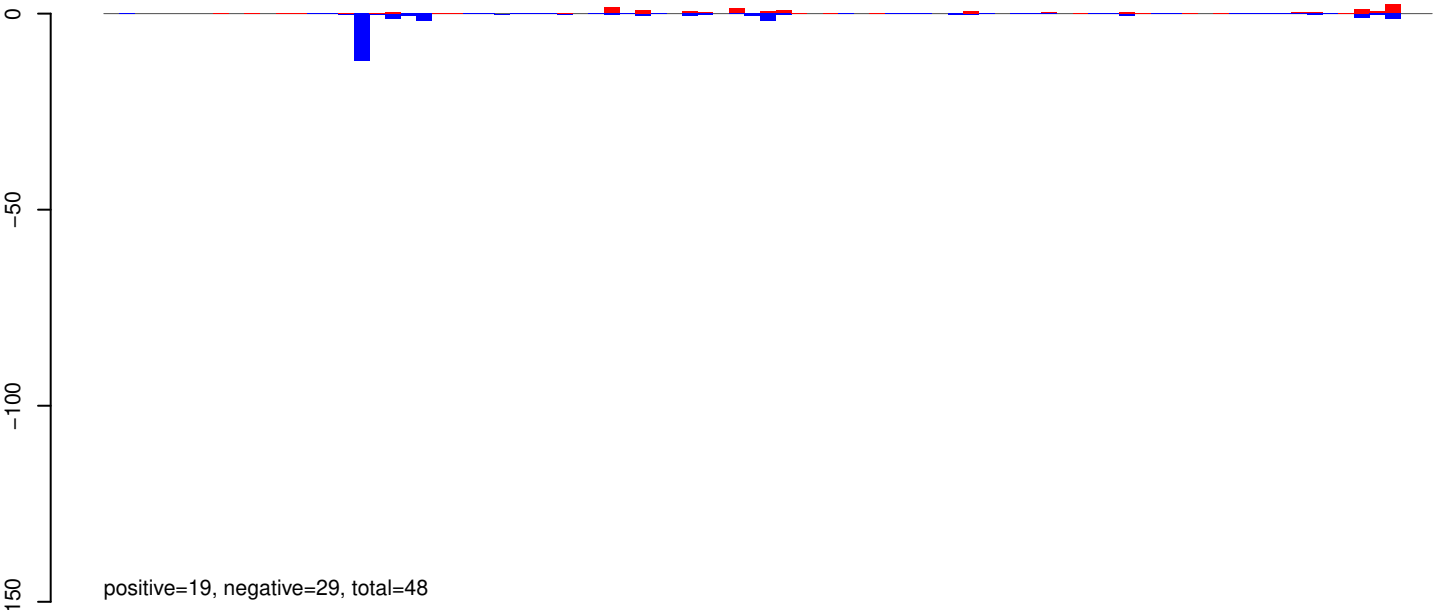
AeAeg_Aag2_Ago2_SINV_RA.24_35.rep



AeAeg_Aag2_Ago2_SINV_RA.rep



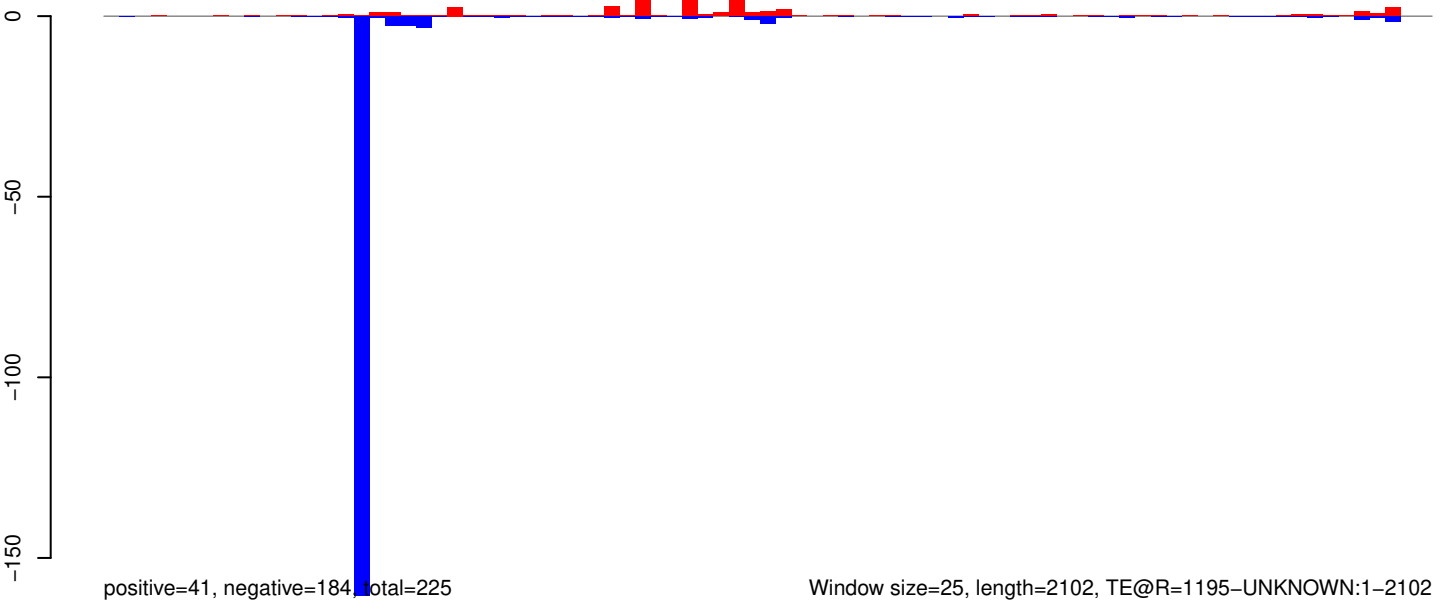
AeAeg_Aag2_Ago2_SINV_RA.18_23.rep



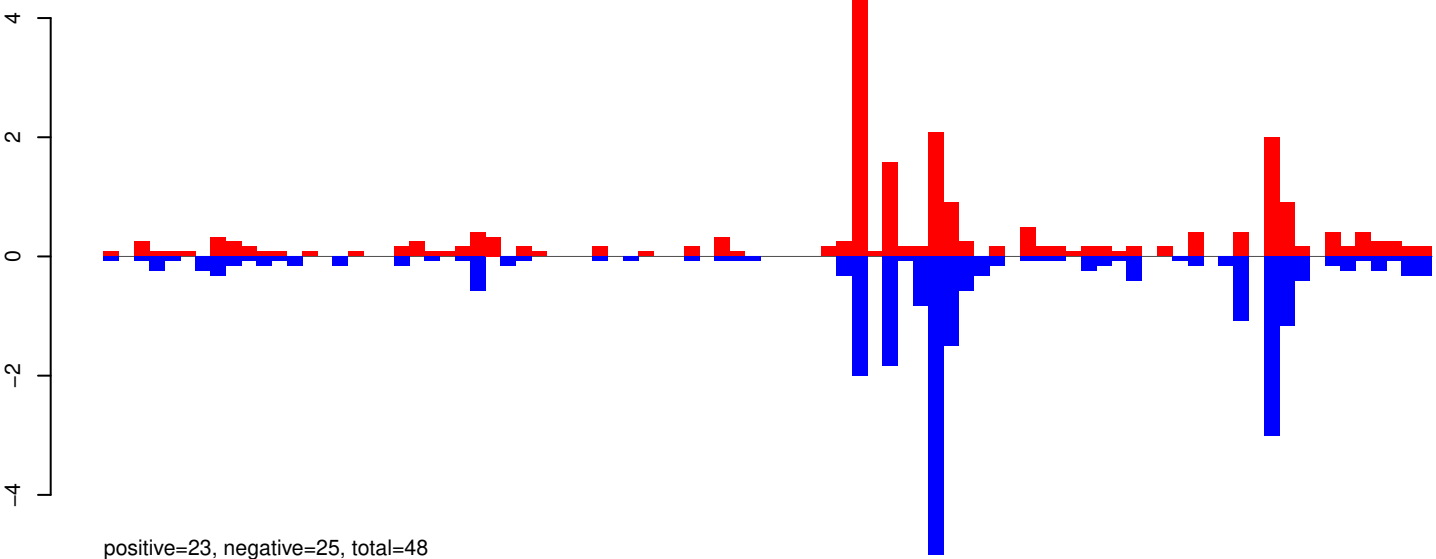
AeAeg_Aag2_Ago2_SINV_RA.24_35.rep



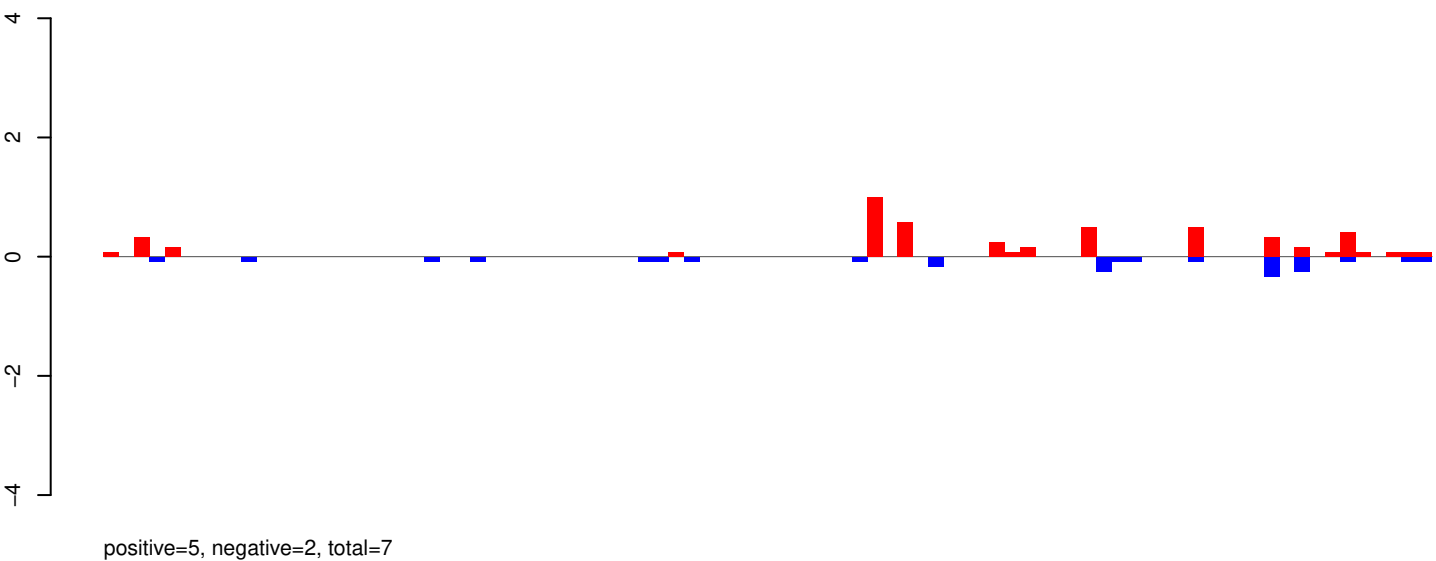
AeAeg_Aag2_Ago2_SINV_RA.rep



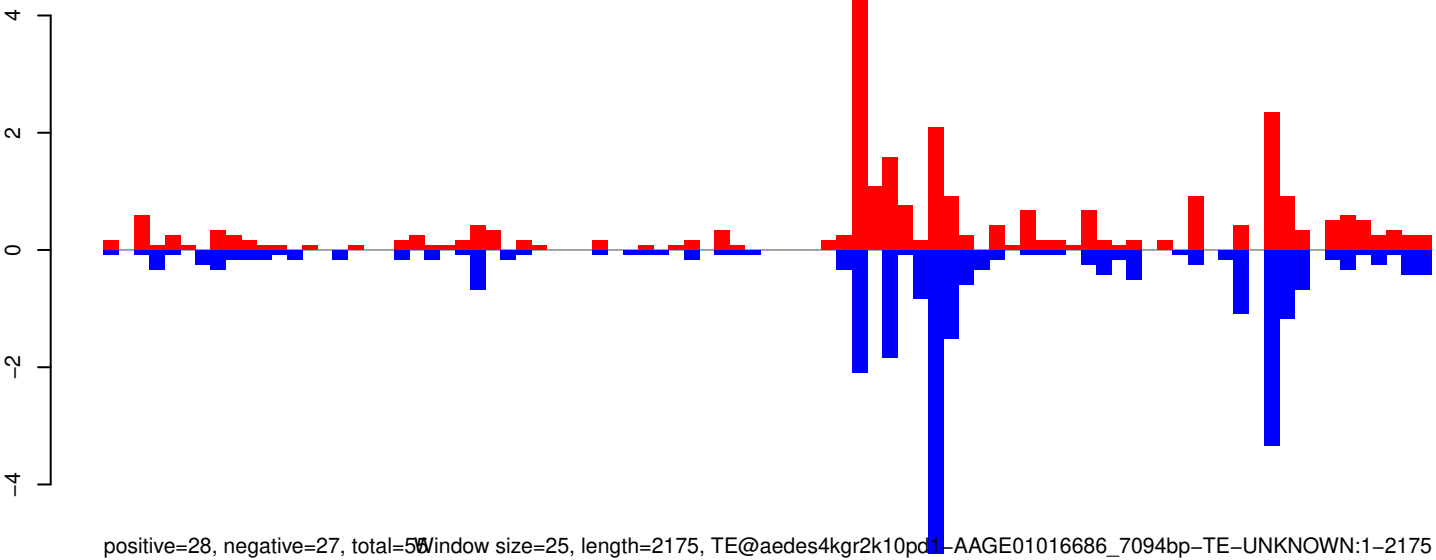
AeAeg_Aag2_Ago2_SINV_RA.18_23.rep



AeAeg_Aag2_Ago2_SINV_RA.24_35.rep

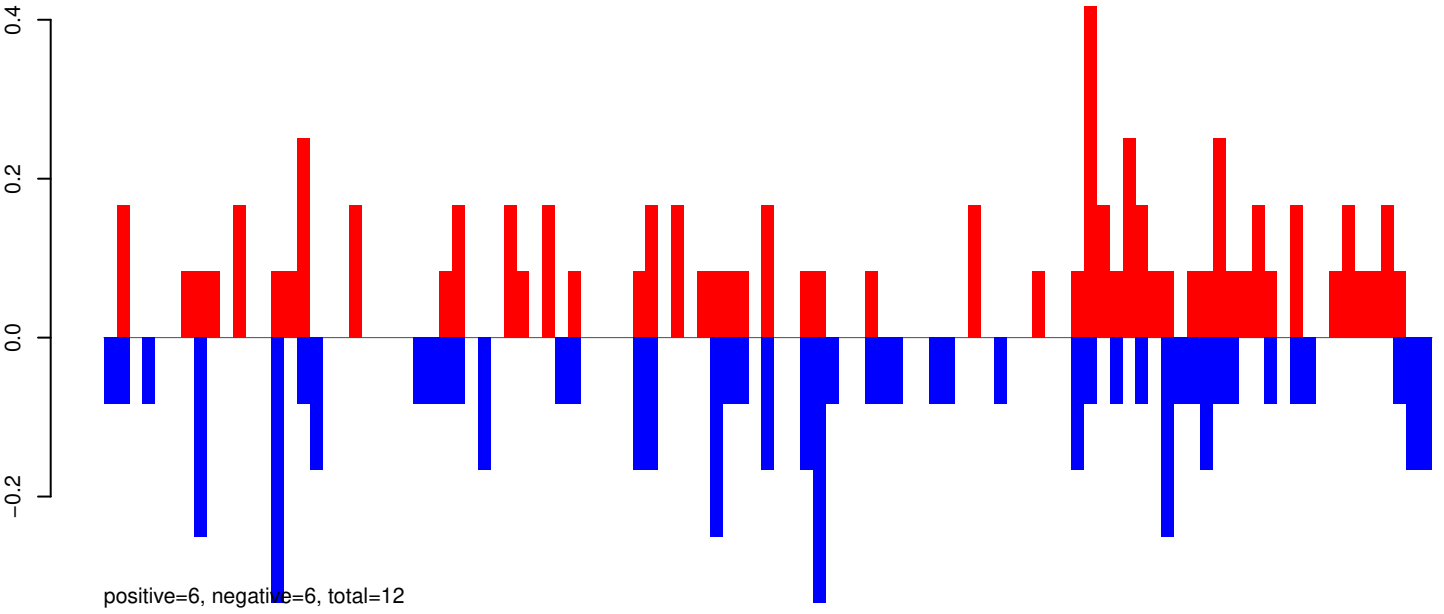


AeAeg_Aag2_Ago2_SINV_RA.rep

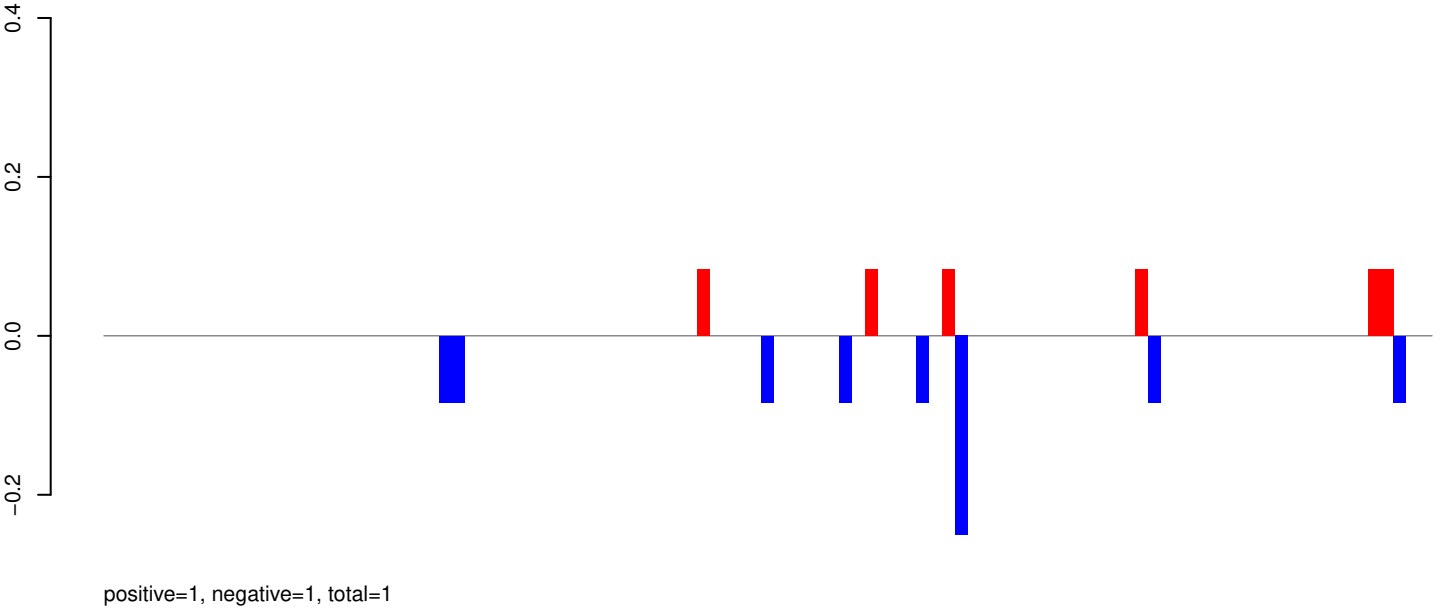


Window size=25, length=2175, TE@aedes4kgr2k10pd1-AAGE01016686_7094bp-TE-UNKNOWN:1-2175

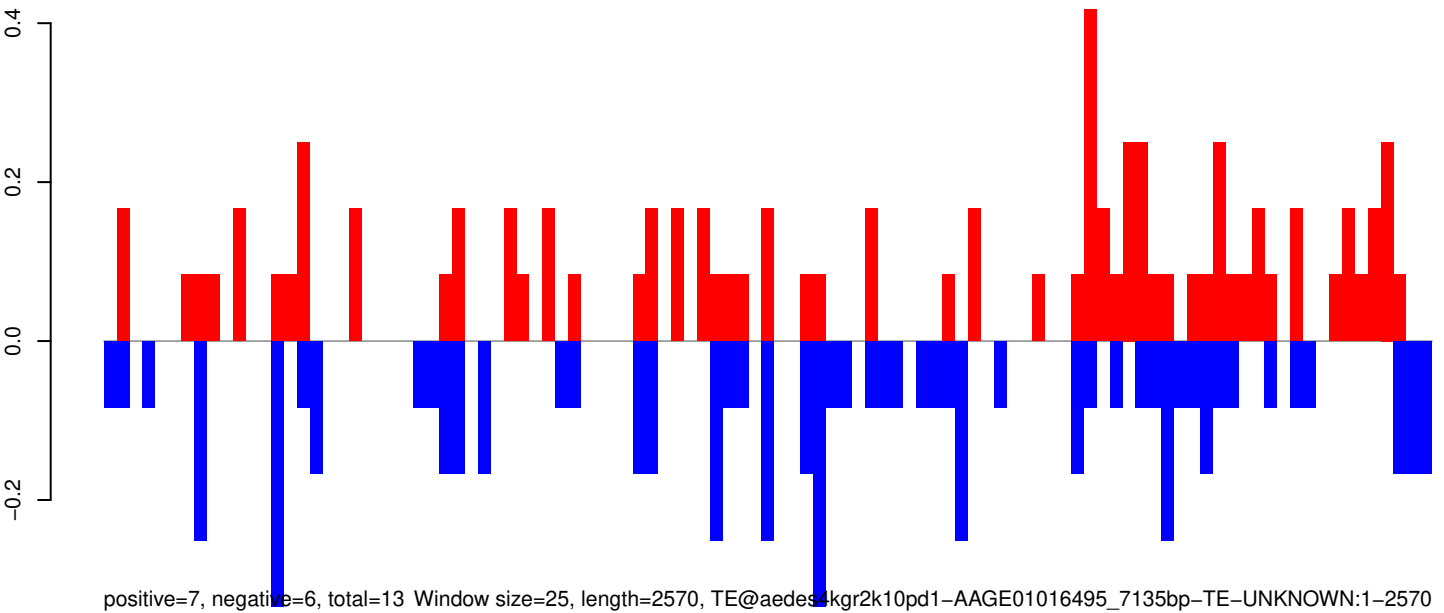
AeAeg_Aag2_Ago2_SINV_RA.18_23.rep



AeAeg_Aag2_Ago2_SINV_RA.24_35.rep

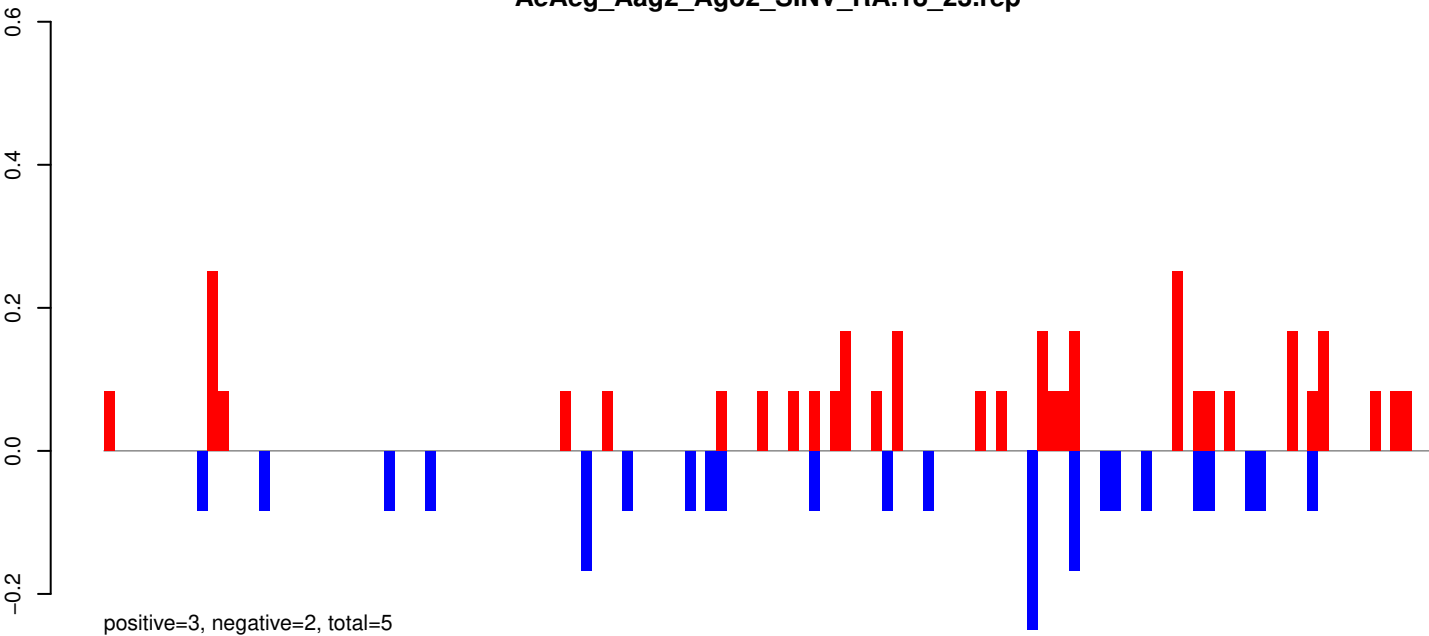


AeAeg_Aag2_Ago2_SINV_RA.rep

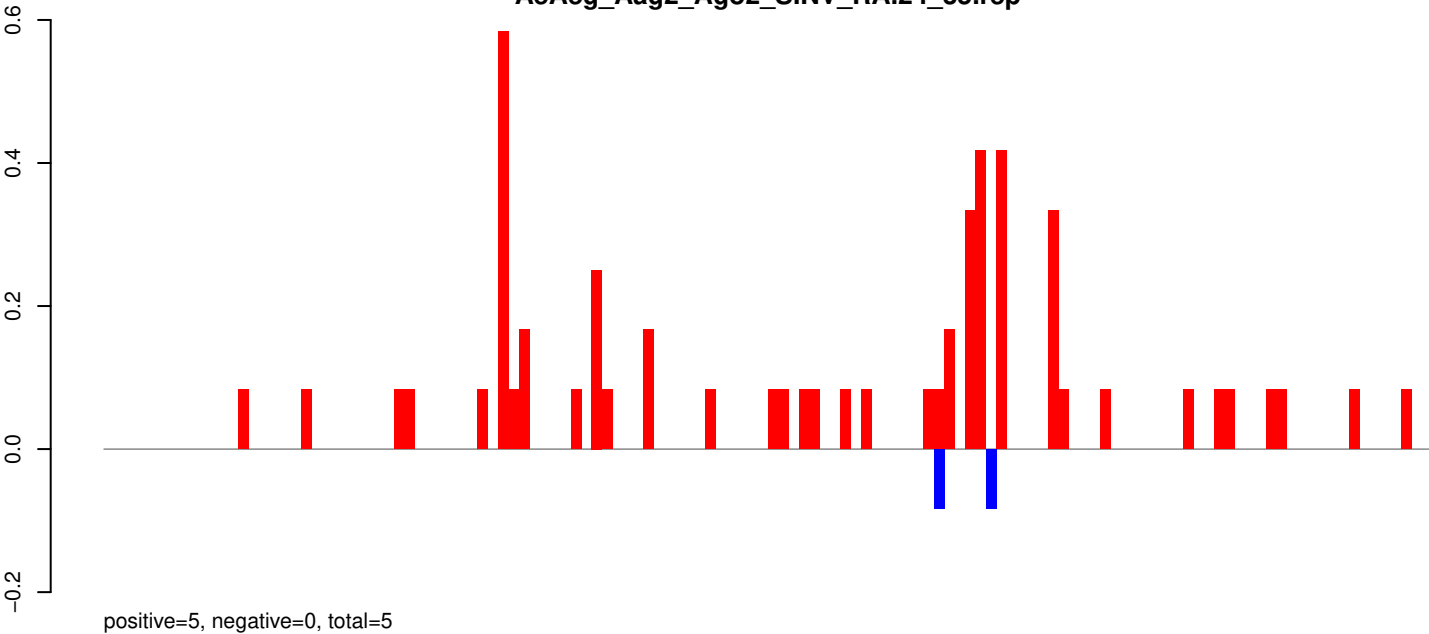


0 500 1000 1500 2000 2500

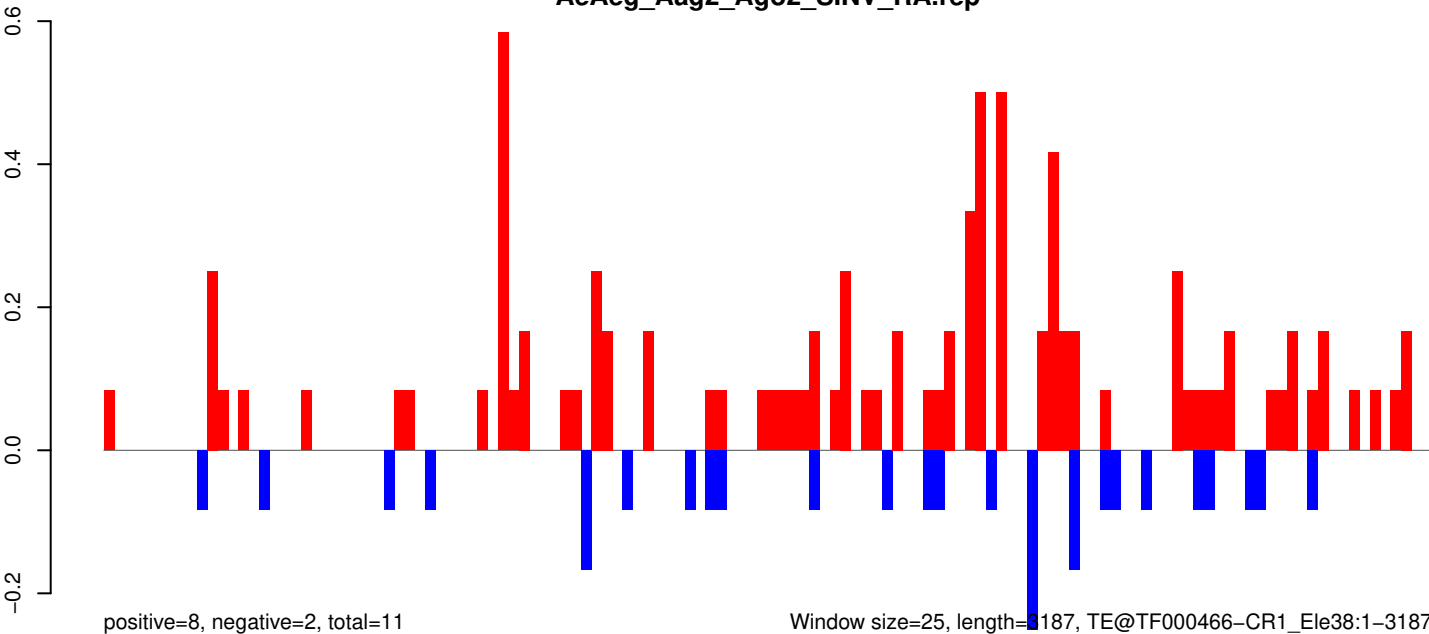
AeAeg_Aag2_Ago2_SINV_RA.18_23.rep



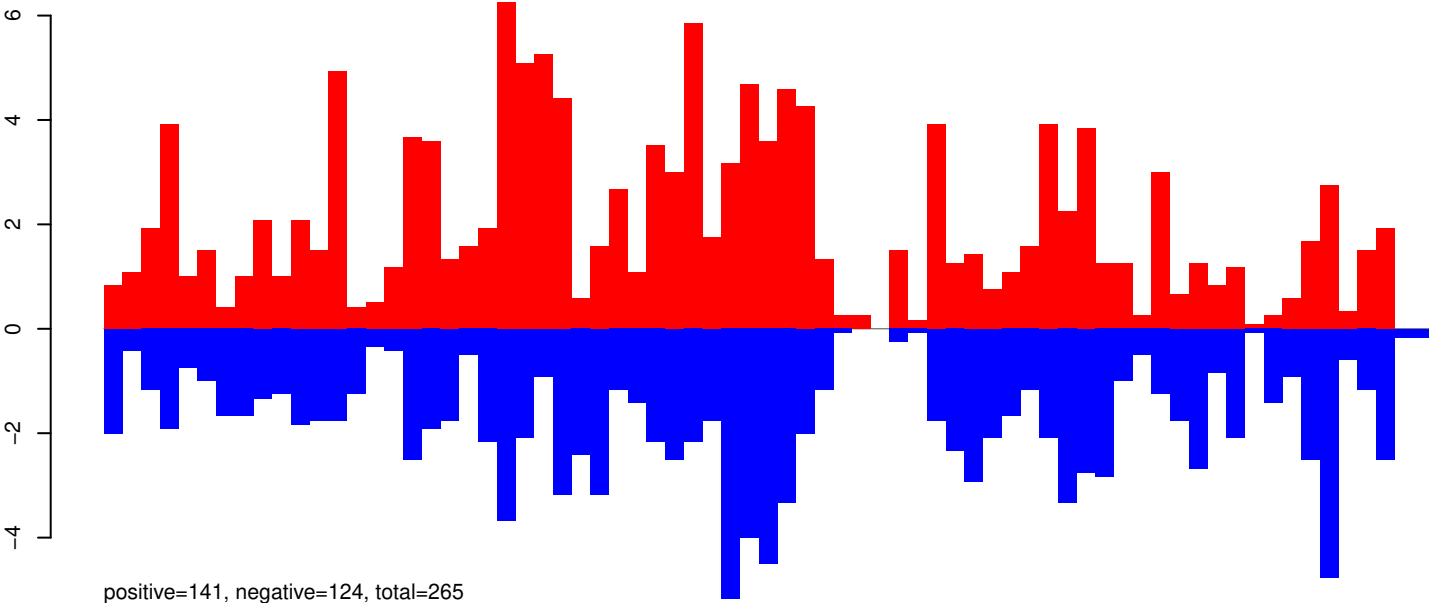
AeAeg_Aag2_Ago2_SINV_RA.24_35.rep



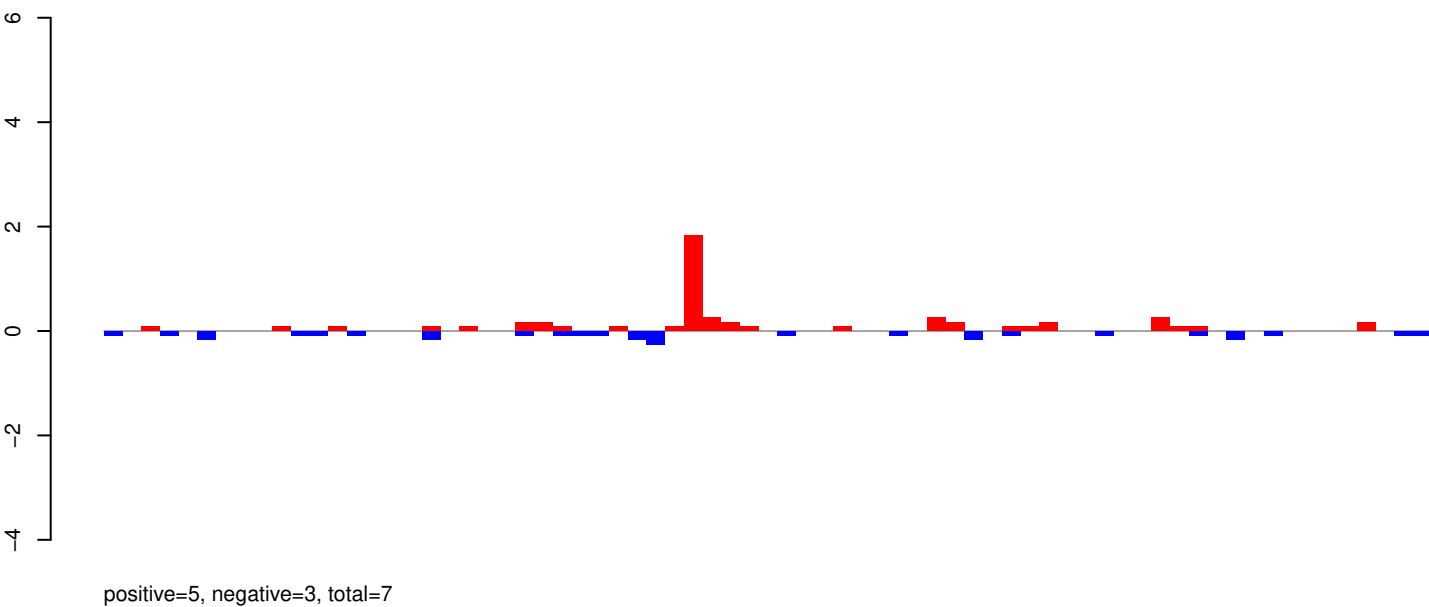
AeAeg_Aag2_Ago2_SINV_RA.rep



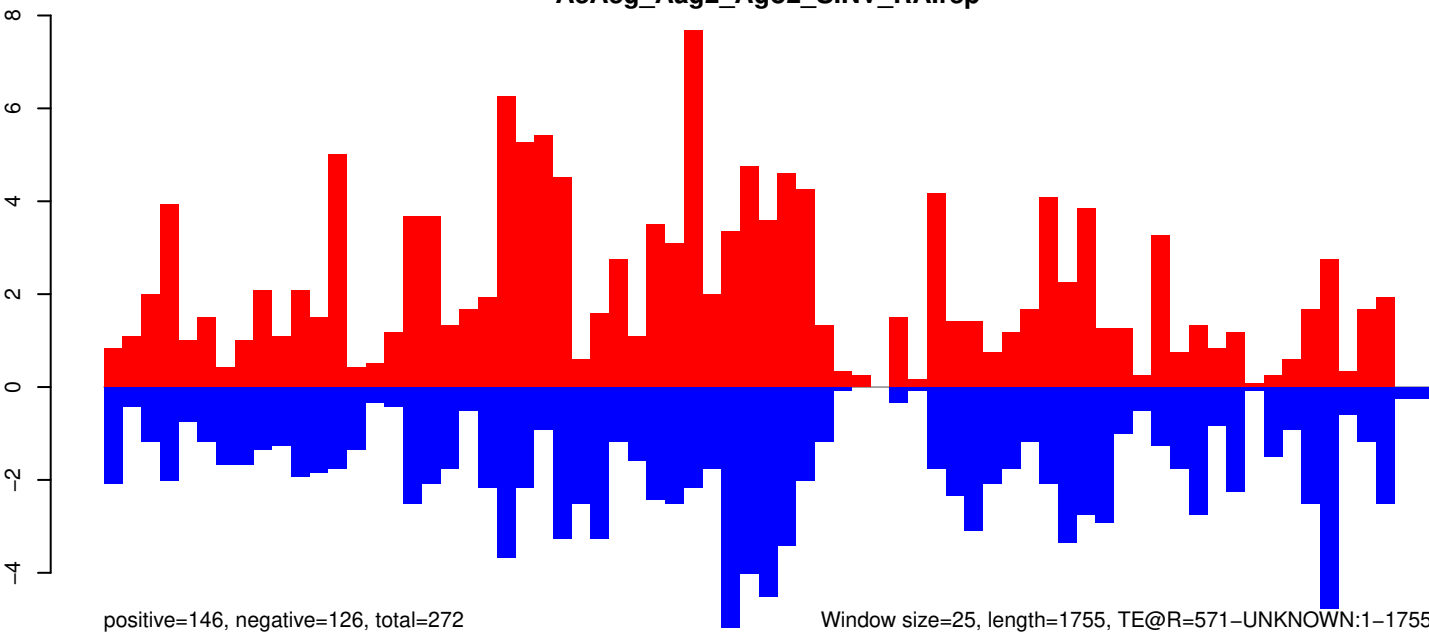
AeAeg_Aag2_Ago2_SINV_RA.18_23.rep



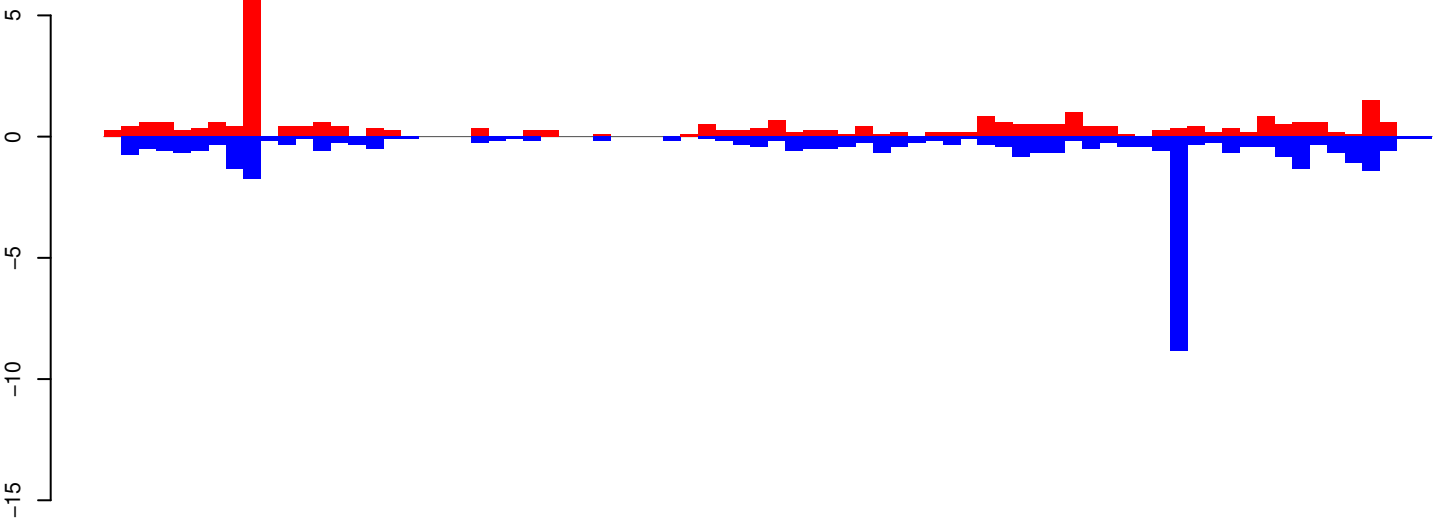
AeAeg_Aag2_Ago2_SINV_RA.24_35.rep



AeAeg_Aag2_Ago2_SINV_RA.rep

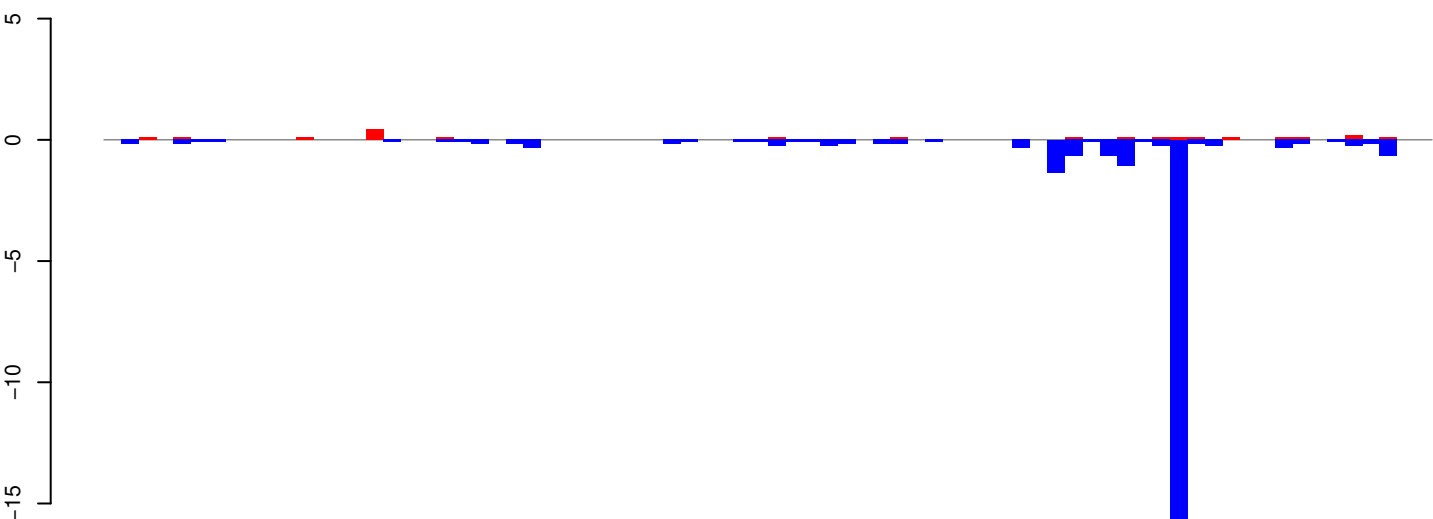


AeAeg_Aag2_Ago2_SINV_RA.18_23.rep



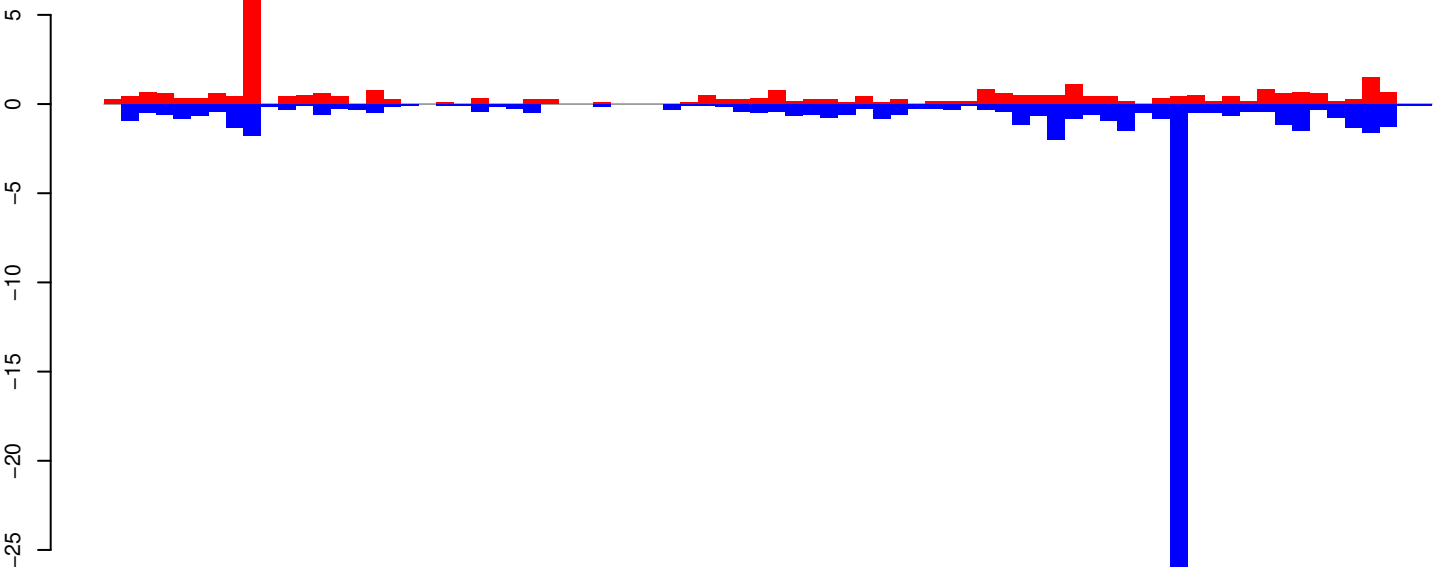
positive=28, negative=38, total=66

AeAeg_Aag2_Ago2_SINV_RA.24_35.rep



positive=2, negative=28, total=30

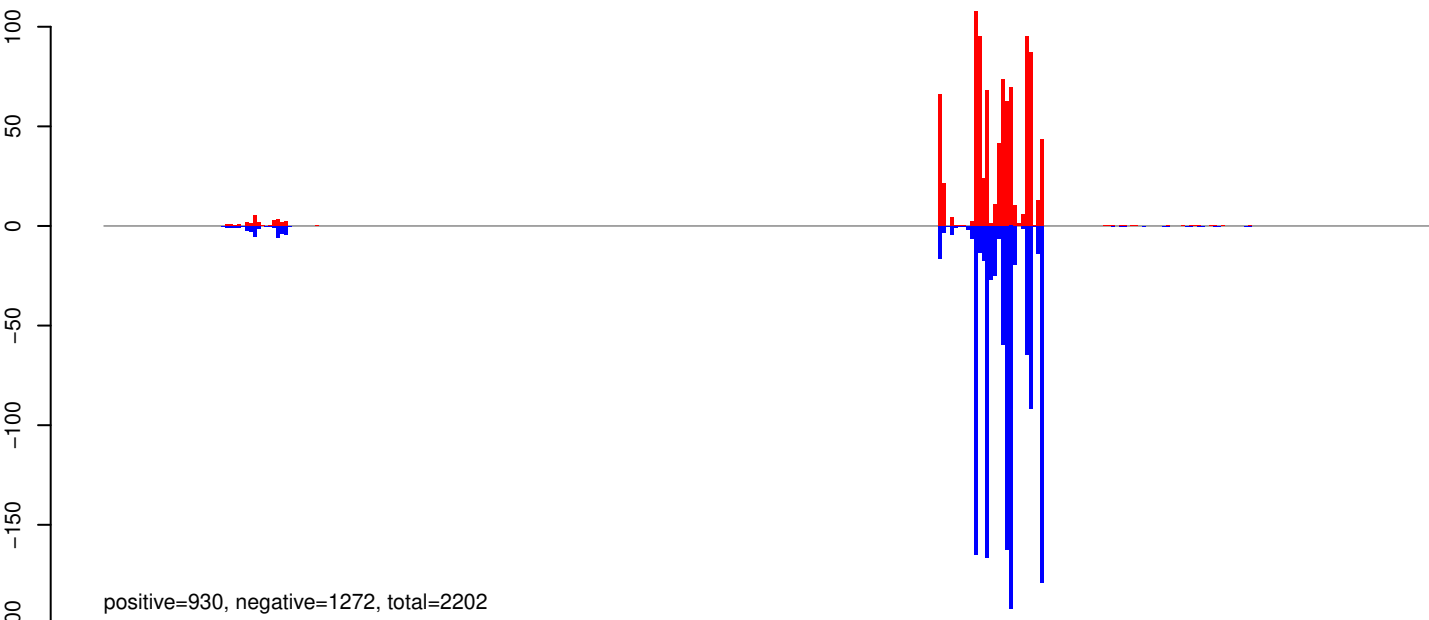
AeAeg_Aag2_Ago2_SINV_RA.rep



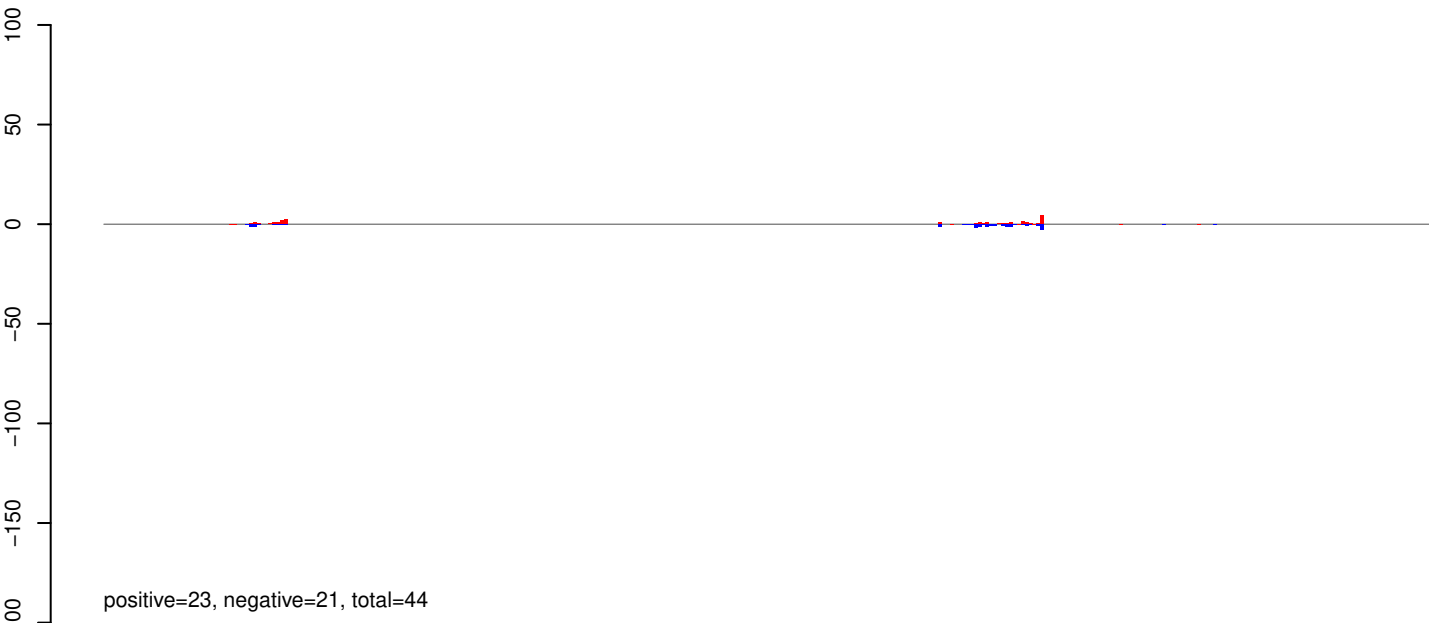
positive=30, negative=66, total=96

Window size=25, length=1883, TE@B=496-UNKNOWN:1-1883

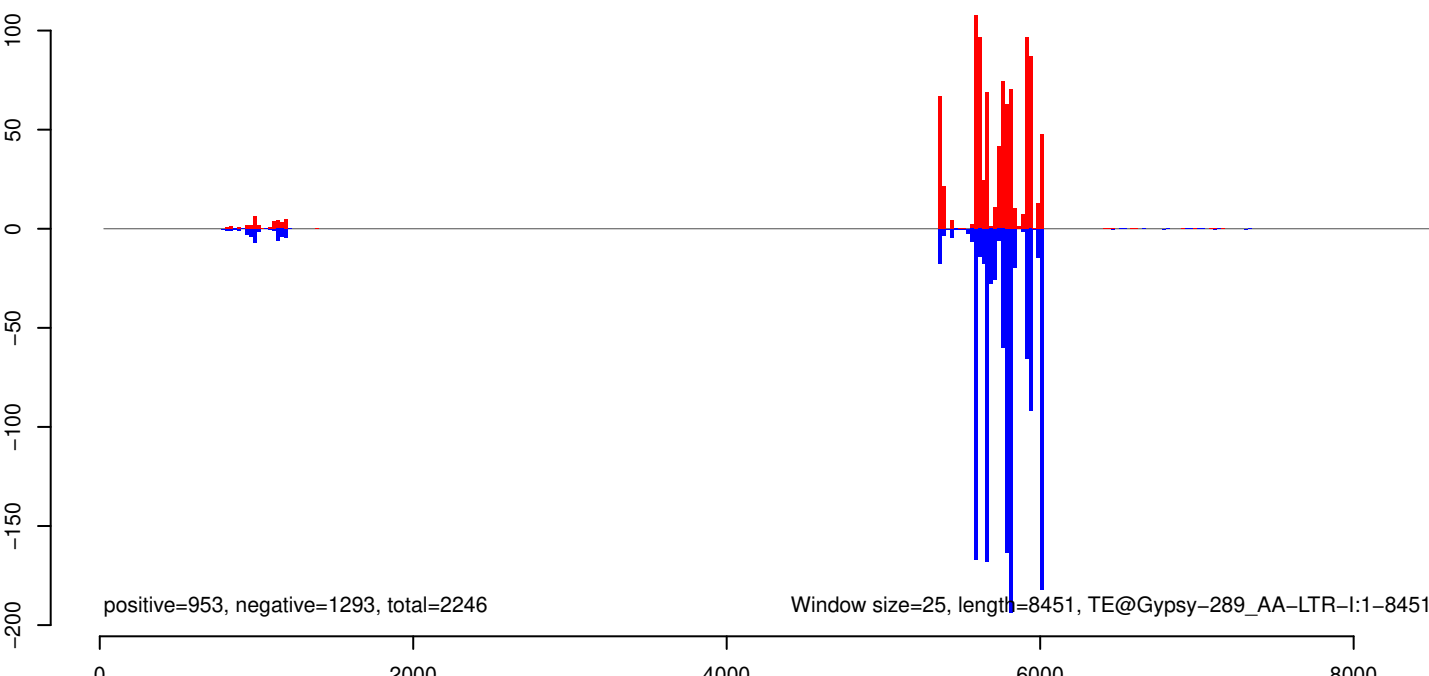
AeAeg_Aag2_Ago2_SINV_RA.18_23.rep



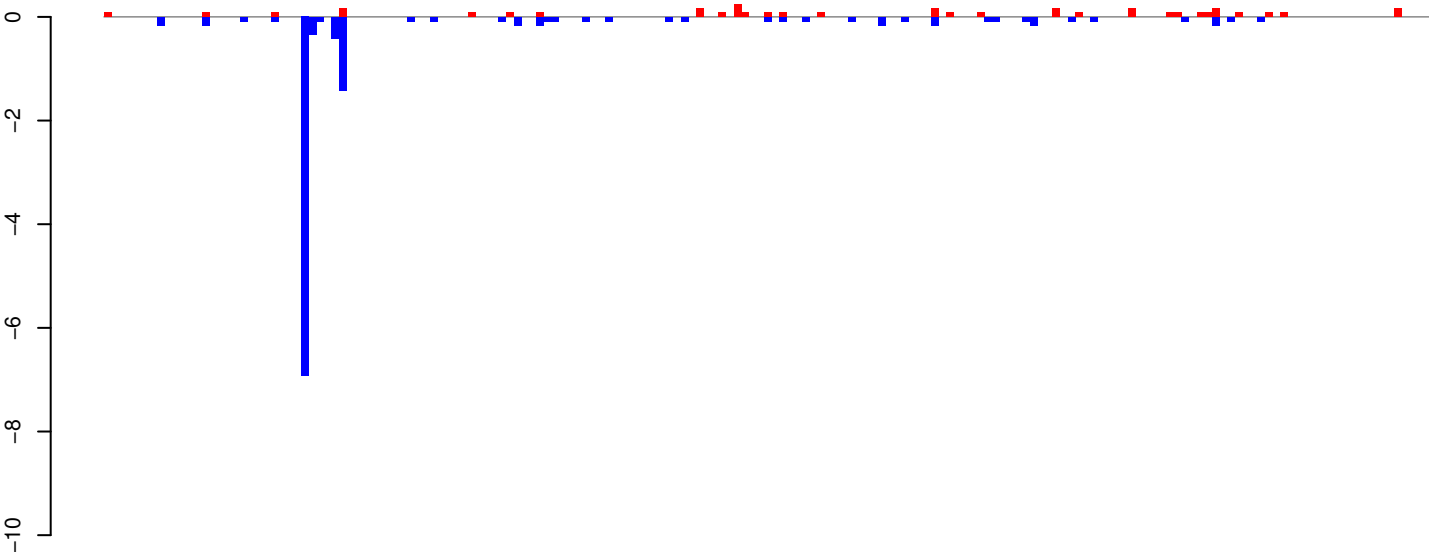
AeAeg_Aag2_Ago2_SINV_RA.24_35.rep



AeAeg_Aag2_Ago2_SINV_RA.rep

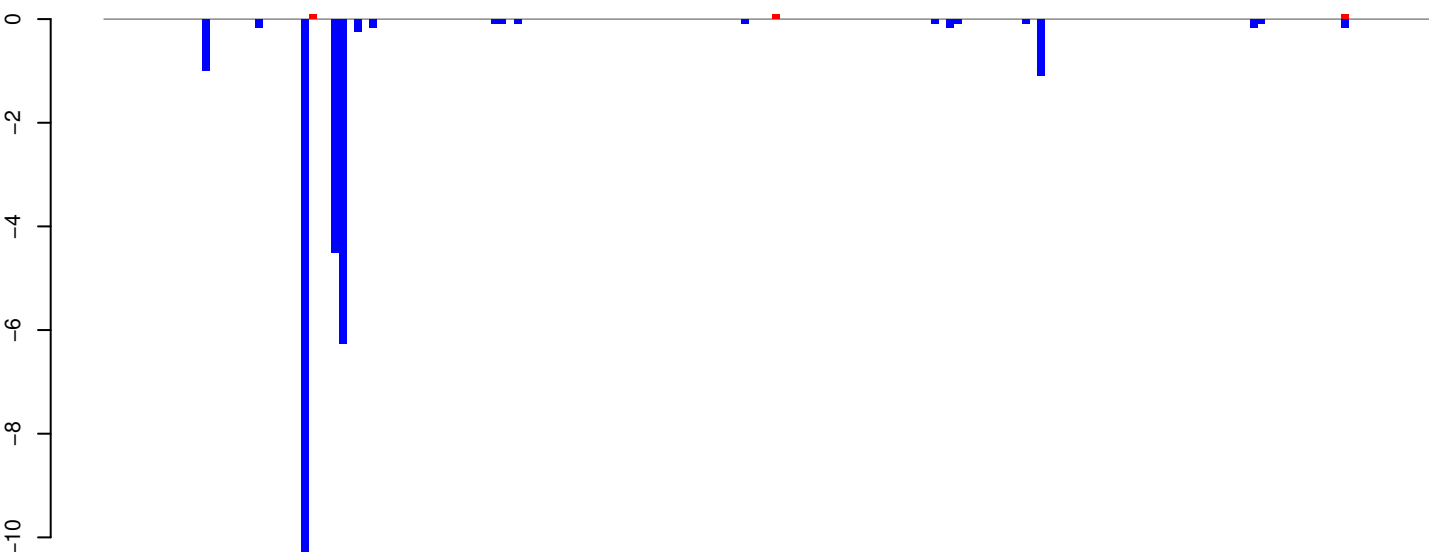


AeAeg_Aag2_Ago2_SINV_RA.18_23.rep



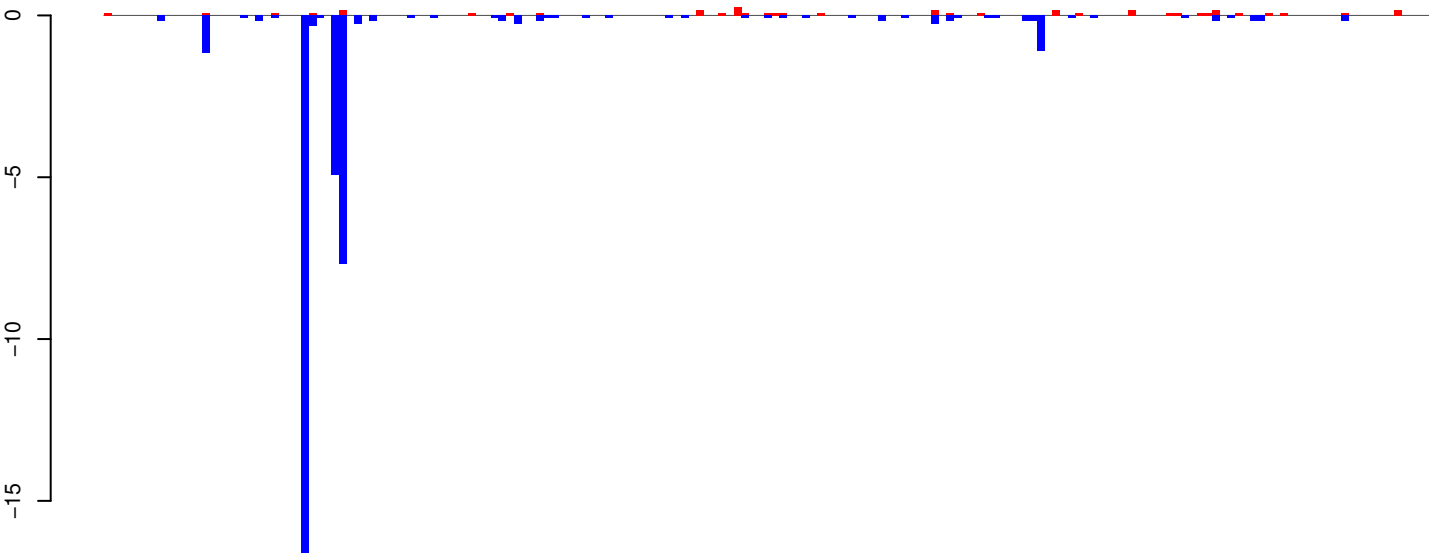
positive=3, negative=13, total=16

AeAeg_Aag2_Ago2_SINV_RA.24_35.rep



positive=0, negative=26, total=26

AeAeg_Aag2_Ago2_SINV_RA.rep

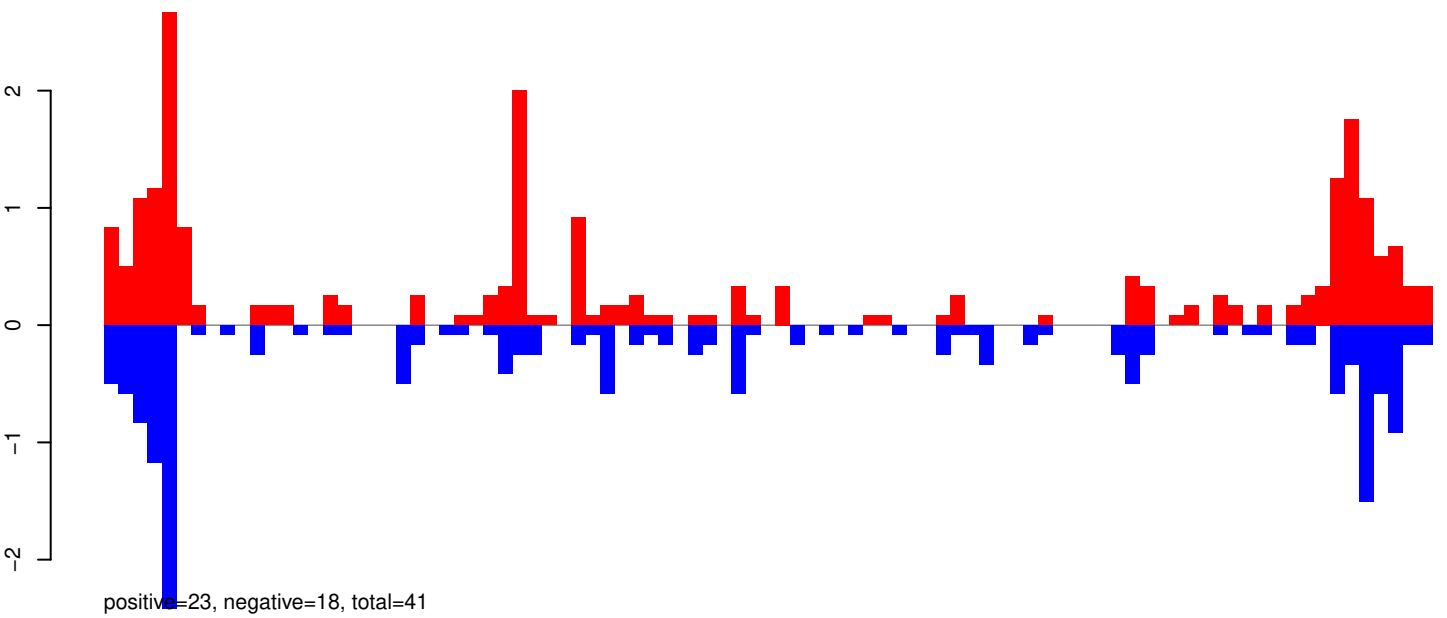


positive=3, negative=38, total=42

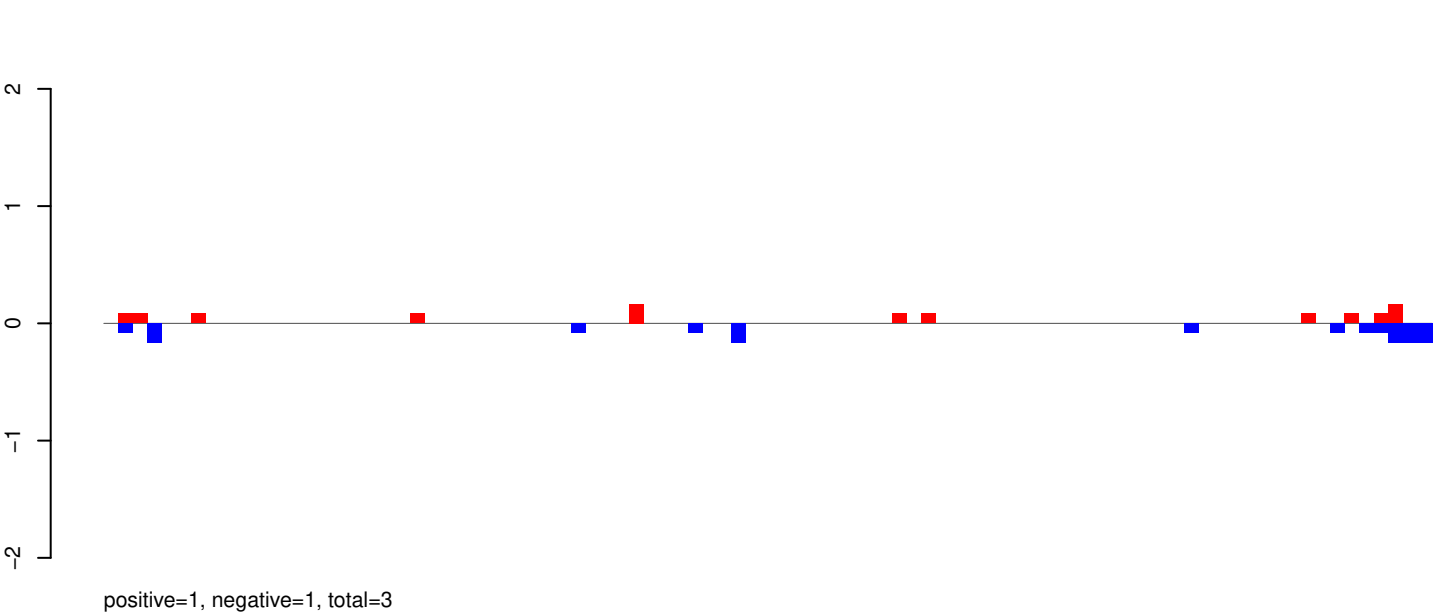
Window size=25, length=4357, TE@TF000440-Jockey_Ele8:1-4357

0 1000 2000 3000 4000

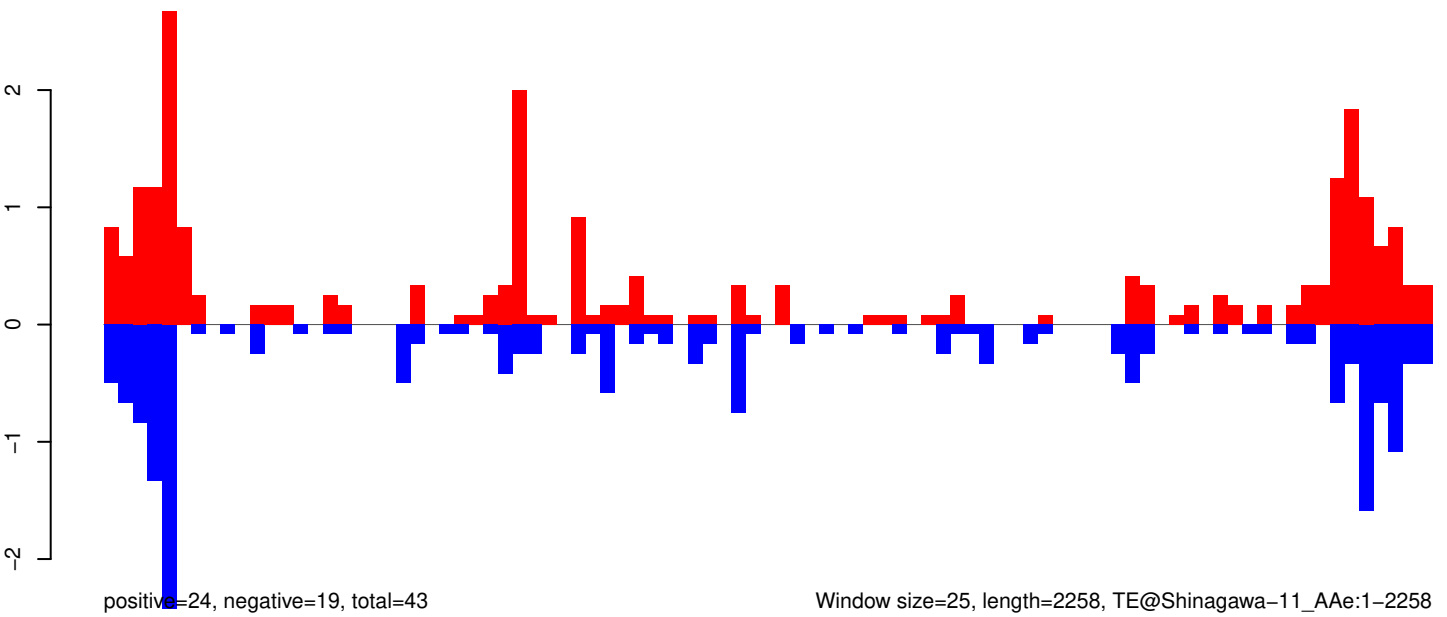
AeAeg_Aag2_Ago2_SINV_RA.18_23.rep



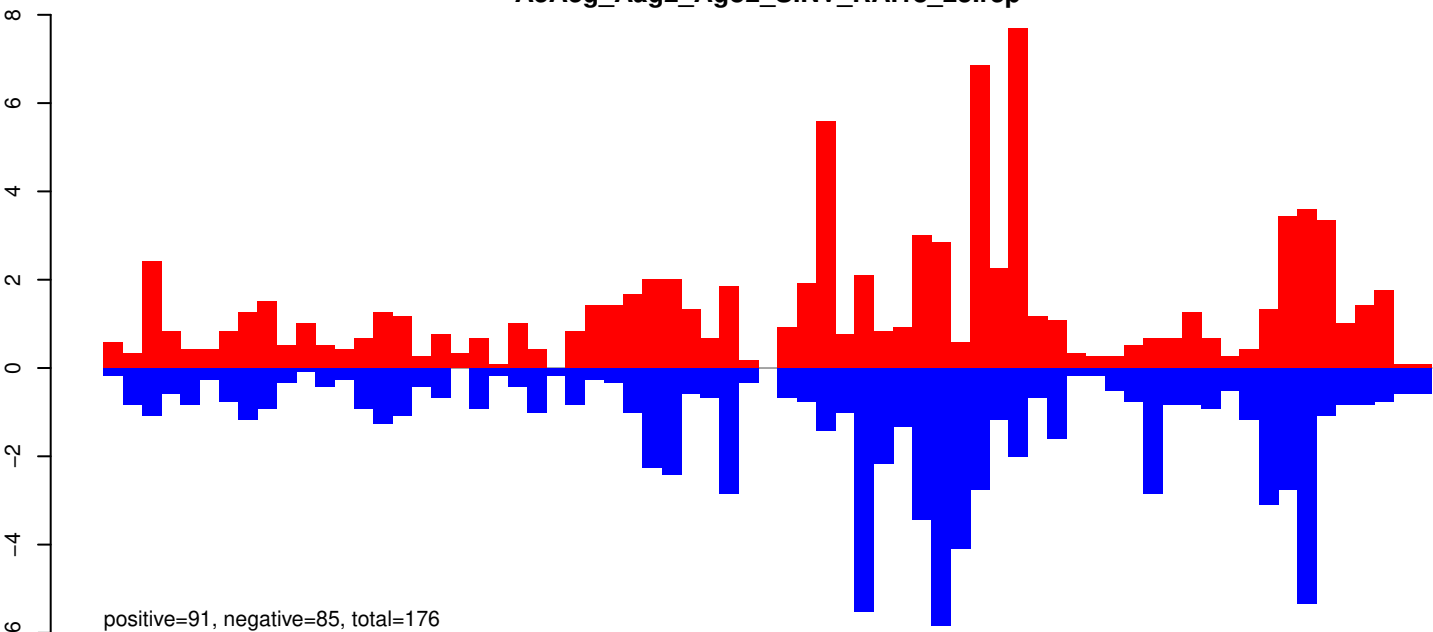
AeAeg_Aag2_Ago2_SINV_RA.24_35.rep



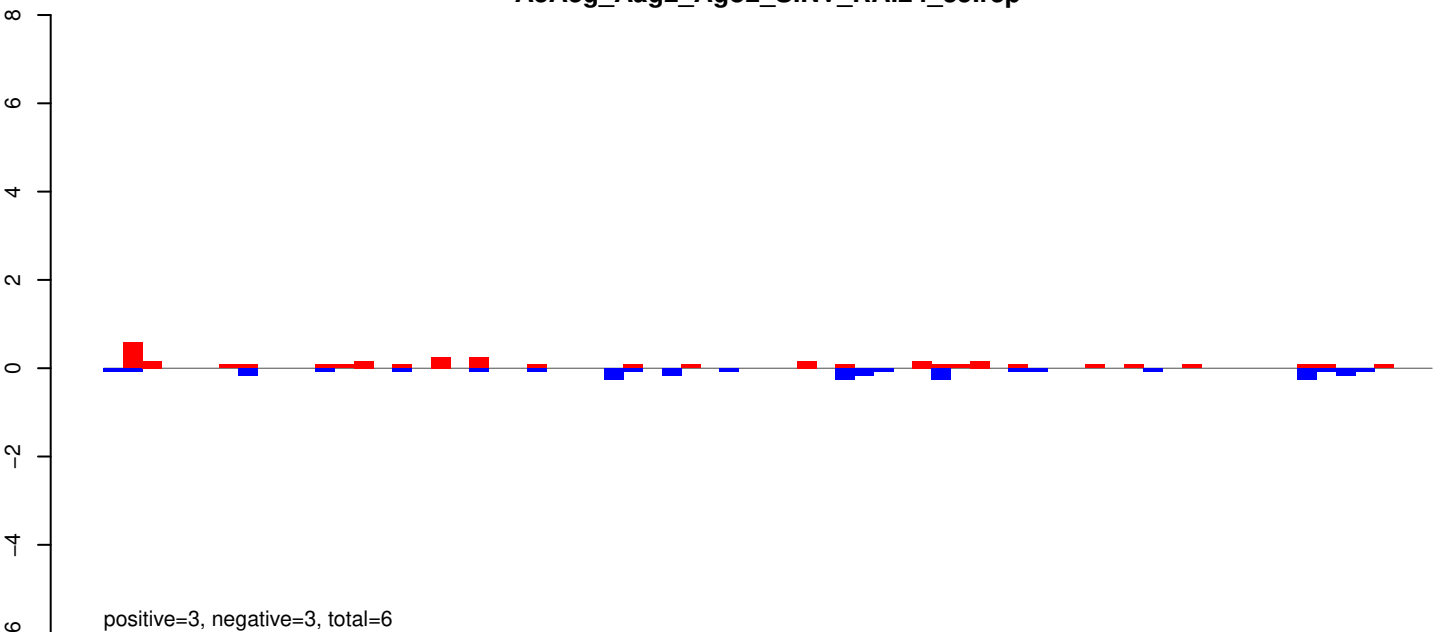
AeAeg_Aag2_Ago2_SINV_RA.rep



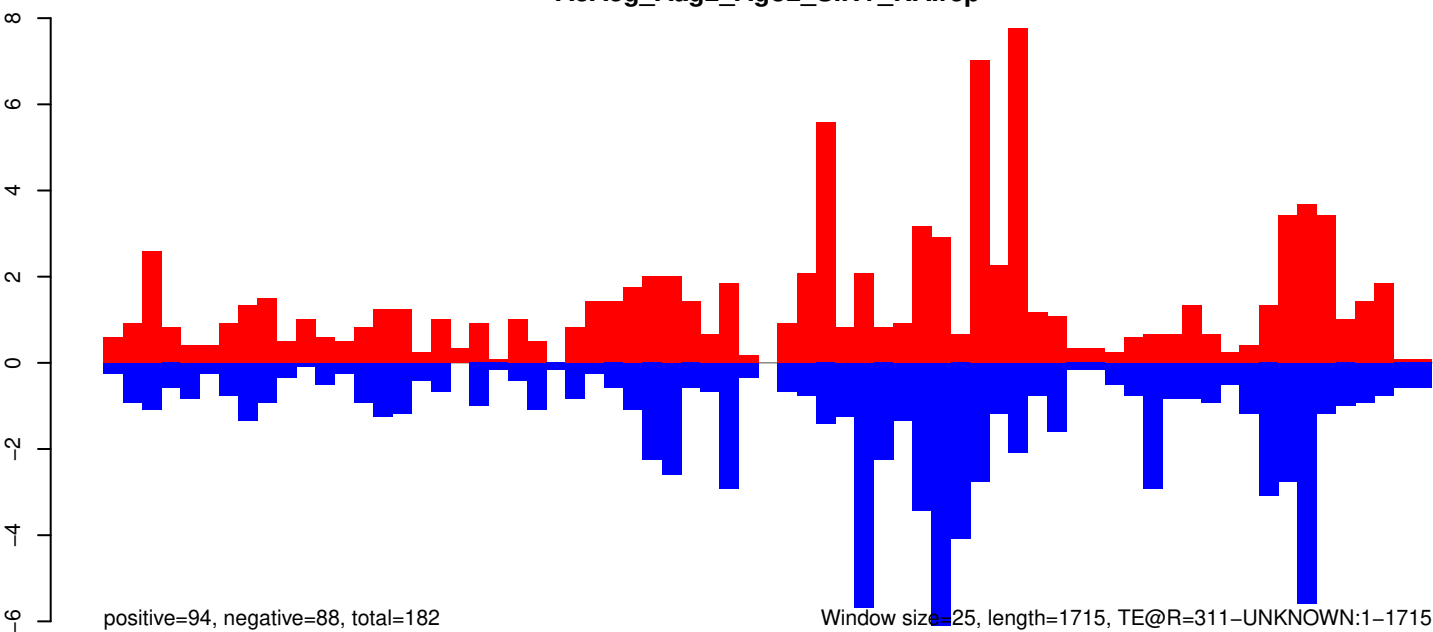
AeAeg_Aag2_Ago2_SINV_RA.18_23.rep



AeAeg_Aag2_Ago2_SINV_RA.24_35.rep

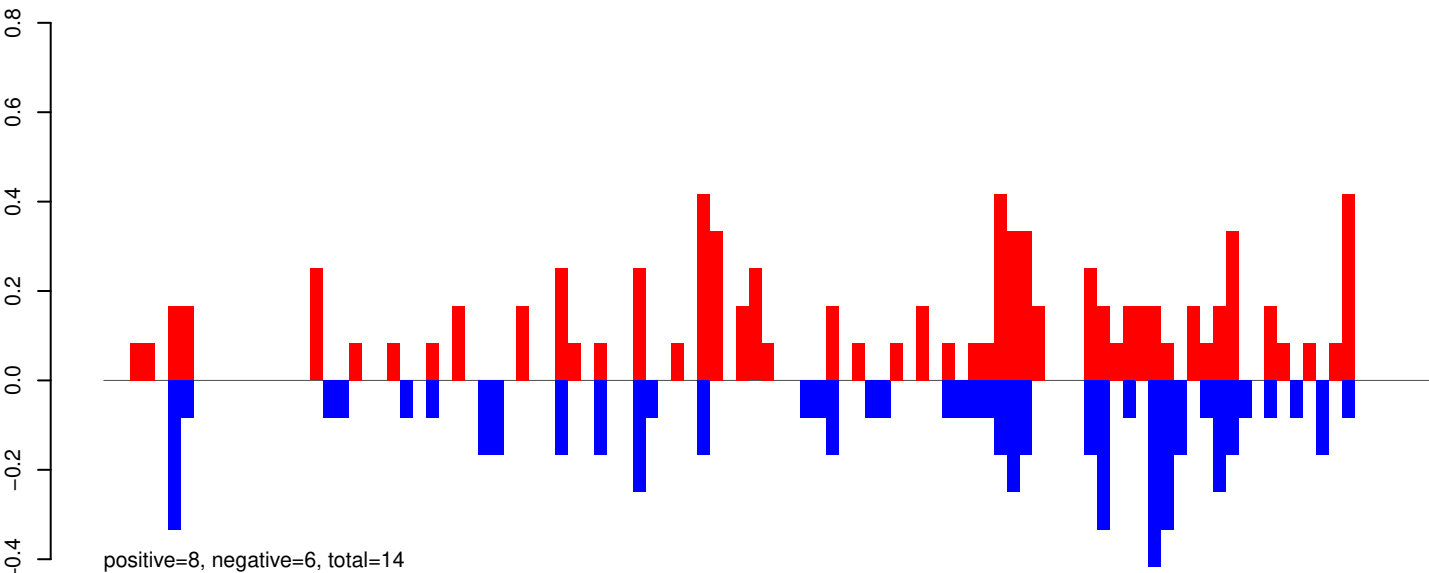


AeAeg_Aag2_Ago2_SINV_RA.rep

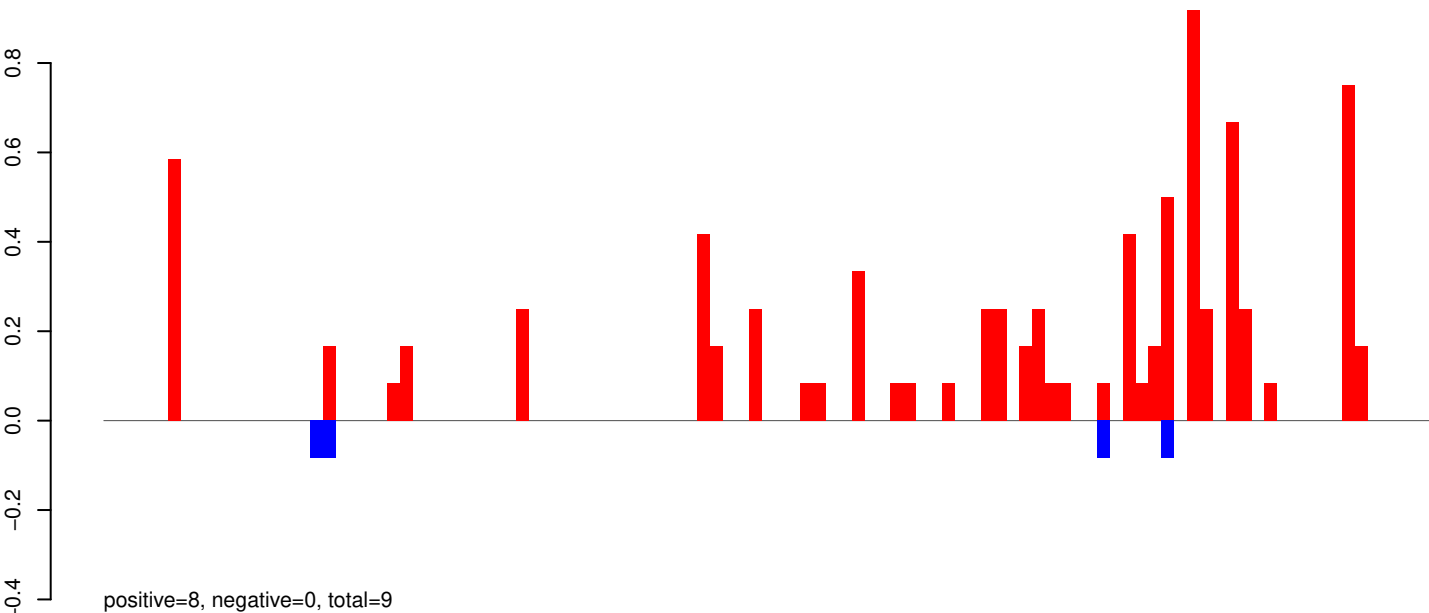


0 500 1000 1500

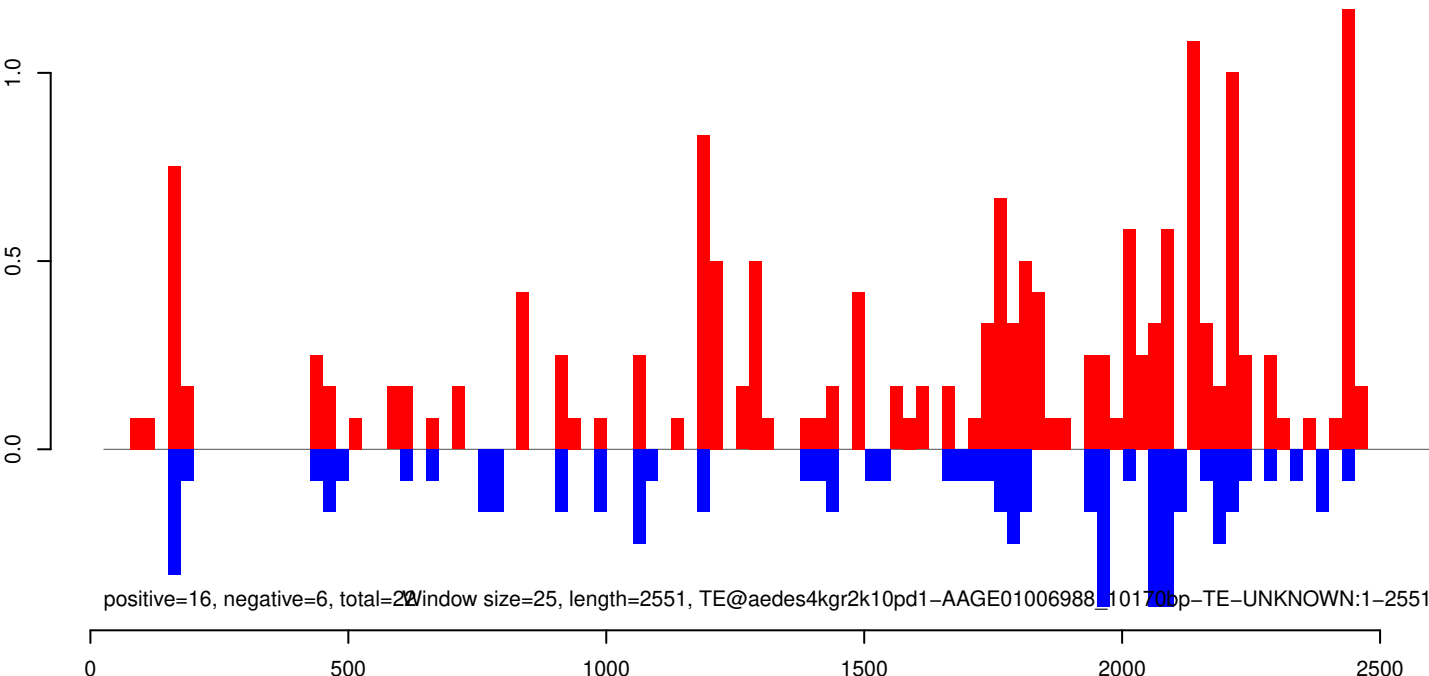
AeAeg_Aag2_Ago2_SINV_RA.18_23.rep



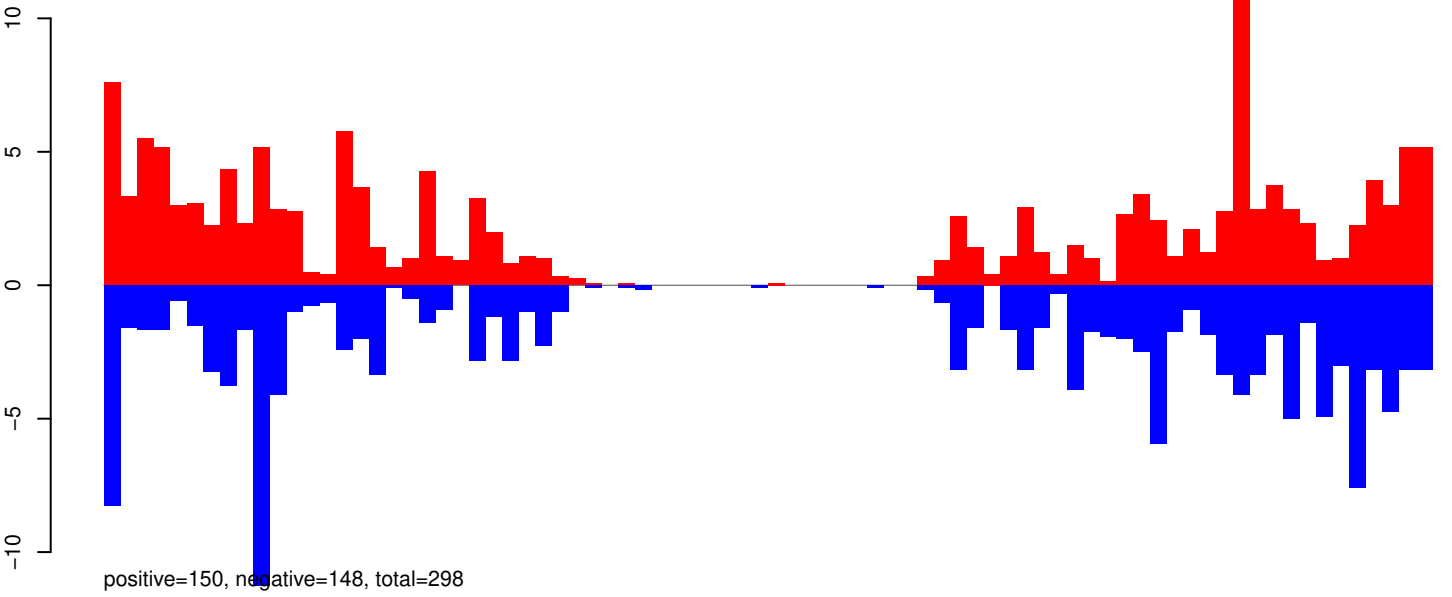
AeAeg_Aag2_Ago2_SINV_RA.24_35.rep



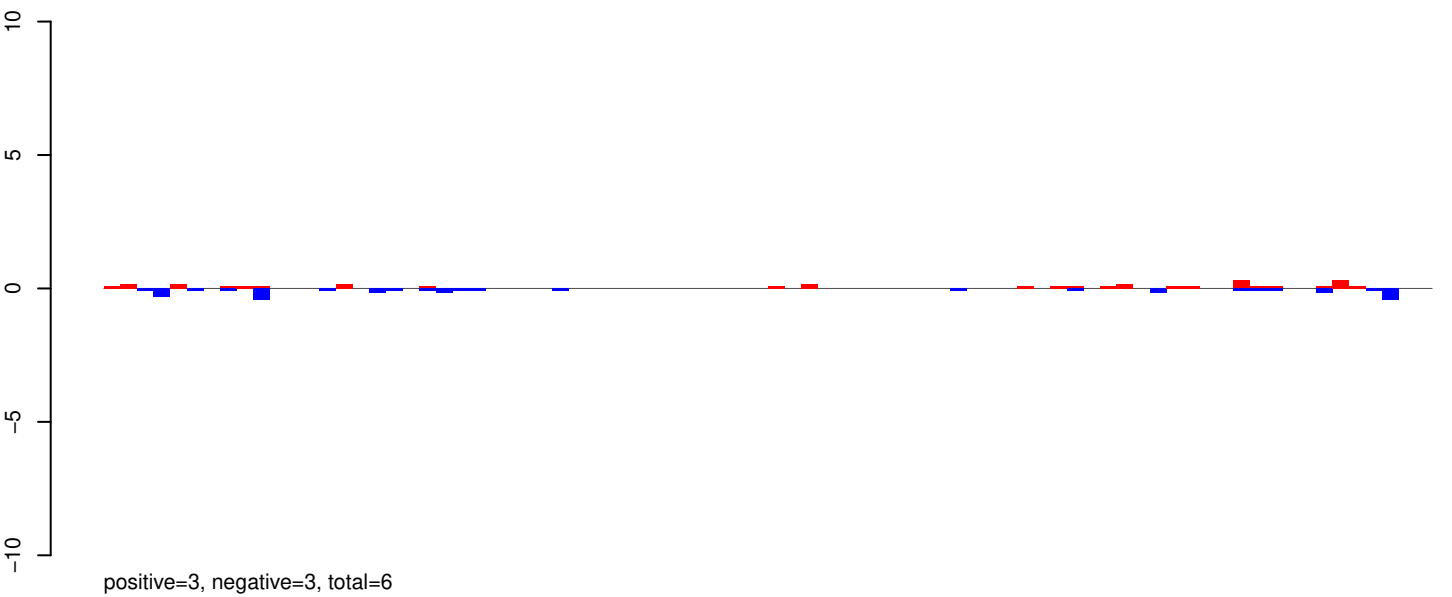
AeAeg_Aag2_Ago2_SINV_RA.rep



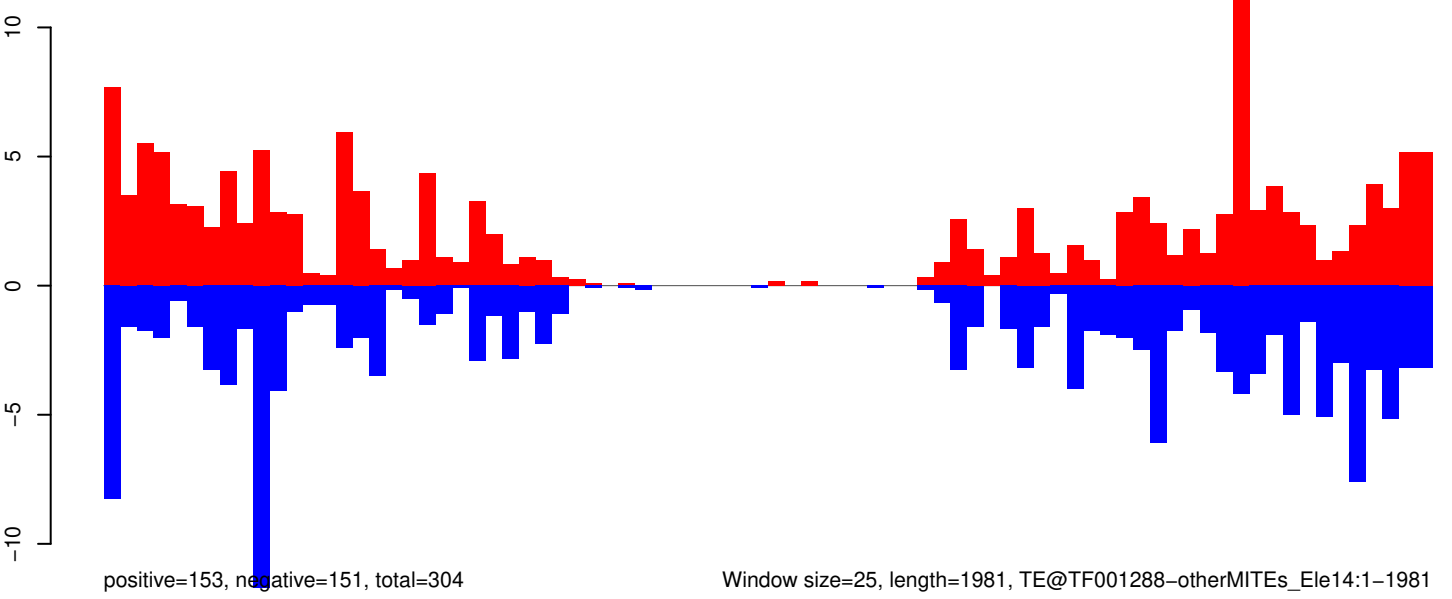
AeAeg_Aag2_Ago2_SINV_RA.18_23.rep



AeAeg_Aag2_Ago2_SINV_RA.24_35.rep



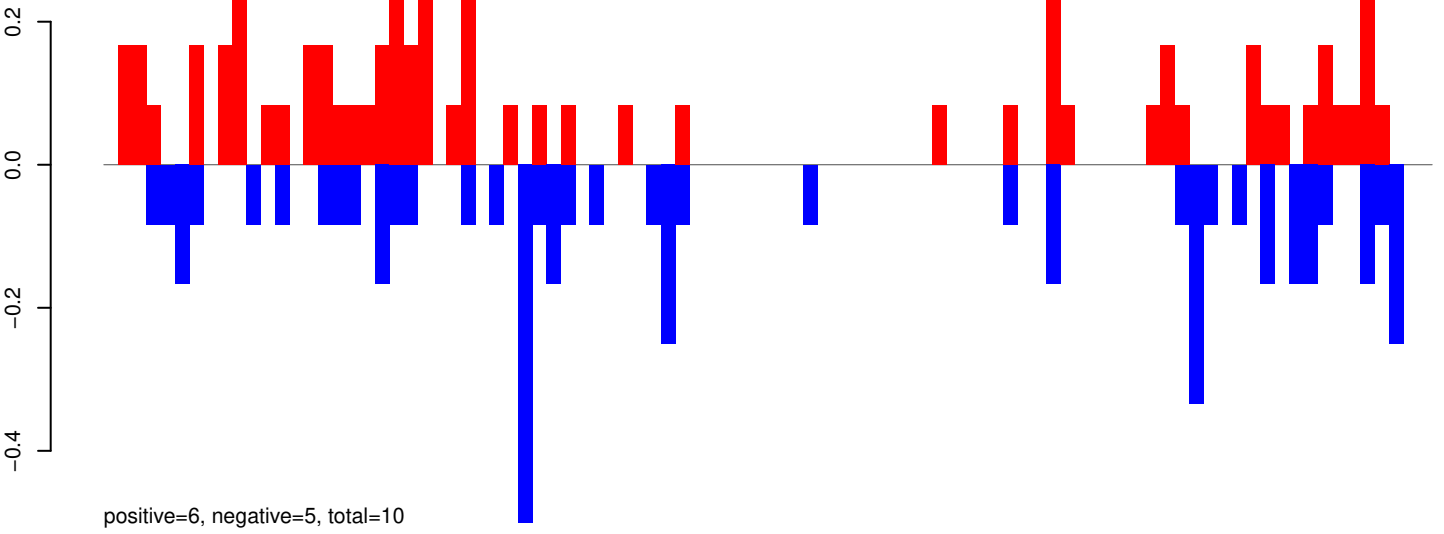
AeAeg_Aag2_Ago2_SINV_RA.rep



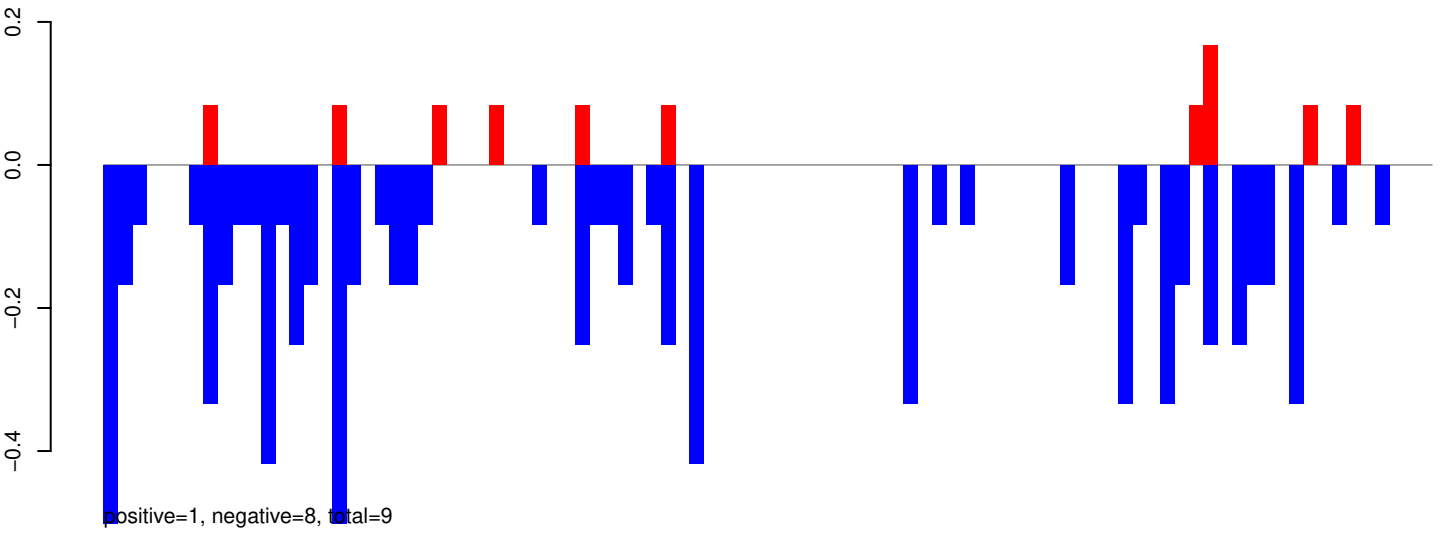
Window size=25, length=1981, TE@TF001288-otherMITEs_Ele14:1-1981

0 500 1000 1500 2000

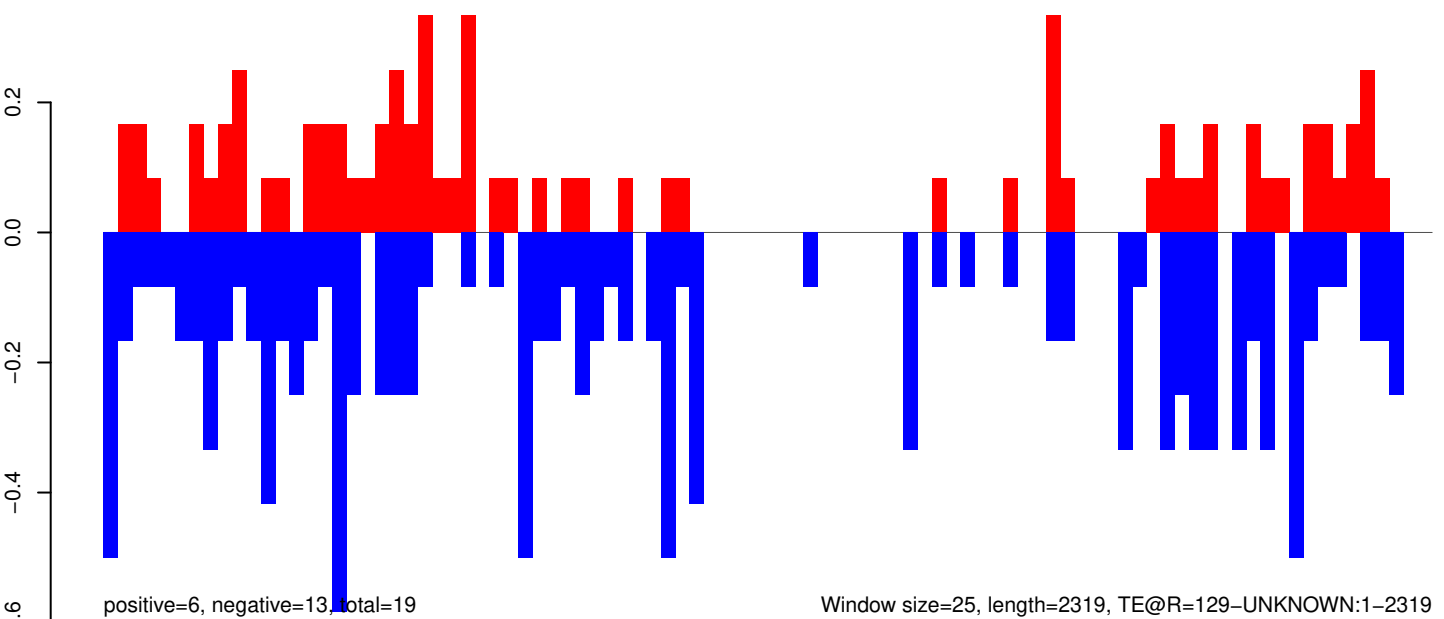
AeAeg_Aag2_Ago2_SINV_RA.18_23.rep



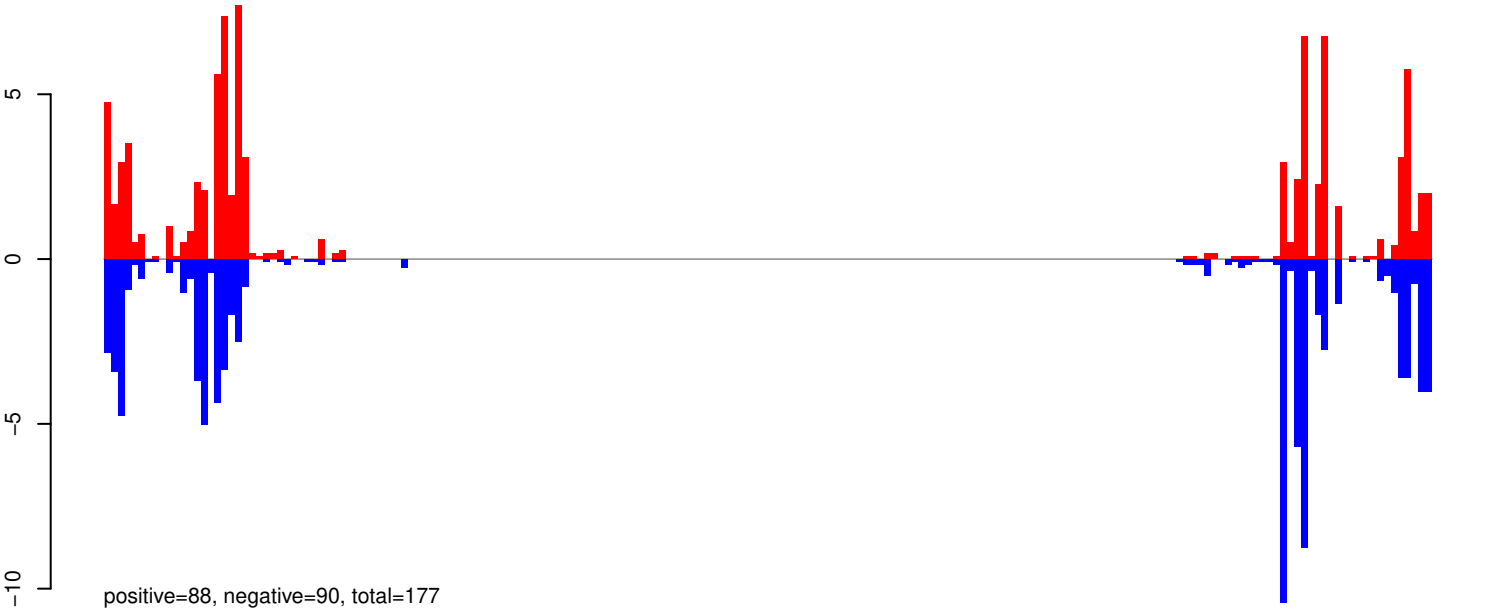
AeAeg_Aag2_Ago2_SINV_RA.24_35.rep



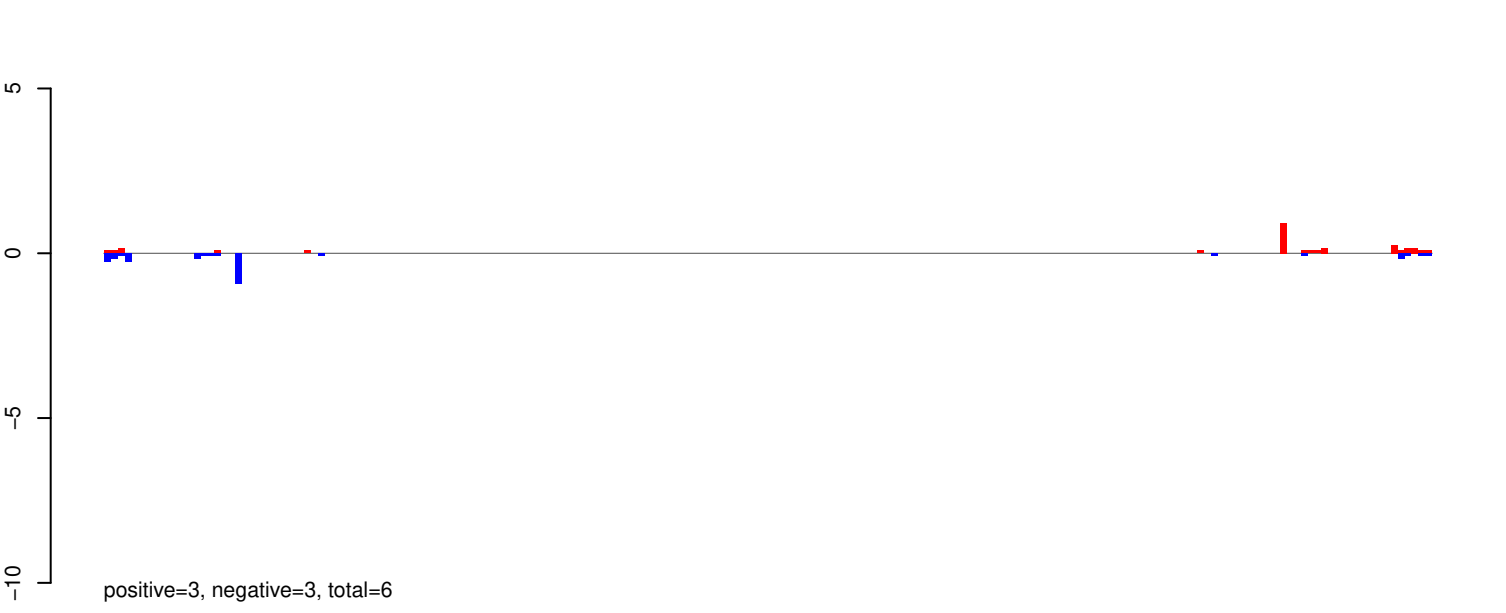
AeAeg_Aag2_Ago2_SINV_RA.rep



AeAeg_Aag2_Ago2_SINV_RA.18_23.rep



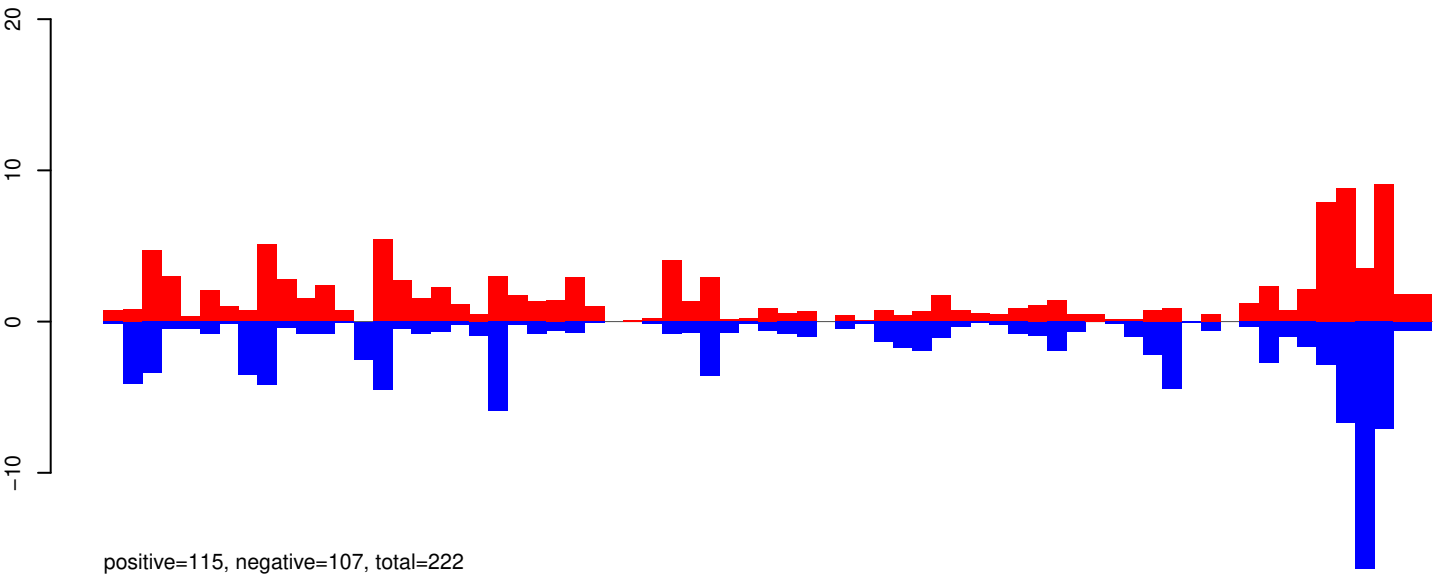
AeAeg_Aag2_Ago2_SINV_RA.24_35.rep



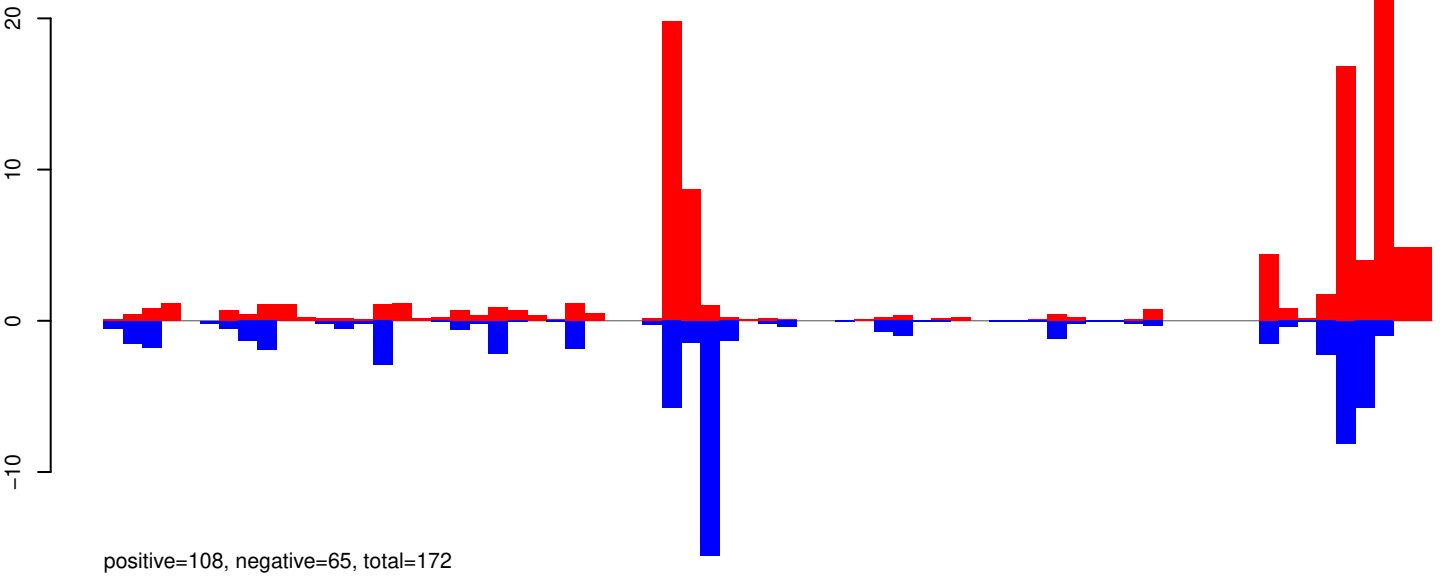
AeAeg_Aag2_Ago2_SINV_RA.rep



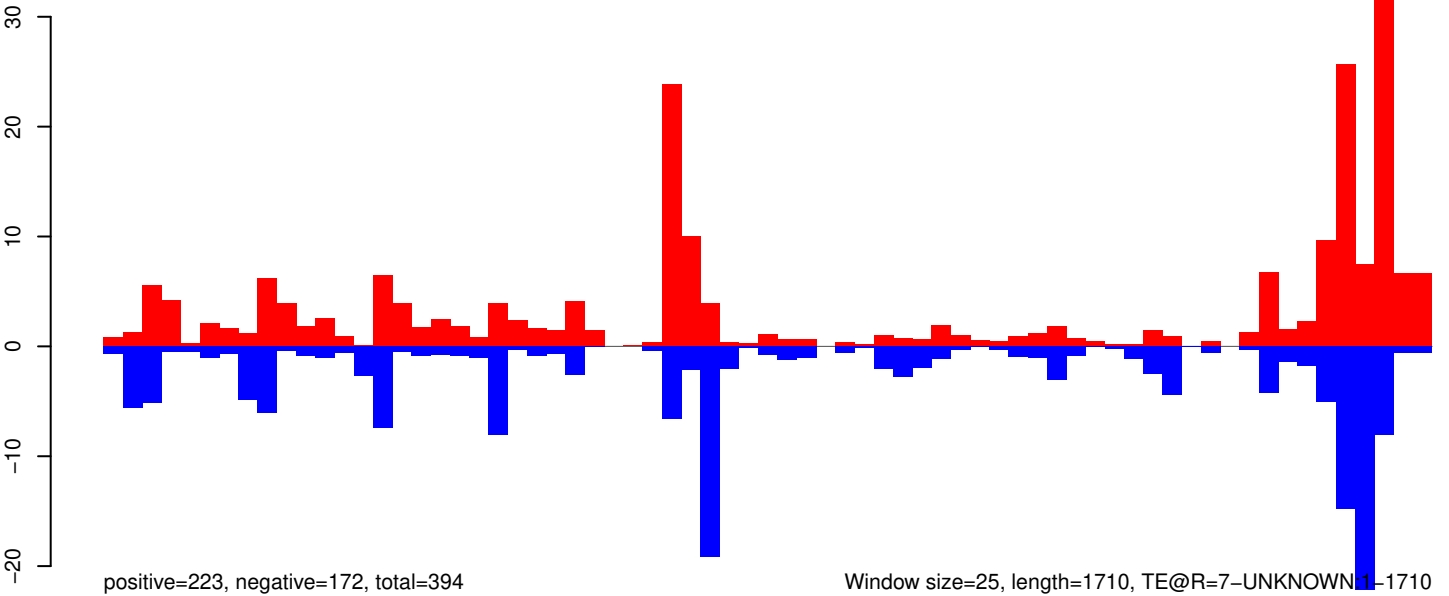
AeAeg_Aag2_Ago2_SINV_RA.18_23.rep



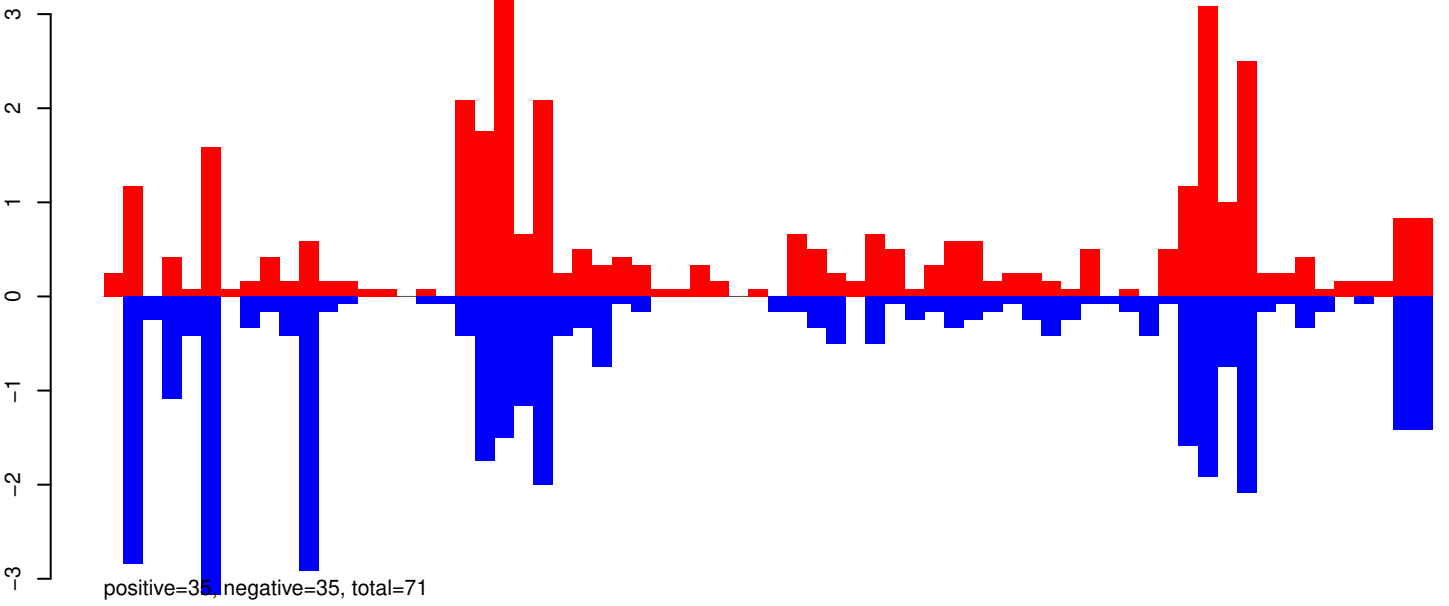
AeAeg_Aag2_Ago2_SINV_RA.24_35.rep



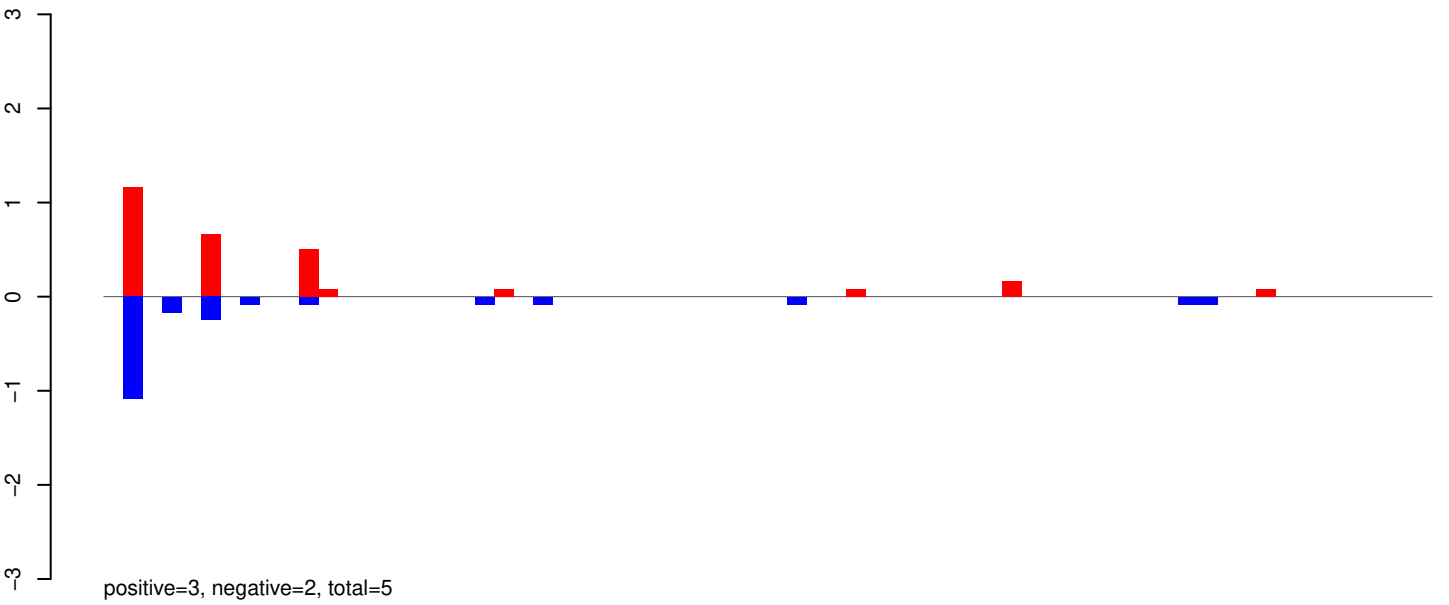
AeAeg_Aag2_Ago2_SINV_RA.rep



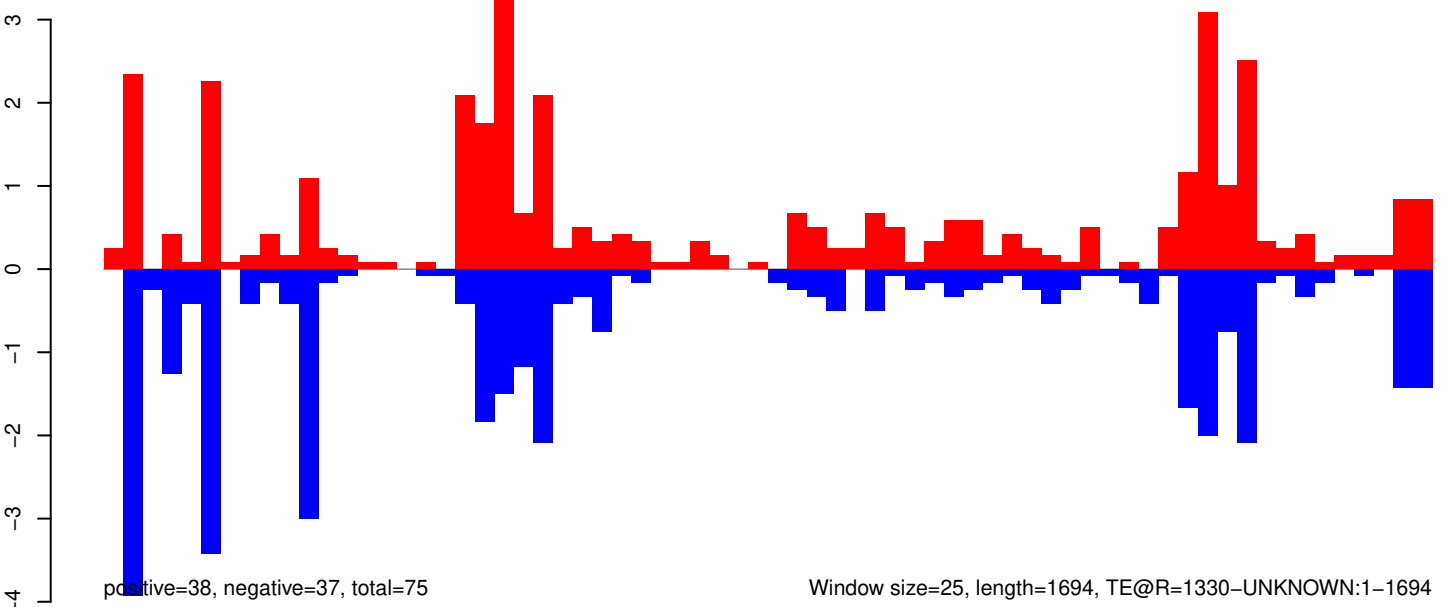
AeAeg_Aag2_Ago2_SINV_RA.18_23.rep



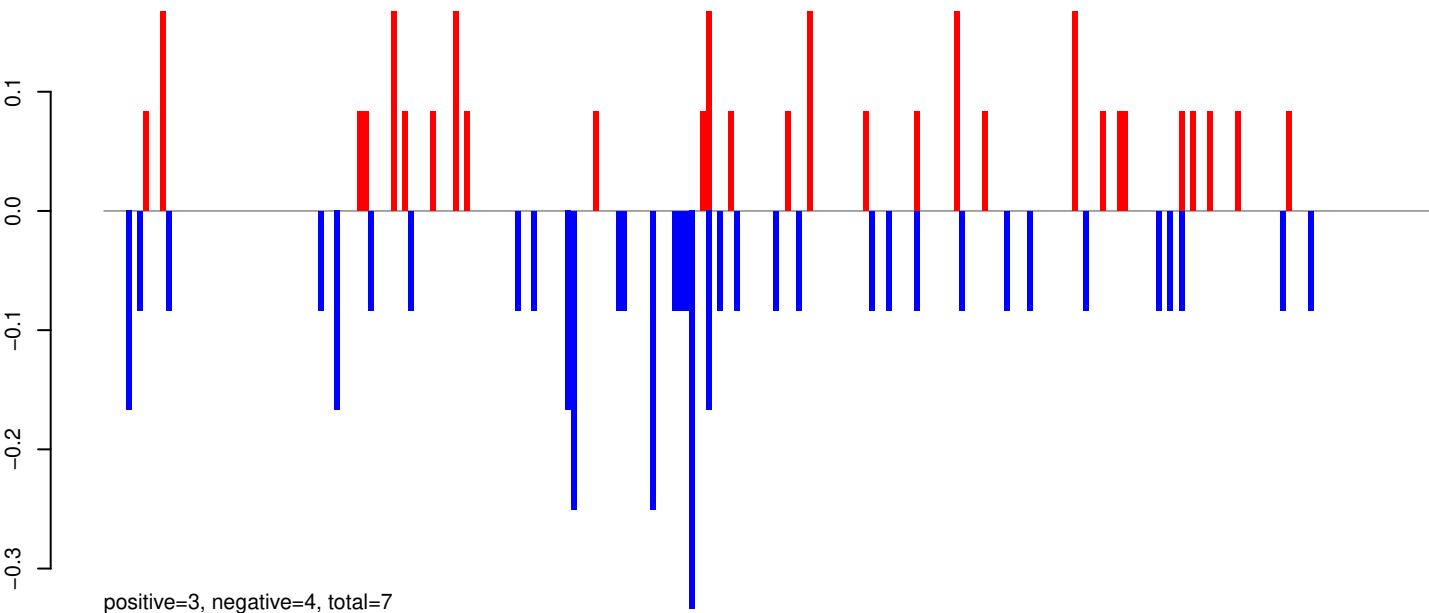
AeAeg_Aag2_Ago2_SINV_RA.24_35.rep



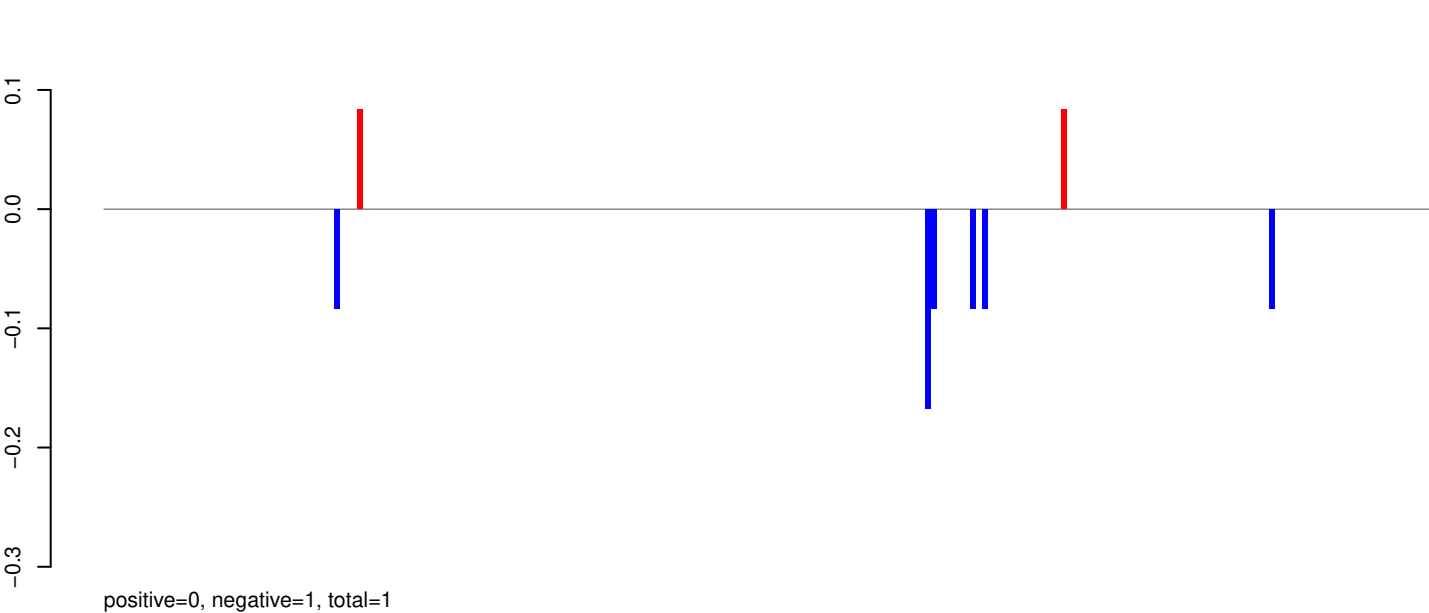
AeAeg_Aag2_Ago2_SINV_RA.rep



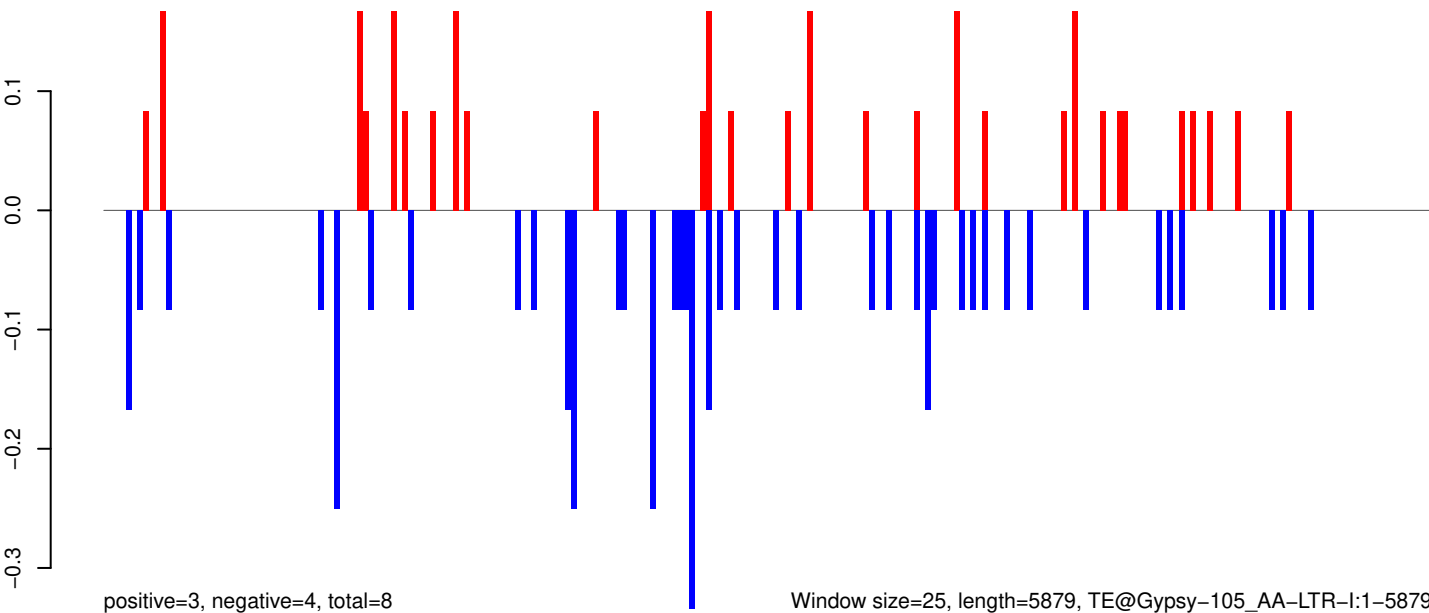
AeAeg_Aag2_Ago2_SINV_RA.18_23.rep



AeAeg_Aag2_Ago2_SINV_RA.24_35.rep

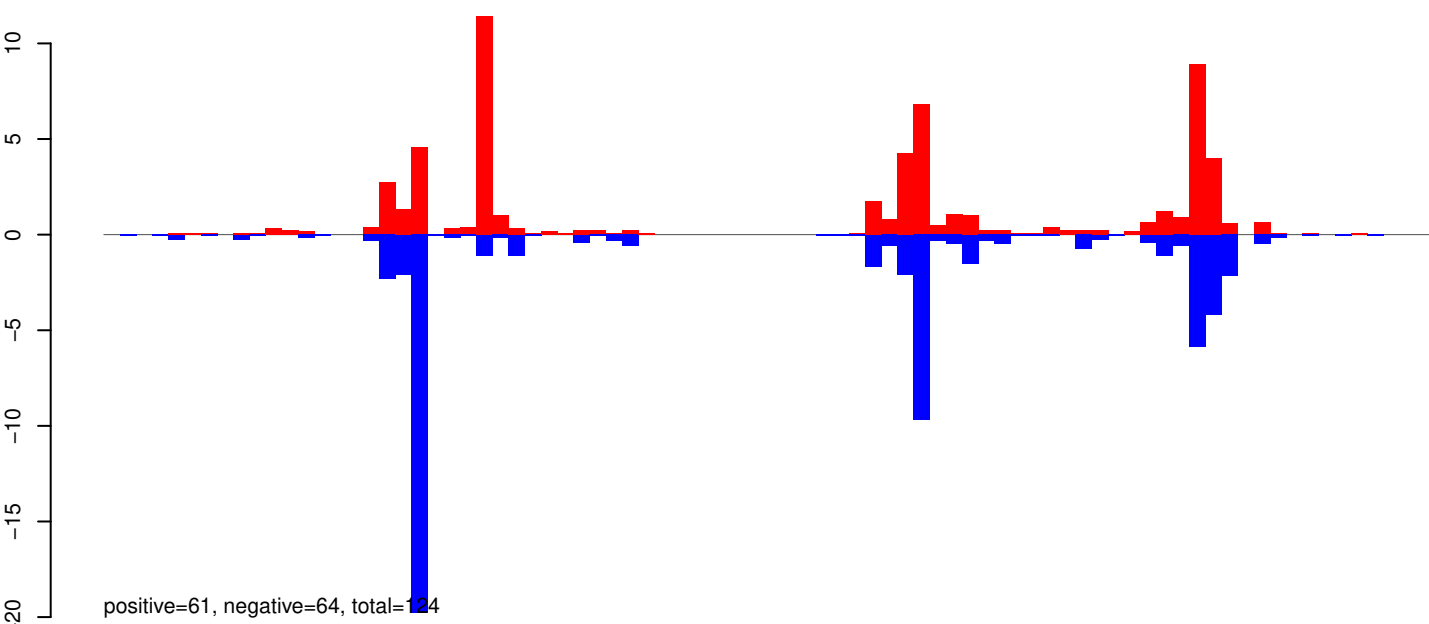


AeAeg_Aag2_Ago2_SINV_RA.rep

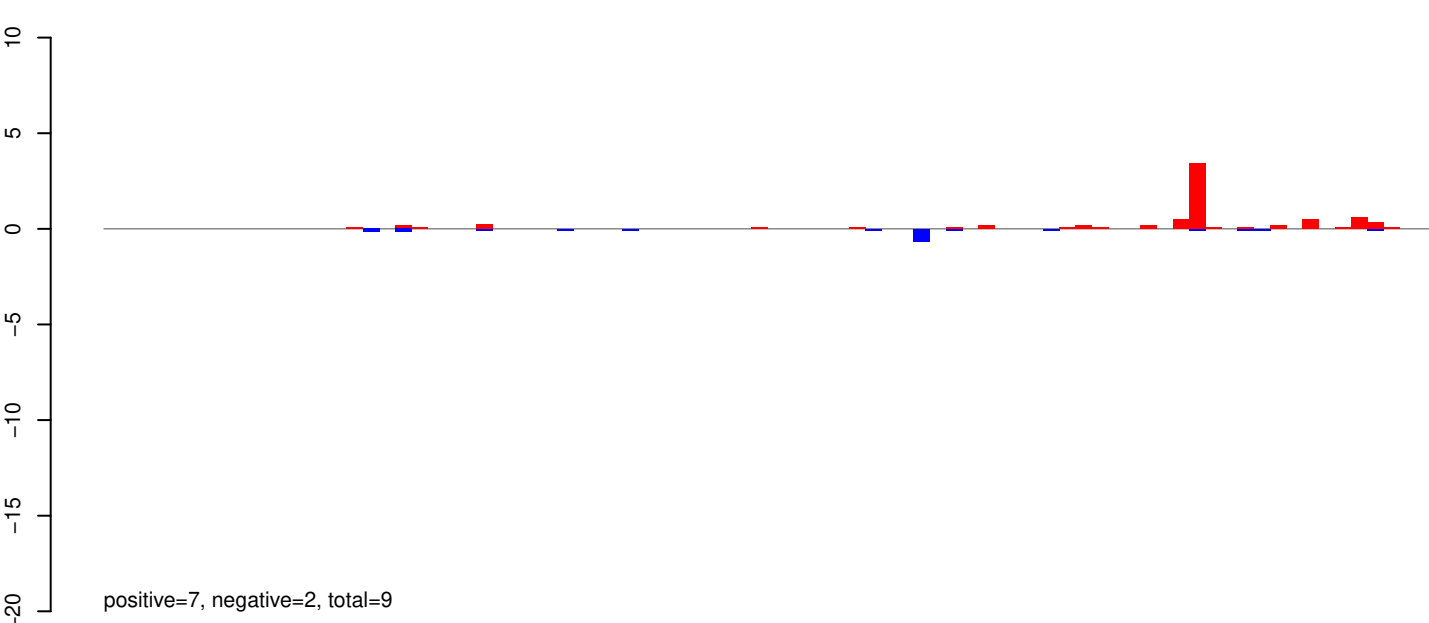


0 1000 2000 3000 4000 5000 6000

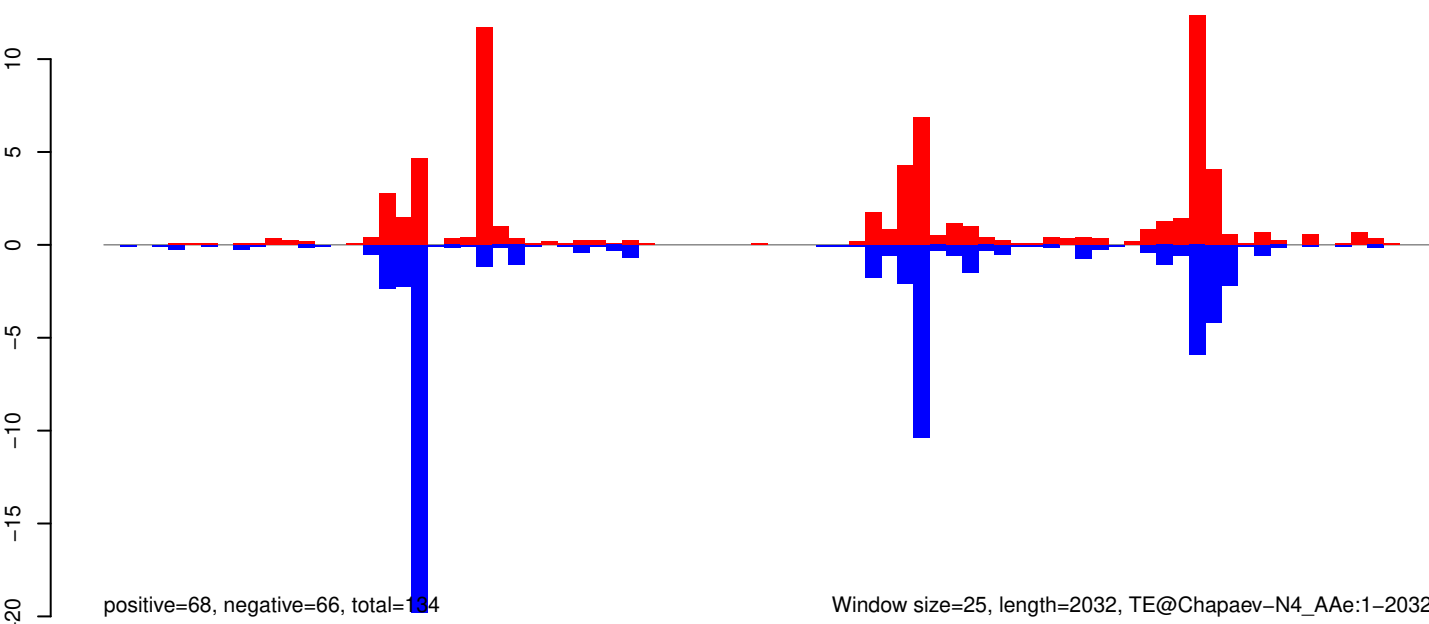
AeAeg_Aag2_Ago2_SINV_RA.18_23.rep



AeAeg_Aag2_Ago2_SINV_RA.24_35.rep



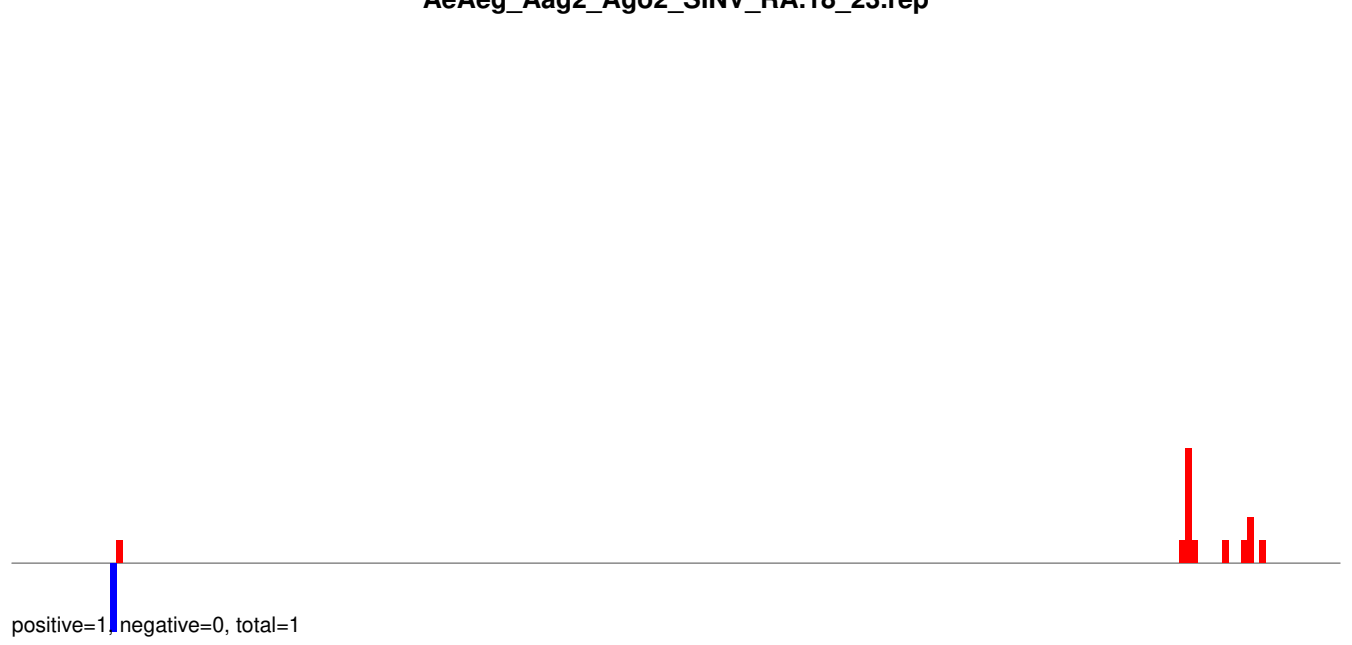
AeAeg_Aag2_Ago2_SINV_RA.rep



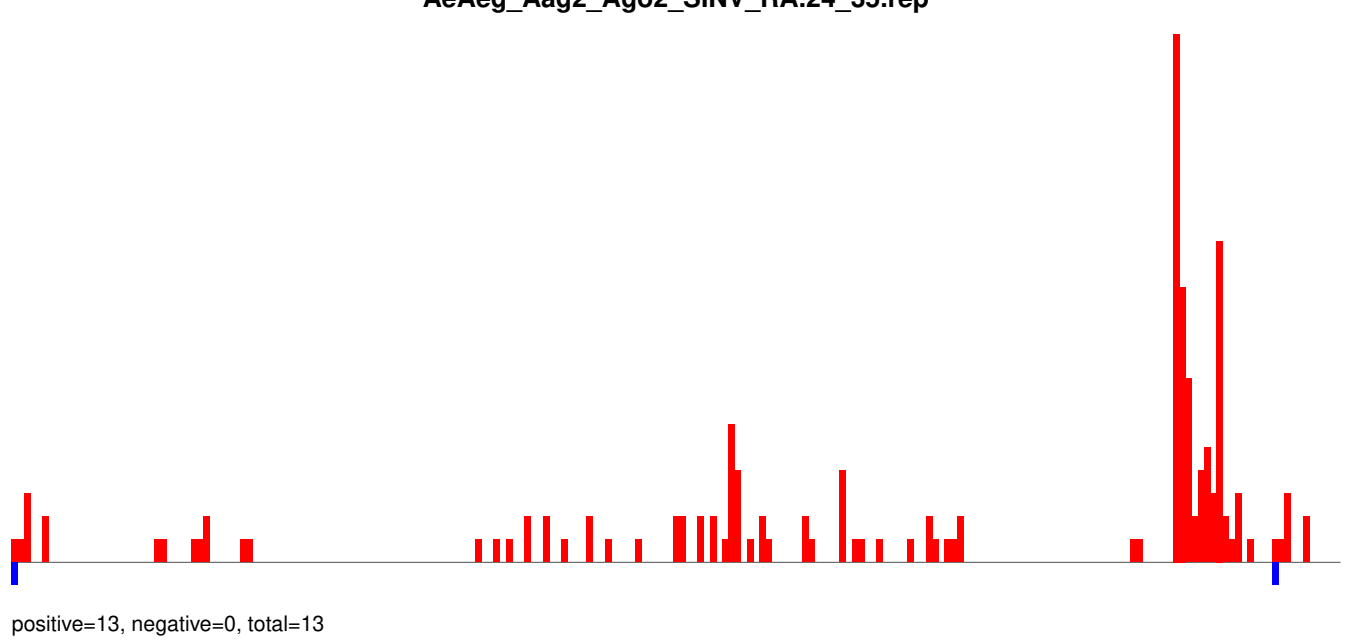
Window size=25, length=2032, TE@Chapaev-N4_A Ae:1-2032

0 500 1000 1500 2000

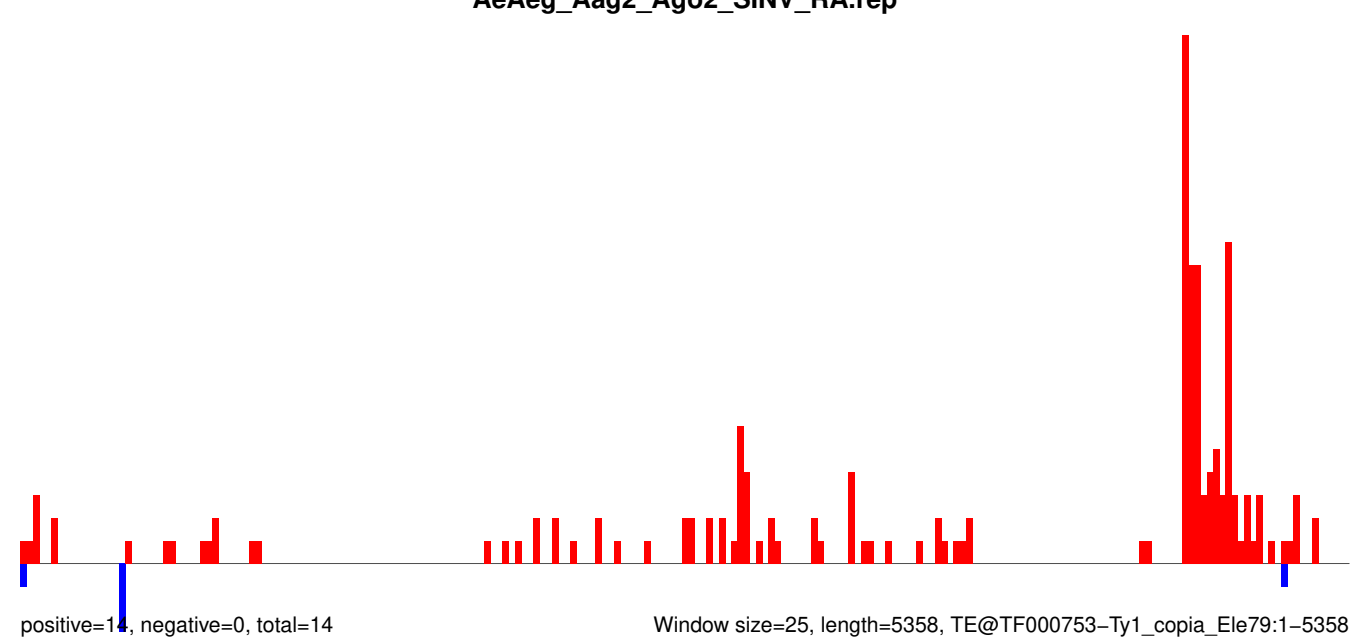
AeAeg_Aag2_Ago2_SINV_RA.18_23.rep



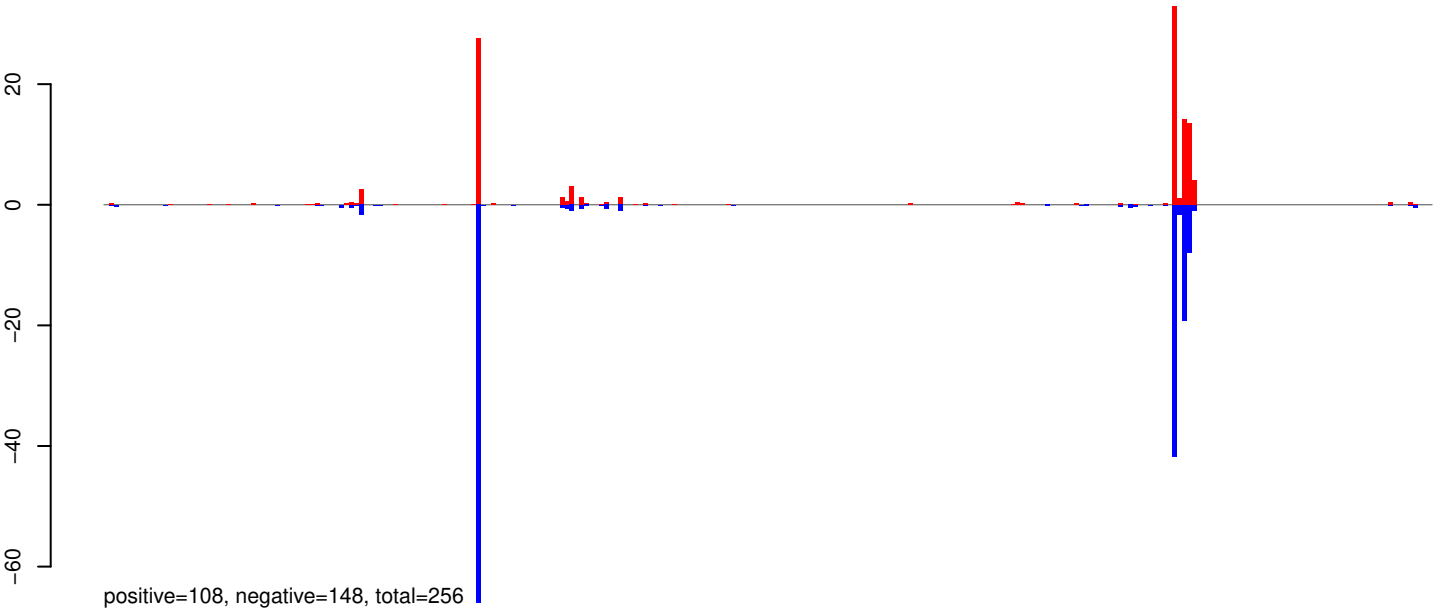
AeAeg_Aag2_Ago2_SINV_RA.24_35.rep



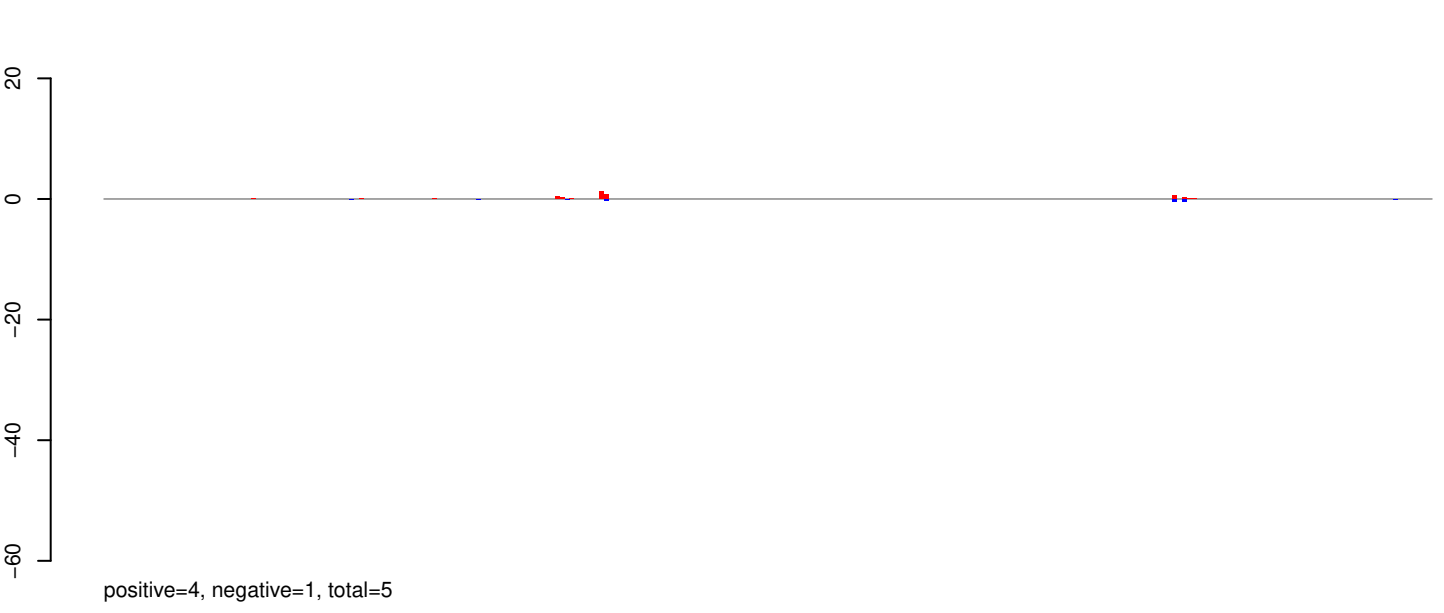
AeAeg_Aag2_Ago2_SINV_RA.rep



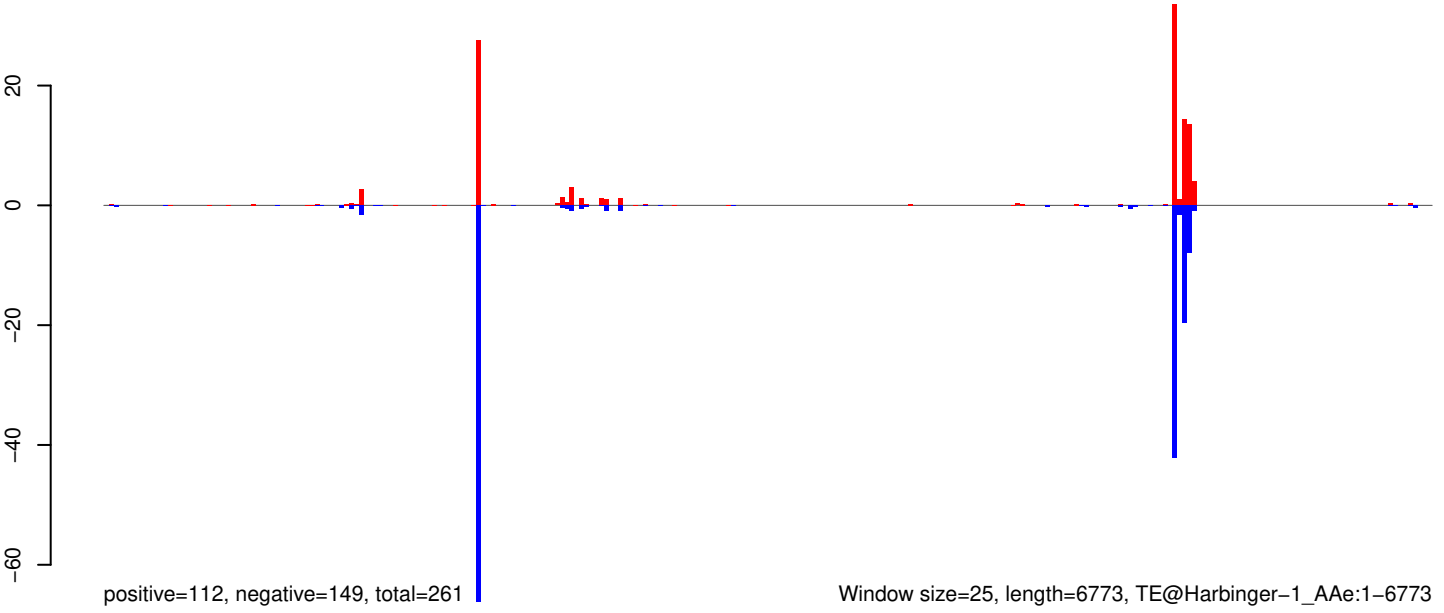
AeAeg_Aag2_Ago2_SINV_RA.18_23.rep



AeAeg_Aag2_Ago2_SINV_RA.24_35.rep



AeAeg_Aag2_Ago2_SINV_RA.rep



Window size=25, length=6773, TE@Harbinger-1_A Ae:1-6773

0 1000 2000 3000 4000 5000 6000 7000

AeAeg_Aag2_Ago2_SINV_RA.18_23.rep

0.2
0.1
0.0
-0.1

positive=3, negative=4, total=7

AeAeg_Aag2_Ago2_SINV_RA.24_35.rep

0.2
0.1
0.0
-0.1

positive=0, negative=0, total=0

AeAeg_Aag2_Ago2_SINV_RA.rep

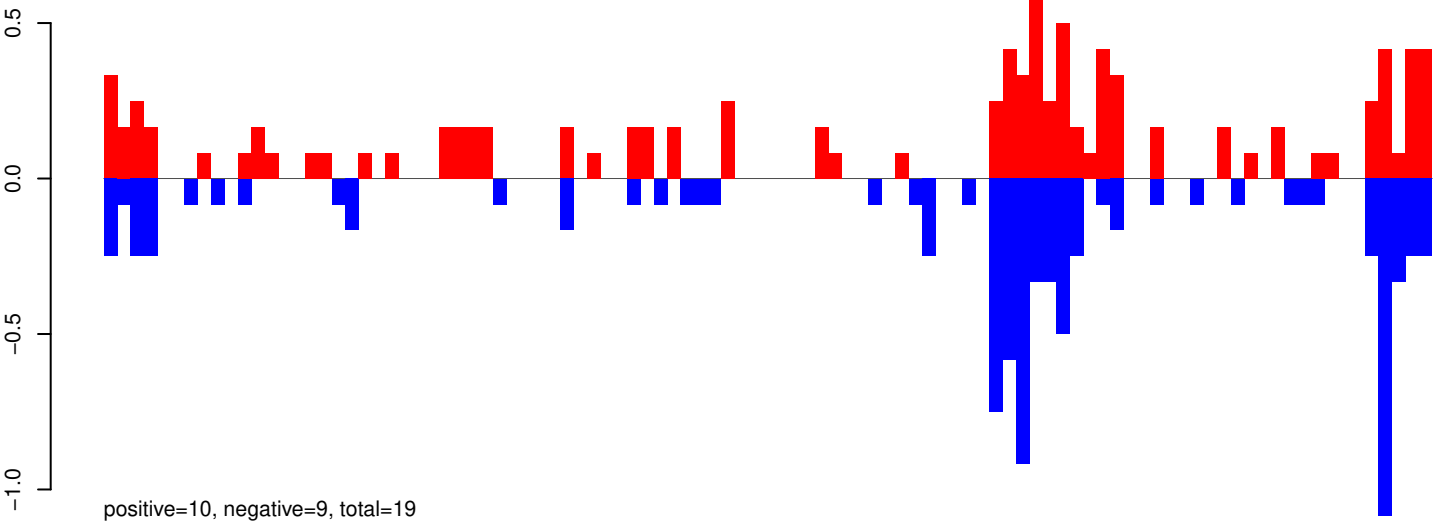
0.2
0.1
0.0
-0.1

positive=3, negative=4, total=7

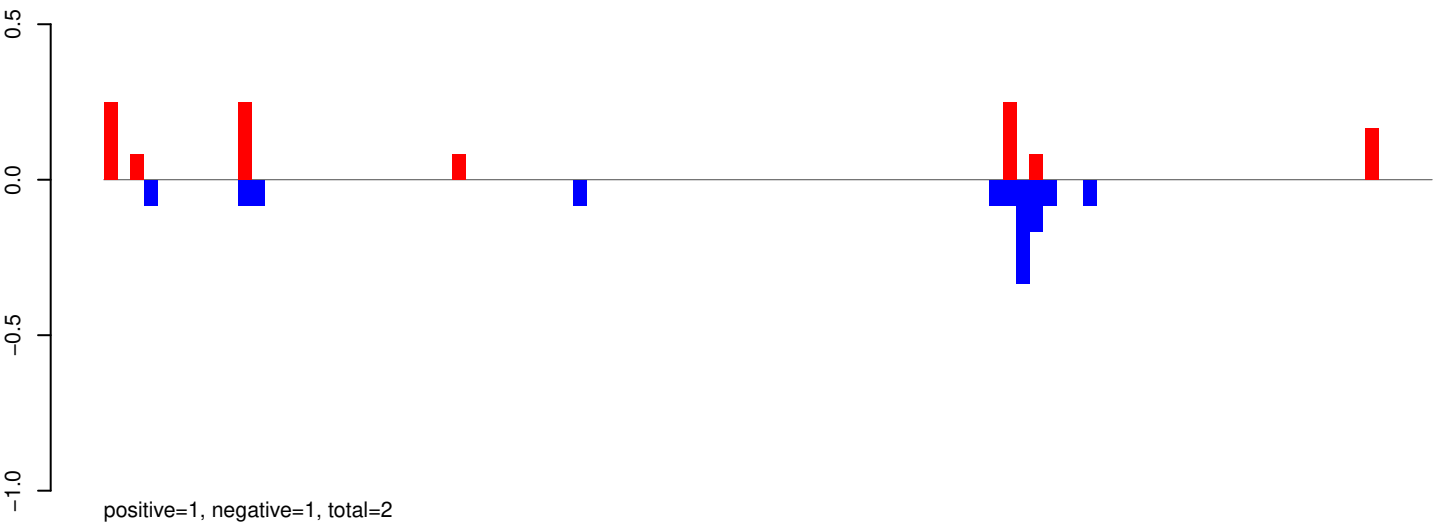
Window size=25, length=5303, TE@Gypsy-114_AA-LTR-I:1-5303

0 1000 2000 3000 4000 5000

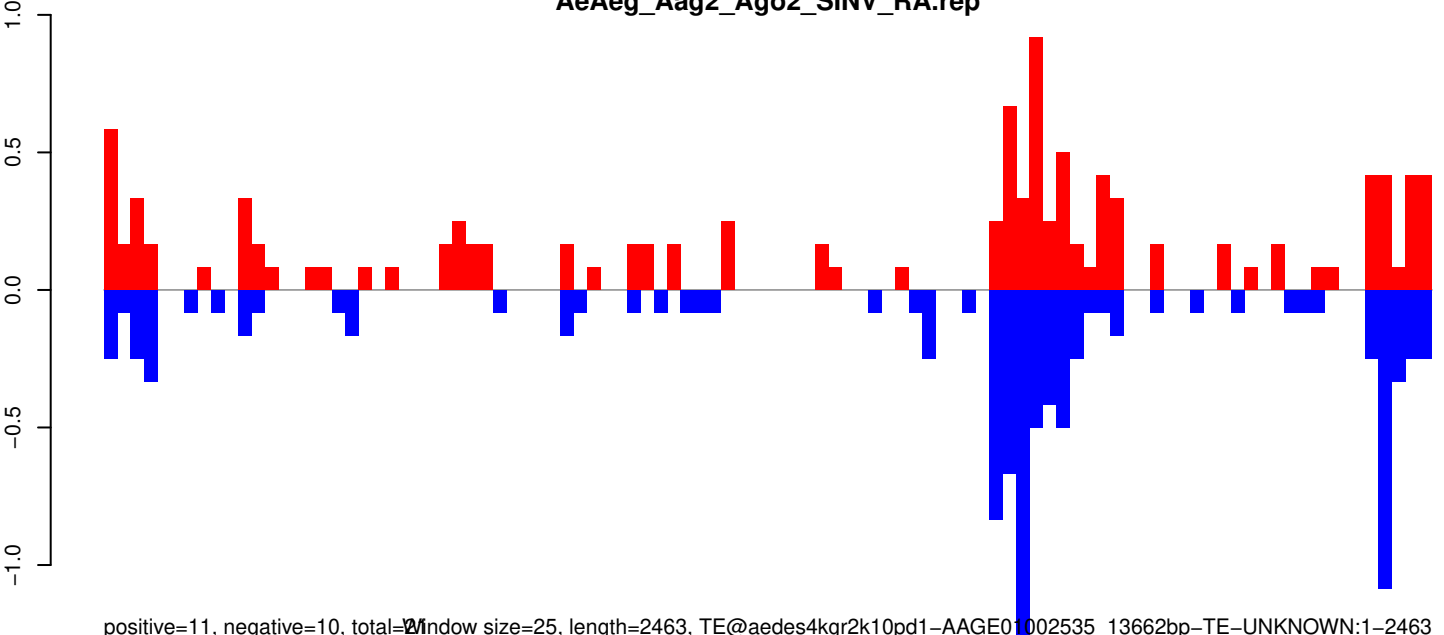
AeAeg_Aag2_Ago2_SINV_RA.18_23.rep



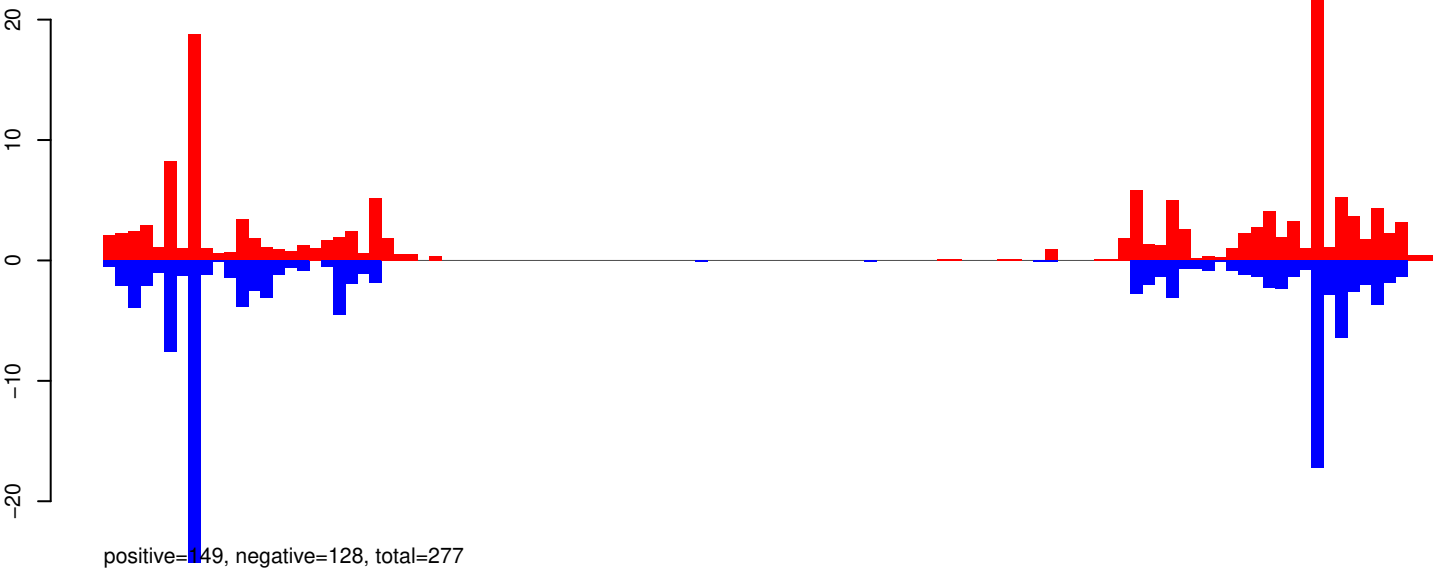
AeAeg_Aag2_Ago2_SINV_RA.24_35.rep



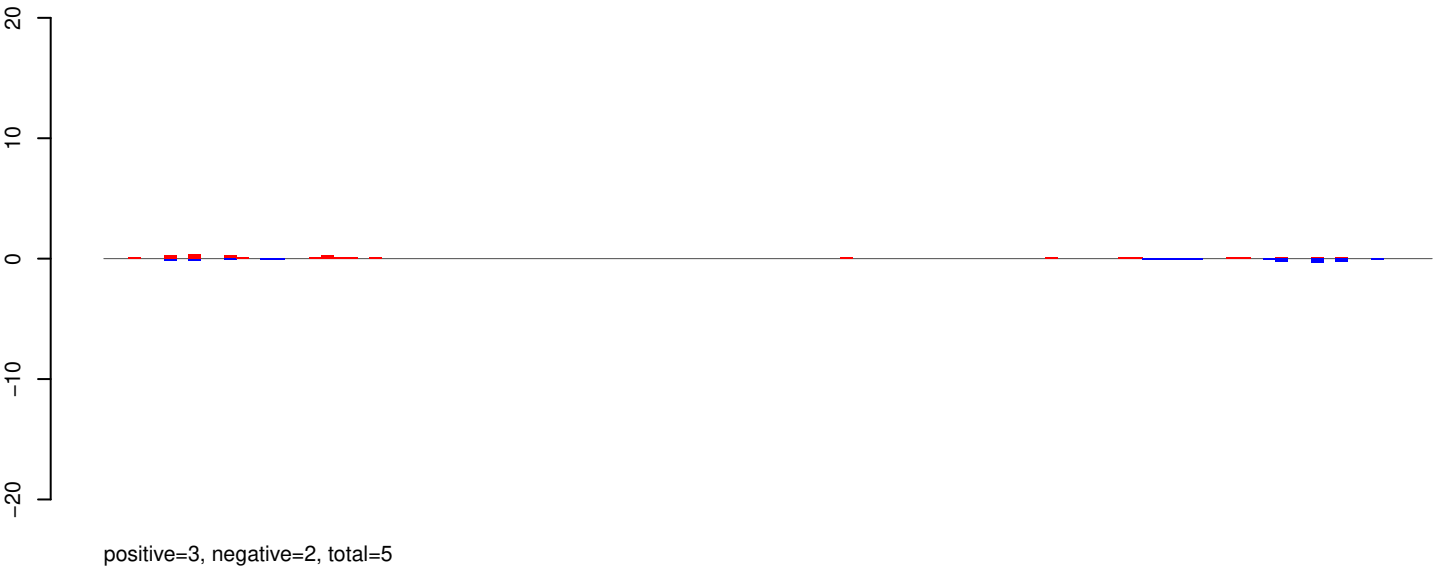
AeAeg_Aag2_Ago2_SINV_RA.rep



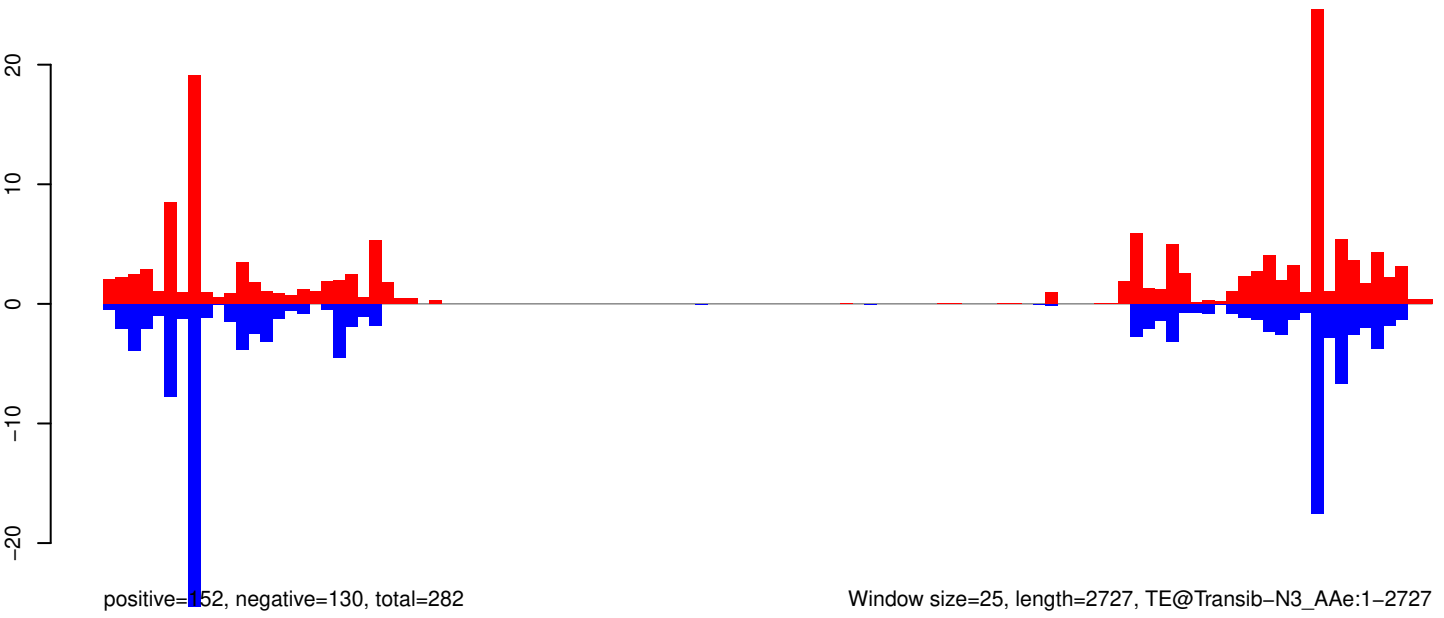
AeAeg_Aag2_Ago2_SINV_RA.18_23.rep



AeAeg_Aag2_Ago2_SINV_RA.24_35.rep

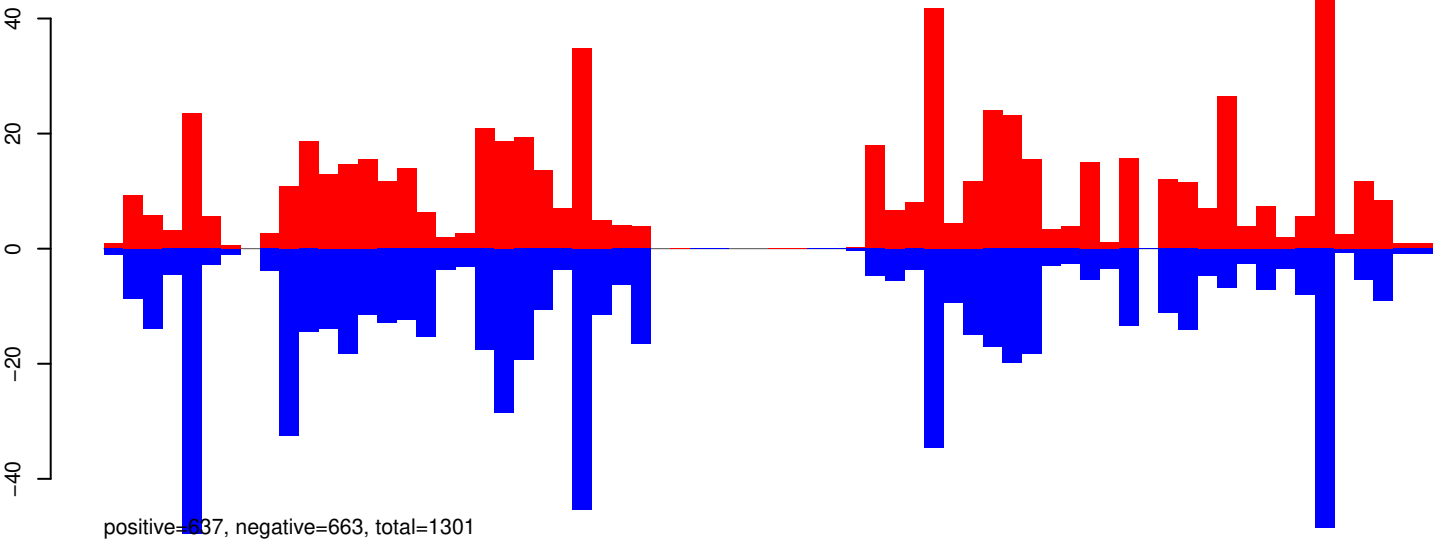


AeAeg_Aag2_Ago2_SINV_RA.rep

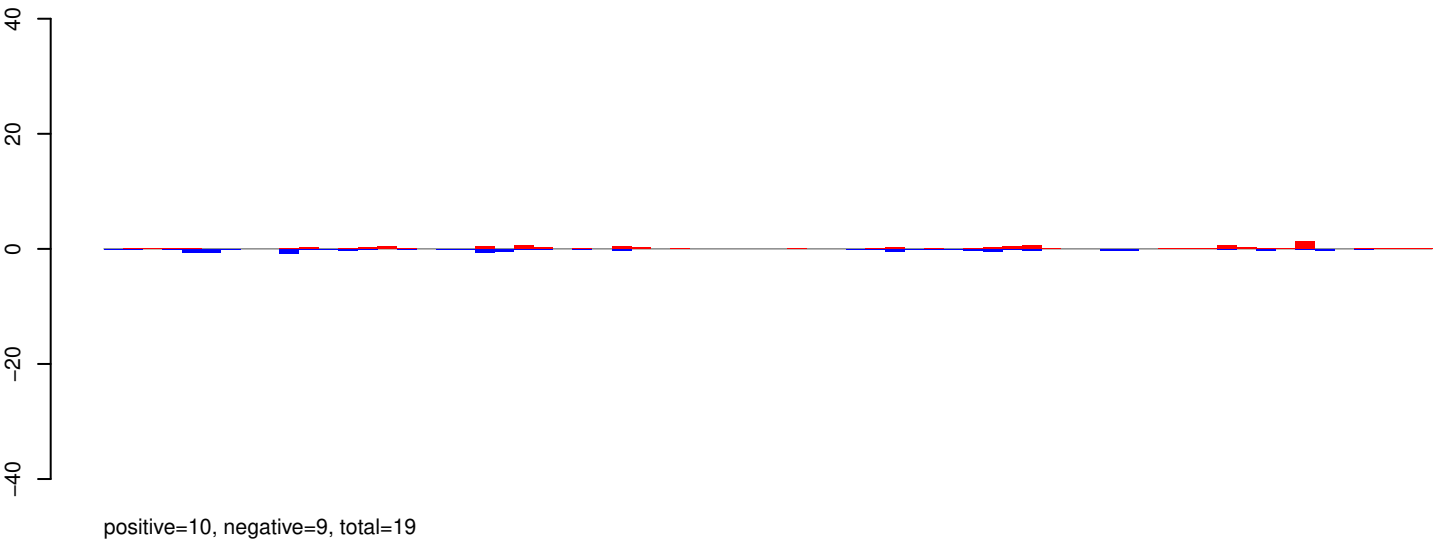


Window size=25, length=2727, TE@Transib-N3_AAe:1-2727

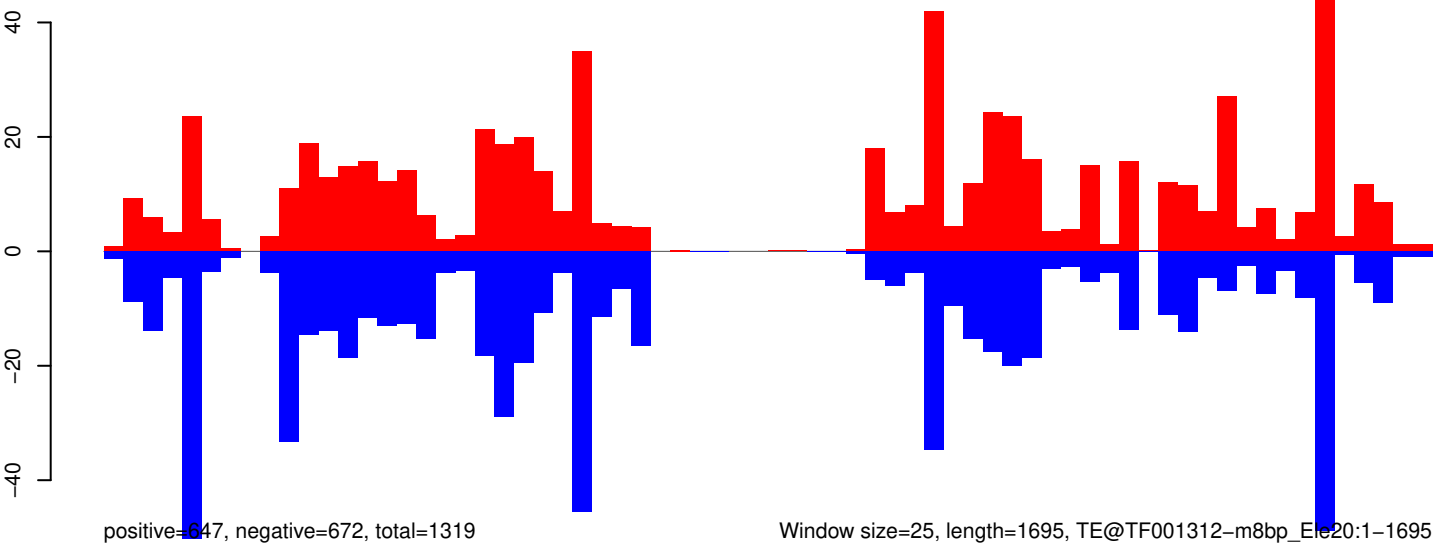
AeAeg_Aag2_Ago2_SINV_RA.18_23.rep



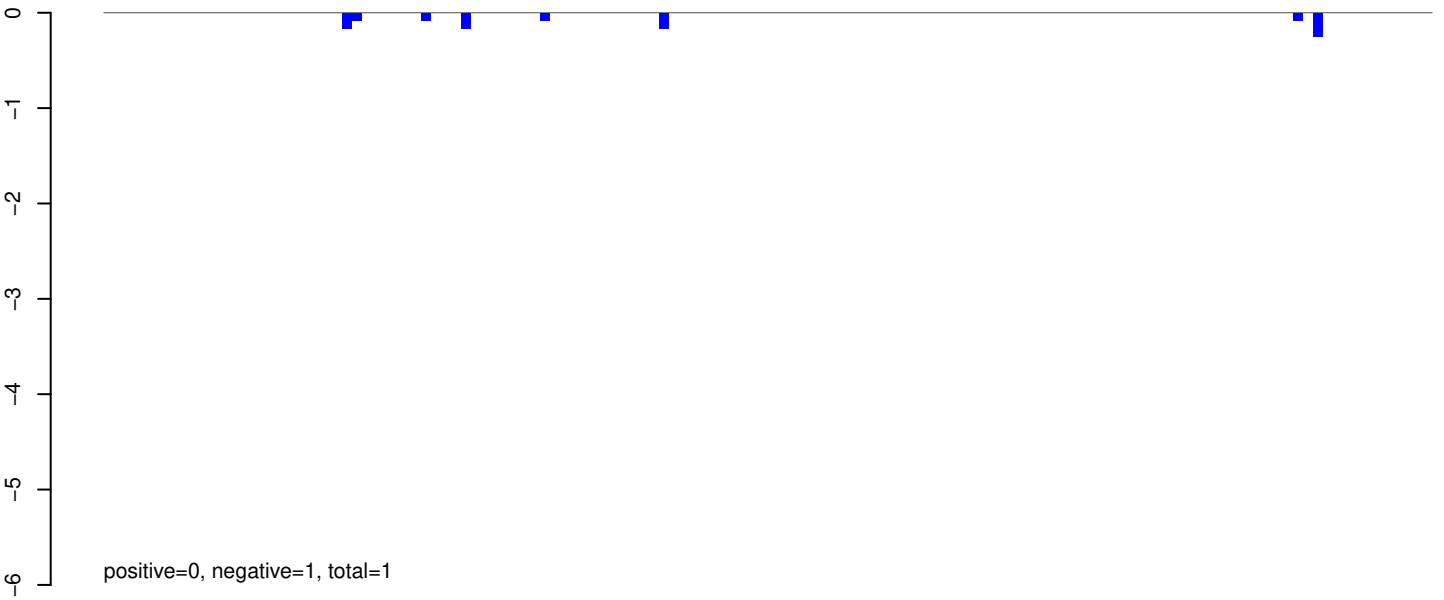
AeAeg_Aag2_Ago2_SINV_RA.24_35.rep



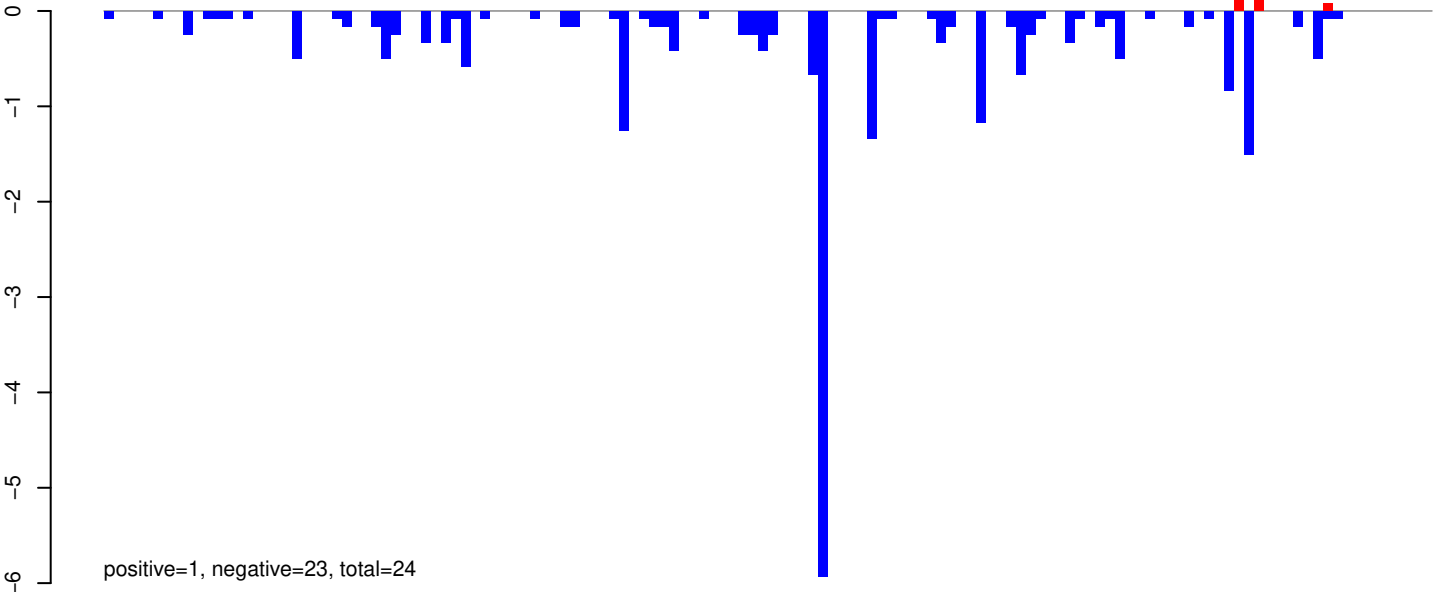
AeAeg_Aag2_Ago2_SINV_RA.rep



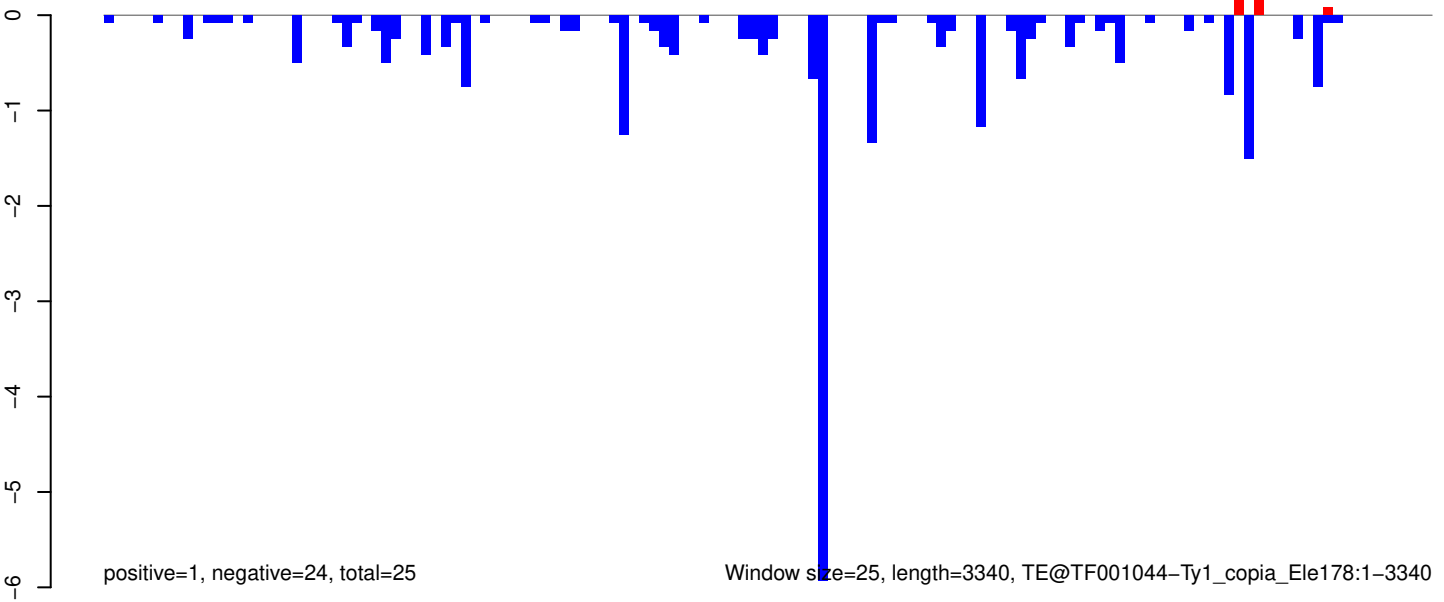
AeAeg_Aag2_Ago2_SINV_RA.18_23.rep



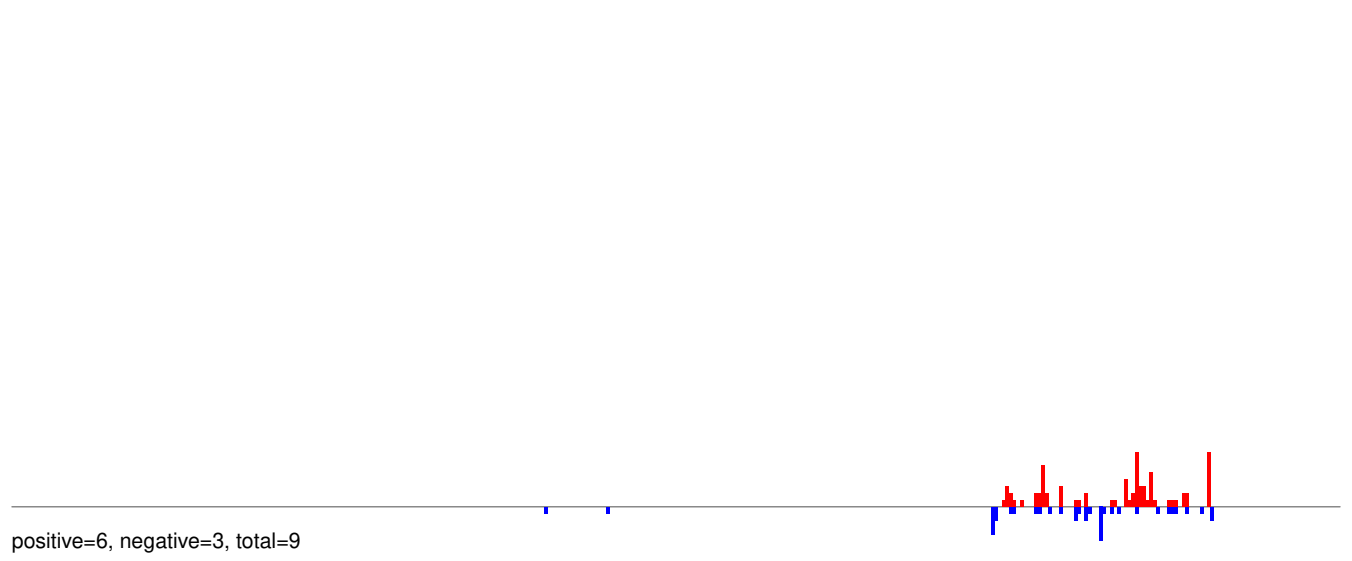
AeAeg_Aag2_Ago2_SINV_RA.24_35.rep



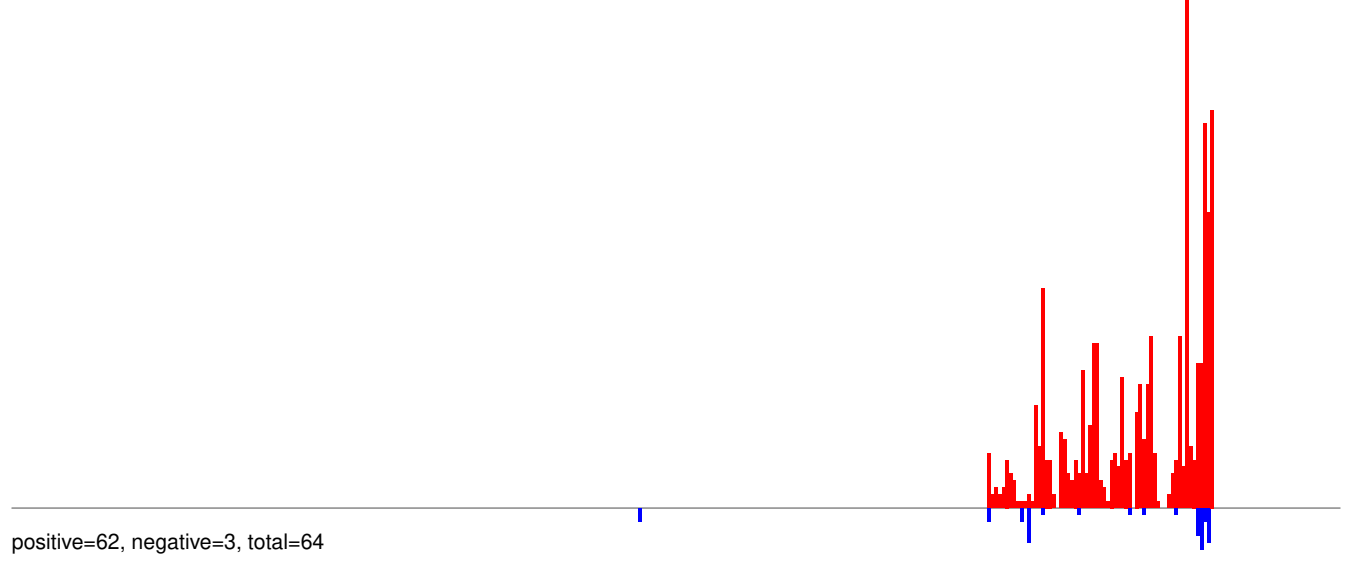
AeAeg_Aag2_Ago2_SINV_RA.rep



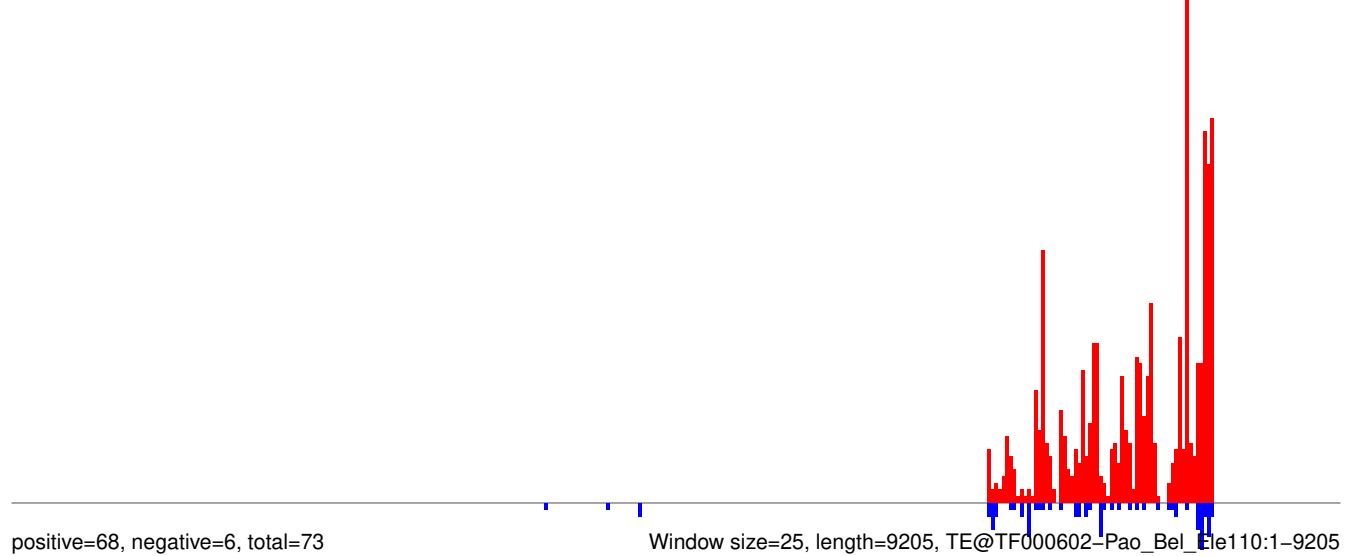
AeAeg_Aag2_Ago2_SINV_RA.18_23.rep



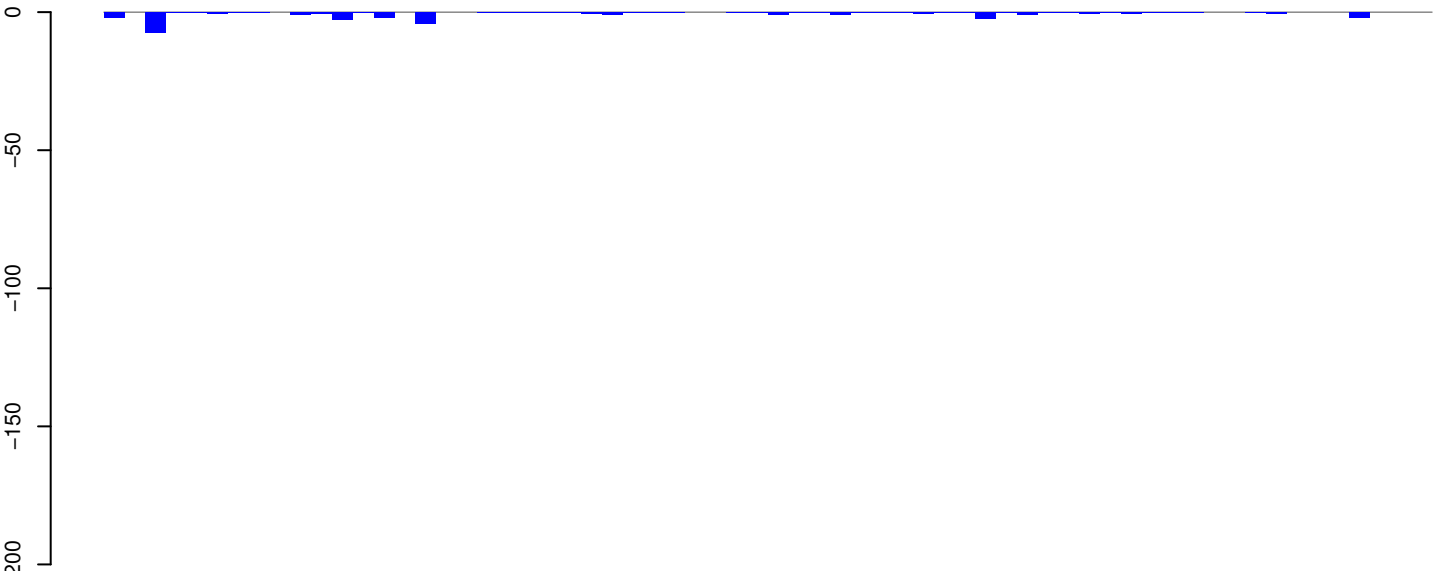
AeAeg_Aag2_Ago2_SINV_RA.24_35.rep



AeAeg_Aag2_Ago2_SINV_RA.rep



AeAeg_Aag2_Ago2_SINV_RA.18_23.rep



positive=0, negative=35, total=35

AeAeg_Aag2_Ago2_SINV_RA.24_35.rep



positive=0, negative=930, total=930

AeAeg_Aag2_Ago2_SINV_RA.rep



positive=0, negative=965, total=965

Window size=25, length=1592, TE@TF000555-Tc1_Ele7-MsqTc3:1-1592

AeAeg_Aag2_Ago2_SINV_RA.18_23.rep

0.3
0.2
0.1
0.0
-0.1
-0.2
-0.3

positive=5, negative=4, total=9

AeAeg_Aag2_Ago2_SINV_RA.24_35.rep

0.3
0.2
0.1
0.0
-0.1
-0.2
-0.3

positive=0, negative=1, total=2

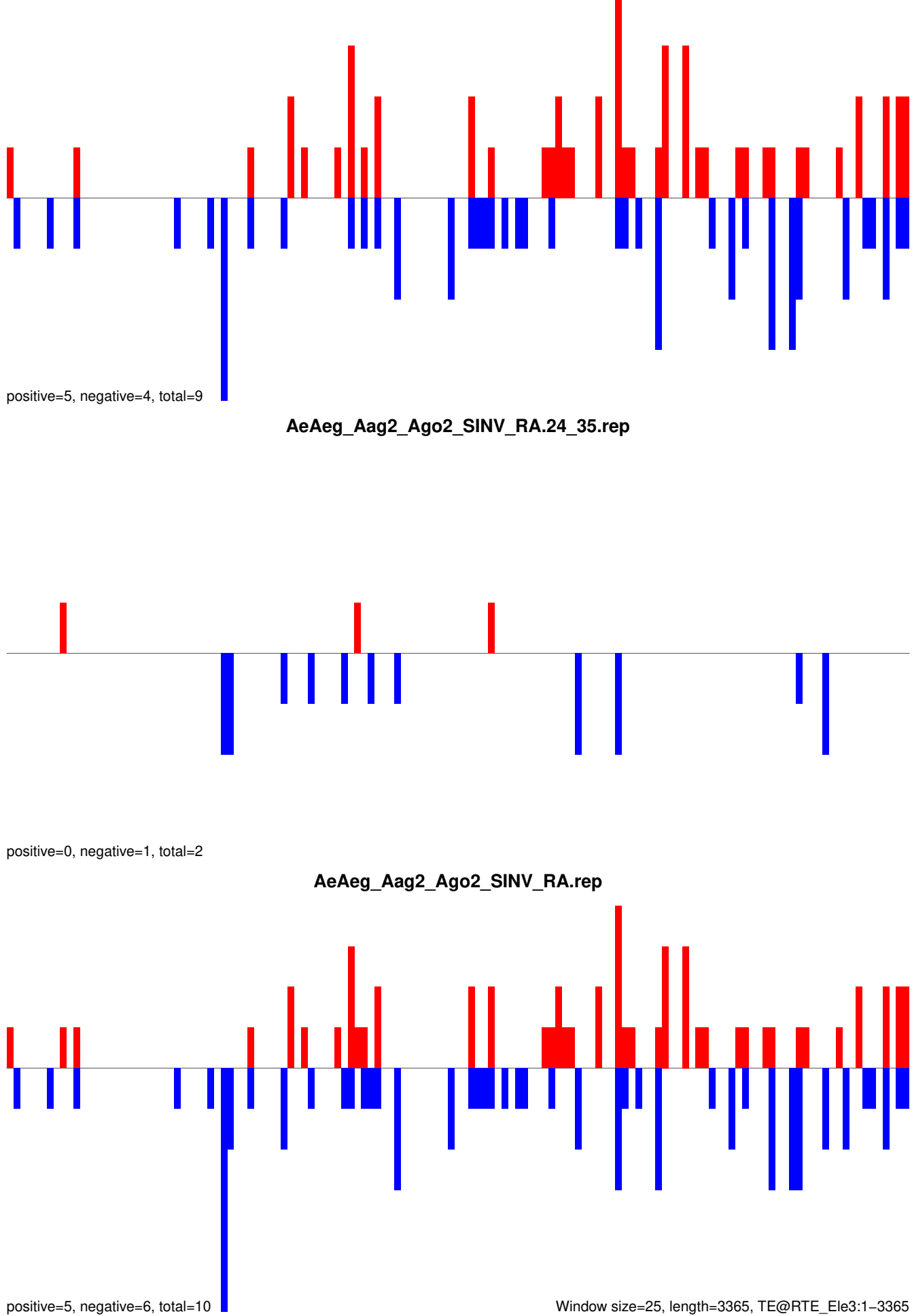
AeAeg_Aag2_Ago2_SINV_RA.rep

0.2
0.1
0.0
-0.1
-0.2
-0.3
-0.4

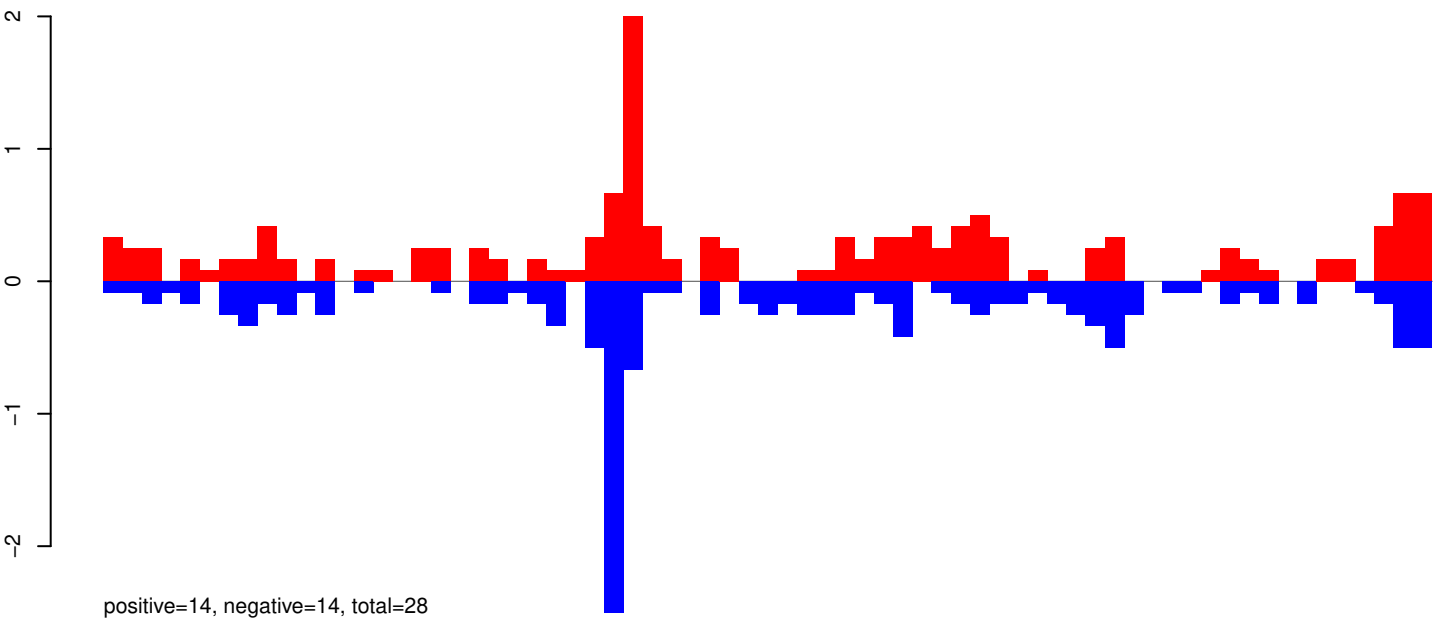
positive=5, negative=6, total=10

Window size=25, length=3365, TE@RTE_Ele3:1-3365

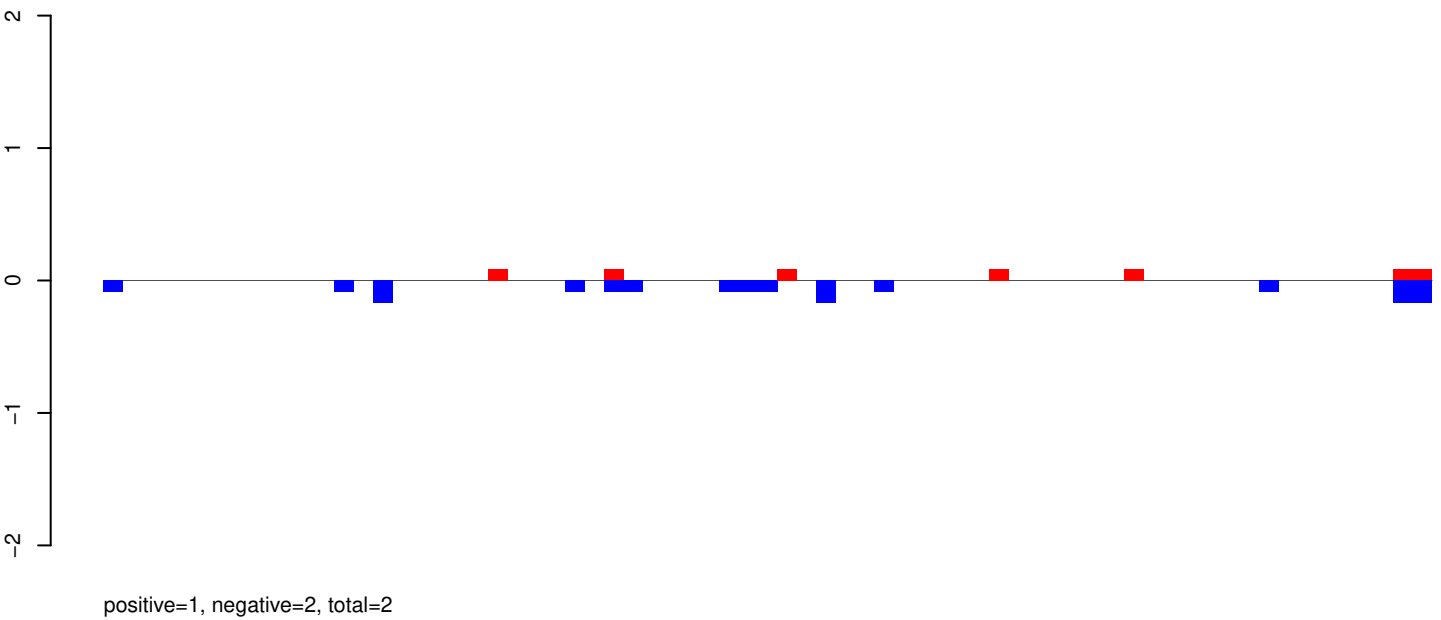
0 500 1000 1500 2000 2500 3000 3500



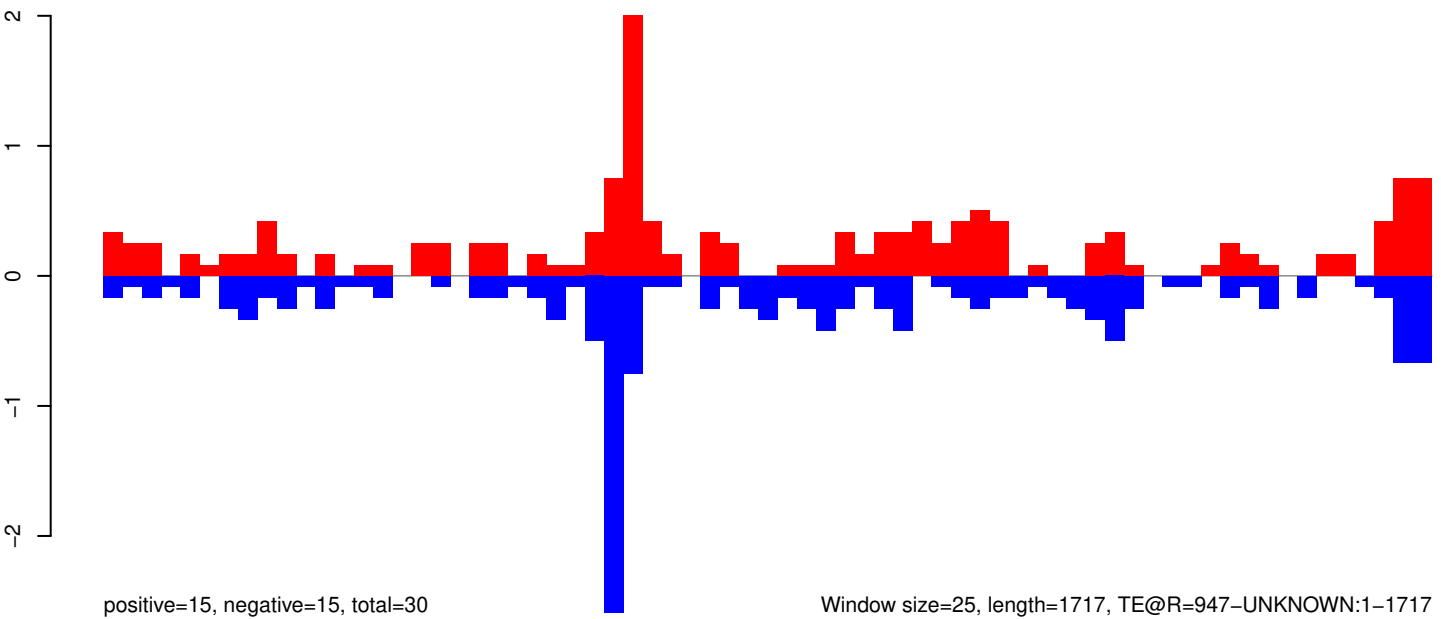
AeAeg_Aag2_Ago2_SINV_RA.18_23.rep



AeAeg_Aag2_Ago2_SINV_RA.24_35.rep

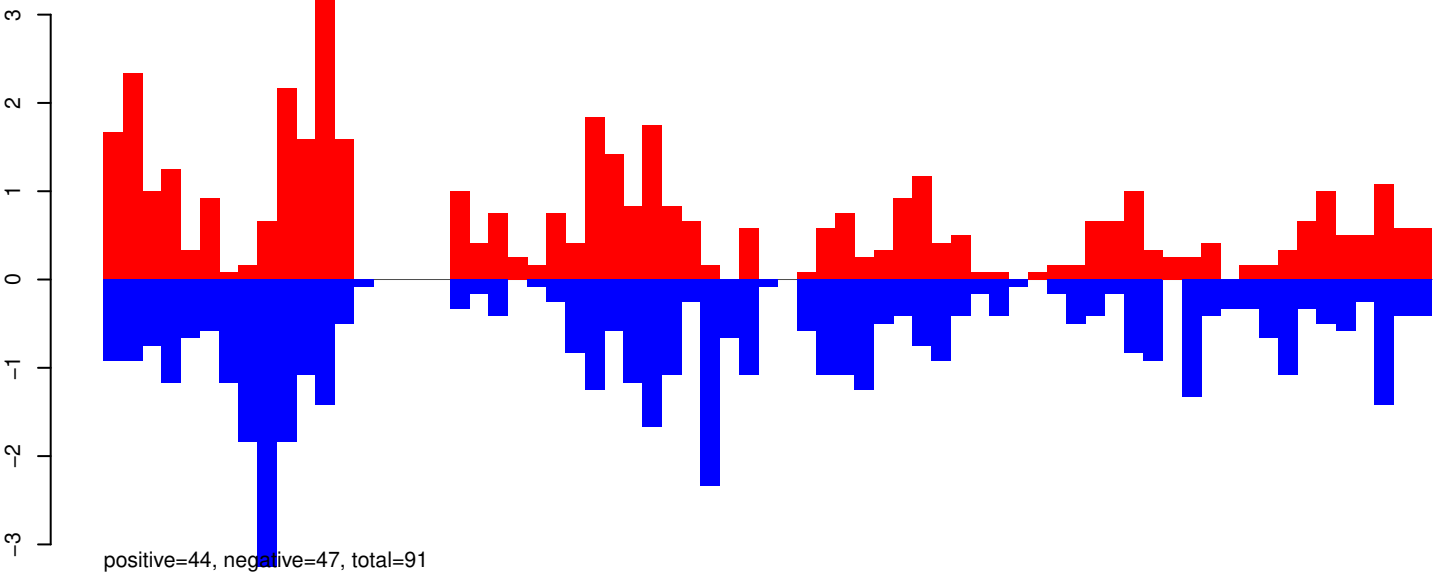


AeAeg_Aag2_Ago2_SINV_RA.rep

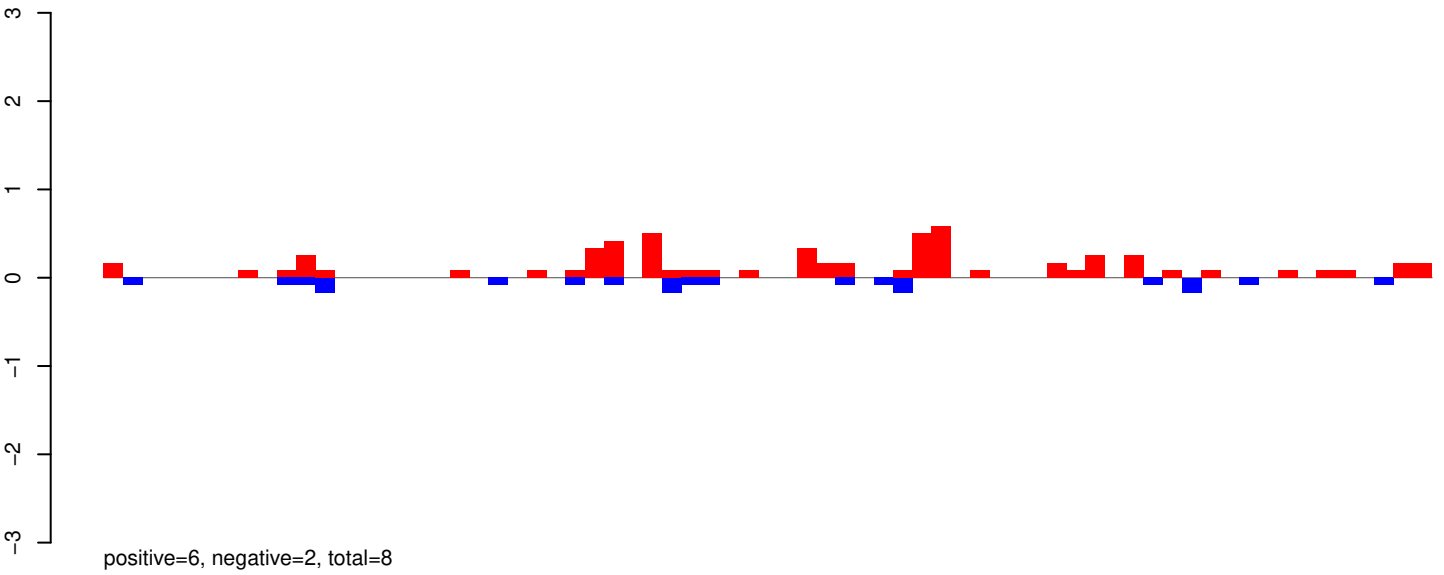


Window size=25, length=1717, TE@R=947-UNKNOWN:1-1717

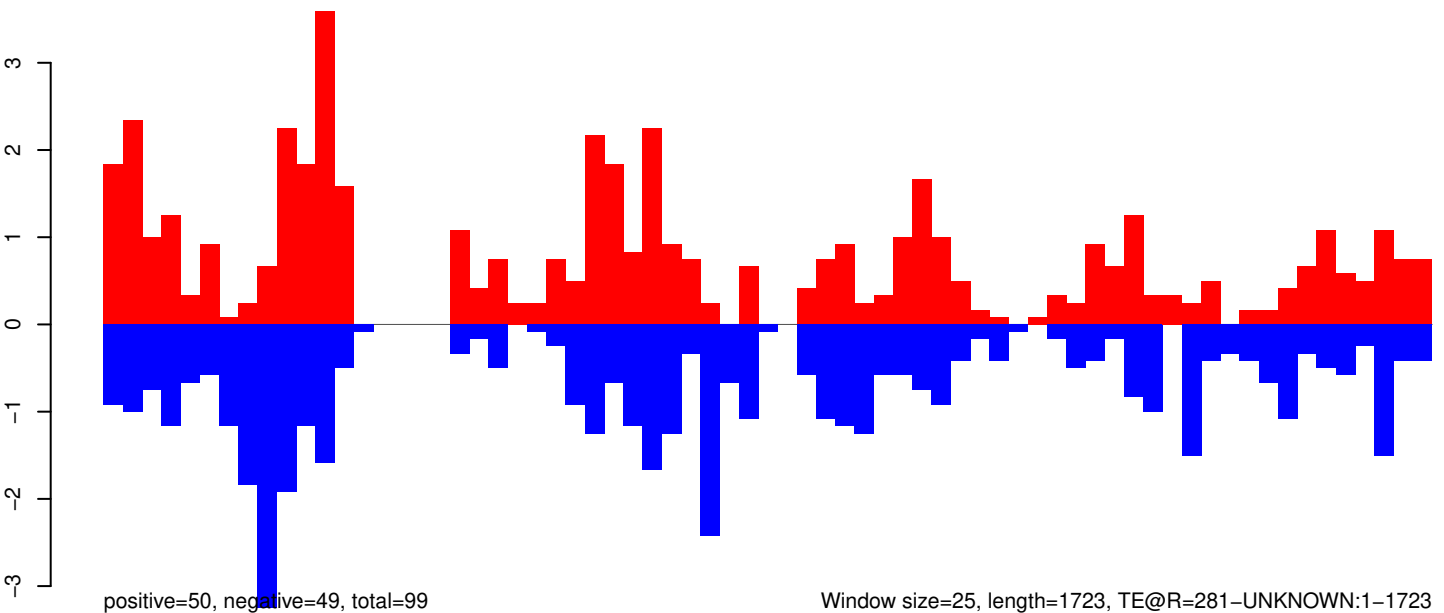
AeAeg_Aag2_Ago2_SINV_RA.18_23.rep



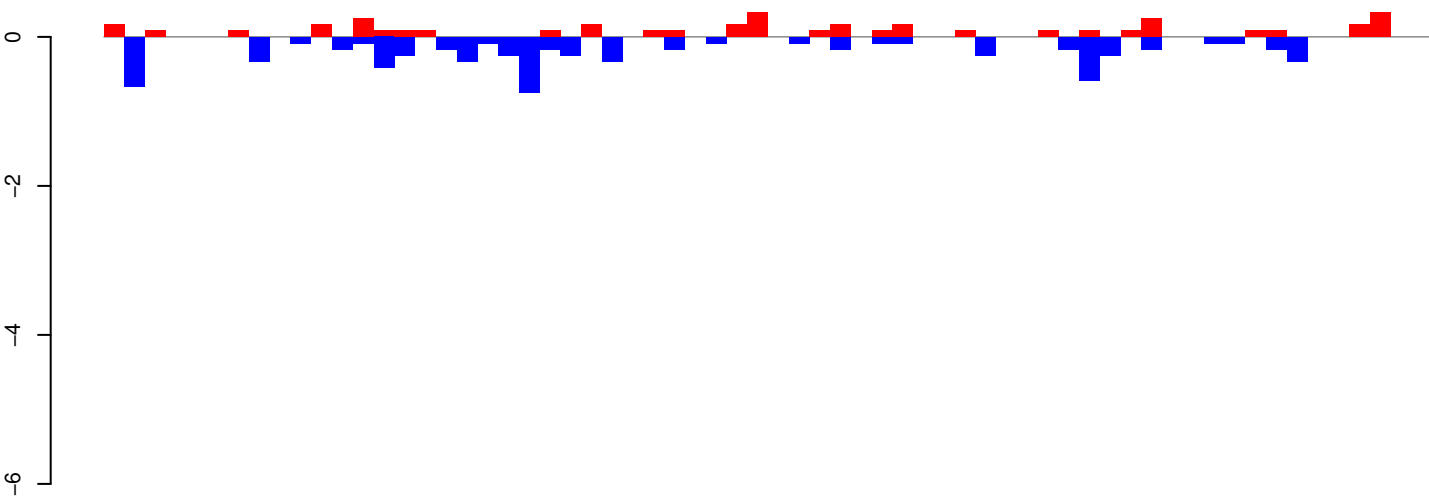
AeAeg_Aag2_Ago2_SINV_RA.24_35.rep



AeAeg_Aag2_Ago2_SINV_RA.rep

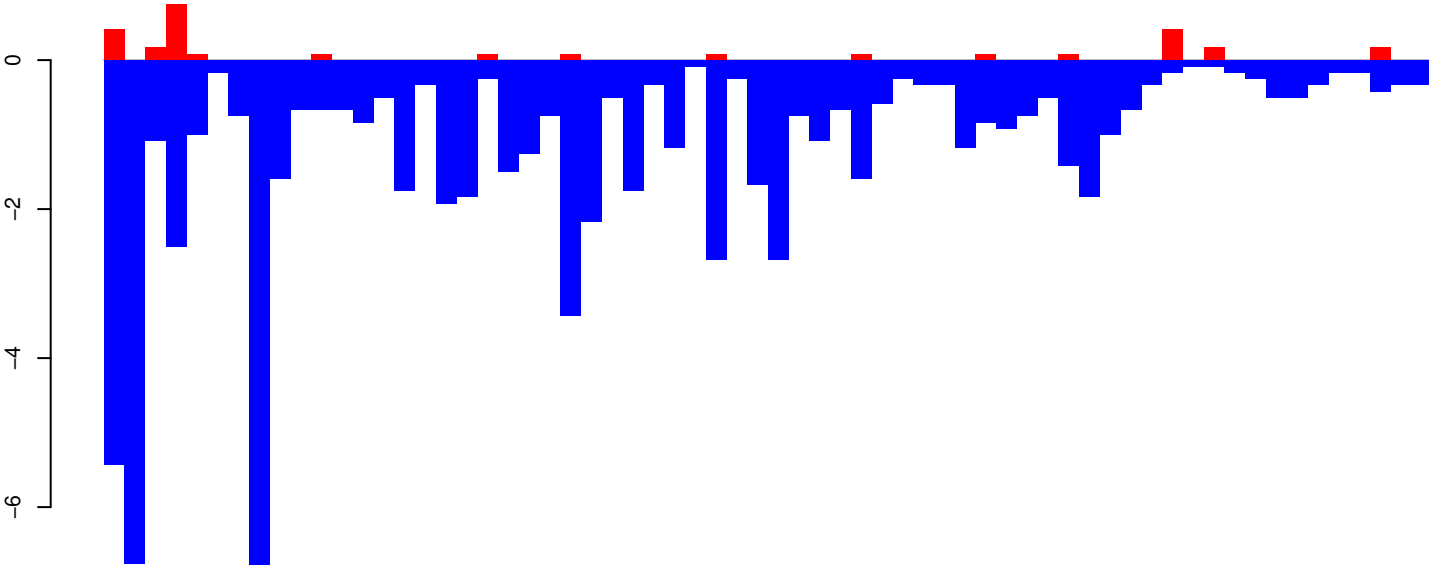


AeAeg_Aag2_Ago2_SINV_RA.18_23.rep



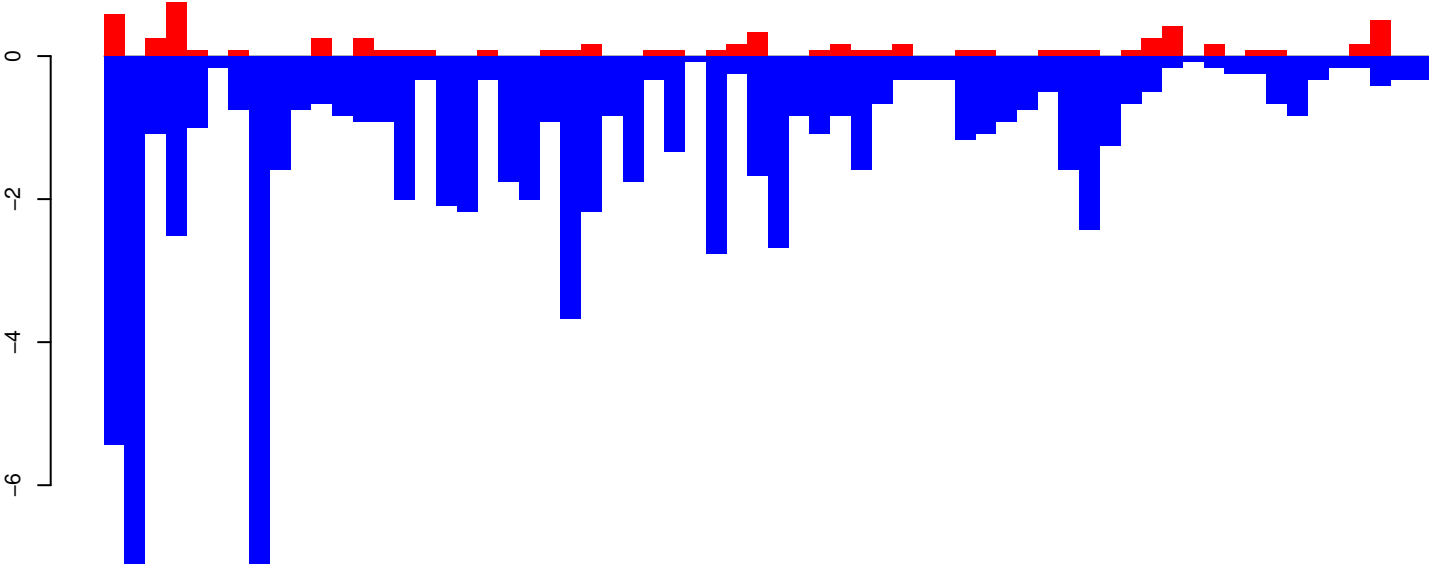
positive=4, negative=7, total=11

AeAeg_Aag2_Ago2_SINV_RA.24_35.rep



positive=3, negative=75, total=77

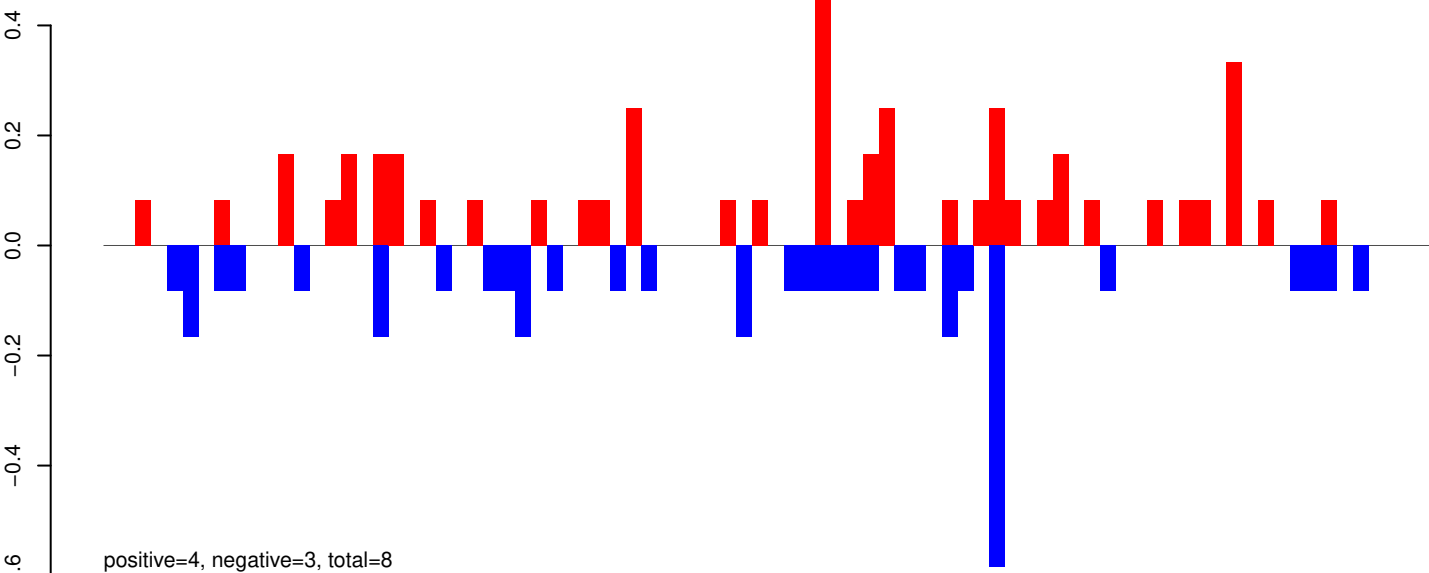
AeAeg_Aag2_Ago2_SINV_RA.rep



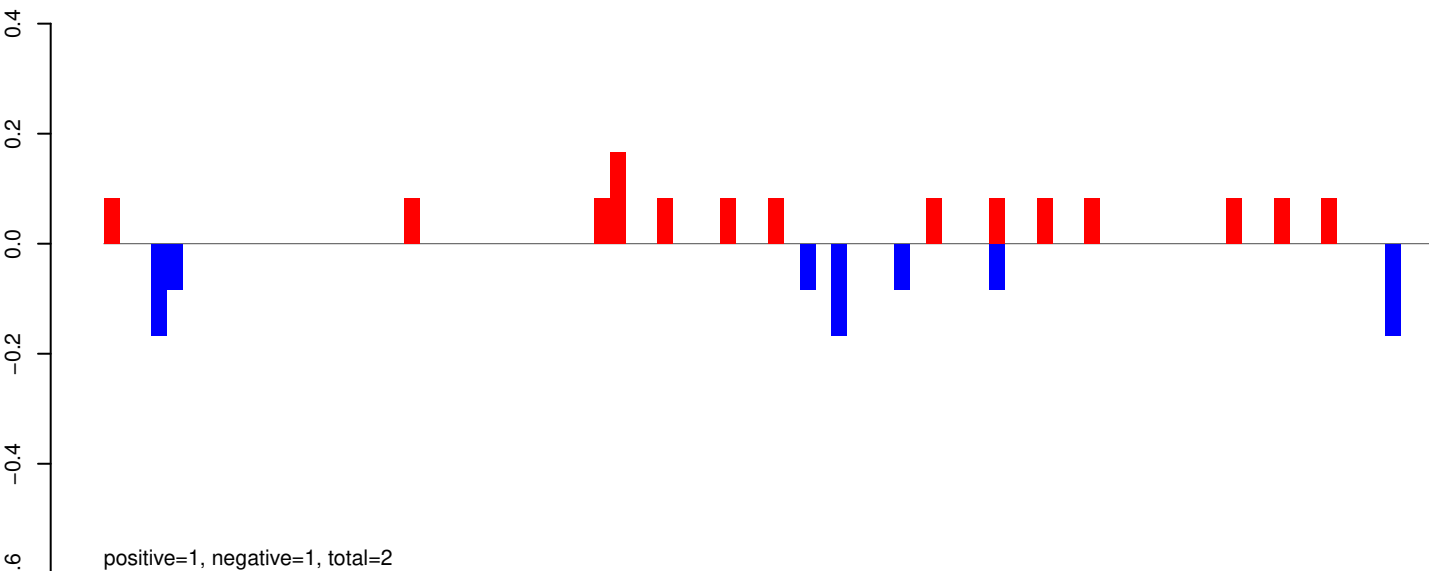
positive=6, negative=82, total=88

Window size=25, length=1589, TE@Mariner-3_AAe:1-1589

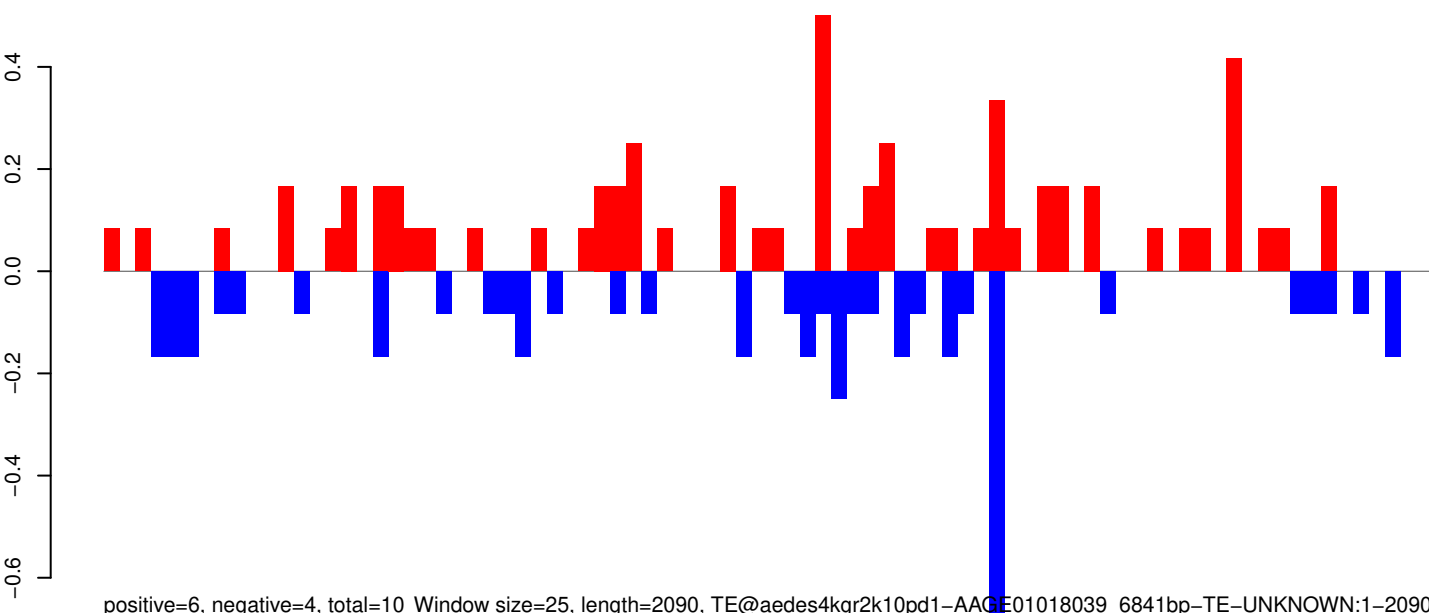
AeAeg_Aag2_Ago2_SINV_RA.18_23.rep



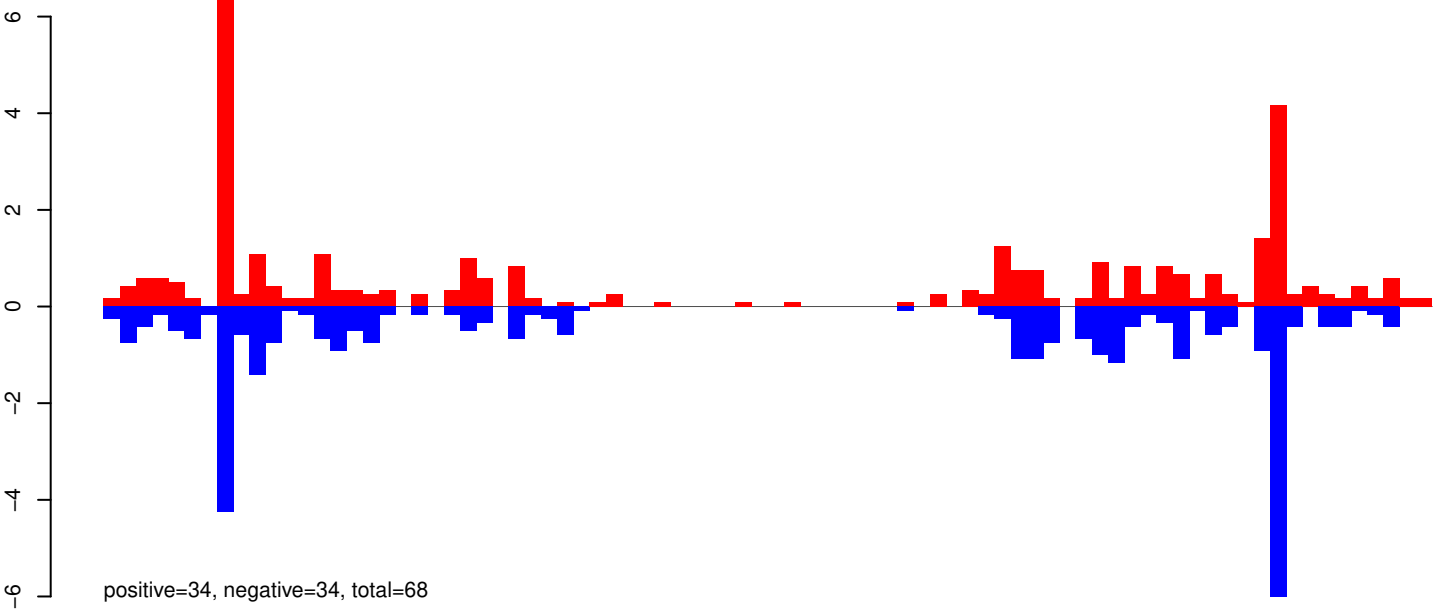
AeAeg_Aag2_Ago2_SINV_RA.24_35.rep



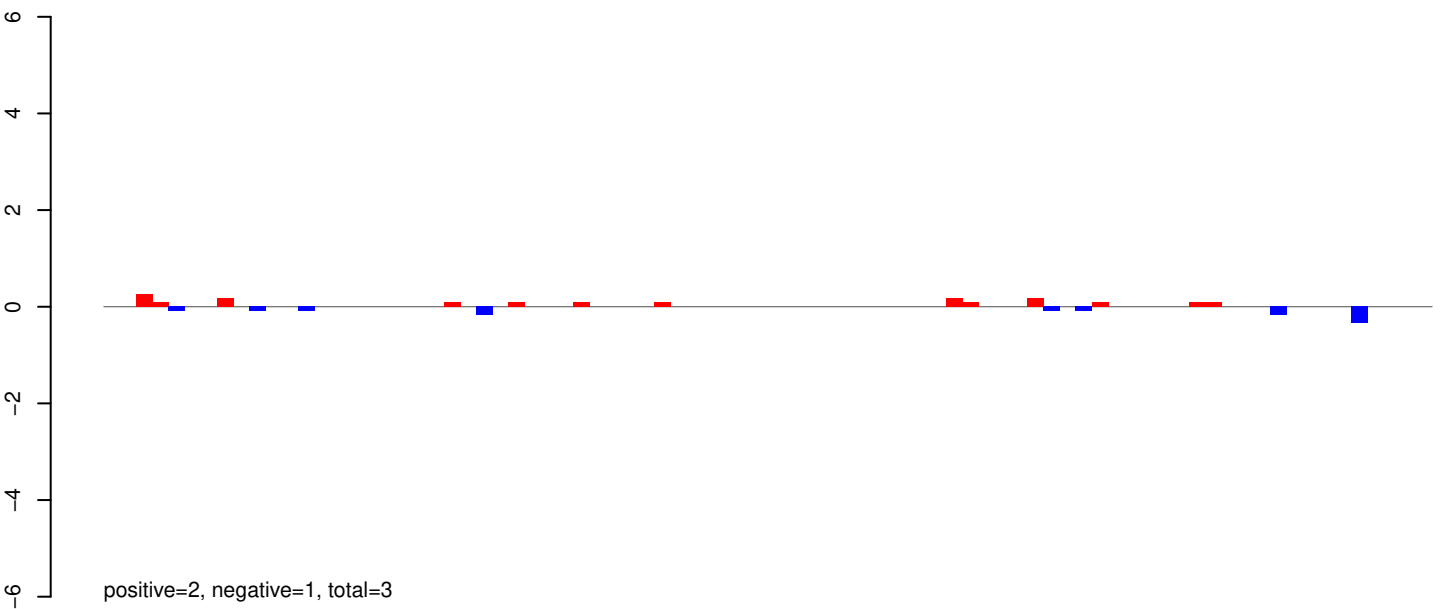
AeAeg_Aag2_Ago2_SINV_RA.rep



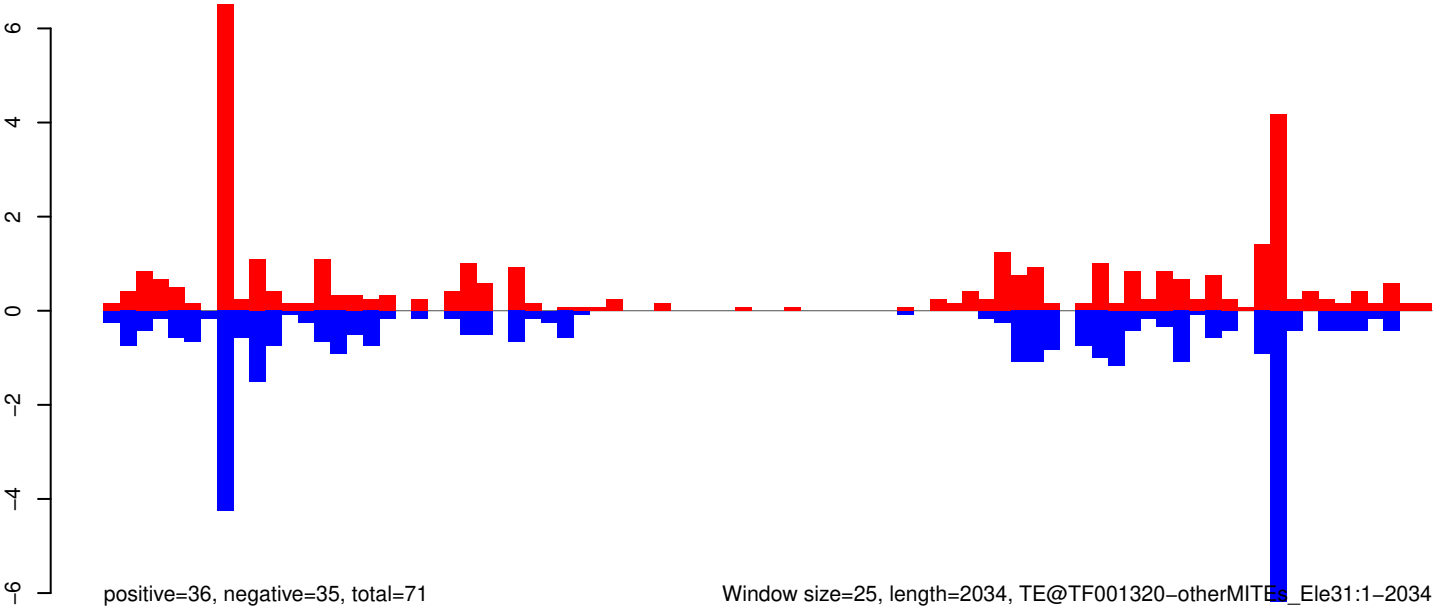
AeAeg_Aag2_Ago2_SINV_RA.18_23.rep



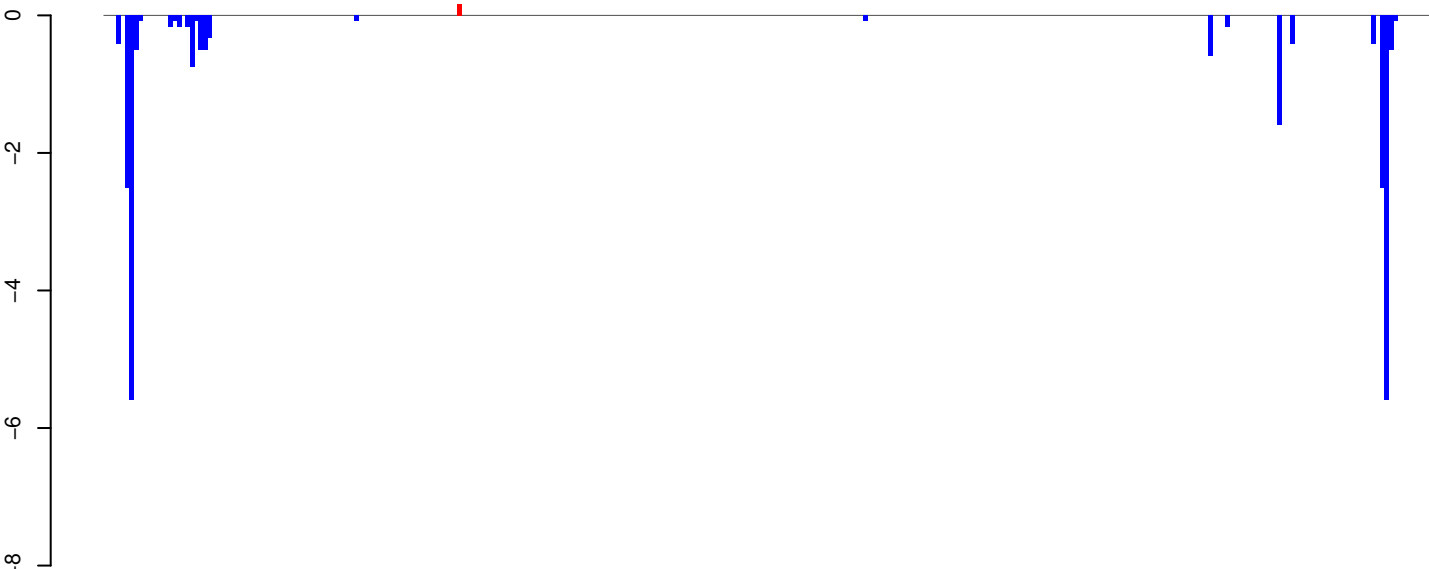
AeAeg_Aag2_Ago2_SINV_RA.24_35.rep



AeAeg_Aag2_Ago2_SINV_RA.rep

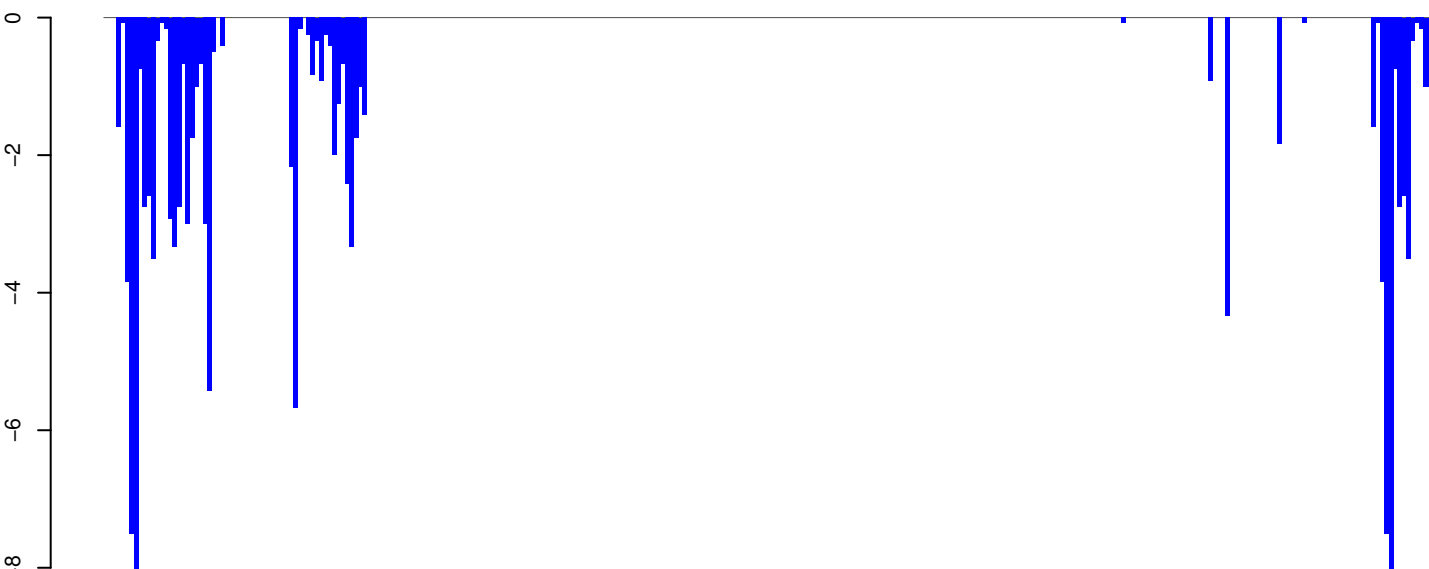


AeAeg_Aag2_Ago2_SINV_RA.18_23.rep



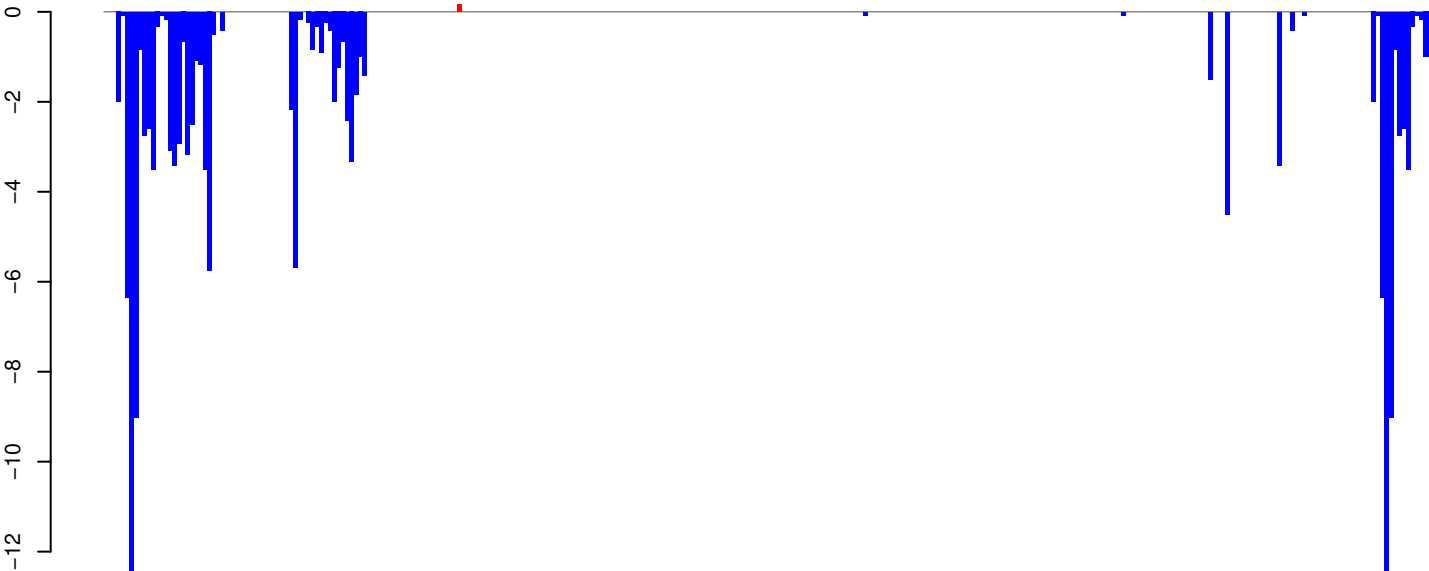
positive=0, negative=24, total=24

AeAeg_Aag2_Ago2_SINV_RA.24_35.rep



positive=0, negative=123, total=123

AeAeg_Aag2_Ago2_SINV_RA.rep

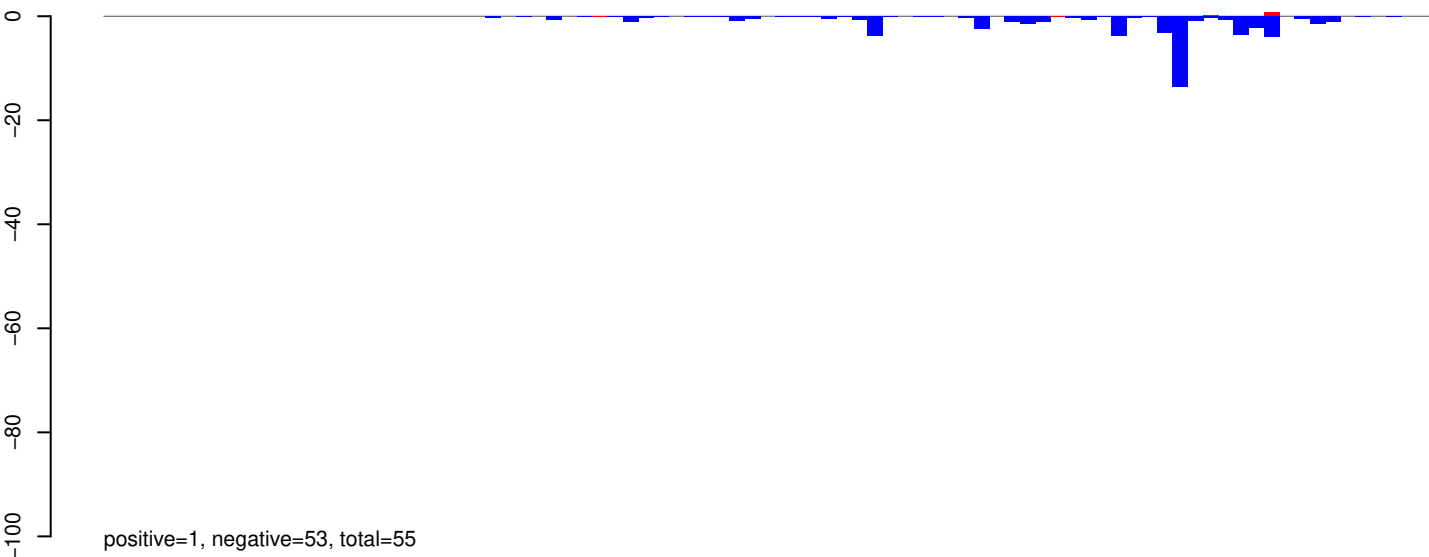


positive=0, negative=147, total=147

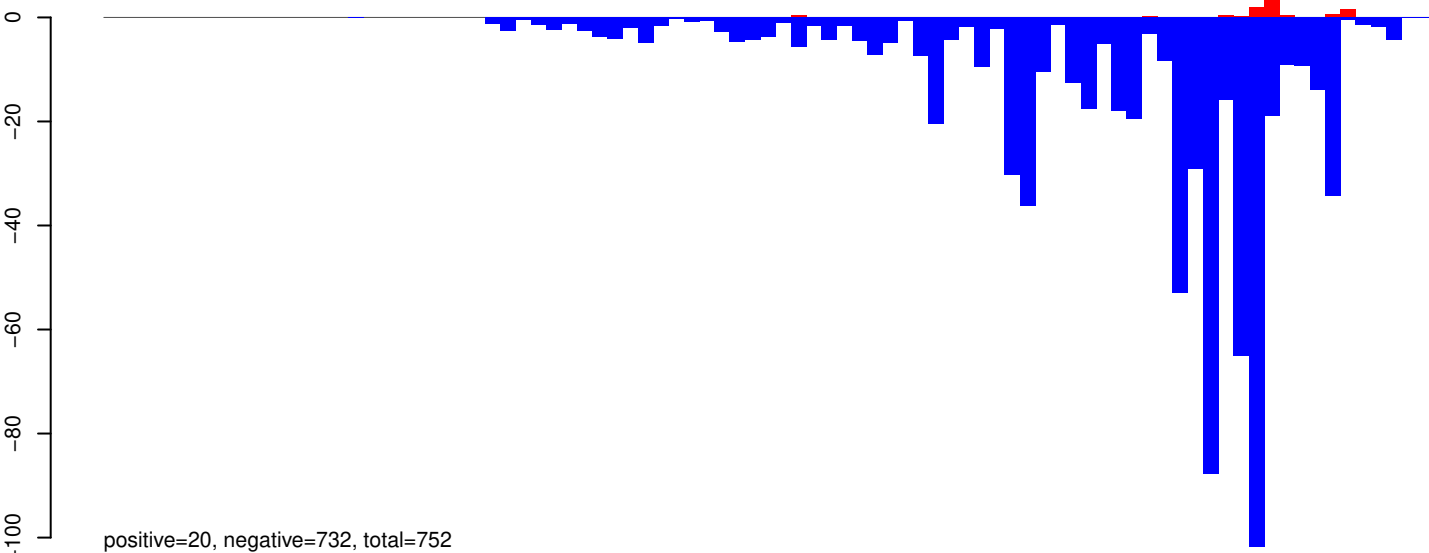
Window size=25, length=7683, TE@TF000475-Ty3_gypsy_Ele131:1-7683

0 2000 4000 6000 8000

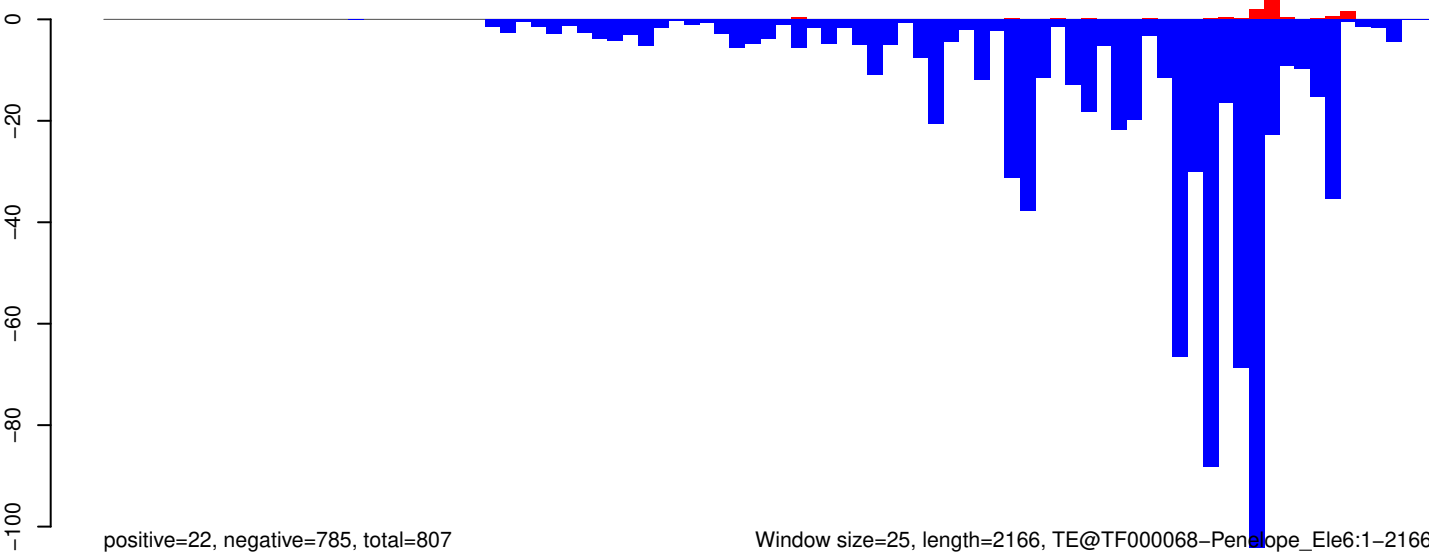
AeAeg_Aag2_Ago2_SINV_RA.18_23.rep



AeAeg_Aag2_Ago2_SINV_RA.24_35.rep



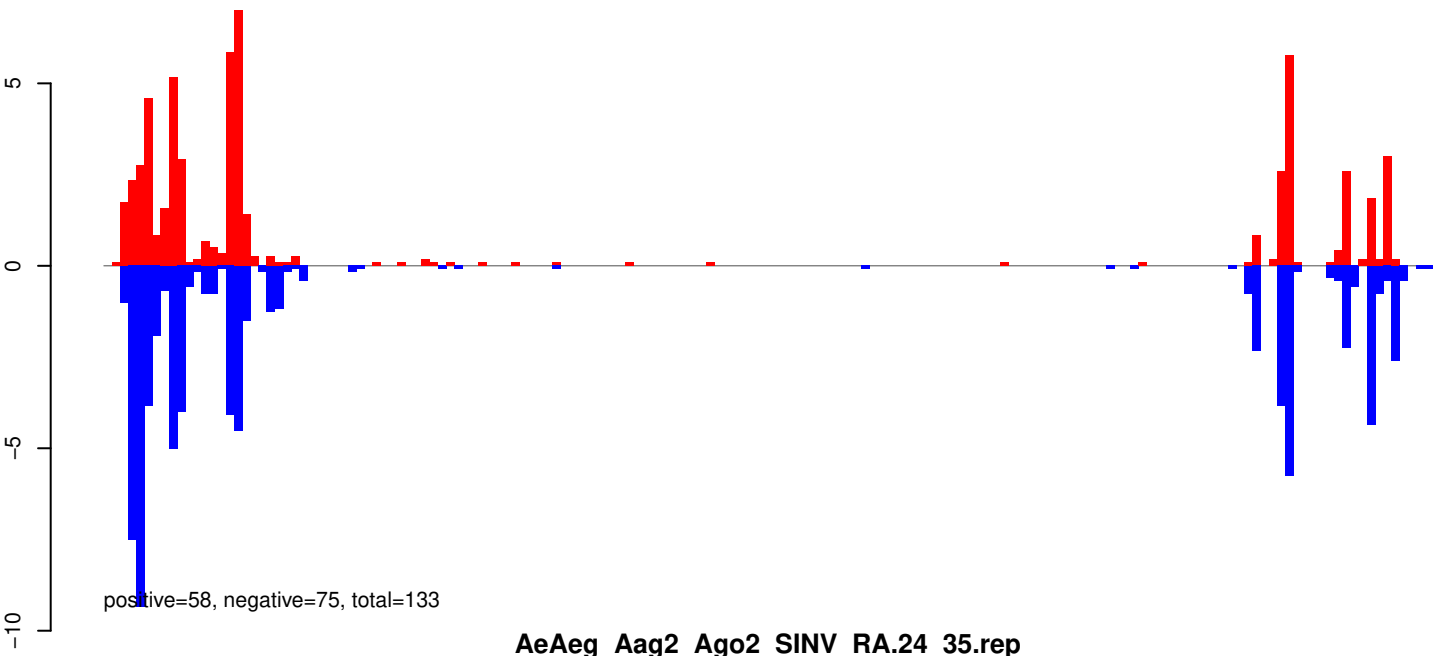
AeAeg_Aag2_Ago2_SINV_RA.rep



Window size=25, length=2166, TE@TF000068-Penelope_Ele6:1-2166

0 500 1000 1500 2000

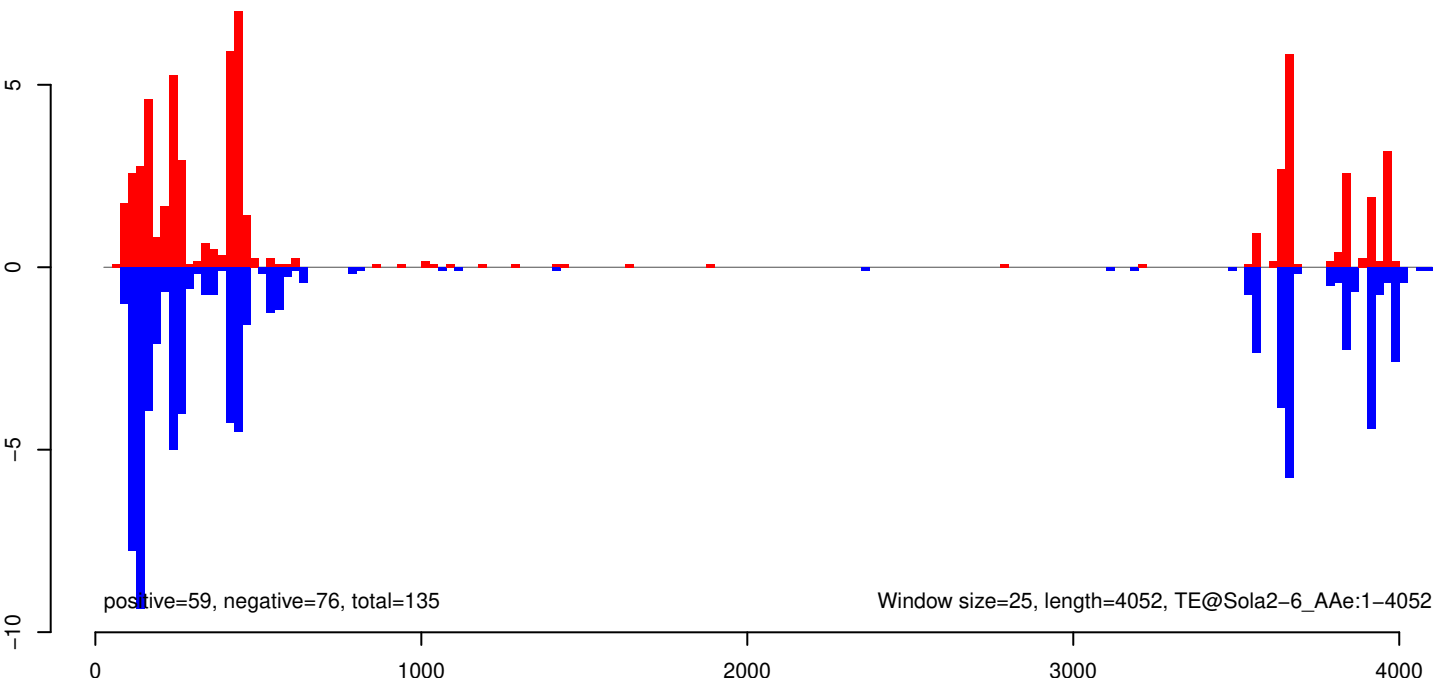
AeAeg_Aag2_Ago2_SINV_RA.18_23.rep



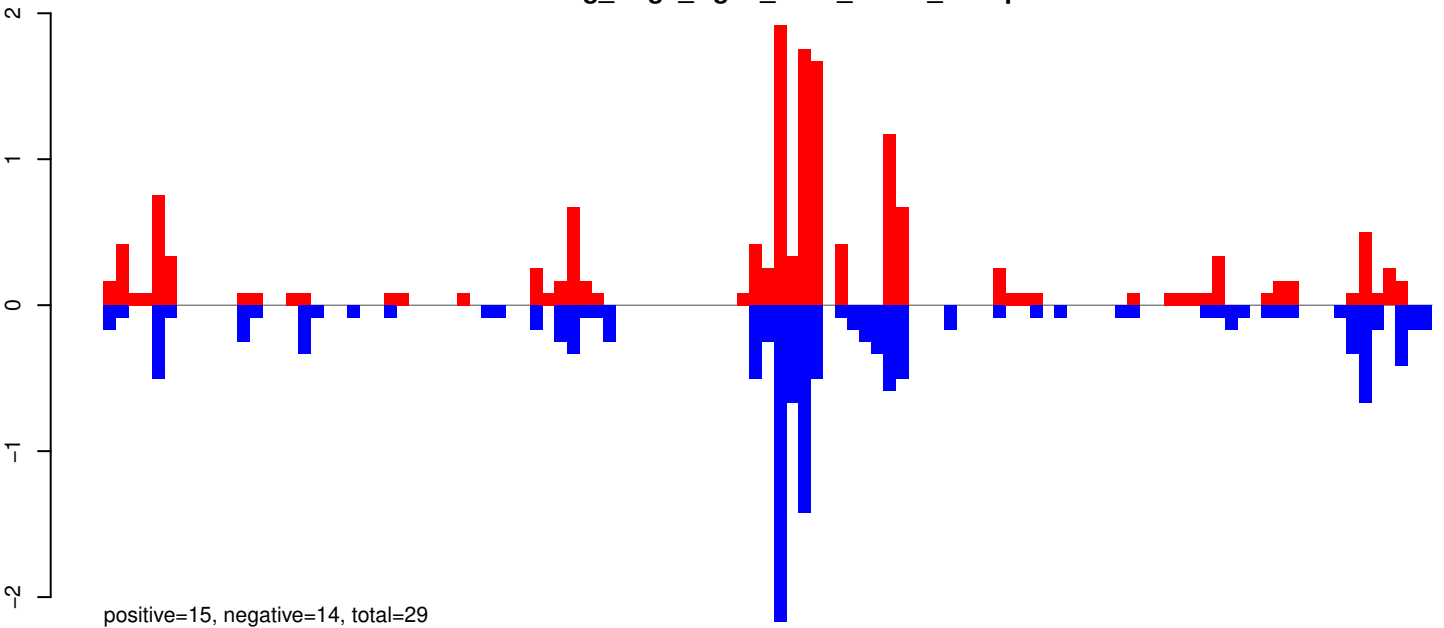
AeAeg_Aag2_Ago2_SINV_RA.24_35.rep



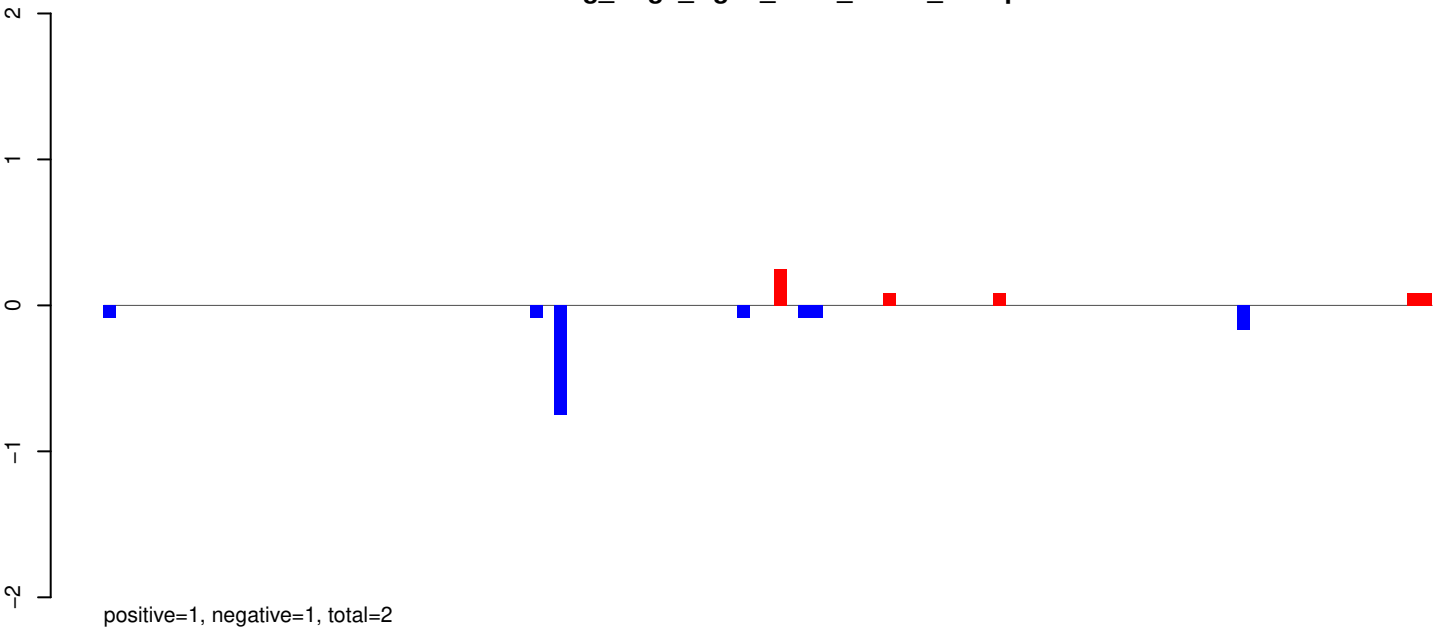
AeAeg_Aag2_Ago2_SINV_RA.rep



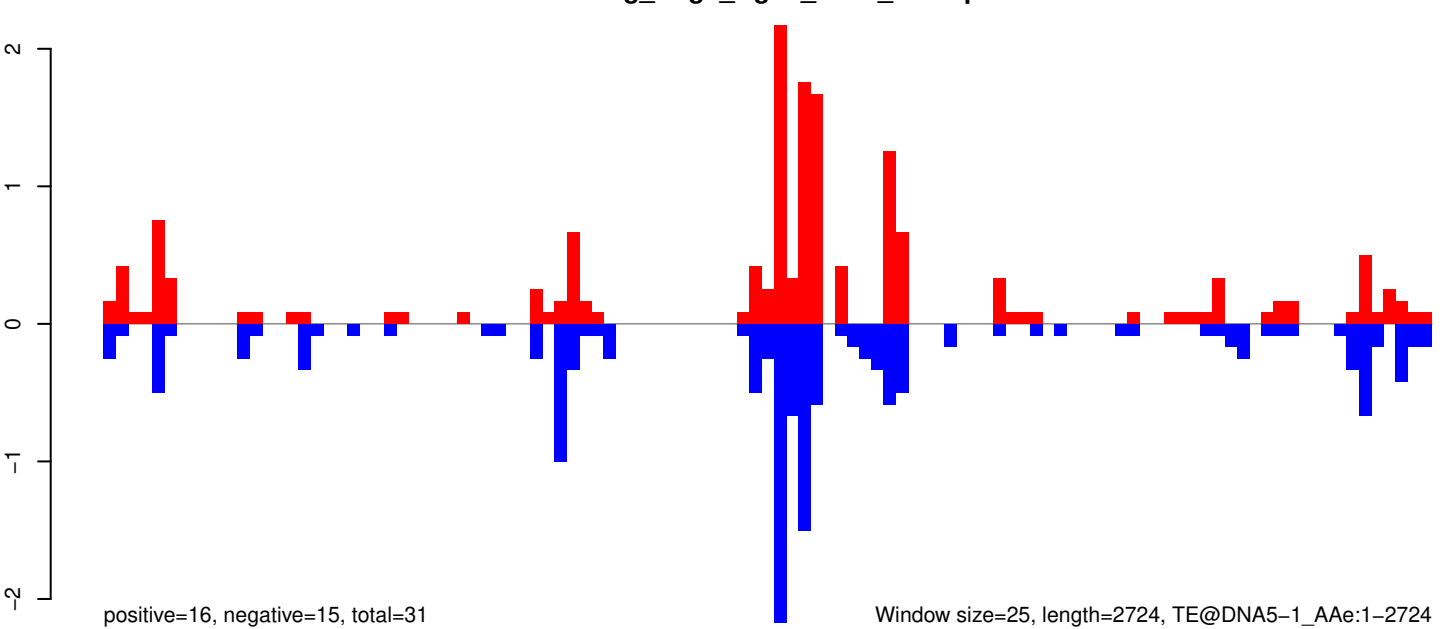
AeAeg_Aag2_Ago2_SINV_RA.18_23.rep



AeAeg_Aag2_Ago2_SINV_RA.24_35.rep

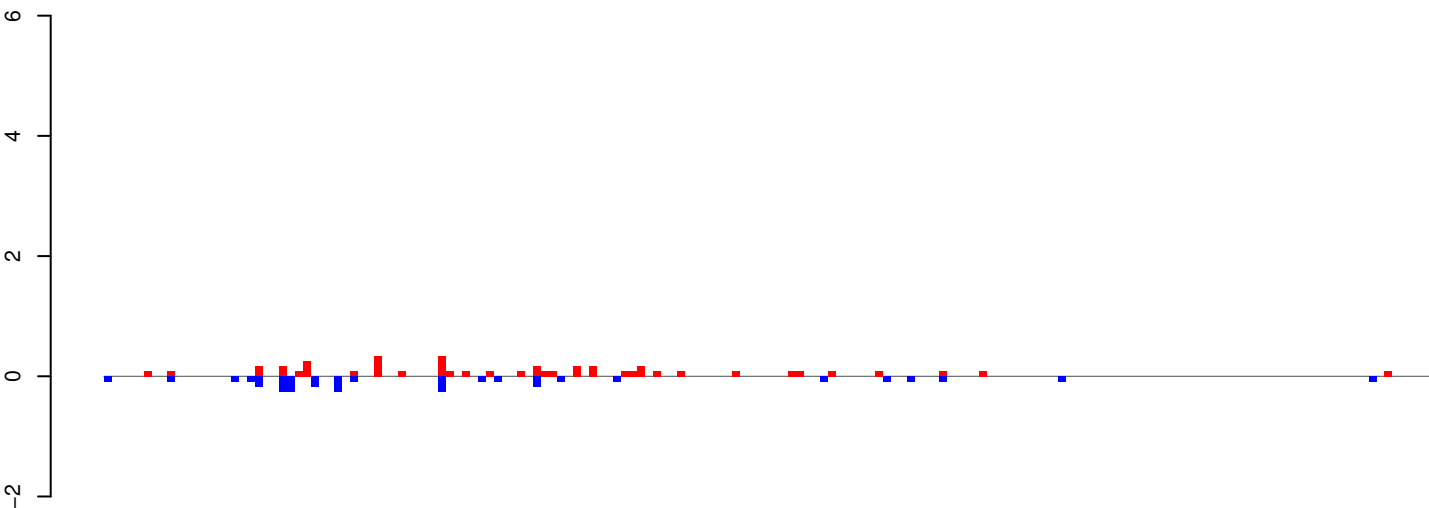


AeAeg_Aag2_Ago2_SINV_RA.rep



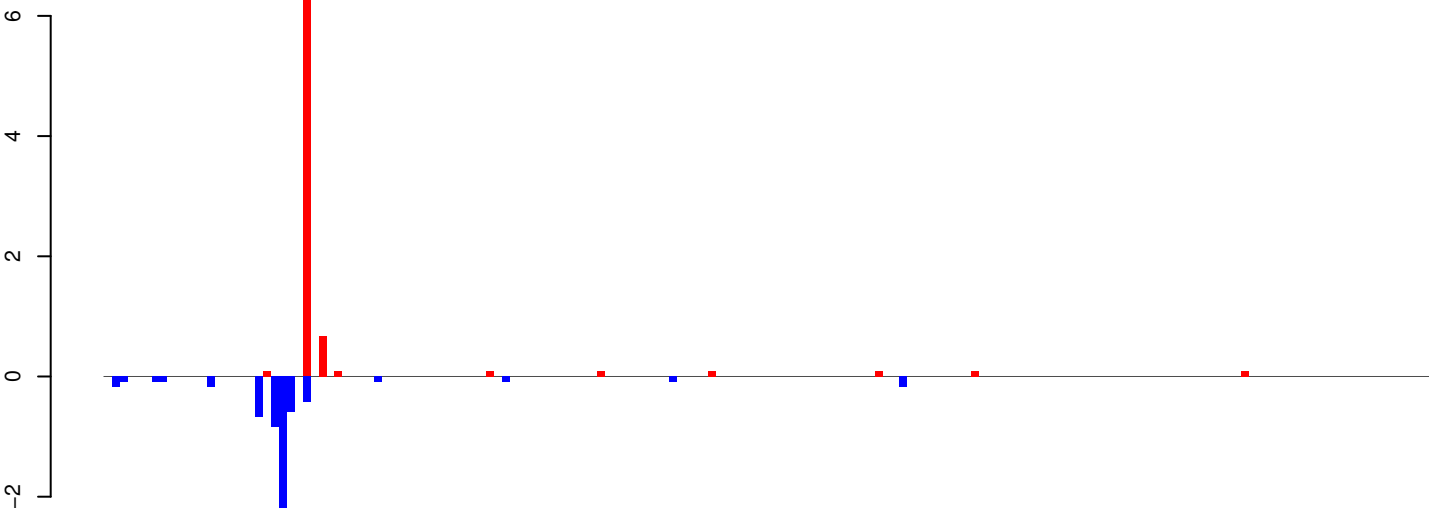
Window size=25, length=2724, TE@DNA5-1_A Ae:1-2724

AeAeg_Aag2_Ago2_SINV_RA.18_23.rep



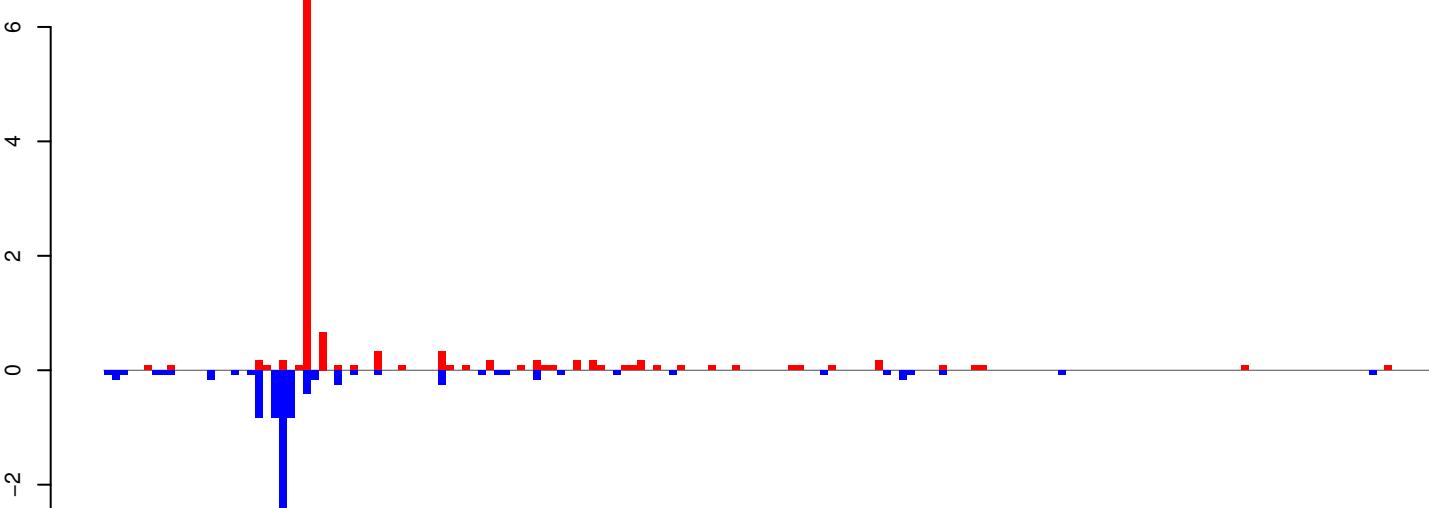
positive=4, negative=3, total=7

AeAeg_Aag2_Ago2_SINV_RA.24_35.rep



positive=8, negative=7, total=15

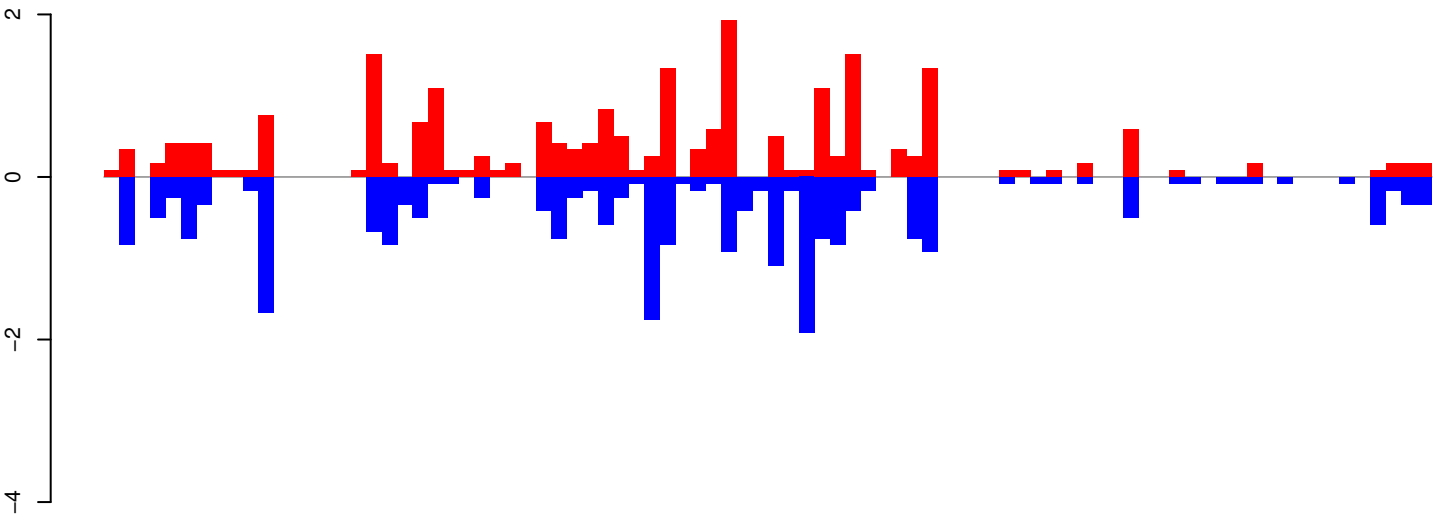
AeAeg_Aag2_Ago2_SINV_RA.rep



positive=12, negative=10, total=21

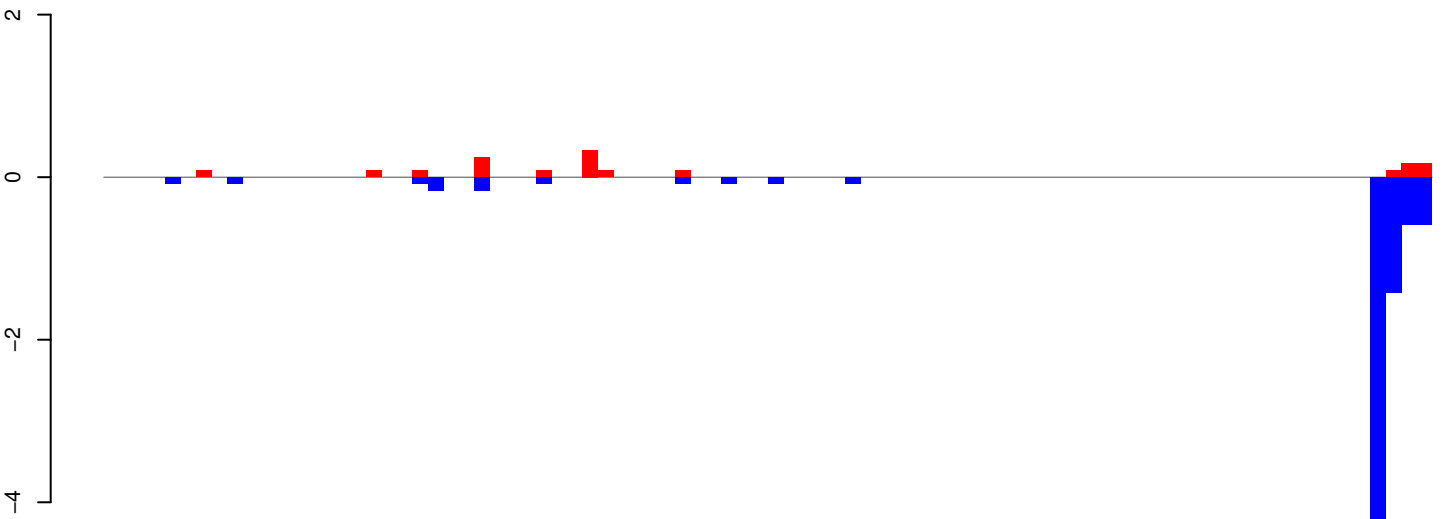
Window size=25, length=4154, TE@BEL-1N_AA-LTR-I:1-4154

AeAeg_Aag2_Ago2_SINV_RA.18_23.rep



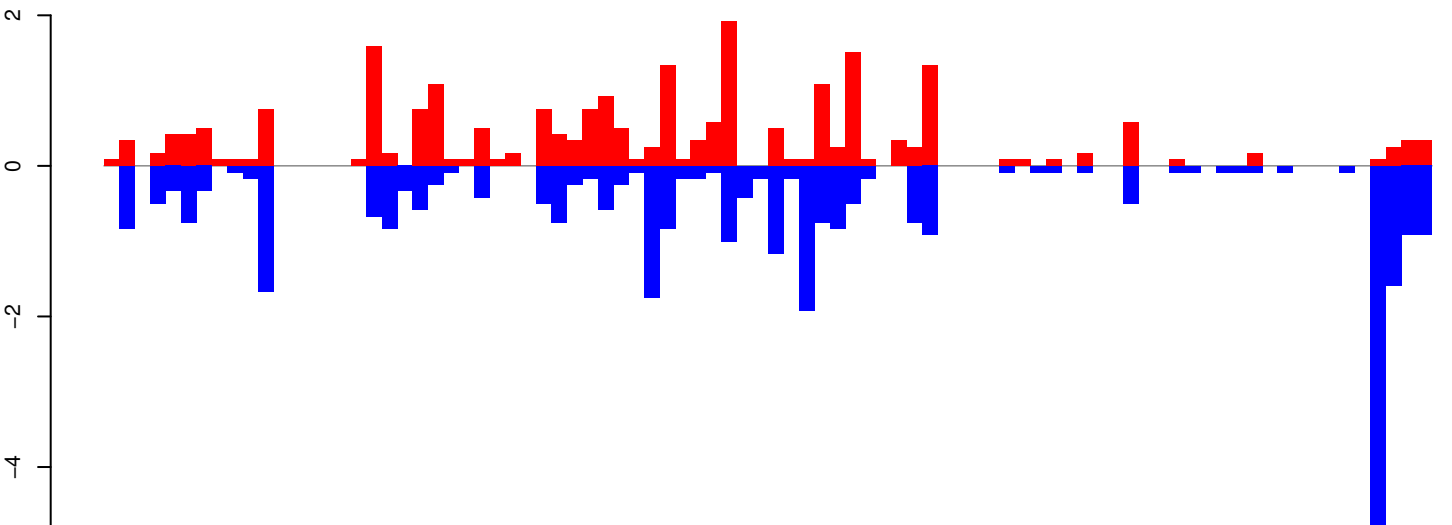
positive=22, negative=24, total=46

AeAeg_Aag2_Ago2_SINV_RA.24_35.rep



positive=2, negative=9, total=11

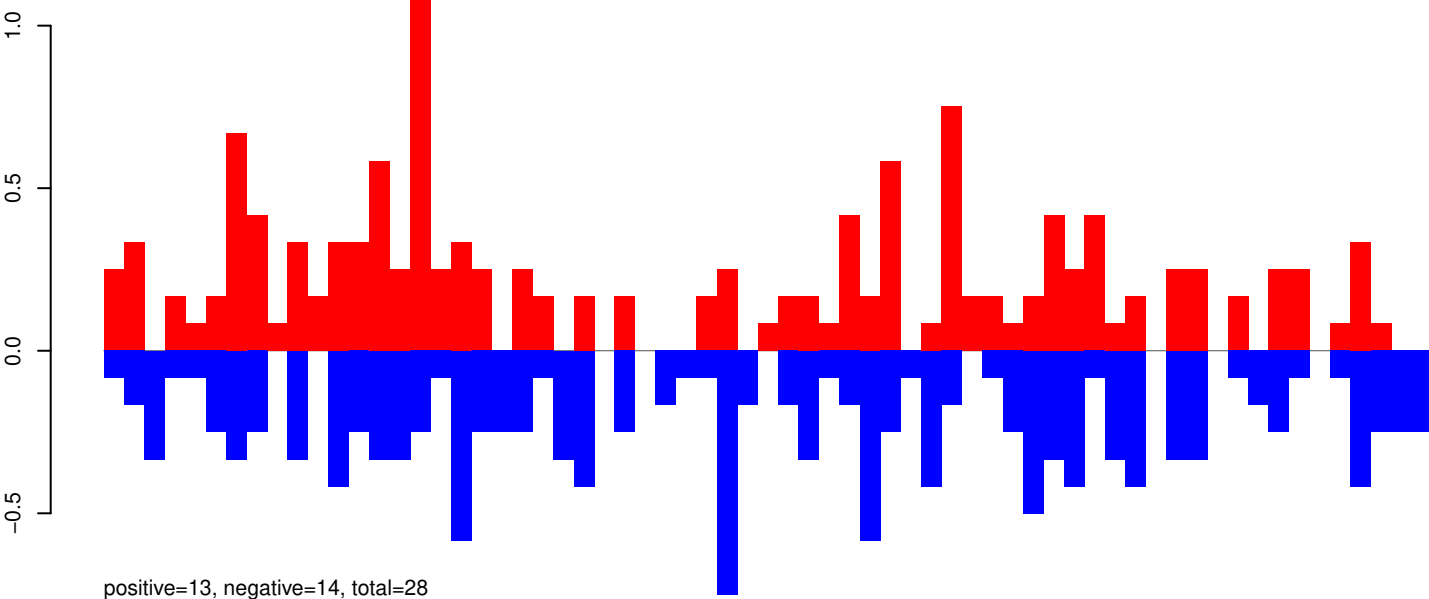
AeAeg_Aag2_Ago2_SINV_RA.rep



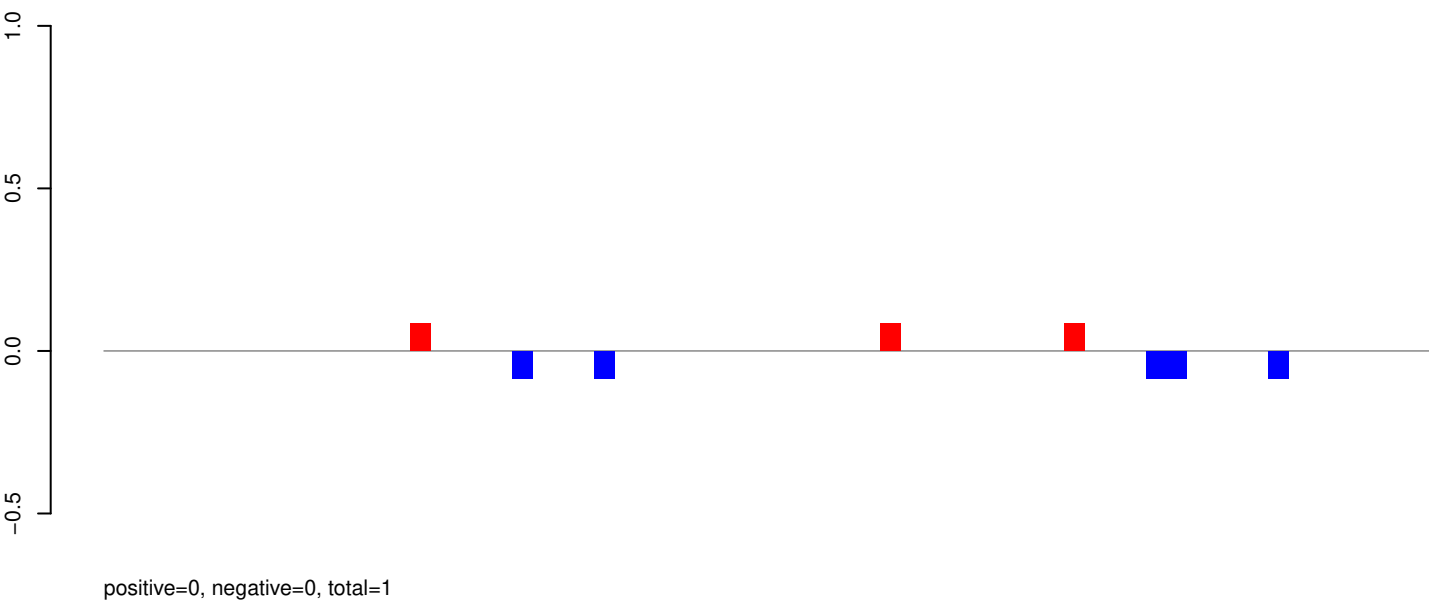
positive=24, negative=33, total=57

Window size=25, length=2142, TE@AF208680.1:1-2142

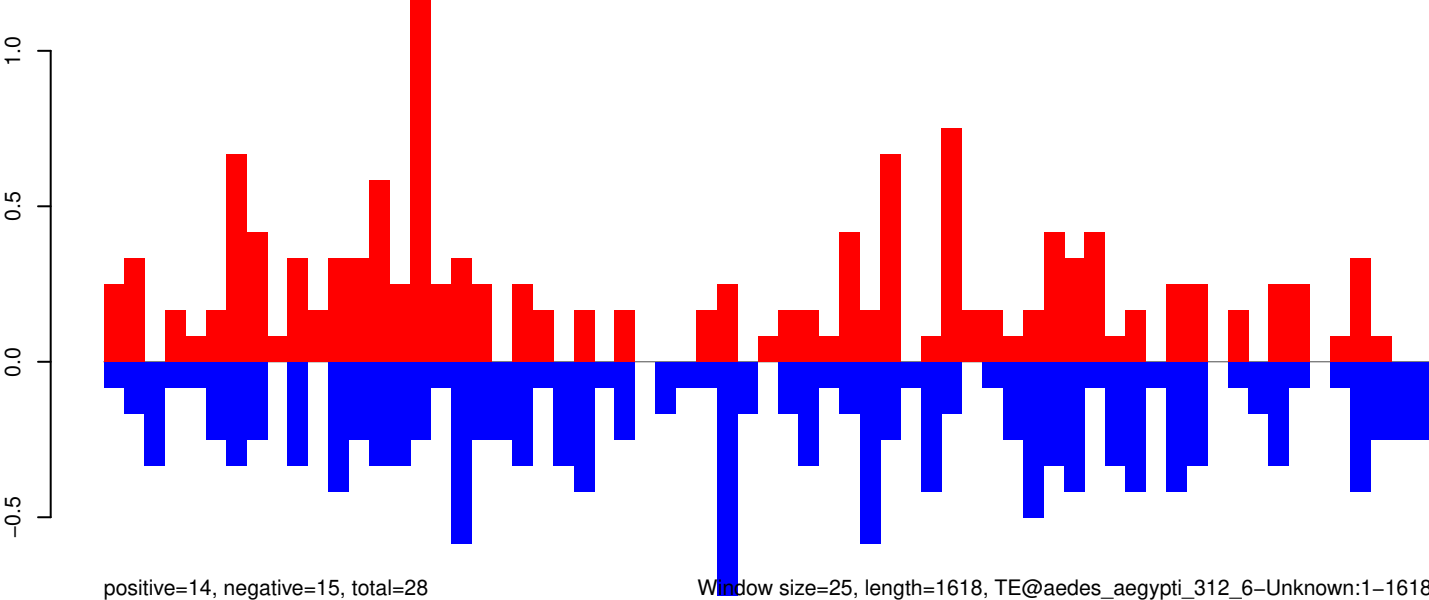
AeAeg_Aag2_Ago2_SINV_RA.18_23.rep



AeAeg_Aag2_Ago2_SINV_RA.24_35.rep



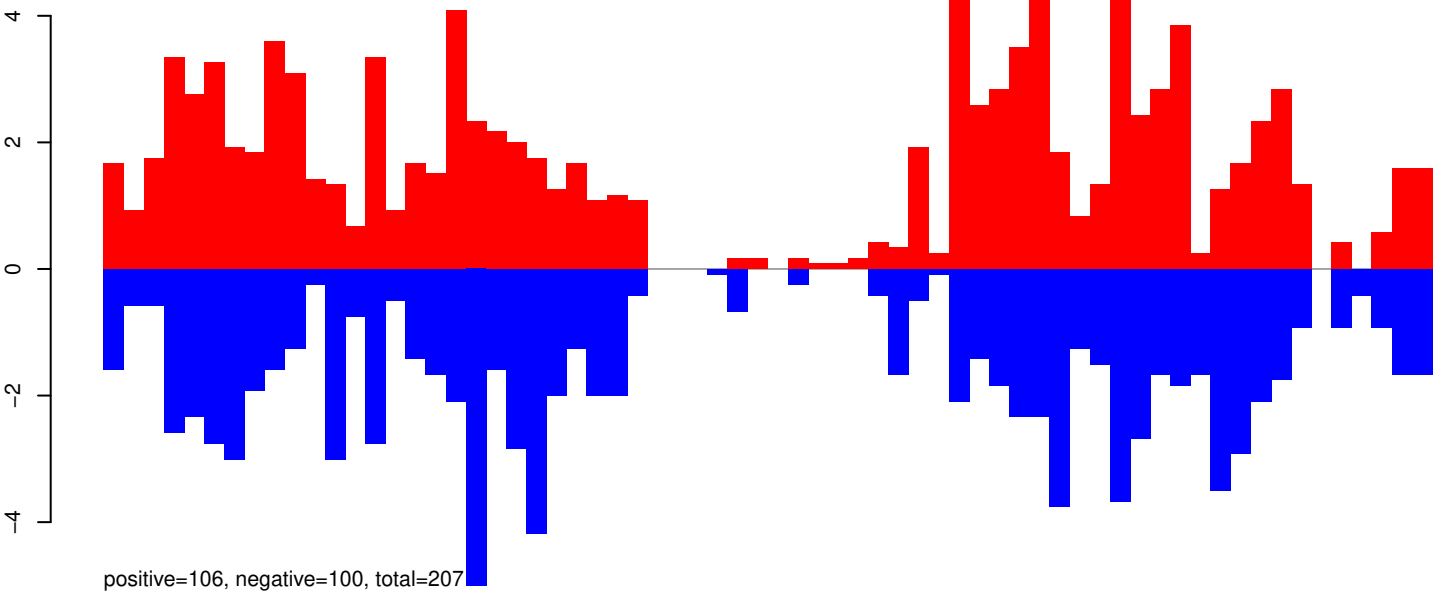
AeAeg_Aag2_Ago2_SINV_RA.rep



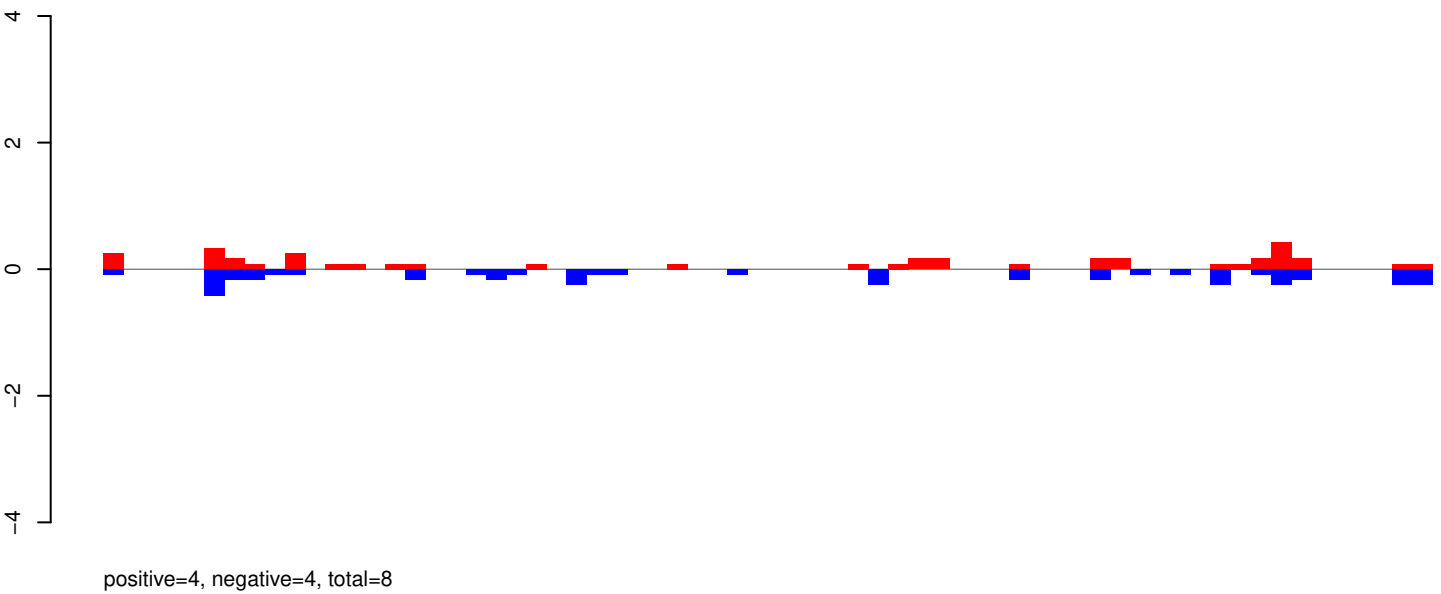
Window size=25, length=1618, TE@aedes_aegypti_312_6-Unknown:1-1618

0 500 1000 1500

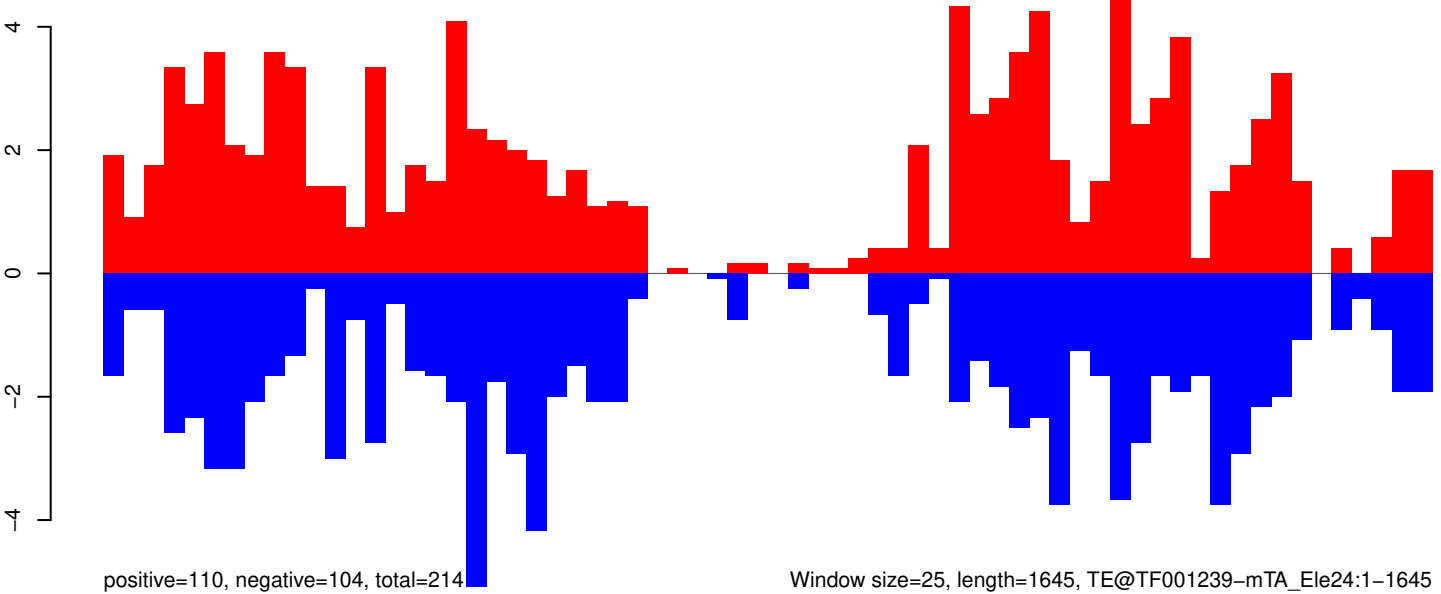
AeAeg_Aag2_Ago2_SINV_RA.18_23.rep



AeAeg_Aag2_Ago2_SINV_RA.24_35.rep



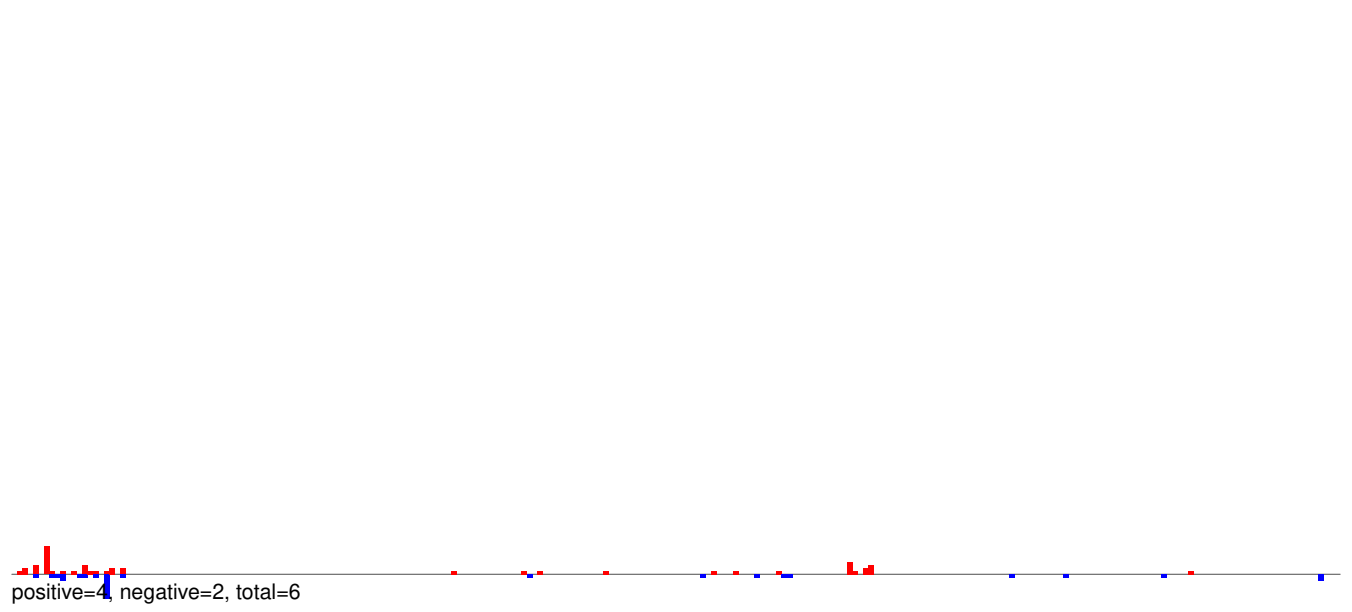
AeAeg_Aag2_Ago2_SINV_RA.rep



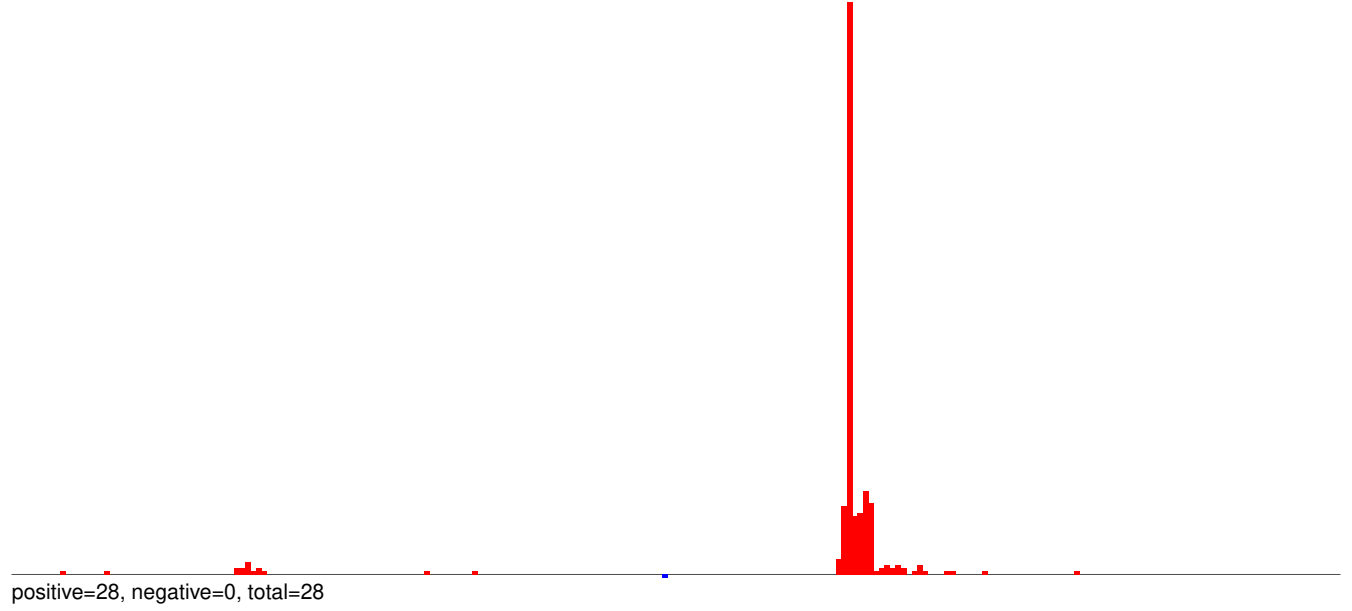
Window size=25, length=1645, TE@TF001239-mTA_Ele24:1-1645

0 500 1000 1500

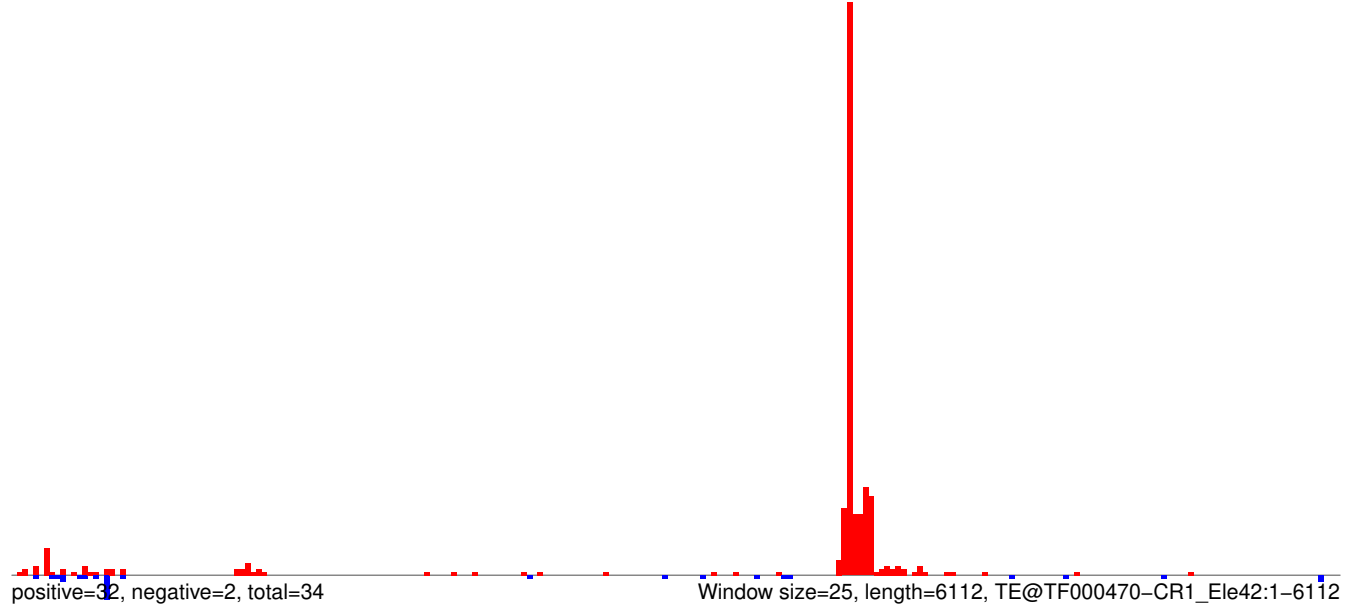
AeAeg_Aag2_Ago2_SINV_RA.18_23.rep



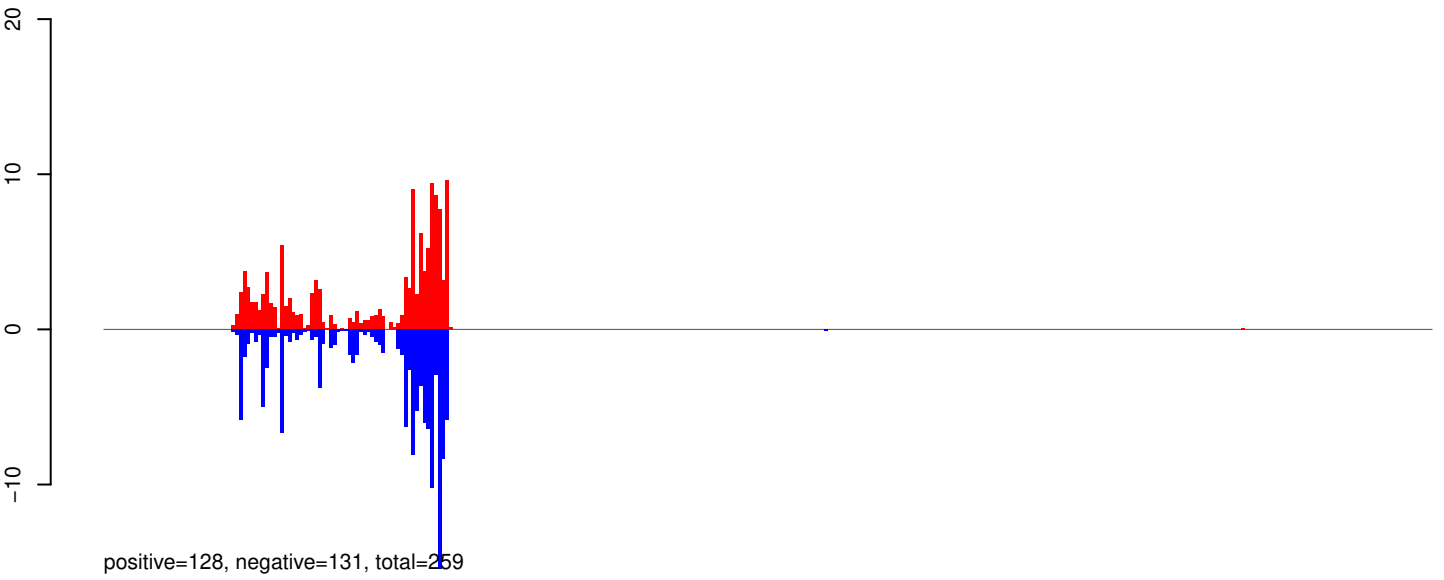
AeAeg_Aag2_Ago2_SINV_RA.24_35.rep



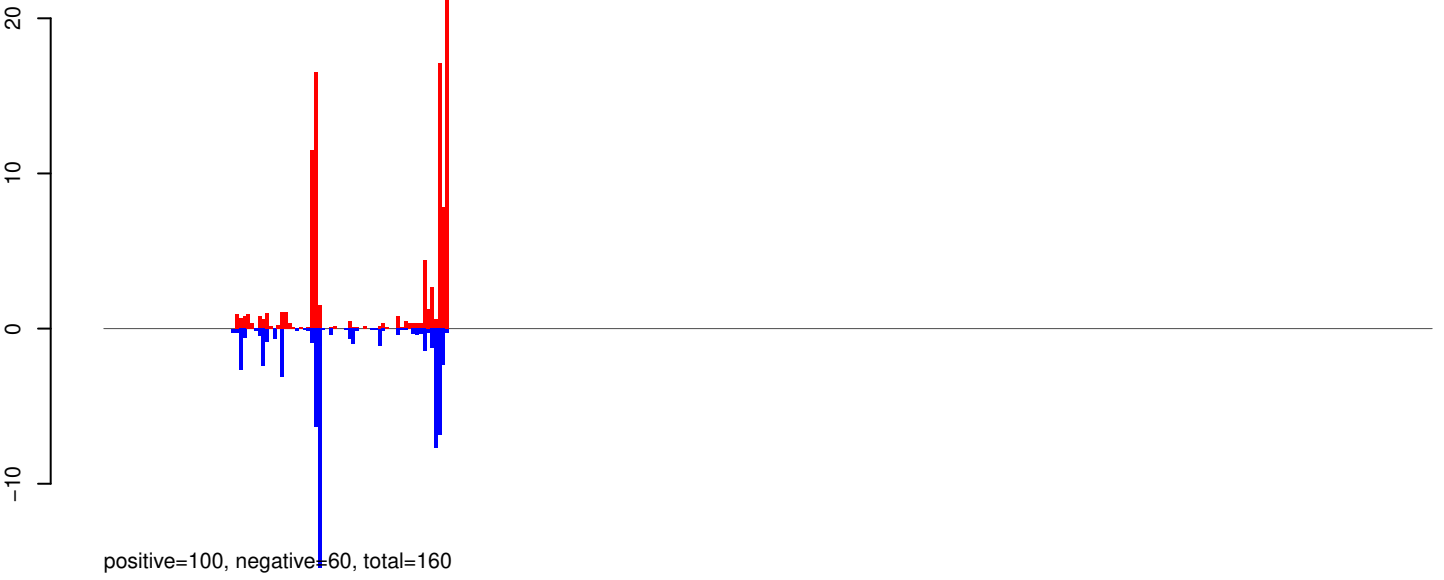
AeAeg_Aag2_Ago2_SINV_RA.rep



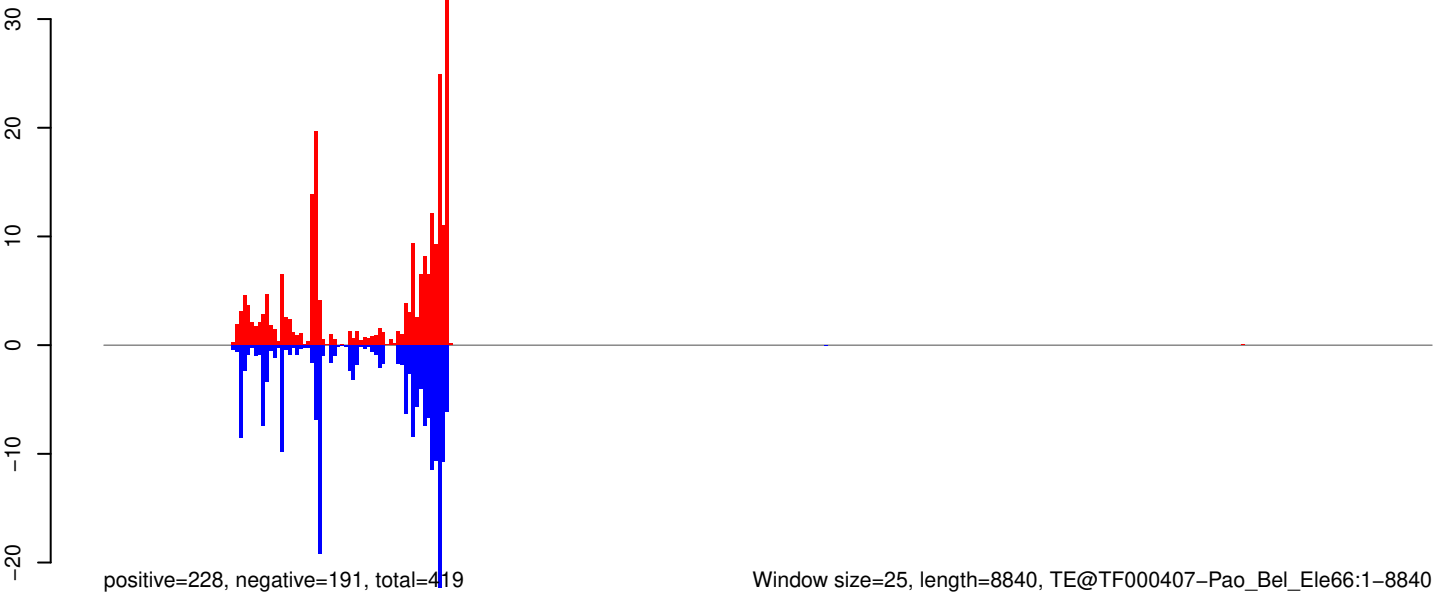
AeAeg_Aag2_Ago2_SINV_RA.18_23.rep



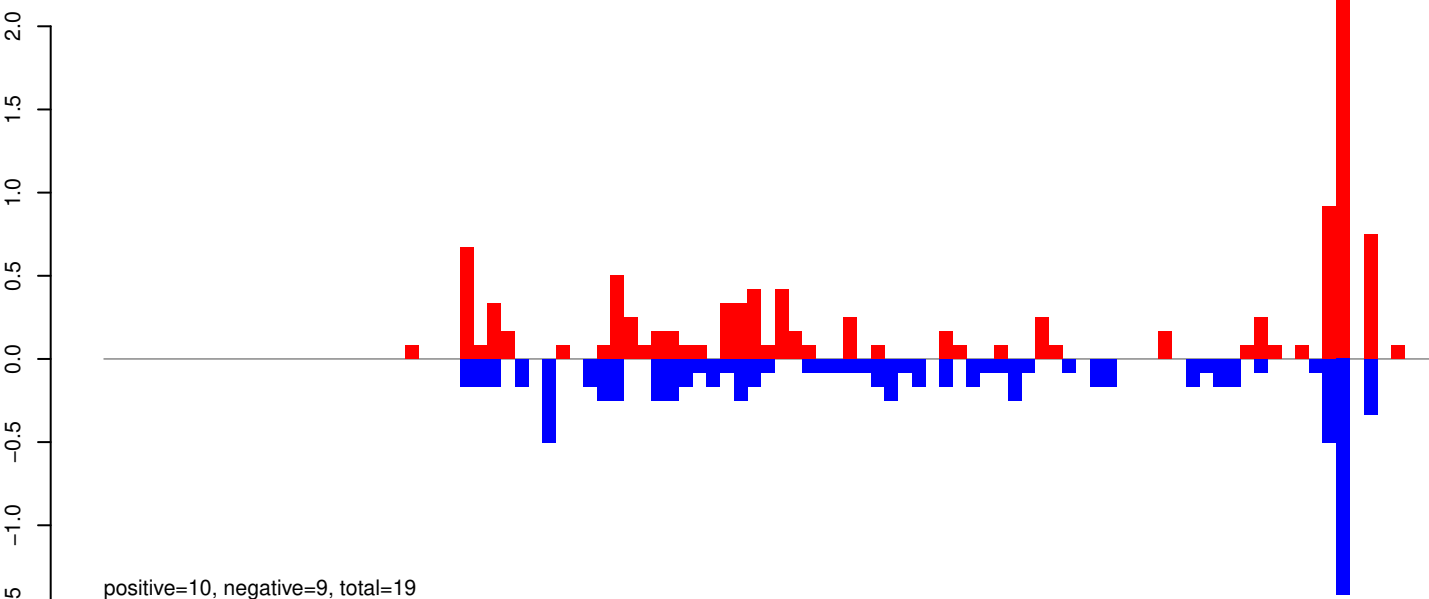
AeAeg_Aag2_Ago2_SINV_RA.24_35.rep



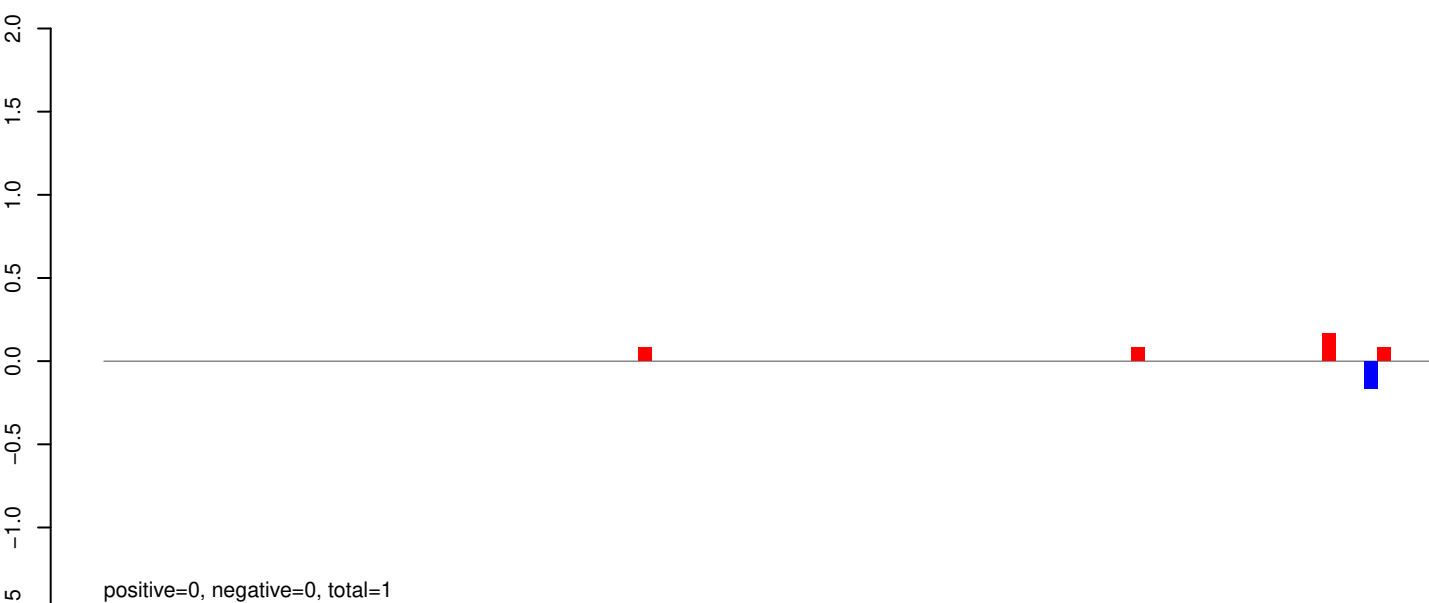
AeAeg_Aag2_Ago2_SINV_RA.rep



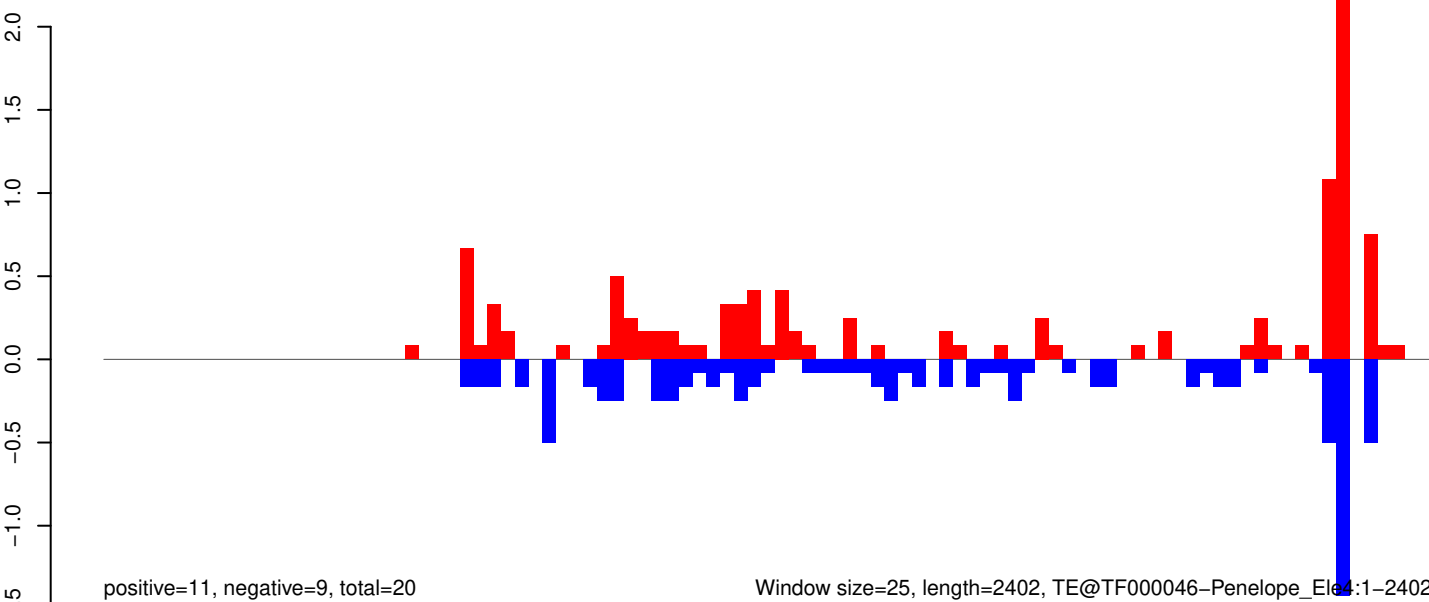
AeAeg_Aag2_Ago2_SINV_RA.18_23.rep



AeAeg_Aag2_Ago2_SINV_RA.24_35.rep



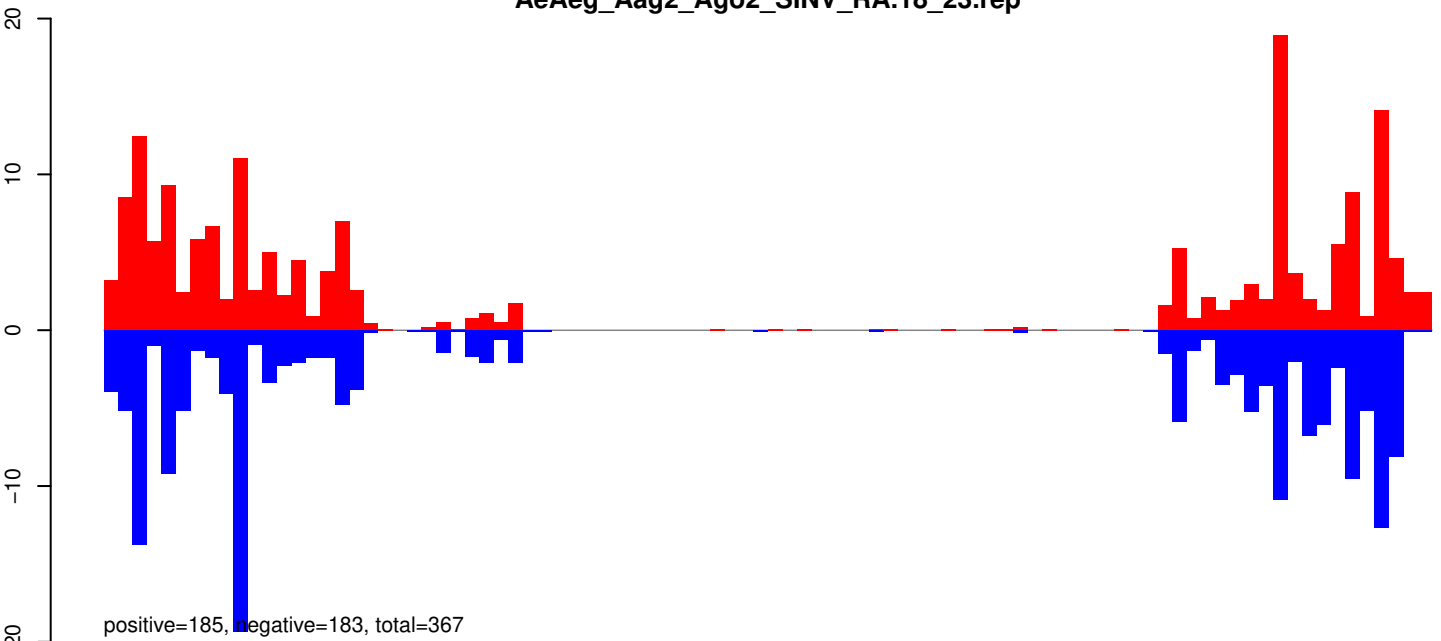
AeAeg_Aag2_Ago2_SINV_RA.rep



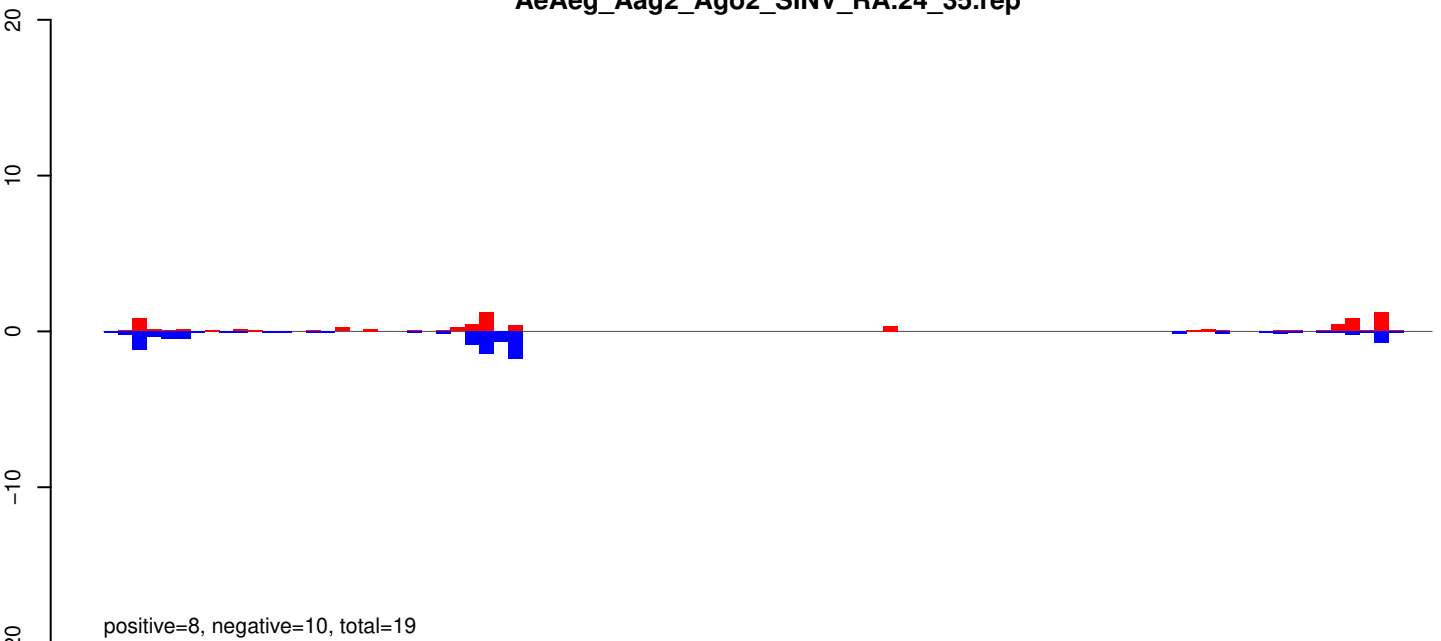
Window size=25, length=2402, TE@TF000046-Penelope_Ele4:1-2402

0 500 1000 1500 2000 2500

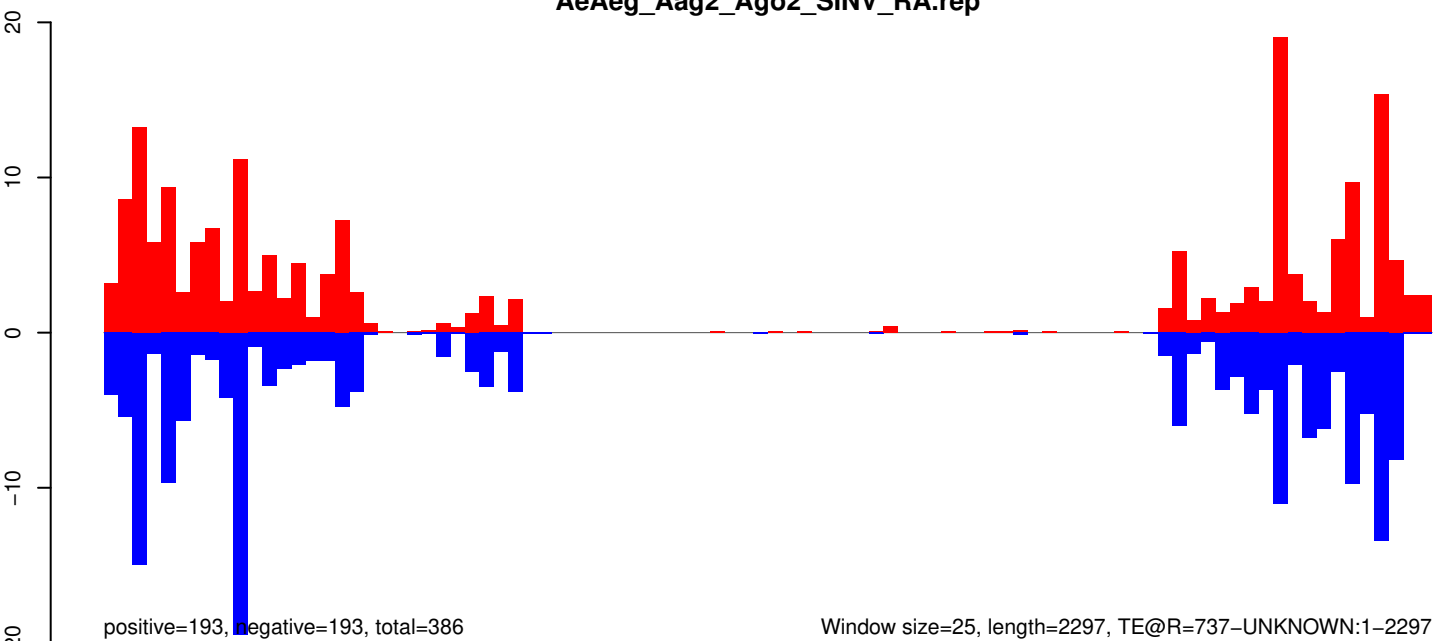
AeAeg_Aag2_Ago2_SINV_RA.18_23.rep



AeAeg_Aag2_Ago2_SINV_RA.24_35.rep

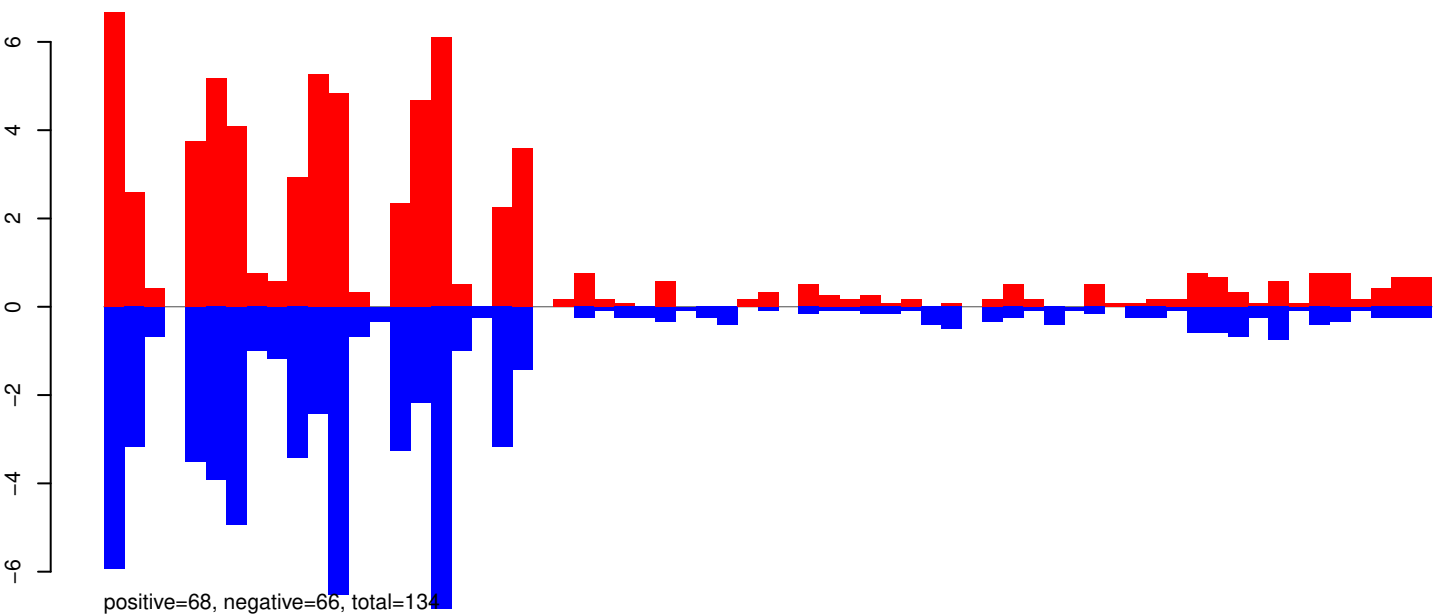


AeAeg_Aag2_Ago2_SINV_RA.rep

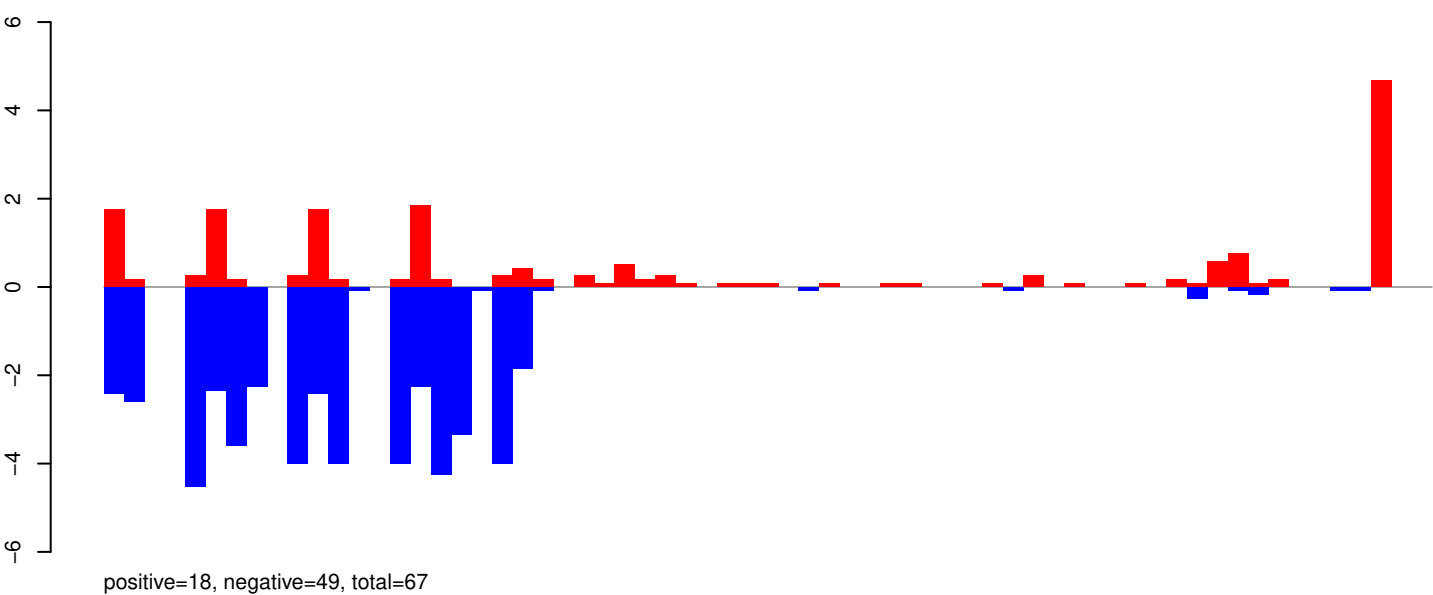


Window size=25, length=2297, TE@R=737-UNKNOWN:1-2297

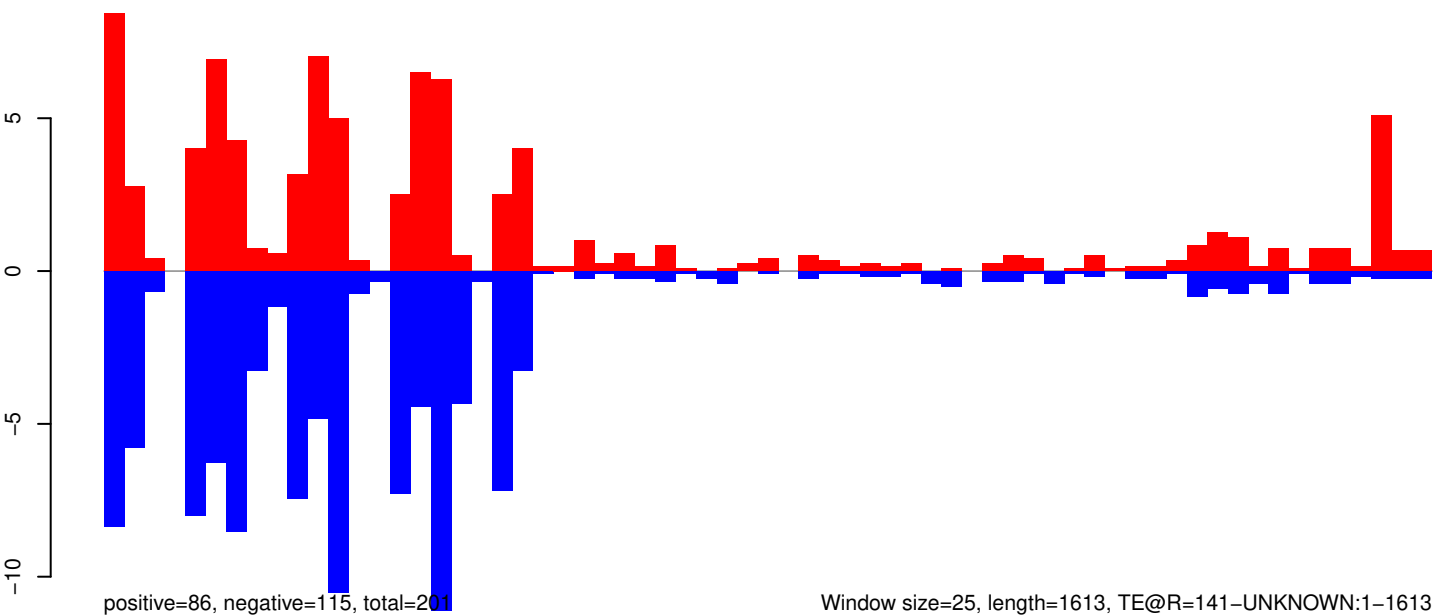
AeAeg_Aag2_Ago2_SINV_RA.18_23.rep



AeAeg_Aag2_Ago2_SINV_RA.24_35.rep



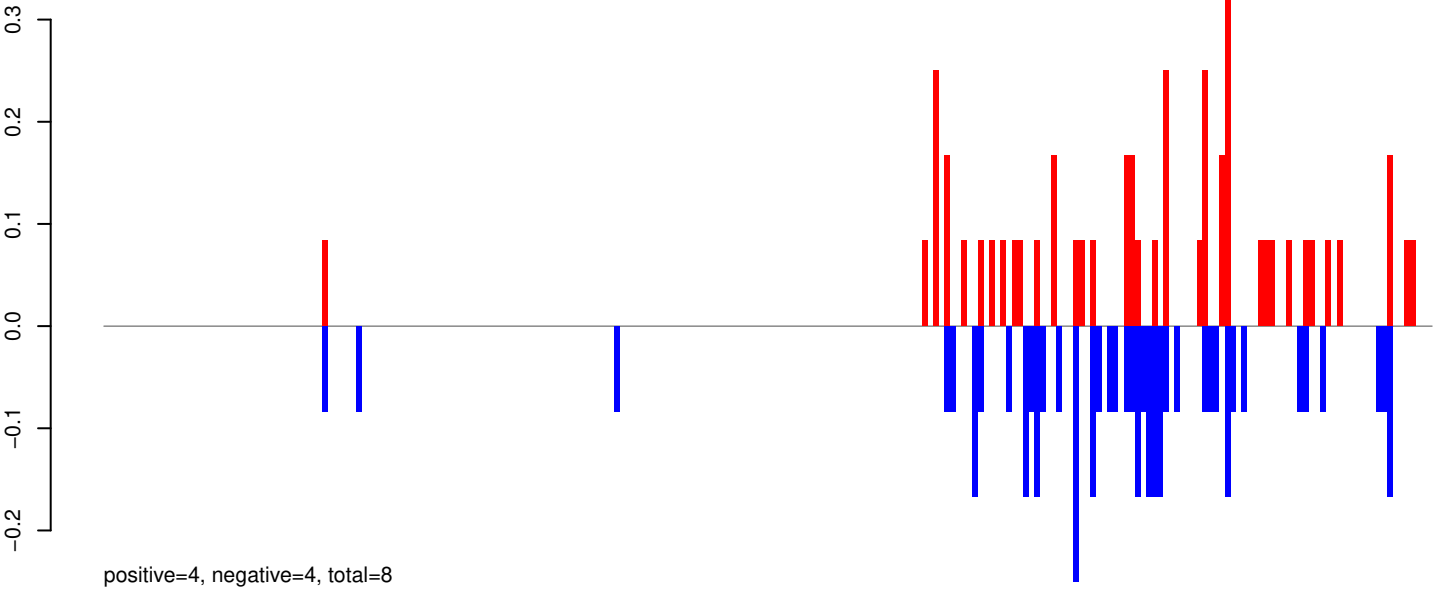
AeAeg_Aag2_Ago2_SINV_RA.rep



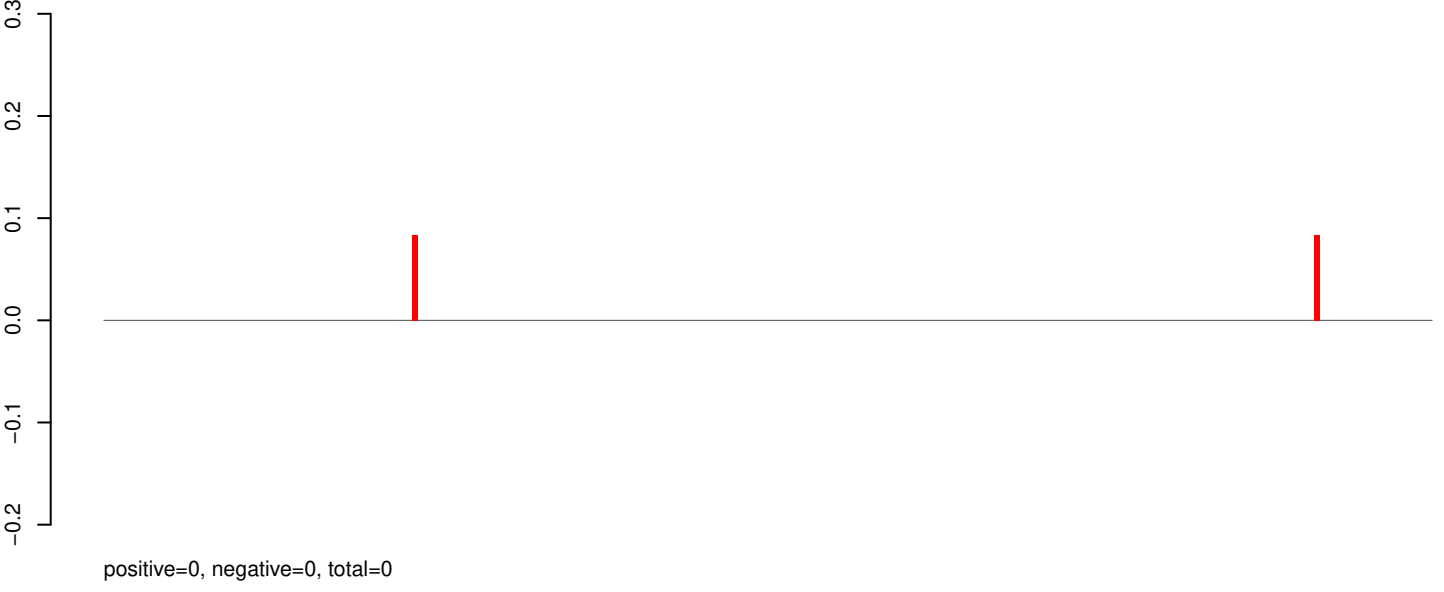
Window size=25, length=1613, TE@R=141-UNKNOWN:1-1613

0 500 1000 1500

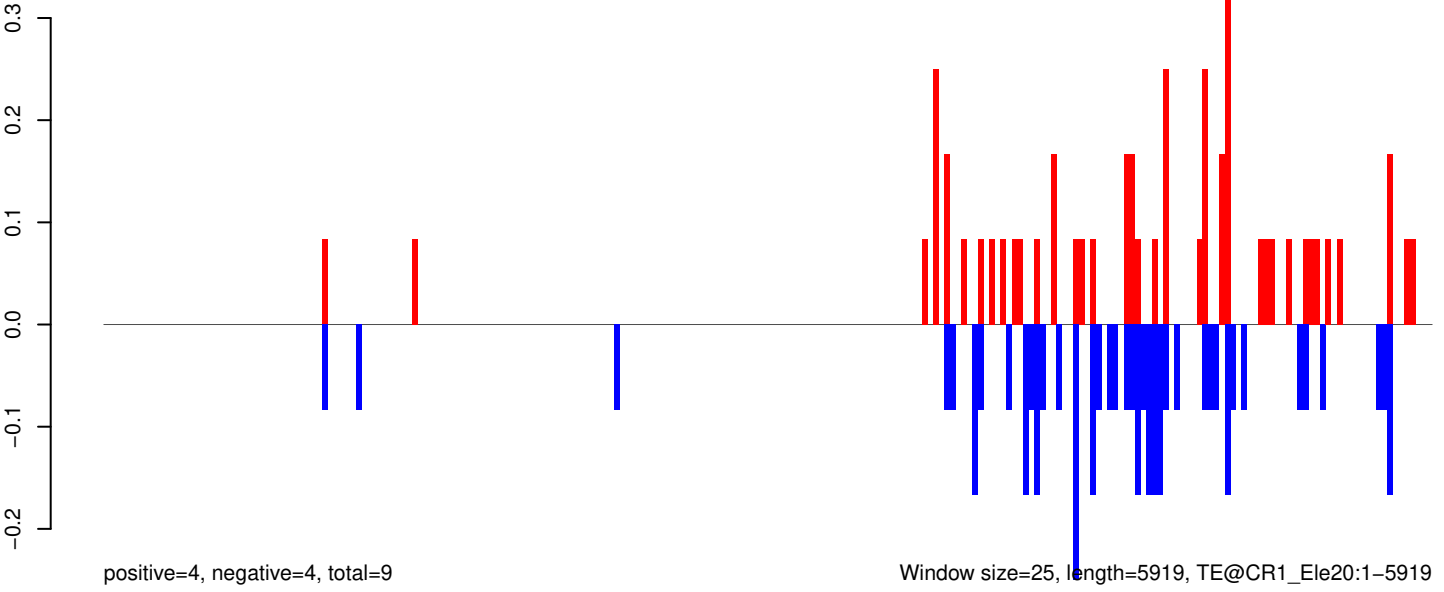
AeAeg_Aag2_Ago2_SINV_RA.18_23.rep



AeAeg_Aag2_Ago2_SINV_RA.24_35.rep



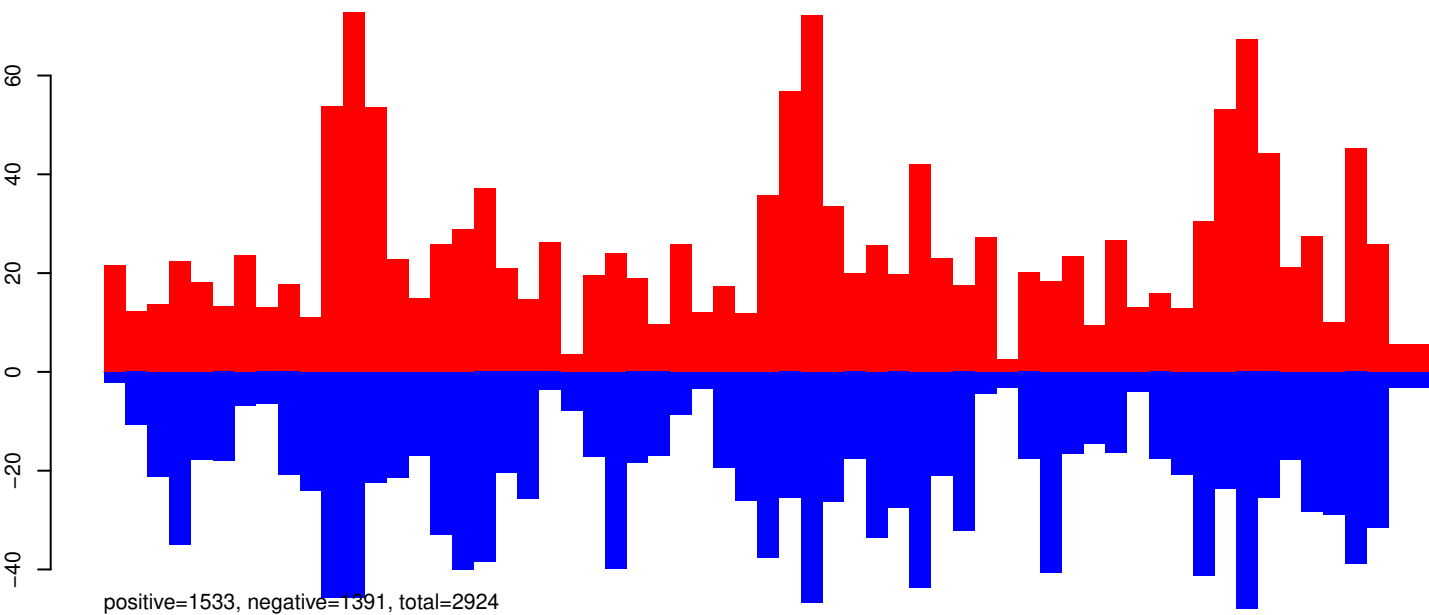
AeAeg_Aag2_Ago2_SINV_RA.rep



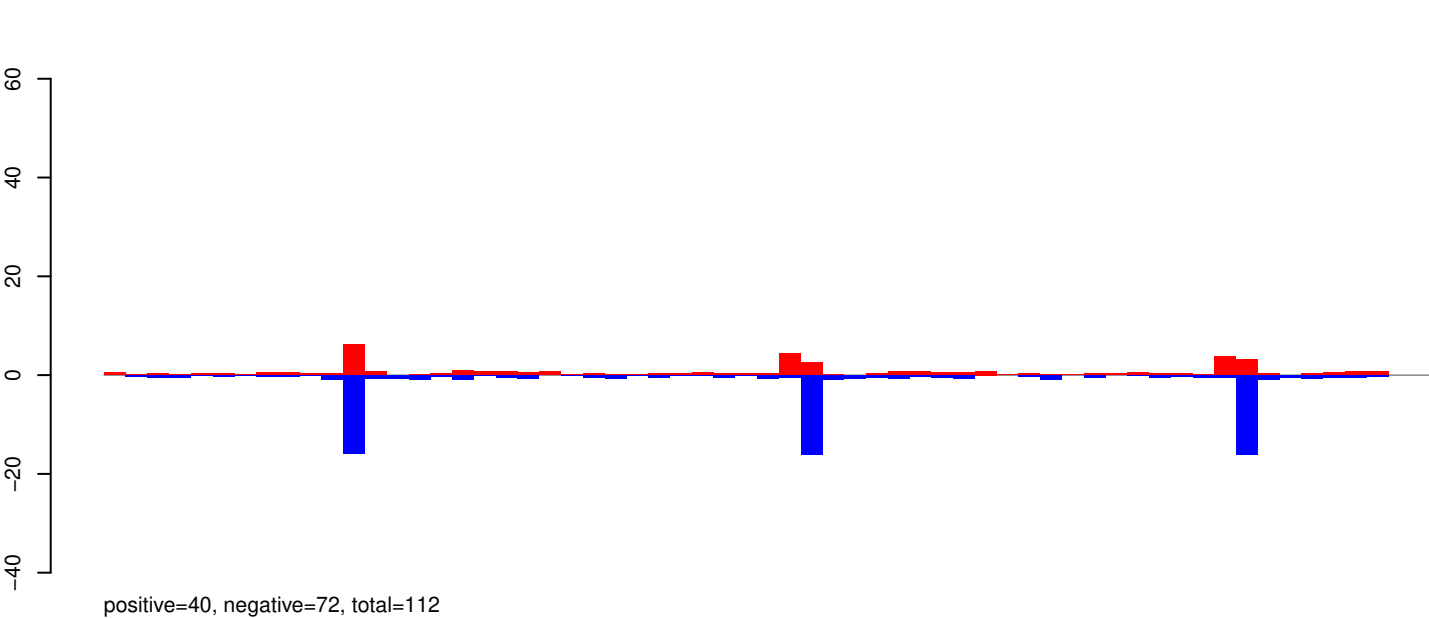
Window size=25, length=5919, TE@CR1_Ele20:1-5919

0 1000 2000 3000 4000 5000 6000

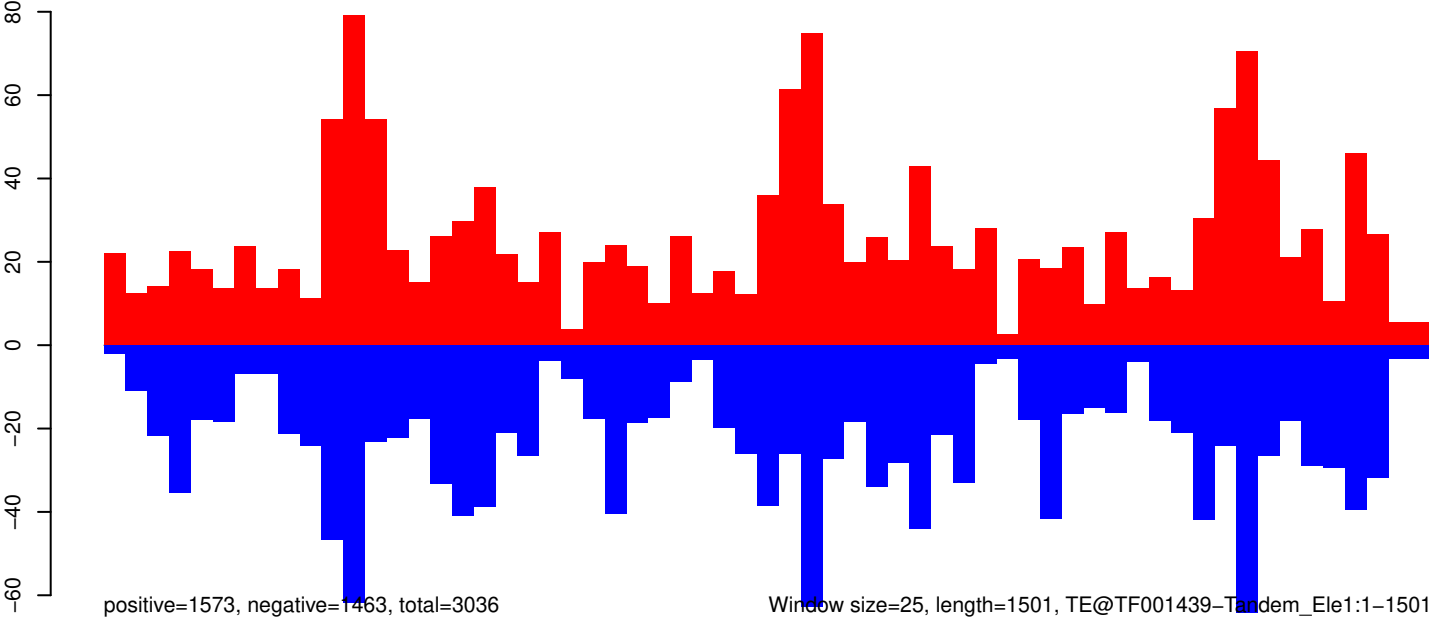
AeAeg_Aag2_Ago2_SINV_RA.18_23.rep



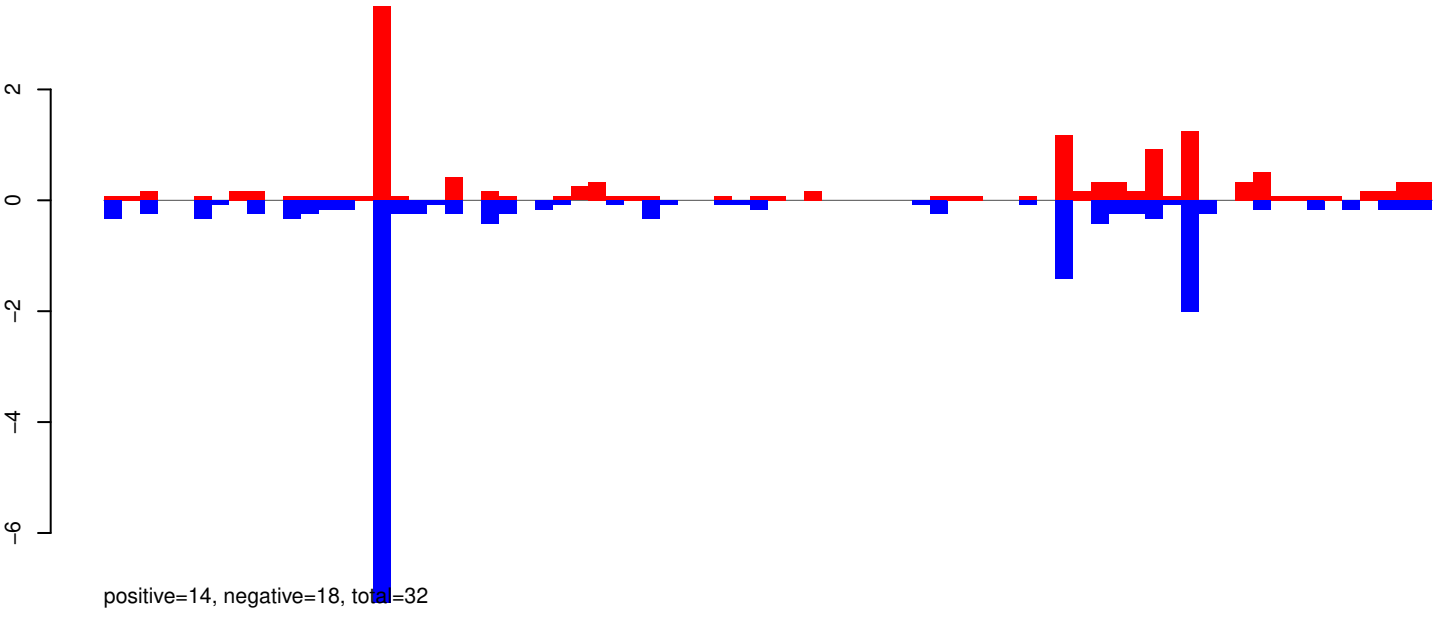
AeAeg_Aag2_Ago2_SINV_RA.24_35.rep



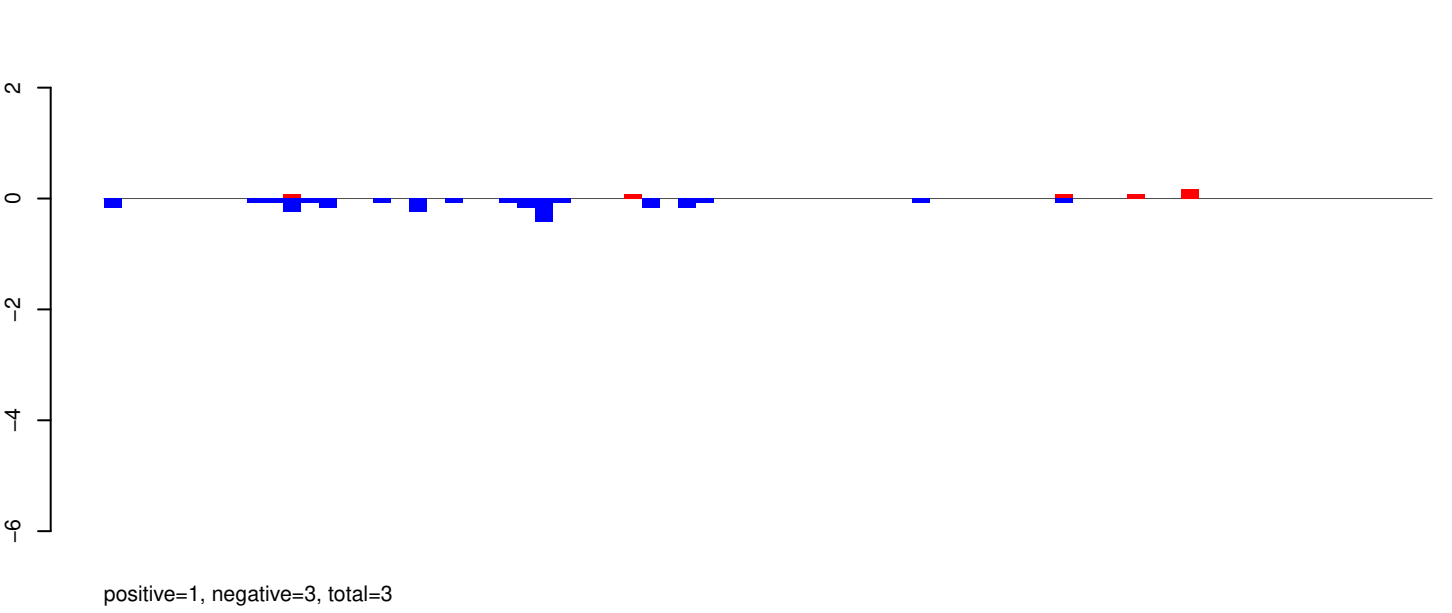
AeAeg_Aag2_Ago2_SINV_RA.rep



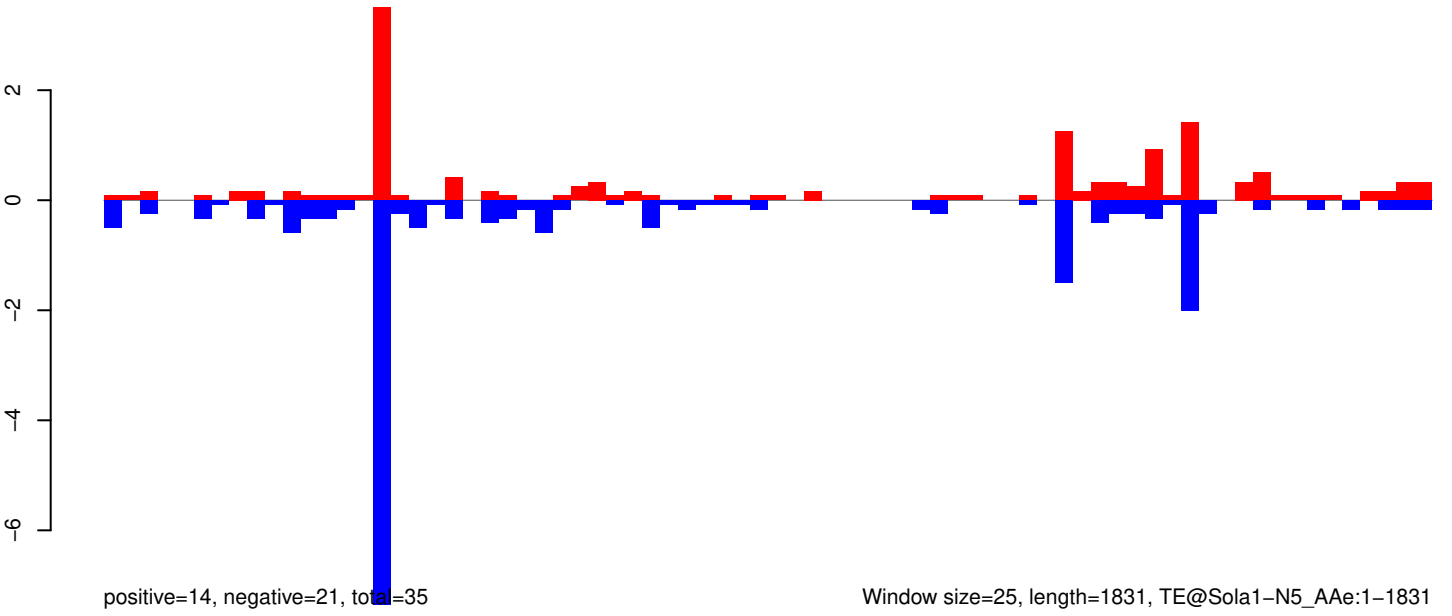
AeAeg_Aag2_Ago2_SINV_RA.18_23.rep



AeAeg_Aag2_Ago2_SINV_RA.24_35.rep

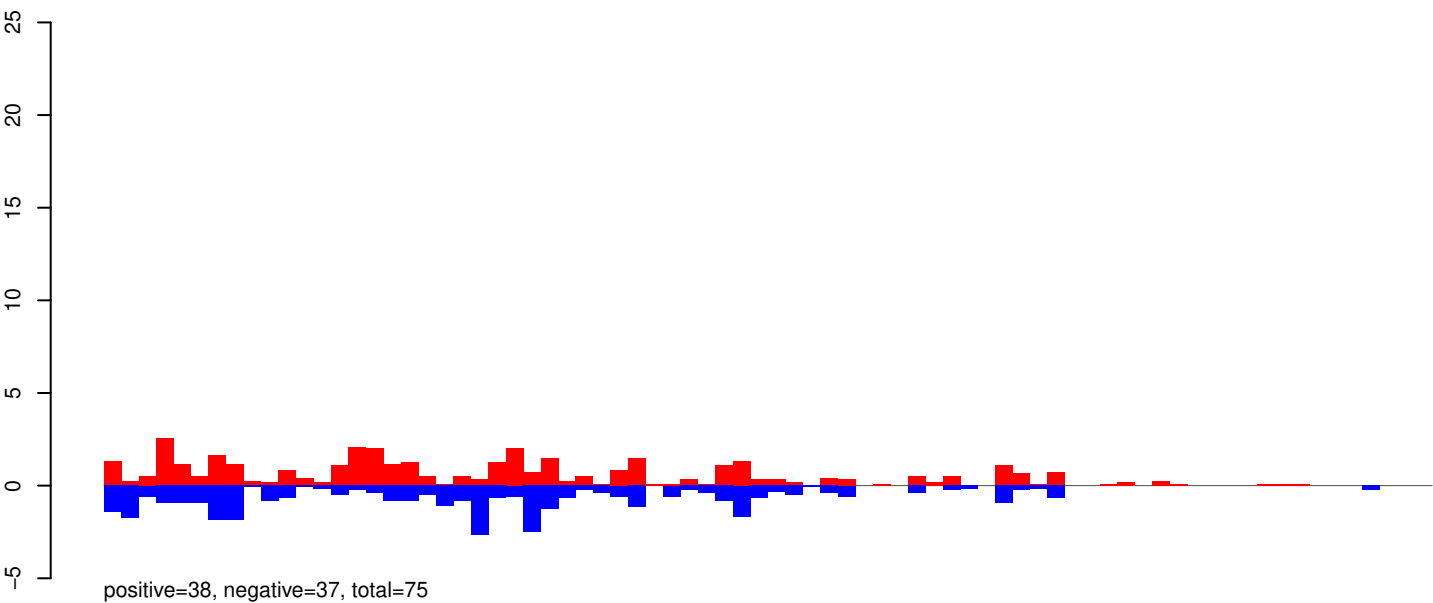


AeAeg_Aag2_Ago2_SINV_RA.rep

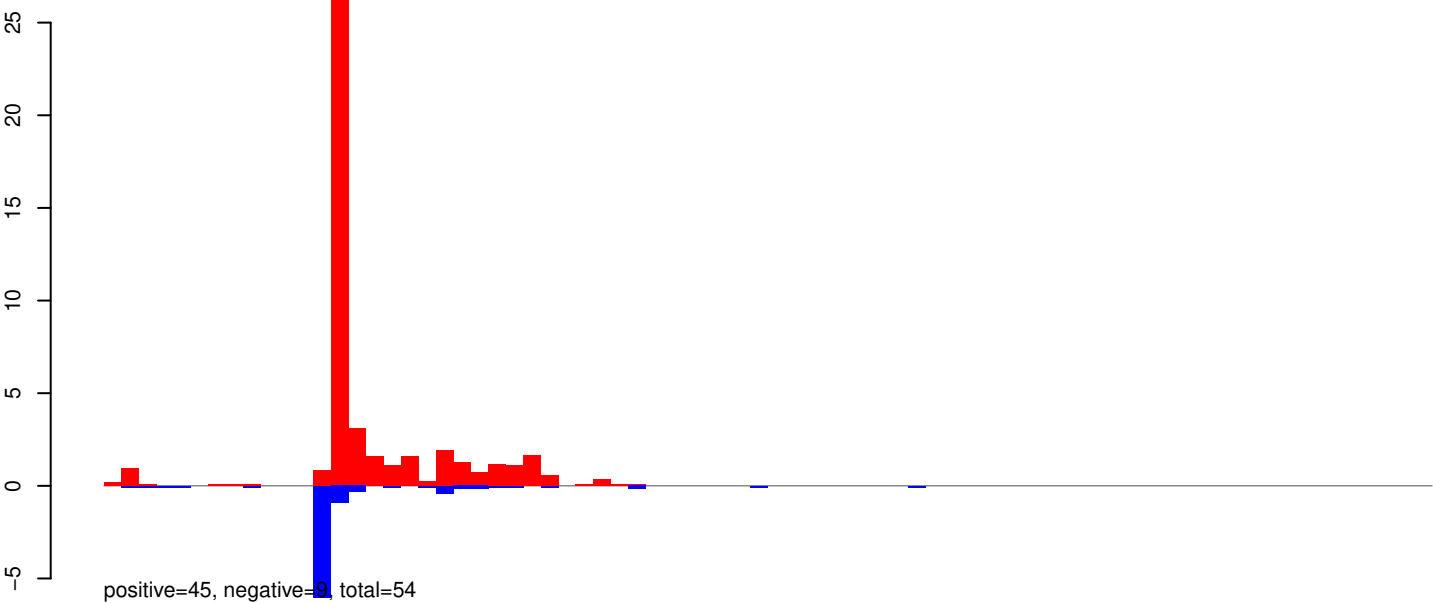


Window size=25, length=1831, TE@Sola1-N5_A Ae:1-1831

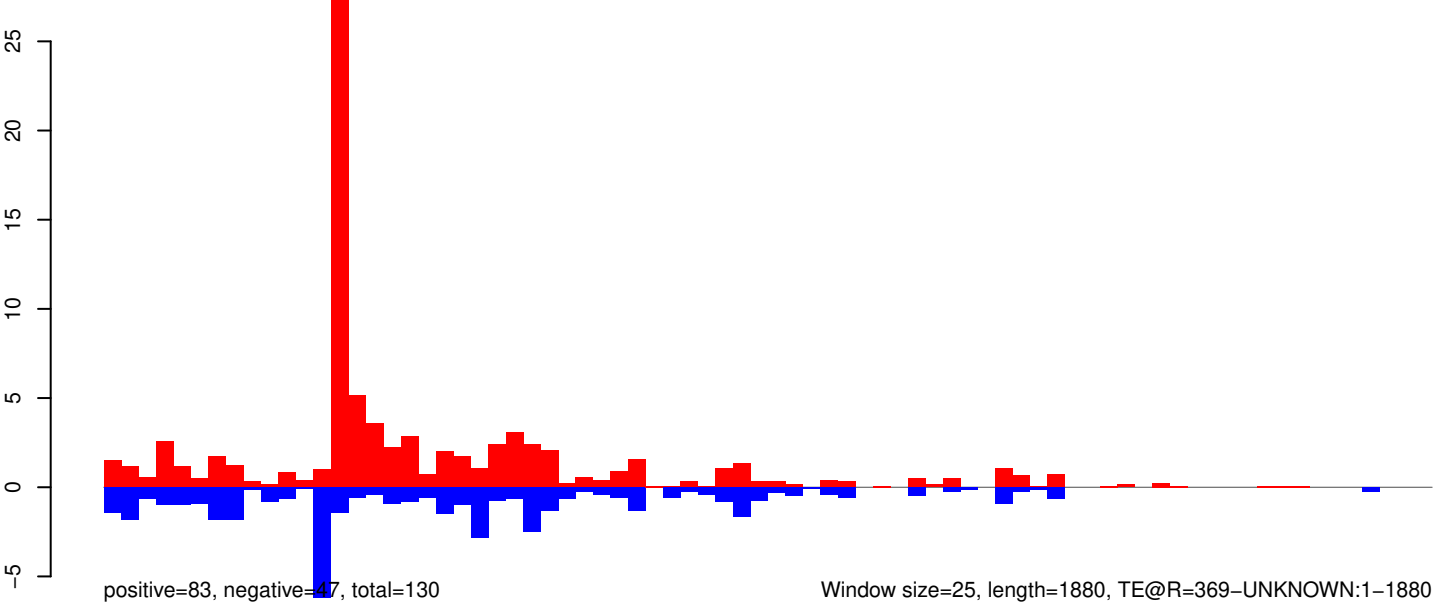
AeAeg_Aag2_Ago2_SINV_RA.18_23.rep



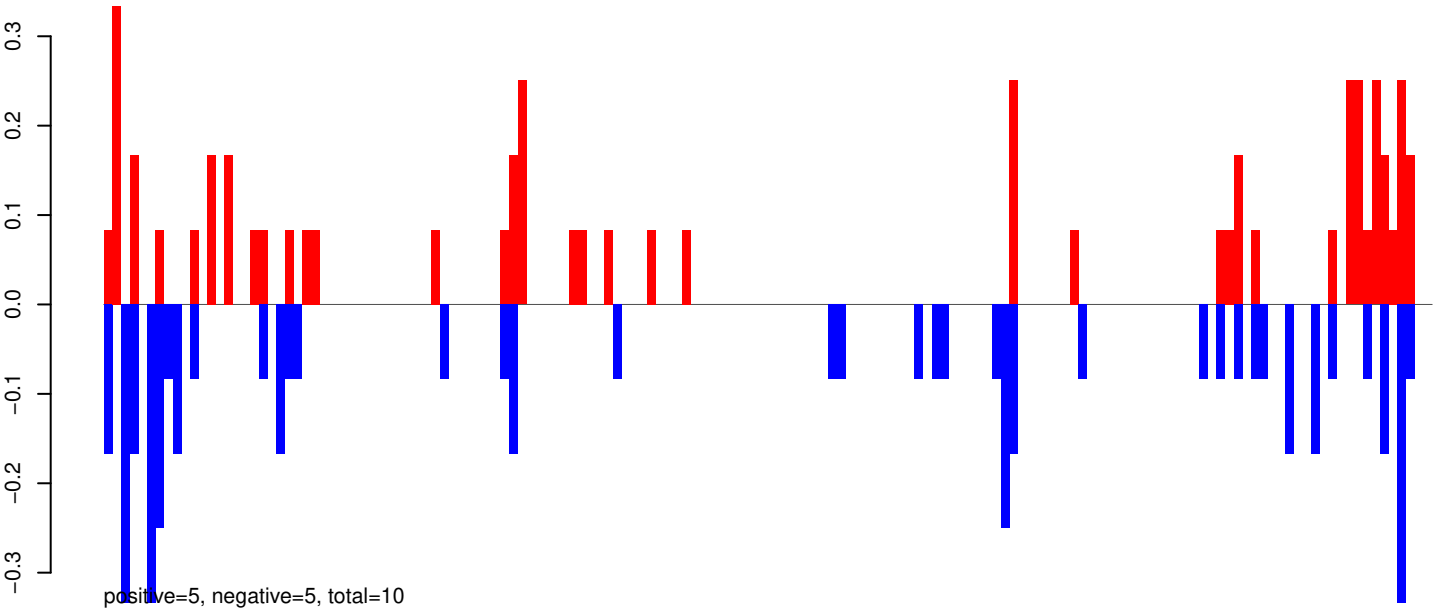
AeAeg_Aag2_Ago2_SINV_RA.24_35.rep



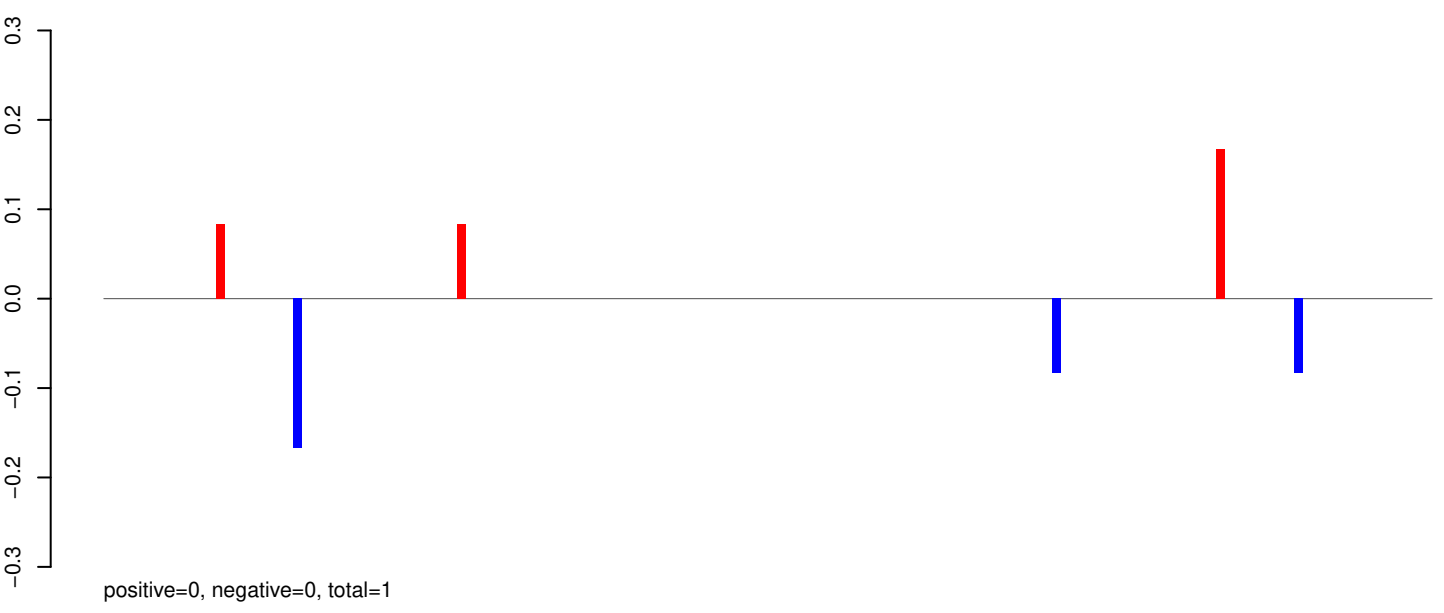
AeAeg_Aag2_Ago2_SINV_RA.rep



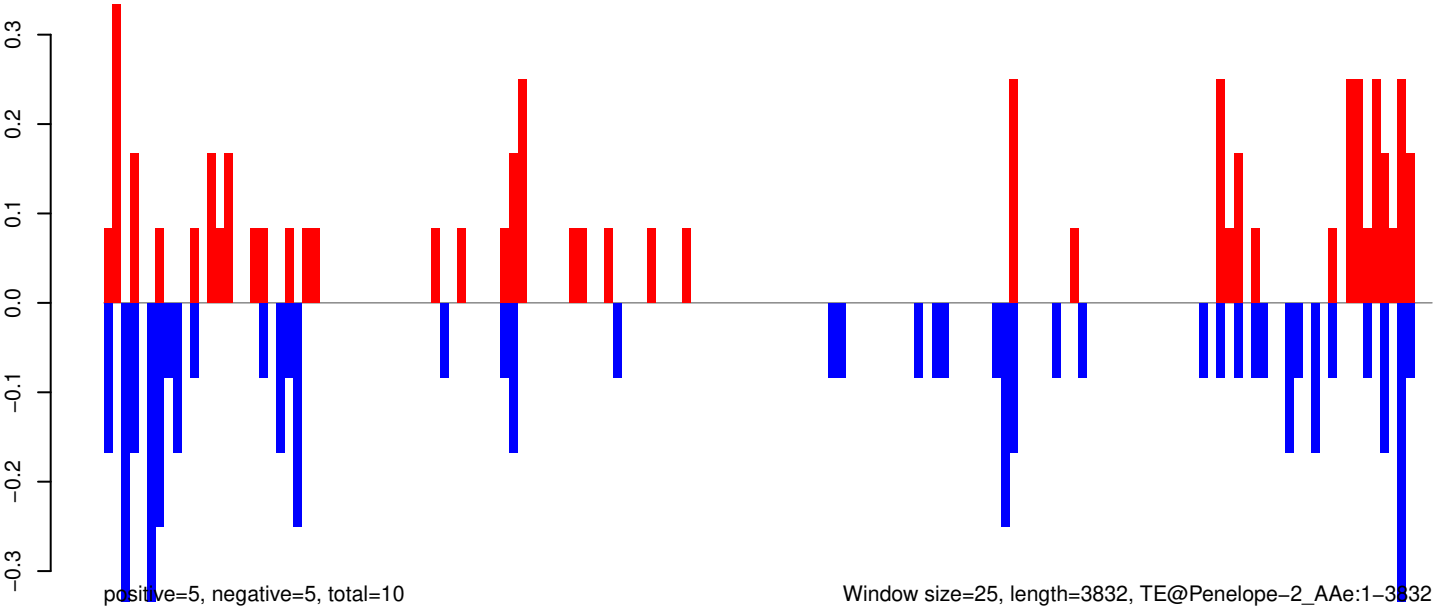
AeAeg_Aag2_Ago2_SINV_RA.18_23.rep



AeAeg_Aag2_Ago2_SINV_RA.24_35.rep

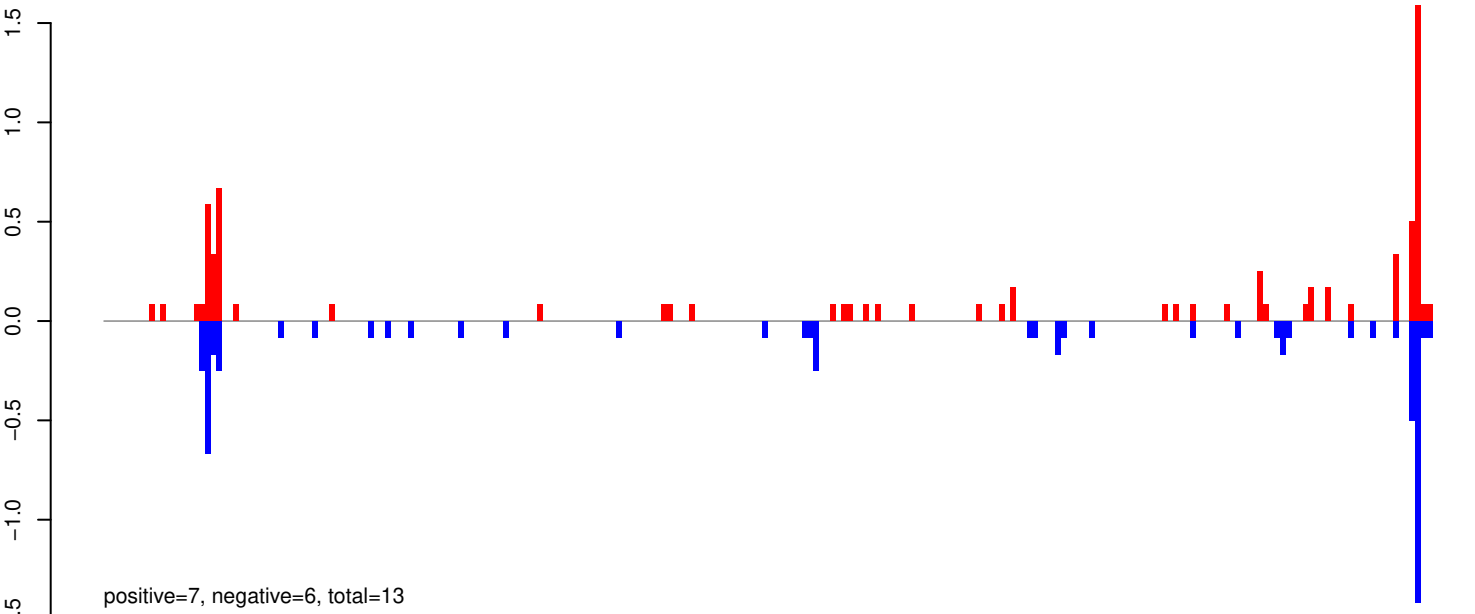


AeAeg_Aag2_Ago2_SINV_RA.rep

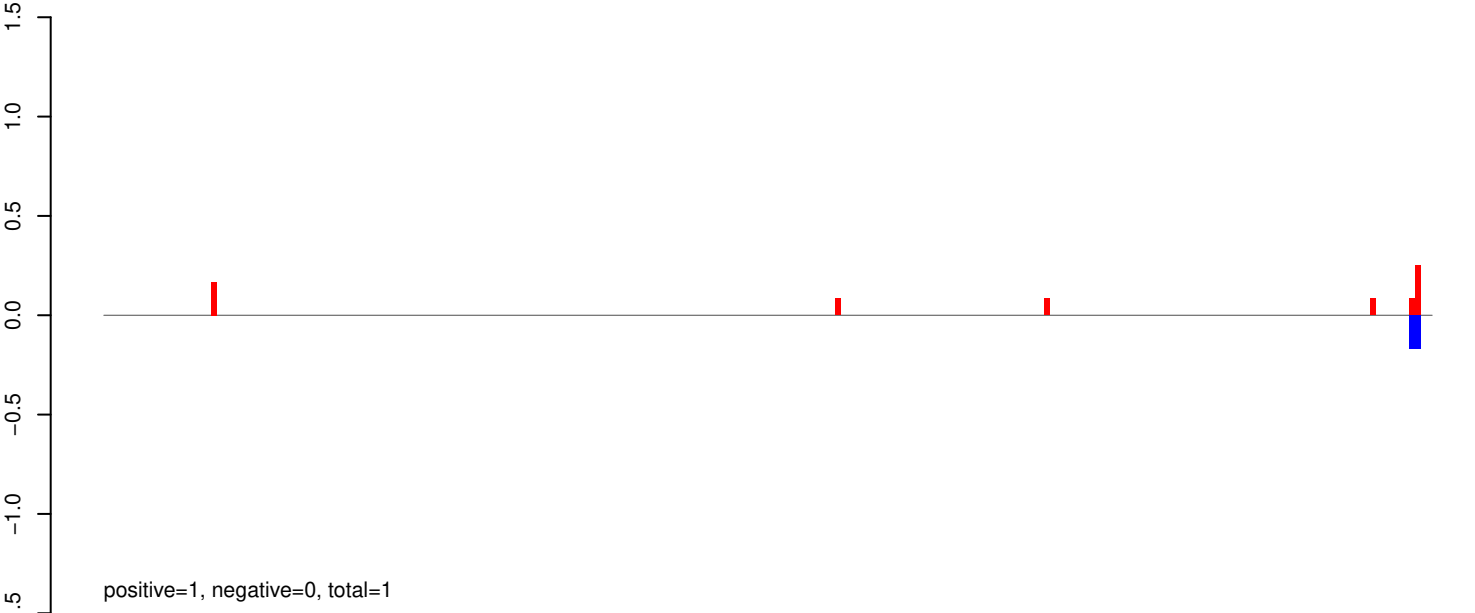


Window size=25, length=3832, TE@Penelope-2_AAe:1-3832

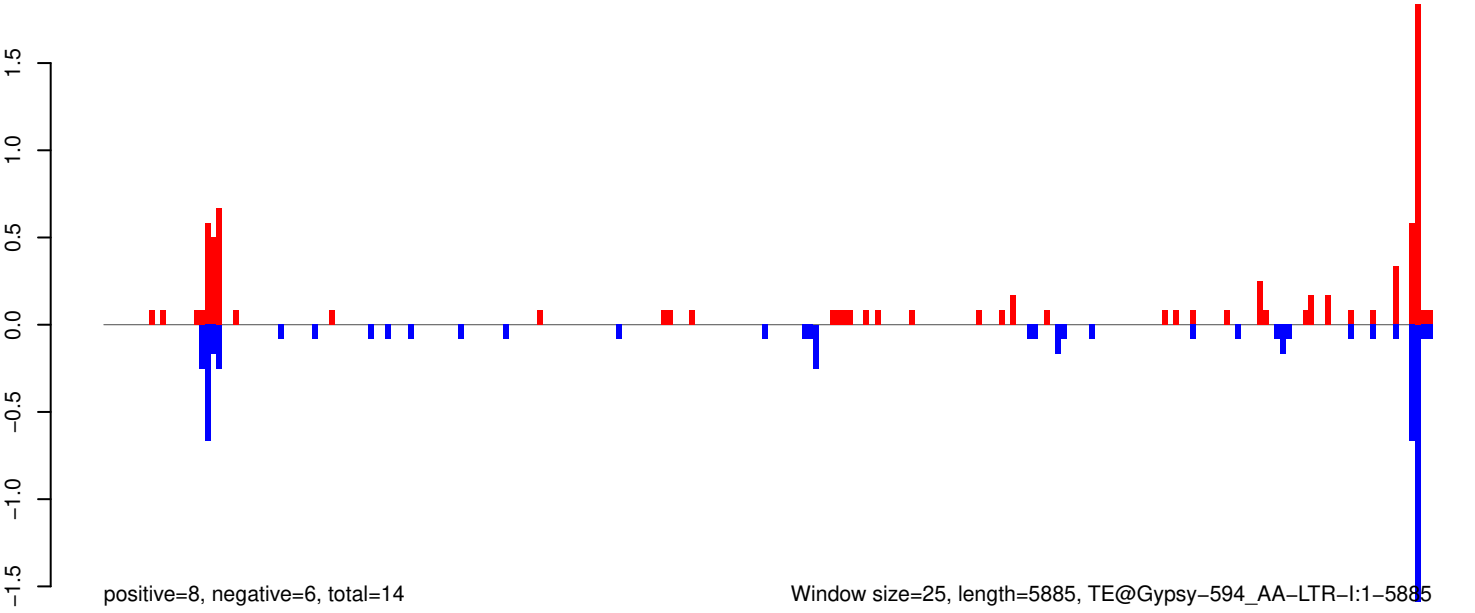
AeAeg_Aag2_Ago2_SINV_RA.18_23.rep



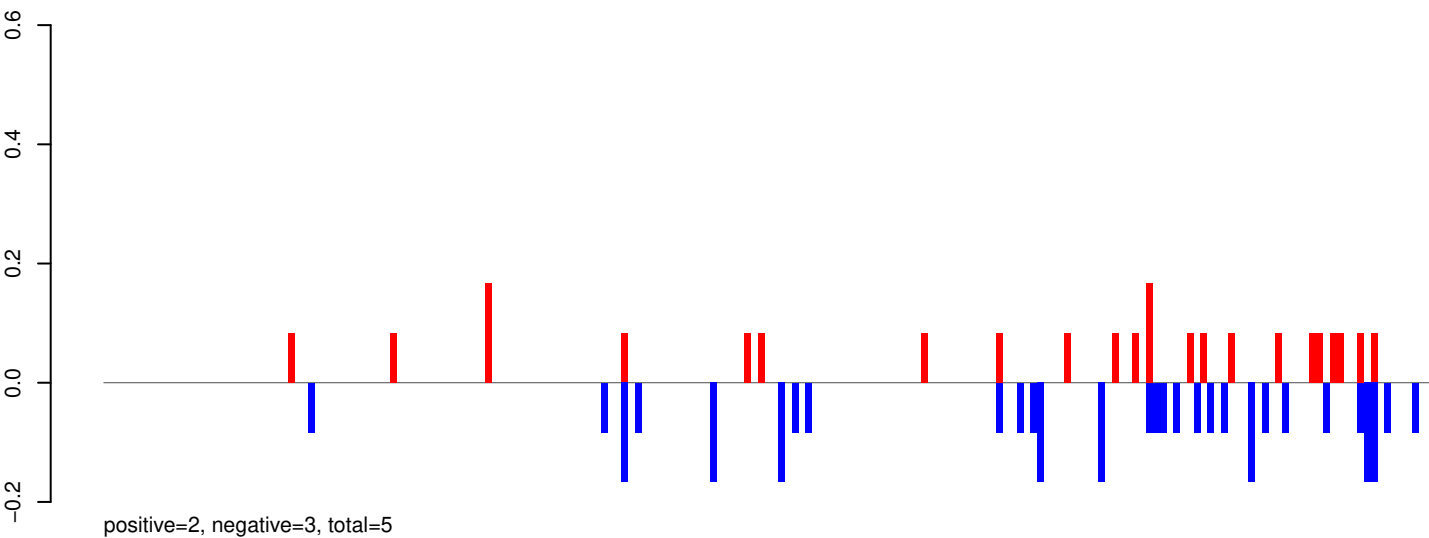
AeAeg_Aag2_Ago2_SINV_RA.24_35.rep



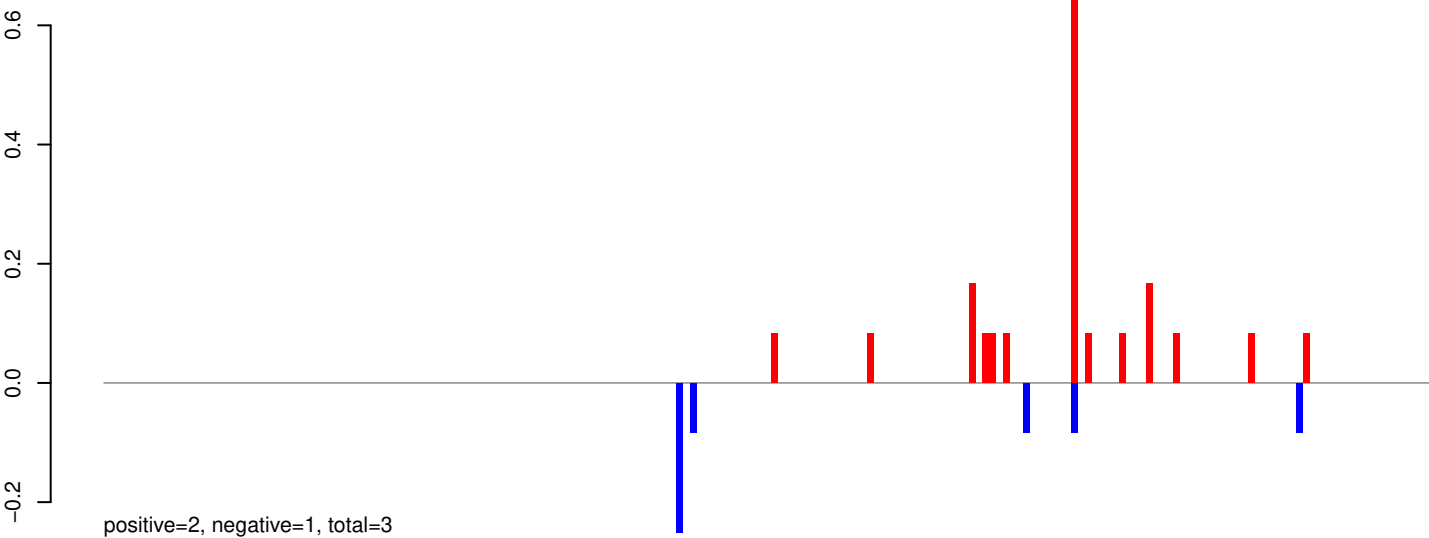
AeAeg_Aag2_Ago2_SINV_RA.rep



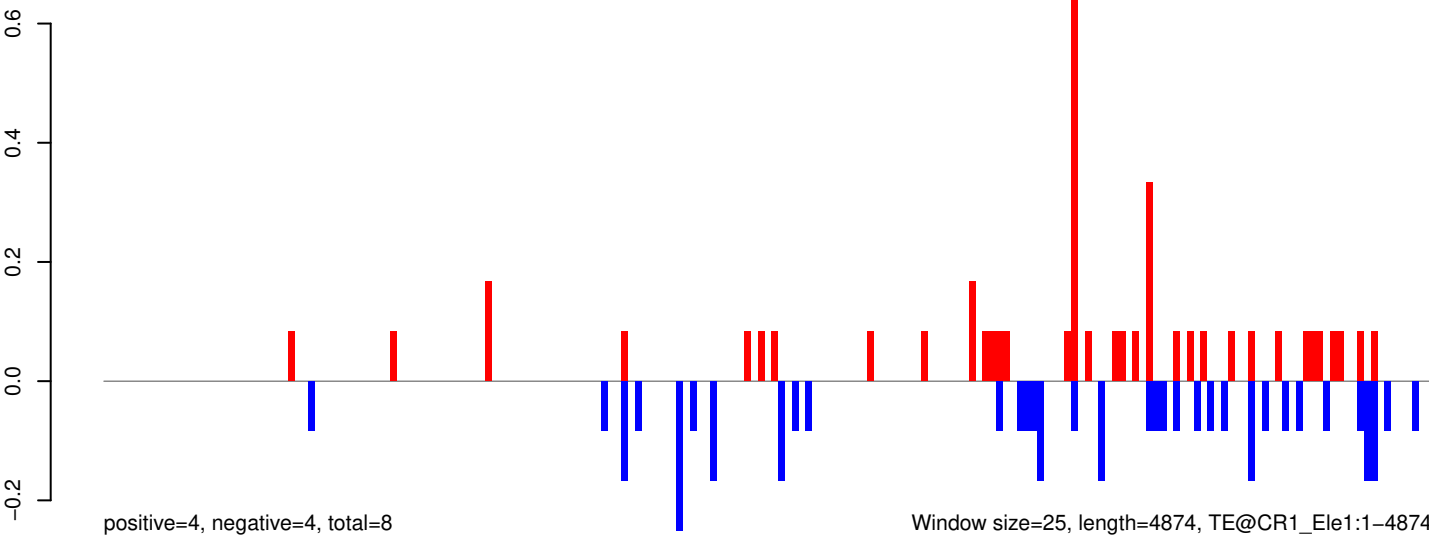
AeAeg_Aag2_Ago2_SINV_RA.18_23.rep



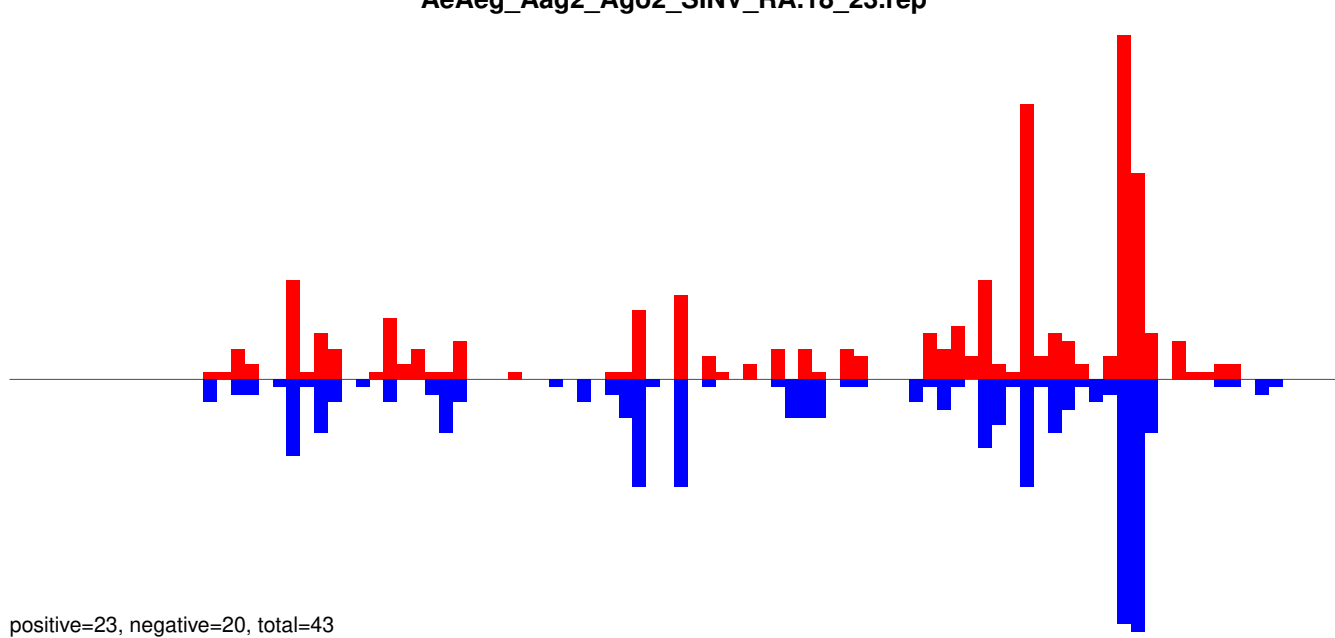
AeAeg_Aag2_Ago2_SINV_RA.24_35.rep



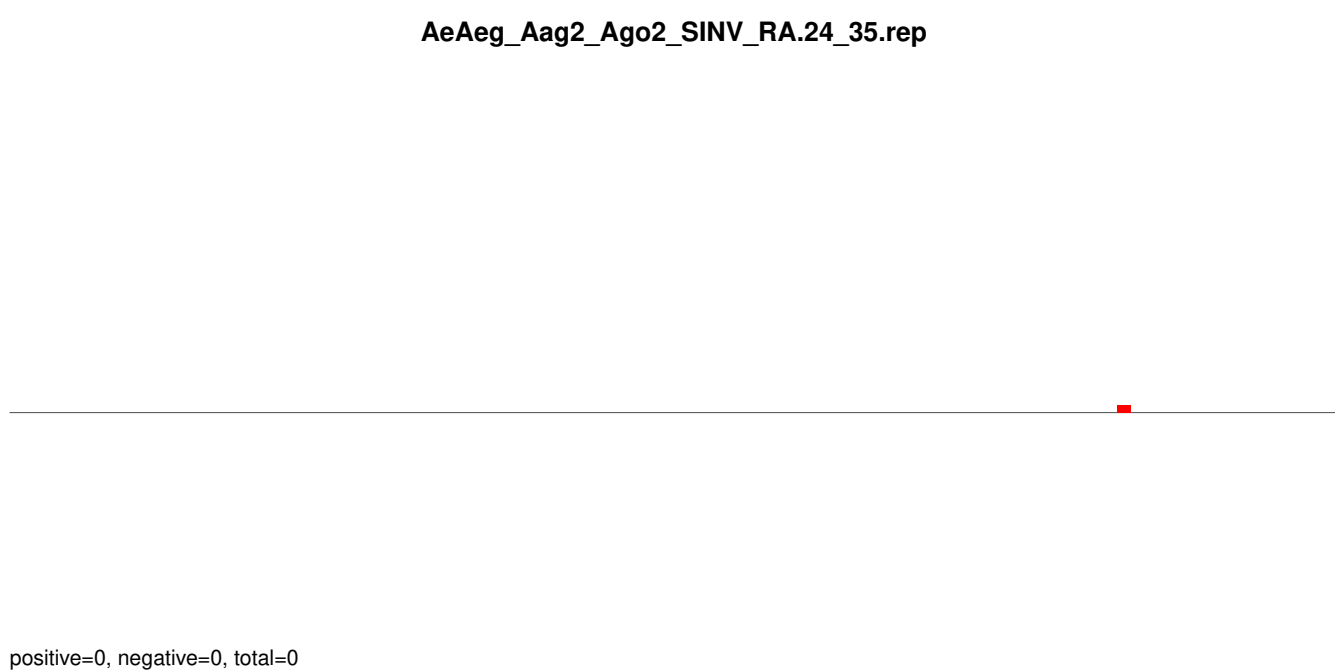
AeAeg_Aag2_Ago2_SINV_RA.rep



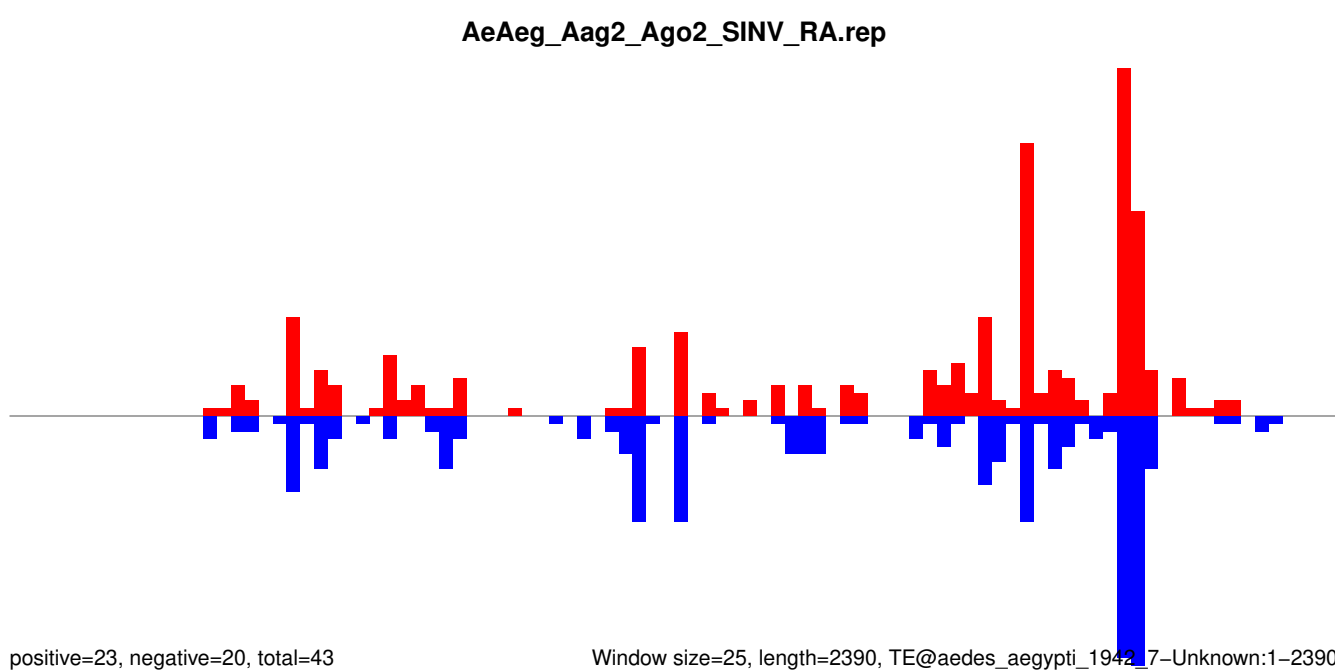
AeAeg_Aag2_Ago2_SINV_RA.18_23.rep



AeAeg_Aag2_Ago2_SINV_RA.24_35.rep

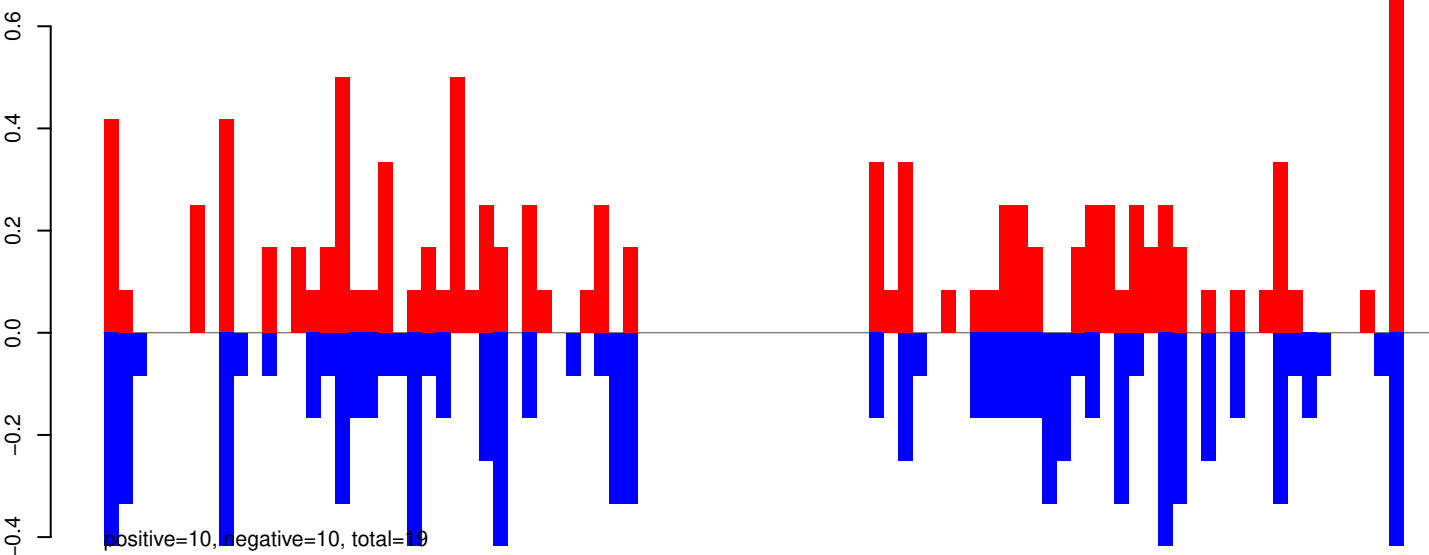


AeAeg_Aag2_Ago2_SINV_RA.rep

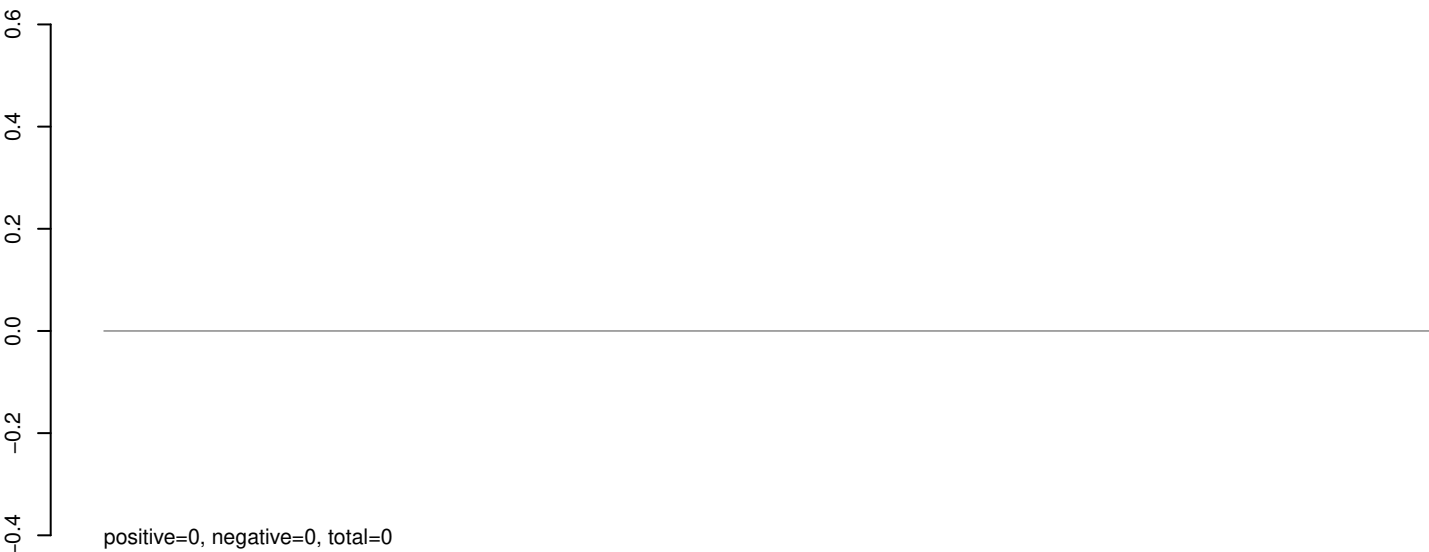


Window size=25, length=2390, TE@aedes_aegypti_1942_7-Unknown:1-2390

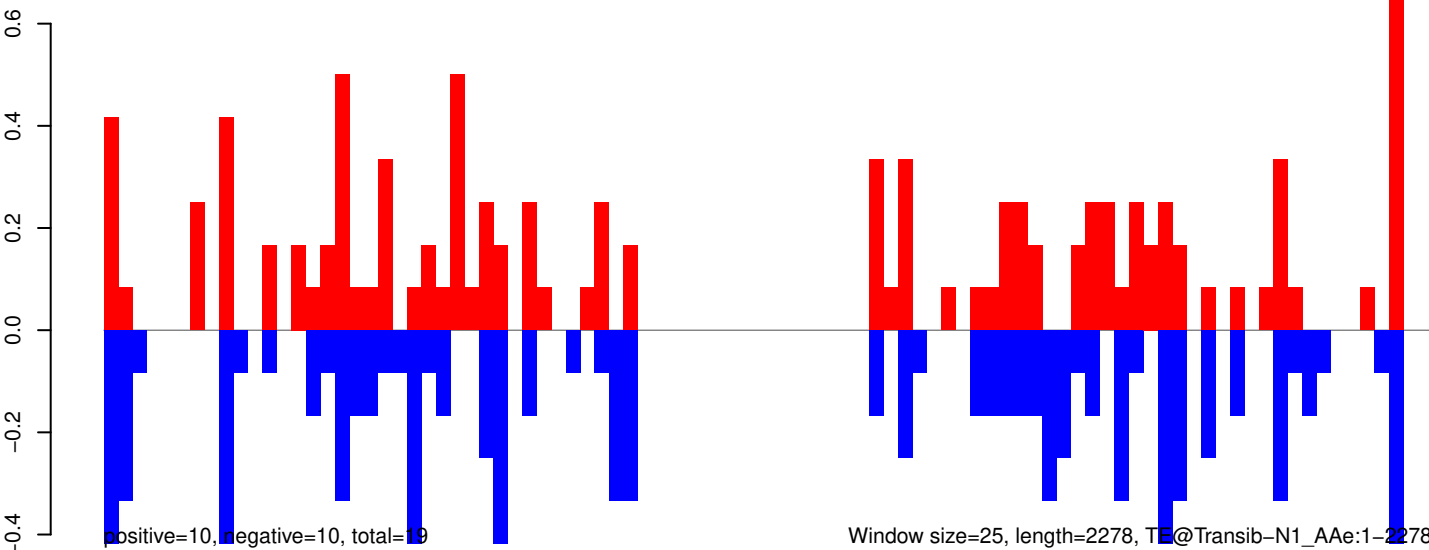
AeAeg_Aag2_Ago2_SINV_RA.18_23.rep



AeAeg_Aag2_Ago2_SINV_RA.24_35.rep

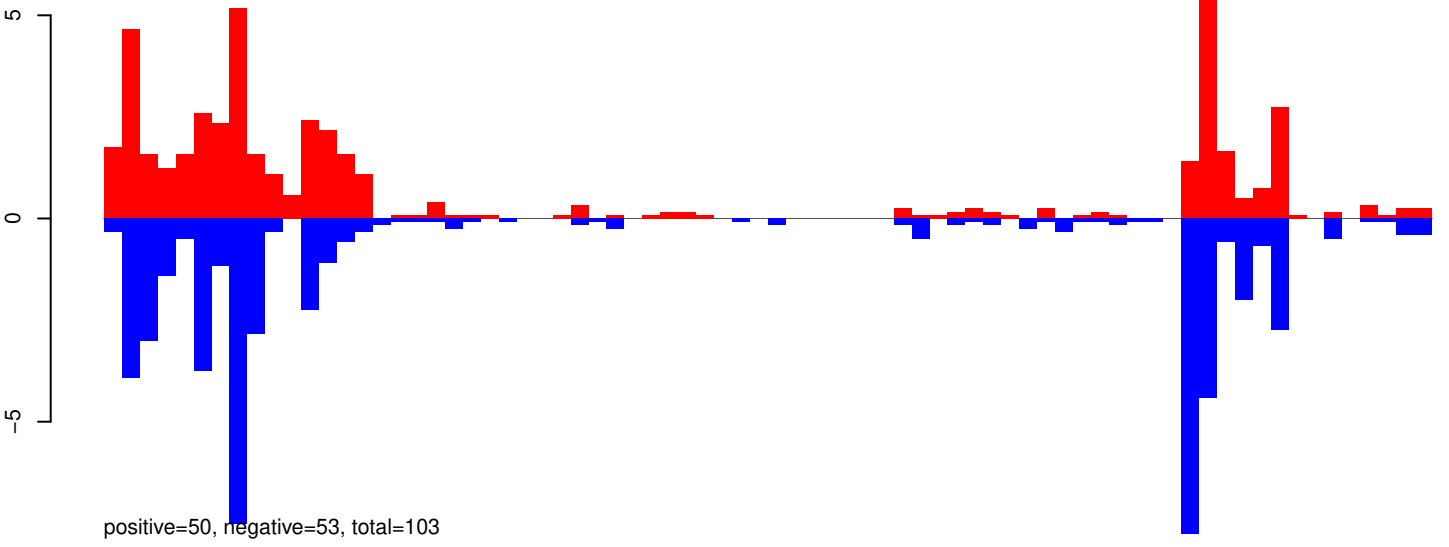


AeAeg_Aag2_Ago2_SINV_RA.rep

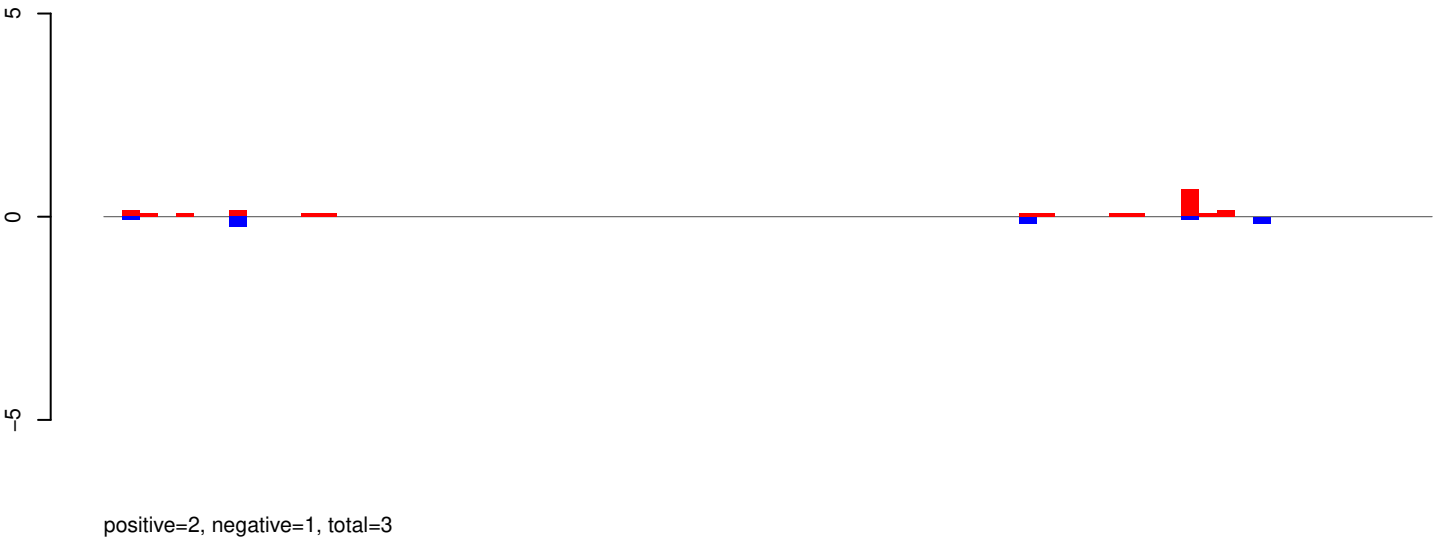


0 500 1000 1500 2000

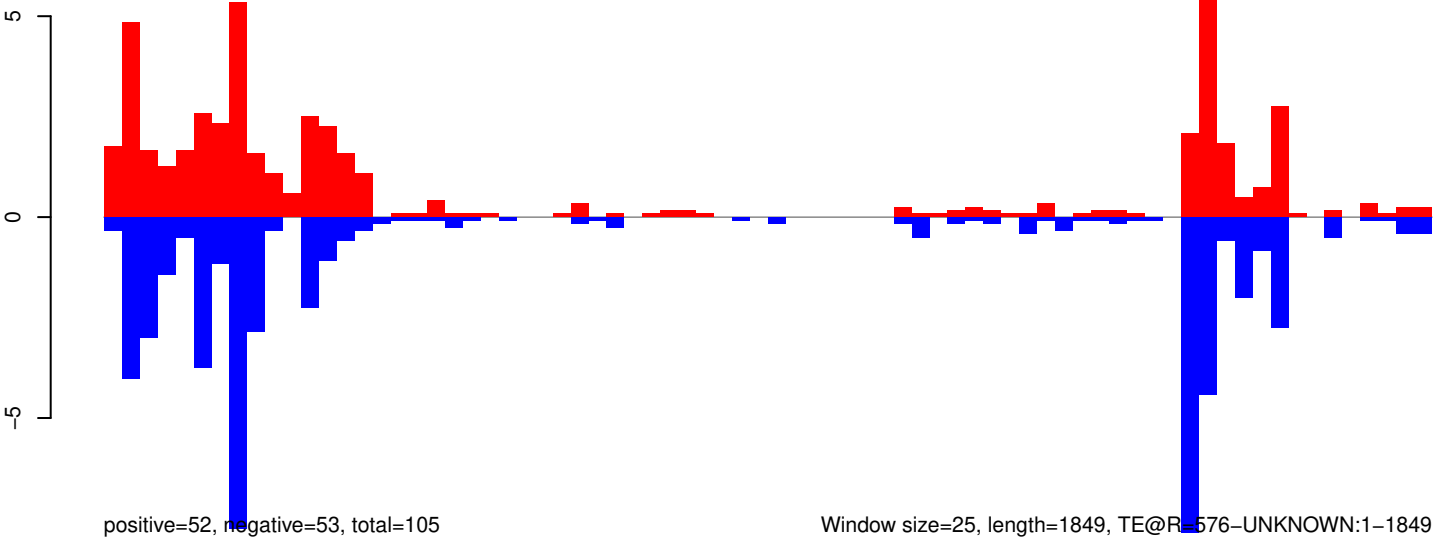
AeAeg_Aag2_Ago2_SINV_RA.18_23.rep



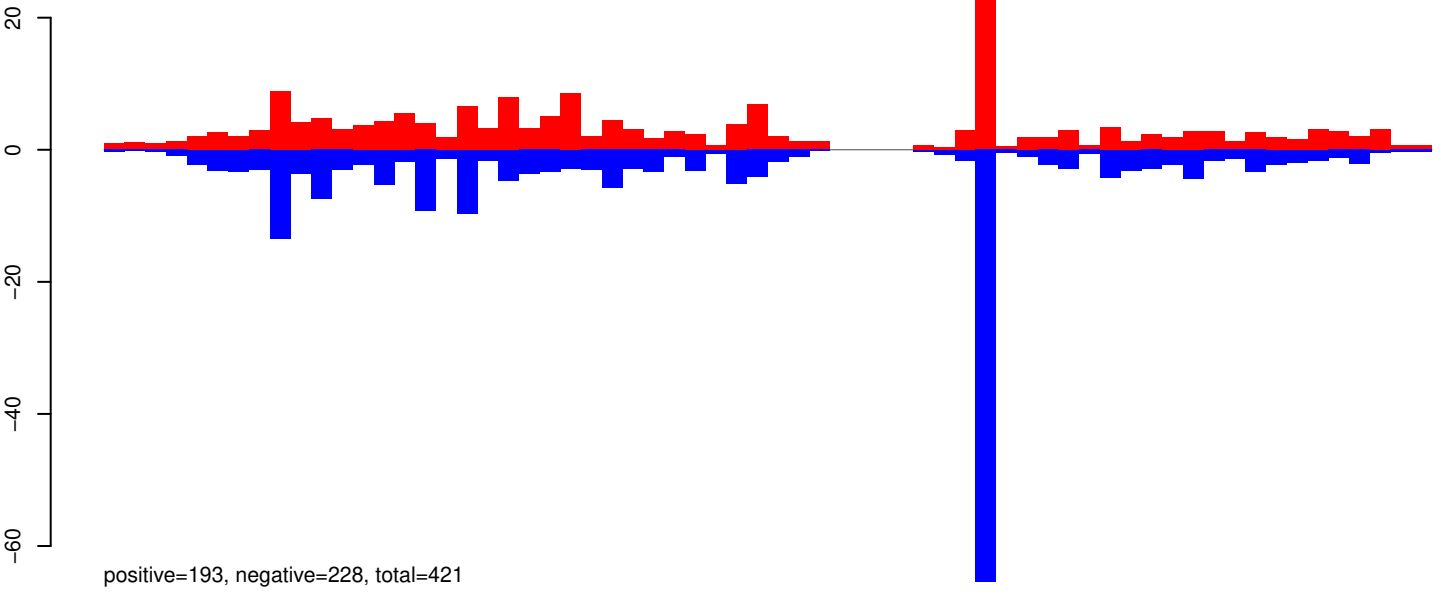
AeAeg_Aag2_Ago2_SINV_RA.24_35.rep



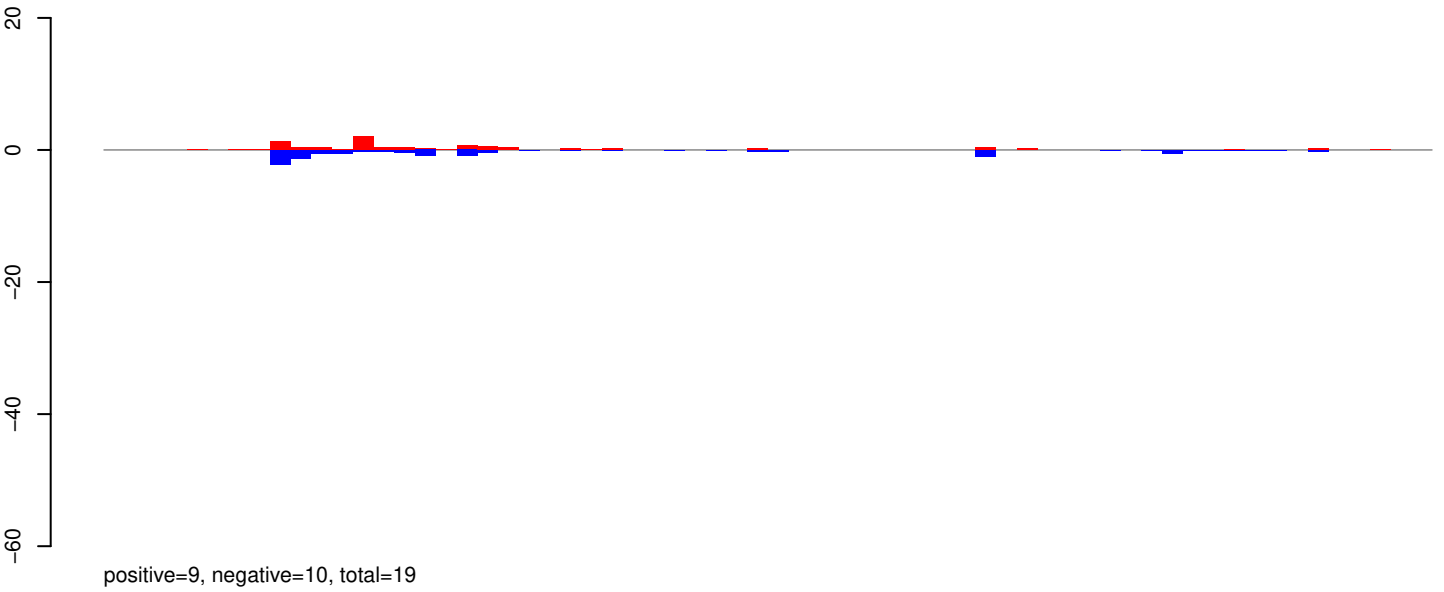
AeAeg_Aag2_Ago2_SINV_RA.rep



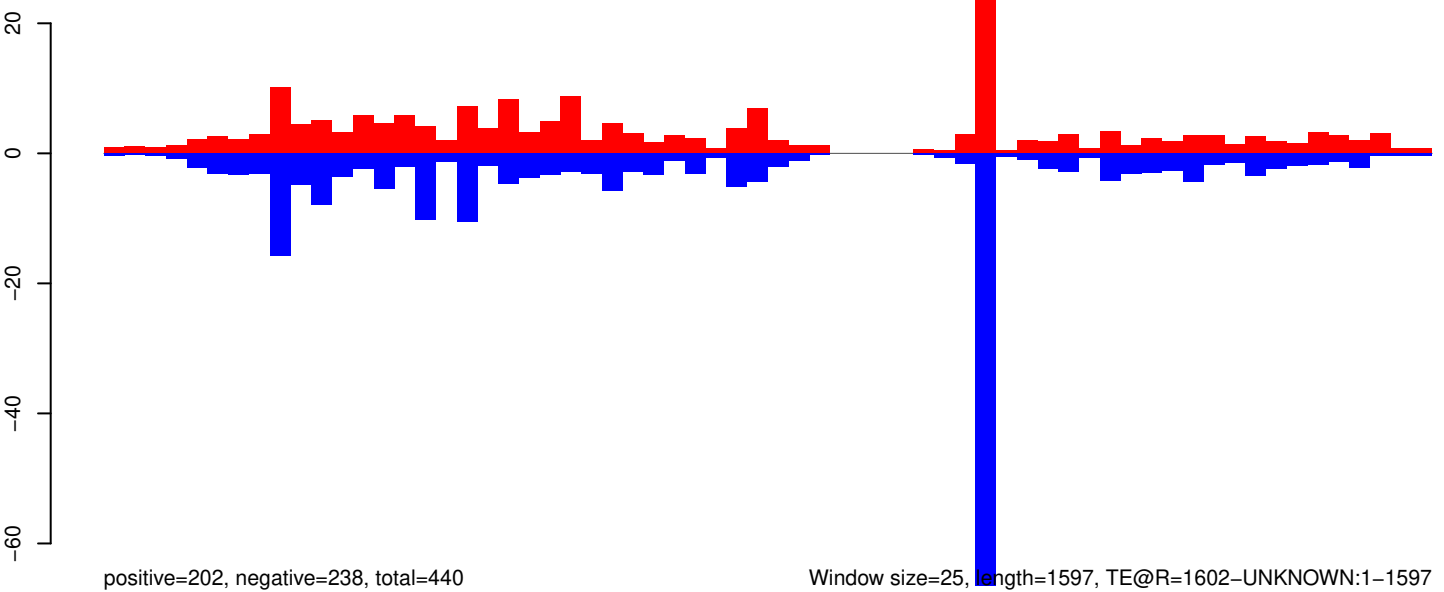
AeAeg_Aag2_Ago2_SINV_RA.18_23.rep



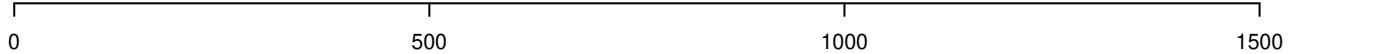
AeAeg_Aag2_Ago2_SINV_RA.24_35.rep



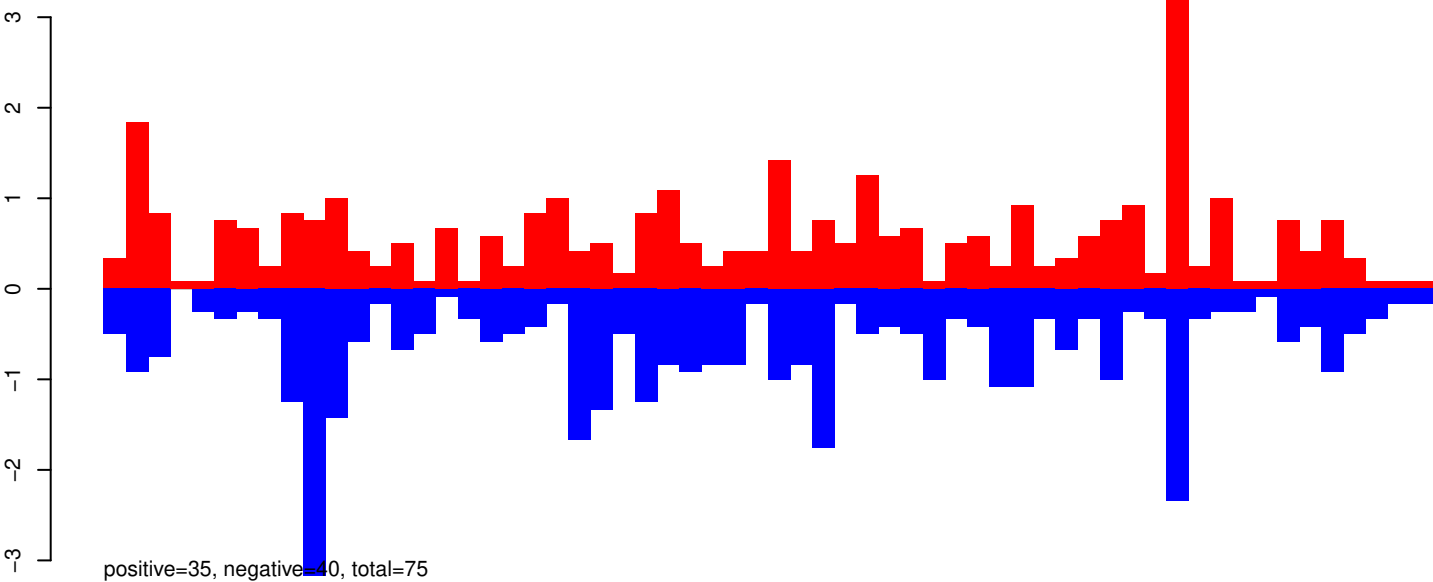
AeAeg_Aag2_Ago2_SINV_RA.rep



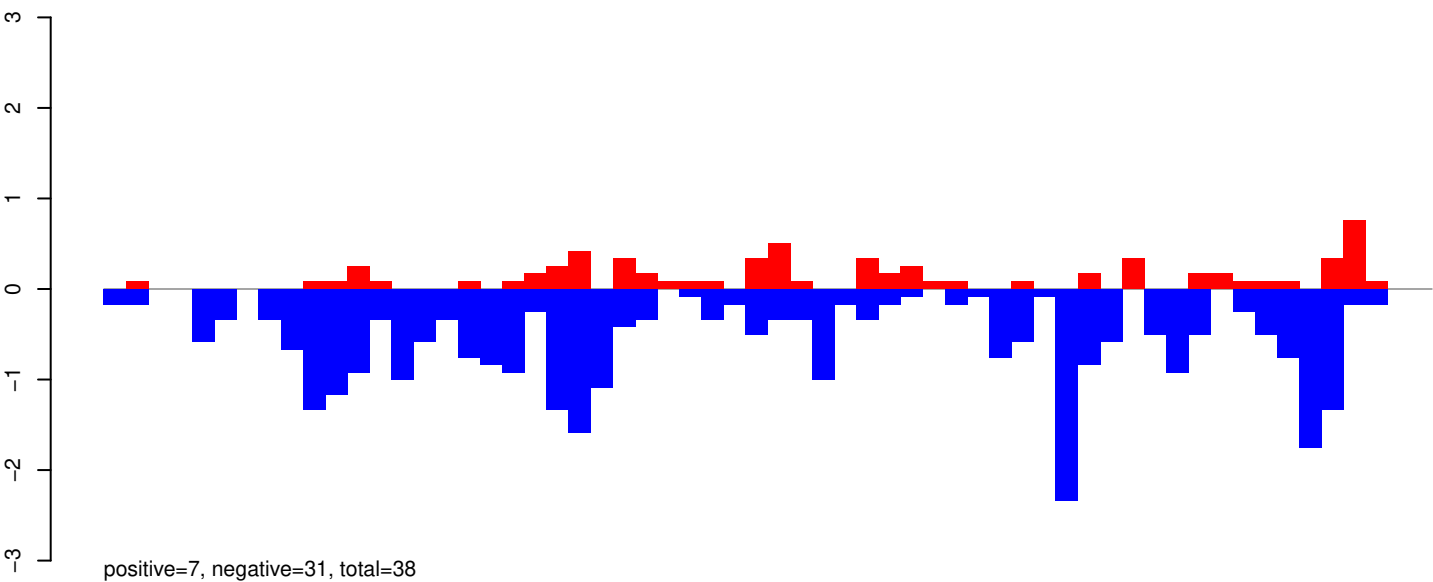
Window size=25, length=1597, TE@R=1602-UNKNOWN:1-1597



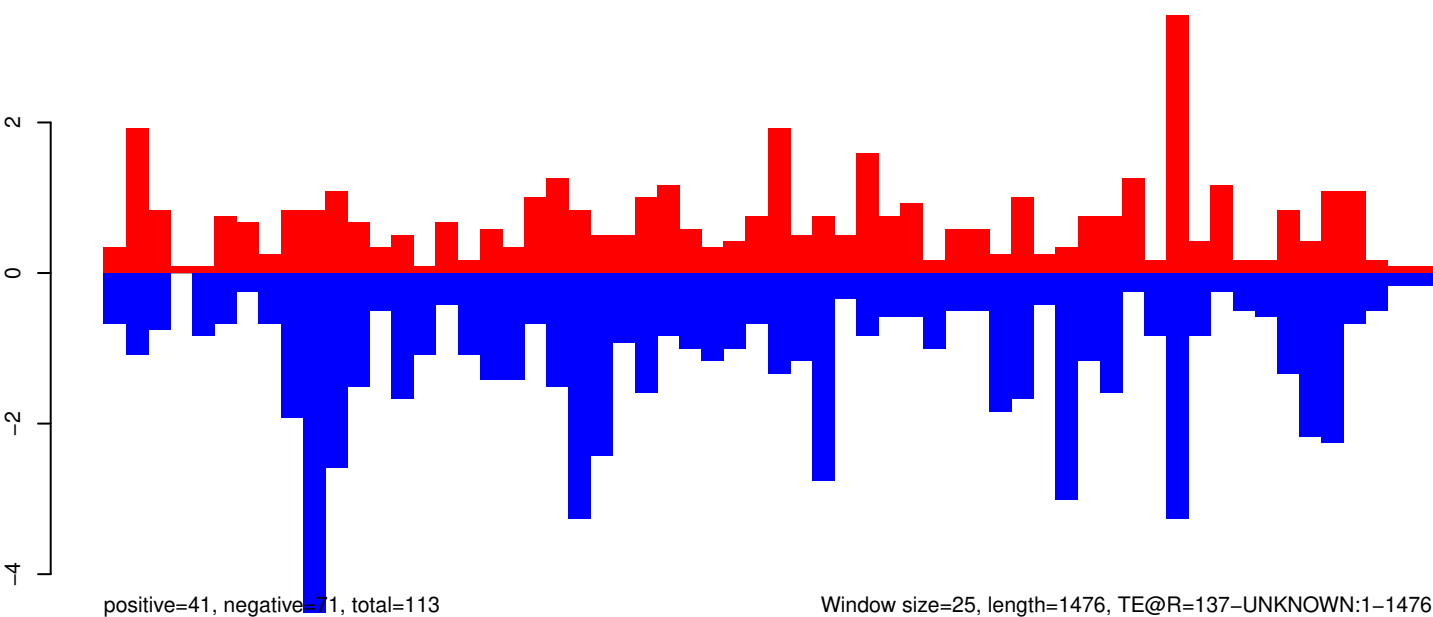
AeAeg_Aag2_Ago2_SINV_RA.18_23.rep



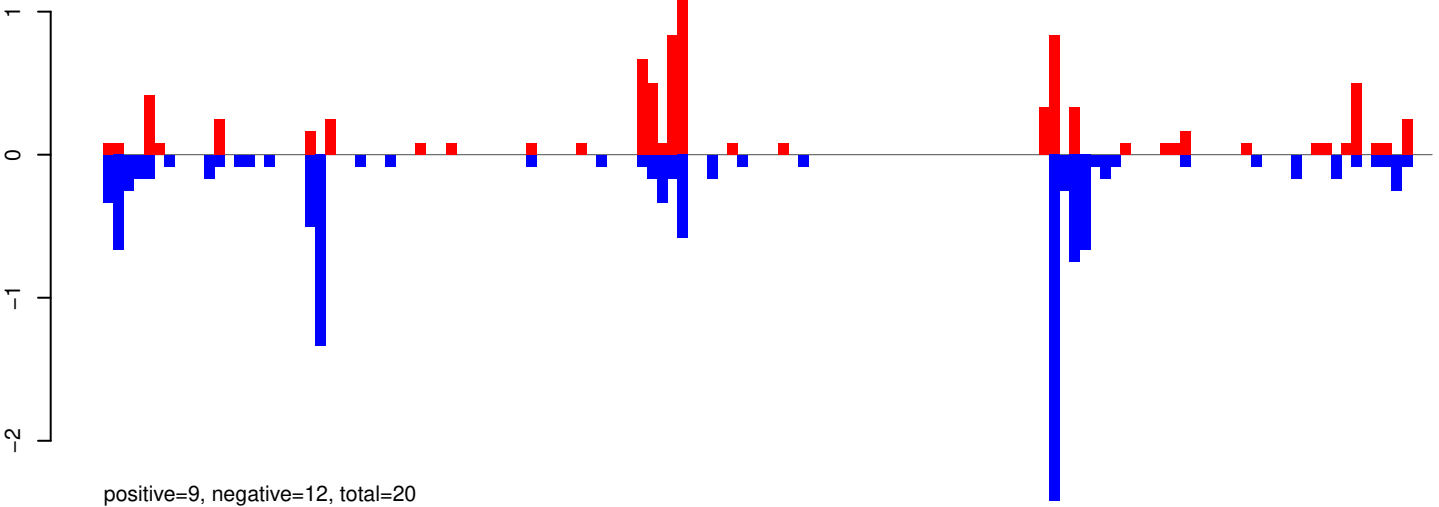
AeAeg_Aag2_Ago2_SINV_RA.24_35.rep



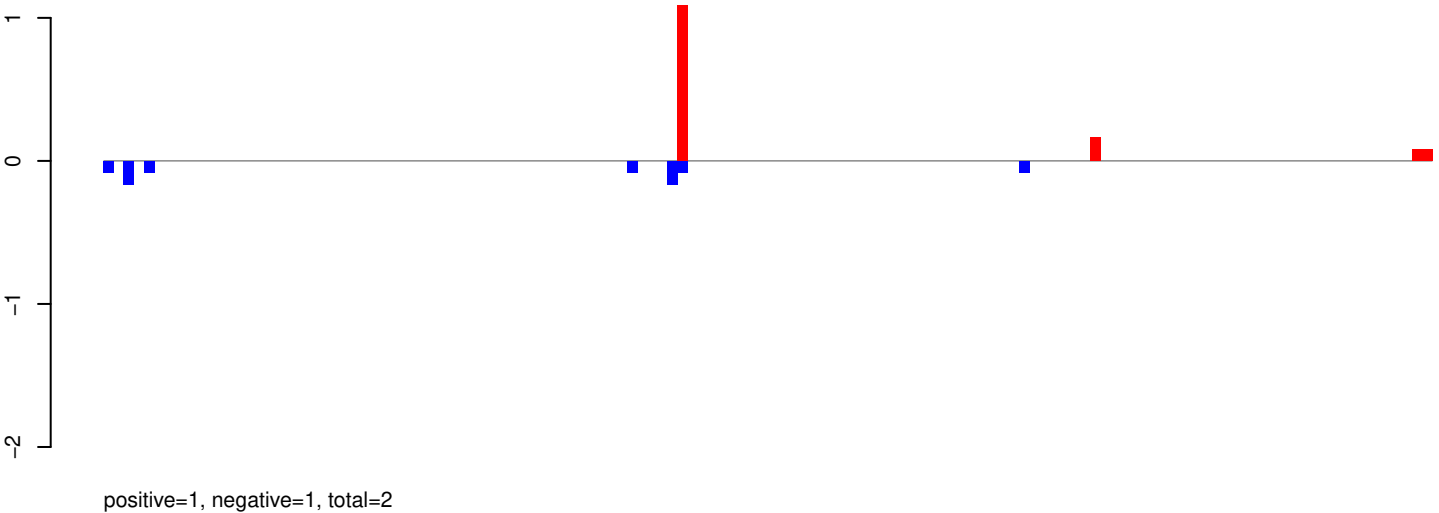
AeAeg_Aag2_Ago2_SINV_RA.rep



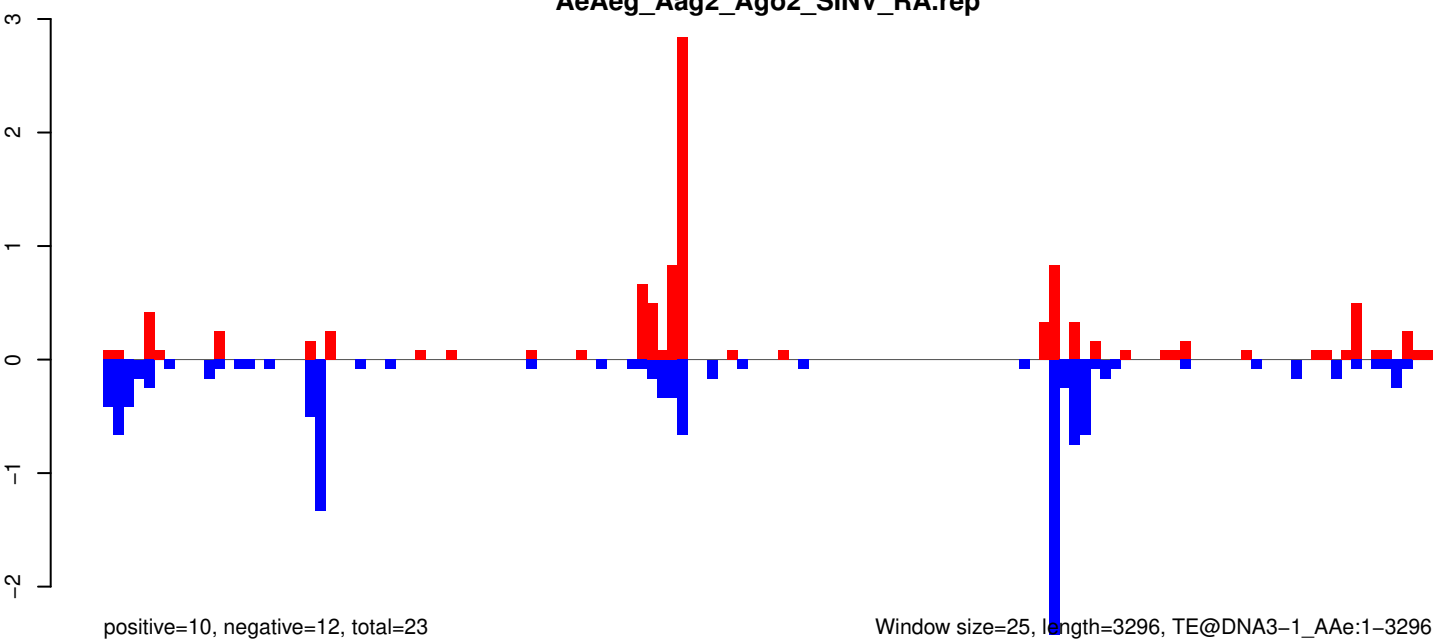
AeAeg_Aag2_Ago2_SINV_RA.18_23.rep



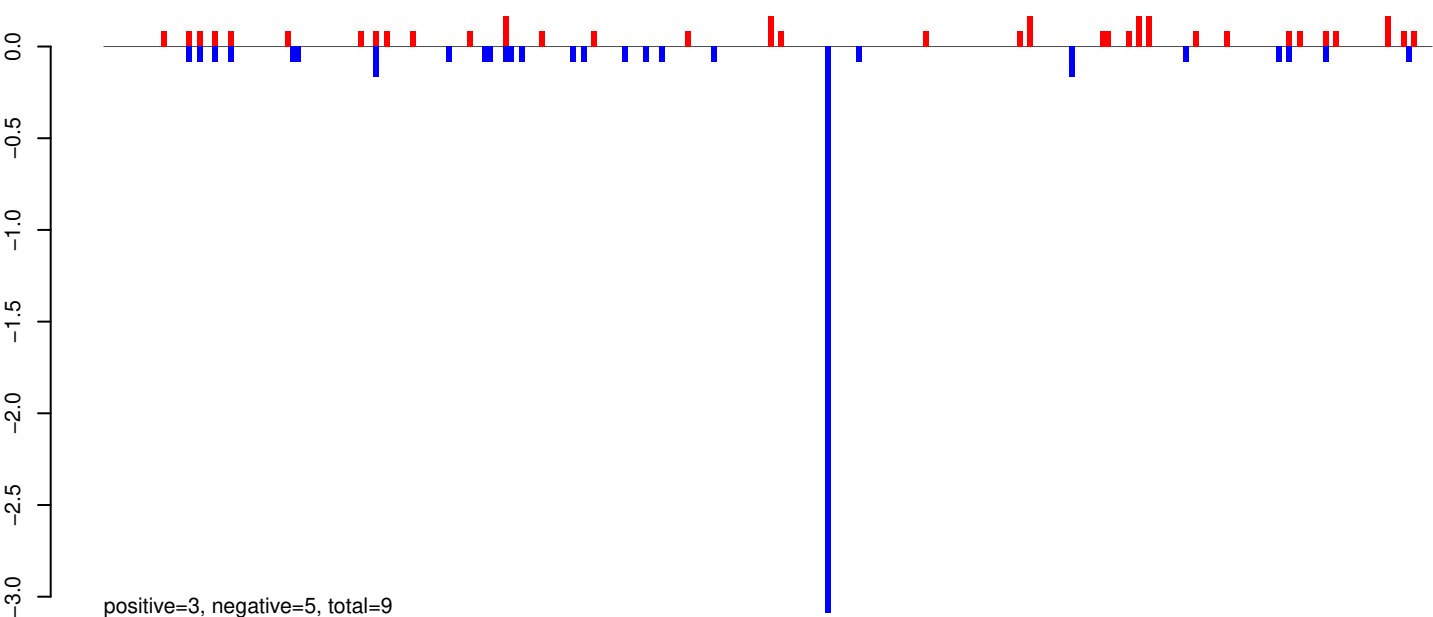
AeAeg_Aag2_Ago2_SINV_RA.24_35.rep



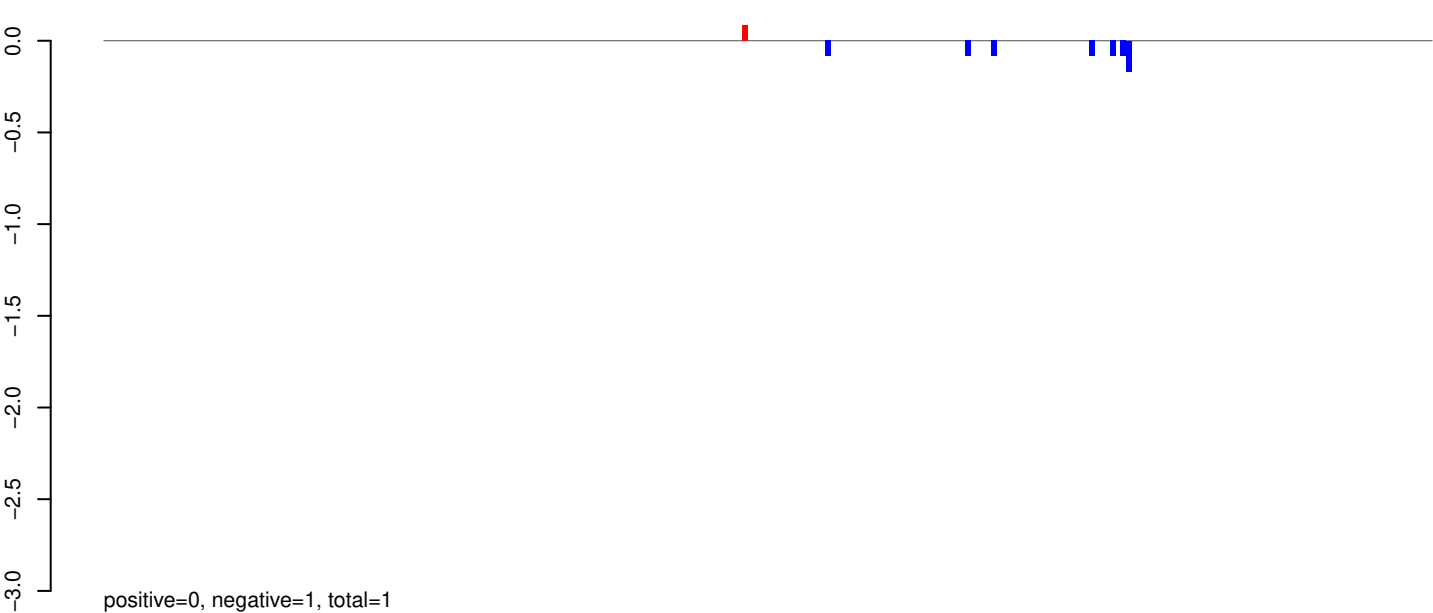
AeAeg_Aag2_Ago2_SINV_RA.rep



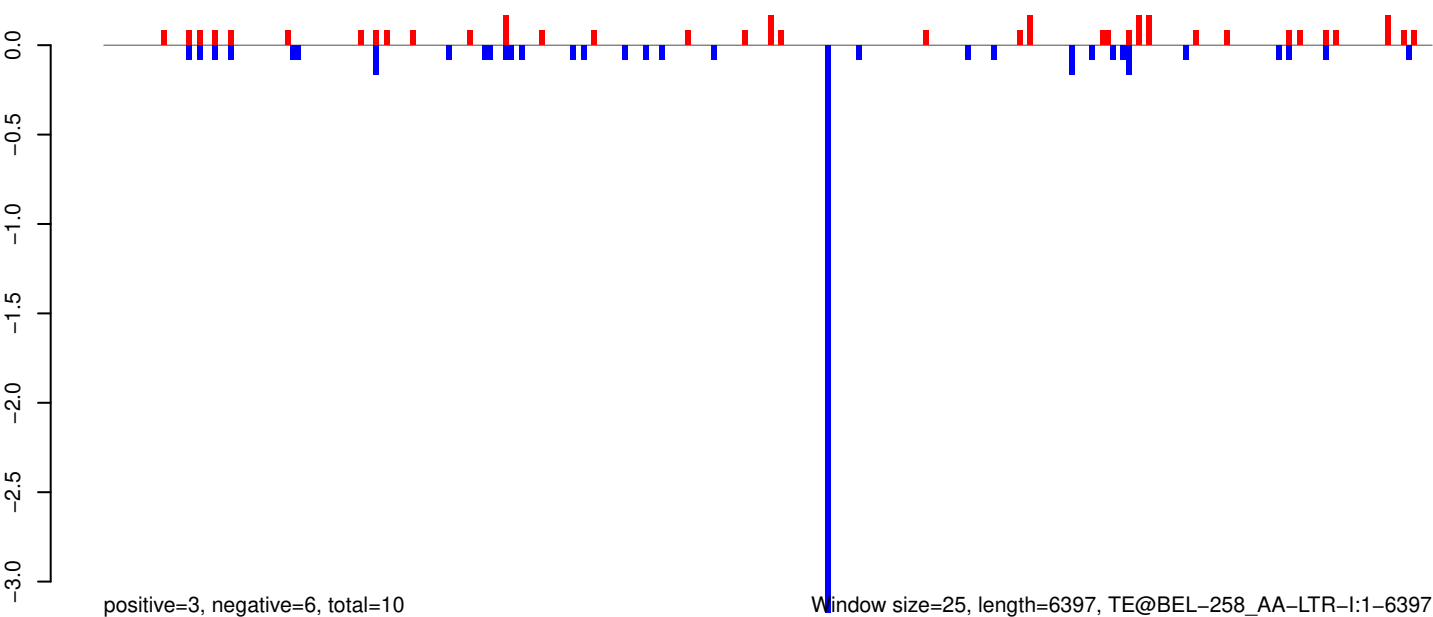
AeAeg_Aag2_Ago2_SINV_RA.18_23.rep



AeAeg_Aag2_Ago2_SINV_RA.24_35.rep

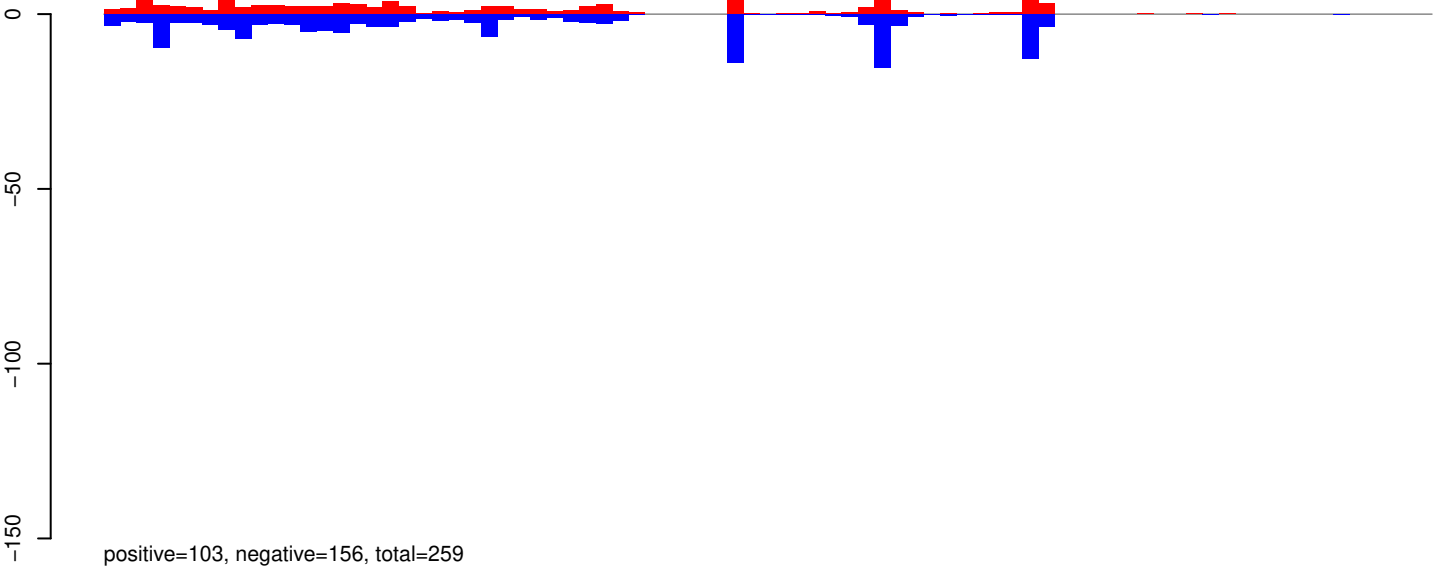


AeAeg_Aag2_Ago2_SINV_RA.rep

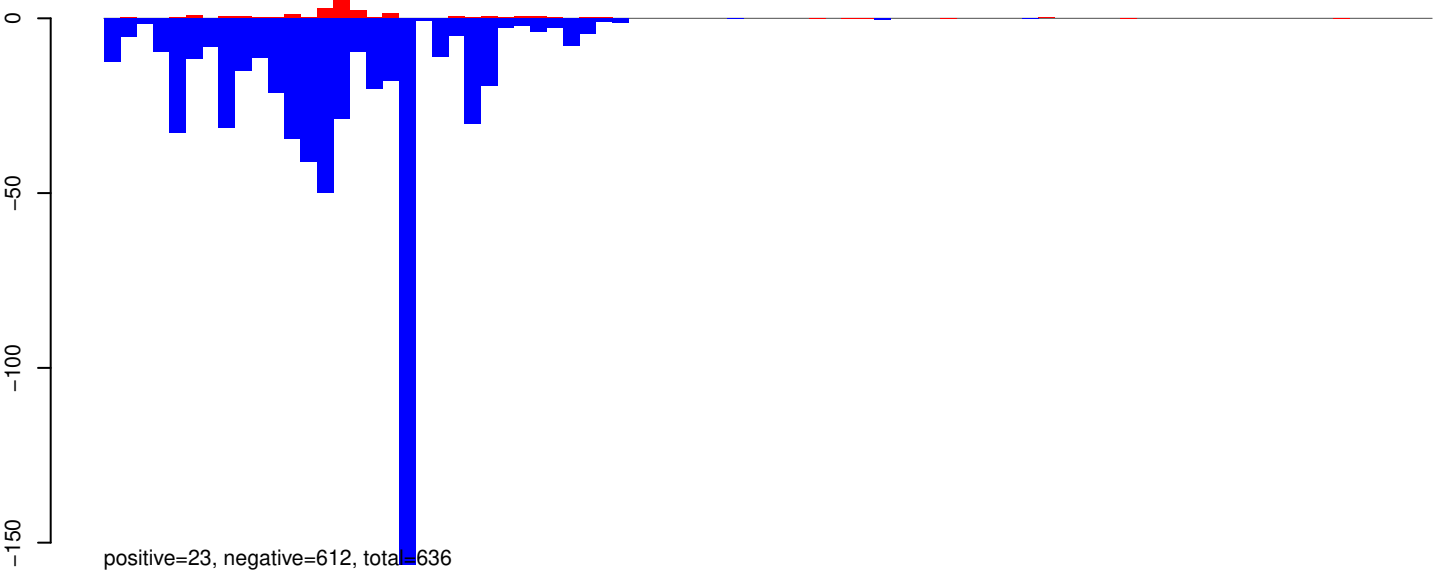


Window size=25, length=6397, TE@BEL-258_AA-LTR-I:1-6397

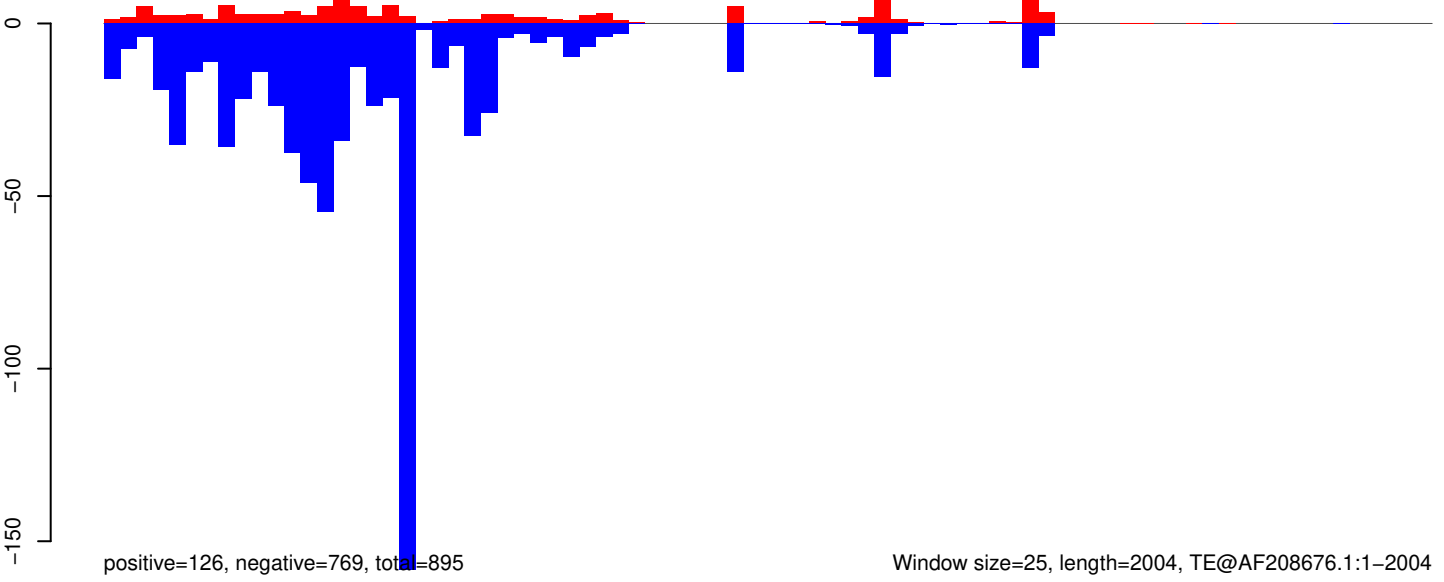
AeAeg_Aag2_Ago2_SINV_RA.18_23.rep



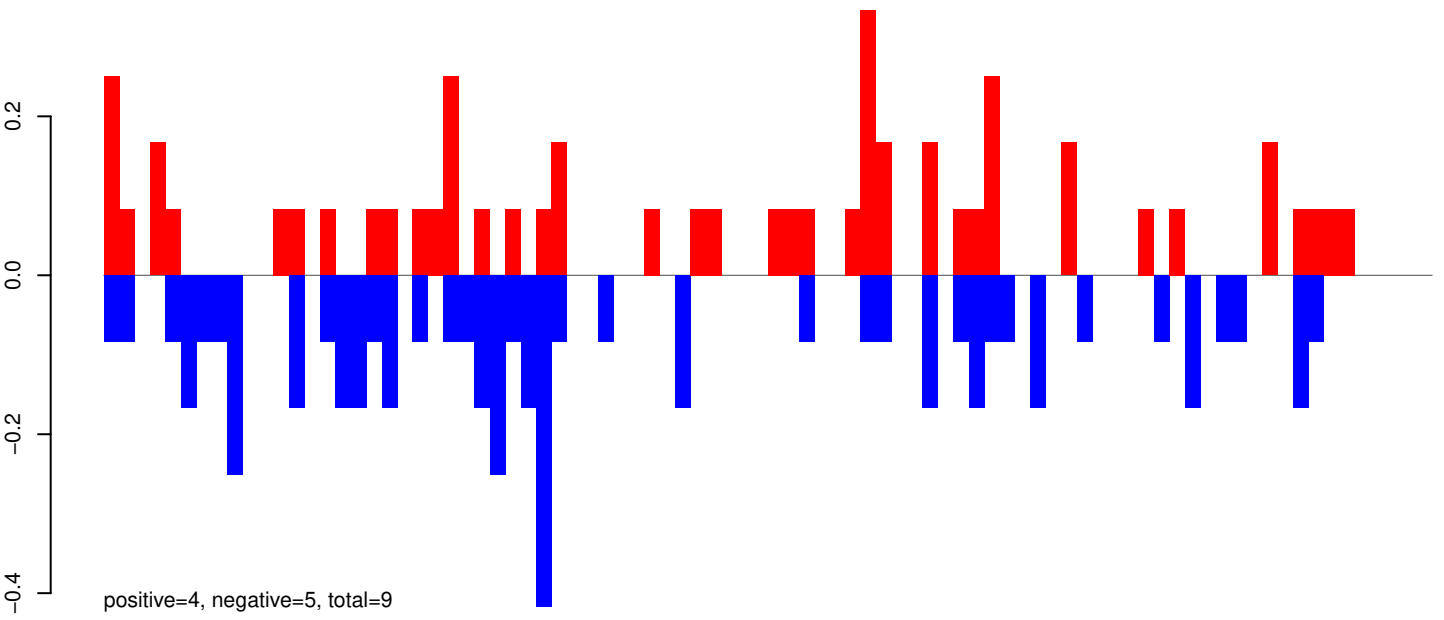
AeAeg_Aag2_Ago2_SINV_RA.24_35.rep



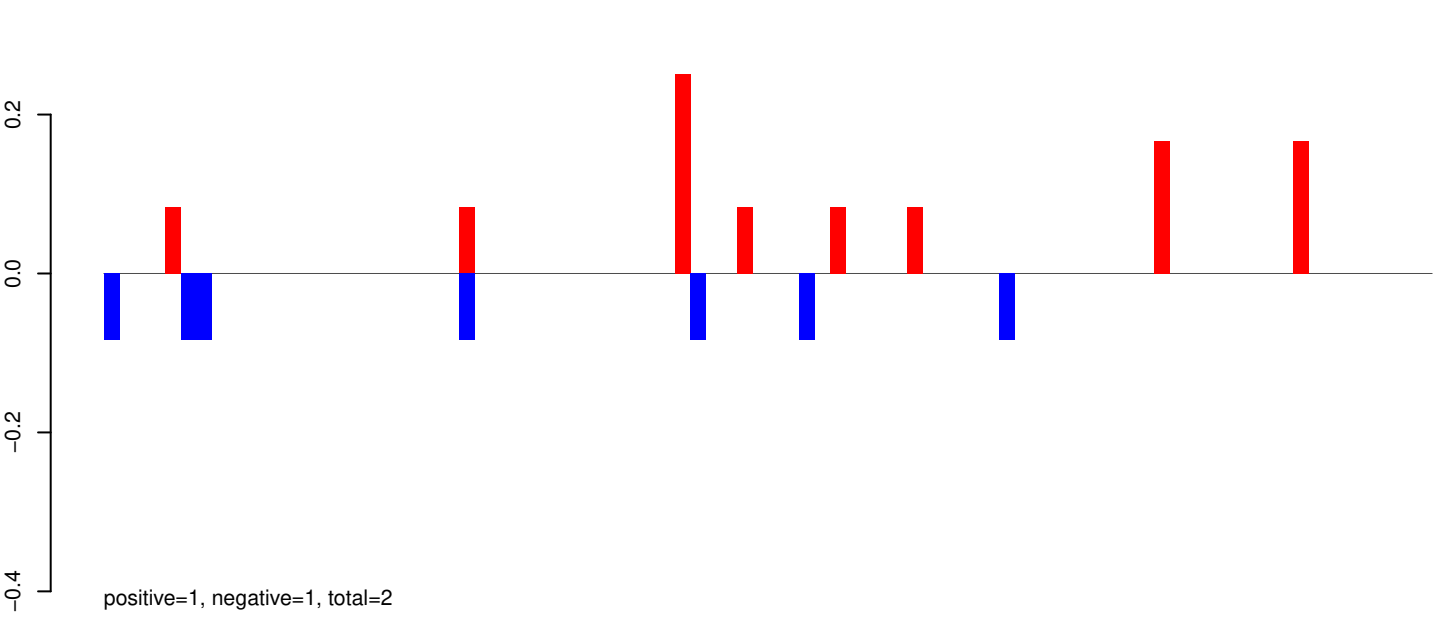
AeAeg_Aag2_Ago2_SINV_RA.rep



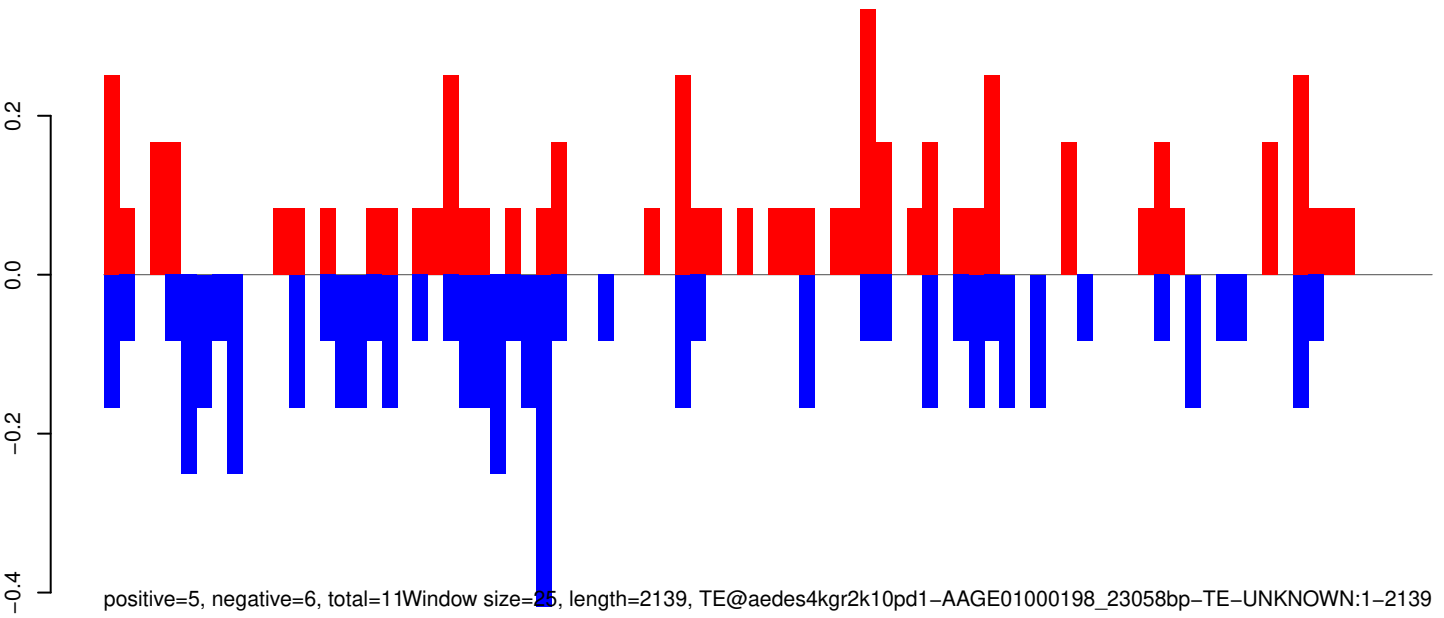
AeAeg_Aag2_Ago2_SINV_RA.18_23.rep



AeAeg_Aag2_Ago2_SINV_RA.24_35.rep

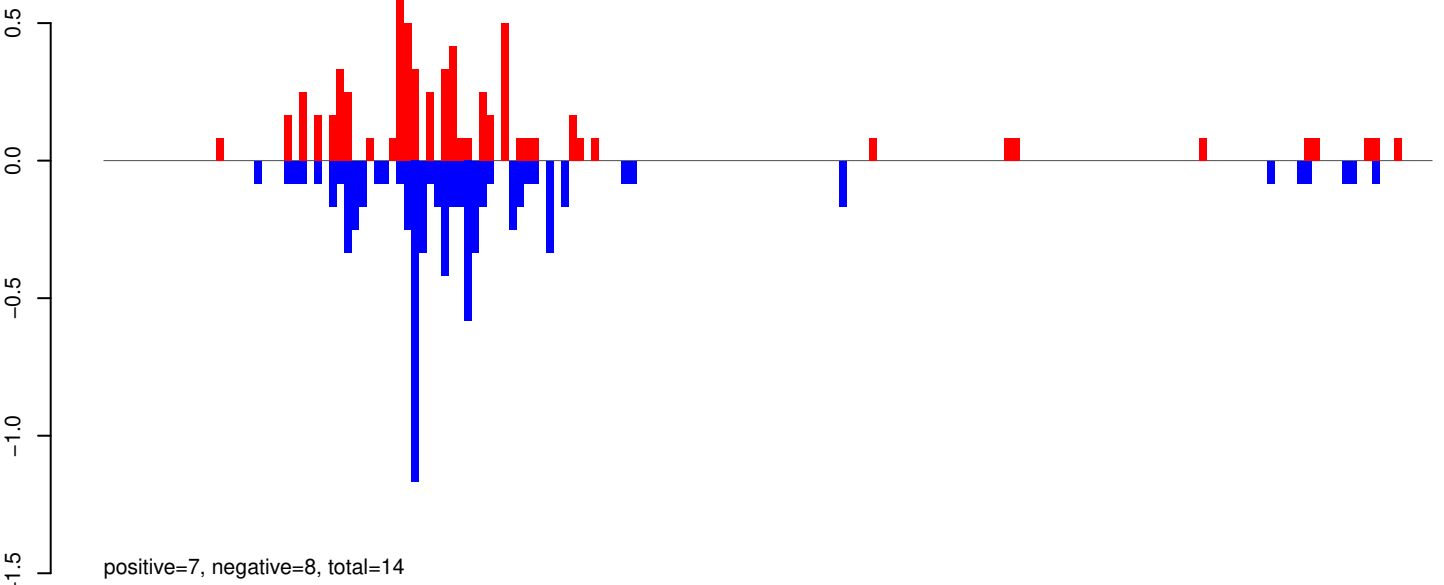


AeAeg_Aag2_Ago2_SINV_RA.rep

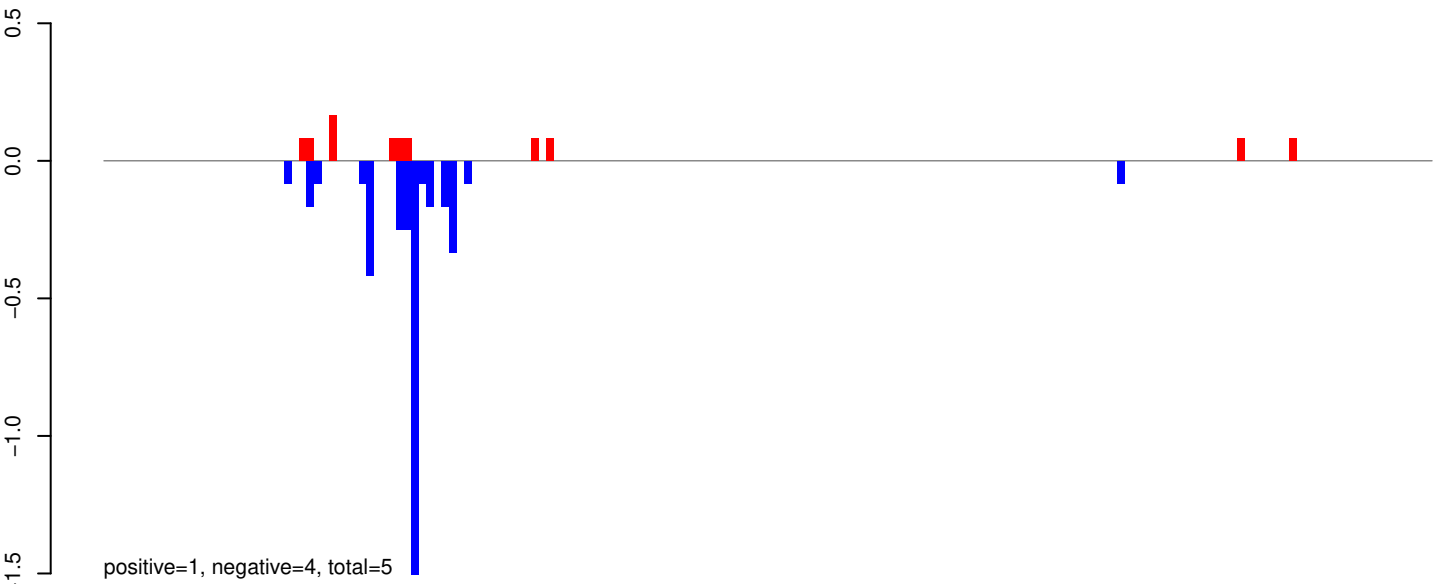


0 500 1000 1500 2000

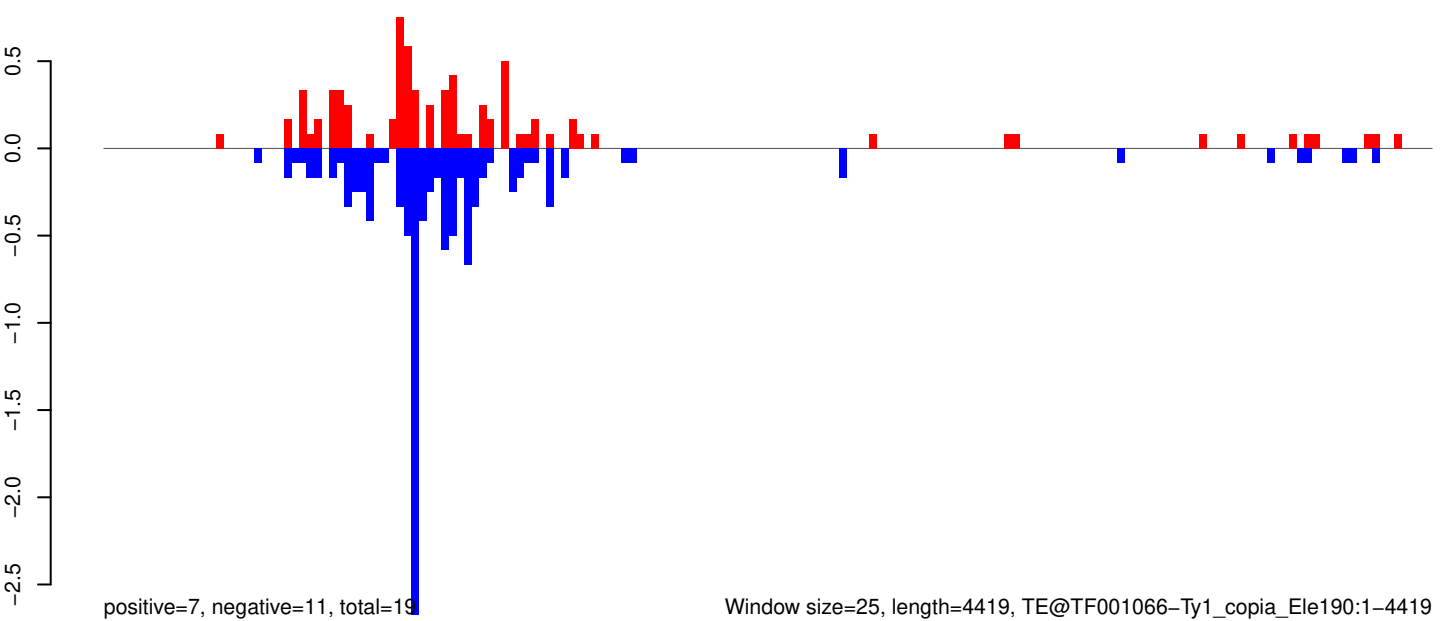
AeAeg_Aag2_Ago2_SINV_RA.18_23.rep



AeAeg_Aag2_Ago2_SINV_RA.24_35.rep



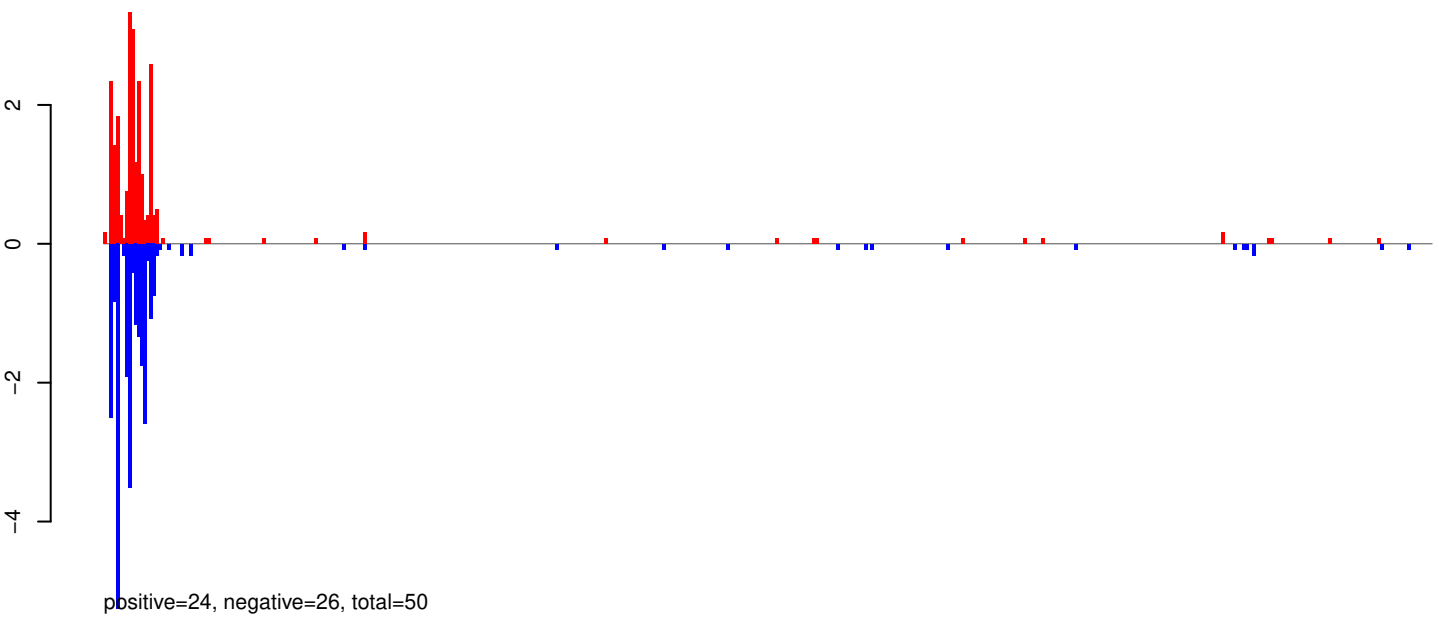
AeAeg_Aag2_Ago2_SINV_RA.rep



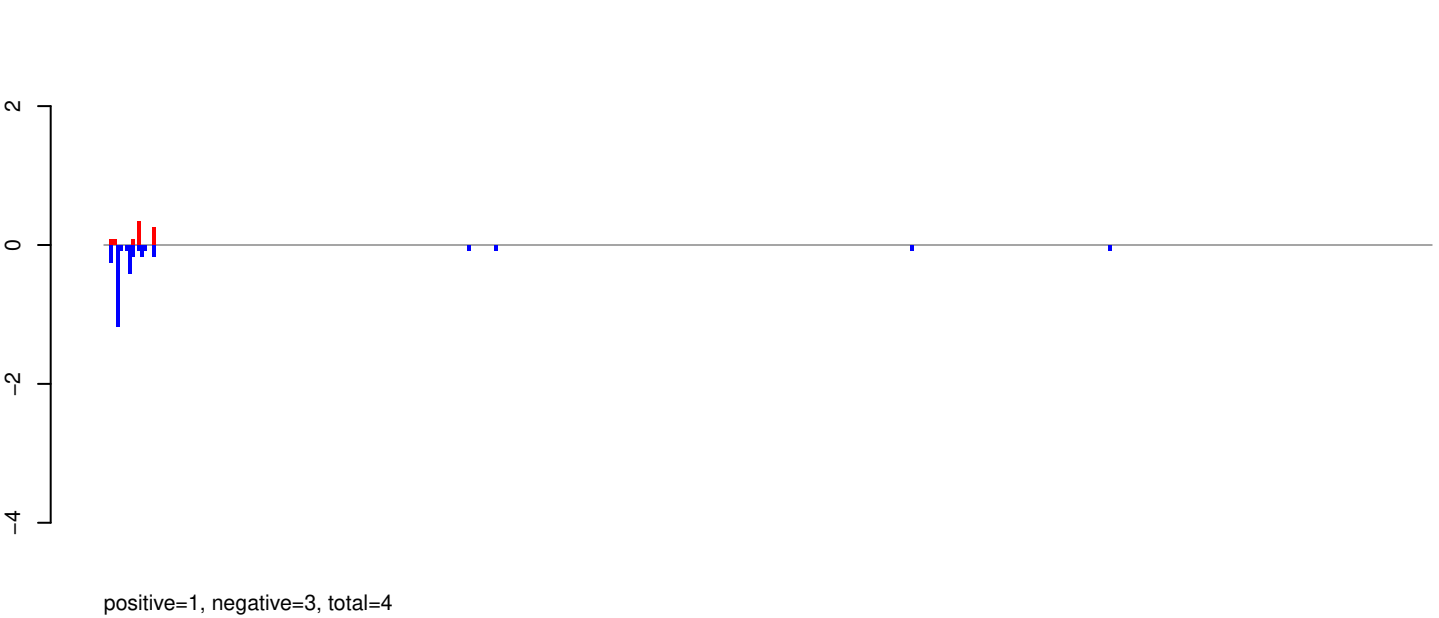
Window size=25, length=4419, TE@TF001066-Ty1_copia_Ele190:1-4419

0 1000 2000 3000 4000

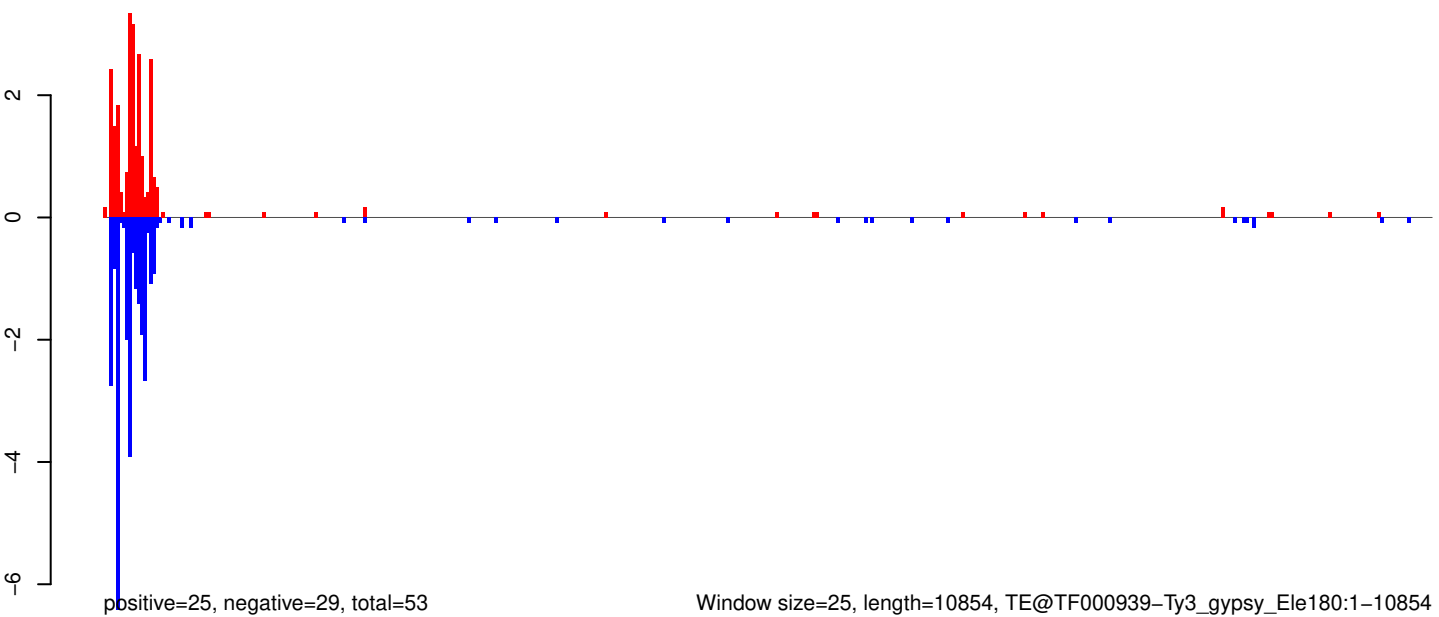
AeAeg_Aag2_Ago2_SINV_RA.18_23.rep



AeAeg_Aag2_Ago2_SINV_RA.24_35.rep

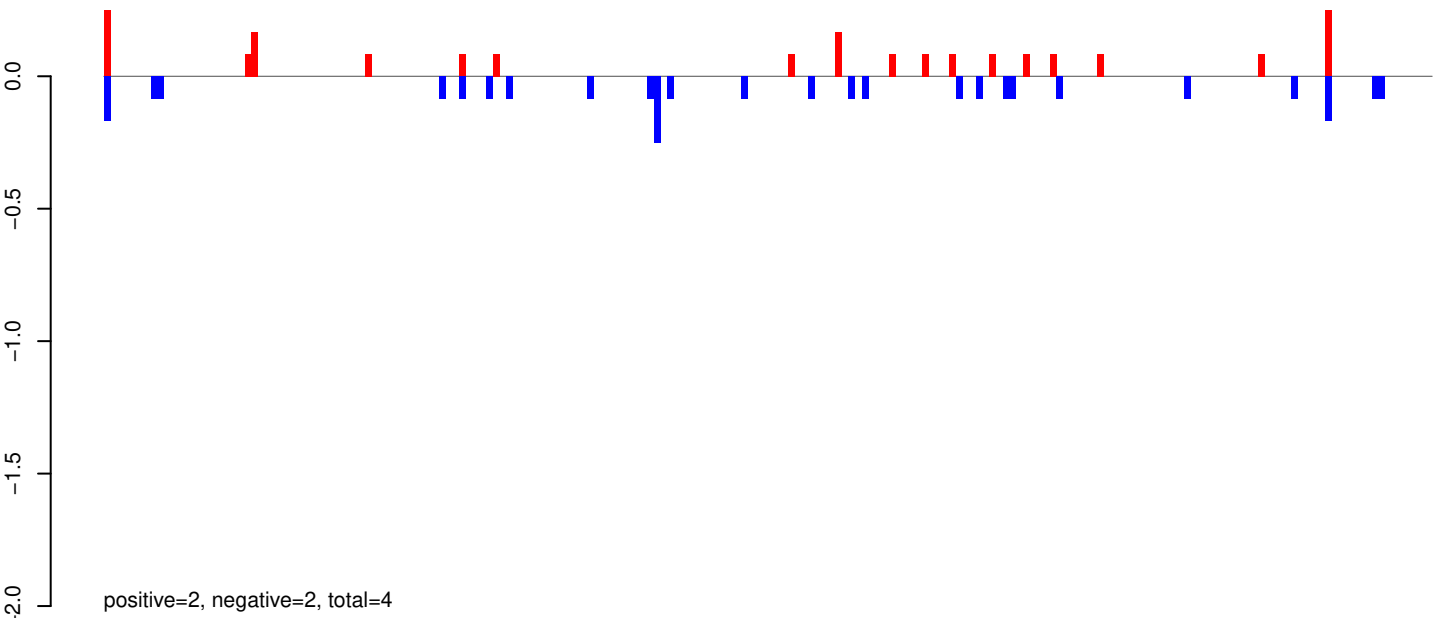


AeAeg_Aag2_Ago2_SINV_RA.rep

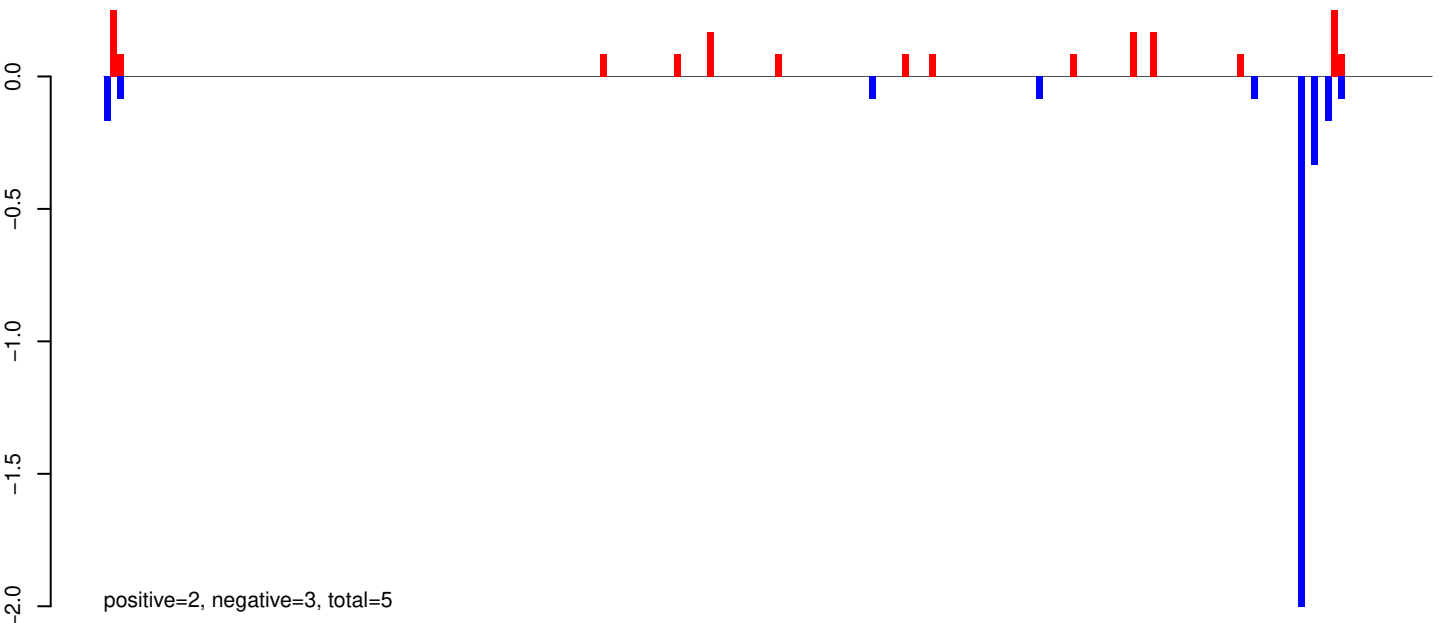


Window size=25, length=10854, TE@TF000939-Ty3_gypsy_Ele180:1-10854

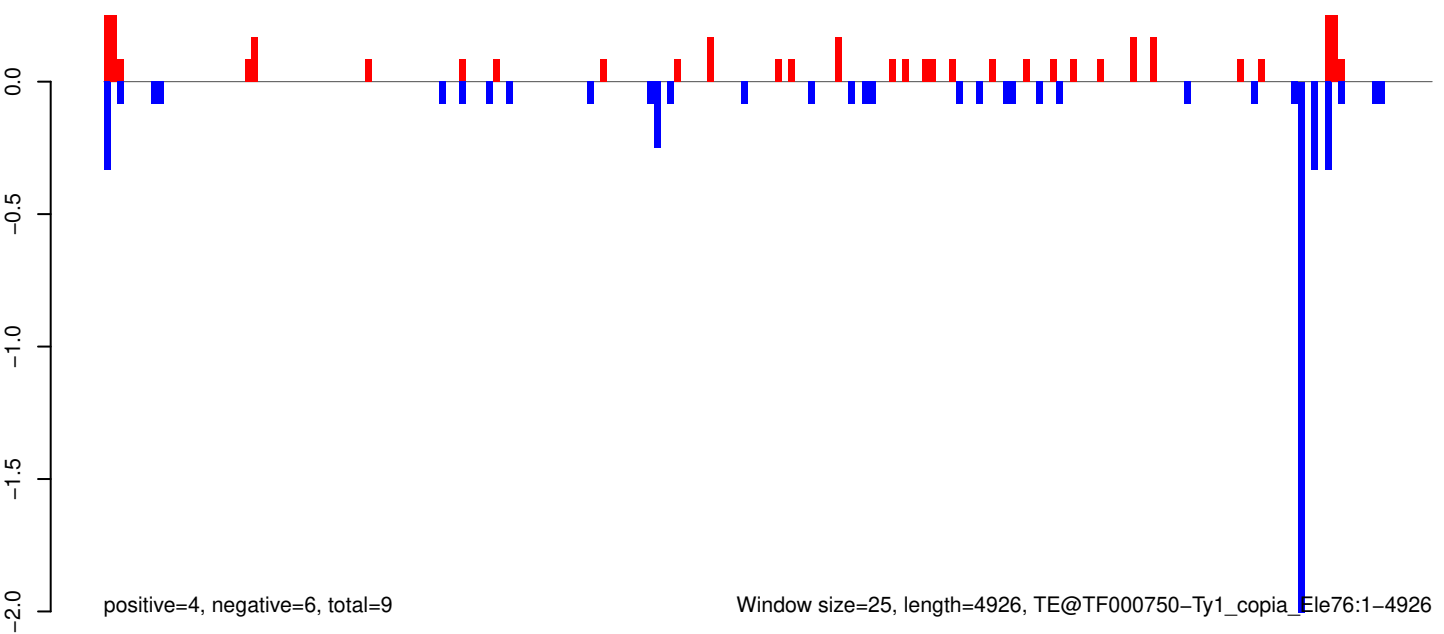
AeAeg_Aag2_Ago2_SINV_RA.18_23.rep



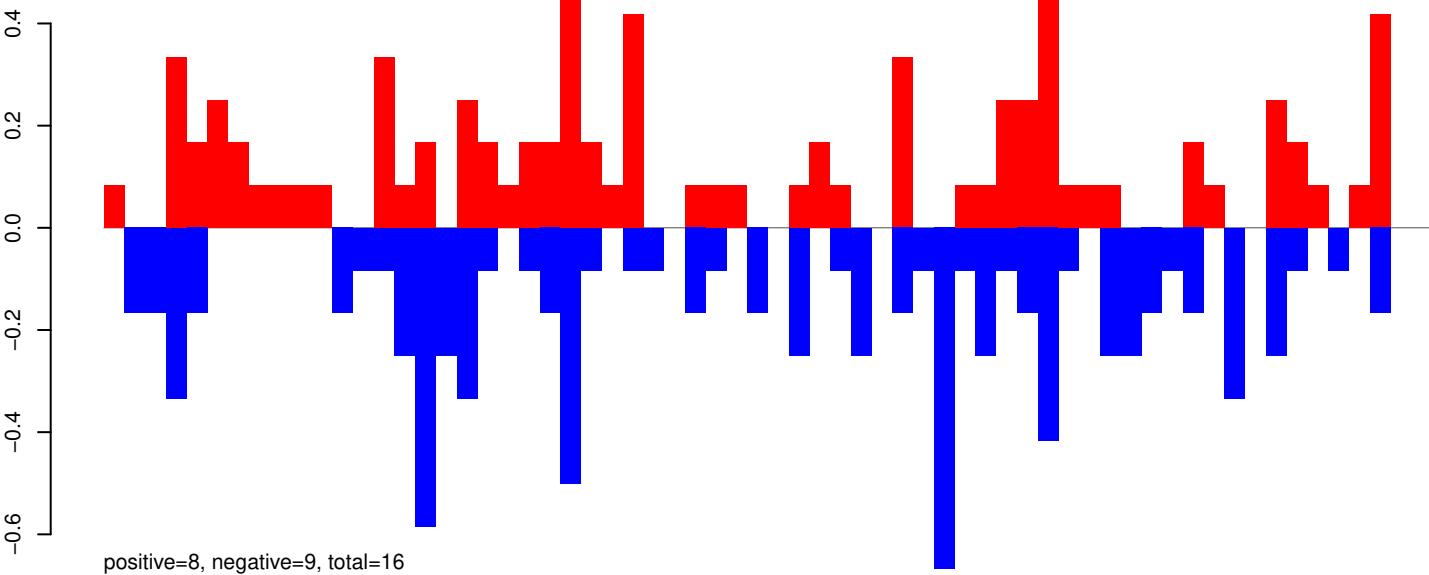
AeAeg_Aag2_Ago2_SINV_RA.24_35.rep



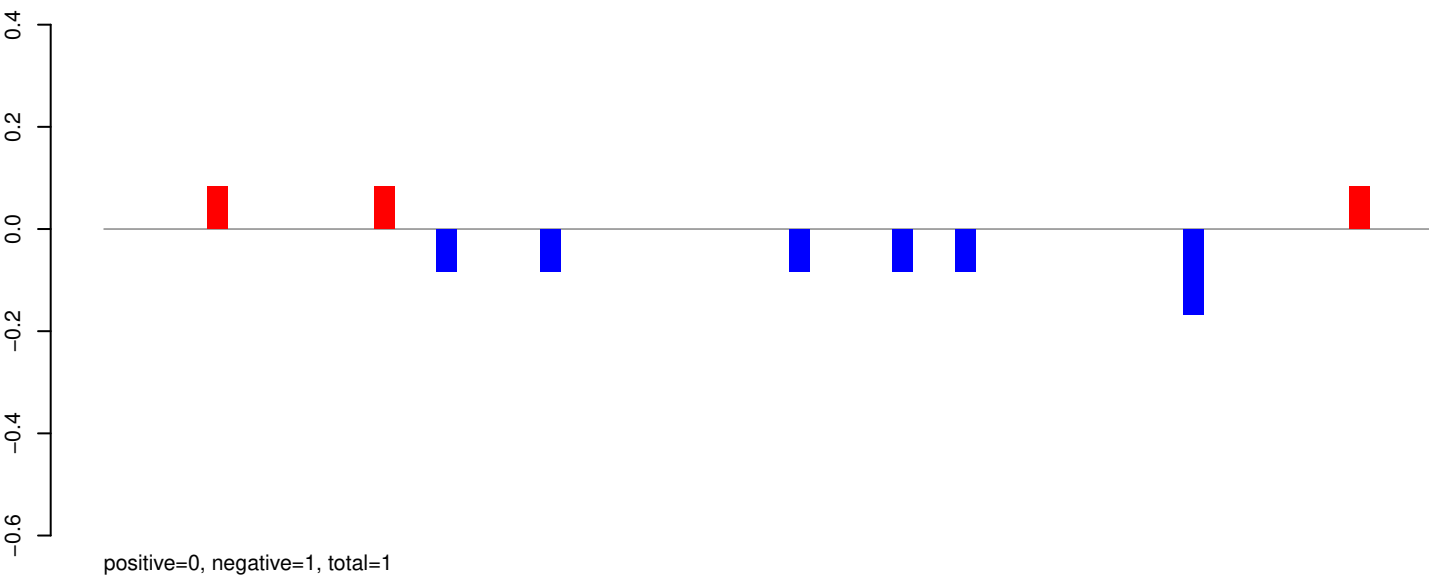
AeAeg_Aag2_Ago2_SINV_RA.rep



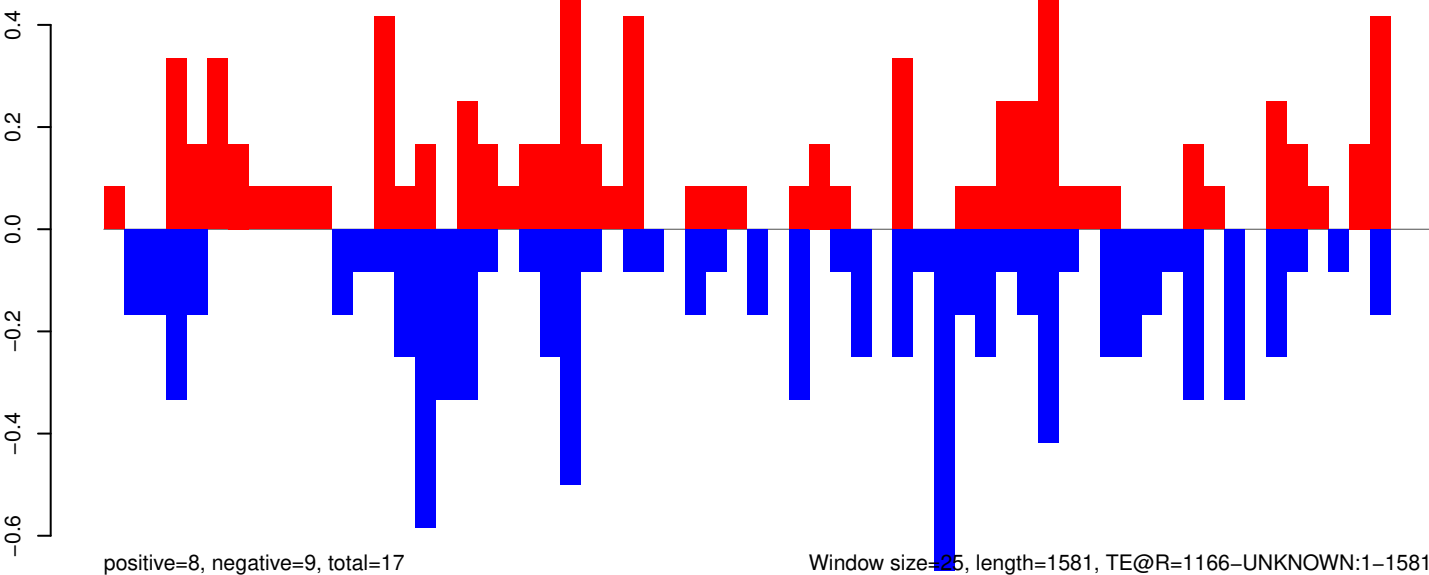
AeAeg_Aag2_Ago2_SINV_RA.18_23.rep



AeAeg_Aag2_Ago2_SINV_RA.24_35.rep



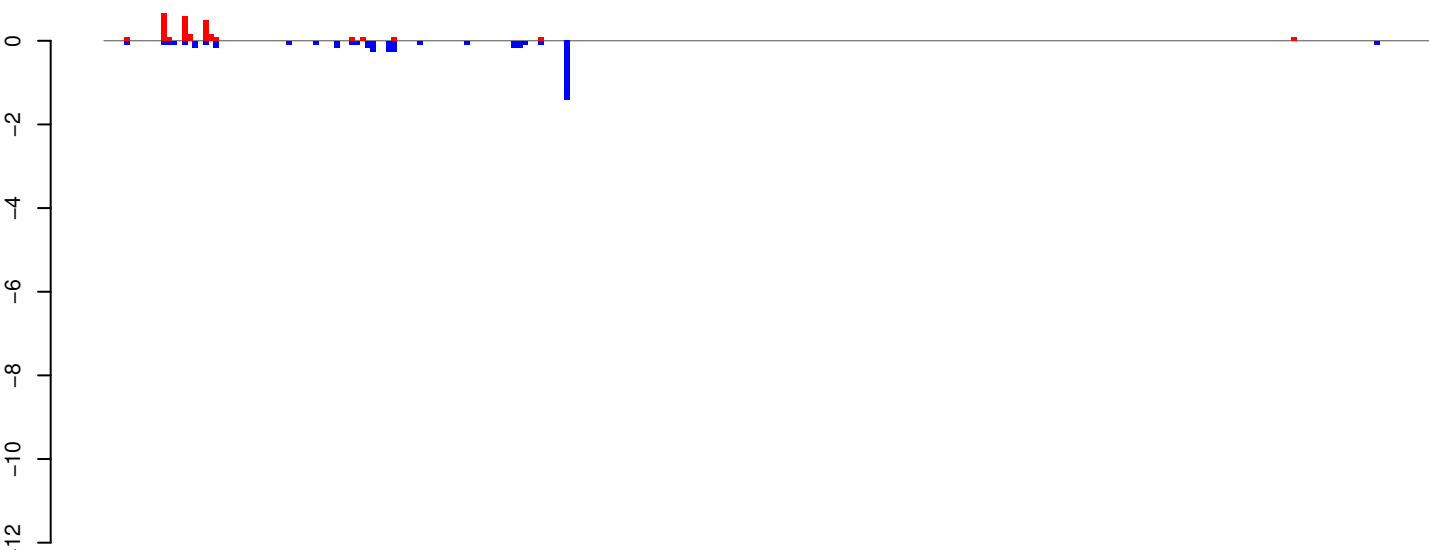
AeAeg_Aag2_Ago2_SINV_RA.rep



Window size=25, length=1581, TE@R=1166-UNKNOWN:1-1581

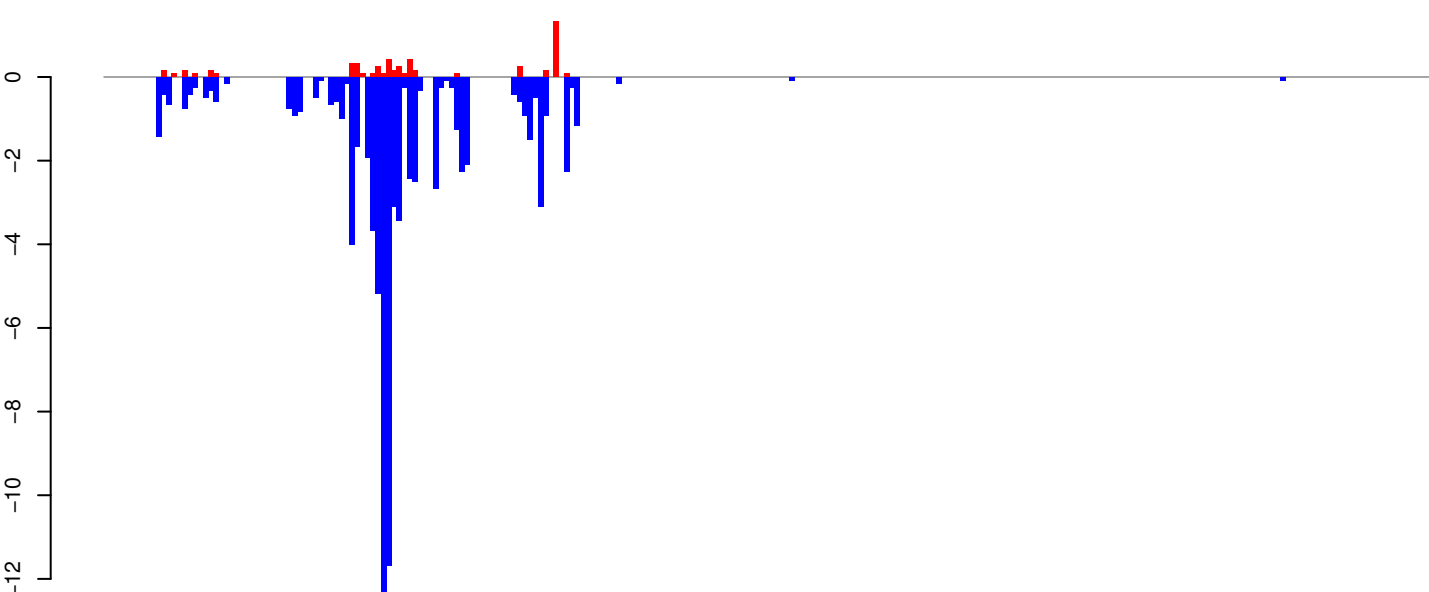
0 500 1000 1500

AeAeg_Aag2_Ago2_SINV_RA.18_23.rep



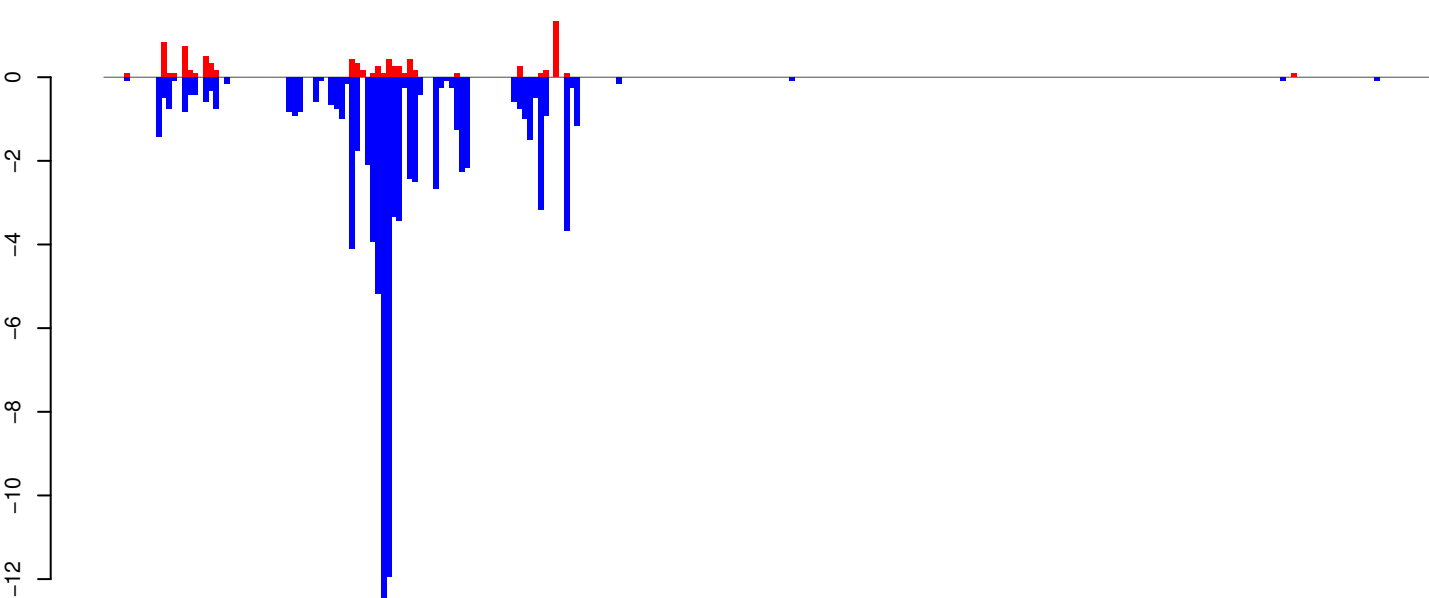
positive=3, negative=4, total=7

AeAeg_Aag2_Ago2_SINV_RA.24_35.rep



positive=5, negative=85, total=90

AeAeg_Aag2_Ago2_SINV_RA.rep

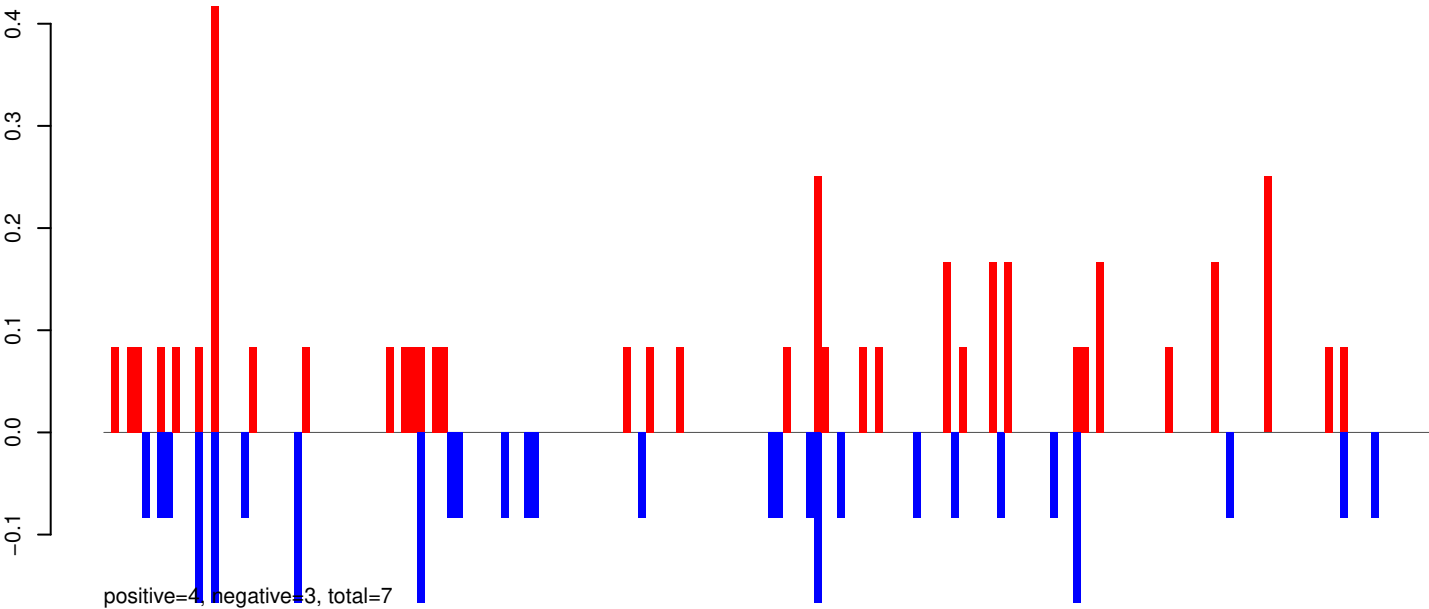


positive=8, negative=89, total=97

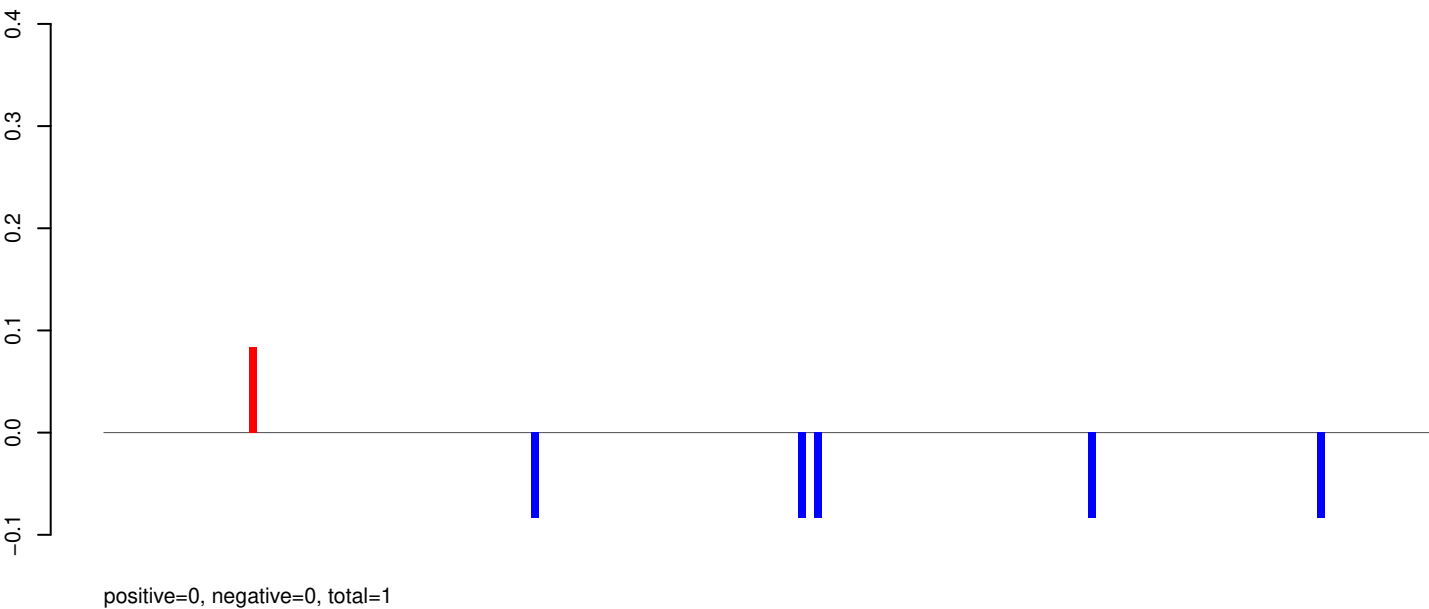
Window size=25, length=6346, TE@Gypsy-291_AA-LTR-I:1-6346

0 1000 2000 3000 4000 5000 6000

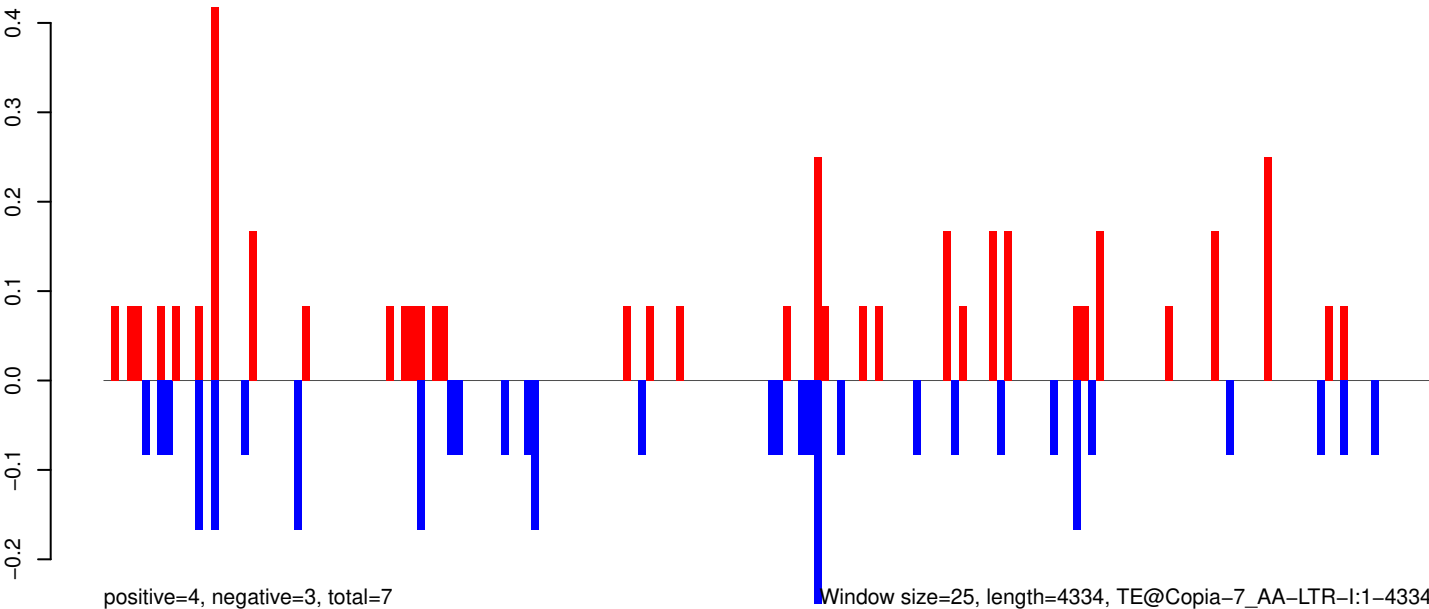
AeAeg_Aag2_Ago2_SINV_RA.18_23.rep



AeAeg_Aag2_Ago2_SINV_RA.24_35.rep

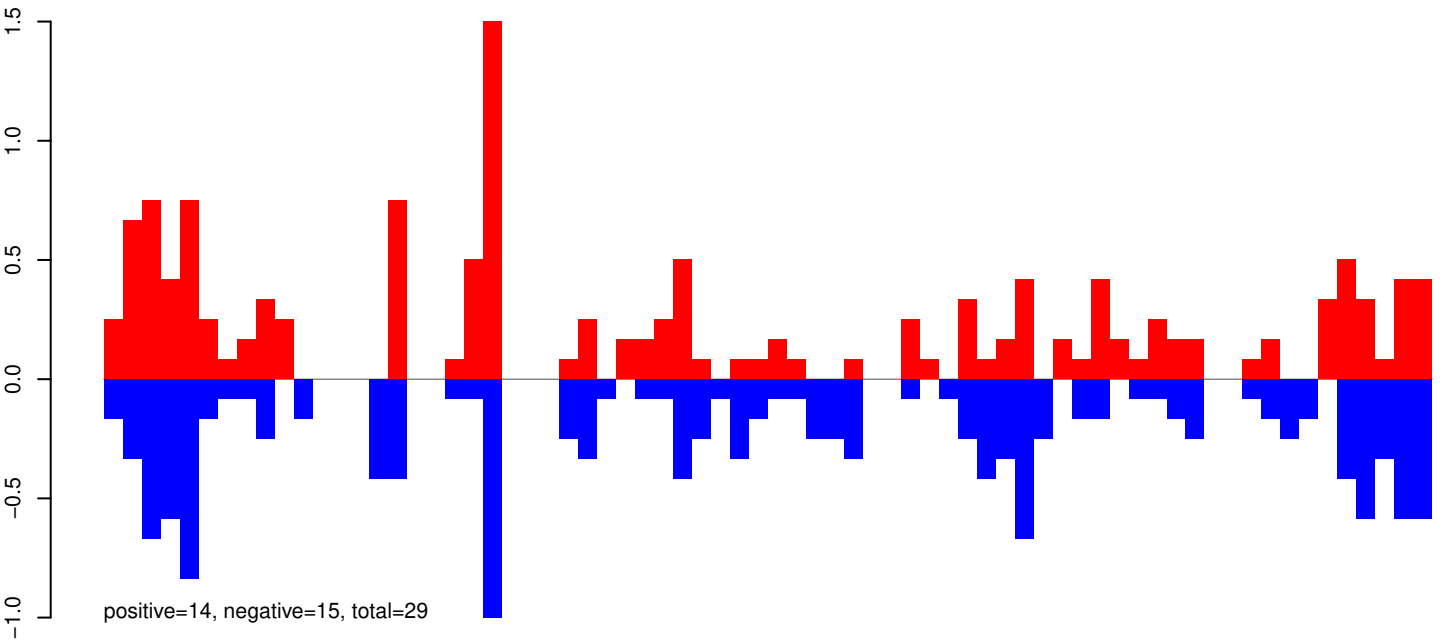


AeAeg_Aag2_Ago2_SINV_RA.rep

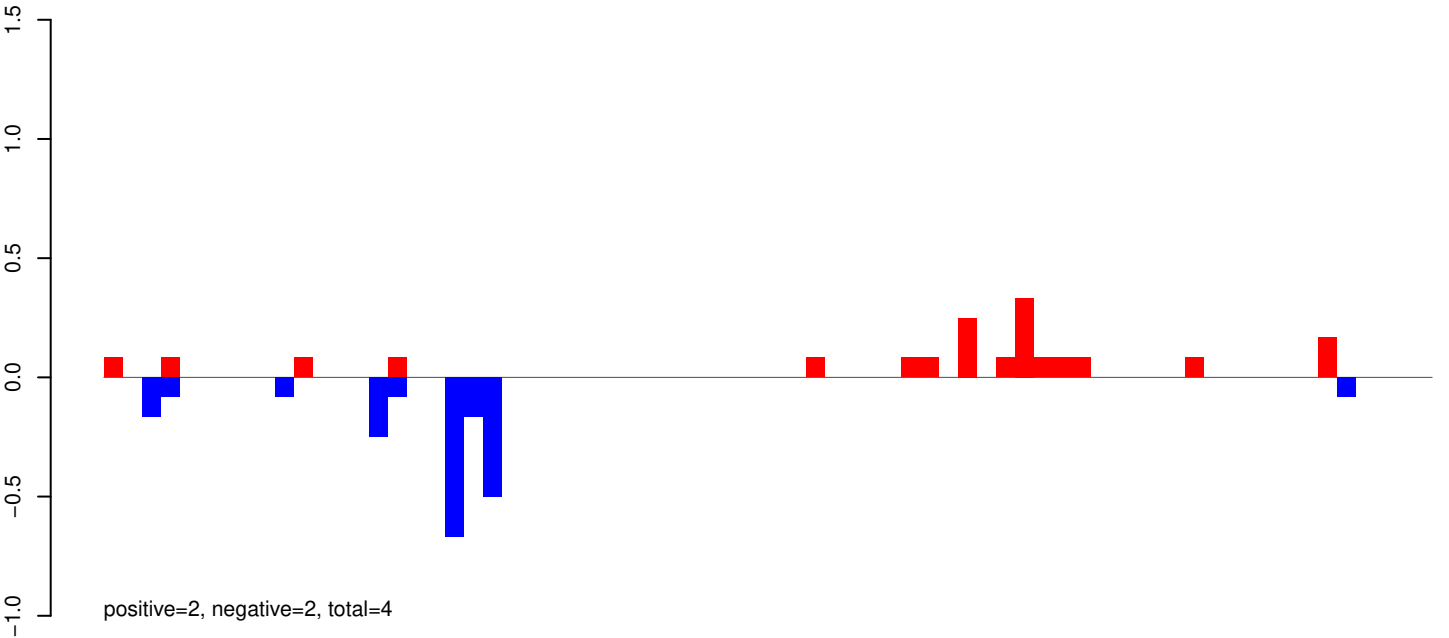


0 1000 2000 3000 4000

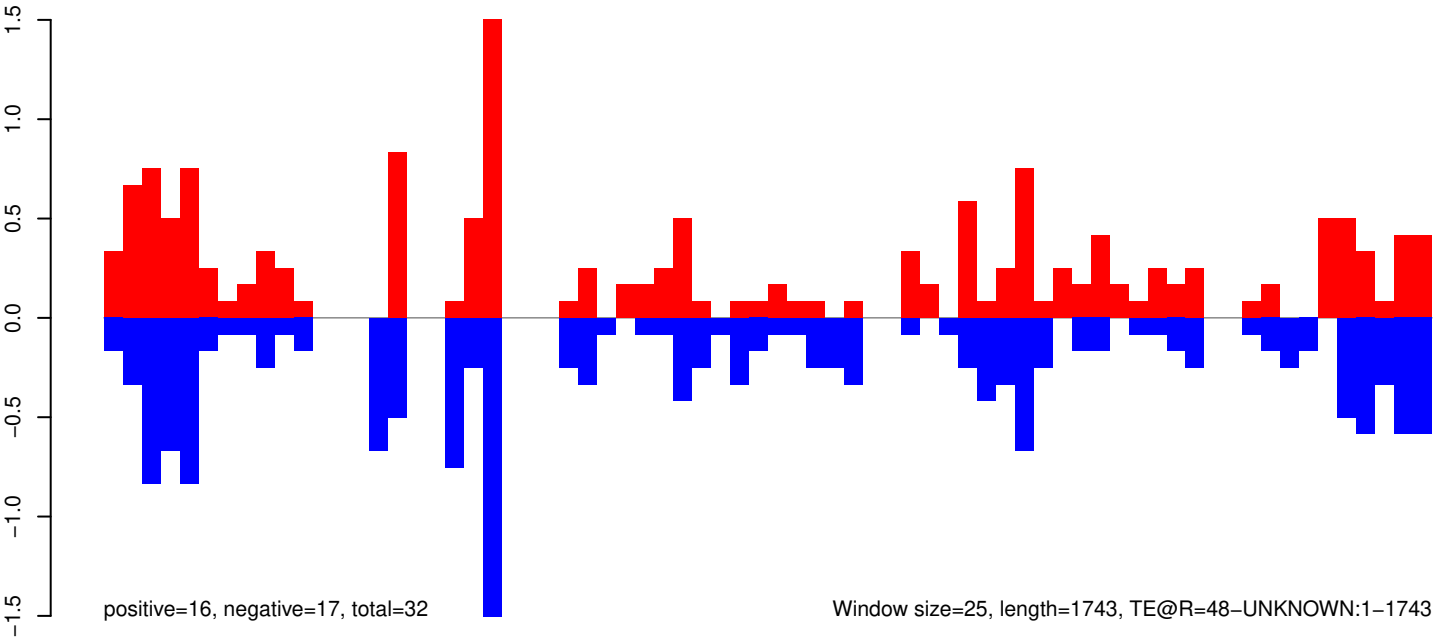
AeAeg_Aag2_Ago2_SINV_RA.18_23.rep



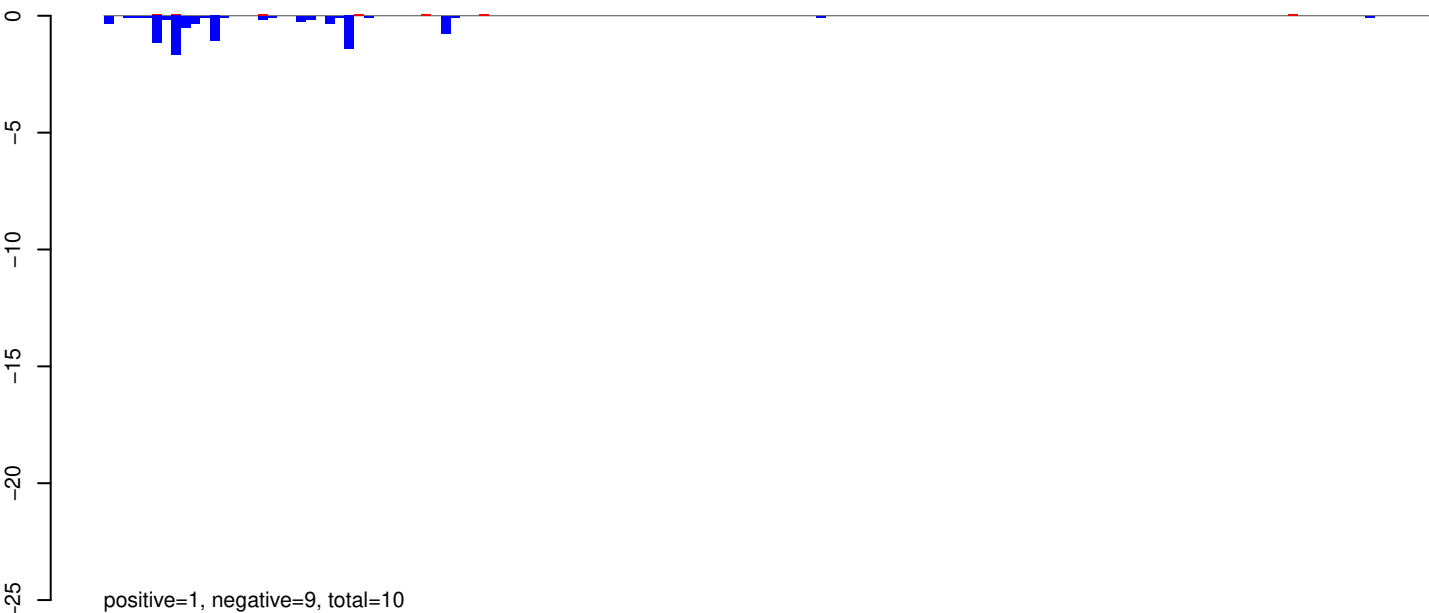
AeAeg_Aag2_Ago2_SINV_RA.24_35.rep



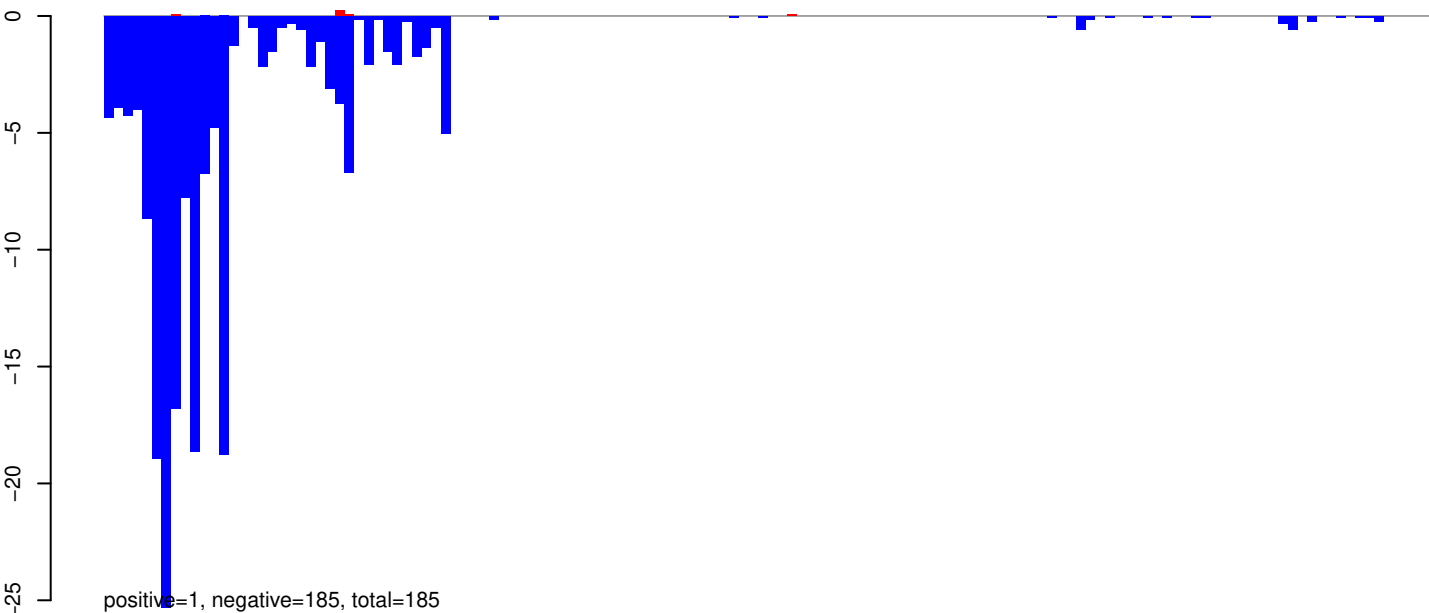
AeAeg_Aag2_Ago2_SINV_RA.rep



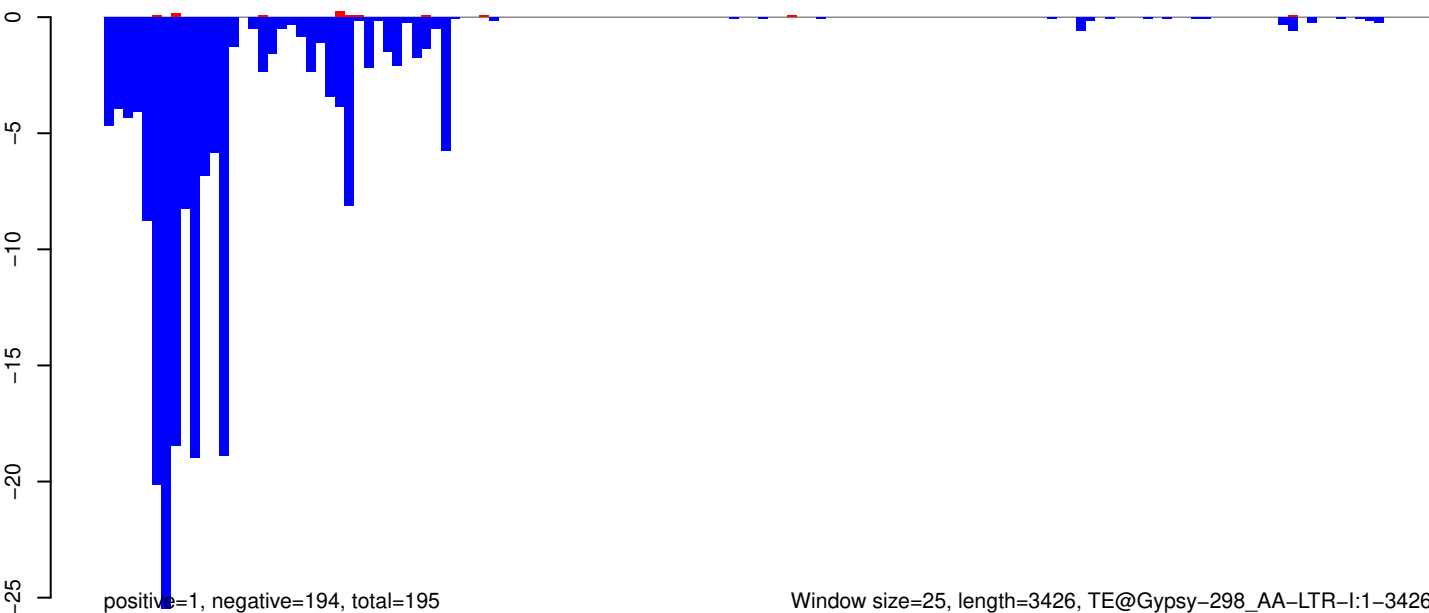
AeAeg_Aag2_Ago2_SINV_RA.18_23.rep



AeAeg_Aag2_Ago2_SINV_RA.24_35.rep



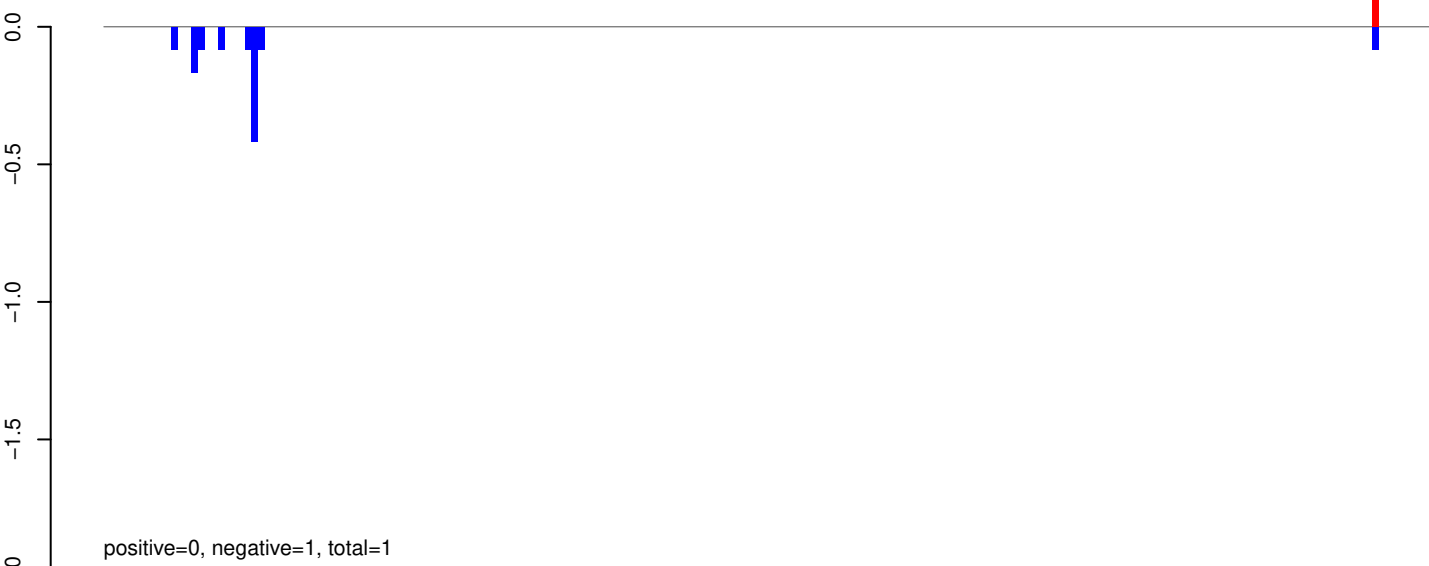
AeAeg_Aag2_Ago2_SINV_RA.rep



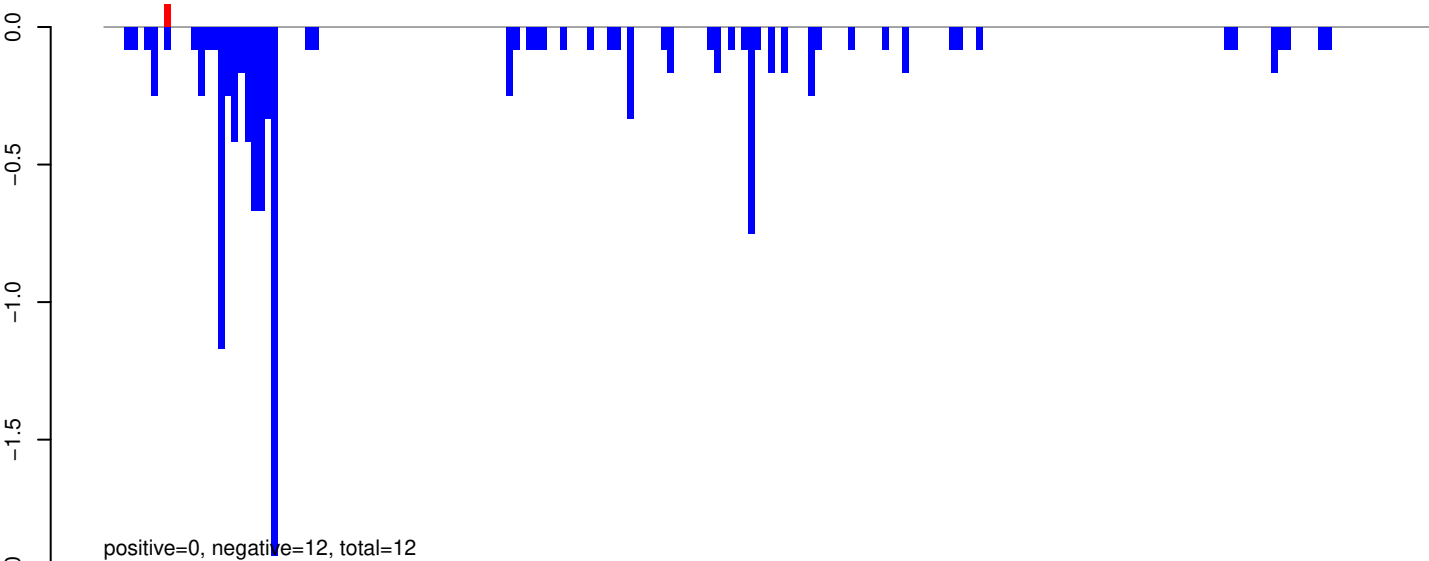
Window size=25, length=3426, TE@Gypsy-298_AA-LTR-I:1-3426

0 500 1000 1500 2000 2500 3000 3500

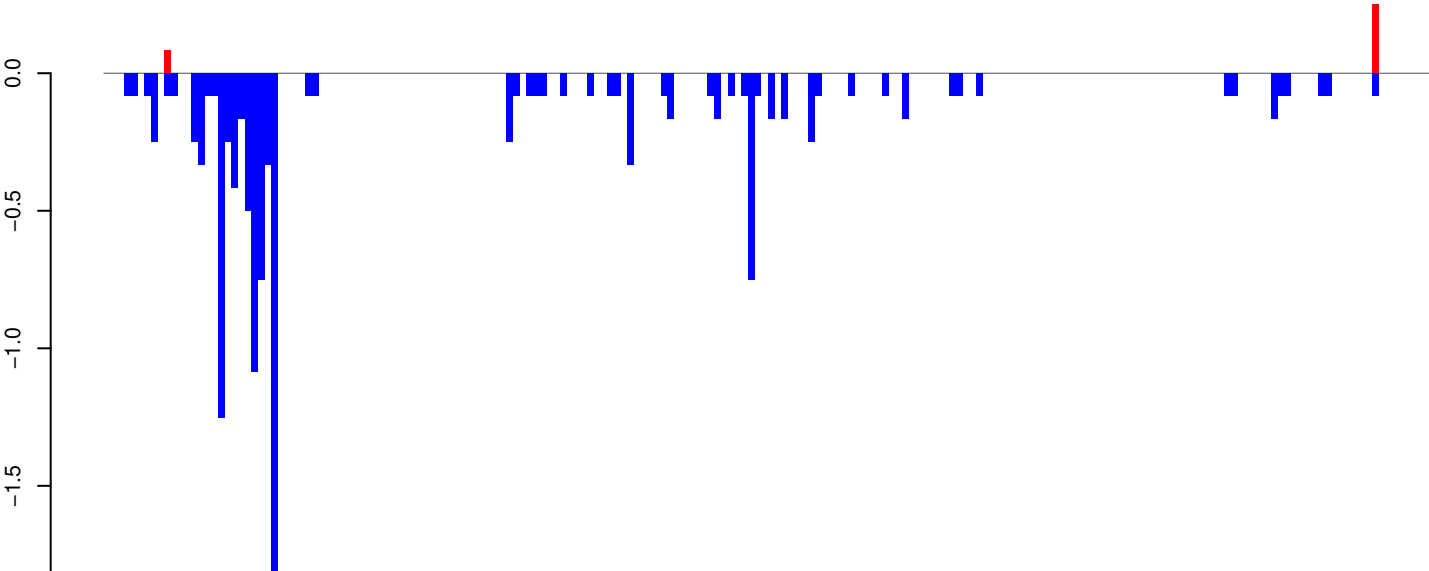
AeAeg_Aag2_Ago2_SINV_RA.18_23.rep



AeAeg_Aag2_Ago2_SINV_RA.24_35.rep

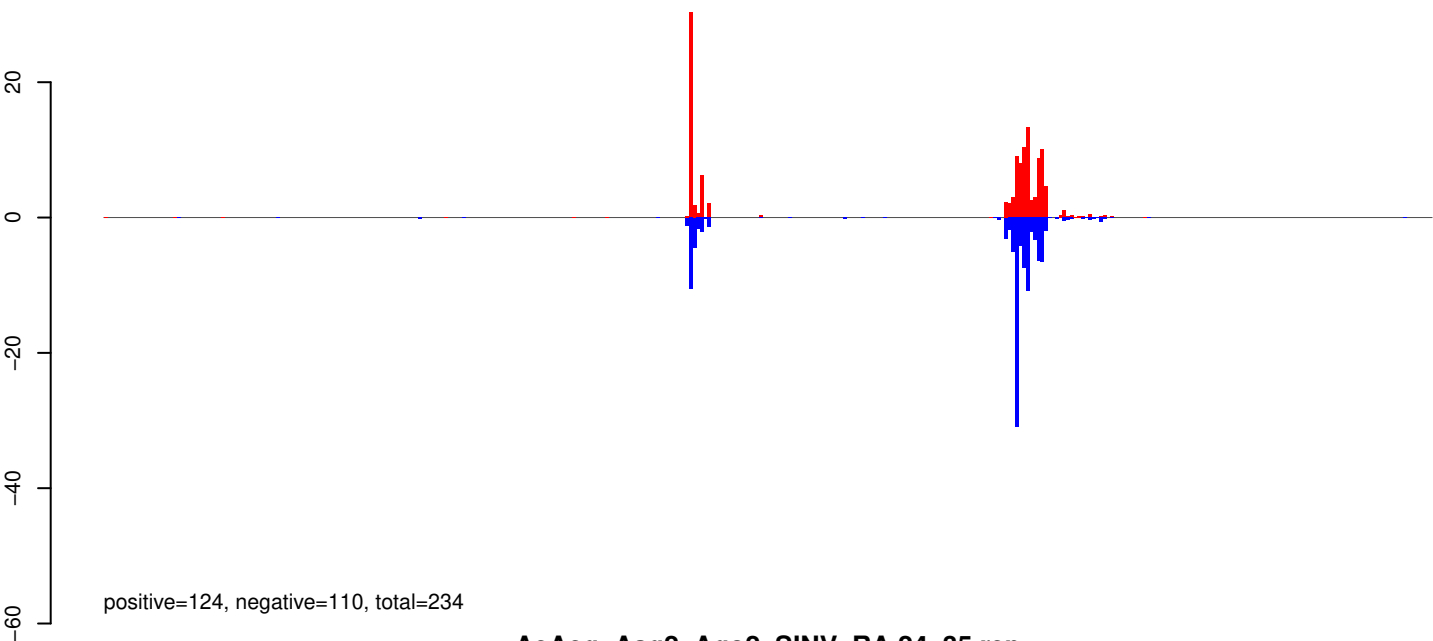


AeAeg_Aag2_Ago2_SINV_RA.rep

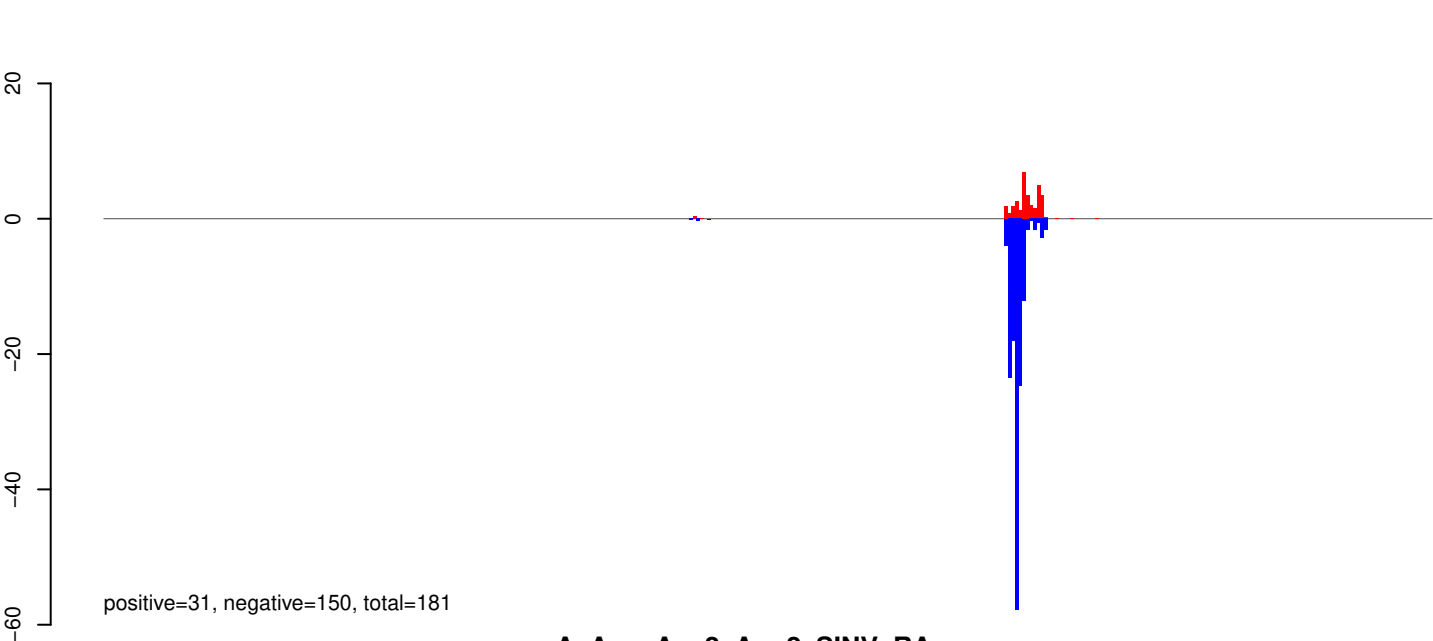


Window size=25, length=4926, TE@Copia-111_AA-LTR-I:1-4926

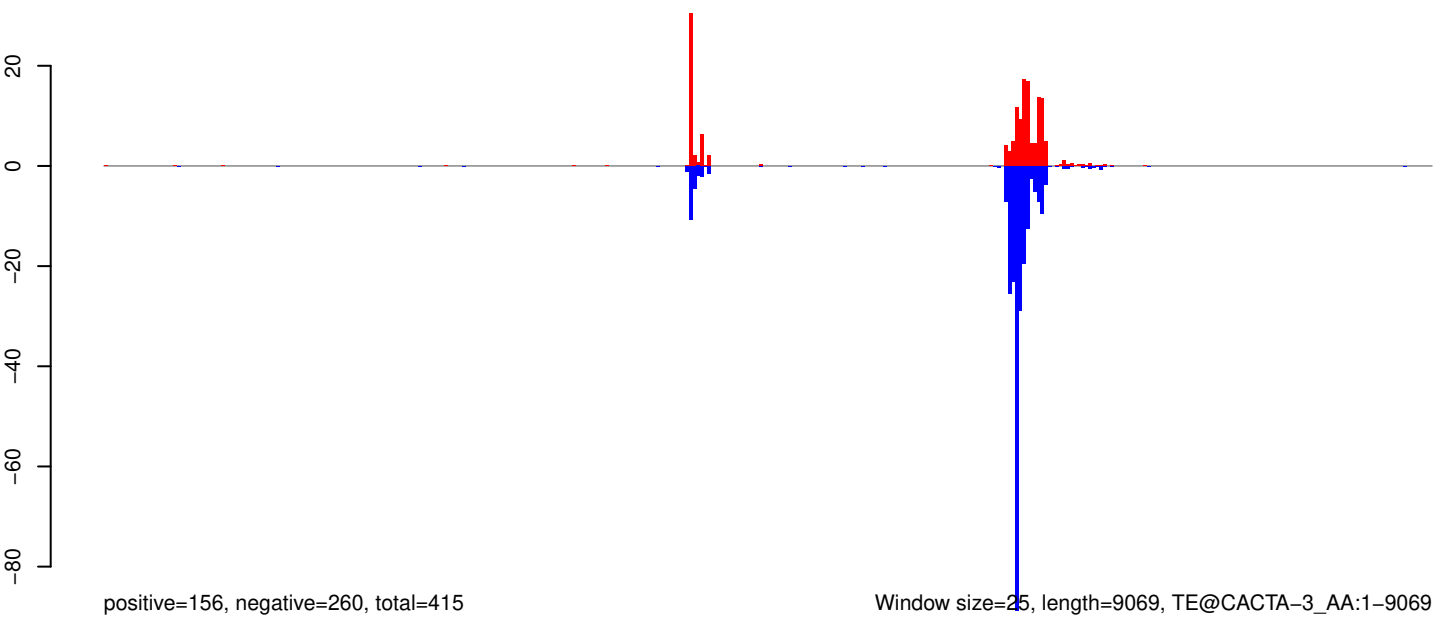
AeAeg_Aag2_Ago2_SINV_RA.18_23.rep



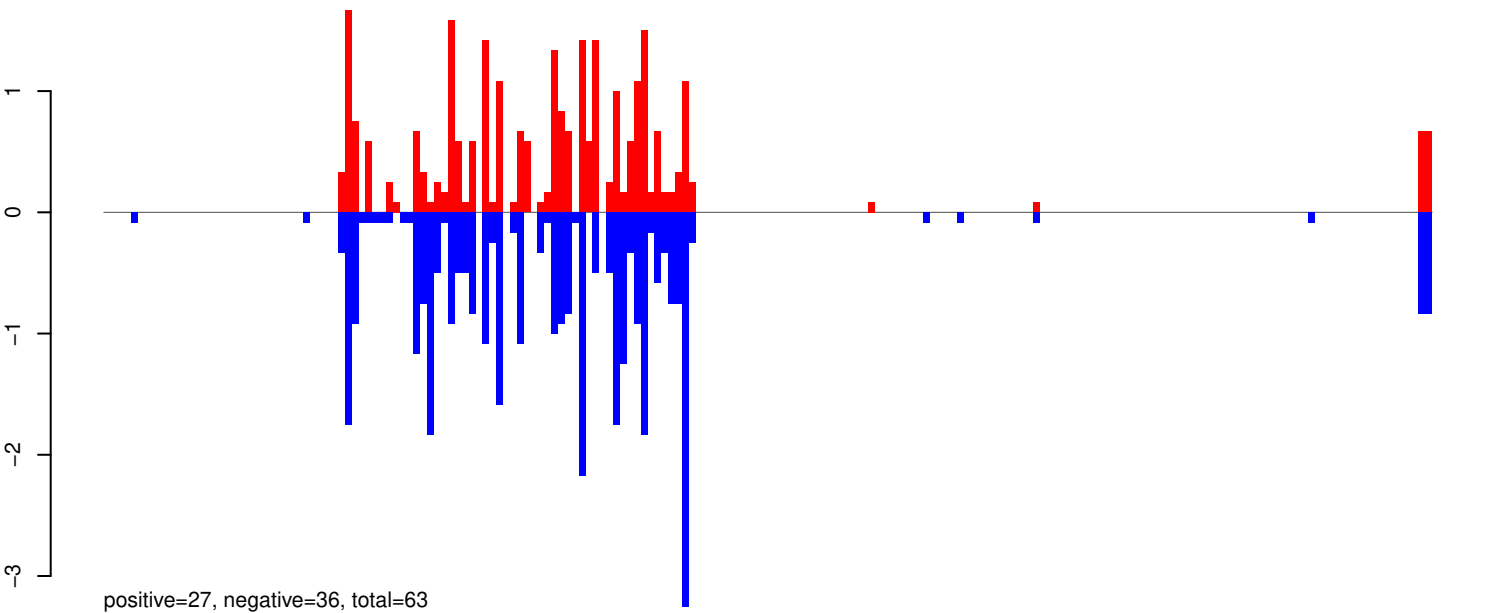
AeAeg_Aag2_Ago2_SINV_RA.24_35.rep



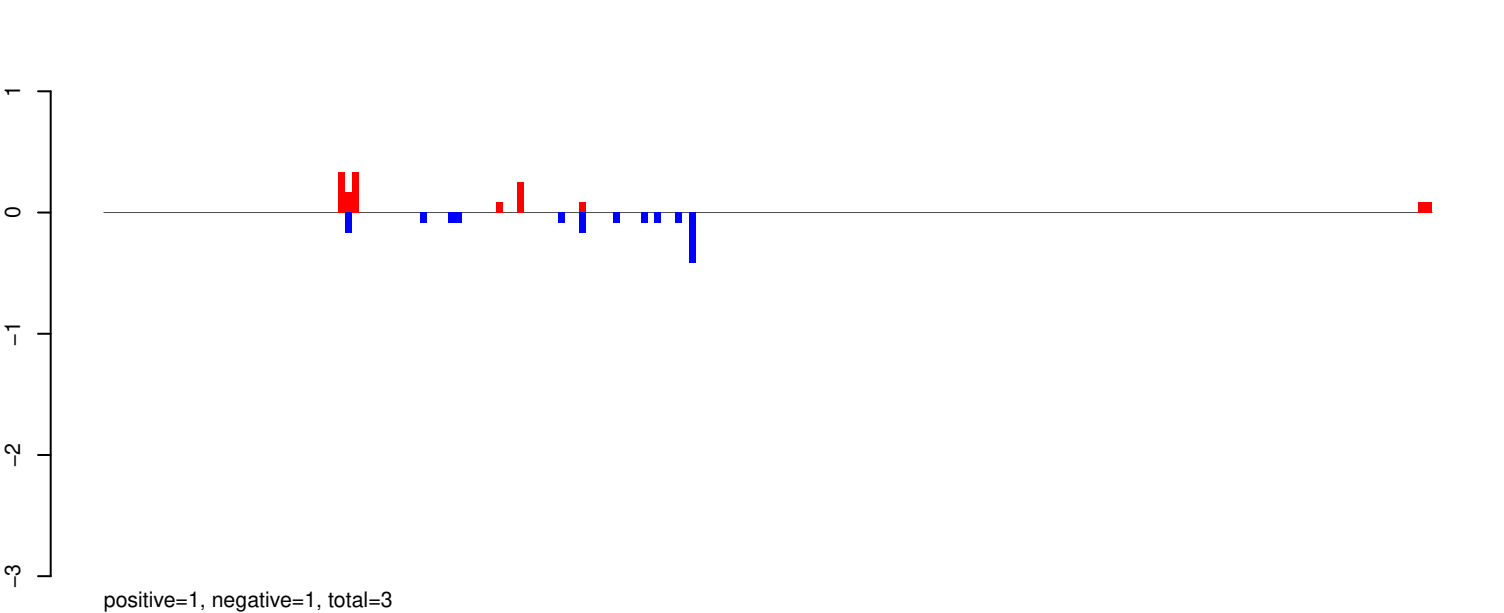
AeAeg_Aag2_Ago2_SINV_RA.rep



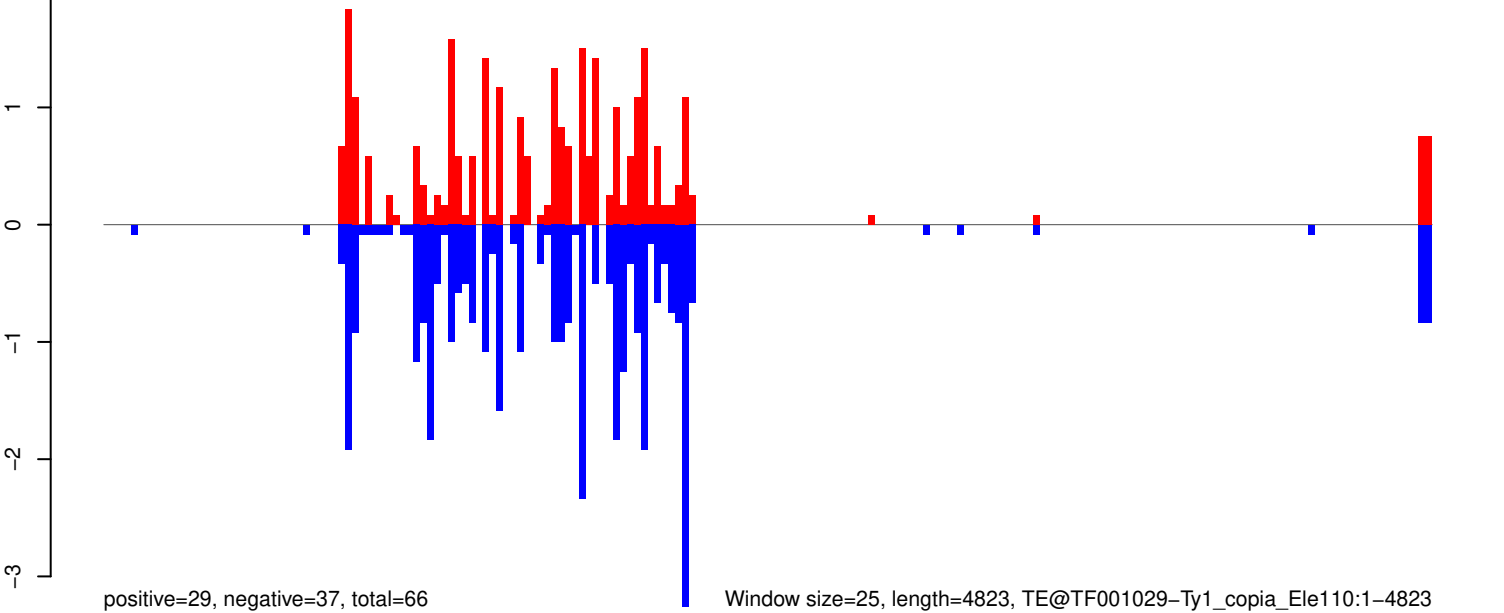
AeAeg_Aag2_Ago2_SINV_RA.18_23.rep



AeAeg_Aag2_Ago2_SINV_RA.24_35.rep

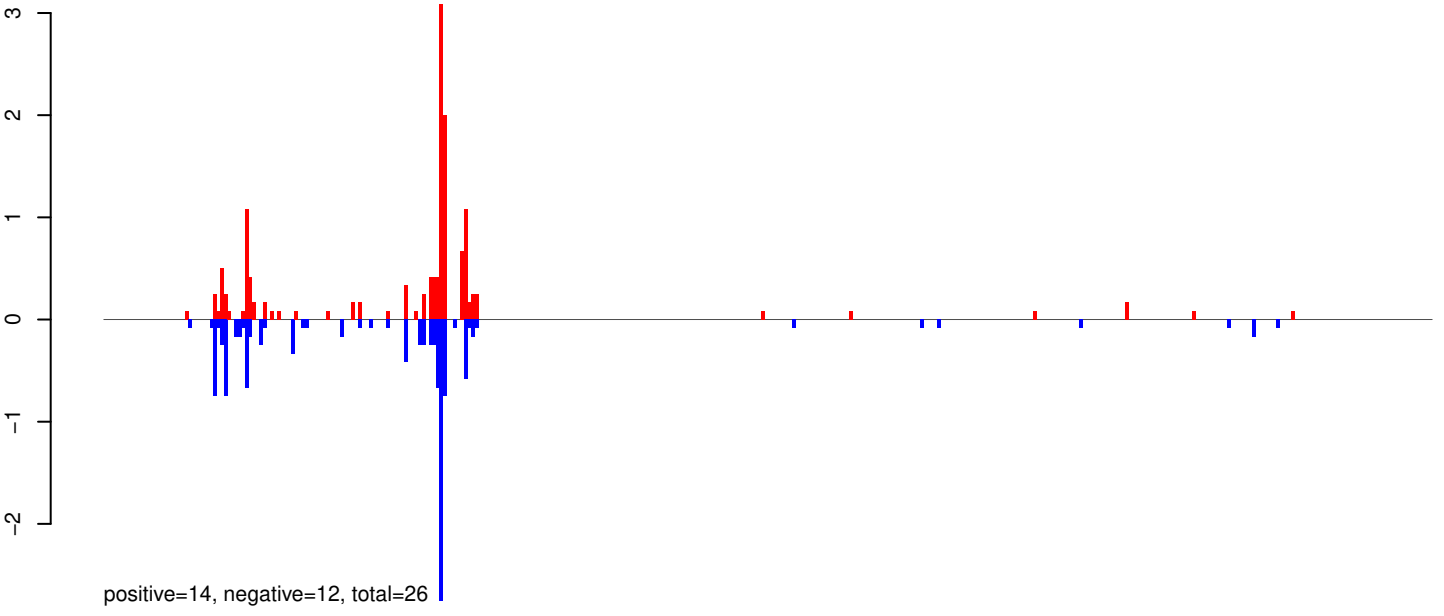


AeAeg_Aag2_Ago2_SINV_RA.rep

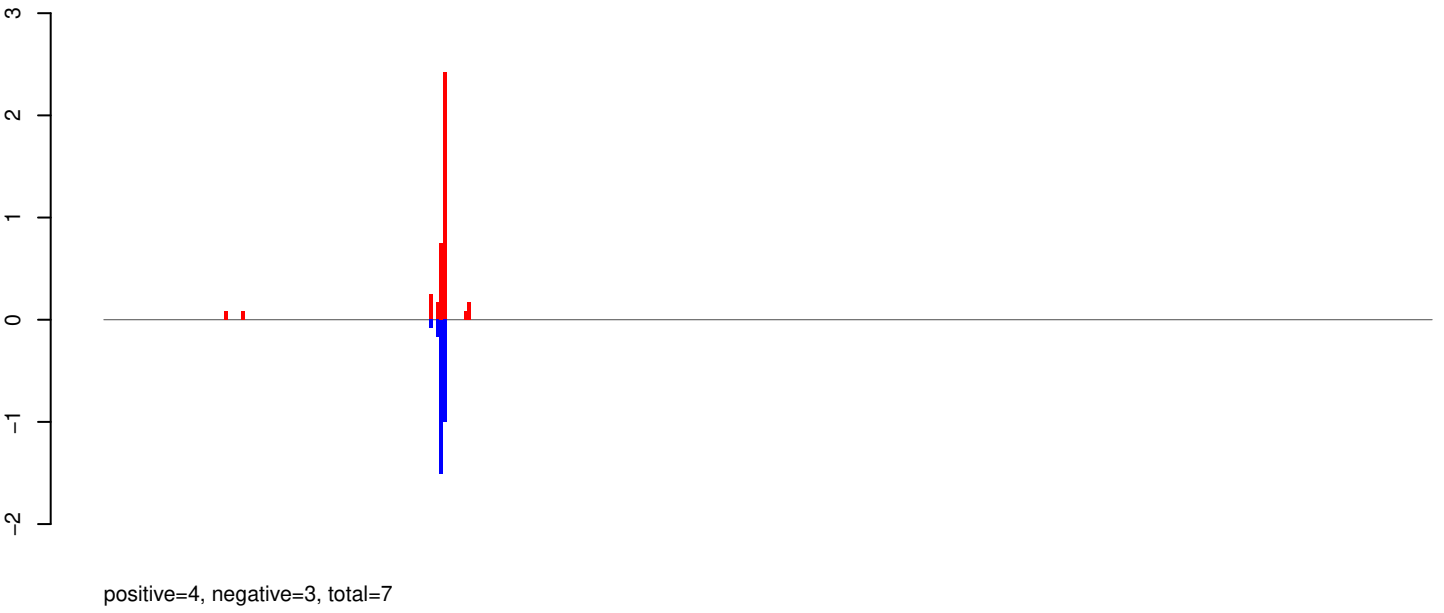


0 1000 2000 3000 4000 5000

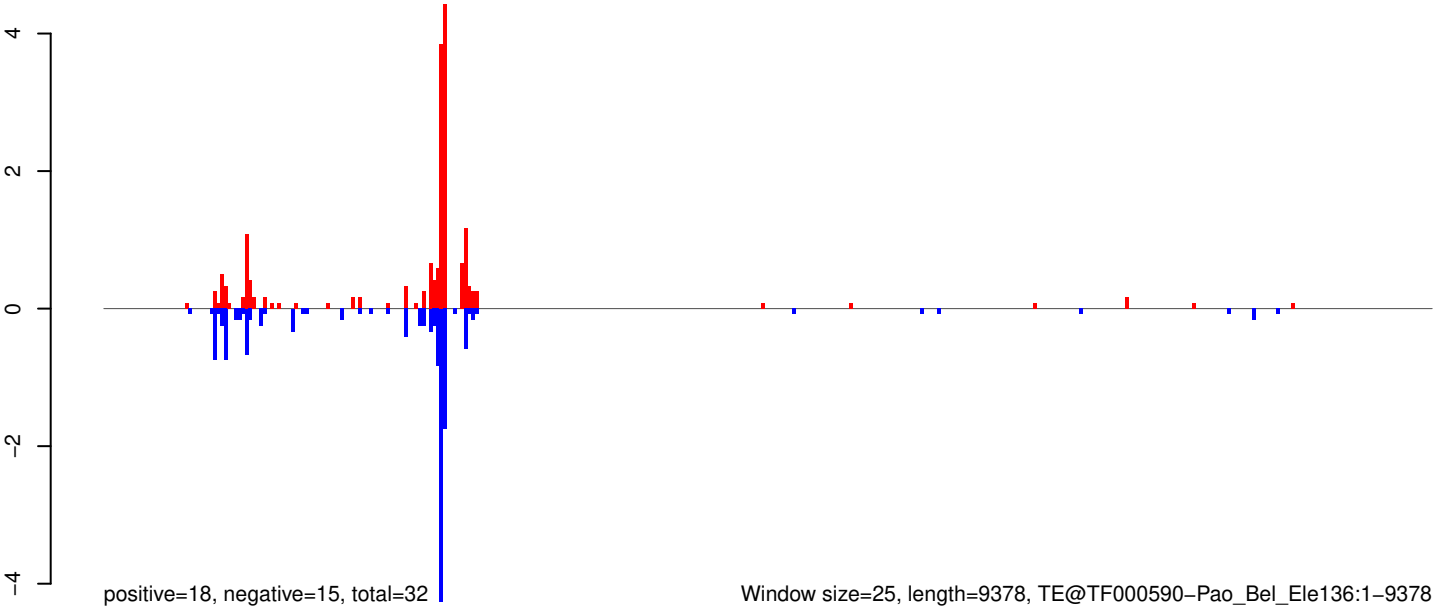
AeAeg_Aag2_Ago2_SINV_RA.18_23.rep



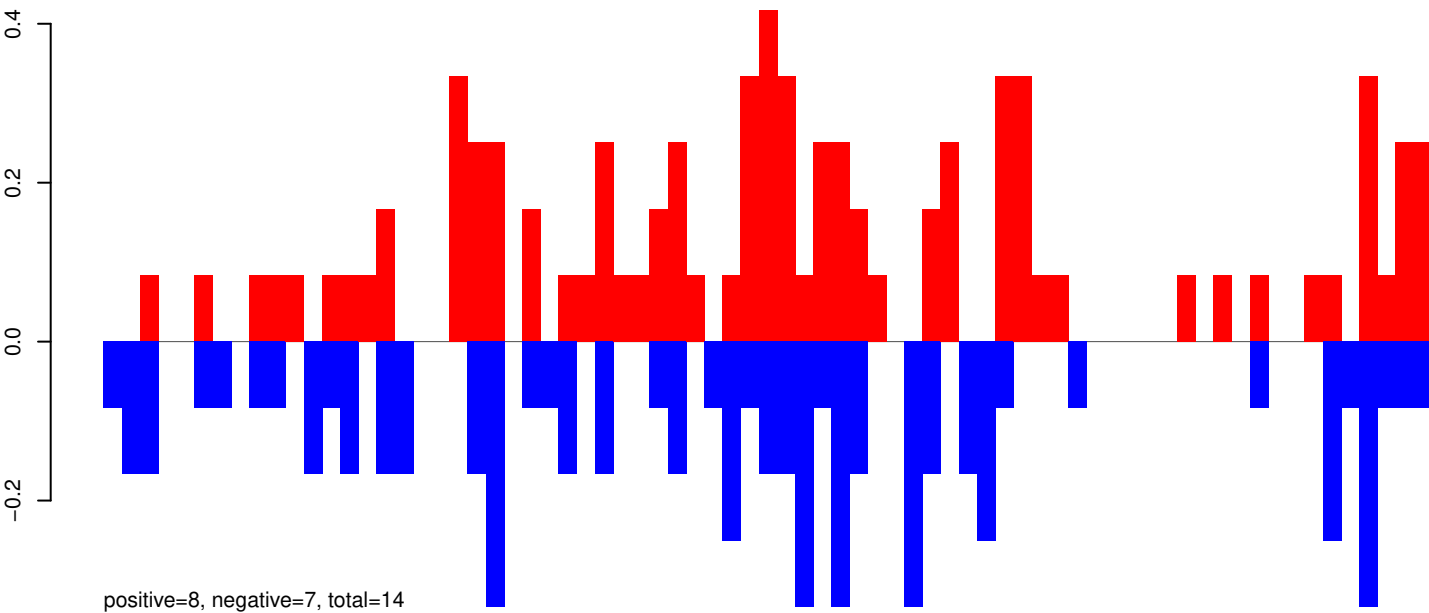
AeAeg_Aag2_Ago2_SINV_RA.24_35.rep



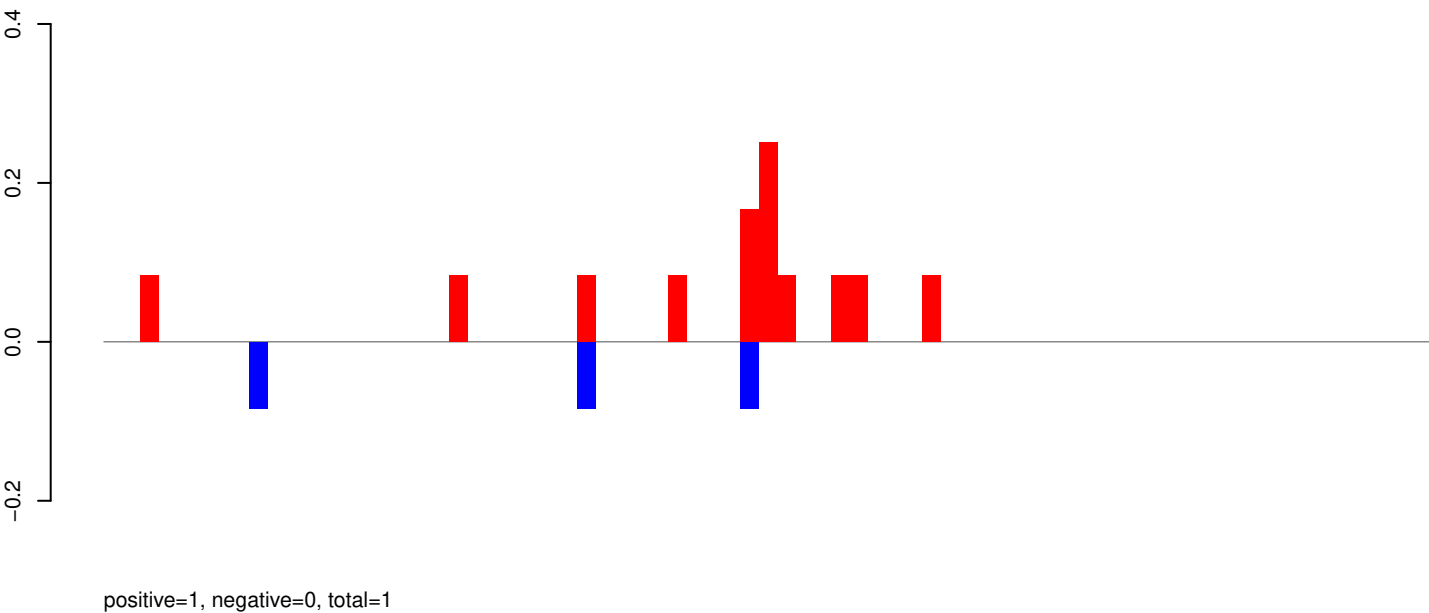
AeAeg_Aag2_Ago2_SINV_RA.rep



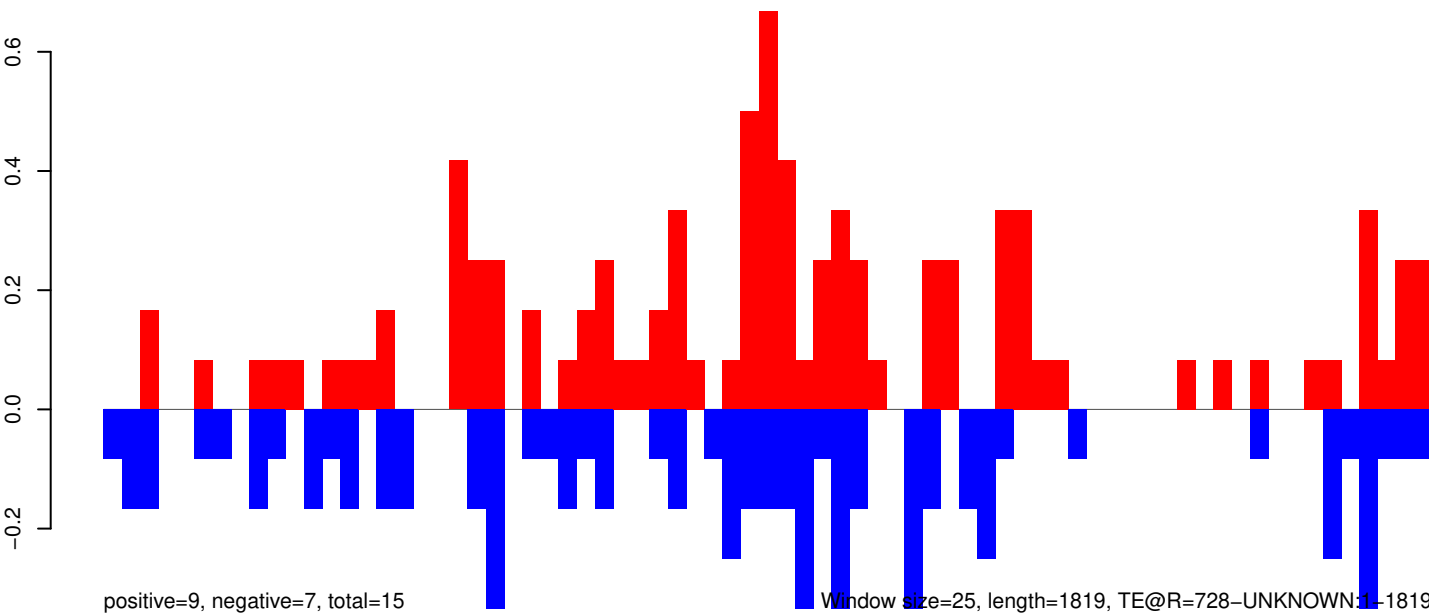
AeAeg_Aag2_Ago2_SINV_RA.18_23.rep



AeAeg_Aag2_Ago2_SINV_RA.24_35.rep

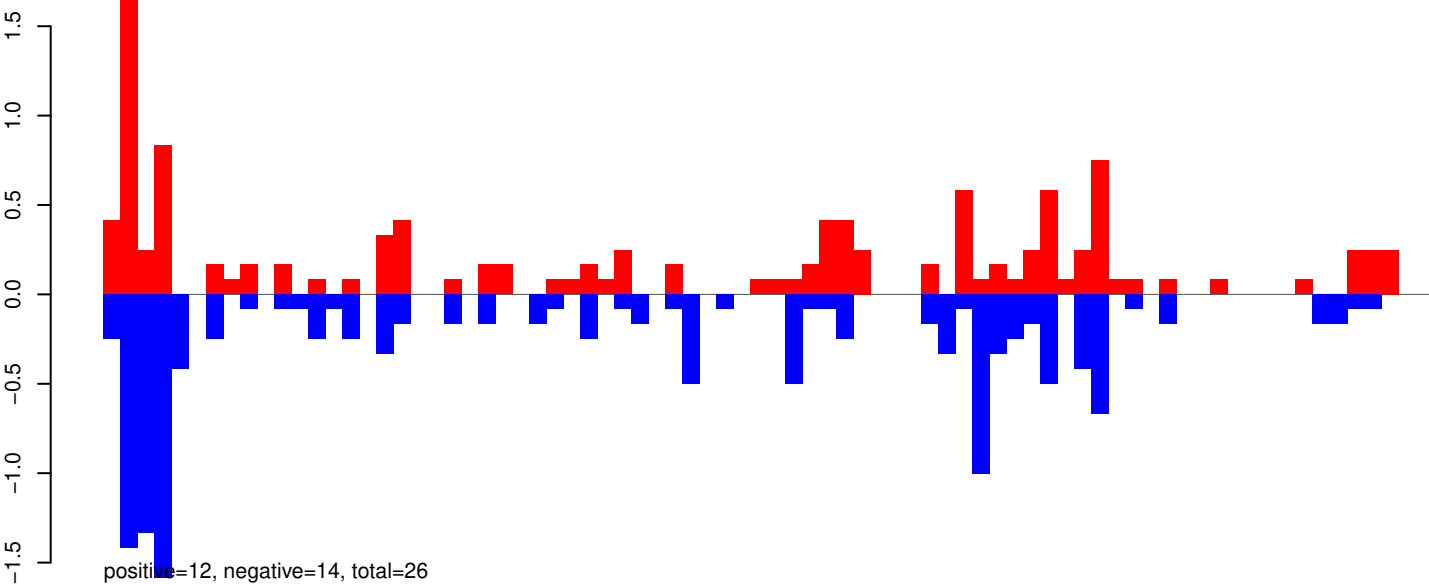


AeAeg_Aag2_Ago2_SINV_RA.rep

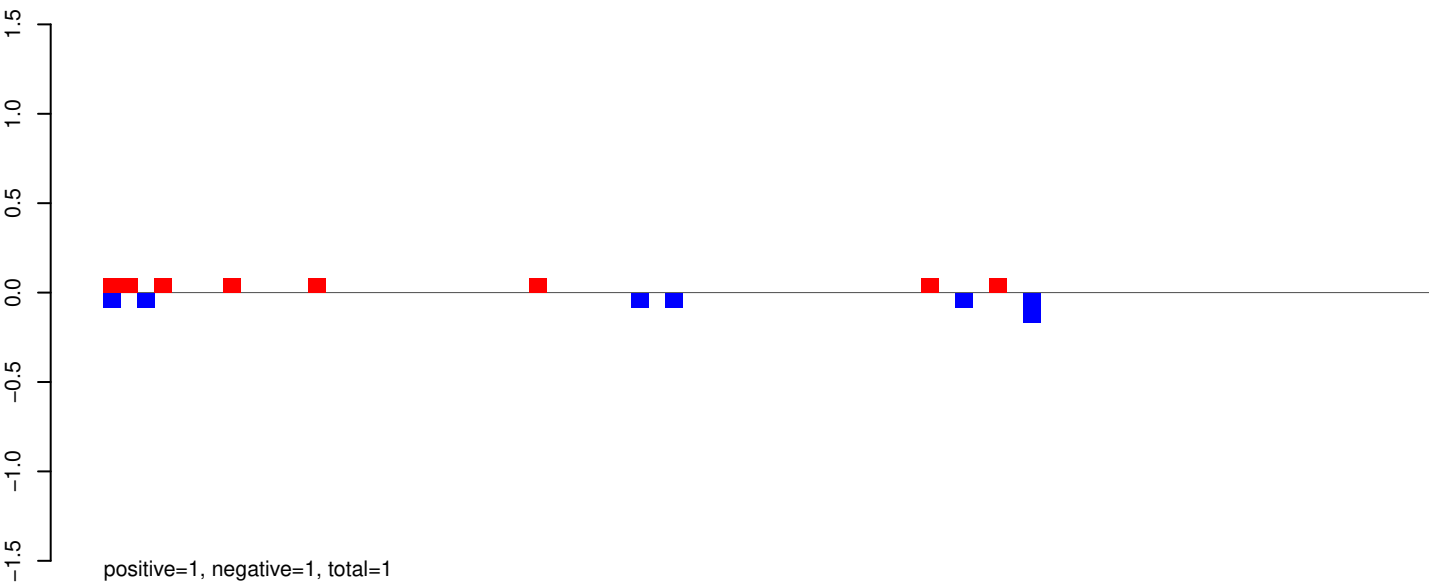


Window size=25, length=1819, TE@R=728-UNKNOWN:1-1819

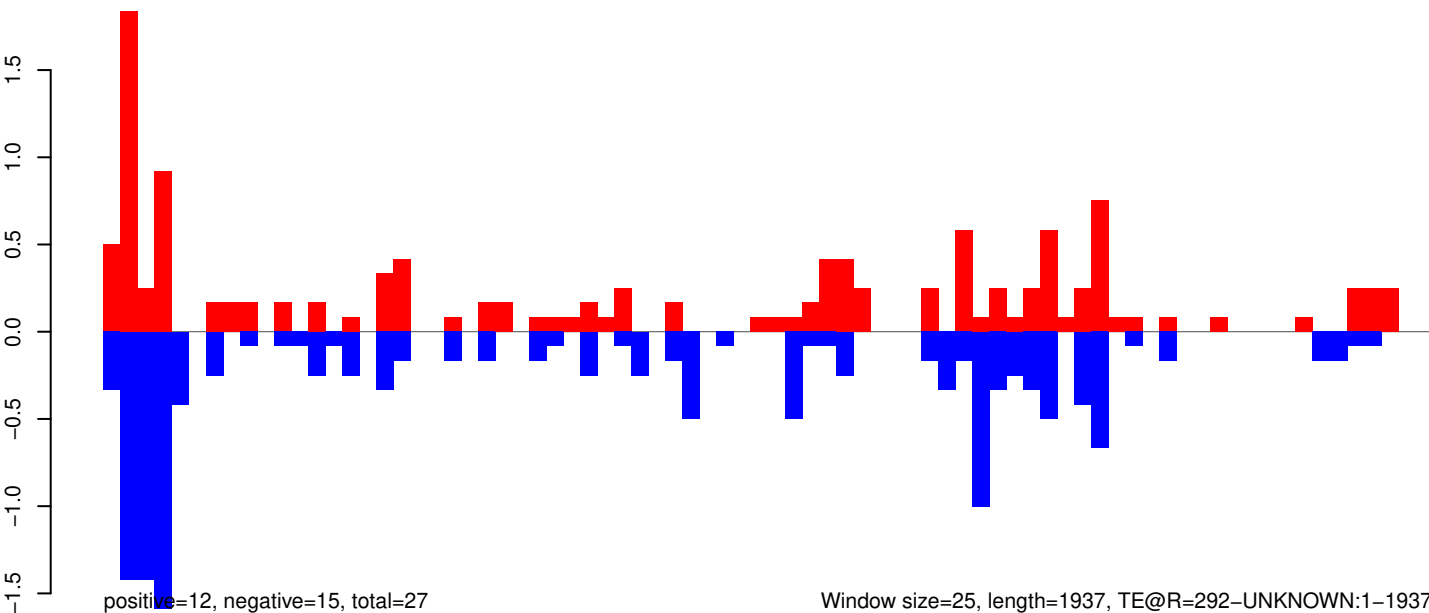
AeAeg_Aag2_Ago2_SINV_RA.18_23.rep



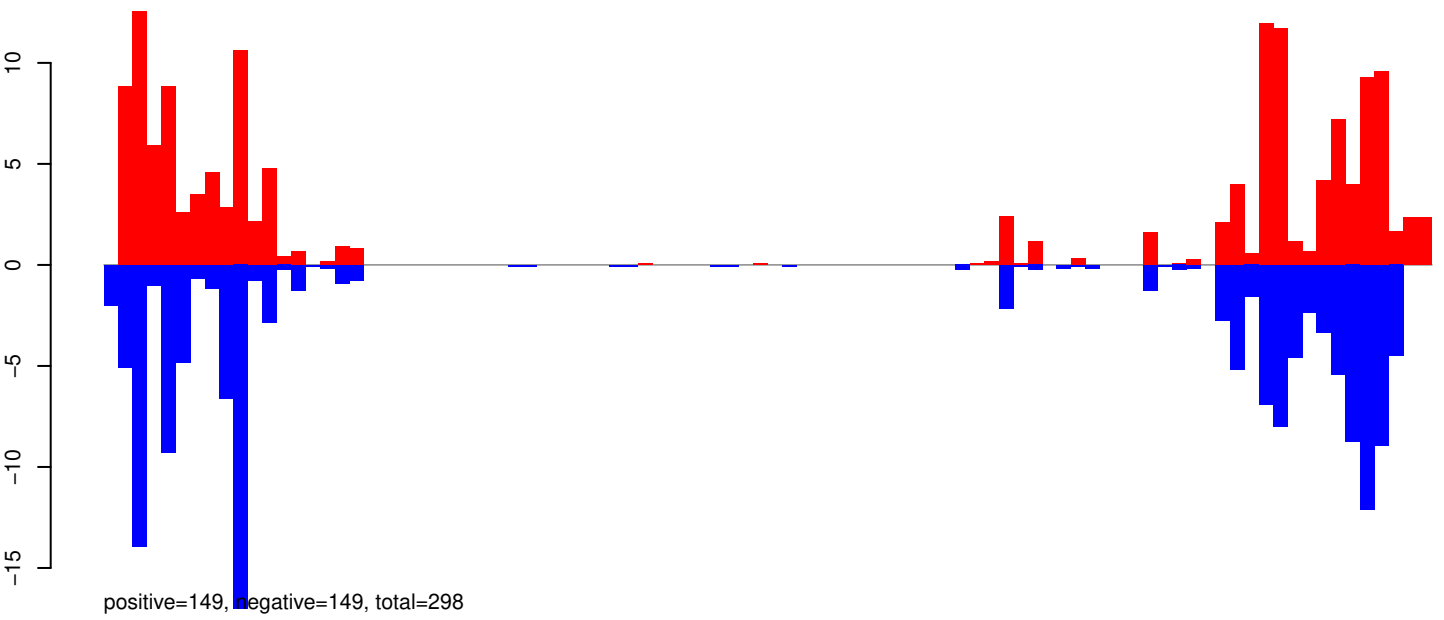
AeAeg_Aag2_Ago2_SINV_RA.24_35.rep



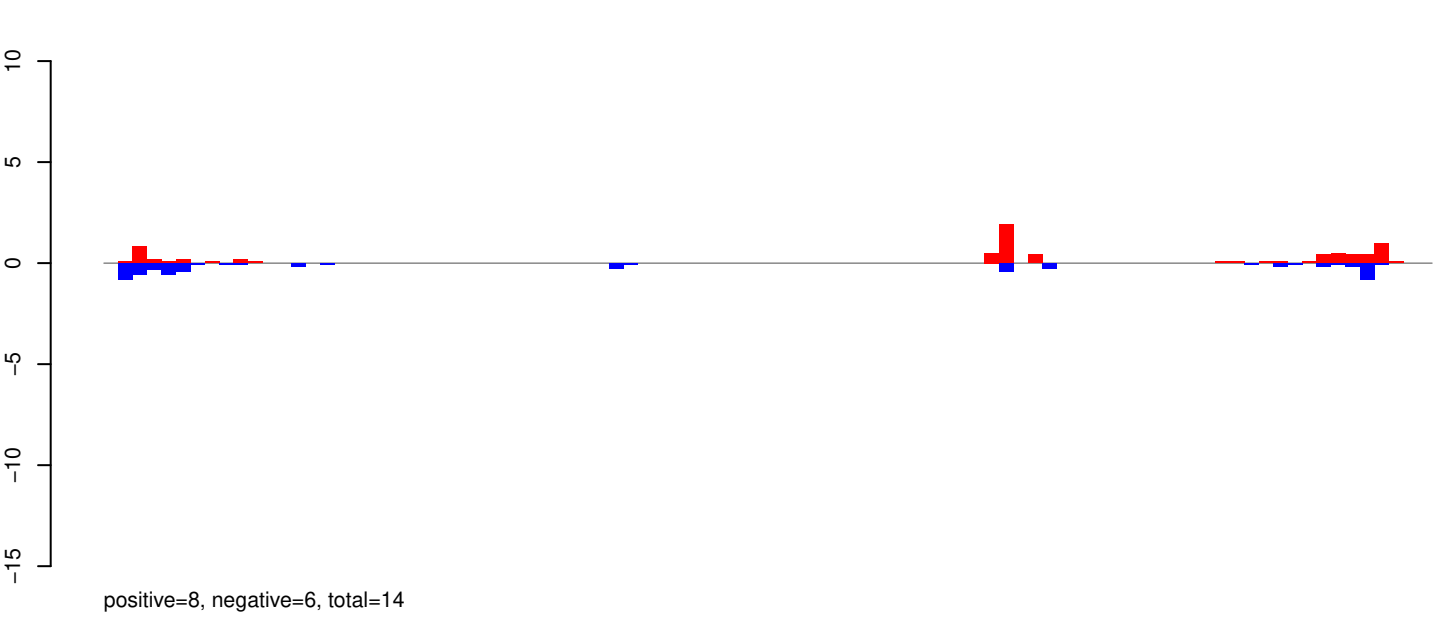
AeAeg_Aag2_Ago2_SINV_RA.rep



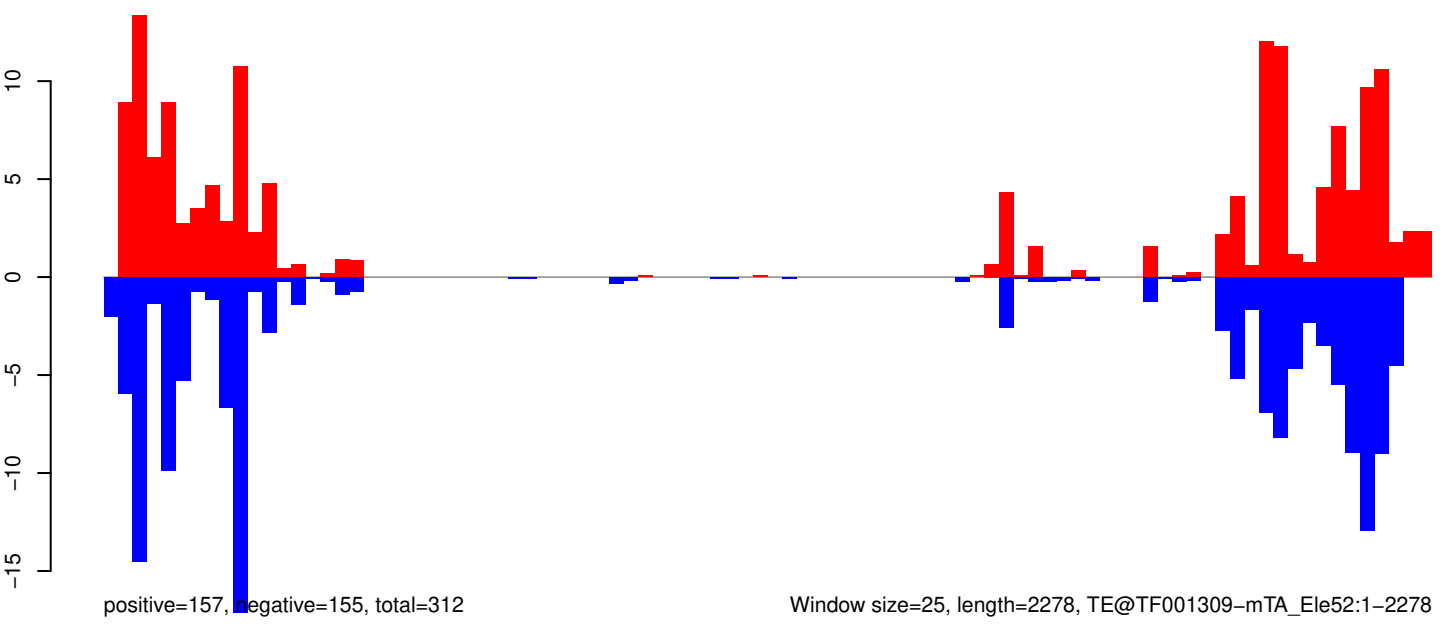
AeAeg_Aag2_Ago2_SINV_RA.18_23.rep



AeAeg_Aag2_Ago2_SINV_RA.24_35.rep

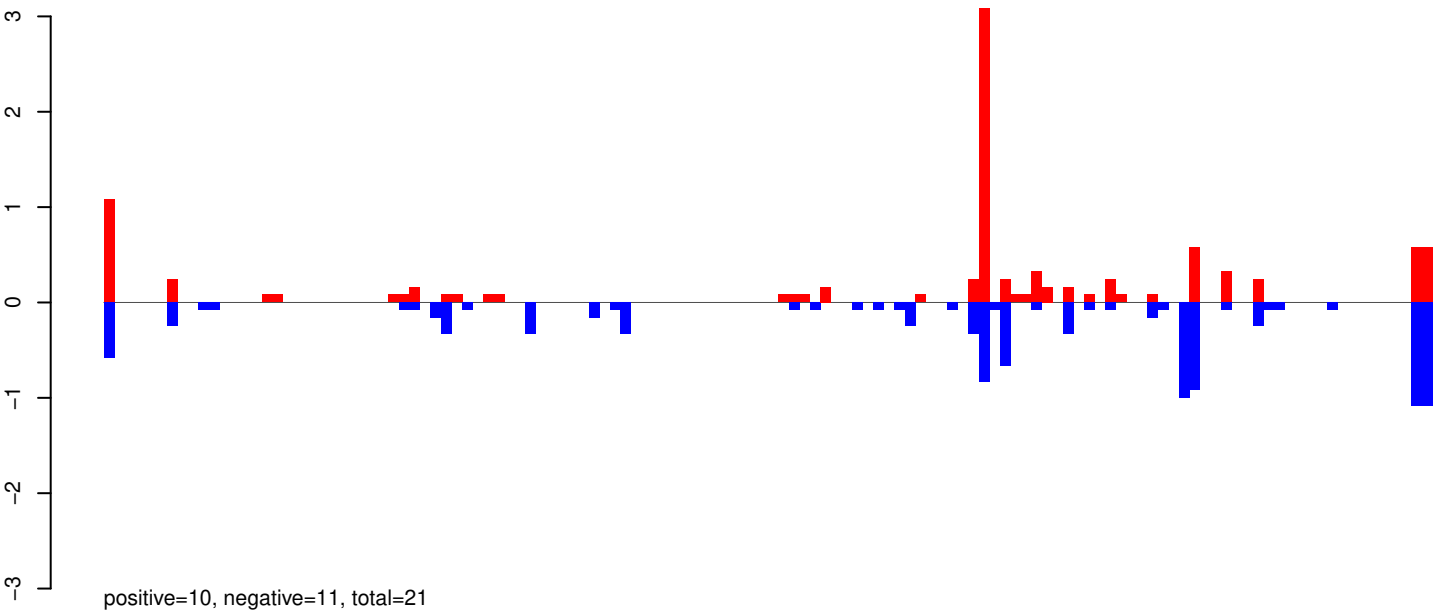


AeAeg_Aag2_Ago2_SINV_RA.rep

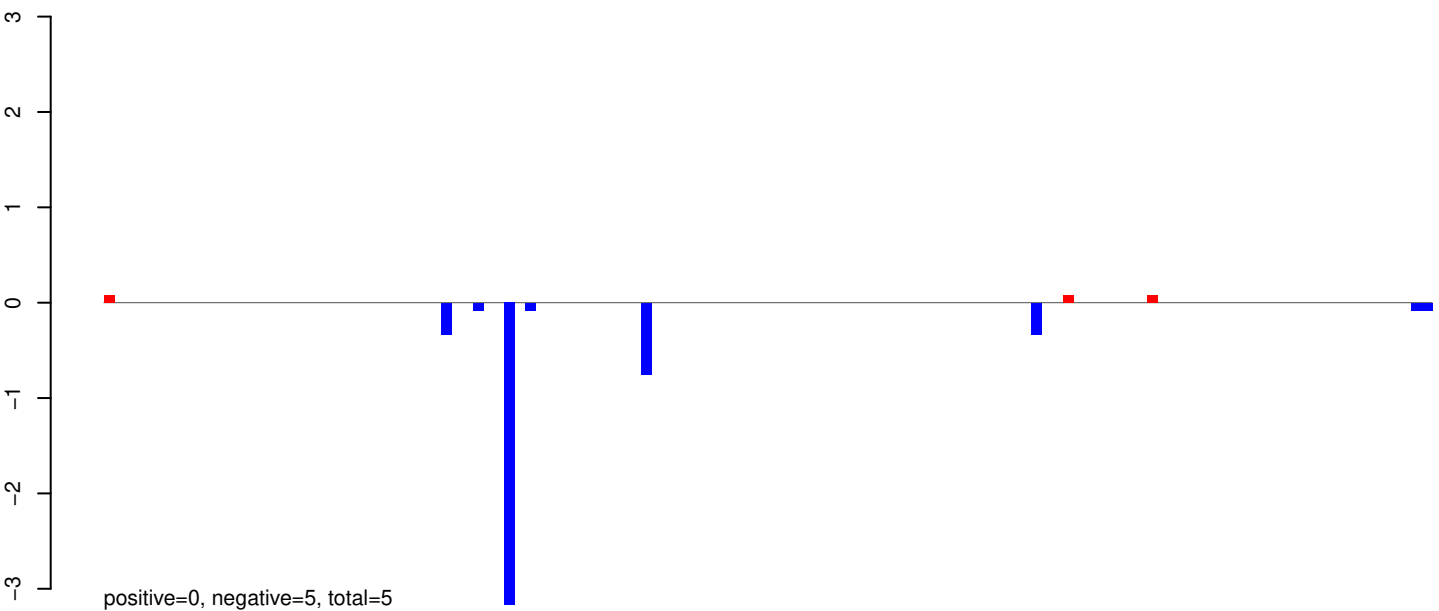


Window size=25, length=2278, TE@TF001309-mTA_Ele52:1-2278

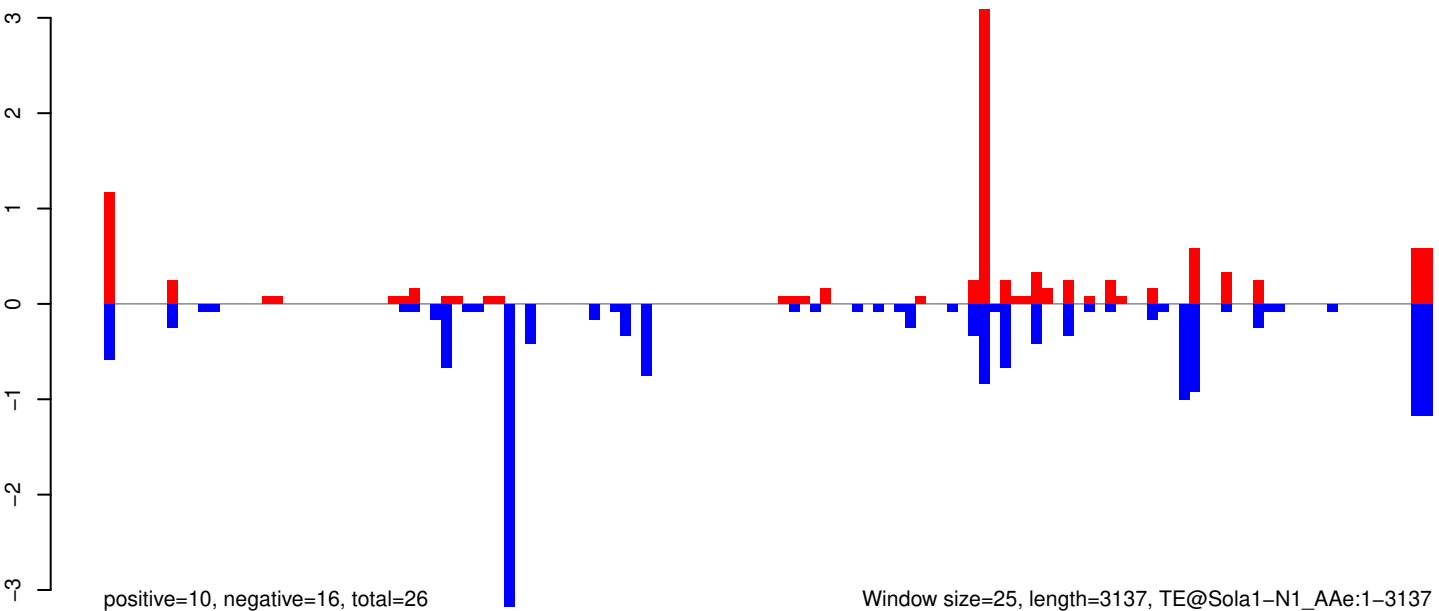
AeAeg_Aag2_Ago2_SINV_RA.18_23.rep



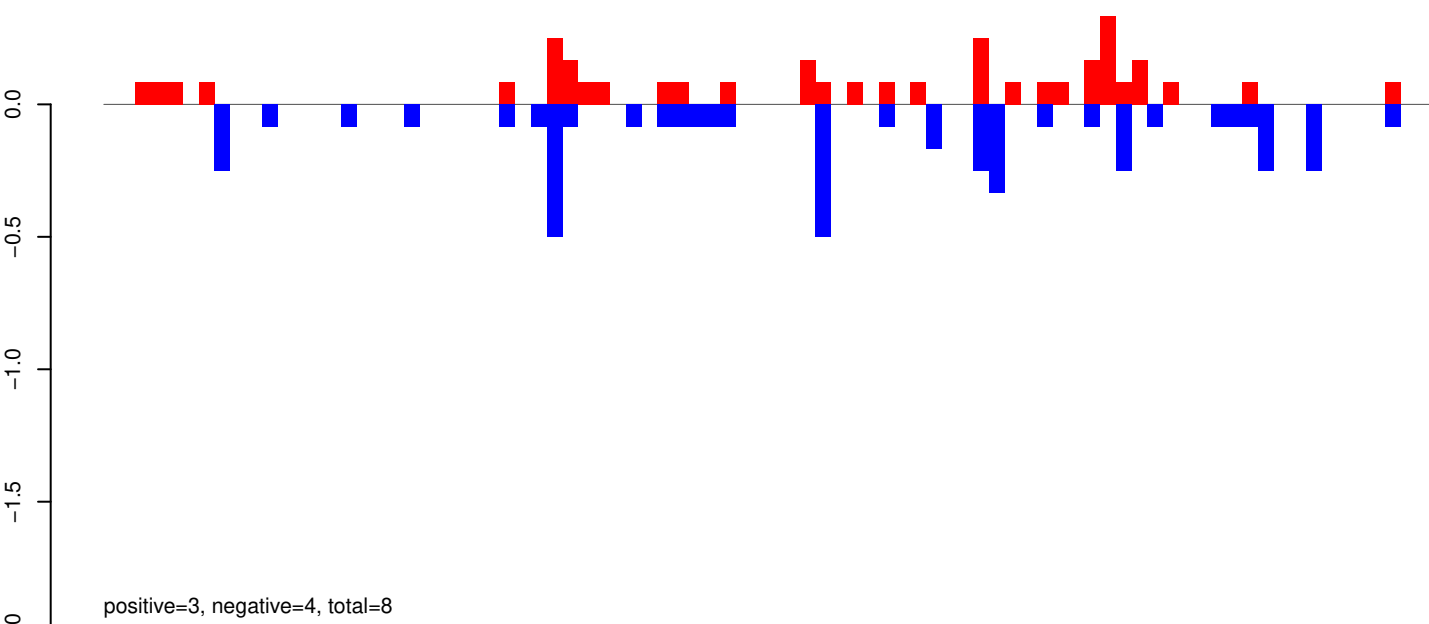
AeAeg_Aag2_Ago2_SINV_RA.24_35.rep



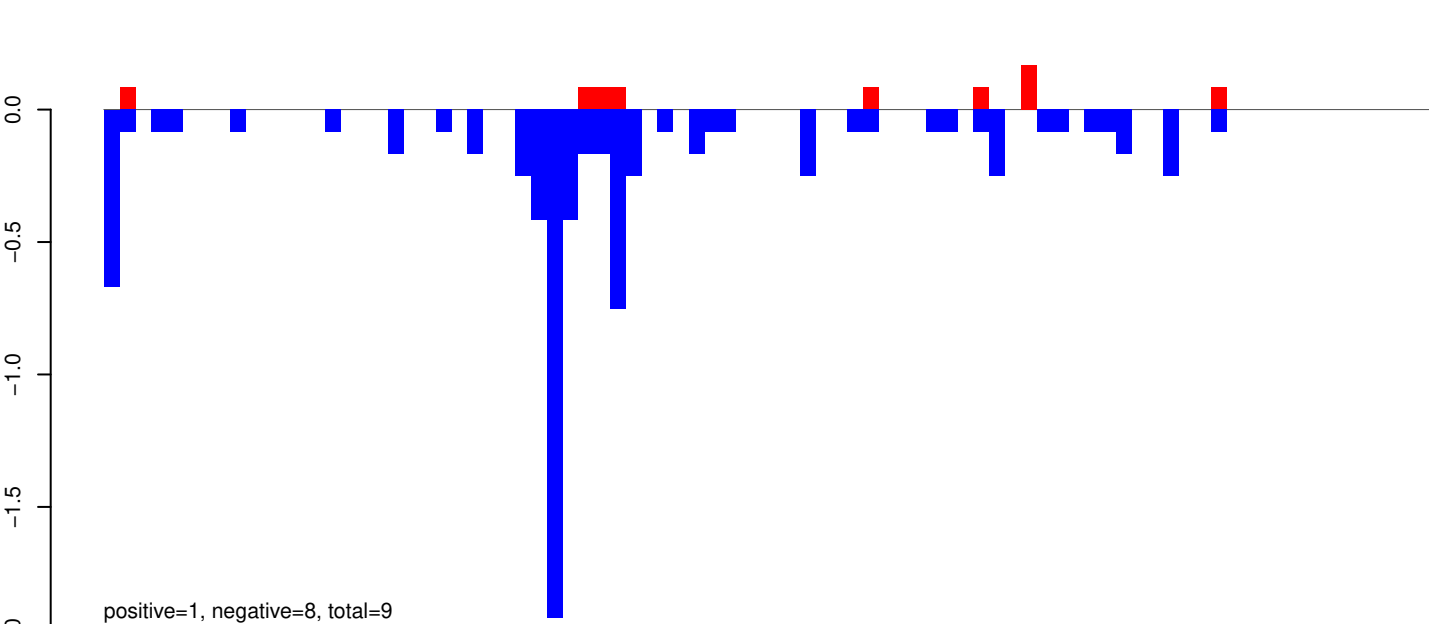
AeAeg_Aag2_Ago2_SINV_RA.rep



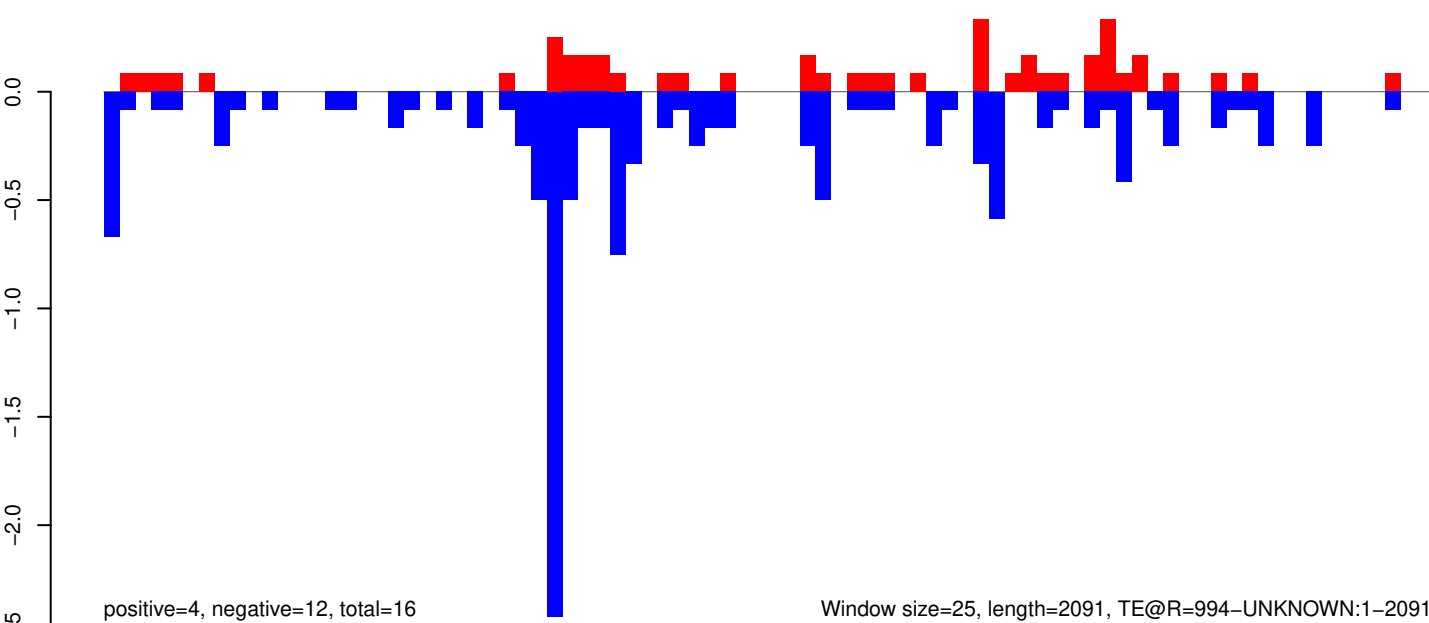
AeAeg_Aag2_Ago2_SINV_RA.18_23.rep



AeAeg_Aag2_Ago2_SINV_RA.24_35.rep

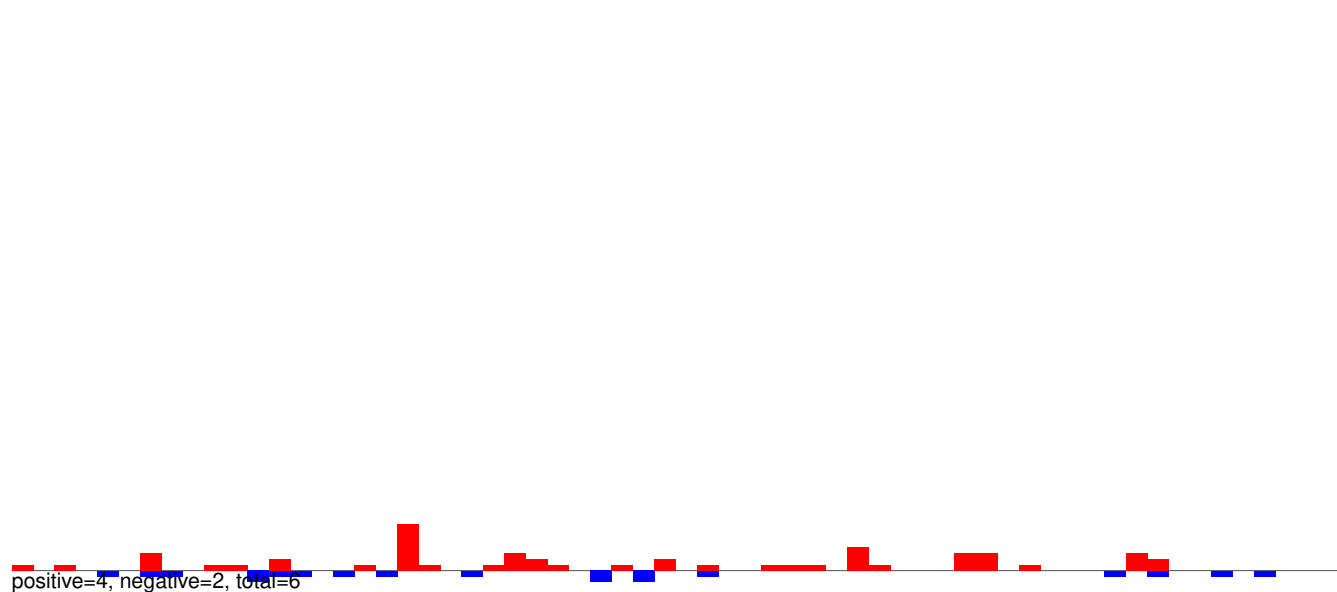


AeAeg_Aag2_Ago2_SINV_RA.rep

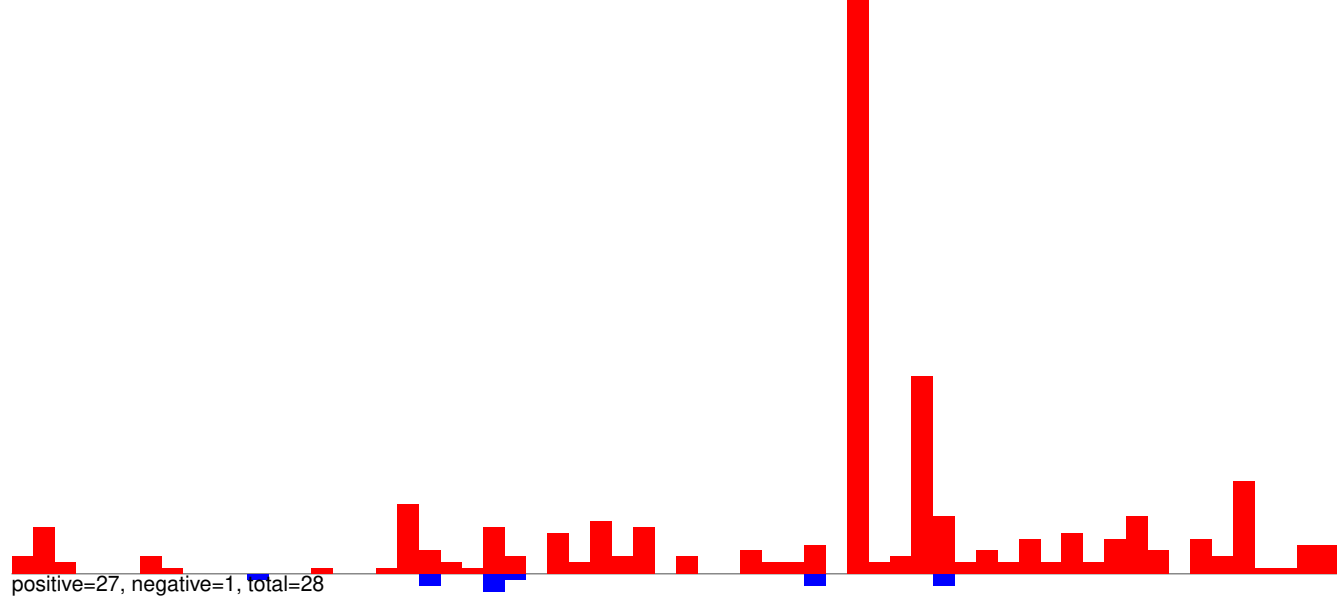


Window size=25, length=2091, TE@R=994-UNKNOWN:1-2091

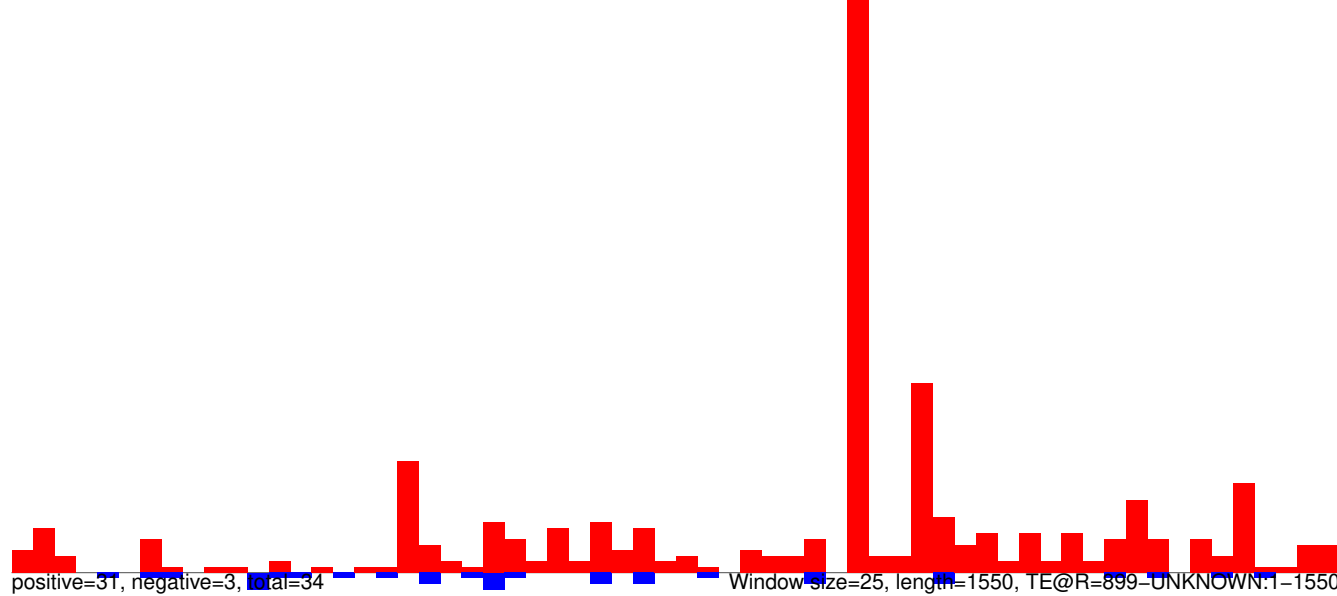
AeAeg_Aag2_Ago2_SINV_RA.18_23.rep



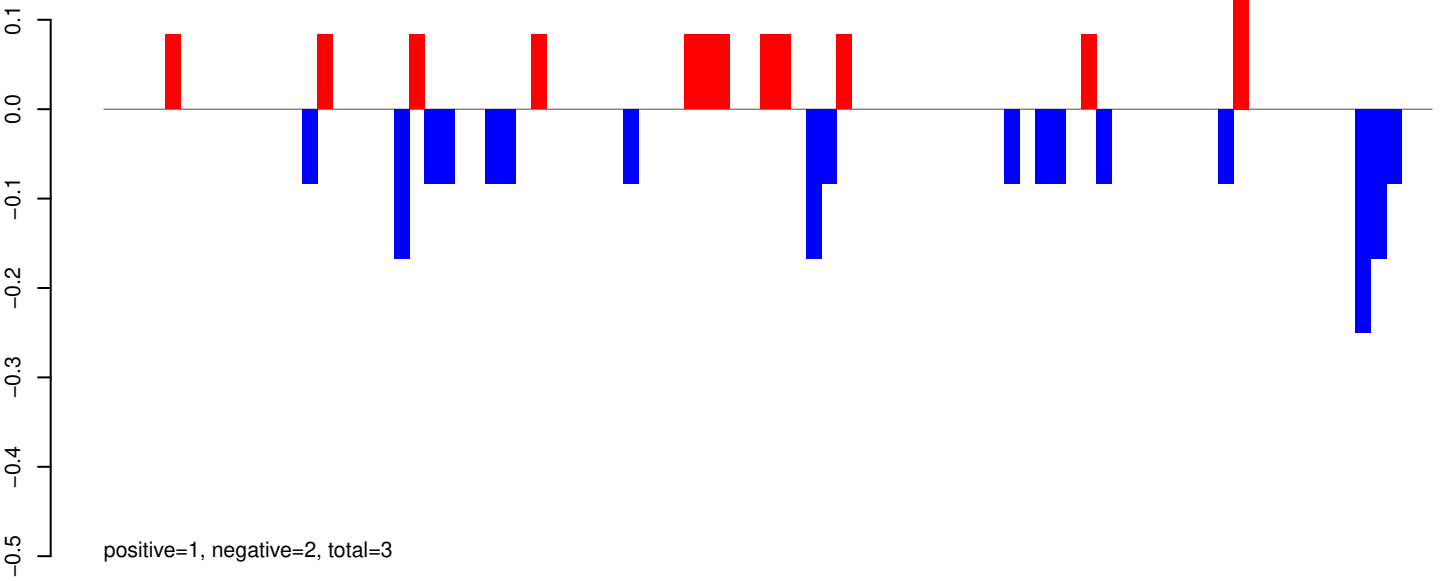
AeAeg_Aag2_Ago2_SINV_RA.24_35.rep



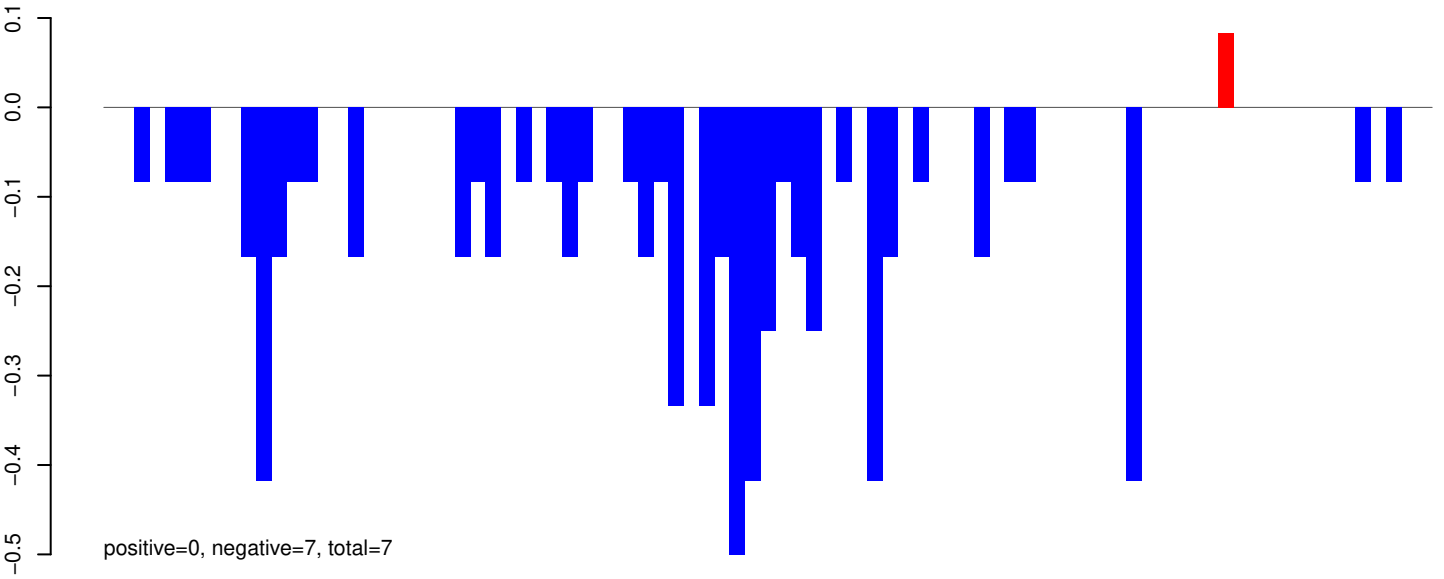
AeAeg_Aag2_Ago2_SINV_RA.rep



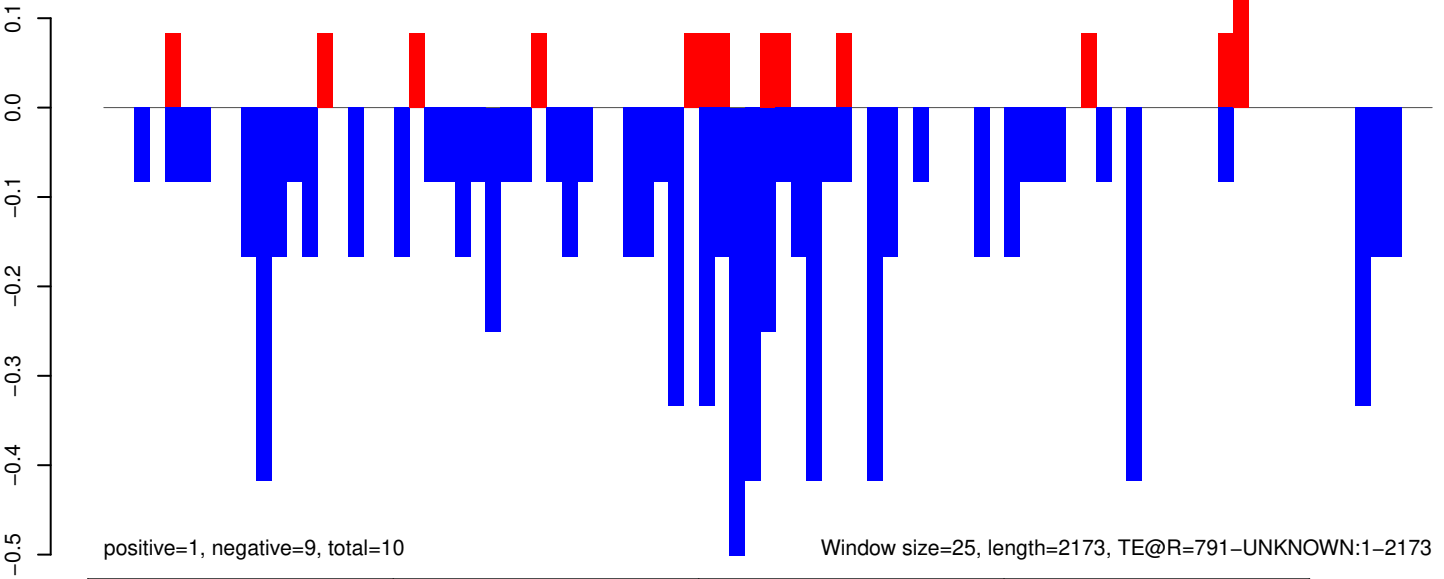
AeAeg_Aag2_Ago2_SINV_RA.18_23.rep



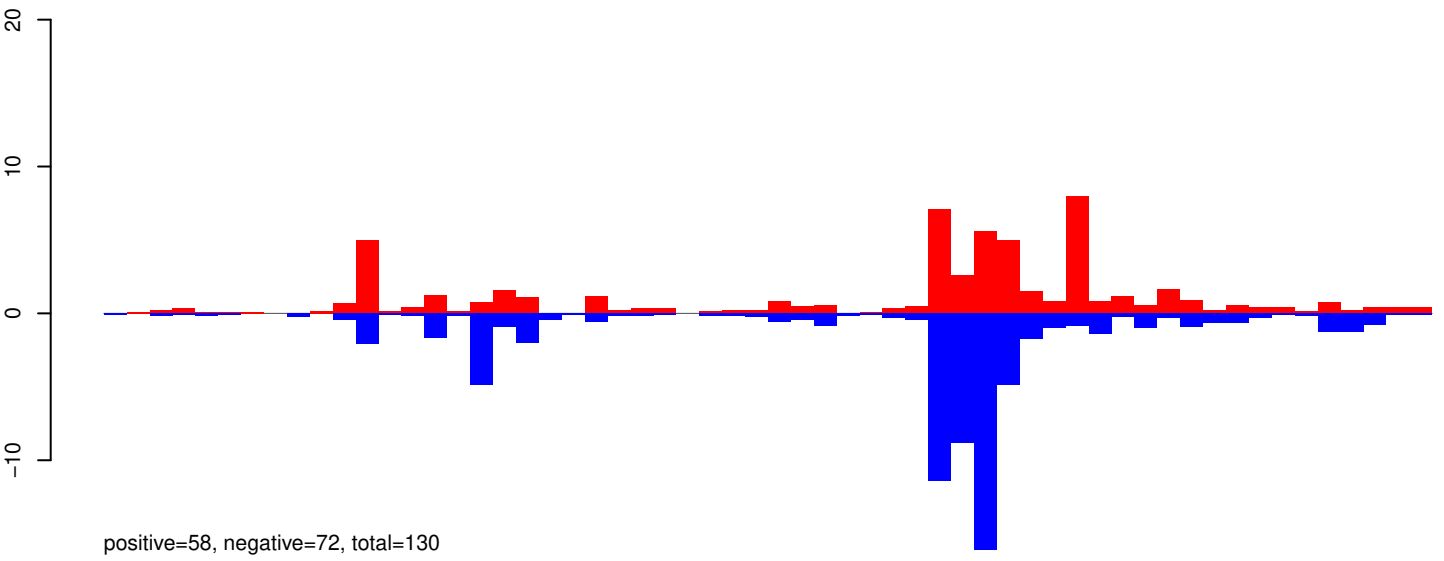
AeAeg_Aag2_Ago2_SINV_RA.24_35.rep



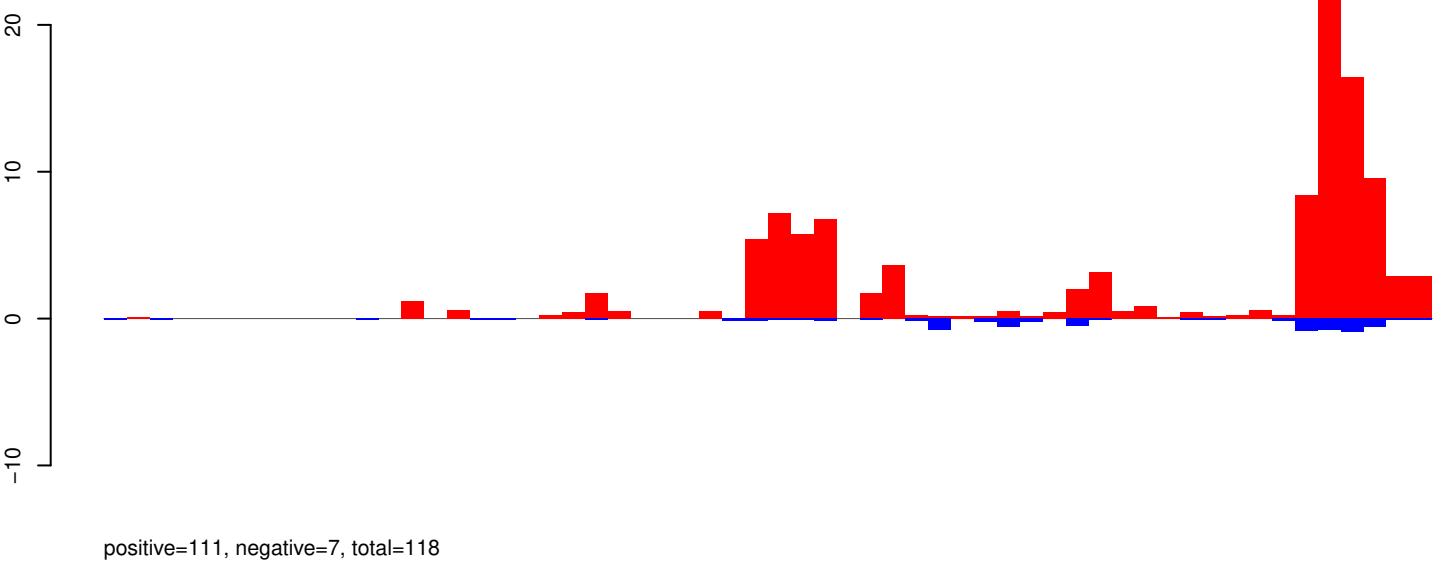
AeAeg_Aag2_Ago2_SINV_RA.rep



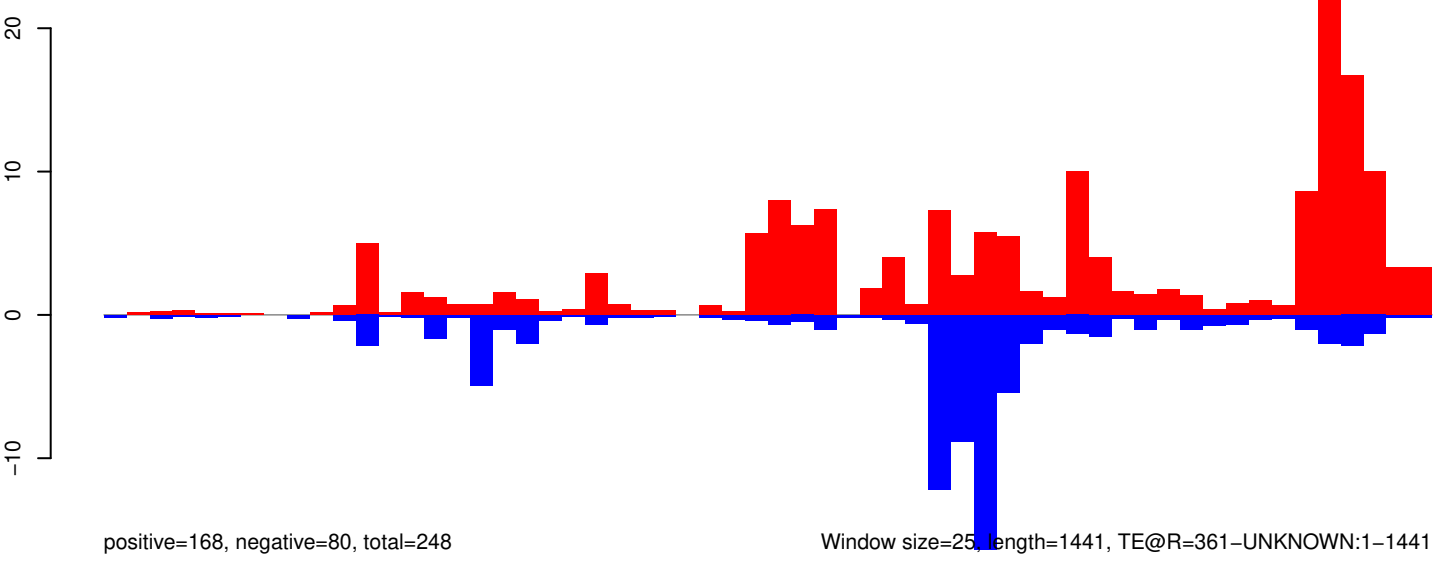
AeAeg_Aag2_Ago2_SINV_RA.18_23.rep



AeAeg_Aag2_Ago2_SINV_RA.24_35.rep

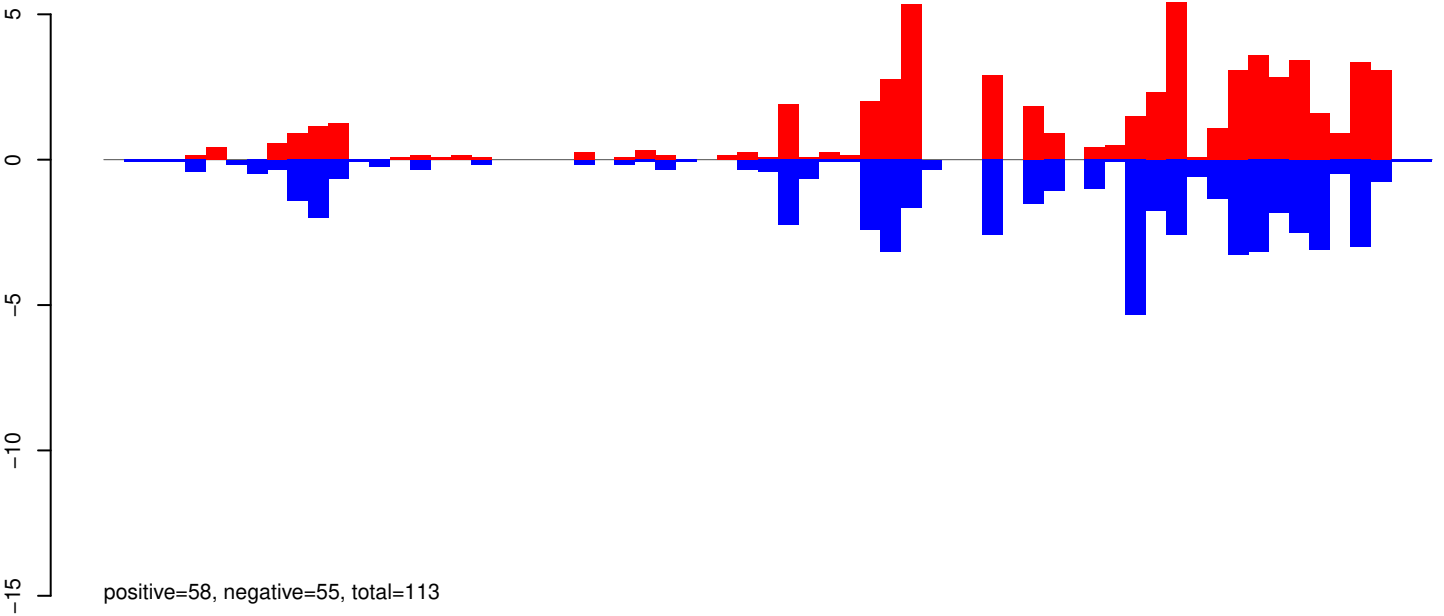


AeAeg_Aag2_Ago2_SINV_RA.rep

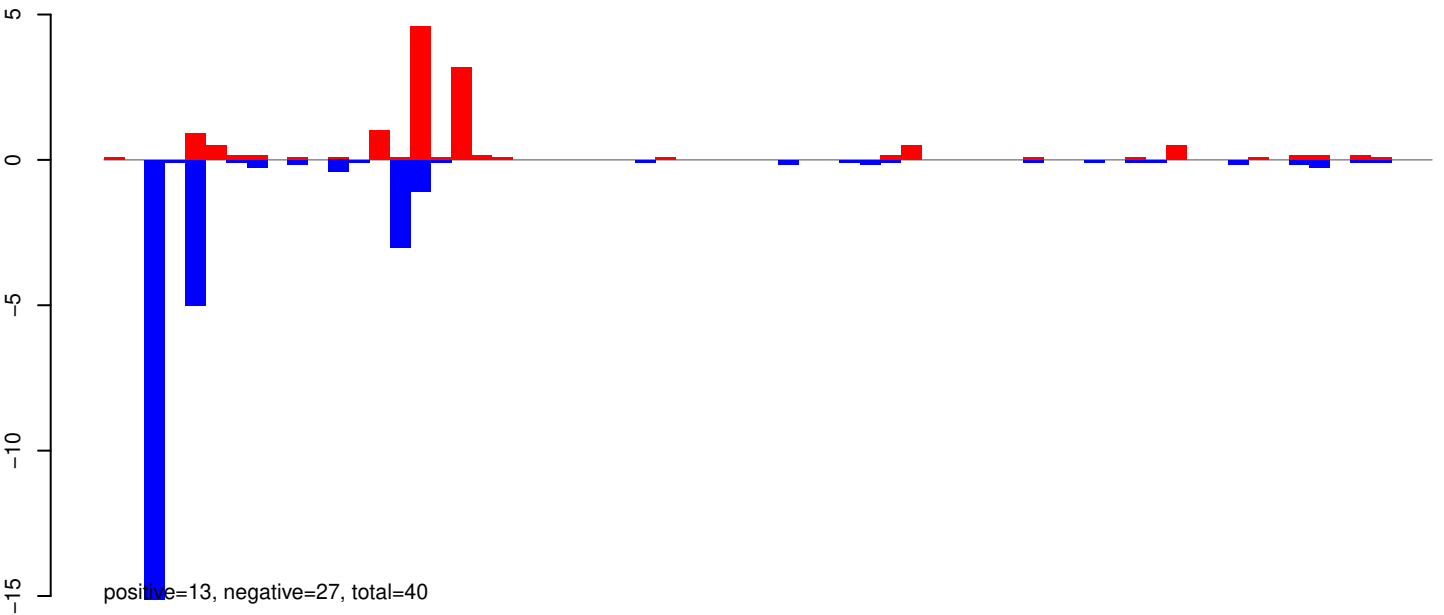


0 500 1000 1500

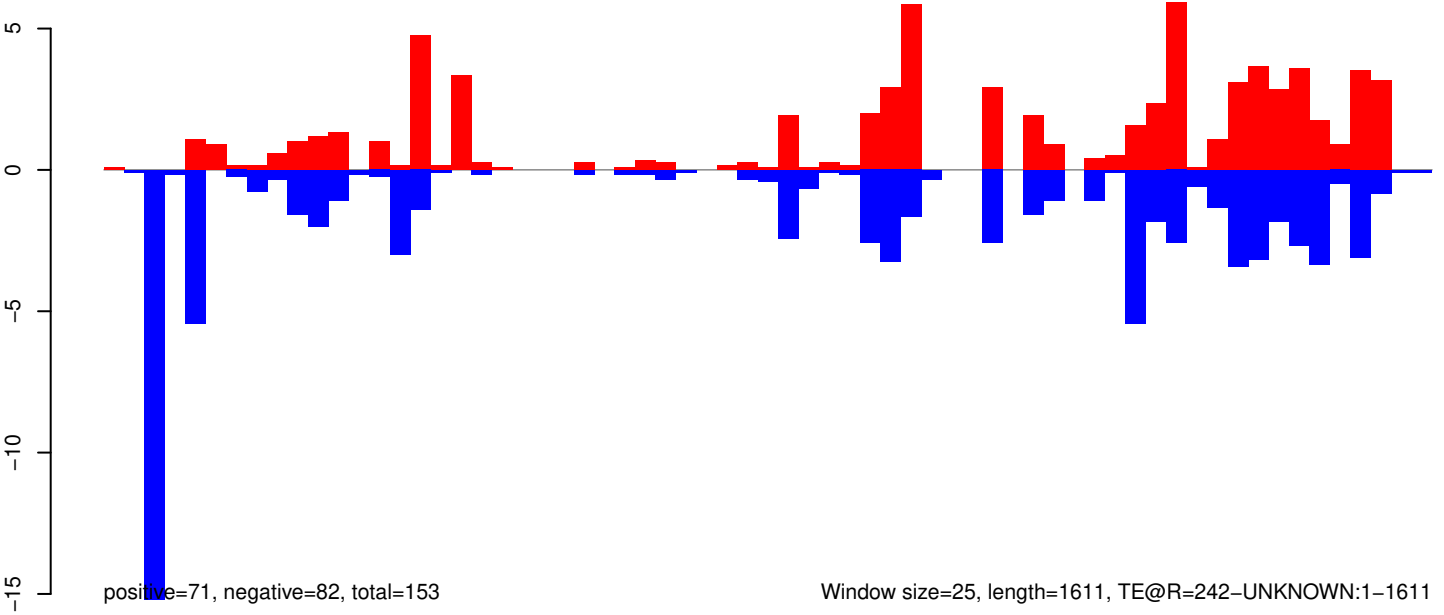
AeAeg_Aag2_Ago2_SINV_RA.18_23.rep



AeAeg_Aag2_Ago2_SINV_RA.24_35.rep



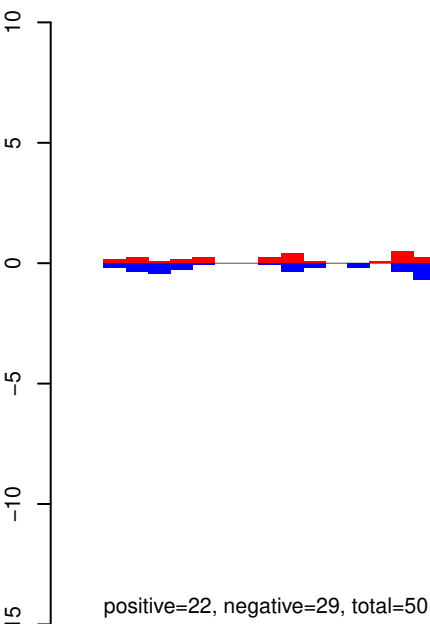
AeAeg_Aag2_Ago2_SINV_RA.rep



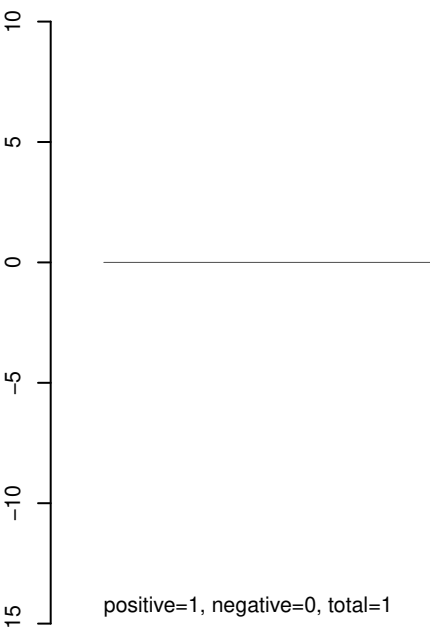
Window size=25, length=1611, TE@R=242-UNKNOWN:1-1611

0 500 1000 1500

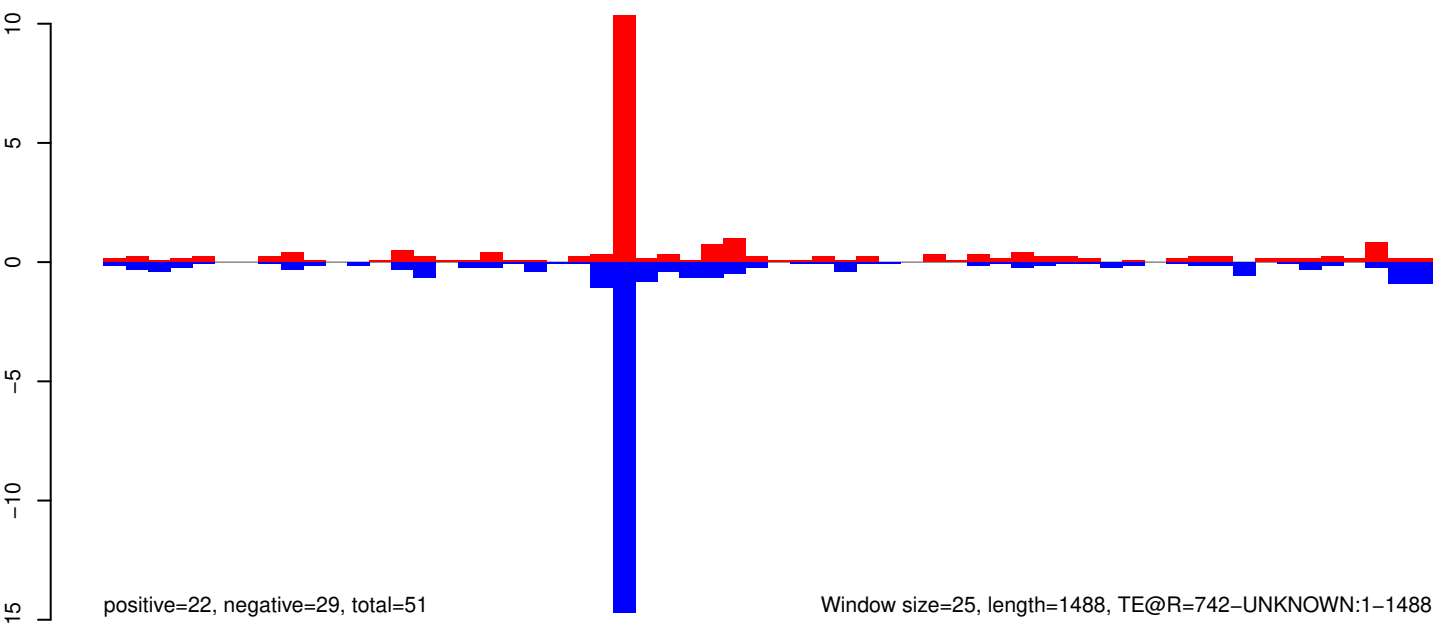
AeAeg_Aag2_Ago2_SINV_RA.18_23.rep



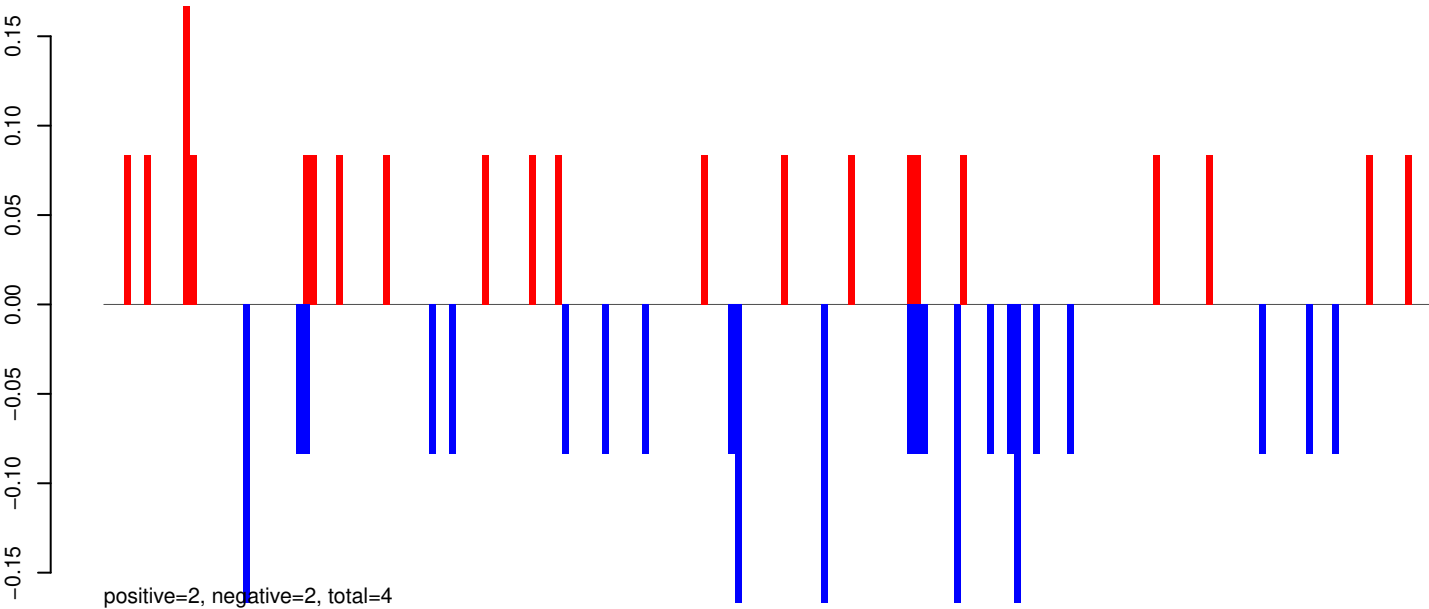
AeAeg_Aag2_Ago2_SINV_RA.24_35.rep



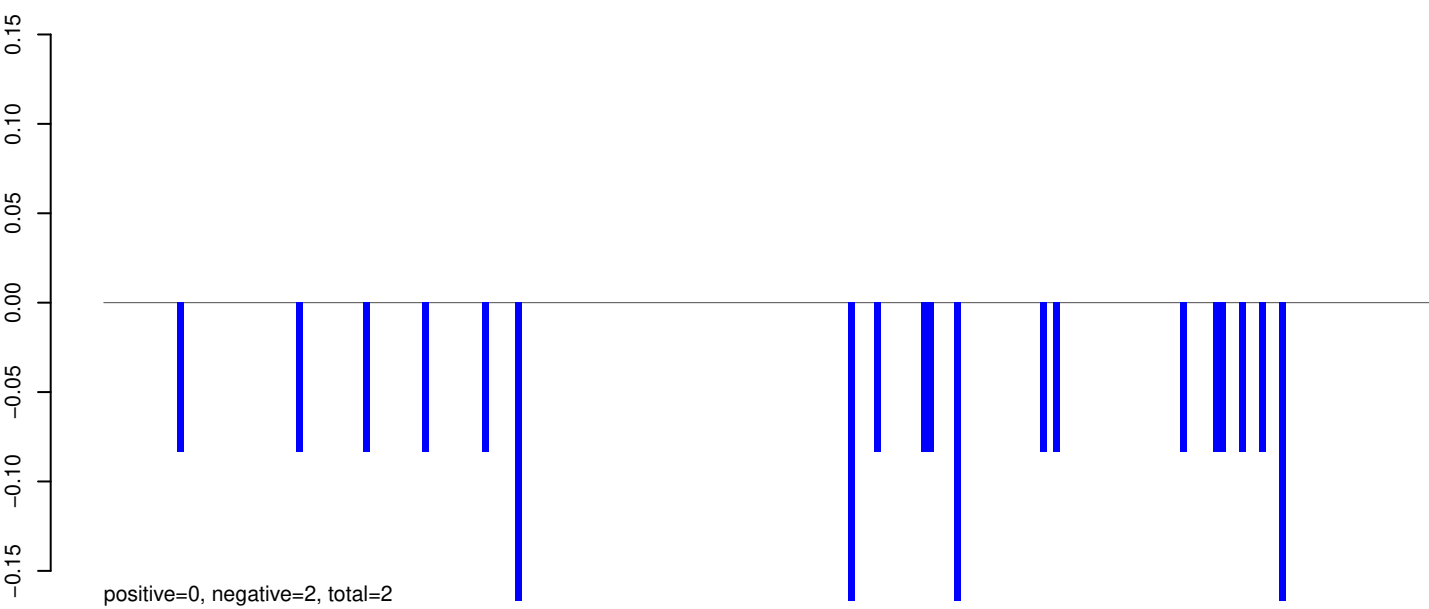
AeAeg_Aag2_Ago2_SINV_RA.rep



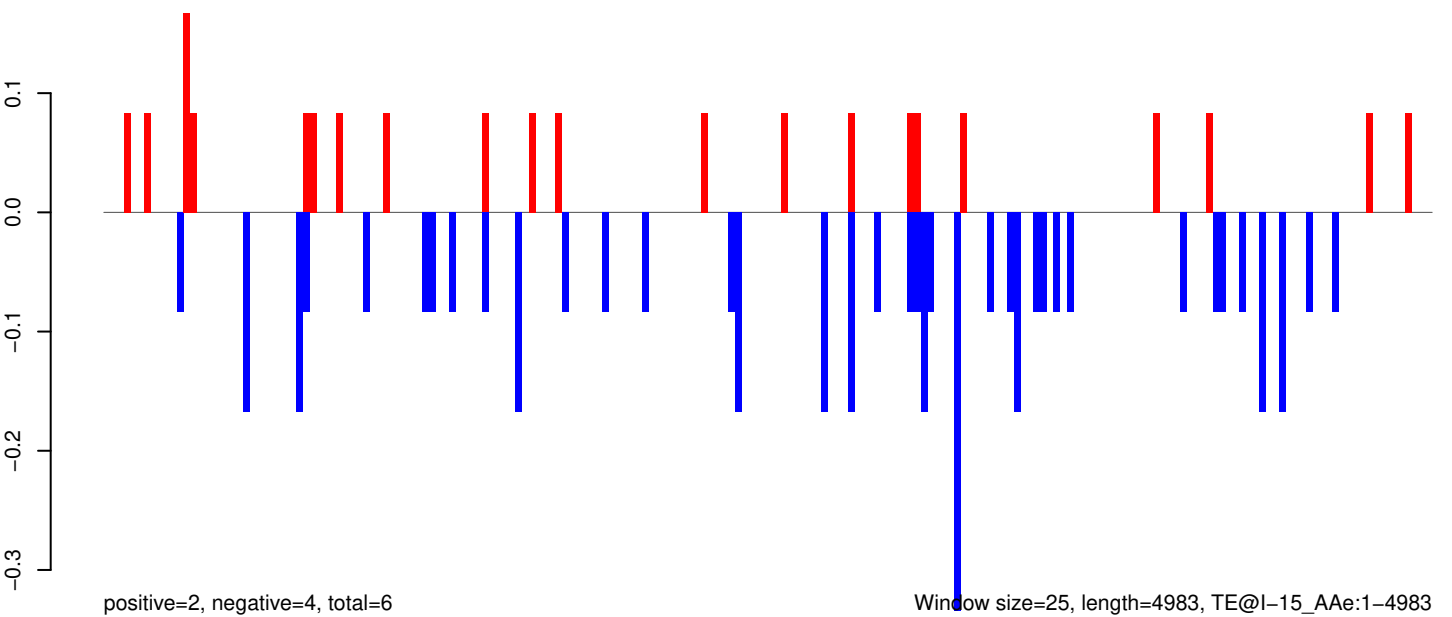
AeAeg_Aag2_Ago2_SINV_RA.18_23.rep



AeAeg_Aag2_Ago2_SINV_RA.24_35.rep

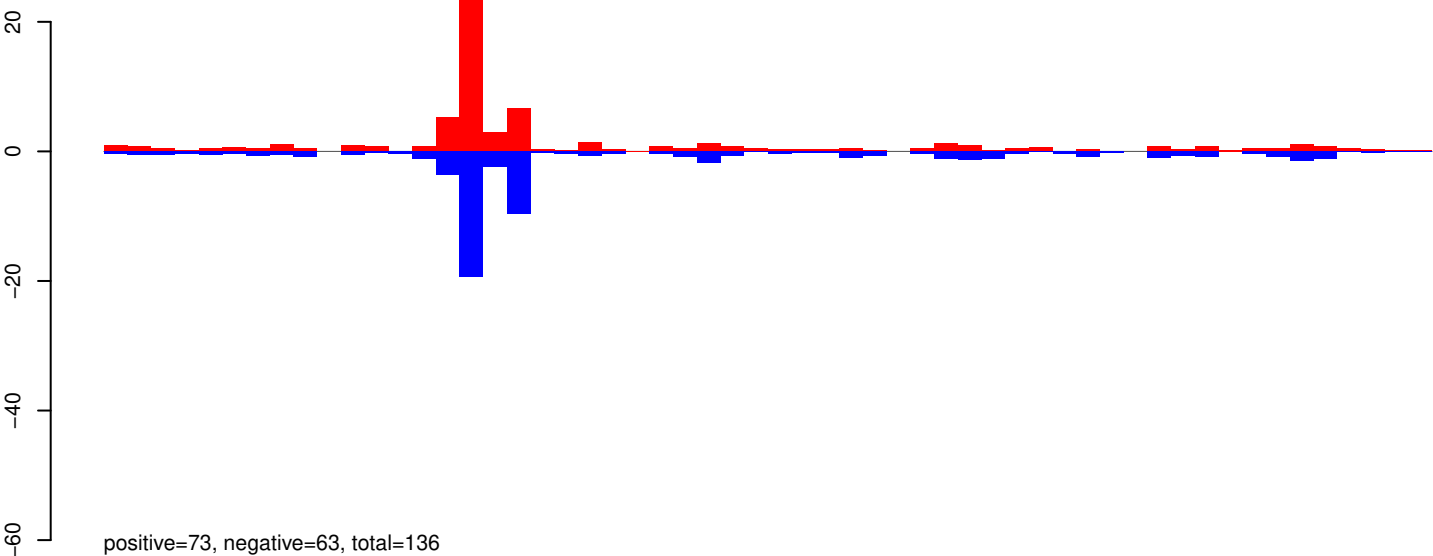


AeAeg_Aag2_Ago2_SINV_RA.rep

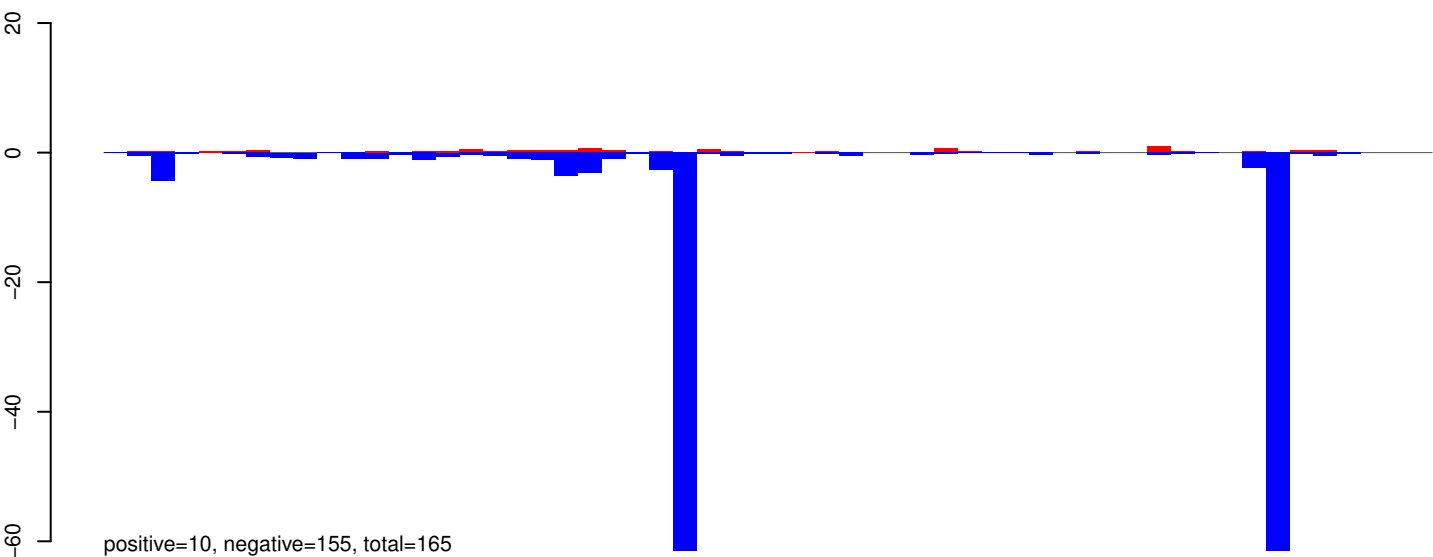


0 1000 2000 3000 4000 5000

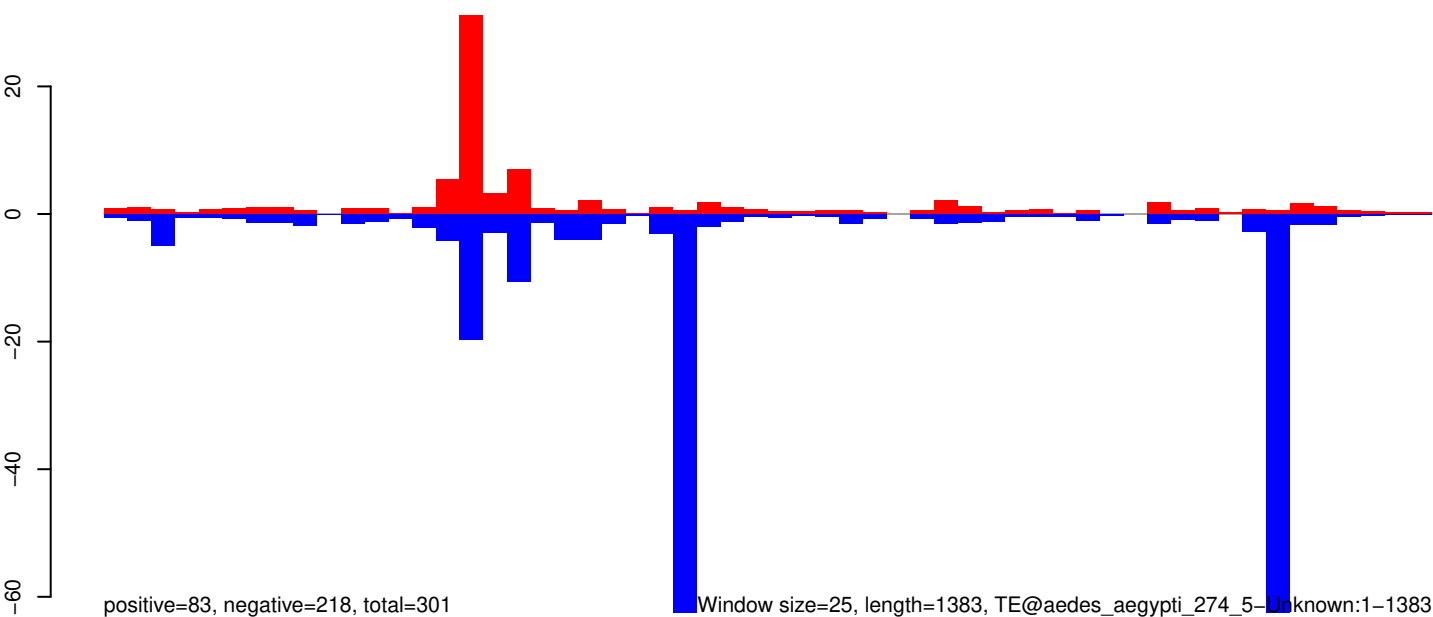
AeAeg_Aag2_Ago2_SINV_RA.18_23.rep



AeAeg_Aag2_Ago2_SINV_RA.24_35.rep



AeAeg_Aag2_Ago2_SINV_RA.rep

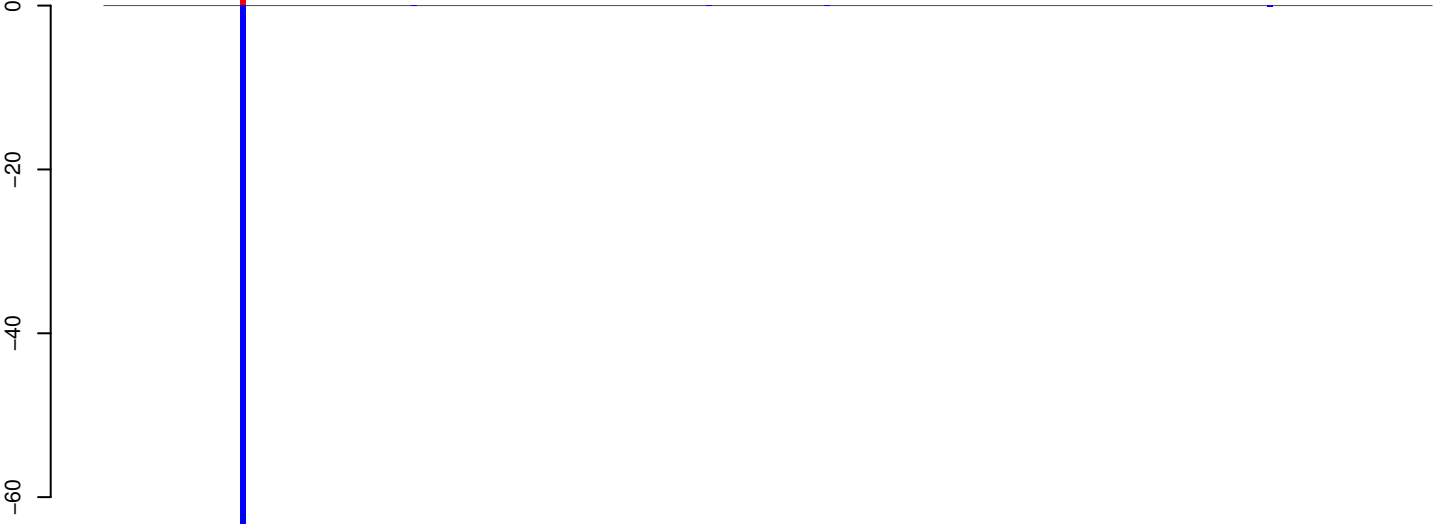


AeAeg_Aag2_Ago2_SINV_RA.18_23.rep



positive=3, negative=3, total=5

AeAeg_Aag2_Ago2_SINV_RA.24_35.rep



positive=2, negative=71, total=73

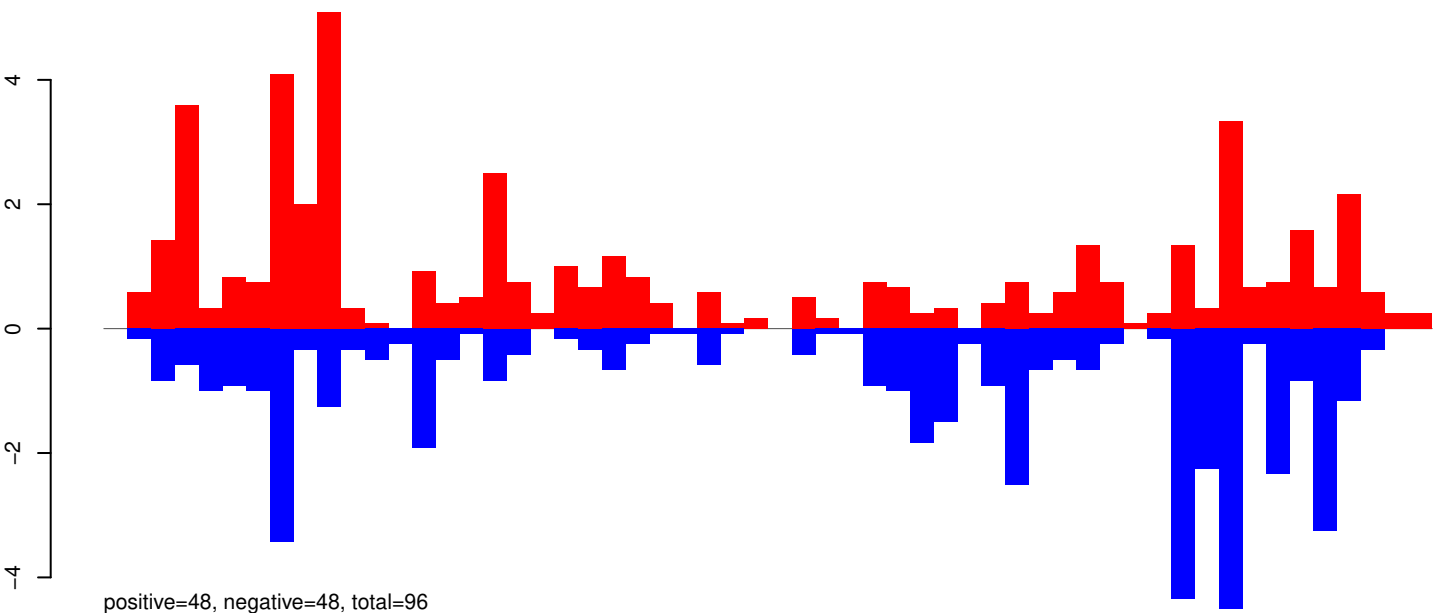
AeAeg_Aag2_Ago2_SINV_RA.rep



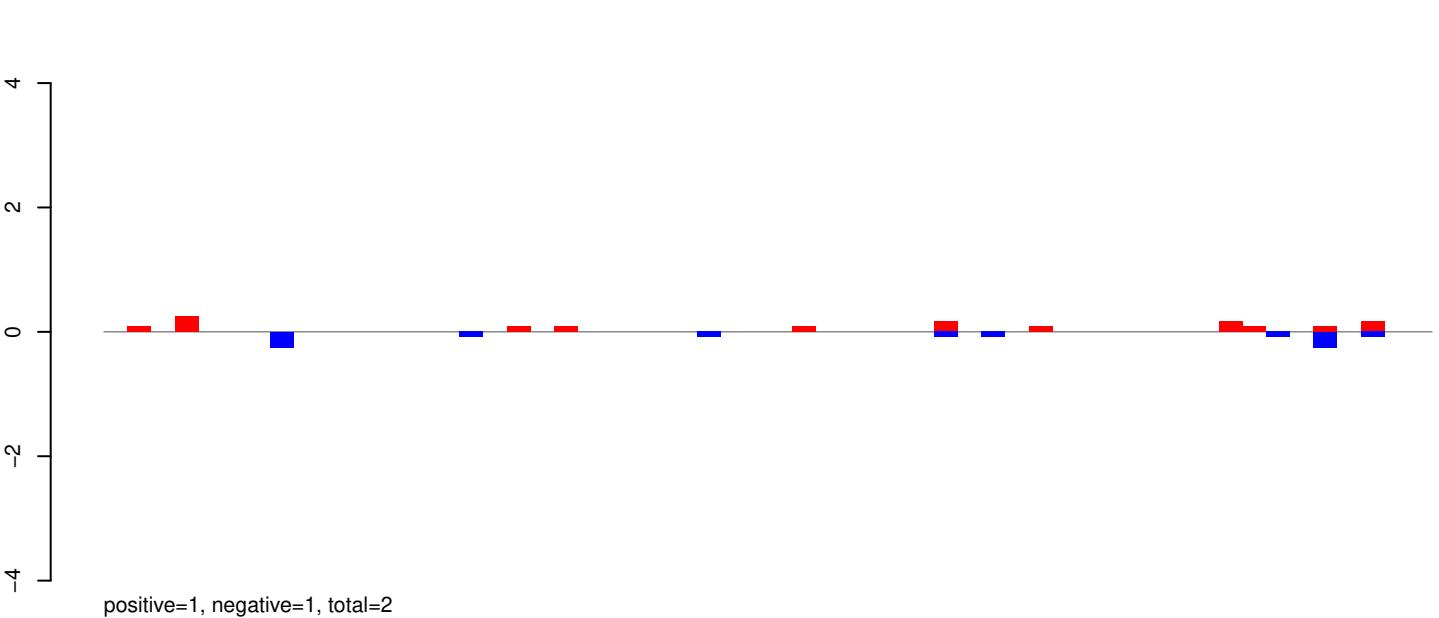
positive=5, negative=74, total=79

Window size=25, length=5624, TE@TF000208-I_ele23:1-5624

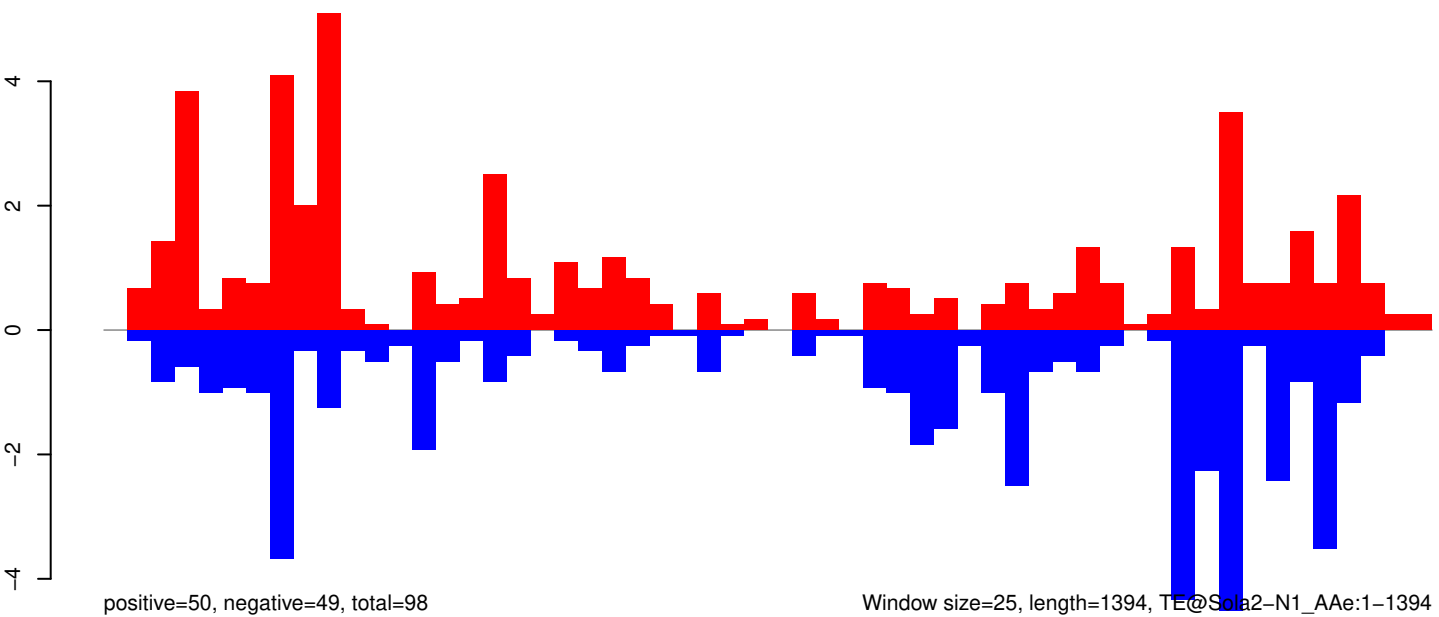
AeAeg_Aag2_Ago2_SINV_RA.18_23.rep



AeAeg_Aag2_Ago2_SINV_RA.24_35.rep

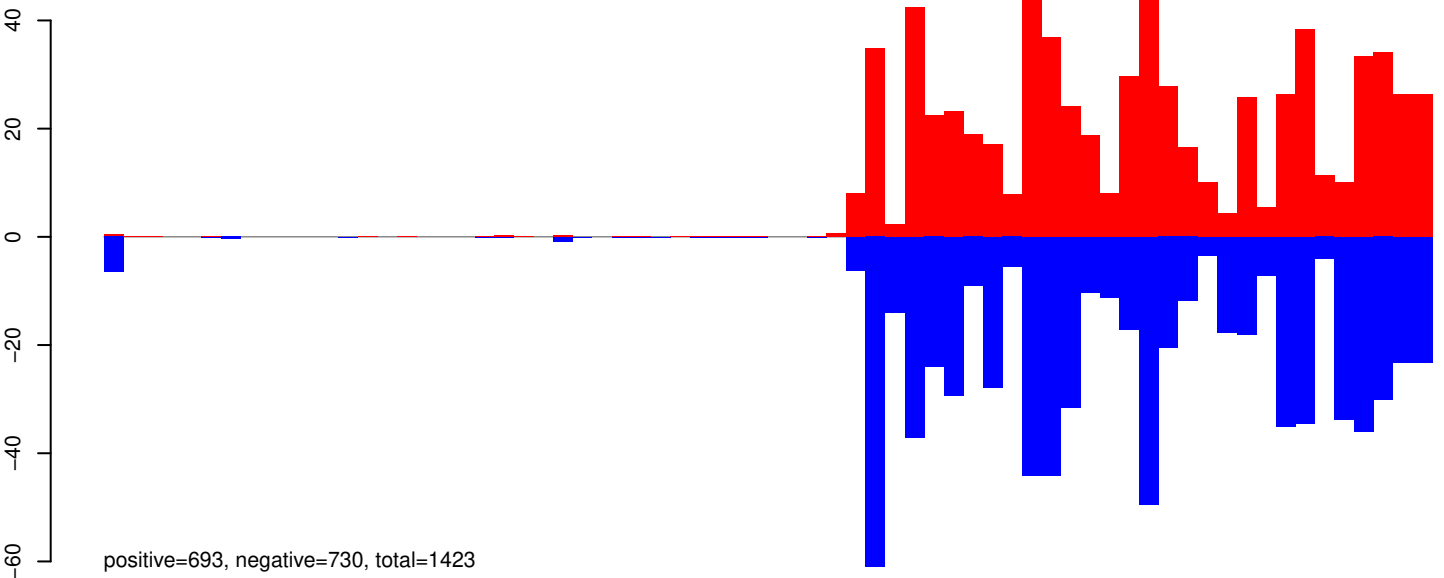


AeAeg_Aag2_Ago2_SINV_RA.rep

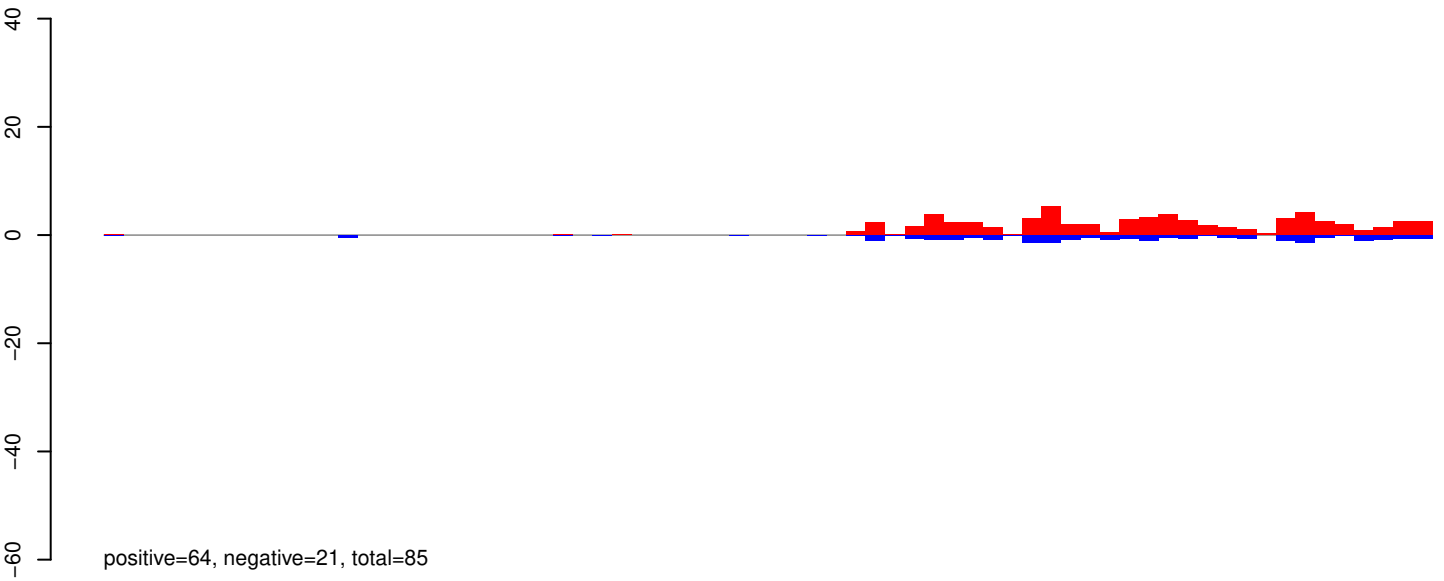


Window size=25, length=1394, TE@Sola2-N1_AAE:1-1394

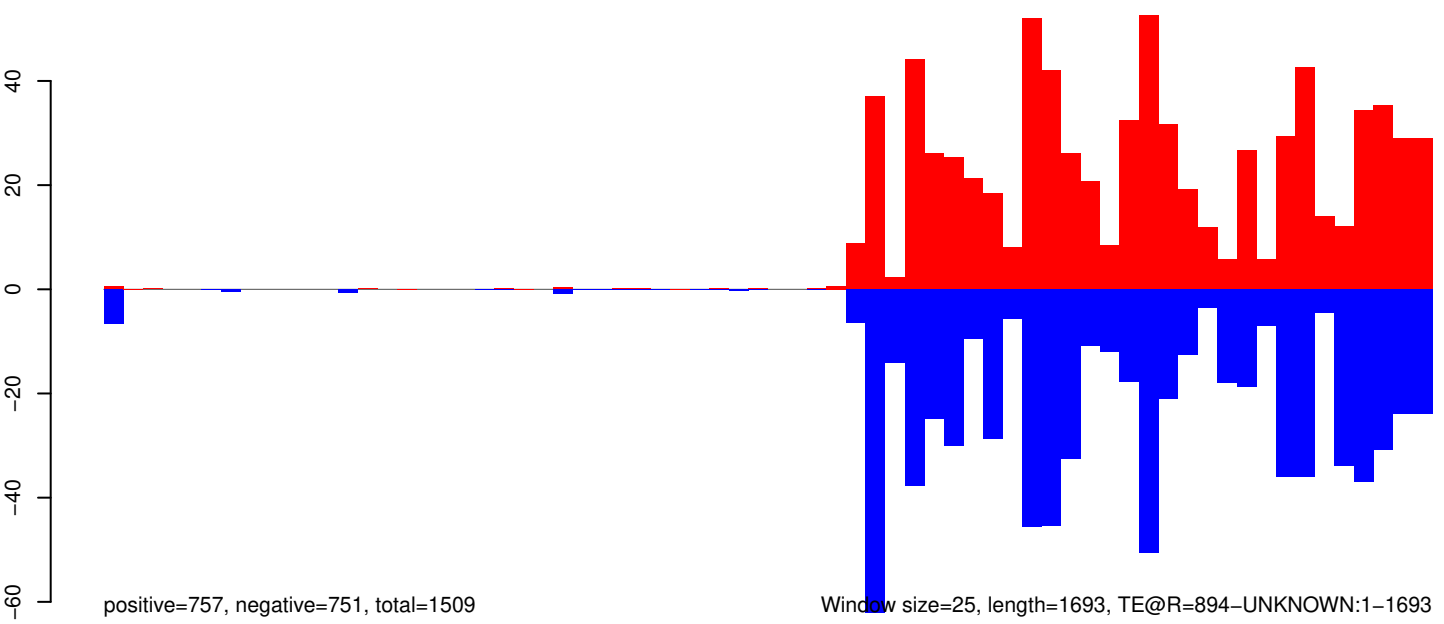
AeAeg_Aag2_Ago2_SINV_RA.18_23.rep



AeAeg_Aag2_Ago2_SINV_RA.24_35.rep



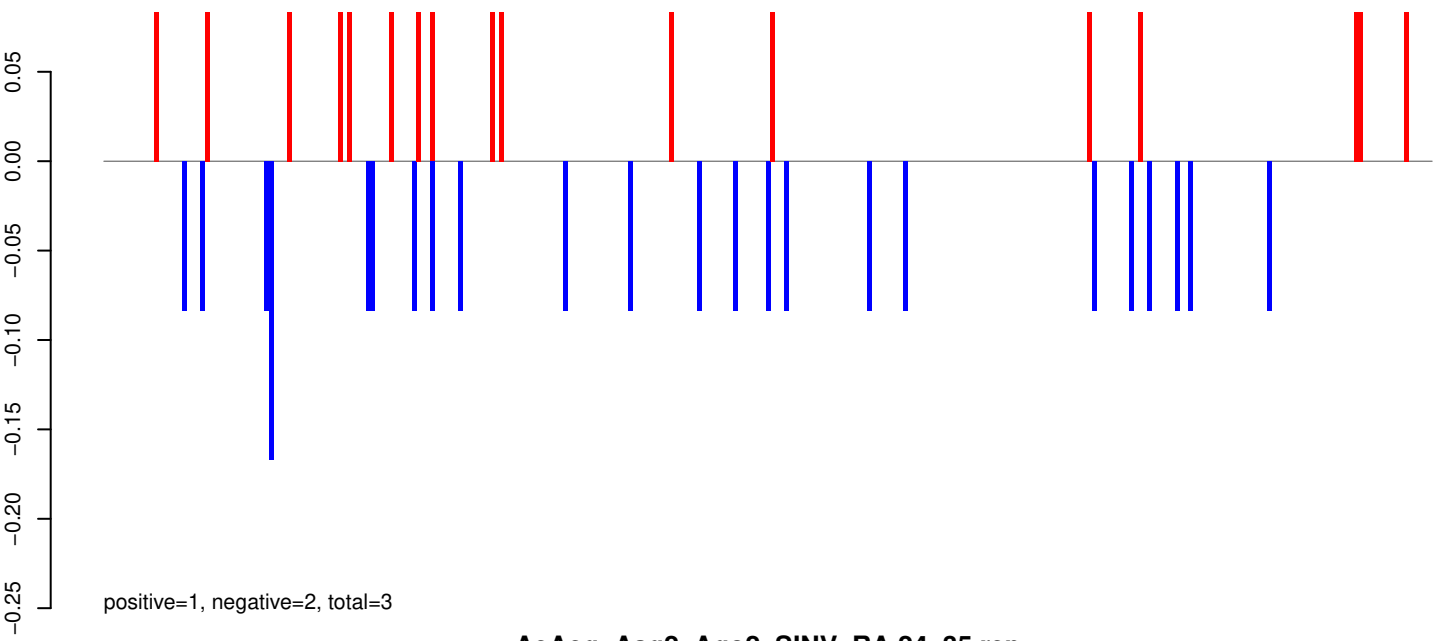
AeAeg_Aag2_Ago2_SINV_RA.rep



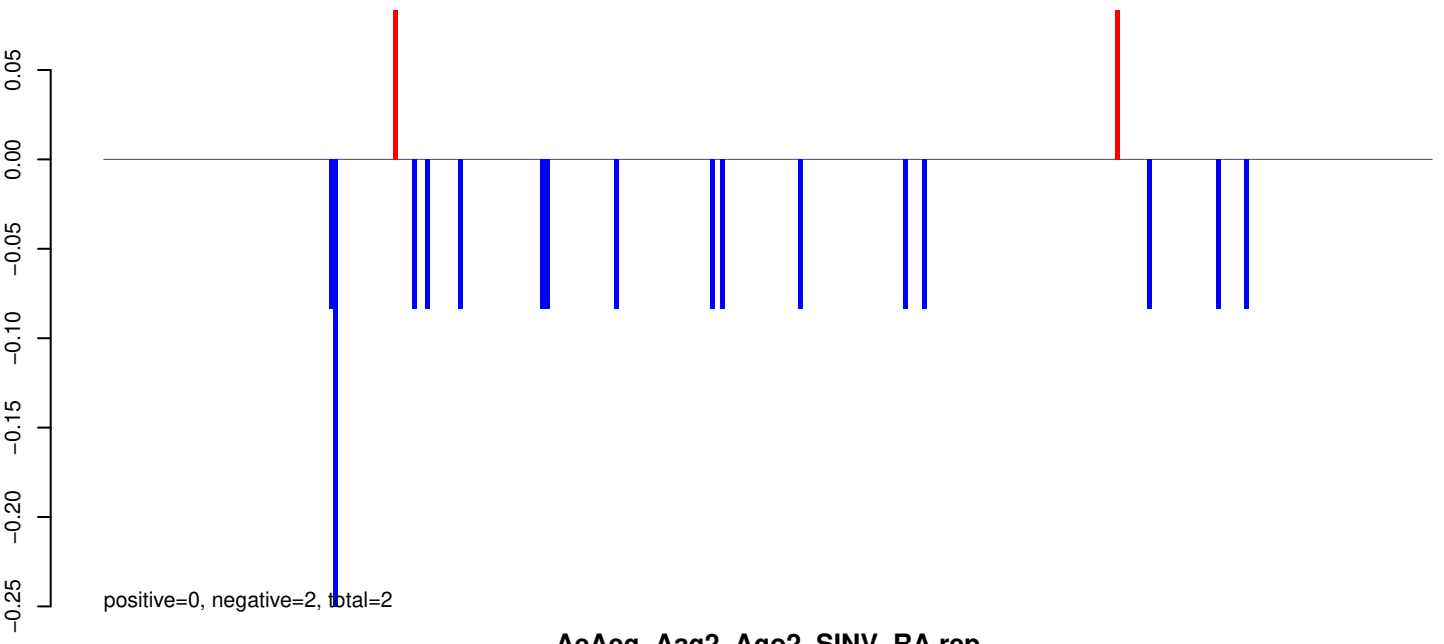
Window size=25, length=1693, TE@R=894-UNKNOWN:1-1693

0 500 1000 1500

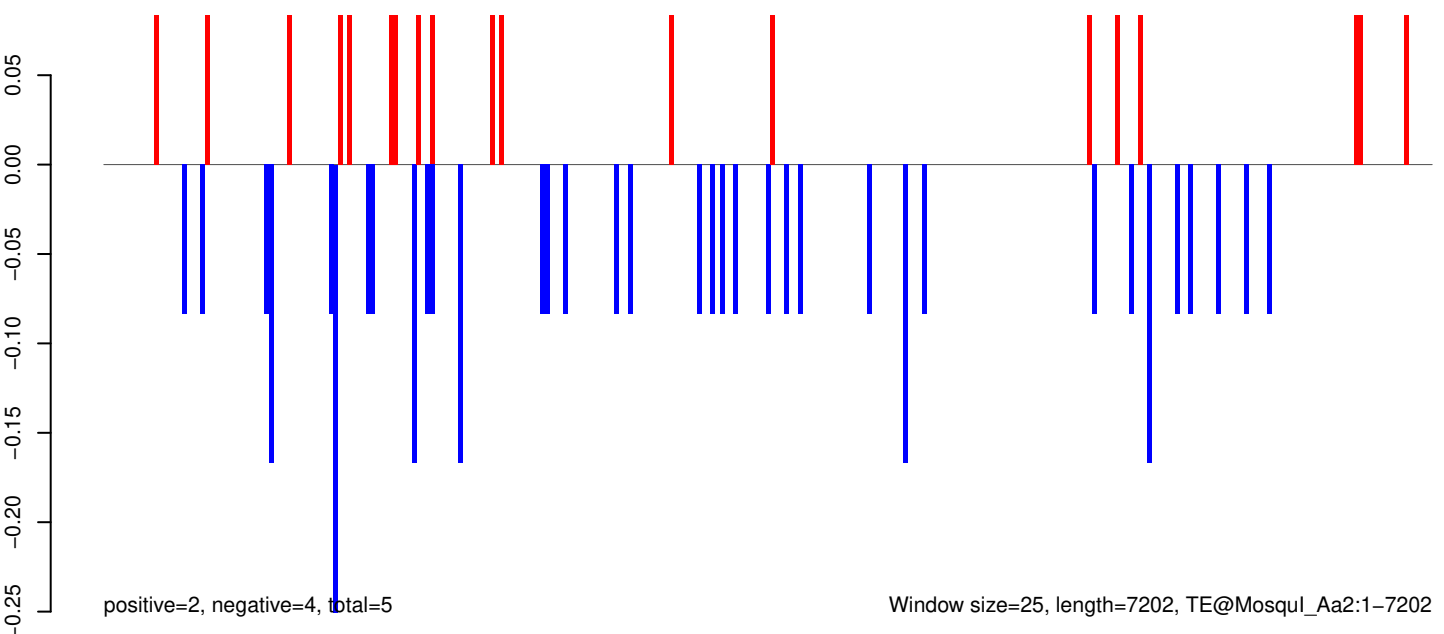
AeAeg_Aag2_Ago2_SINV_RA.18_23.rep



AeAeg_Aag2_Ago2_SINV_RA.24_35.rep



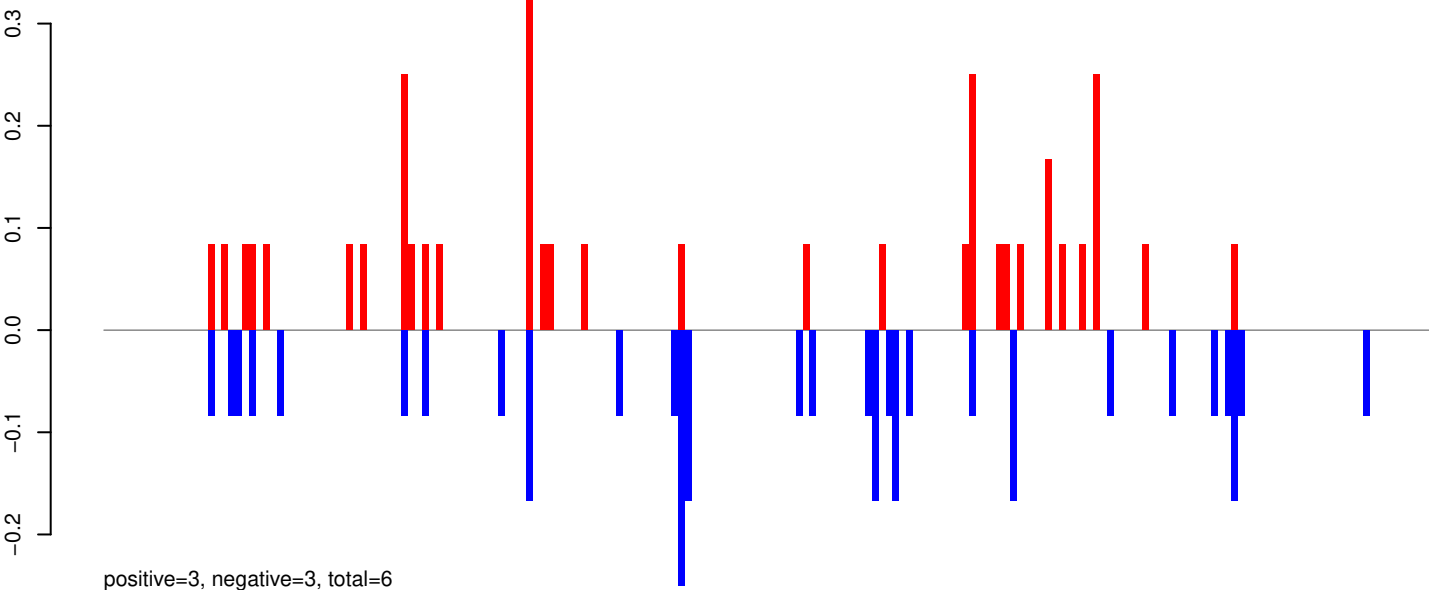
AeAeg_Aag2_Ago2_SINV_RA.rep



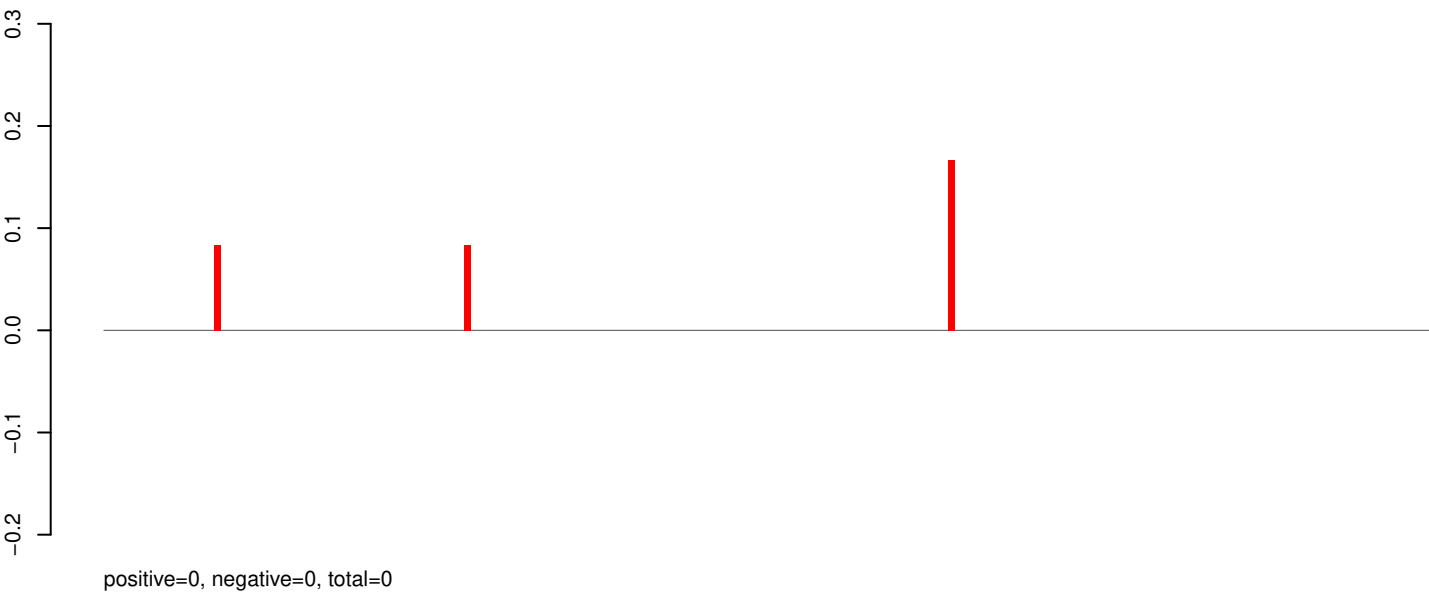
Window size=25, length=7202, TE@Mosqui_Aa2:1-7202

0 2000 4000 6000

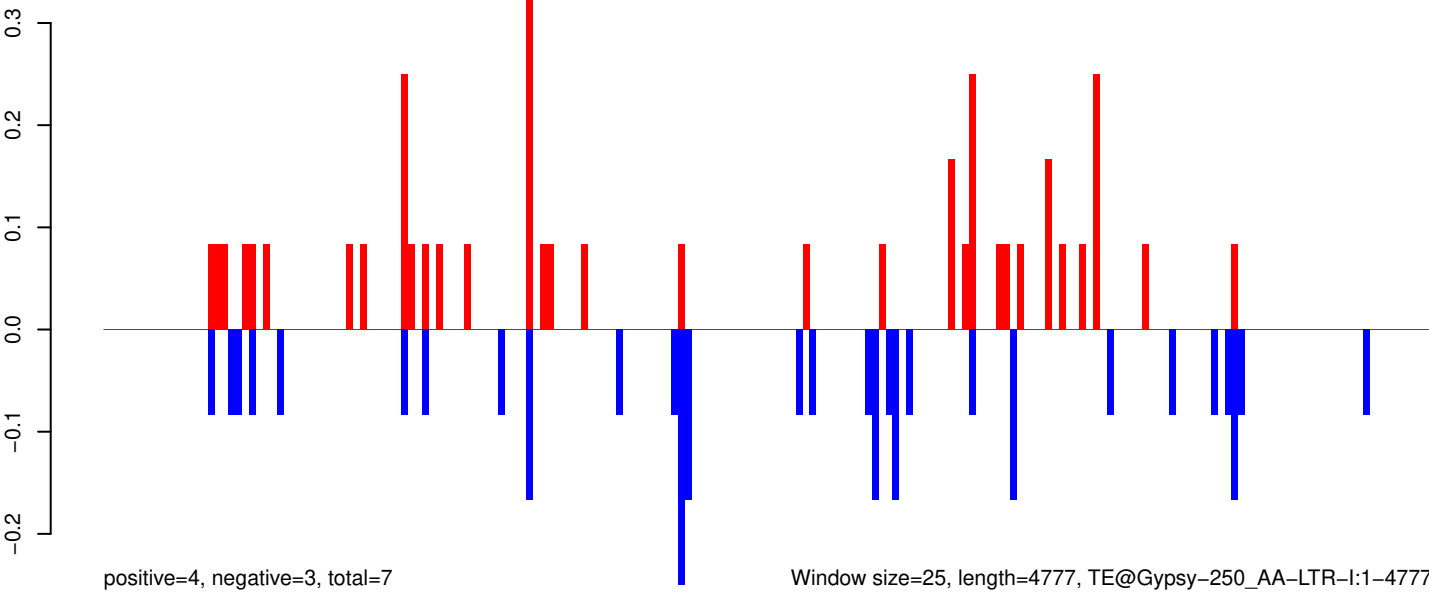
AeAeg_Aag2_Ago2_SINV_RA.18_23.rep



AeAeg_Aag2_Ago2_SINV_RA.24_35.rep

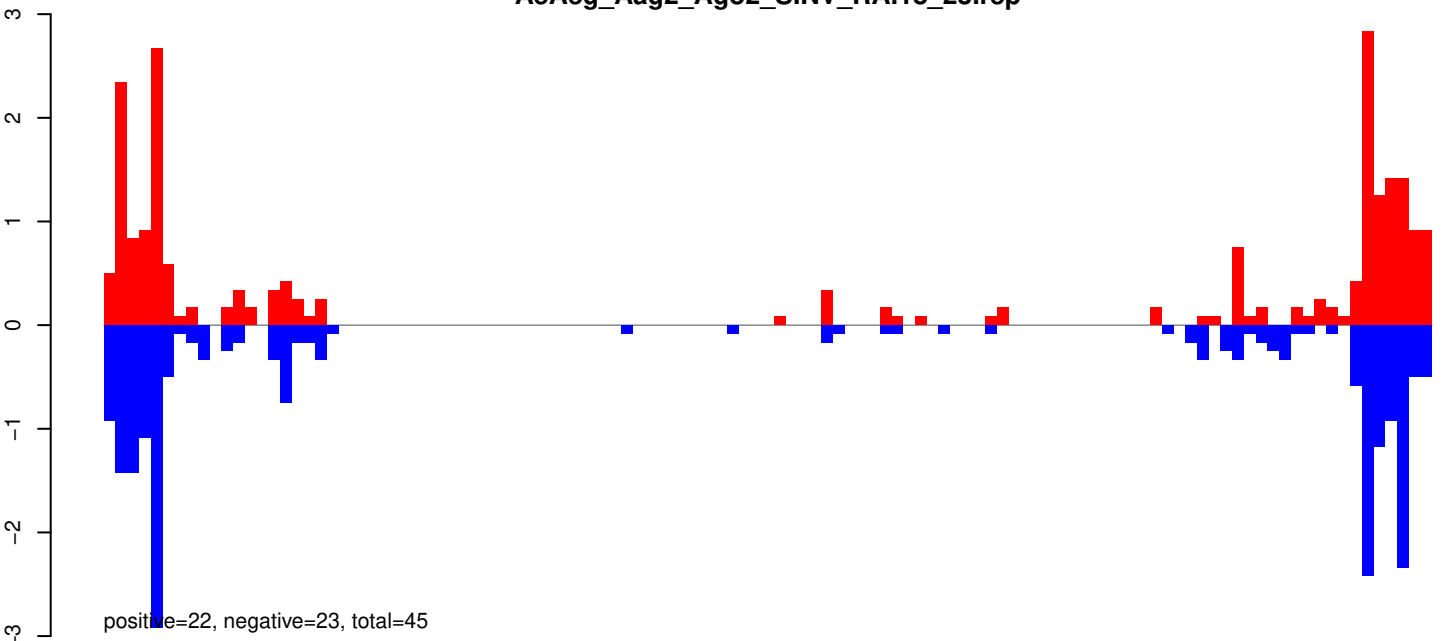


AeAeg_Aag2_Ago2_SINV_RA.rep

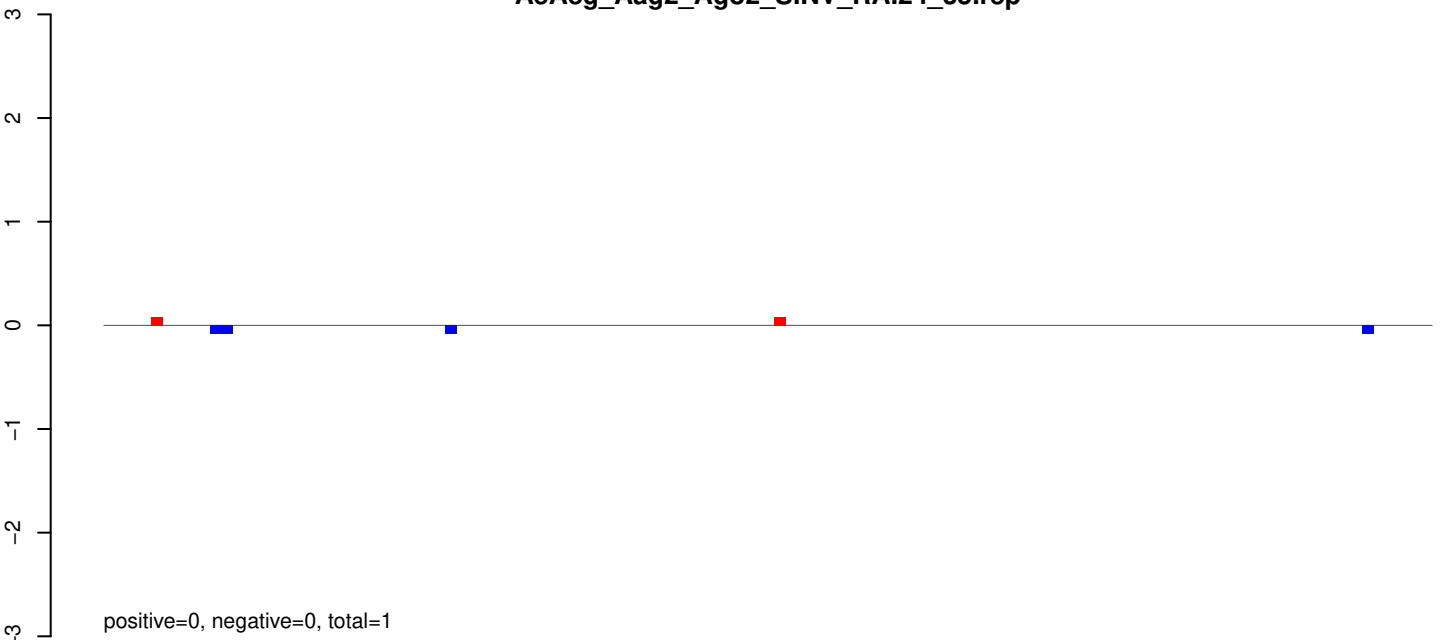


Window size=25, length=4777, TE@Gypsy-250_AA-LTR-I:1-4777

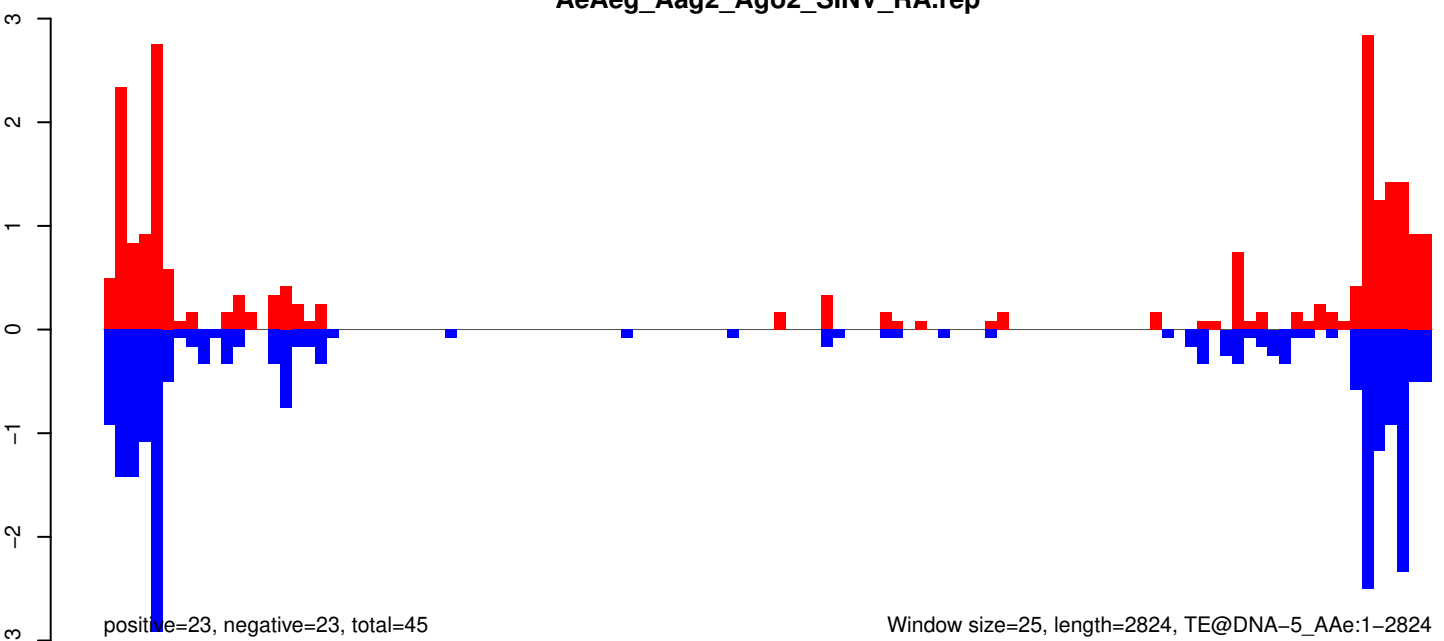
AeAeg_Aag2_Ago2_SINV_RA.18_23.rep



AeAeg_Aag2_Ago2_SINV_RA.24_35.rep

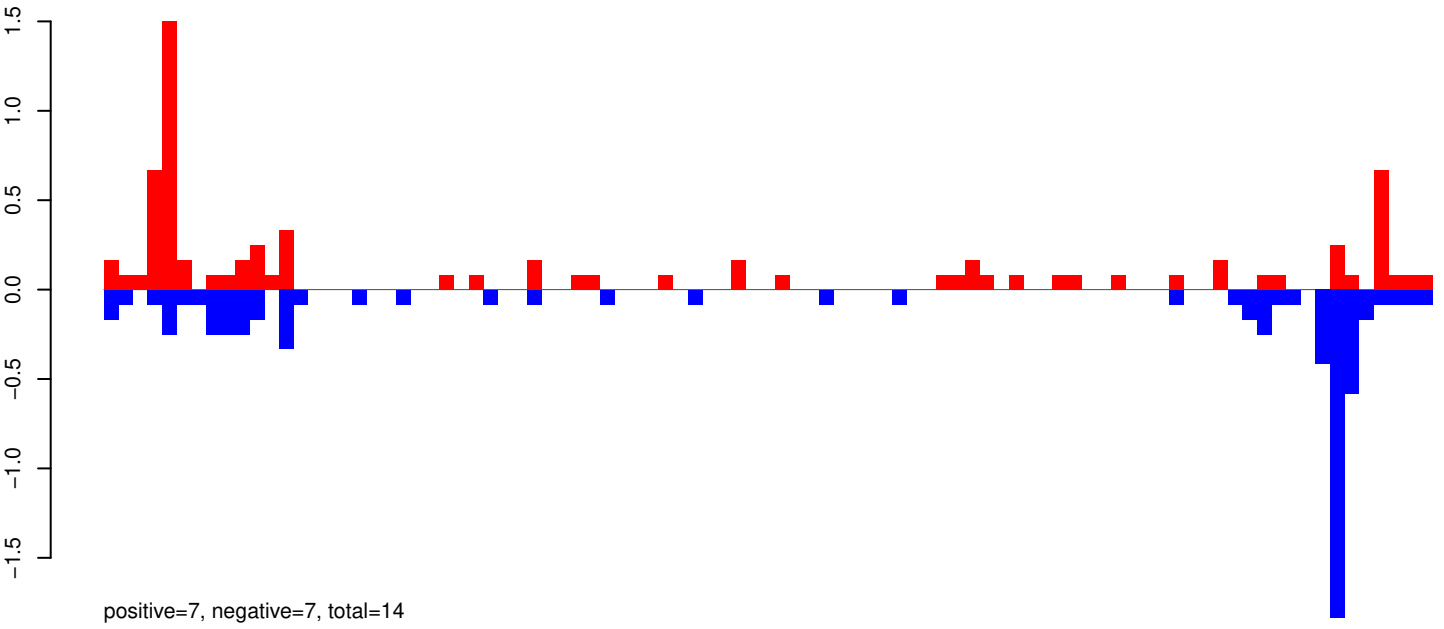


AeAeg_Aag2_Ago2_SINV_RA.rep

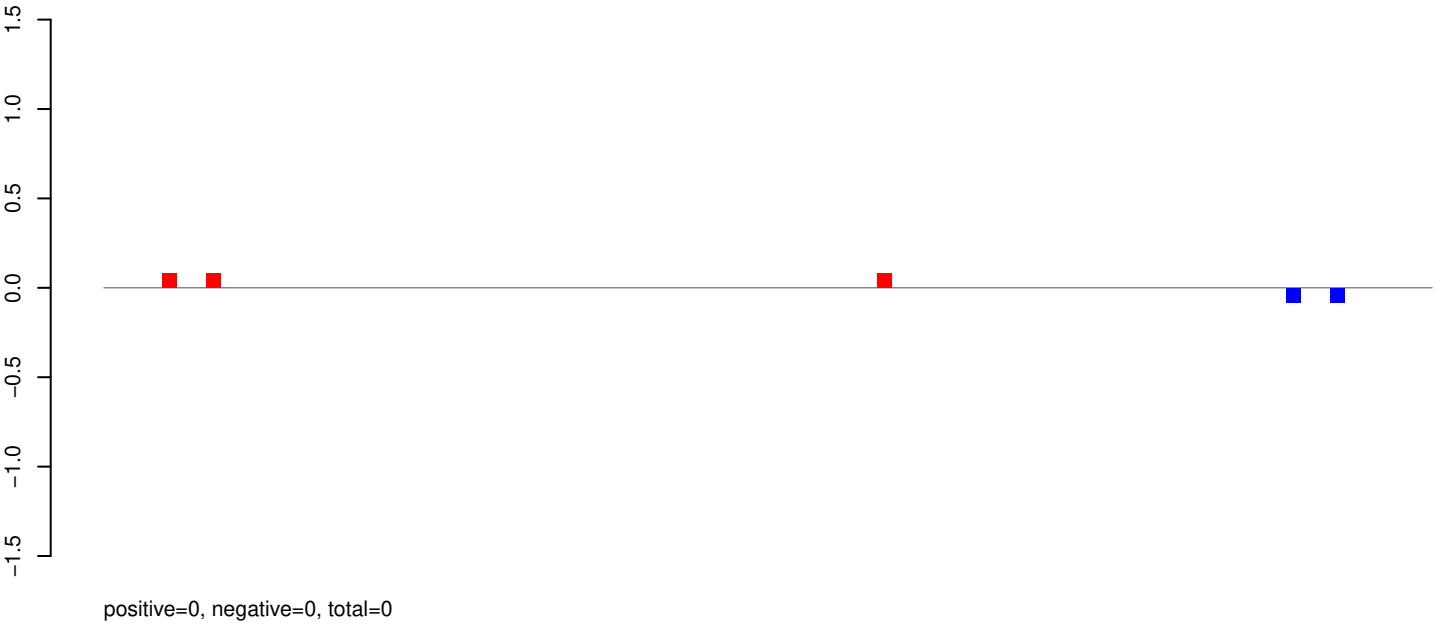


Window size=25, length=2824, TE@DNA-5_AAg:1-2824

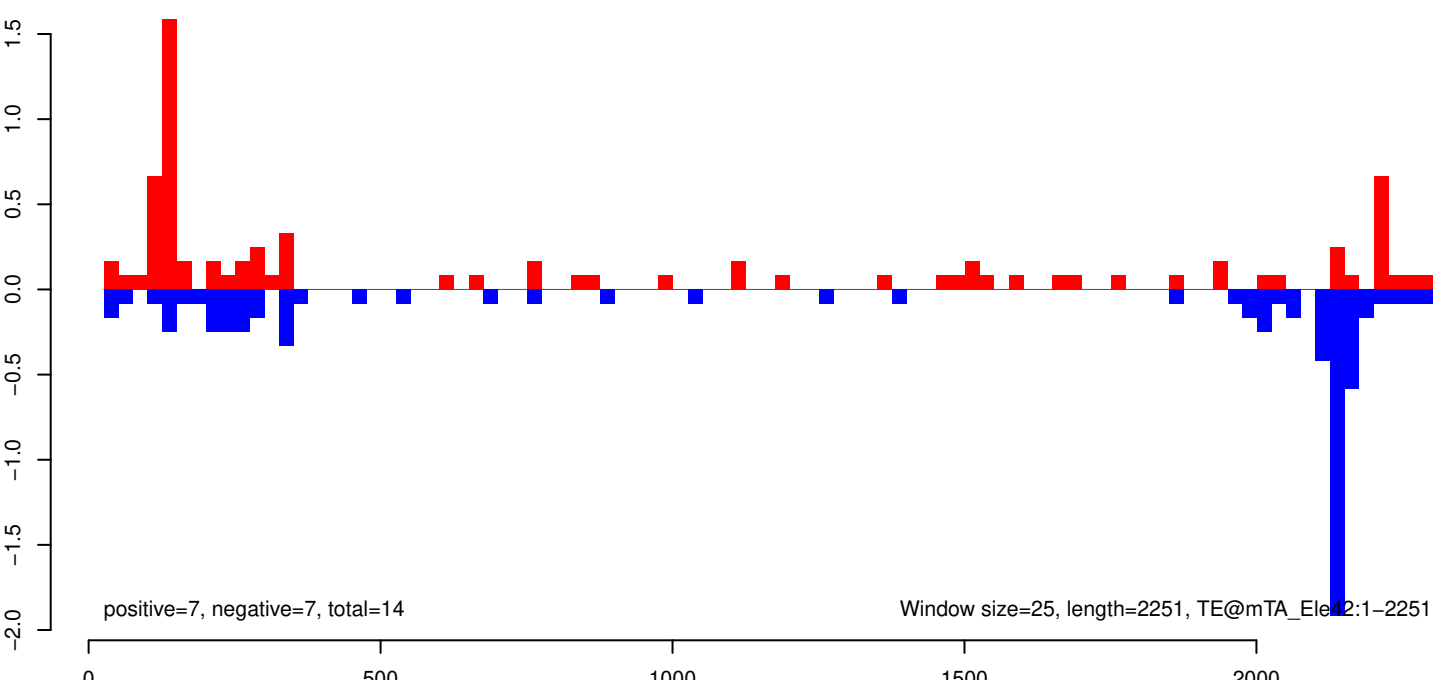
AeAeg_Aag2_Ago2_SINV_RA.18_23.rep



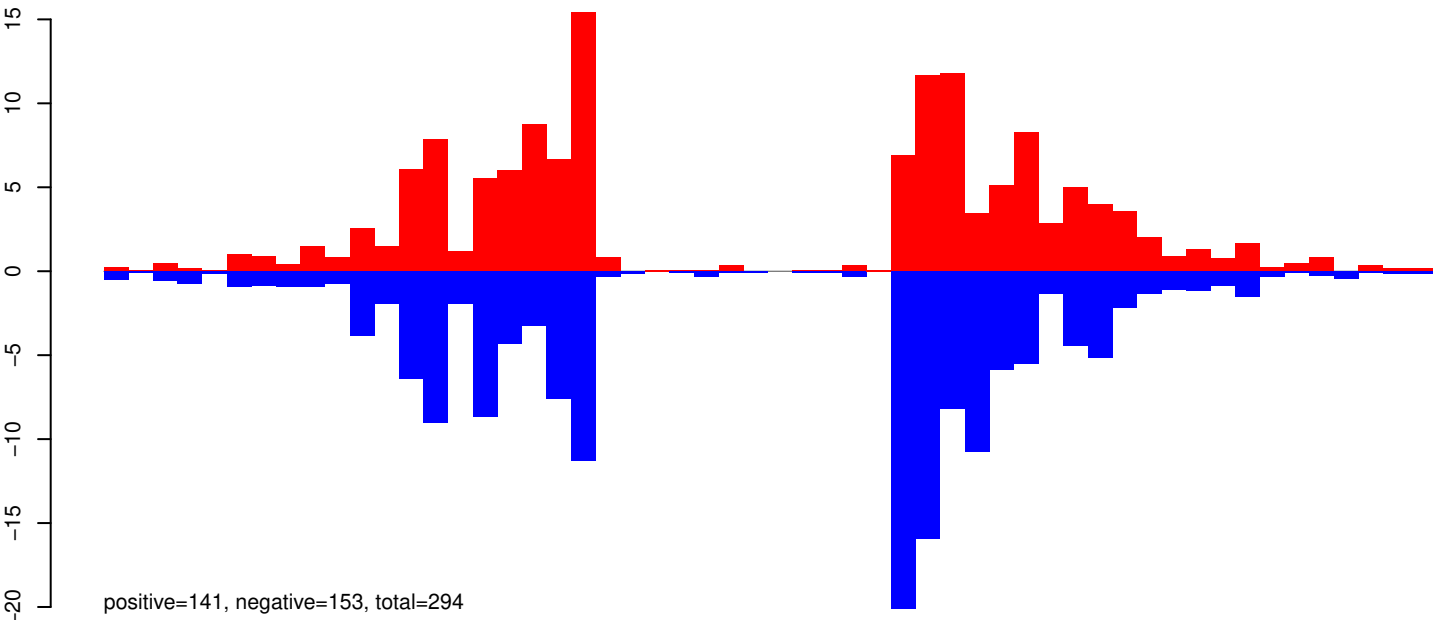
AeAeg_Aag2_Ago2_SINV_RA.24_35.rep



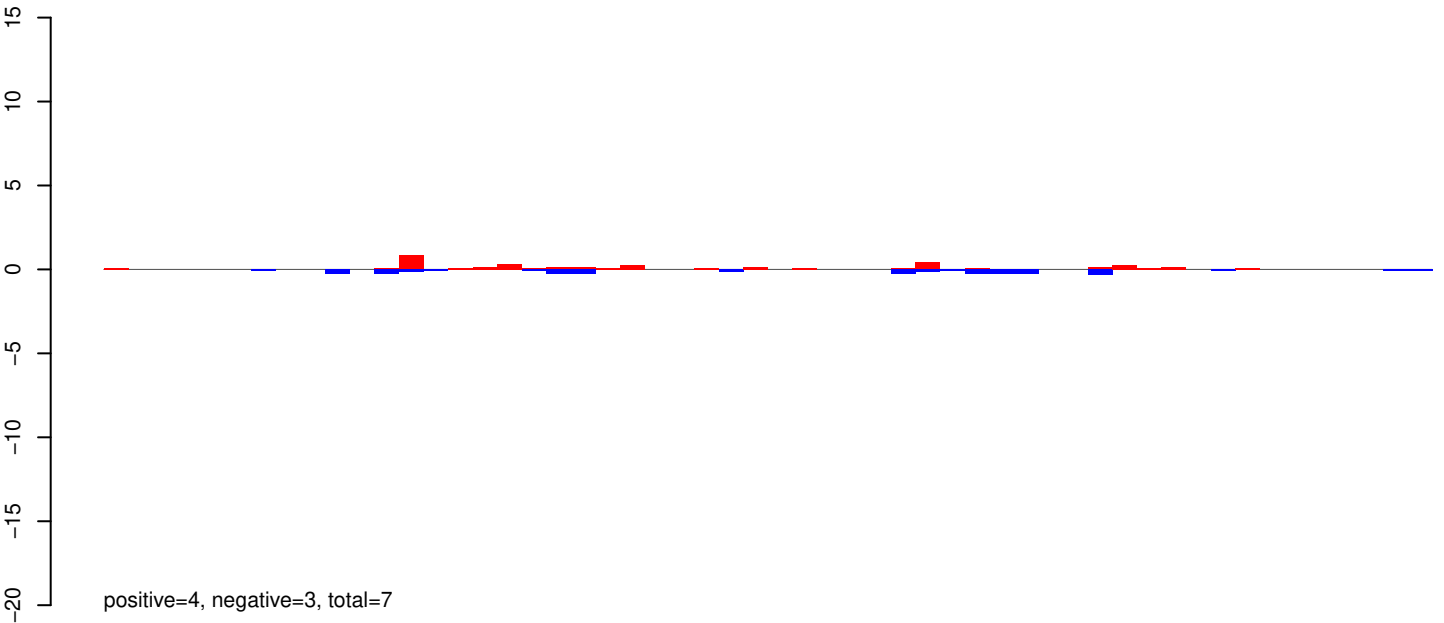
AeAeg_Aag2_Ago2_SINV_RA.rep



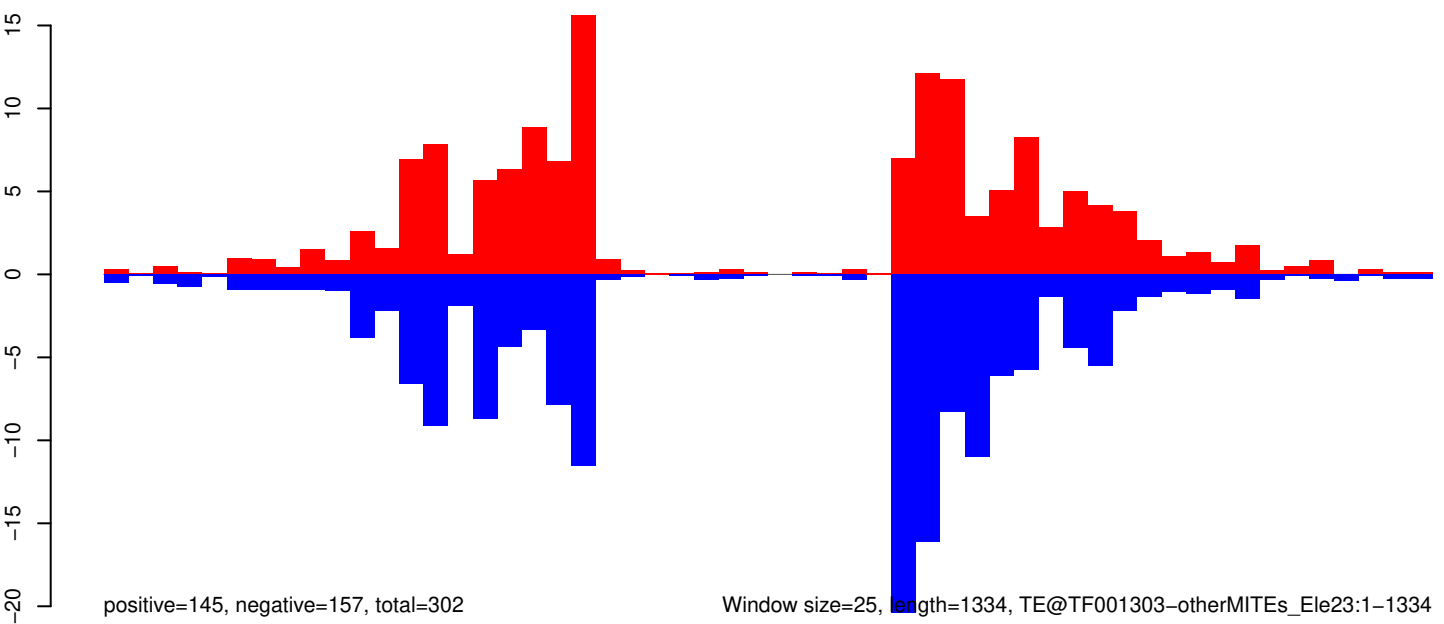
AeAeg_Aag2_Ago2_SINV_RA.18_23.rep



AeAeg_Aag2_Ago2_SINV_RA.24_35.rep

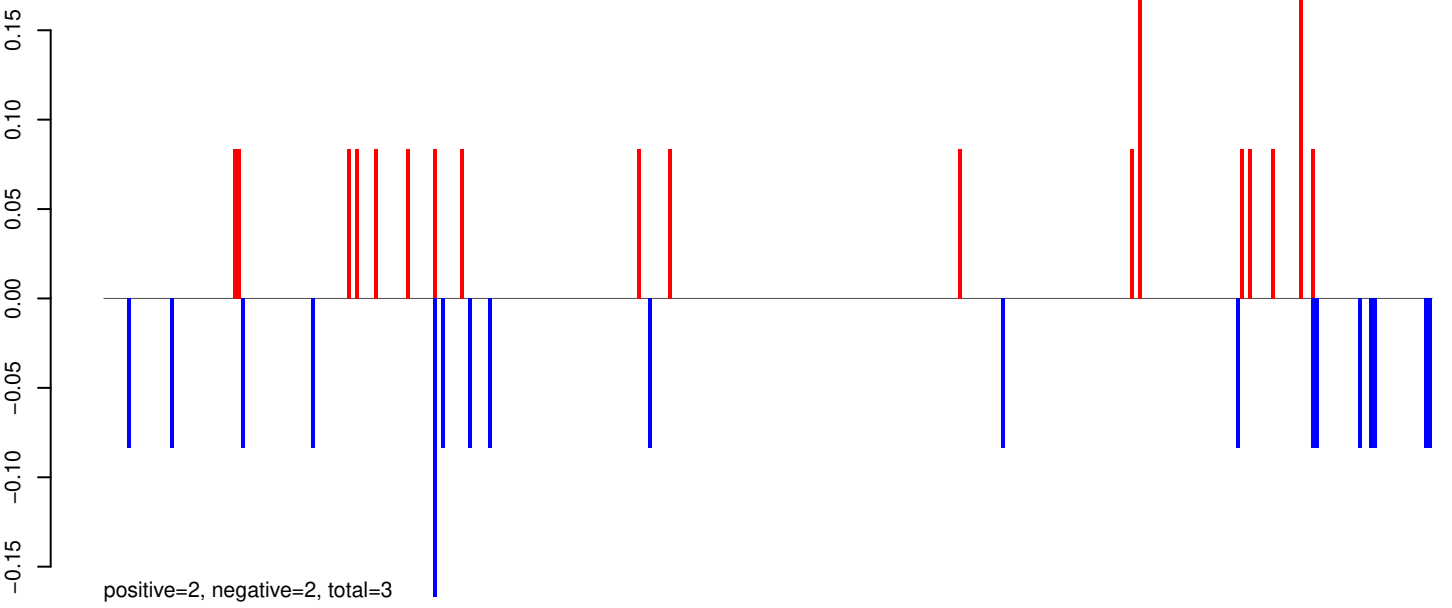


AeAeg_Aag2_Ago2_SINV_RA.rep

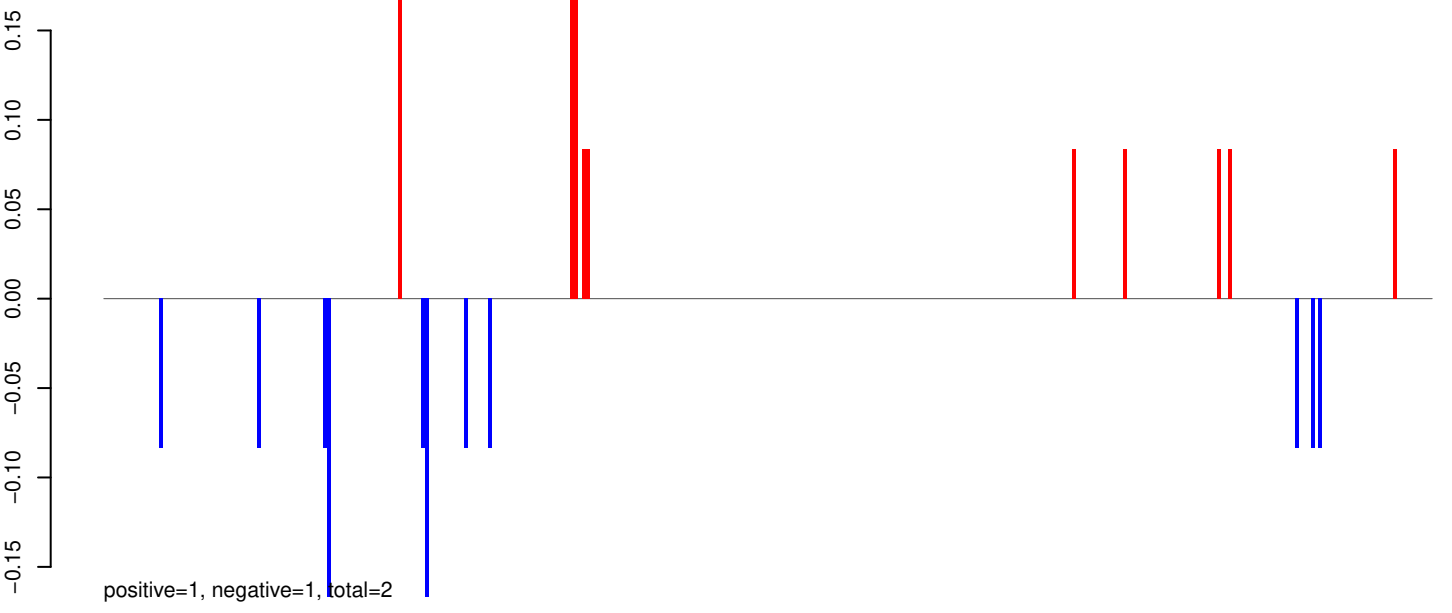


Window size=25, length=1334, TE@TF001303-otherMITEs_Ele23:1-1334

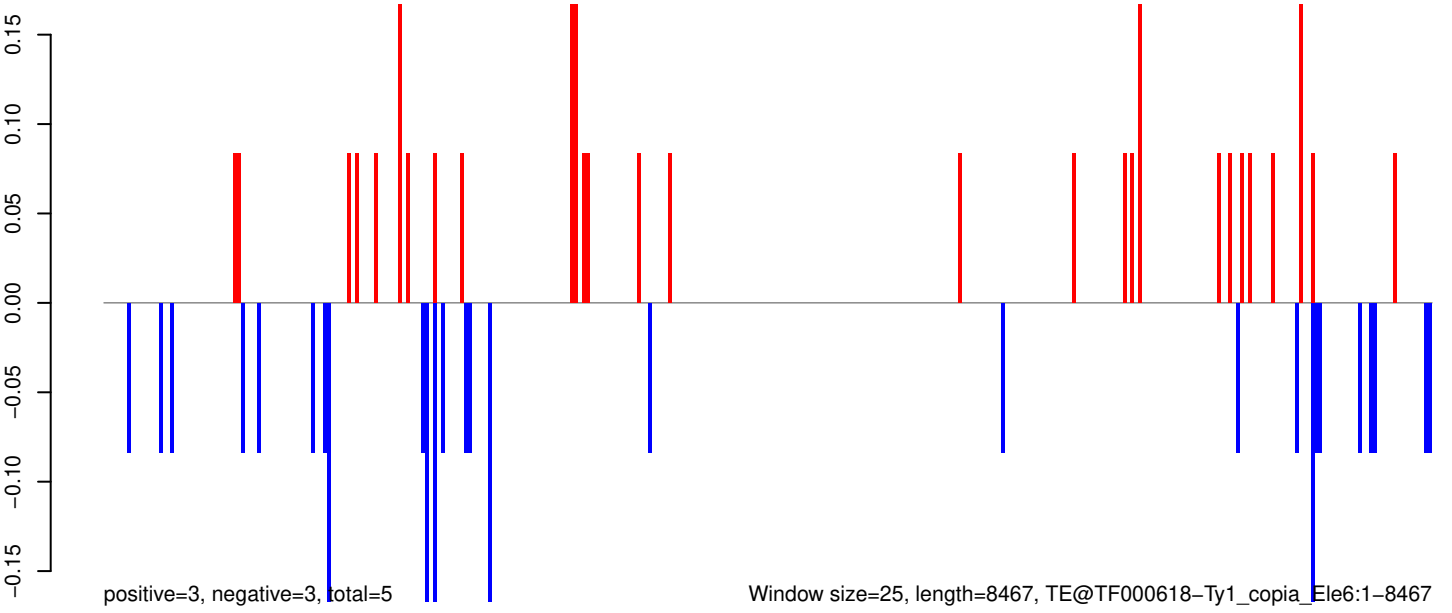
AeAeg_Aag2_Ago2_SINV_RA.18_23.rep



AeAeg_Aag2_Ago2_SINV_RA.24_35.rep

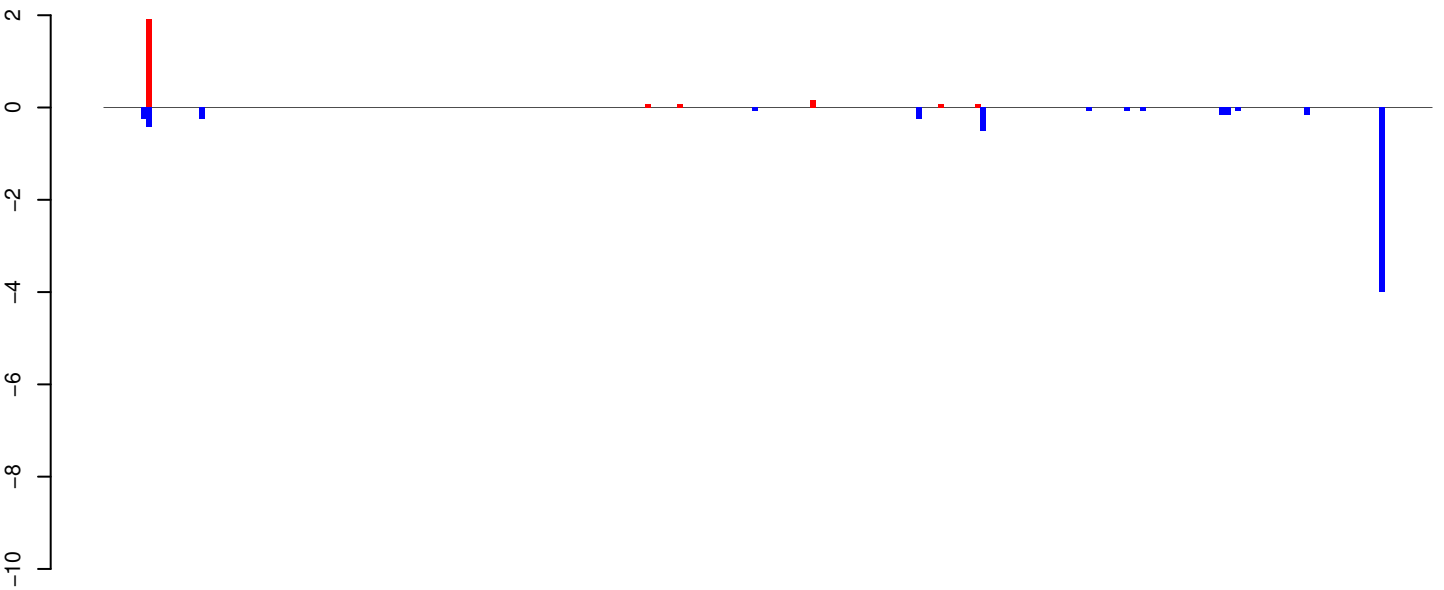


AeAeg_Aag2_Ago2_SINV_RA.rep



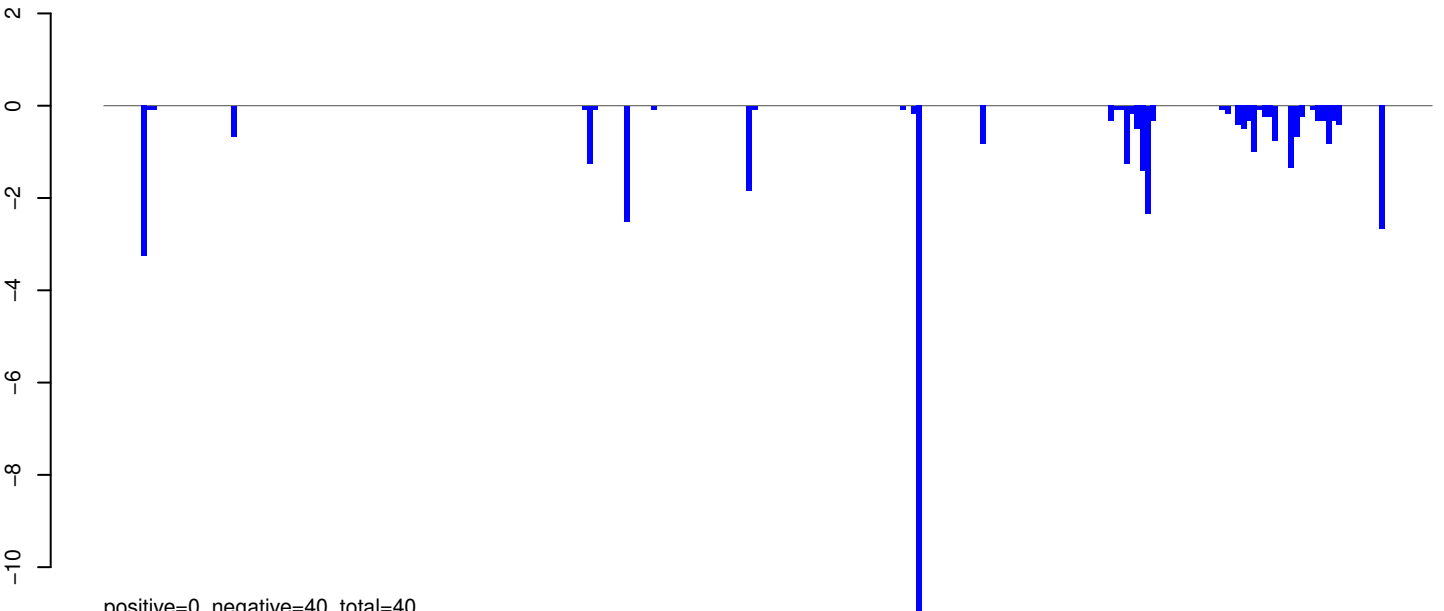
0 2000 4000 6000 8000

AeAeg_Aag2_Ago2_SINV_RA.18_23.rep



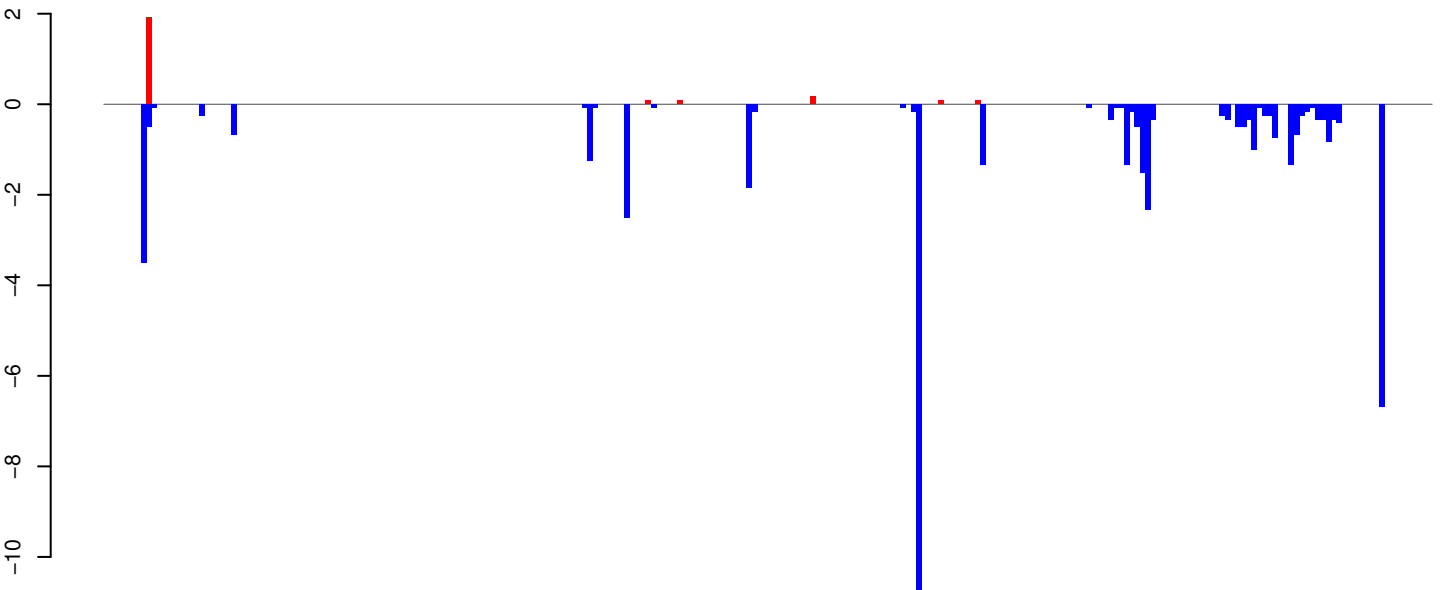
positive=2, negative=7, total=9

AeAeg_Aag2_Ago2_SINV_RA.24_35.rep



positive=0, negative=40, total=40

AeAeg_Aag2_Ago2_SINV_RA.rep

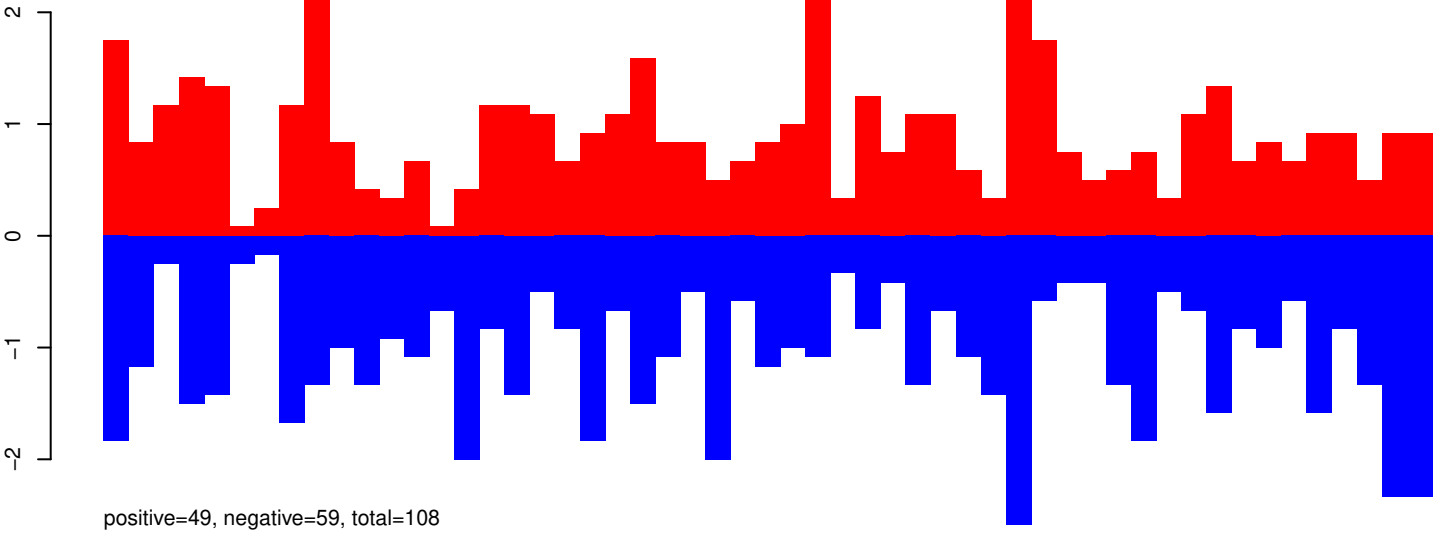


positive=2, negative=46, total=49

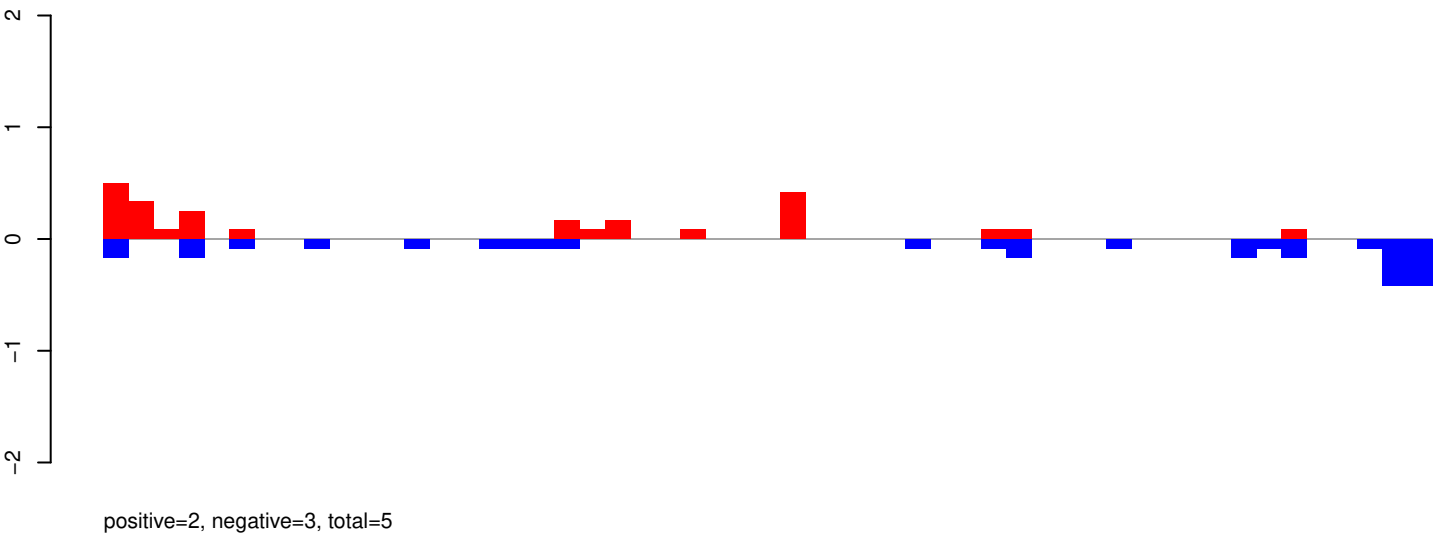
Window size=25, length=6242, TE@TF000427-Ty3_gypsy_Ele130:1-6242

0 1000 2000 3000 4000 5000 6000

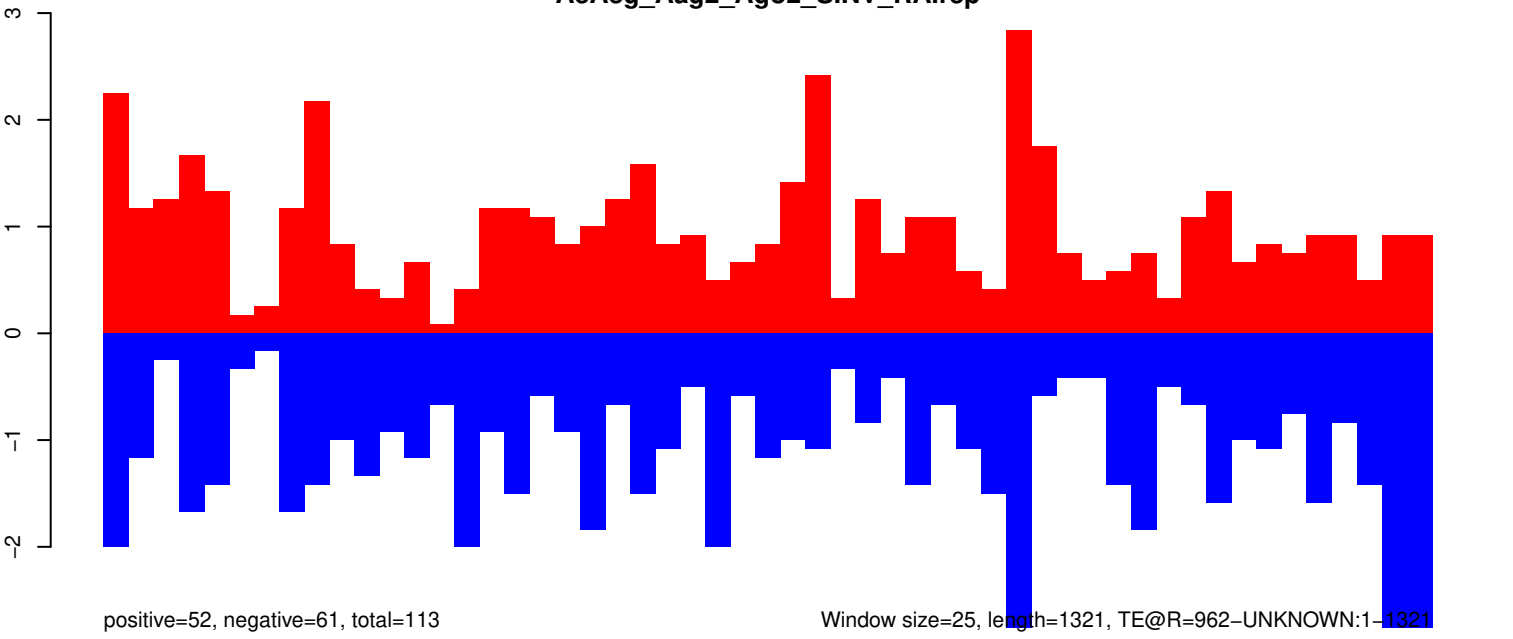
AeAeg_Aag2_Ago2_SINV_RA.18_23.rep



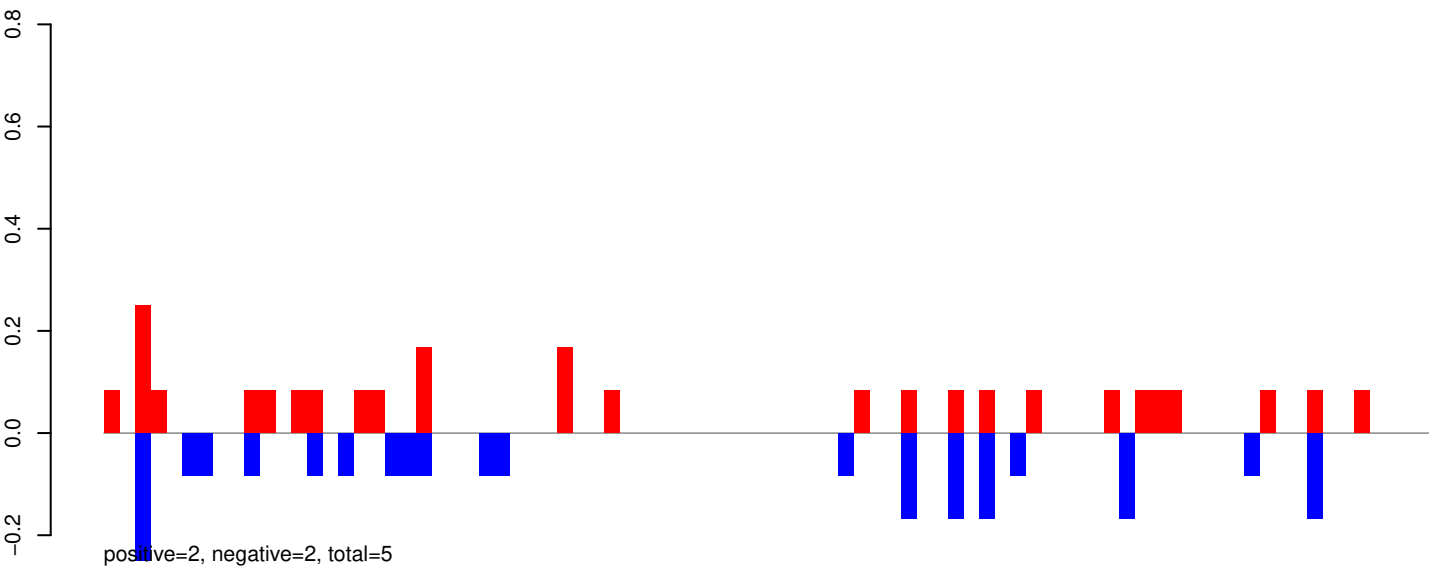
AeAeg_Aag2_Ago2_SINV_RA.24_35.rep



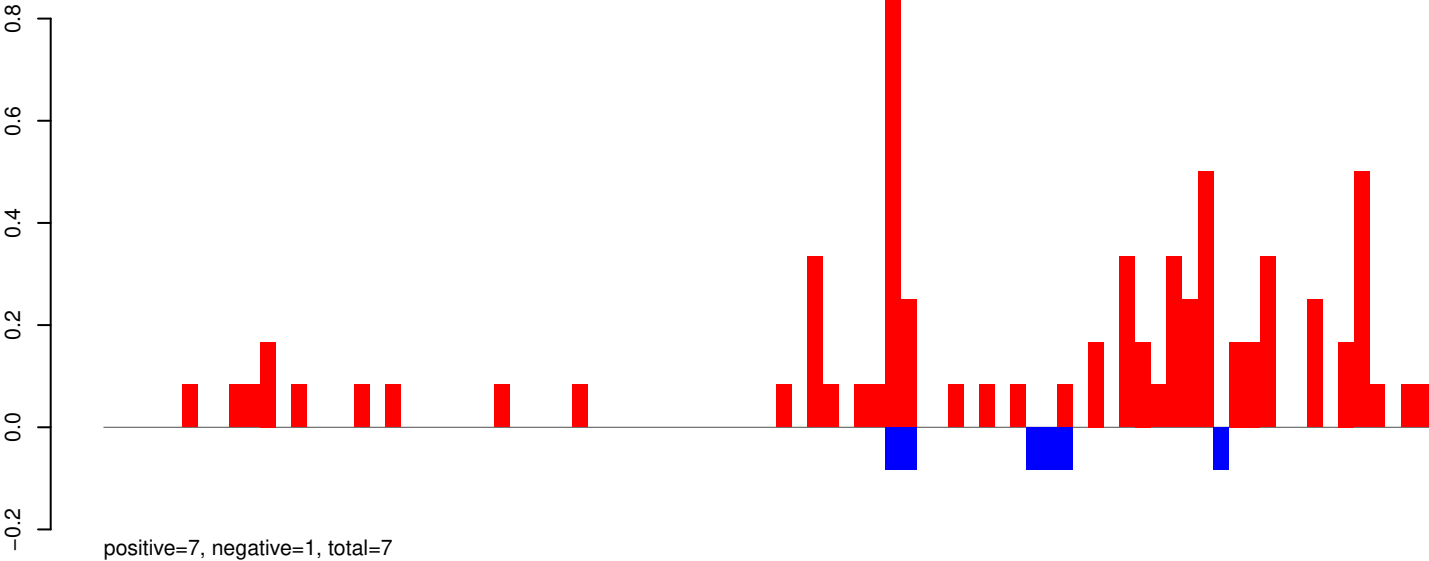
AeAeg_Aag2_Ago2_SINV_RA.rep



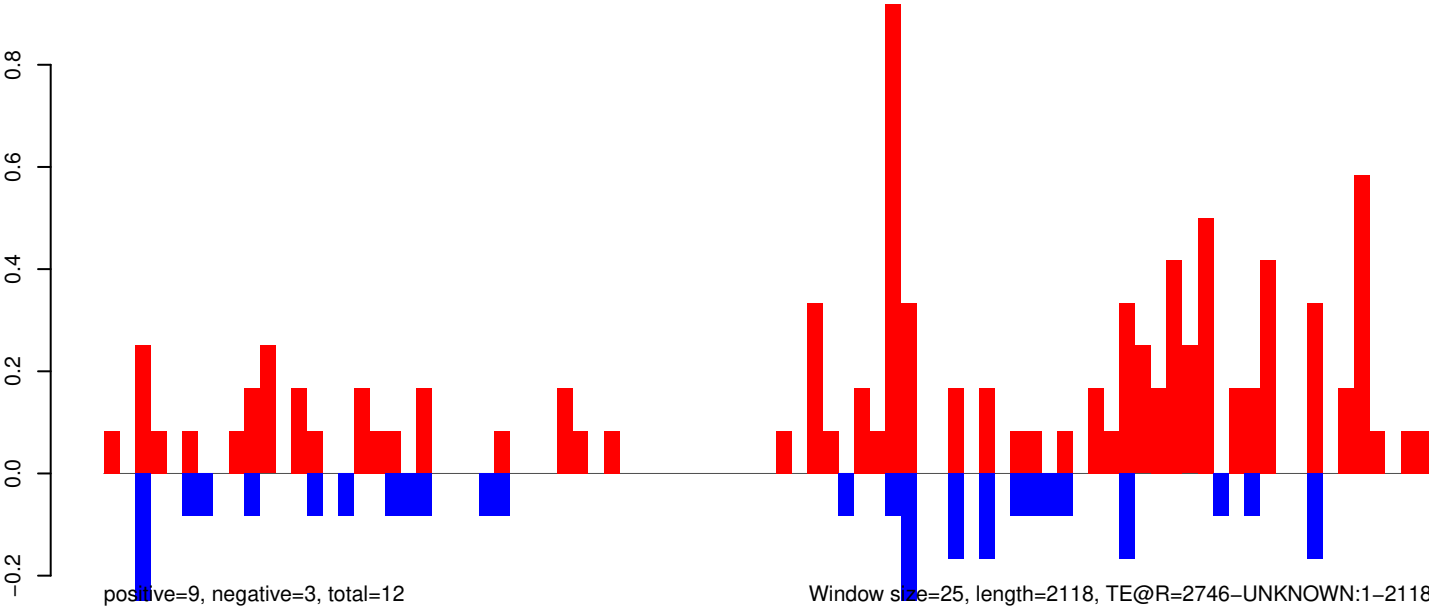
AeAeg_Aag2_Ago2_SINV_RA.18_23.rep



AeAeg_Aag2_Ago2_SINV_RA.24_35.rep

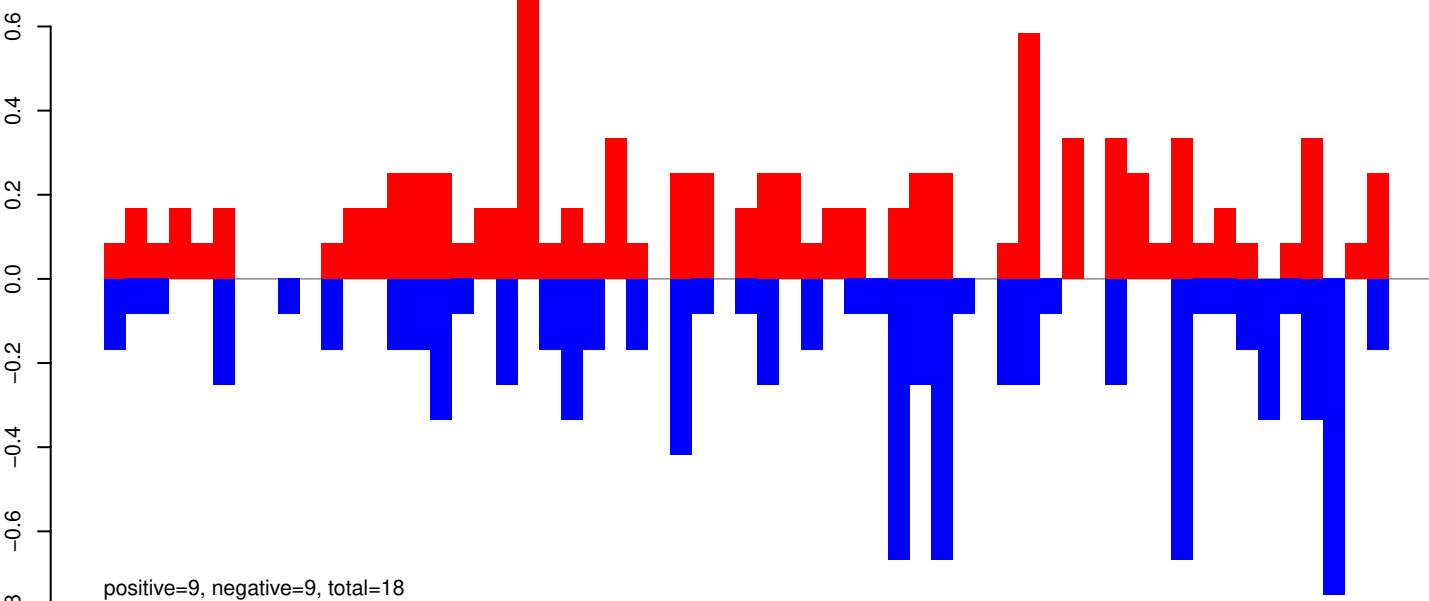


AeAeg_Aag2_Ago2_SINV_RA.rep

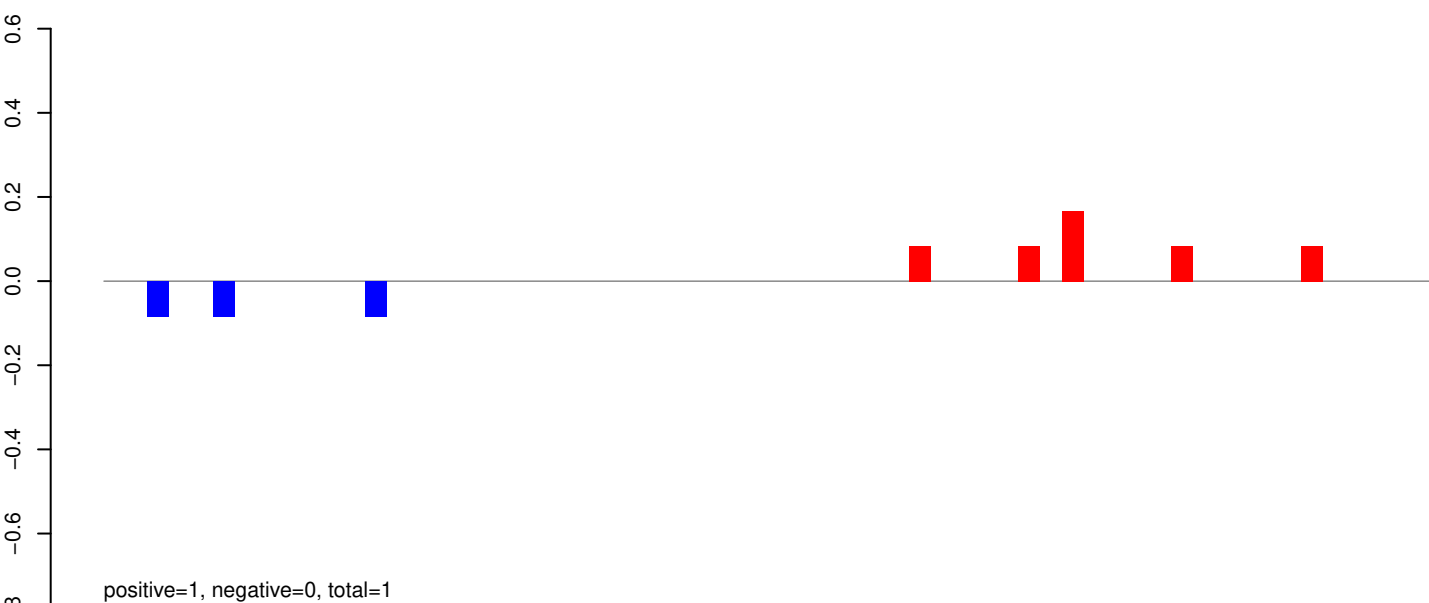


0 500 1000 1500 2000

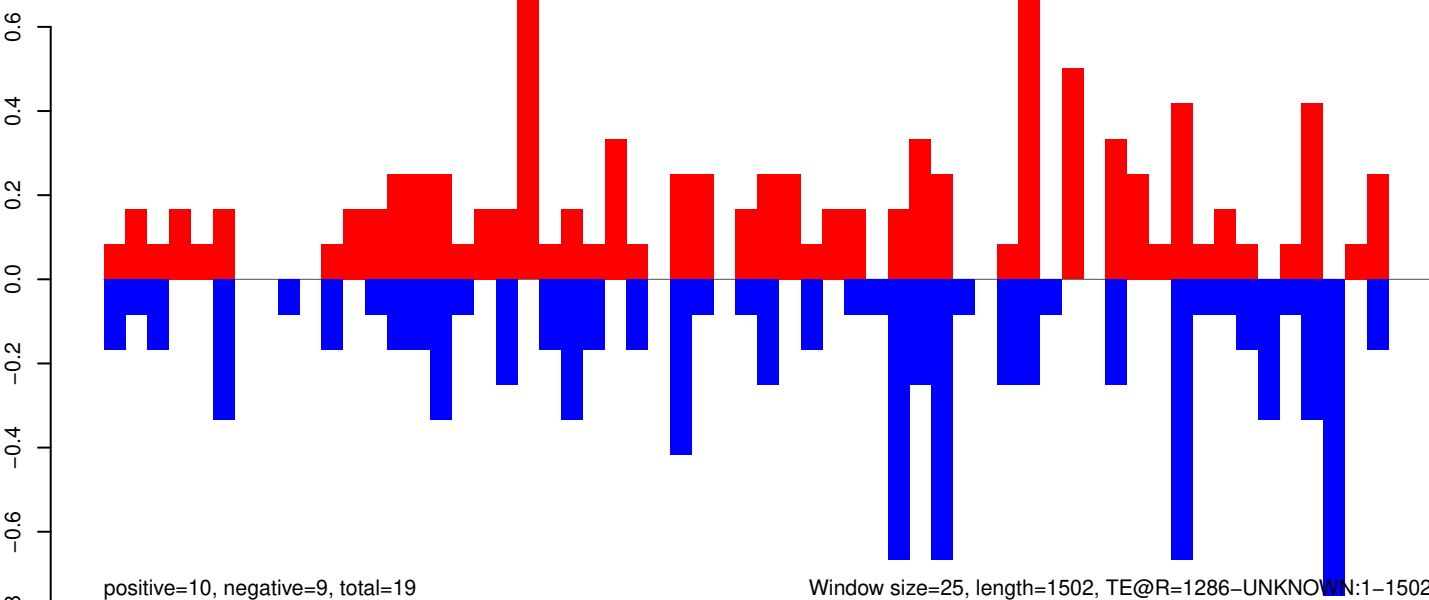
AeAeg_Aag2_Ago2_SINV_RA.18_23.rep



AeAeg_Aag2_Ago2_SINV_RA.24_35.rep

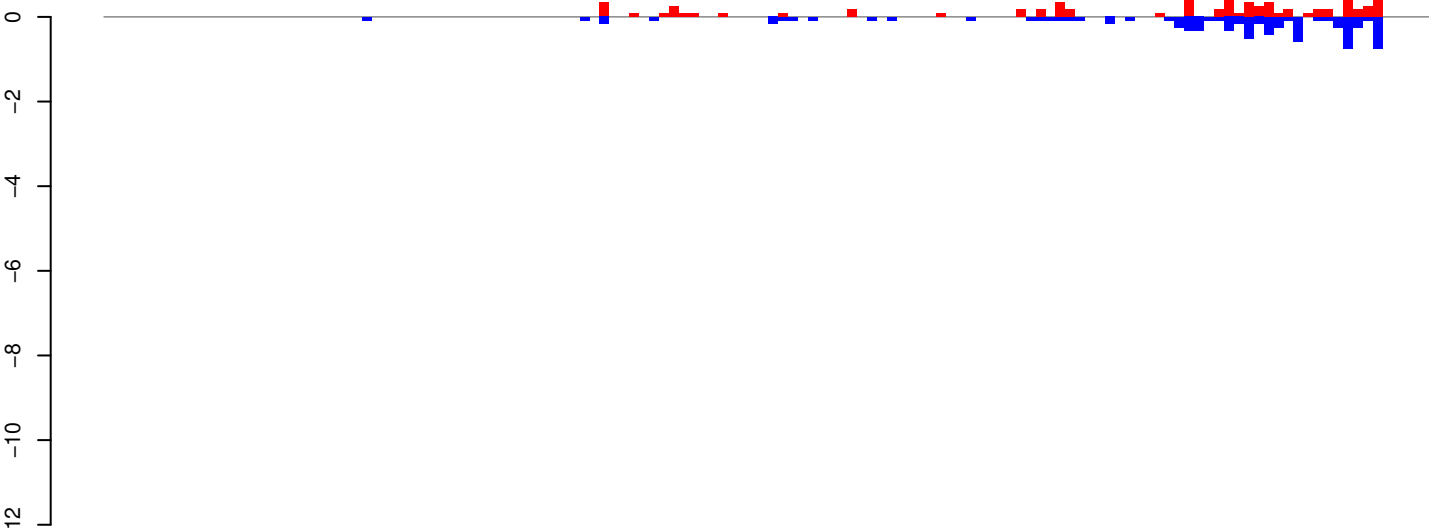


AeAeg_Aag2_Ago2_SINV_RA.rep



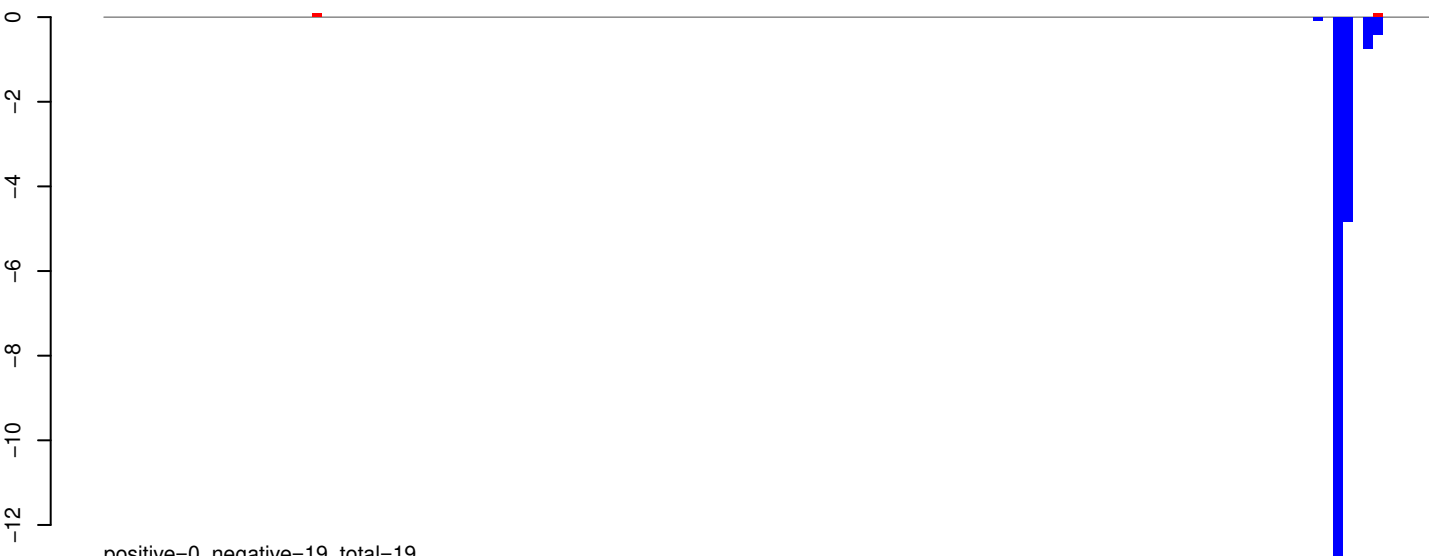
Window size=25, length=1502, TE@R=1286-UNKNOWN:1-1502

AeAeg_Aag2_Ago2_SINV_RA.18_23.rep



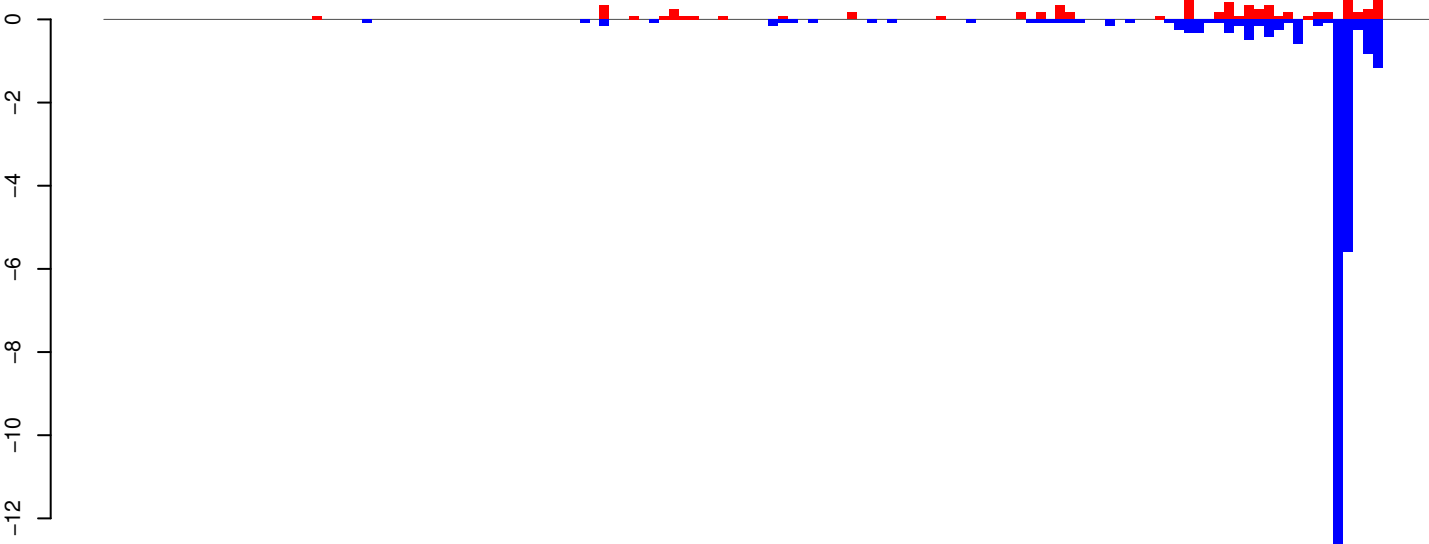
positive=8, negative=8, total=15

AeAeg_Aag2_Ago2_SINV_RA.24_35.rep



positive=0, negative=19, total=19

AeAeg_Aag2_Ago2_SINV_RA.rep

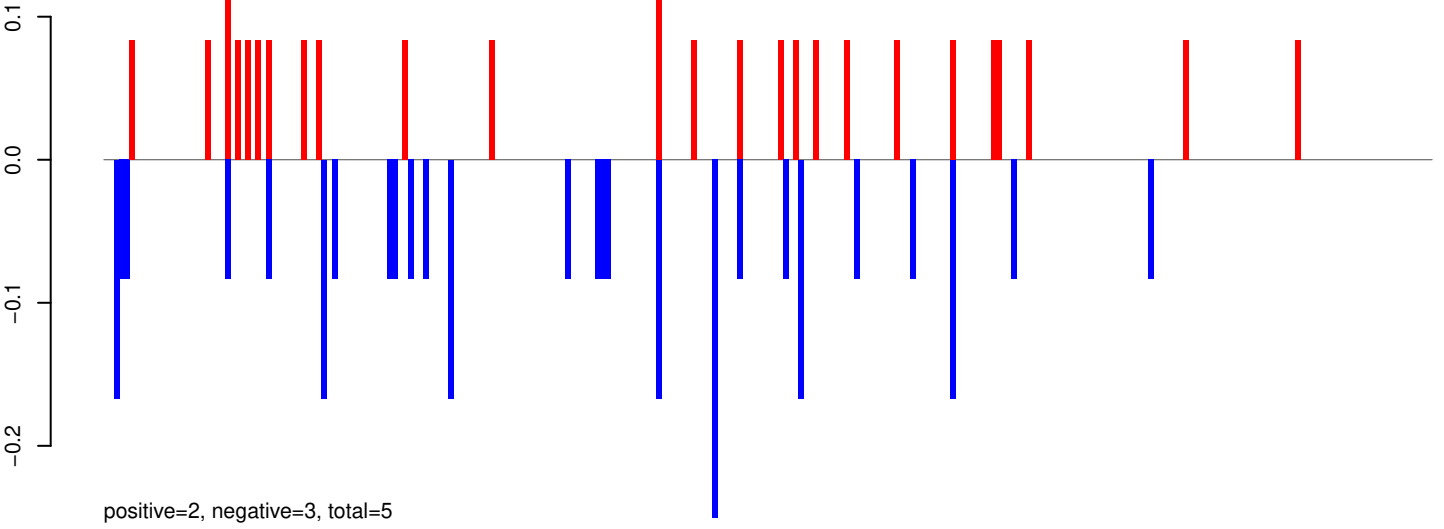


positive=8, negative=27, total=35

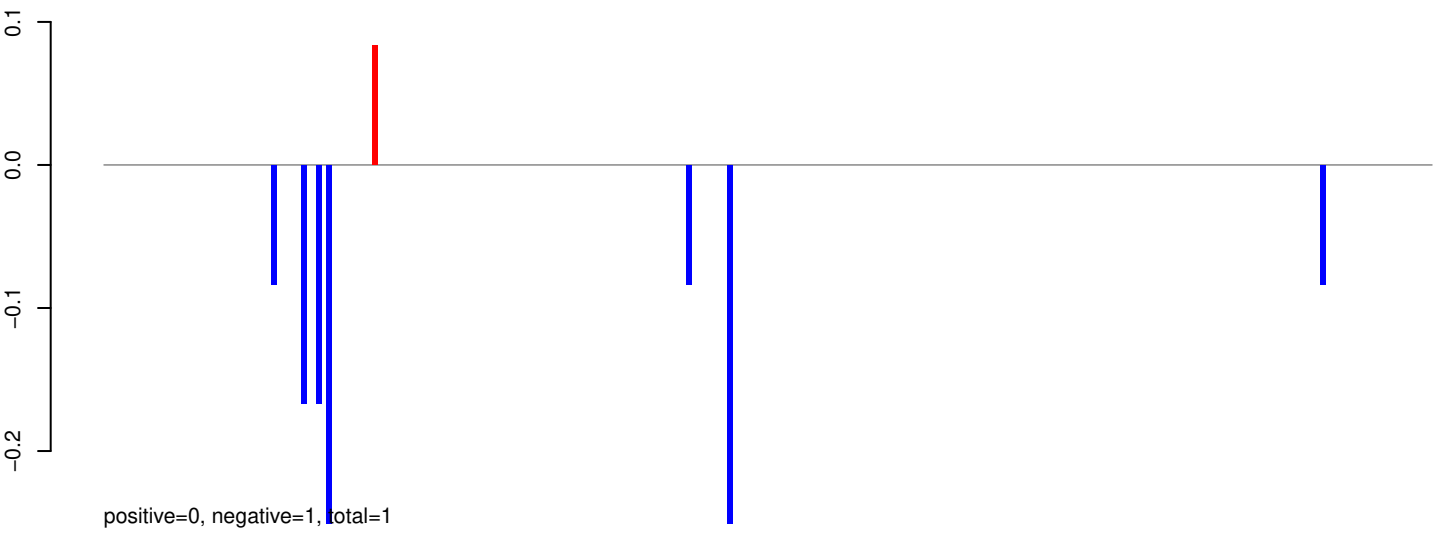
Window size=25, length=3346, TE@Penelope-5_AAg:1-3346

0 500 1000 1500 2000 2500 3000 3500

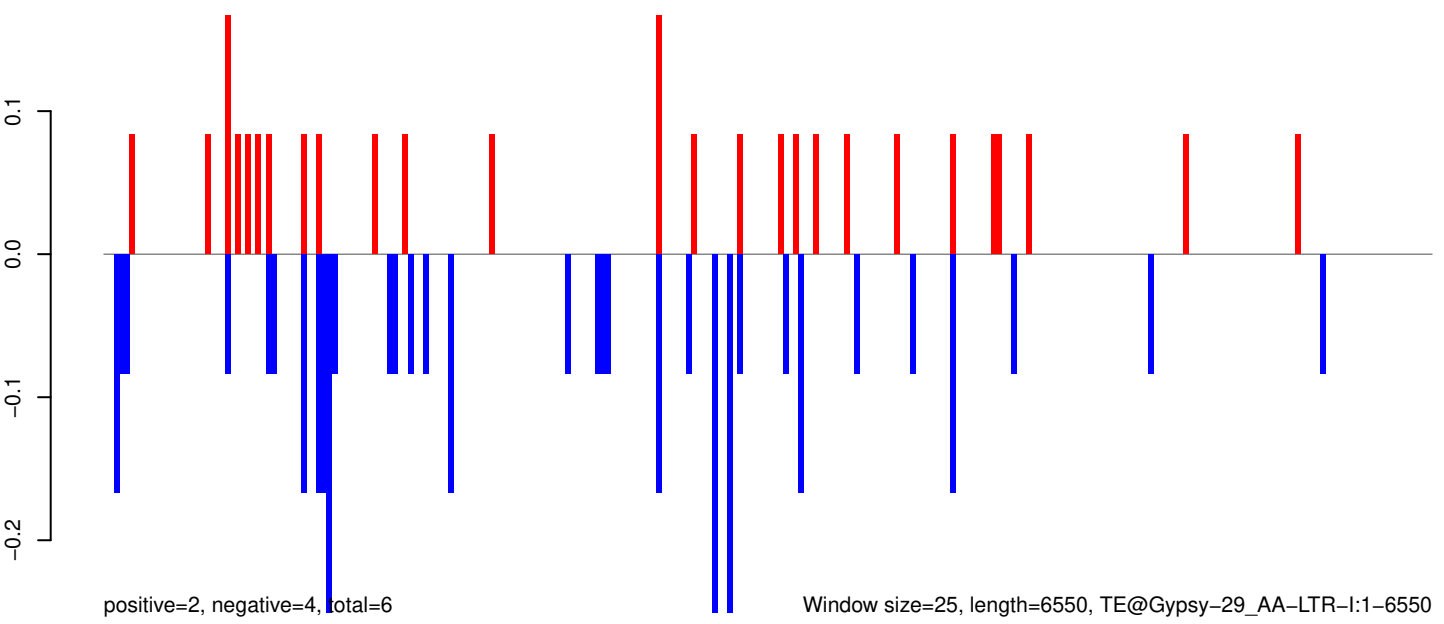
AeAeg_Aag2_Ago2_SINV_RA.18_23.rep



AeAeg_Aag2_Ago2_SINV_RA.24_35.rep

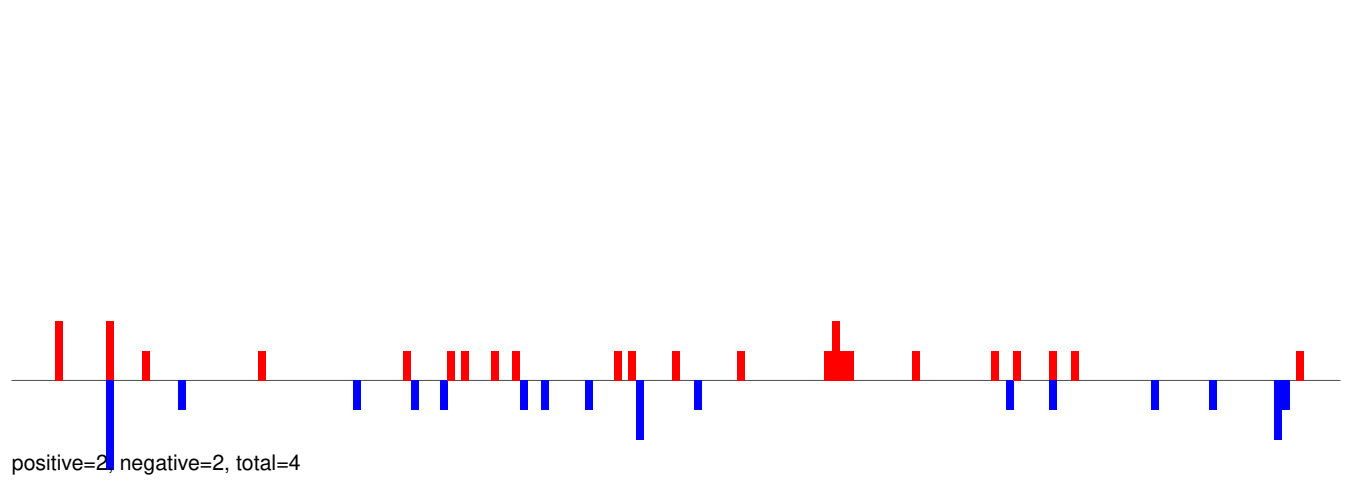


AeAeg_Aag2_Ago2_SINV_RA.rep

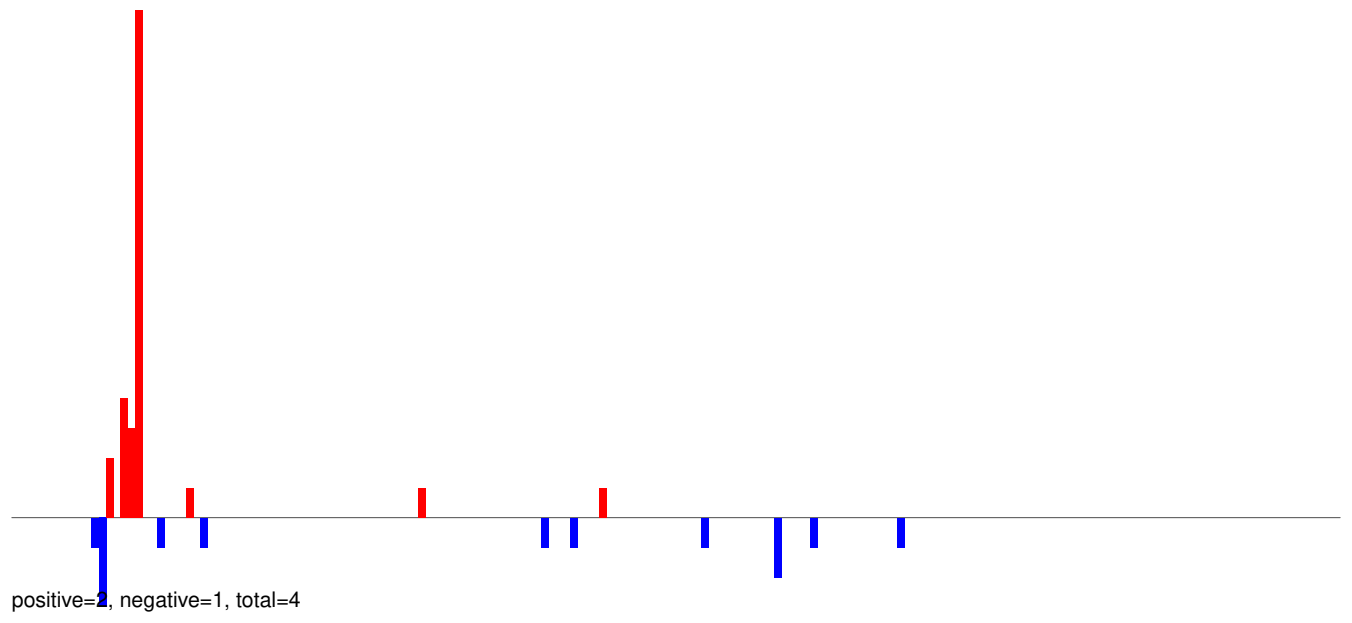


0 1000 2000 3000 4000 5000 6000

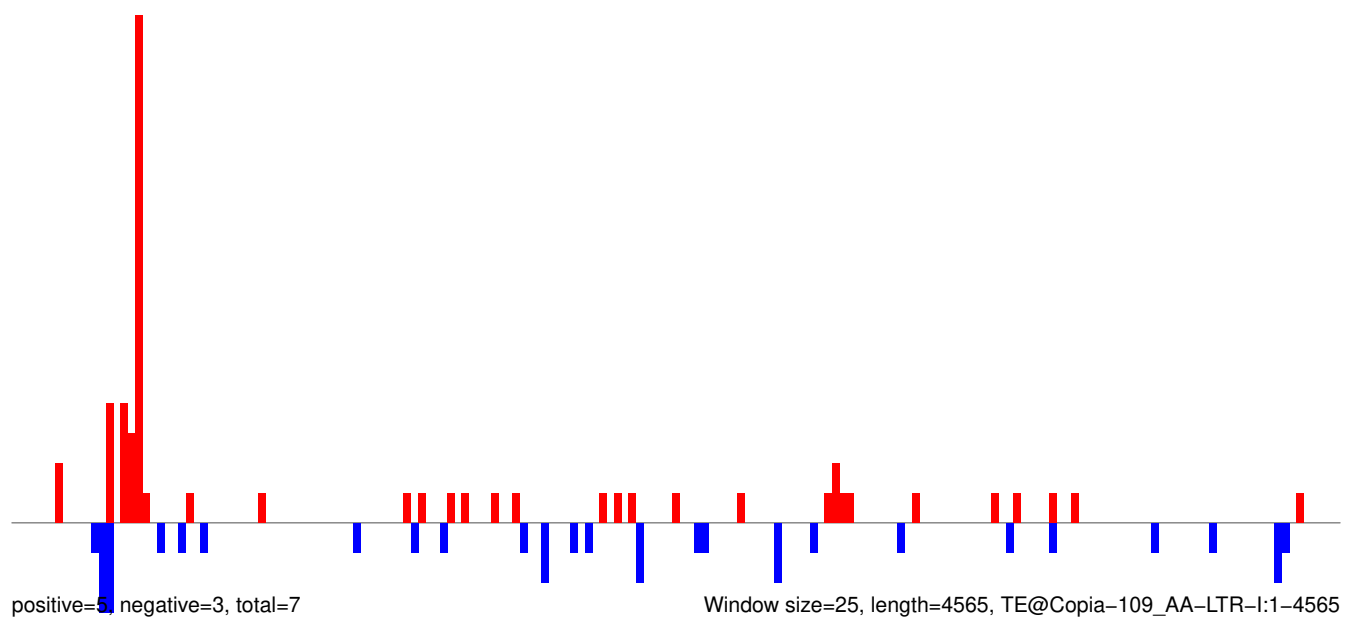
AeAeg_Aag2_Ago2_SINV_RA.18_23.rep



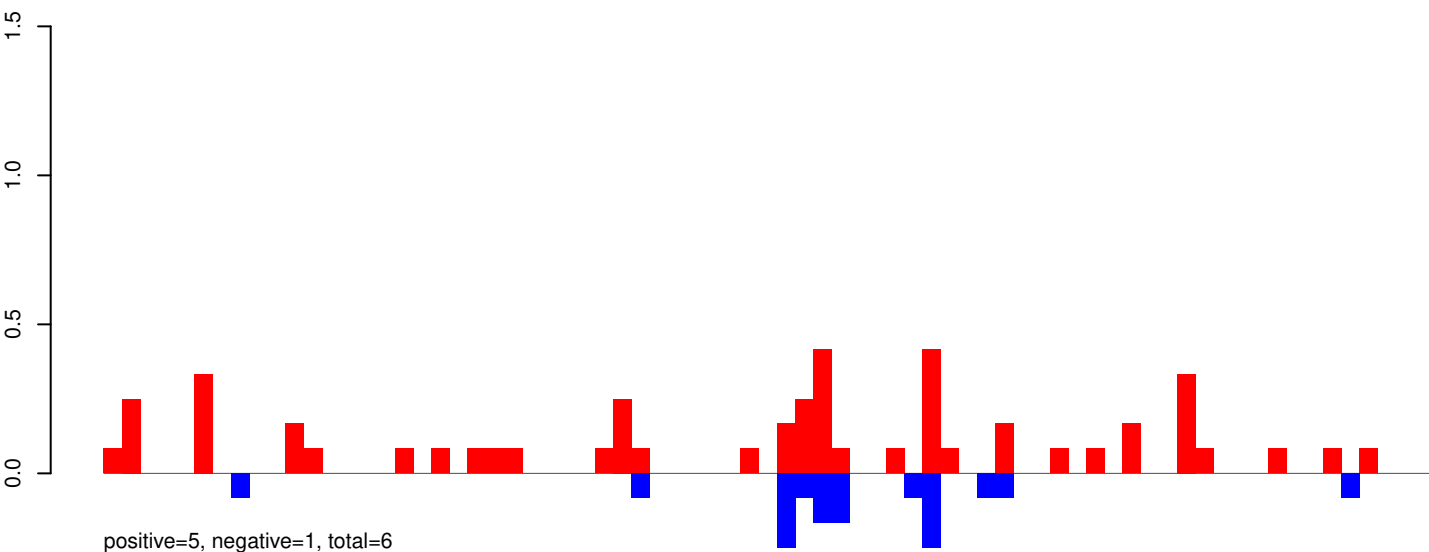
AeAeg_Aag2_Ago2_SINV_RA.24_35.rep



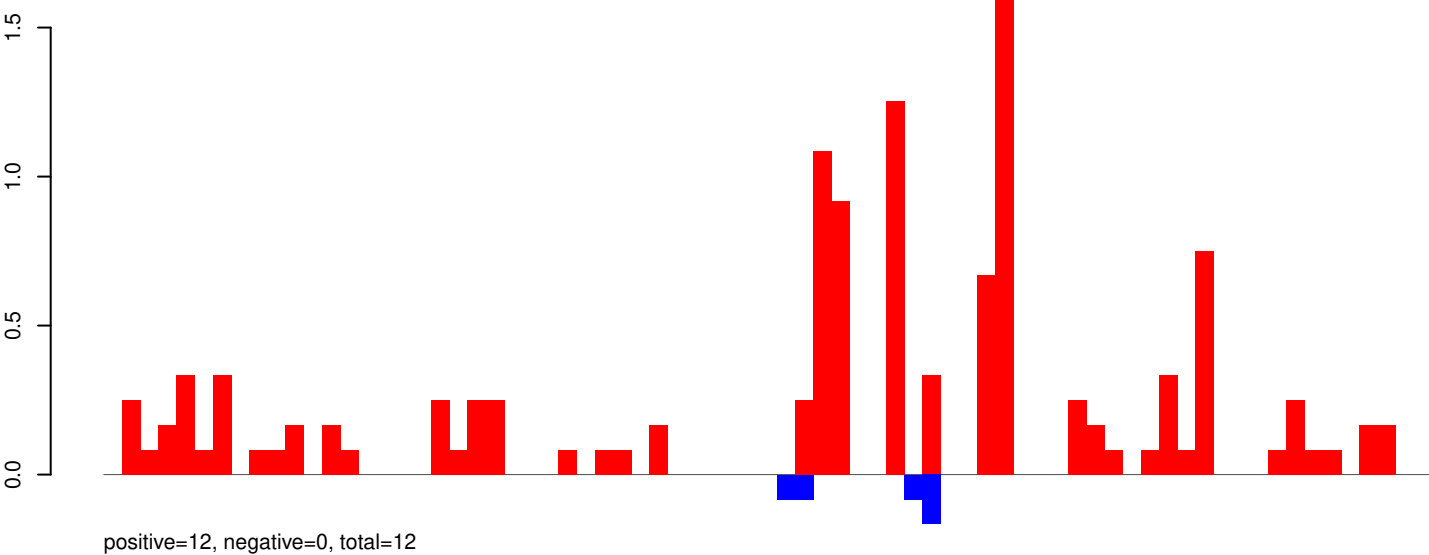
AeAeg_Aag2_Ago2_SINV_RA.rep



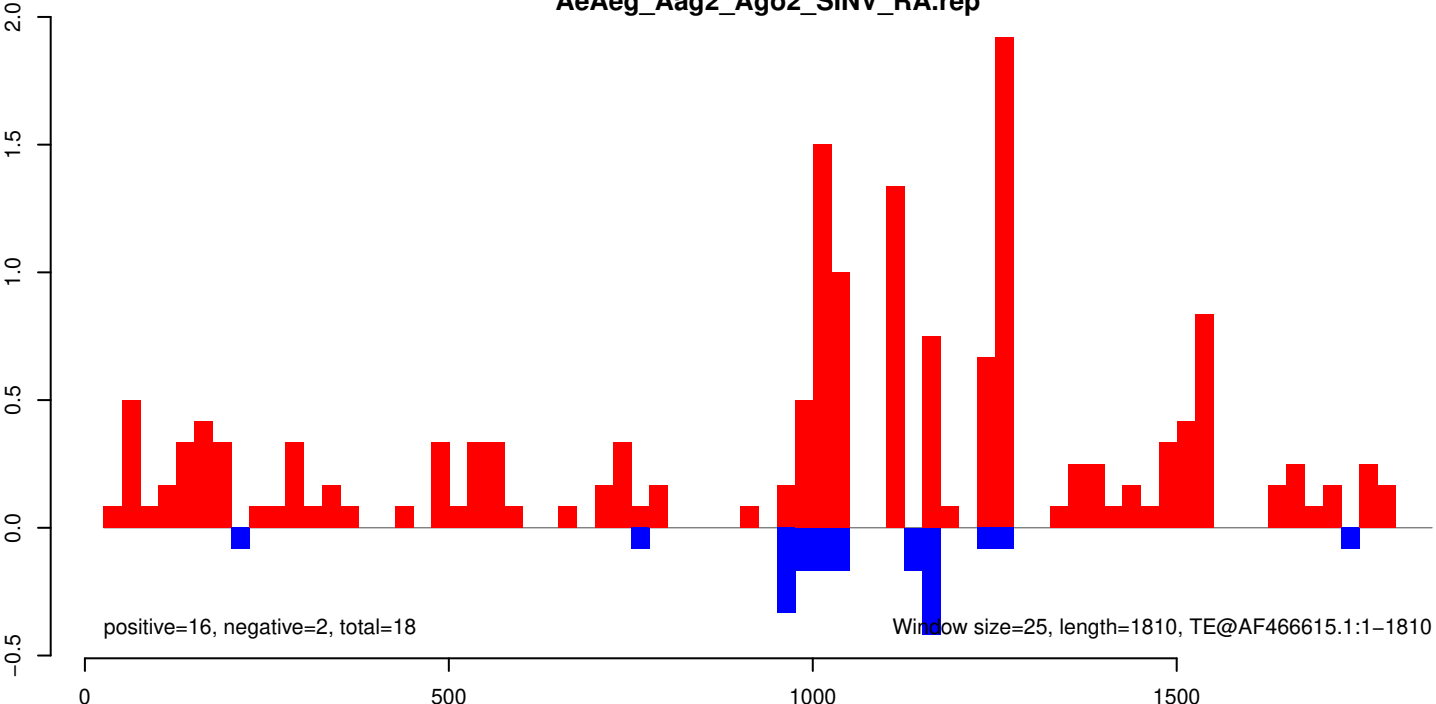
AeAeg_Aag2_Ago2_SINV_RA.18_23.rep



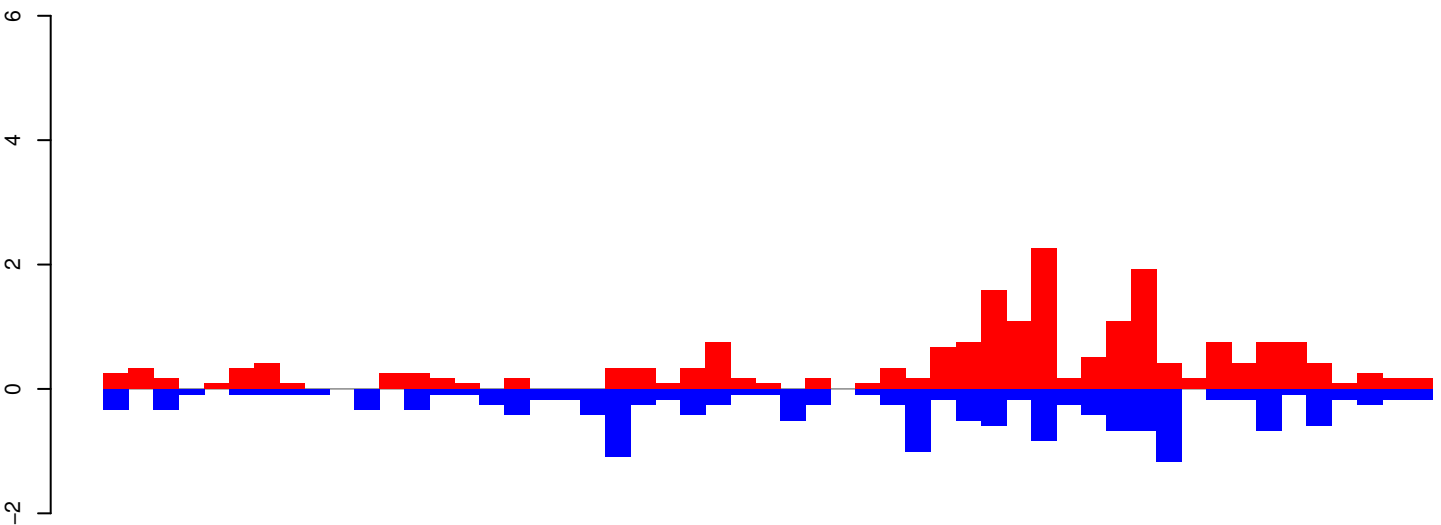
AeAeg_Aag2_Ago2_SINV_RA.24_35.rep



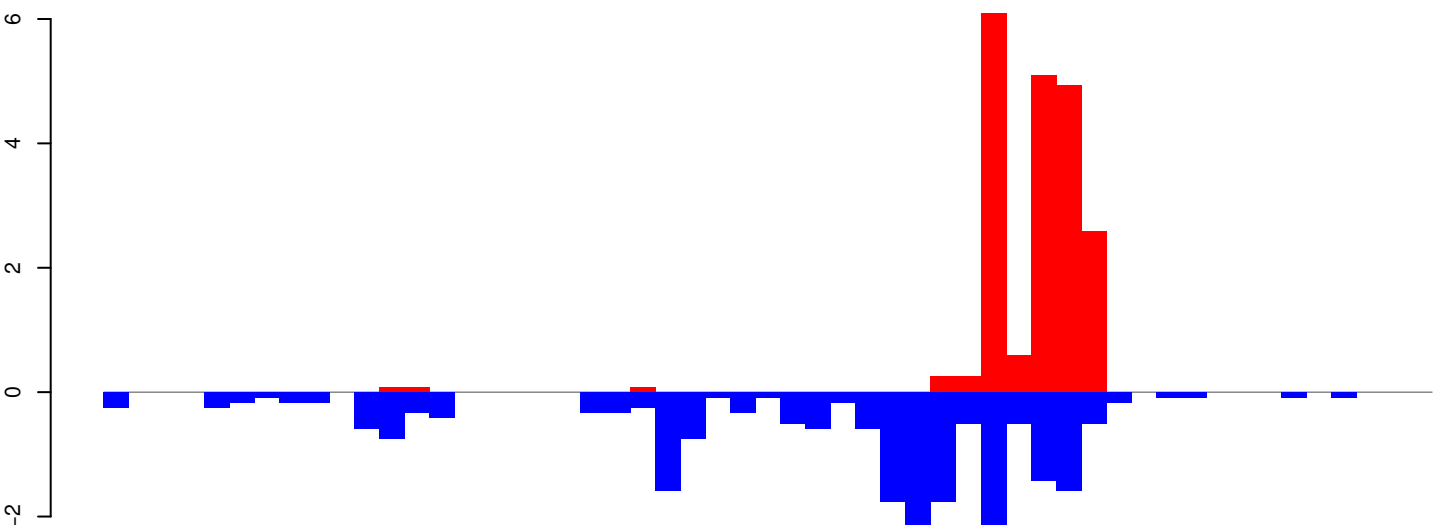
AeAeg_Aag2_Ago2_SINV_RA.rep



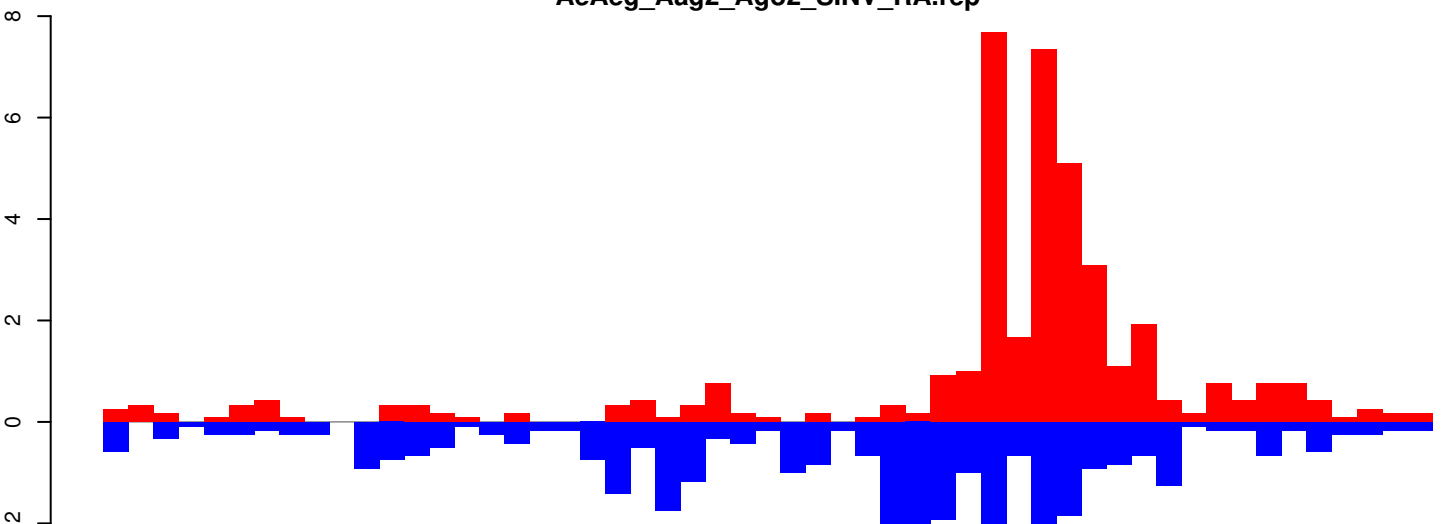
AeAeg_Aag2_Ago2_SINV_RA.18_23.rep



AeAeg_Aag2_Ago2_SINV_RA.24_35.rep

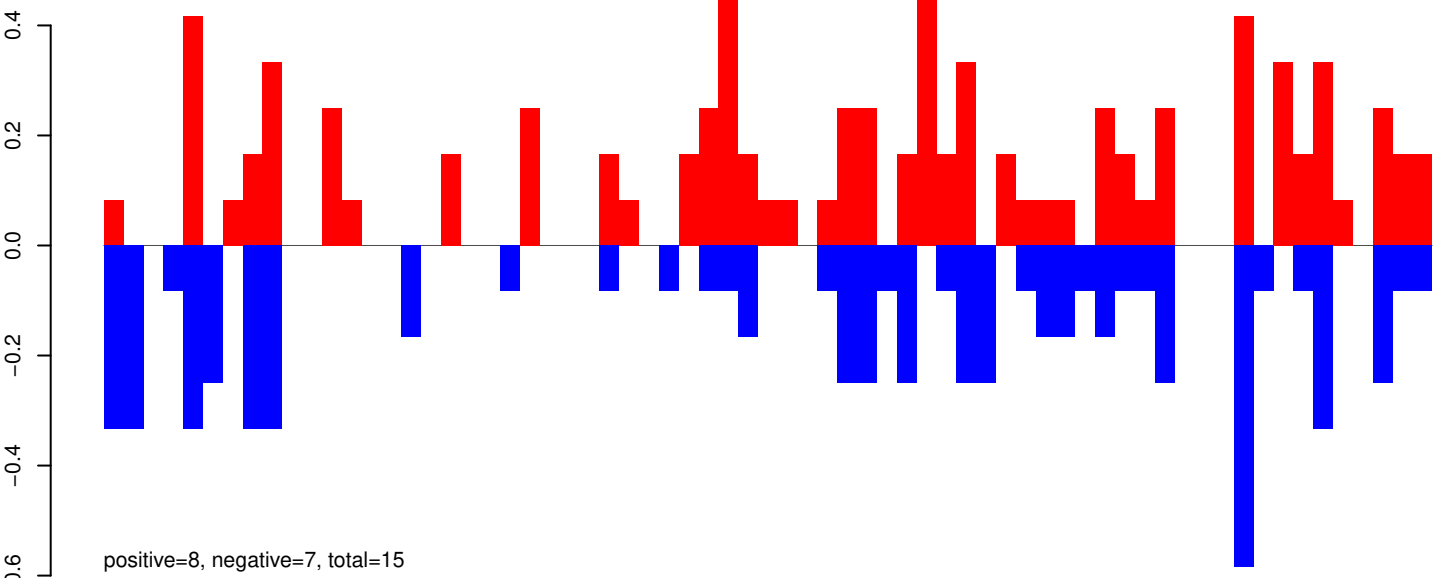


AeAeg_Aag2_Ago2_SINV_RA.rep

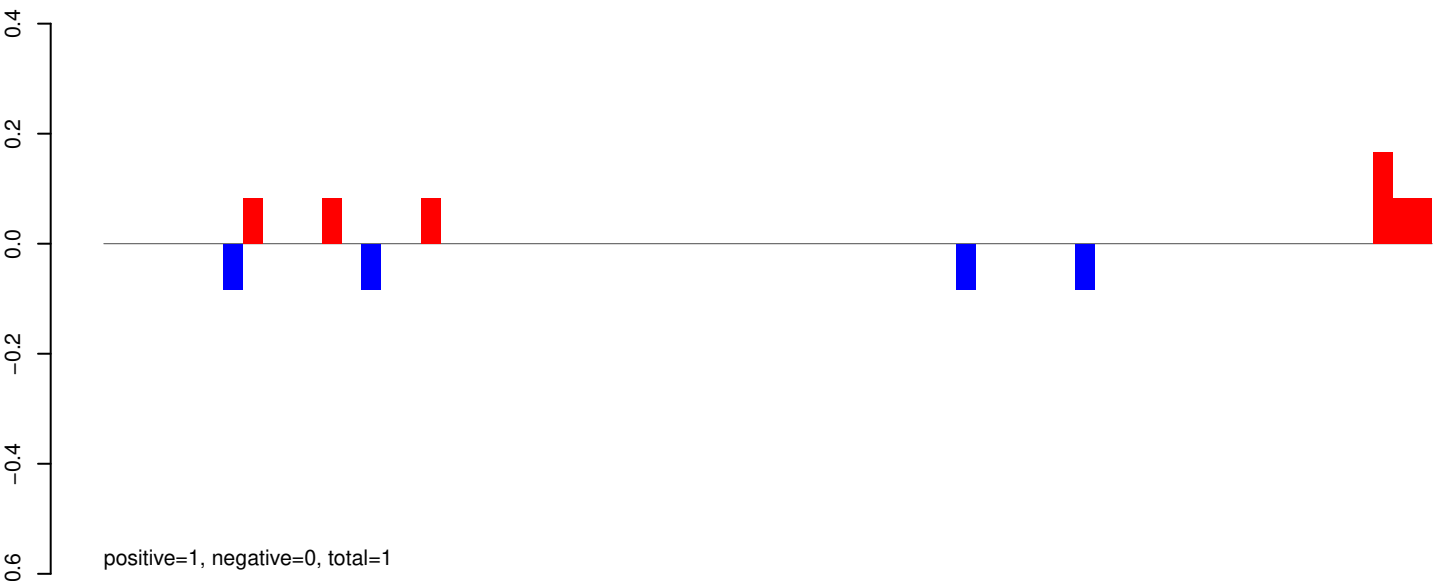


Window size=25, length=1317, TE@TF001315-UD_Ele4:1-1317

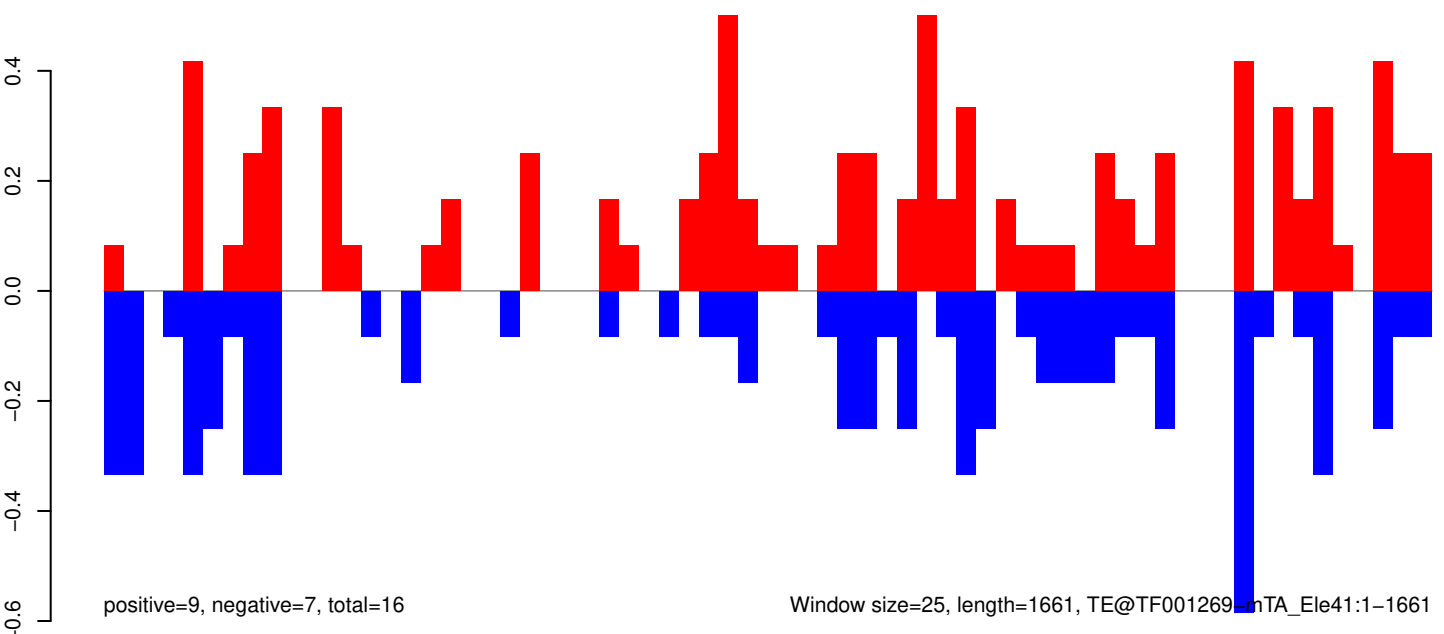
AeAeg_Aag2_Ago2_SINV_RA.18_23.rep



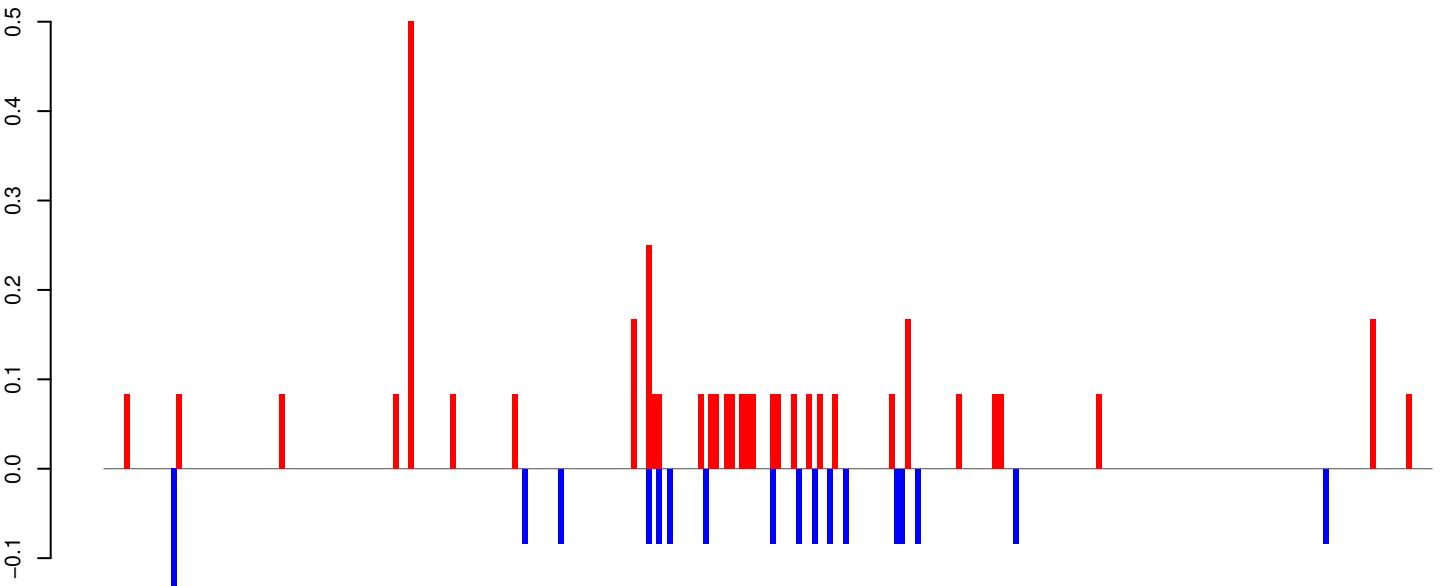
AeAeg_Aag2_Ago2_SINV_RA.24_35.rep



AeAeg_Aag2_Ago2_SINV_RA.rep

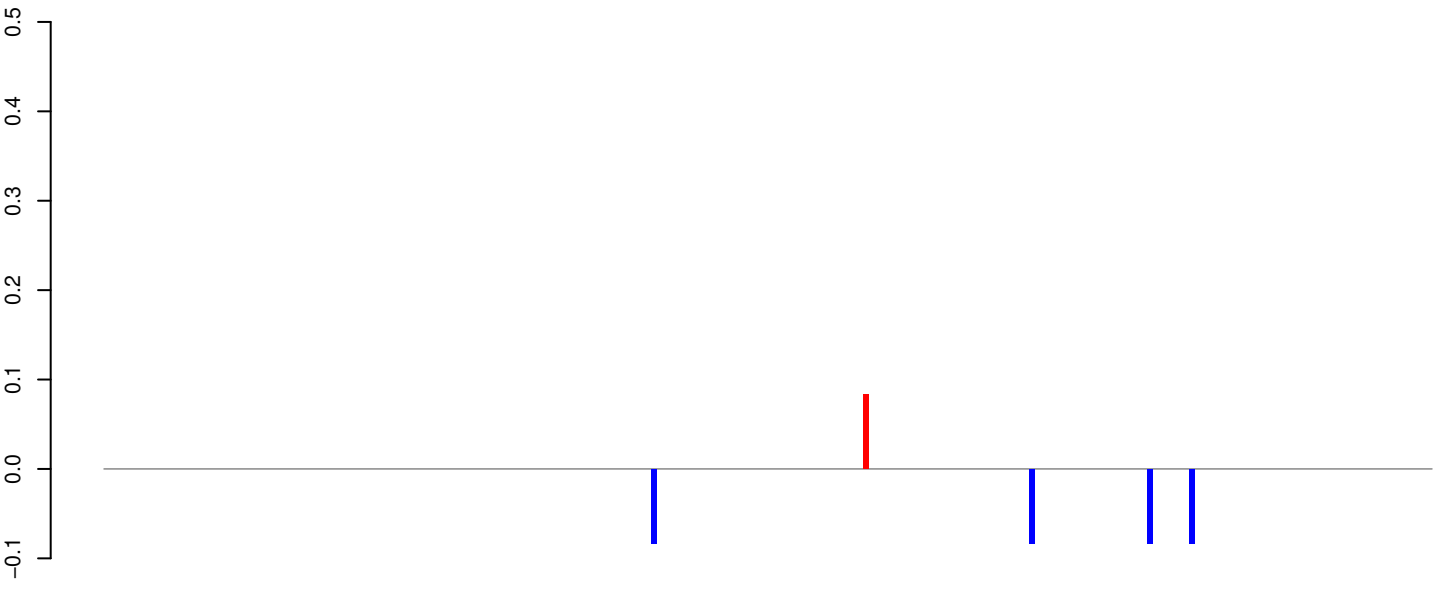


AeAeg_Aag2_Ago2_SINV_RA.18_23.rep



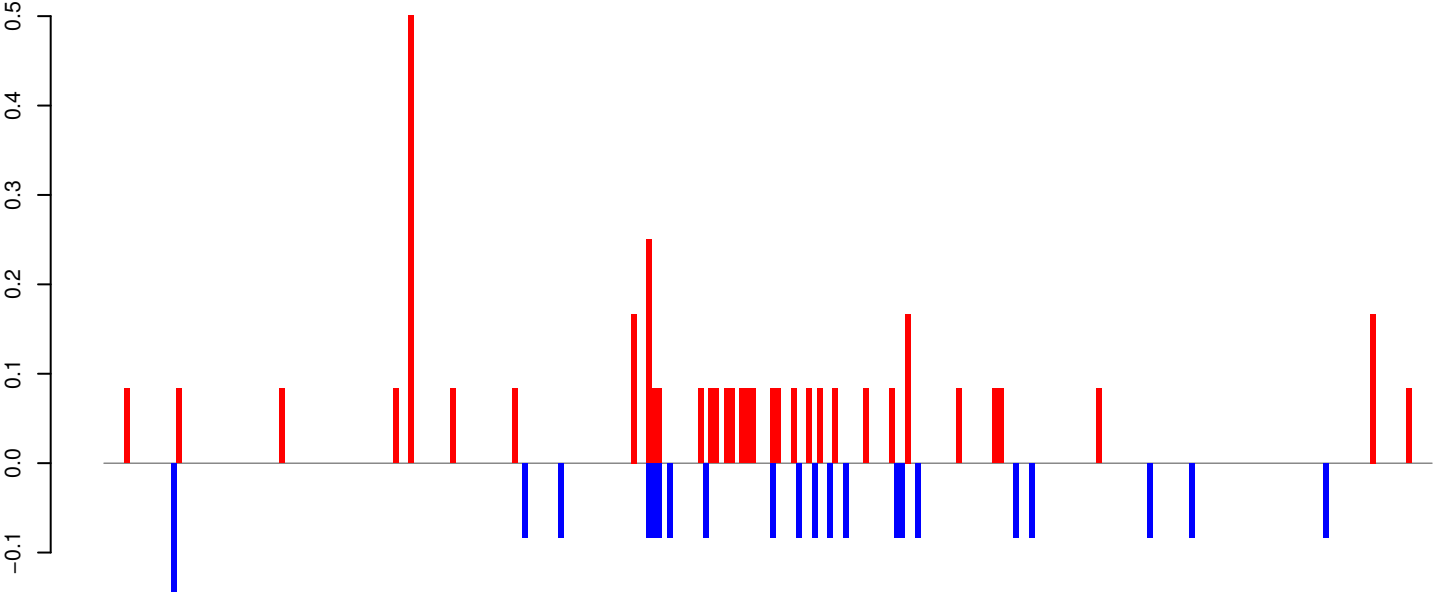
positive=4, negative=2, total=5

AeAeg_Aag2_Ago2_SINV_RA.24_35.rep



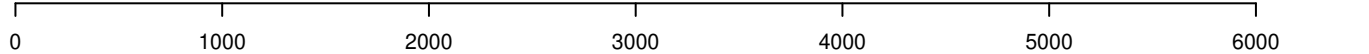
positive=0, negative=0, total=0

AeAeg_Aag2_Ago2_SINV_RA.rep

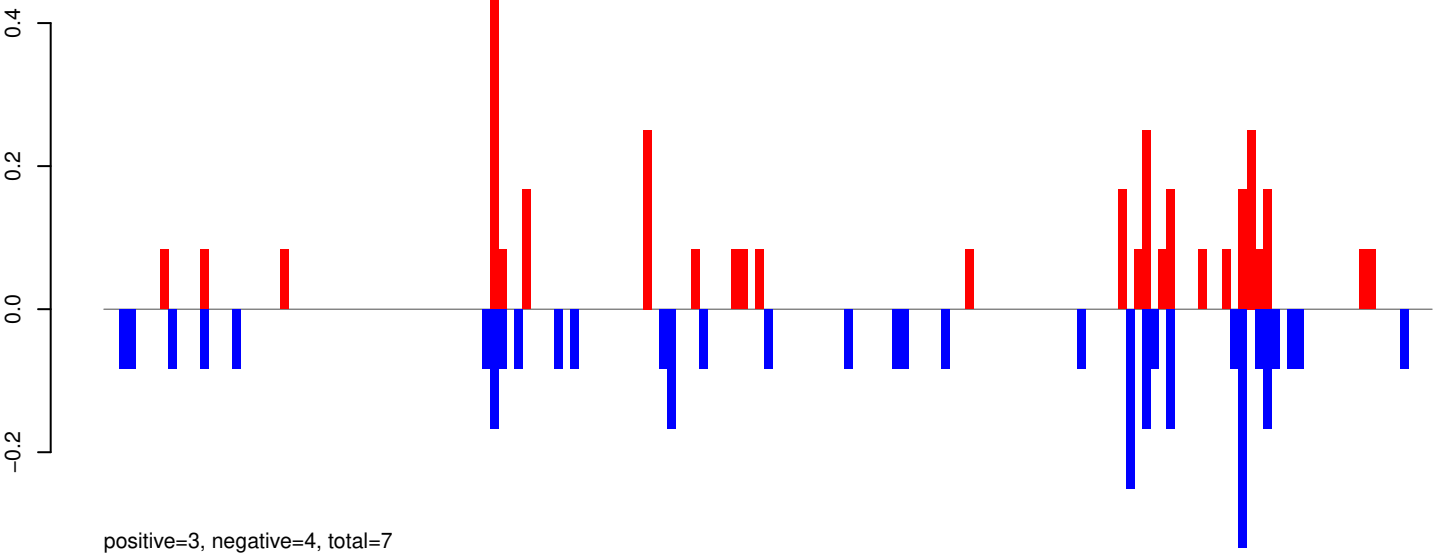


positive=4, negative=2, total=6

Window size=25, length=6424, TE@TF001049-Ty1_copia_Ele215:1-6424



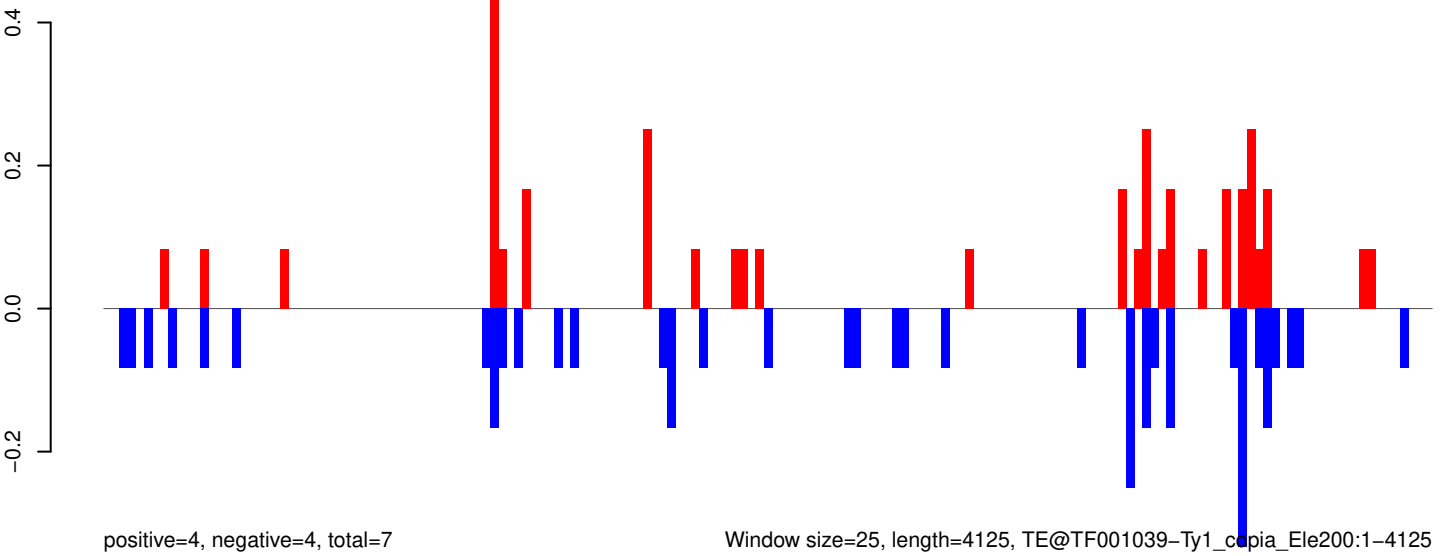
AeAeg_Aag2_Ago2_SINV_RA.18_23.rep



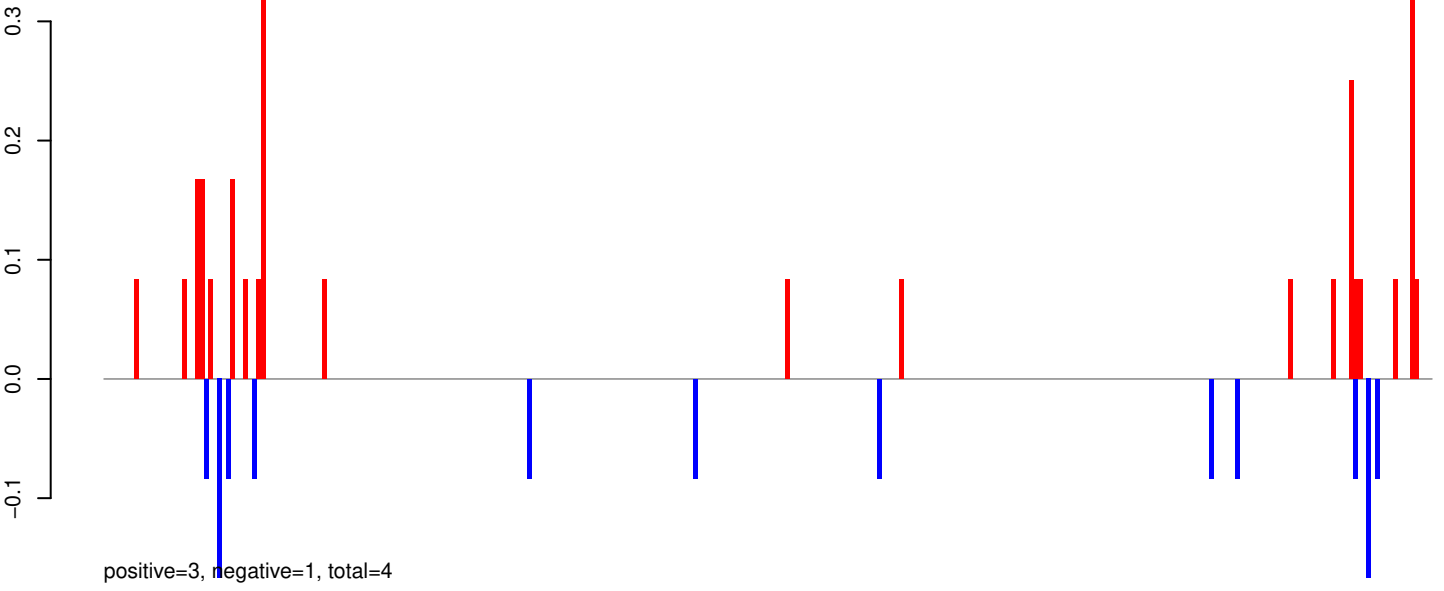
AeAeg_Aag2_Ago2_SINV_RA.24_35.rep



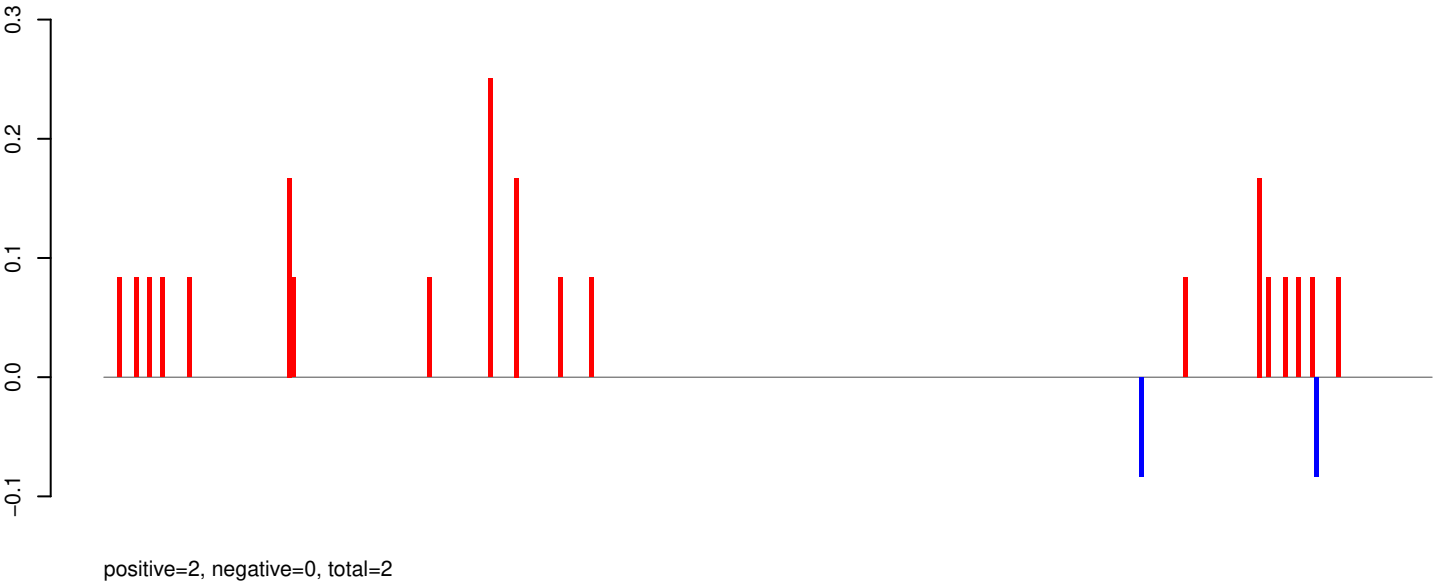
AeAeg_Aag2_Ago2_SINV_RA.rep



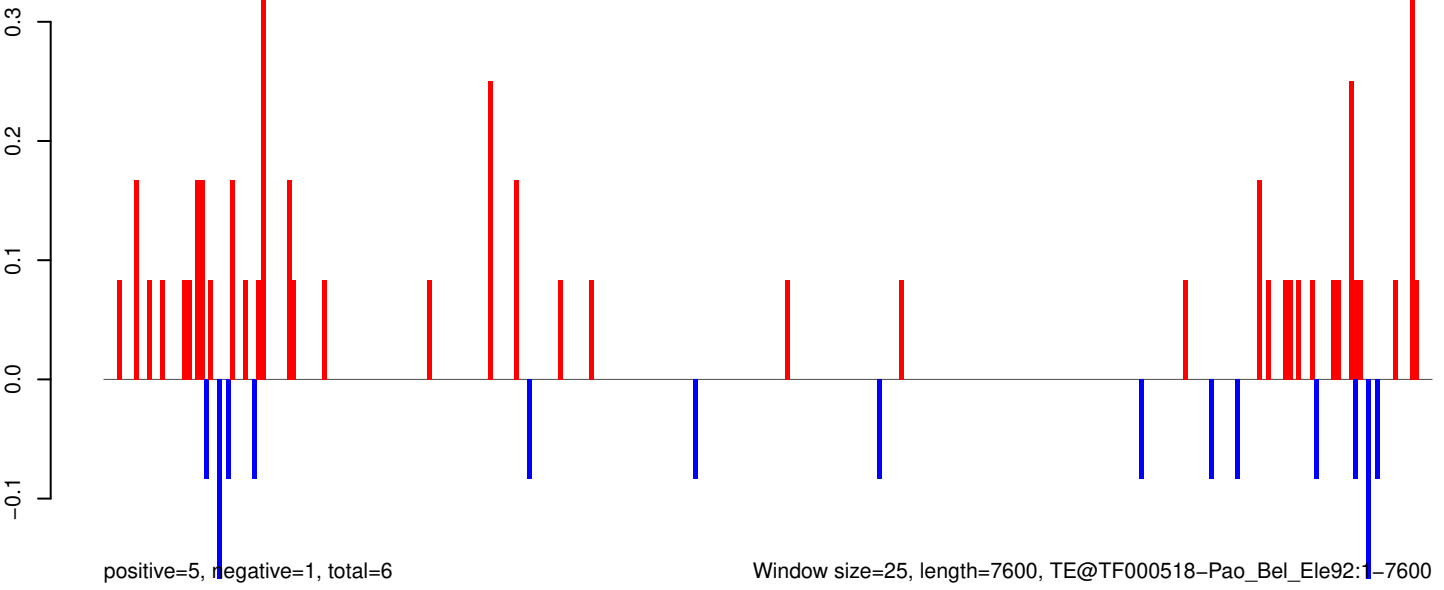
AeAeg_Aag2_Ago2_SINV_RA.18_23.rep



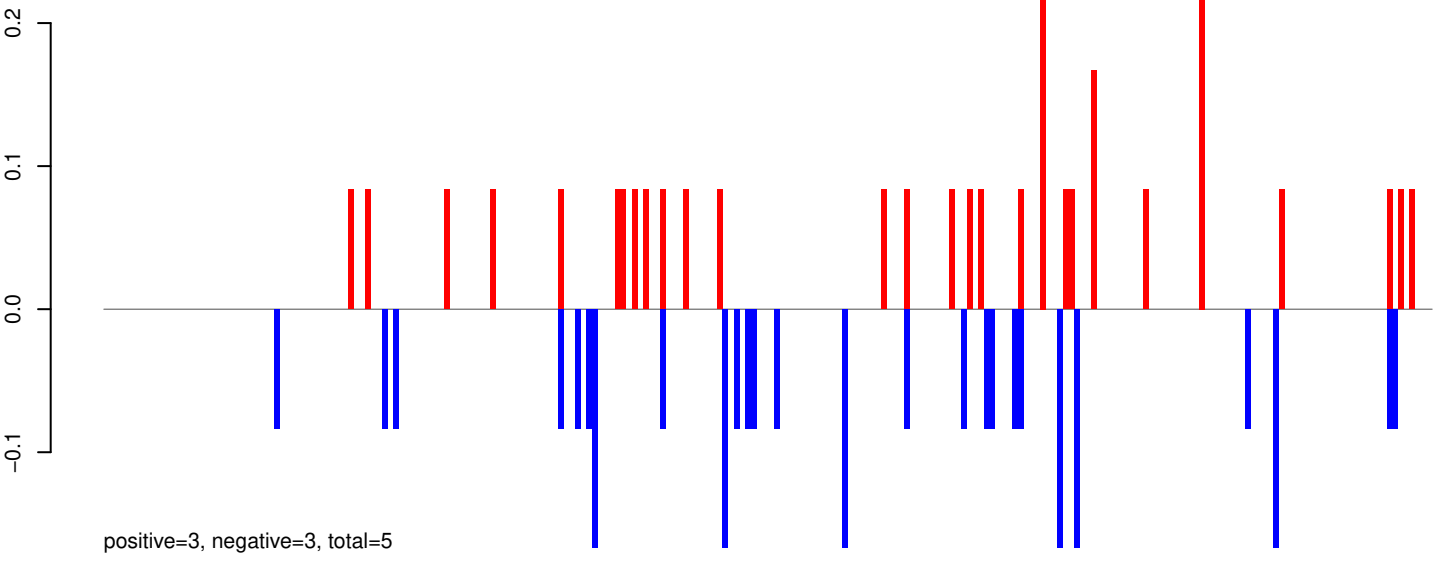
AeAeg_Aag2_Ago2_SINV_RA.24_35.rep



AeAeg_Aag2_Ago2_SINV_RA.rep



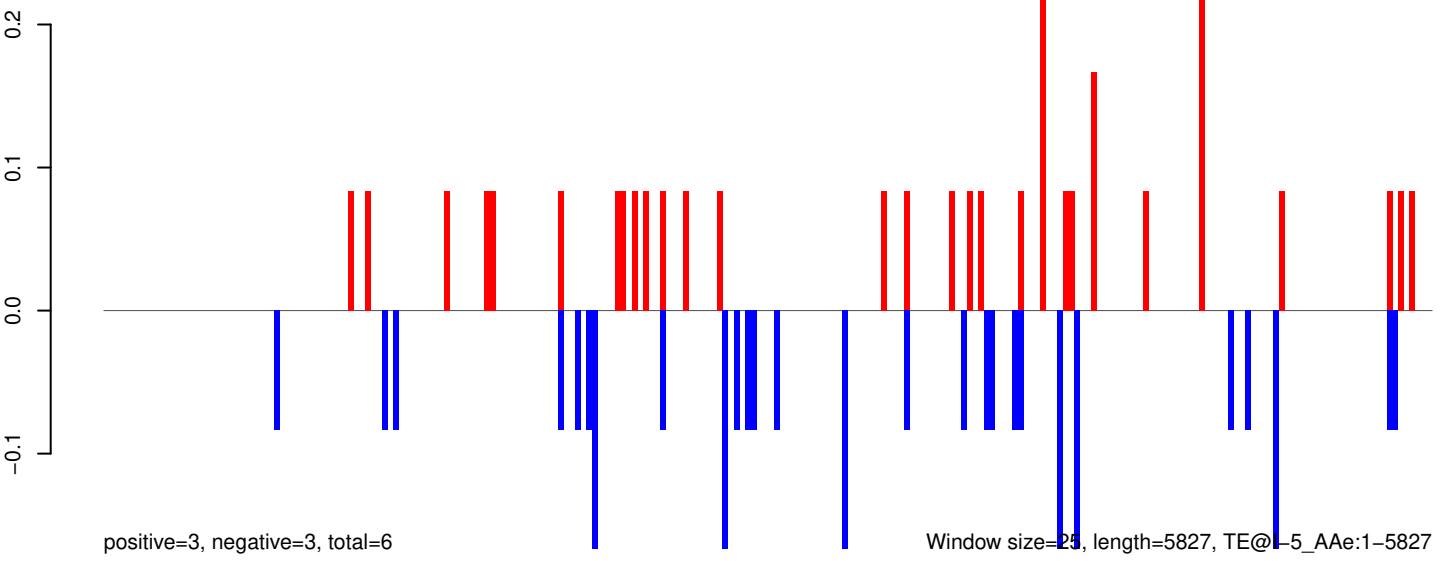
AeAeg_Aag2_Ago2_SINV_RA.18_23.rep



AeAeg_Aag2_Ago2_SINV_RA.24_35.rep

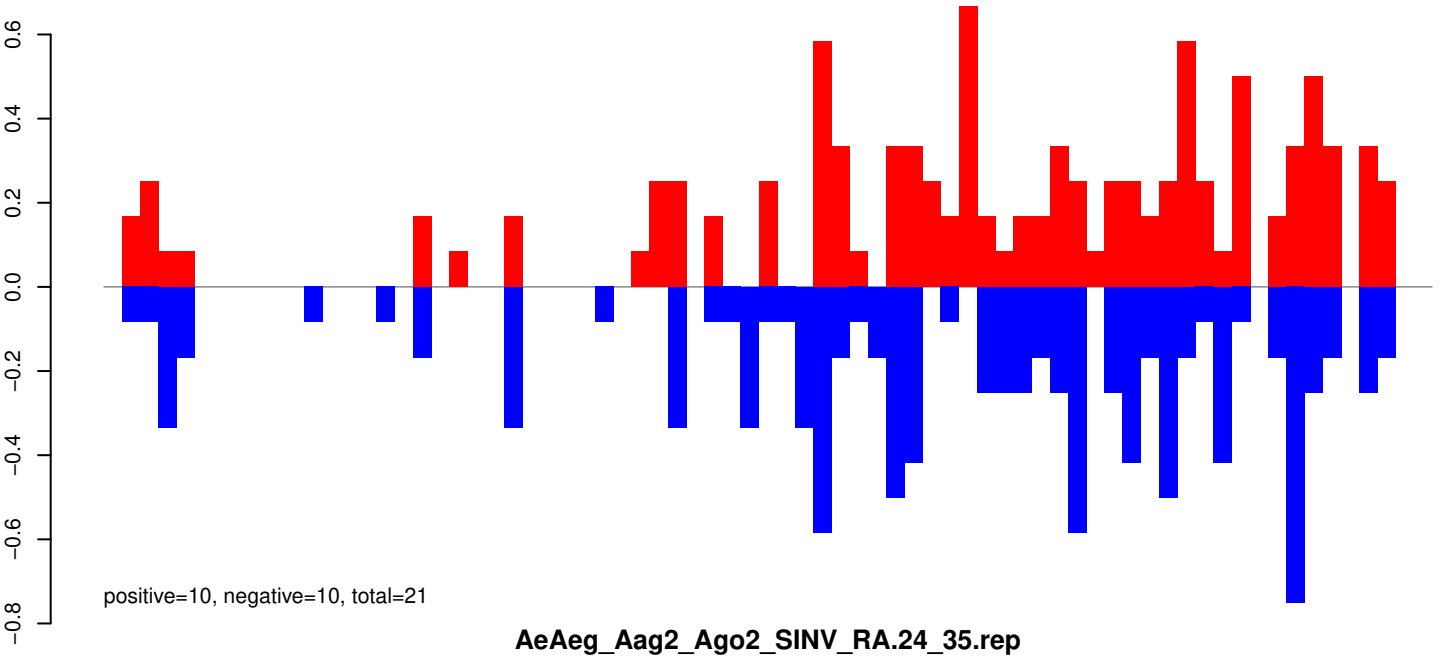


AeAeg_Aag2_Ago2_SINV_RA.rep

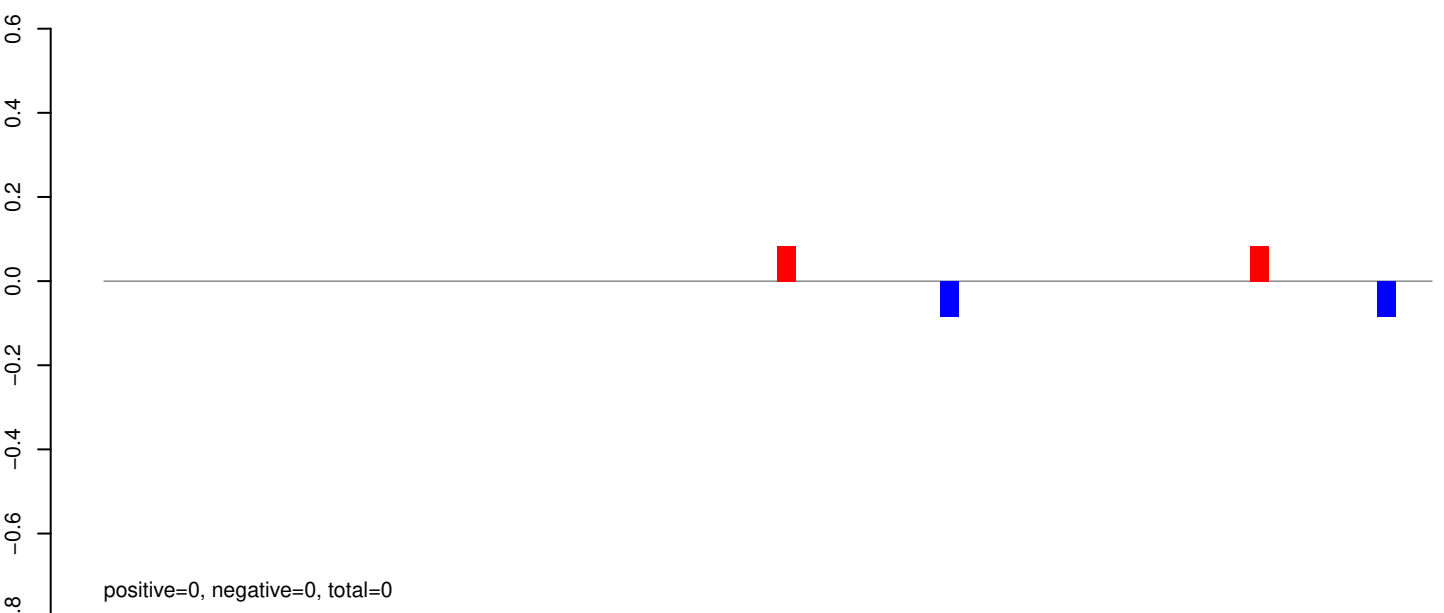


Window size=25, length=5827, TE@1-5_Ae:1-5827

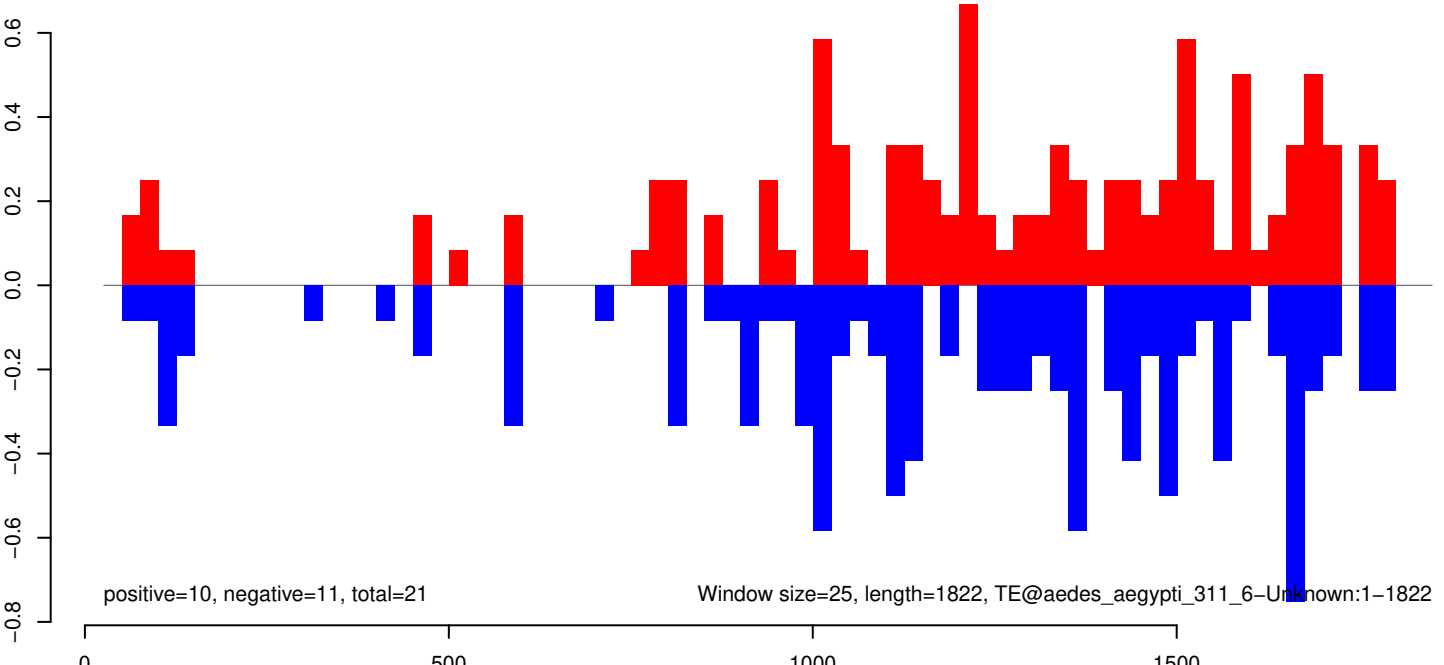
AeAeg_Aag2_Ago2_SINV_RA.18_23.rep



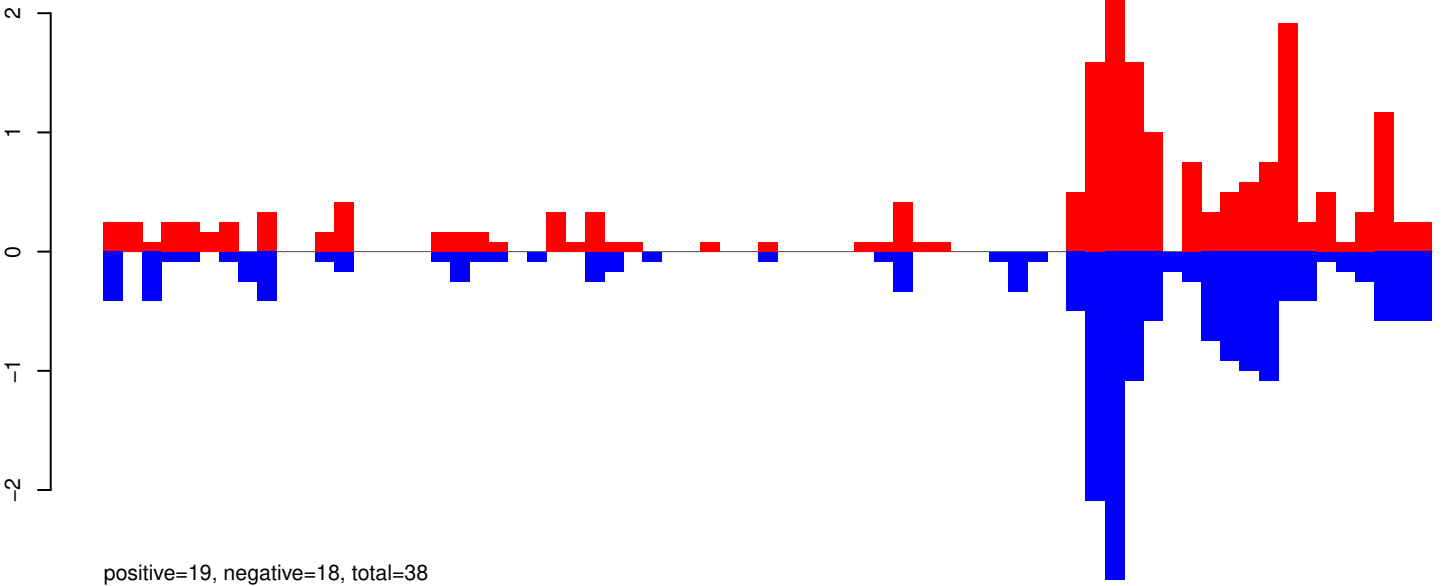
AeAeg_Aag2_Ago2_SINV_RA.24_35.rep



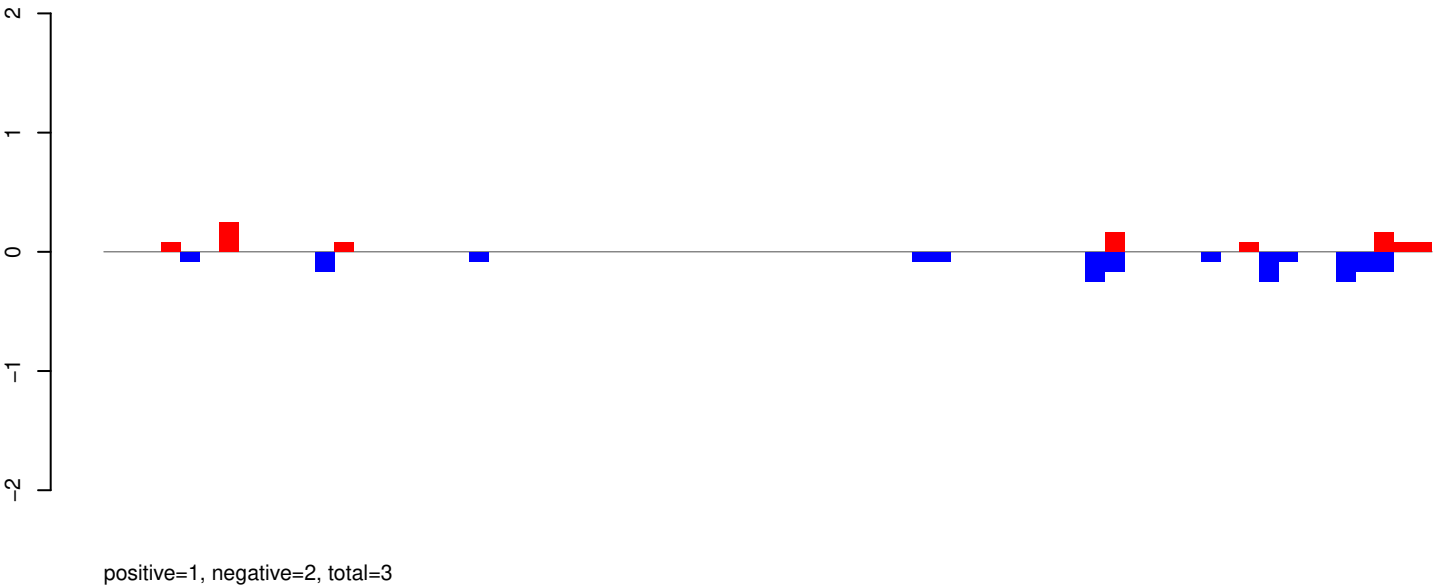
AeAeg_Aag2_Ago2_SINV_RA.rep



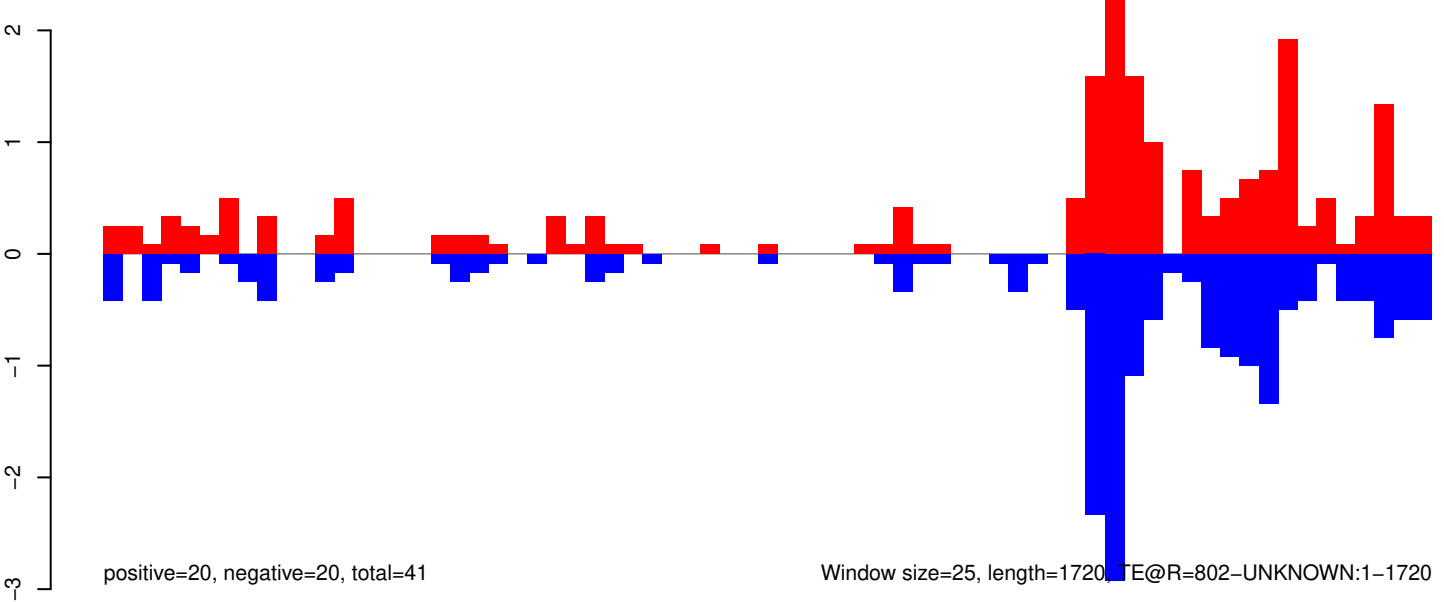
AeAeg_Aag2_Ago2_SINV_RA.18_23.rep



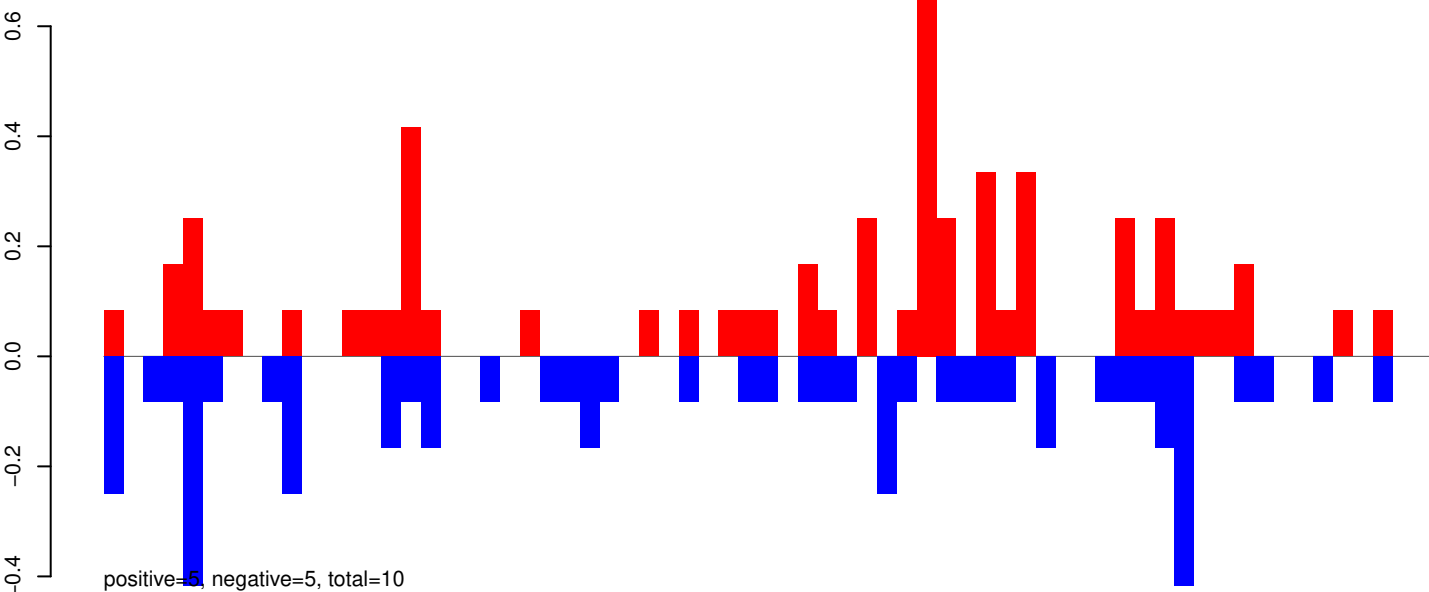
AeAeg_Aag2_Ago2_SINV_RA.24_35.rep



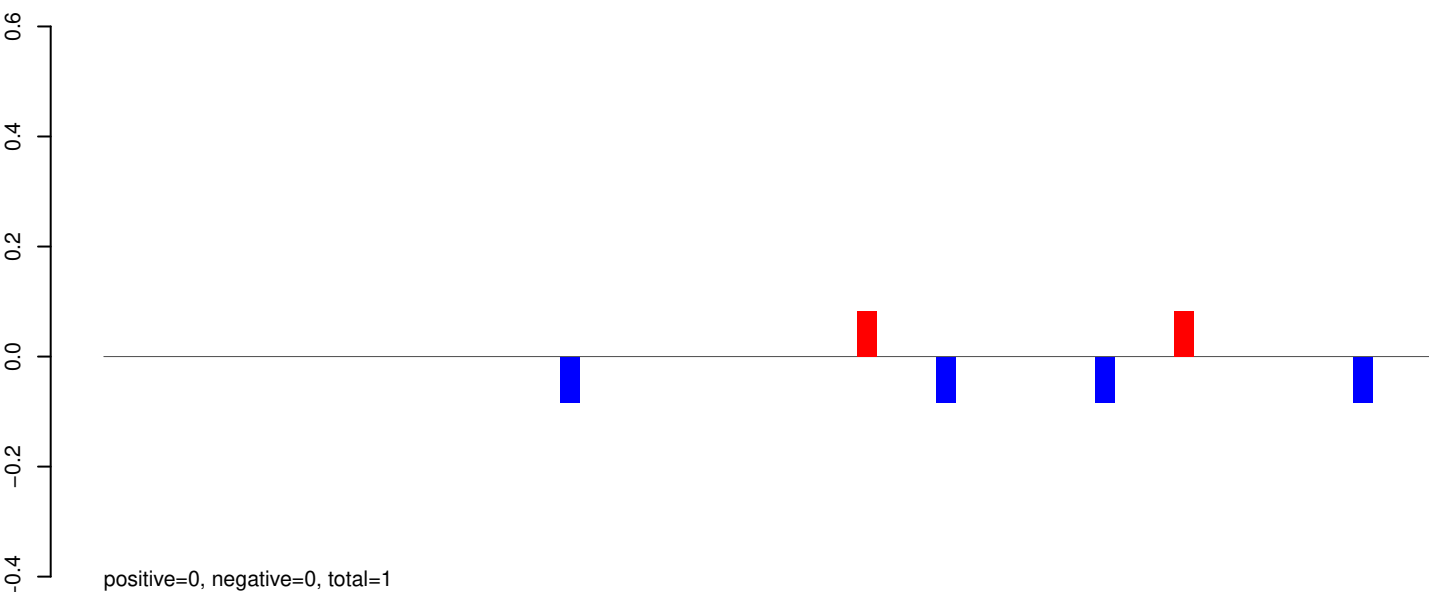
AeAeg_Aag2_Ago2_SINV_RA.rep



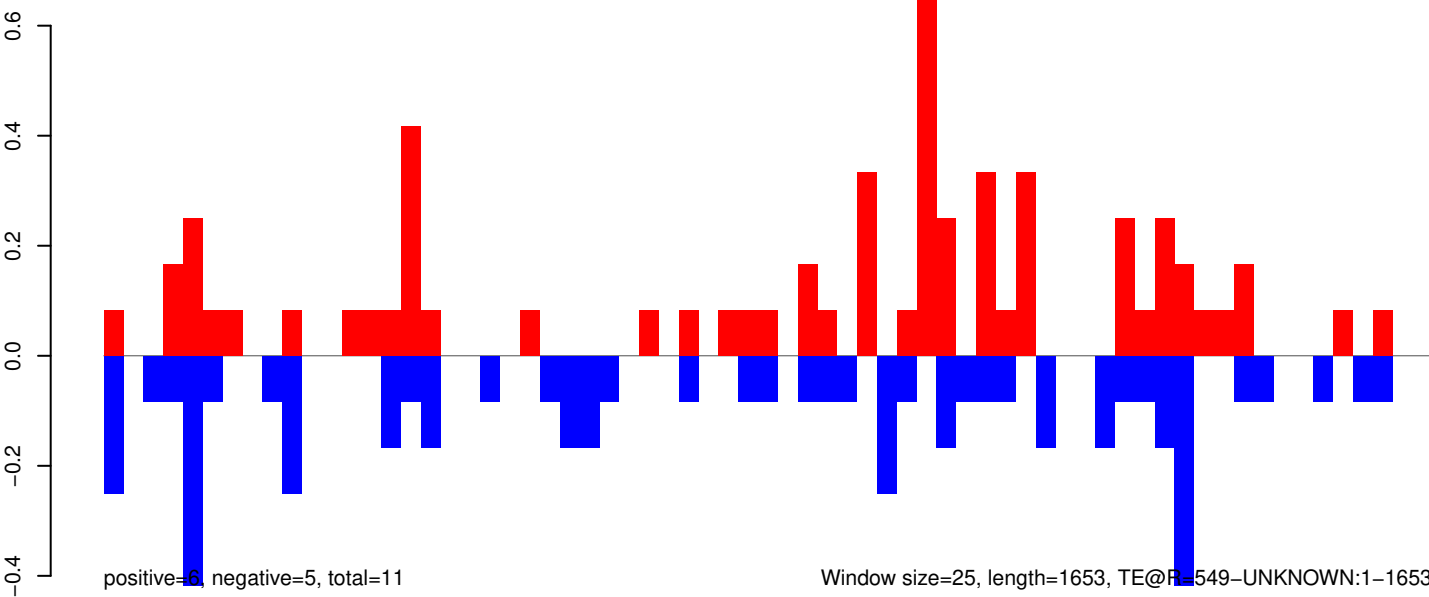
AeAeg_Aag2_Ago2_SINV_RA.18_23.rep



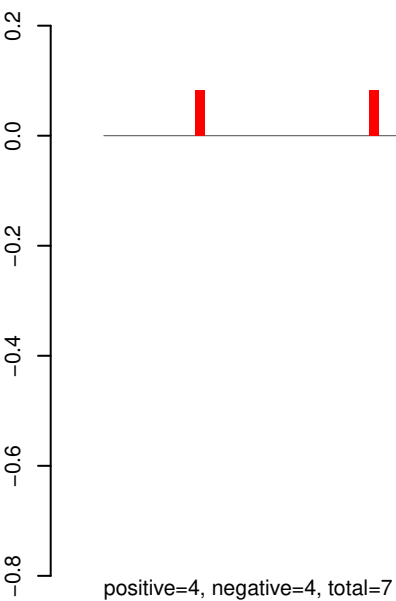
AeAeg_Aag2_Ago2_SINV_RA.24_35.rep



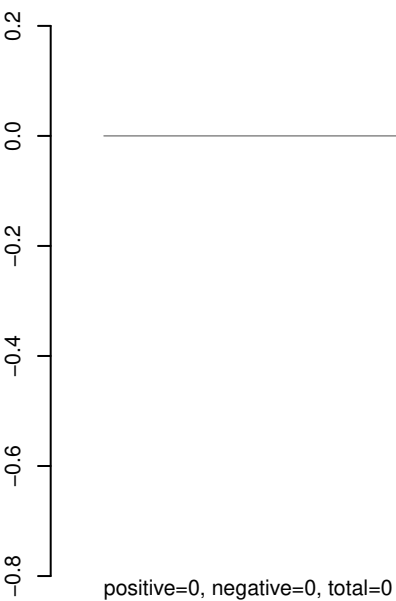
AeAeg_Aag2_Ago2_SINV_RA.rep



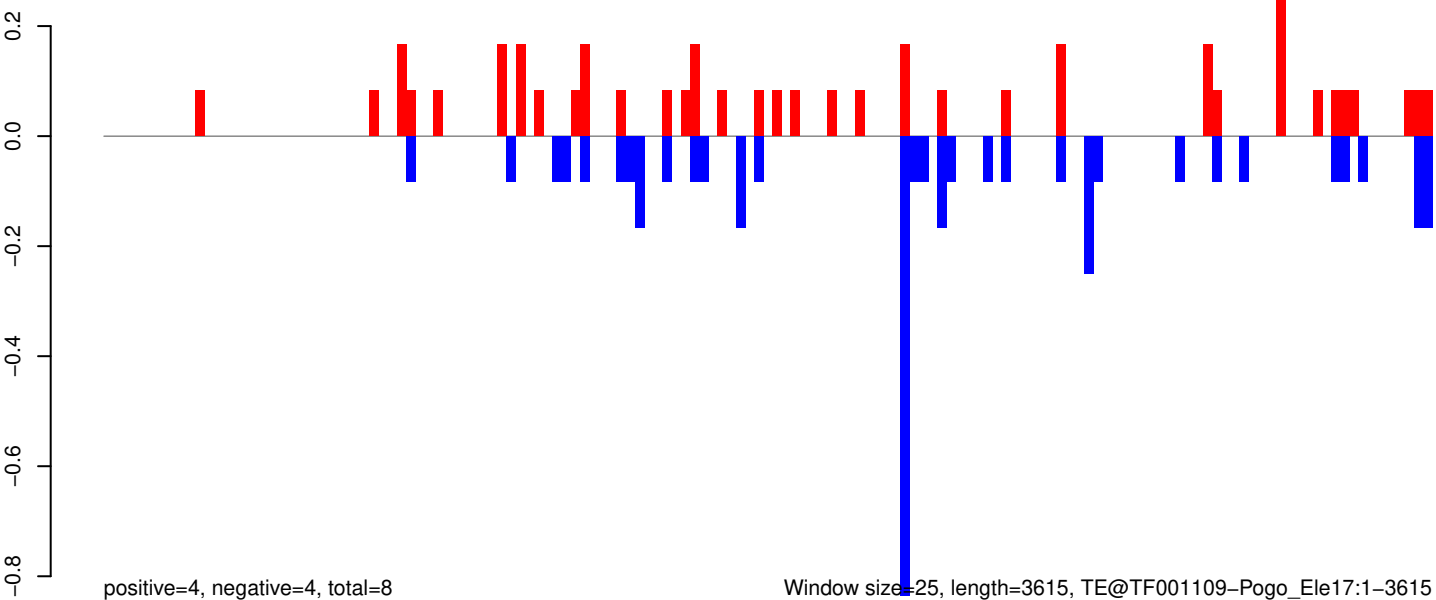
AeAeg_Aag2_Ago2_SINV_RA.18_23.rep



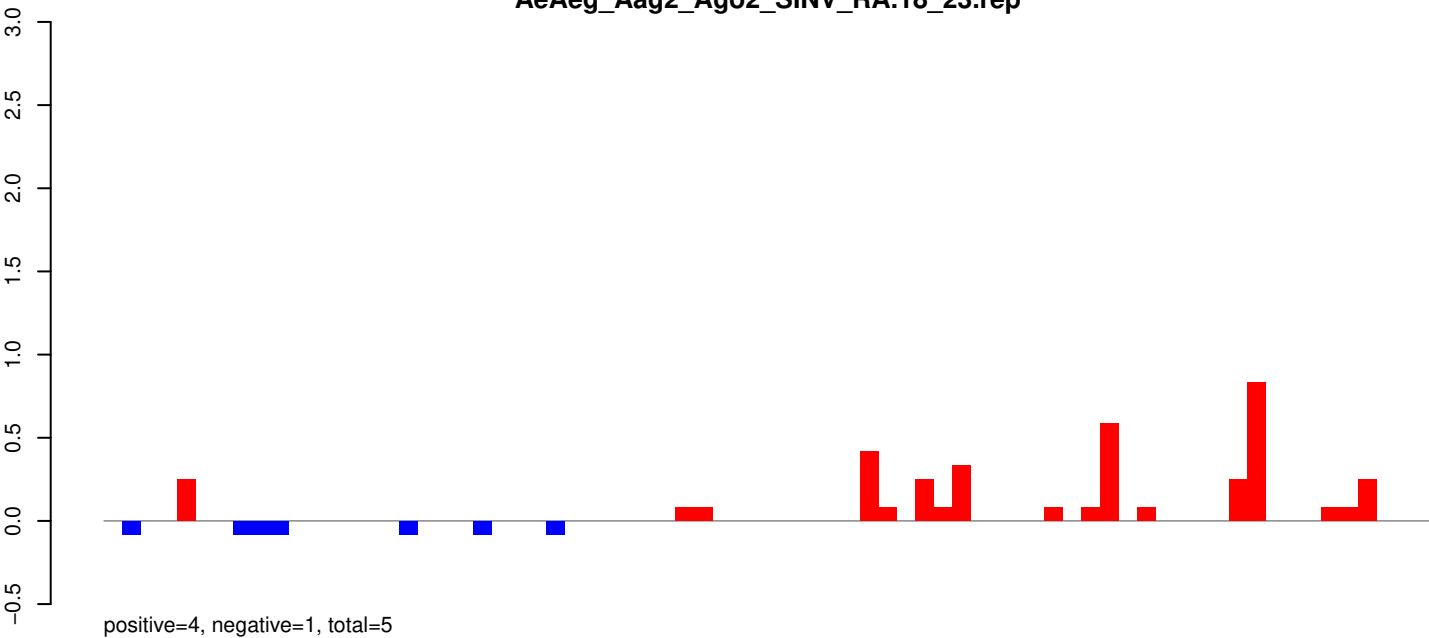
AeAeg_Aag2_Ago2_SINV_RA.24_35.rep



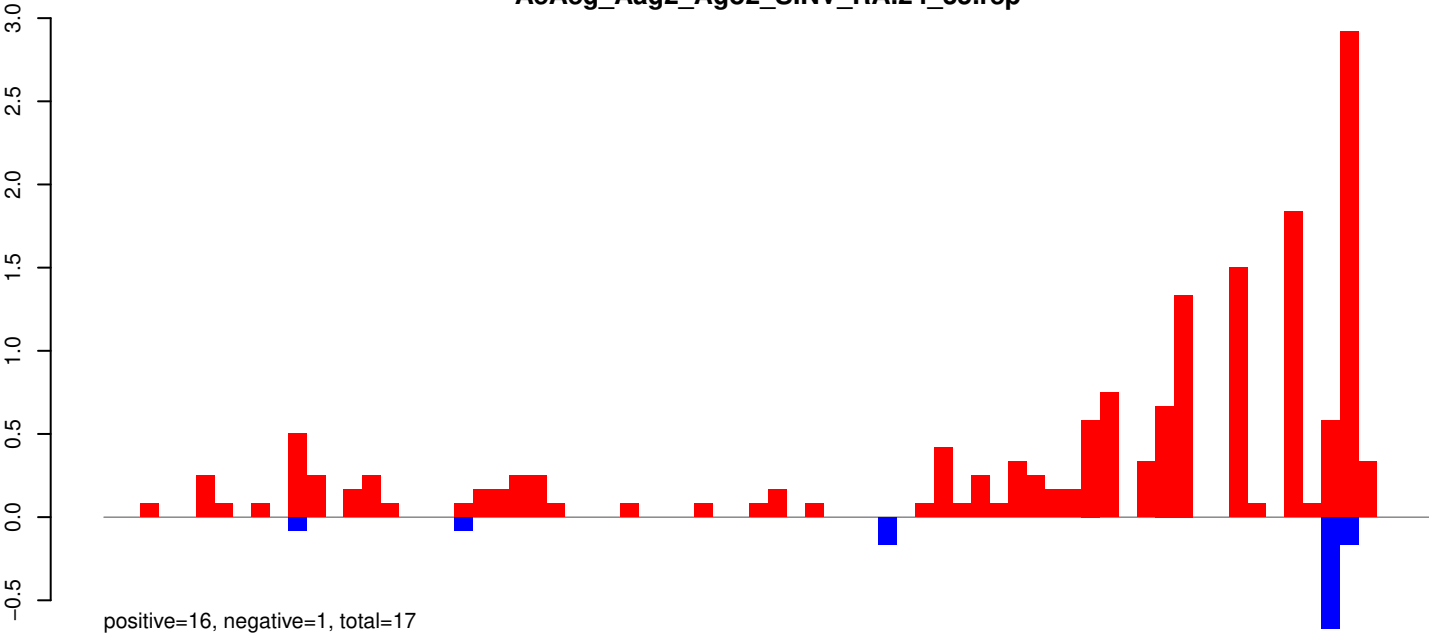
AeAeg_Aag2_Ago2_SINV_RA.rep



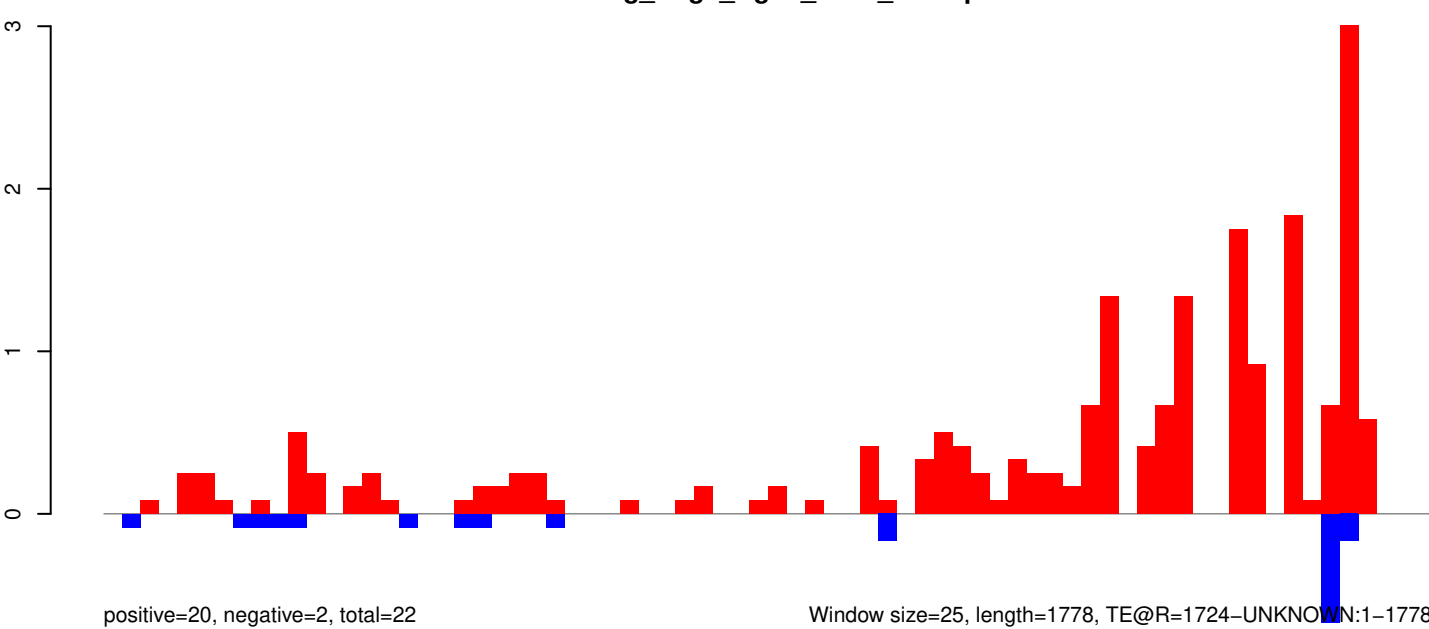
AeAeg_Aag2_Ago2_SINV_RA.18_23.rep



AeAeg_Aag2_Ago2_SINV_RA.24_35.rep



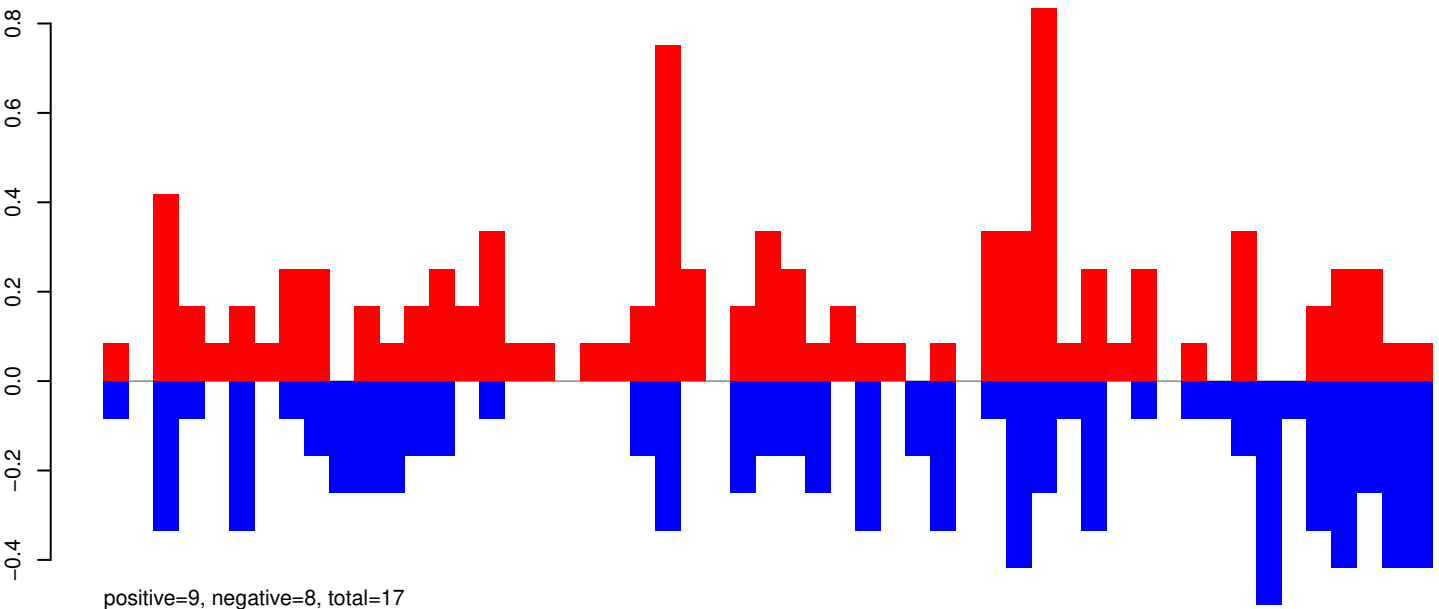
AeAeg_Aag2_Ago2_SINV_RA.rep



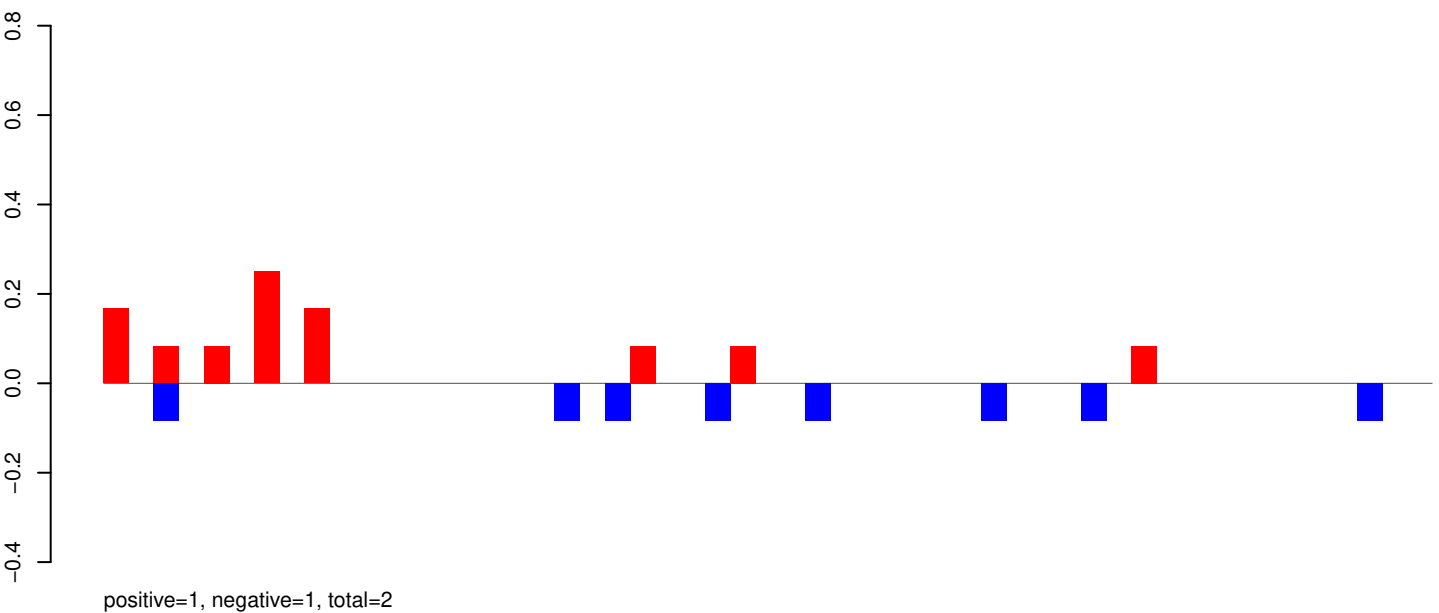
Window size=25, length=1778, TE@R=1724-UNKNOWN:1-1778

0 500 1000 1500

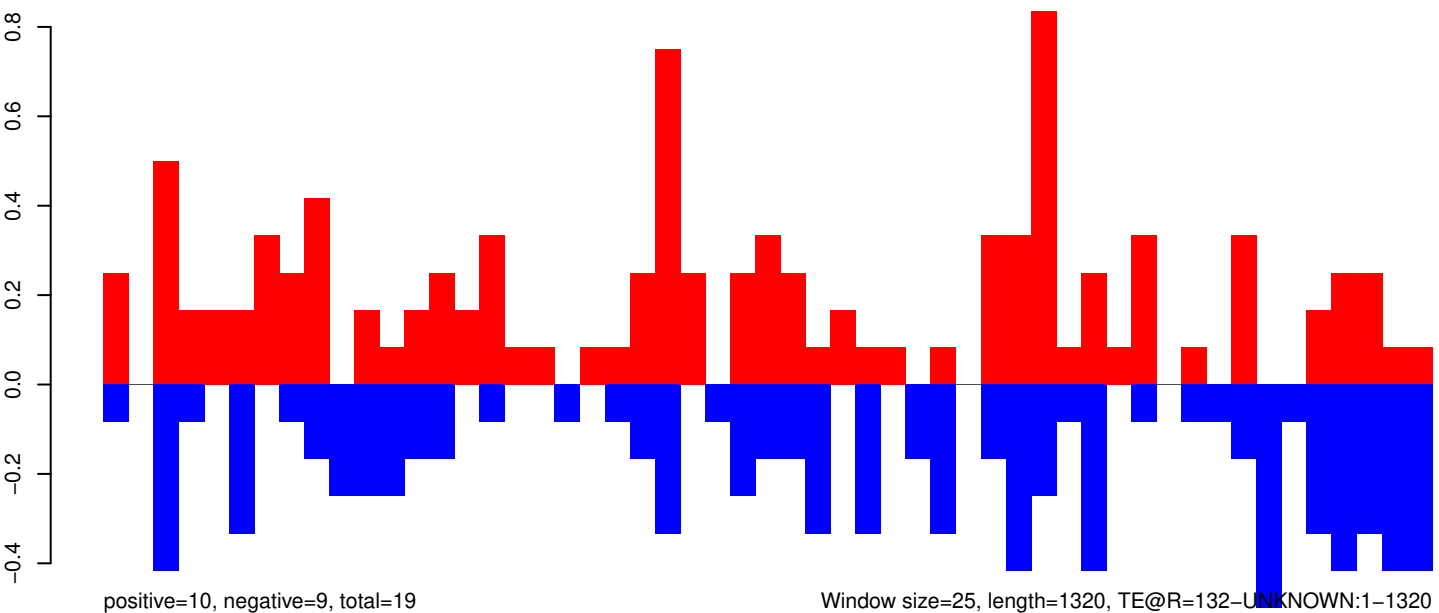
AeAeg_Aag2_Ago2_SINV_RA.18_23.rep



AeAeg_Aag2_Ago2_SINV_RA.24_35.rep

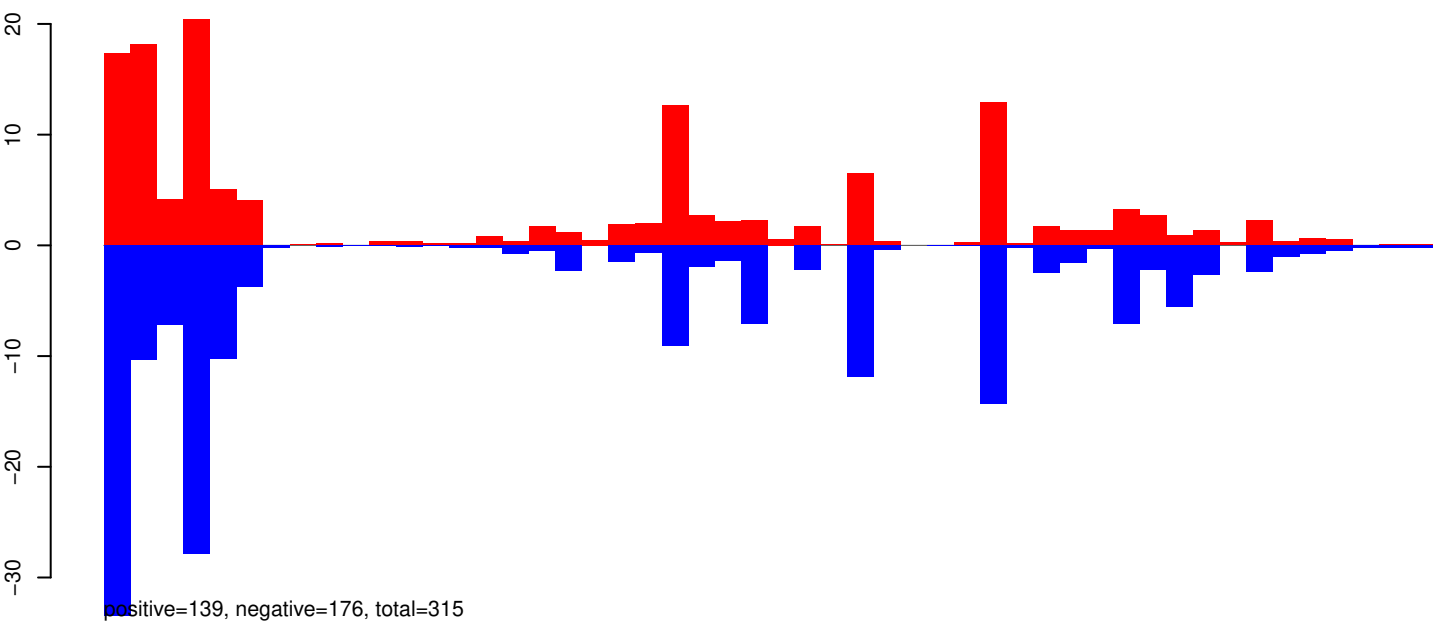


AeAeg_Aag2_Ago2_SINV_RA.rep

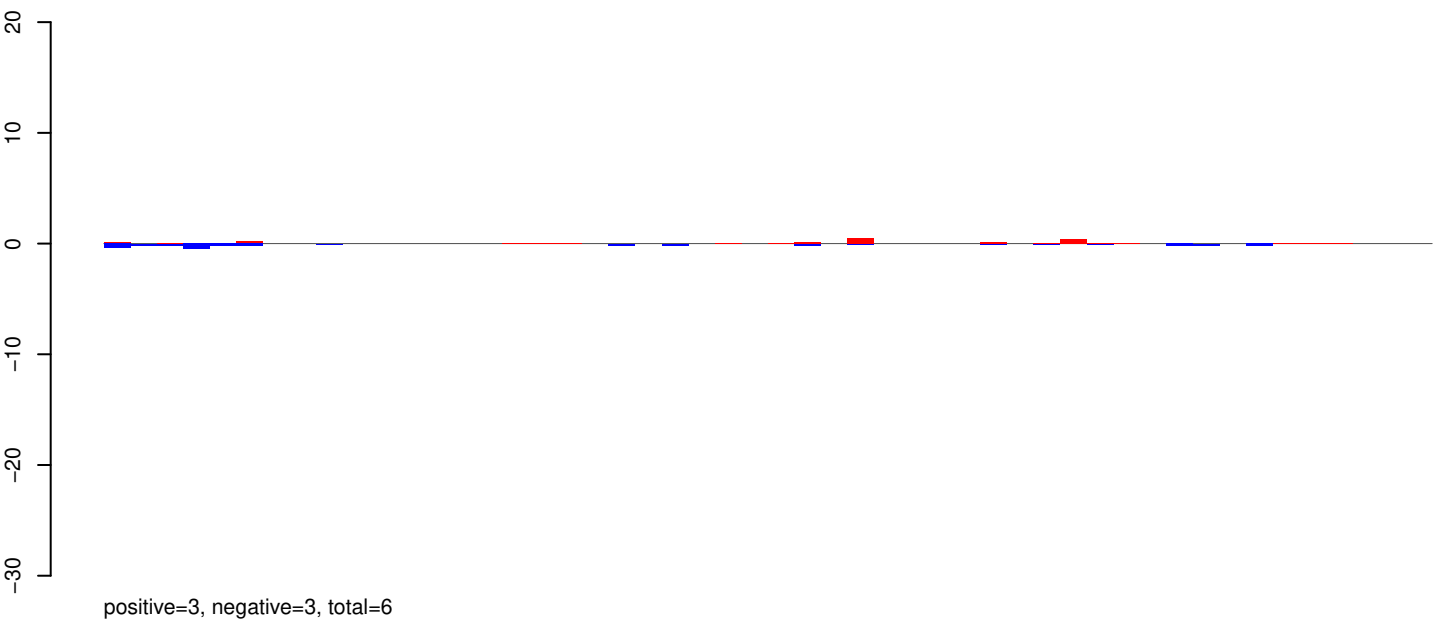


Window size=25, length=1320, TE@R=132-UNKNOWN:1-1320

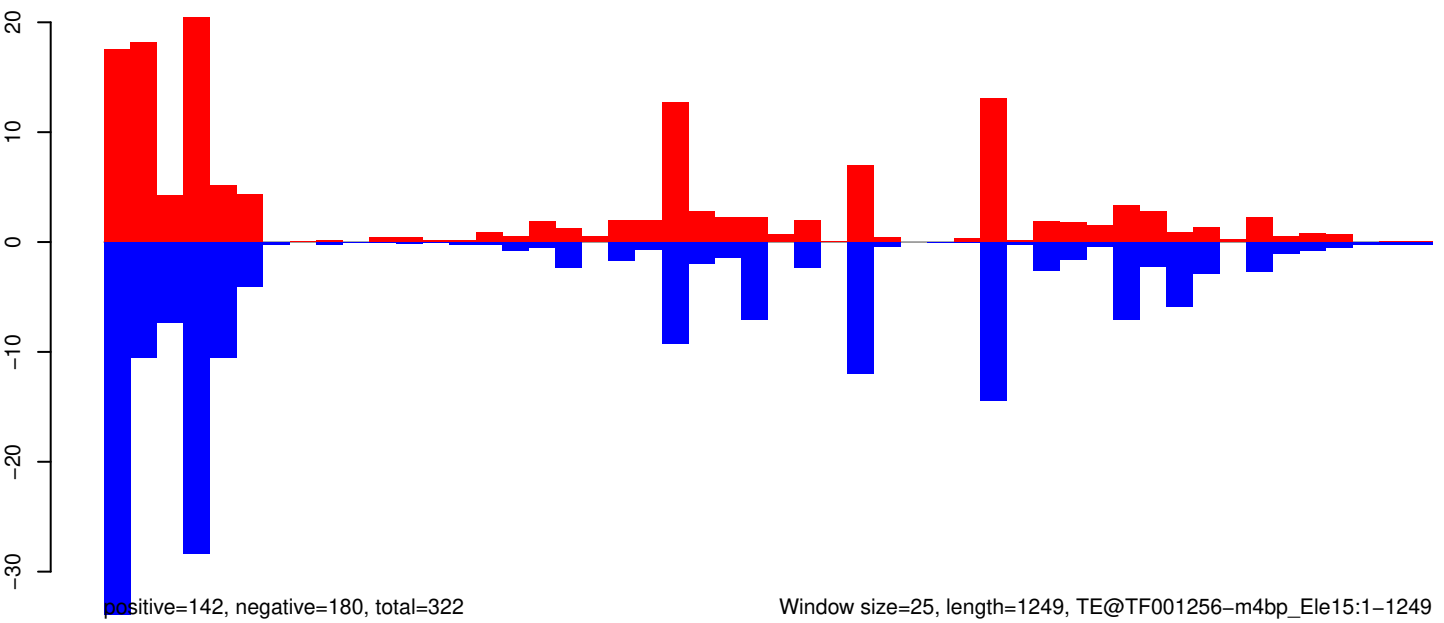
AeAeg_Aag2_Ago2_SINV_RA.18_23.rep



AeAeg_Aag2_Ago2_SINV_RA.24_35.rep



AeAeg_Aag2_Ago2_SINV_RA.rep



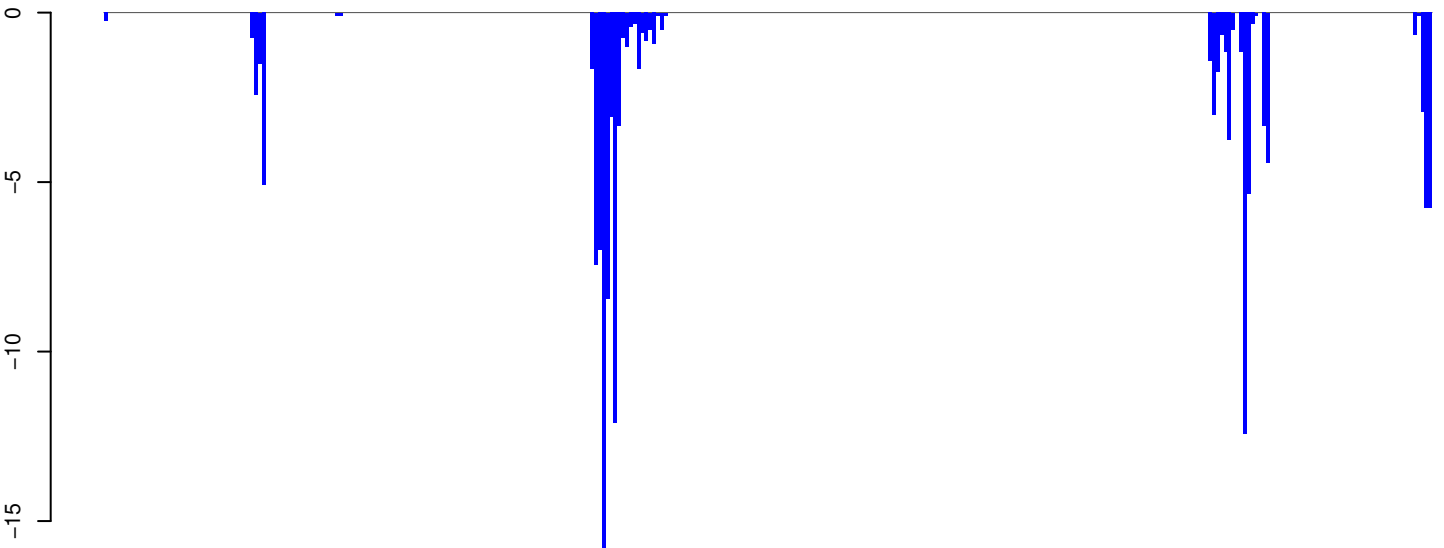
Window size=25, length=1249, TE@TF001256-m4bp_Ele15:1-1249

AeAeg_Aag2_Ago2_SINV_RA.18_23.rep



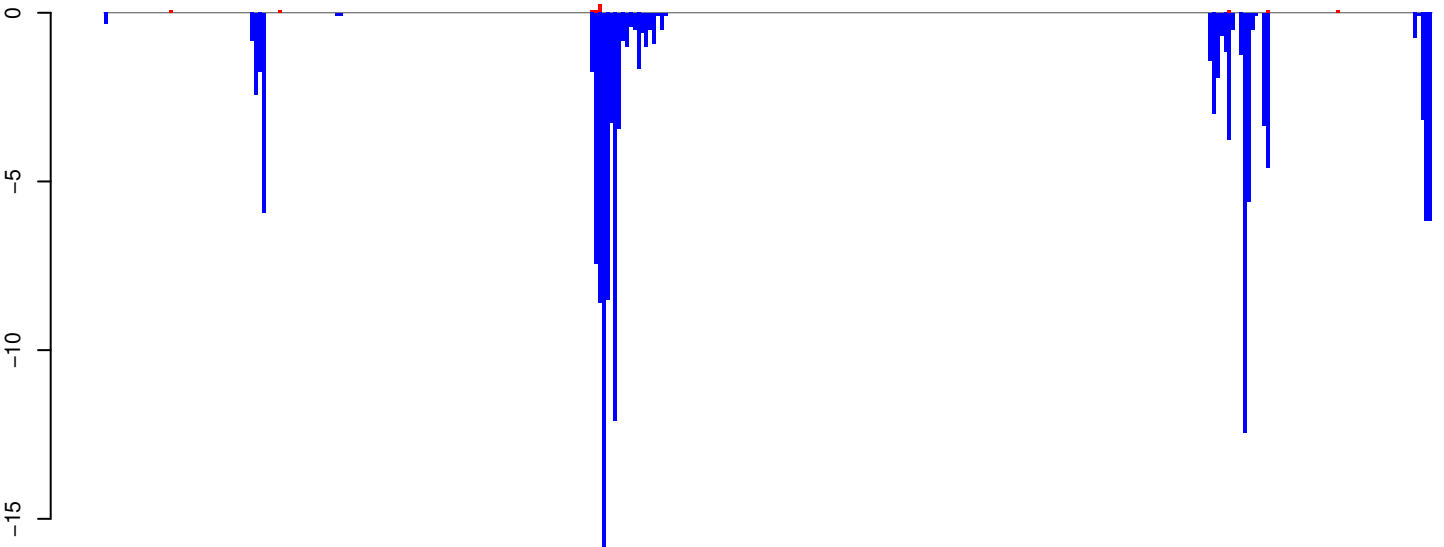
positive=1, negative=6, total=7

AeAeg_Aag2_Ago2_SINV_RA.24_35.rep



positive=0, negative=133, total=133

AeAeg_Aag2_Ago2_SINV_RA.rep

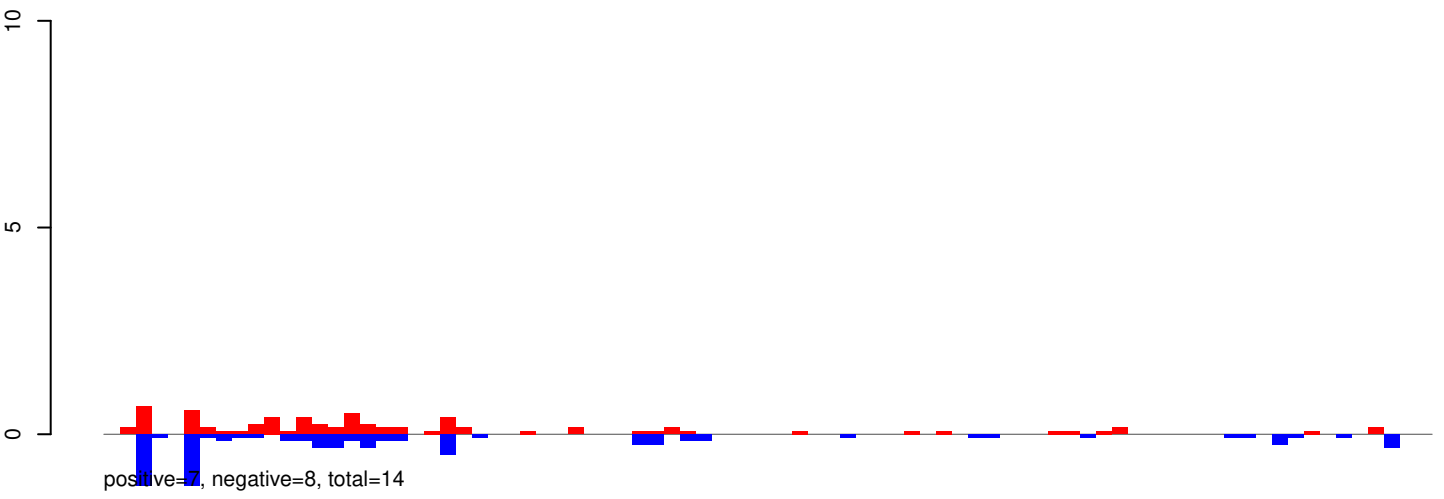


positive=1, negative=139, total=140

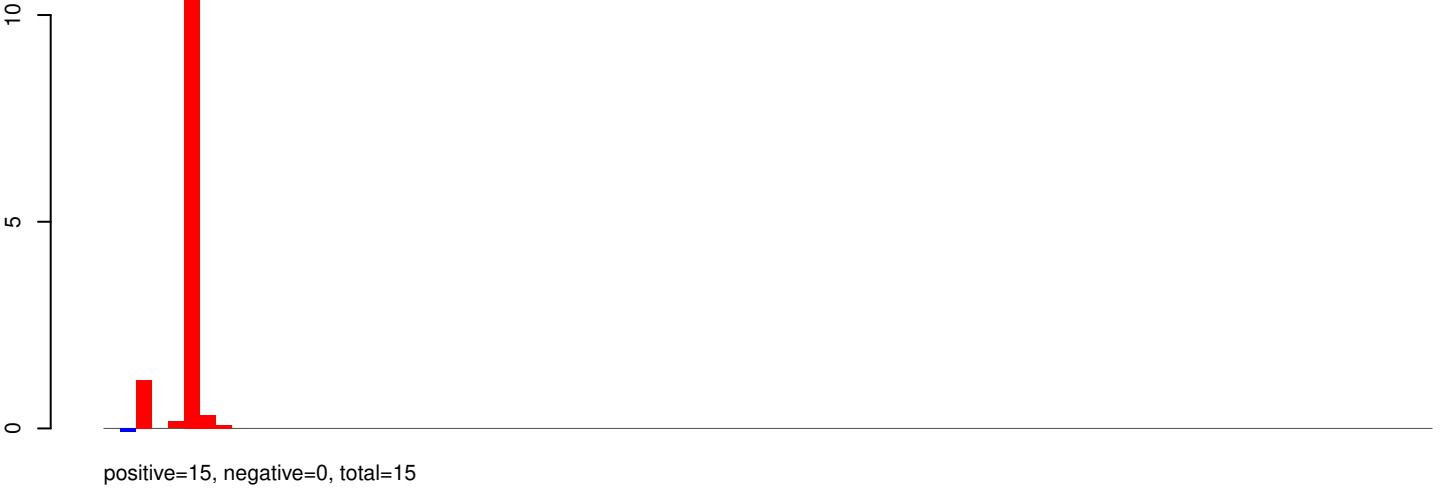
Window size=25, length=8598, TE@TF000947-Ty3_gypsy_Ele179:1-8598

0 2000 4000 6000 8000

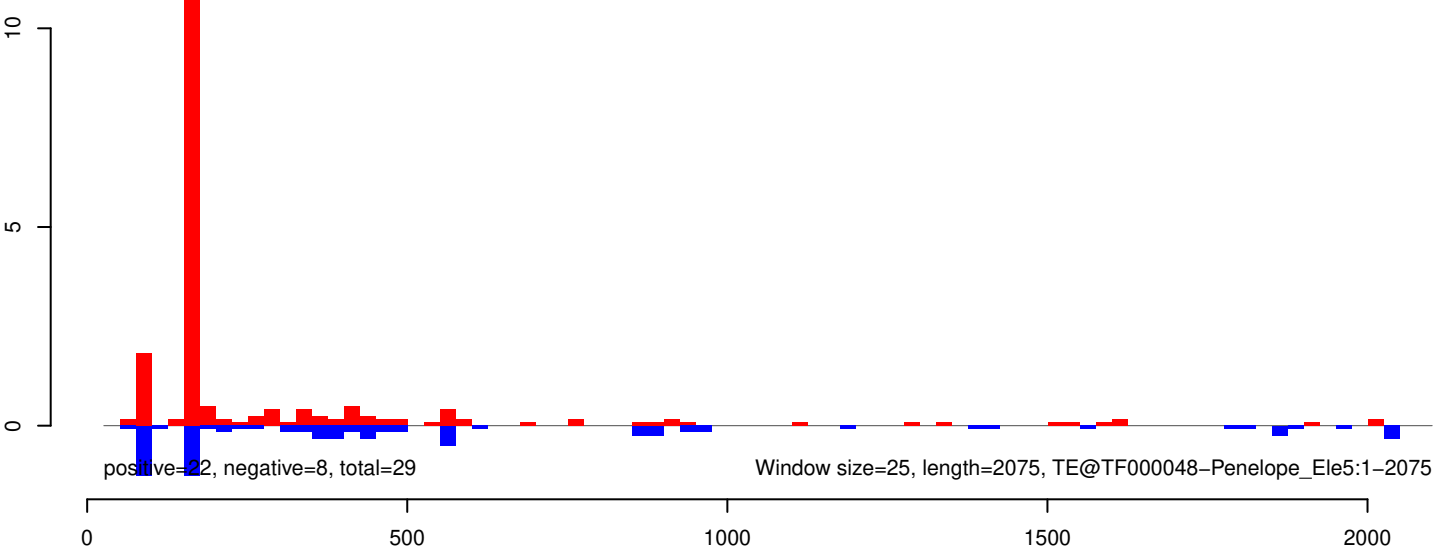
AeAeg_Aag2_Ago2_SINV_RA.18_23.rep



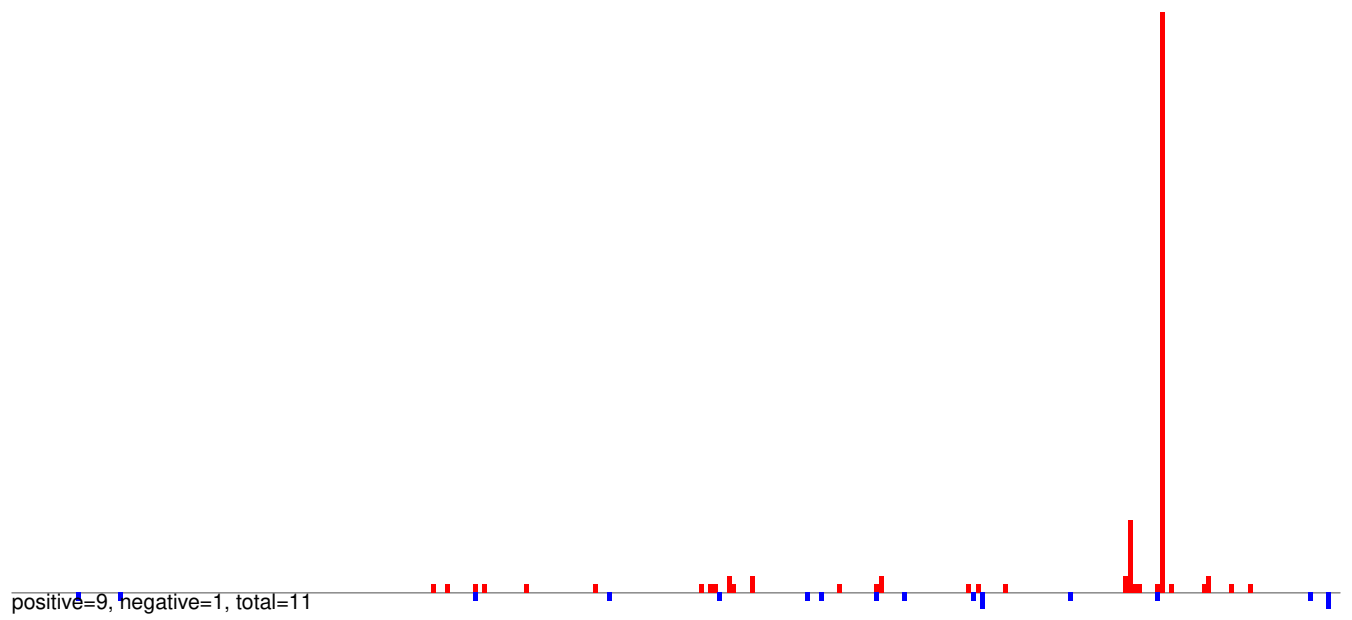
AeAeg_Aag2_Ago2_SINV_RA.24_35.rep



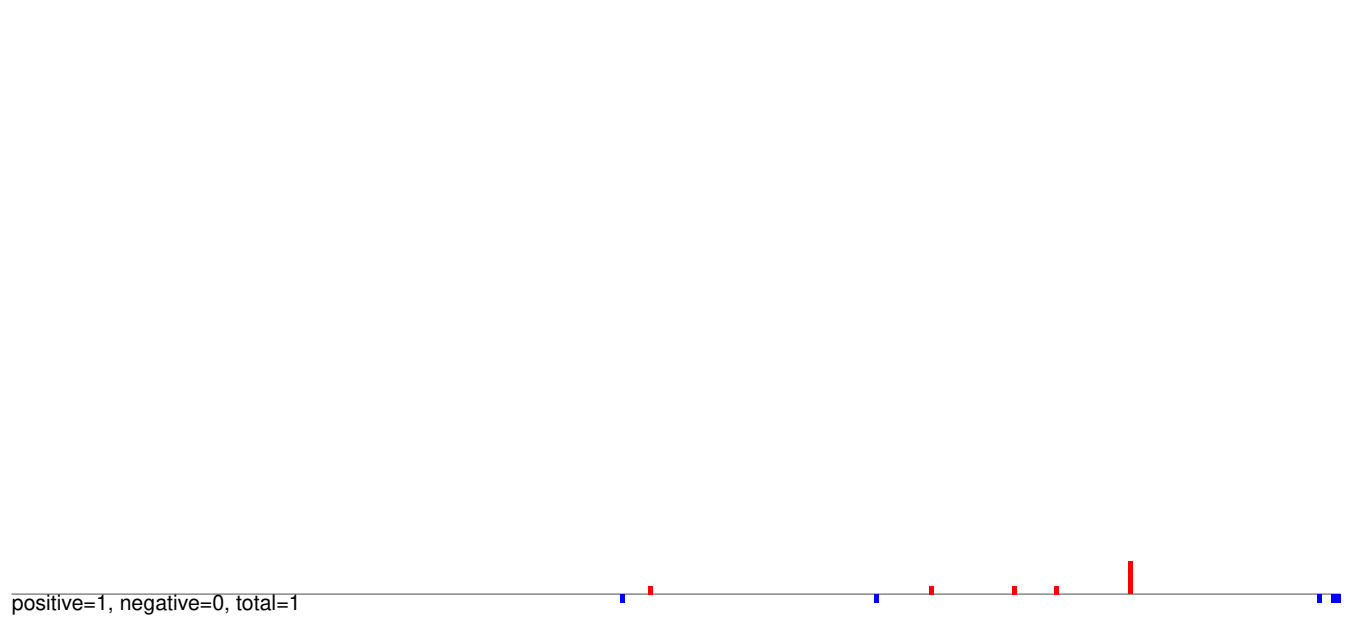
AeAeg_Aag2_Ago2_SINV_RA.rep



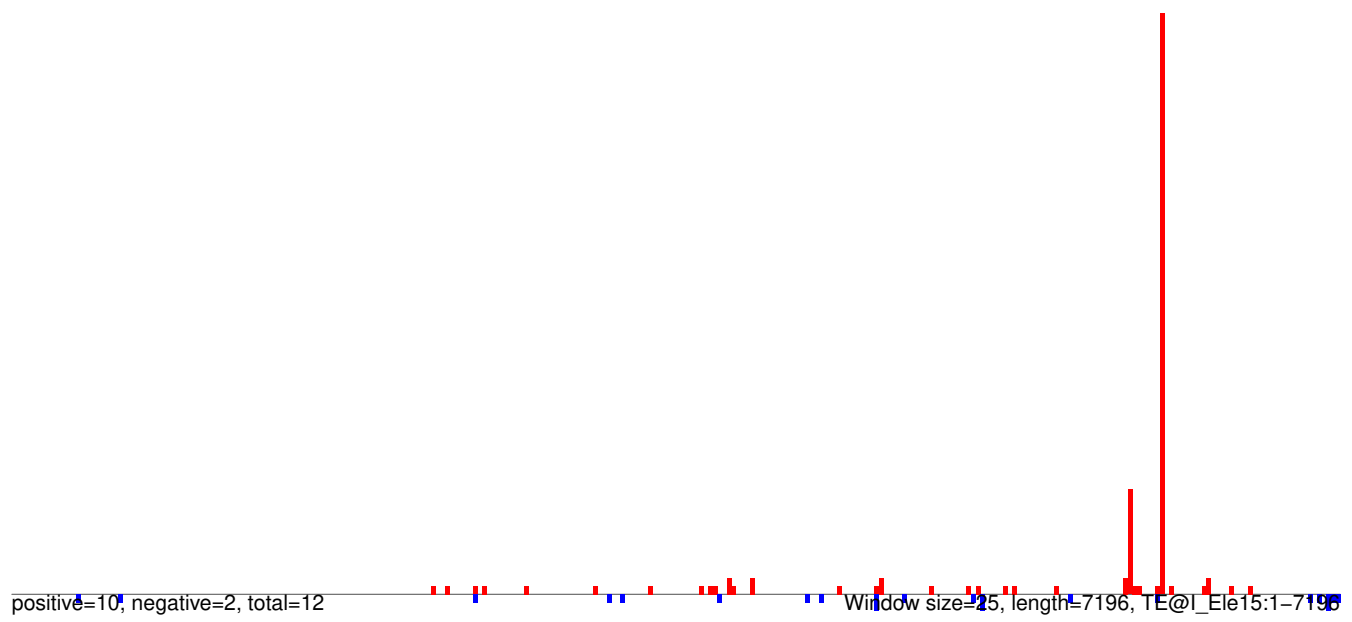
AeAeg_Aag2_Ago2_SINV_RA.18_23.rep



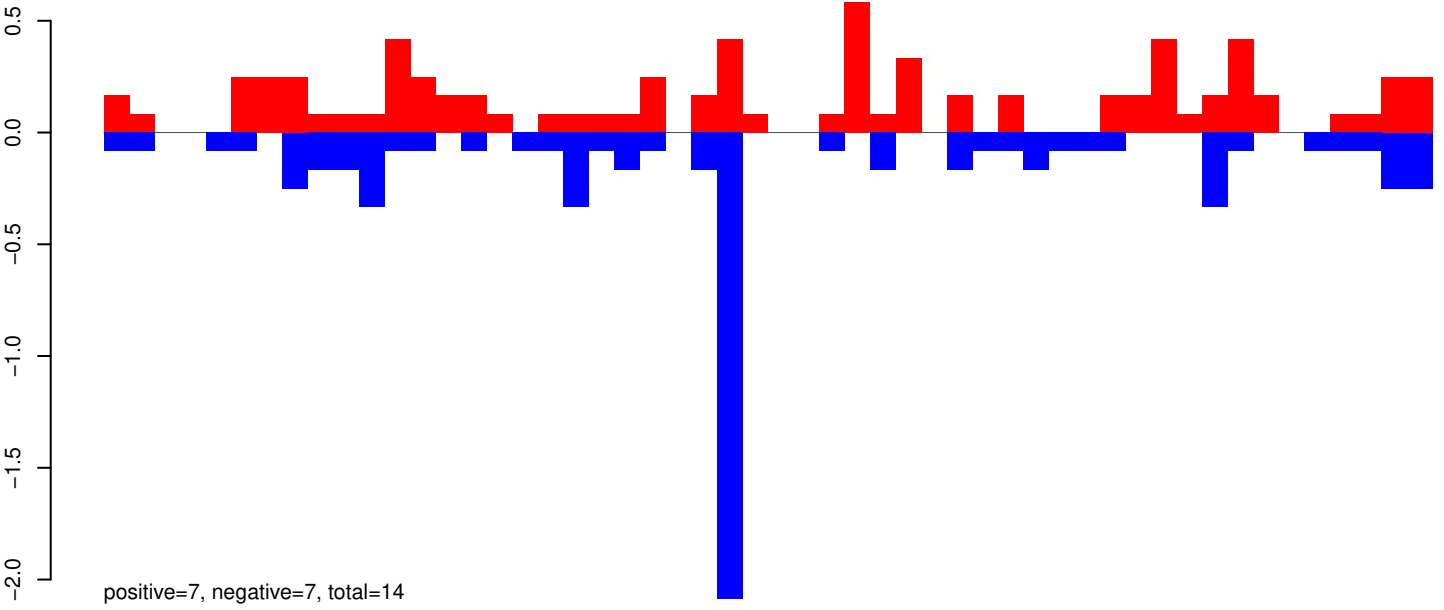
AeAeg_Aag2_Ago2_SINV_RA.24_35.rep



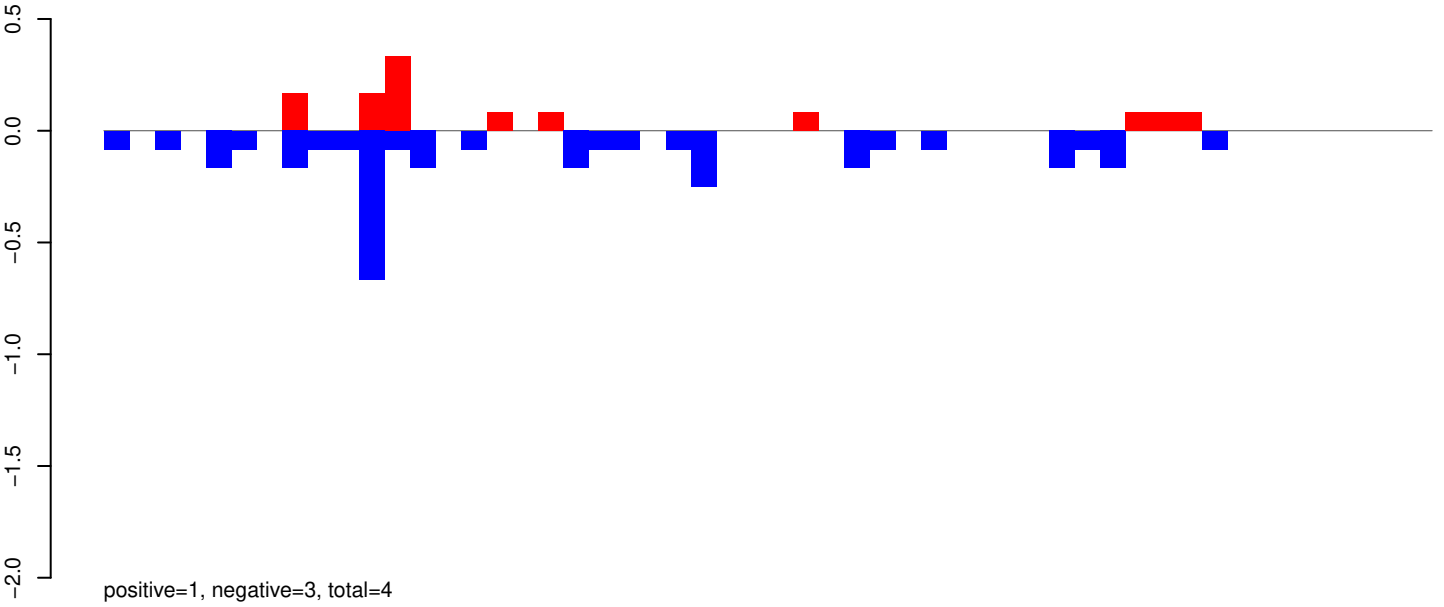
AeAeg_Aag2_Ago2_SINV_RA.rep



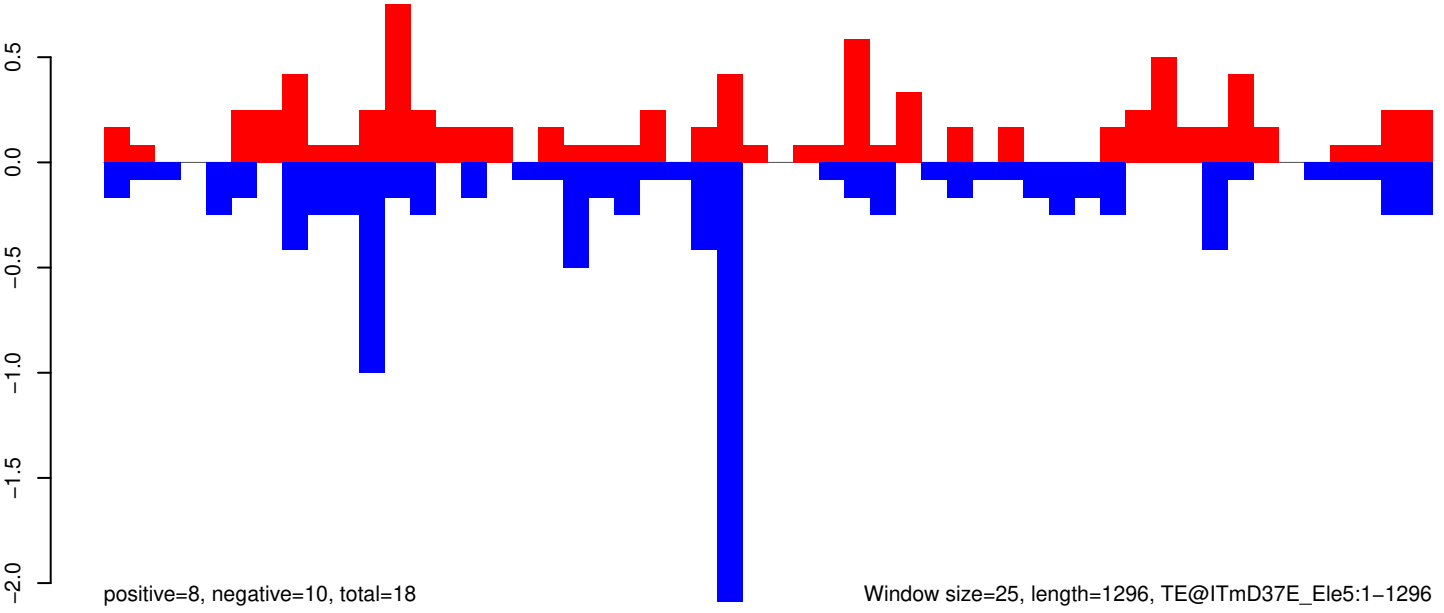
AeAeg_Aag2_Ago2_SINV_RA.18_23.rep



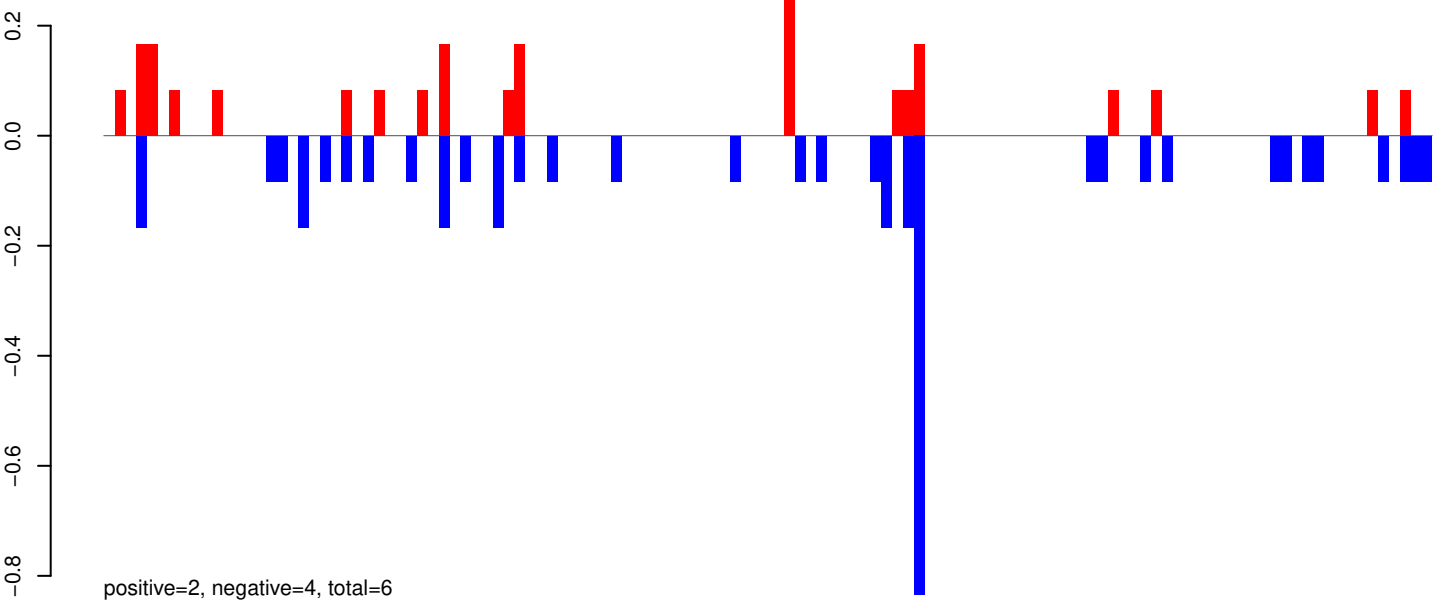
AeAeg_Aag2_Ago2_SINV_RA.24_35.rep



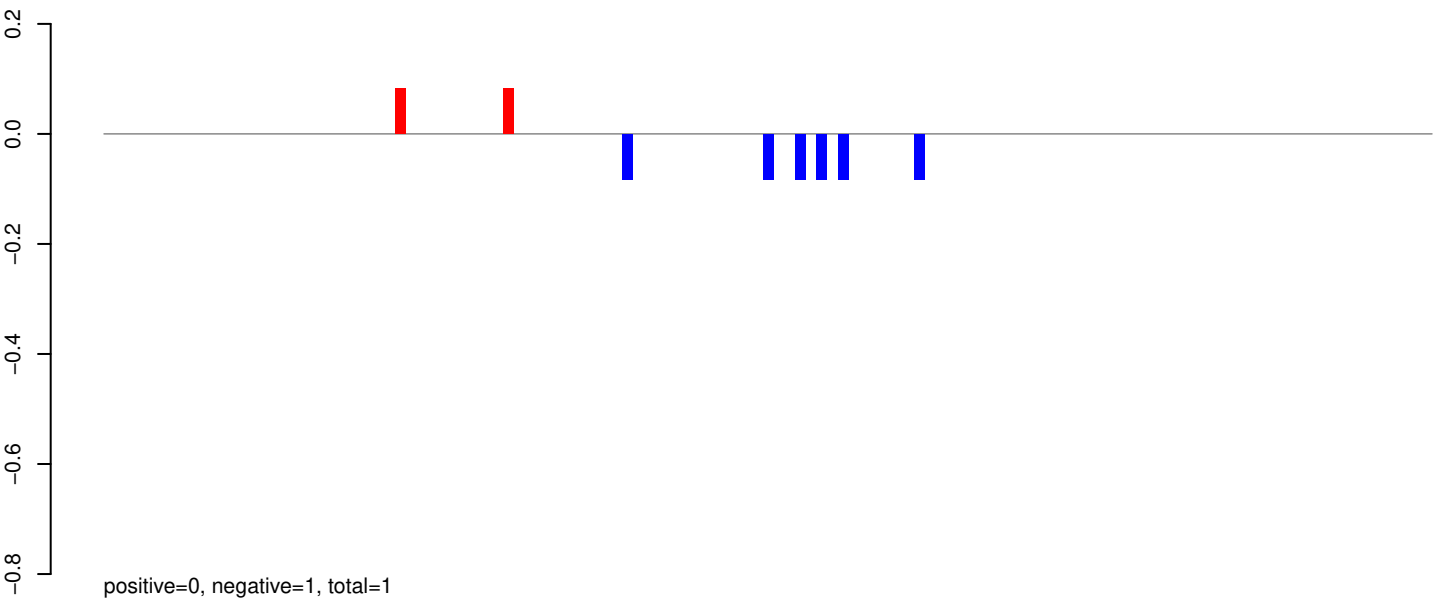
AeAeg_Aag2_Ago2_SINV_RA.rep



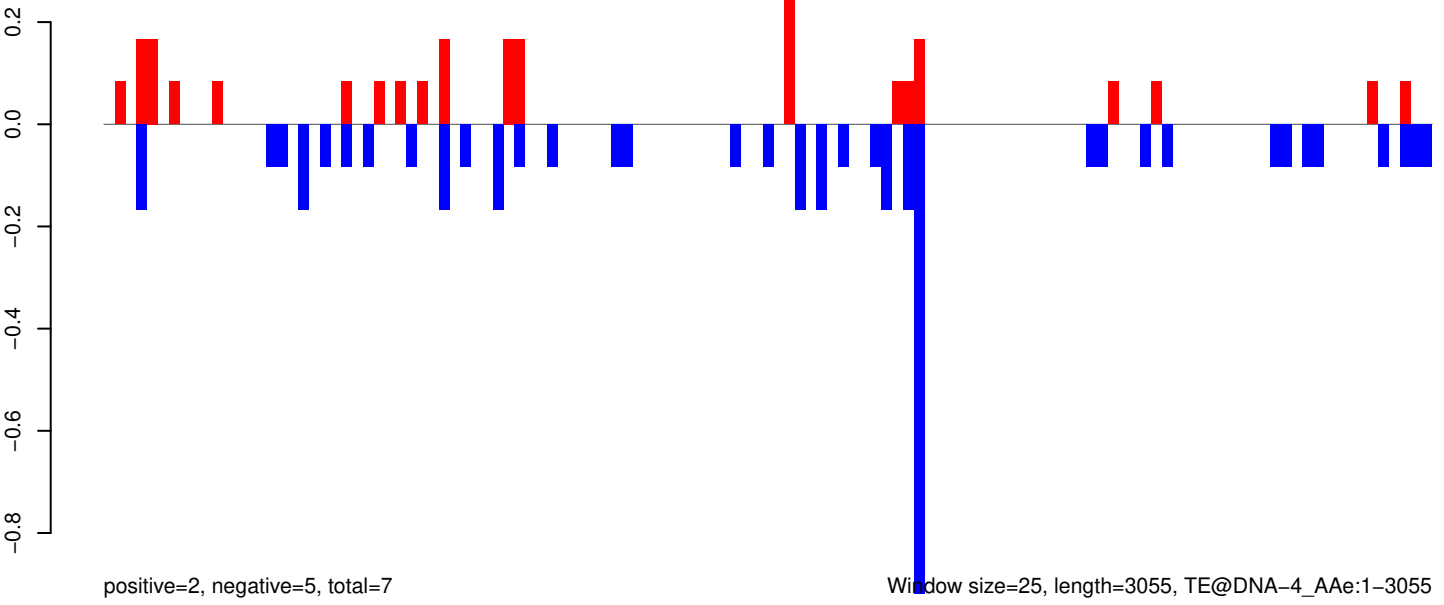
AeAeg_Aag2_Ago2_SINV_RA.18_23.rep



AeAeg_Aag2_Ago2_SINV_RA.24_35.rep

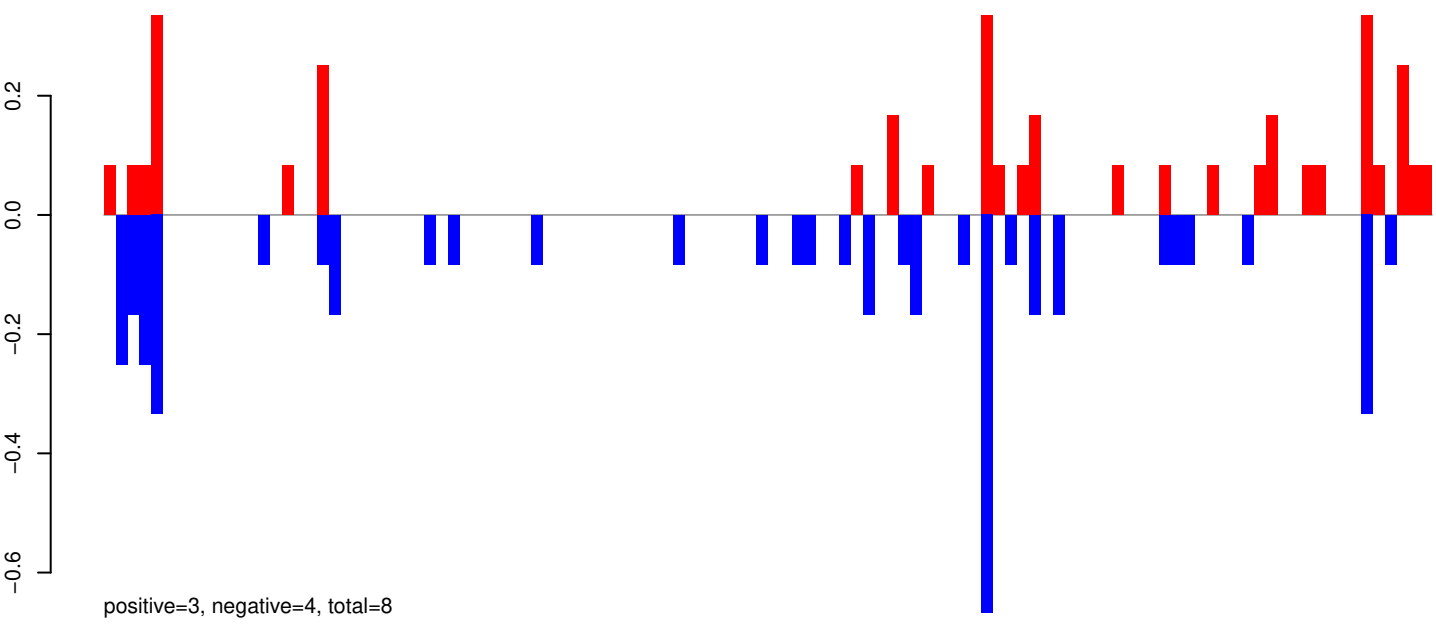


AeAeg_Aag2_Ago2_SINV_RA.rep

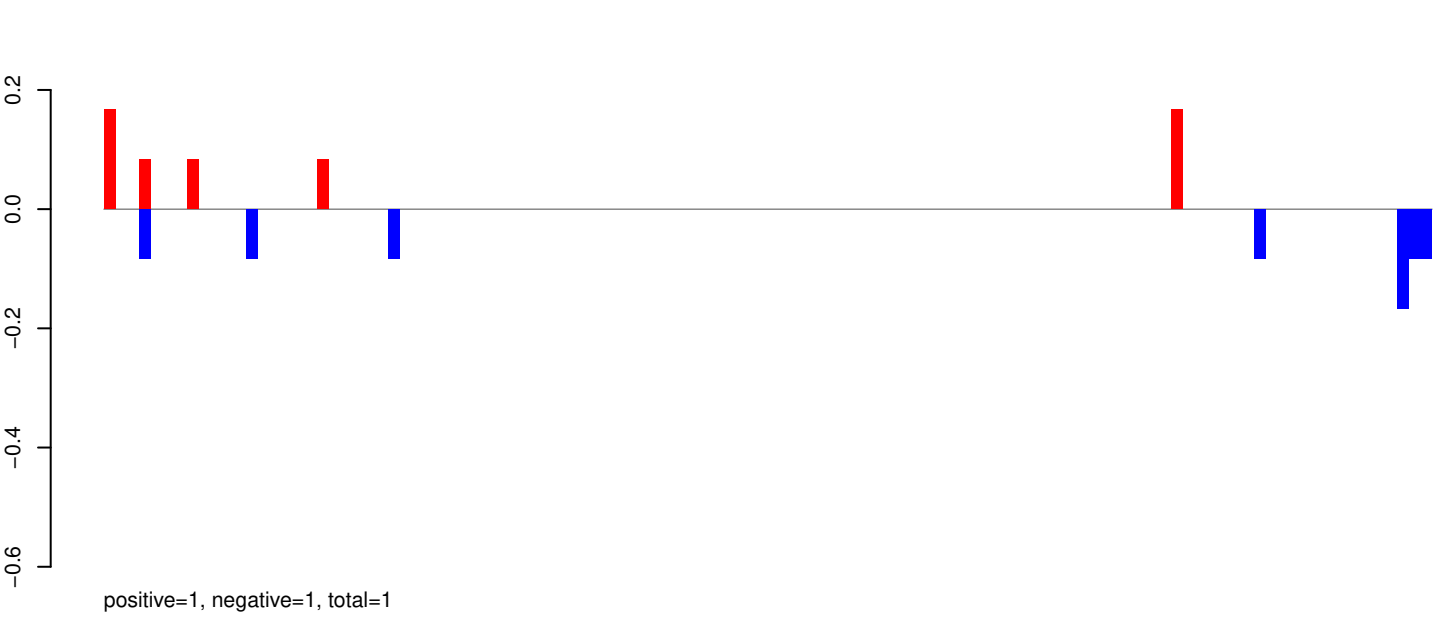


Window size=25, length=3055, TE@DNA-4_A Ae:1-3055

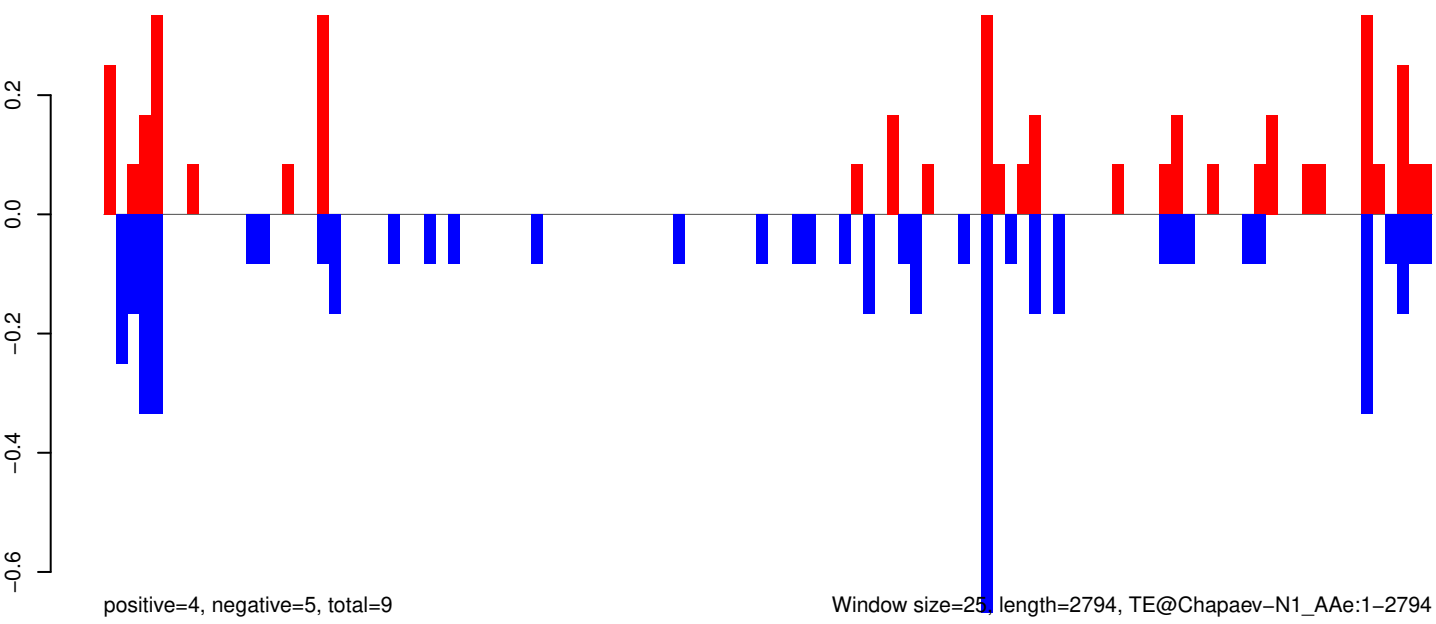
AeAeg_Aag2_Ago2_SINV_RA.18_23.rep



AeAeg_Aag2_Ago2_SINV_RA.24_35.rep

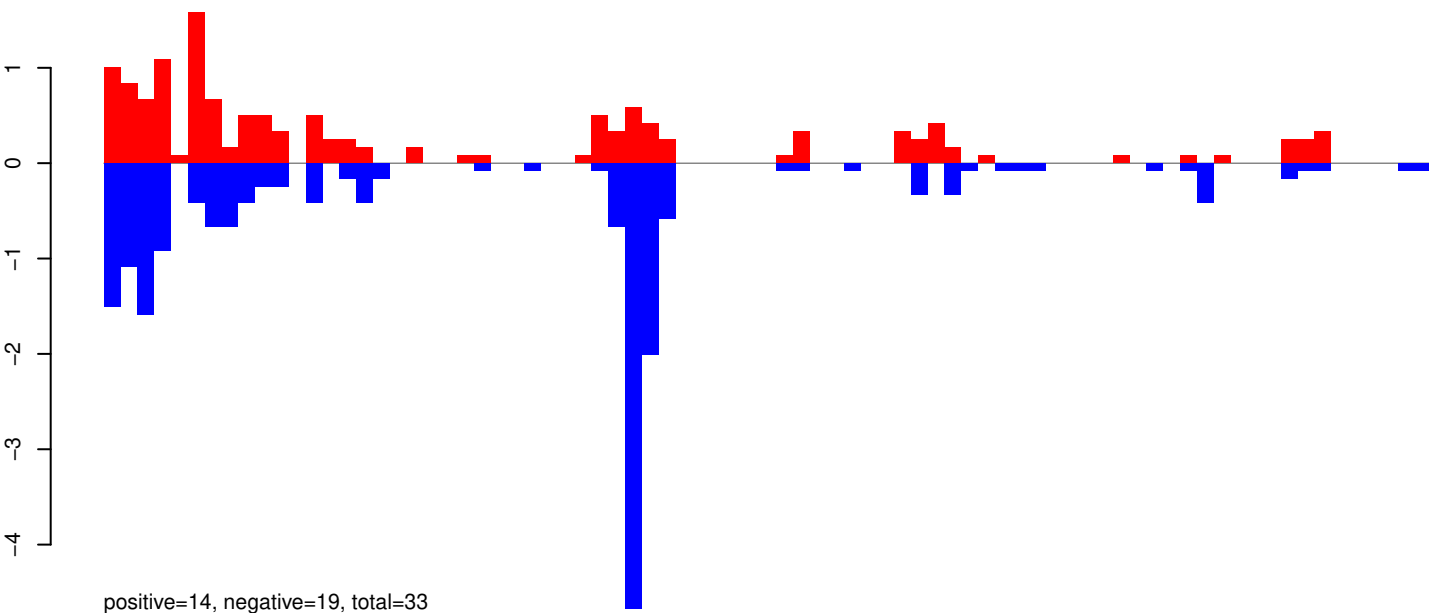


AeAeg_Aag2_Ago2_SINV_RA.rep

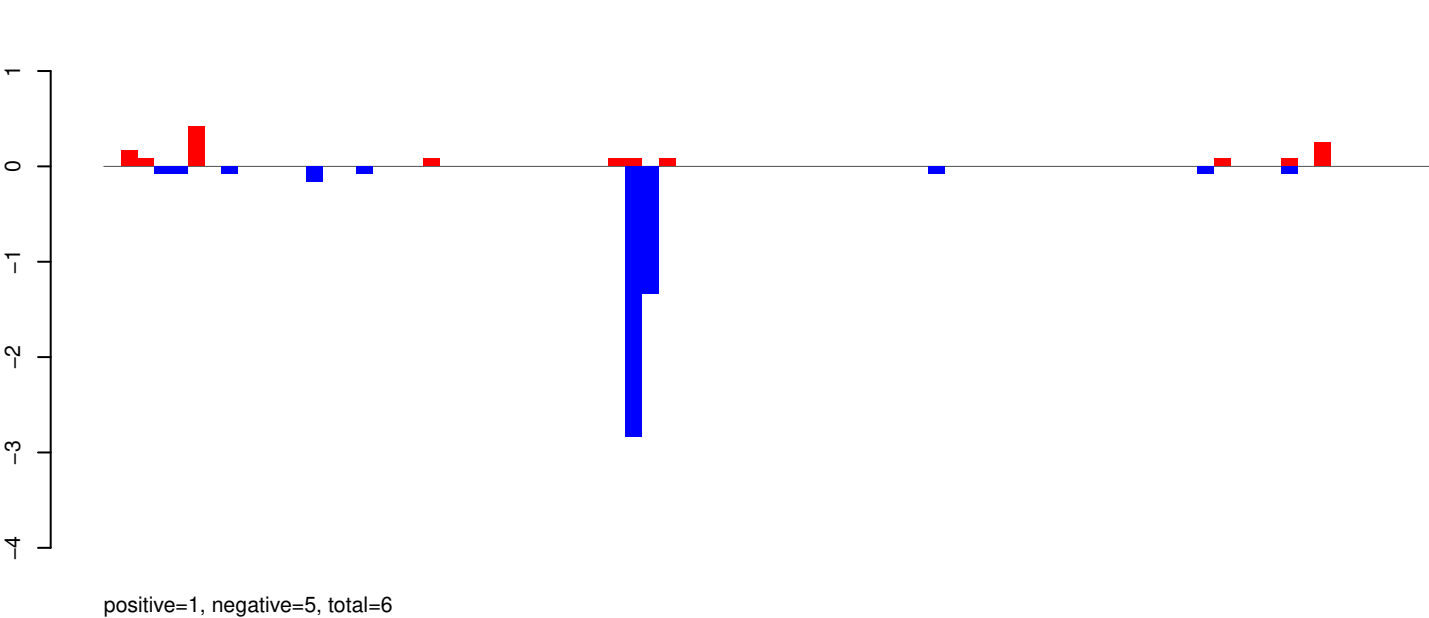


0 500 1000 1500 2000 2500

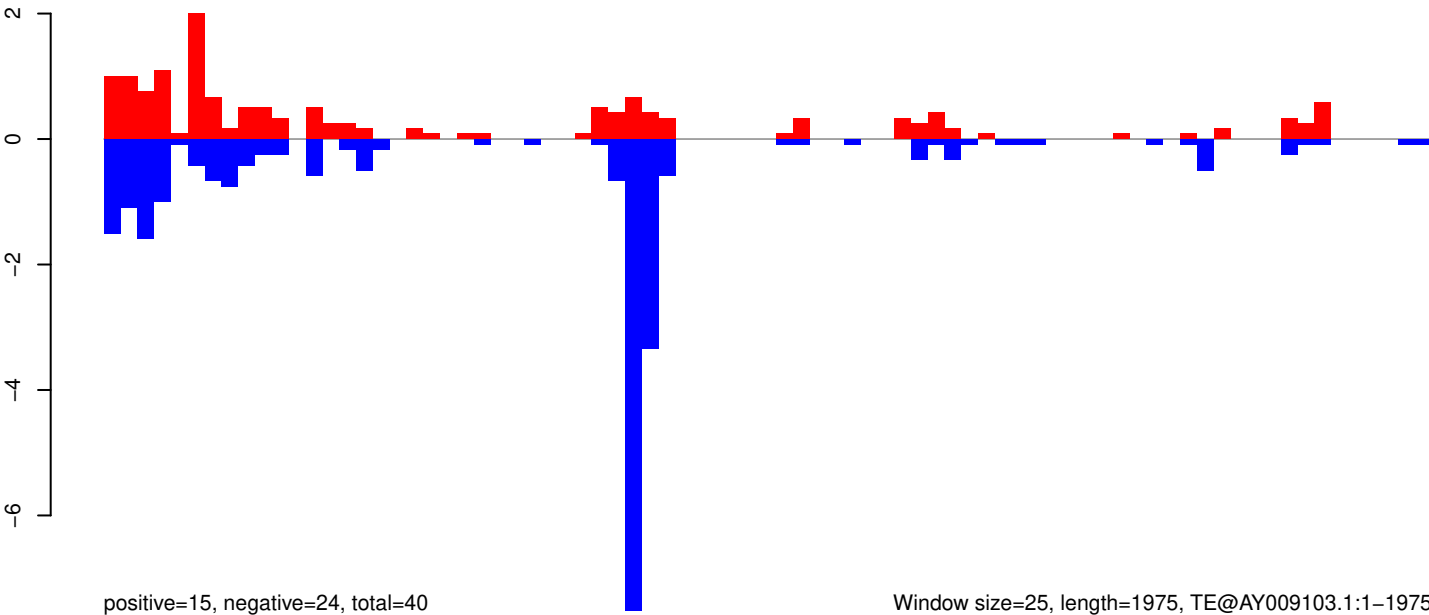
AeAeg_Aag2_Ago2_SINV_RA.18_23.rep



AeAeg_Aag2_Ago2_SINV_RA.24_35.rep

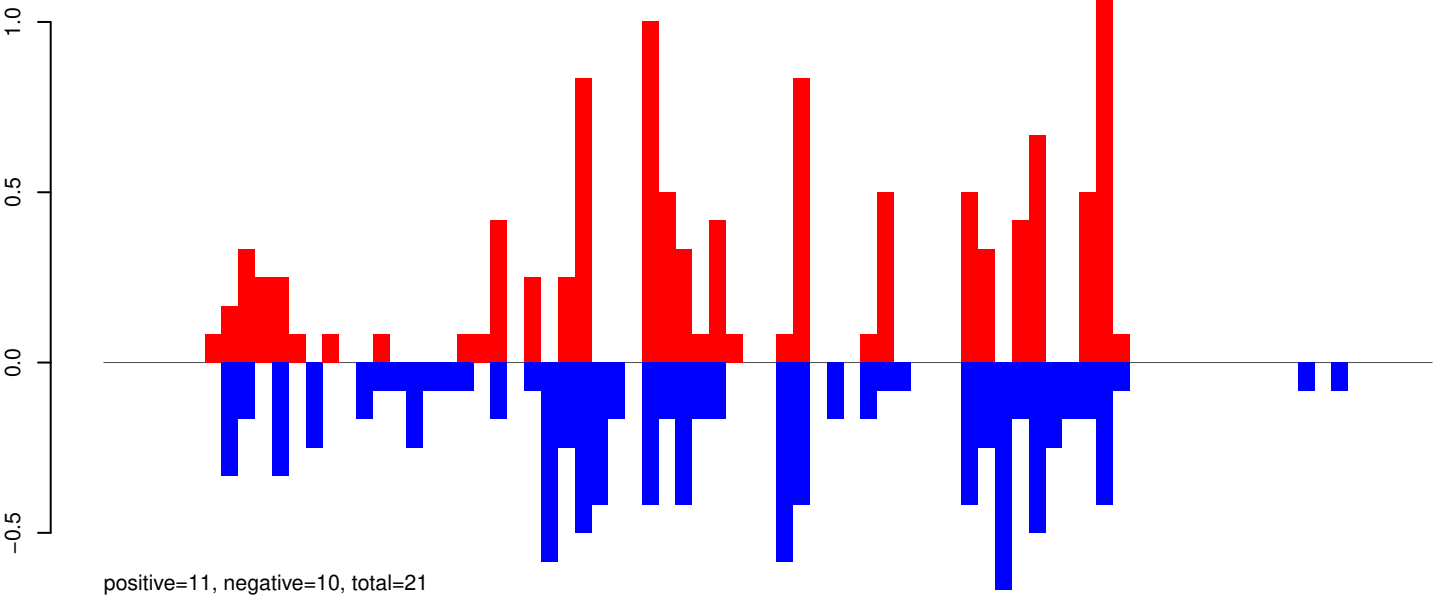


AeAeg_Aag2_Ago2_SINV_RA.rep

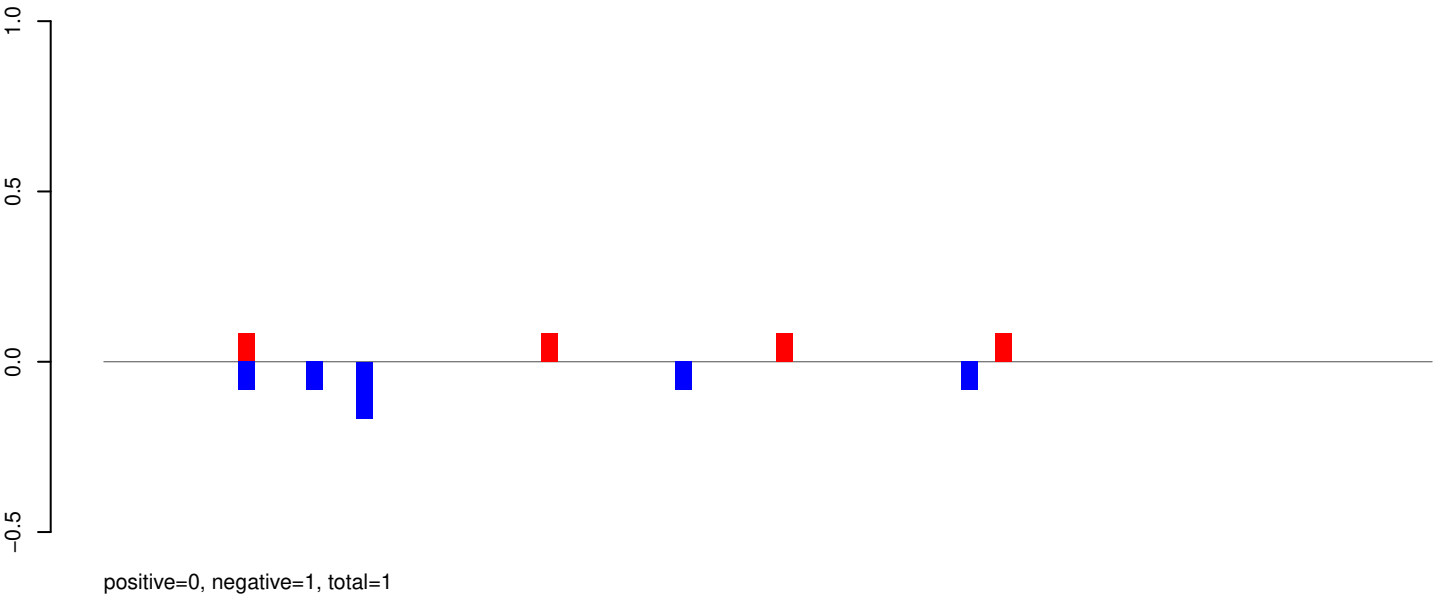


Window size=25, length=1975, TE@AY009103.1:1-1975

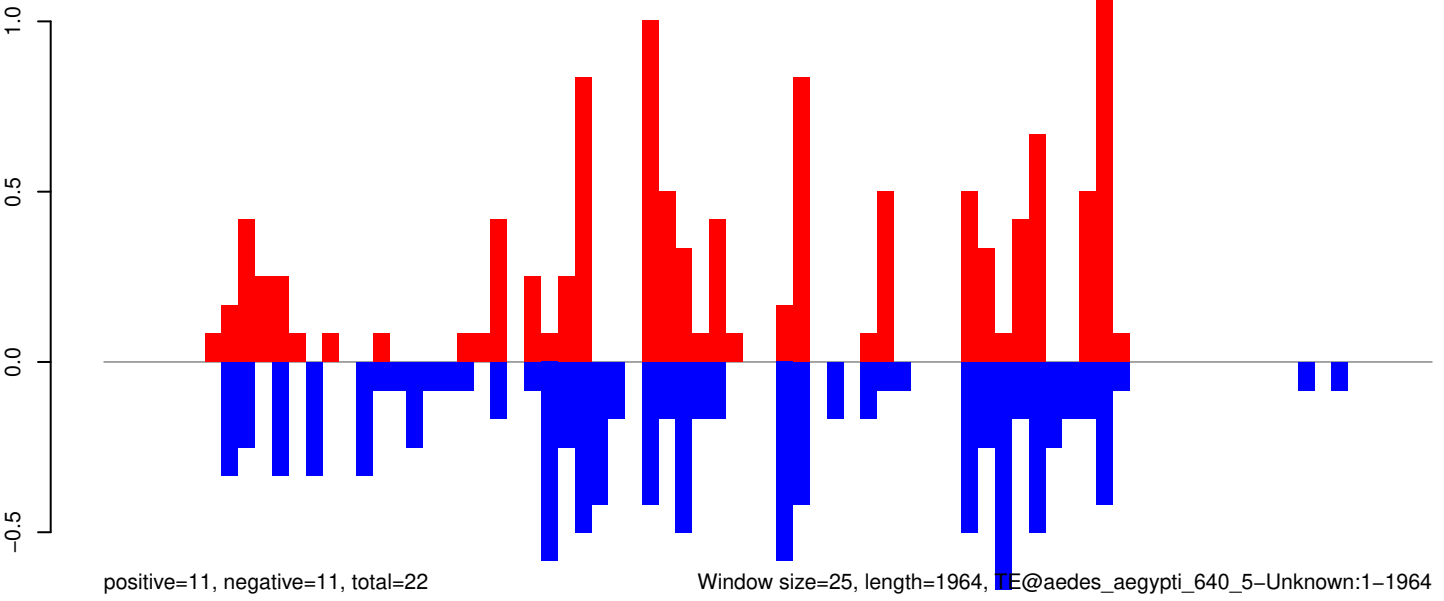
AeAeg_Aag2_Ago2_SINV_RA.18_23.rep



AeAeg_Aag2_Ago2_SINV_RA.24_35.rep



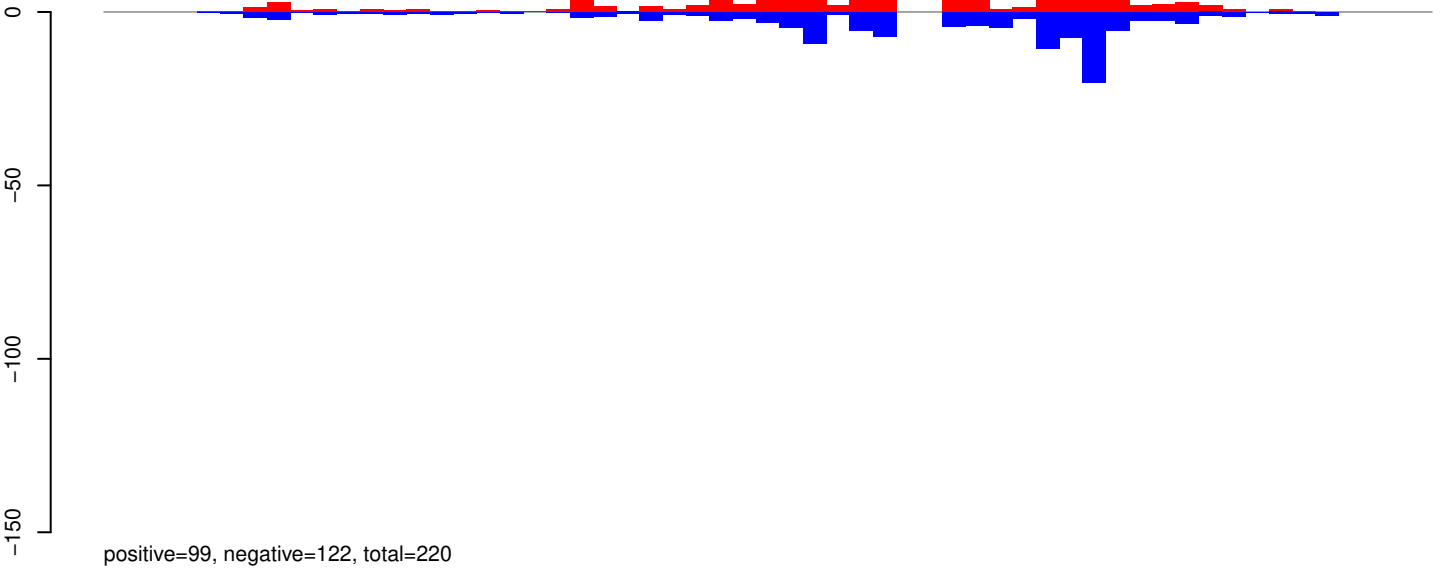
AeAeg_Aag2_Ago2_SINV_RA.rep



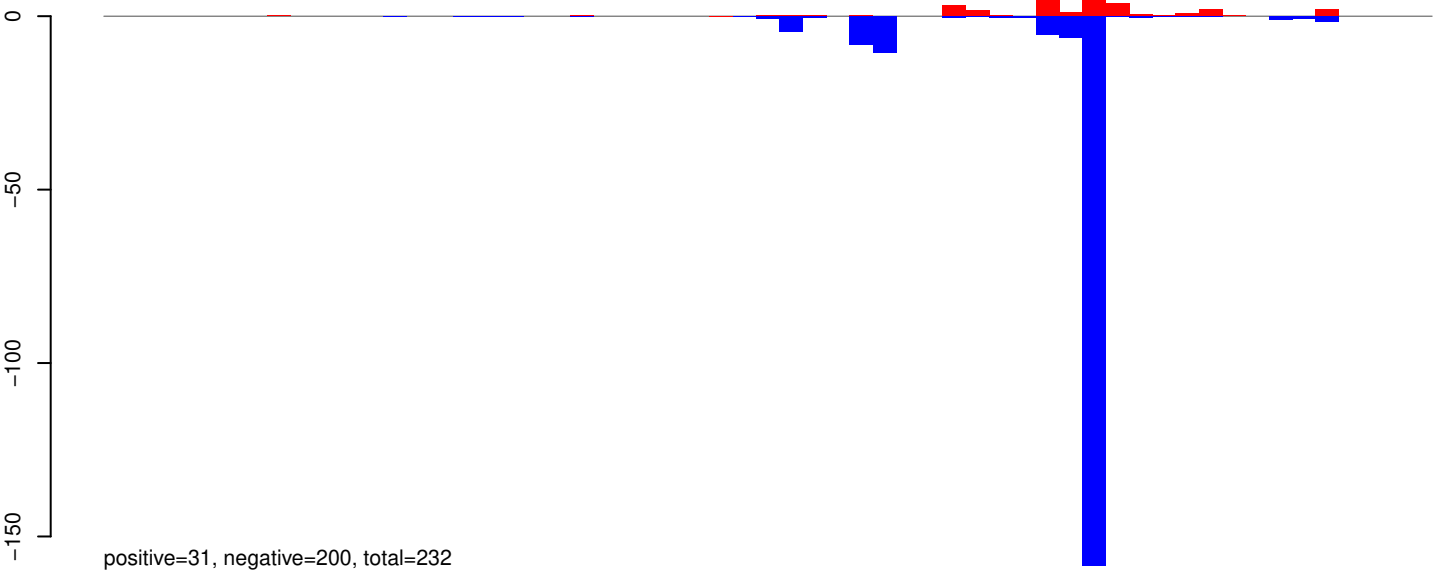
Window size=25, length=1964, TE@aedes_aegypti_640_5-Unknown:1-1964

0 500 1000 1500 2000

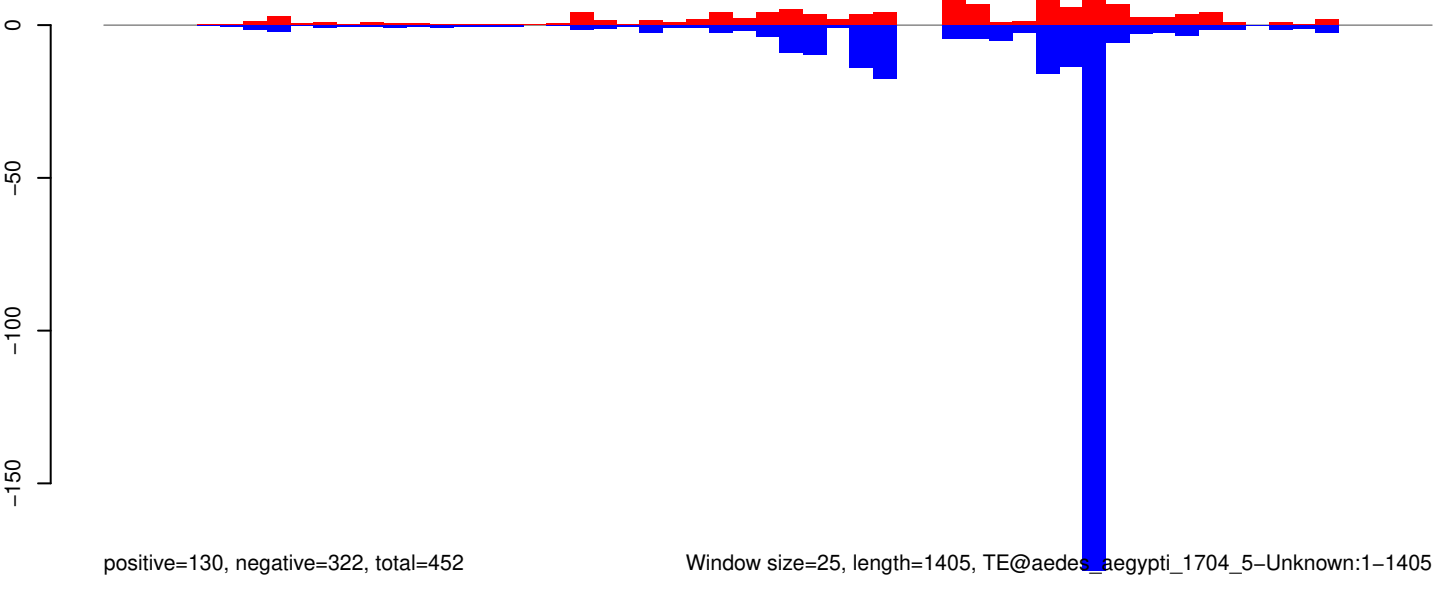
AeAeg_Aag2_Ago2_SINV_RA.18_23.rep



AeAeg_Aag2_Ago2_SINV_RA.24_35.rep

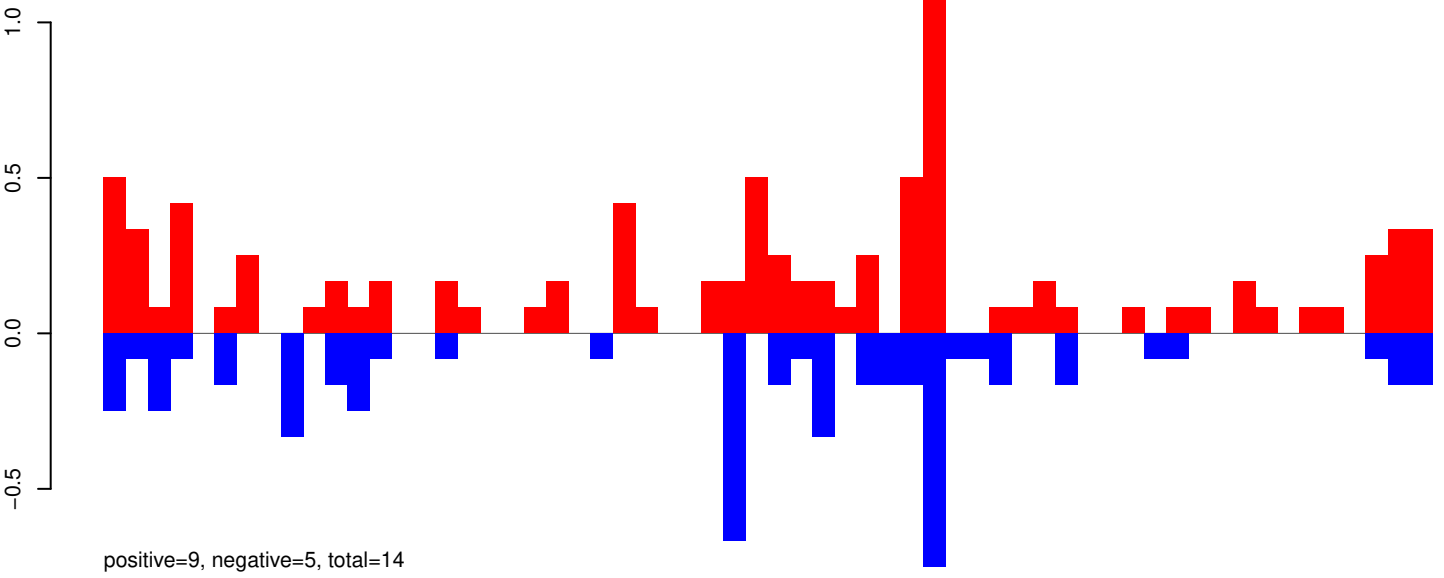


AeAeg_Aag2_Ago2_SINV_RA.rep

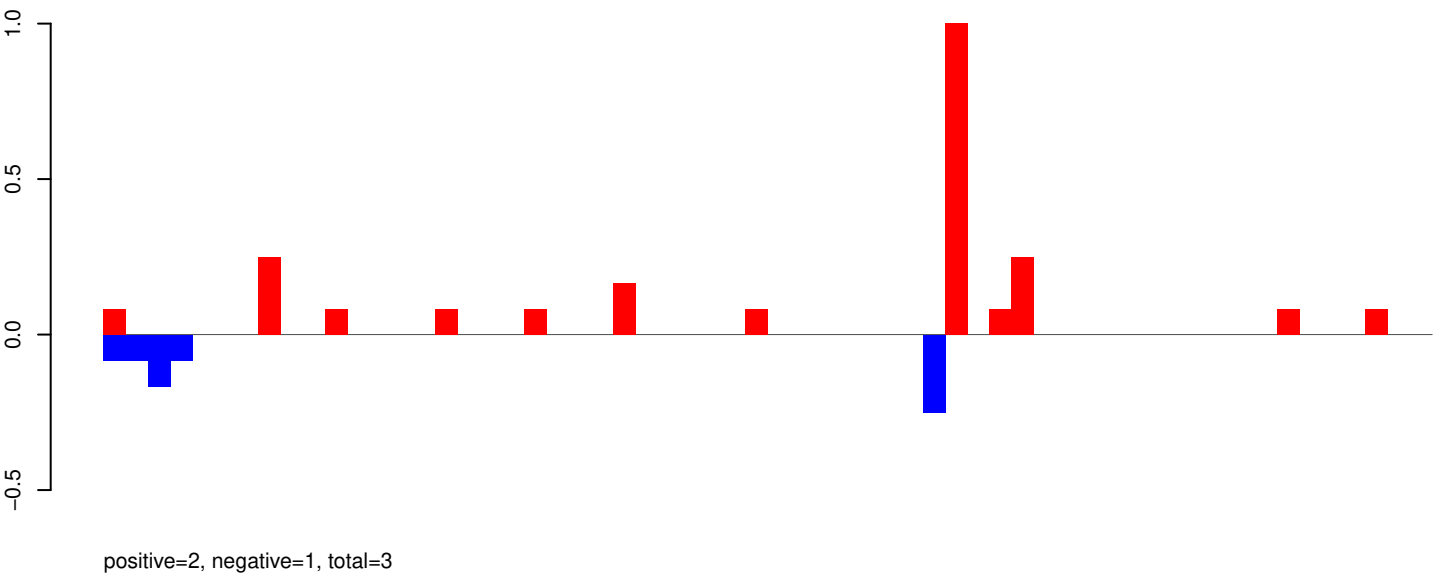


Window size=25, length=1405, TE@aedes_aegypti_1704_5-Unknown:1-1405

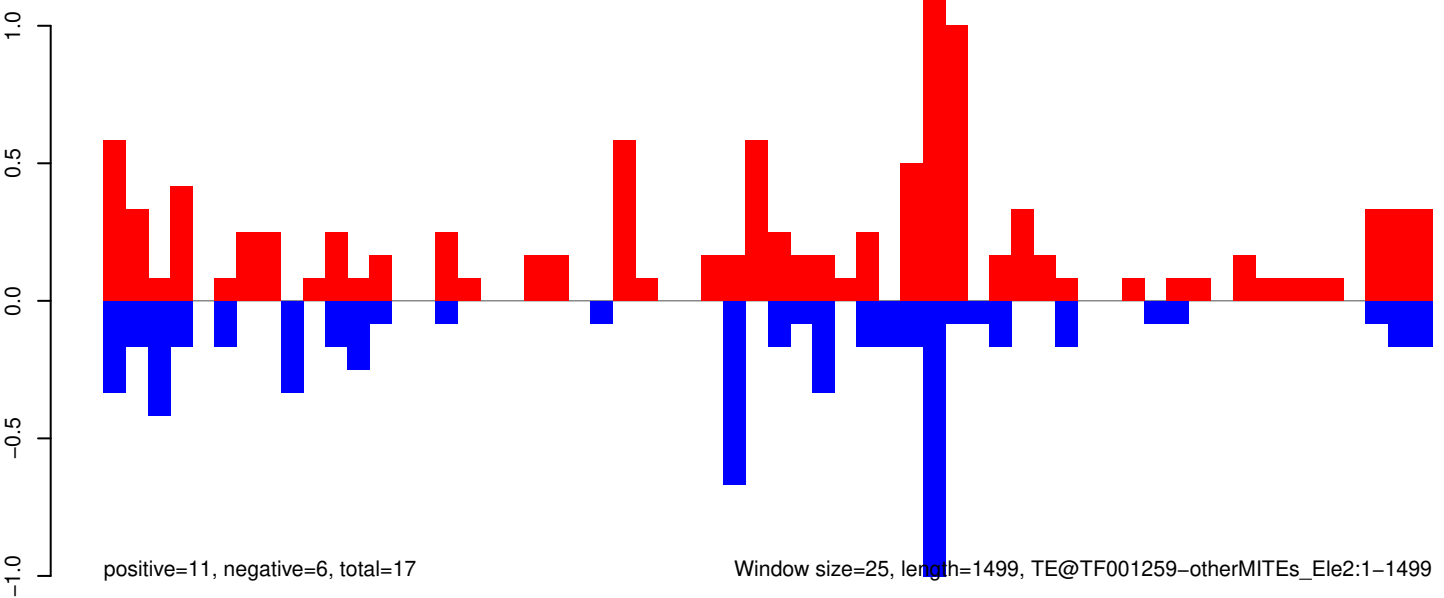
AeAeg_Aag2_Ago2_SINV_RA.18_23.rep



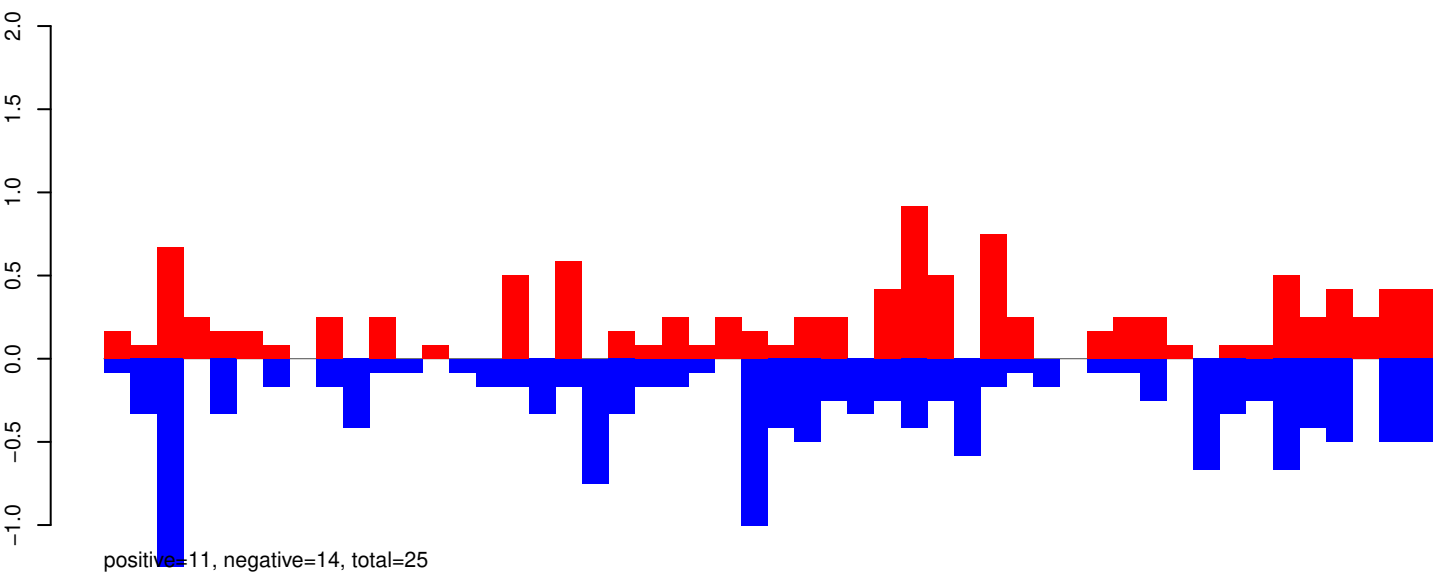
AeAeg_Aag2_Ago2_SINV_RA.24_35.rep



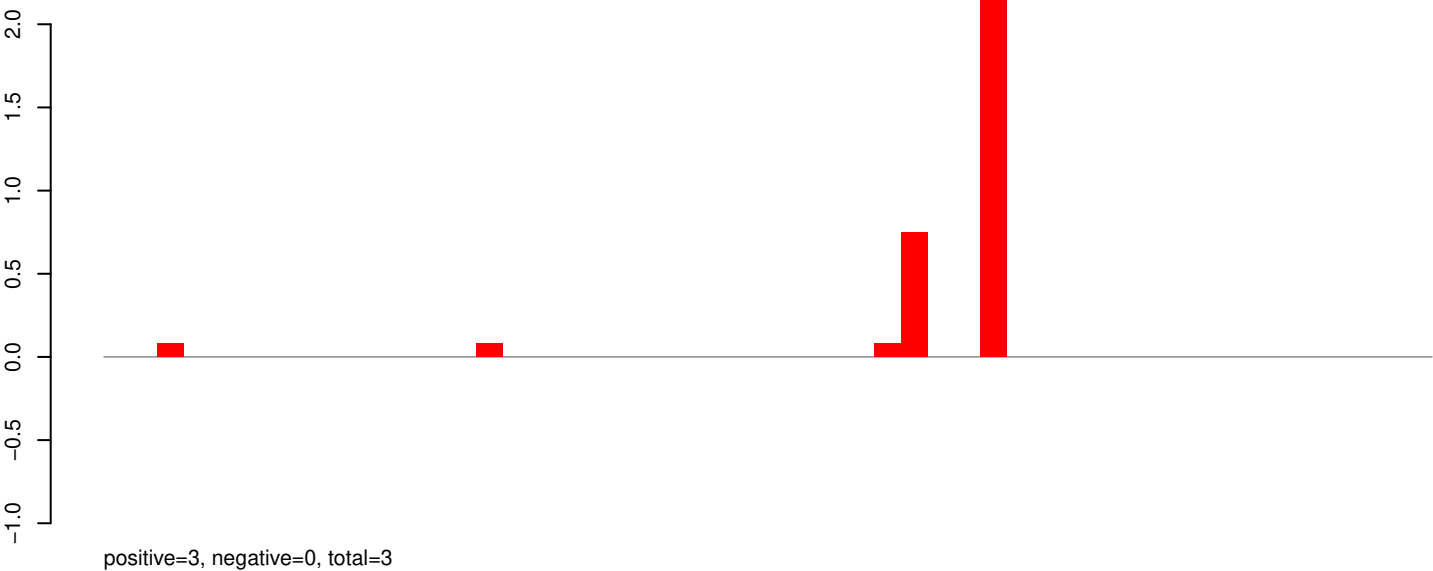
AeAeg_Aag2_Ago2_SINV_RA.rep



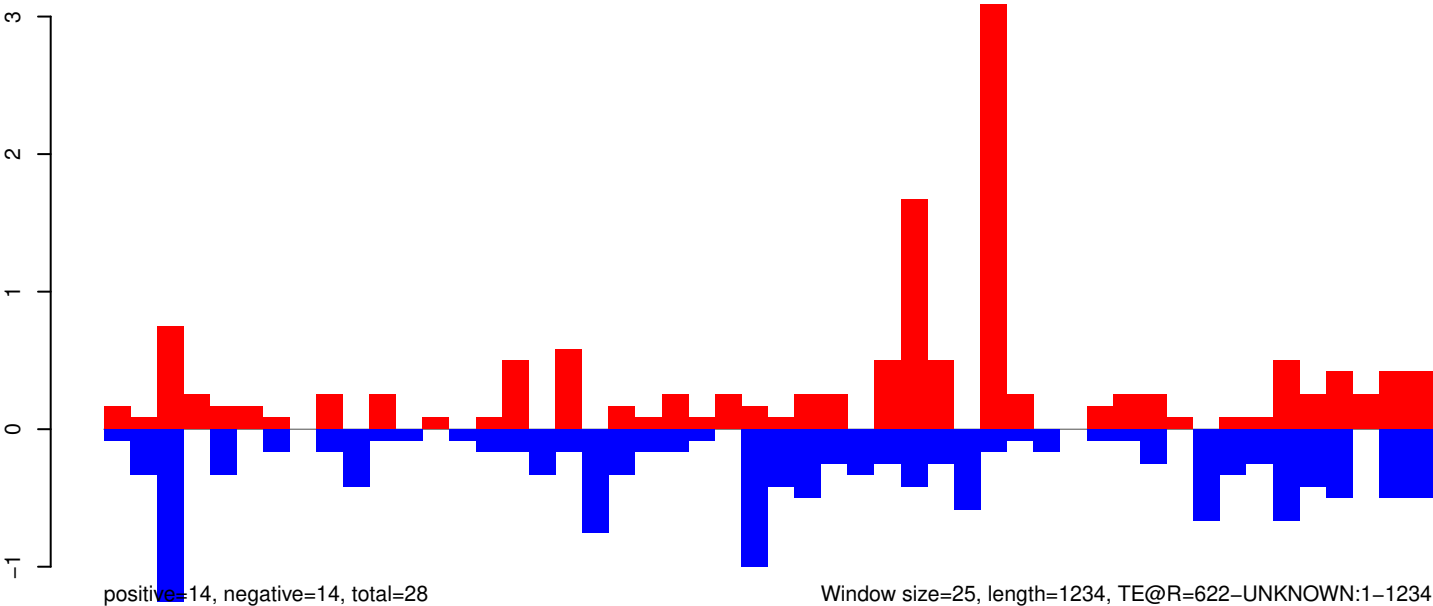
AeAeg_Aag2_Ago2_SINV_RA.18_23.rep



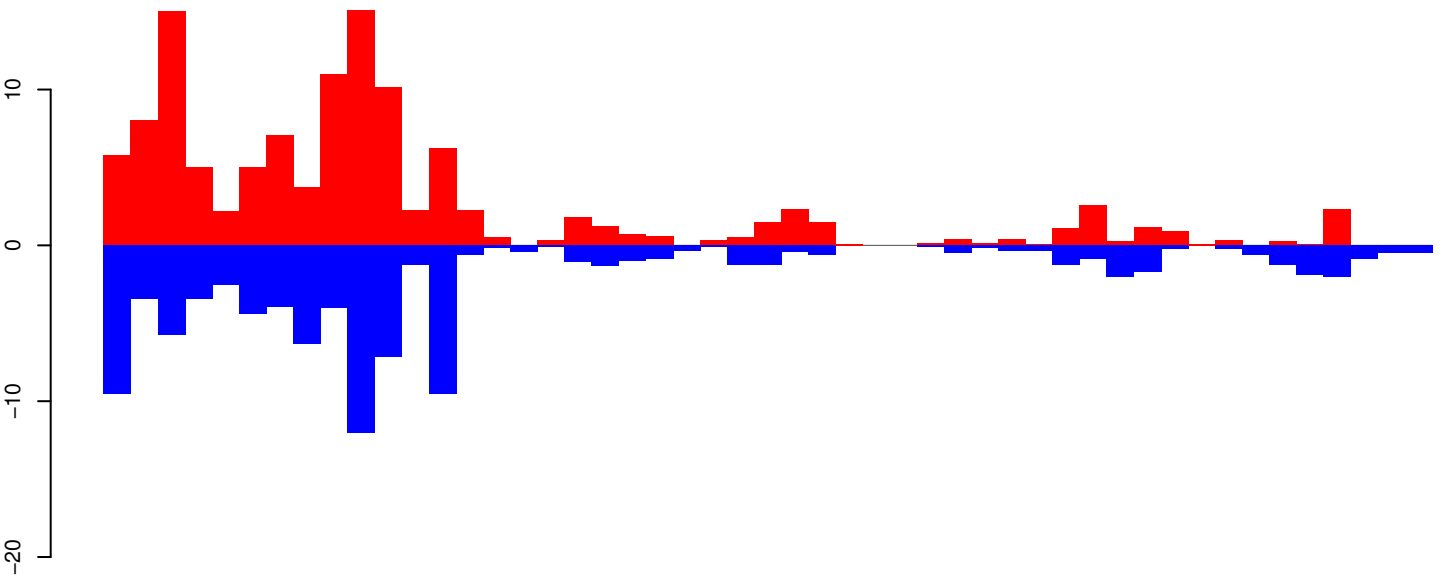
AeAeg_Aag2_Ago2_SINV_RA.24_35.rep



AeAeg_Aag2_Ago2_SINV_RA.rep

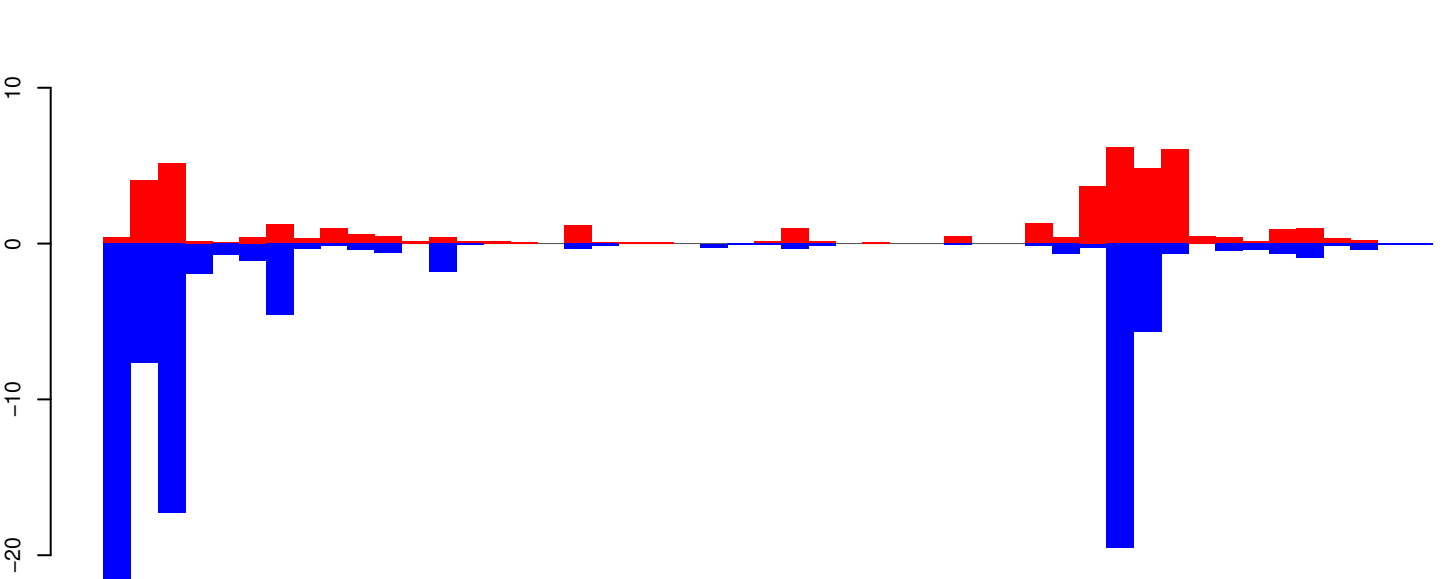


AeAeg_Aag2_Ago2_SINV_RA.18_23.rep



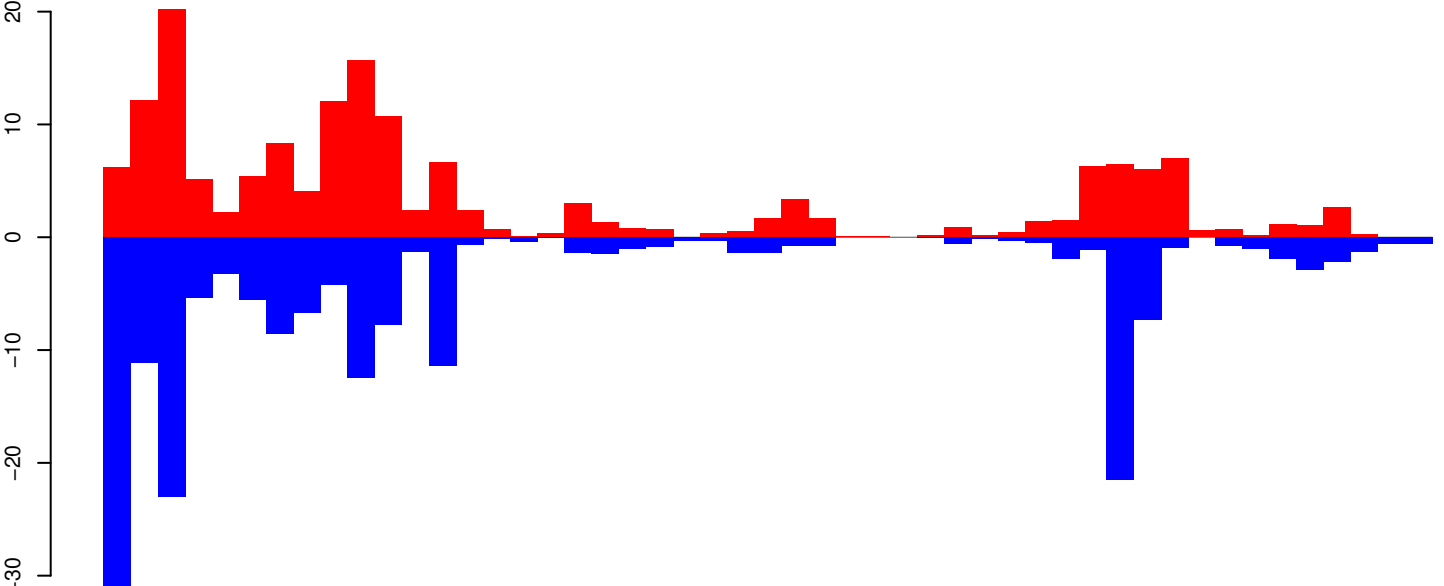
positive=121, negative=98, total=219

AeAeg_Aag2_Ago2_SINV_RA.24_35.rep



positive=44, negative=92, total=136

AeAeg_Aag2_Ago2_SINV_RA.rep

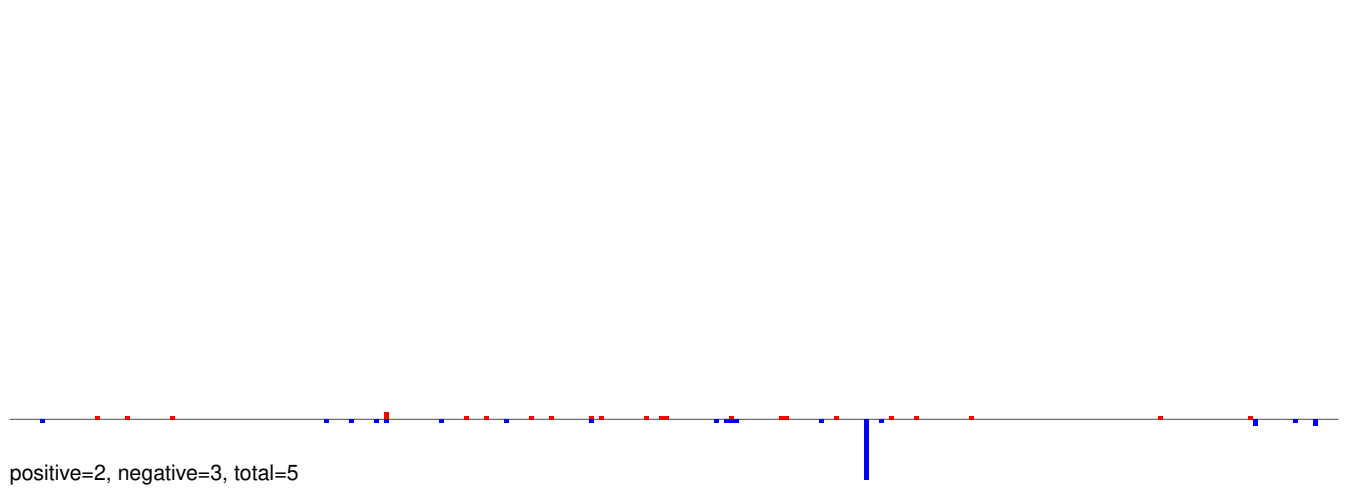


positive=165, negative=190, total=355

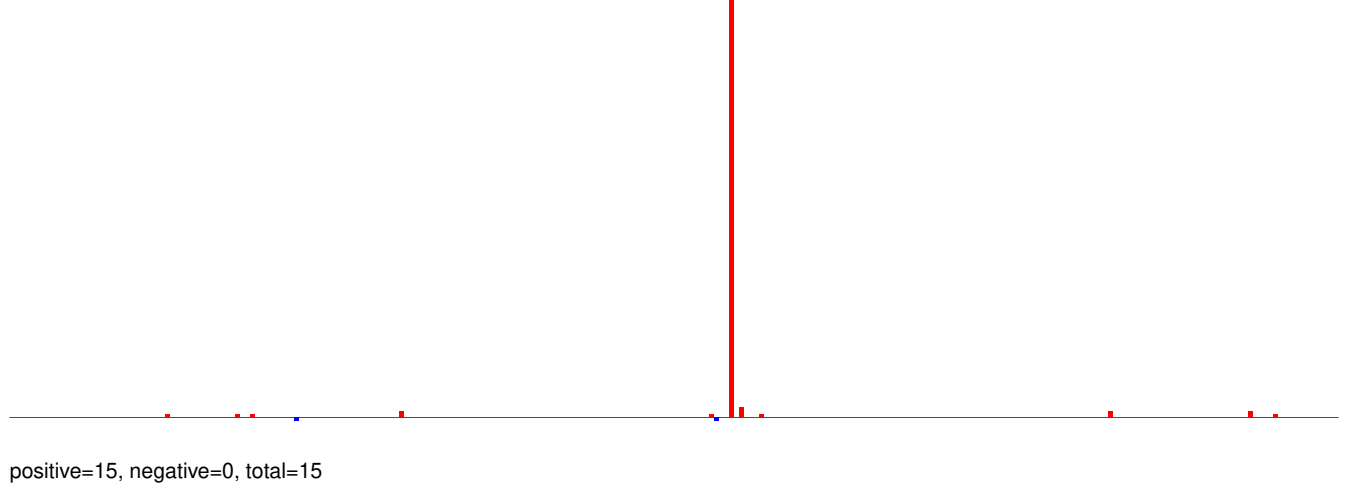
Window size=25, length=1208, TE@R=1006-UNKNOWN:1-1208

0 200 400 600 800 1000 1200

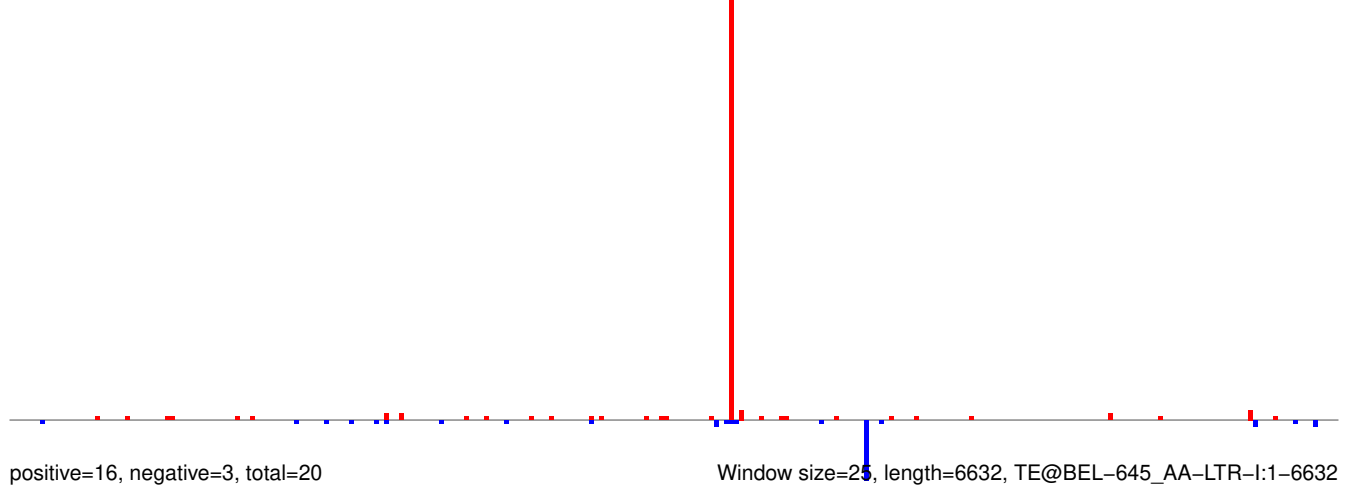
AeAeg_Aag2_Ago2_SINV_RA.18_23.rep



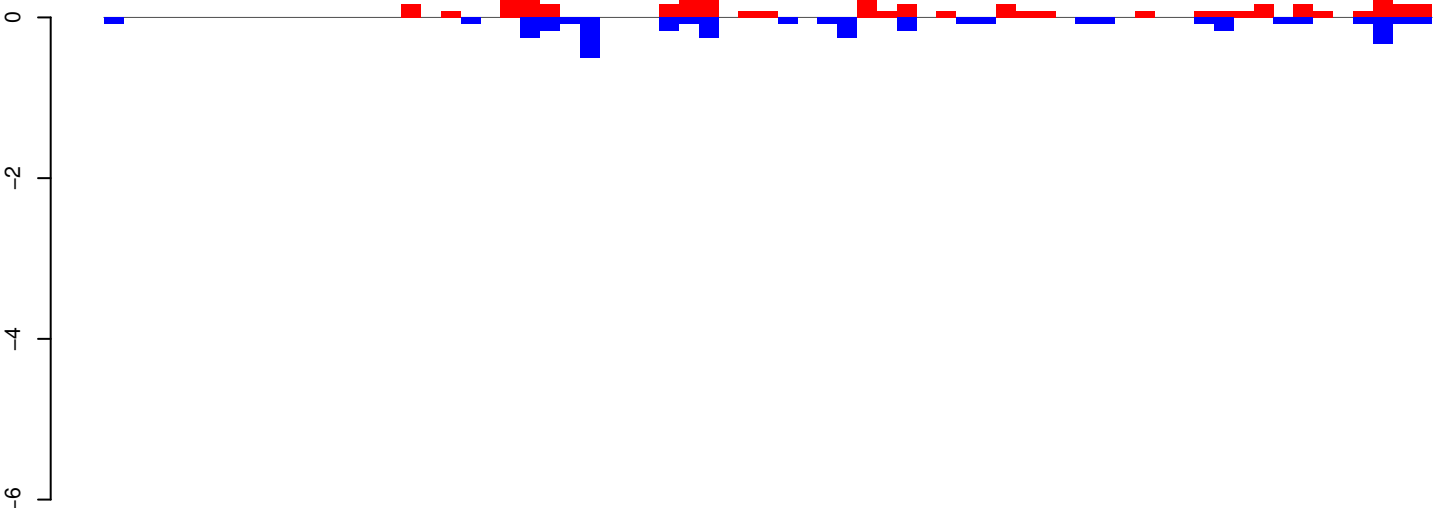
AeAeg_Aag2_Ago2_SINV_RA.24_35.rep



AeAeg_Aag2_Ago2_SINV_RA.rep

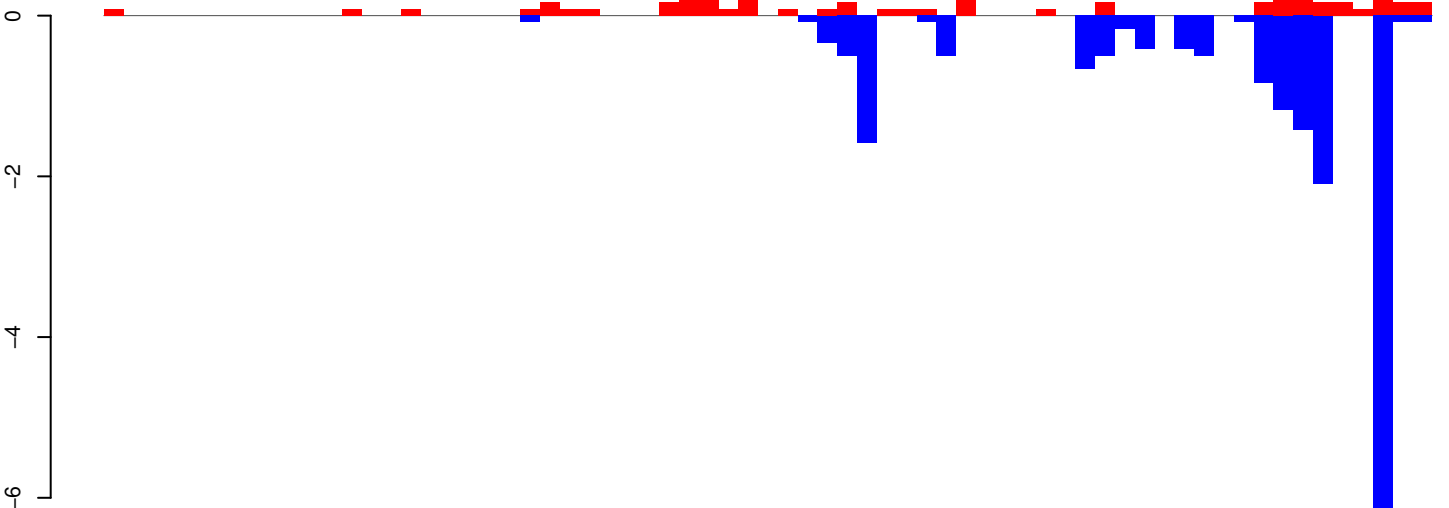


AeAeg_Aag2_Ago2_SINV_RA.18_23.rep



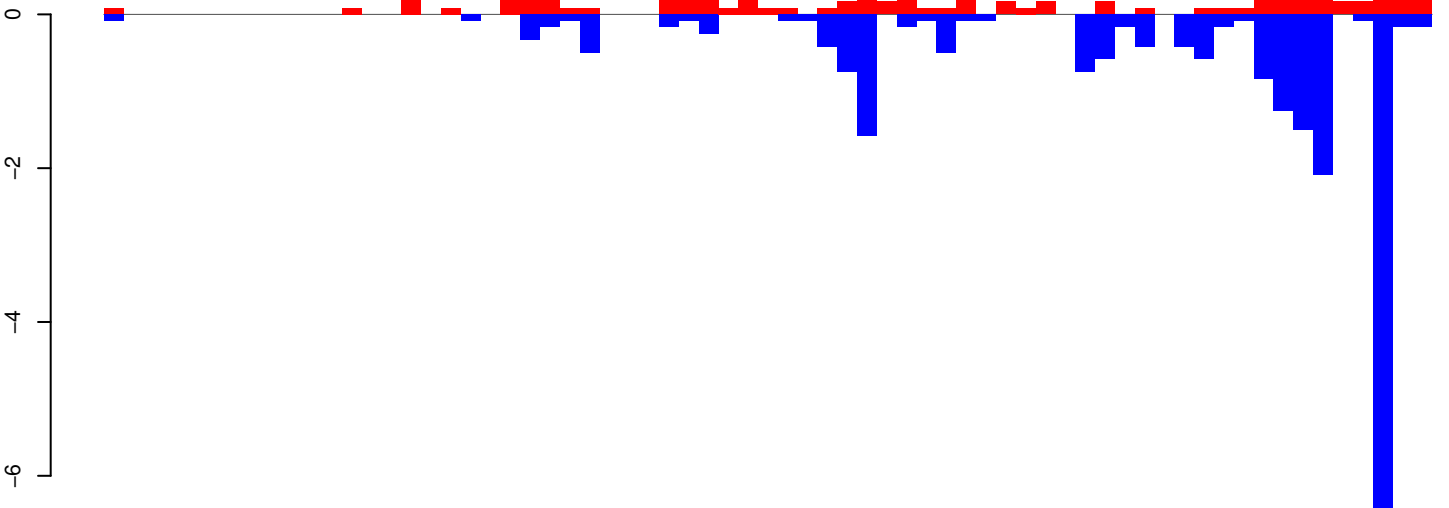
positive=4, negative=4, total=8

AeAeg_Aag2_Ago2_SINV_RA.24_35.rep



positive=6, negative=18, total=24

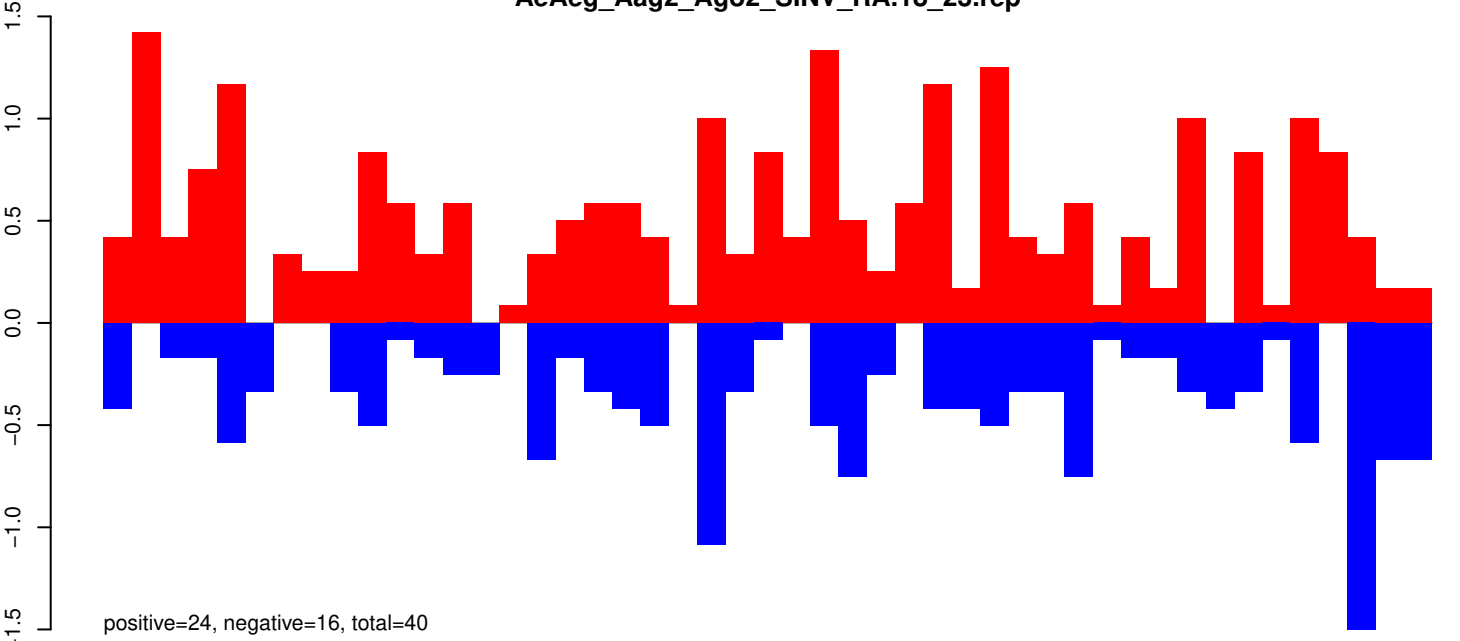
AeAeg_Aag2_Ago2_SINV_RA.rep



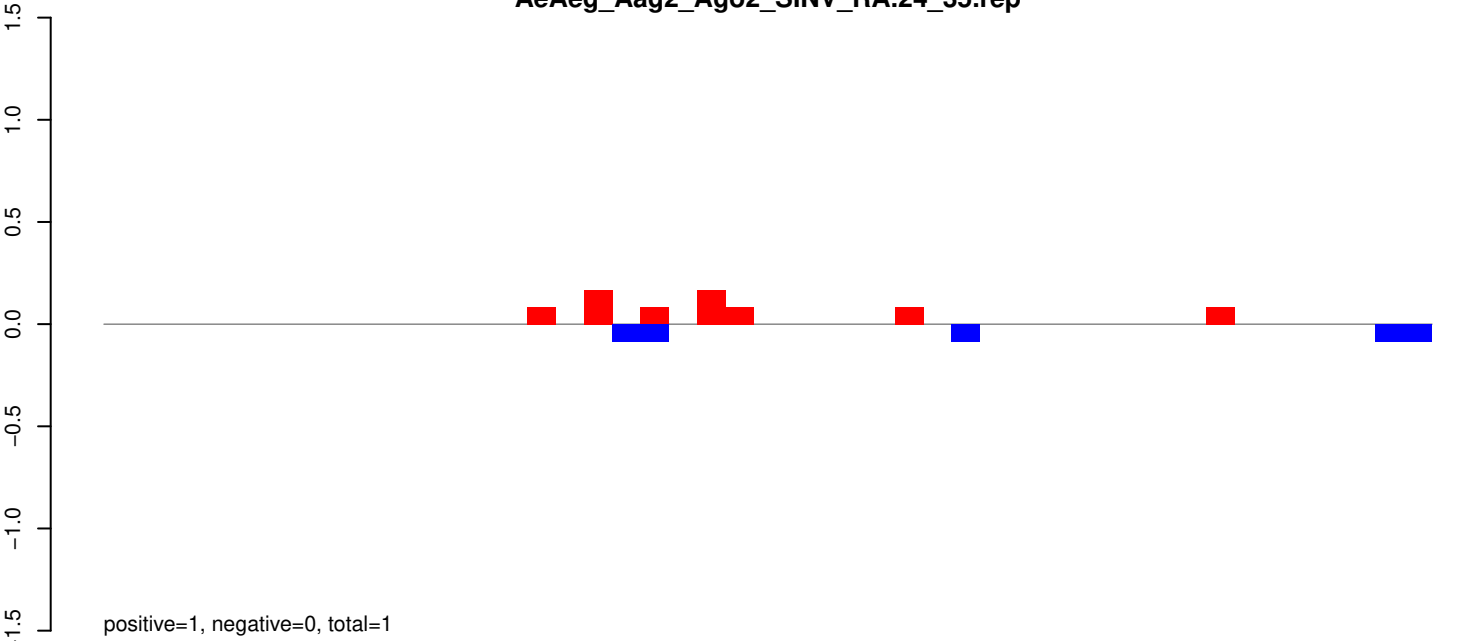
positive=10, negative=22, total=32

Window size=25, length=1669, TE@TF001278-otherMITEs_Ele5:1-1669

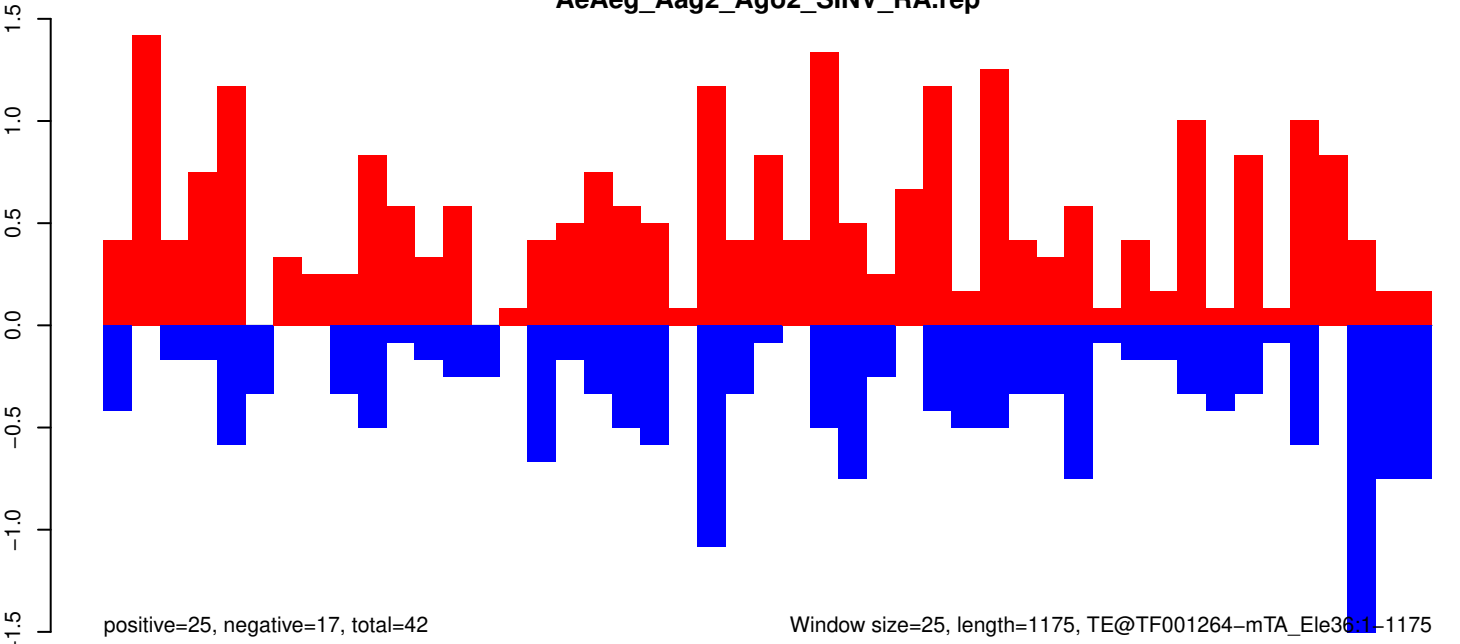
AeAeg_Aag2_Ago2_SINV_RA.18_23.rep



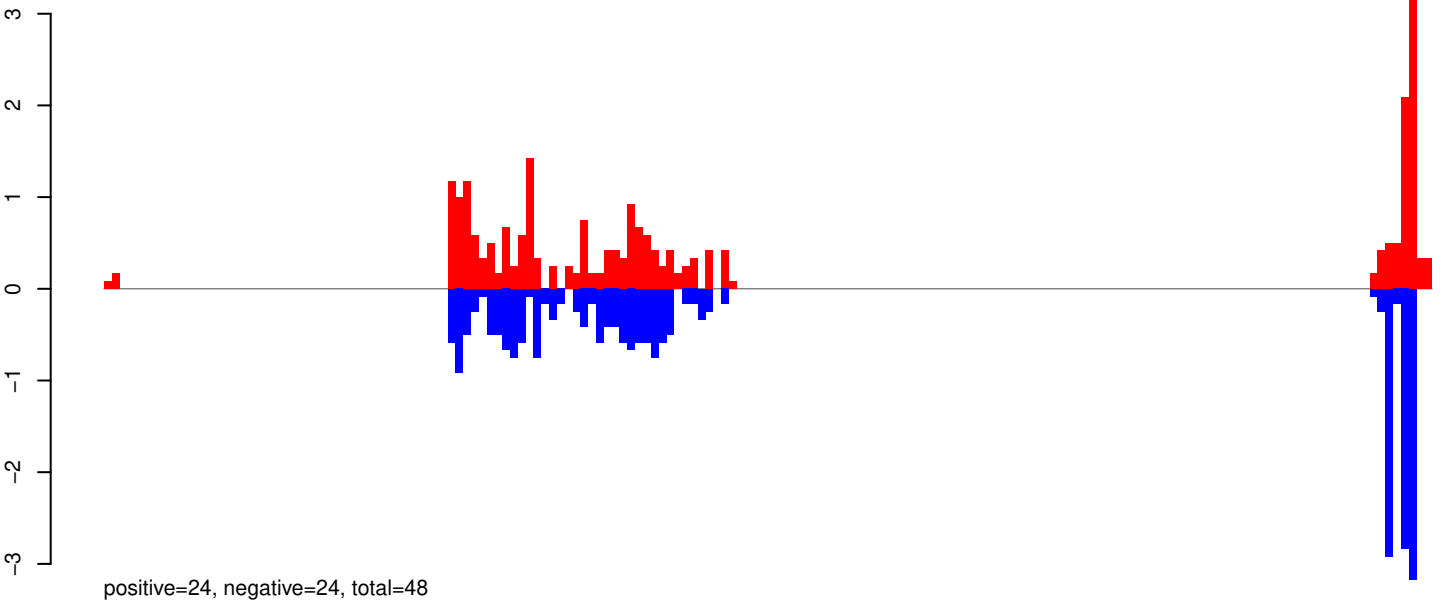
AeAeg_Aag2_Ago2_SINV_RA.24_35.rep



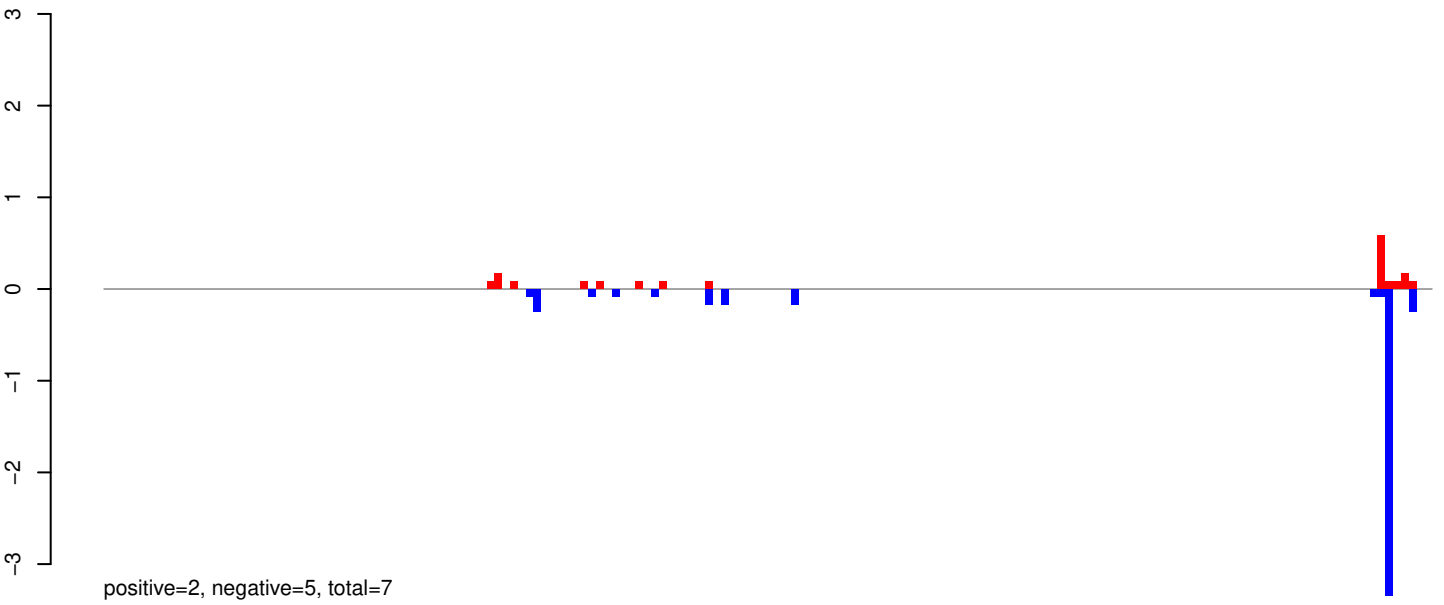
AeAeg_Aag2_Ago2_SINV_RA.rep



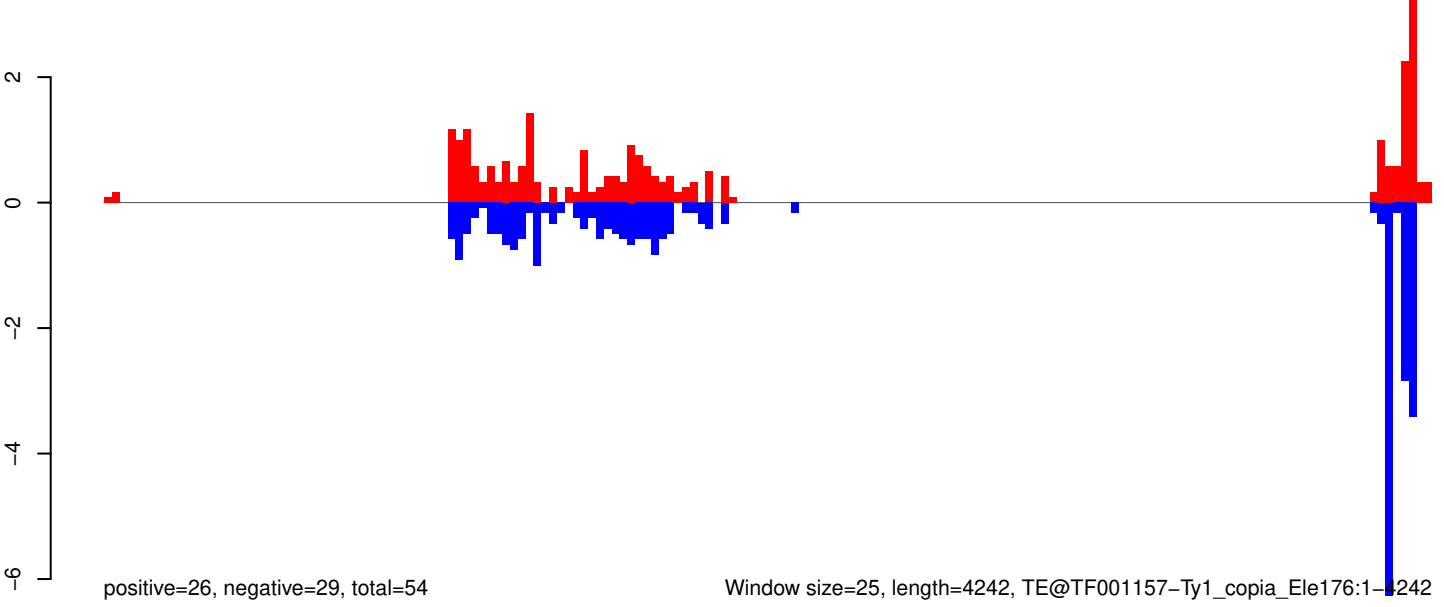
AeAeg_Aag2_Ago2_SINV_RA.18_23.rep



AeAeg_Aag2_Ago2_SINV_RA.24_35.rep



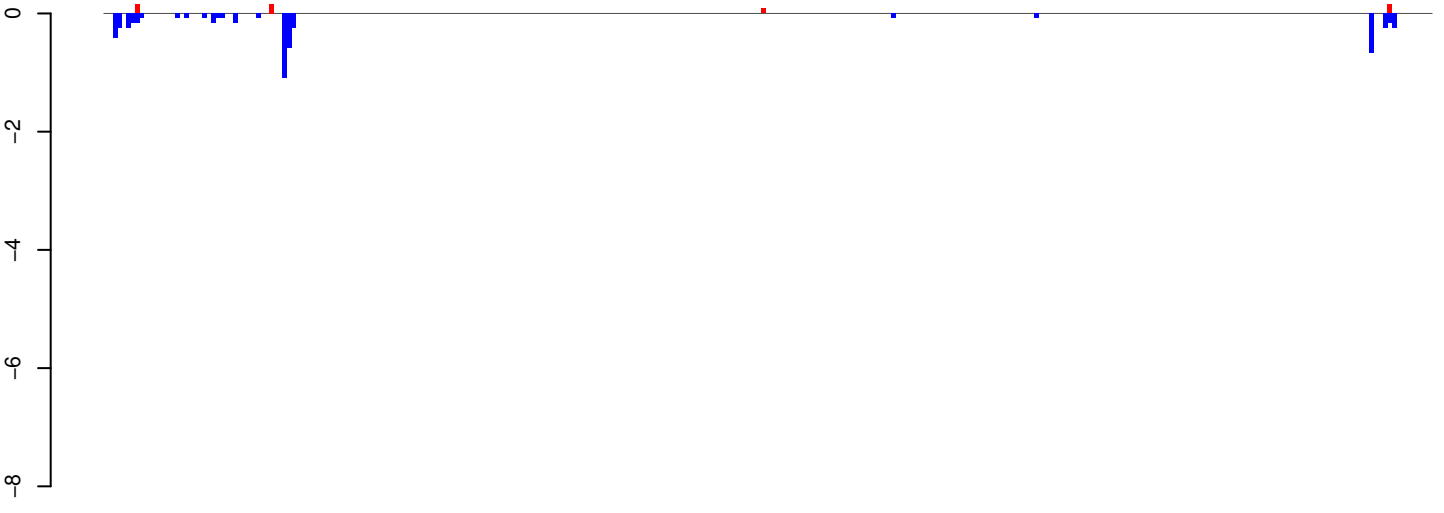
AeAeg_Aag2_Ago2_SINV_RA.rep



Window size=25, length=4242, TE@TF001157-Ty1_copia_Ele176:1-4242

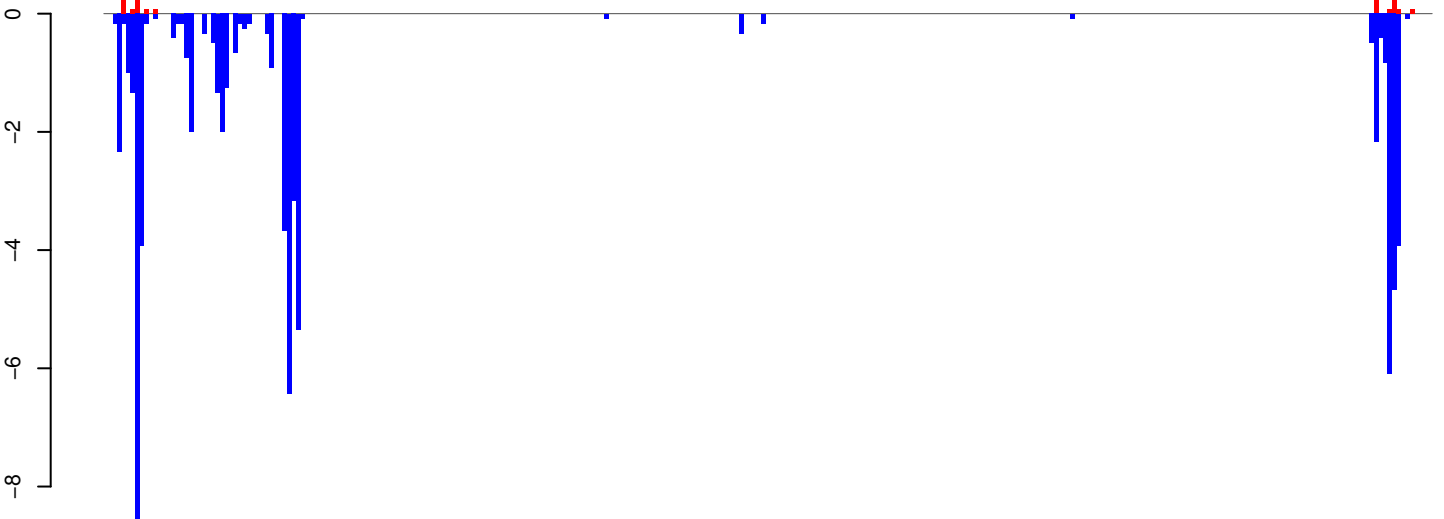
0 1000 2000 3000 4000

AeAeg_Aag2_Ago2_SINV_RA.18_23.rep



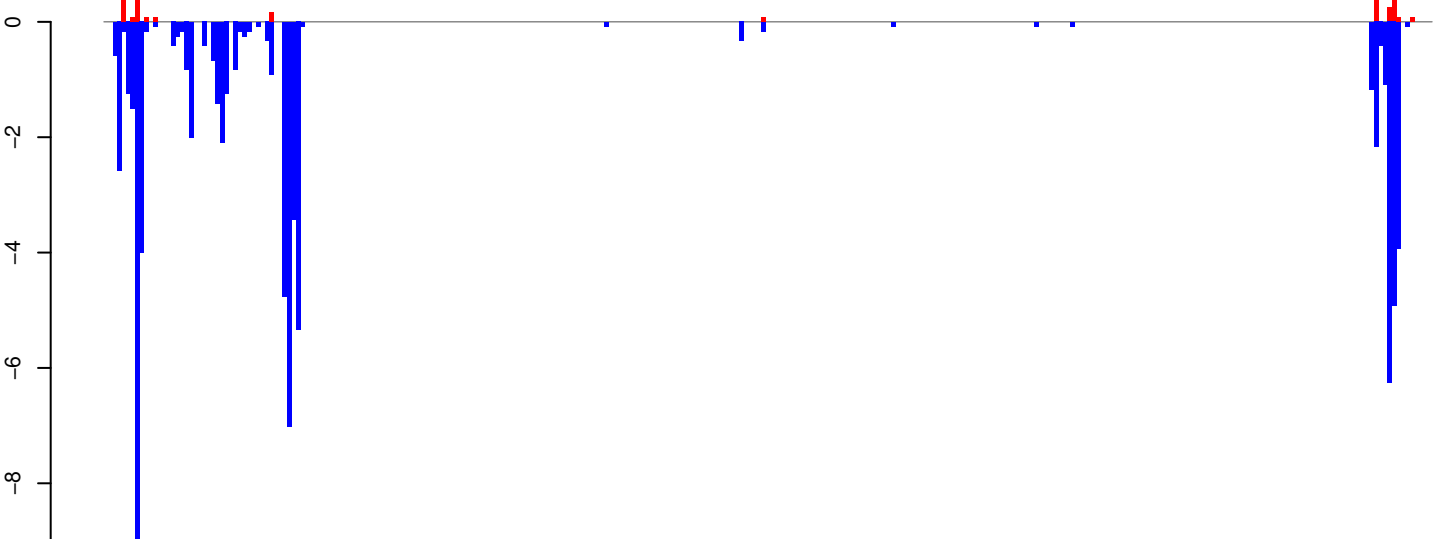
positive=1, negative=6, total=6

AeAeg_Aag2_Ago2_SINV_RA.24_35.rep



positive=3, negative=68, total=71

AeAeg_Aag2_Ago2_SINV_RA.rep

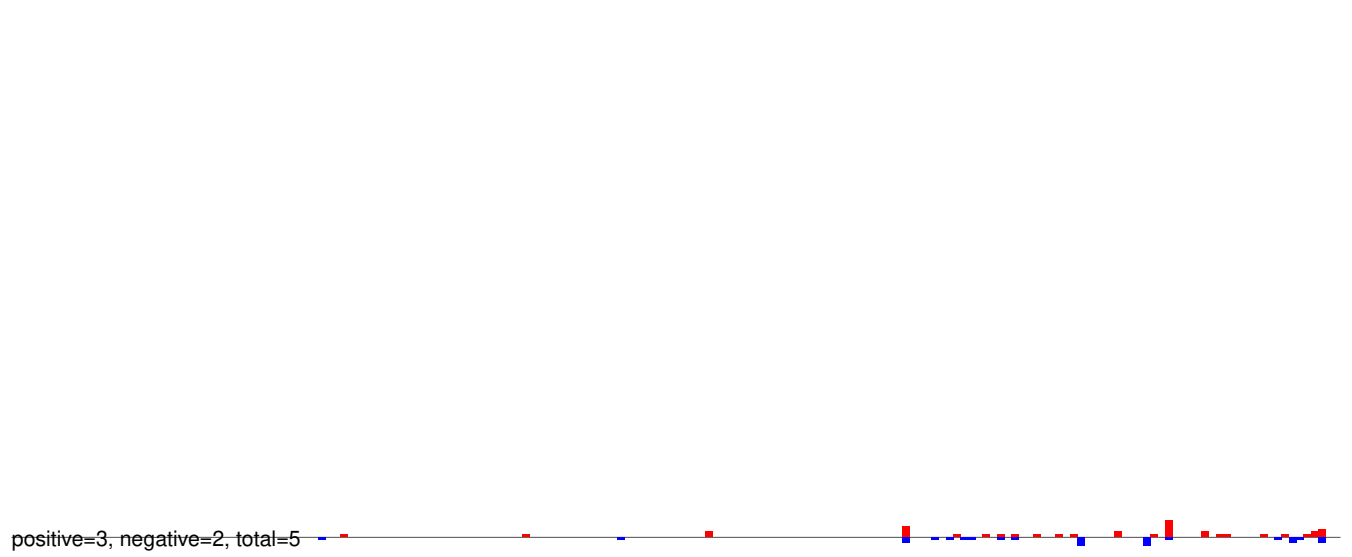


positive=3, negative=74, total=77

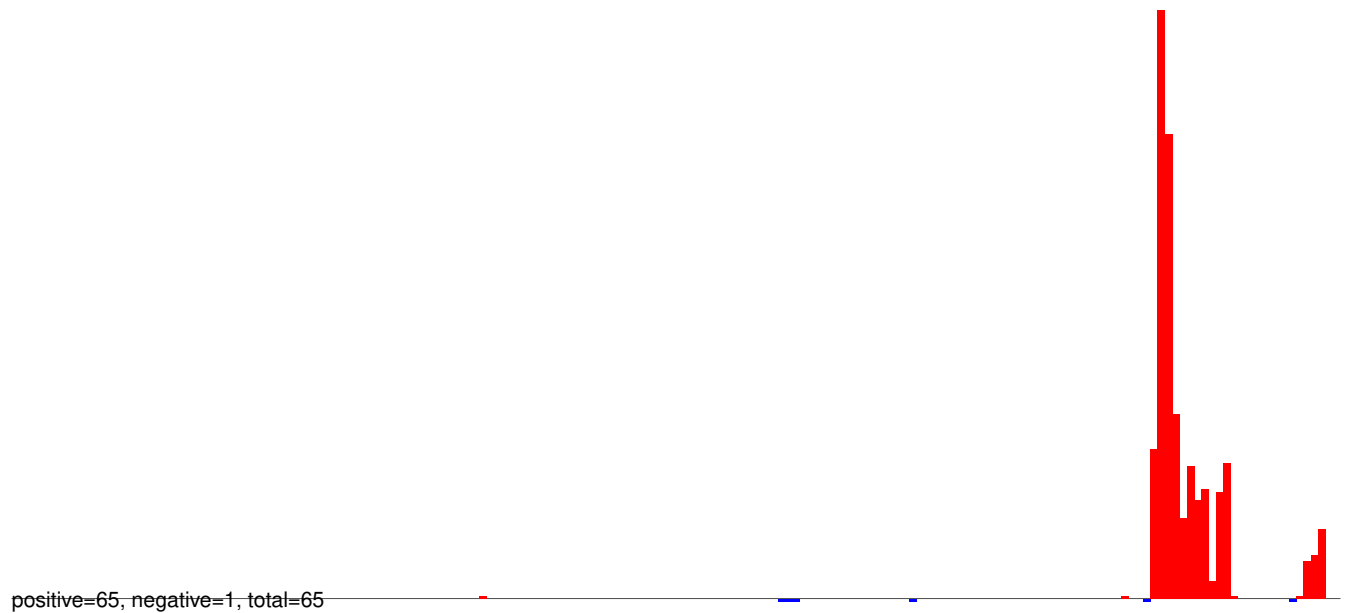
Window size=25, length=7424, TE@TF000512-Ty3_gypsy_Ele151:1-7424

0 2000 4000 6000

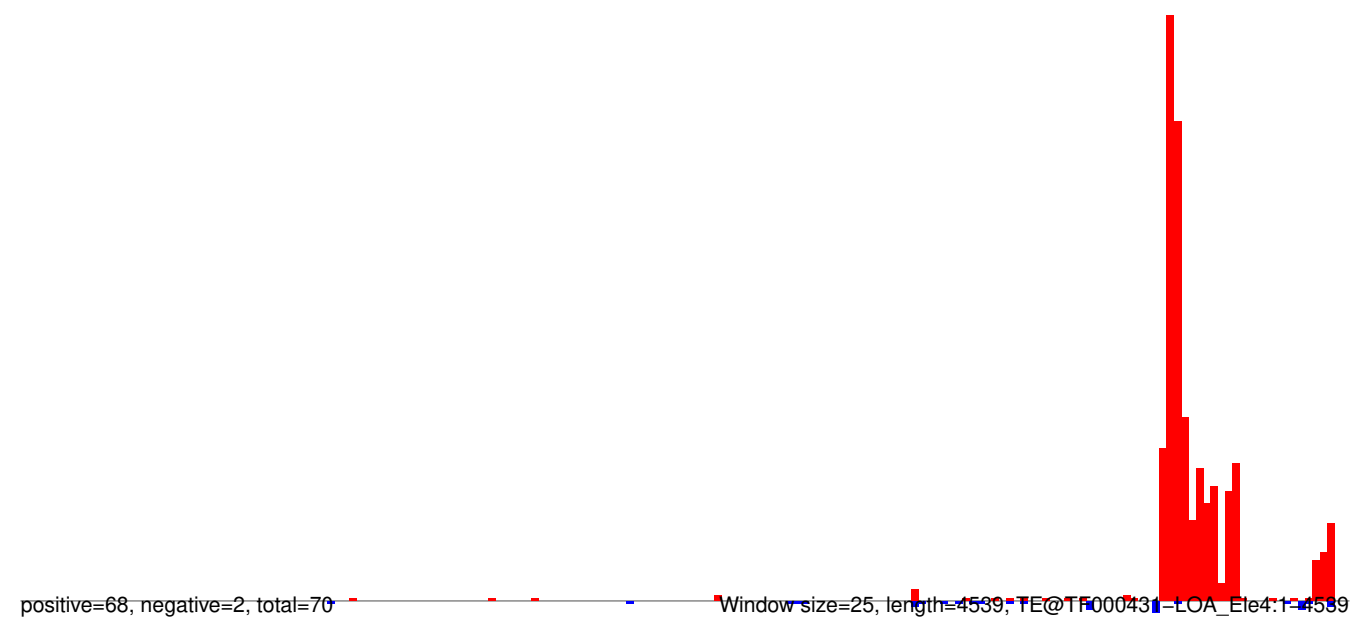
AeAeg_Aag2_Ago2_SINV_RA.18_23.rep



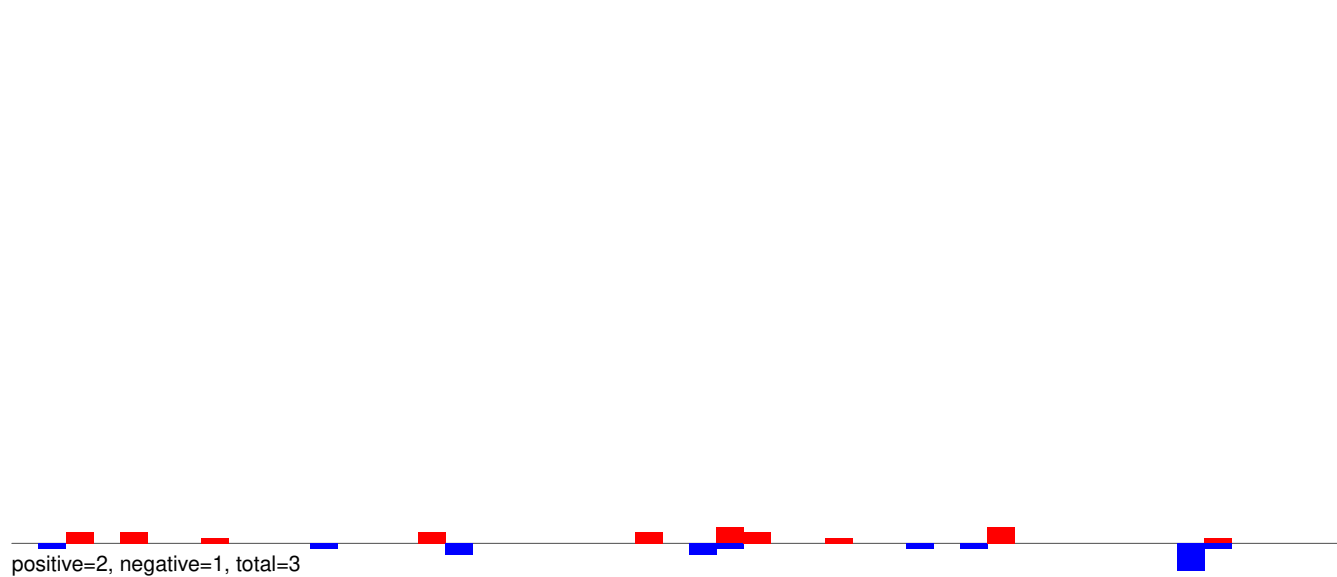
AeAeg_Aag2_Ago2_SINV_RA.24_35.rep



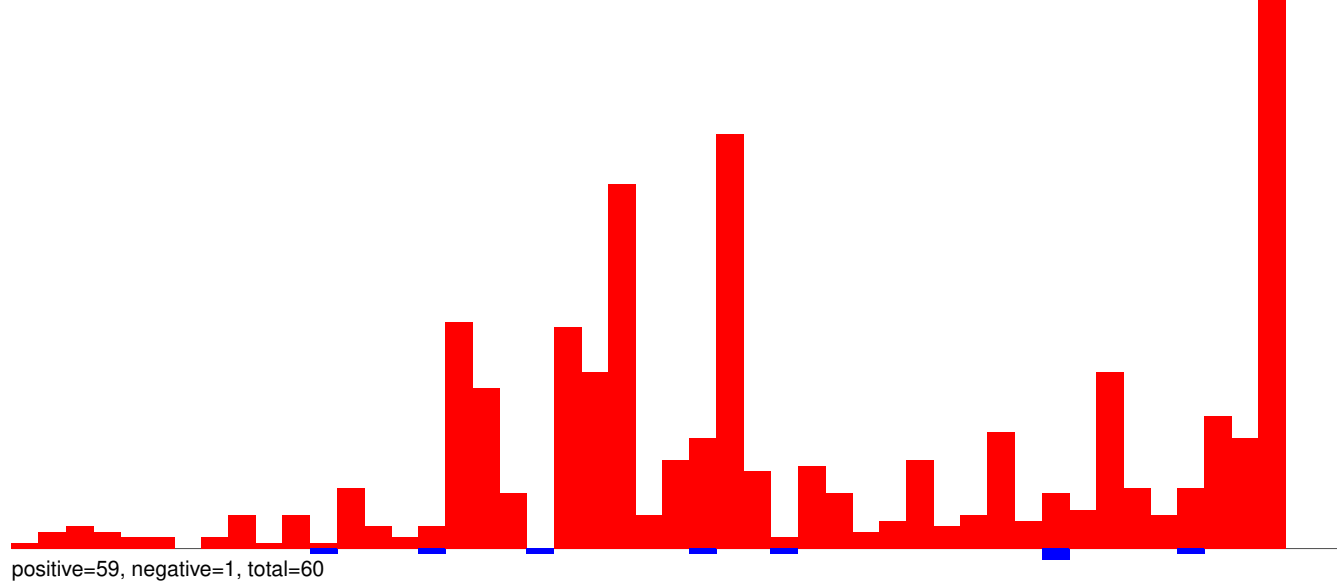
AeAeg_Aag2_Ago2_SINV_RA.rep



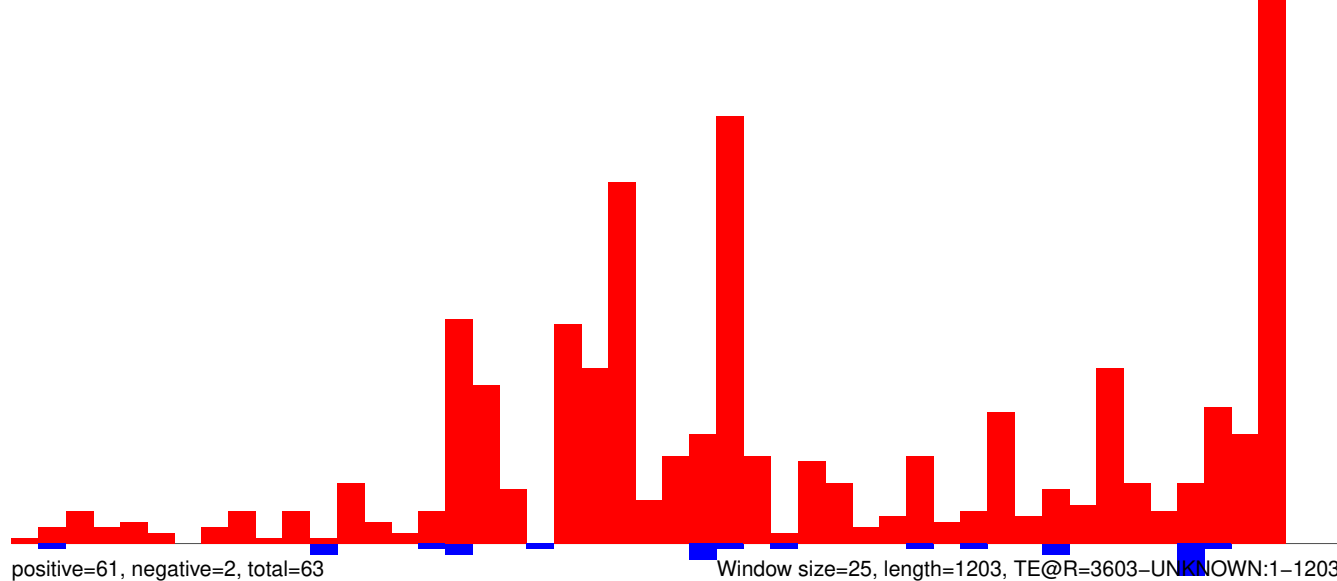
AeAeg_Aag2_Ago2_SINV_RA.18_23.rep



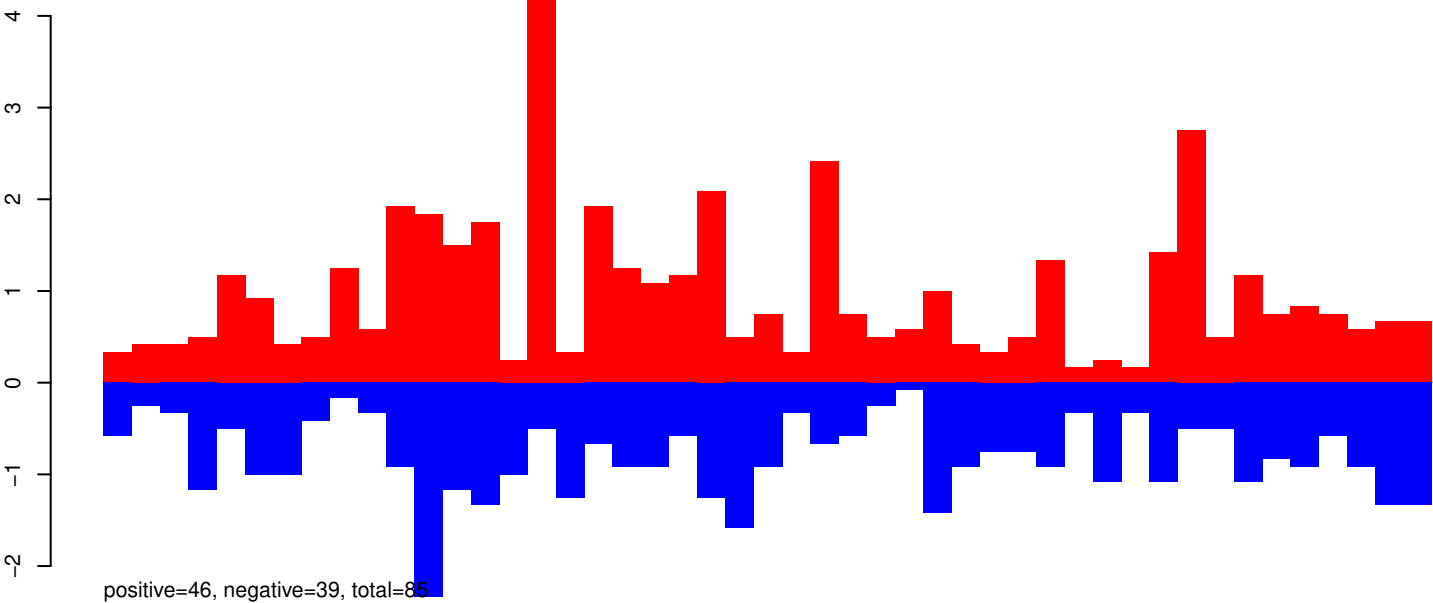
AeAeg_Aag2_Ago2_SINV_RA.24_35.rep



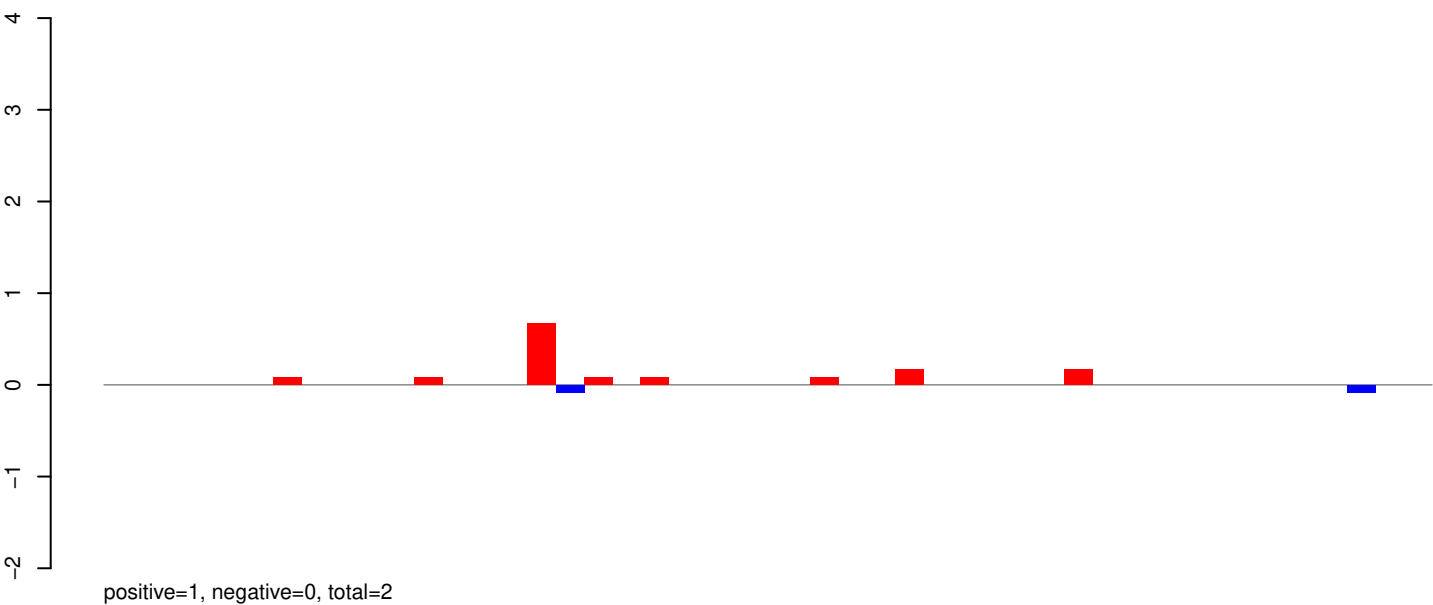
AeAeg_Aag2_Ago2_SINV_RA.rep



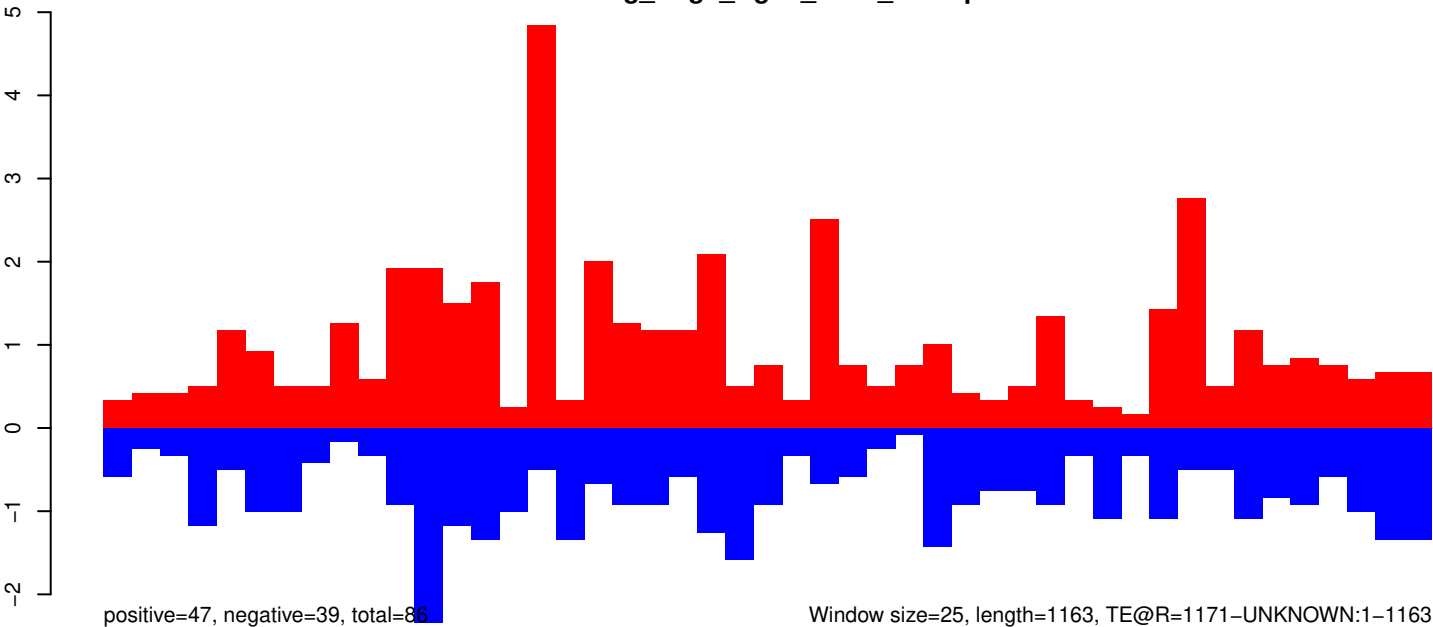
AeAeg_Aag2_Ago2_SINV_RA.18_23.rep



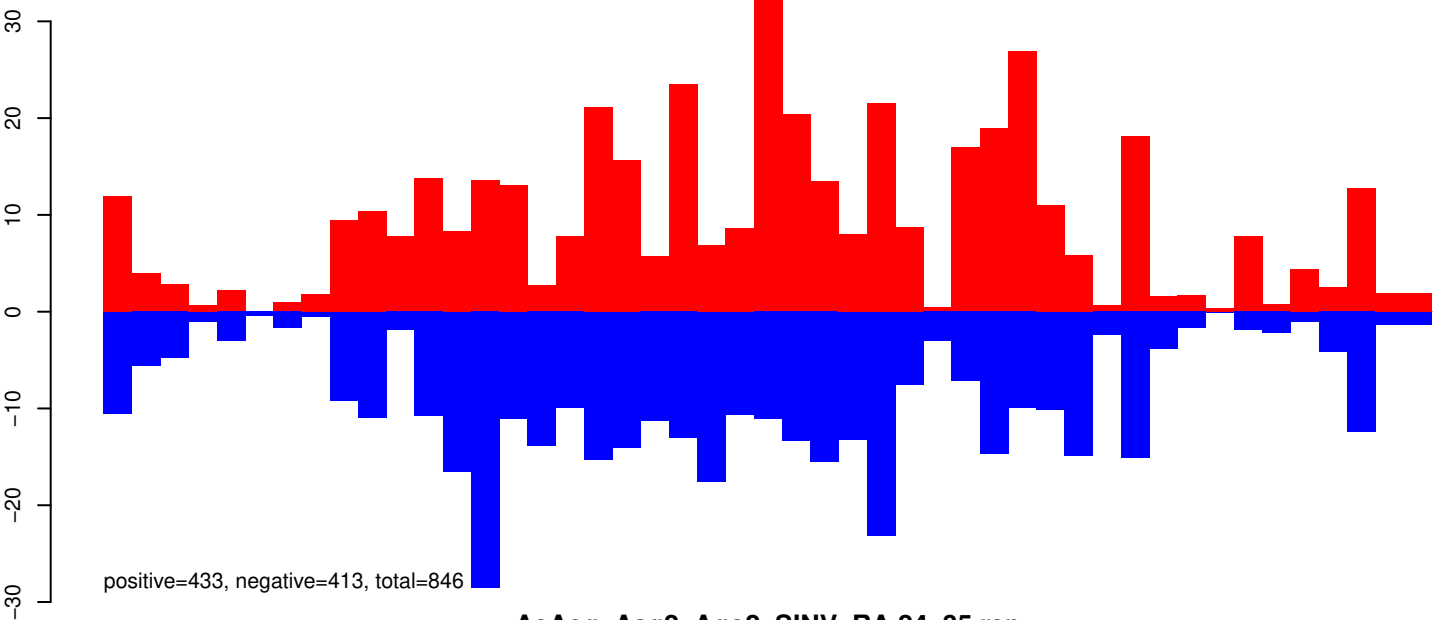
AeAeg_Aag2_Ago2_SINV_RA.24_35.rep



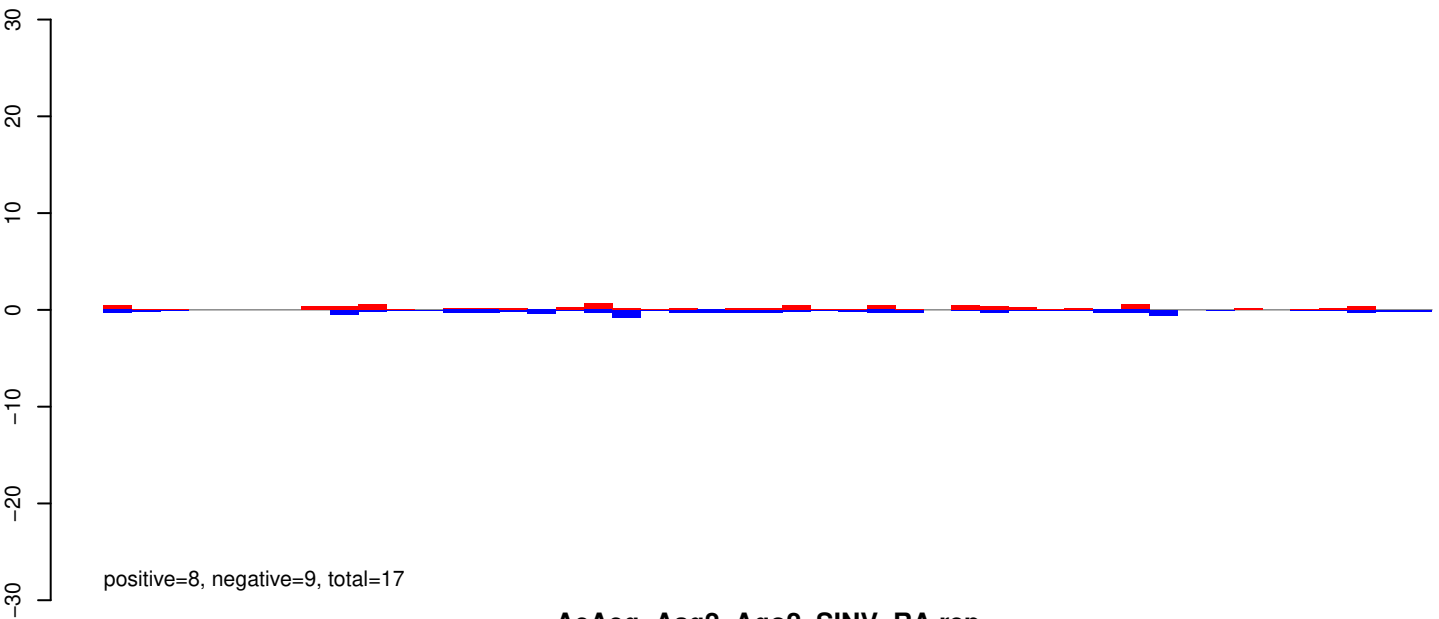
AeAeg_Aag2_Ago2_SINV_RA.rep



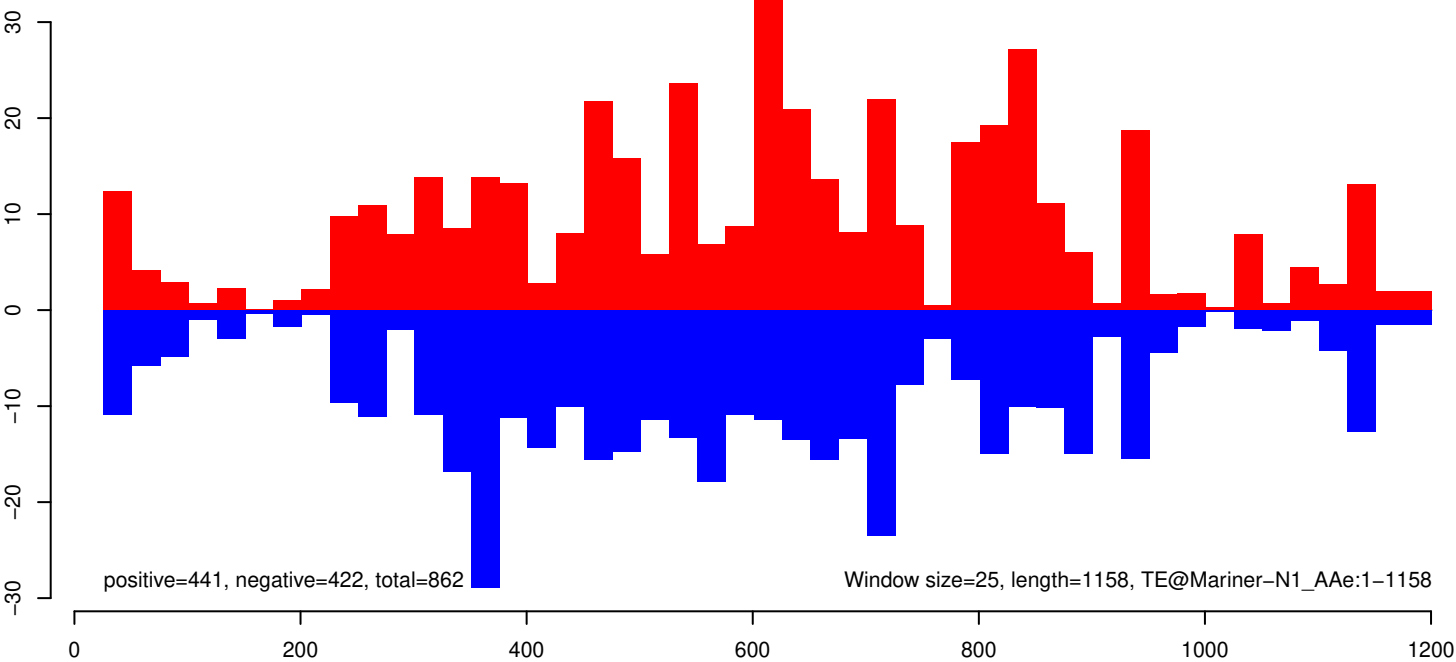
AeAeg_Aag2_Ago2_SINV_RA.18_23.rep



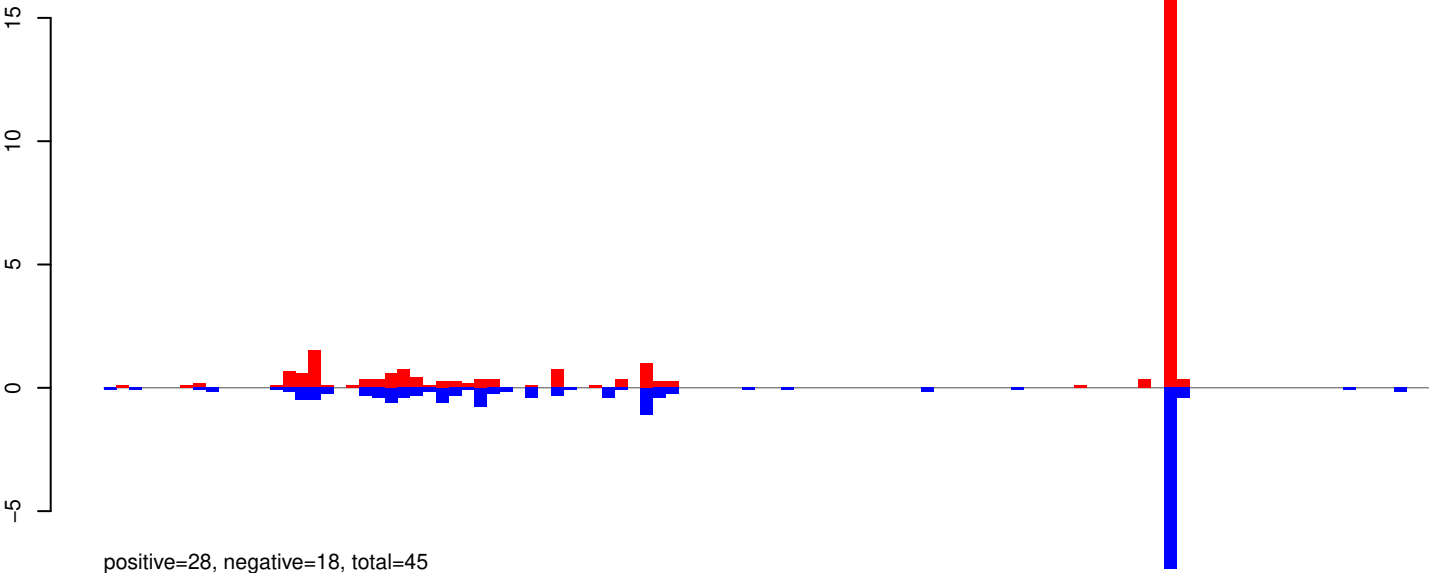
AeAeg_Aag2_Ago2_SINV_RA.24_35.rep



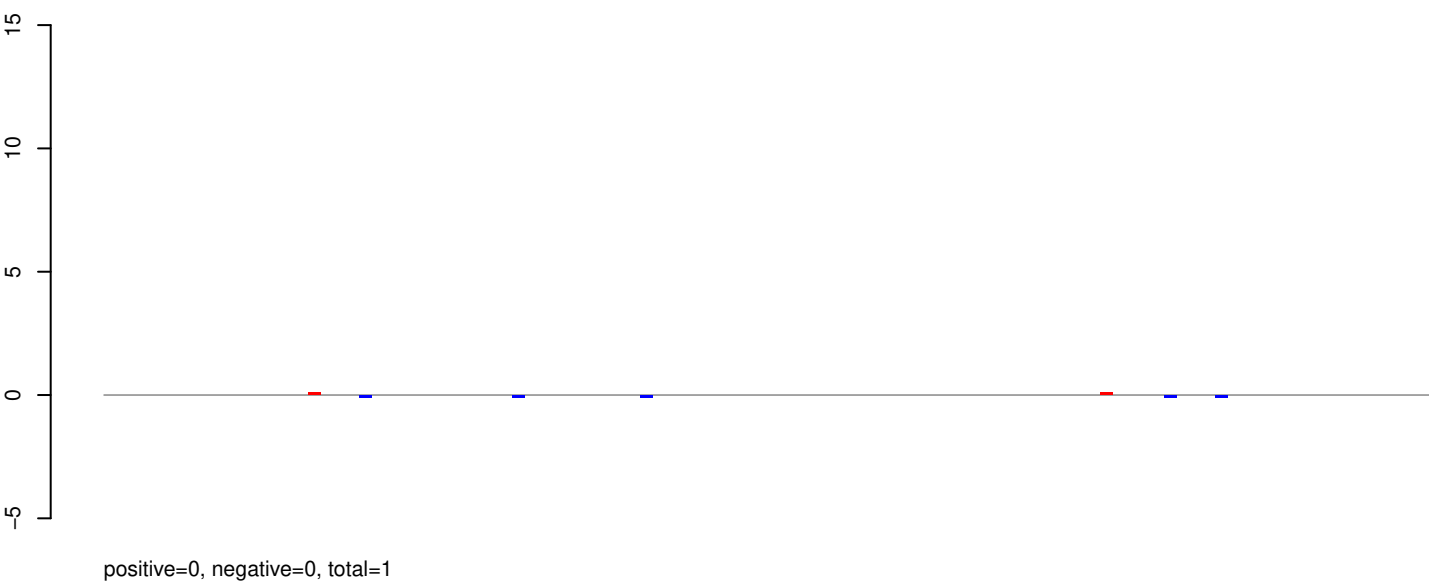
AeAeg_Aag2_Ago2_SINV_RA.rep



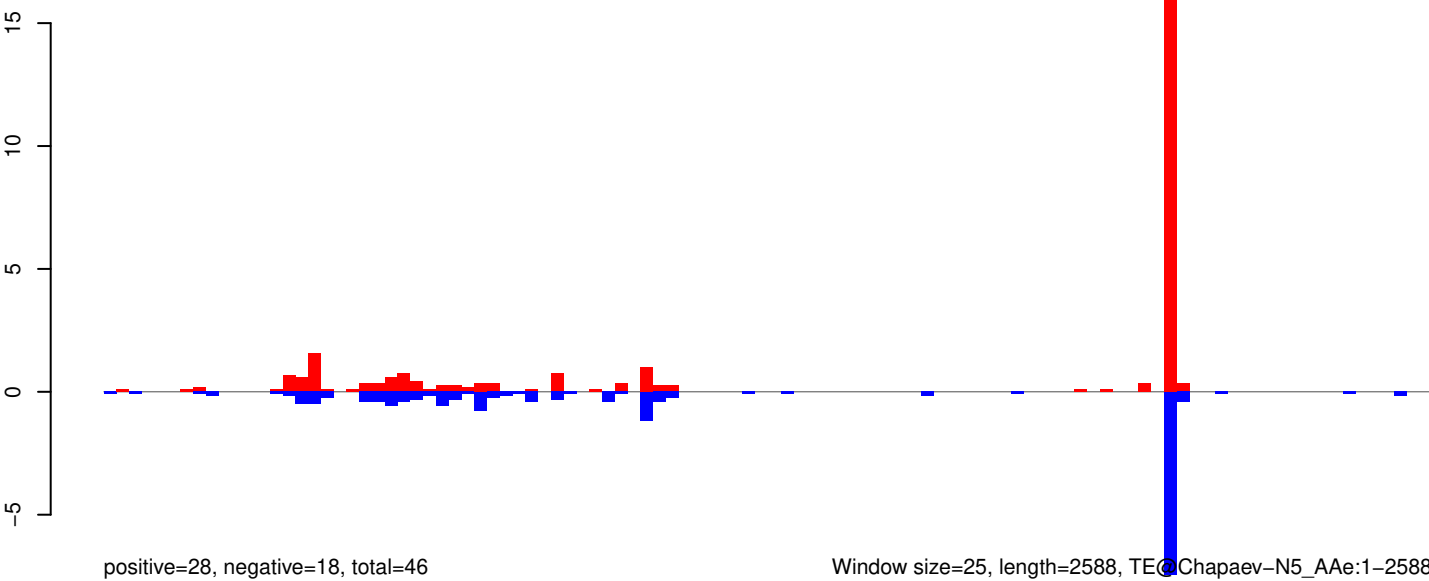
AeAeg_Aag2_Ago2_SINV_RA.18_23.rep



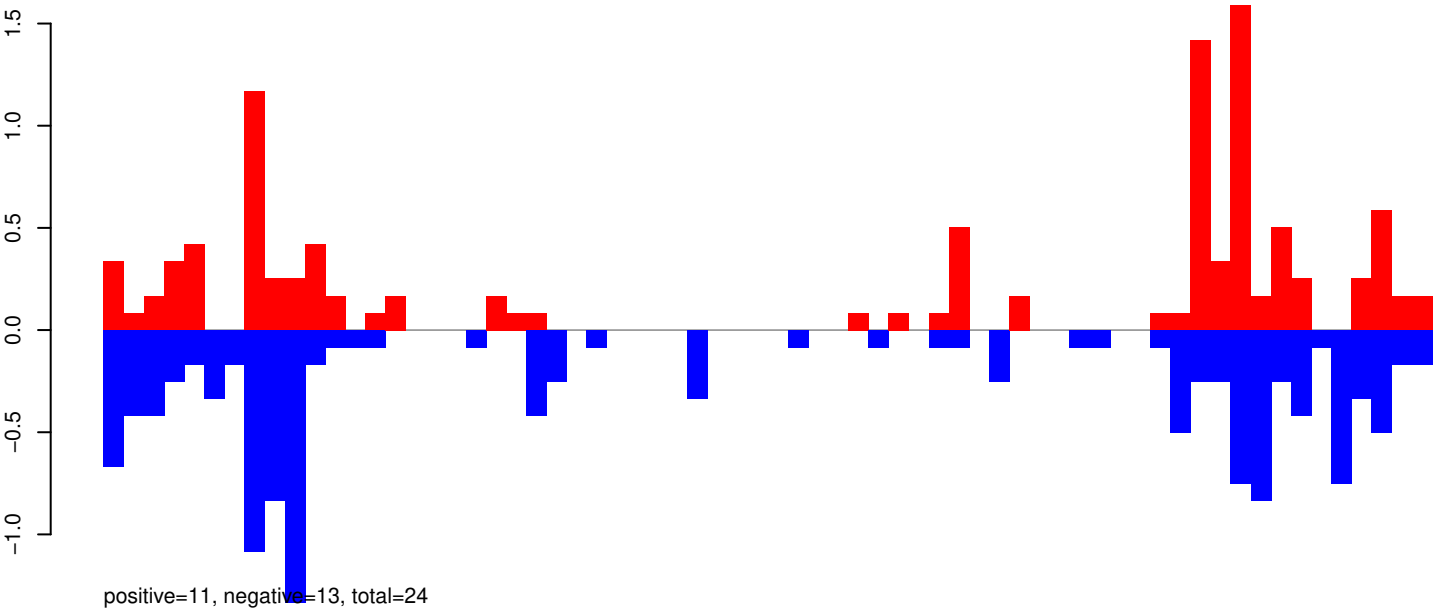
AeAeg_Aag2_Ago2_SINV_RA.24_35.rep



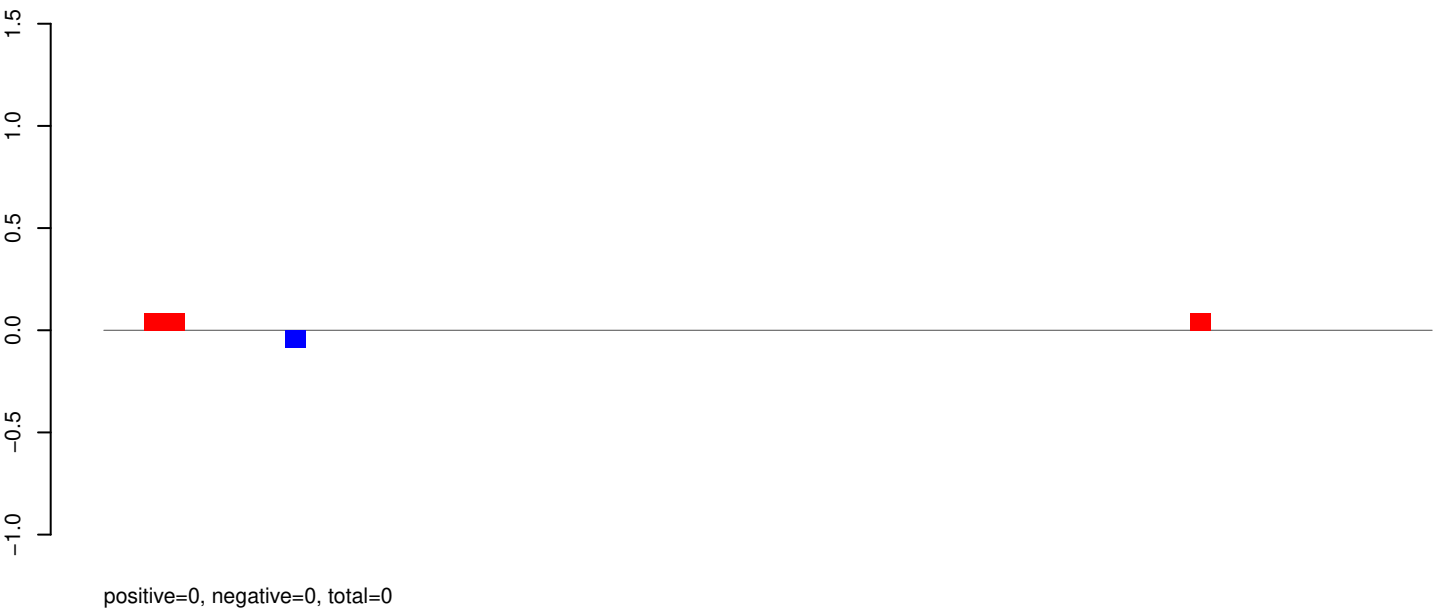
AeAeg_Aag2_Ago2_SINV_RA.rep



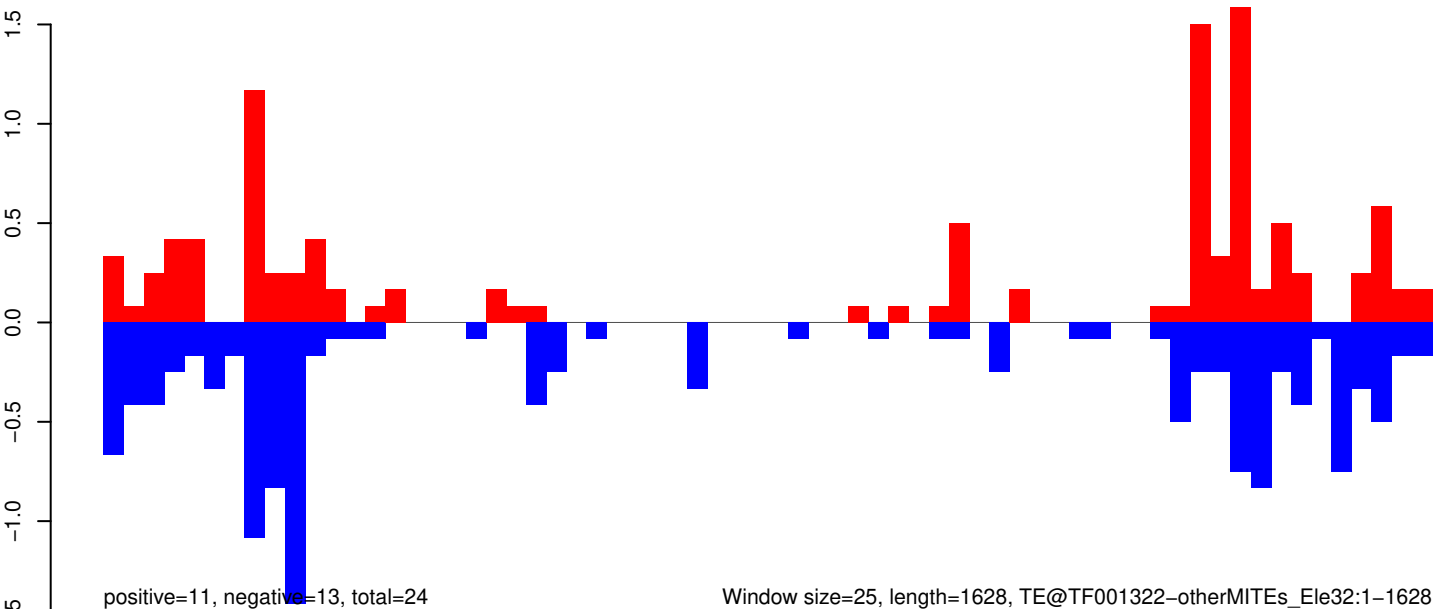
AeAeg_Aag2_Ago2_SINV_RA.18_23.rep



AeAeg_Aag2_Ago2_SINV_RA.24_35.rep

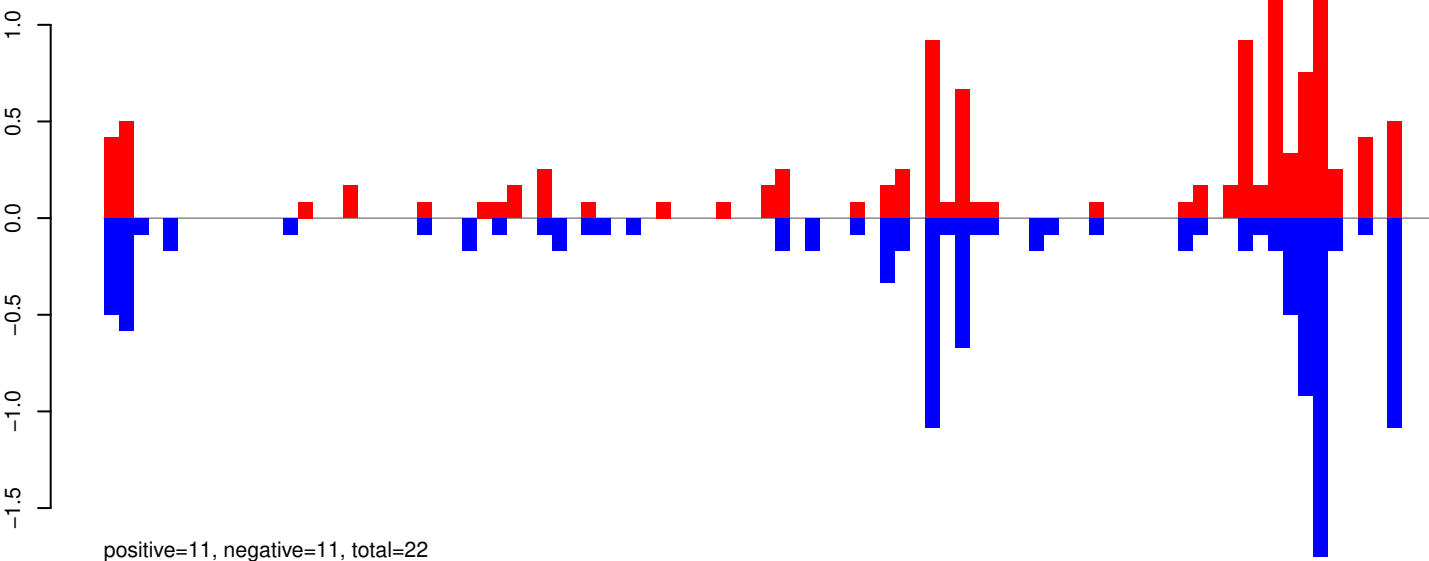


AeAeg_Aag2_Ago2_SINV_RA.rep

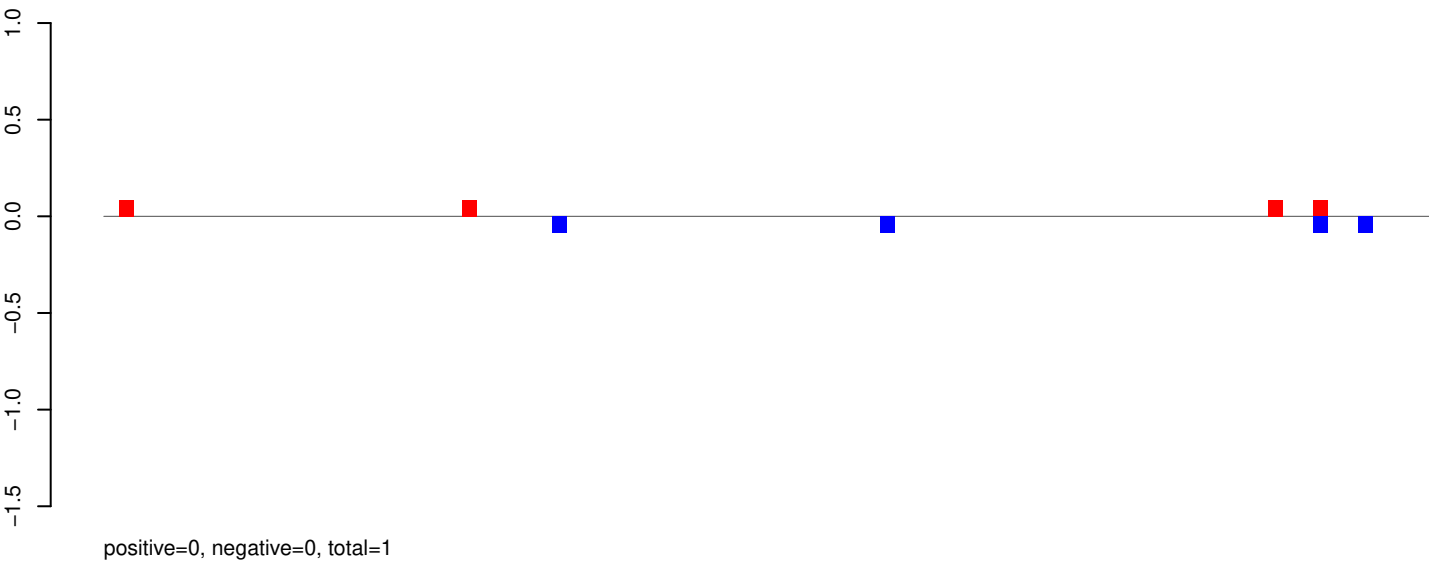


Window size=25, length=1628, TE@TF001322-otherMITEs_Ele32:1-1628

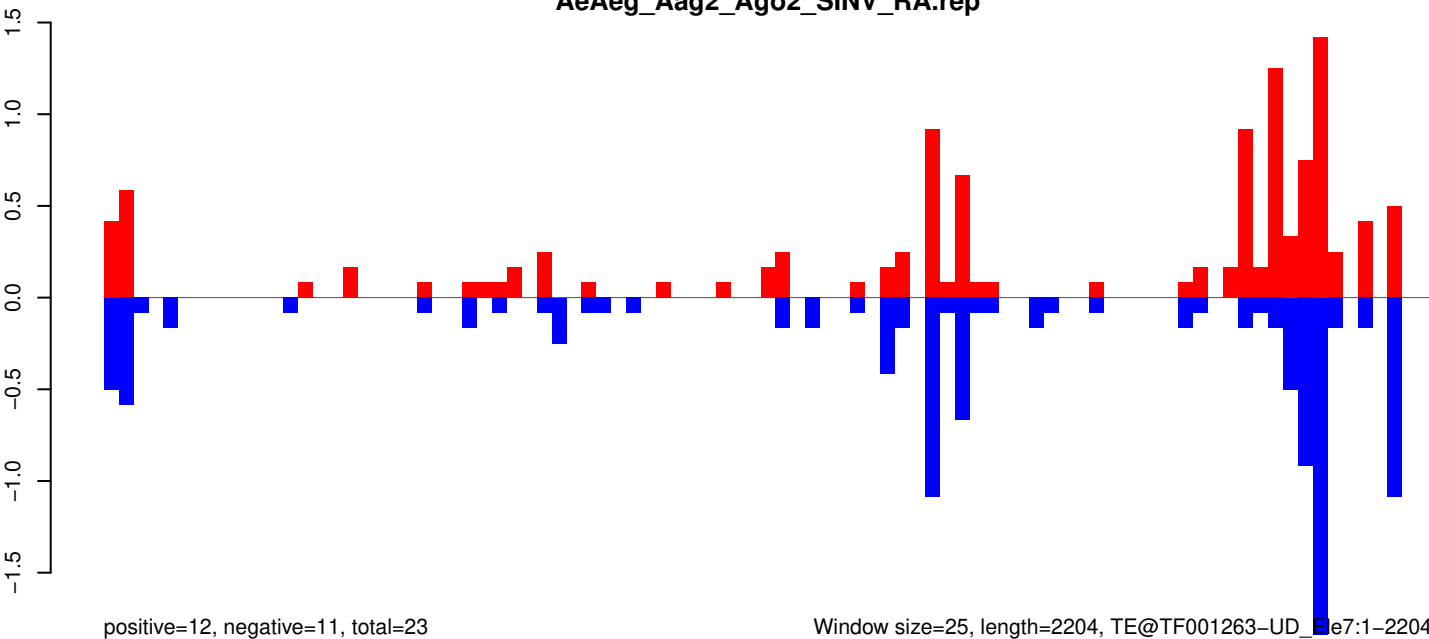
AeAeg_Aag2_Ago2_SINV_RA.18_23.rep



AeAeg_Aag2_Ago2_SINV_RA.24_35.rep

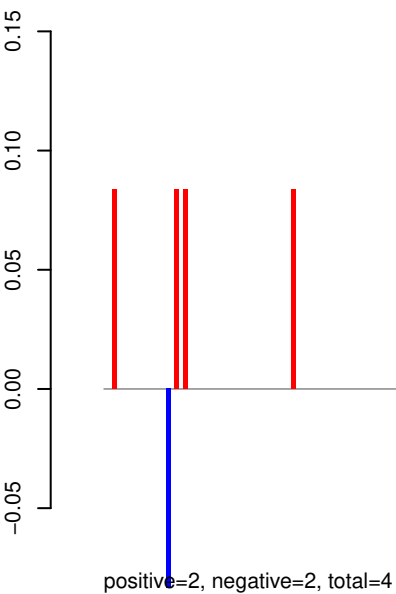


AeAeg_Aag2_Ago2_SINV_RA.rep

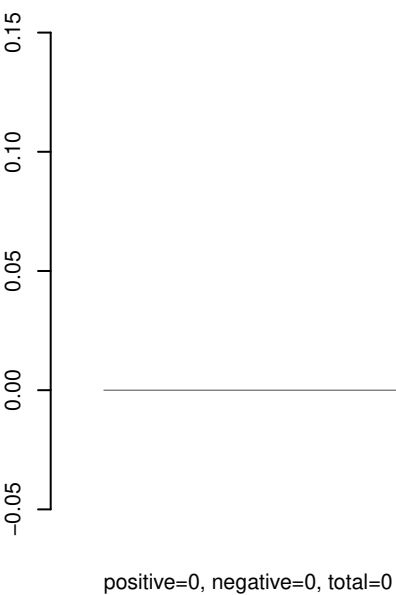


Window size=25, length=2204, TE@TF001263-UD_

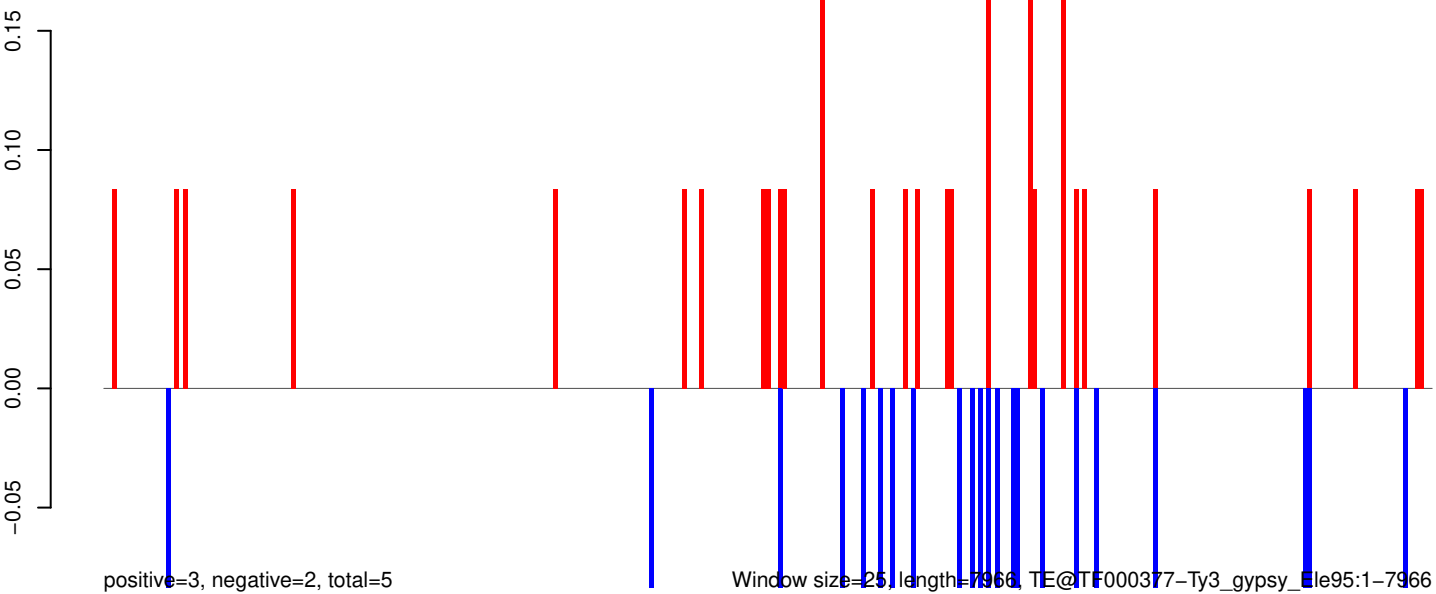
AeAeg_Aag2_Ago2_SINV_RA.18_23.rep



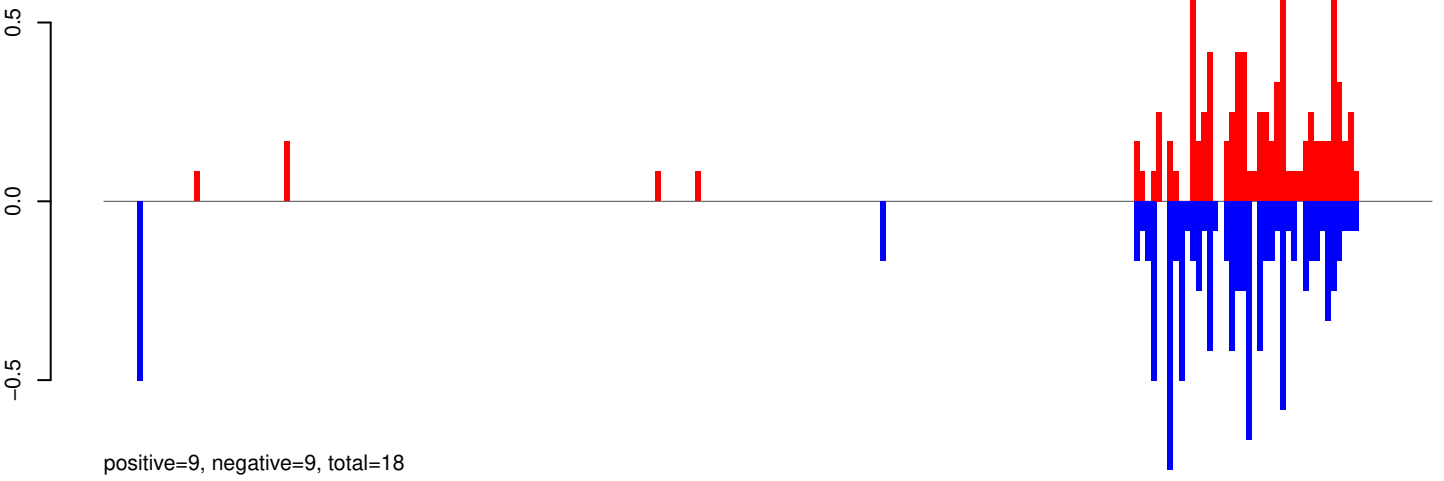
AeAeg_Aag2_Ago2_SINV_RA.24_35.rep



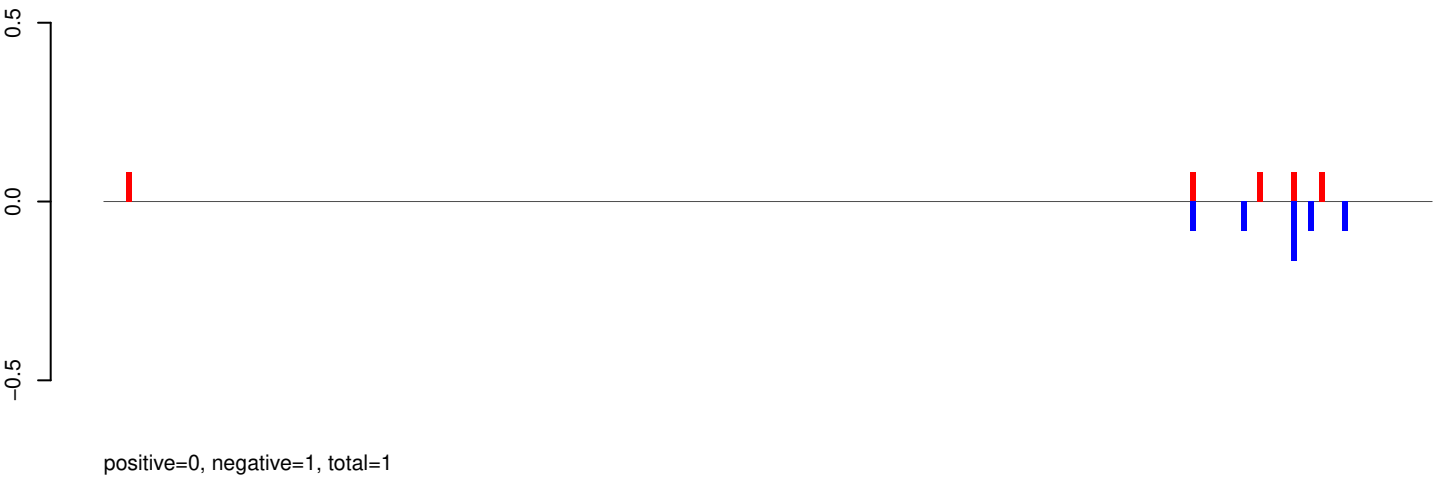
AeAeg_Aag2_Ago2_SINV_RA.rep



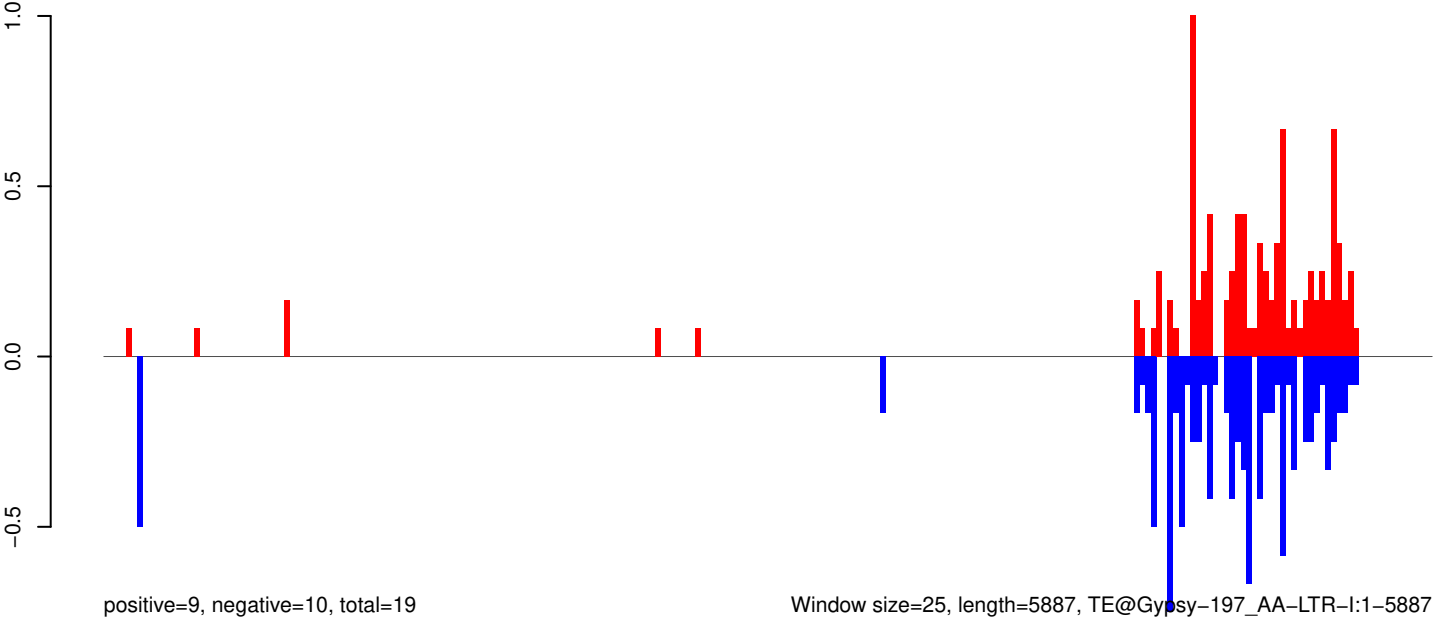
AeAeg_Aag2_Ago2_SINV_RA.18_23.rep



AeAeg_Aag2_Ago2_SINV_RA.24_35.rep



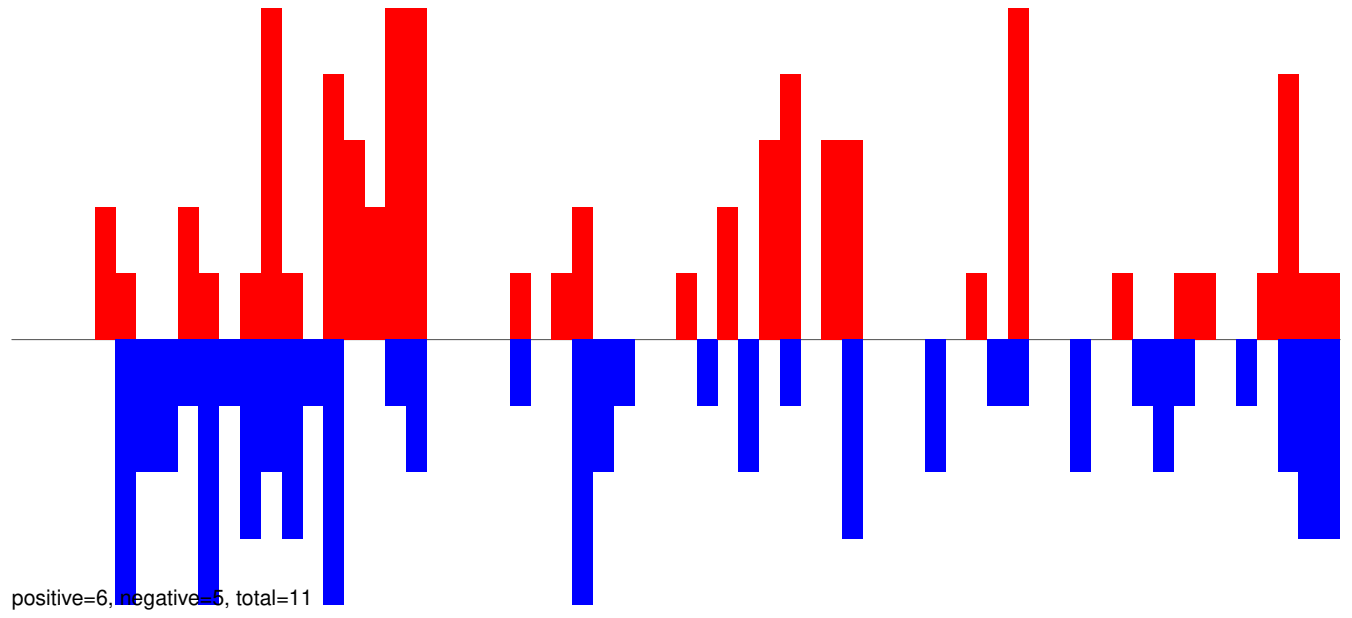
AeAeg_Aag2_Ago2_SINV_RA.rep



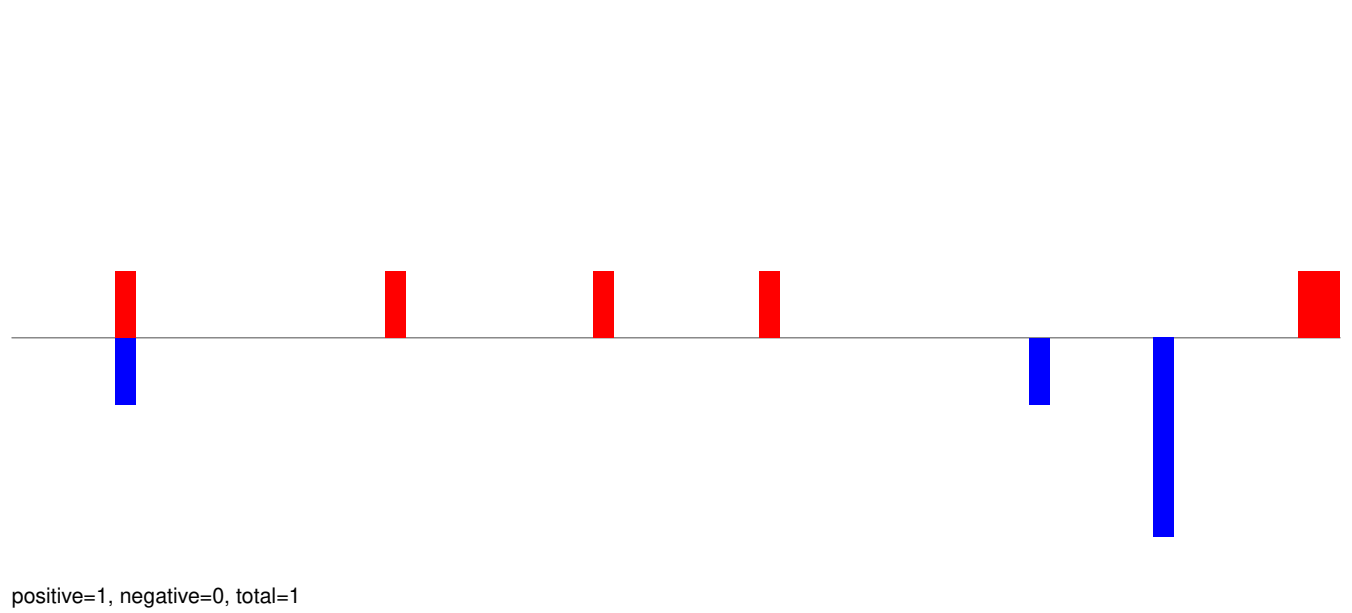
Window size=25, length=5887, TE@Gypsy-197_AA-LTR-I:1-5887

0 1000 2000 3000 4000 5000 6000

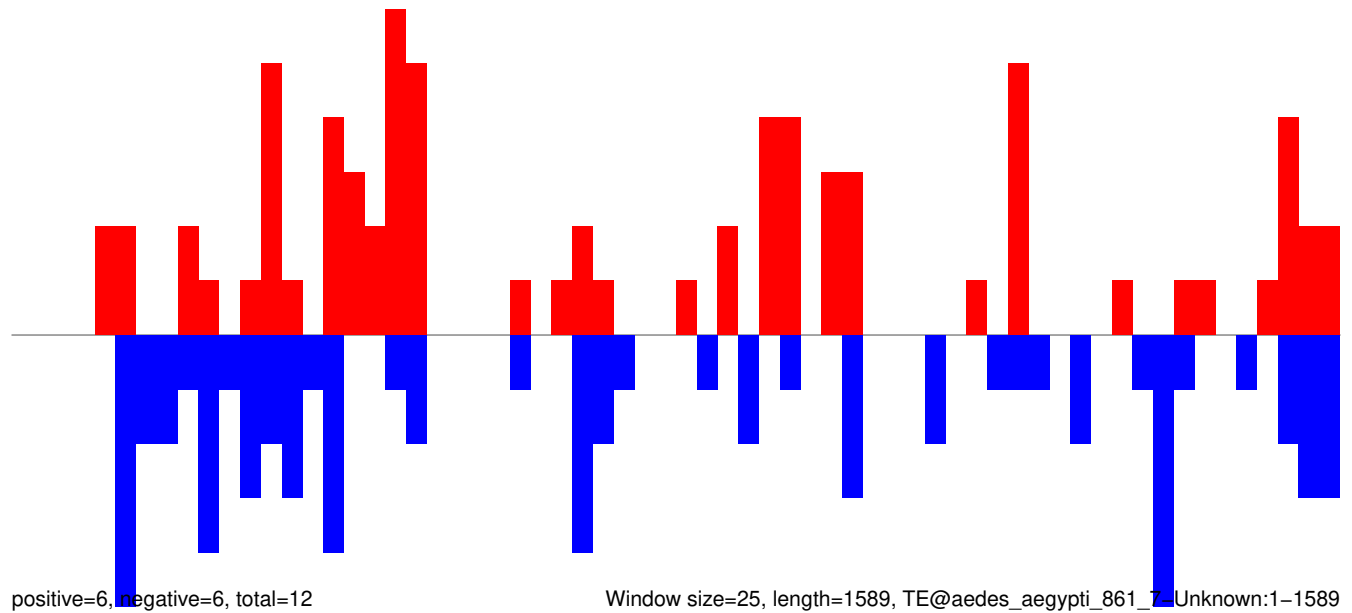
AeAeg_Aag2_Ago2_SINV_RA.18_23.rep



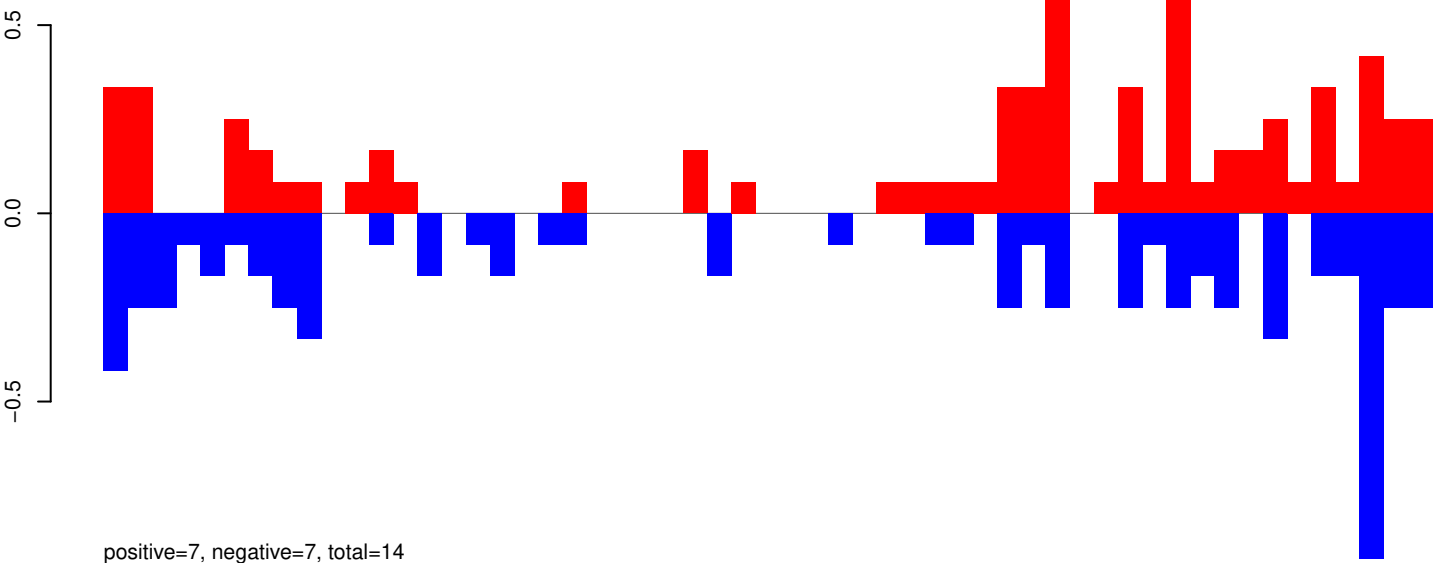
AeAeg_Aag2_Ago2_SINV_RA.24_35.rep



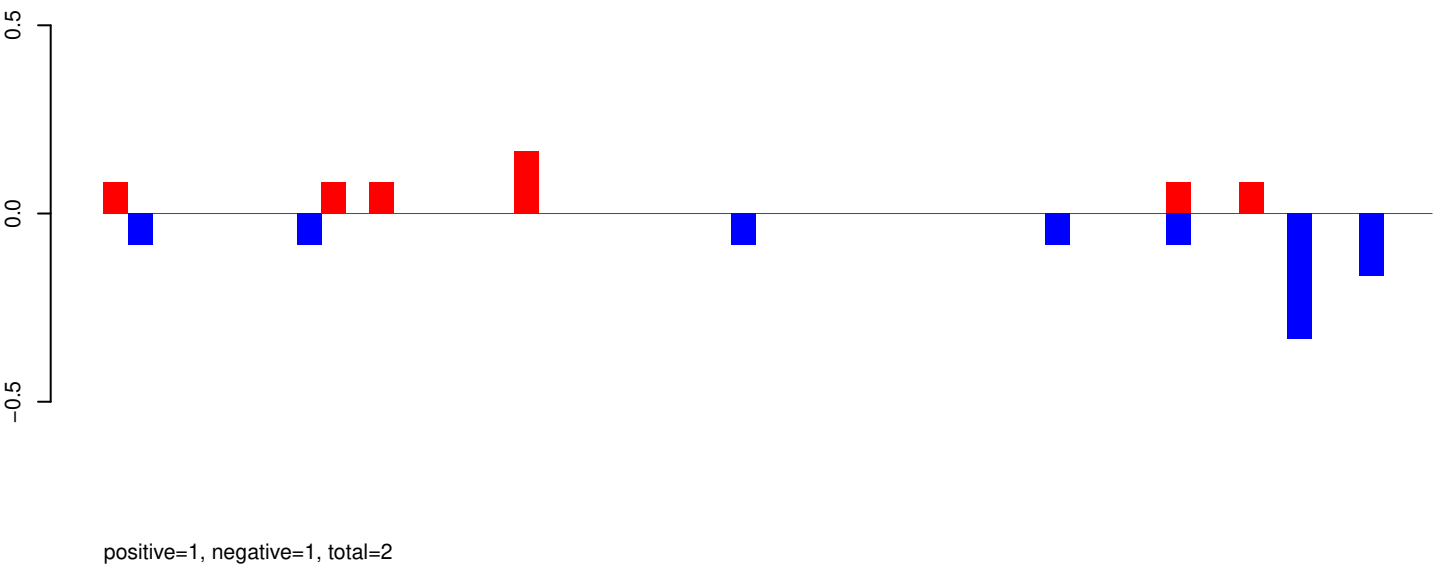
AeAeg_Aag2_Ago2_SINV_RA.rep



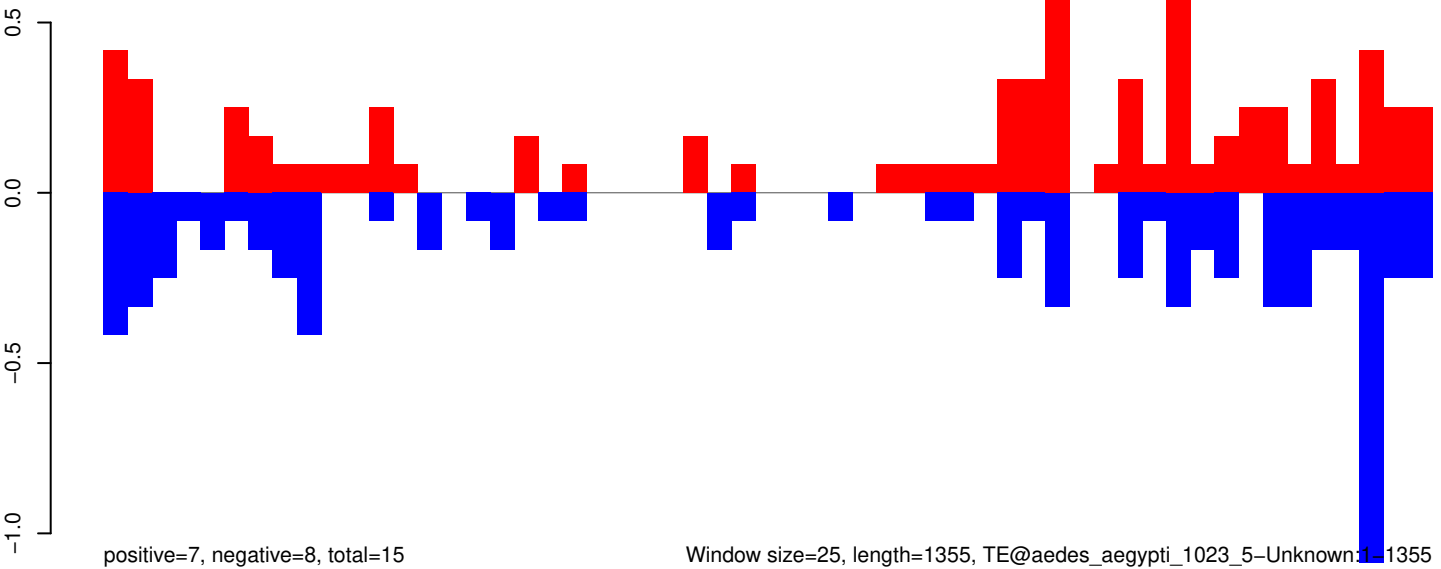
AeAeg_Aag2_Ago2_SINV_RA.18_23.rep



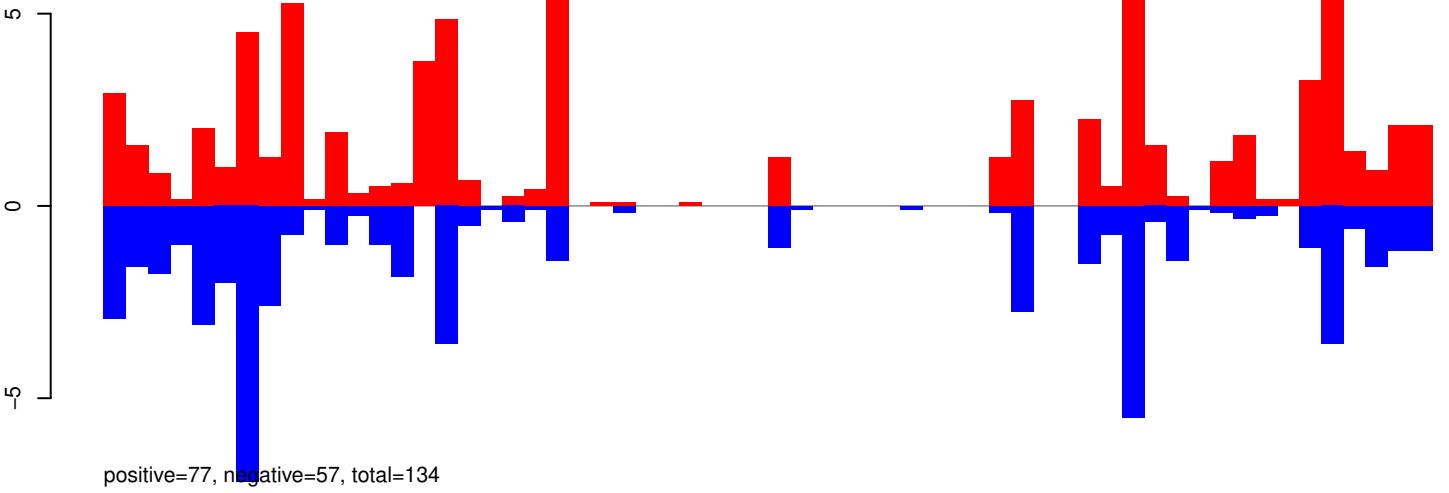
AeAeg_Aag2_Ago2_SINV_RA.24_35.rep



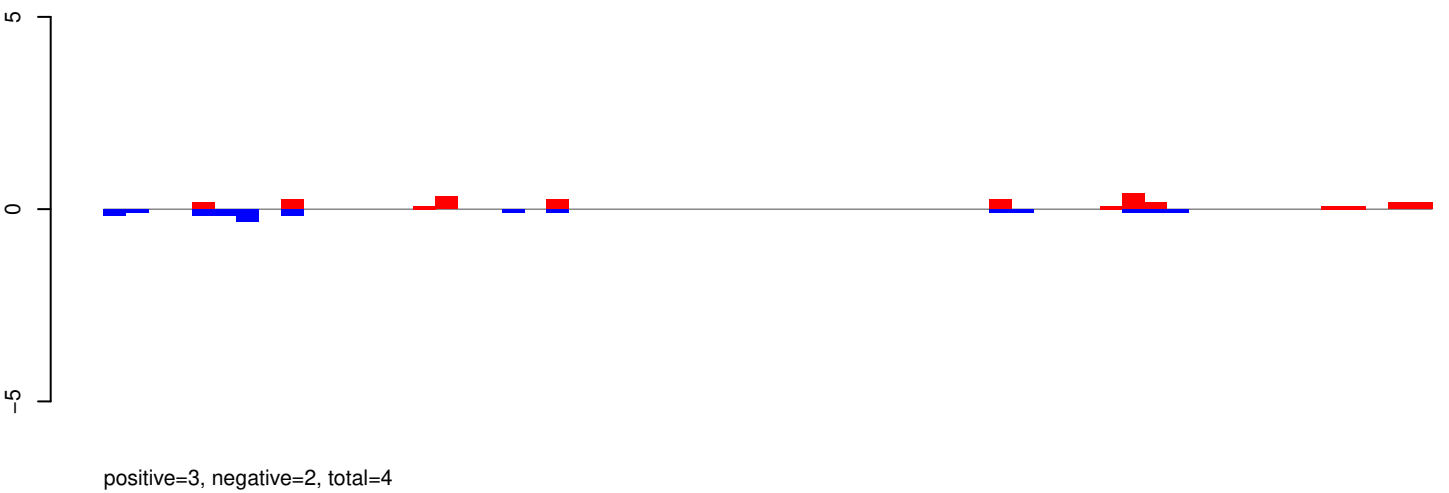
AeAeg_Aag2_Ago2_SINV_RA.rep



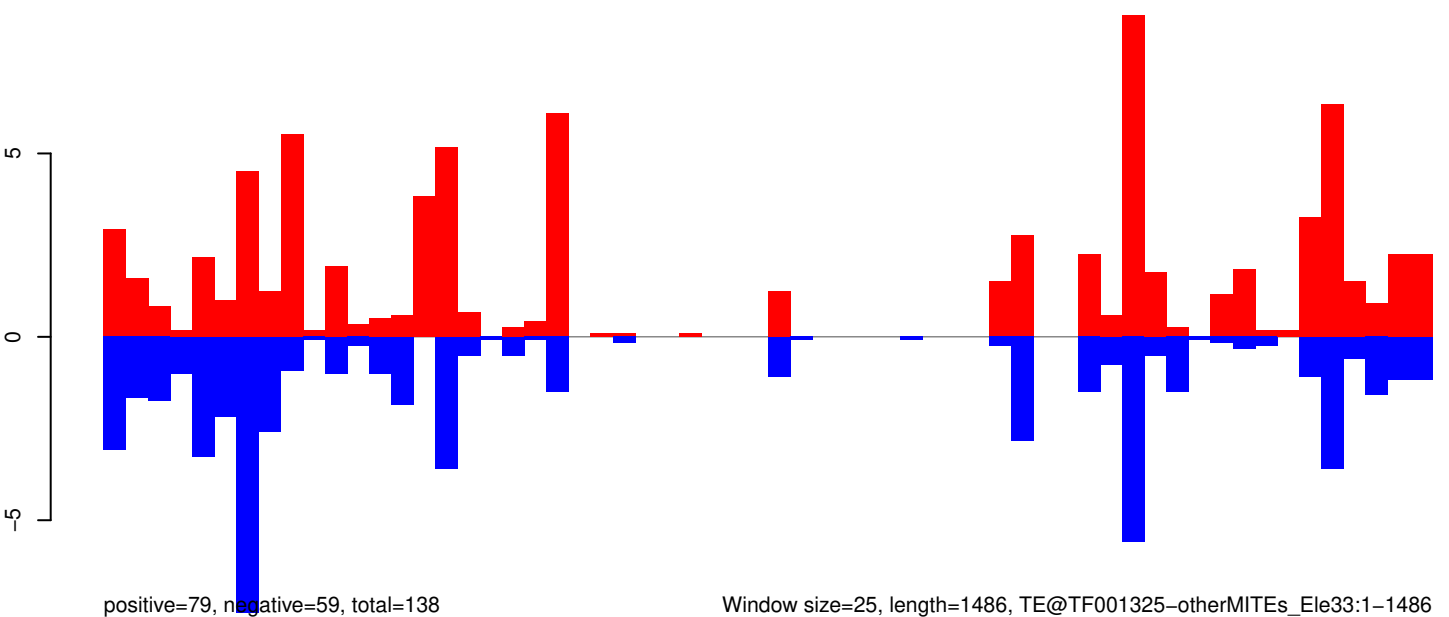
AeAeg_Aag2_Ago2_SINV_RA.18_23.rep



AeAeg_Aag2_Ago2_SINV_RA.24_35.rep



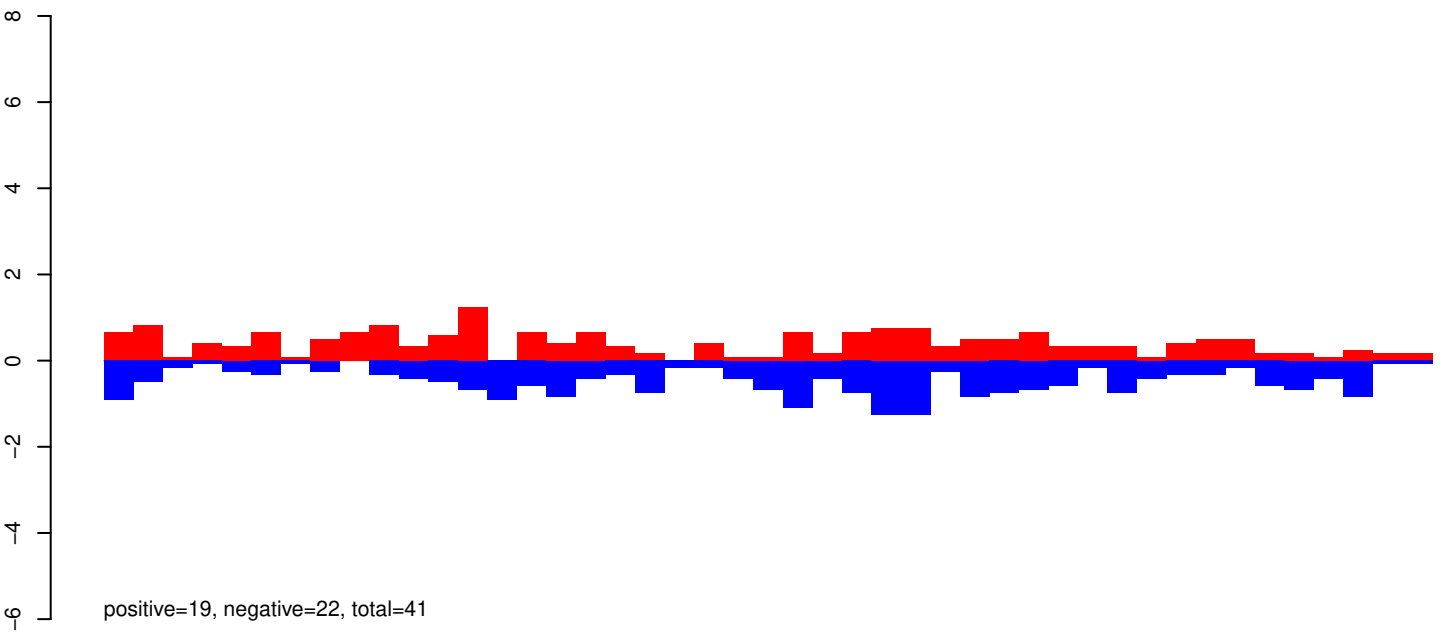
AeAeg_Aag2_Ago2_SINV_RA.rep



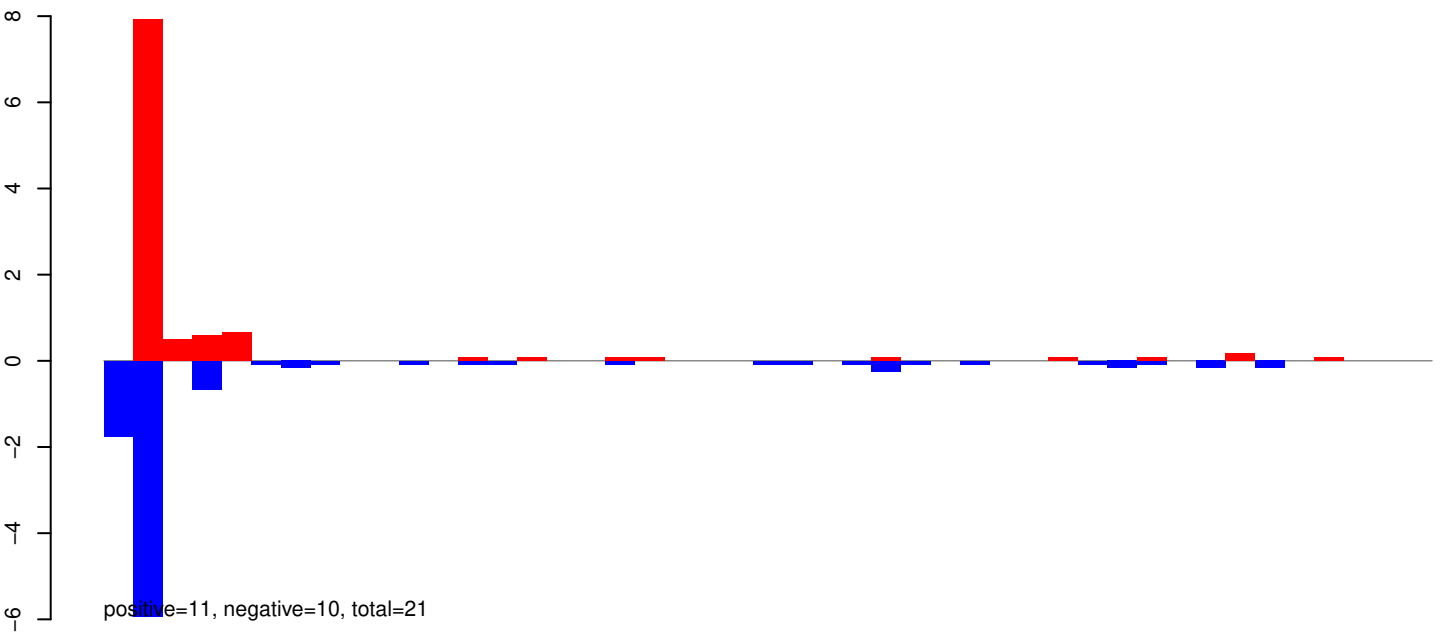
Window size=25, length=1486, TE@TF001325-otherMITEs_Ele33:1-1486

0 500 1000 1500

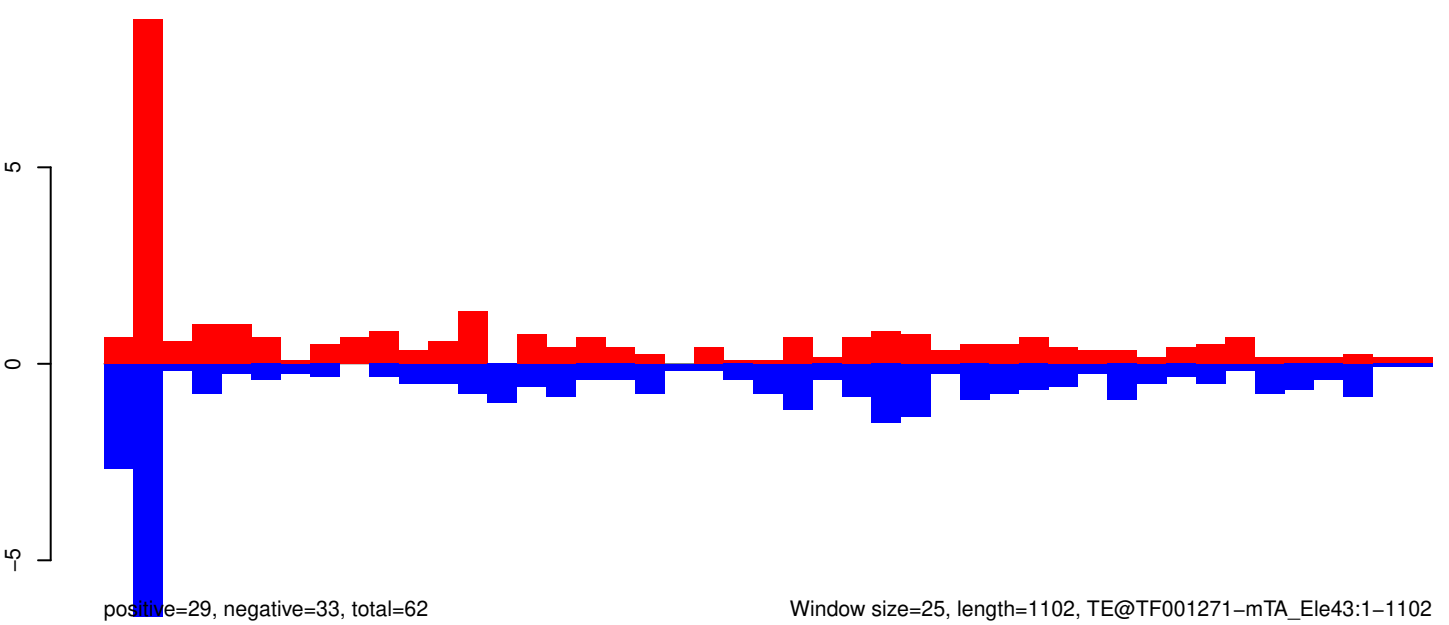
AeAeg_Aag2_Ago2_SINV_RA.18_23.rep



AeAeg_Aag2_Ago2_SINV_RA.24_35.rep

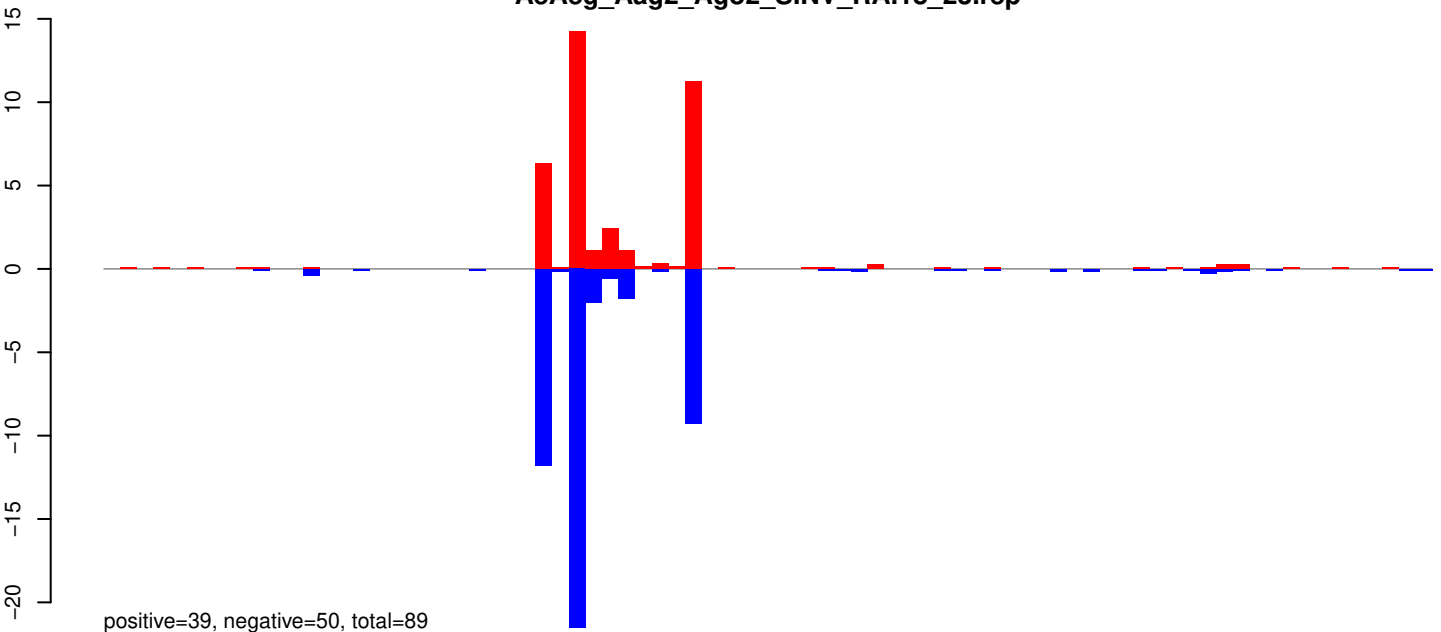


AeAeg_Aag2_Ago2_SINV_RA.rep

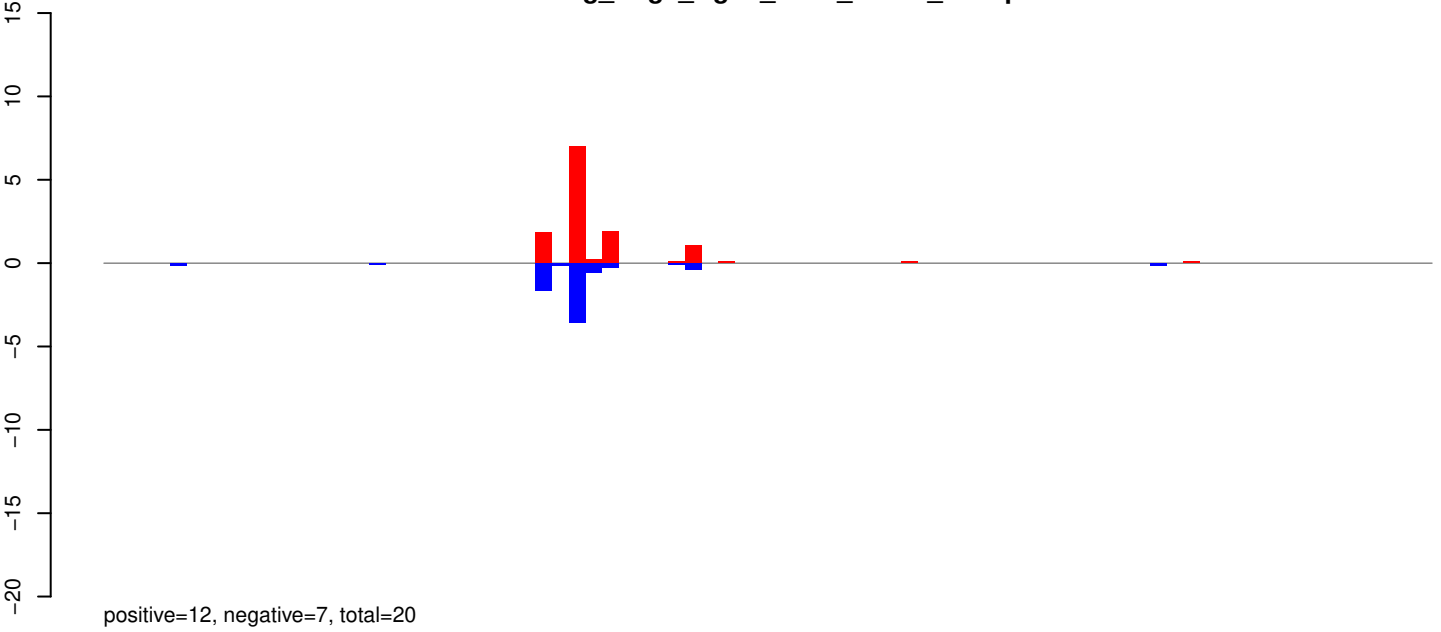


Window size=25, length=1102, TE@TF001271-mTA_Ele43:1-1102

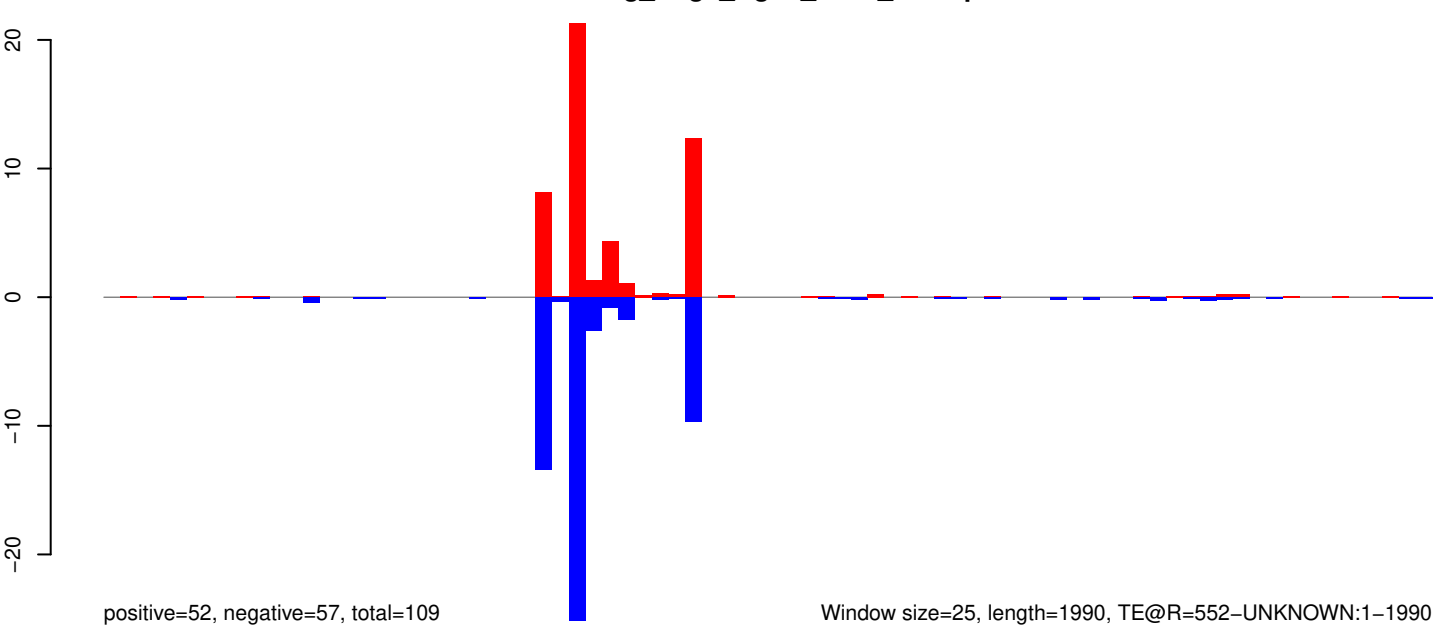
AeAeg_Aag2_Ago2_SINV_RA.18_23.rep



AeAeg_Aag2_Ago2_SINV_RA.24_35.rep



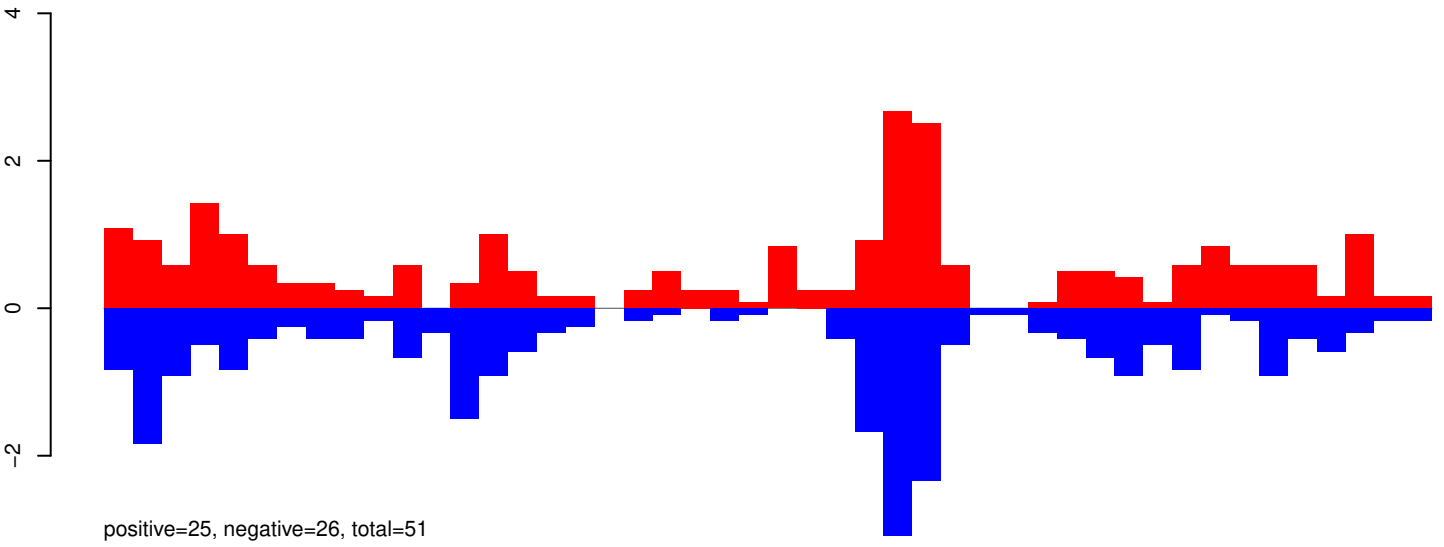
AeAeg_Aag2_Ago2_SINV_RA.rep



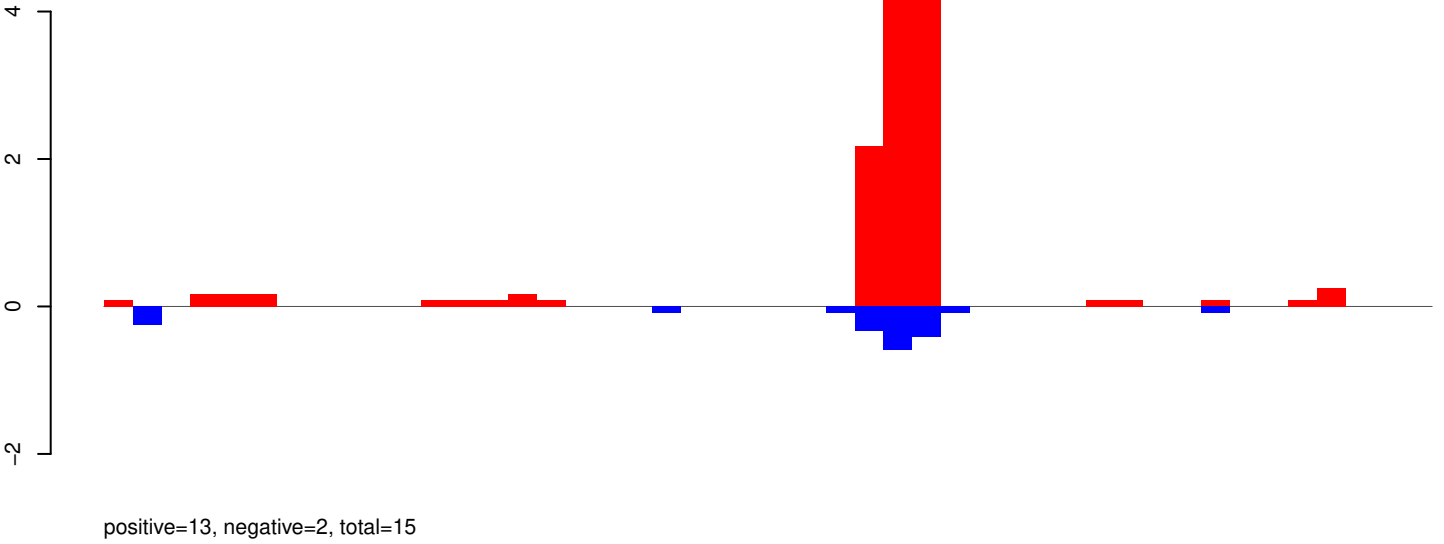
Window size=25, length=1990, TE@R=552-UNKNOWN:1-1990

0 500 1000 1500 2000

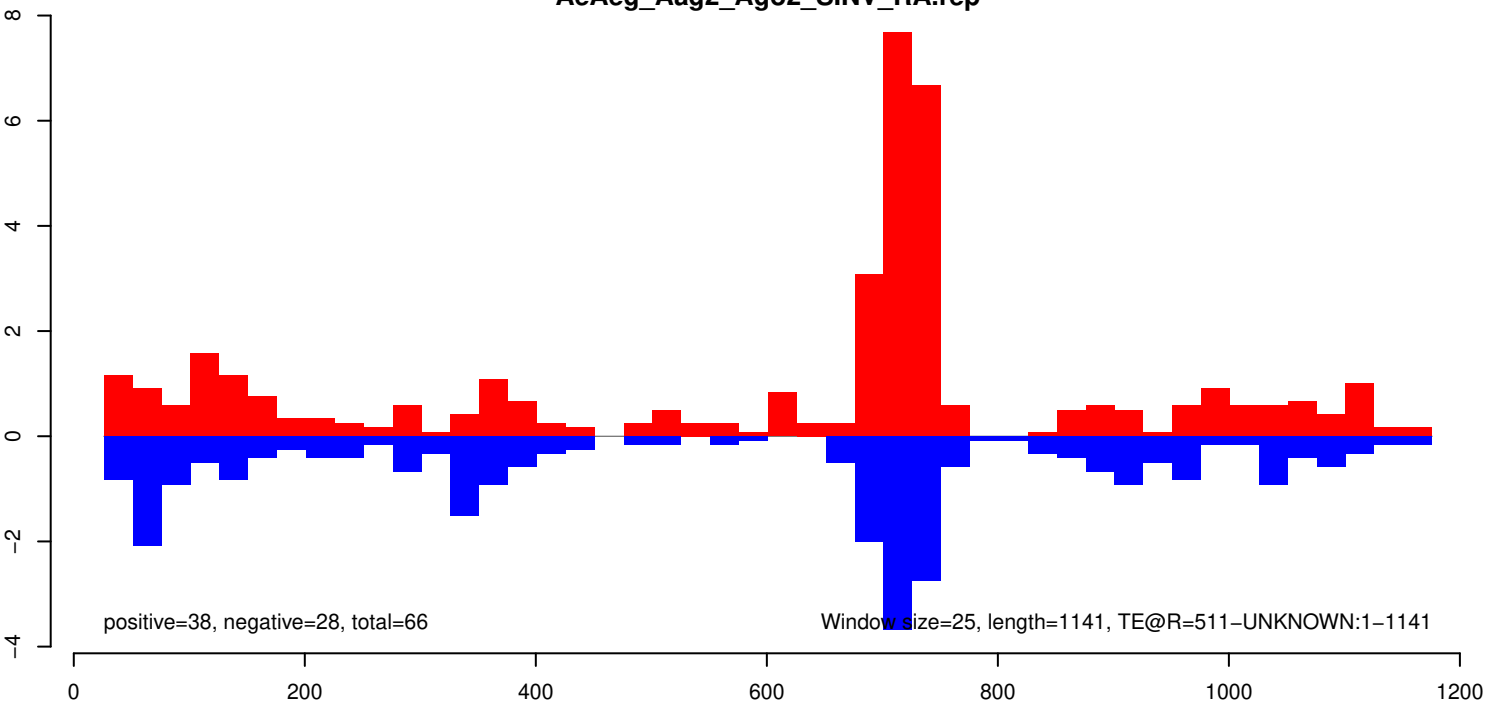
AeAeg_Aag2_Ago2_SINV_RA.18_23.rep



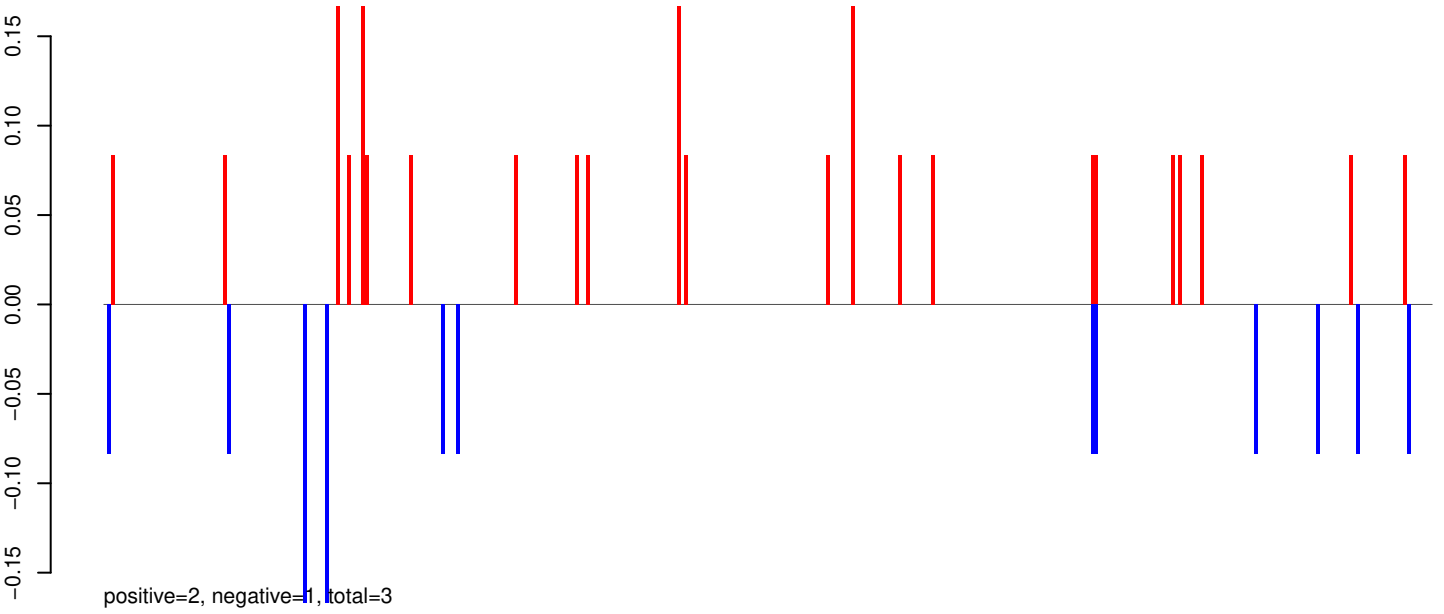
AeAeg_Aag2_Ago2_SINV_RA.24_35.rep



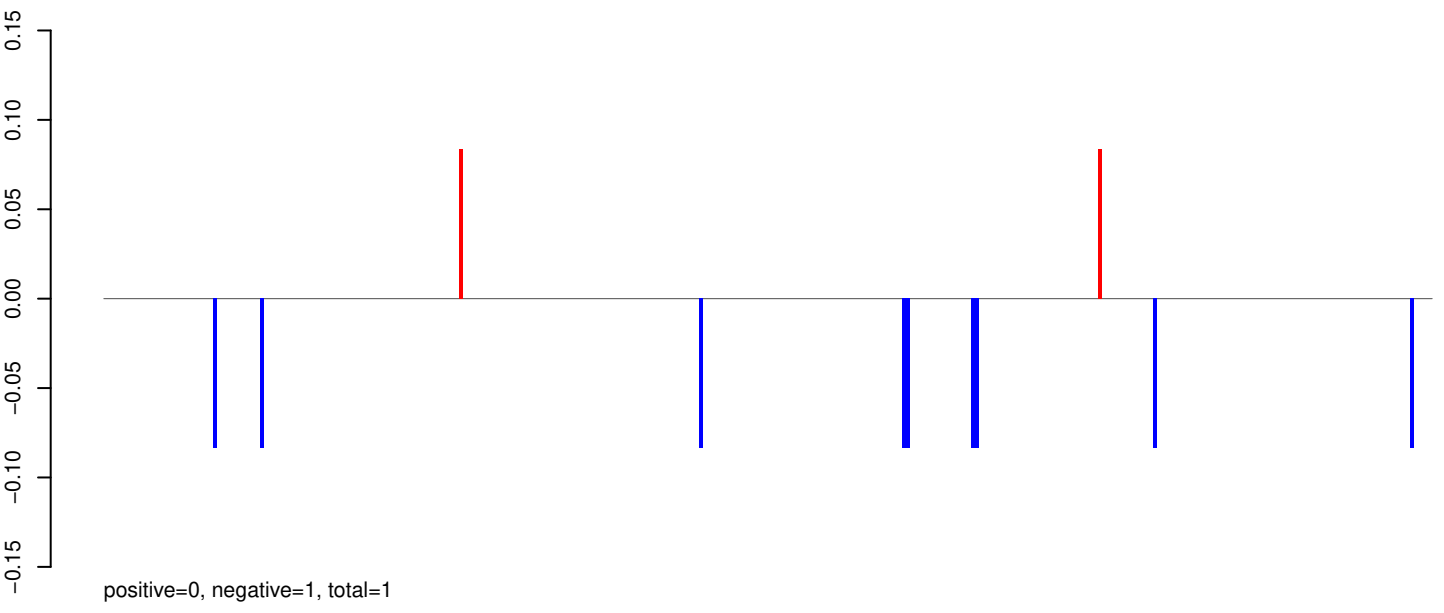
AeAeg_Aag2_Ago2_SINV_RA.rep



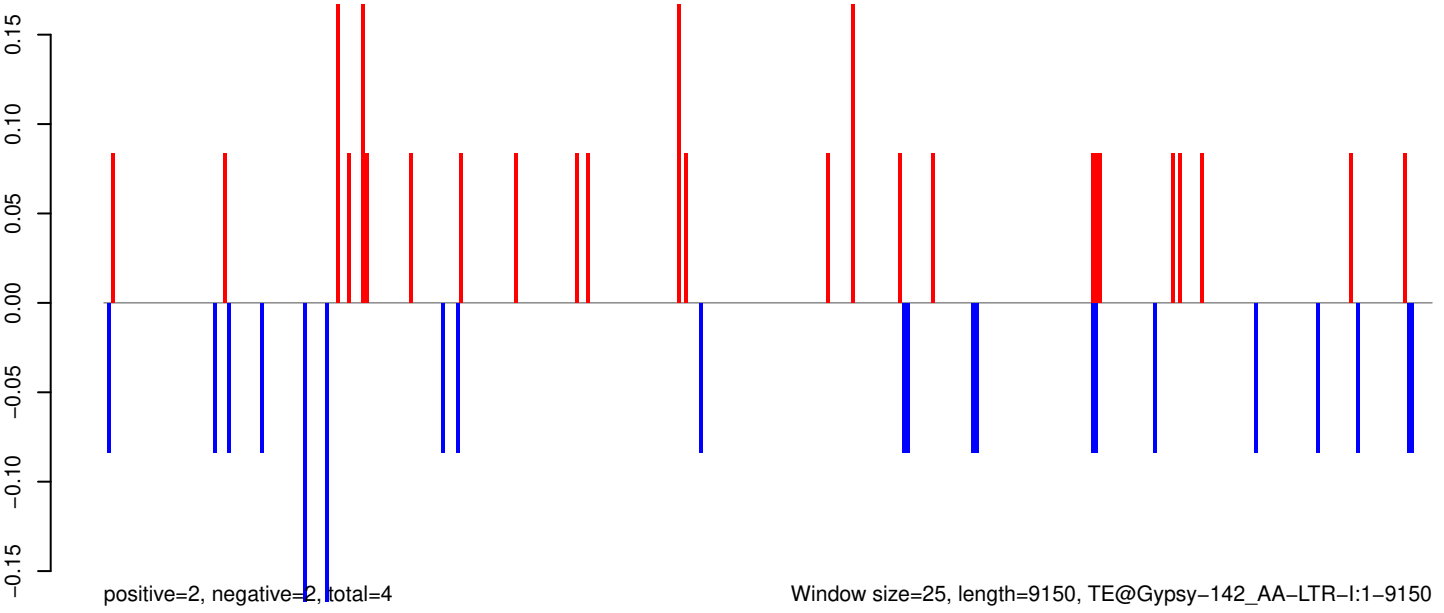
AeAeg_Aag2_Ago2_SINV_RA.18_23.rep



AeAeg_Aag2_Ago2_SINV_RA.24_35.rep



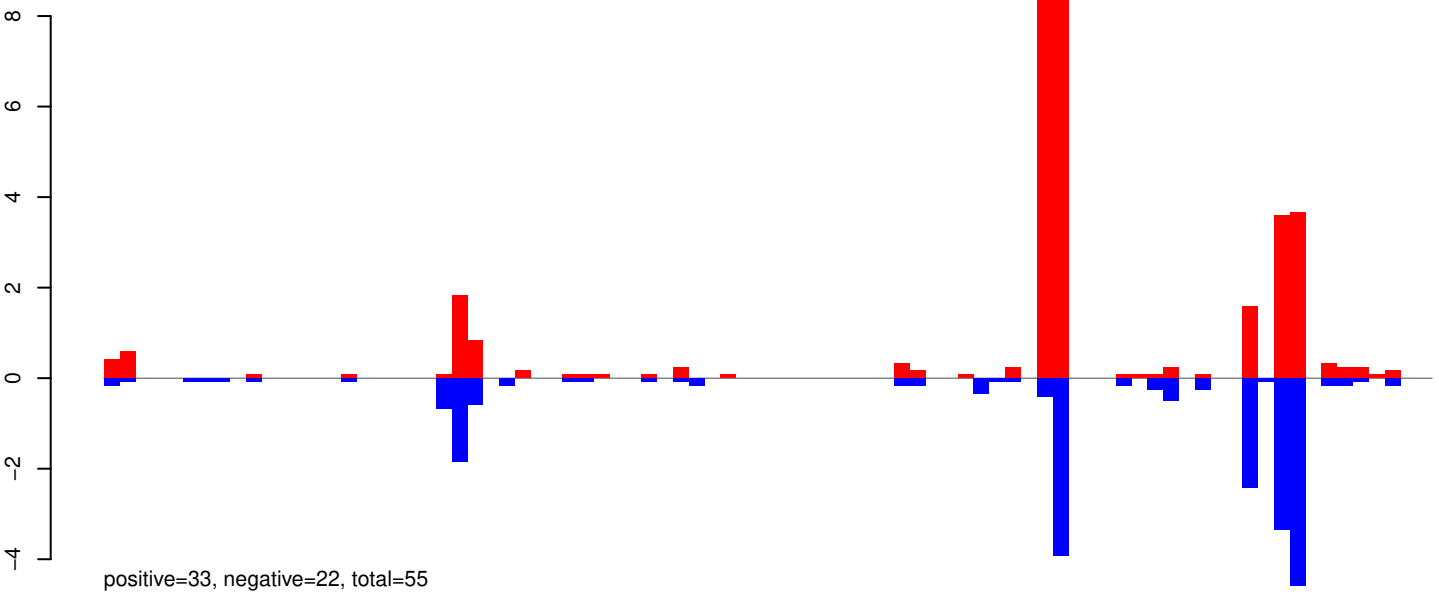
AeAeg_Aag2_Ago2_SINV_RA.rep



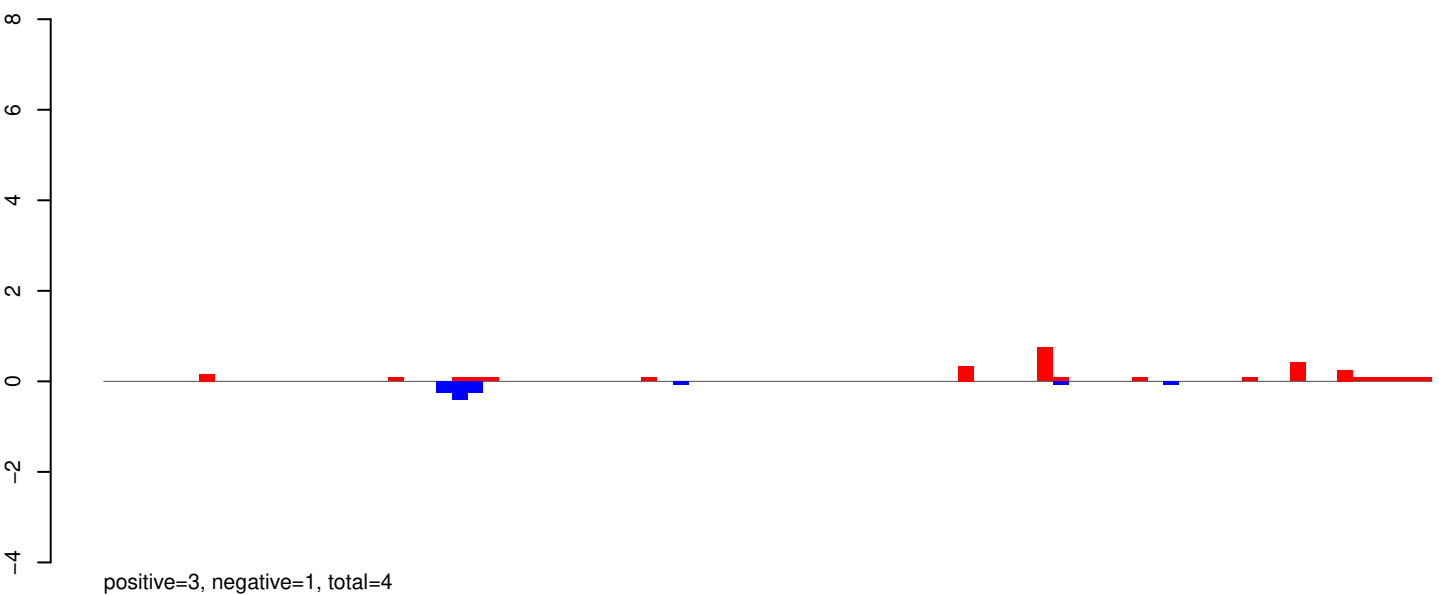
Window size=25, length=9150, TE@Gypsy-142_AA-LTR-I:1-9150

0 2000 4000 6000 8000

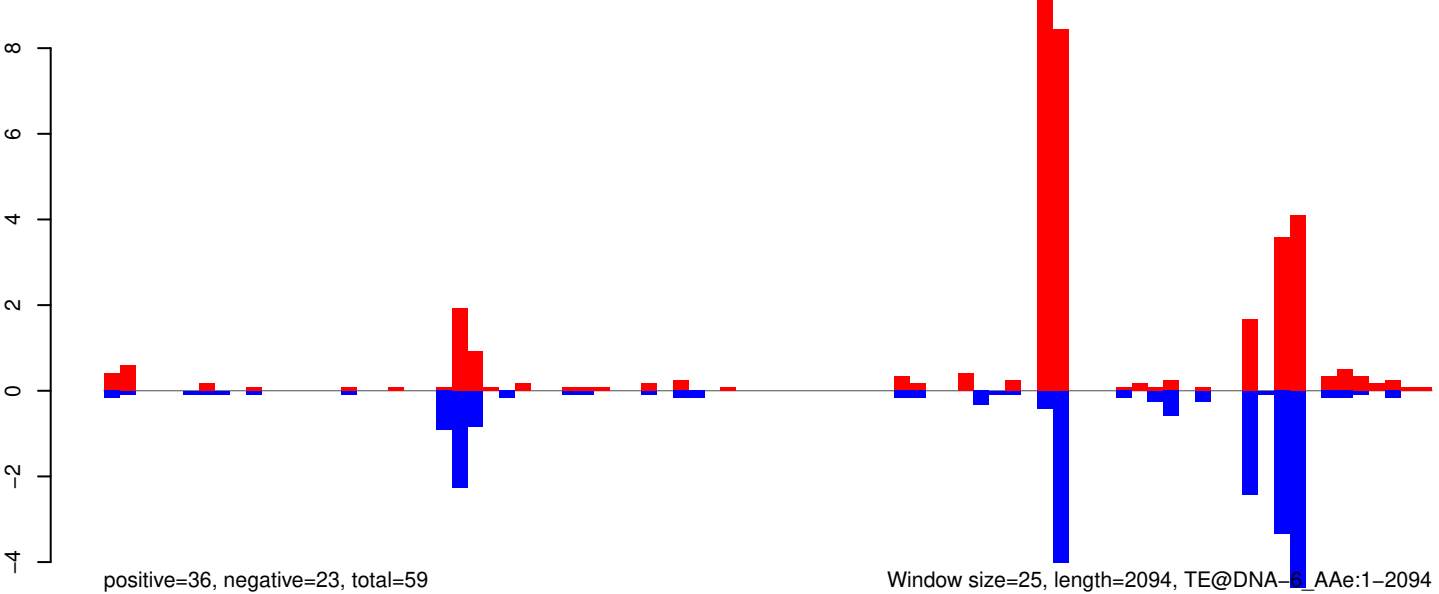
AeAeg_Aag2_Ago2_SINV_RA.18_23.rep



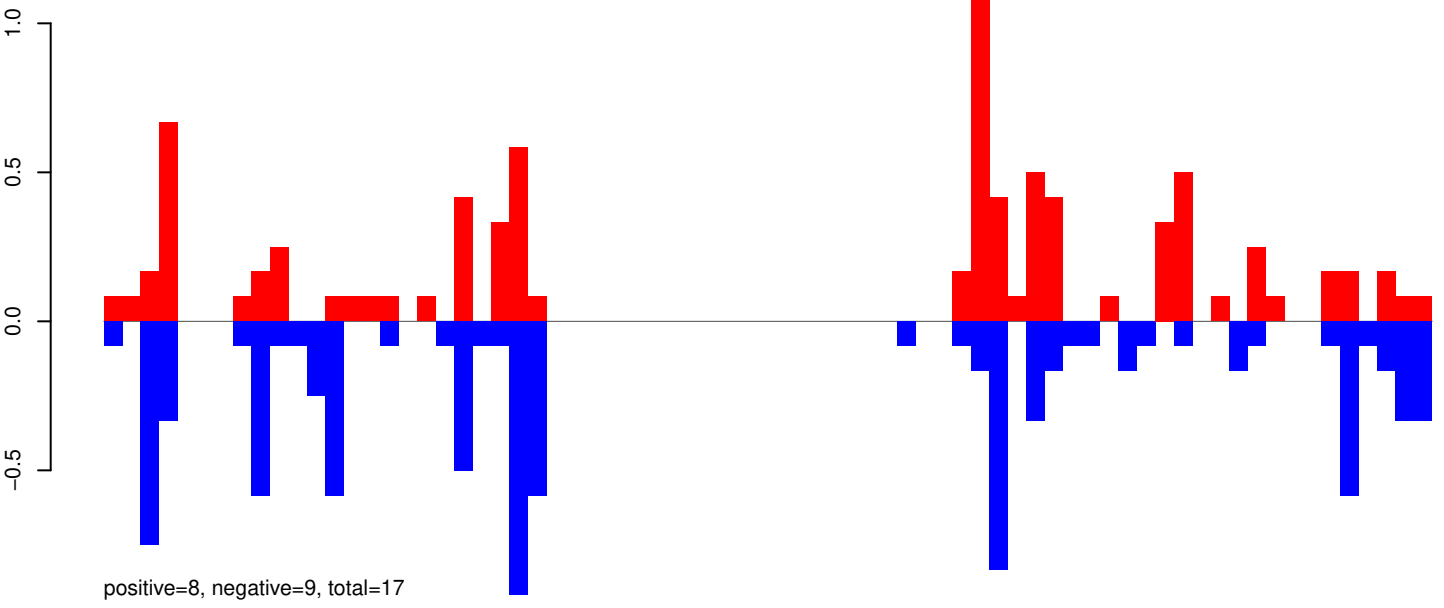
AeAeg_Aag2_Ago2_SINV_RA.24_35.rep



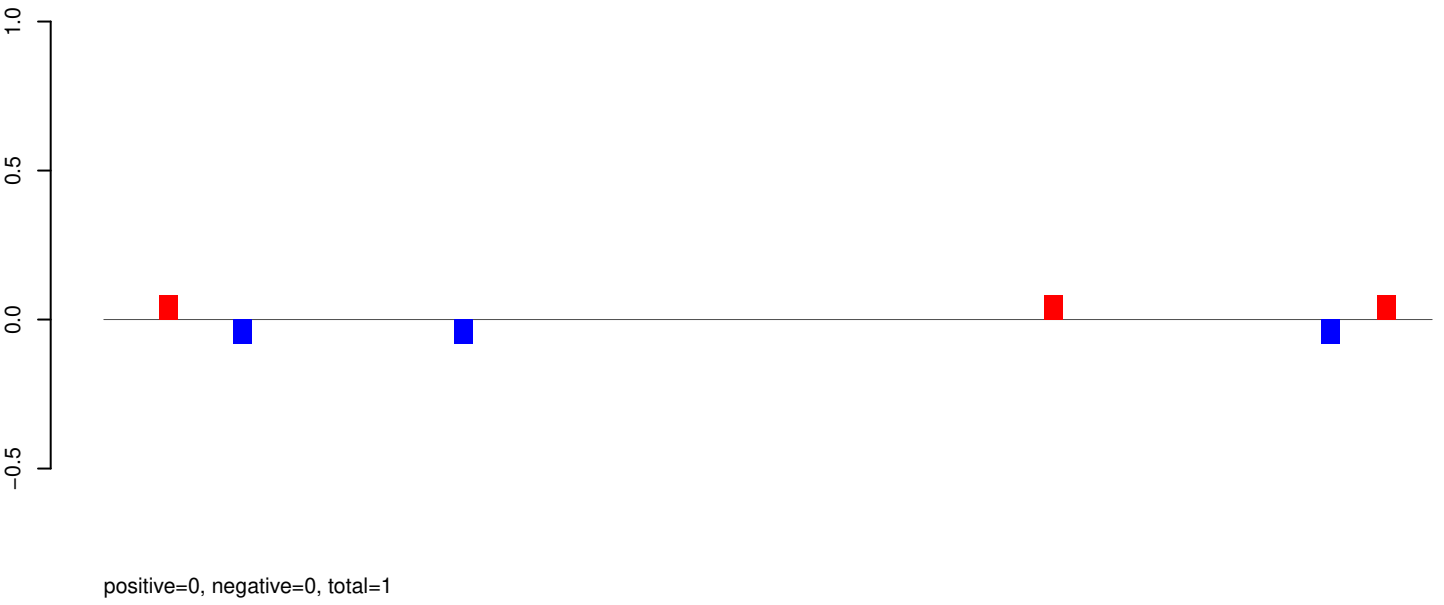
AeAeg_Aag2_Ago2_SINV_RA.rep



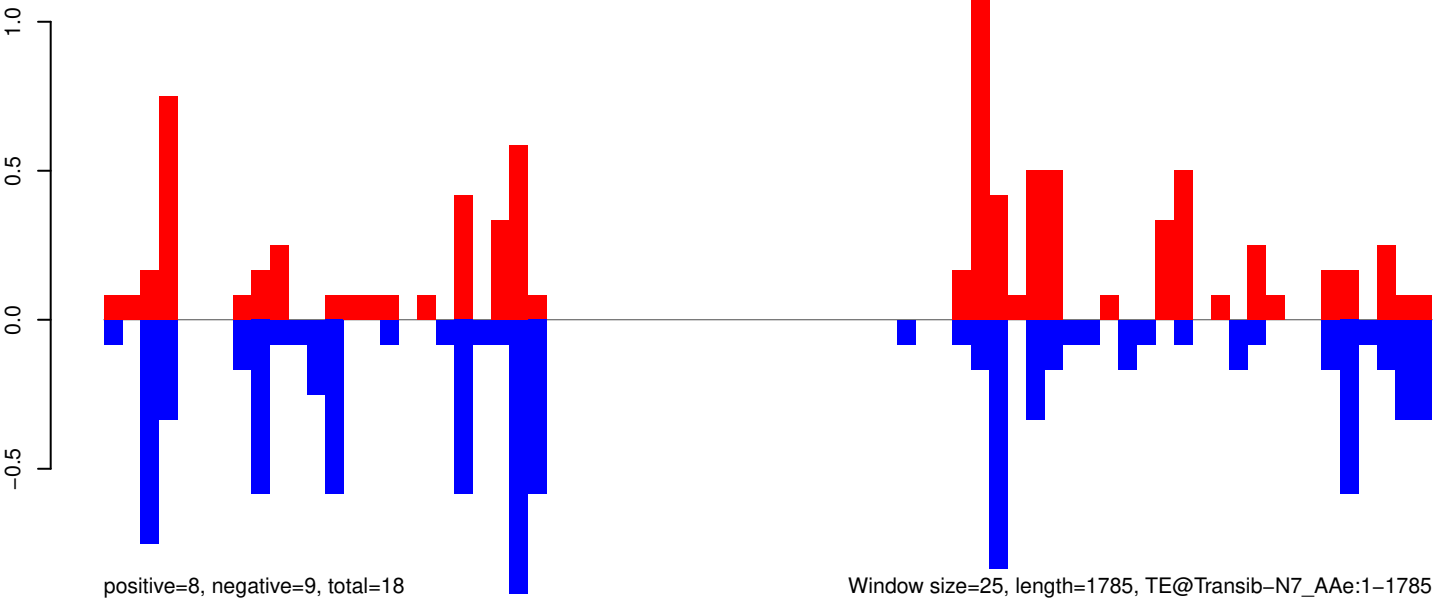
AeAeg_Aag2_Ago2_SINV_RA.18_23.rep



AeAeg_Aag2_Ago2_SINV_RA.24_35.rep

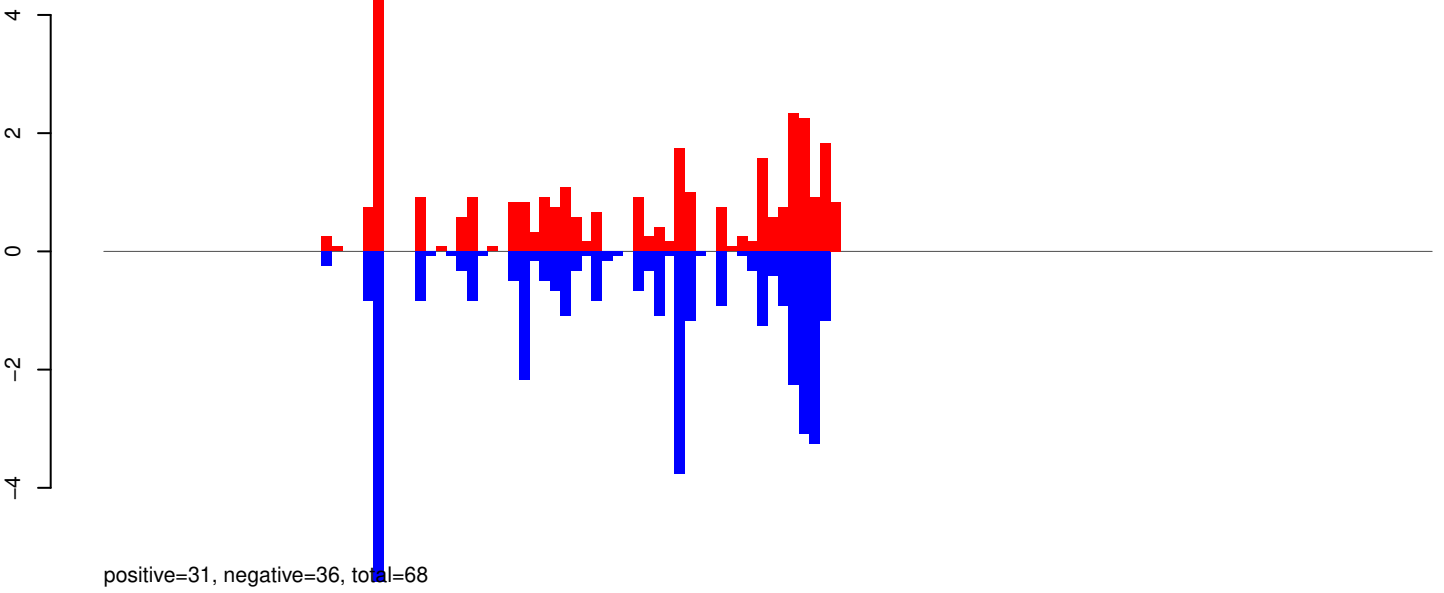


AeAeg_Aag2_Ago2_SINV_RA.rep

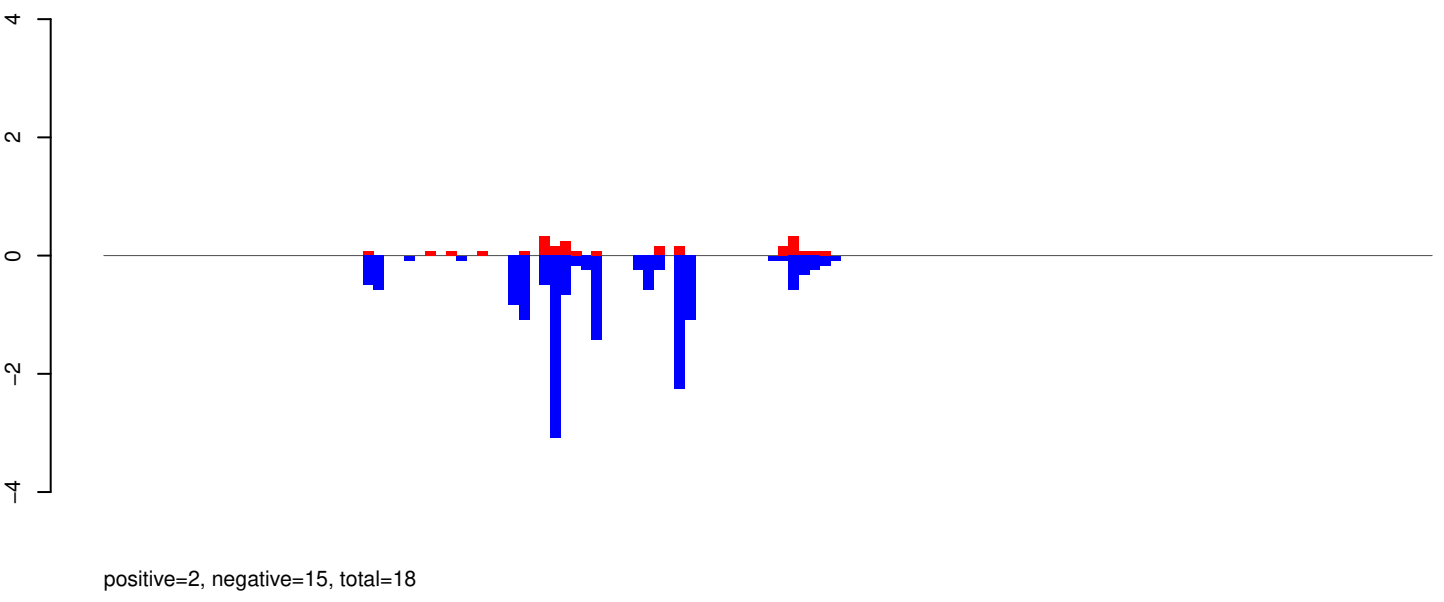


0 500 1000 1500

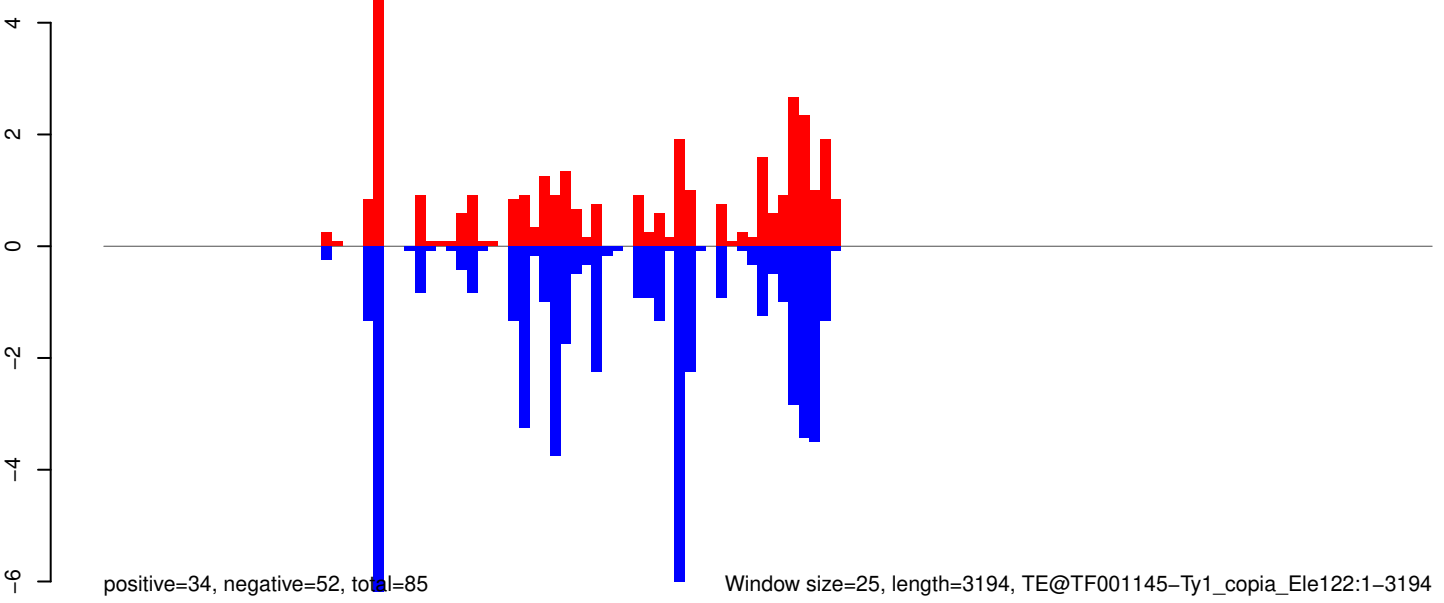
AeAeg_Aag2_Ago2_SINV_RA.18_23.rep



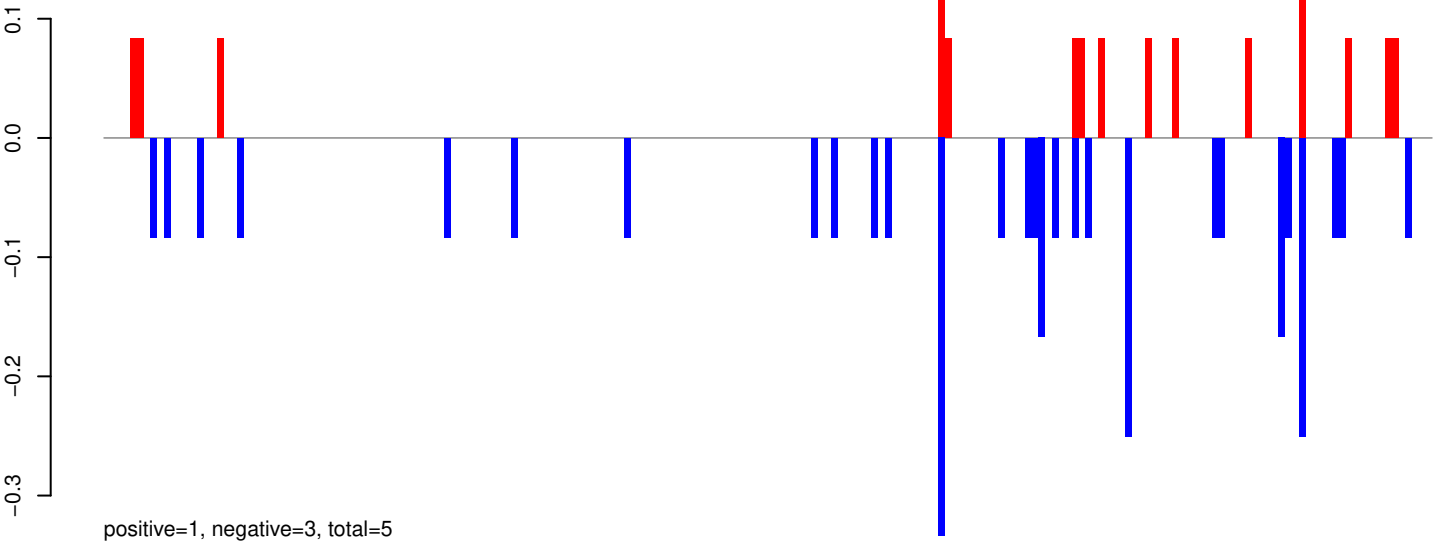
AeAeg_Aag2_Ago2_SINV_RA.24_35.rep



AeAeg_Aag2_Ago2_SINV_RA.rep



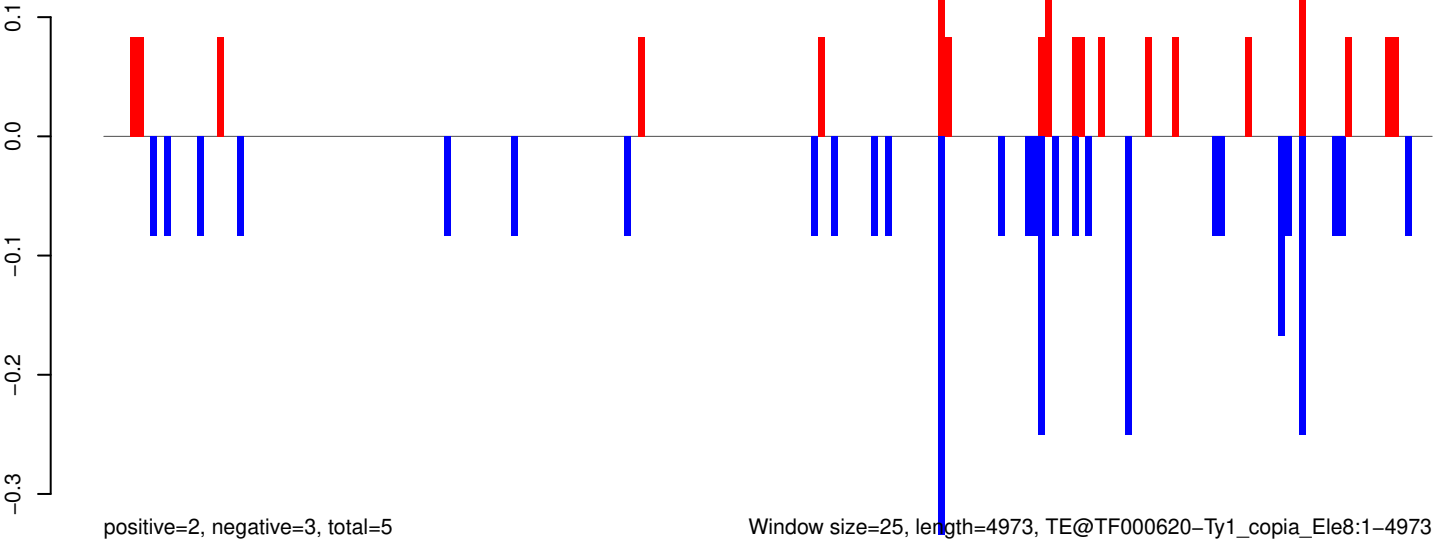
AeAeg_Aag2_Ago2_SINV_RA.18_23.rep



AeAeg_Aag2_Ago2_SINV_RA.24_35.rep

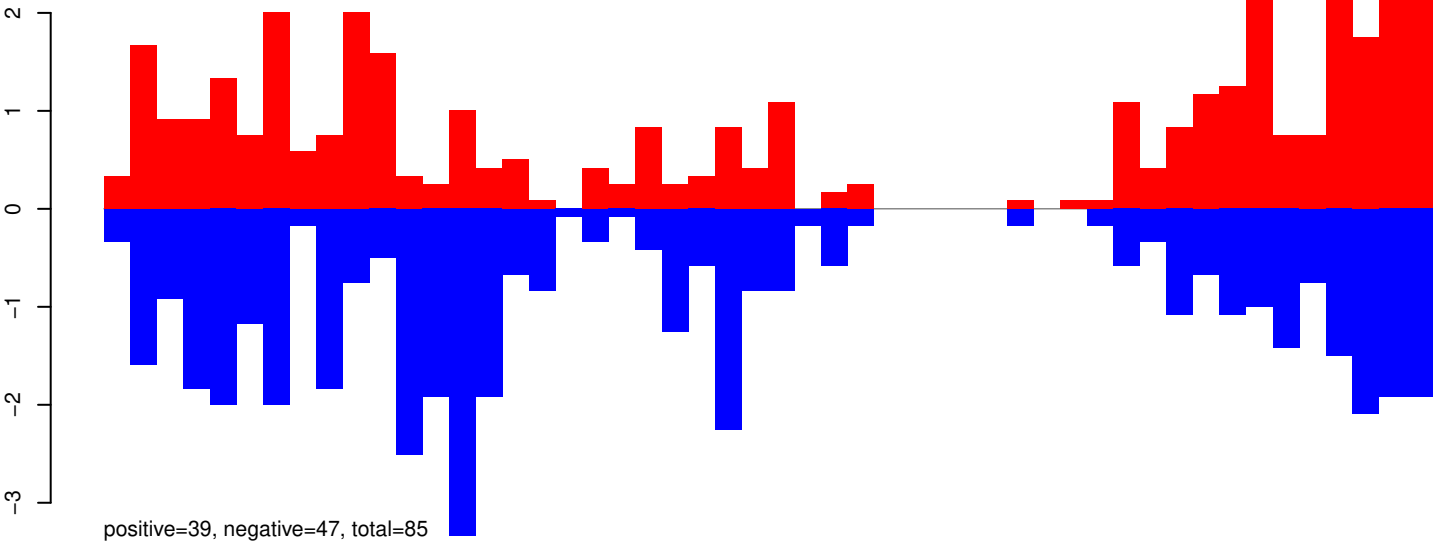


AeAeg_Aag2_Ago2_SINV_RA.rep

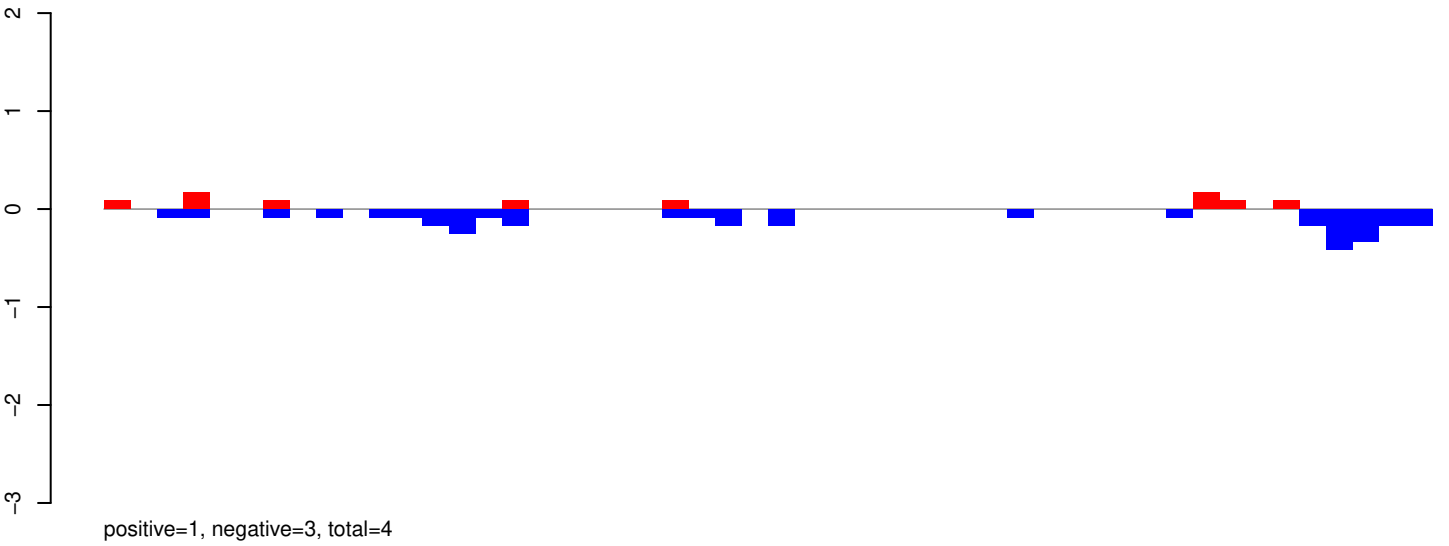


0 1000 2000 3000 4000 5000

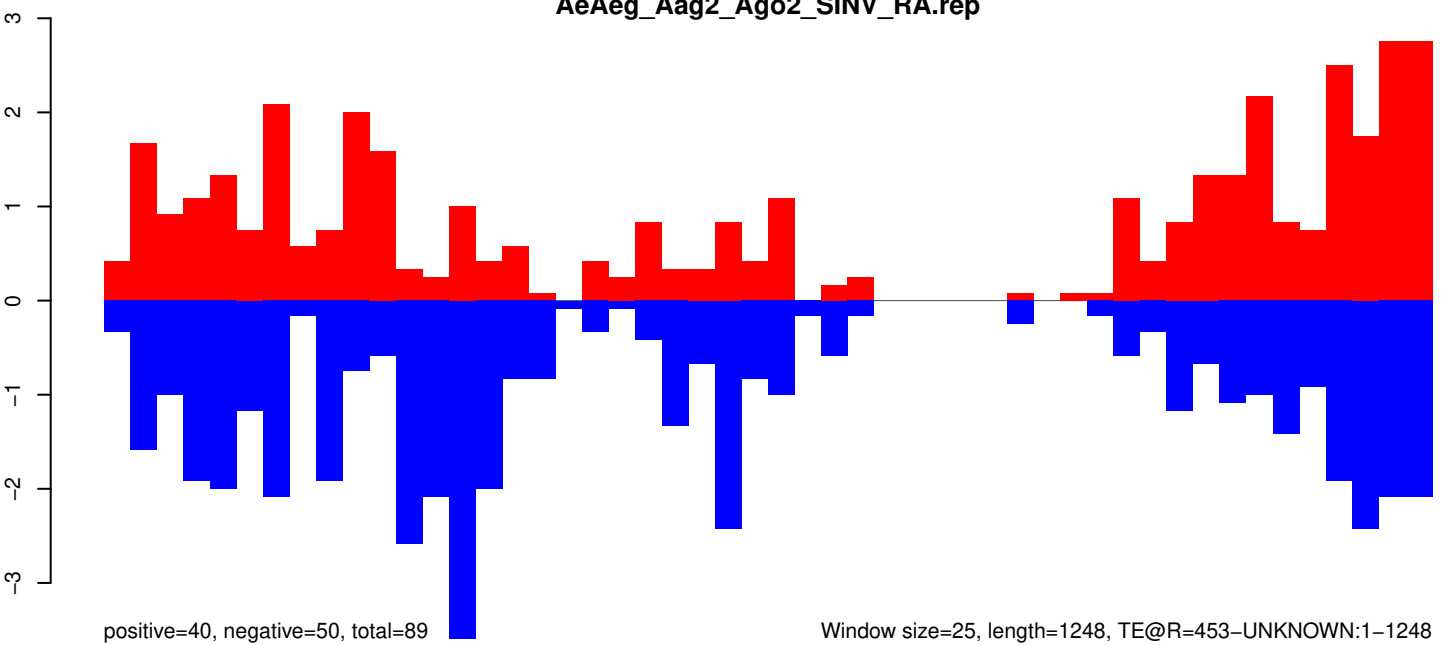
AeAeg_Aag2_Ago2_SINV_RA.18_23.rep



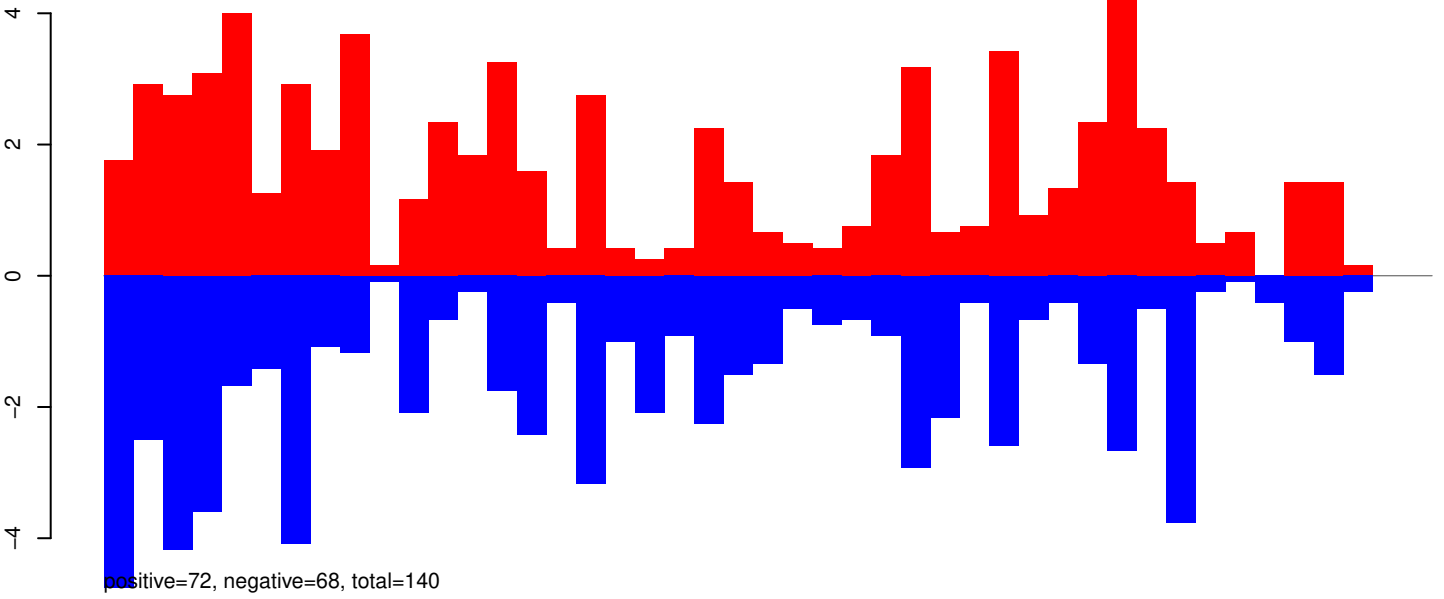
AeAeg_Aag2_Ago2_SINV_RA.24_35.rep



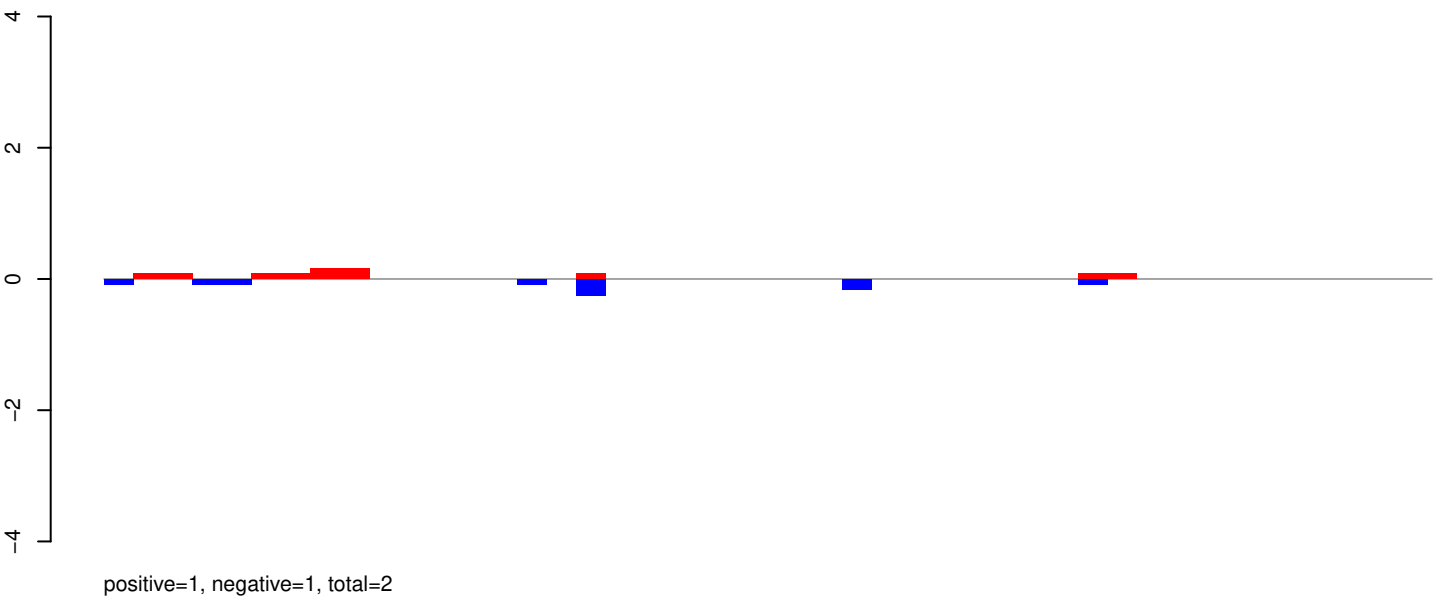
AeAeg_Aag2_Ago2_SINV_RA.rep



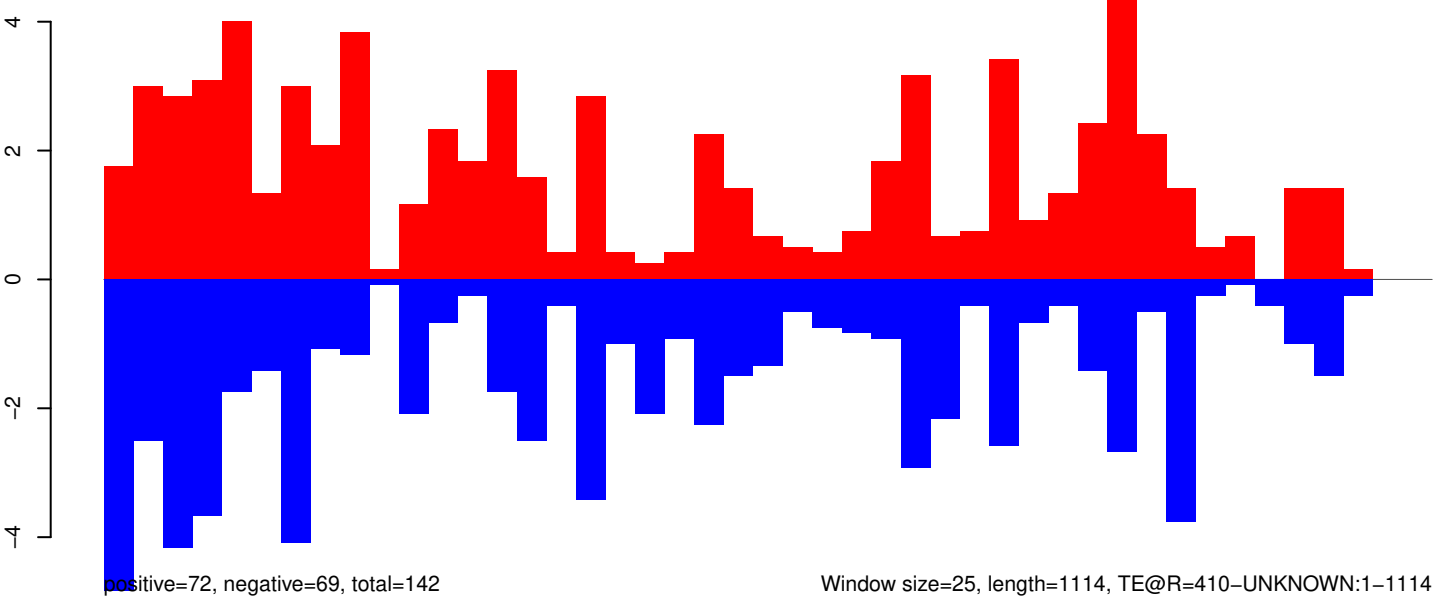
AeAeg_Aag2_Ago2_SINV_RA.18_23.rep



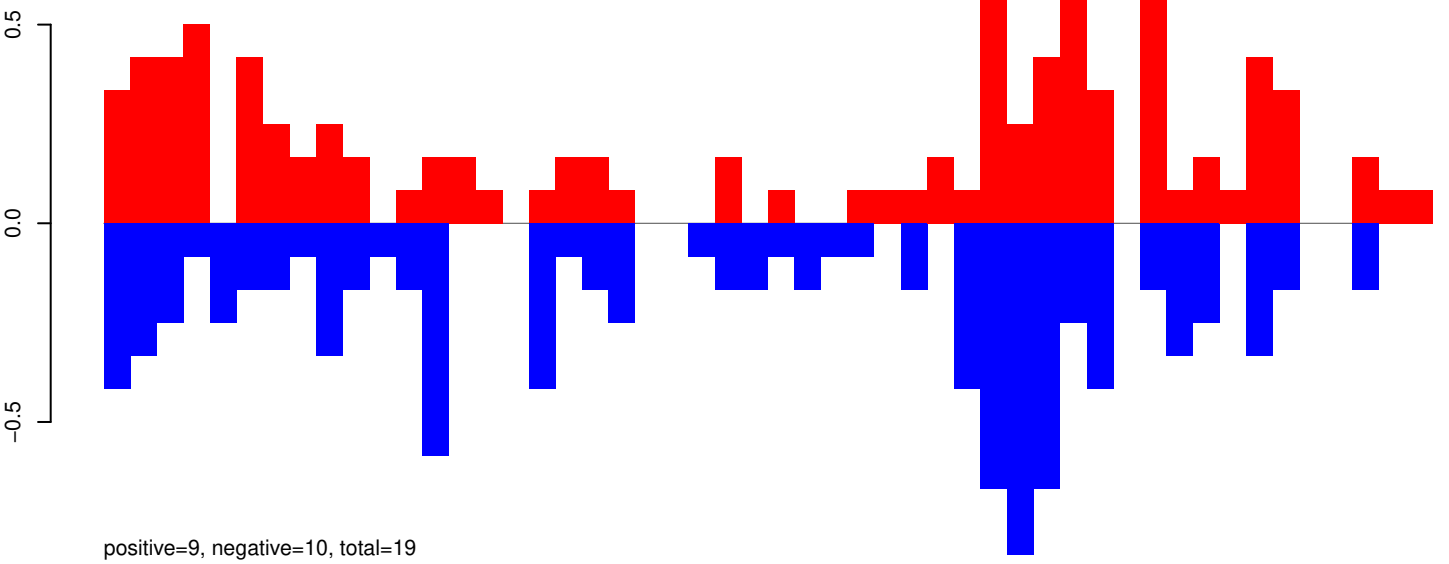
AeAeg_Aag2_Ago2_SINV_RA.24_35.rep



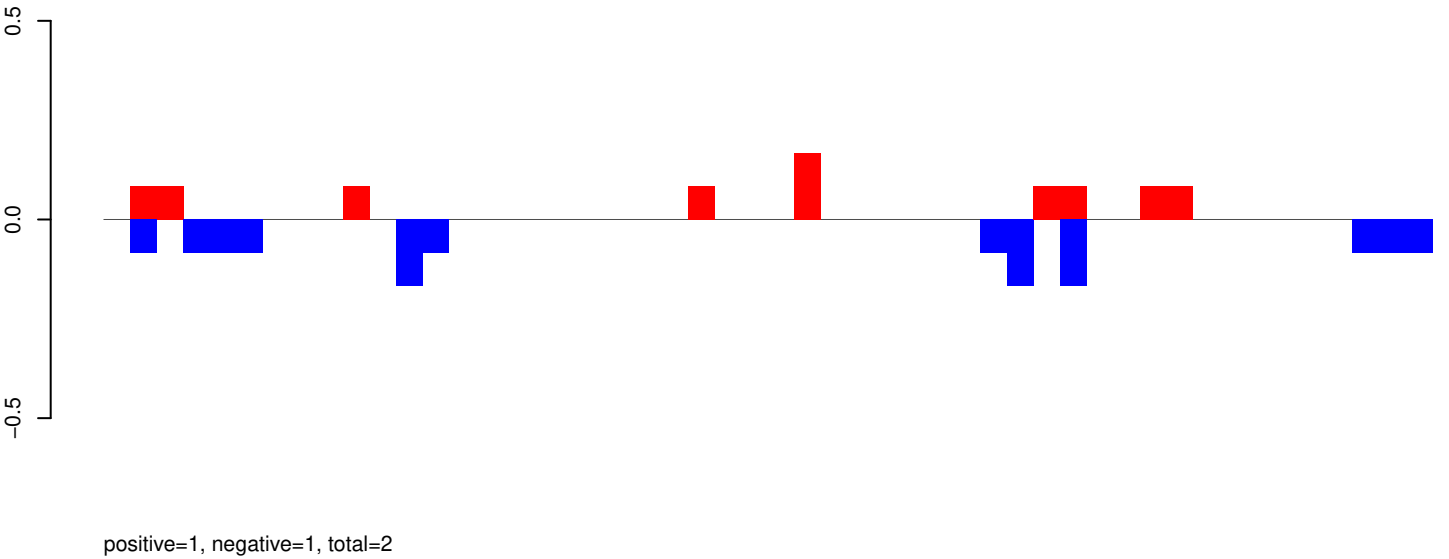
AeAeg_Aag2_Ago2_SINV_RA.rep



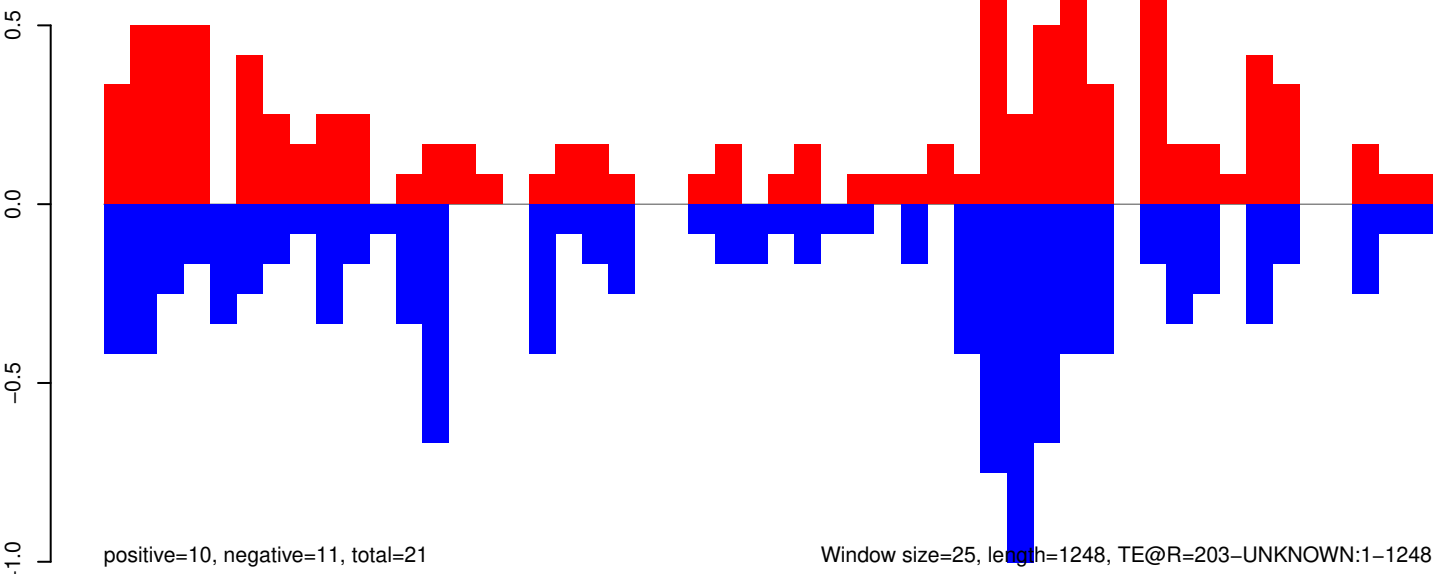
AeAeg_Aag2_Ago2_SINV_RA.18_23.rep



AeAeg_Aag2_Ago2_SINV_RA.24_35.rep

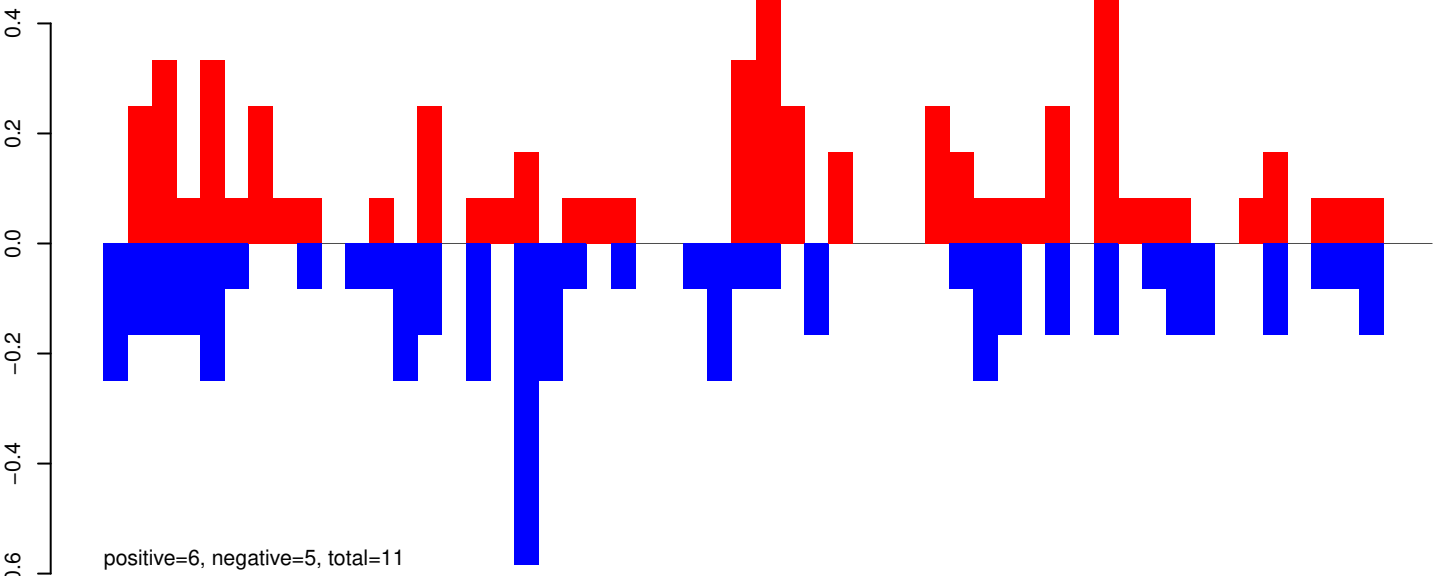


AeAeg_Aag2_Ago2_SINV_RA.rep

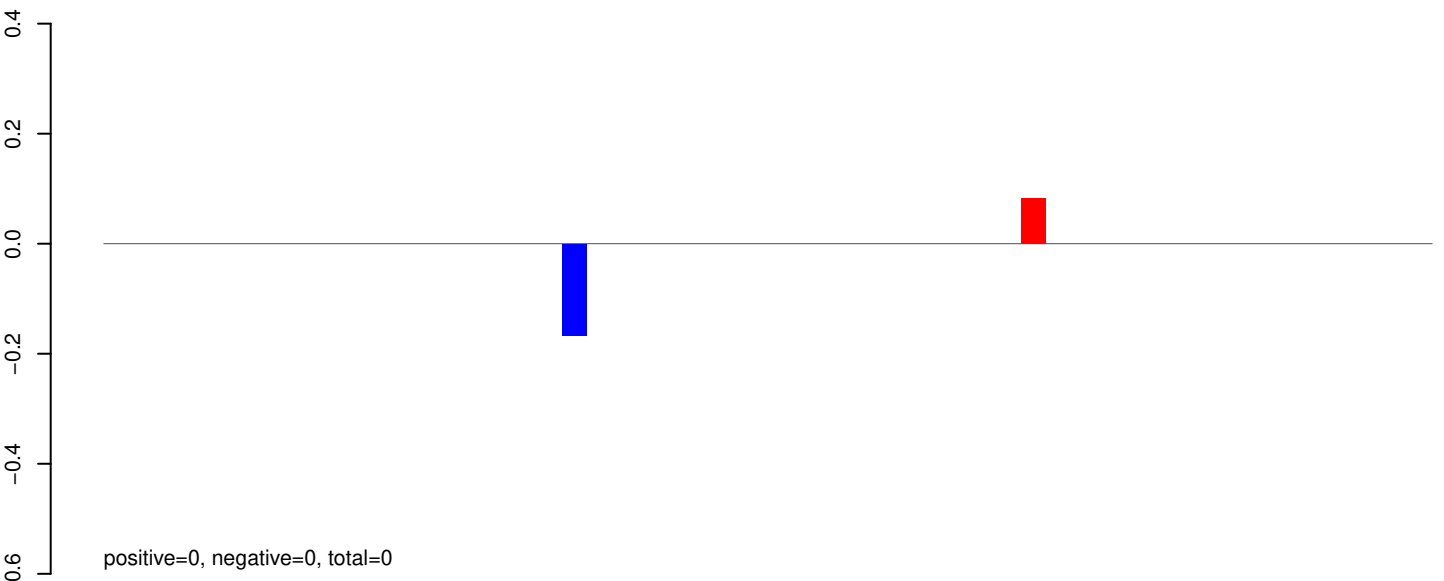


Window size=25, length=1248, TE@R=203-UNKNOWN:1-1248

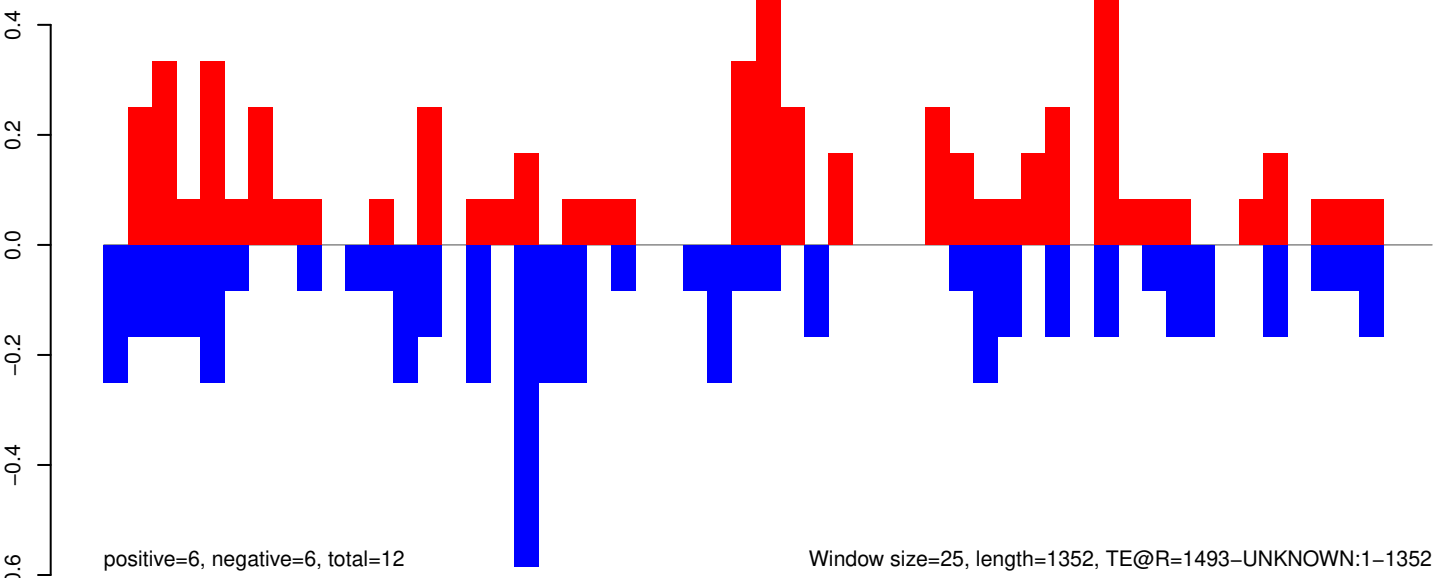
AeAeg_Aag2_Ago2_SINV_RA.18_23.rep



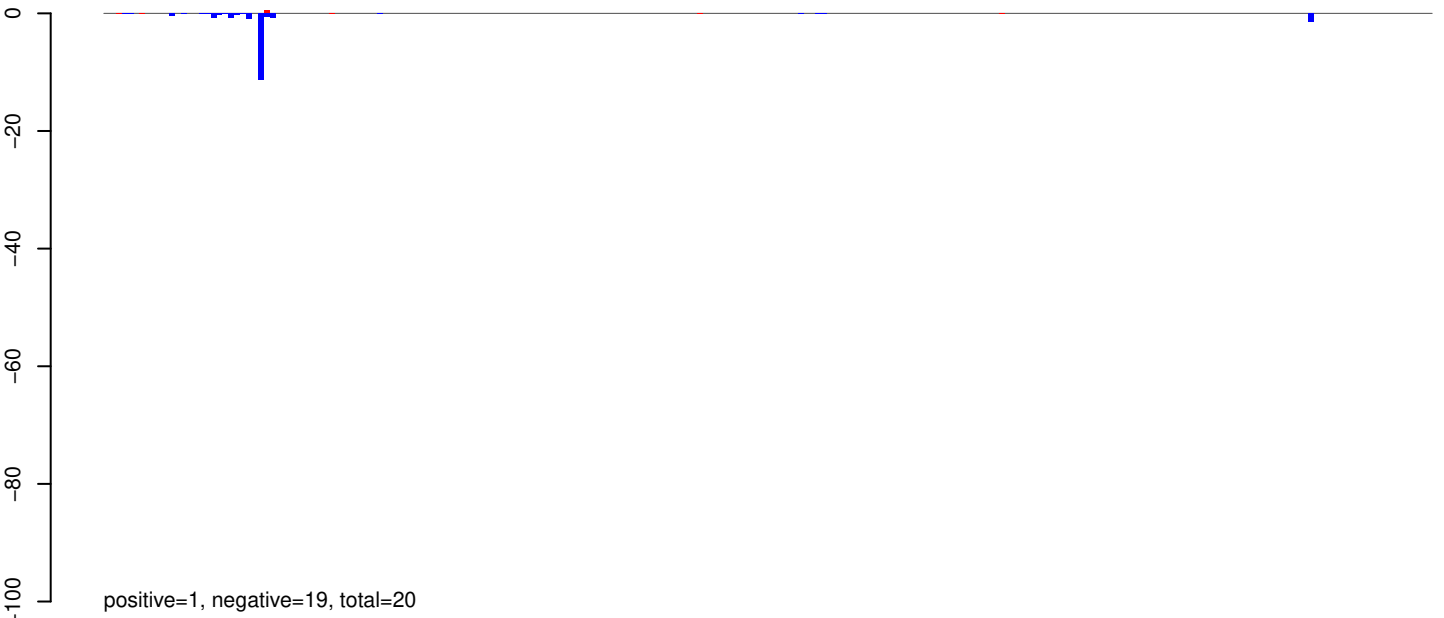
AeAeg_Aag2_Ago2_SINV_RA.24_35.rep



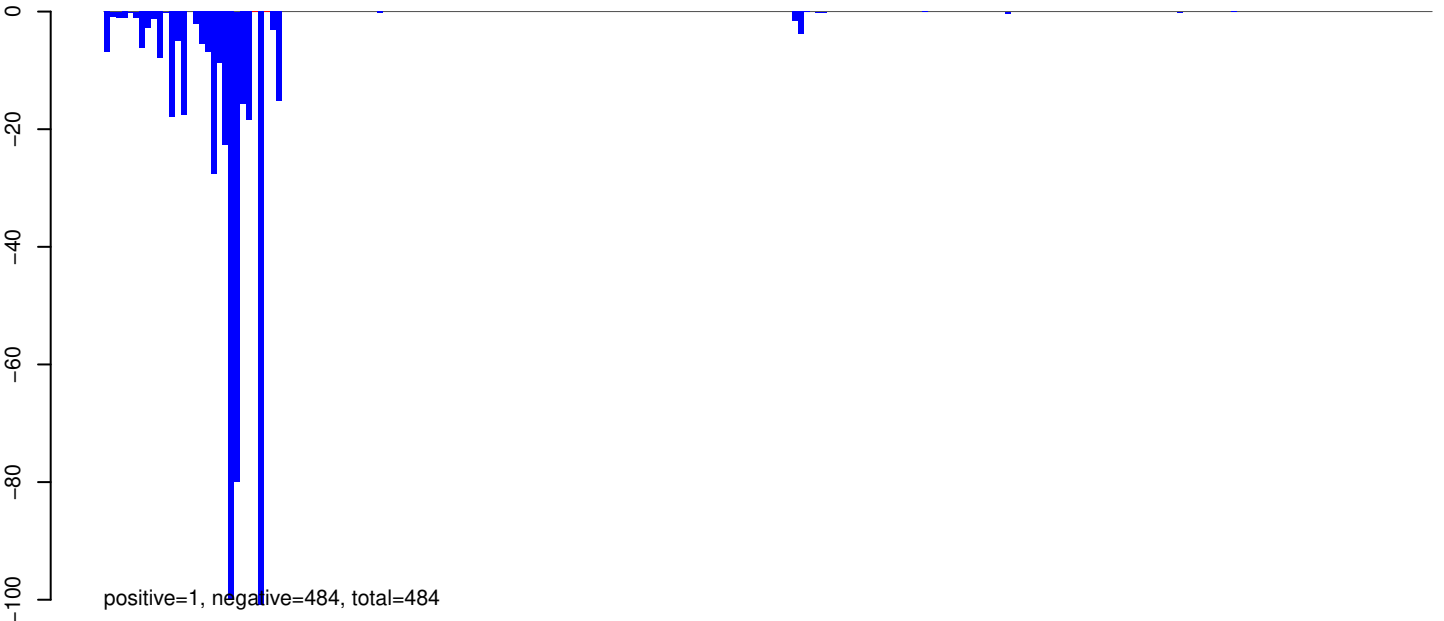
AeAeg_Aag2_Ago2_SINV_RA.rep



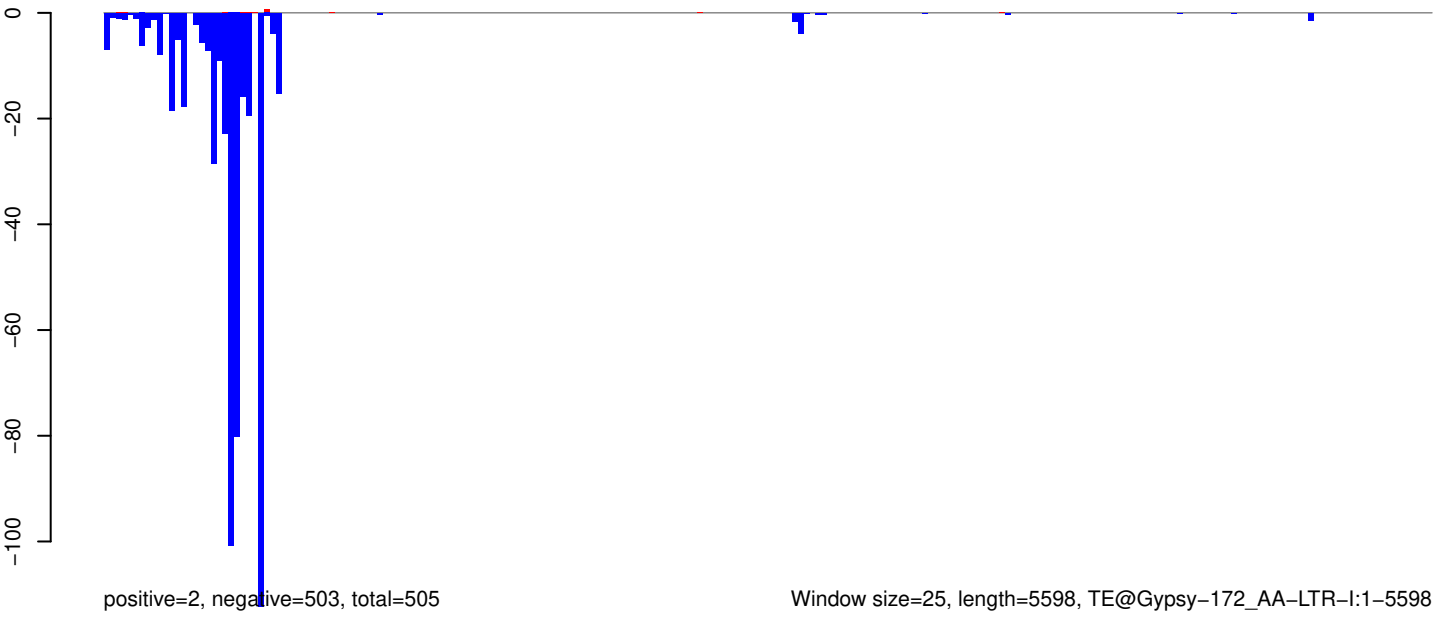
AeAeg_Aag2_Ago2_SINV_RA.18_23.rep



AeAeg_Aag2_Ago2_SINV_RA.24_35.rep



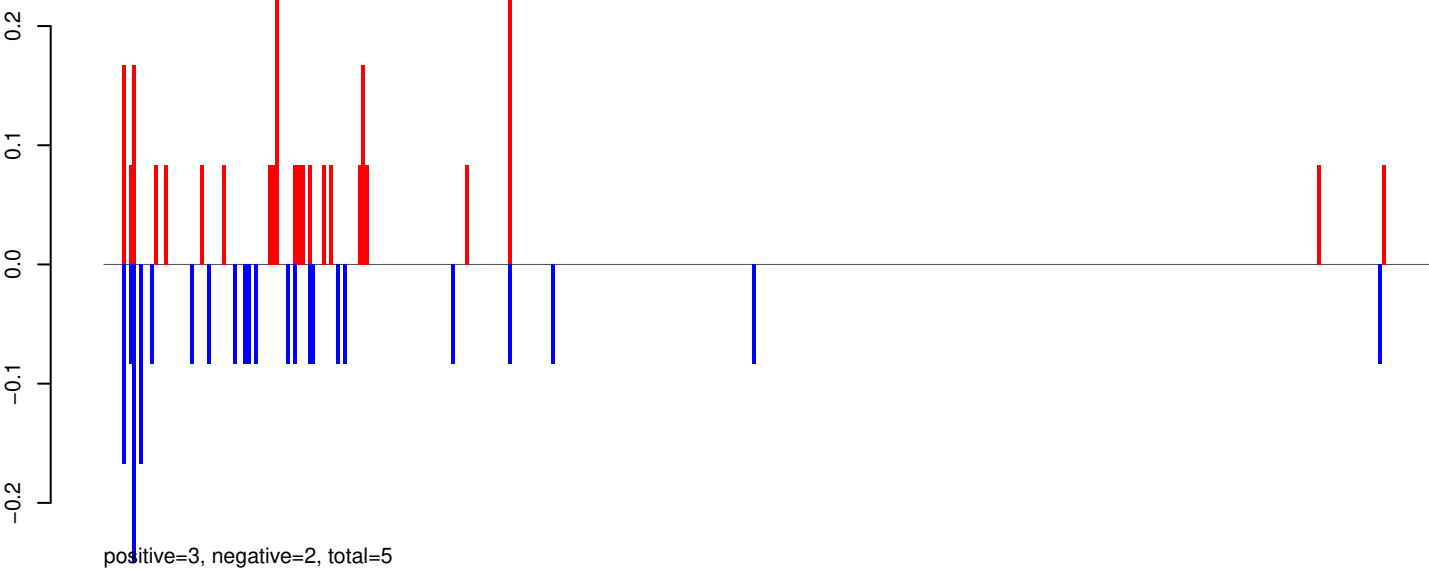
AeAeg_Aag2_Ago2_SINV_RA.rep



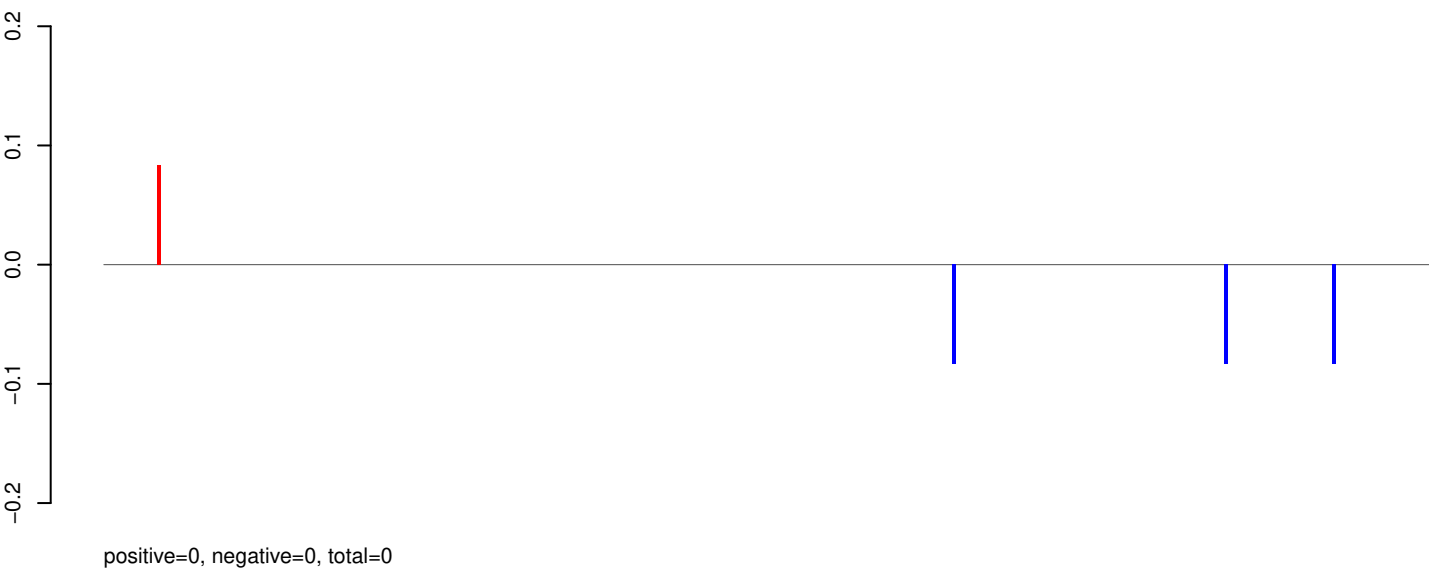
Window size=25, length=5598, TE@Gypsy-172_AA-LTR-I:1-5598

0 1000 2000 3000 4000 5000

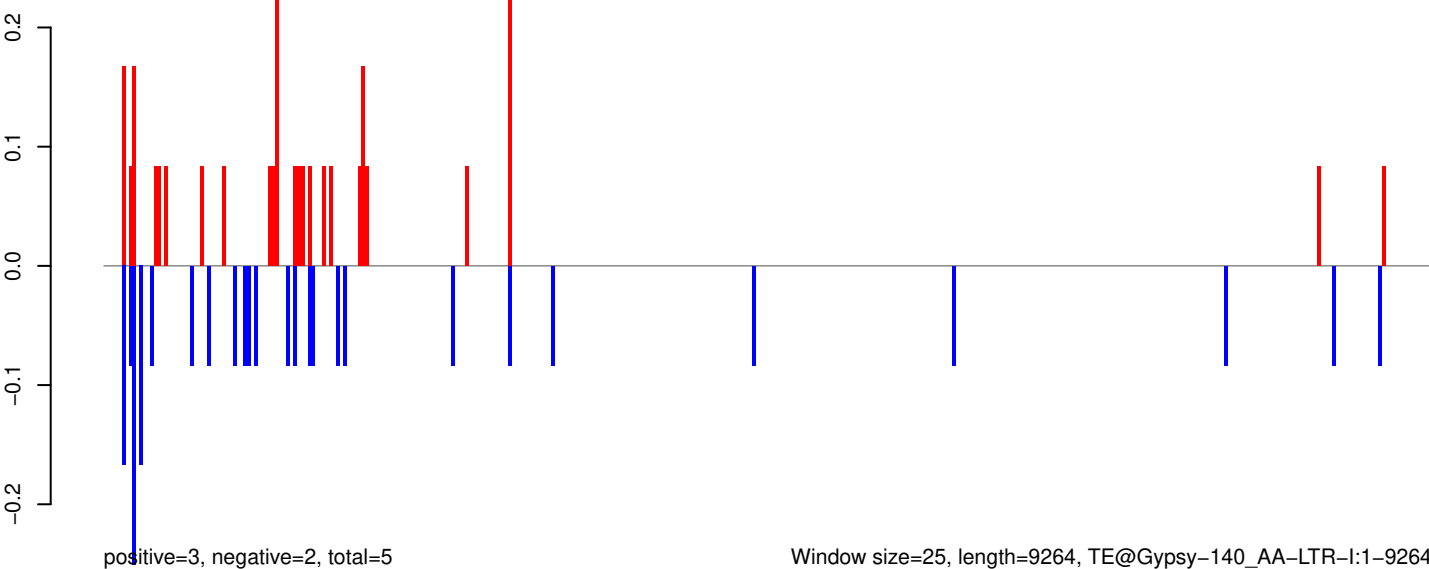
AeAeg_Aag2_Ago2_SINV_RA.18_23.rep



AeAeg_Aag2_Ago2_SINV_RA.24_35.rep



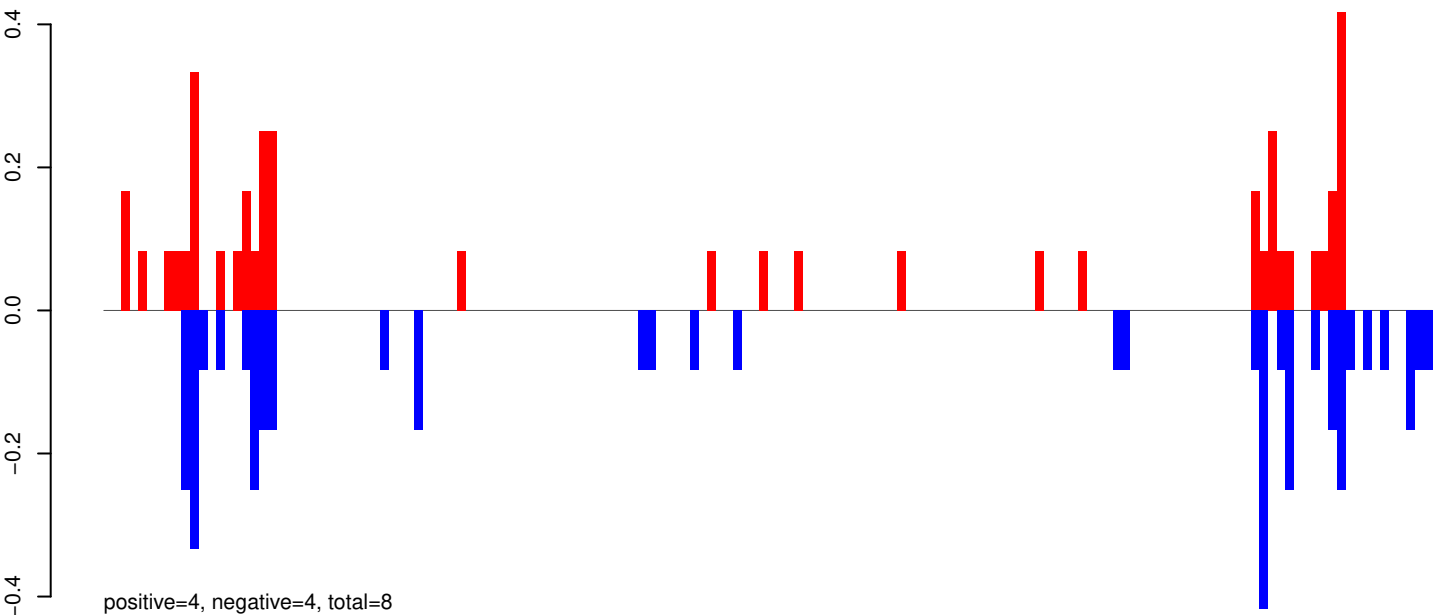
AeAeg_Aag2_Ago2_SINV_RA.rep



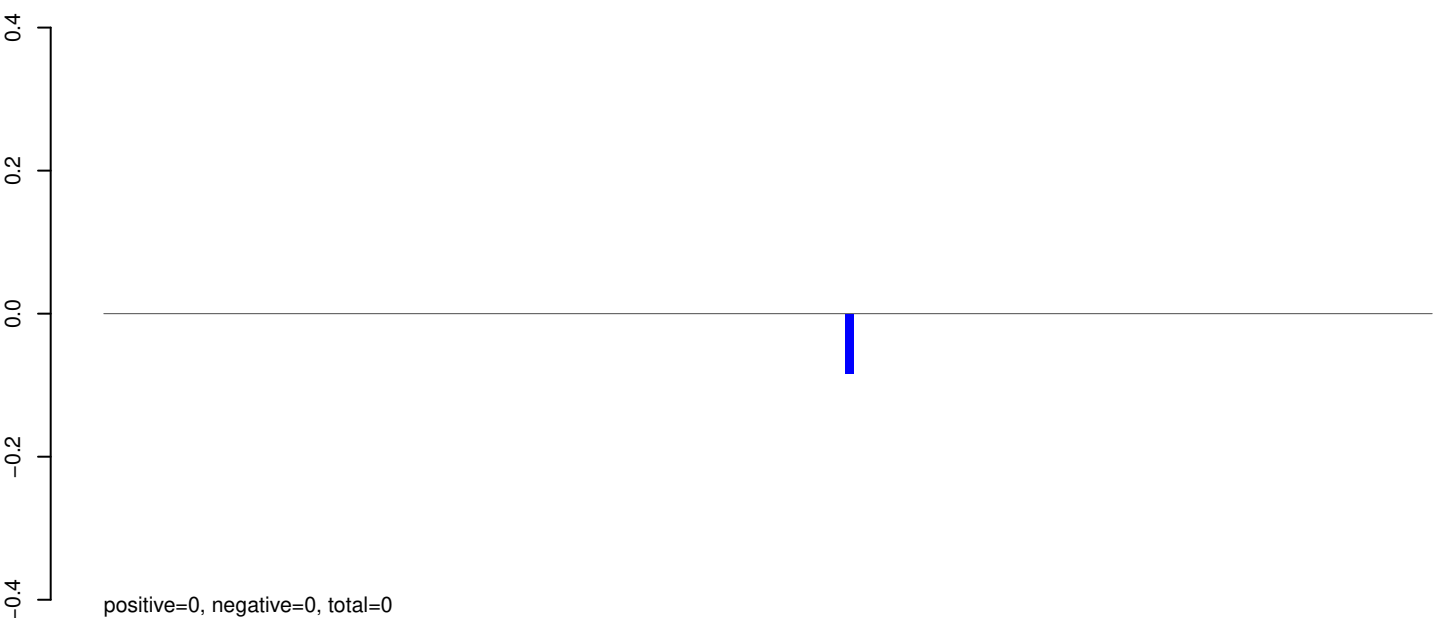
Window size=25, length=9264, TE@Gypsy-140_AA-LTR-I:1-9264

0 2000 4000 6000 8000

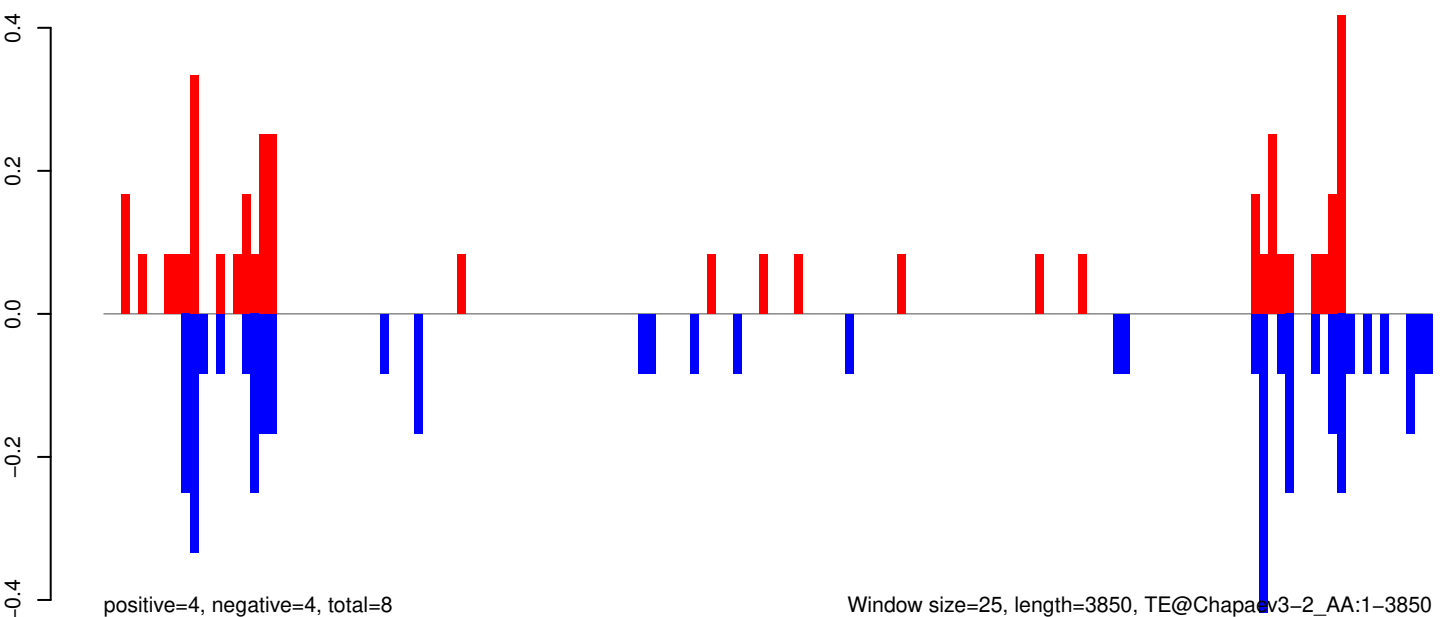
AeAeg_Aag2_Ago2_SINV_RA.18_23.rep



AeAeg_Aag2_Ago2_SINV_RA.24_35.rep



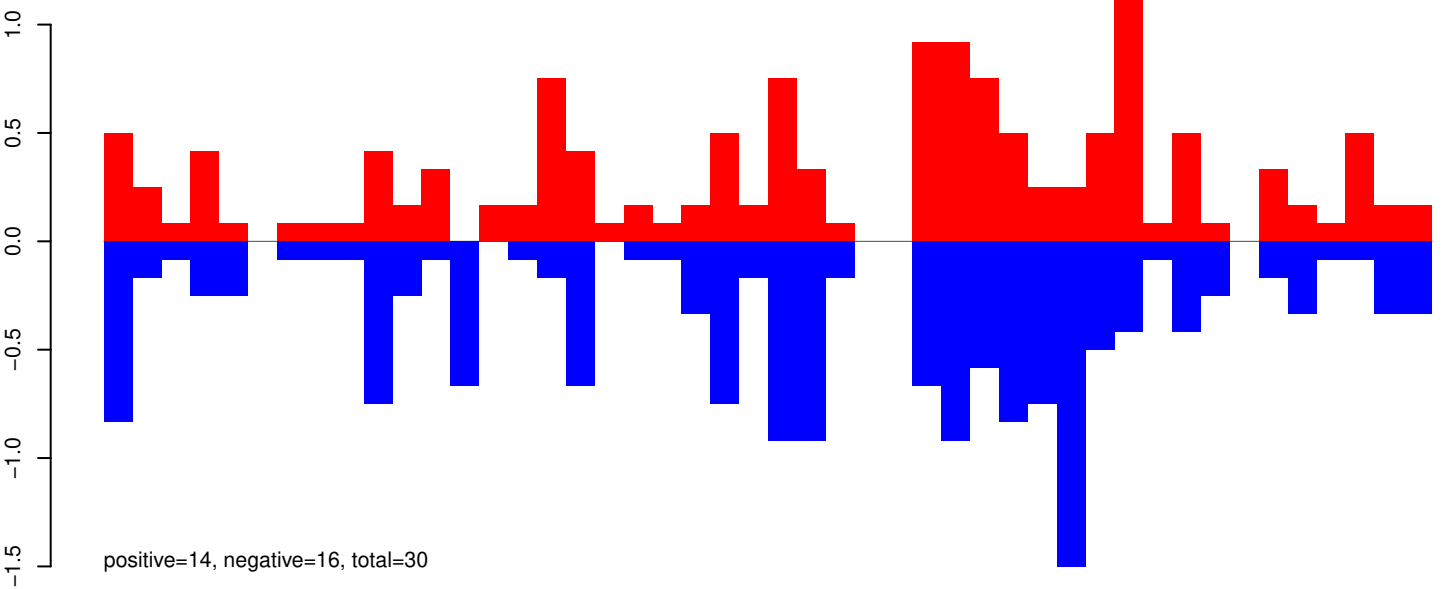
AeAeg_Aag2_Ago2_SINV_RA.rep



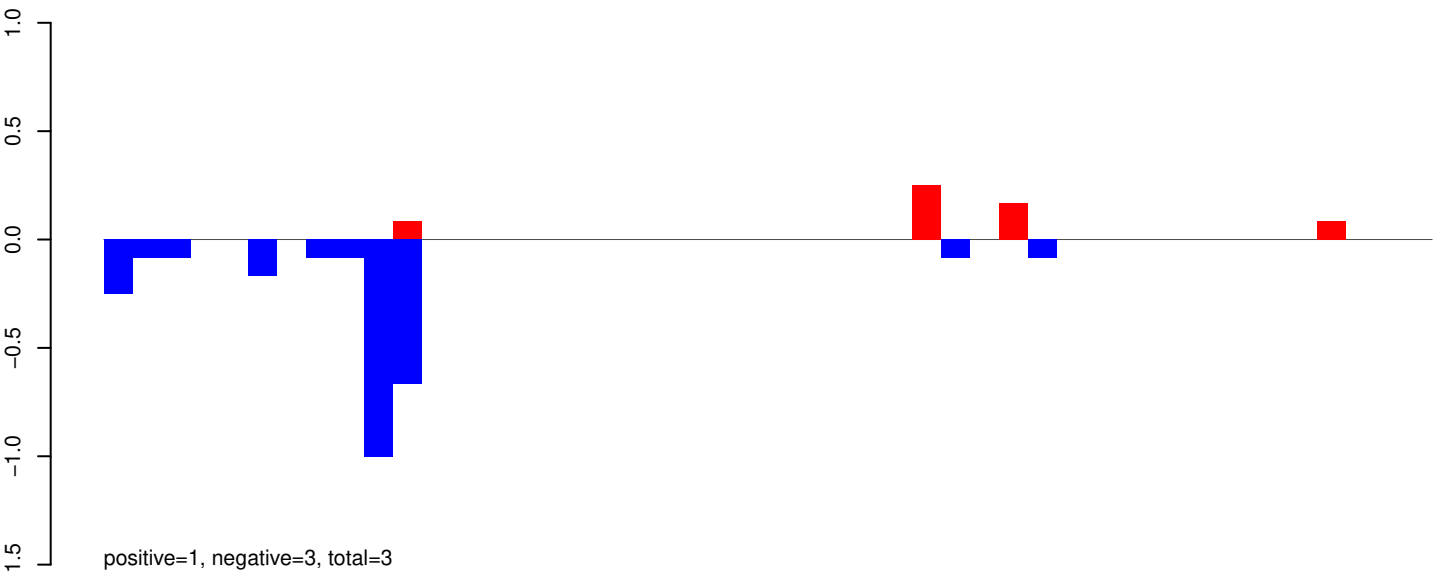
Window size=25, length=3850, TE@Chapaev3-2_AA:1-3850

0 1000 2000 3000 4000

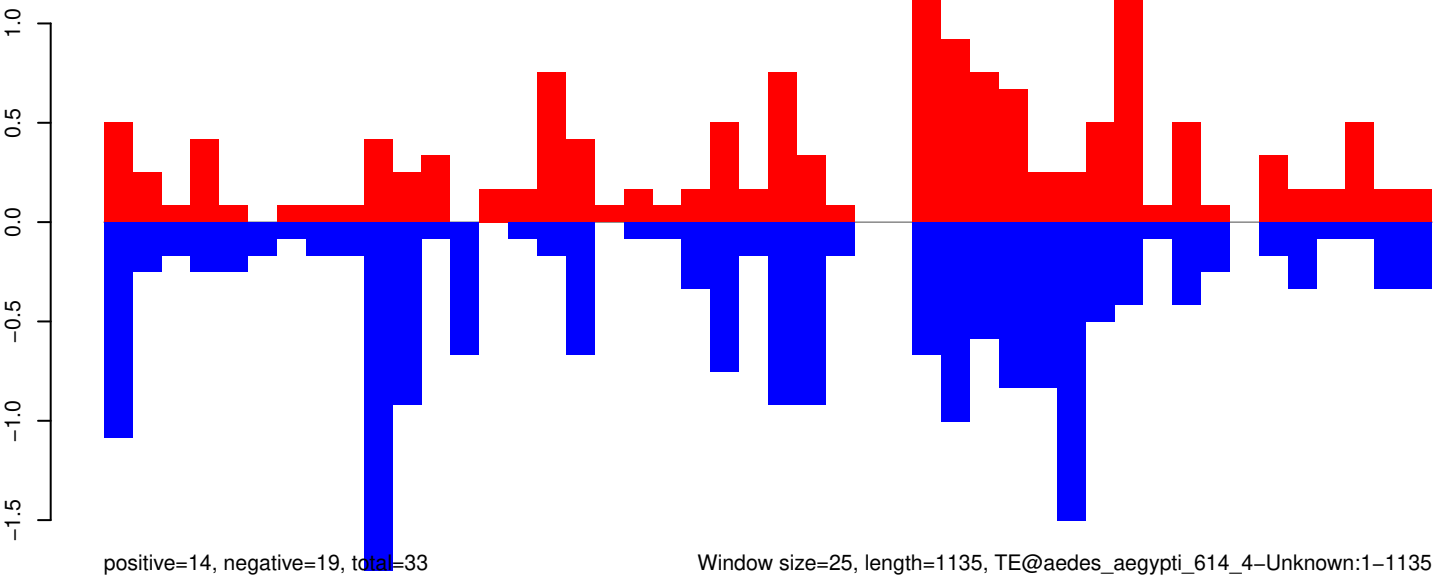
AeAeg_Aag2_Ago2_SINV_RA.18_23.rep



AeAeg_Aag2_Ago2_SINV_RA.24_35.rep



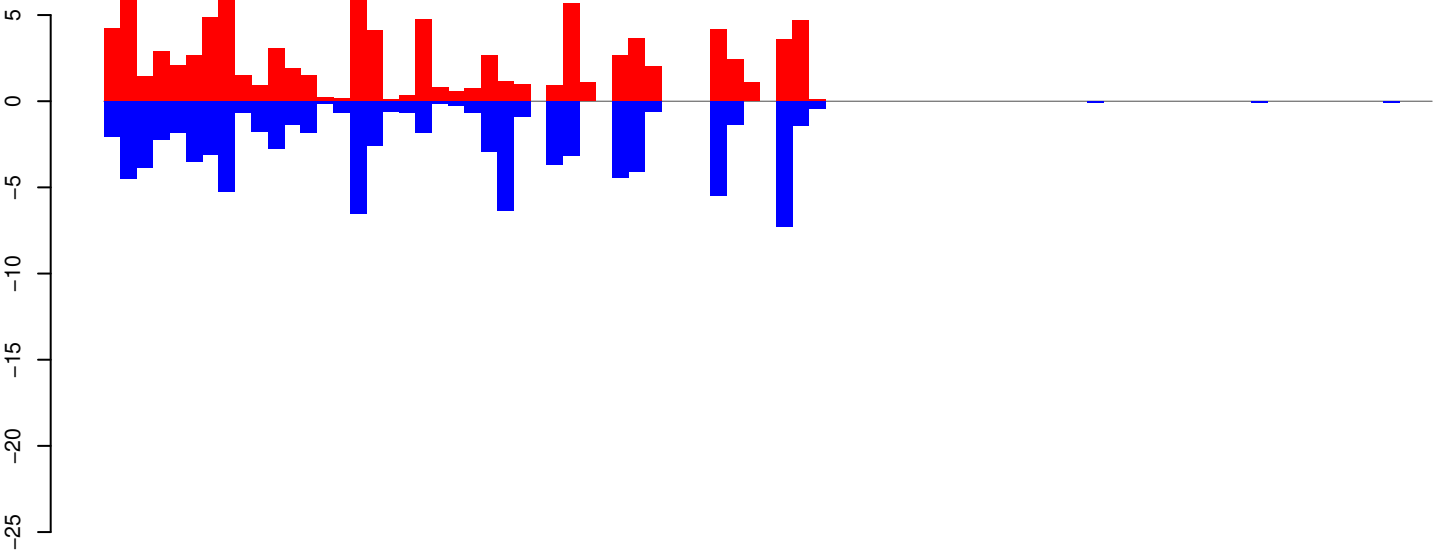
AeAeg_Aag2_Ago2_SINV_RA.rep



Window size=25, length=1135, TE@aedes_aegypti_614_4-Unknown:1-1135

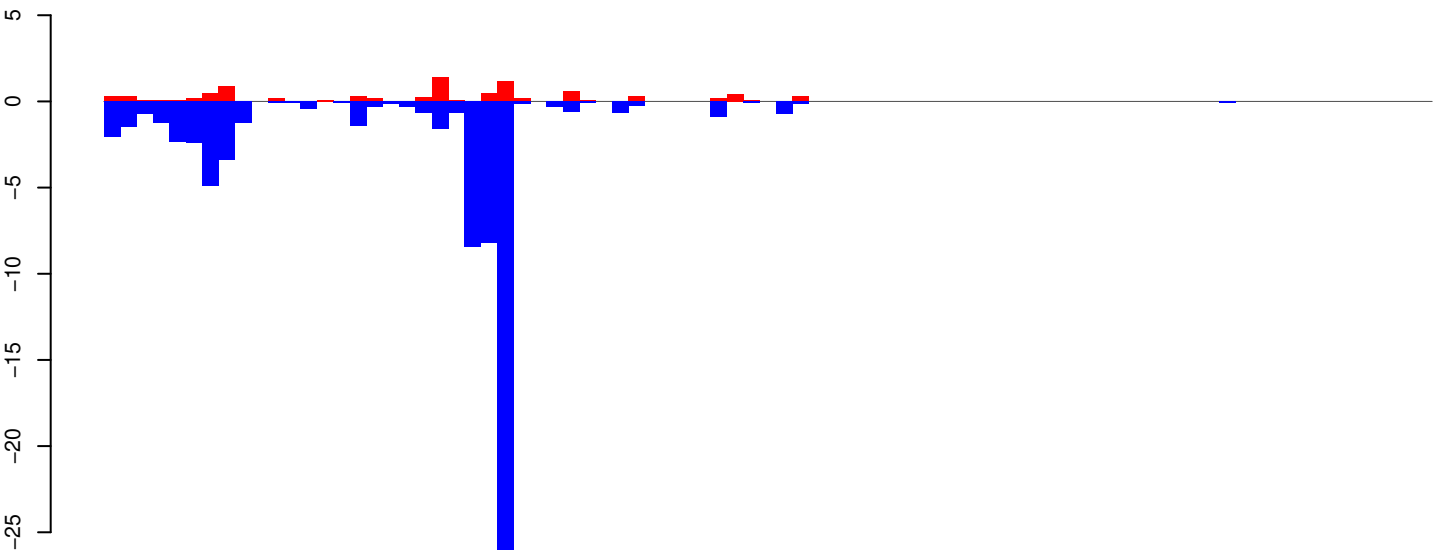
0 200 400 600 800 1000 1200

AeAeg_Aag2_Ago2_SINV_RA.18_23.rep



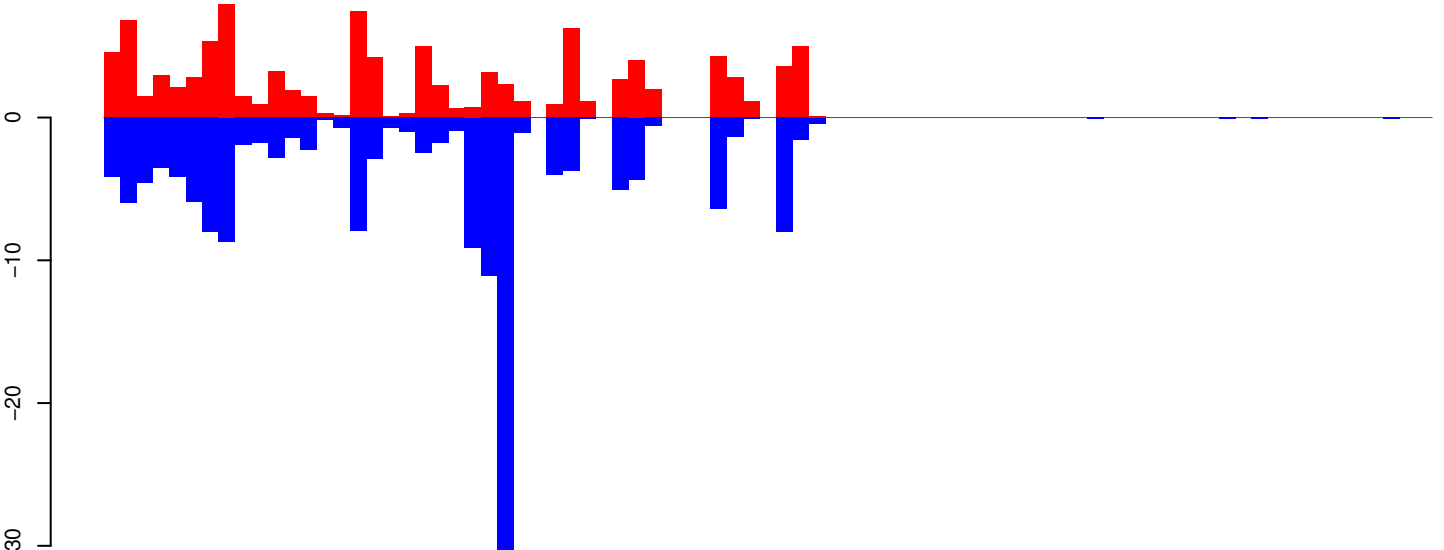
positive=97, negative=91, total=188

AeAeg_Aag2_Ago2_SINV_RA.24_35.rep



positive=9, negative=74, total=83

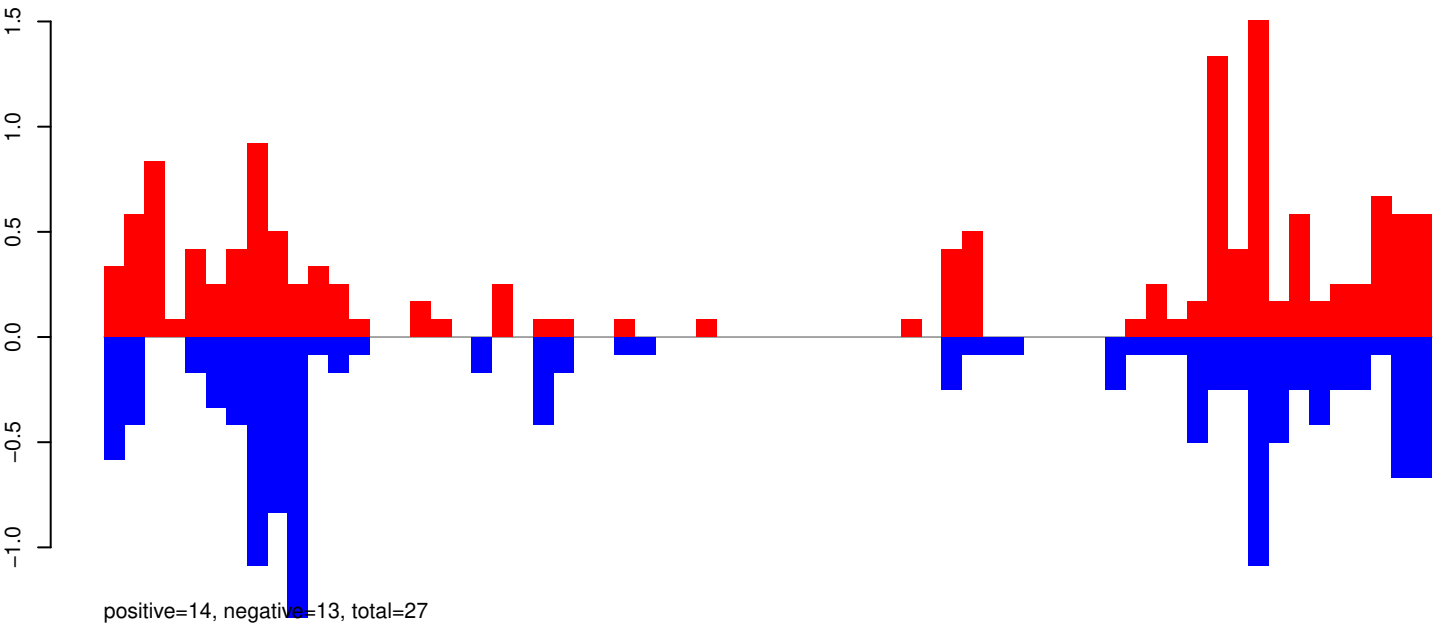
AeAeg_Aag2_Ago2_SINV_RA.rep



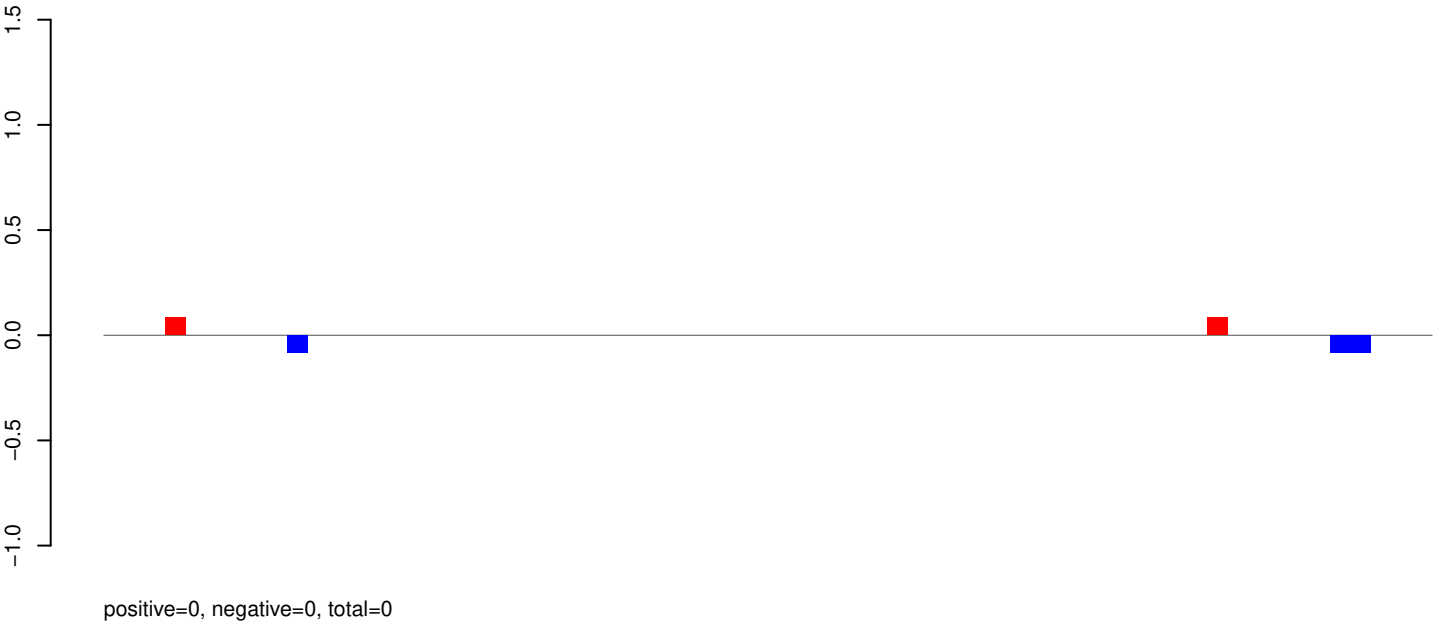
positive=105, negative=165, total=270, window size=25, length=2018, TE@aedes4kgr2k10pd1-AAGE01014110_7666bp-TE-UNKNOWN:1-2018

0 500 1000 1500 2000

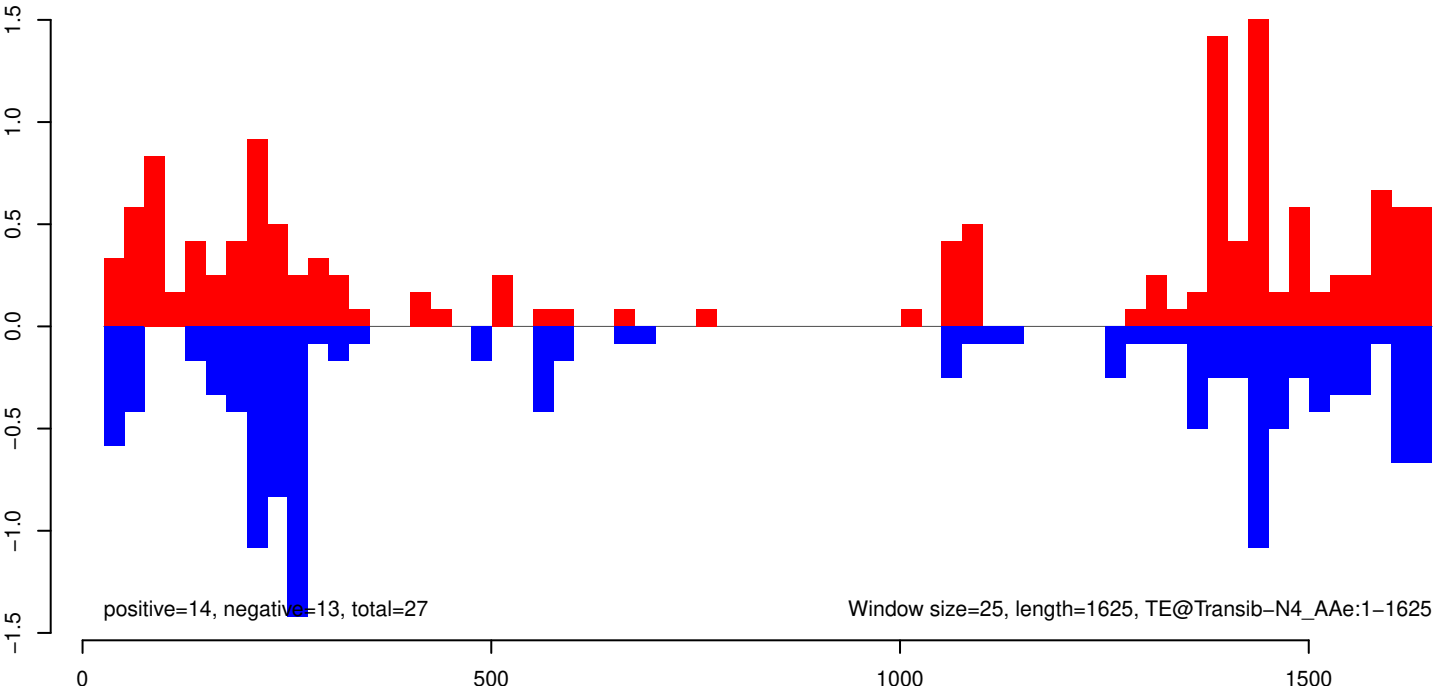
AeAeg_Aag2_Ago2_SINV_RA.18_23.rep



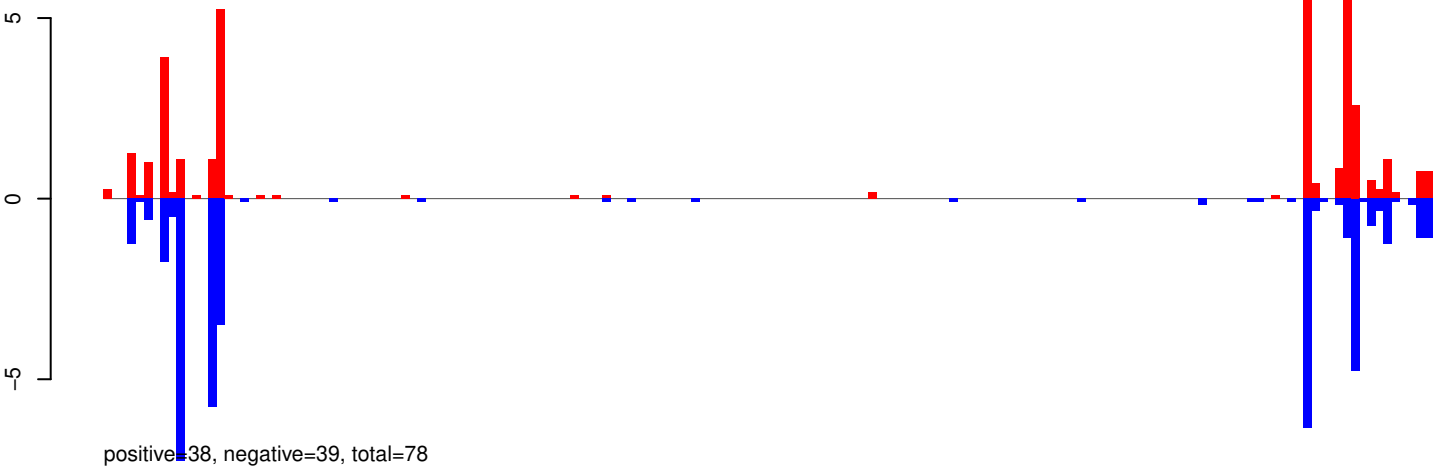
AeAeg_Aag2_Ago2_SINV_RA.24_35.rep



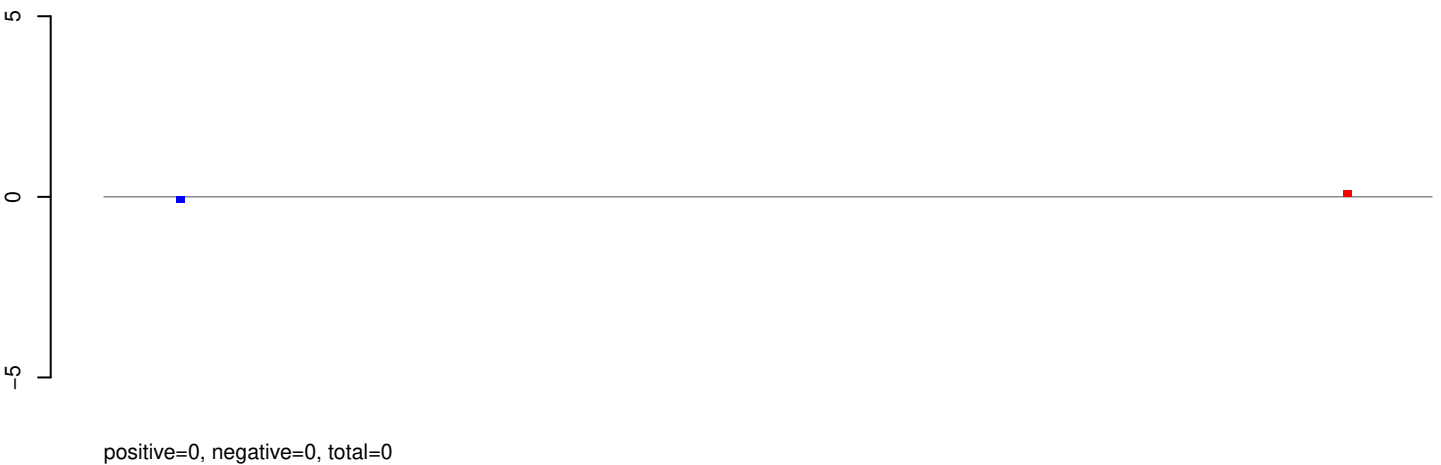
AeAeg_Aag2_Ago2_SINV_RA.rep



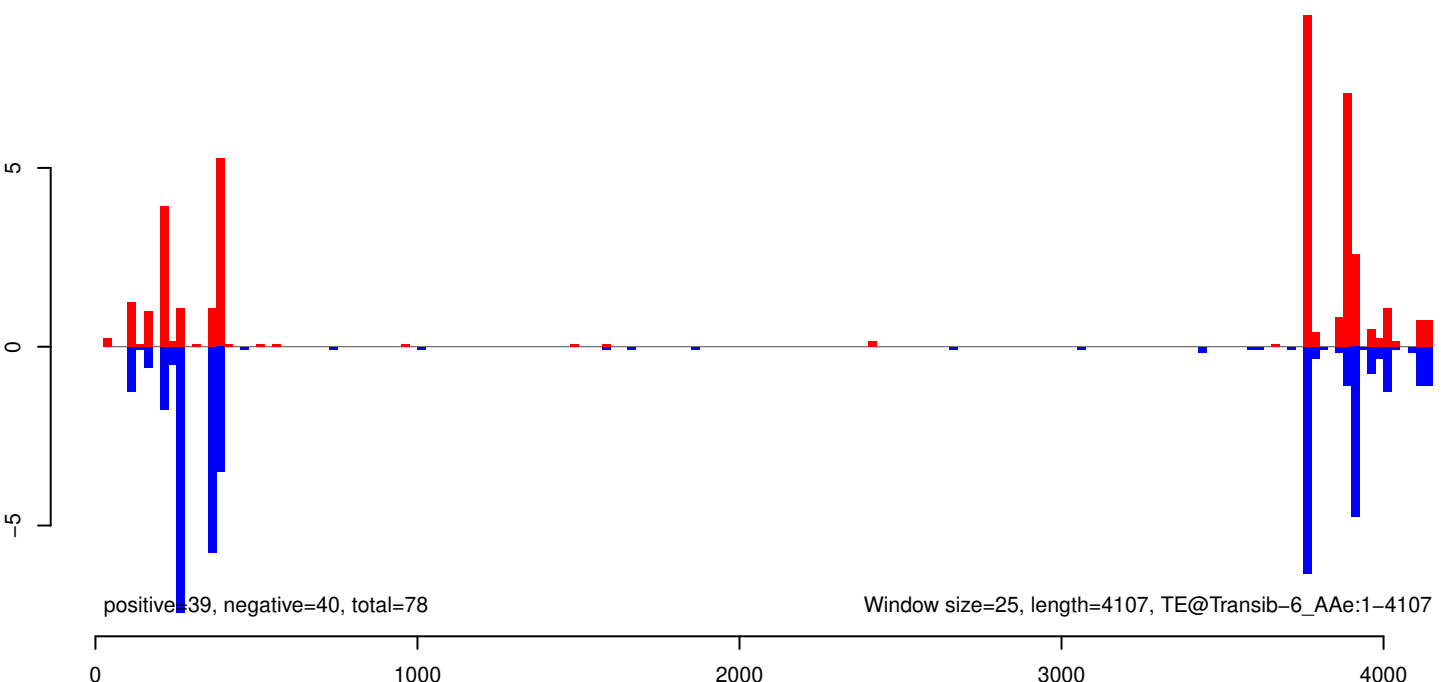
AeAeg_Aag2_Ago2_SINV_RA.18_23.rep



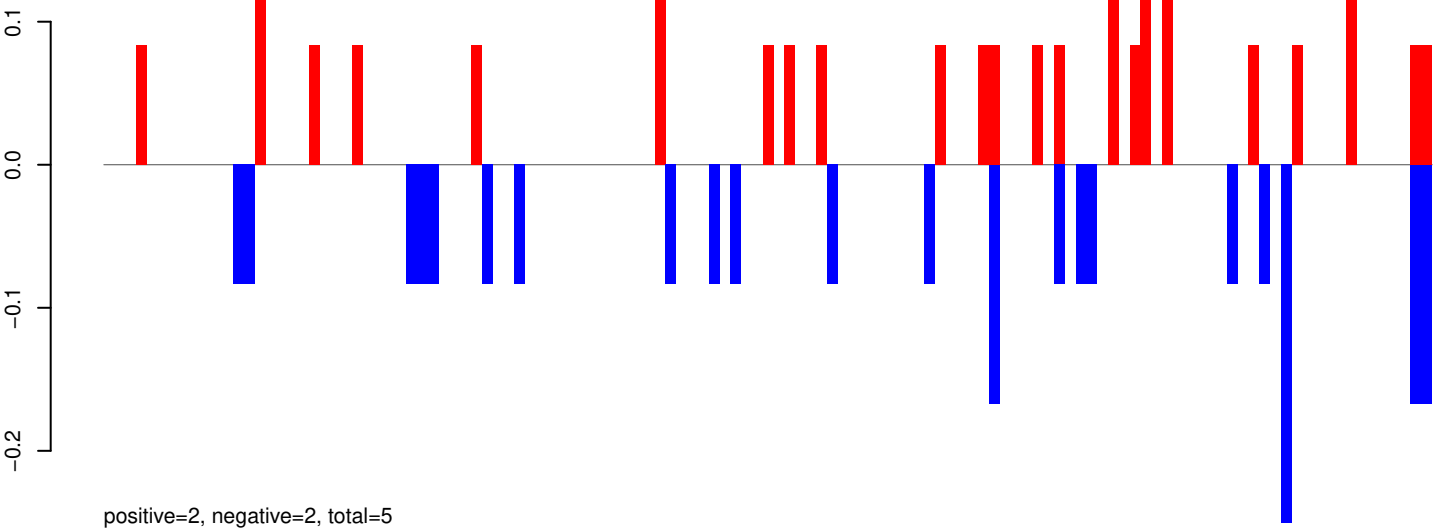
AeAeg_Aag2_Ago2_SINV_RA.24_35.rep



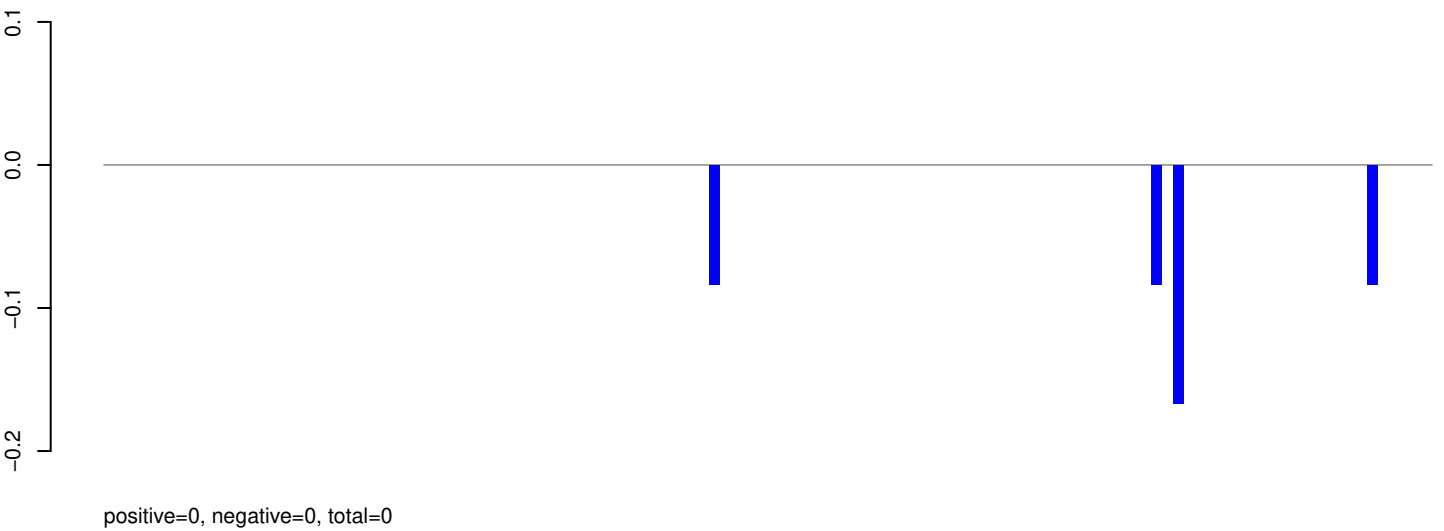
AeAeg_Aag2_Ago2_SINV_RA.rep



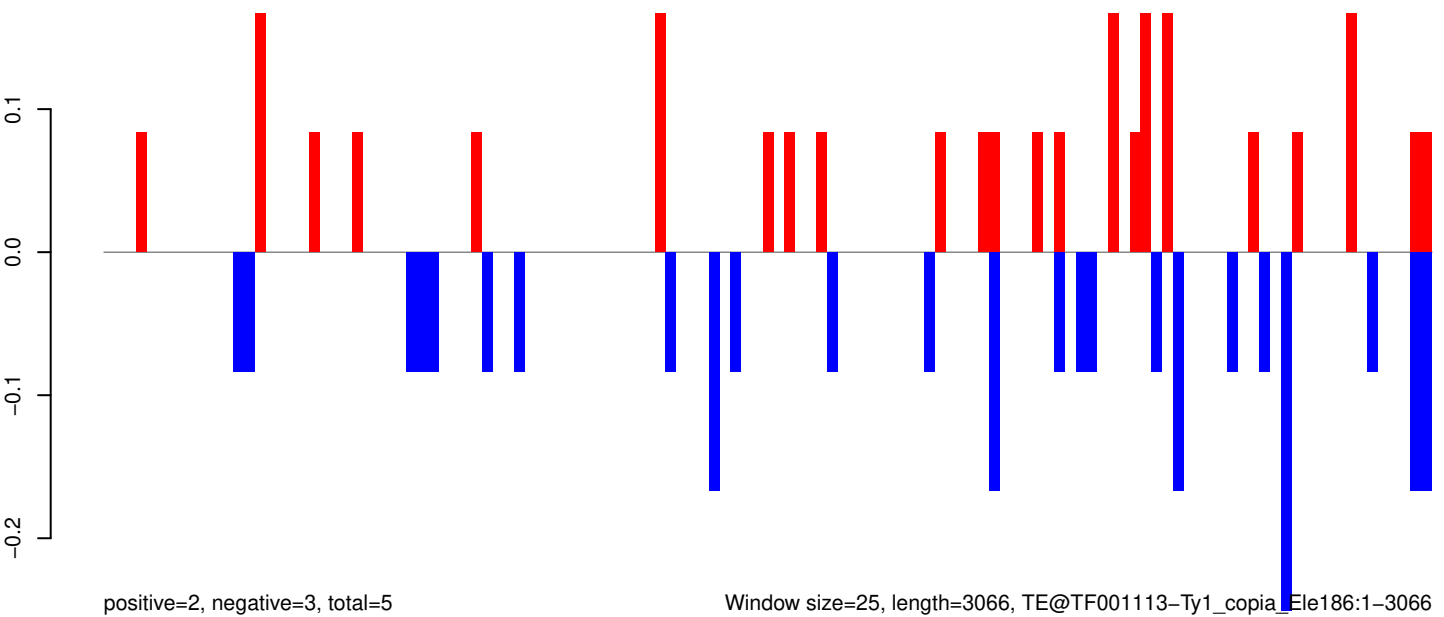
AeAeg_Aag2_Ago2_SINV_RA.18_23.rep



AeAeg_Aag2_Ago2_SINV_RA.24_35.rep



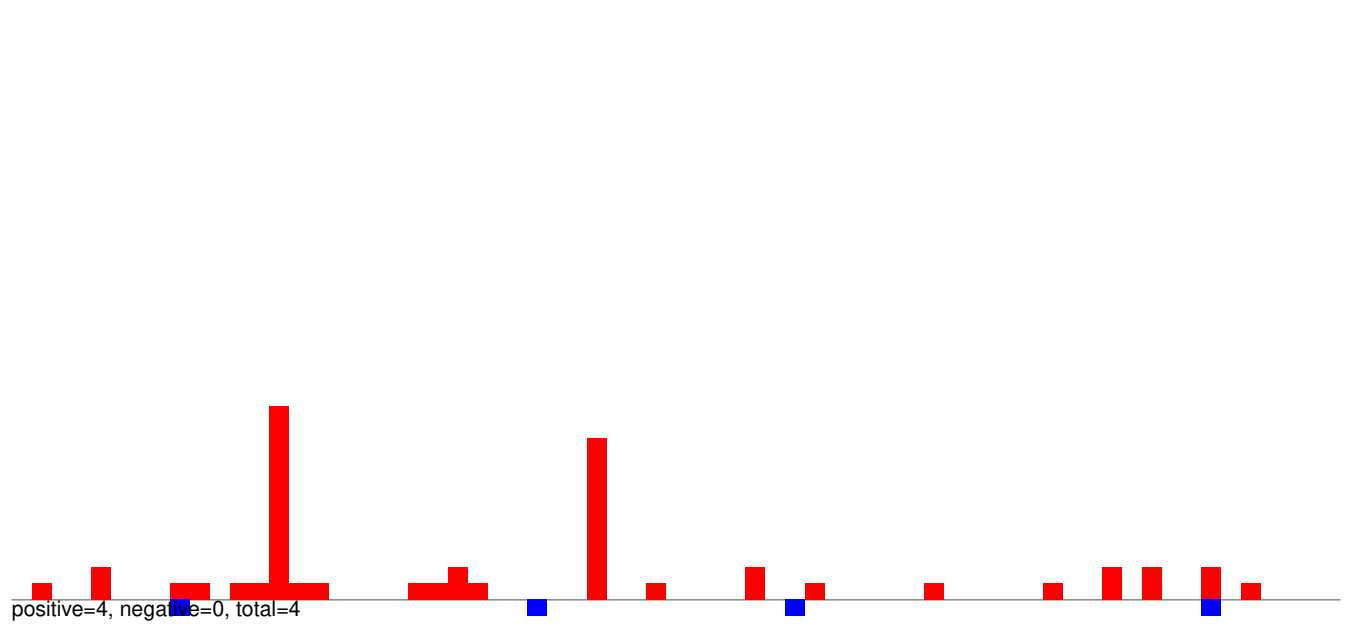
AeAeg_Aag2_Ago2_SINV_RA.rep



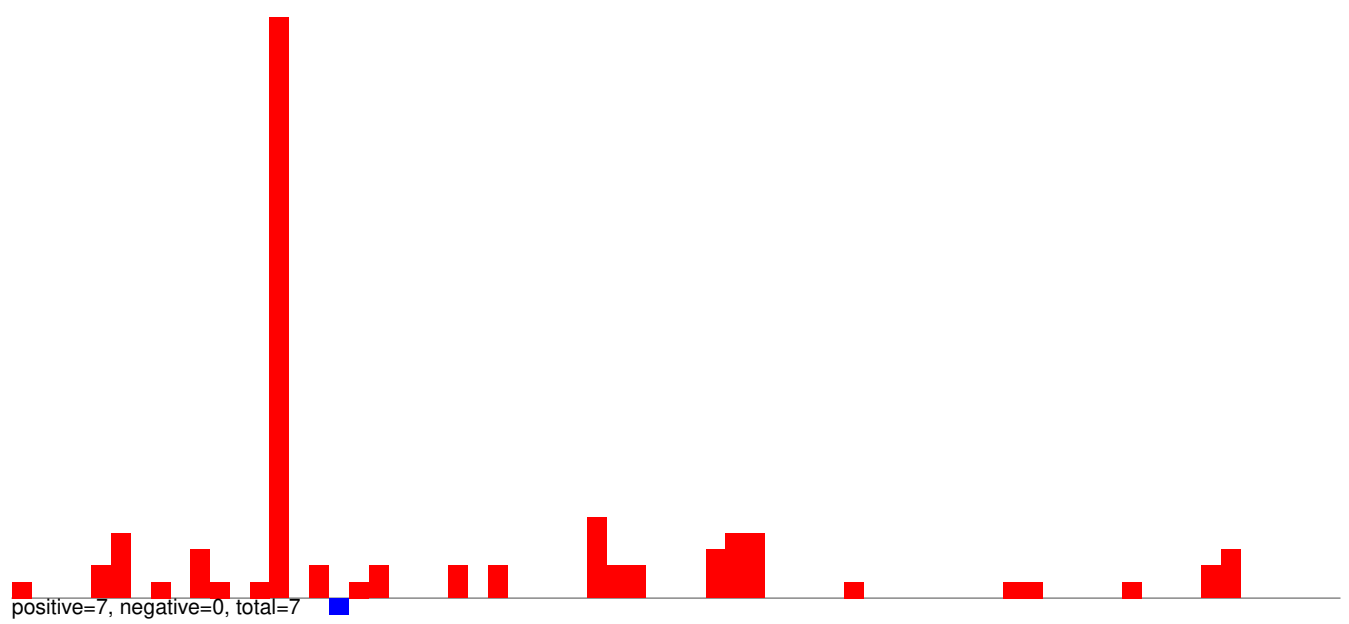
Window size=25, length=3066, TE@TF001113-Ty1_copia_Ele186:1-3066

0 500 1000 1500 2000 2500 3000

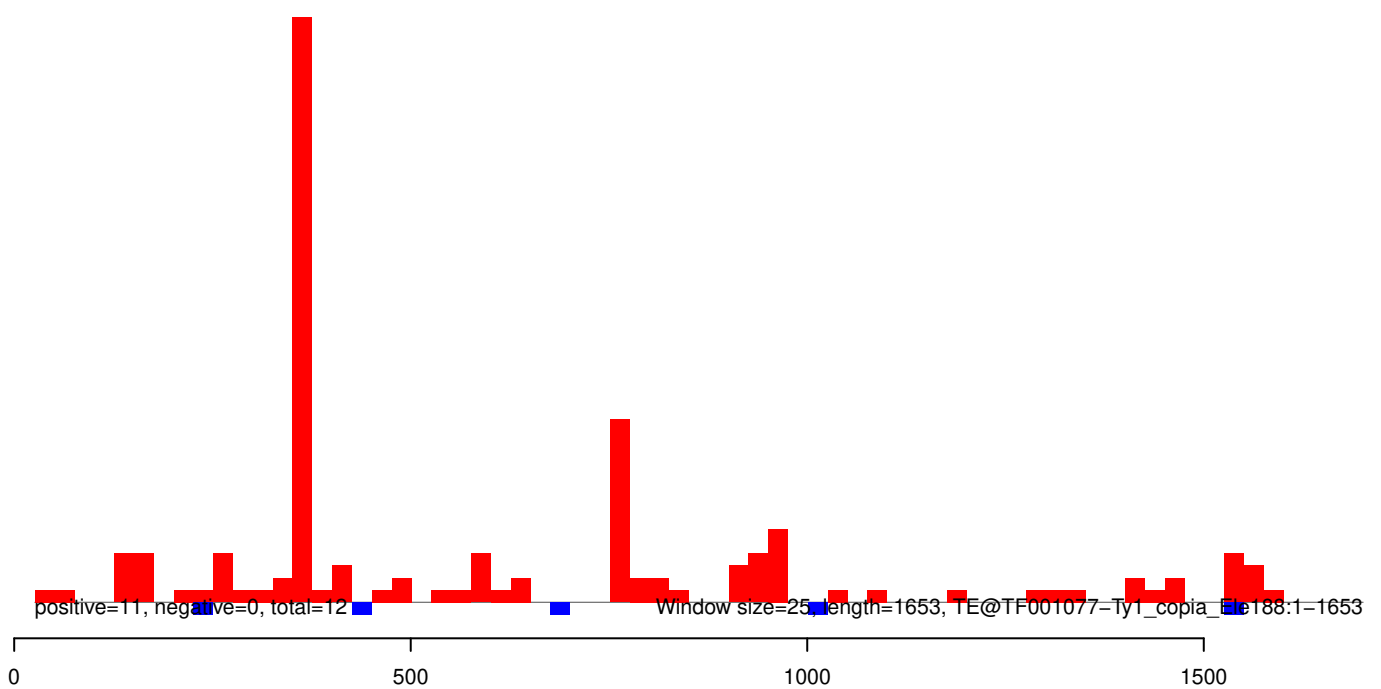
AeAeg_Aag2_Ago2_SINV_RA.18_23.rep



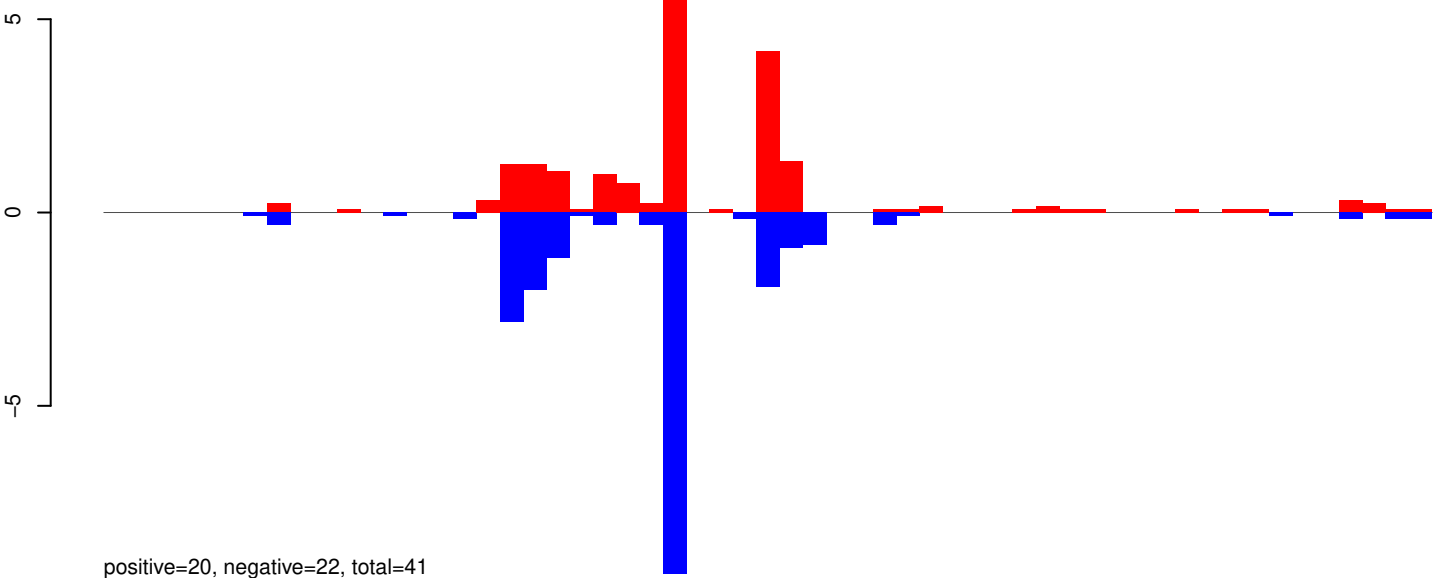
AeAeg_Aag2_Ago2_SINV_RA.24_35.rep



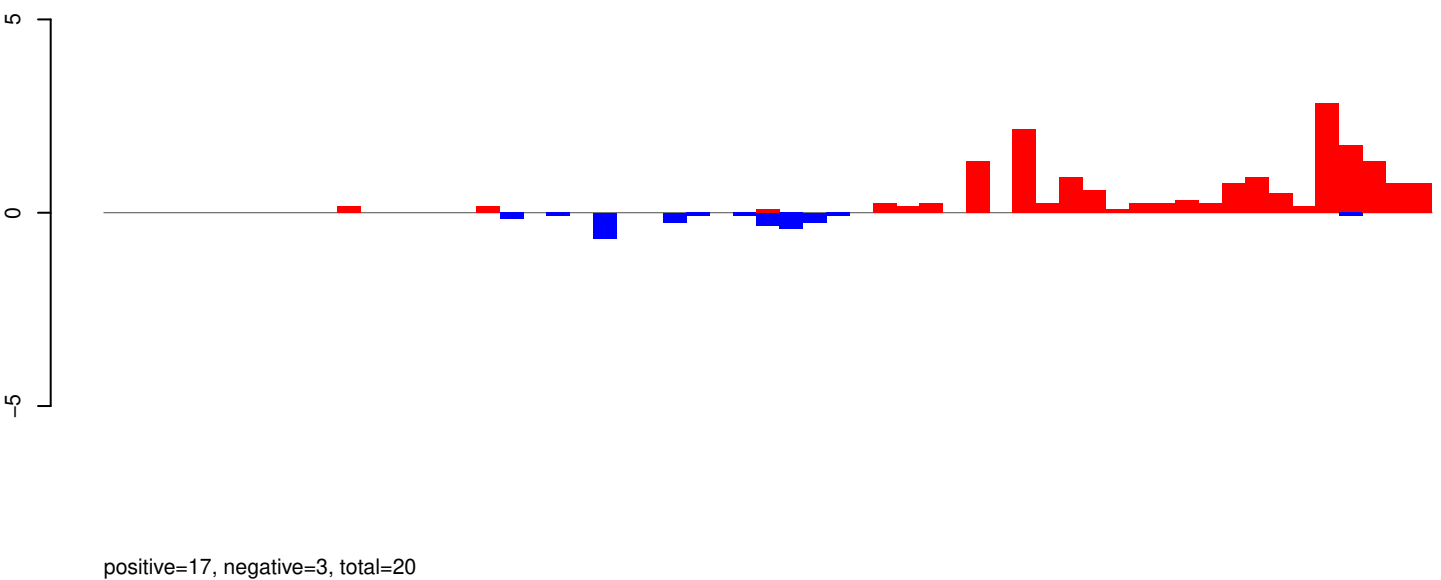
AeAeg_Aag2_Ago2_SINV_RA.rep



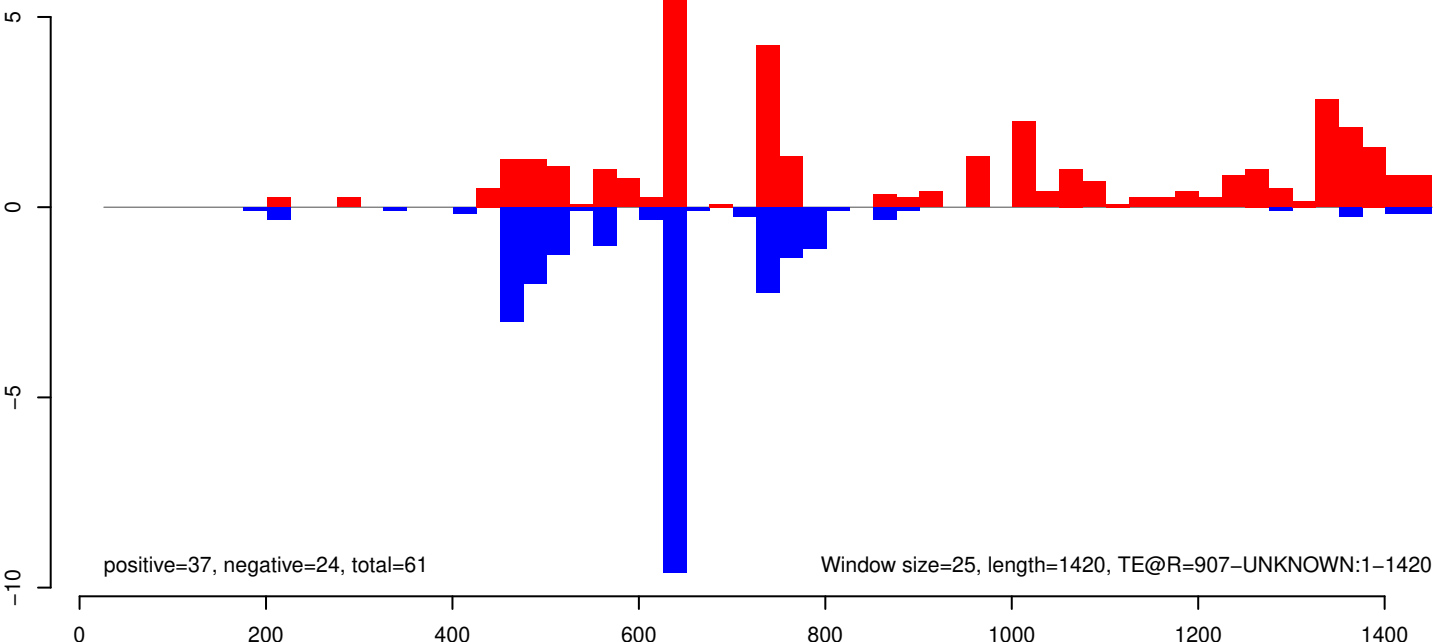
AeAeg_Aag2_Ago2_SINV_RA.18_23.rep



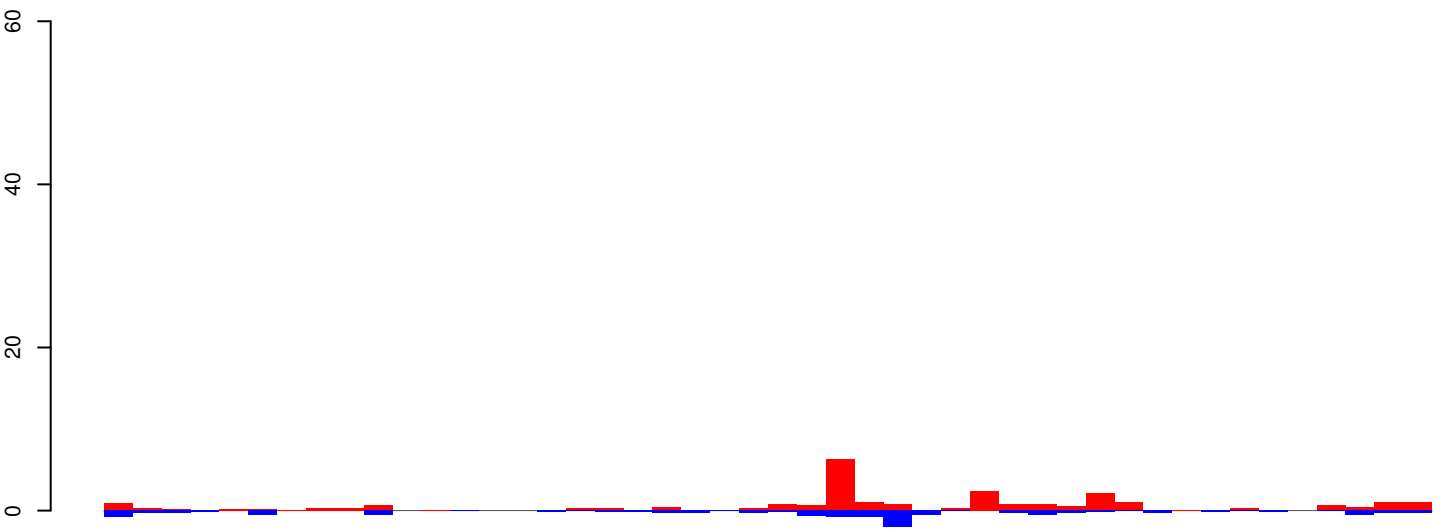
AeAeg_Aag2_Ago2_SINV_RA.24_35.rep



AeAeg_Aag2_Ago2_SINV_RA.rep

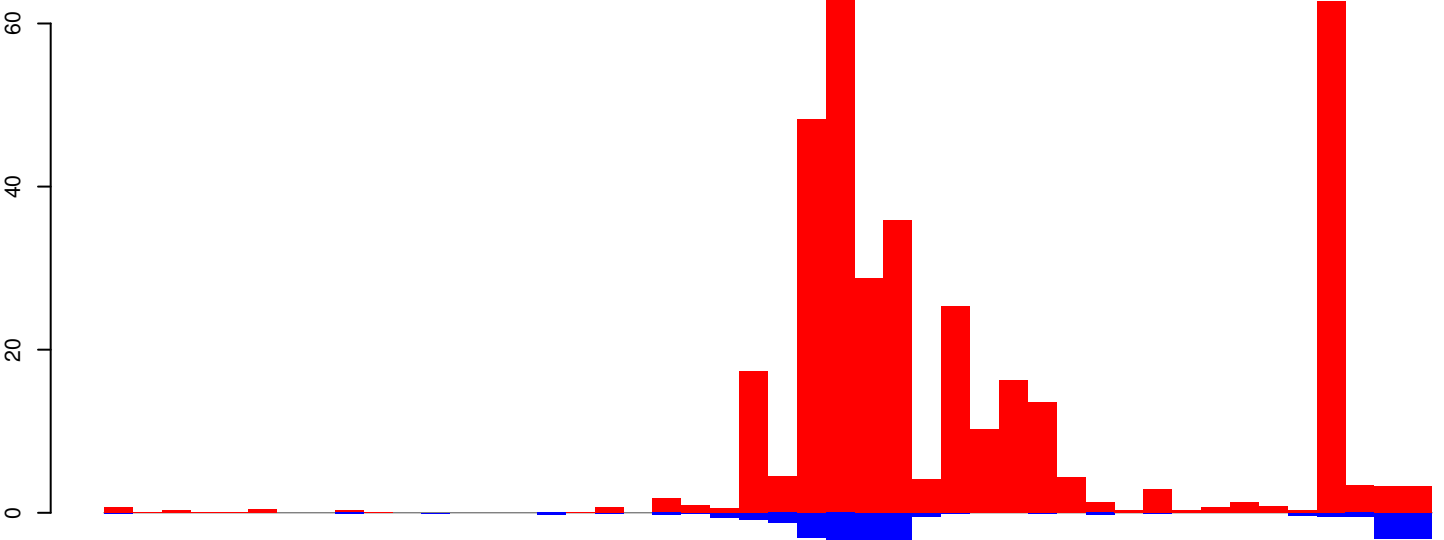


AeAeg_Aag2_Ago2_SINV_RA.18_23.rep



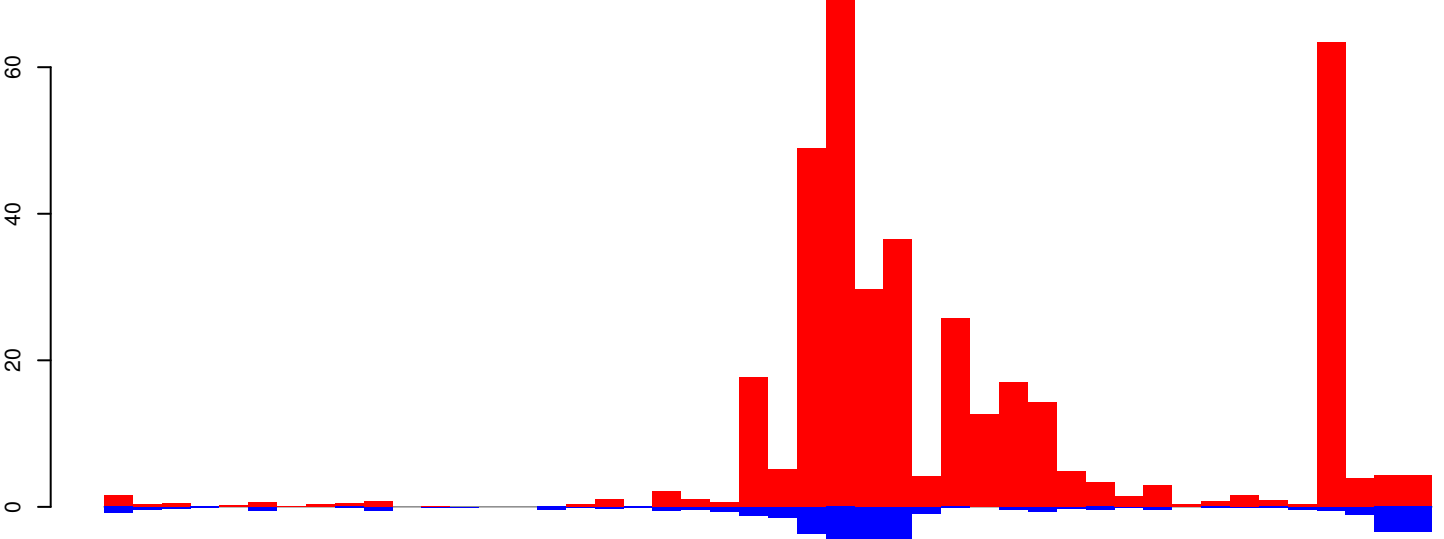
positive=26, negative=12, total=38

AeAeg_Aag2_Ago2_SINV_RA.24_35.rep



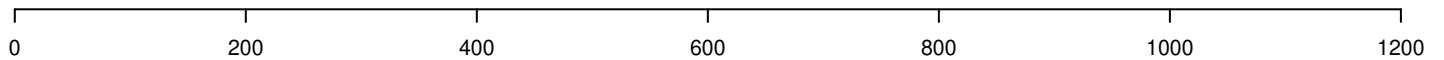
positive=358, negative=38, total=396

AeAeg_Aag2_Ago2_SINV_RA.rep

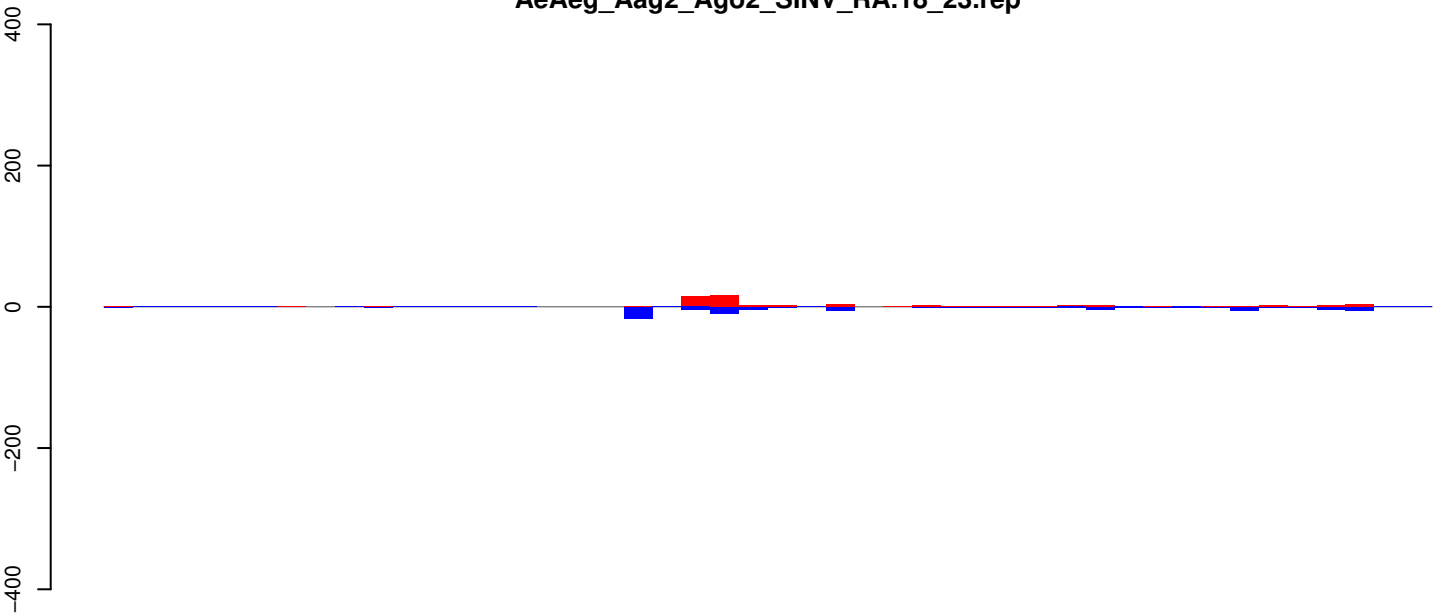


positive=384, negative=50, total=434

Window size=25, length=1144, TE@R=473-UNKNOWN:1-1144

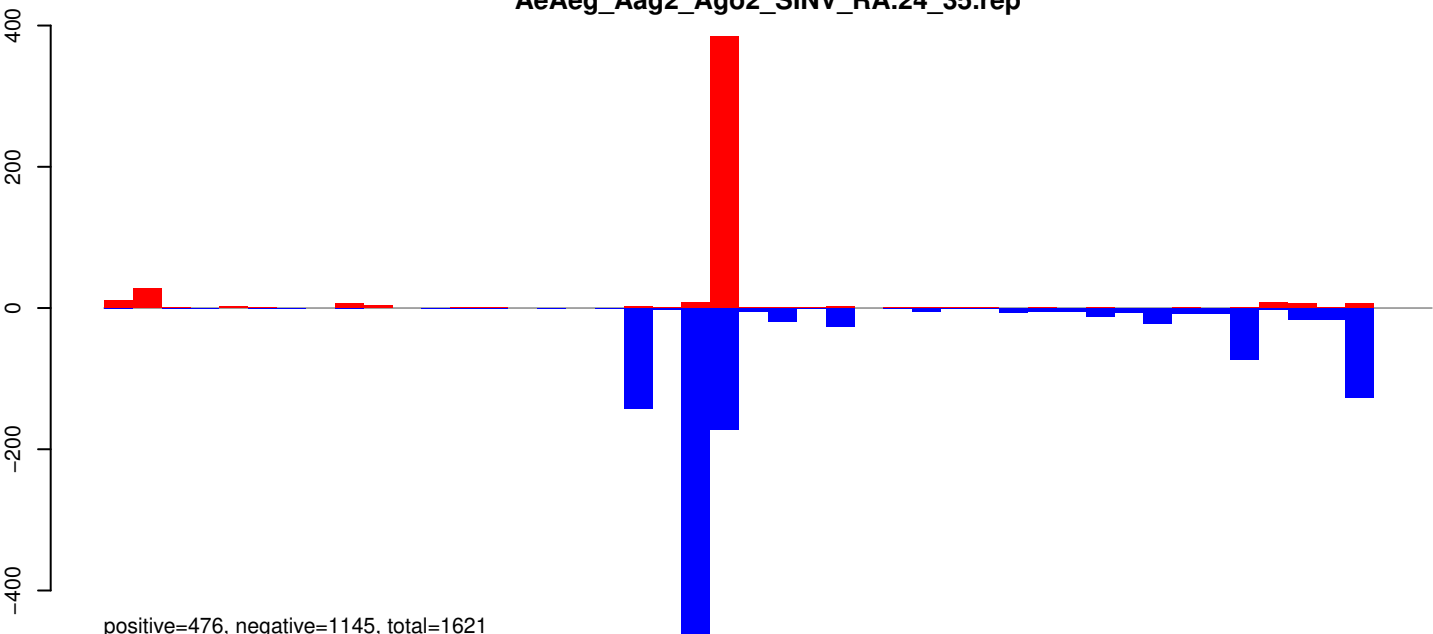


AeAeg_Aag2_Ago2_SINV_RA.18_23.rep



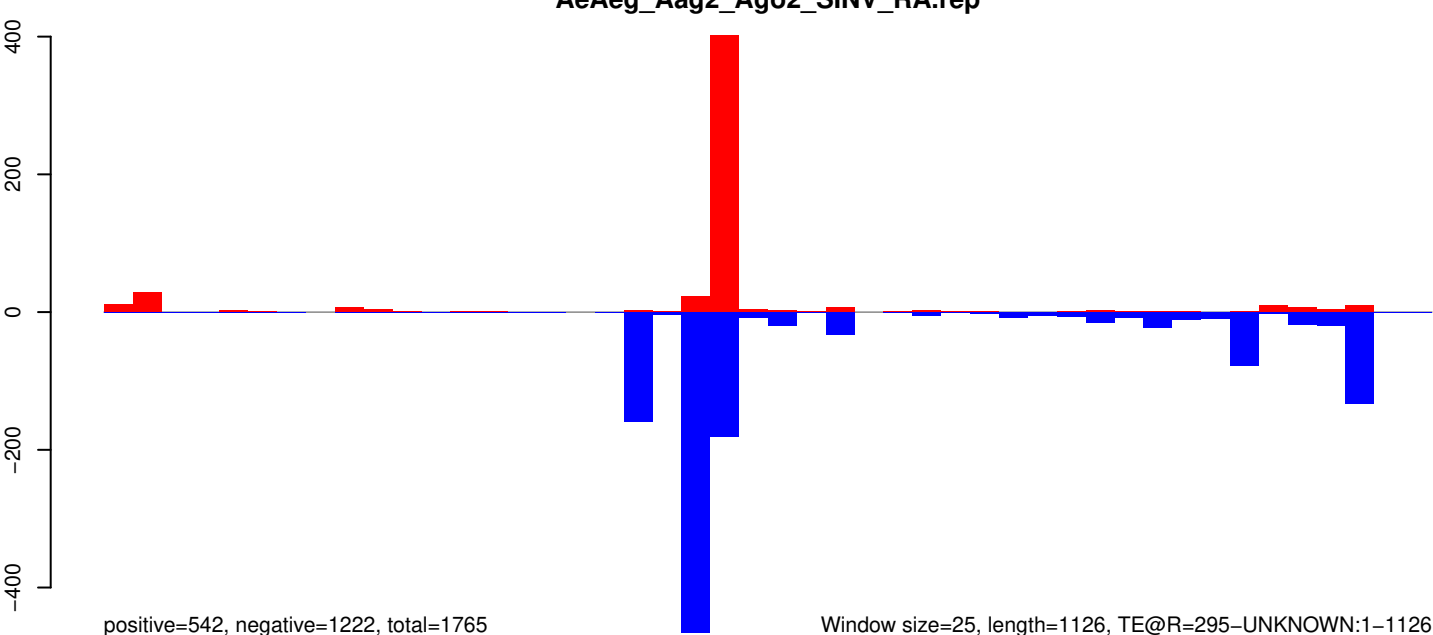
positive=66, negative=77, total=143

AeAeg_Aag2_Ago2_SINV_RA.24_35.rep



positive=476, negative=1145, total=1621

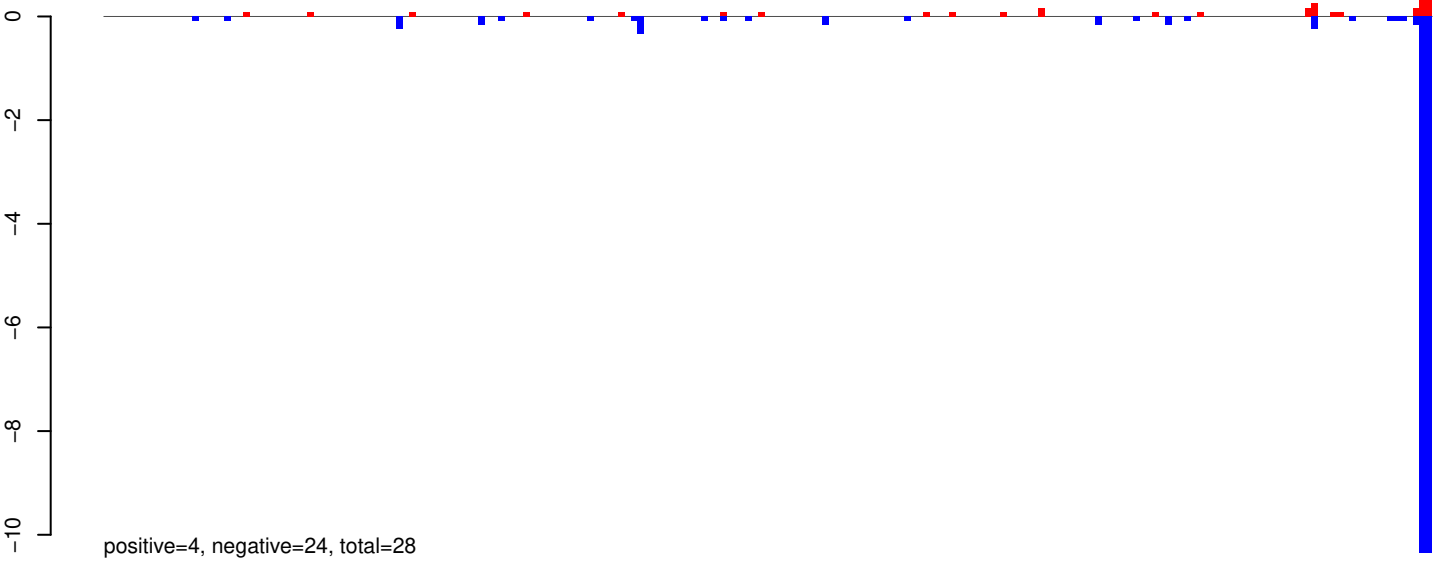
AeAeg_Aag2_Ago2_SINV_RA.rep



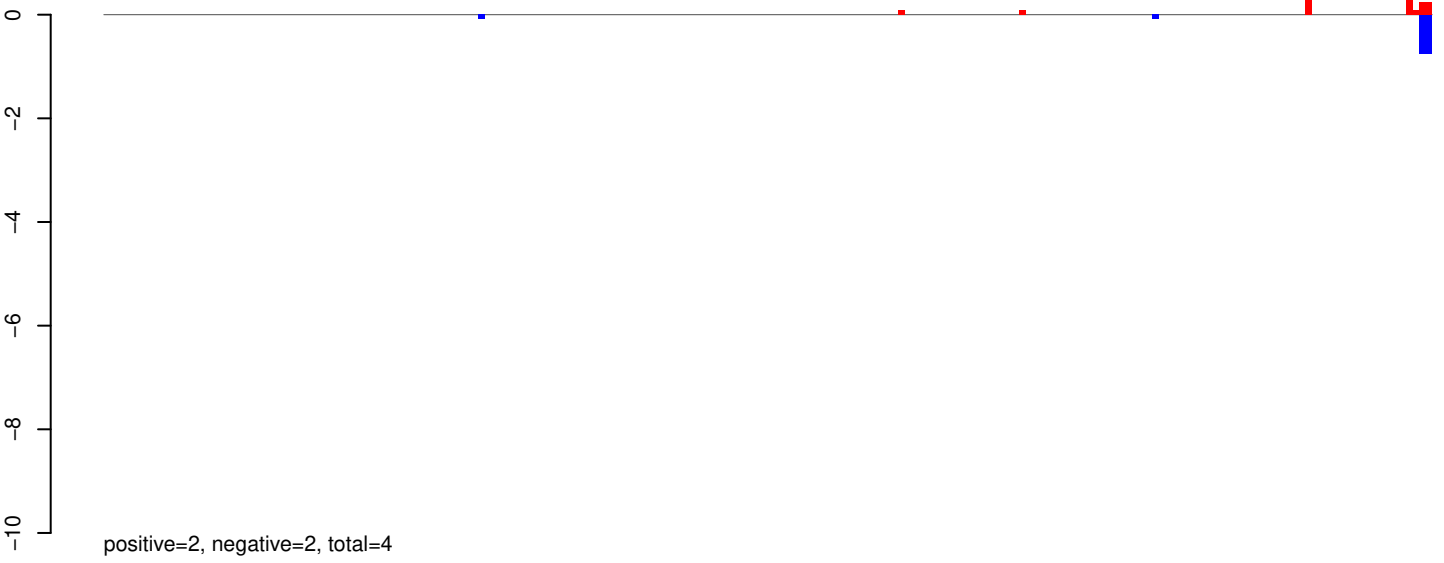
positive=542, negative=1222, total=1765

Window size=25, length=1126, TE@R=295-UNKNOWN:1-1126

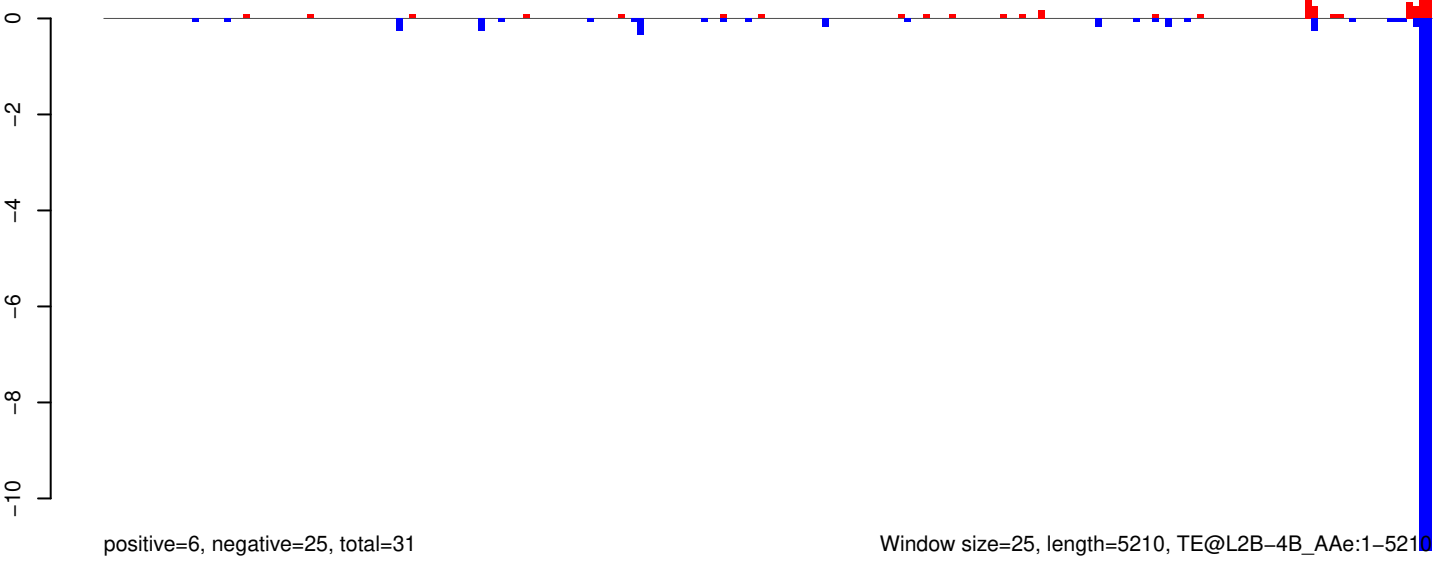
AeAeg_Aag2_Ago2_SINV_RA.18_23.rep



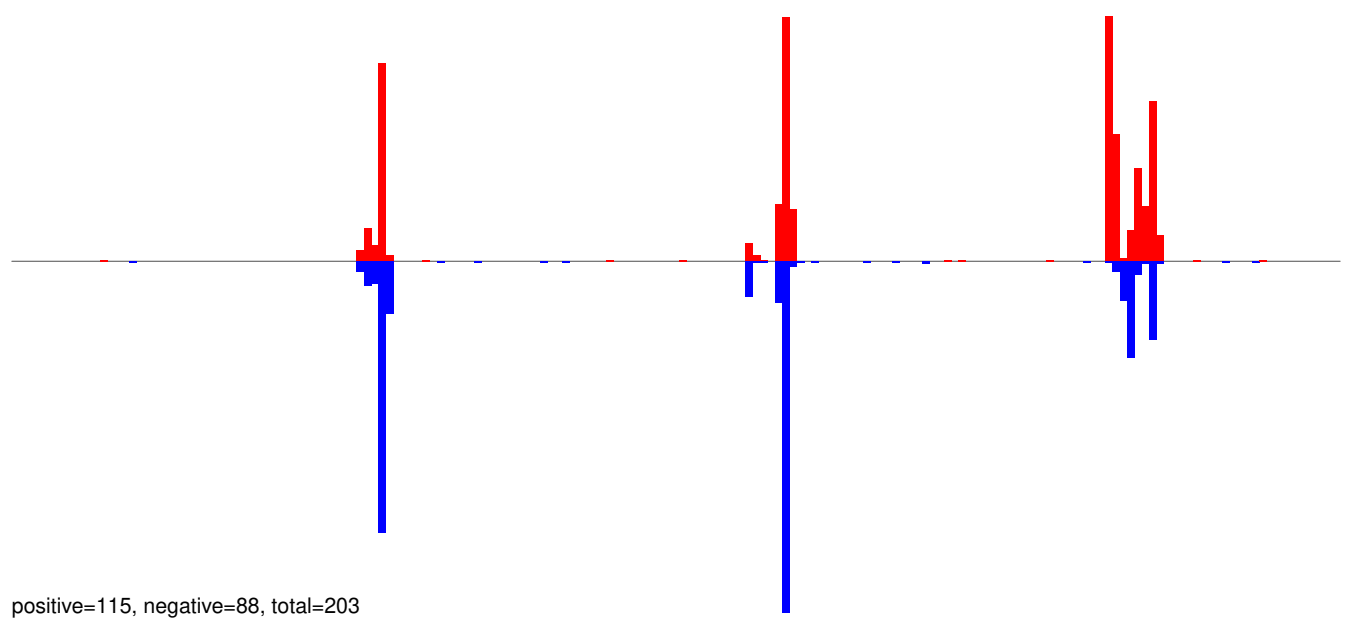
AeAeg_Aag2_Ago2_SINV_RA.24_35.rep



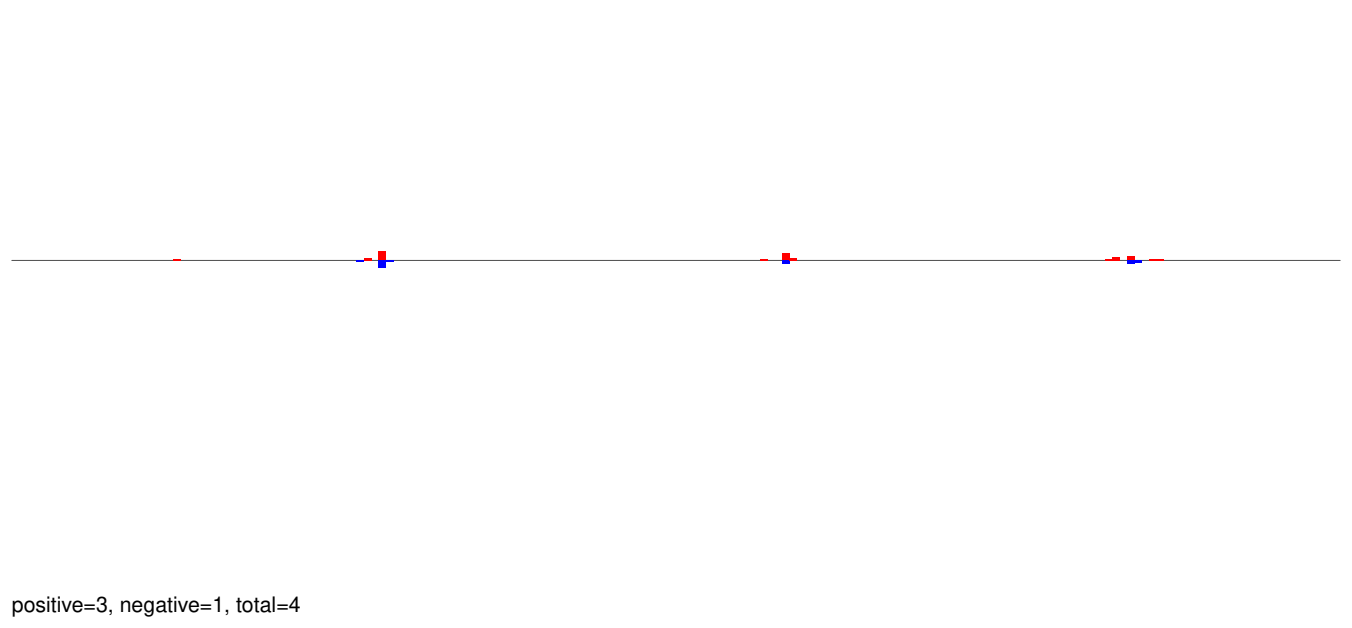
AeAeg_Aag2_Ago2_SINV_RA.rep



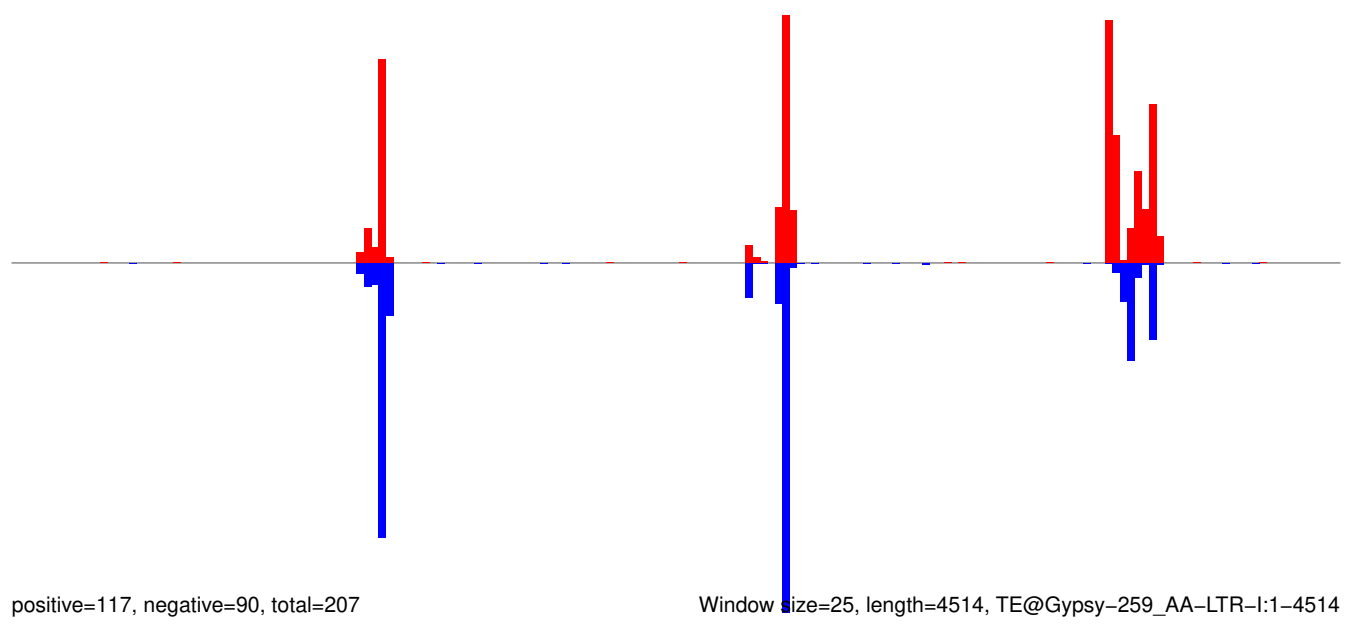
AeAeg_Aag2_Ago2_SINV_RA.18_23.rep



AeAeg_Aag2_Ago2_SINV_RA.24_35.rep



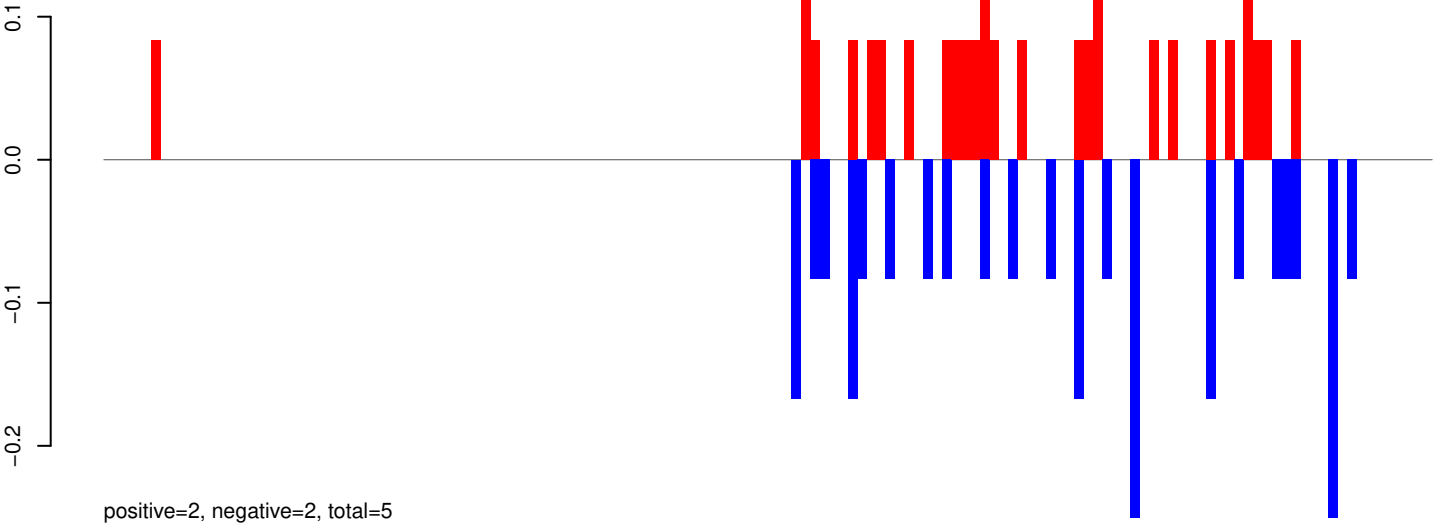
AeAeg_Aag2_Ago2_SINV_RA.rep



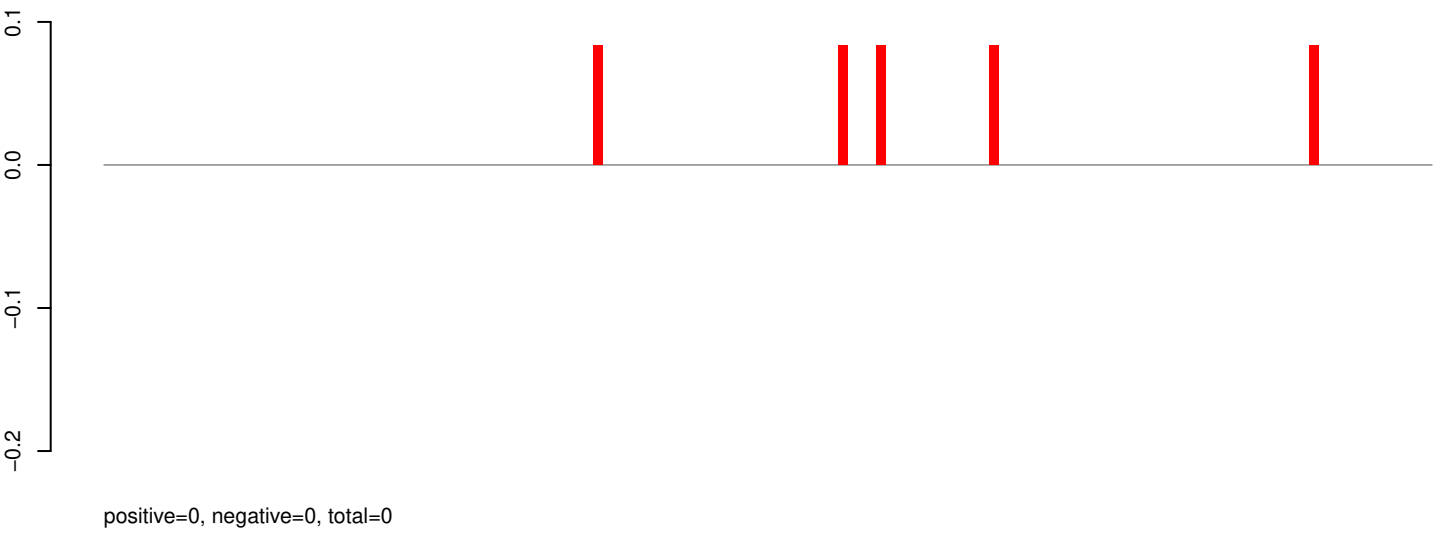
Window size=25, length=4514, TE@Gypsy-259_AA-LTR-I:1-4514

0 1000 2000 3000 4000

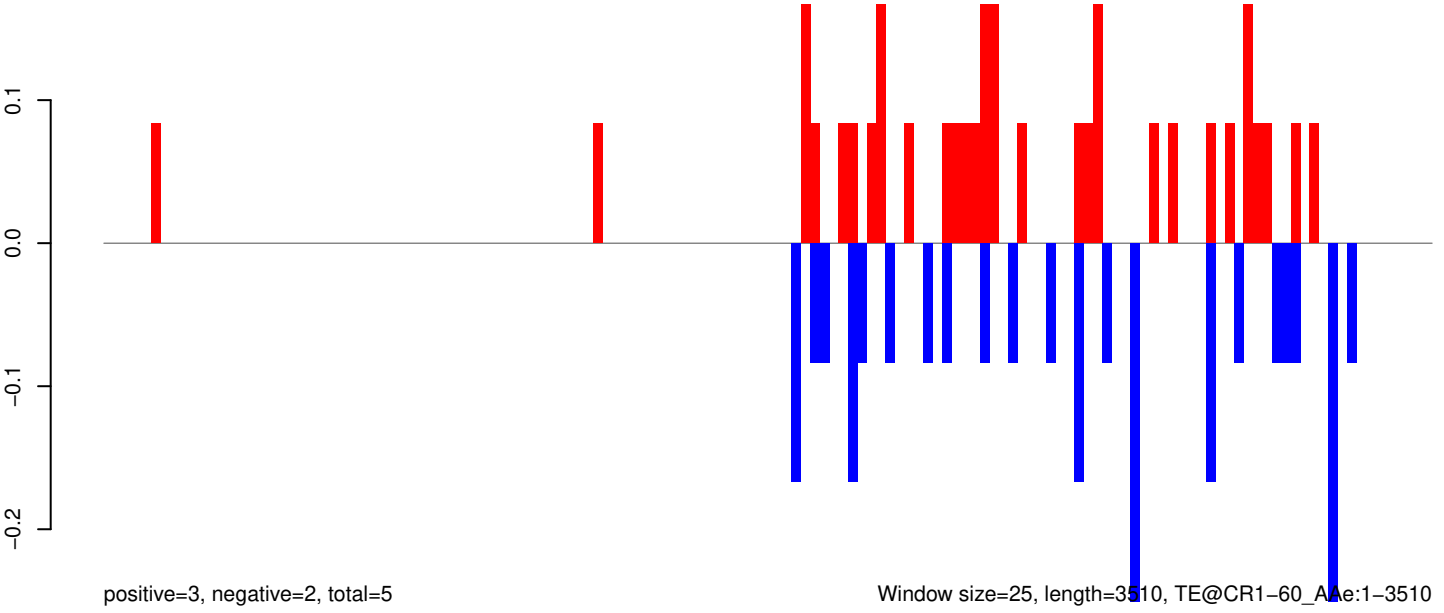
AeAeg_Aag2_Ago2_SINV_RA.18_23.rep



AeAeg_Aag2_Ago2_SINV_RA.24_35.rep



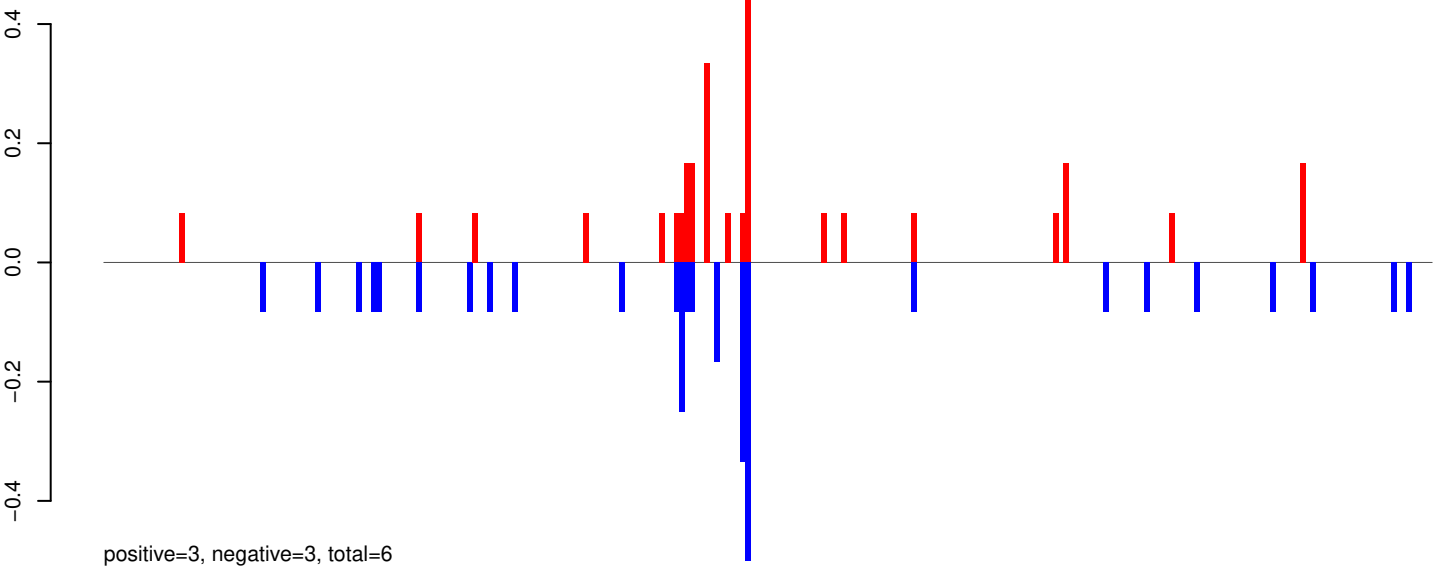
AeAeg_Aag2_Ago2_SINV_RA.rep



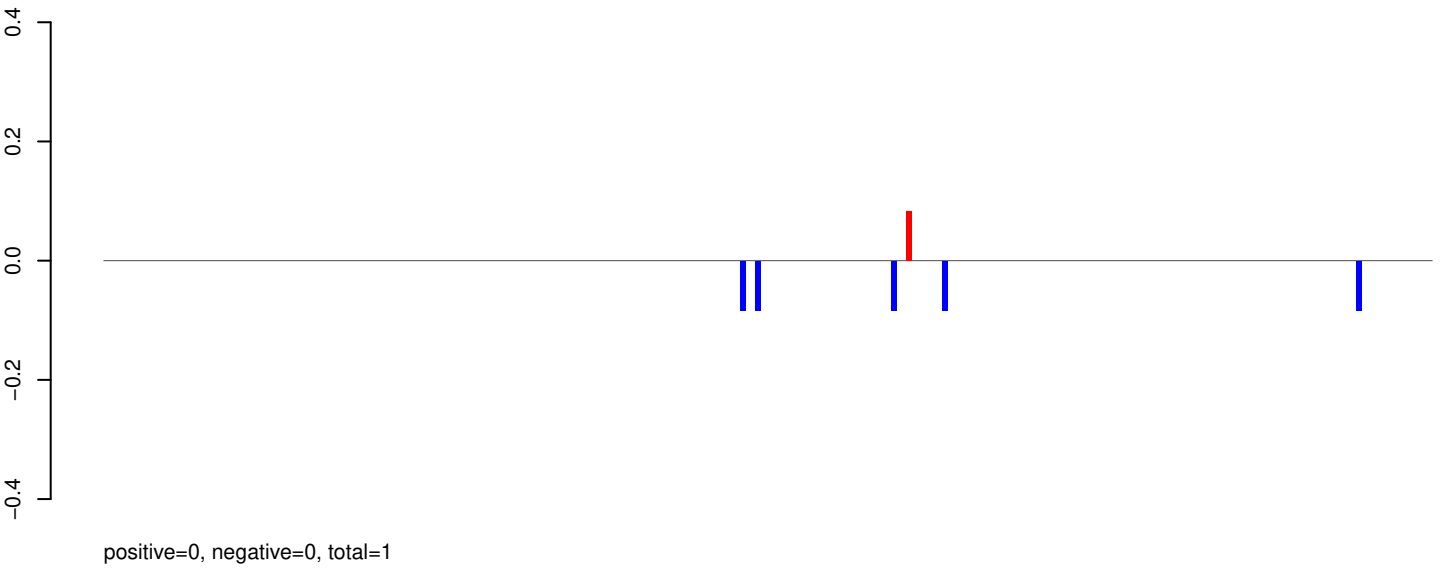
Window size=25, length=3510, TE@CR1-60_AAg:1-3510

0 500 1000 1500 2000 2500 3000 3500

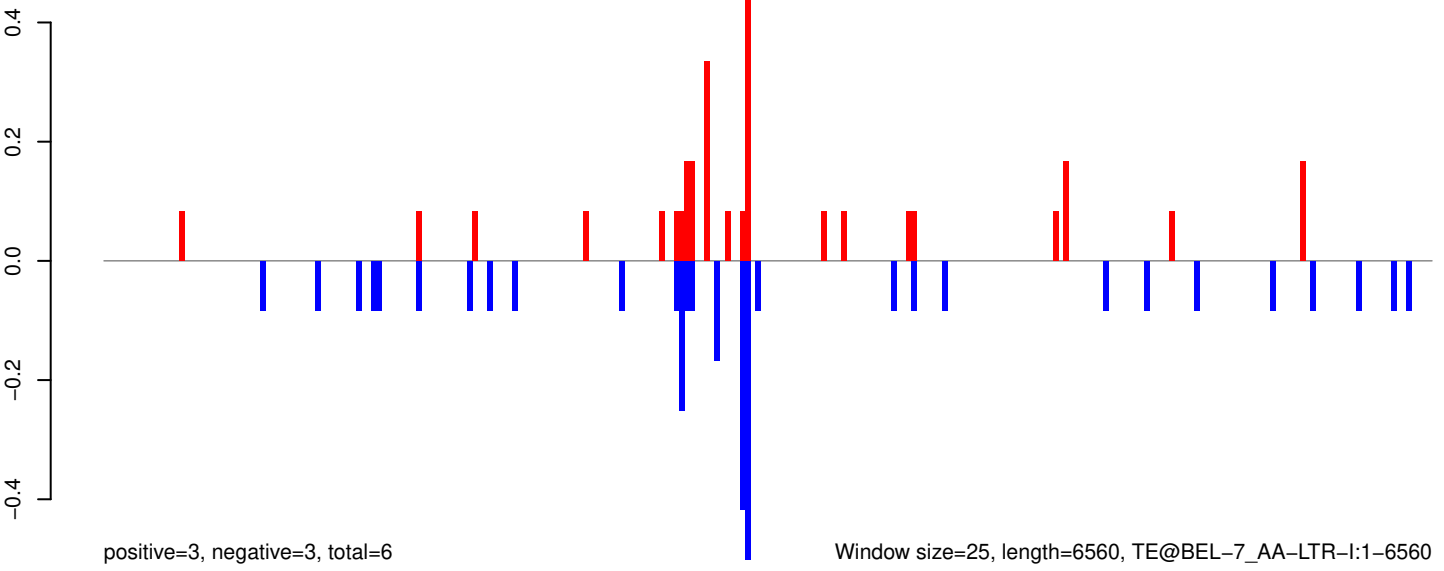
AeAeg_Aag2_Ago2_SINV_RA.18_23.rep



AeAeg_Aag2_Ago2_SINV_RA.24_35.rep



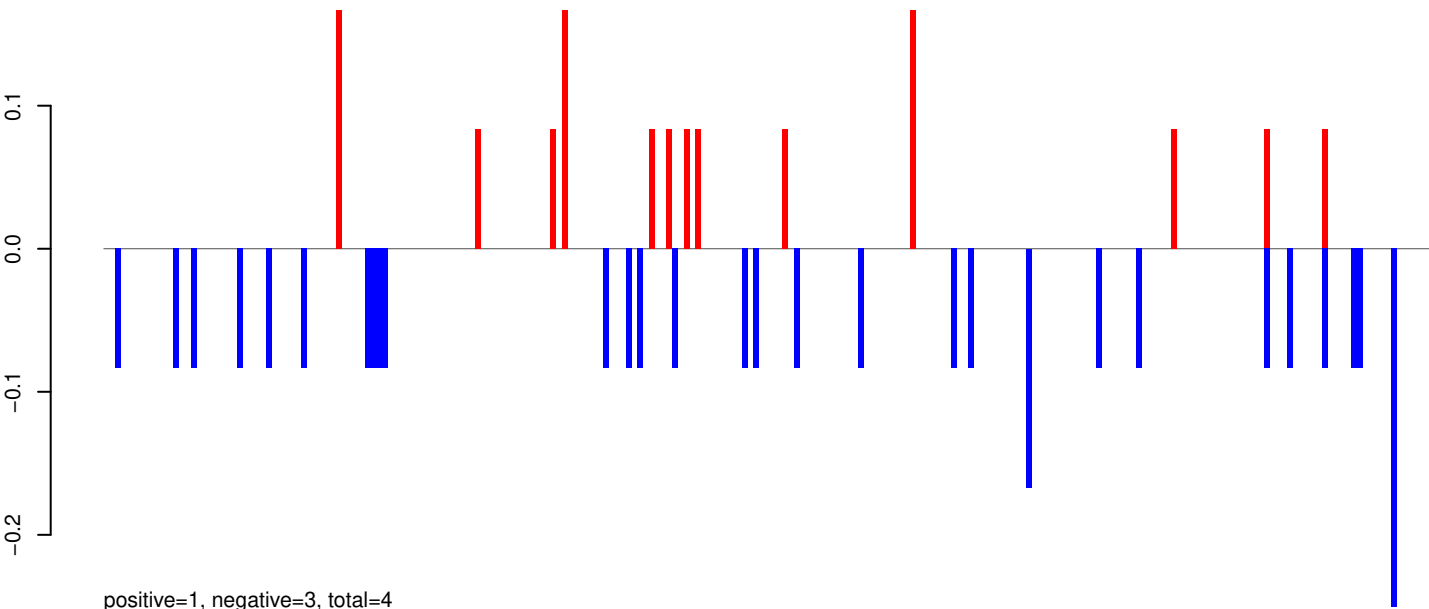
AeAeg_Aag2_Ago2_SINV_RA.rep



Window size=25, length=6560, TE@BEL-7_AA-LTR-I:1-6560

0 1000 2000 3000 4000 5000 6000

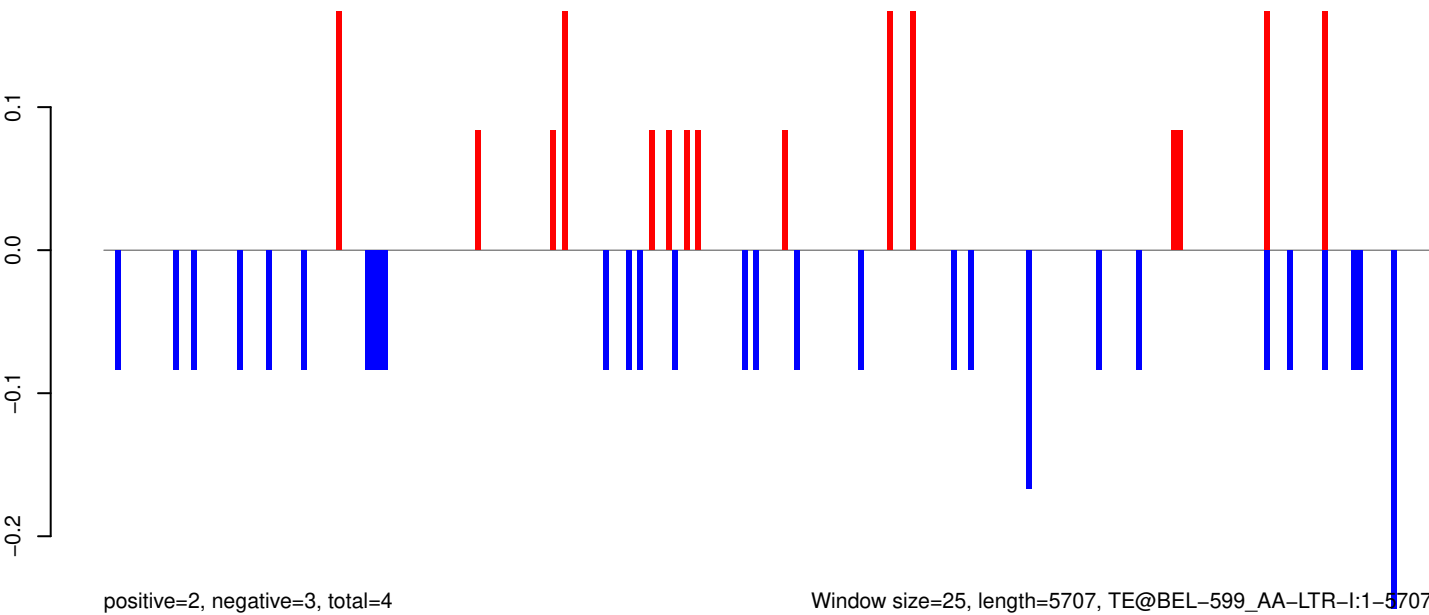
AeAeg_Aag2_Ago2_SINV_RA.18_23.rep



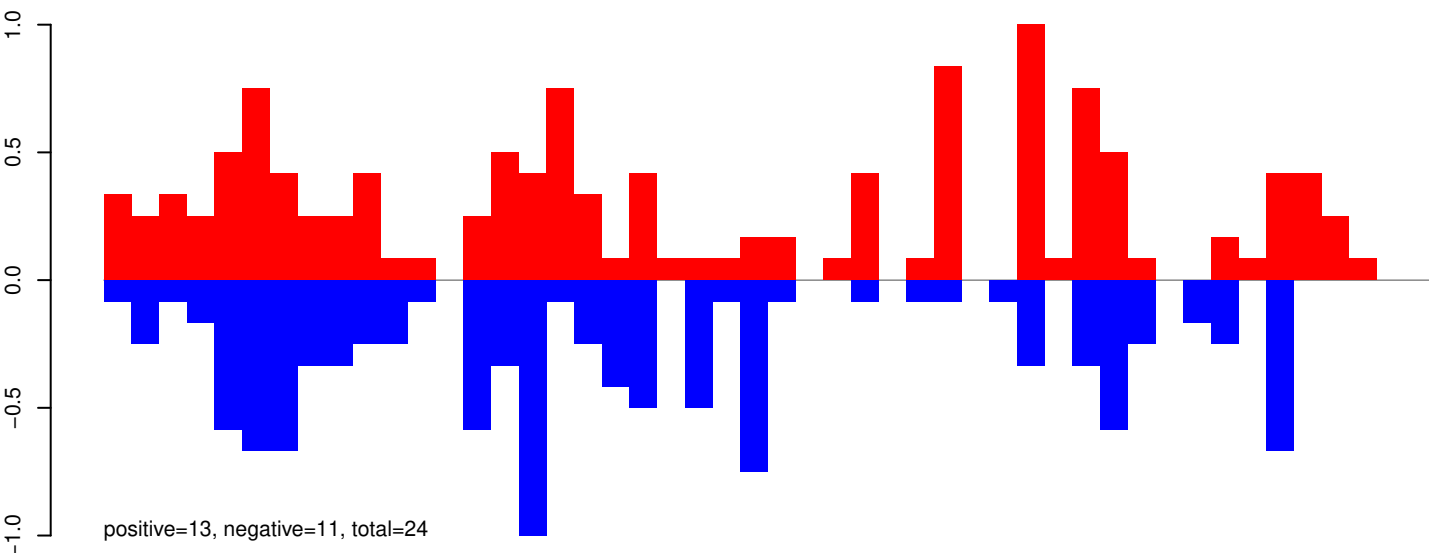
AeAeg_Aag2_Ago2_SINV_RA.24_35.rep



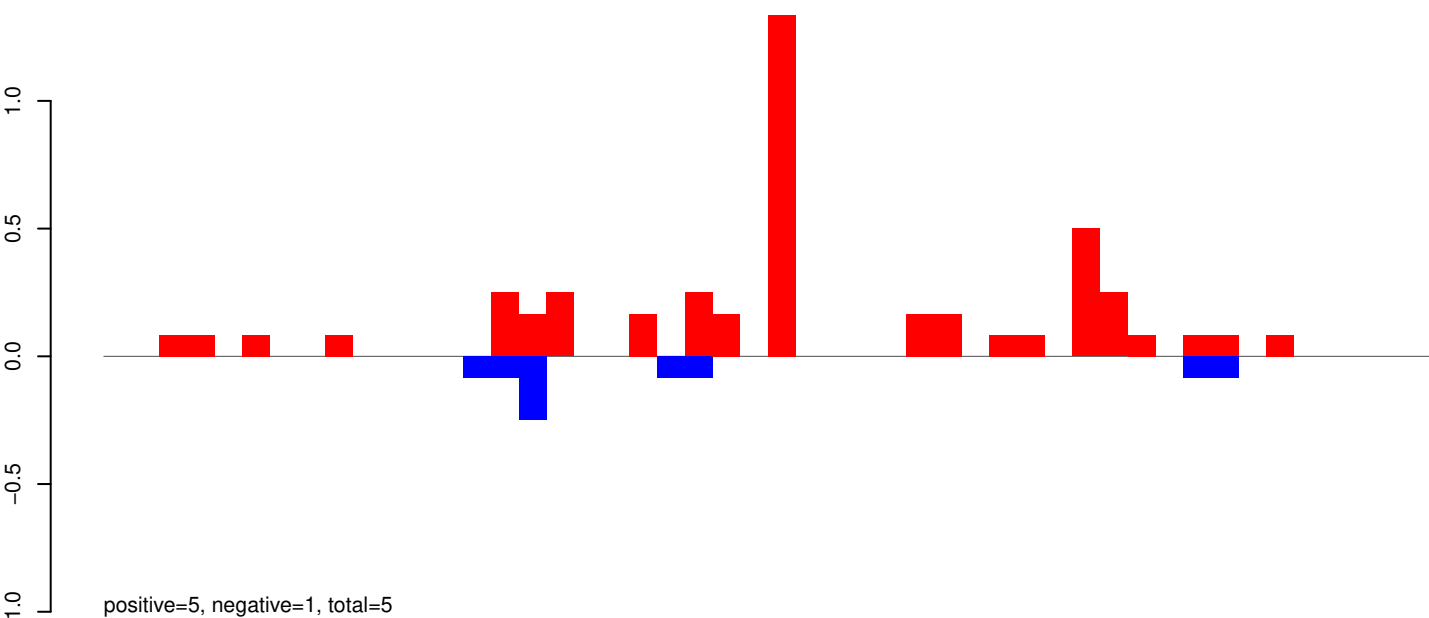
AeAeg_Aag2_Ago2_SINV_RA.rep



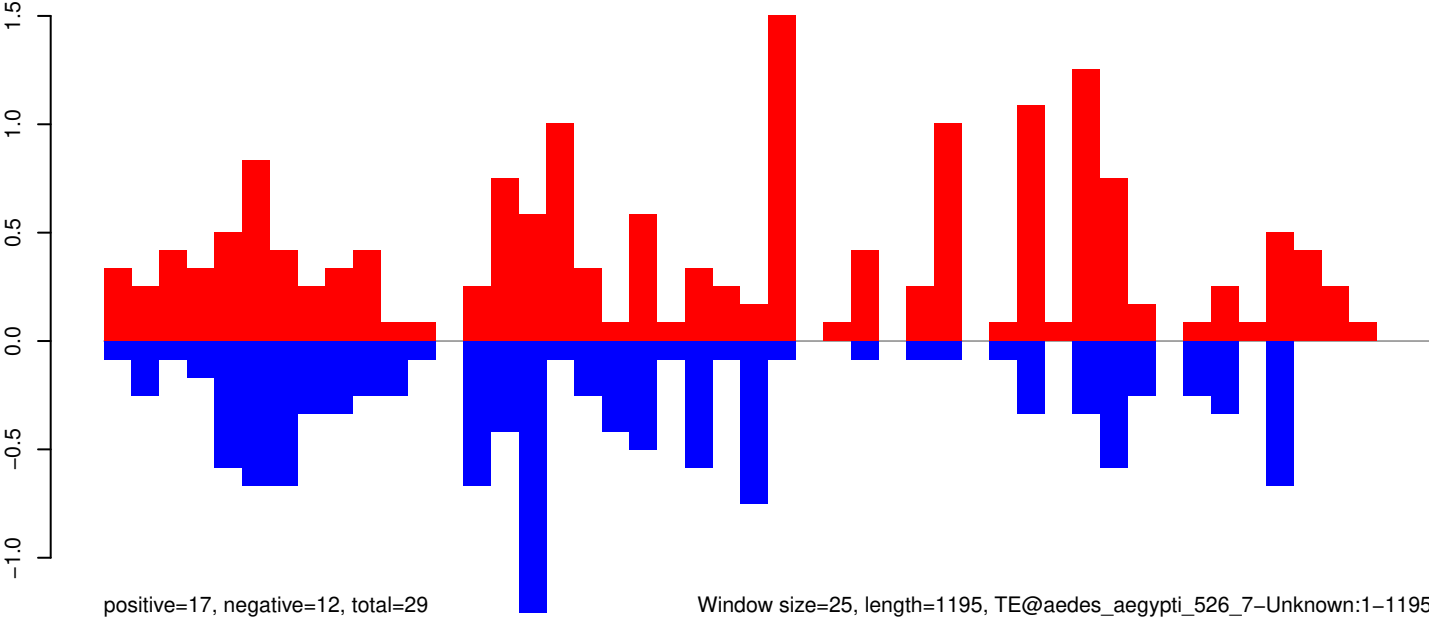
AeAeg_Aag2_Ago2_SINV_RA.18_23.rep



AeAeg_Aag2_Ago2_SINV_RA.24_35.rep

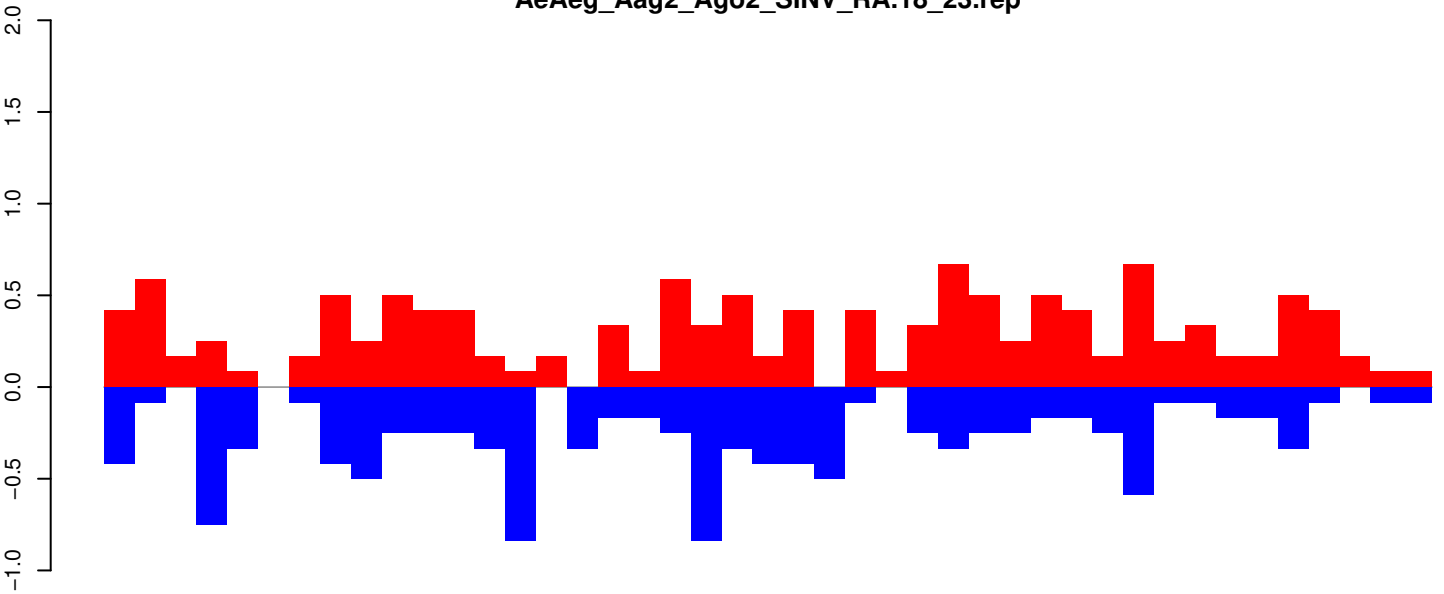


AeAeg_Aag2_Ago2_SINV_RA.rep



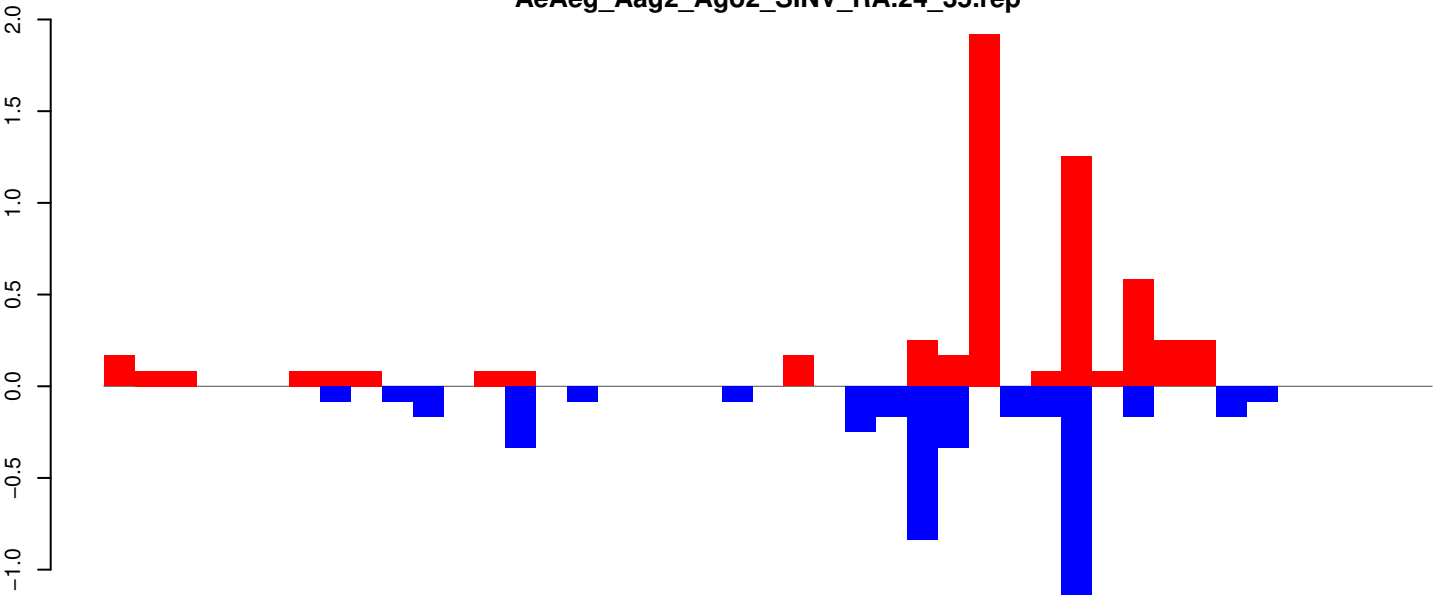
Window size=25, length=1195, TE@aedes_aegypti_526_7-Unknown:1-1195

AeAeg_Aag2_Ago2_SINV_RA.18_23.rep



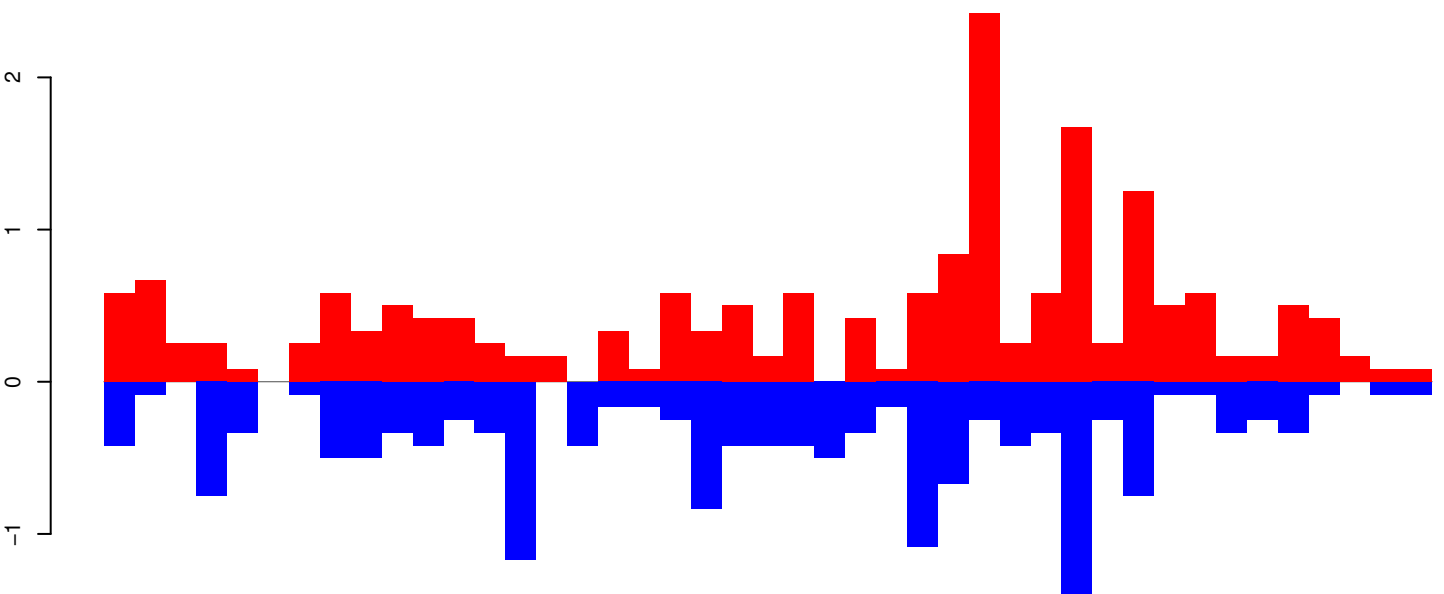
positive=13, negative=11, total=24

AeAeg_Aag2_Ago2_SINV_RA.24_35.rep



positive=6, negative=5, total=10

AeAeg_Aag2_Ago2_SINV_RA.rep

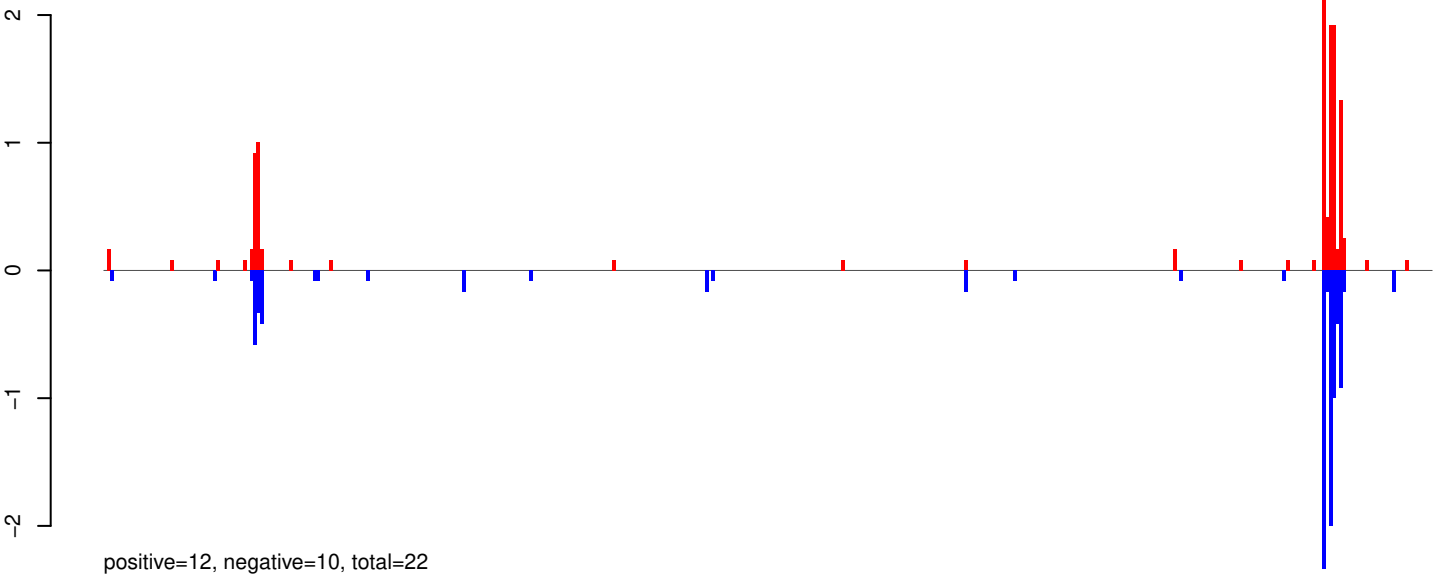


positive=19, negative=16, total=34

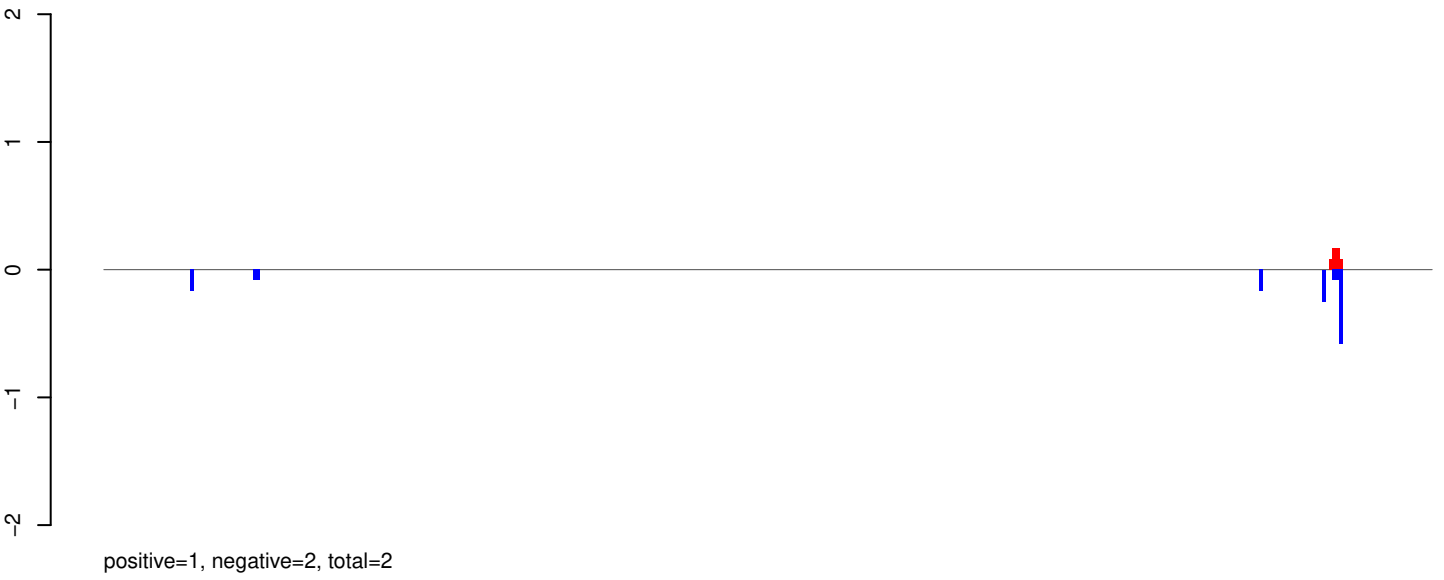
Window size=25, length=1056, TE@TF001249-mTA_Ele34:1-1056

0 200 400 600 800 1000

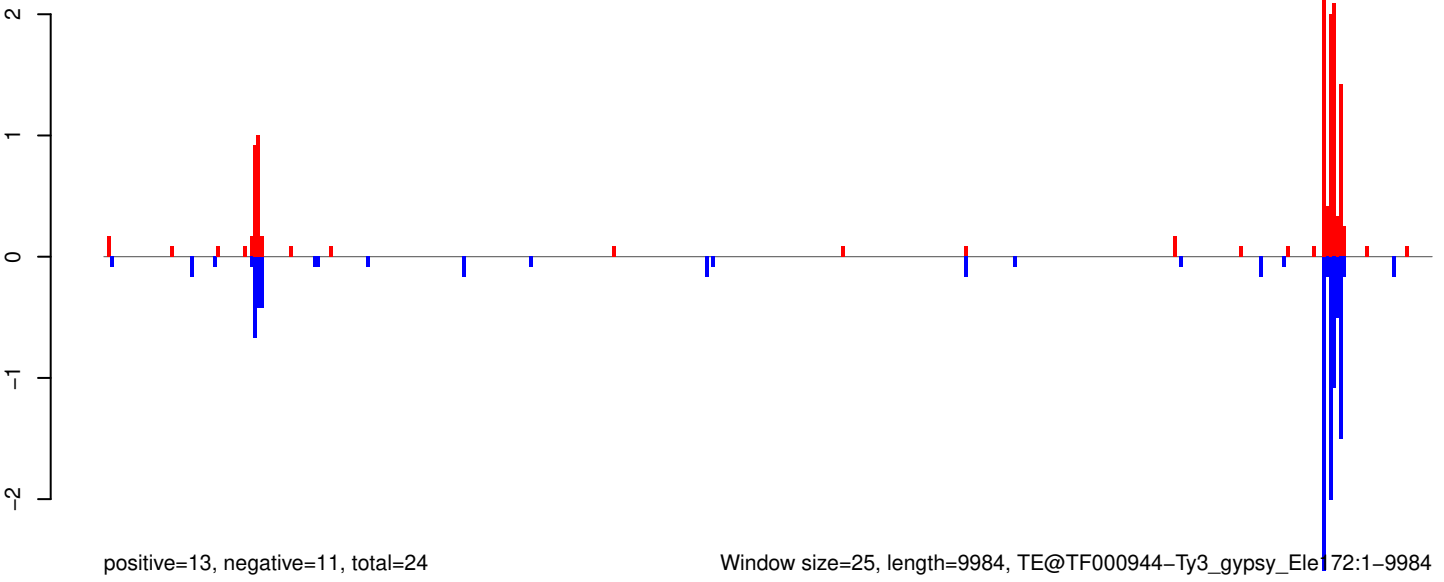
AeAeg_Aag2_Ago2_SINV_RA.18_23.rep



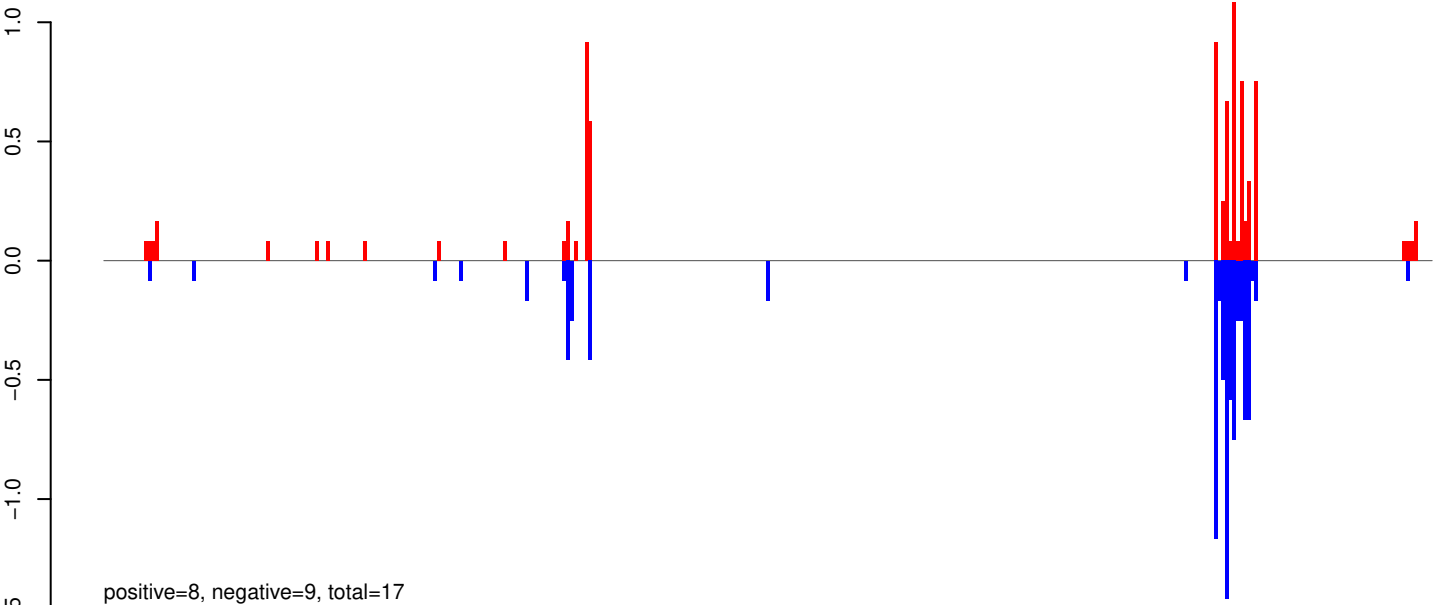
AeAeg_Aag2_Ago2_SINV_RA.24_35.rep



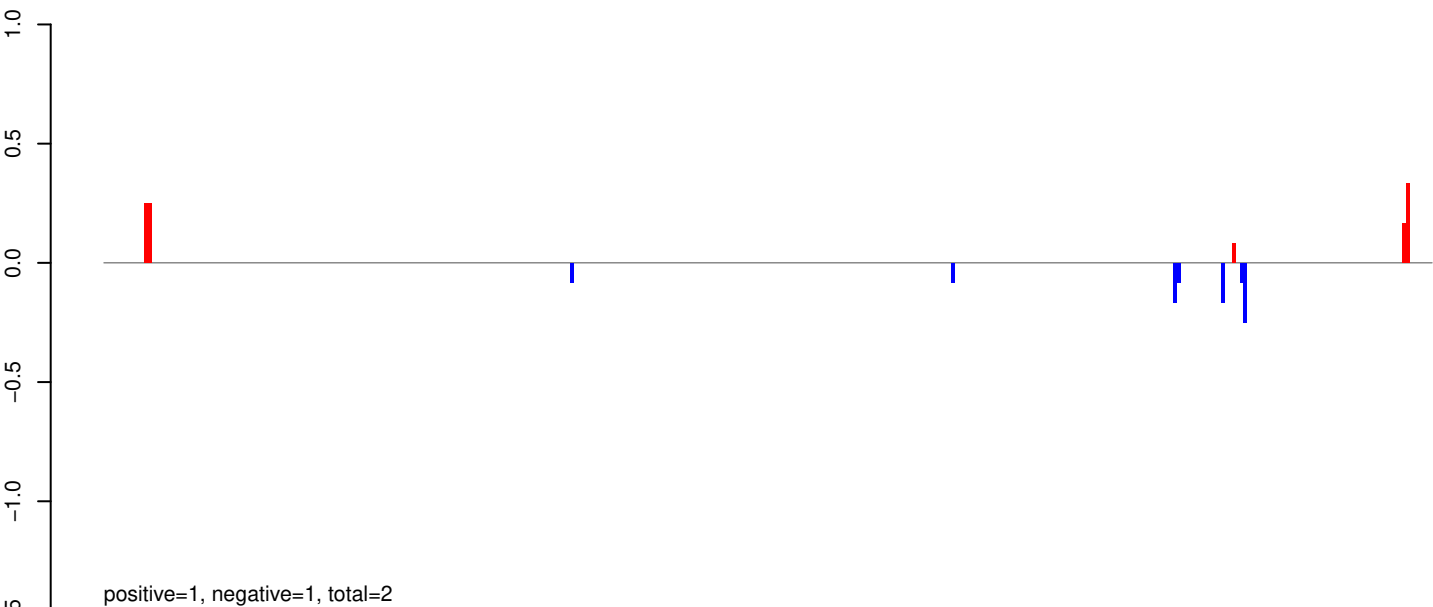
AeAeg_Aag2_Ago2_SINV_RA.rep



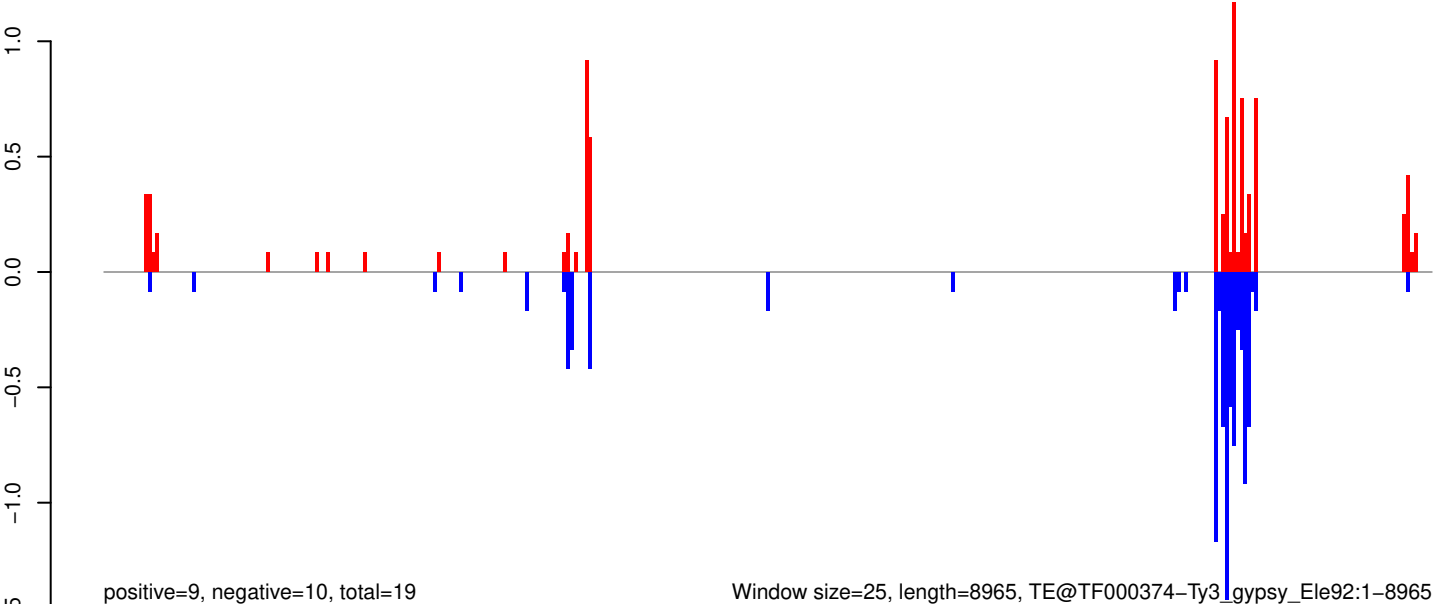
AeAeg_Aag2_Ago2_SINV_RA.18_23.rep



AeAeg_Aag2_Ago2_SINV_RA.24_35.rep



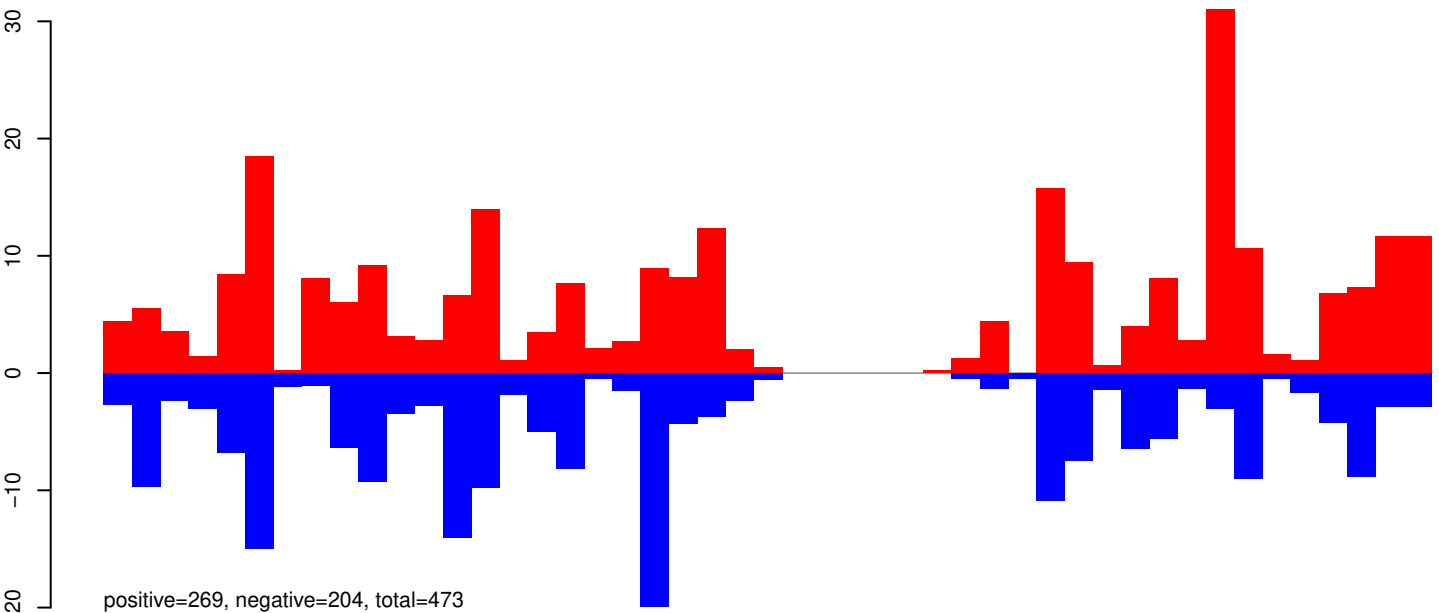
AeAeg_Aag2_Ago2_SINV_RA.rep



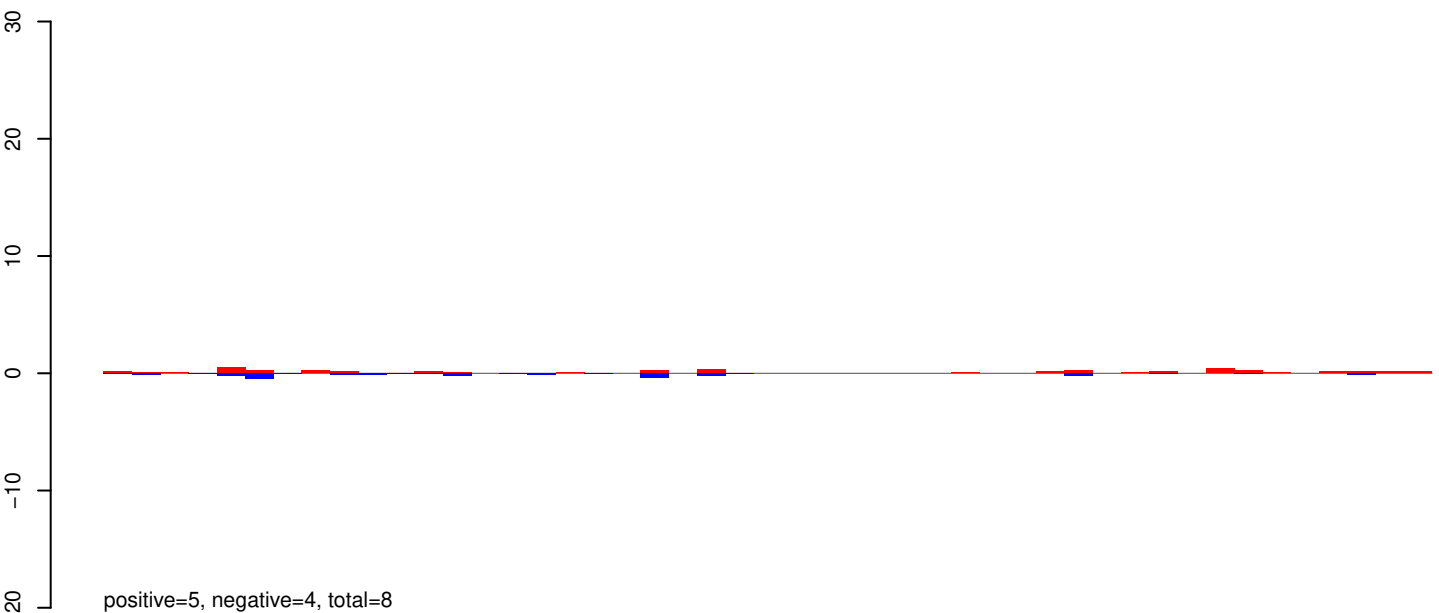
Window size=25, length=8965, TE@TF000374-Ty3_gypsy_Ele92:1-8965

0 2000 4000 6000 8000

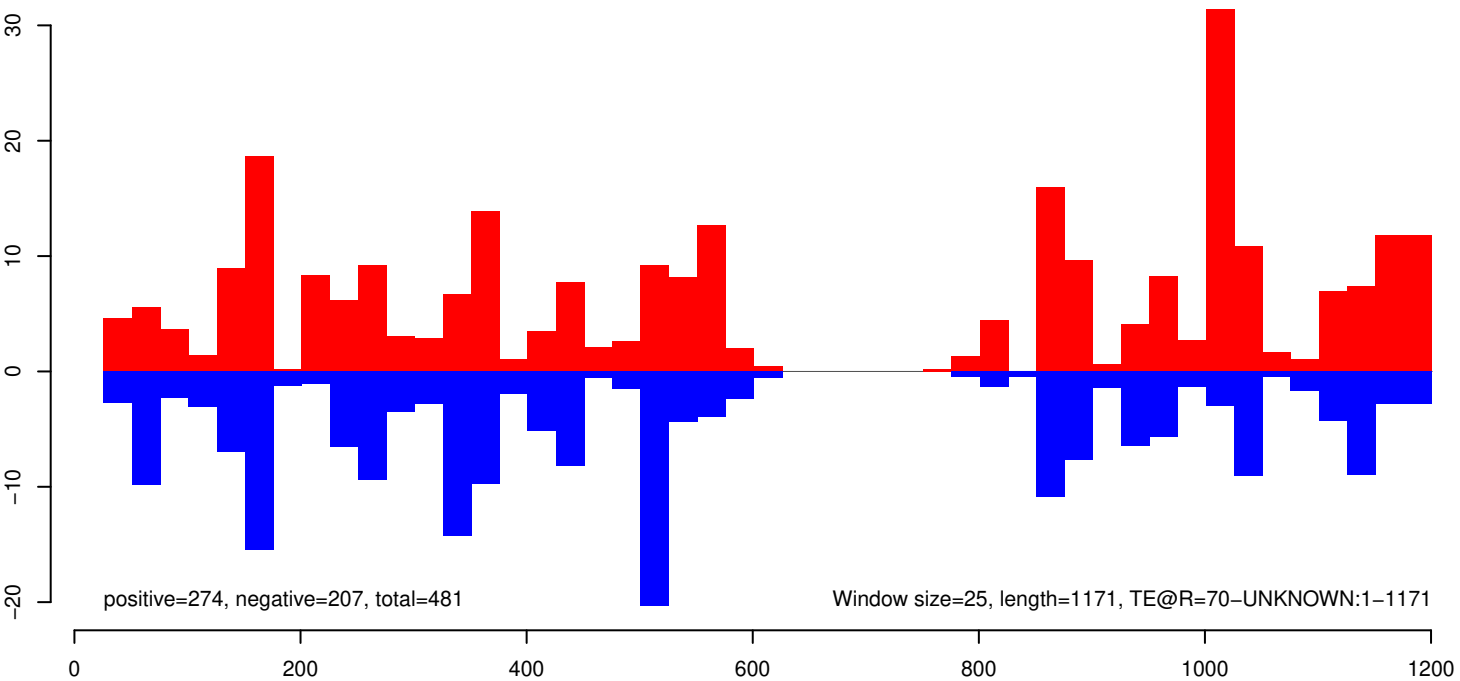
AeAeg_Aag2_Ago2_SINV_RA.18_23.rep



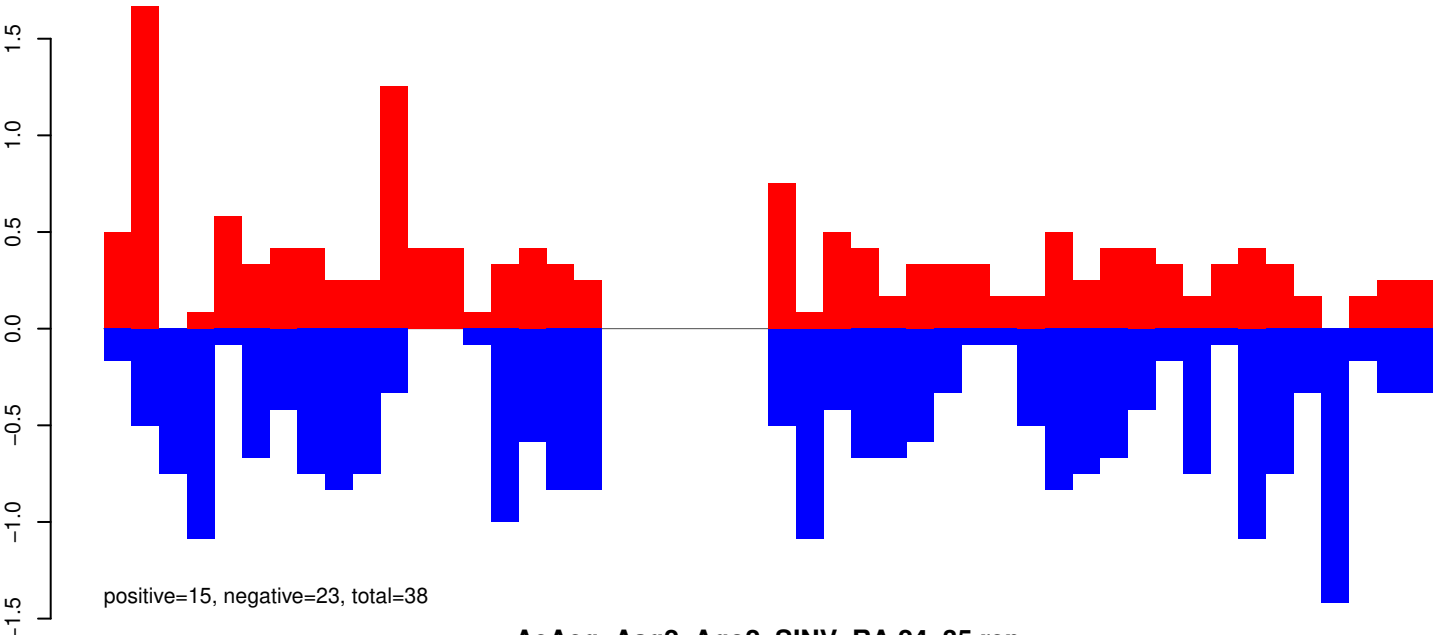
AeAeg_Aag2_Ago2_SINV_RA.24_35.rep



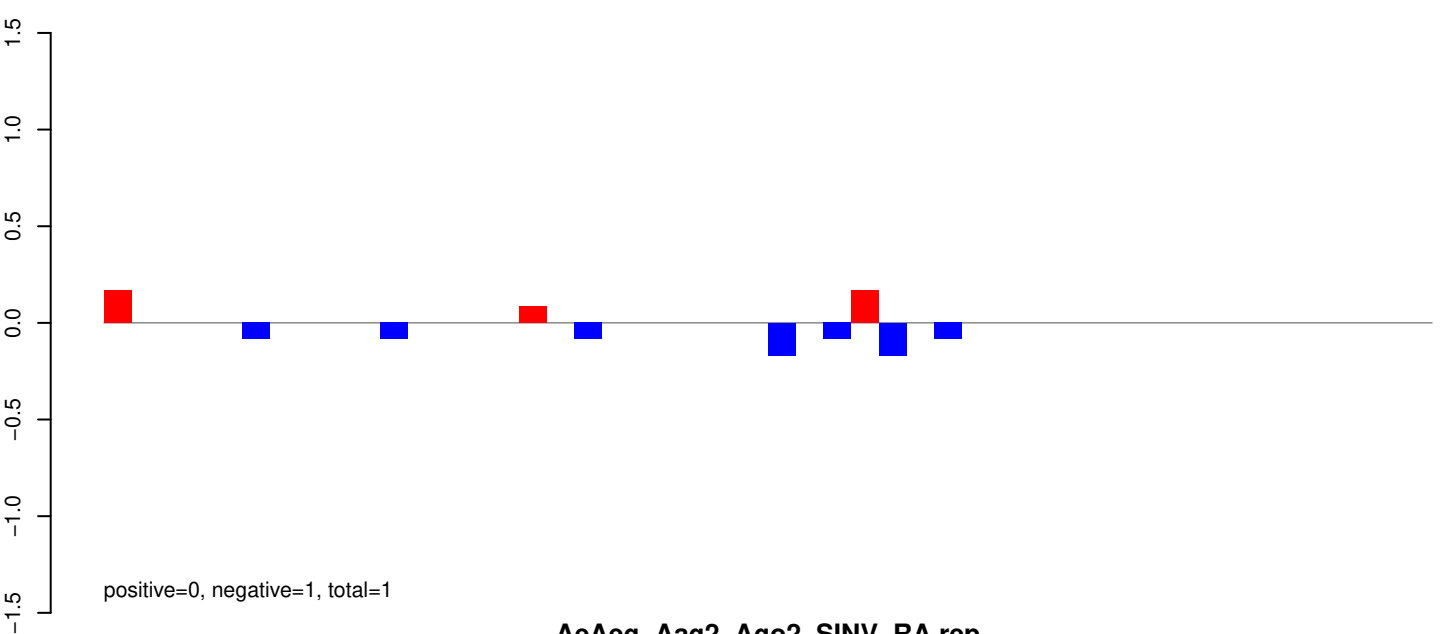
AeAeg_Aag2_Ago2_SINV_RA.rep



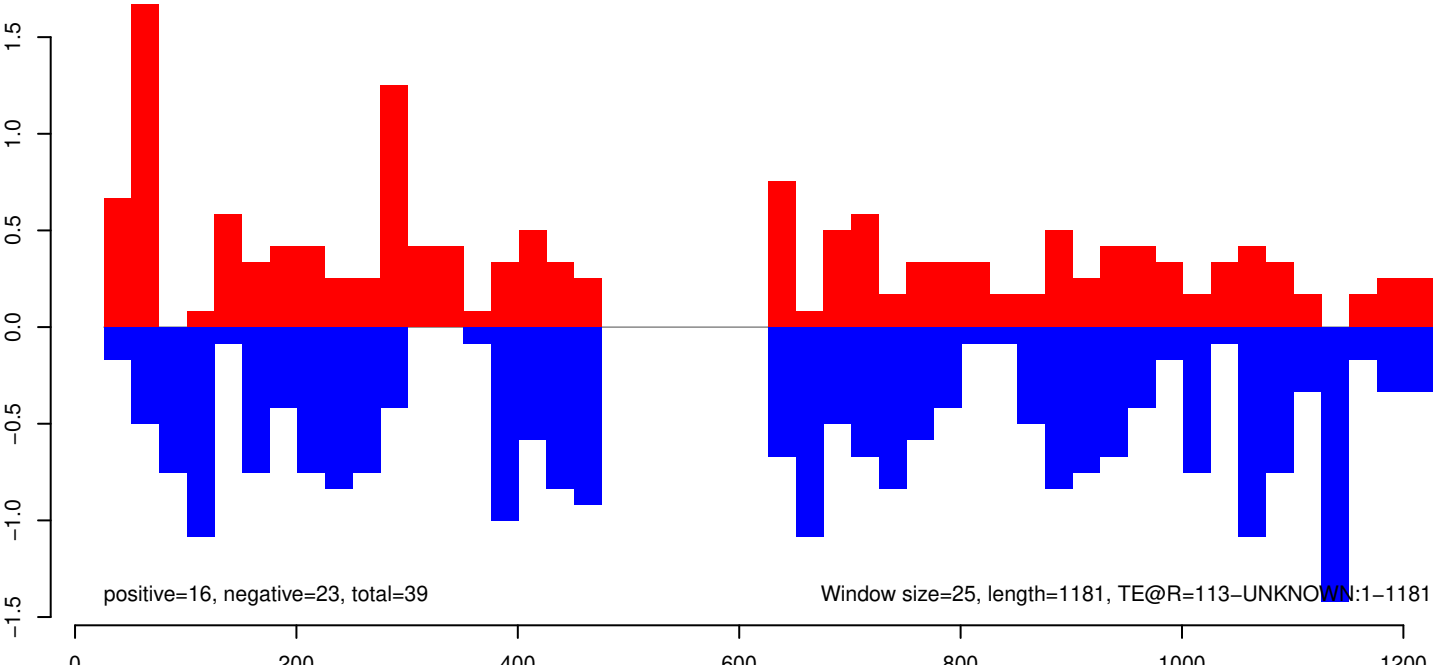
AeAeg_Aag2_Ago2_SINV_RA.18_23.rep



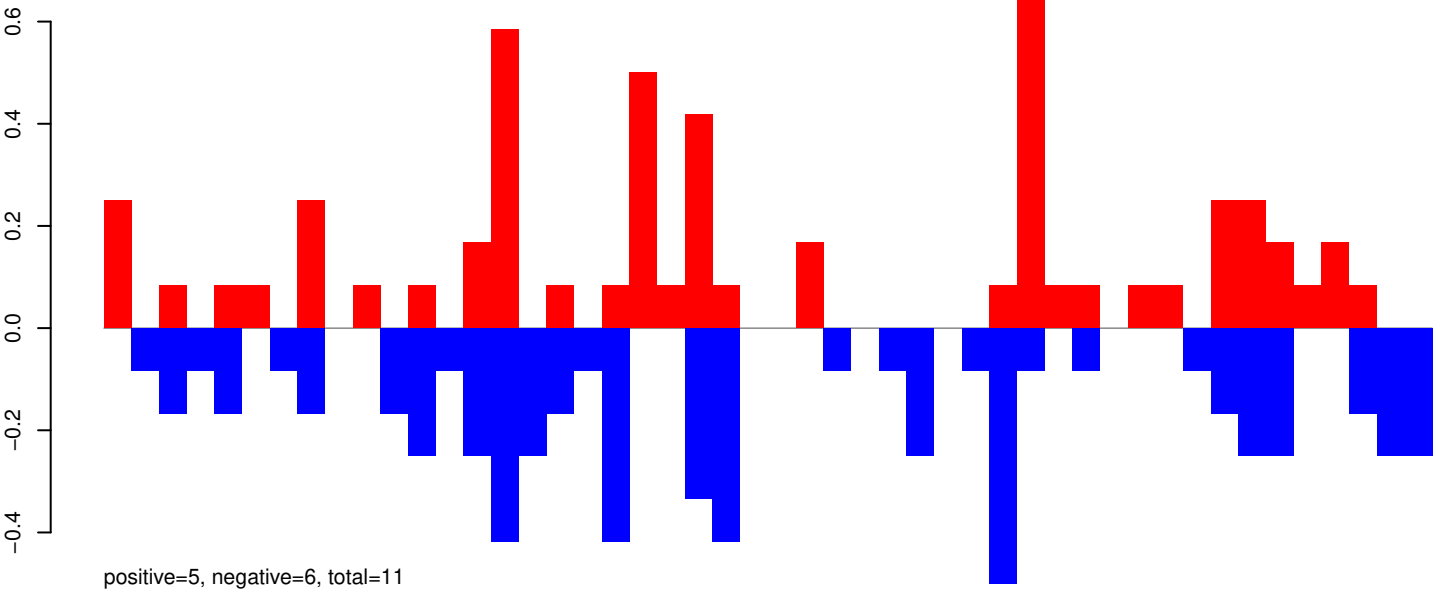
AeAeg_Aag2_Ago2_SINV_RA.24_35.rep



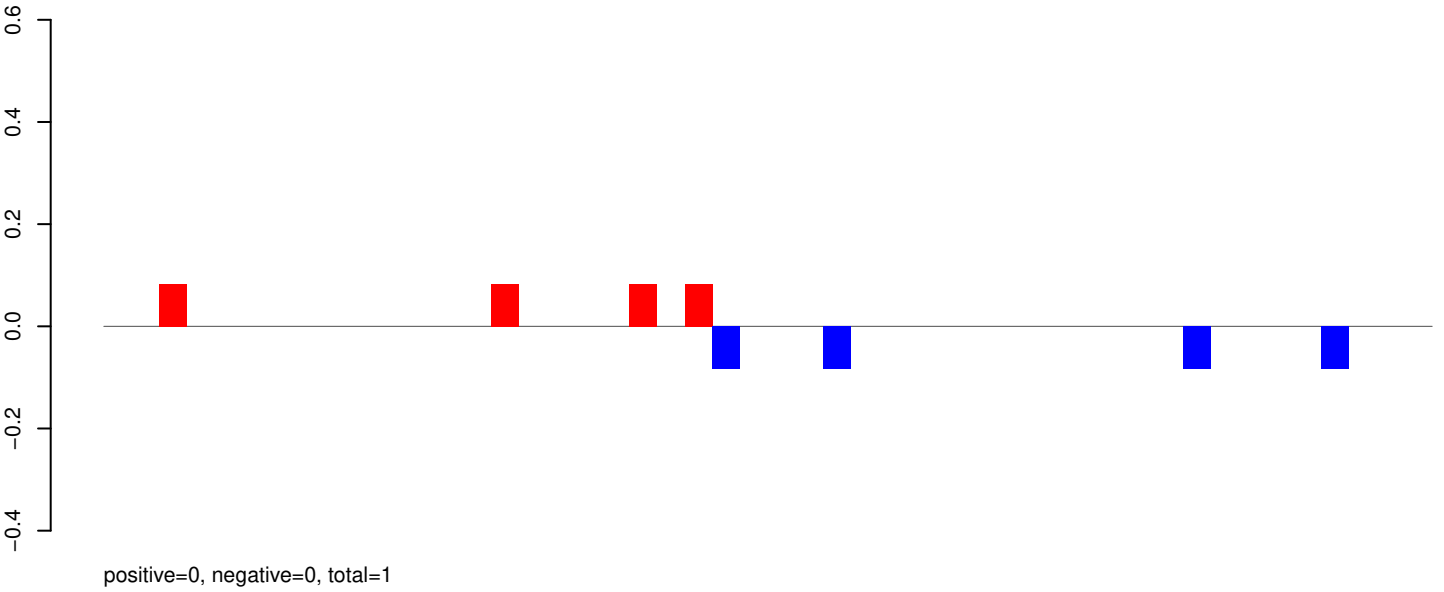
AeAeg_Aag2_Ago2_SINV_RA.rep



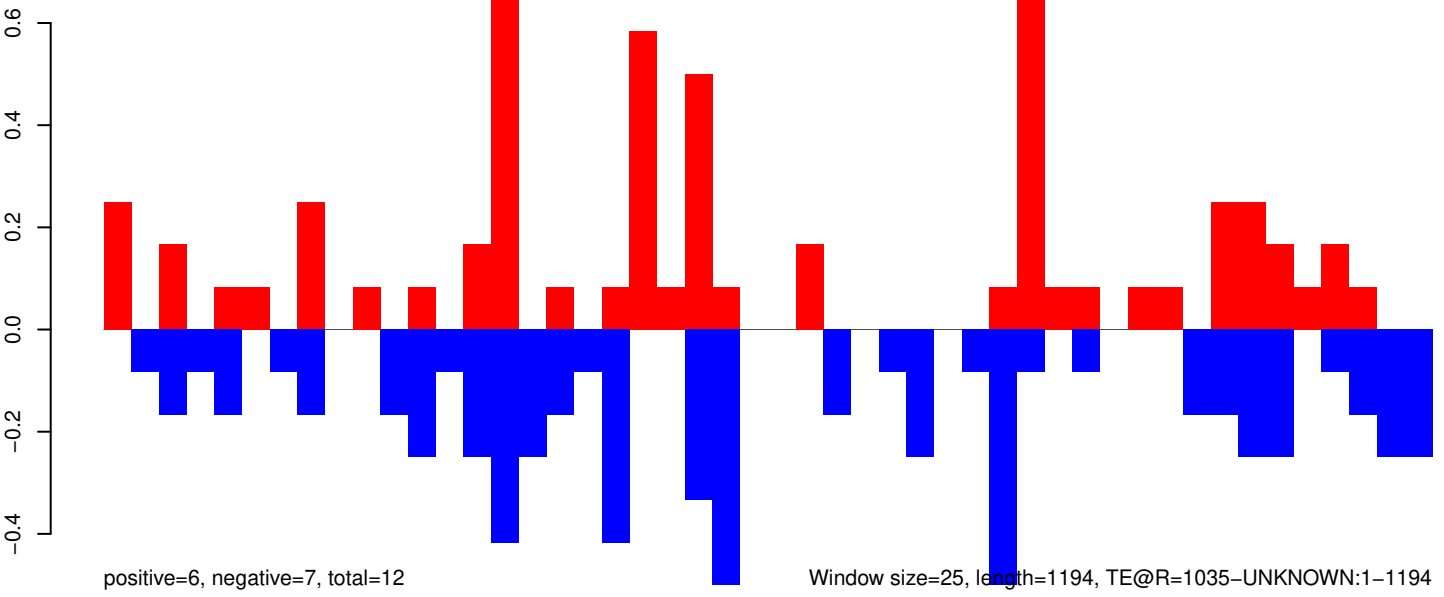
AeAeg_Aag2_Ago2_SINV_RA.18_23.rep



AeAeg_Aag2_Ago2_SINV_RA.24_35.rep

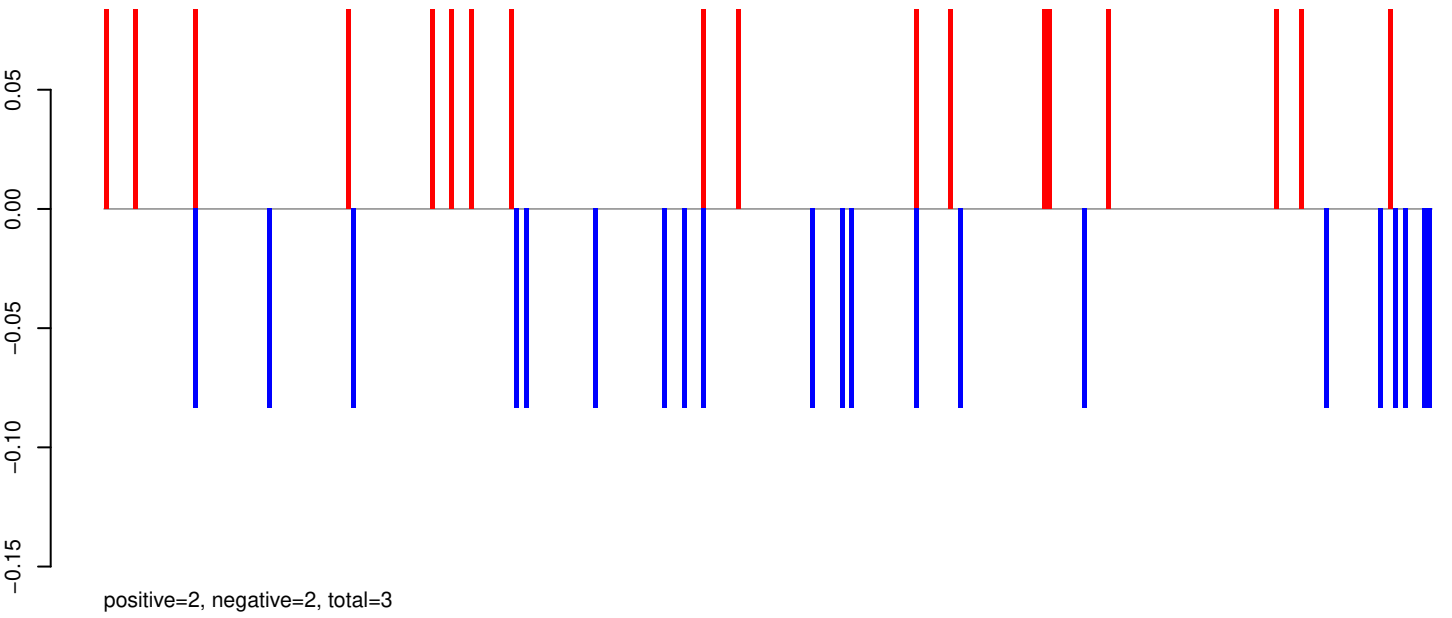


AeAeg_Aag2_Ago2_SINV_RA.rep

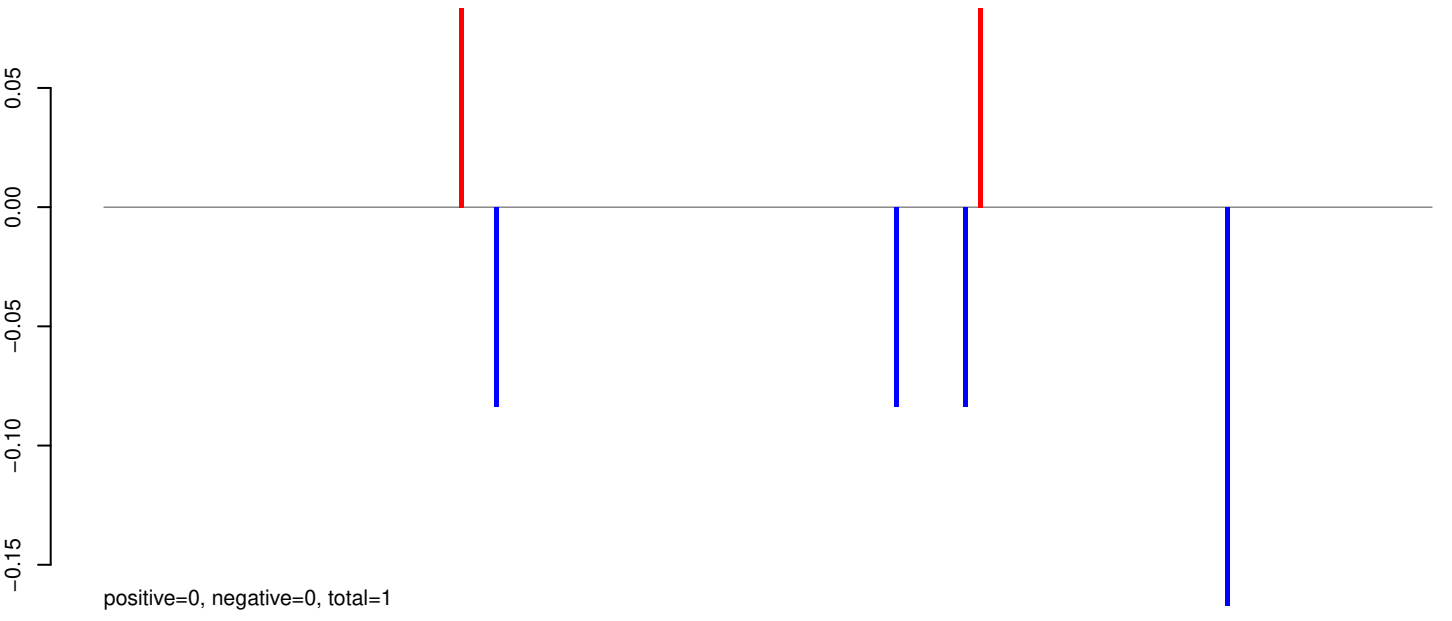


Window size=25, length=1194, TE@R=1035-UNKNOWN:1-1194

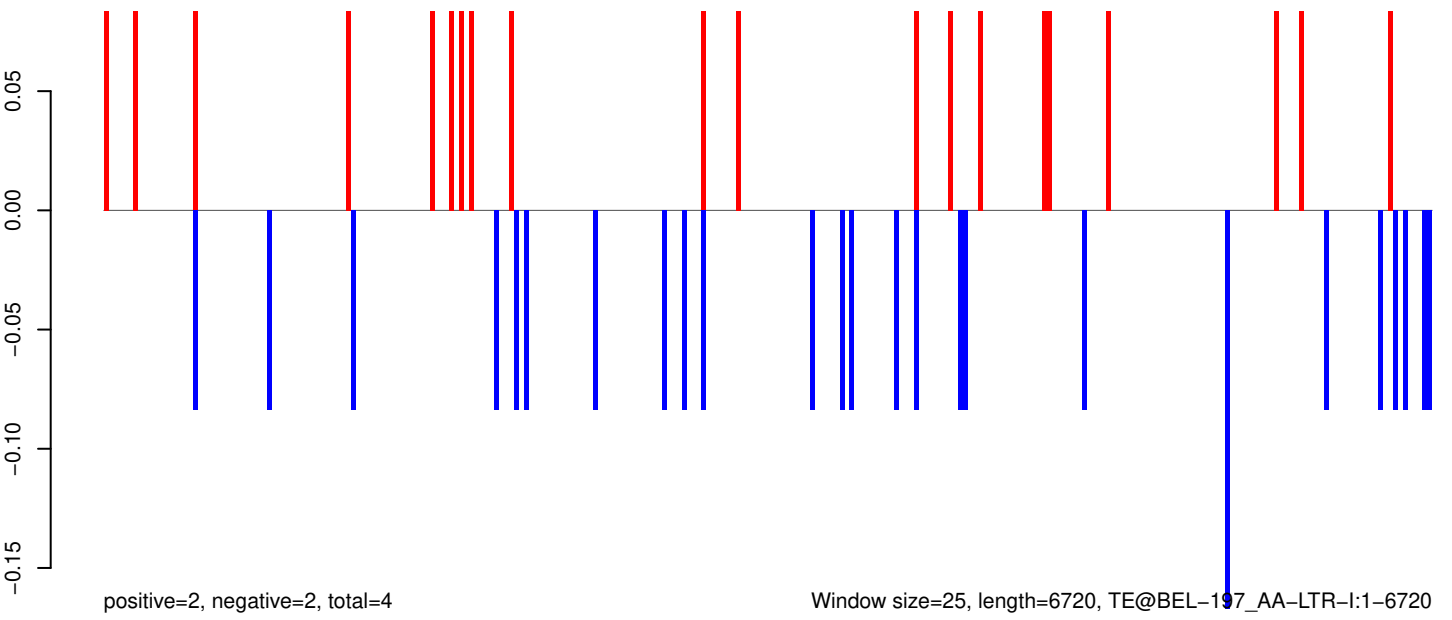
AeAeg_Aag2_Ago2_SINV_RA.18_23.rep



AeAeg_Aag2_Ago2_SINV_RA.24_35.rep

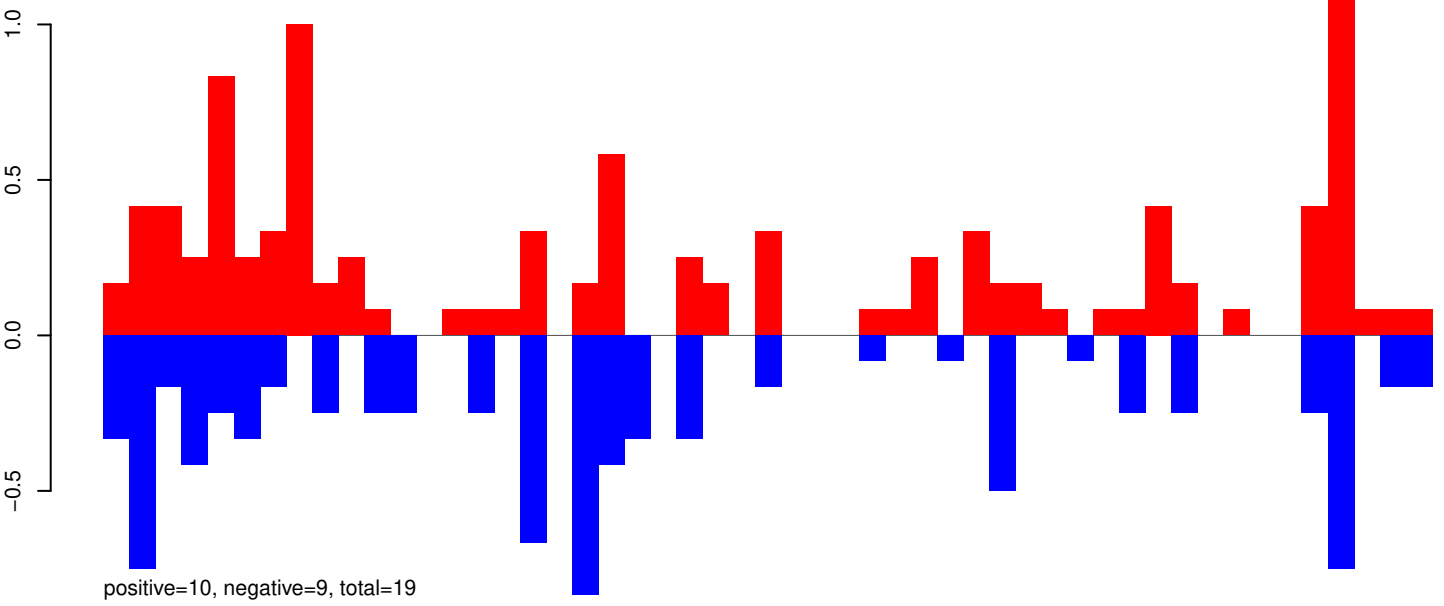


AeAeg_Aag2_Ago2_SINV_RA.rep

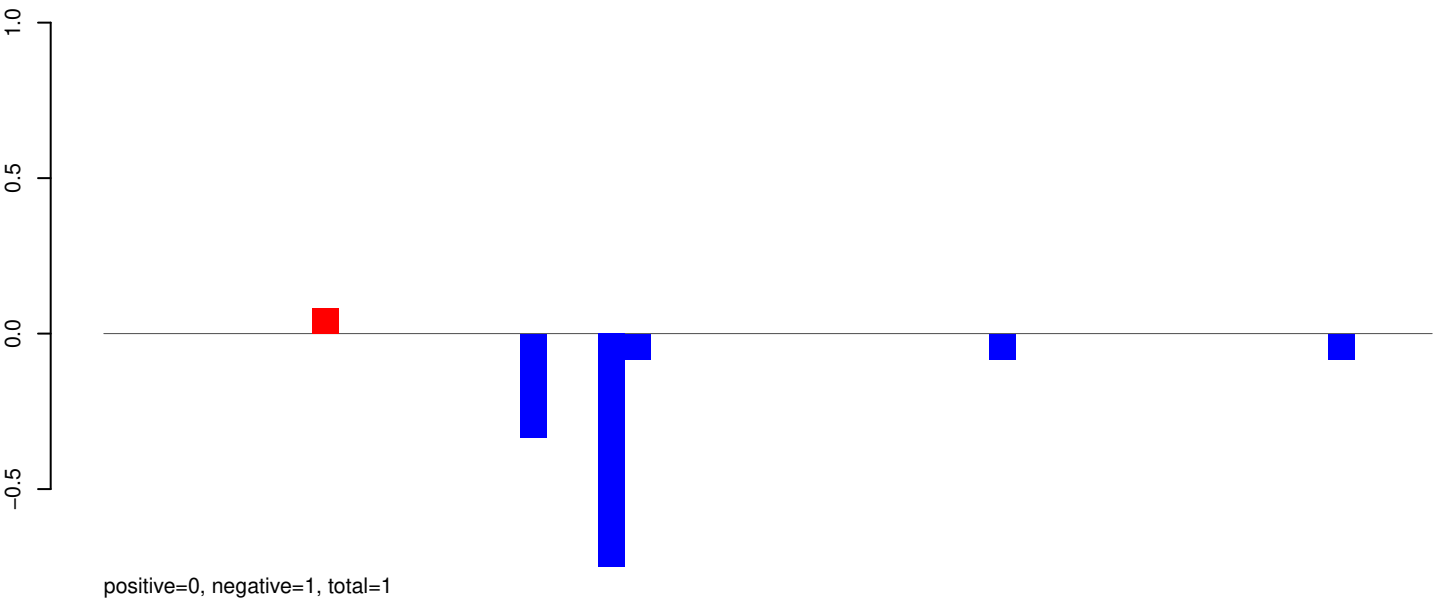


Window size=25, length=6720, TE@BEL-197_AA-LTR-I:1-6720

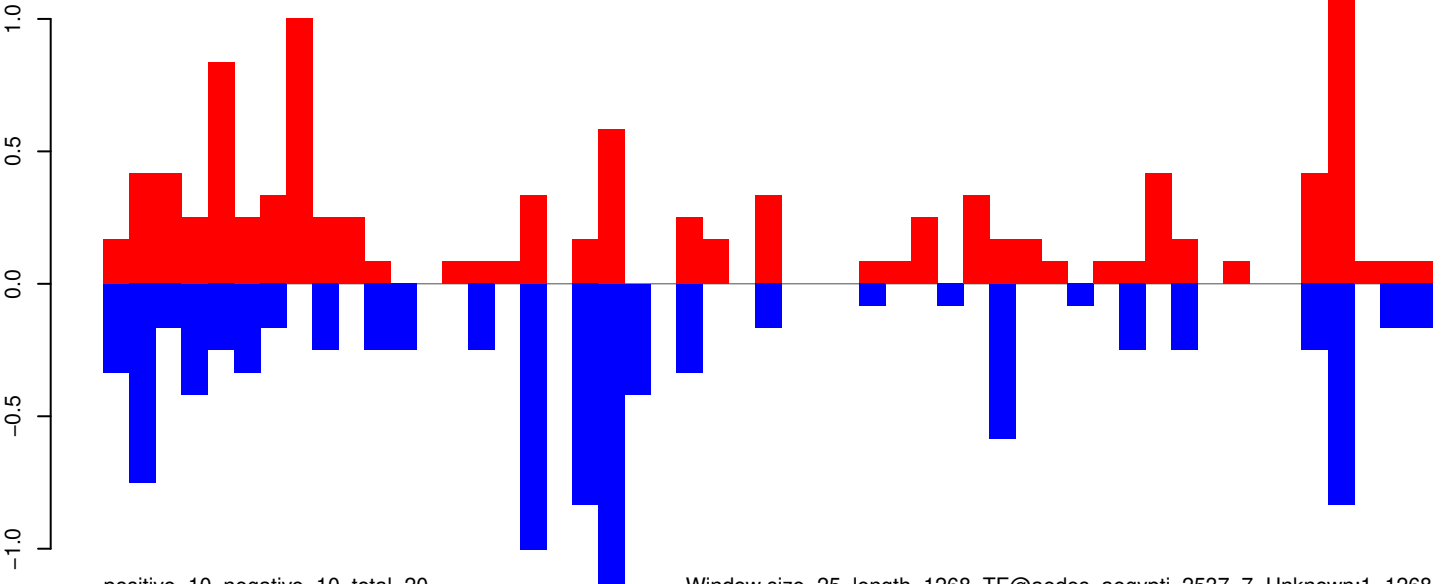
AeAeg_Aag2_Ago2_SINV_RA.18_23.rep



AeAeg_Aag2_Ago2_SINV_RA.24_35.rep

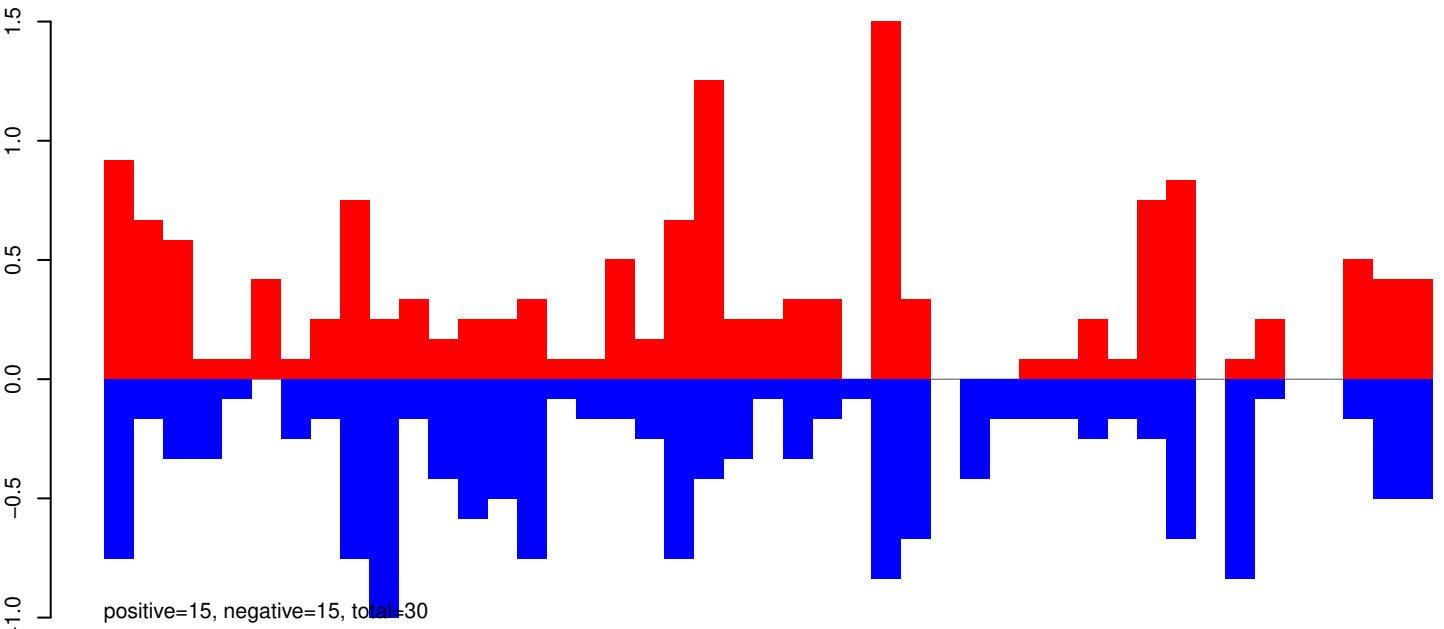


AeAeg_Aag2_Ago2_SINV_RA.rep

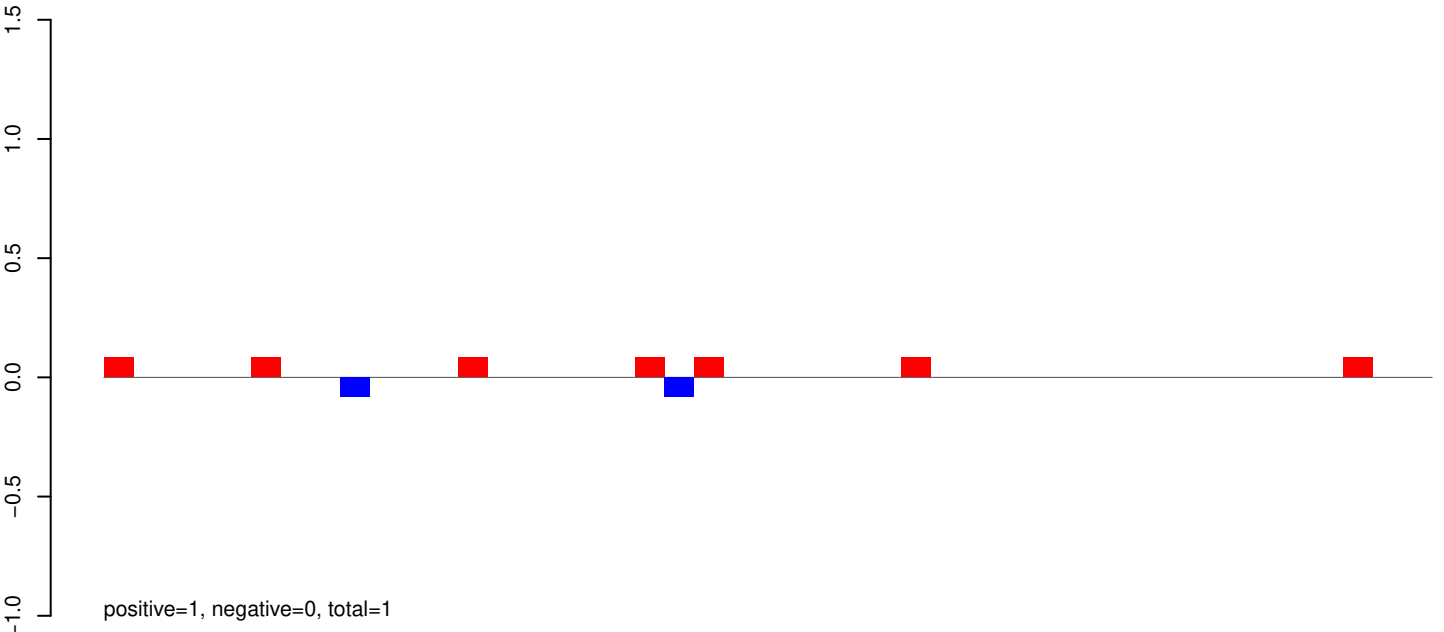


Window size=25, length=1268, TE@aedes_aegypti_2537_7-Unknown:1-1268

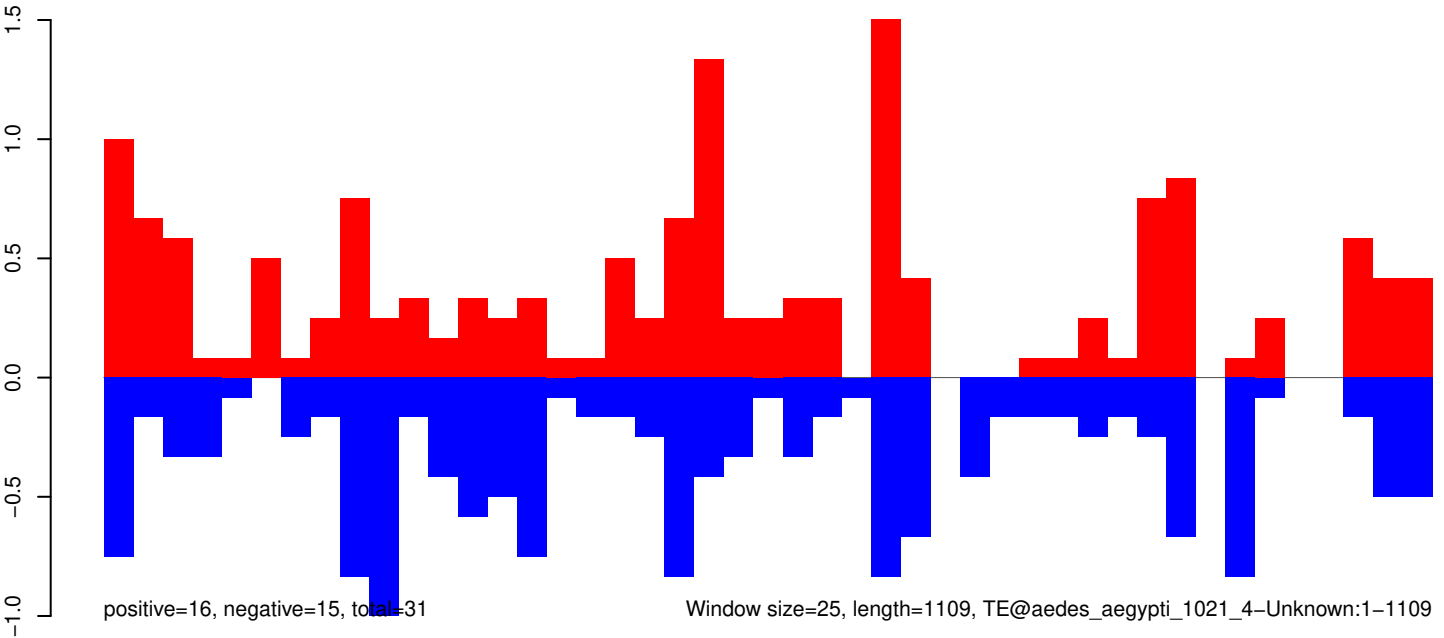
AeAeg_Aag2_Ago2_SINV_RA.18_23.rep



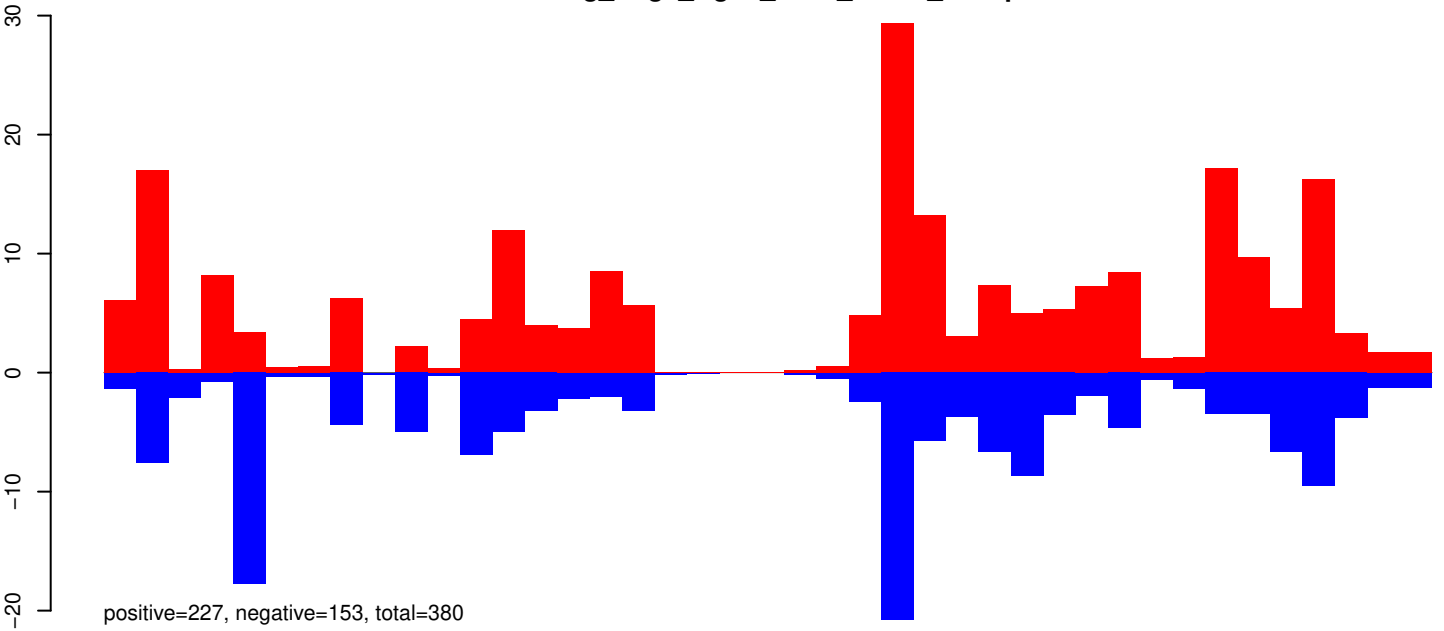
AeAeg_Aag2_Ago2_SINV_RA.24_35.rep



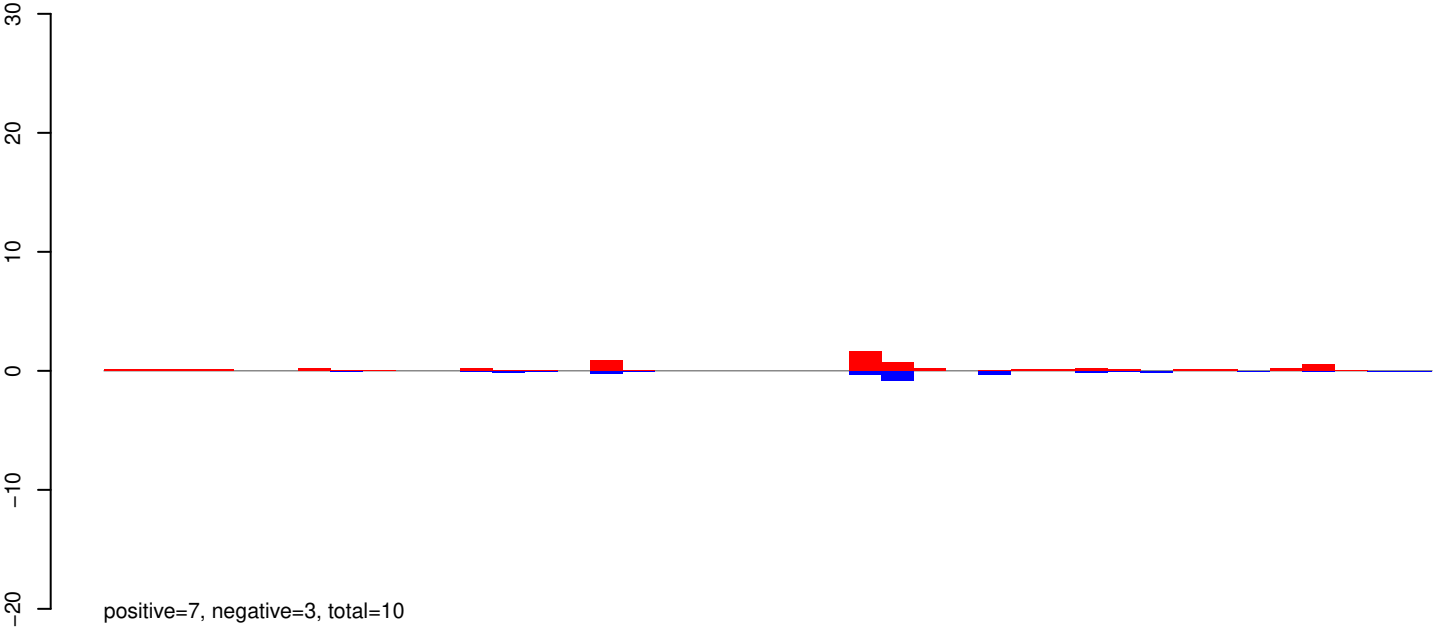
AeAeg_Aag2_Ago2_SINV_RA.rep



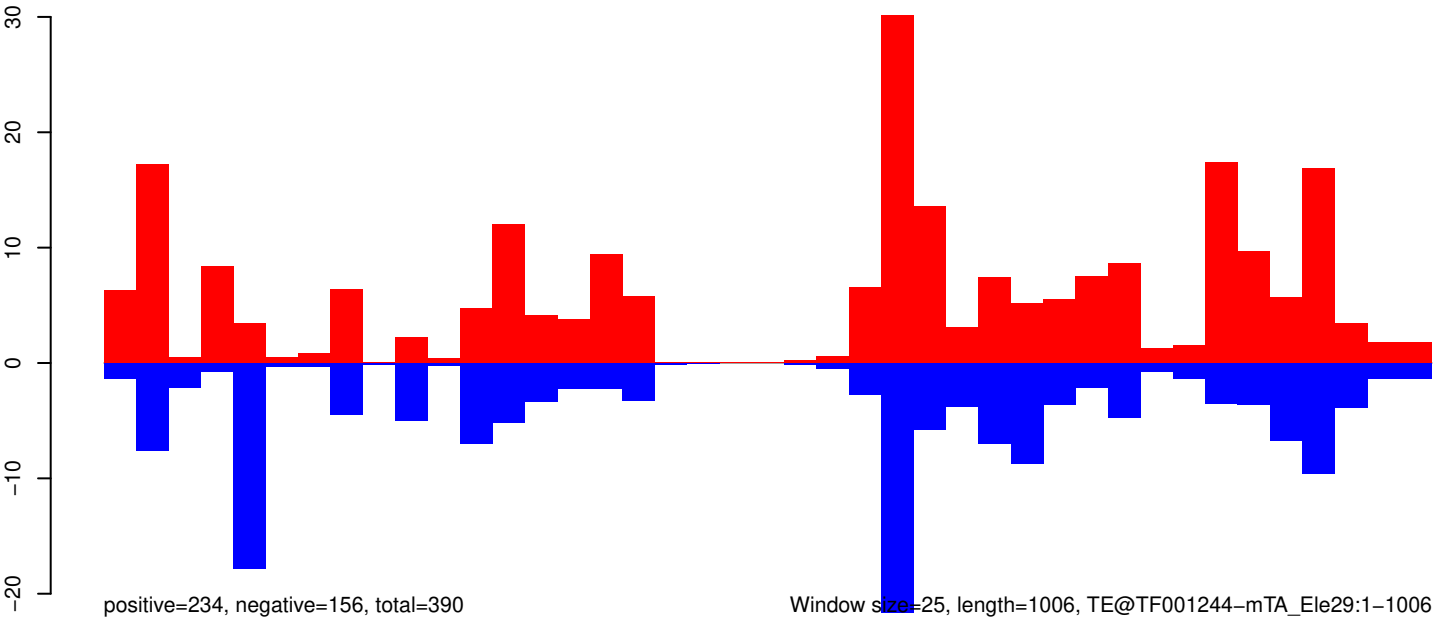
AeAeg_Aag2_Ago2_SINV_RA.18_23.rep



AeAeg_Aag2_Ago2_SINV_RA.24_35.rep



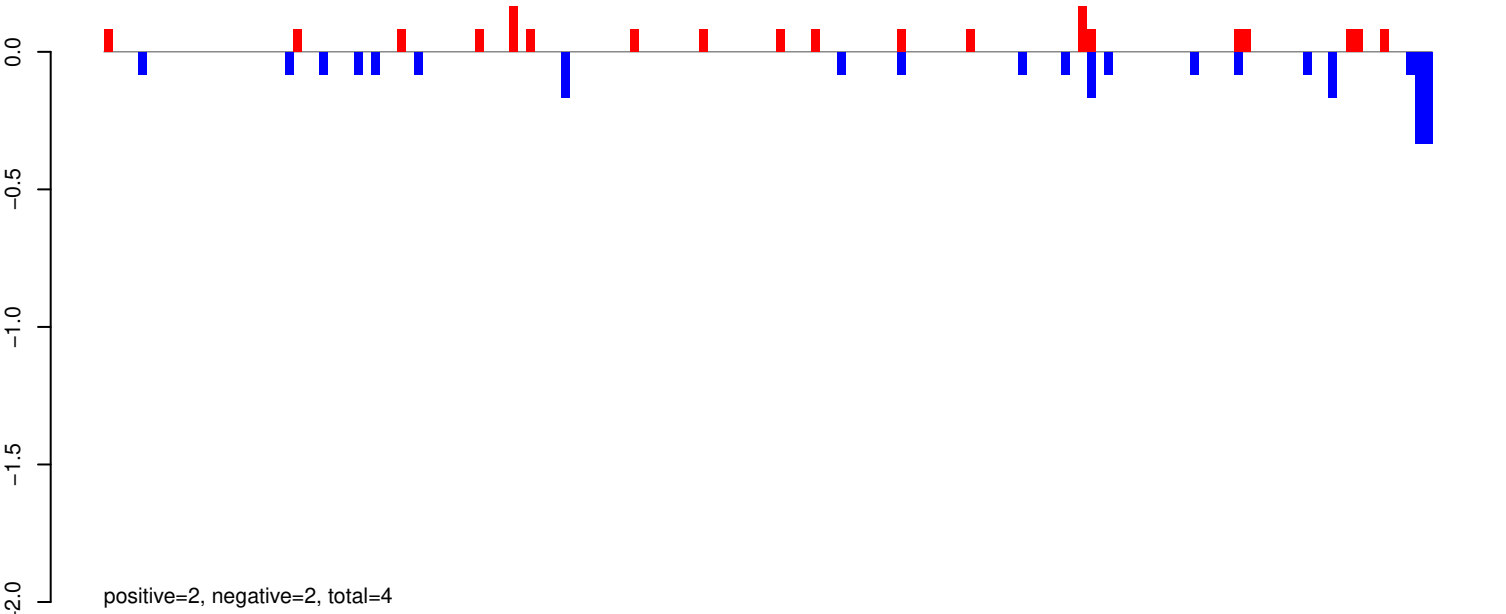
AeAeg_Aag2_Ago2_SINV_RA.rep



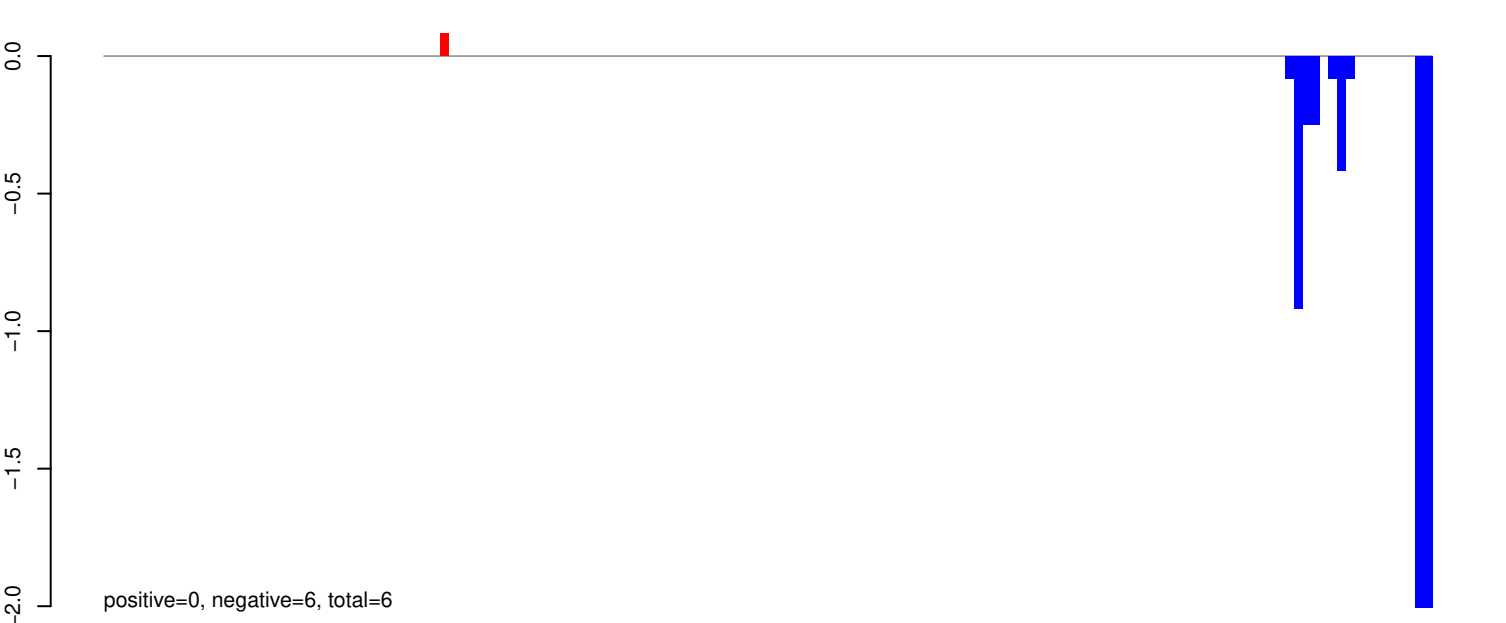
Window size=25, length=1006, TE@TF001244-mTA_Ele29:1-1006

0 200 400 600 800 1000

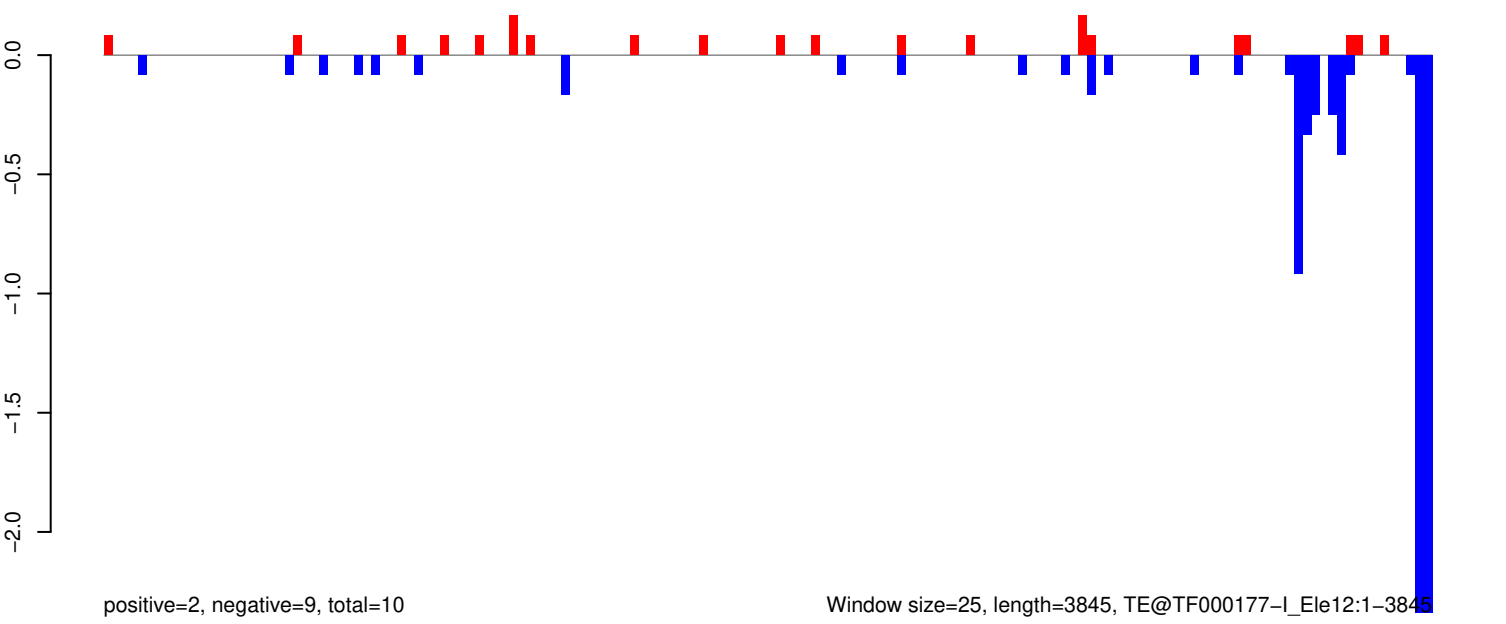
AeAeg_Aag2_Ago2_SINV_RA.18_23.rep



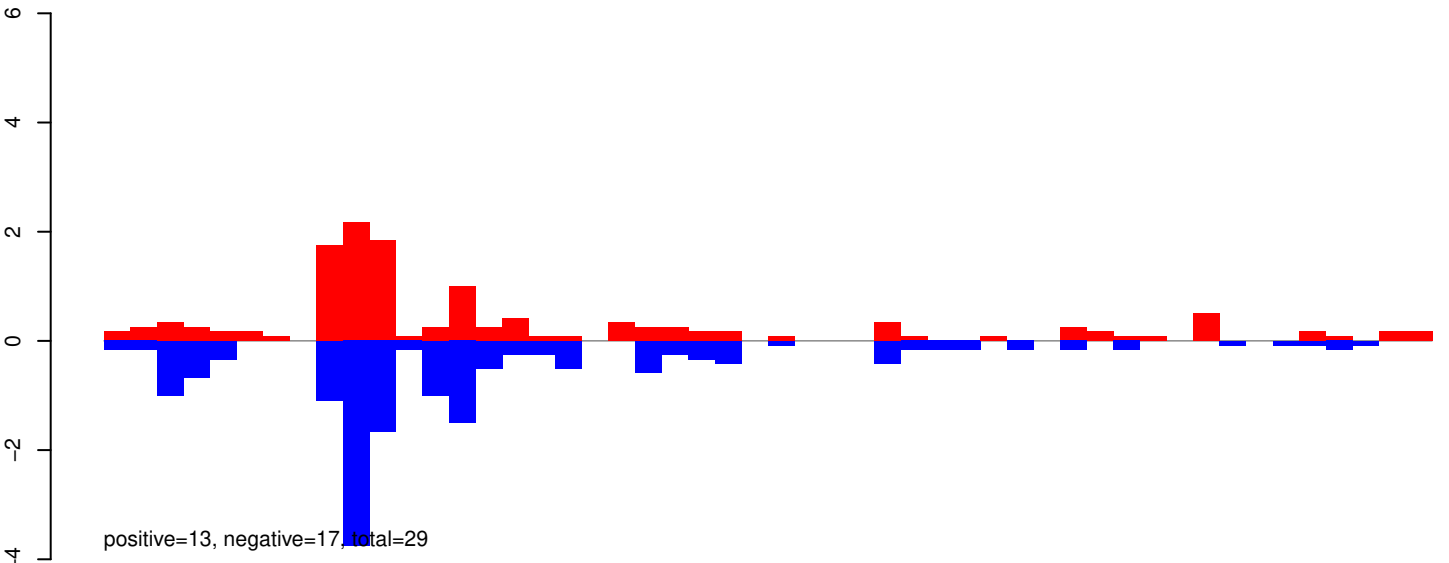
AeAeg_Aag2_Ago2_SINV_RA.24_35.rep



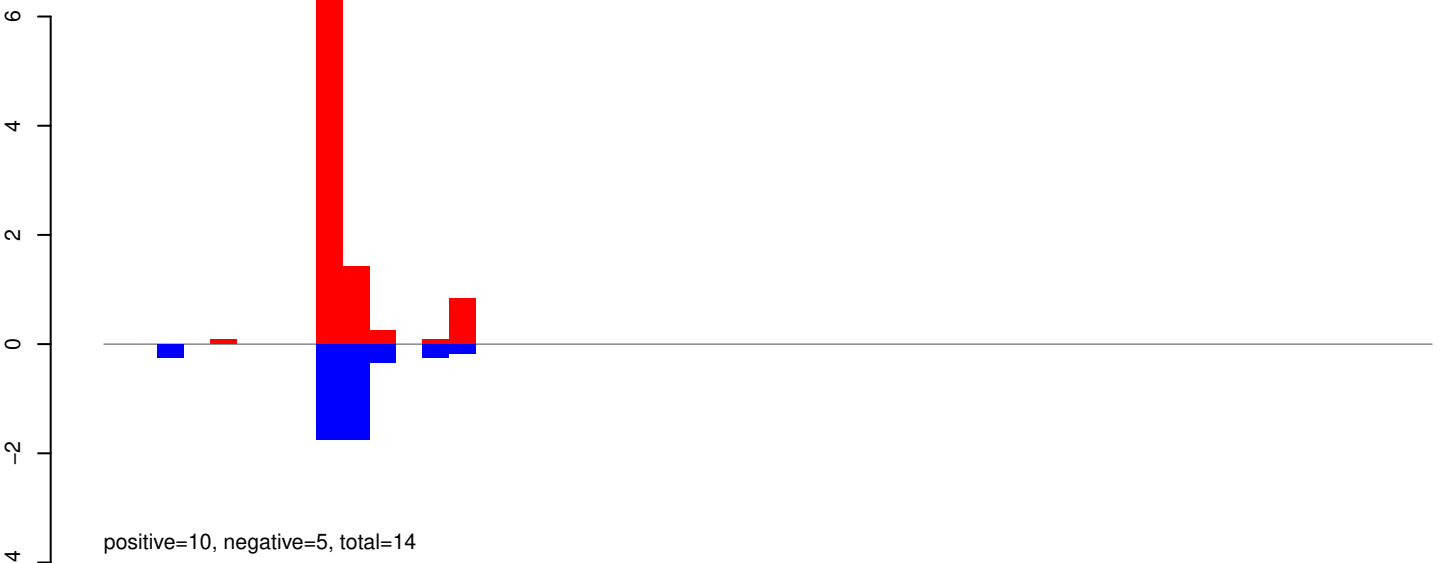
AeAeg_Aag2_Ago2_SINV_RA.rep



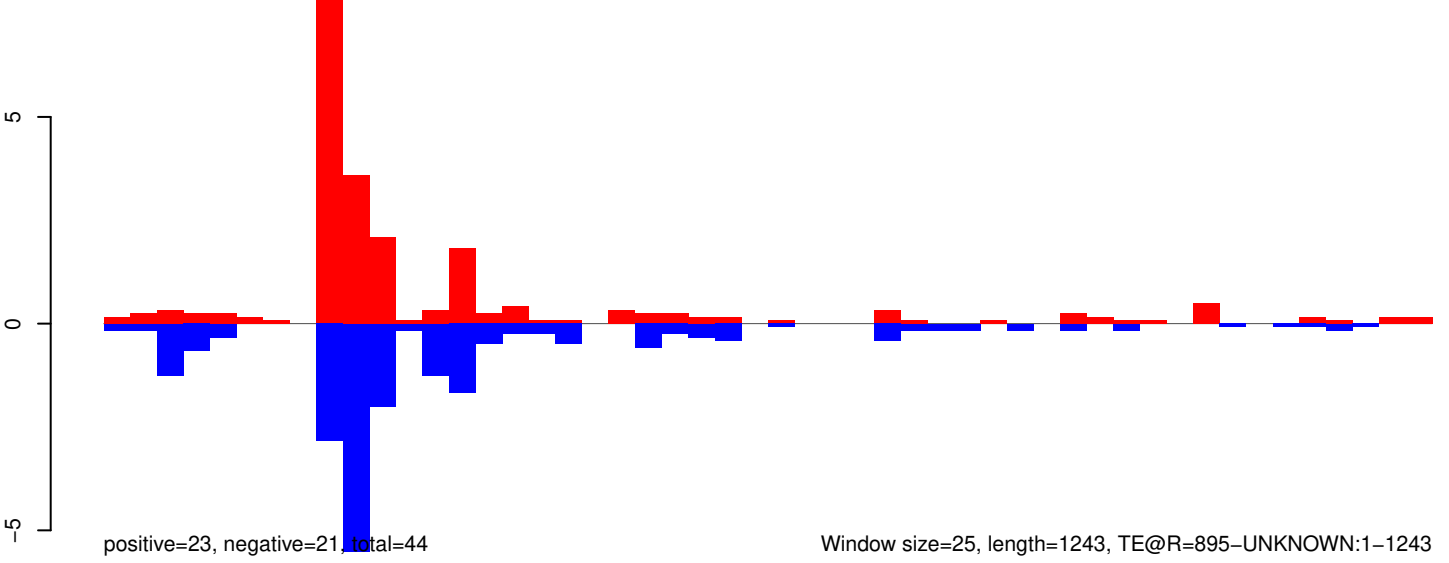
AeAeg_Aag2_Ago2_SINV_RA.18_23.rep



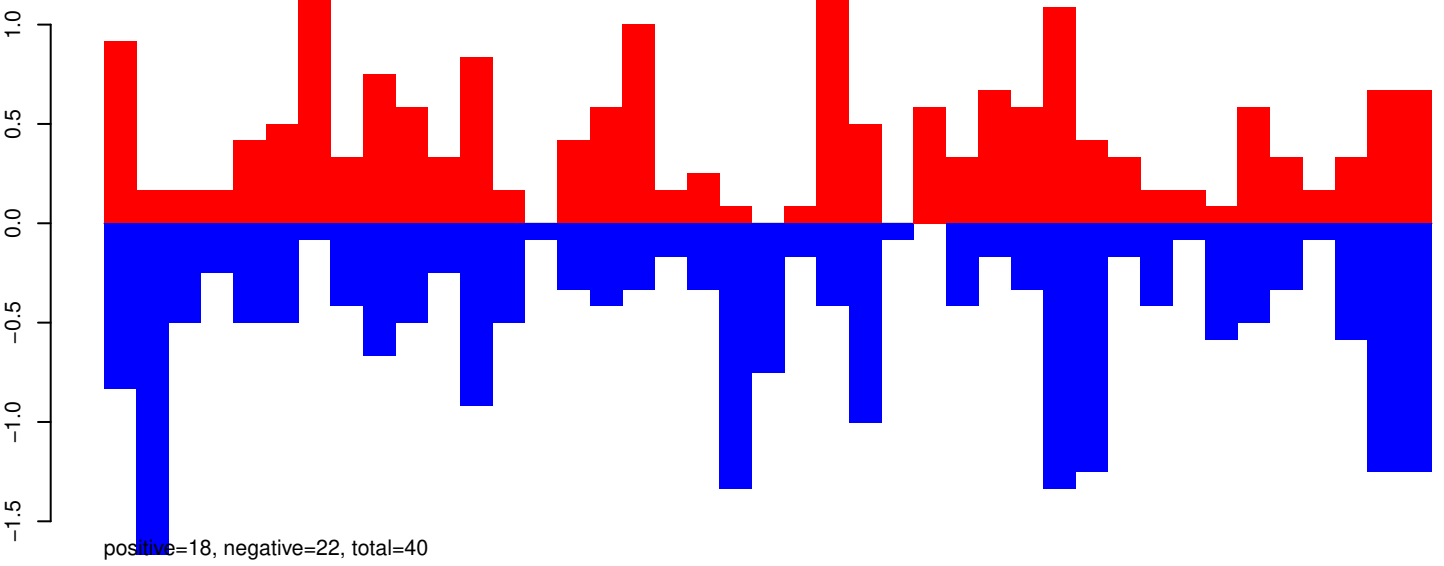
AeAeg_Aag2_Ago2_SINV_RA.24_35.rep



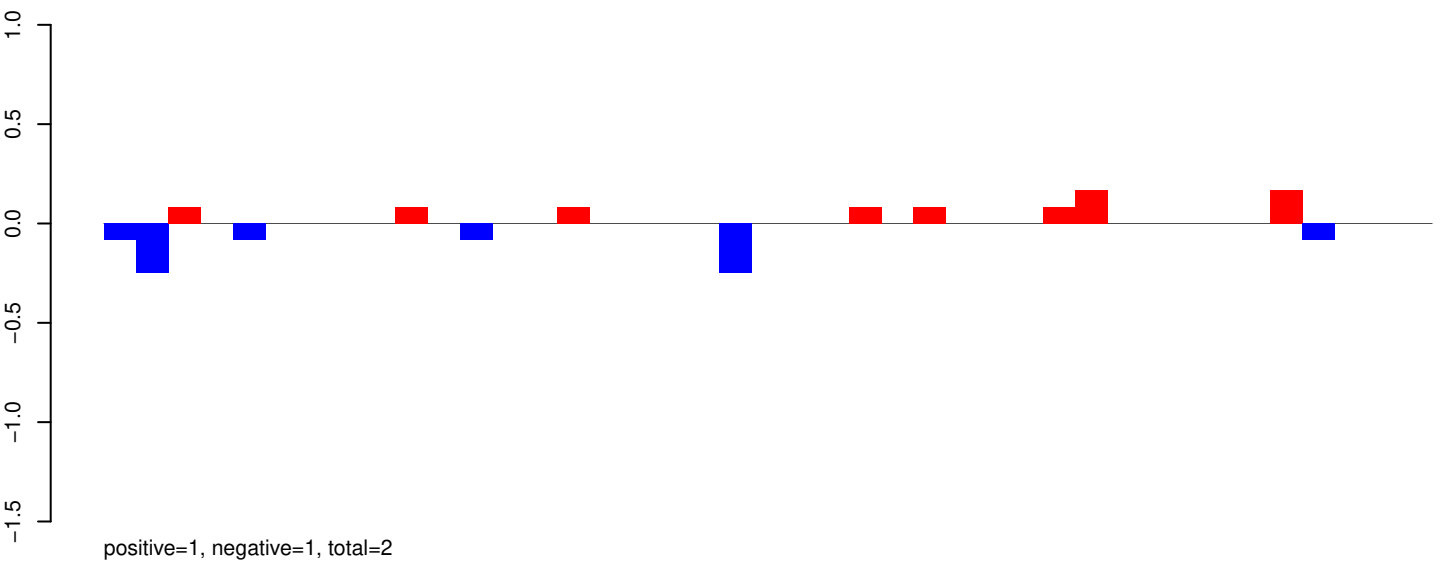
AeAeg_Aag2_Ago2_SINV_RA.rep



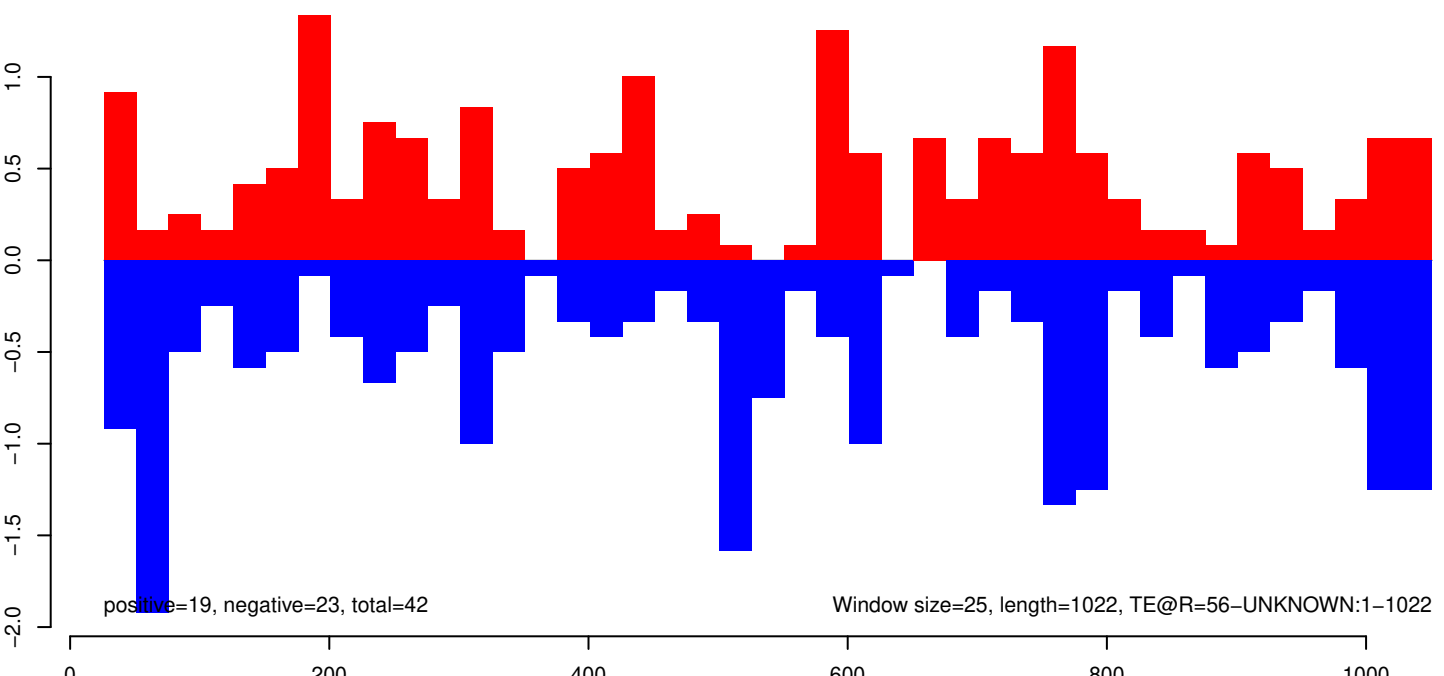
AeAeg_Aag2_Ago2_SINV_RA.18_23.rep



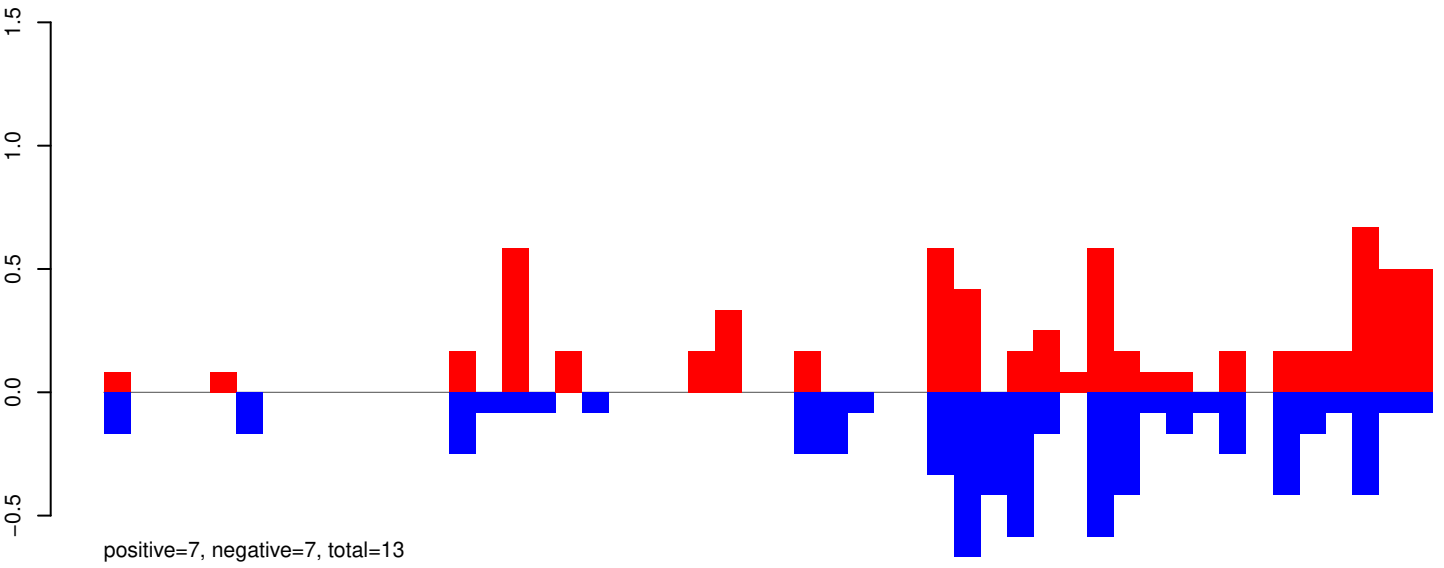
AeAeg_Aag2_Ago2_SINV_RA.24_35.rep



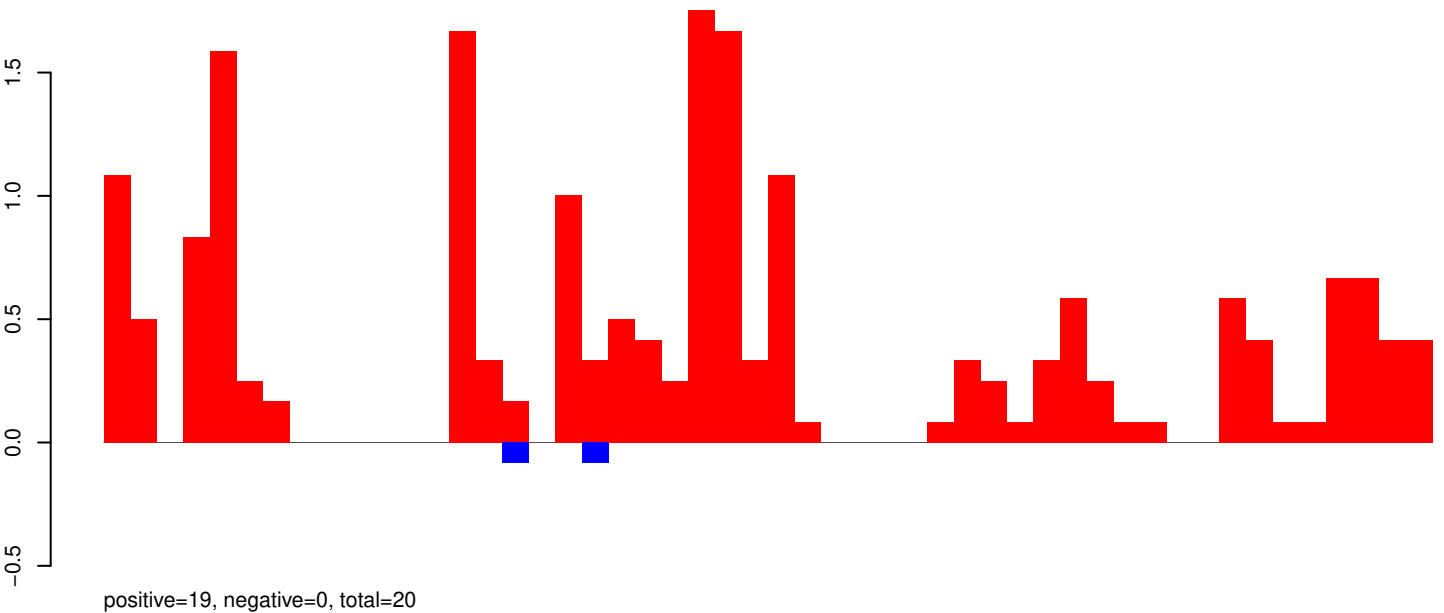
AeAeg_Aag2_Ago2_SINV_RA.rep



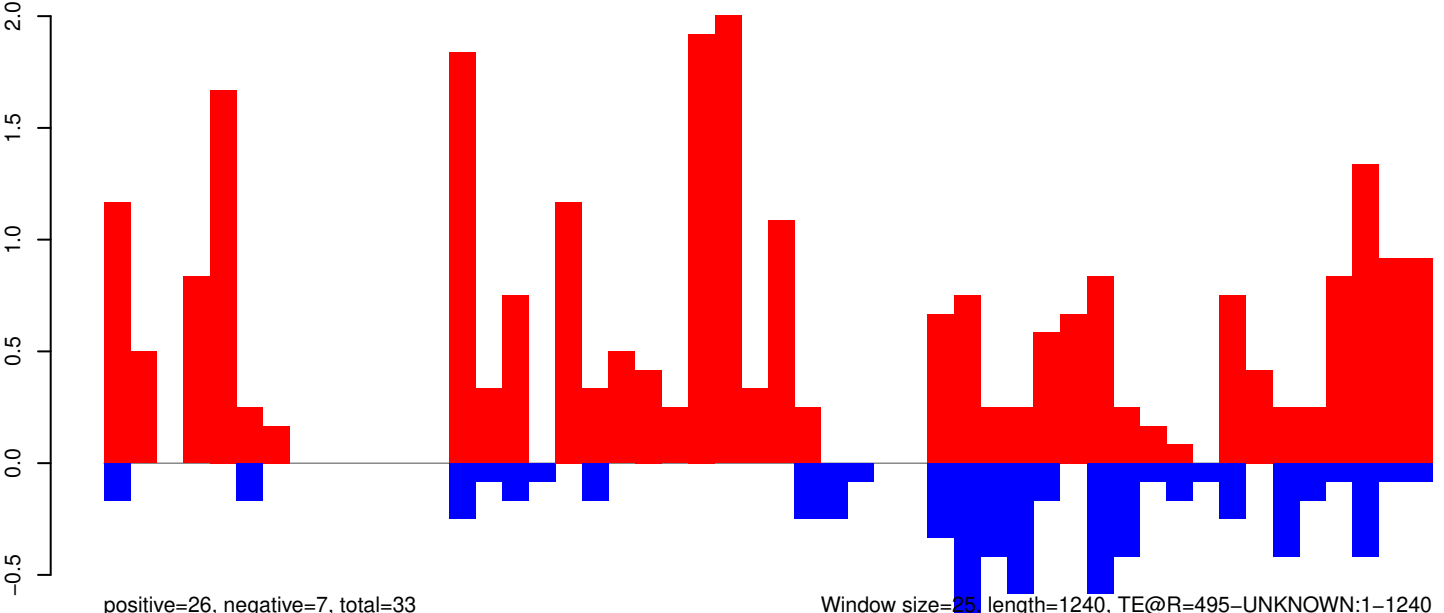
AeAeg_Aag2_Ago2_SINV_RA.18_23.rep



AeAeg_Aag2_Ago2_SINV_RA.24_35.rep

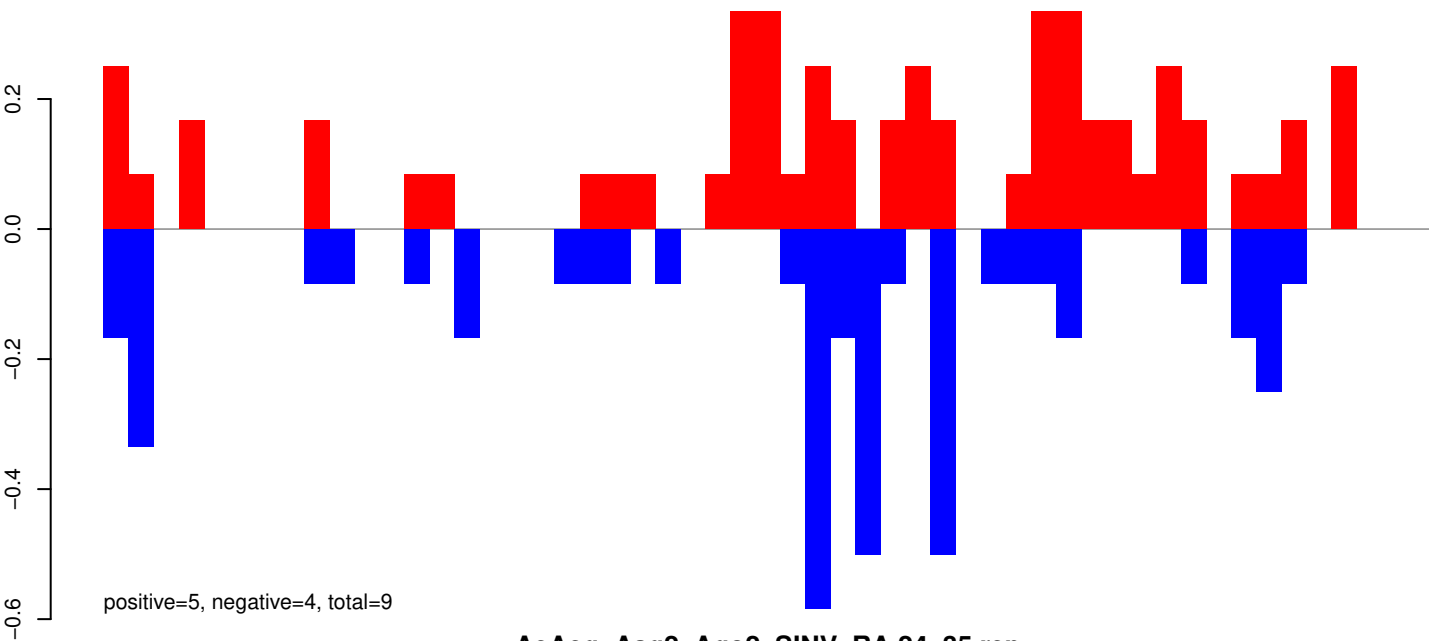


AeAeg_Aag2_Ago2_SINV_RA.rep

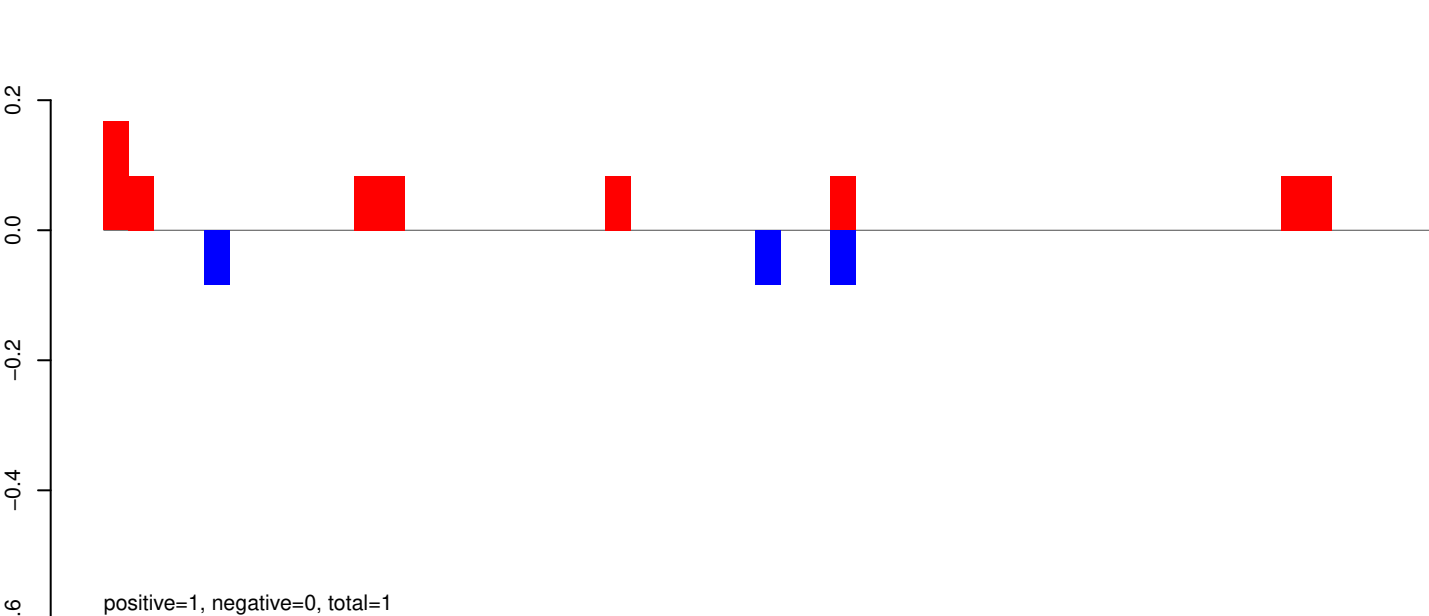


Window size=25, length=1240, TE@R=495-UNKNOWN:1-1240

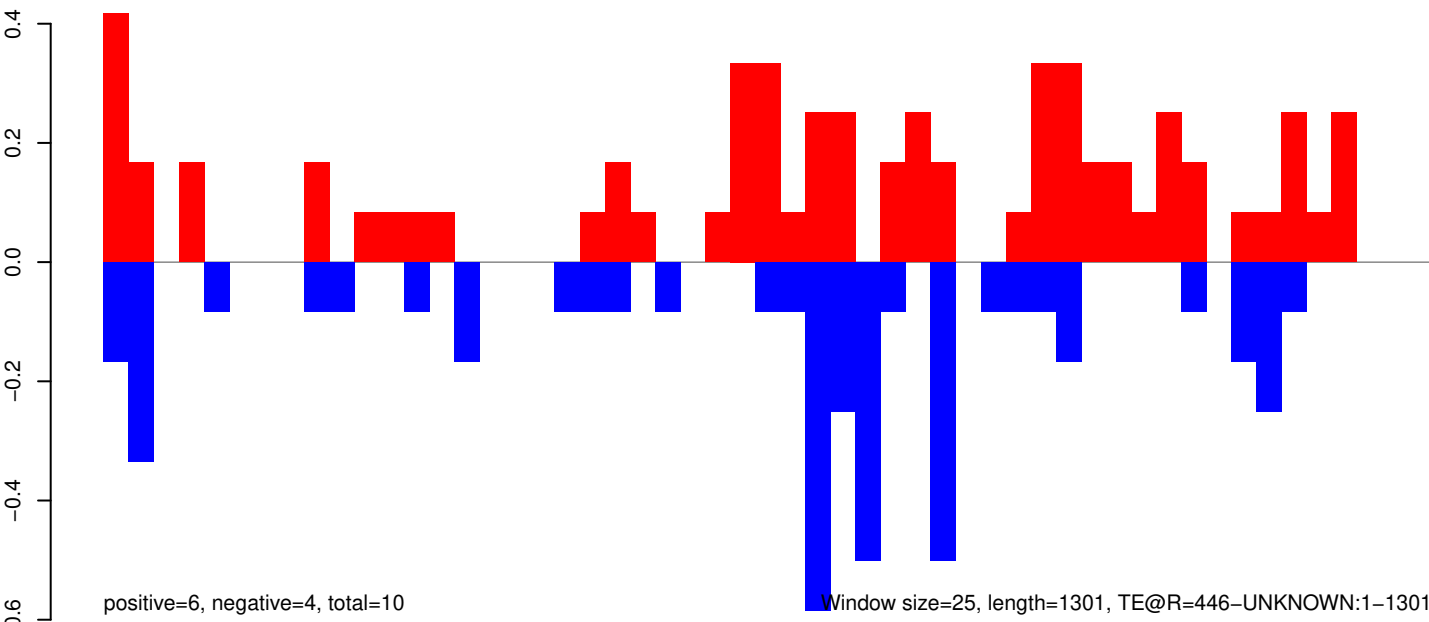
AeAeg_Aag2_Ago2_SINV_RA.18_23.rep



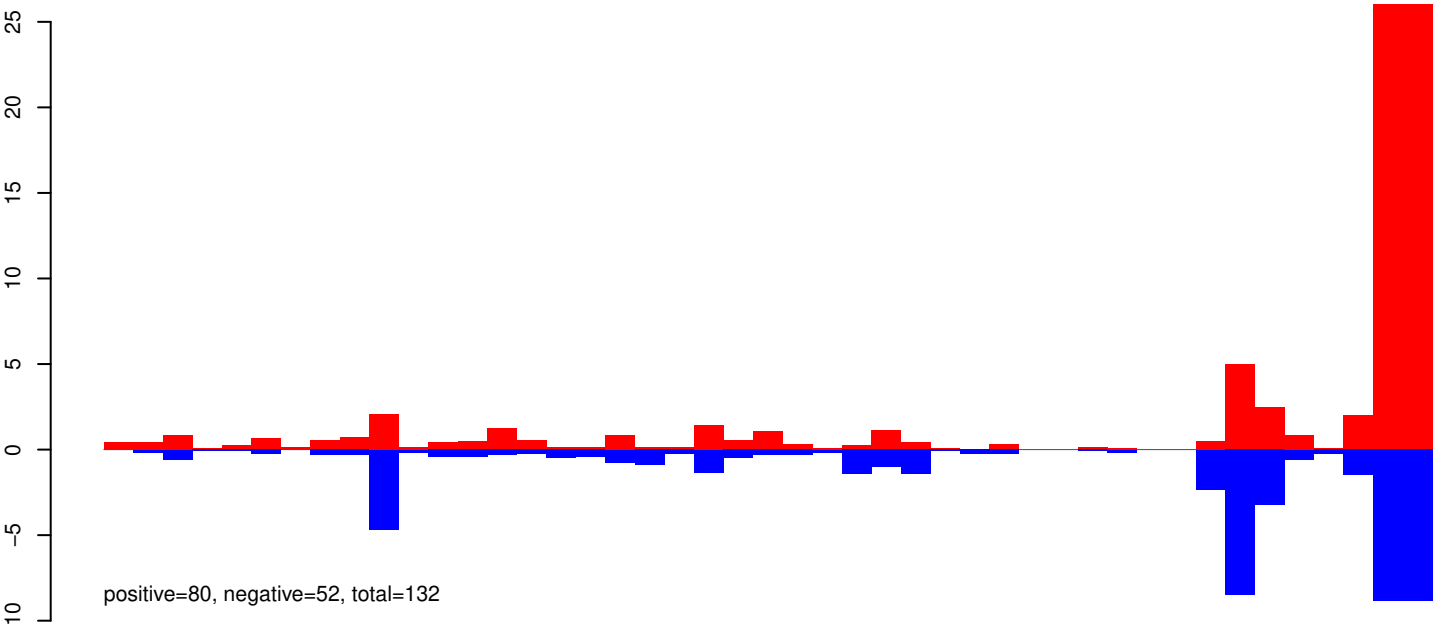
AeAeg_Aag2_Ago2_SINV_RA.24_35.rep



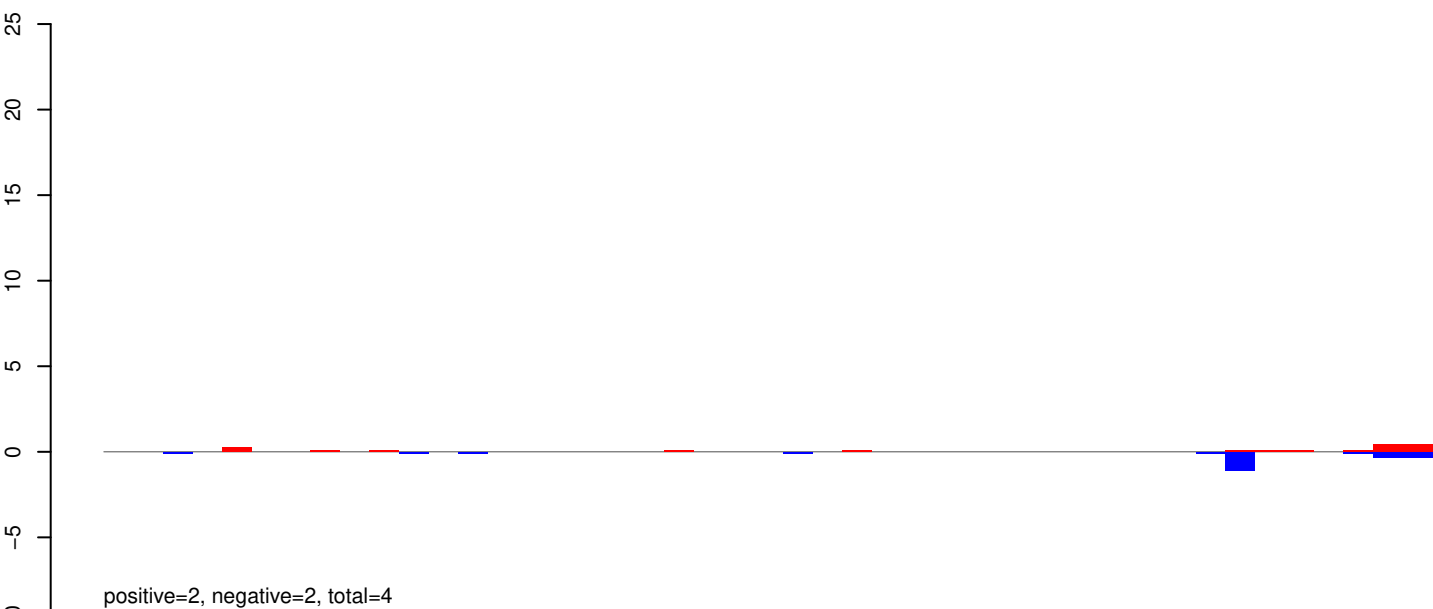
AeAeg_Aag2_Ago2_SINV_RA.rep



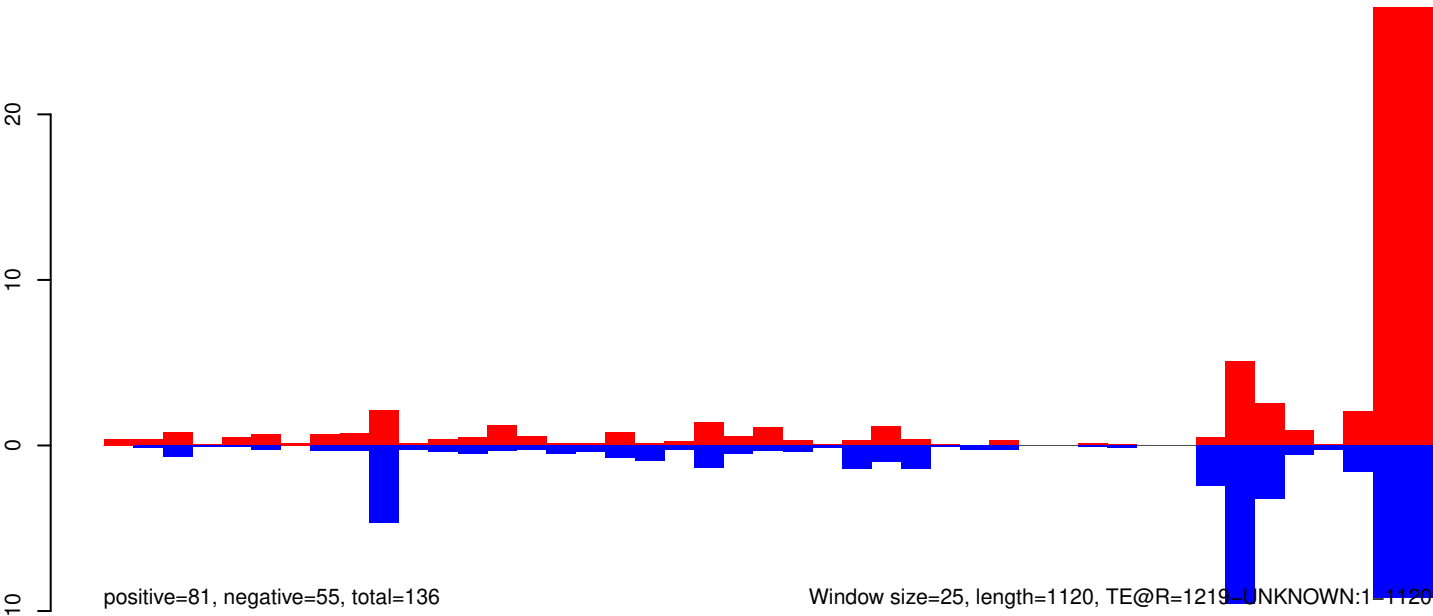
AeAeg_Aag2_Ago2_SINV_RA.18_23.rep



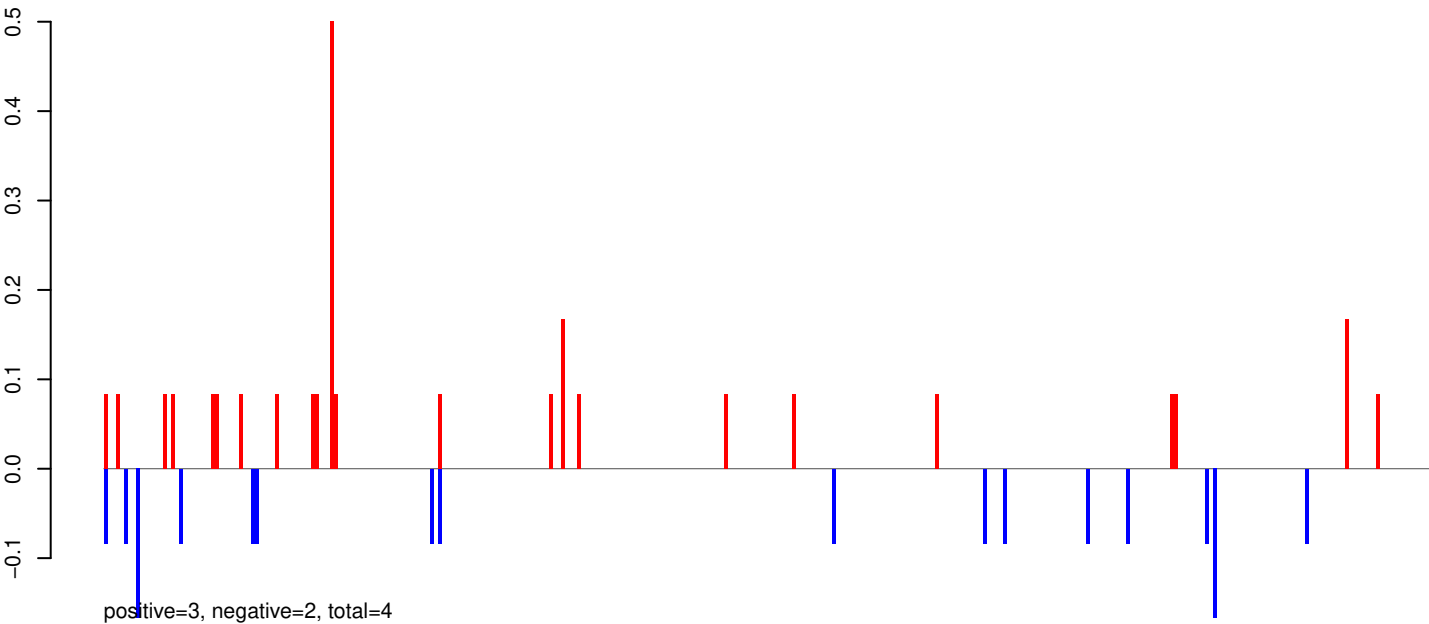
AeAeg_Aag2_Ago2_SINV_RA.24_35.rep



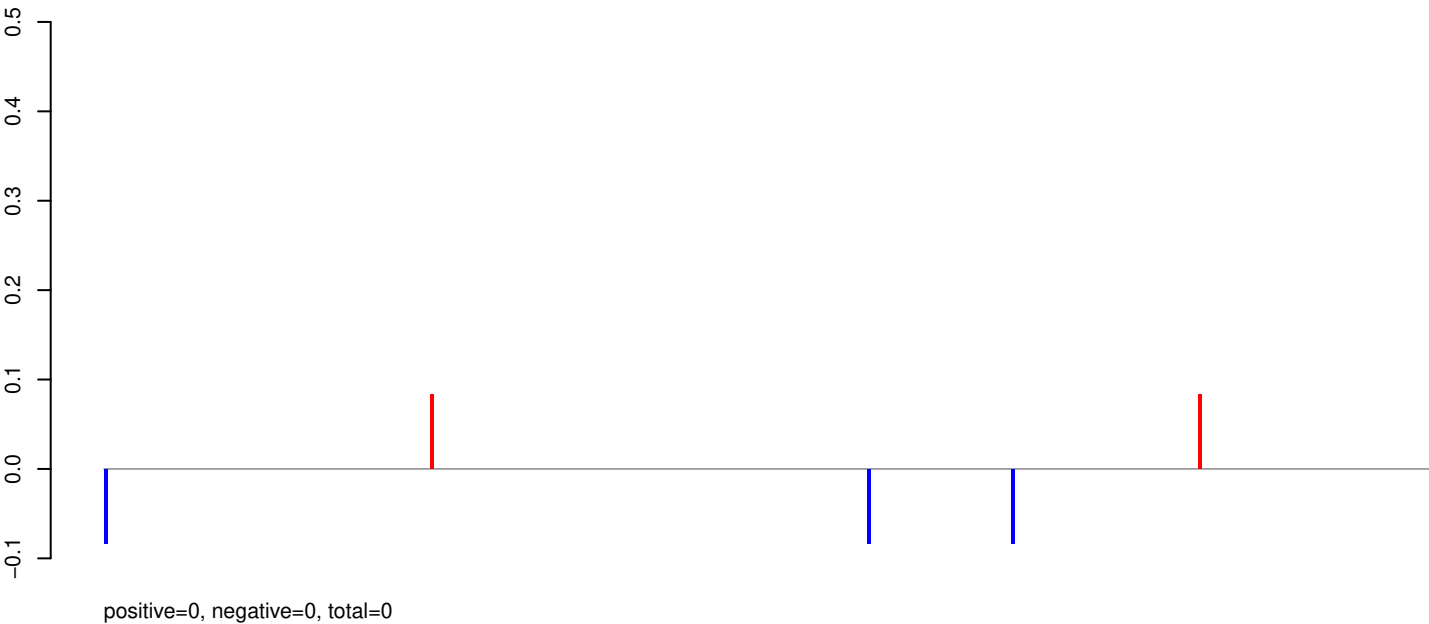
AeAeg_Aag2_Ago2_SINV_RA.rep



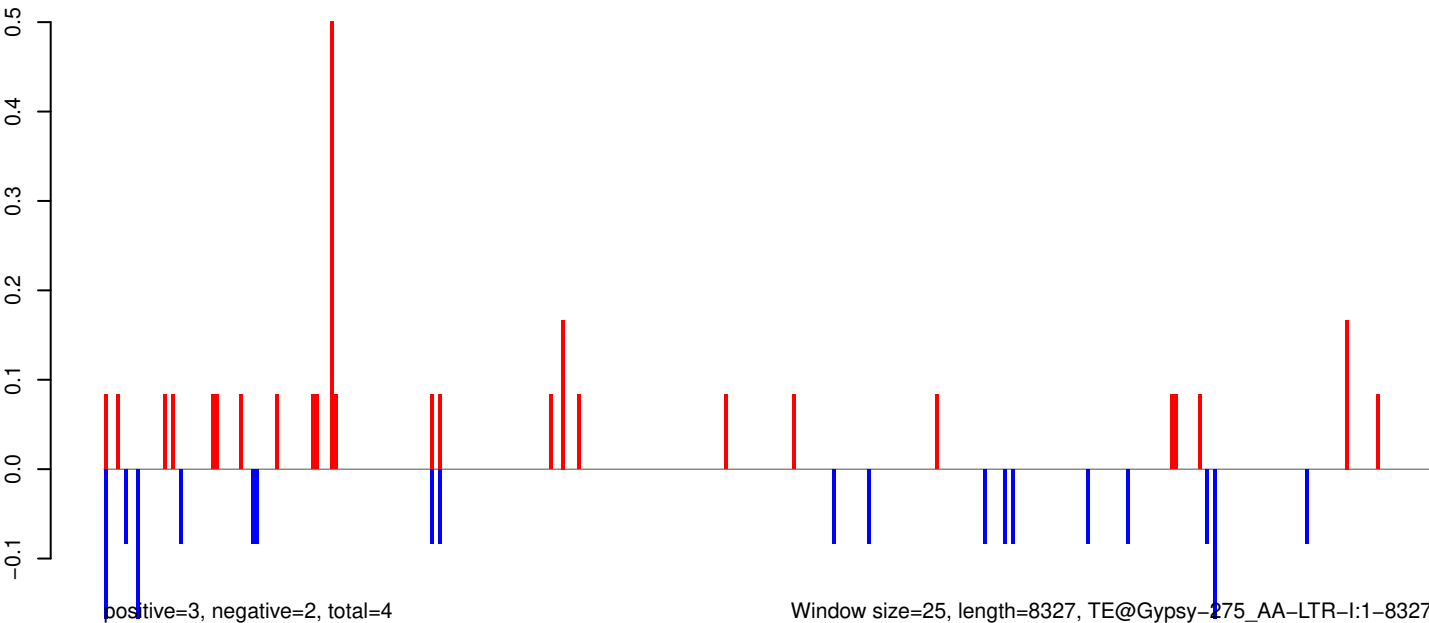
AeAeg_Aag2_Ago2_SINV_RA.18_23.rep



AeAeg_Aag2_Ago2_SINV_RA.24_35.rep

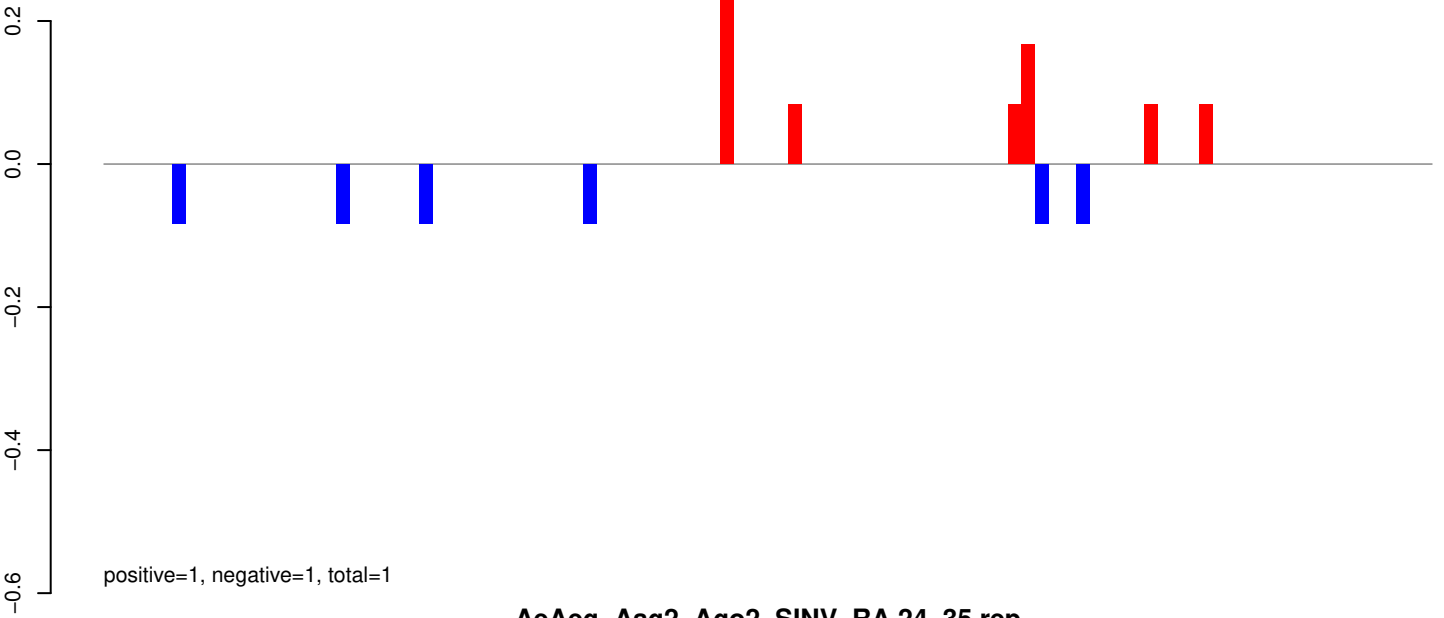


AeAeg_Aag2_Ago2_SINV_RA.rep

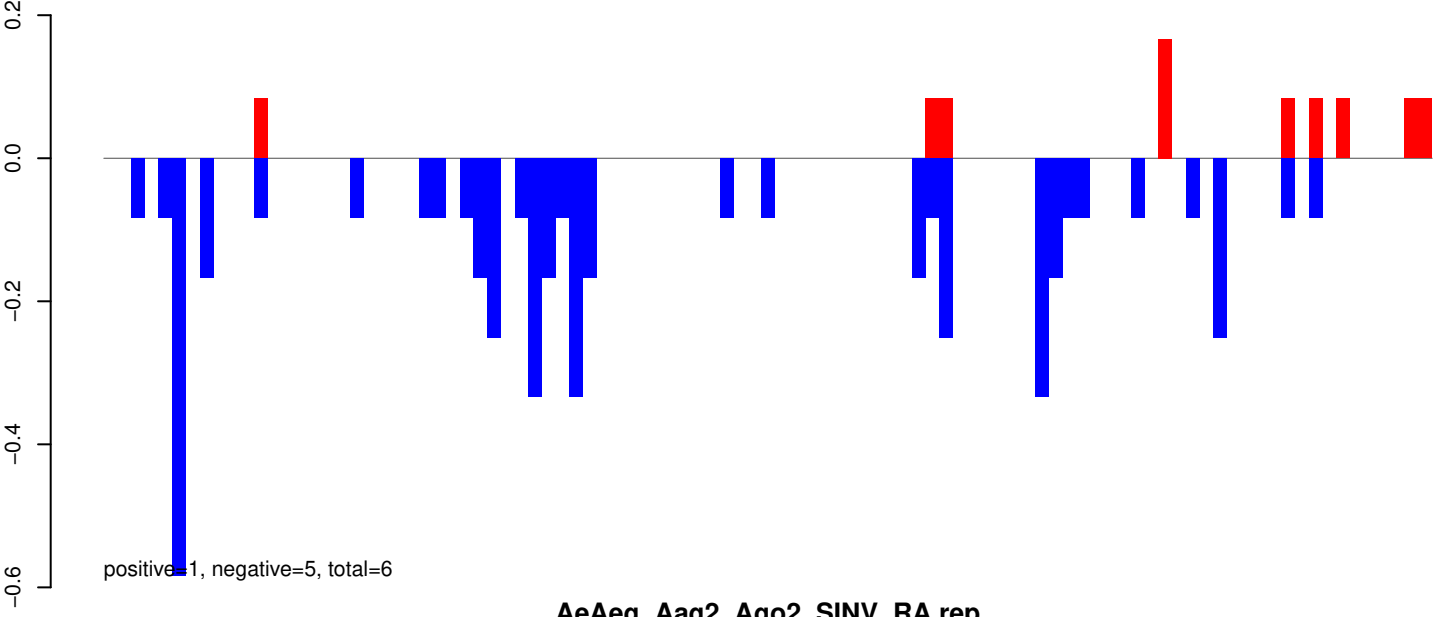


Window size=25, length=8327, TE@Gypsy-275_AA-LTR-I:1-8327

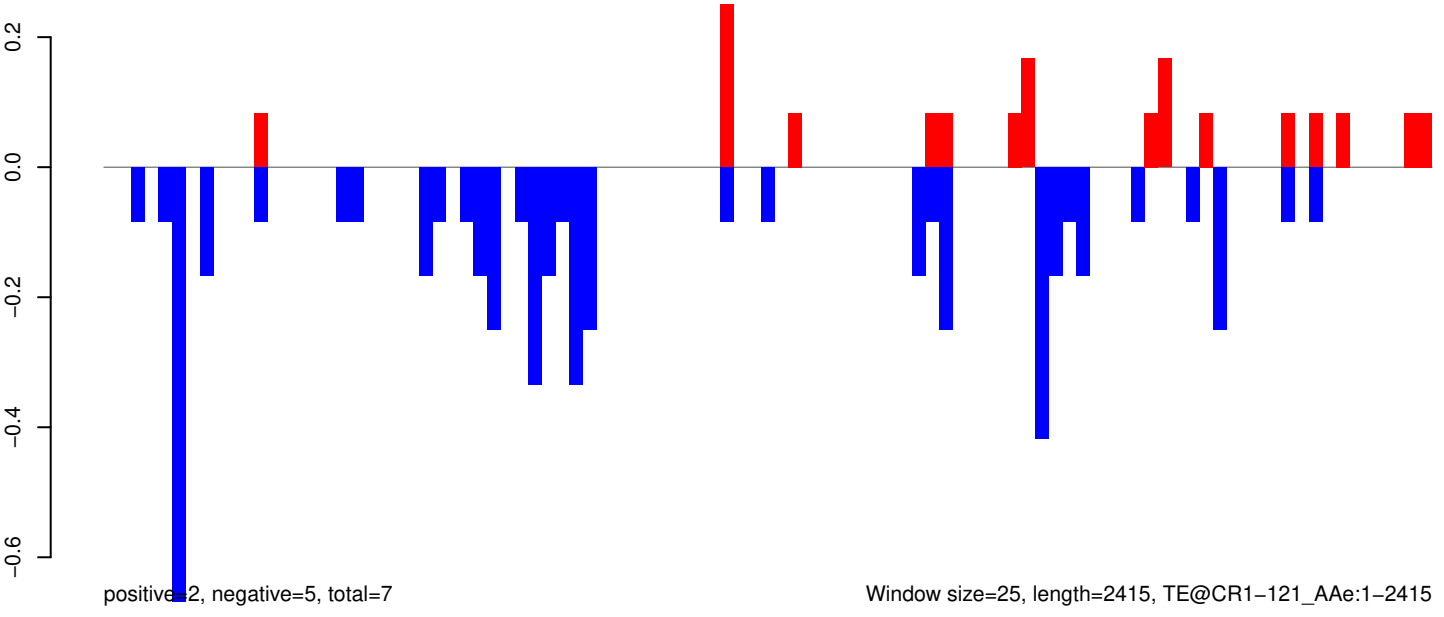
AeAeg_Aag2_Ago2_SINV_RA.18_23.rep



AeAeg_Aag2_Ago2_SINV_RA.24_35.rep



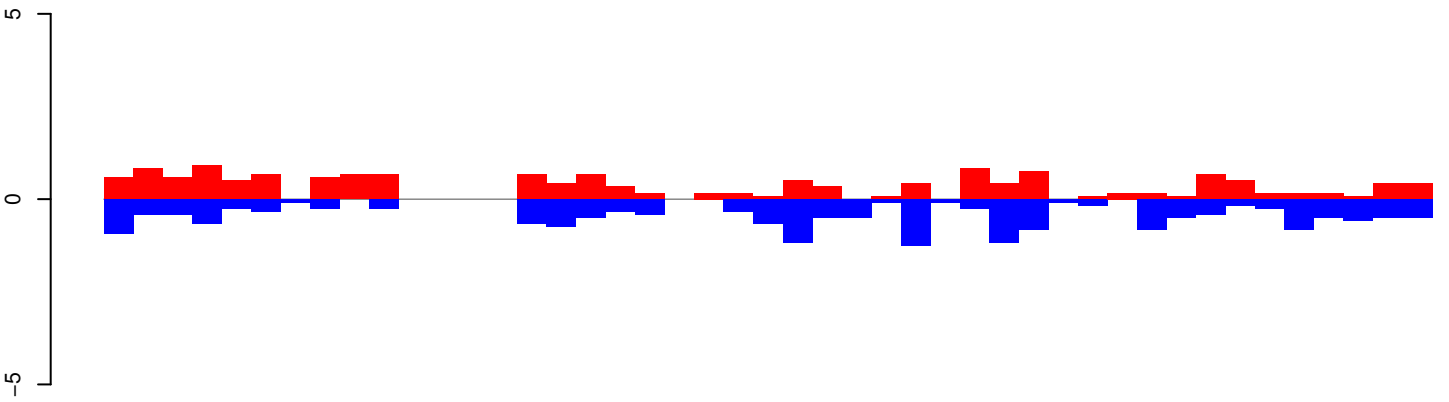
AeAeg_Aag2_Ago2_SINV_RA.rep



Window size=25, length=2415, TE@CR1-121_A Ae:1-2415

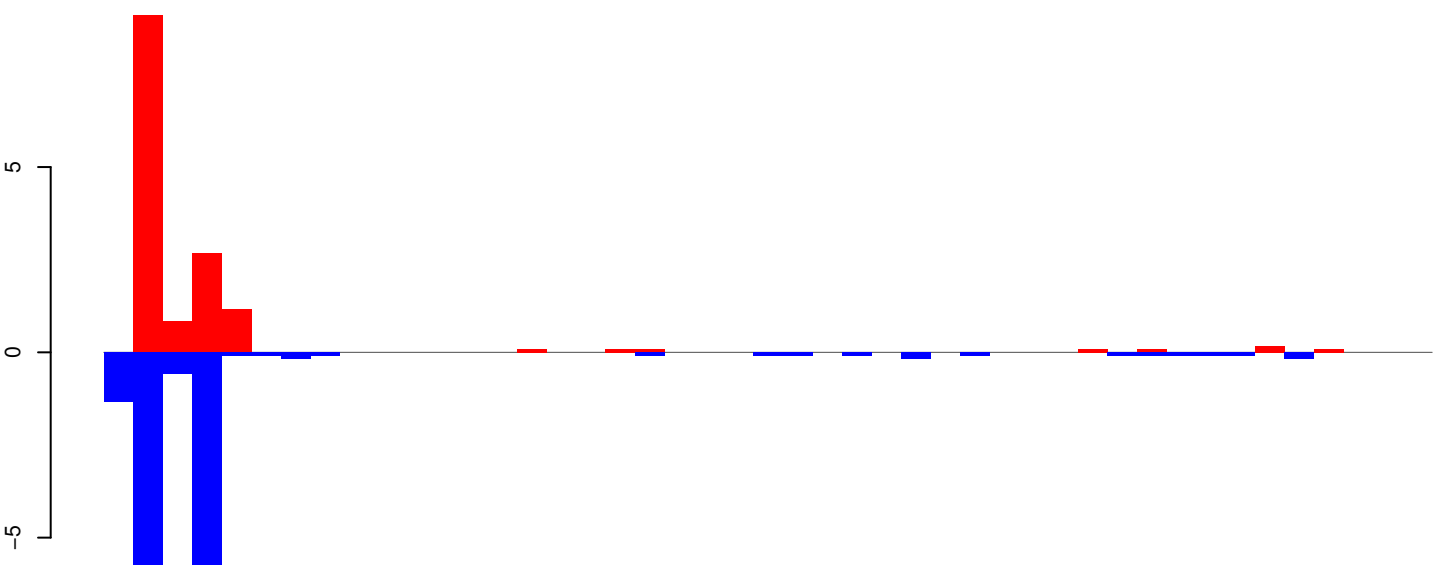
0 500 1000 1500 2000 2500

AeAeg_Aag2_Ago2_SINV_RA.18_23.rep



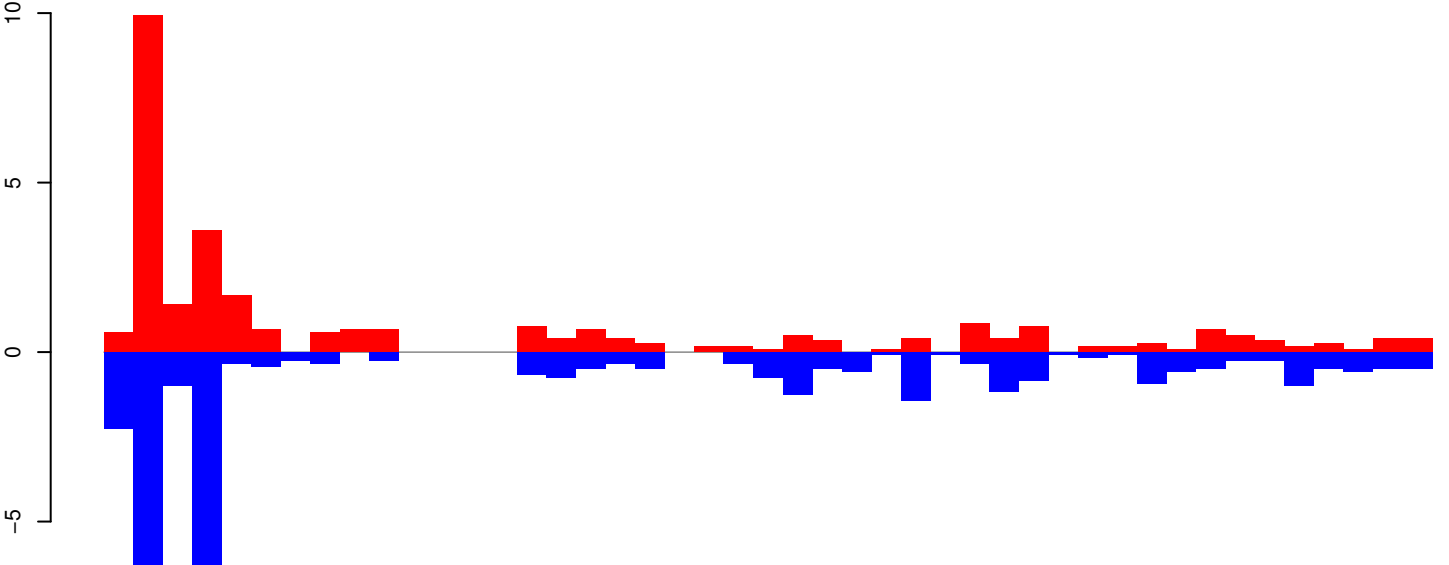
positive=15, negative=18, total=34

AeAeg_Aag2_Ago2_SINV_RA.24_35.rep



positive=14, negative=18, total=32

AeAeg_Aag2_Ago2_SINV_RA.rep

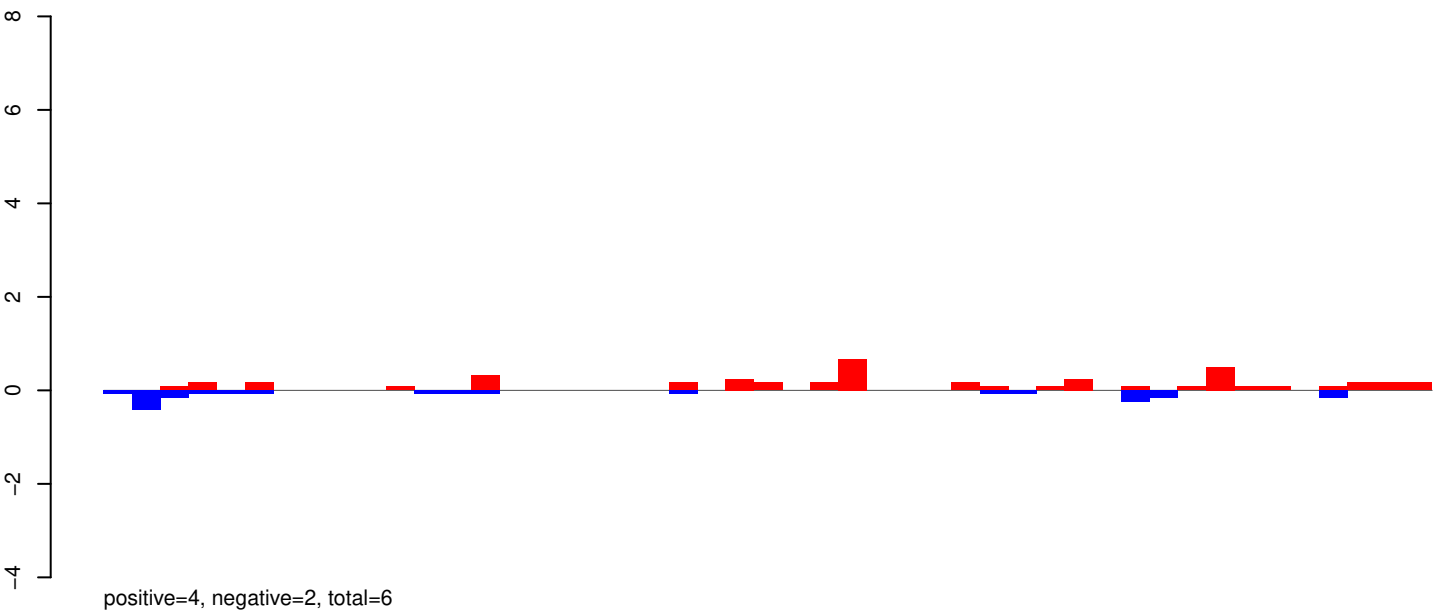


positive=30, negative=36, total=66

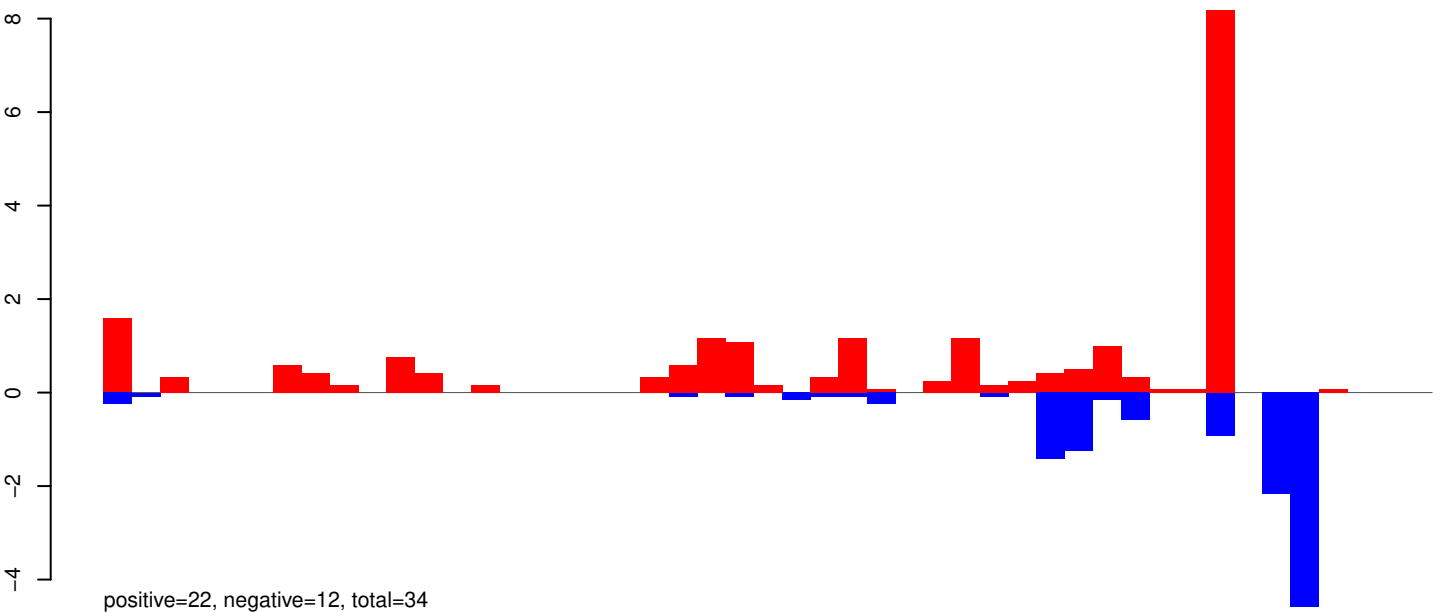
Window size=25, length=1115, TE@aedes_aegypti_404_6-Unknown:1-1115

0 200 400 600 800 1000

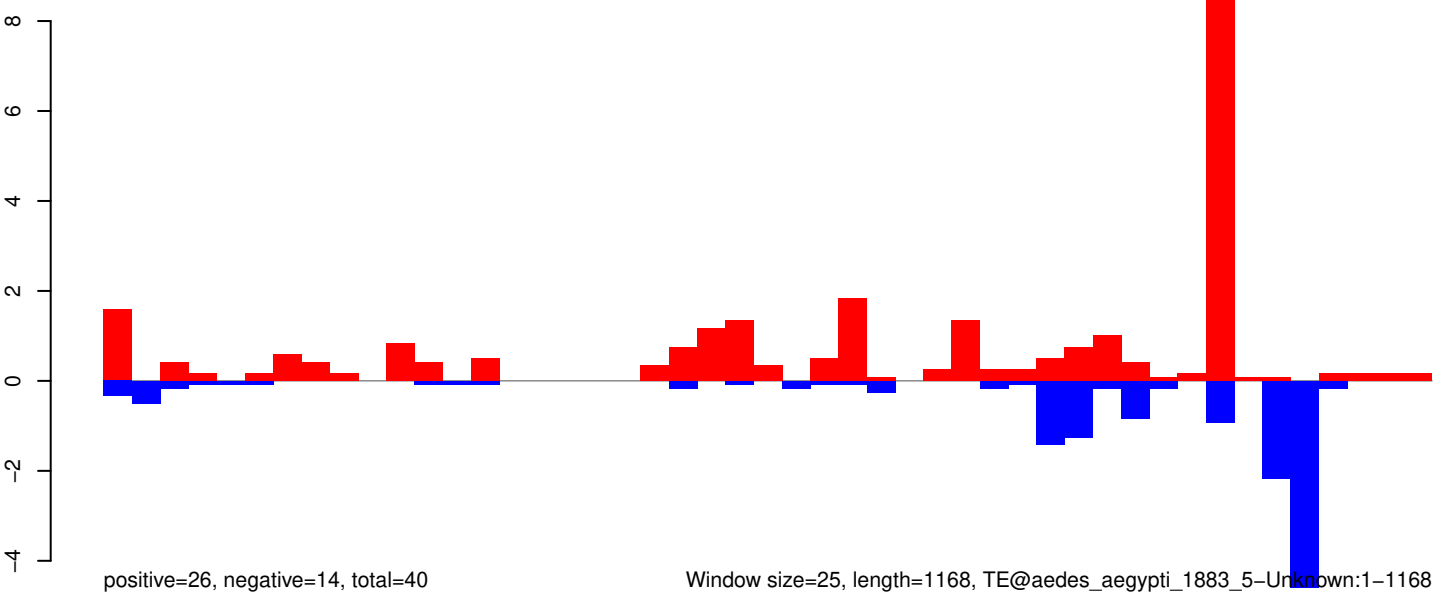
AeAeg_Aag2_Ago2_SINV_RA.18_23.rep



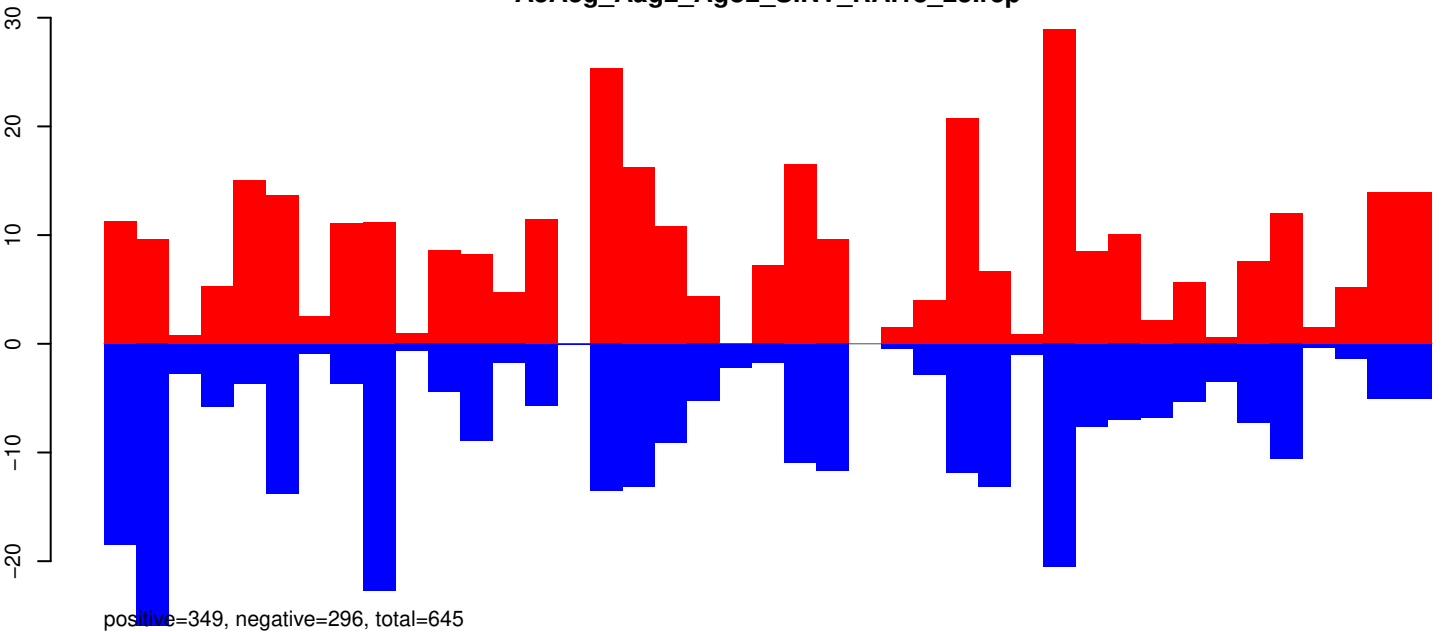
AeAeg_Aag2_Ago2_SINV_RA.24_35.rep



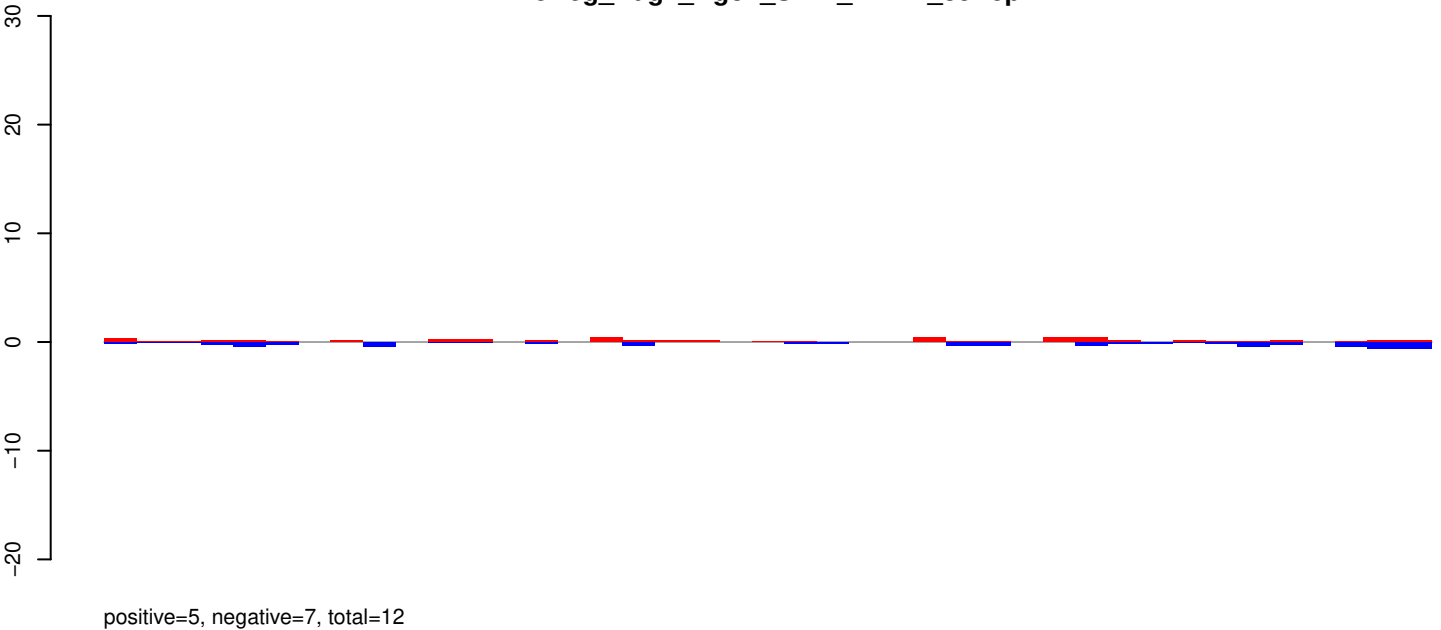
AeAeg_Aag2_Ago2_SINV_RA.rep



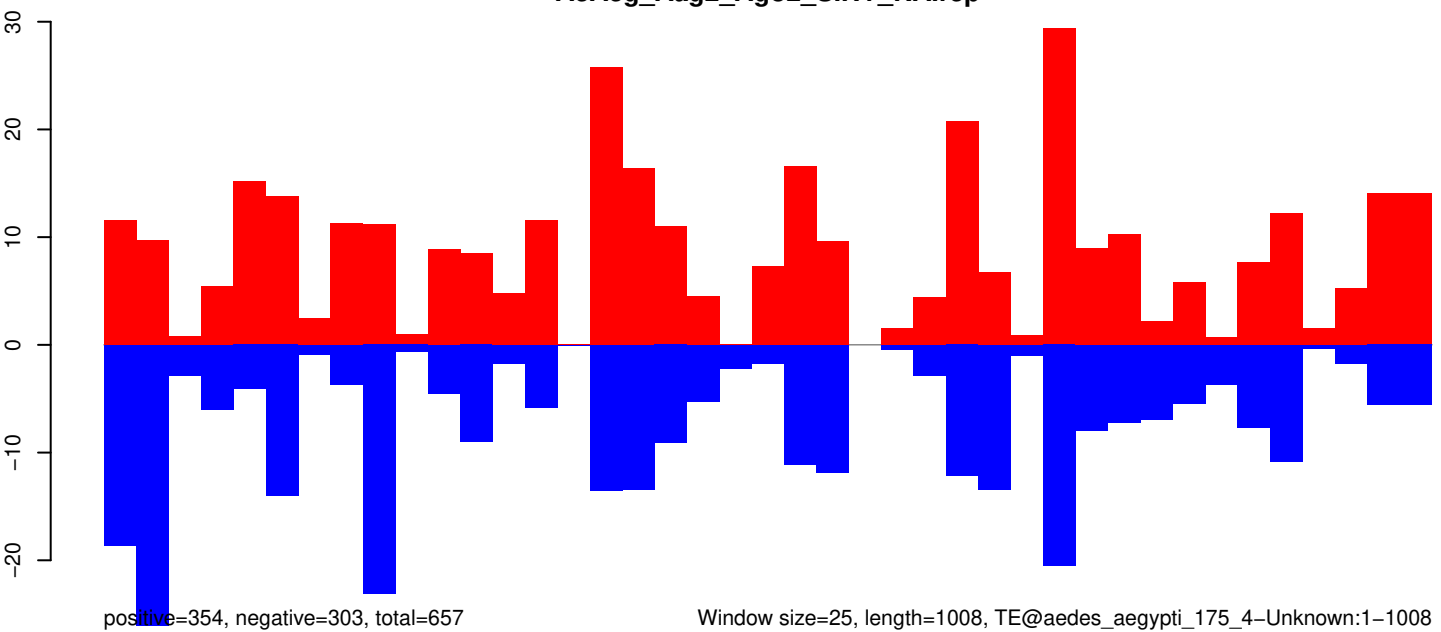
AeAeg_Aag2_Ago2_SINV_RA.18_23.rep



AeAeg_Aag2_Ago2_SINV_RA.24_35.rep

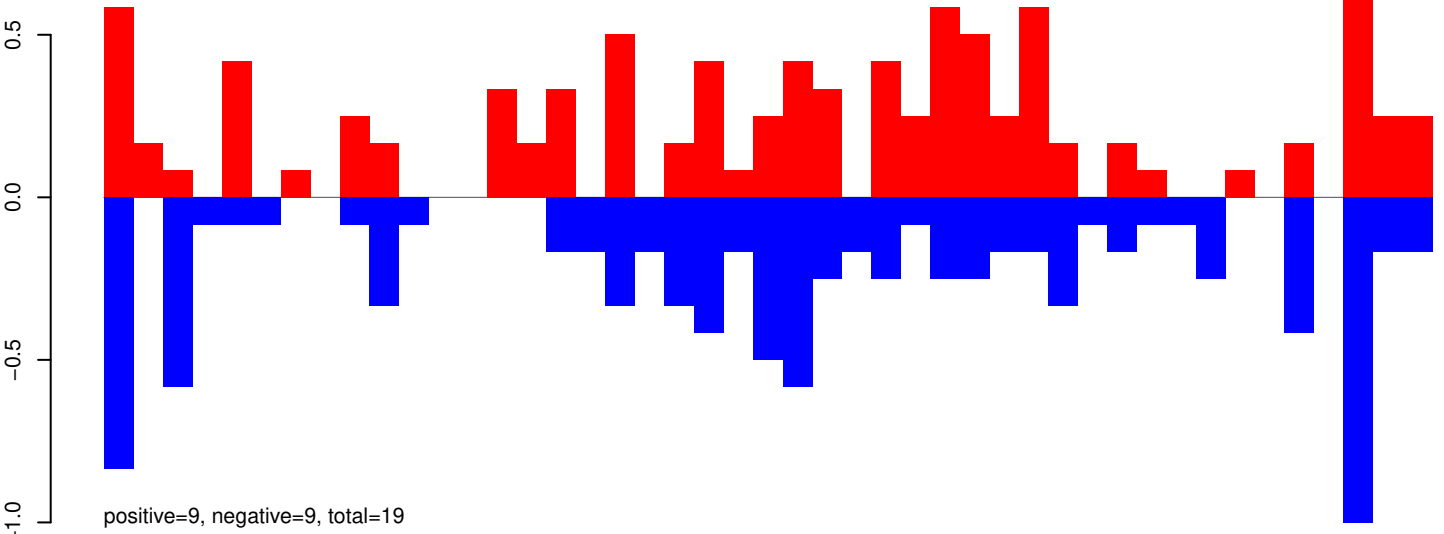


AeAeg_Aag2_Ago2_SINV_RA.rep

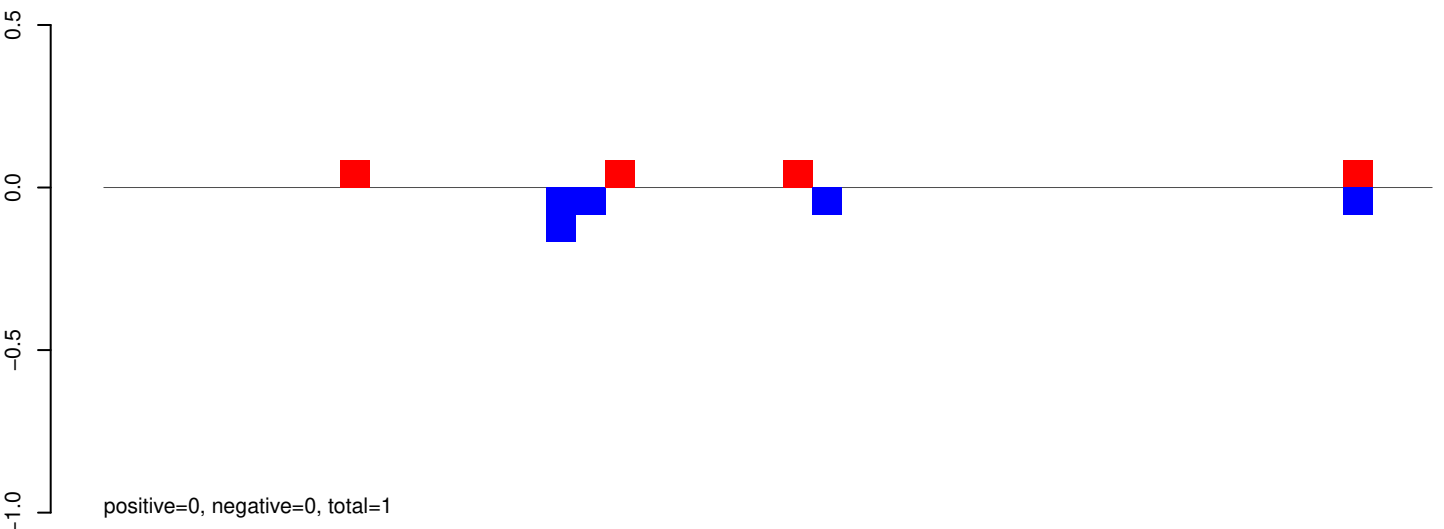


Window size=25, length=1008, TE@aedes_aegypti_175_4-Unknown:1-1008

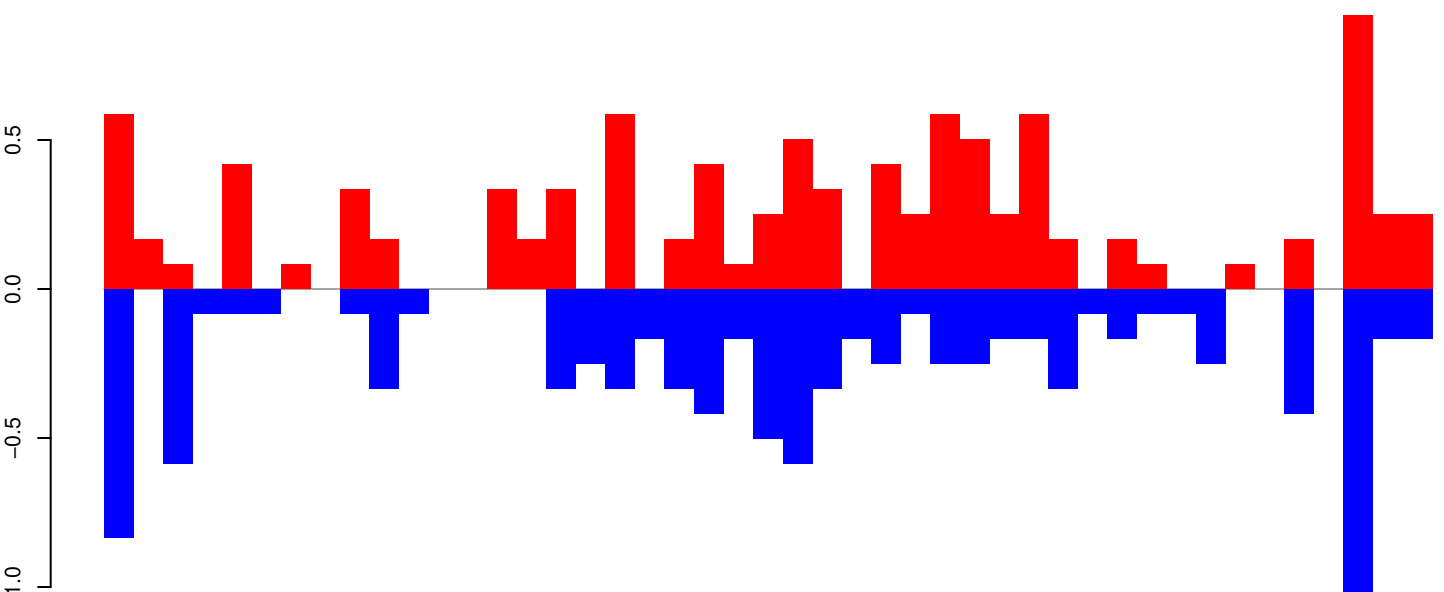
AeAeg_Aag2_Ago2_SINV_RA.18_23.rep



AeAeg_Aag2_Ago2_SINV_RA.24_35.rep

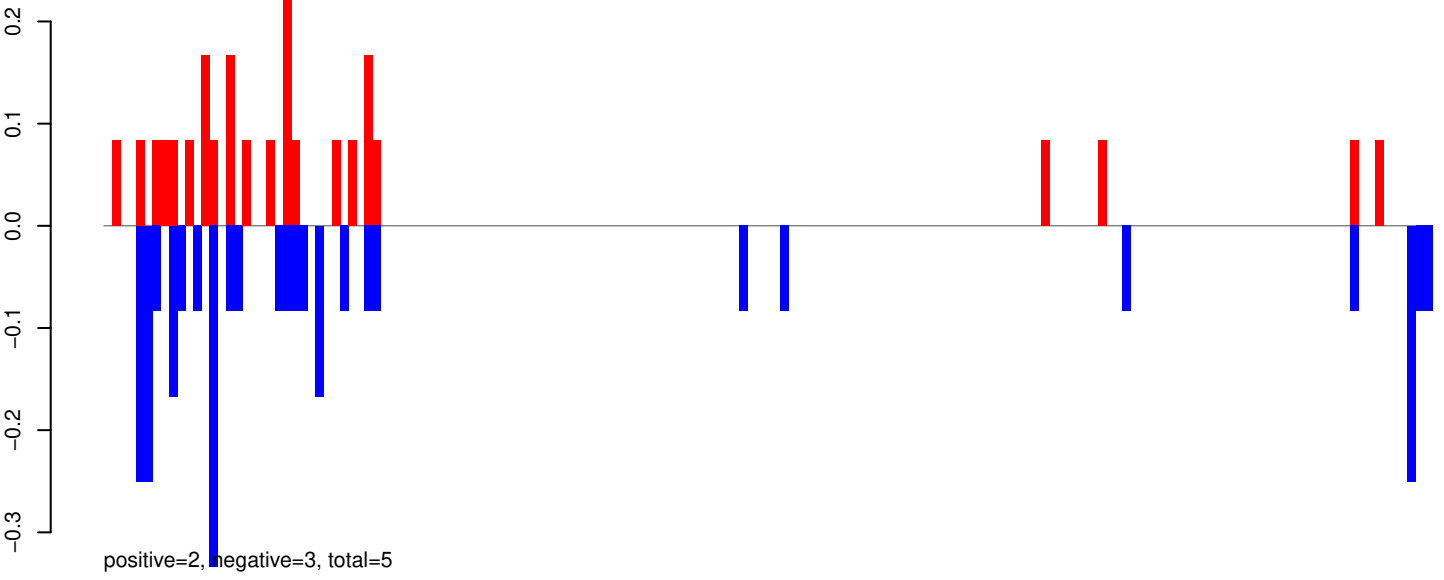


AeAeg_Aag2_Ago2_SINV_RA.rep

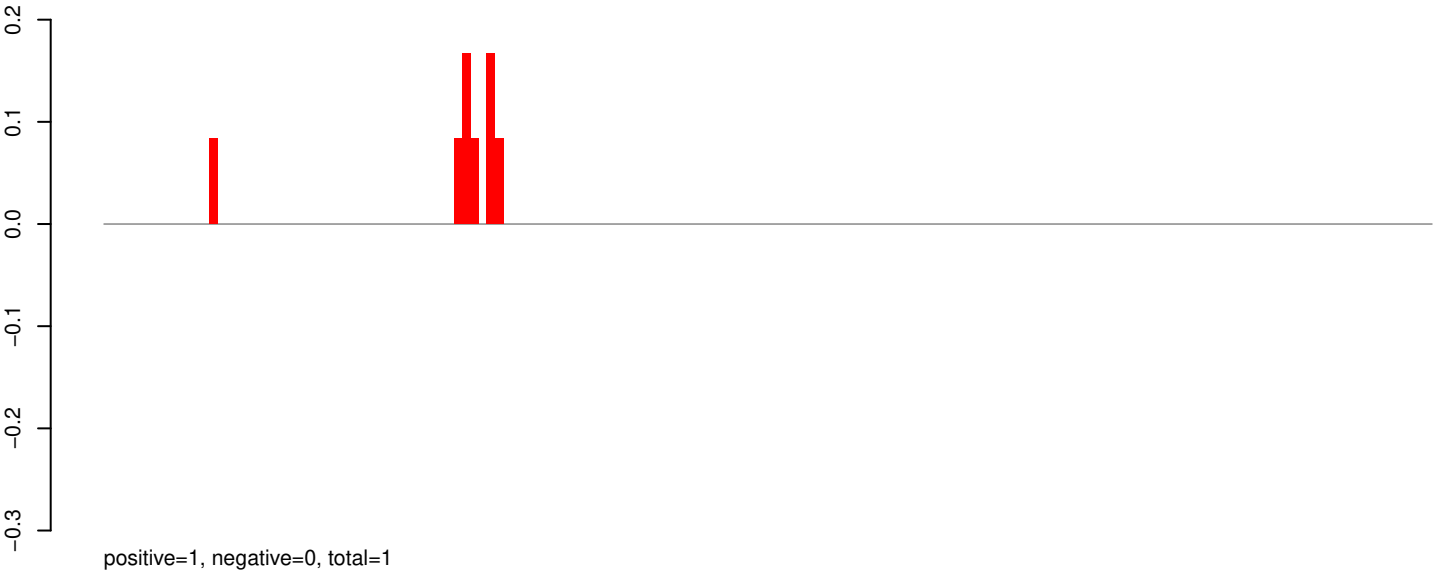


Window size=25, length=1102, TE@TF001260-m4bp_Ele17a:1-1102

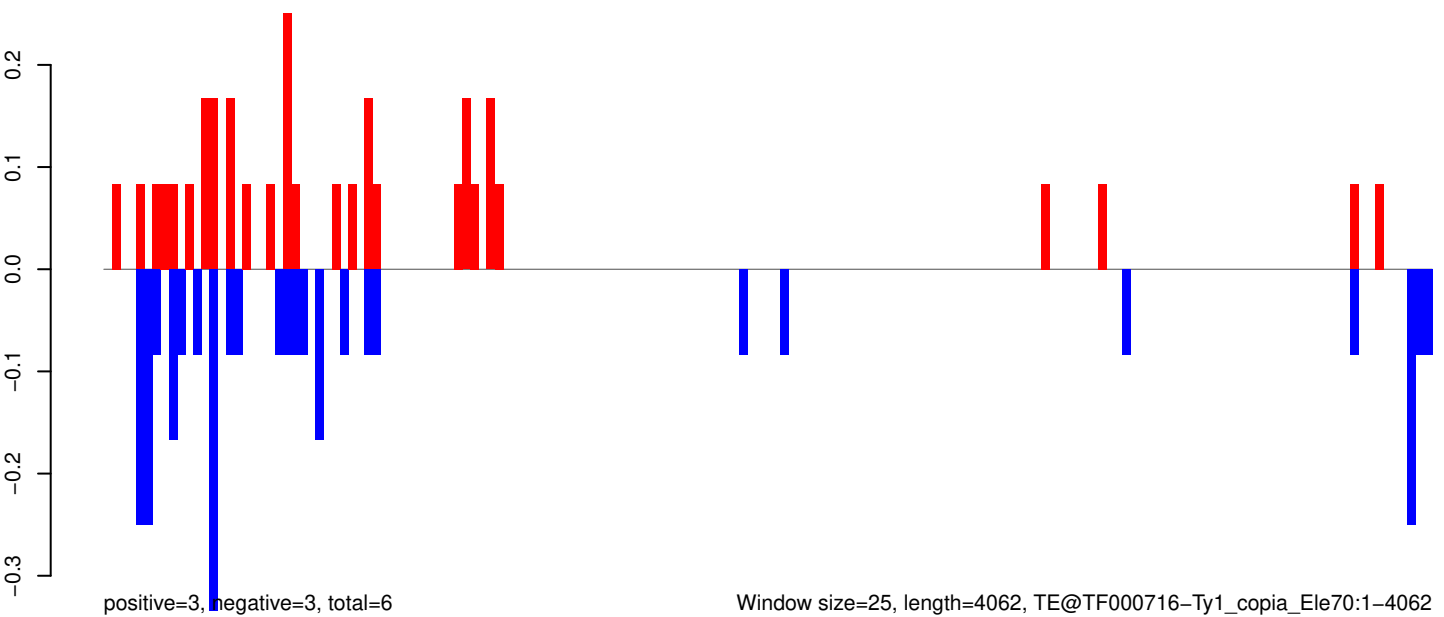
AeAeg_Aag2_Ago2_SINV_RA.18_23.rep



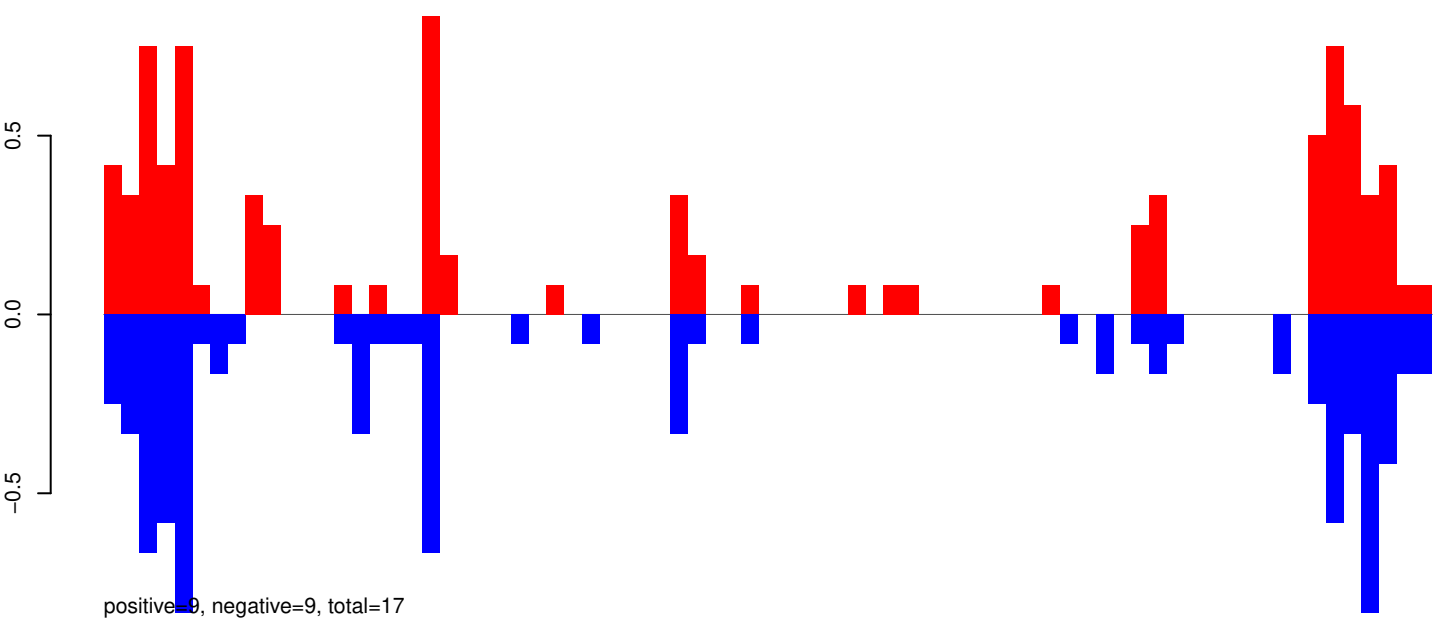
AeAeg_Aag2_Ago2_SINV_RA.24_35.rep



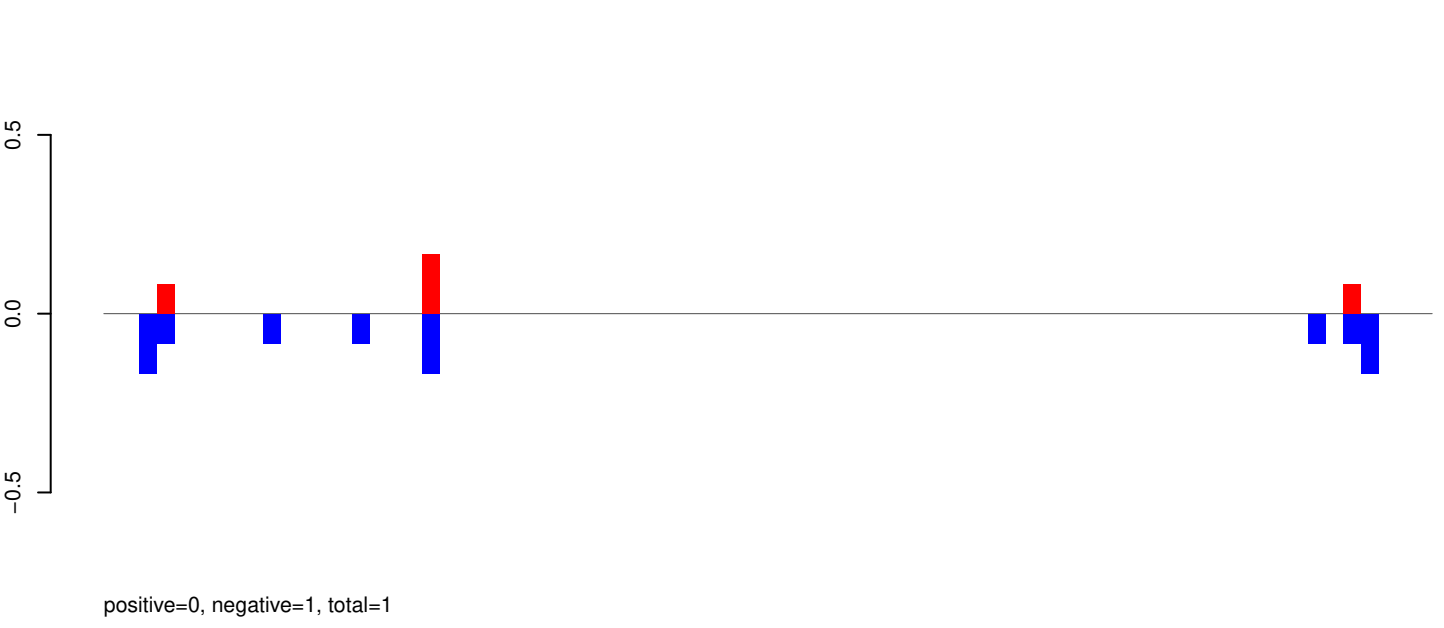
AeAeg_Aag2_Ago2_SINV_RA.rep



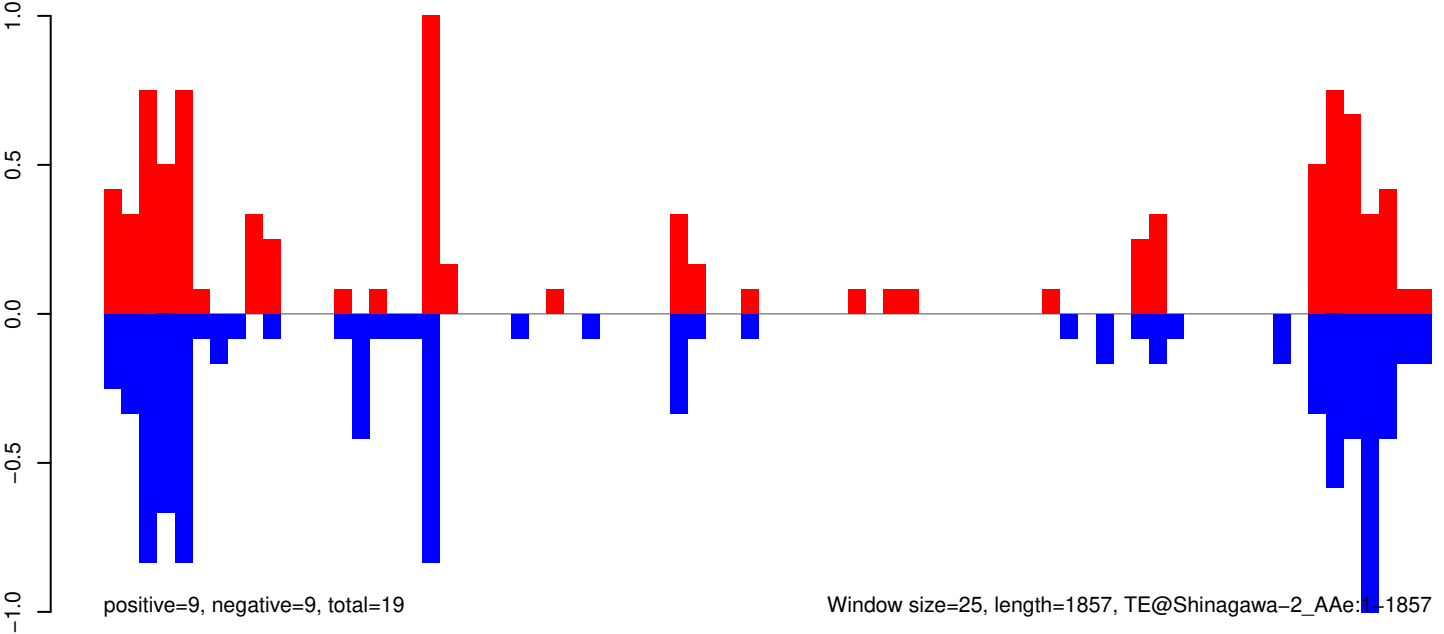
AeAeg_Aag2_Ago2_SINV_RA.18_23.rep



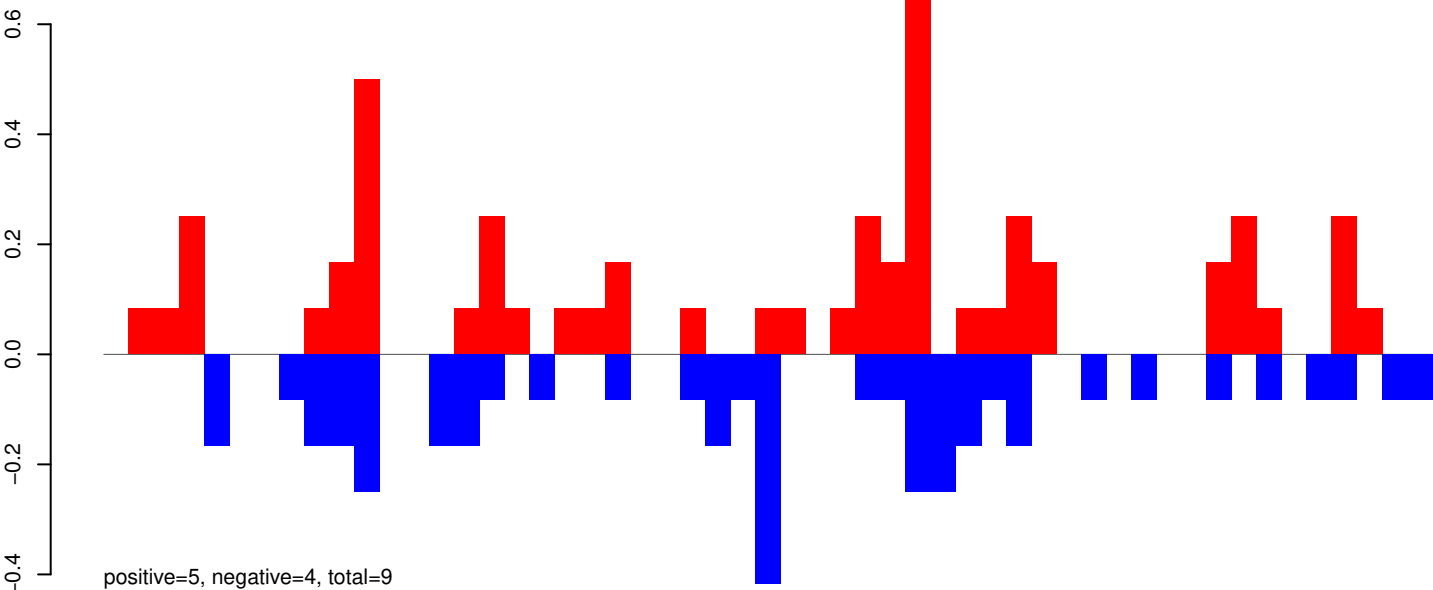
AeAeg_Aag2_Ago2_SINV_RA.24_35.rep



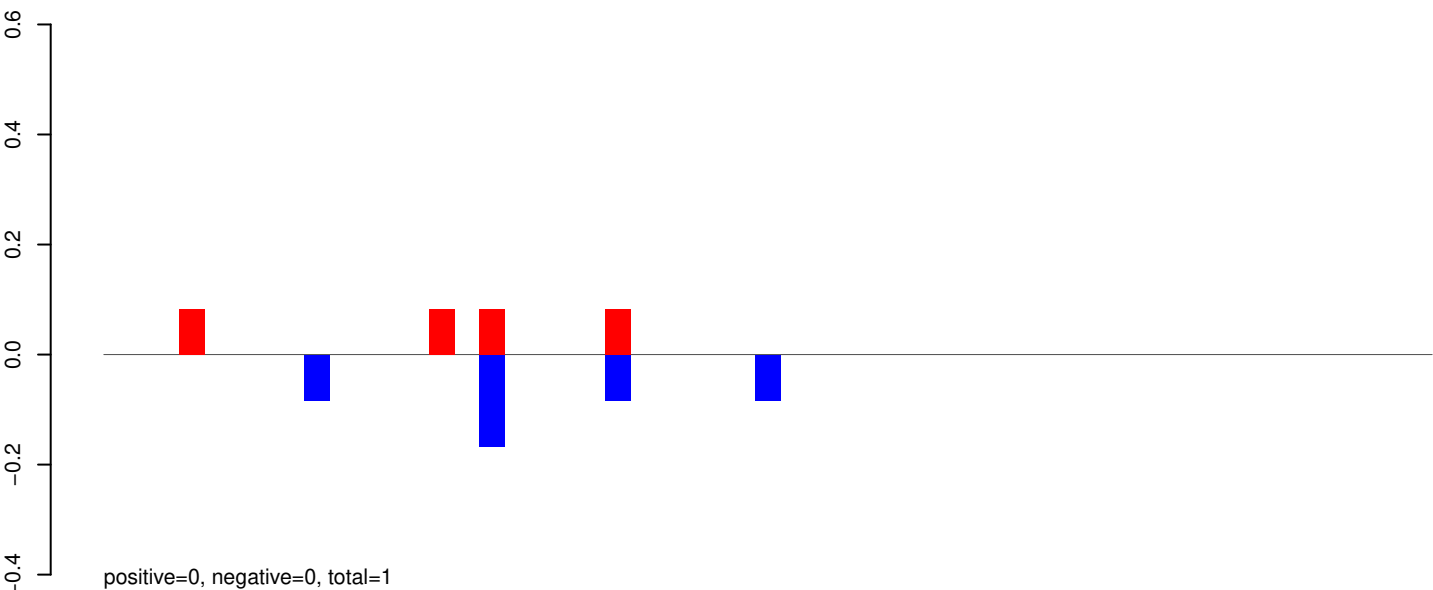
AeAeg_Aag2_Ago2_SINV_RA.rep



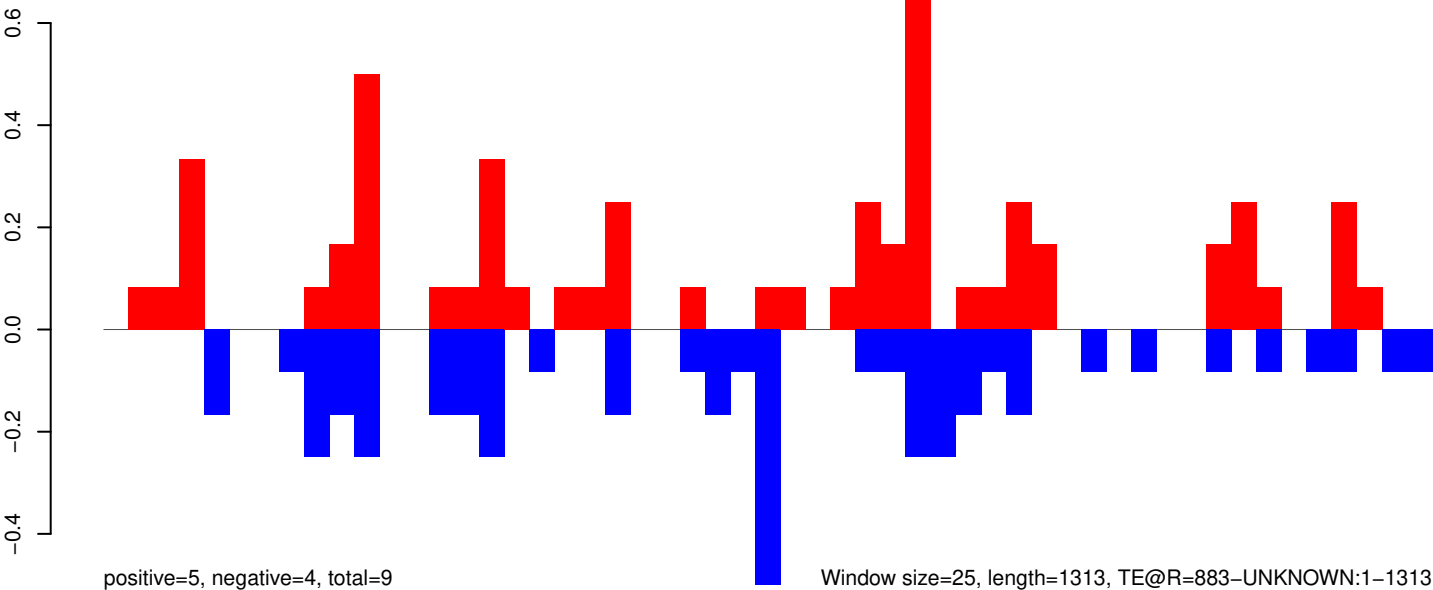
AeAeg_Aag2_Ago2_SINV_RA.18_23.rep



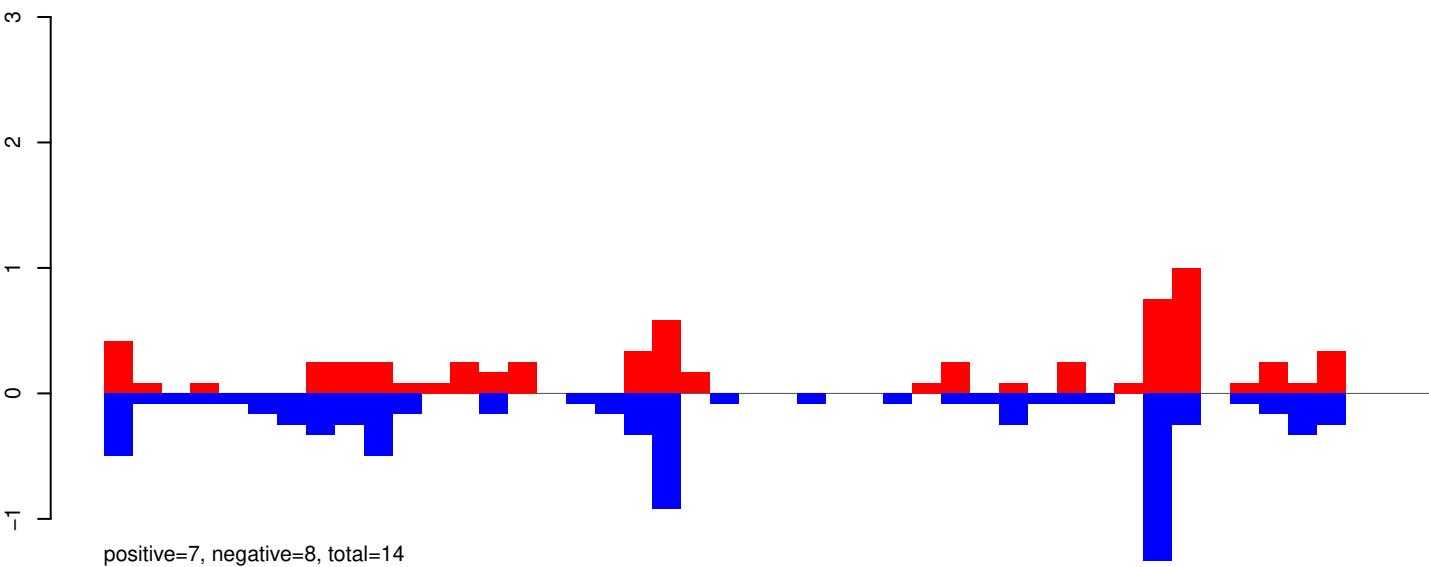
AeAeg_Aag2_Ago2_SINV_RA.24_35.rep



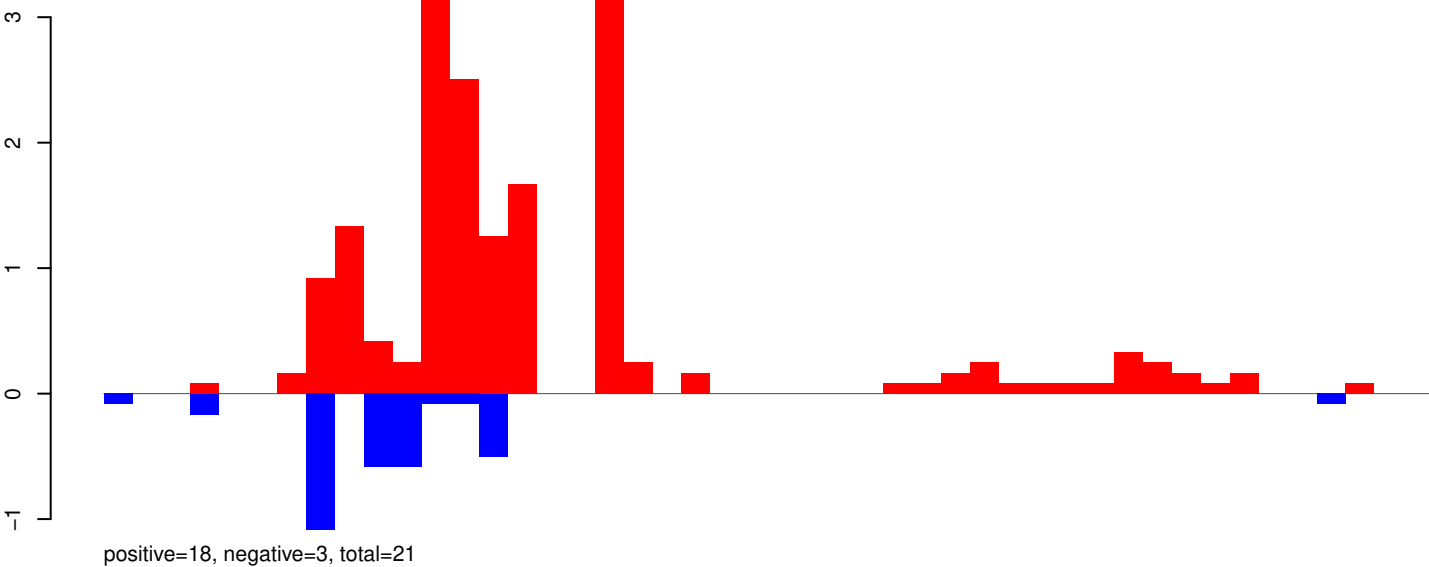
AeAeg_Aag2_Ago2_SINV_RA.rep



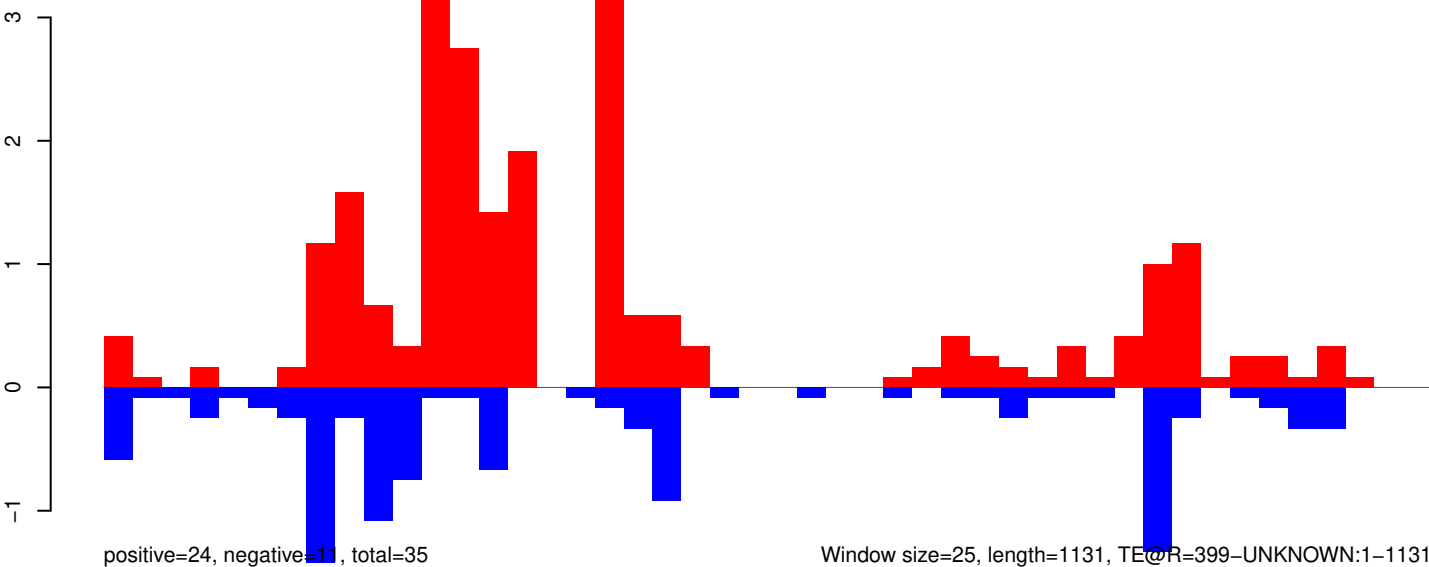
AeAeg_Aag2_Ago2_SINV_RA.18_23.rep



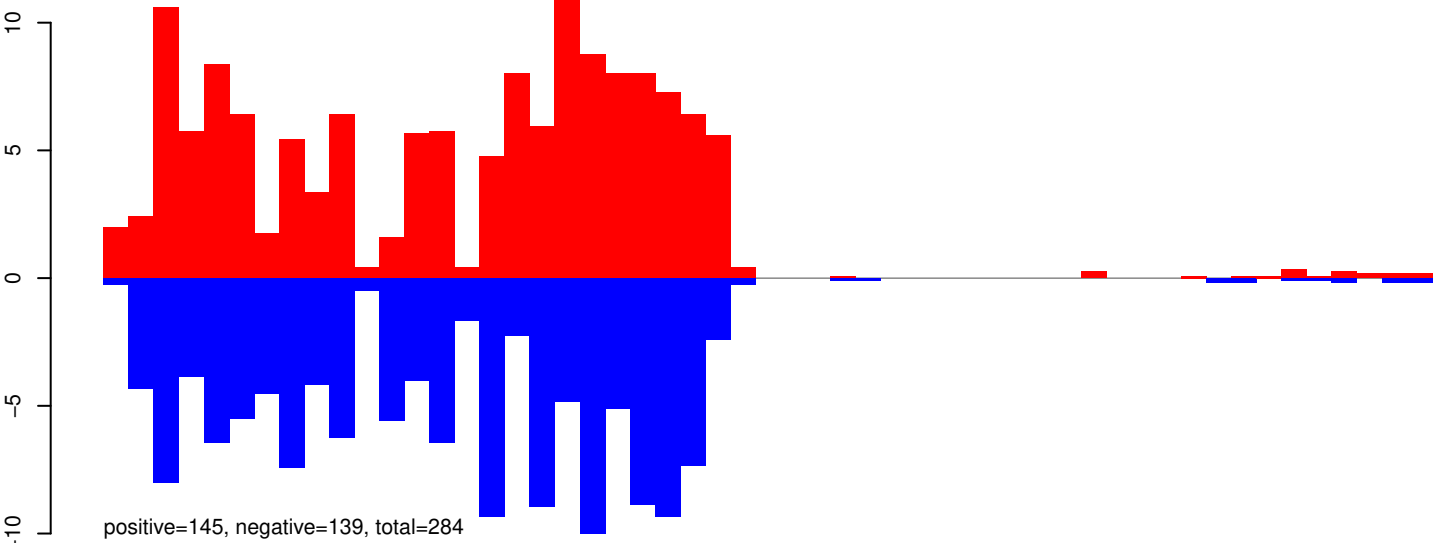
AeAeg_Aag2_Ago2_SINV_RA.24_35.rep



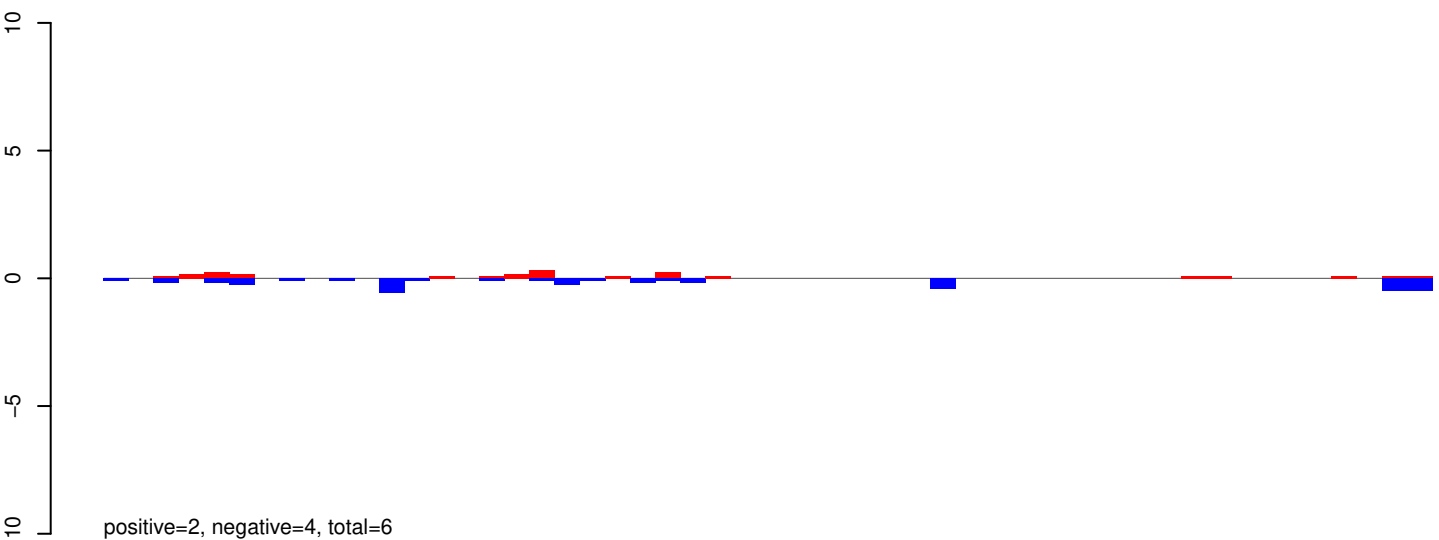
AeAeg_Aag2_Ago2_SINV_RA.rep



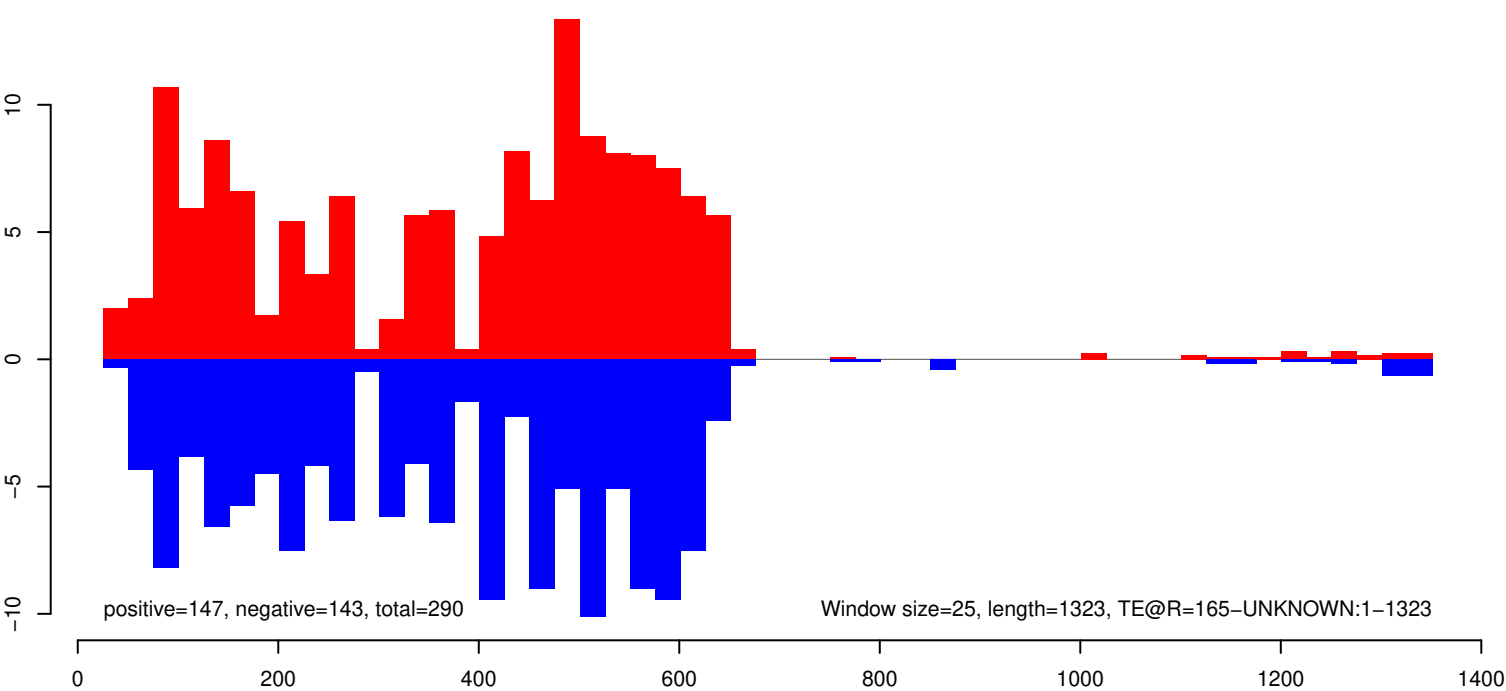
AeAeg_Aag2_Ago2_SINV_RA.18_23.rep



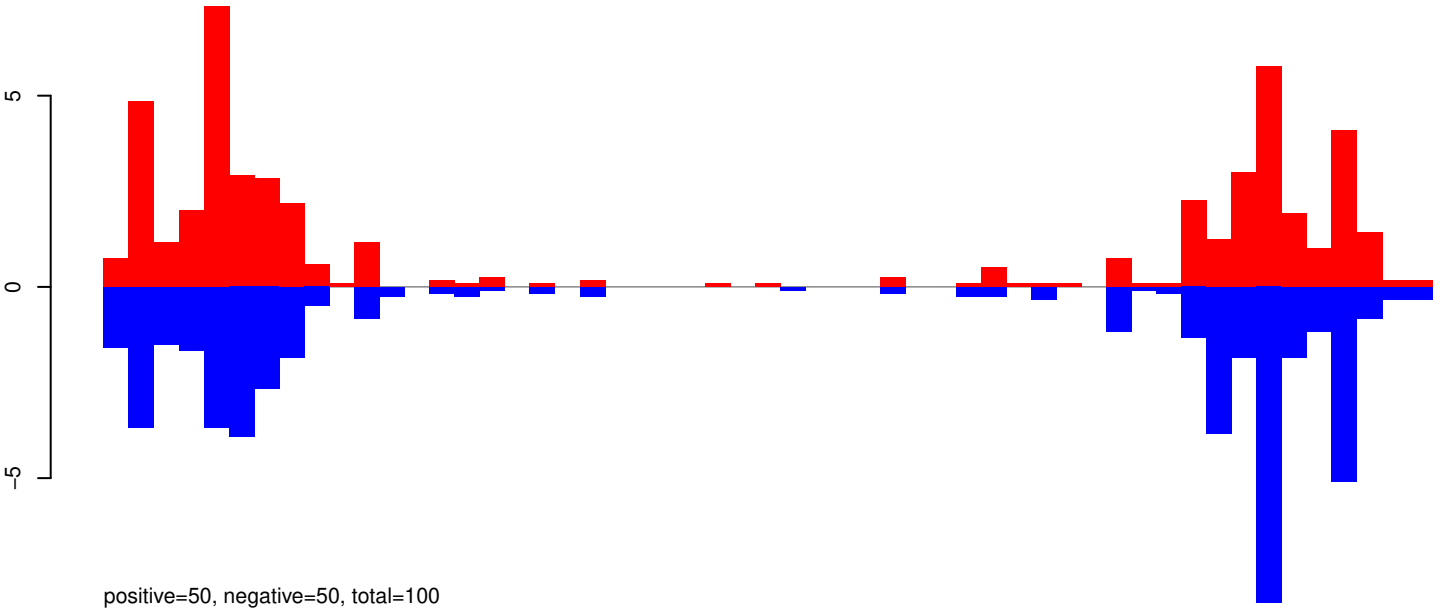
AeAeg_Aag2_Ago2_SINV_RA.24_35.rep



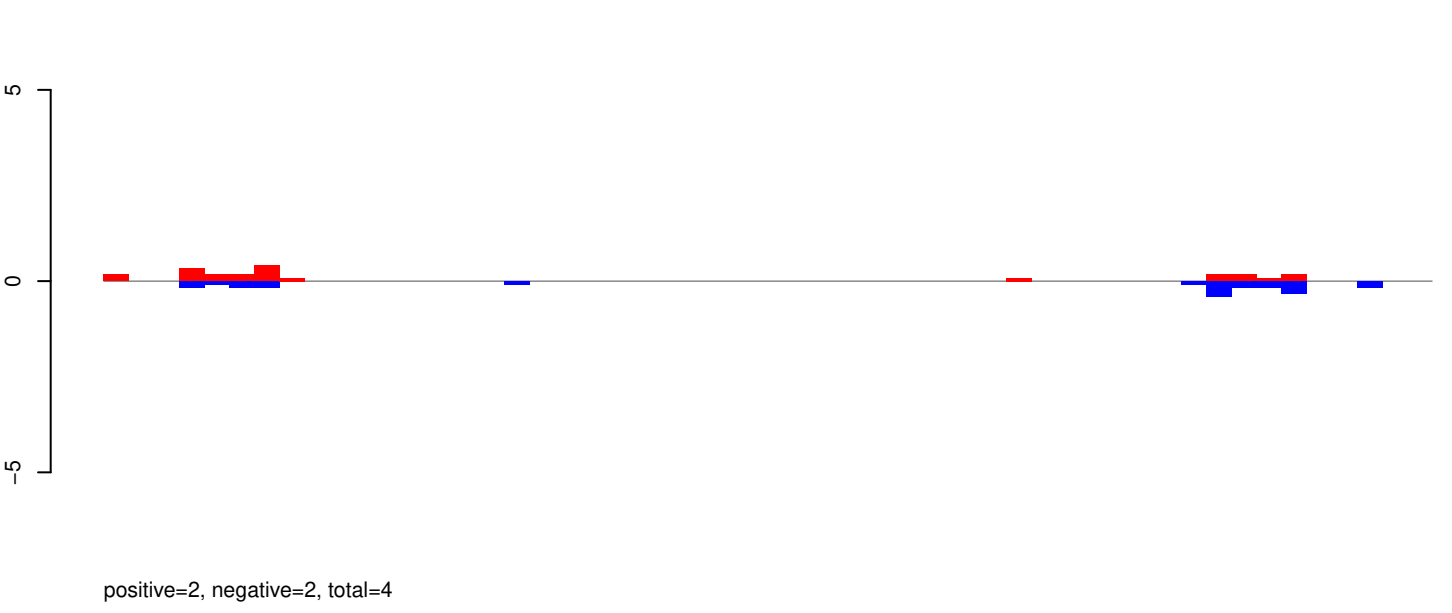
AeAeg_Aag2_Ago2_SINV_RA.rep



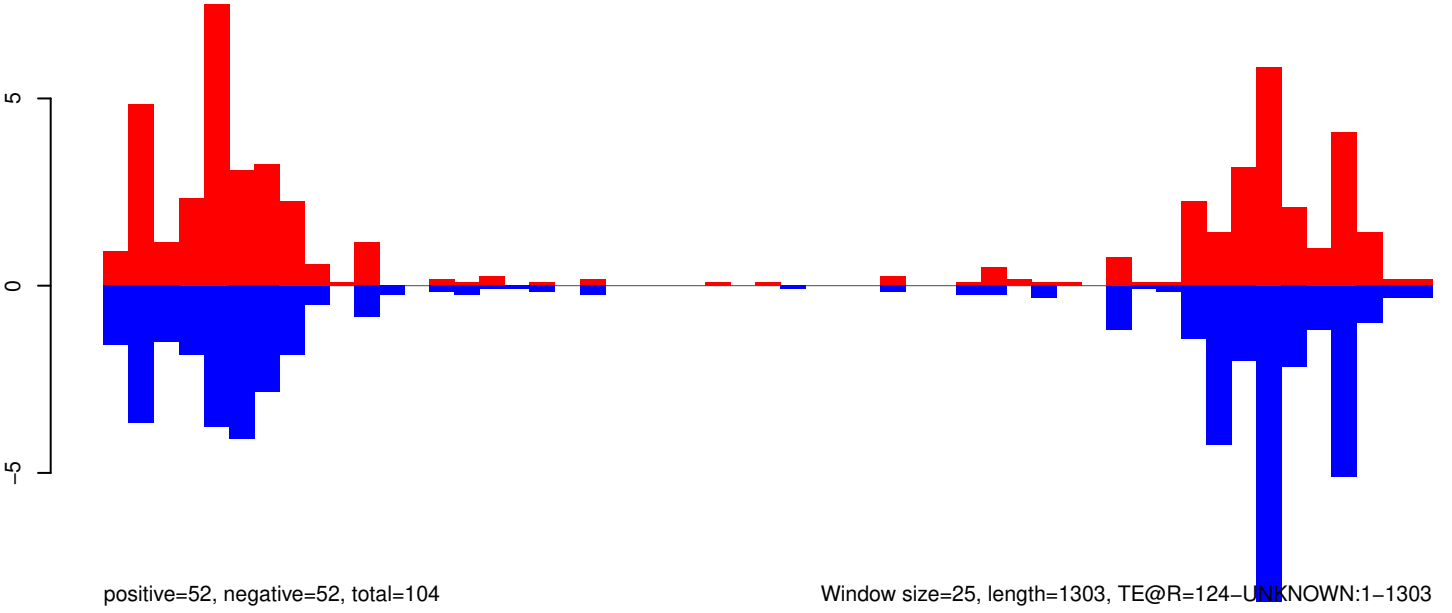
AeAeg_Aag2_Ago2_SINV_RA.18_23.rep



AeAeg_Aag2_Ago2_SINV_RA.24_35.rep



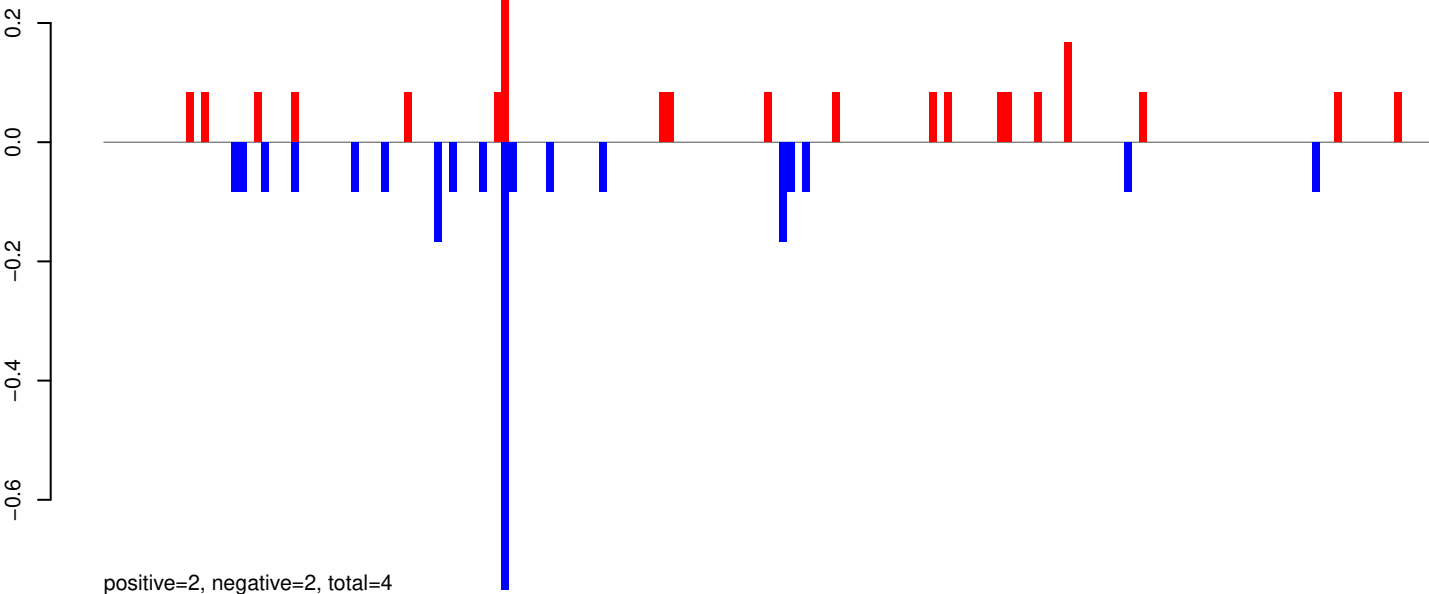
AeAeg_Aag2_Ago2_SINV_RA.rep



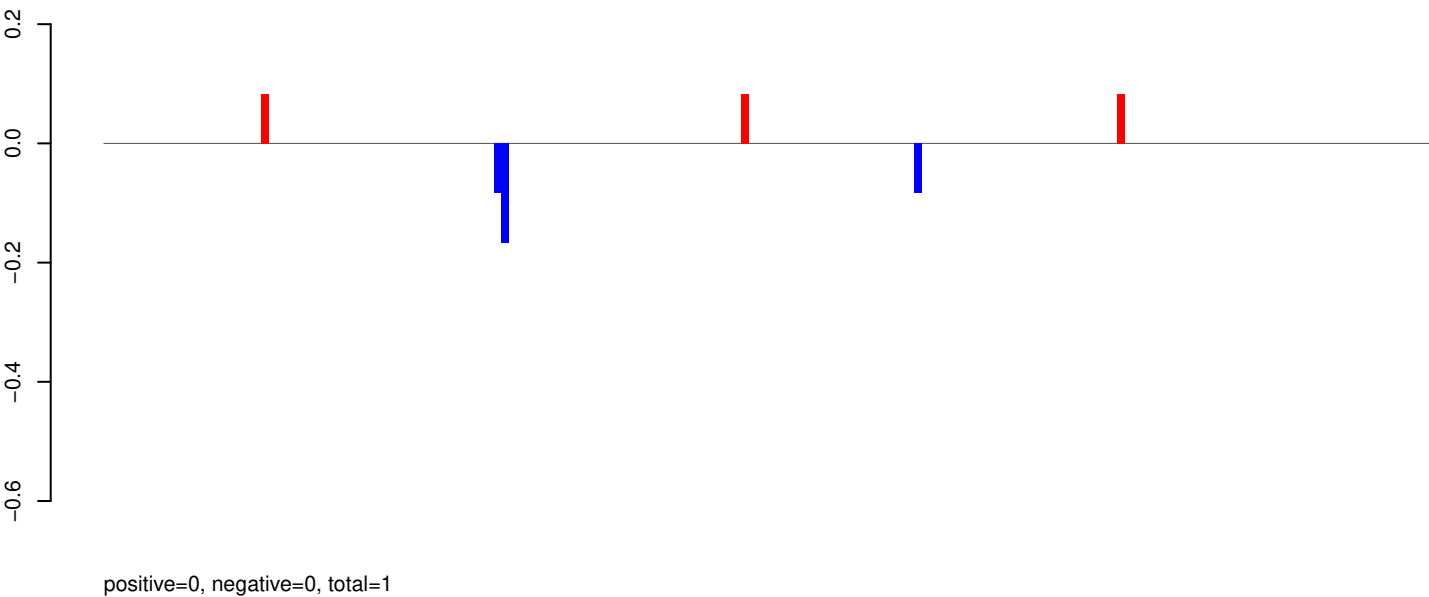
Window size=25, length=1303, TE@R=124-UNKNOWN:1-1303

0 200 400 600 800 1000 1200 1400

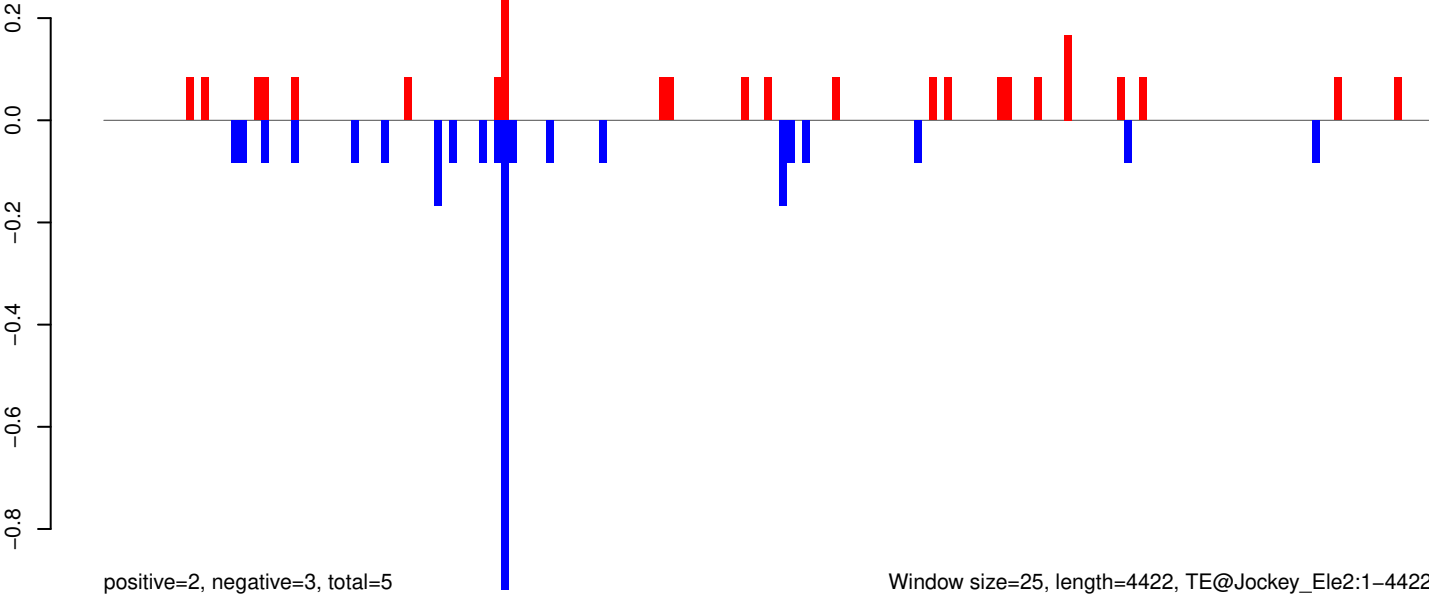
AeAeg_Aag2_Ago2_SINV_RA.18_23.rep



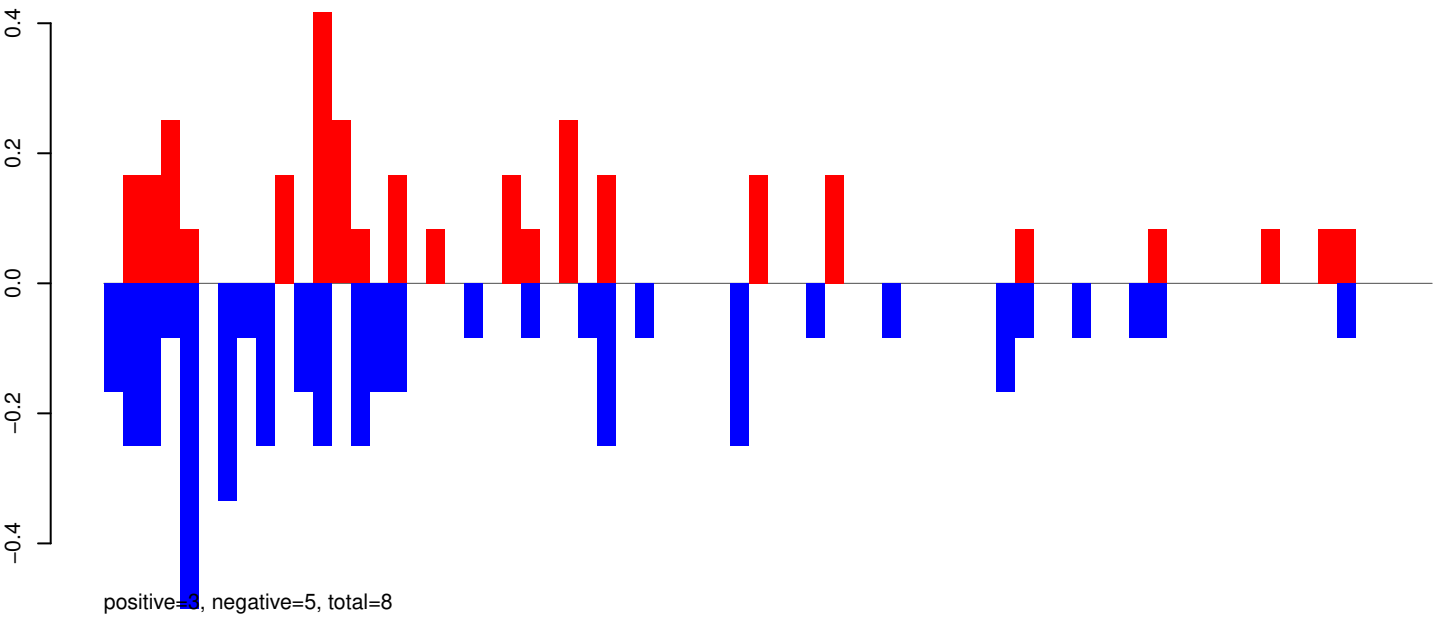
AeAeg_Aag2_Ago2_SINV_RA.24_35.rep



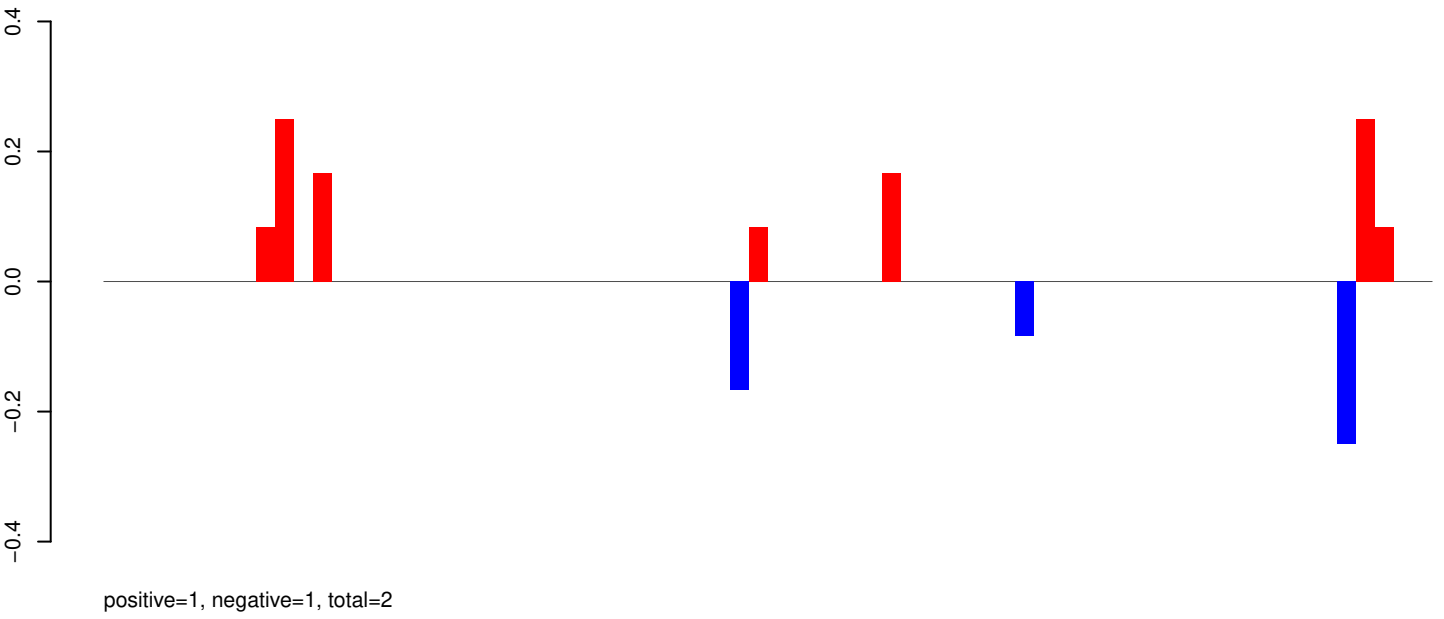
AeAeg_Aag2_Ago2_SINV_RA.rep



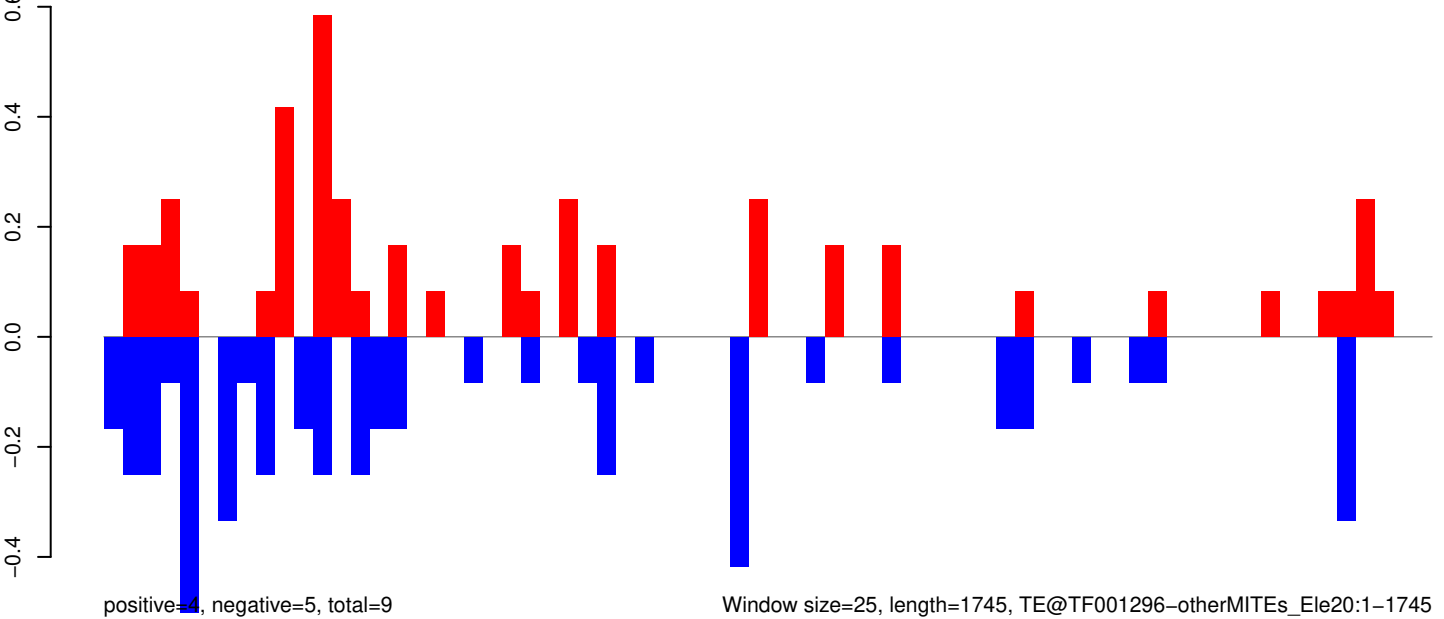
AeAeg_Aag2_Ago2_SINV_RA.18_23.rep



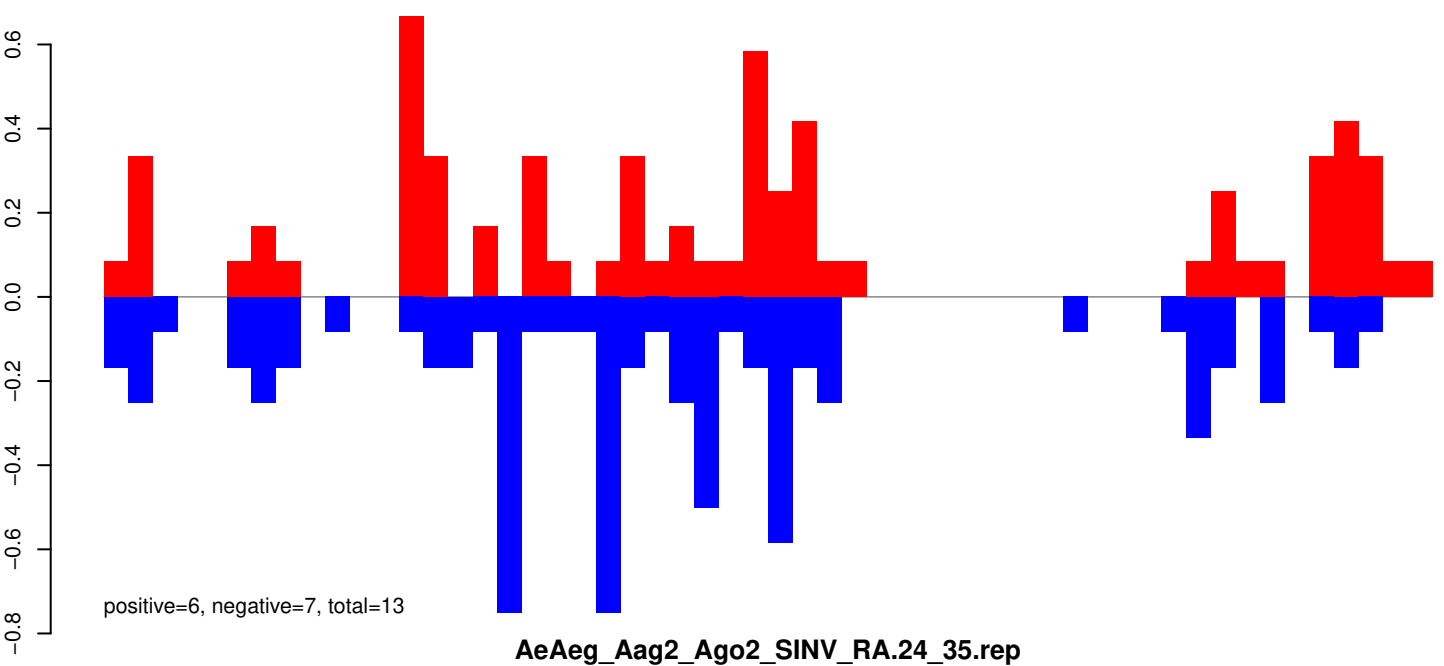
AeAeg_Aag2_Ago2_SINV_RA.24_35.rep



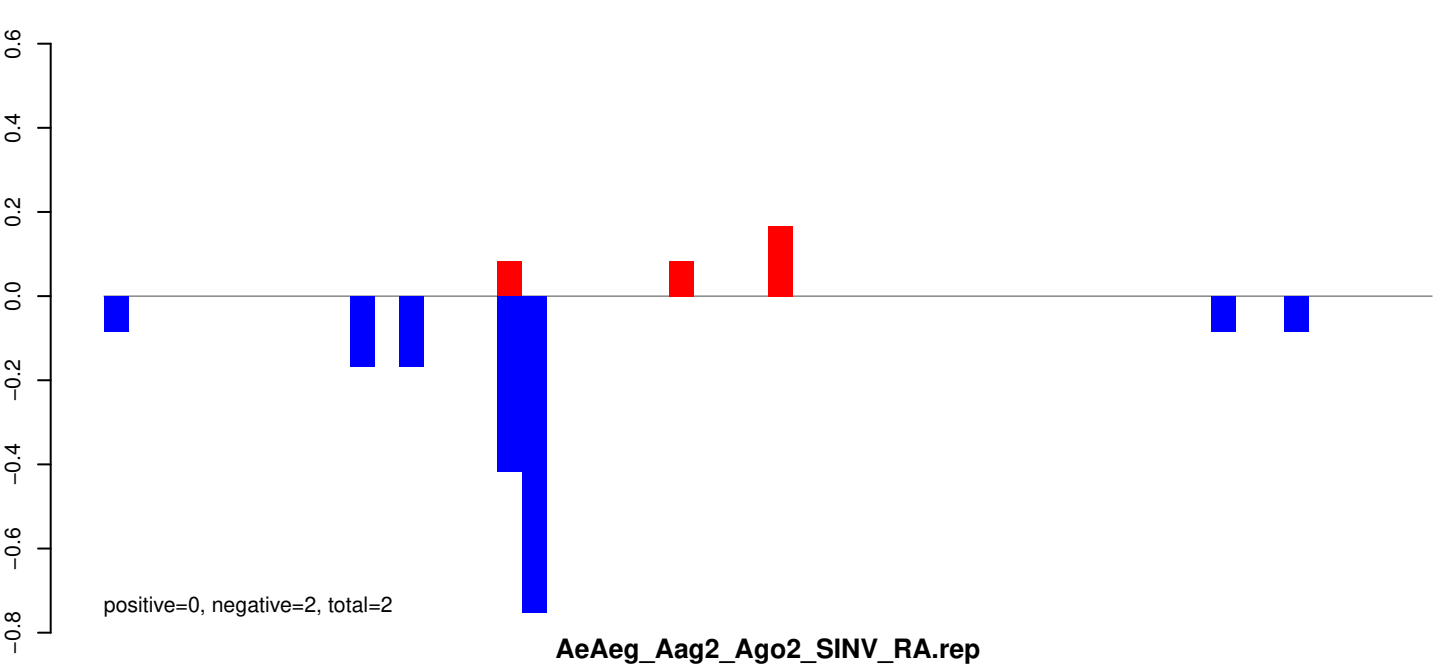
AeAeg_Aag2_Ago2_SINV_RA.rep



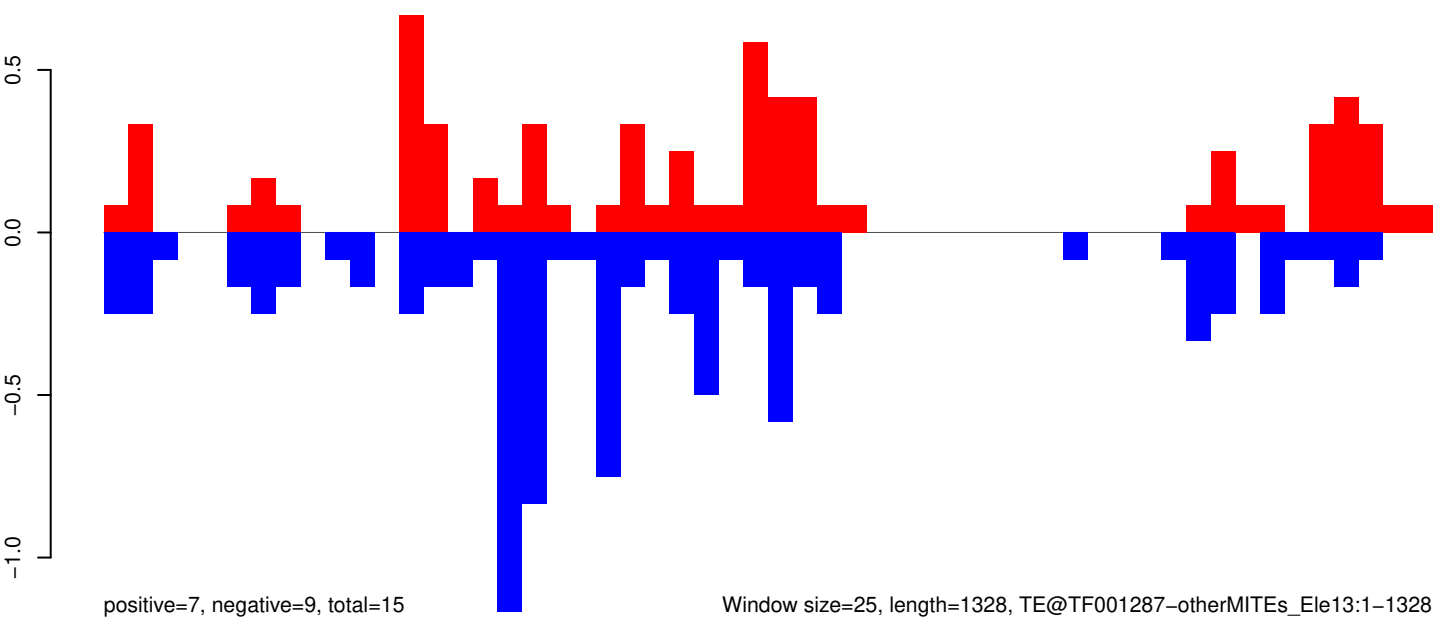
AeAeg_Aag2_Ago2_SINV_RA.18_23.rep



AeAeg_Aag2_Ago2_SINV_RA.24_35.rep



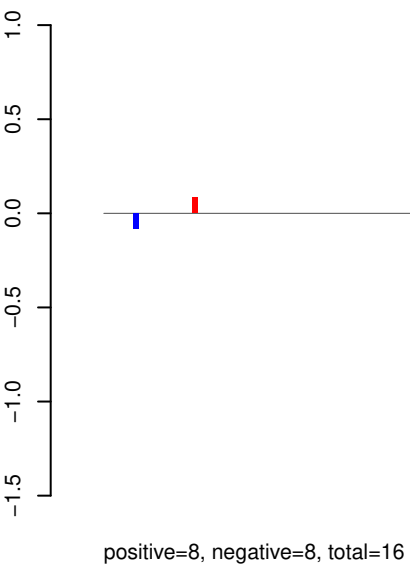
AeAeg_Aag2_Ago2_SINV_RA.rep



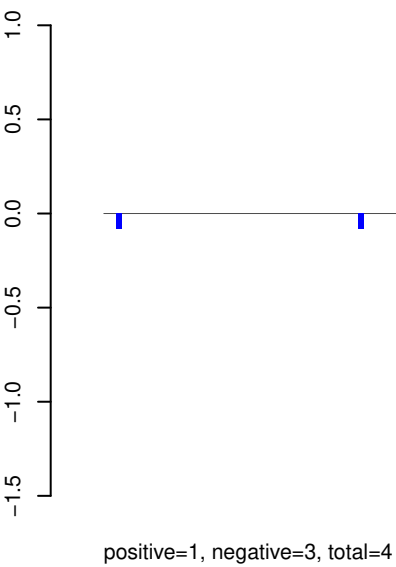
Window size=25, length=1328, TE@TF001287-otherMITEs_Ele13:1-1328

0 200 400 600 800 1000 1200 1400

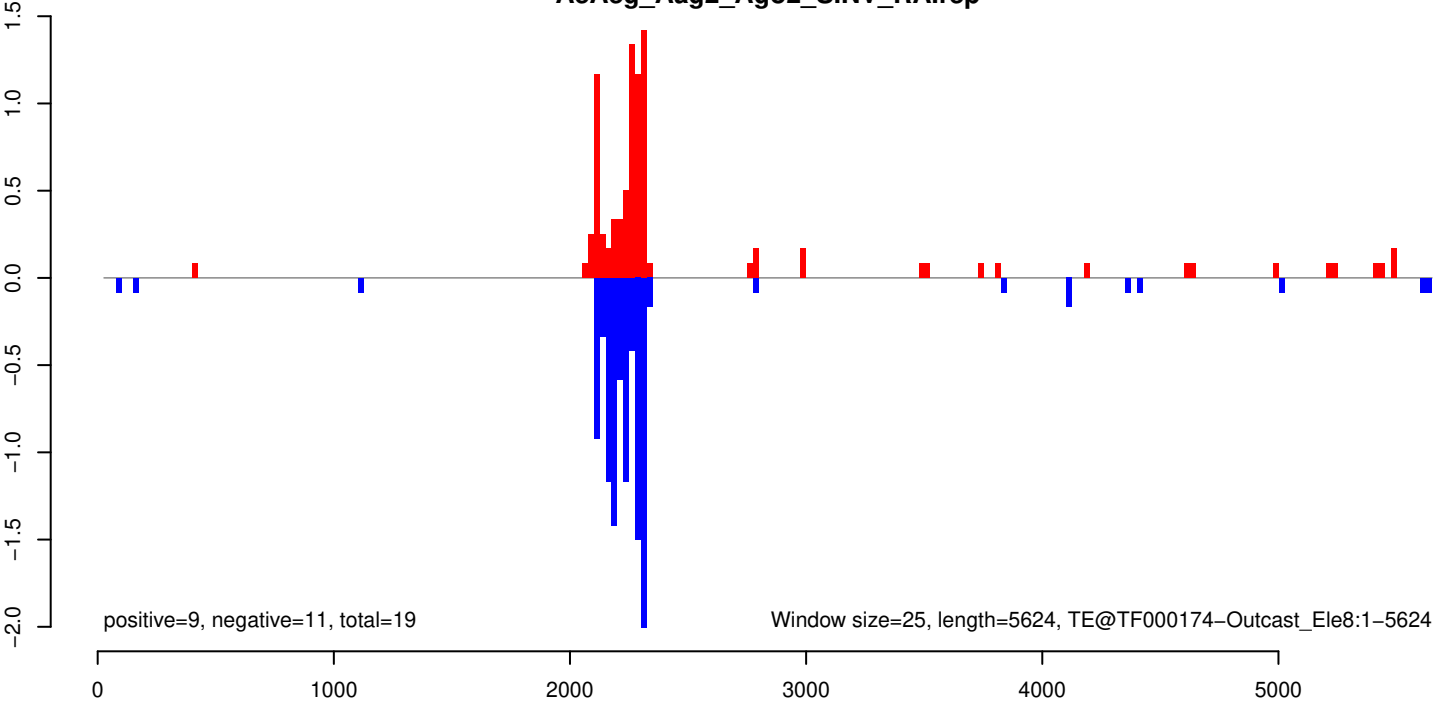
AeAeg_Aag2_Ago2_SINV_RA.18_23.rep



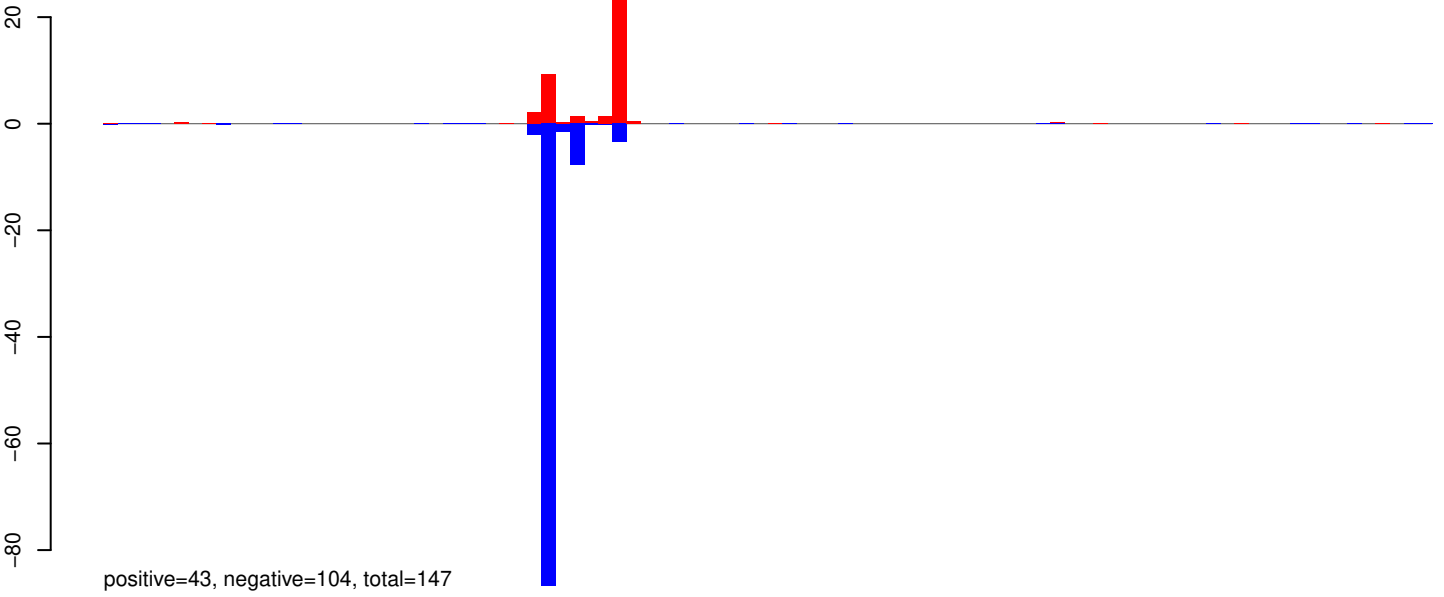
AeAeg_Aag2_Ago2_SINV_RA.24_35.rep



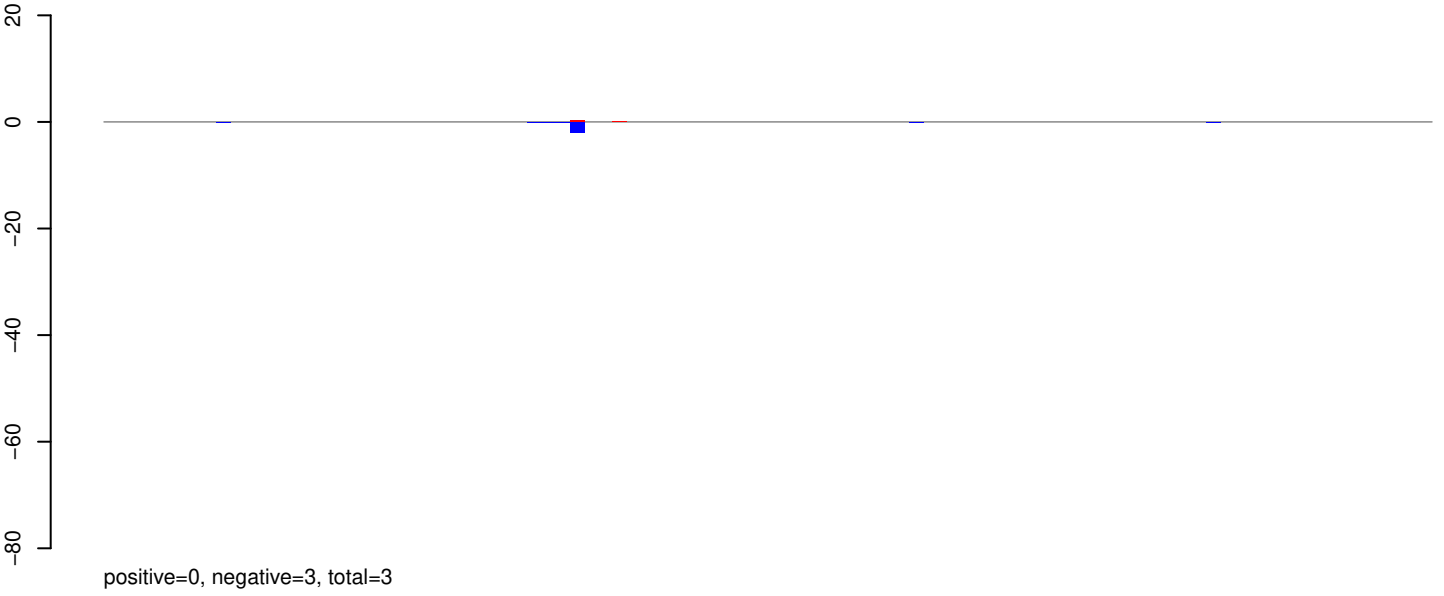
AeAeg_Aag2_Ago2_SINV_RA.rep



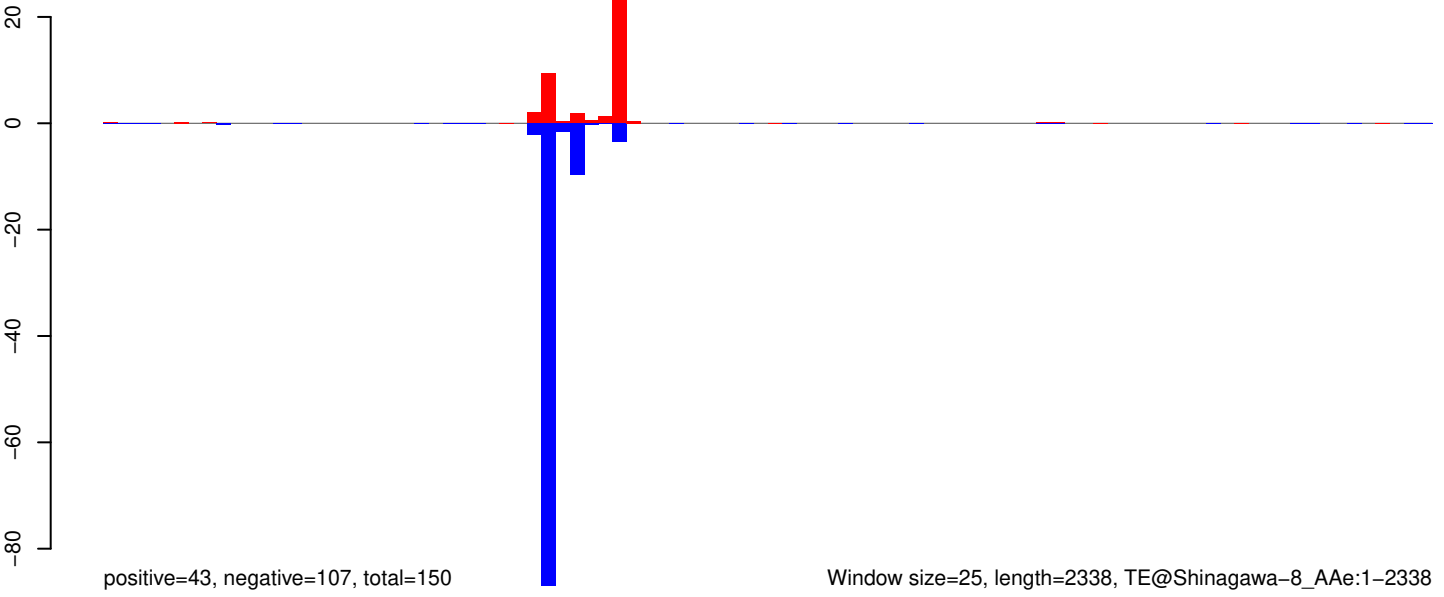
AeAeg_Aag2_Ago2_SINV_RA.18_23.rep



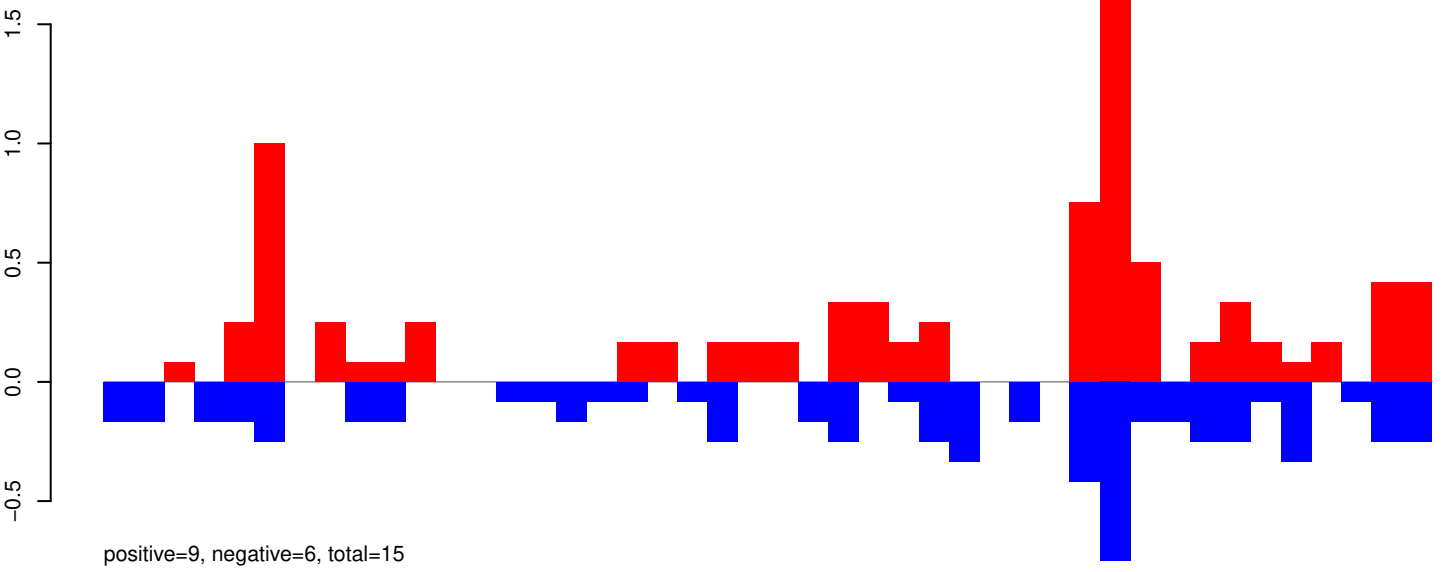
AeAeg_Aag2_Ago2_SINV_RA.24_35.rep



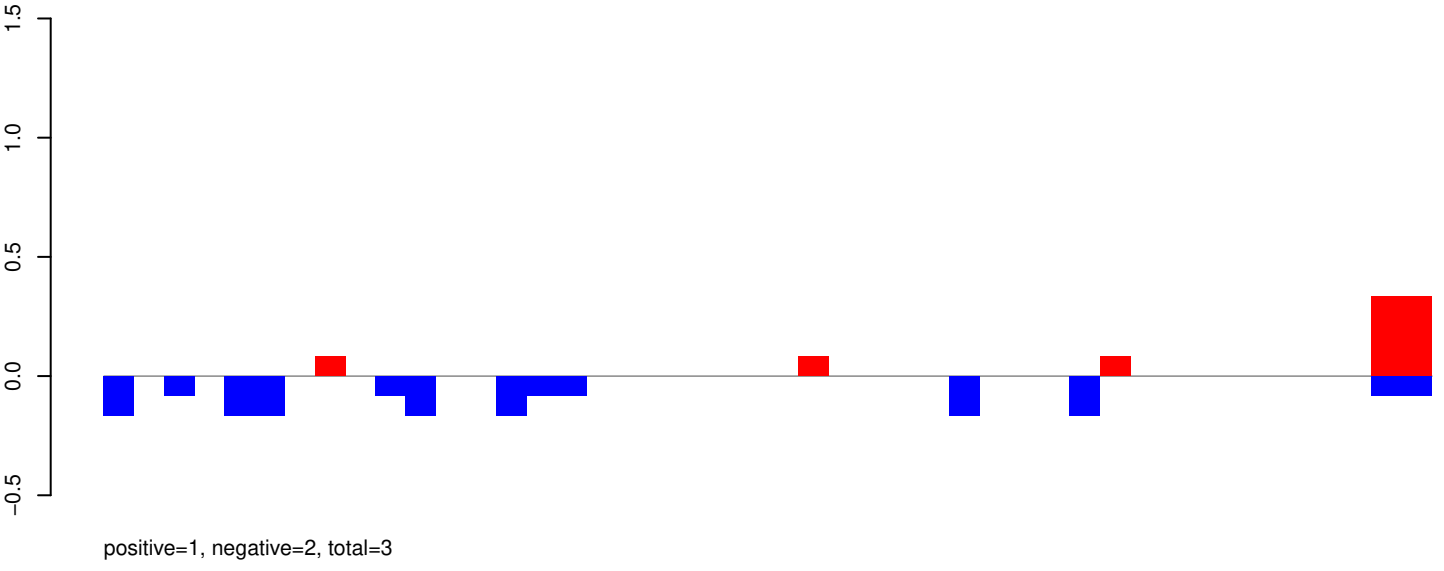
AeAeg_Aag2_Ago2_SINV_RA.rep



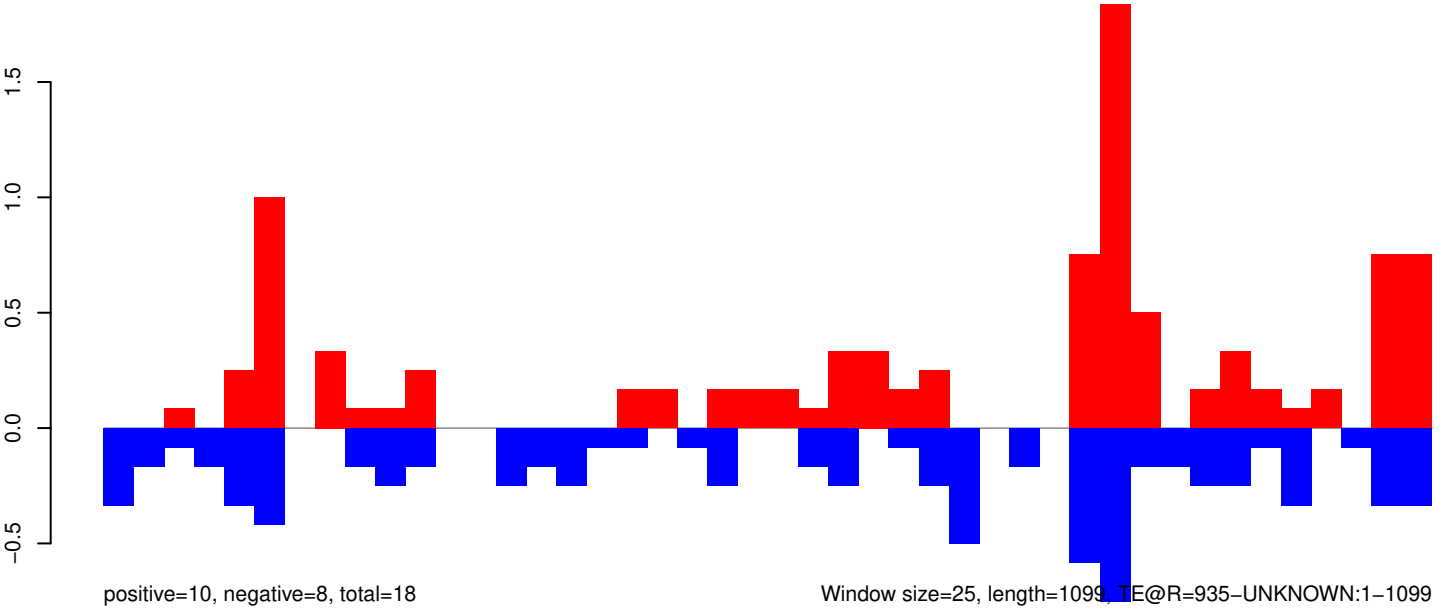
AeAeg_Aag2_Ago2_SINV_RA.18_23.rep



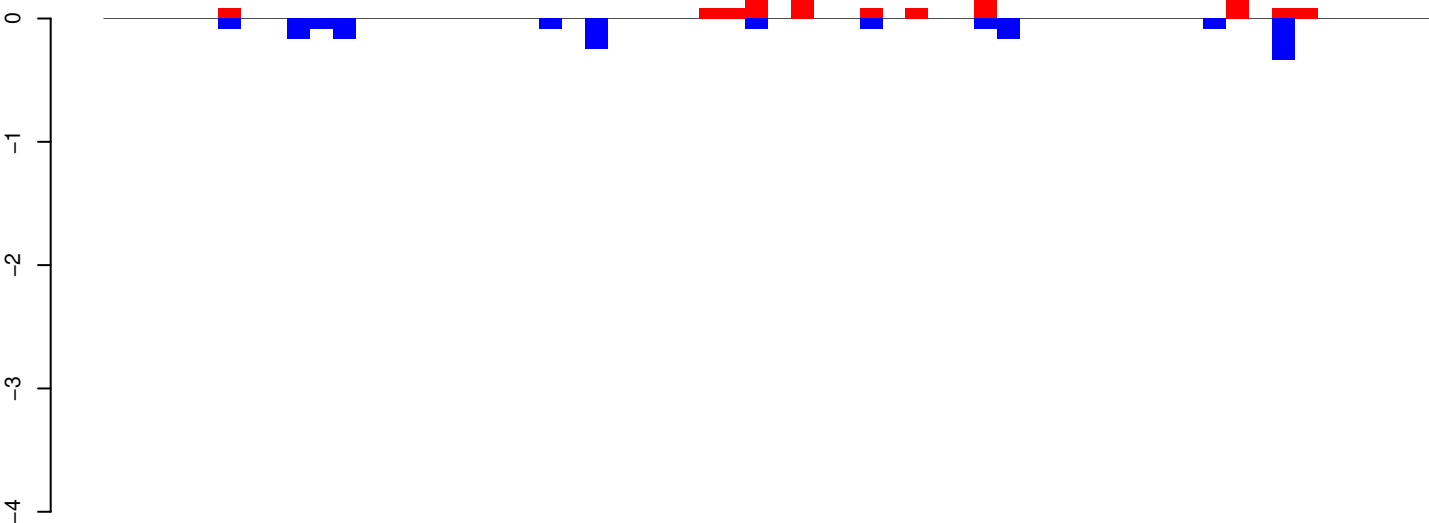
AeAeg_Aag2_Ago2_SINV_RA.24_35.rep



AeAeg_Aag2_Ago2_SINV_RA.rep

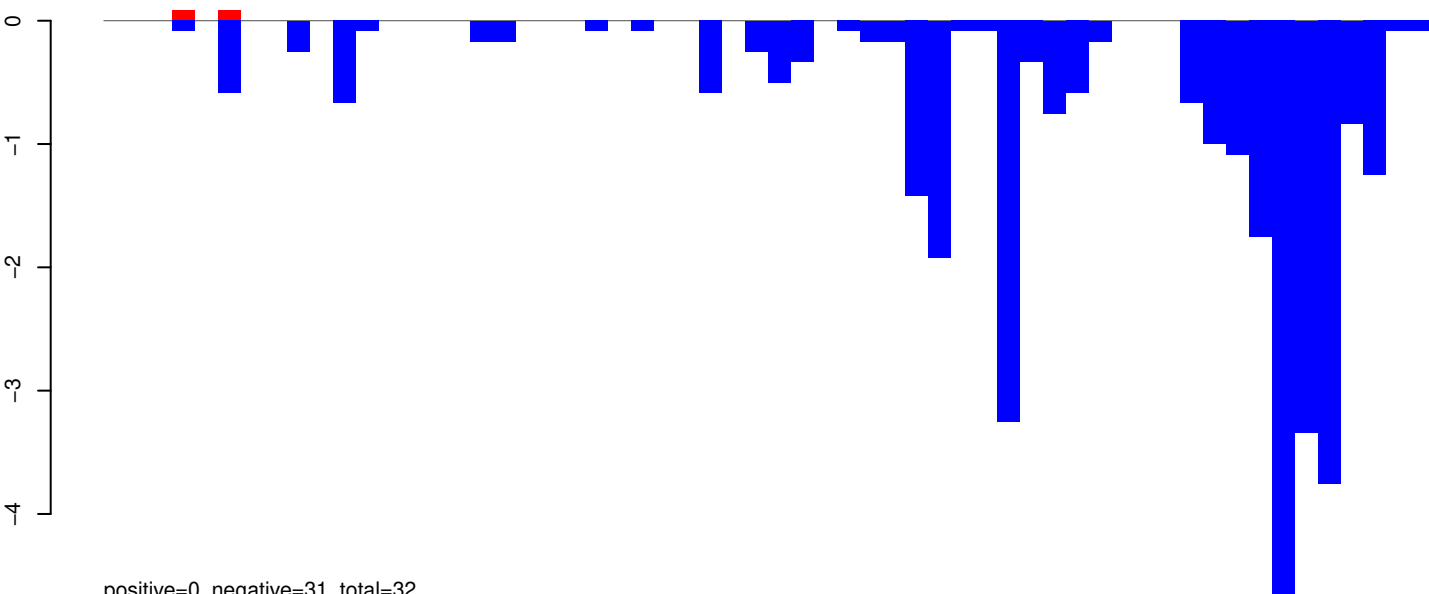


AeAeg_Aag2_Ago2_SINV_RA.18_23.rep



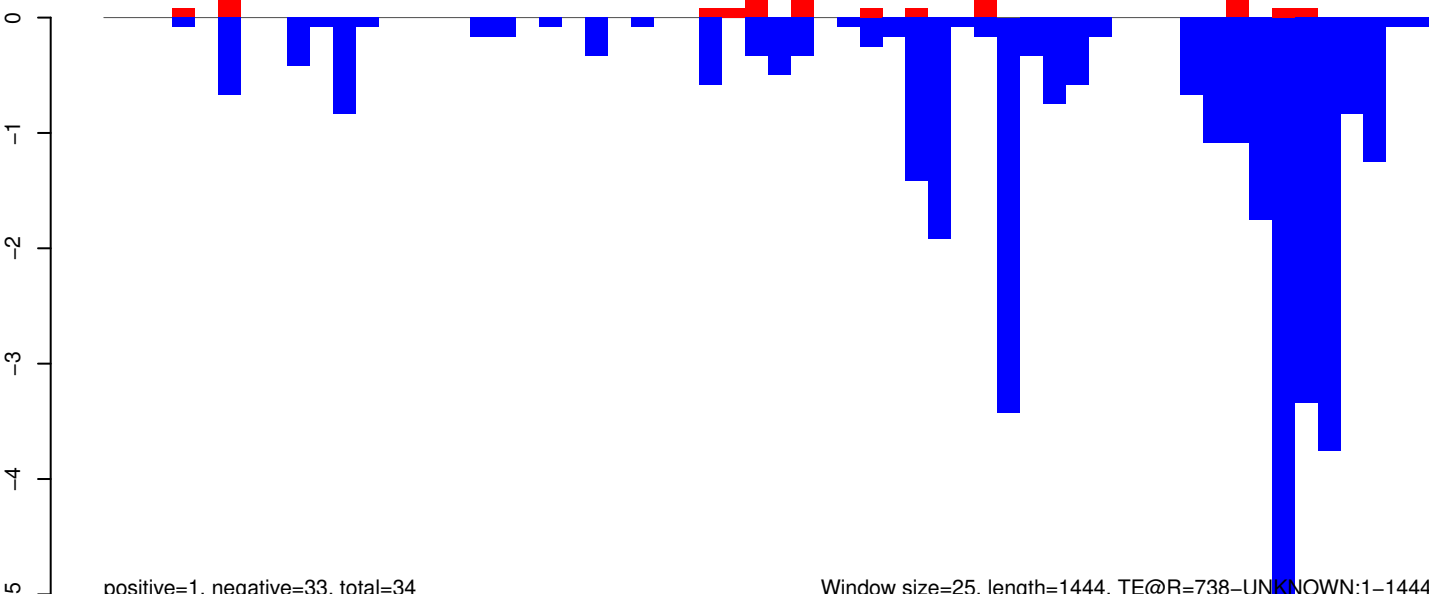
positive=1, negative=2, total=3

AeAeg_Aag2_Ago2_SINV_RA.24_35.rep



positive=0, negative=31, total=32

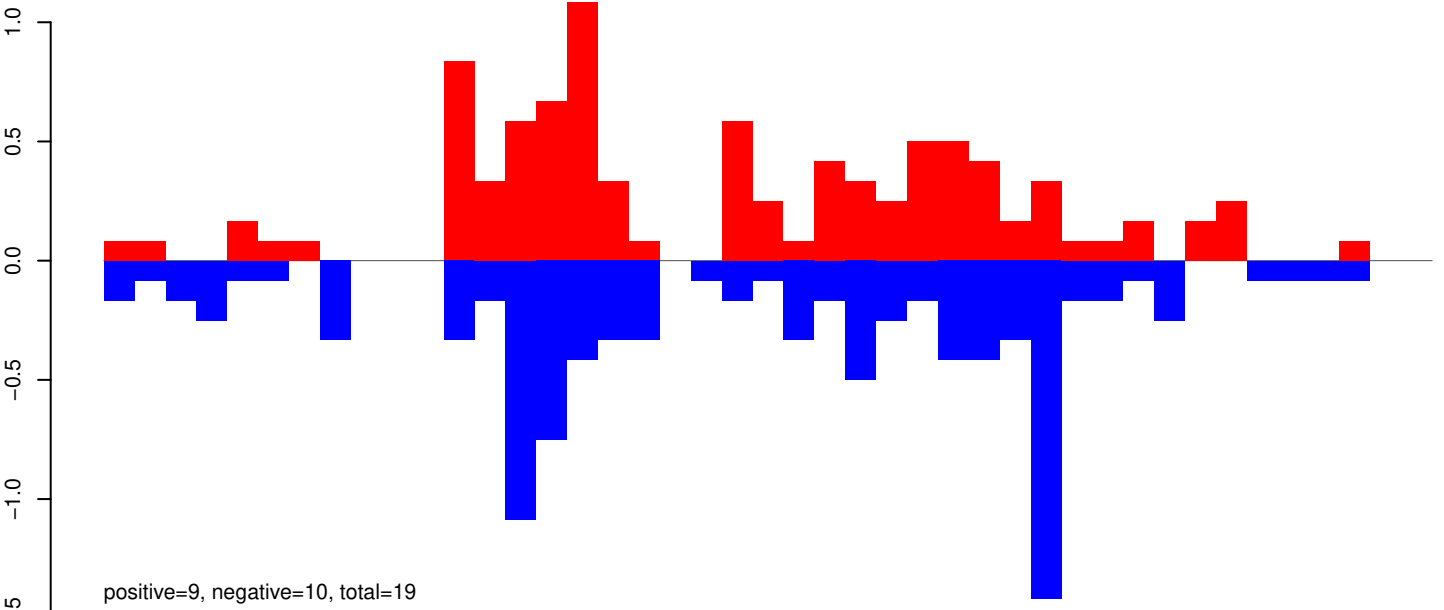
AeAeg_Aag2_Ago2_SINV_RA.rep



positive=1, negative=33, total=34

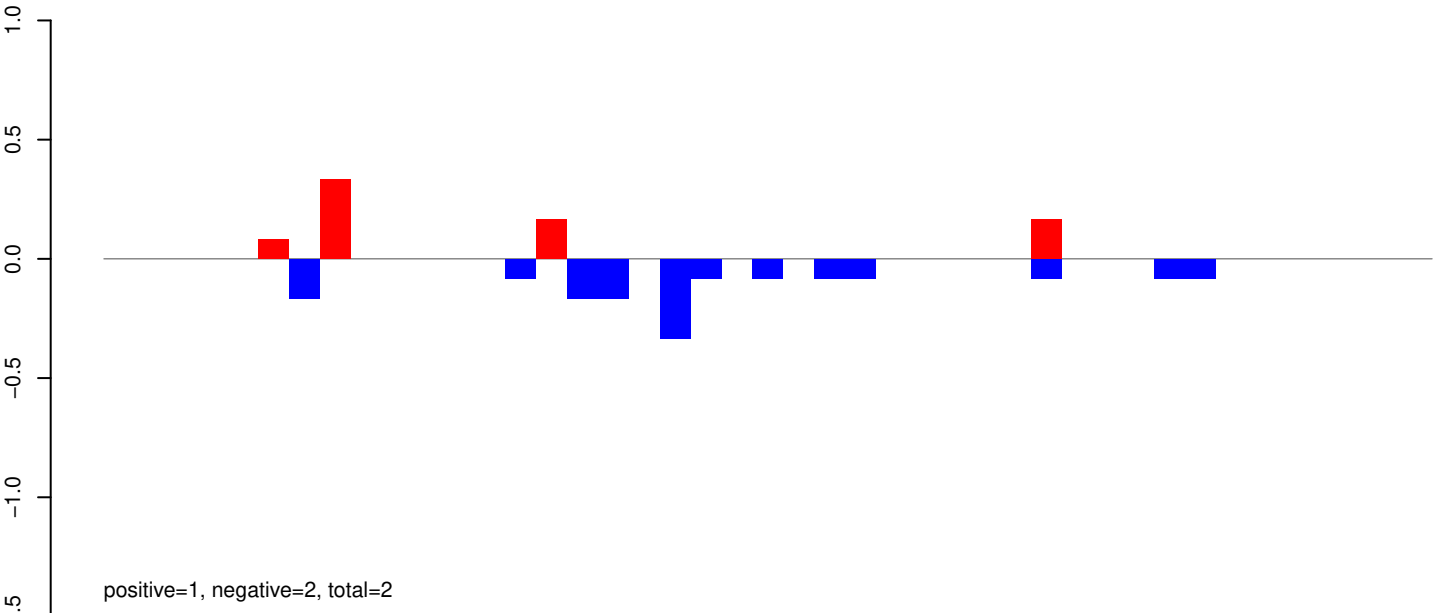
Window size=25, length=1444, TE@R=738-UNKNOWN:1-1444

AeAeg_Aag2_Ago2_SINV_RA.18_23.rep



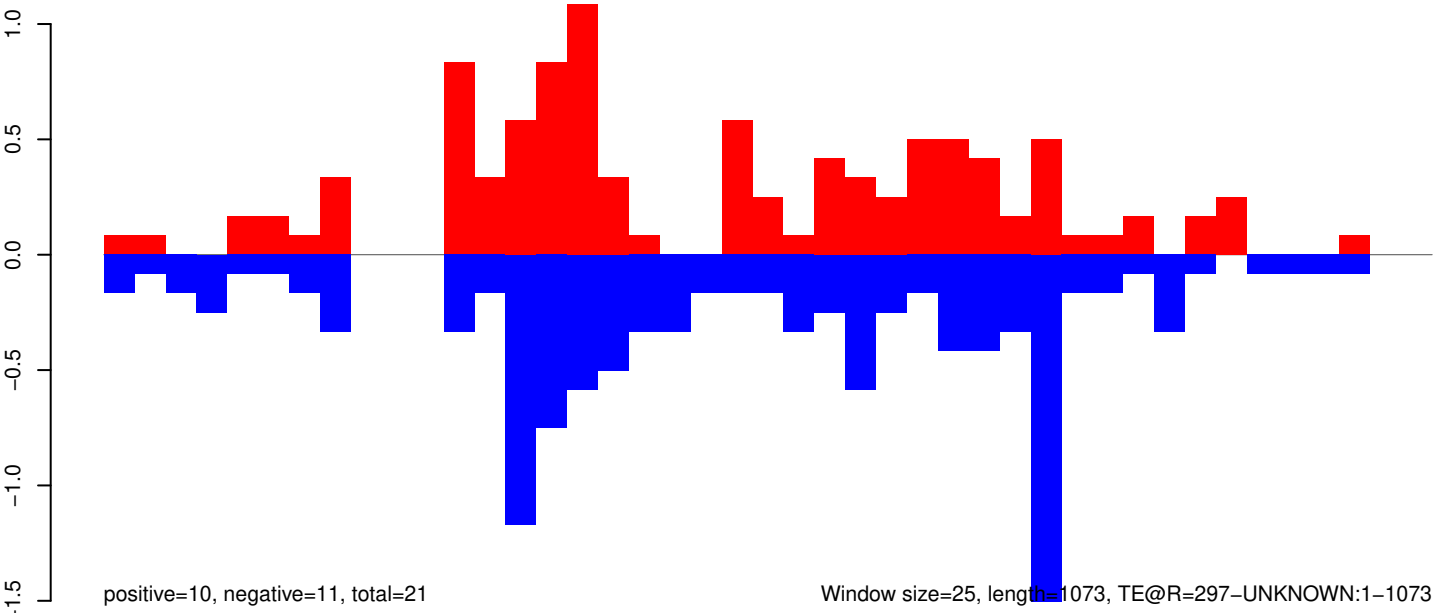
positive=9, negative=10, total=19

AeAeg_Aag2_Ago2_SINV_RA.24_35.rep



positive=1, negative=2, total=2

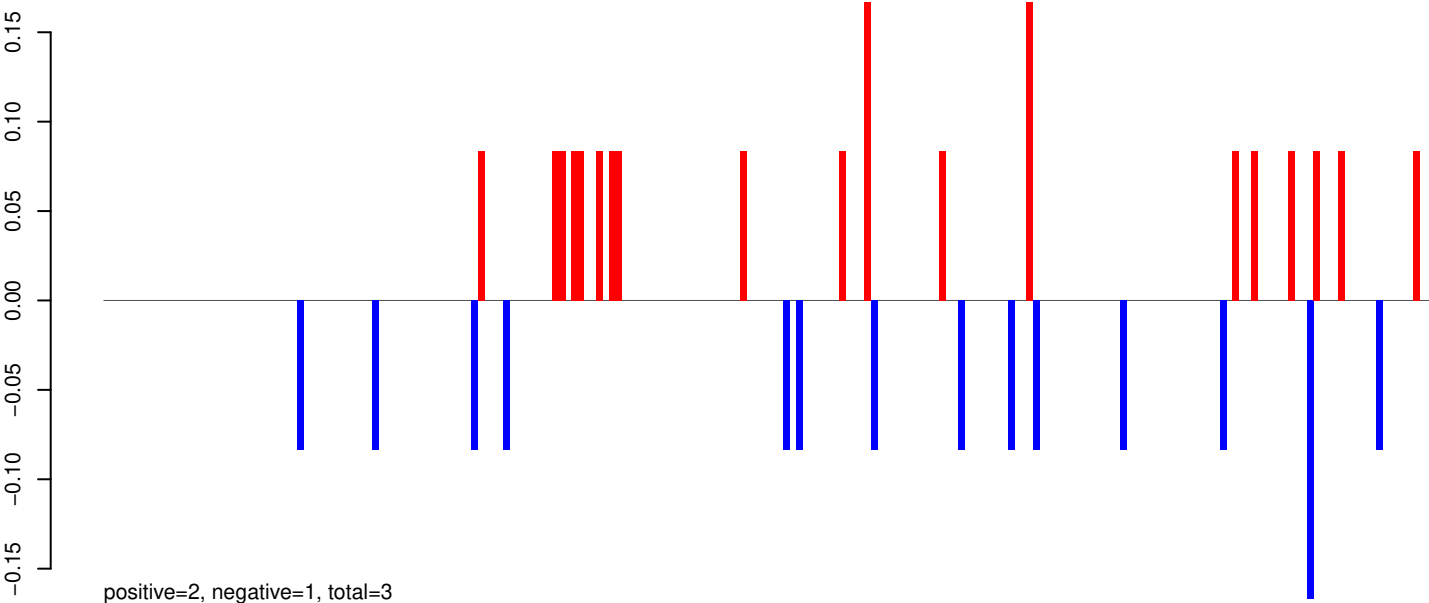
AeAeg_Aag2_Ago2_SINV_RA.rep



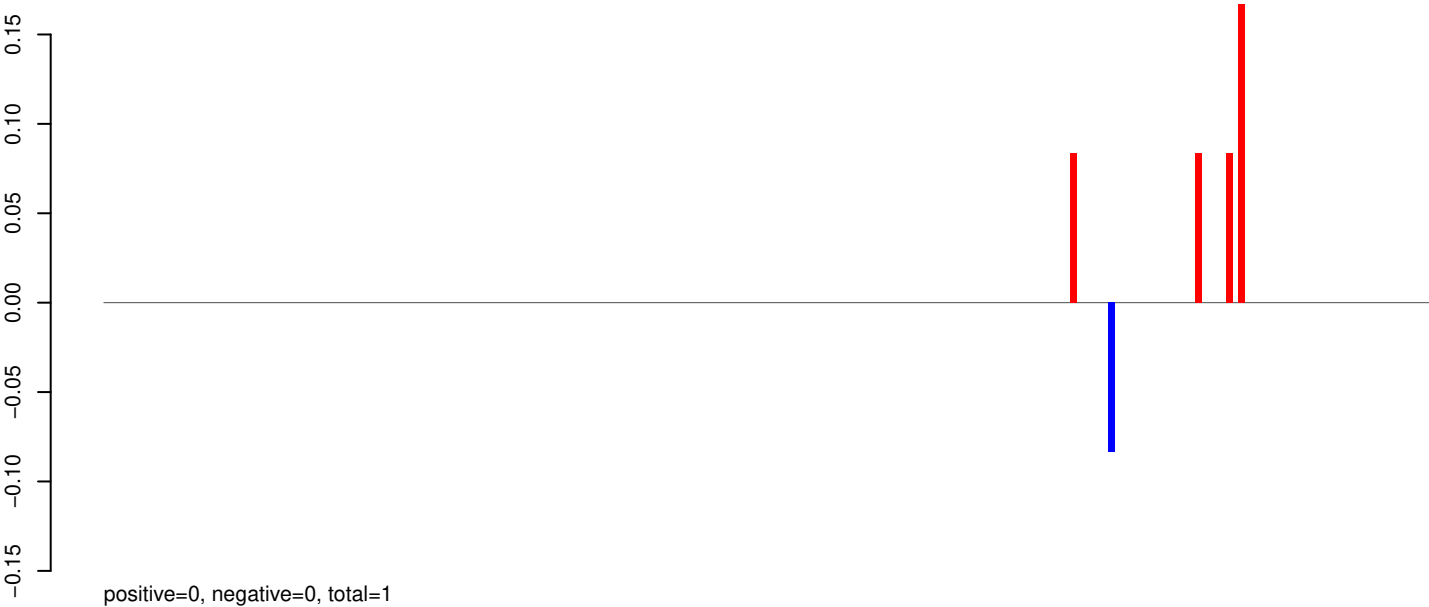
positive=10, negative=11, total=21

Window size=25, length=1073, TE@R=297-UNKNOWN:1-1073

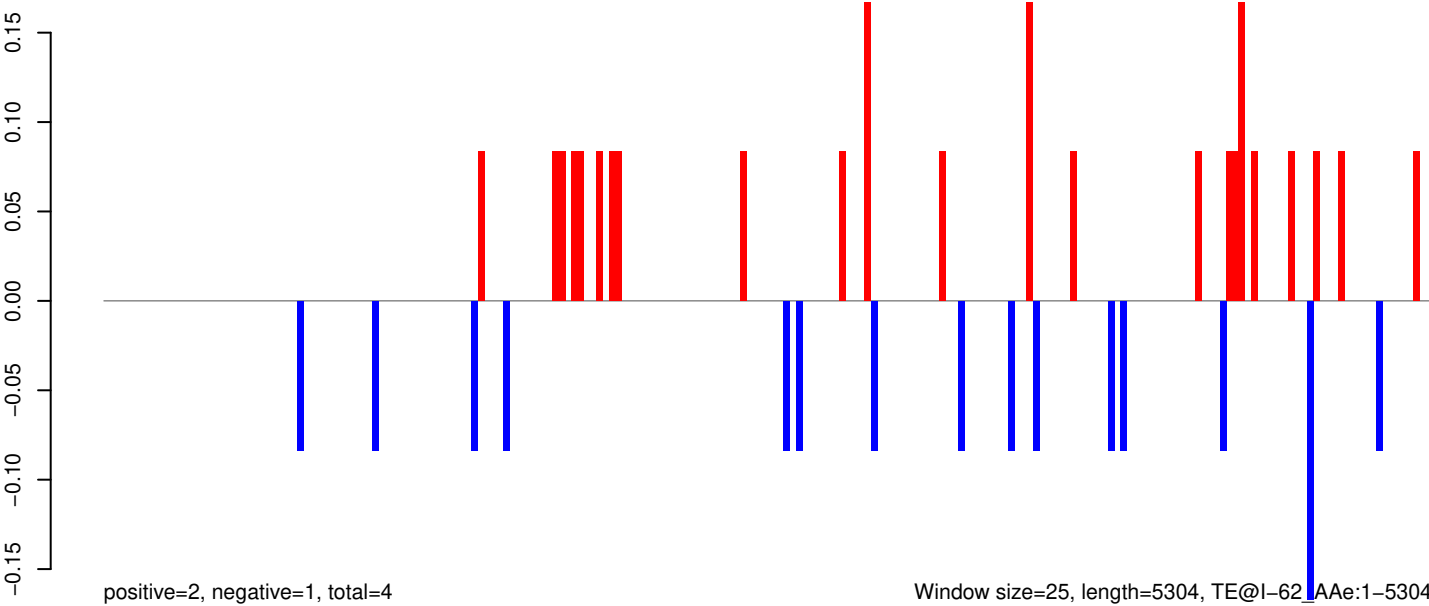
AeAeg_Aag2_Ago2_SINV_RA.18_23.rep



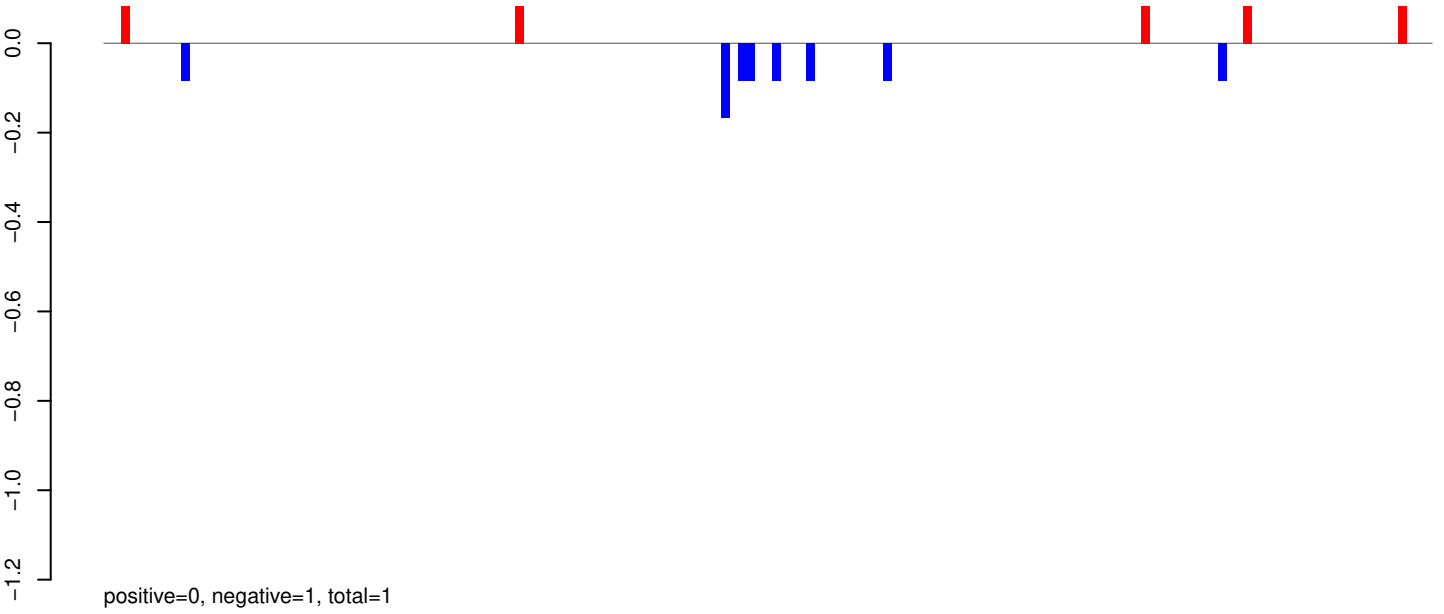
AeAeg_Aag2_Ago2_SINV_RA.24_35.rep



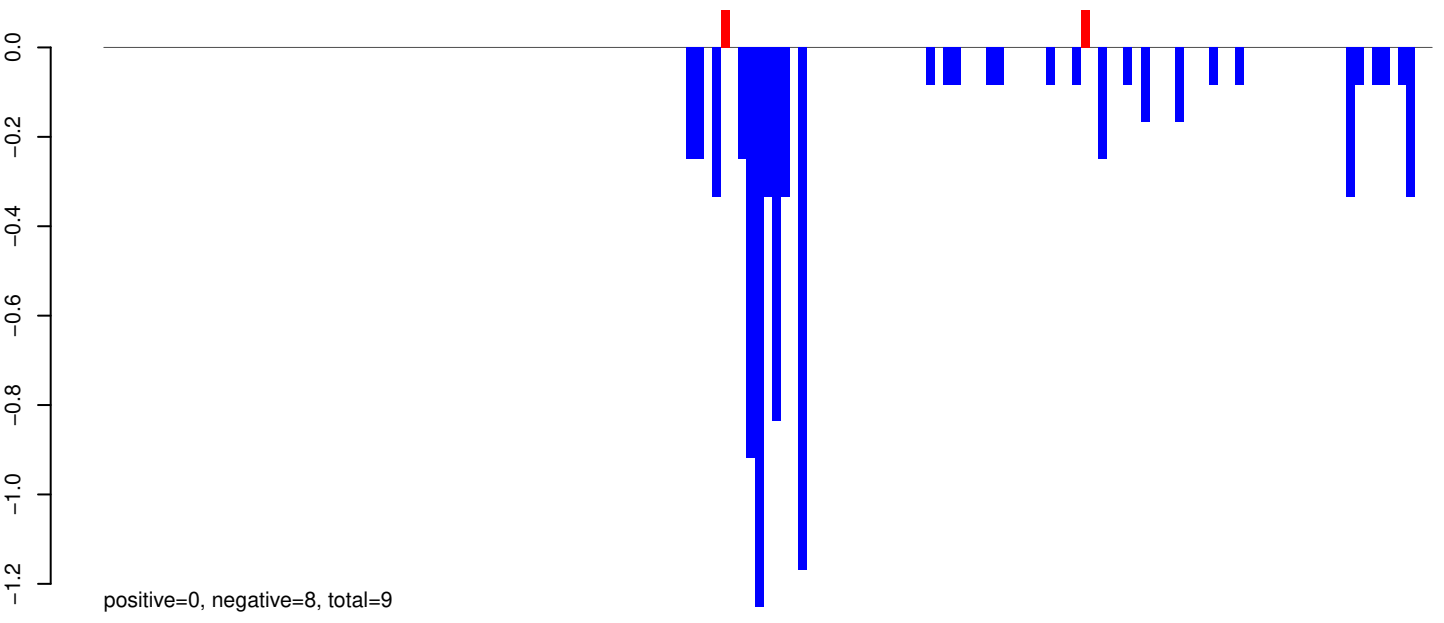
AeAeg_Aag2_Ago2_SINV_RA.rep



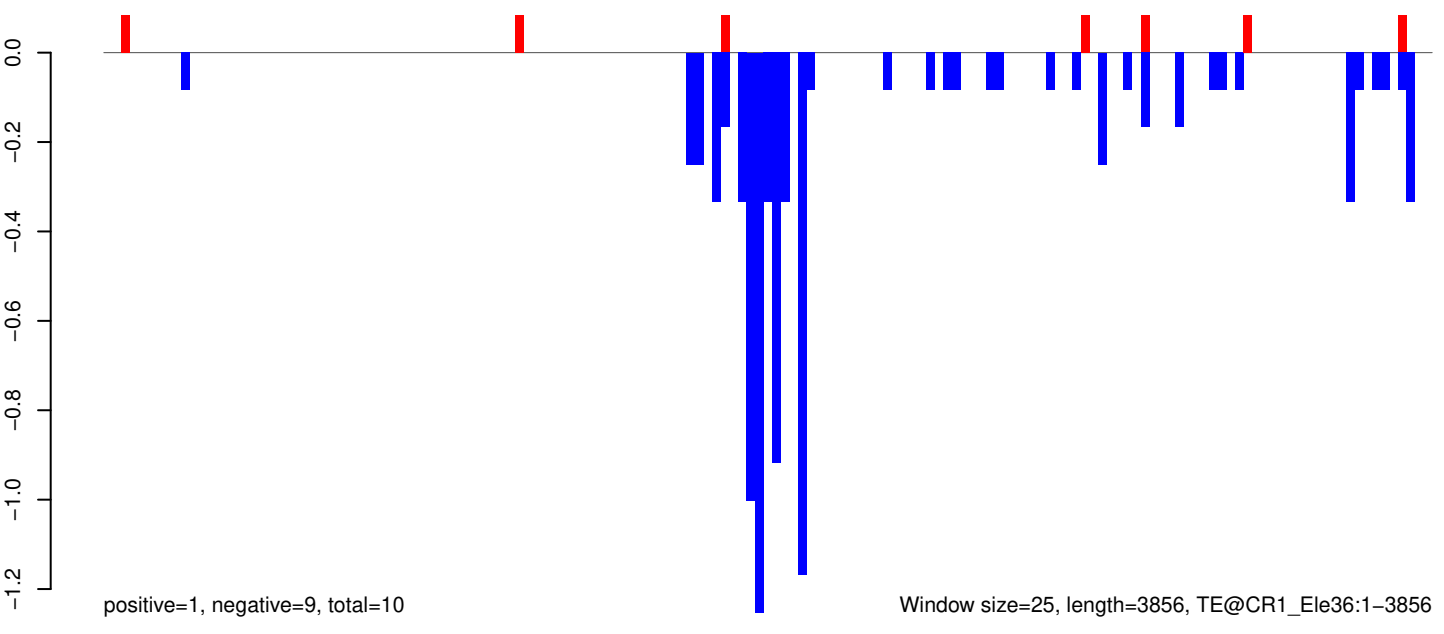
AeAeg_Aag2_Ago2_SINV_RA.18_23.rep



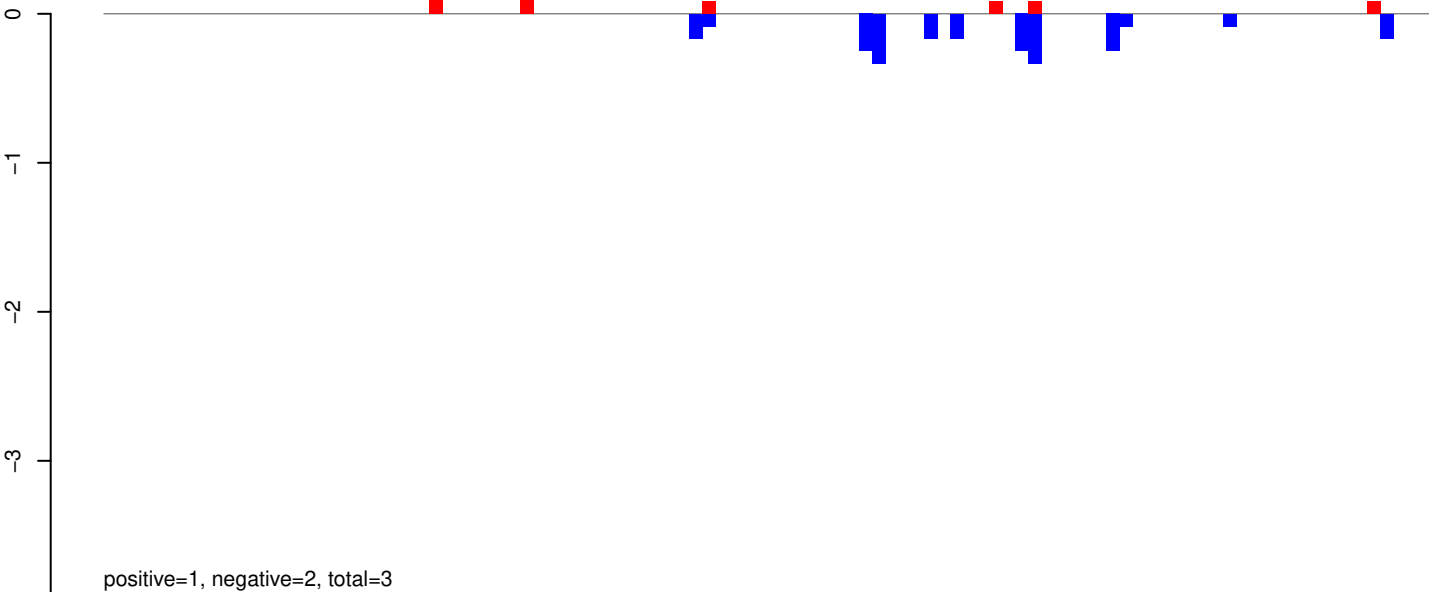
AeAeg_Aag2_Ago2_SINV_RA.24_35.rep



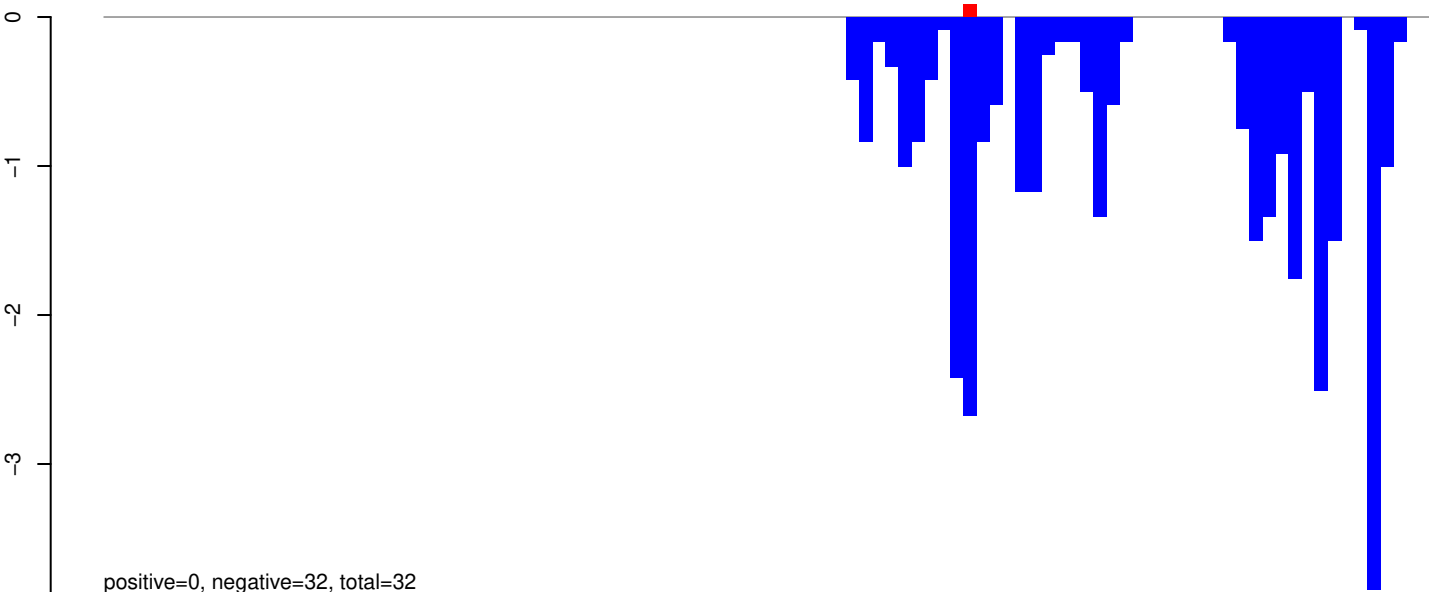
AeAeg_Aag2_Ago2_SINV_RA.rep



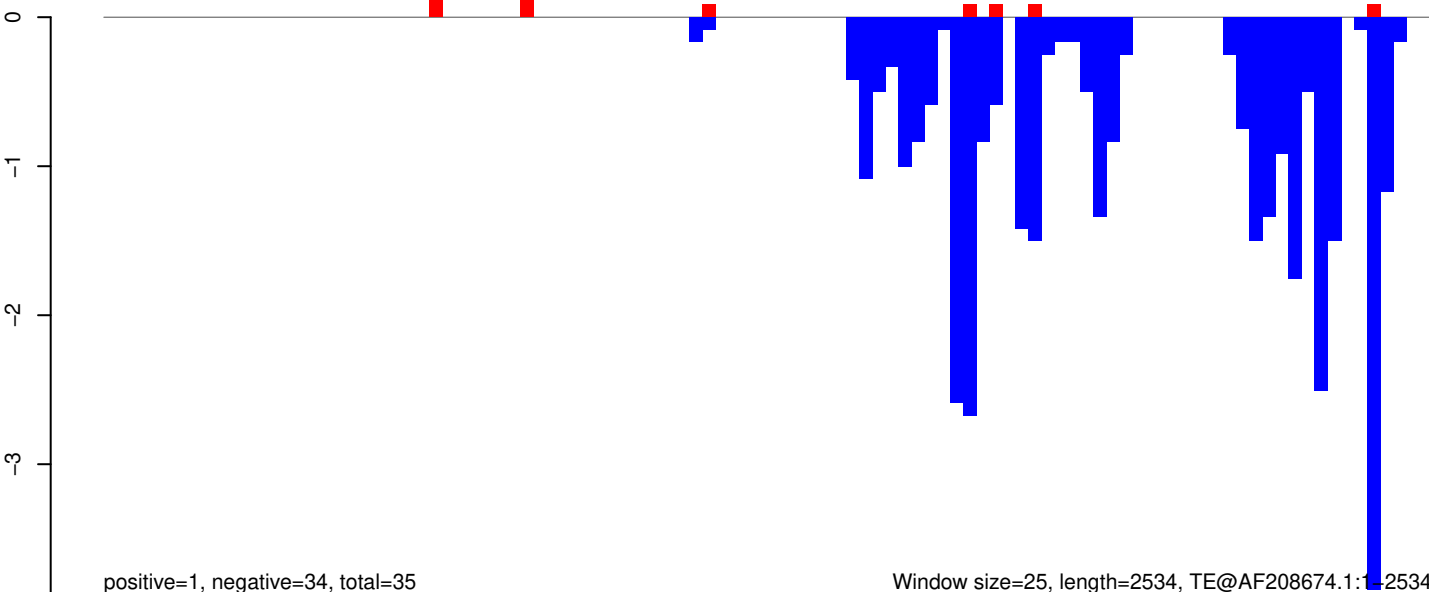
AeAeg_Aag2_Ago2_SINV_RA.18_23.rep



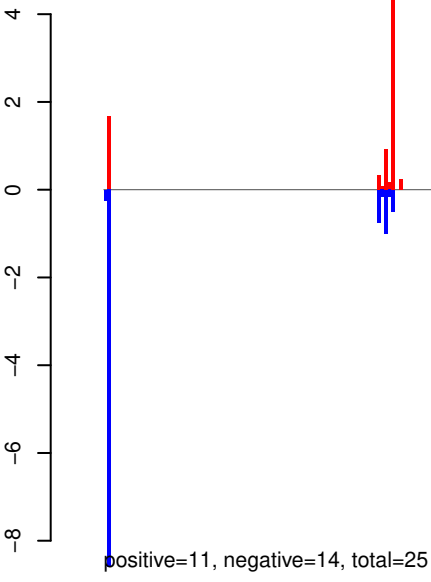
AeAeg_Aag2_Ago2_SINV_RA.24_35.rep



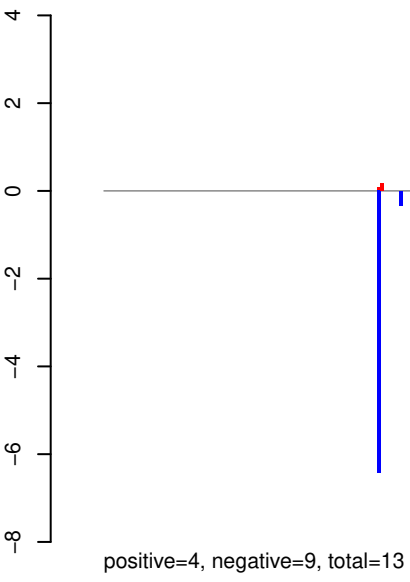
AeAeg_Aag2_Ago2_SINV_RA.rep



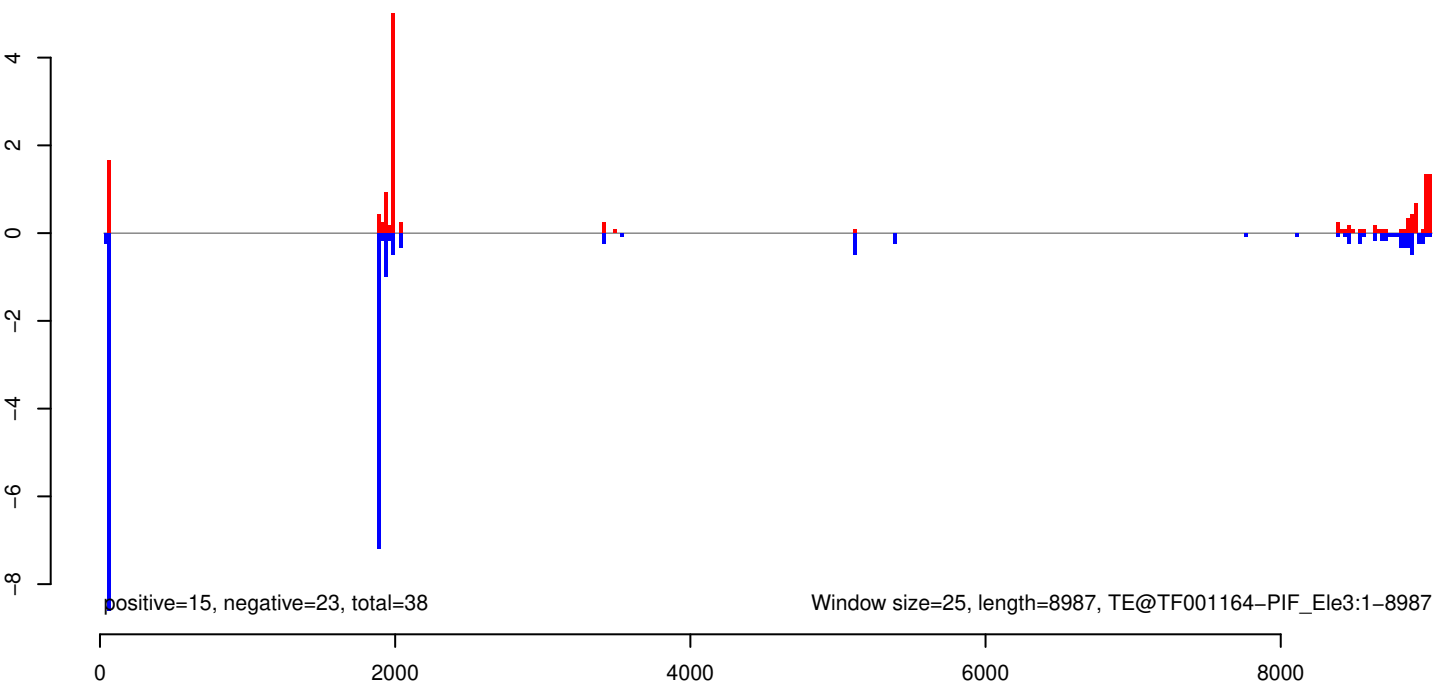
AeAeg_Aag2_Ago2_SINV_RA.18_23.rep



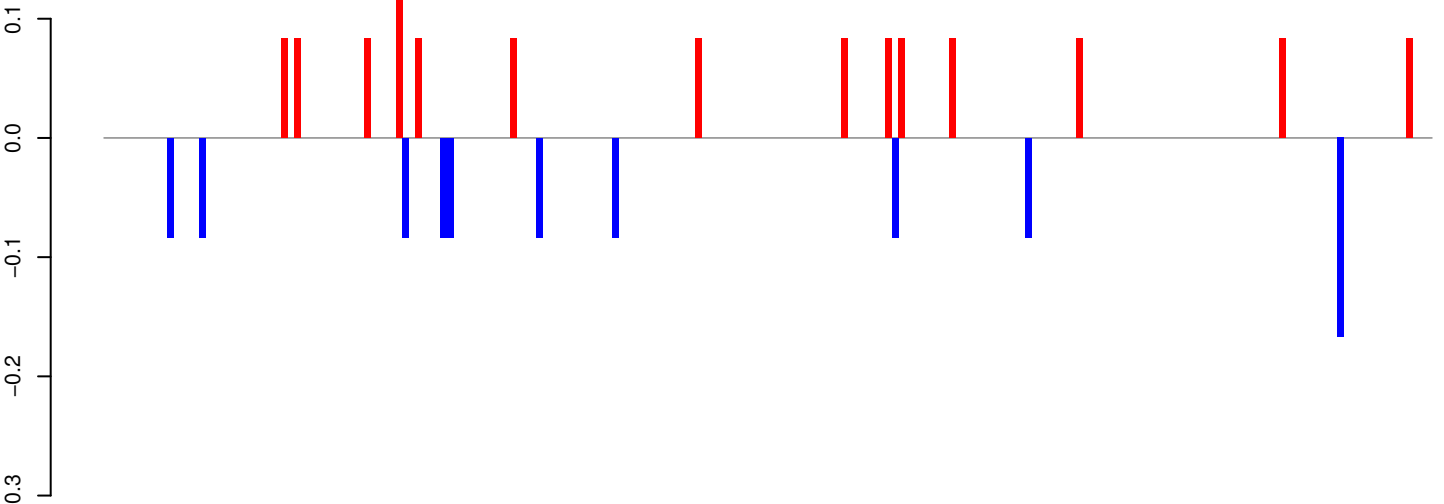
AeAeg_Aag2_Ago2_SINV_RA.24_35.rep



AeAeg_Aag2_Ago2_SINV_RA.rep

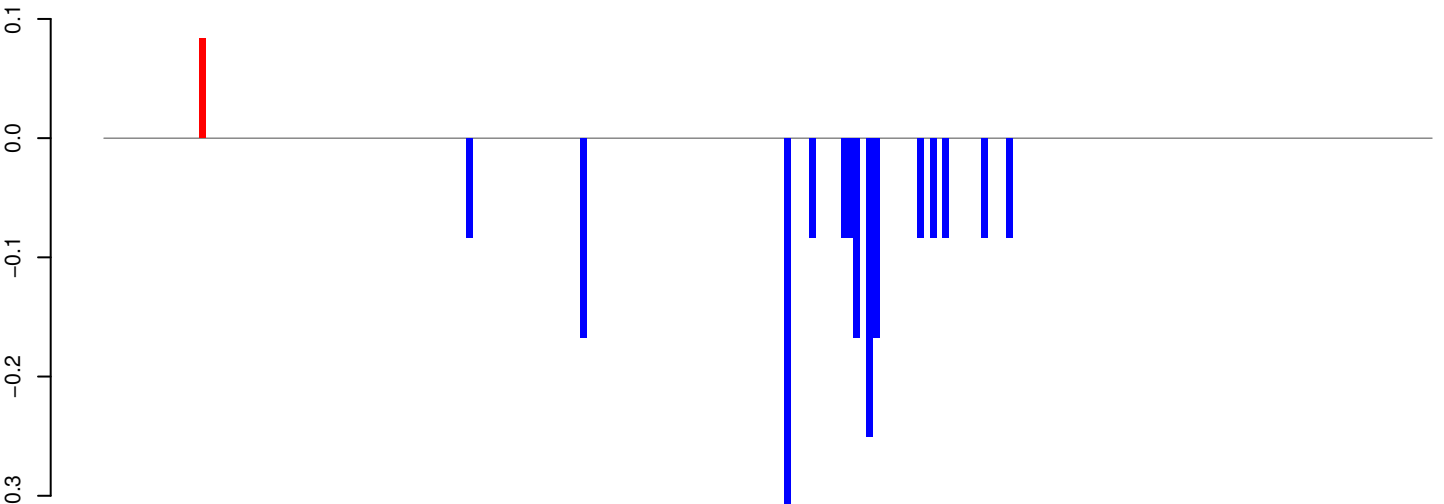


AeAeg_Aag2_Ago2_SINV_RA.18_23.rep



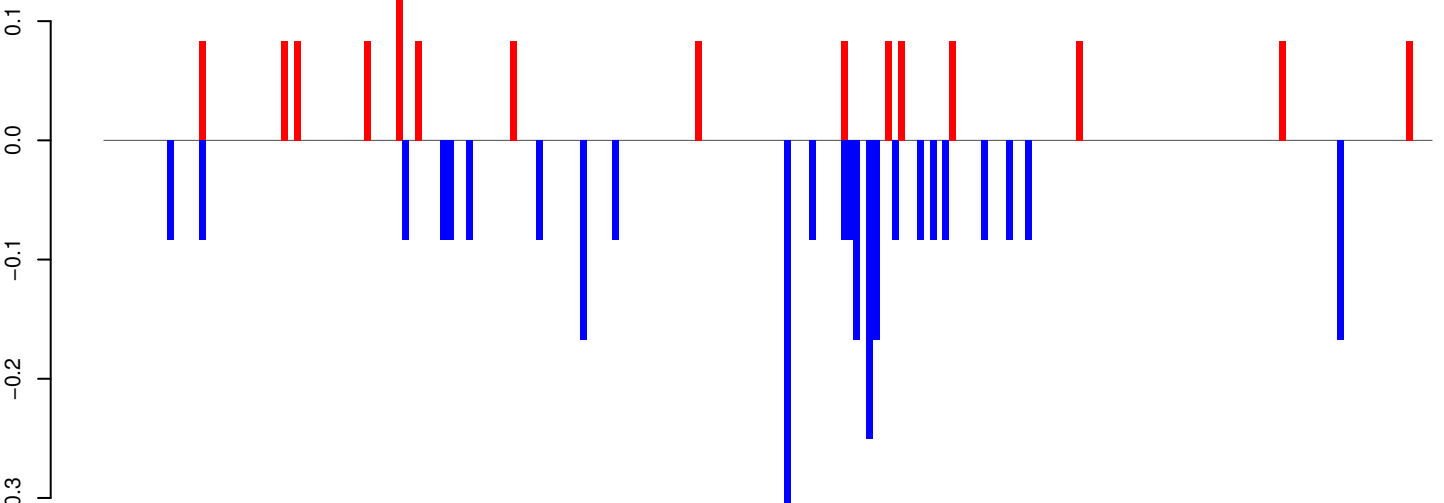
positive=1, negative=1, total=2

AeAeg_Aag2_Ago2_SINV_RA.24_35.rep



positive=0, negative=2, total=2

AeAeg_Aag2_Ago2_SINV_RA.rep

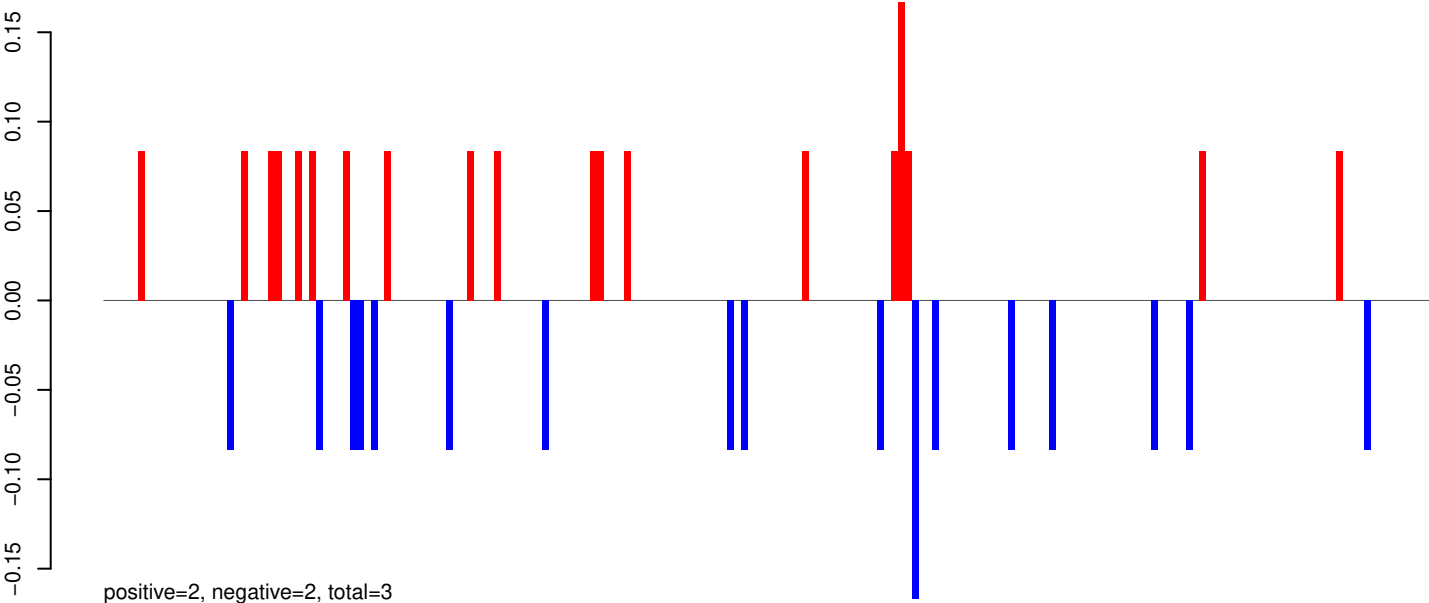


positive=1, negative=3, total=4

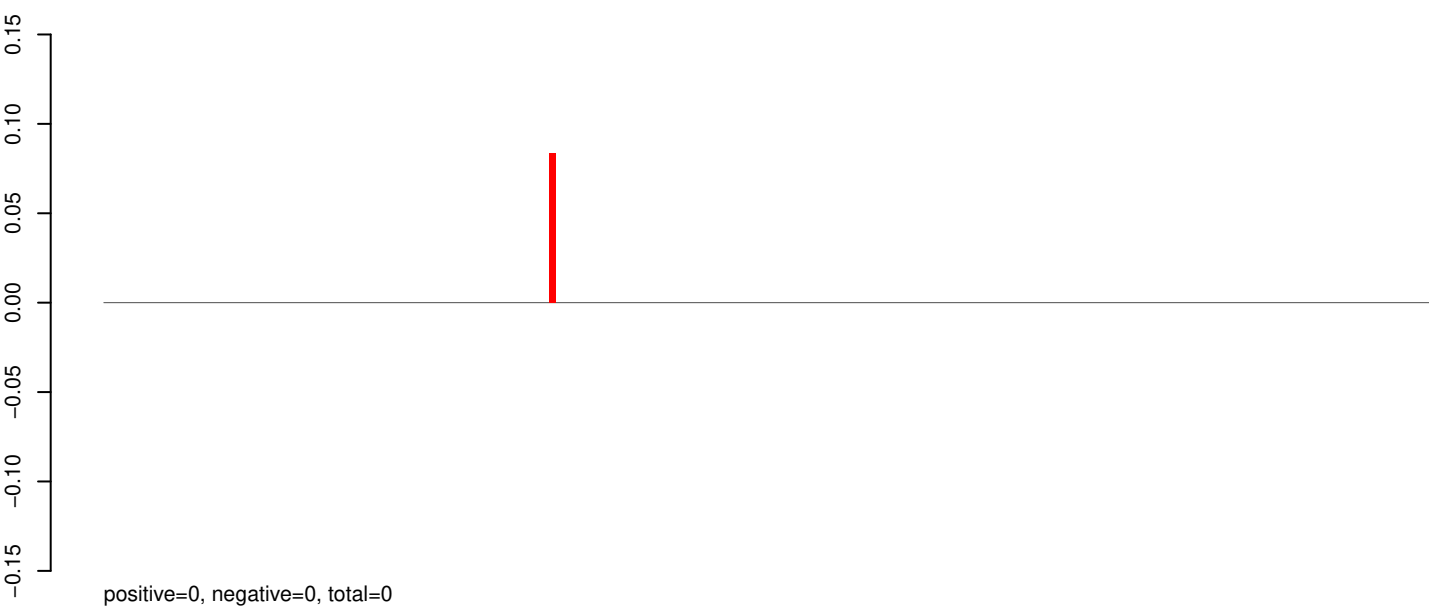
Window size=25, length=5208, TE@TF000764-Ty1_copia_Ele85:1-5208

0 1000 2000 3000 4000 5000

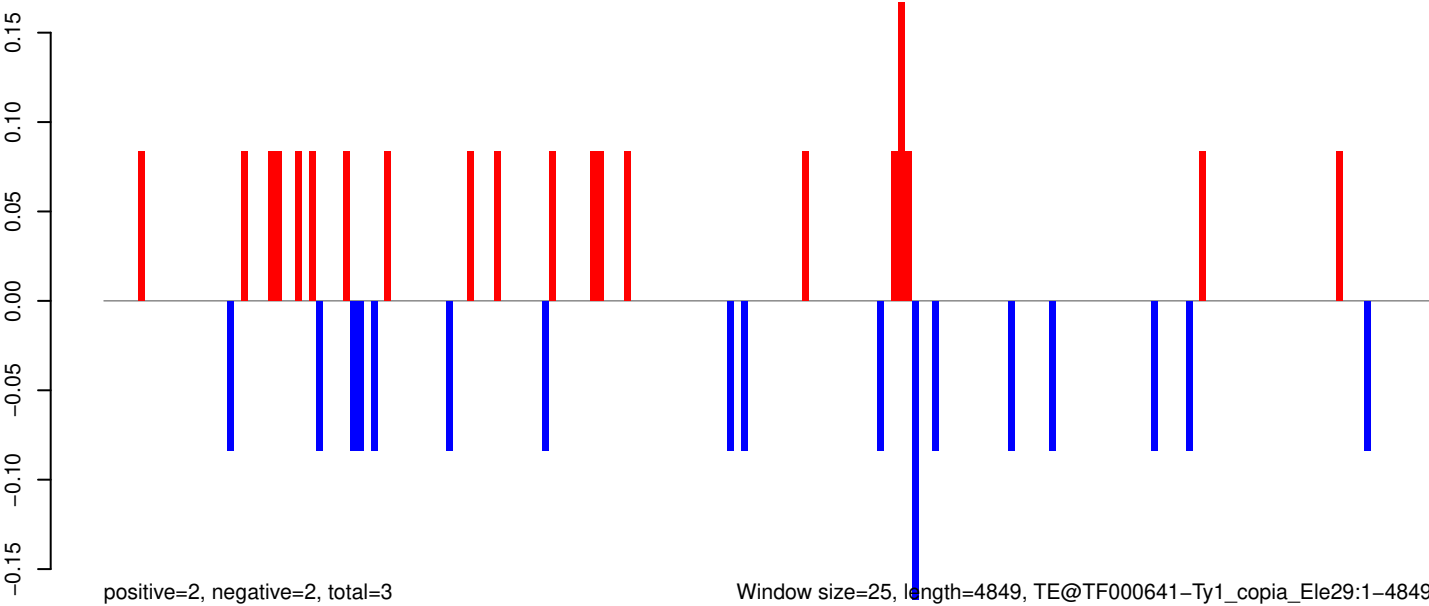
AeAeg_Aag2_Ago2_SINV_RA.18_23.rep



AeAeg_Aag2_Ago2_SINV_RA.24_35.rep



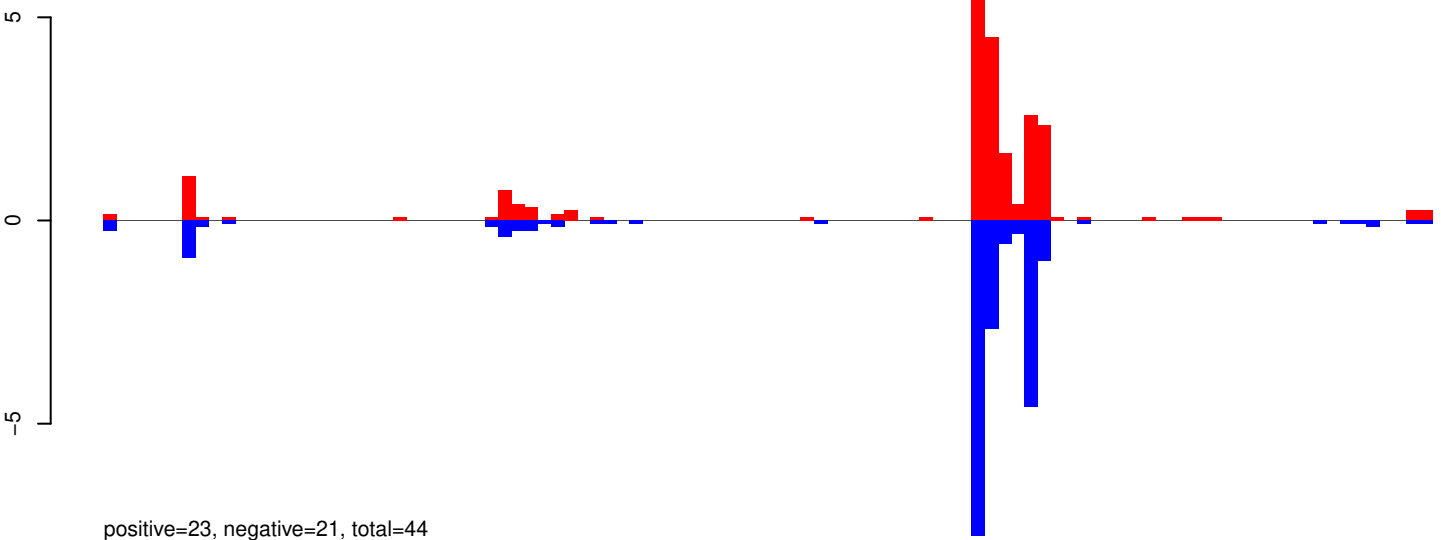
AeAeg_Aag2_Ago2_SINV_RA.rep



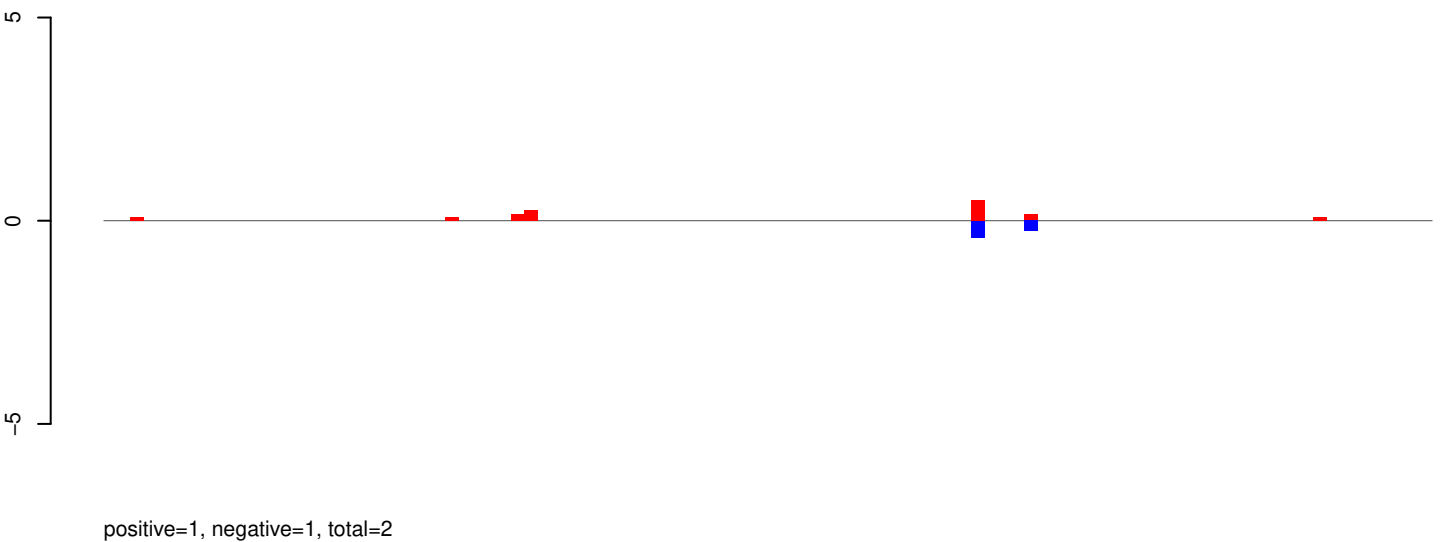
Window size=25, length=4849, TE@TF000641-Ty1_copia_Ele29:1-4849

0 1000 2000 3000 4000 5000

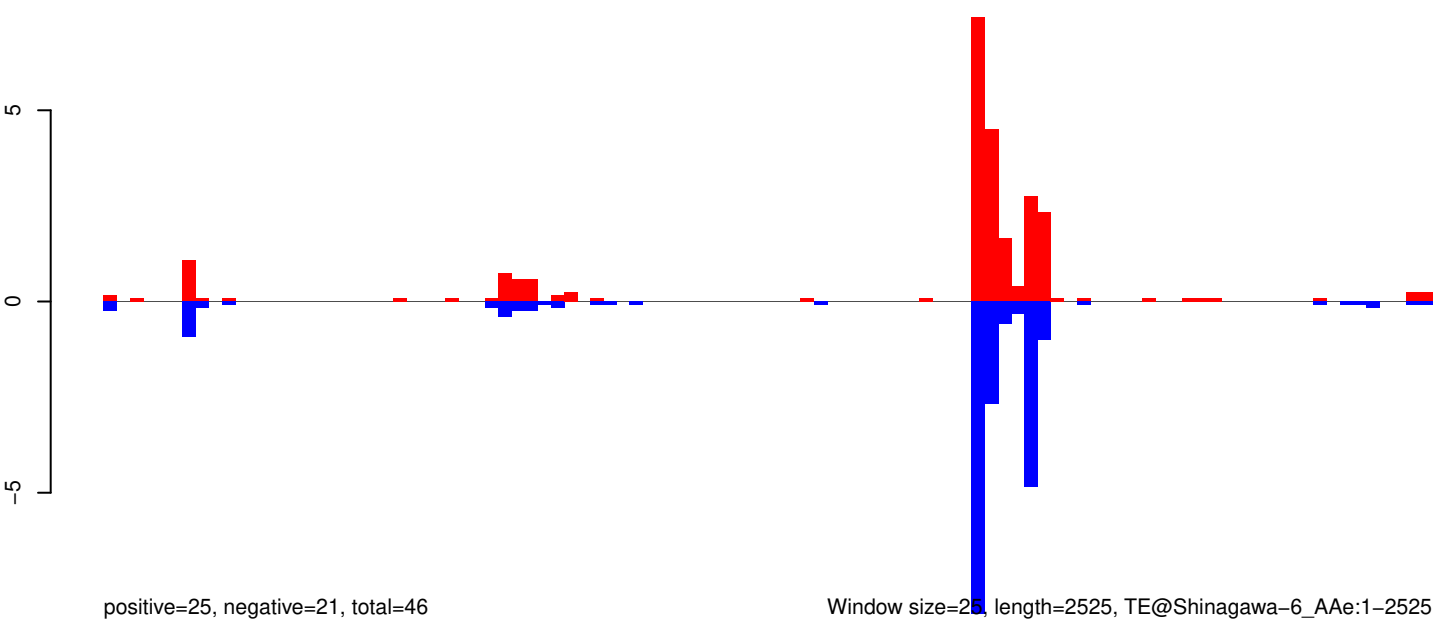
AeAeg_Aag2_Ago2_SINV_RA.18_23.rep



AeAeg_Aag2_Ago2_SINV_RA.24_35.rep

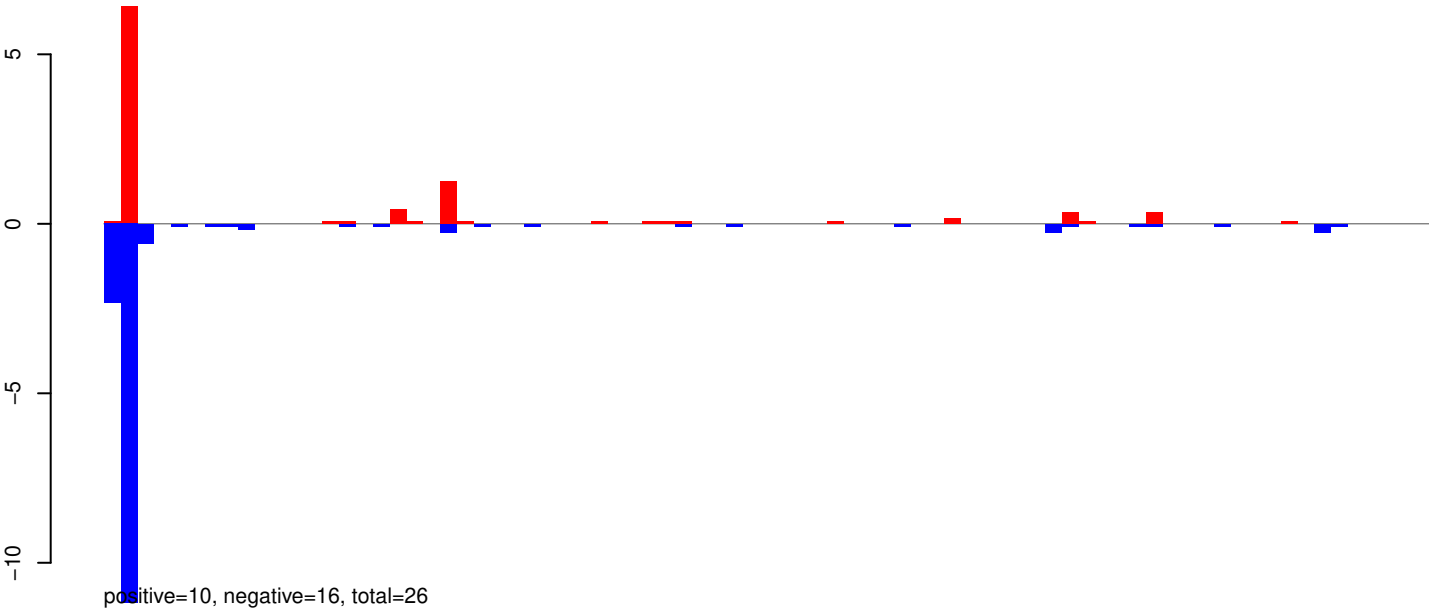


AeAeg_Aag2_Ago2_SINV_RA.rep

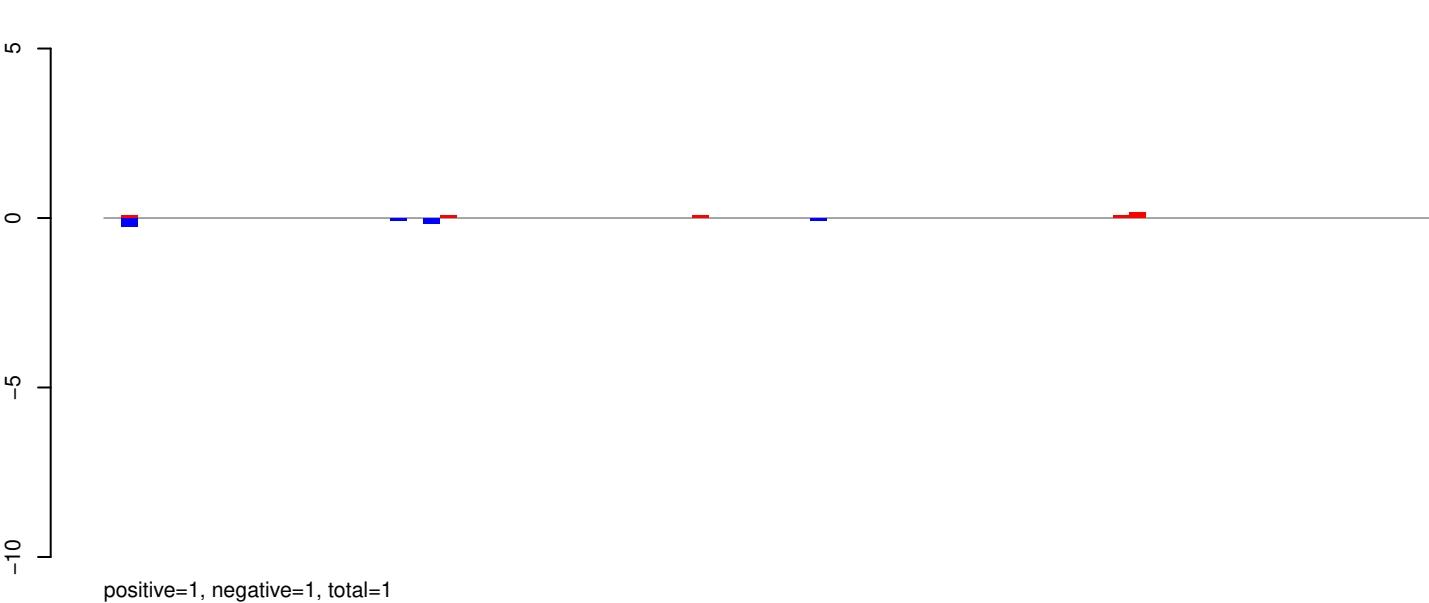


Window size=25, length=2525, TE@Shinagawa-6_AAe:1-2525

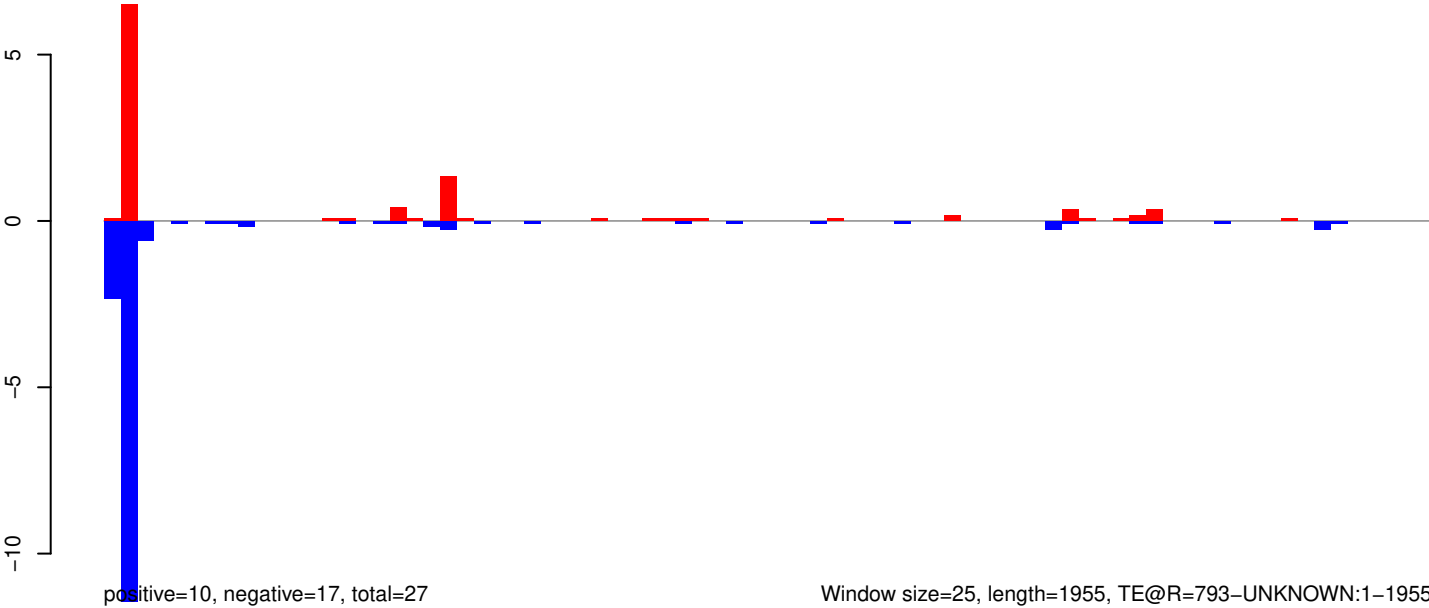
AeAeg_Aag2_Ago2_SINV_RA.18_23.rep



AeAeg_Aag2_Ago2_SINV_RA.24_35.rep

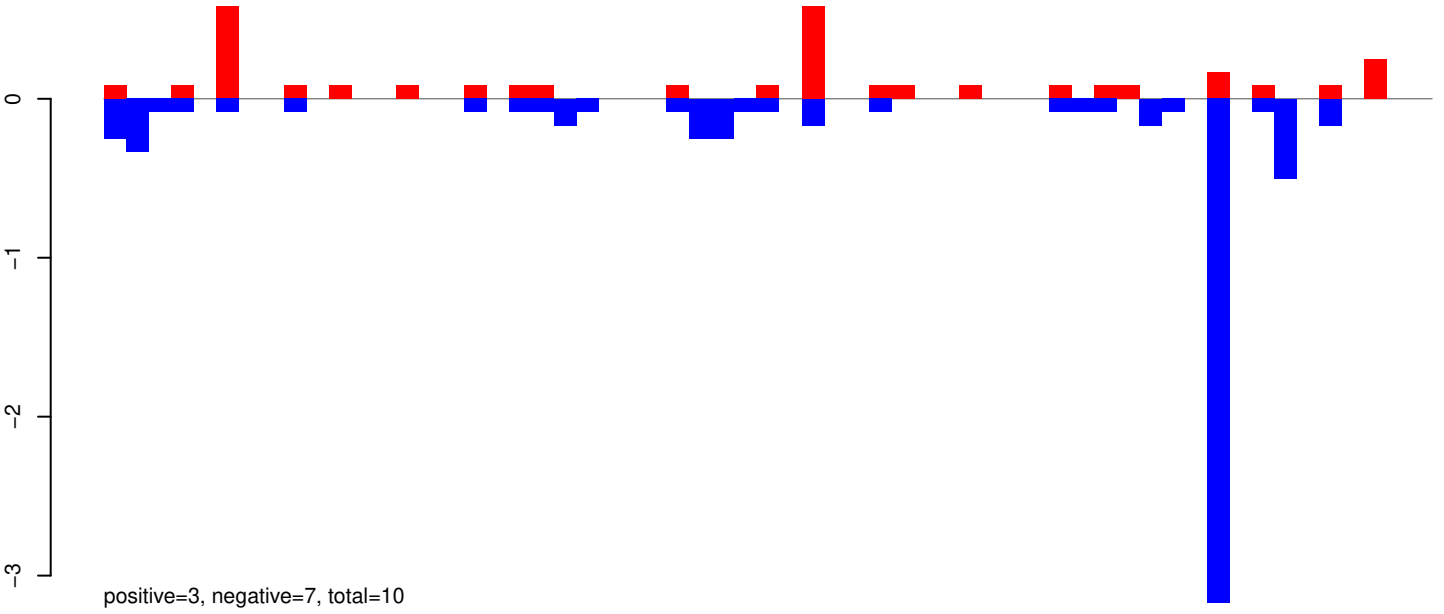


AeAeg_Aag2_Ago2_SINV_RA.rep

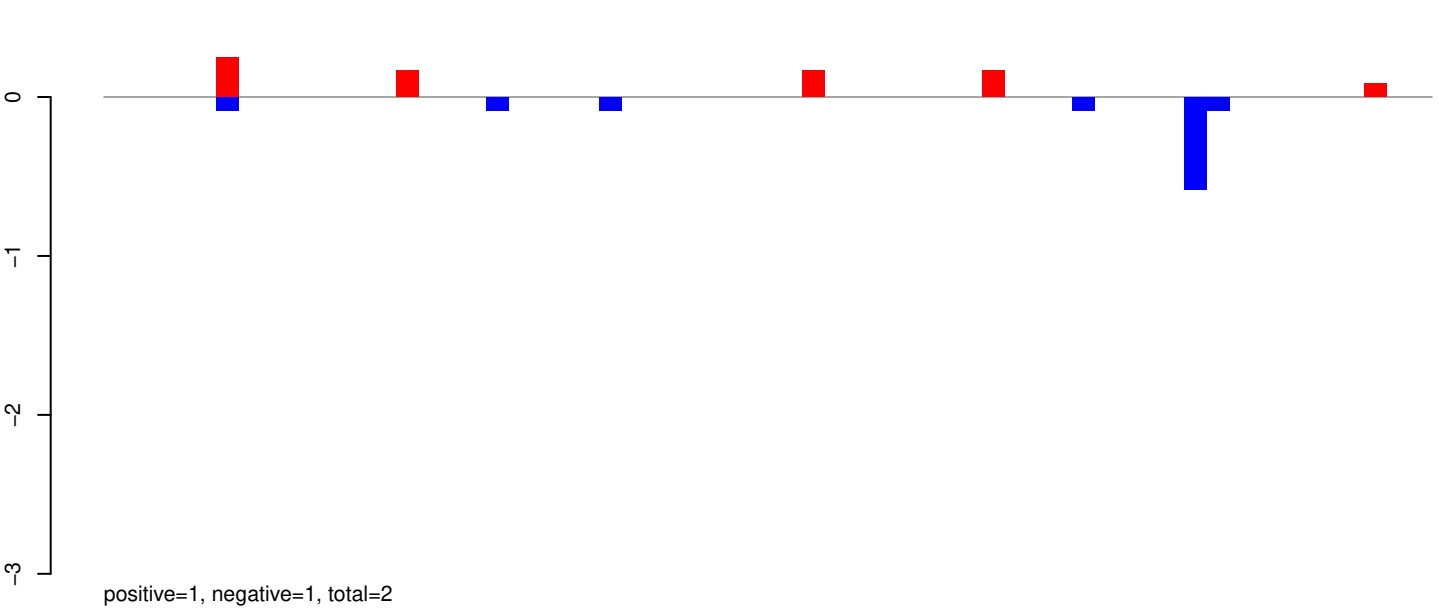


Window size=25, length=1955, TE@R=793-UNKNOWN:1-1955

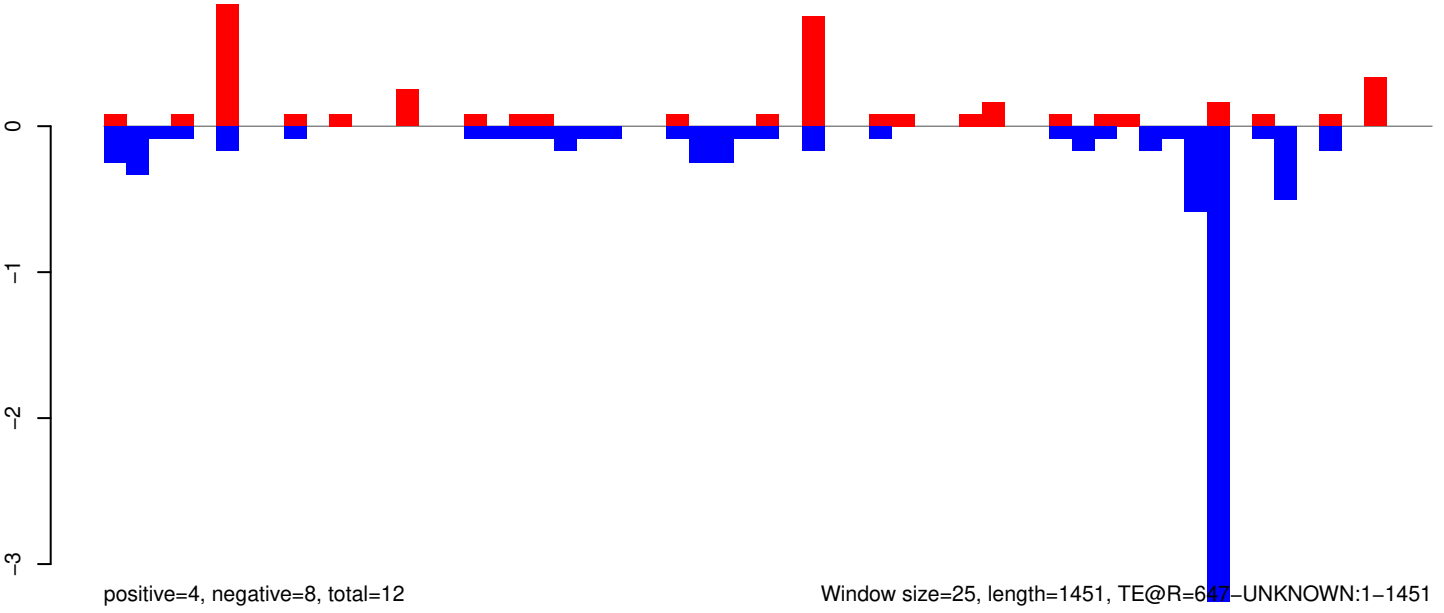
AeAeg_Aag2_Ago2_SINV_RA.18_23.rep



AeAeg_Aag2_Ago2_SINV_RA.24_35.rep

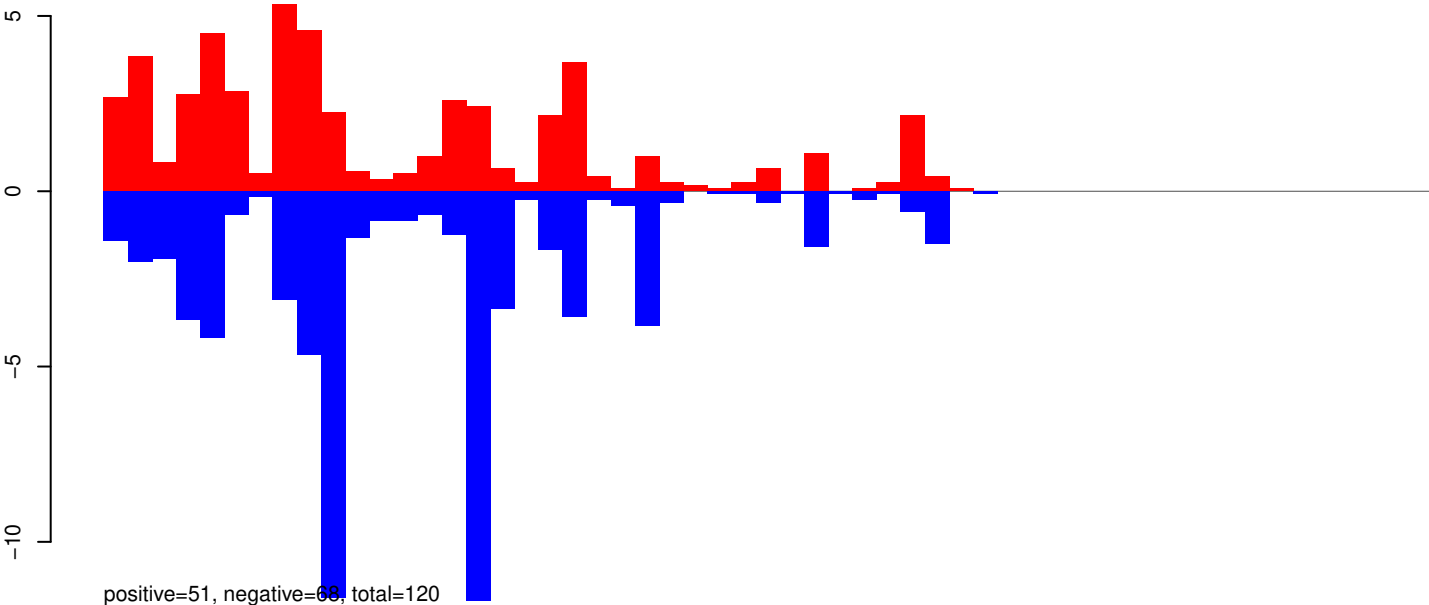


AeAeg_Aag2_Ago2_SINV_RA.rep

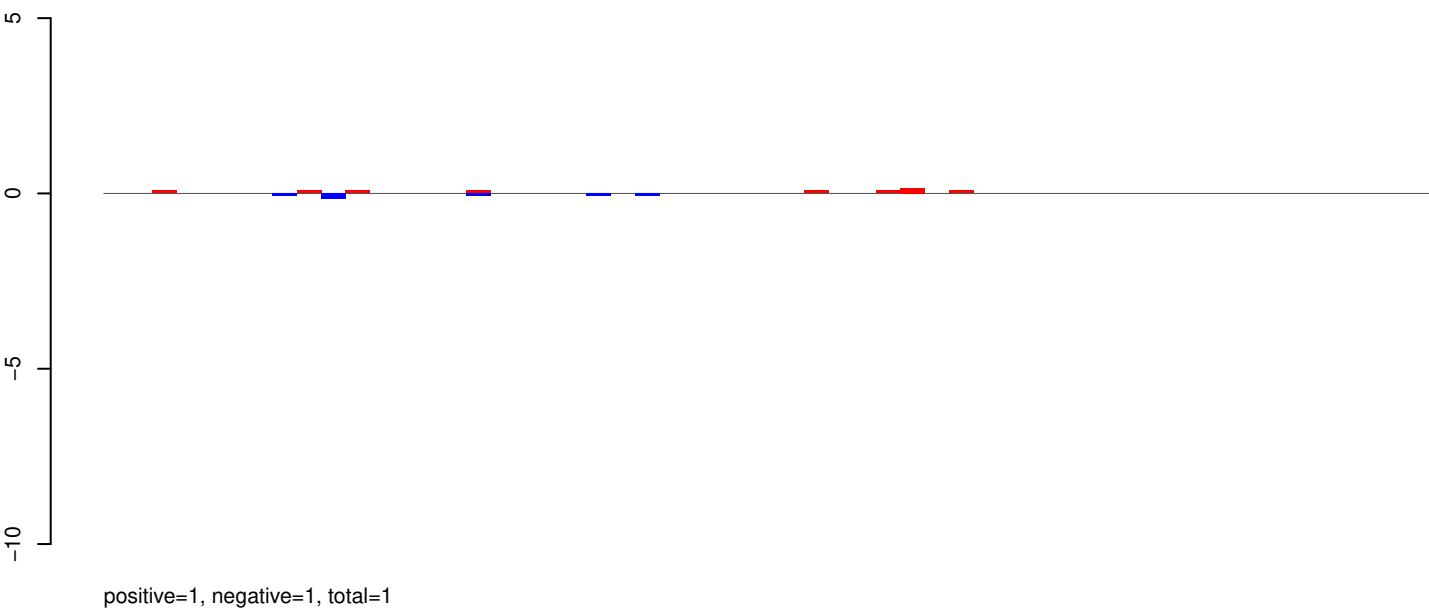


Window size=25, length=1451, TE@R=647-UNKNOWN:1-1451

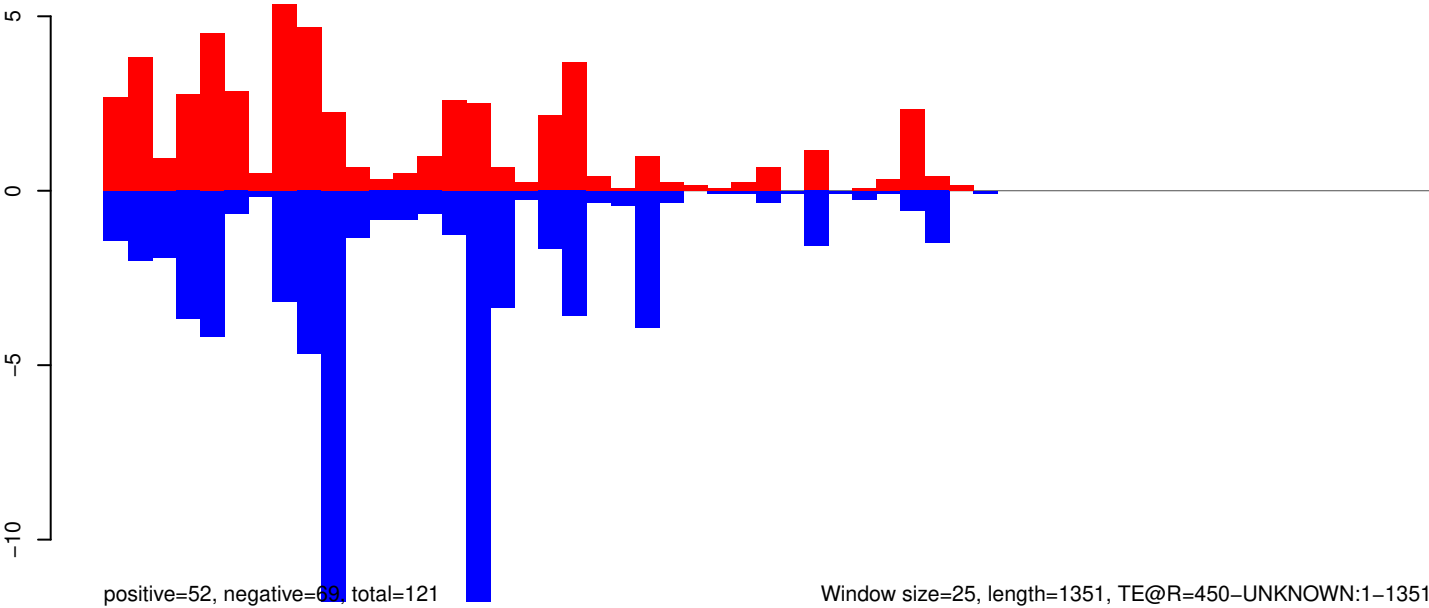
AeAeg_Aag2_Ago2_SINV_RA.18_23.rep



AeAeg_Aag2_Ago2_SINV_RA.24_35.rep



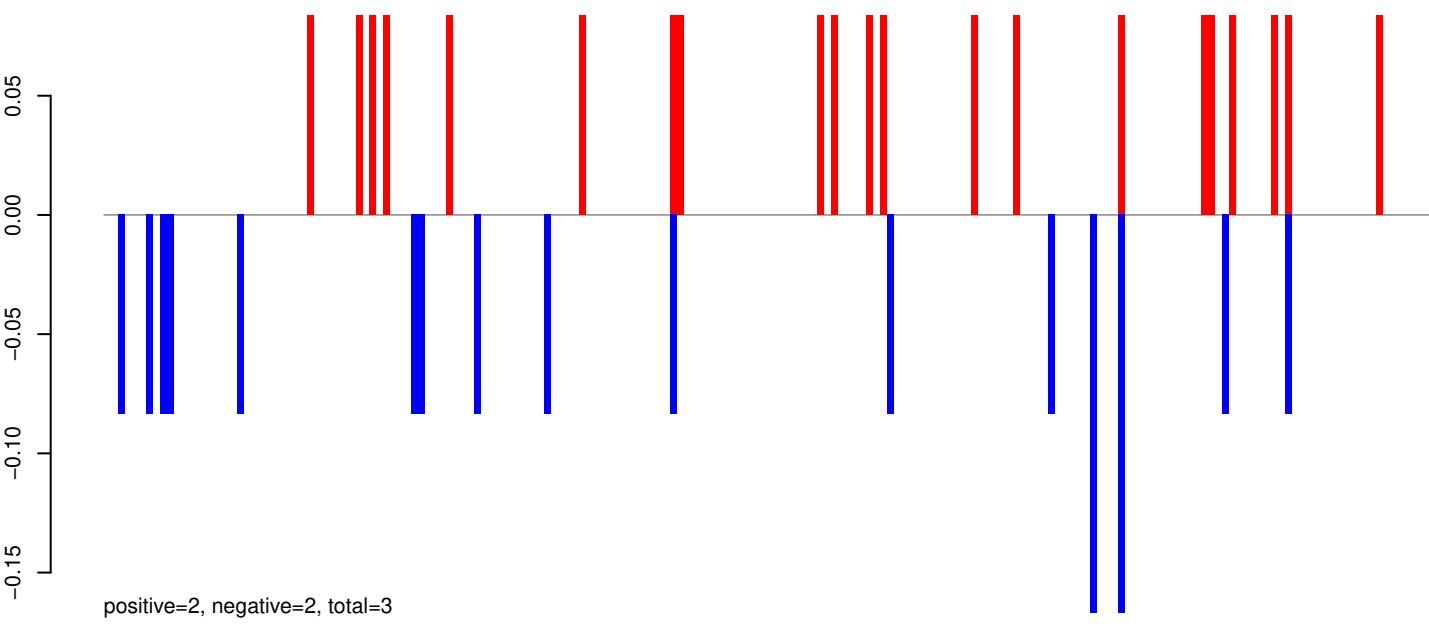
AeAeg_Aag2_Ago2_SINV_RA.rep



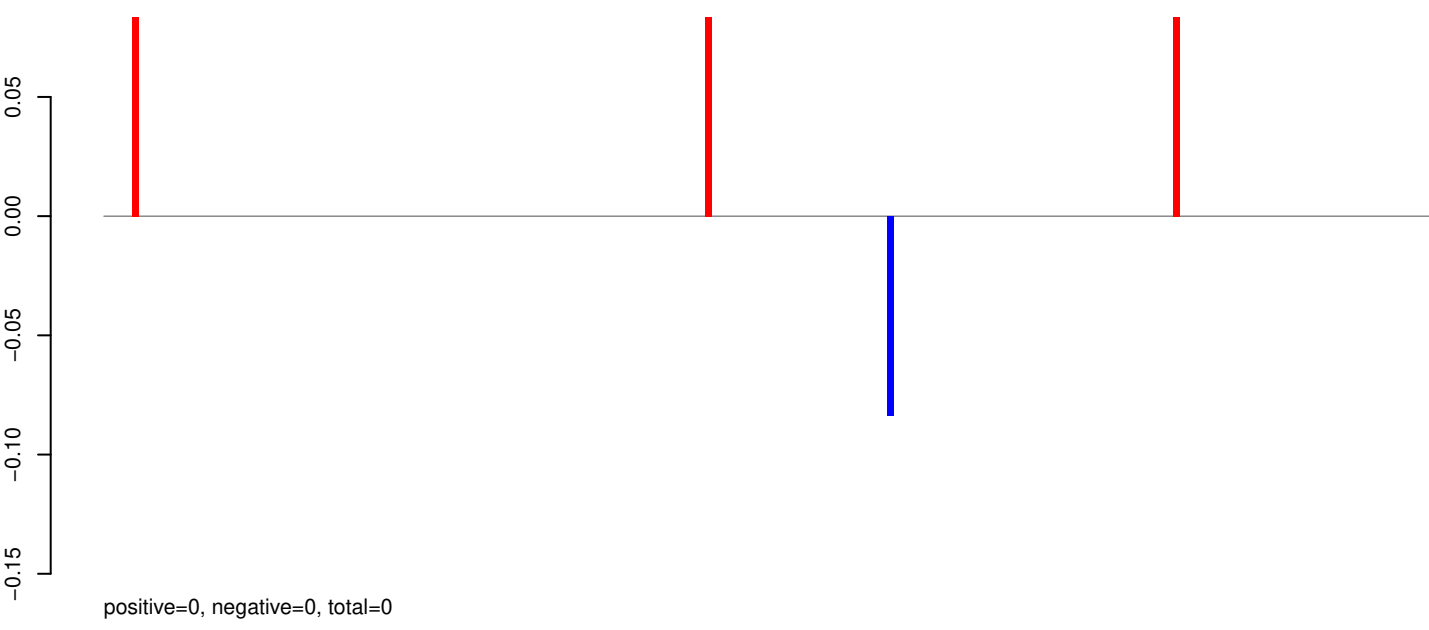
Window size=25, length=1351, TE@R=450-UNKNOWN:1-1351

0 200 400 600 800 1000 1200 1400

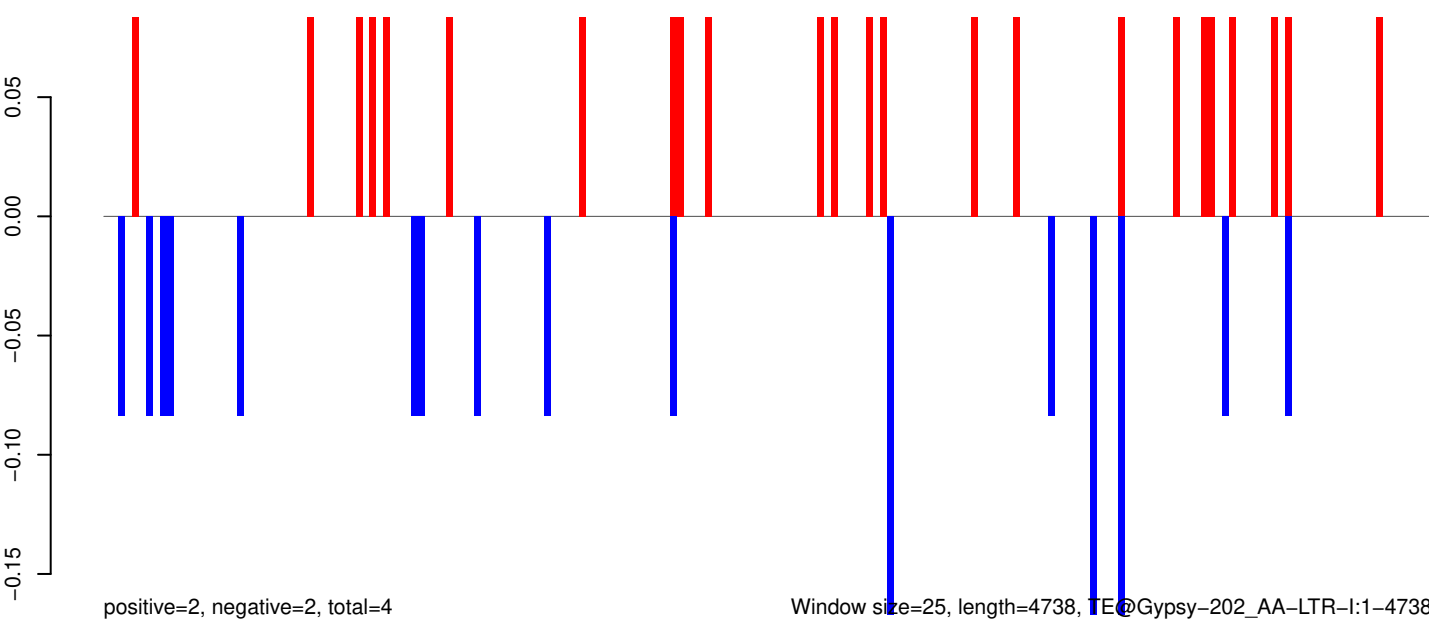
AeAeg_Aag2_Ago2_SINV_RA.18_23.rep



AeAeg_Aag2_Ago2_SINV_RA.24_35.rep

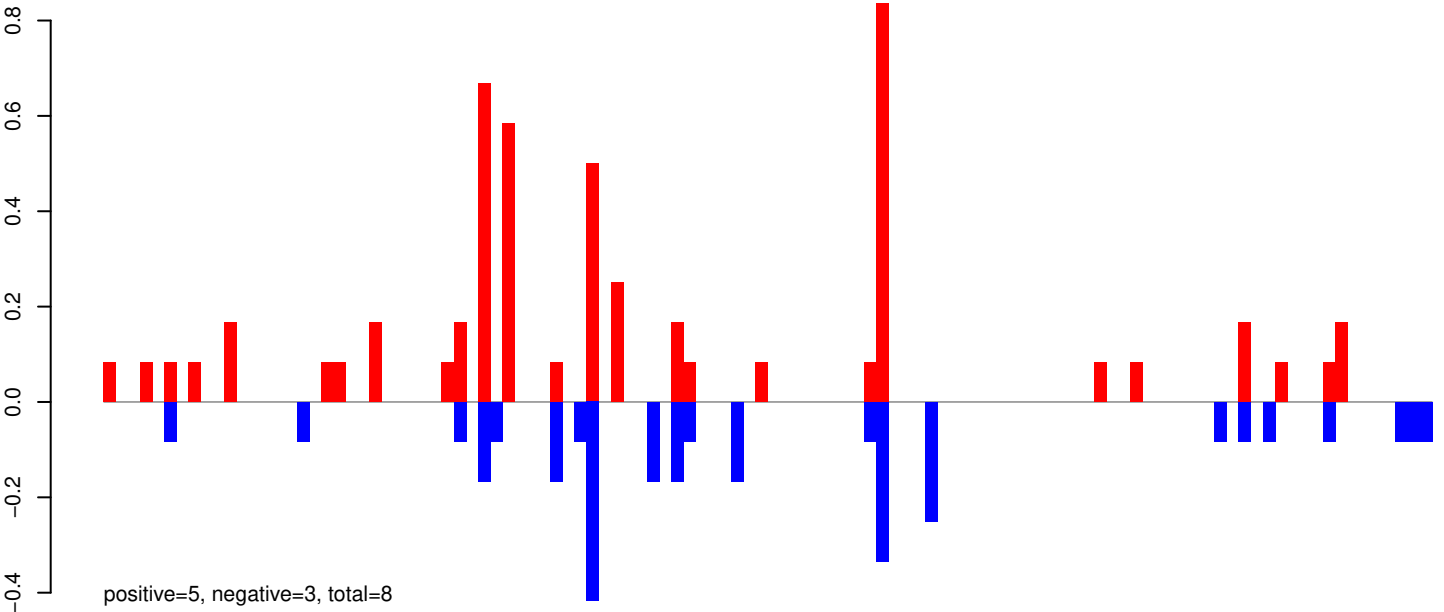


AeAeg_Aag2_Ago2_SINV_RA.rep

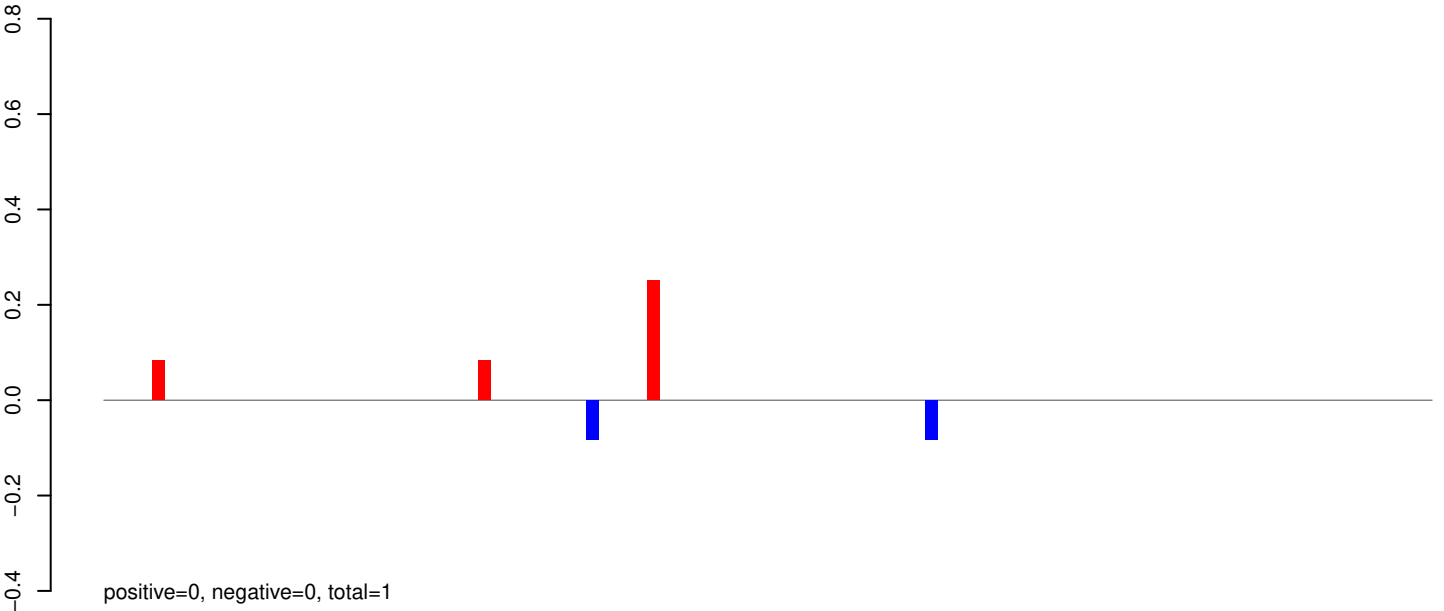


0 1000 2000 3000 4000

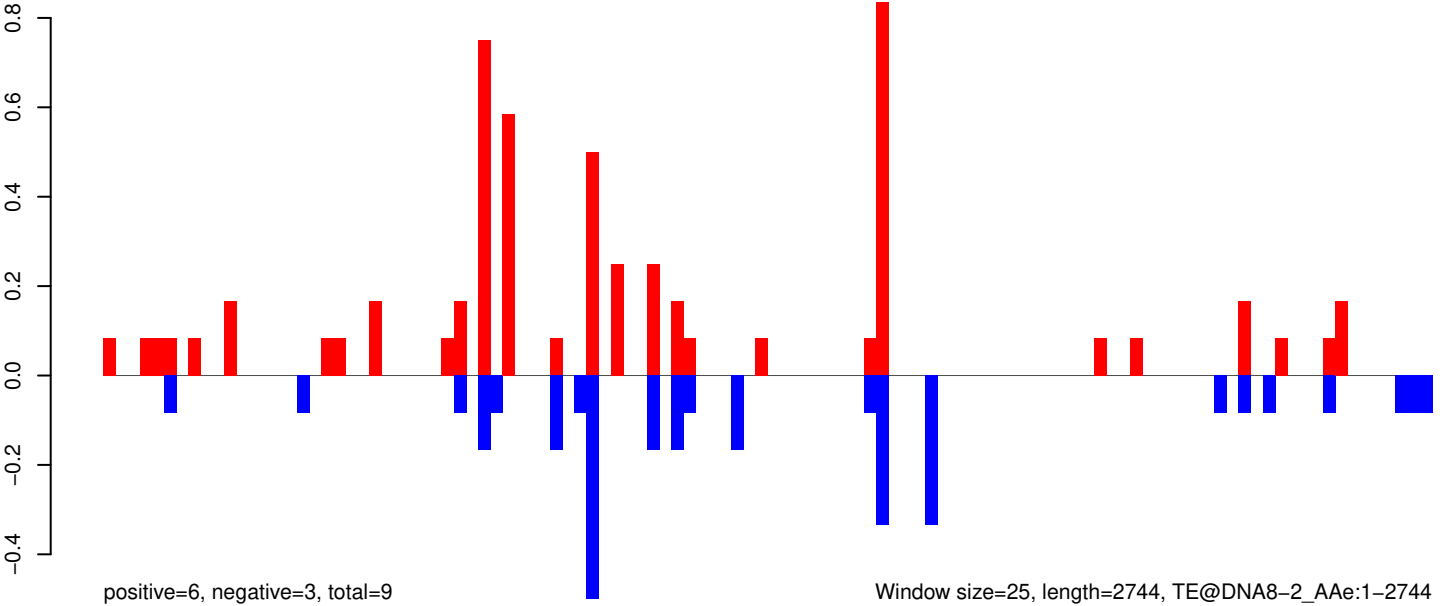
AeAeg_Aag2_Ago2_SINV_RA.18_23.rep



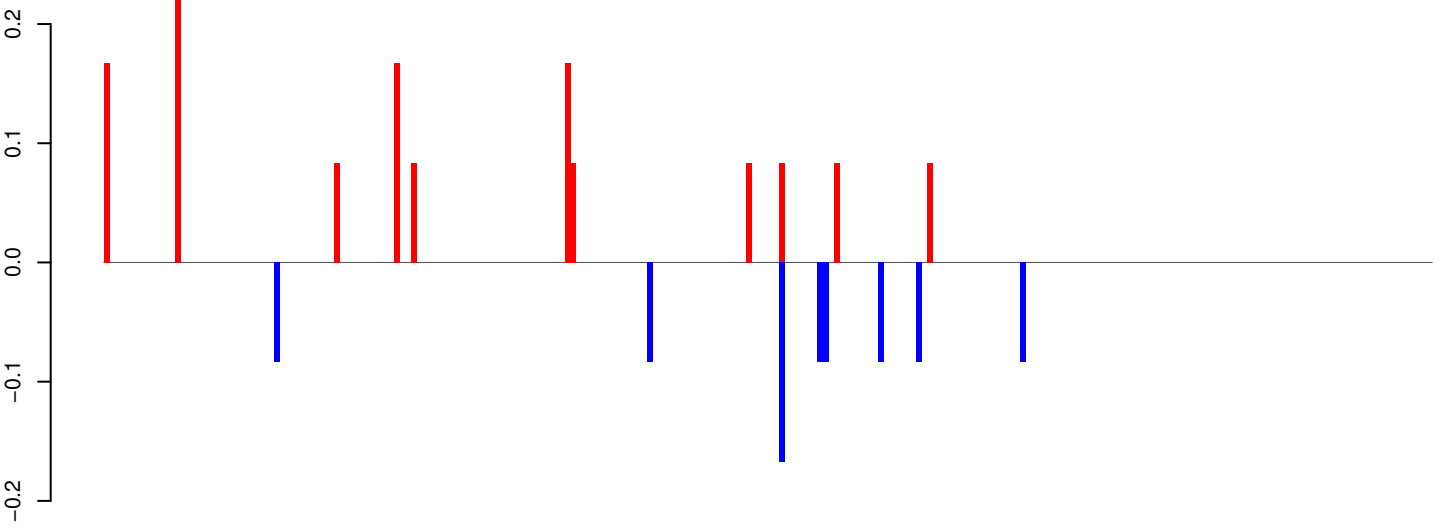
AeAeg_Aag2_Ago2_SINV_RA.24_35.rep



AeAeg_Aag2_Ago2_SINV_RA.rep

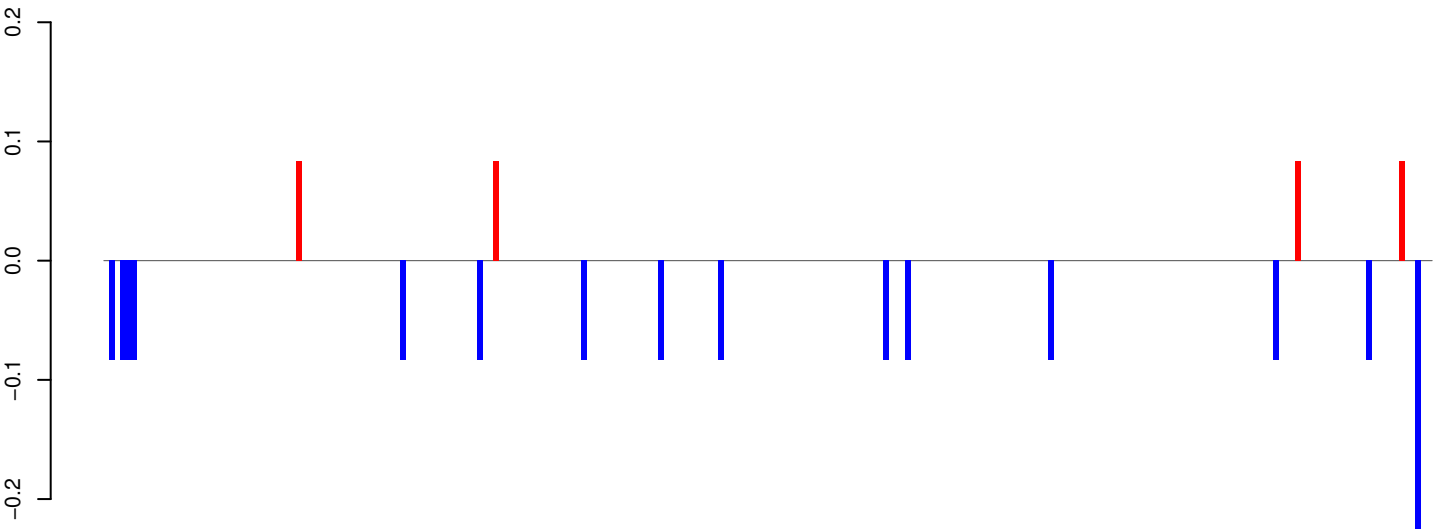


AeAeg_Aag2_Ago2_SINV_RA.18_23.rep



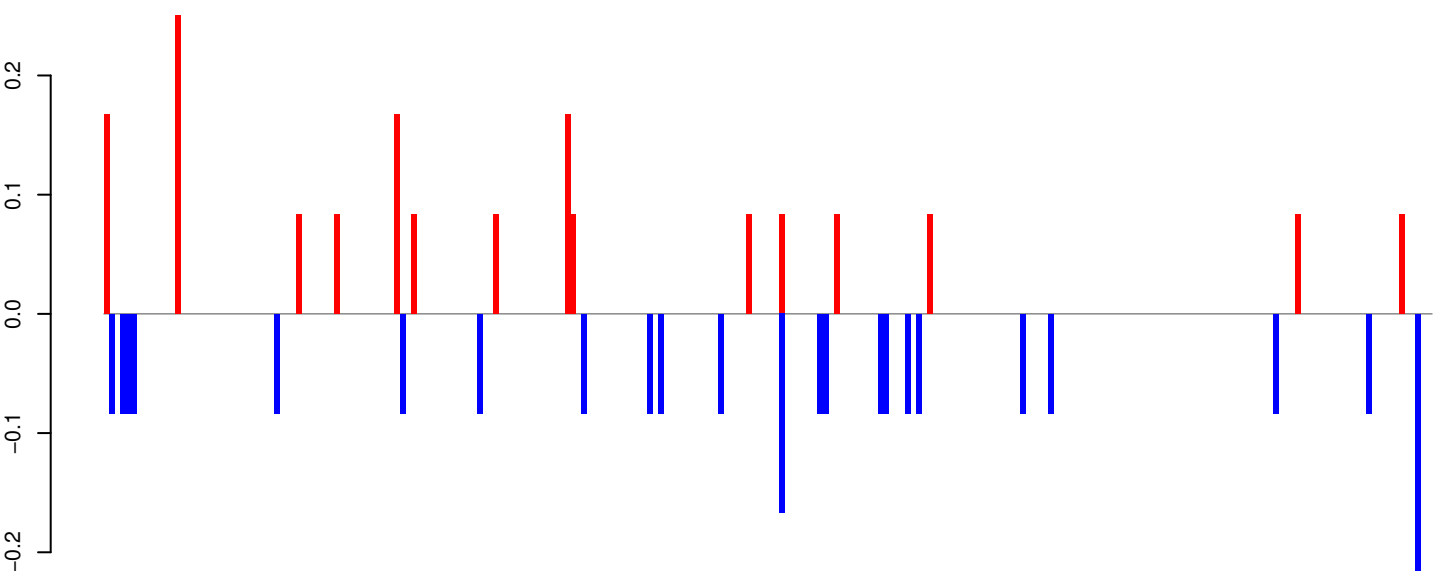
positive=1, negative=1, total=2

AeAeg_Aag2_Ago2_SINV_RA.24_35.rep



positive=0, negative=1, total=2

AeAeg_Aag2_Ago2_SINV_RA.rep

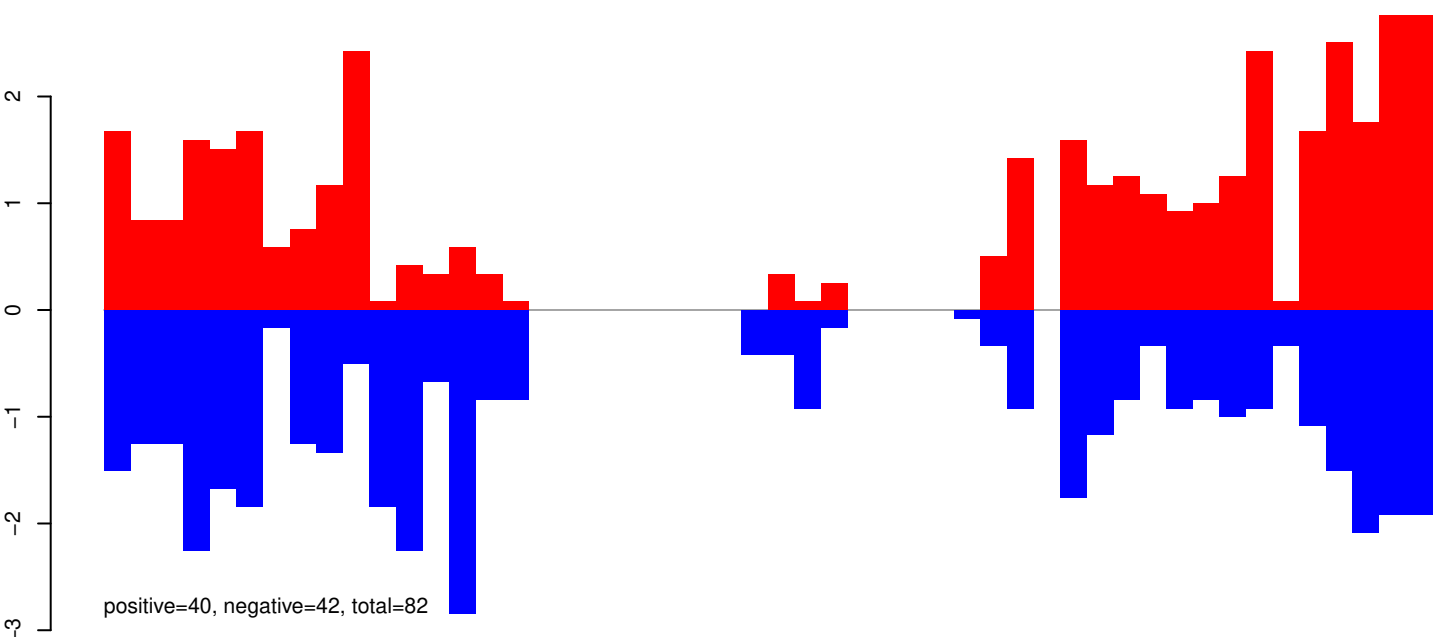


positive=2, negative=2, total=4

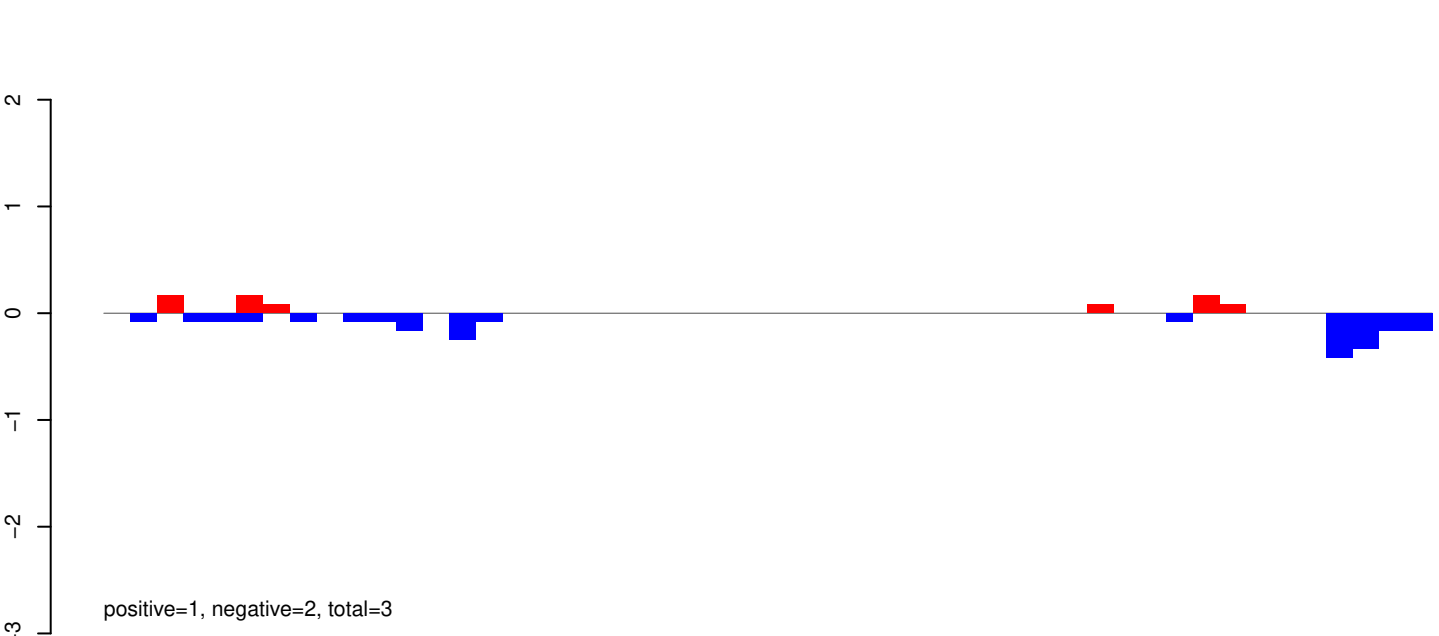
Window size=25, length=6036, TE@BEL-6_AA-LTR-I:1-6036

0 1000 2000 3000 4000 5000 6000

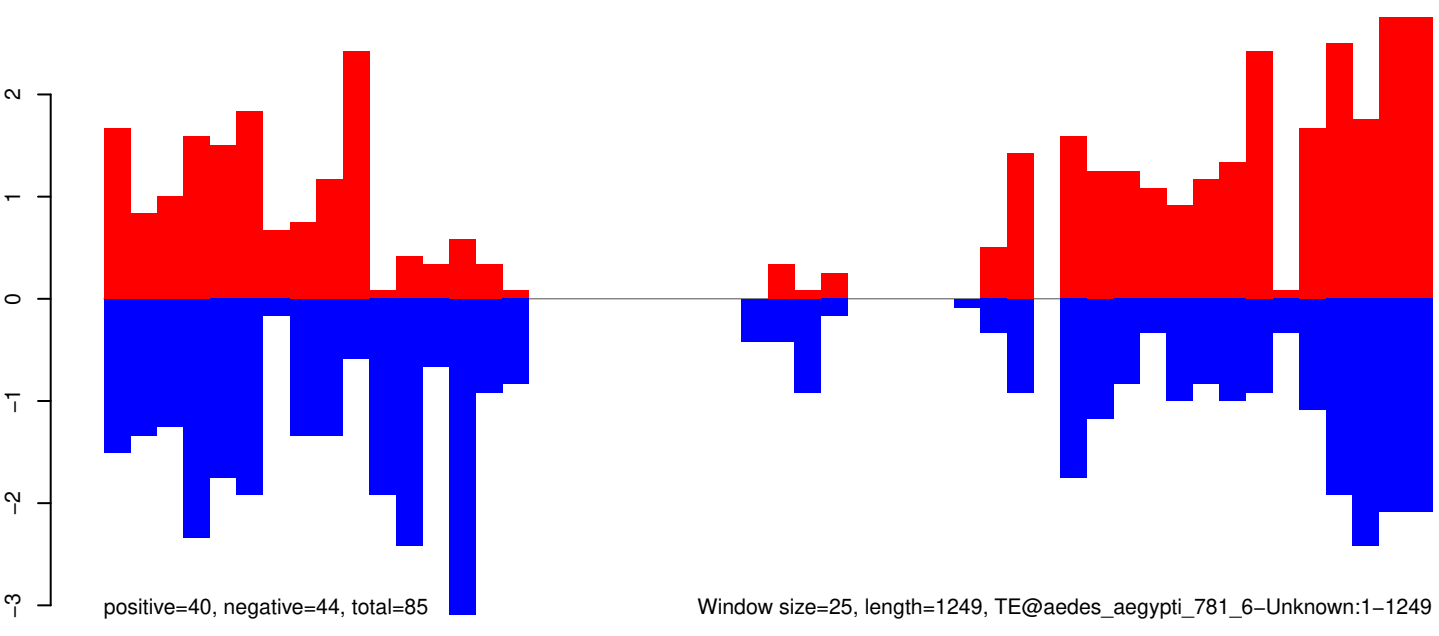
AeAeg_Aag2_Ago2_SINV_RA.18_23.rep



AeAeg_Aag2_Ago2_SINV_RA.24_35.rep

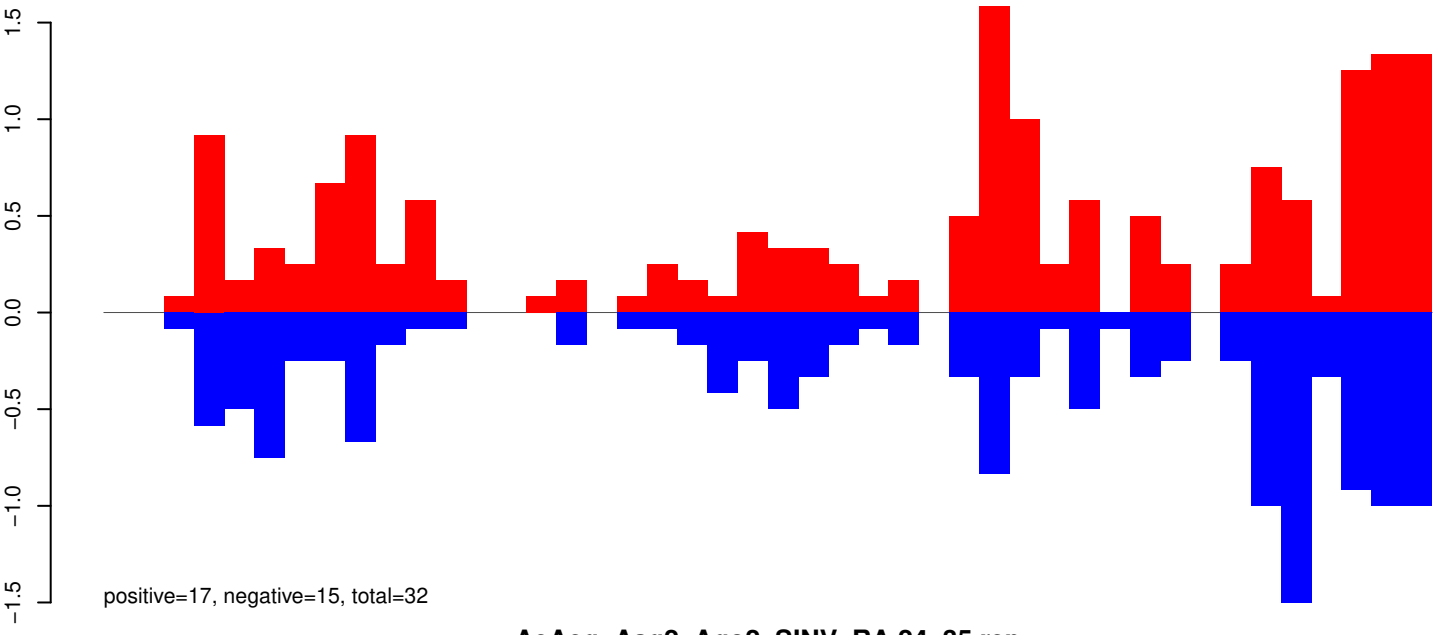


AeAeg_Aag2_Ago2_SINV_RA.rep

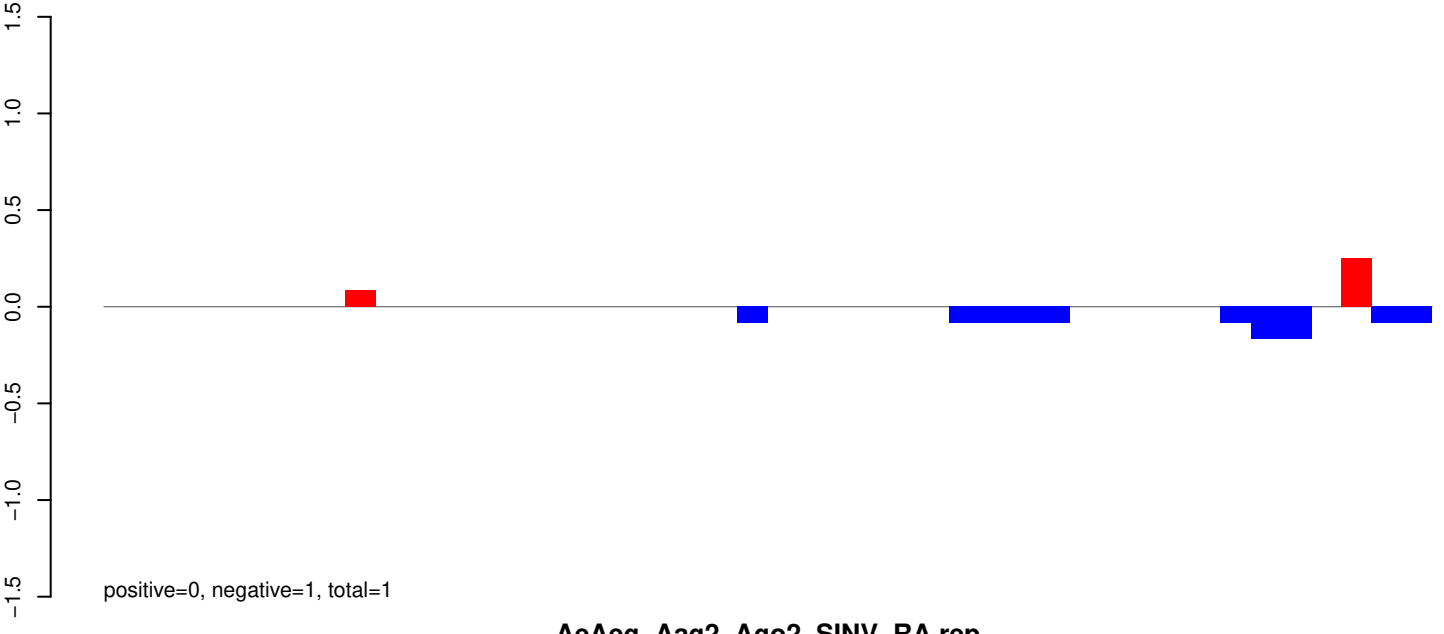


Window size=25, length=1249, TE@aedes_aegypti_781_6-Unknown:1-1249

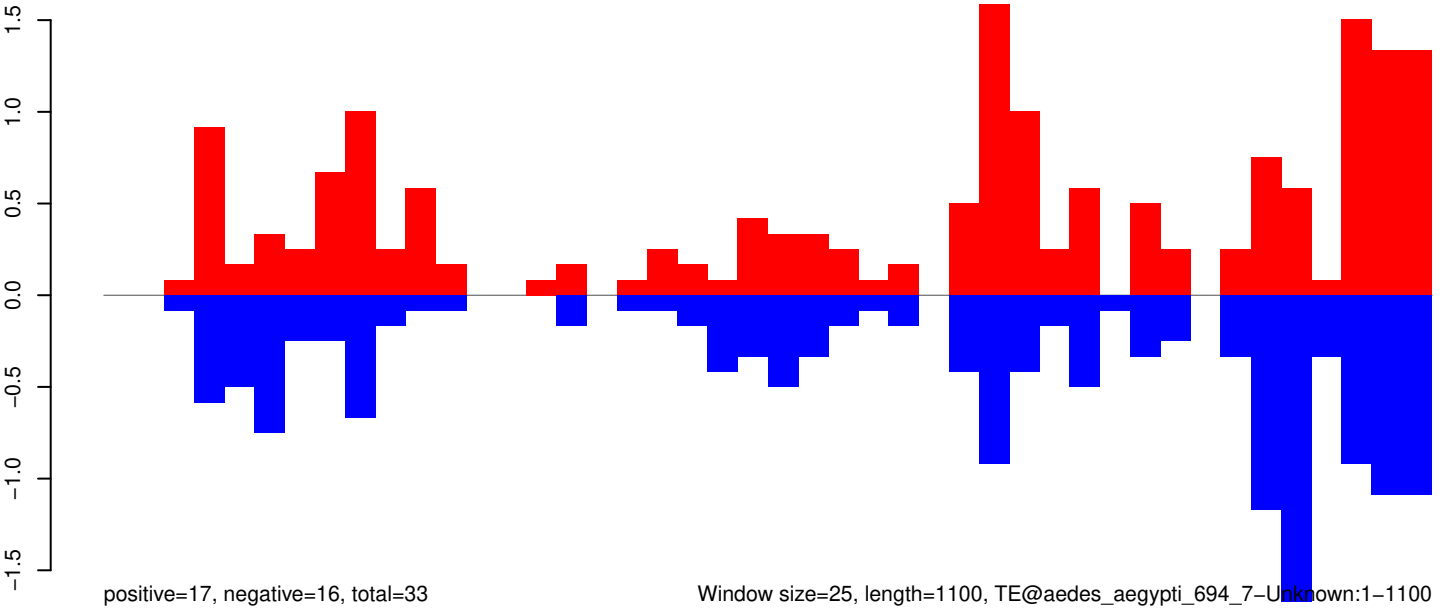
AeAeg_Aag2_Ago2_SINV_RA.18_23.rep



AeAeg_Aag2_Ago2_SINV_RA.24_35.rep



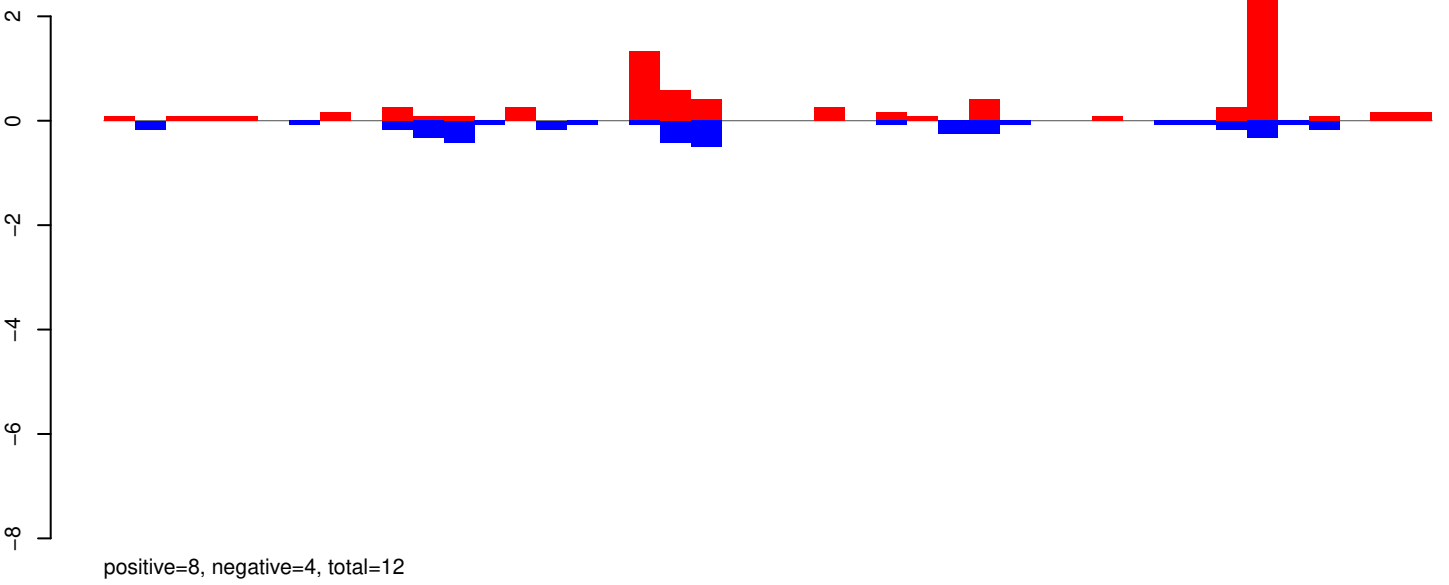
AeAeg_Aag2_Ago2_SINV_RA.rep



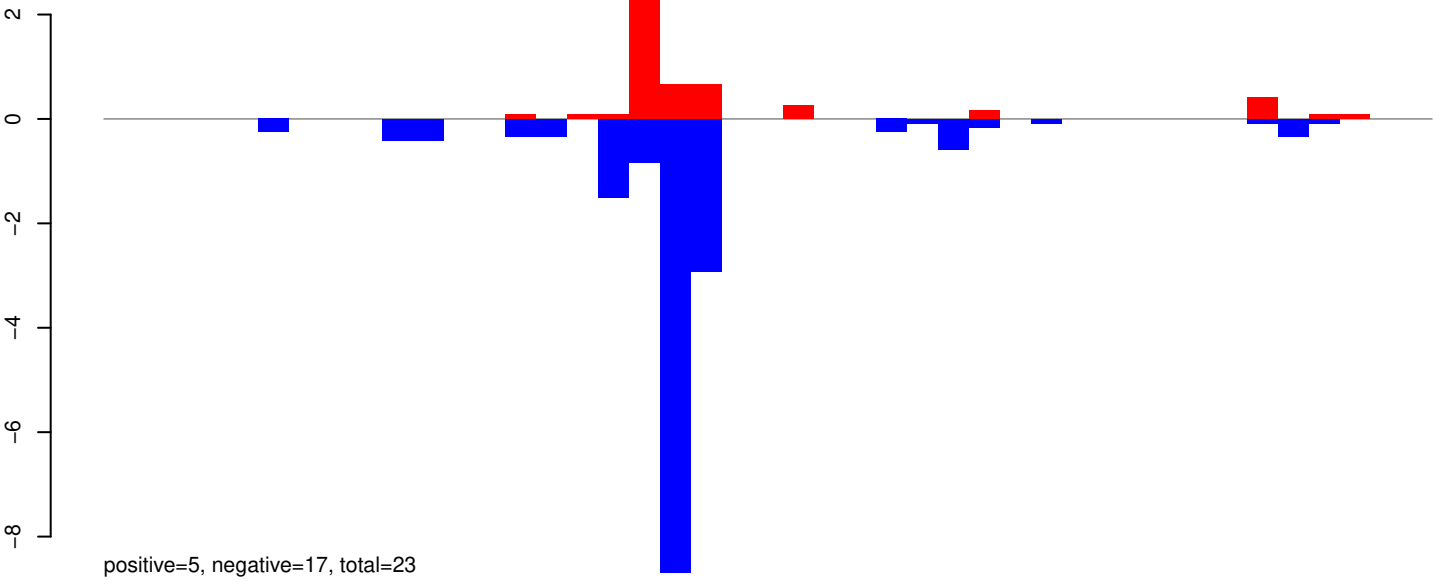
Window size=25, length=1100, TE@aedes_aegypti_694_7-Unknown:1-1100

0 200 400 600 800 1000

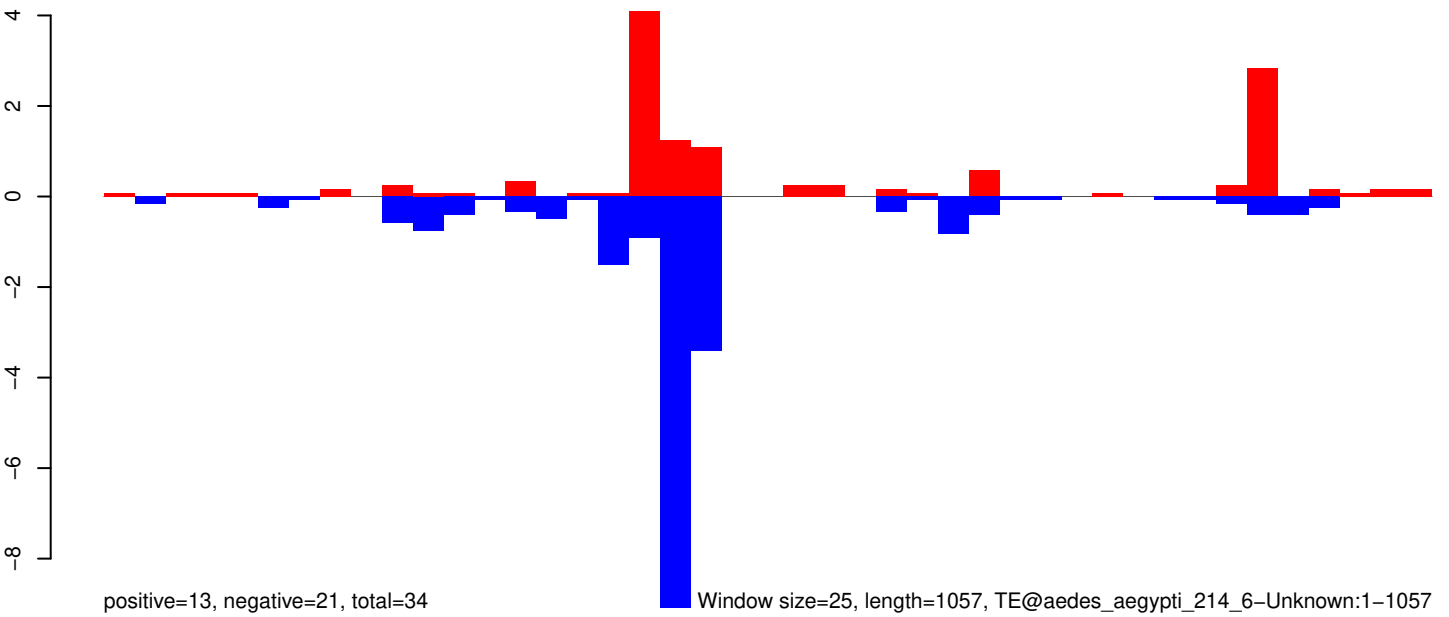
AeAeg_Aag2_Ago2_SINV_RA.18_23.rep



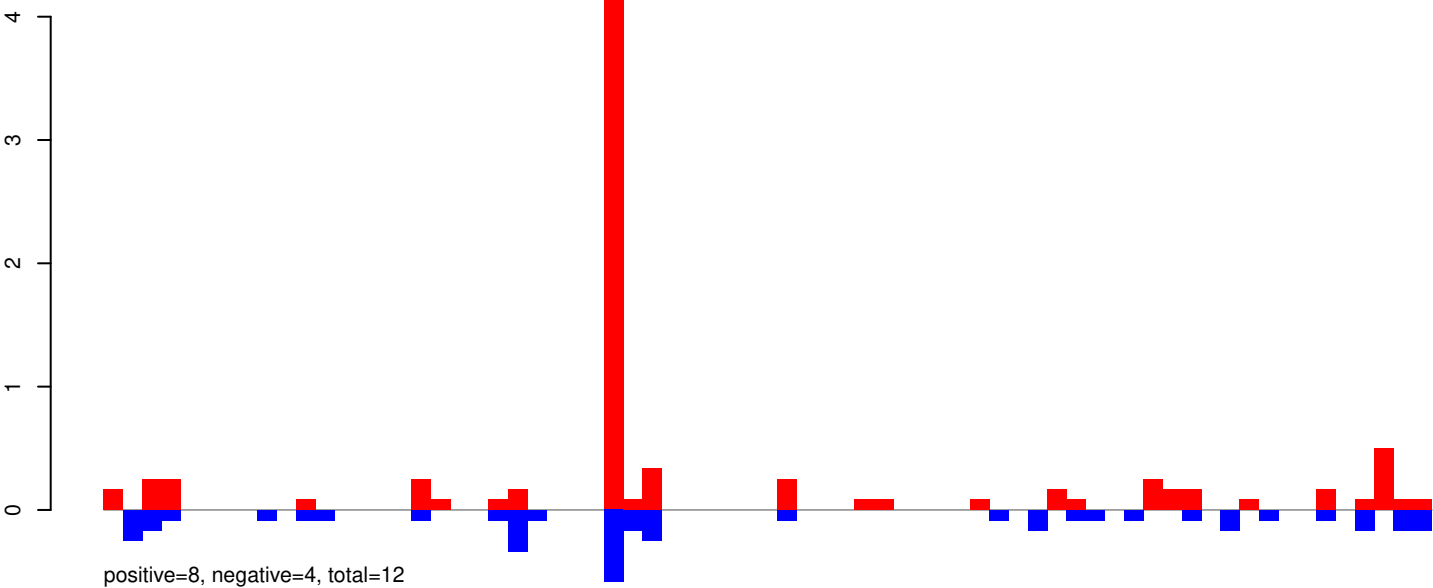
AeAeg_Aag2_Ago2_SINV_RA.24_35.rep



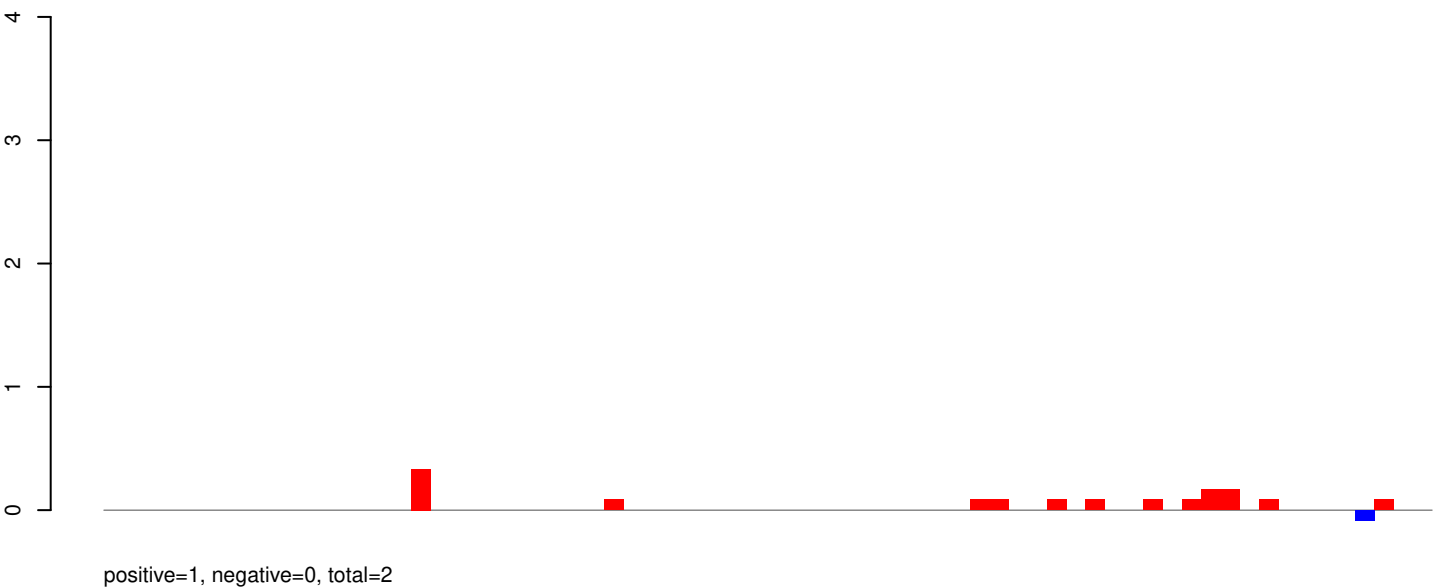
AeAeg_Aag2_Ago2_SINV_RA.rep



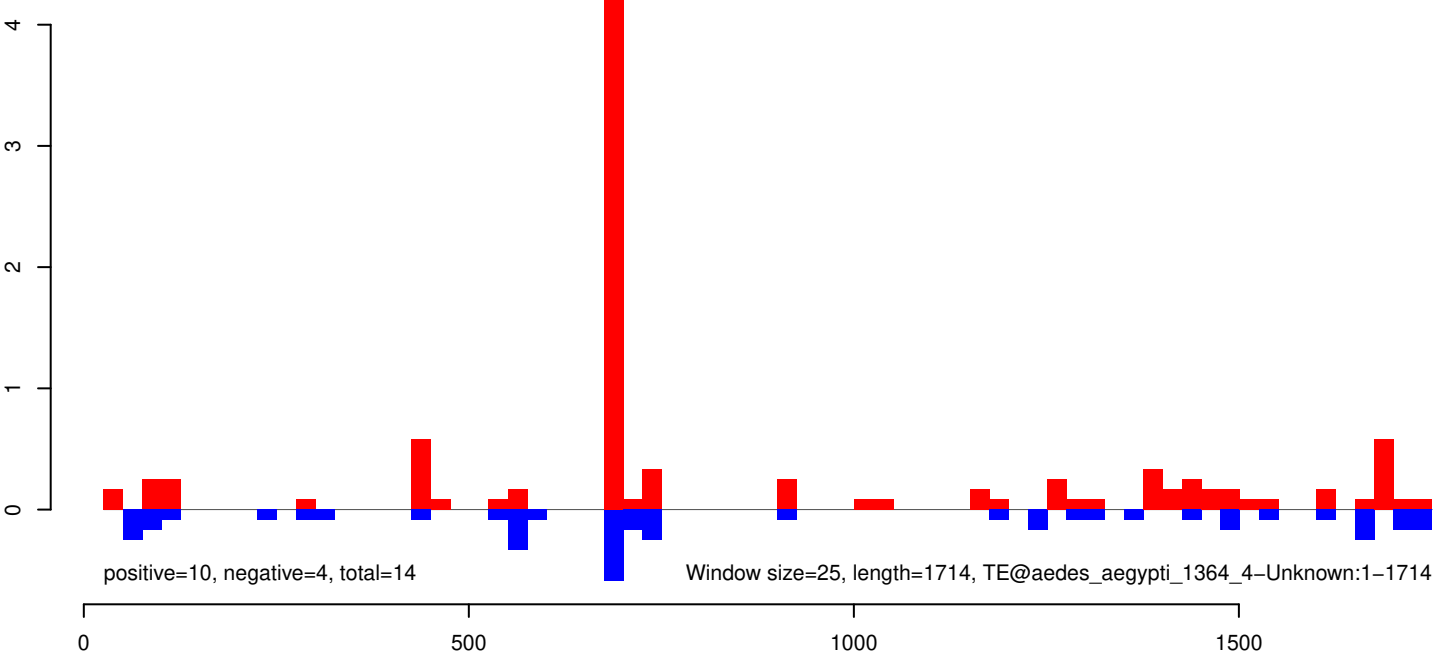
AeAeg_Aag2_Ago2_SINV_RA.18_23.rep



AeAeg_Aag2_Ago2_SINV_RA.24_35.rep



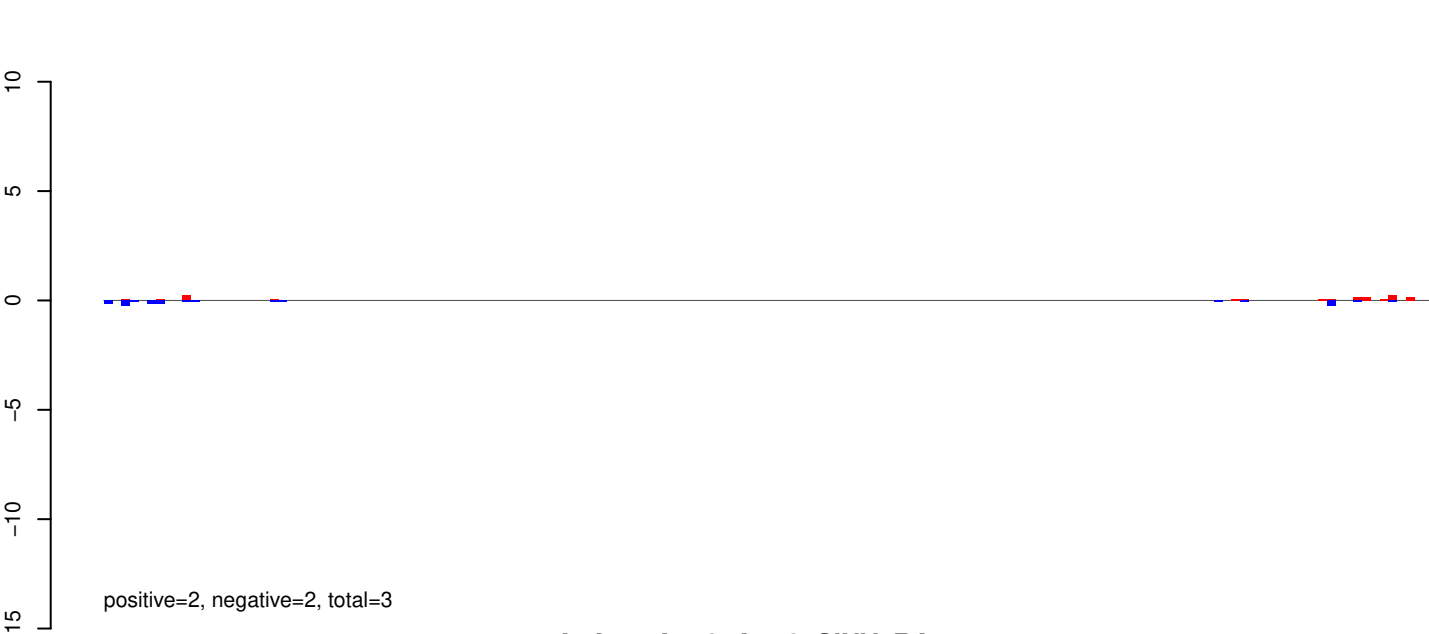
AeAeg_Aag2_Ago2_SINV_RA.rep



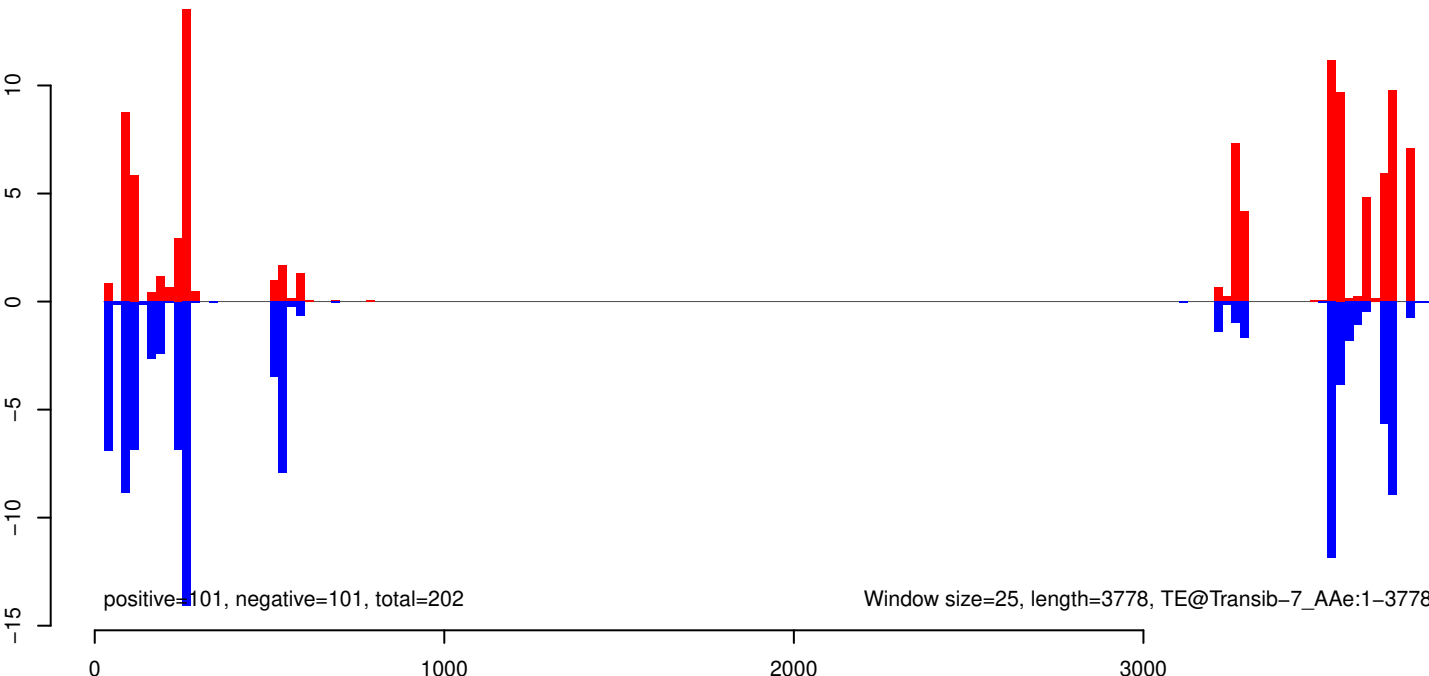
AeAeg_Aag2_Ago2_SINV_RA.18_23.rep



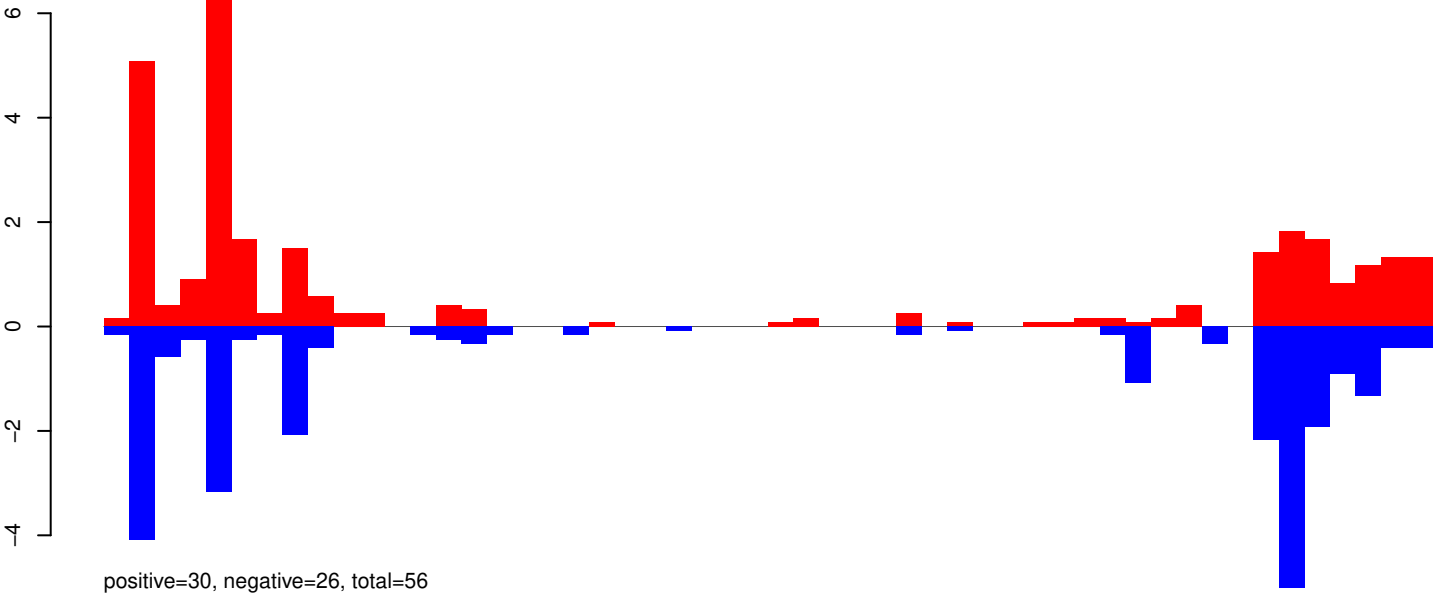
AeAeg_Aag2_Ago2_SINV_RA.24_35.rep



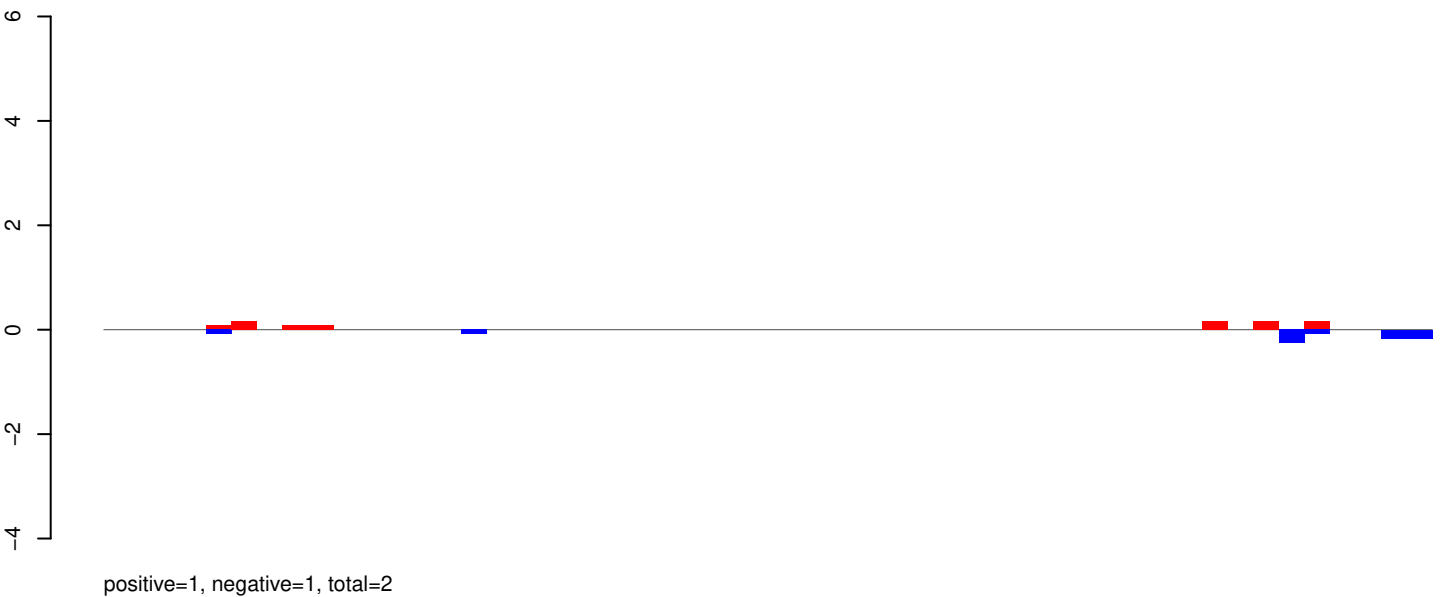
AeAeg_Aag2_Ago2_SINV_RA.rep



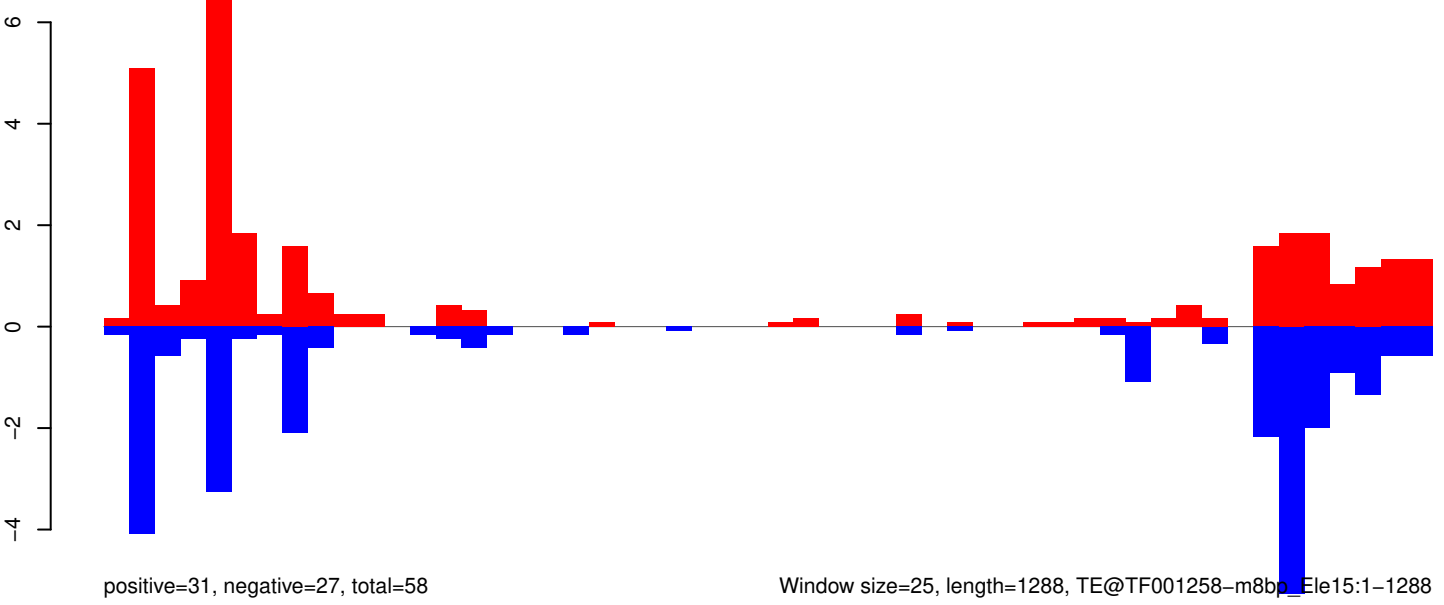
AeAeg_Aag2_Ago2_SINV_RA.18_23.rep



AeAeg_Aag2_Ago2_SINV_RA.24_35.rep

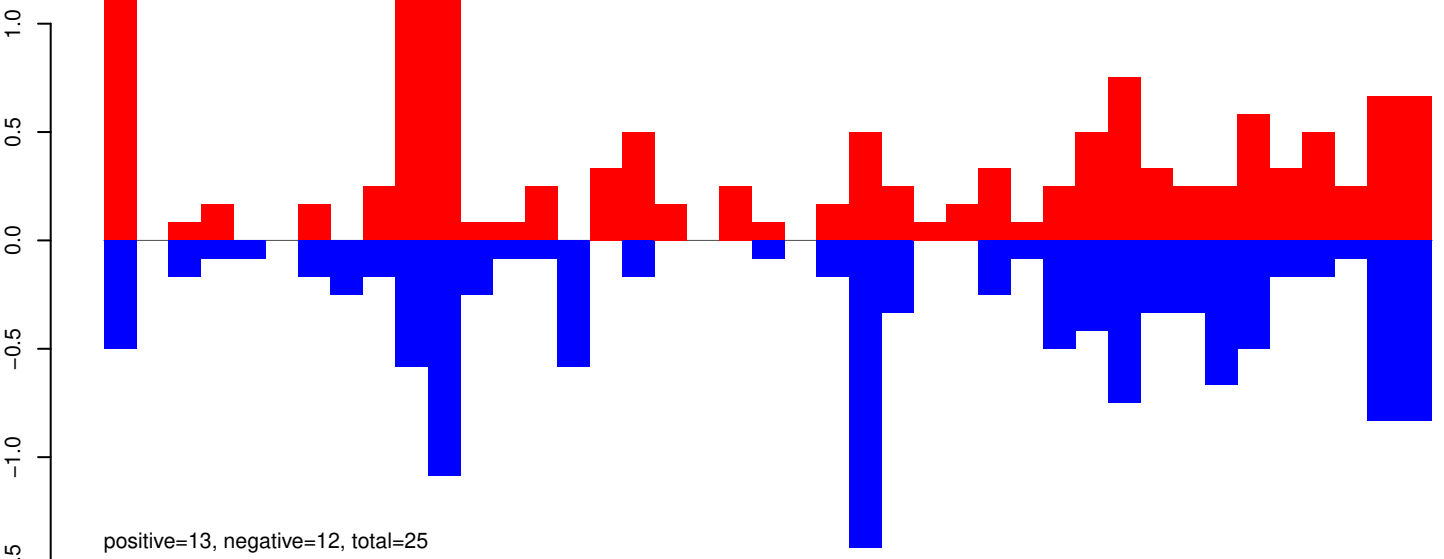


AeAeg_Aag2_Ago2_SINV_RA.rep



Window size=25, length=1288, TE@TF001258-m8bp_Ele15:1-1288

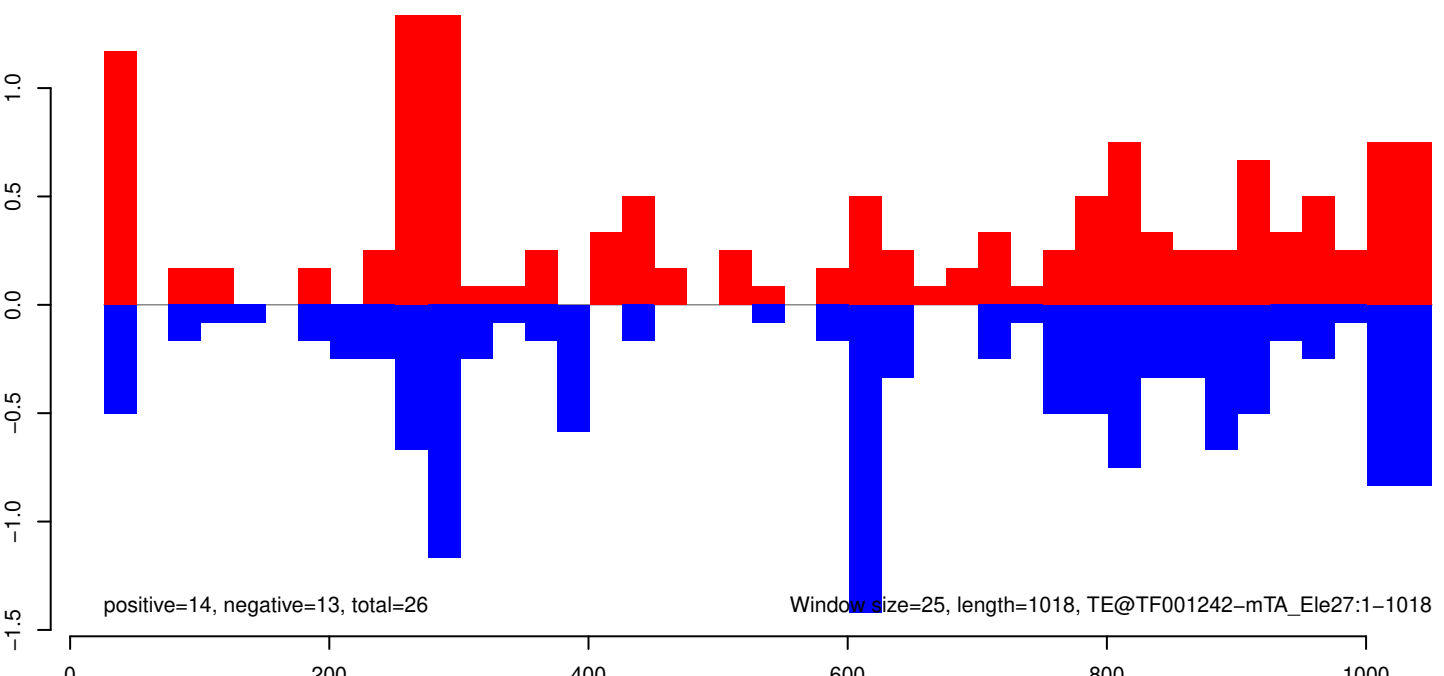
AeAeg_Aag2_Ago2_SINV_RA.18_23.rep



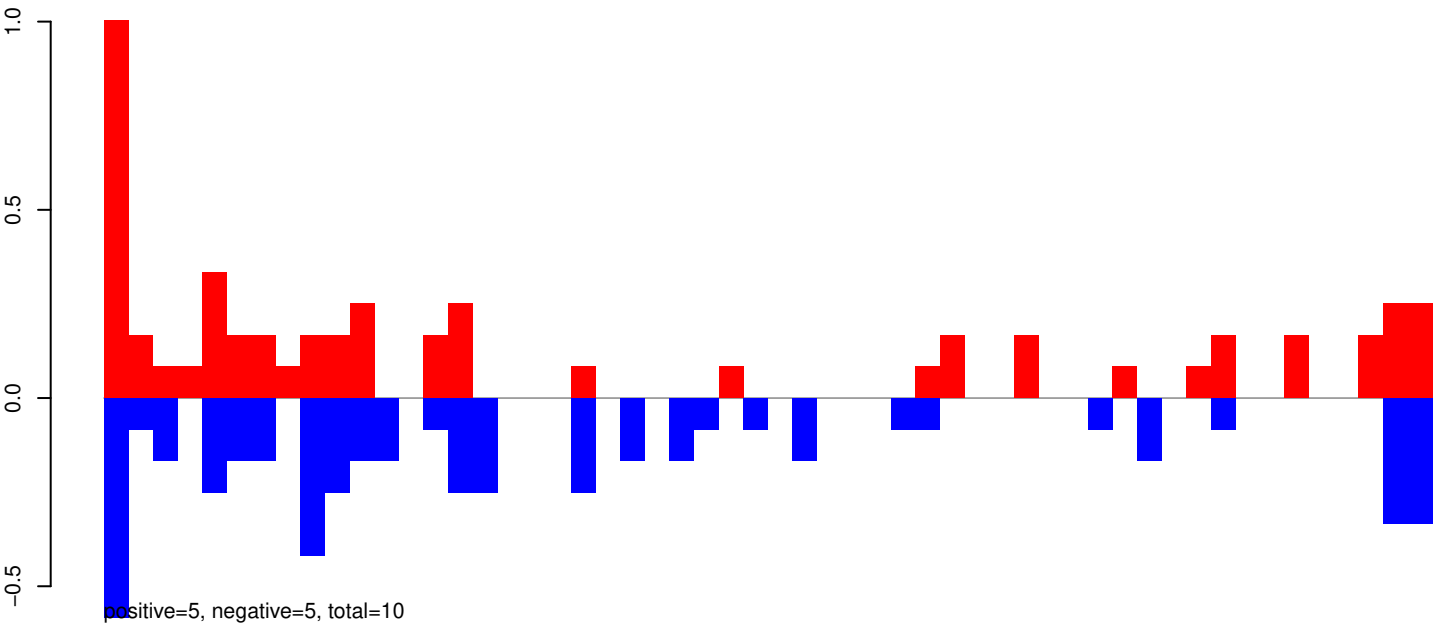
AeAeg_Aag2_Ago2_SINV_RA.24_35.rep



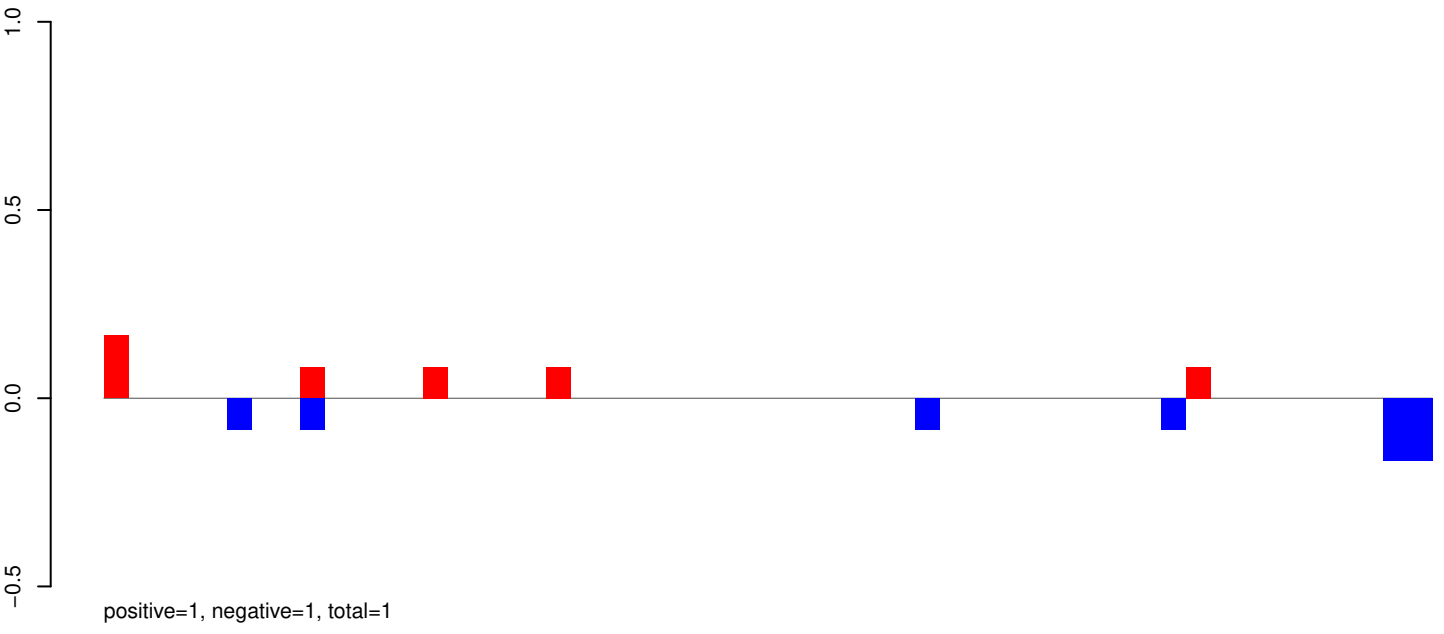
AeAeg_Aag2_Ago2_SINV_RA.rep



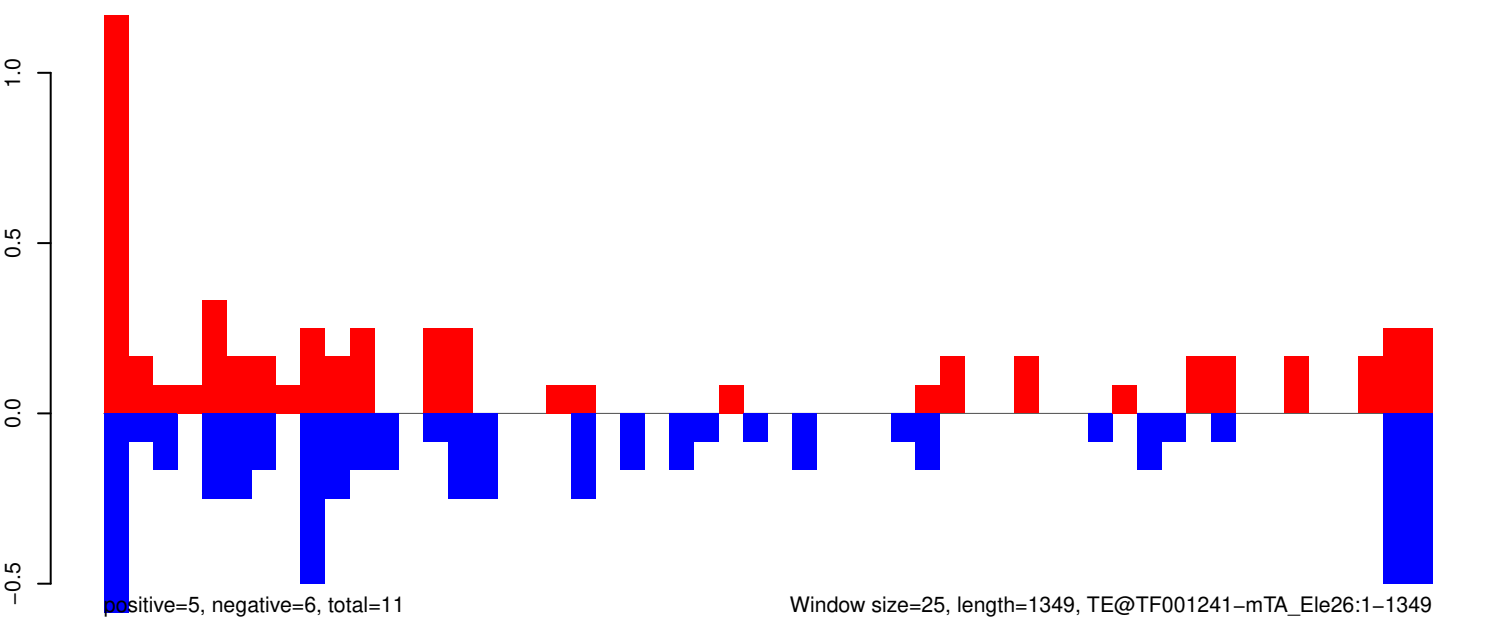
AeAeg_Aag2_Ago2_SINV_RA.18_23.rep



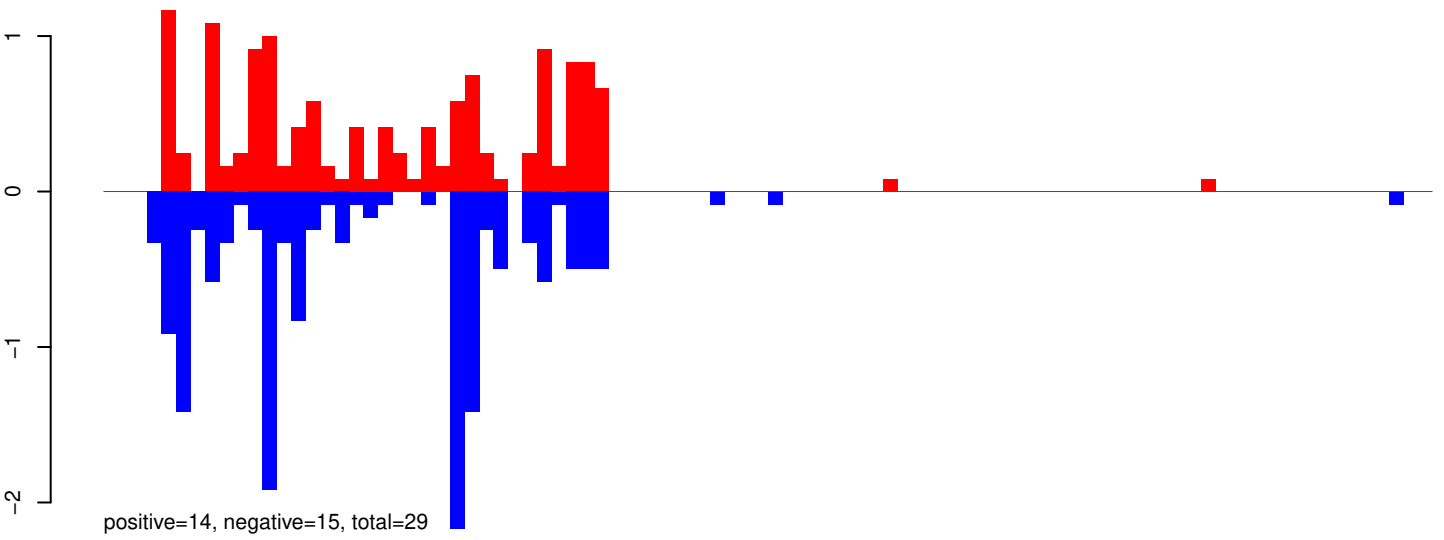
AeAeg_Aag2_Ago2_SINV_RA.24_35.rep



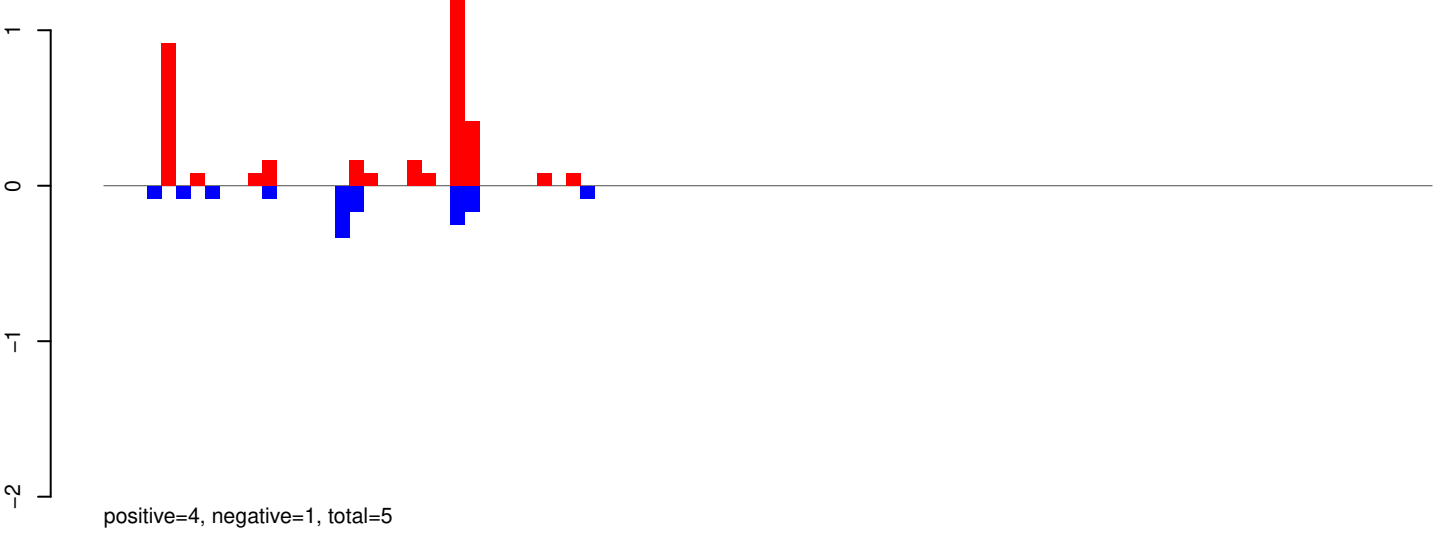
AeAeg_Aag2_Ago2_SINV_RA.rep



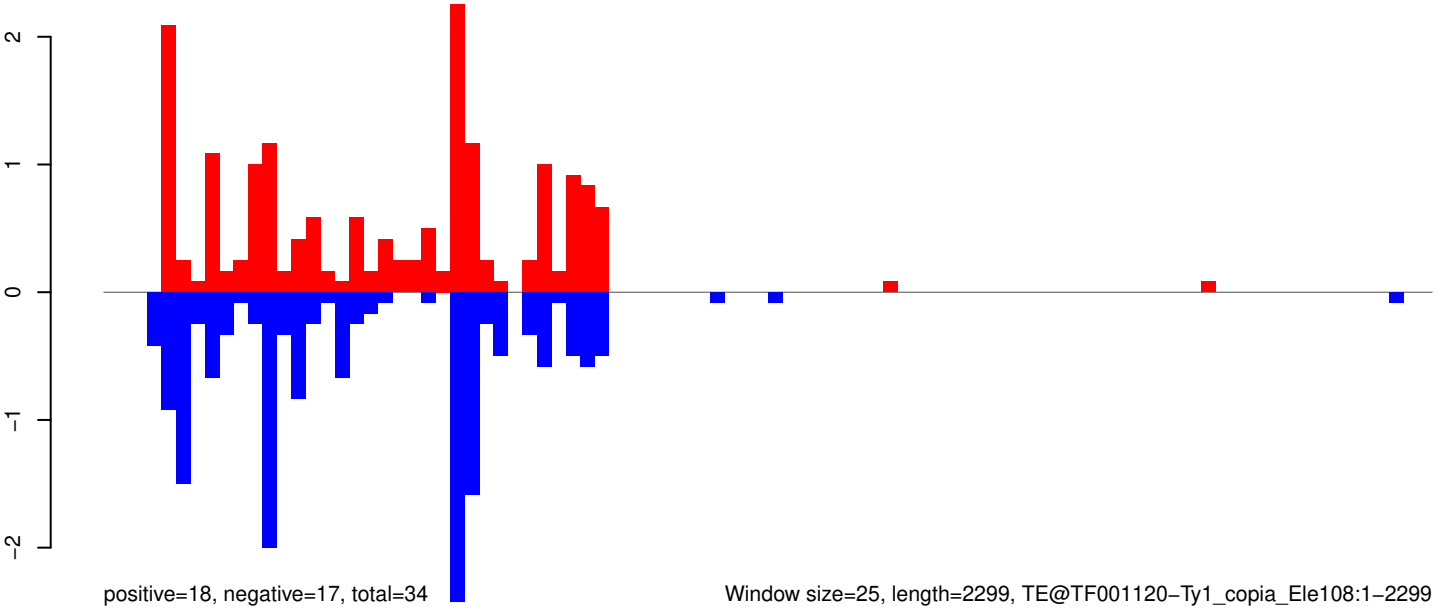
AeAeg_Aag2_Ago2_SINV_RA.18_23.rep



AeAeg_Aag2_Ago2_SINV_RA.24_35.rep

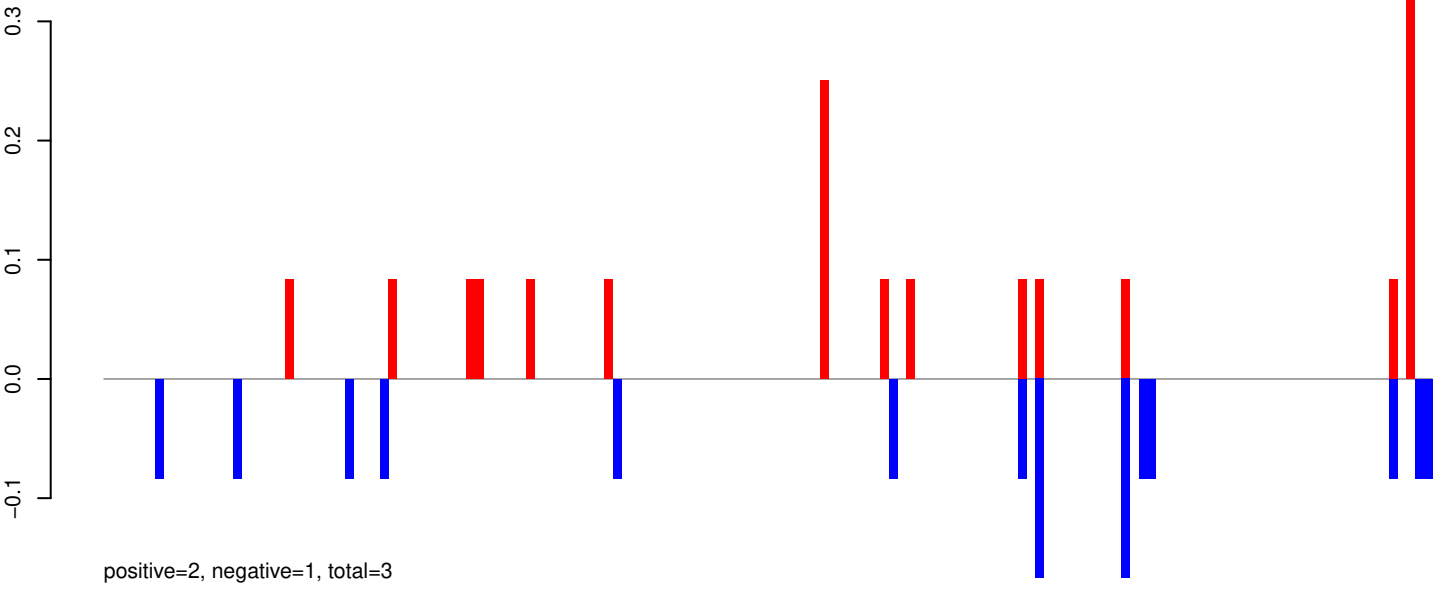


AeAeg_Aag2_Ago2_SINV_RA.rep

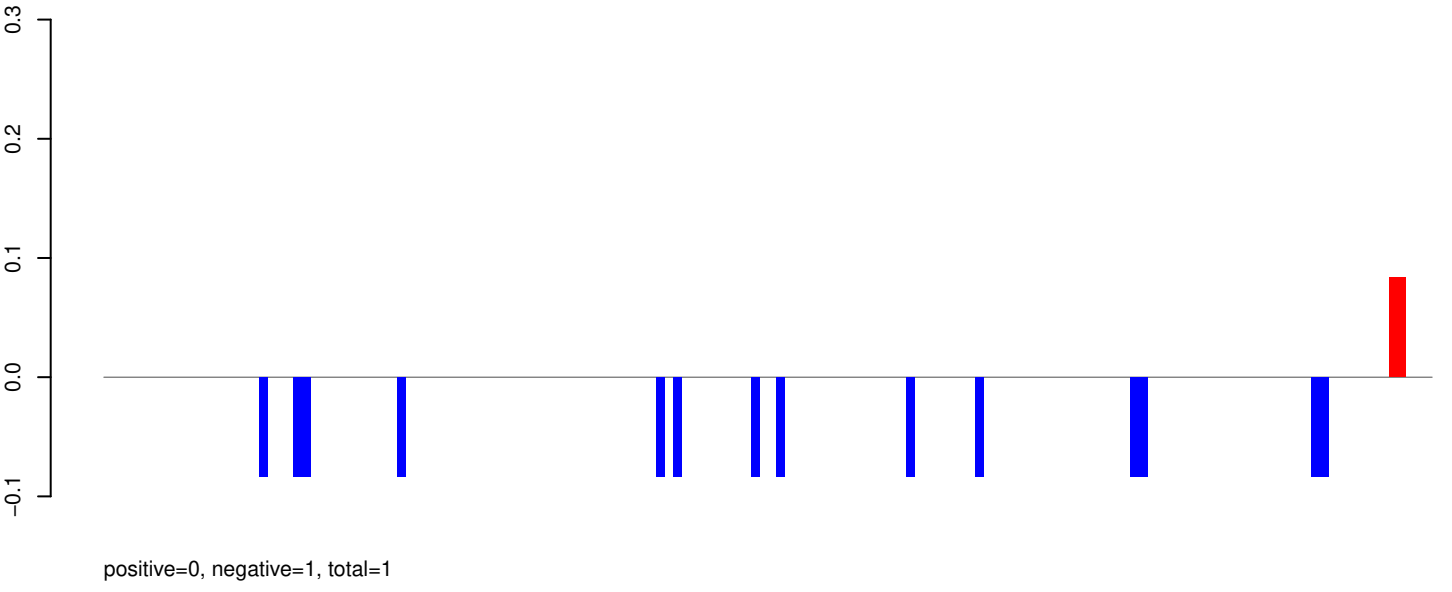


Window size=25, length=2299, TE@TF001120-Ty1_copia_Ele108:1-2299

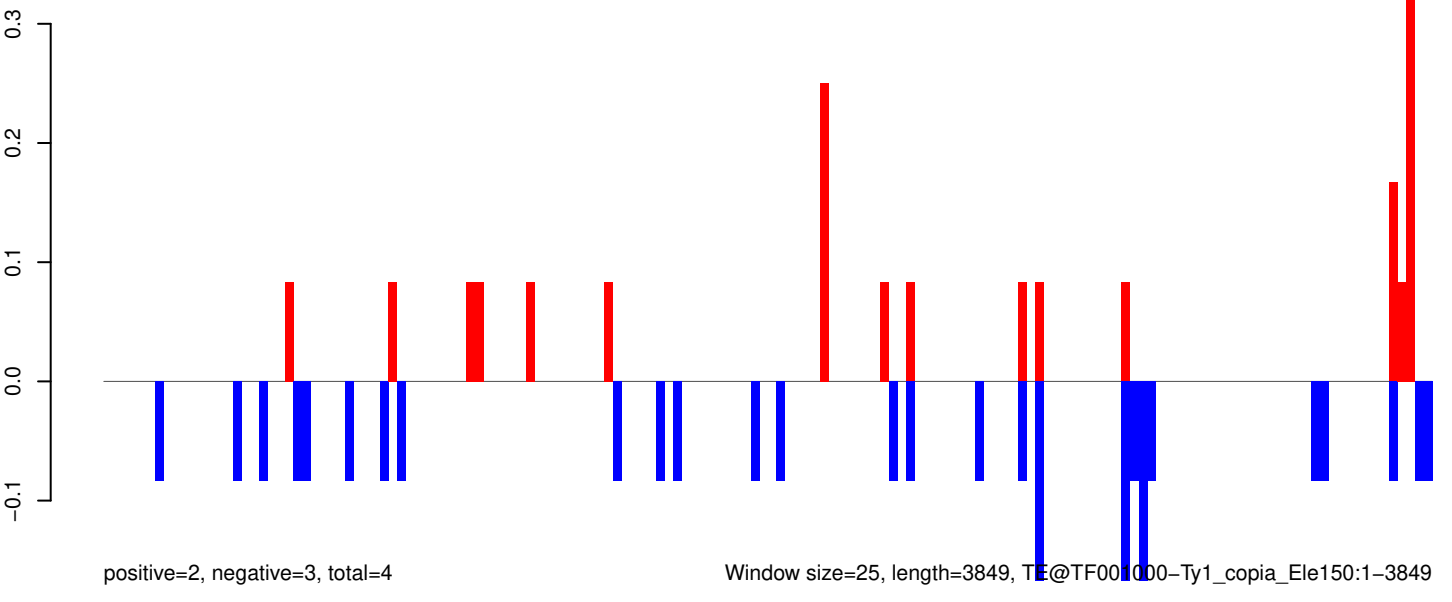
AeAeg_Aag2_Ago2_SINV_RA.18_23.rep



AeAeg_Aag2_Ago2_SINV_RA.24_35.rep

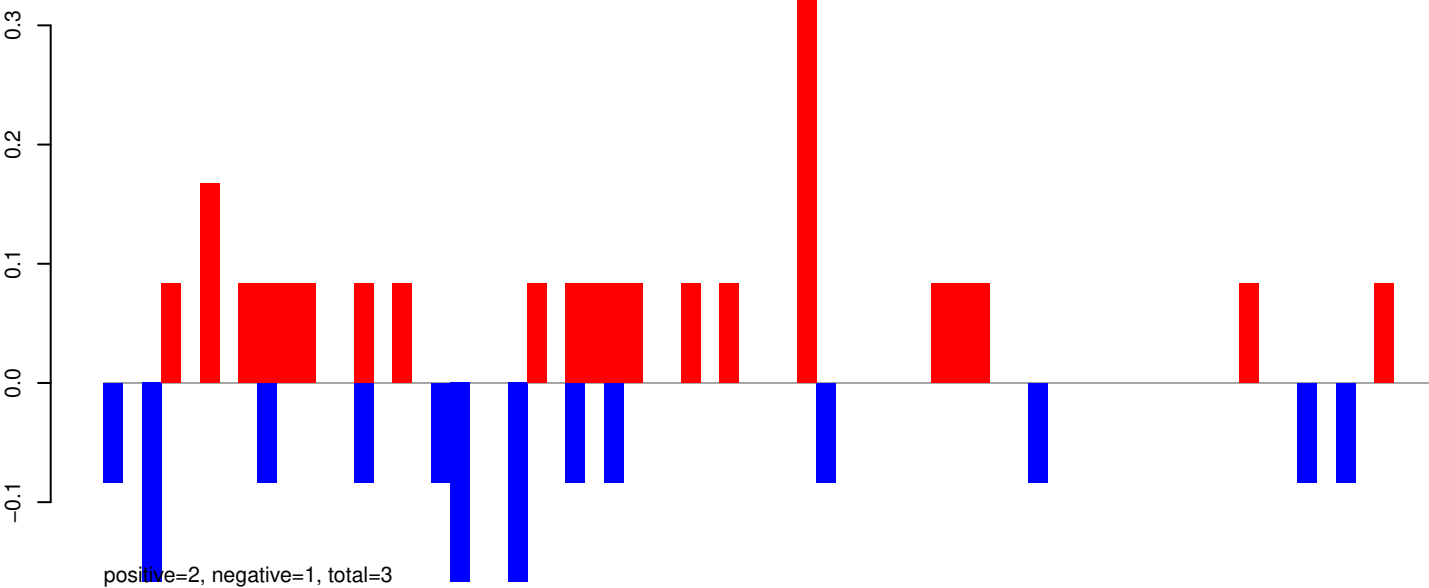


AeAeg_Aag2_Ago2_SINV_RA.rep

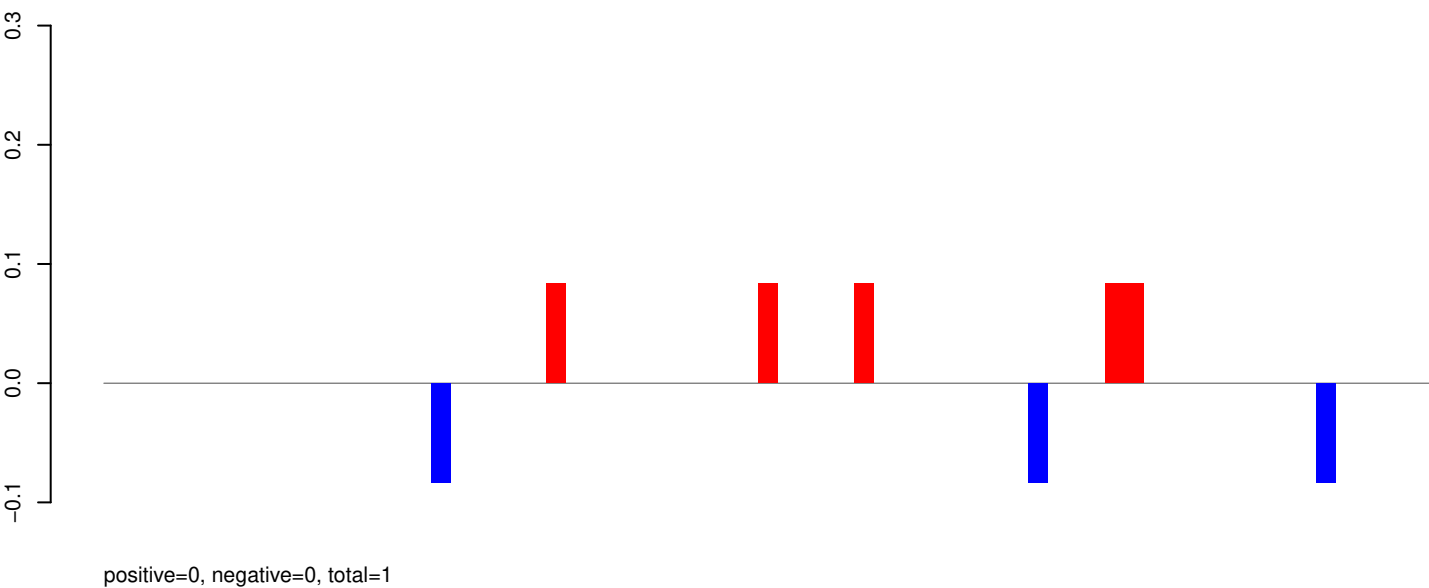


Window size=25, length=3849, TE@TF001000-Ty1_copia_Ele150:1-3849

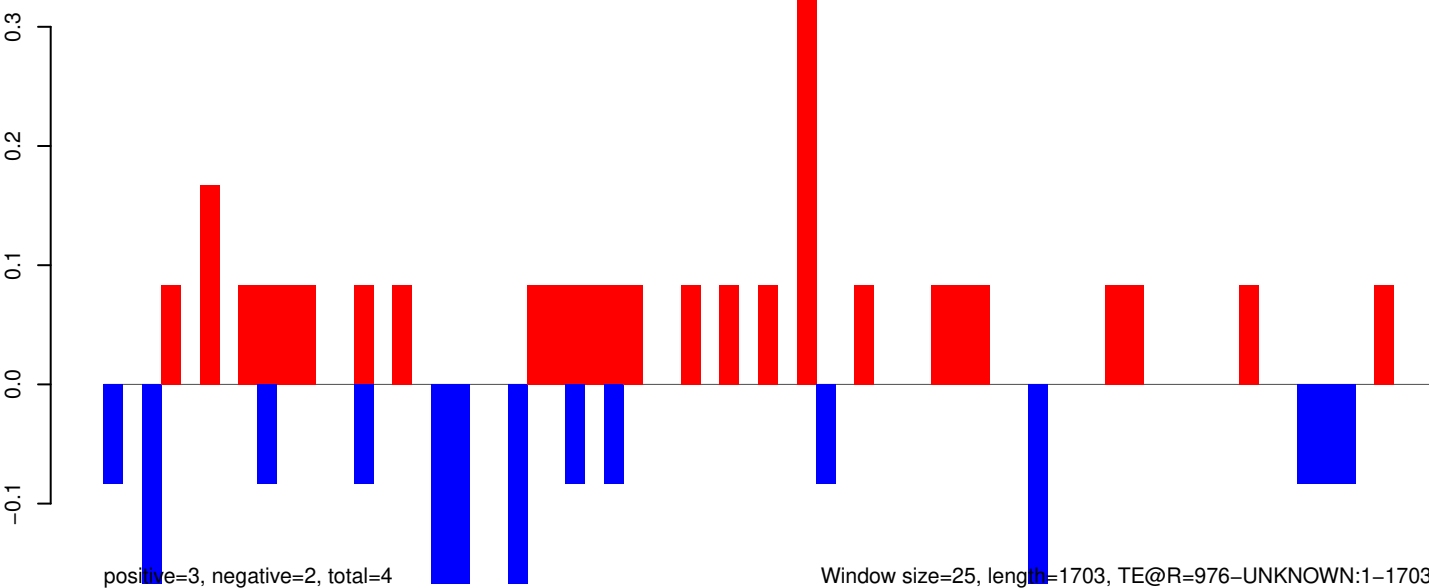
AeAeg_Aag2_Ago2_SINV_RA.18_23.rep



AeAeg_Aag2_Ago2_SINV_RA.24_35.rep

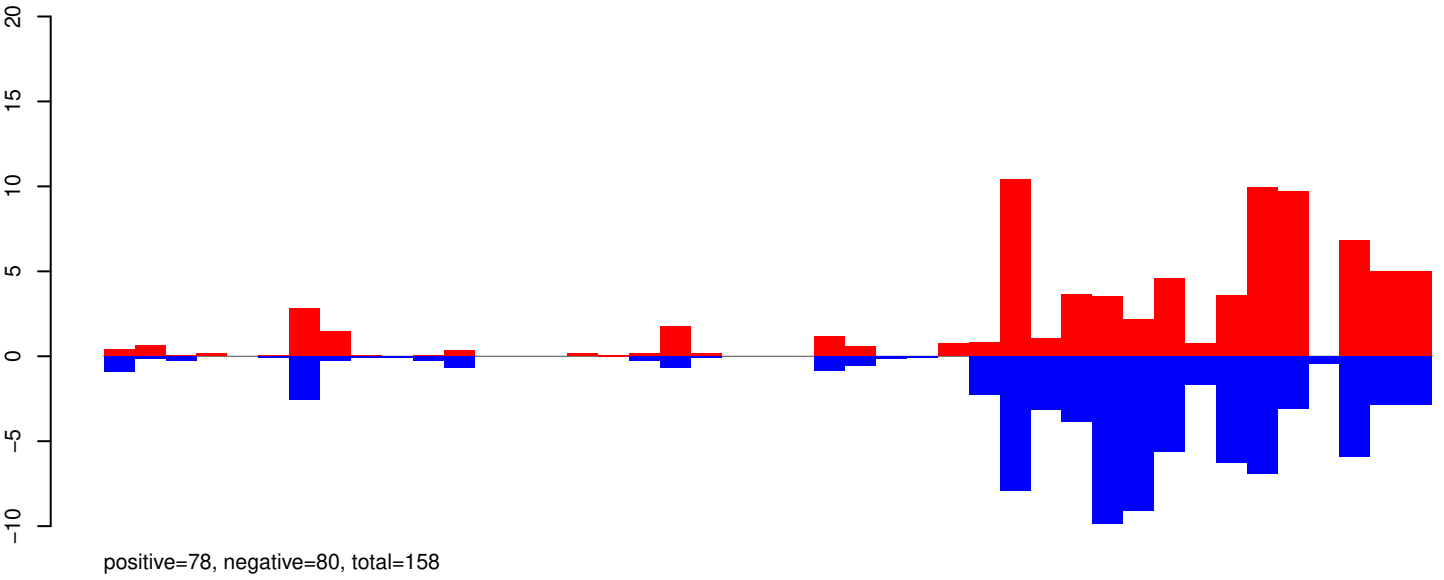


AeAeg_Aag2_Ago2_SINV_RA.rep

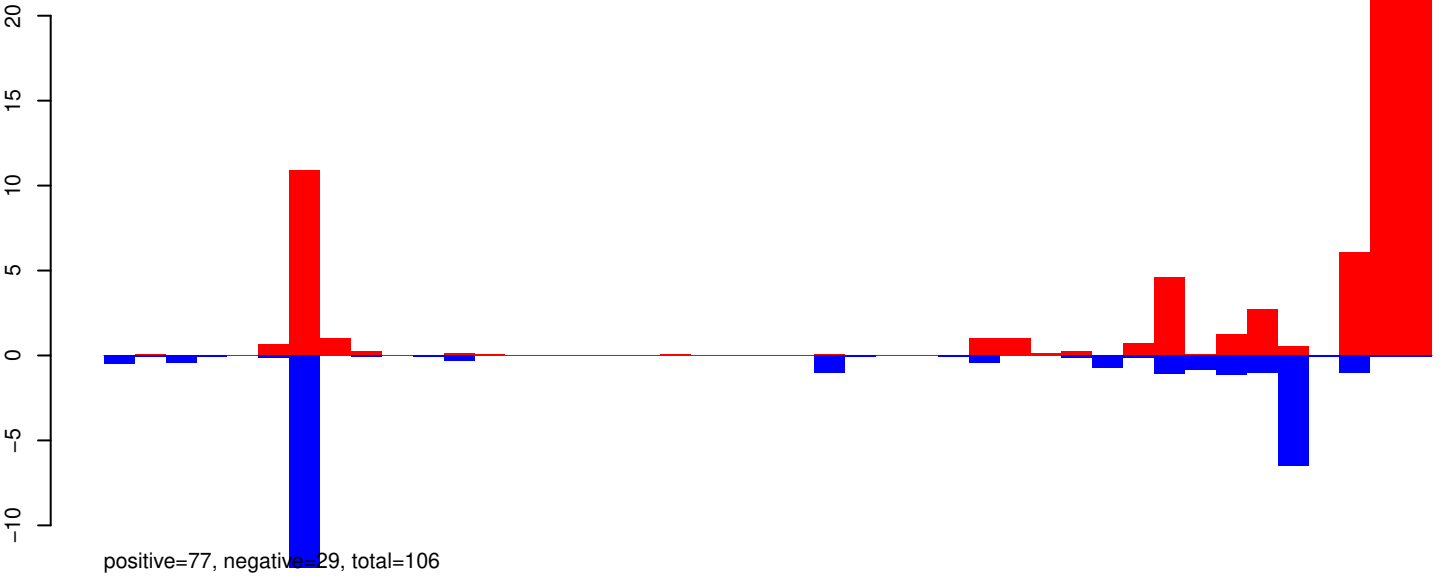


0 500 1000 1500

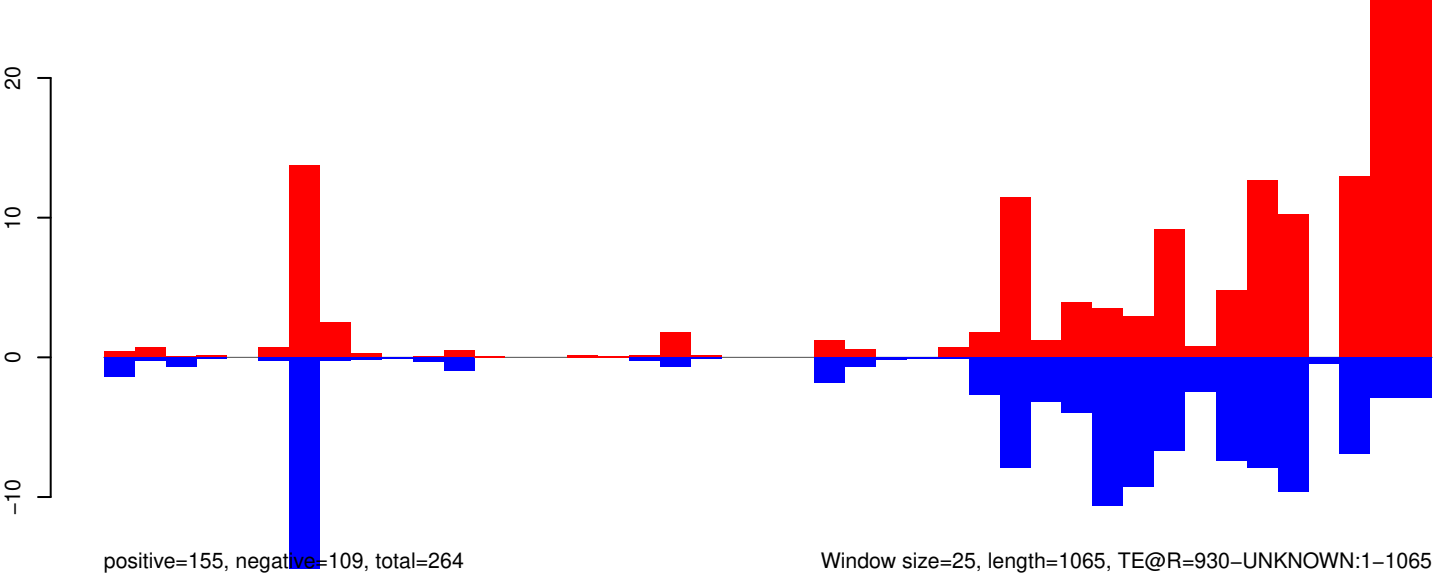
AeAeg_Aag2_Ago2_SINV_RA.18_23.rep



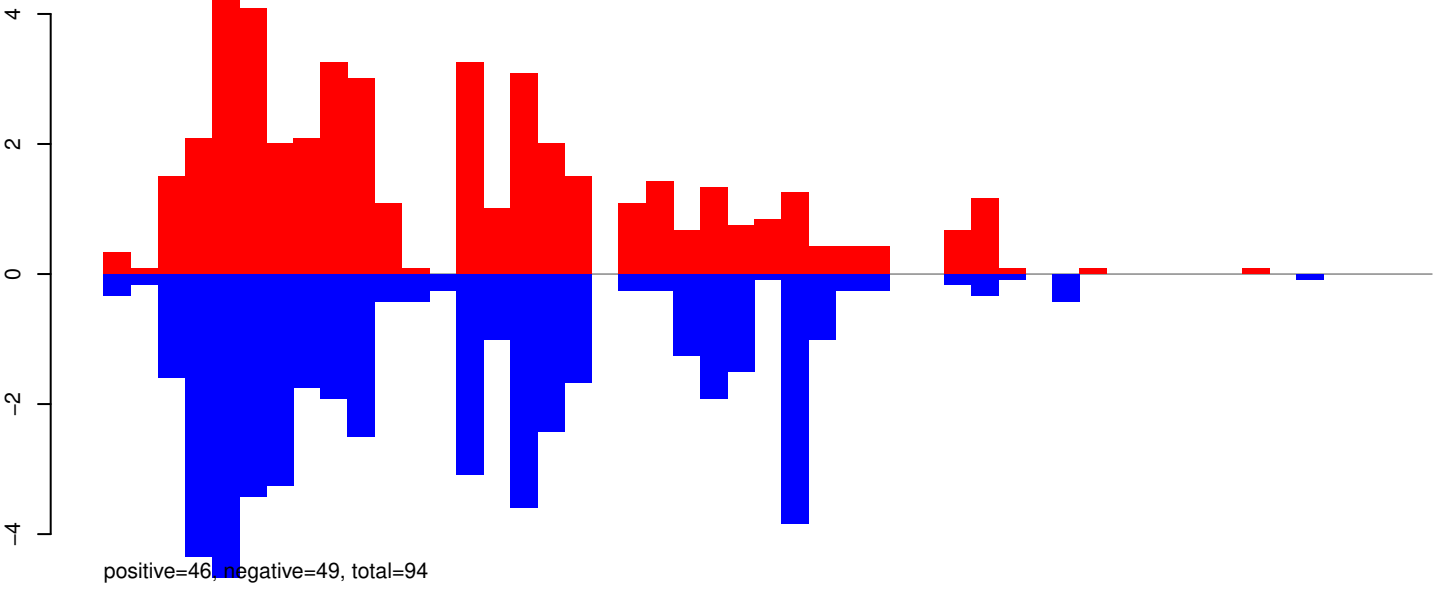
AeAeg_Aag2_Ago2_SINV_RA.24_35.rep



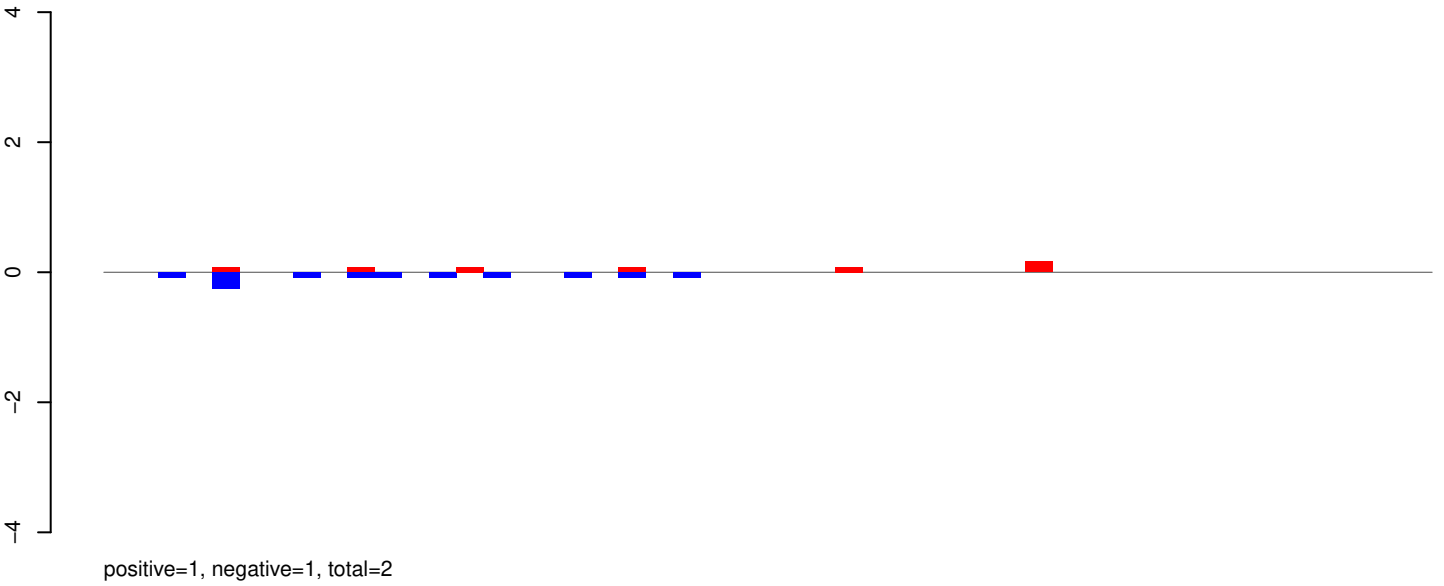
AeAeg_Aag2_Ago2_SINV_RA.rep



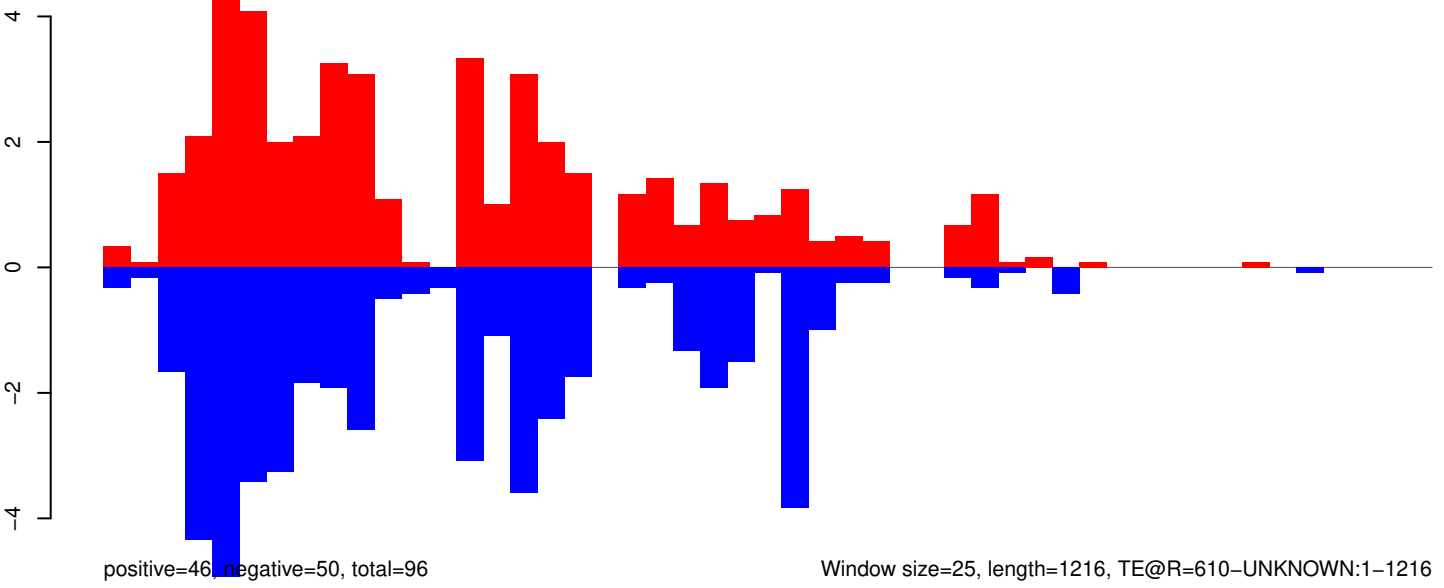
AeAeg_Aag2_Ago2_SINV_RA.18_23.rep



AeAeg_Aag2_Ago2_SINV_RA.24_35.rep



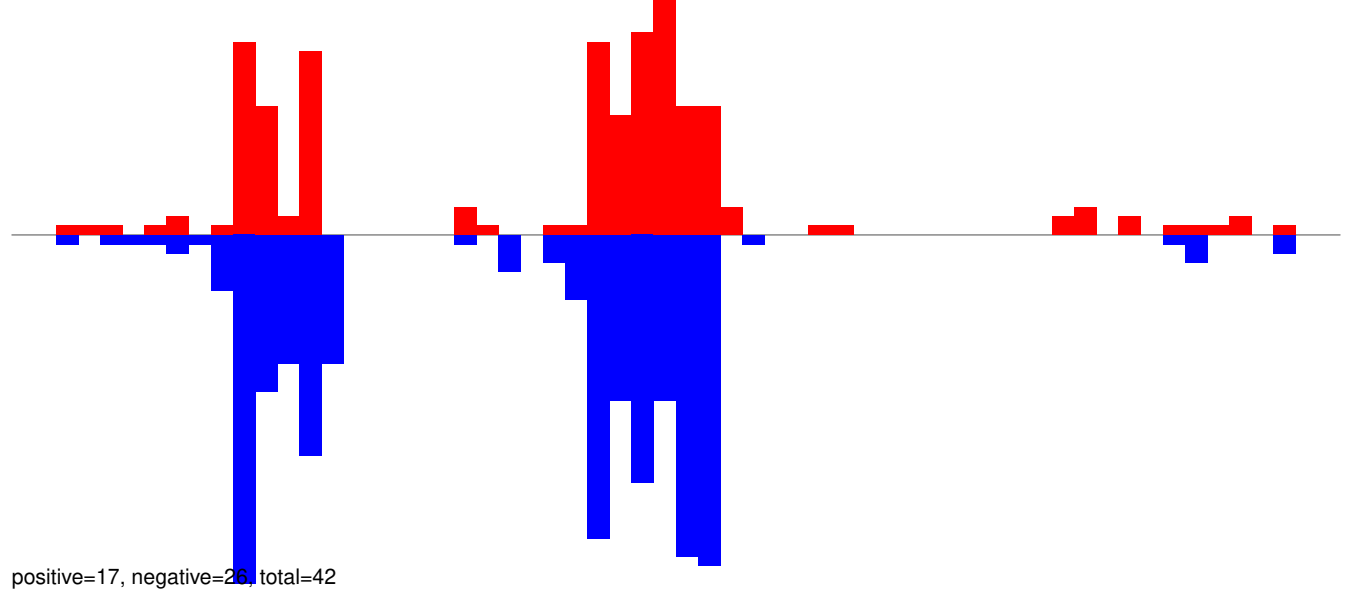
AeAeg_Aag2_Ago2_SINV_RA.rep



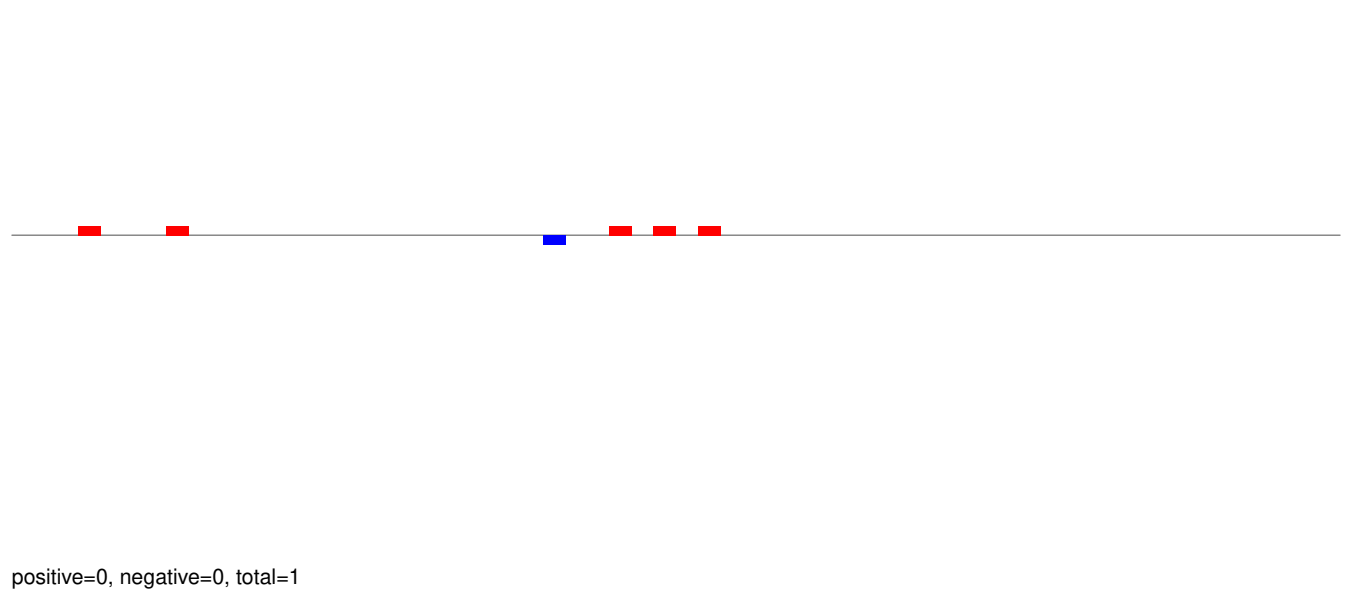
Window size=25, length=1216, TE@R=610-UNKNOWN:1-1216

0 200 400 600 800 1000 1200

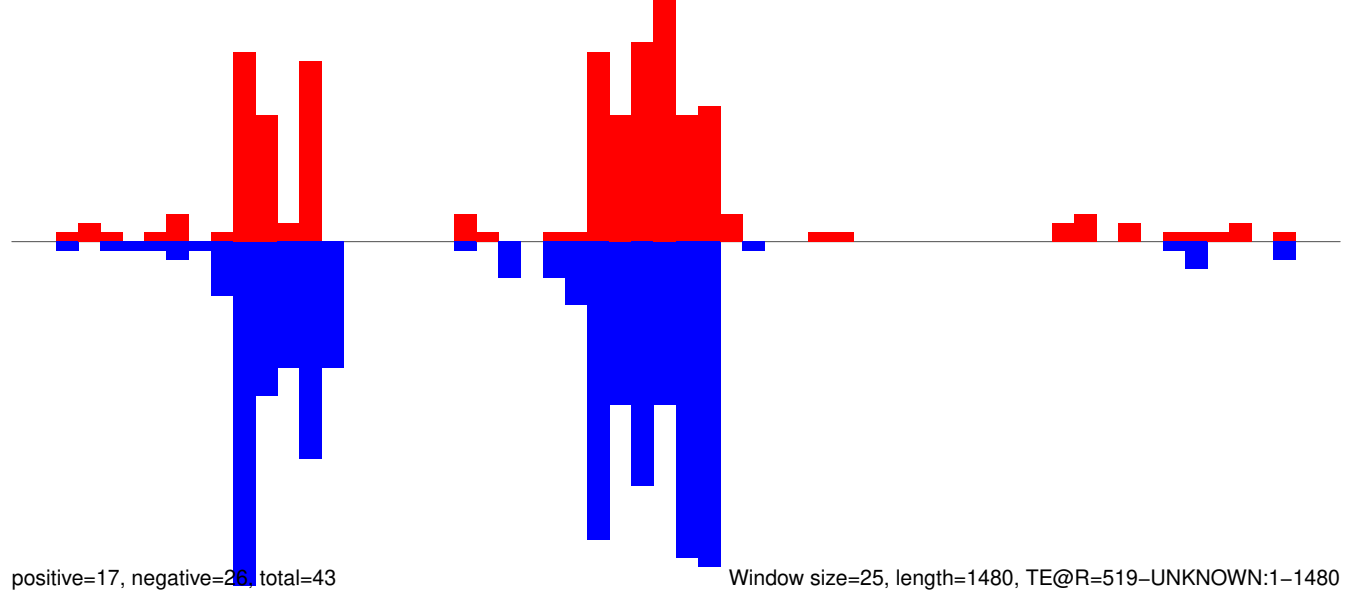
AeAeg_Aag2_Ago2_SINV_RA.18_23.rep



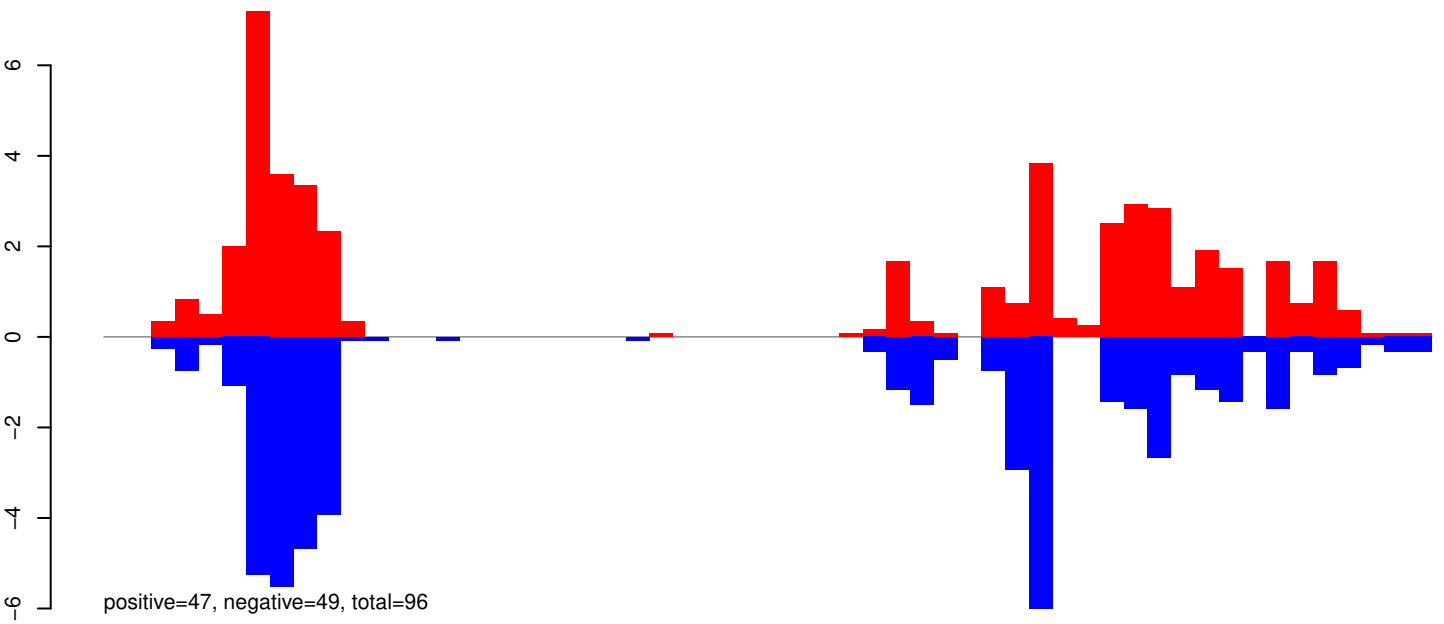
AeAeg_Aag2_Ago2_SINV_RA.24_35.rep



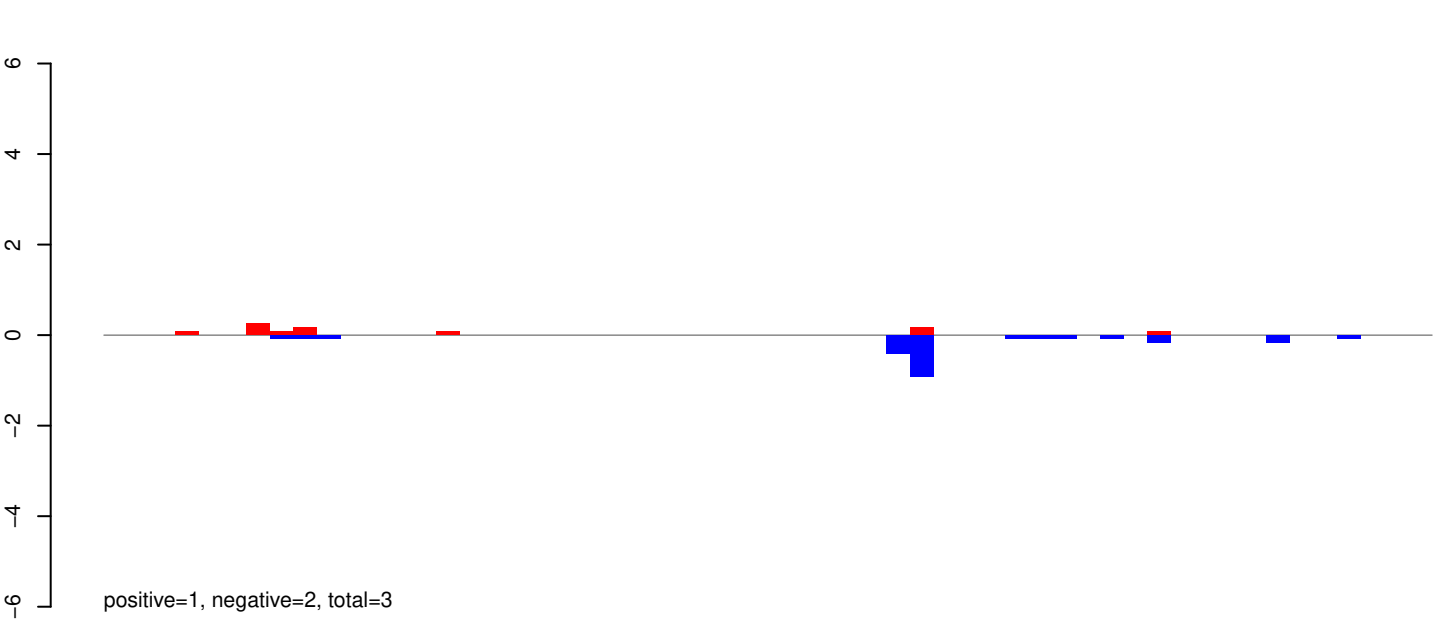
AeAeg_Aag2_Ago2_SINV_RA.rep



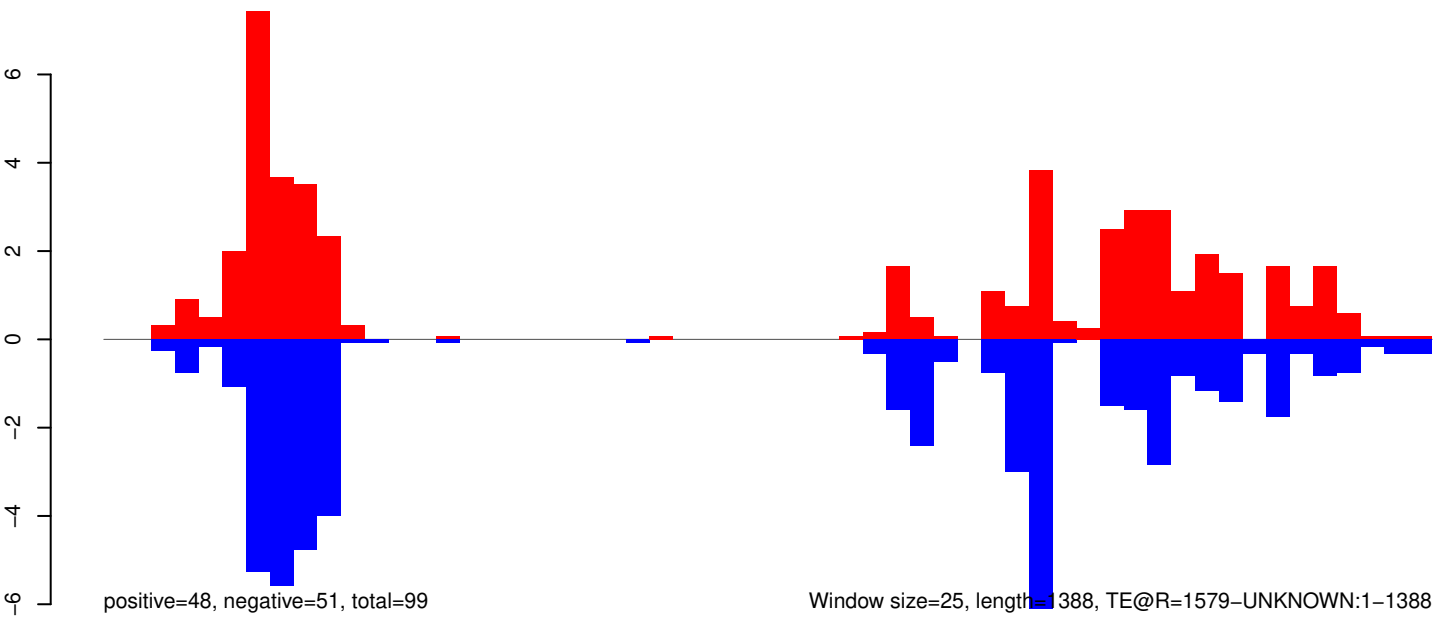
AeAeg_Aag2_Ago2_SINV_RA.18_23.rep



AeAeg_Aag2_Ago2_SINV_RA.24_35.rep

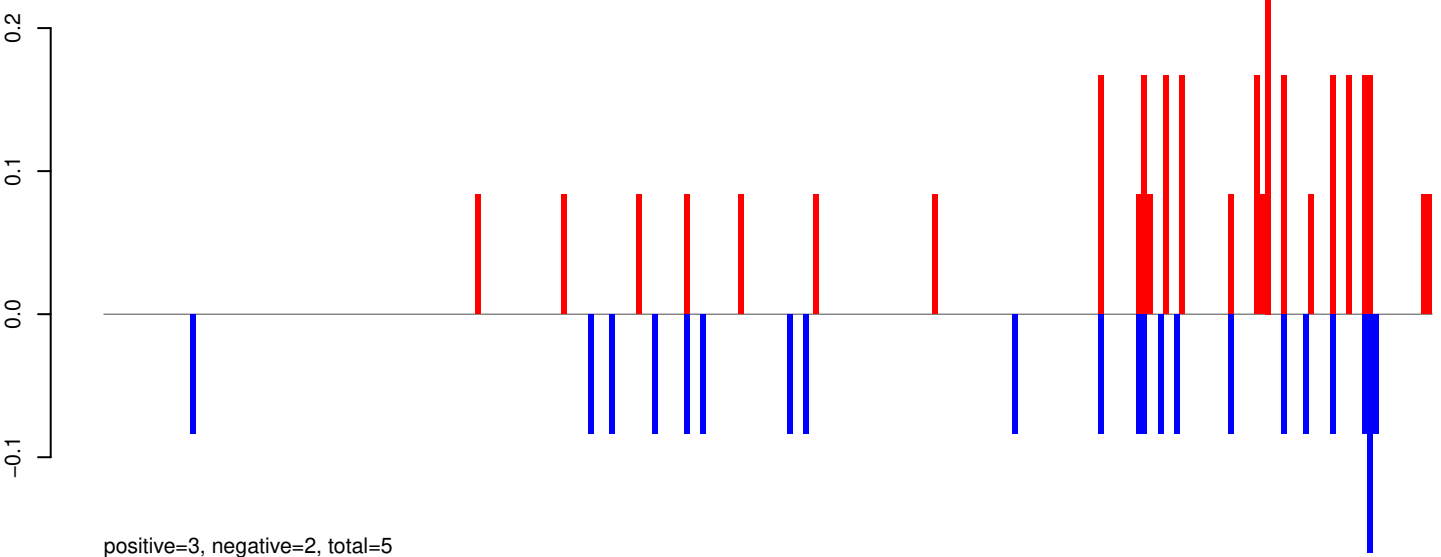


AeAeg_Aag2_Ago2_SINV_RA.rep

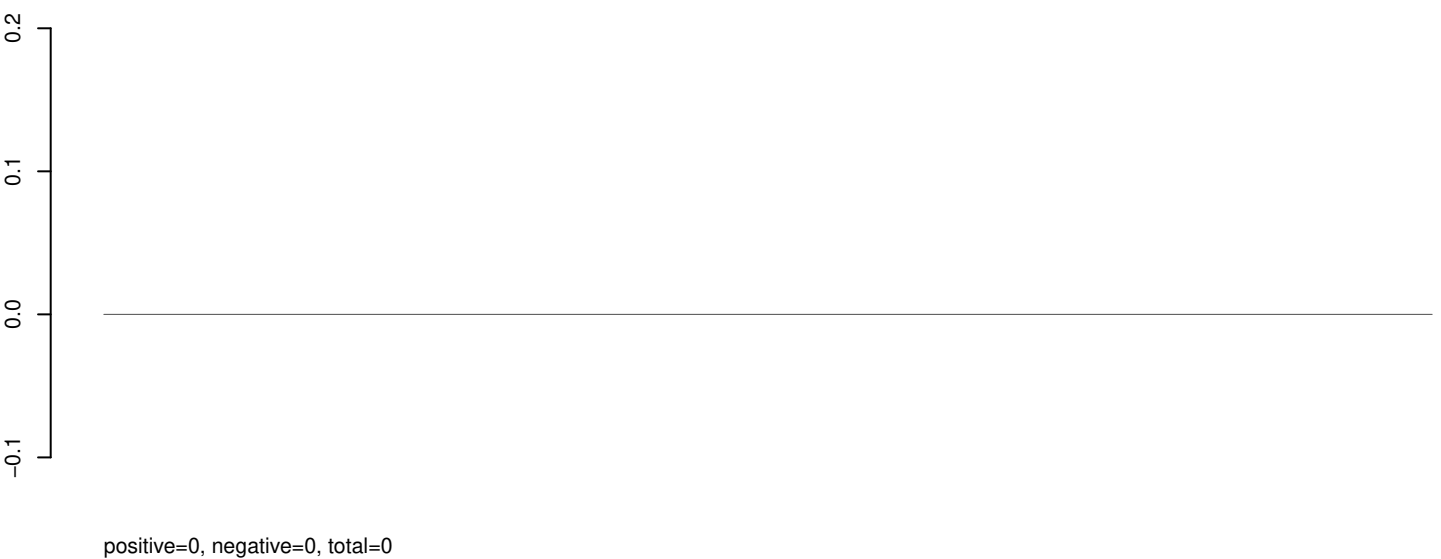


0 200 400 600 800 1000 1200 1400

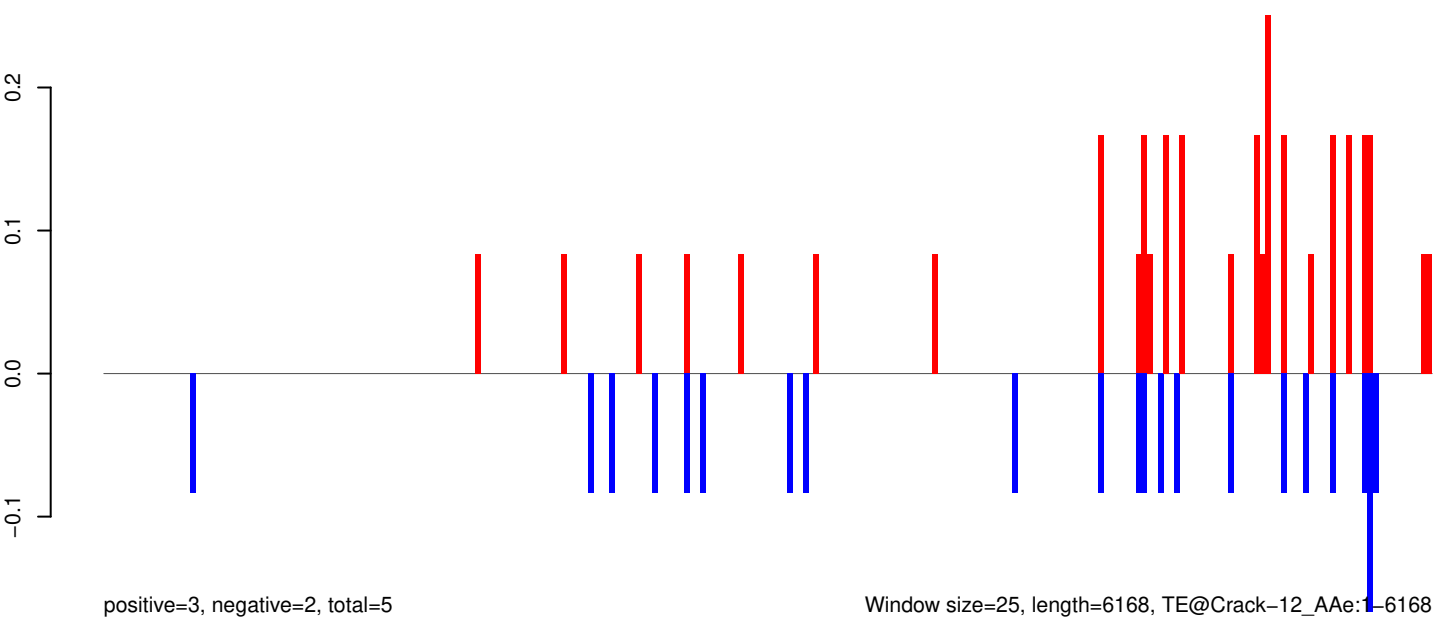
AeAeg_Aag2_Ago2_SINV_RA.18_23.rep



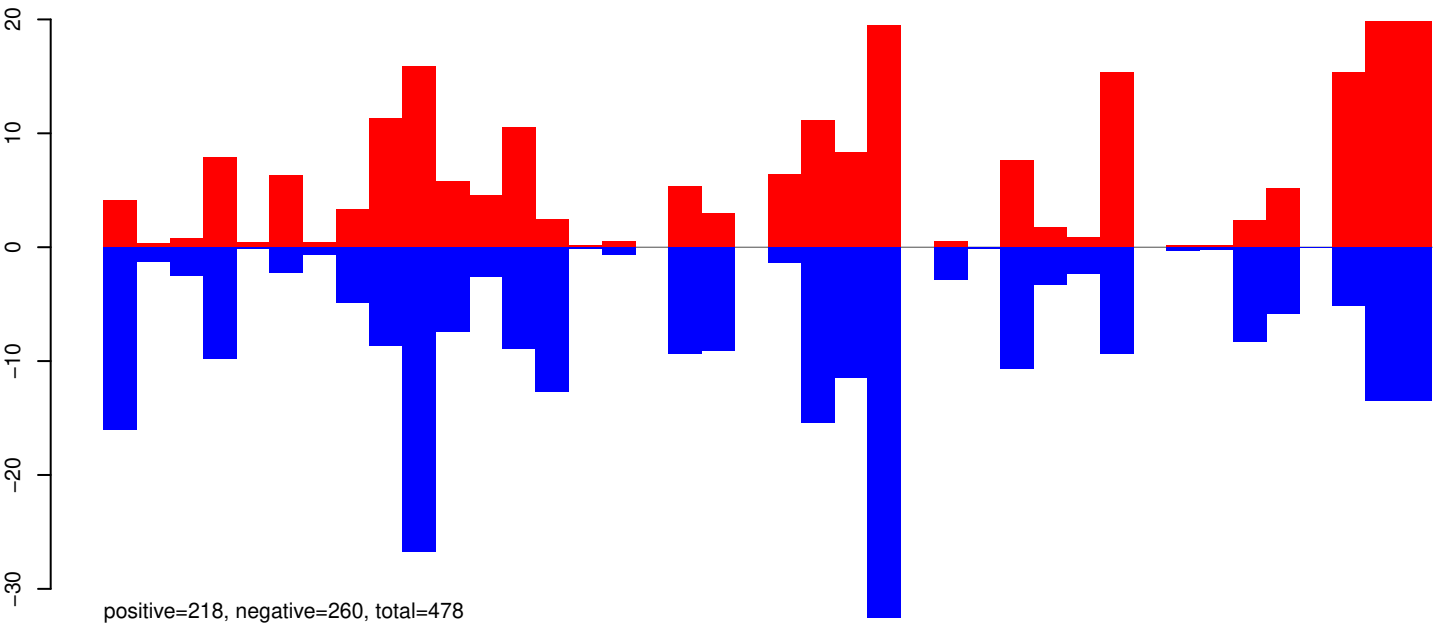
AeAeg_Aag2_Ago2_SINV_RA.24_35.rep



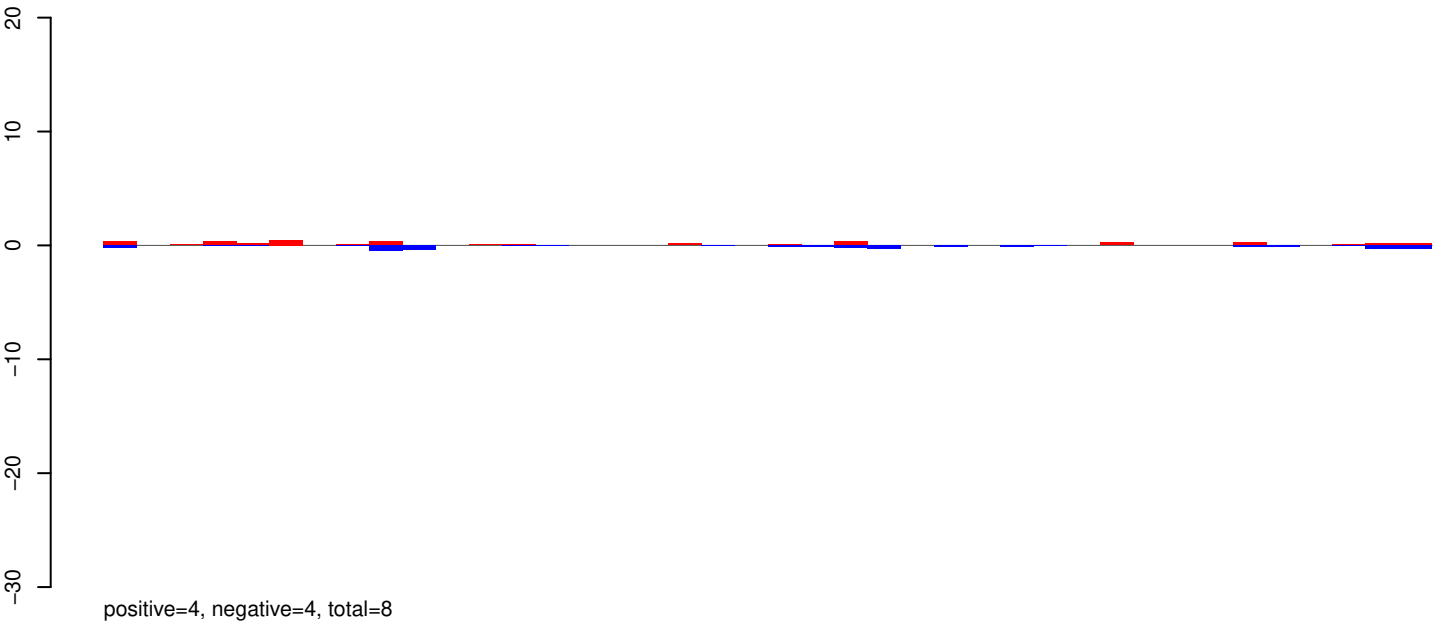
AeAeg_Aag2_Ago2_SINV_RA.rep



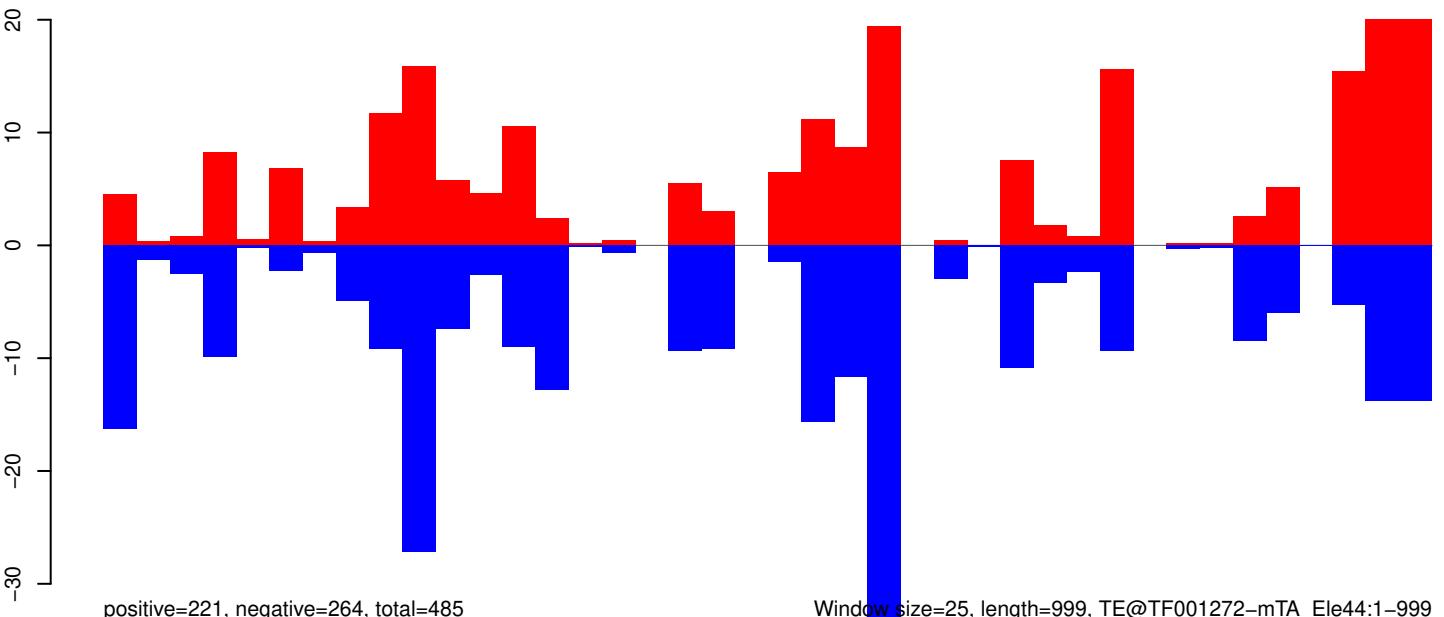
AeAeg_Aag2_Ago2_SINV_RA.18_23.rep



AeAeg_Aag2_Ago2_SINV_RA.24_35.rep

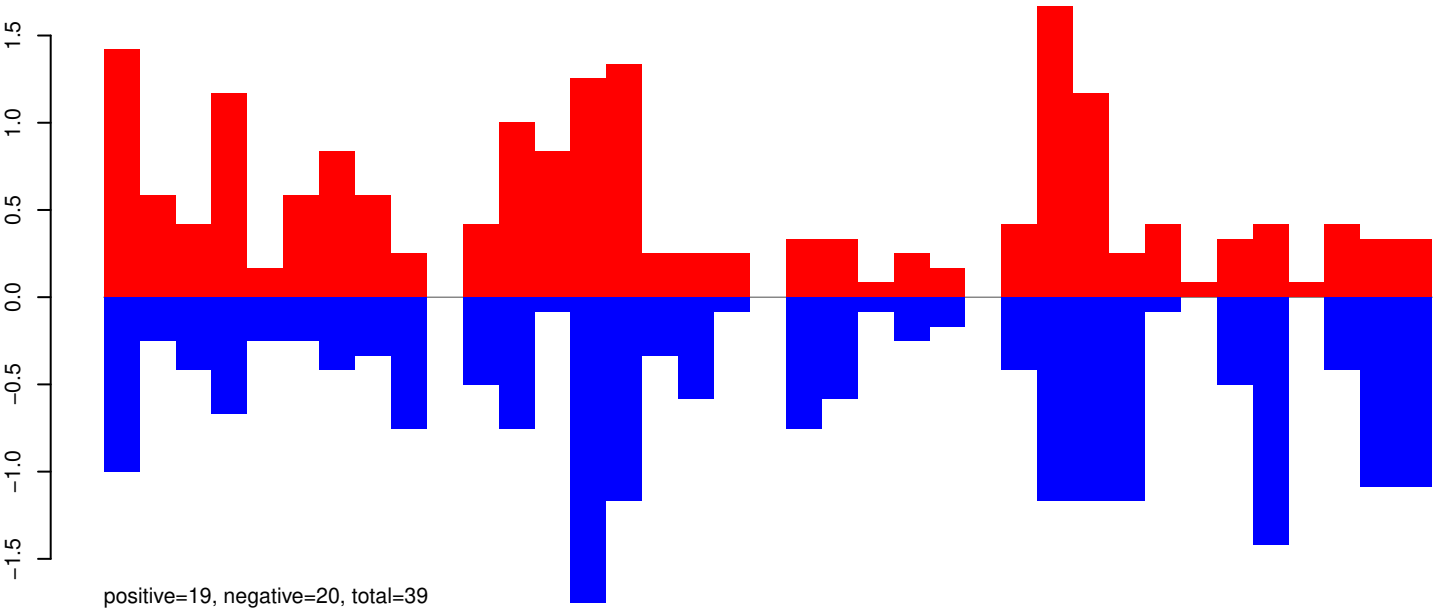


AeAeg_Aag2_Ago2_SINV_RA.rep

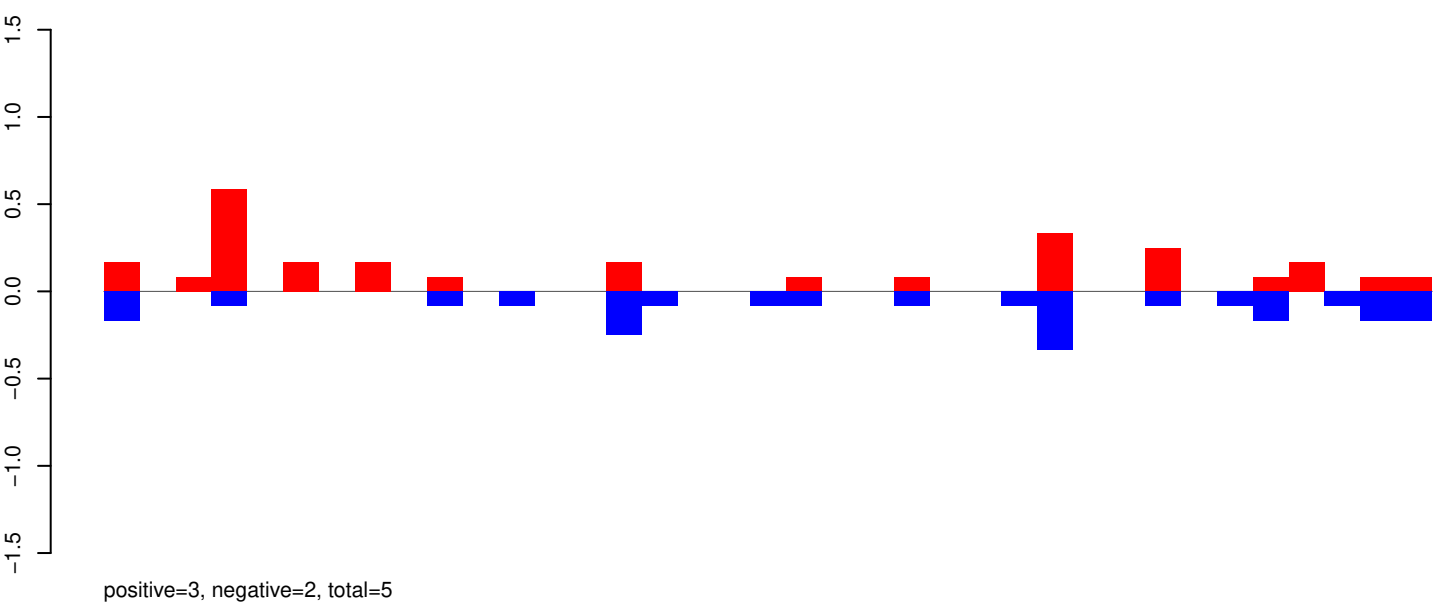


Window size=25, length=999, TE@TF001272-mTA_Ele44:1-999

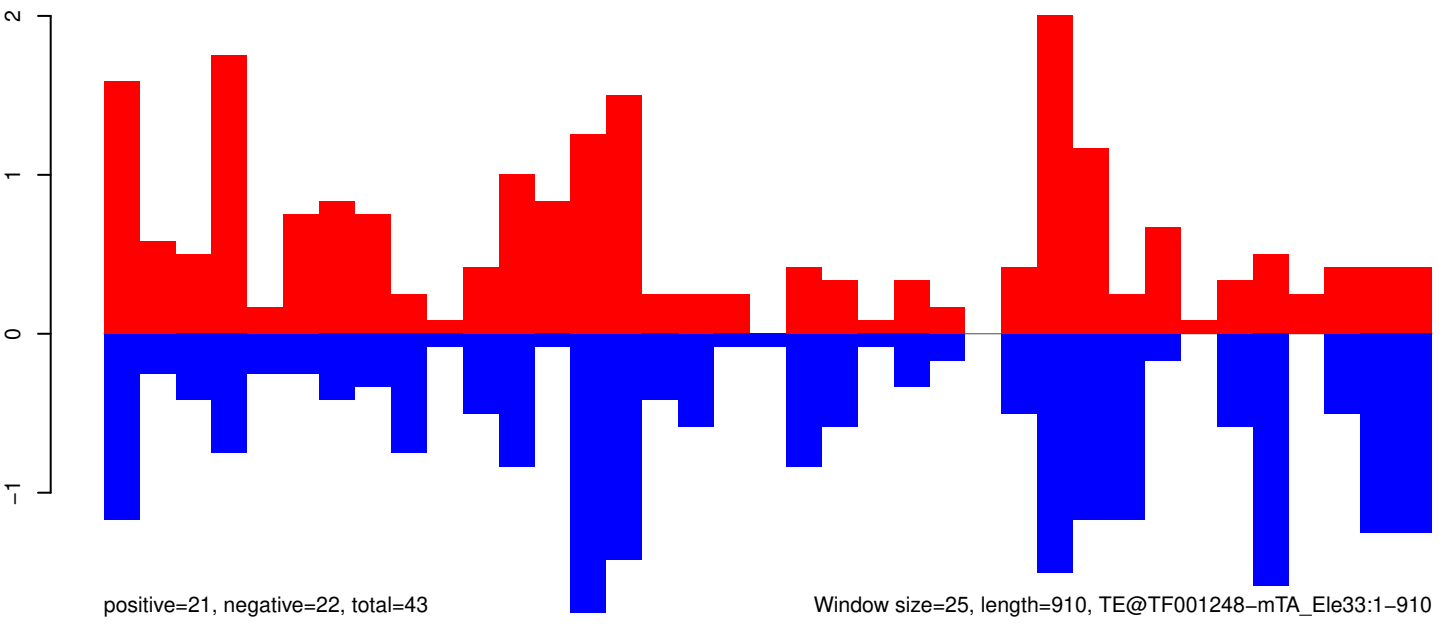
AeAeg_Aag2_Ago2_SINV_RA.18_23.rep



AeAeg_Aag2_Ago2_SINV_RA.24_35.rep

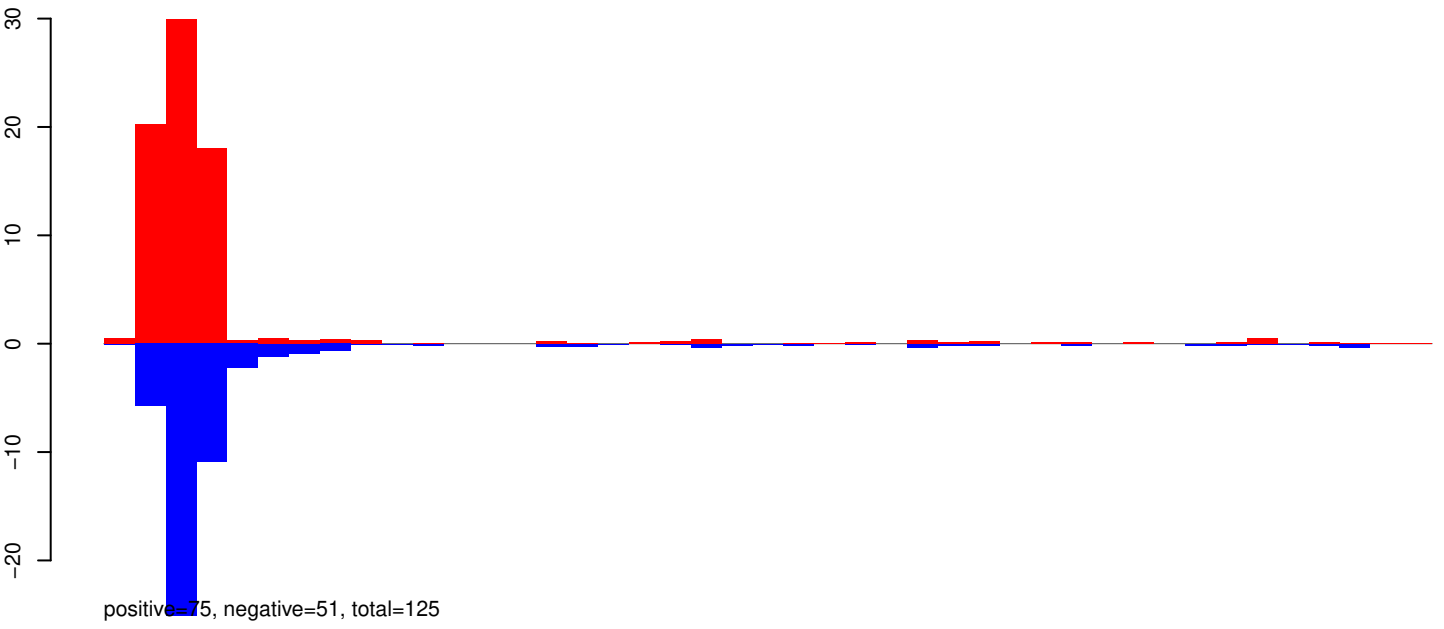


AeAeg_Aag2_Ago2_SINV_RA.rep



Window size=25, length=910, TE@TF001248-mTA_Ele33:1-910

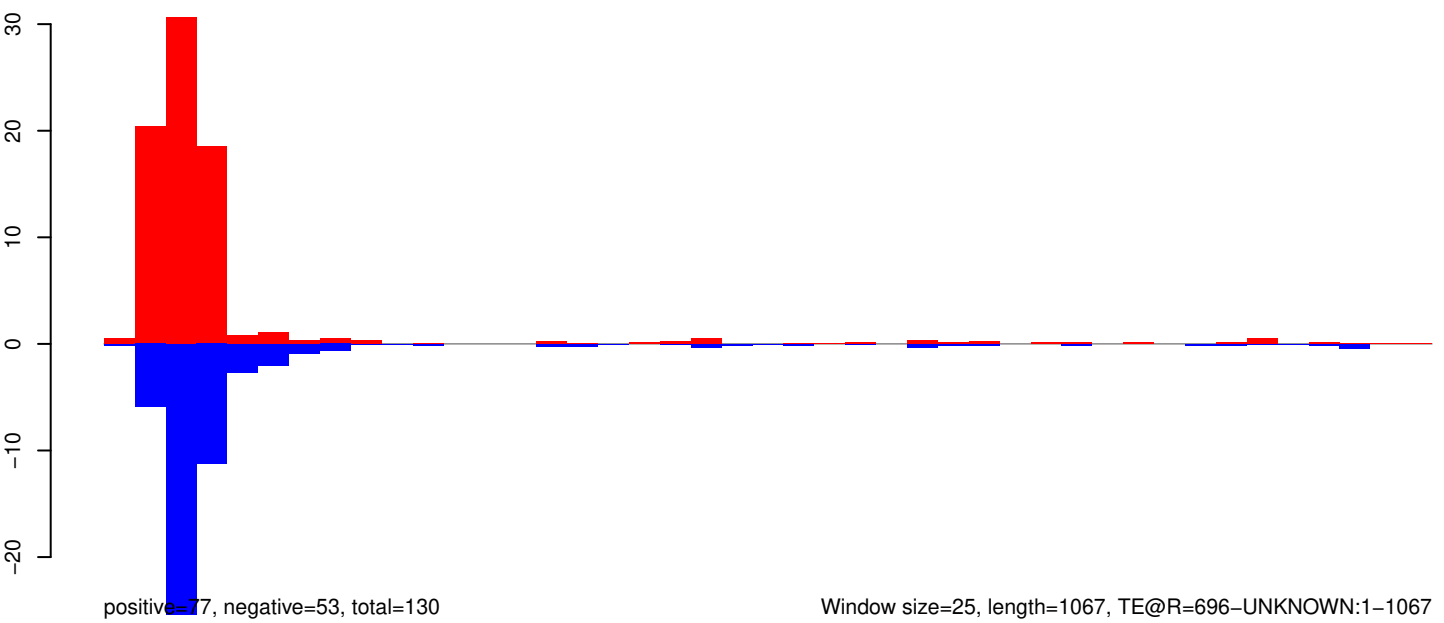
AeAeg_Aag2_Ago2_SINV_RA.18_23.rep



AeAeg_Aag2_Ago2_SINV_RA.24_35.rep

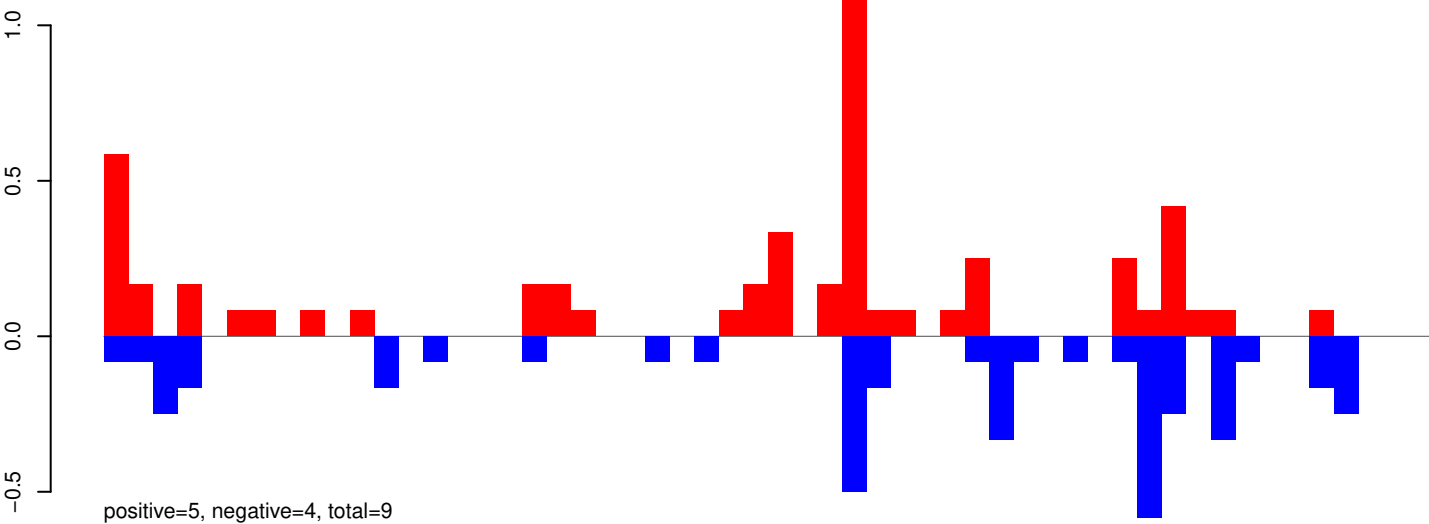


AeAeg_Aag2_Ago2_SINV_RA.rep

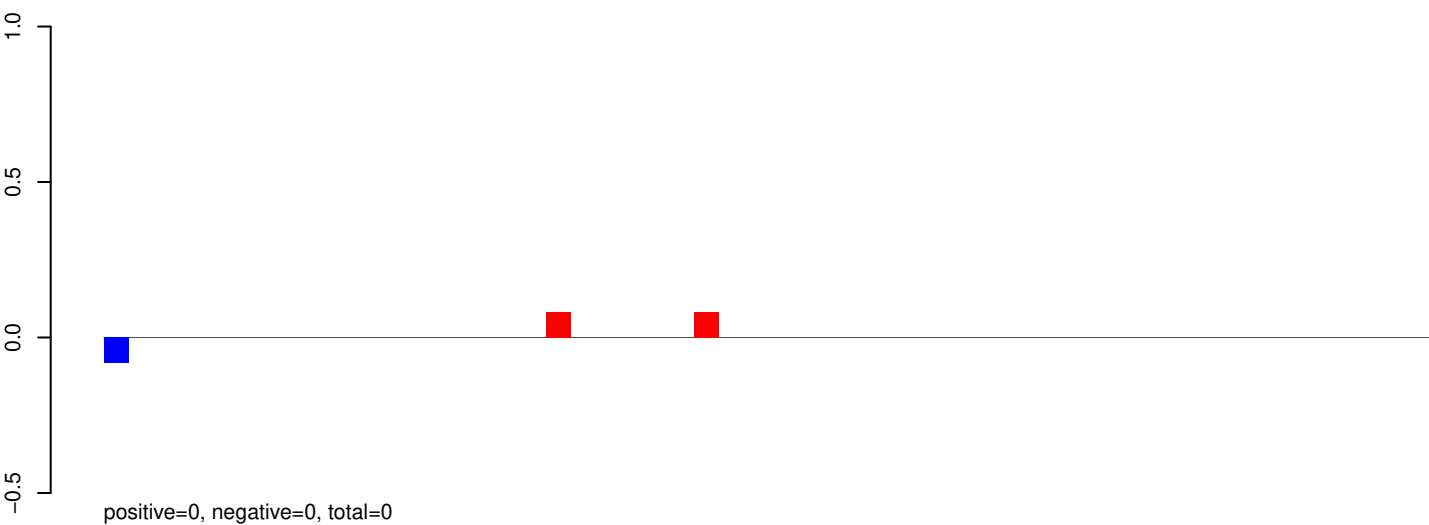


Window size=25, length=1067, TE@R=696-UNKNOWN:1-1067

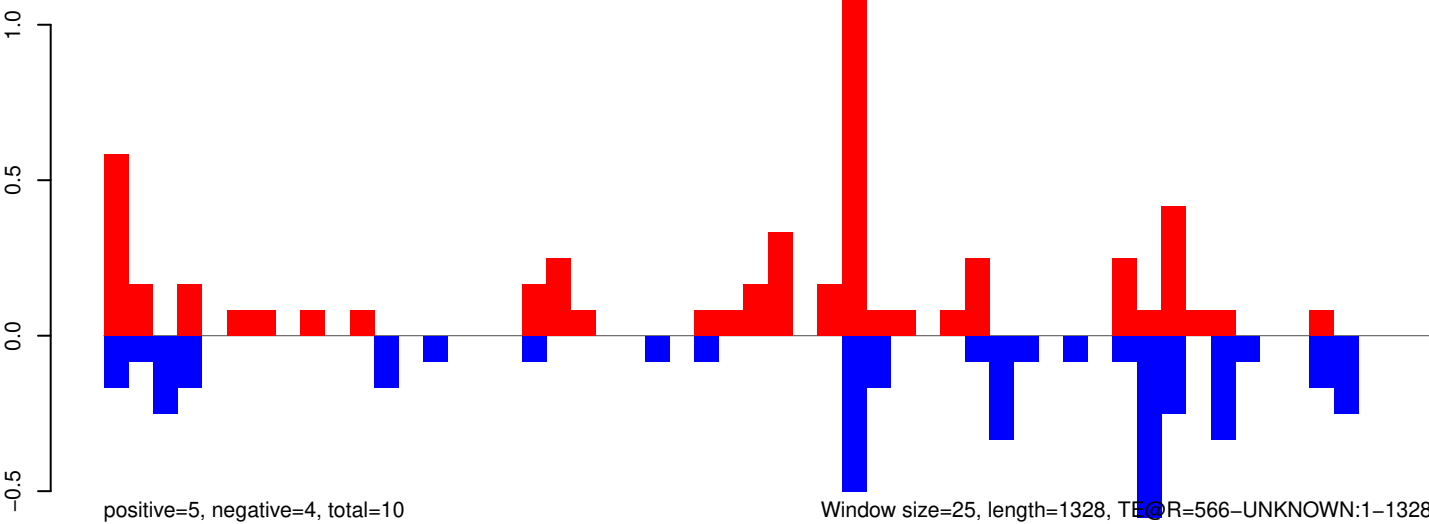
AeAeg_Aag2_Ago2_SINV_RA.18_23.rep



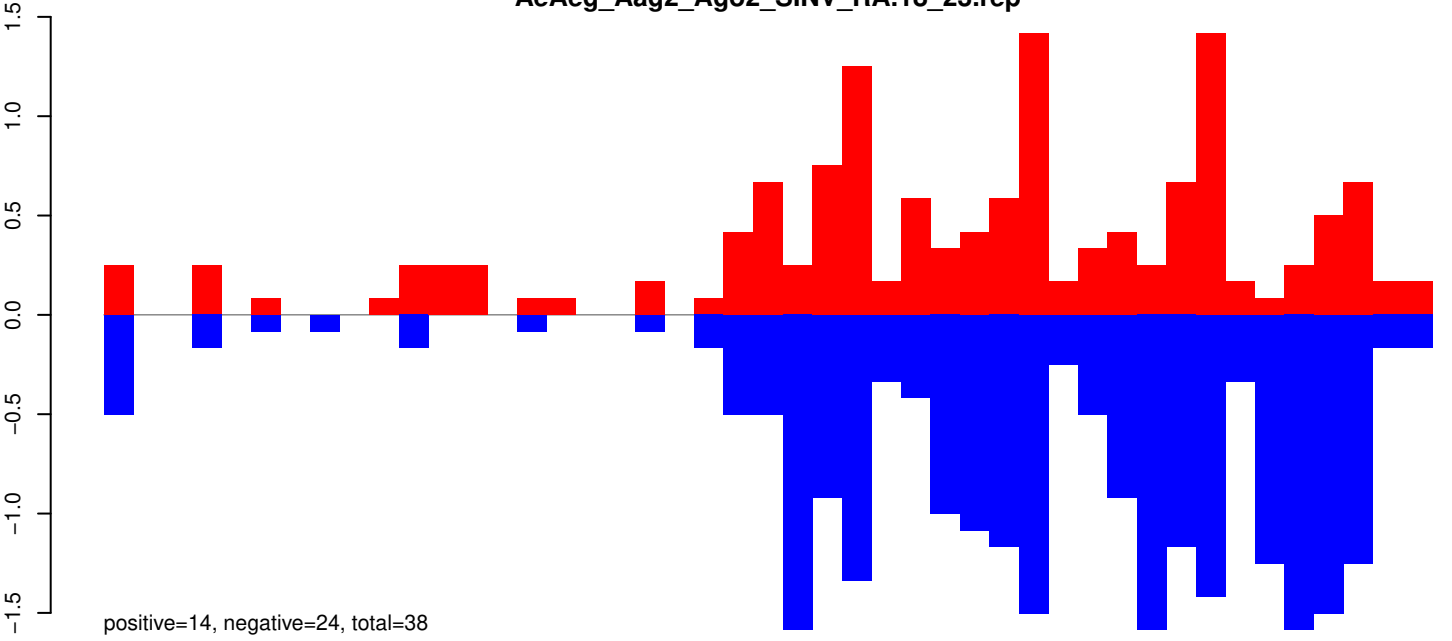
AeAeg_Aag2_Ago2_SINV_RA.24_35.rep



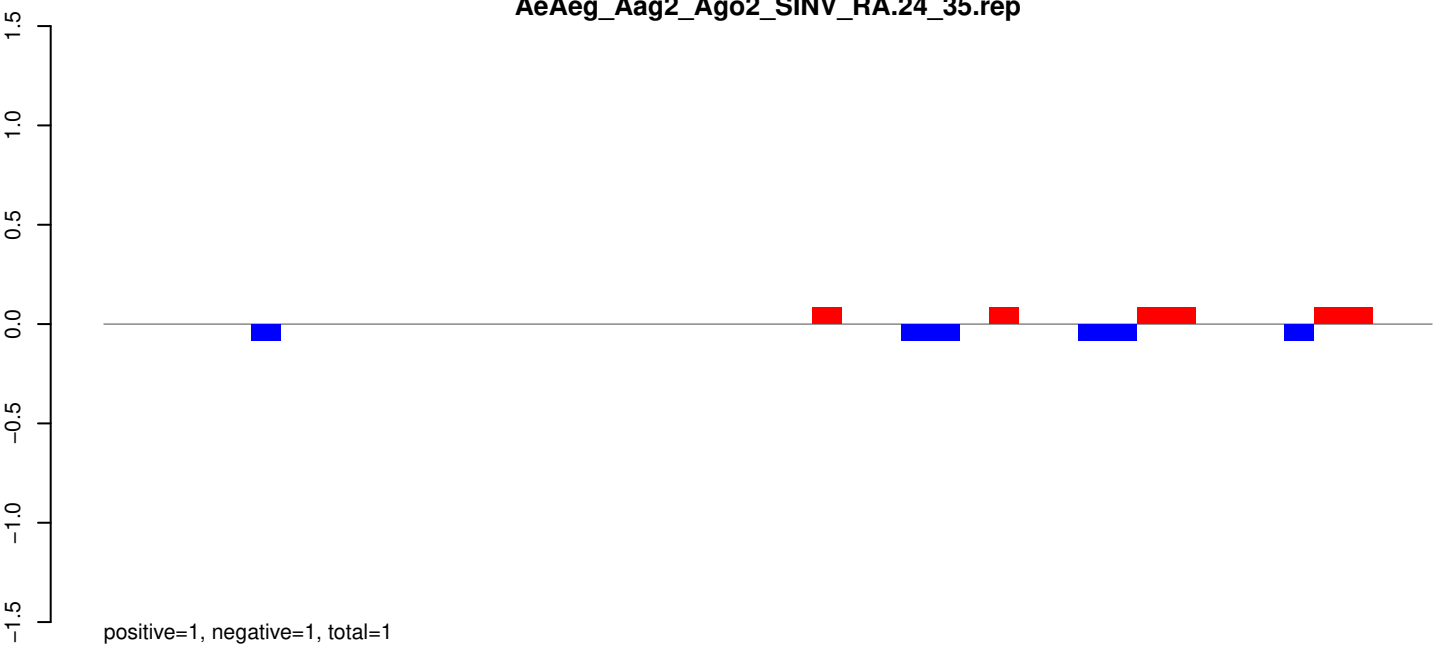
AeAeg_Aag2_Ago2_SINV_RA.rep



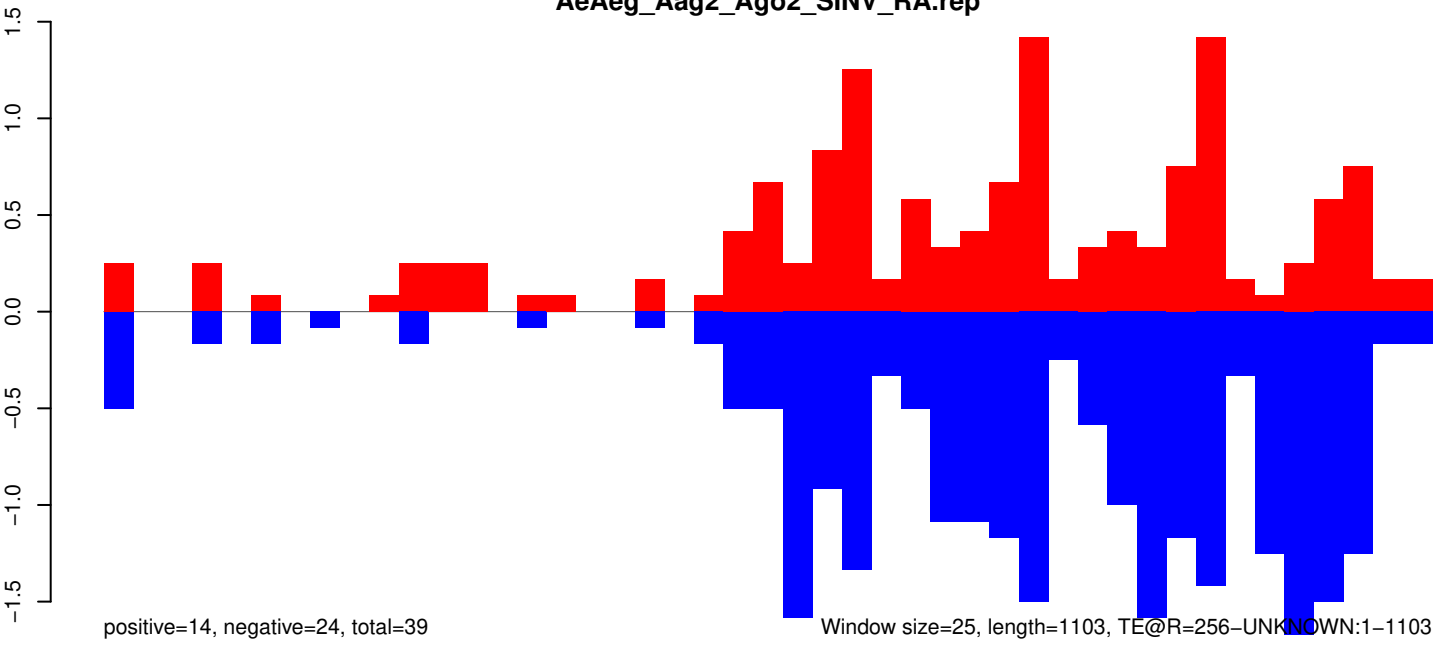
AeAeg_Aag2_Ago2_SINV_RA.18_23.rep



AeAeg_Aag2_Ago2_SINV_RA.24_35.rep

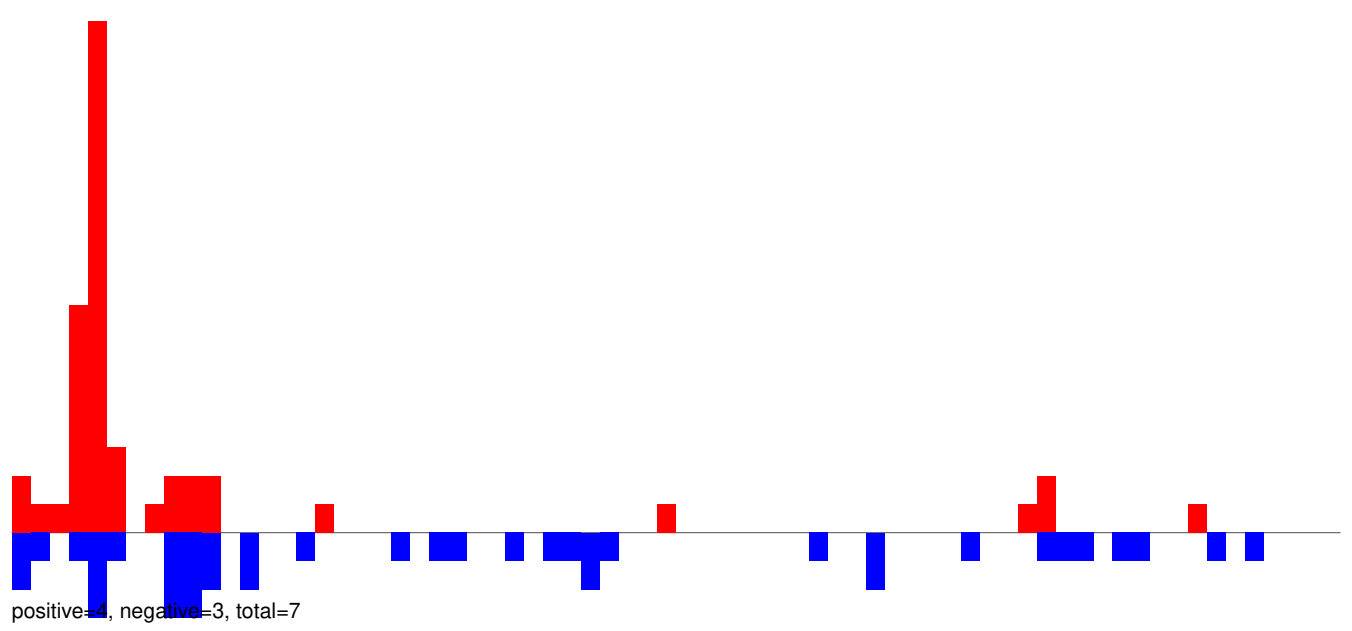


AeAeg_Aag2_Ago2_SINV_RA.rep

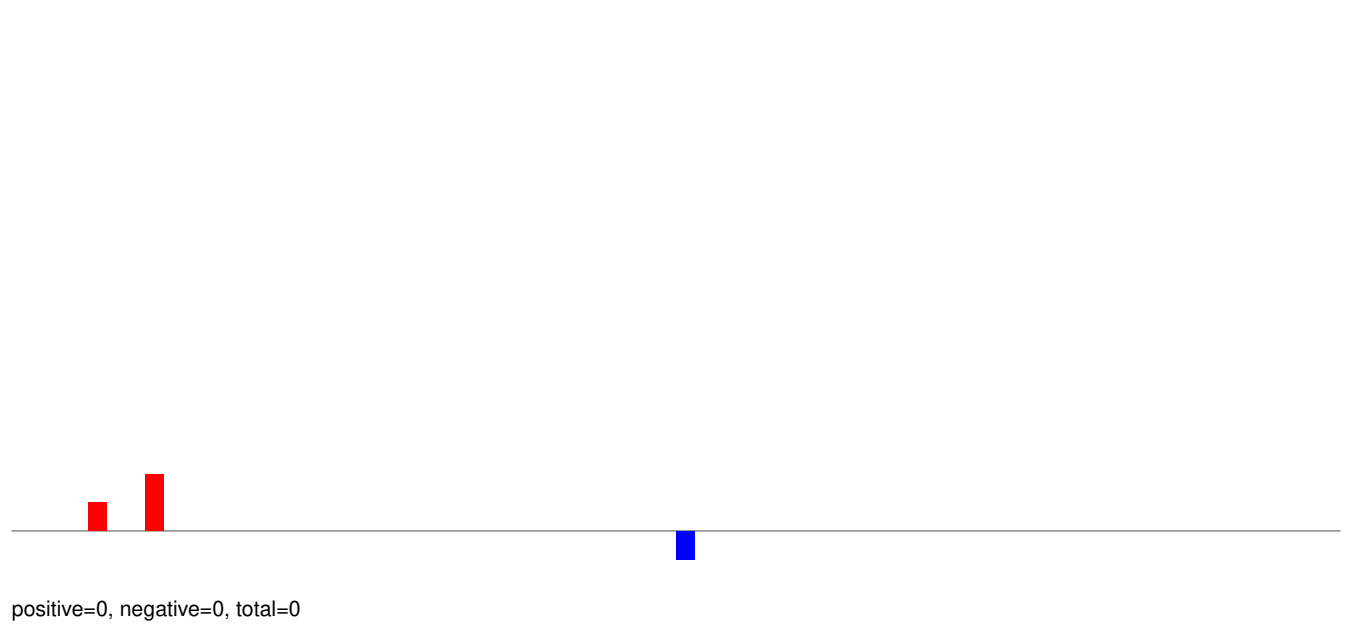


Window size=25, length=1103, TE@R=256-UNKNOWN:1-1103

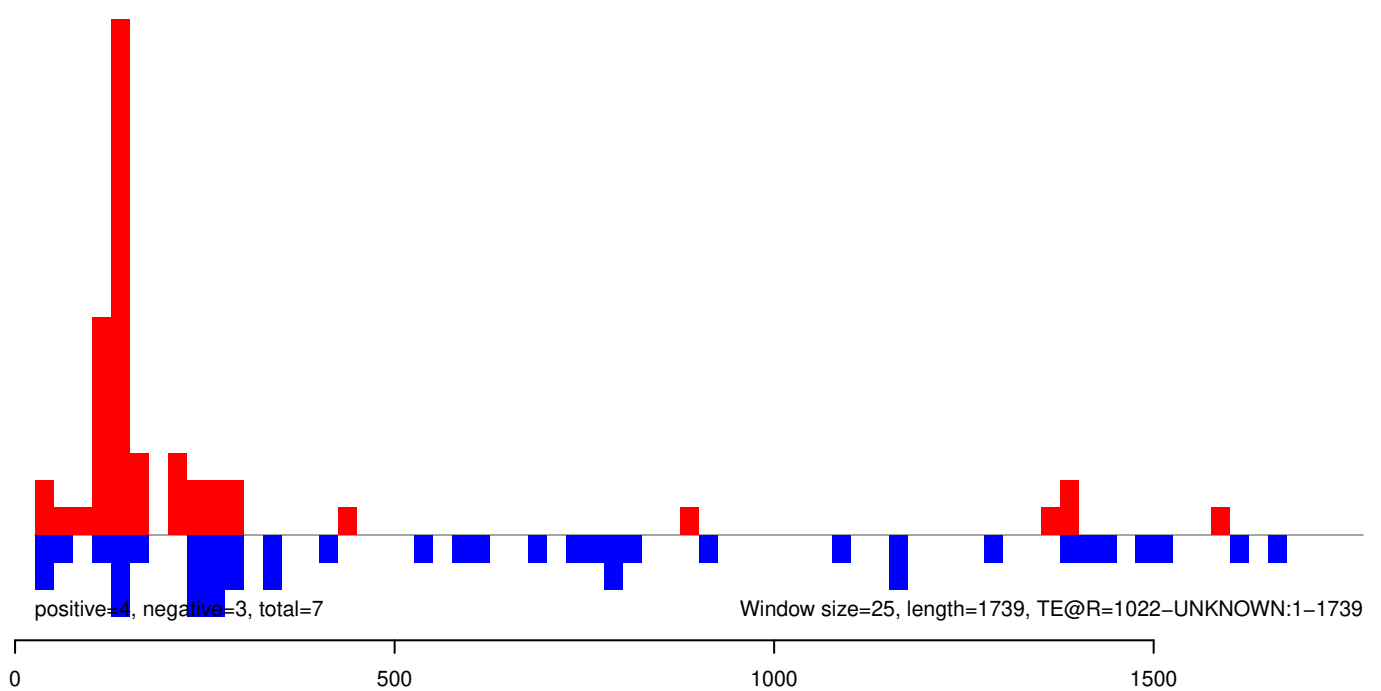
AeAeg_Aag2_Ago2_SINV_RA.18_23.rep



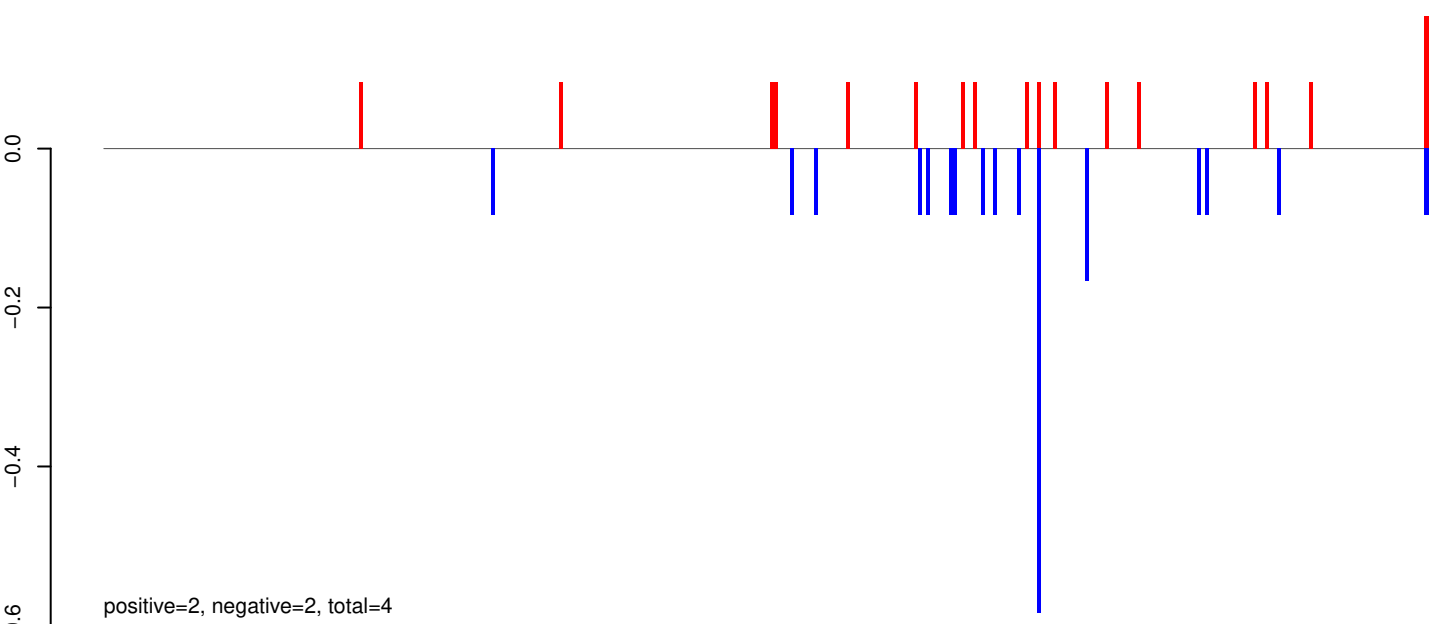
AeAeg_Aag2_Ago2_SINV_RA.24_35.rep



AeAeg_Aag2_Ago2_SINV_RA.rep



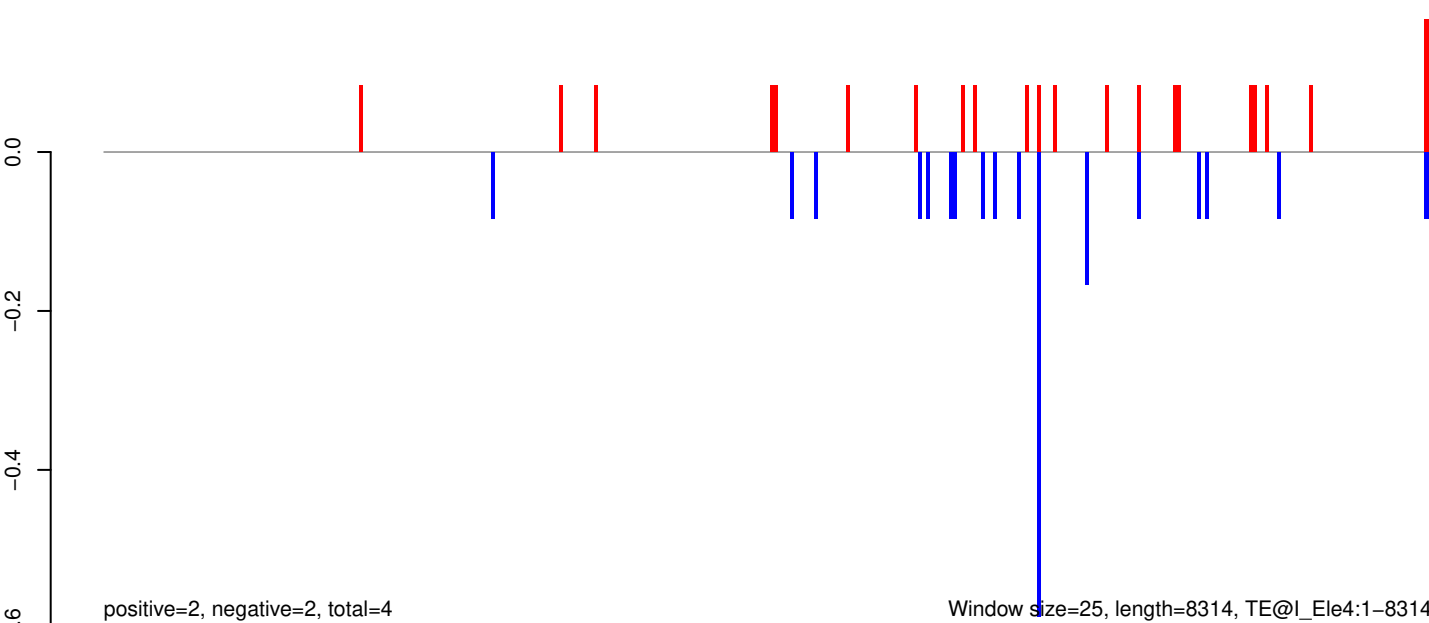
AeAeg_Aag2_Ago2_SINV_RA.18_23.rep



AeAeg_Aag2_Ago2_SINV_RA.24_35.rep

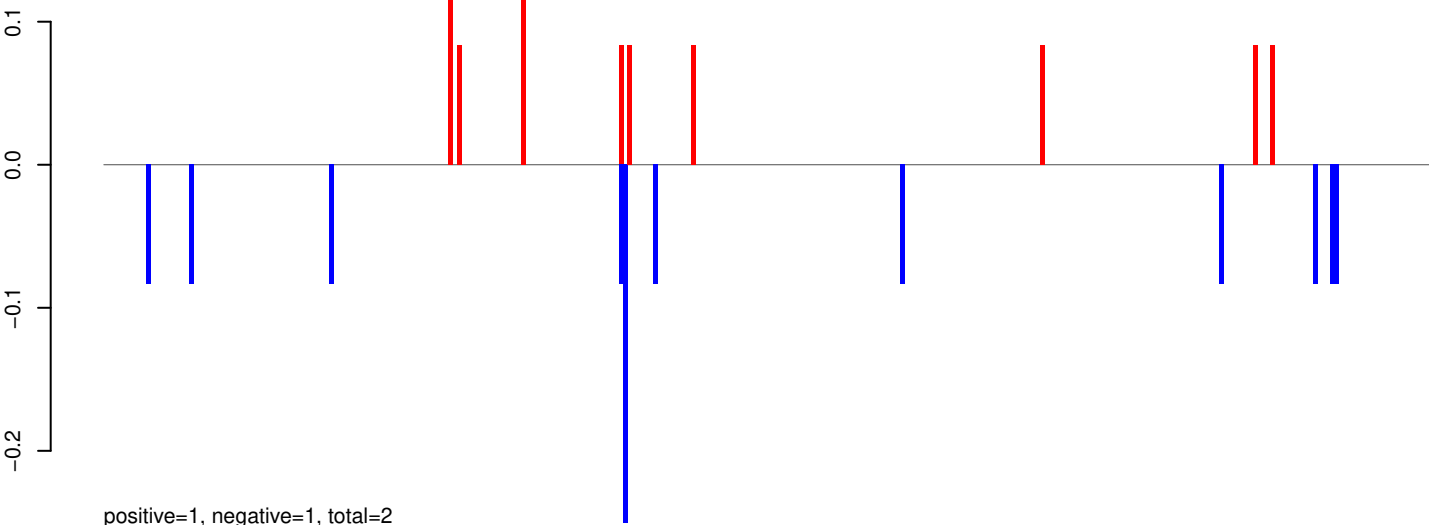


AeAeg_Aag2_Ago2_SINV_RA.rep

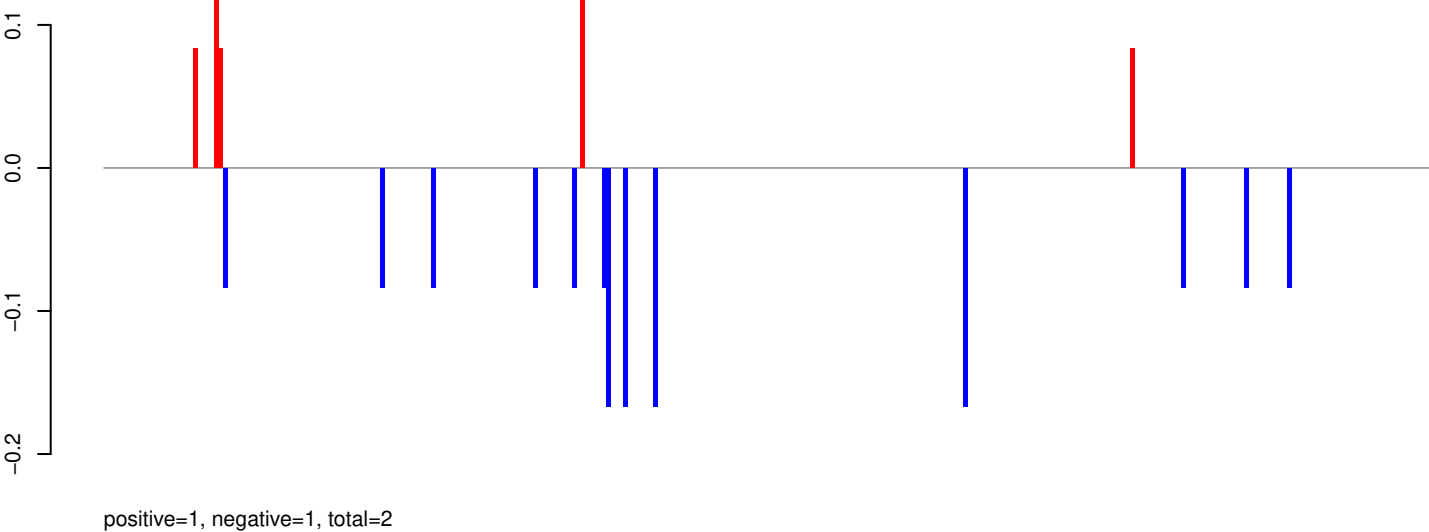


0 2000 4000 6000 8000

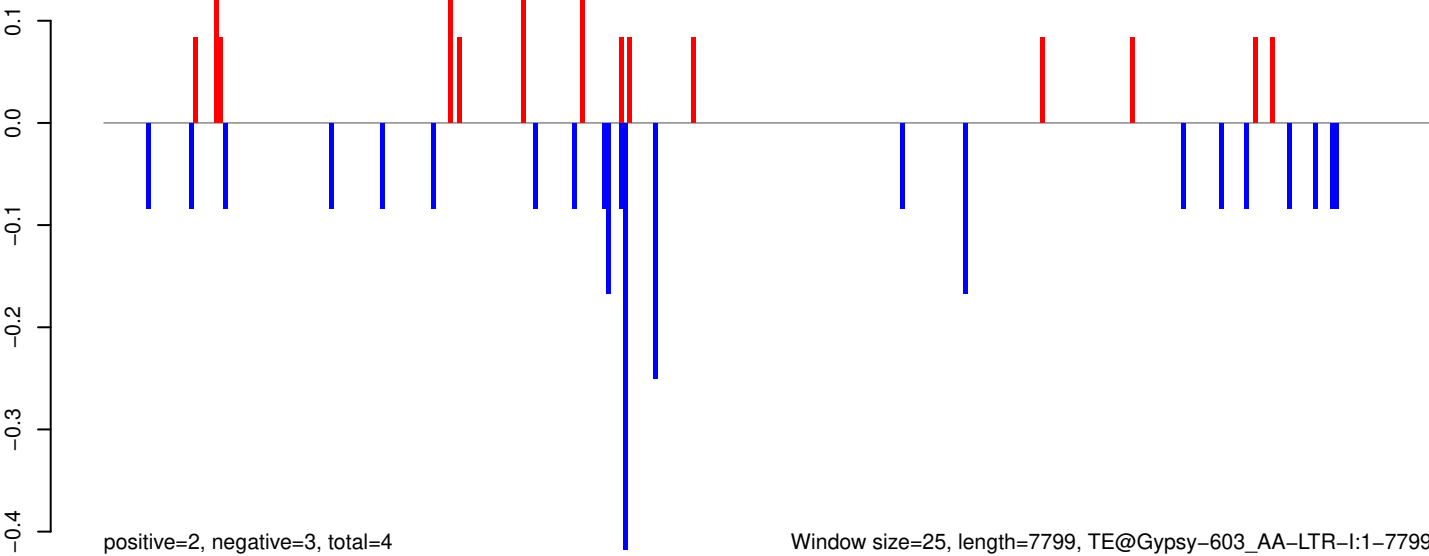
AeAeg_Aag2_Ago2_SINV_RA.18_23.rep



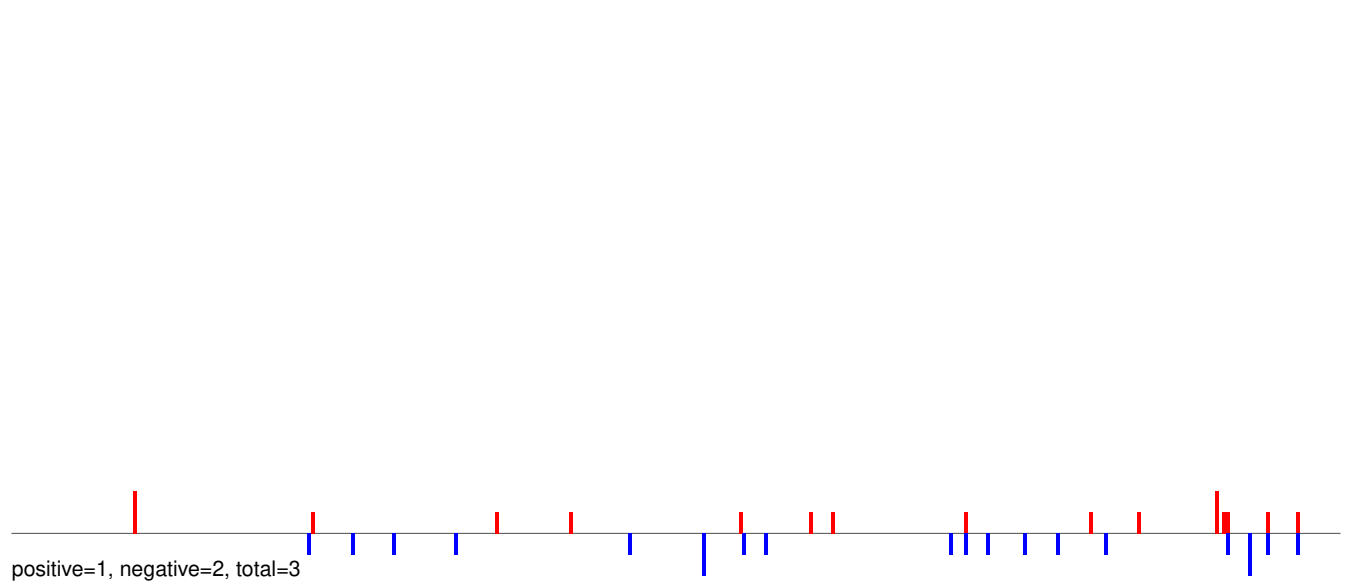
AeAeg_Aag2_Ago2_SINV_RA.24_35.rep



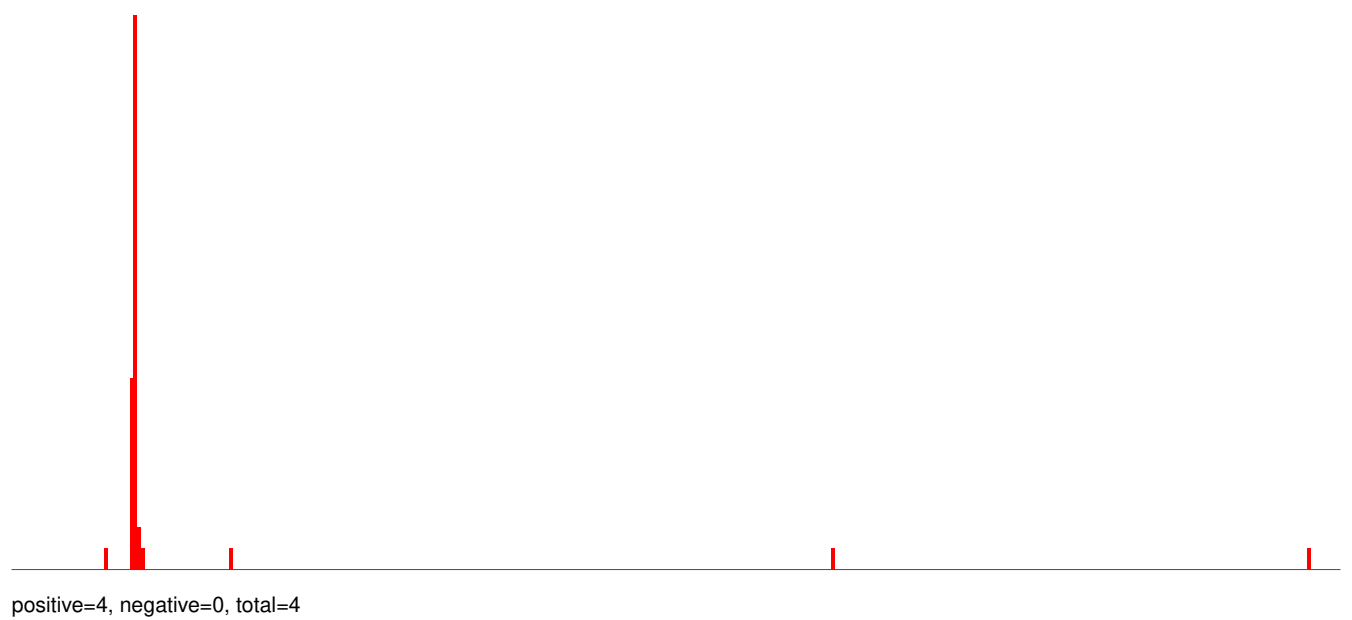
AeAeg_Aag2_Ago2_SINV_RA.rep



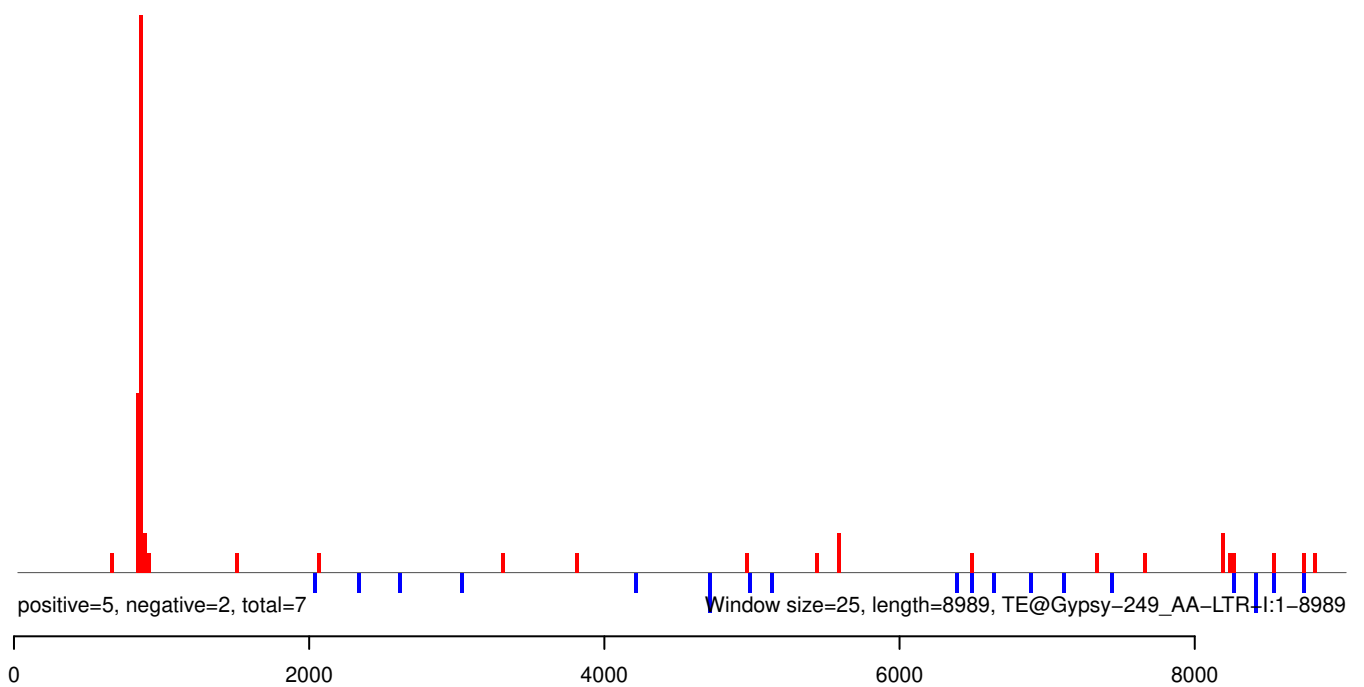
AeAeg_Aag2_Ago2_SINV_RA.18_23.rep



AeAeg_Aag2_Ago2_SINV_RA.24_35.rep



AeAeg_Aag2_Ago2_SINV_RA.rep



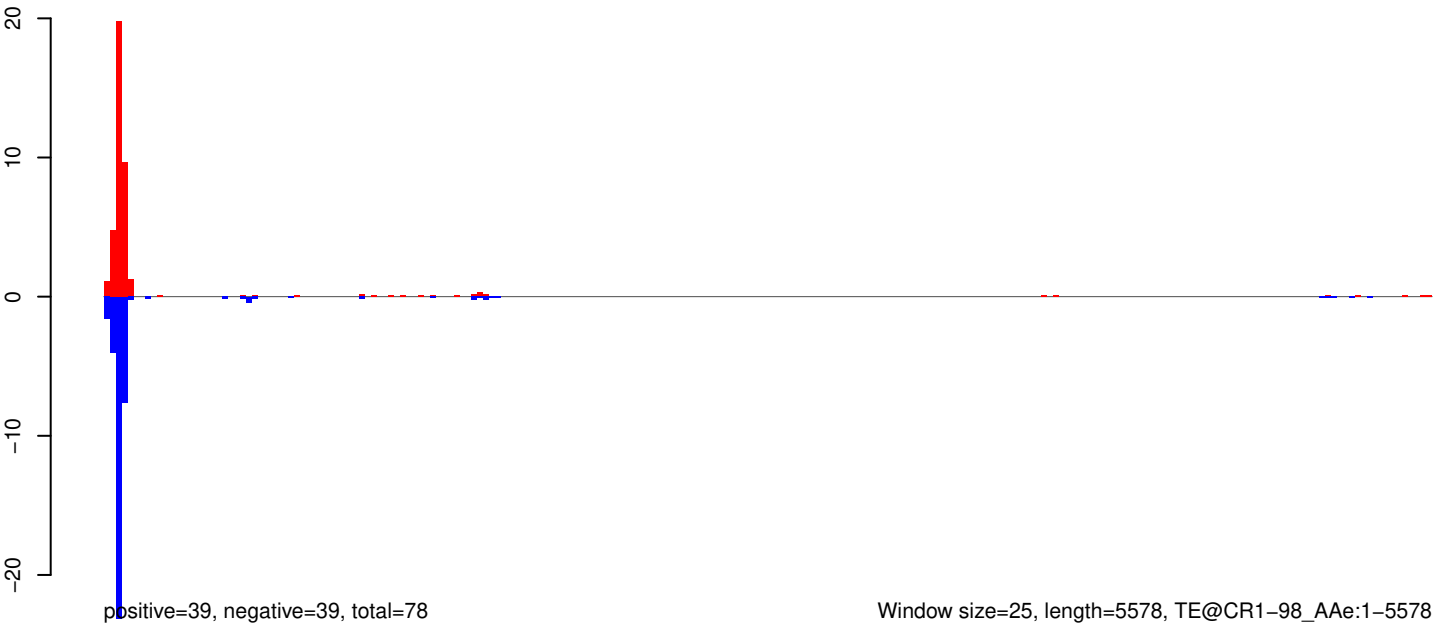
AeAeg_Aag2_Ago2_SINV_RA.18_23.rep



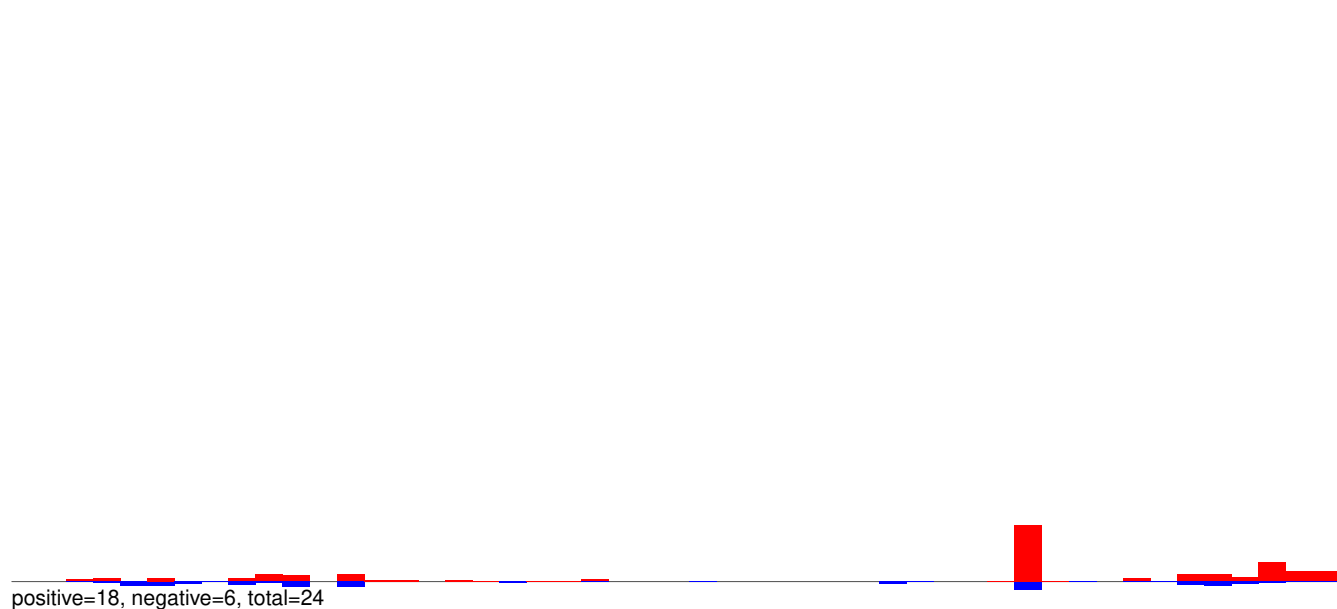
AeAeg_Aag2_Ago2_SINV_RA.24_35.rep



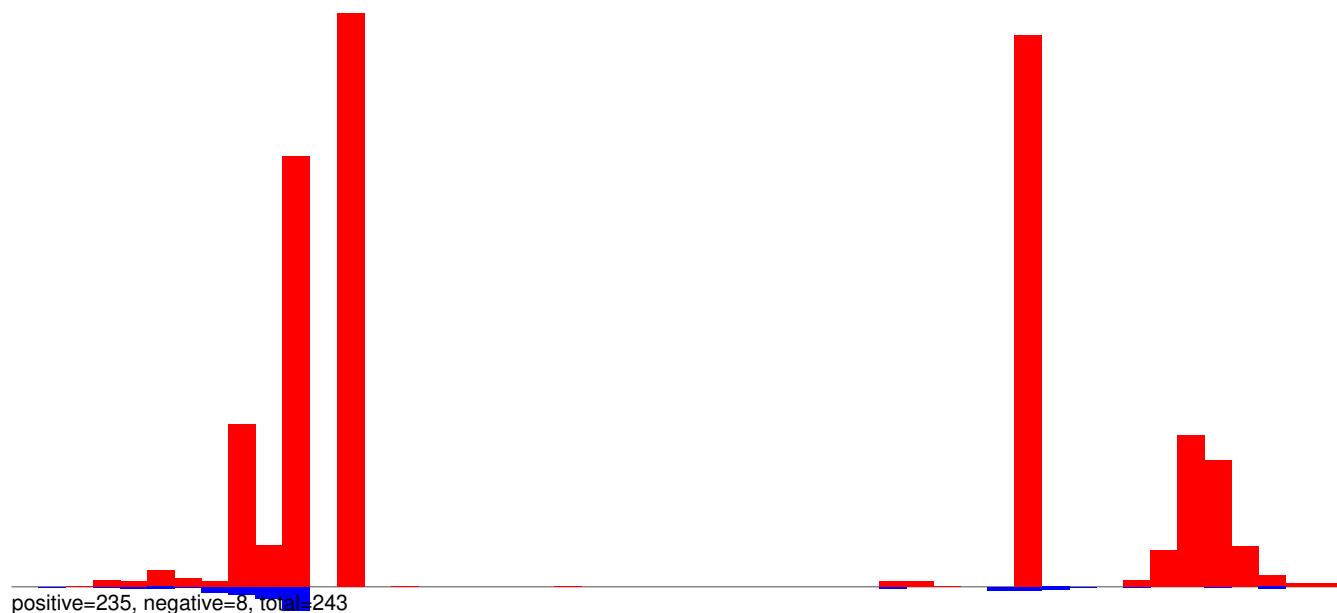
AeAeg_Aag2_Ago2_SINV_RA.rep



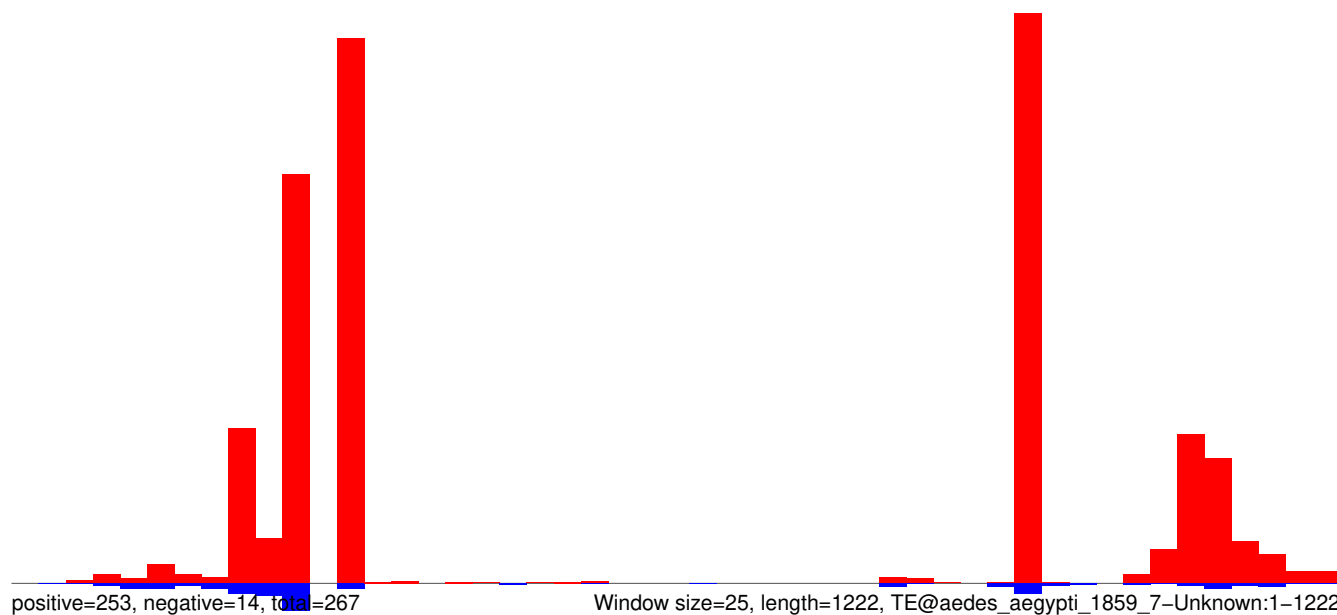
AeAeg_Aag2_Ago2_SINV_RA.18_23.rep



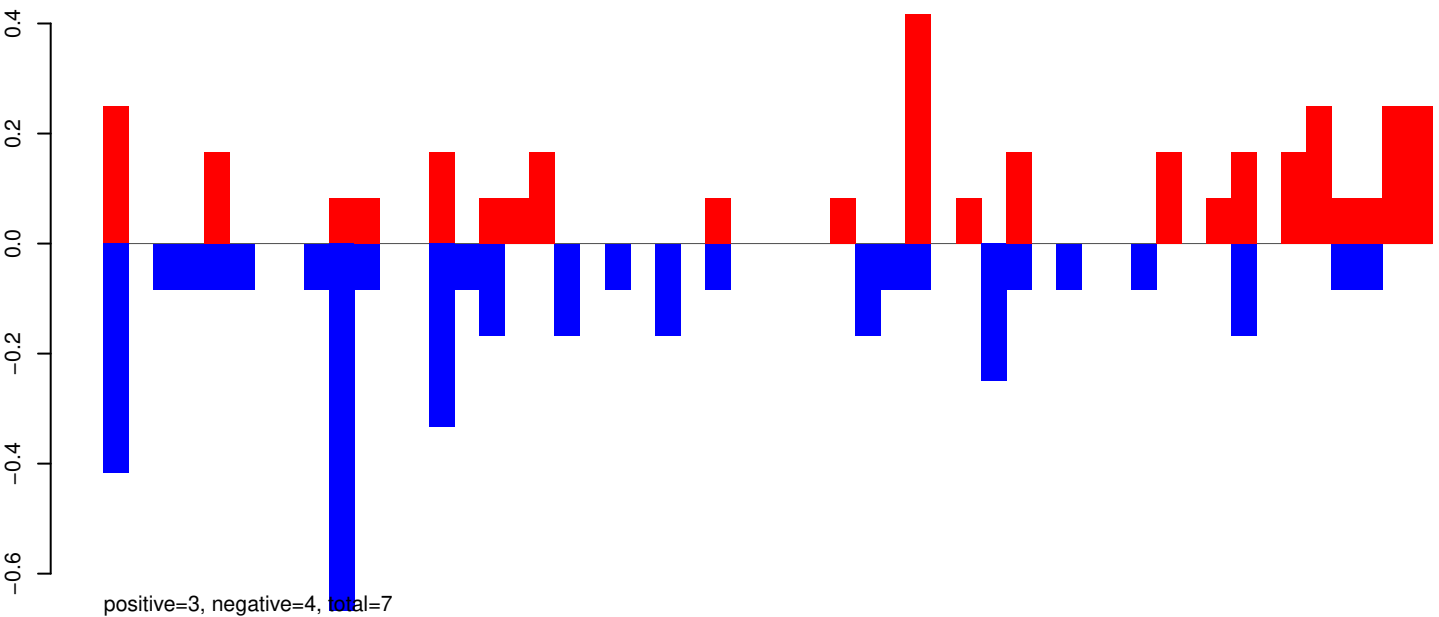
AeAeg_Aag2_Ago2_SINV_RA.24_35.rep



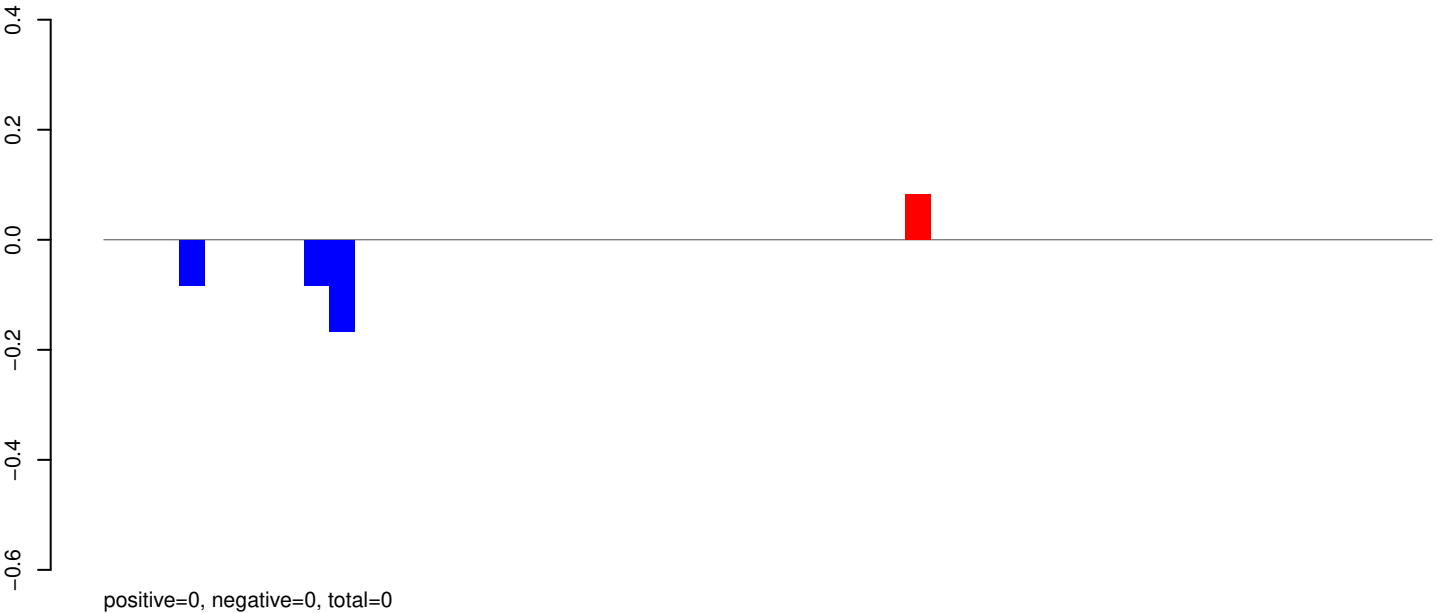
AeAeg_Aag2_Ago2_SINV_RA.rep



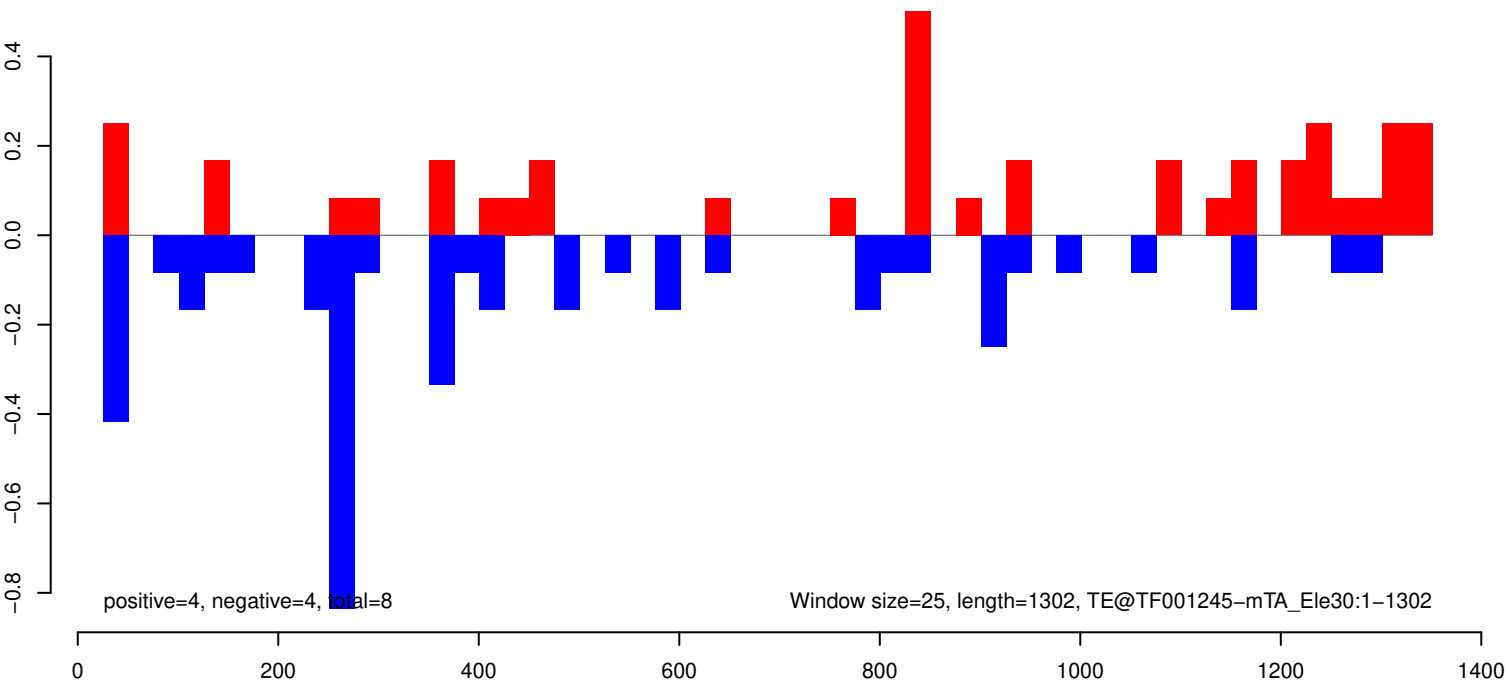
AeAeg_Aag2_Ago2_SINV_RA.18_23.rep



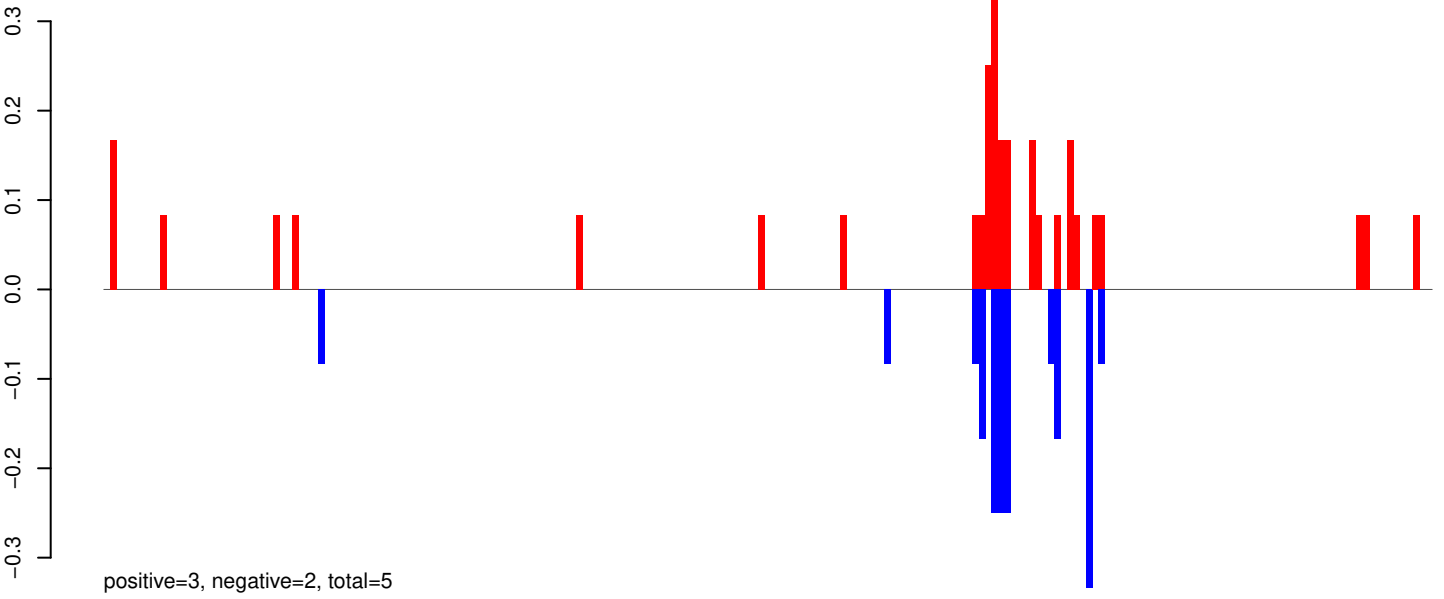
AeAeg_Aag2_Ago2_SINV_RA.24_35.rep



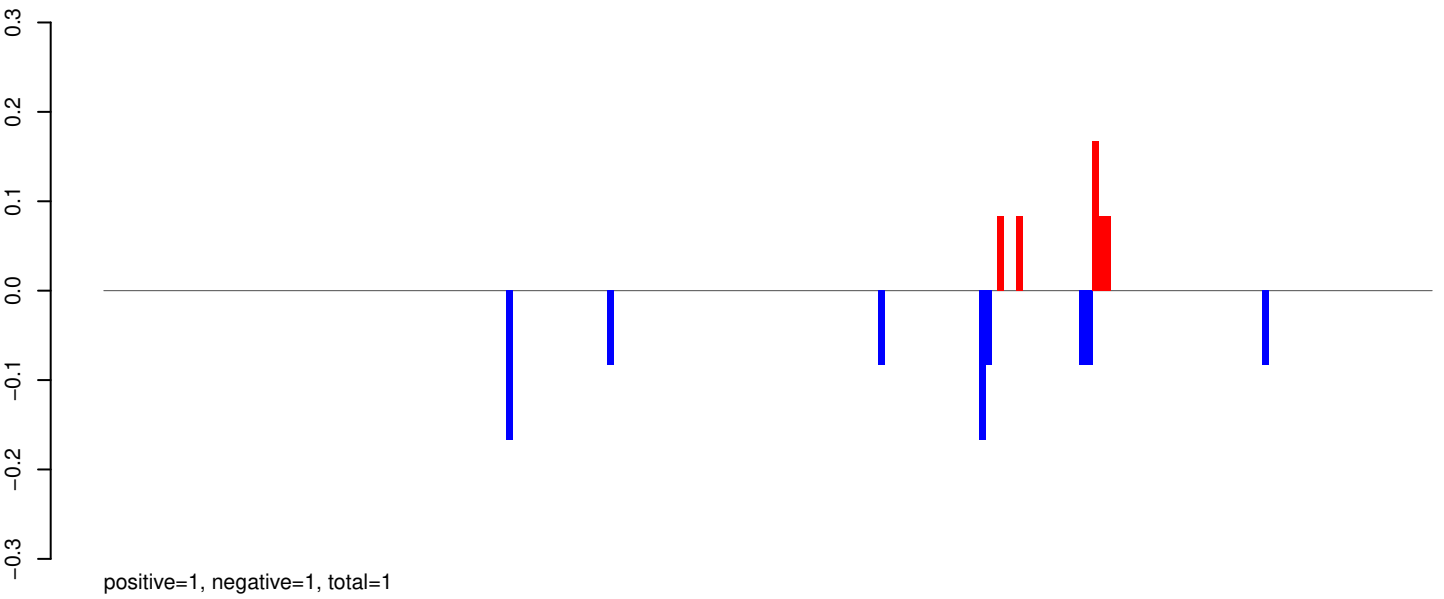
AeAeg_Aag2_Ago2_SINV_RA.rep



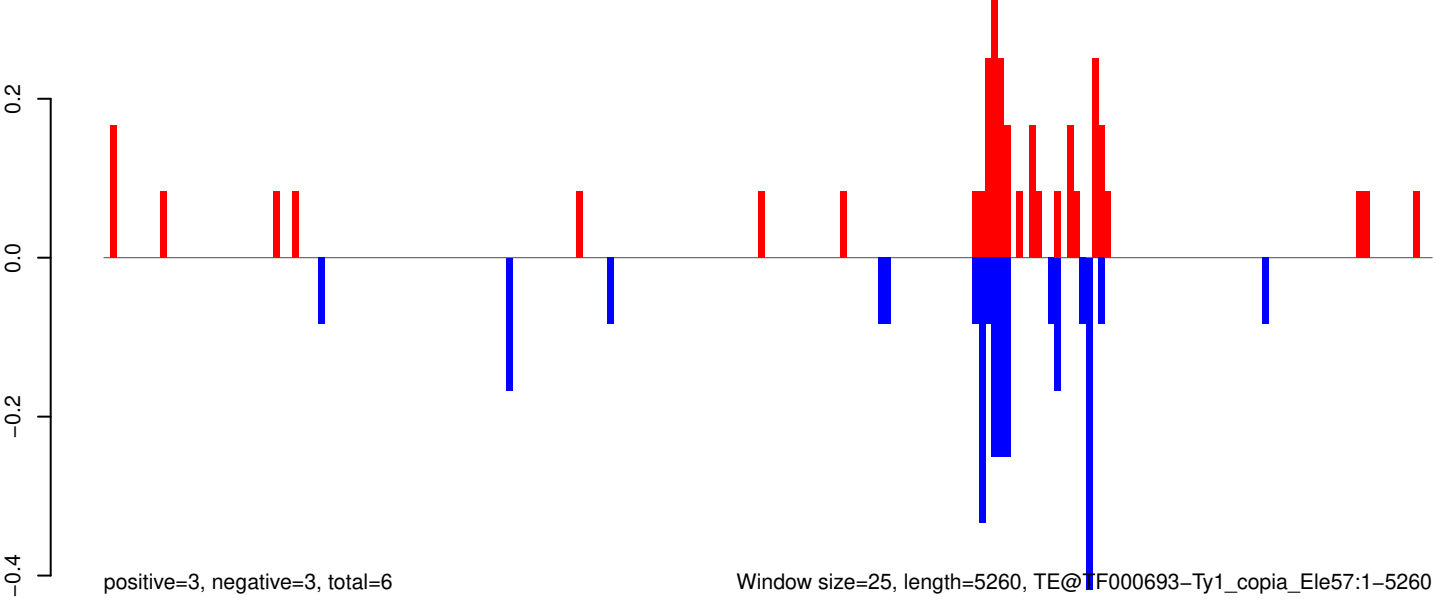
AeAeg_Aag2_Ago2_SINV_RA.18_23.rep



AeAeg_Aag2_Ago2_SINV_RA.24_35.rep

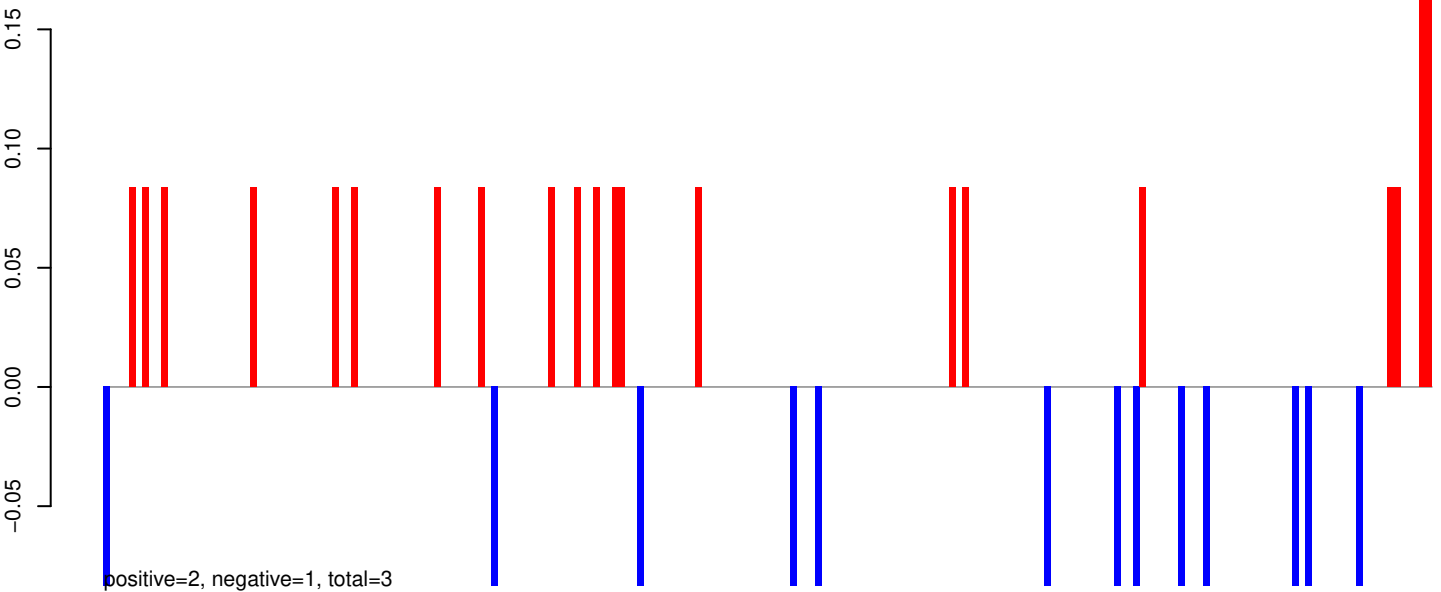


AeAeg_Aag2_Ago2_SINV_RA.rep



0 1000 2000 3000 4000 5000

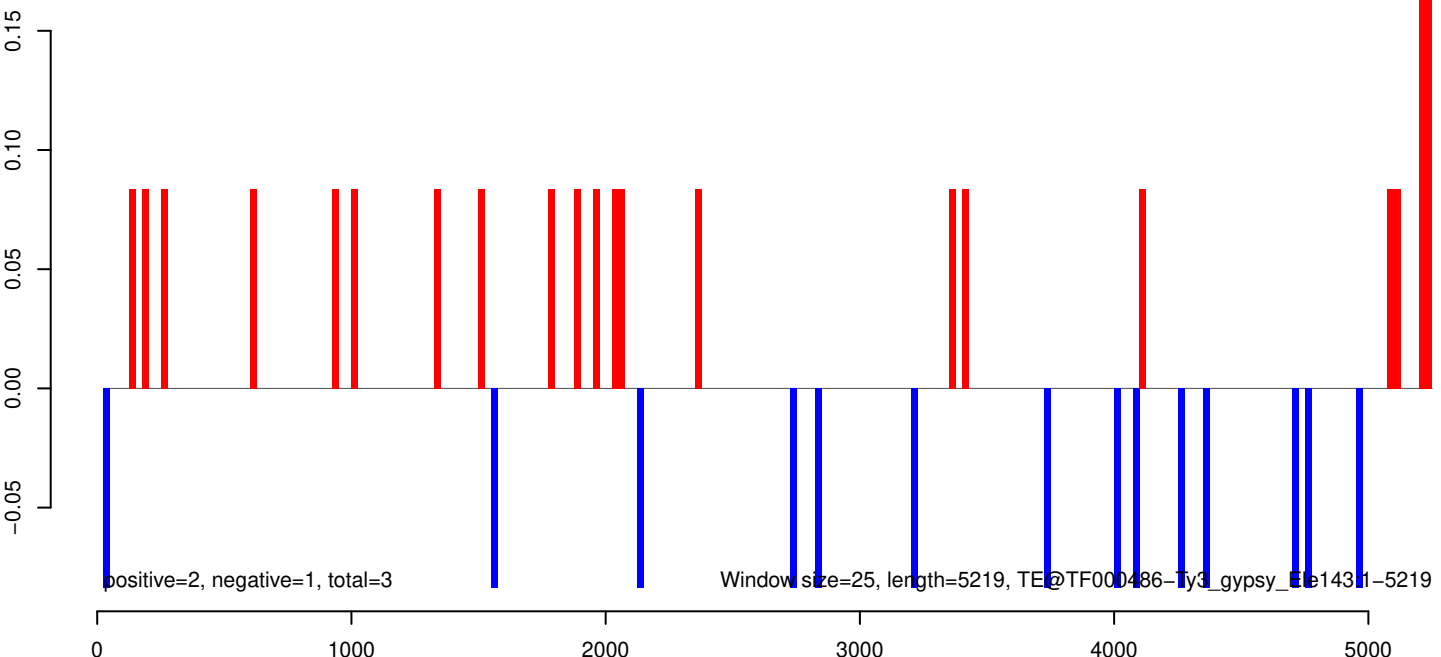
AeAeg_Aag2_Ago2_SINV_RA.18_23.rep



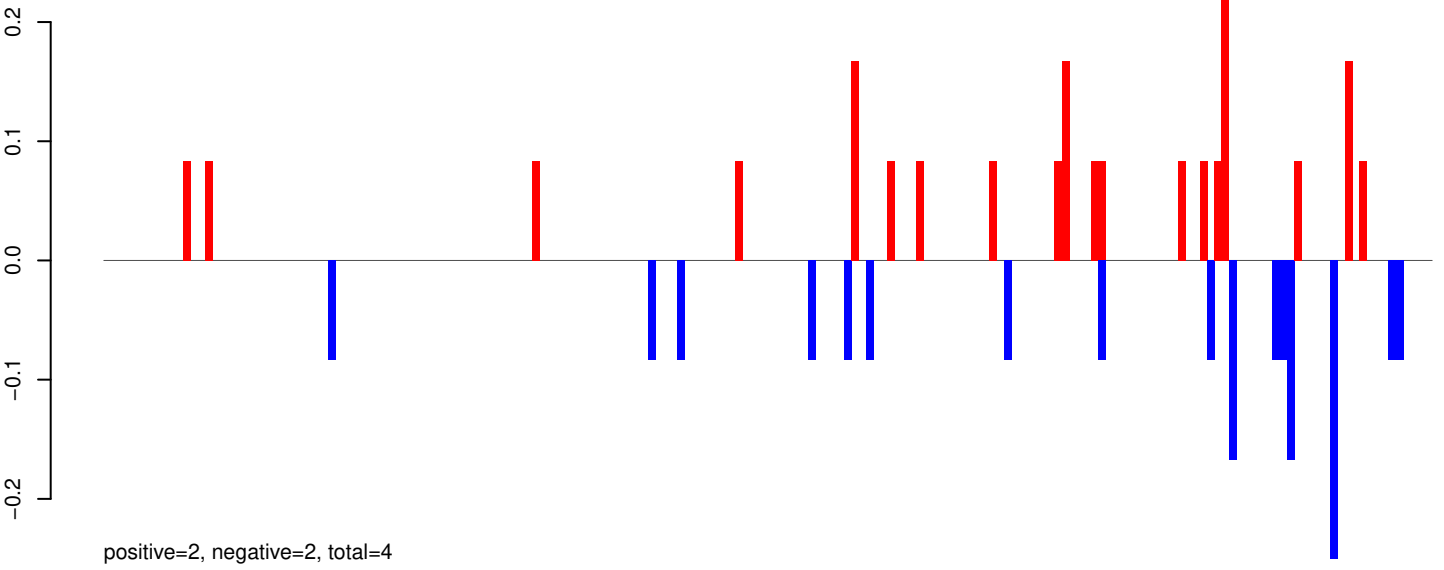
AeAeg_Aag2_Ago2_SINV_RA.24_35.rep



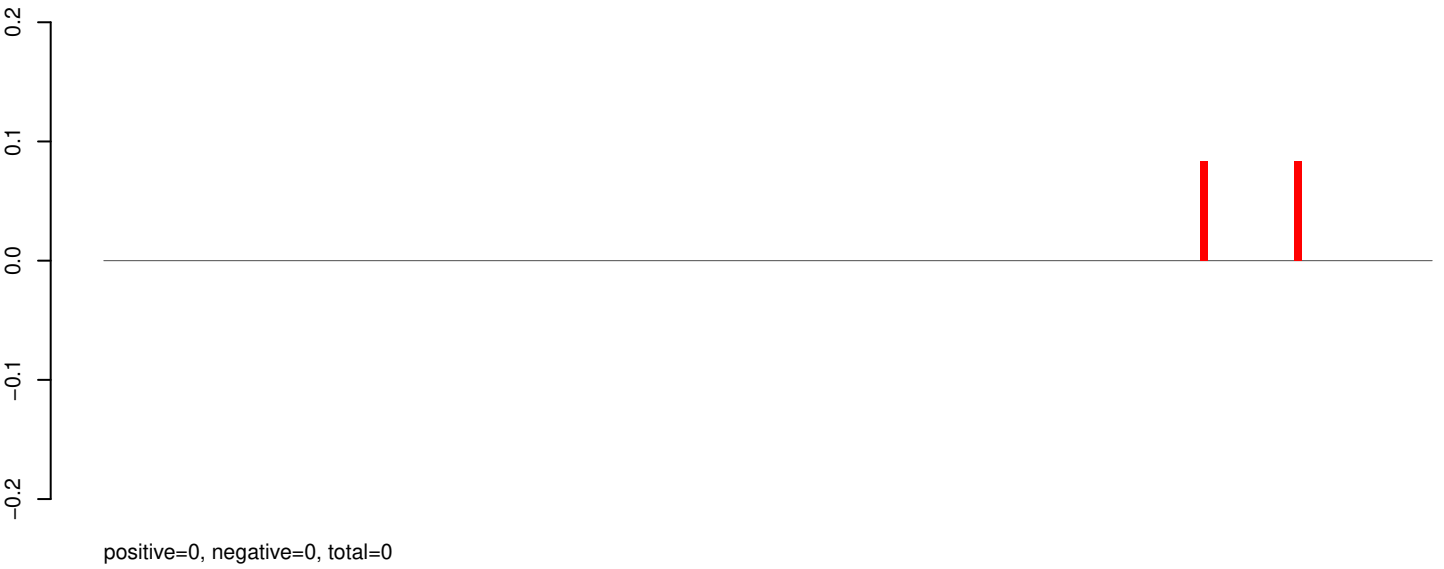
AeAeg_Aag2_Ago2_SINV_RA.rep



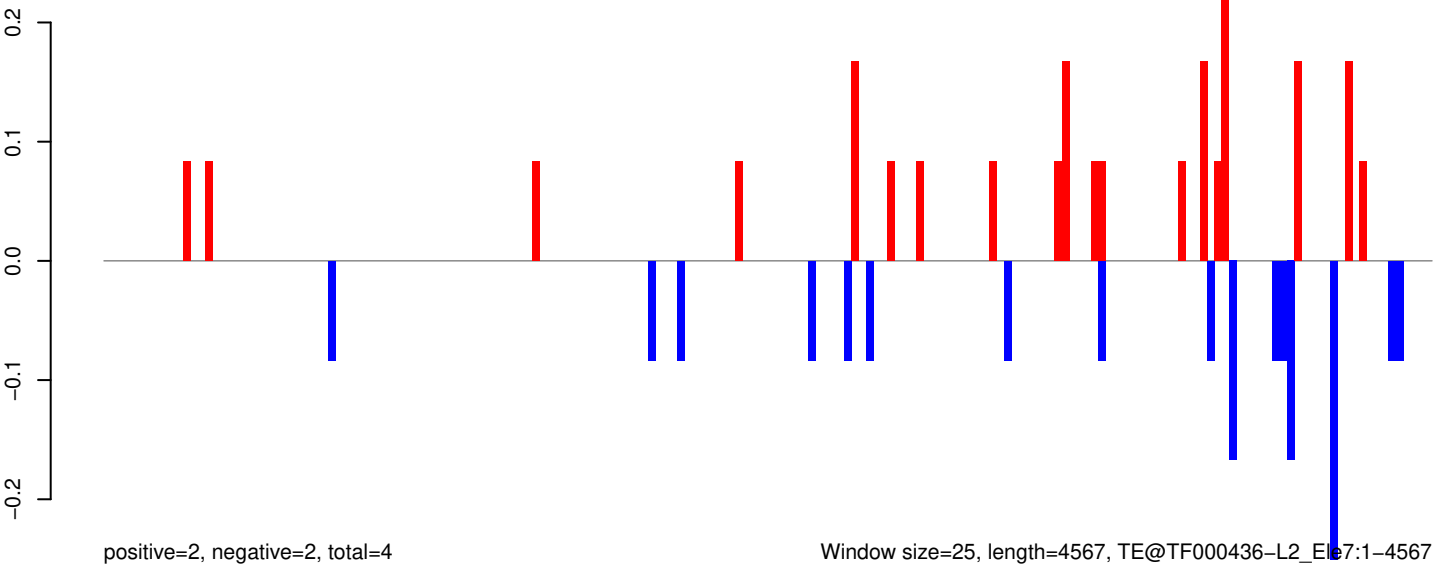
AeAeg_Aag2_Ago2_SINV_RA.18_23.rep



AeAeg_Aag2_Ago2_SINV_RA.24_35.rep



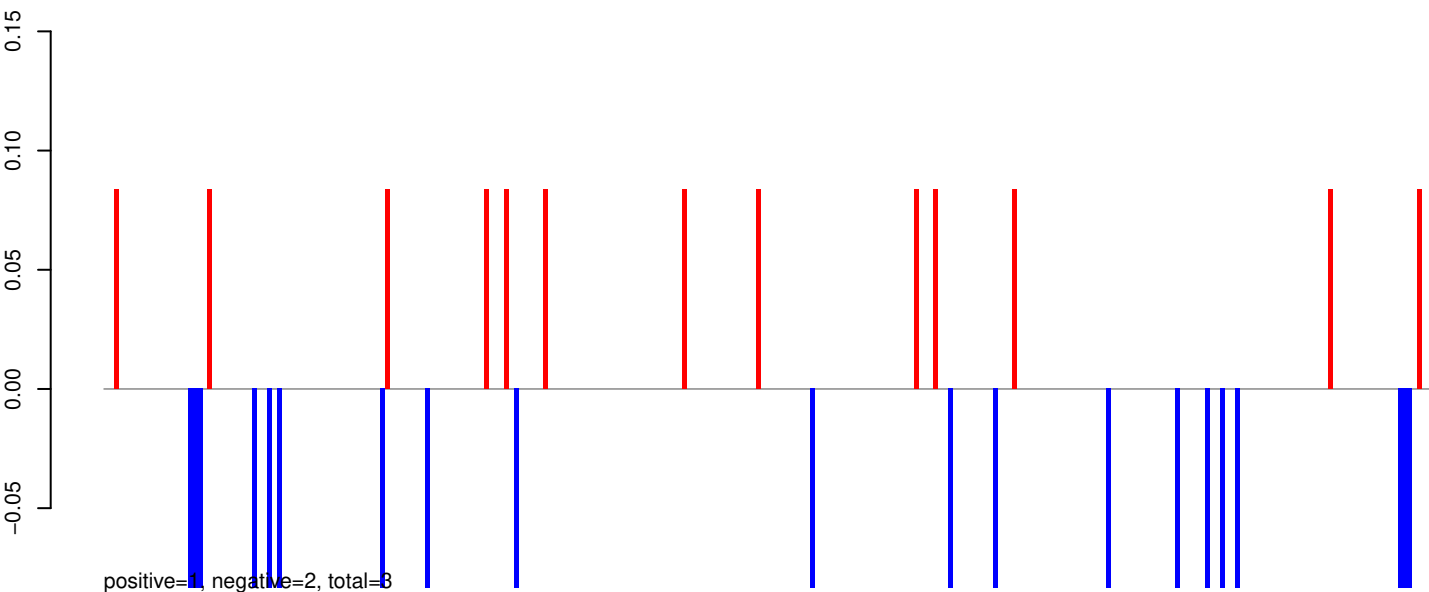
AeAeg_Aag2_Ago2_SINV_RA.rep



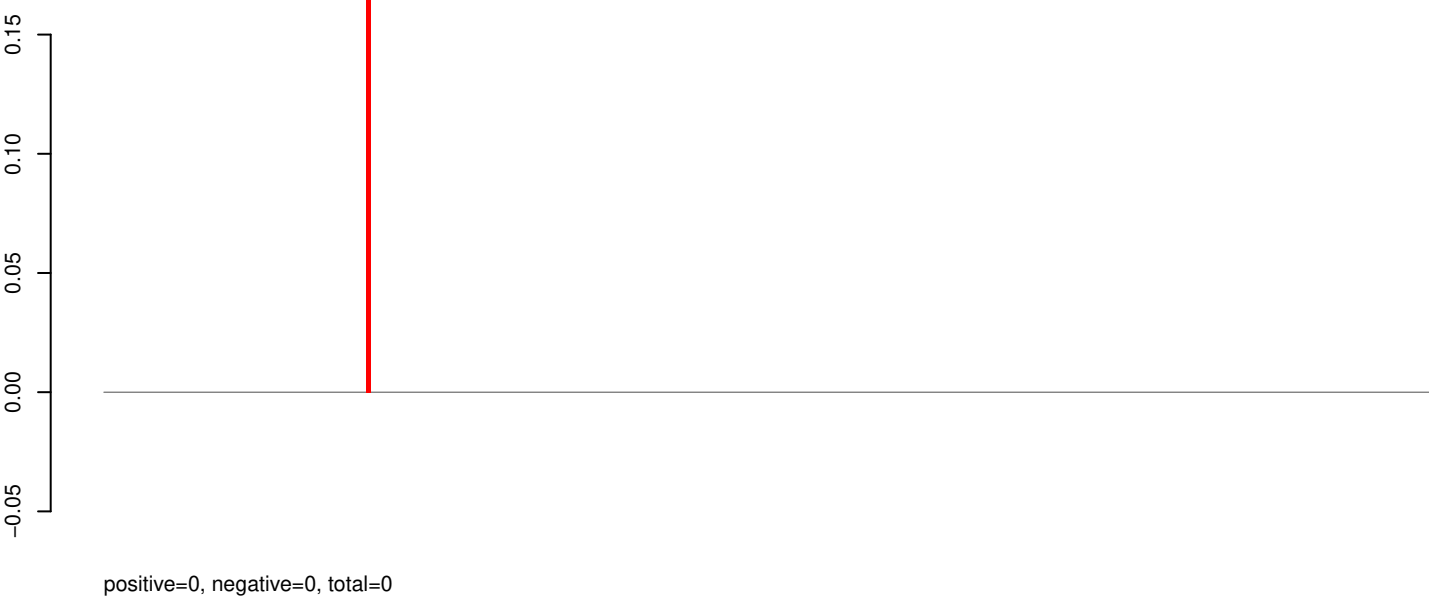
Window size=25, length=4567, TE@TF000436-L2_Ele7:1-4567

0 1000 2000 3000 4000

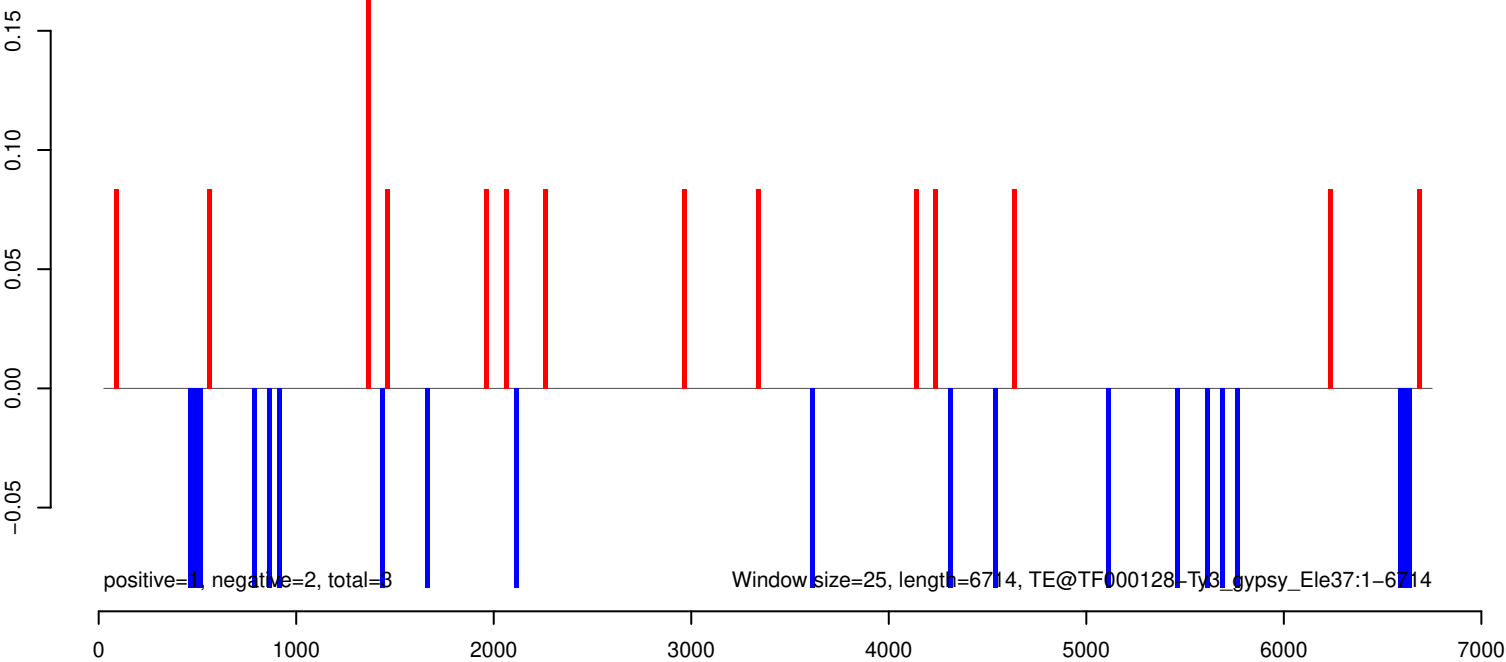
AeAeg_Aag2_Ago2_SINV_RA.18_23.rep



AeAeg_Aag2_Ago2_SINV_RA.24_35.rep



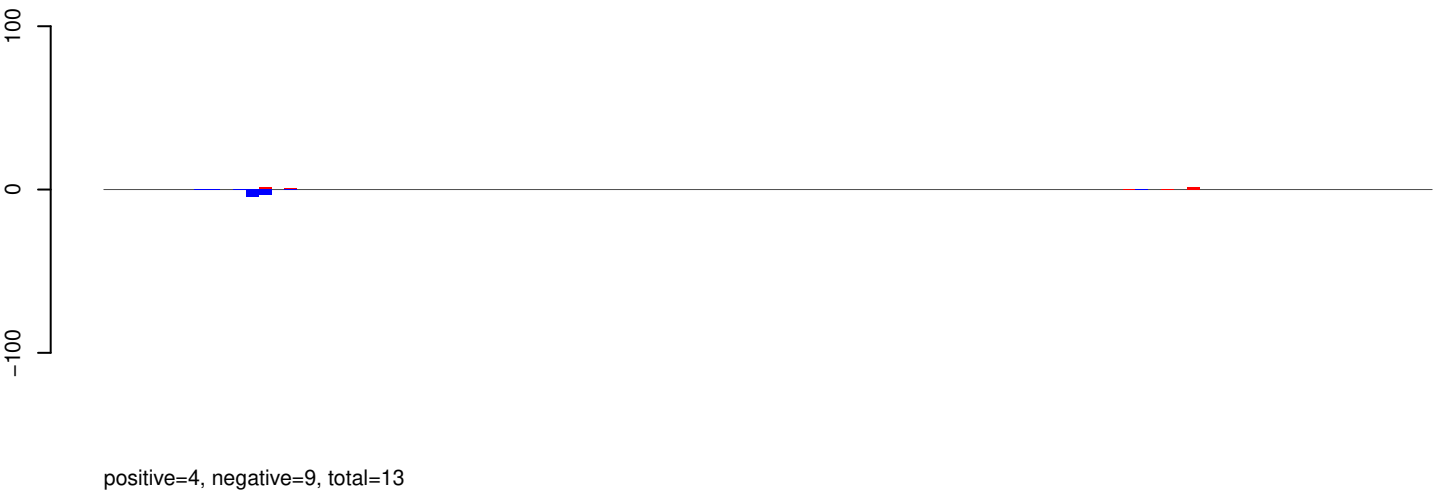
AeAeg_Aag2_Ago2_SINV_RA.rep



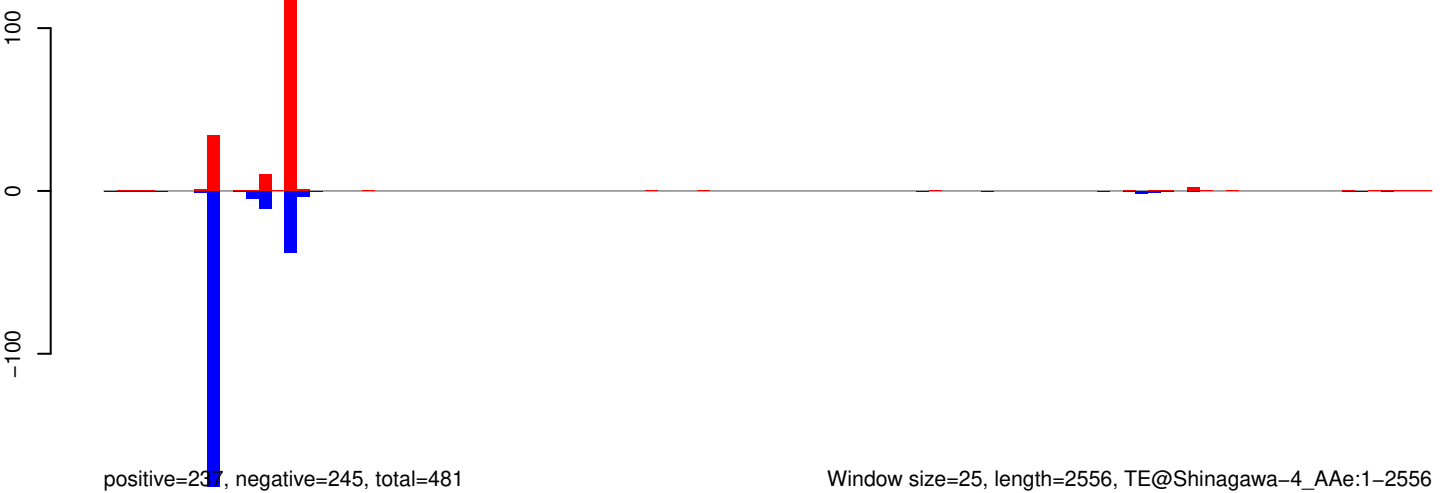
AeAeg_Aag2_Ago2_SINV_RA.18_23.rep



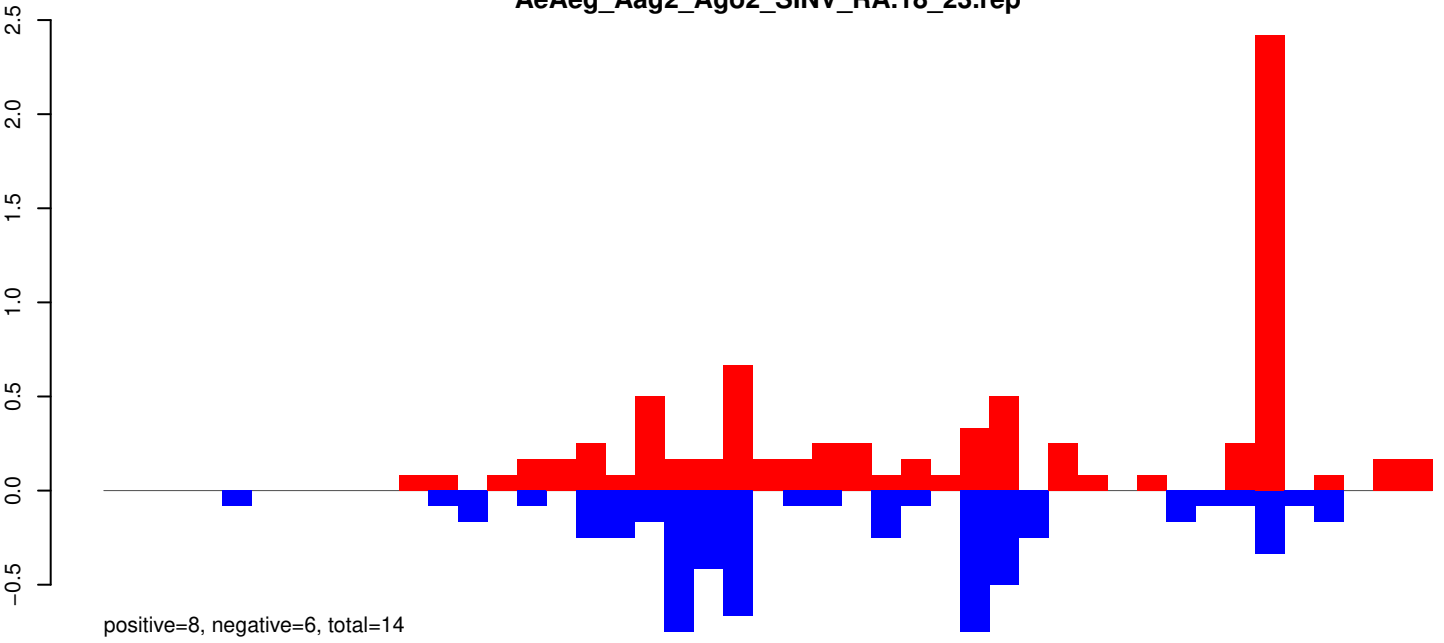
AeAeg_Aag2_Ago2_SINV_RA.24_35.rep



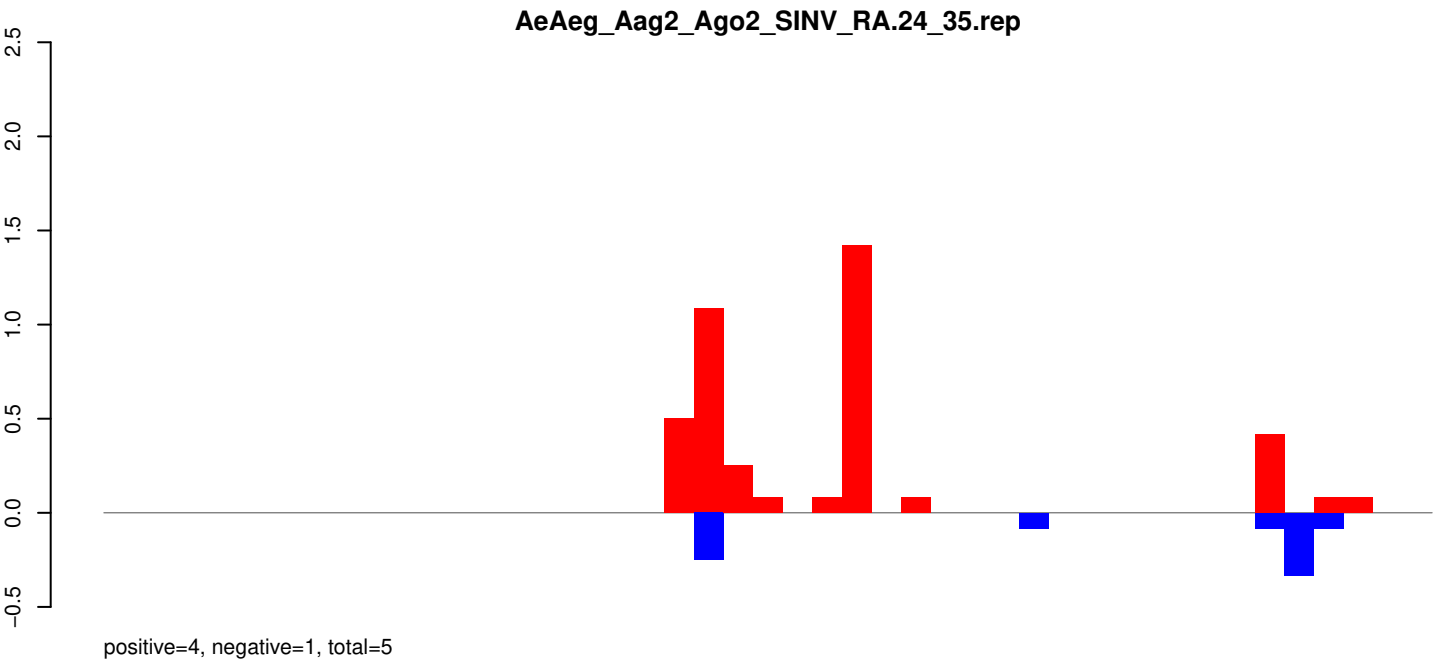
AeAeg_Aag2_Ago2_SINV_RA.rep



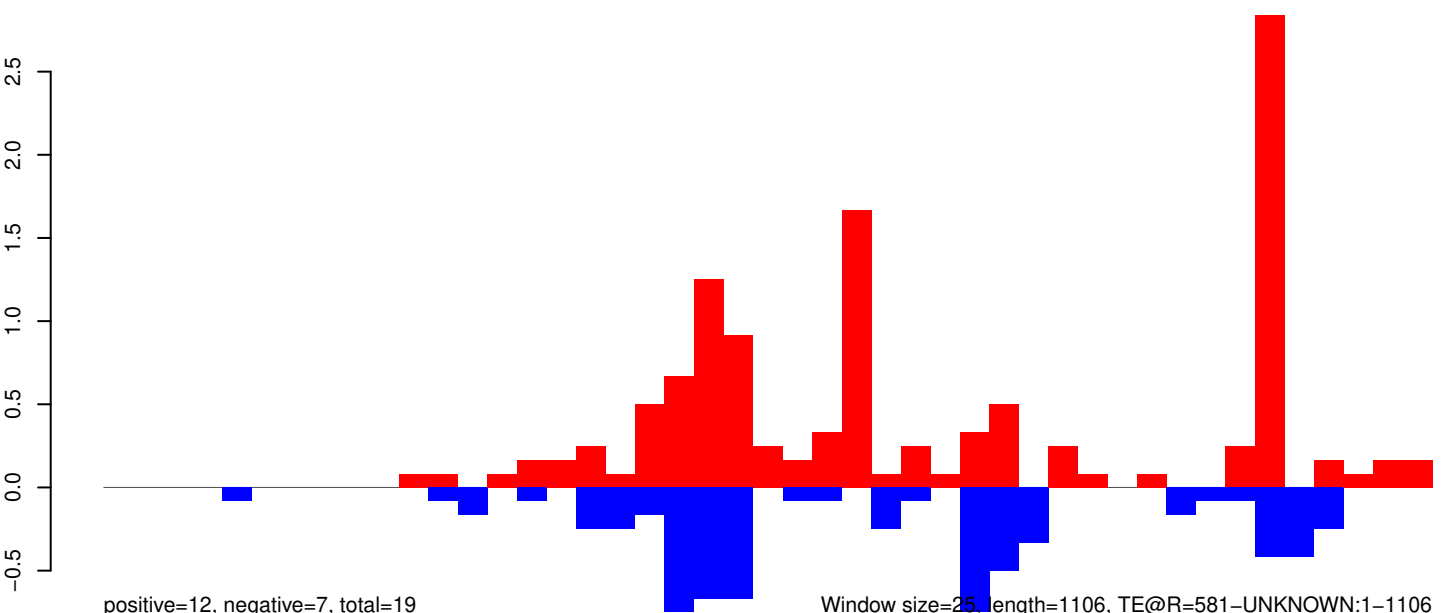
AeAeg_Aag2_Ago2_SINV_RA.18_23.rep



AeAeg_Aag2_Ago2_SINV_RA.24_35.rep

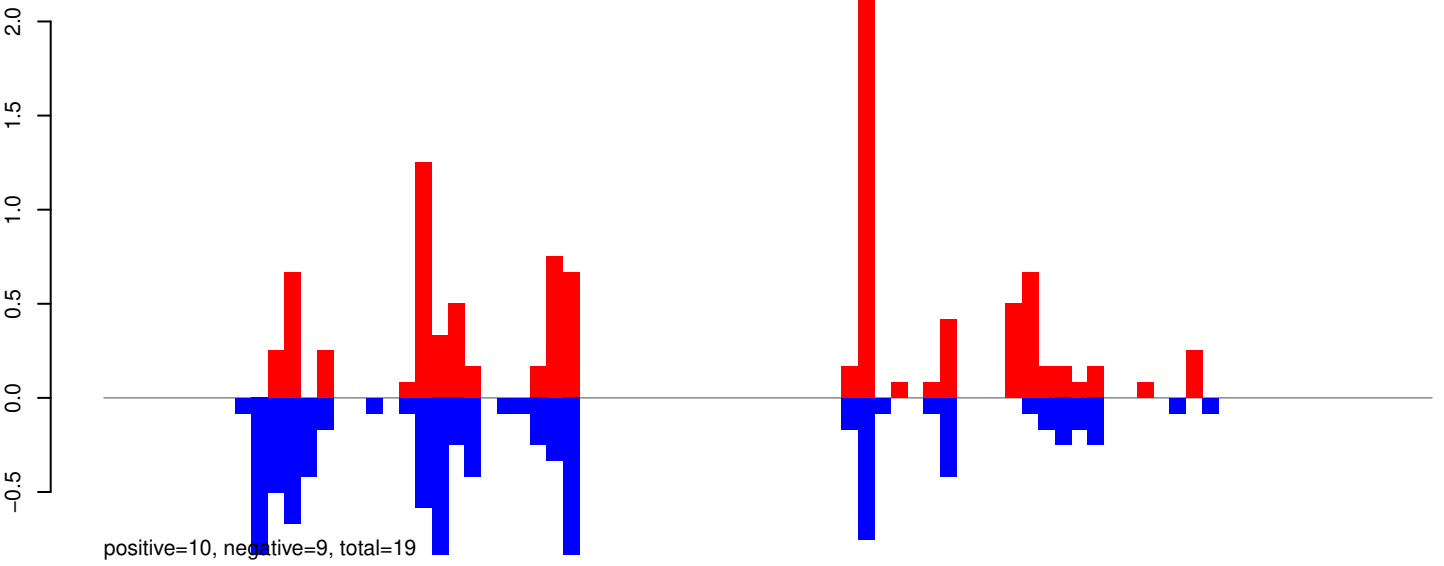


AeAeg_Aag2_Ago2_SINV_RA.rep

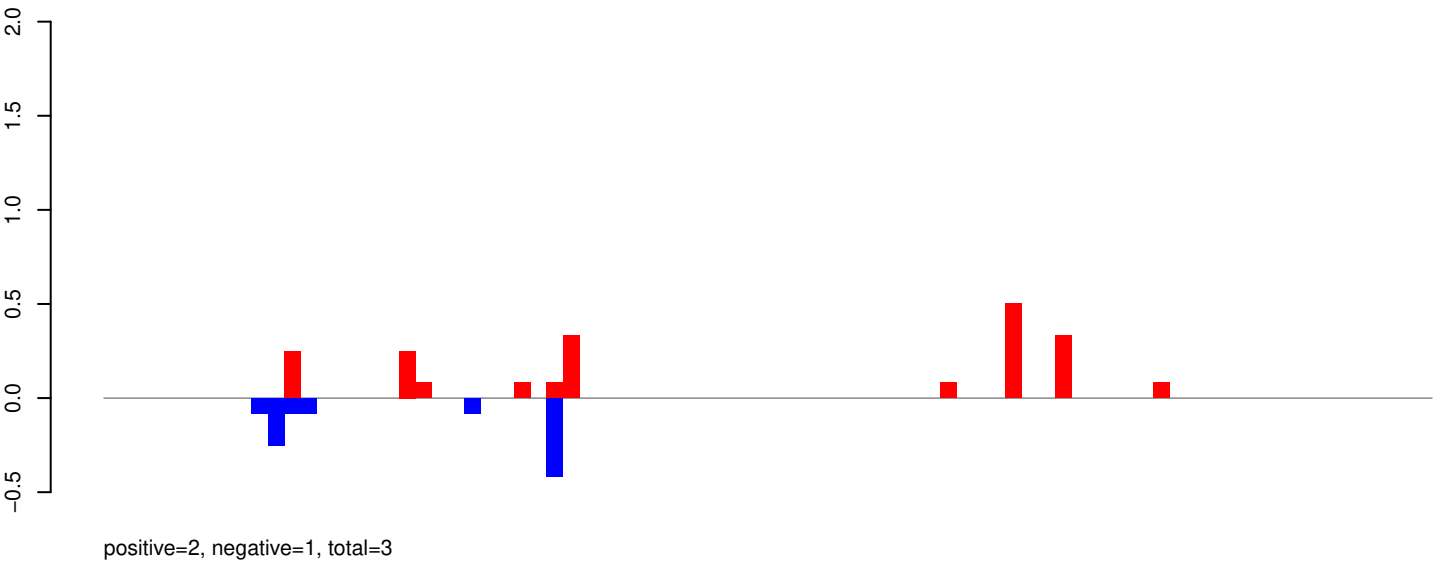


0 200 400 600 800 1000

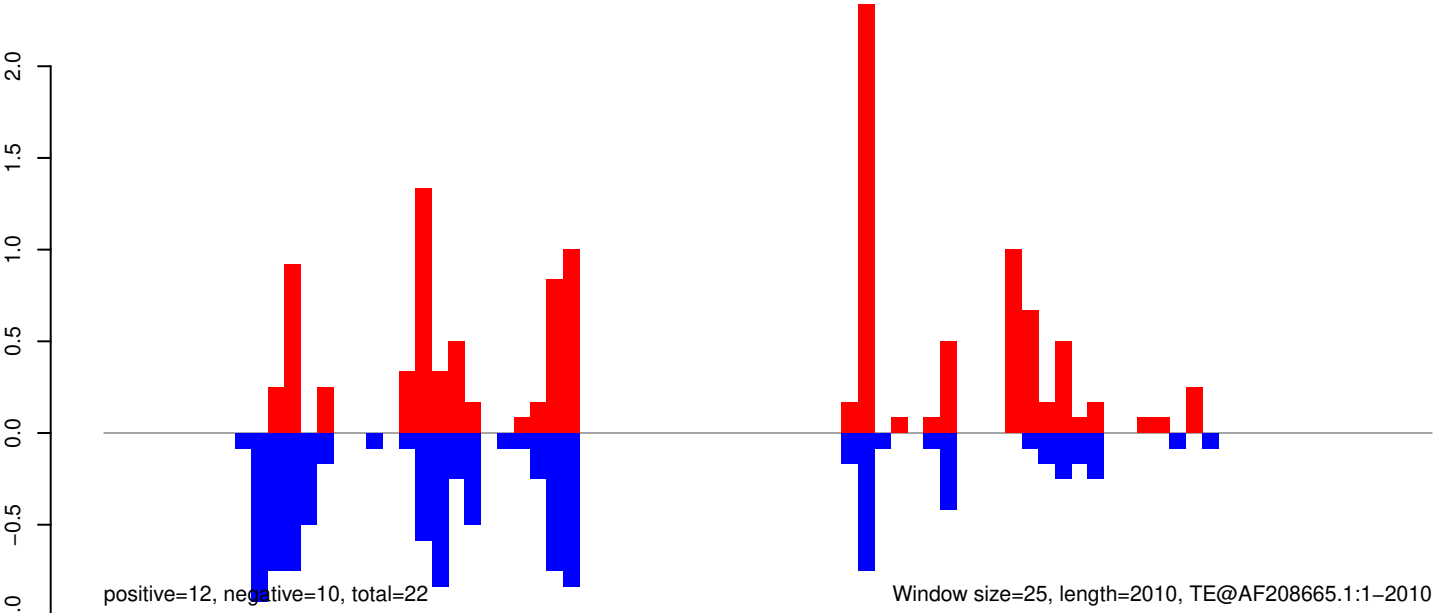
AeAeg_Aag2_Ago2_SINV_RA.18_23.rep



AeAeg_Aag2_Ago2_SINV_RA.24_35.rep

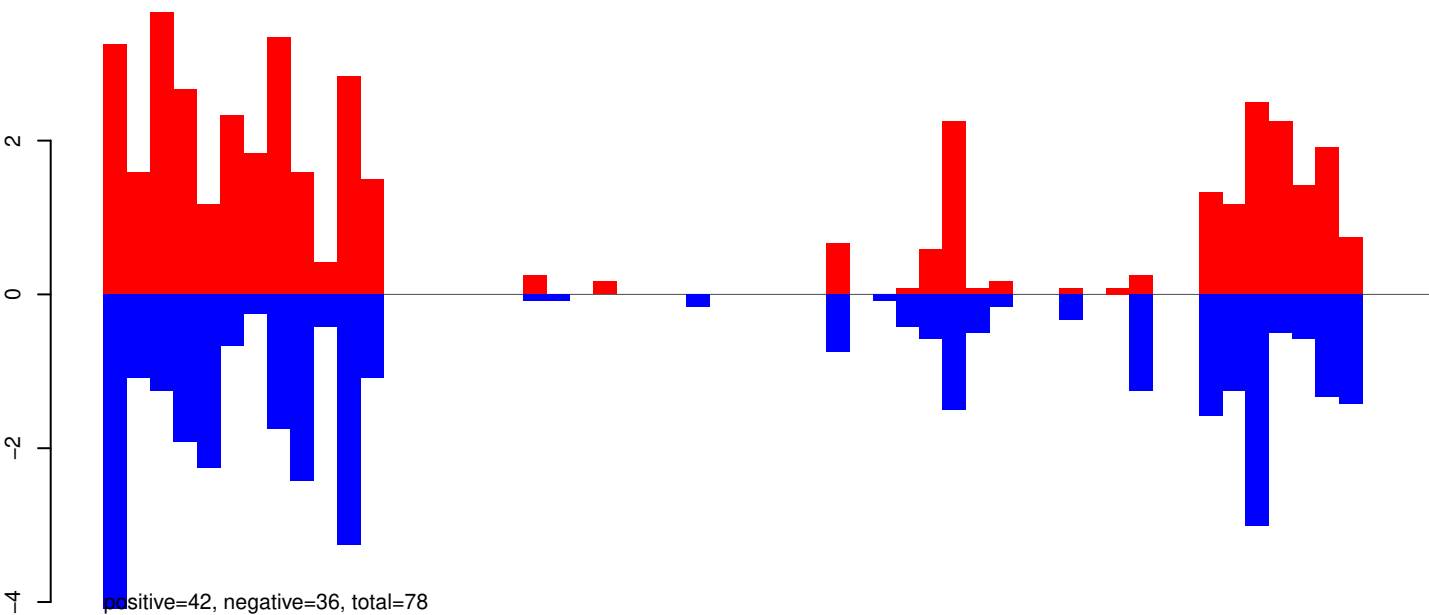


AeAeg_Aag2_Ago2_SINV_RA.rep

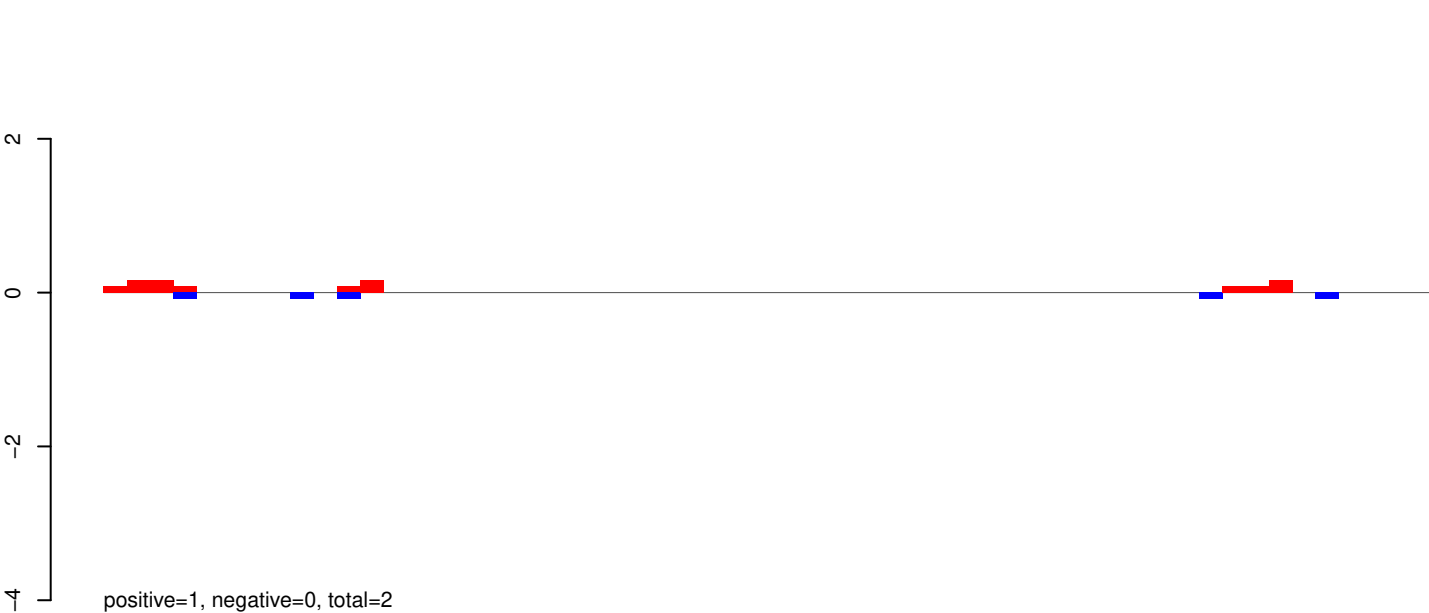


0 500 1000 1500 2000

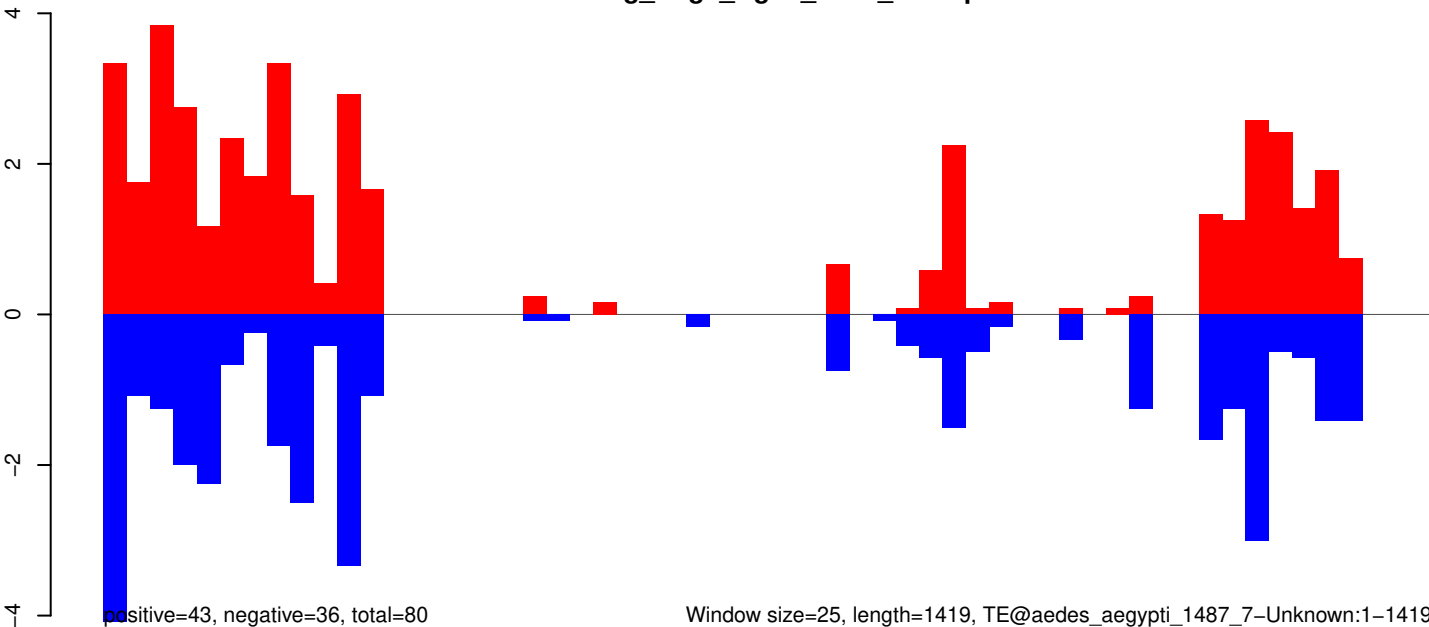
AeAeg_Aag2_Ago2_SINV_RA.18_23.rep



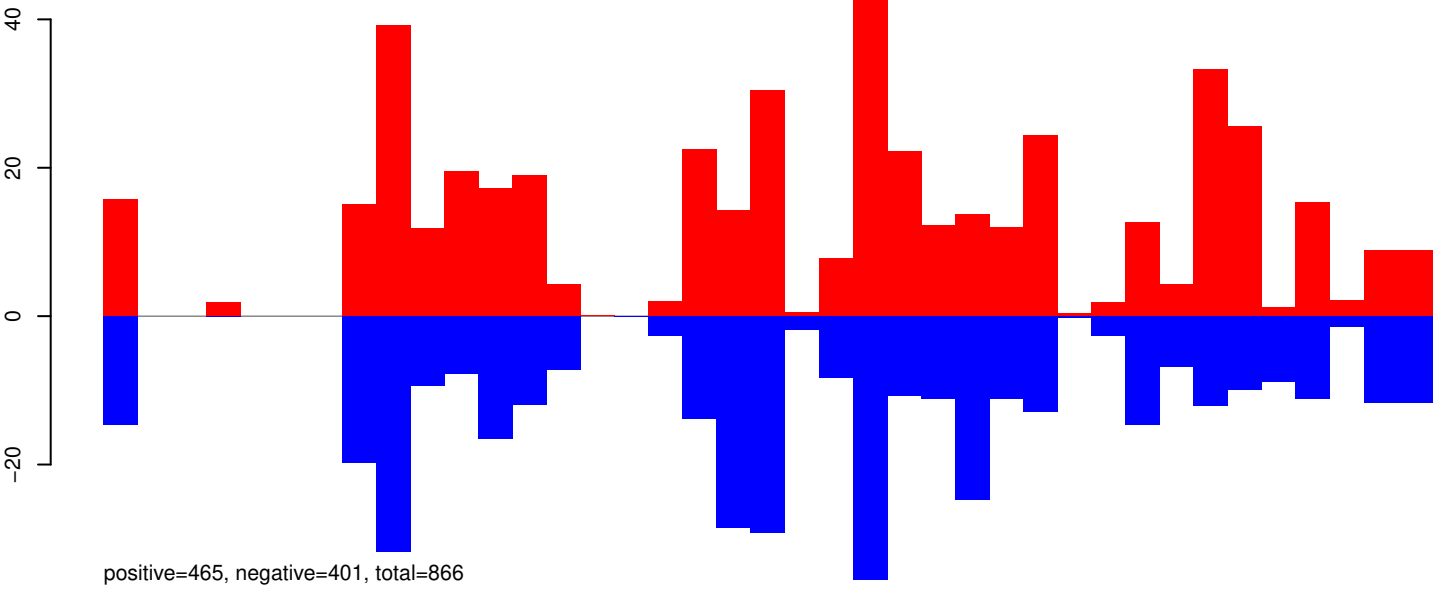
AeAeg_Aag2_Ago2_SINV_RA.24_35.rep



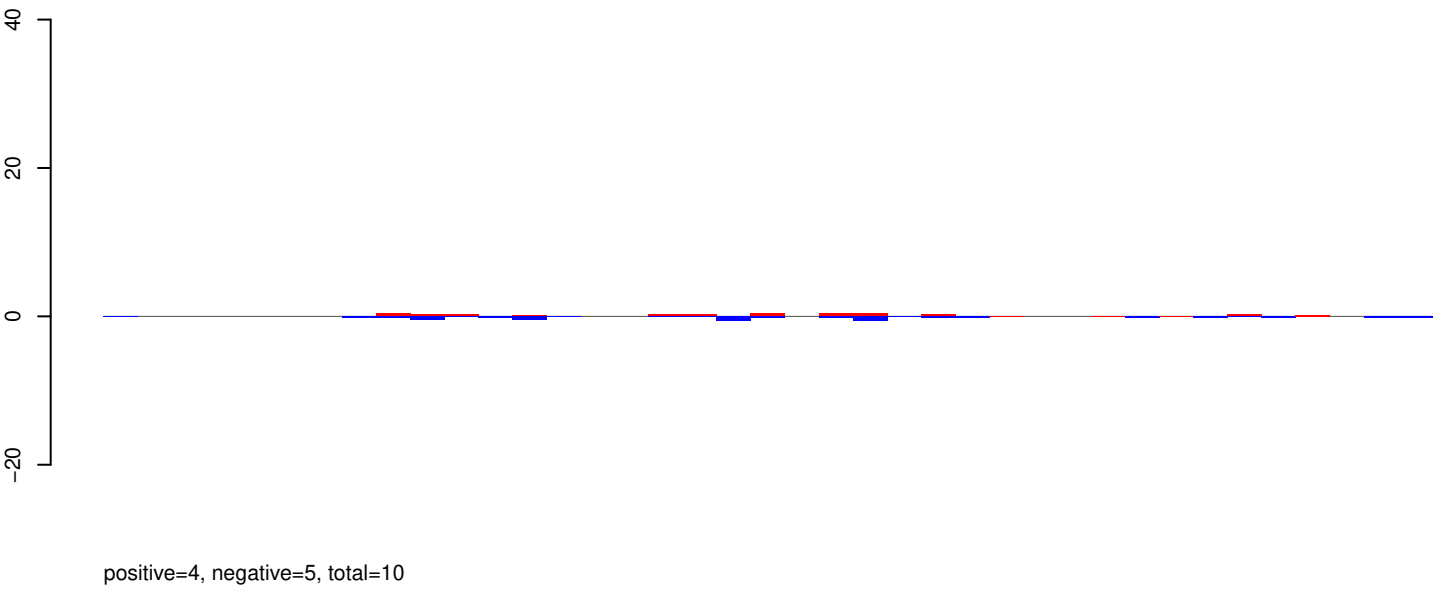
AeAeg_Aag2_Ago2_SINV_RA.rep



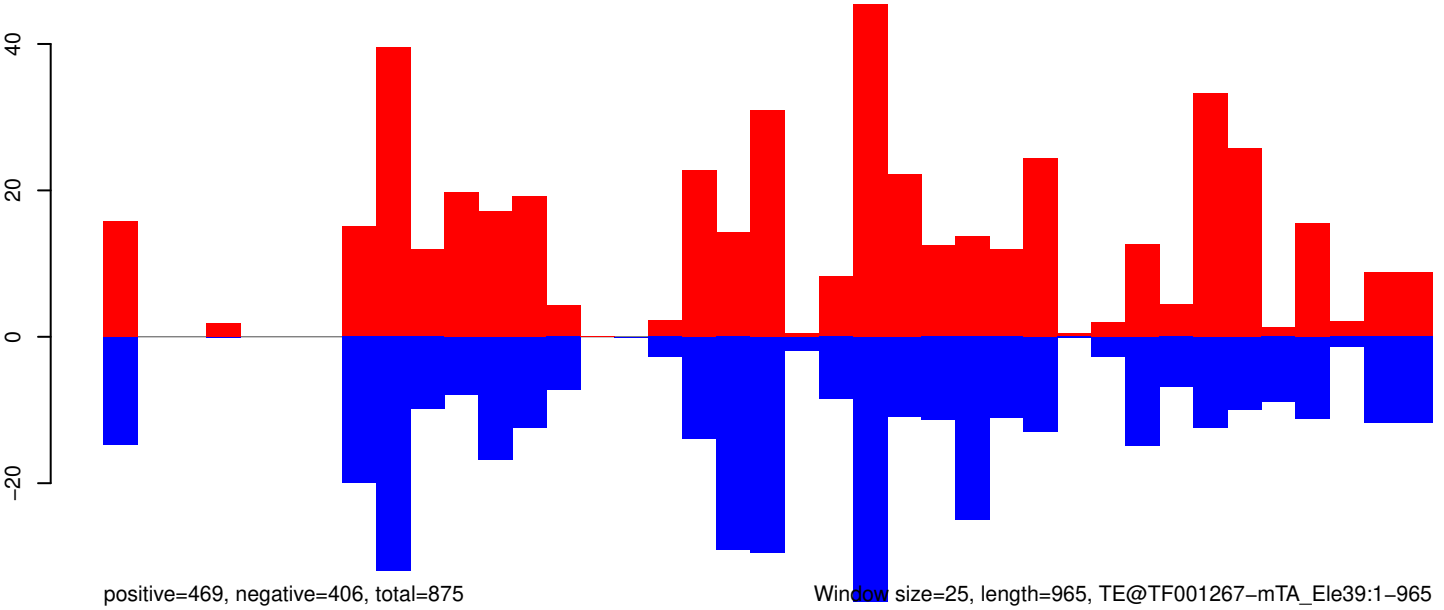
AeAeg_Aag2_Ago2_SINV_RA.18_23.rep



AeAeg_Aag2_Ago2_SINV_RA.24_35.rep

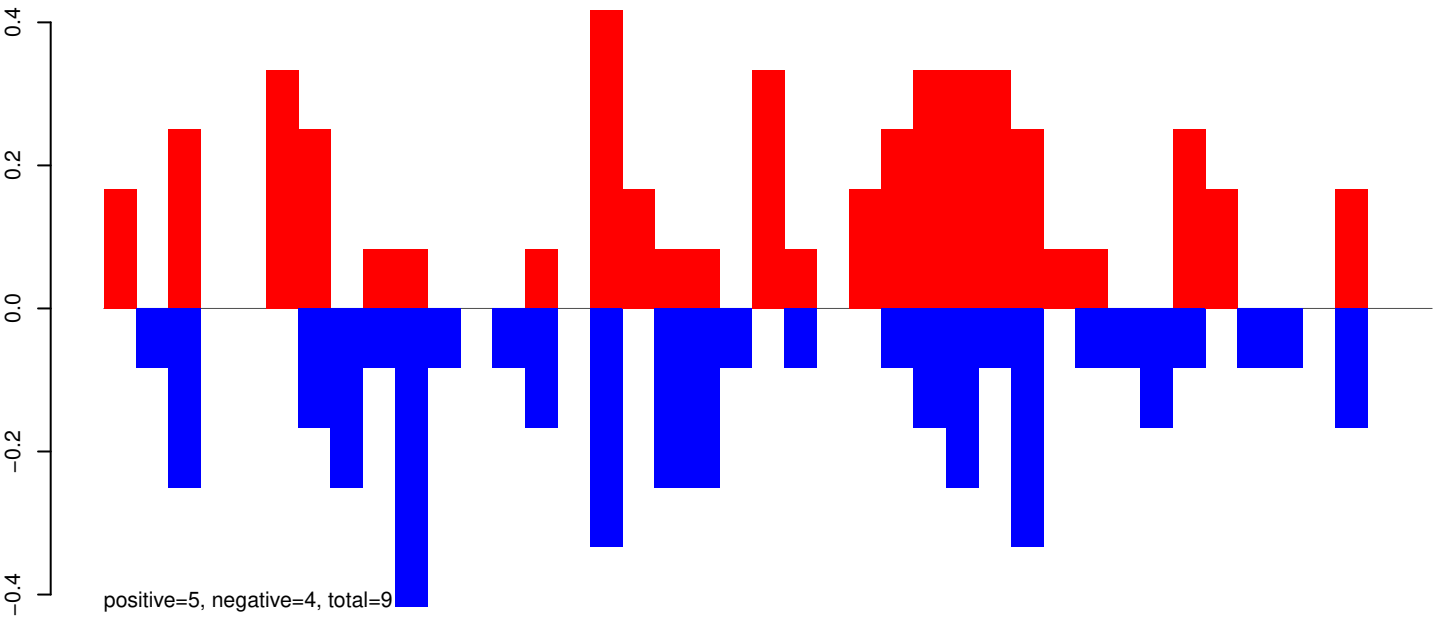


AeAeg_Aag2_Ago2_SINV_RA.rep

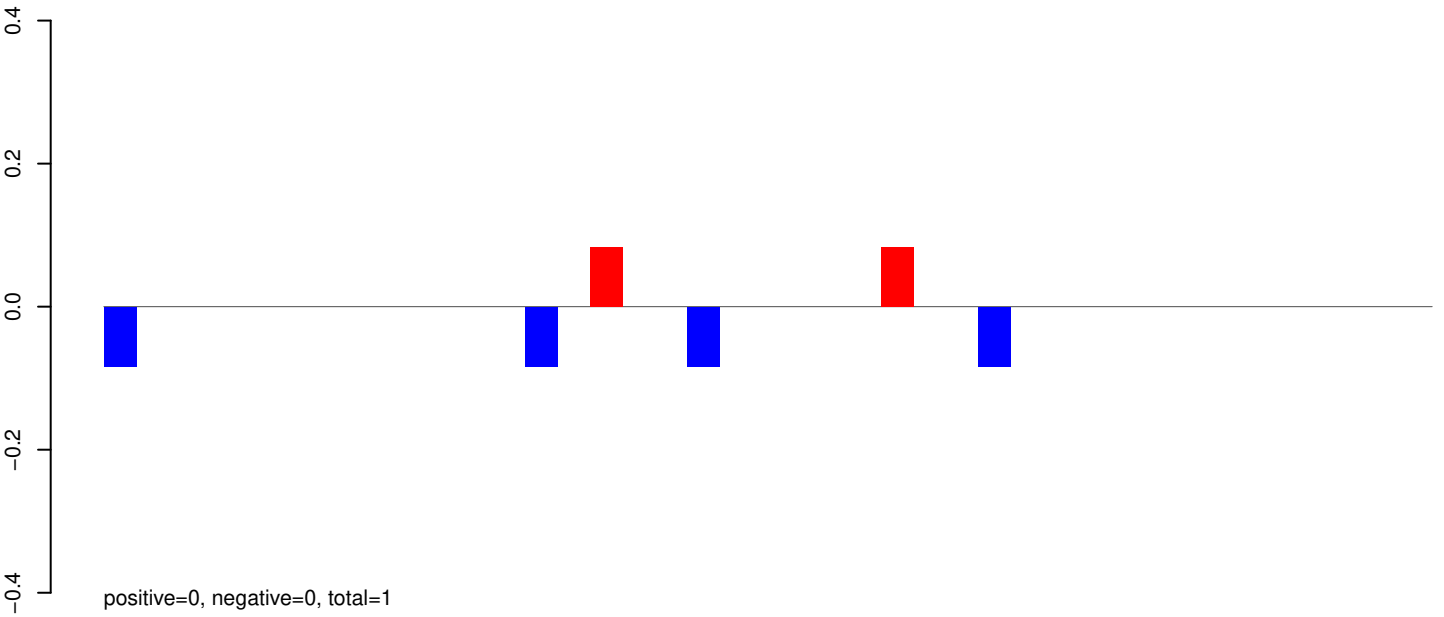


0 200 400 600 800 1000

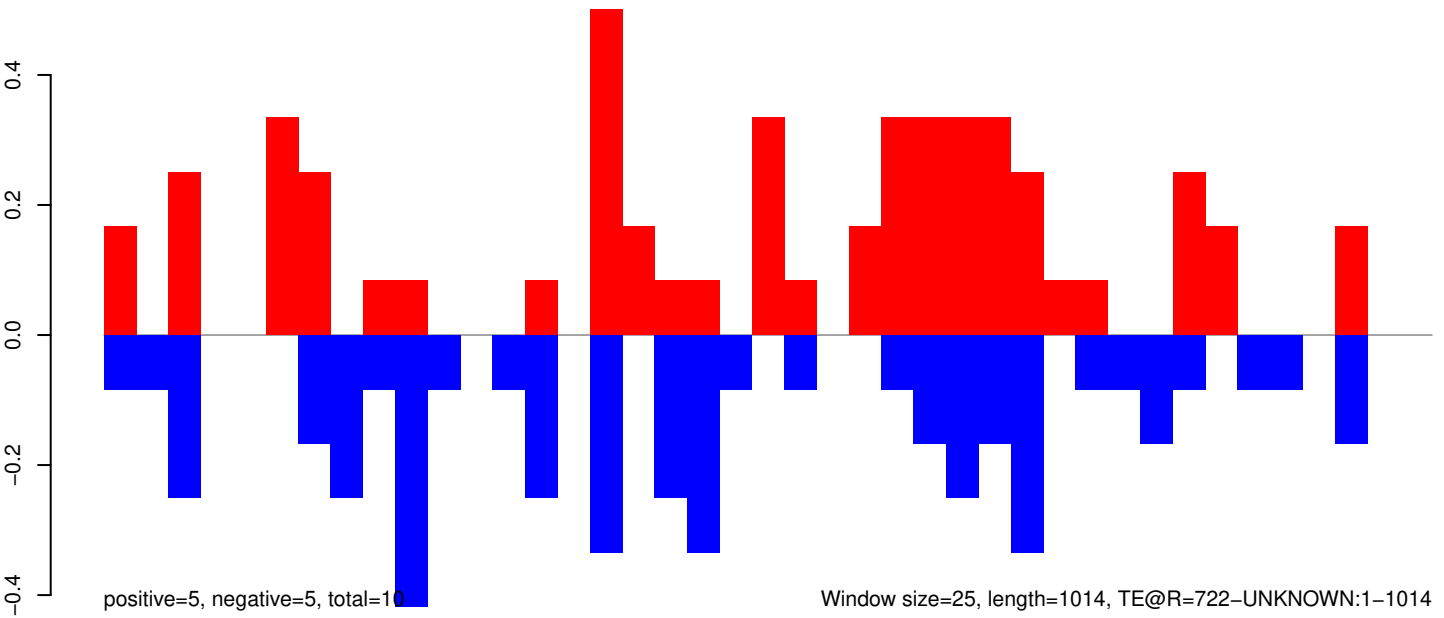
AeAeg_Aag2_Ago2_SINV_RA.18_23.rep



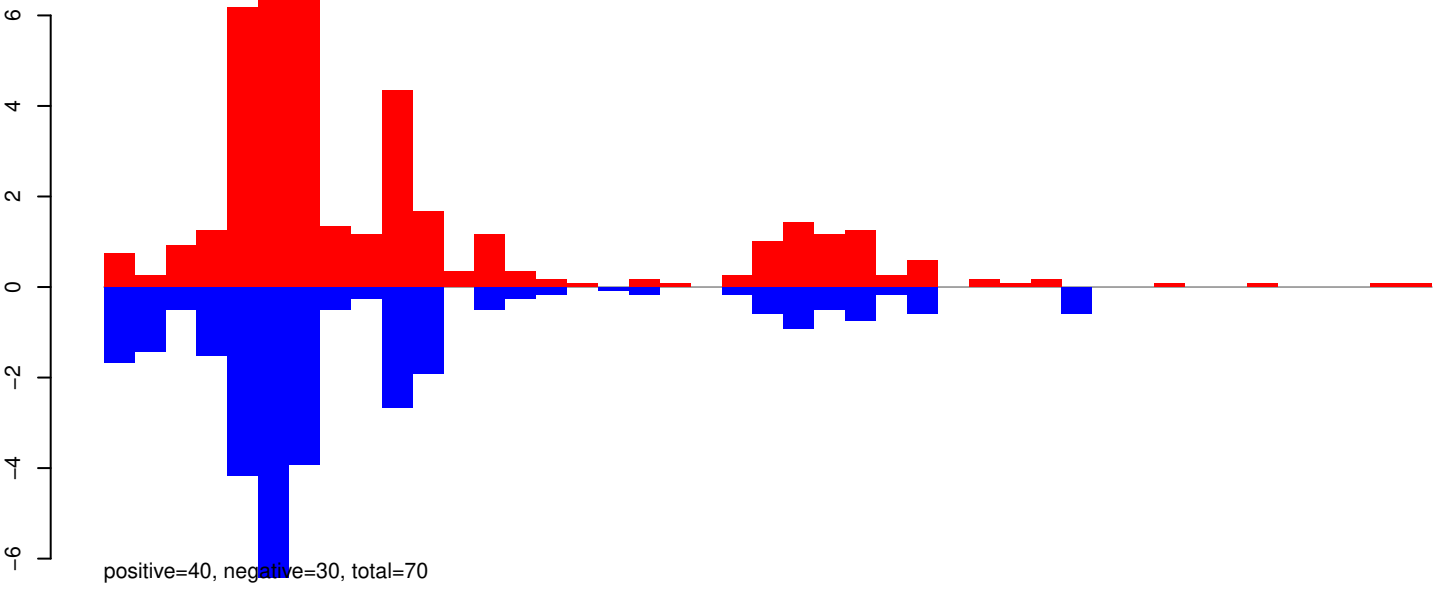
AeAeg_Aag2_Ago2_SINV_RA.24_35.rep



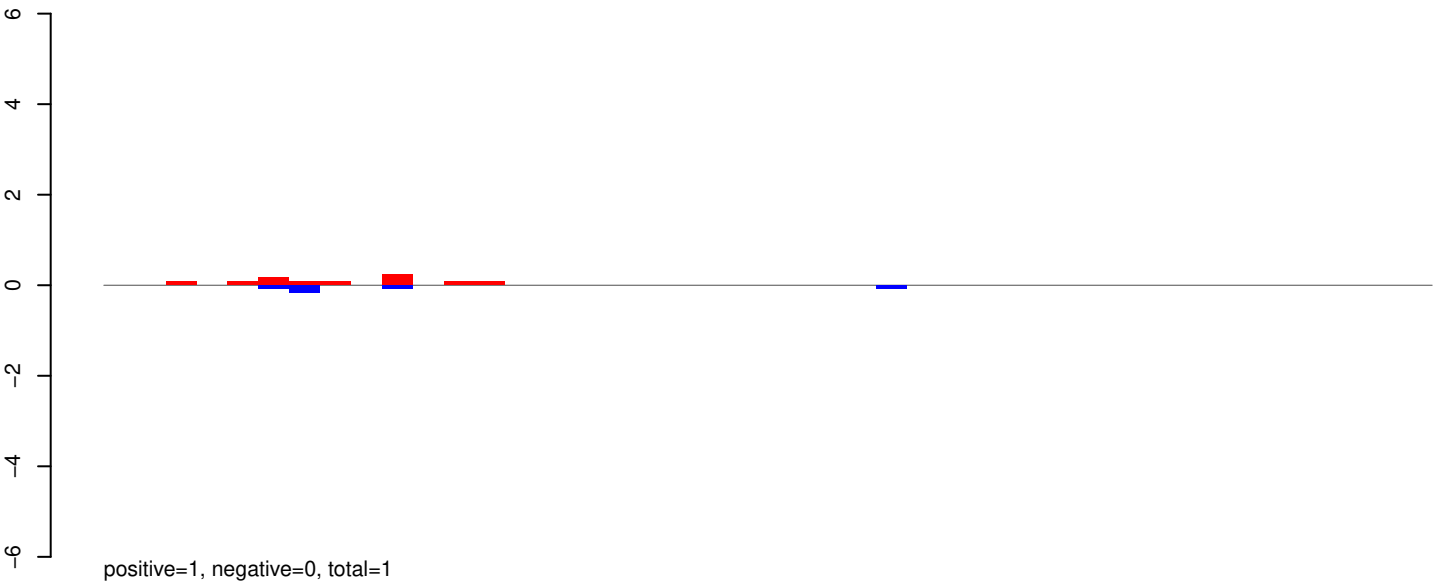
AeAeg_Aag2_Ago2_SINV_RA.rep



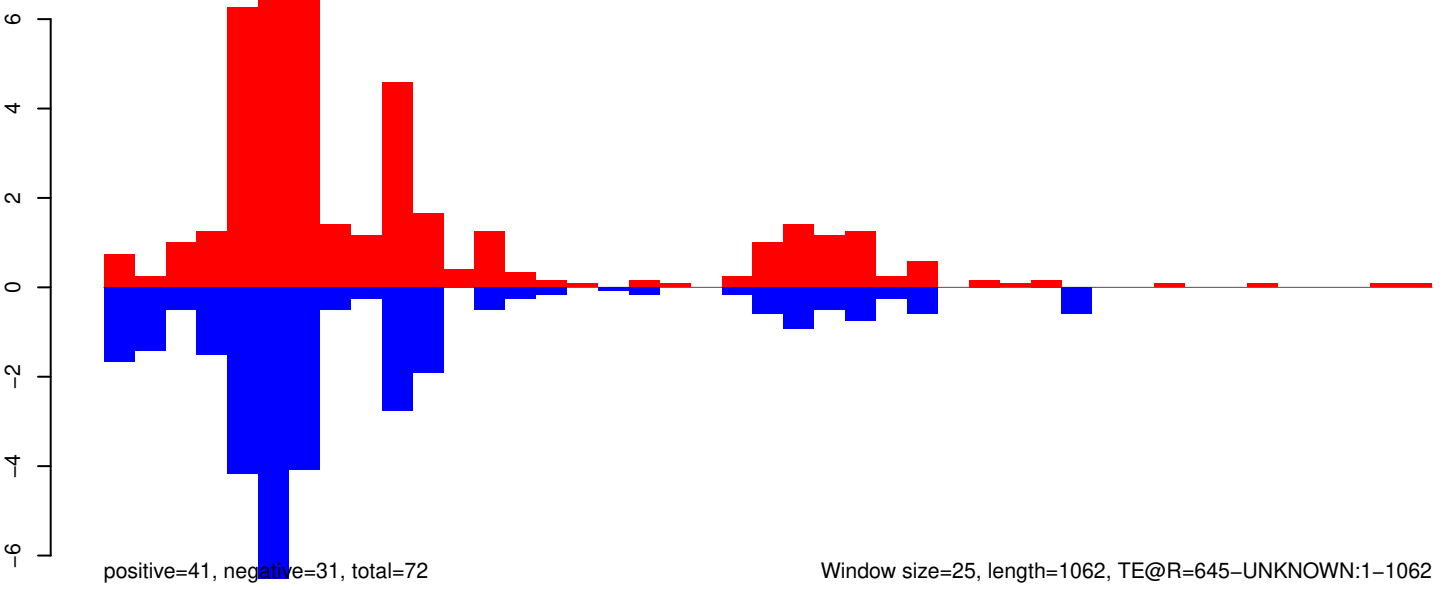
AeAeg_Aag2_Ago2_SINV_RA.18_23.rep



AeAeg_Aag2_Ago2_SINV_RA.24_35.rep

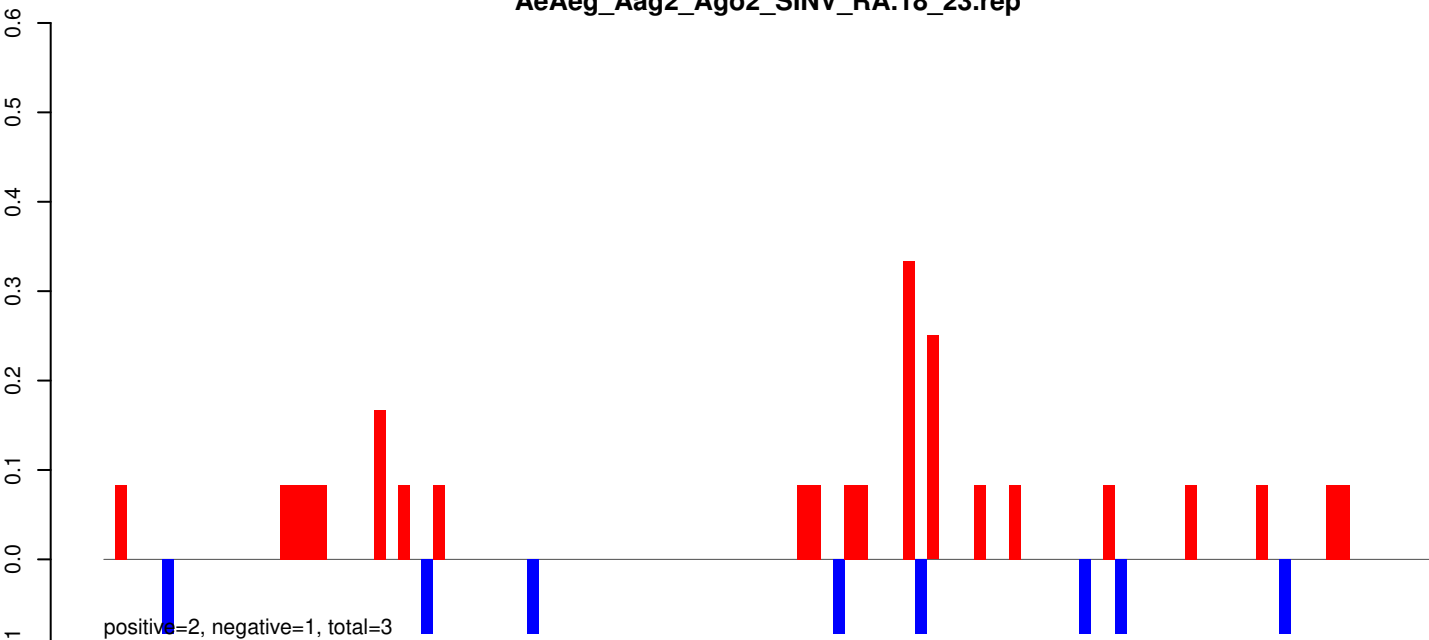


AeAeg_Aag2_Ago2_SINV_RA.rep

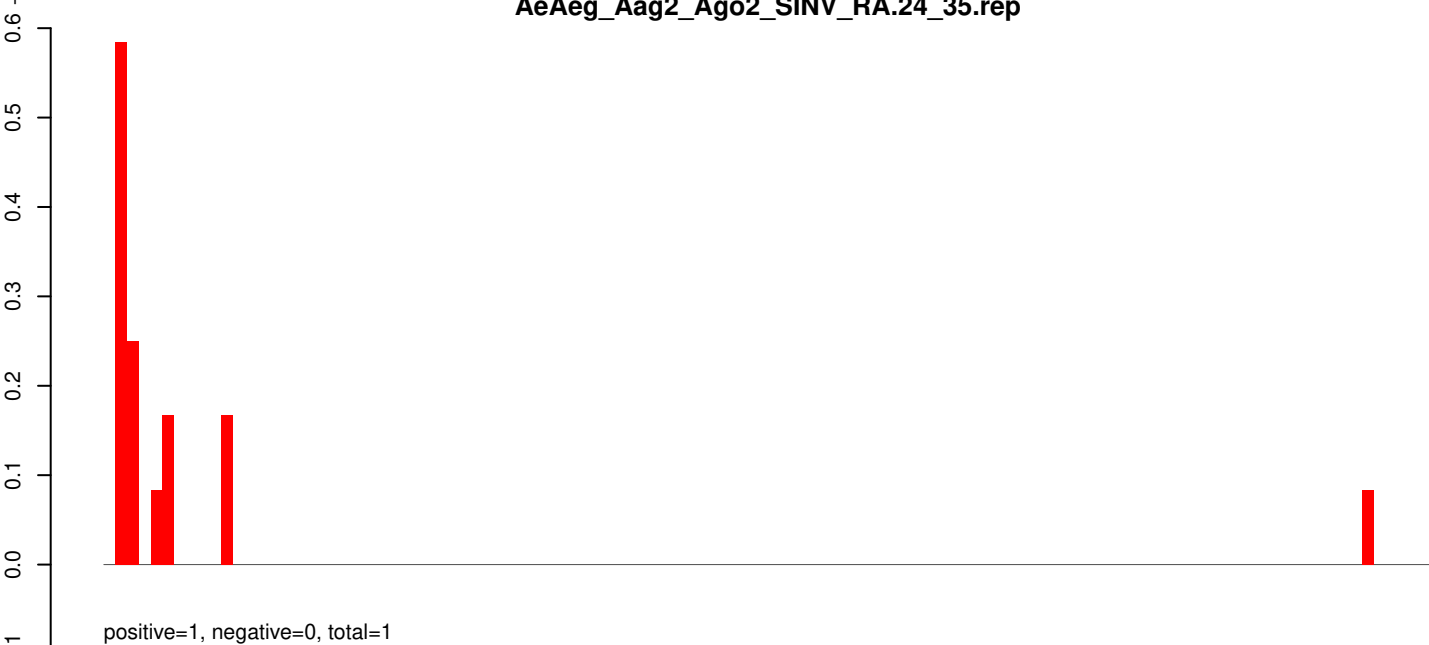


Window size=25, length=1062, TE@R=645-UNKNOWN:1-1062

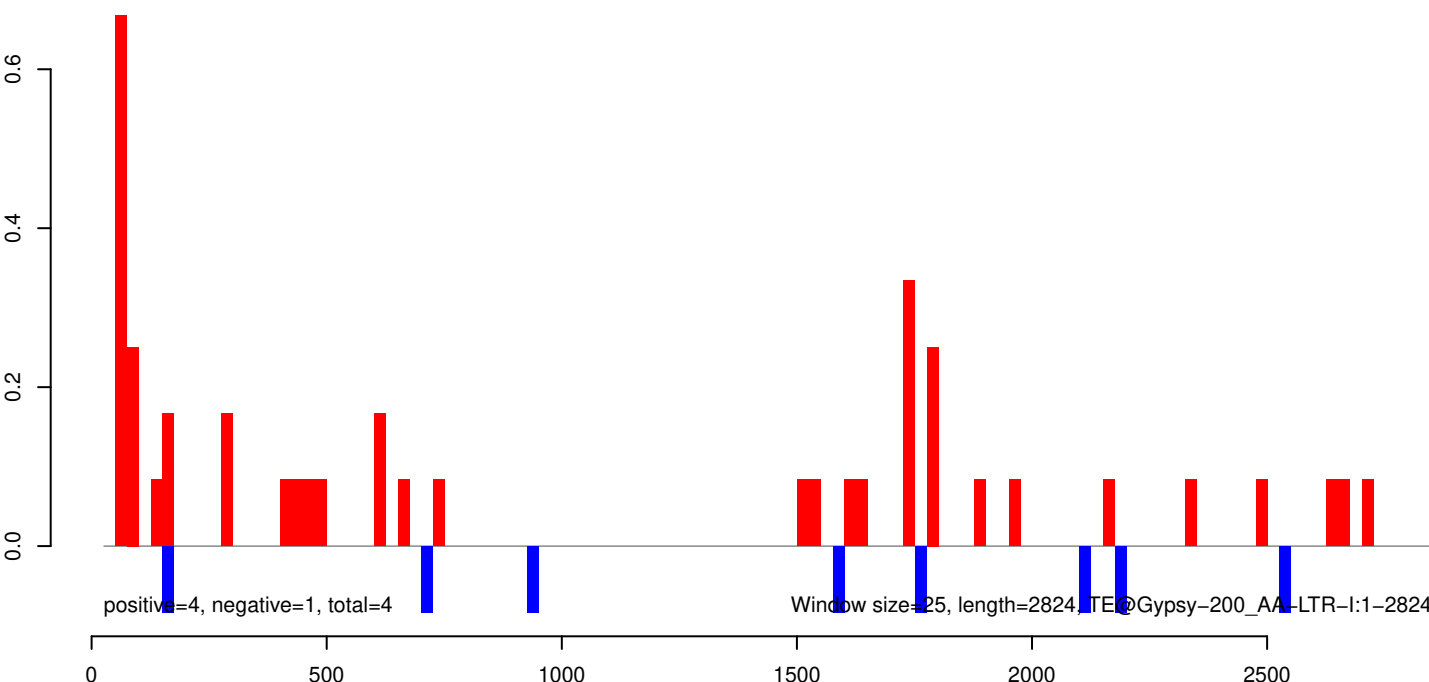
AeAeg_Aag2_Ago2_SINV_RA.18_23.rep



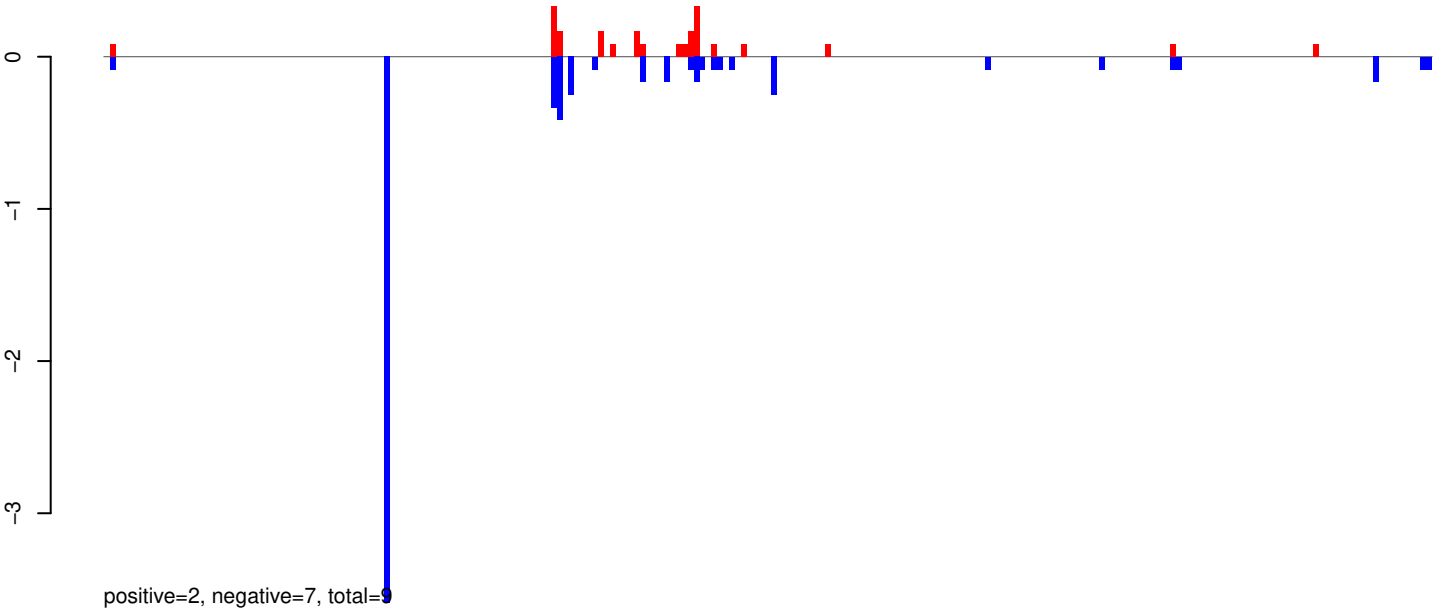
AeAeg_Aag2_Ago2_SINV_RA.24_35.rep



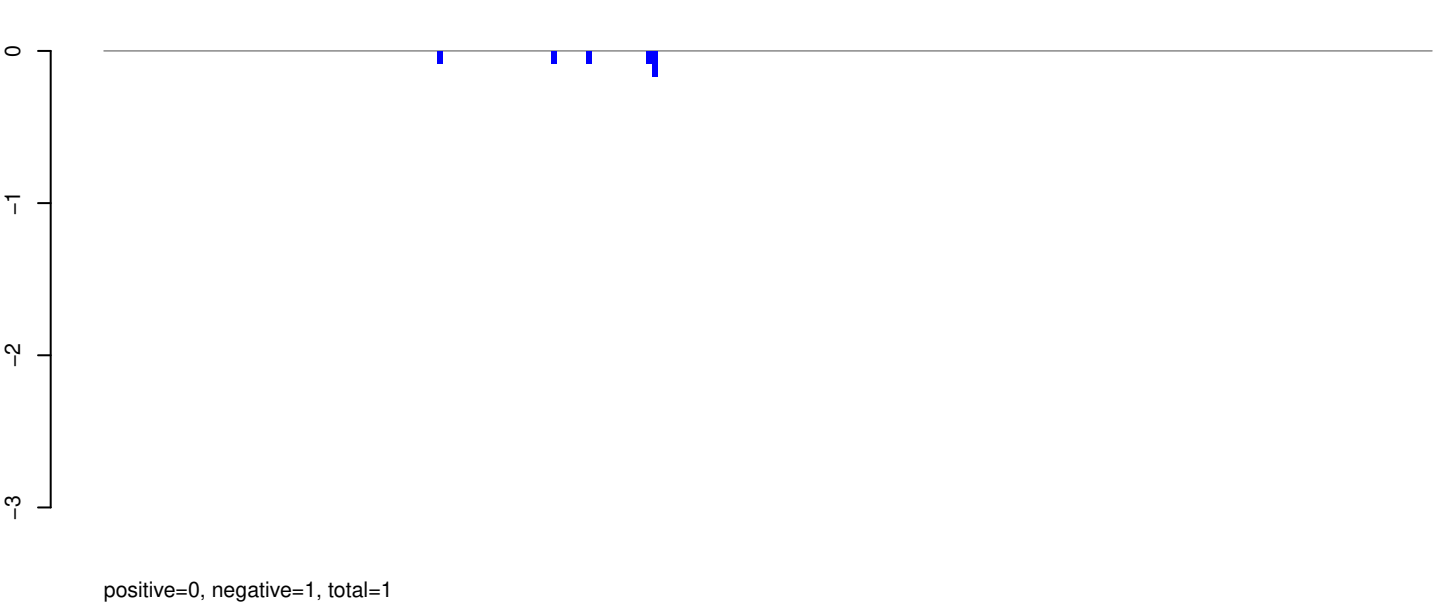
AeAeg_Aag2_Ago2_SINV_RA.rep



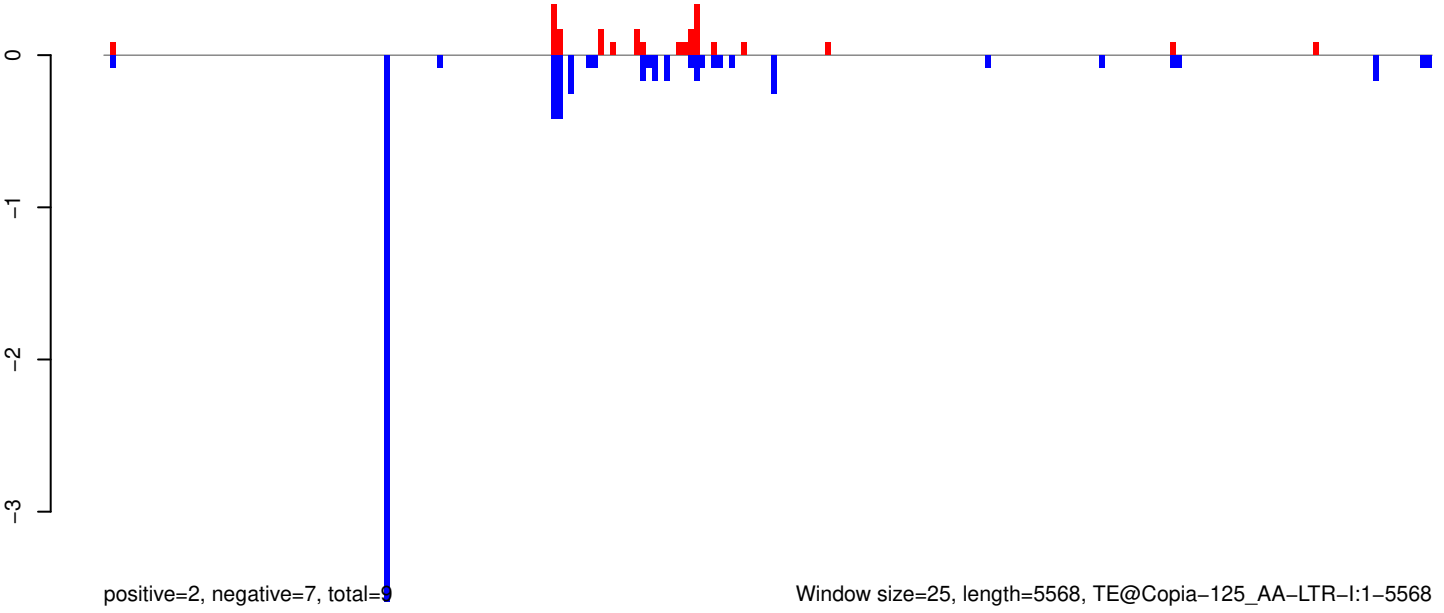
AeAeg_Aag2_Ago2_SINV_RA.18_23.rep



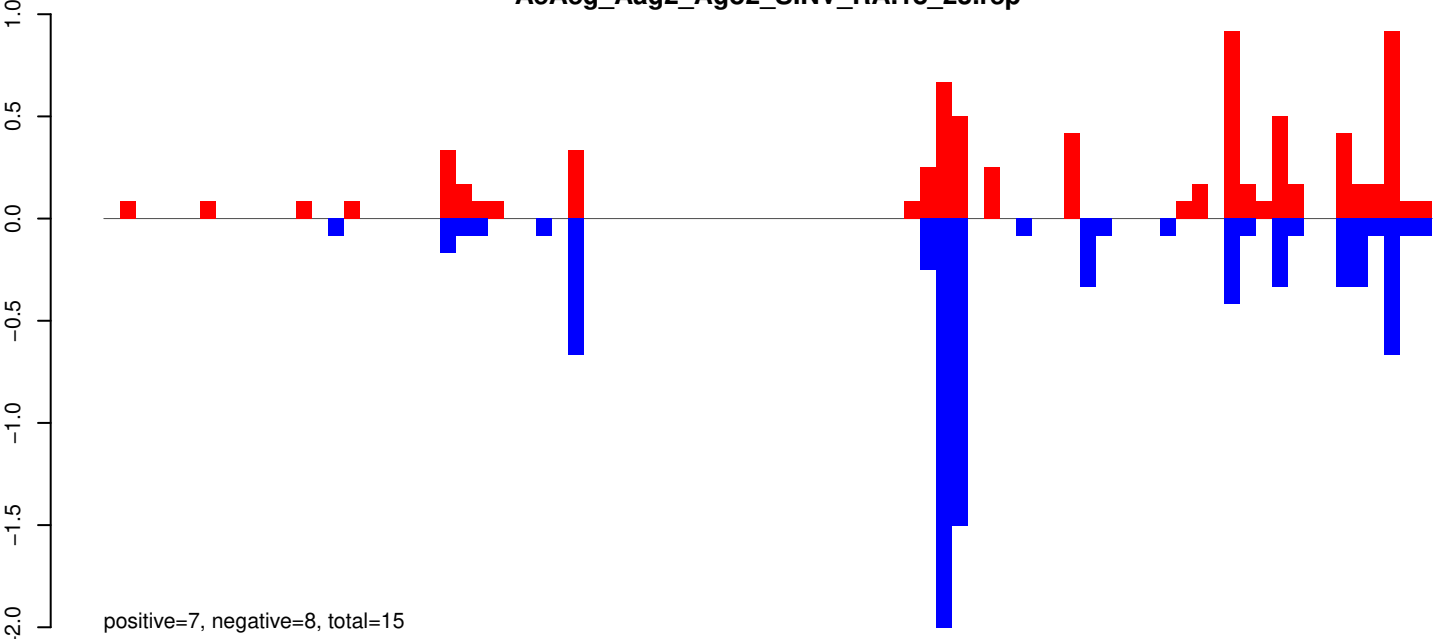
AeAeg_Aag2_Ago2_SINV_RA.24_35.rep



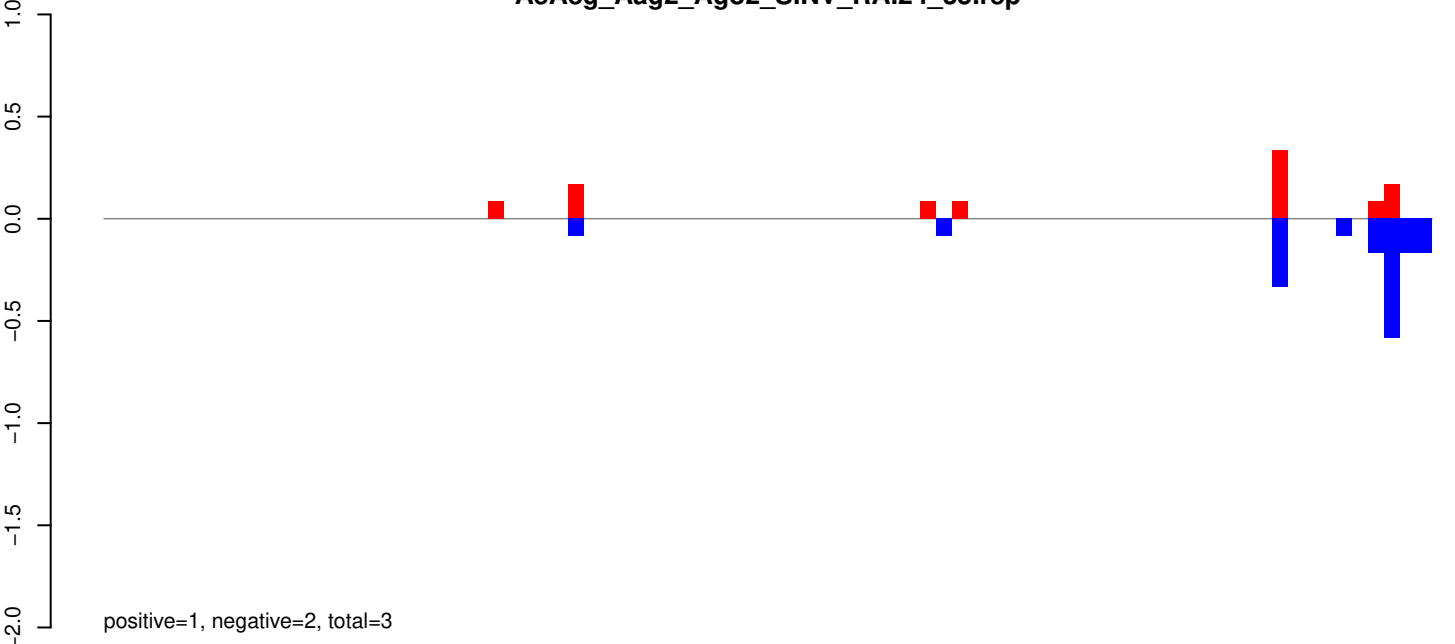
AeAeg_Aag2_Ago2_SINV_RA.rep



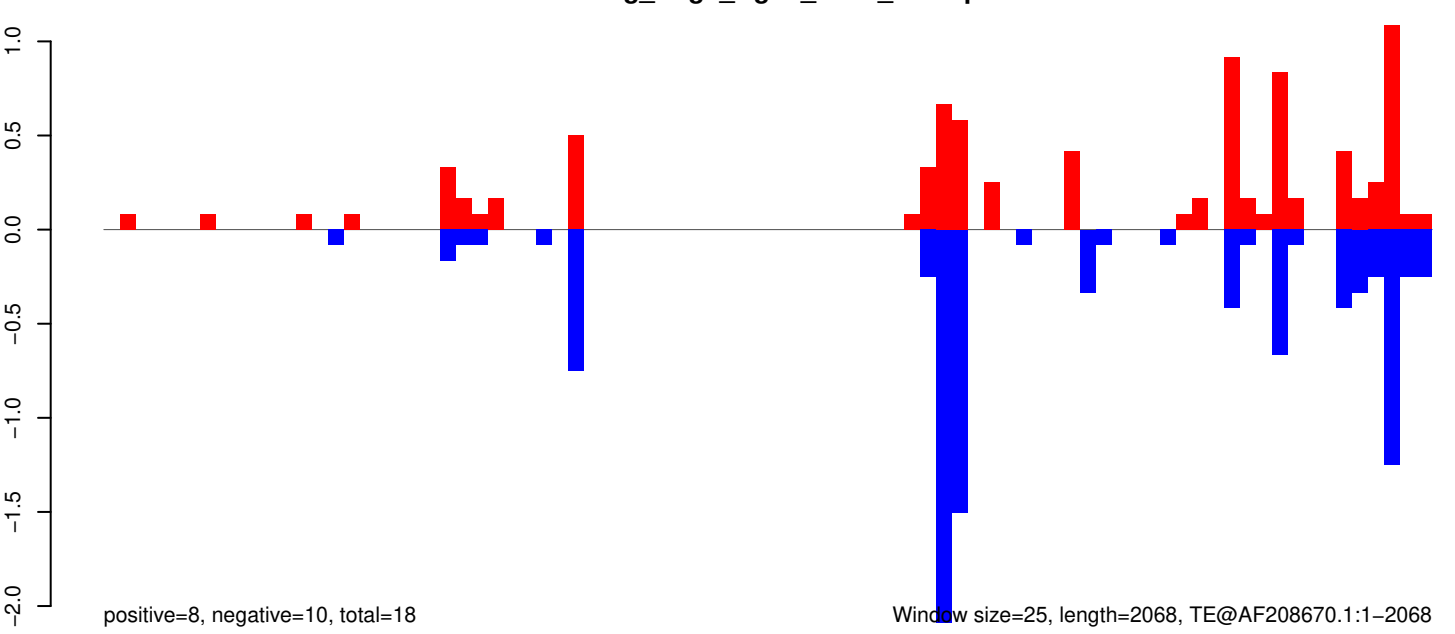
AeAeg_Aag2_Ago2_SINV_RA.18_23.rep



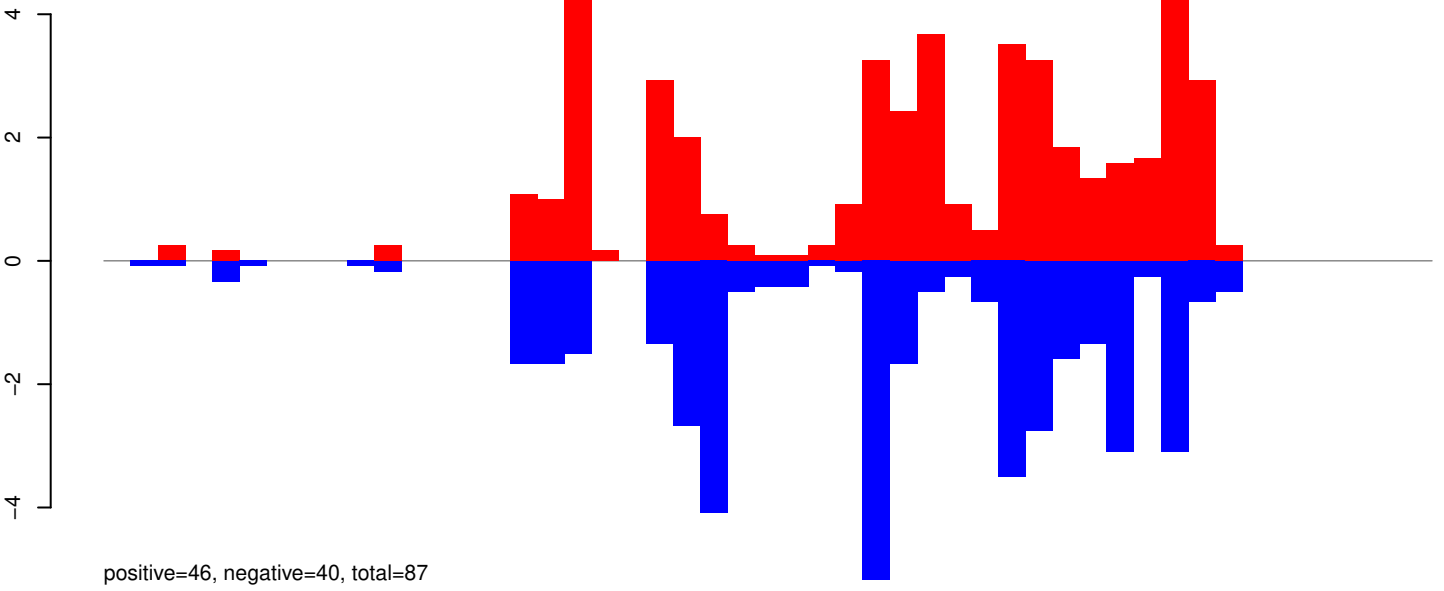
AeAeg_Aag2_Ago2_SINV_RA.24_35.rep



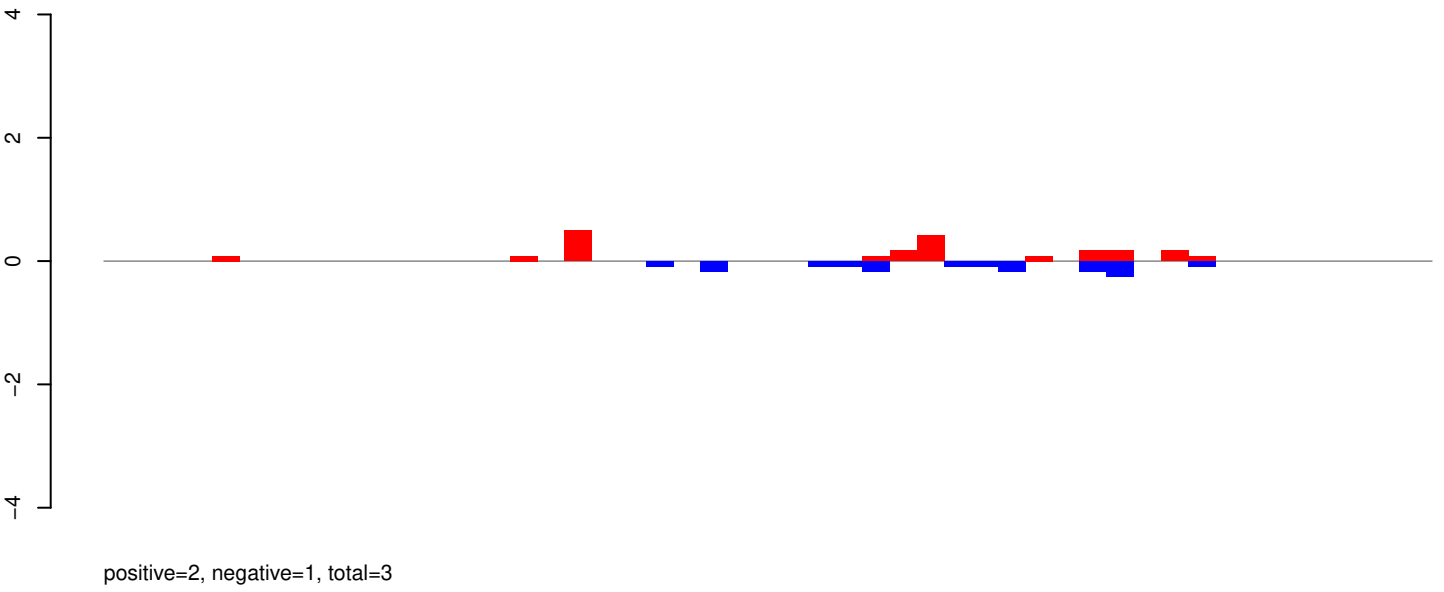
AeAeg_Aag2_Ago2_SINV_RA.rep



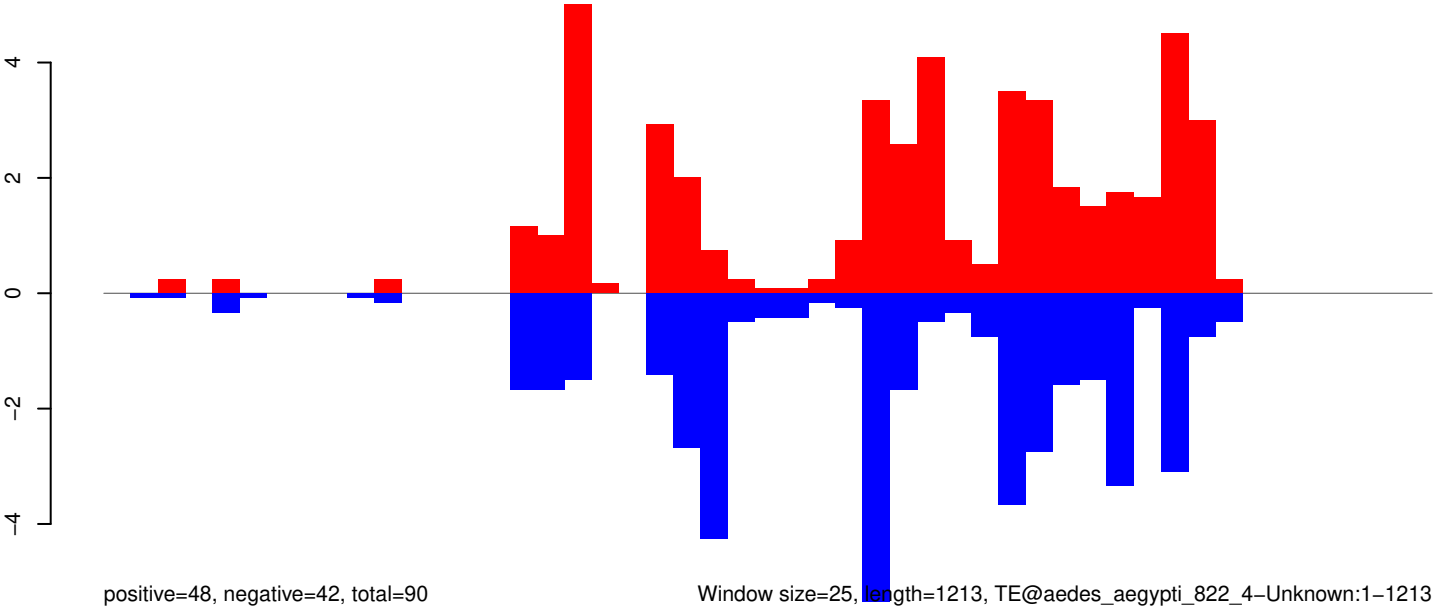
AeAeg_Aag2_Ago2_SINV_RA.18_23.rep



AeAeg_Aag2_Ago2_SINV_RA.24_35.rep



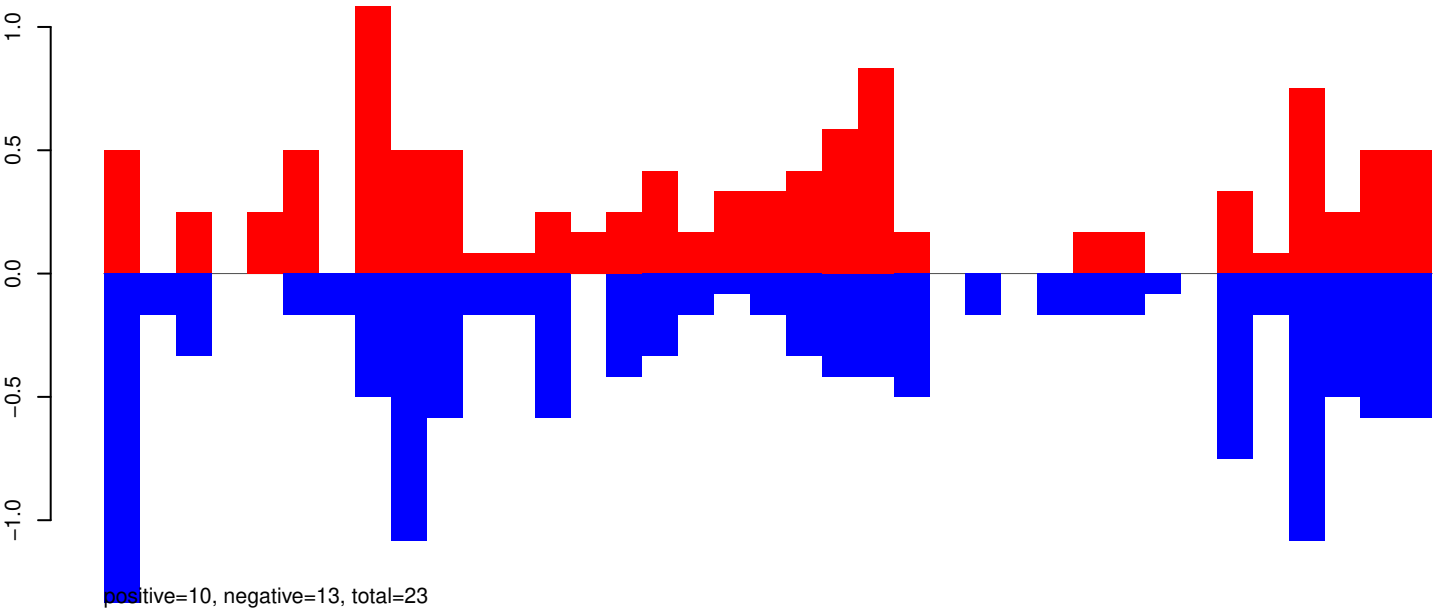
AeAeg_Aag2_Ago2_SINV_RA.rep



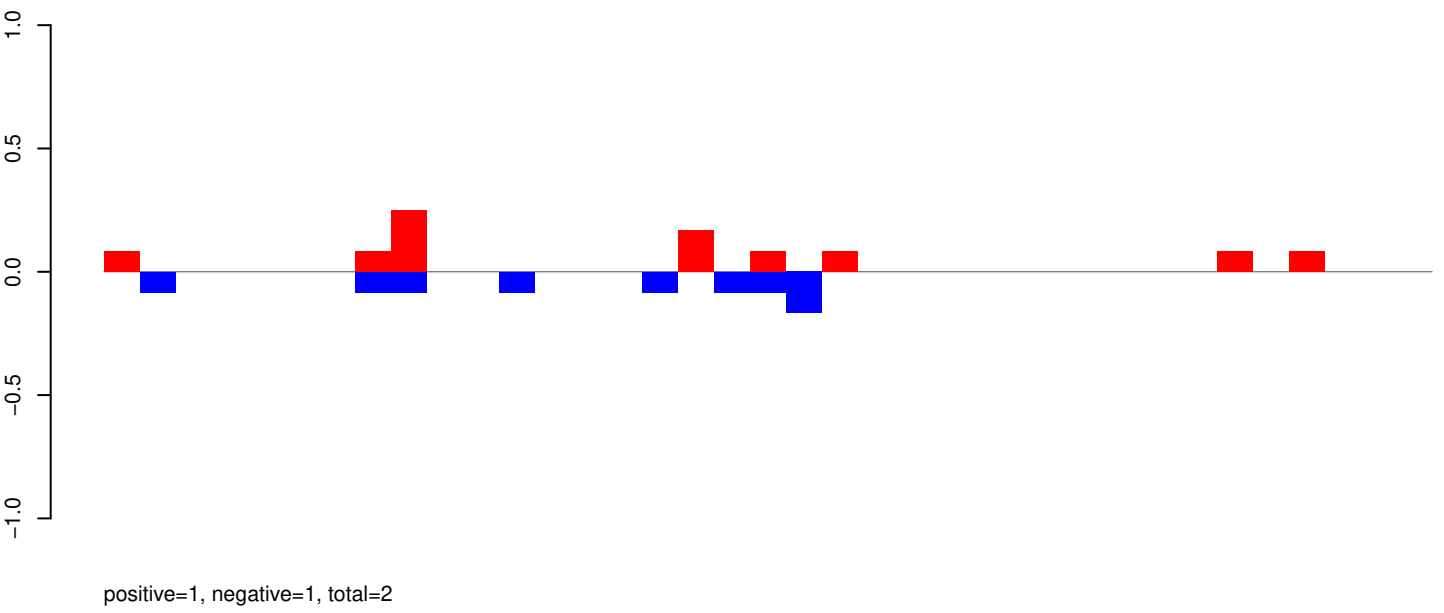
Window size=25, length=1213, TE@aedes_aegypti_822_4-Unknown:1-1213

0 200 400 600 800 1000 1200

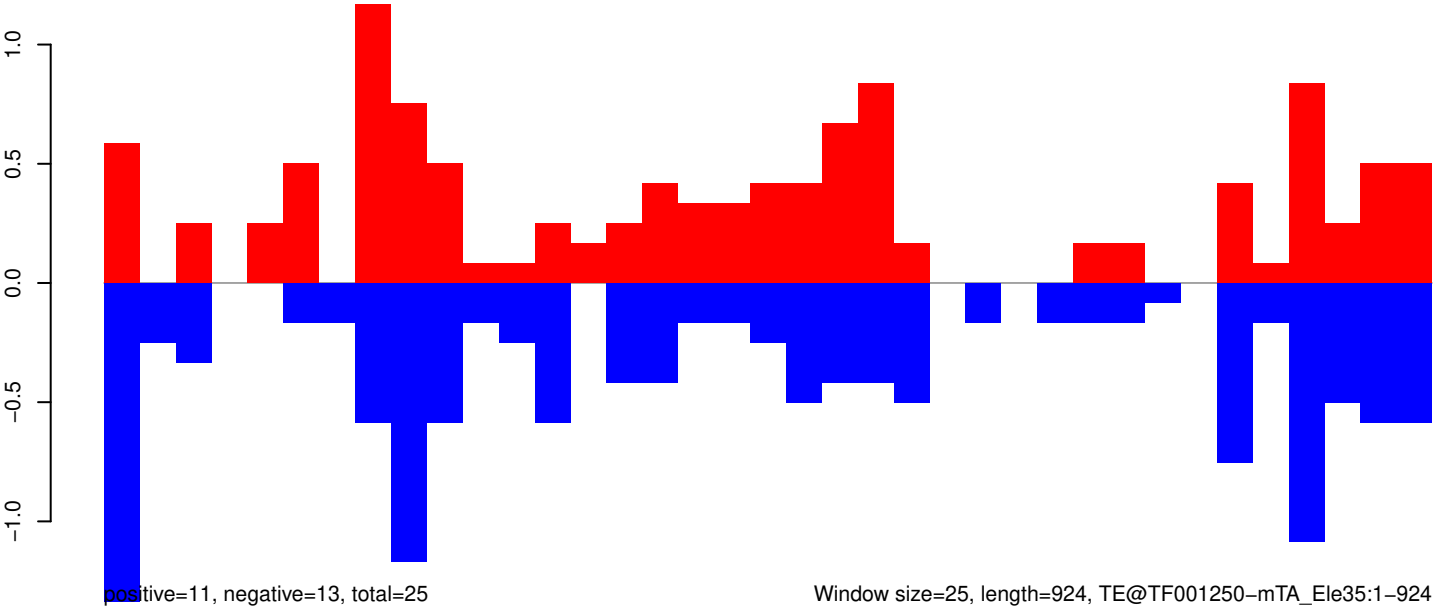
AeAeg_Aag2_Ago2_SINV_RA.18_23.rep



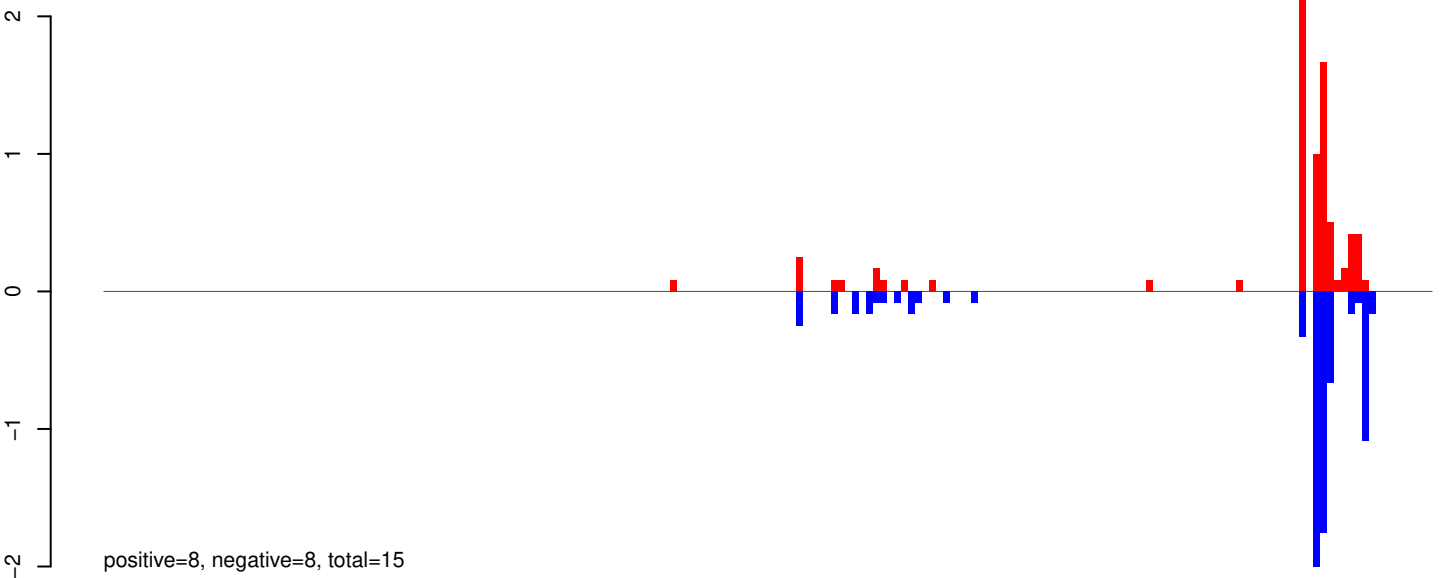
AeAeg_Aag2_Ago2_SINV_RA.24_35.rep



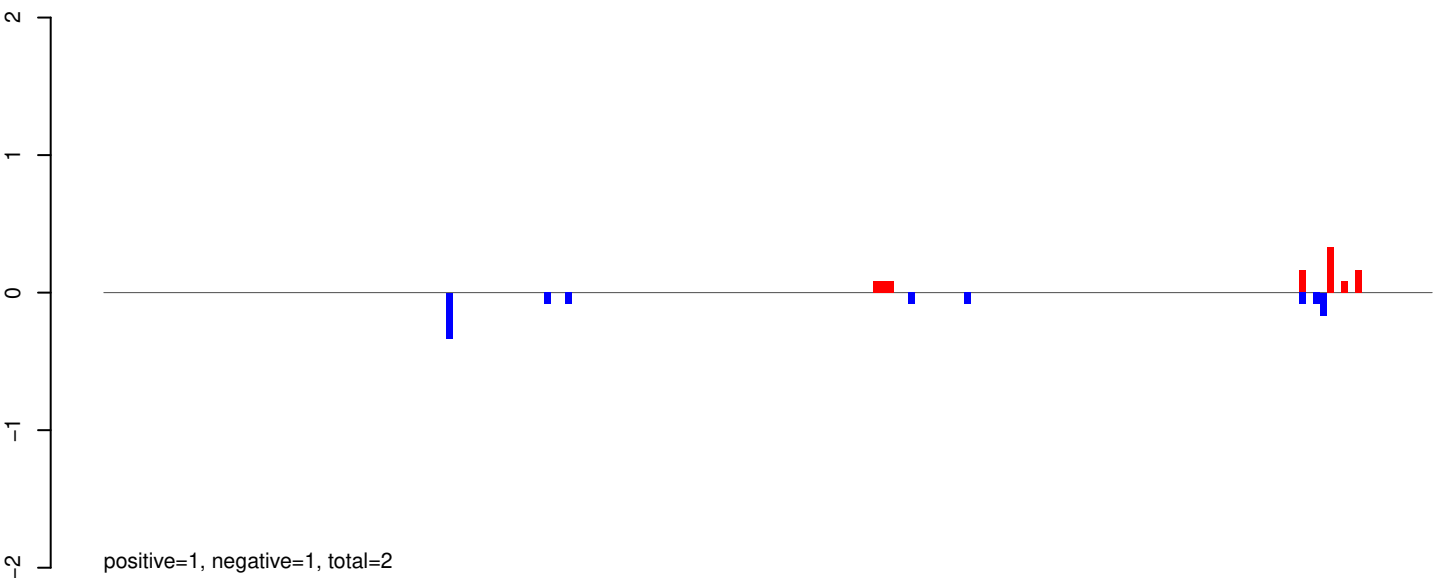
AeAeg_Aag2_Ago2_SINV_RA.rep



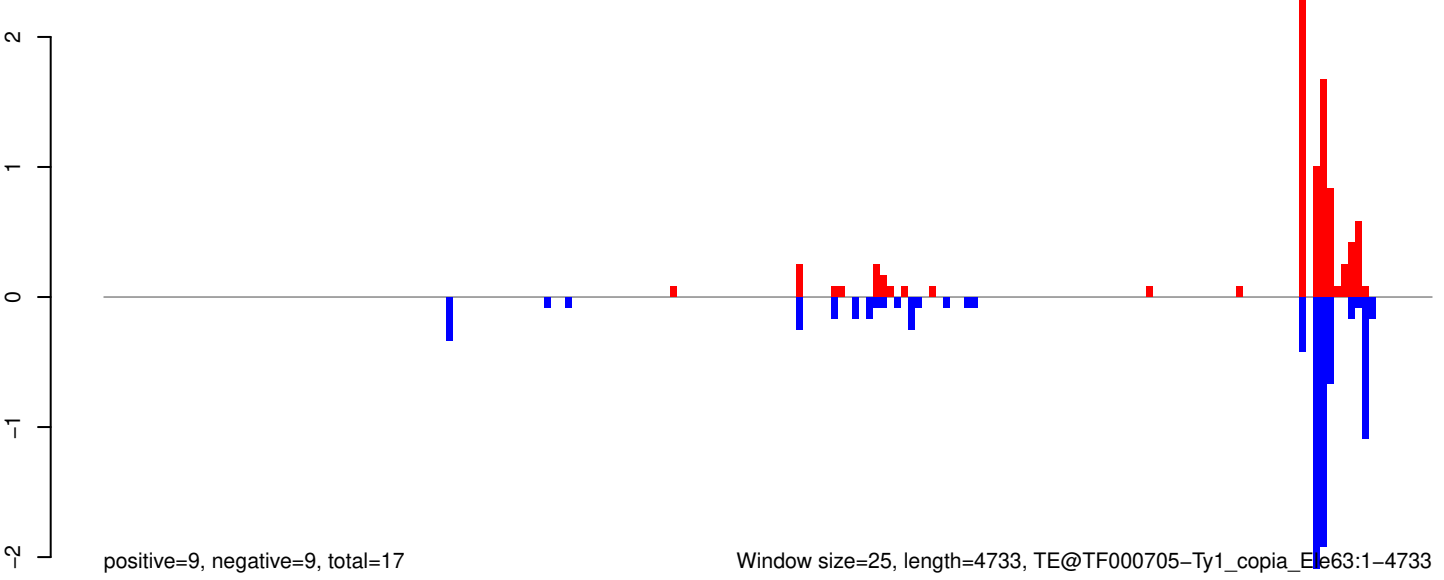
AeAeg_Aag2_Ago2_SINV_RA.18_23.rep



AeAeg_Aag2_Ago2_SINV_RA.24_35.rep



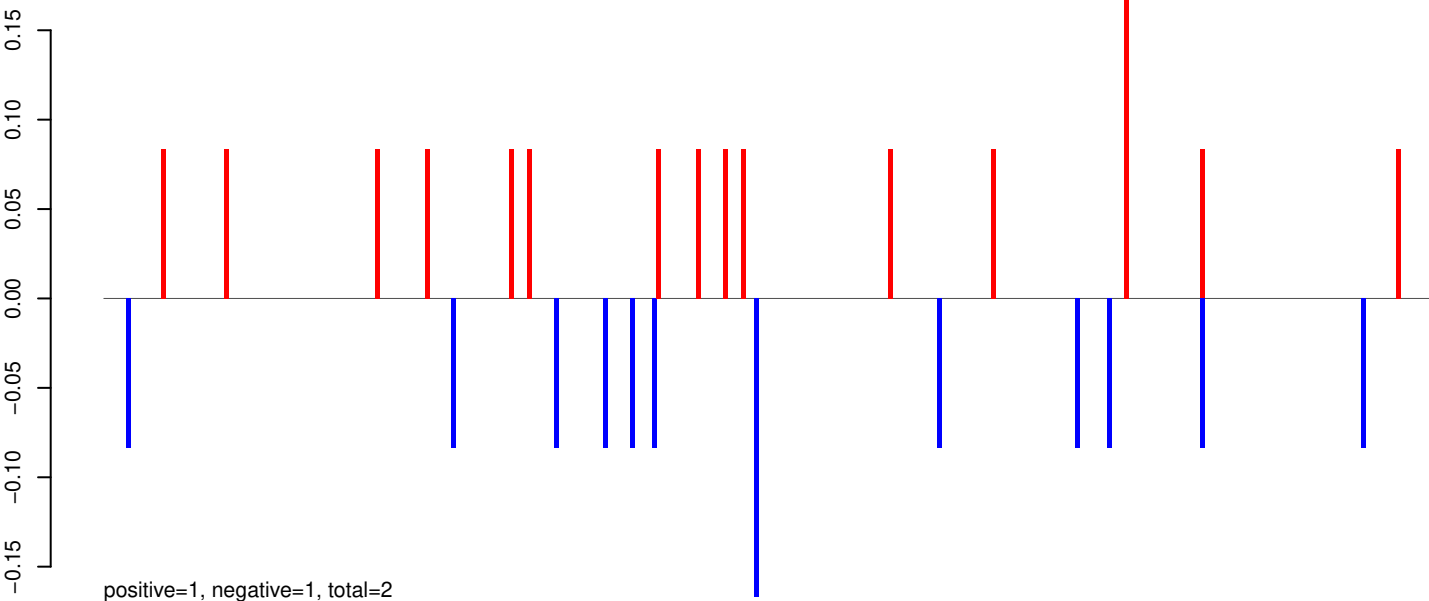
AeAeg_Aag2_Ago2_SINV_RA.rep



Window size=25, length=4733, TE@TF000705-Ty1_copia_E1663:1-4733

0 1000 2000 3000 4000

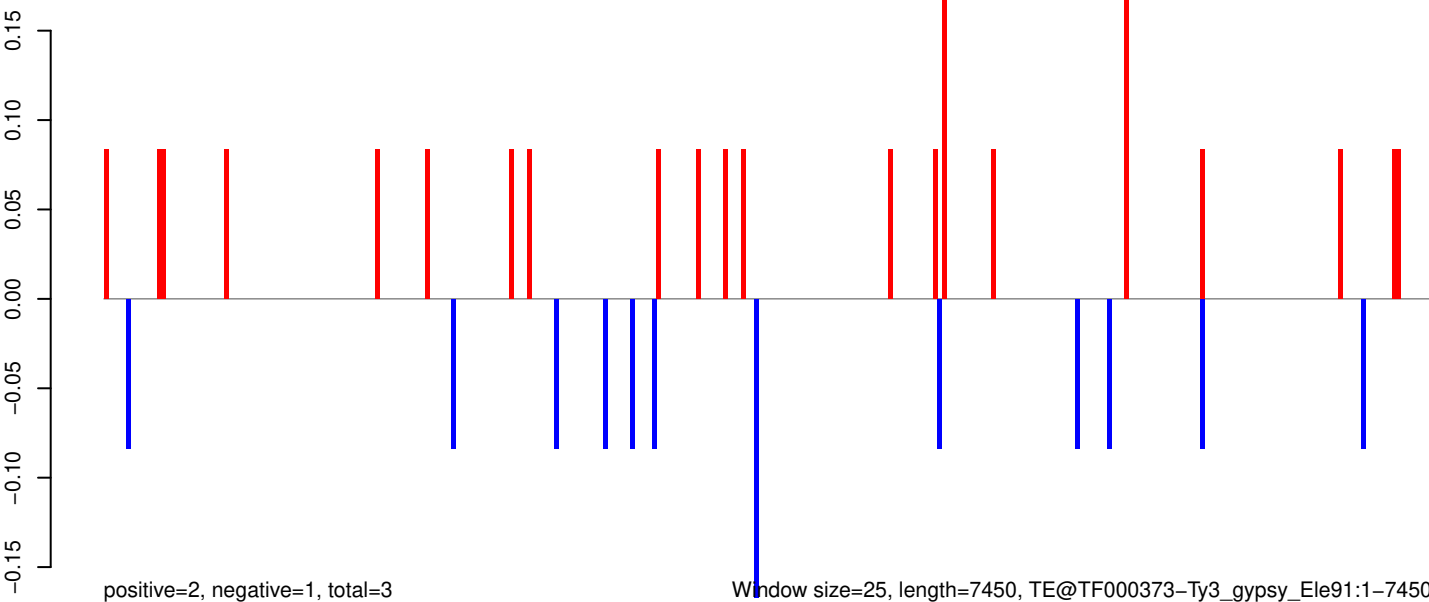
AeAeg_Aag2_Ago2_SINV_RA.18_23.rep



AeAeg_Aag2_Ago2_SINV_RA.24_35.rep

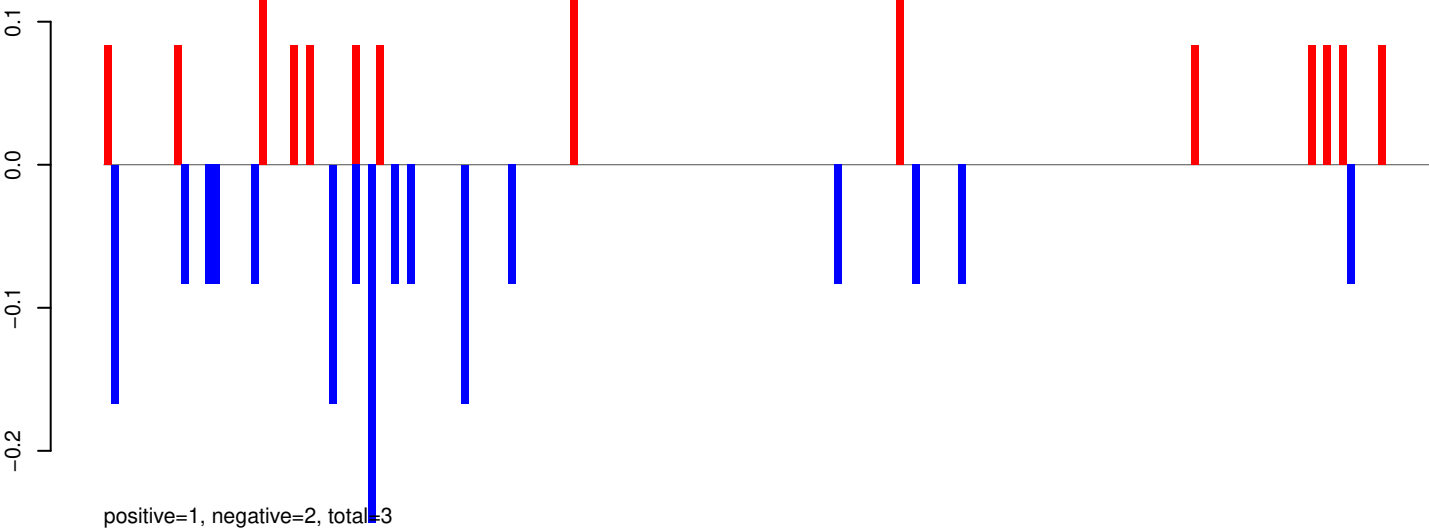


AeAeg_Aag2_Ago2_SINV_RA.rep

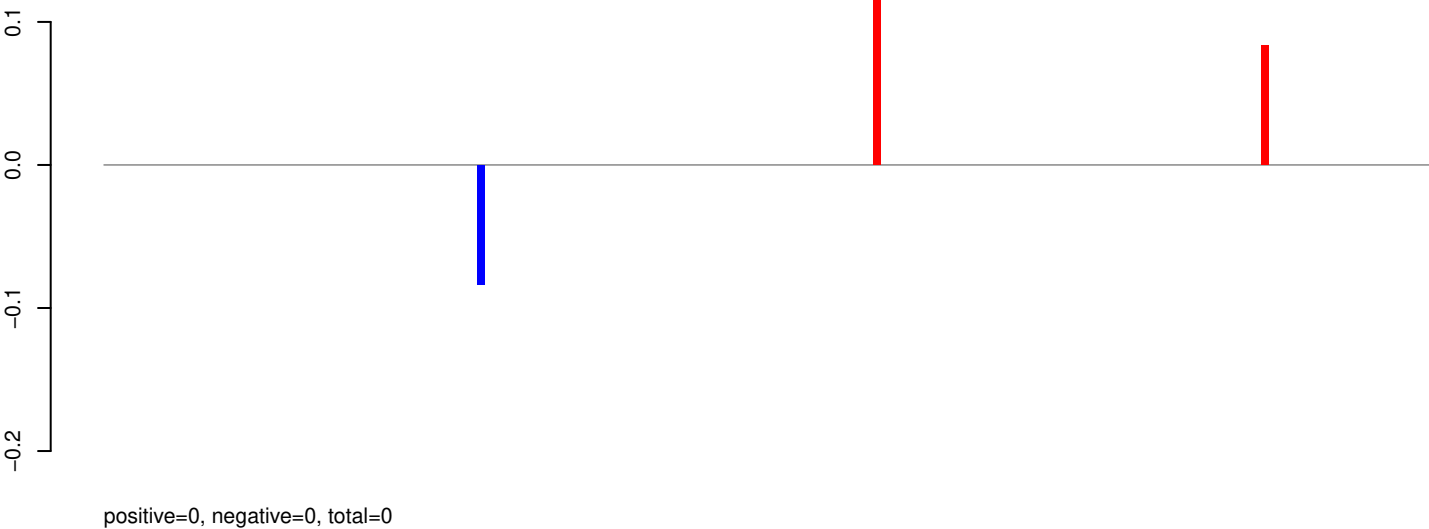


Window size=25, length=7450, TE@TF000373-Ty3_gypsy_Ele91:1-7450

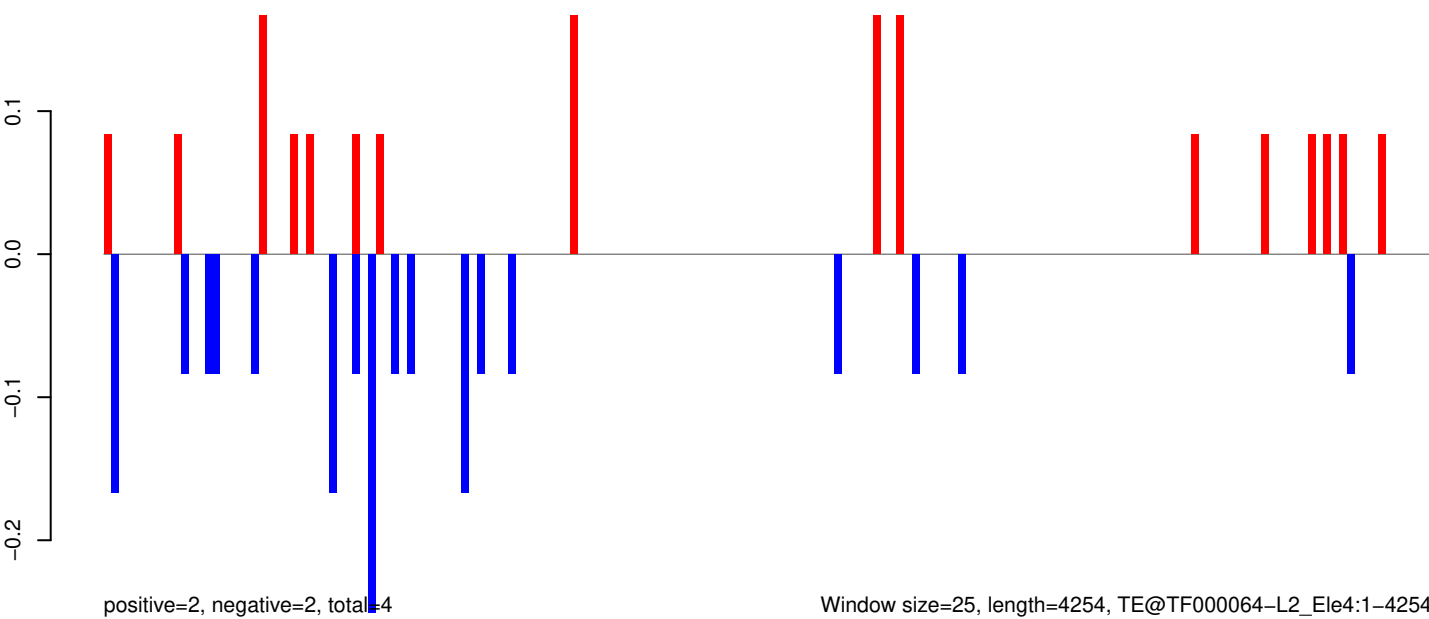
AeAeg_Aag2_Ago2_SINV_RA.18_23.rep



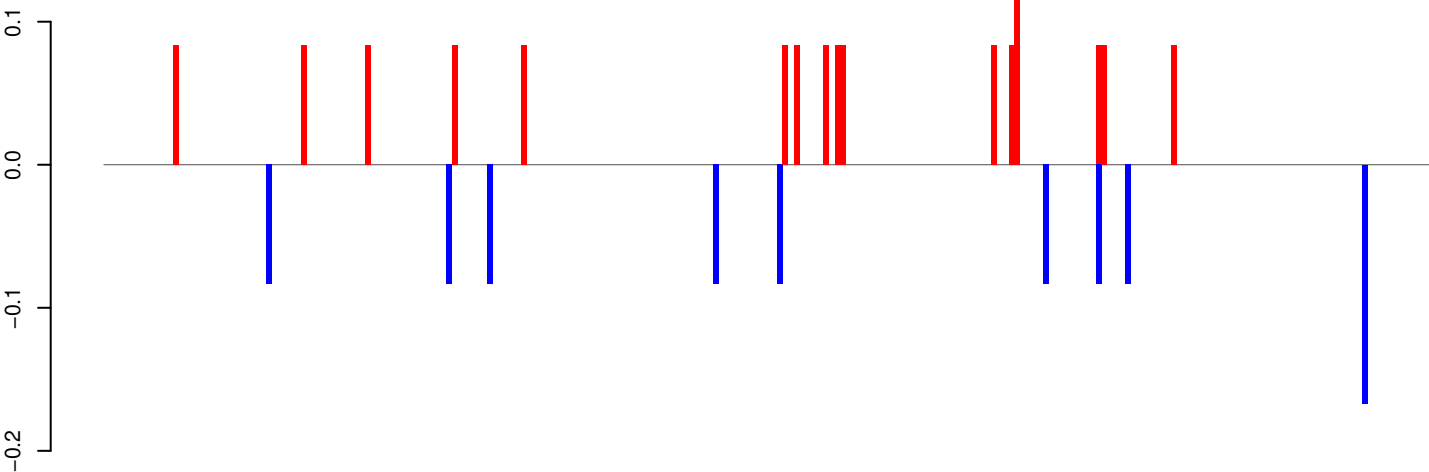
AeAeg_Aag2_Ago2_SINV_RA.24_35.rep



AeAeg_Aag2_Ago2_SINV_RA.rep

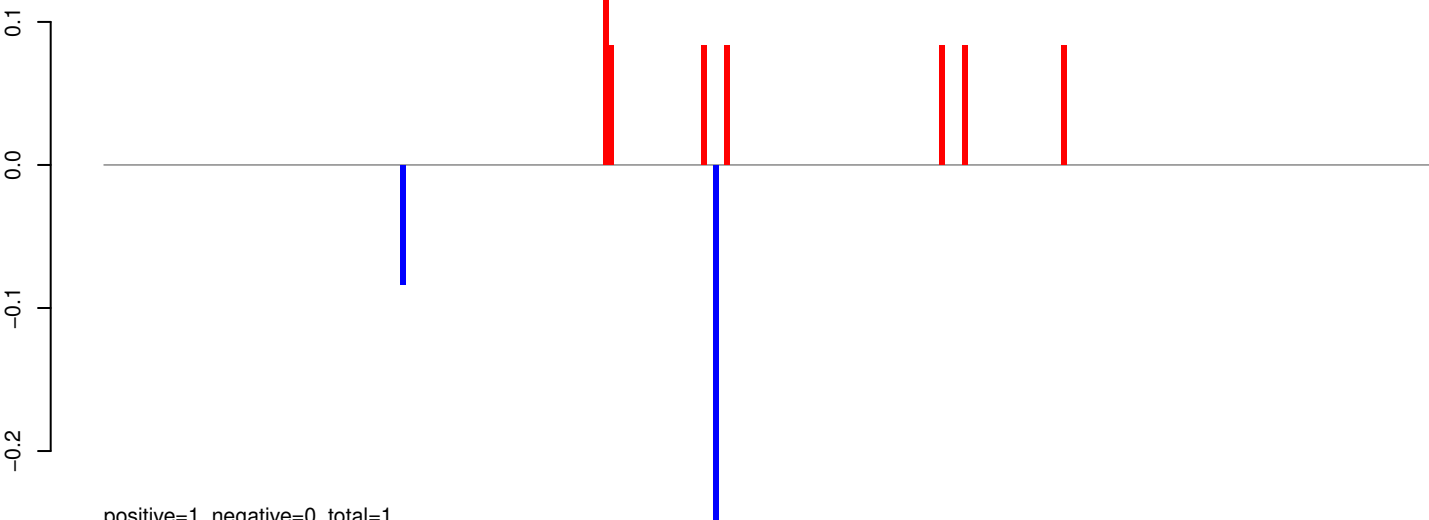


AeAeg_Aag2_Ago2_SINV_RA.18_23.rep



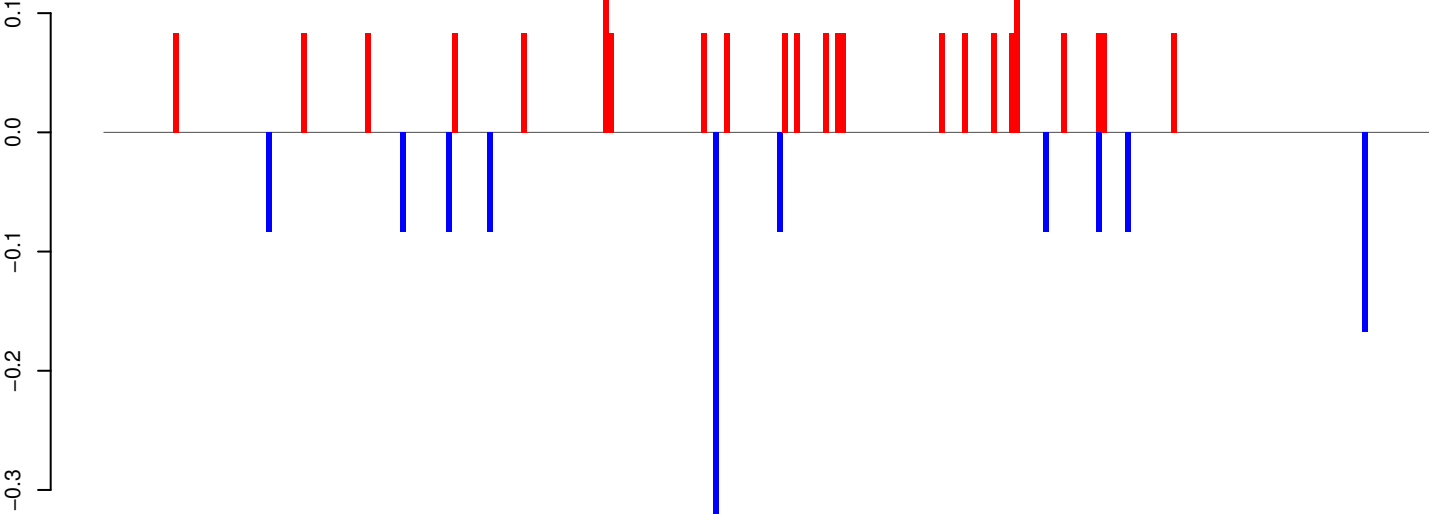
positive=11, negative=10, total=21

AeAeg_Aag2_Ago2_SINV_RA.24_35.rep



positive=11, negative=1, total=12

AeAeg_Aag2_Ago2_SINV_RA.rep

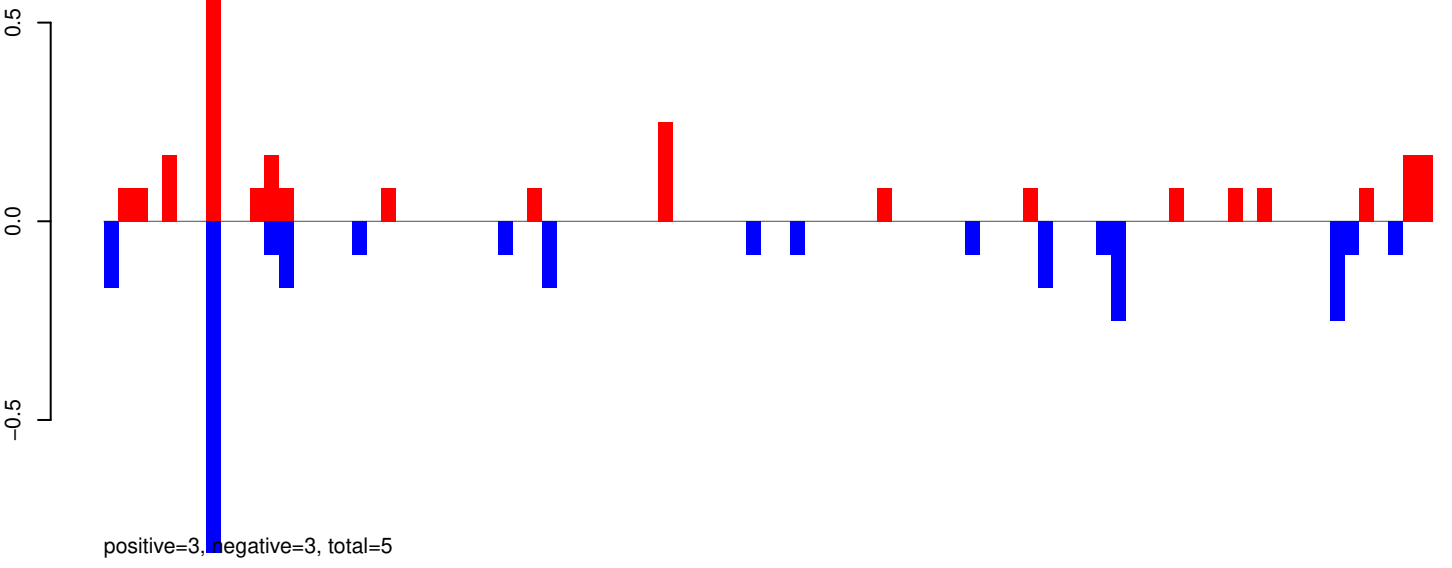


positive=22, negative=11, total=33

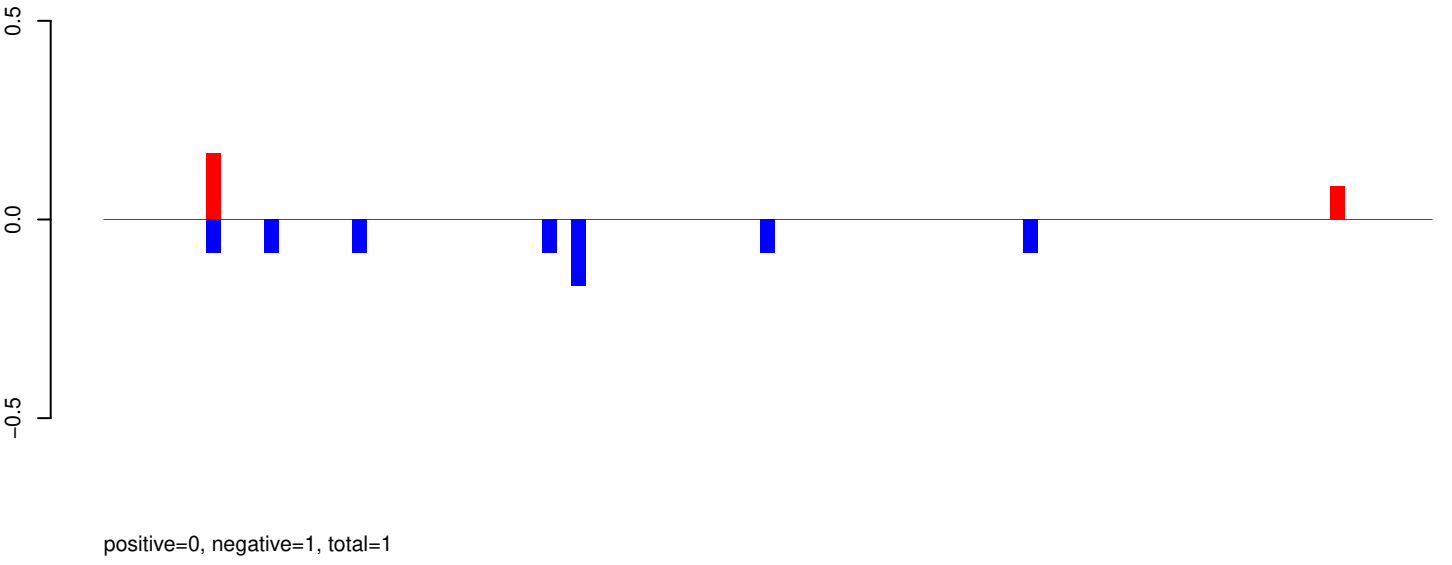
Window size=25, length=5710, TE@TF000059-CR1_Ele15:1-5710

0 1000 2000 3000 4000 5000

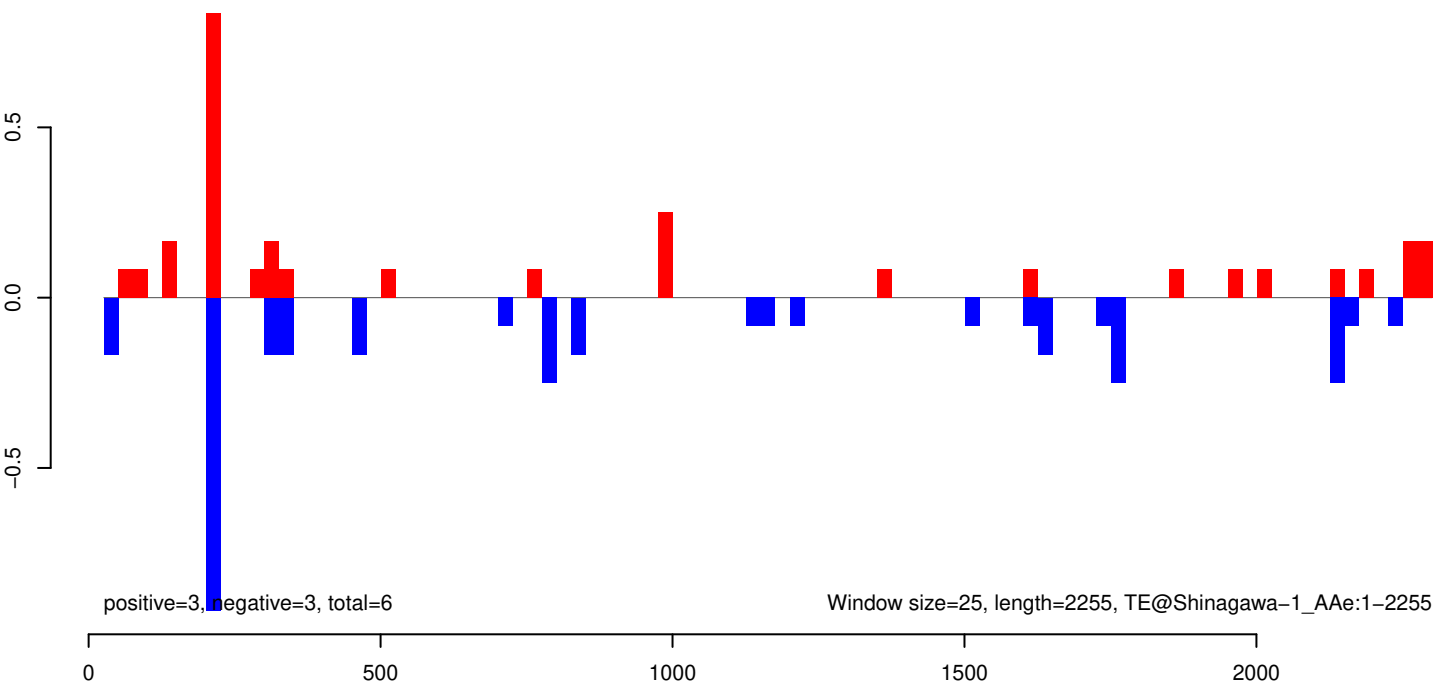
AeAeg_Aag2_Ago2_SINV_RA.18_23.rep



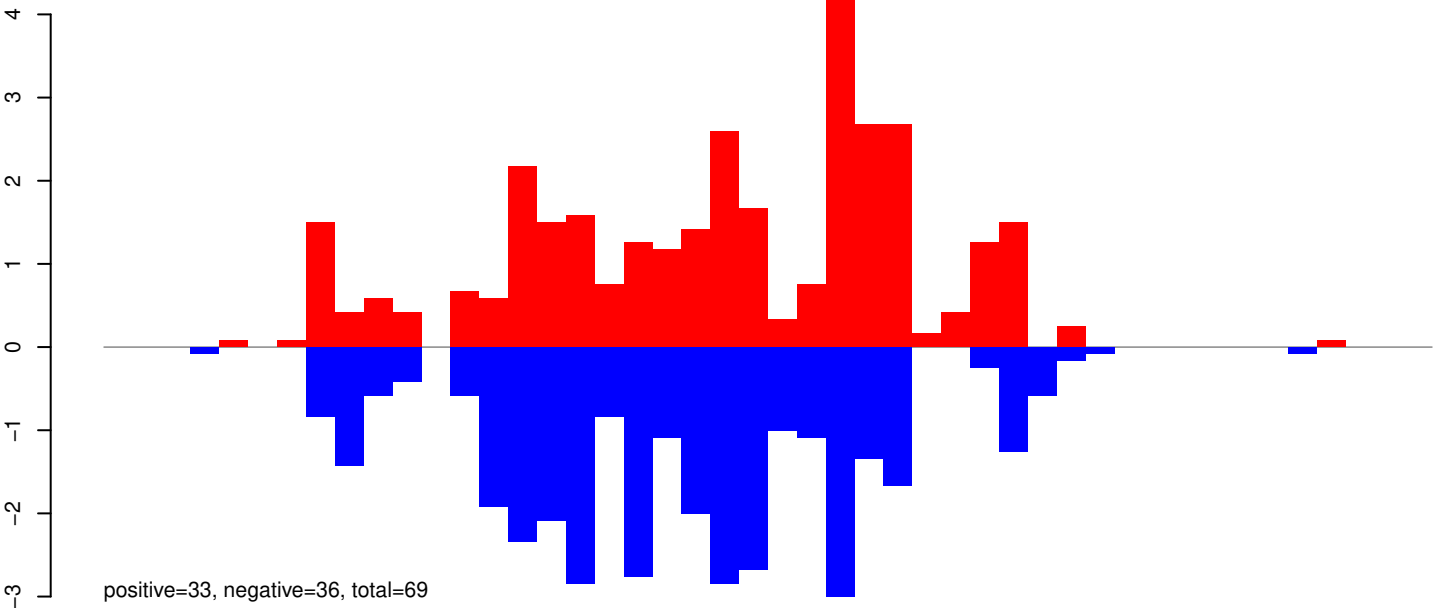
AeAeg_Aag2_Ago2_SINV_RA.24_35.rep



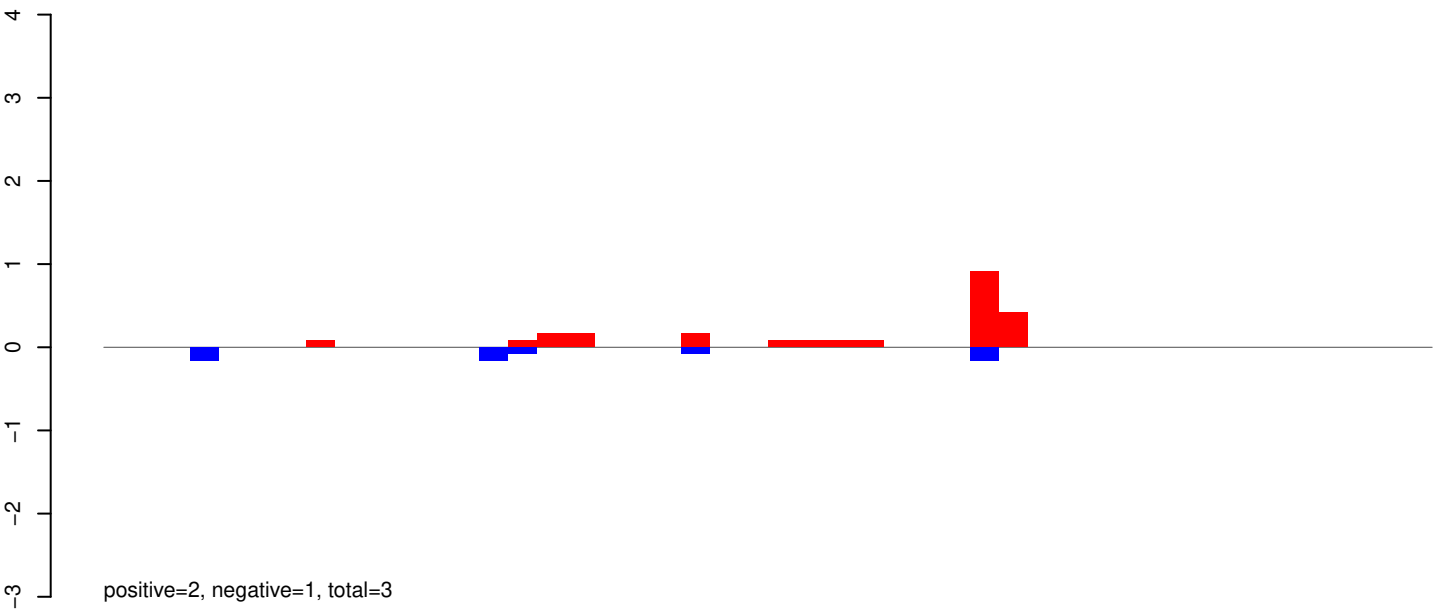
AeAeg_Aag2_Ago2_SINV_RA.rep



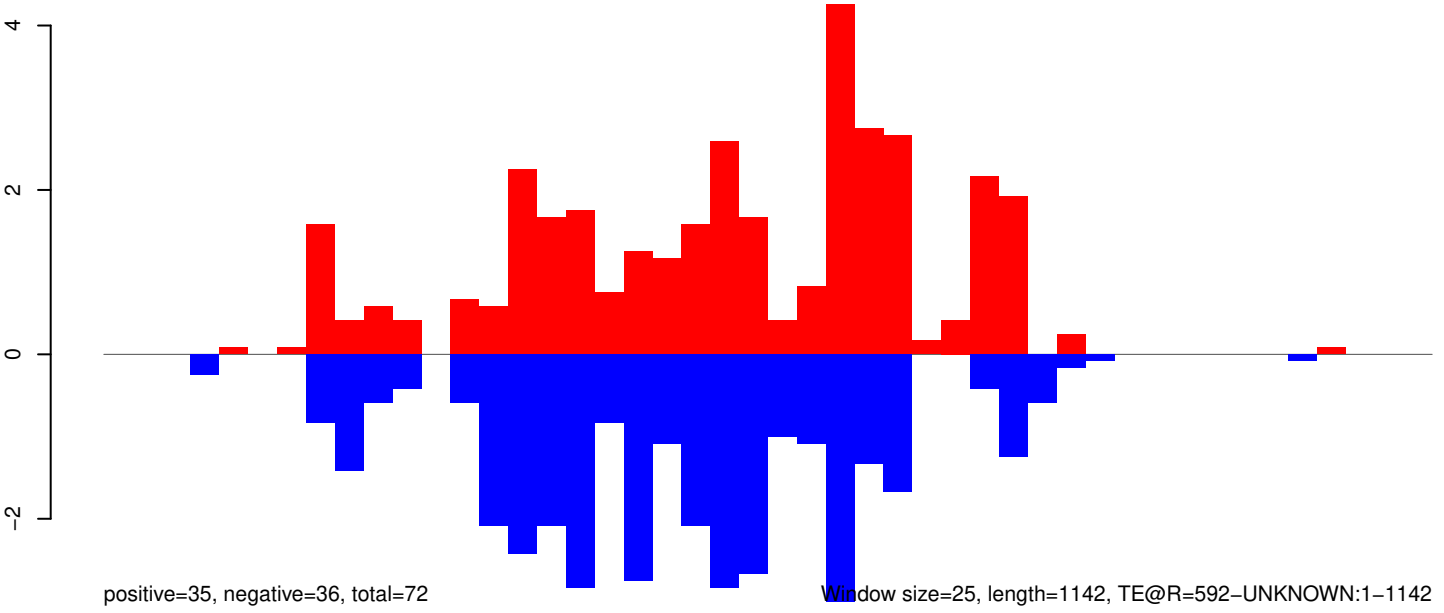
AeAeg_Aag2_Ago2_SINV_RA.18_23.rep



AeAeg_Aag2_Ago2_SINV_RA.24_35.rep

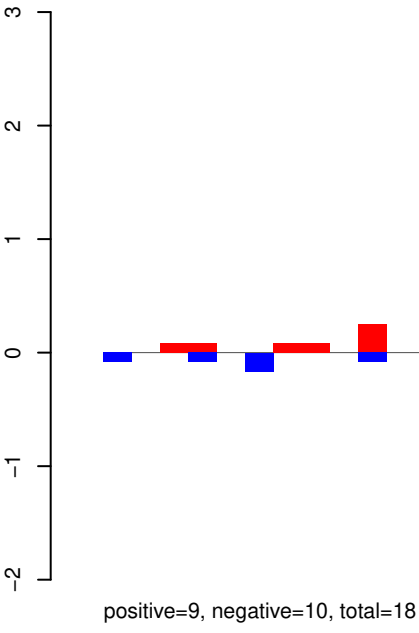


AeAeg_Aag2_Ago2_SINV_RA.rep

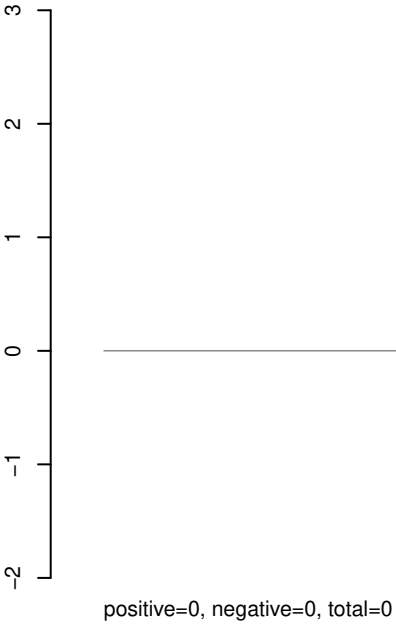


Window size=25, length=1142, TE@R=592-UNKNOWN:1-1142

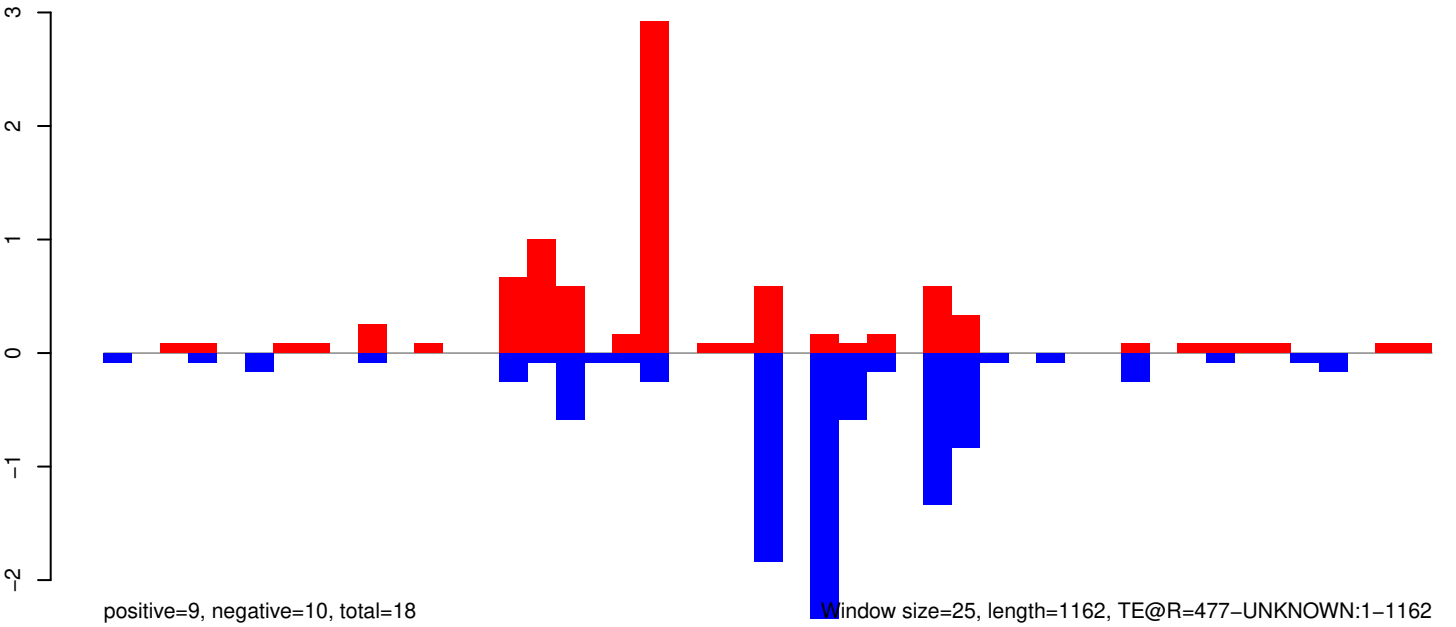
AeAeg_Aag2_Ago2_SINV_RA.18_23.rep



AeAeg_Aag2_Ago2_SINV_RA.24_35.rep

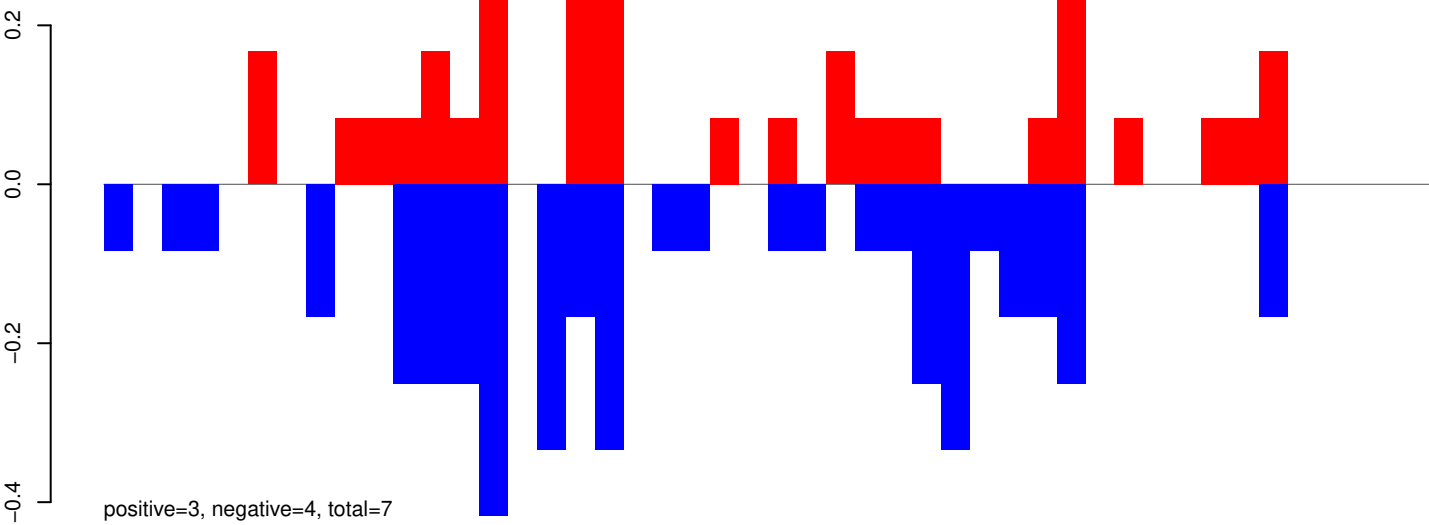


AeAeg_Aag2_Ago2_SINV_RA.rep

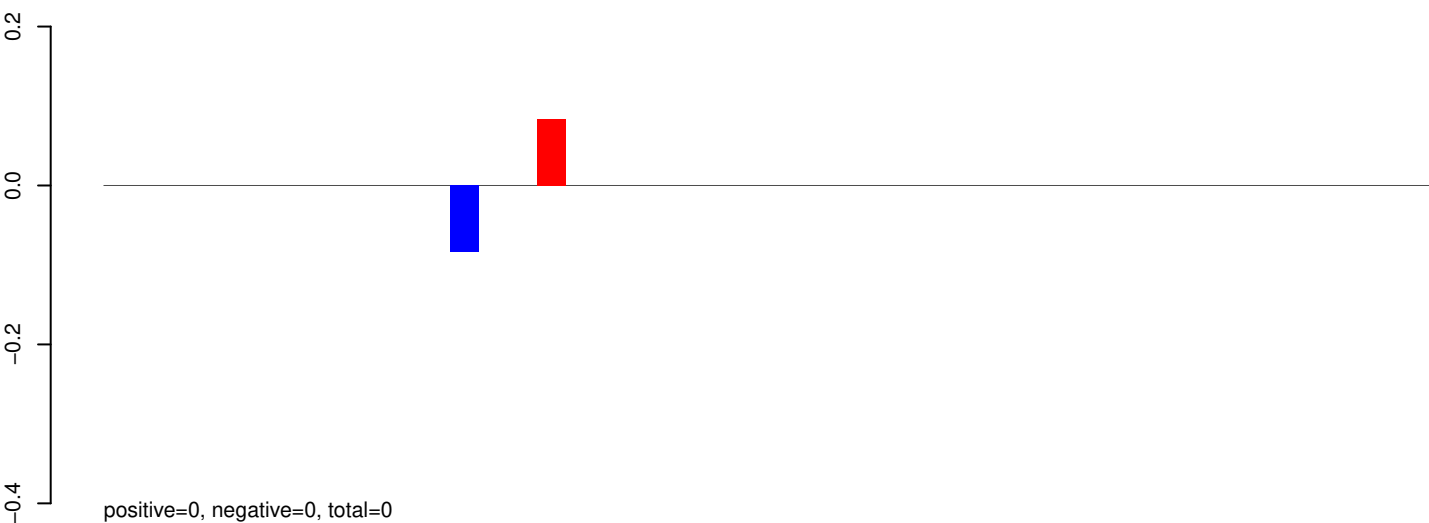


0 200 400 600 800 1000 1200

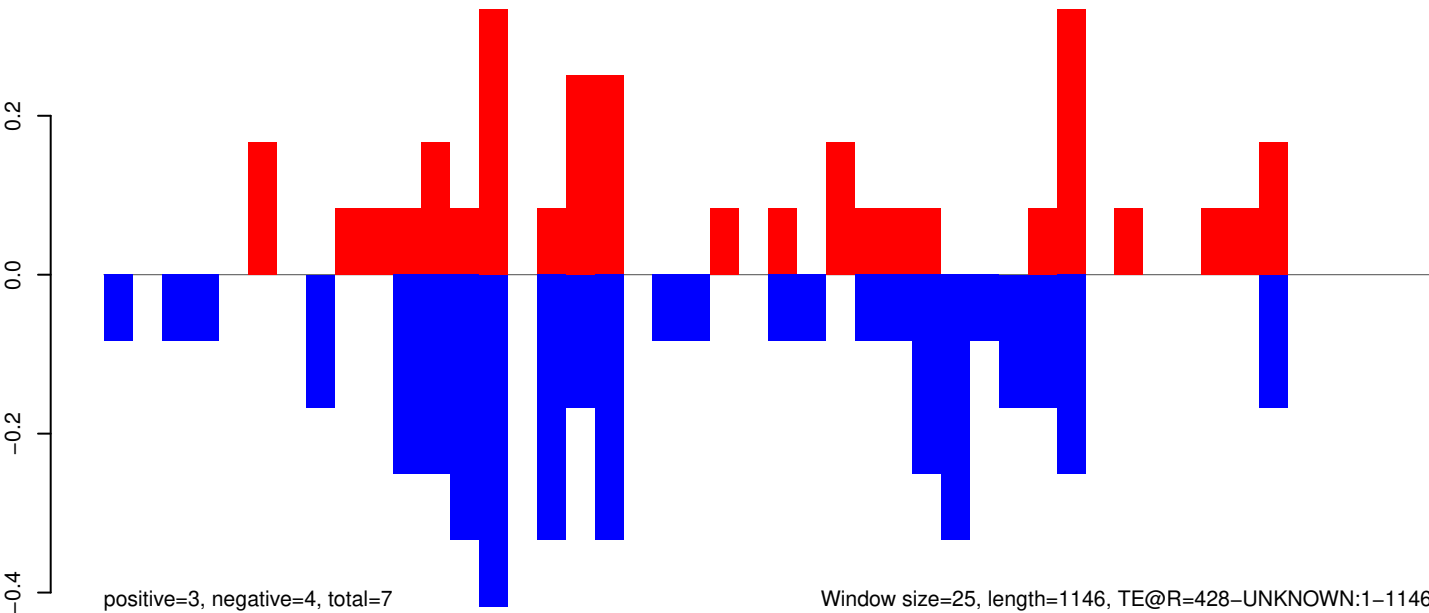
AeAeg_Aag2_Ago2_SINV_RA.18_23.rep



AeAeg_Aag2_Ago2_SINV_RA.24_35.rep

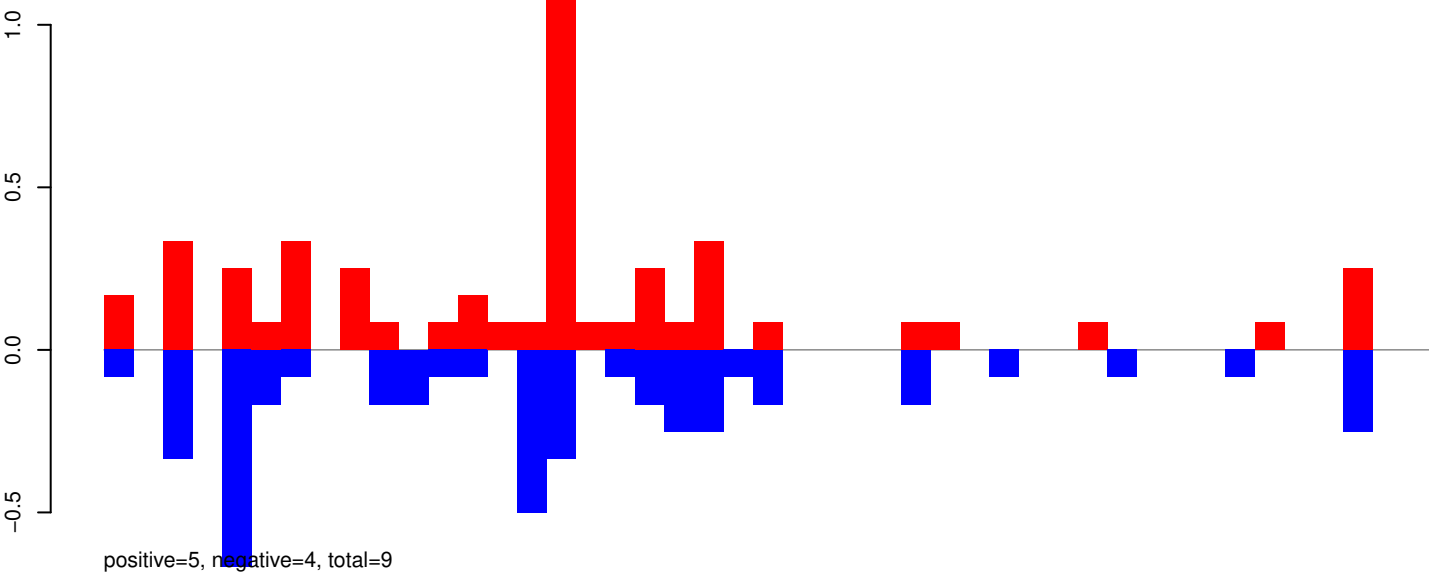


AeAeg_Aag2_Ago2_SINV_RA.rep

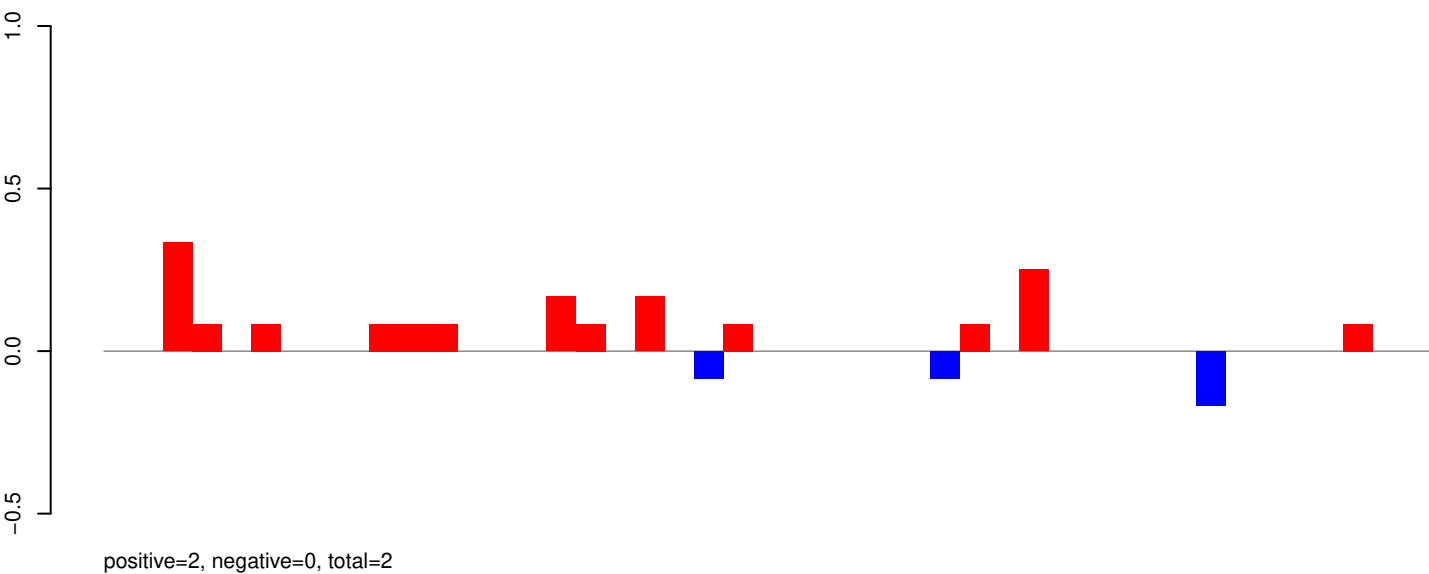


Window size=25, length=1146, TE@R=428-UNKNOWN:1-1146

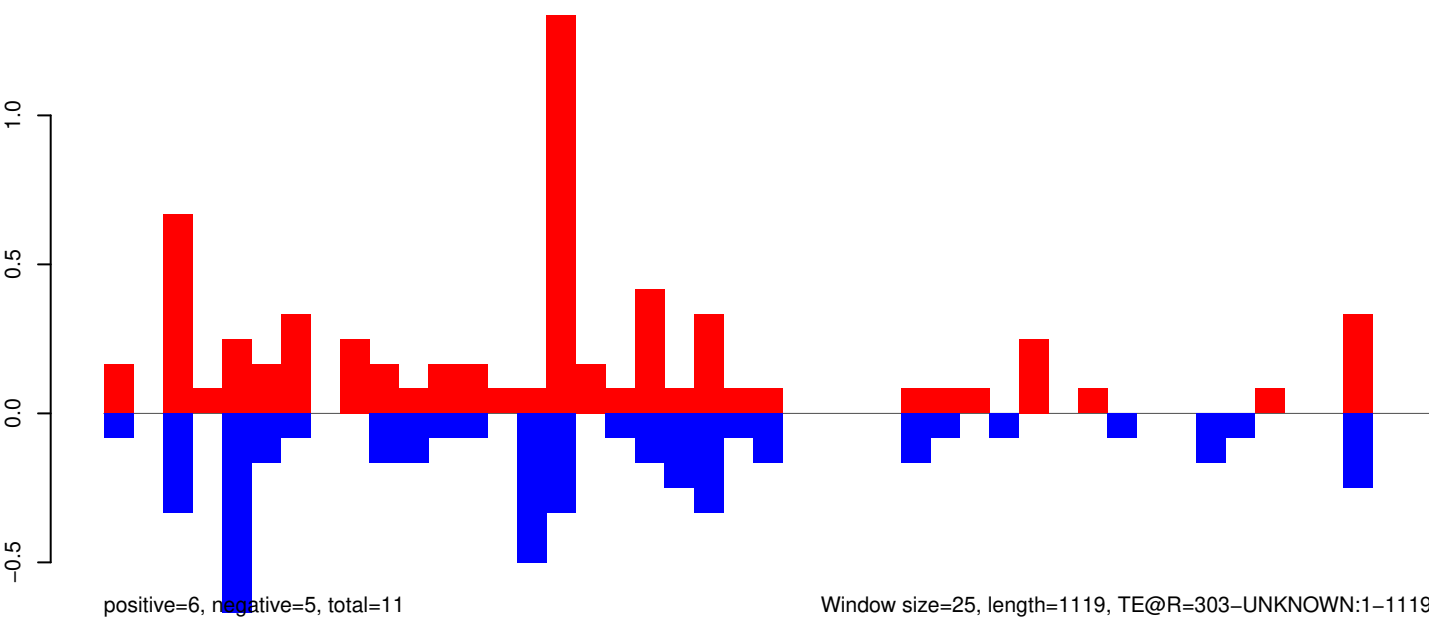
AeAeg_Aag2_Ago2_SINV_RA.18_23.rep



AeAeg_Aag2_Ago2_SINV_RA.24_35.rep



AeAeg_Aag2_Ago2_SINV_RA.rep



AeAeg_Aag2_Ago2_SINV_RA.18_23.rep



positive=3, negative=4, total=6

AeAeg_Aag2_Ago2_SINV_RA.24_35.rep



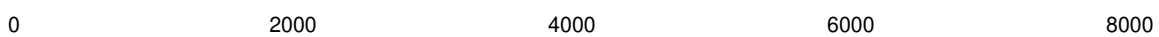
positive=0, negative=0, total=1

AeAeg_Aag2_Ago2_SINV_RA.rep

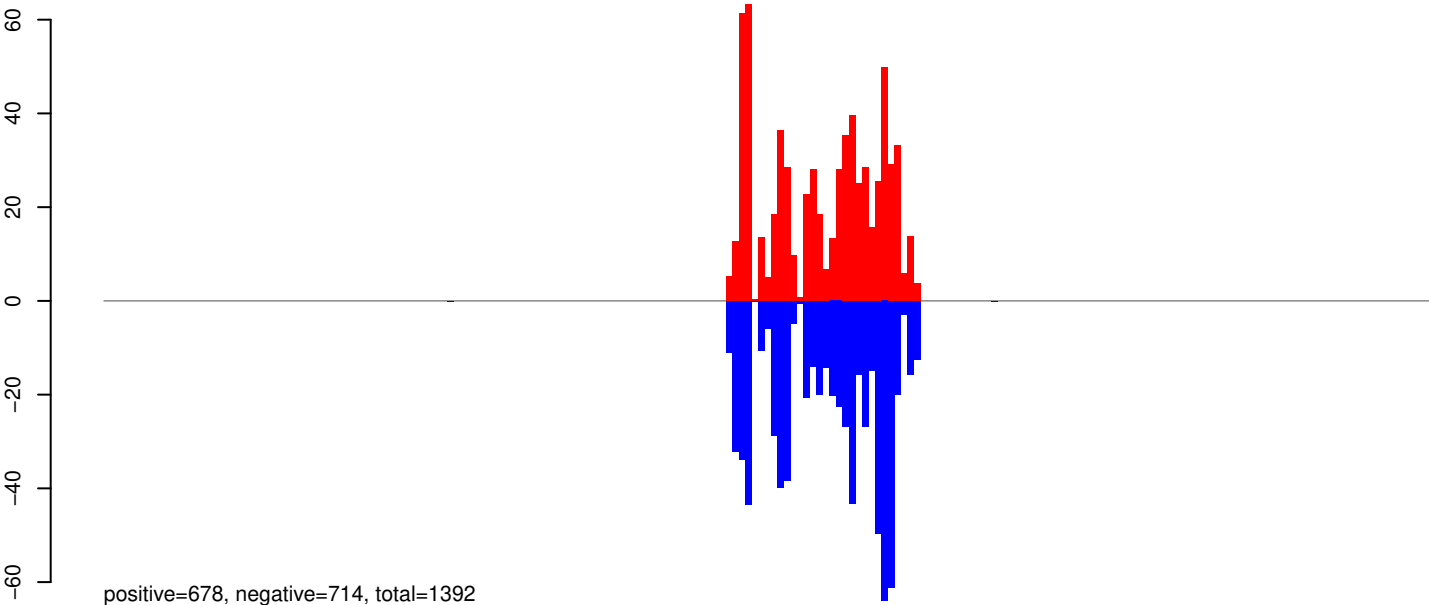


positive=3, negative=4, total=7

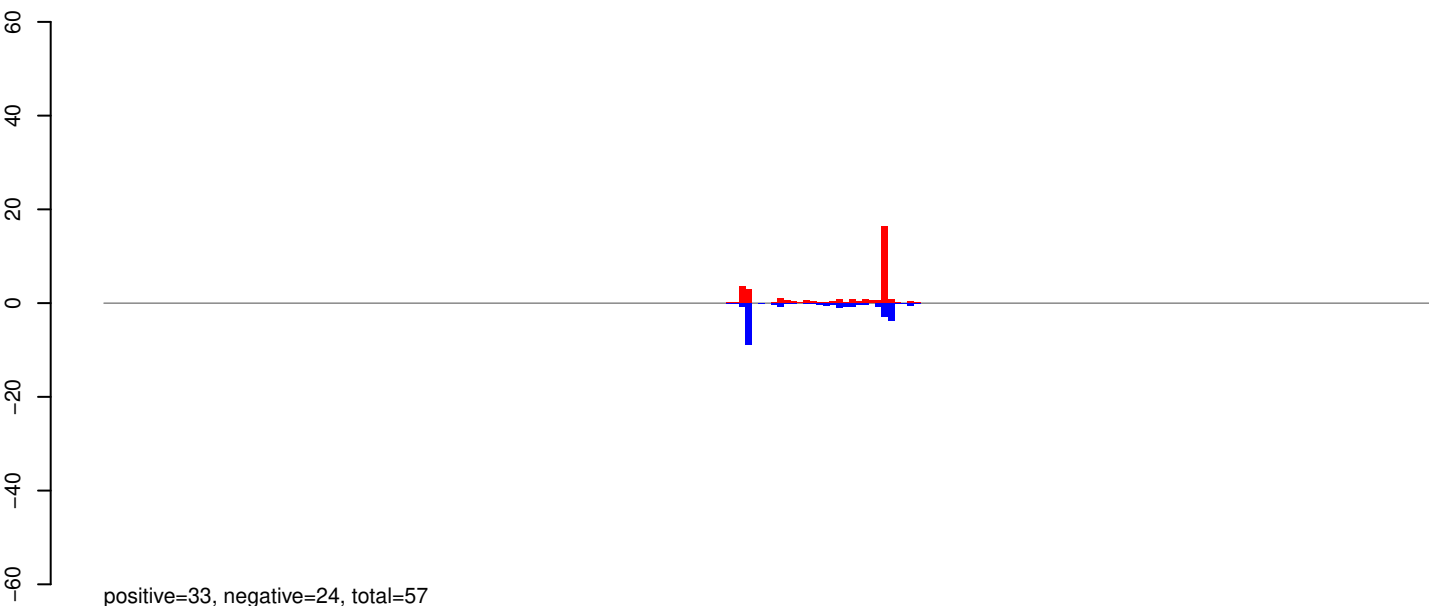
Window size=25, length=9510, TE@ORTE-1_A Ae:1-9510



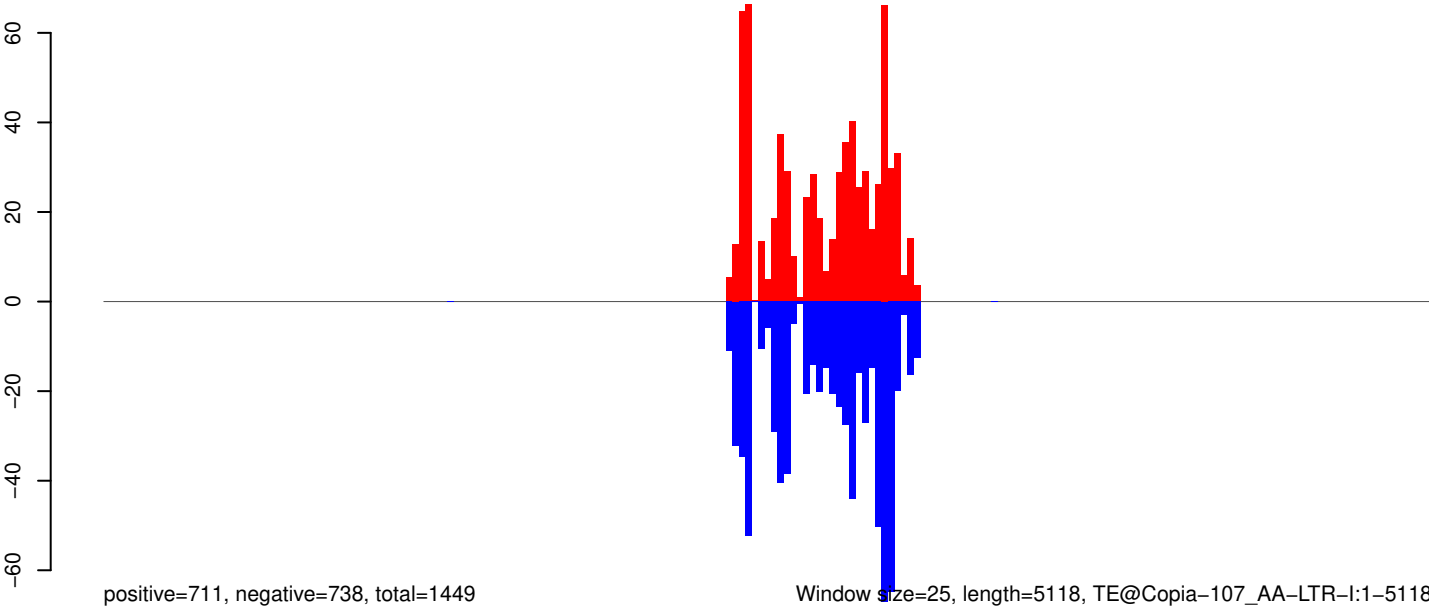
AeAeg_Aag2_Ago2_SINV_RA.18_23.rep



AeAeg_Aag2_Ago2_SINV_RA.24_35.rep

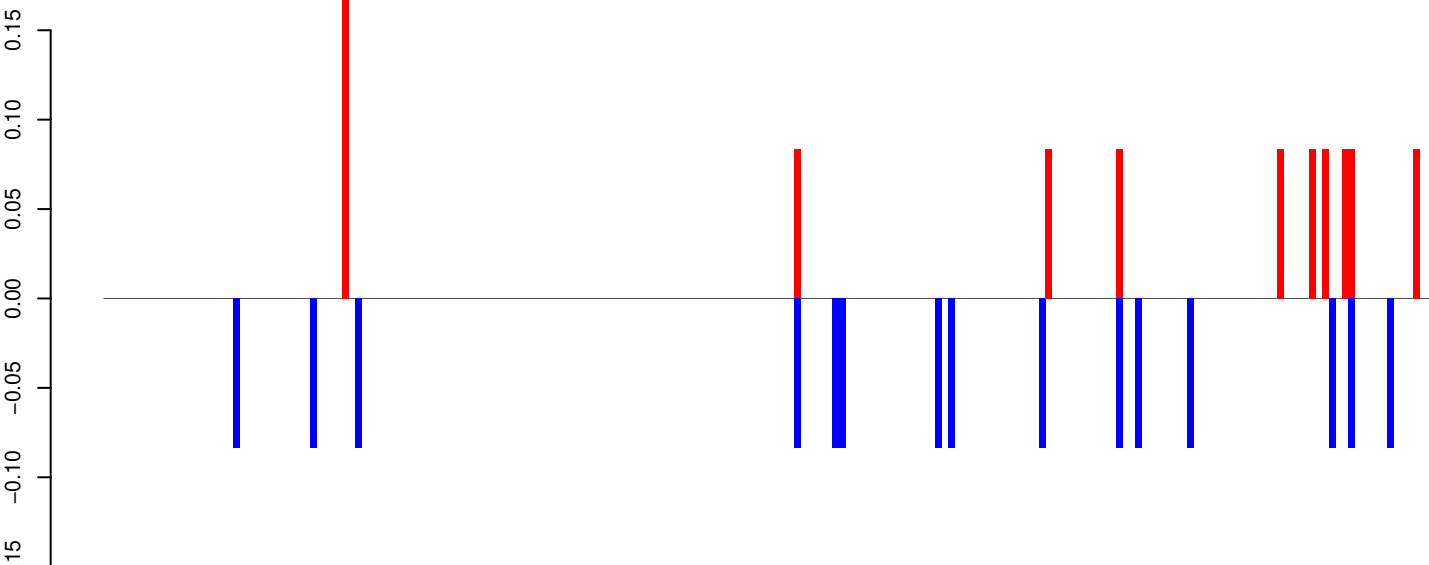


AeAeg_Aag2_Ago2_SINV_RA.rep



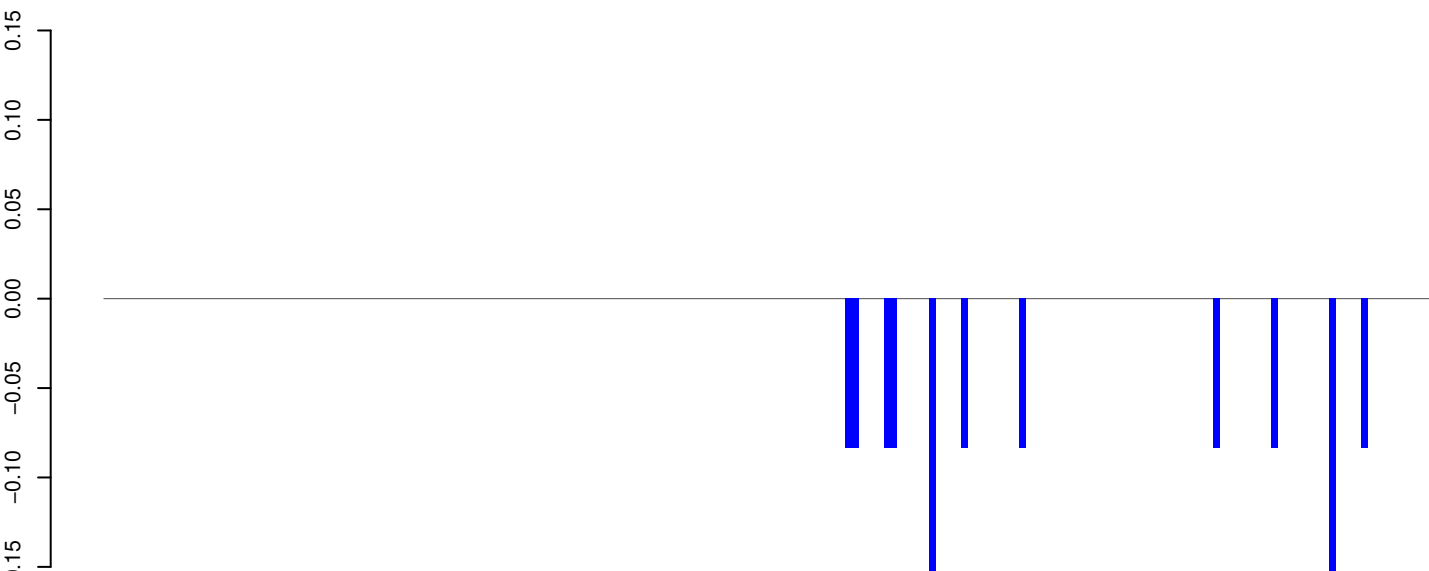
0 1000 2000 3000 4000 5000

AeAeg_Aag2_Ago2_SINV_RA.18_23.rep



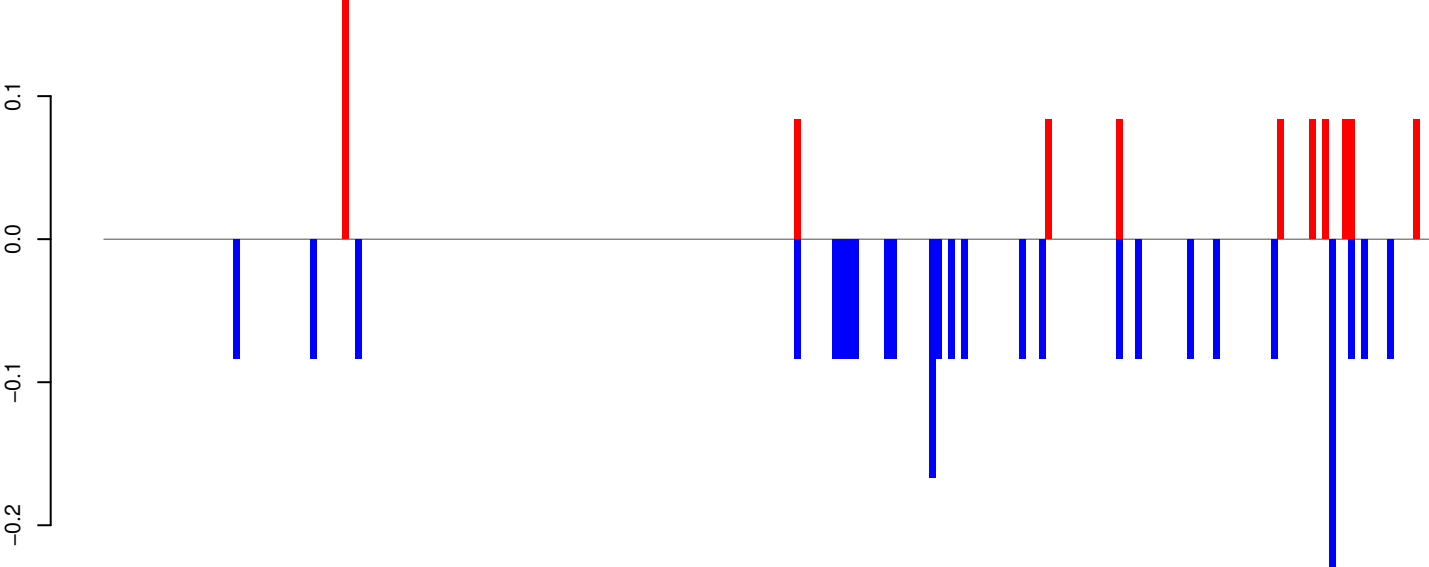
positive=1, negative=1, total=2

AeAeg_Aag2_Ago2_SINV_RA.24_35.rep



positive=0, negative=1, total=1

AeAeg_Aag2_Ago2_SINV_RA.rep

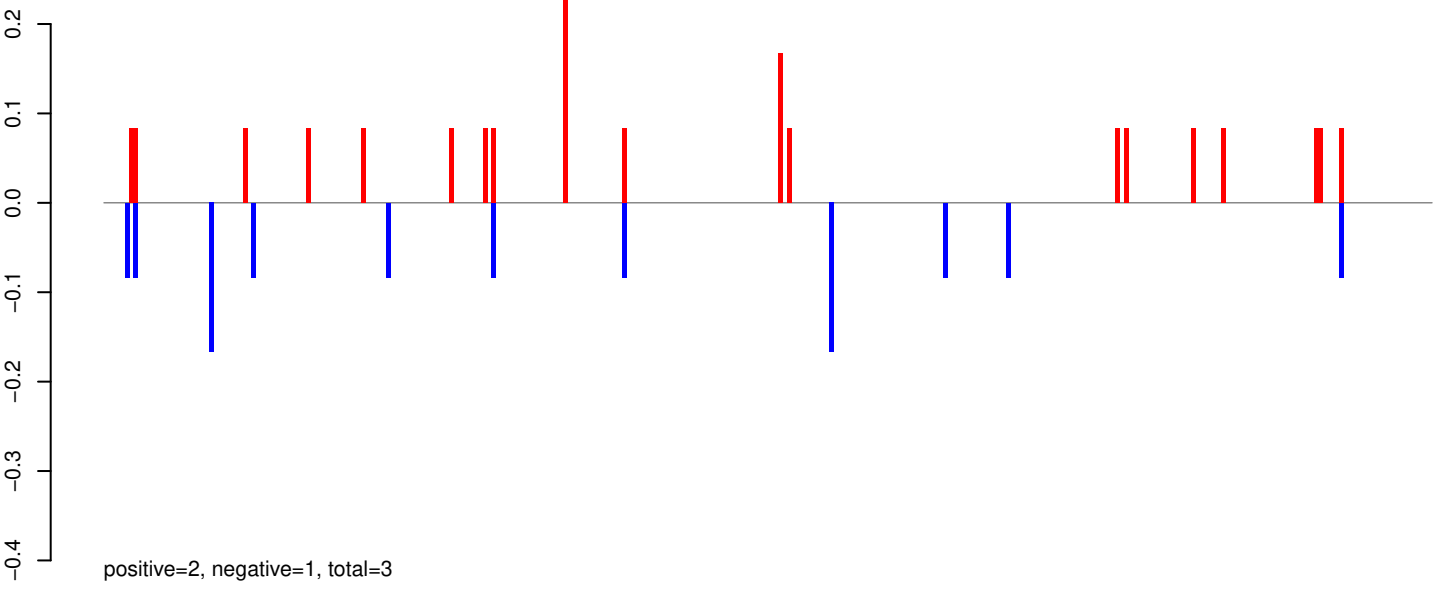


positive=1, negative=2, total=3

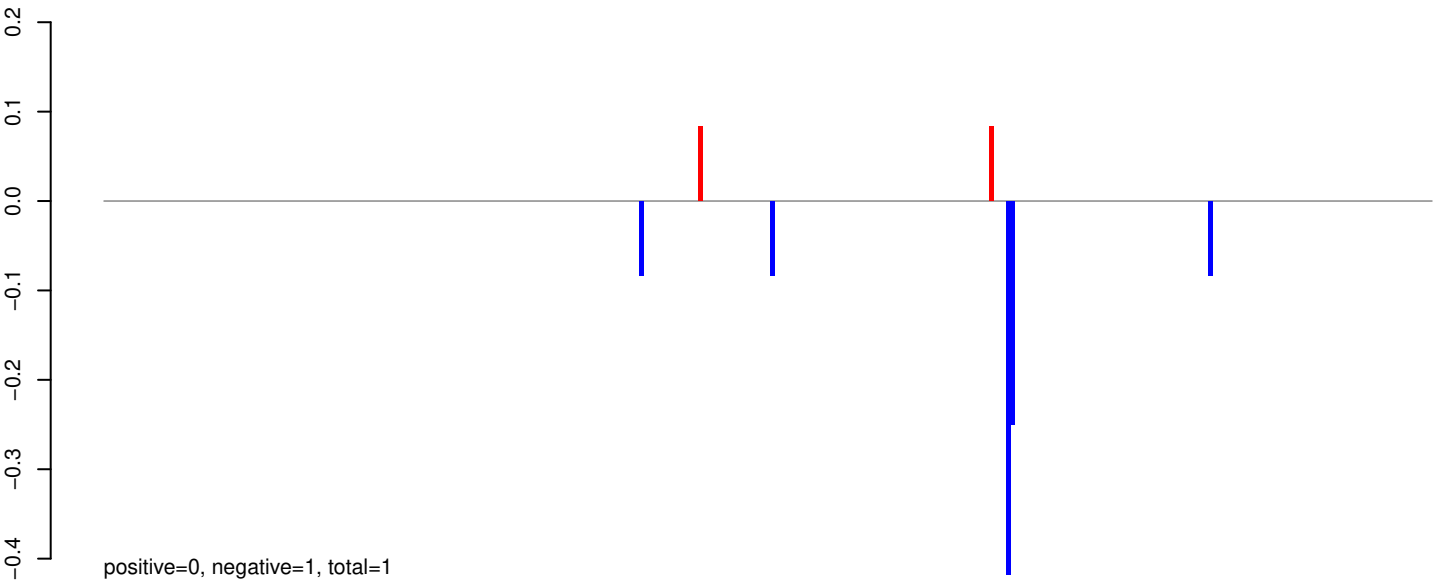
Window size=25, length=5131, TE@CR1_Ele24:1-5131

0 1000 2000 3000 4000 5000

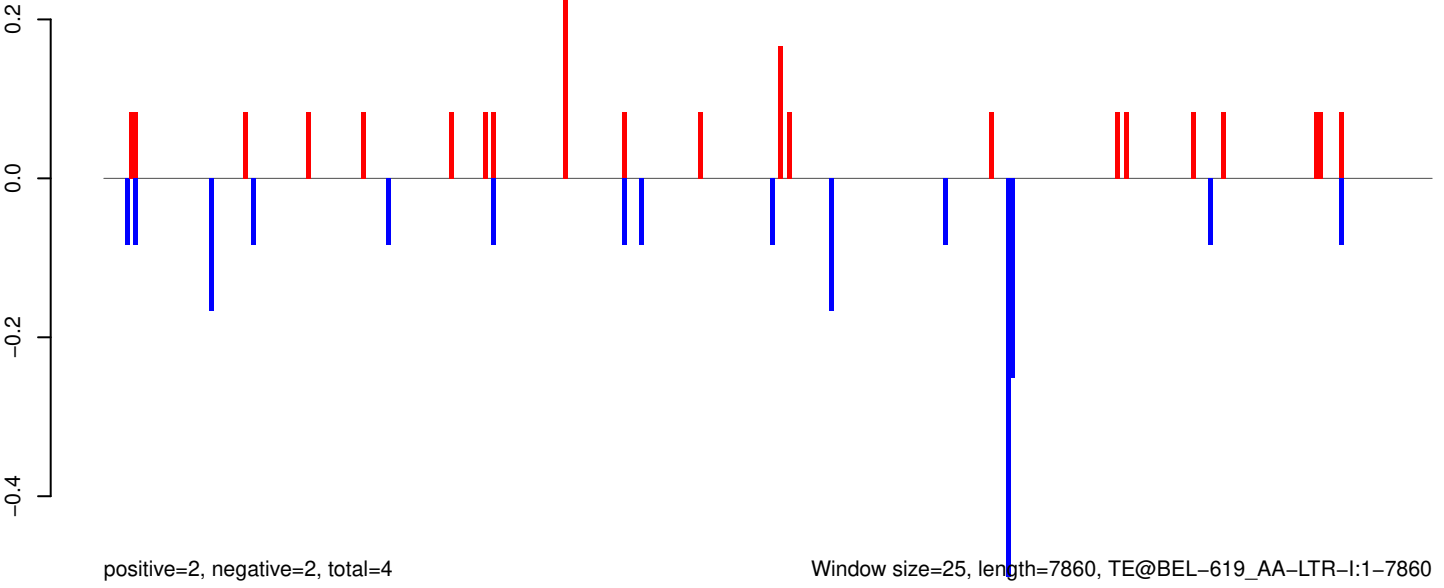
AeAeg_Aag2_Ago2_SINV_RA.18_23.rep



AeAeg_Aag2_Ago2_SINV_RA.24_35.rep

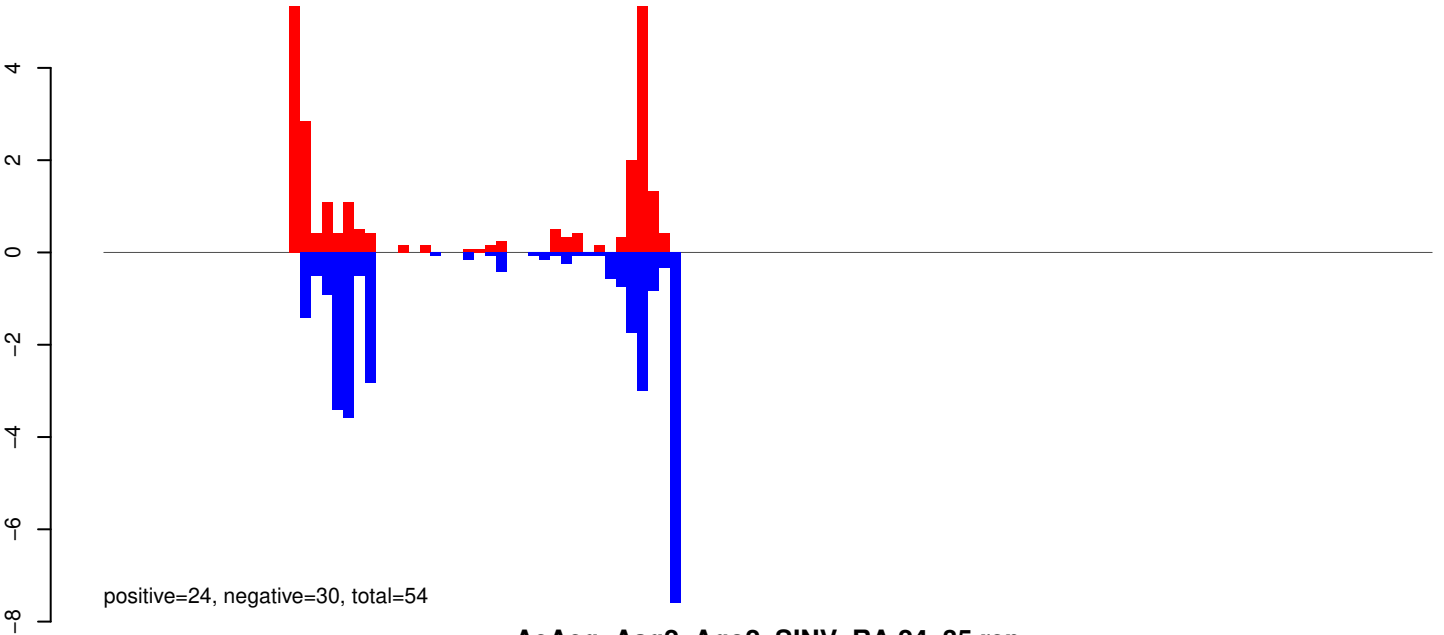


AeAeg_Aag2_Ago2_SINV_RA.rep

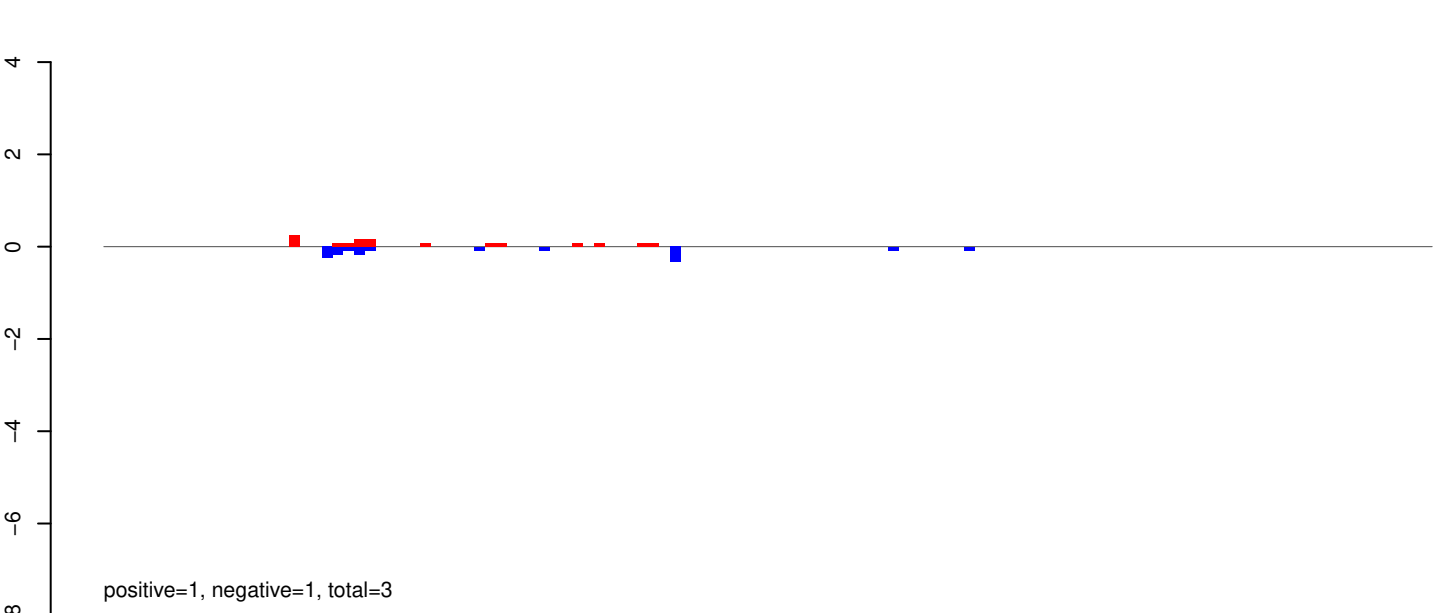


Window size=25, length=7860, TE@BEL-619_AA-LTR-I:1-7860

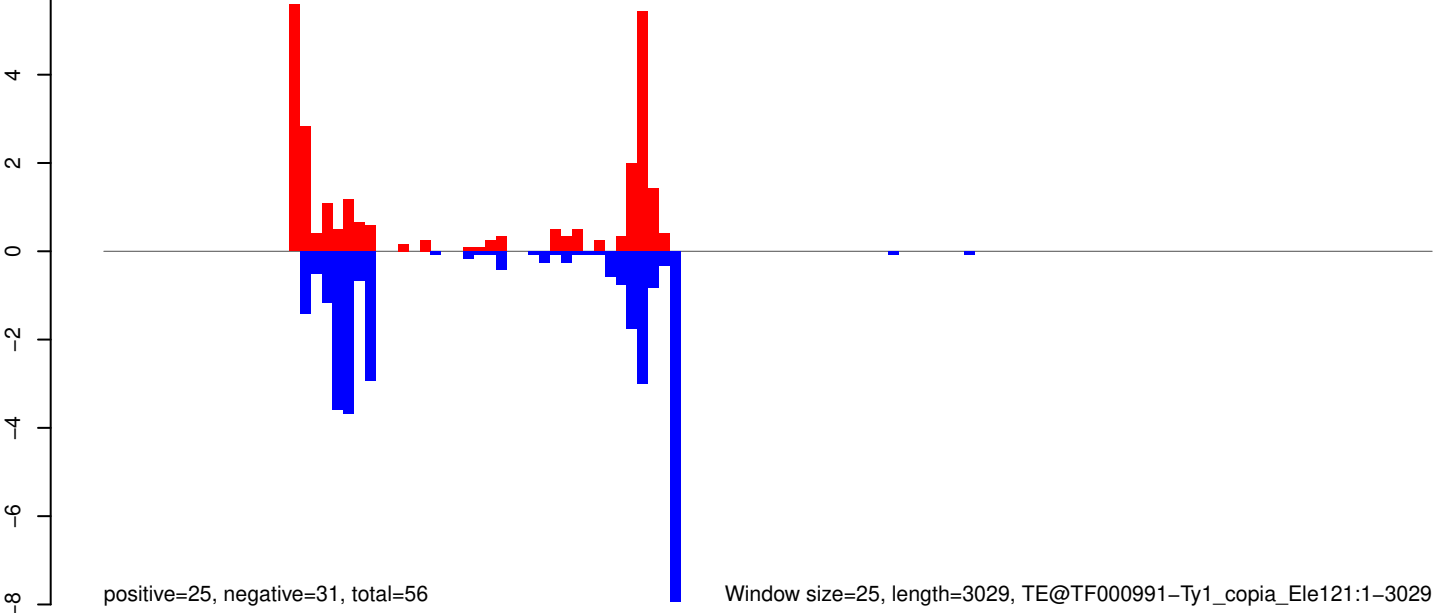
AeAeg_Aag2_Ago2_SINV_RA.18_23.rep



AeAeg_Aag2_Ago2_SINV_RA.24_35.rep



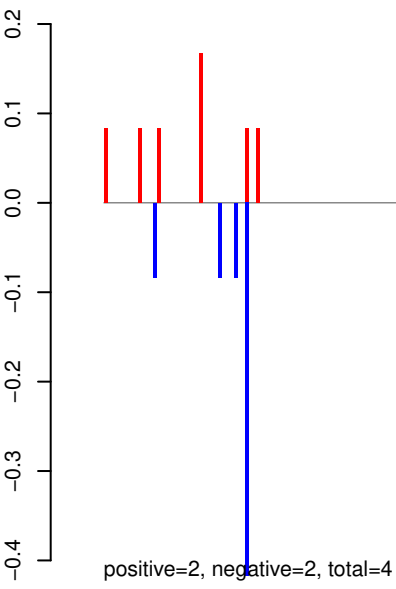
AeAeg_Aag2_Ago2_SINV_RA.rep



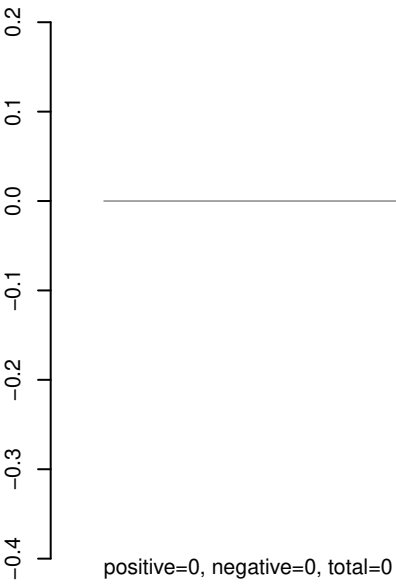
Window size=25, length=3029, TE@TF000991-Ty1_copia_Ele121:1-3029

0 500 1000 1500 2000 2500 3000

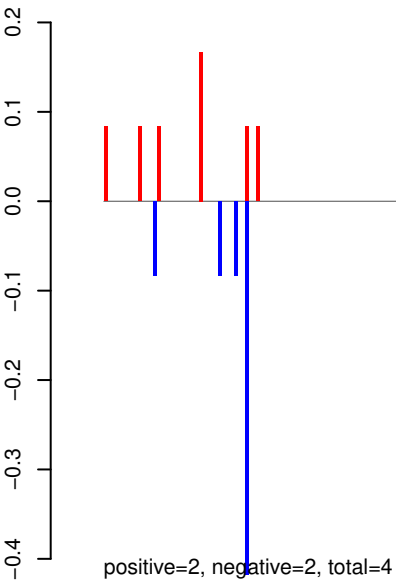
AeAeg_Aag2_Ago2_SINV_RA.18_23.rep



AeAeg_Aag2_Ago2_SINV_RA.24_35.rep



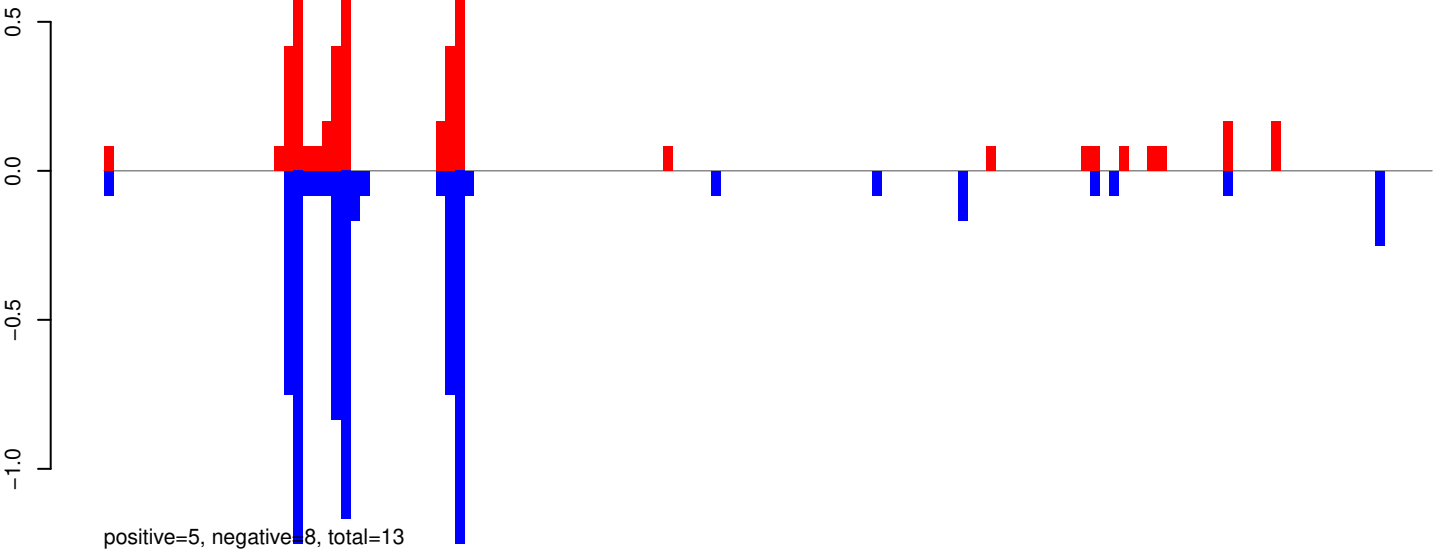
AeAeg_Aag2_Ago2_SINV_RA.rep



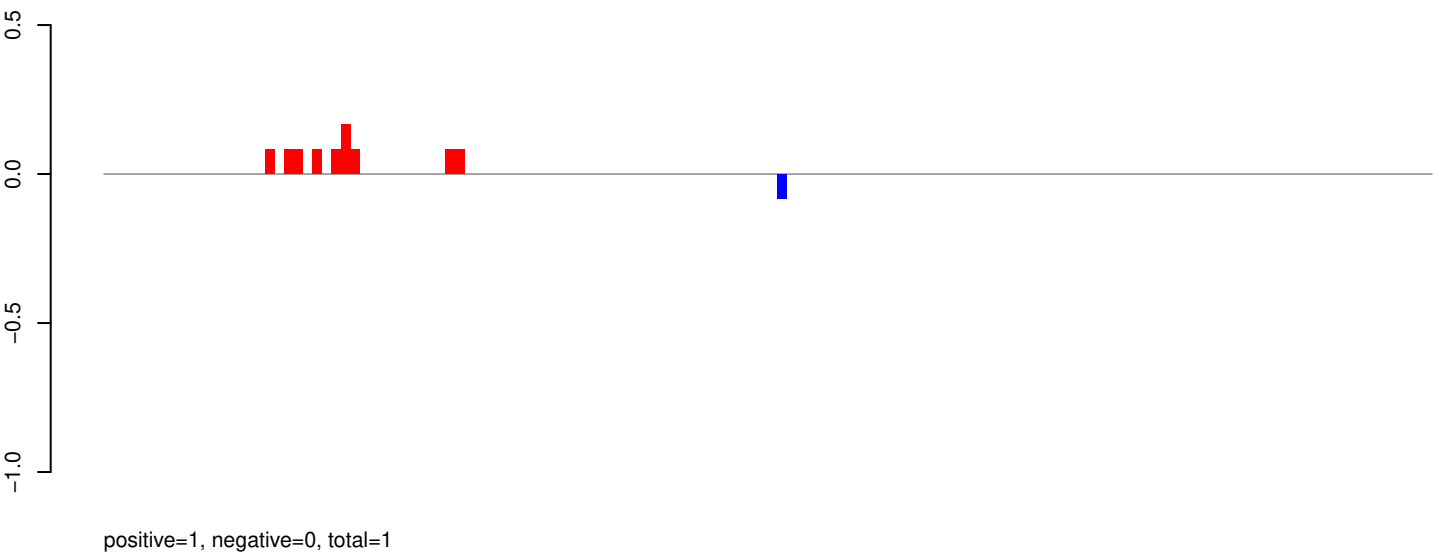
Window size=25, length=8699, TE@TF000950-Ty3_gypsy_Ele189:1-8699

0 2000 4000 6000 8000

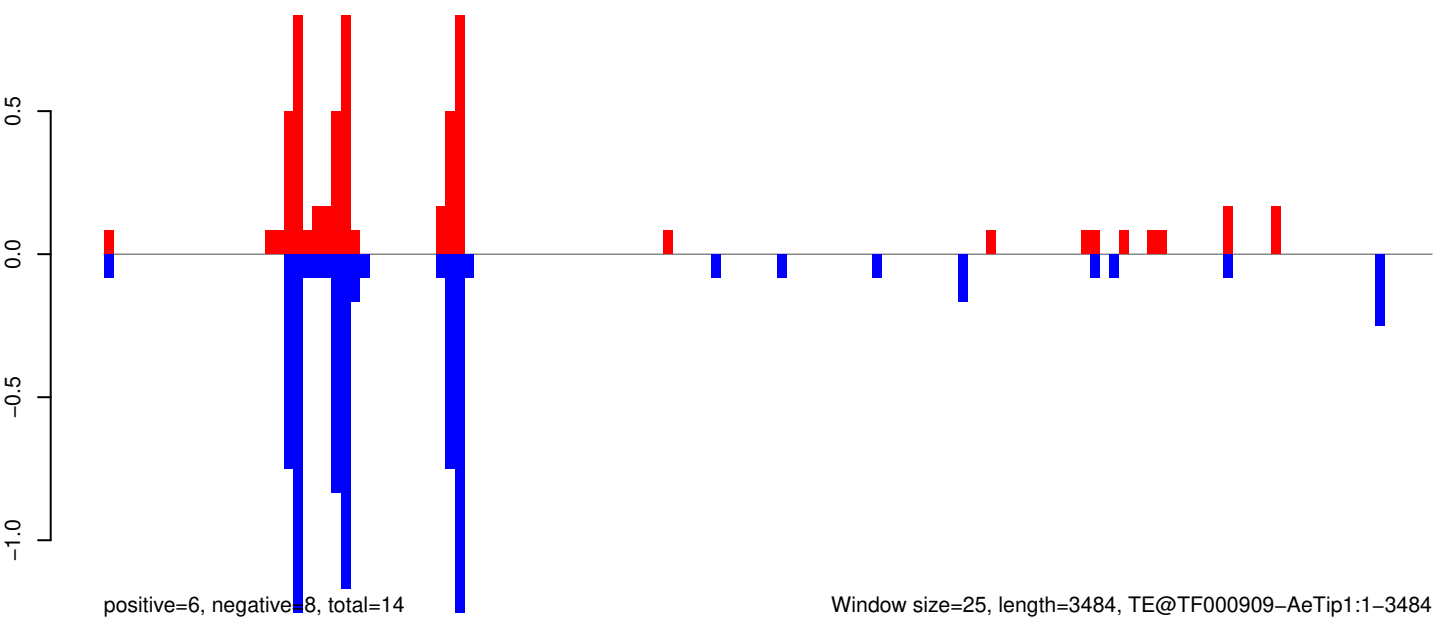
AeAeg_Aag2_Ago2_SINV_RA.18_23.rep



AeAeg_Aag2_Ago2_SINV_RA.24_35.rep

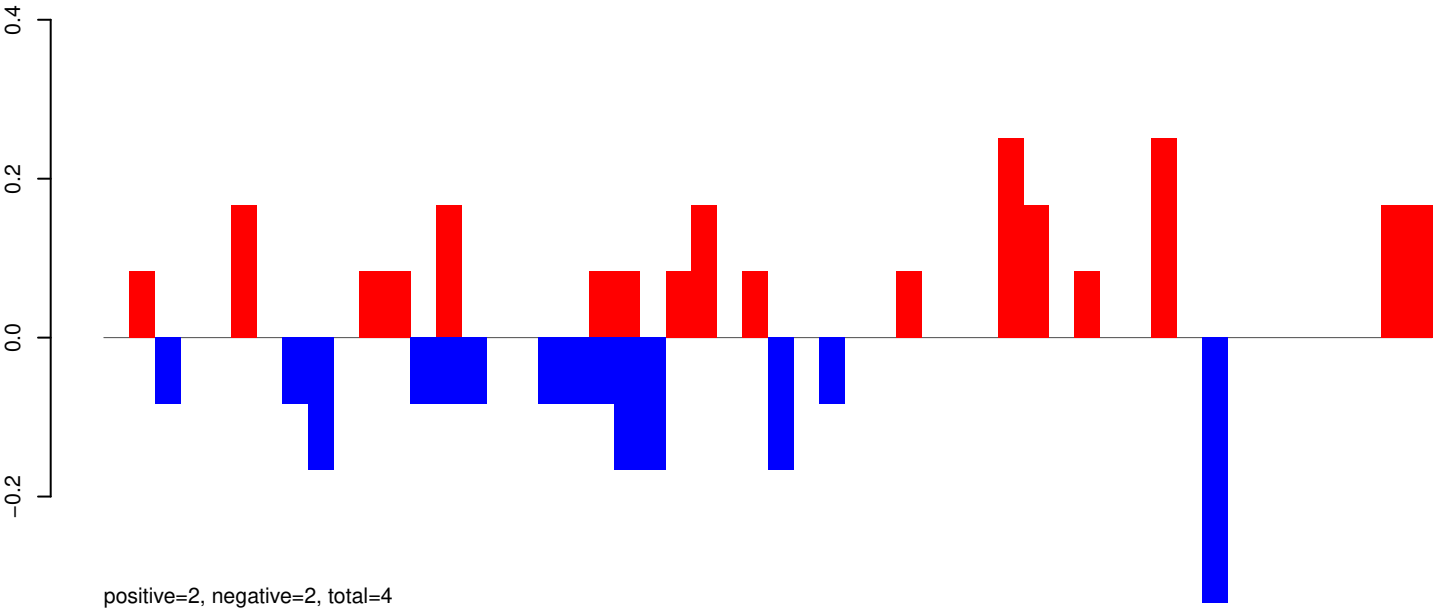


AeAeg_Aag2_Ago2_SINV_RA.rep

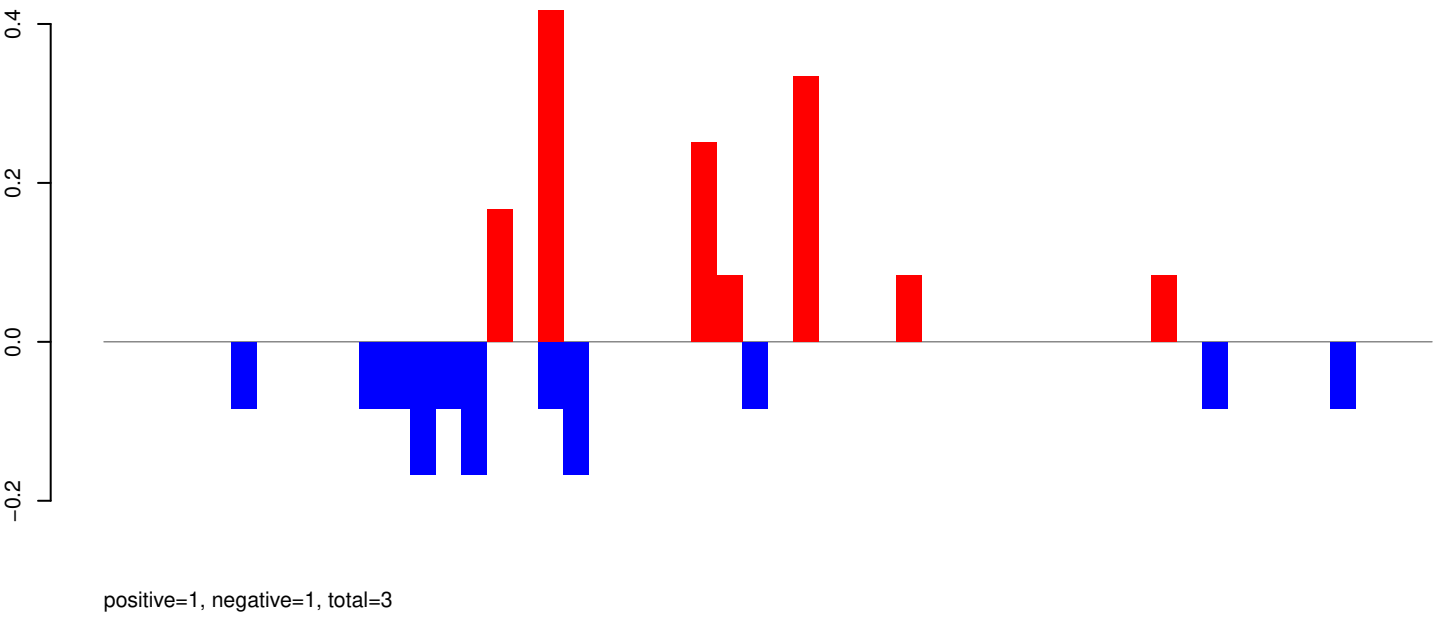


0 500 1000 1500 2000 2500 3000 3500

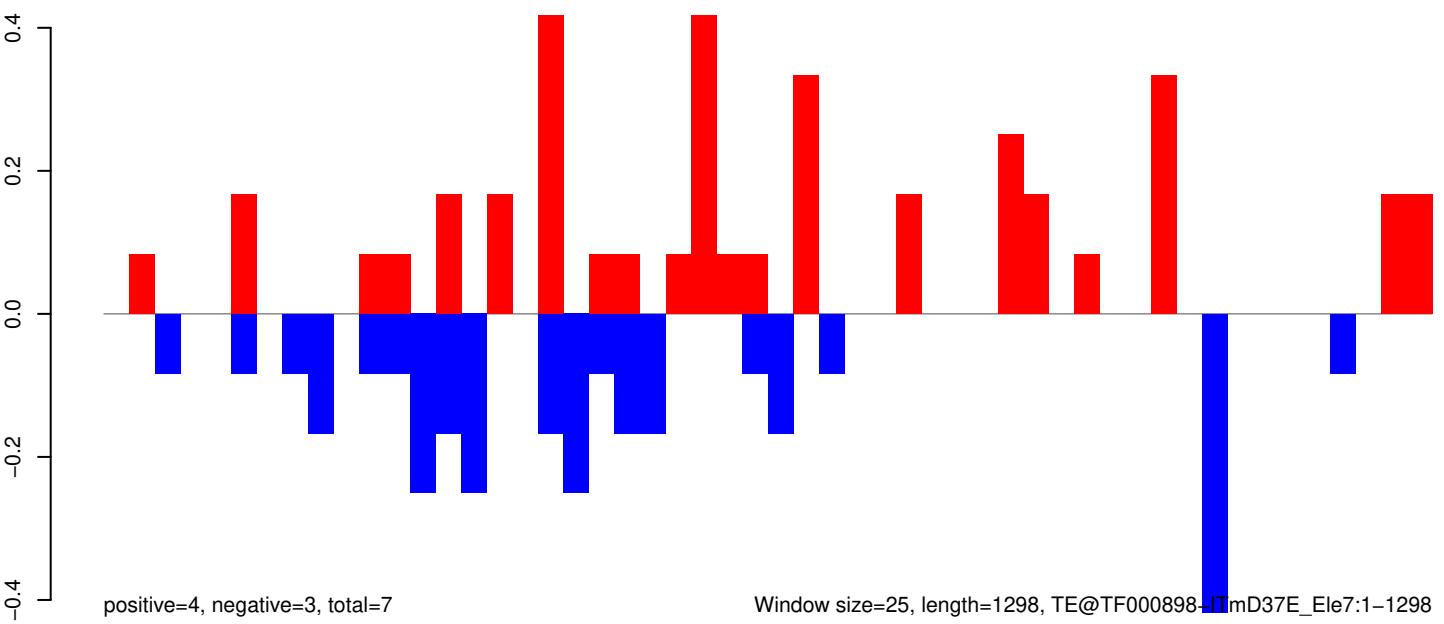
AeAeg_Aag2_Ago2_SINV_RA.18_23.rep



AeAeg_Aag2_Ago2_SINV_RA.24_35.rep

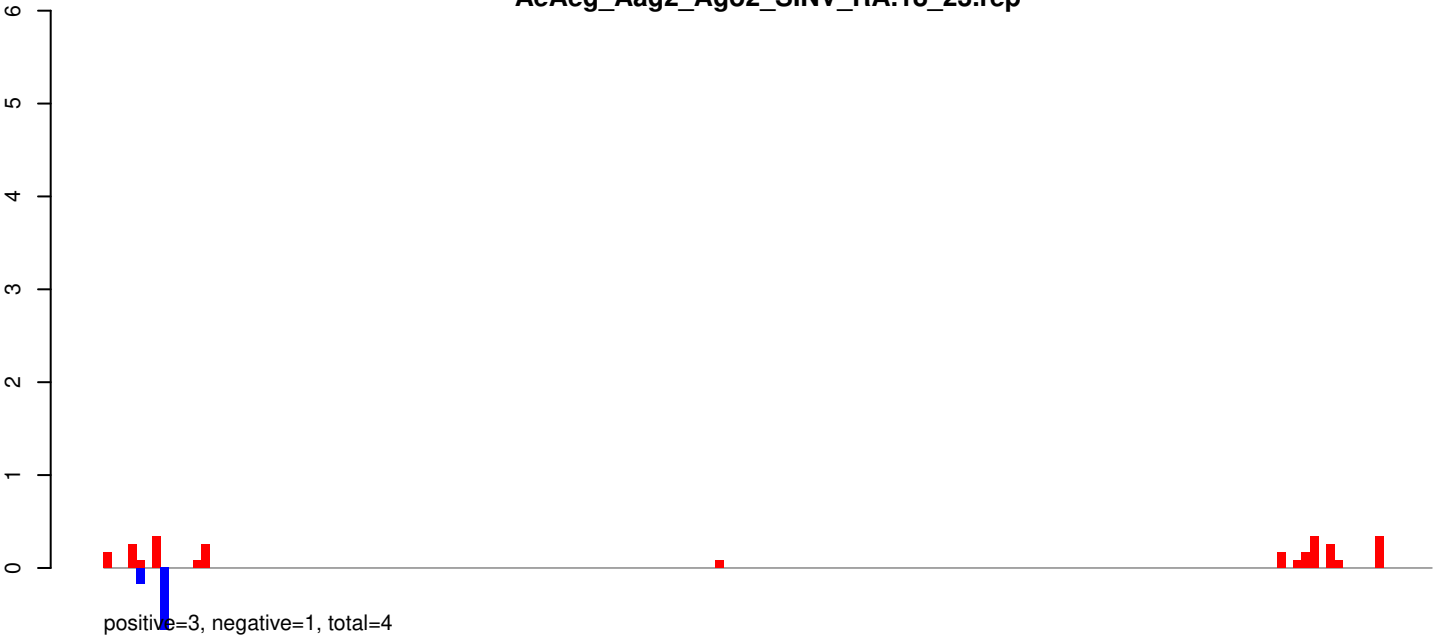


AeAeg_Aag2_Ago2_SINV_RA.rep

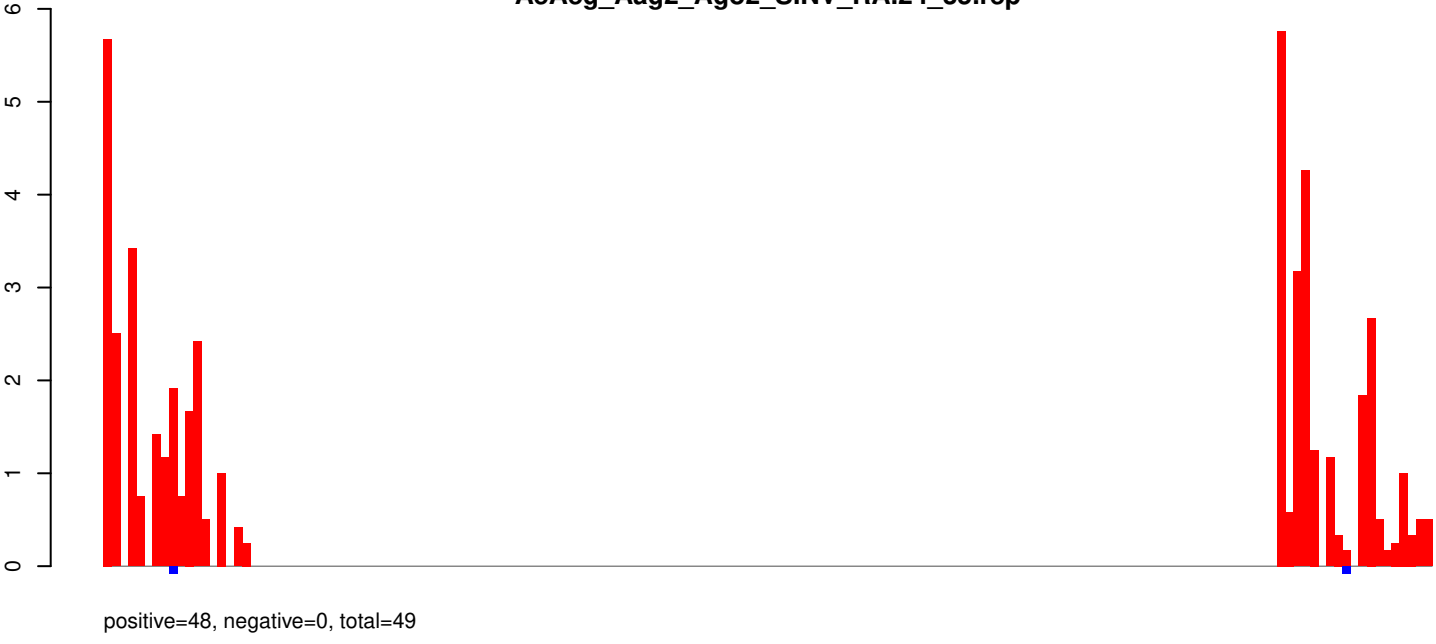


Window size=25, length=1298, TE@TF000898-ITmD37E_Ele7:1-1298

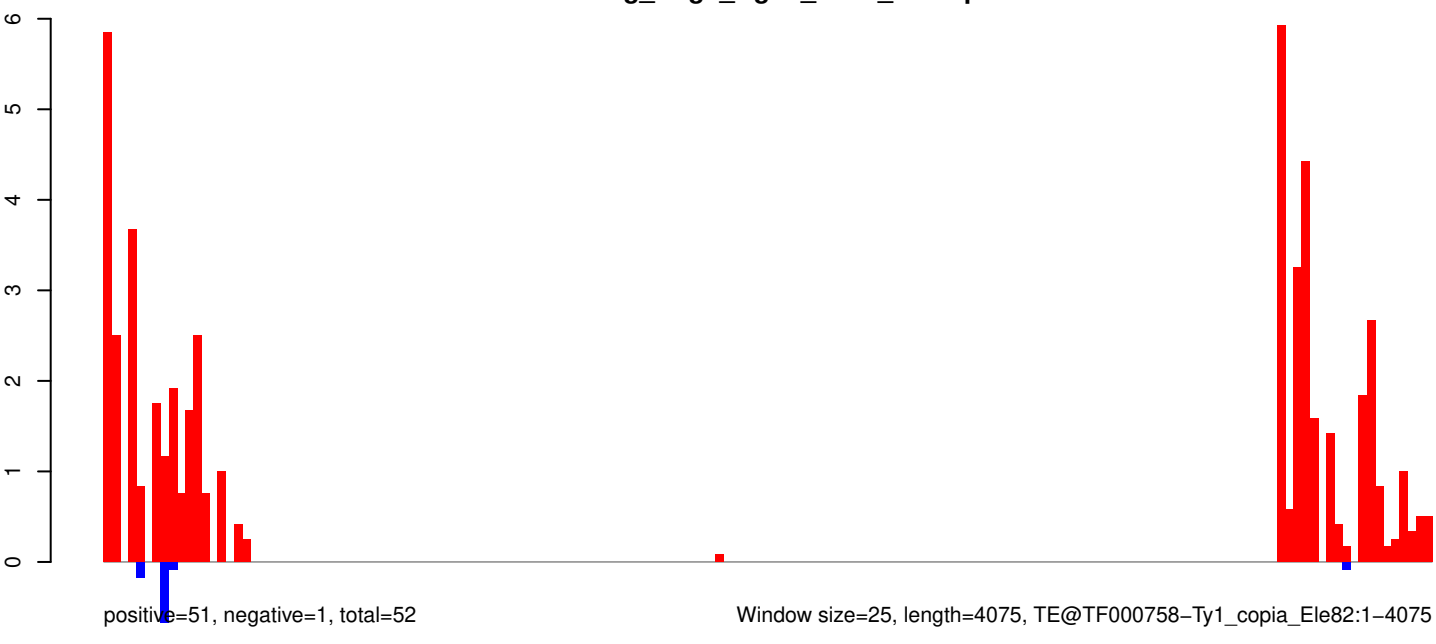
AeAeg_Aag2_Ago2_SINV_RA.18_23.rep



AeAeg_Aag2_Ago2_SINV_RA.24_35.rep



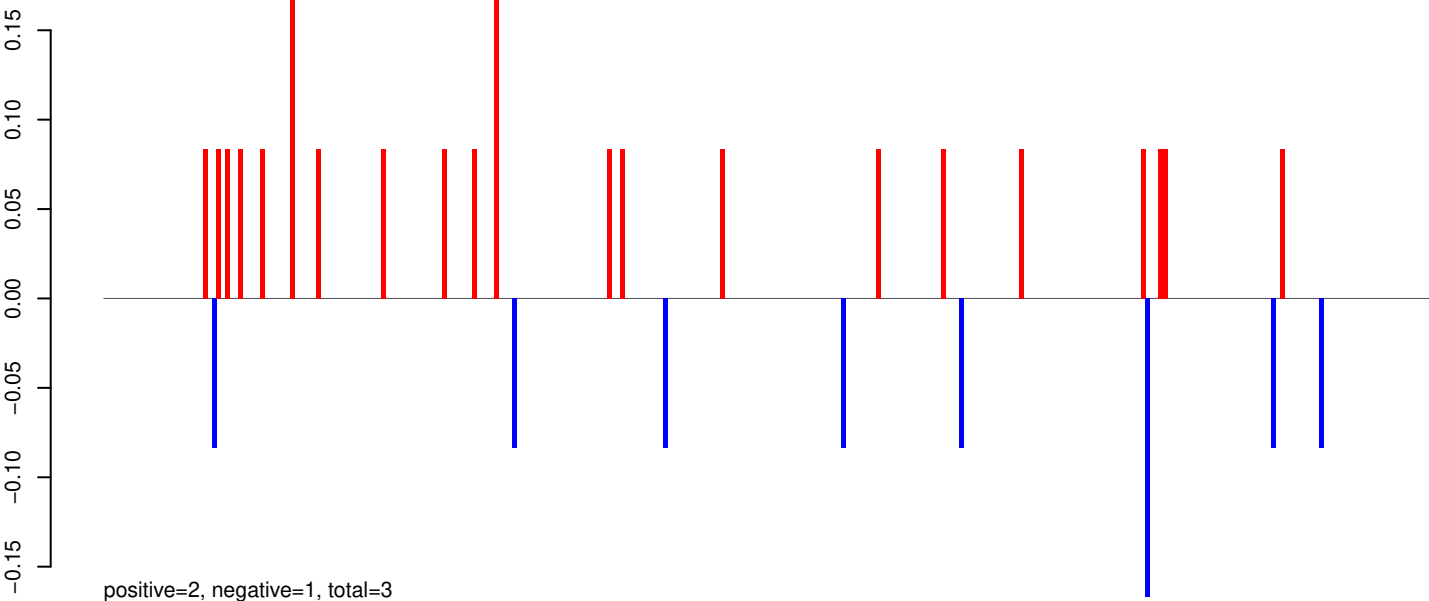
AeAeg_Aag2_Ago2_SINV_RA.rep



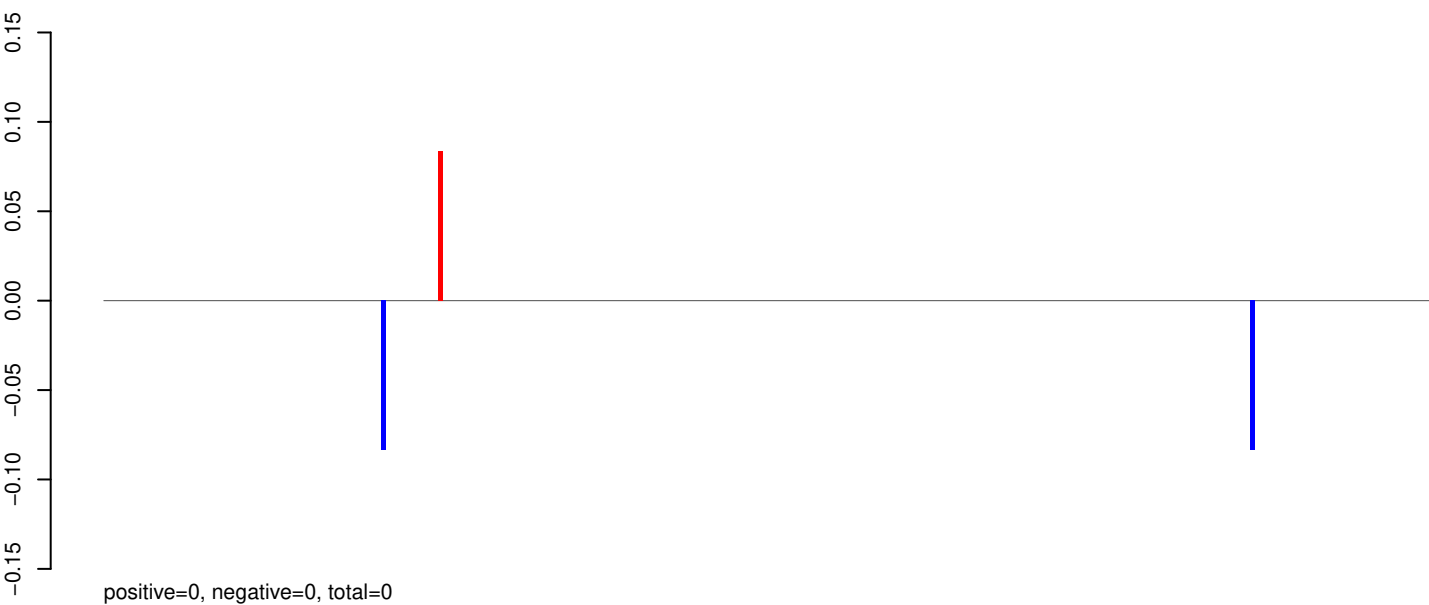
Window size=25, length=4075, TE@TF000758-Ty1_copia_Ele82:1-4075

0 1000 2000 3000 4000

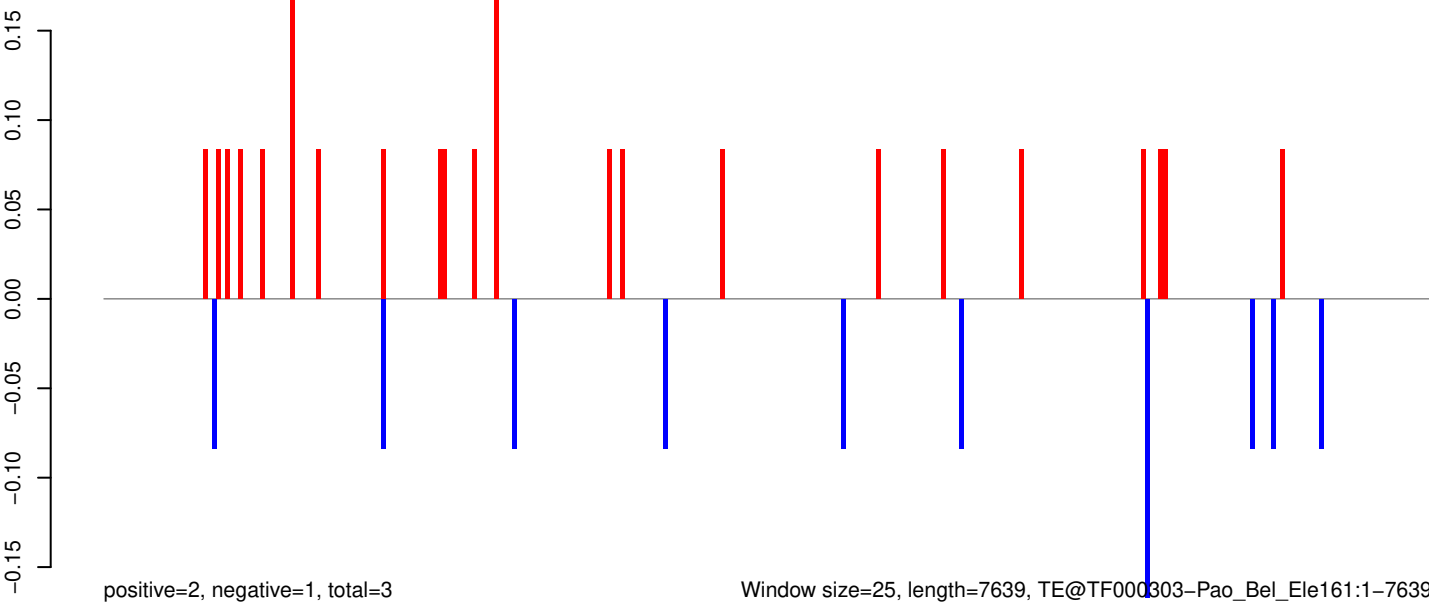
AeAeg_Aag2_Ago2_SINV_RA.18_23.rep



AeAeg_Aag2_Ago2_SINV_RA.24_35.rep

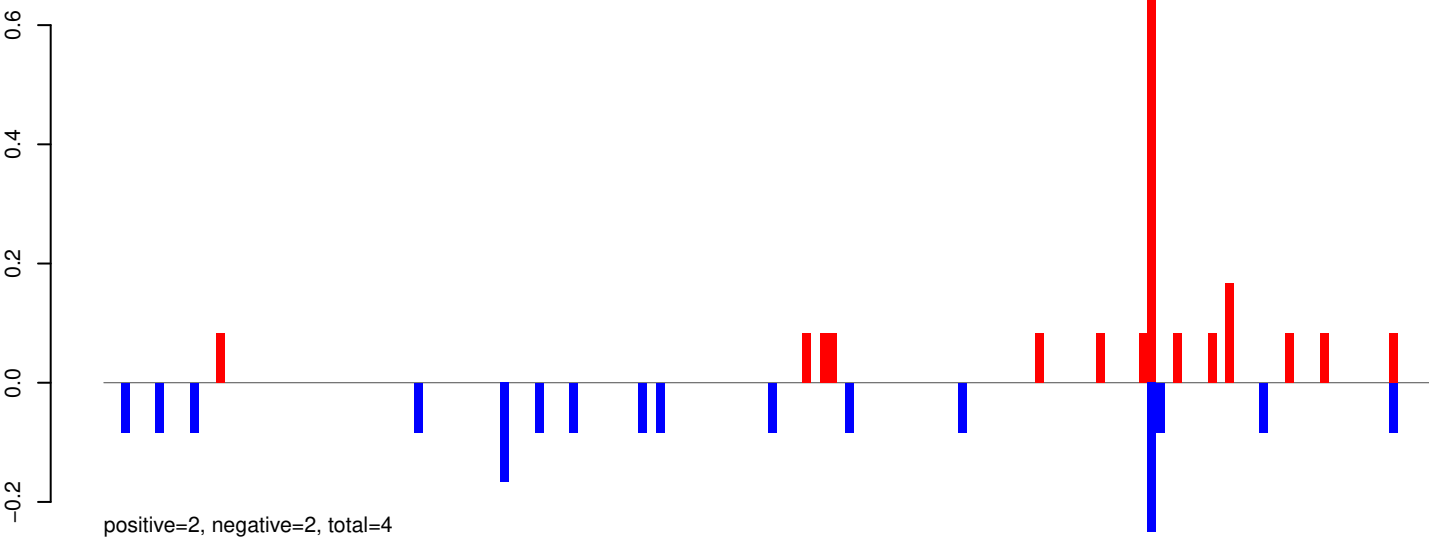


AeAeg_Aag2_Ago2_SINV_RA.rep

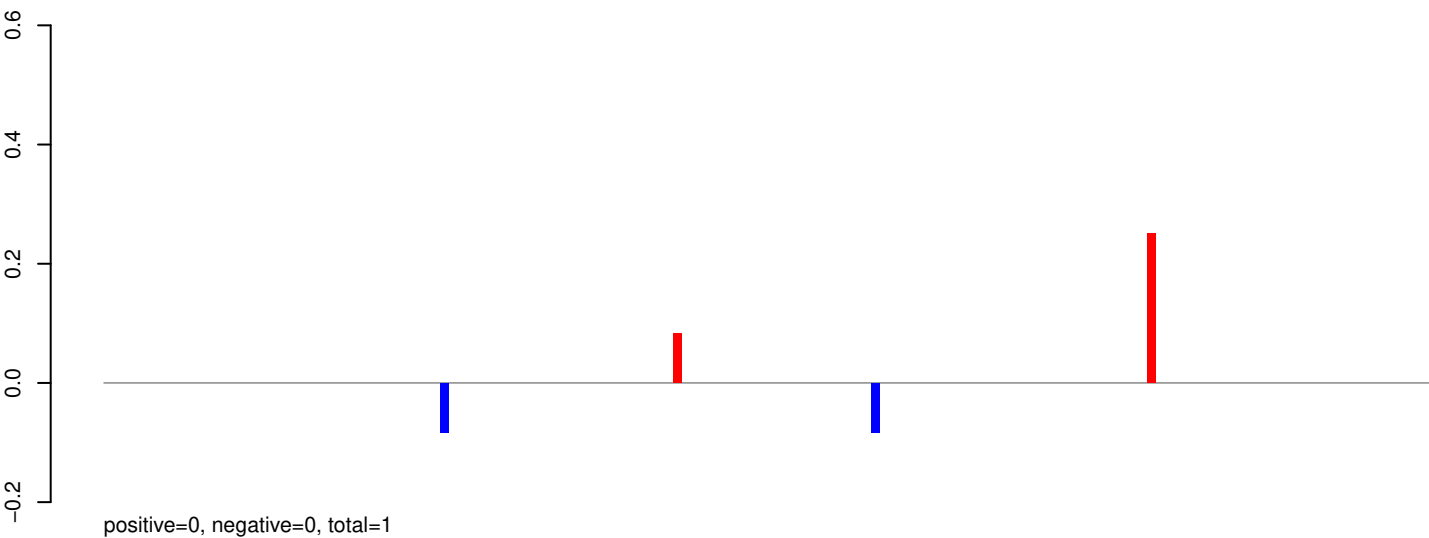


0 2000 4000 6000

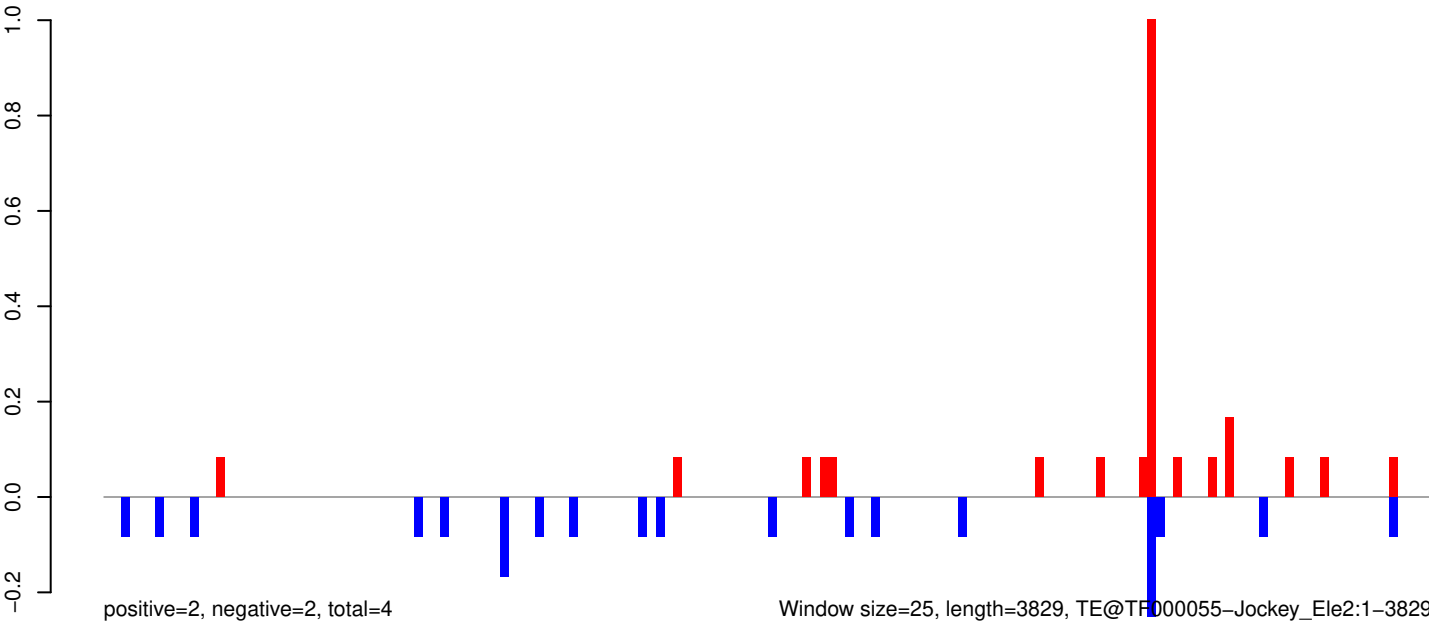
AeAeg_Aag2_Ago2_SINV_RA.18_23.rep



AeAeg_Aag2_Ago2_SINV_RA.24_35.rep

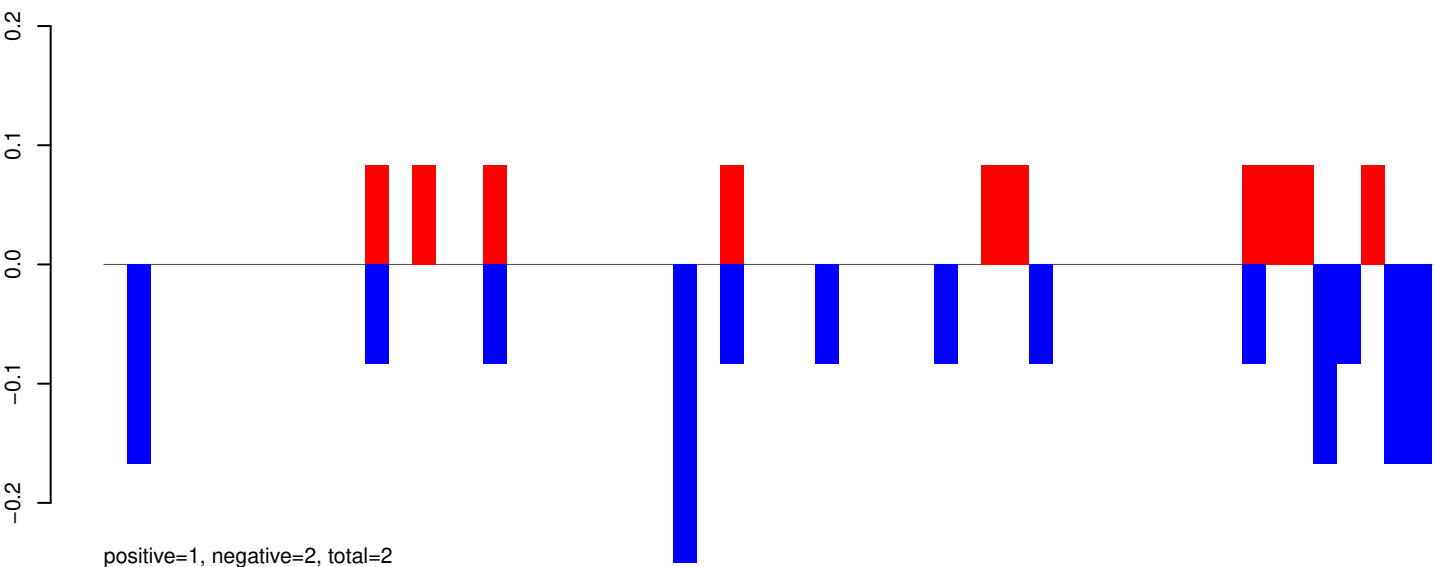


AeAeg_Aag2_Ago2_SINV_RA.rep

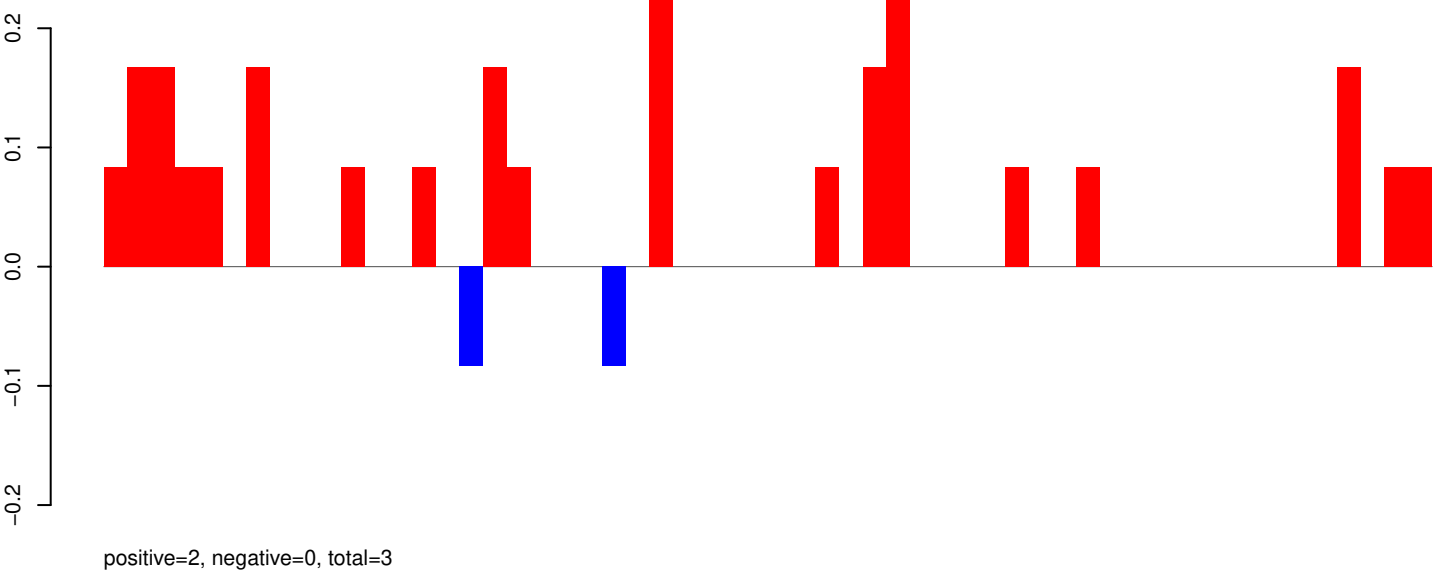


0 1000 2000 3000 4000

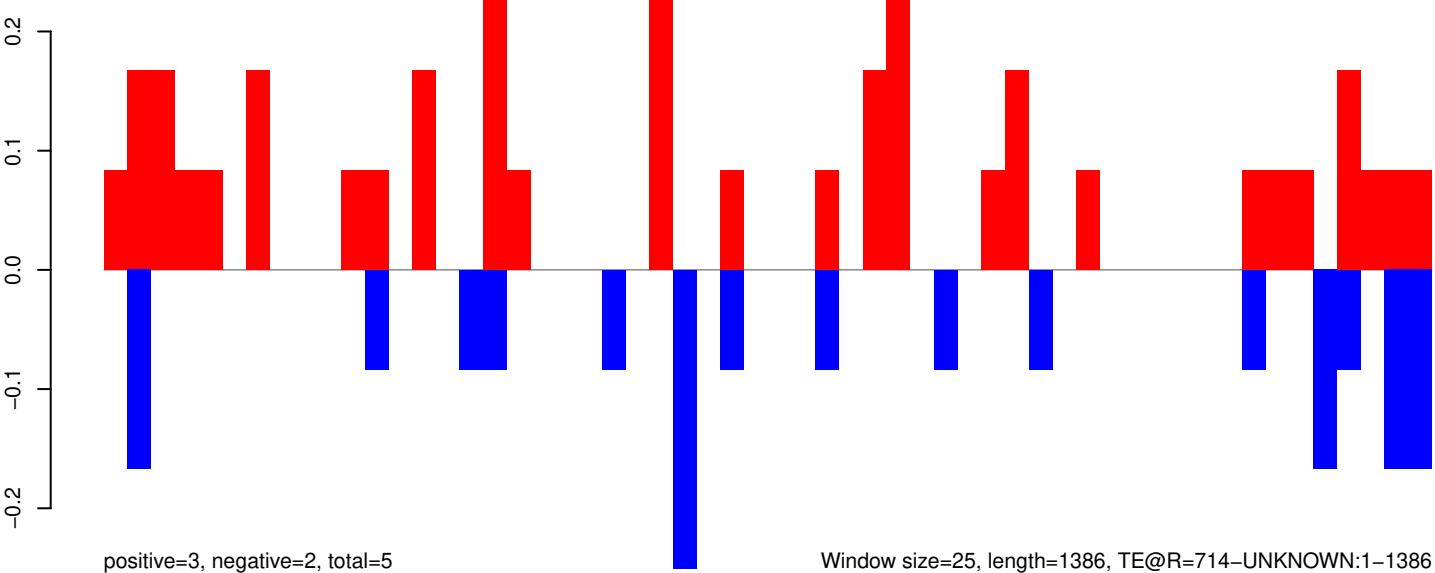
AeAeg_Aag2_Ago2_SINV_RA.18_23.rep



AeAeg_Aag2_Ago2_SINV_RA.24_35.rep

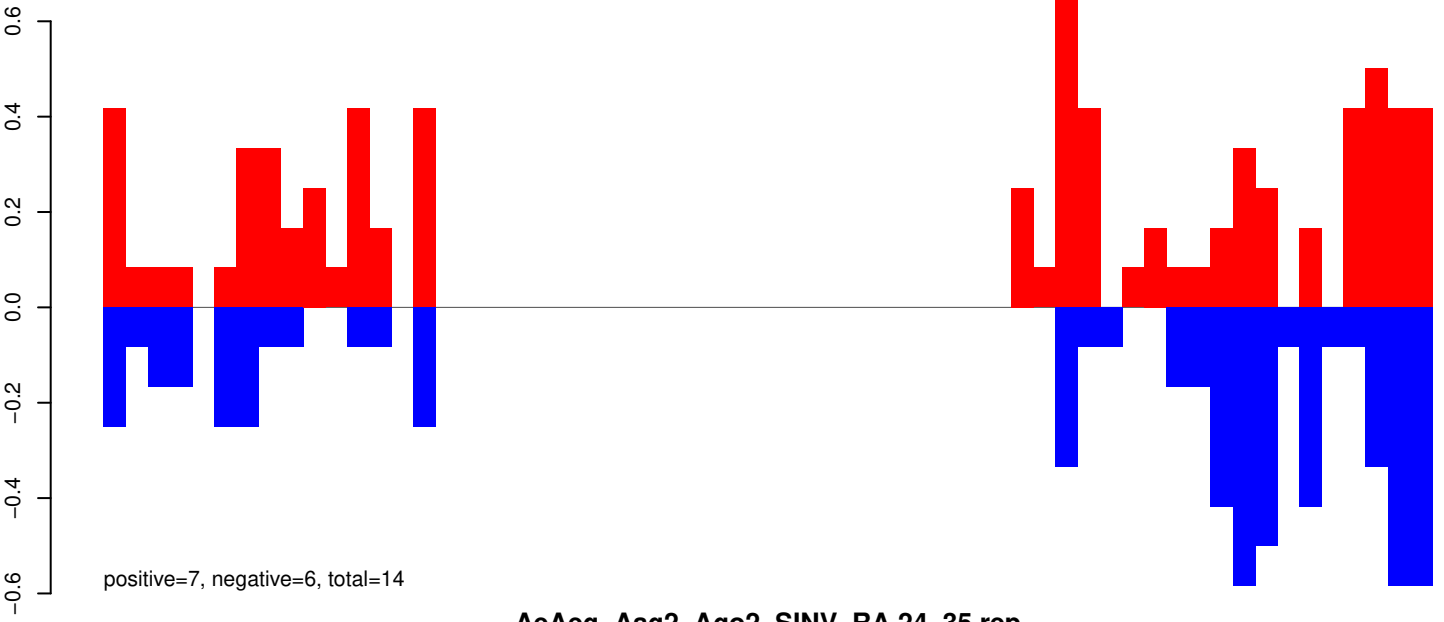


AeAeg_Aag2_Ago2_SINV_RA.rep

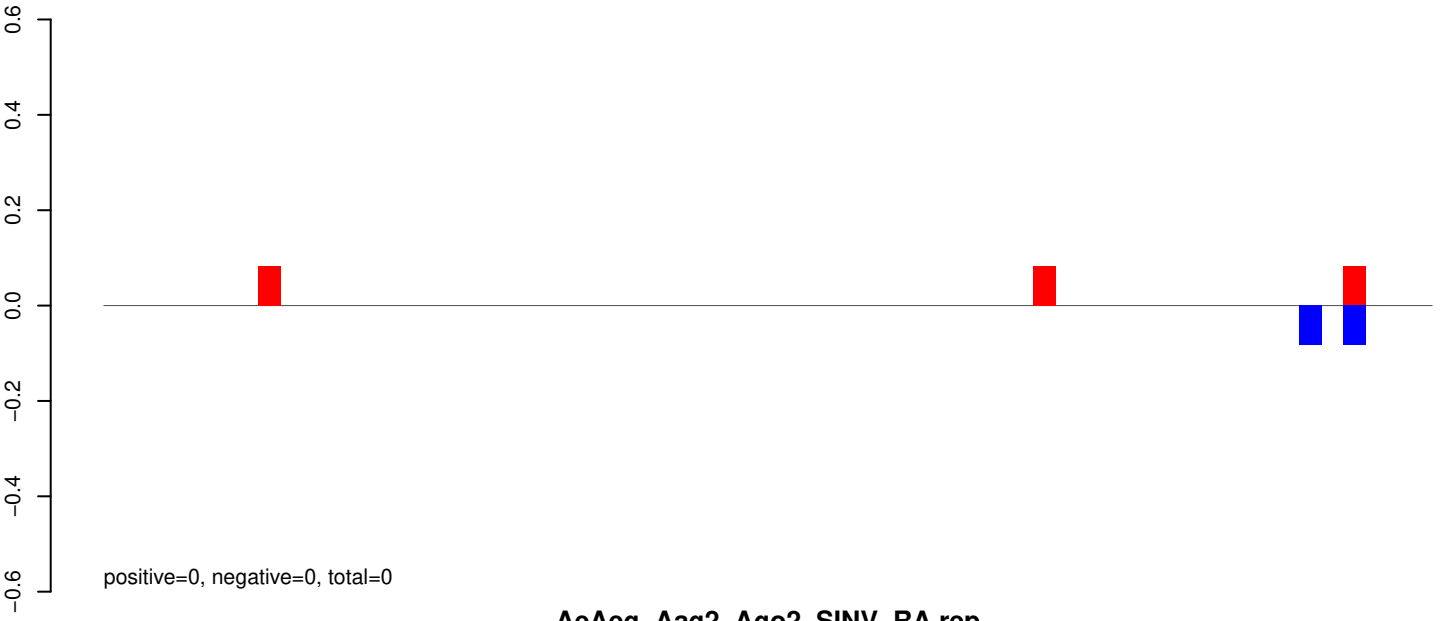


Window size=25, length=1386, TE@R=714-UNKNOWN:1-1386

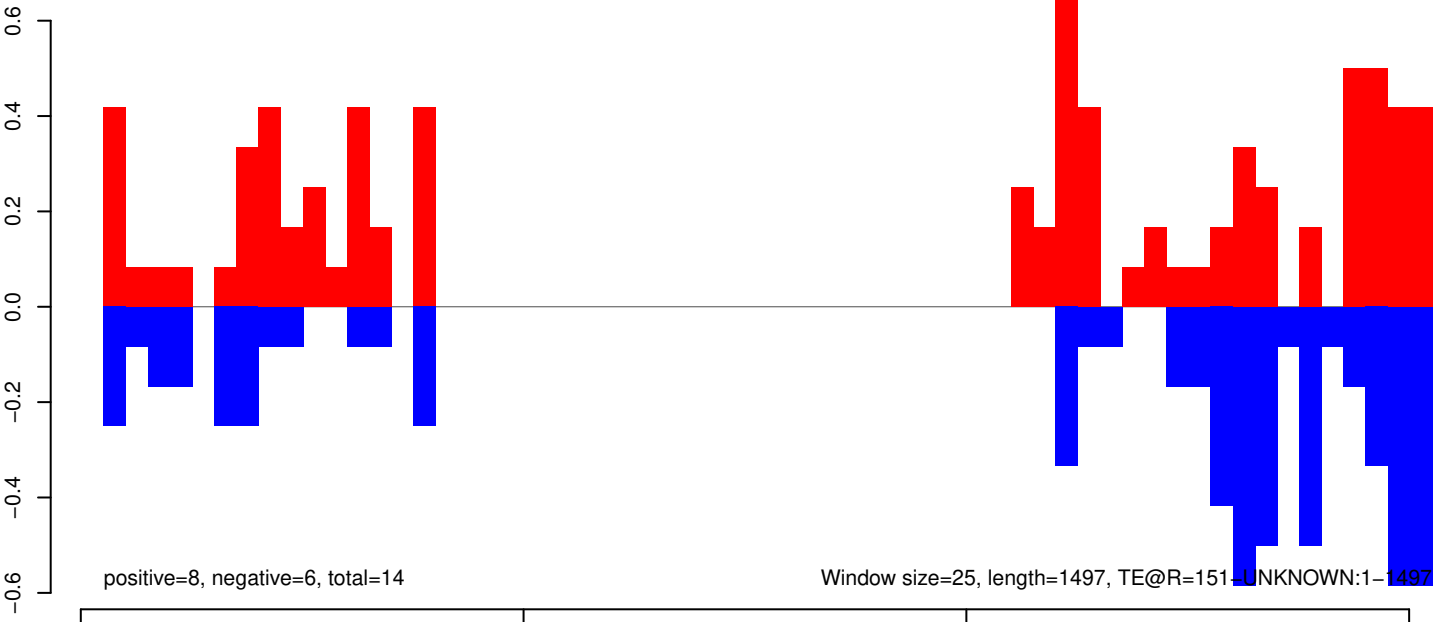
AeAeg_Aag2_Ago2_SINV_RA.18_23.rep



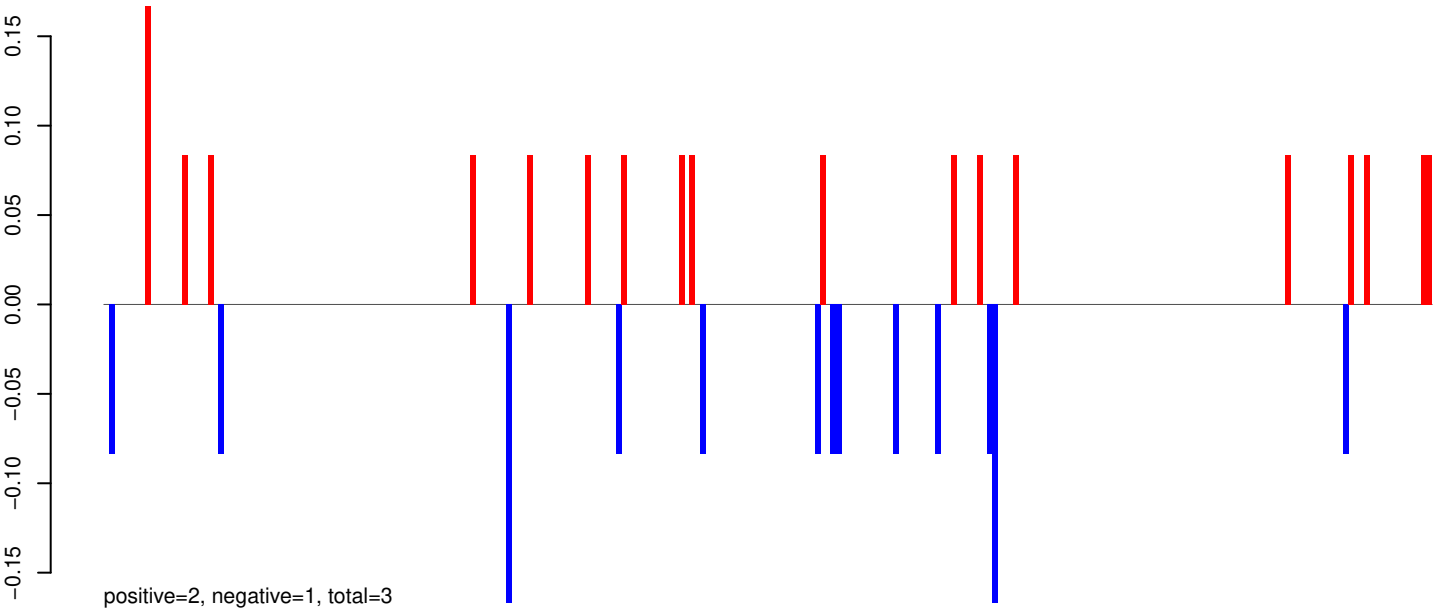
AeAeg_Aag2_Ago2_SINV_RA.24_35.rep



AeAeg_Aag2_Ago2_SINV_RA.rep



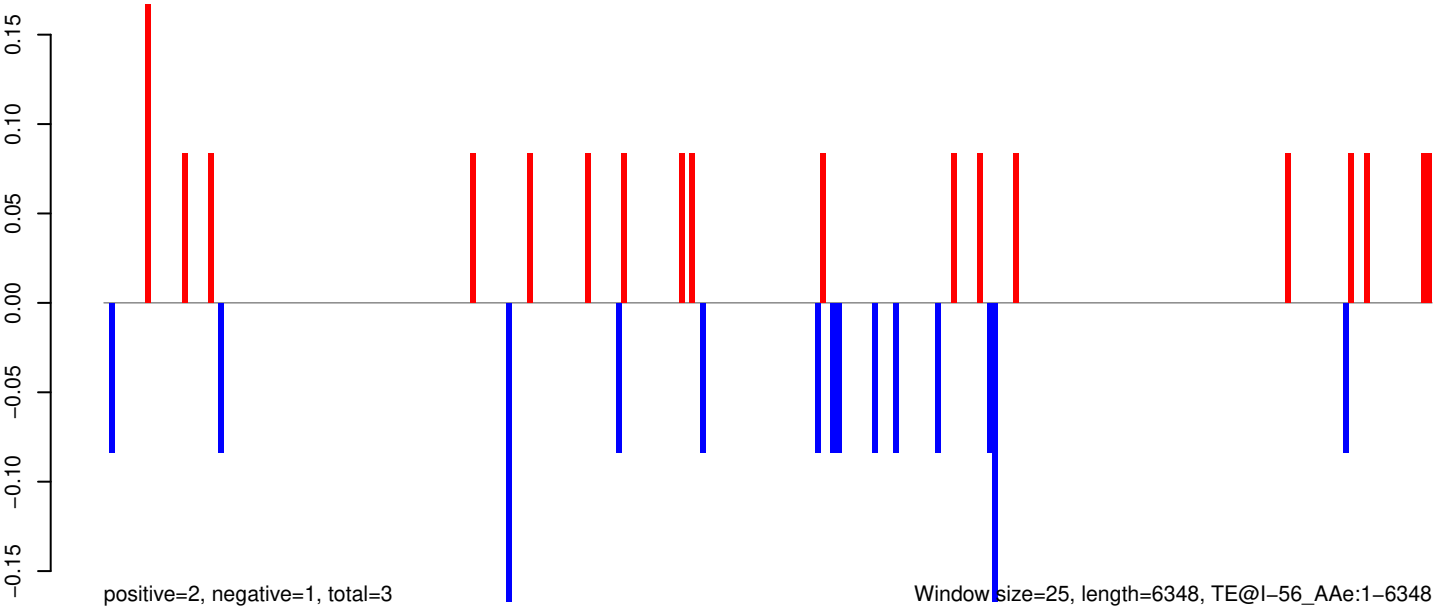
AeAeg_Aag2_Ago2_SINV_RA.18_23.rep



AeAeg_Aag2_Ago2_SINV_RA.24_35.rep

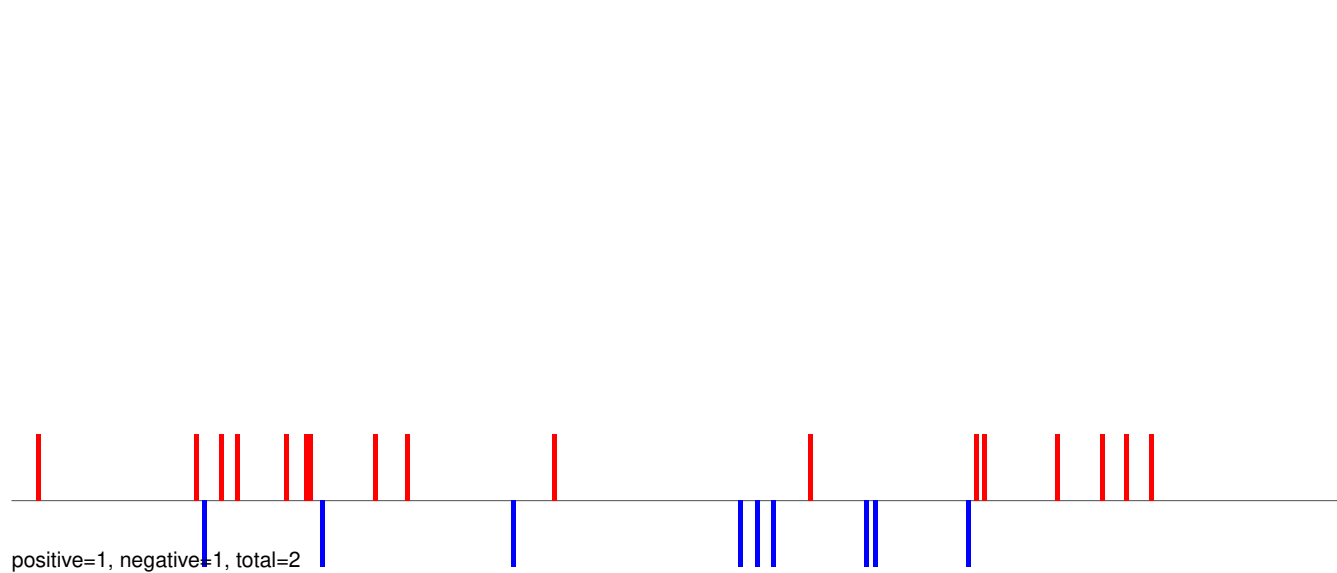


AeAeg_Aag2_Ago2_SINV_RA.rep

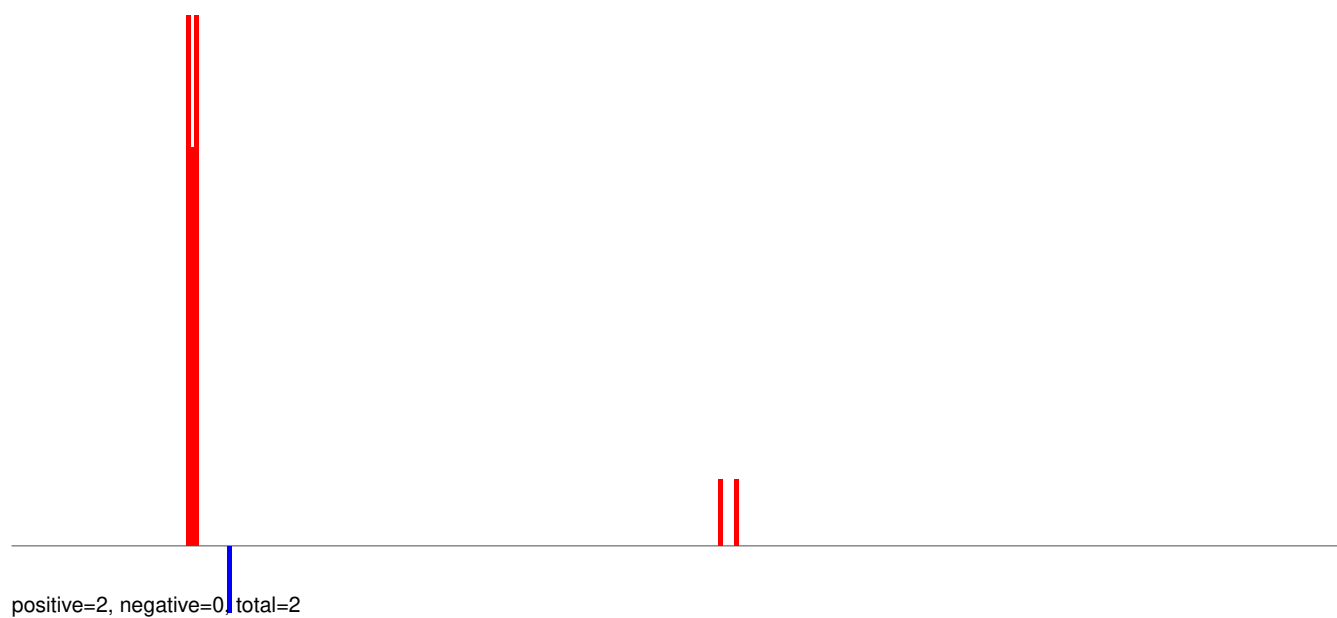


0 1000 2000 3000 4000 5000 6000

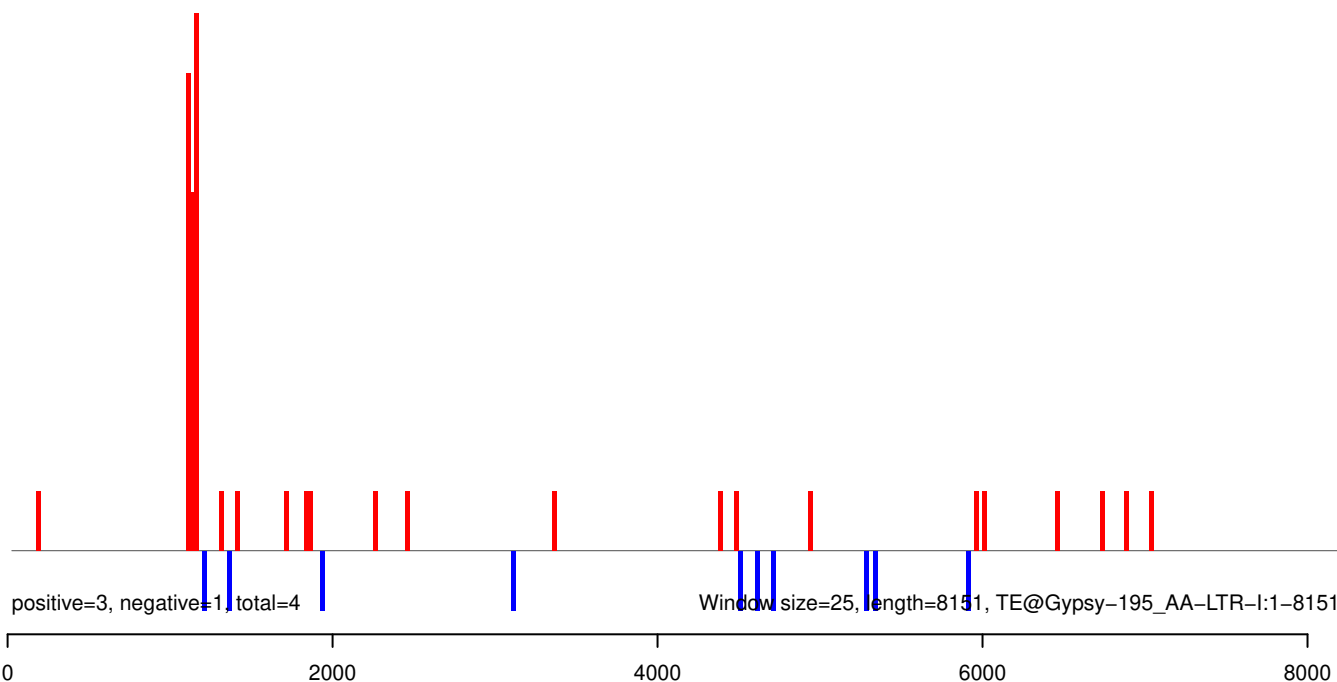
AeAeg_Aag2_Ago2_SINV_RA.18_23.rep



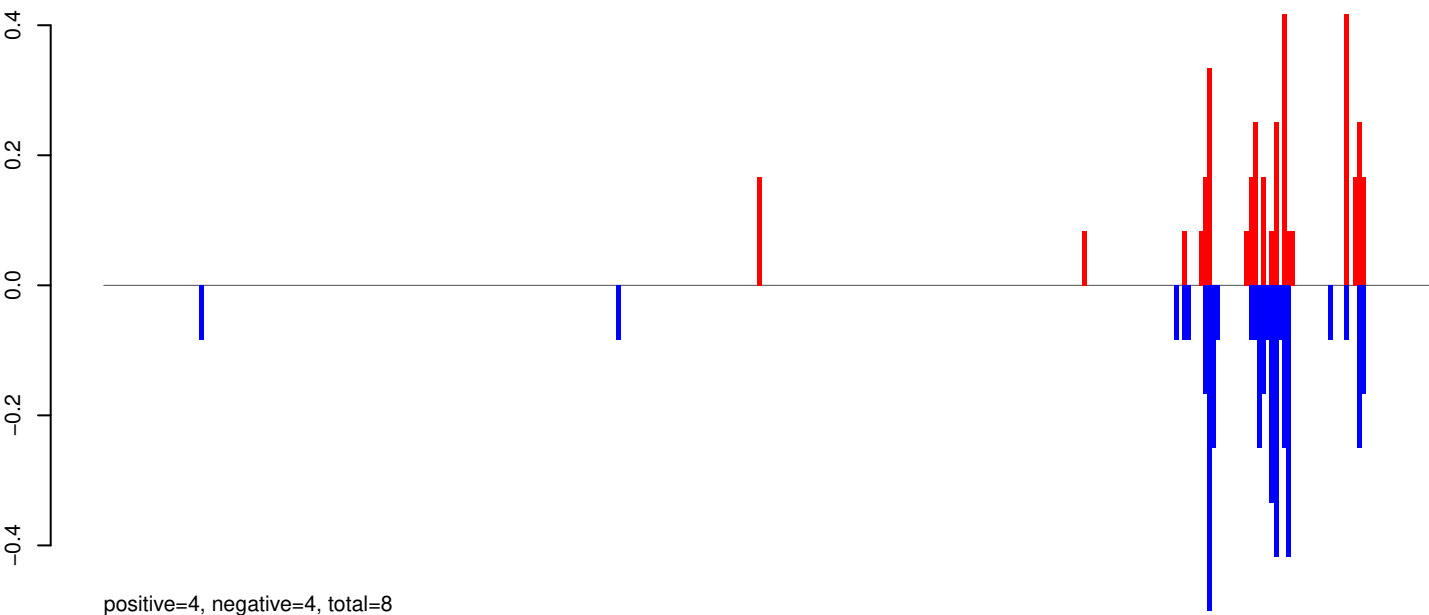
AeAeg_Aag2_Ago2_SINV_RA.24_35.rep



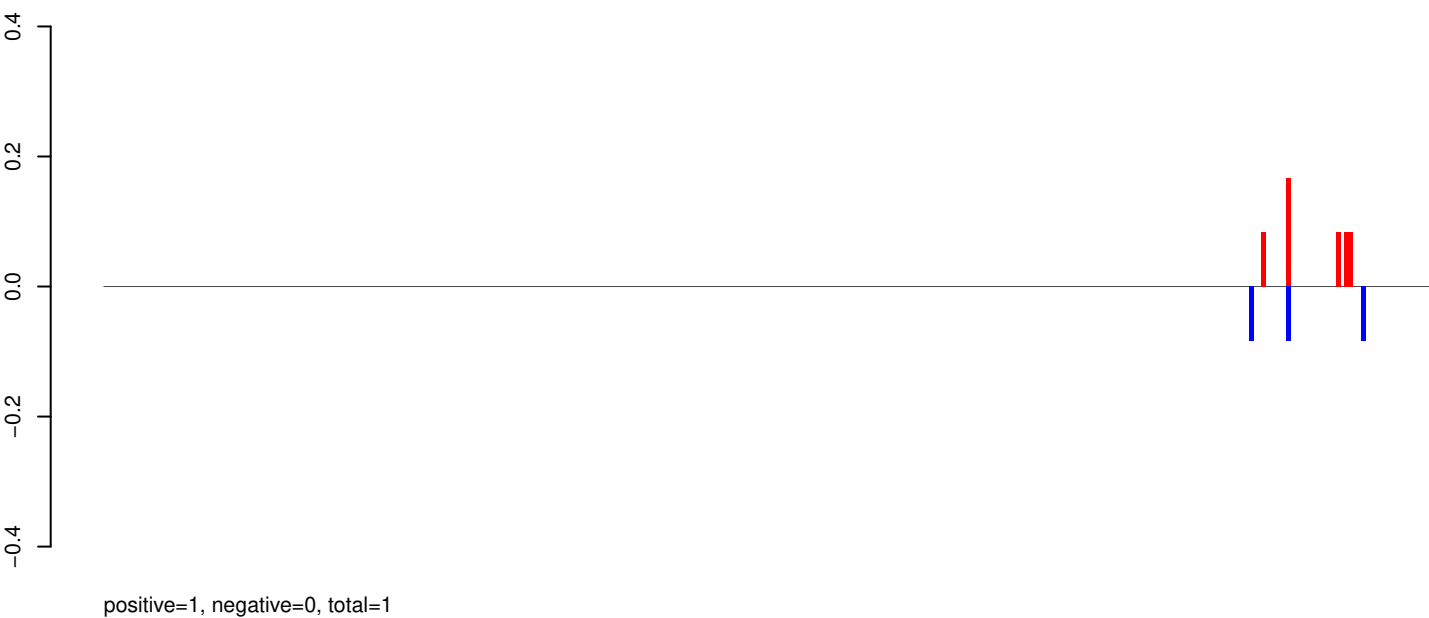
AeAeg_Aag2_Ago2_SINV_RA.rep



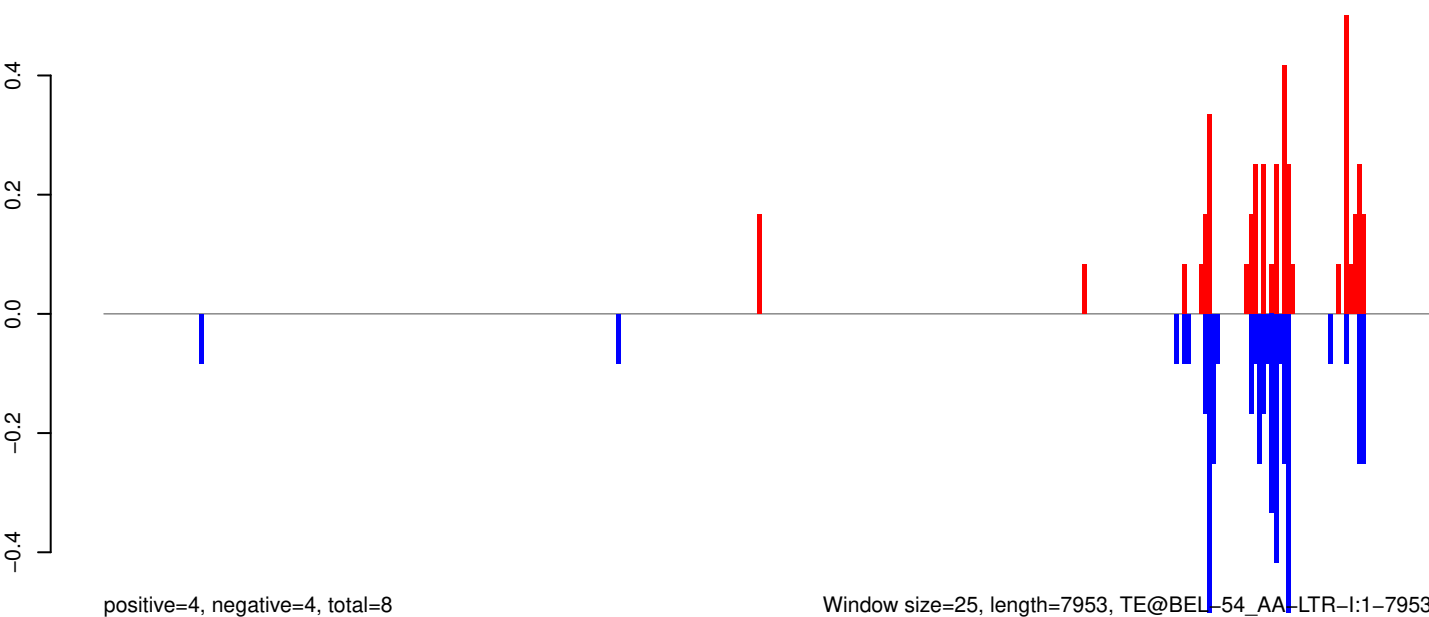
AeAeg_Aag2_Ago2_SINV_RA.18_23.rep



AeAeg_Aag2_Ago2_SINV_RA.24_35.rep

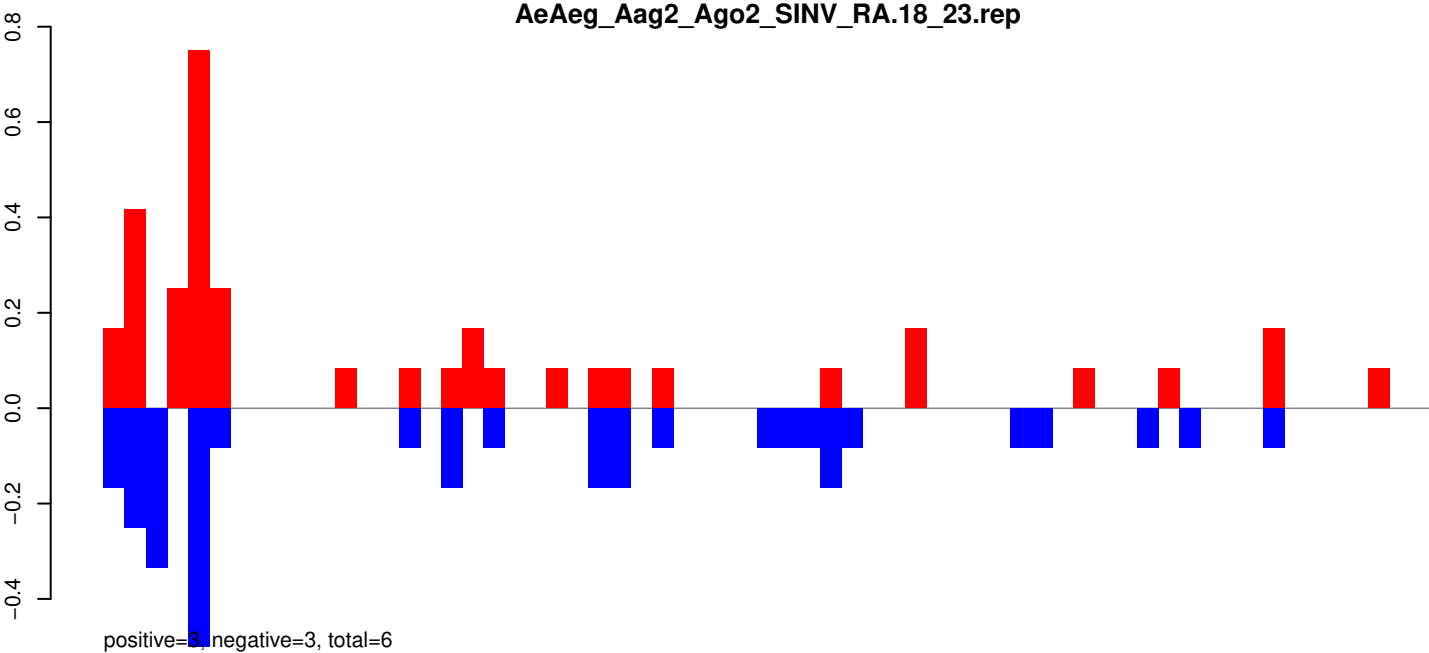


AeAeg_Aag2_Ago2_SINV_RA.rep

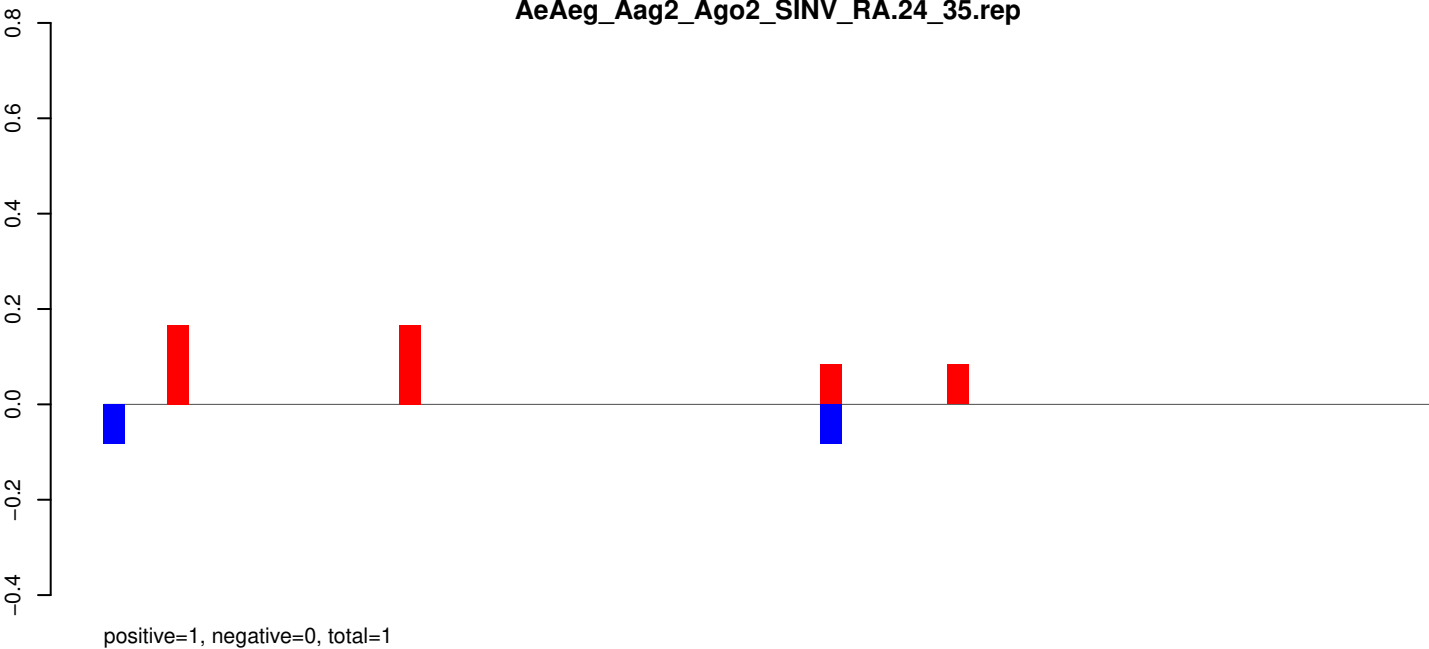


Window size=25, length=7953, TE@BEL-54_AA-LTR-I:1-7953

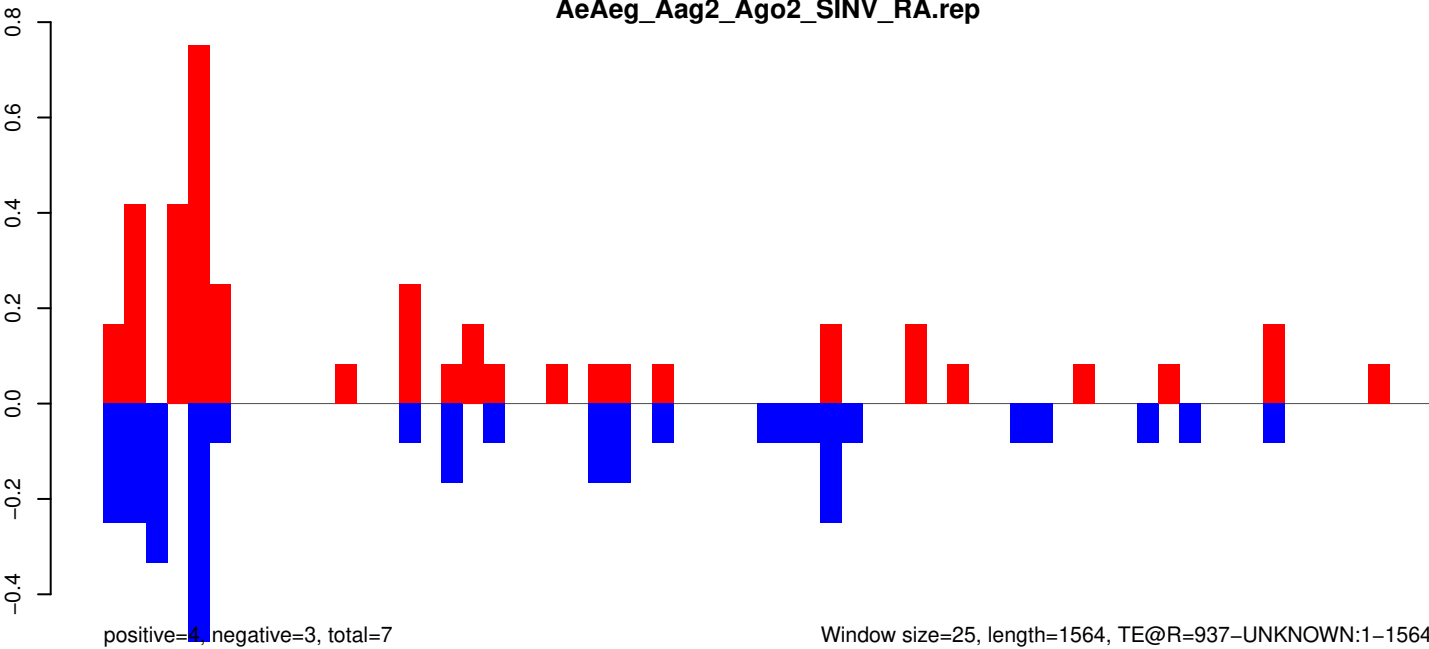
AeAeg_Aag2_Ago2_SINV_RA.18_23.rep



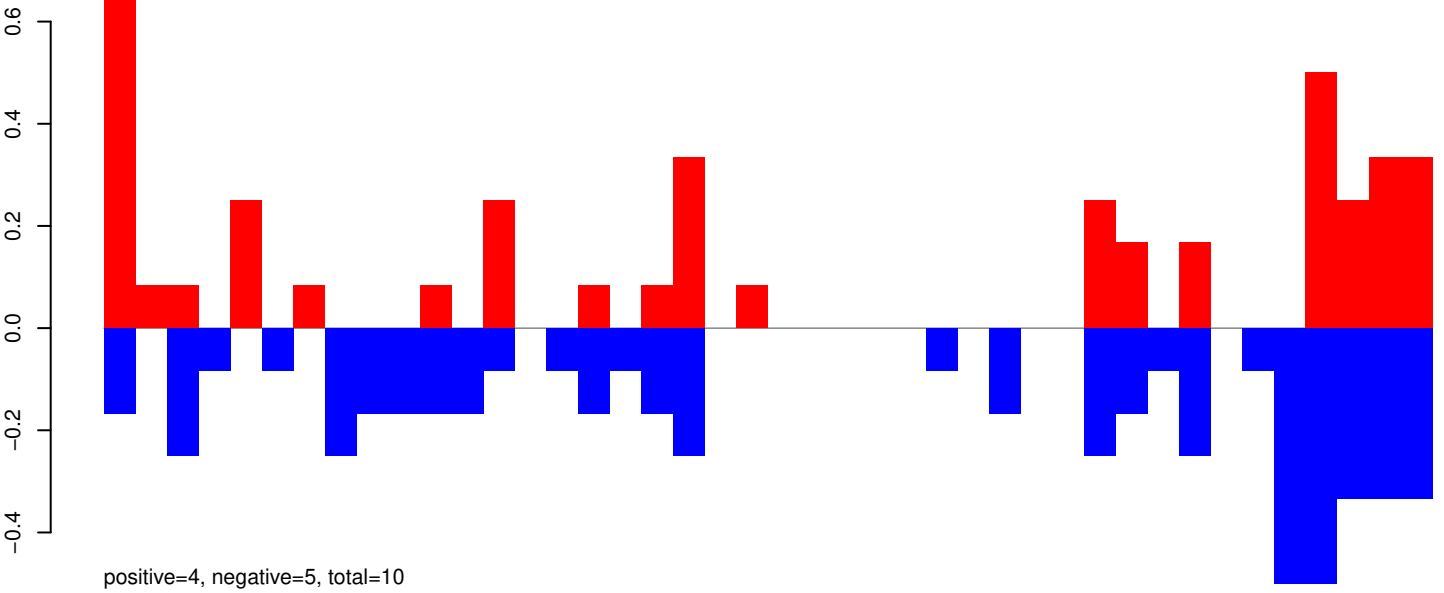
AeAeg_Aag2_Ago2_SINV_RA.24_35.rep



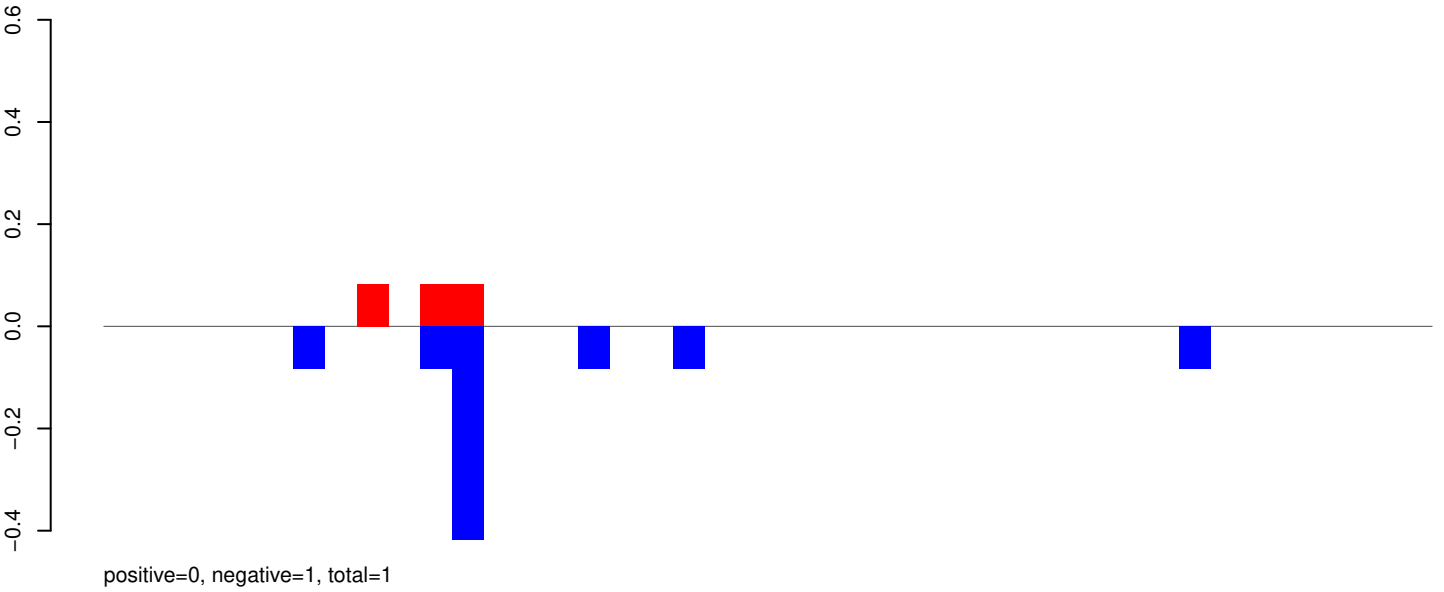
AeAeg_Aag2_Ago2_SINV_RA.rep



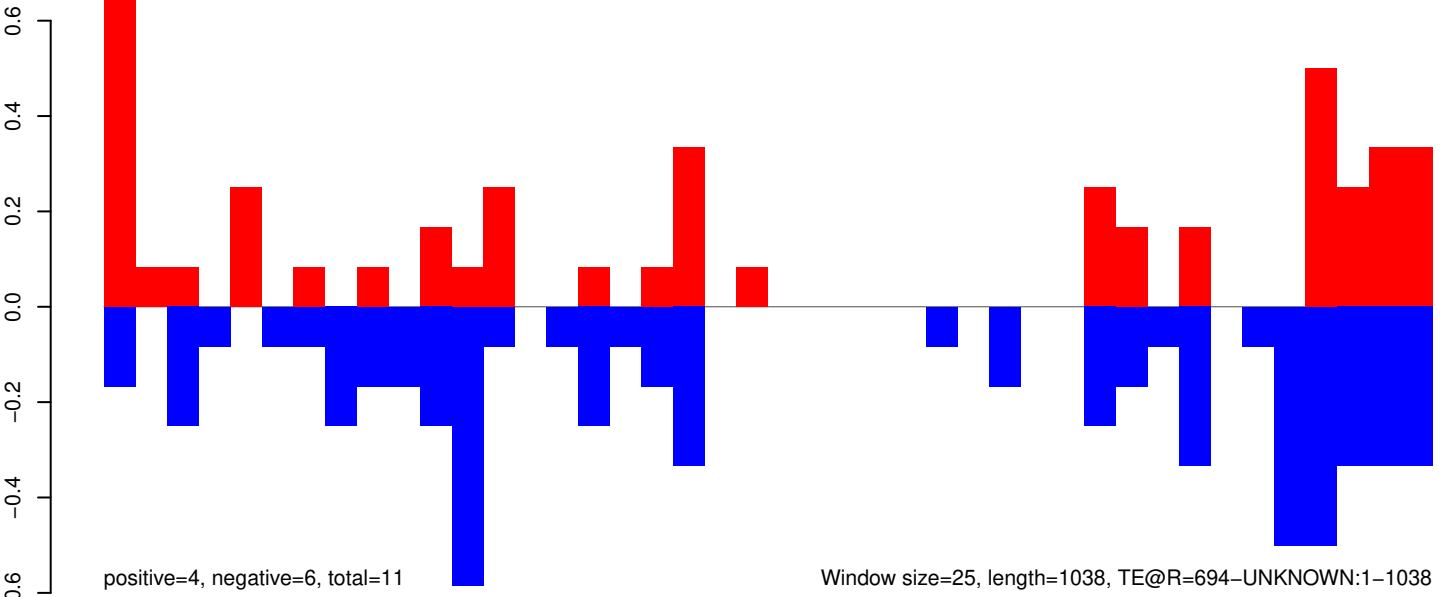
AeAeg_Aag2_Ago2_SINV_RA.18_23.rep



AeAeg_Aag2_Ago2_SINV_RA.24_35.rep

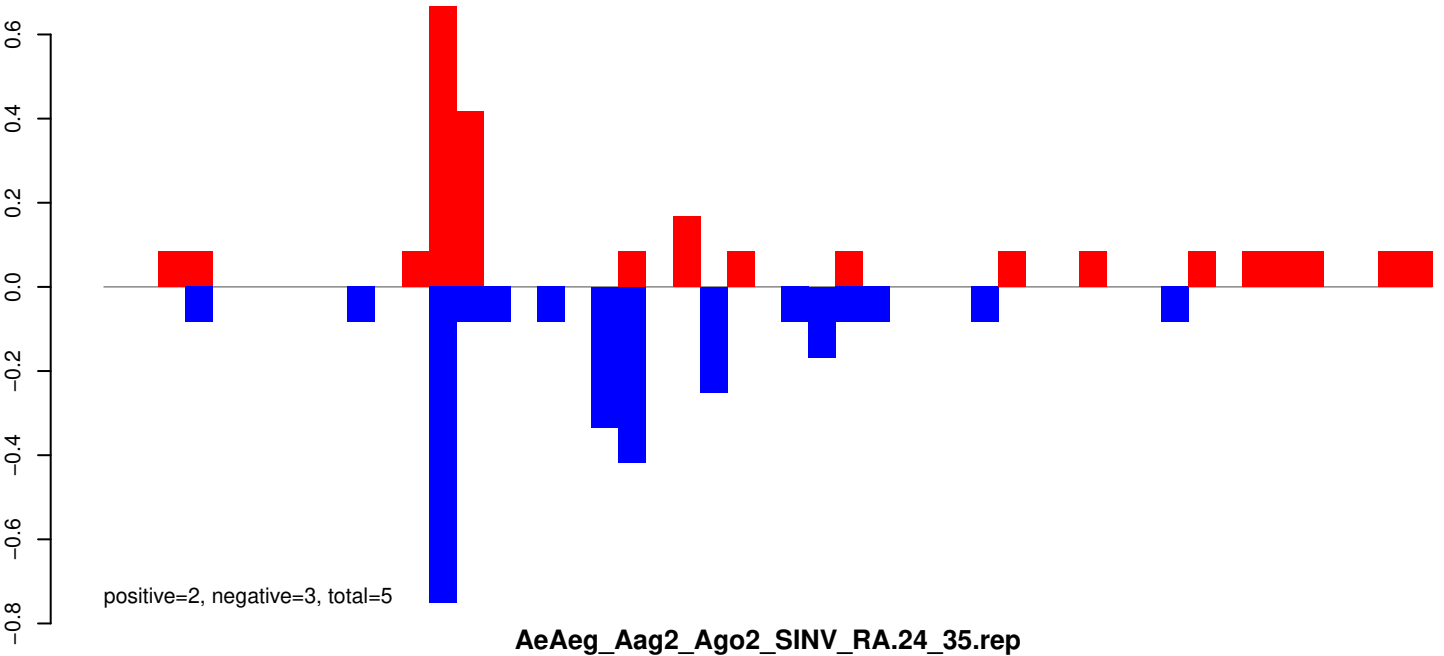


AeAeg_Aag2_Ago2_SINV_RA.rep

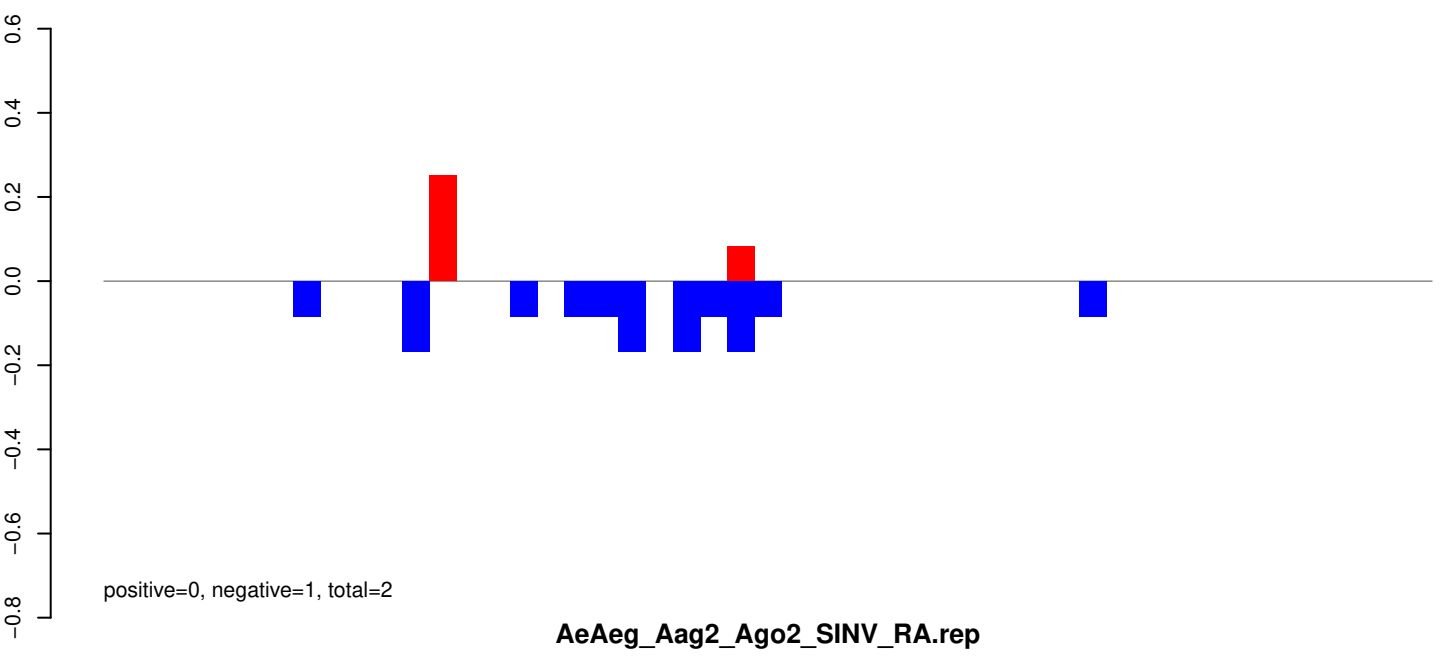


Window size=25, length=1038, TE@R=694-UNKNOWN:1-1038

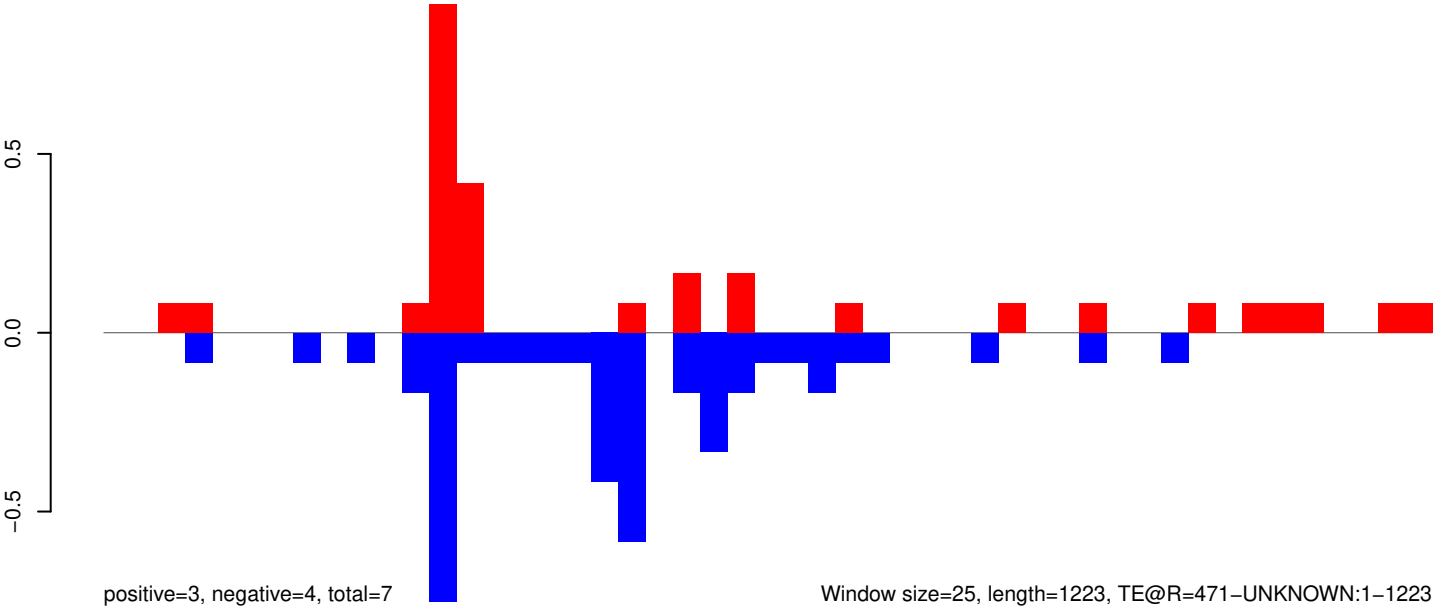
AeAeg_Aag2_Ago2_SINV_RA.18_23.rep



AeAeg_Aag2_Ago2_SINV_RA.24_35.rep

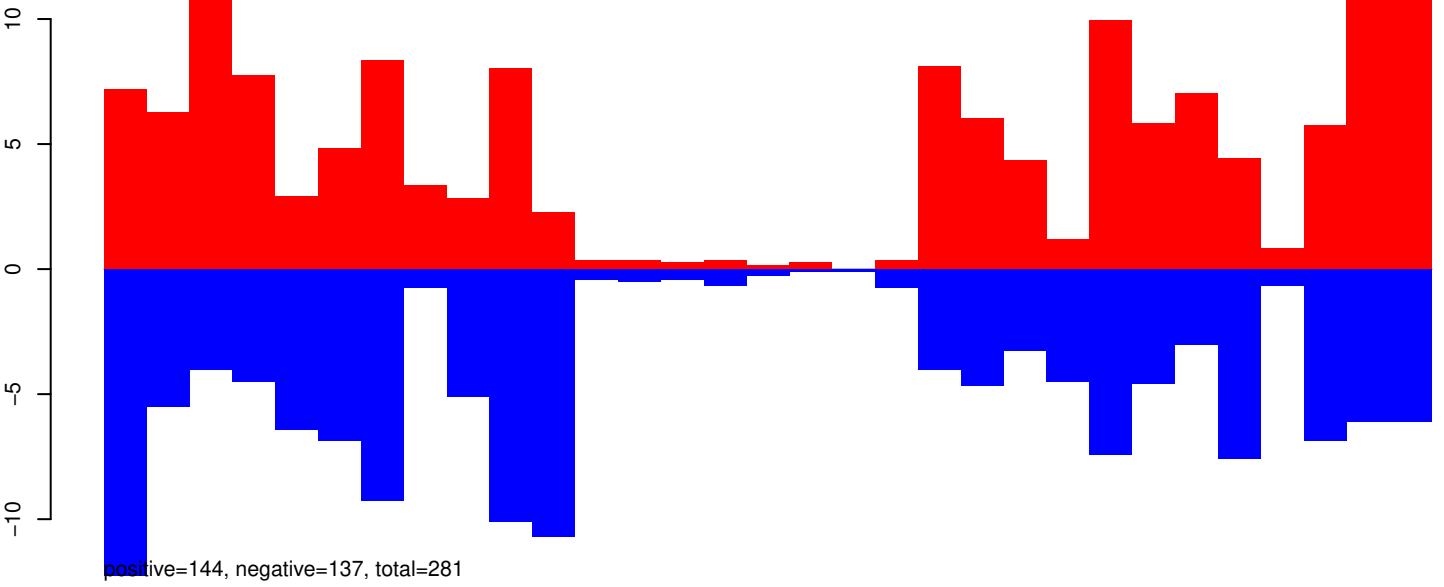


AeAeg_Aag2_Ago2_SINV_RA.rep

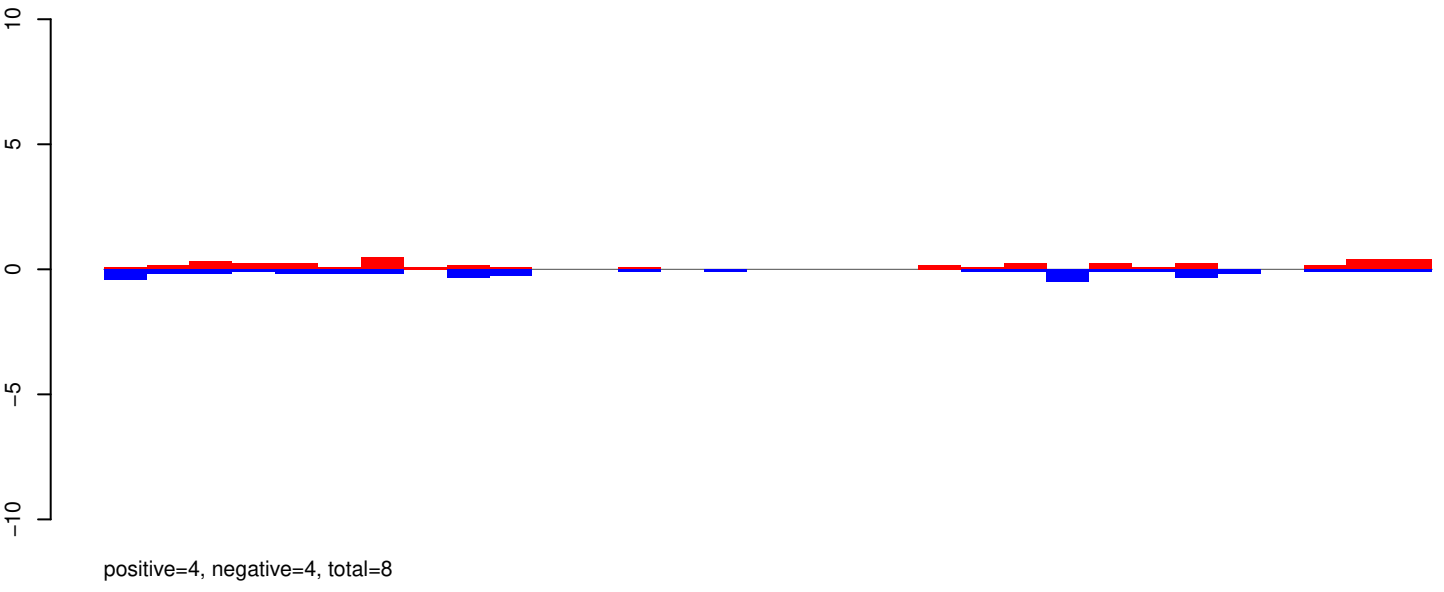


Window size=25, length=1223, TE@R=471-UNKNOWN:1-1223

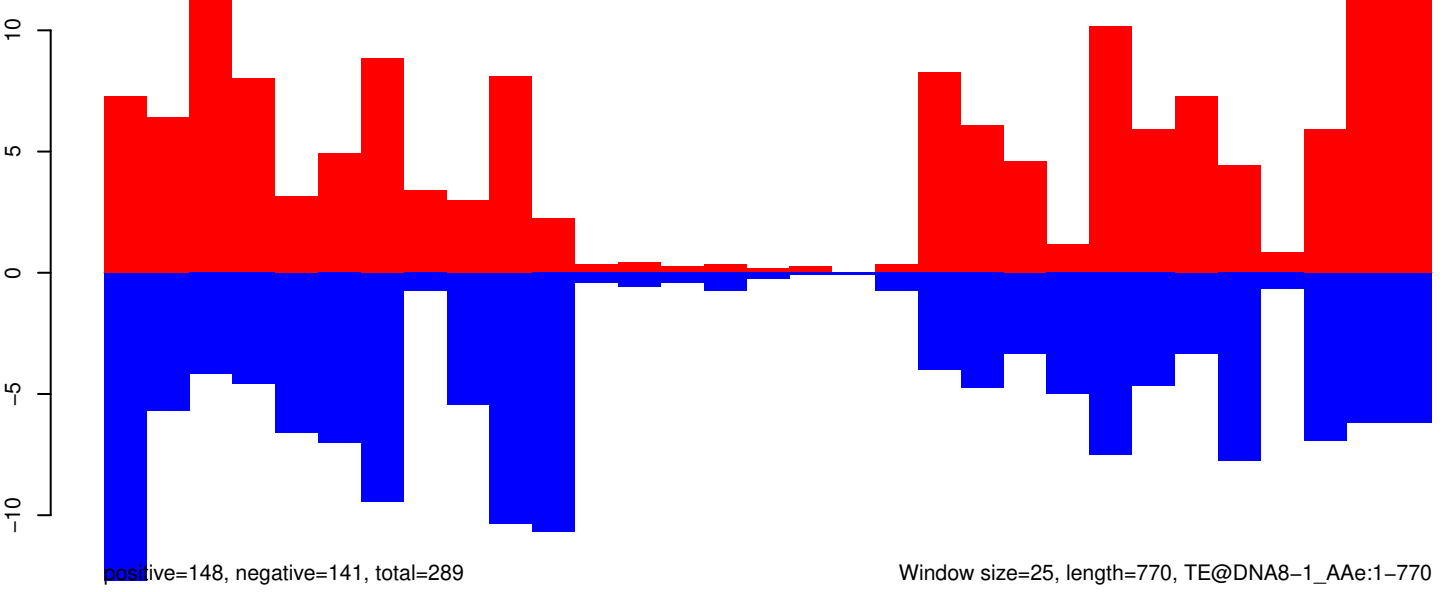
AeAeg_Aag2_Ago2_SINV_RA.18_23.rep



AeAeg_Aag2_Ago2_SINV_RA.24_35.rep

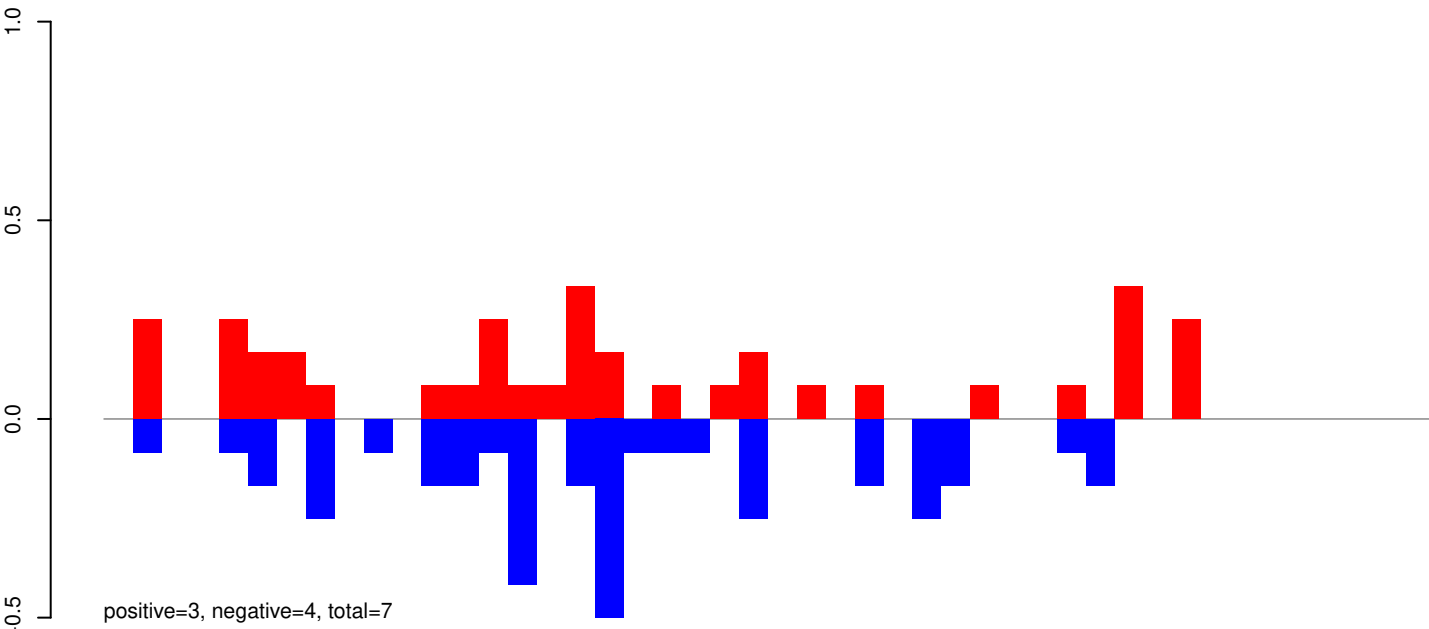


AeAeg_Aag2_Ago2_SINV_RA.rep

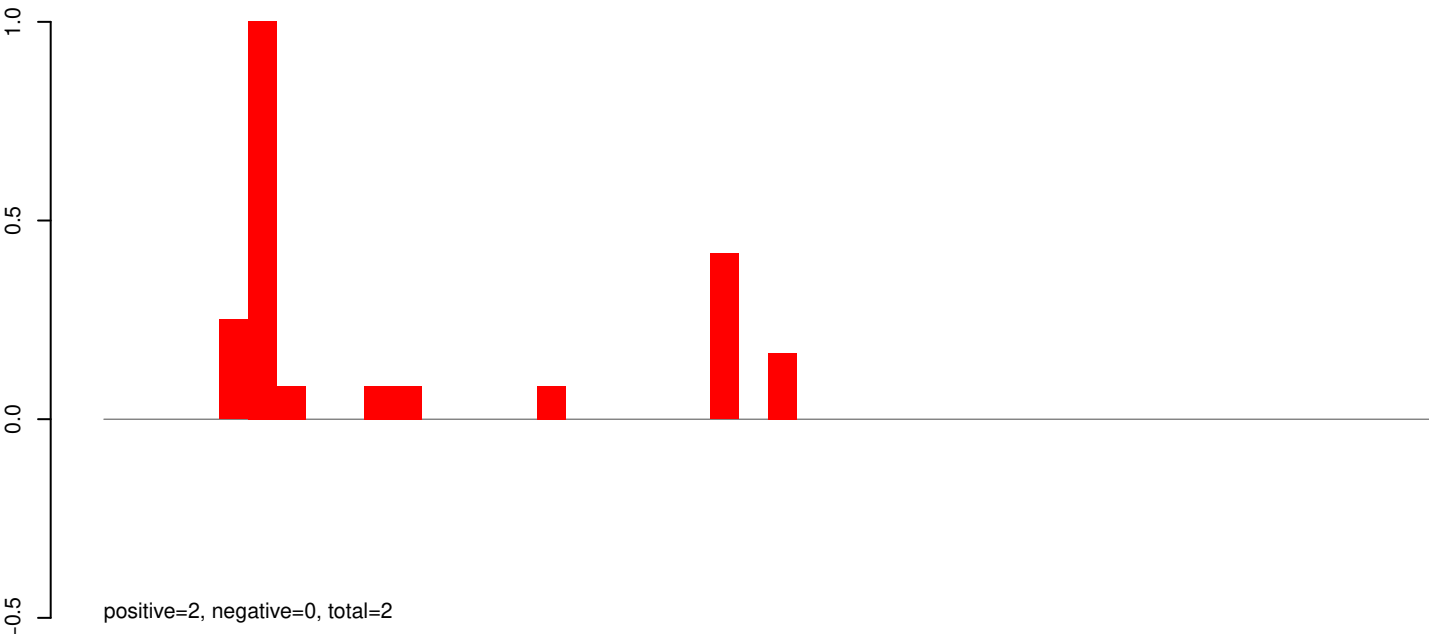


Window size=25, length=770, TE@DNA8-1_AAe:1-770

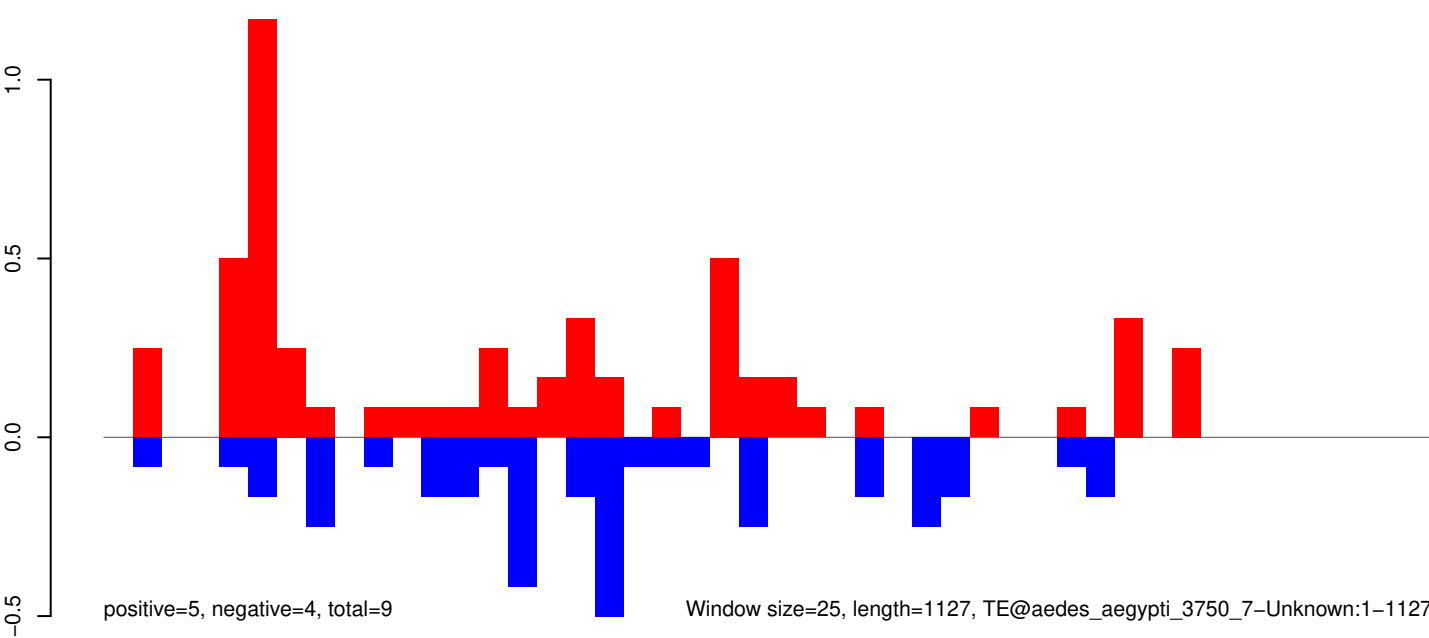
AeAeg_Aag2_Ago2_SINV_RA.18_23.rep



AeAeg_Aag2_Ago2_SINV_RA.24_35.rep

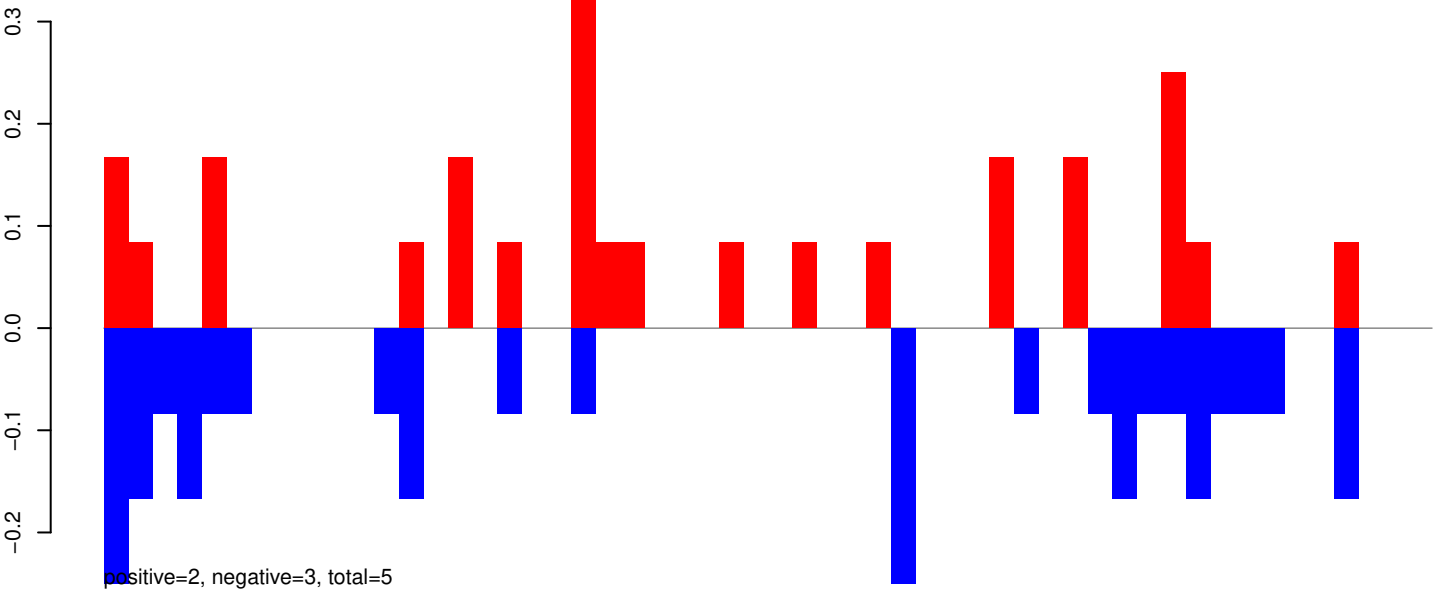


AeAeg_Aag2_Ago2_SINV_RA.rep

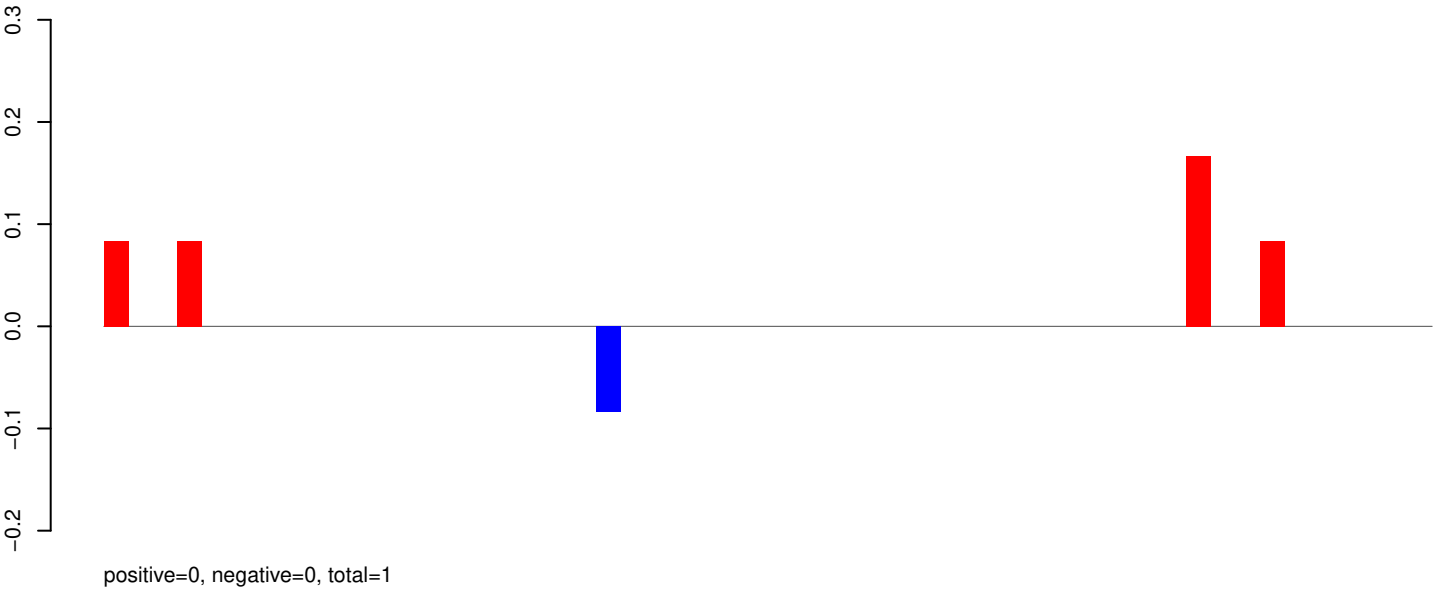


0 200 400 600 800 1000 1200

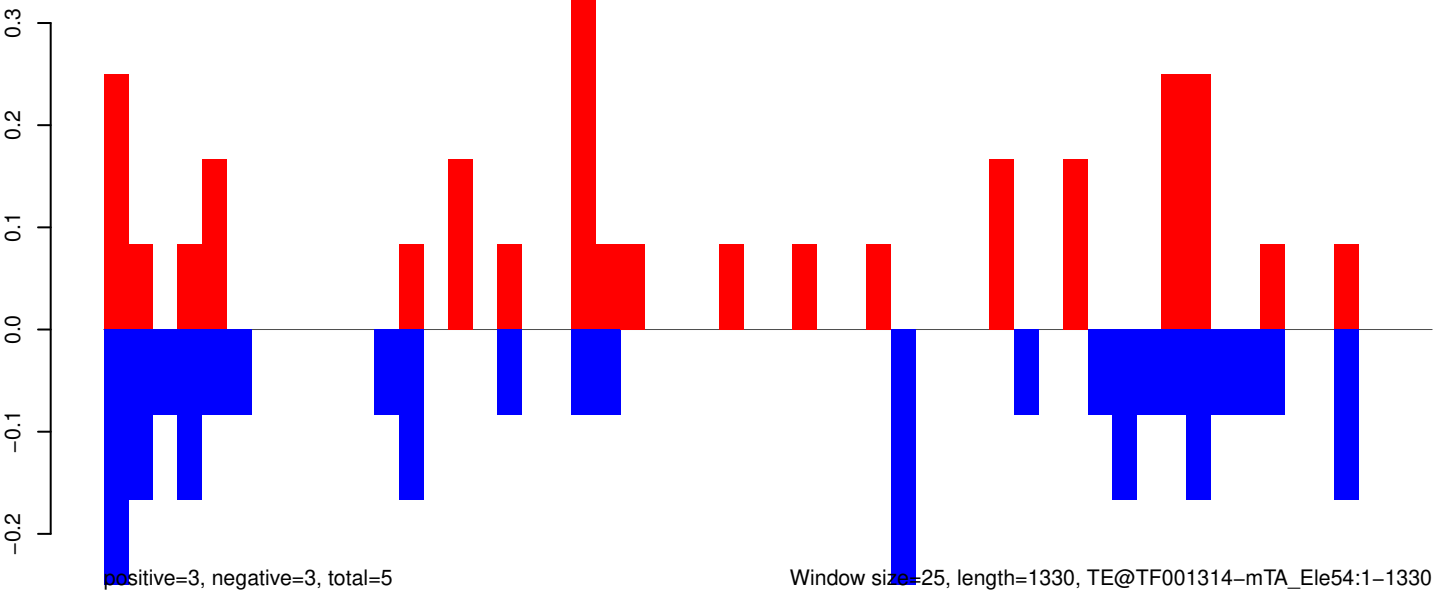
AeAeg_Aag2_Ago2_SINV_RA.18_23.rep



AeAeg_Aag2_Ago2_SINV_RA.24_35.rep

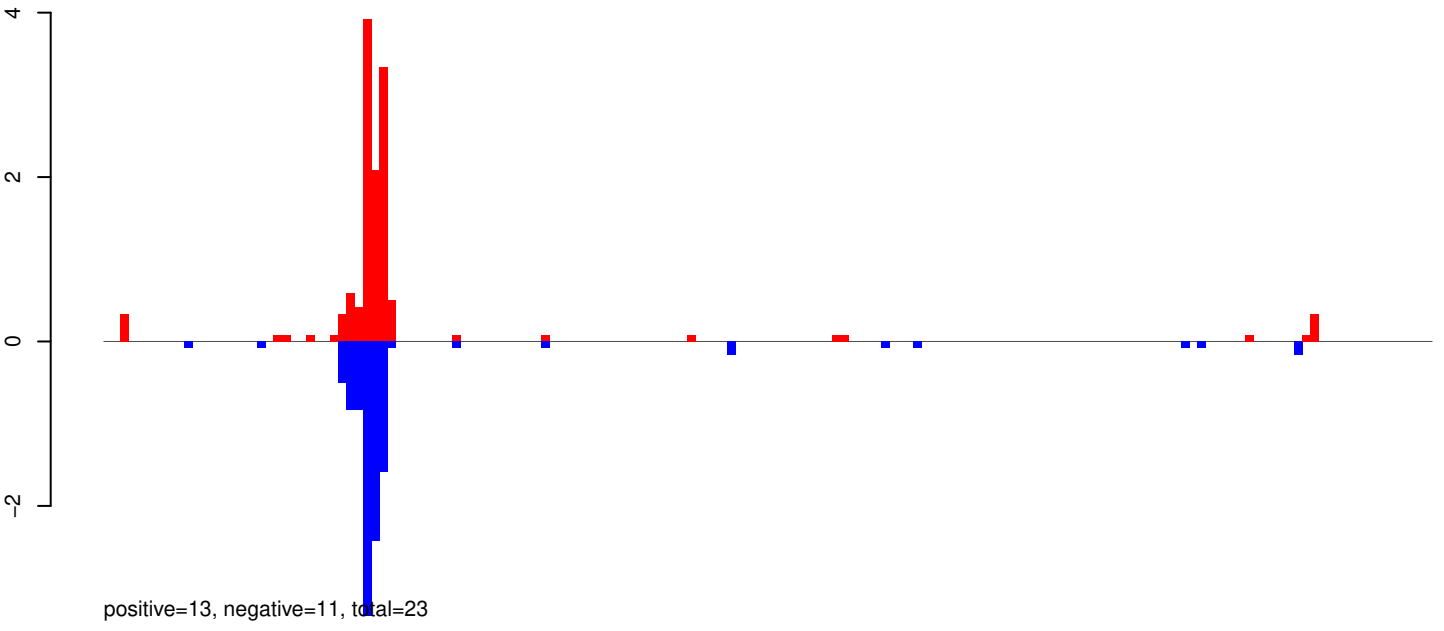


AeAeg_Aag2_Ago2_SINV_RA.rep



Window size=25, length=1330, TE@TF001314-mTA_Ele54:1-1330

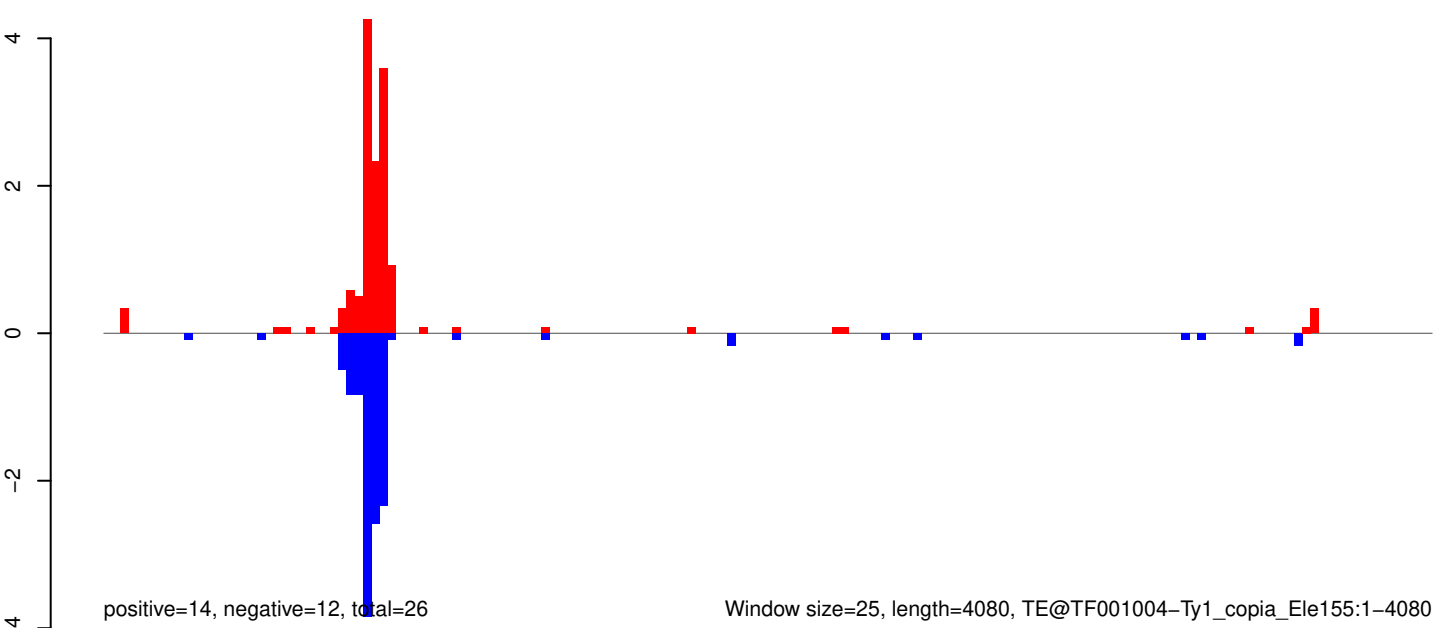
AeAeg_Aag2_Ago2_SINV_RA.18_23.rep



AeAeg_Aag2_Ago2_SINV_RA.24_35.rep

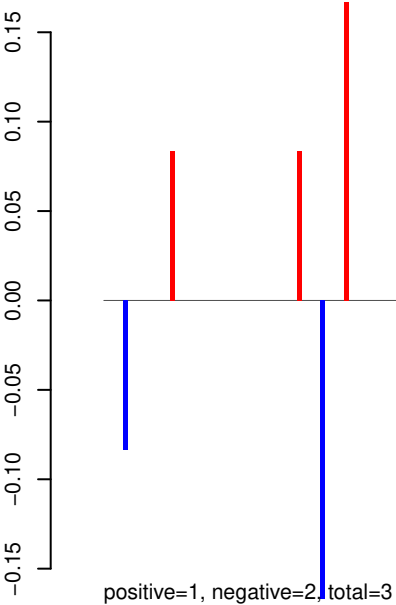


AeAeg_Aag2_Ago2_SINV_RA.rep

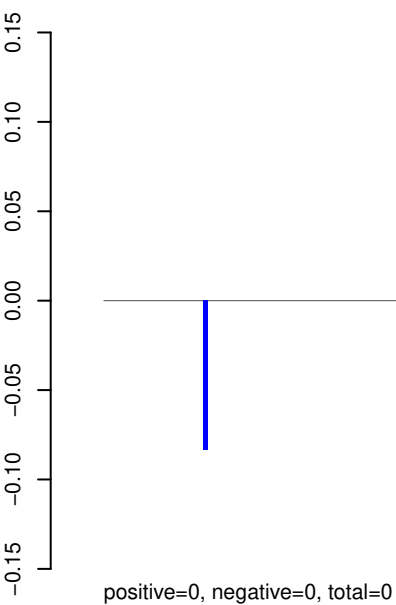


Window size=25, length=4080, TE@TF001004-Ty1_copia_Ele155:1-4080

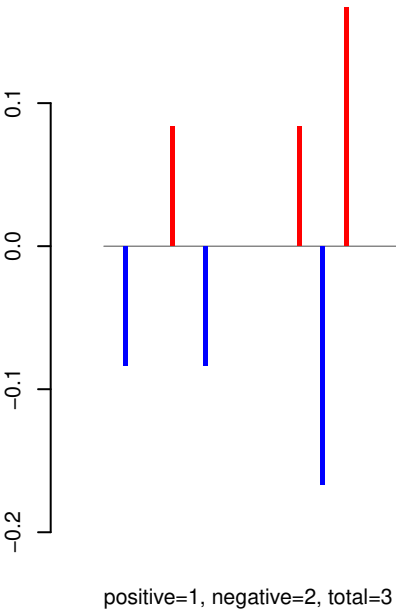
AeAeg_Aag2_Ago2_SINV_RA.18_23.rep



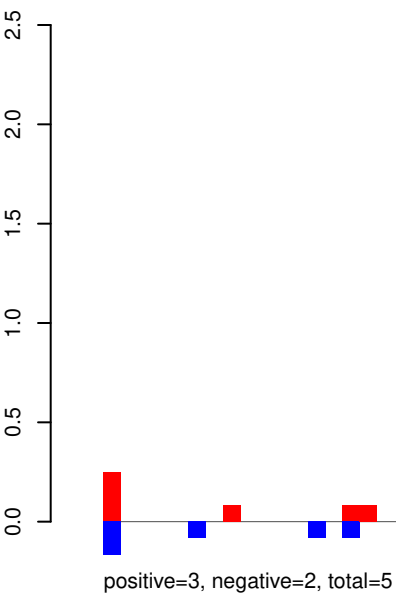
AeAeg_Aag2_Ago2_SINV_RA.24_35.rep



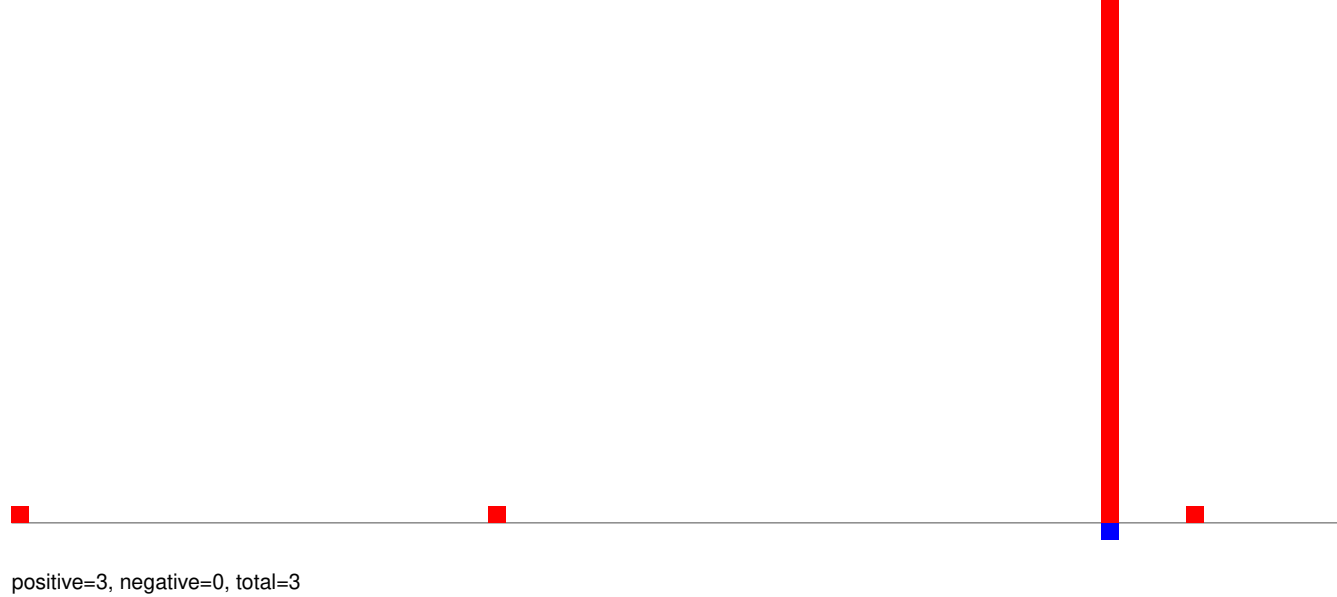
AeAeg_Aag2_Ago2_SINV_RA.rep



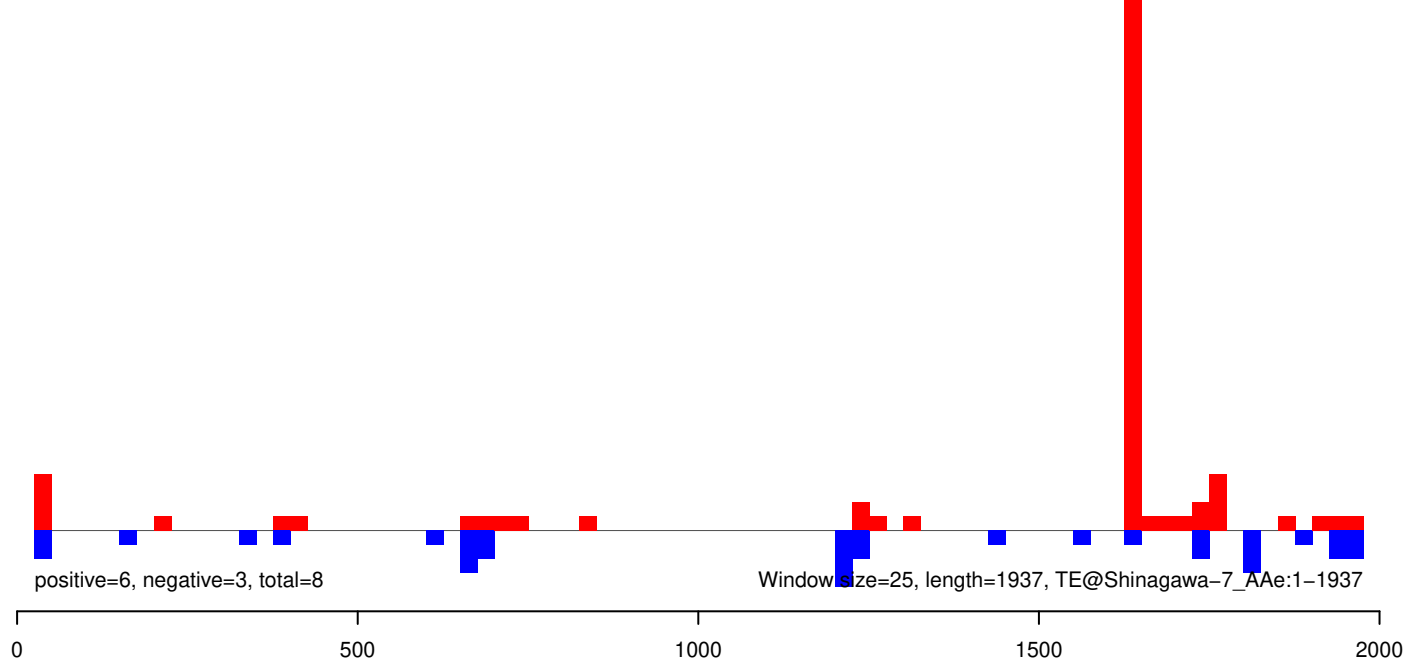
AeAeg_Aag2_Ago2_SINV_RA.18_23.rep



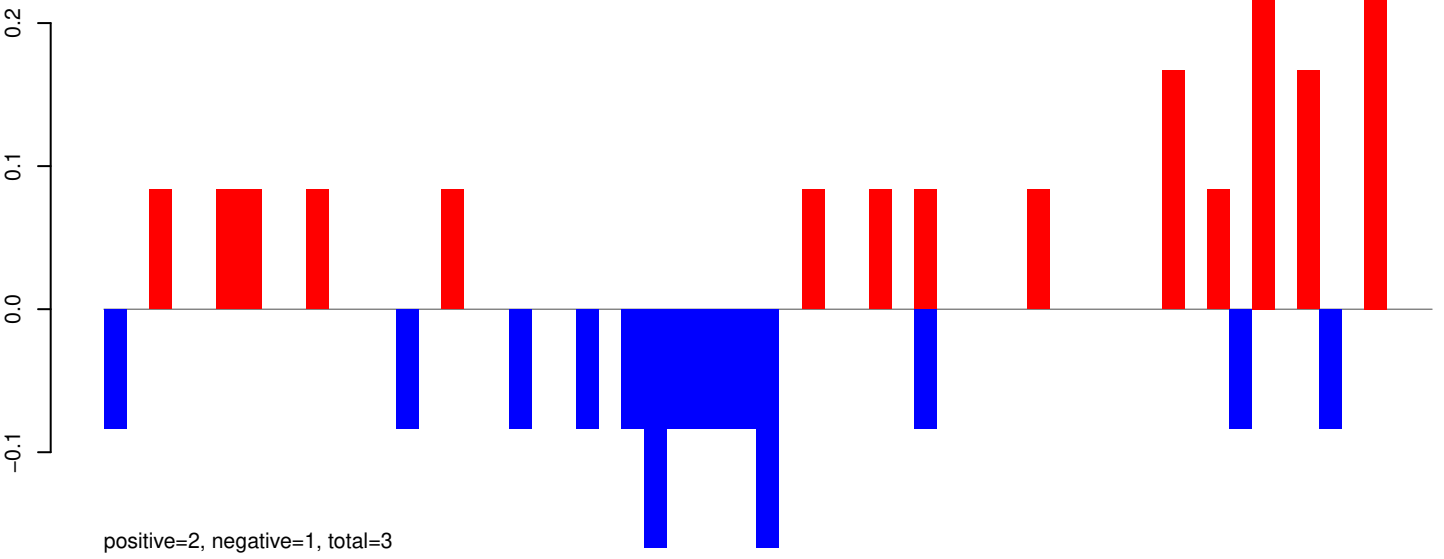
AeAeg_Aag2_Ago2_SINV_RA.24_35.rep



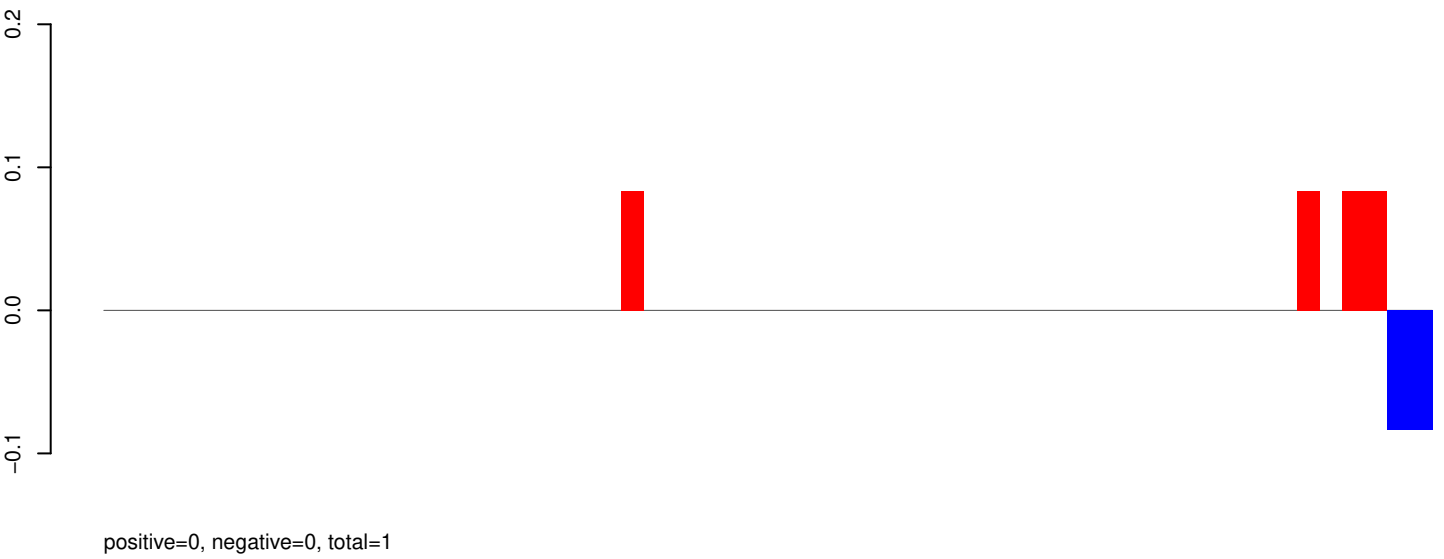
AeAeg_Aag2_Ago2_SINV_RA.rep



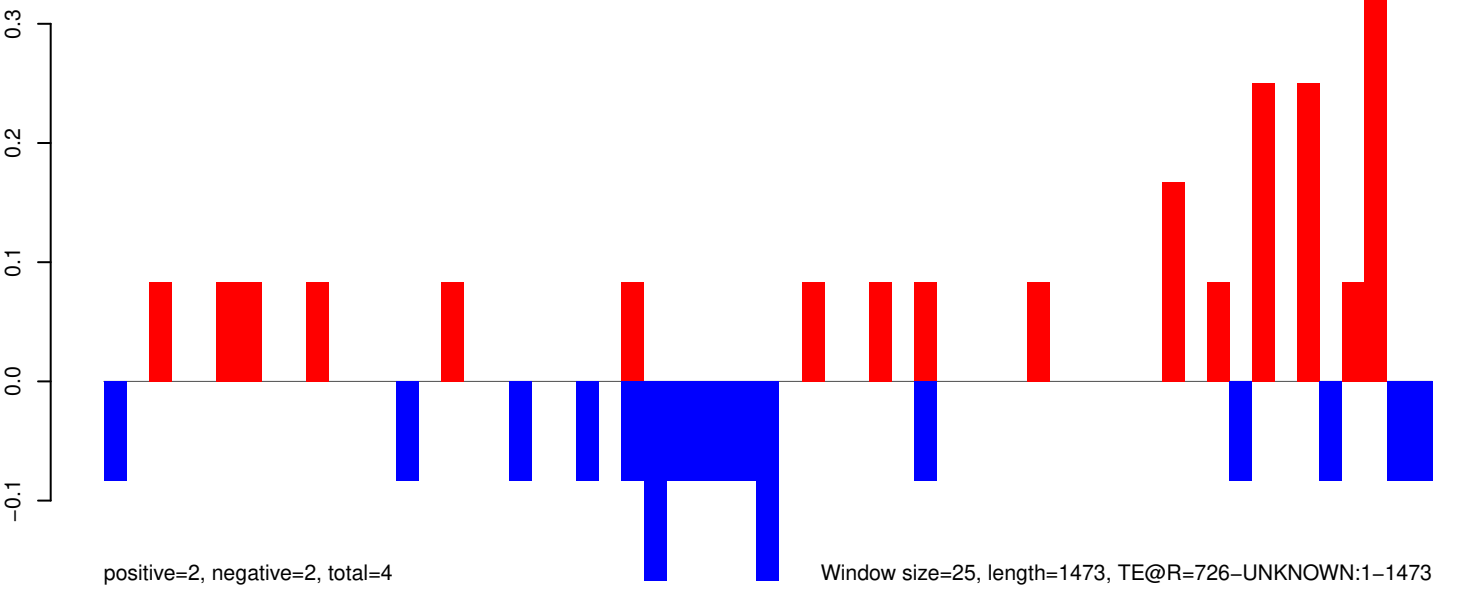
AeAeg_Aag2_Ago2_SINV_RA.18_23.rep



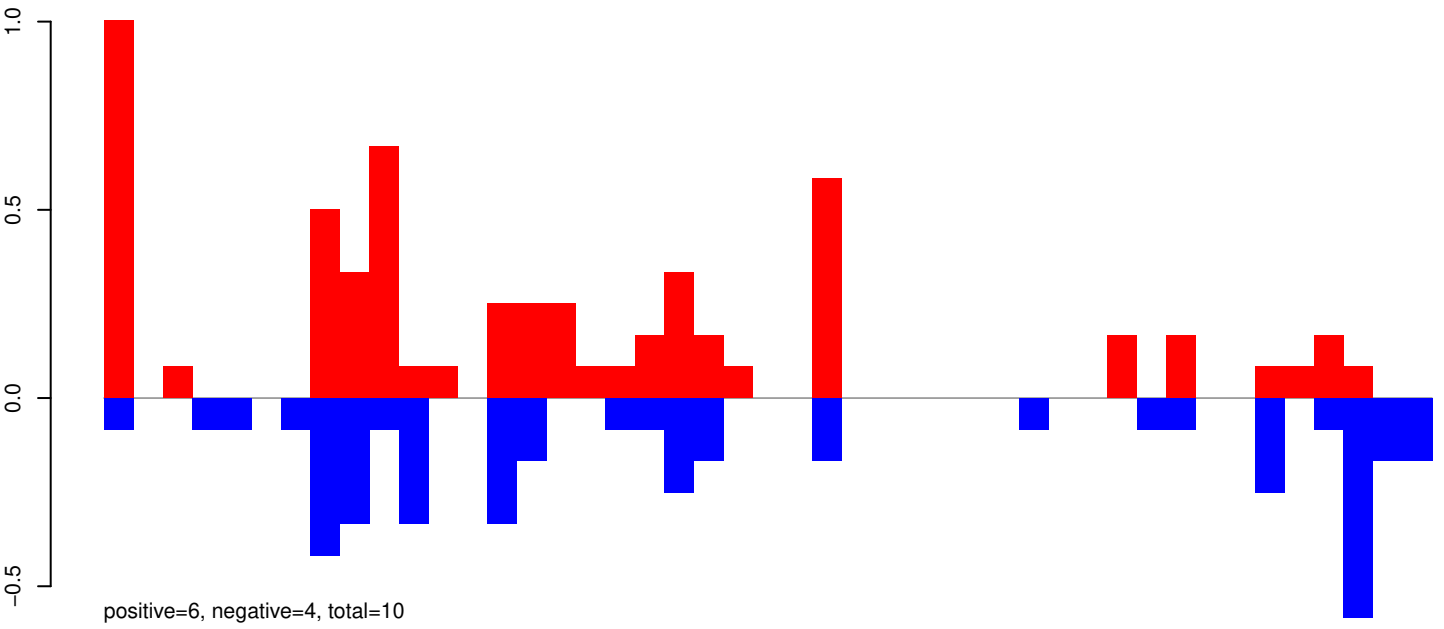
AeAeg_Aag2_Ago2_SINV_RA.24_35.rep



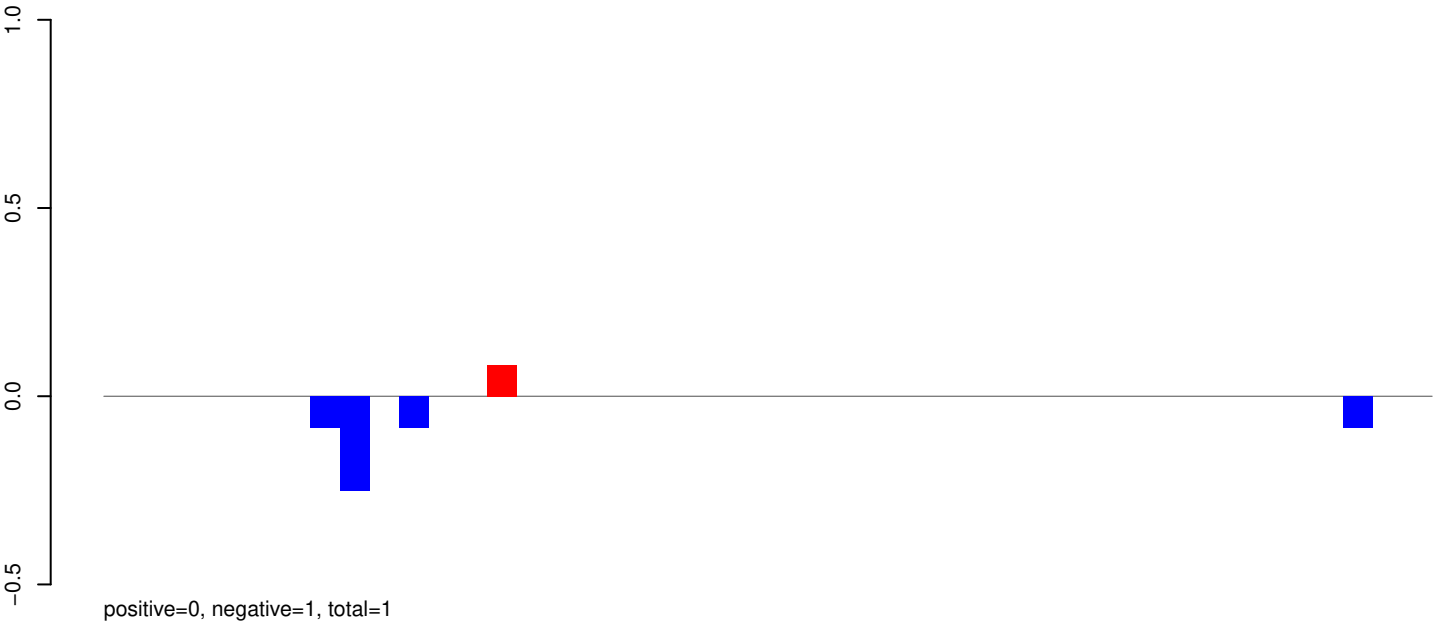
AeAeg_Aag2_Ago2_SINV_RA.rep



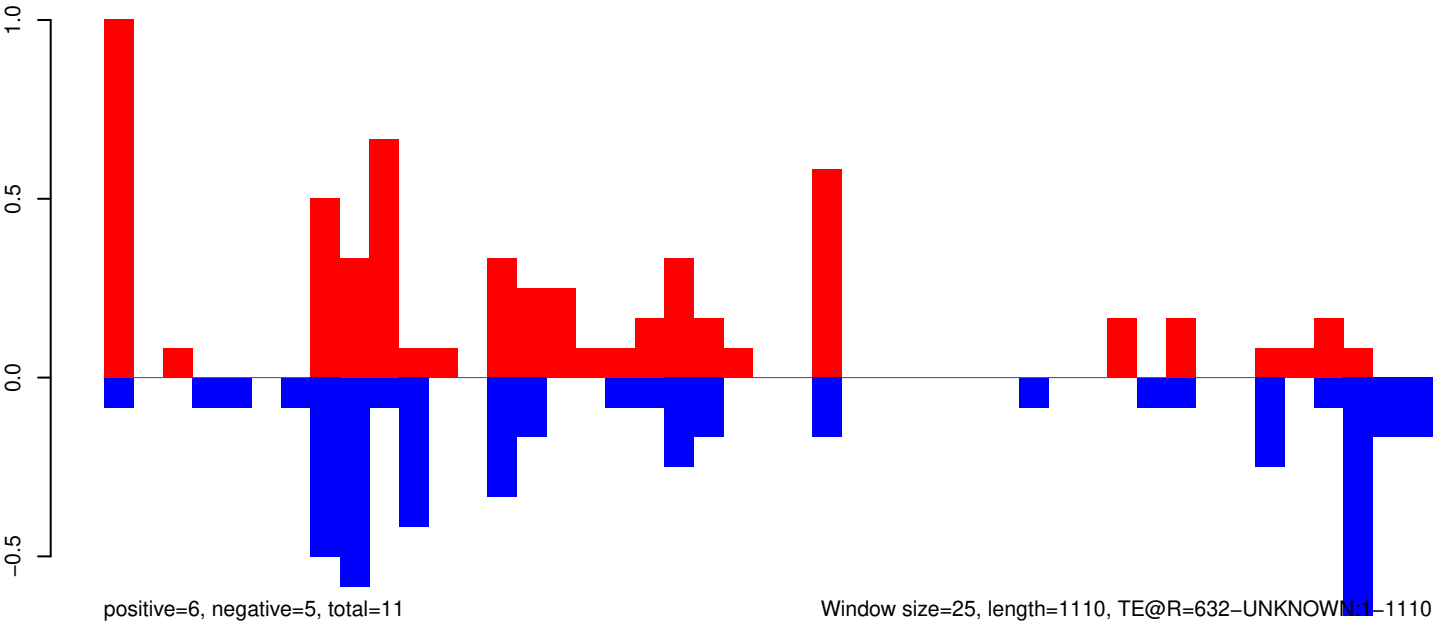
AeAeg_Aag2_Ago2_SINV_RA.18_23.rep



AeAeg_Aag2_Ago2_SINV_RA.24_35.rep

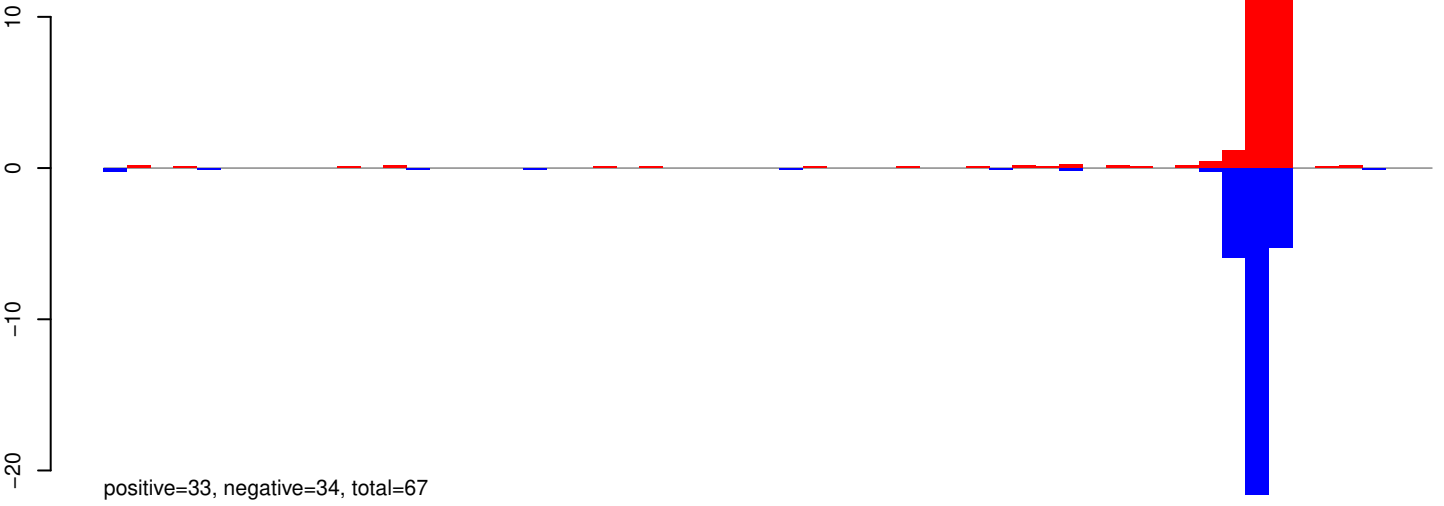


AeAeg_Aag2_Ago2_SINV_RA.rep

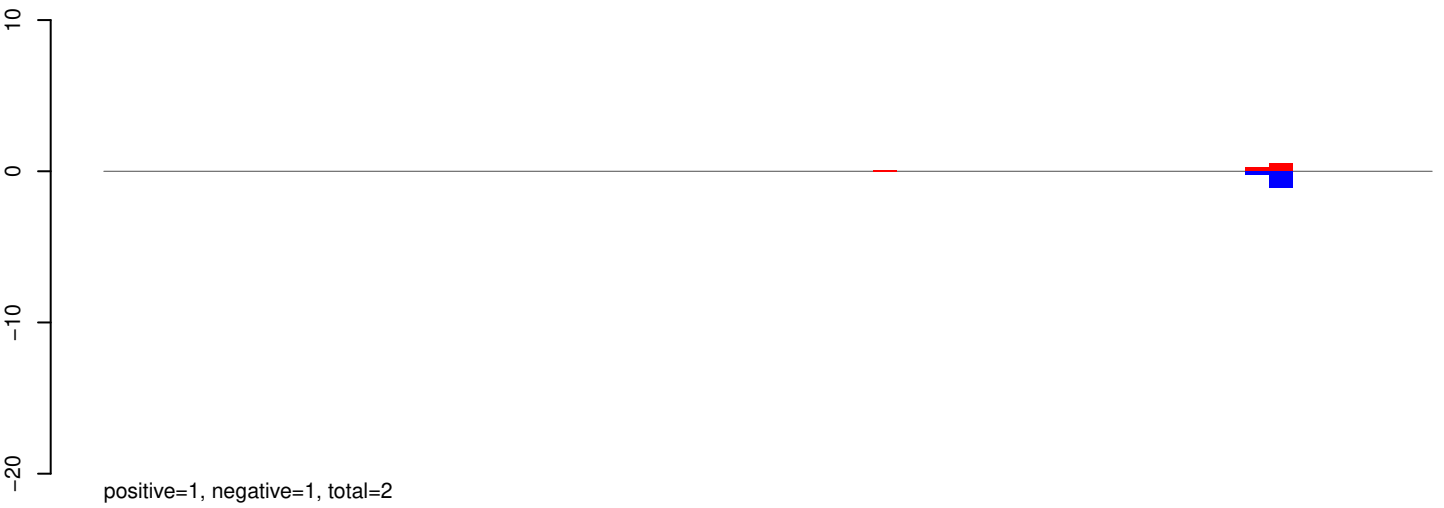


Window size=25, length=1110, TE@R=632-UNKNOWN:1-1110

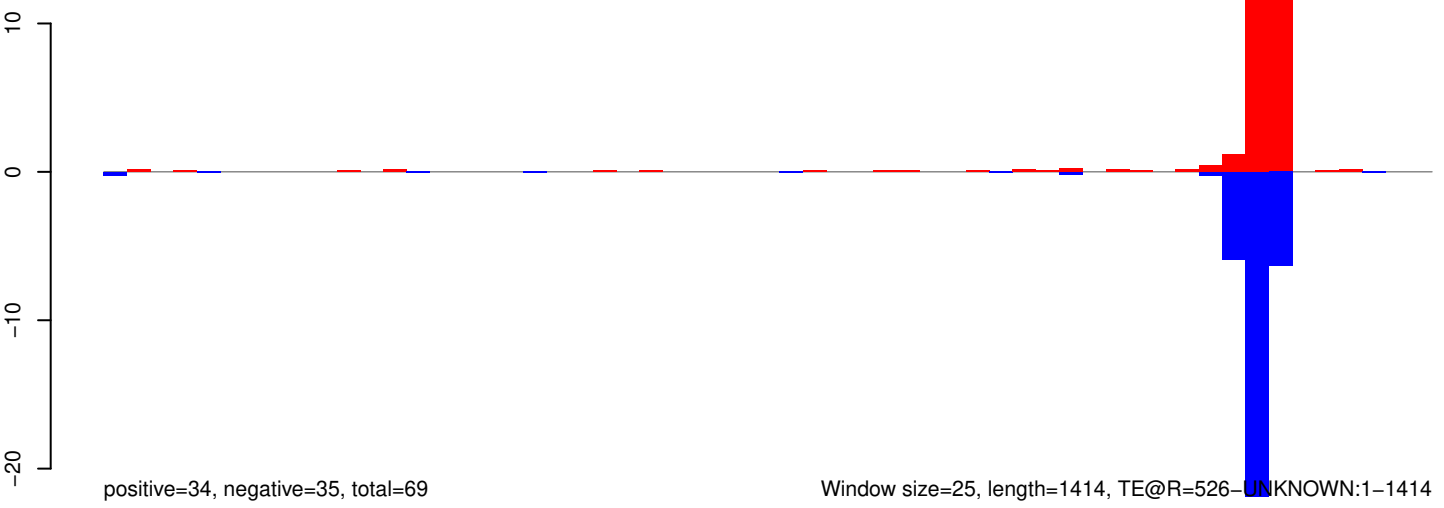
AeAeg_Aag2_Ago2_SINV_RA.18_23.rep



AeAeg_Aag2_Ago2_SINV_RA.24_35.rep

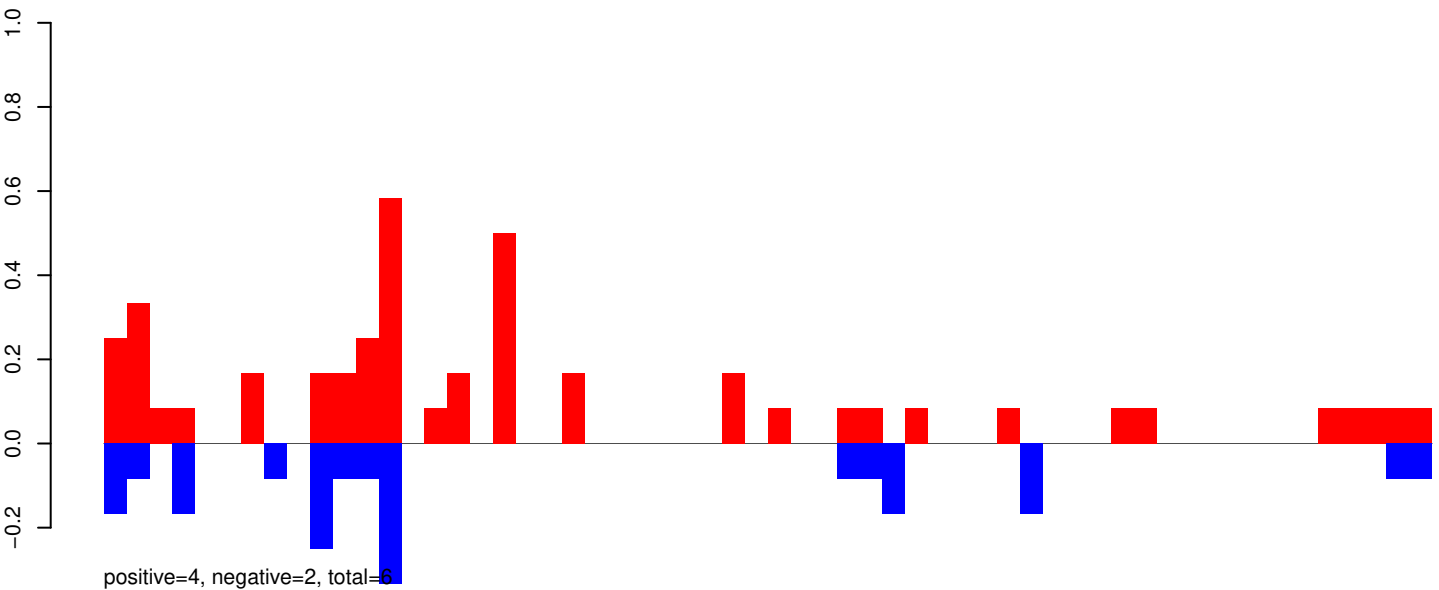


AeAeg_Aag2_Ago2_SINV_RA.rep

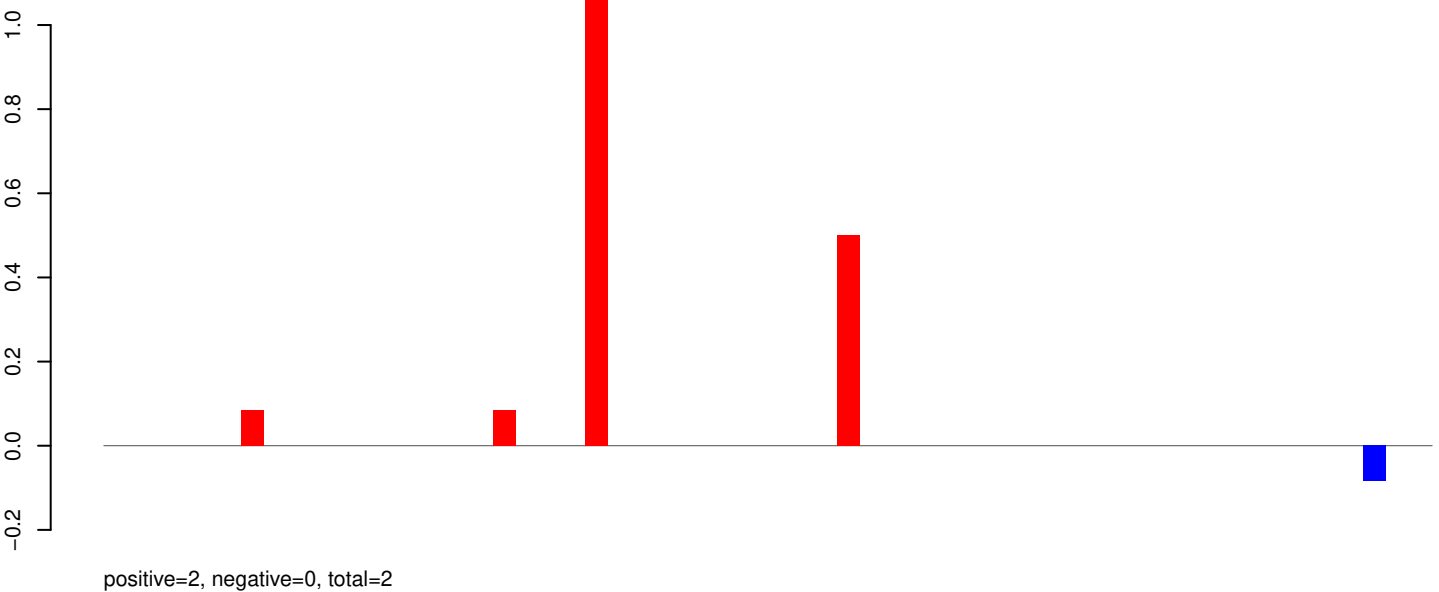


0 200 400 600 800 1000 1200 1400

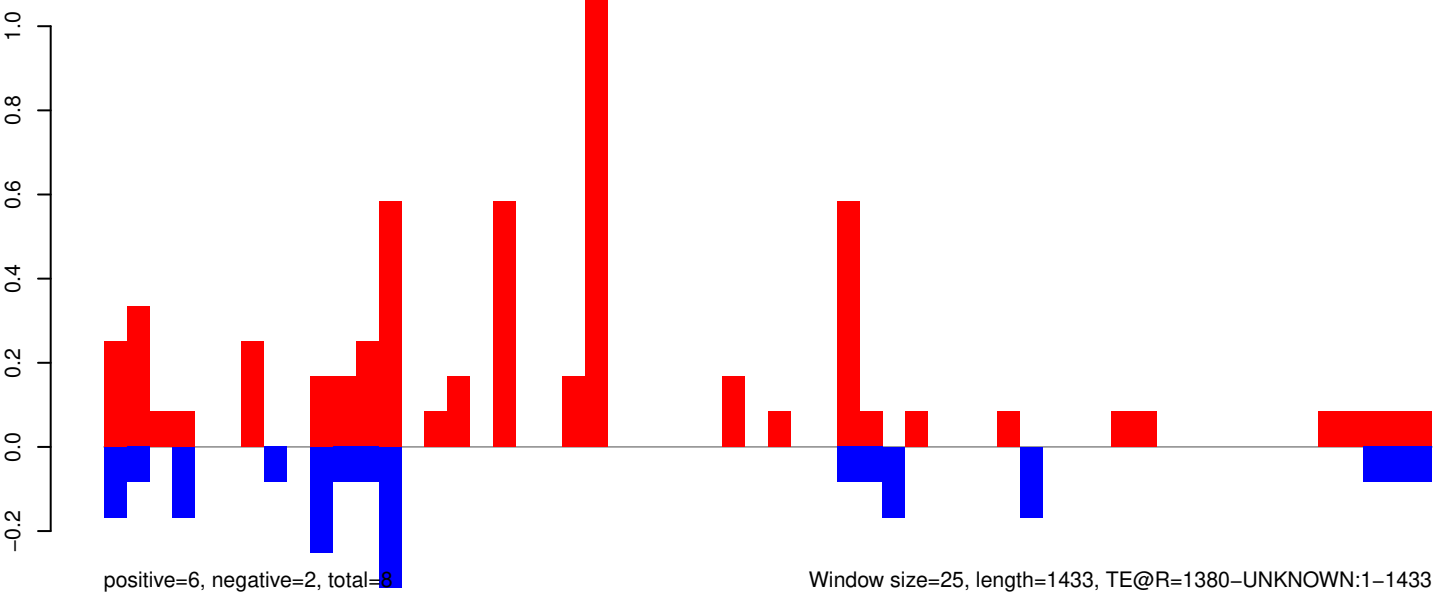
AeAeg_Aag2_Ago2_SINV_RA.18_23.rep



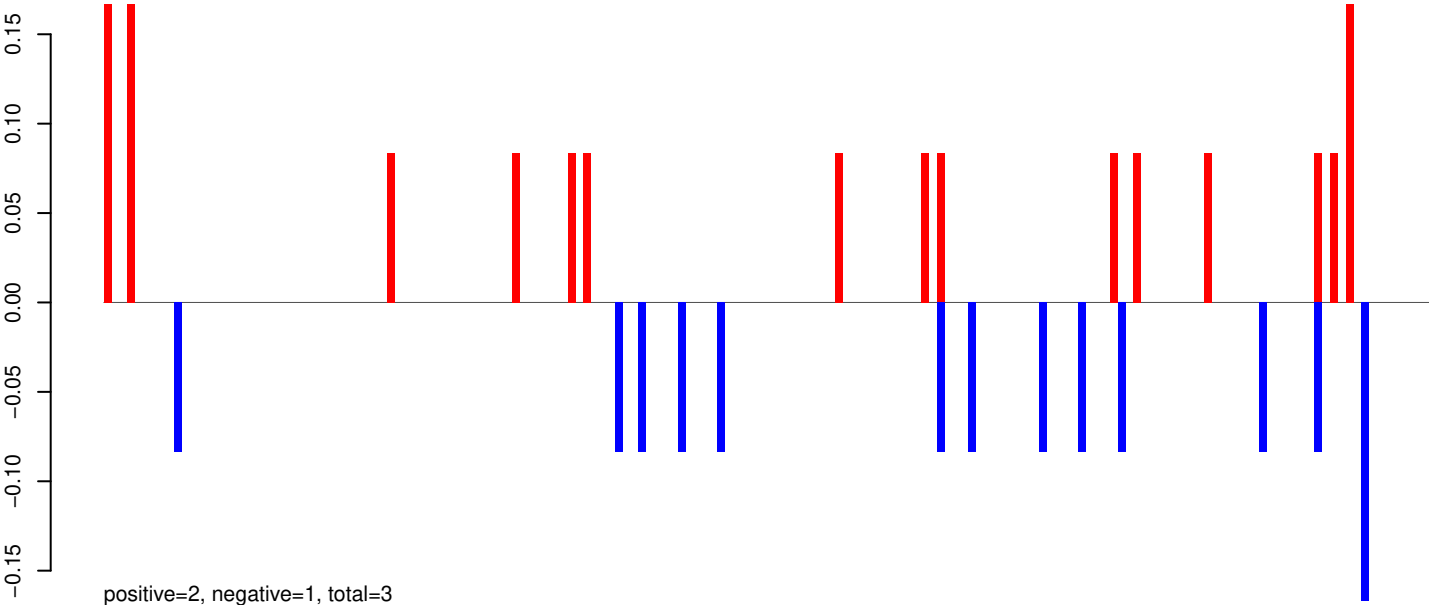
AeAeg_Aag2_Ago2_SINV_RA.24_35.rep



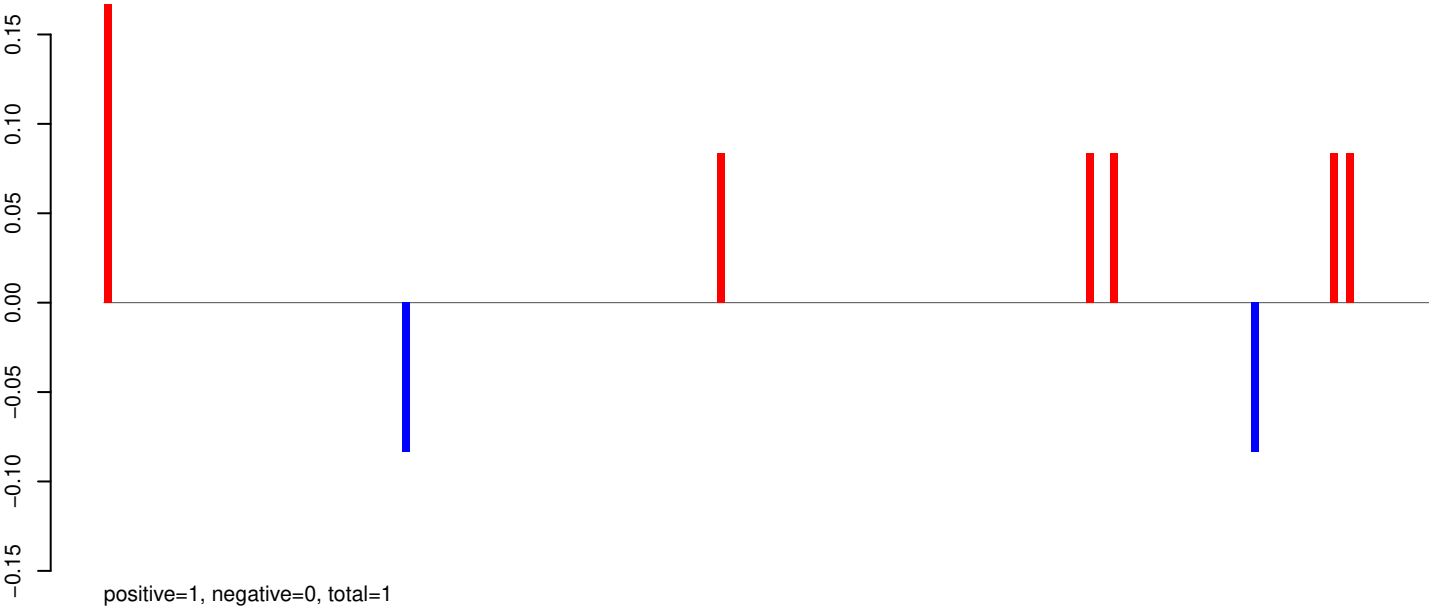
AeAeg_Aag2_Ago2_SINV_RA.rep



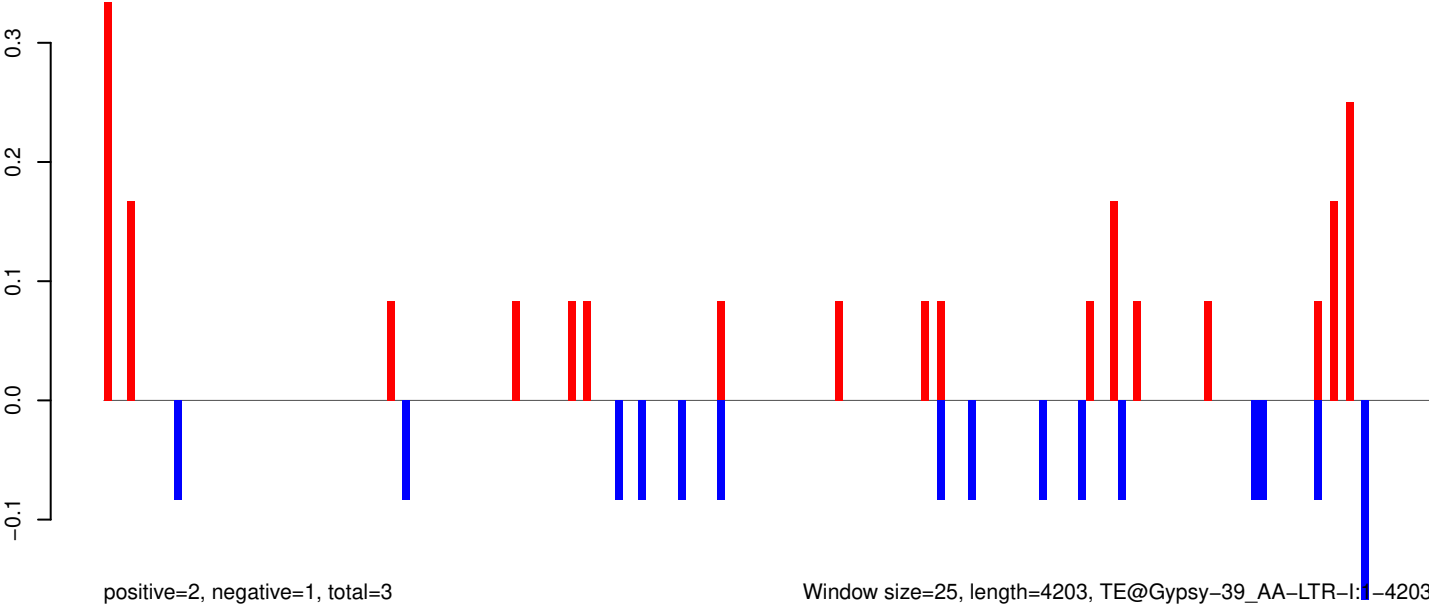
AeAeg_Aag2_Ago2_SINV_RA.18_23.rep



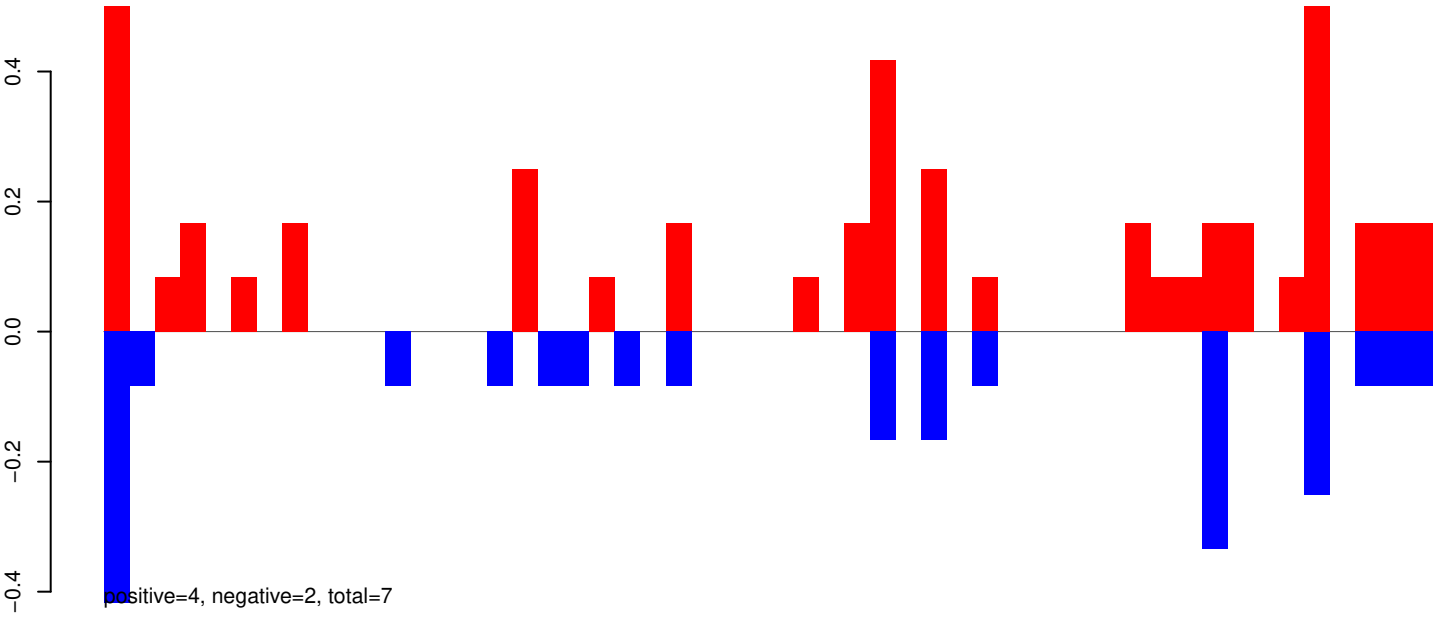
AeAeg_Aag2_Ago2_SINV_RA.24_35.rep



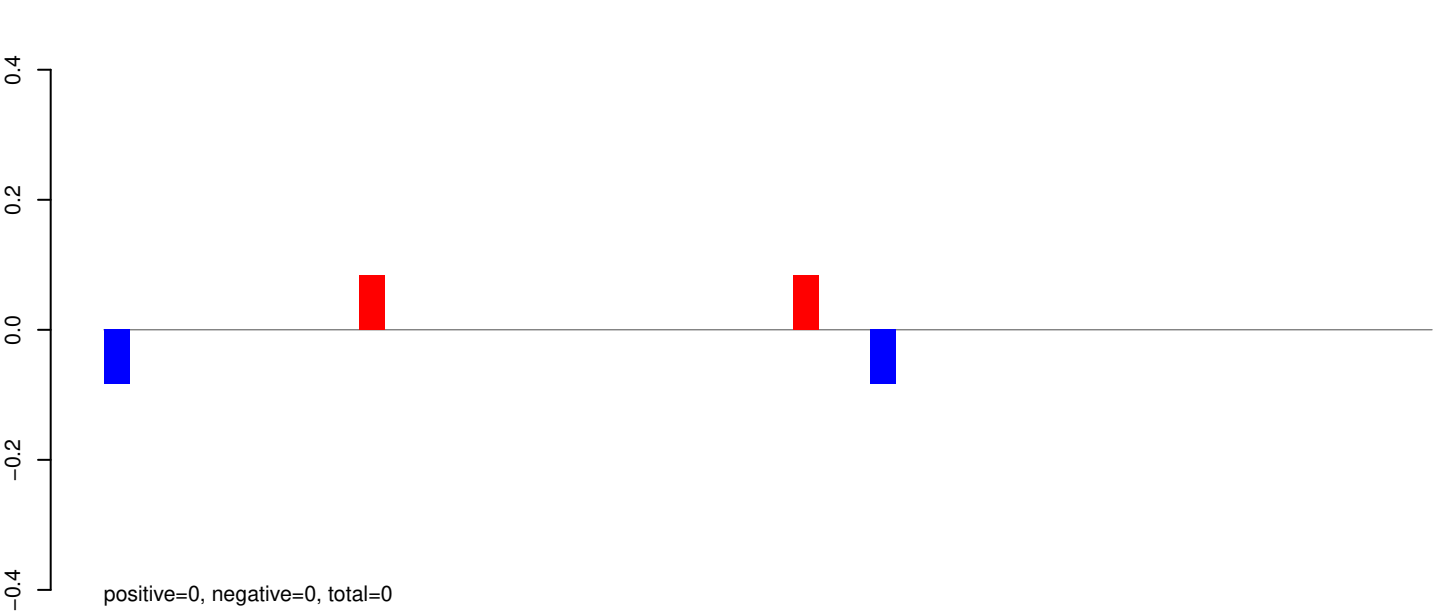
AeAeg_Aag2_Ago2_SINV_RA.rep



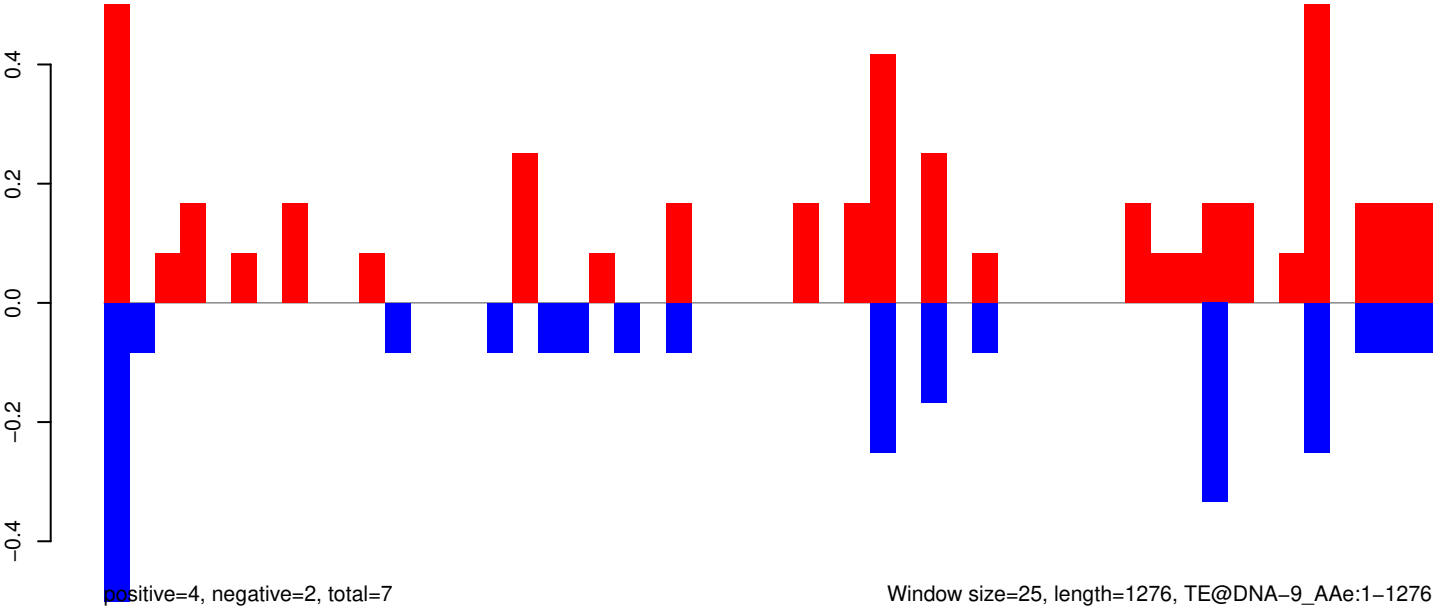
AeAeg_Aag2_Ago2_SINV_RA.18_23.rep



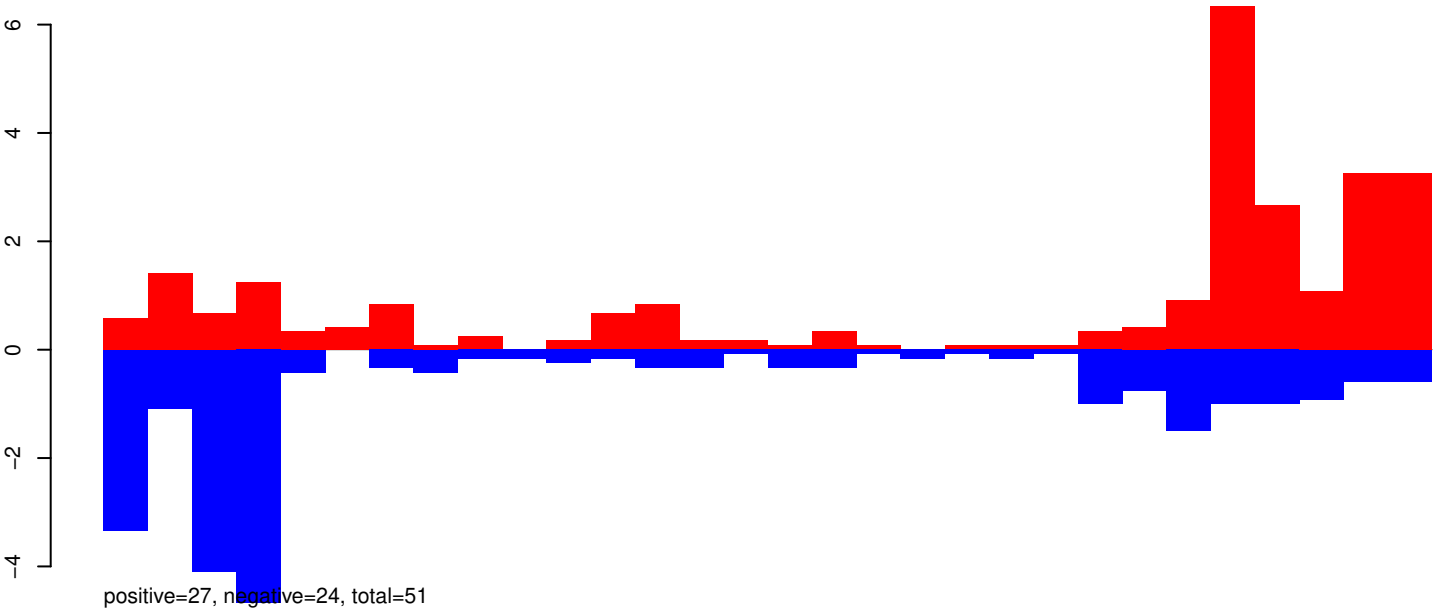
AeAeg_Aag2_Ago2_SINV_RA.24_35.rep



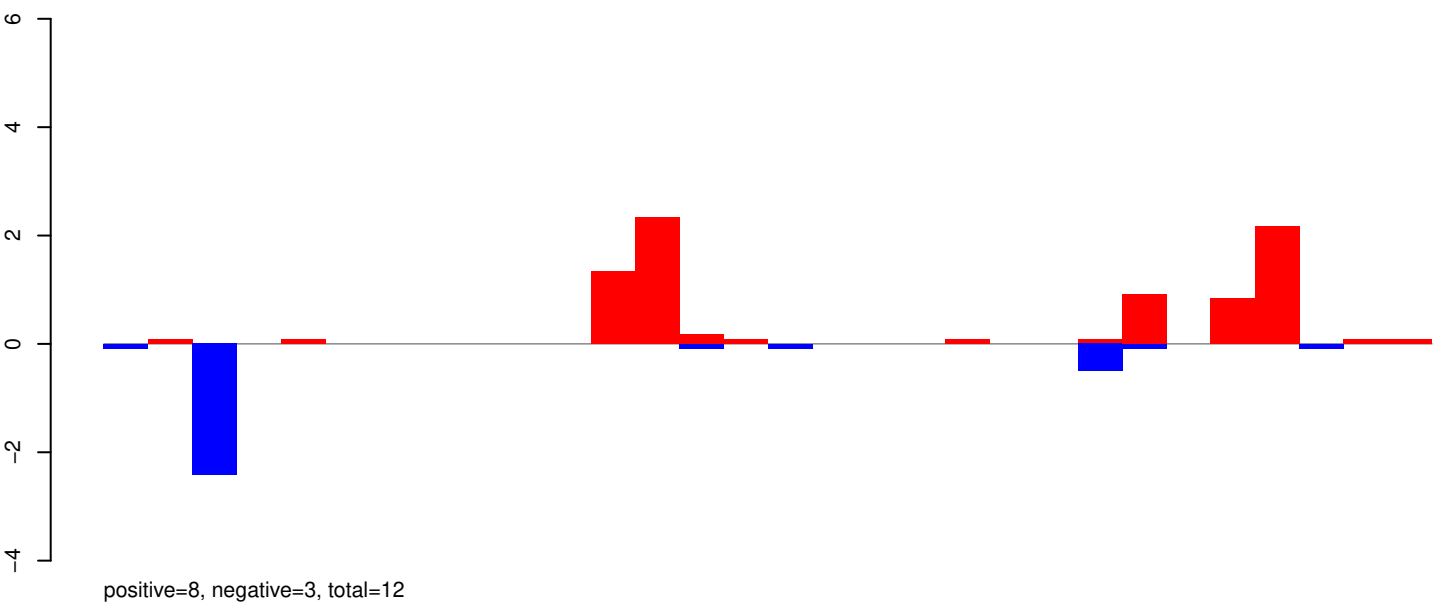
AeAeg_Aag2_Ago2_SINV_RA.rep



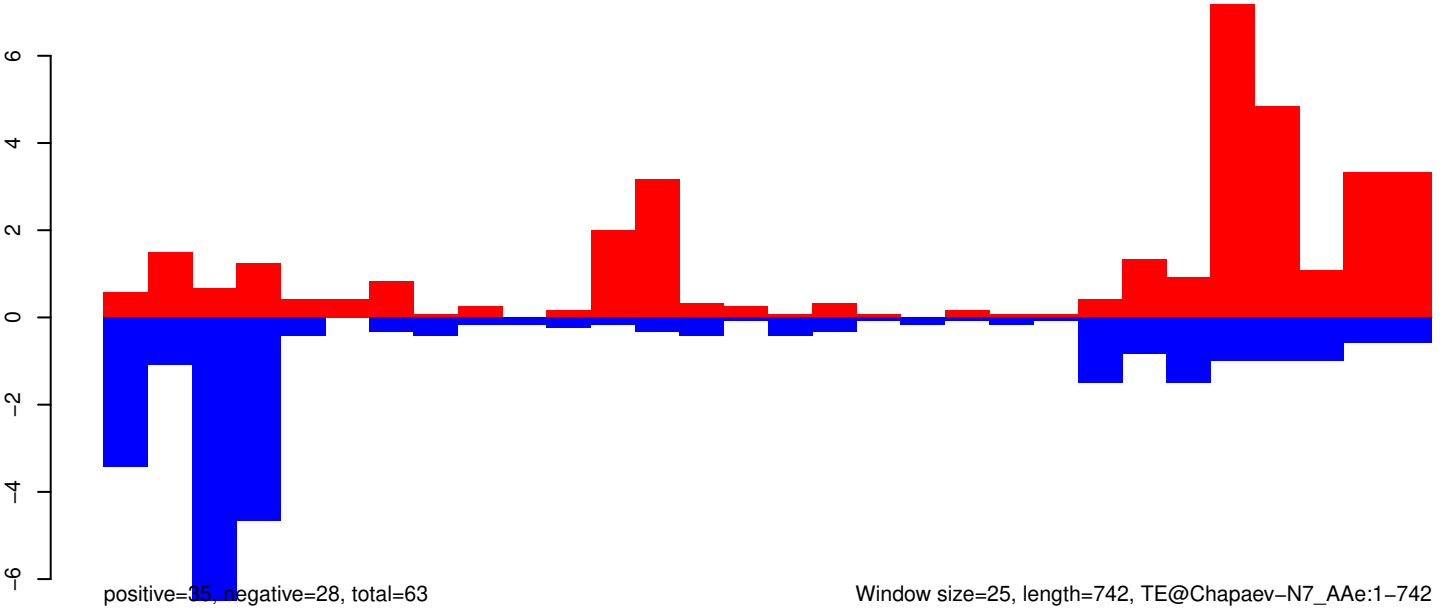
AeAeg_Aag2_Ago2_SINV_RA.18_23.rep



AeAeg_Aag2_Ago2_SINV_RA.24_35.rep



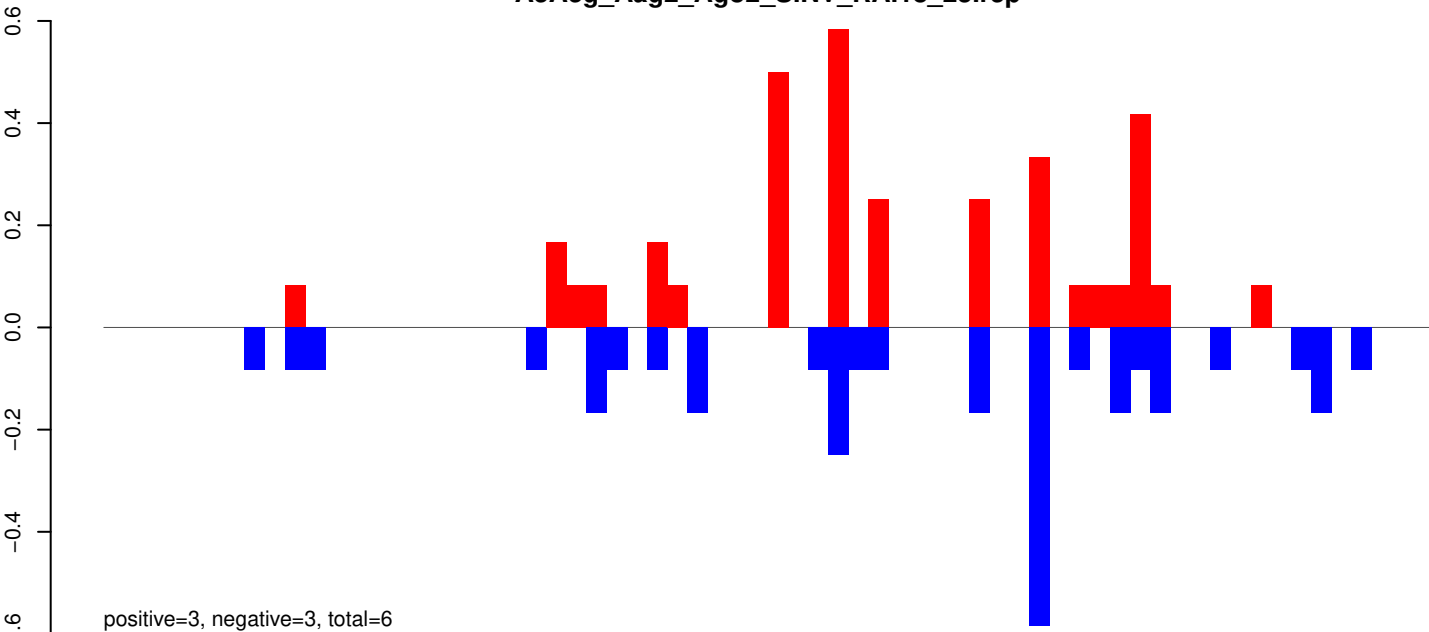
AeAeg_Aag2_Ago2_SINV_RA.rep



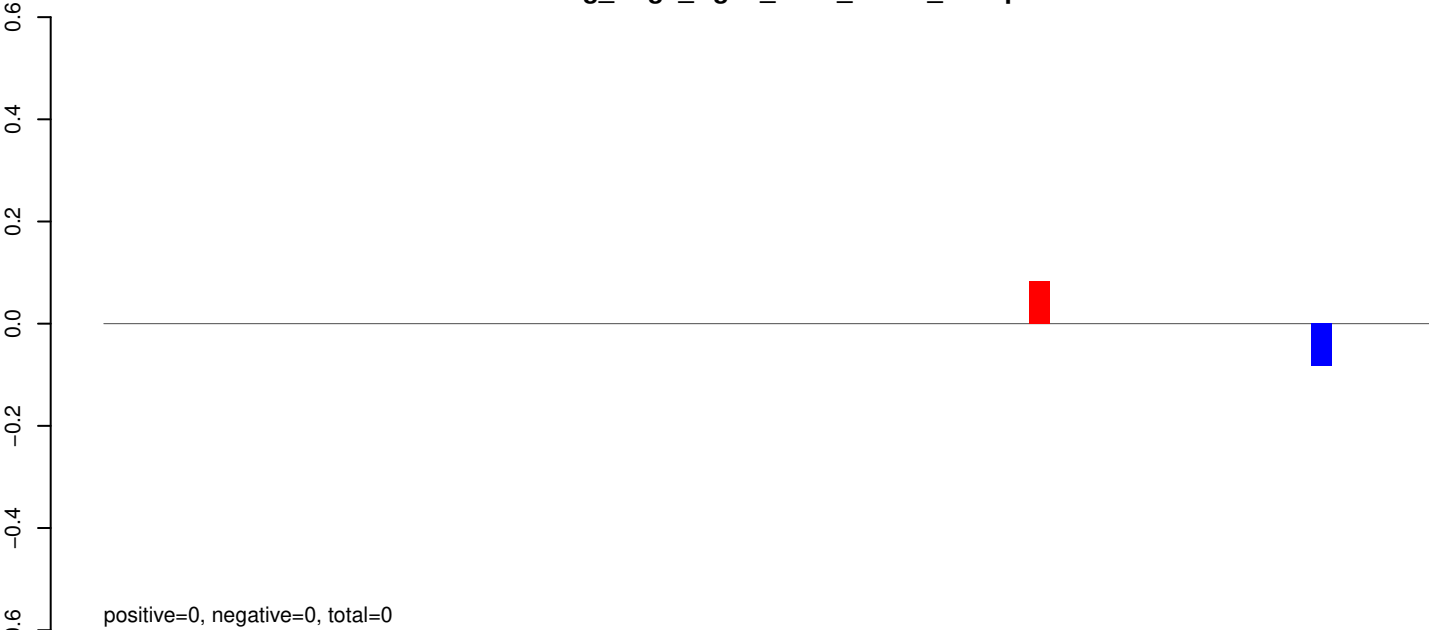
Window size=25, length=742, TE@Chapaev-N7_AAe:1-742

0 200 400 600 800

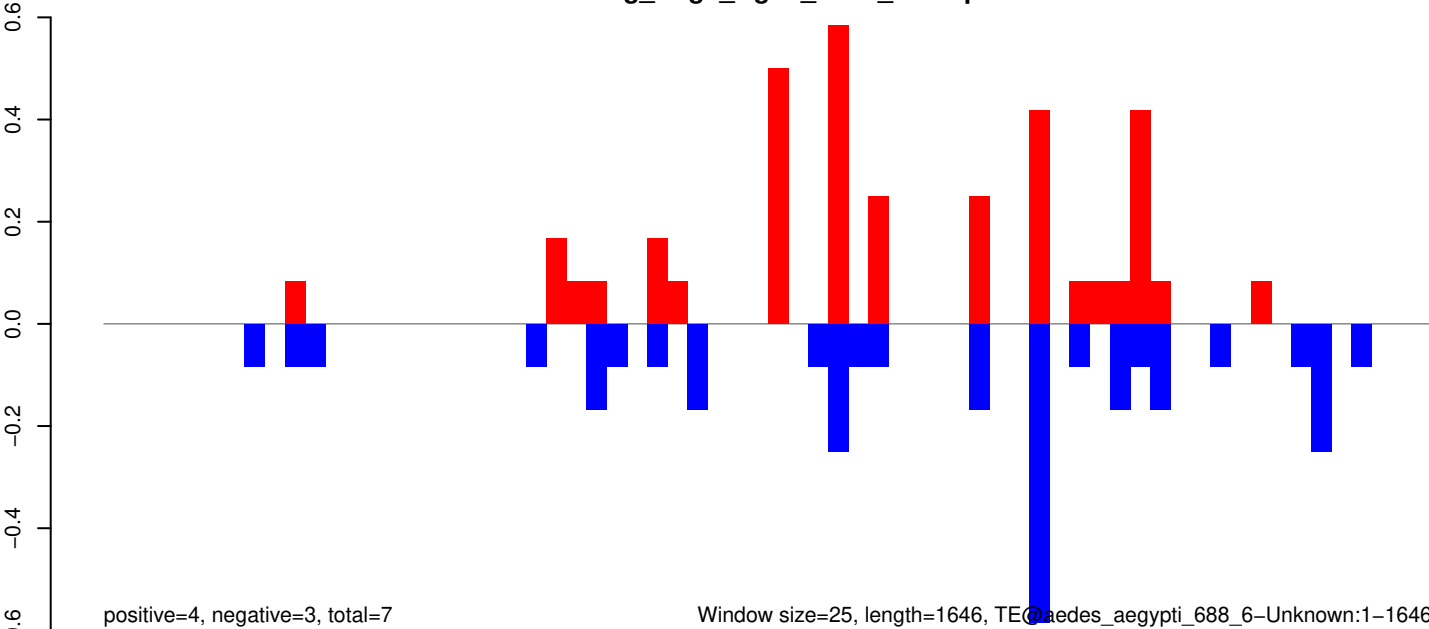
AeAeg_Aag2_Ago2_SINV_RA.18_23.rep



AeAeg_Aag2_Ago2_SINV_RA.24_35.rep

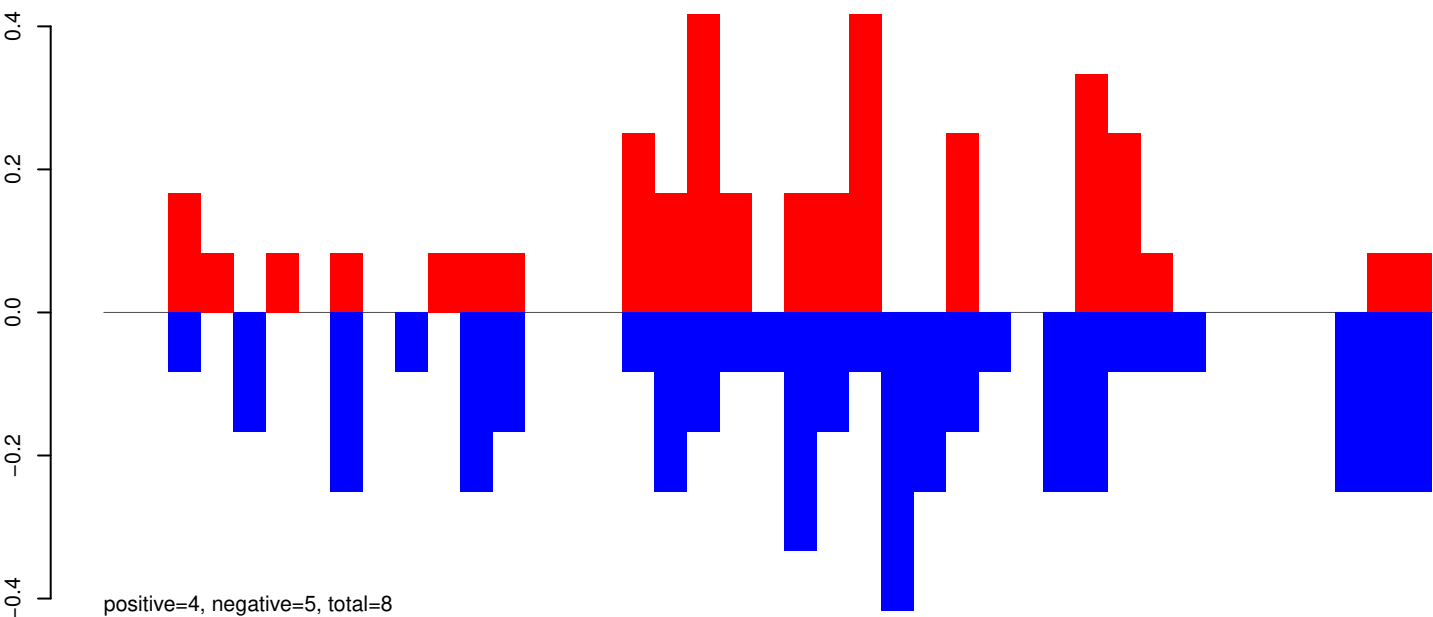


AeAeg_Aag2_Ago2_SINV_RA.rep

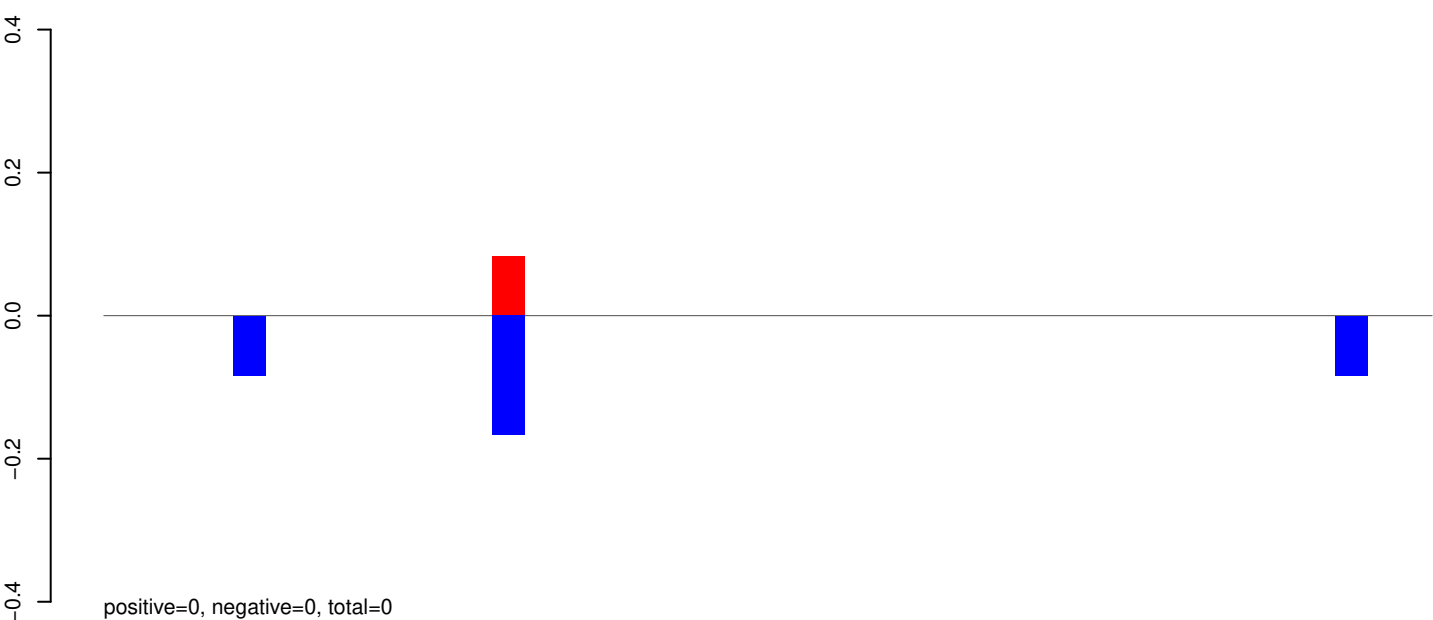


Window size=25, length=1646, TE@caedes_aegypti_688_6-Unknown:1-1646

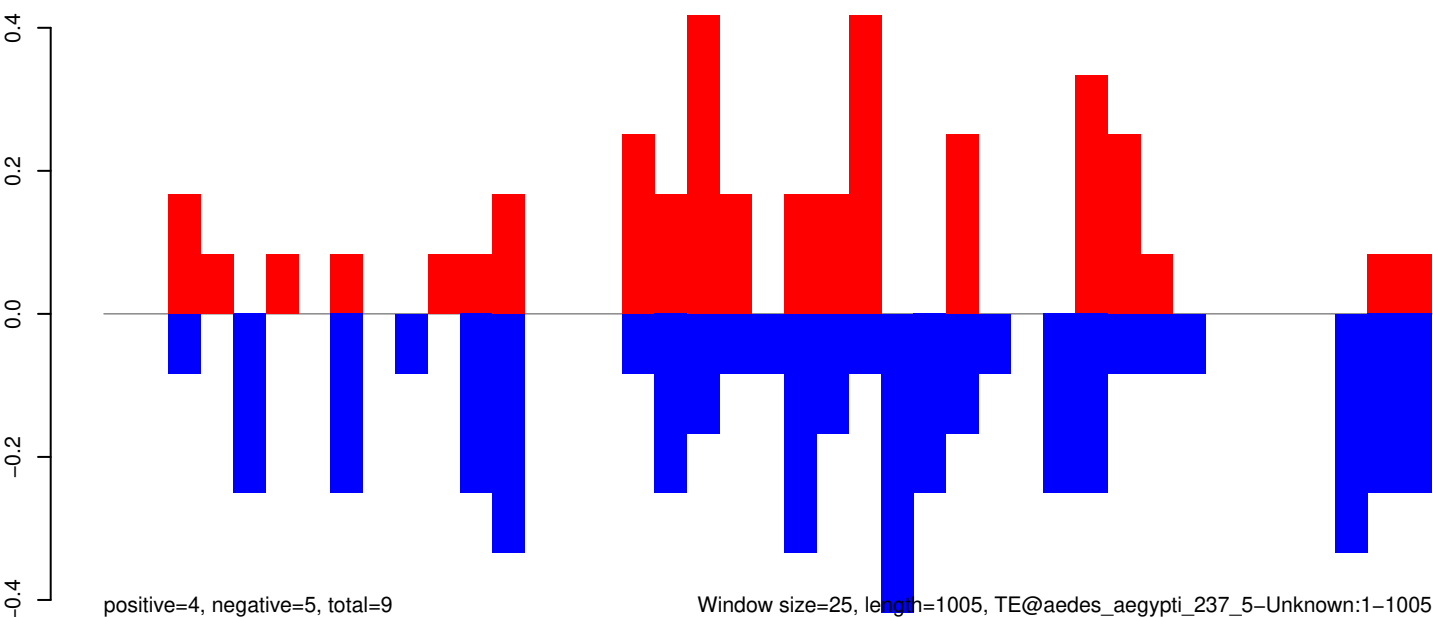
AeAeg_Aag2_Ago2_SINV_RA.18_23.rep



AeAeg_Aag2_Ago2_SINV_RA.24_35.rep



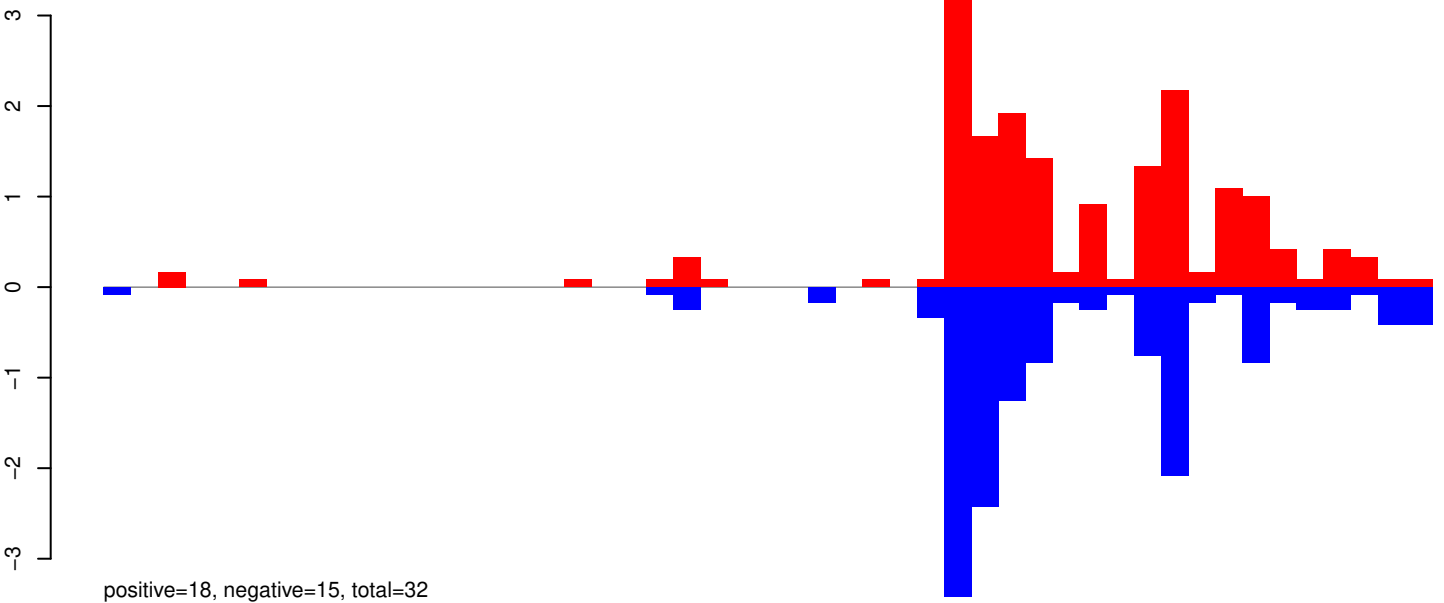
AeAeg_Aag2_Ago2_SINV_RA.rep



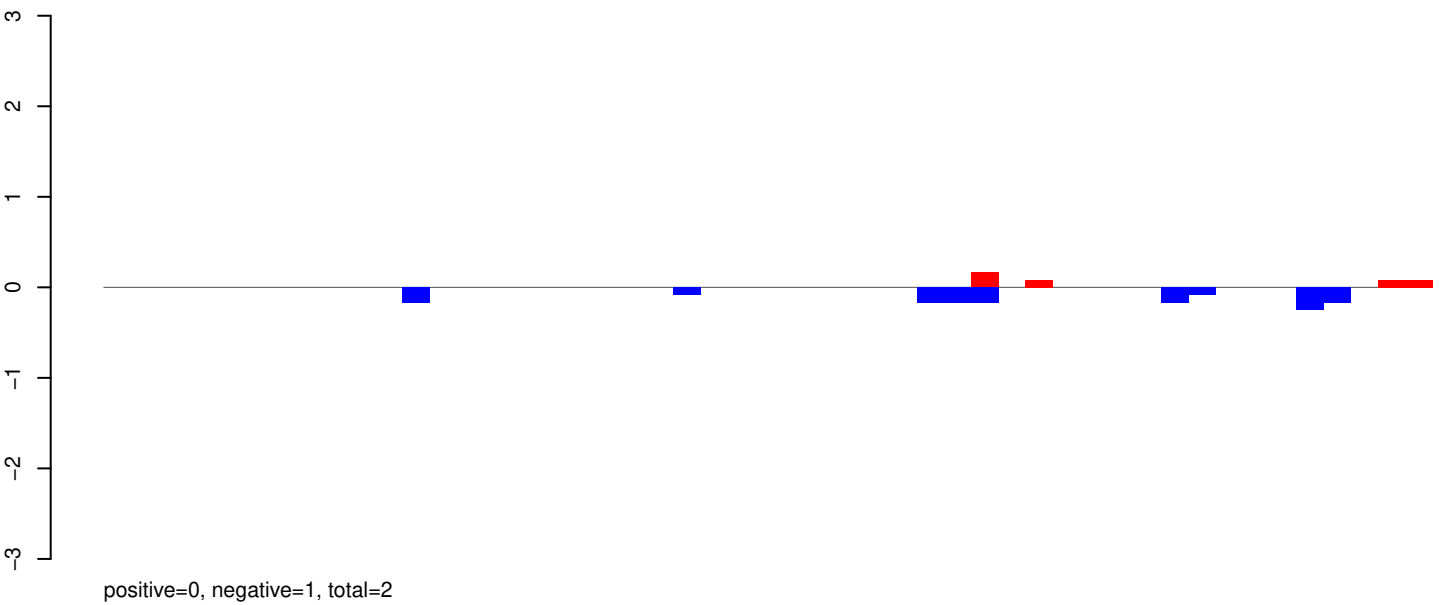
Window size=25, length=1005, TE@aedes_aegypti_237_5-Unknown:1-1005

0 200 400 600 800 1000

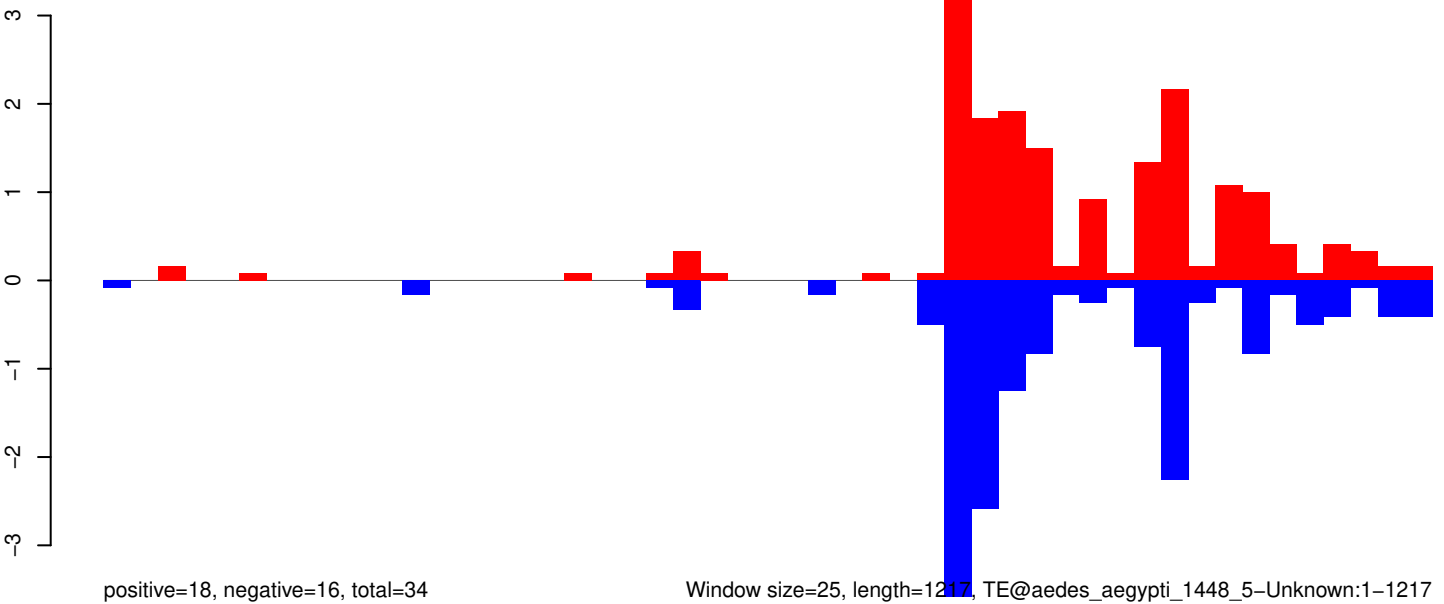
AeAeg_Aag2_Ago2_SINV_RA.18_23.rep



AeAeg_Aag2_Ago2_SINV_RA.24_35.rep

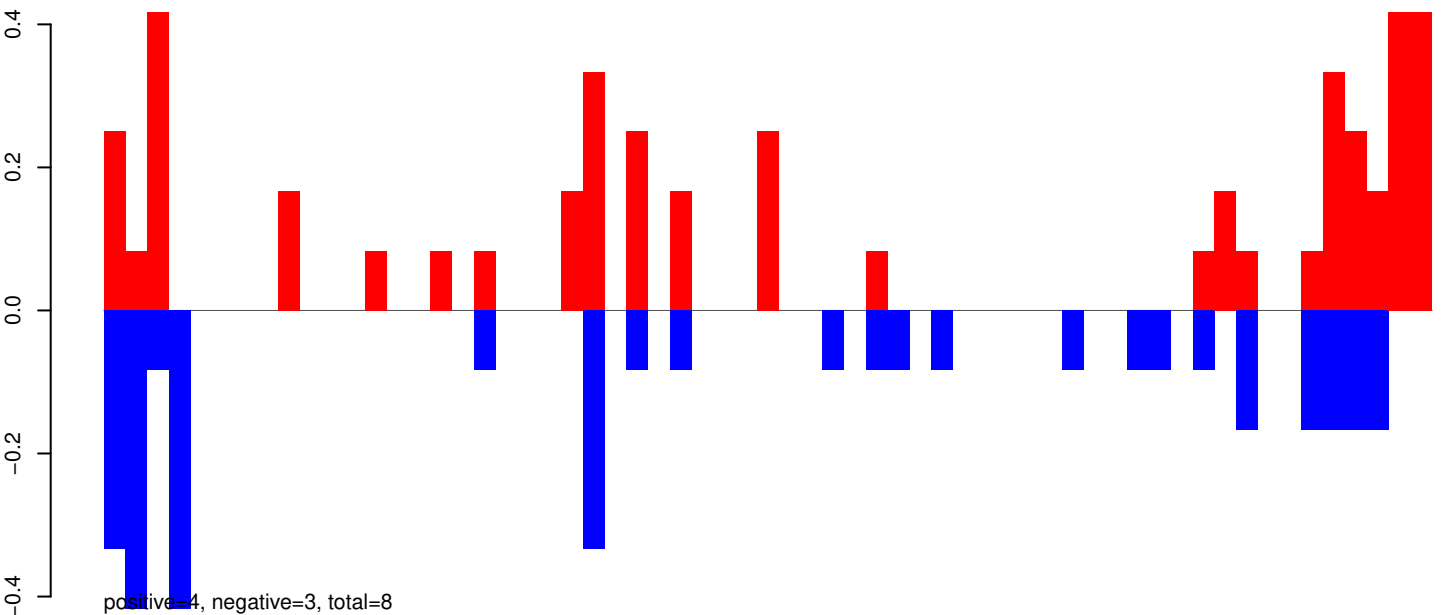


AeAeg_Aag2_Ago2_SINV_RA.rep

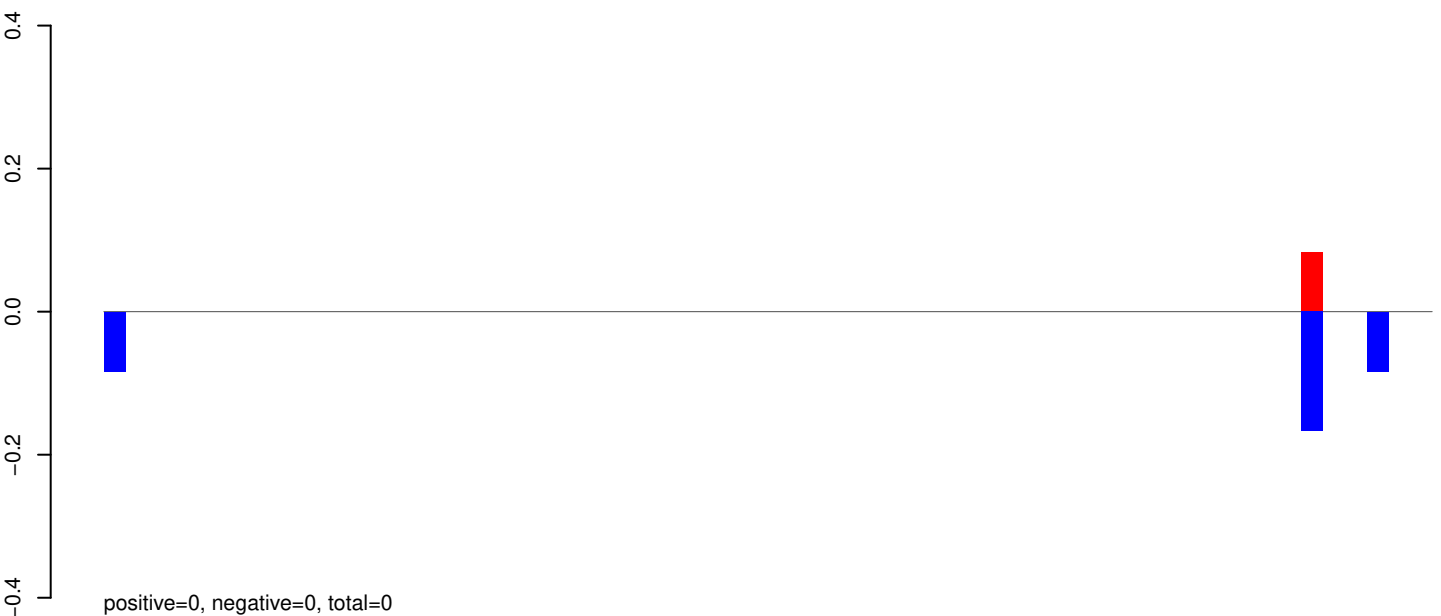


Window size=25, length=1217, TE@aedes_aegypti_1448_5-Unknown:1-1217

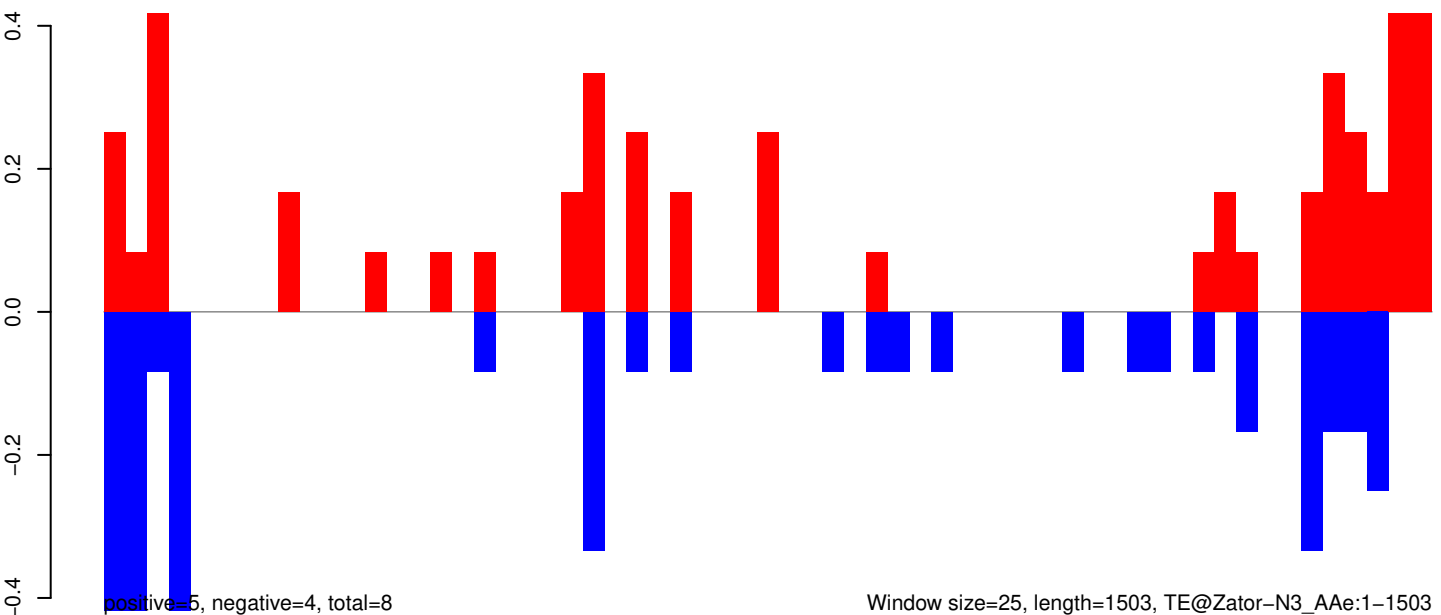
AeAeg_Aag2_Ago2_SINV_RA.18_23.rep



AeAeg_Aag2_Ago2_SINV_RA.24_35.rep



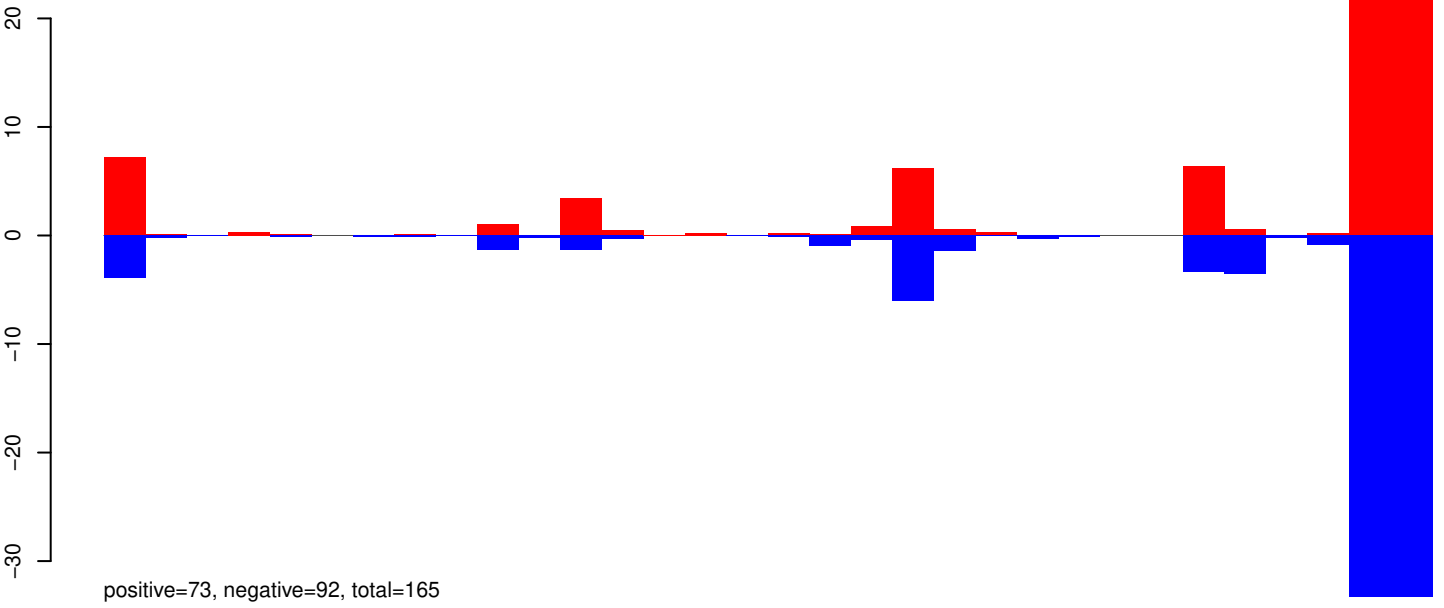
AeAeg_Aag2_Ago2_SINV_RA.rep



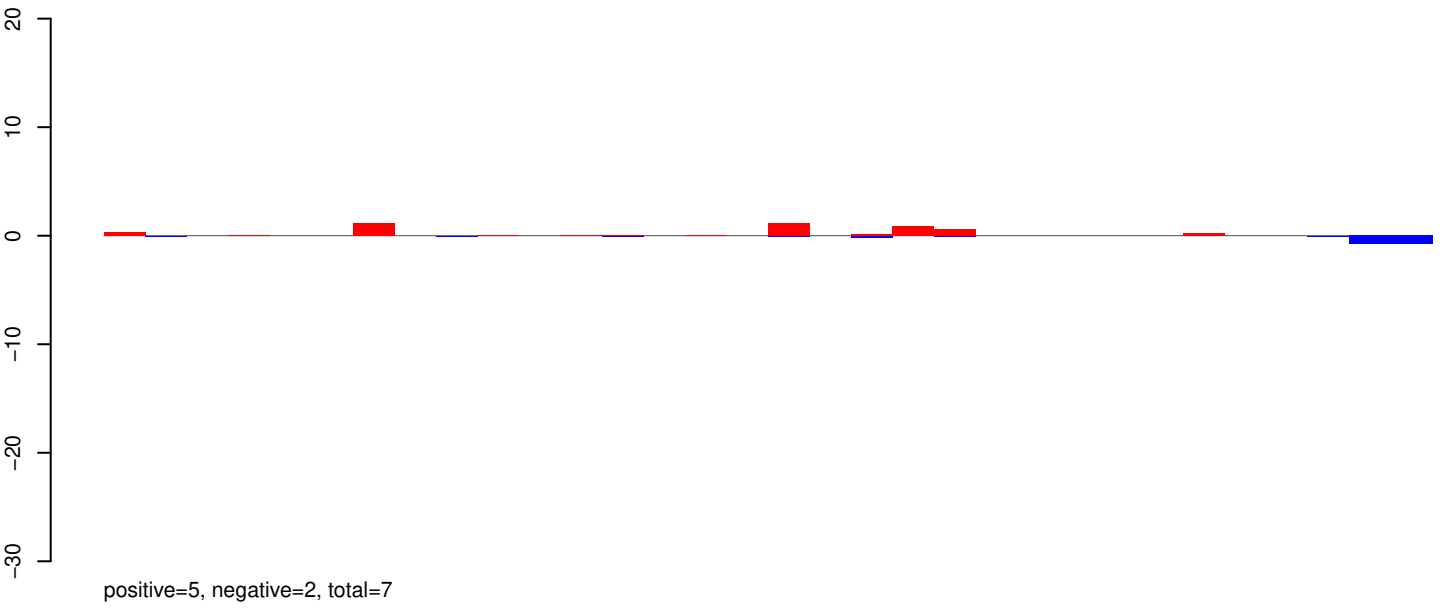
Window size=25, length=1503, TE@Zator-N3_AAe:1-1503

0 500 1000 1500

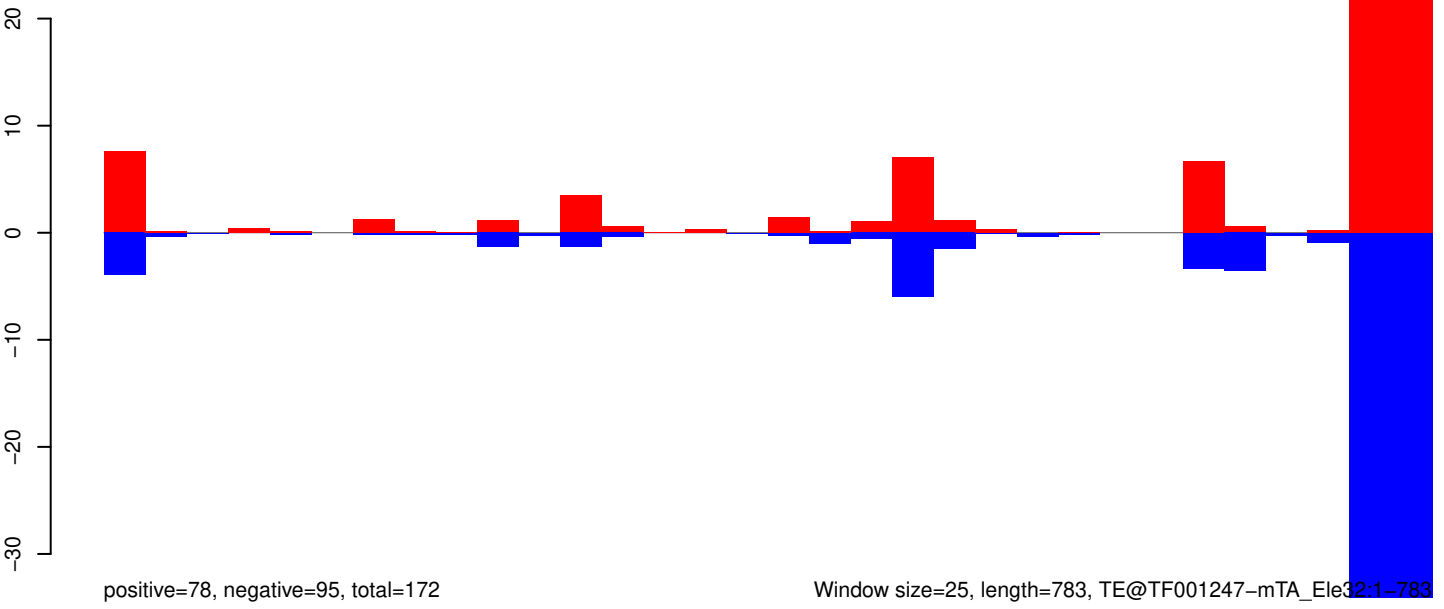
AeAeg_Aag2_Ago2_SINV_RA.18_23.rep



AeAeg_Aag2_Ago2_SINV_RA.24_35.rep

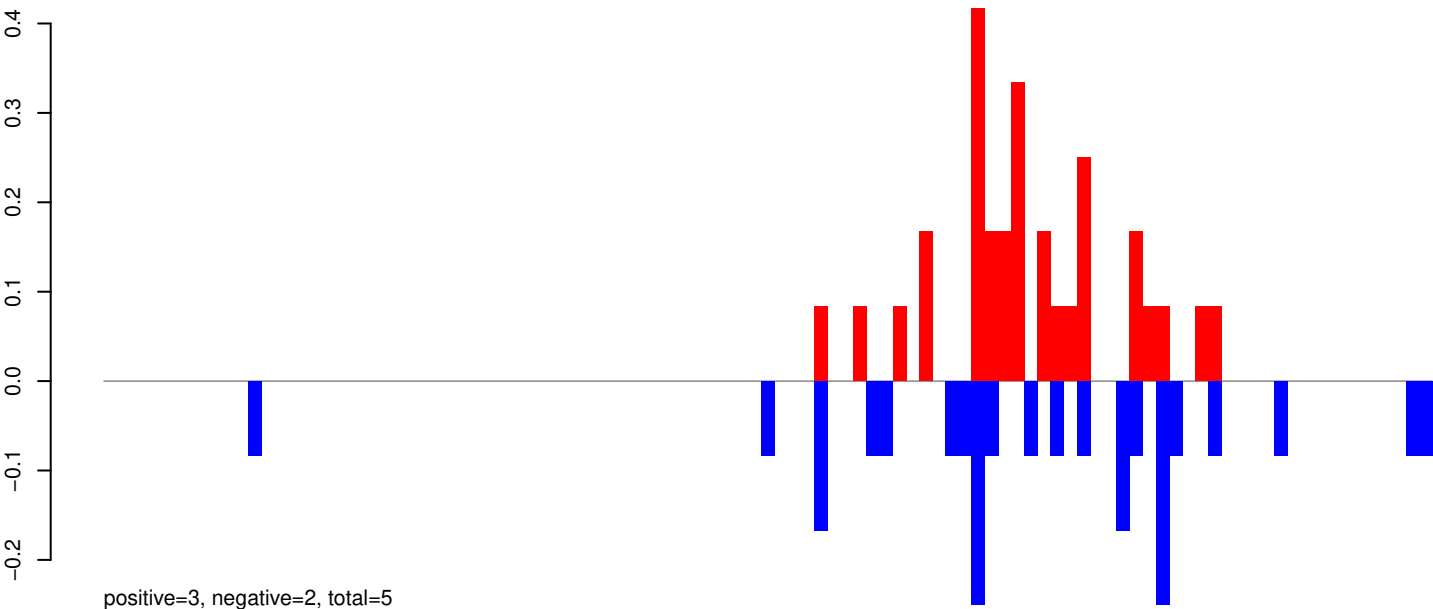


AeAeg_Aag2_Ago2_SINV_RA.rep

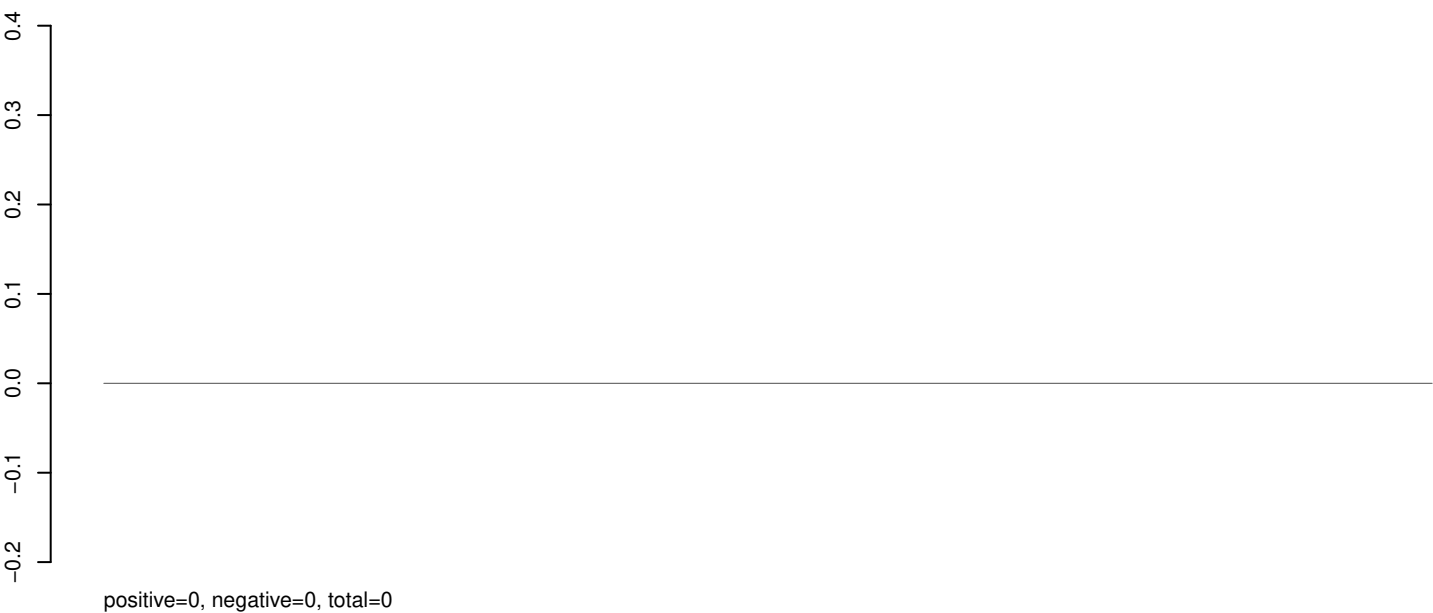


Window size=25, length=783, TE@TF001247-mTA_Ele32:1-783

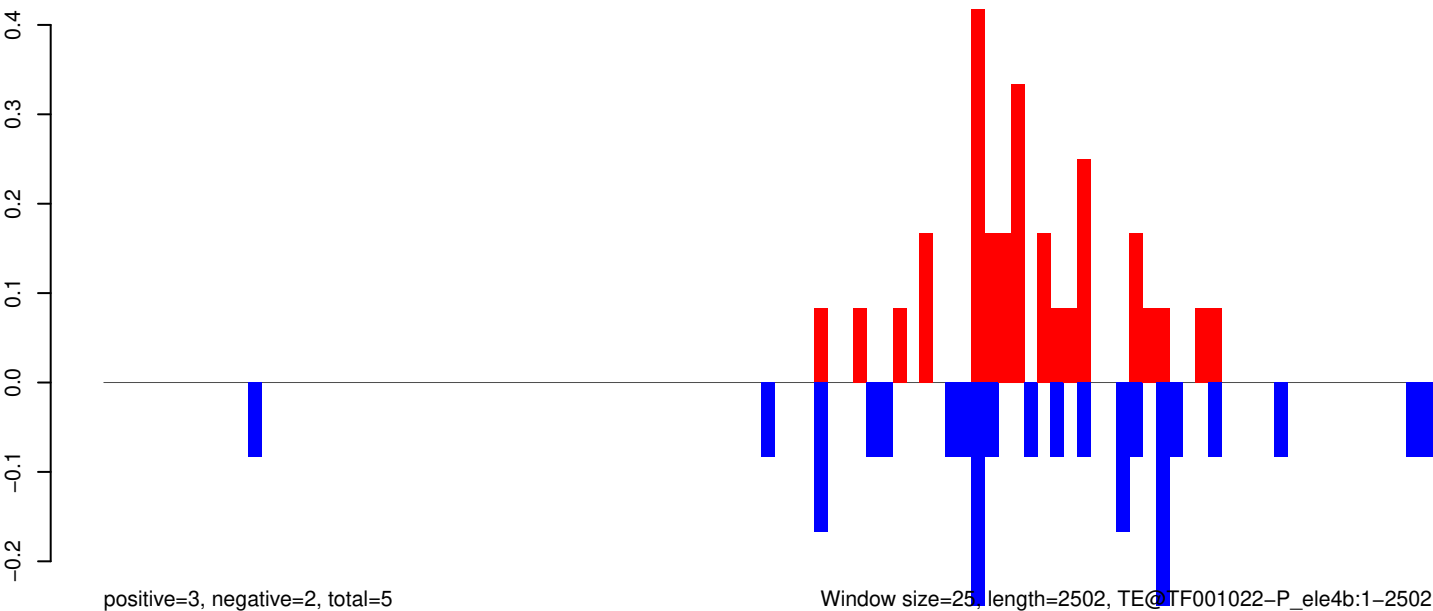
AeAeg_Aag2_Ago2_SINV_RA.18_23.rep



AeAeg_Aag2_Ago2_SINV_RA.24_35.rep



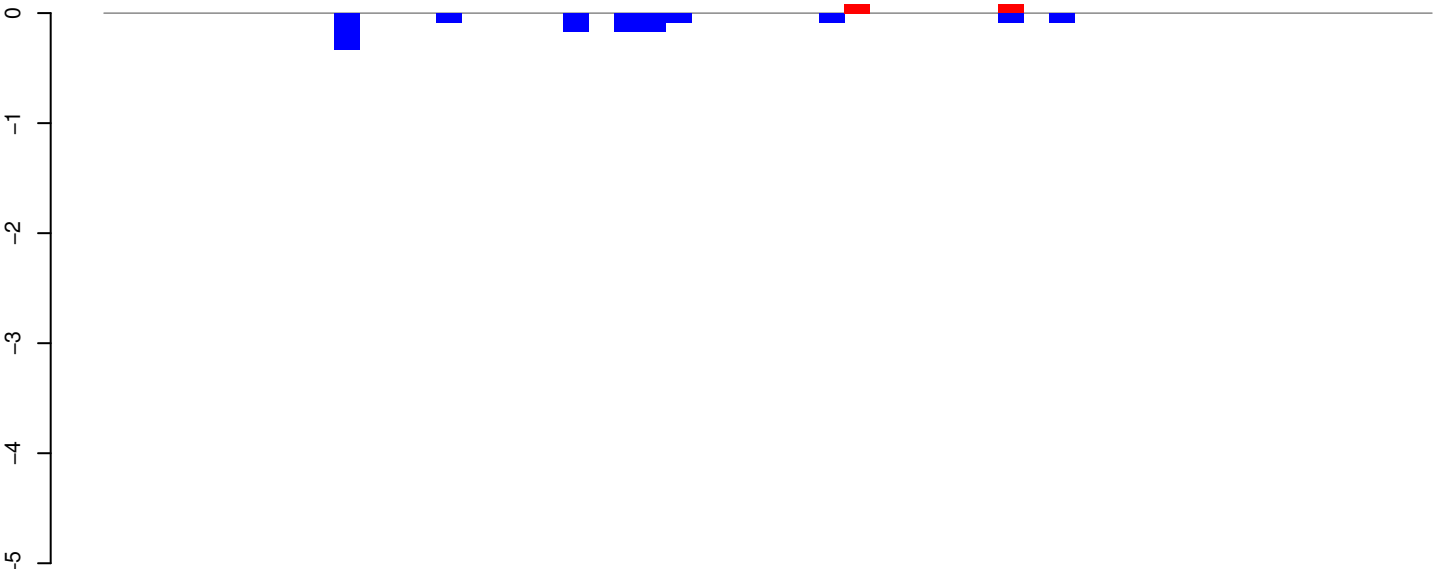
AeAeg_Aag2_Ago2_SINV_RA.rep



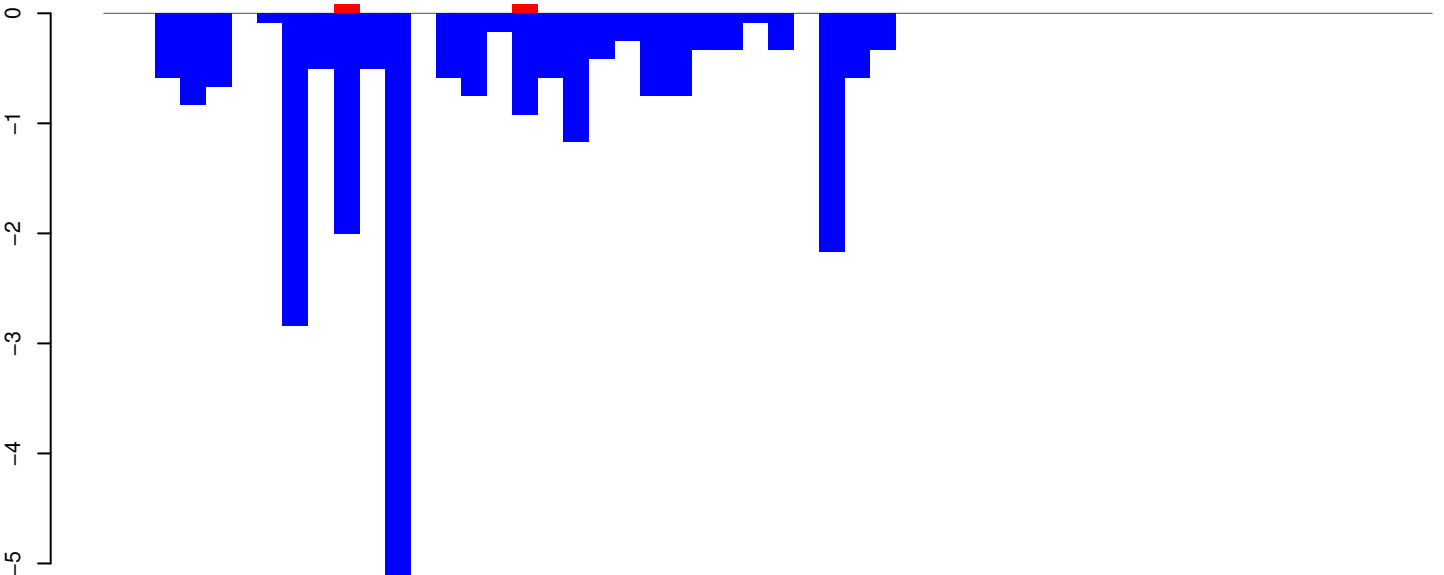
Window size=25, length=2502, TE@ITF001022-P_ele4b:1-2502

0 500 1000 1500 2000 2500

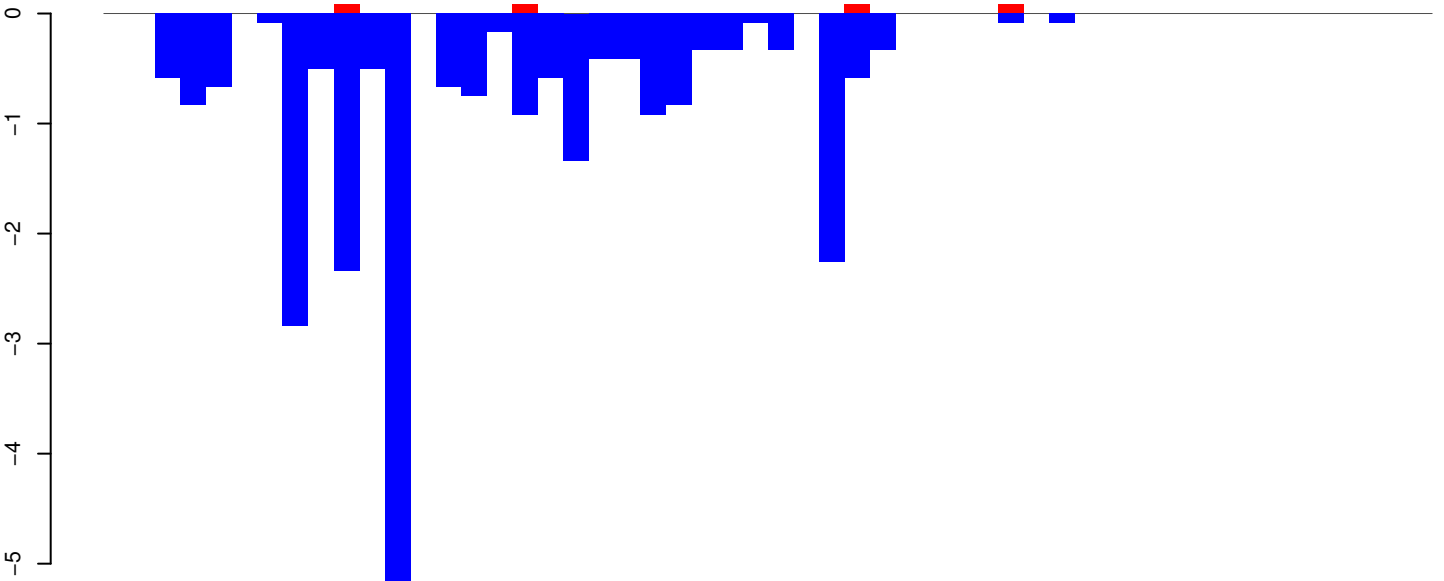
AeAeg_Aag2_Ago2_SINV_RA.18_23.rep



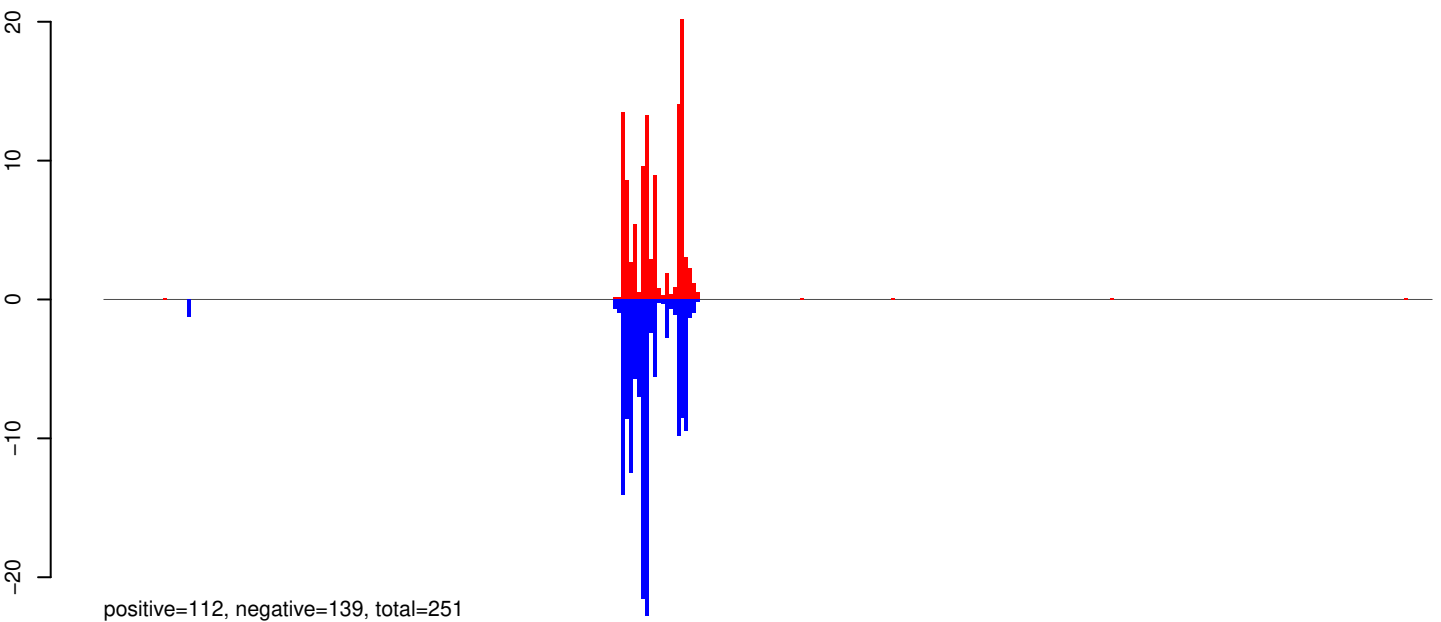
AeAeg_Aag2_Ago2_SINV_RA.24_35.rep



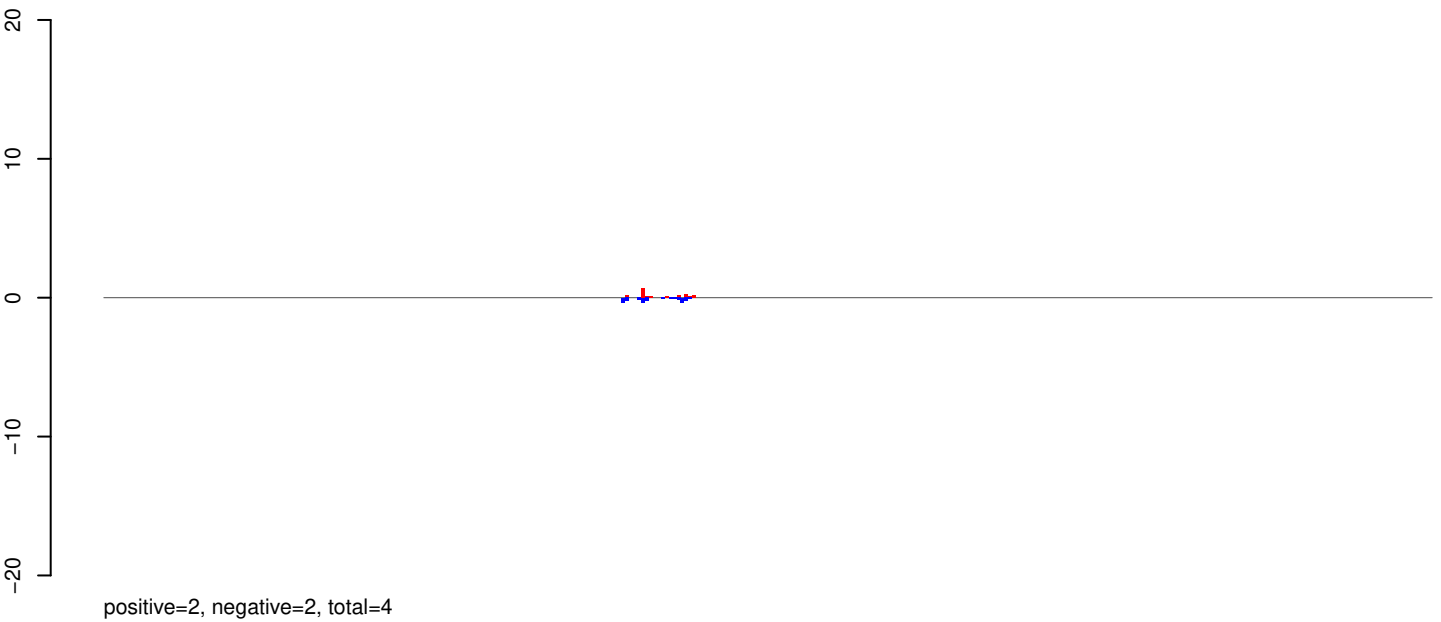
AeAeg_Aag2_Ago2_SINV_RA.rep



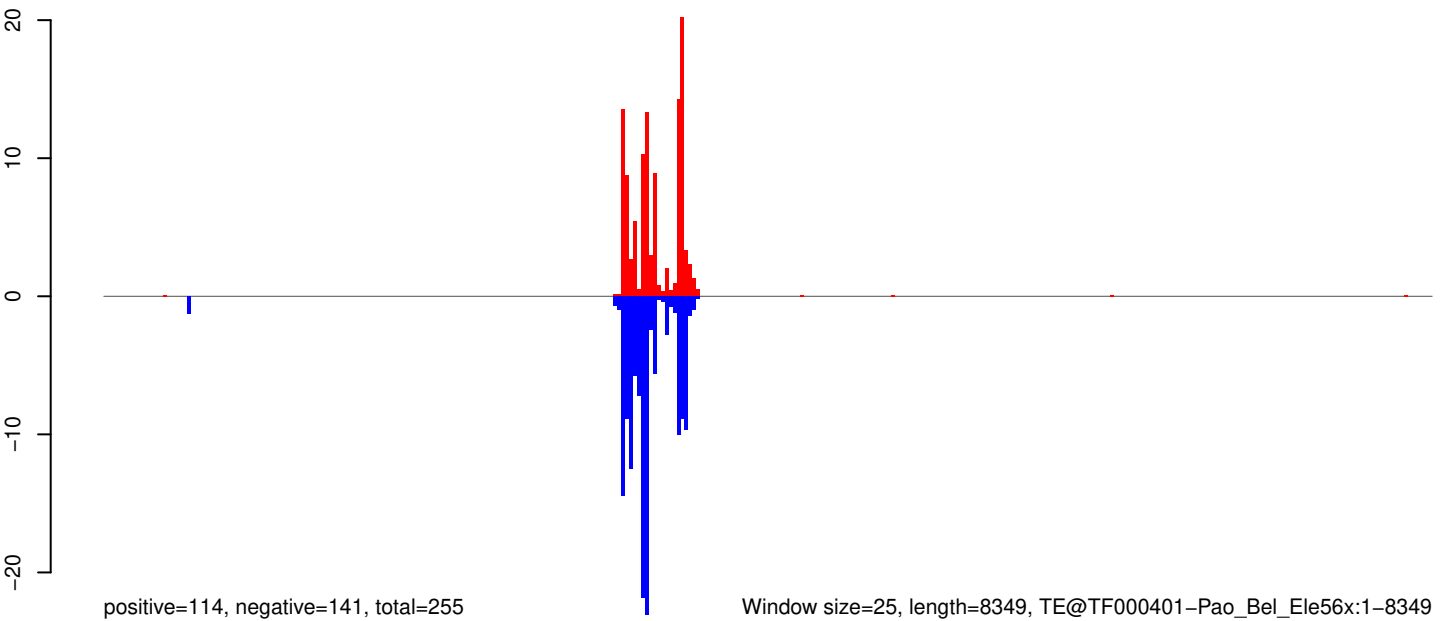
AeAeg_Aag2_Ago2_SINV_RA.18_23.rep



AeAeg_Aag2_Ago2_SINV_RA.24_35.rep

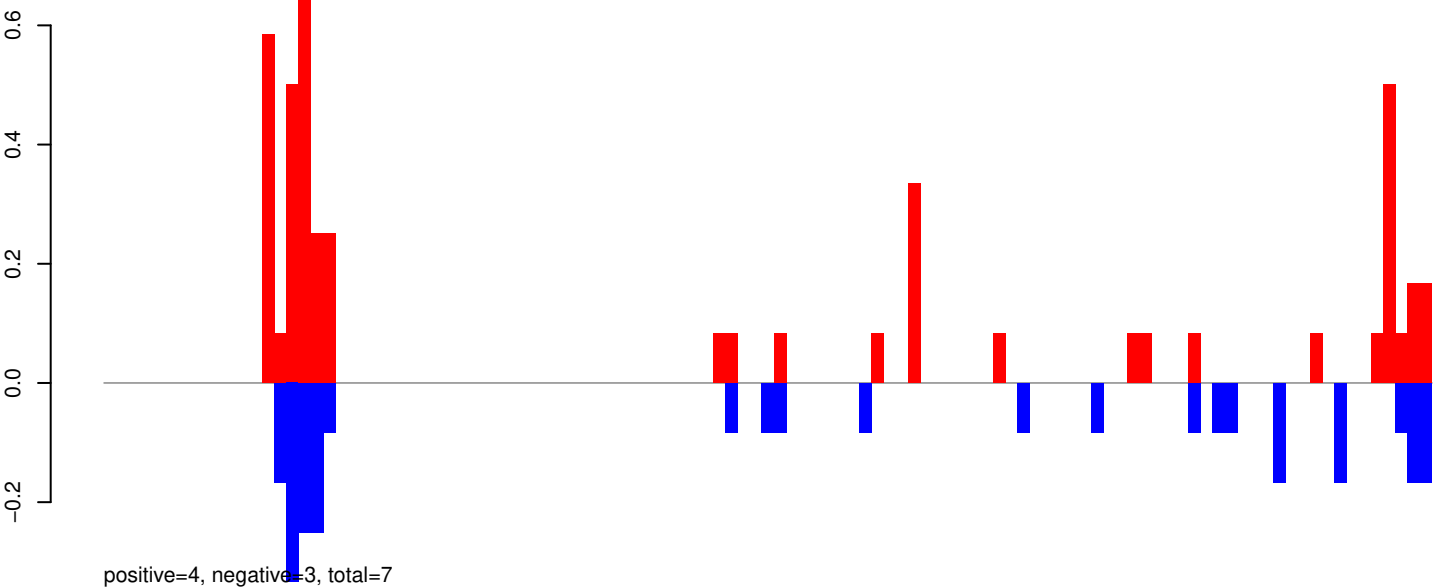


AeAeg_Aag2_Ago2_SINV_RA.rep

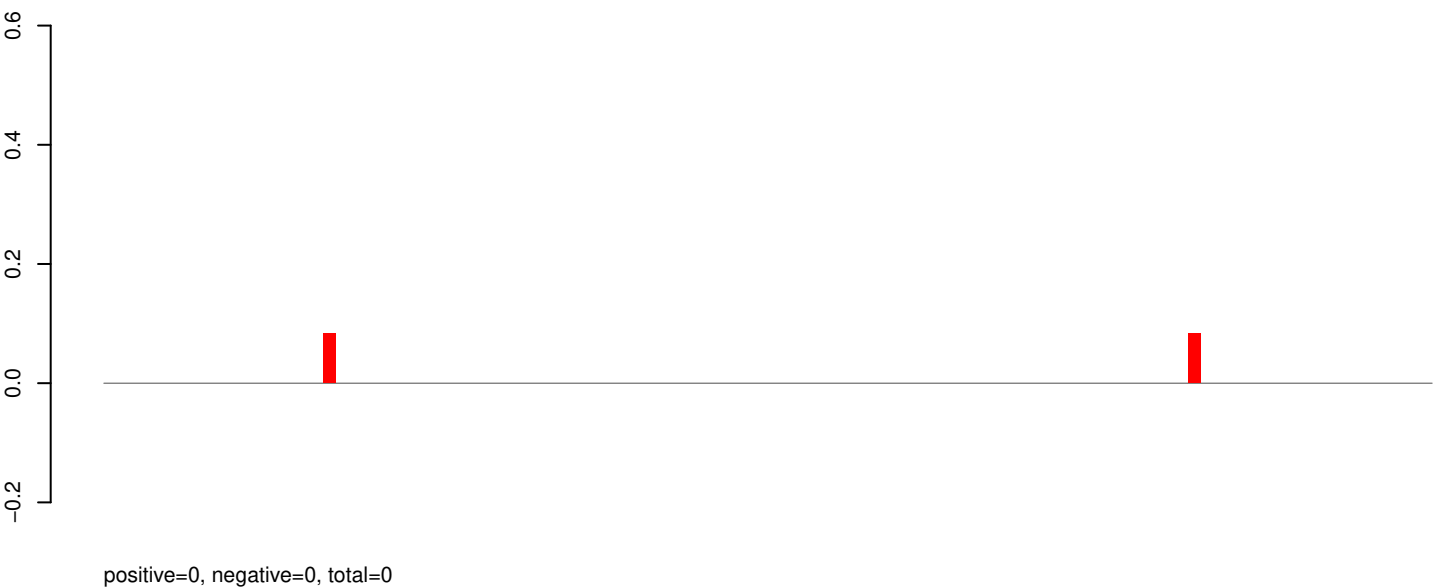


0 2000 4000 6000 8000

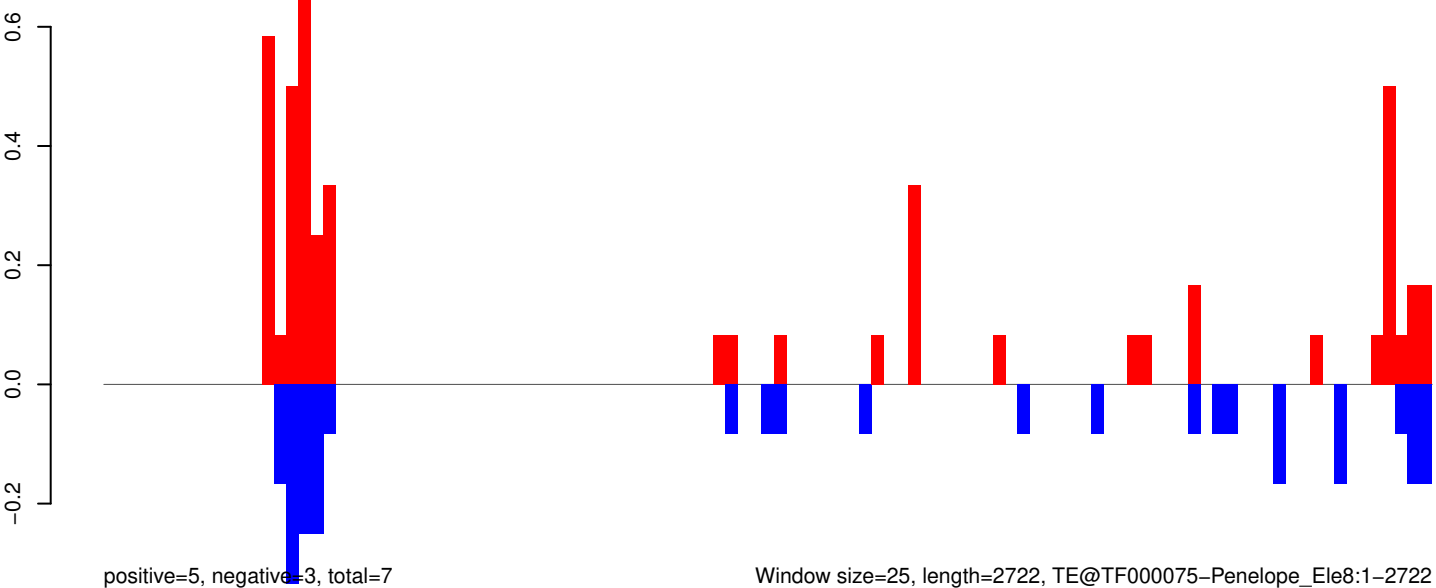
AeAeg_Aag2_Ago2_SINV_RA.18_23.rep



AeAeg_Aag2_Ago2_SINV_RA.24_35.rep



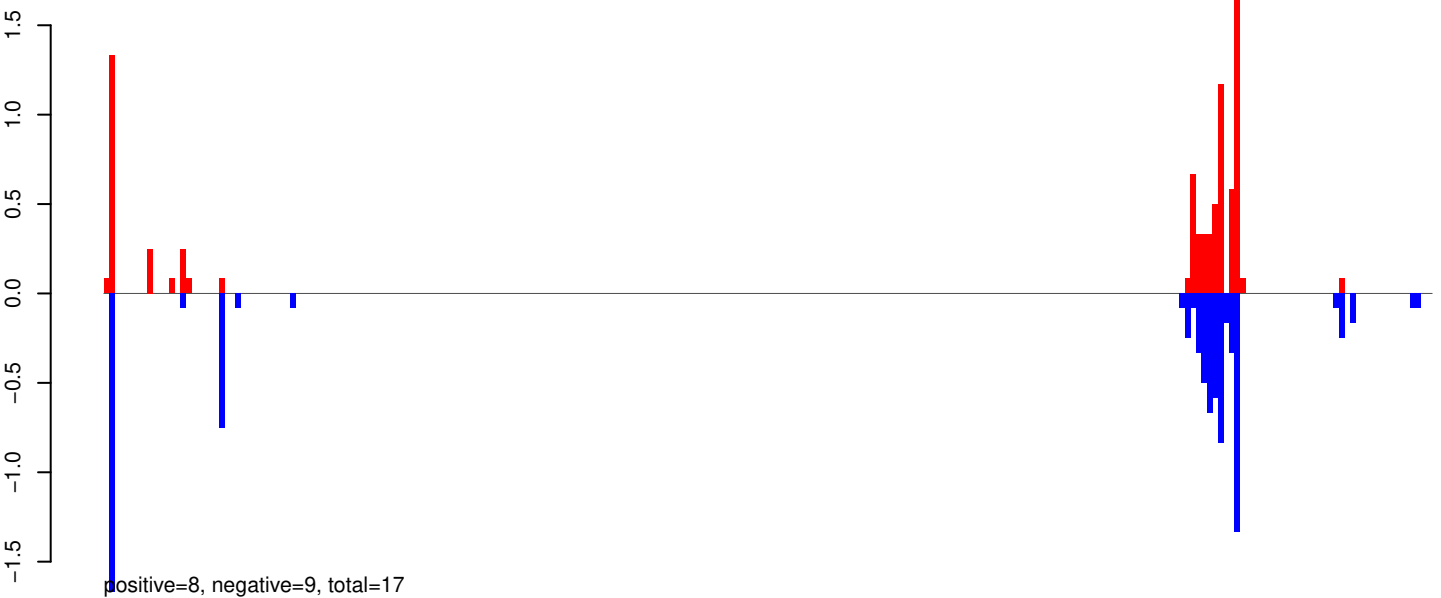
AeAeg_Aag2_Ago2_SINV_RA.rep



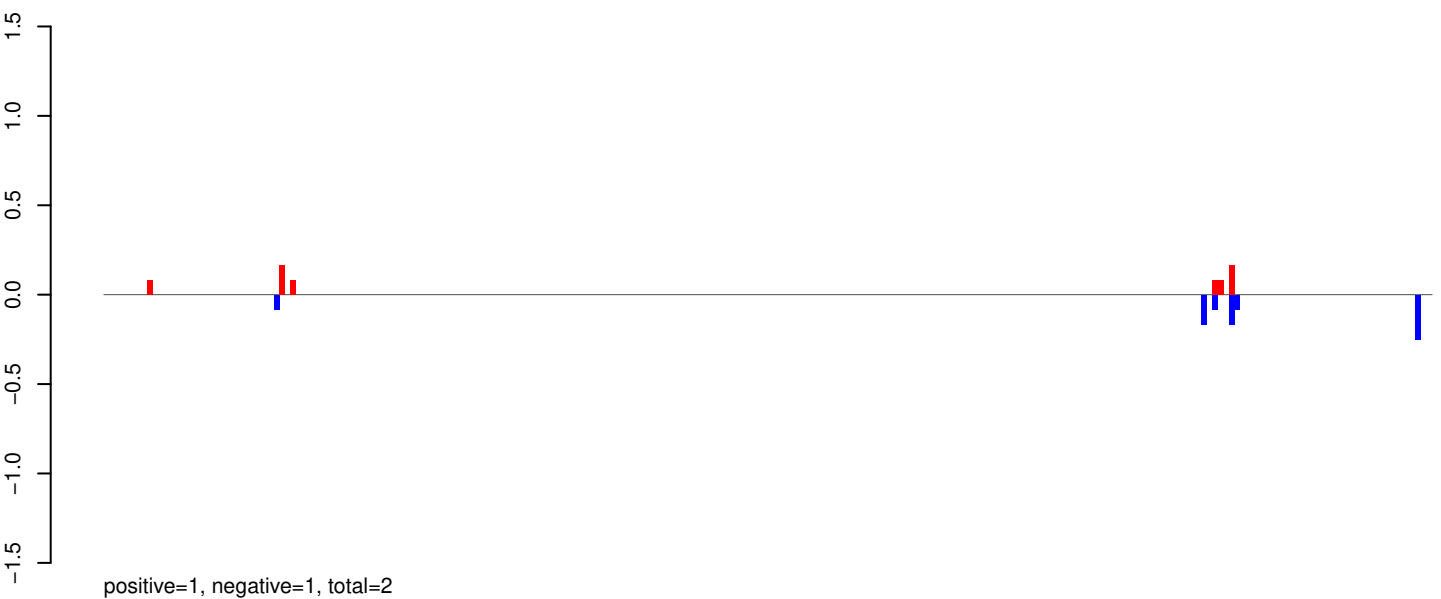
Window size=25, length=2722, TE@TF000075-Penelope_Ele8:1-2722

0 500 1000 1500 2000 2500

AeAeg_Aag2_Ago2_SINV_RA.18_23.rep



AeAeg_Aag2_Ago2_SINV_RA.24_35.rep

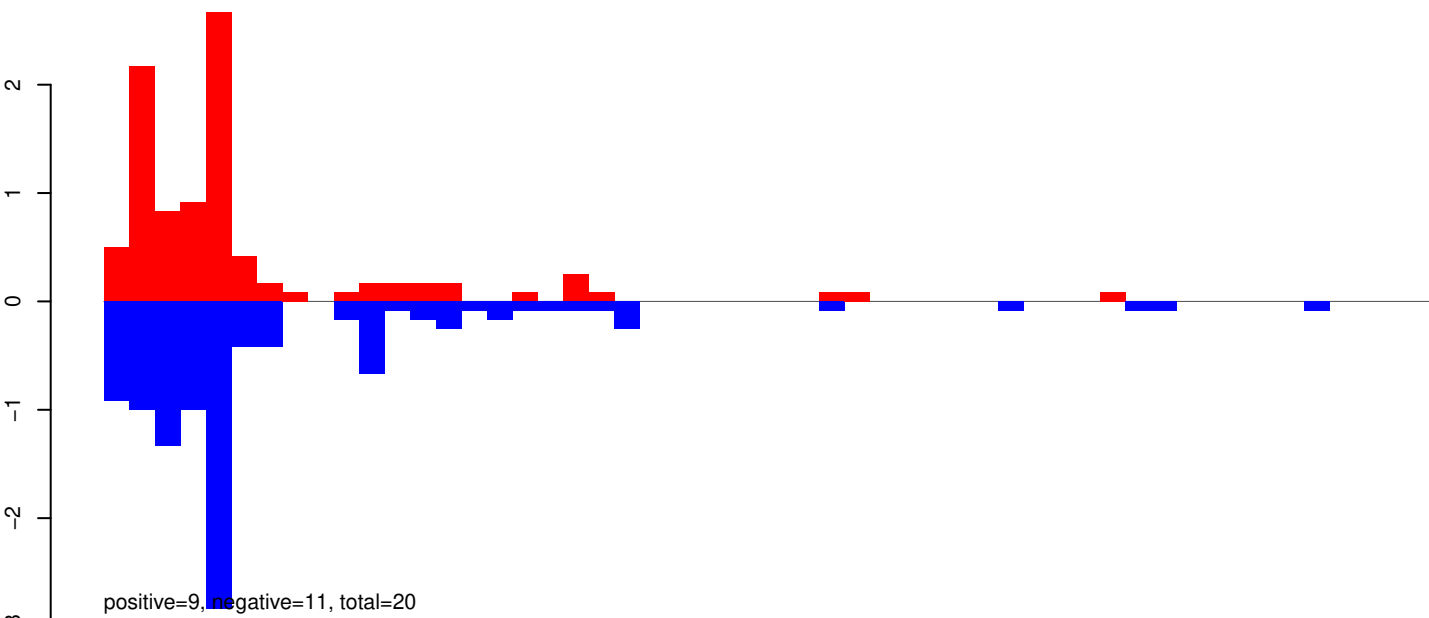


AeAeg_Aag2_Ago2_SINV_RA.rep

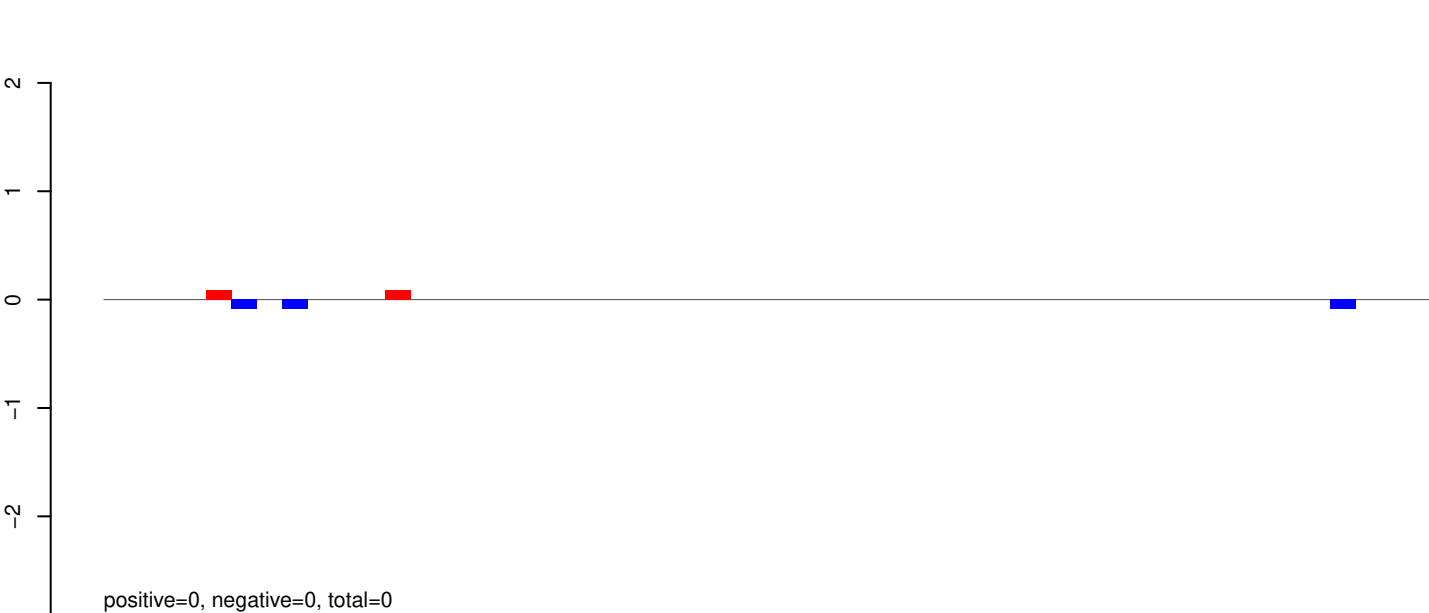


Window size=25, length=6027, TE@Sola3-1_AA:1-6027

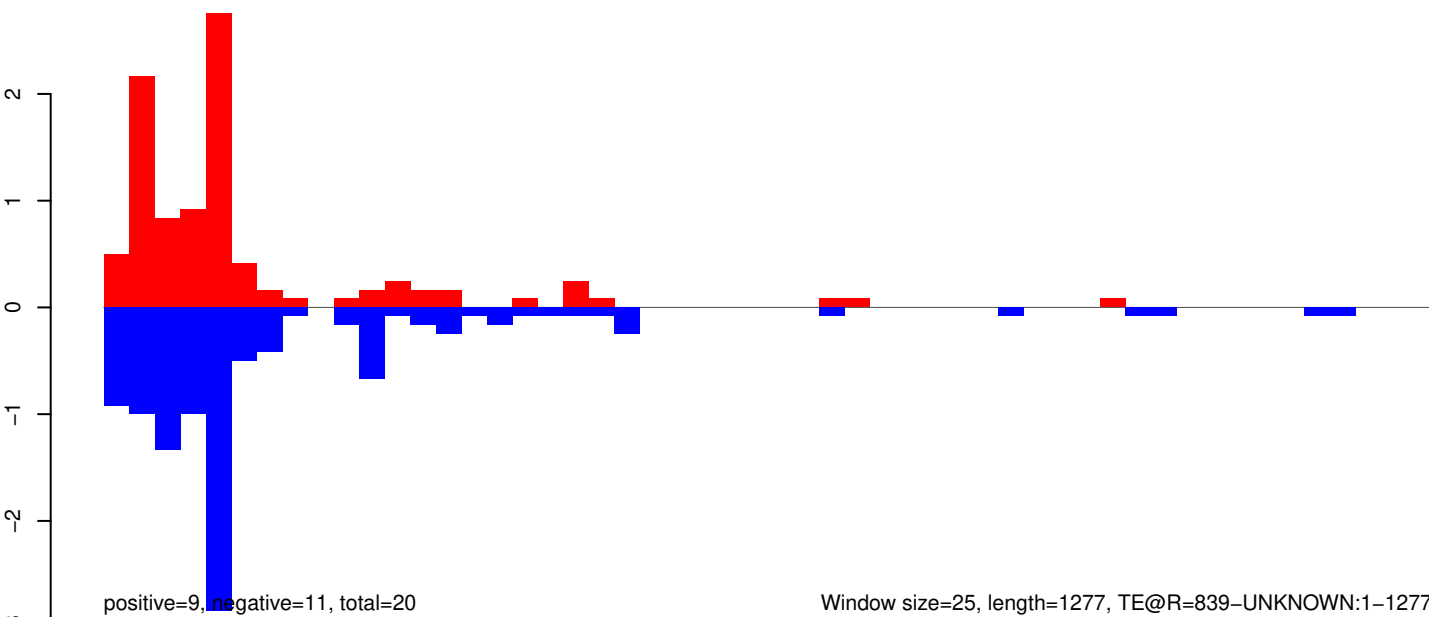
AeAeg_Aag2_Ago2_SINV_RA.18_23.rep



AeAeg_Aag2_Ago2_SINV_RA.24_35.rep



AeAeg_Aag2_Ago2_SINV_RA.rep



Window size=25, length=1277, TE@R=839-UNKNOWN:1-1277

AeAeg_Aag2_Ago2_SINV_RA.18_23.rep



AeAeg_Aag2_Ago2_SINV_RA.24_35.rep



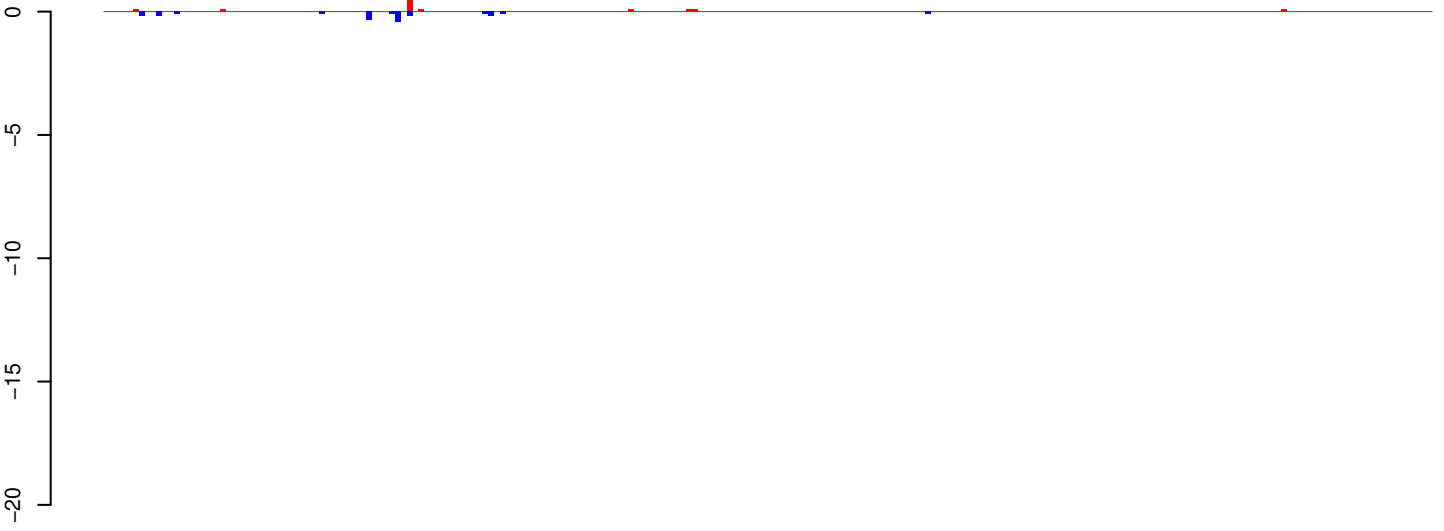
AeAeg_Aag2_Ago2_SINV_RA.rep



Window size=25, length=4465, TE@L1_Ele3:1-4465

0 1000 2000 3000 4000

AeAeg_Aag2_Ago2_SINV_RA.18_23.rep



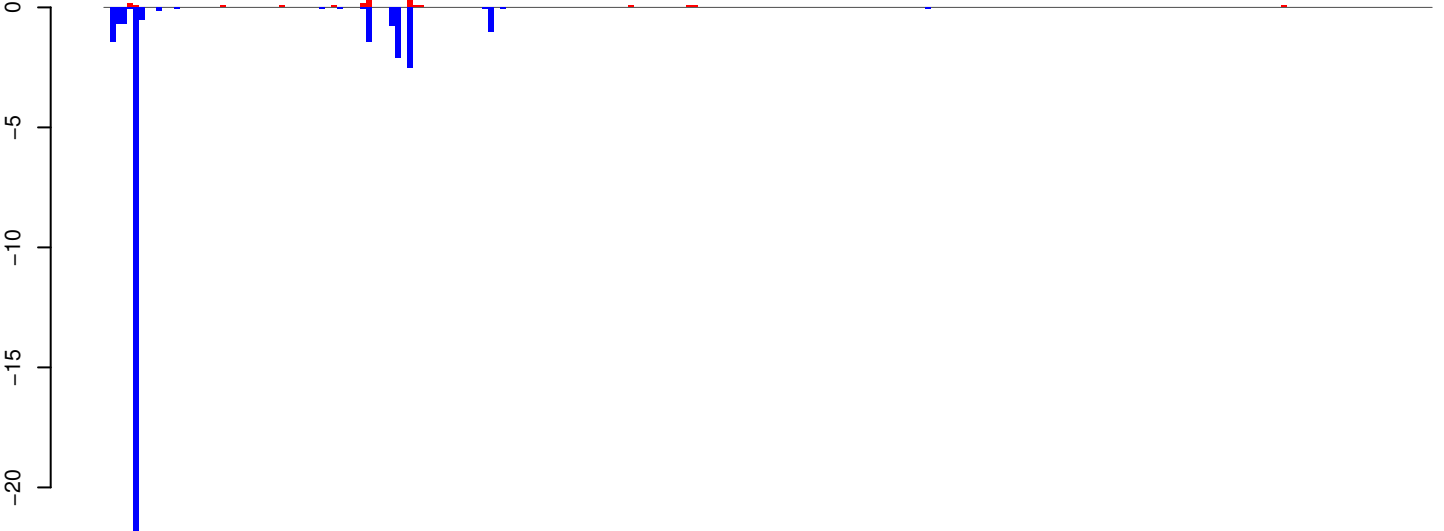
positive=1, negative=2, total=3

AeAeg_Aag2_Ago2_SINV_RA.24_35.rep



positive=2, negative=33, total=35

AeAeg_Aag2_Ago2_SINV_RA.rep

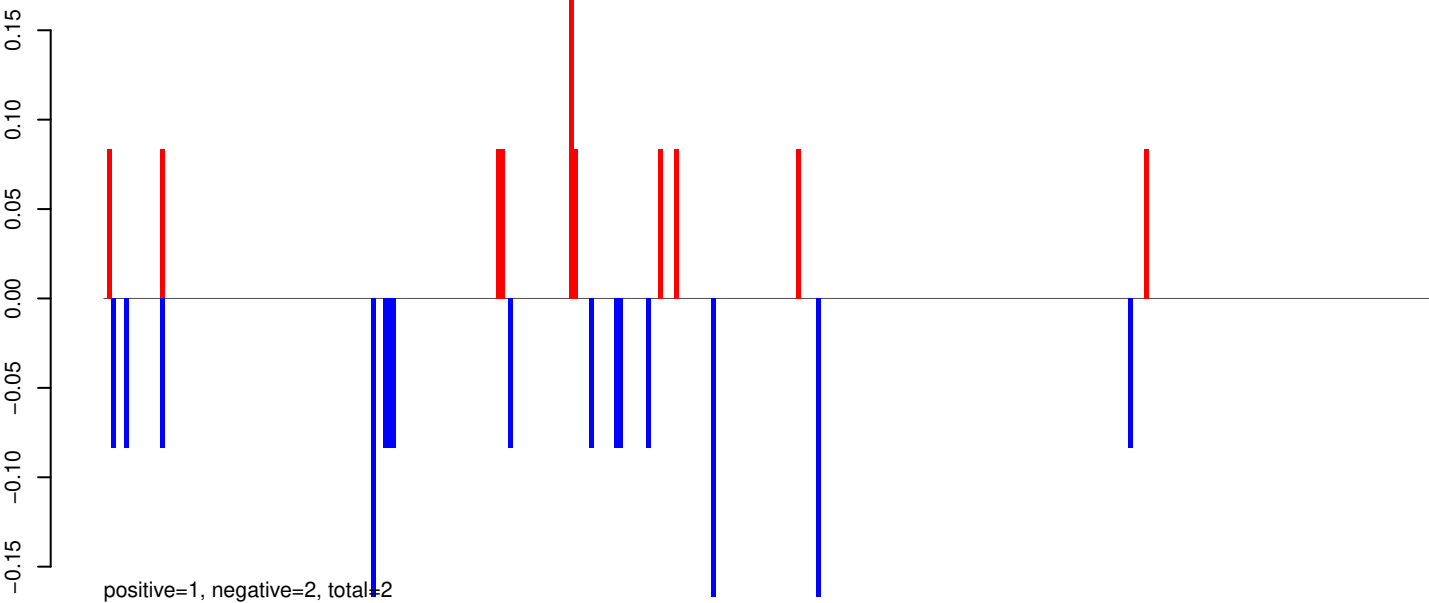


positive=3, negative=35, total=38

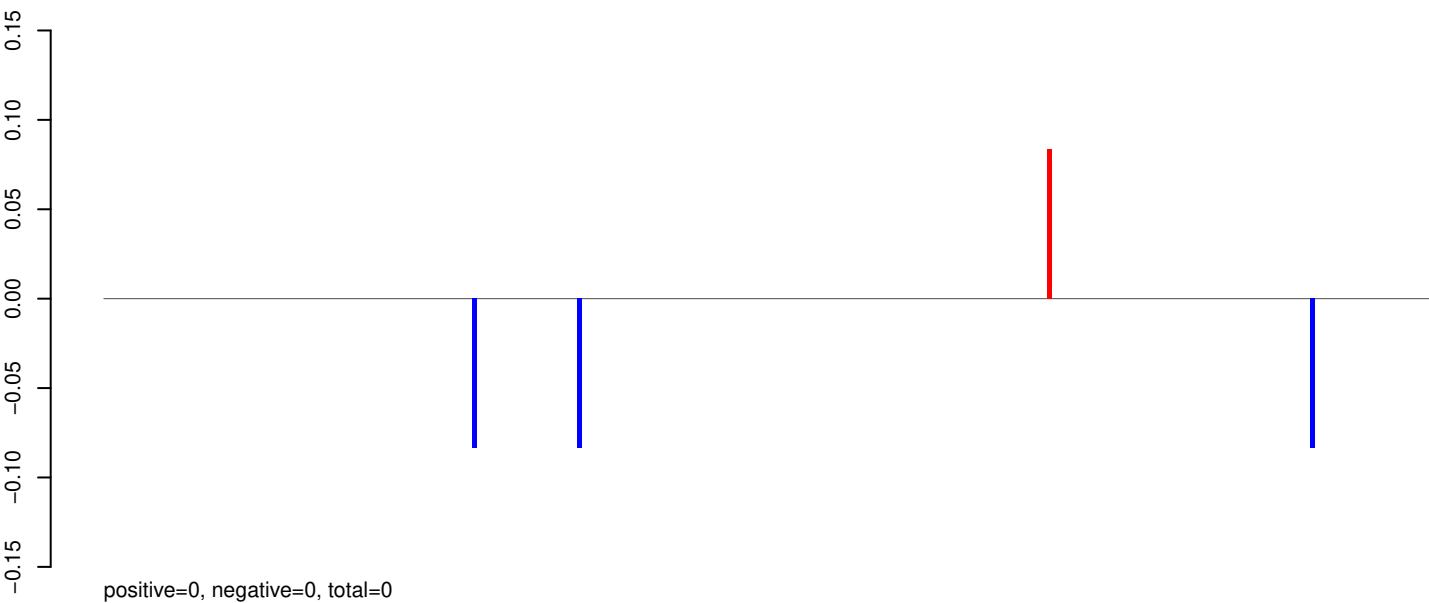
Window size=25, length=5688, TE@Gypsy-243_AA-LTR-I:1-5688

0 1000 2000 3000 4000 5000

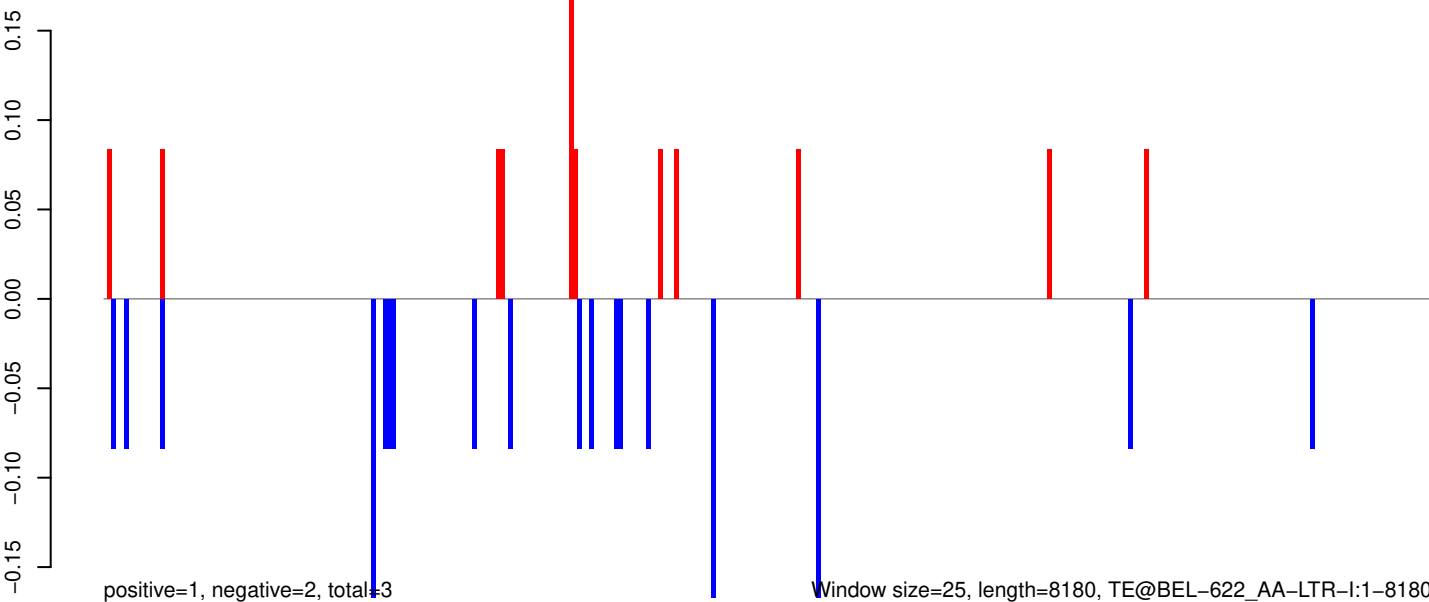
AeAeg_Aag2_Ago2_SINV_RA.18_23.rep



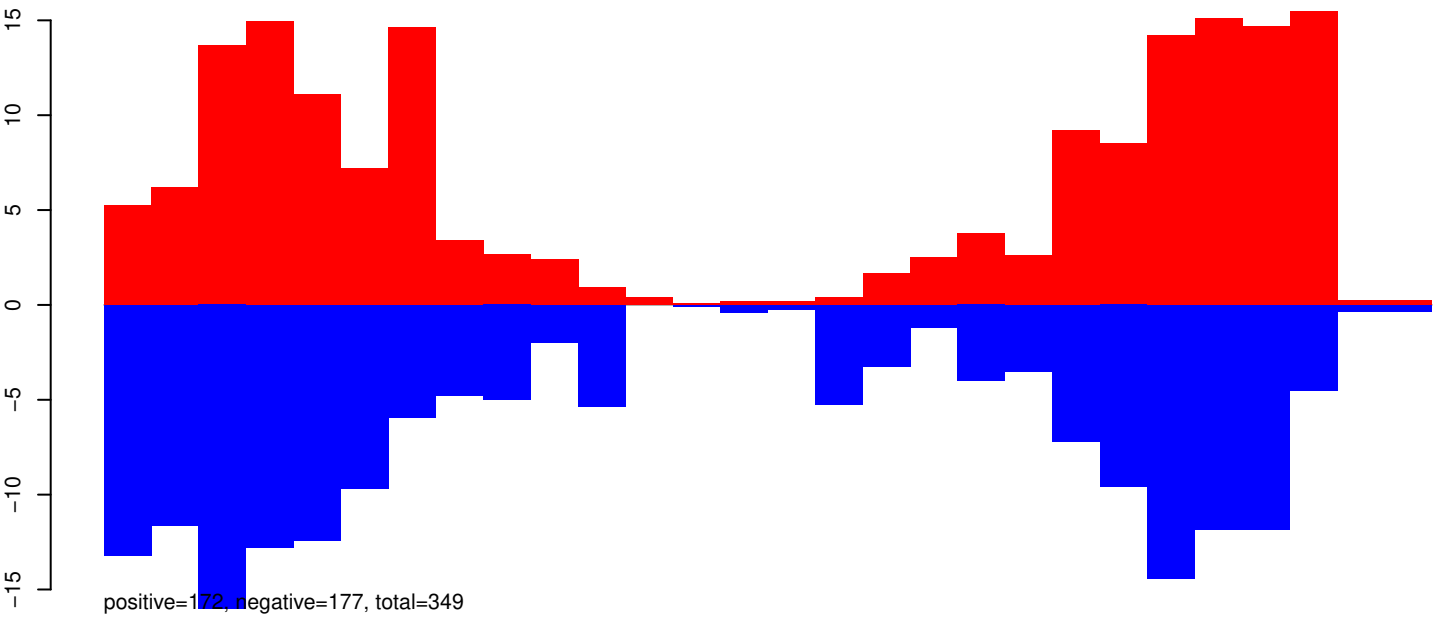
AeAeg_Aag2_Ago2_SINV_RA.24_35.rep



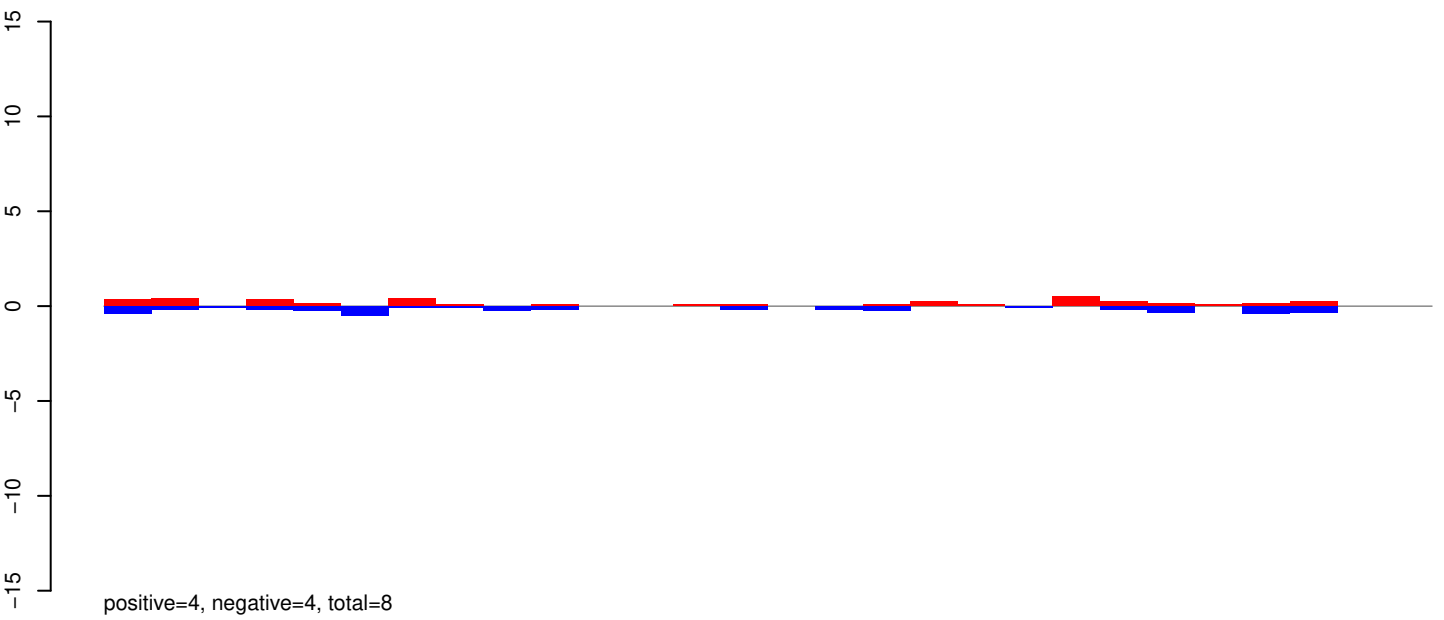
AeAeg_Aag2_Ago2_SINV_RA.rep



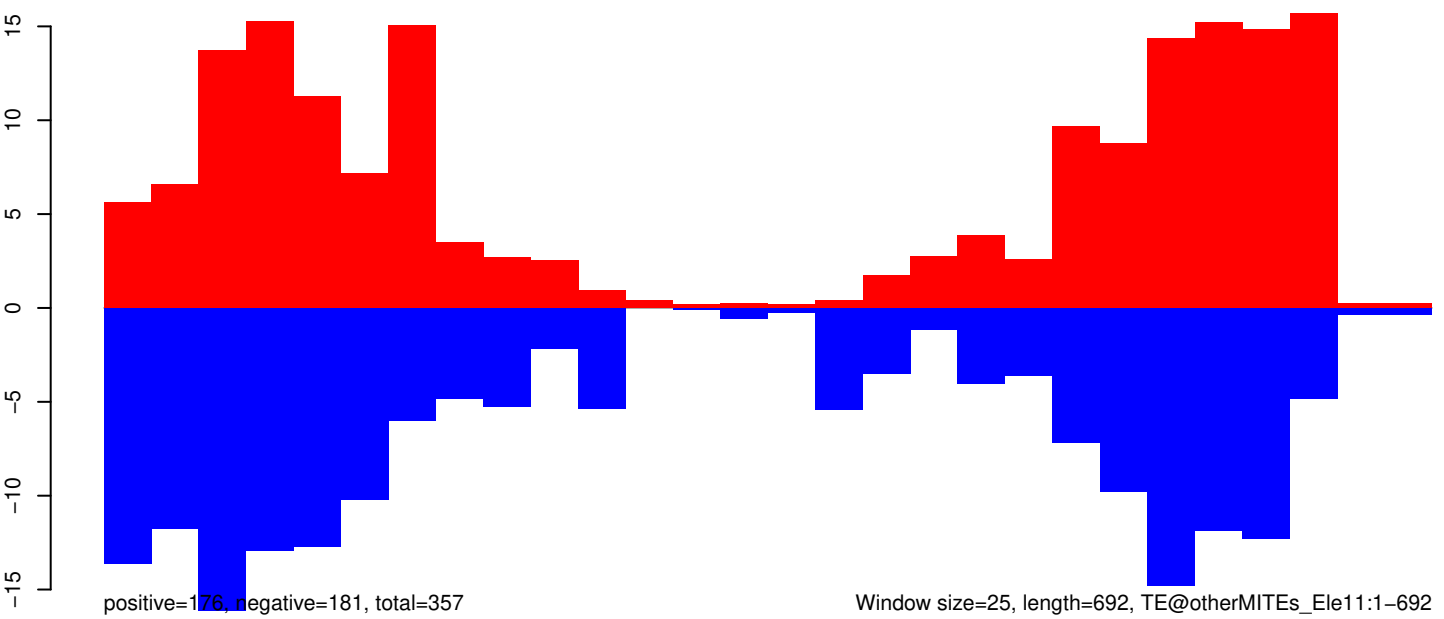
AeAeg_Aag2_Ago2_SINV_RA.18_23.rep



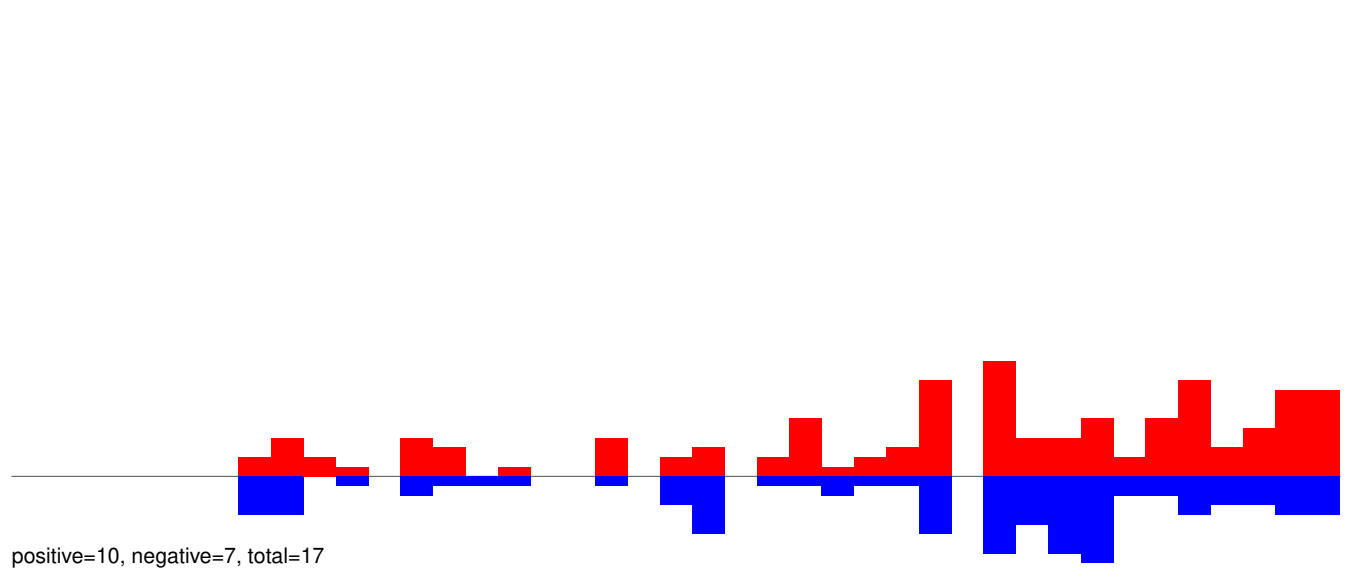
AeAeg_Aag2_Ago2_SINV_RA.24_35.rep



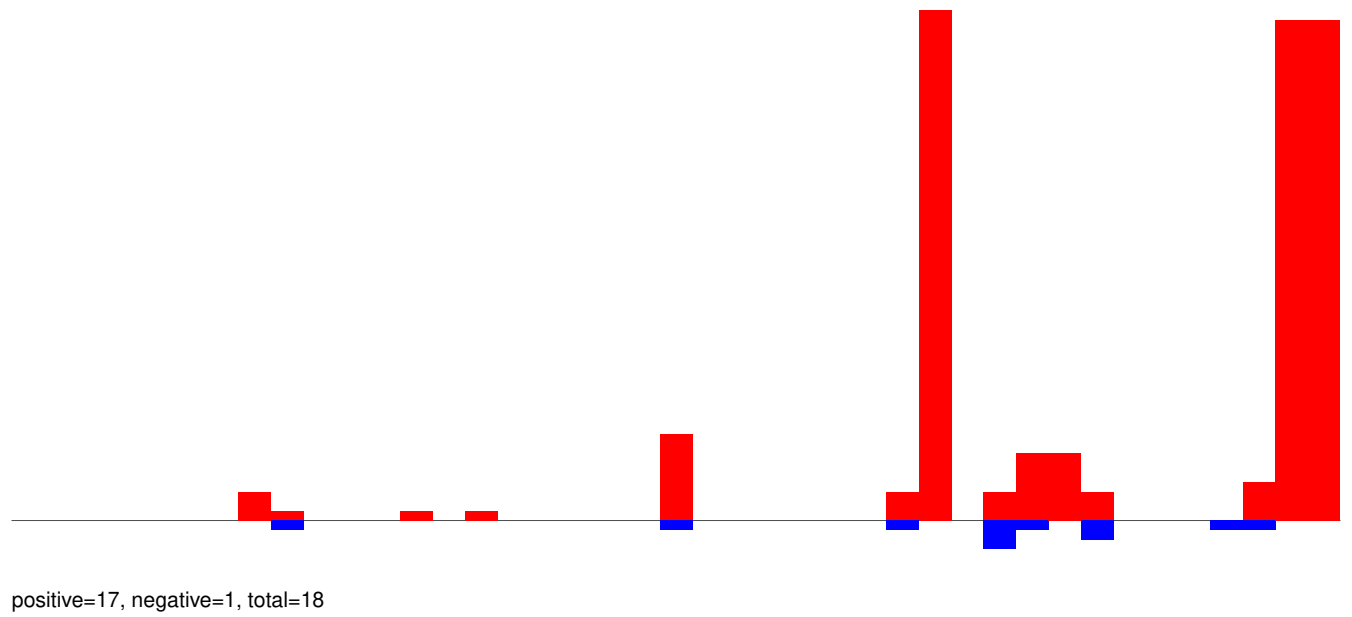
AeAeg_Aag2_Ago2_SINV_RA.rep



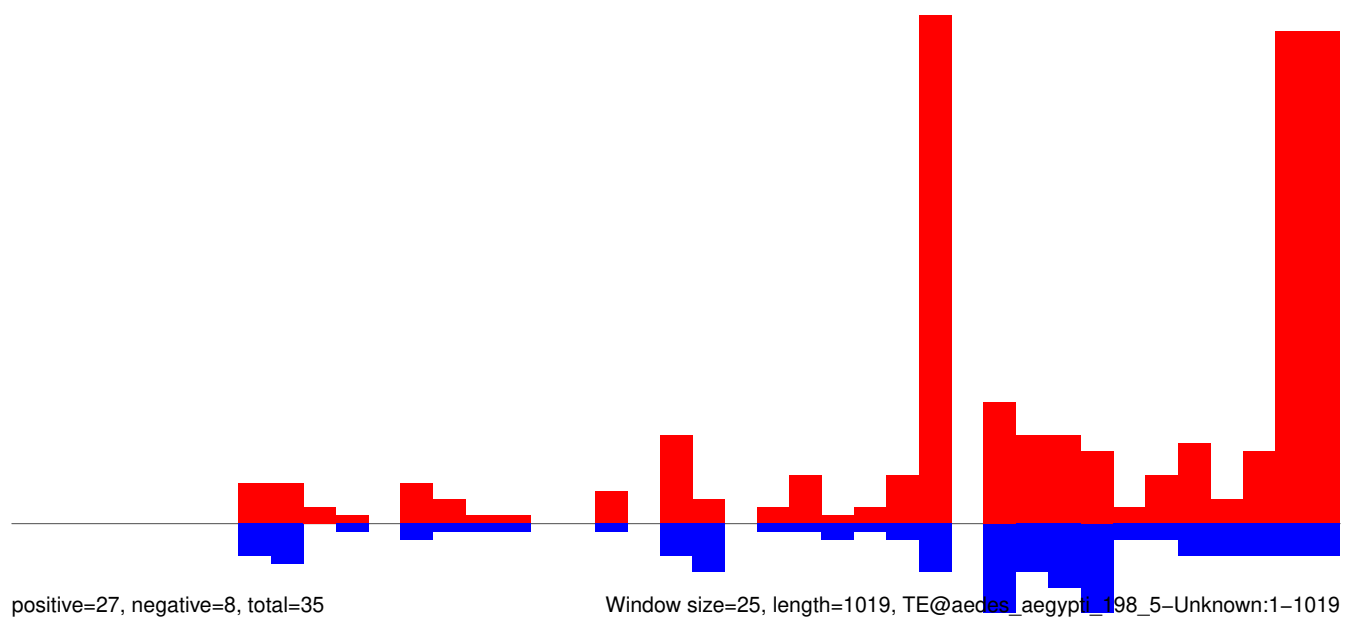
AeAeg_Aag2_Ago2_SINV_RA.18_23.rep



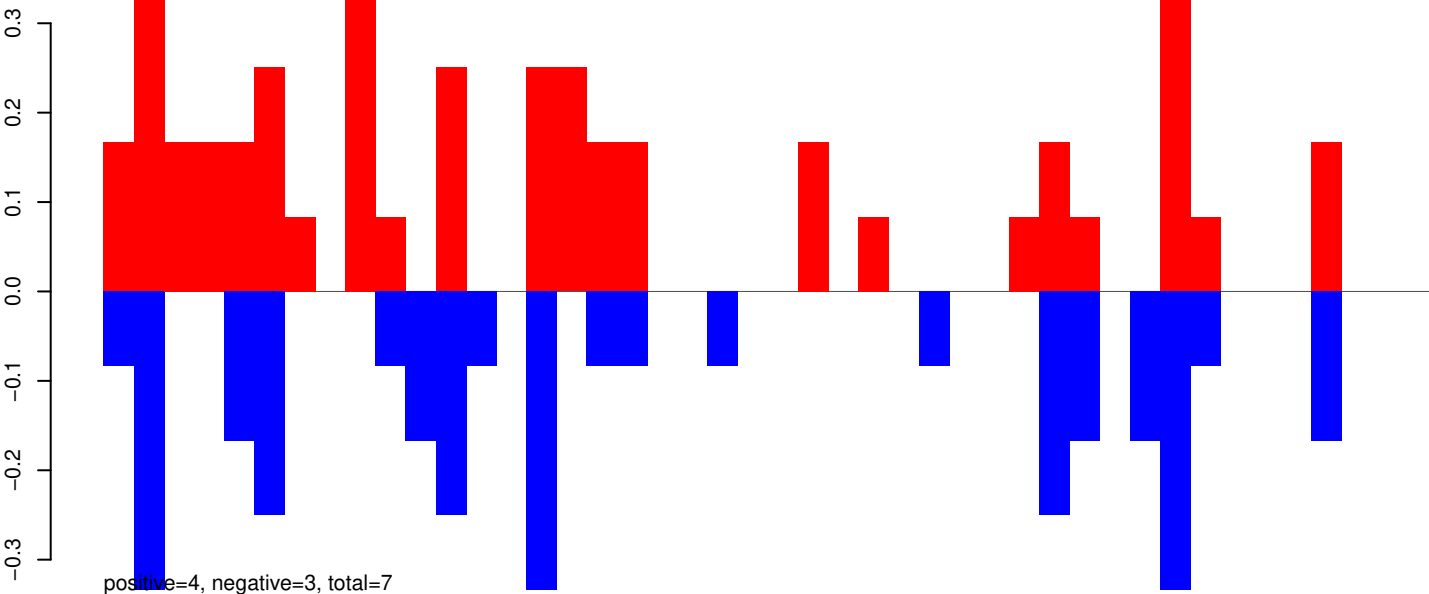
AeAeg_Aag2_Ago2_SINV_RA.24_35.rep



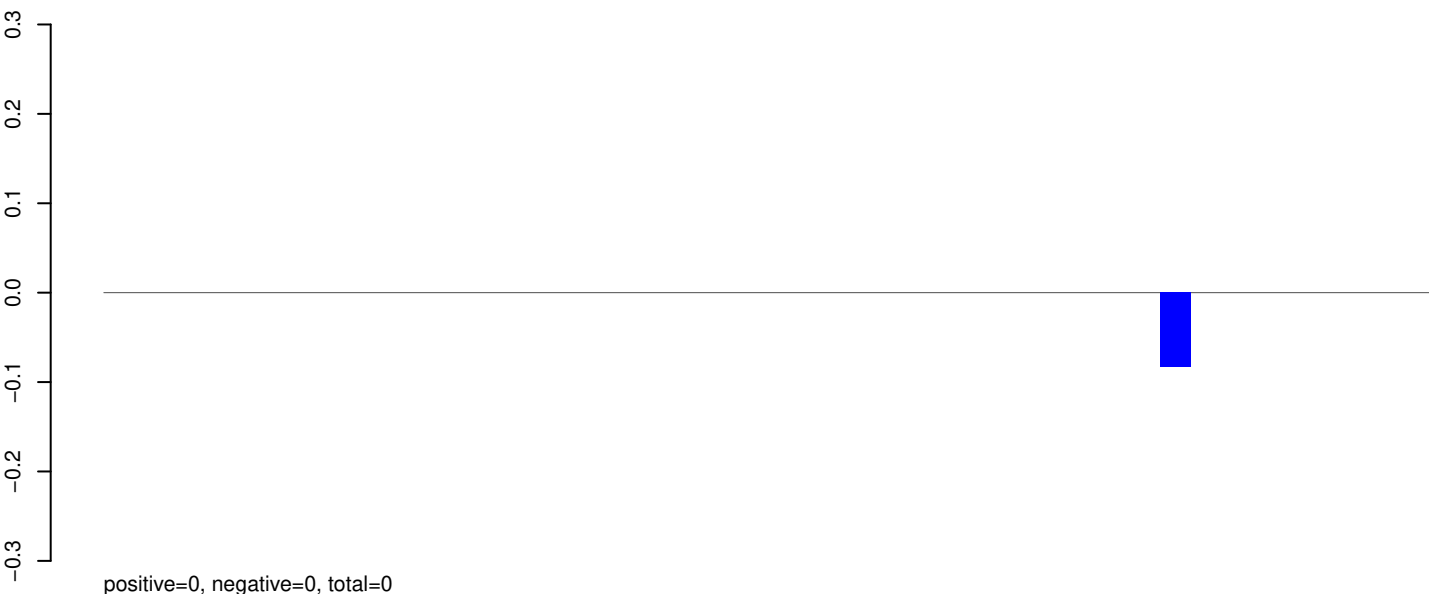
AeAeg_Aag2_Ago2_SINV_RA.rep



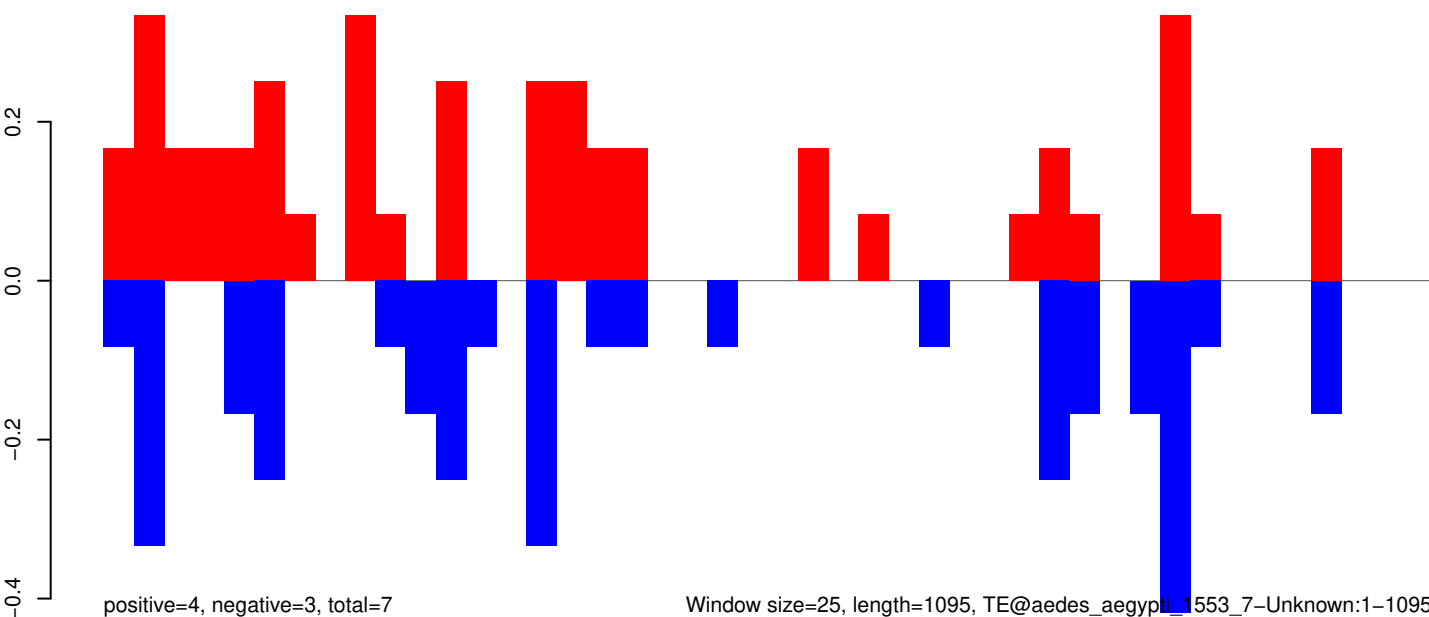
AeAeg_Aag2_Ago2_SINV_RA.18_23.rep



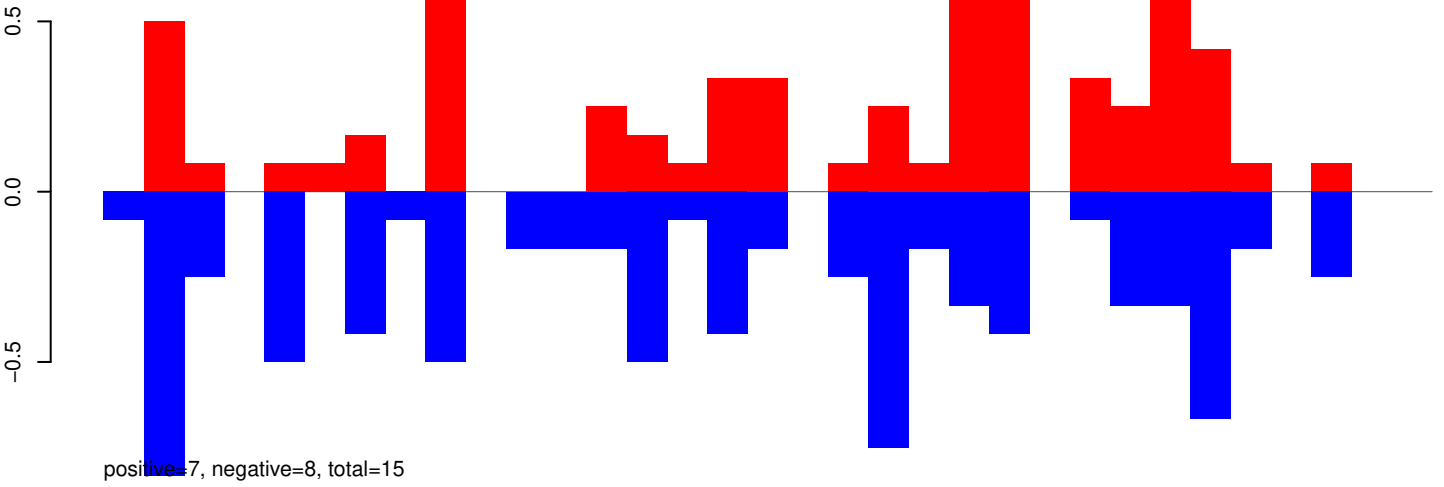
AeAeg_Aag2_Ago2_SINV_RA.24_35.rep



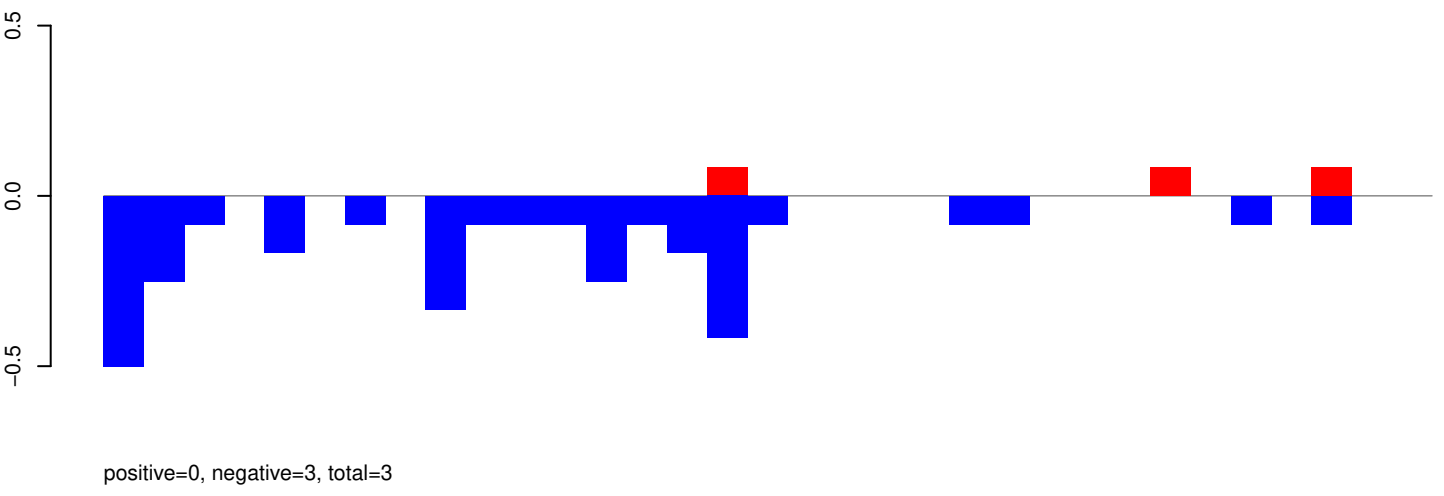
AeAeg_Aag2_Ago2_SINV_RA.rep



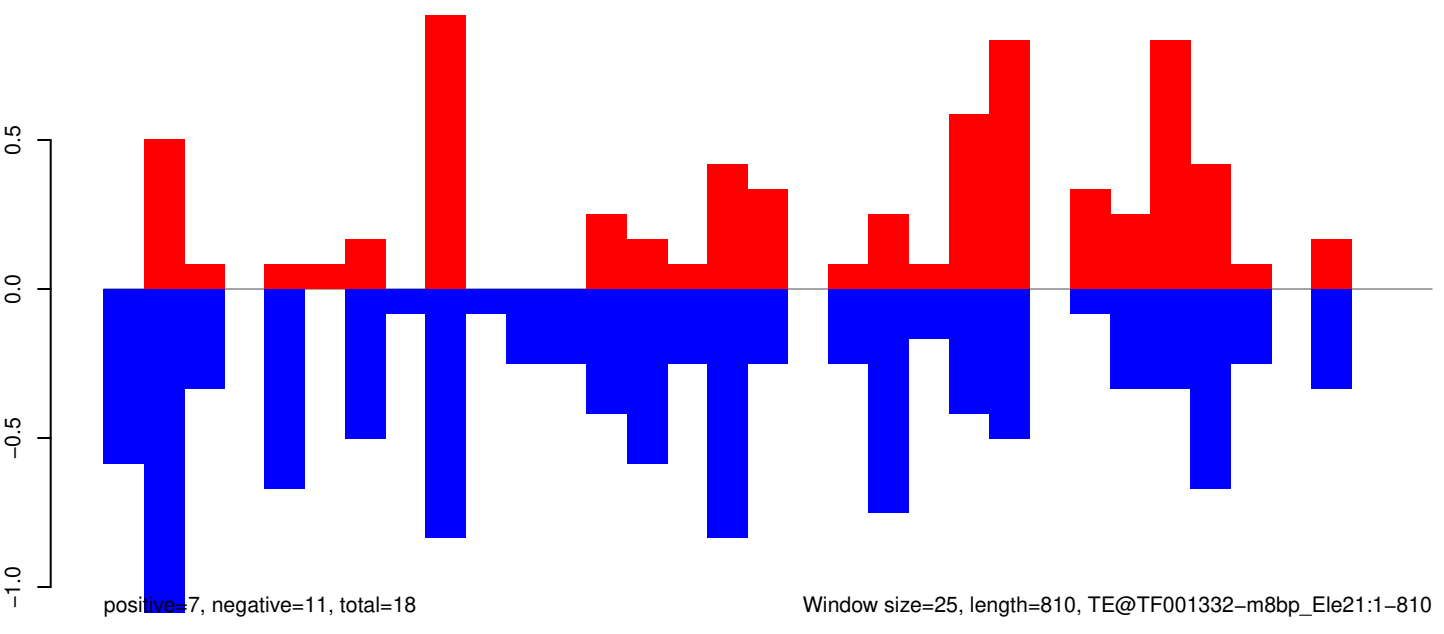
AeAeg_Aag2_Ago2_SINV_RA.18_23.rep



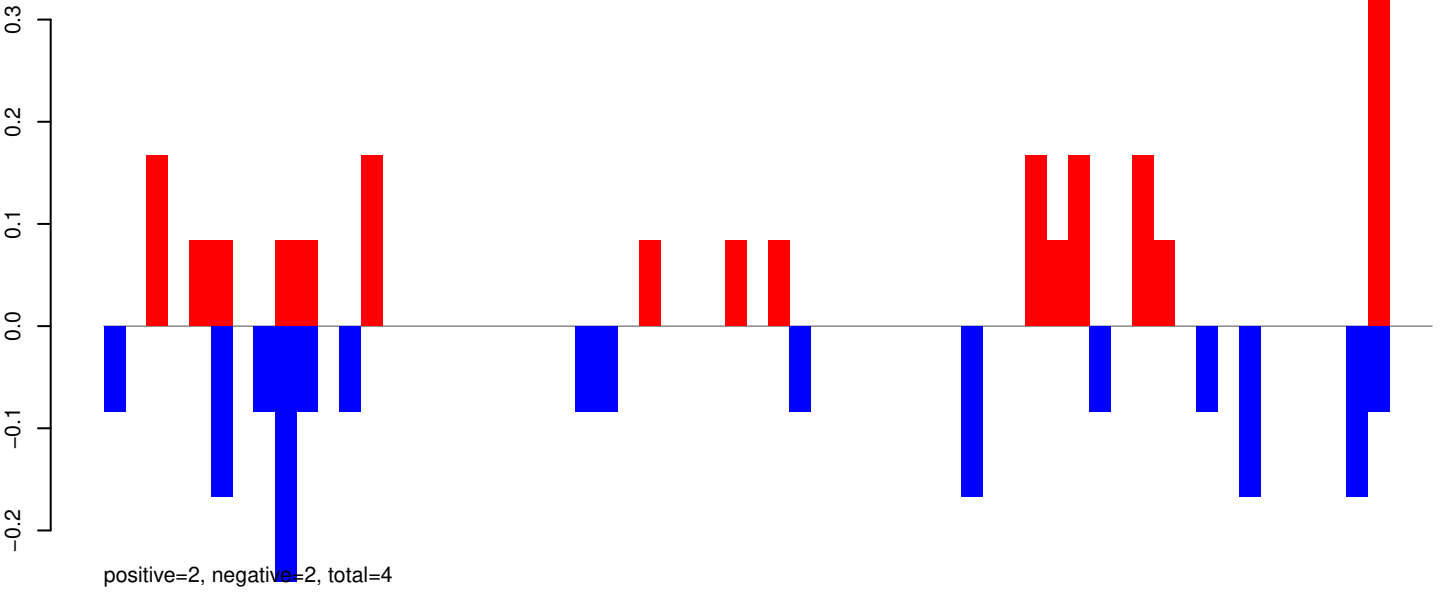
AeAeg_Aag2_Ago2_SINV_RA.24_35.rep



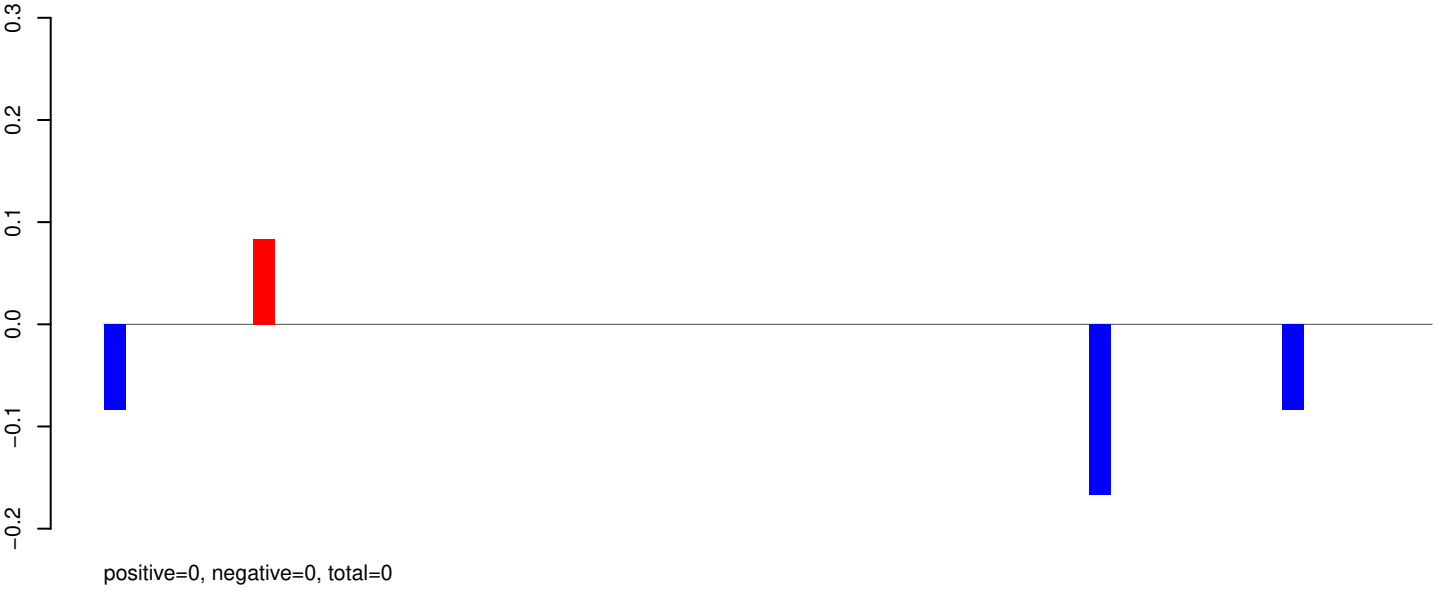
AeAeg_Aag2_Ago2_SINV_RA.rep



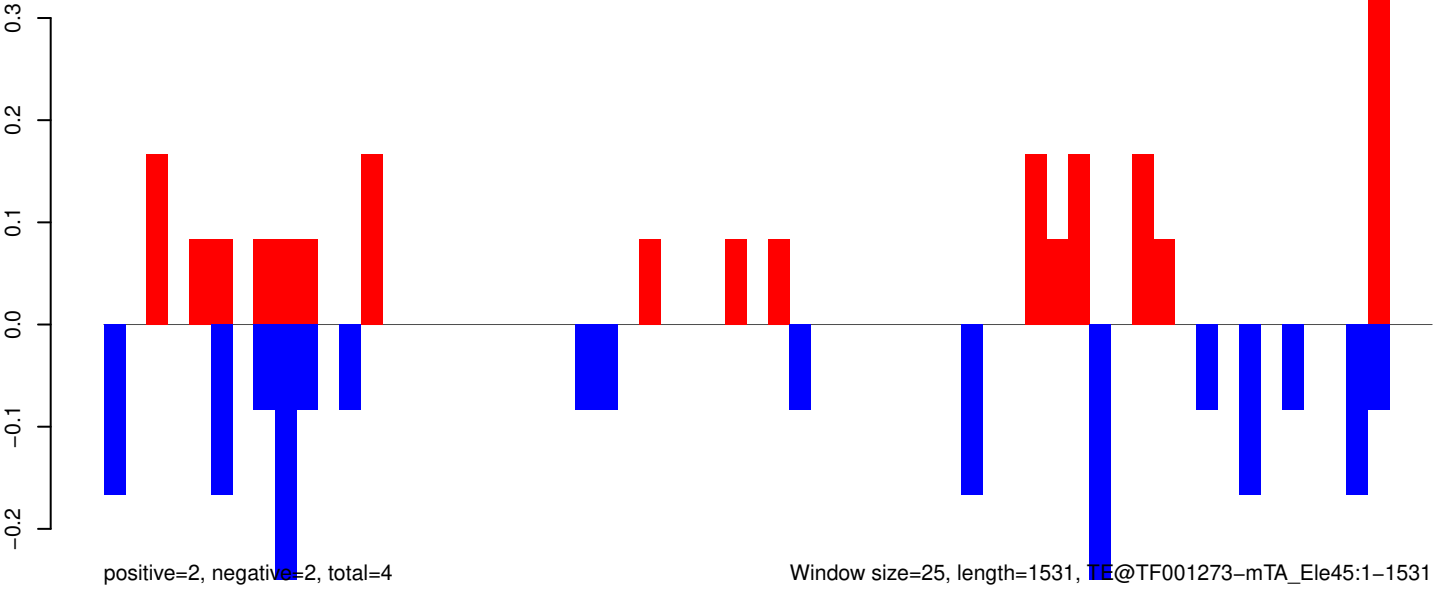
AeAeg_Aag2_Ago2_SINV_RA.18_23.rep



AeAeg_Aag2_Ago2_SINV_RA.24_35.rep

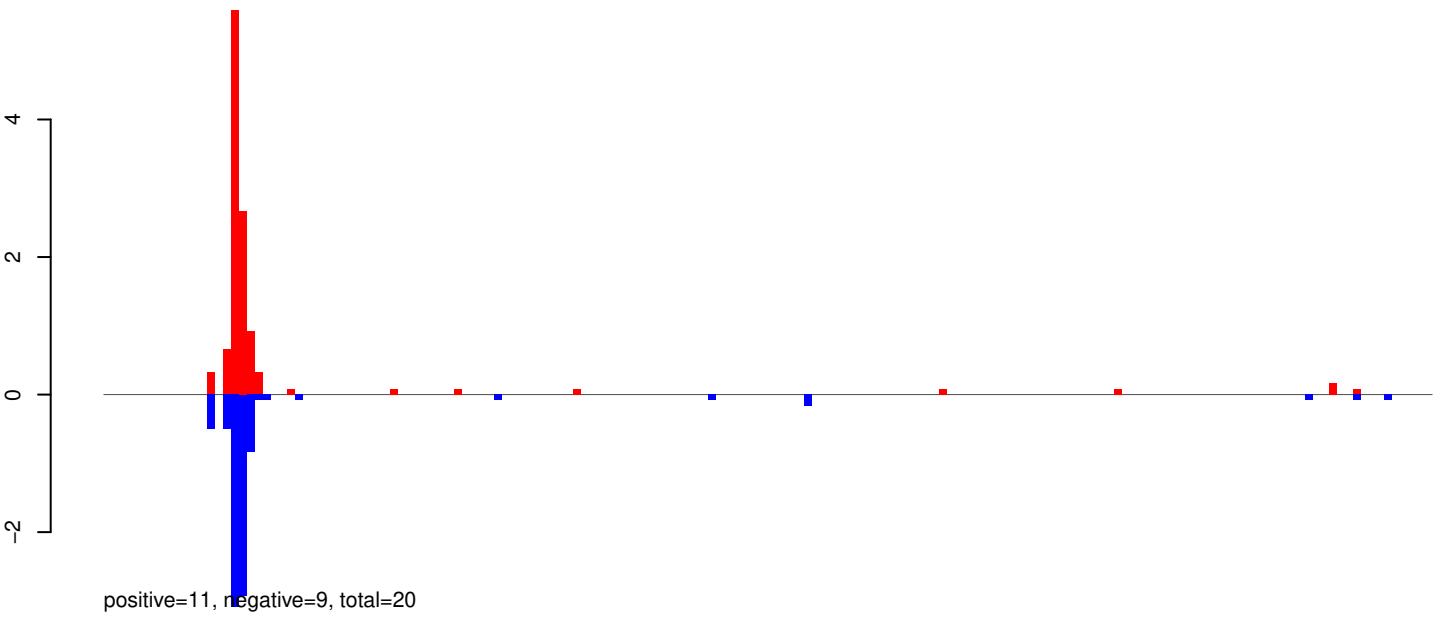


AeAeg_Aag2_Ago2_SINV_RA.rep

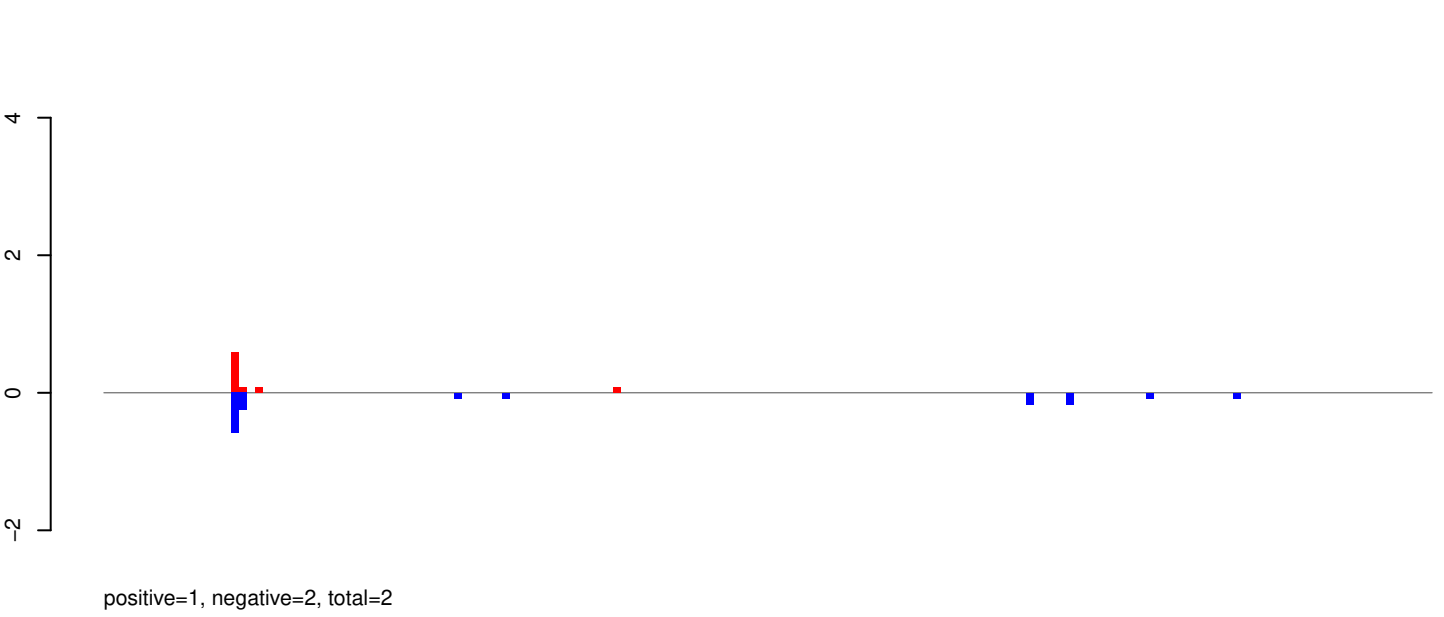


0 500 1000 1500

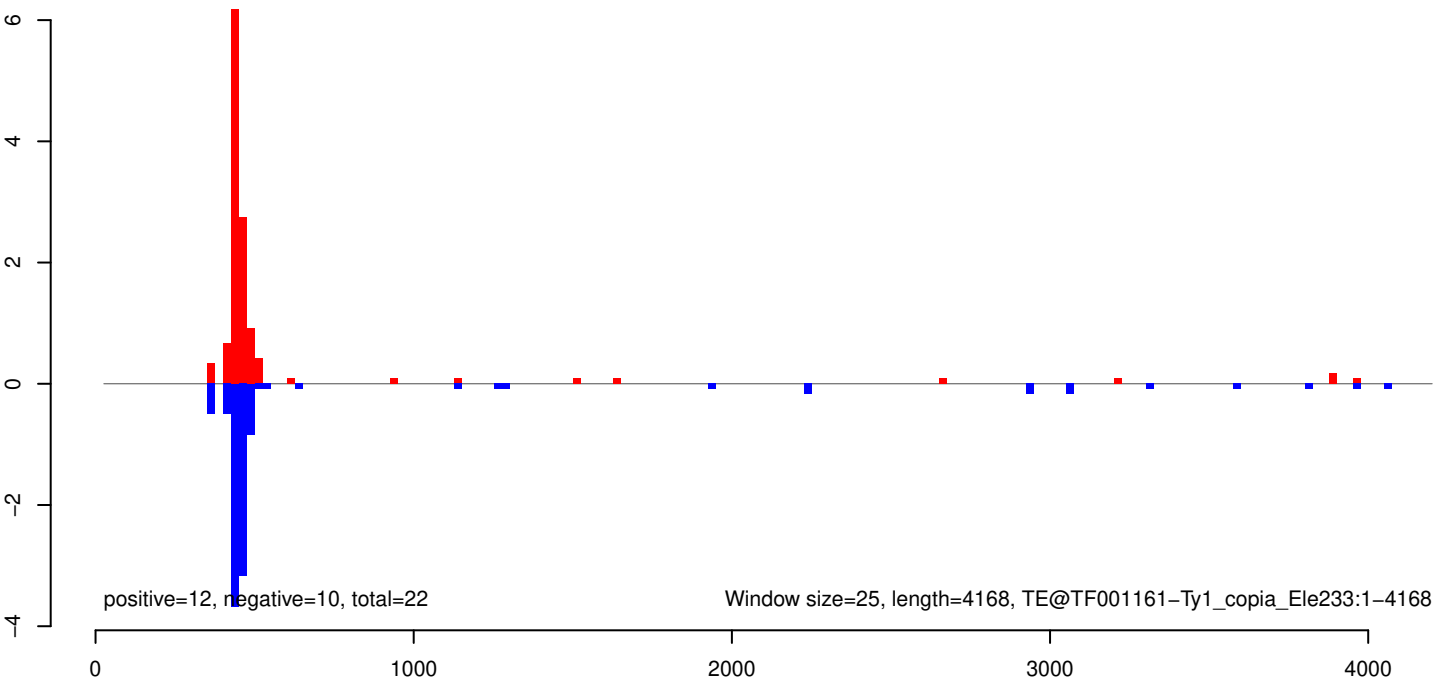
AeAeg_Aag2_Ago2_SINV_RA.18_23.rep



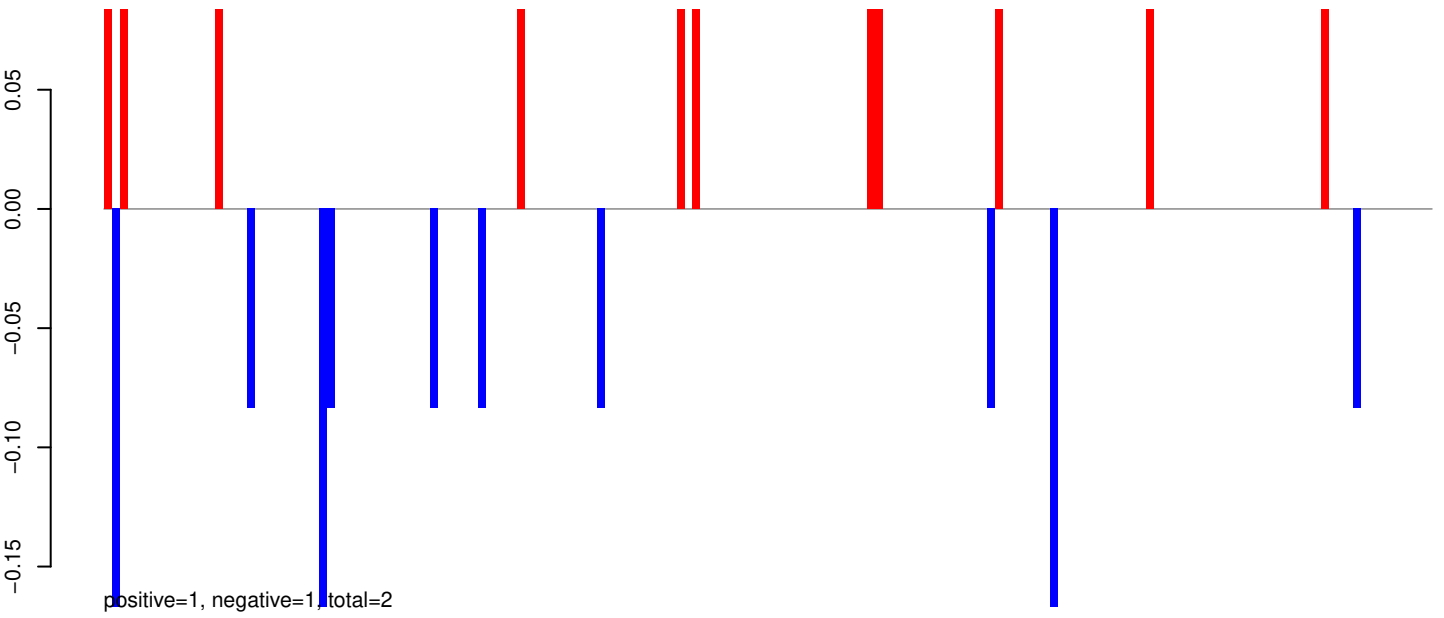
AeAeg_Aag2_Ago2_SINV_RA.24_35.rep



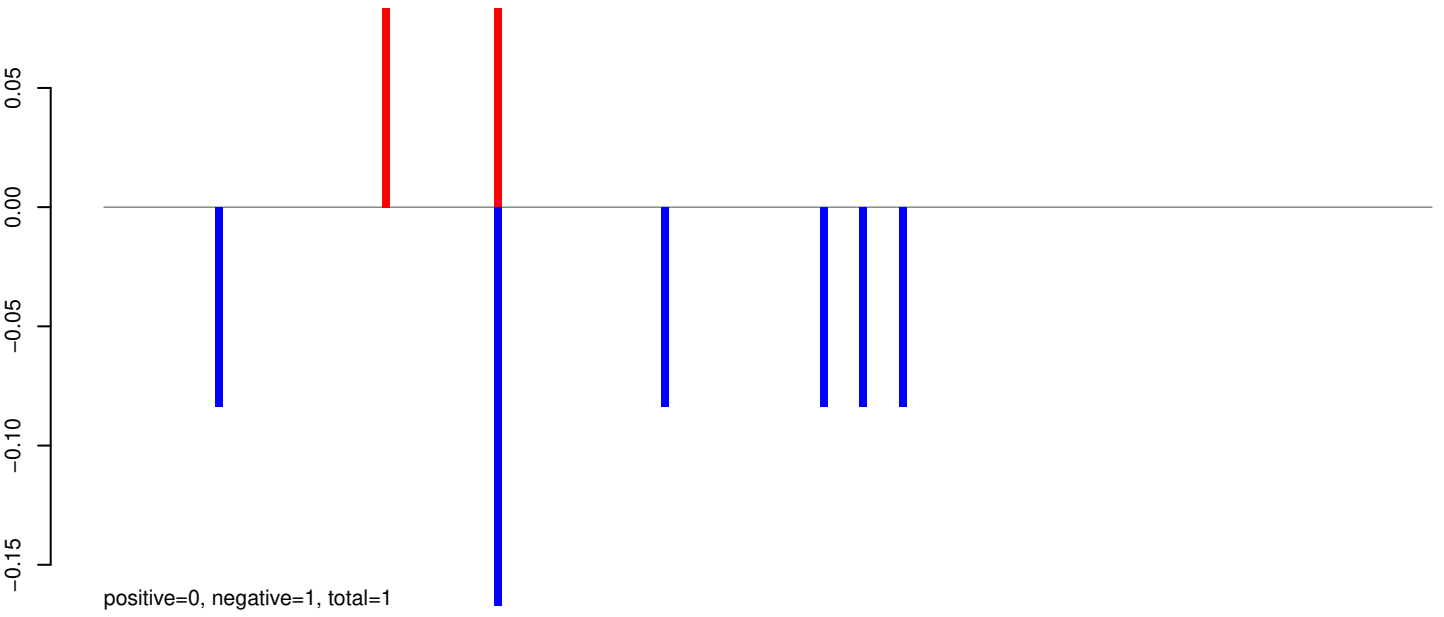
AeAeg_Aag2_Ago2_SINV_RA.rep



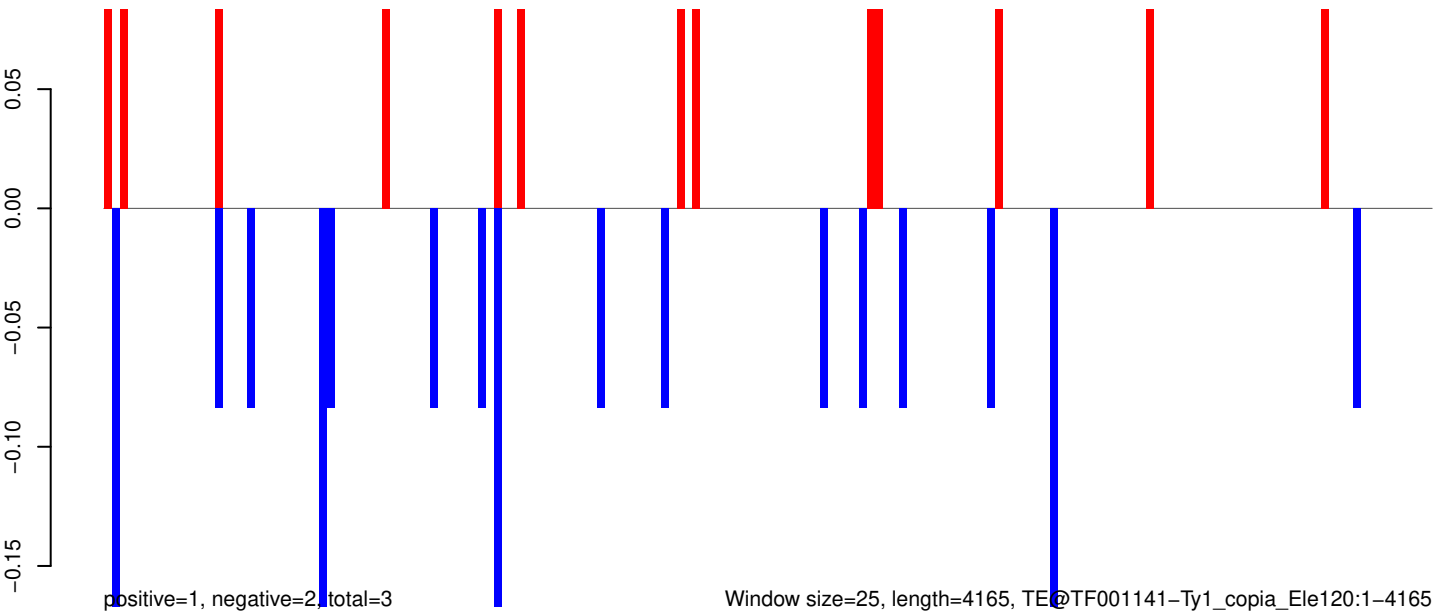
AeAeg_Aag2_Ago2_SINV_RA.18_23.rep



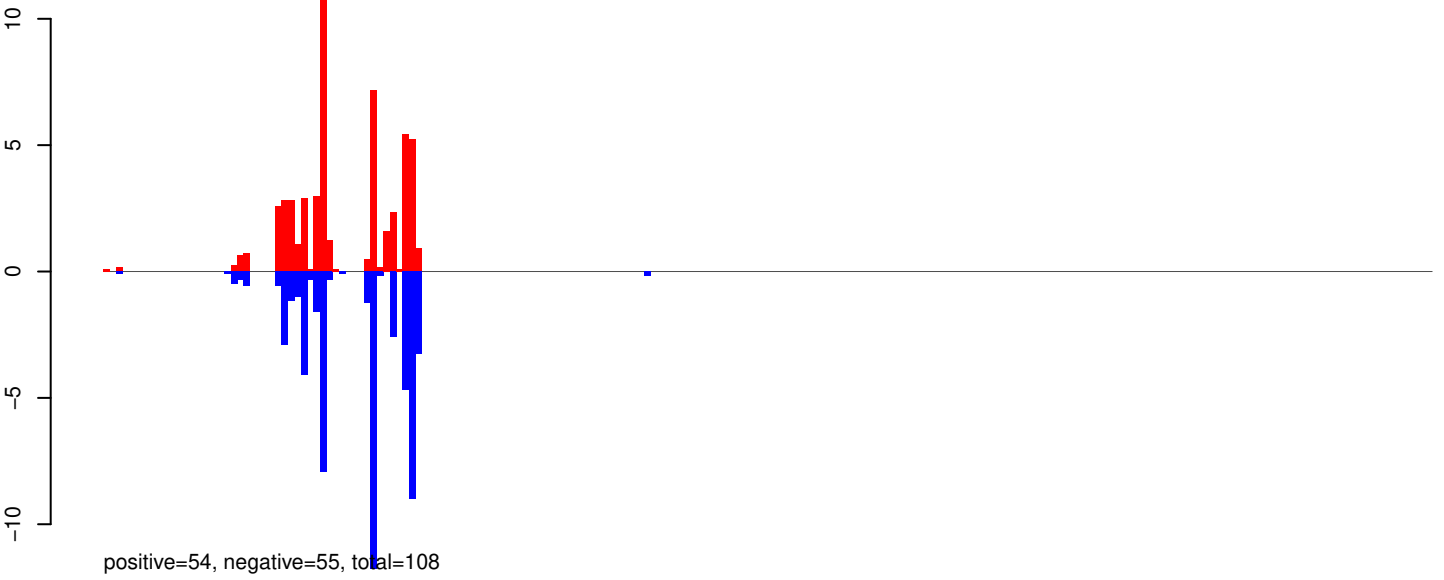
AeAeg_Aag2_Ago2_SINV_RA.24_35.rep



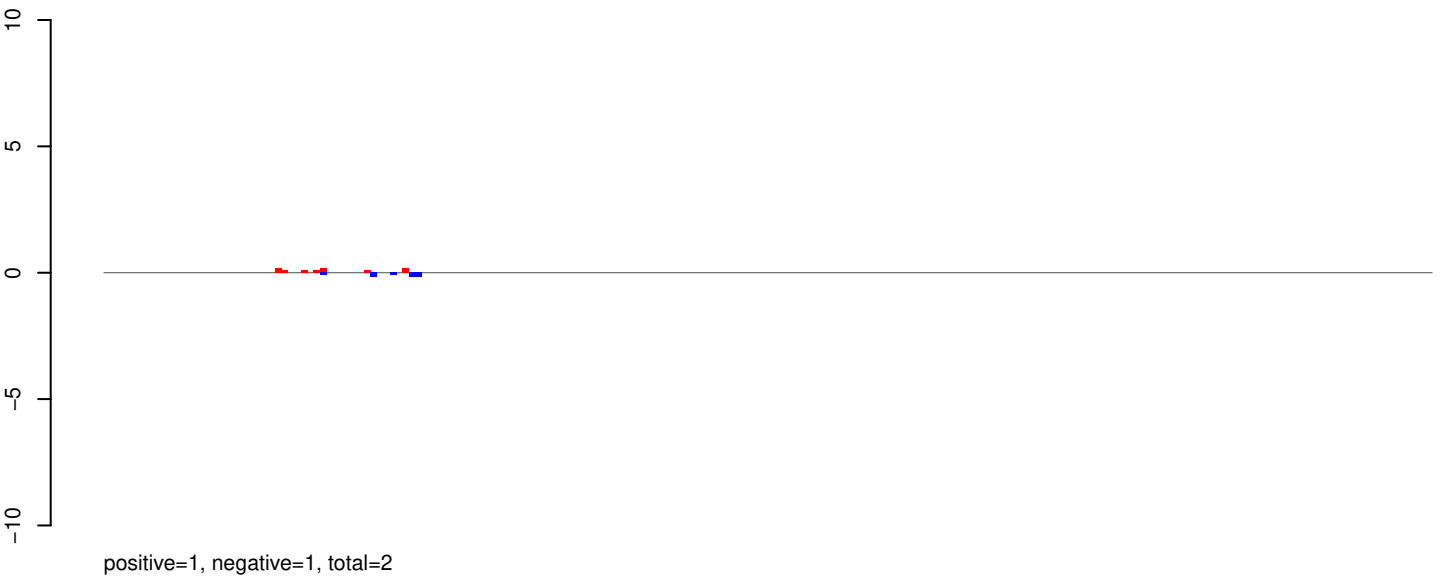
AeAeg_Aag2_Ago2_SINV_RA.rep



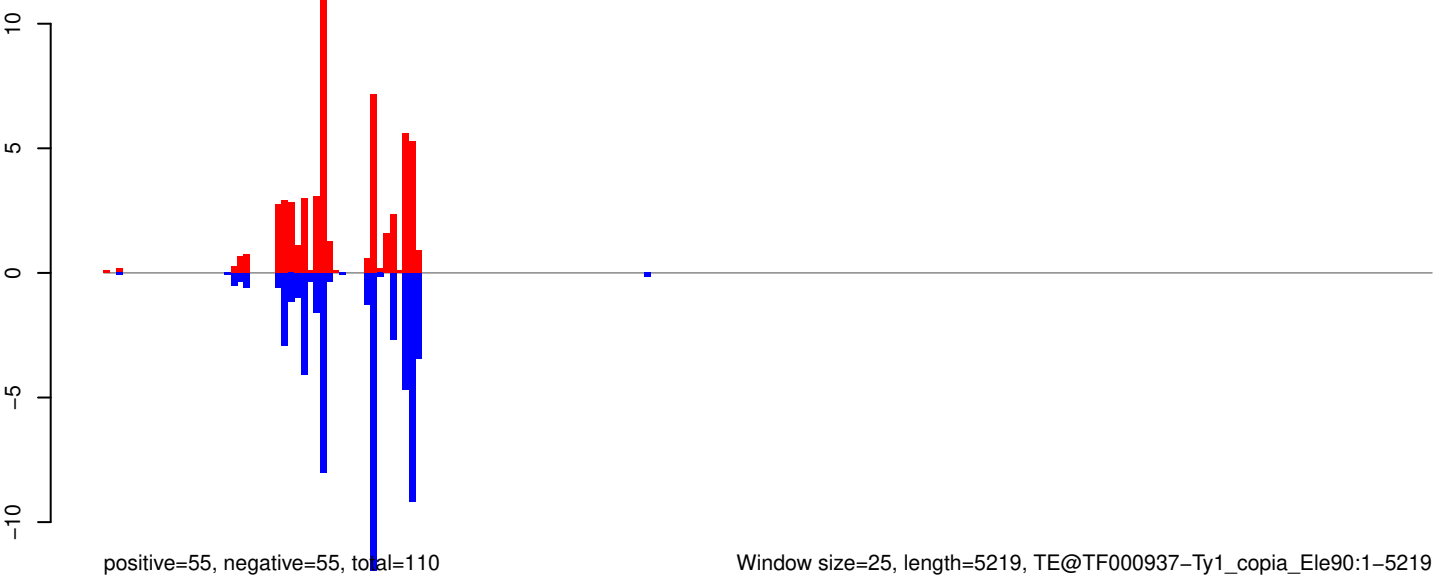
AeAeg_Aag2_Ago2_SINV_RA.18_23.rep



AeAeg_Aag2_Ago2_SINV_RA.24_35.rep



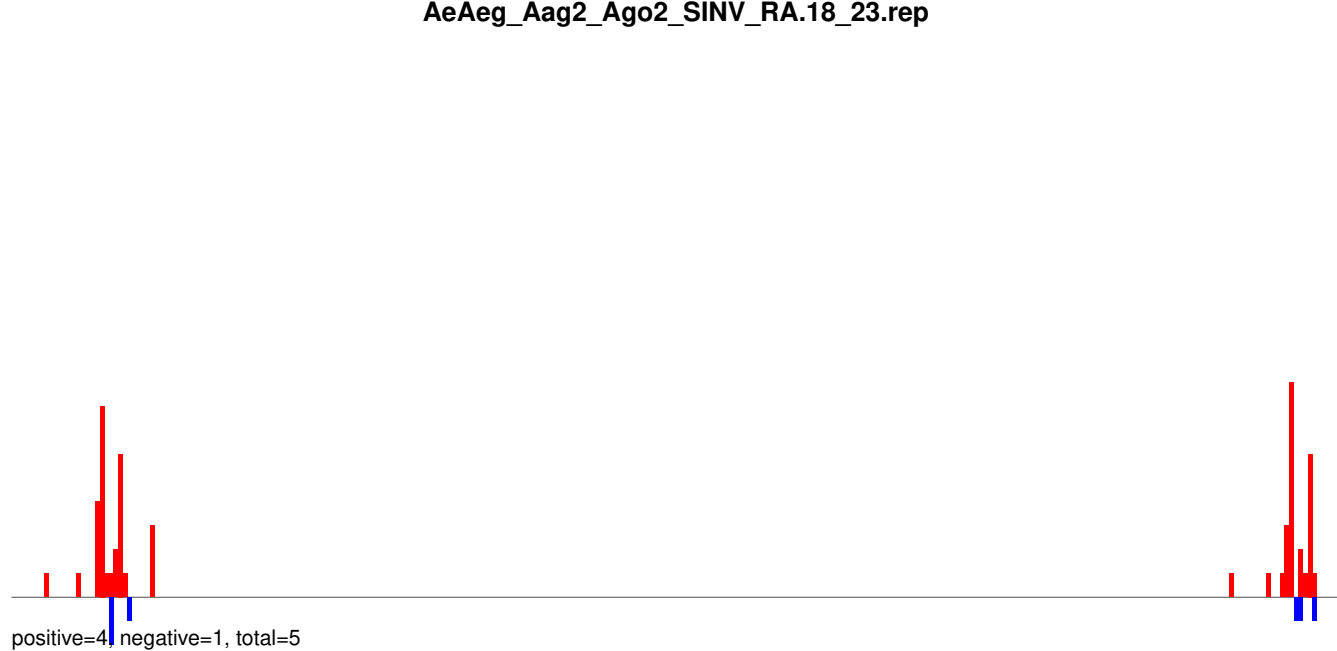
AeAeg_Aag2_Ago2_SINV_RA.rep



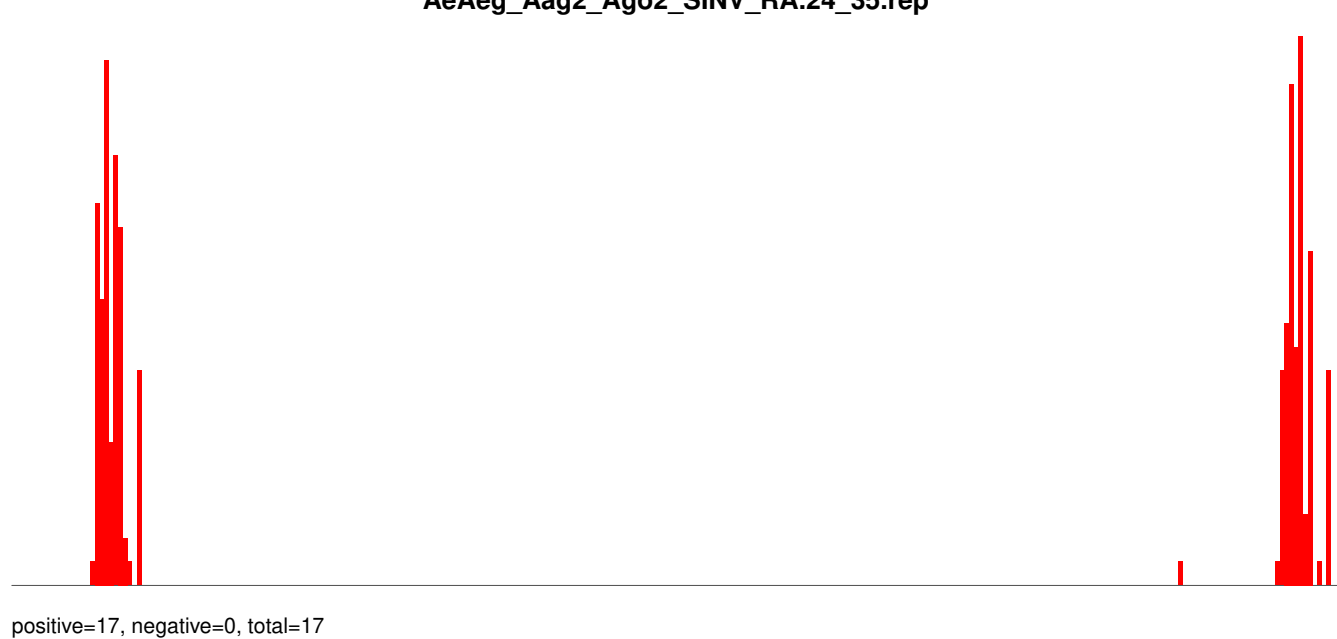
Window size=25, length=5219, TE@TF000937-Ty1_copia_Ele90:1-5219

0 1000 2000 3000 4000 5000

AeAeg_Aag2_Ago2_SINV_RA.18_23.rep



AeAeg_Aag2_Ago2_SINV_RA.24_35.rep



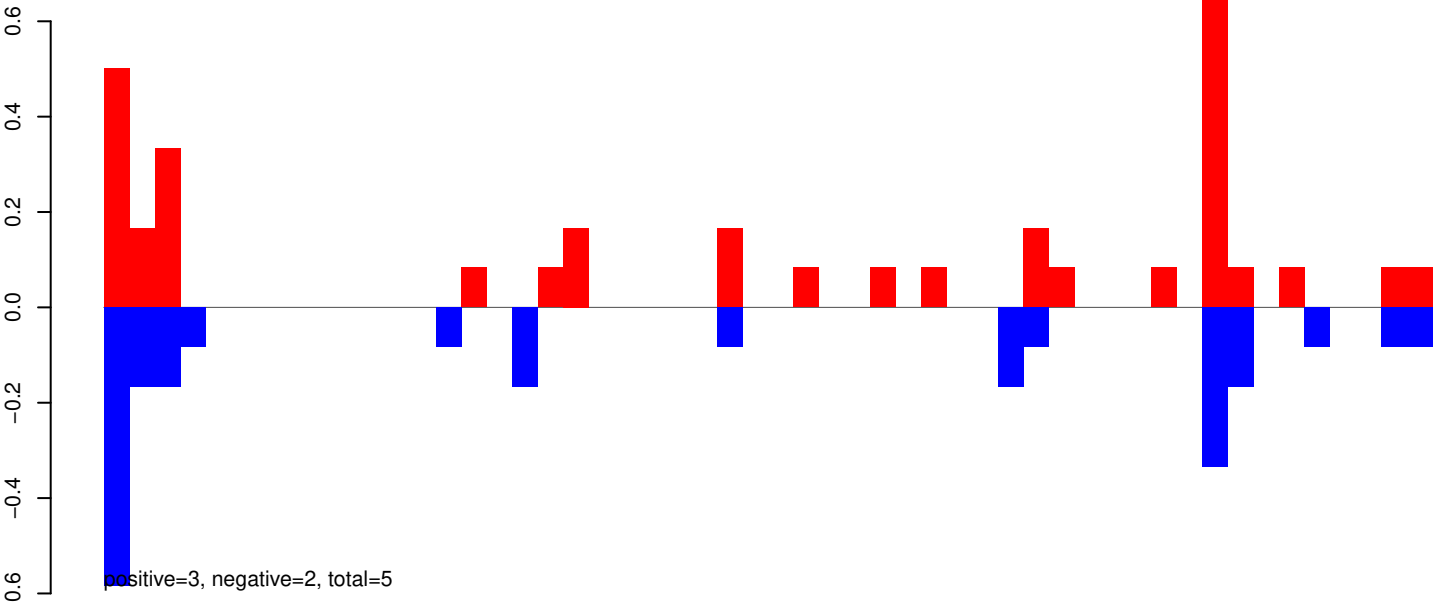
AeAeg_Aag2_Ago2_SINV_RA.rep



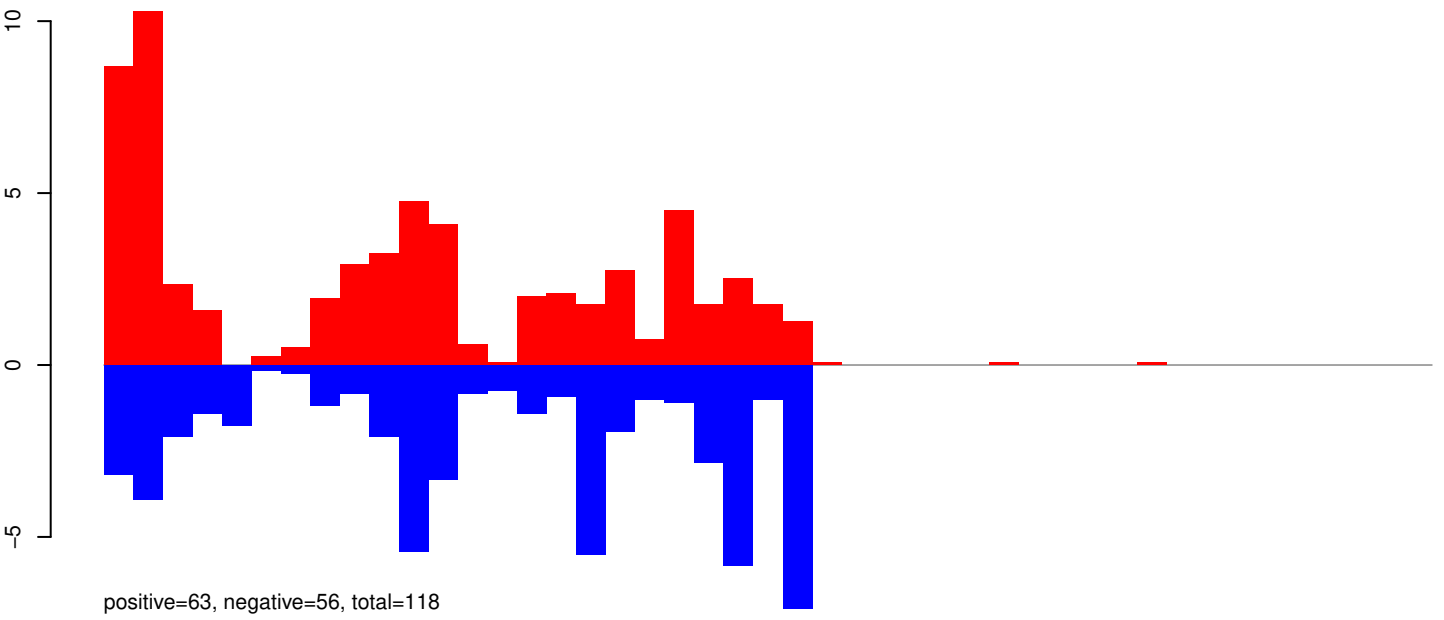
Window size=25, length=7166, TE@TF000519-Pao_Bel_Ele94:1-7166

0 1000 2000 3000 4000 5000 6000 7000

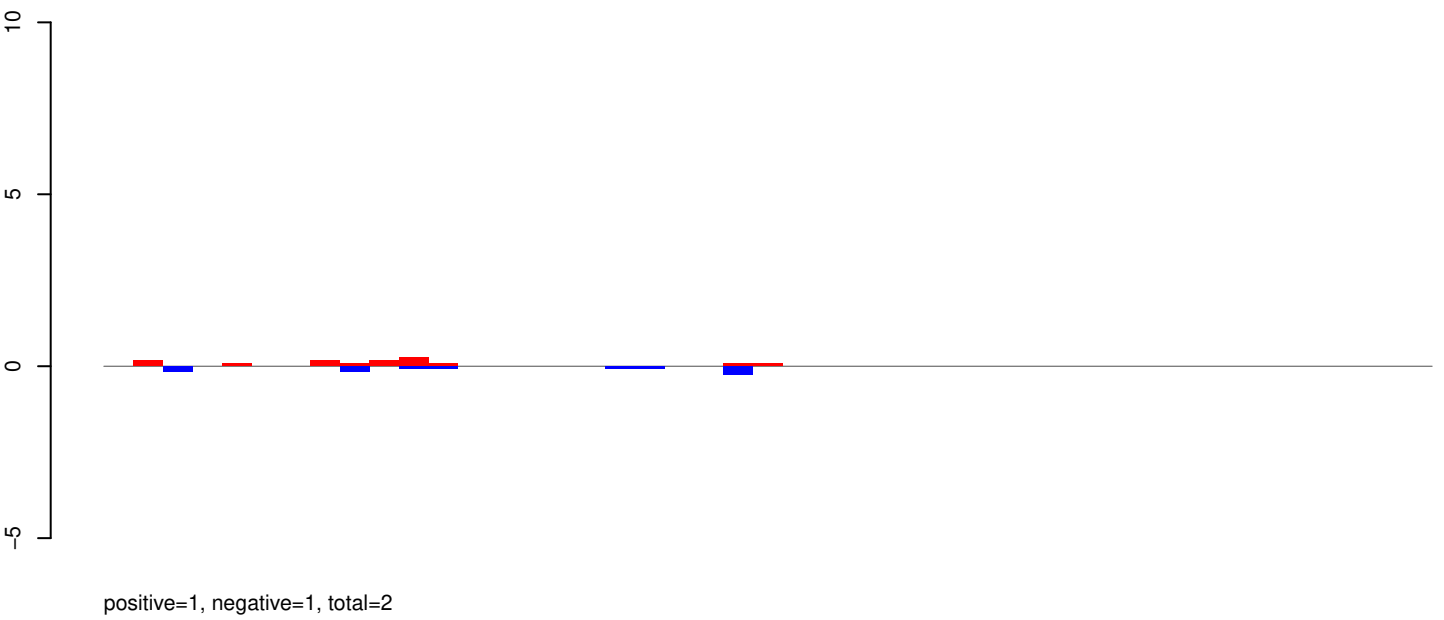
AeAeg_Aag2_Ago2_SINV_RA.18_23.rep



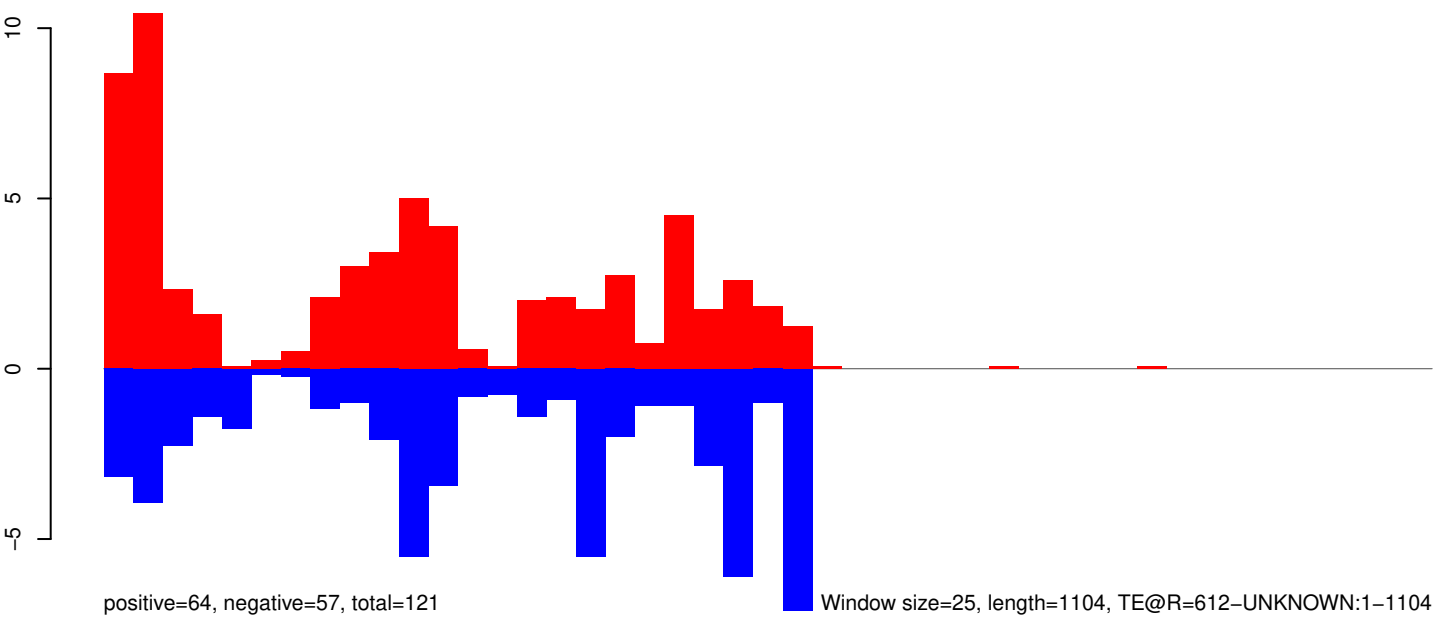
AeAeg_Aag2_Ago2_SINV_RA.18_23.rep



AeAeg_Aag2_Ago2_SINV_RA.24_35.rep



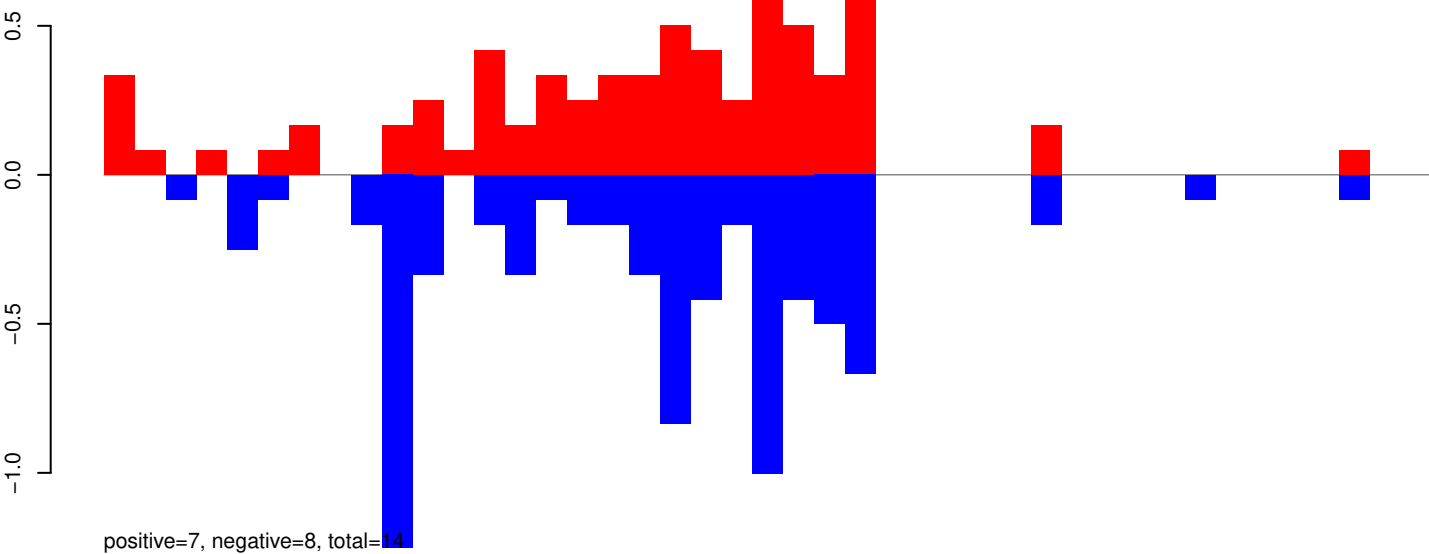
AeAeg_Aag2_Ago2_SINV_RA.rep



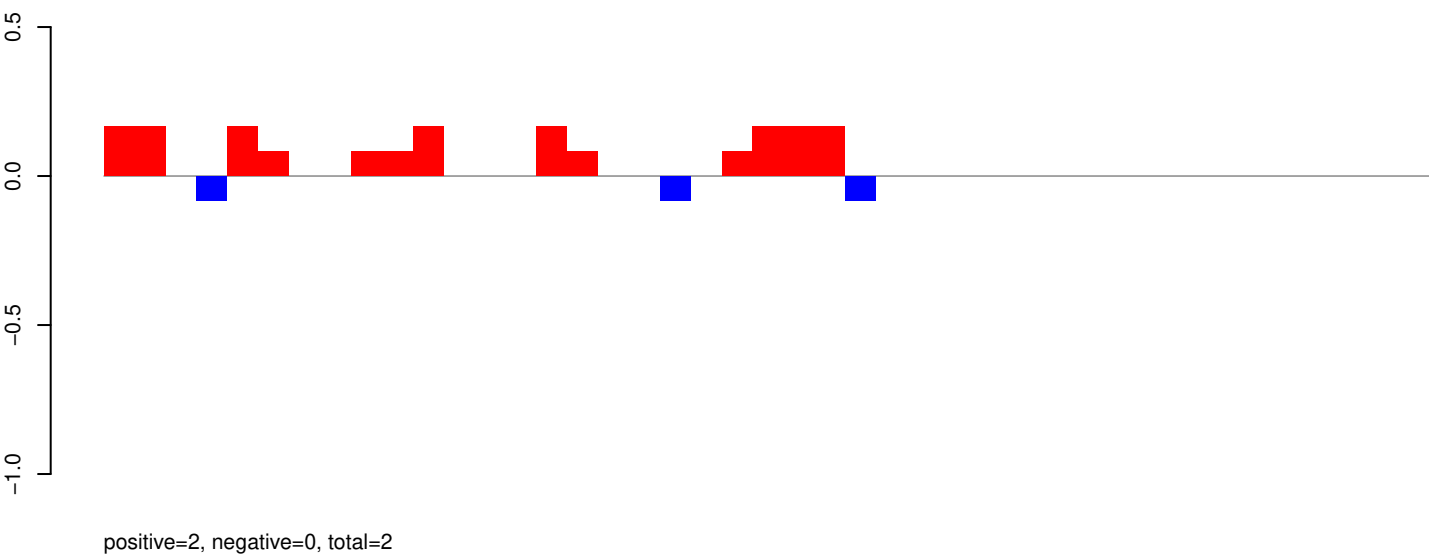
Window size=25, length=1104, TE@R=612-UNKNOWN:1-1104

0 200 400 600 800 1000

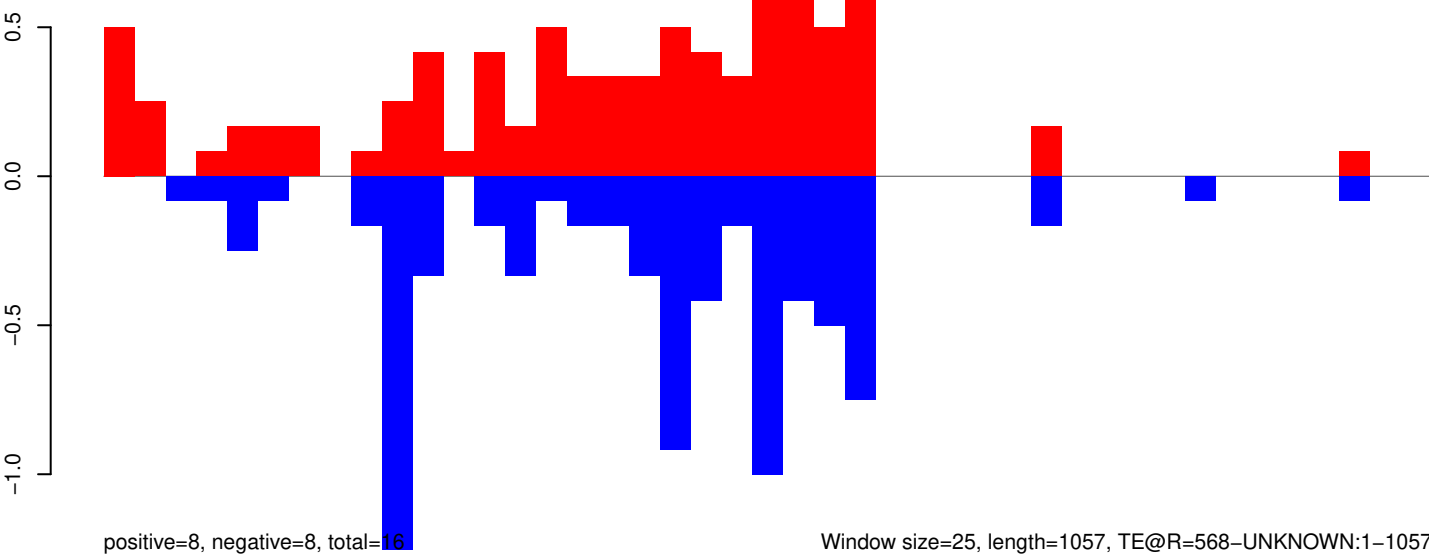
AeAeg_Aag2_Ago2_SINV_RA.18_23.rep



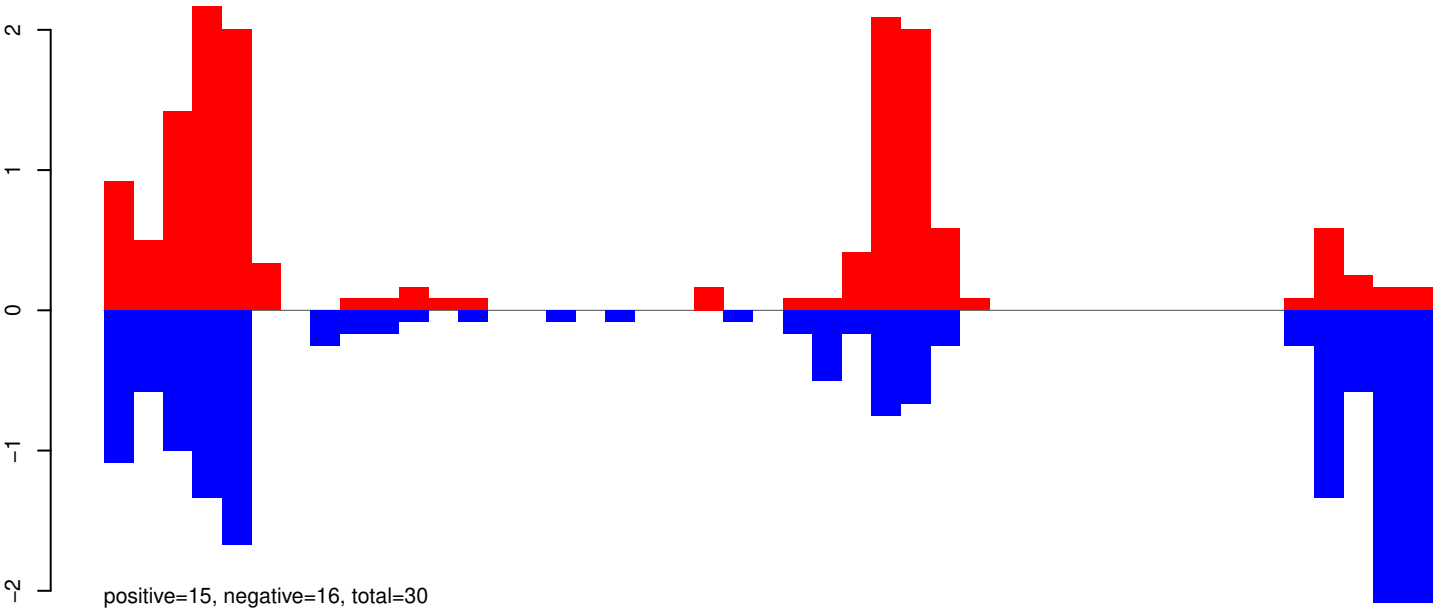
AeAeg_Aag2_Ago2_SINV_RA.24_35.rep



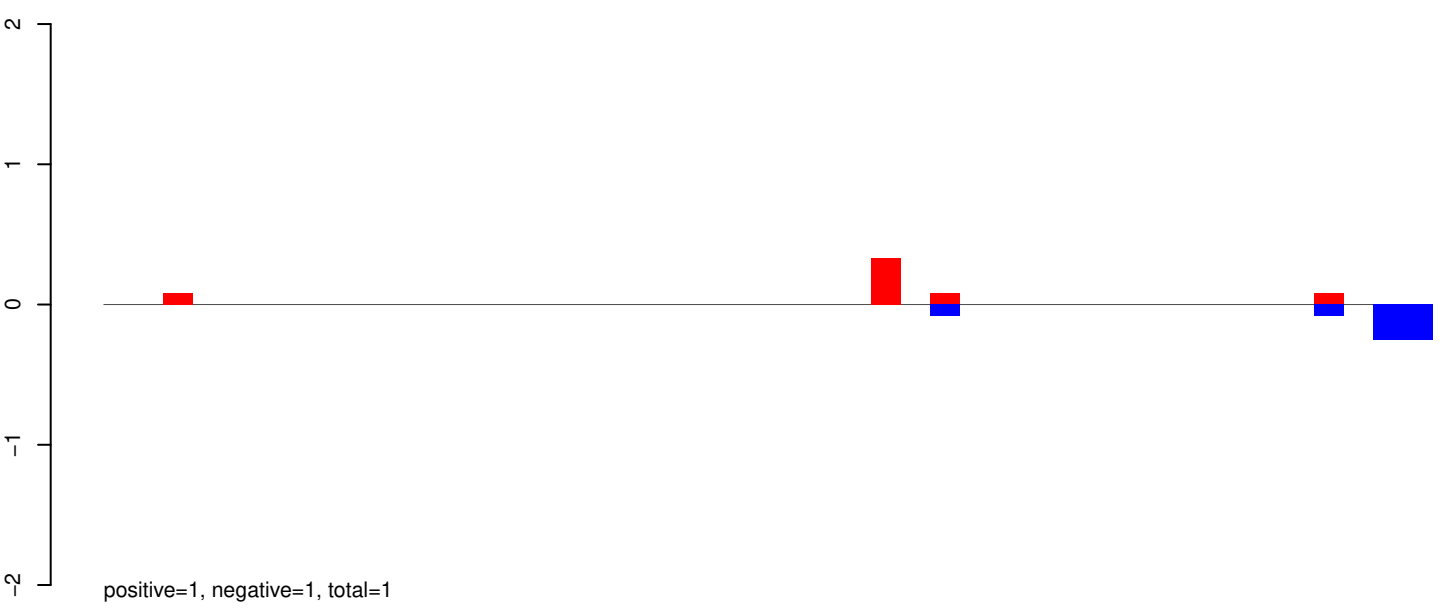
AeAeg_Aag2_Ago2_SINV_RA.rep



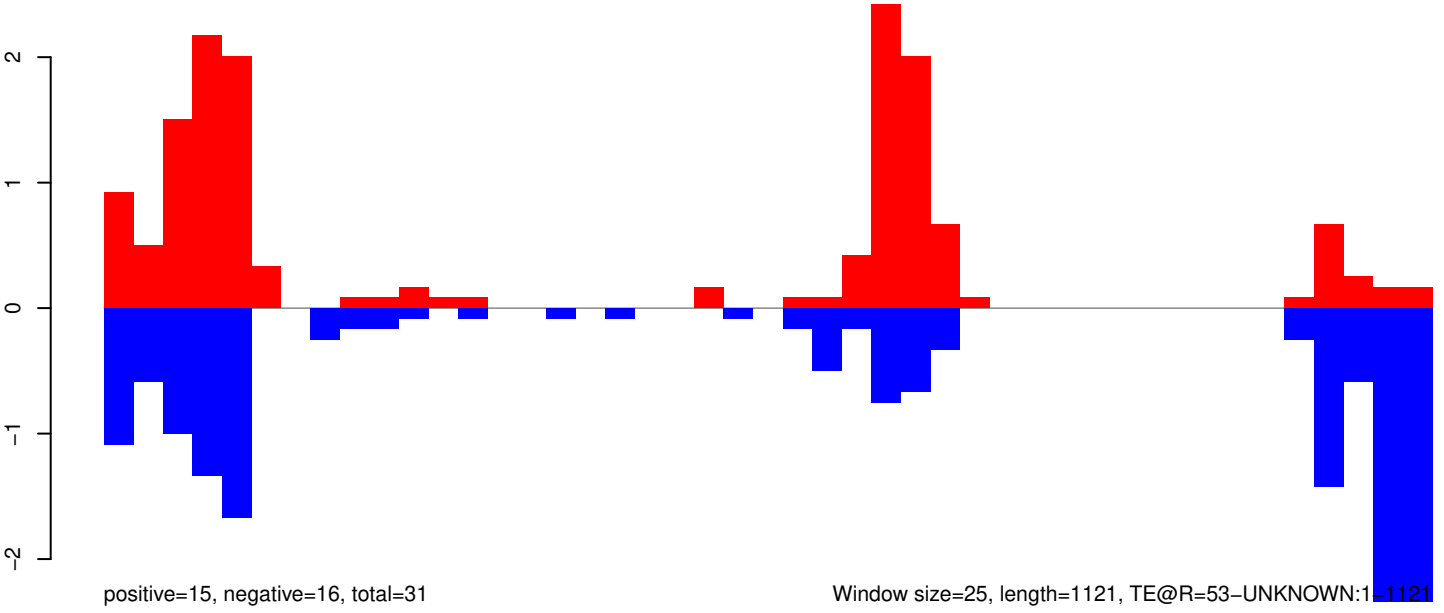
AeAeg_Aag2_Ago2_SINV_RA.18_23.rep



AeAeg_Aag2_Ago2_SINV_RA.24_35.rep

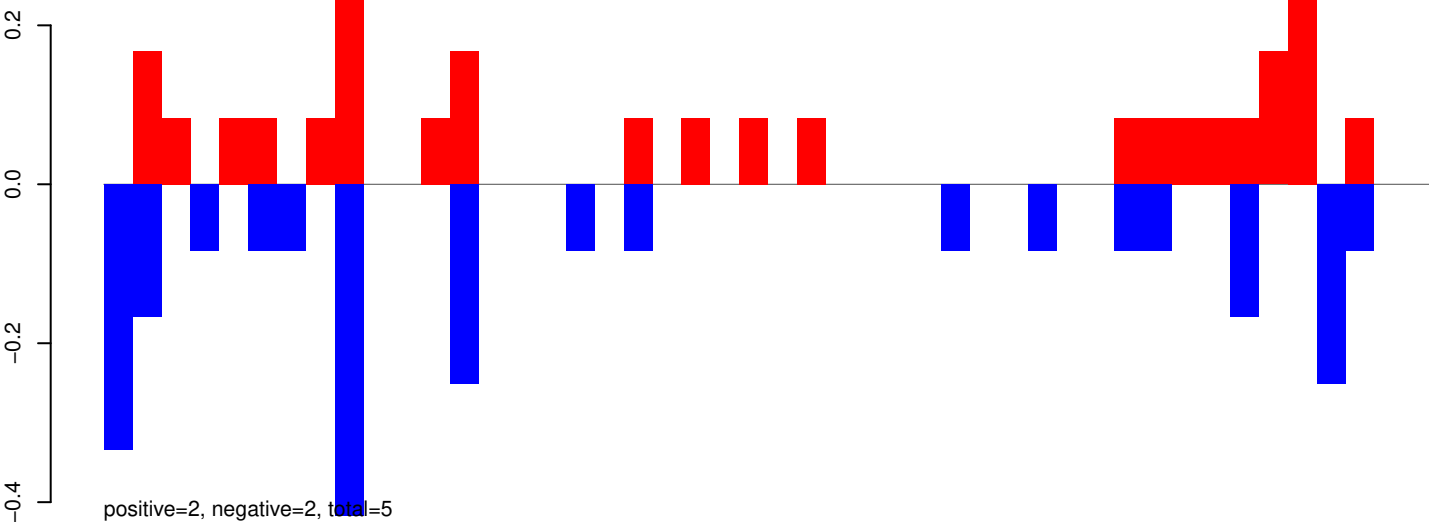


AeAeg_Aag2_Ago2_SINV_RA.rep

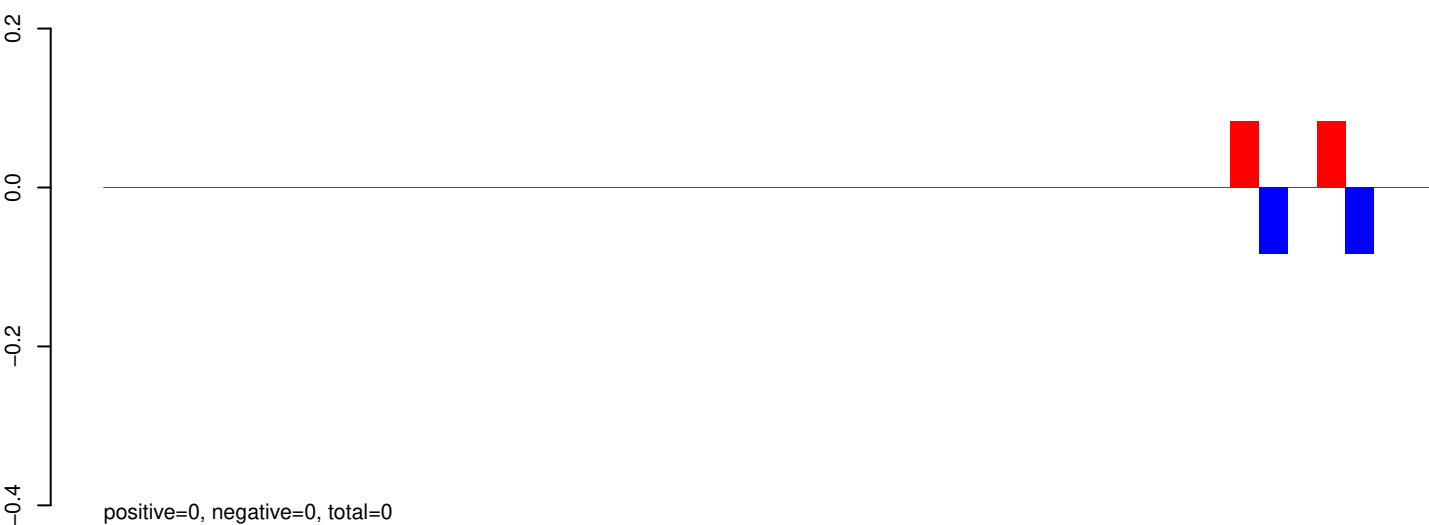


Window size=25, length=1121, TE@R=53-UNKNOWN:1-1121

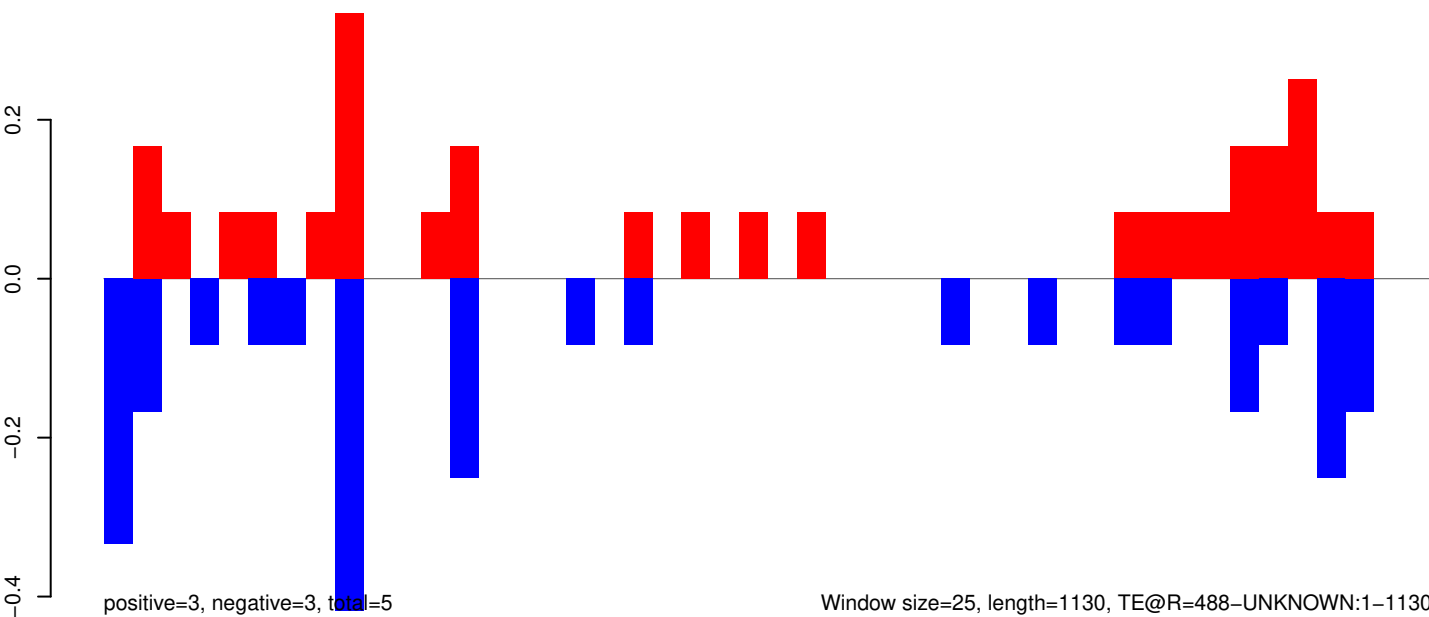
AeAeg_Aag2_Ago2_SINV_RA.18_23.rep



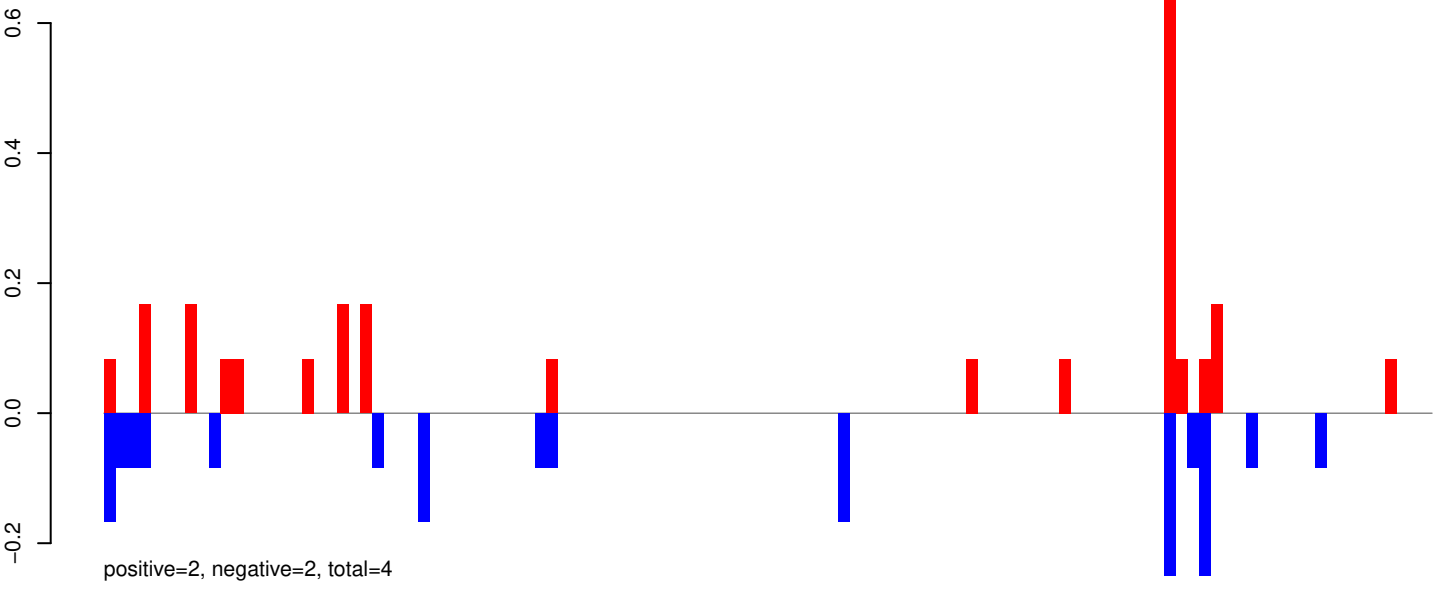
AeAeg_Aag2_Ago2_SINV_RA.24_35.rep



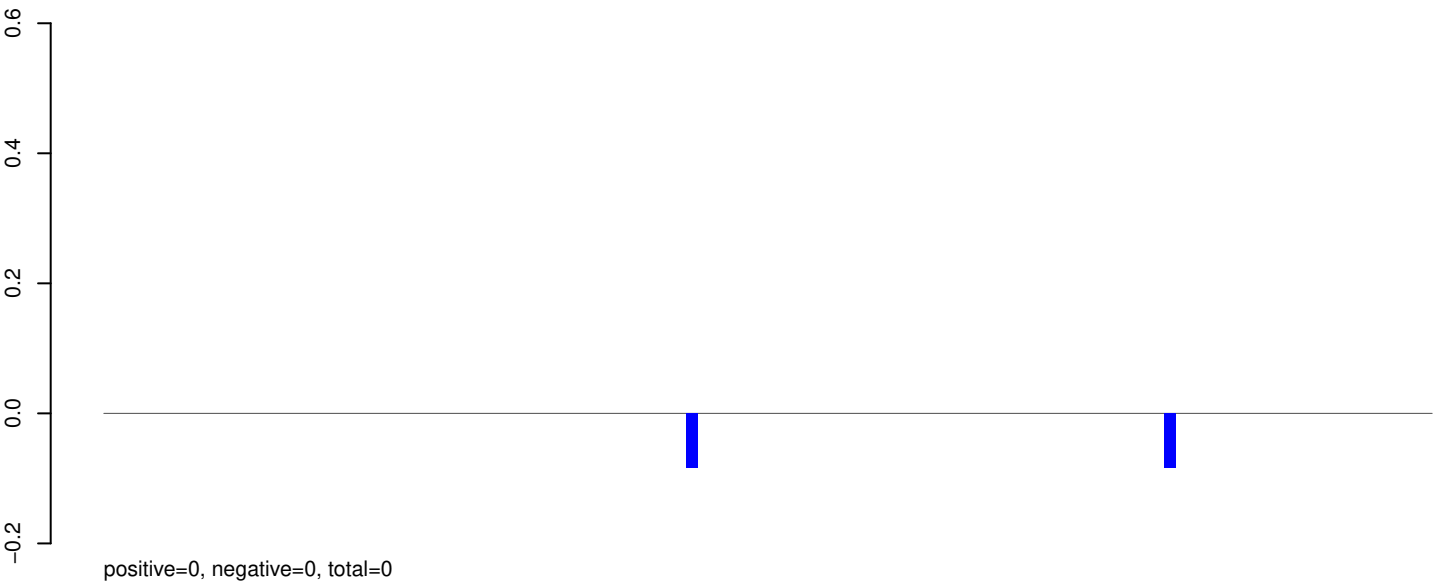
AeAeg_Aag2_Ago2_SINV_RA.rep



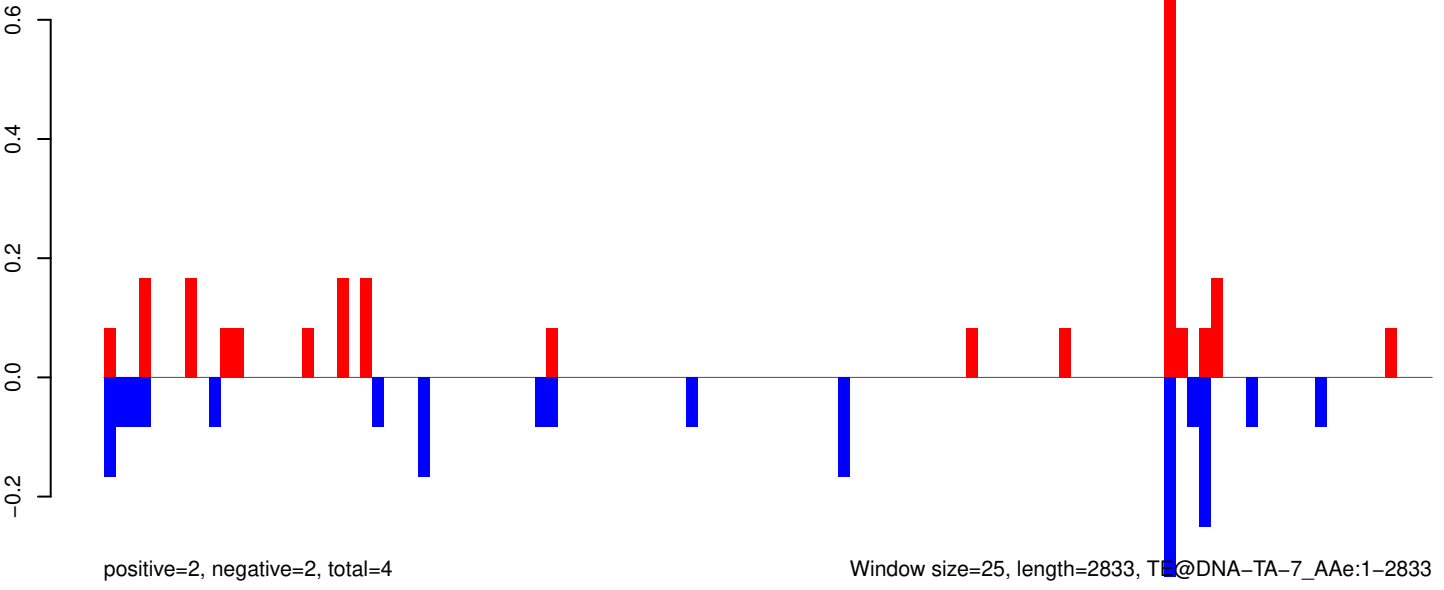
AeAeg_Aag2_Ago2_SINV_RA.18_23.rep



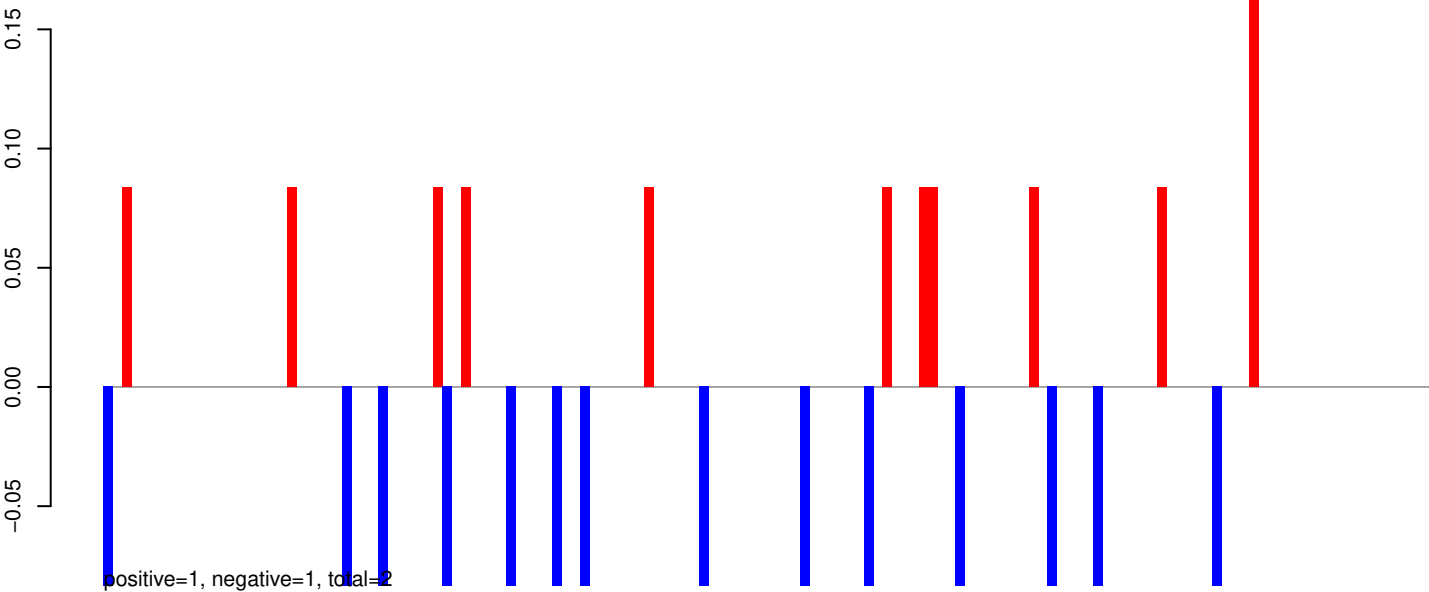
AeAeg_Aag2_Ago2_SINV_RA.24_35.rep



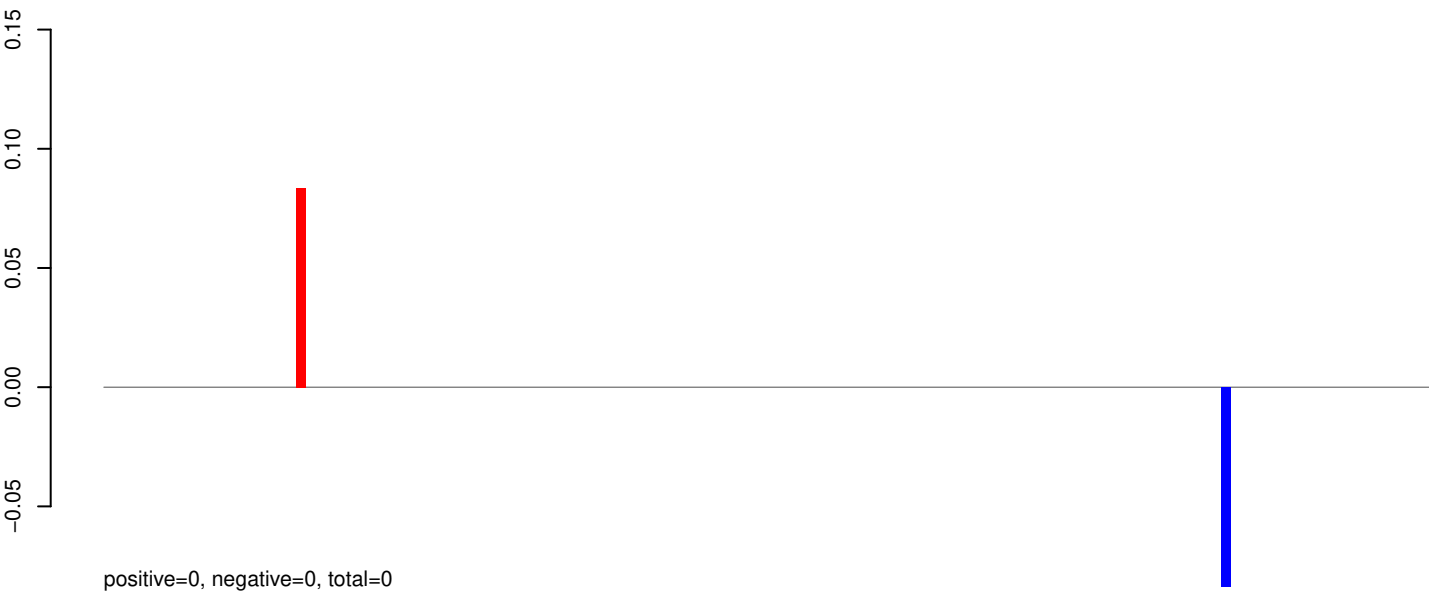
AeAeg_Aag2_Ago2_SINV_RA.rep



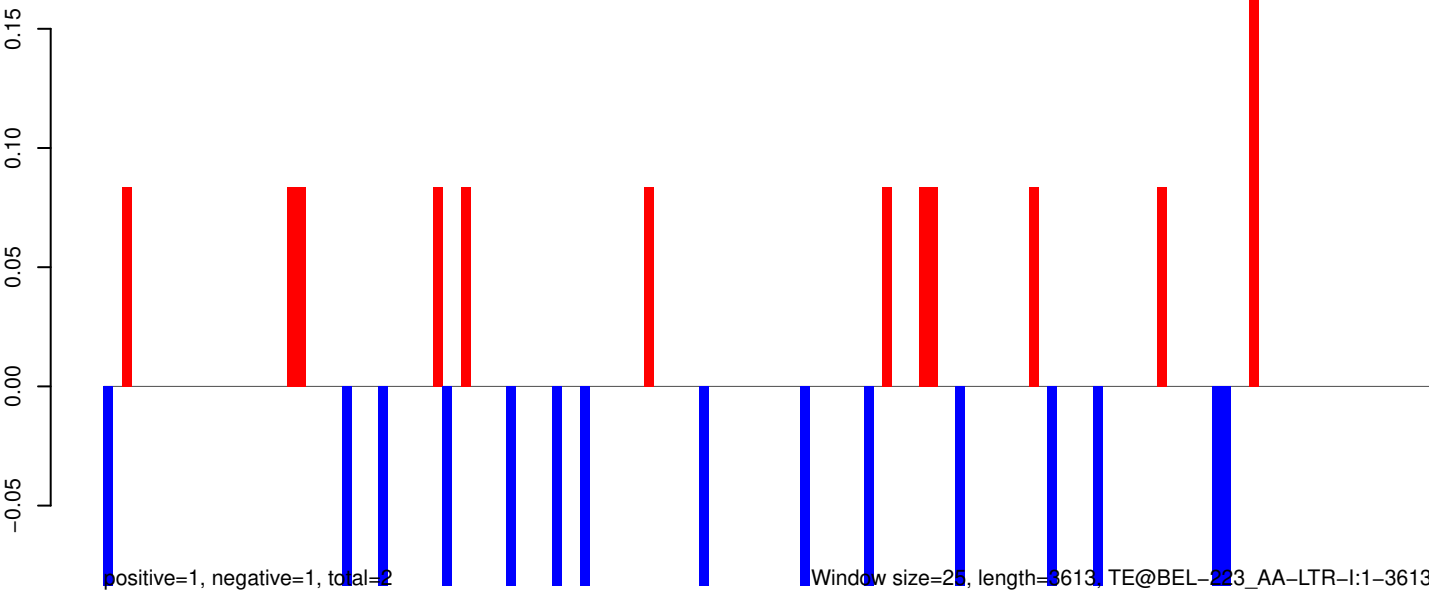
AeAeg_Aag2_Ago2_SINV_RA.18_23.rep



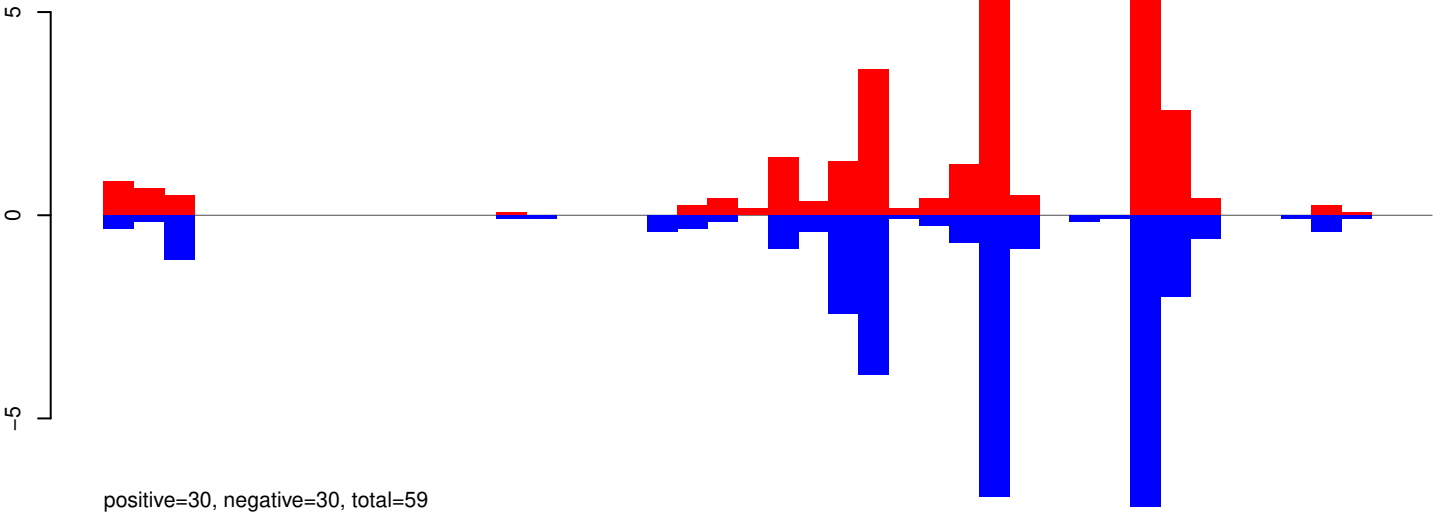
AeAeg_Aag2_Ago2_SINV_RA.24_35.rep



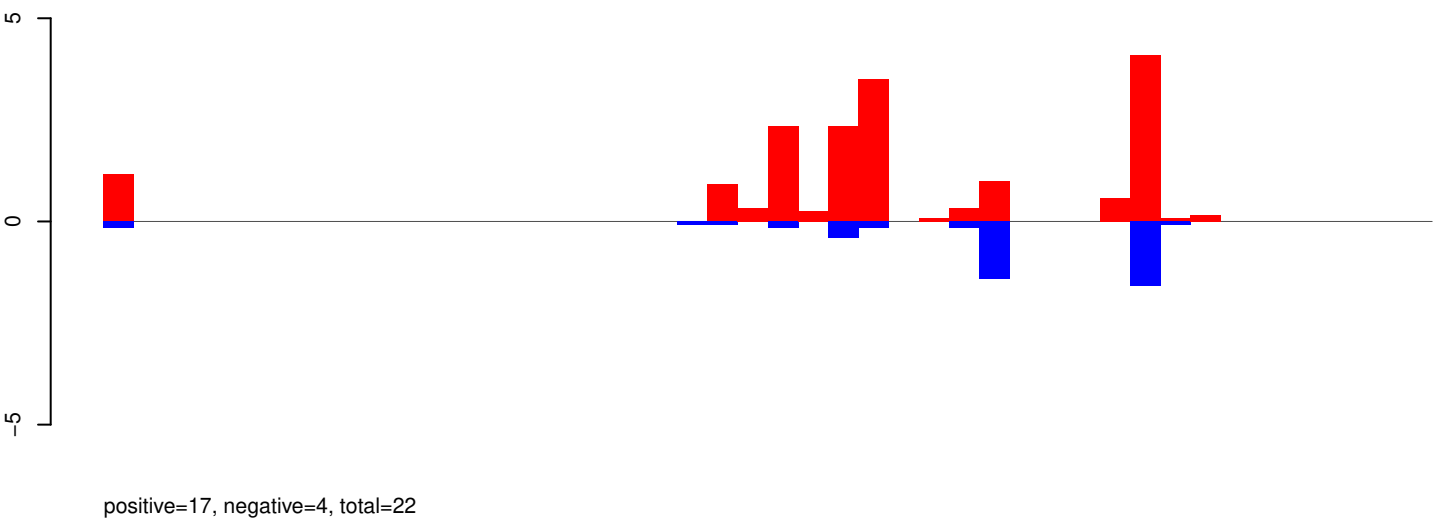
AeAeg_Aag2_Ago2_SINV_RA.rep



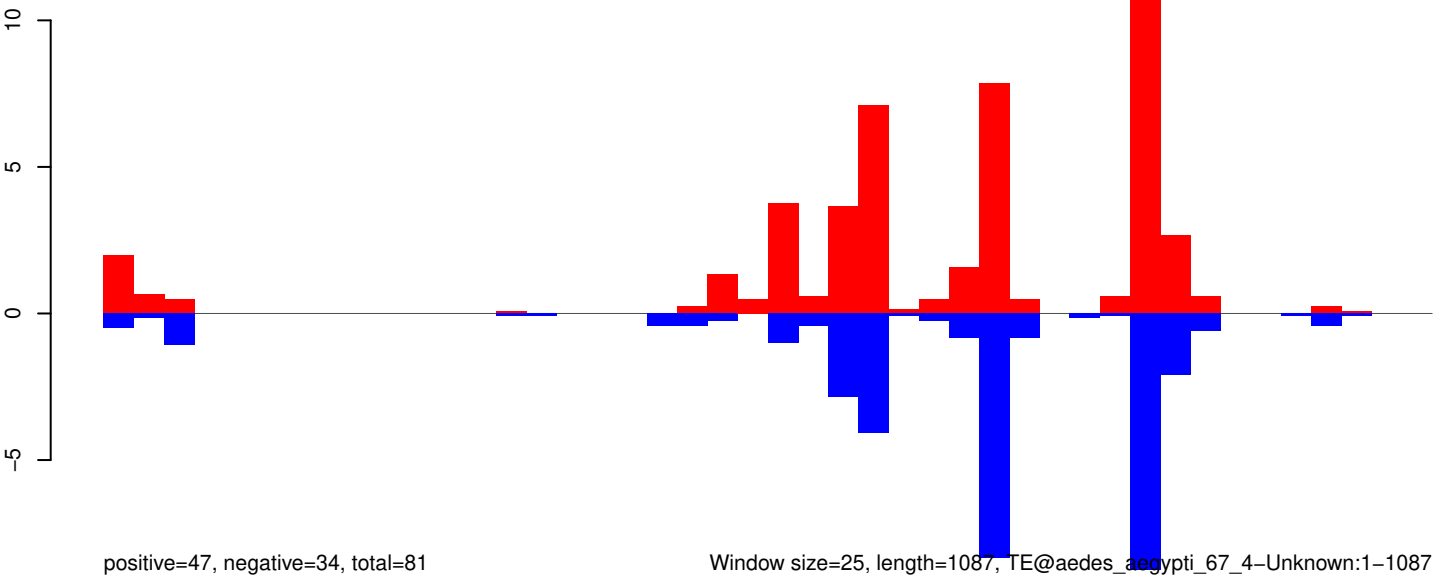
AeAeg_Aag2_Ago2_SINV_RA.18_23.rep



AeAeg_Aag2_Ago2_SINV_RA.24_35.rep



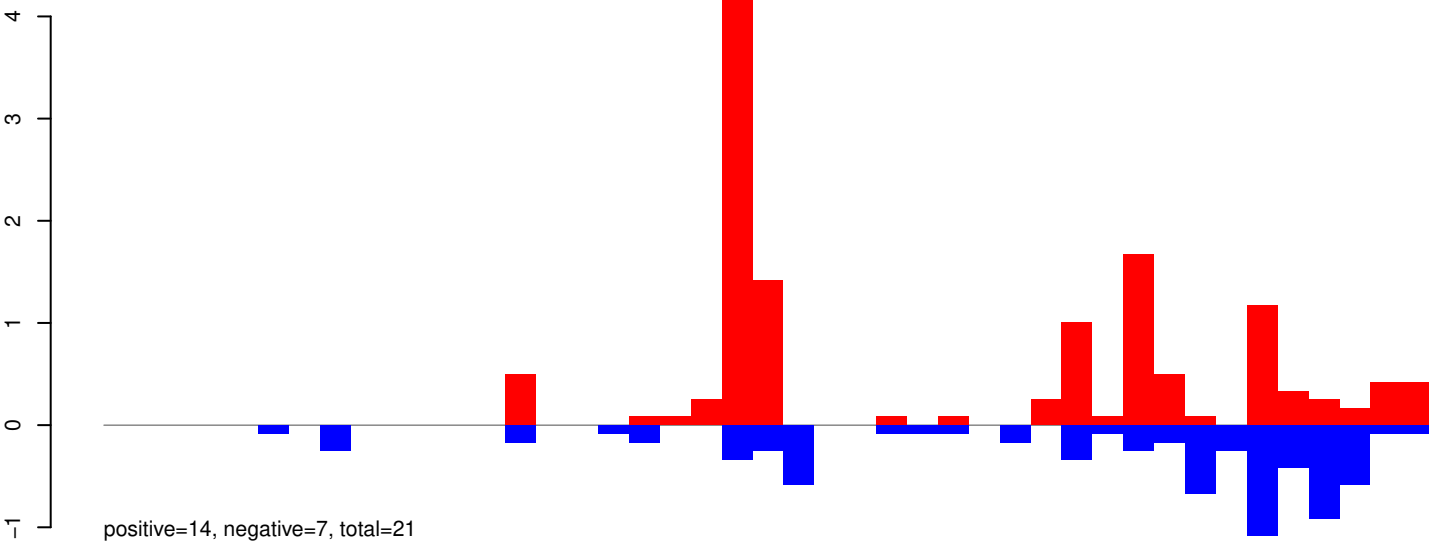
AeAeg_Aag2_Ago2_SINV_RA.rep



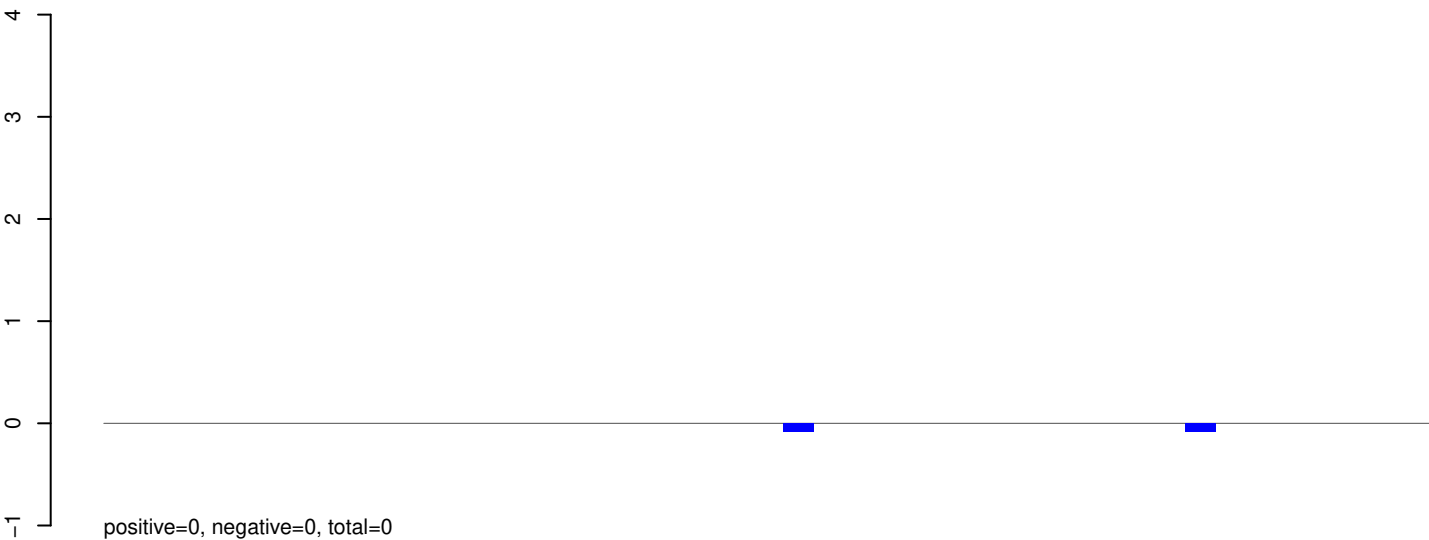
Window size=25, length=1087, TE@aedes_egypti_67_4-Unknown:1-1087

0 200 400 600 800 1000

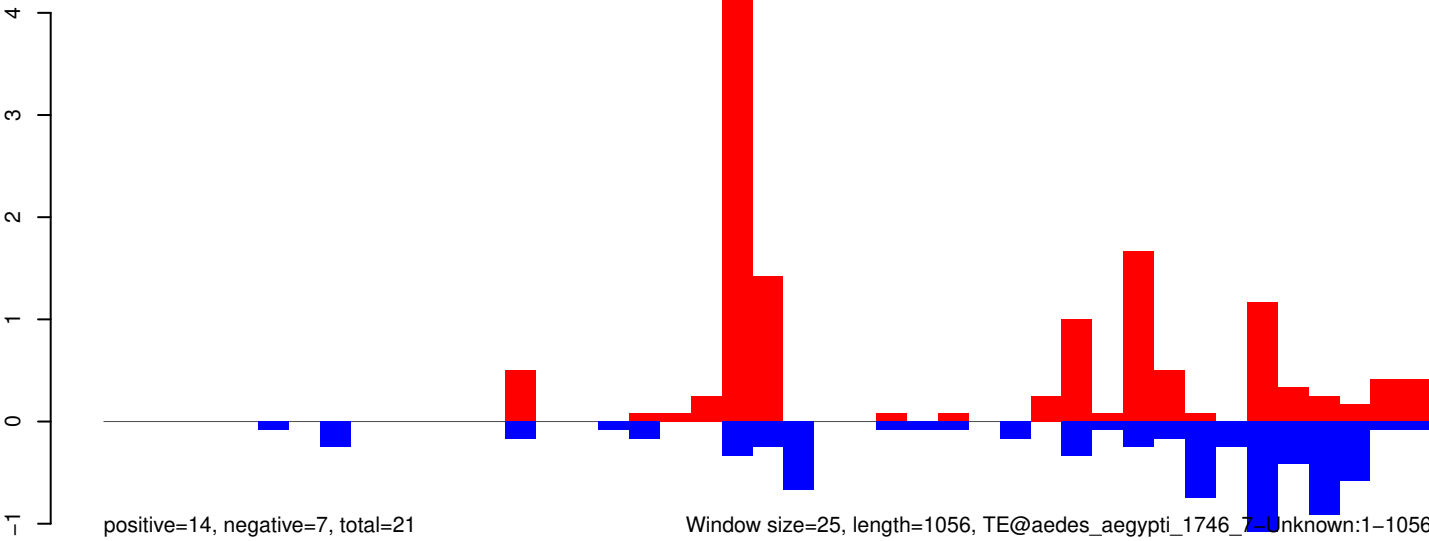
AeAeg_Aag2_Ago2_SINV_RA.18_23.rep



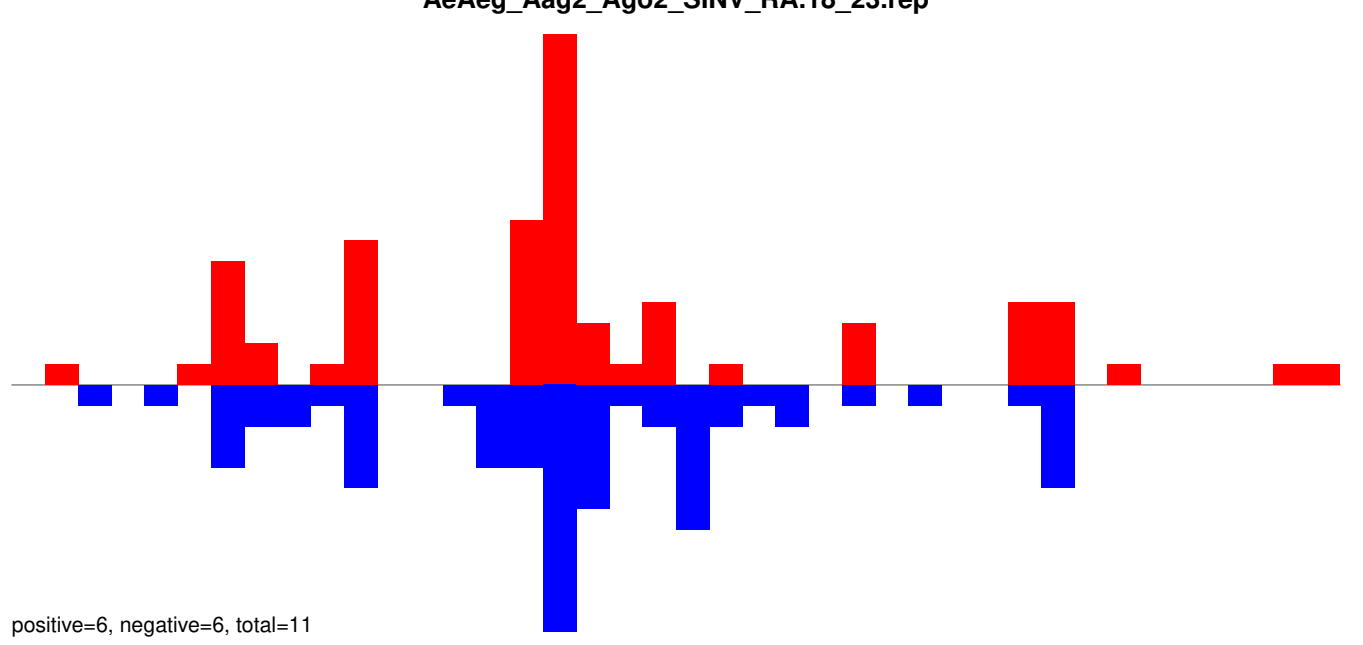
AeAeg_Aag2_Ago2_SINV_RA.24_35.rep



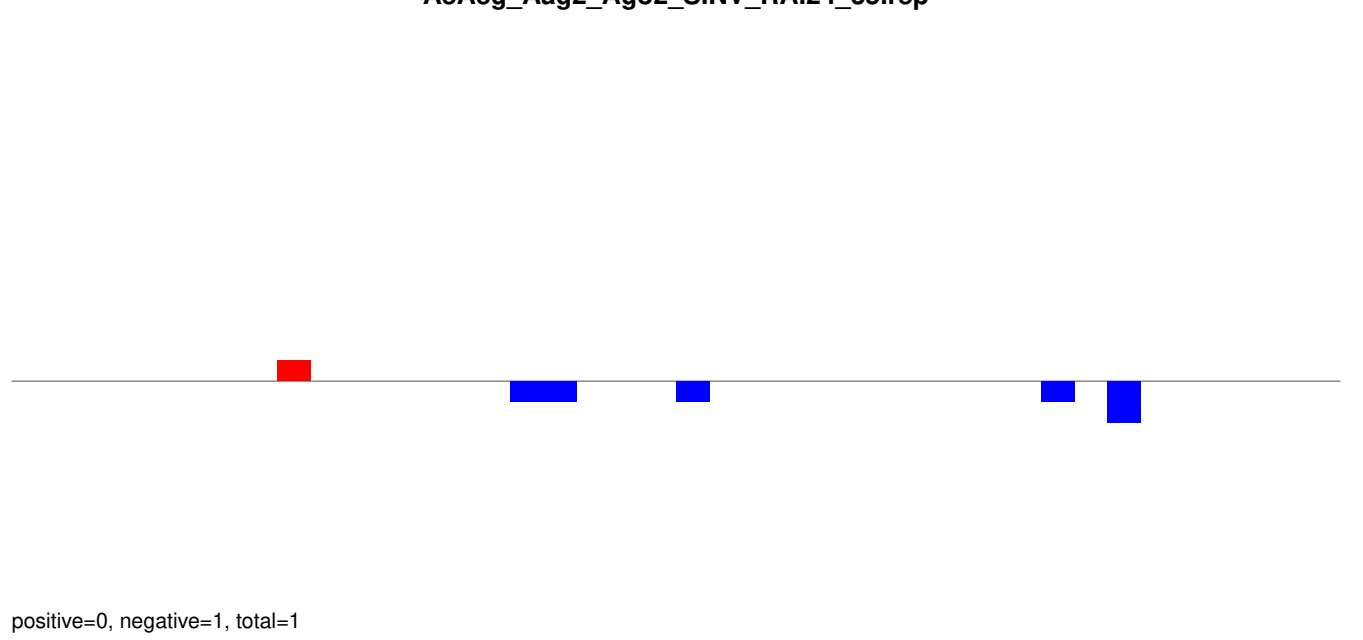
AeAeg_Aag2_Ago2_SINV_RA.rep



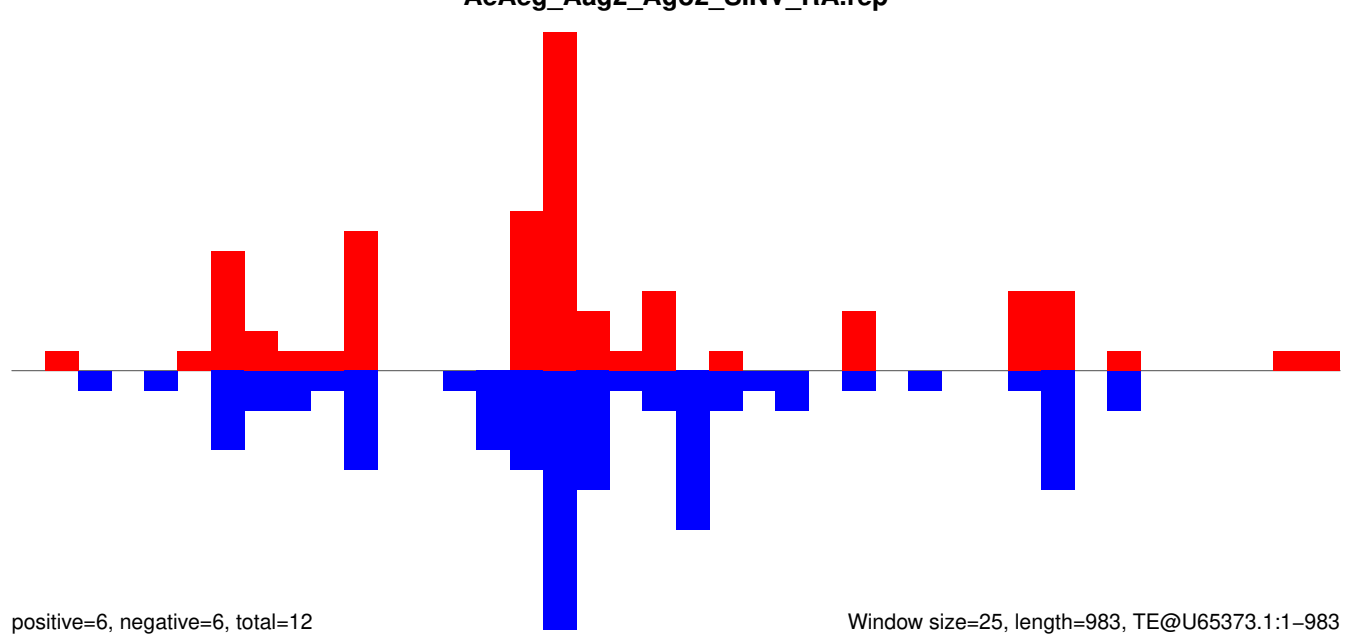
AeAeg_Aag2_Ago2_SINV_RA.18_23.rep



AeAeg_Aag2_Ago2_SINV_RA.24_35.rep

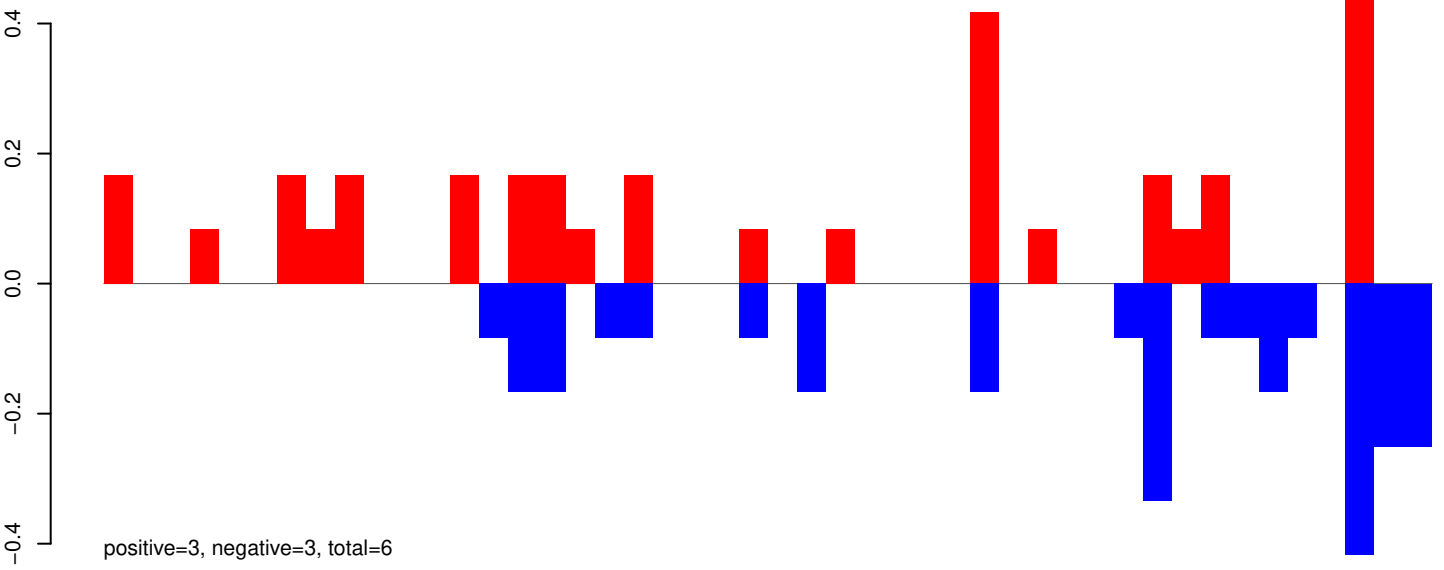


AeAeg_Aag2_Ago2_SINV_RA.rep

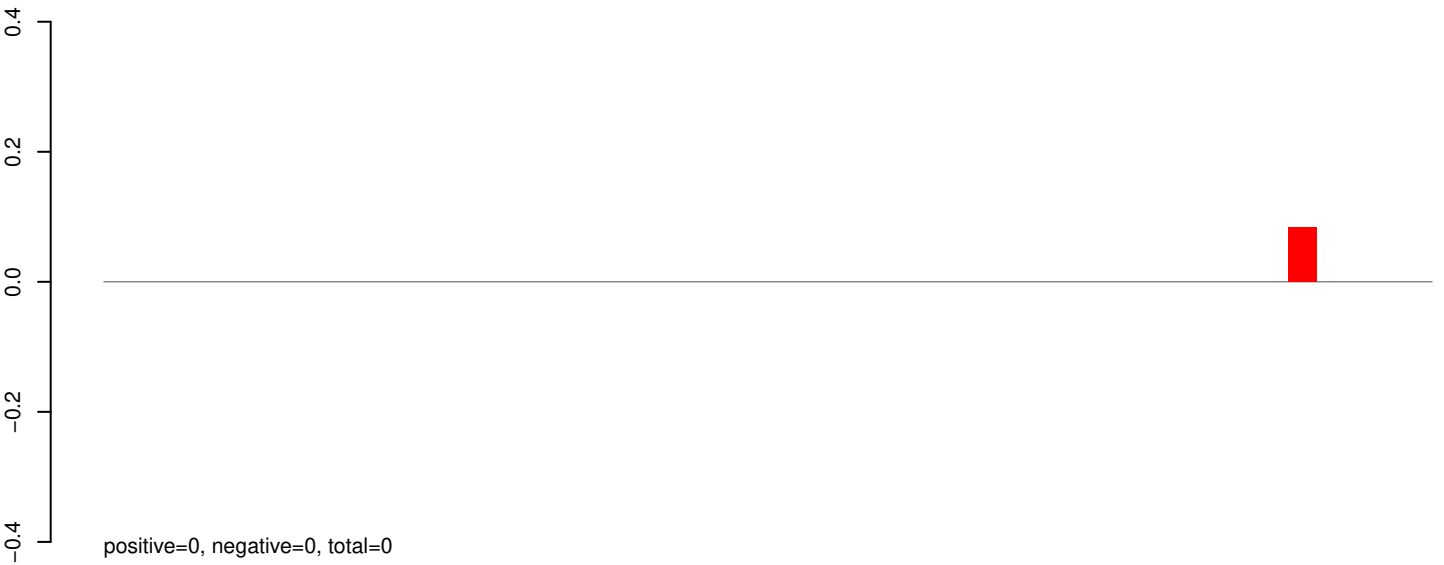


Window size=25, length=983, TE@U65373.1:1-983

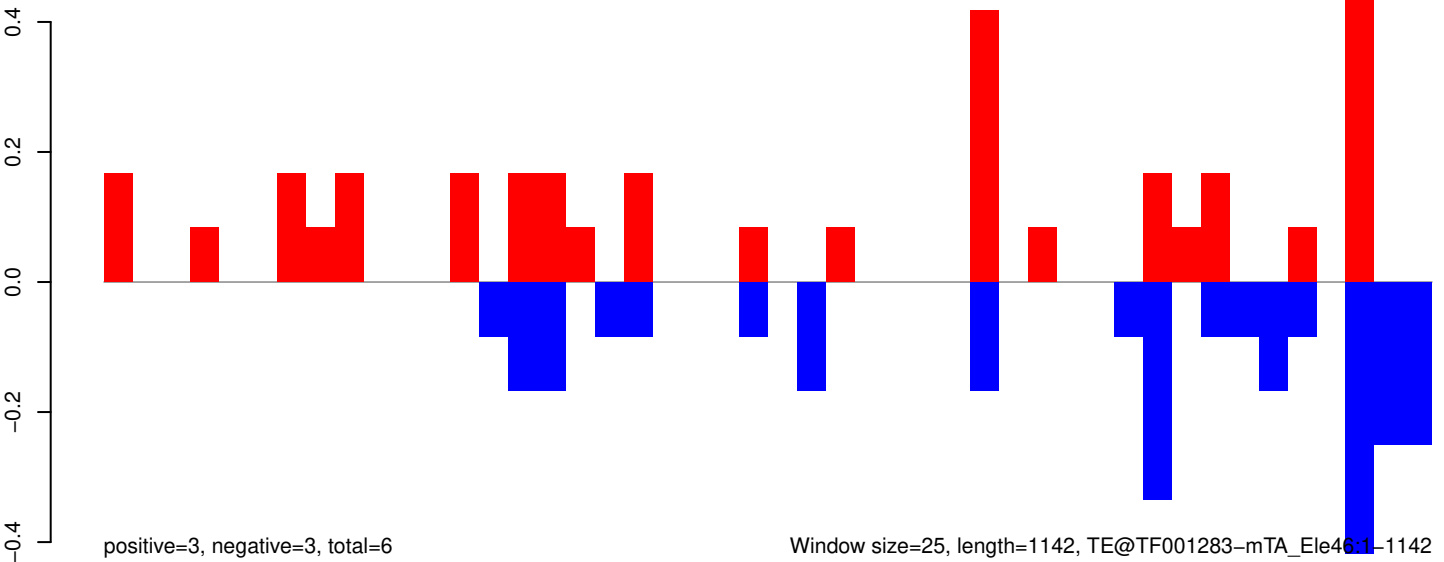
AeAeg_Aag2_Ago2_SINV_RA.18_23.rep



AeAeg_Aag2_Ago2_SINV_RA.24_35.rep

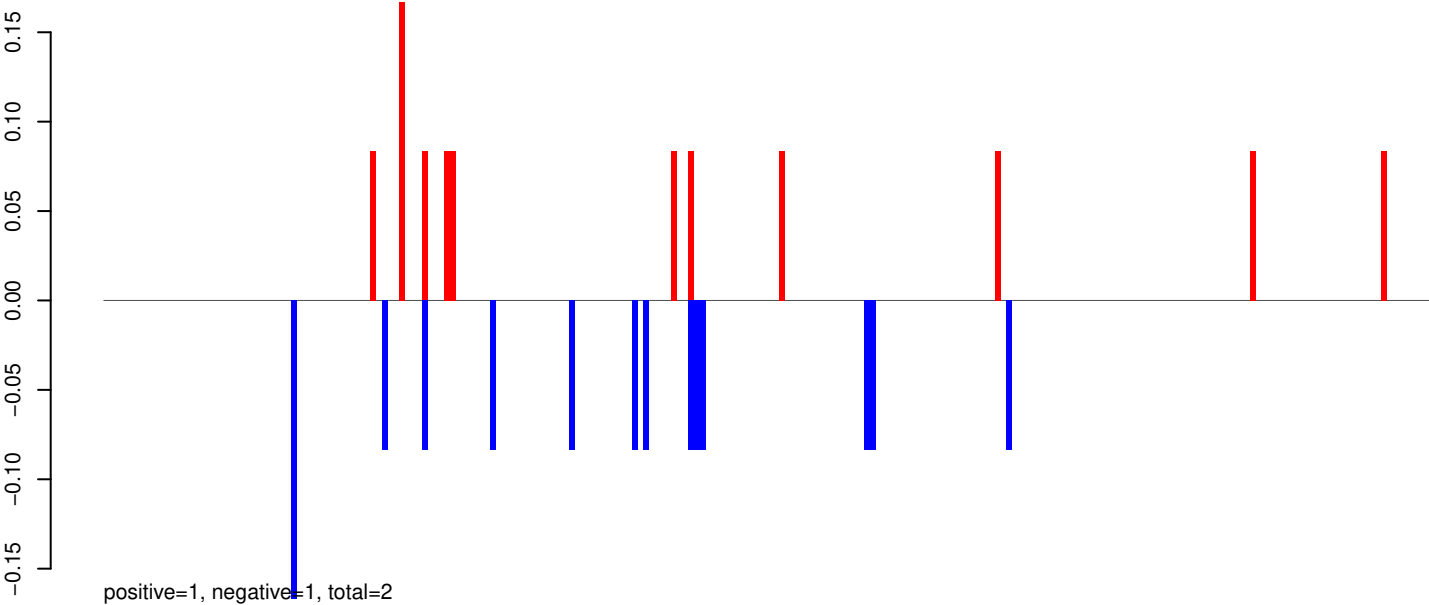


AeAeg_Aag2_Ago2_SINV_RA.rep

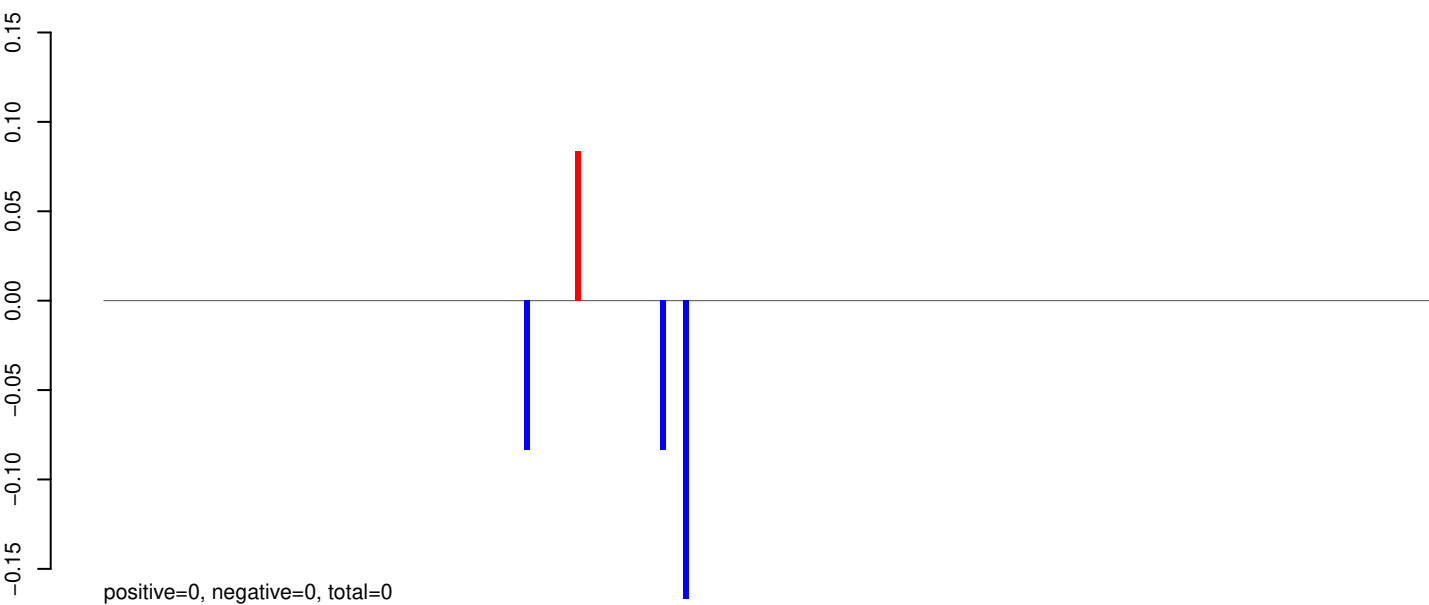


Window size=25, length=1142, TE@TF001283-mTA_Ele46.1-1142

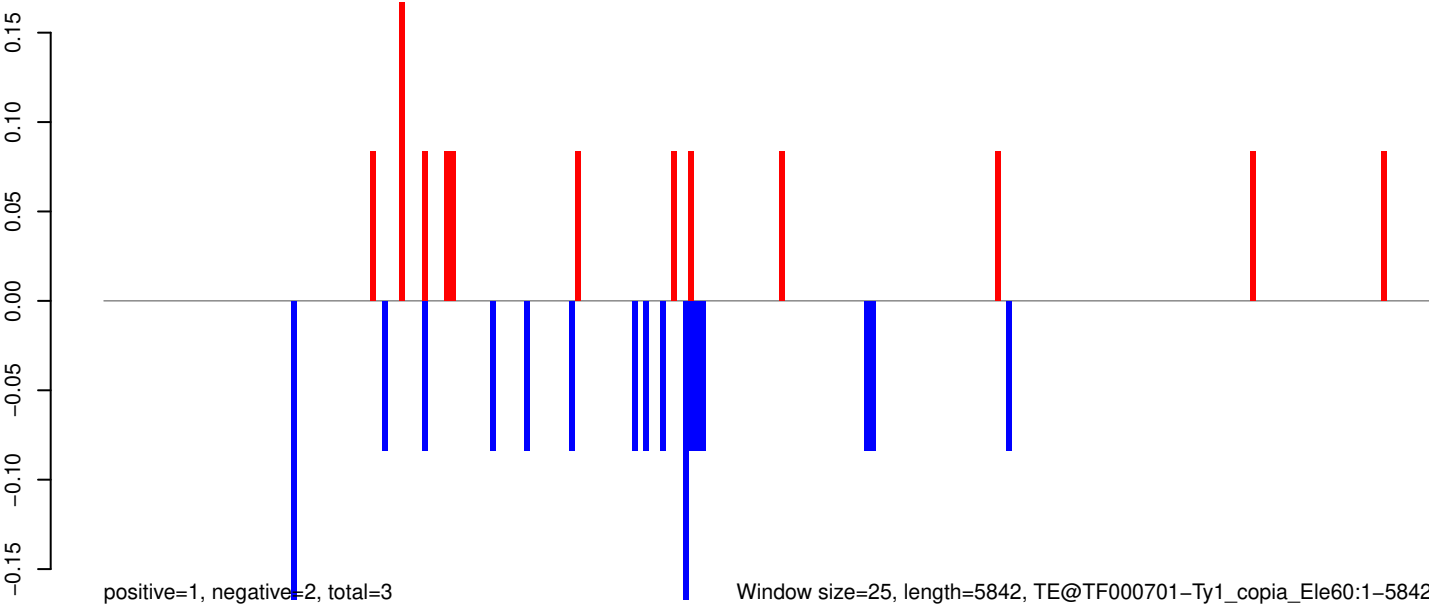
AeAeg_Aag2_Ago2_SINV_RA.18_23.rep



AeAeg_Aag2_Ago2_SINV_RA.24_35.rep

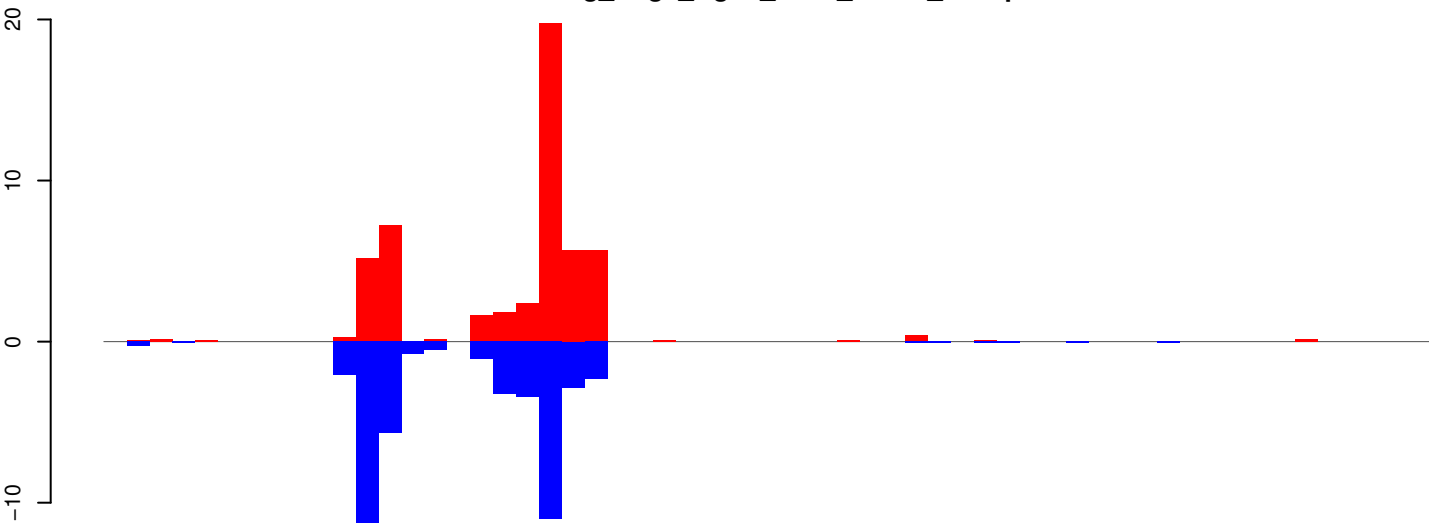


AeAeg_Aag2_Ago2_SINV_RA.rep



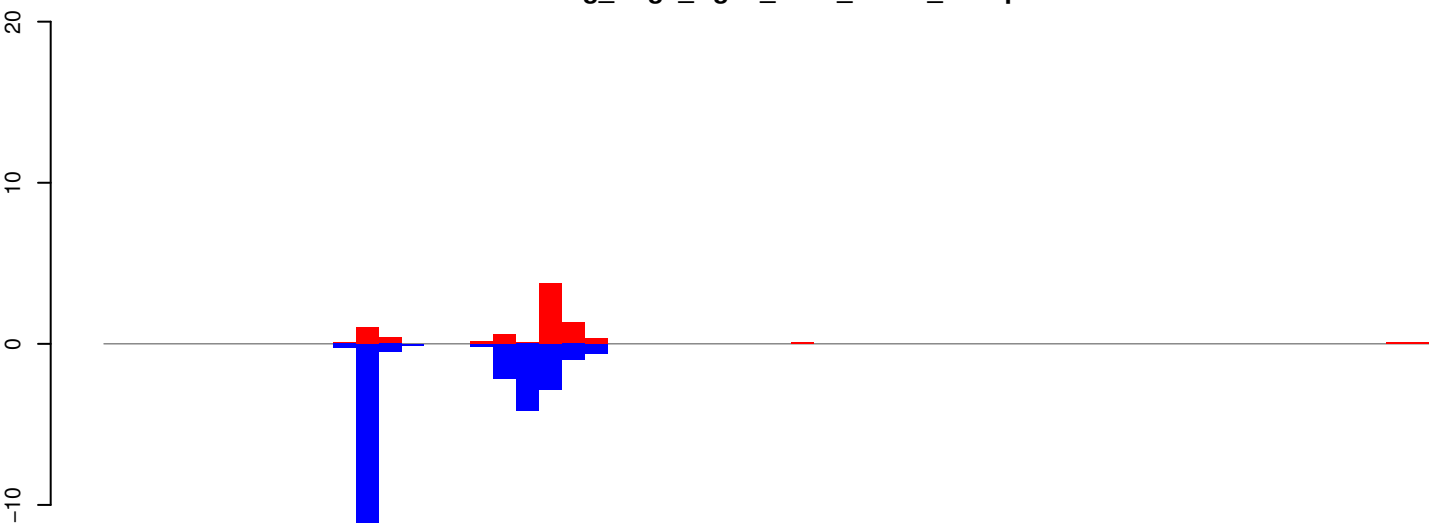
Window size=25, length=5842, TE@TF000701-Ty1_copia_Ele60:1-5842

AeAeg_Aag2_Ago2_SINV_RA.18_23.rep



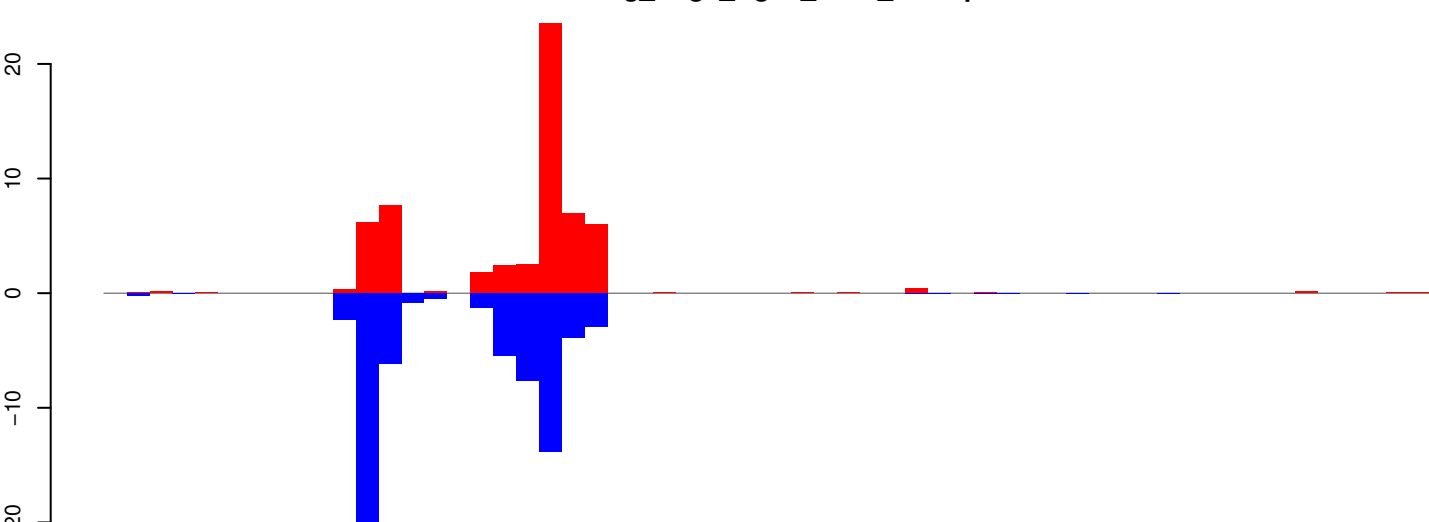
positive=51, negative=45, total=96

AeAeg_Aag2_Ago2_SINV_RA.24_35.rep



positive=8, negative=29, total=37

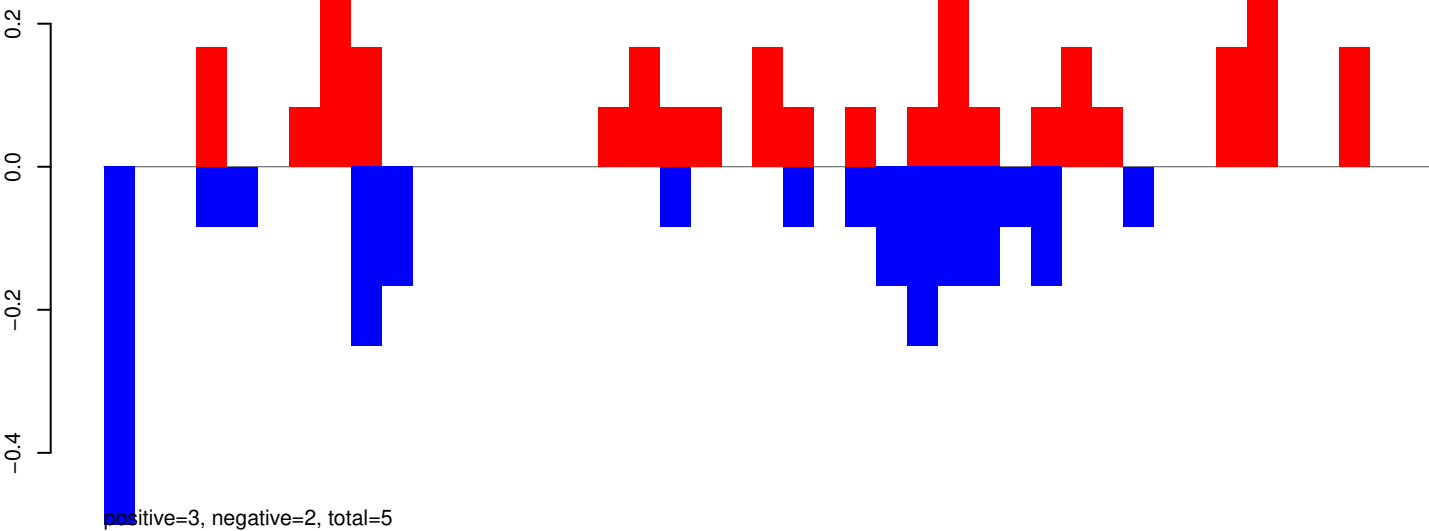
AeAeg_Aag2_Ago2_SINV_RA.rep



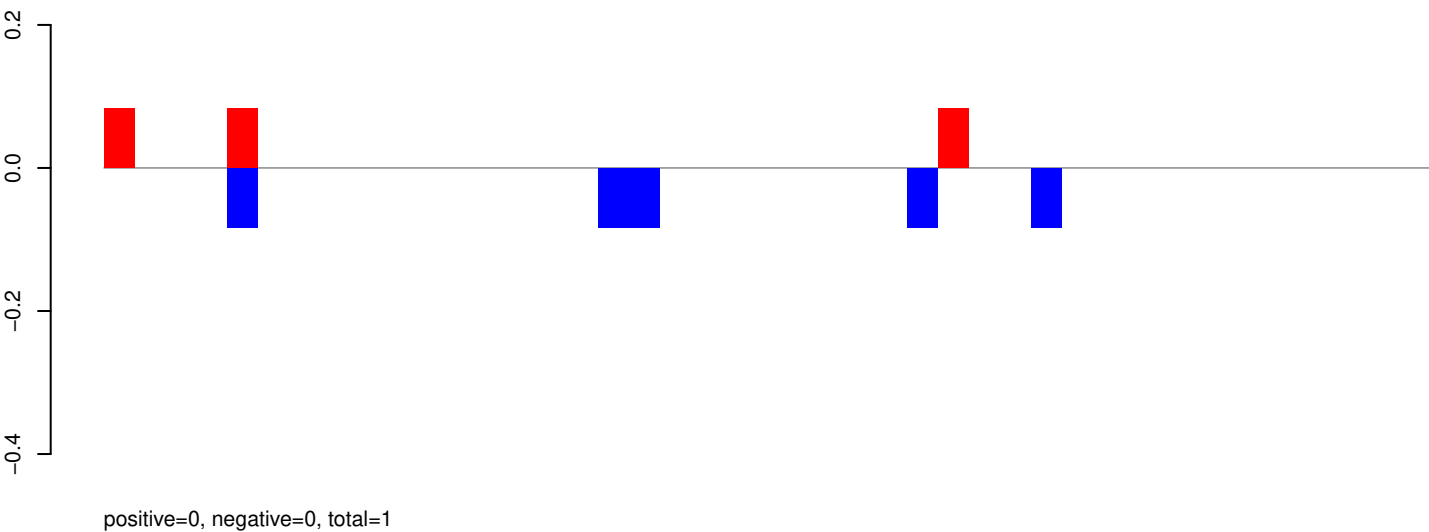
positive=59, negative=74, total=133

Window size=25, length=1444, TE@R=818-UNKNOWN:1-1444

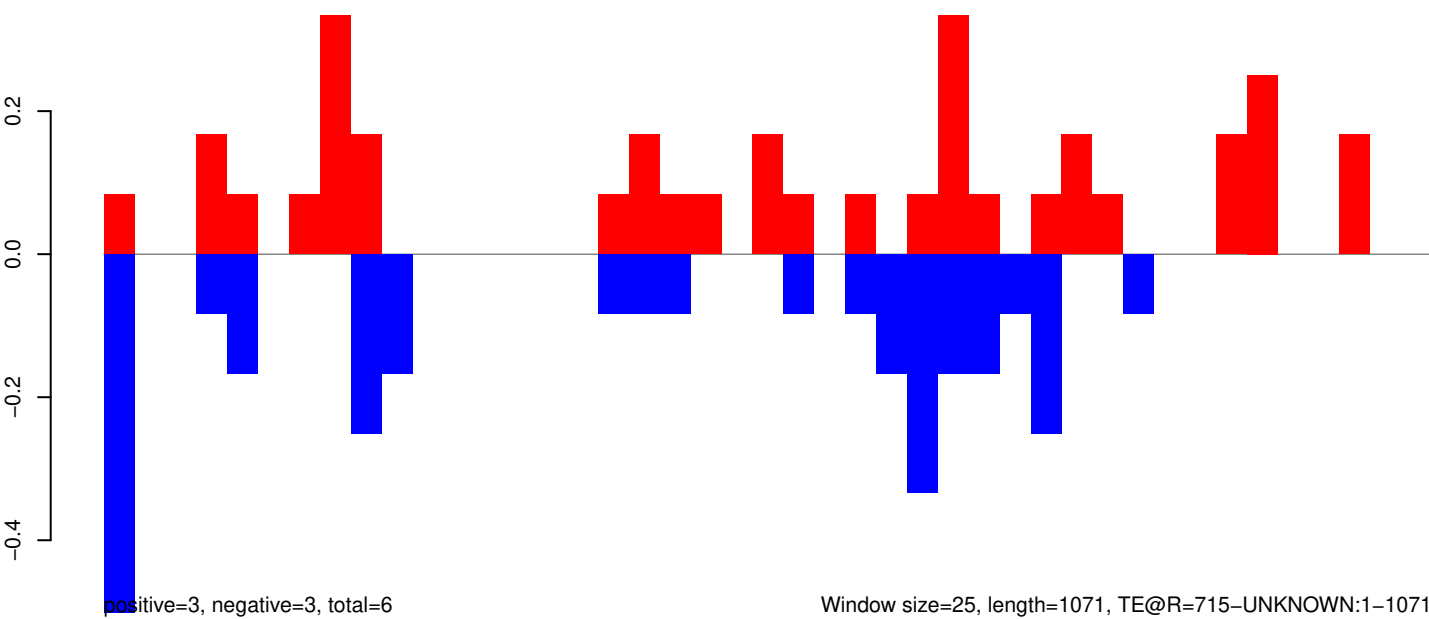
AeAeg_Aag2_Ago2_SINV_RA.18_23.rep



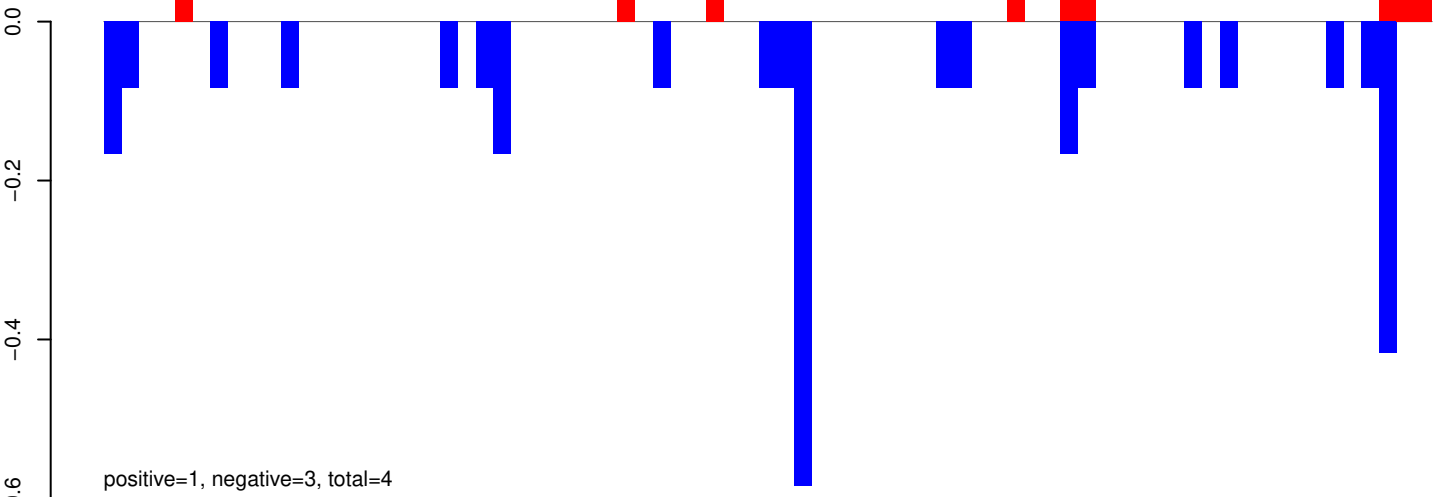
AeAeg_Aag2_Ago2_SINV_RA.24_35.rep



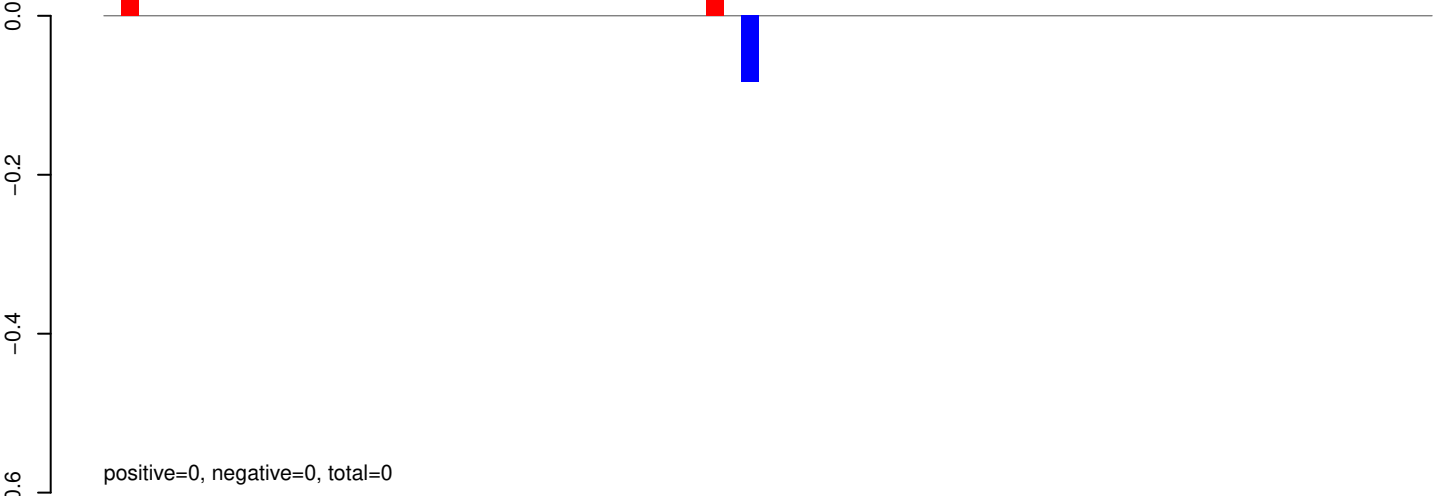
AeAeg_Aag2_Ago2_SINV_RA.rep



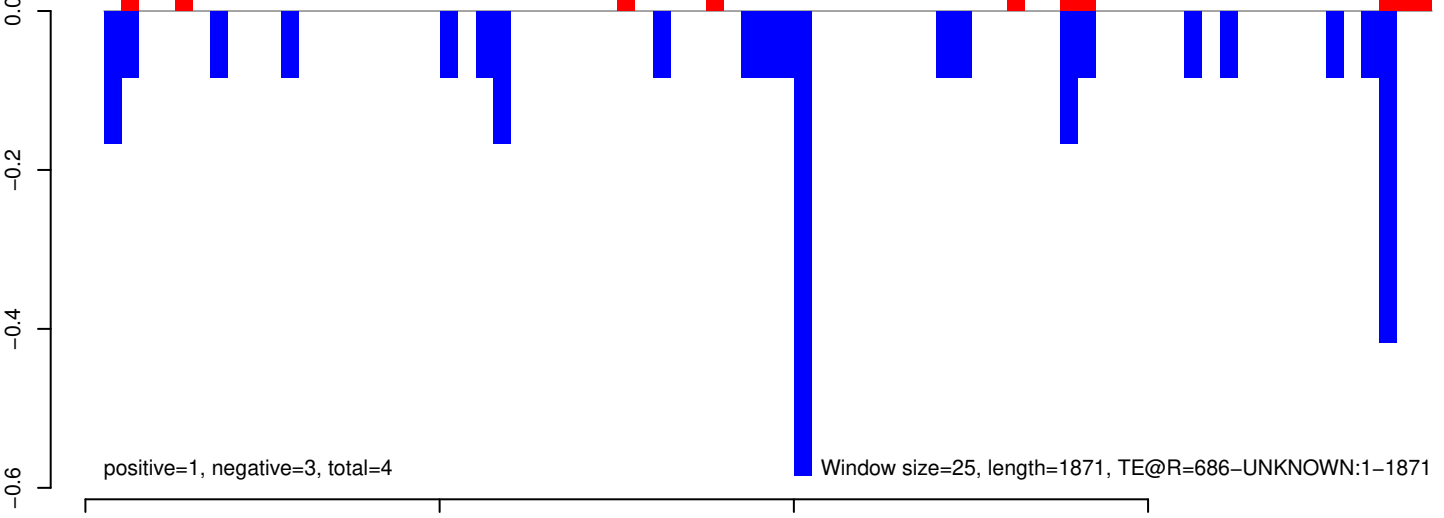
AeAeg_Aag2_Ago2_SINV_RA.18_23.rep



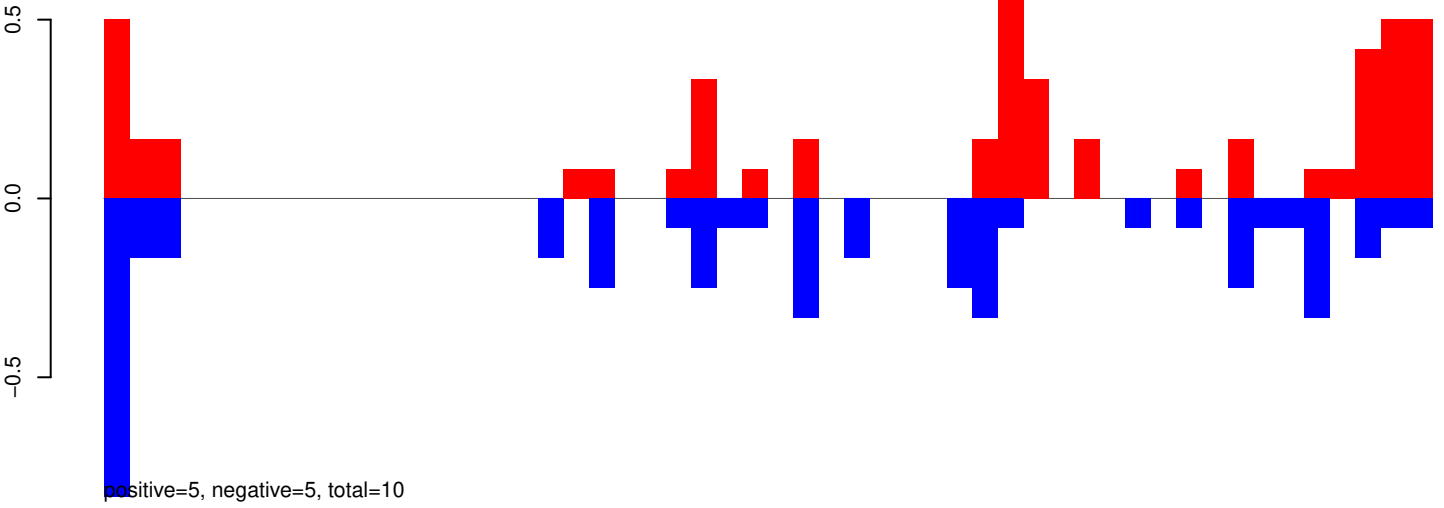
AeAeg_Aag2_Ago2_SINV_RA.24_35.rep



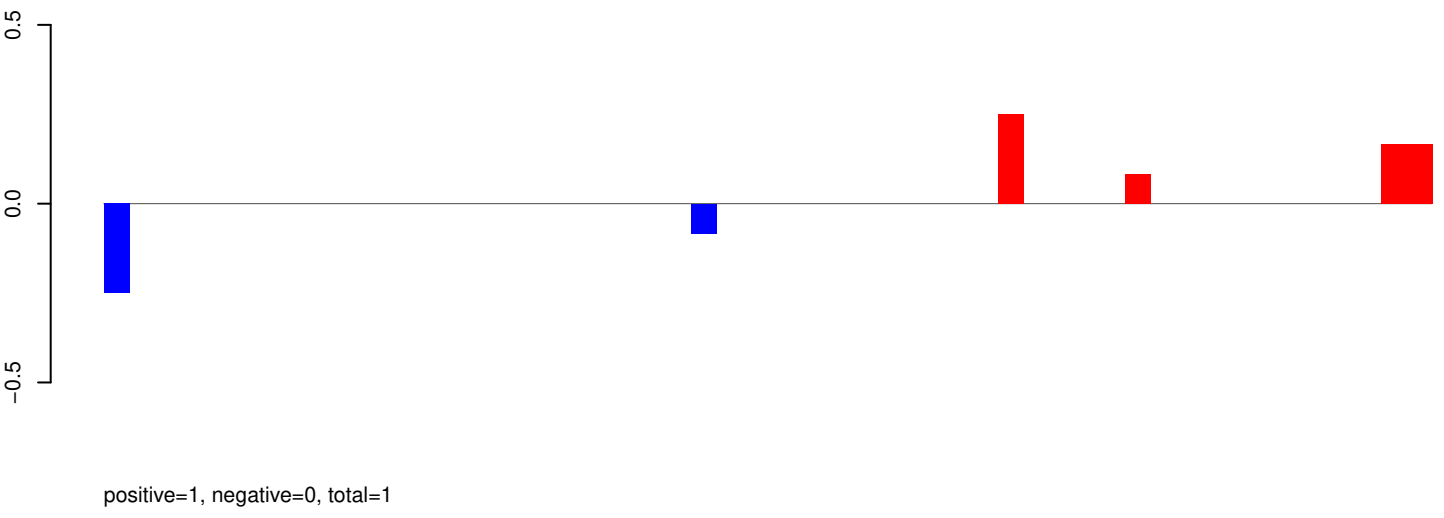
AeAeg_Aag2_Ago2_SINV_RA.rep



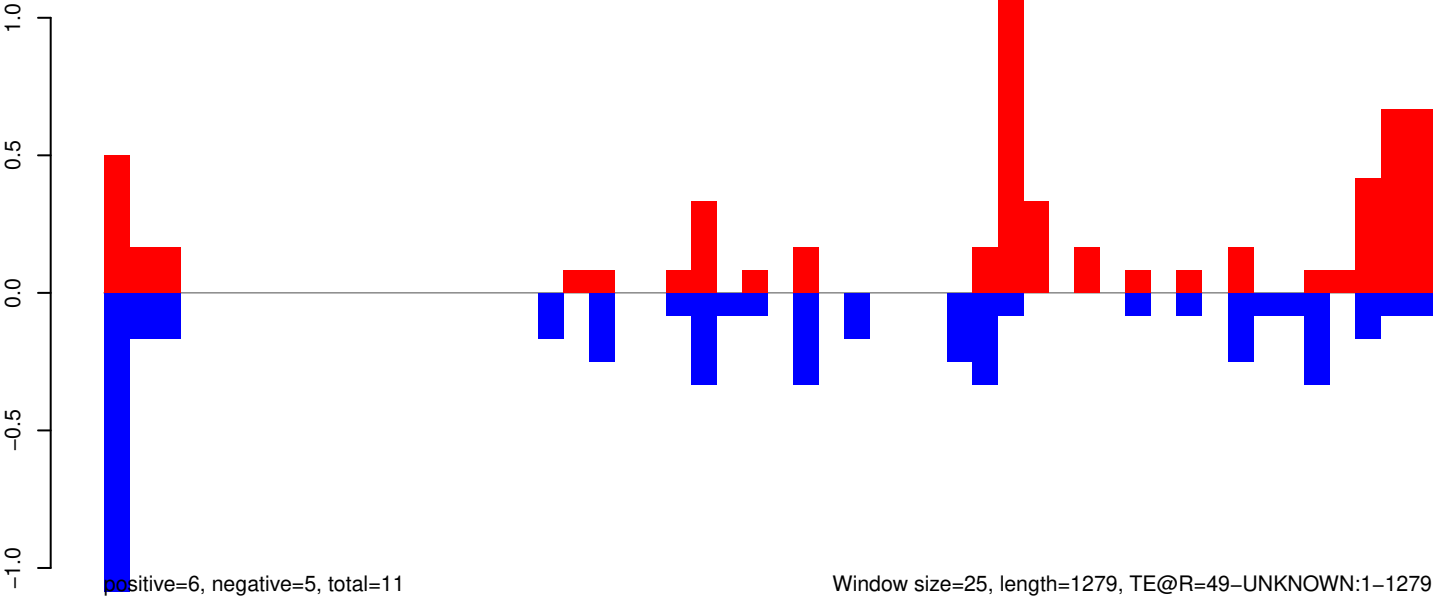
AeAeg_Aag2_Ago2_SINV_RA.18_23.rep



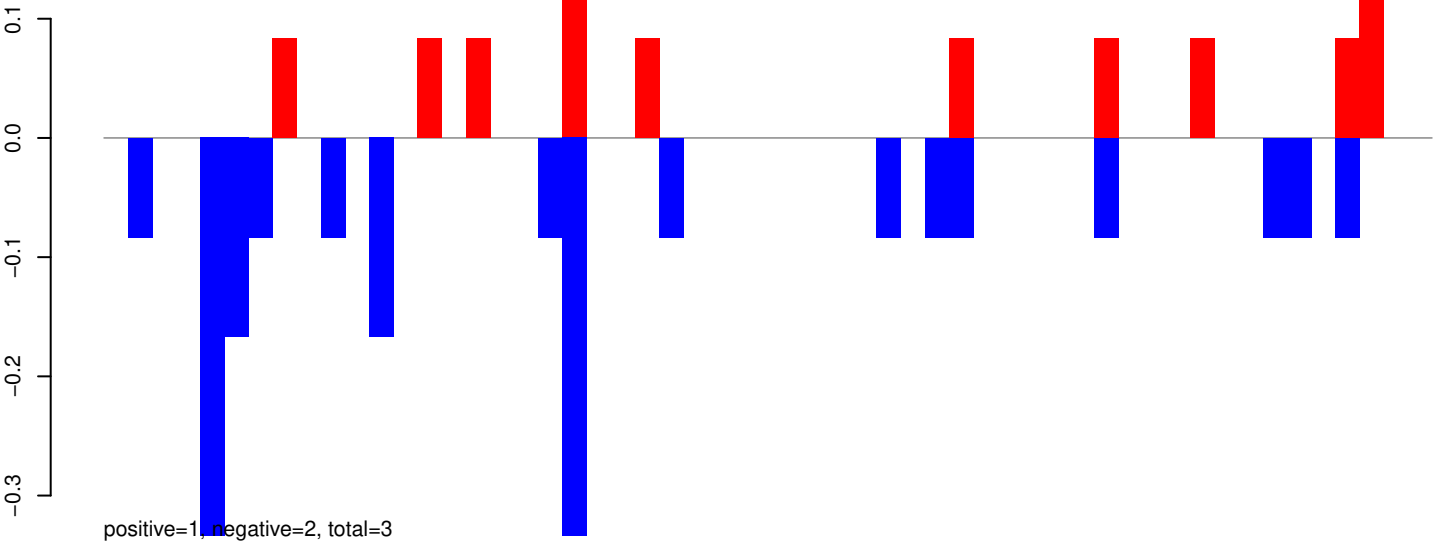
AeAeg_Aag2_Ago2_SINV_RA.24_35.rep



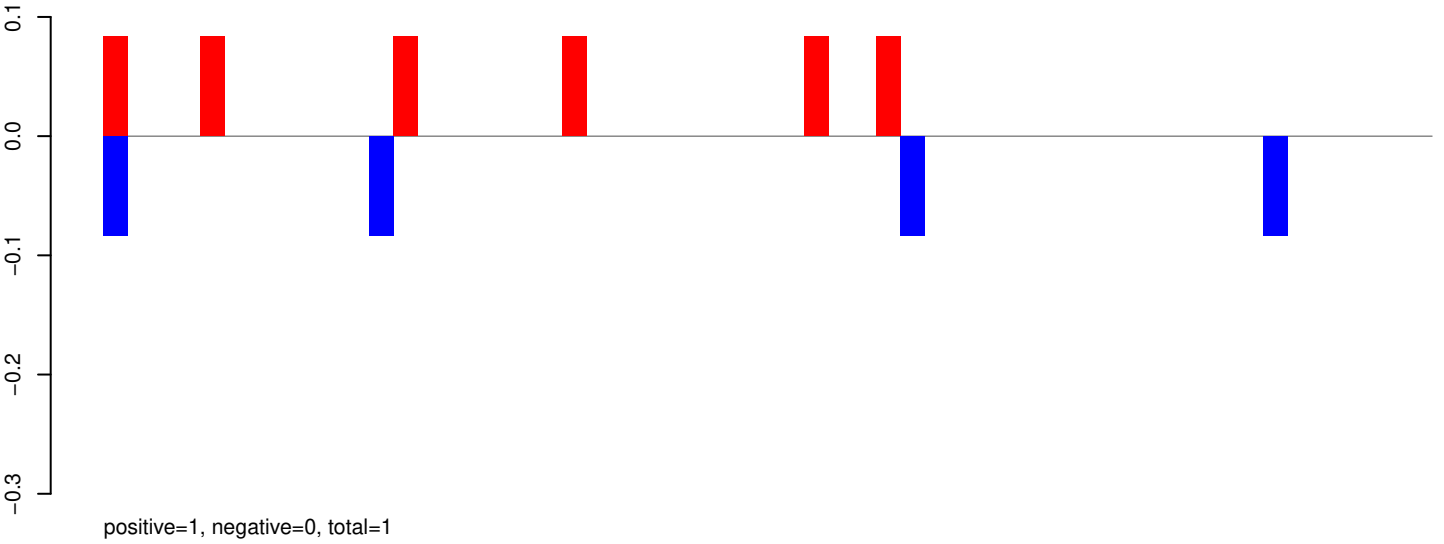
AeAeg_Aag2_Ago2_SINV_RA.rep



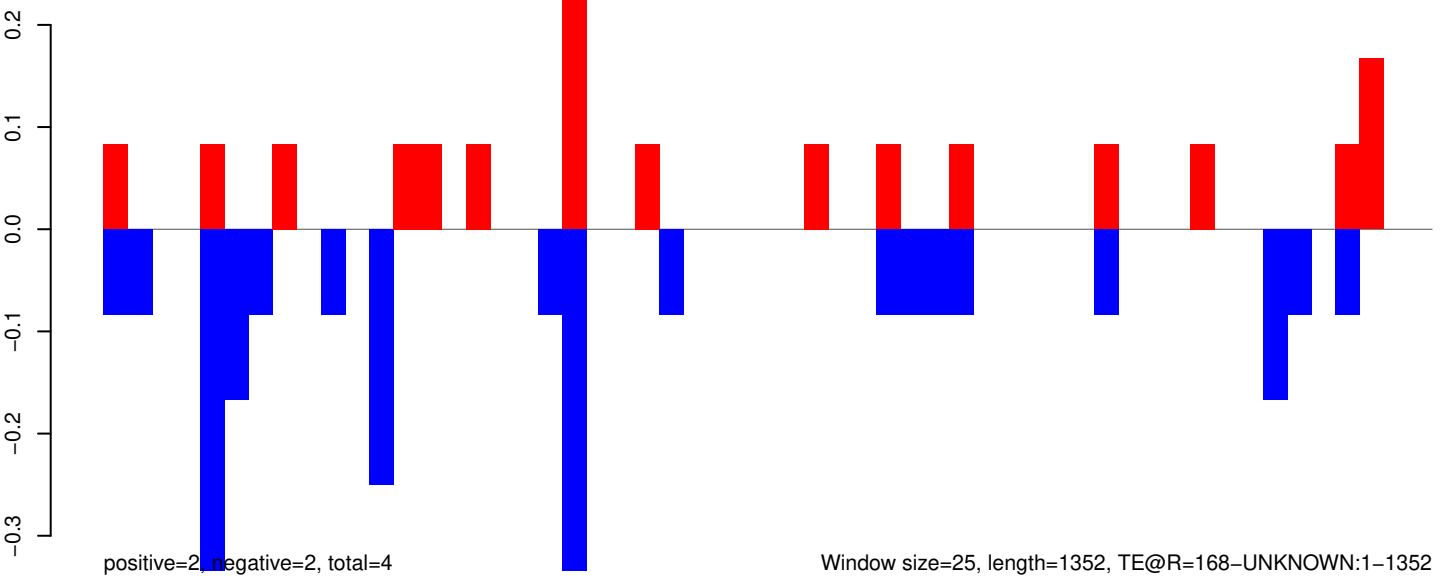
AeAeg_Aag2_Ago2_SINV_RA.18_23.rep



AeAeg_Aag2_Ago2_SINV_RA.24_35.rep

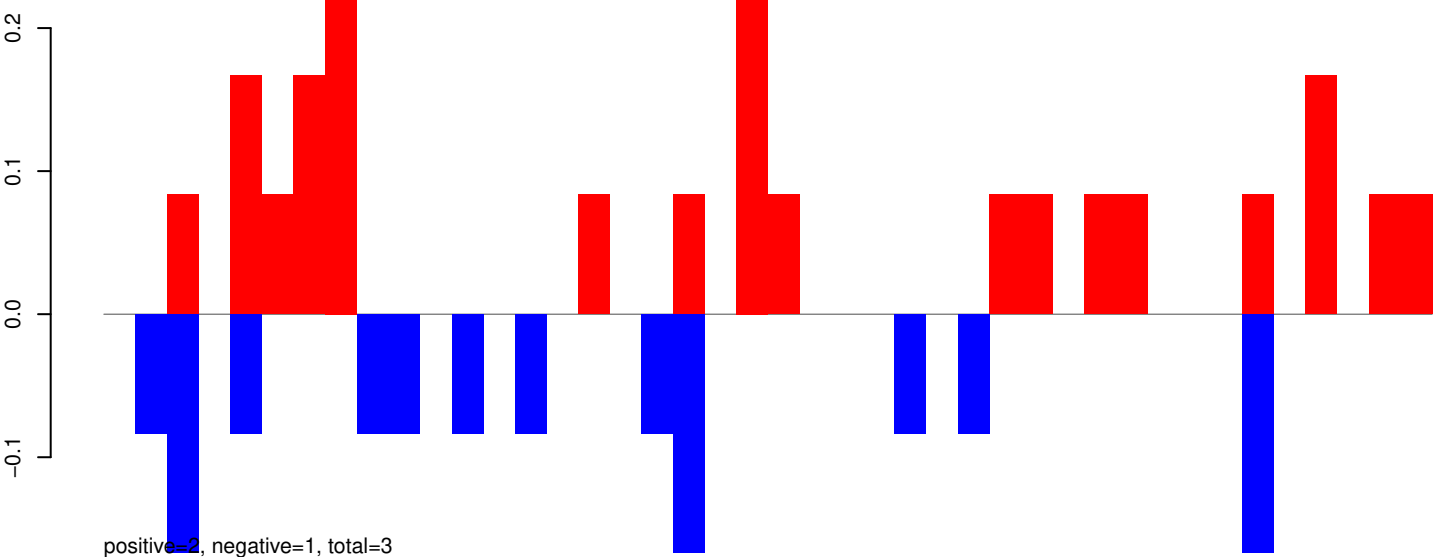


AeAeg_Aag2_Ago2_SINV_RA.rep

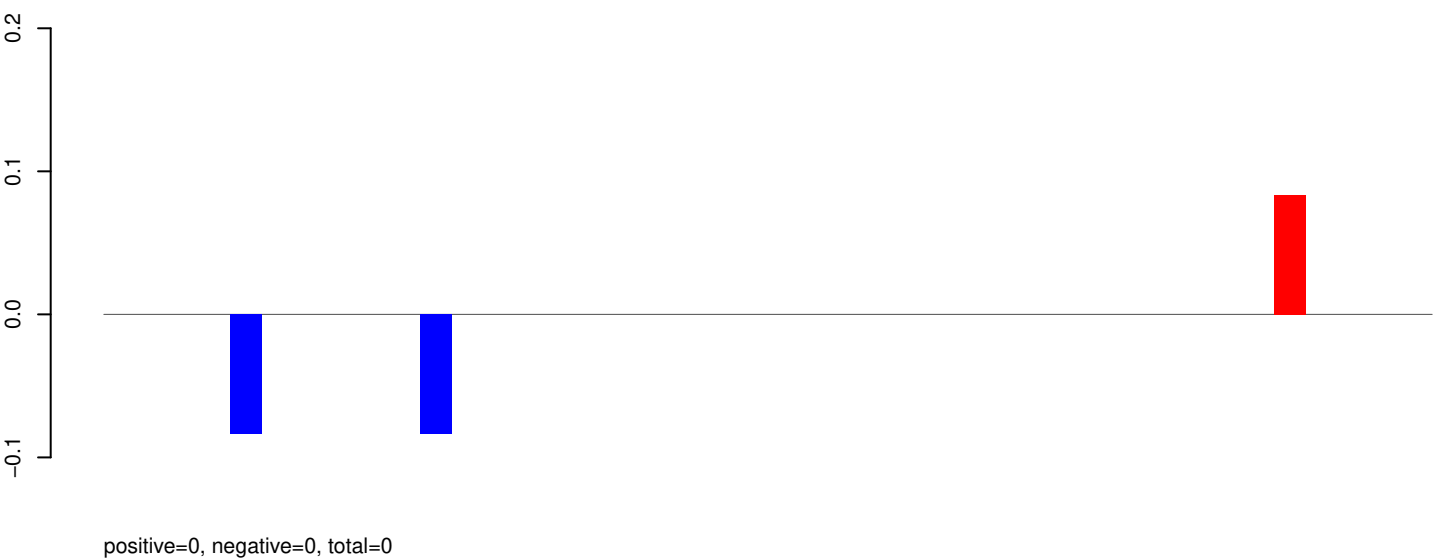


Window size=25, length=1352, TE@R=168-UNKNOWN:1-1352

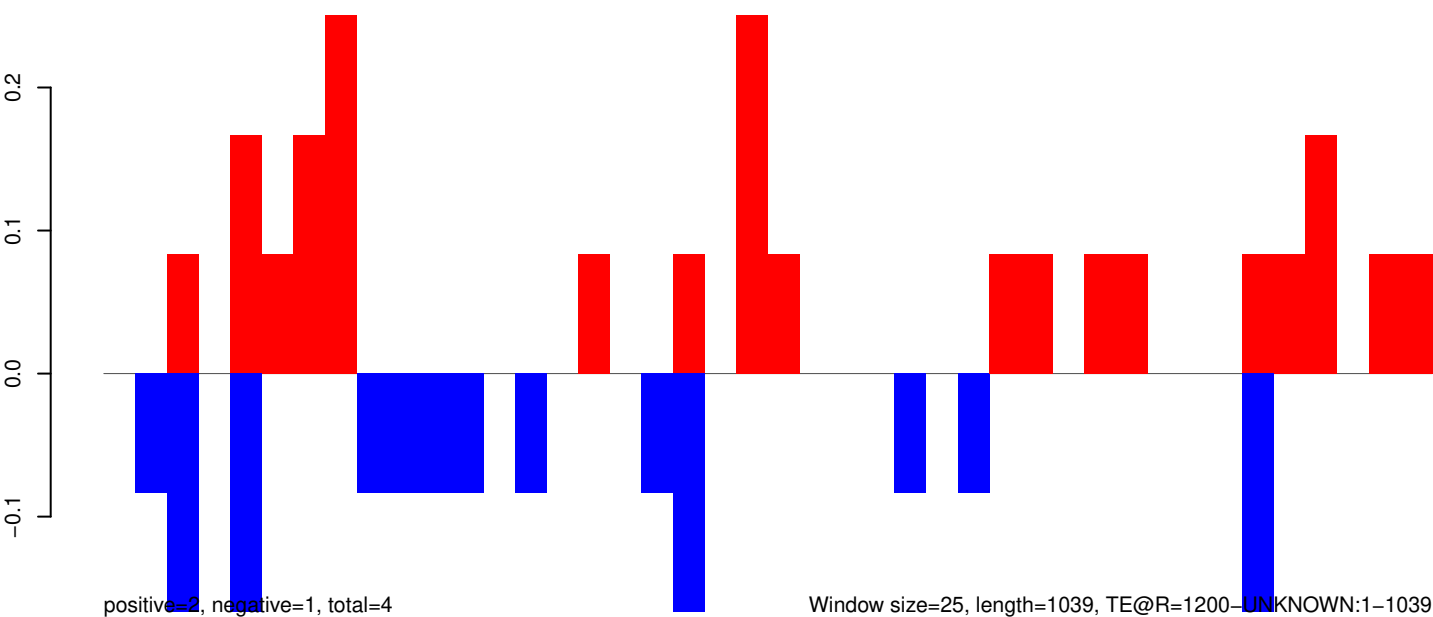
AeAeg_Aag2_Ago2_SINV_RA.18_23.rep



AeAeg_Aag2_Ago2_SINV_RA.24_35.rep

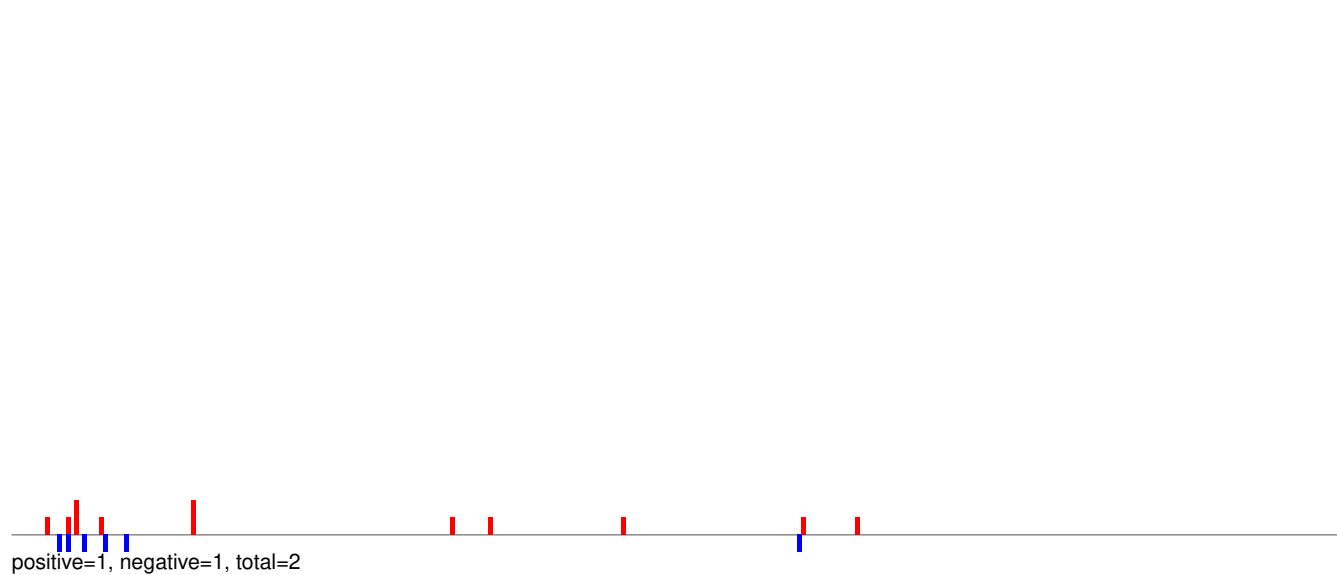


AeAeg_Aag2_Ago2_SINV_RA.rep

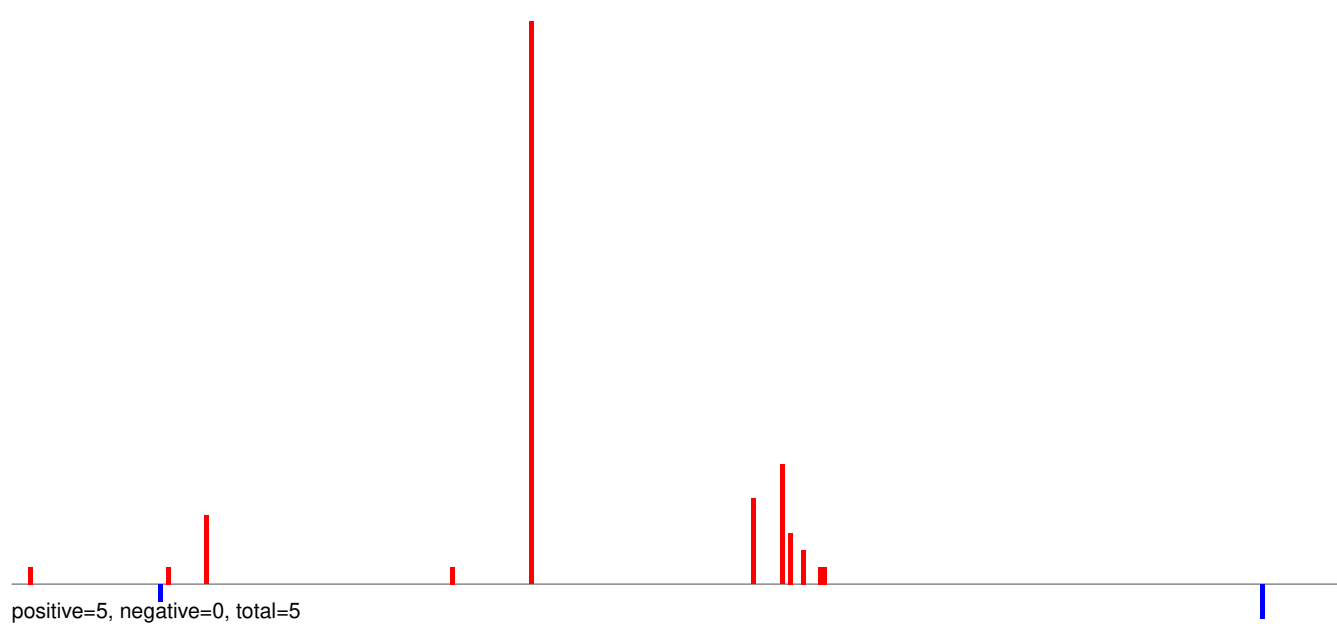


Window size=25, length=1039, TE@R=1200-UNKNOWN:1-1039

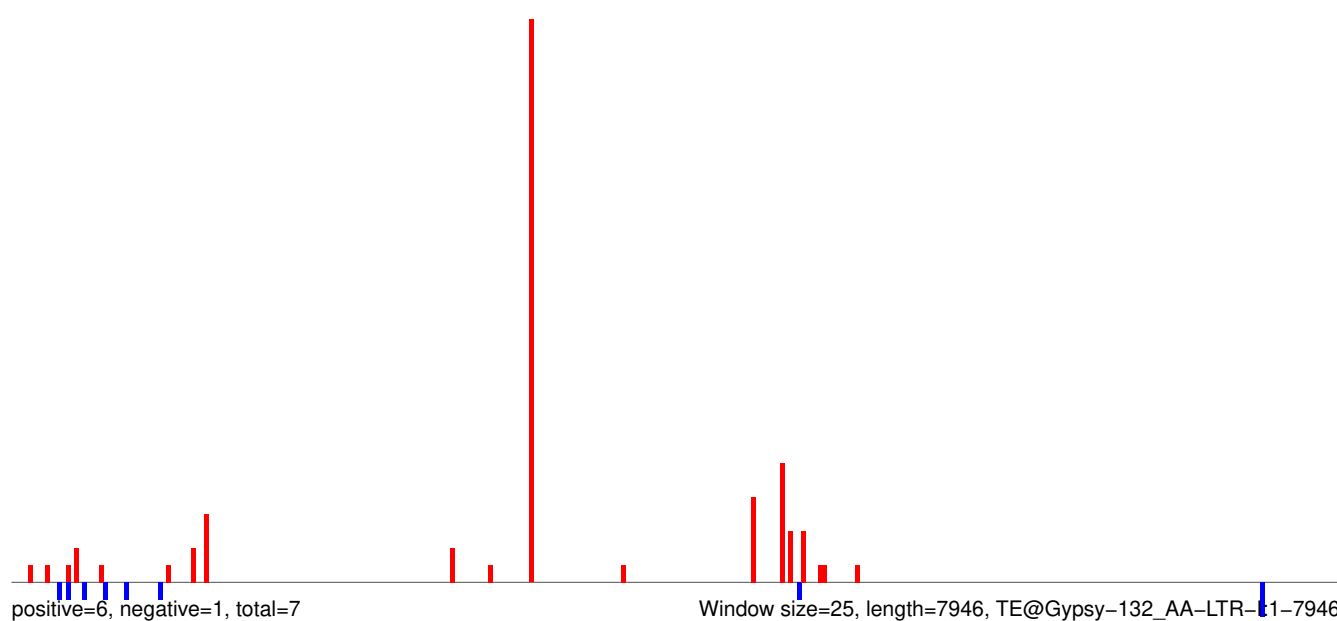
AeAeg_Aag2_Ago2_SINV_RA.18_23.rep



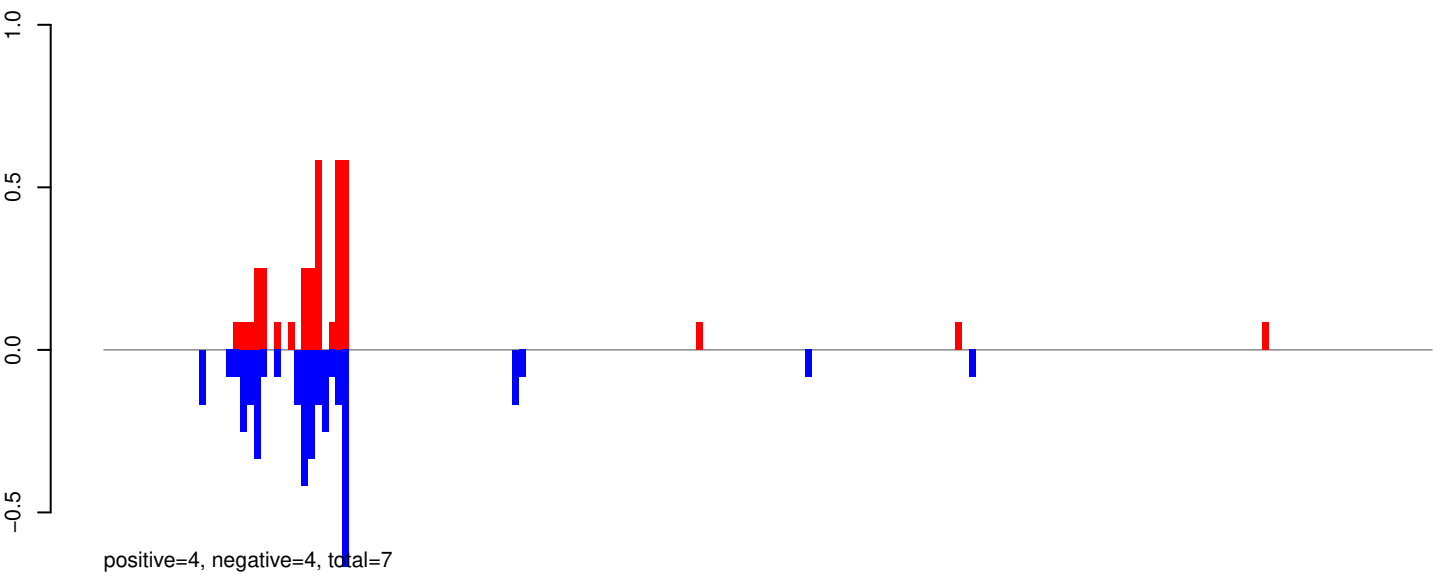
AeAeg_Aag2_Ago2_SINV_RA.24_35.rep



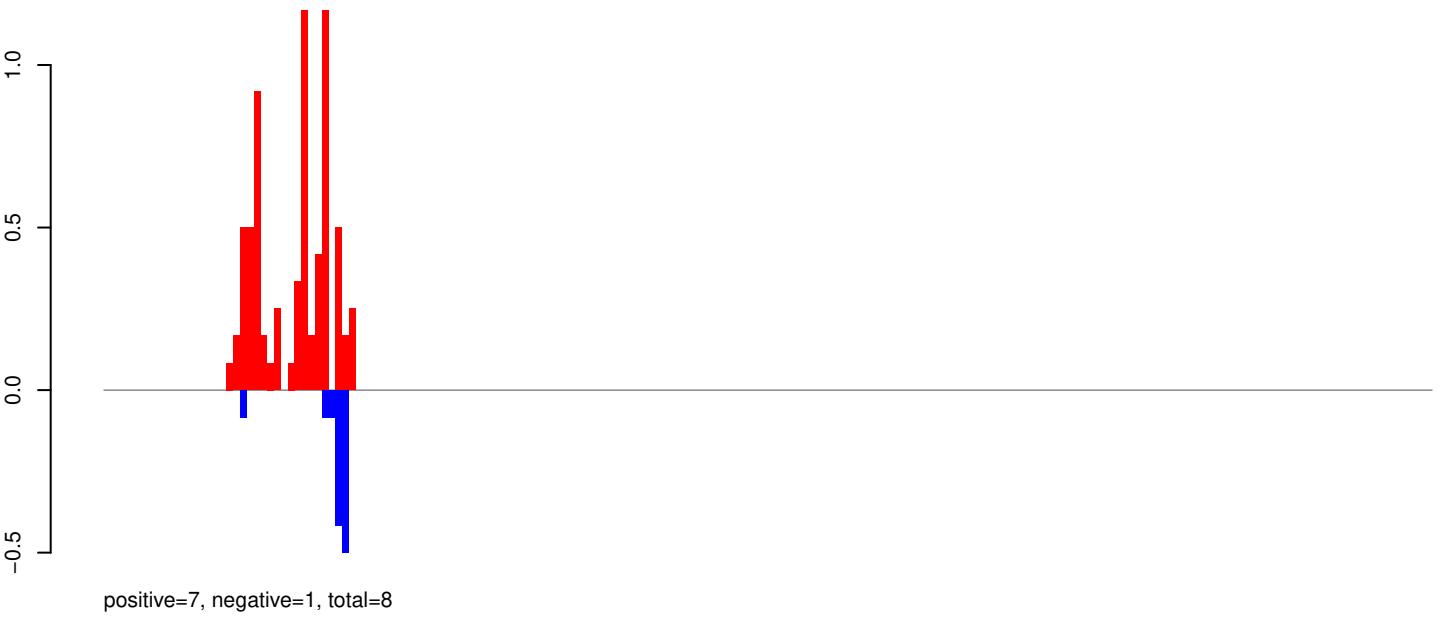
AeAeg_Aag2_Ago2_SINV_RA.rep



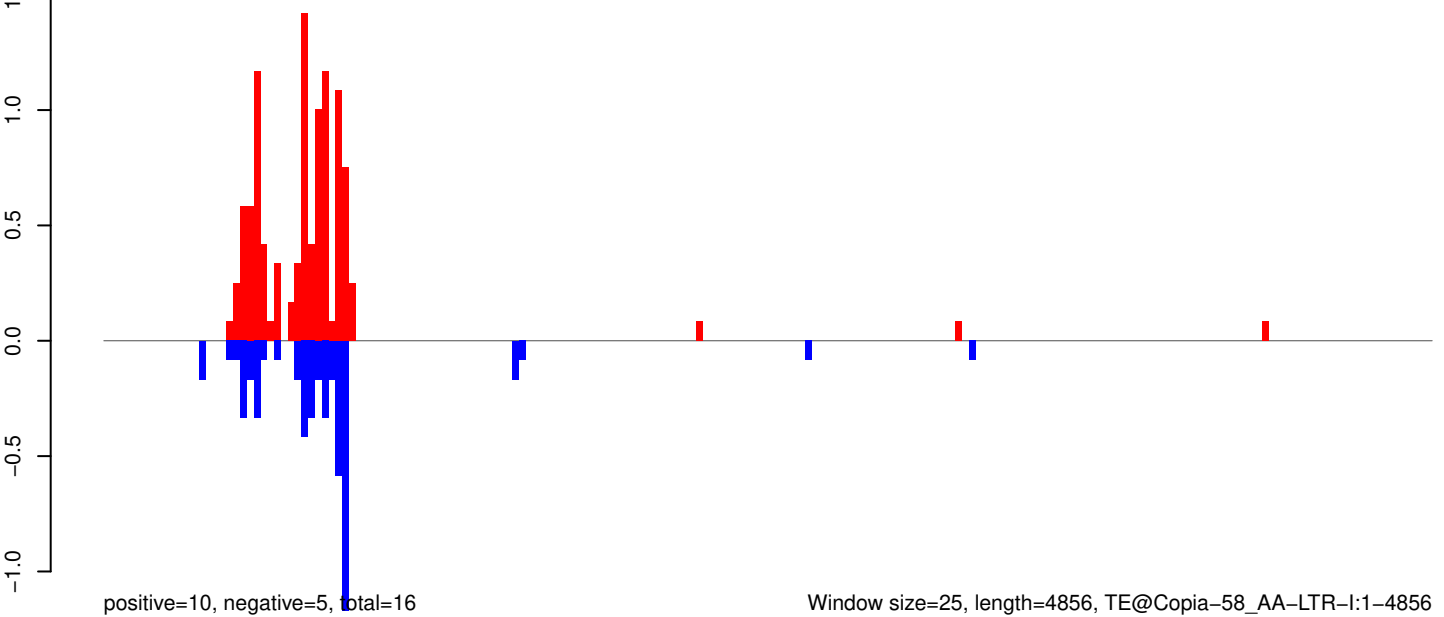
AeAeg_Aag2_Ago2_SINV_RA.18_23.rep



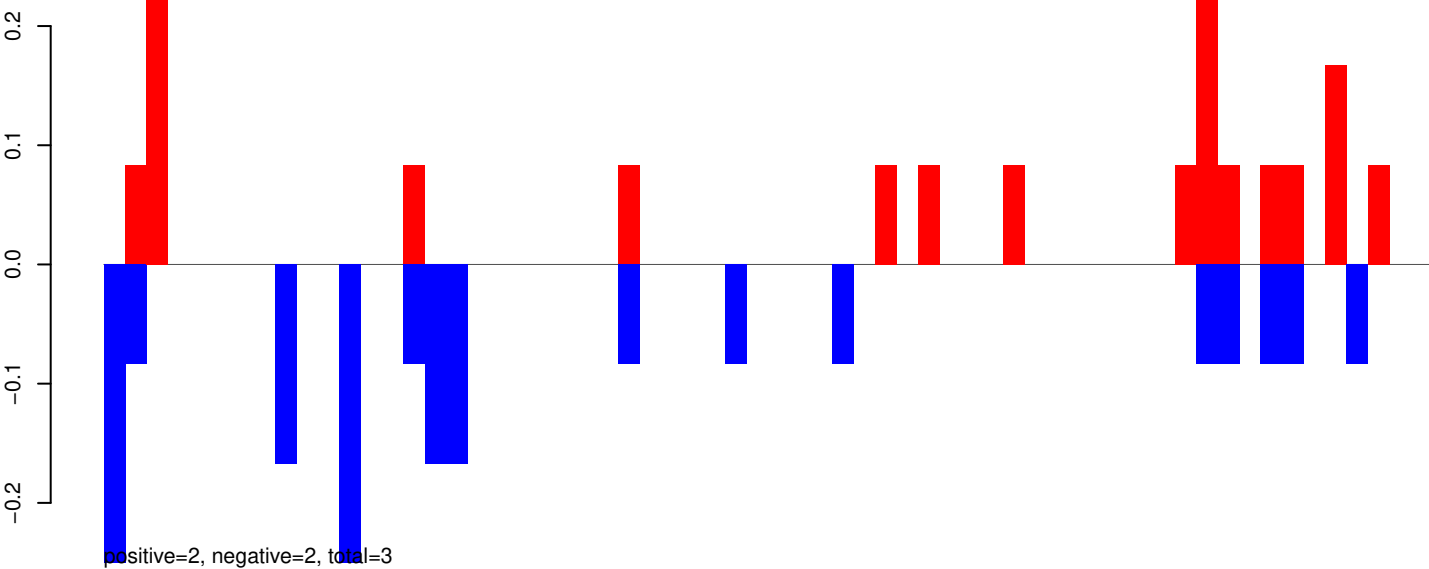
AeAeg_Aag2_Ago2_SINV_RA.24_35.rep



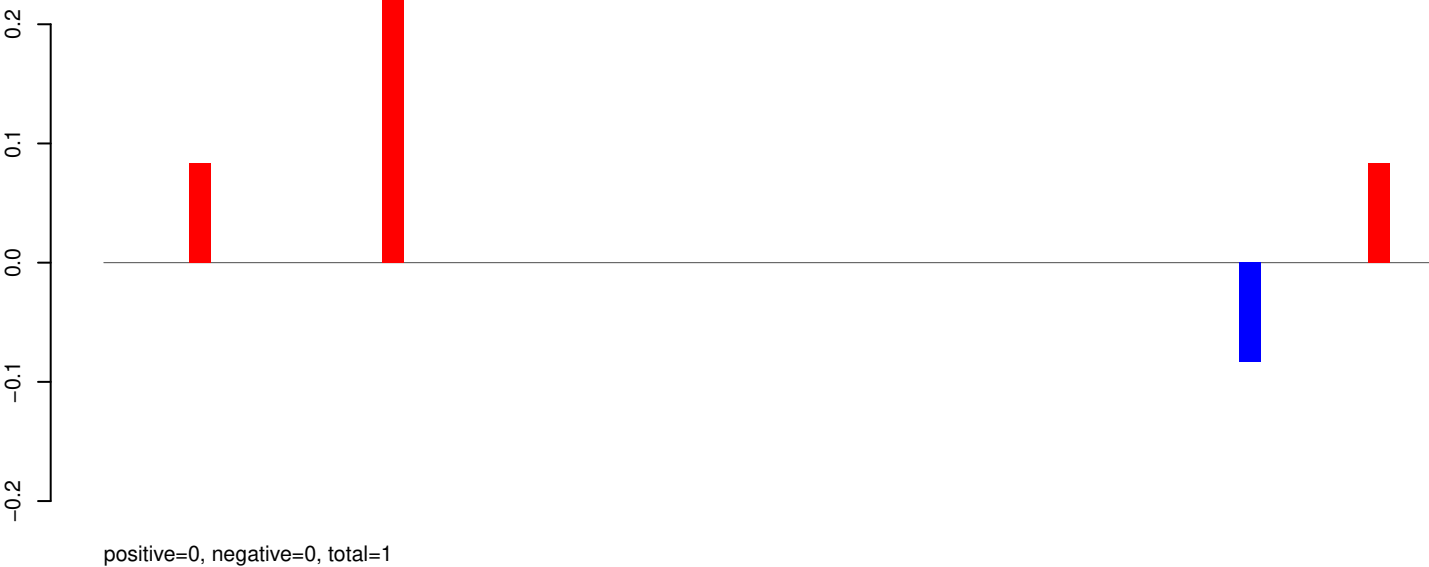
AeAeg_Aag2_Ago2_SINV_RA.rep



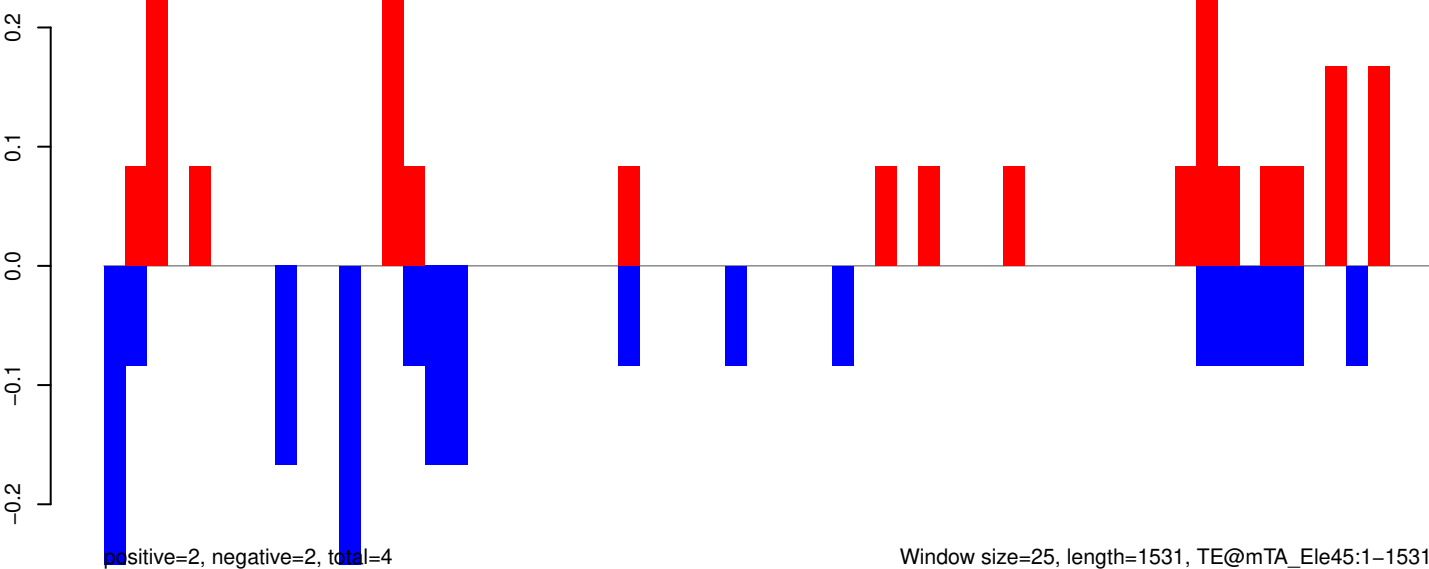
AeAeg_Aag2_Ago2_SINV_RA.18_23.rep



AeAeg_Aag2_Ago2_SINV_RA.24_35.rep



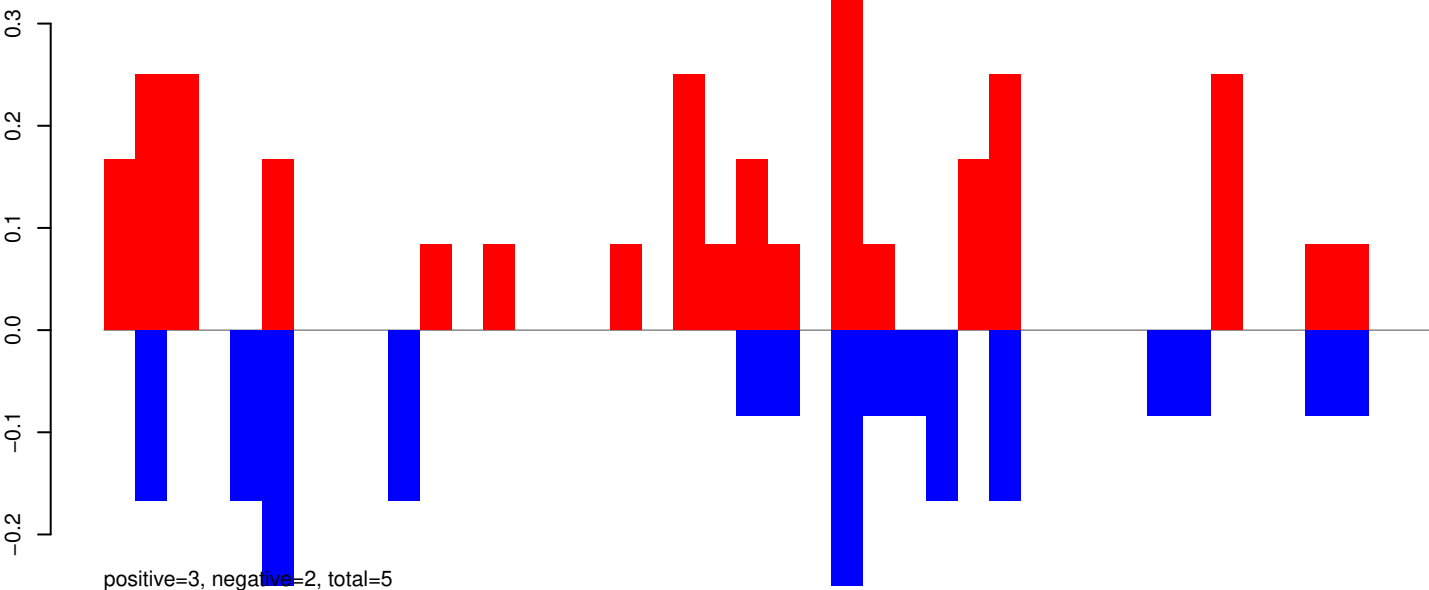
AeAeg_Aag2_Ago2_SINV_RA.rep



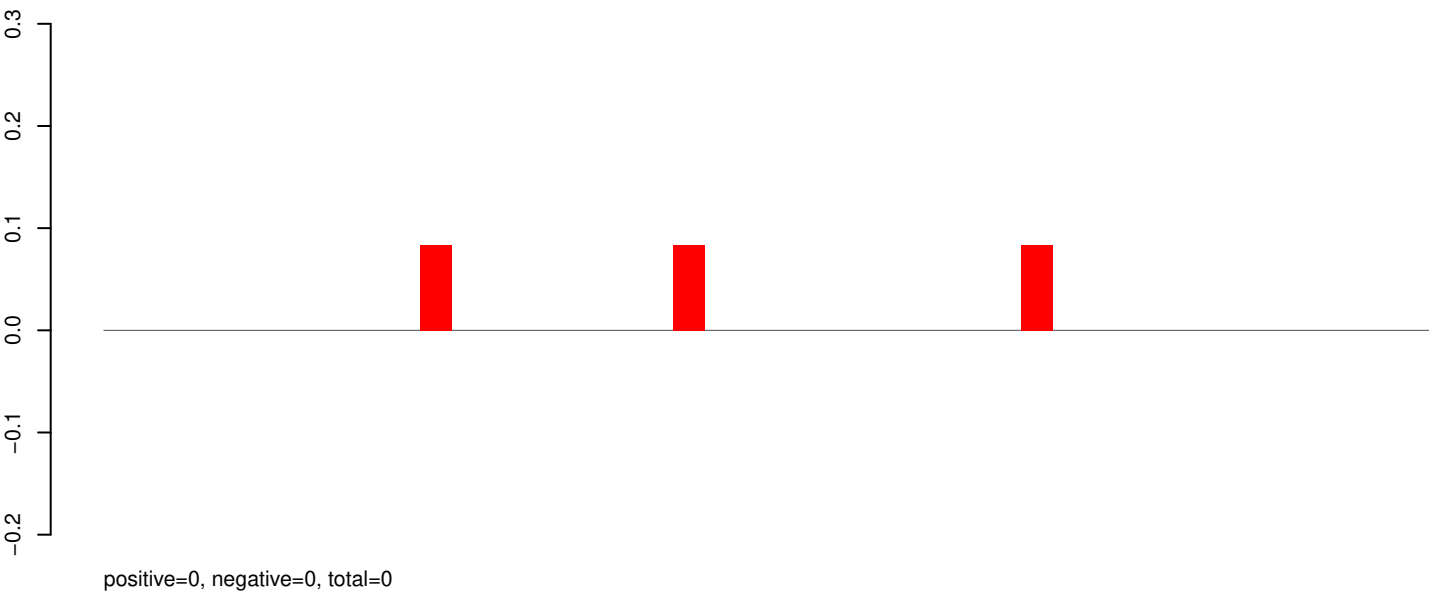
Window size=25, length=1531, TE@mTA_Ele45:1-1531

0 500 1000 1500

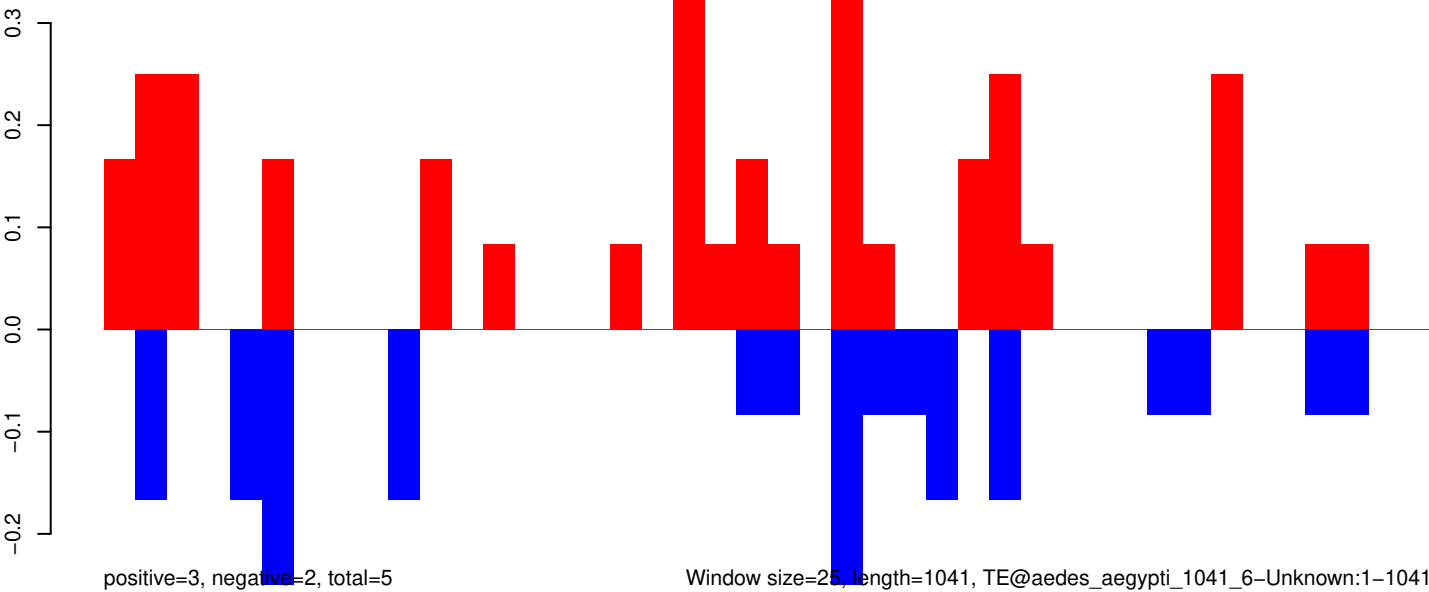
AeAeg_Aag2_Ago2_SINV_RA.18_23.rep



AeAeg_Aag2_Ago2_SINV_RA.24_35.rep

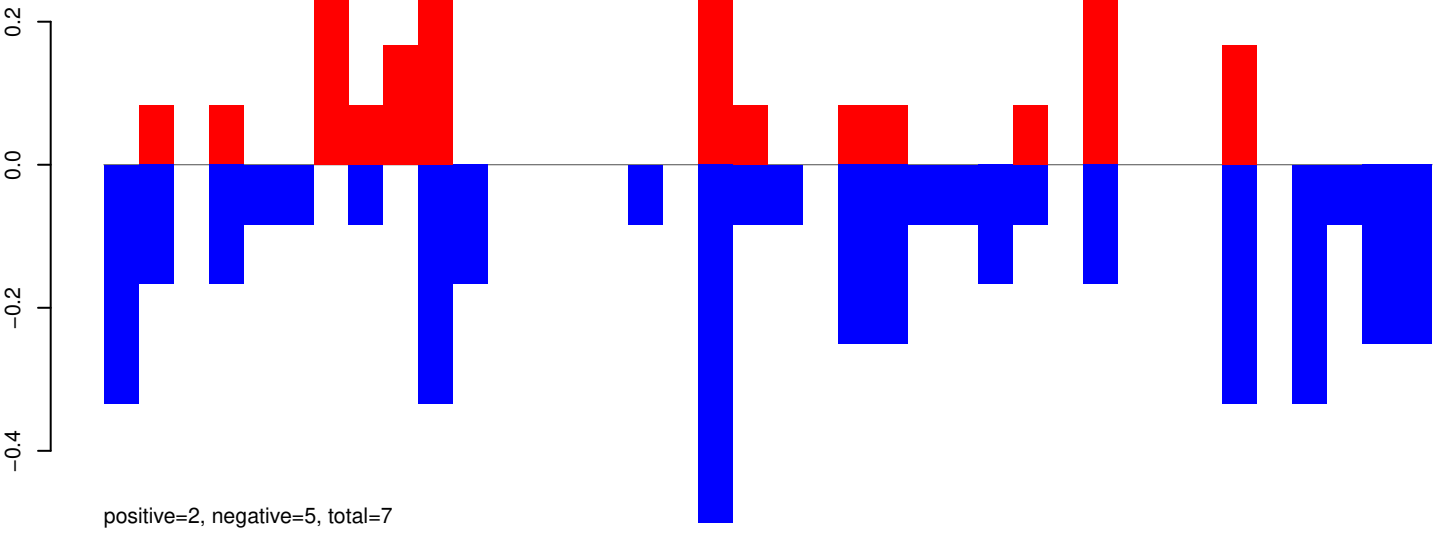


AeAeg_Aag2_Ago2_SINV_RA.rep

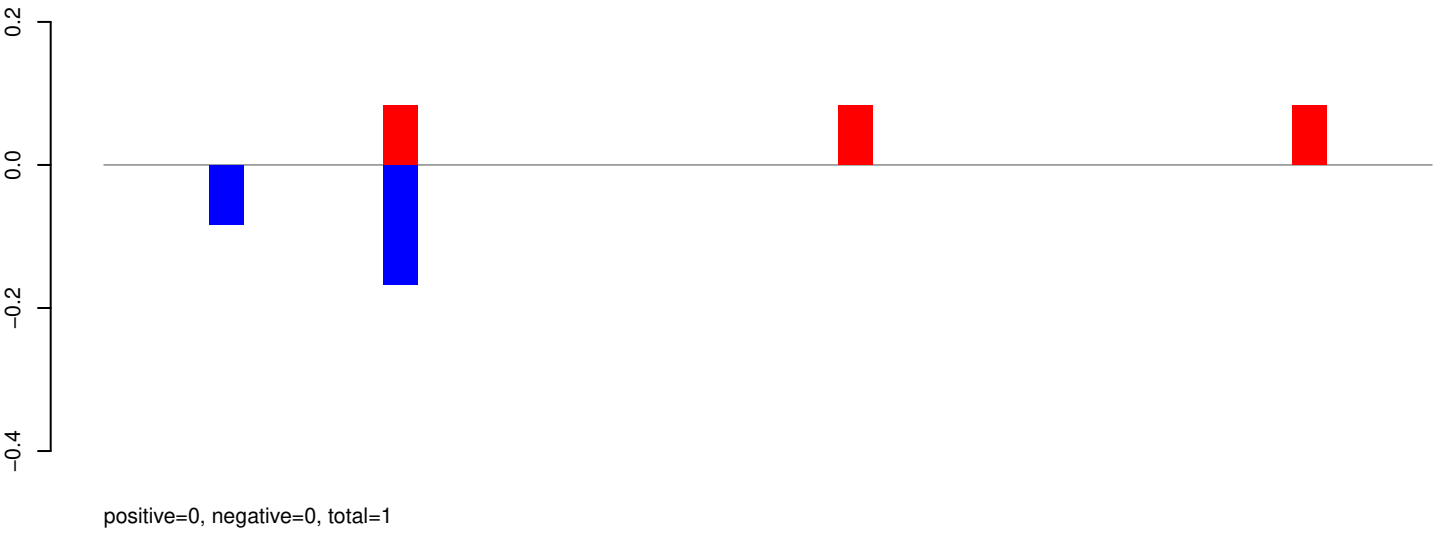


Window size=25, length=1041, TE@aedes_aegypti_1041_6-Unknown:1-1041

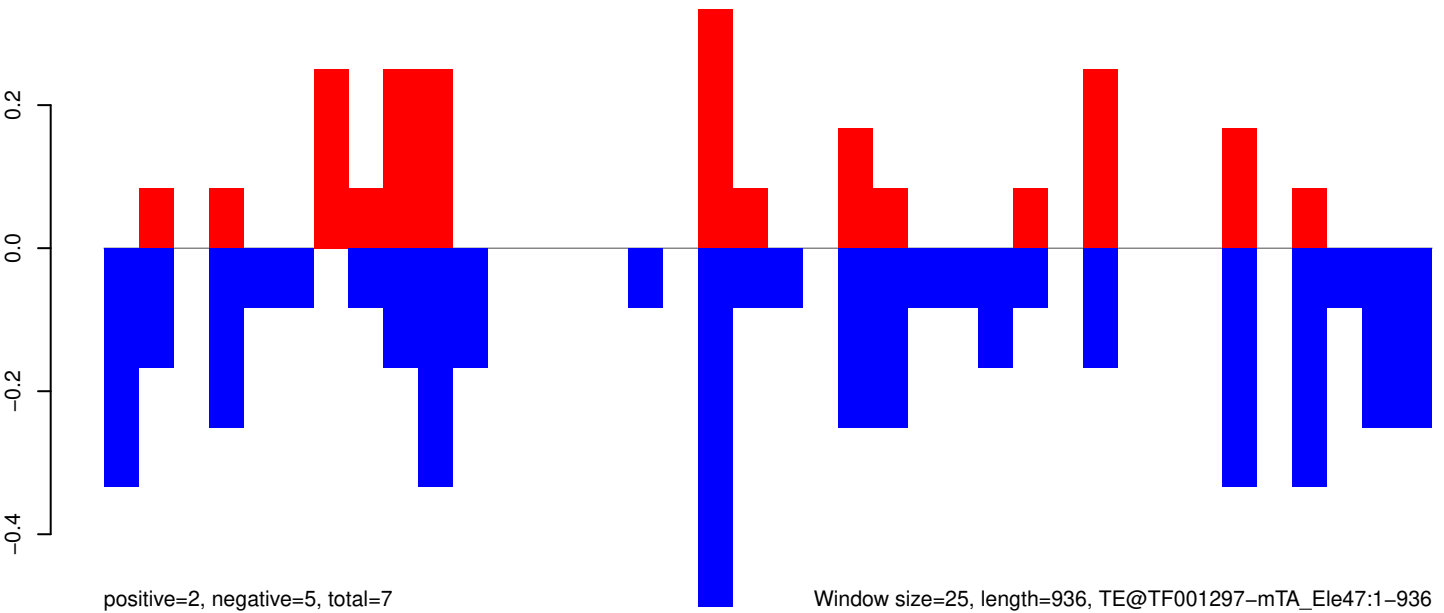
AeAeg_Aag2_Ago2_SINV_RA.18_23.rep



AeAeg_Aag2_Ago2_SINV_RA.24_35.rep

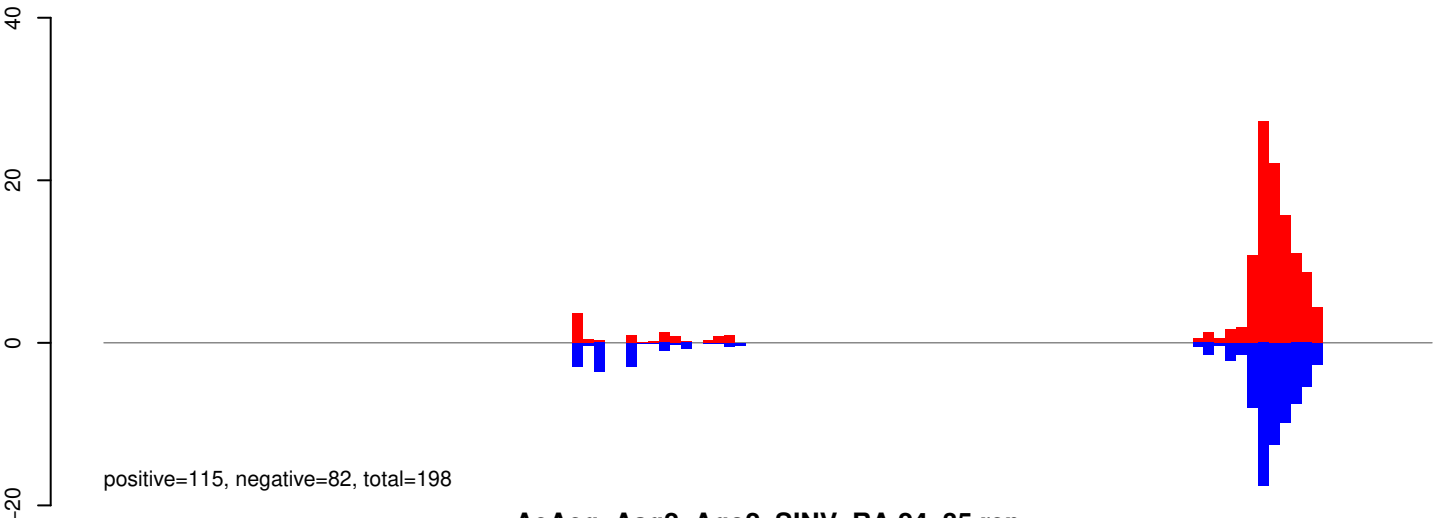


AeAeg_Aag2_Ago2_SINV_RA.rep

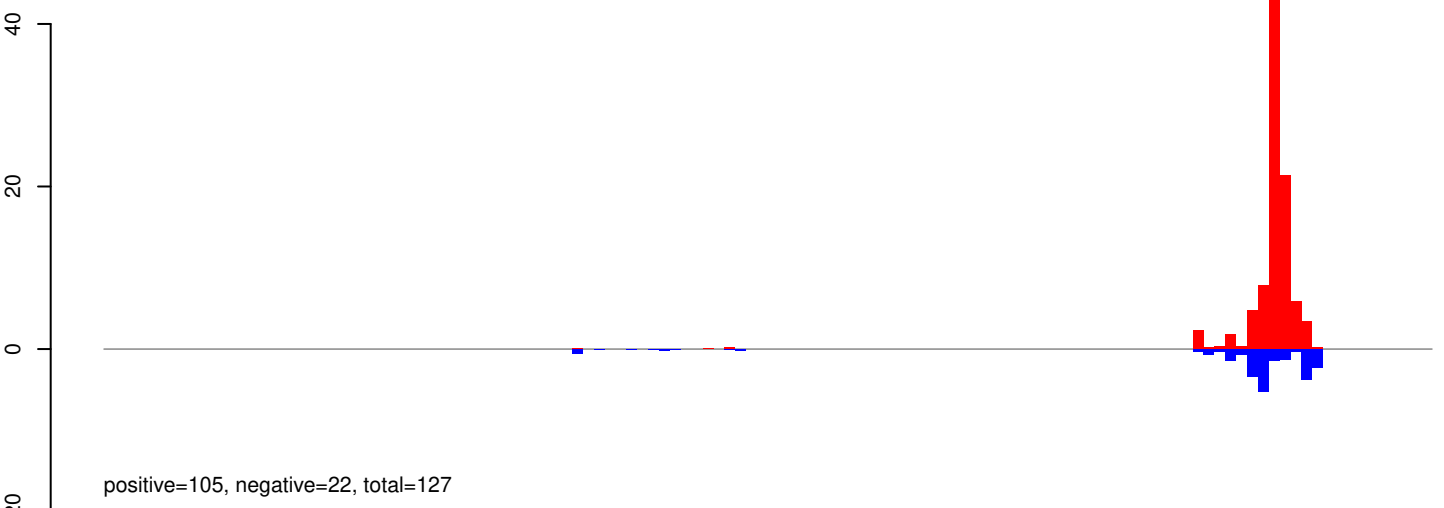


Window size=25, length=936, TE@TF001297-mTA_Ele47:1-936

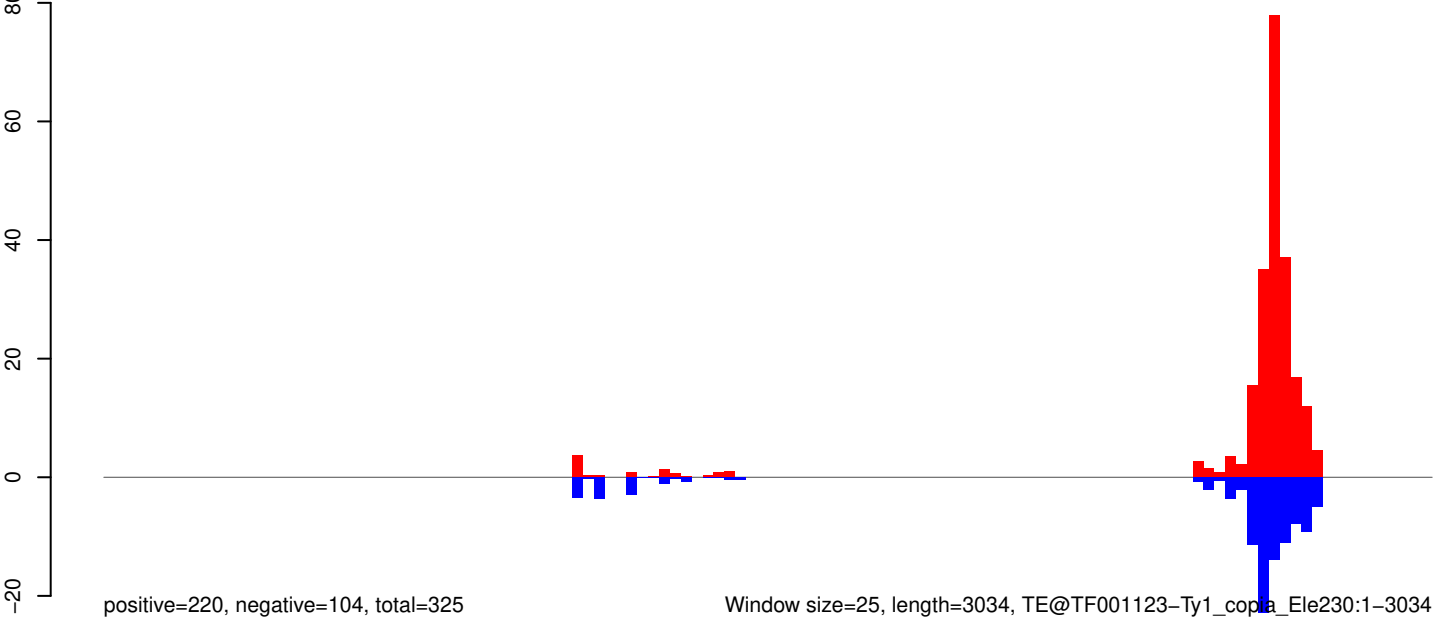
AeAeg_Aag2_Ago2_SINV_RA.18_23.rep



AeAeg_Aag2_Ago2_SINV_RA.24_35.rep

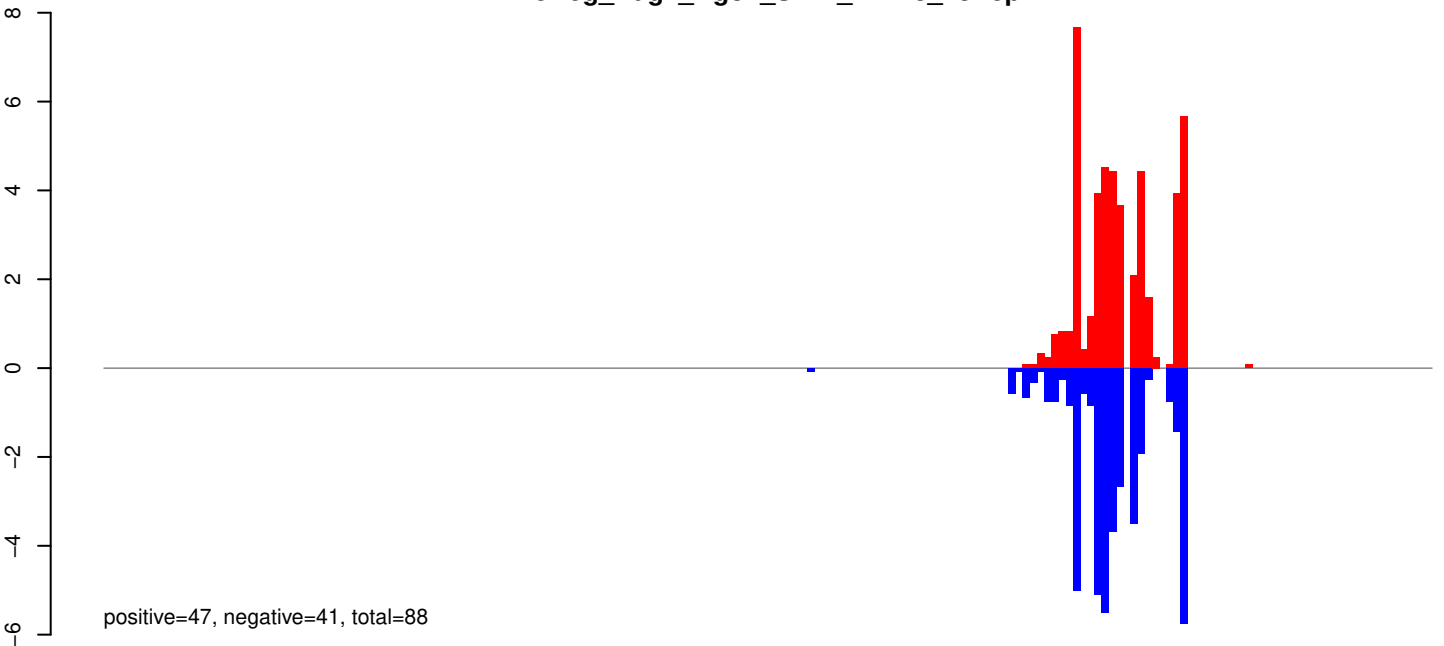


AeAeg_Aag2_Ago2_SINV_RA.rep

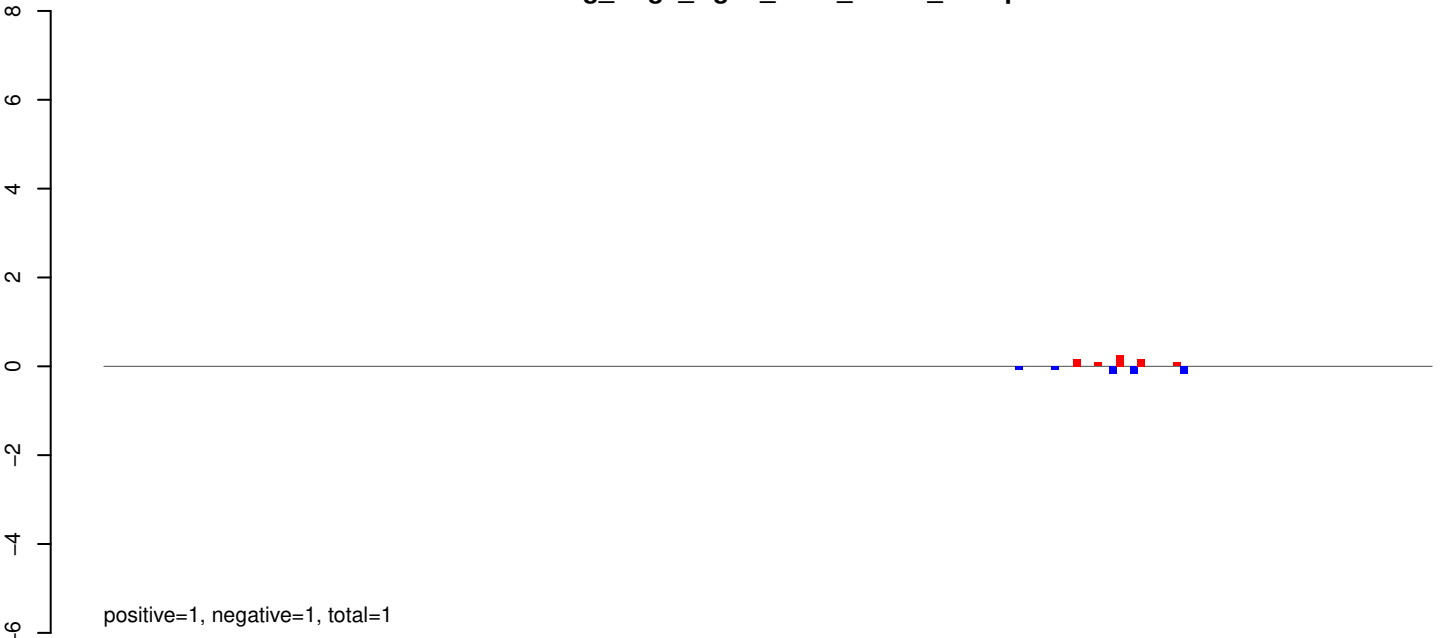


Window size=25, length=3034, TE@TF001123-Ty1_copia_Ele230:1-3034

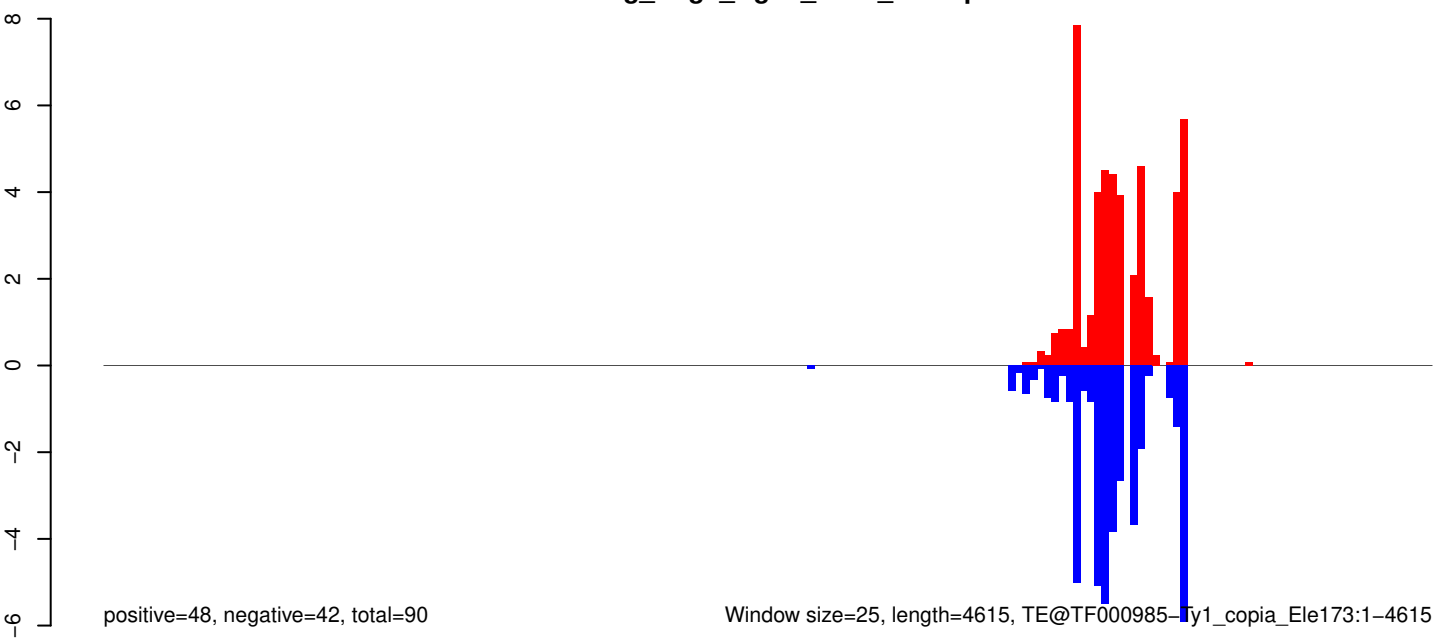
AeAeg_Aag2_Ago2_SINV_RA.18_23.rep



AeAeg_Aag2_Ago2_SINV_RA.24_35.rep



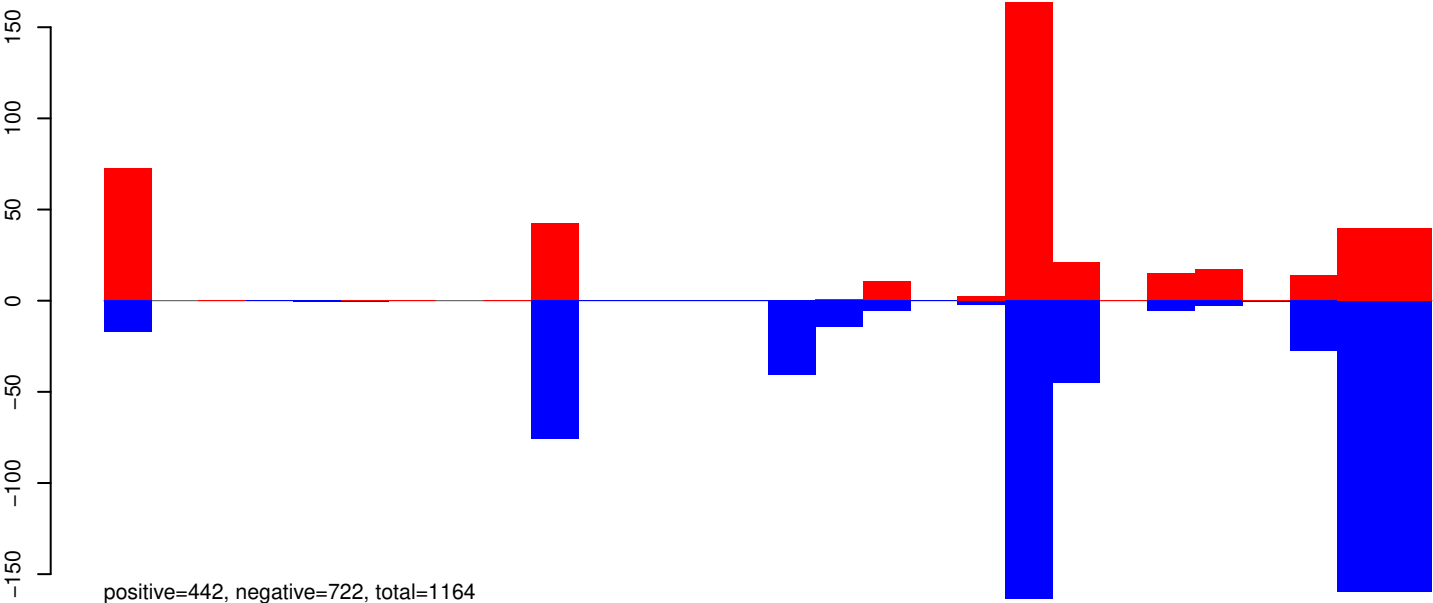
AeAeg_Aag2_Ago2_SINV_RA.rep



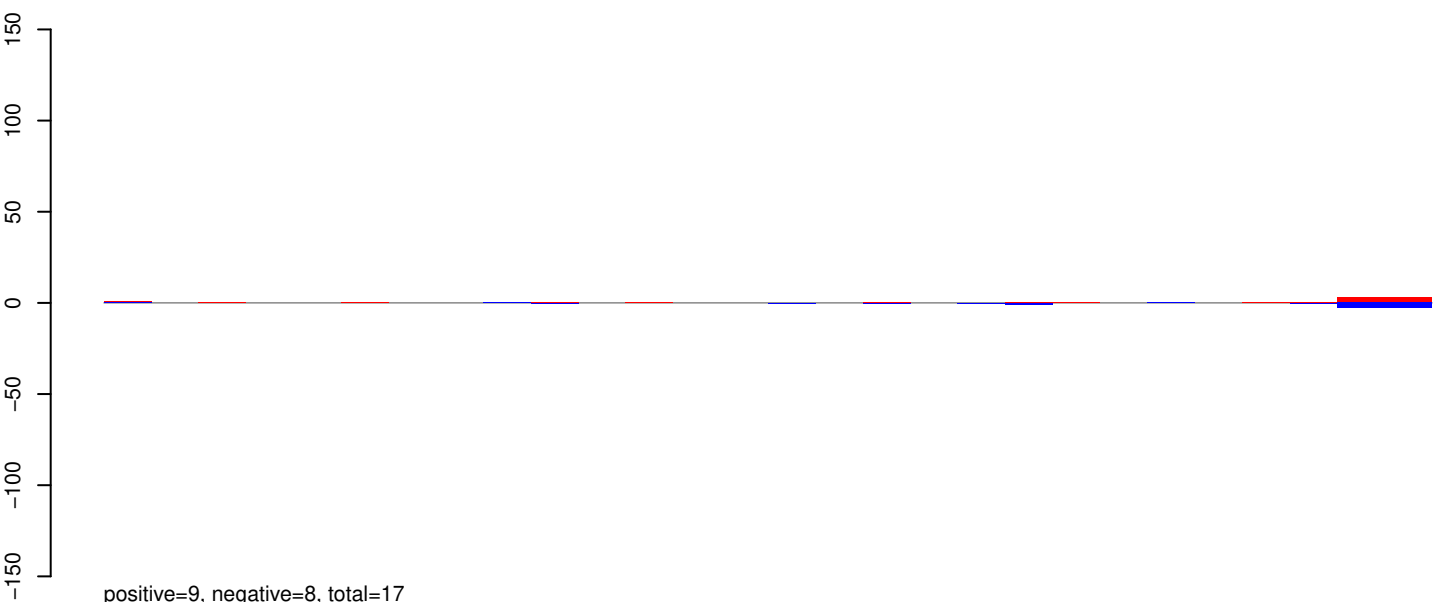
Window size=25, length=4615, TE@TF000985-Ty1_copia_Ele173:1-4615

0 1000 2000 3000 4000

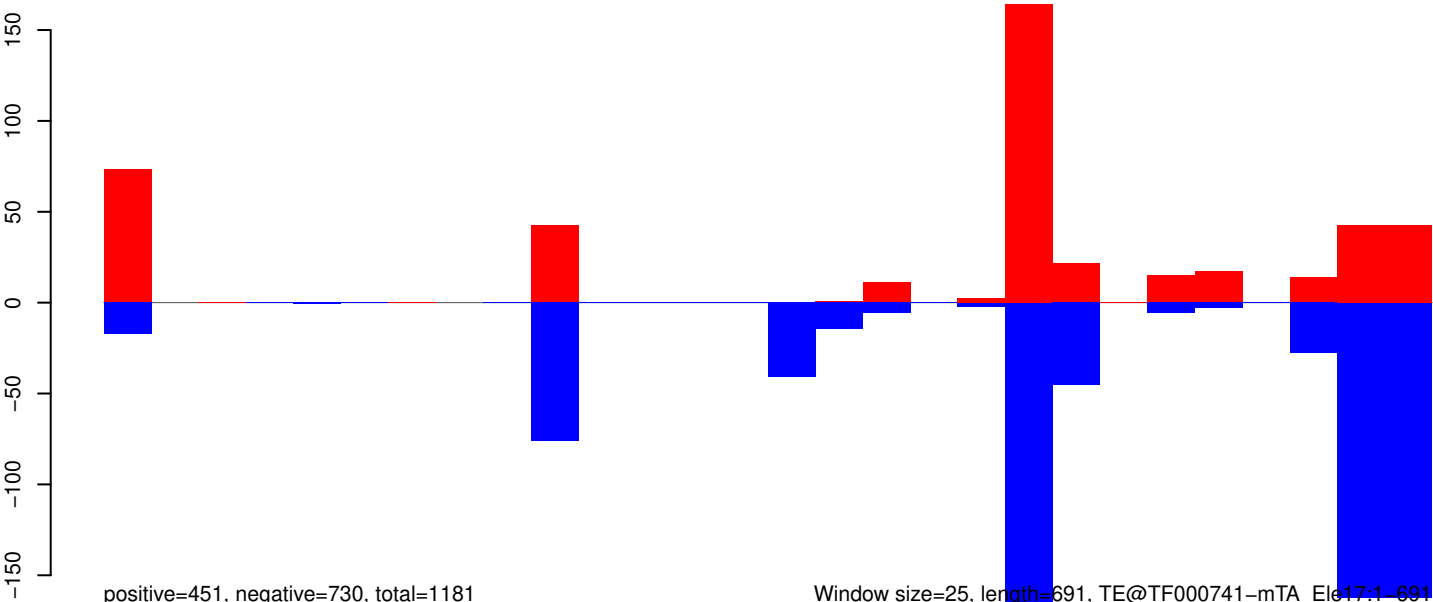
AeAeg_Aag2_Ago2_SINV_RA.18_23.rep



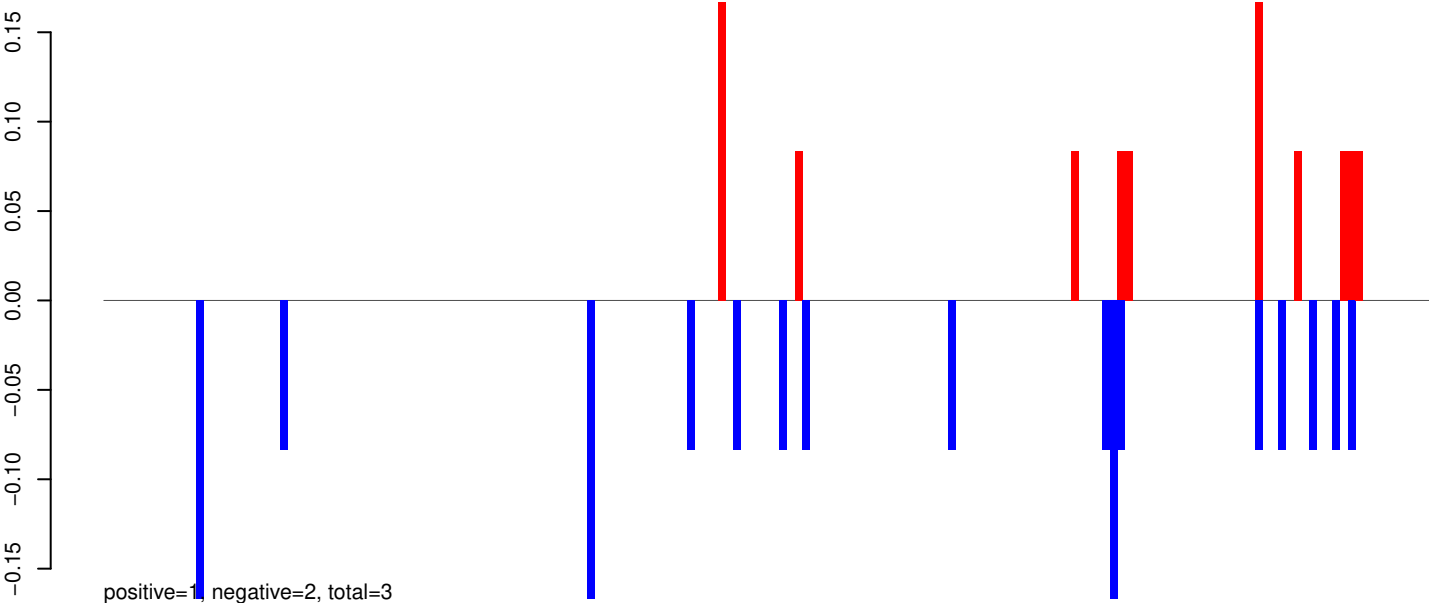
AeAeg_Aag2_Ago2_SINV_RA.24_35.rep



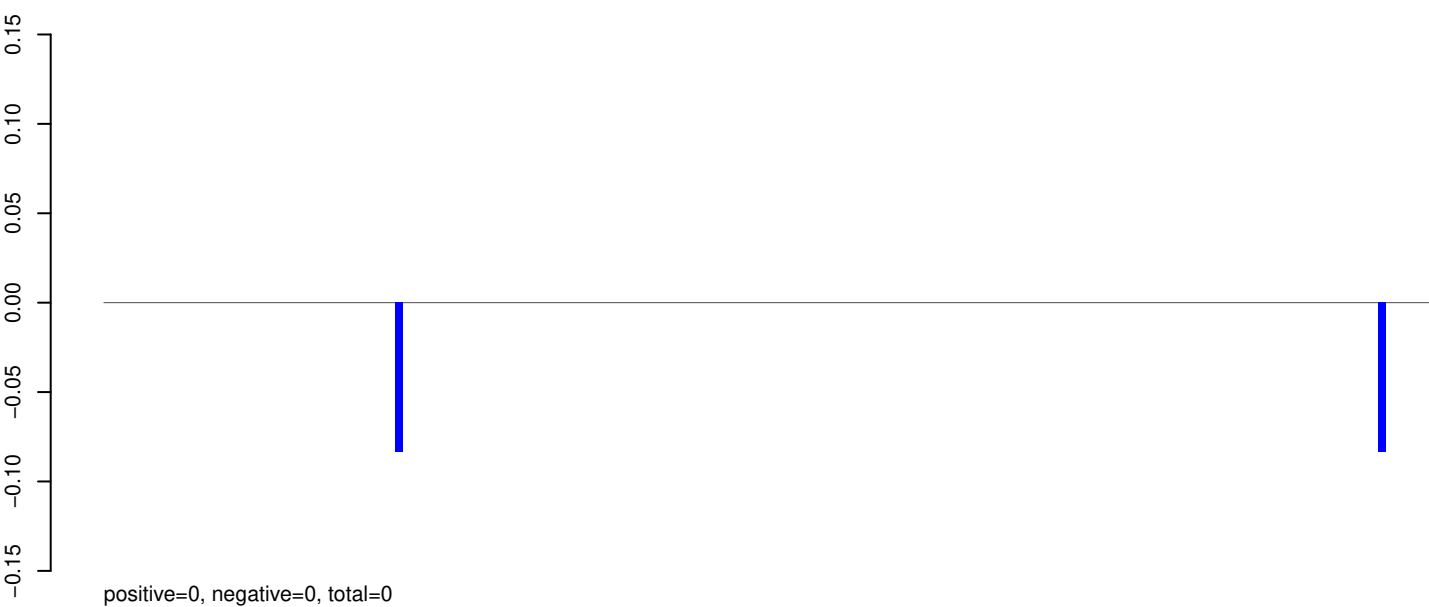
AeAeg_Aag2_Ago2_SINV_RA.rep



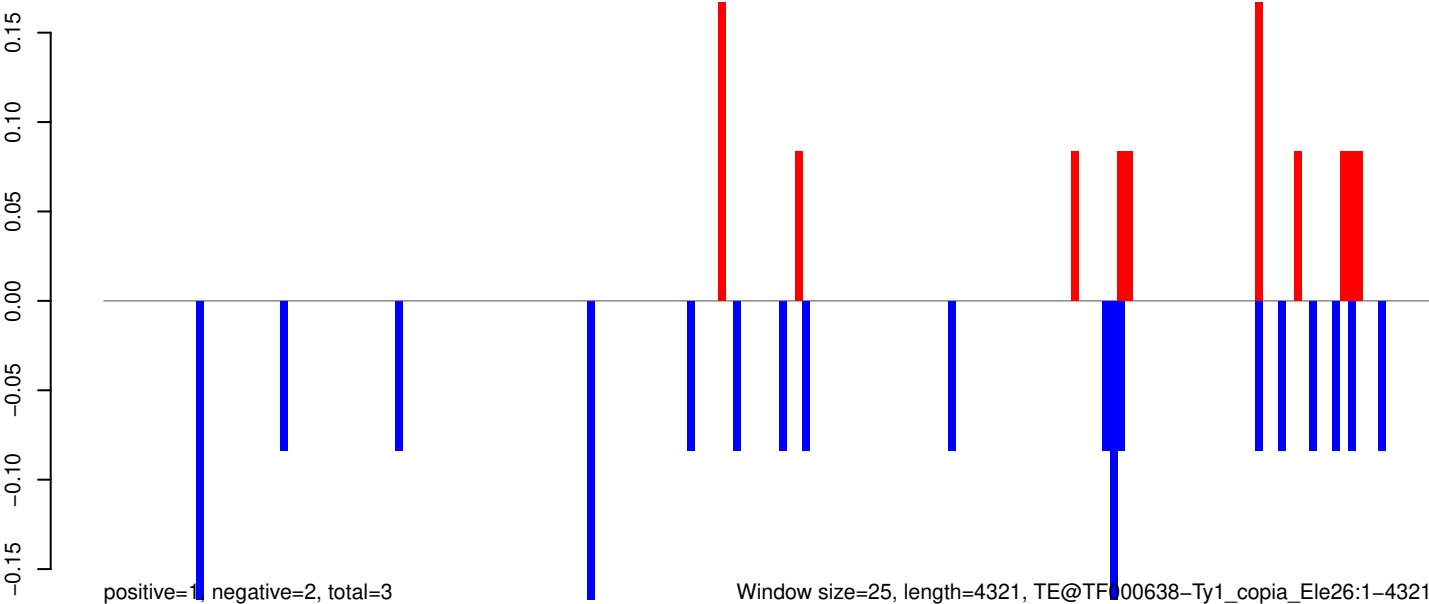
AeAeg_Aag2_Ago2_SINV_RA.18_23.rep



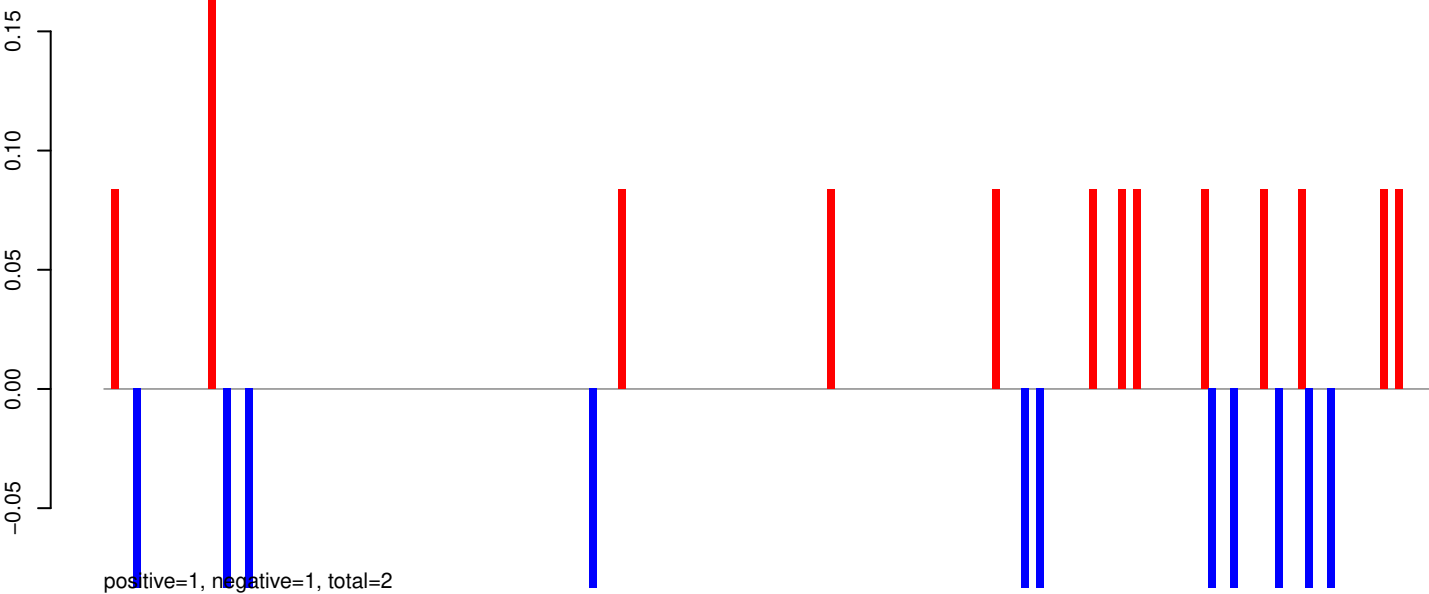
AeAeg_Aag2_Ago2_SINV_RA.24_35.rep



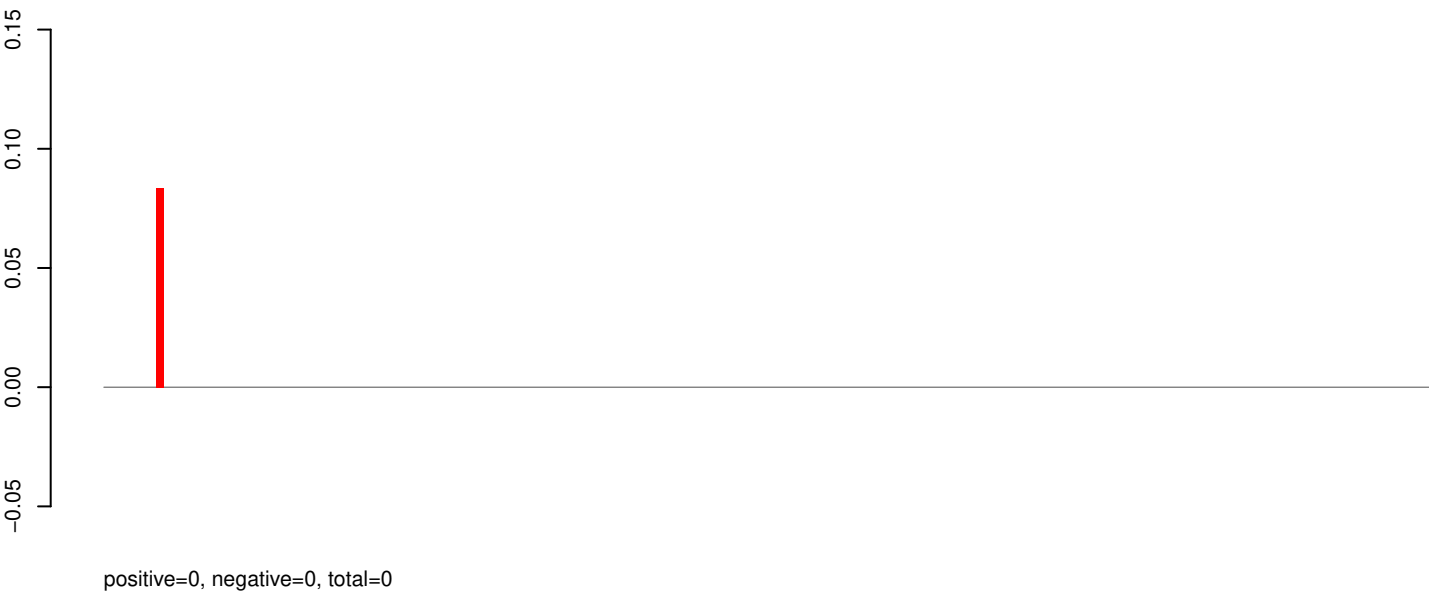
AeAeg_Aag2_Ago2_SINV_RA.rep



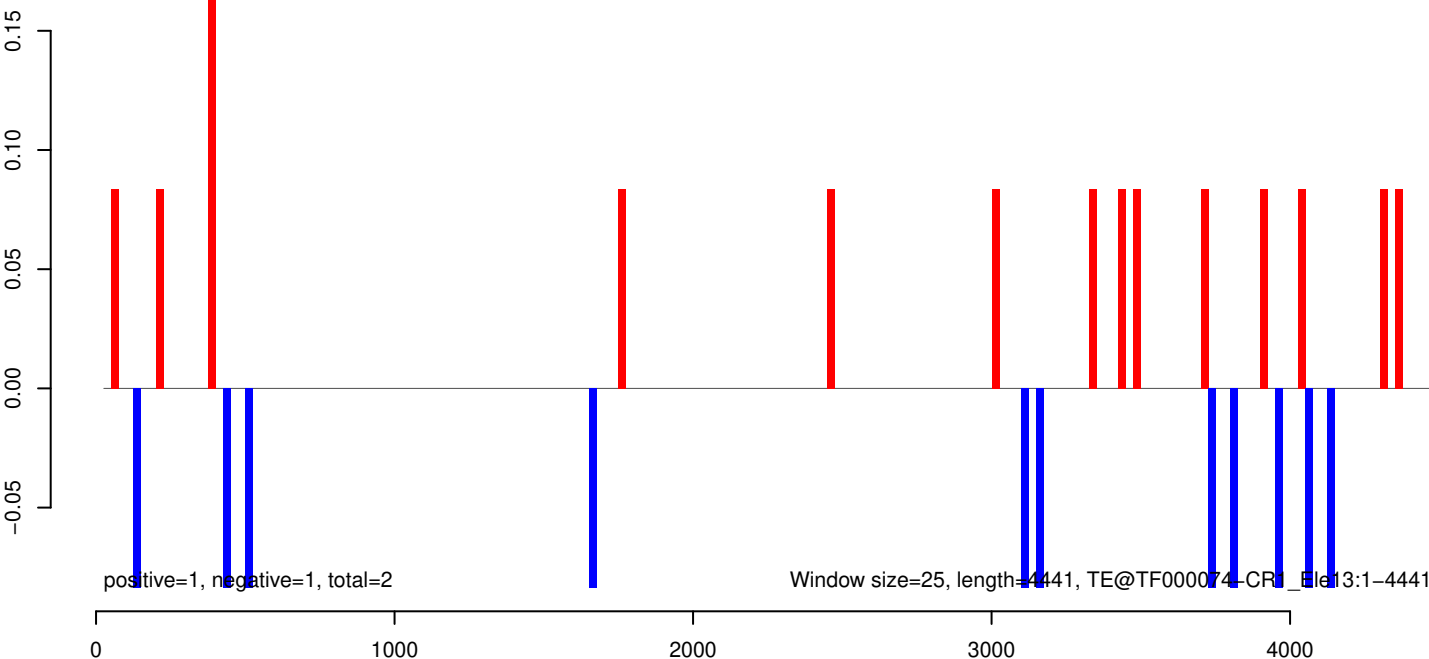
AeAeg_Aag2_Ago2_SINV_RA.18_23.rep



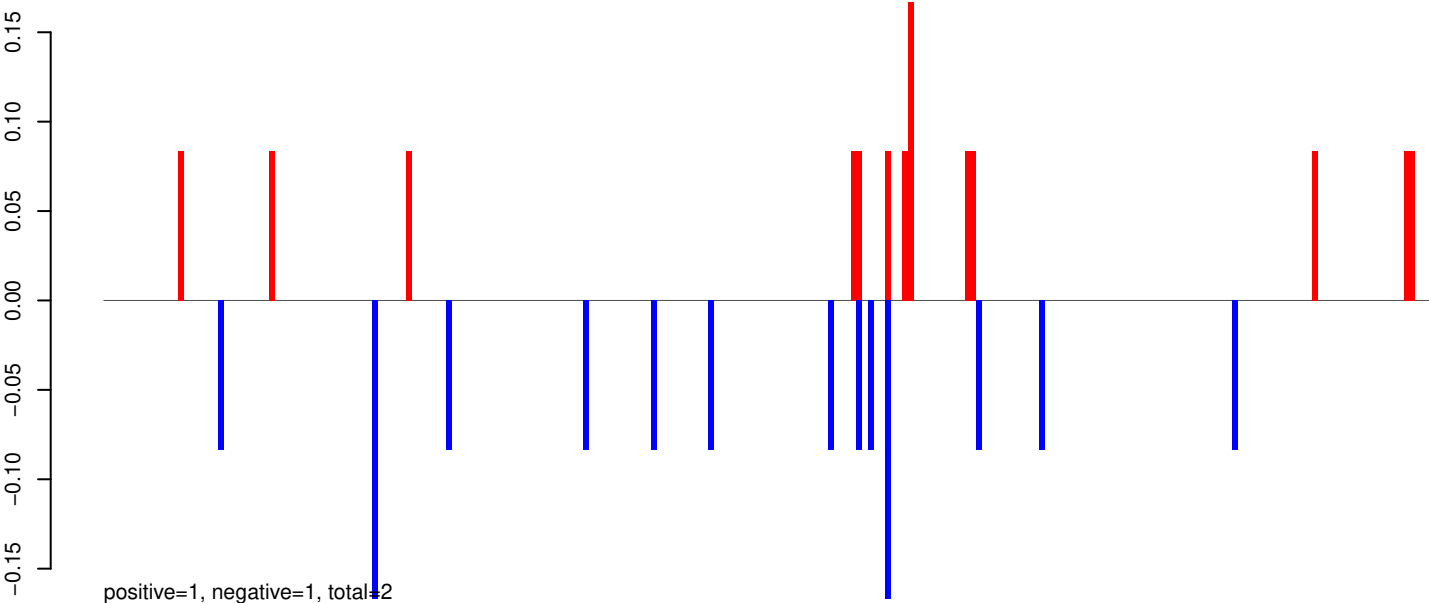
AeAeg_Aag2_Ago2_SINV_RA.24_35.rep



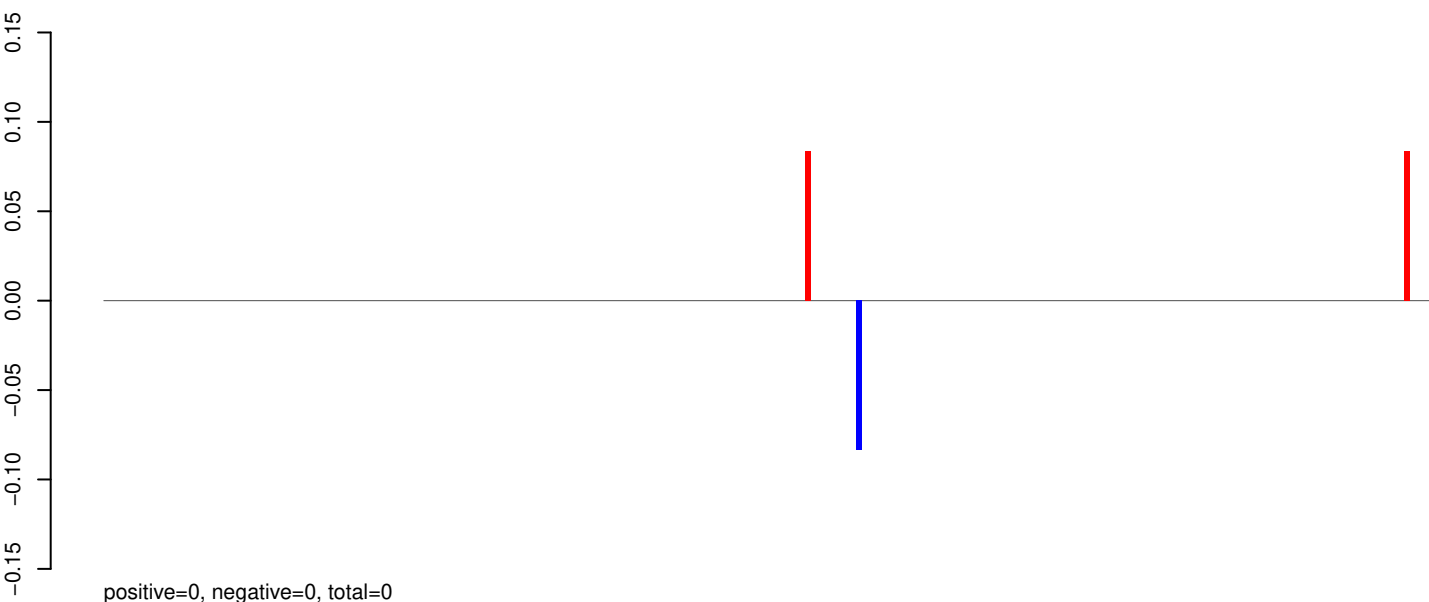
AeAeg_Aag2_Ago2_SINV_RA.rep



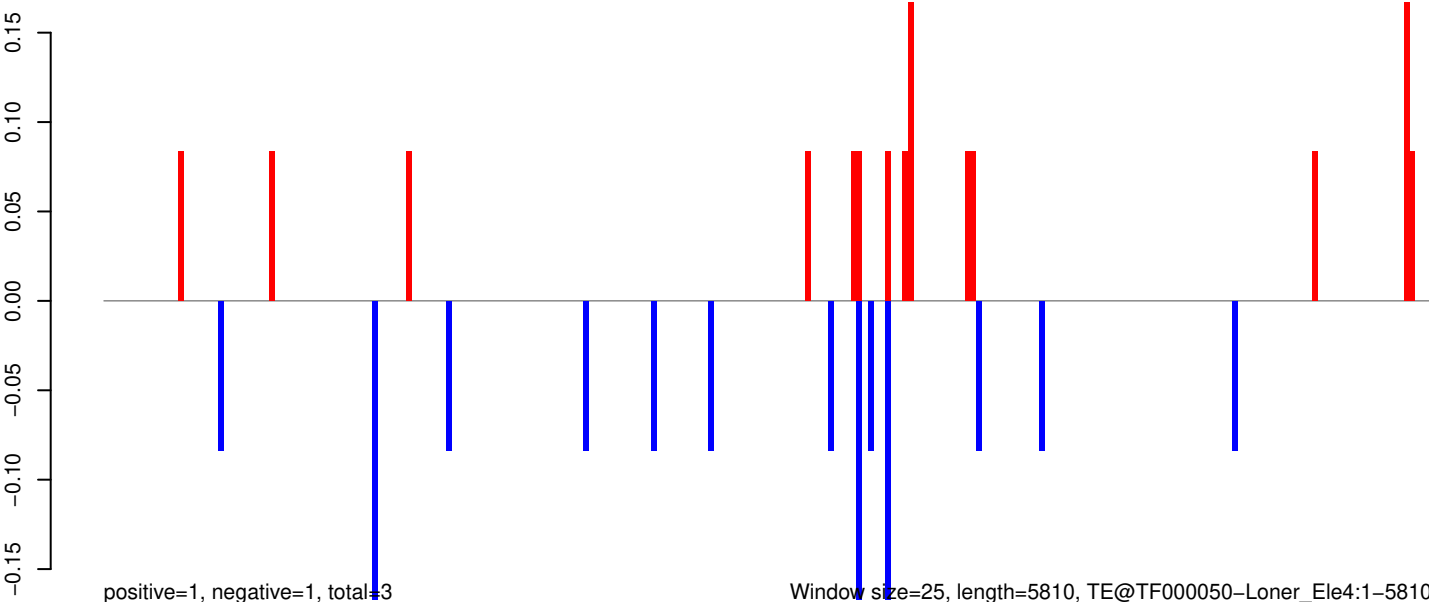
AeAeg_Aag2_Ago2_SINV_RA.18_23.rep



AeAeg_Aag2_Ago2_SINV_RA.24_35.rep

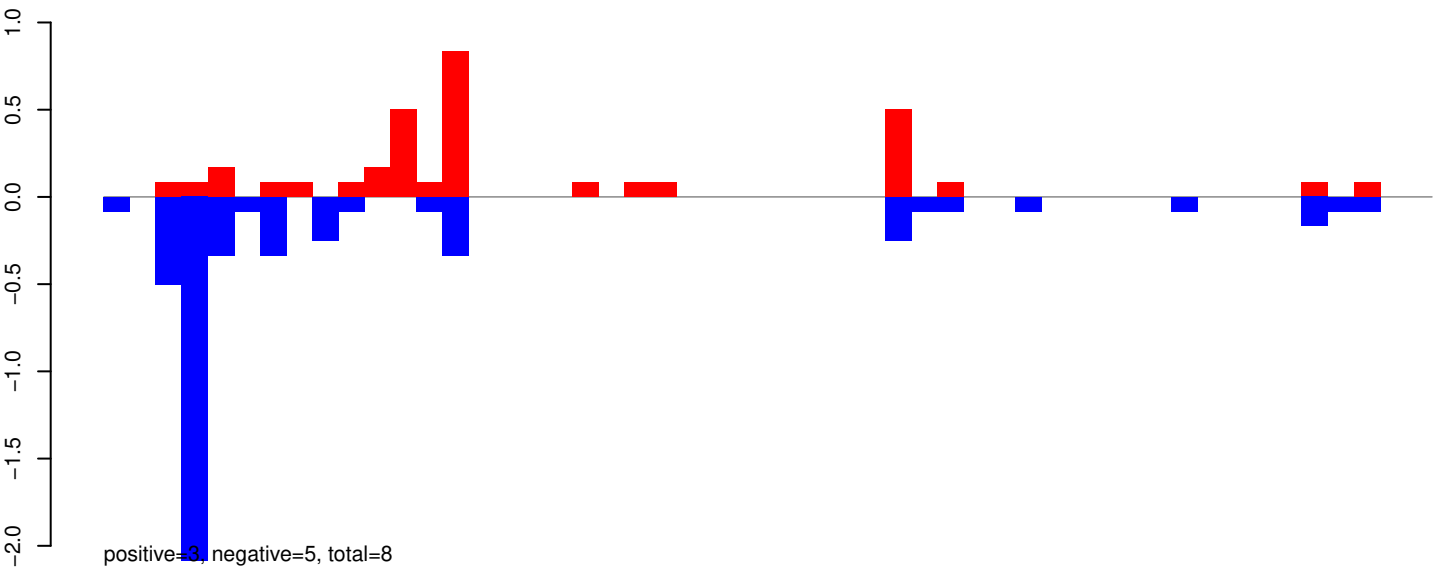


AeAeg_Aag2_Ago2_SINV_RA.rep

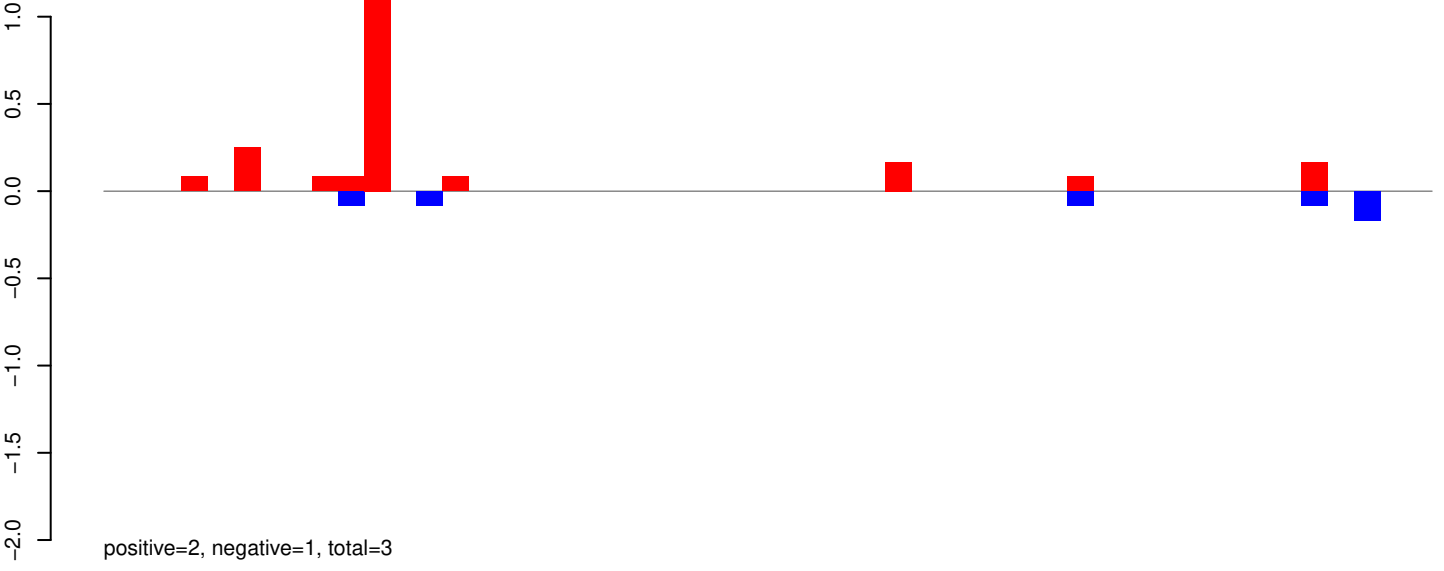


Window size=25, length=5810, TE@TF000050-Loner_Ele4:1-5810

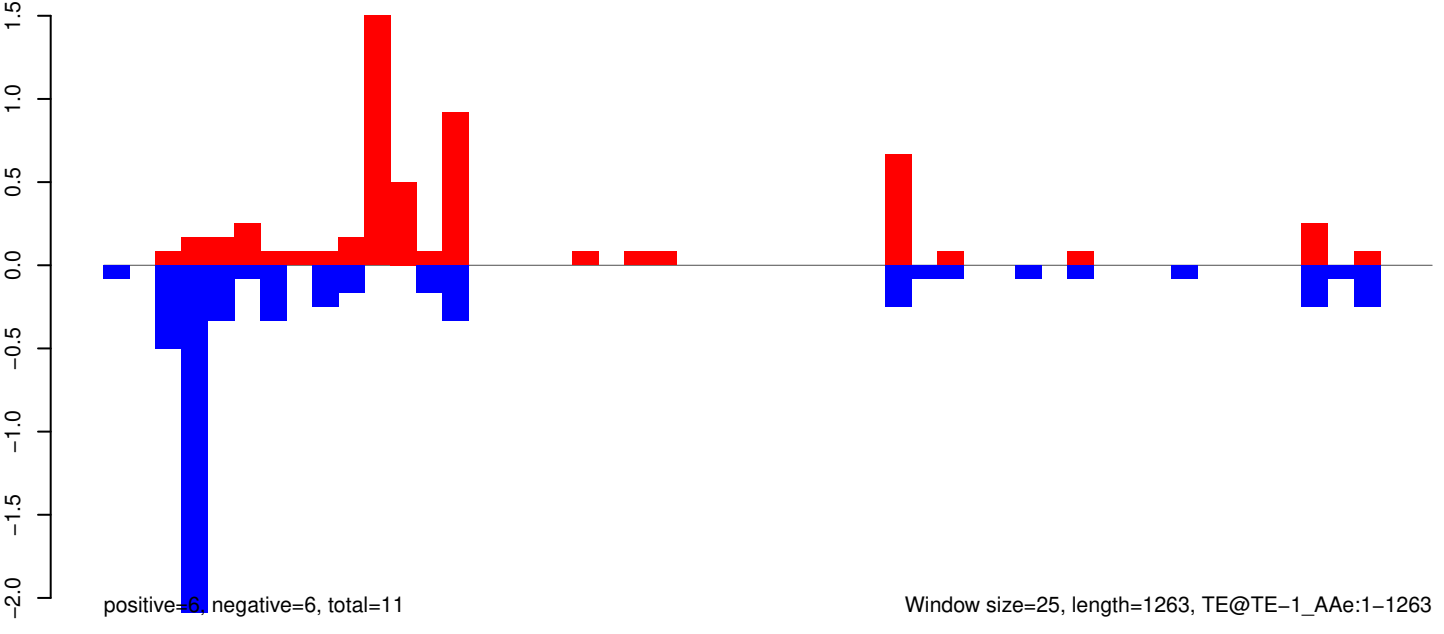
AeAeg_Aag2_Ago2_SINV_RA.18_23.rep



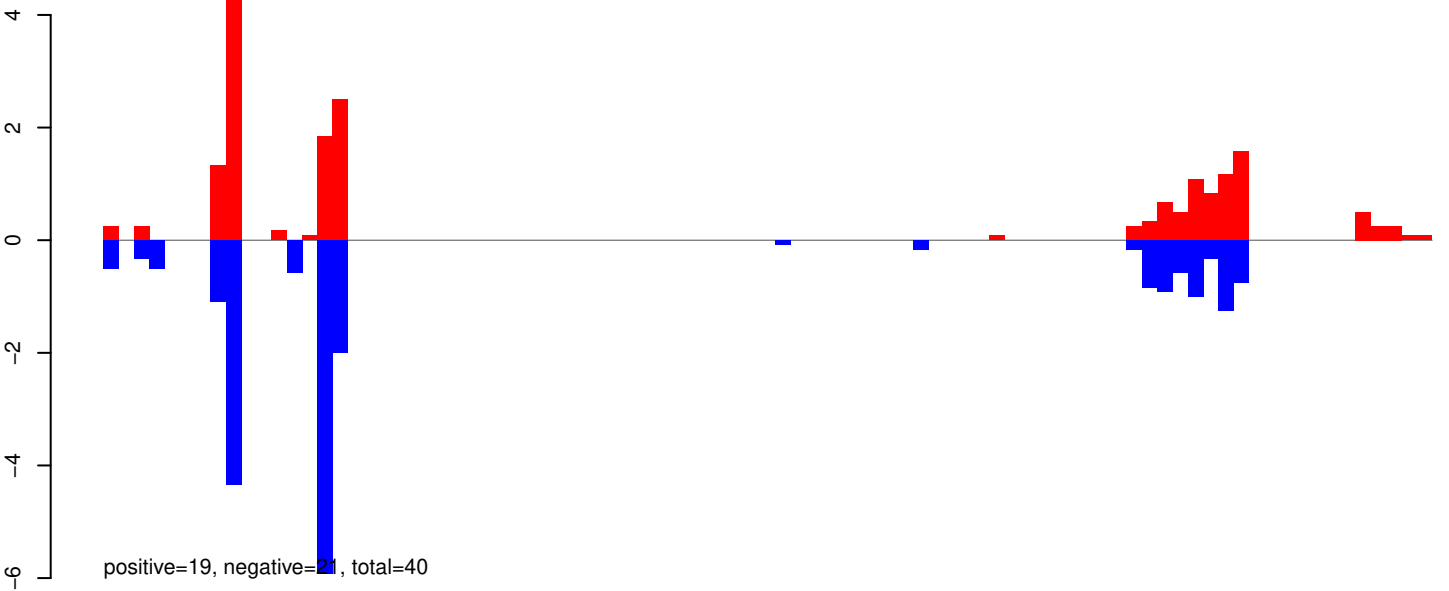
AeAeg_Aag2_Ago2_SINV_RA.24_35.rep



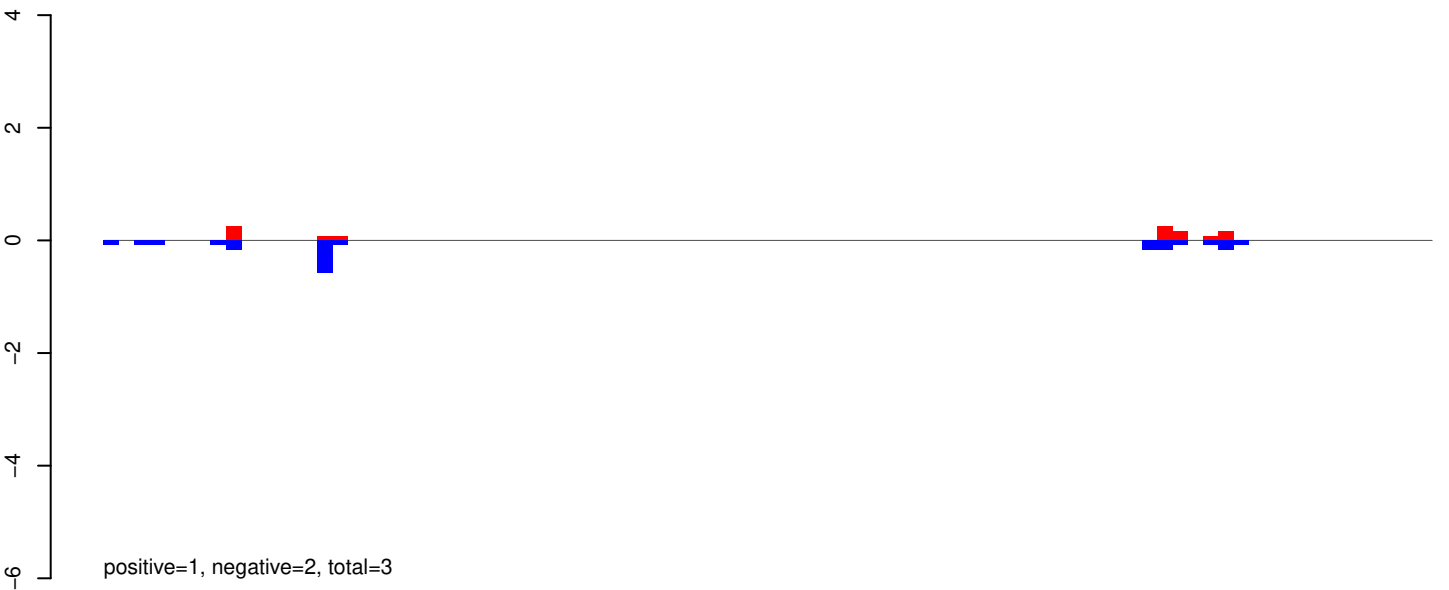
AeAeg_Aag2_Ago2_SINV_RA.rep



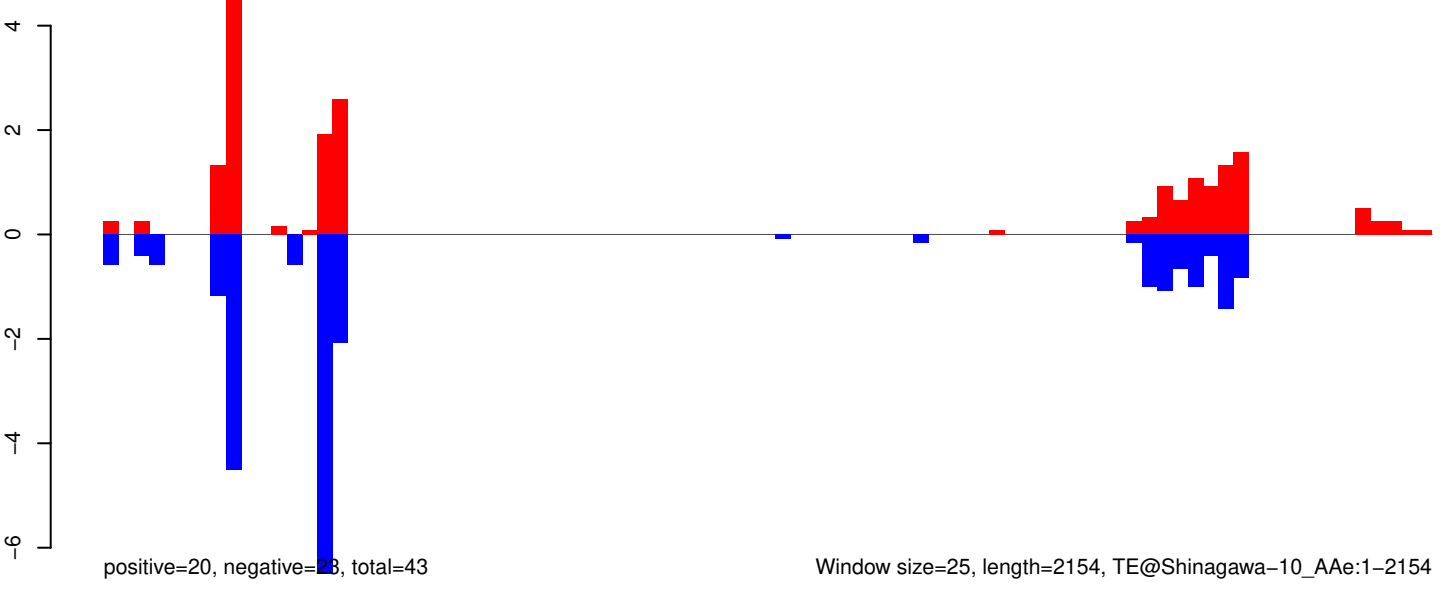
AeAeg_Aag2_Ago2_SINV_RA.18_23.rep



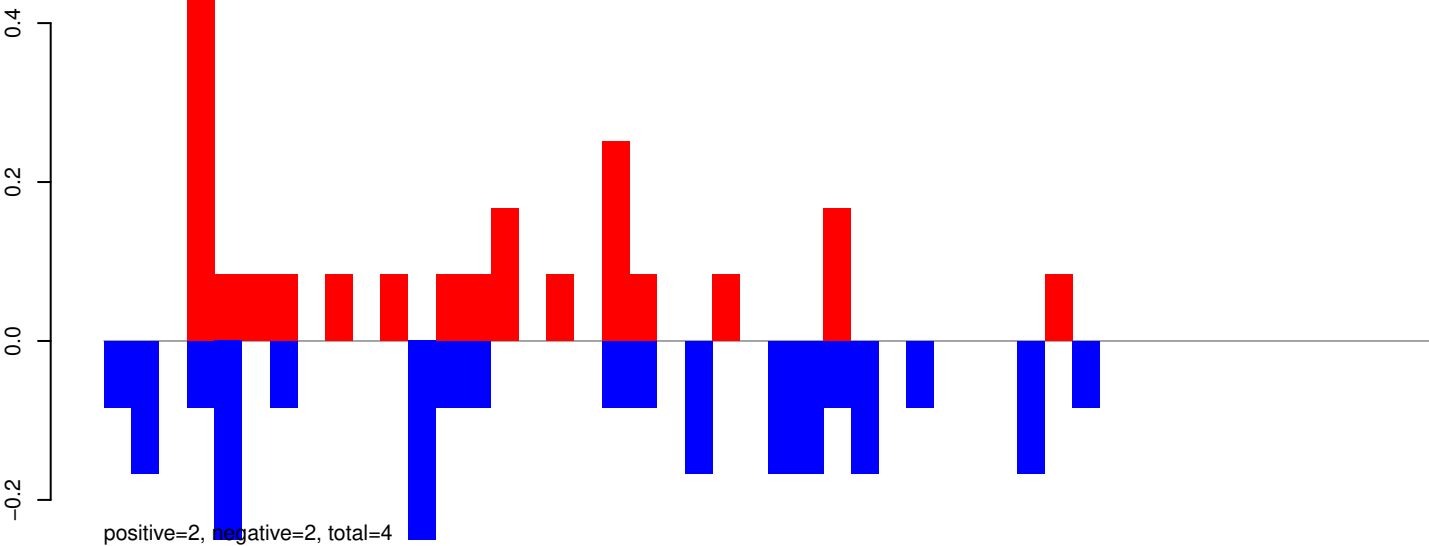
AeAeg_Aag2_Ago2_SINV_RA.24_35.rep



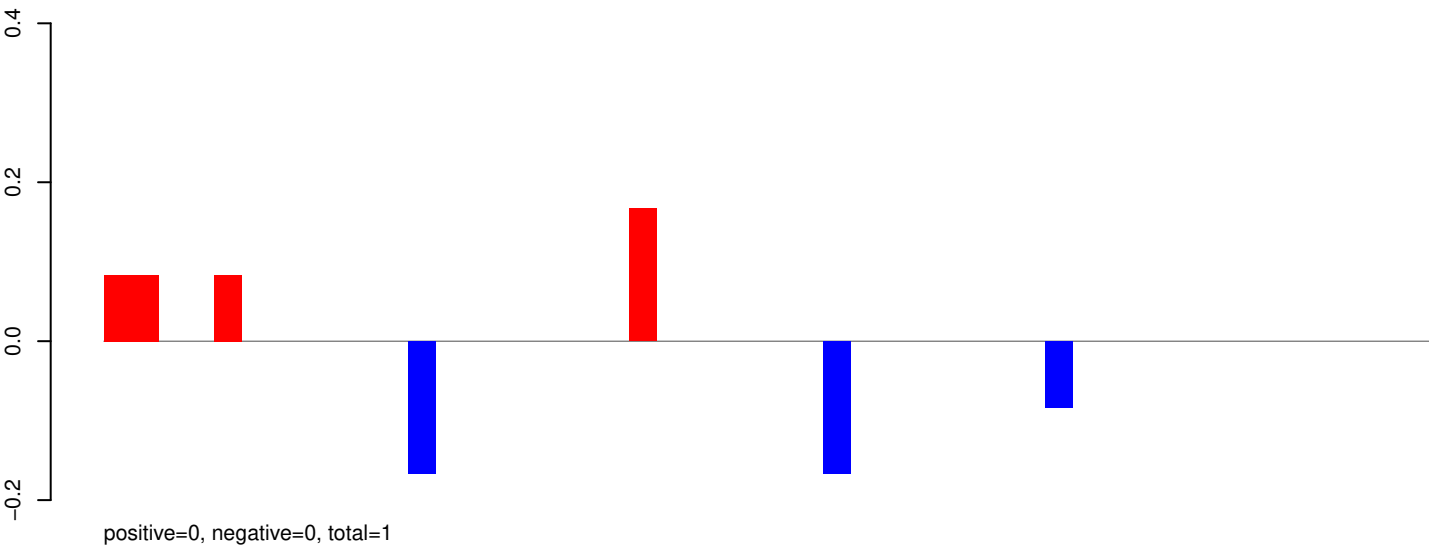
AeAeg_Aag2_Ago2_SINV_RA.rep



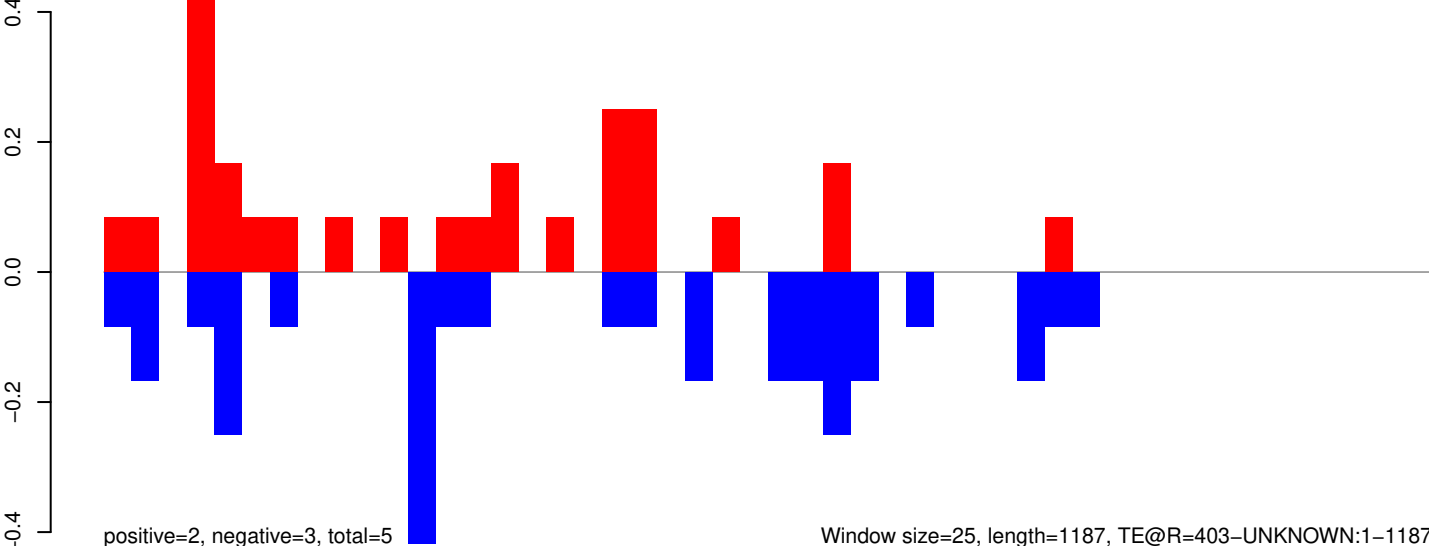
AeAeg_Aag2_Ago2_SINV_RA.18_23.rep



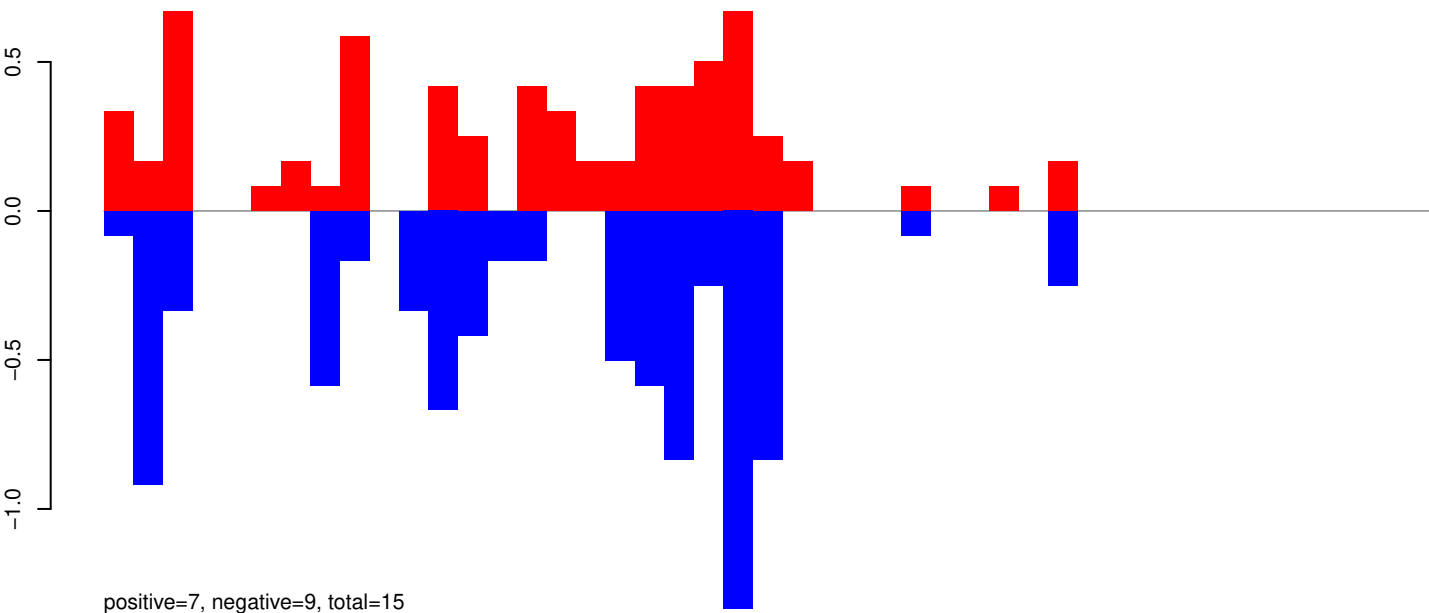
AeAeg_Aag2_Ago2_SINV_RA.24_35.rep



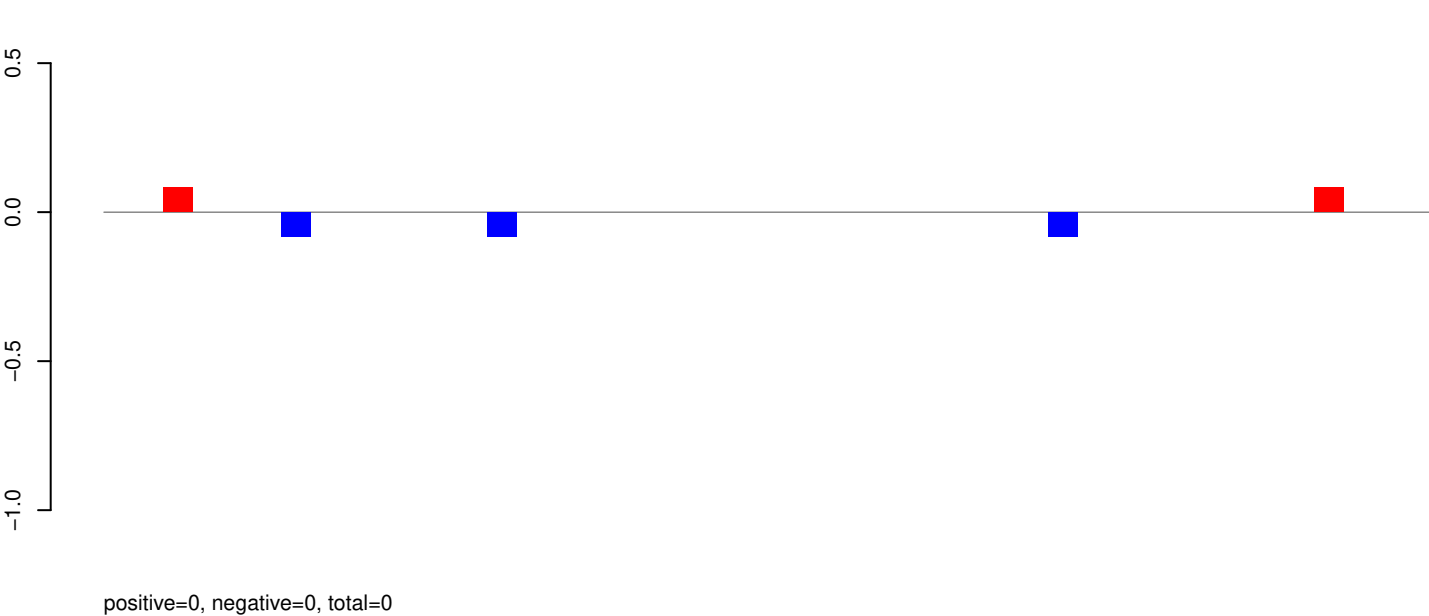
AeAeg_Aag2_Ago2_SINV_RA.rep



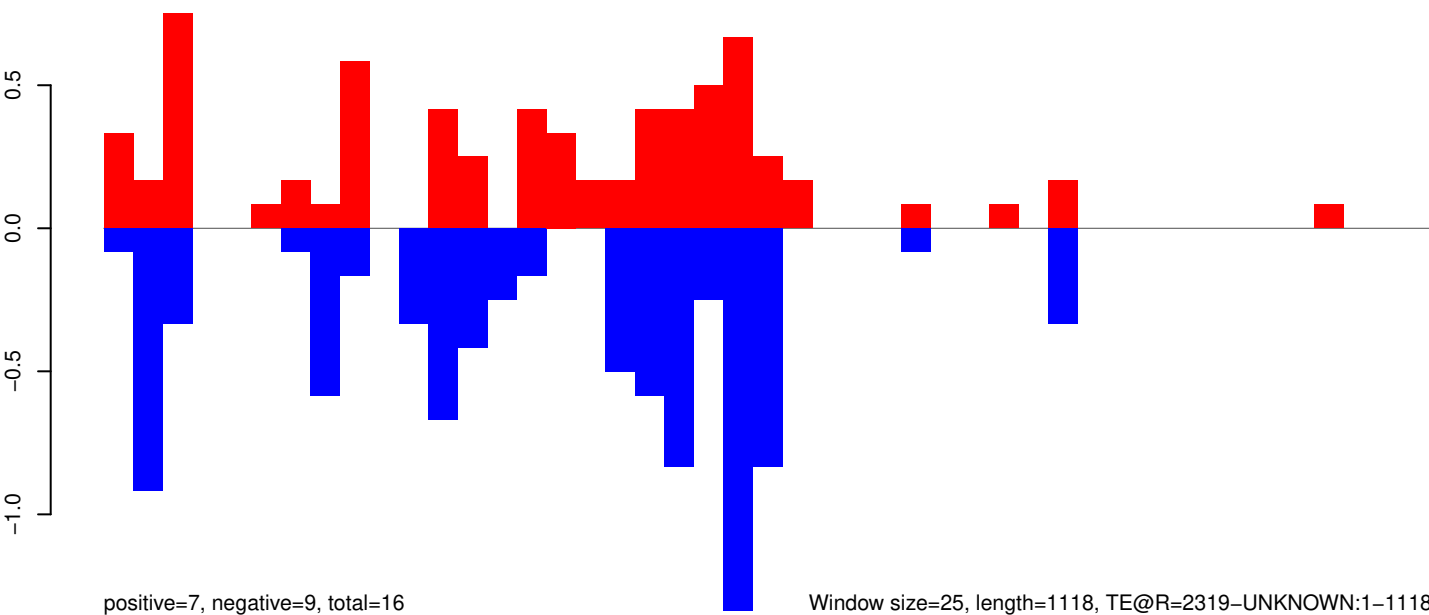
AeAeg_Aag2_Ago2_SINV_RA.18_23.rep



AeAeg_Aag2_Ago2_SINV_RA.24_35.rep

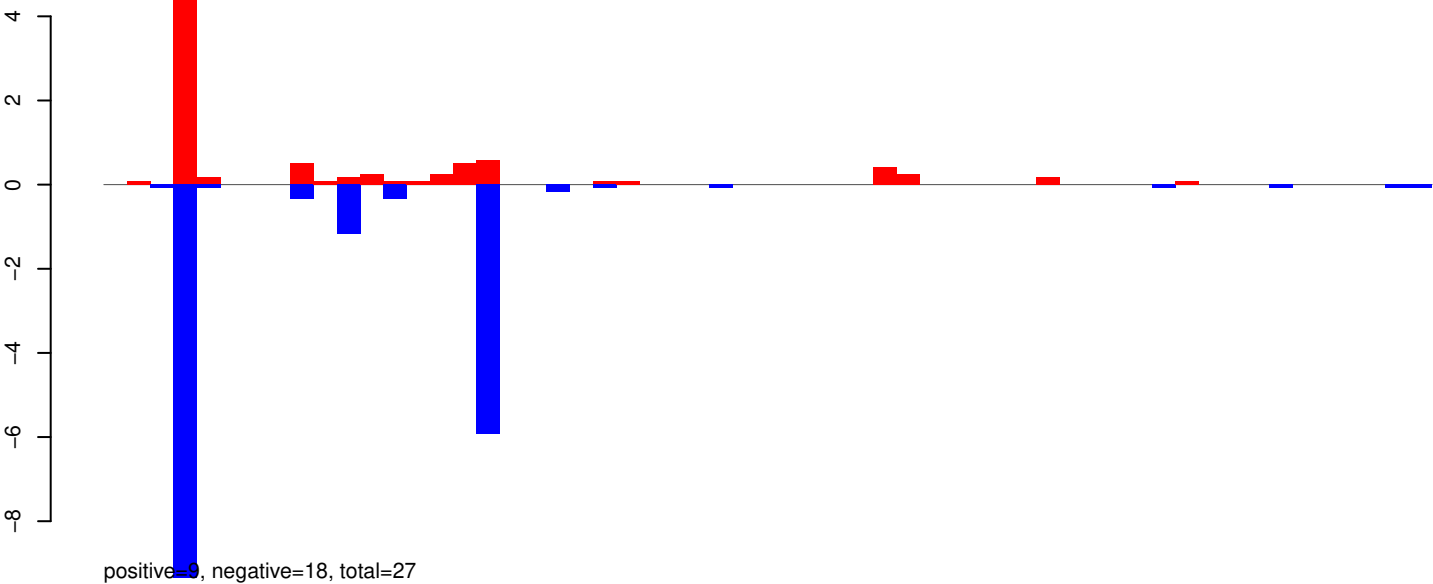


AeAeg_Aag2_Ago2_SINV_RA.rep

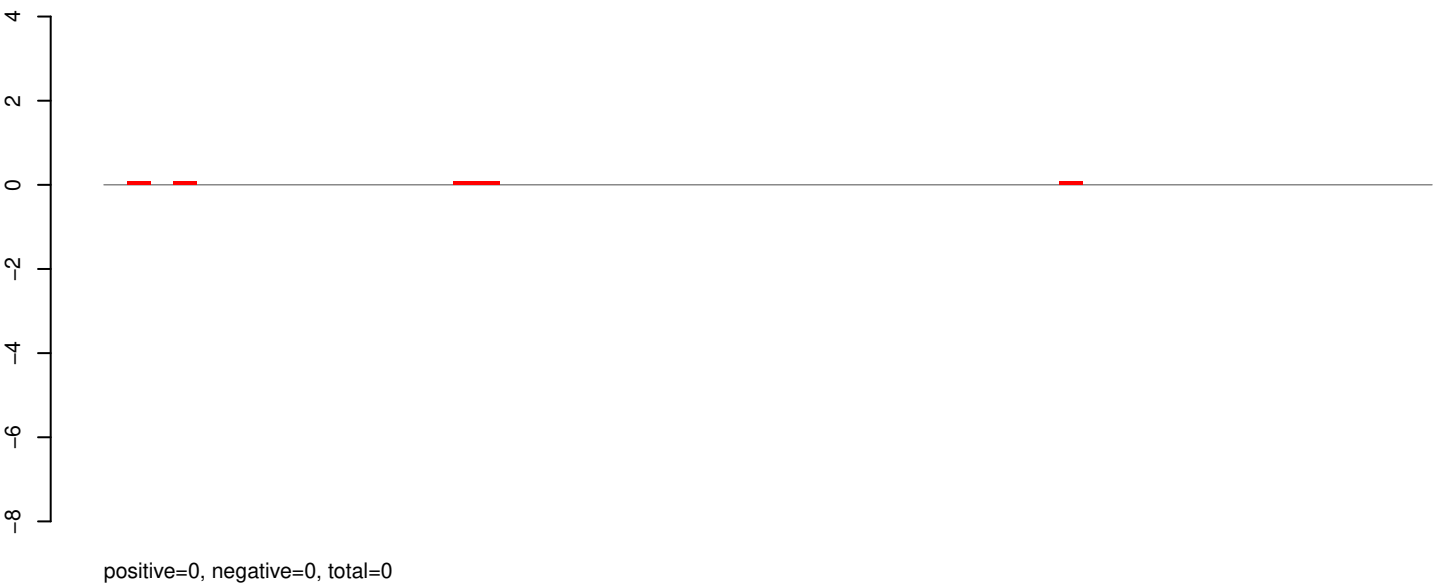


0 200 400 600 800 1000

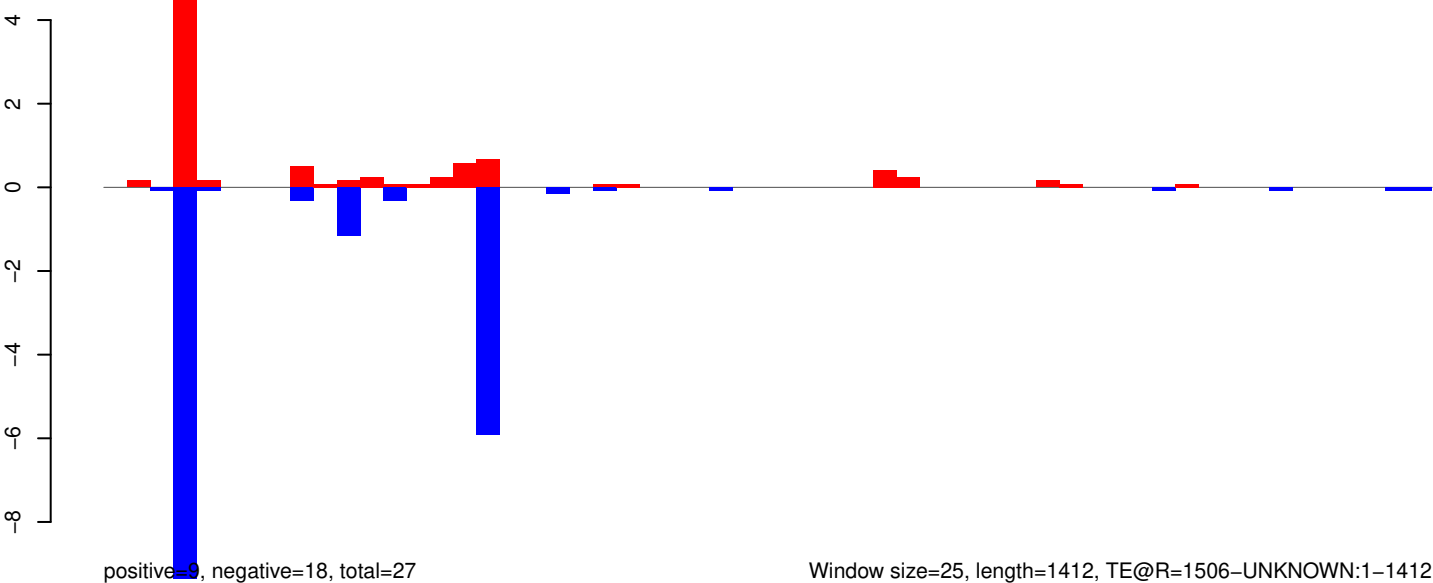
AeAeg_Aag2_Ago2_SINV_RA.18_23.rep



AeAeg_Aag2_Ago2_SINV_RA.24_35.rep

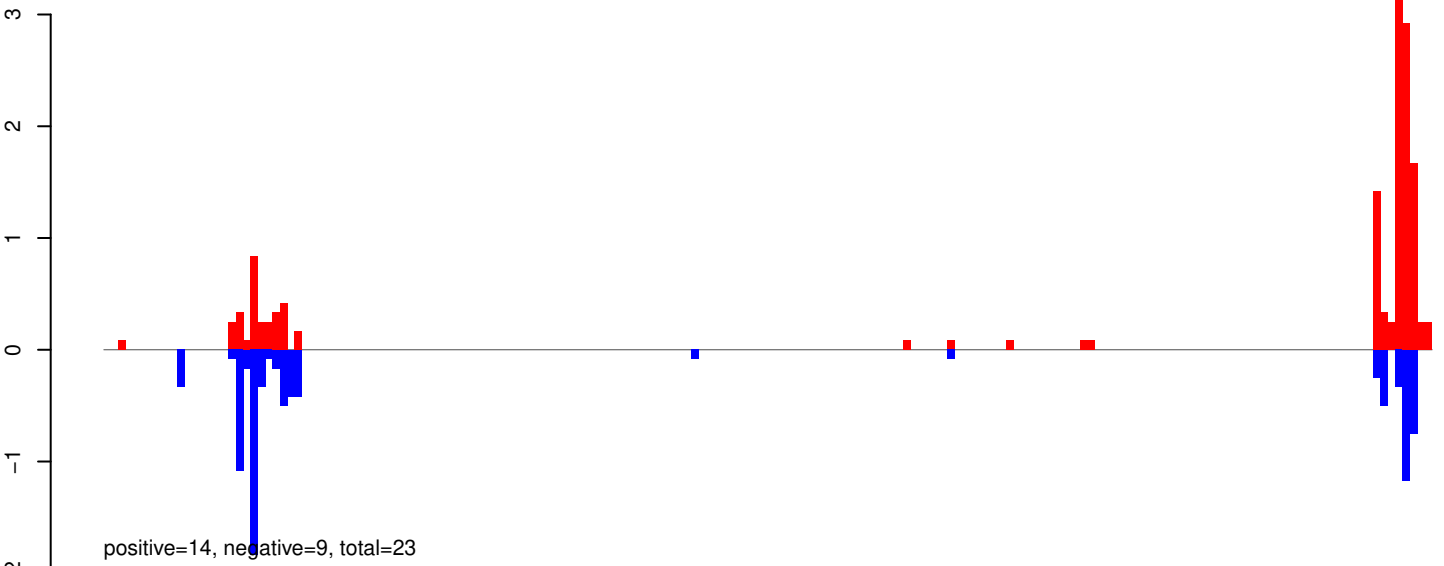


AeAeg_Aag2_Ago2_SINV_RA.rep

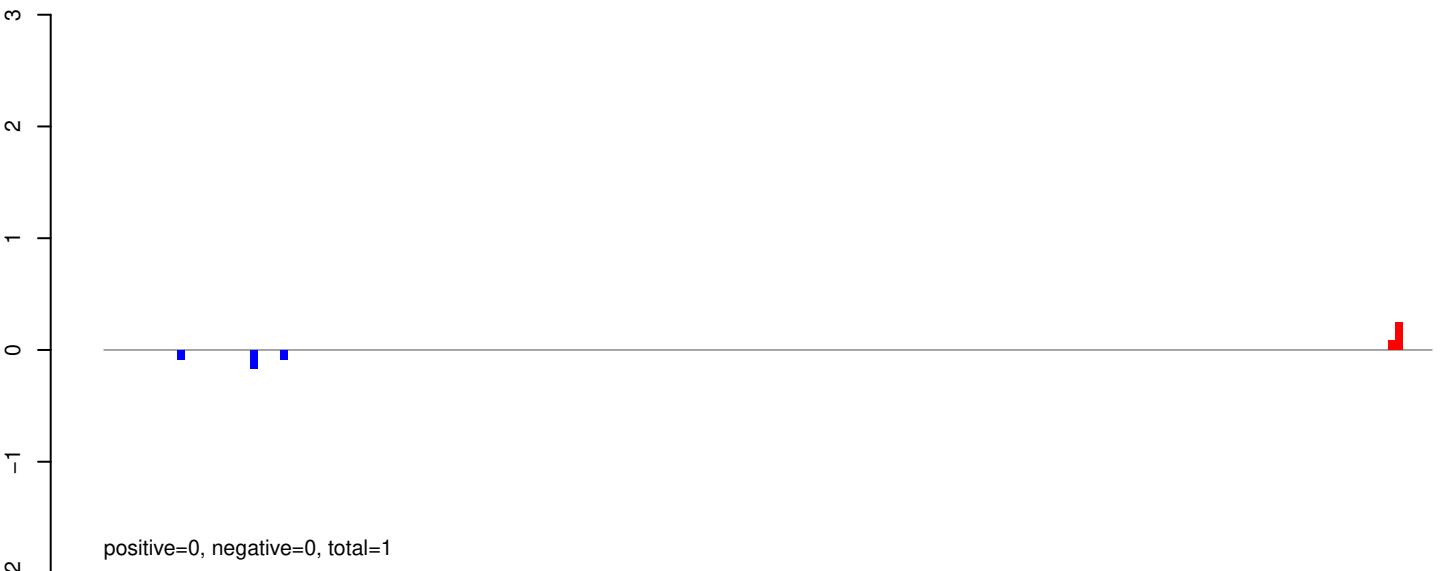


Window size=25, length=1412, TE@R=1506-UNKNOWN:1-1412

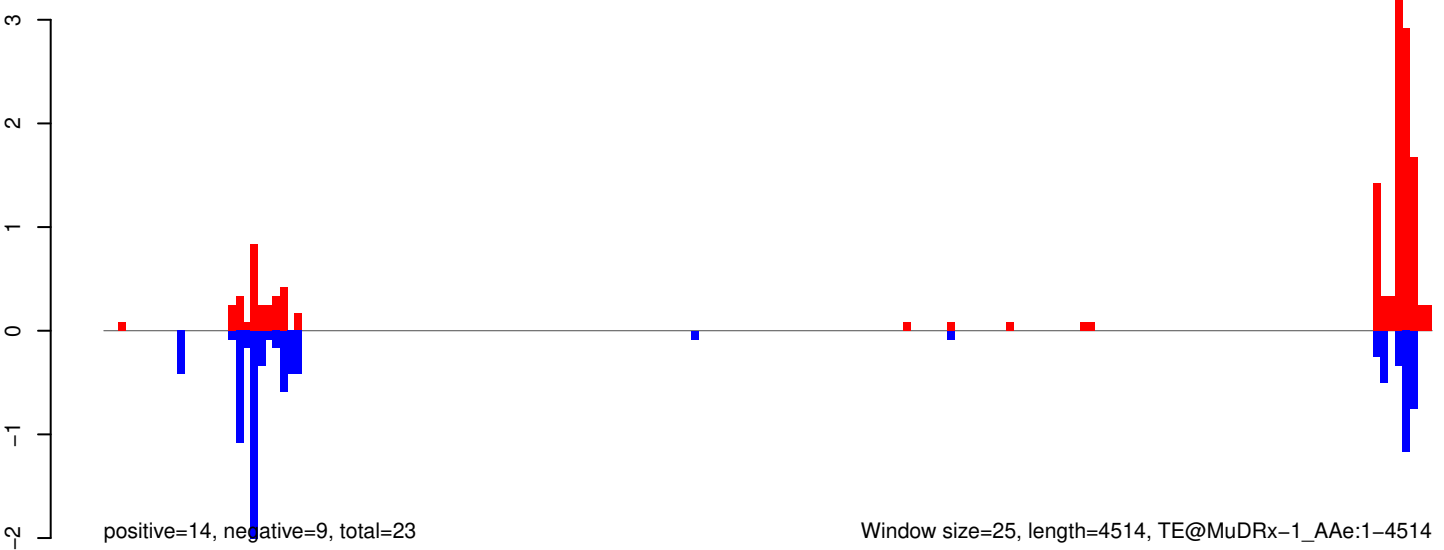
AeAeg_Aag2_Ago2_SINV_RA.18_23.rep



AeAeg_Aag2_Ago2_SINV_RA.24_35.rep



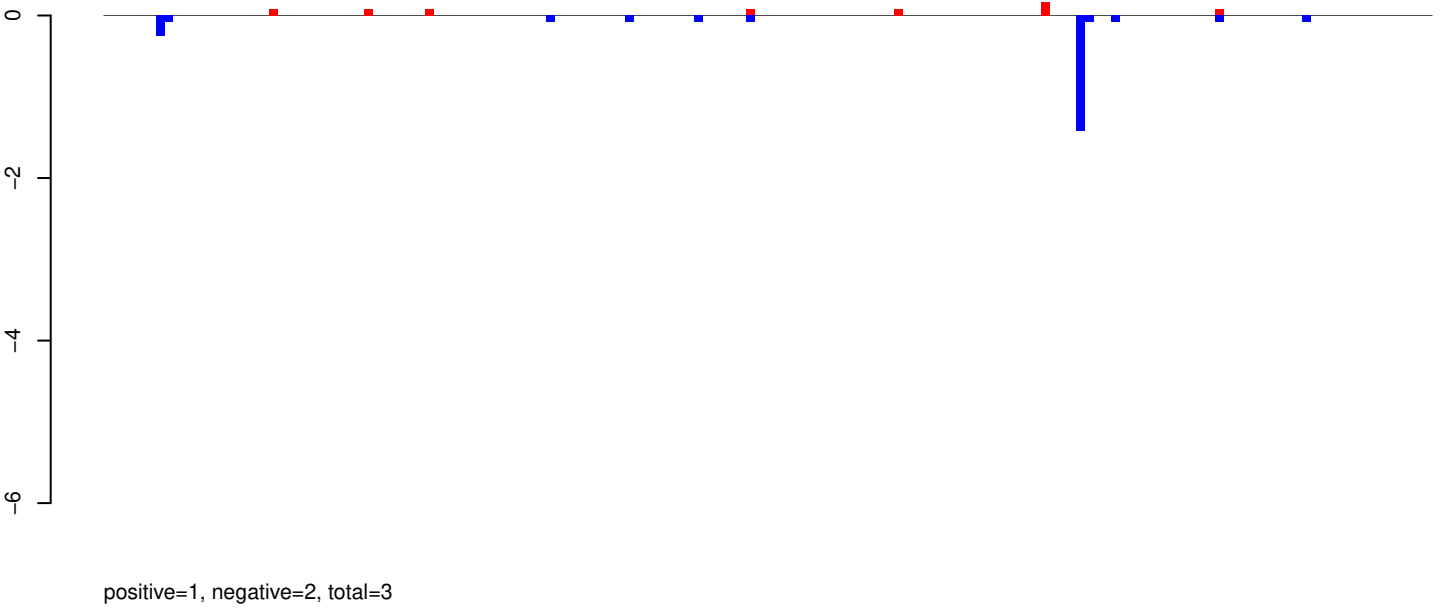
AeAeg_Aag2_Ago2_SINV_RA.rep



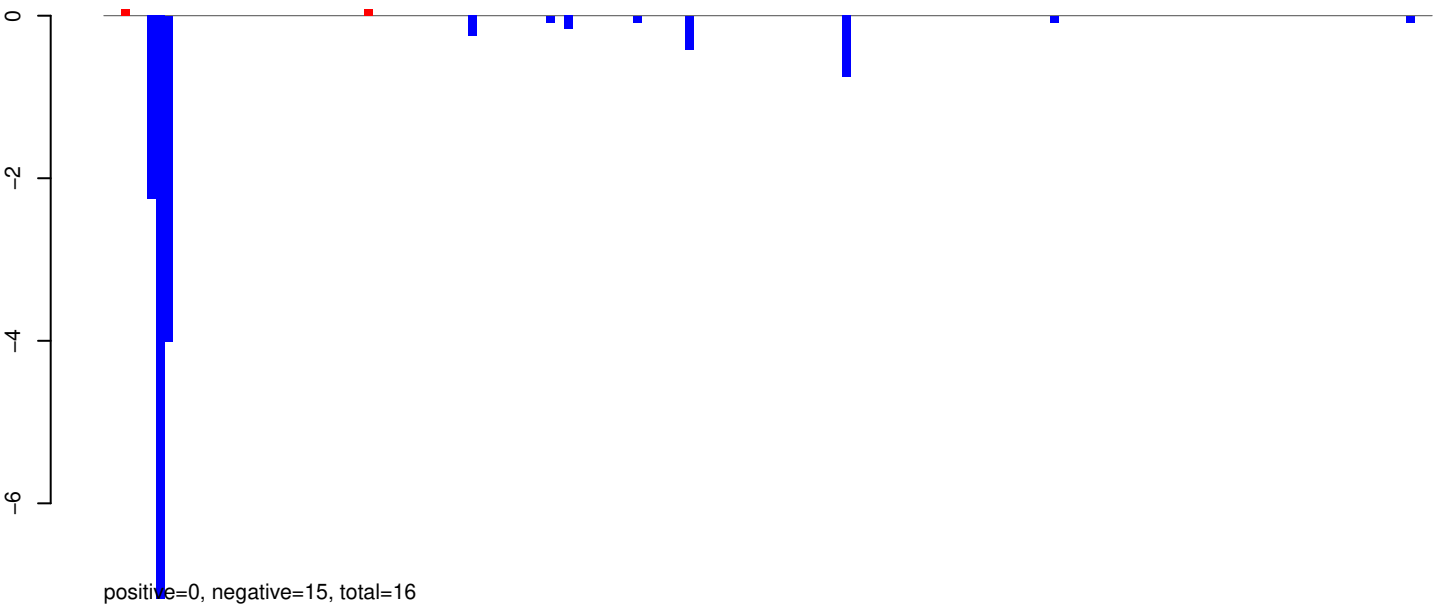
Window size=25, length=4514, TE@MuDRx-1_AAe:1-4514

0 1000 2000 3000 4000

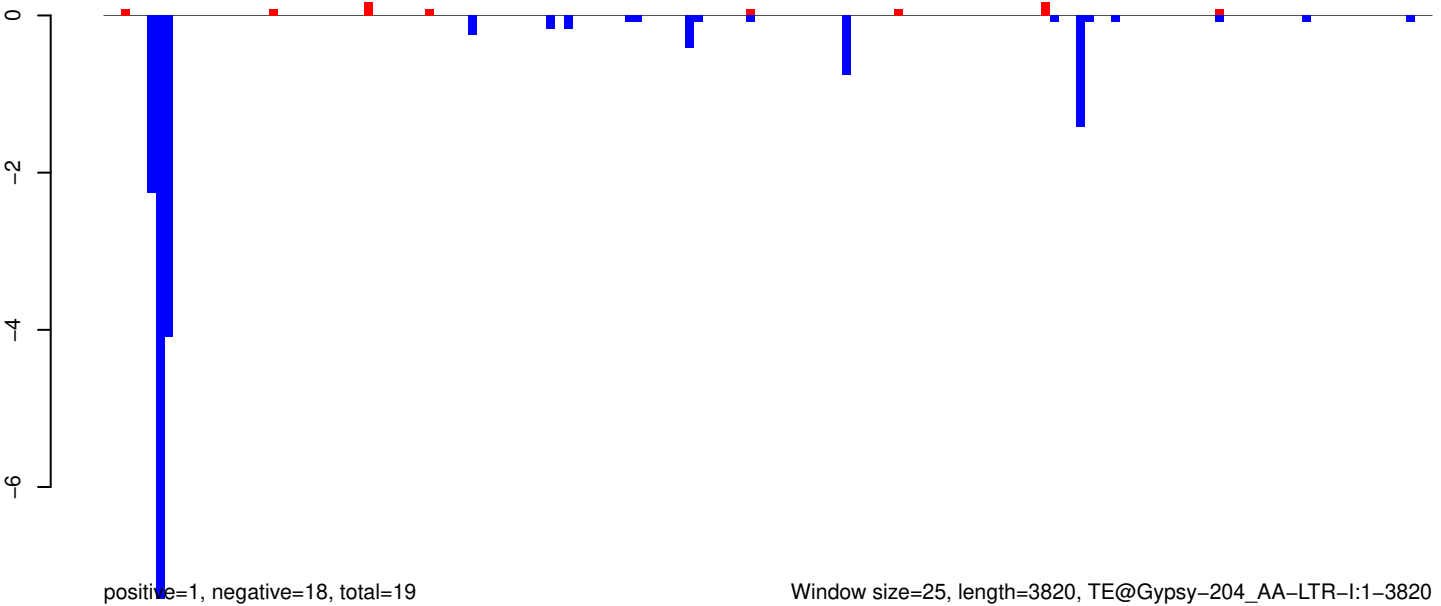
AeAeg_Aag2_Ago2_SINV_RA.18_23.rep



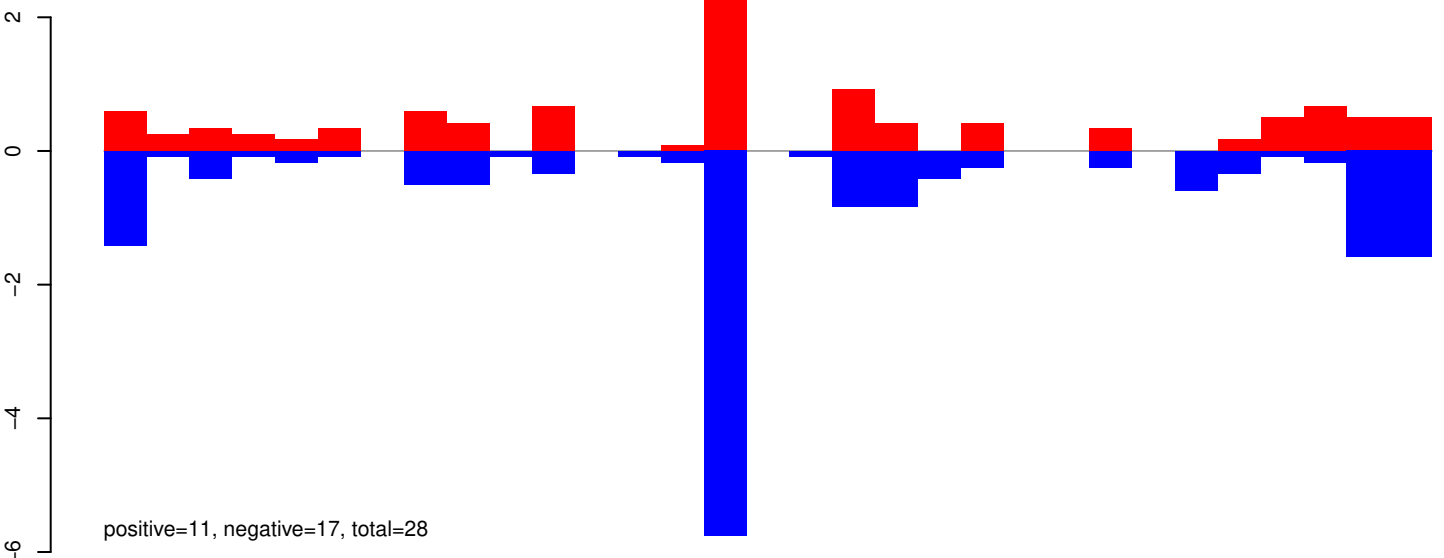
AeAeg_Aag2_Ago2_SINV_RA.24_35.rep



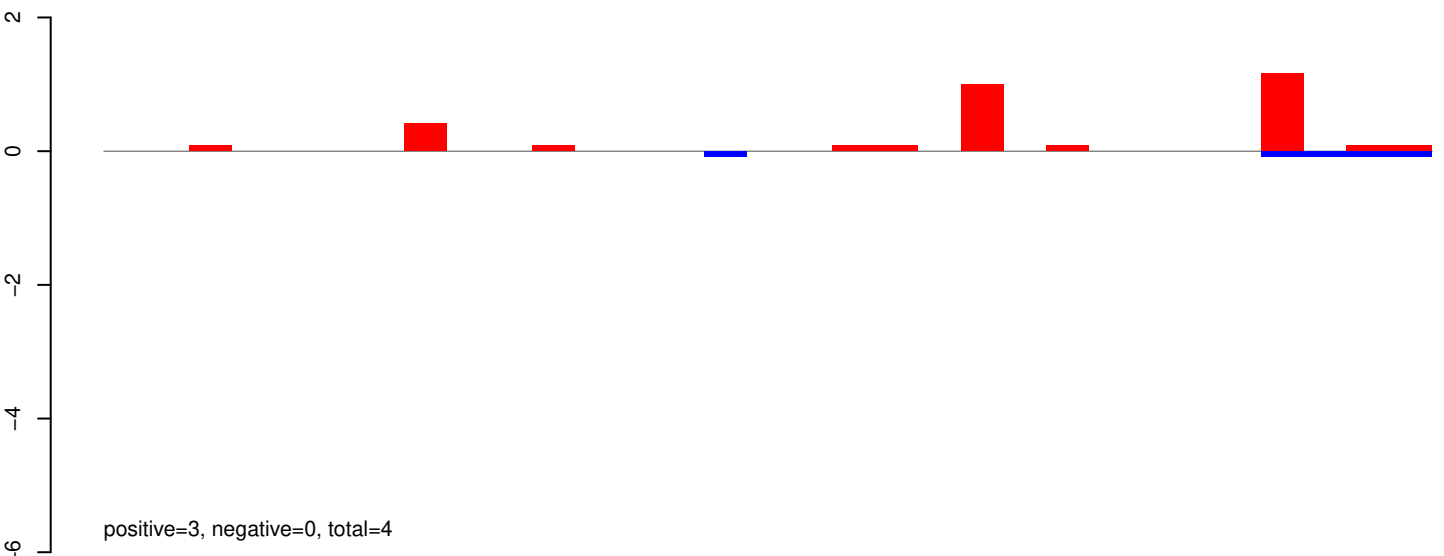
AeAeg_Aag2_Ago2_SINV_RA.rep



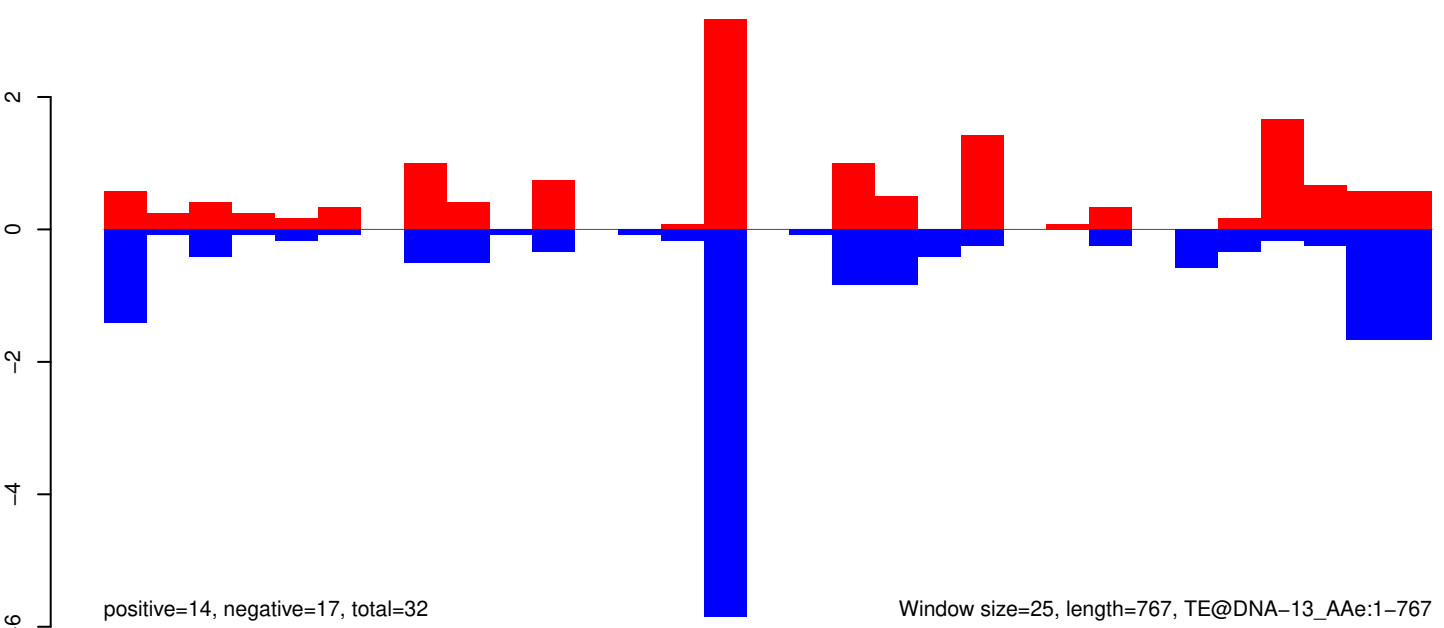
AeAeg_Aag2_Ago2_SINV_RA.18_23.rep



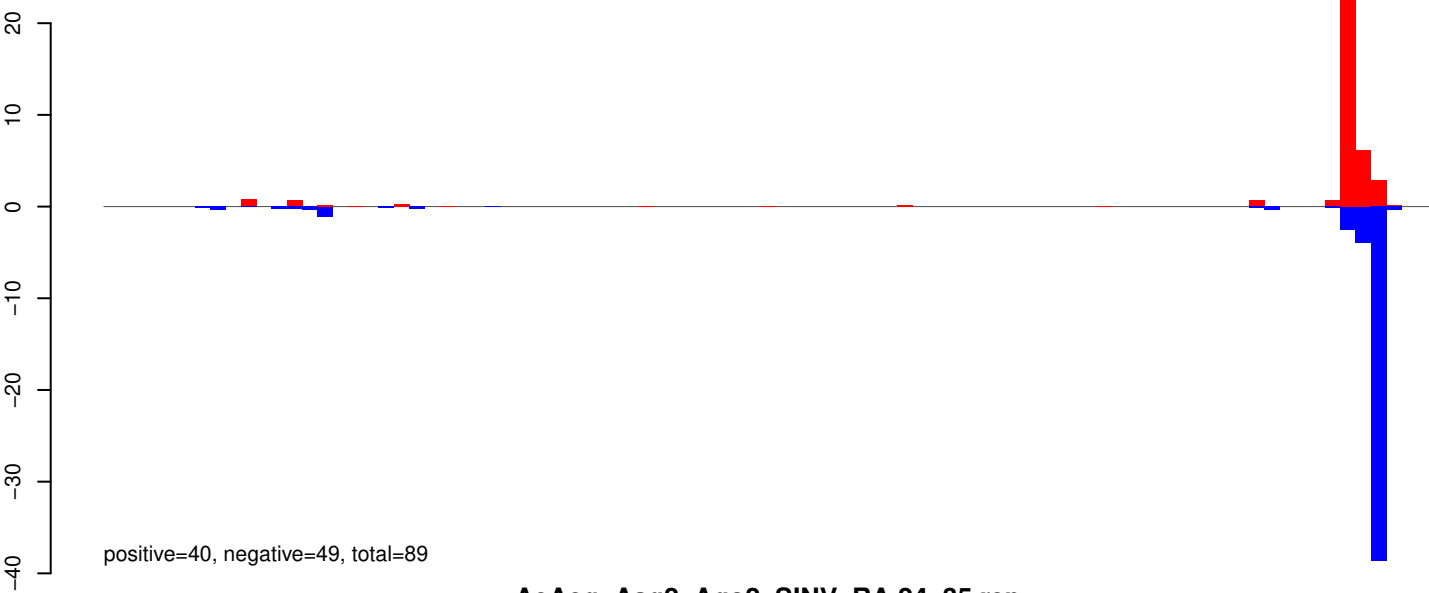
AeAeg_Aag2_Ago2_SINV_RA.24_35.rep



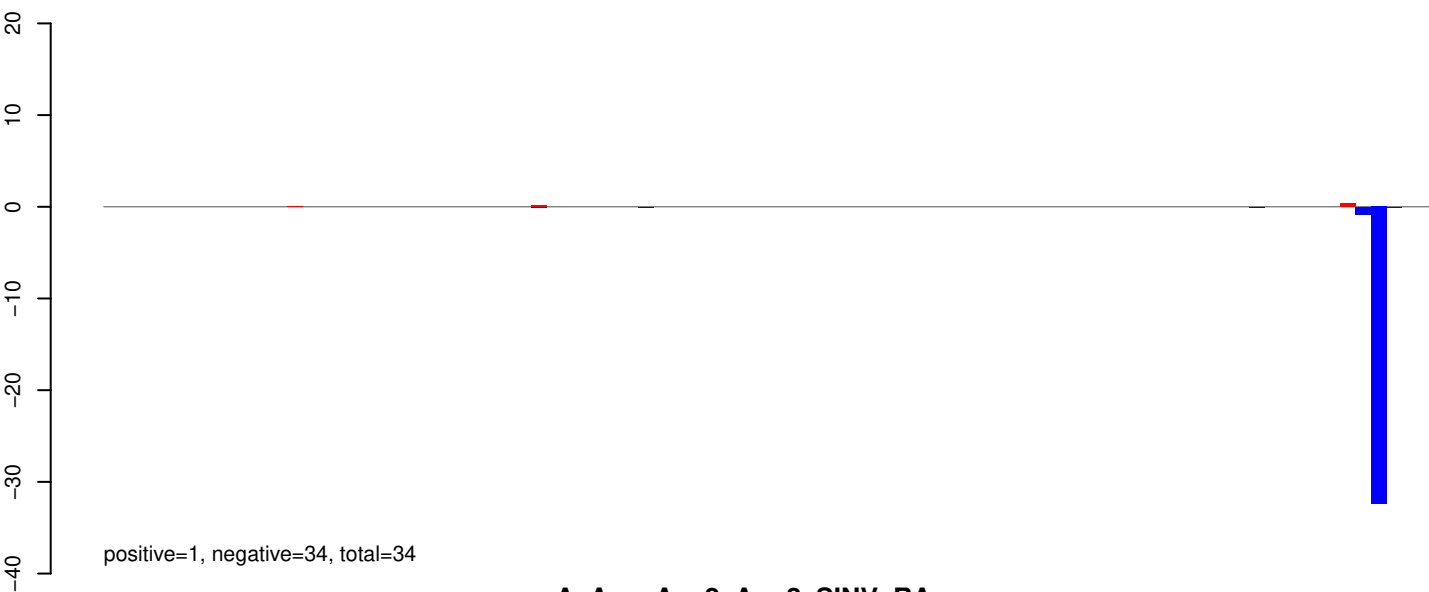
AeAeg_Aag2_Ago2_SINV_RA.rep



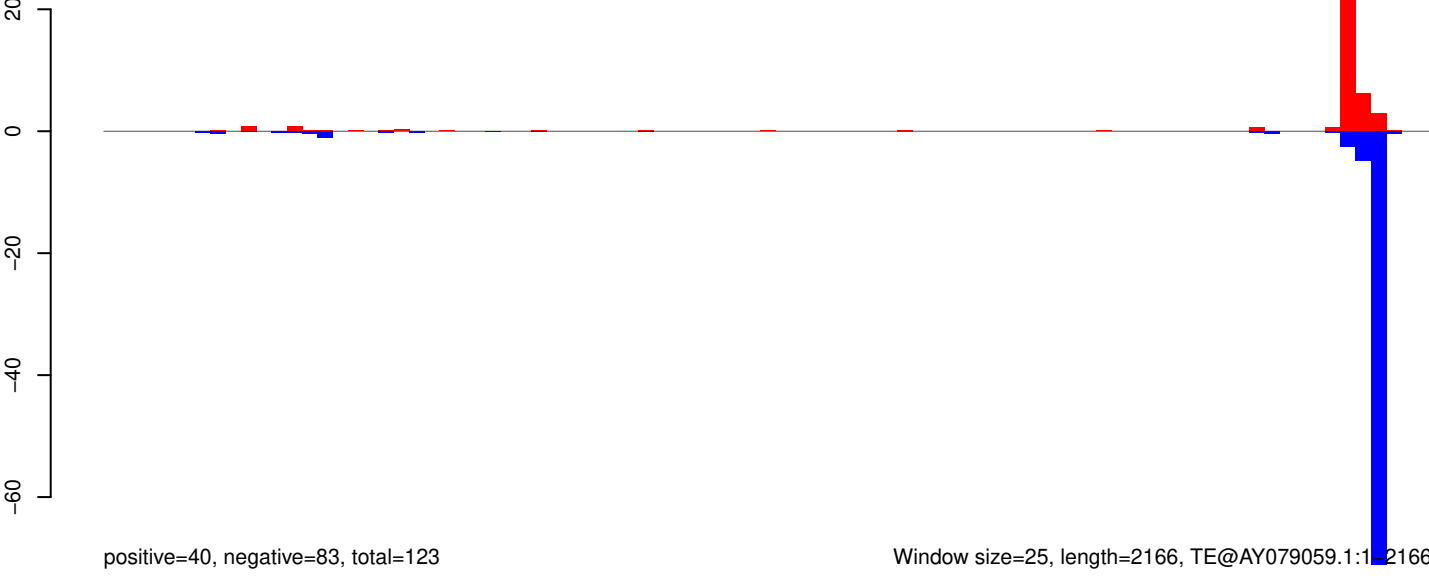
AeAeg_Aag2_Ago2_SINV_RA.18_23.rep



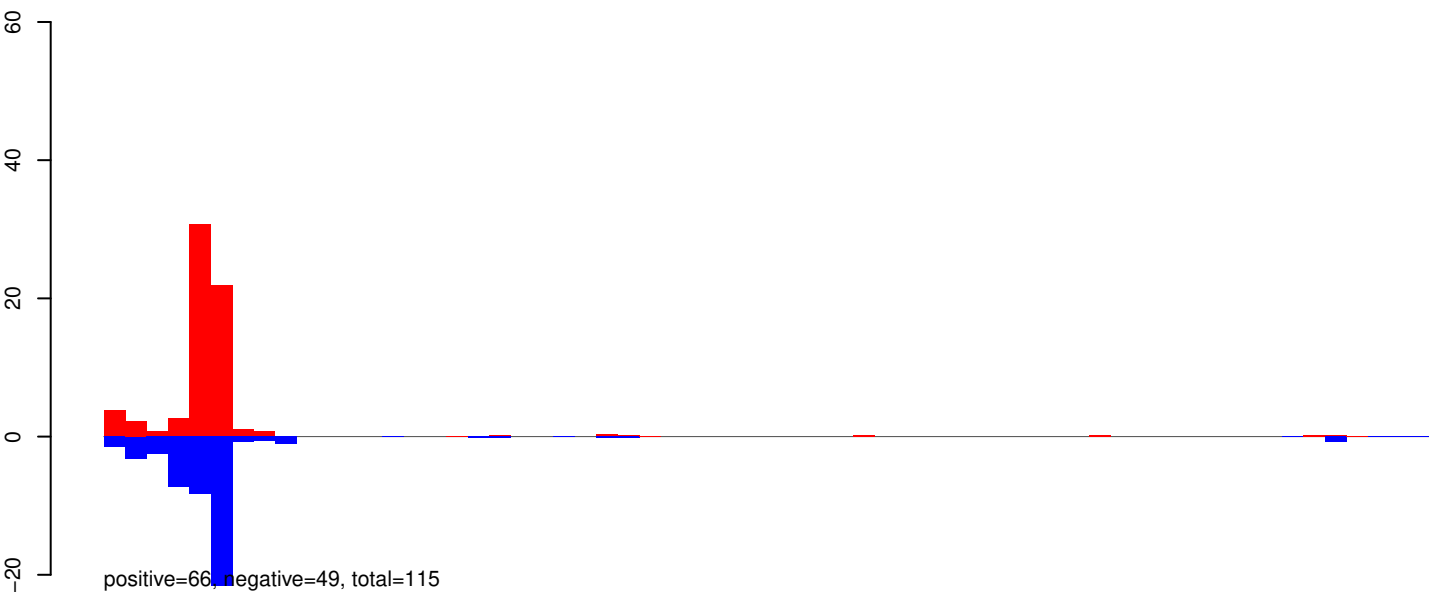
AeAeg_Aag2_Ago2_SINV_RA.24_35.rep



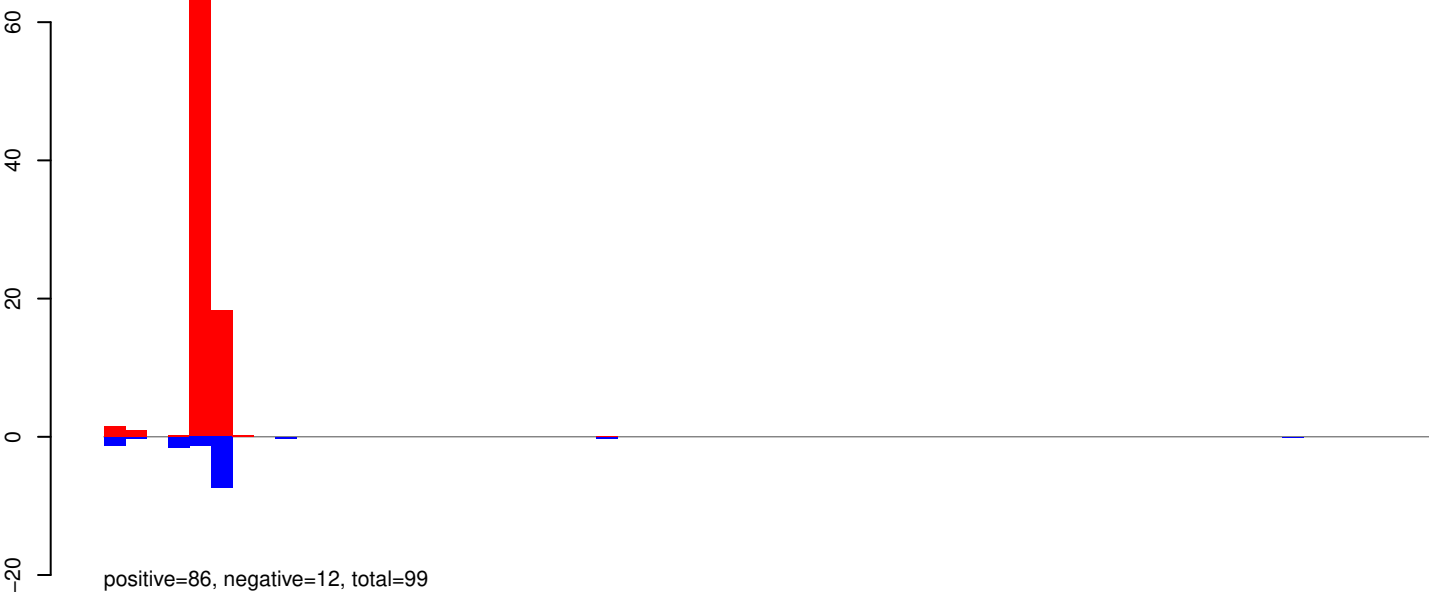
AeAeg_Aag2_Ago2_SINV_RA.rep



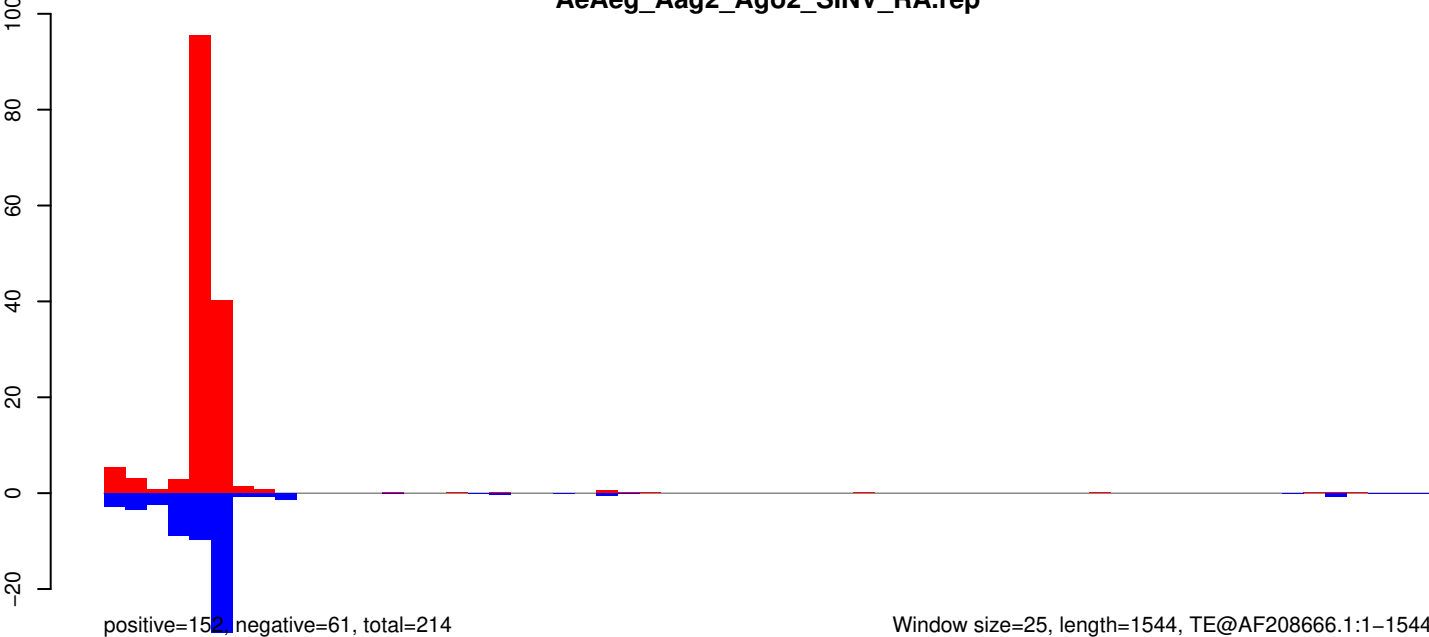
AeAeg_Aag2_Ago2_SINV_RA.18_23.rep



AeAeg_Aag2_Ago2_SINV_RA.24_35.rep

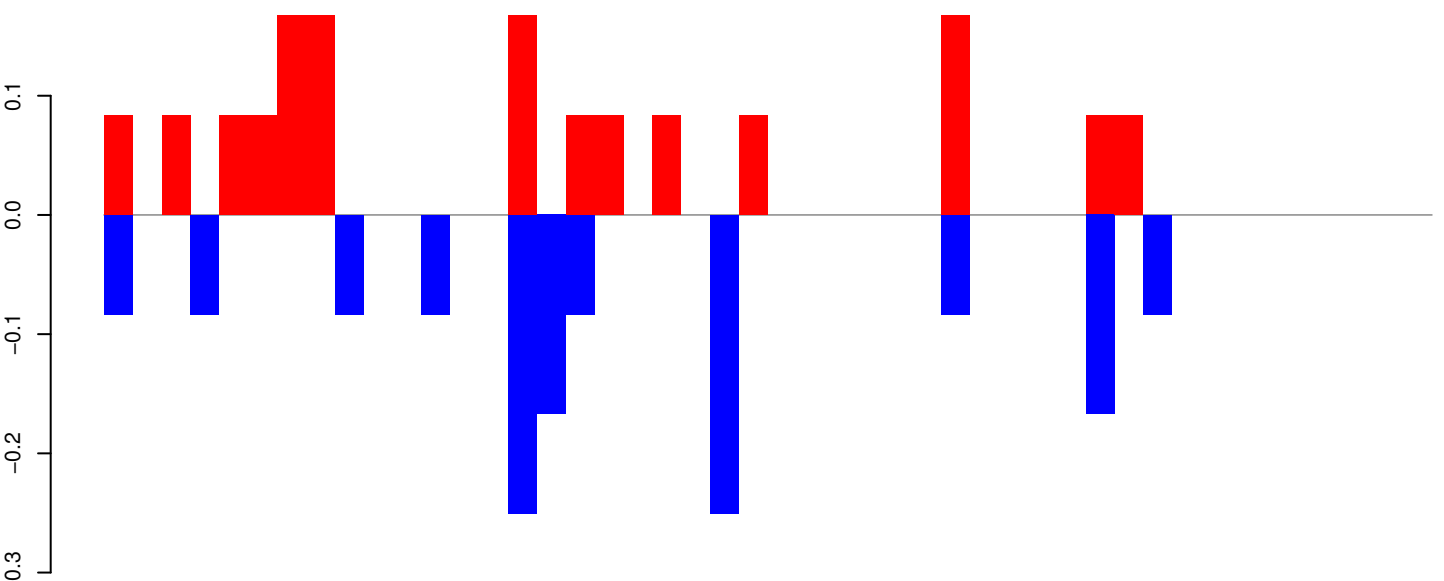


AeAeg_Aag2_Ago2_SINV_RA.rep



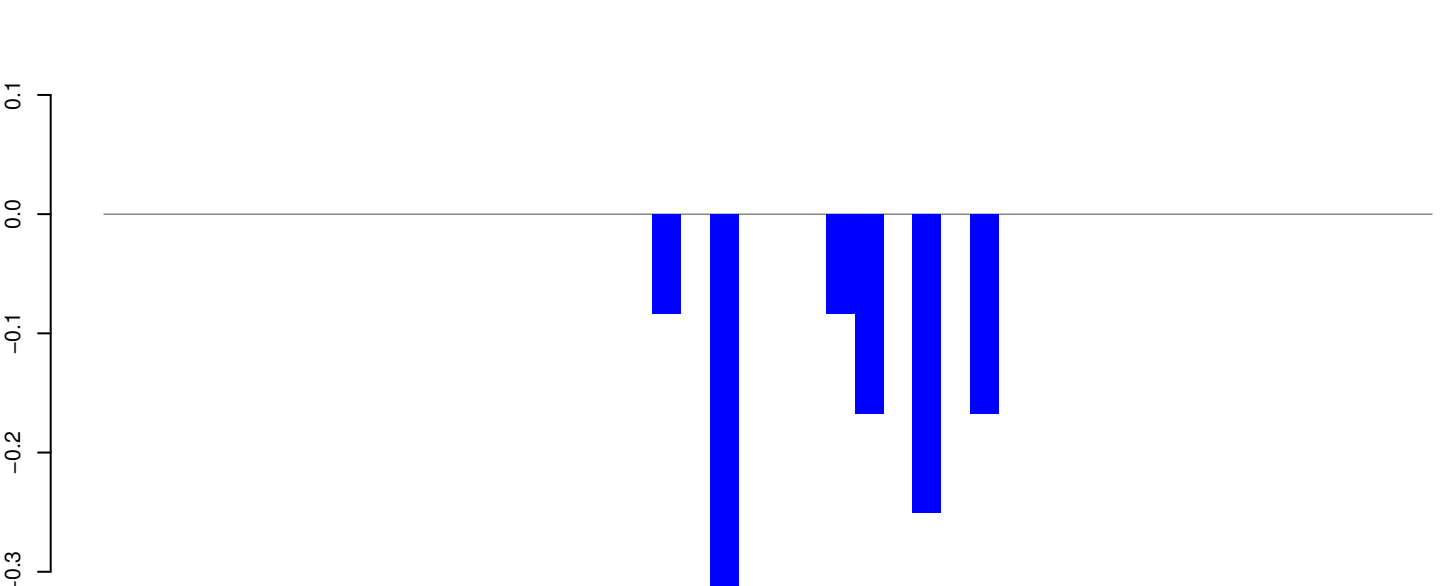
Window size=25, length=1544, TE@AF208666.1:1-1544

AeAeg_Aag2_Ago2_SINV_RA.18_23.rep



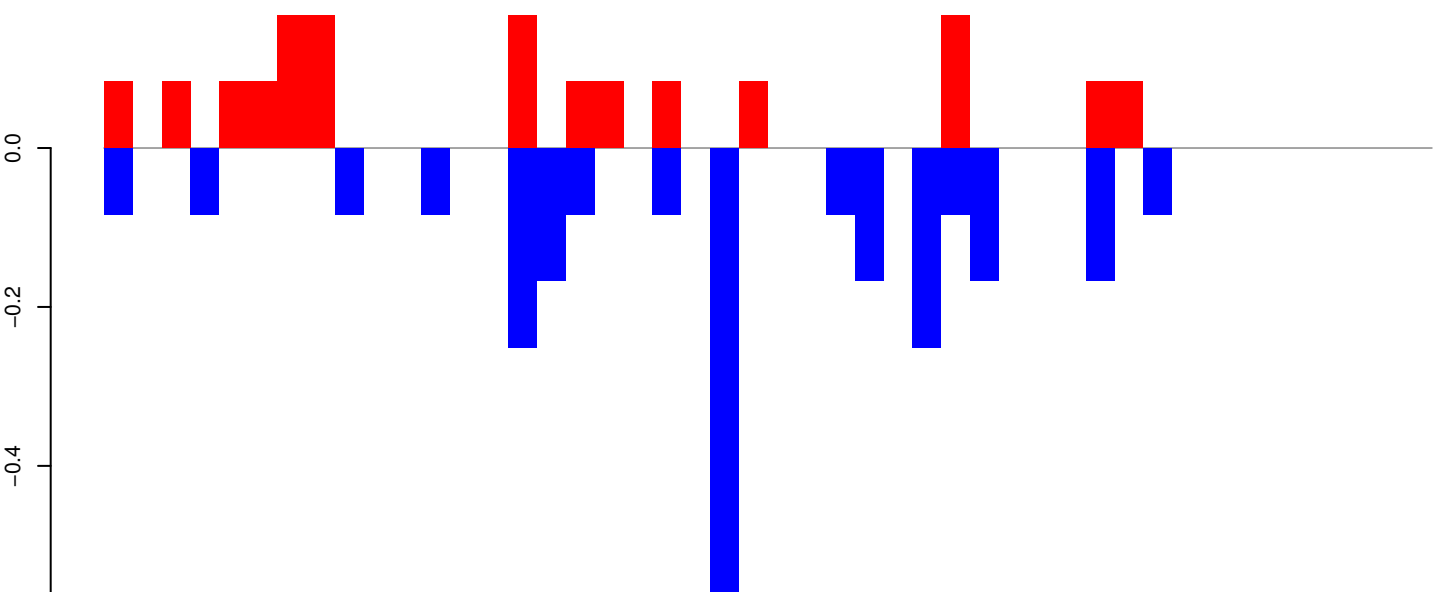
positive=2, negative=1, total=3

AeAeg_Aag2_Ago2_SINV_RA.24_35.rep



positive=0, negative=1, total=1

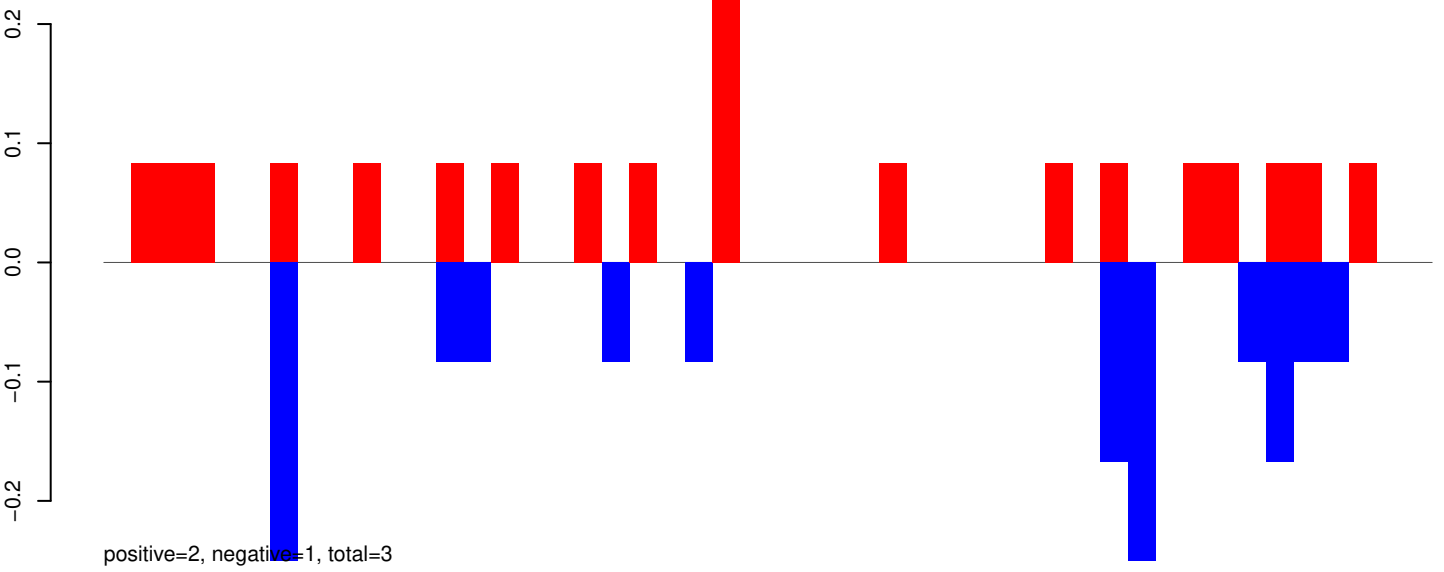
AeAeg_Aag2_Ago2_SINV_RA.rep



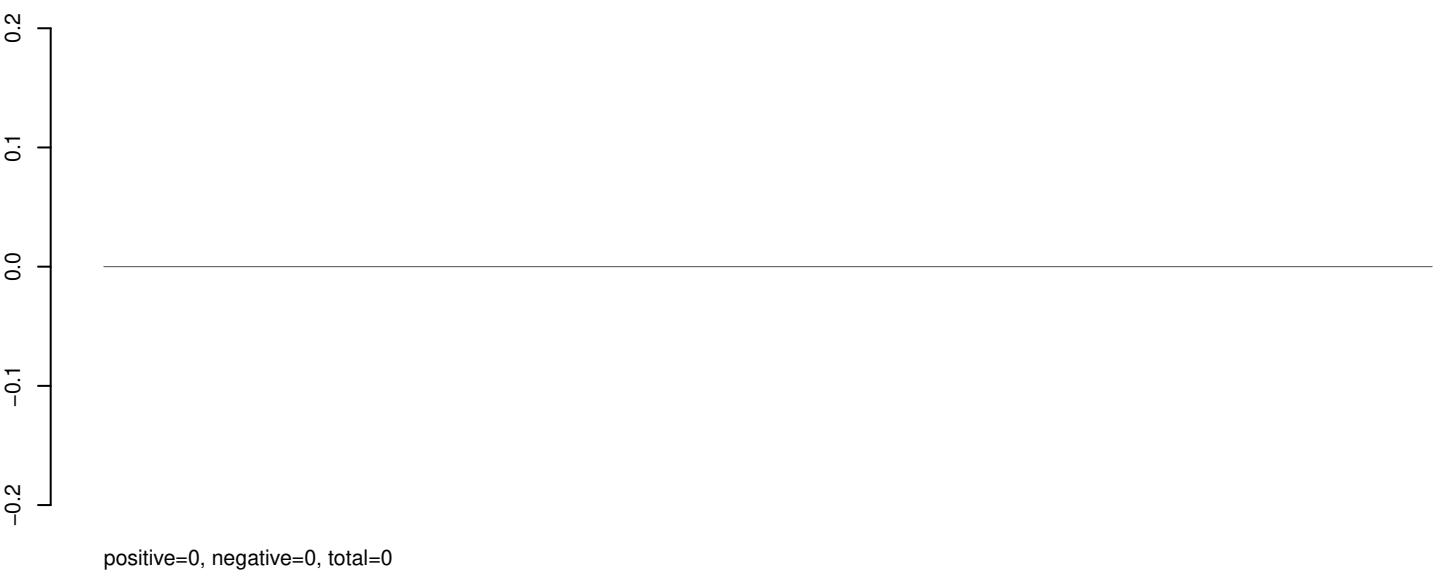
positive=2, negative=3, total=4

Window size=25, length=1127, TE@aedes_aegypti_4777_7-Unknown:1-1127

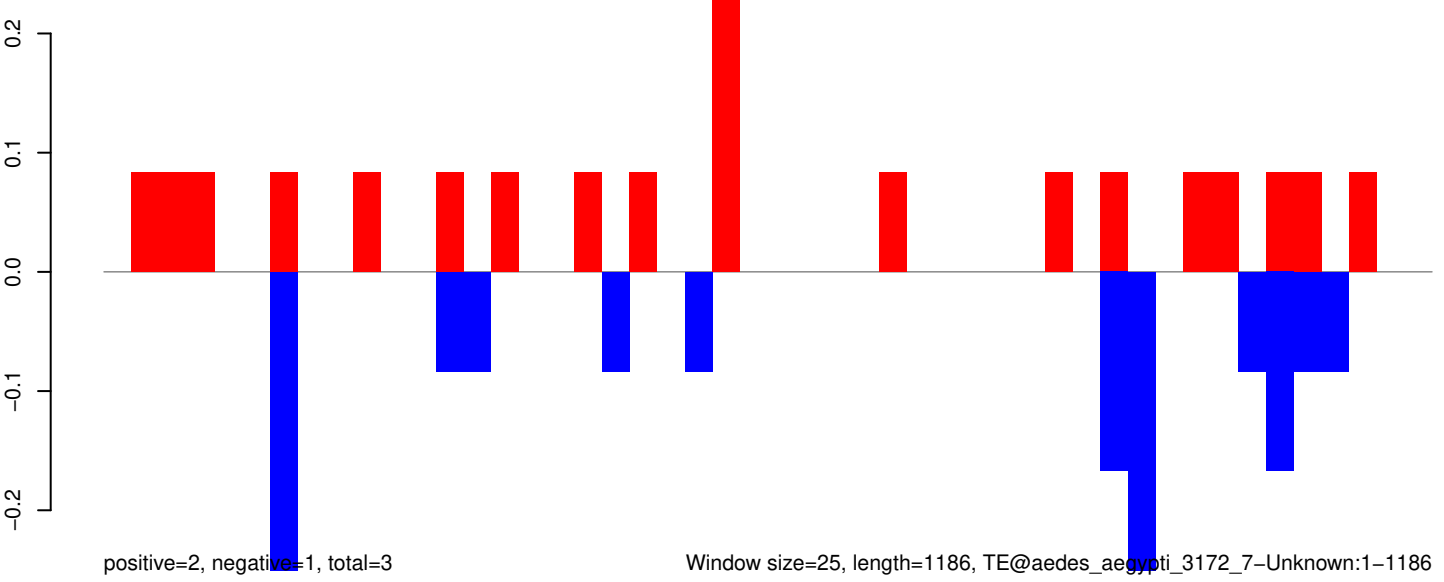
AeAeg_Aag2_Ago2_SINV_RA.18_23.rep



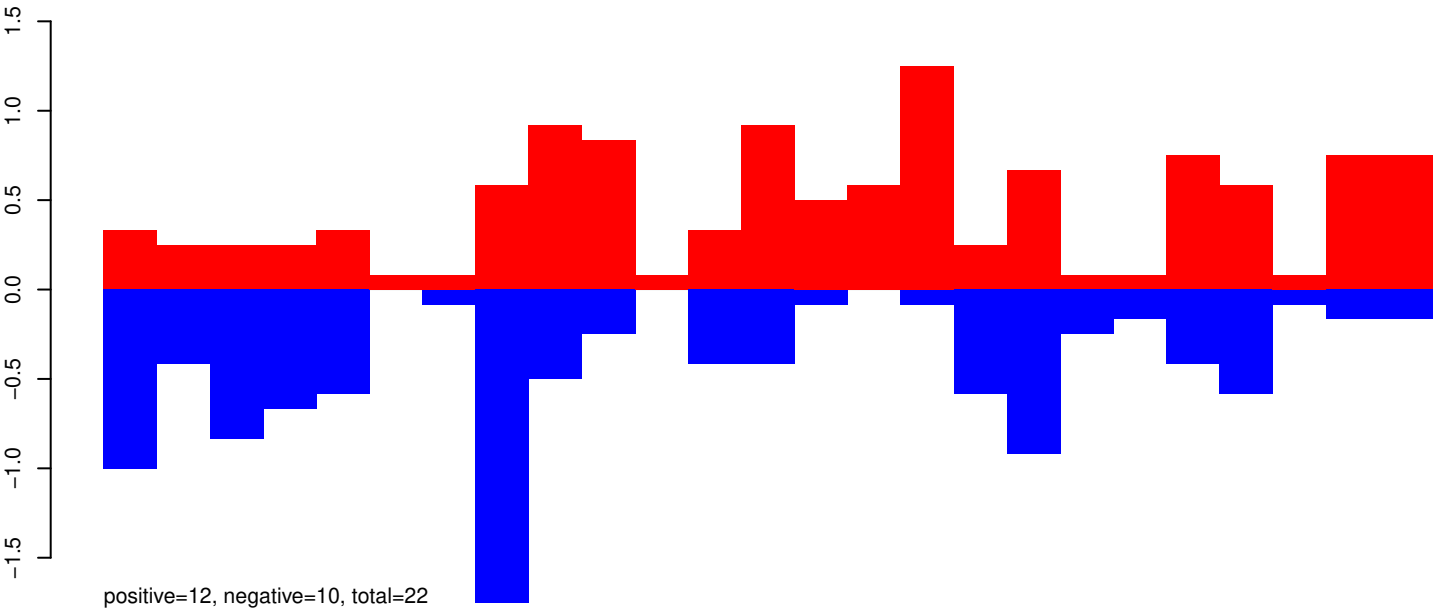
AeAeg_Aag2_Ago2_SINV_RA.24_35.rep



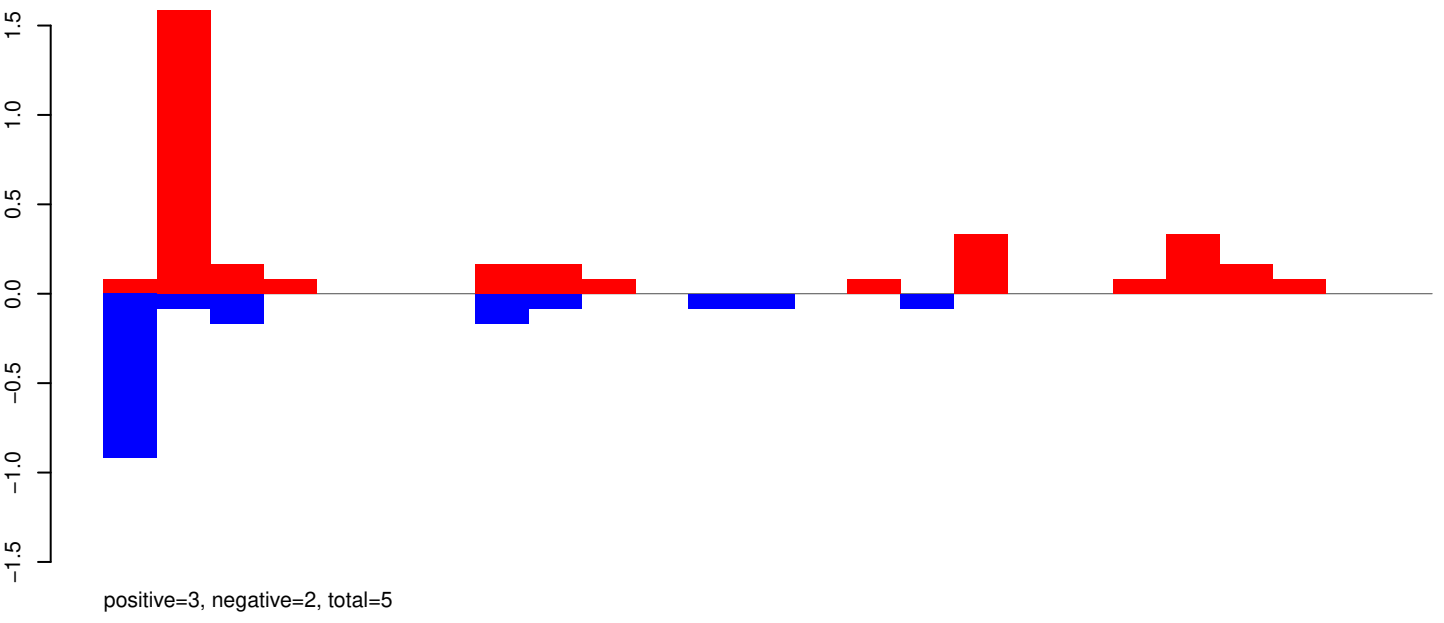
AeAeg_Aag2_Ago2_SINV_RA.rep



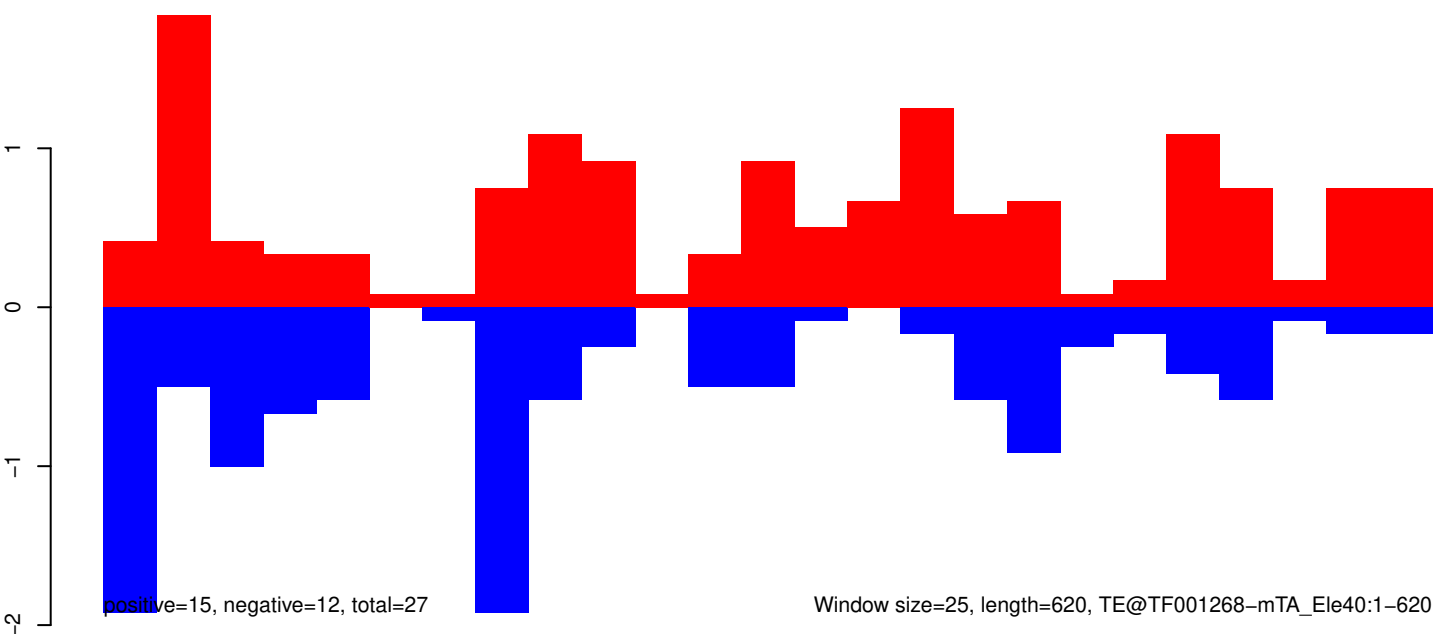
AeAeg_Aag2_Ago2_SINV_RA.18_23.rep



AeAeg_Aag2_Ago2_SINV_RA.24_35.rep

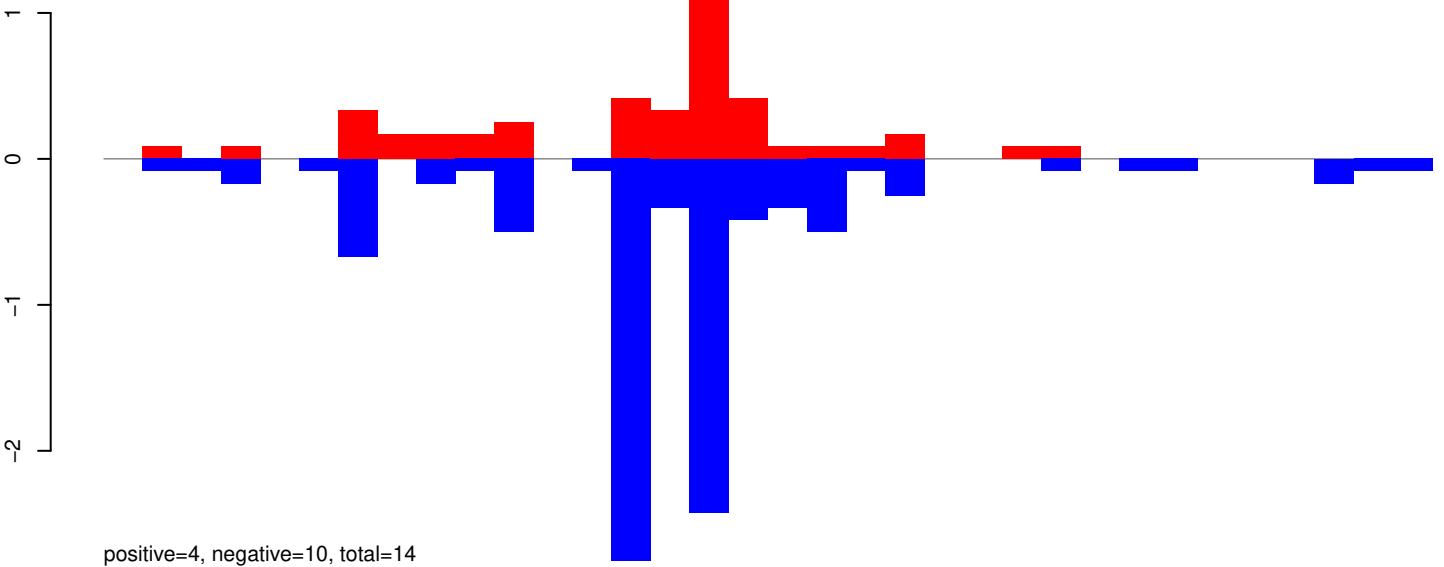


AeAeg_Aag2_Ago2_SINV_RA.rep

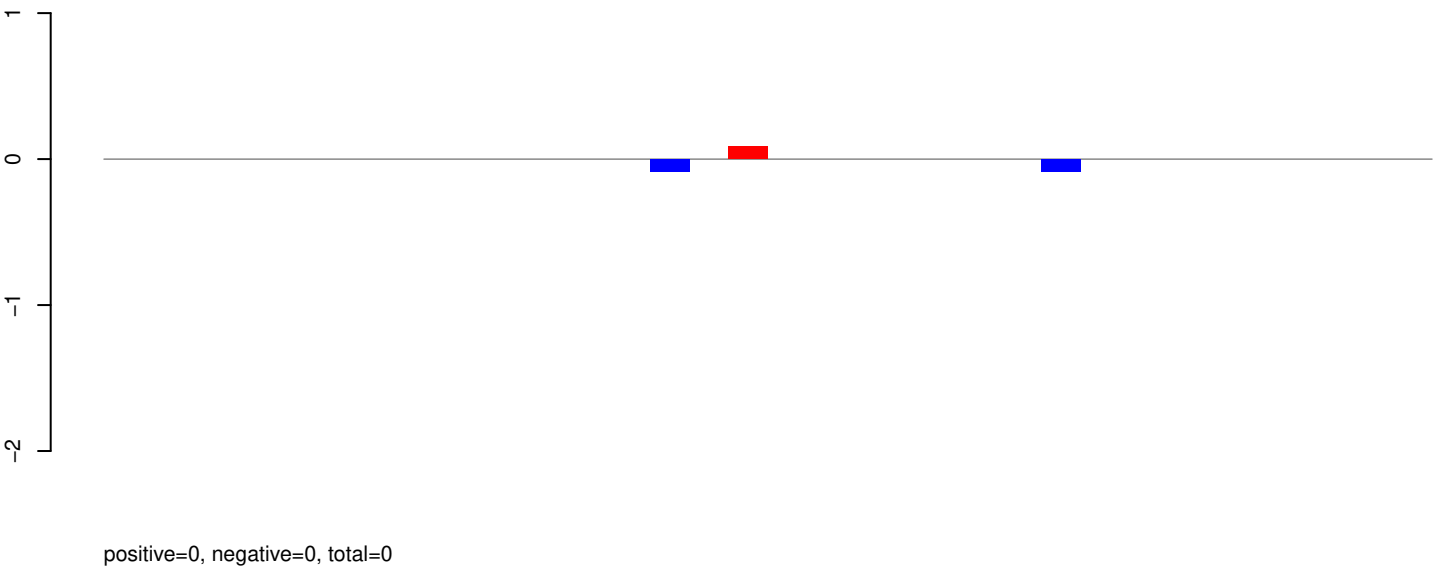


Window size=25, length=620, TE@TF001268-mTA_Ele40:1-620

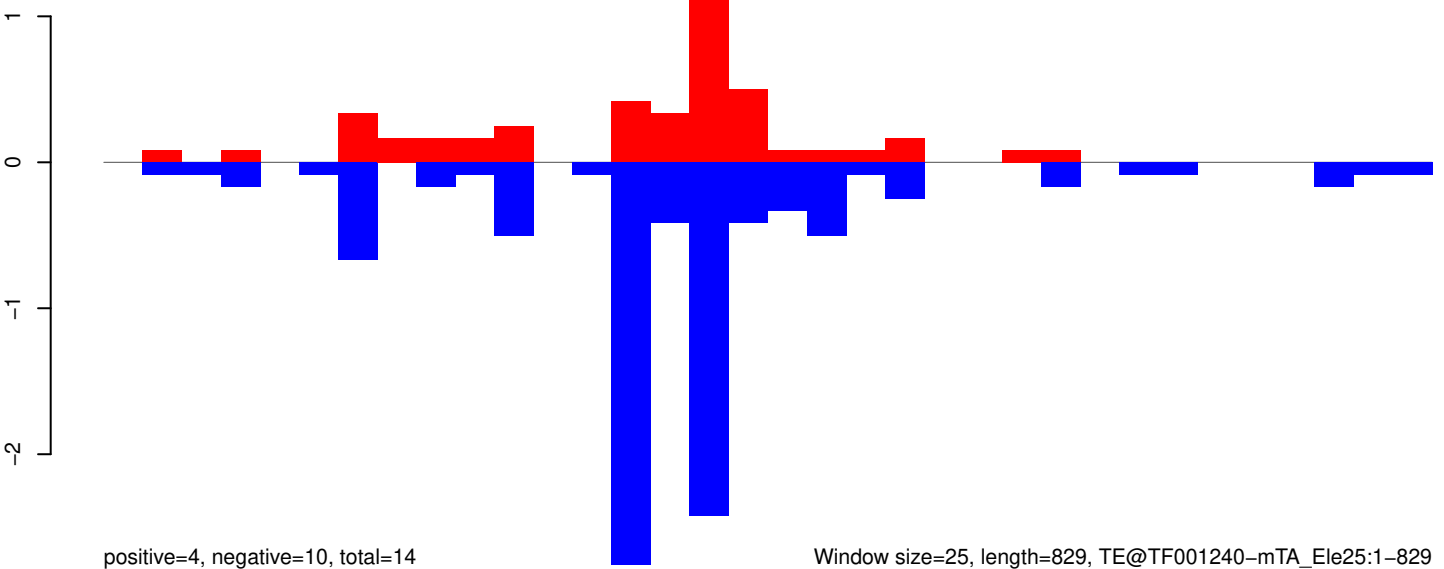
AeAeg_Aag2_Ago2_SINV_RA.18_23.rep



AeAeg_Aag2_Ago2_SINV_RA.24_35.rep

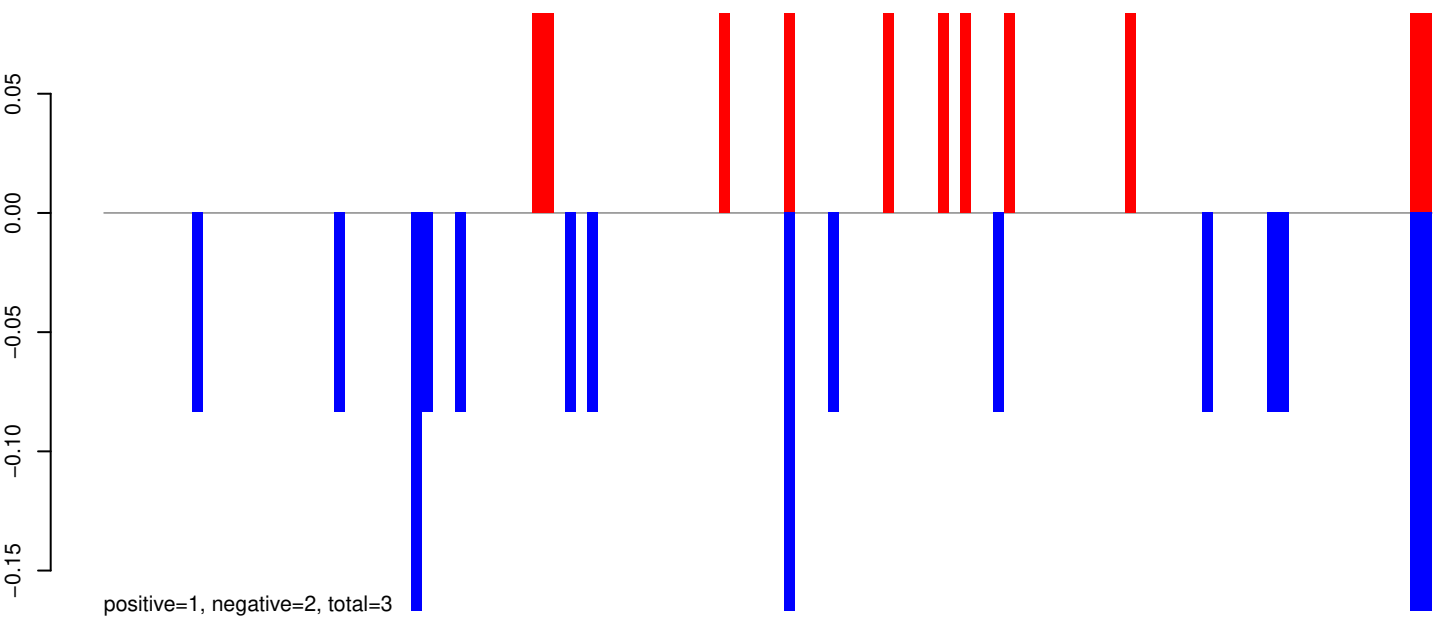


AeAeg_Aag2_Ago2_SINV_RA.rep

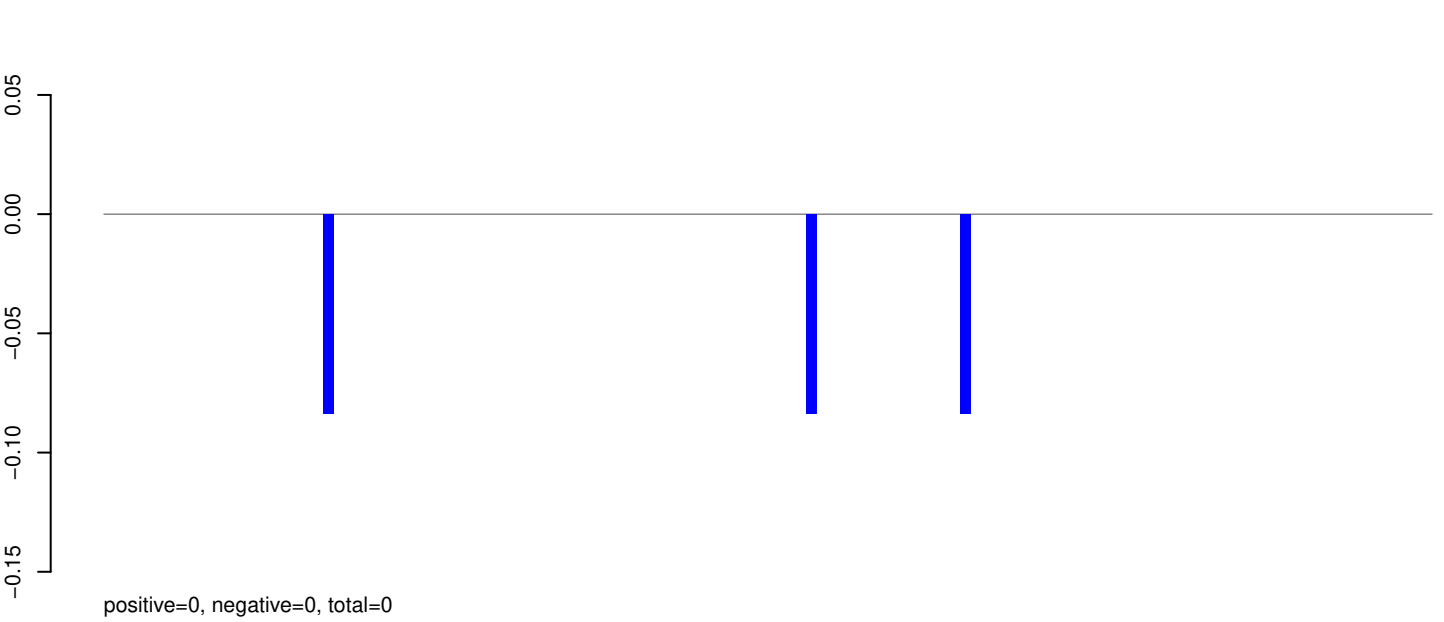


Window size=25, length=829, TE@TF001240-mTA_Ele25:1-829

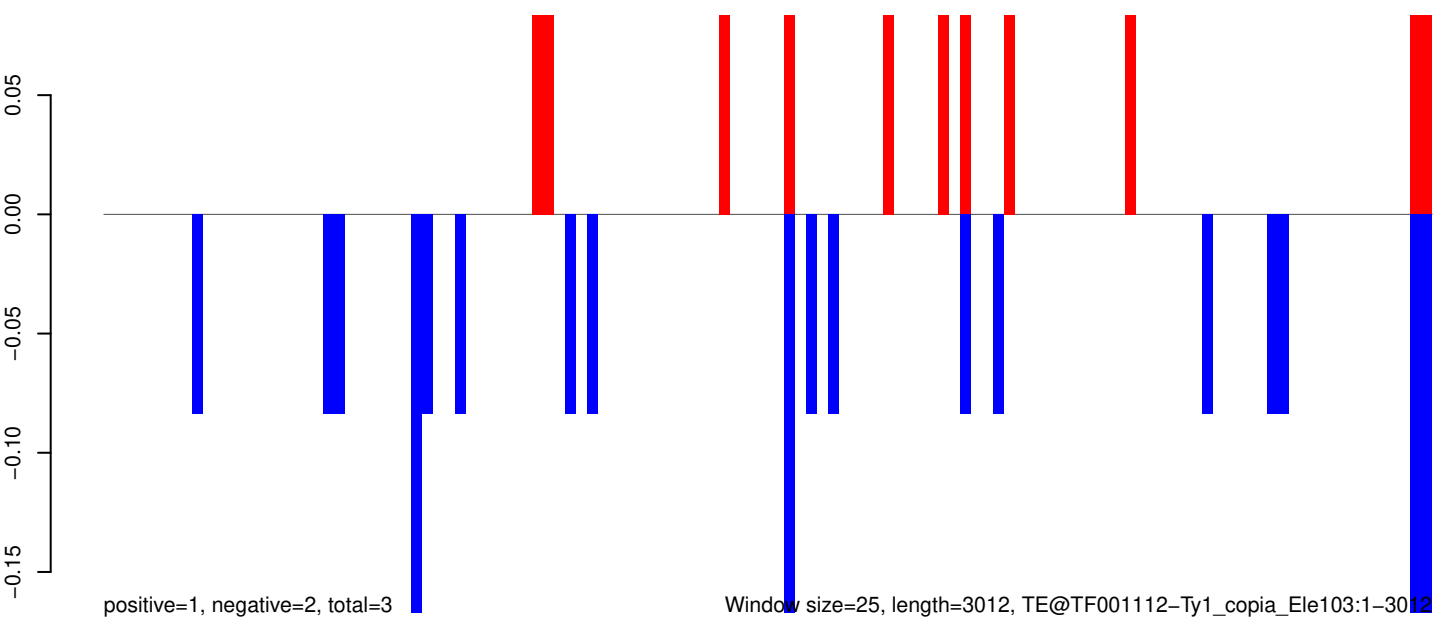
AeAeg_Aag2_Ago2_SINV_RA.18_23.rep



AeAeg_Aag2_Ago2_SINV_RA.24_35.rep

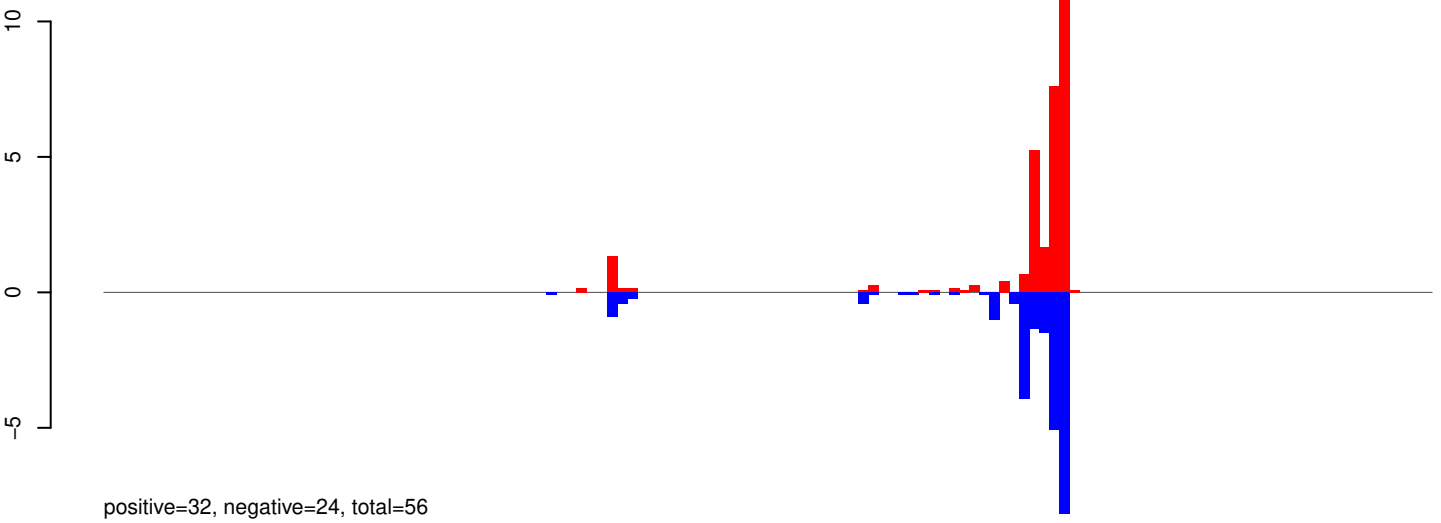


AeAeg_Aag2_Ago2_SINV_RA.rep

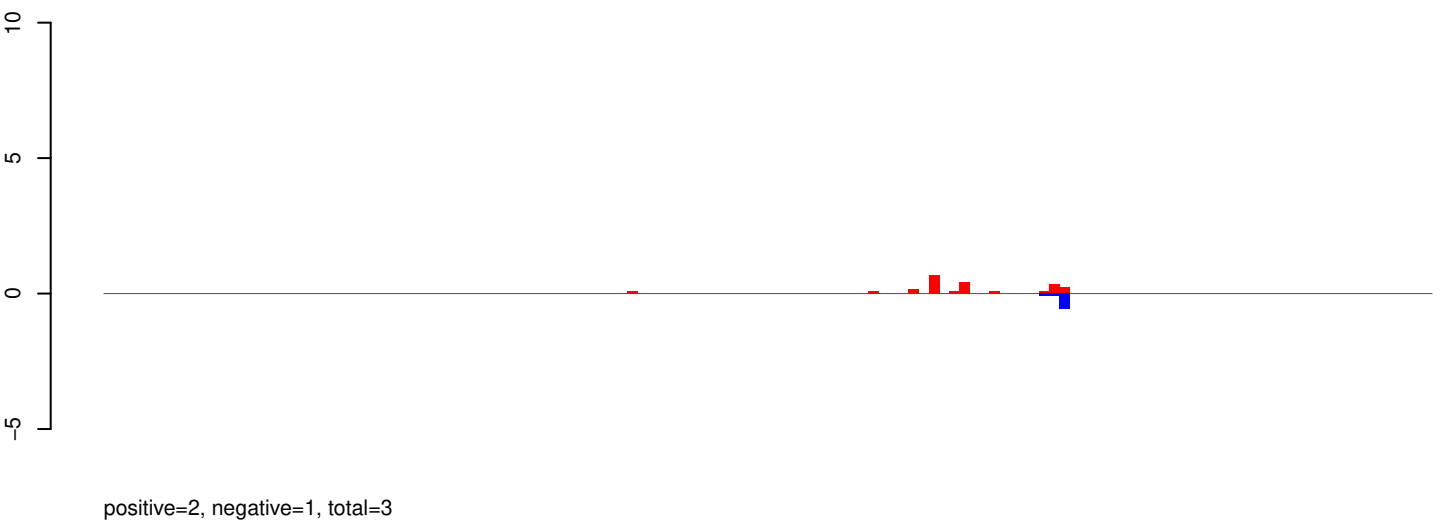


0 500 1000 1500 2000 2500 3000

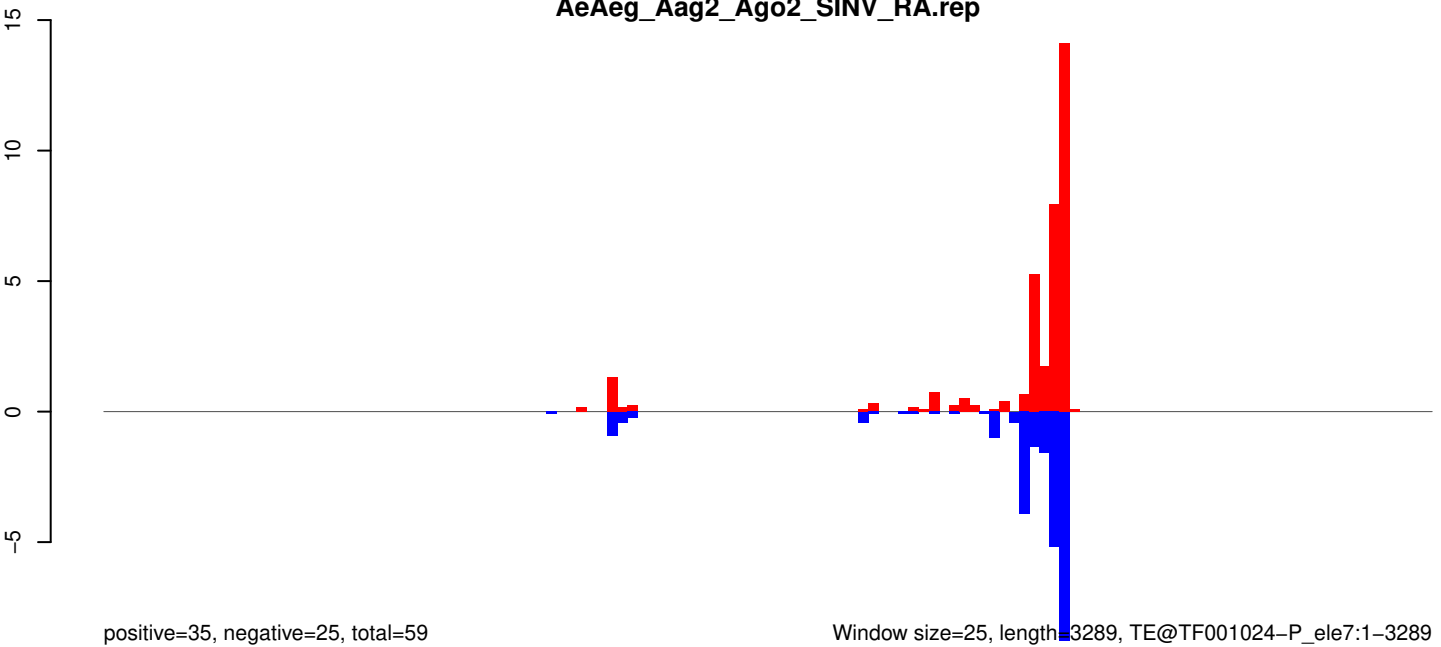
AeAeg_Aag2_Ago2_SINV_RA.18_23.rep



AeAeg_Aag2_Ago2_SINV_RA.24_35.rep



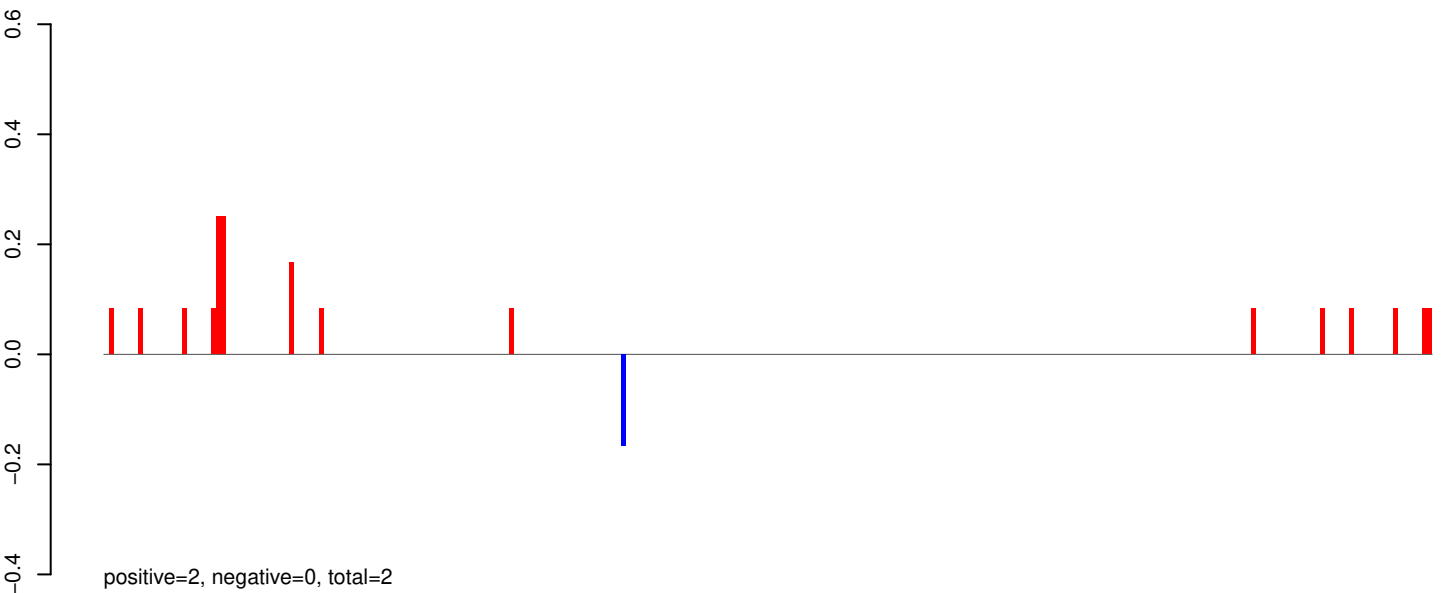
AeAeg_Aag2_Ago2_SINV_RA.rep



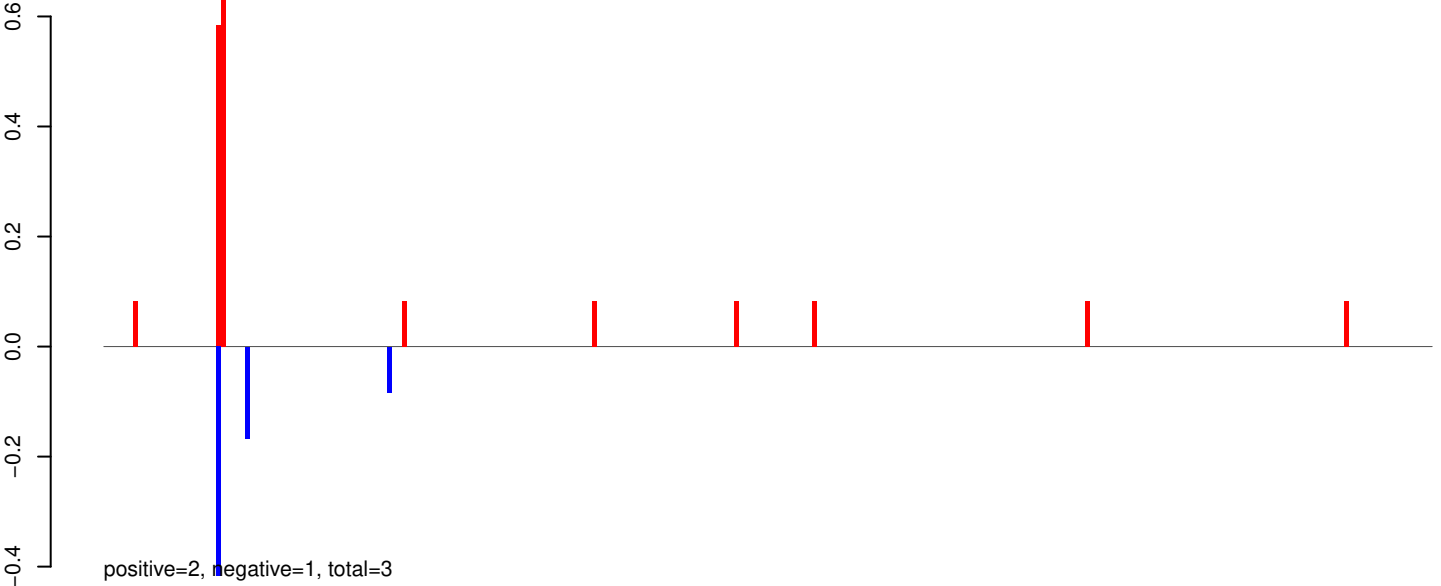
Window size=25, length=3289, TE@TF001024-P_ele7:1-3289

0 500 1000 1500 2000 2500 3000

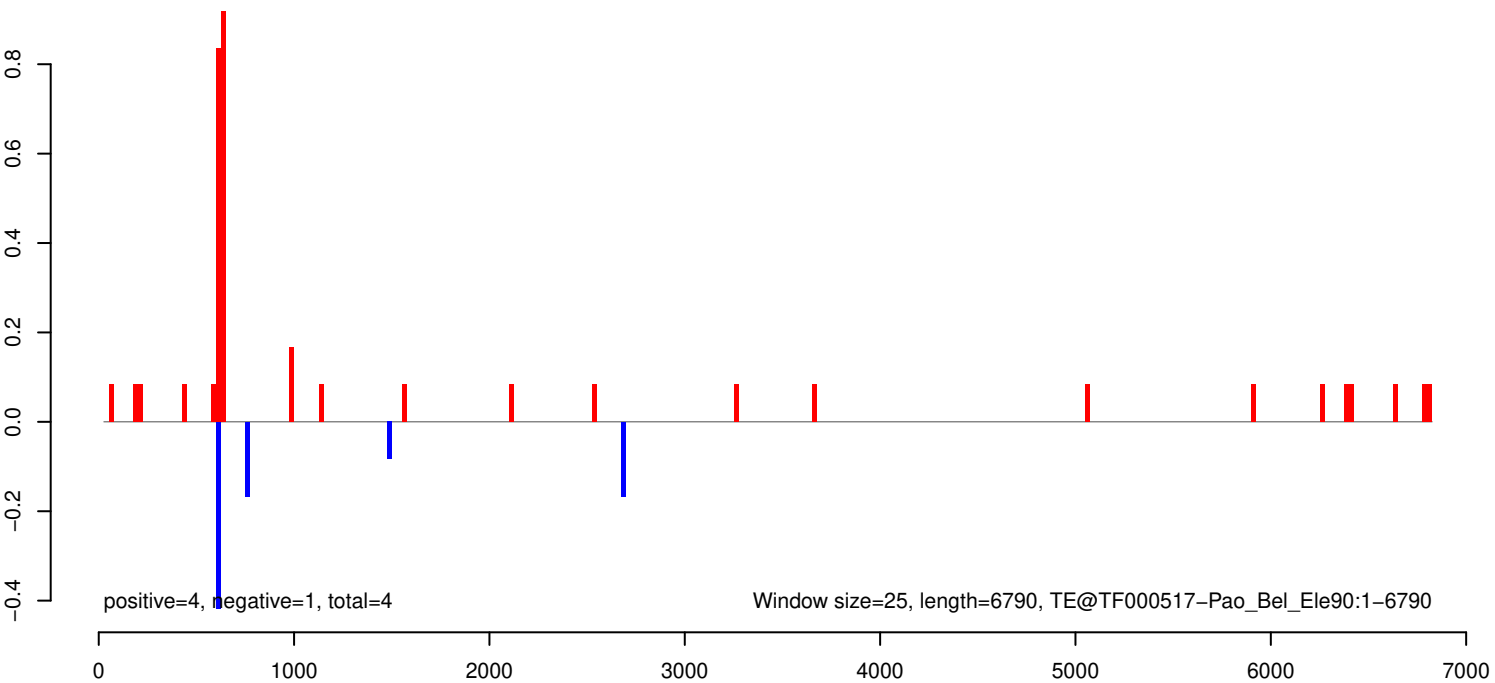
AeAeg_Aag2_Ago2_SINV_RA.18_23.rep



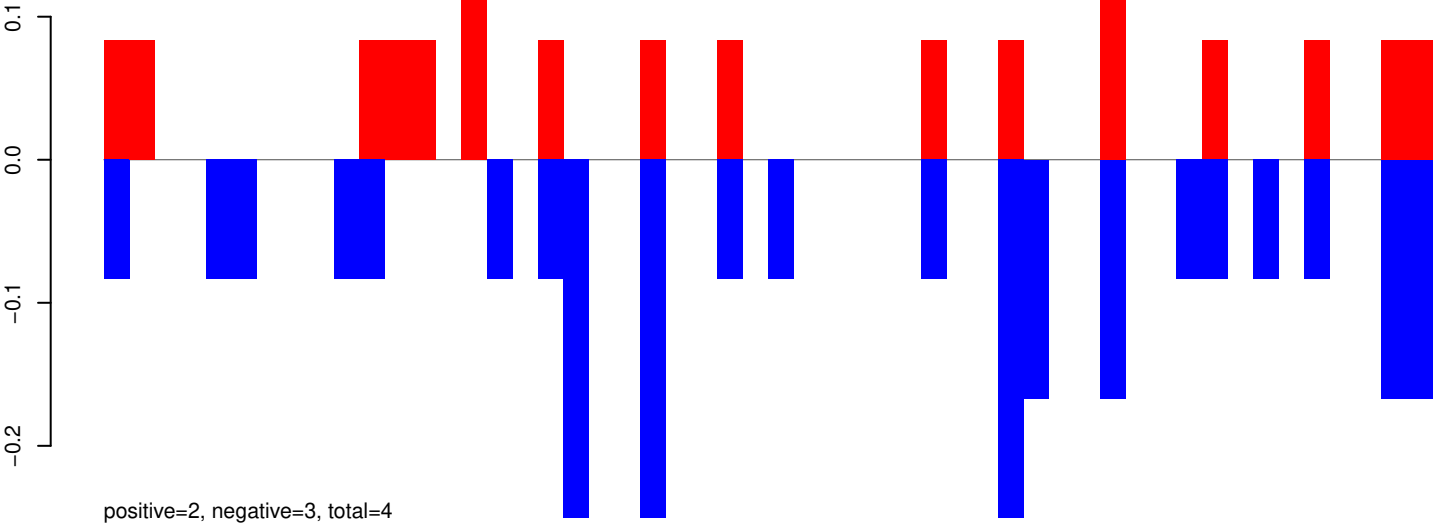
AeAeg_Aag2_Ago2_SINV_RA.24_35.rep



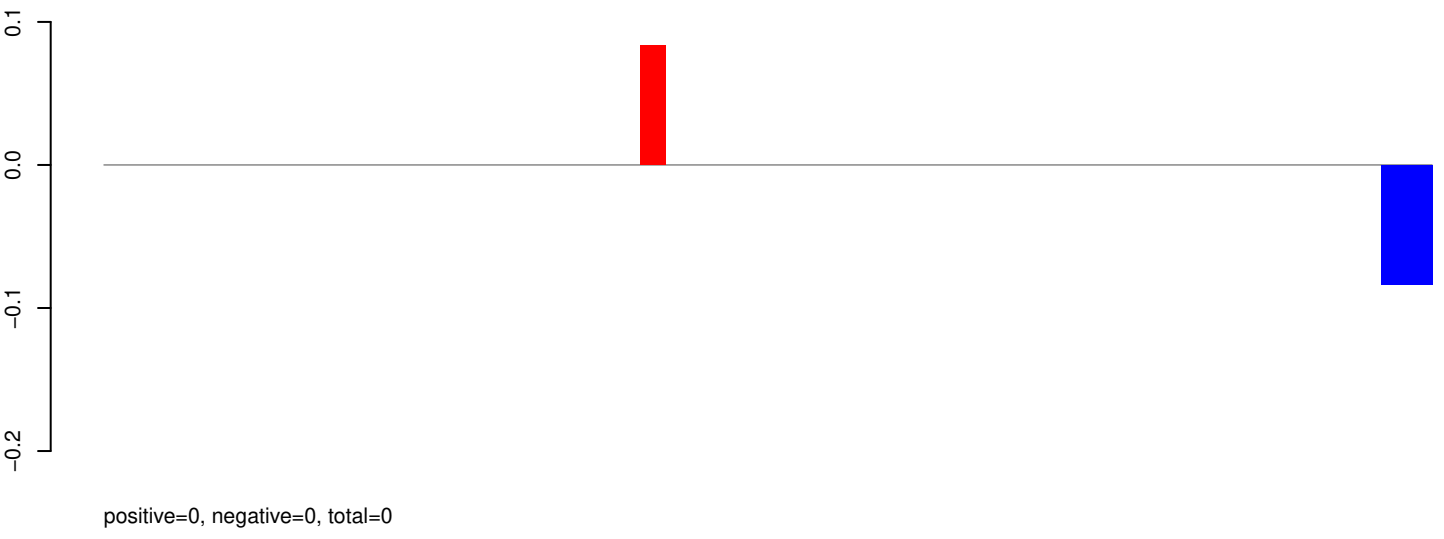
AeAeg_Aag2_Ago2_SINV_RA.rep



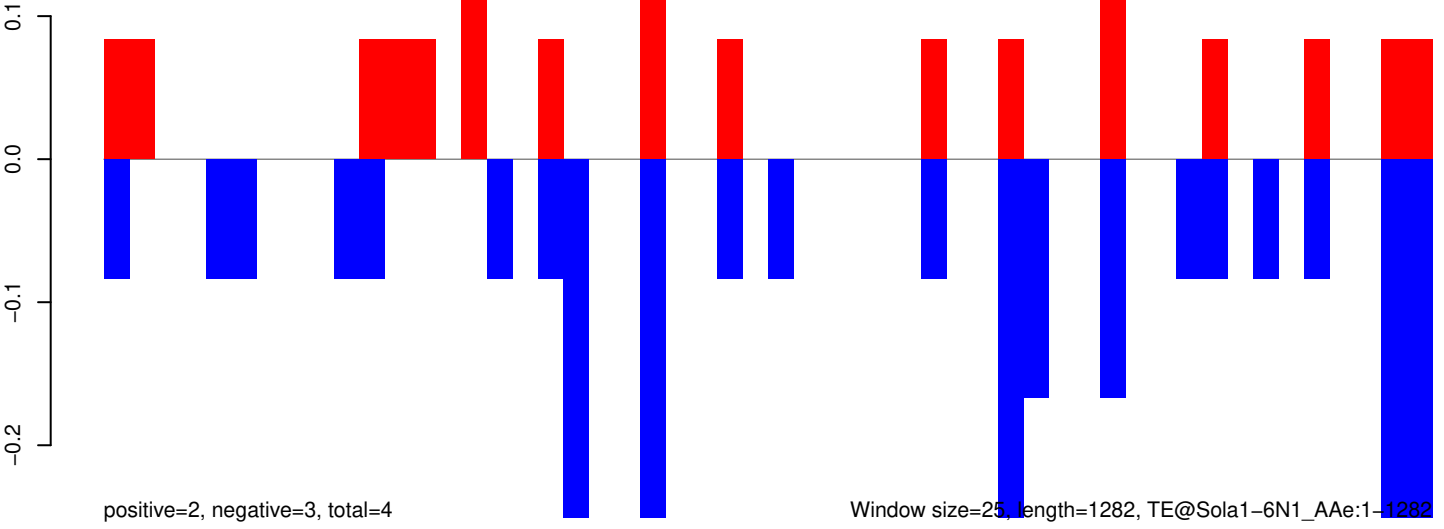
AeAeg_Aag2_Ago2_SINV_RA.18_23.rep



AeAeg_Aag2_Ago2_SINV_RA.24_35.rep

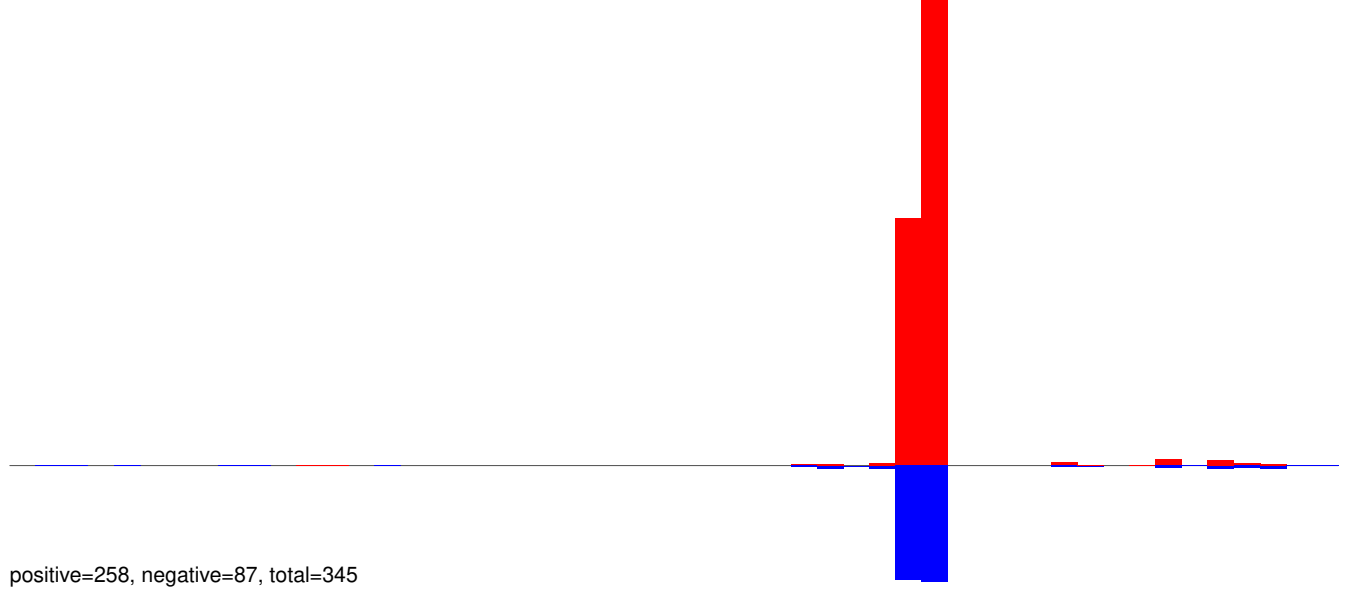


AeAeg_Aag2_Ago2_SINV_RA.rep

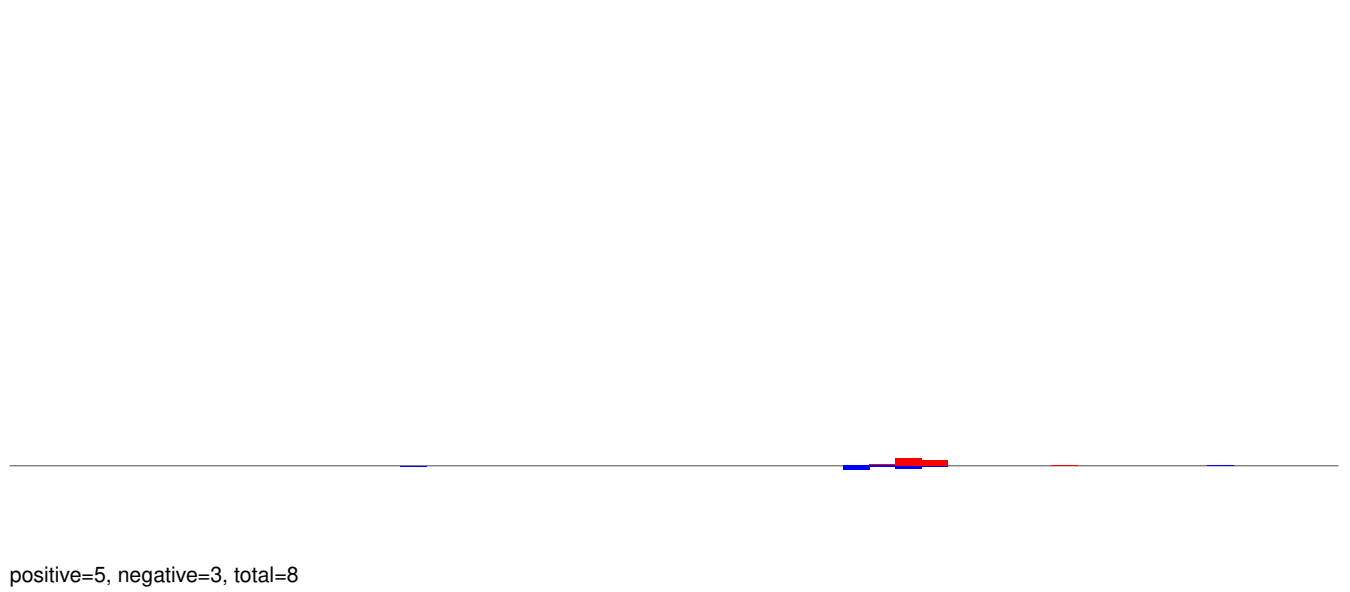


Window size=25, length=1282, TE@Sola1-6N1_A Ae:1-1282

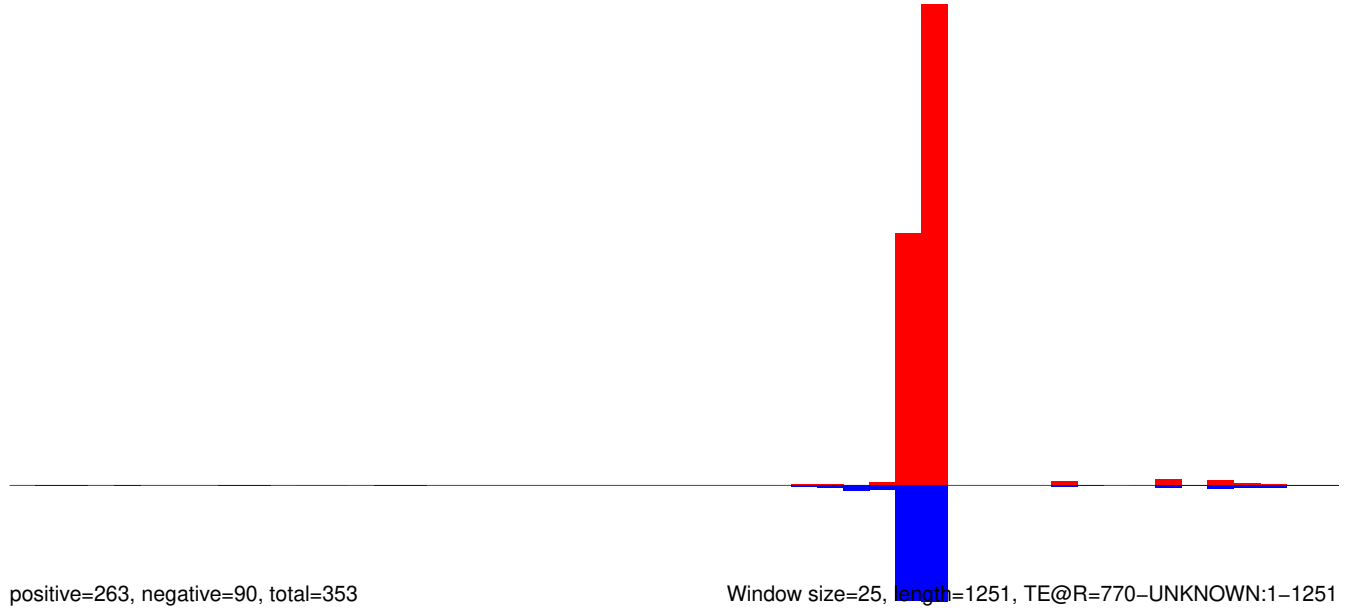
AeAeg_Aag2_Ago2_SINV_RA.18_23.rep



AeAeg_Aag2_Ago2_SINV_RA.24_35.rep

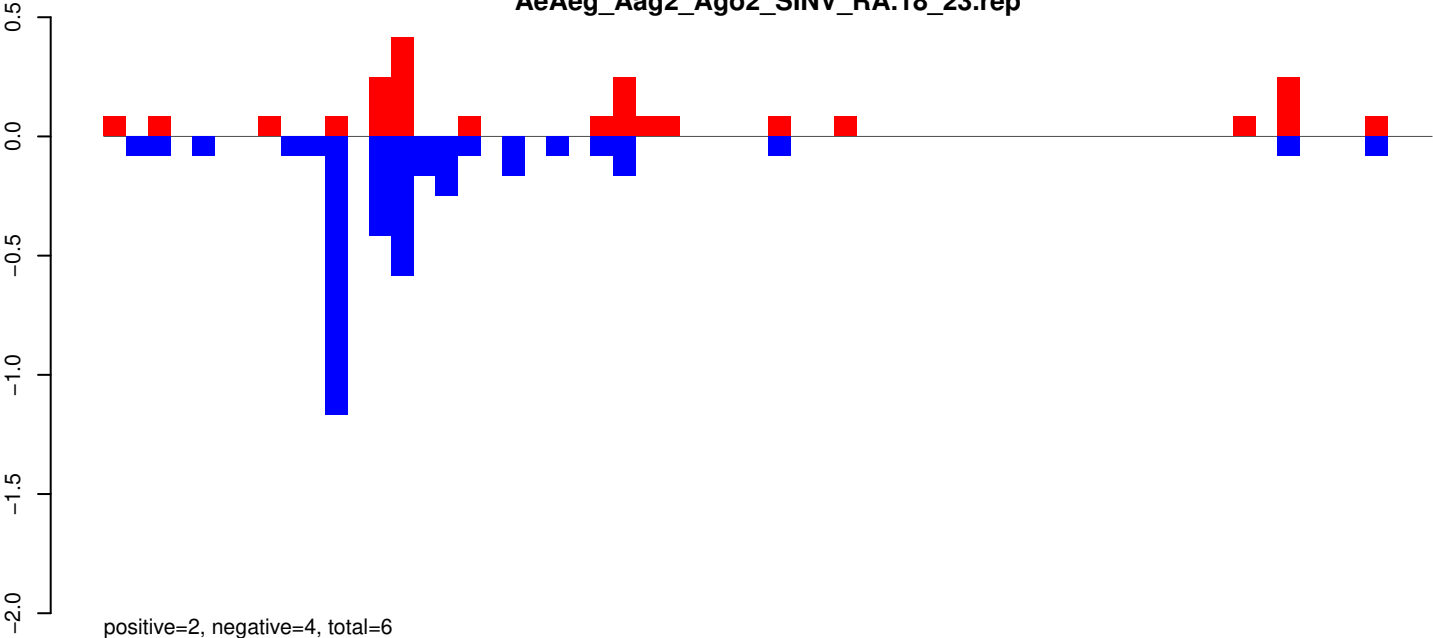


AeAeg_Aag2_Ago2_SINV_RA.rep

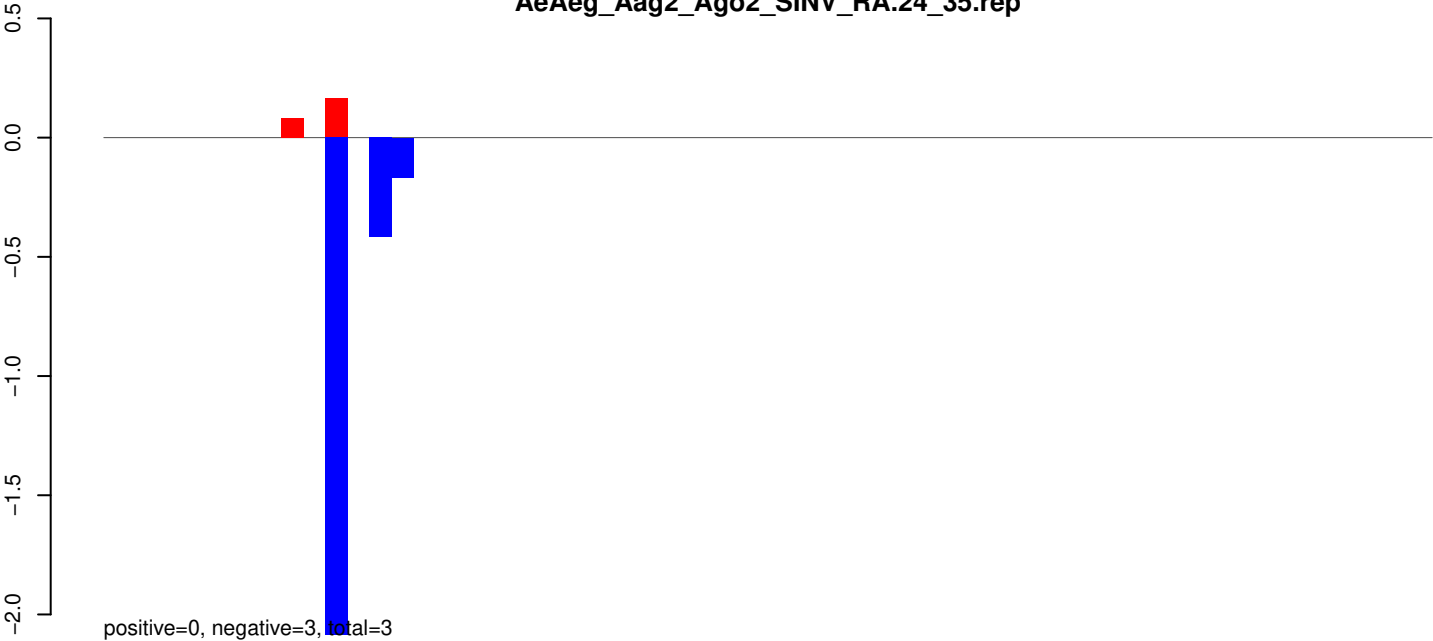


0 200 400 600 800 1000 1200

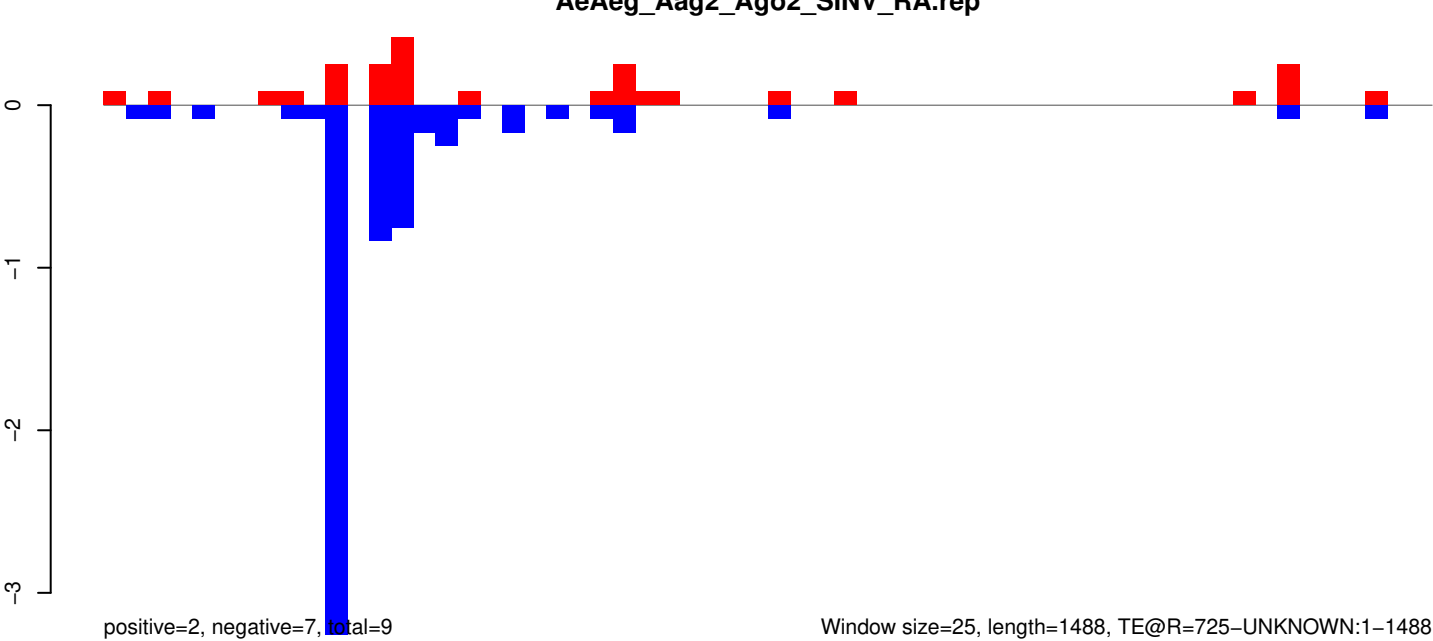
AeAeg_Aag2_Ago2_SINV_RA.18_23.rep



AeAeg_Aag2_Ago2_SINV_RA.24_35.rep



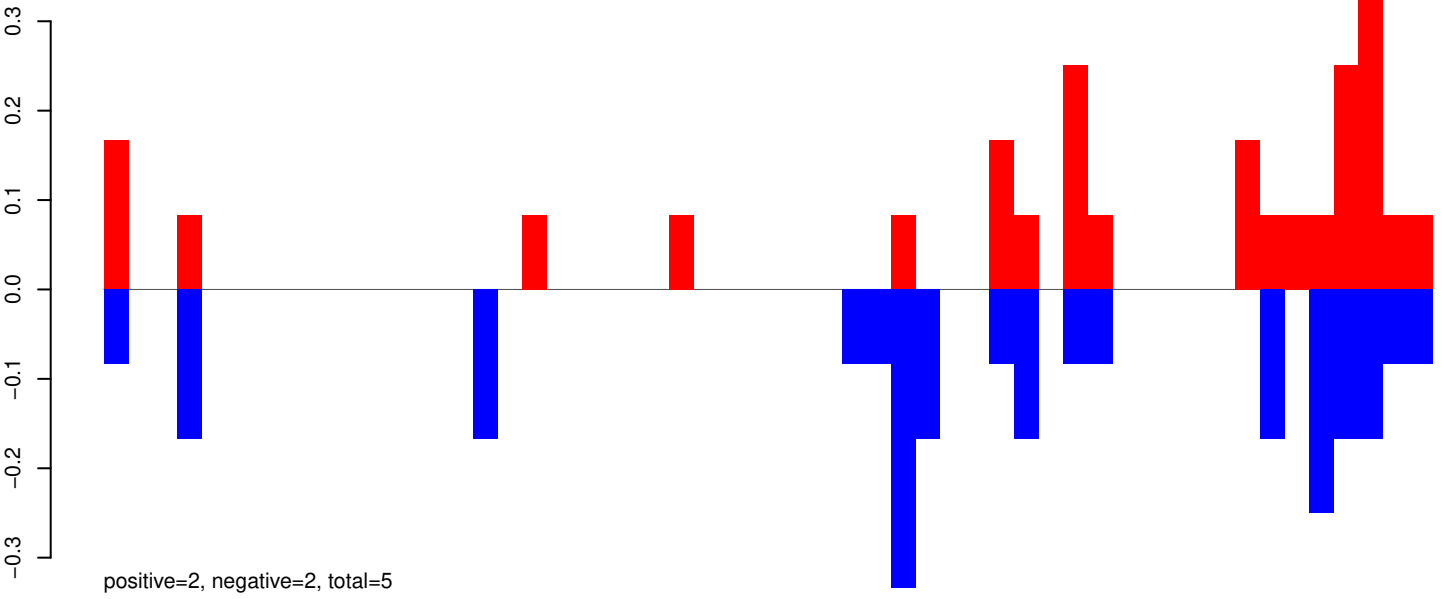
AeAeg_Aag2_Ago2_SINV_RA.rep



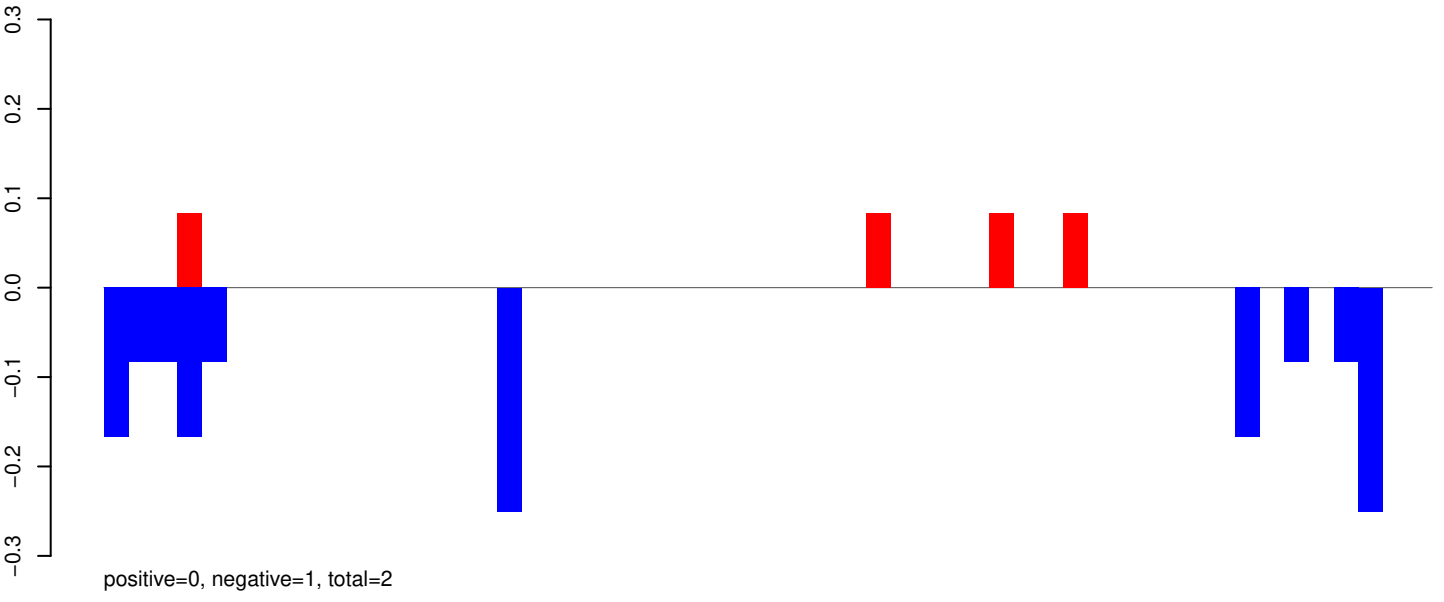
Window size=25, length=1488, TE@R=725-UNKNOWN:1-1488

0 500 1000 1500

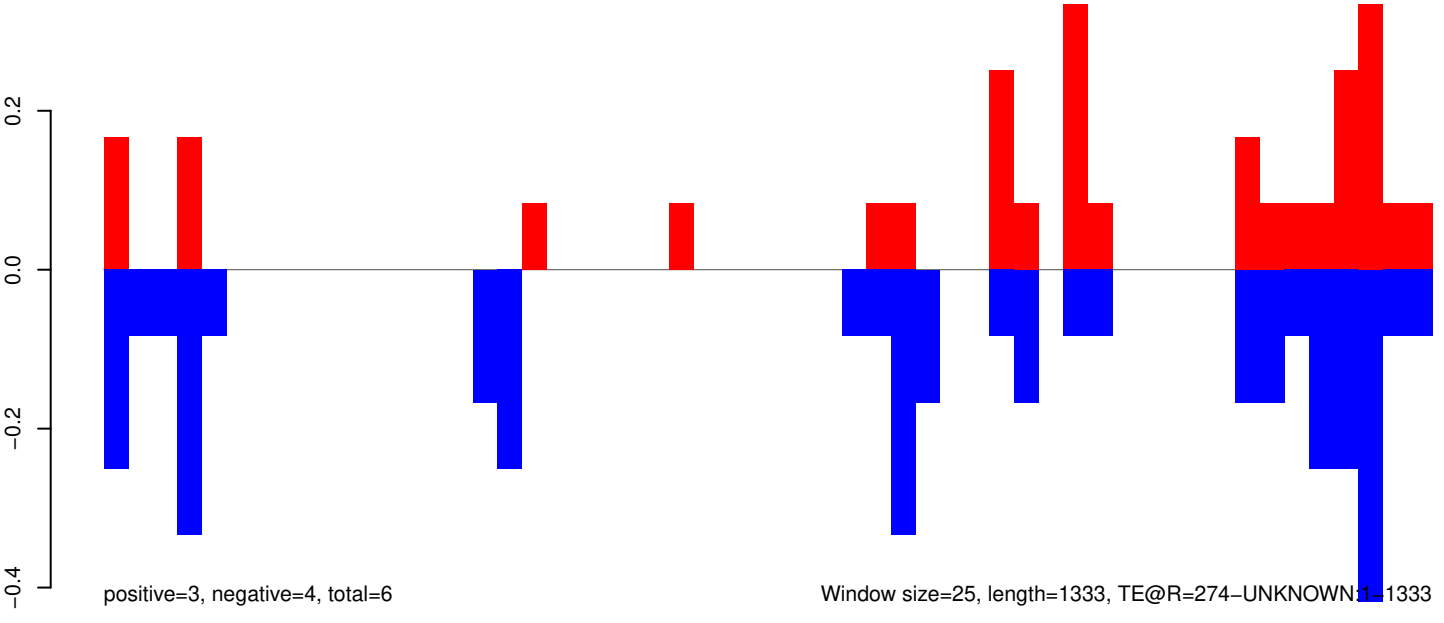
AeAeg_Aag2_Ago2_SINV_RA.18_23.rep



AeAeg_Aag2_Ago2_SINV_RA.24_35.rep

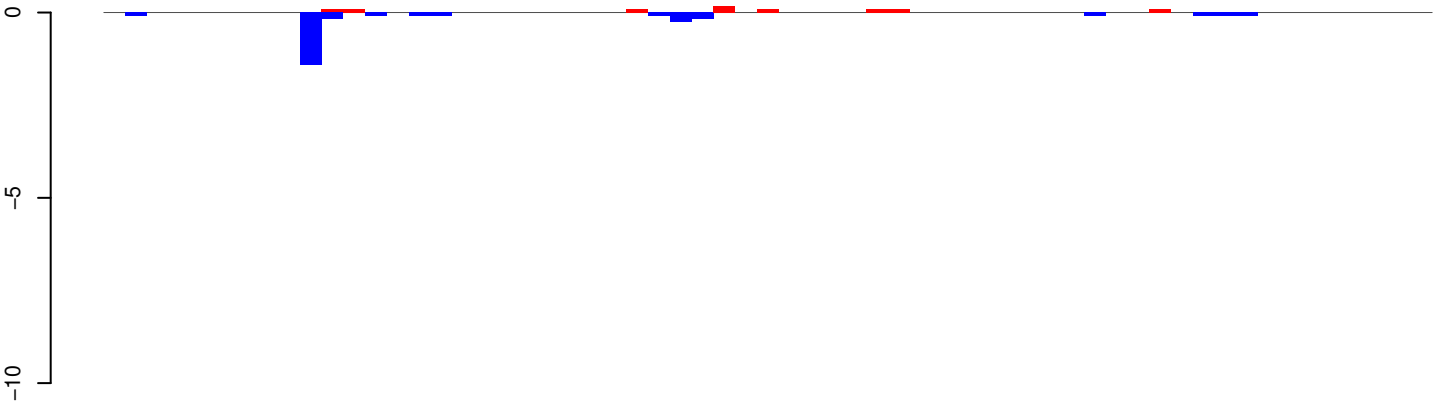


AeAeg_Aag2_Ago2_SINV_RA.rep



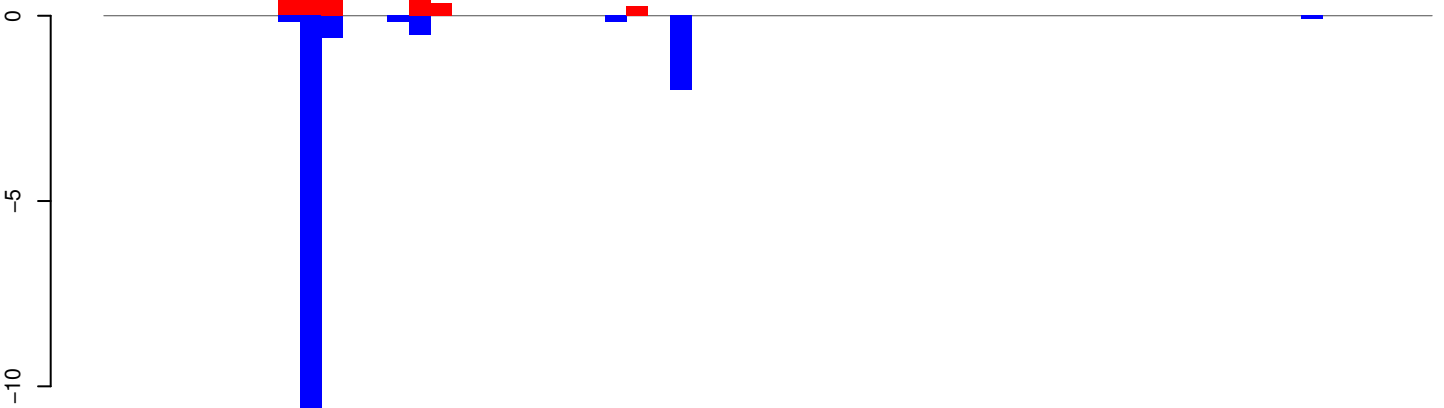
0 200 400 600 800 1000 1200 1400

AeAeg_Aag2_Ago2_SINV_RA.18_23.rep



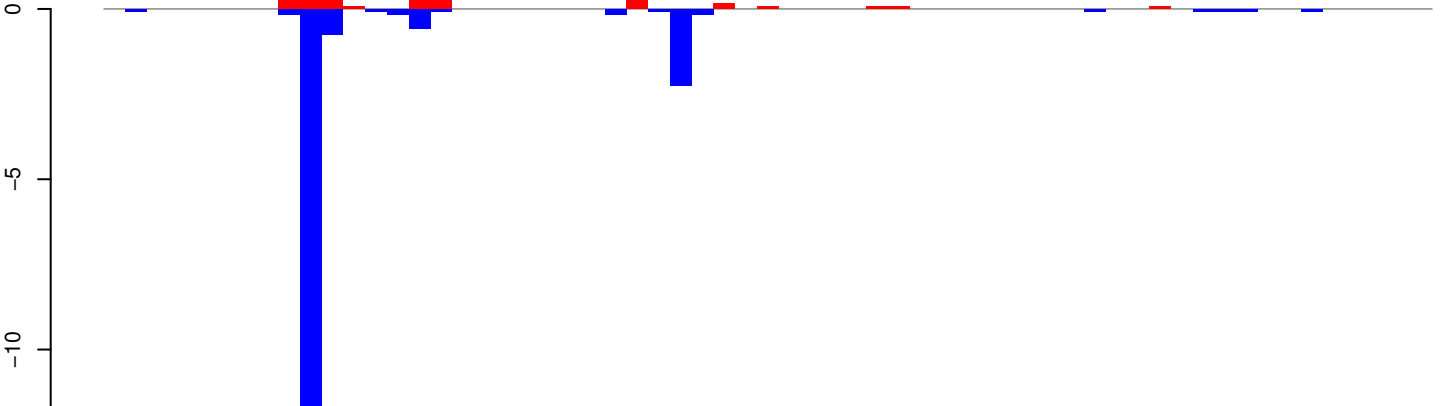
positive=1, negative=3, total=4

AeAeg_Aag2_Ago2_SINV_RA.24_35.rep



positive=5, negative=17, total=22

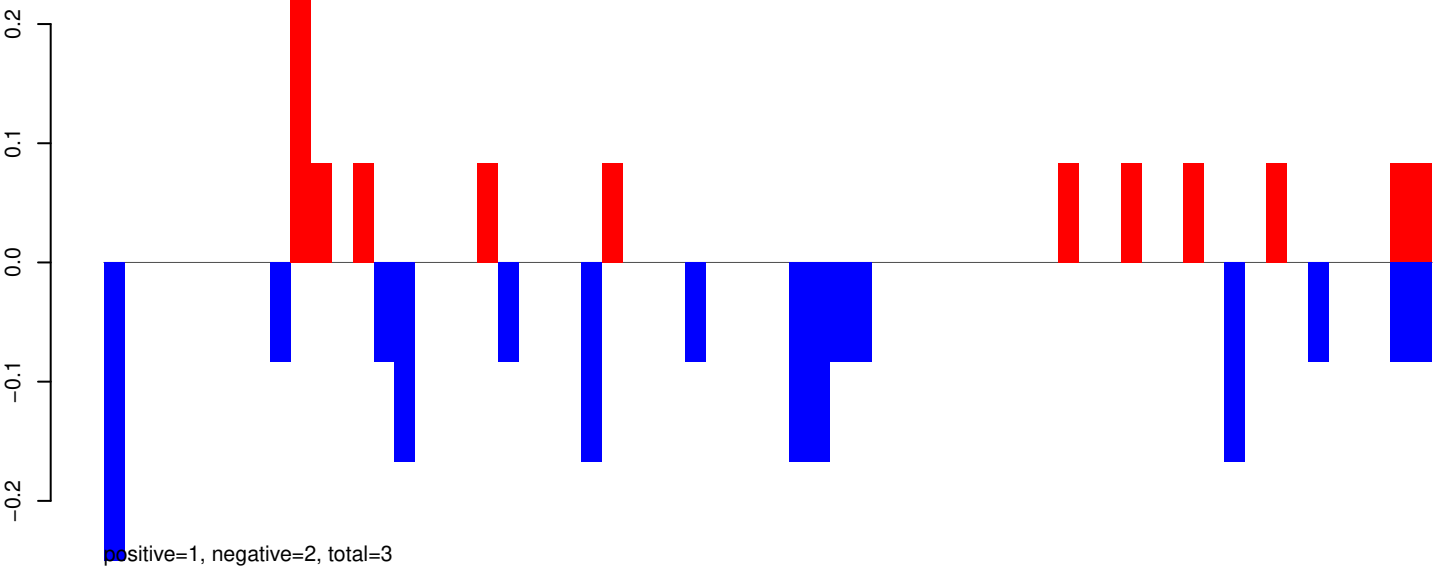
AeAeg_Aag2_Ago2_SINV_RA.rep



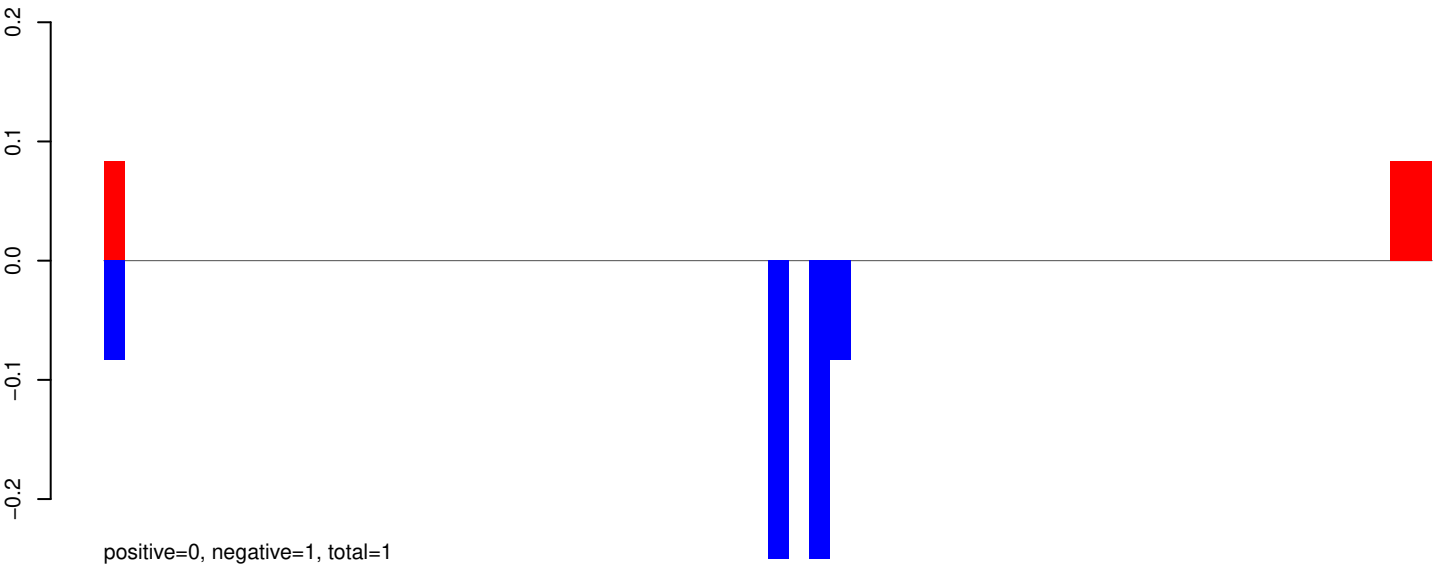
positive=6, negative=20, total=26

Window size=25, length=1512, TE@R=1426-UNKNOWN:1-1512

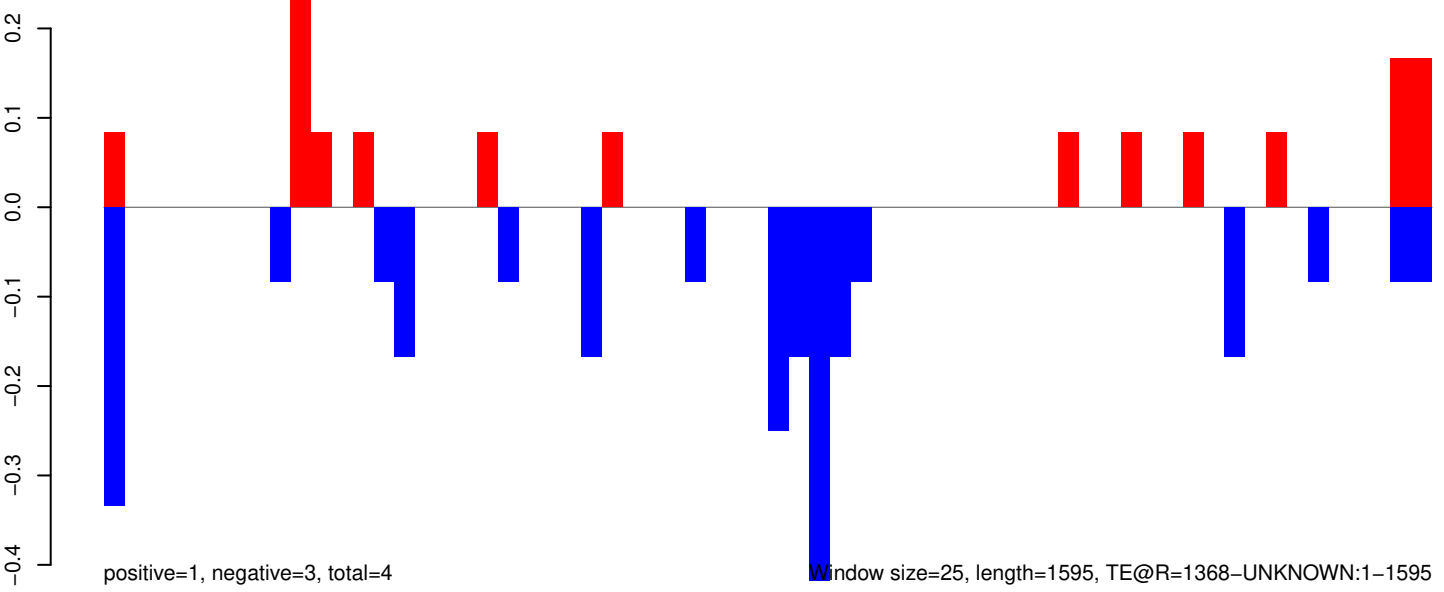
AeAeg_Aag2_Ago2_SINV_RA.18_23.rep



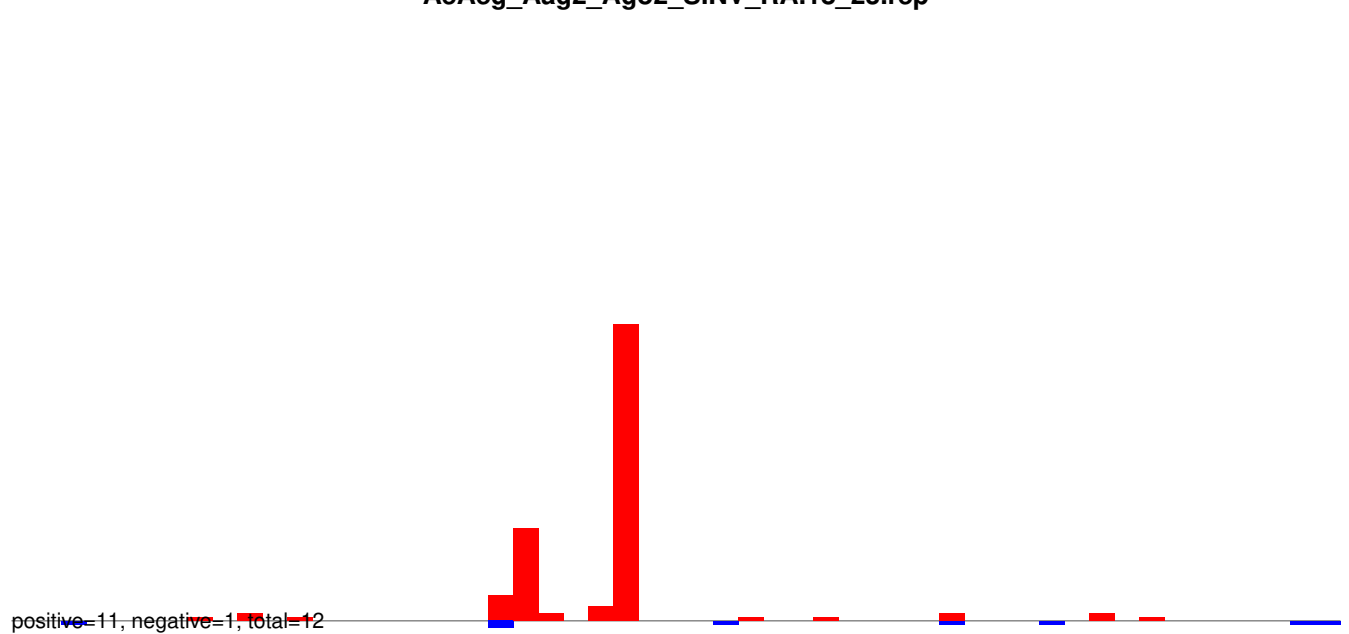
AeAeg_Aag2_Ago2_SINV_RA.24_35.rep



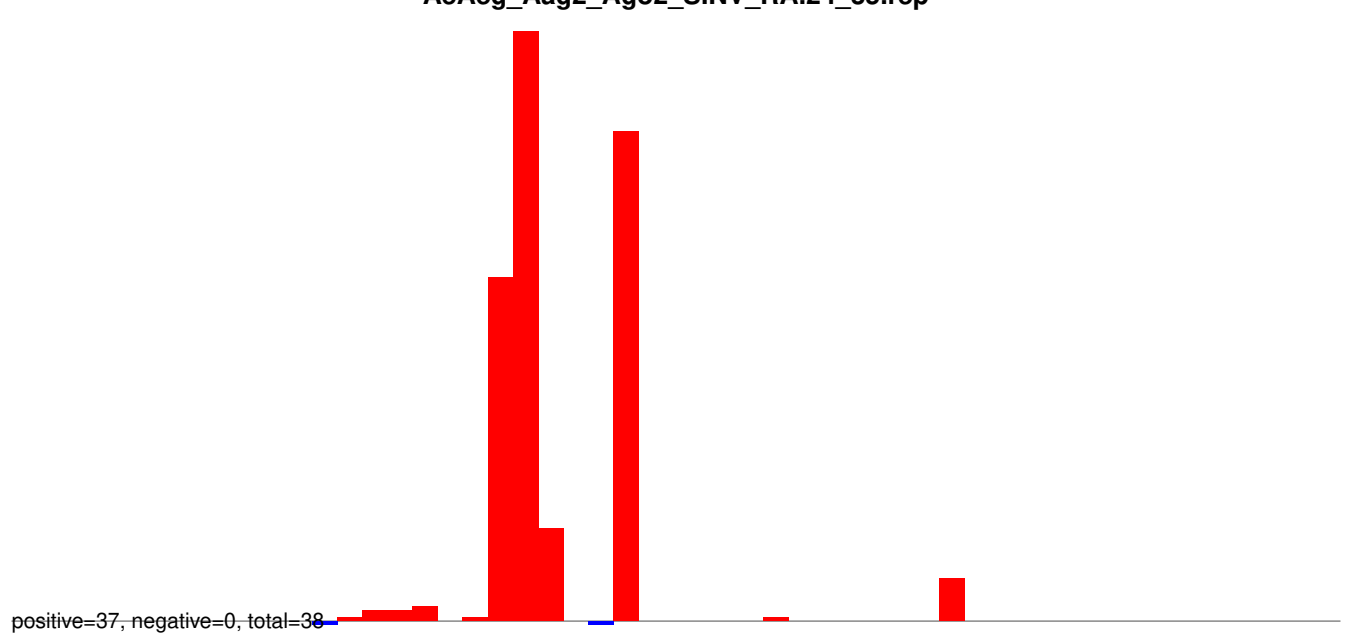
AeAeg_Aag2_Ago2_SINV_RA.rep



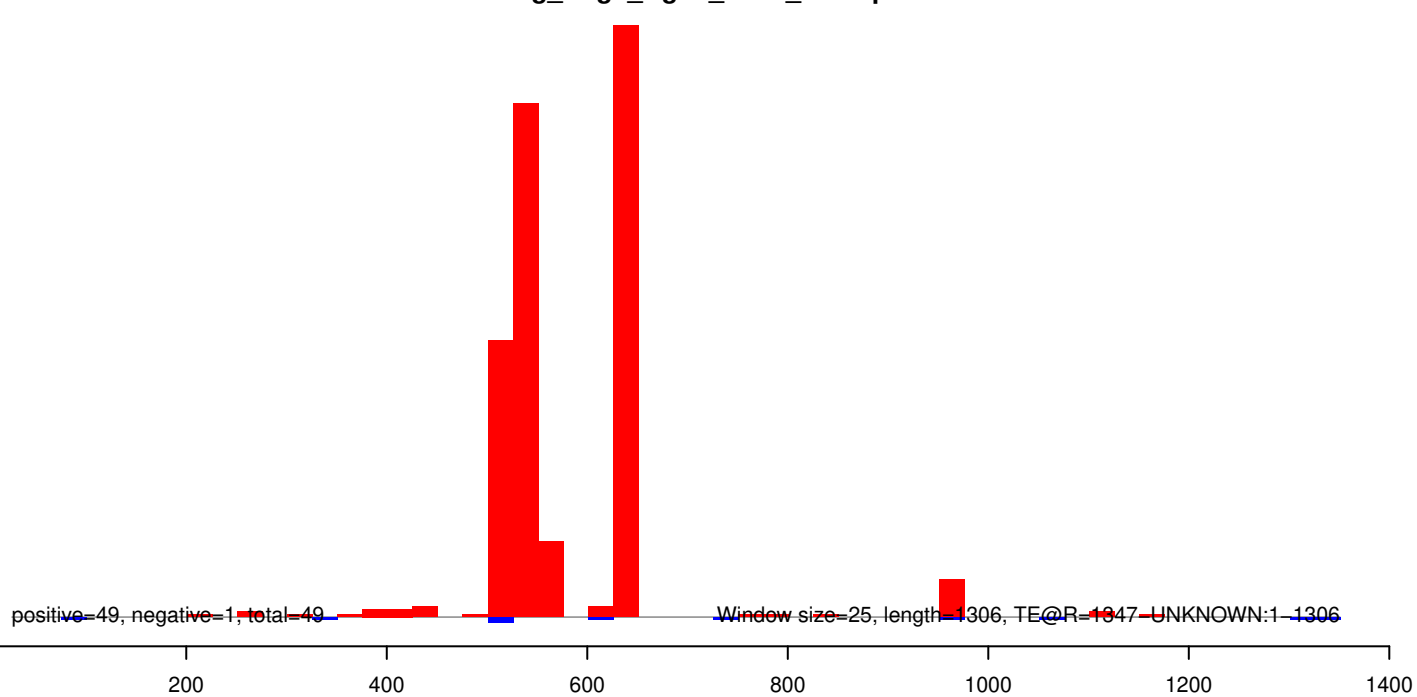
AeAeg_Aag2_Ago2_SINV_RA.18_23.rep



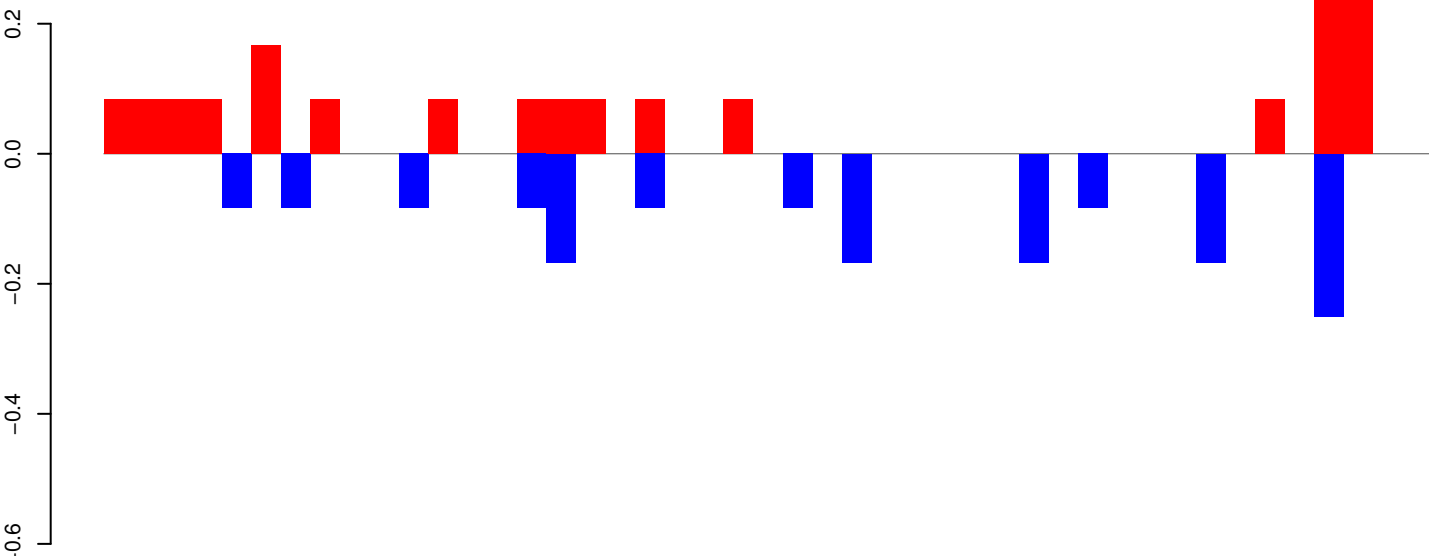
AeAeg_Aag2_Ago2_SINV_RA.24_35.rep



AeAeg_Aag2_Ago2_SINV_RA.rep

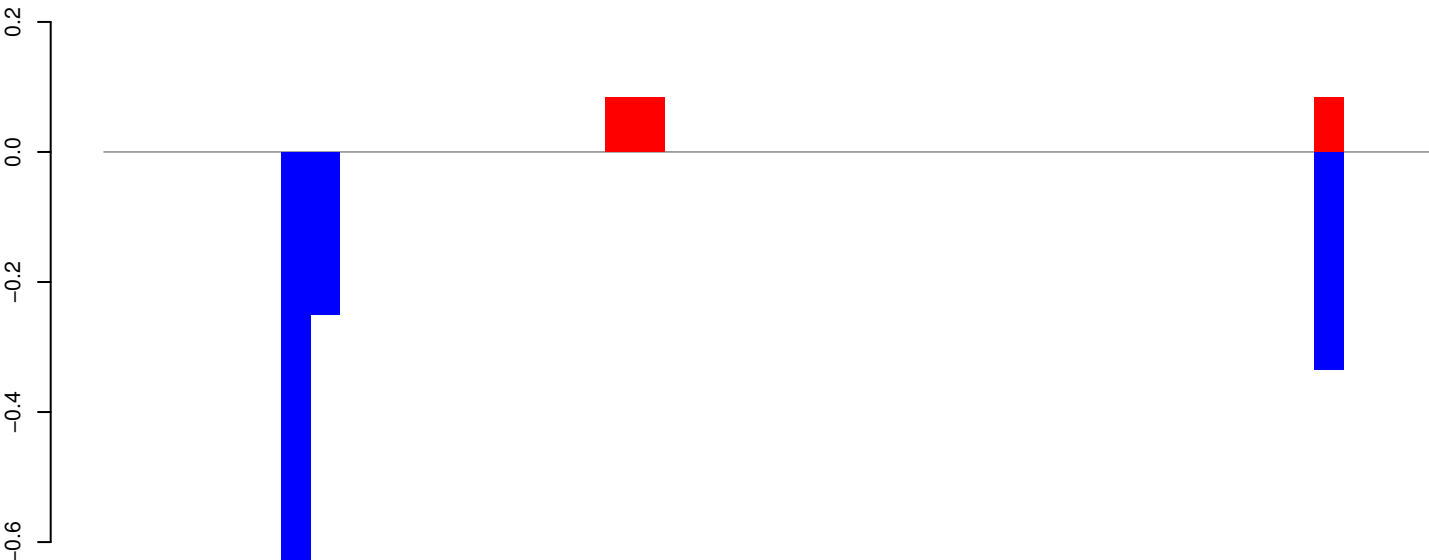


AeAeg_Aag2_Ago2_SINV_RA.18_23.rep



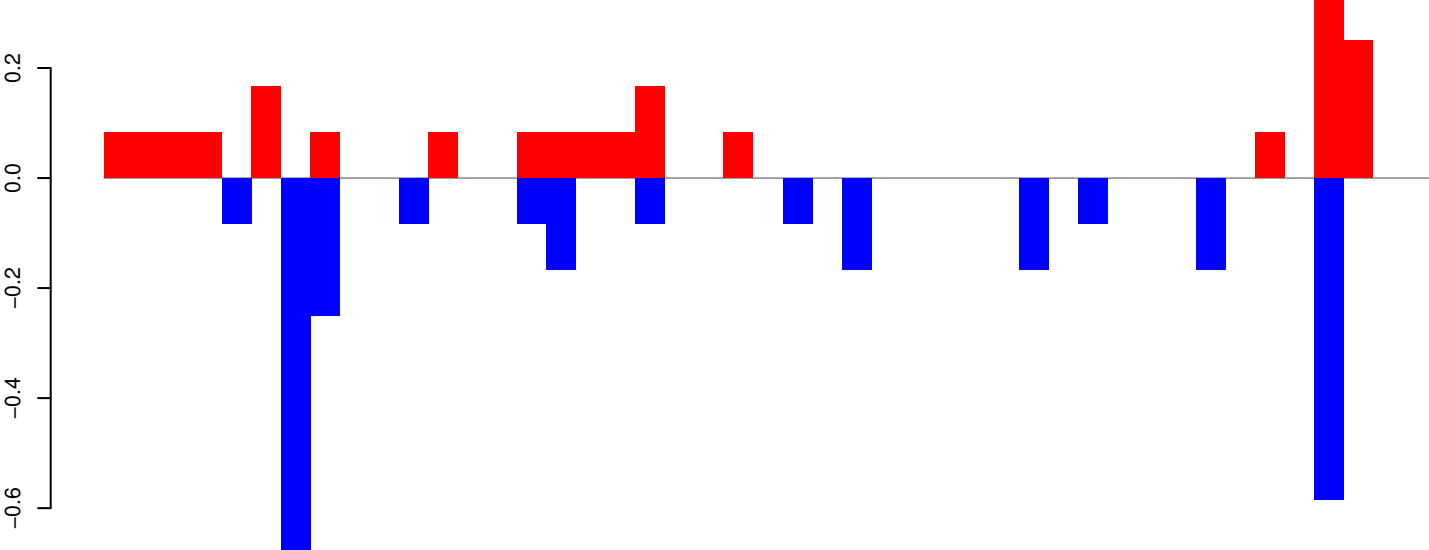
positive=2, negative=2, total=3

AeAeg_Aag2_Ago2_SINV_RA.24_35.rep



positive=0, negative=1, total=2

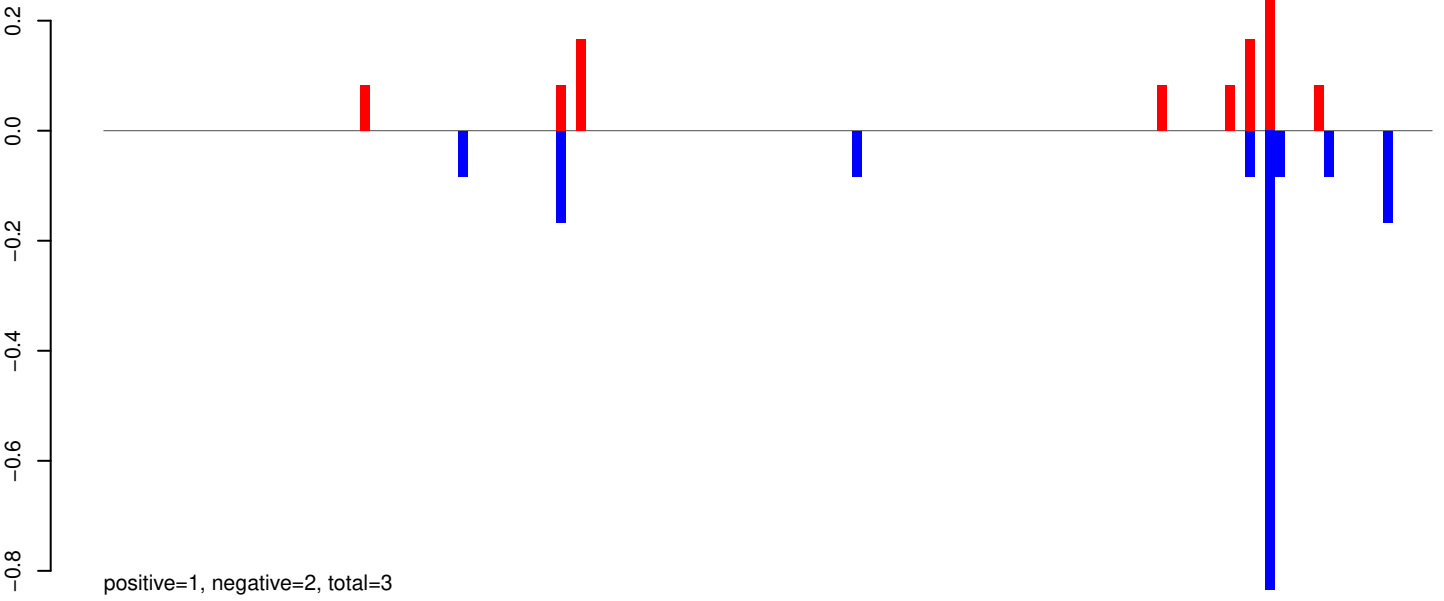
AeAeg_Aag2_Ago2_SINV_RA.rep



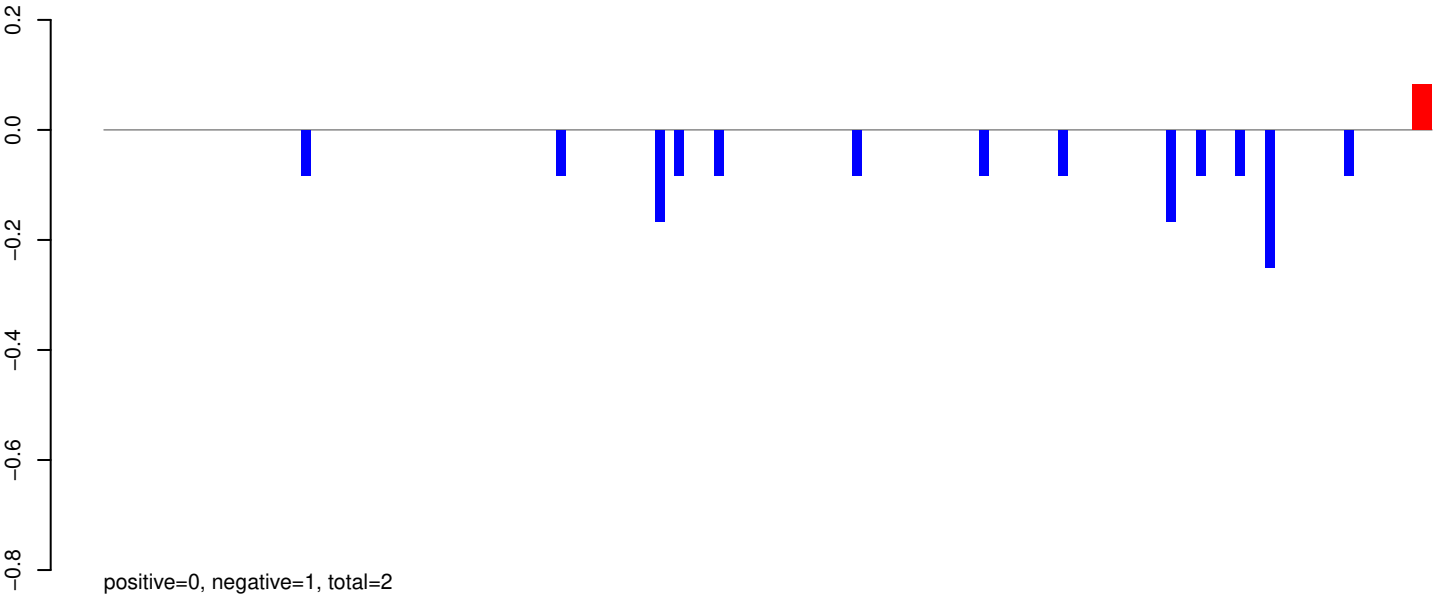
positive=2, negative=3, total=5

Window size=25, length=1118, TE@R=1153-UNKNOWN:1-1118

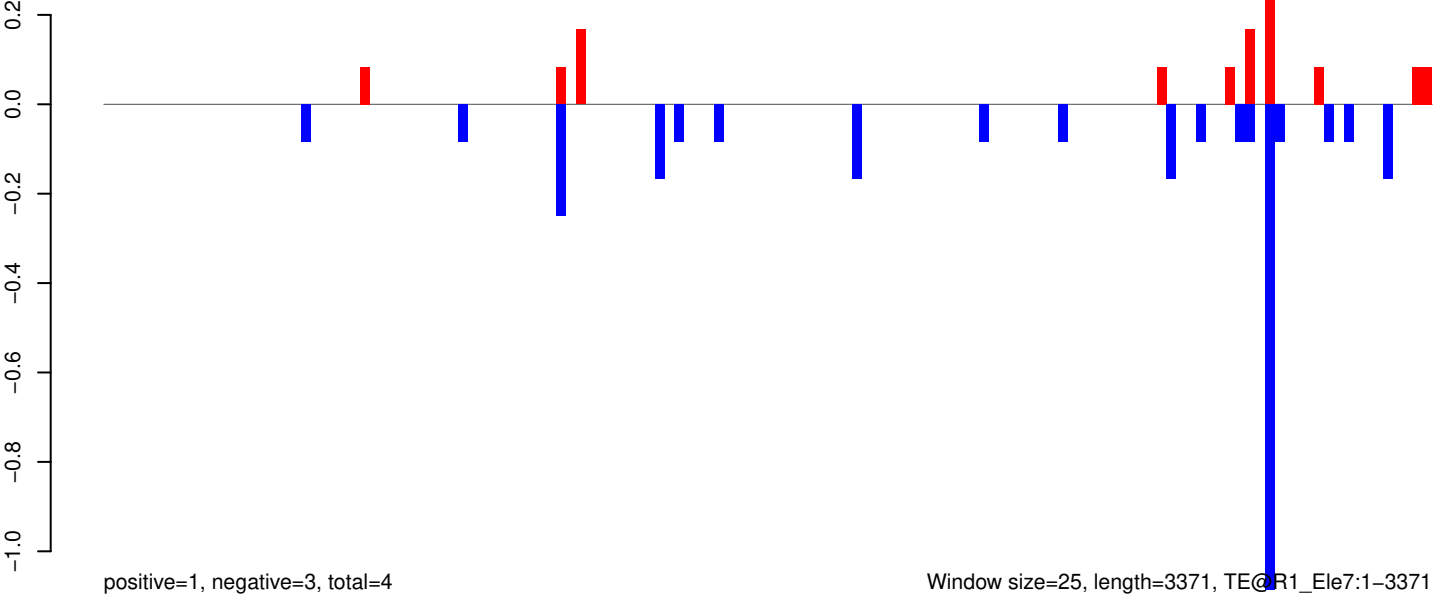
AeAeg_Aag2_Ago2_SINV_RA.18_23.rep



AeAeg_Aag2_Ago2_SINV_RA.24_35.rep



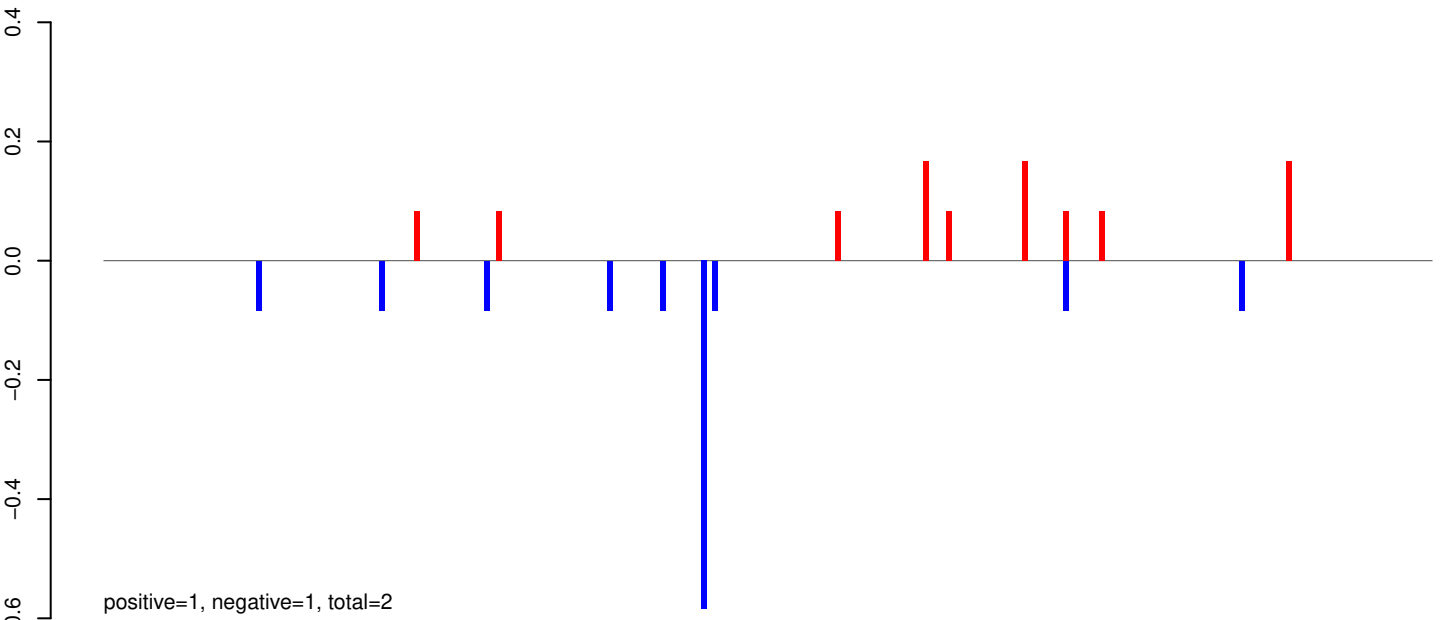
AeAeg_Aag2_Ago2_SINV_RA.rep



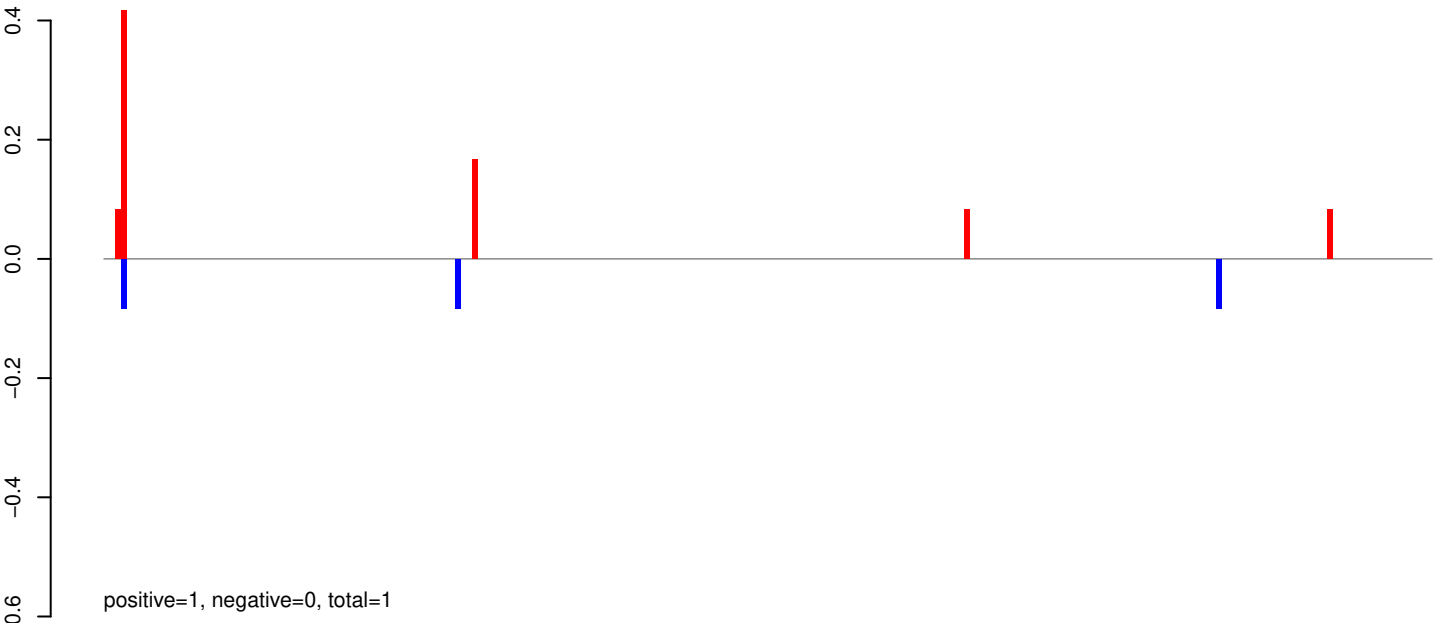
Window size=25, length=3371, TE@R1_Ele7:1-3371

0 500 1000 1500 2000 2500 3000 3500

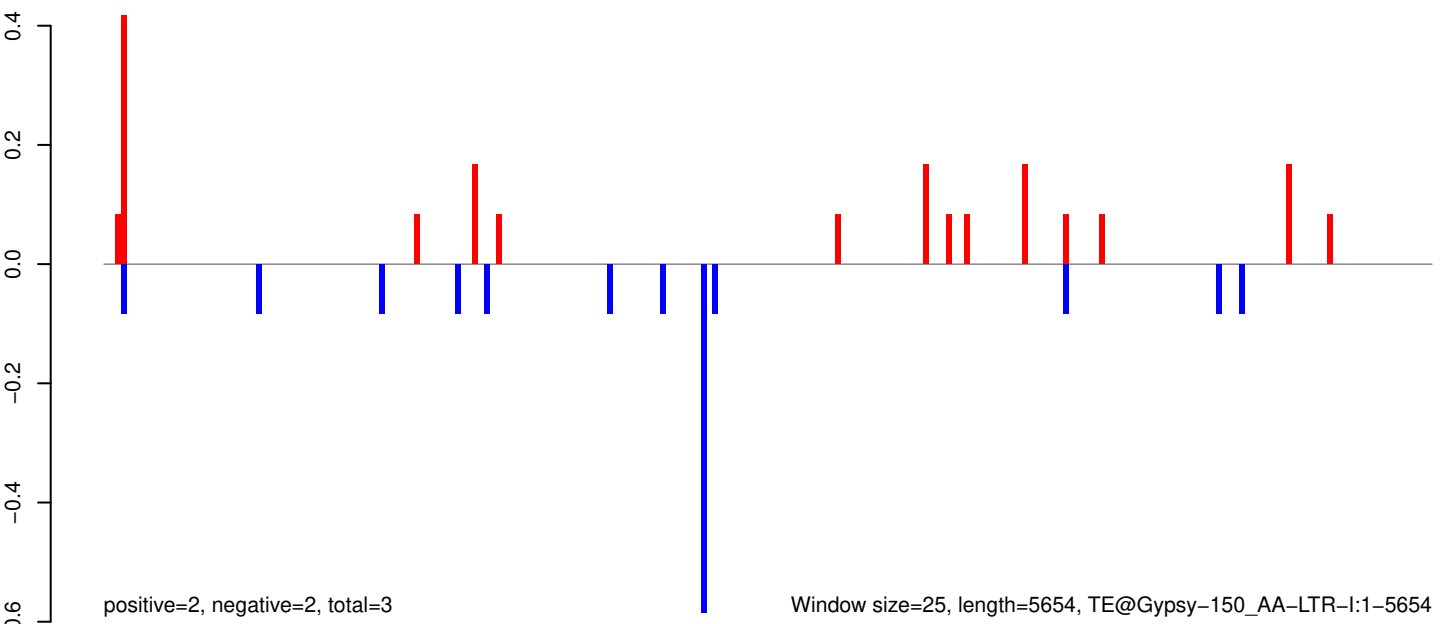
AeAeg_Aag2_Ago2_SINV_RA.18_23.rep



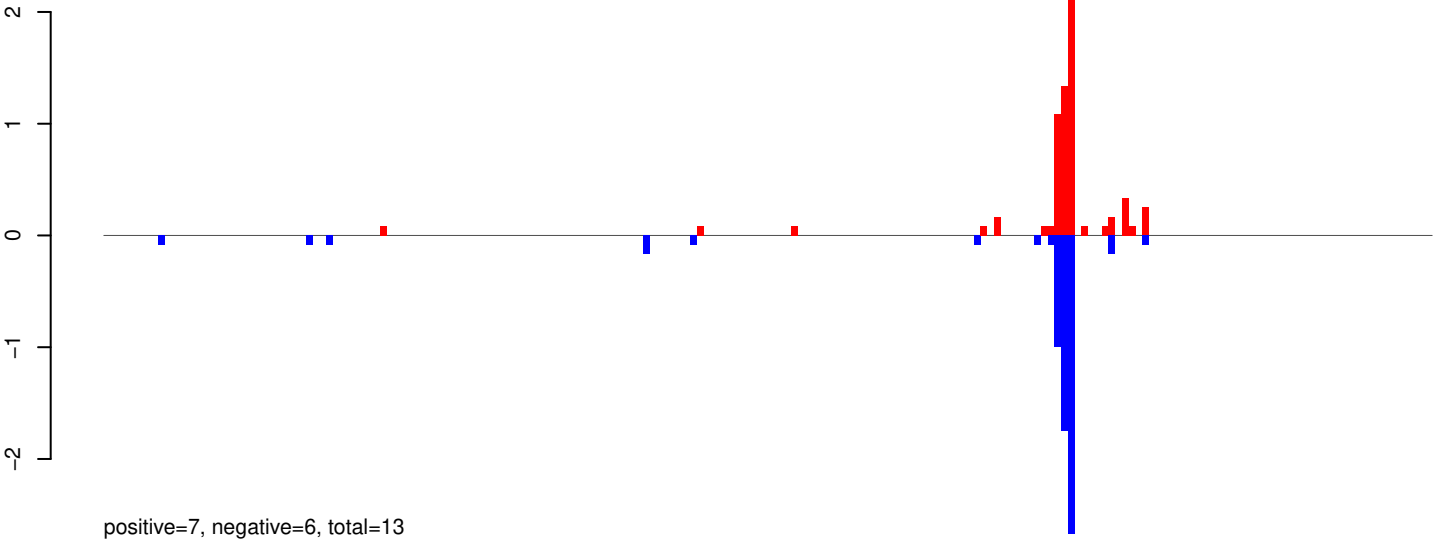
AeAeg_Aag2_Ago2_SINV_RA.24_35.rep



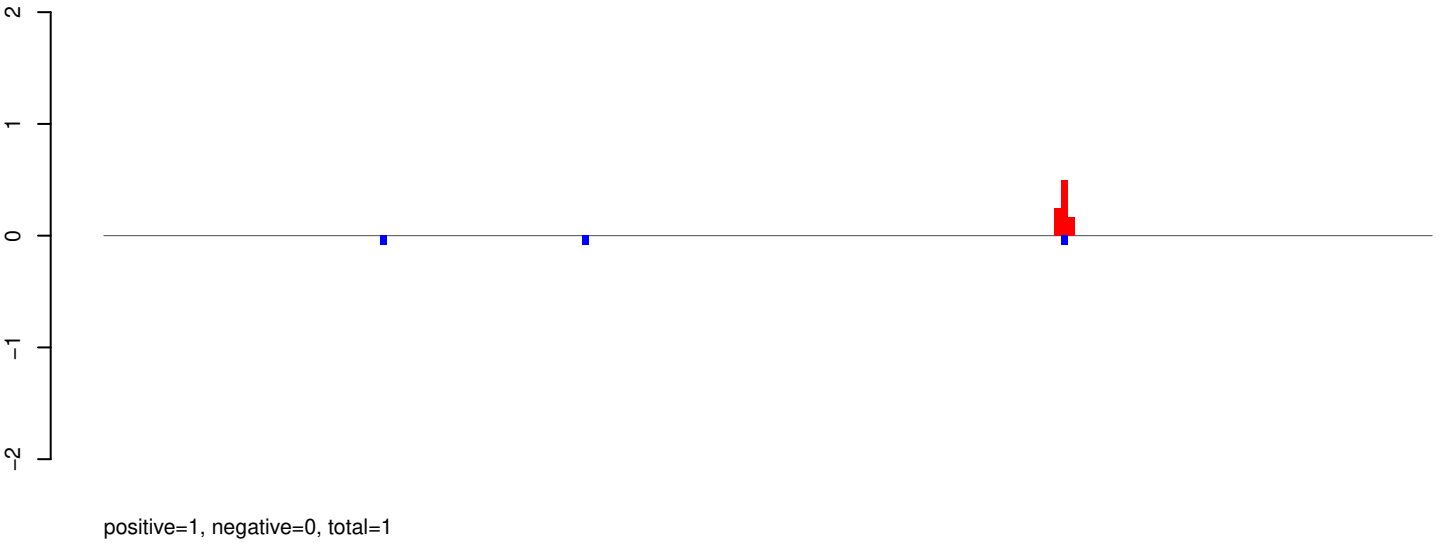
AeAeg_Aag2_Ago2_SINV_RA.rep



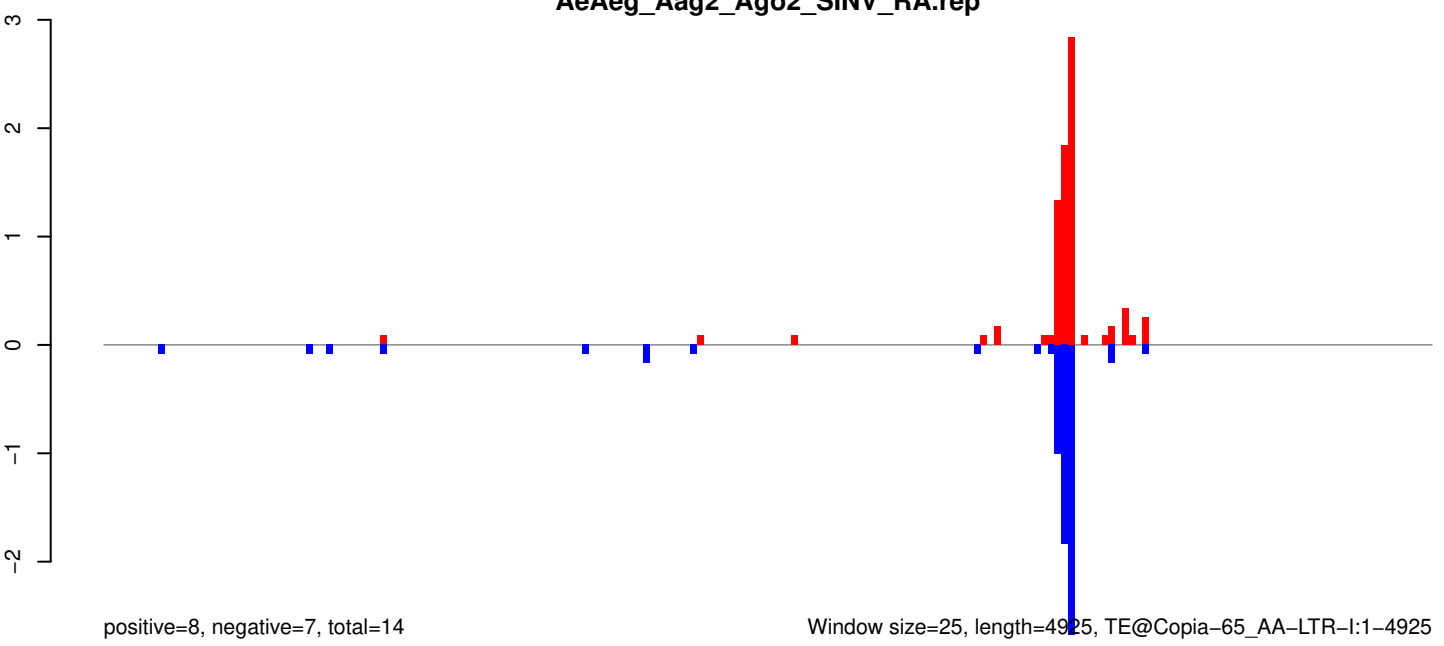
AeAeg_Aag2_Ago2_SINV_RA.18_23.rep



AeAeg_Aag2_Ago2_SINV_RA.24_35.rep

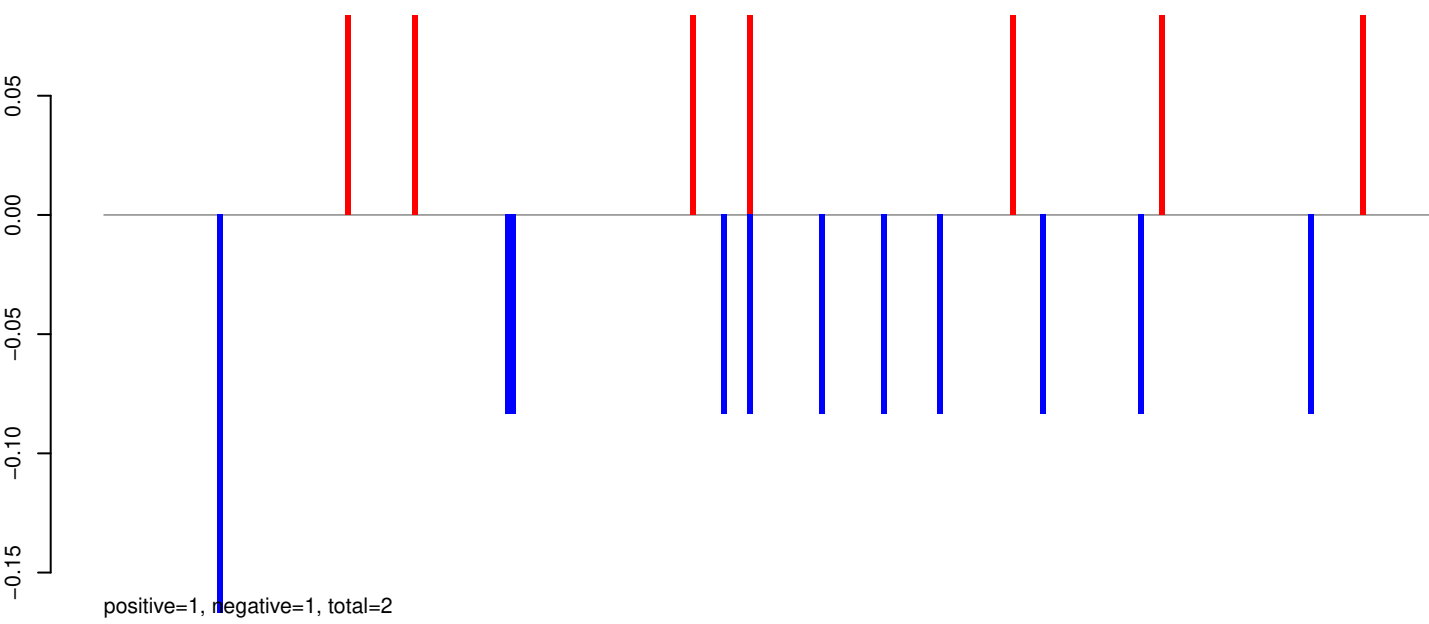


AeAeg_Aag2_Ago2_SINV_RA.rep

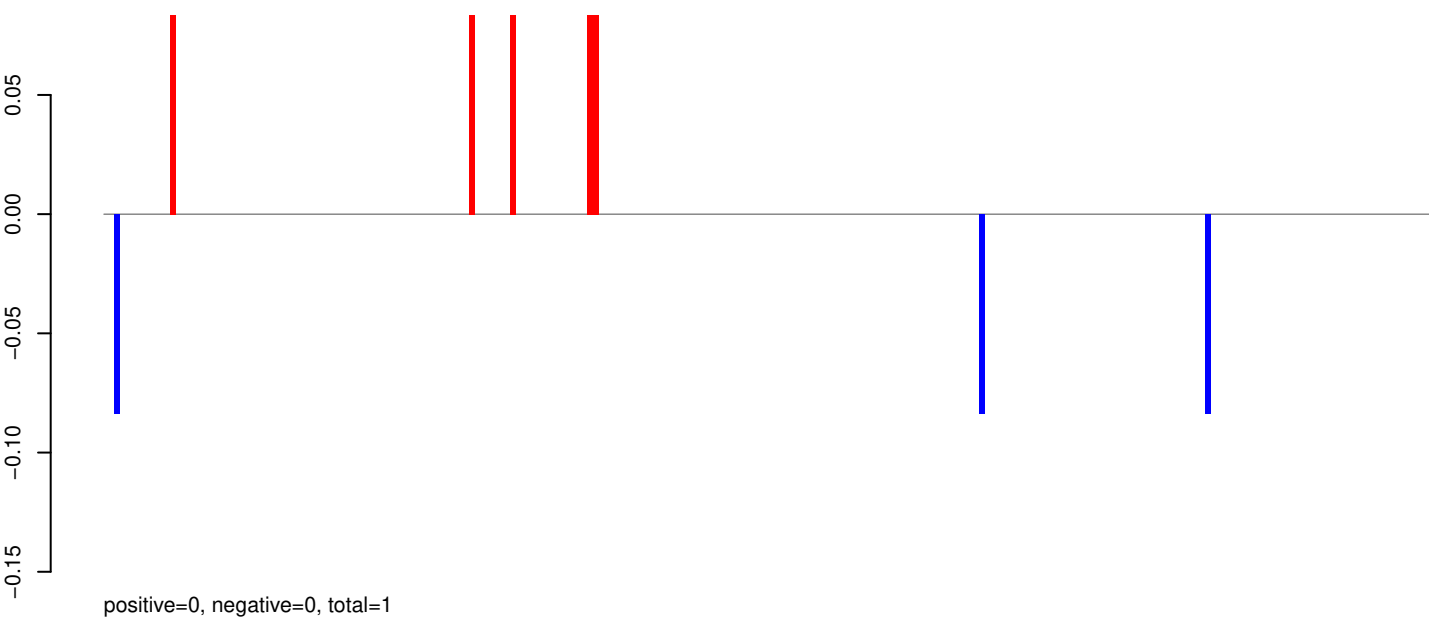


Window size=25, length=4925, TE@Copia-65_AA-LTR-I:1-4925

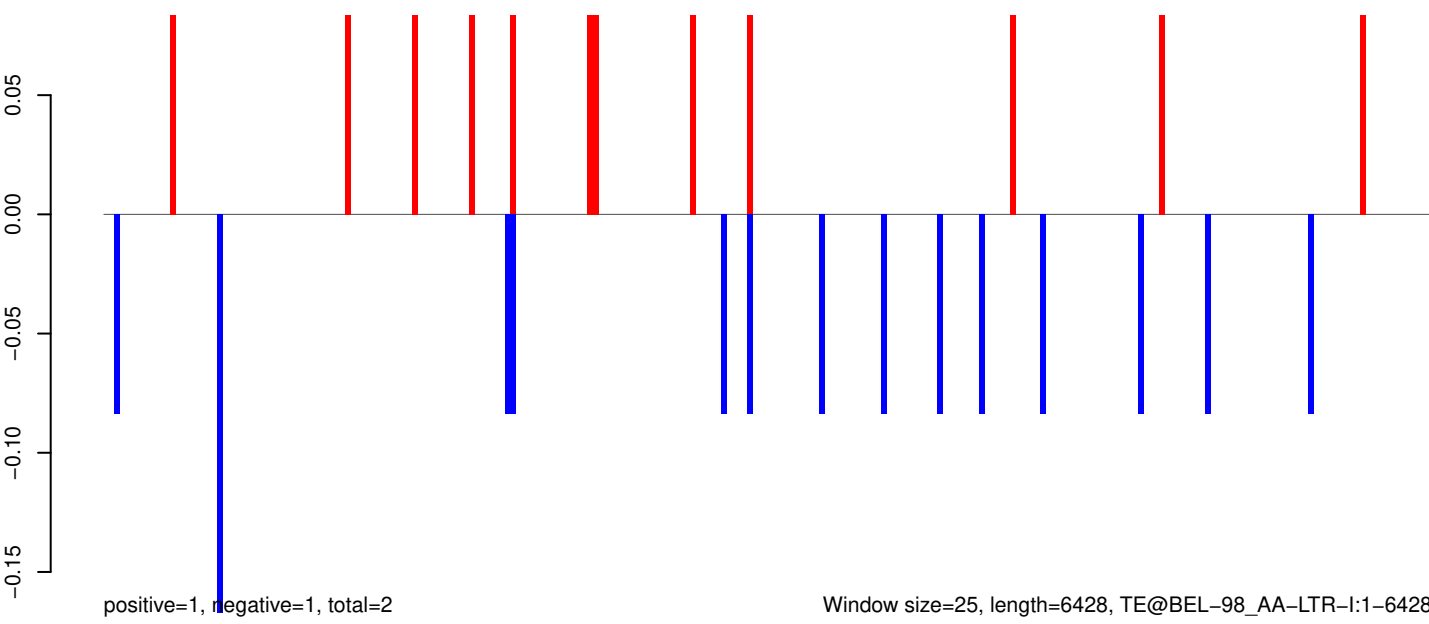
AeAeg_Aag2_Ago2_SINV_RA.18_23.rep



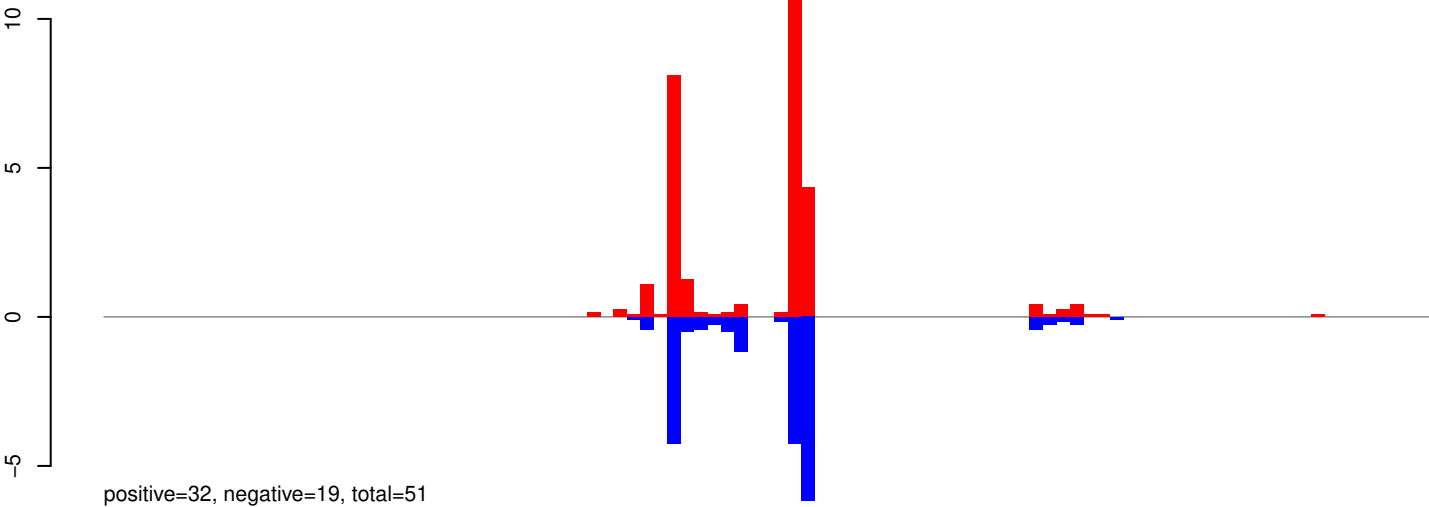
AeAeg_Aag2_Ago2_SINV_RA.24_35.rep



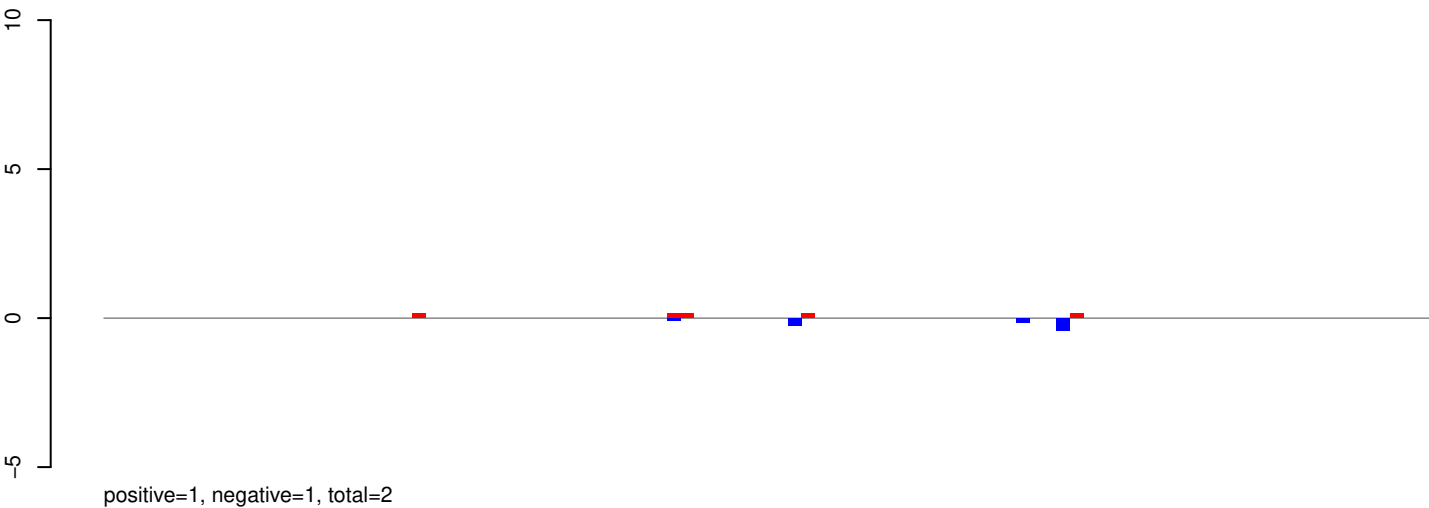
AeAeg_Aag2_Ago2_SINV_RA.rep



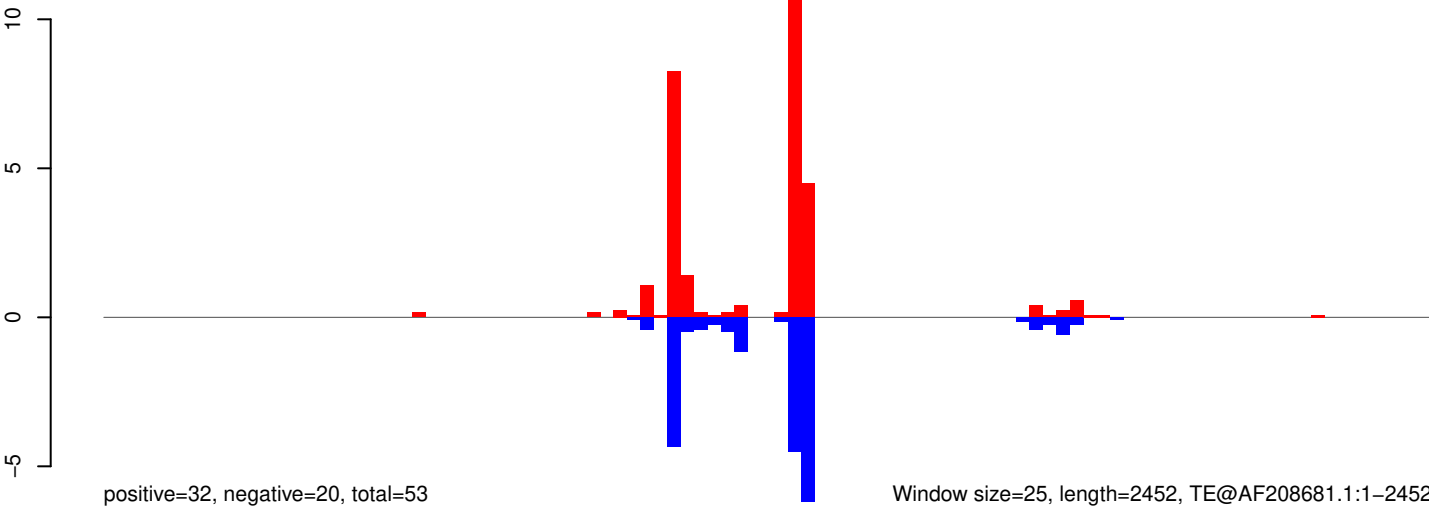
AeAeg_Aag2_Ago2_SINV_RA.18_23.rep



AeAeg_Aag2_Ago2_SINV_RA.24_35.rep



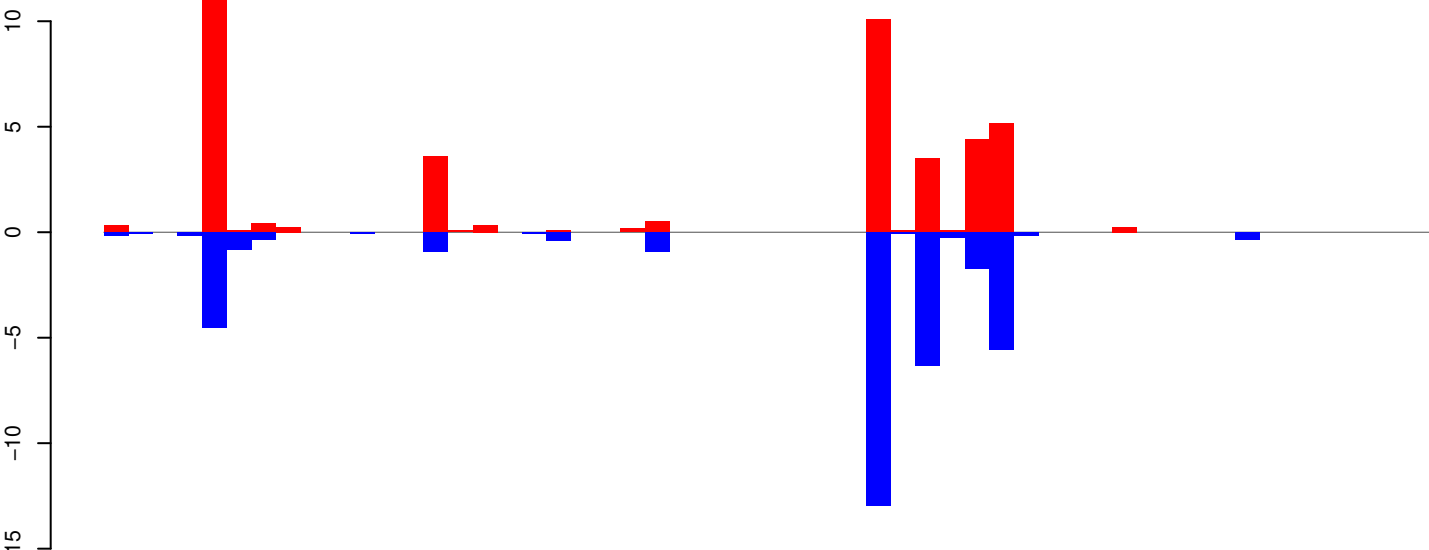
AeAeg_Aag2_Ago2_SINV_RA.rep



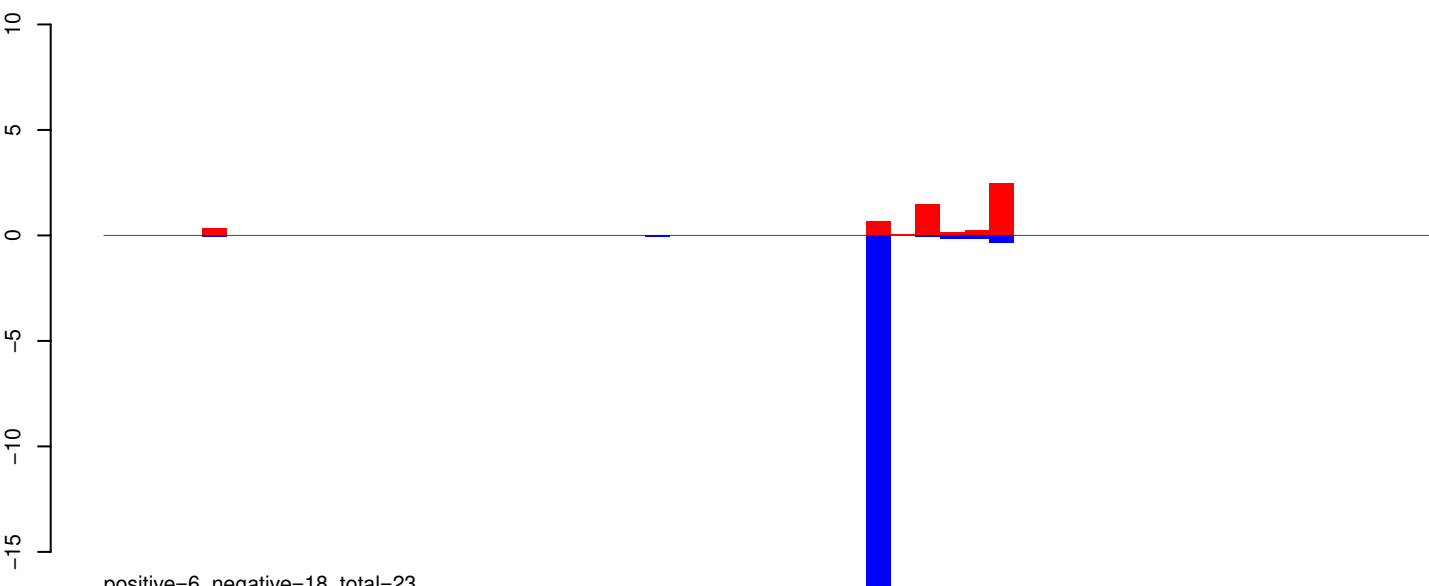
Window size=25, length=2452, TE@AF208681.1:1-2452

0 500 1000 1500 2000 2500

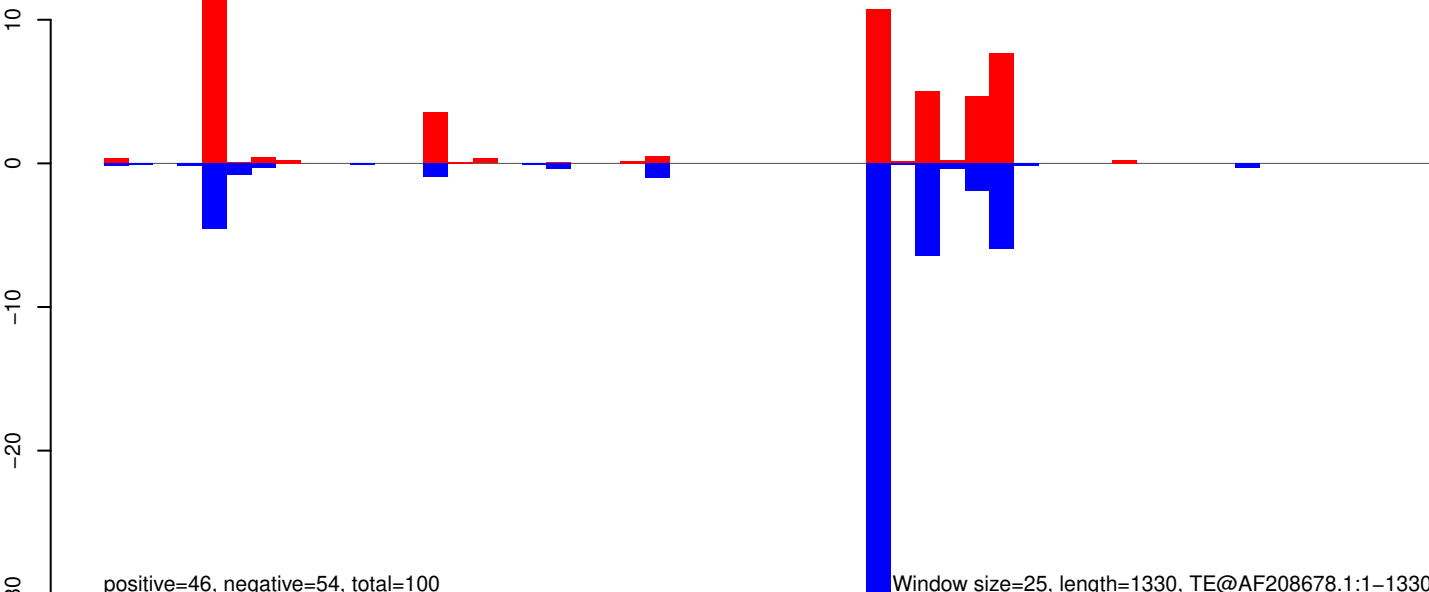
AeAeg_Aag2_Ago2_SINV_RA.18_23.rep



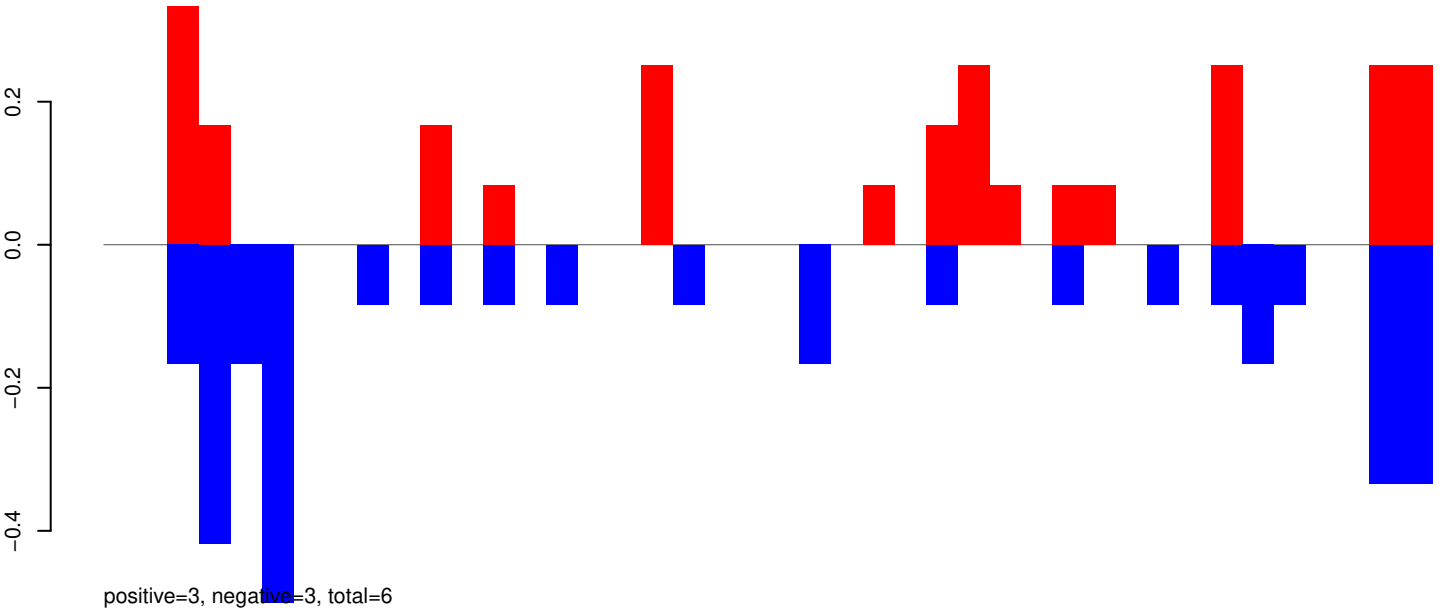
AeAeg_Aag2_Ago2_SINV_RA.24_35.rep



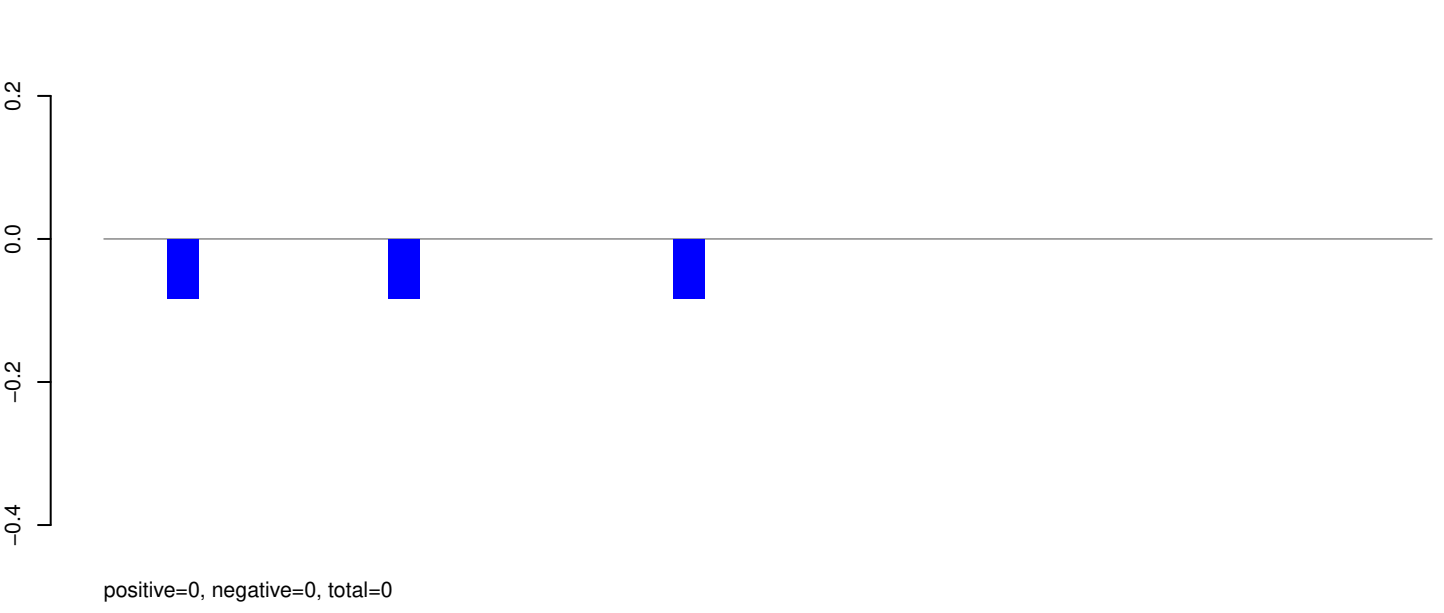
AeAeg_Aag2_Ago2_SINV_RA.rep



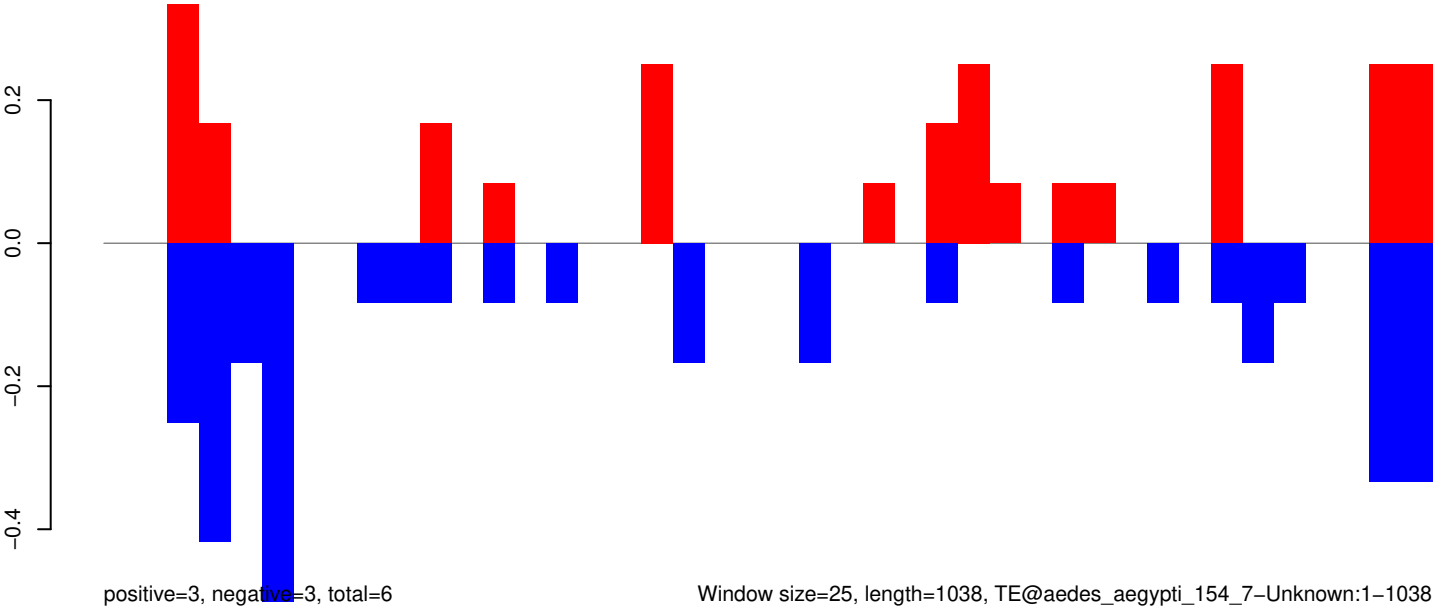
AeAeg_Aag2_Ago2_SINV_RA.18_23.rep



AeAeg_Aag2_Ago2_SINV_RA.24_35.rep

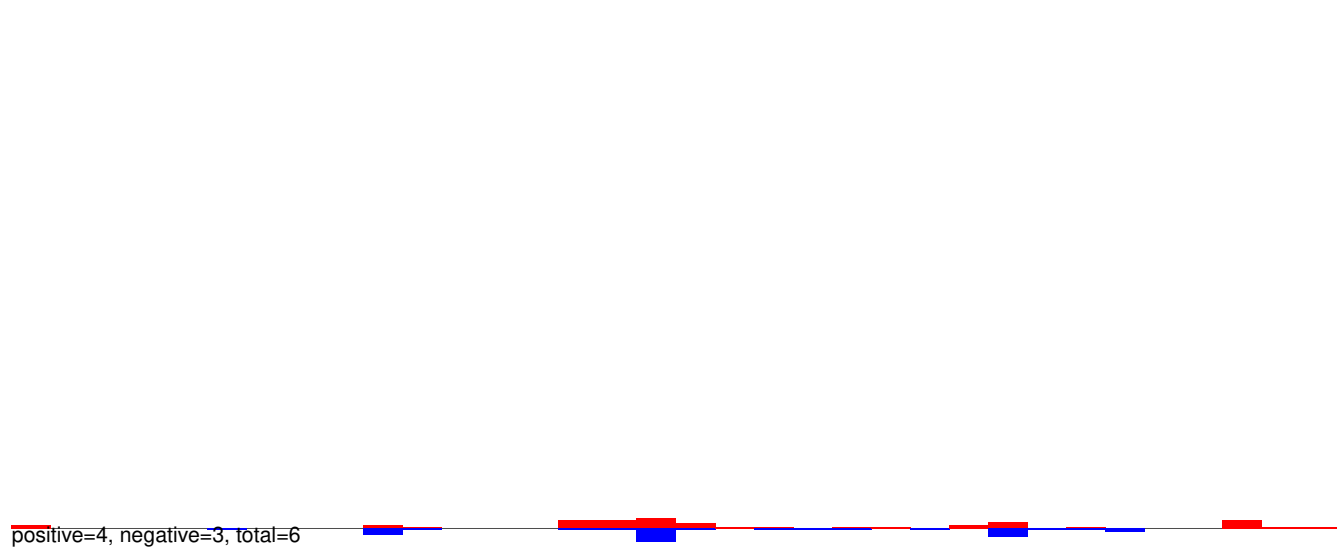


AeAeg_Aag2_Ago2_SINV_RA.rep

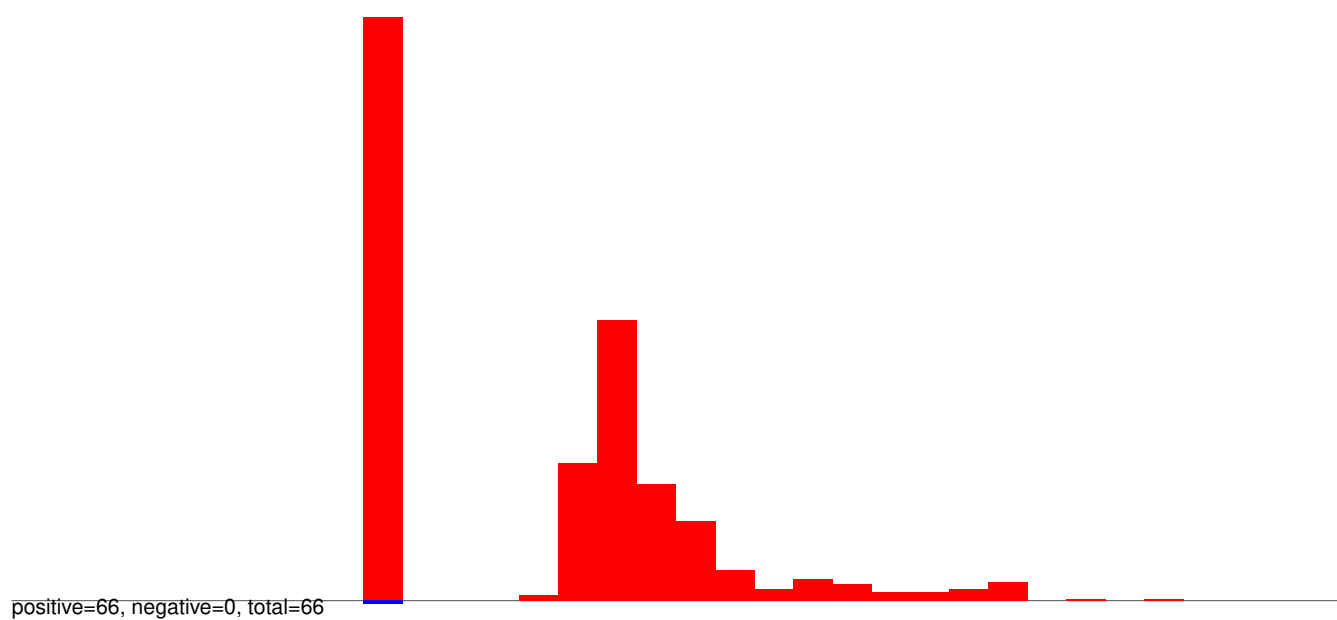


Window size=25, length=1038, TE@aedes_aegypti_154_7-Unknown:1-1038

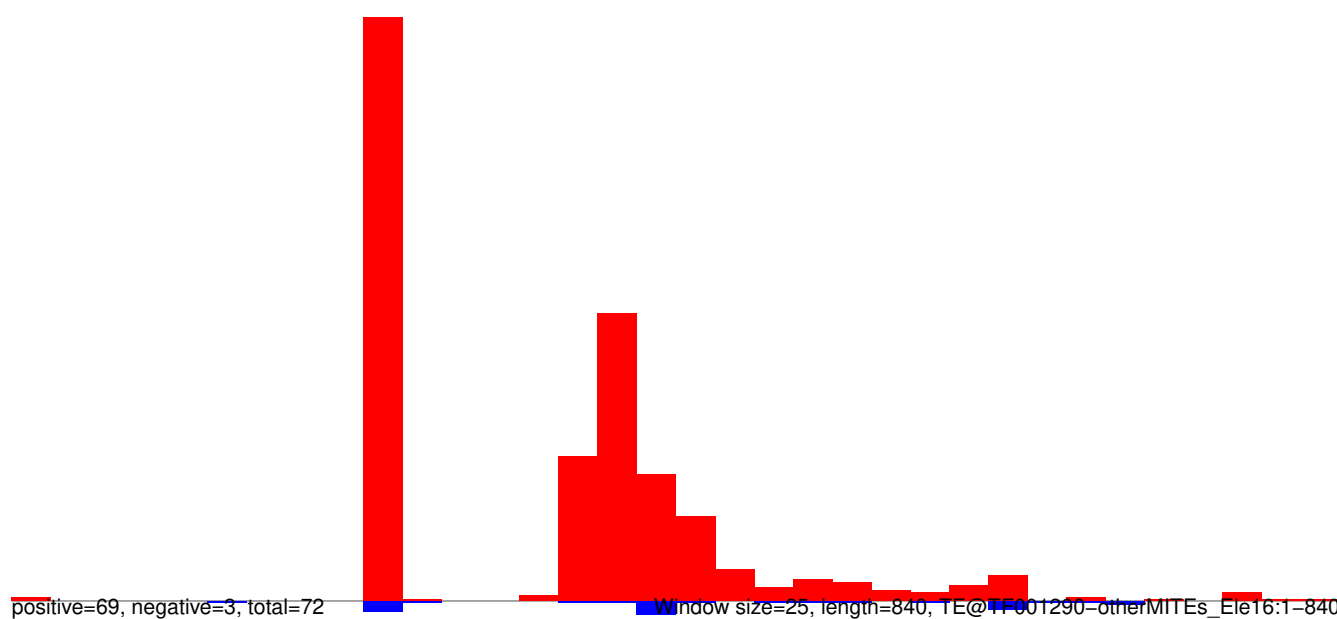
AeAeg_Aag2_Ago2_SINV_RA.18_23.rep



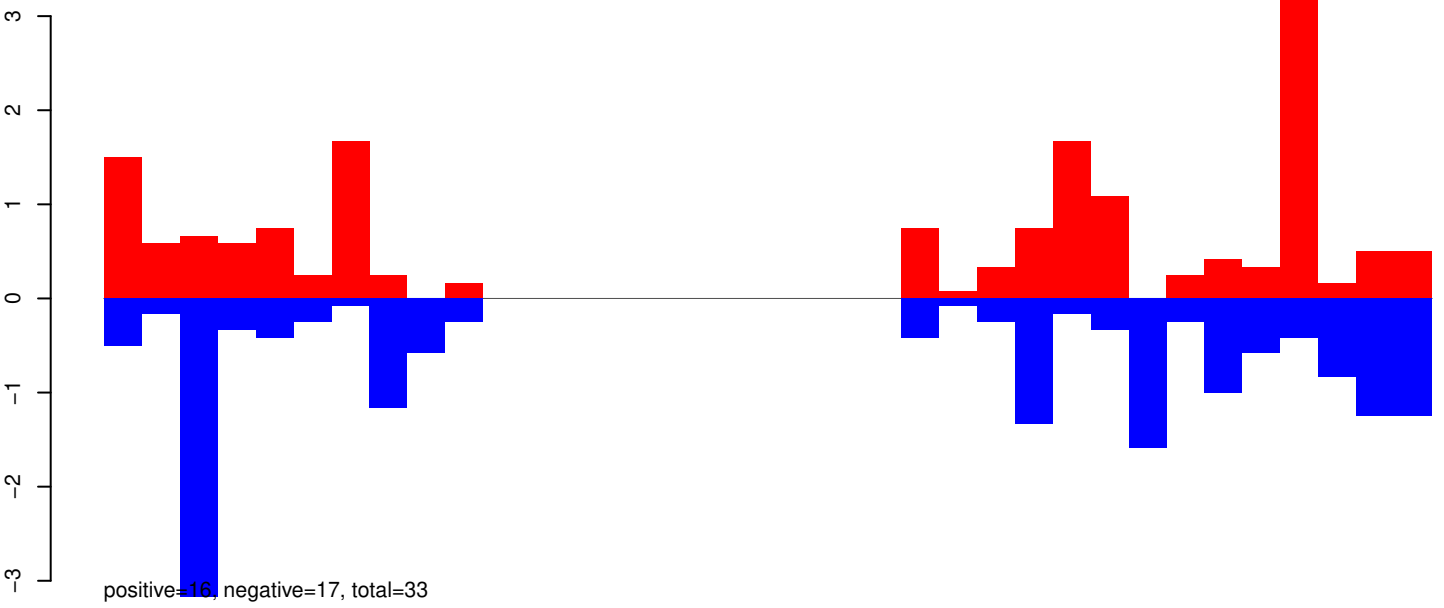
AeAeg_Aag2_Ago2_SINV_RA.24_35.rep



AeAeg_Aag2_Ago2_SINV_RA.rep



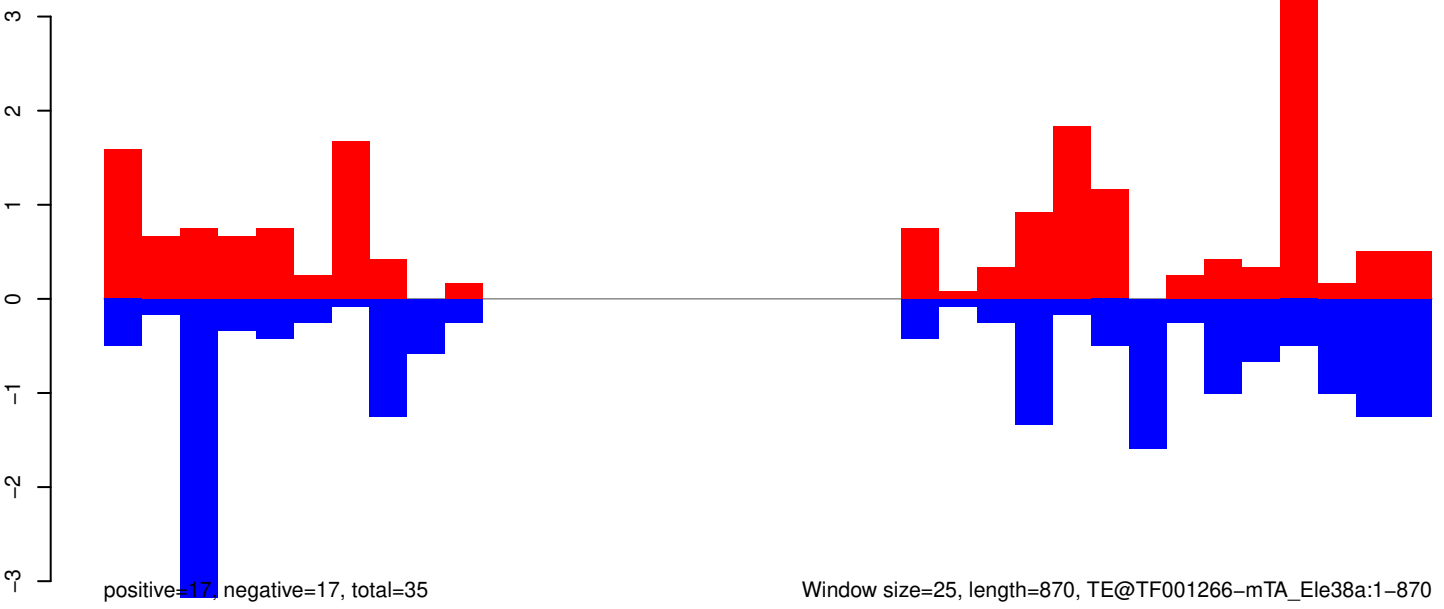
AeAeg_Aag2_Ago2_SINV_RA.18_23.rep



AeAeg_Aag2_Ago2_SINV_RA.24_35.rep

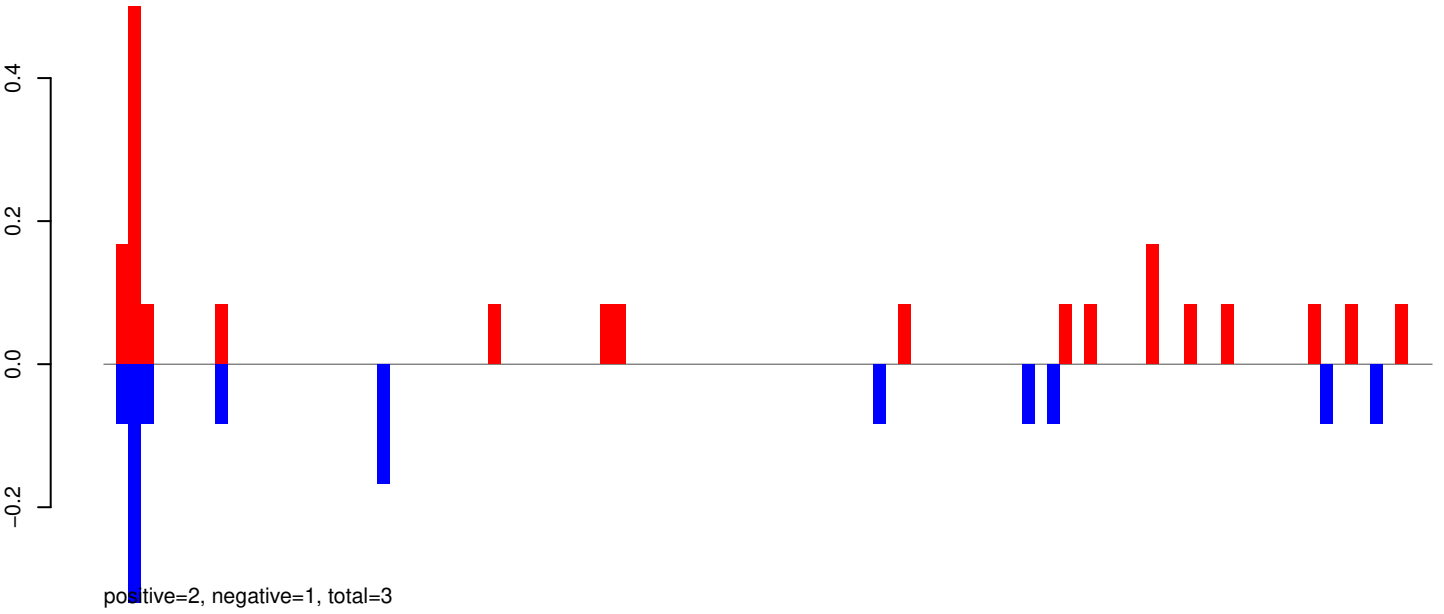


AeAeg_Aag2_Ago2_SINV_RA.rep

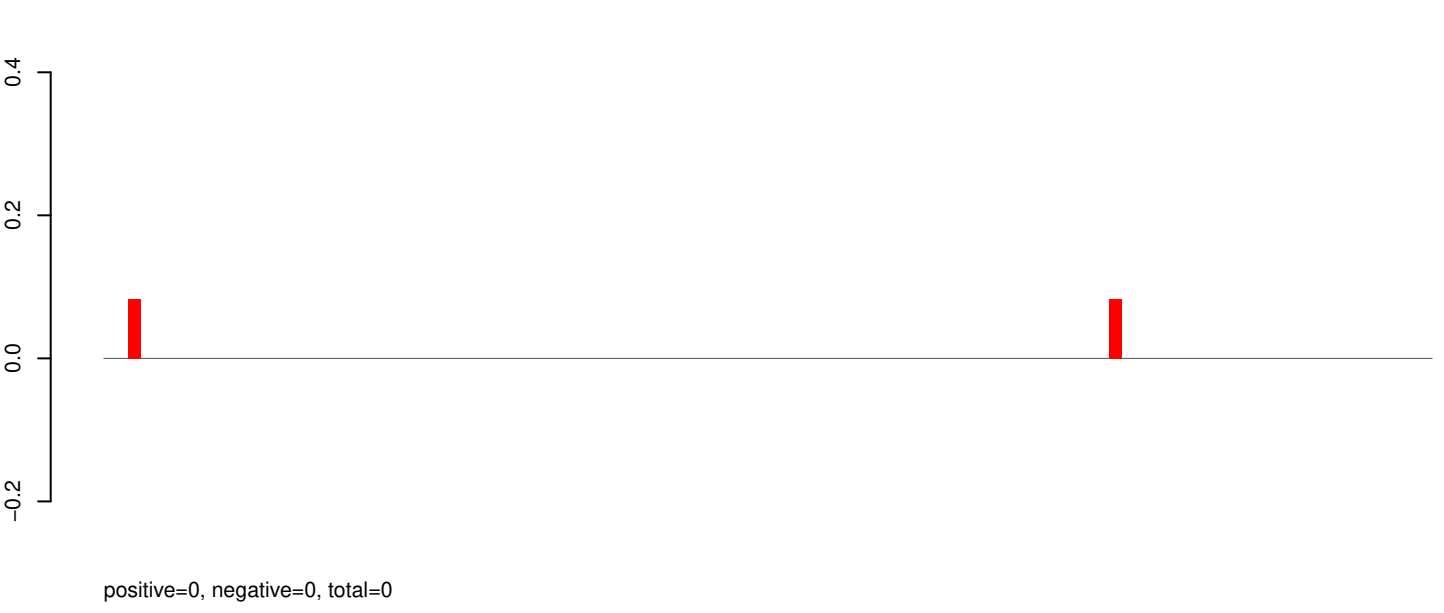


Window size=25, length=870, TE@TF001266-mTA_Ele38a:1-870

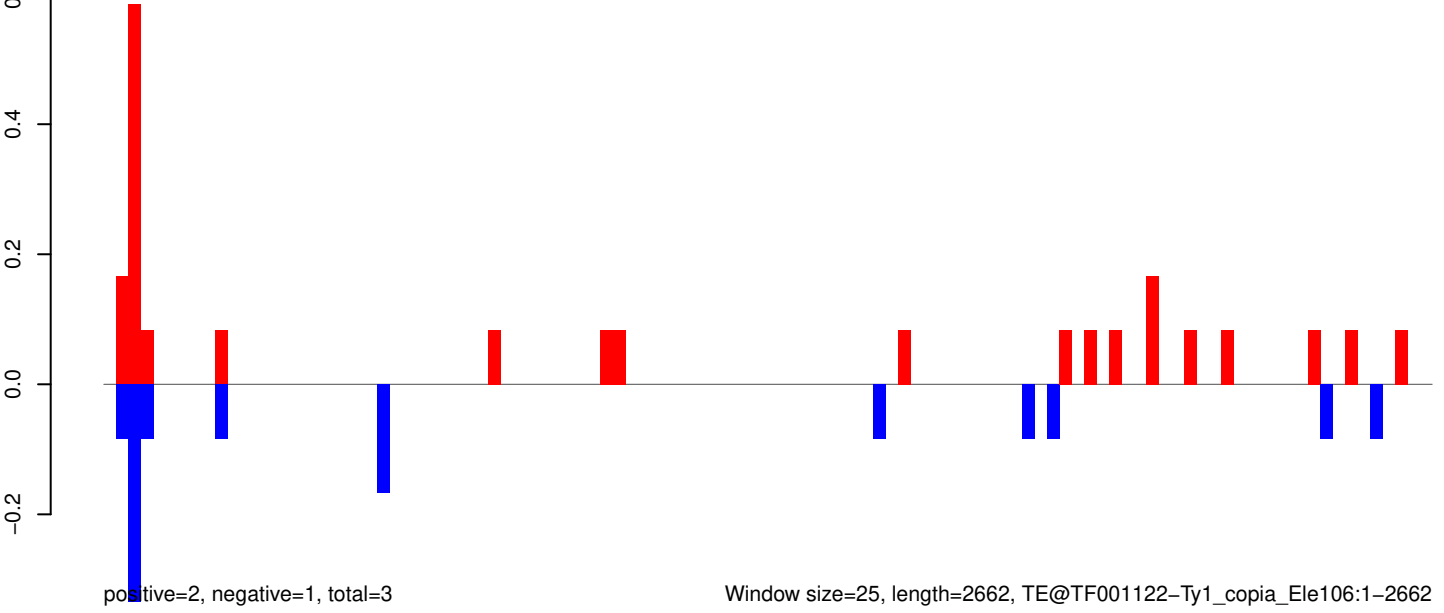
AeAeg_Aag2_Ago2_SINV_RA.18_23.rep



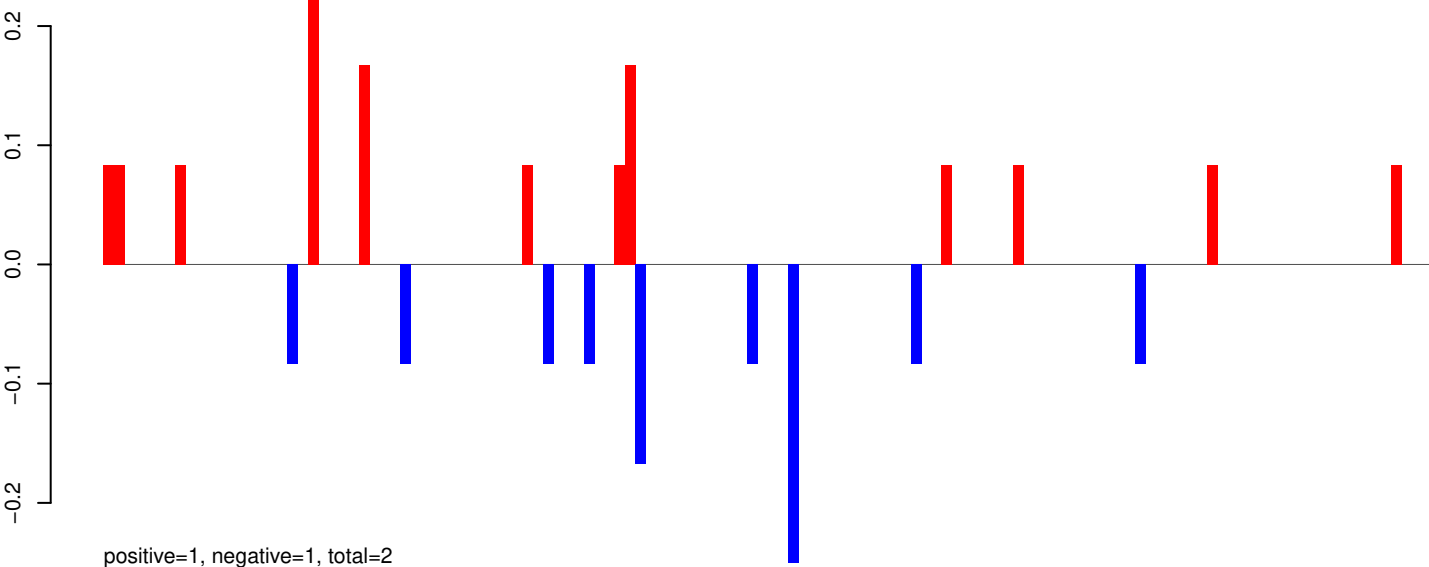
AeAeg_Aag2_Ago2_SINV_RA.24_35.rep



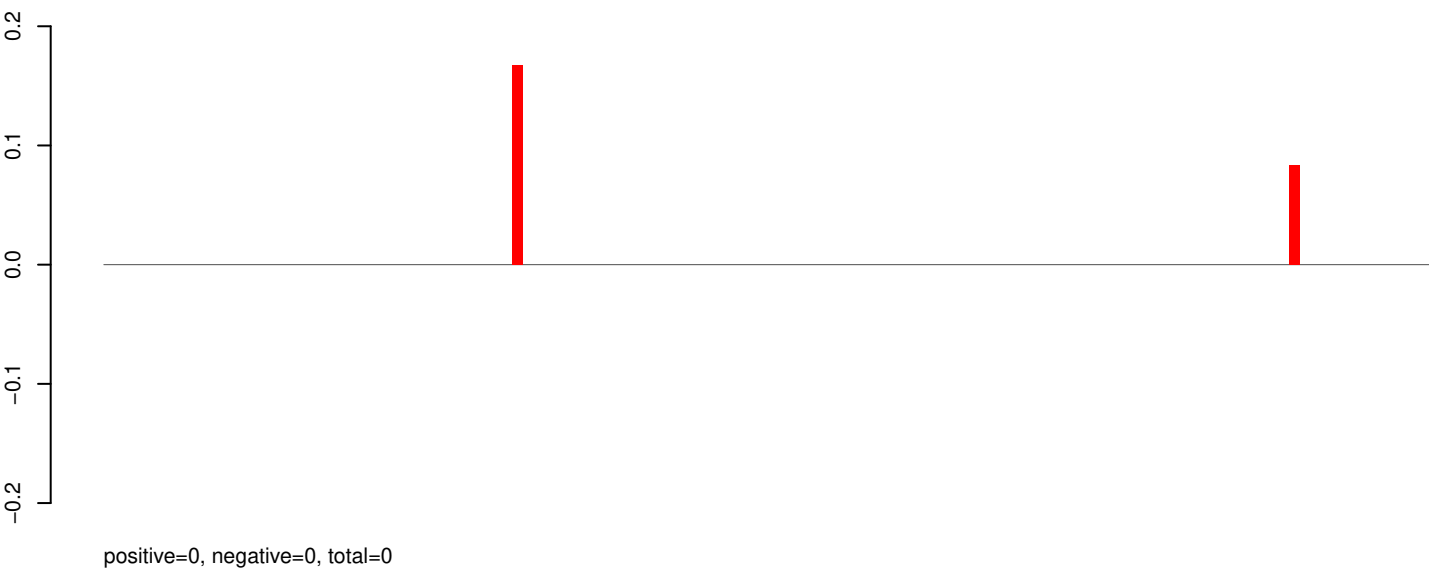
AeAeg_Aag2_Ago2_SINV_RA.rep



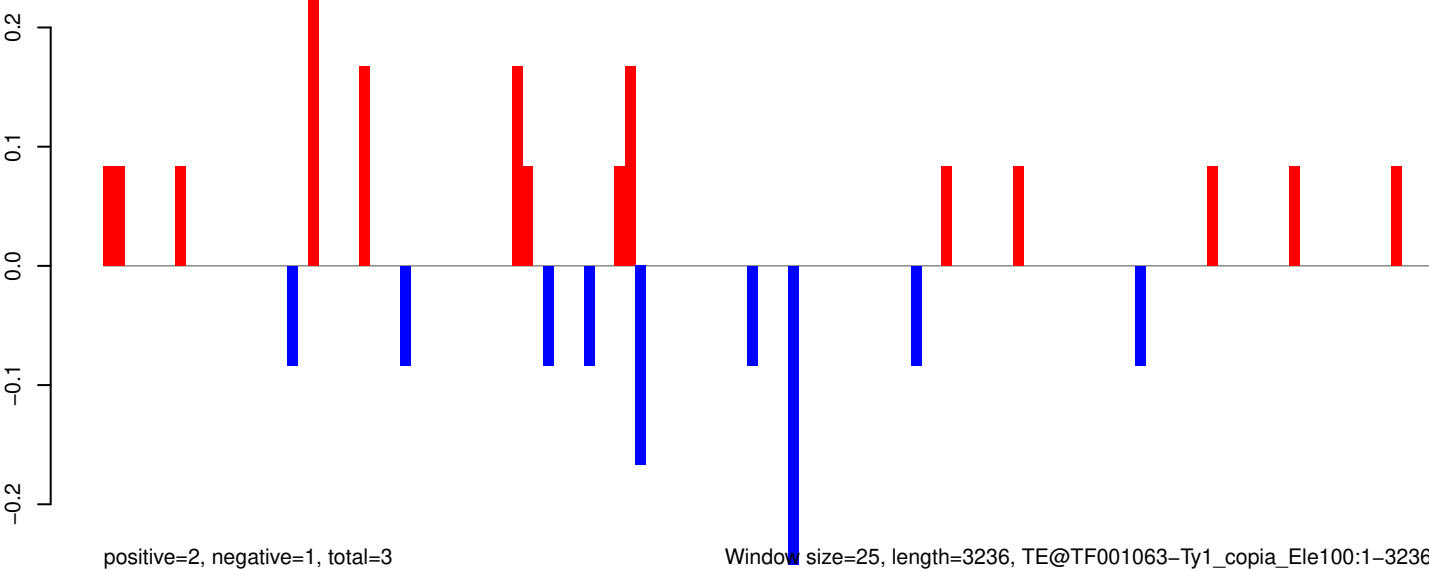
AeAeg_Aag2_Ago2_SINV_RA.18_23.rep



AeAeg_Aag2_Ago2_SINV_RA.24_35.rep

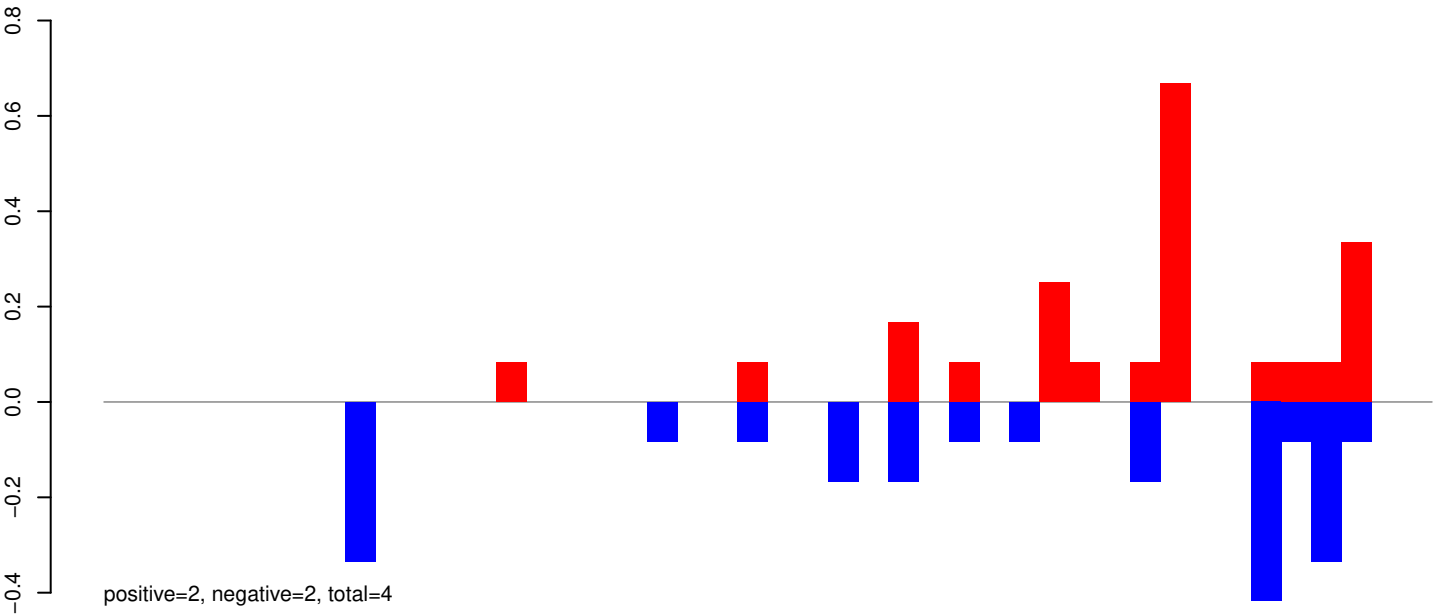


AeAeg_Aag2_Ago2_SINV_RA.rep

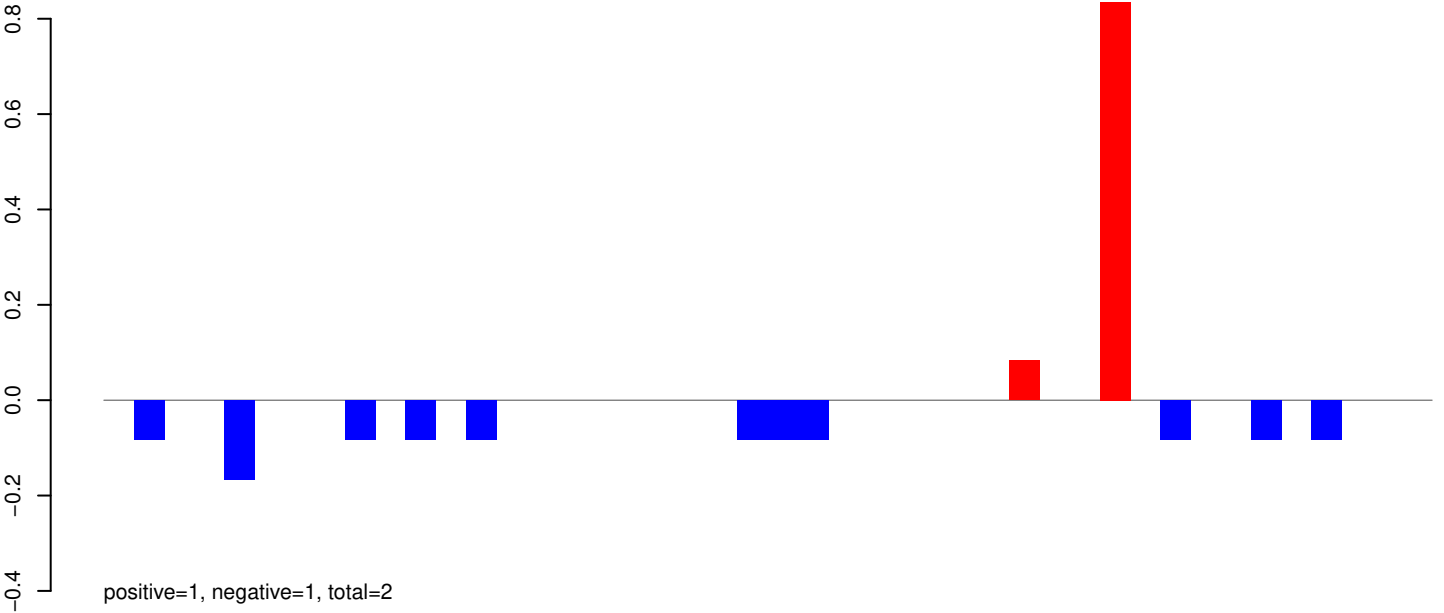


0 500 1000 1500 2000 2500 3000

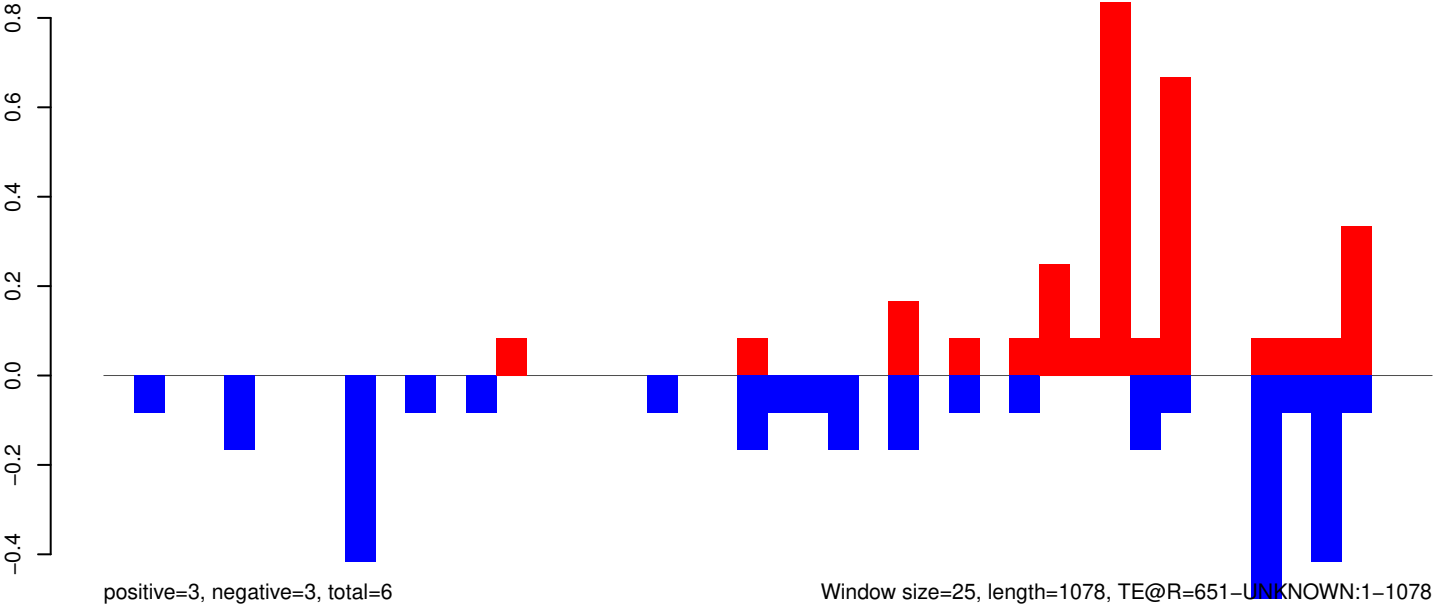
AeAeg_Aag2_Ago2_SINV_RA.18_23.rep



AeAeg_Aag2_Ago2_SINV_RA.24_35.rep

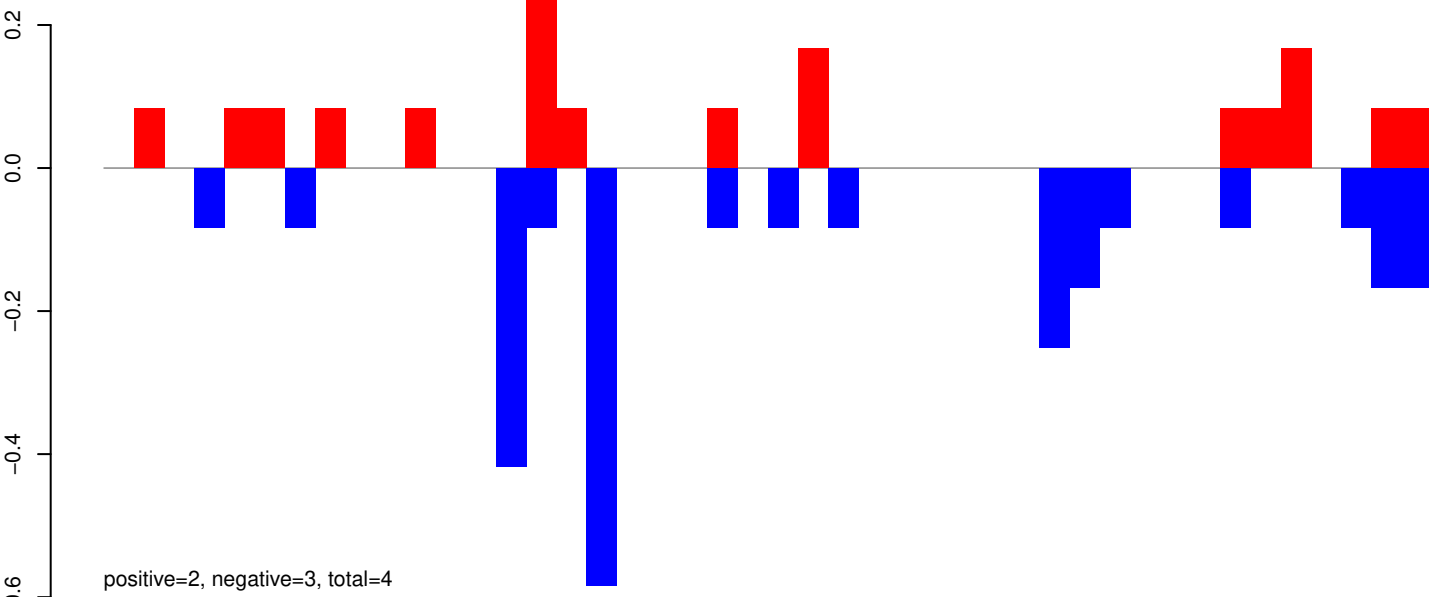


AeAeg_Aag2_Ago2_SINV_RA.rep

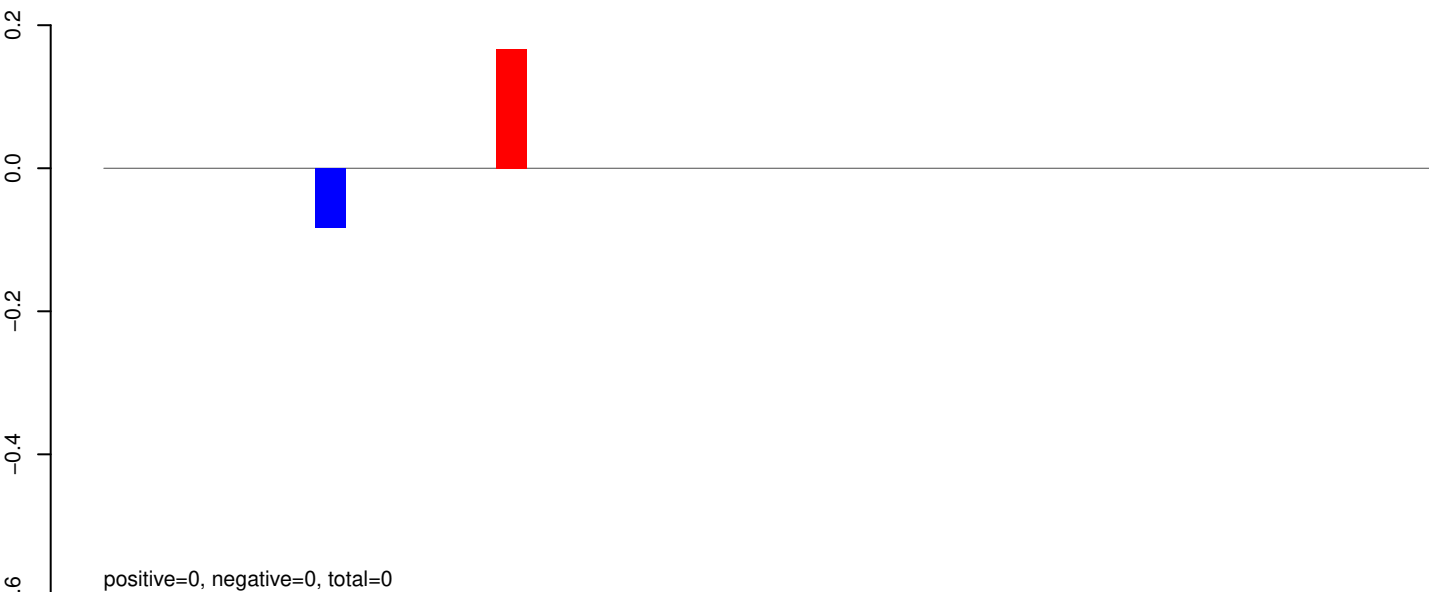


Window size=25, length=1078, TE@R=651-UNKNOWN:1-1078

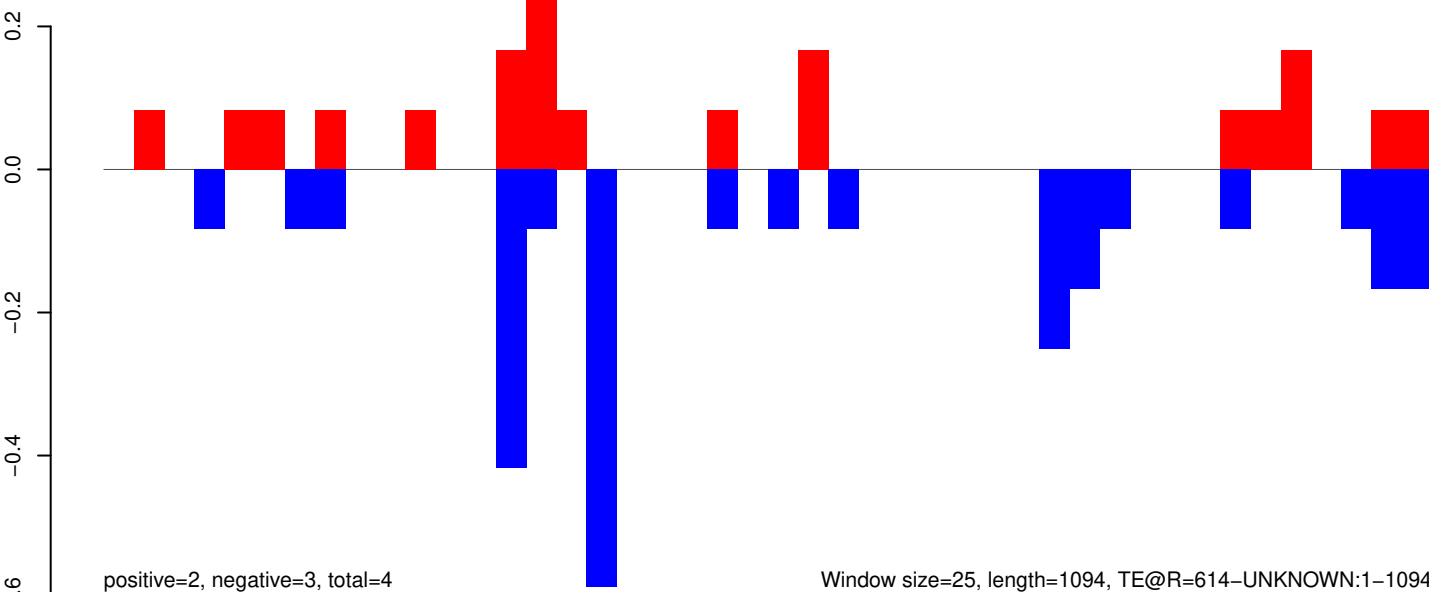
AeAeg_Aag2_Ago2_SINV_RA.18_23.rep



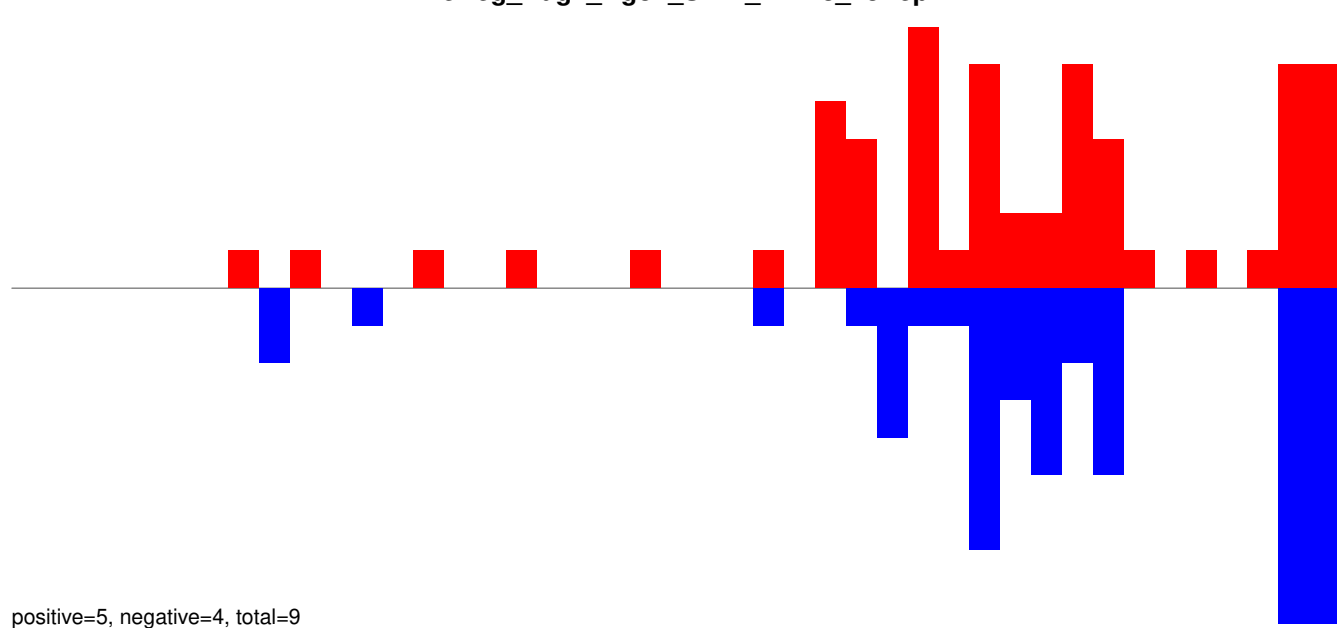
AeAeg_Aag2_Ago2_SINV_RA.24_35.rep



AeAeg_Aag2_Ago2_SINV_RA.rep



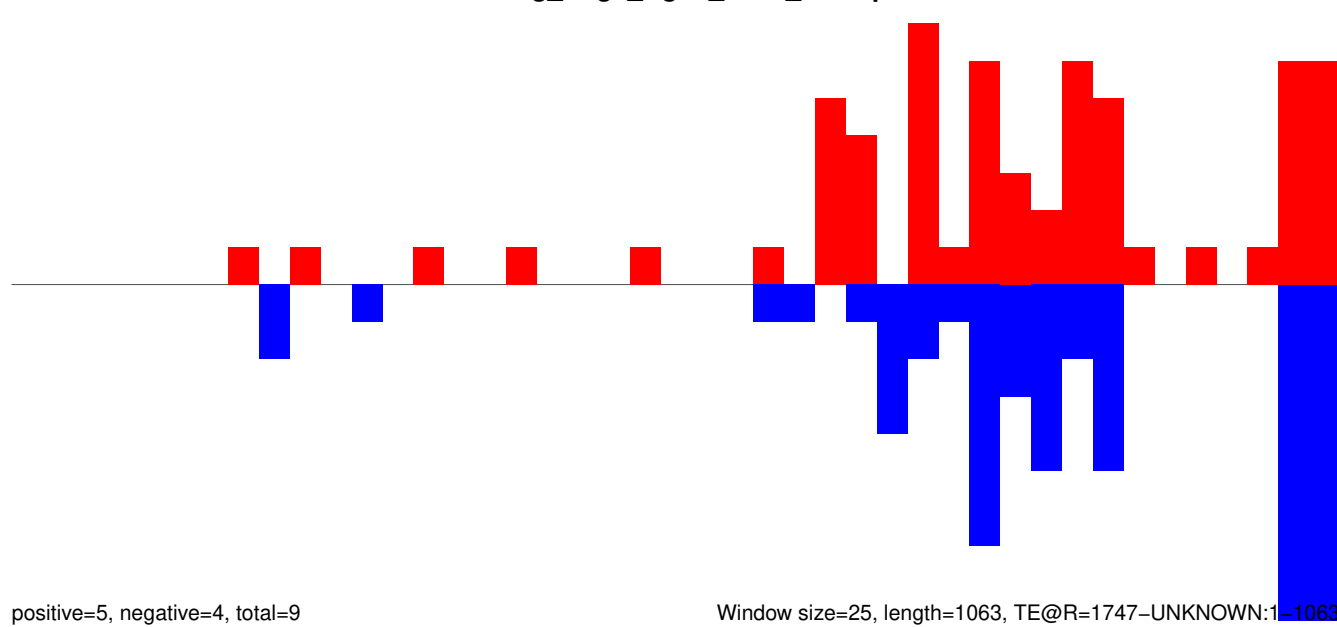
AeAeg_Aag2_Ago2_SINV_RA.18_23.rep



AeAeg_Aag2_Ago2_SINV_RA.24_35.rep

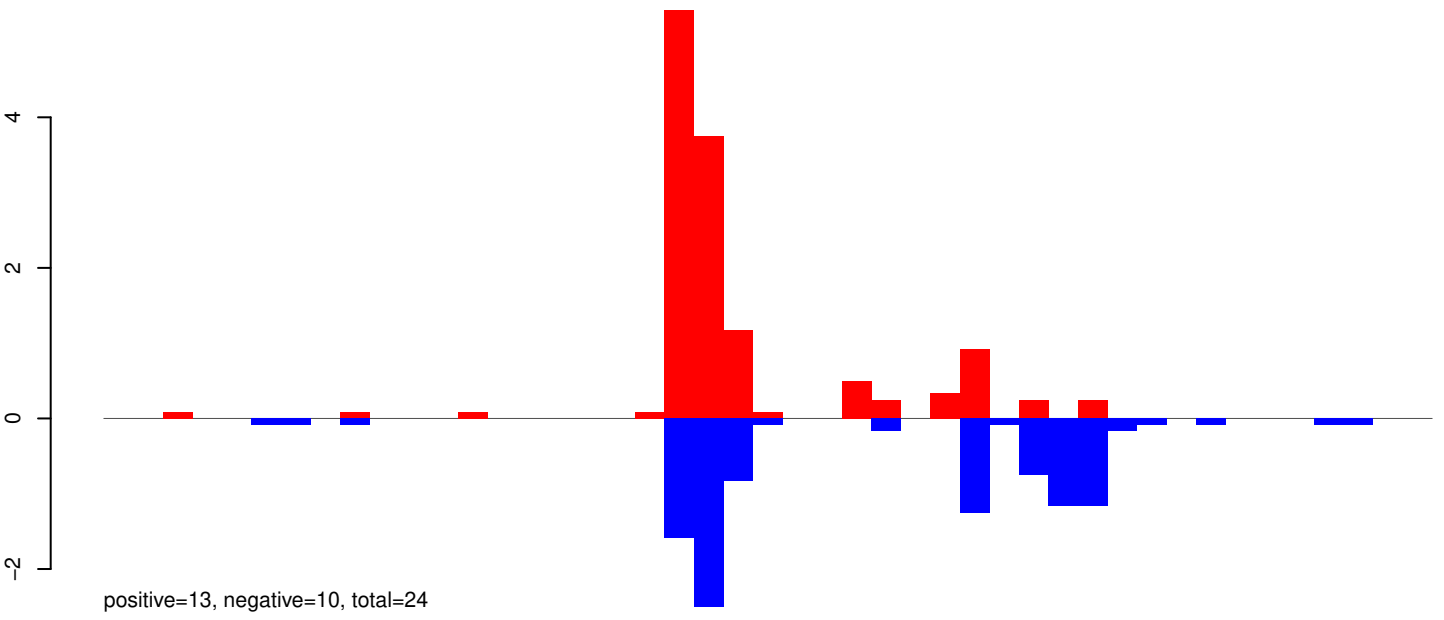


AeAeg_Aag2_Ago2_SINV_RA.rep

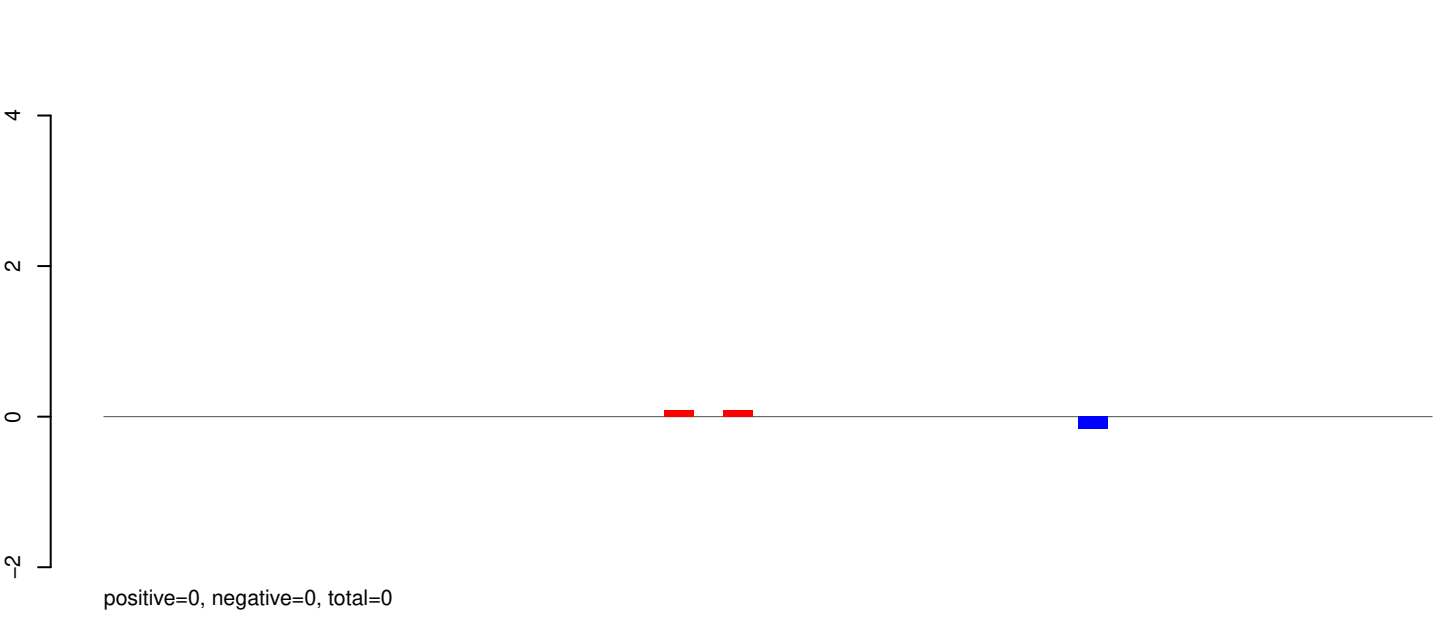


Window size=25, length=1063, TE@R=1747-UNKNOWN:1-1063

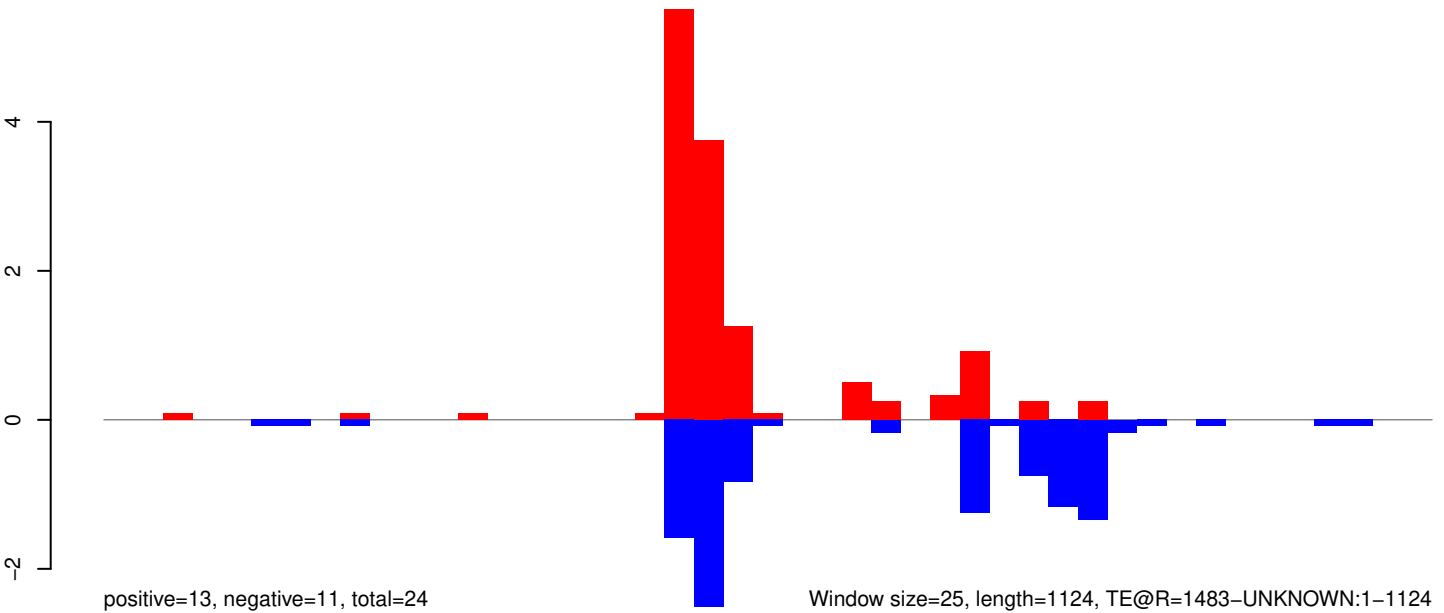
AeAeg_Aag2_Ago2_SINV_RA.18_23.rep



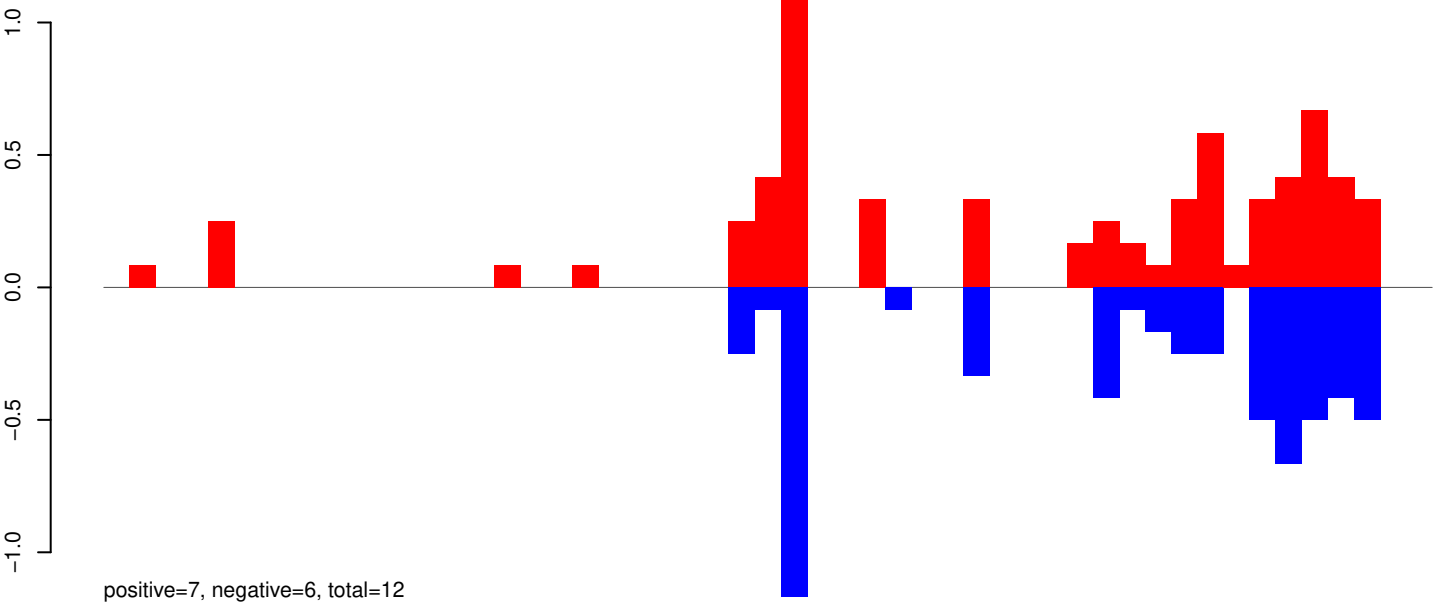
AeAeg_Aag2_Ago2_SINV_RA.24_35.rep



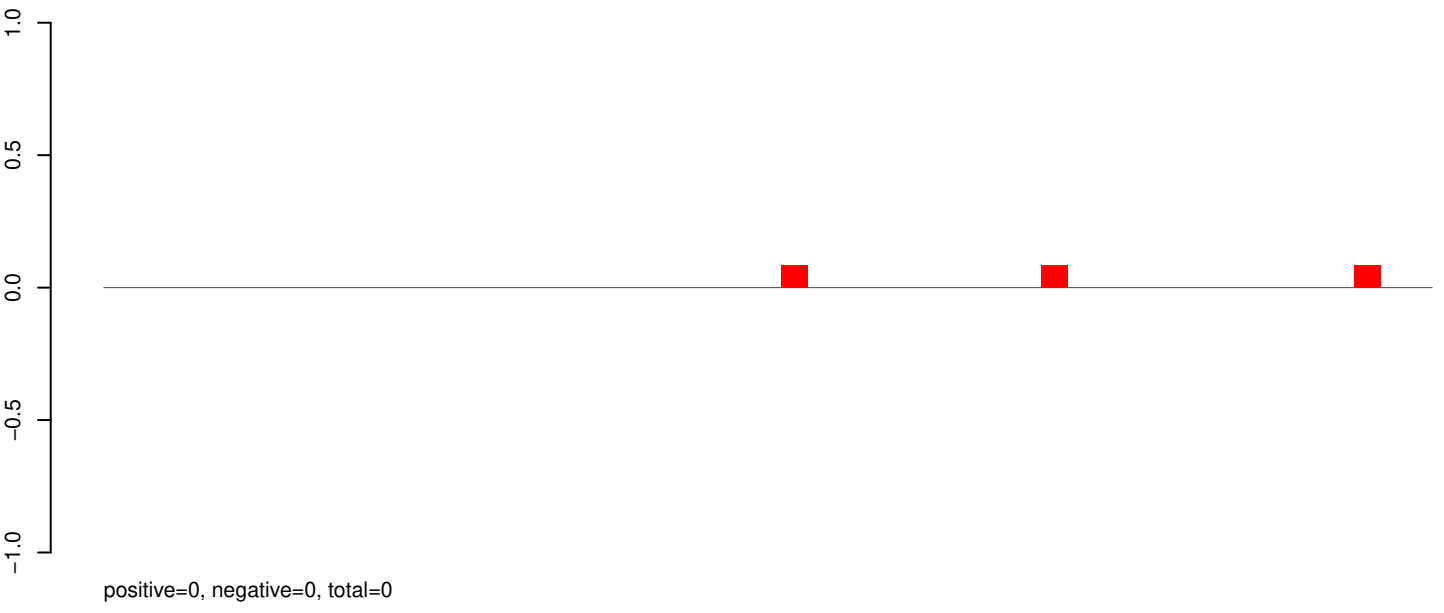
AeAeg_Aag2_Ago2_SINV_RA.rep



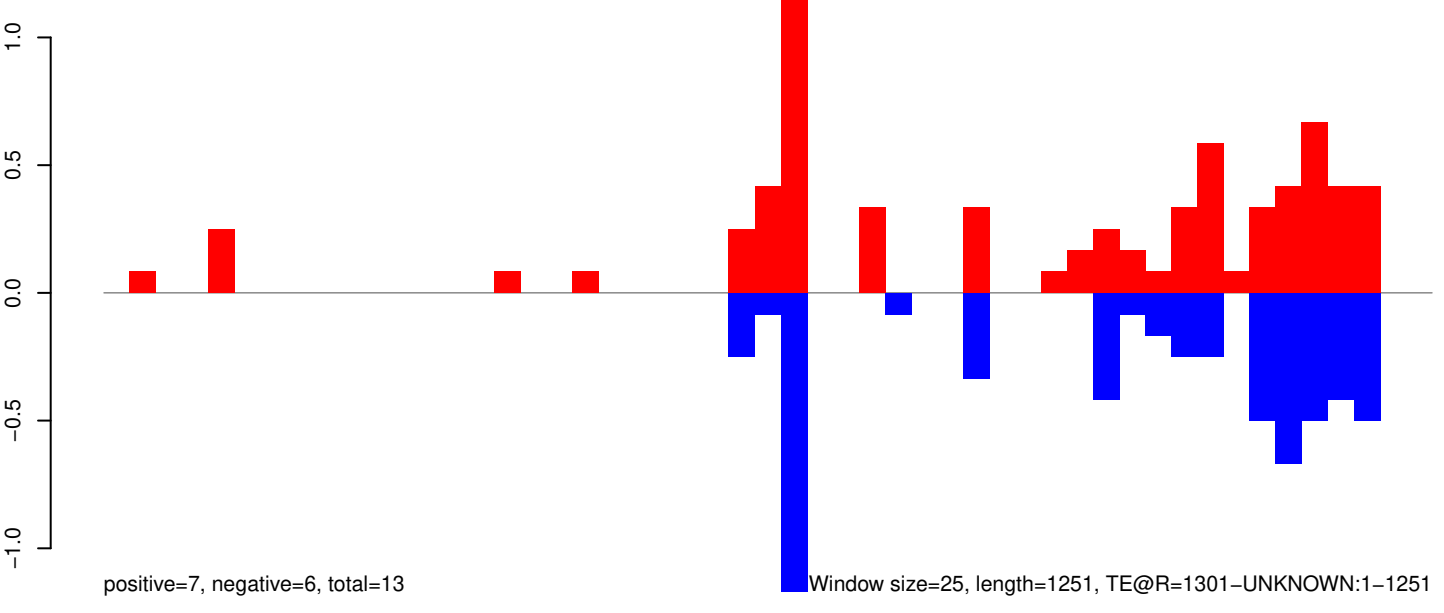
AeAeg_Aag2_Ago2_SINV_RA.18_23.rep



AeAeg_Aag2_Ago2_SINV_RA.24_35.rep

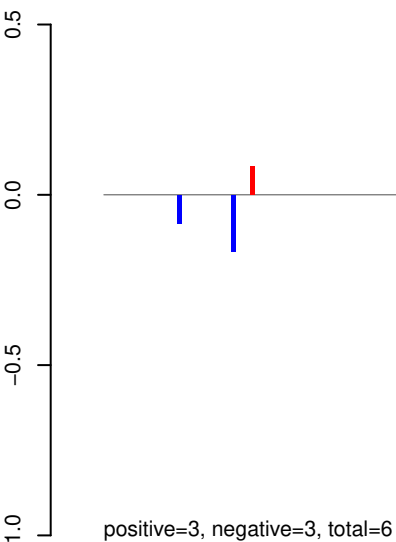


AeAeg_Aag2_Ago2_SINV_RA.rep

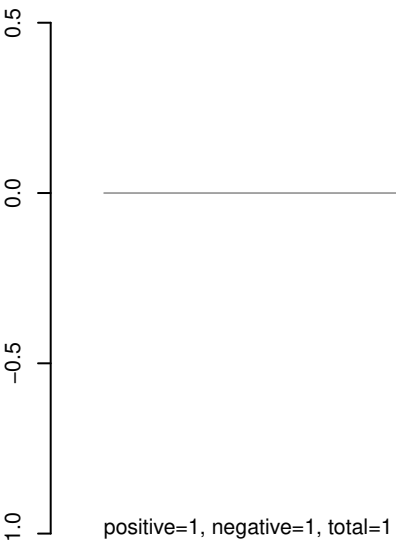


0 200 400 600 800 1000 1200

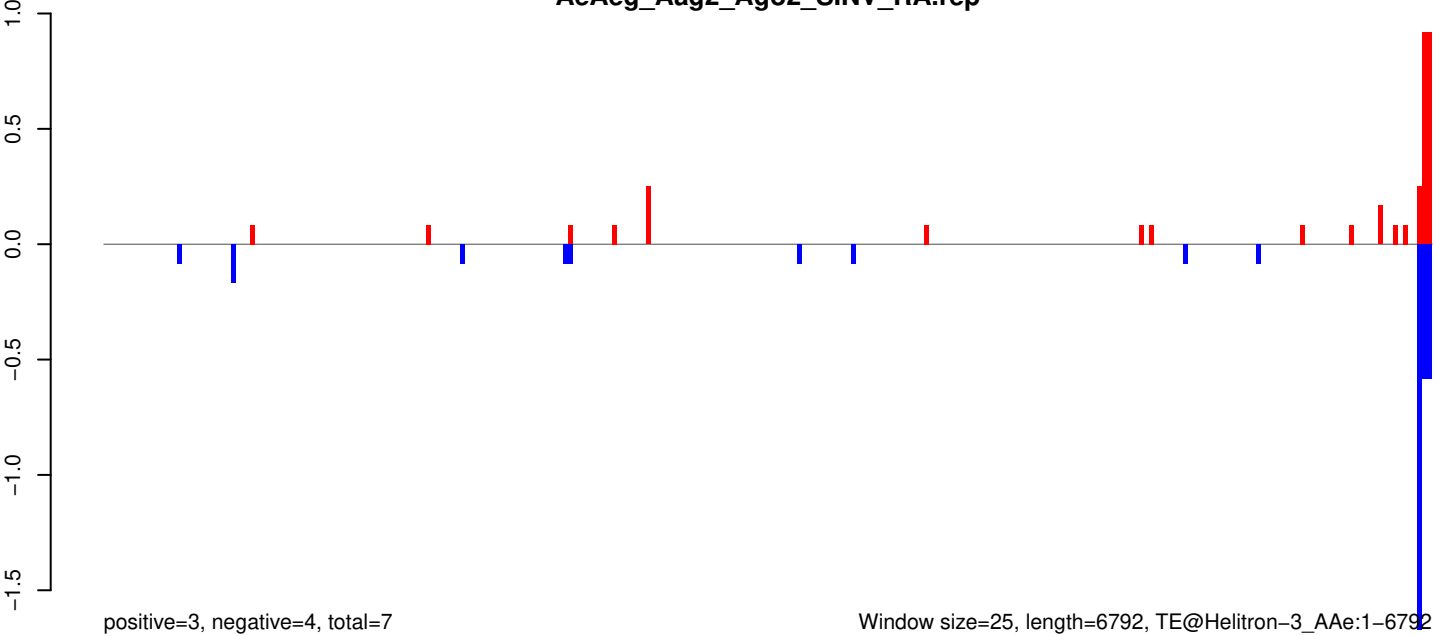
AeAeg_Aag2_Ago2_SINV_RA.18_23.rep



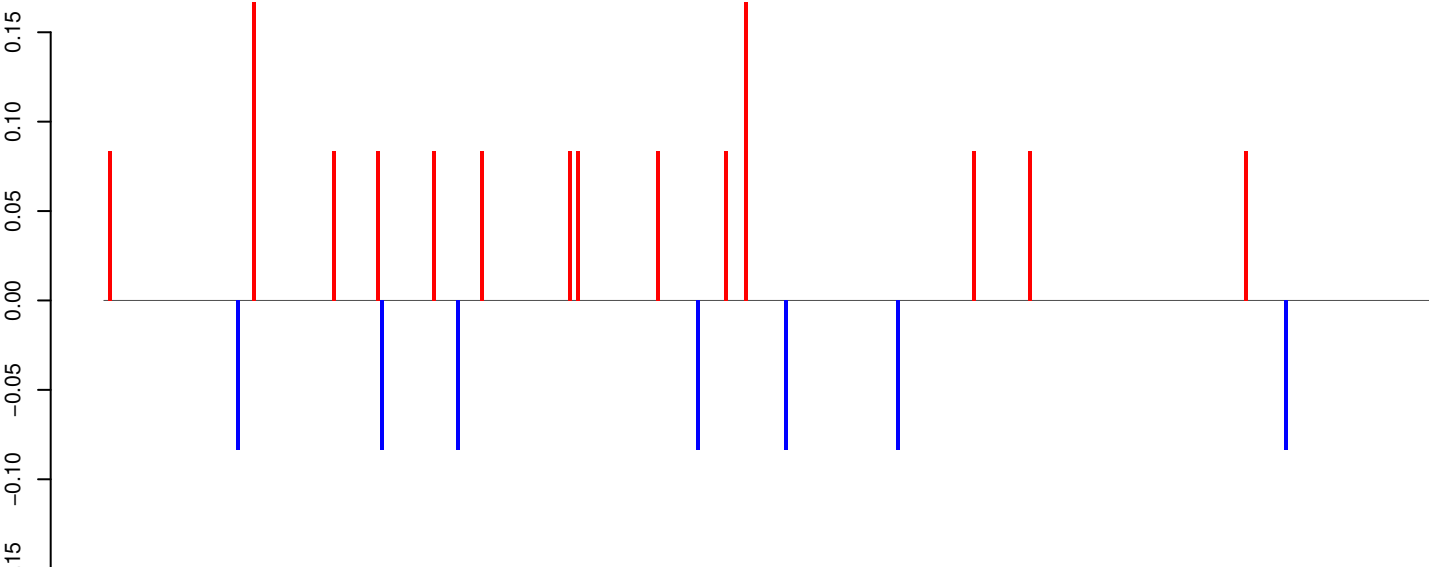
AeAeg_Aag2_Ago2_SINV_RA.24_35.rep



AeAeg_Aag2_Ago2_SINV_RA.rep



AeAeg_Aag2_Ago2_SINV_RA.18_23.rep



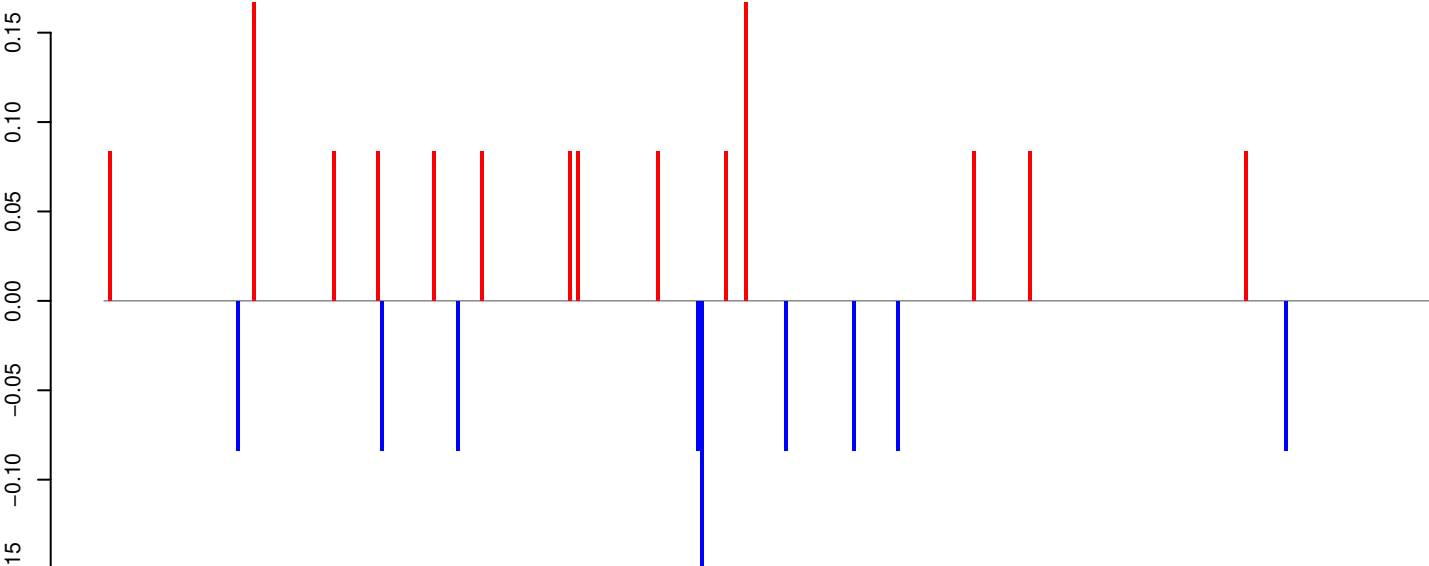
positive=1, negative=1, total=2

AeAeg_Aag2_Ago2_SINV_RA.24_35.rep



positive=0, negative=0, total=0

AeAeg_Aag2_Ago2_SINV_RA.rep

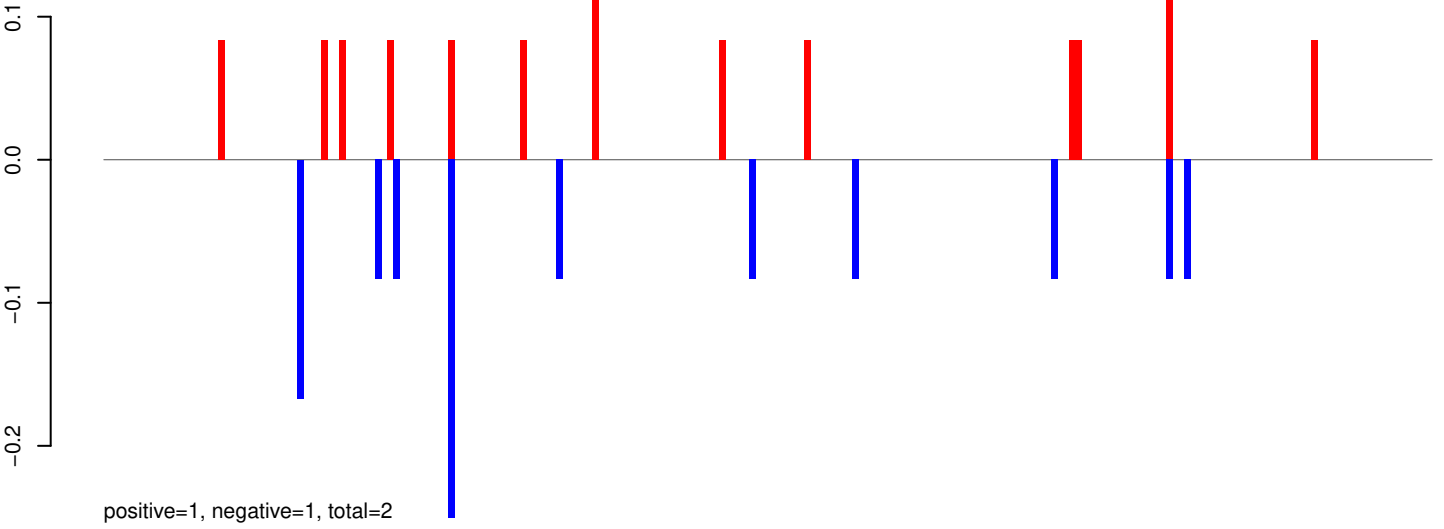


positive=1, negative=1, total=2

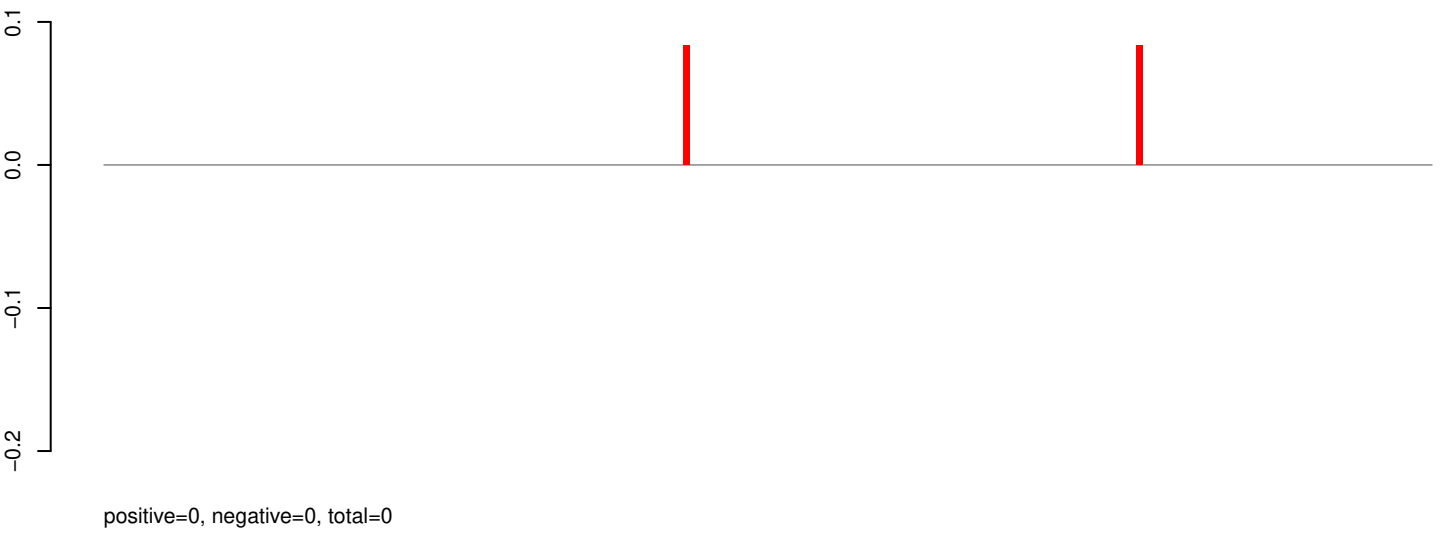
Window size=25, length=8288, TE@Helitron-1_AAe:1-8288

0 2000 4000 6000 8000

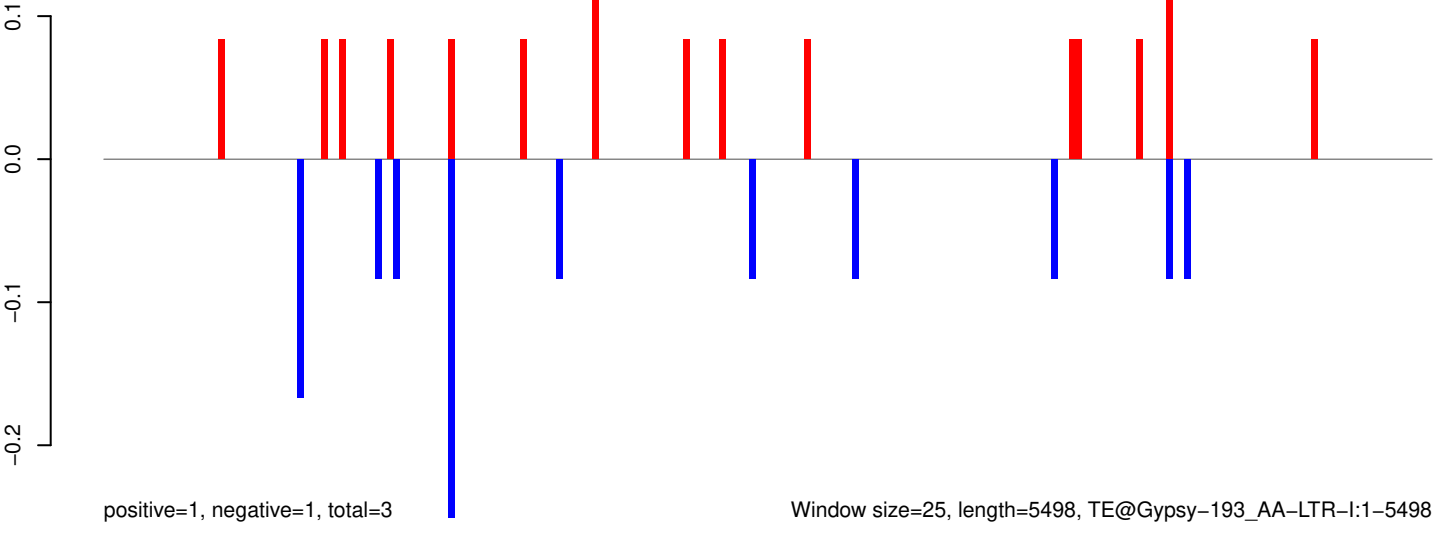
AeAeg_Aag2_Ago2_SINV_RA.18_23.rep



AeAeg_Aag2_Ago2_SINV_RA.24_35.rep

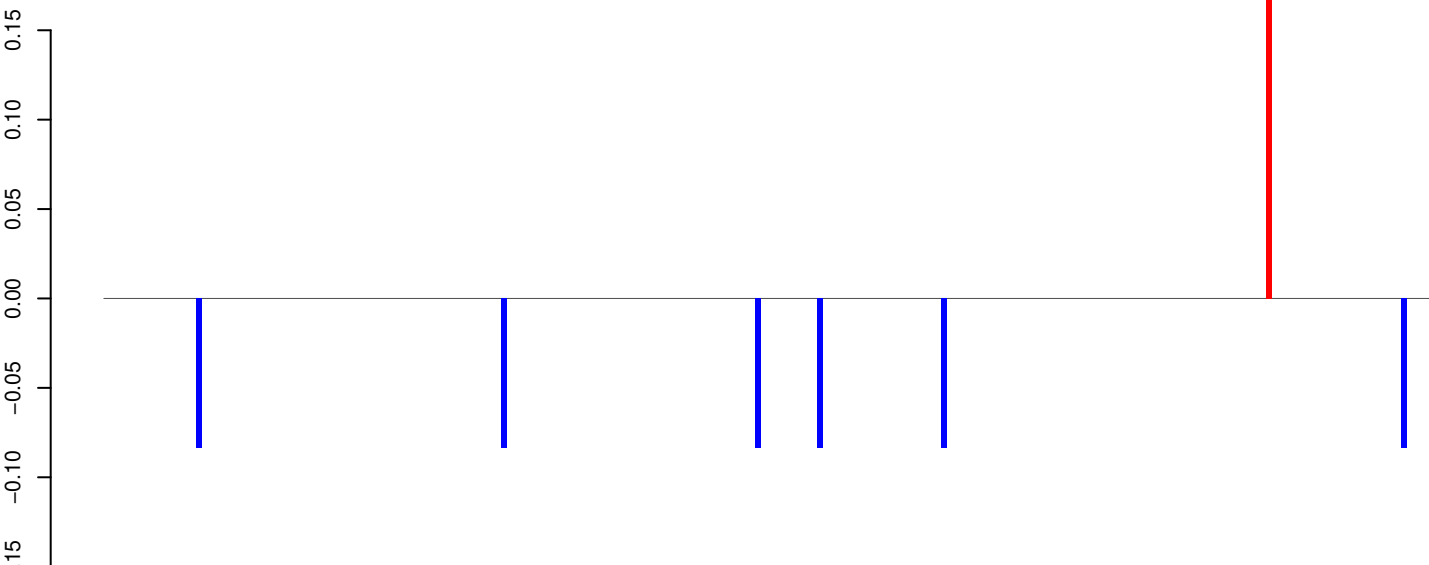


AeAeg_Aag2_Ago2_SINV_RA.rep



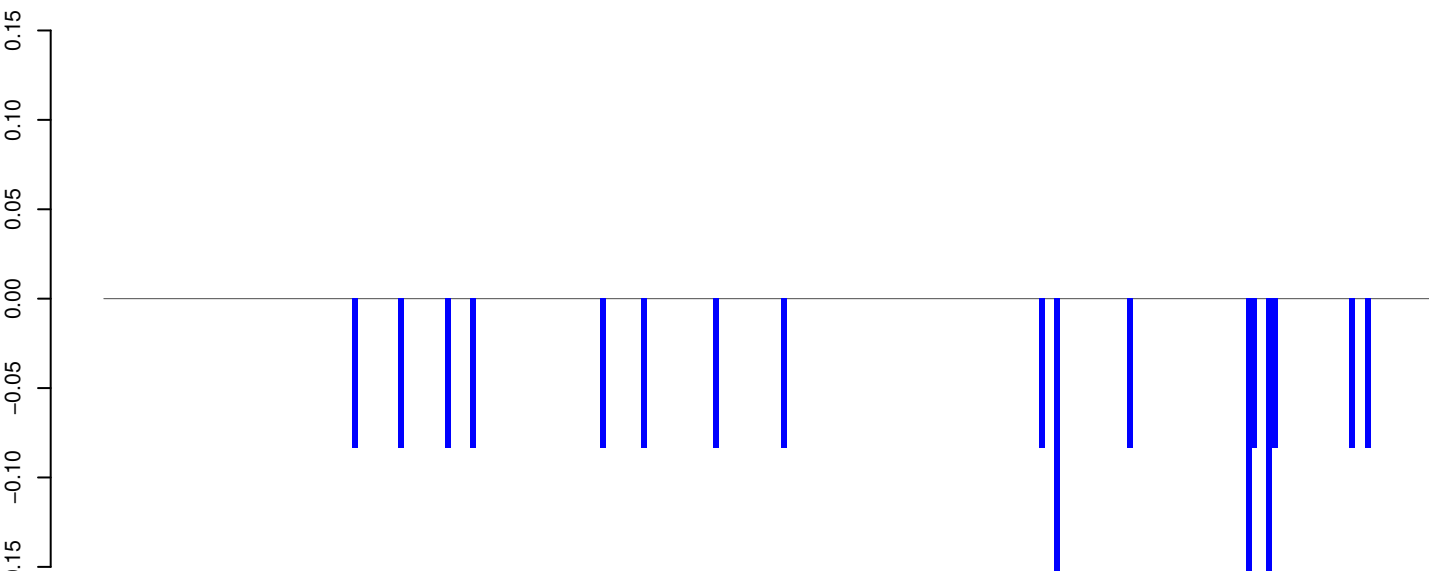
0 1000 2000 3000 4000 5000

AeAeg_Aag2_Ago2_SINV_RA.18_23.rep



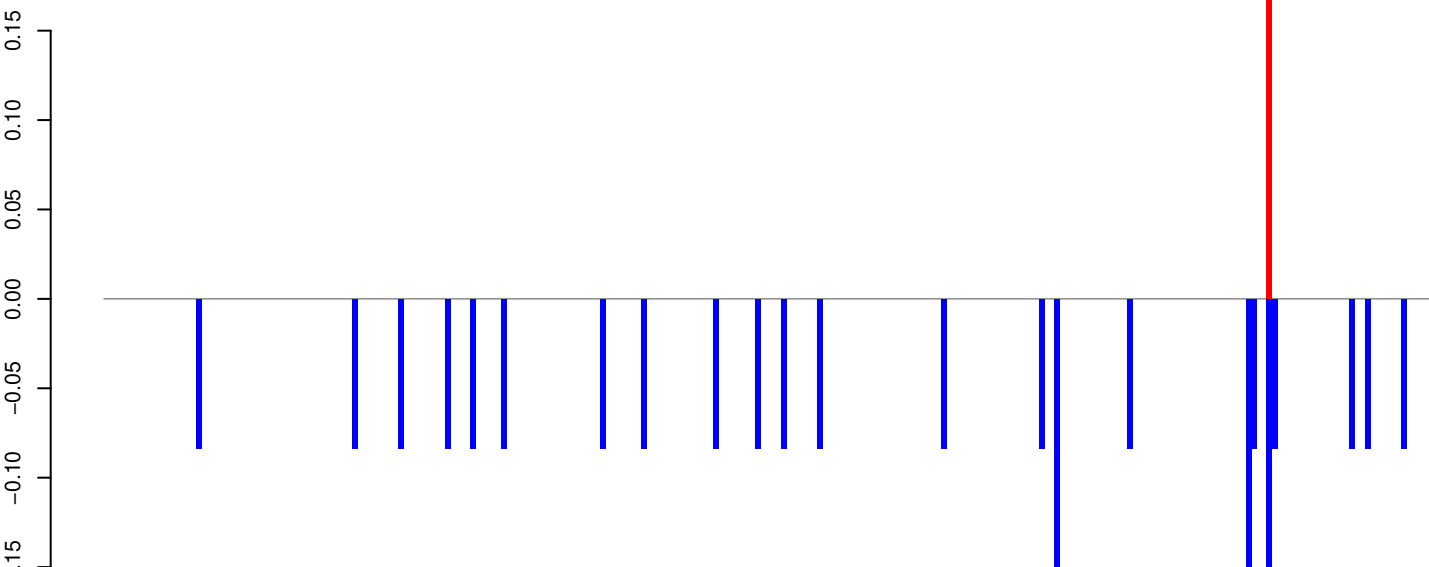
positive=0, negative=1, total=1

AeAeg_Aag2_Ago2_SINV_RA.24_35.rep



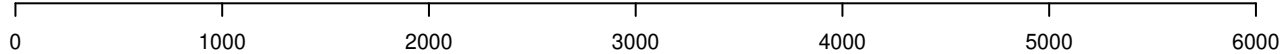
positive=0, negative=2, total=2

AeAeg_Aag2_Ago2_SINV_RA.rep

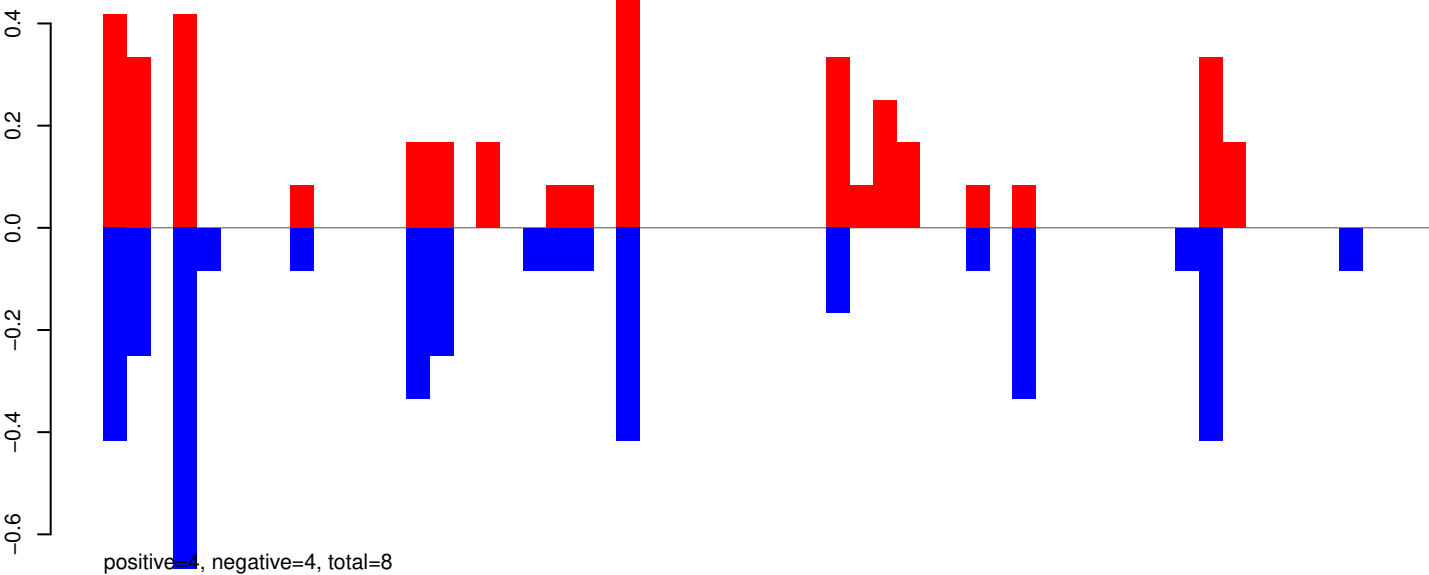


positive=0, negative=2, total=2

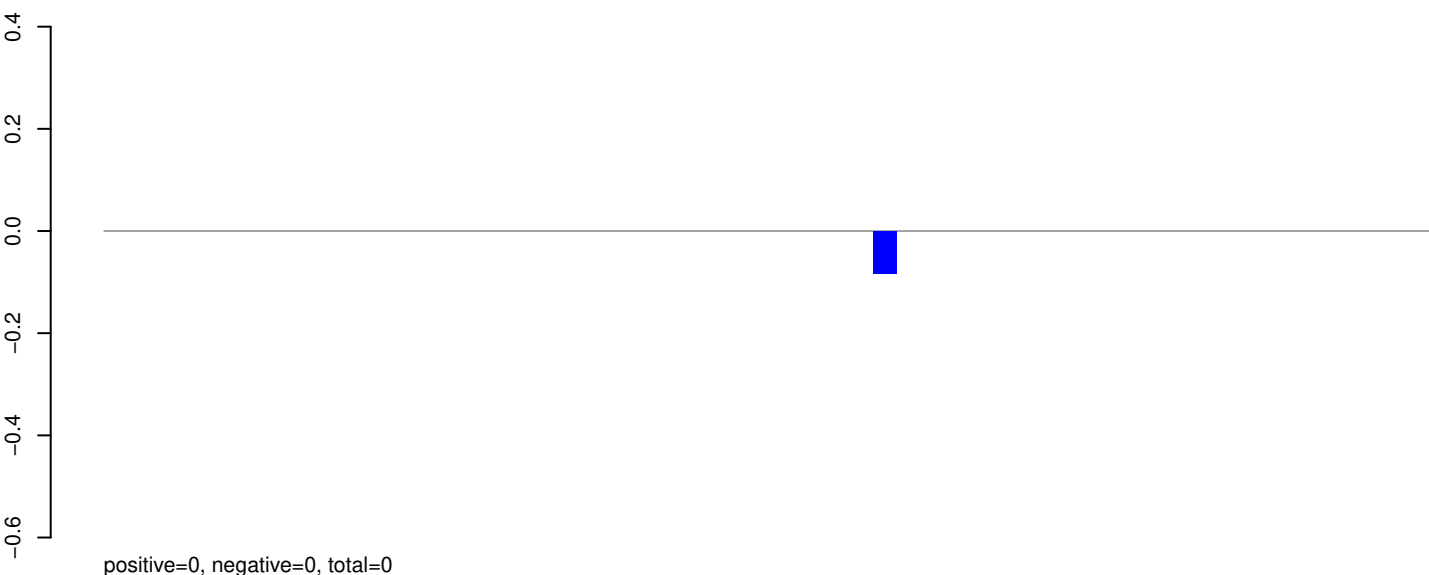
Window size=25, length=6411, TE@BEL-47_AA-LTR-I:1-6411



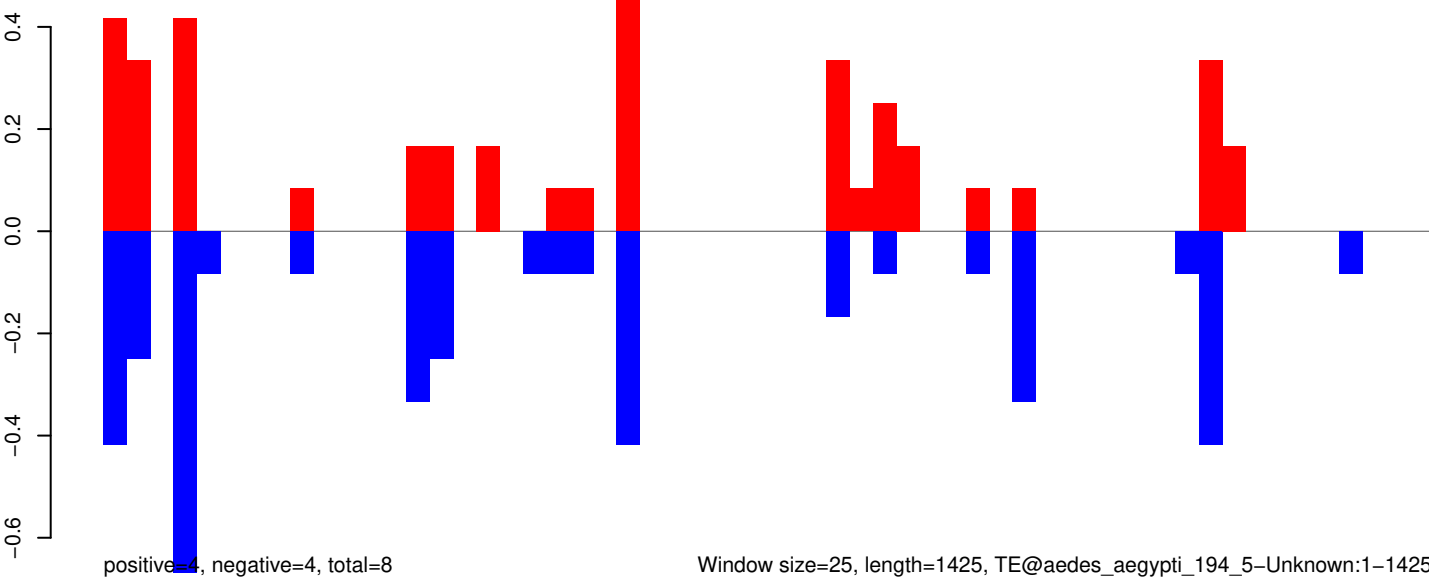
AeAeg_Aag2_Ago2_SINV_RA.18_23.rep



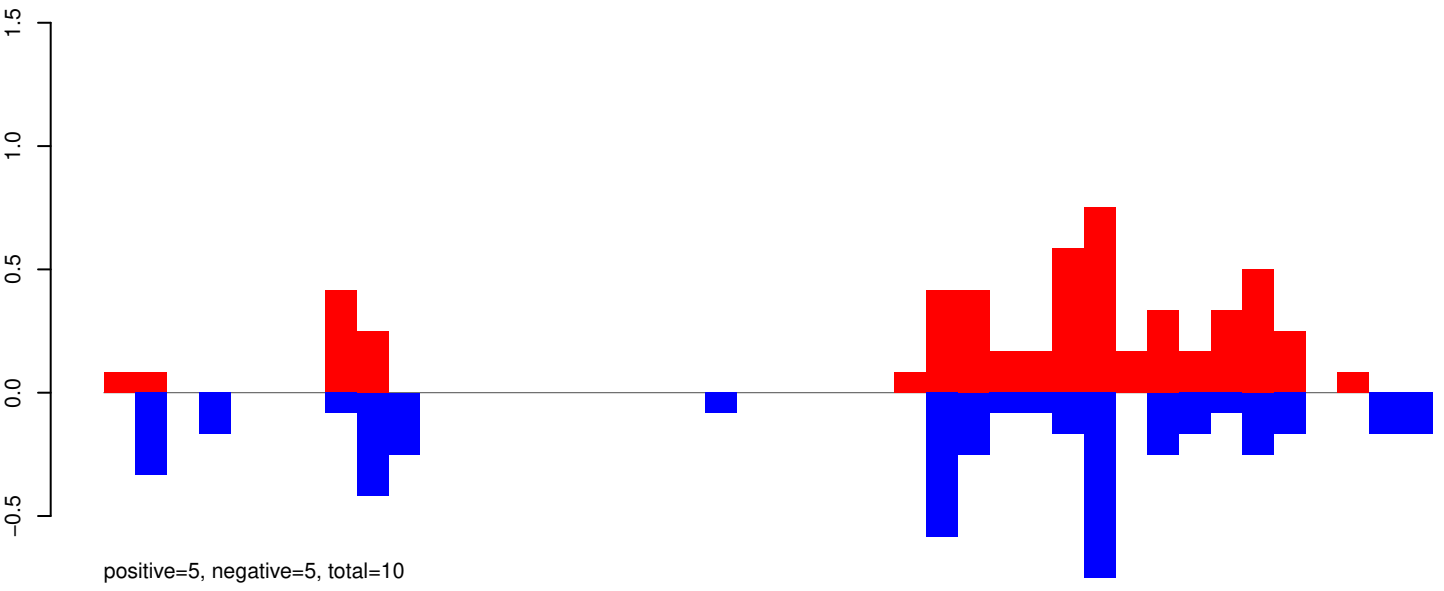
AeAeg_Aag2_Ago2_SINV_RA.24_35.rep



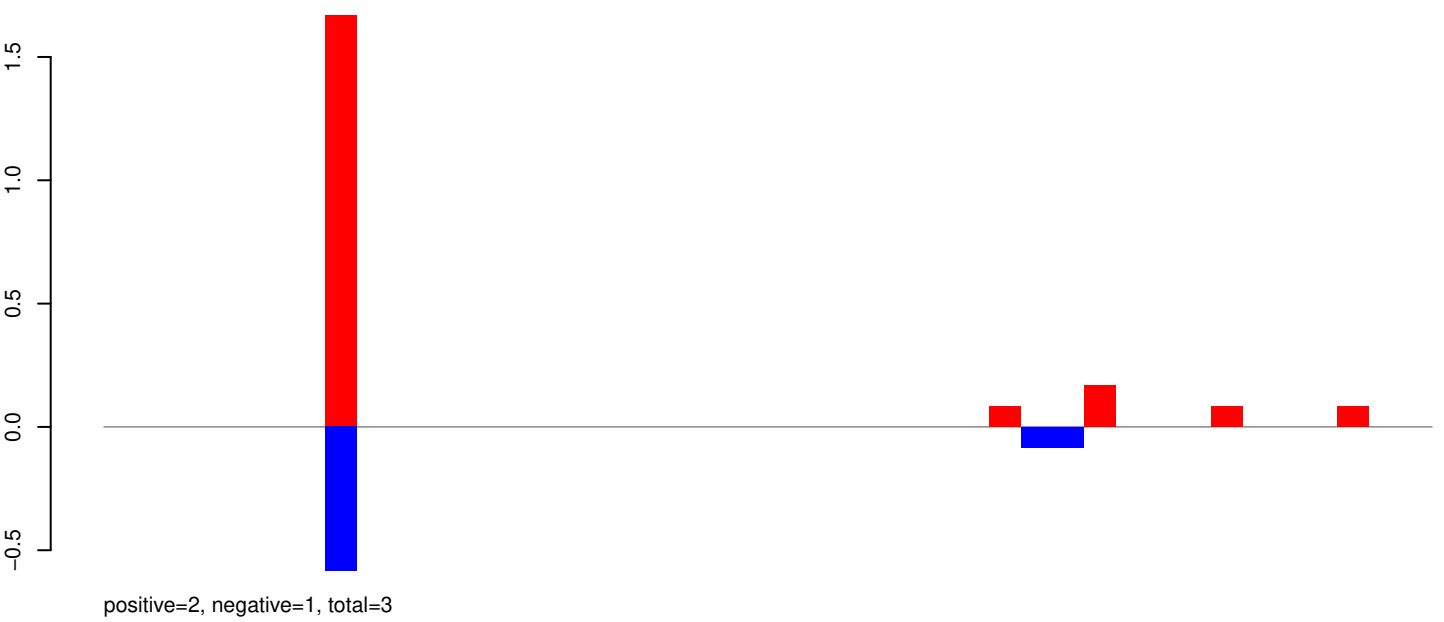
AeAeg_Aag2_Ago2_SINV_RA.rep



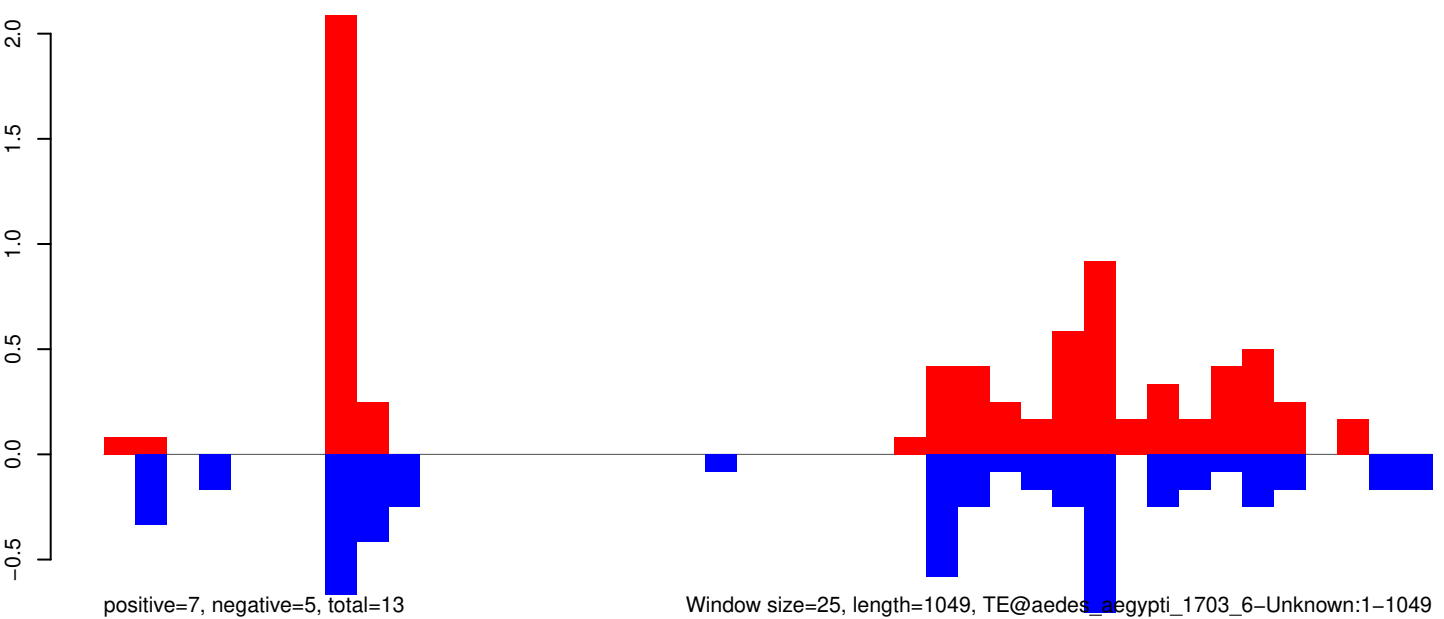
AeAeg_Aag2_Ago2_SINV_RA.18_23.rep



AeAeg_Aag2_Ago2_SINV_RA.24_35.rep

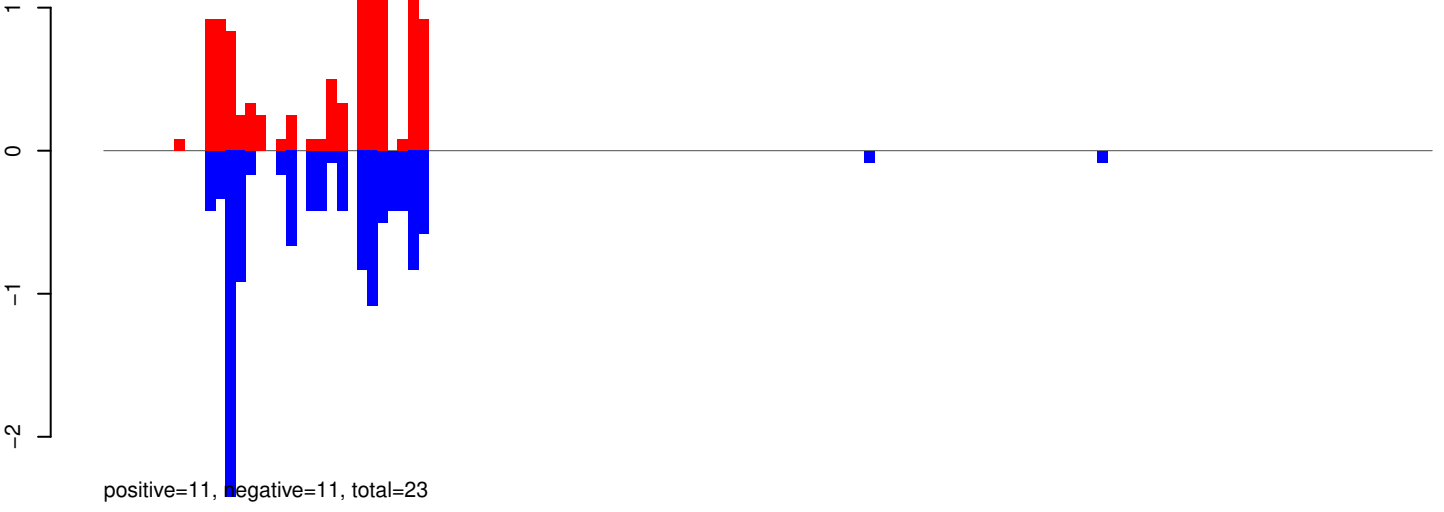


AeAeg_Aag2_Ago2_SINV_RA.rep

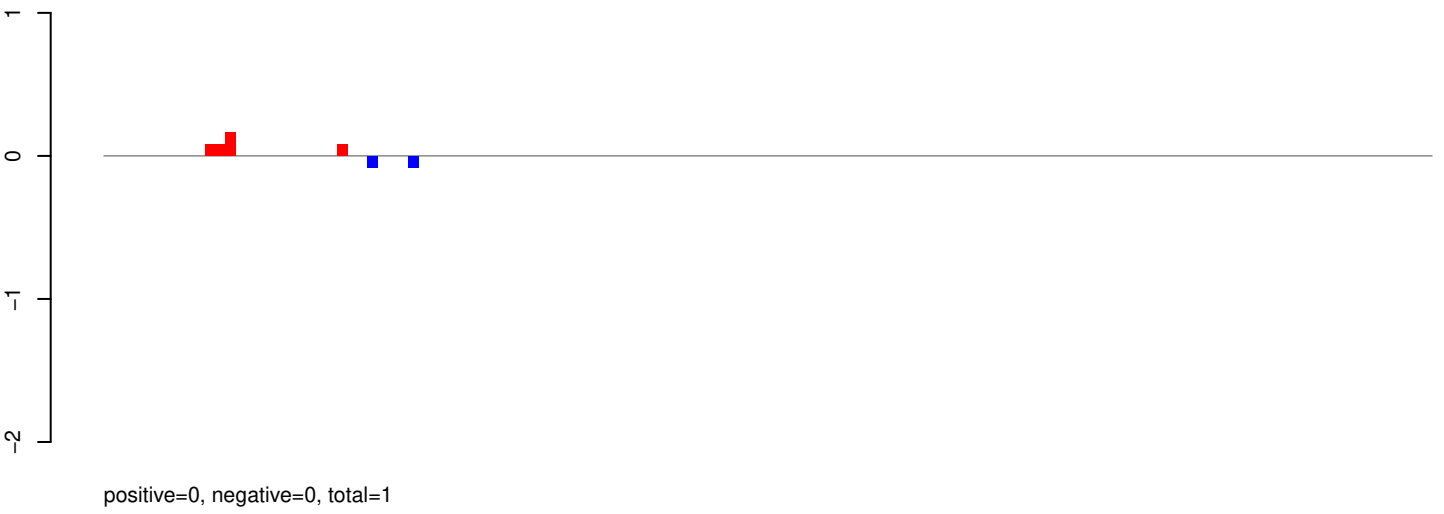


Window size=25, length=1049, TE@aedes_egypti_1703_6-Unknown:1-1049

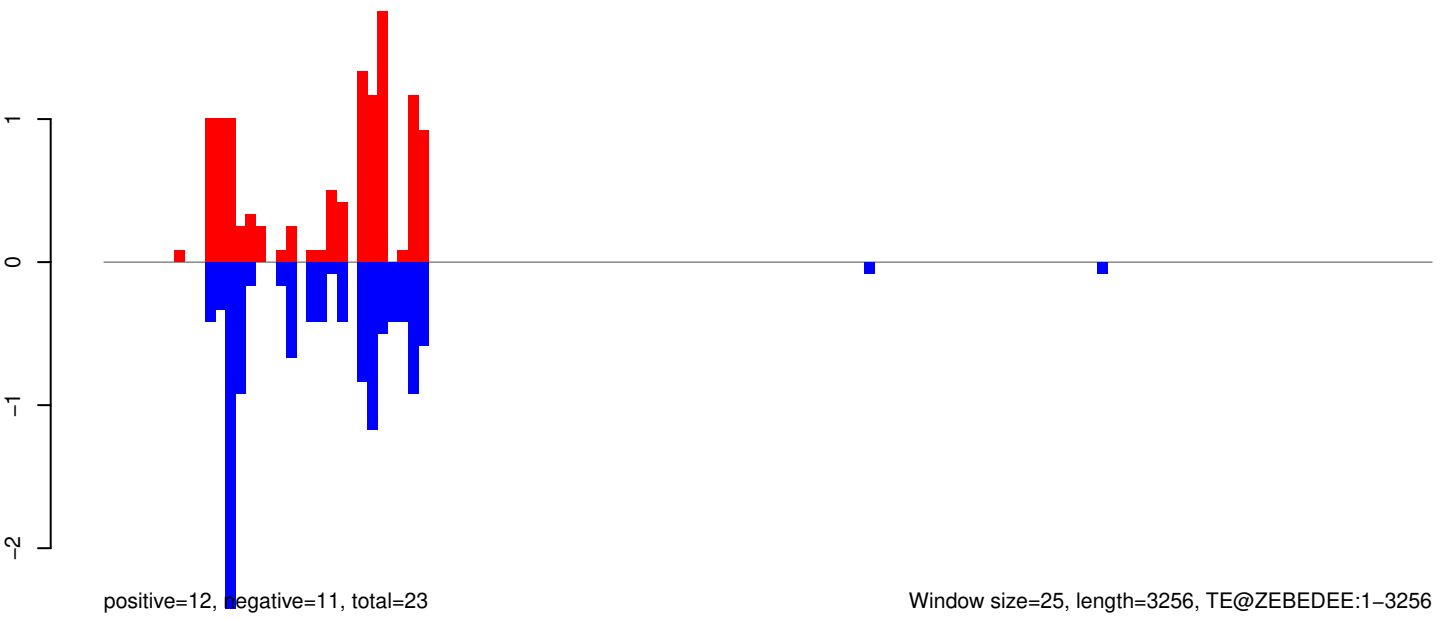
AeAeg_Aag2_Ago2_SINV_RA.18_23.rep



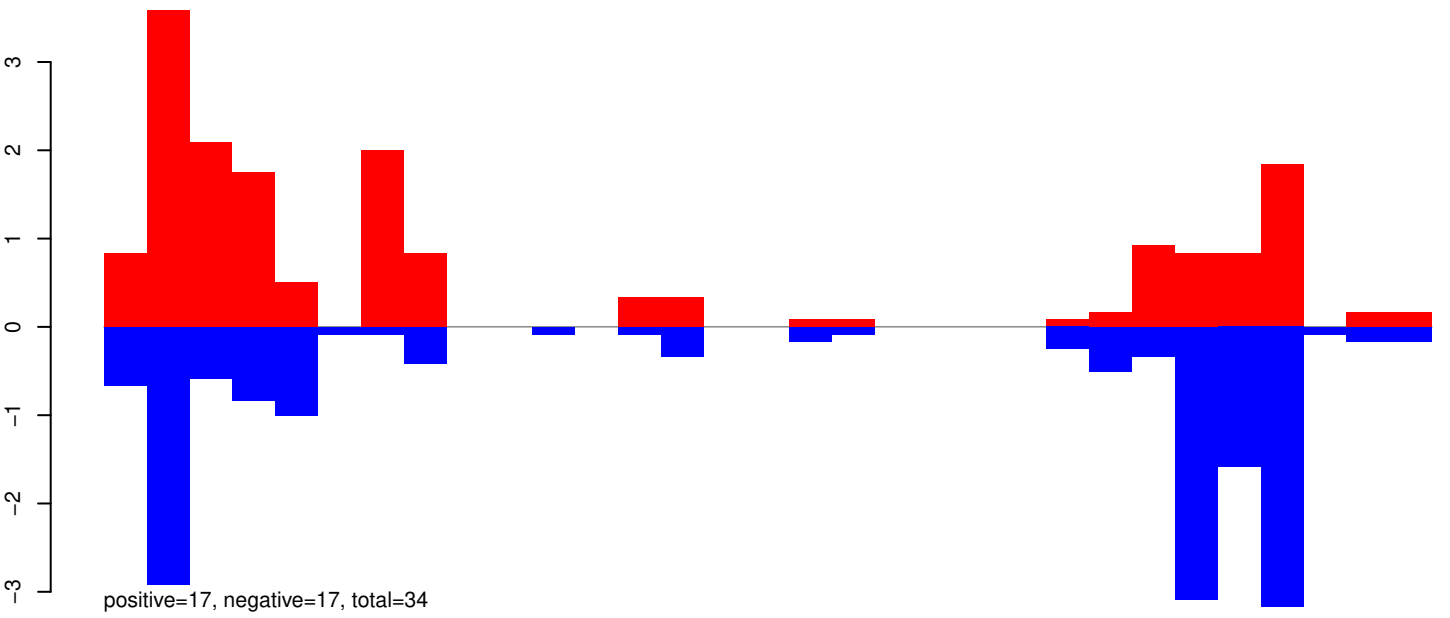
AeAeg_Aag2_Ago2_SINV_RA.24_35.rep



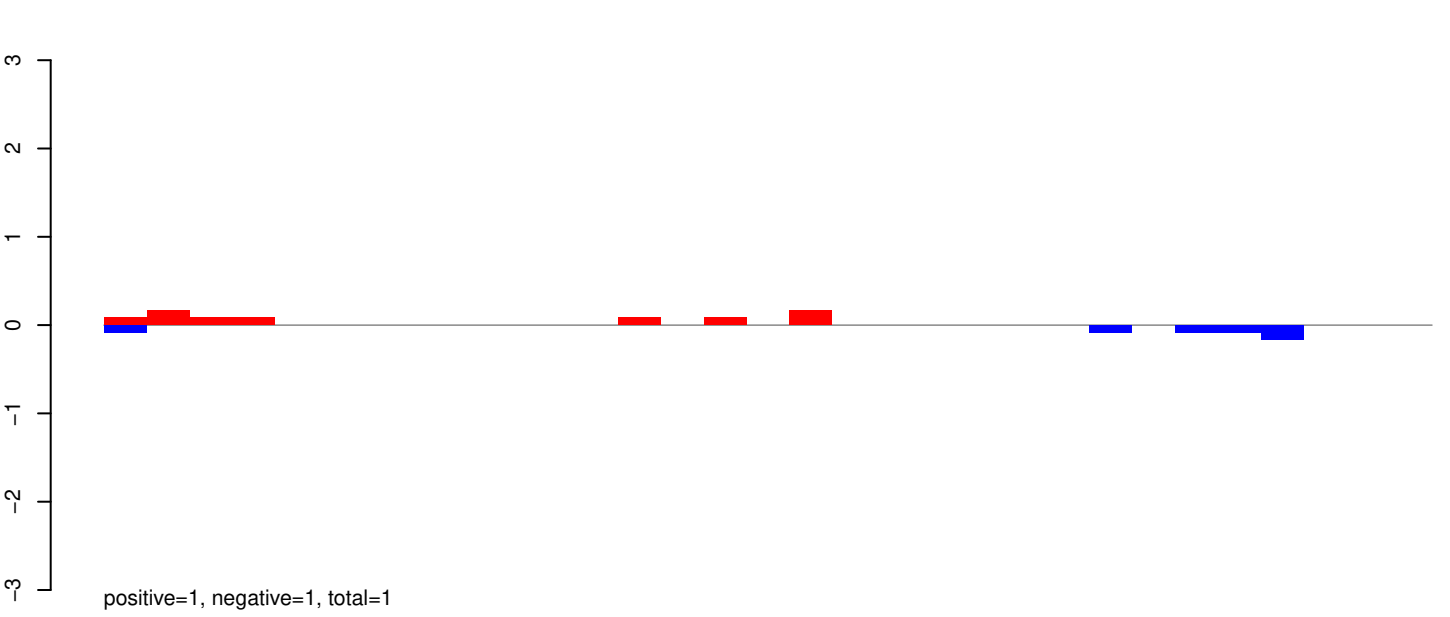
AeAeg_Aag2_Ago2_SINV_RA.rep



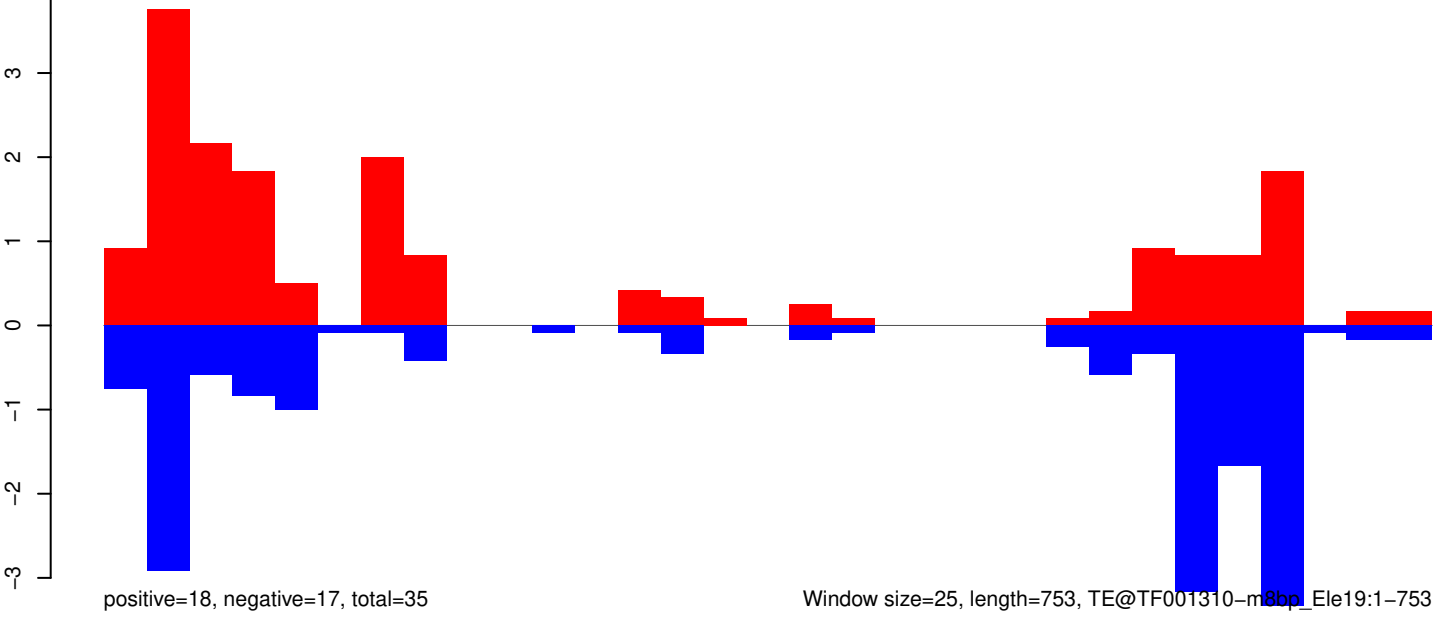
AeAeg_Aag2_Ago2_SINV_RA.18_23.rep



AeAeg_Aag2_Ago2_SINV_RA.24_35.rep

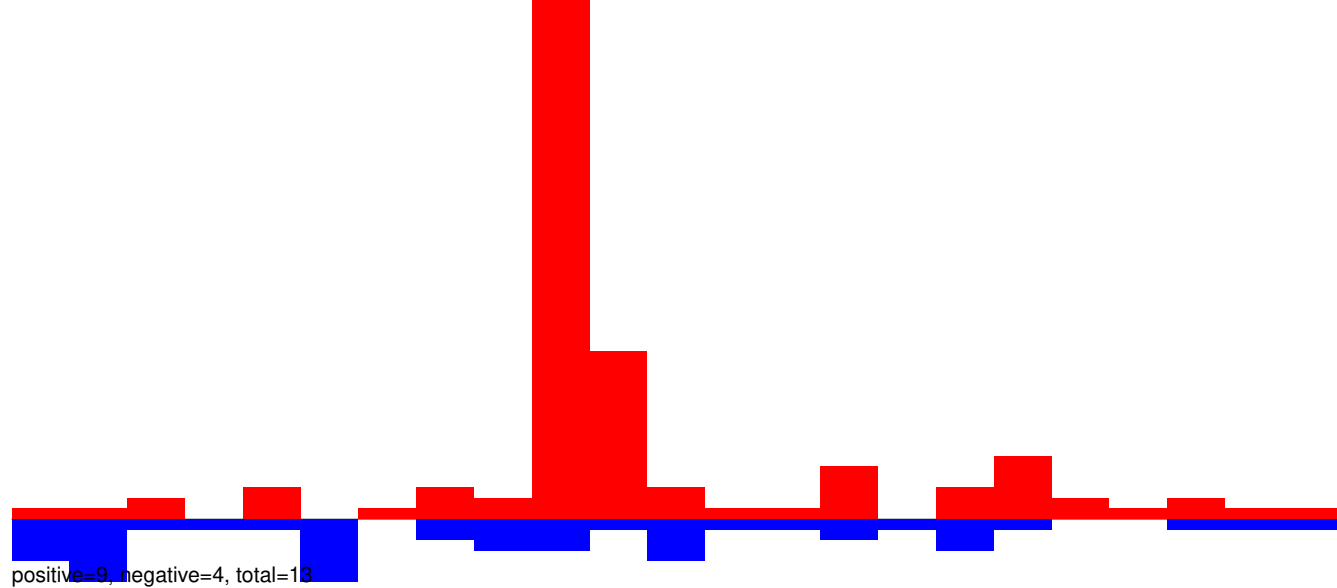


AeAeg_Aag2_Ago2_SINV_RA.rep

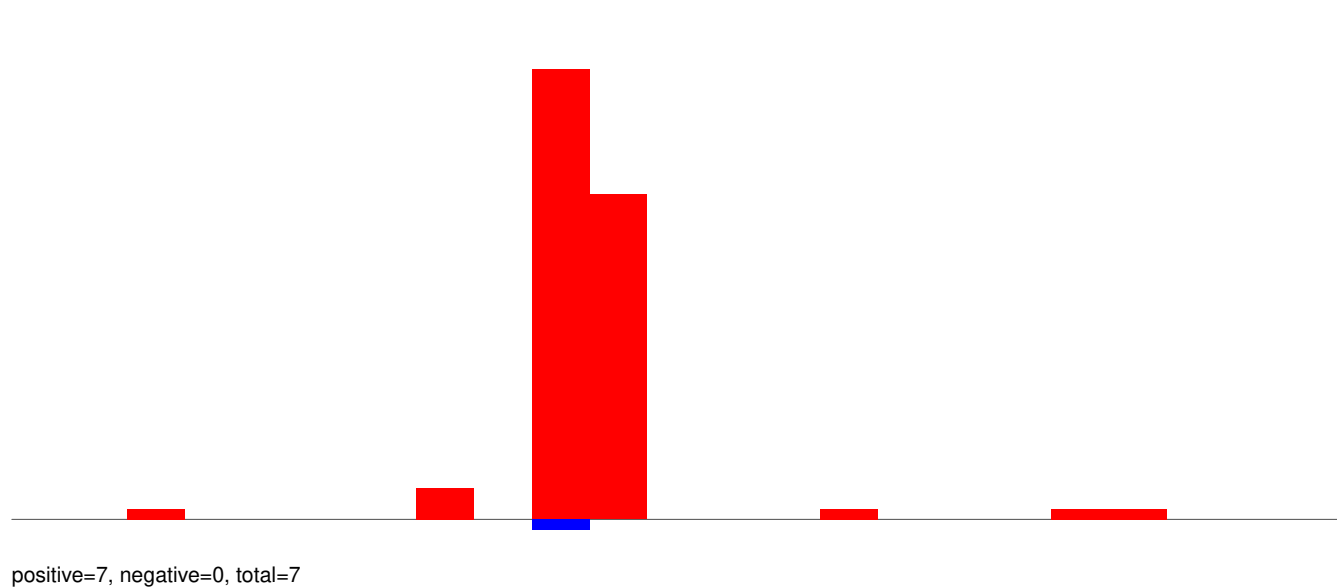


Window size=25, length=753, TE@TF001310-m8bp_Ele19:1-753

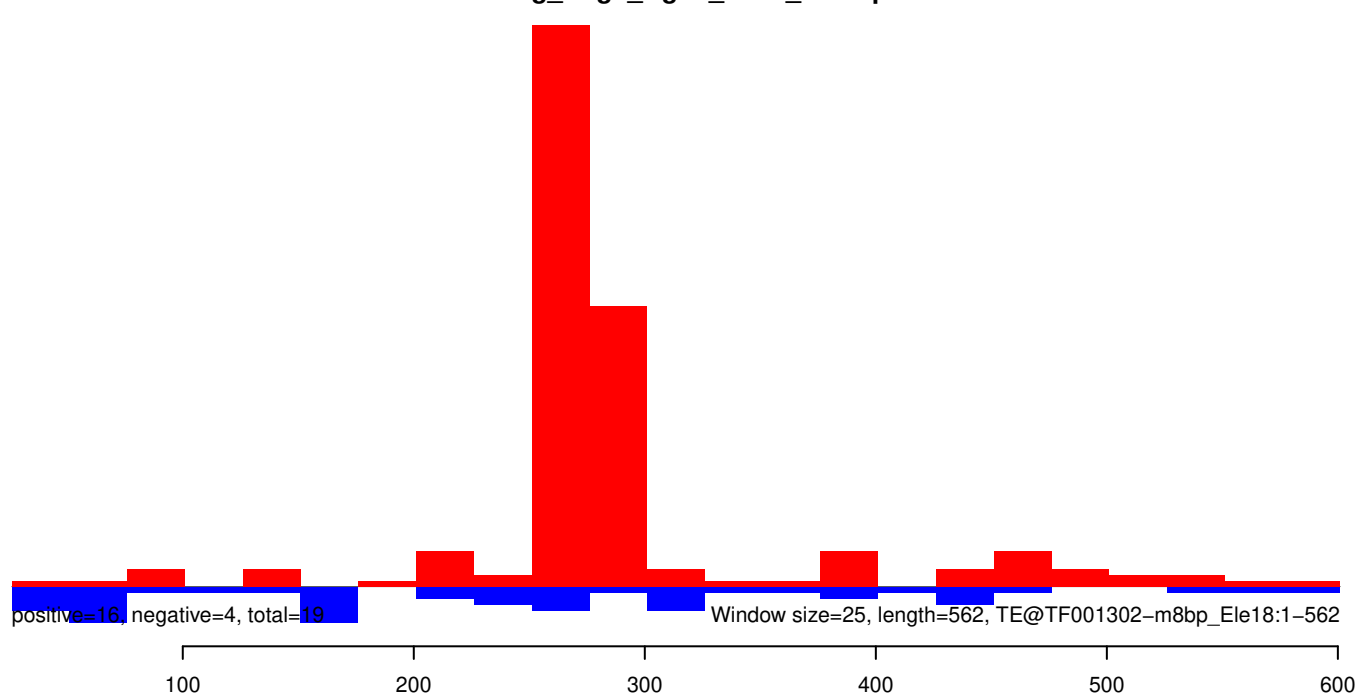
AeAeg_Aag2_Ago2_SINV_RA.18_23.rep



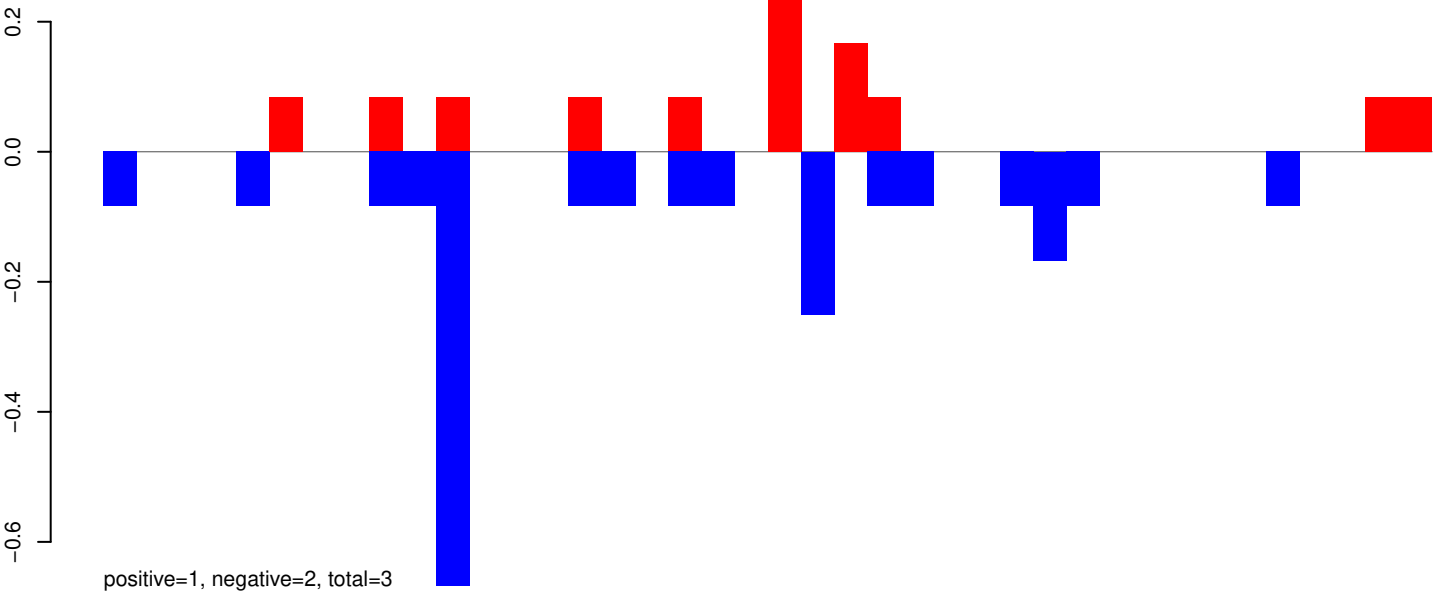
AeAeg_Aag2_Ago2_SINV_RA.24_35.rep



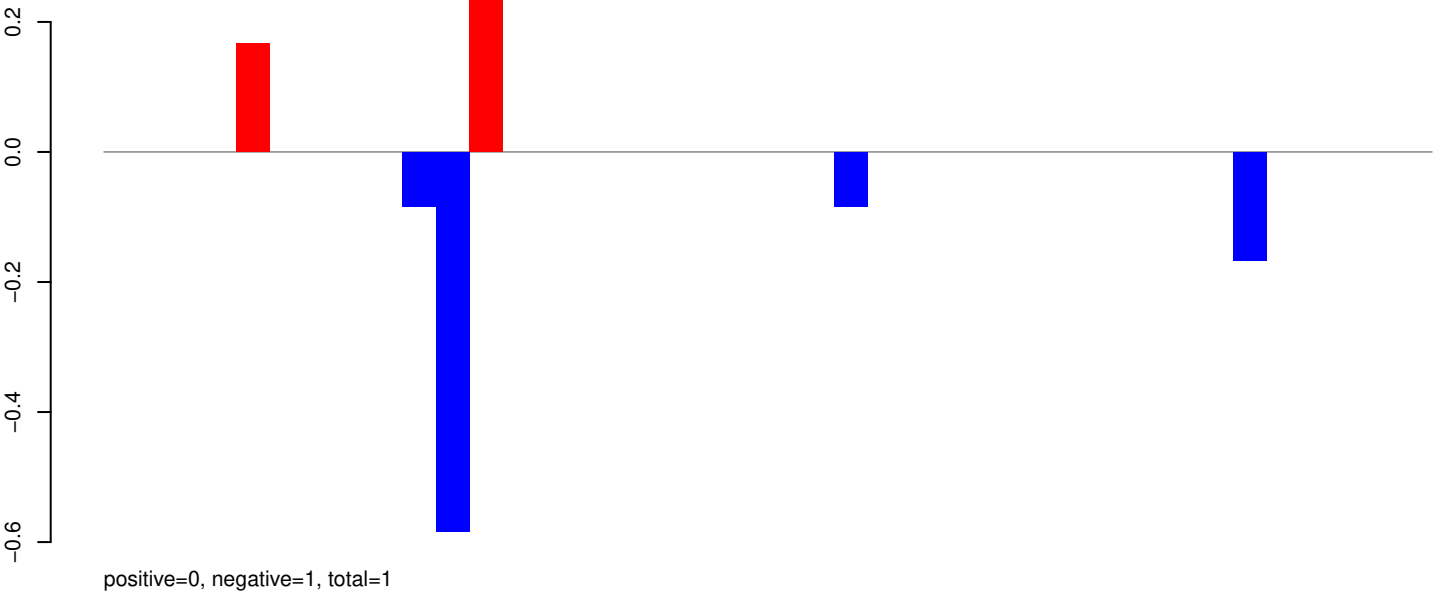
AeAeg_Aag2_Ago2_SINV_RA.rep



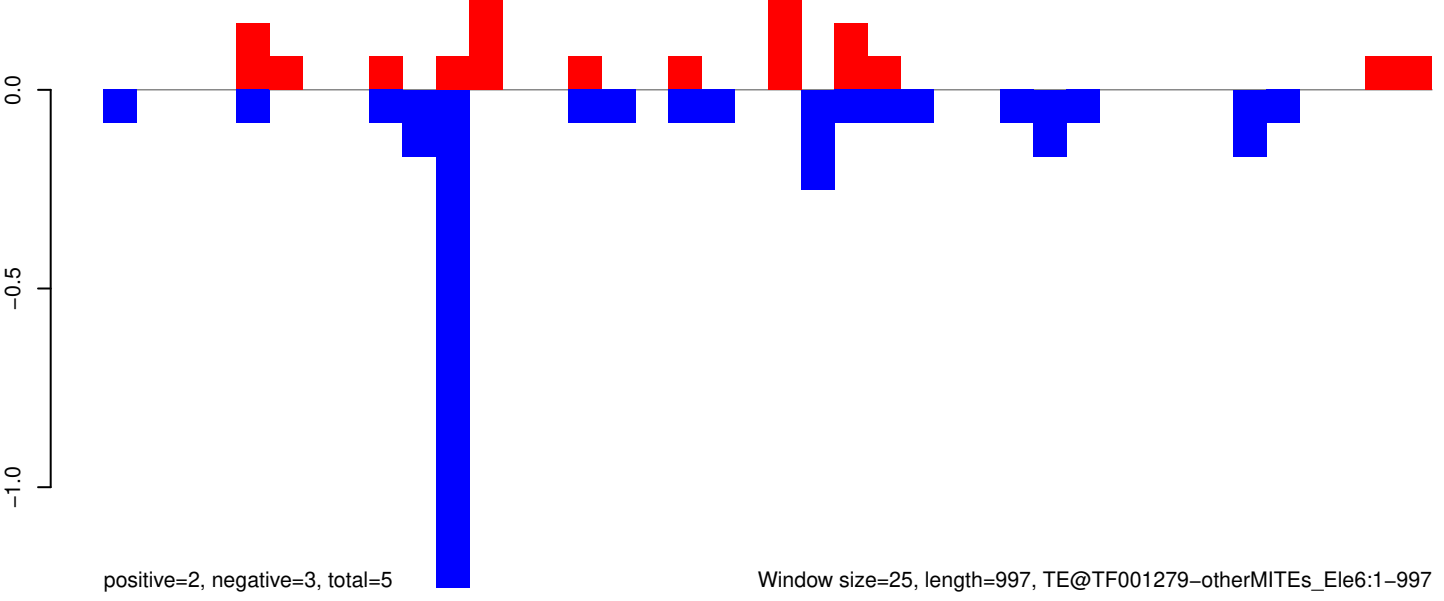
AeAeg_Aag2_Ago2_SINV_RA.18_23.rep



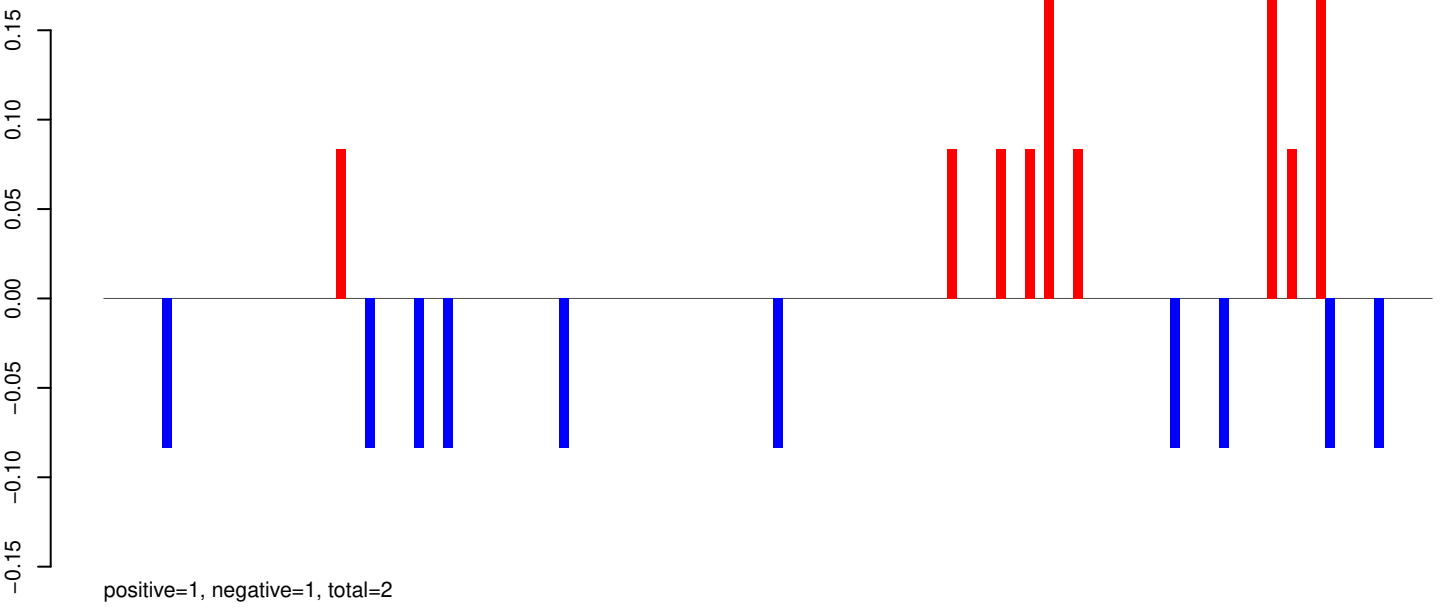
AeAeg_Aag2_Ago2_SINV_RA.24_35.rep



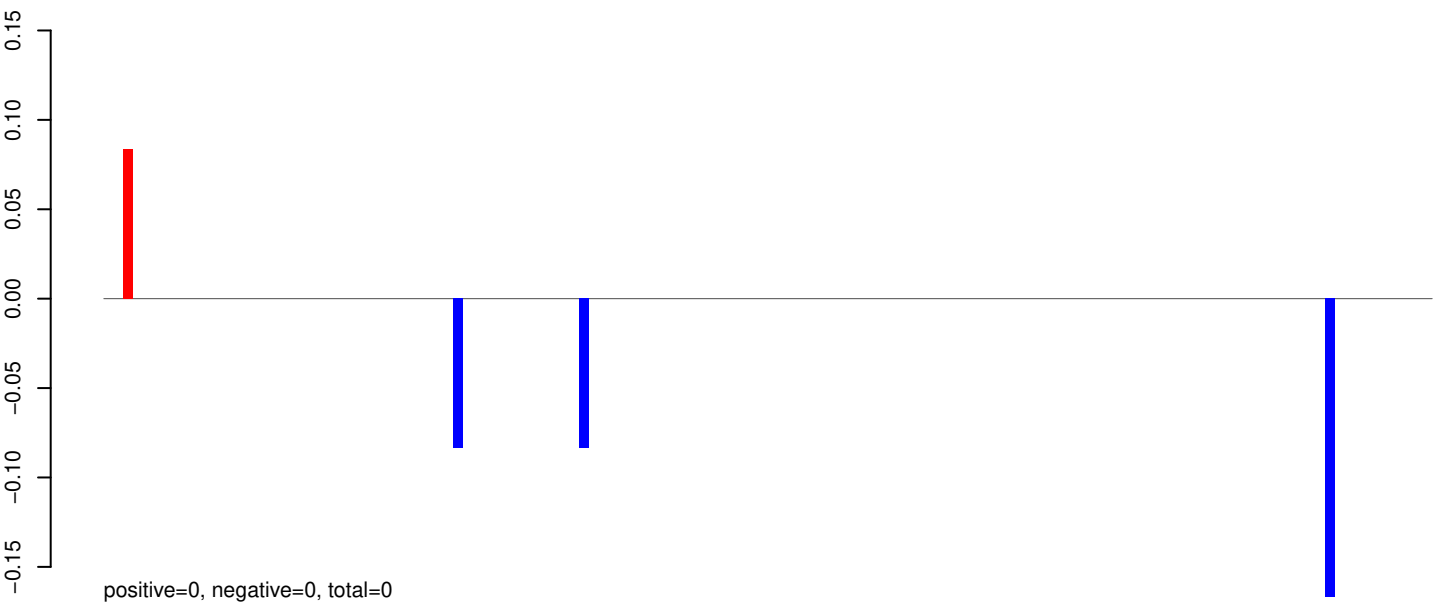
AeAeg_Aag2_Ago2_SINV_RA.rep



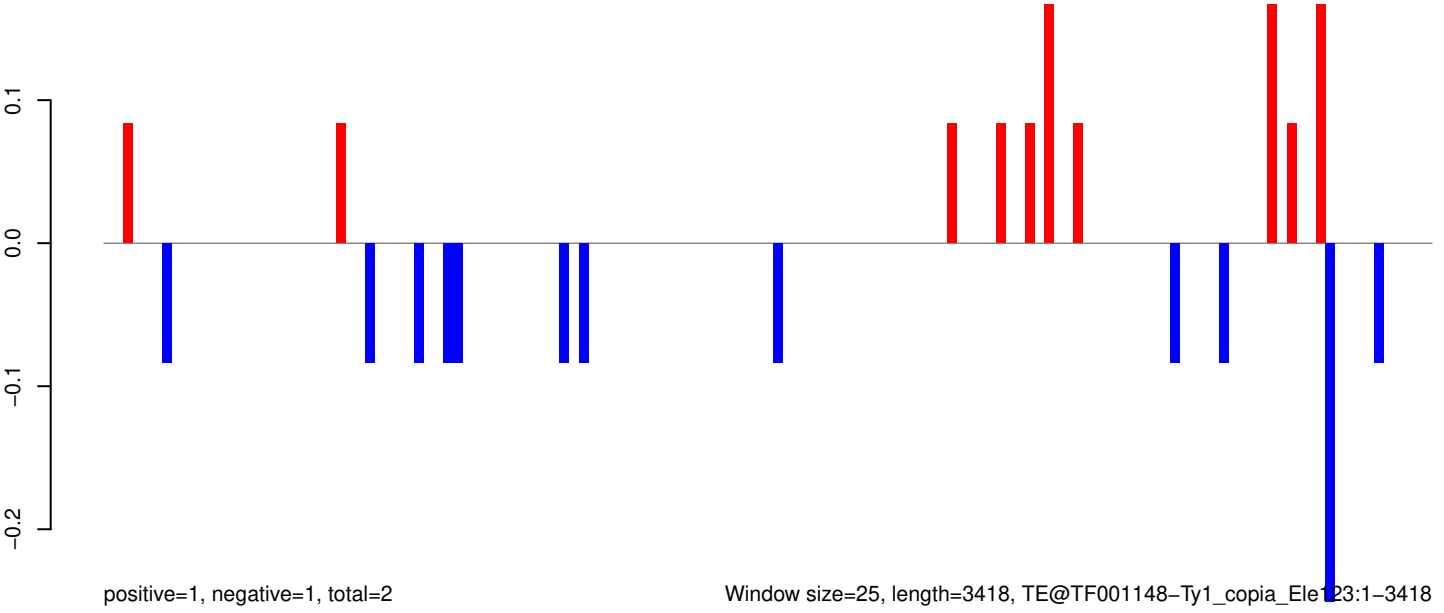
AeAeg_Aag2_Ago2_SINV_RA.18_23.rep



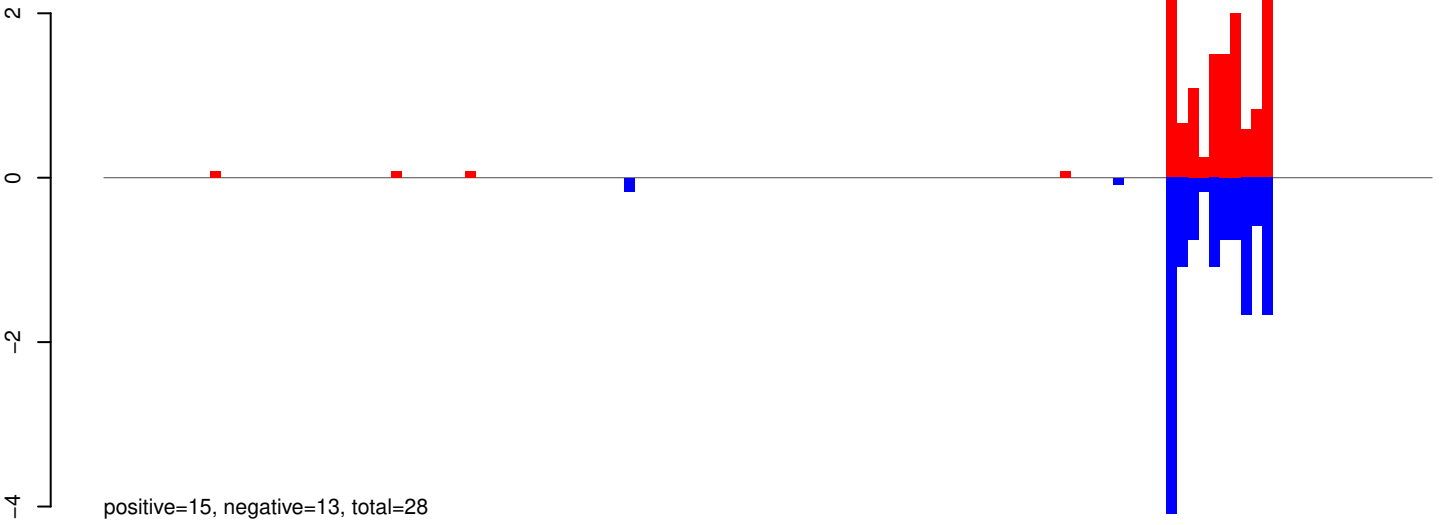
AeAeg_Aag2_Ago2_SINV_RA.24_35.rep



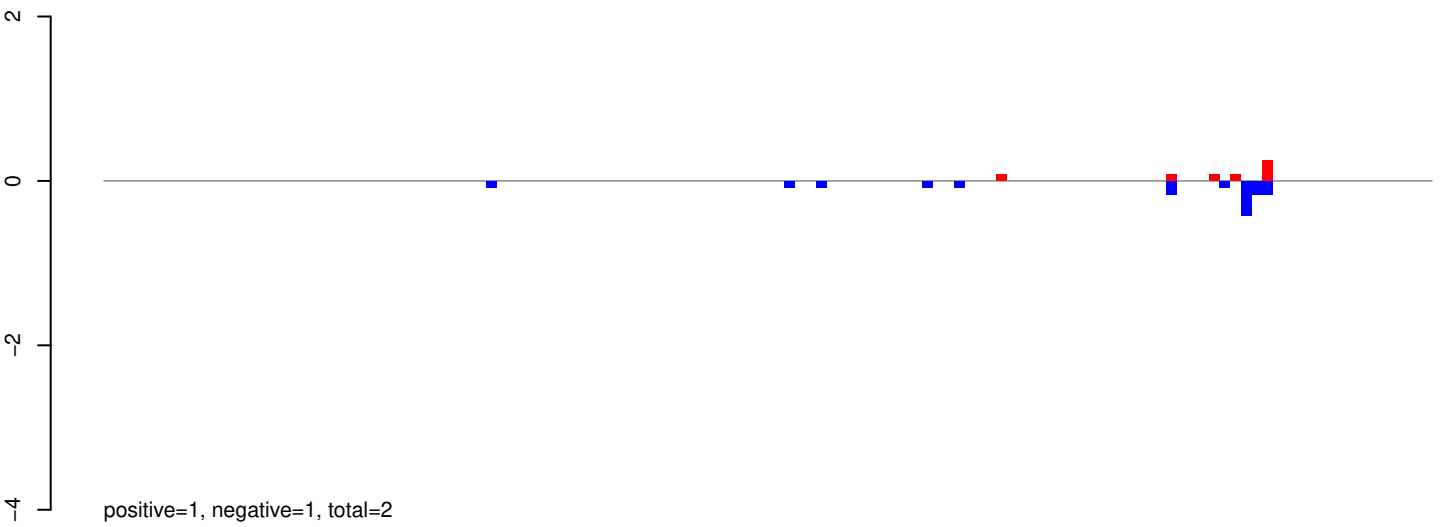
AeAeg_Aag2_Ago2_SINV_RA.rep



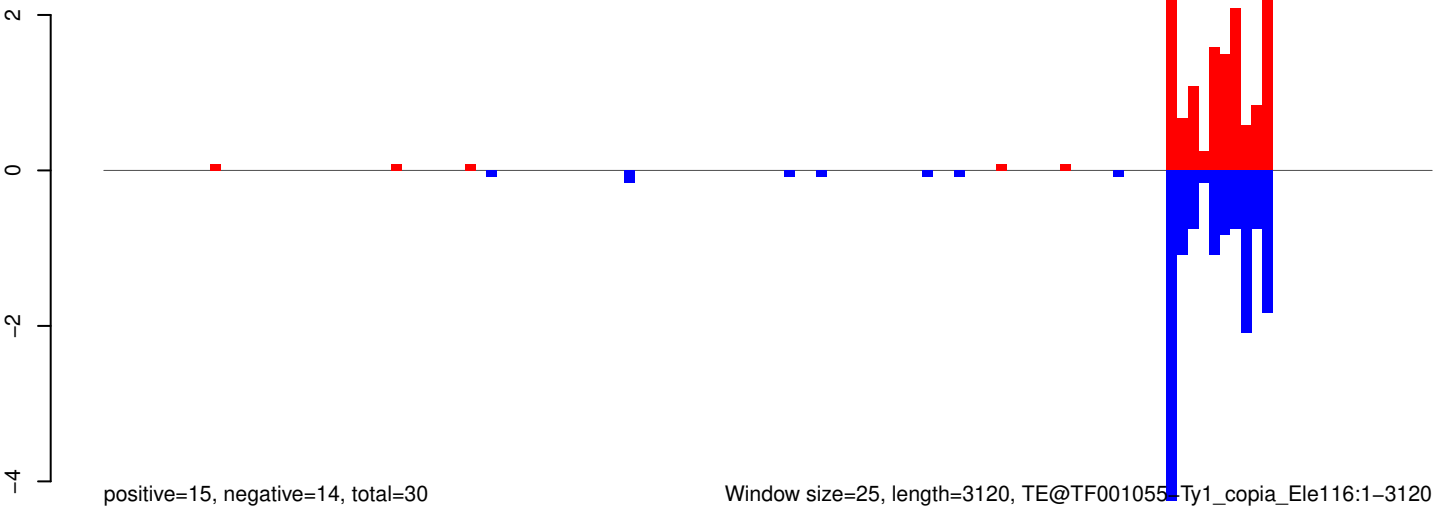
AeAeg_Aag2_Ago2_SINV_RA.18_23.rep



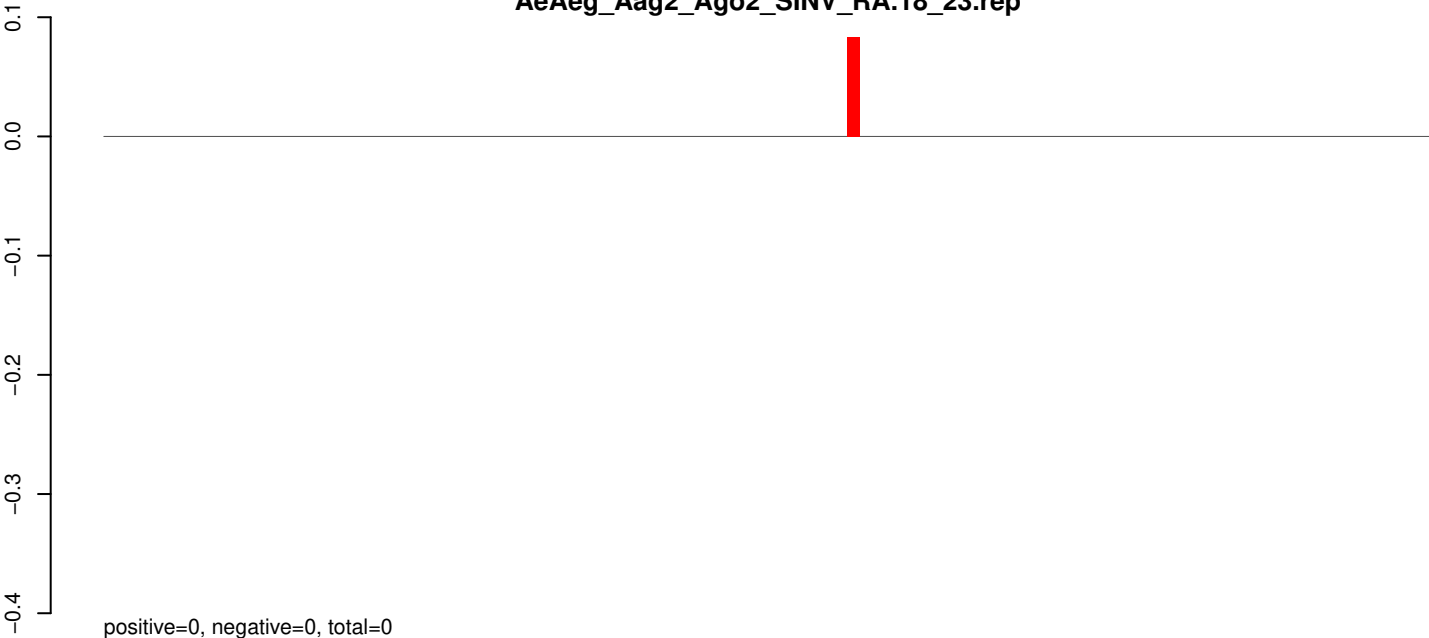
AeAeg_Aag2_Ago2_SINV_RA.24_35.rep



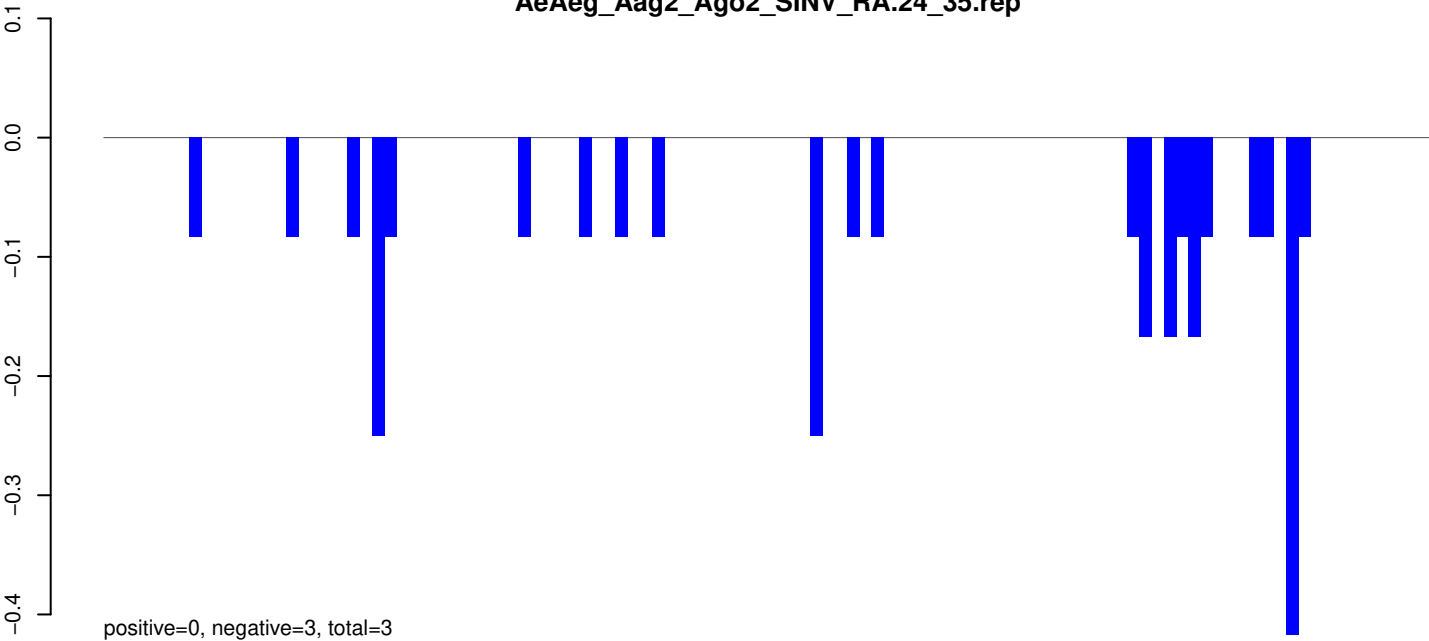
AeAeg_Aag2_Ago2_SINV_RA.rep



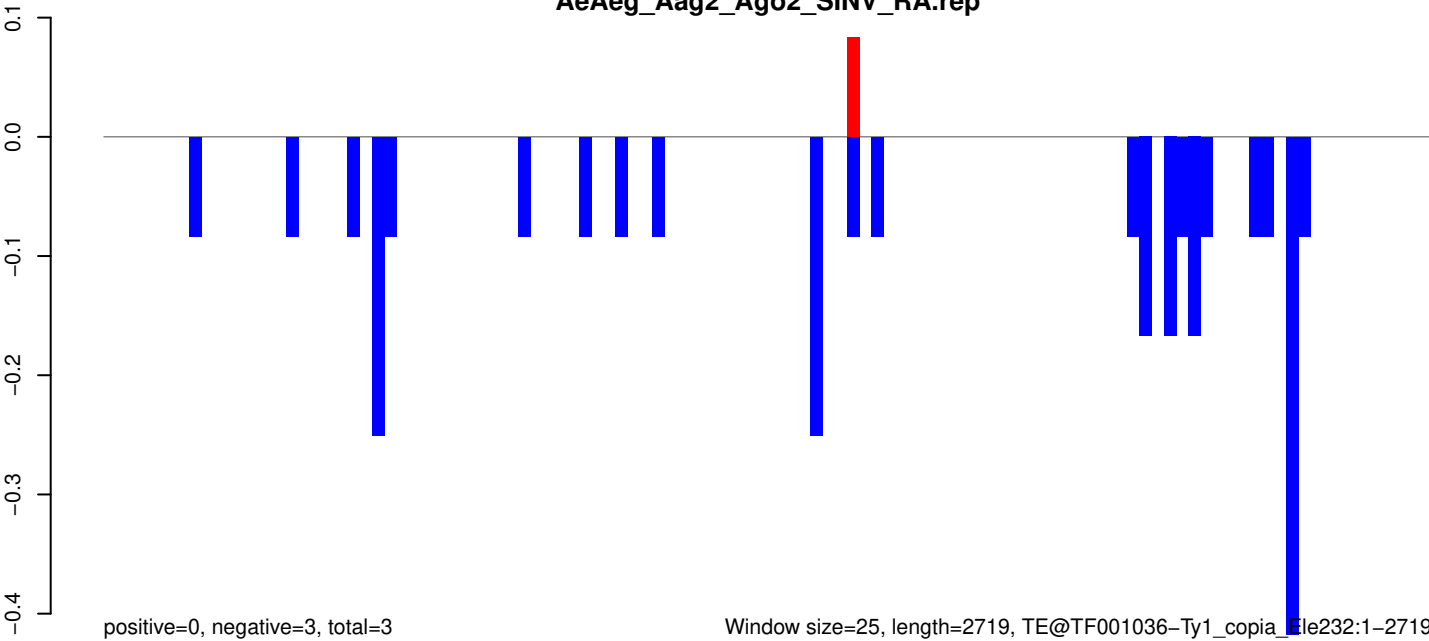
AeAeg_Aag2_Ago2_SINV_RA.18_23.rep



AeAeg_Aag2_Ago2_SINV_RA.24_35.rep



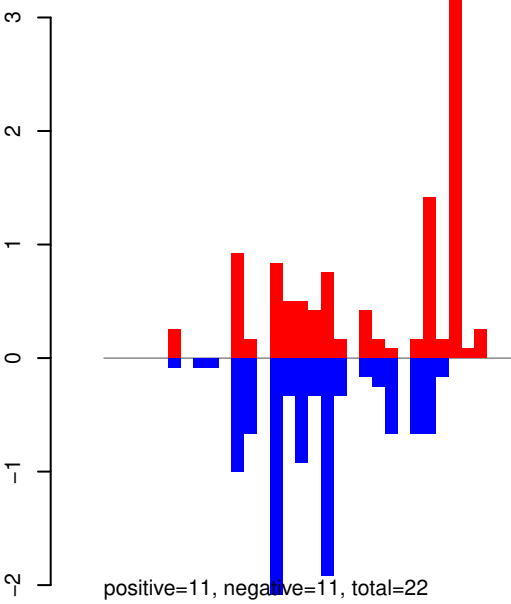
AeAeg_Aag2_Ago2_SINV_RA.rep



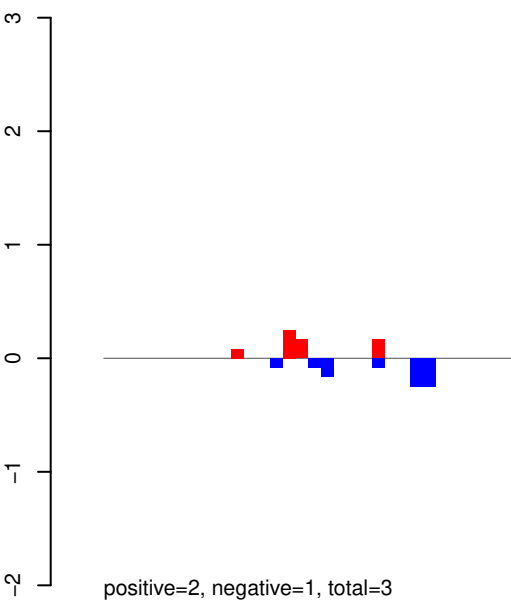
Window size=25, length=2719, TE@TF001036-Ty1_copia_Ele232:1-2719

0 500 1000 1500 2000 2500

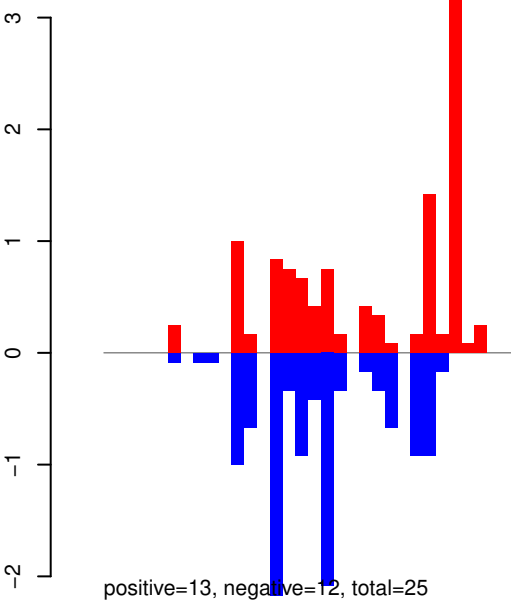
AeAeg_Aag2_Ago2_SINV_RA.18_23.rep



AeAeg_Aag2_Ago2_SINV_RA.24_35.rep

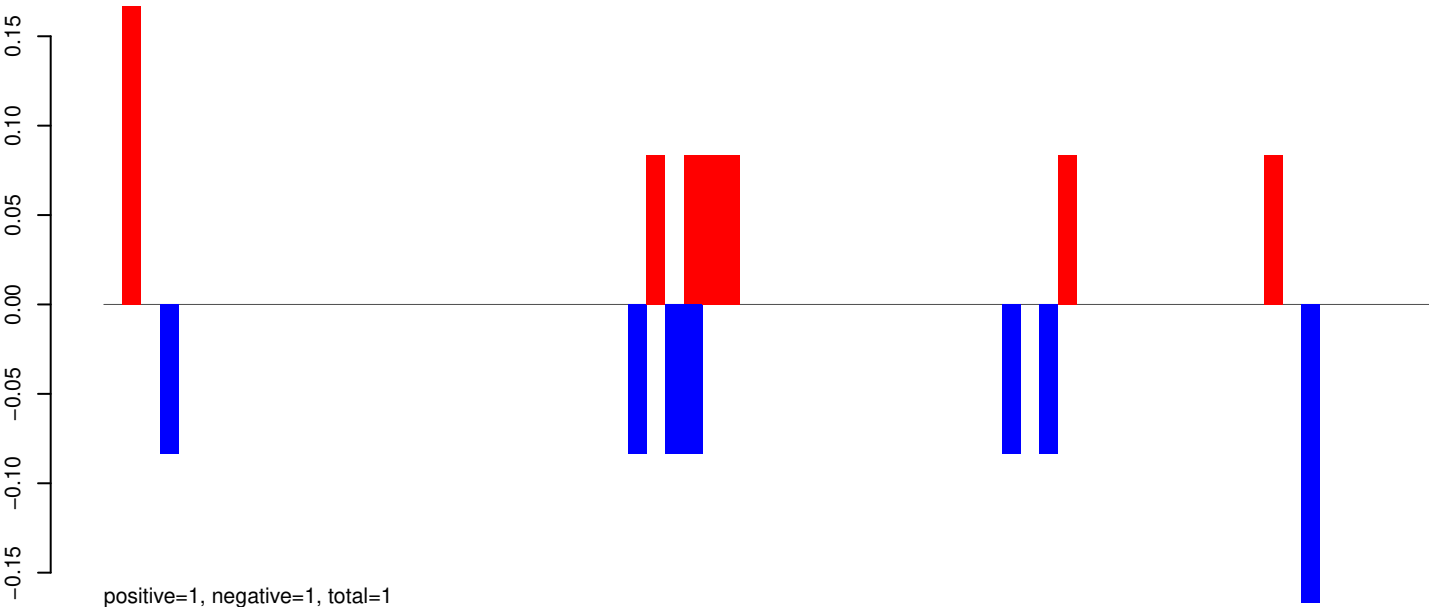


AeAeg_Aag2_Ago2_SINV_RA.rep

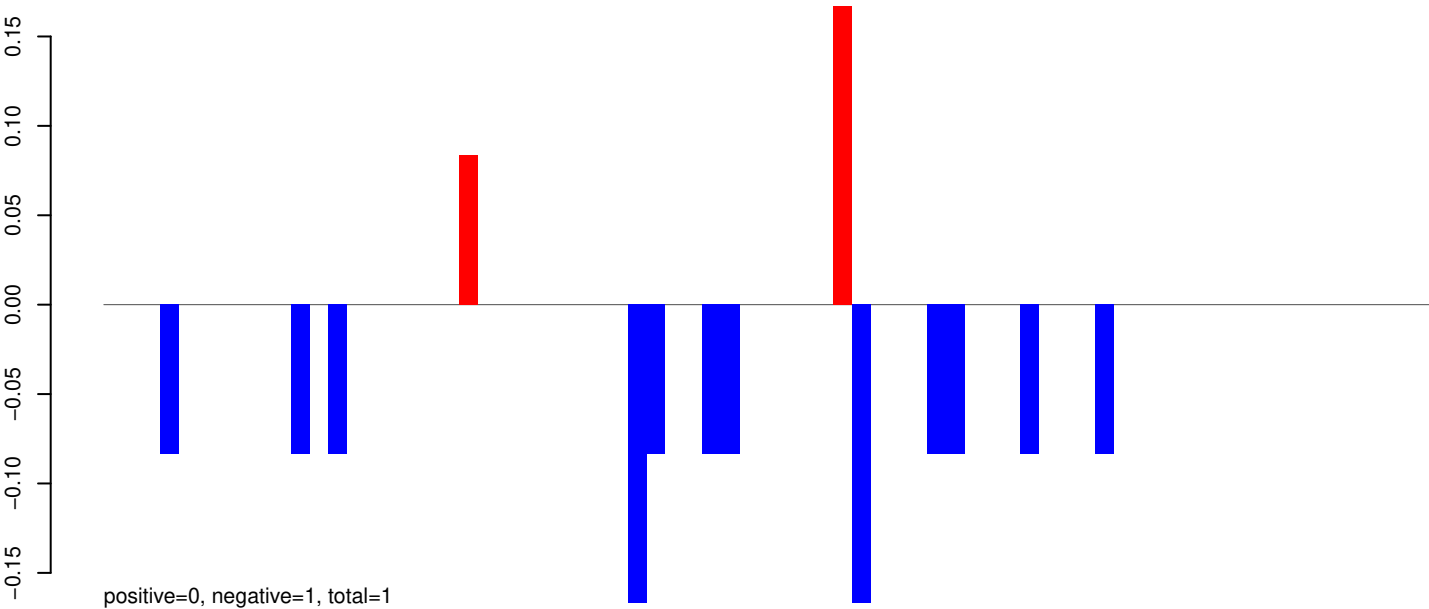


Window size=25, length=2595, TE@TF001020-P_ele3:1-2595

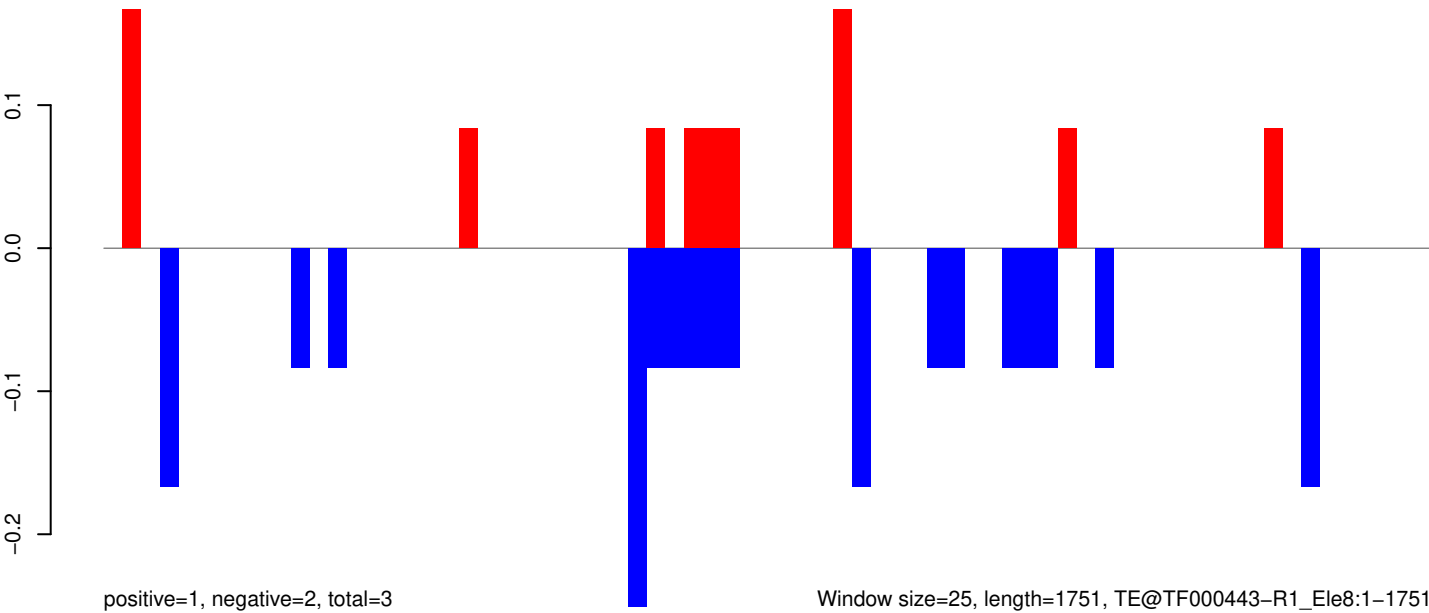
AeAeg_Aag2_Ago2_SINV_RA.18_23.rep



AeAeg_Aag2_Ago2_SINV_RA.24_35.rep

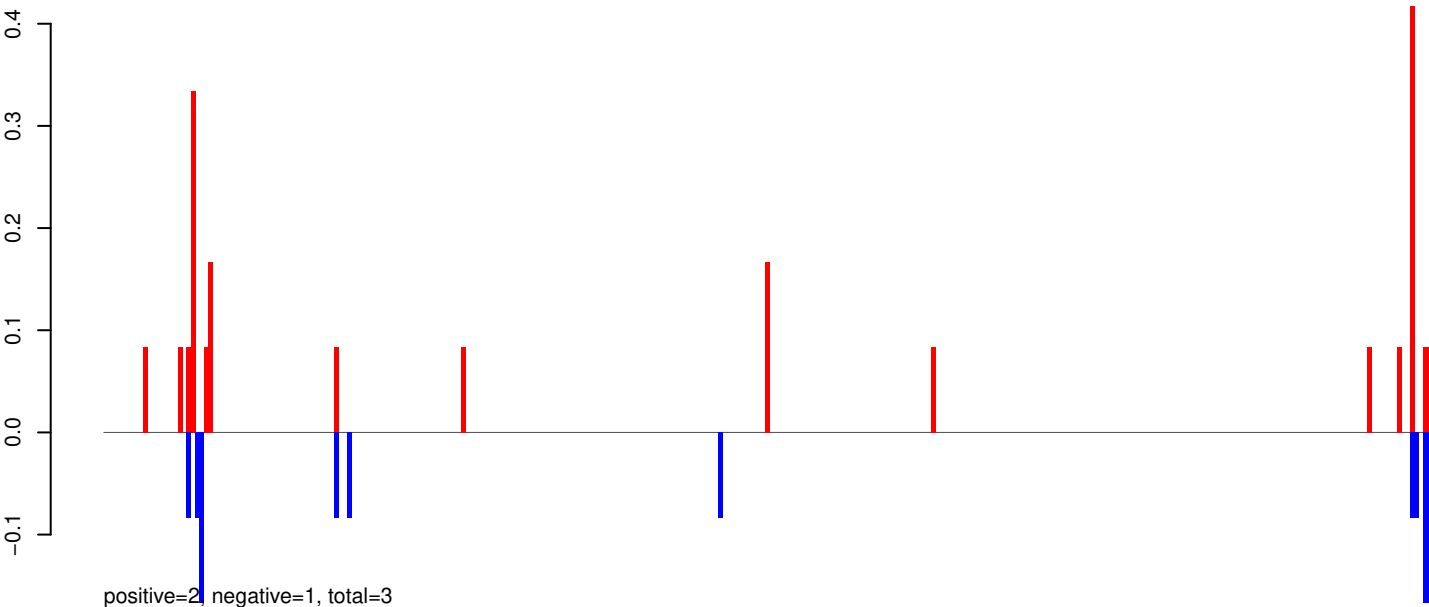


AeAeg_Aag2_Ago2_SINV_RA.rep

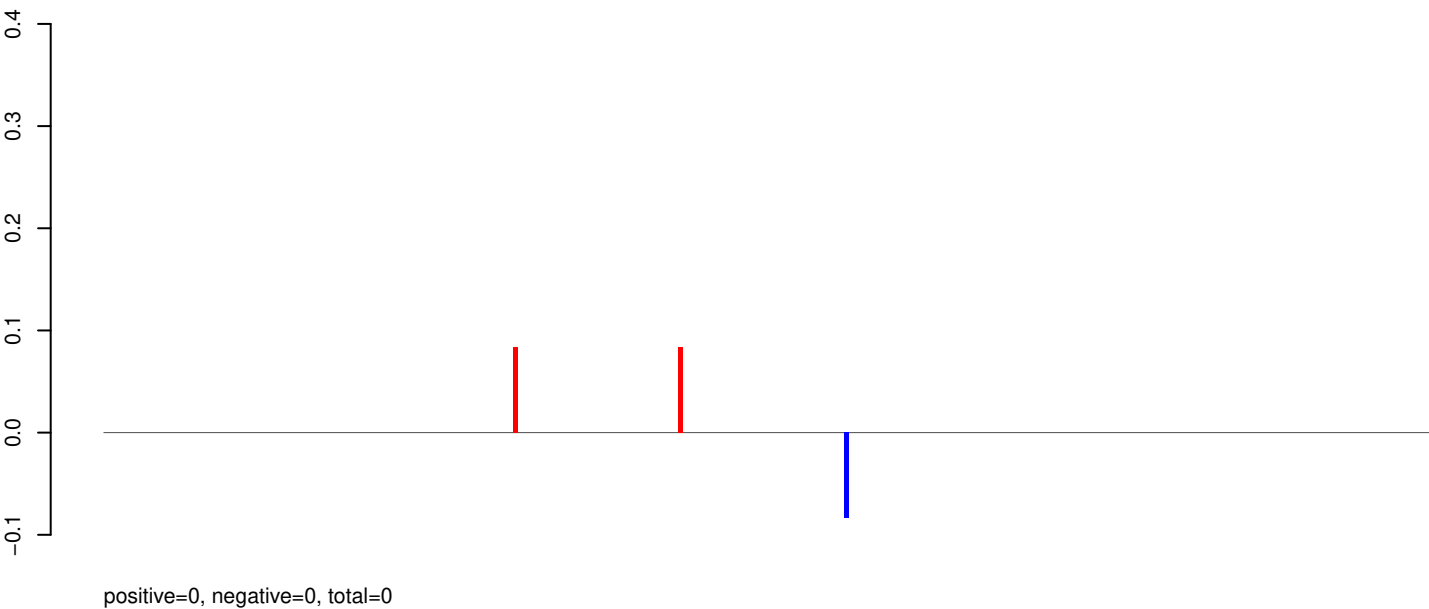


Window size=25, length=1751, TE@TF000443-R1_Ele8:1-1751

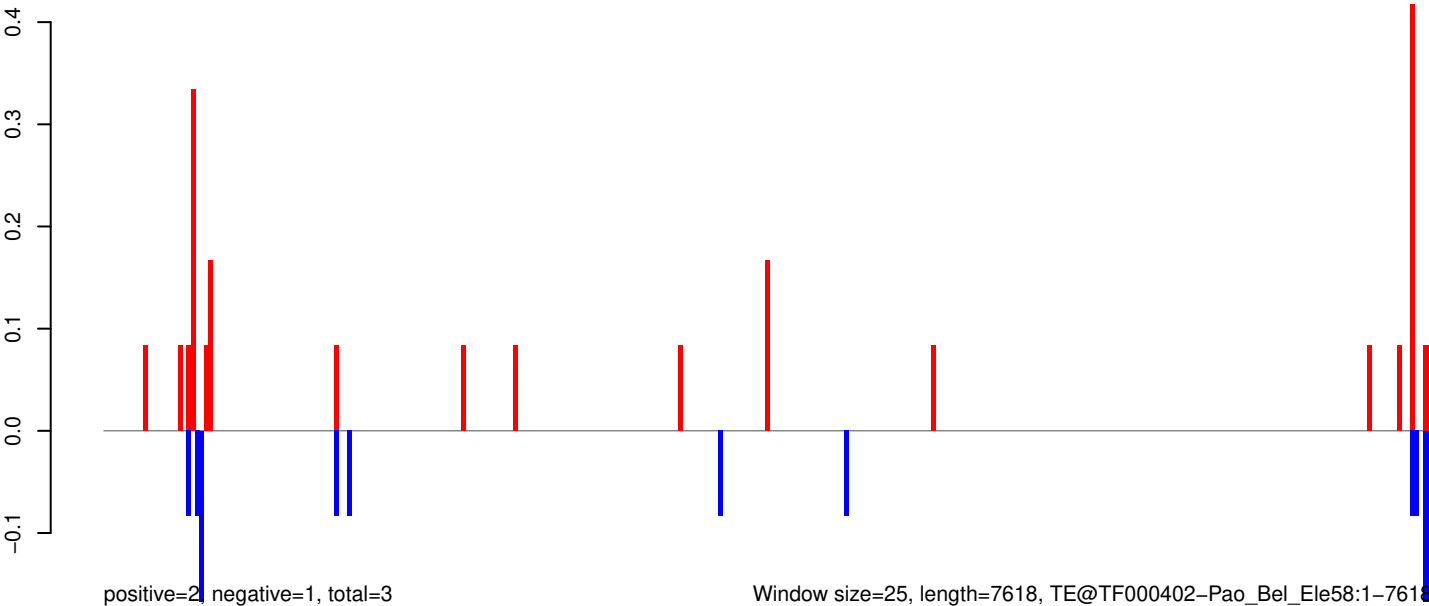
AeAeg_Aag2_Ago2_SINV_RA.18_23.rep



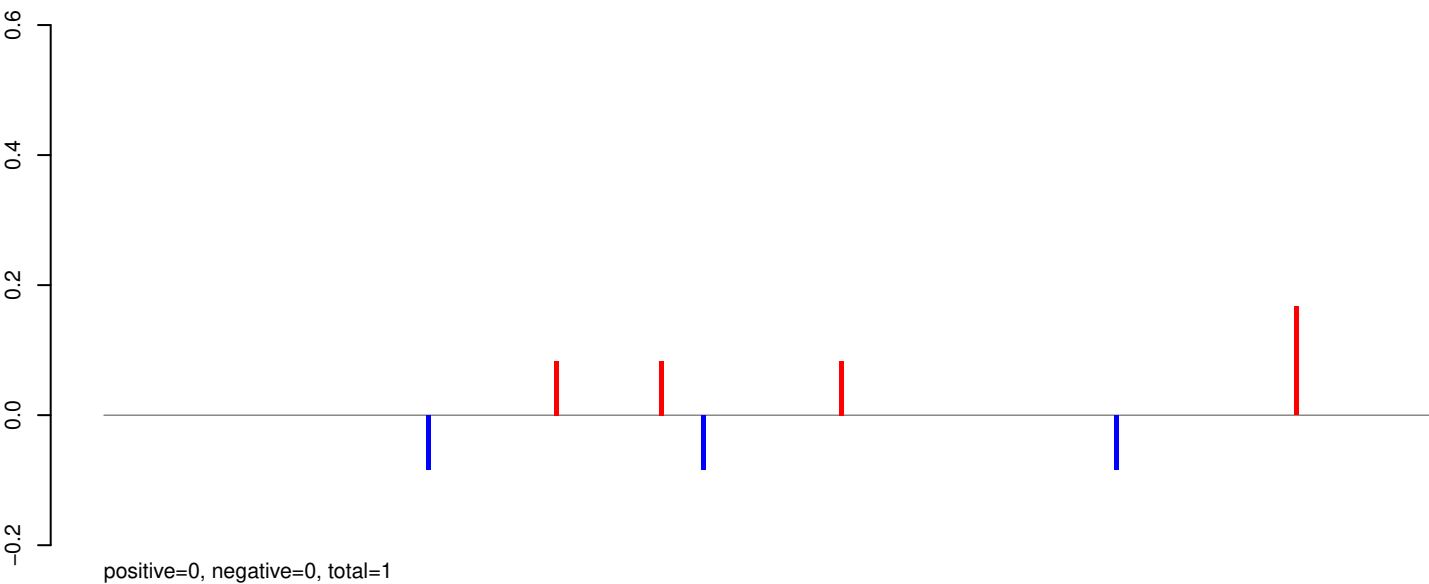
AeAeg_Aag2_Ago2_SINV_RA.24_35.rep



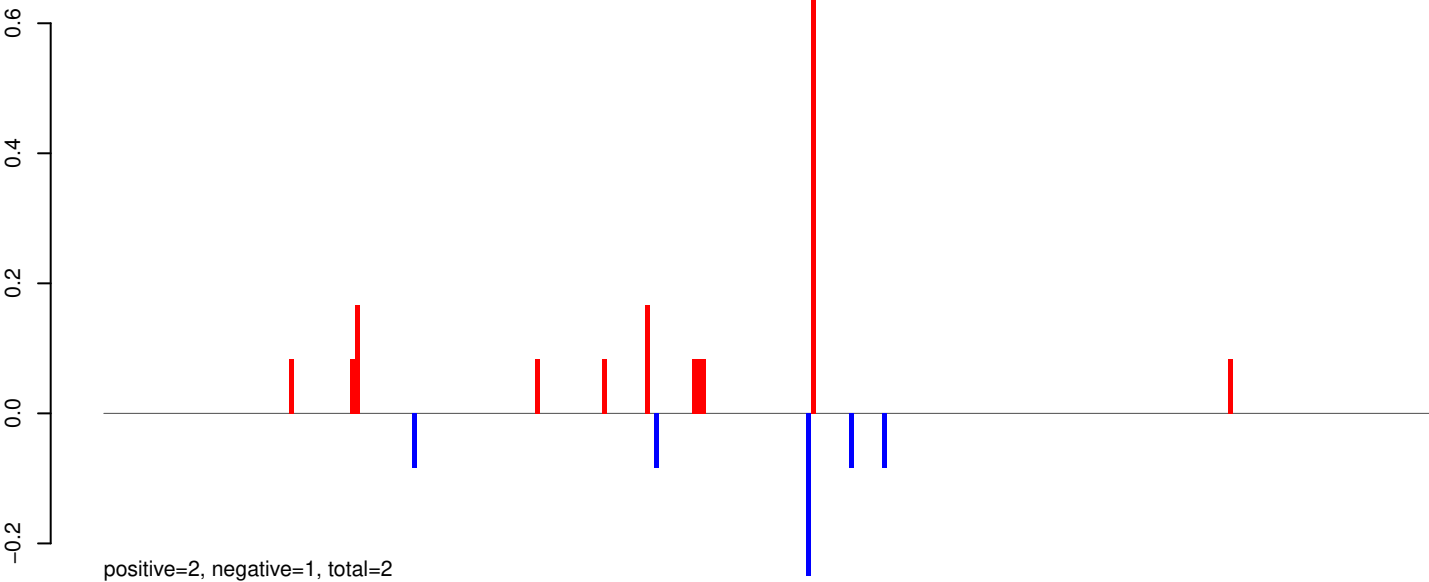
AeAeg_Aag2_Ago2_SINV_RA.rep



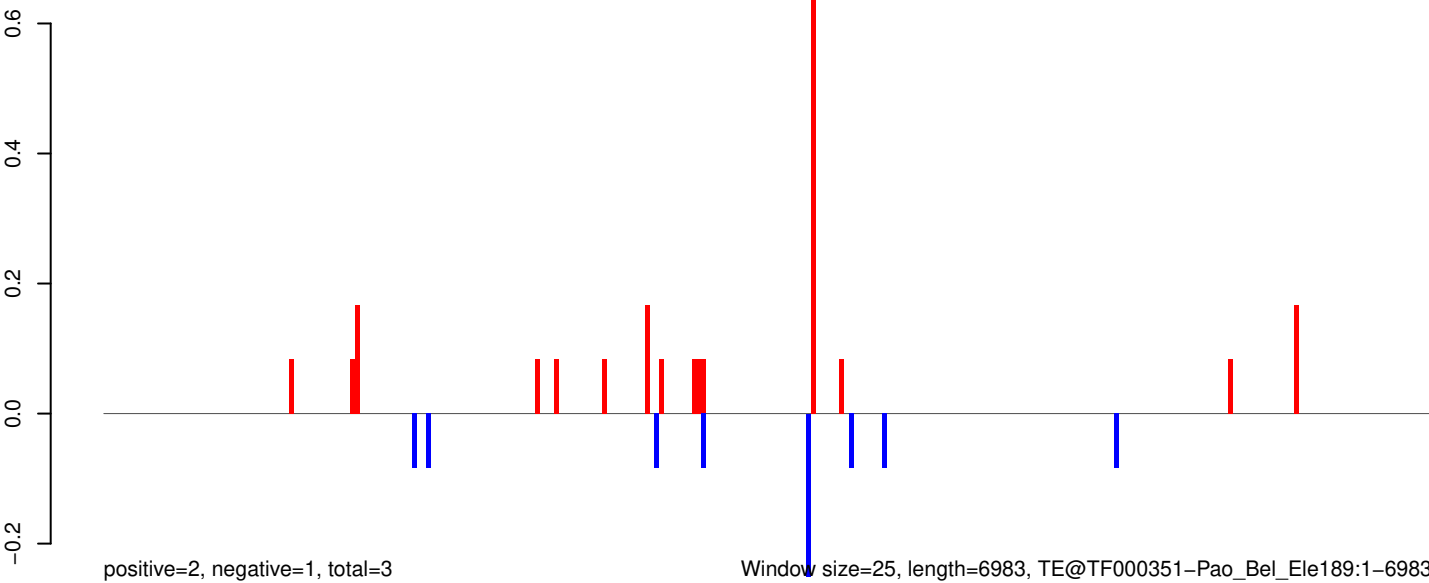
AeAeg_Aag2_Ago2_SINV_RA.18_23.rep



AeAeg_Aag2_Ago2_SINV_RA.24_35.rep

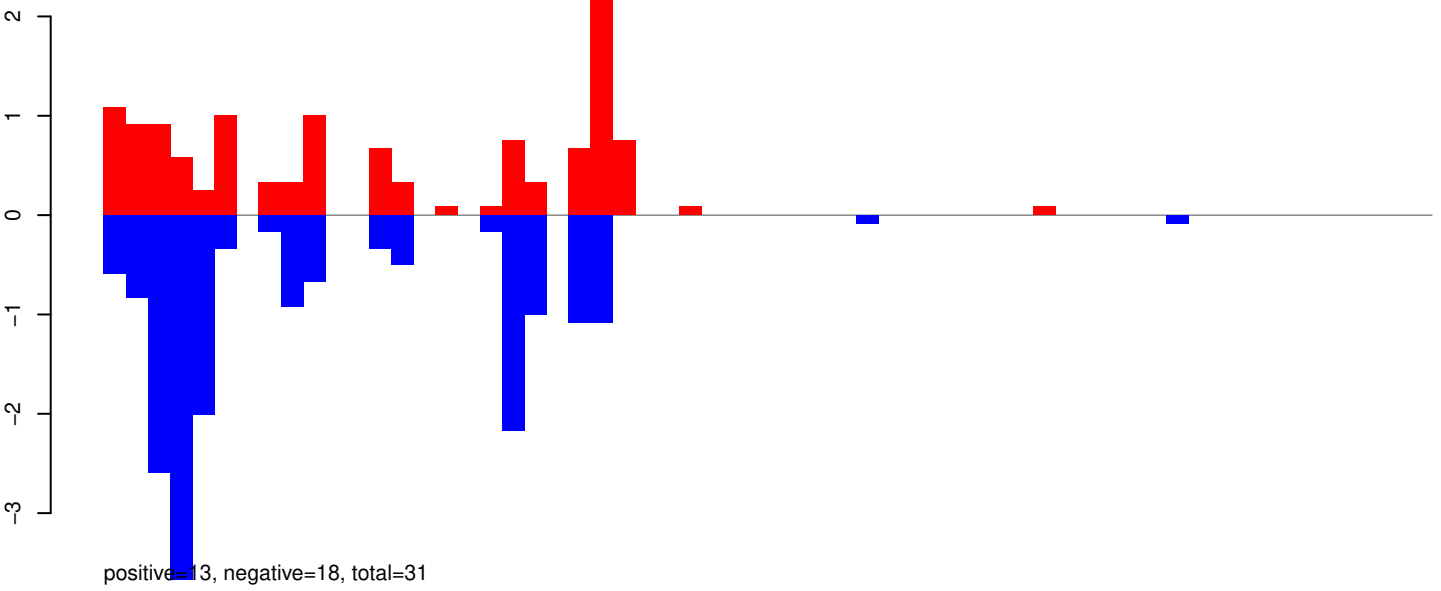


AeAeg_Aag2_Ago2_SINV_RA.rep

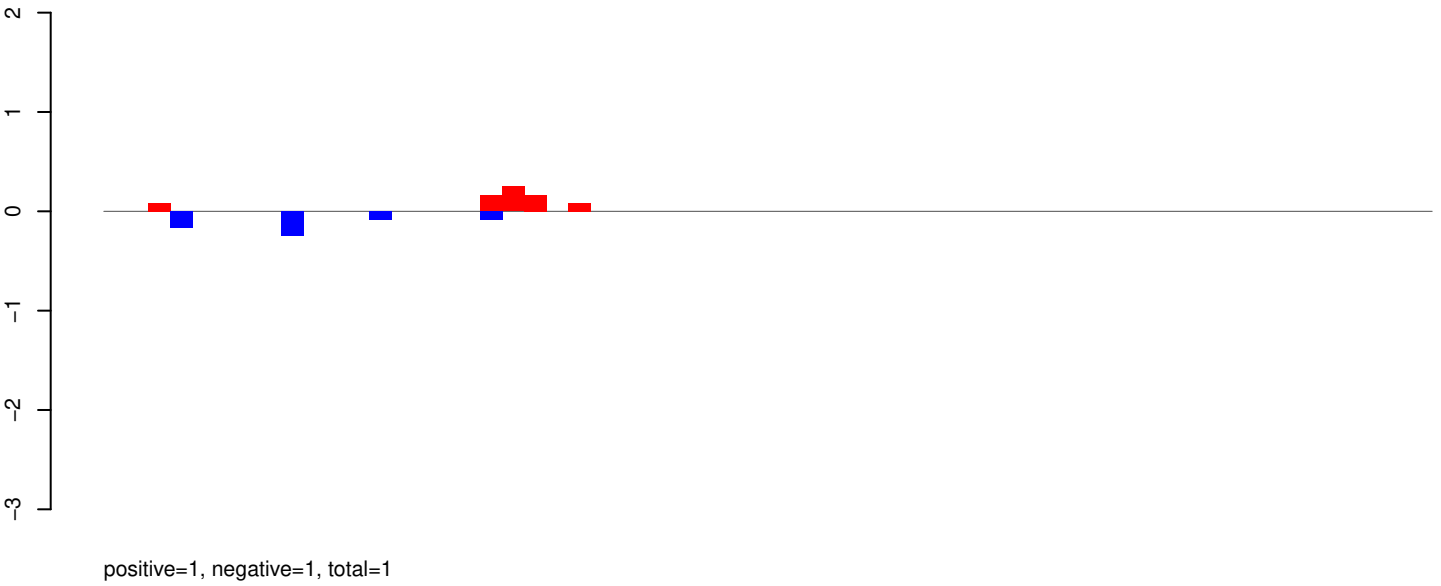


0 1000 2000 3000 4000 5000 6000 7000

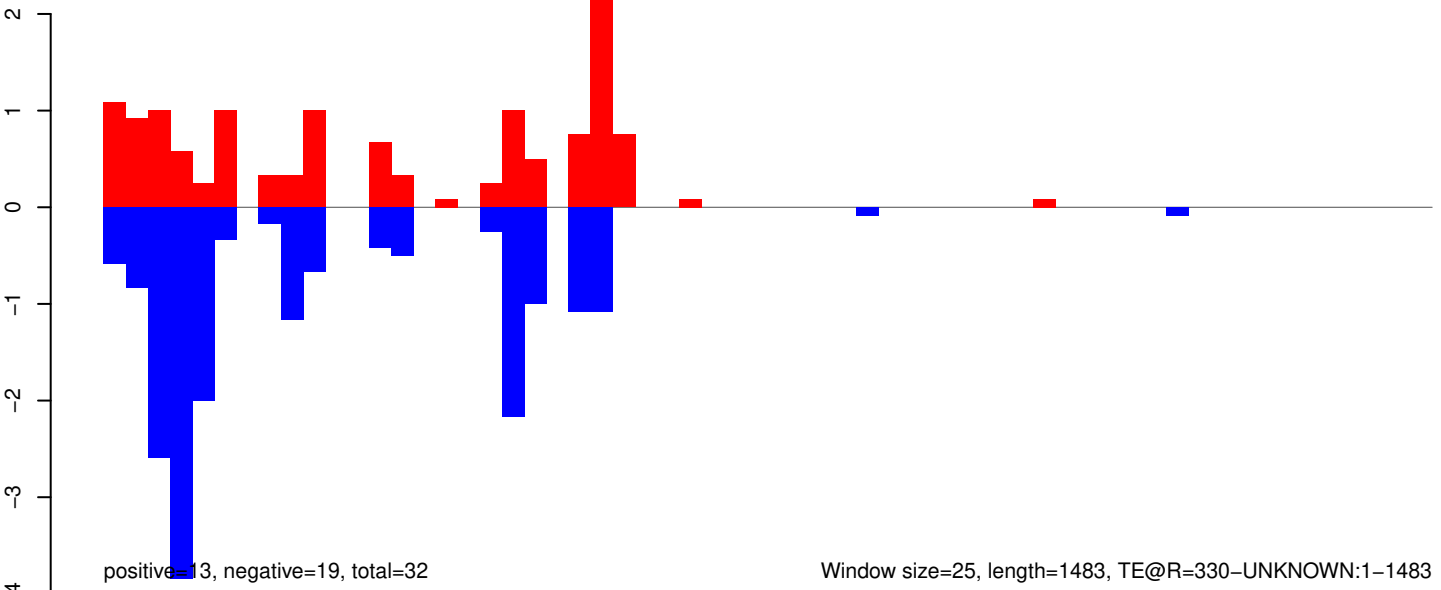
AeAeg_Aag2_Ago2_SINV_RA.18_23.rep



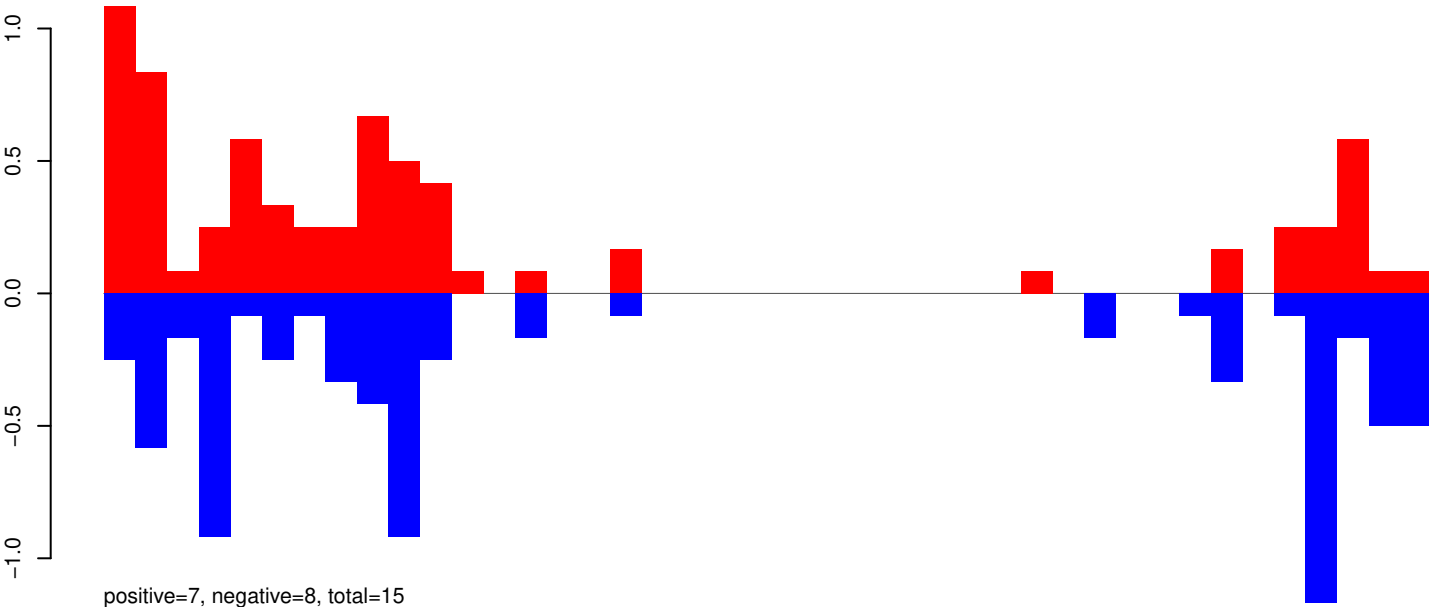
AeAeg_Aag2_Ago2_SINV_RA.24_35.rep



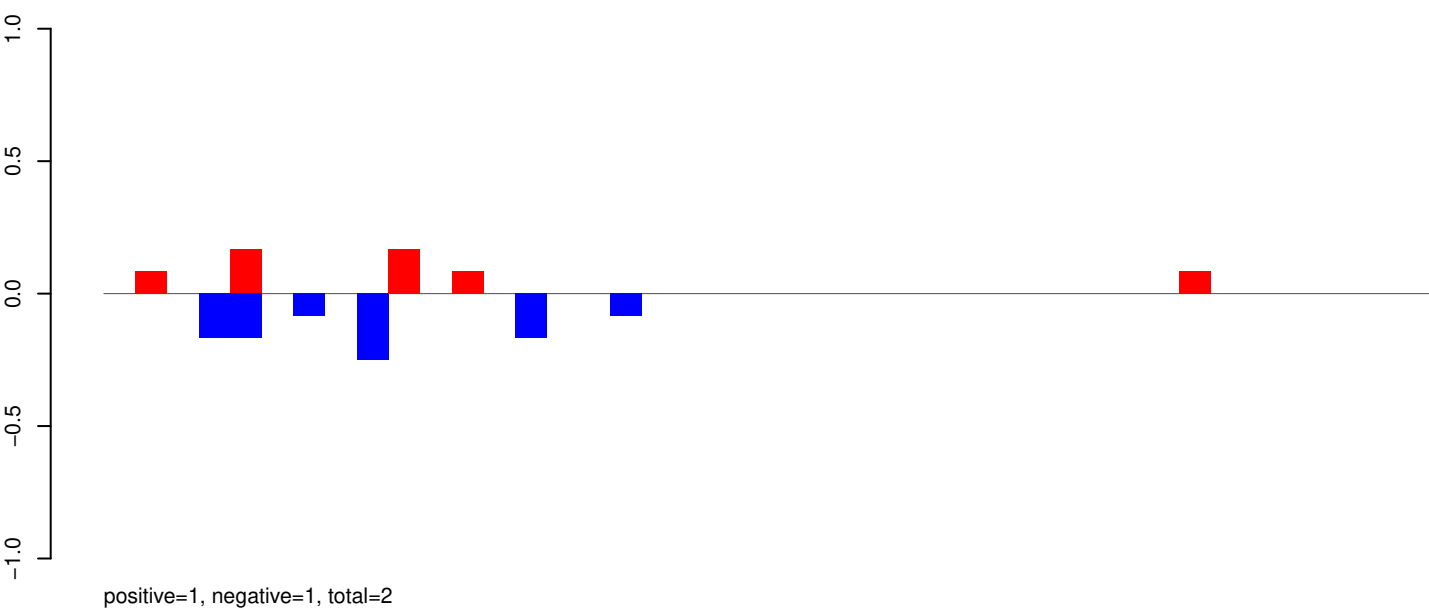
AeAeg_Aag2_Ago2_SINV_RA.rep



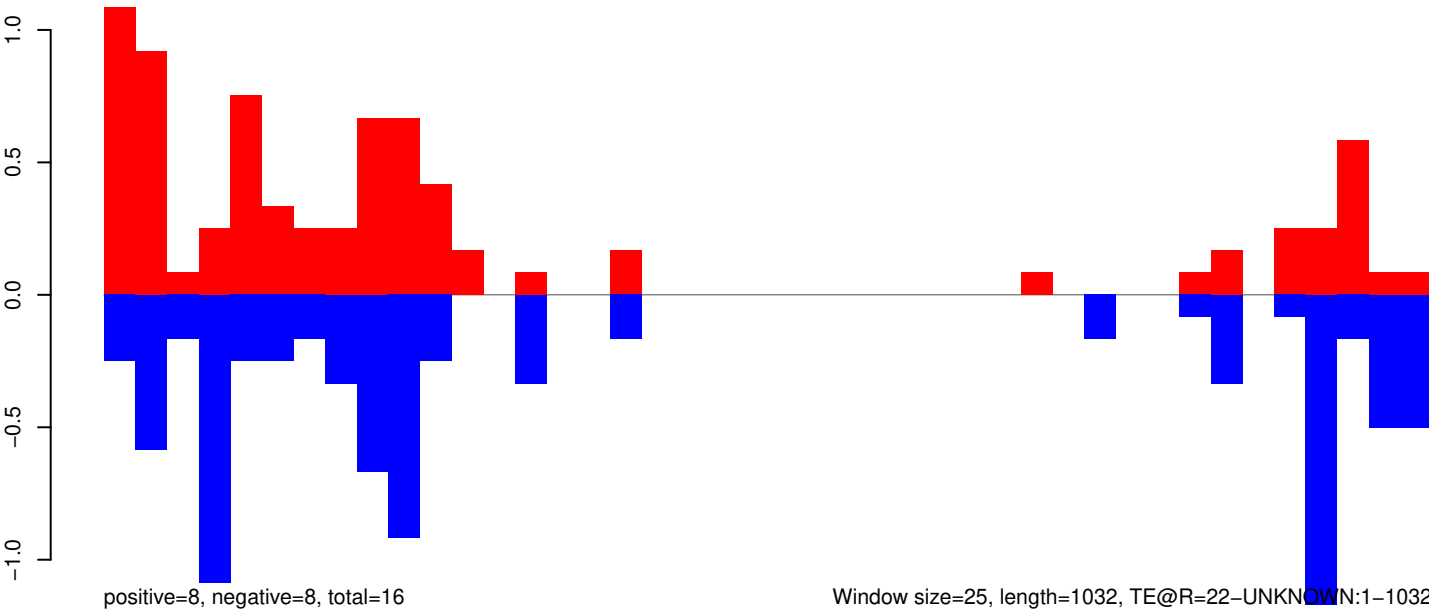
AeAeg_Aag2_Ago2_SINV_RA.18_23.rep



AeAeg_Aag2_Ago2_SINV_RA.24_35.rep

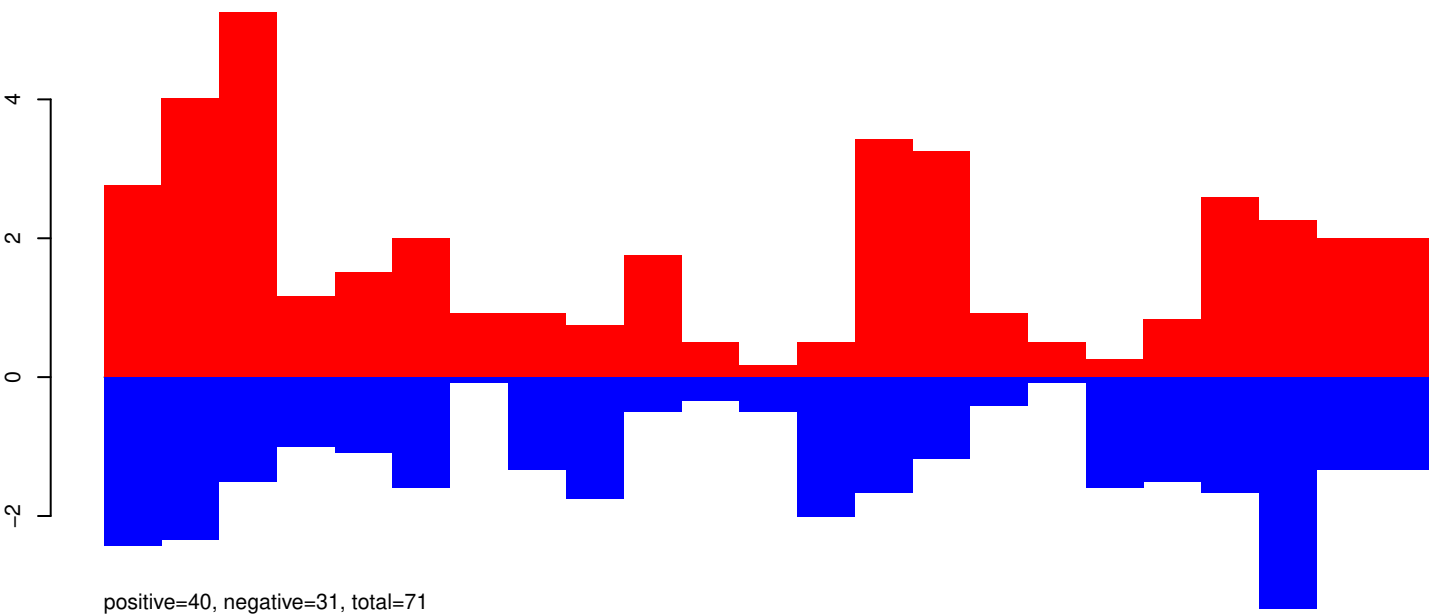


AeAeg_Aag2_Ago2_SINV_RA.rep

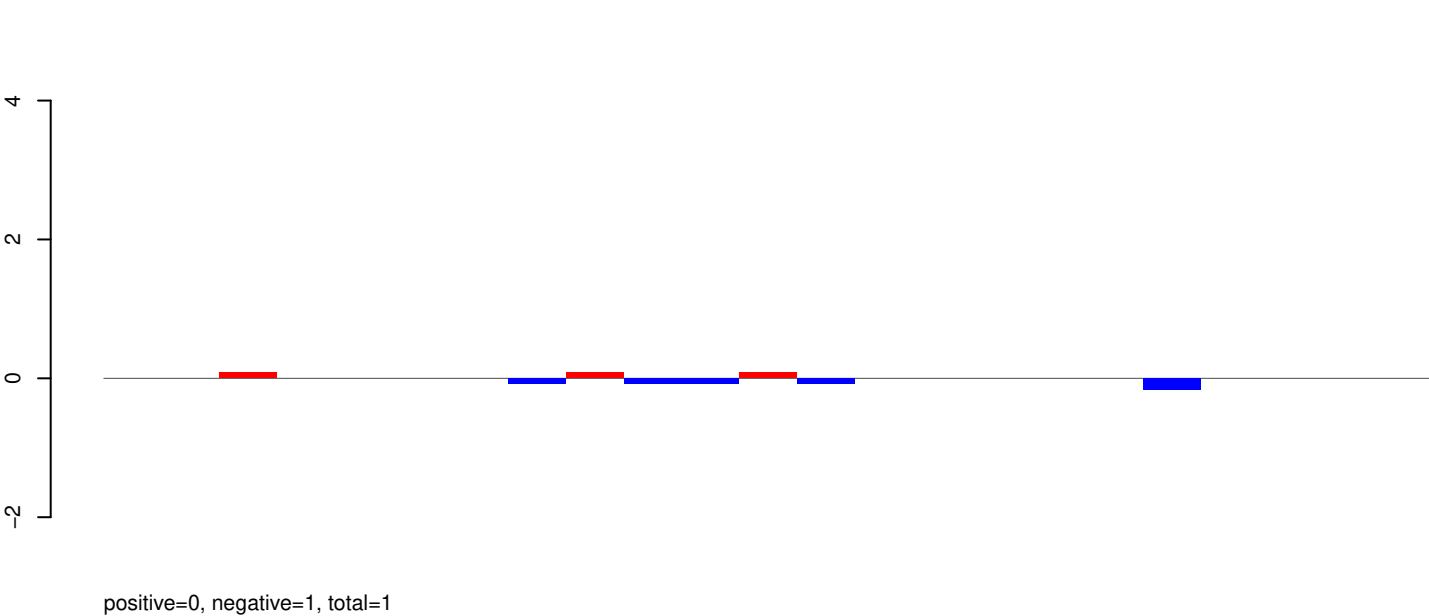


Window size=25, length=1032, TE@R=22-UNKNOWN:1-1032

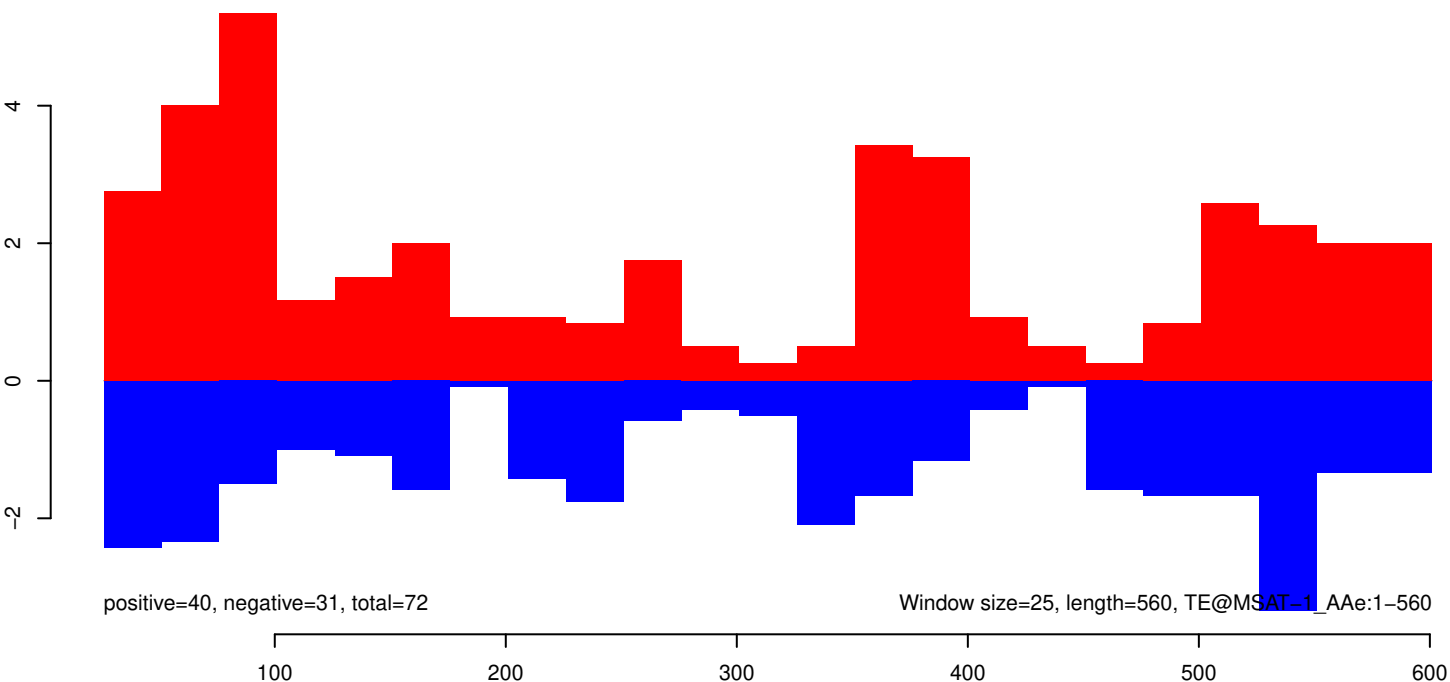
AeAeg_Aag2_Ago2_SINV_RA.18_23.rep



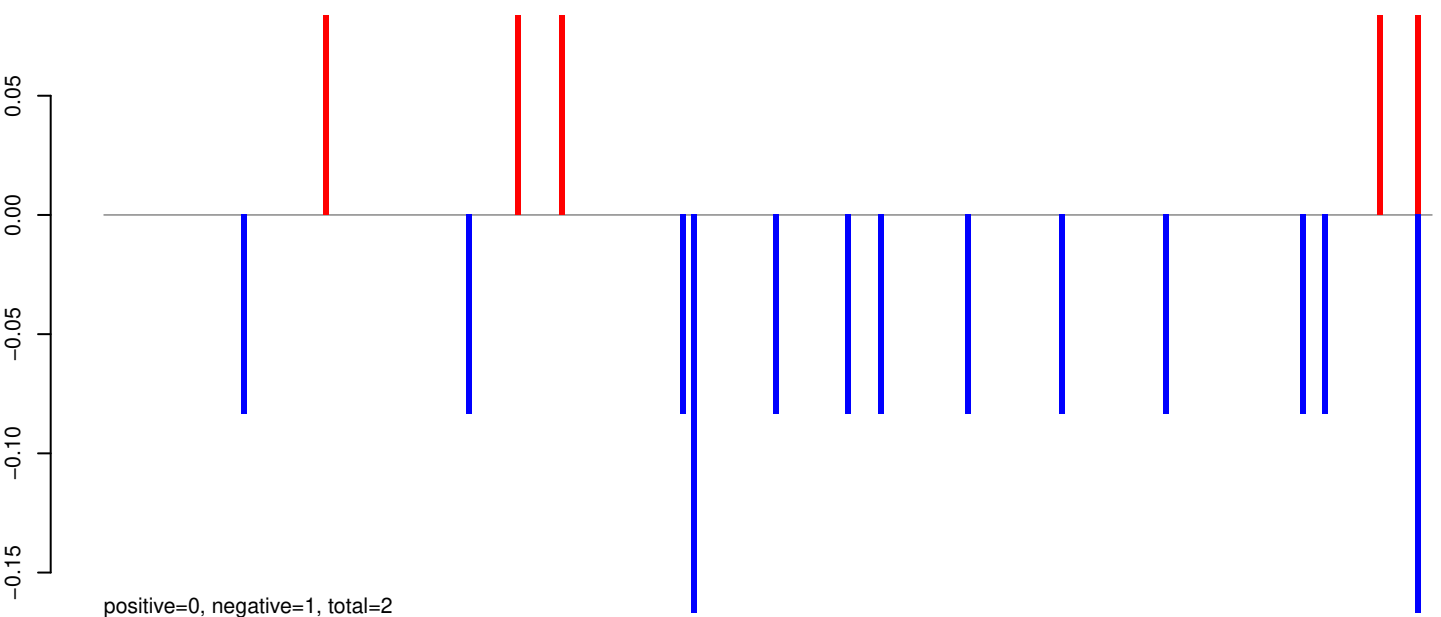
AeAeg_Aag2_Ago2_SINV_RA.24_35.rep



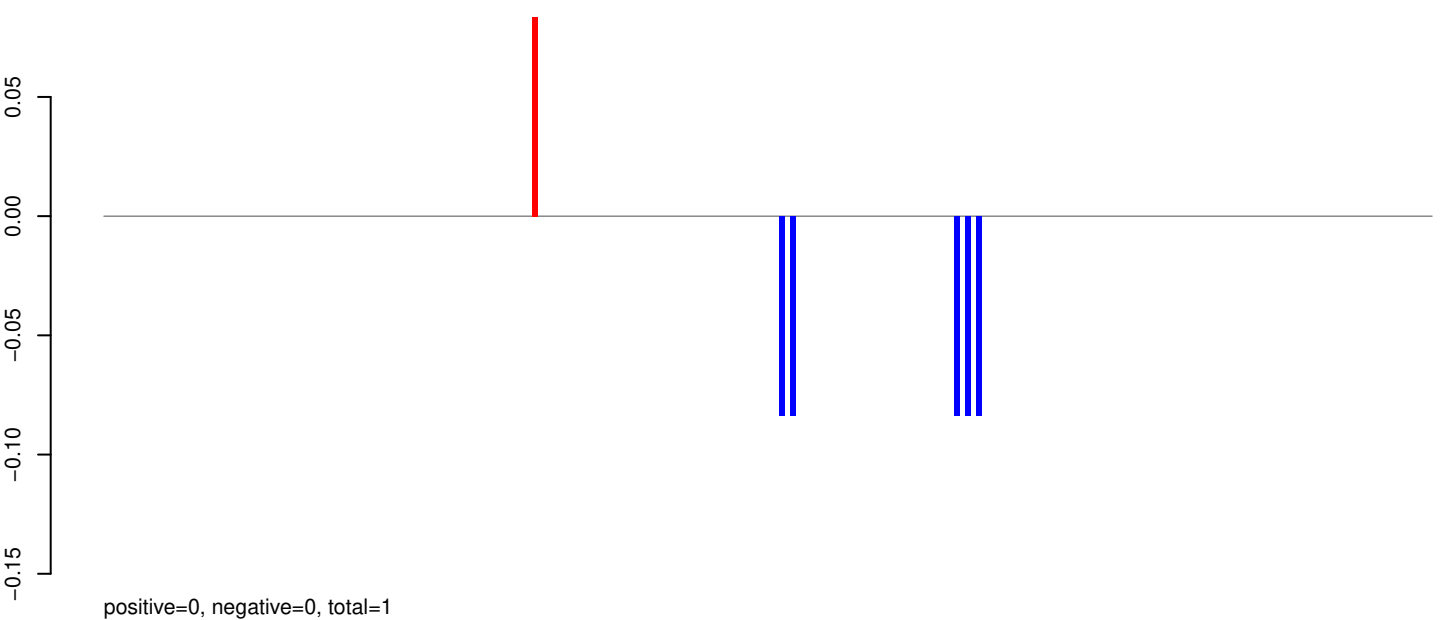
AeAeg_Aag2_Ago2_SINV_RA.rep



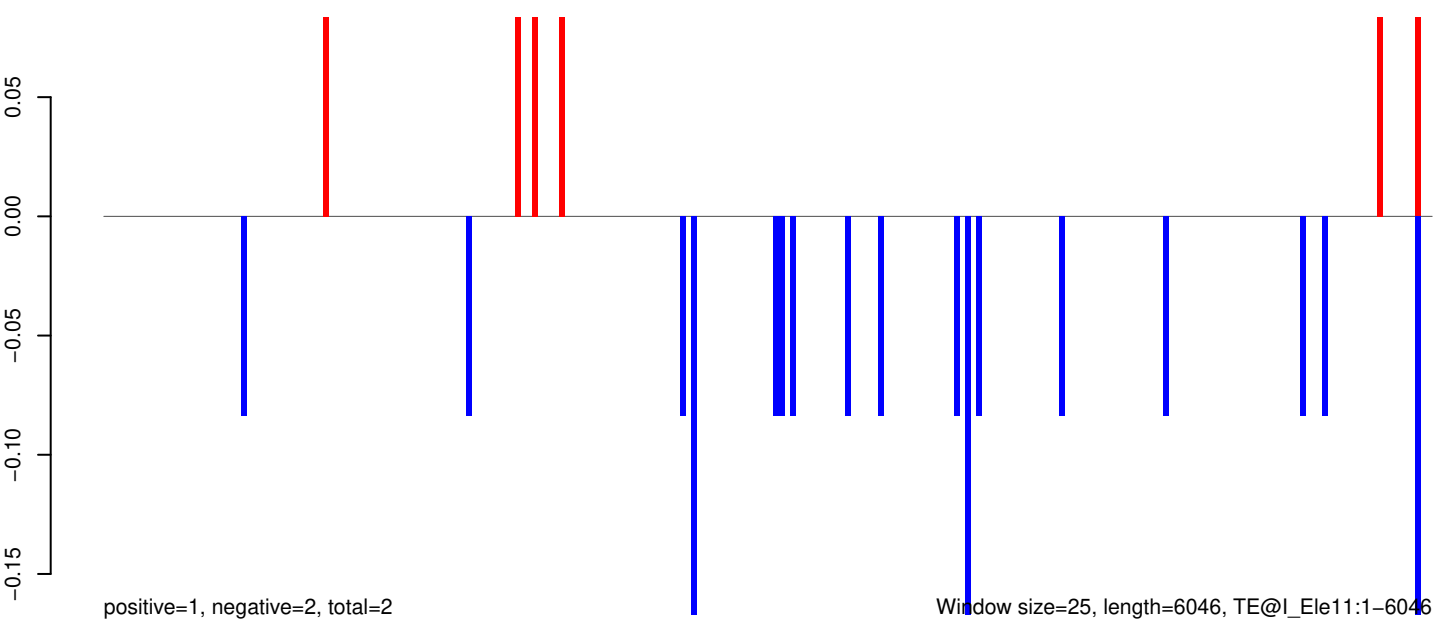
AeAeg_Aag2_Ago2_SINV_RA.18_23.rep



AeAeg_Aag2_Ago2_SINV_RA.24_35.rep

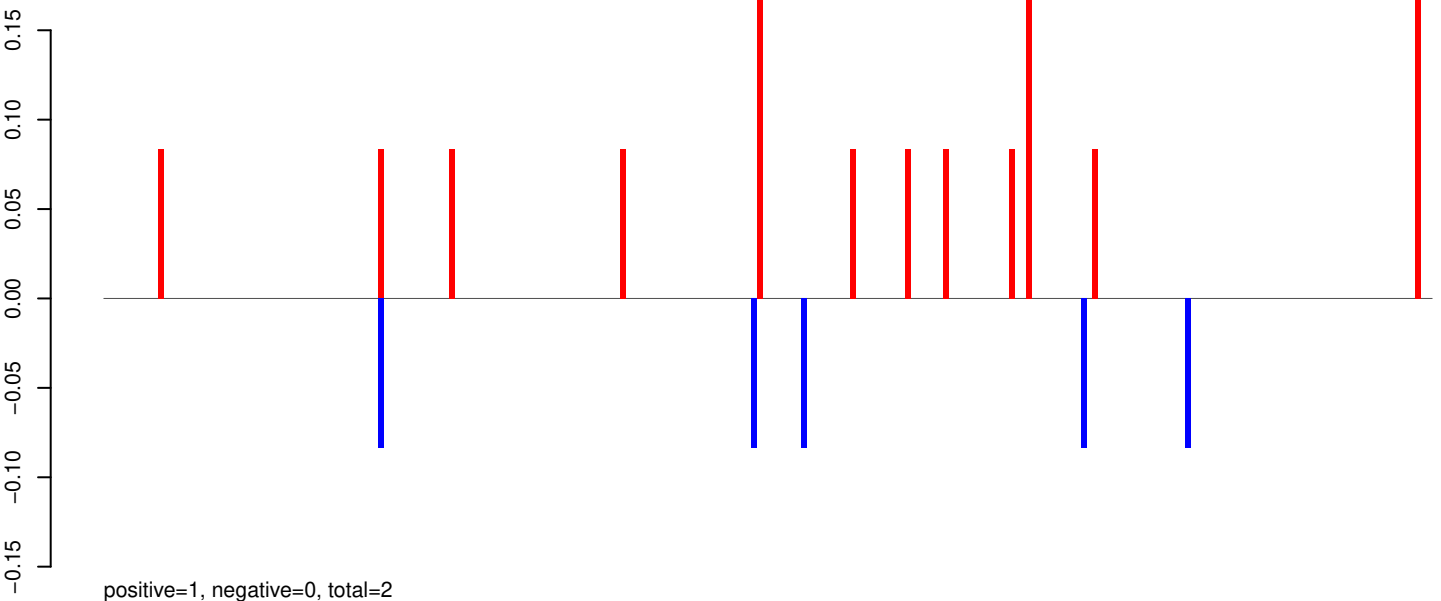


AeAeg_Aag2_Ago2_SINV_RA.rep

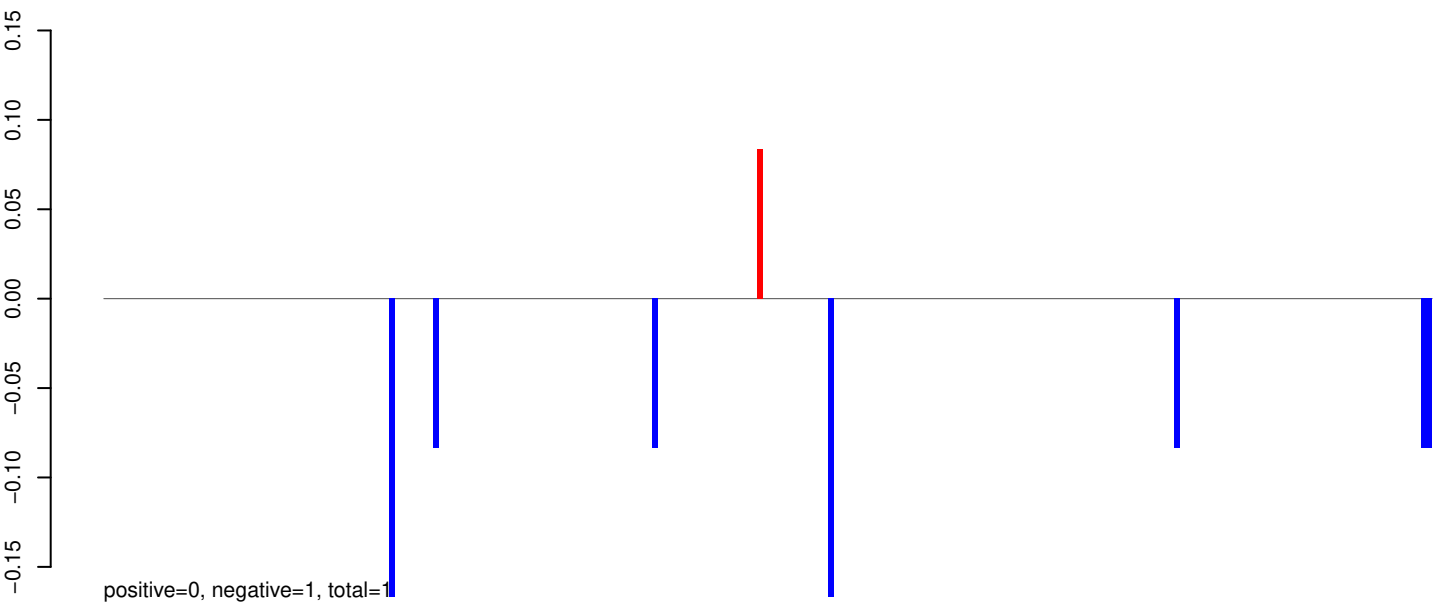


Window size=25, length=6046, TE@I_Ele11:1-6046

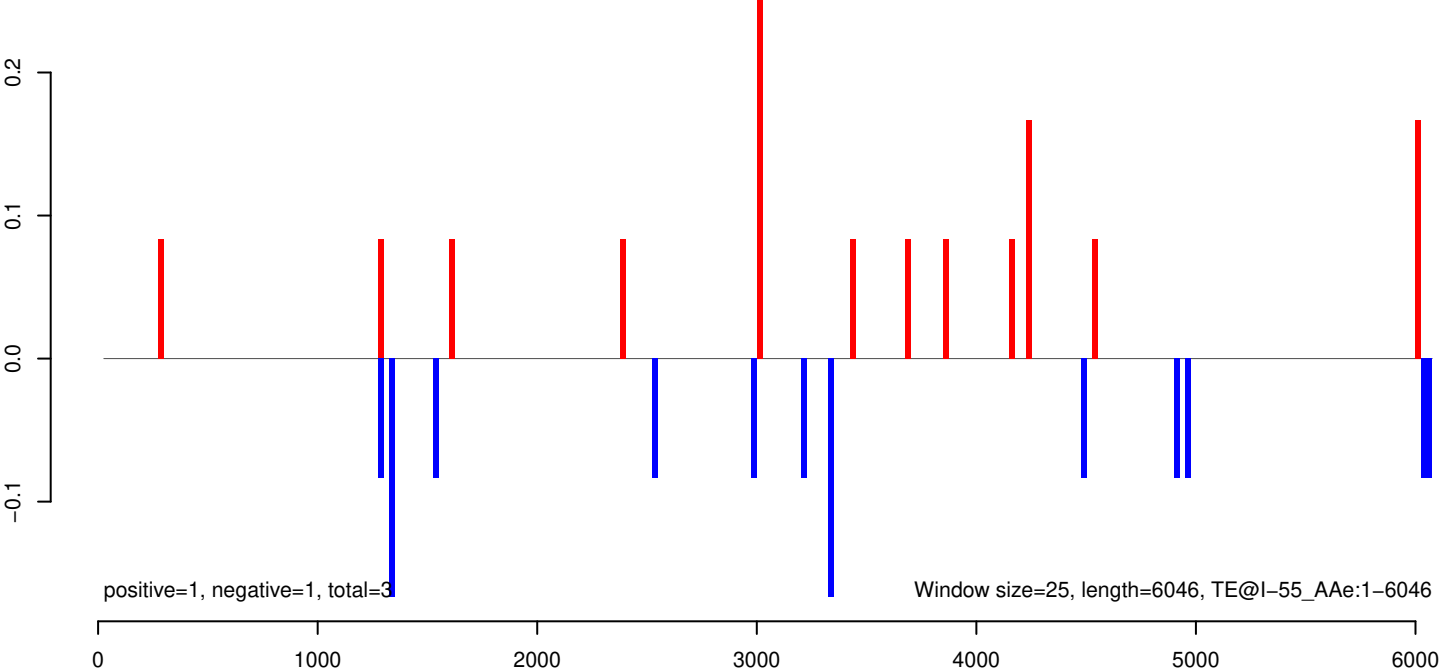
AeAeg_Aag2_Ago2_SINV_RA.18_23.rep



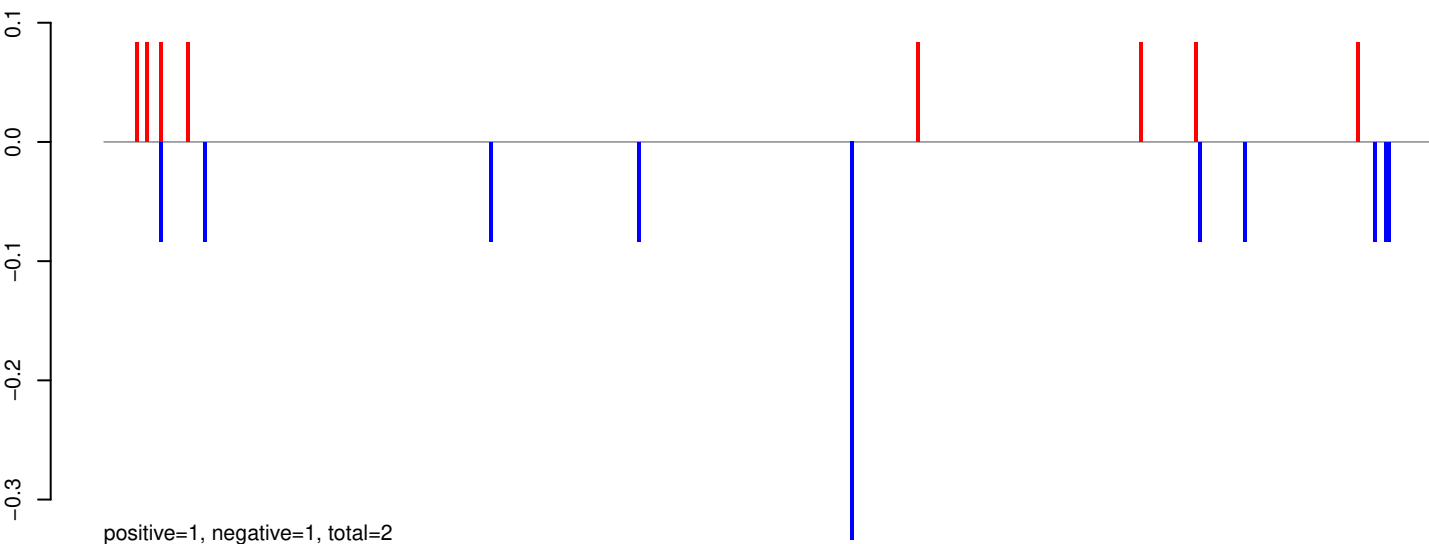
AeAeg_Aag2_Ago2_SINV_RA.24_35.rep



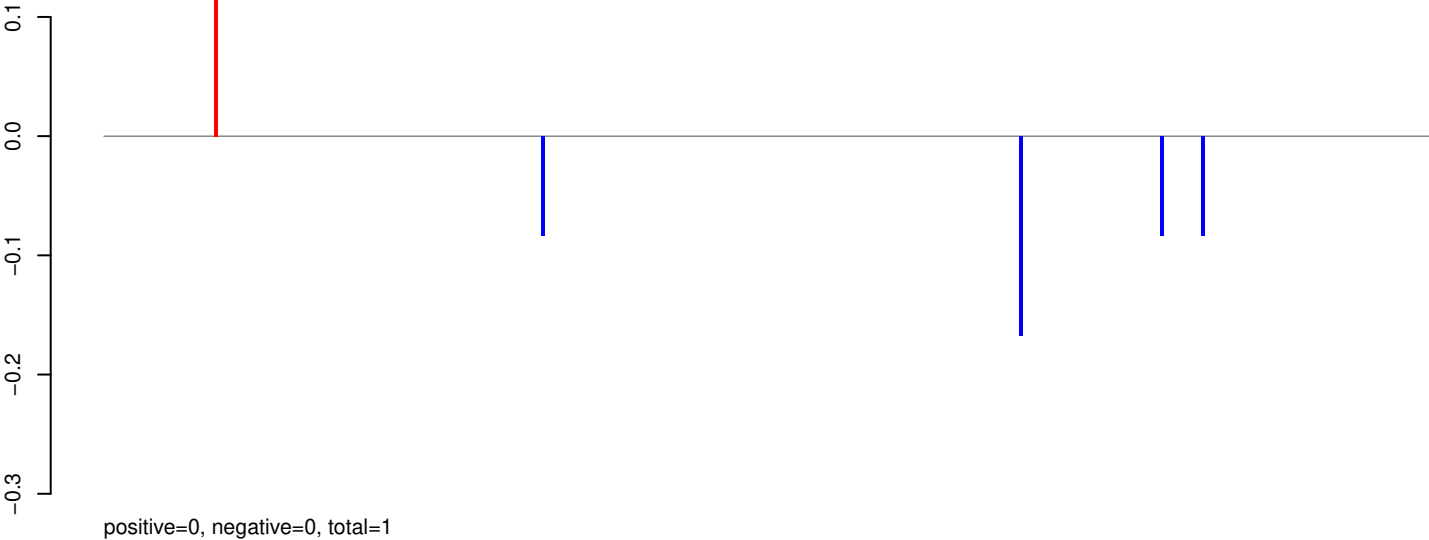
AeAeg_Aag2_Ago2_SINV_RA.rep



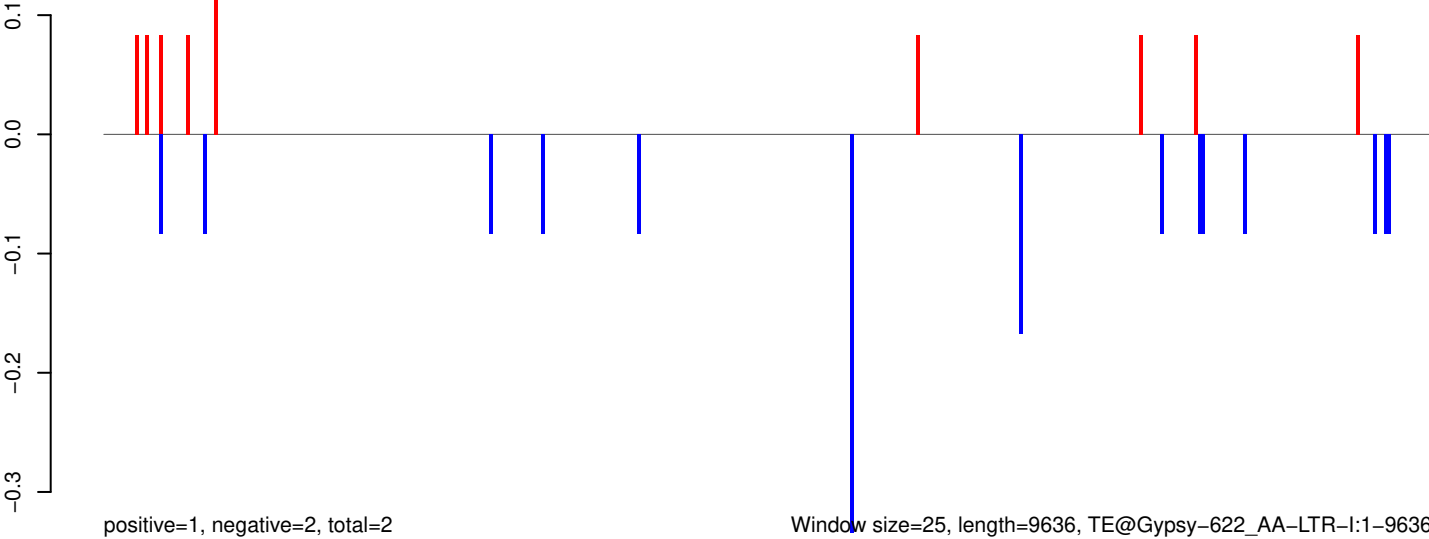
AeAeg_Aag2_Ago2_SINV_RA.18_23.rep



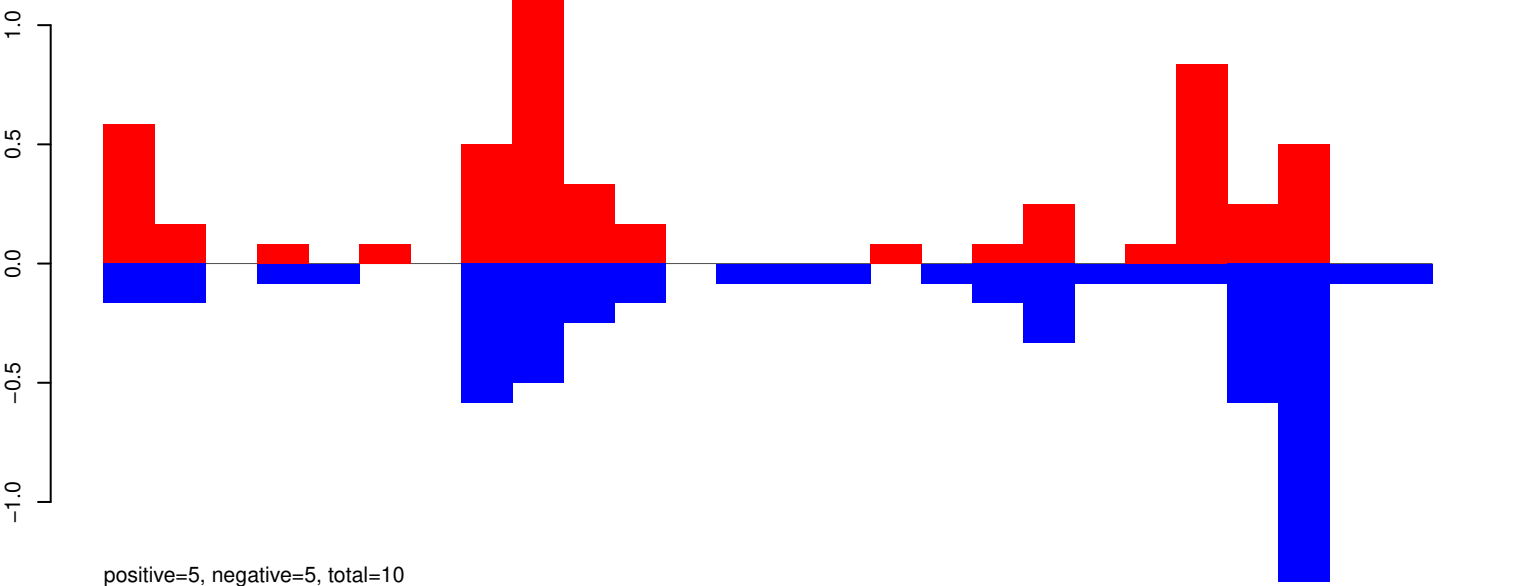
AeAeg_Aag2_Ago2_SINV_RA.24_35.rep



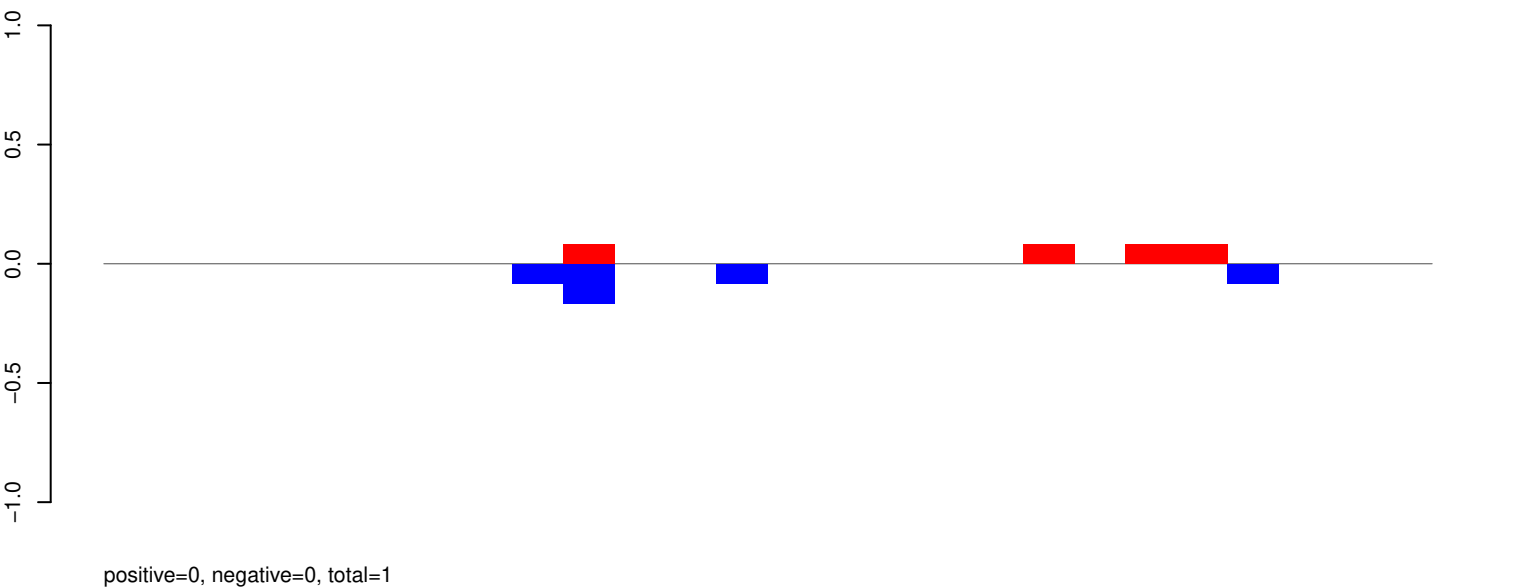
AeAeg_Aag2_Ago2_SINV_RA.rep



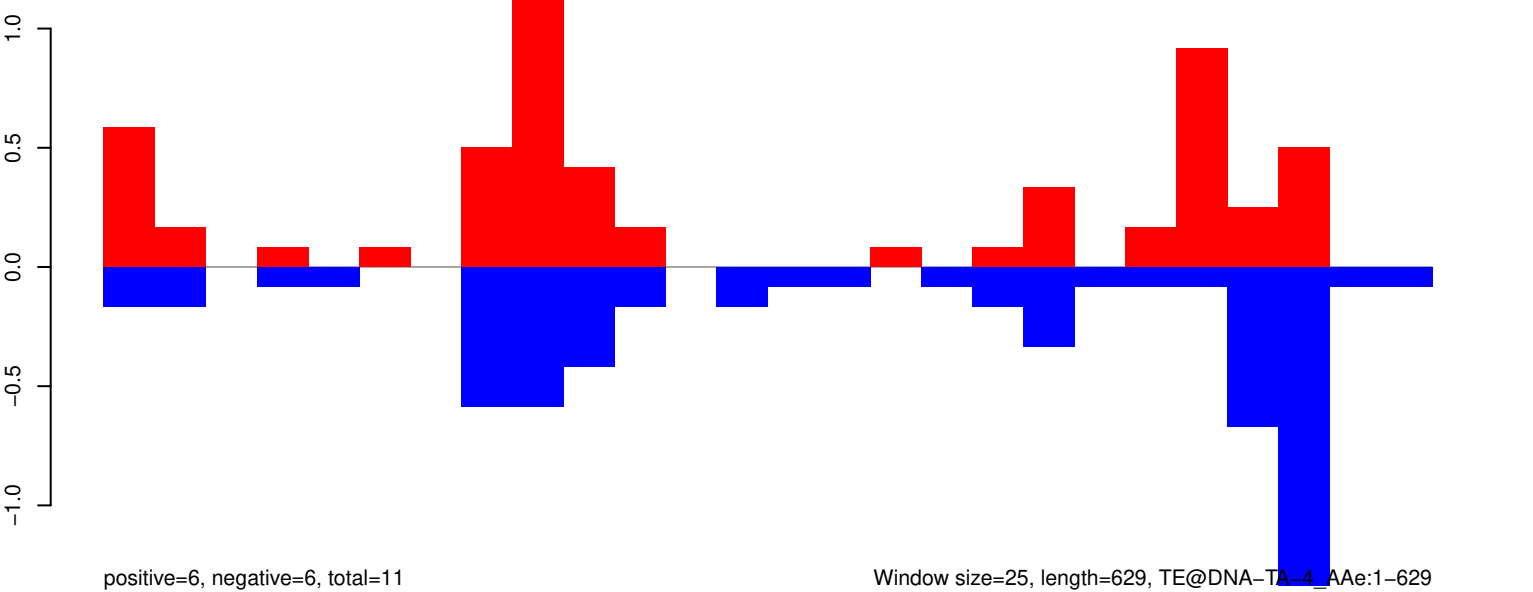
AeAeg_Aag2_Ago2_SINV_RA.18_23.rep



AeAeg_Aag2_Ago2_SINV_RA.24_35.rep

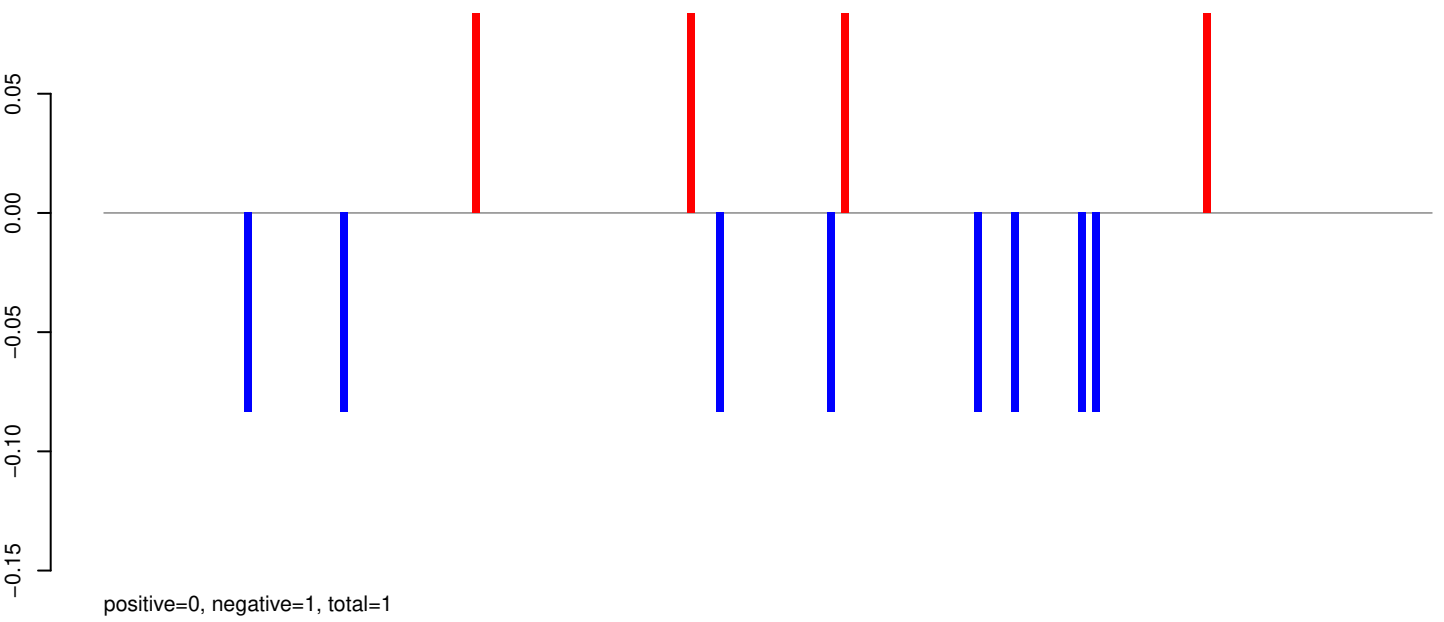


AeAeg_Aag2_Ago2_SINV_RA.rep

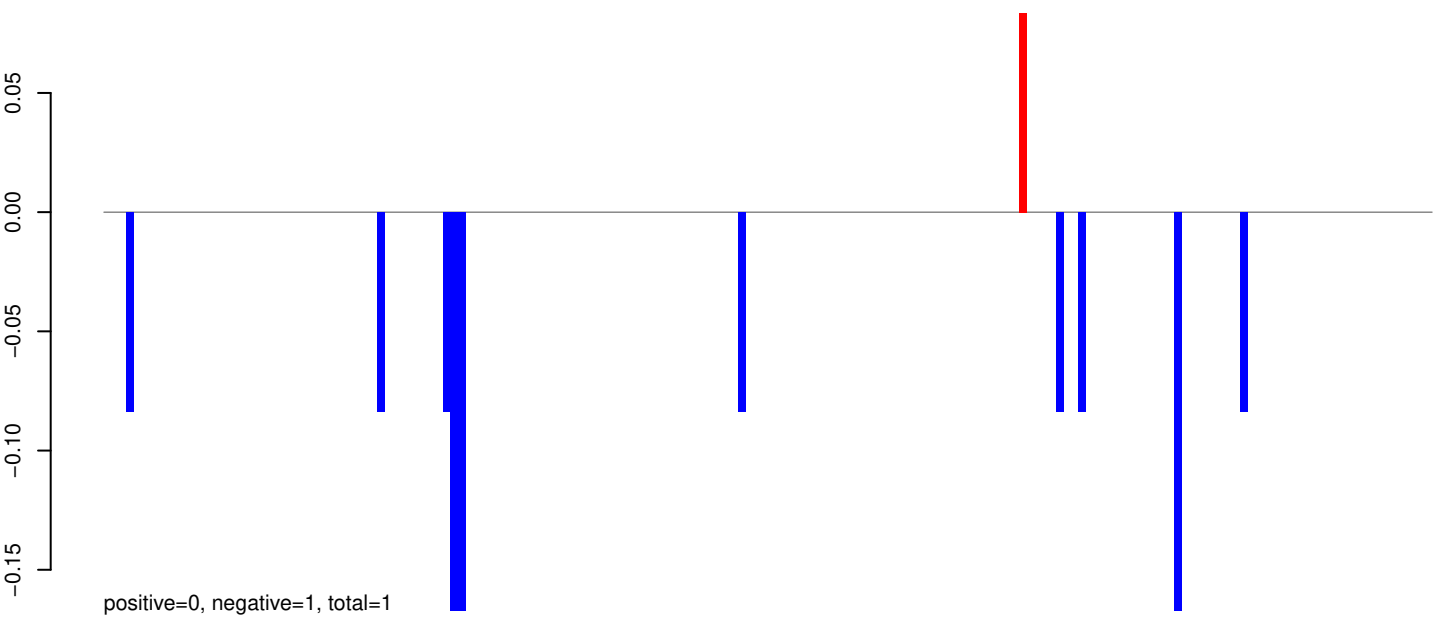


Window size=25, length=629, TE@DNA-TA-4_A Ae:1-629

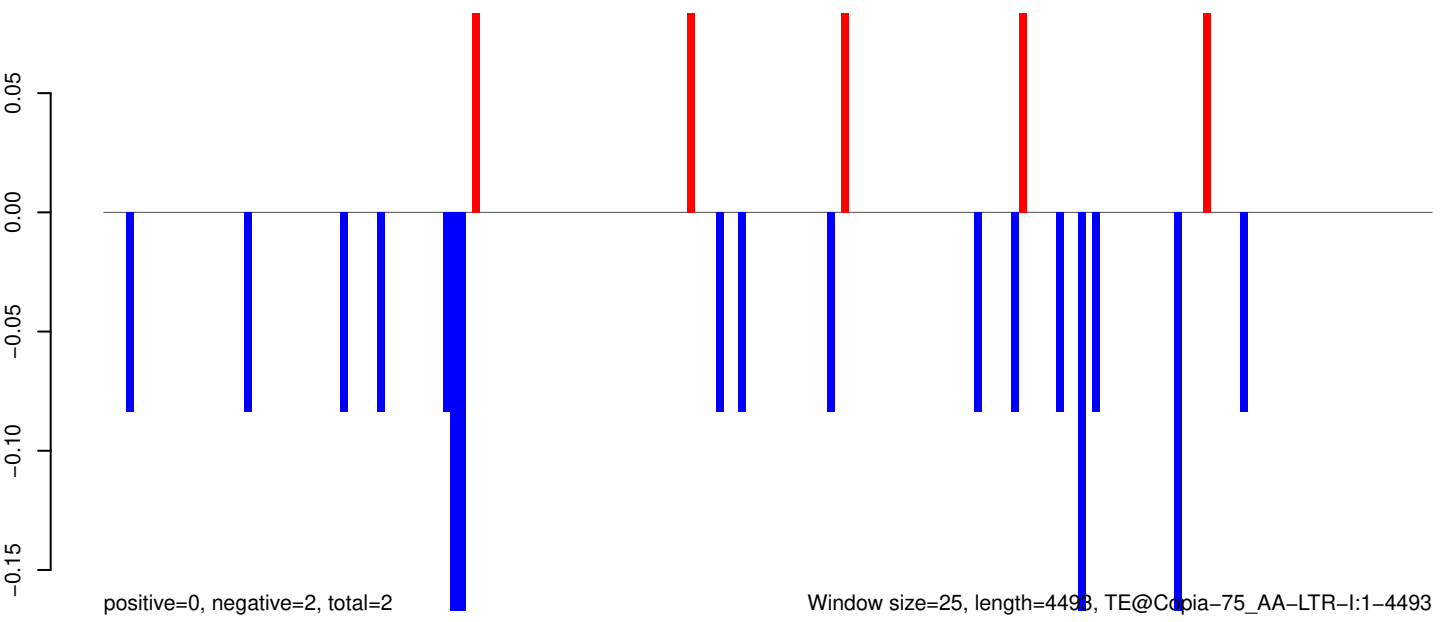
AeAeg_Aag2_Ago2_SINV_RA.18_23.rep



AeAeg_Aag2_Ago2_SINV_RA.24_35.rep



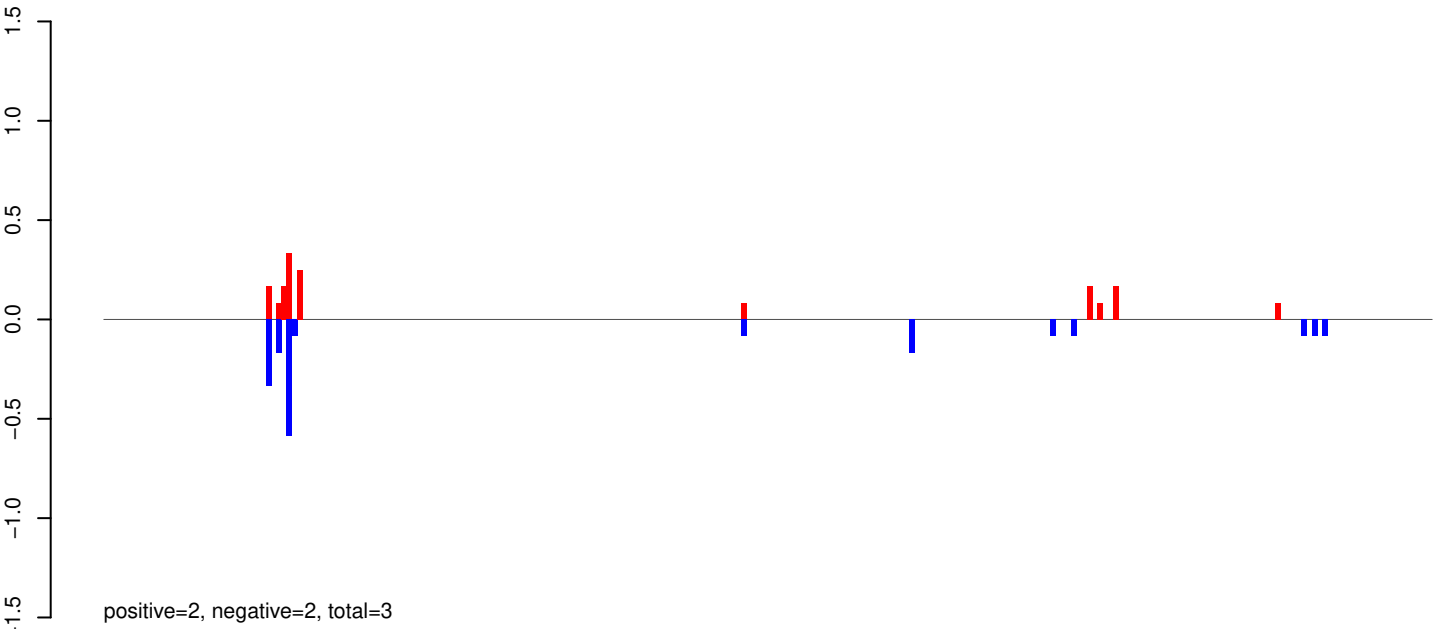
AeAeg_Aag2_Ago2_SINV_RA.rep



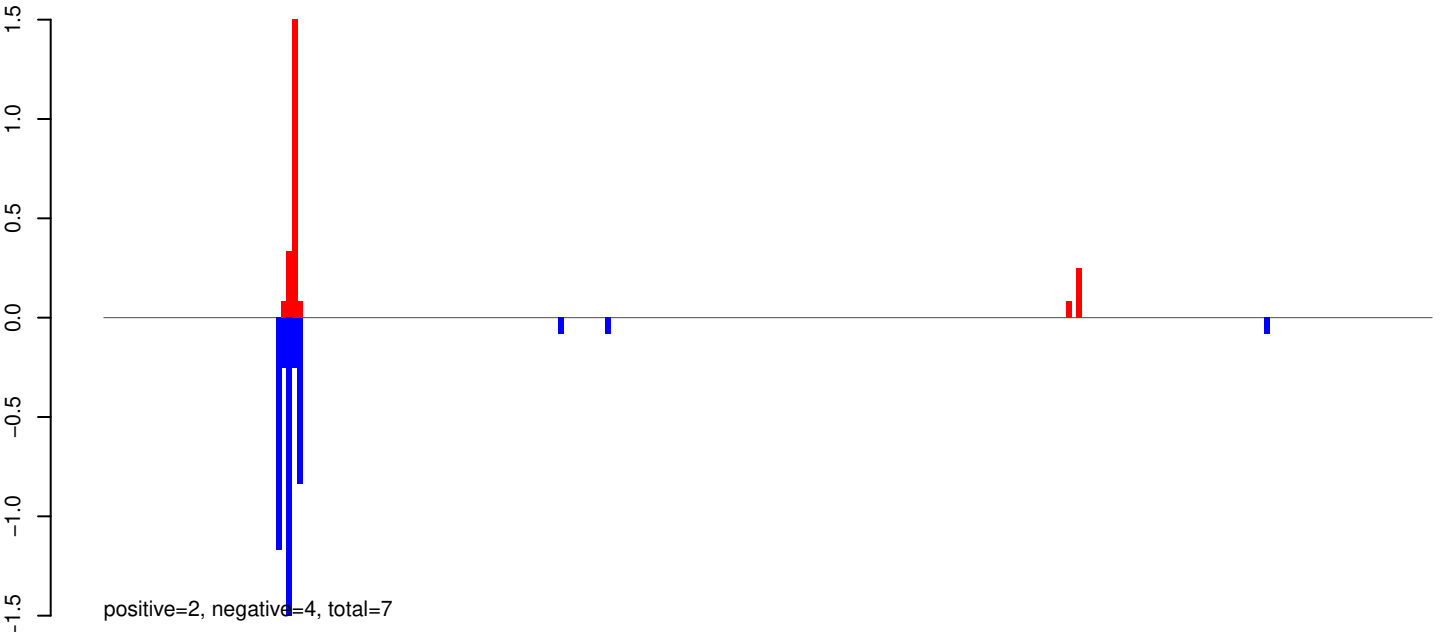
Window size=25, length=4493, TE@Copia-75_AA-LTR-I:1-4493

0 1000 2000 3000 4000

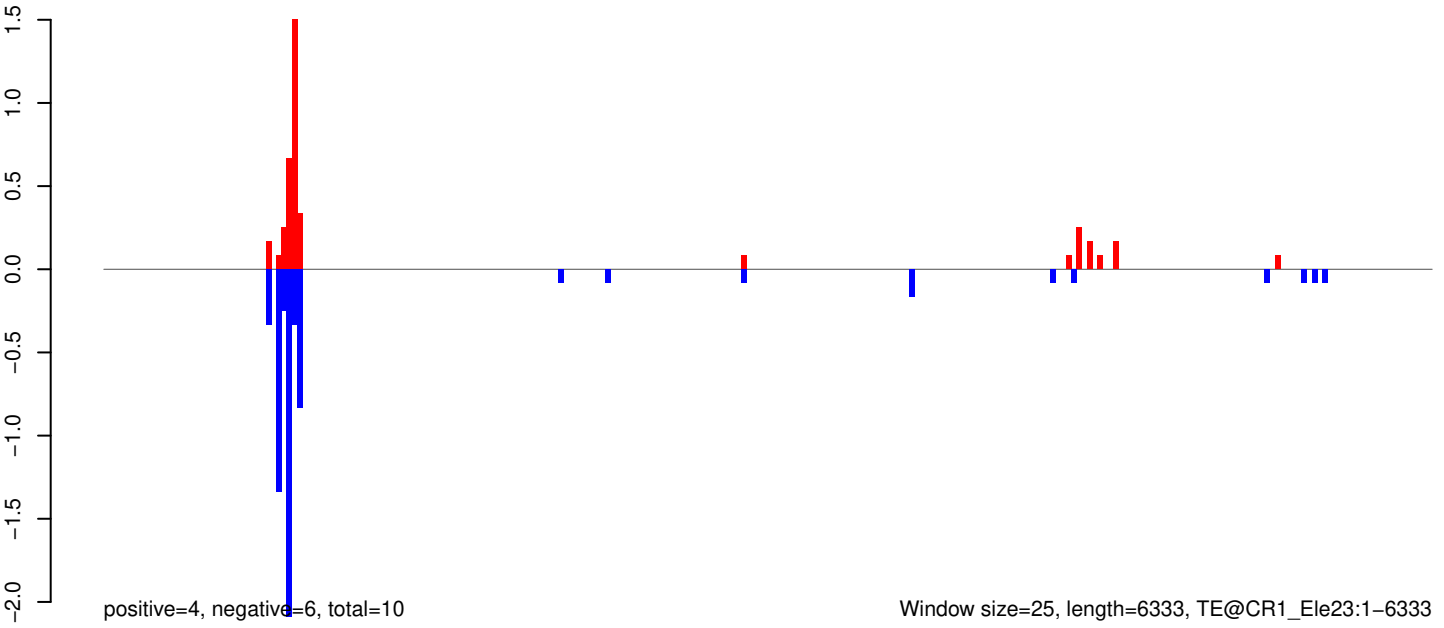
AeAeg_Aag2_Ago2_SINV_RA.18_23.rep



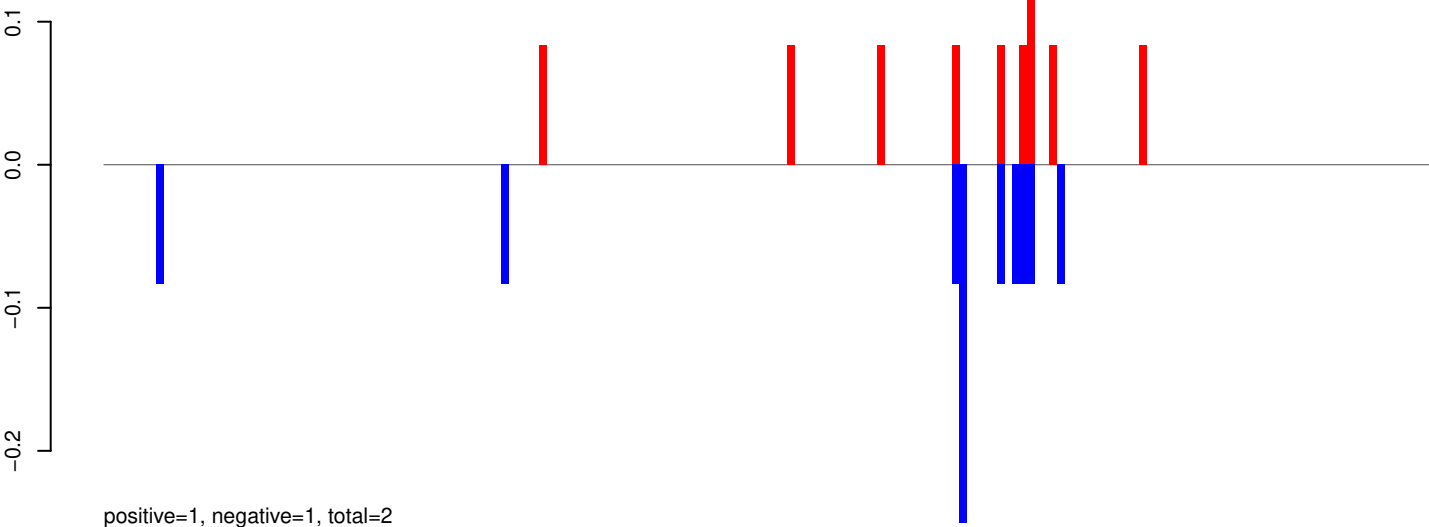
AeAeg_Aag2_Ago2_SINV_RA.24_35.rep



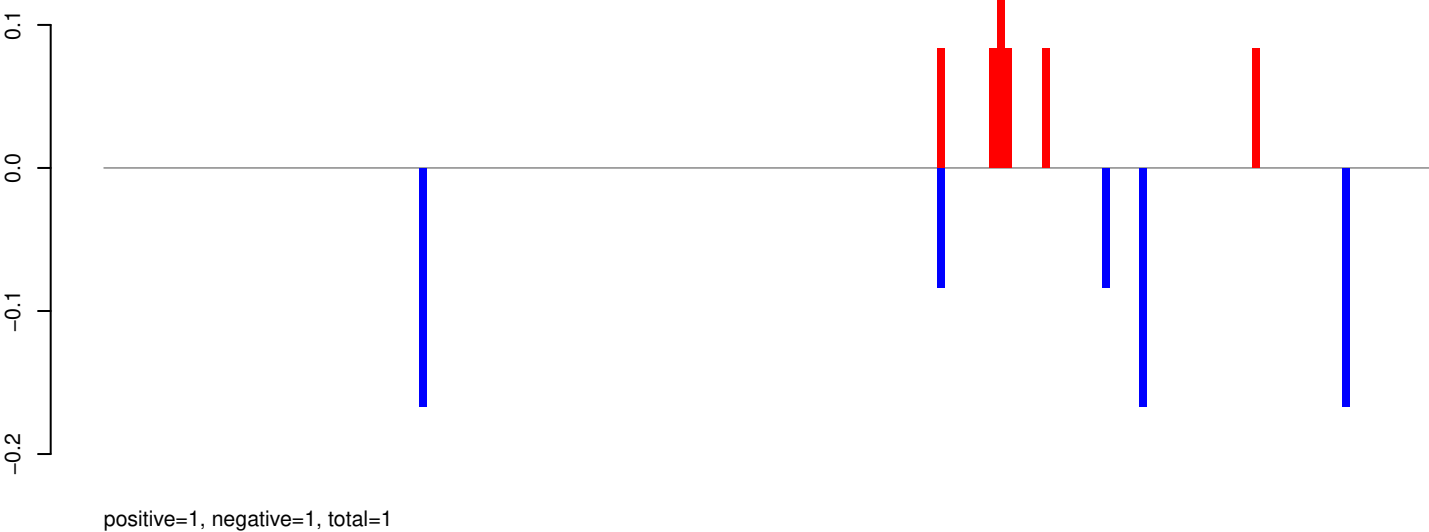
AeAeg_Aag2_Ago2_SINV_RA.rep



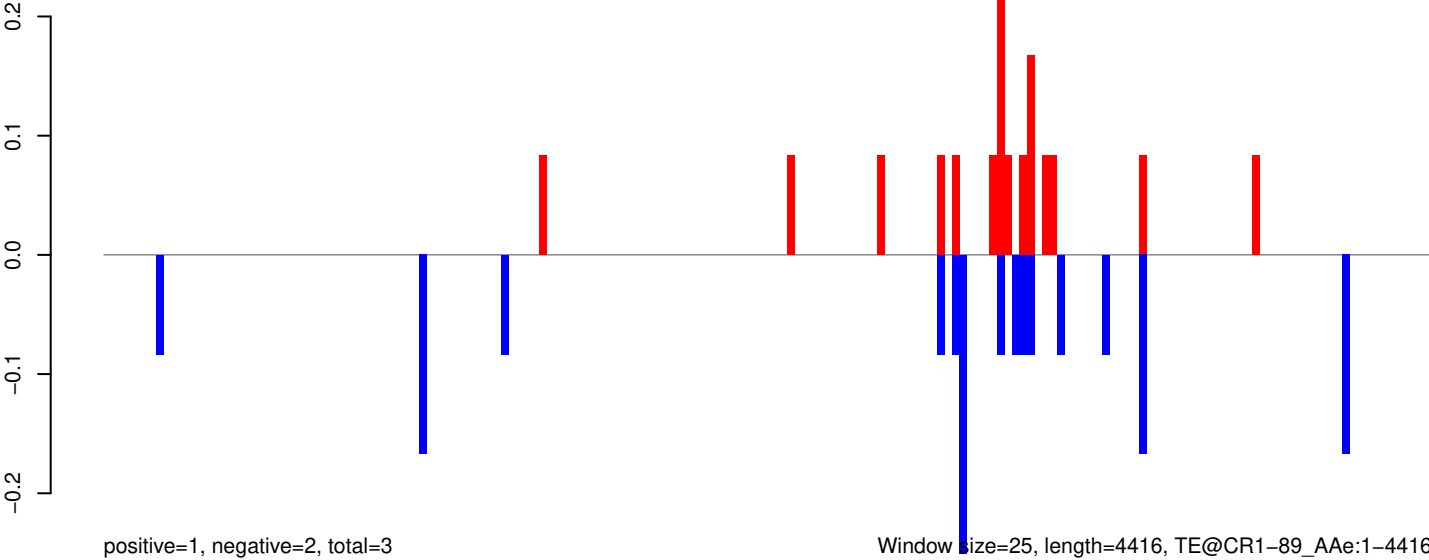
AeAeg_Aag2_Ago2_SINV_RA.18_23.rep



AeAeg_Aag2_Ago2_SINV_RA.24_35.rep

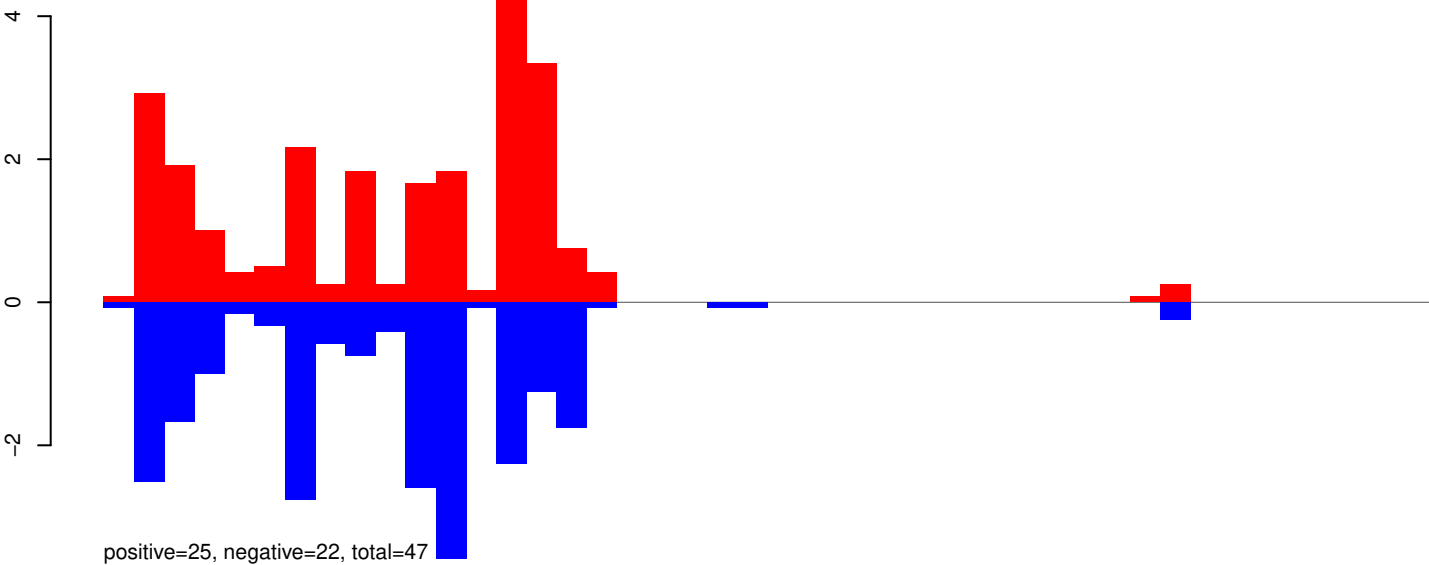


AeAeg_Aag2_Ago2_SINV_RA.rep

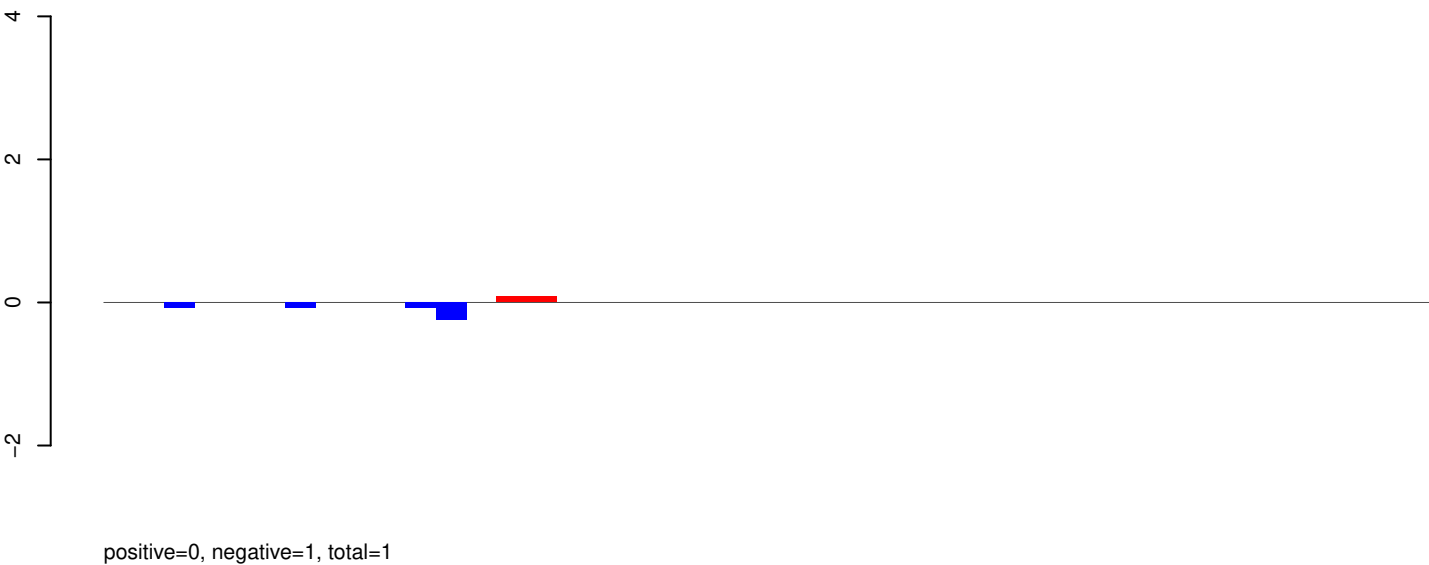


0 1000 2000 3000 4000

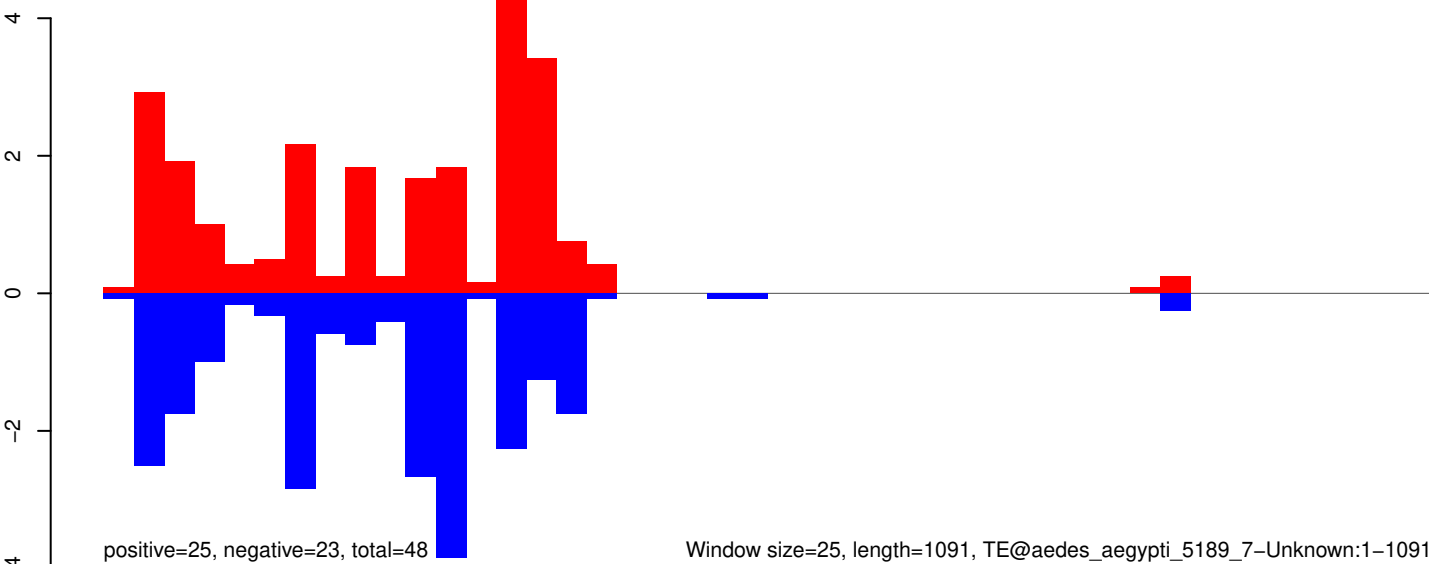
AeAeg_Aag2_Ago2_SINV_RA.18_23.rep



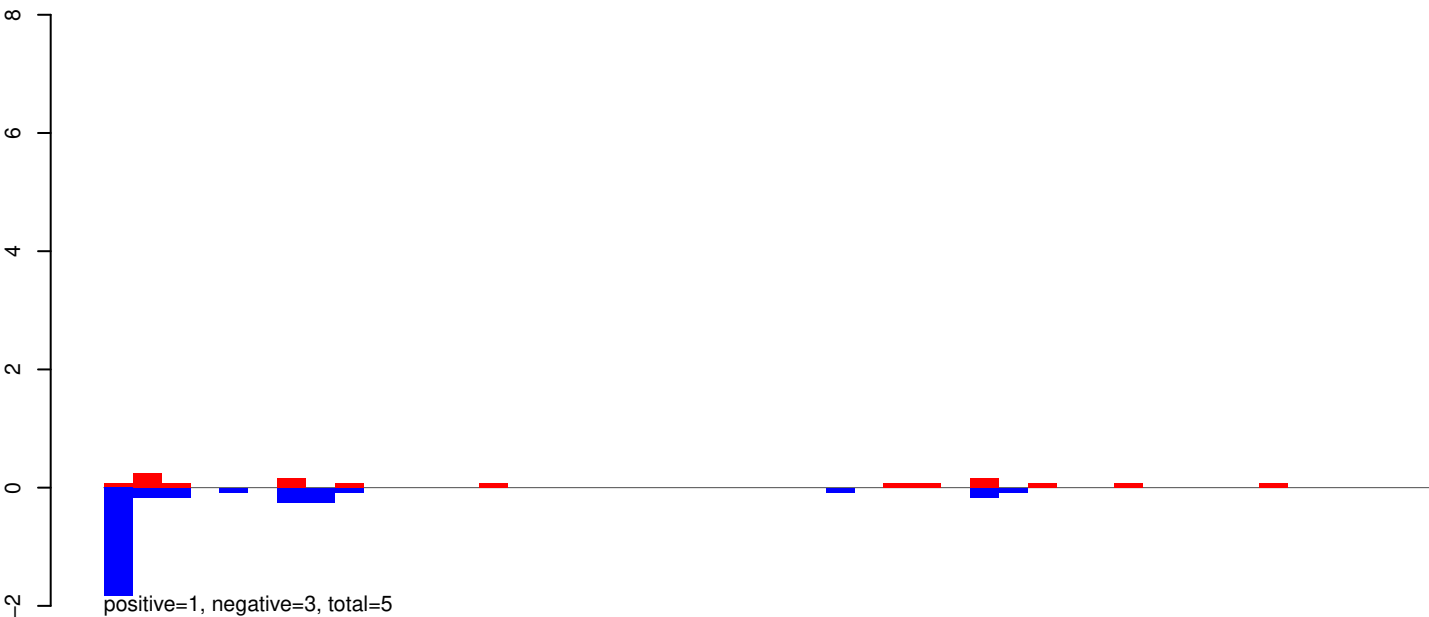
AeAeg_Aag2_Ago2_SINV_RA.24_35.rep



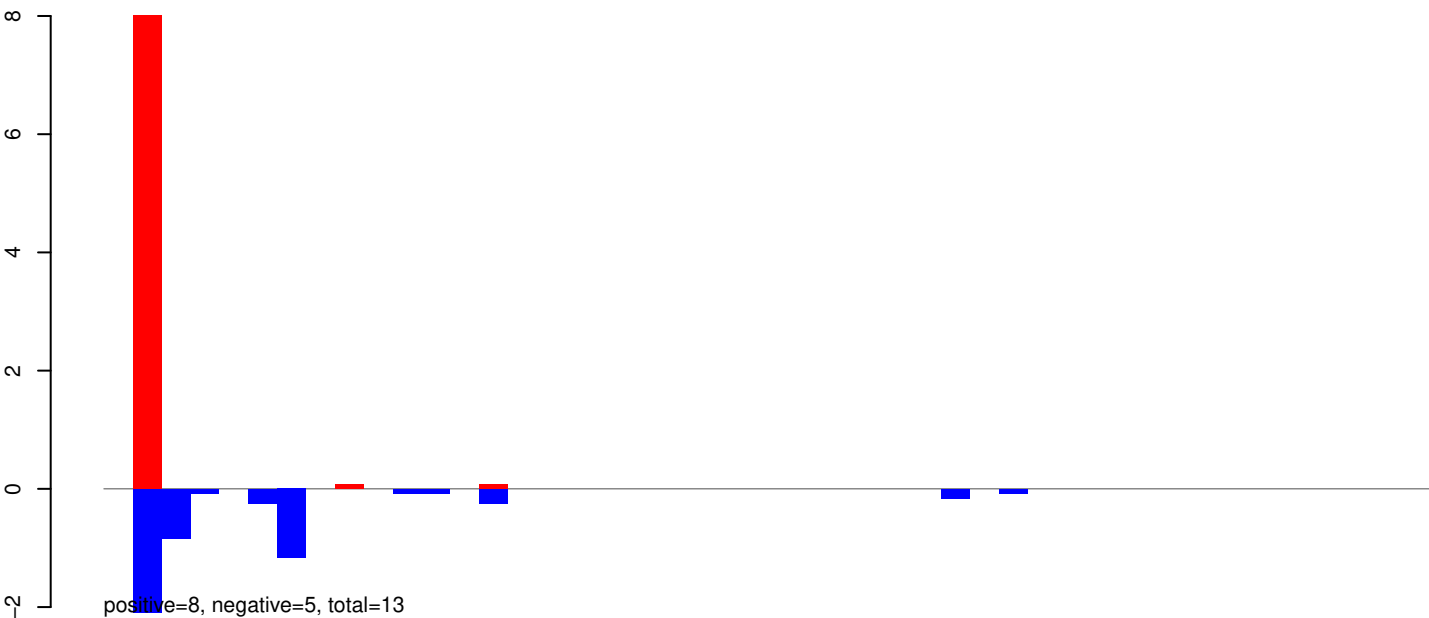
AeAeg_Aag2_Ago2_SINV_RA.rep



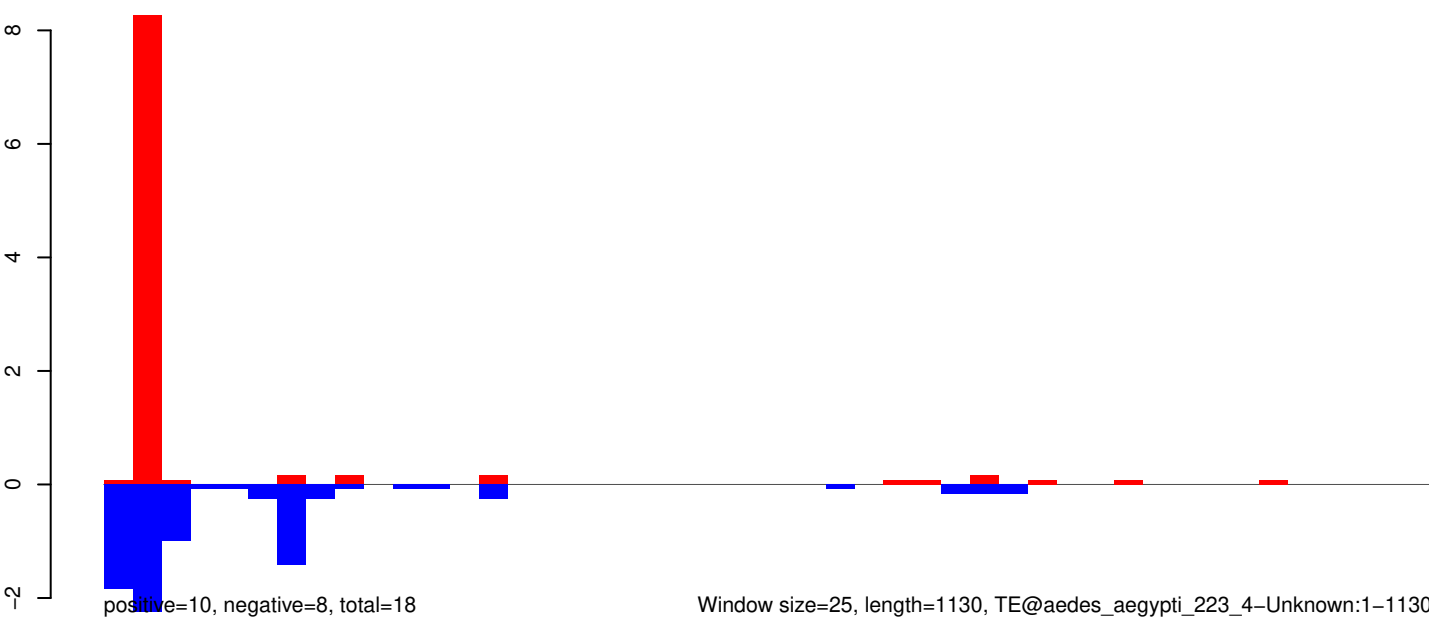
AeAeg_Aag2_Ago2_SINV_RA.18_23.rep



AeAeg_Aag2_Ago2_SINV_RA.24_35.rep

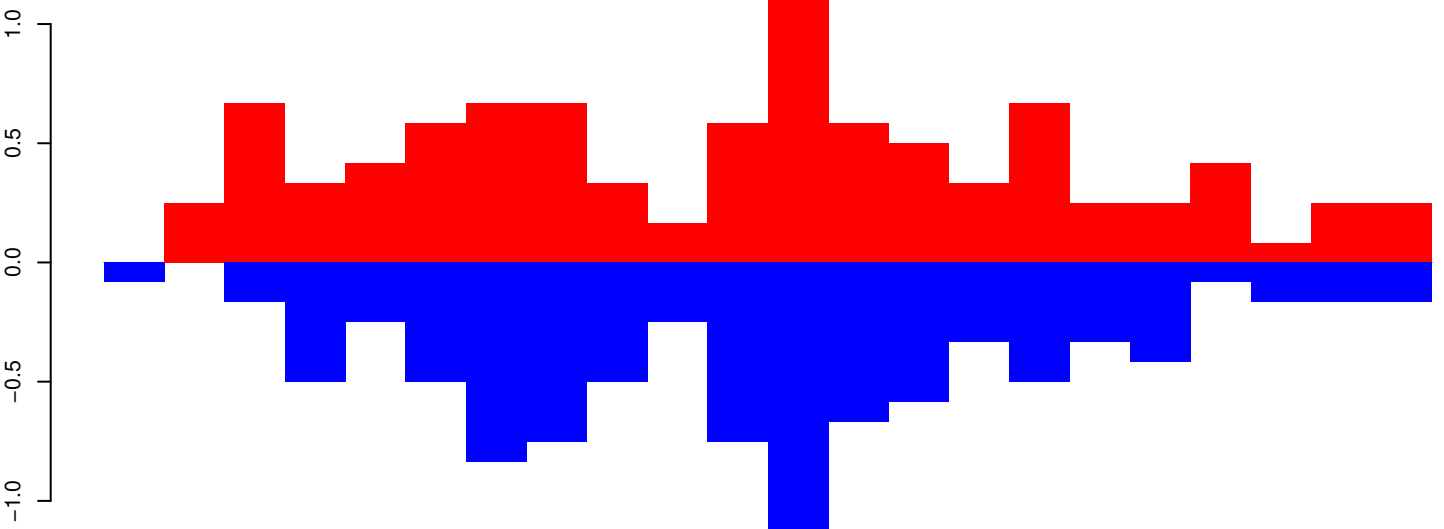


AeAeg_Aag2_Ago2_SINV_RA.rep



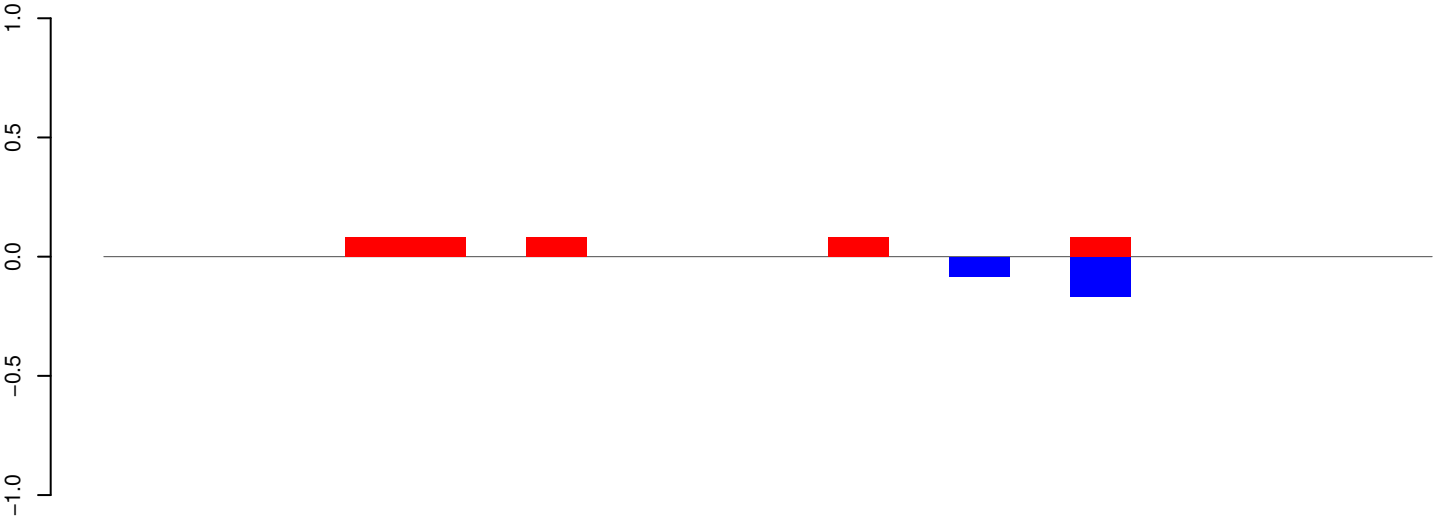
Window size=25, length=1130, TE@aedes_aegypti_223_4-Unknown:1-1130

AeAeg_Aag2_Ago2_SINV_RA.18_23.rep



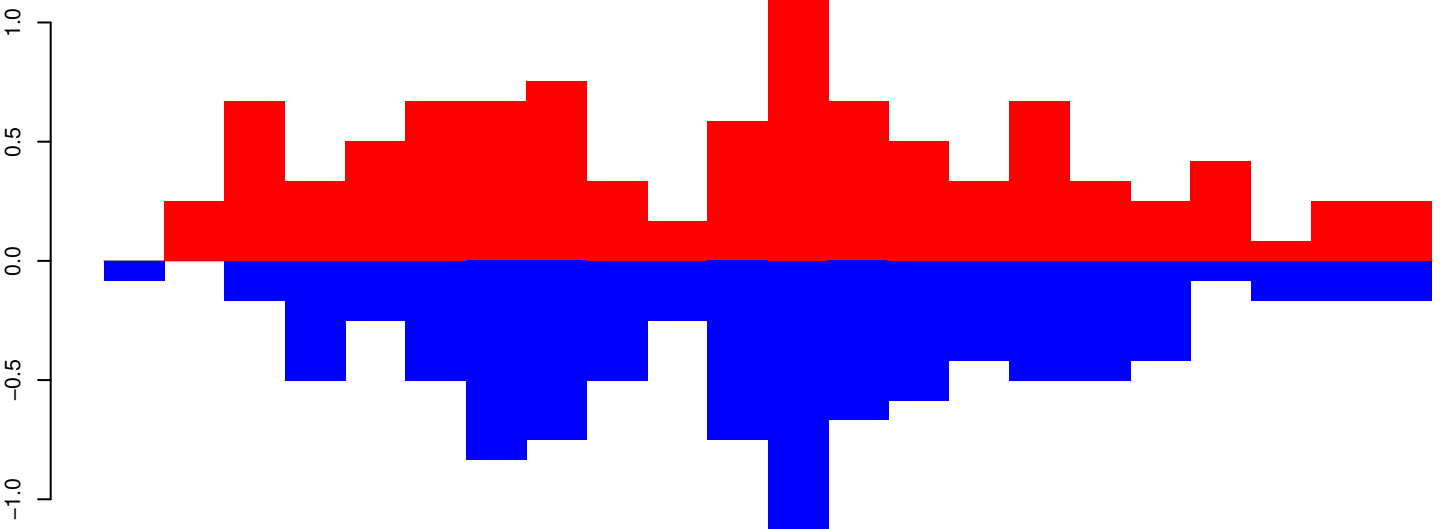
positive=10, negative=9, total=19

AeAeg_Aag2_Ago2_SINV_RA.24_35.rep



positive=0, negative=0, total=1

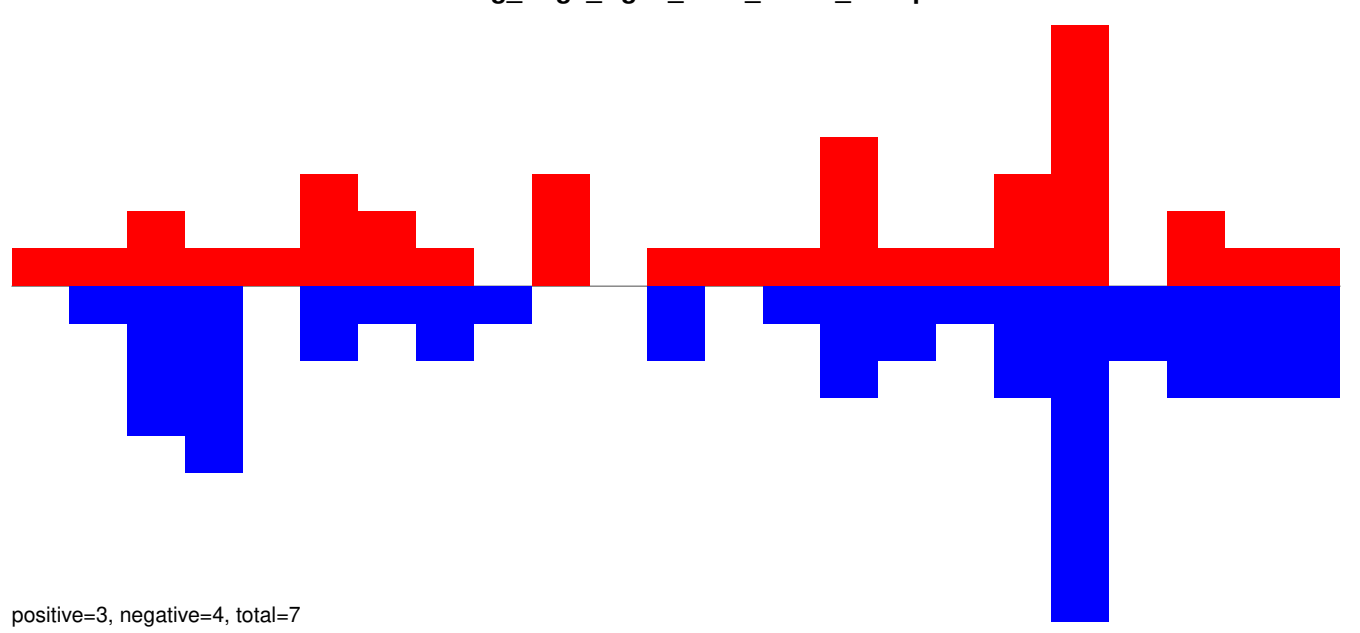
AeAeg_Aag2_Ago2_SINV_RA.rep



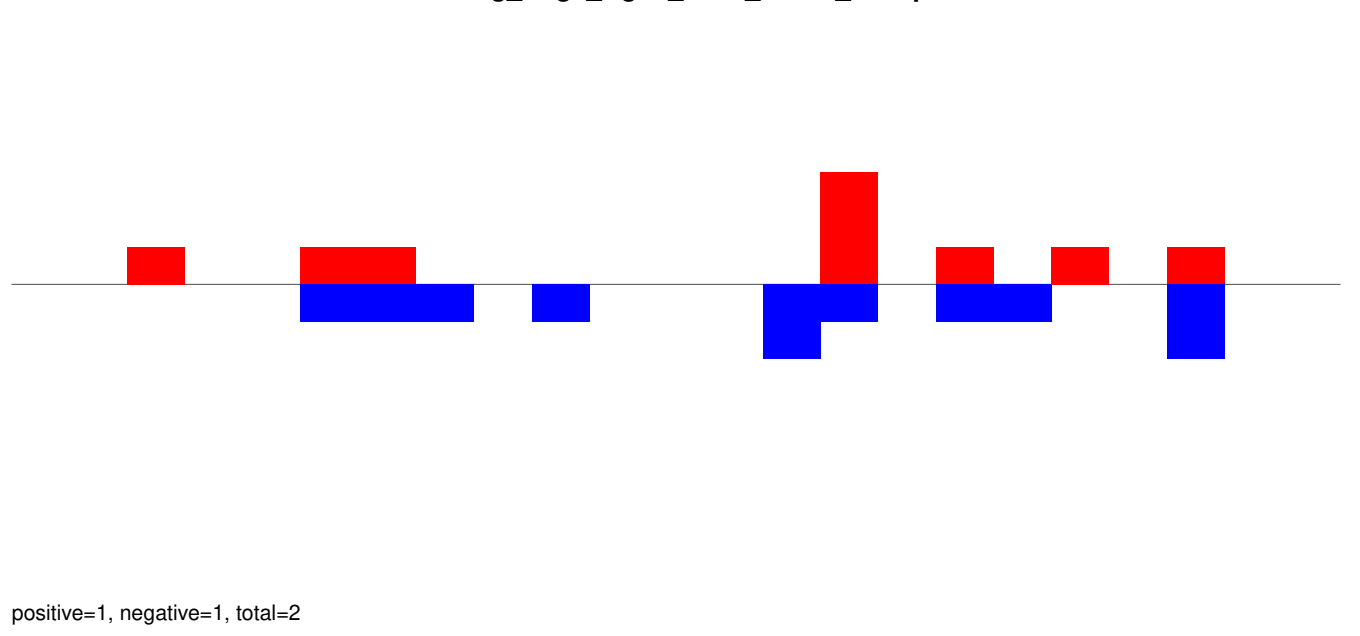
positive=10, negative=10, total=19

Window size=25, length=534, TE@TF001305-mTA_Ele50:1-534

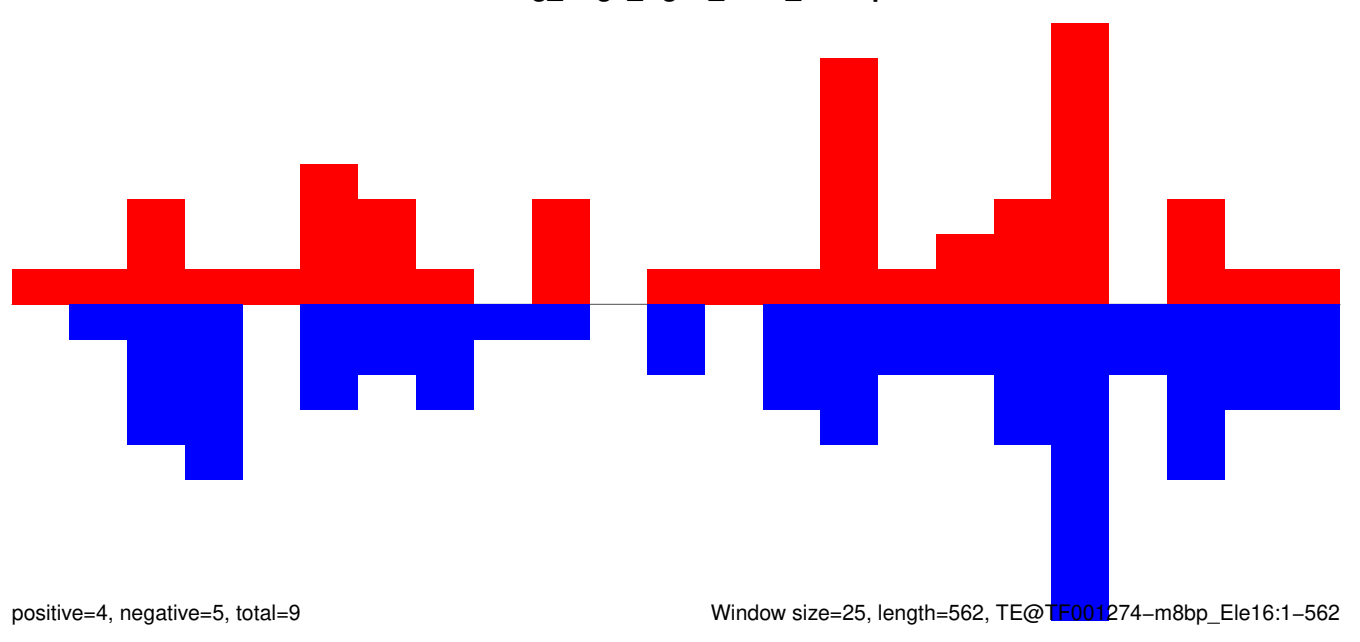
AeAeg_Aag2_Ago2_SINV_RA.18_23.rep



AeAeg_Aag2_Ago2_SINV_RA.24_35.rep

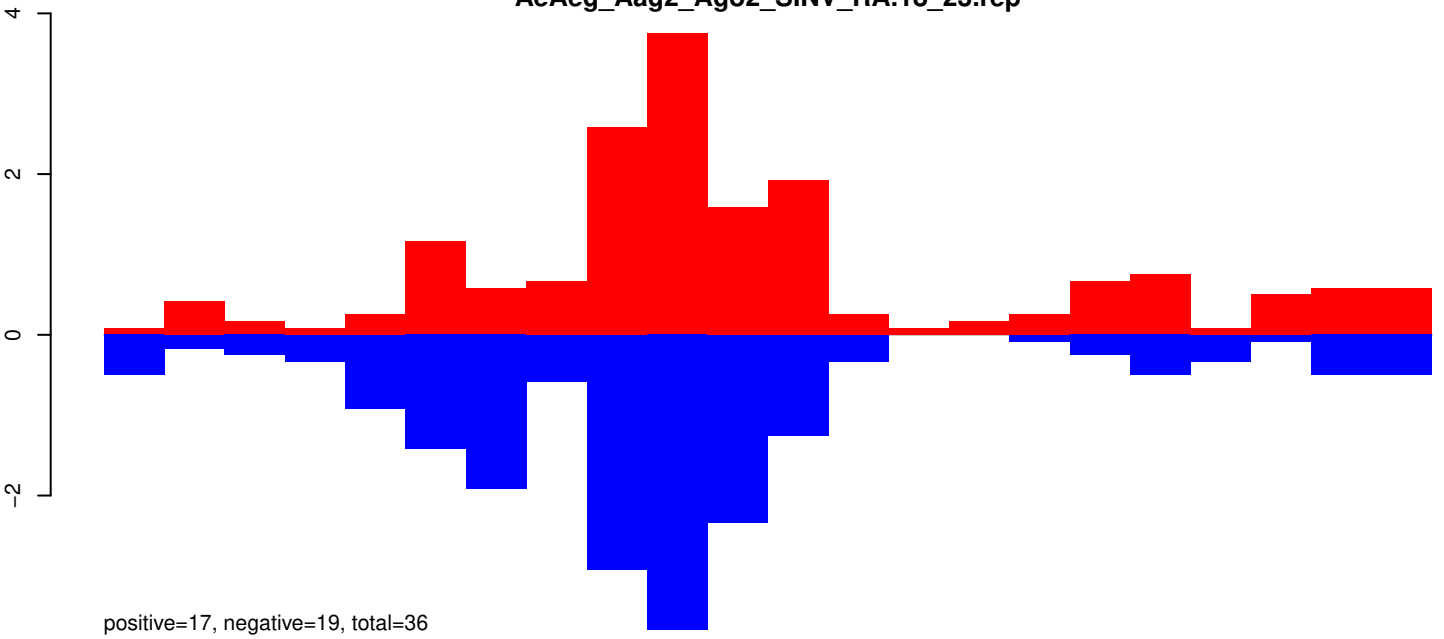


AeAeg_Aag2_Ago2_SINV_RA.rep

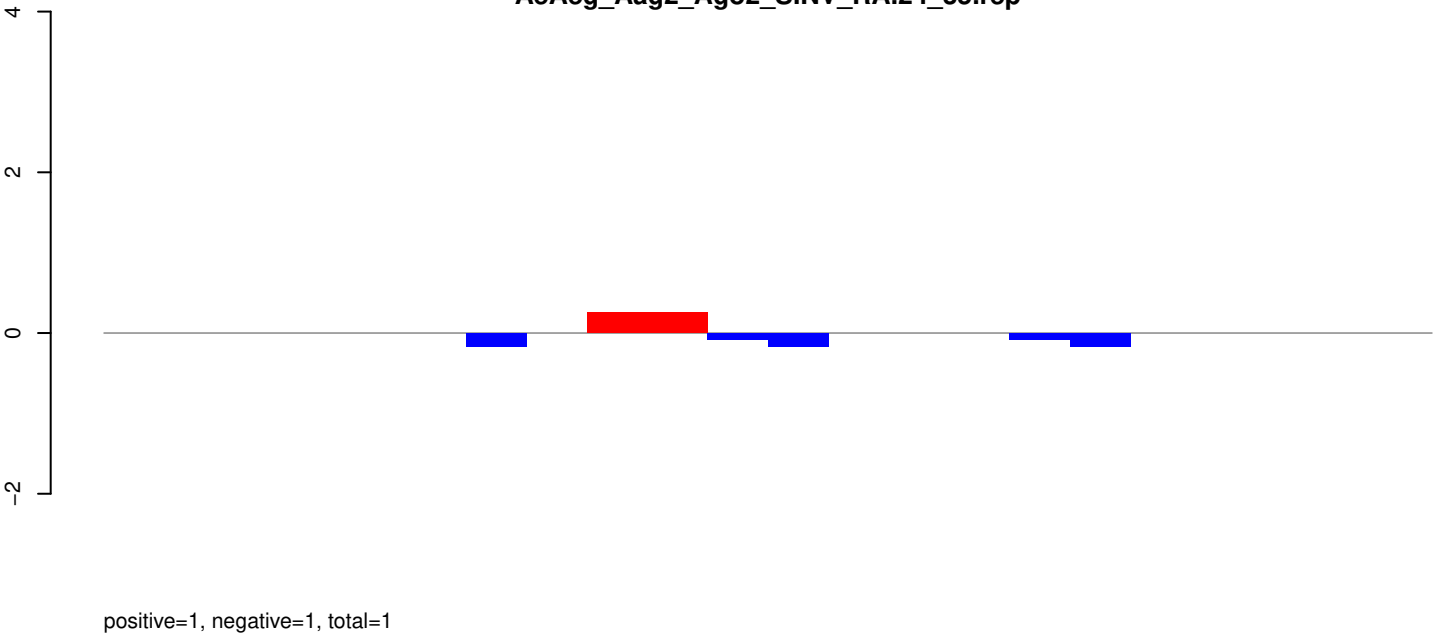


Window size=25, length=562, TE@TE001274-m8bp_Ele16:1-562

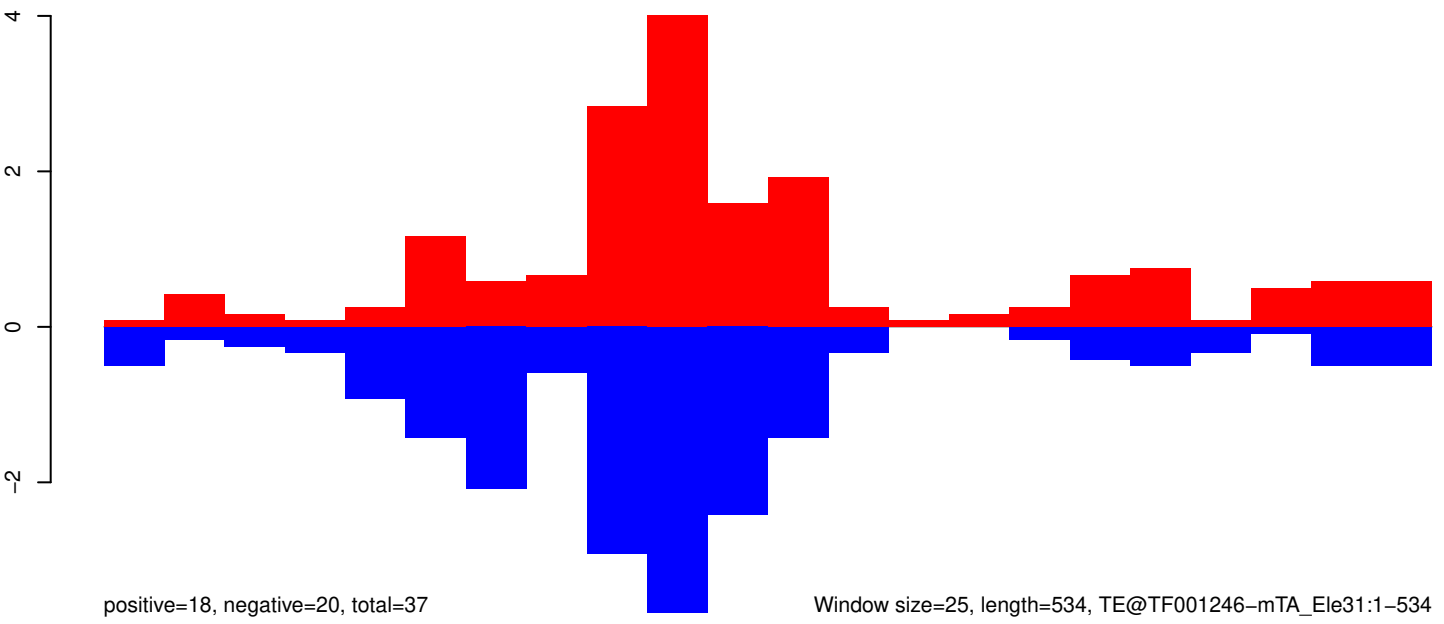
AeAeg_Aag2_Ago2_SINV_RA.18_23.rep



AeAeg_Aag2_Ago2_SINV_RA.24_35.rep

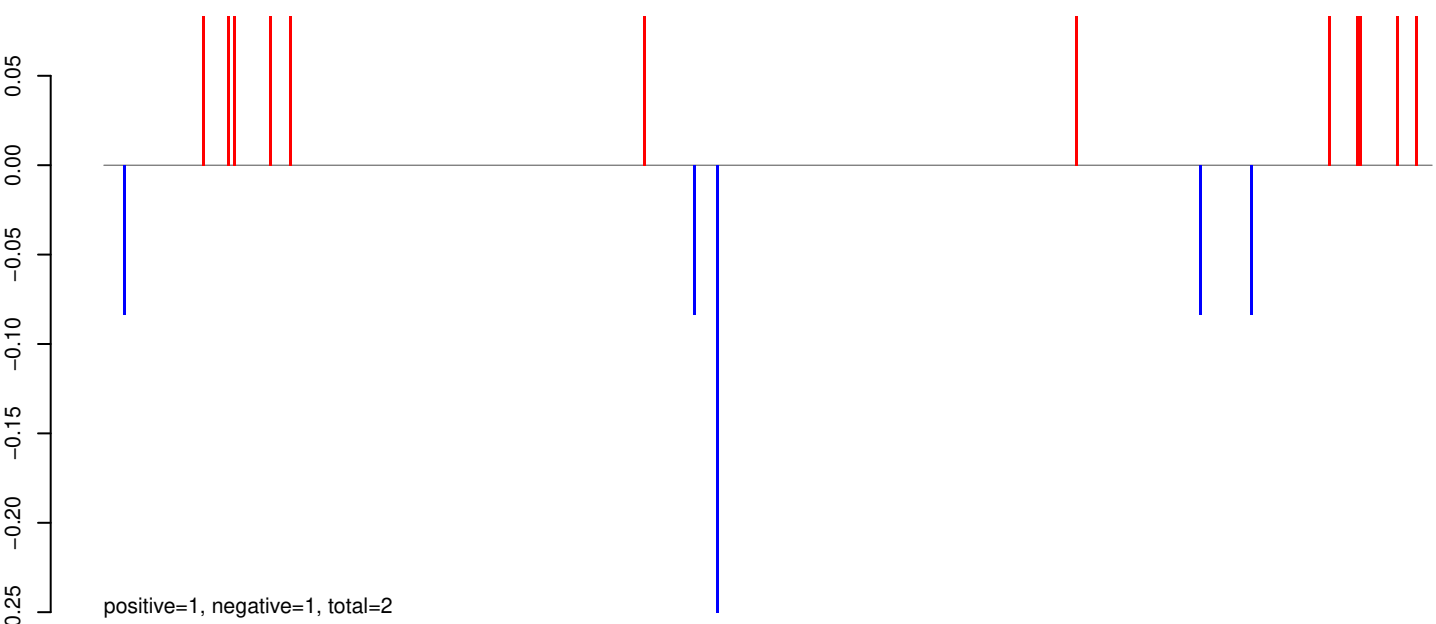


AeAeg_Aag2_Ago2_SINV_RA.rep

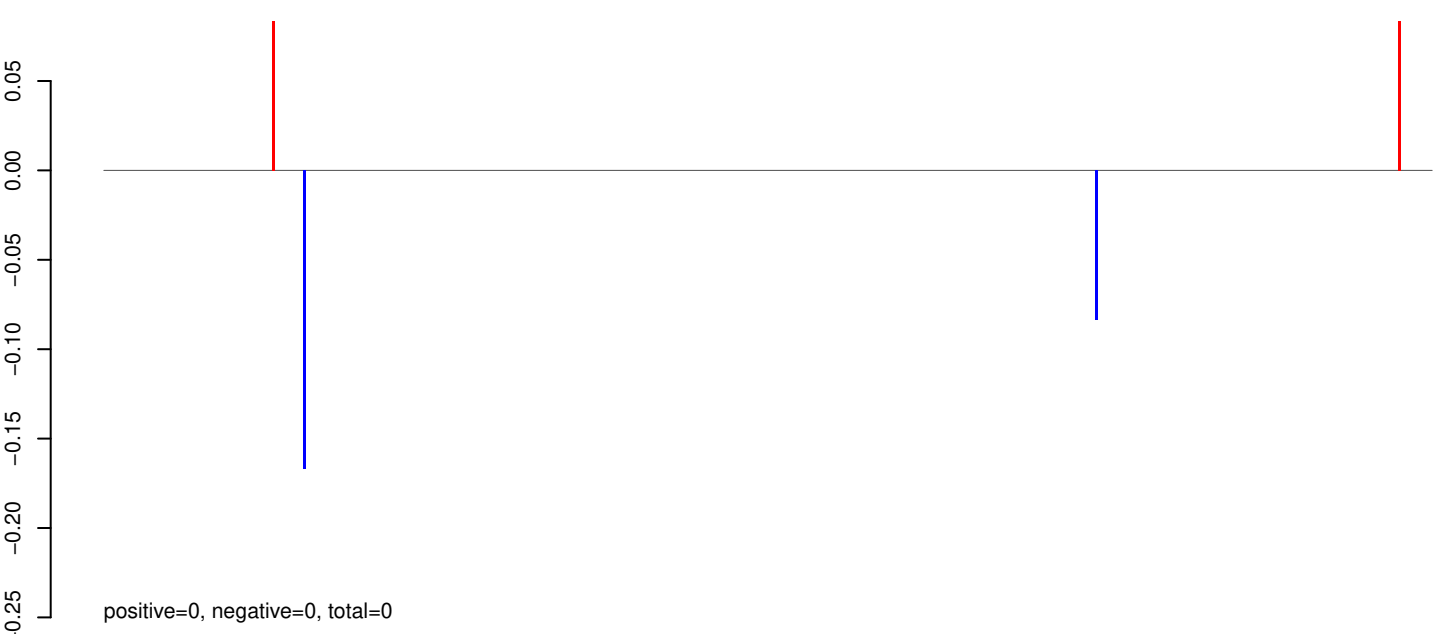


Window size=25, length=534, TE@TF001246-mTA_Ele31:1-534

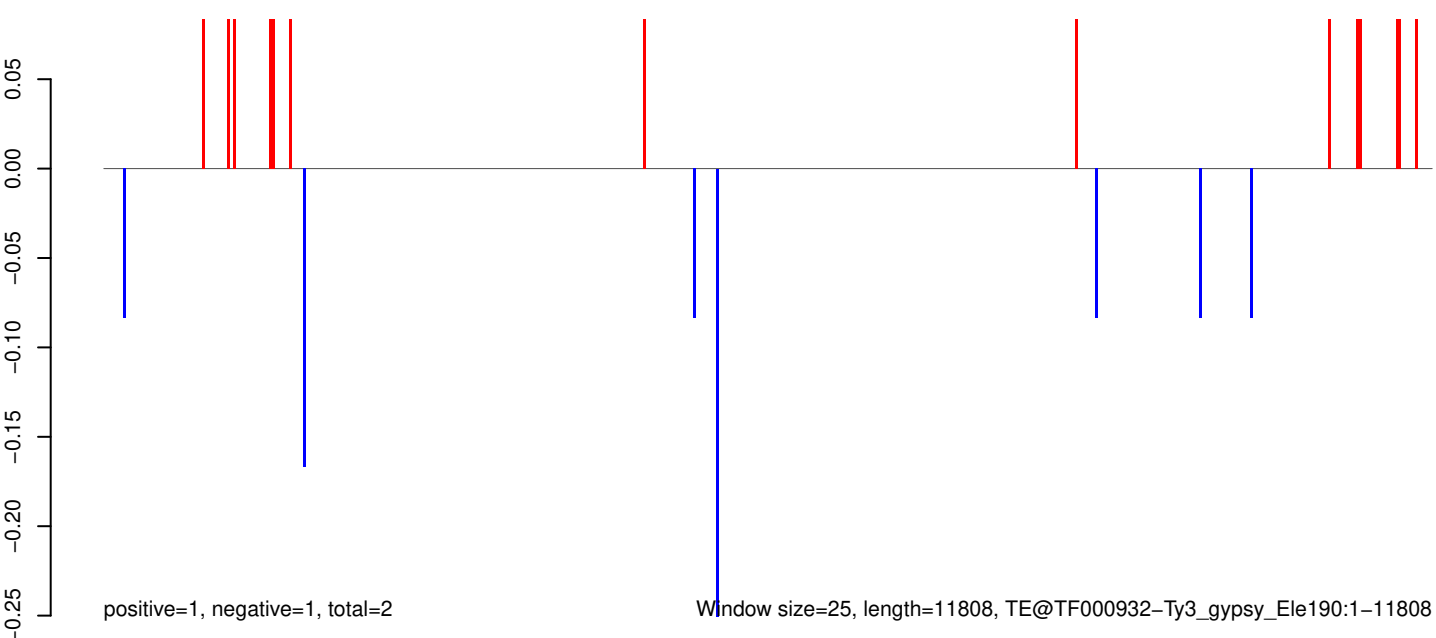
AeAeg_Aag2_Ago2_SINV_RA.18_23.rep



AeAeg_Aag2_Ago2_SINV_RA.24_35.rep

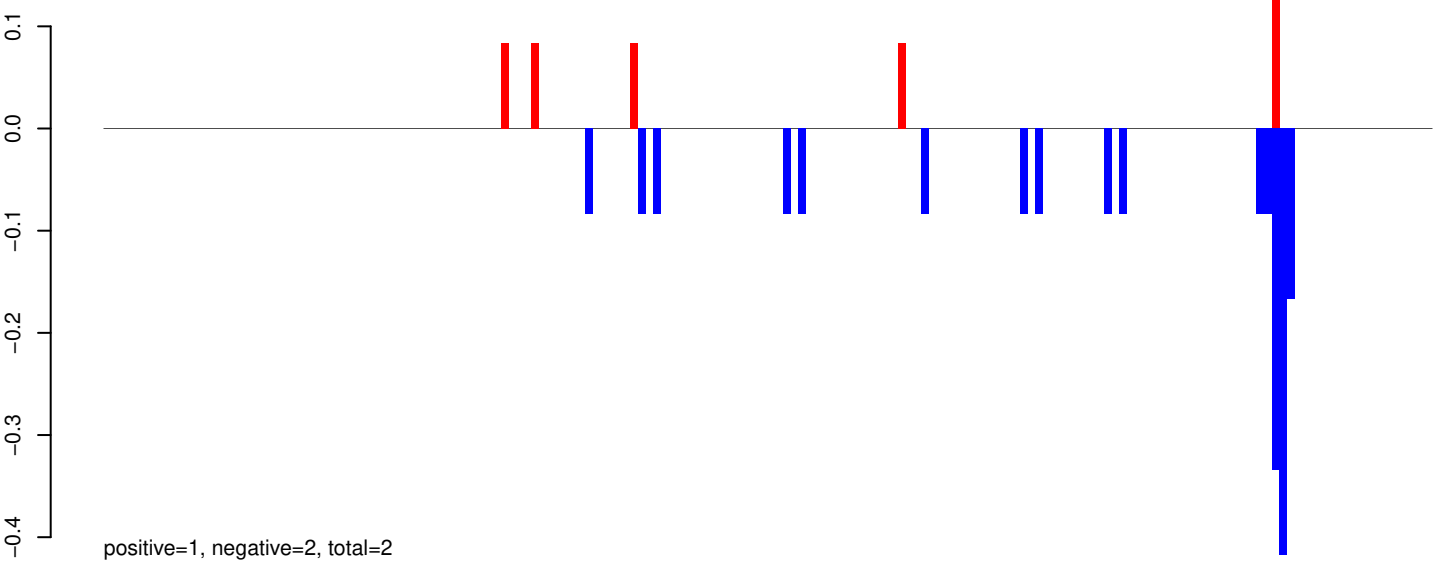


AeAeg_Aag2_Ago2_SINV_RA.rep

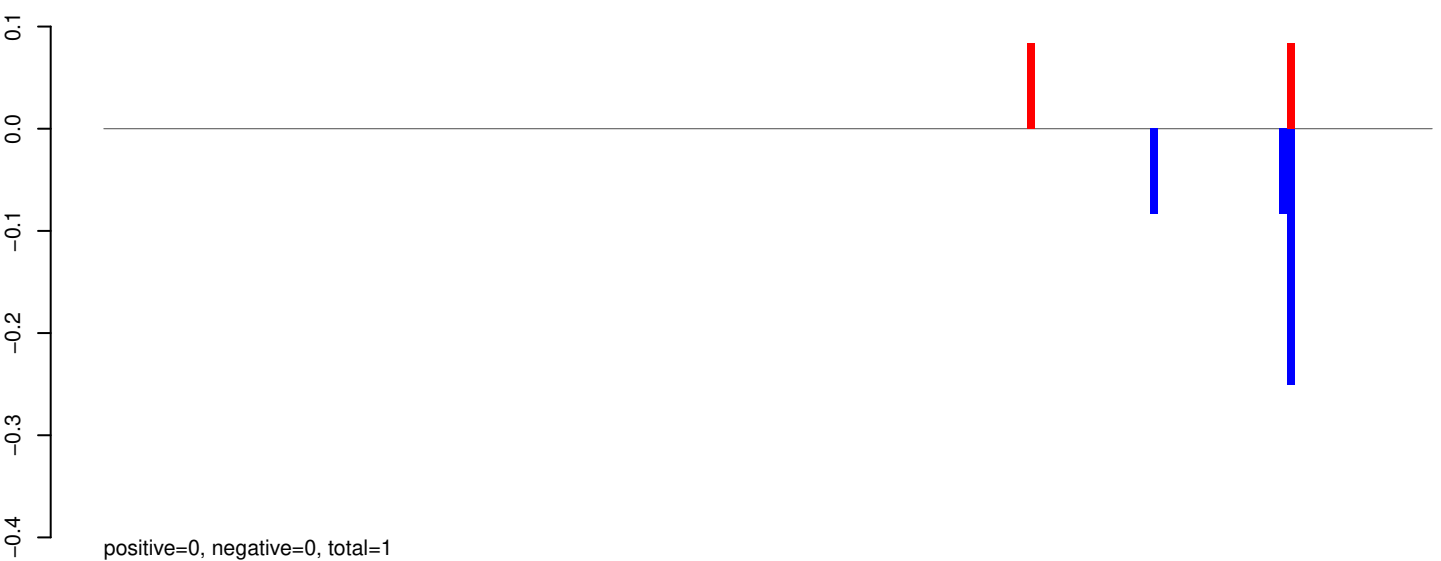


Window size=25, length=11808, TE@TF000932-Ty3_gypsy_Ele190:1-11808

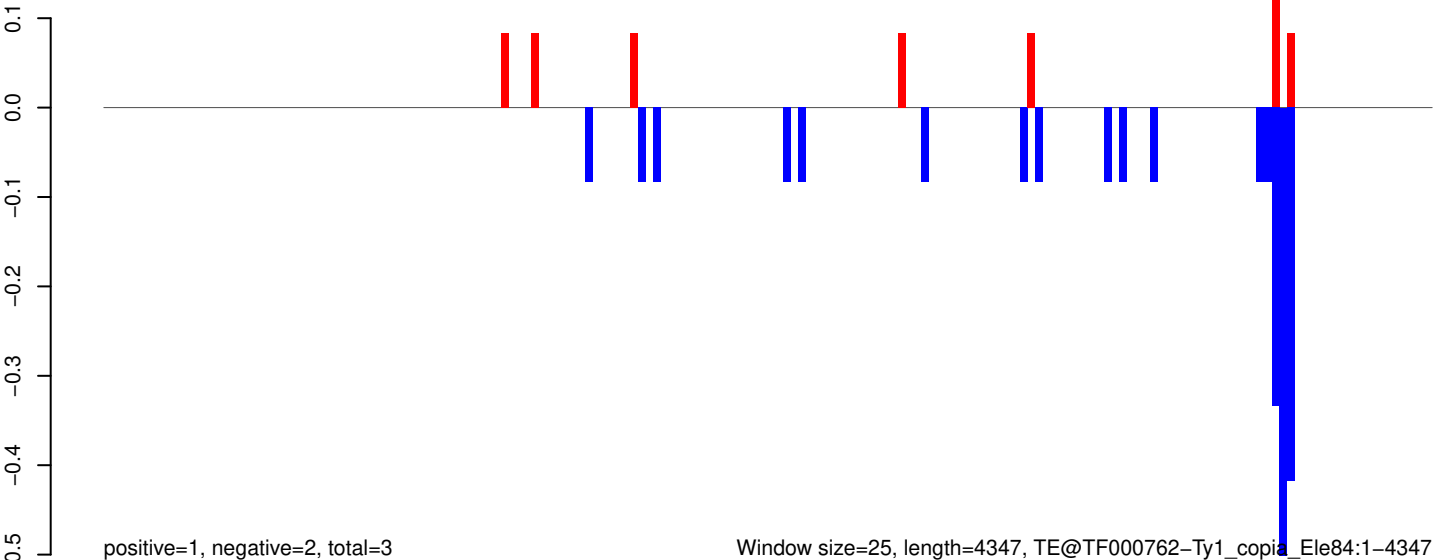
AeAeg_Aag2_Ago2_SINV_RA.18_23.rep



AeAeg_Aag2_Ago2_SINV_RA.24_35.rep

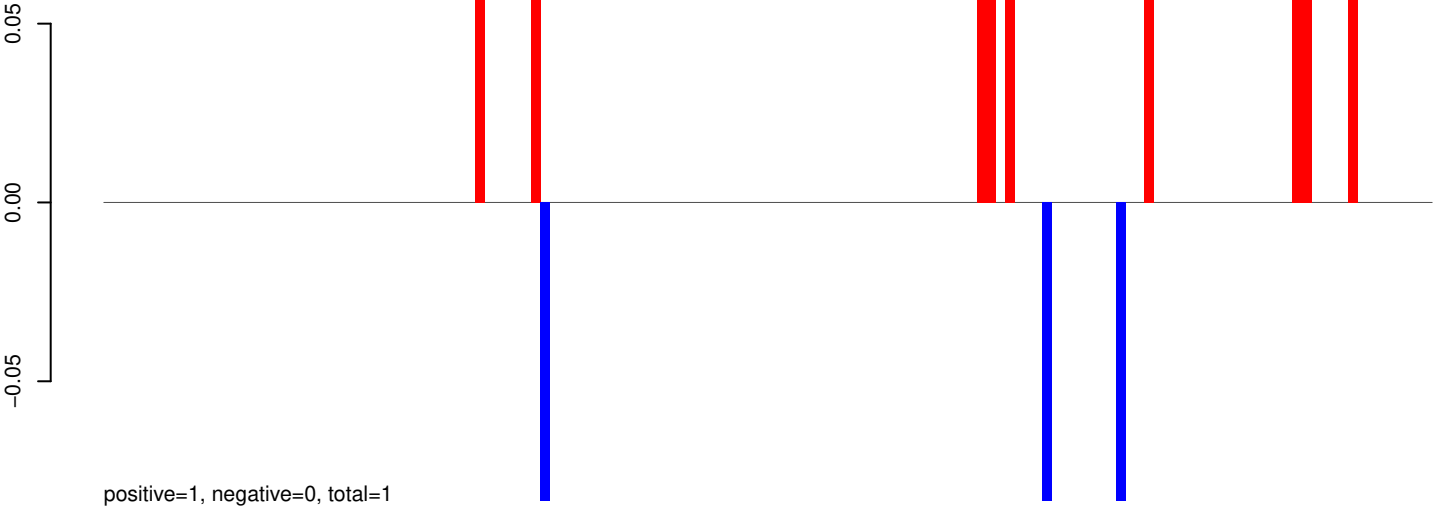


AeAeg_Aag2_Ago2_SINV_RA.rep

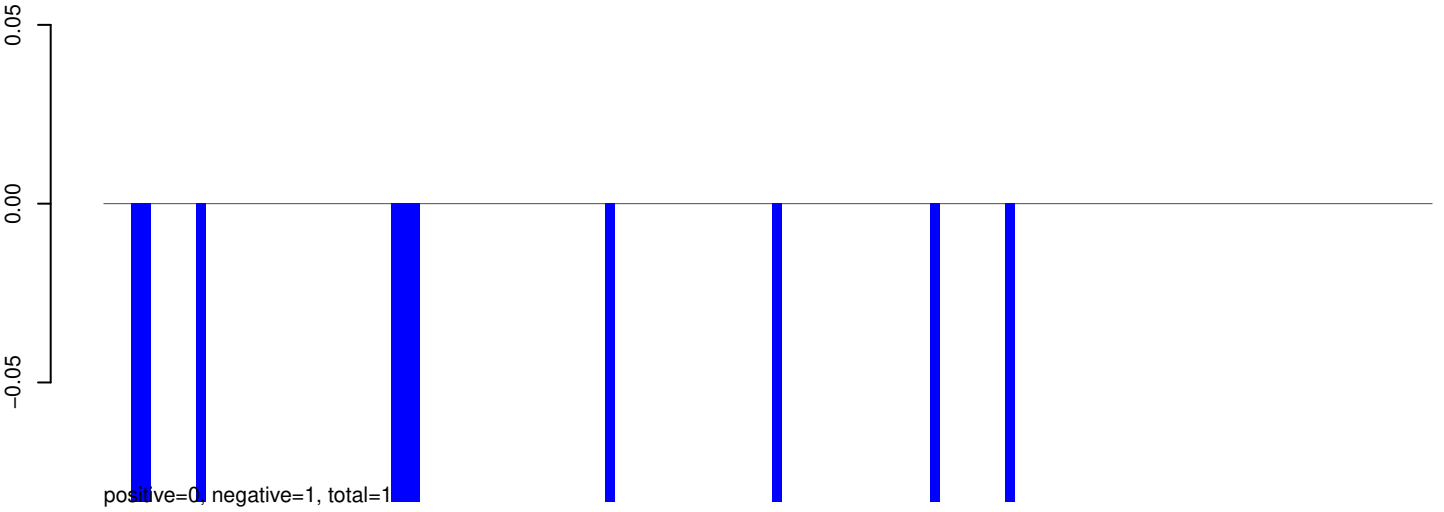


Window size=25, length=4347, TE@TF000762-Ty1_copia_Ele84:1-4347

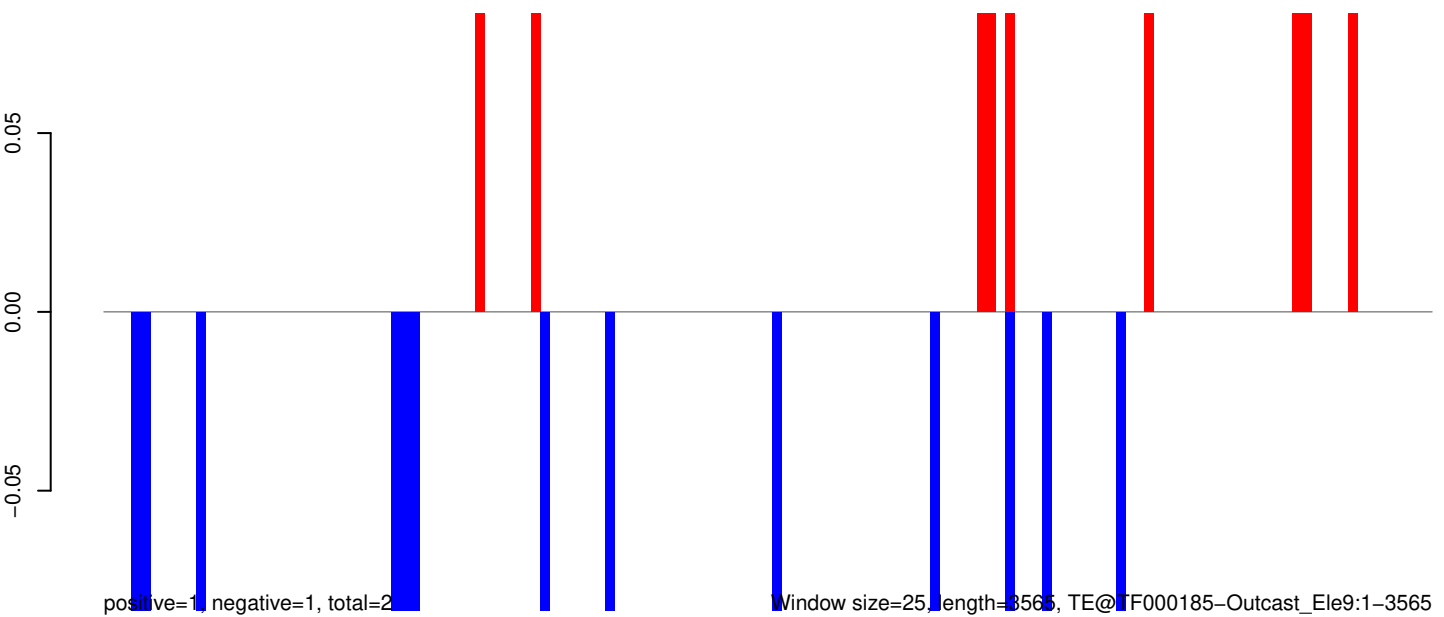
AeAeg_Aag2_Ago2_SINV_RA.18_23.rep



AeAeg_Aag2_Ago2_SINV_RA.24_35.rep

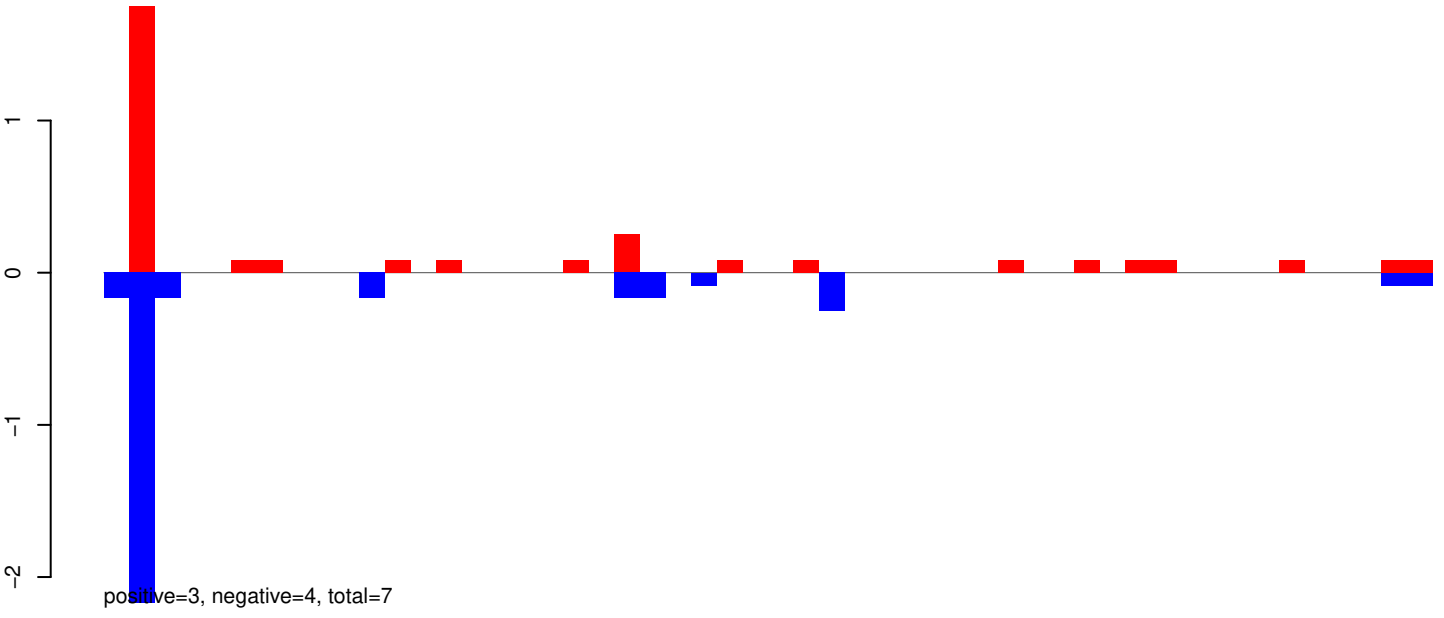


AeAeg_Aag2_Ago2_SINV_RA.rep

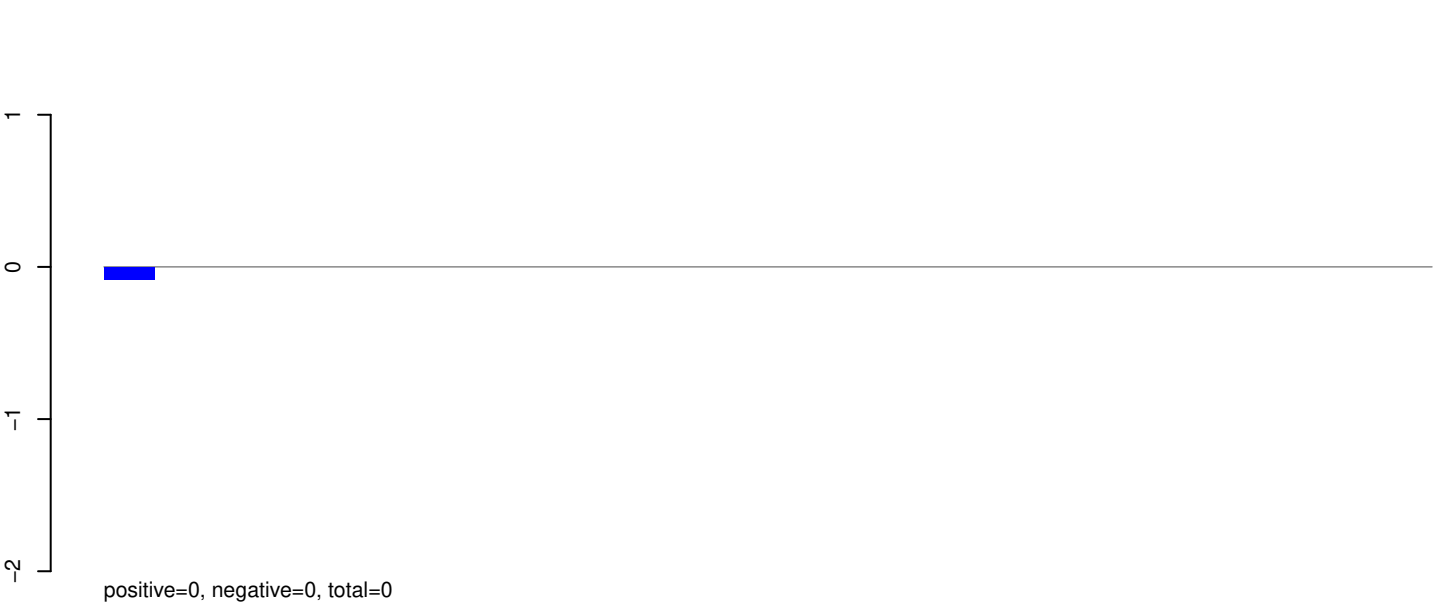


0 500 1000 1500 2000 2500 3000 3500

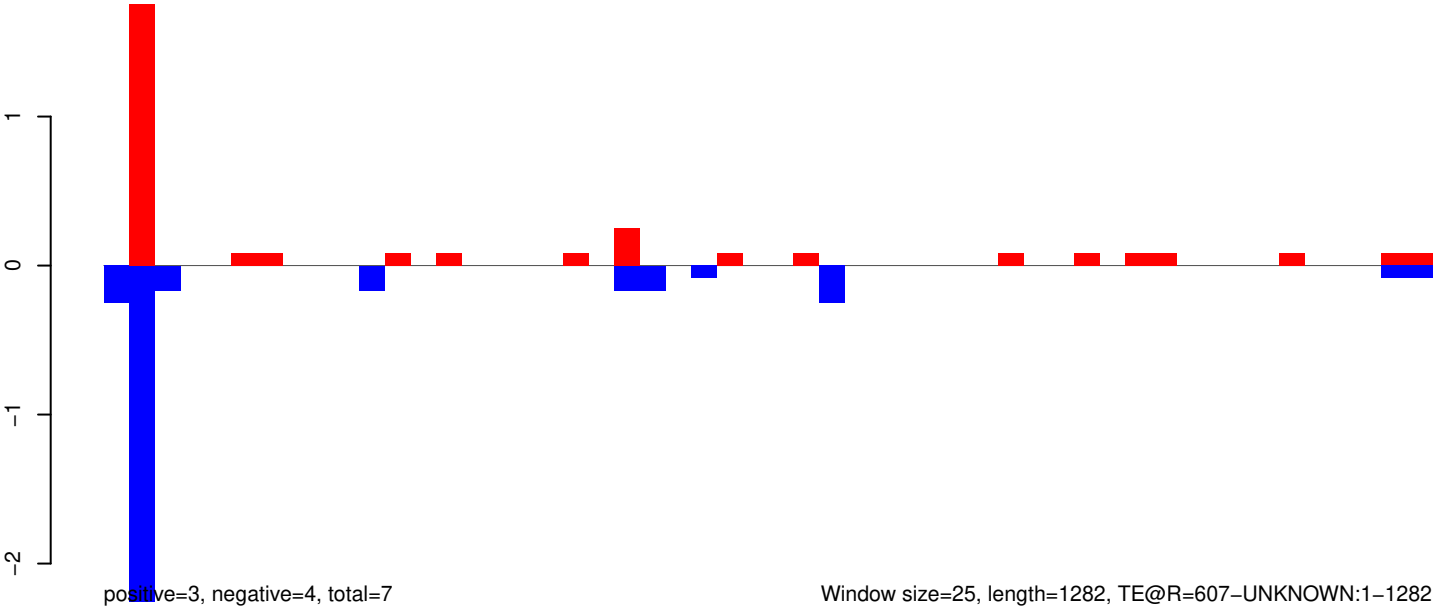
AeAeg_Aag2_Ago2_SINV_RA.18_23.rep



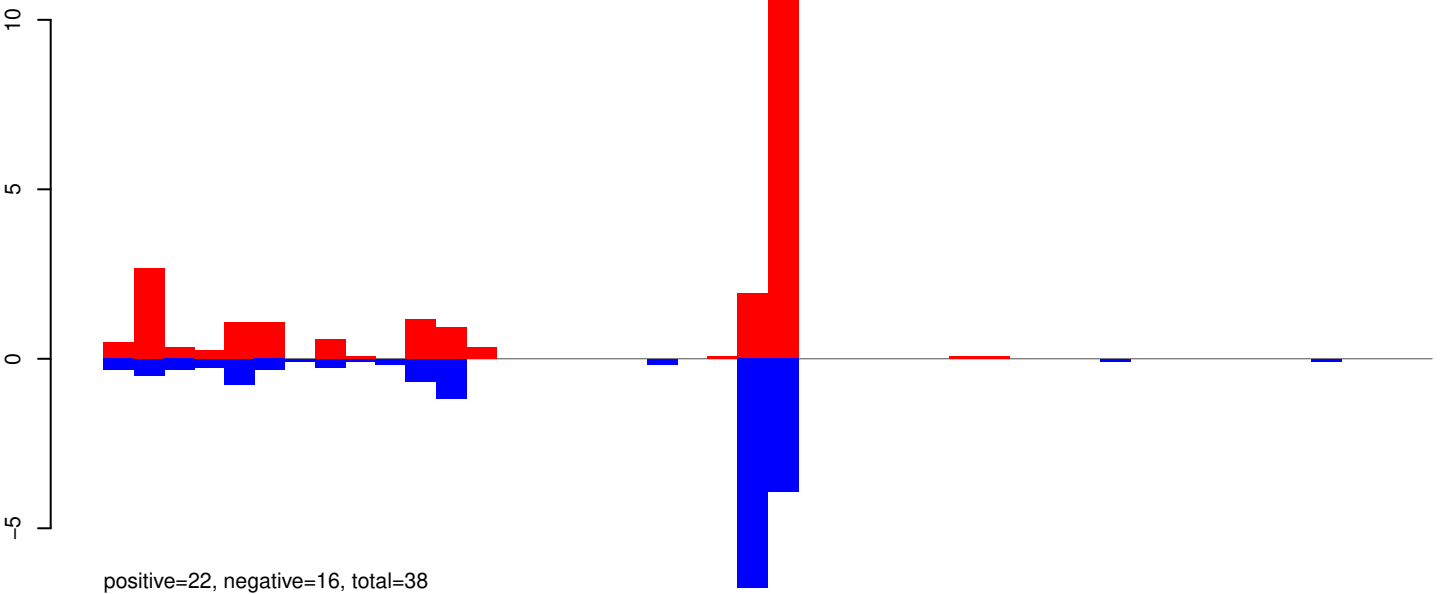
AeAeg_Aag2_Ago2_SINV_RA.24_35.rep



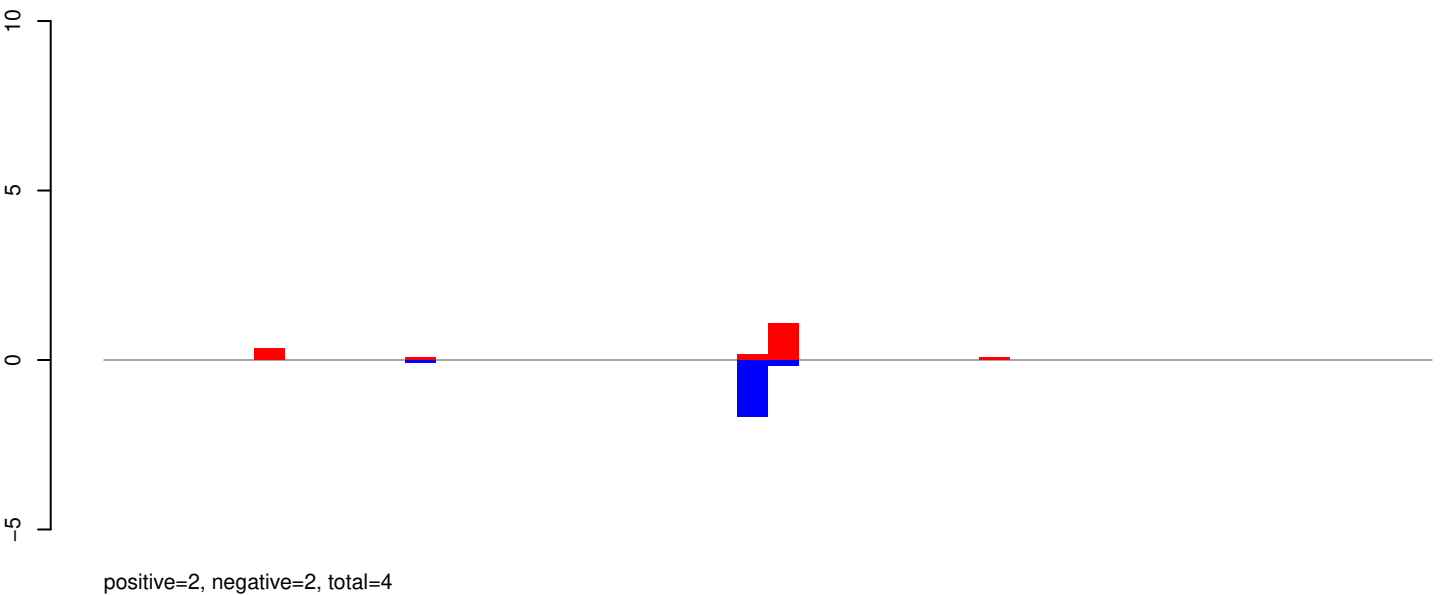
AeAeg_Aag2_Ago2_SINV_RA.rep



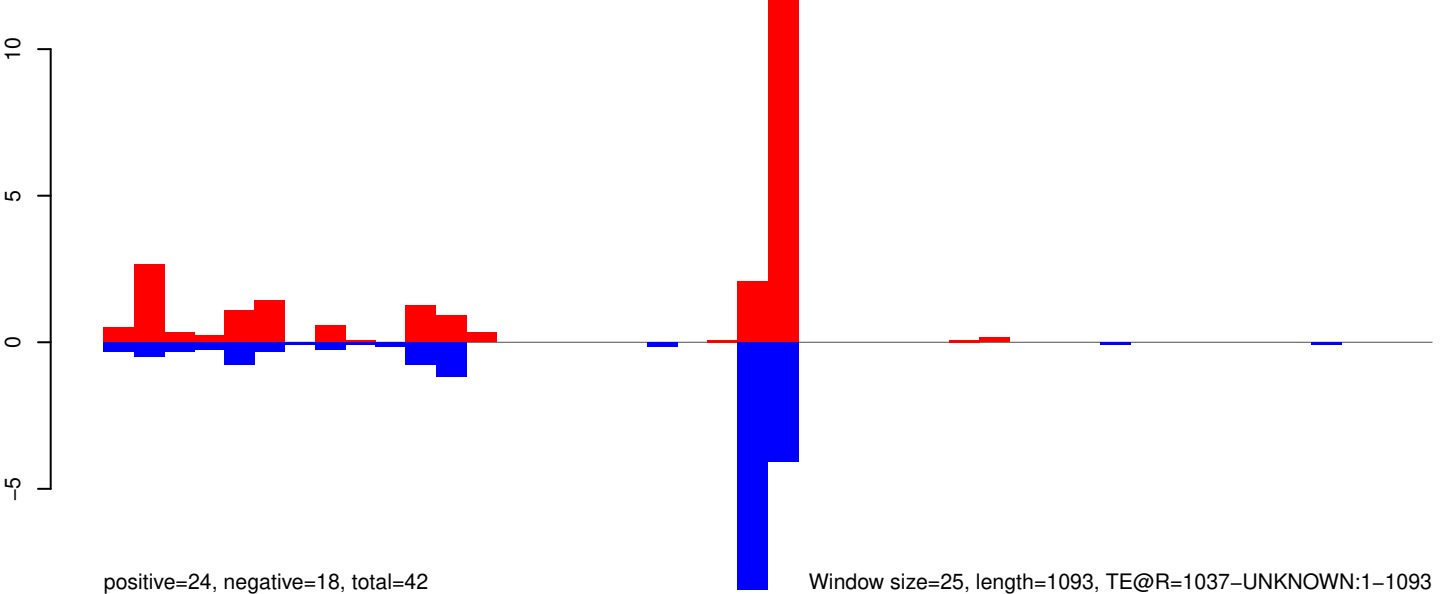
AeAeg_Aag2_Ago2_SINV_RA.18_23.rep



AeAeg_Aag2_Ago2_SINV_RA.24_35.rep

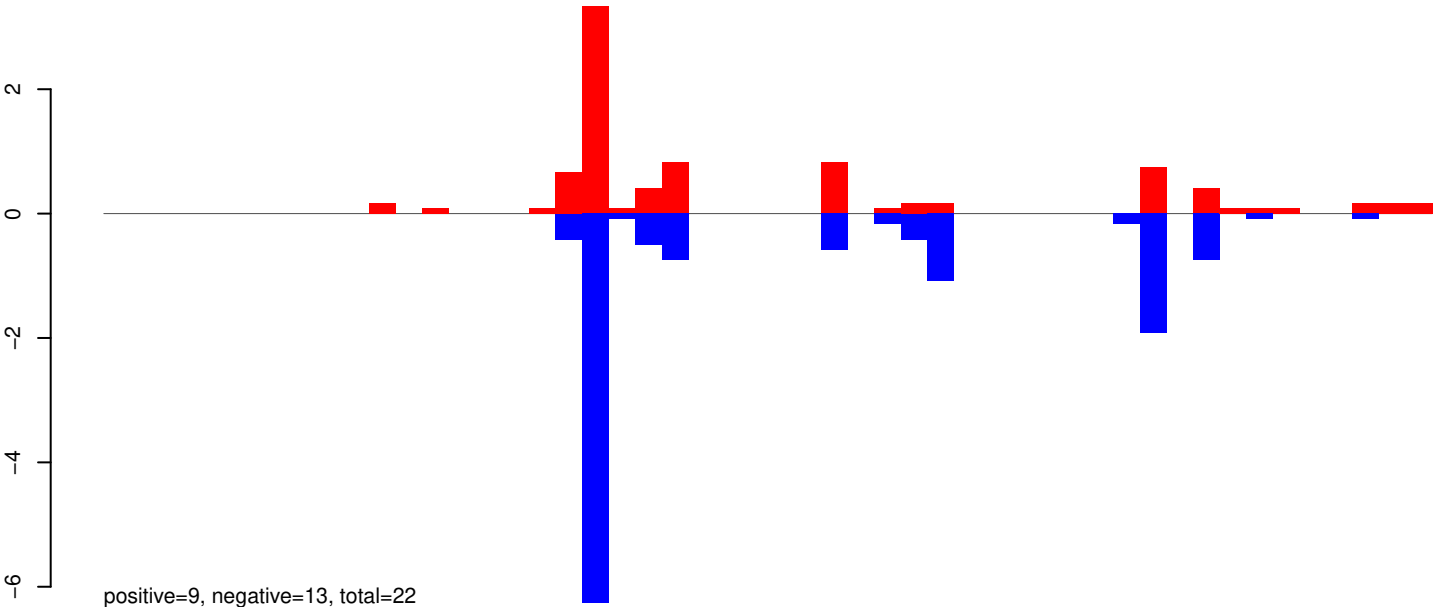


AeAeg_Aag2_Ago2_SINV_RA.rep

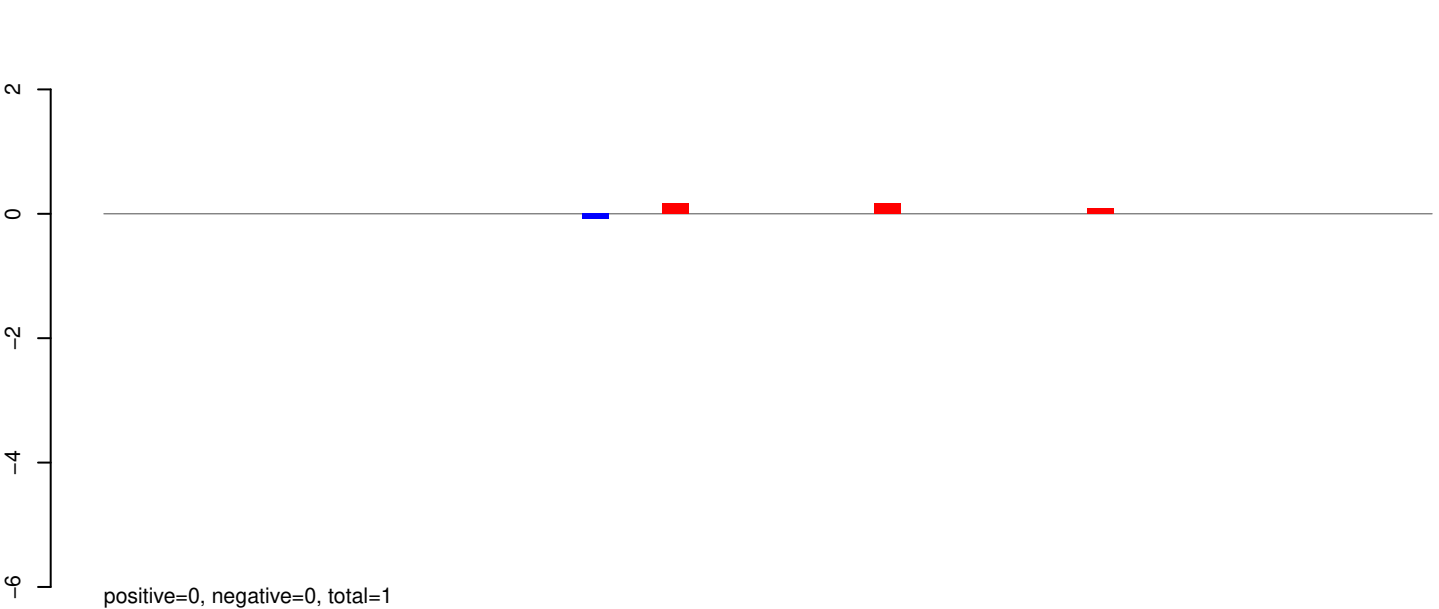


Window size=25, length=1093, TE@R=1037-UNKNOWN:1-1093

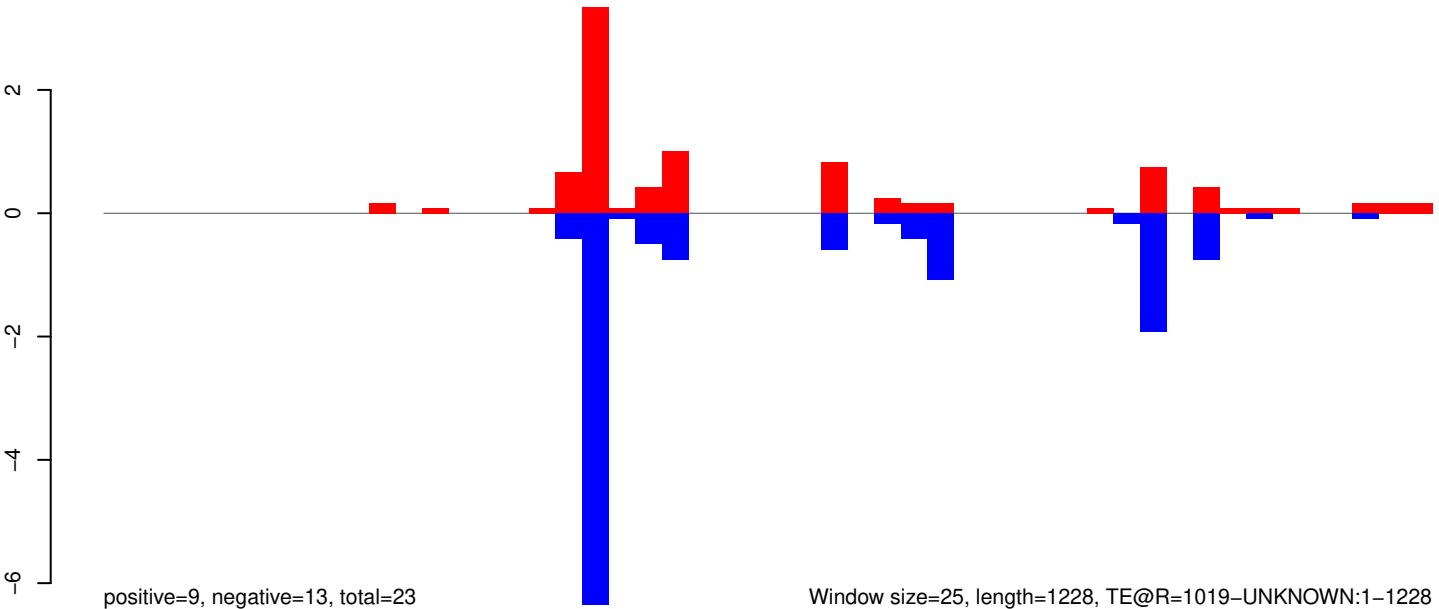
AeAeg_Aag2_Ago2_SINV_RA.18_23.rep



AeAeg_Aag2_Ago2_SINV_RA.24_35.rep

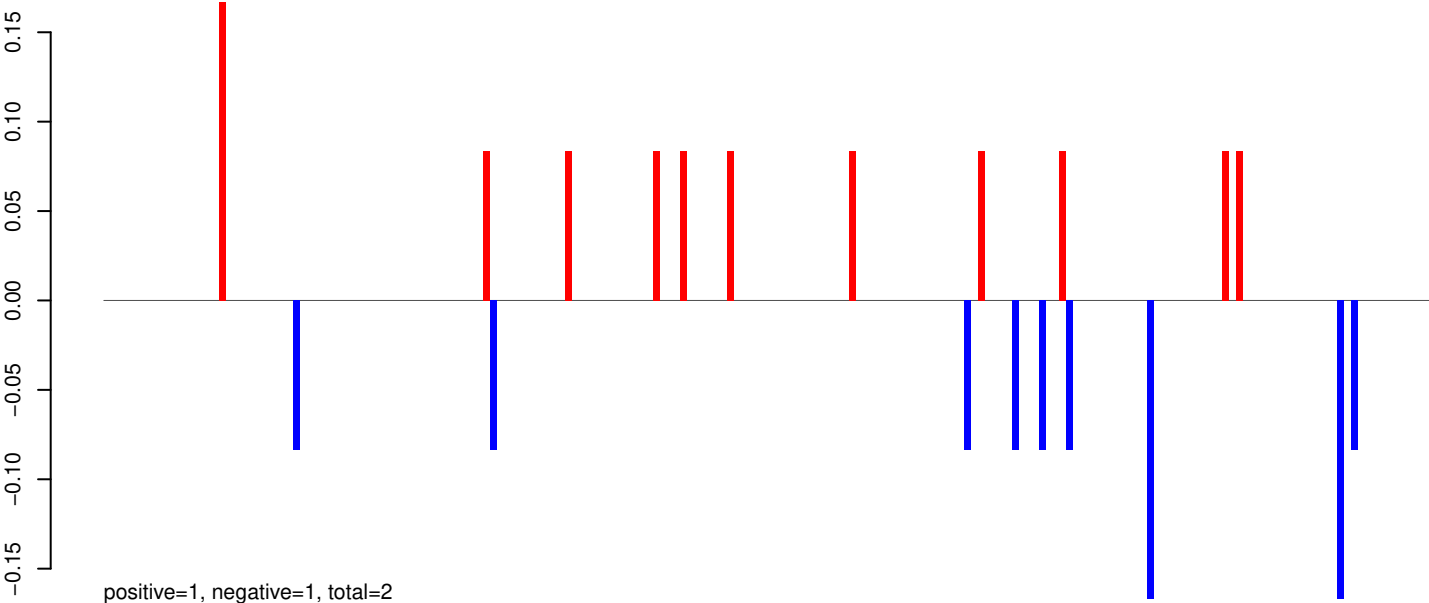


AeAeg_Aag2_Ago2_SINV_RA.rep

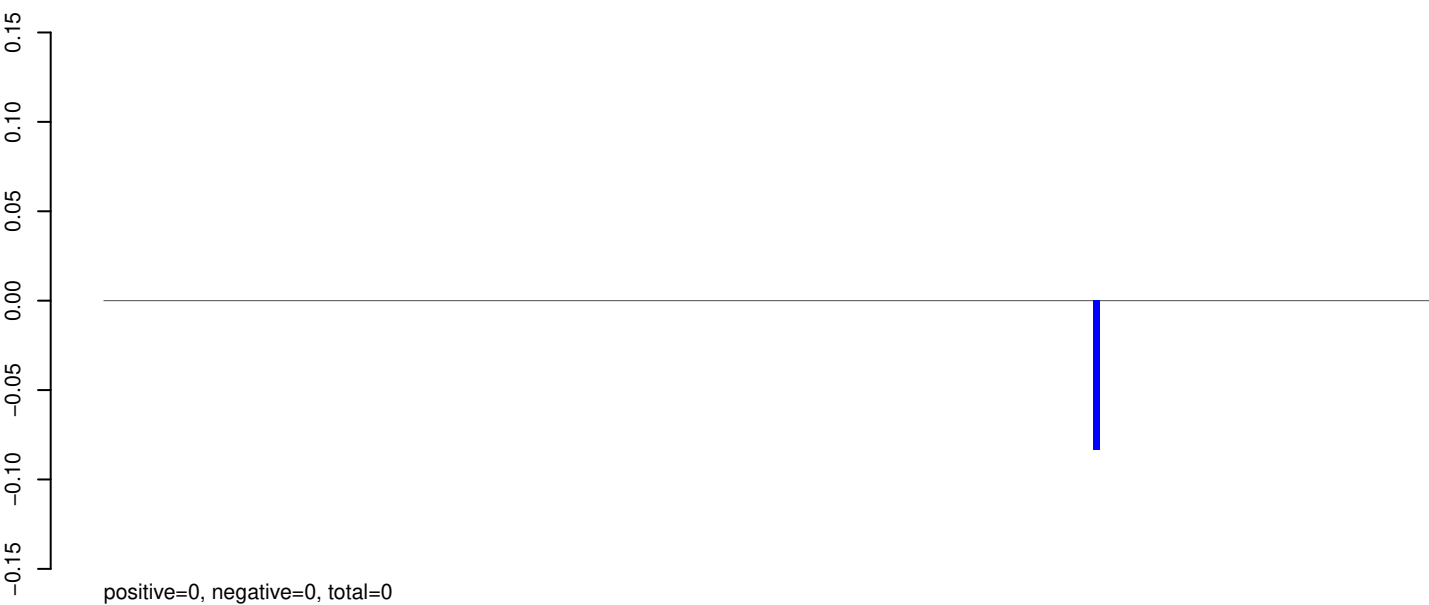


Window size=25, length=1228, TE@R=1019-UNKNOWN:1-1228

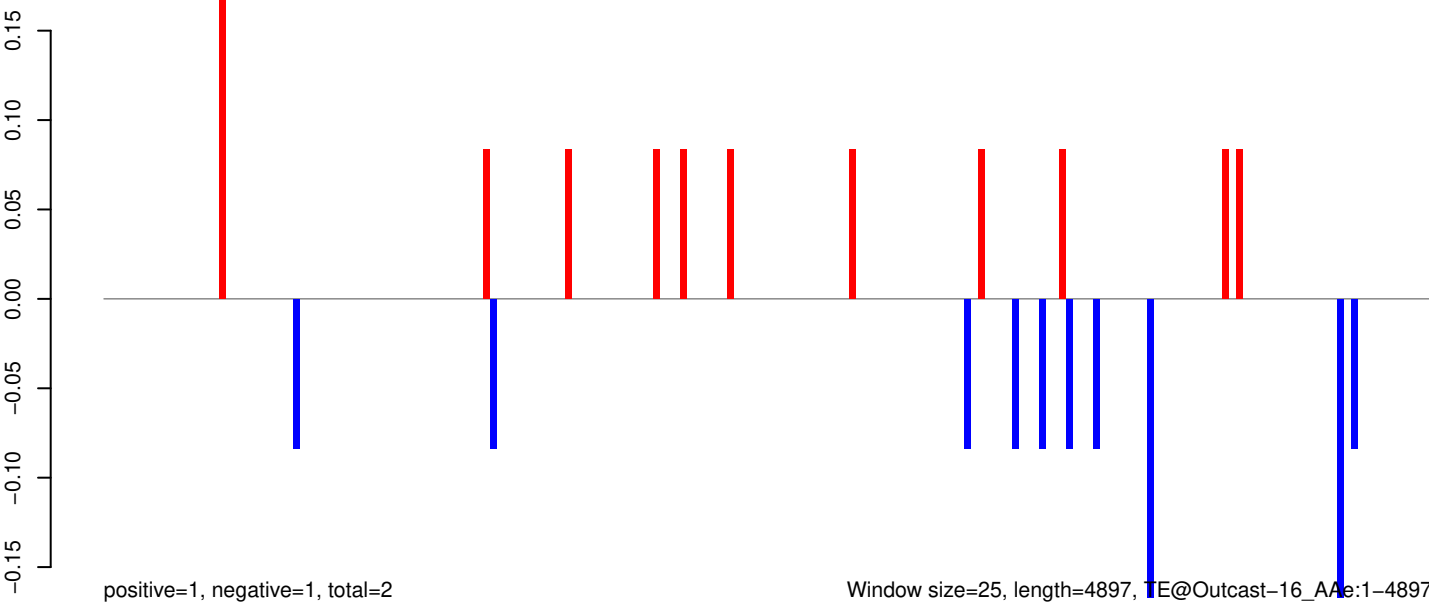
AeAeg_Aag2_Ago2_SINV_RA.18_23.rep



AeAeg_Aag2_Ago2_SINV_RA.24_35.rep



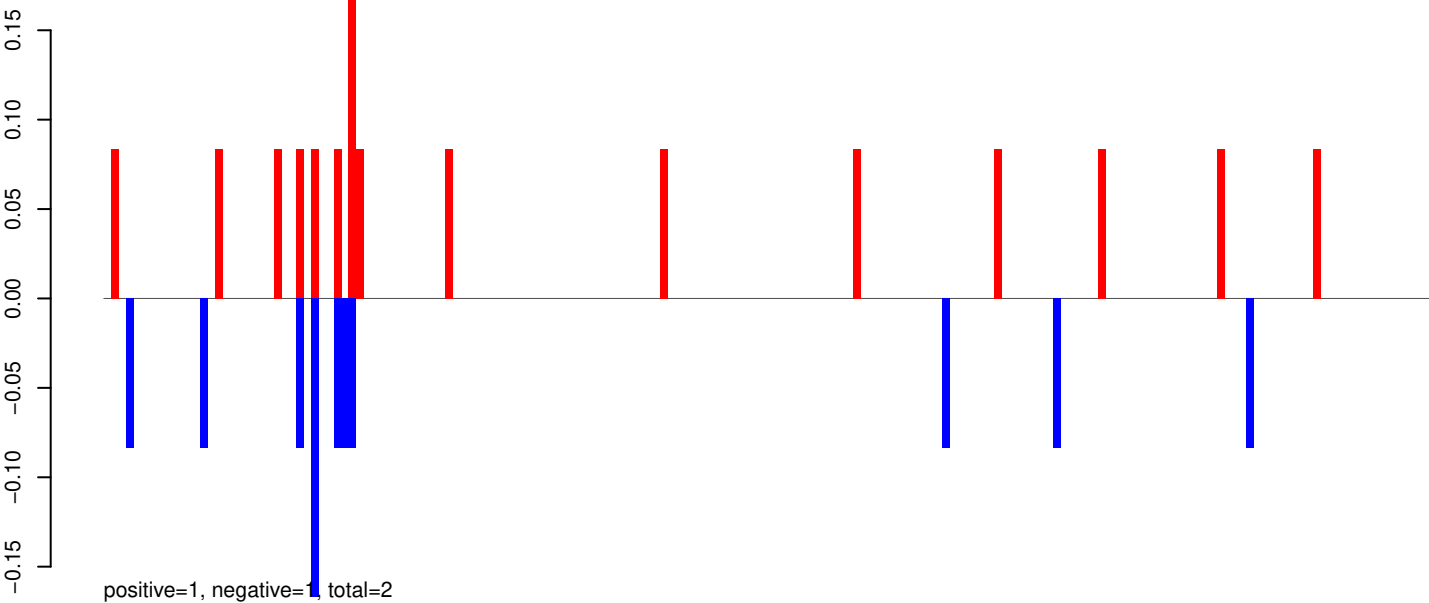
AeAeg_Aag2_Ago2_SINV_RA.rep



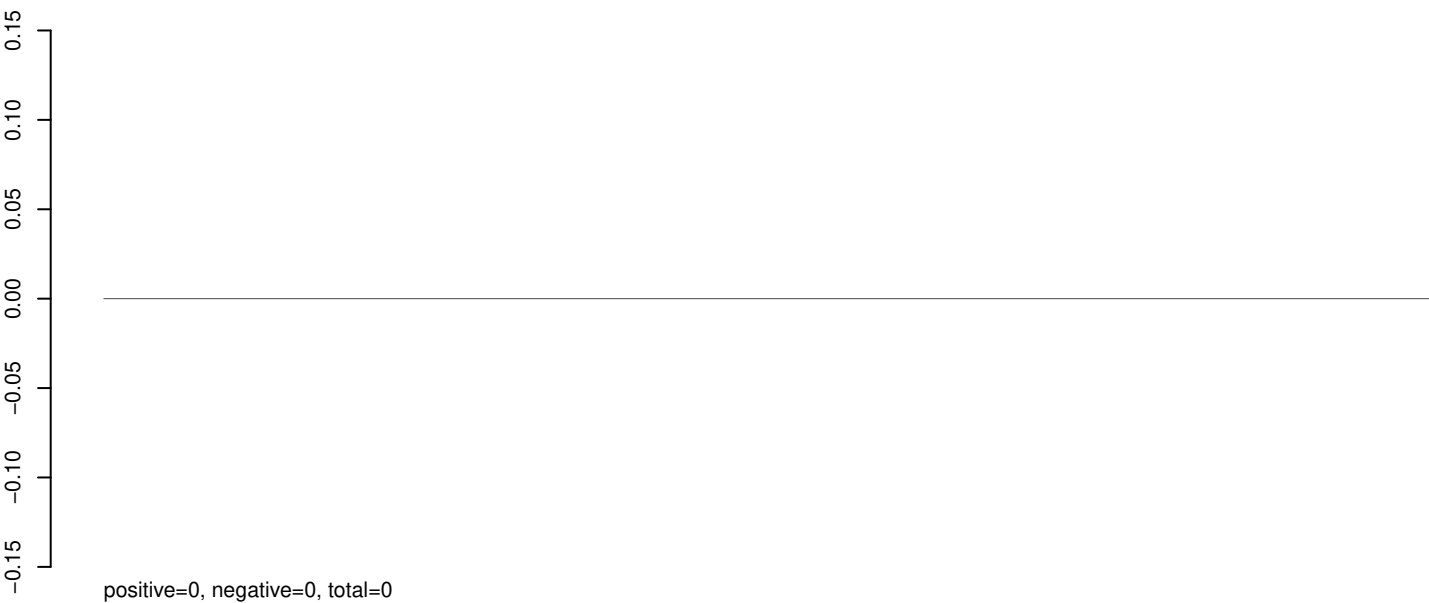
Window size=25, length=4897, TE@Outcast-16_AAg:1-4897

0 1000 2000 3000 4000 5000

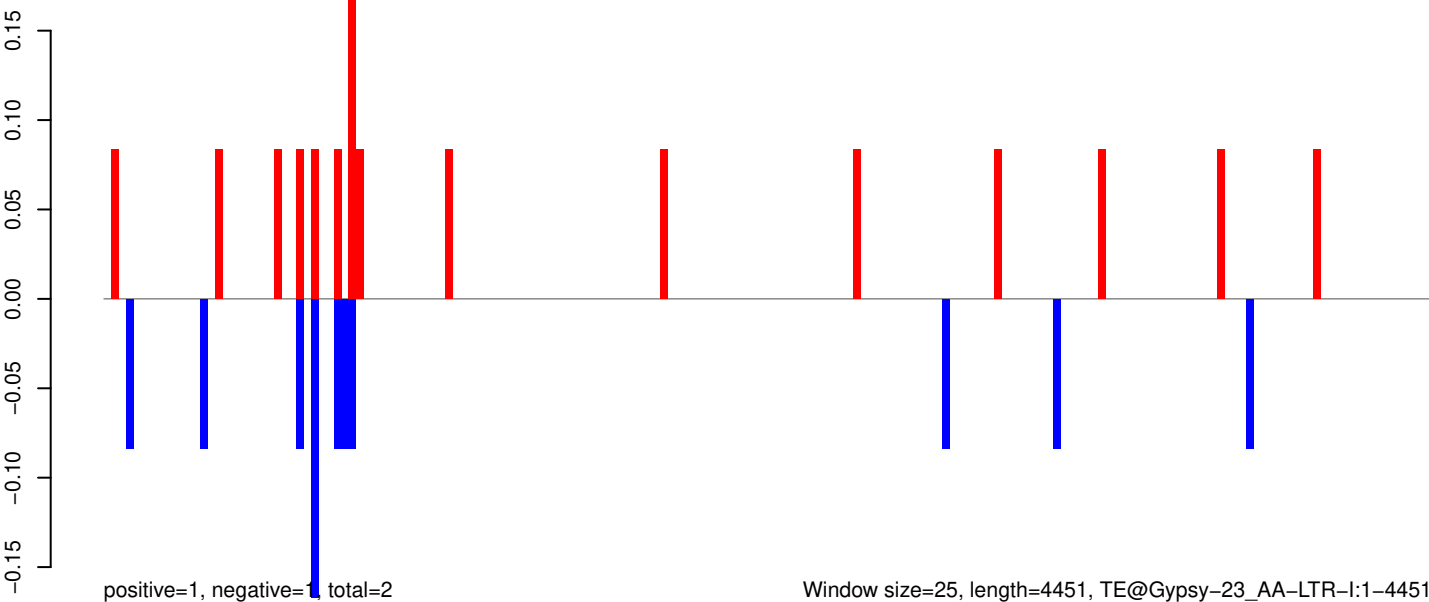
AeAeg_Aag2_Ago2_SINV_RA.18_23.rep



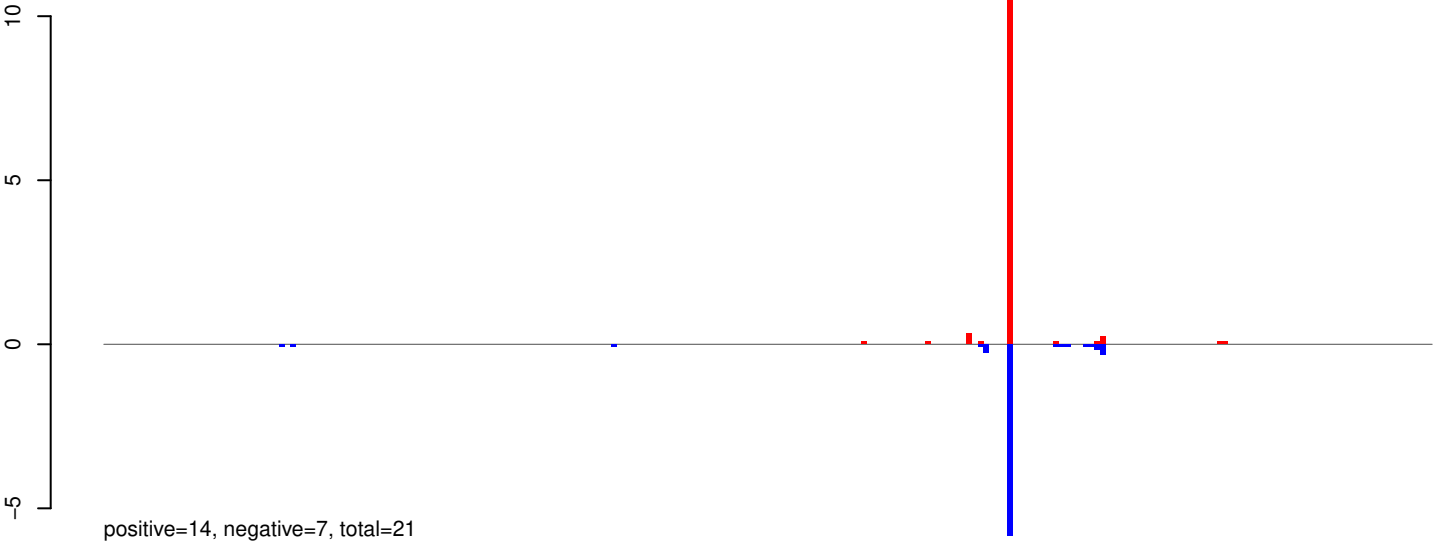
AeAeg_Aag2_Ago2_SINV_RA.24_35.rep



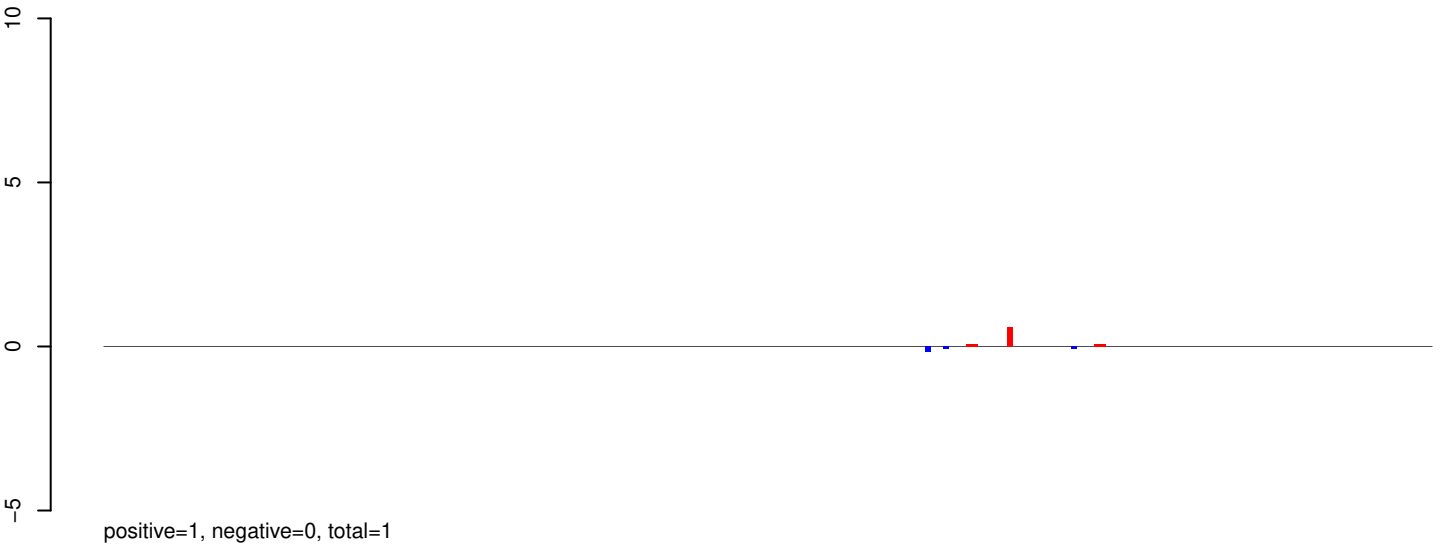
AeAeg_Aag2_Ago2_SINV_RA.rep



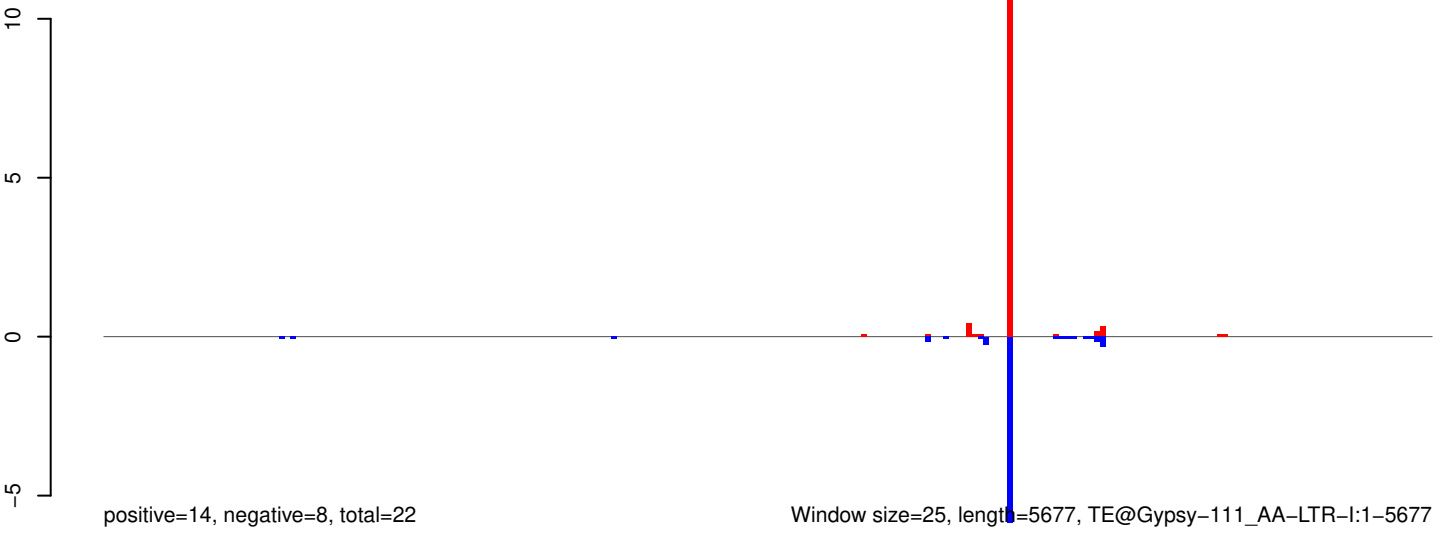
AeAeg_Aag2_Ago2_SINV_RA.18_23.rep



AeAeg_Aag2_Ago2_SINV_RA.24_35.rep

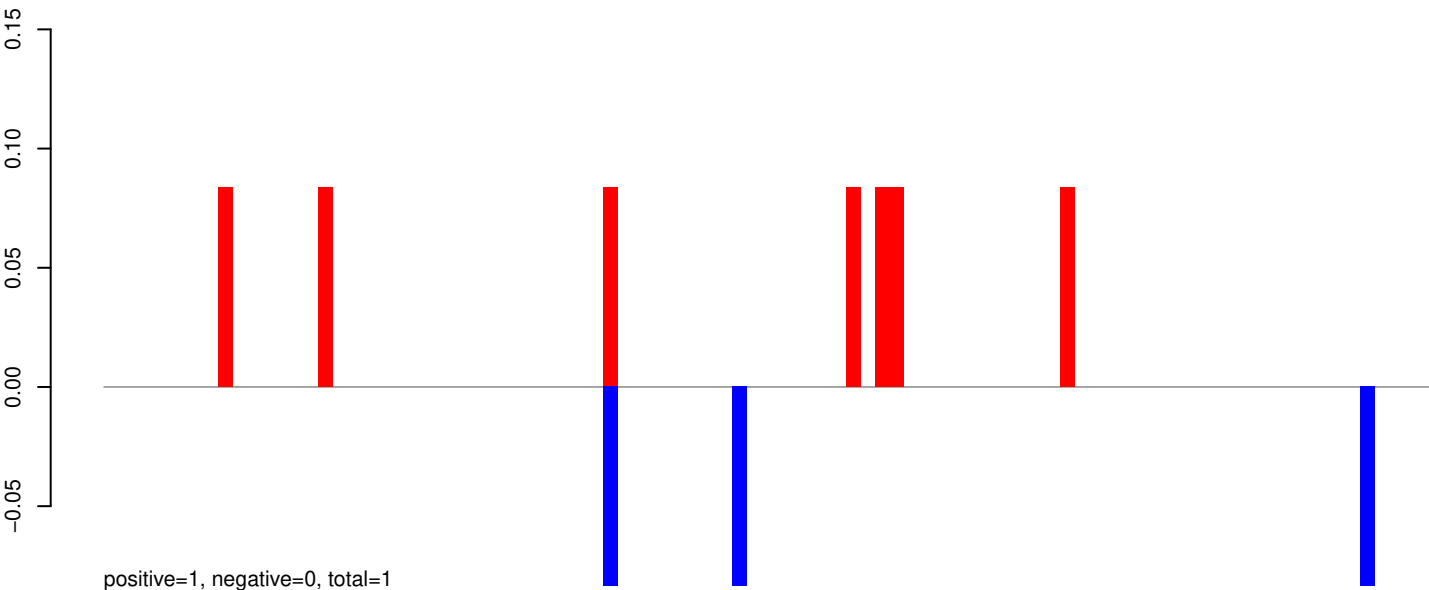


AeAeg_Aag2_Ago2_SINV_RA.rep

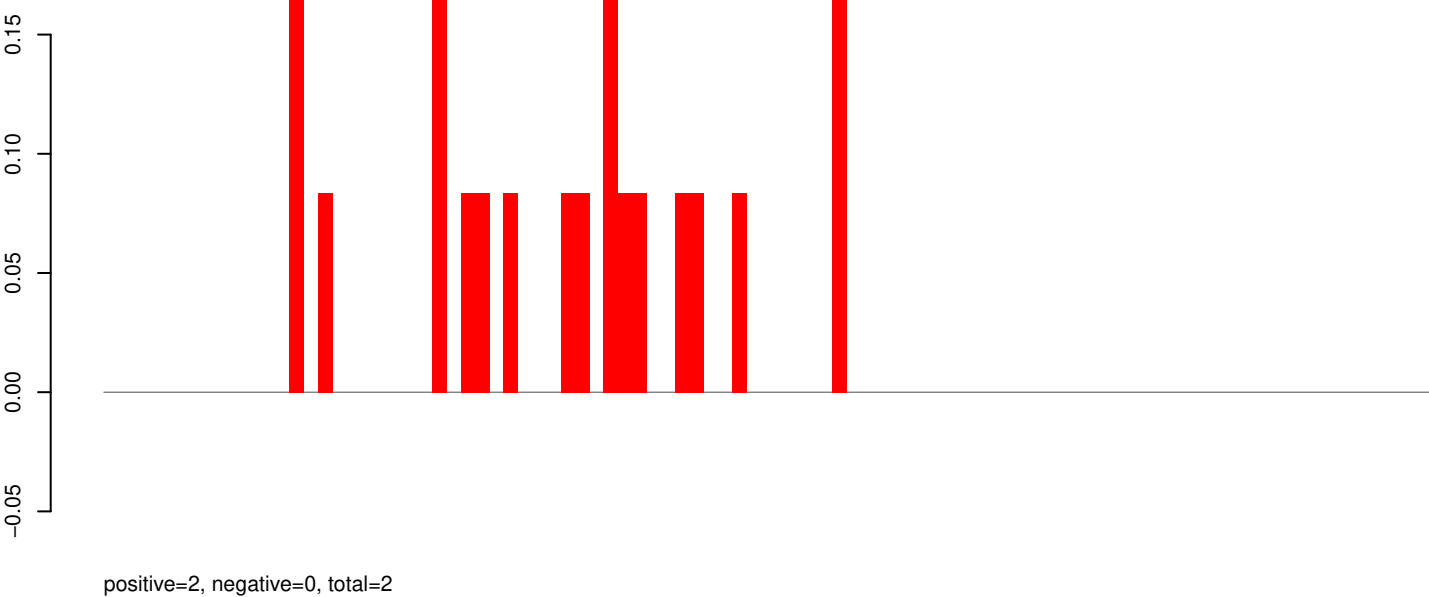


0 1000 2000 3000 4000 5000

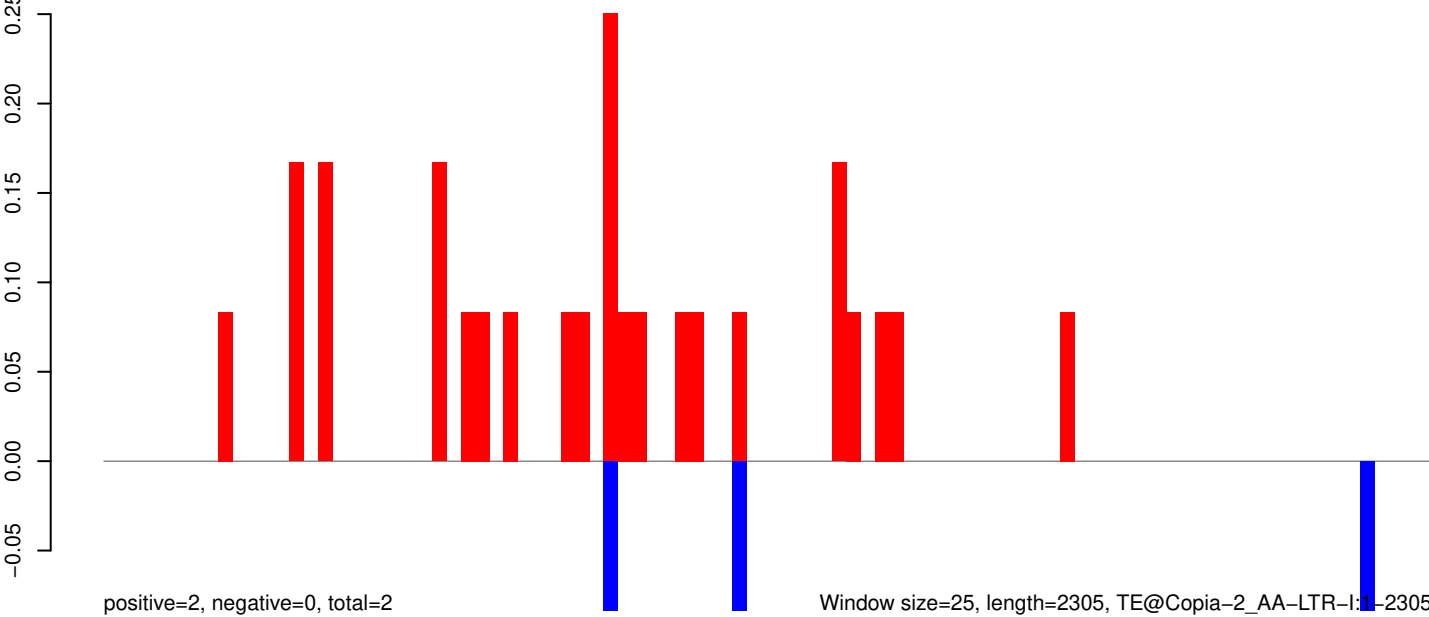
AeAeg_Aag2_Ago2_SINV_RA.18_23.rep



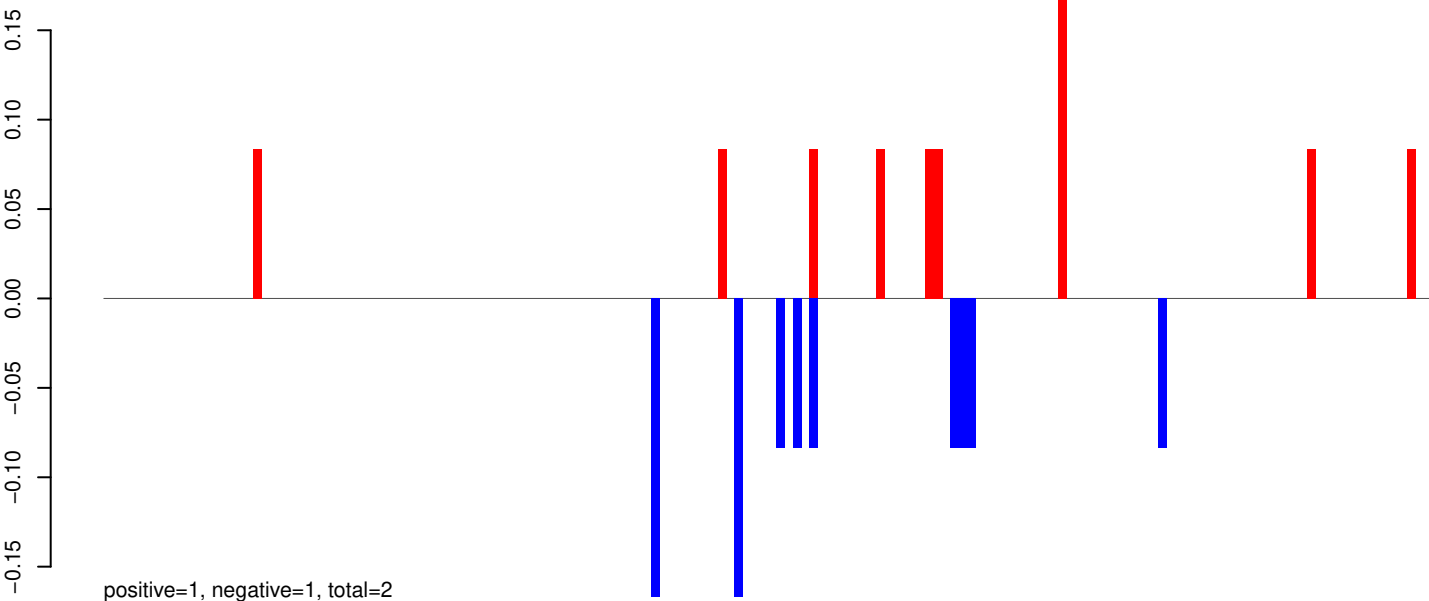
AeAeg_Aag2_Ago2_SINV_RA.24_35.rep



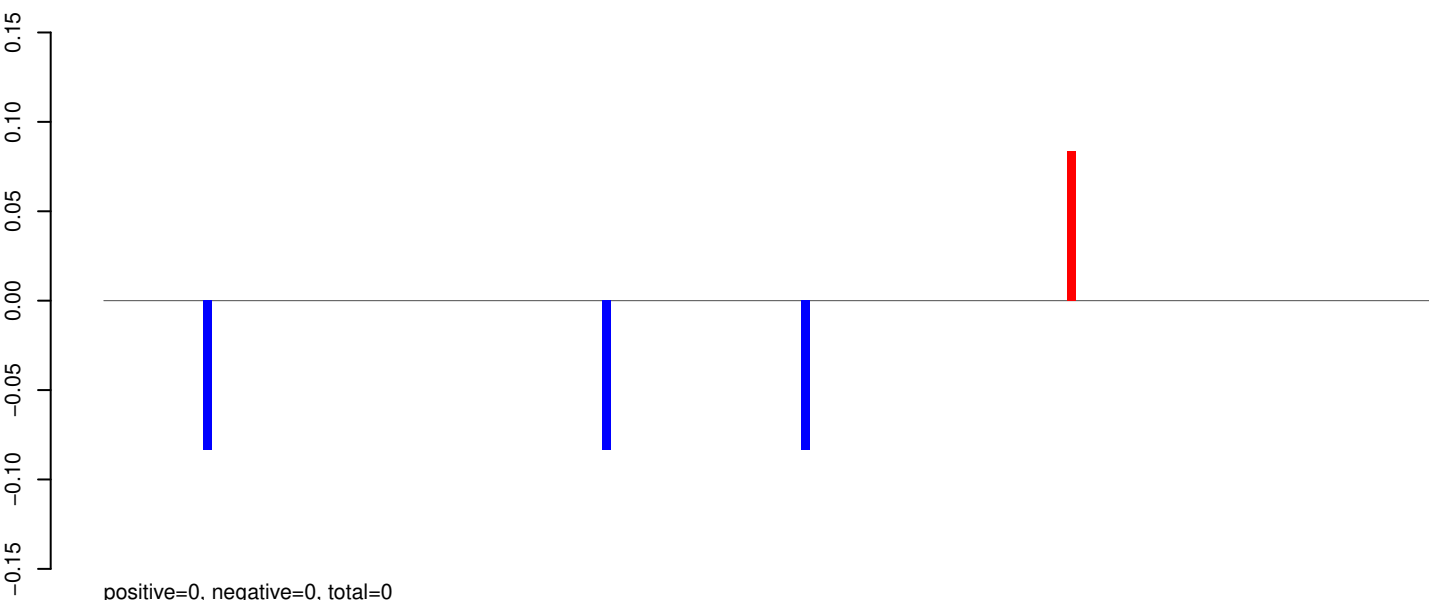
AeAeg_Aag2_Ago2_SINV_RA.rep



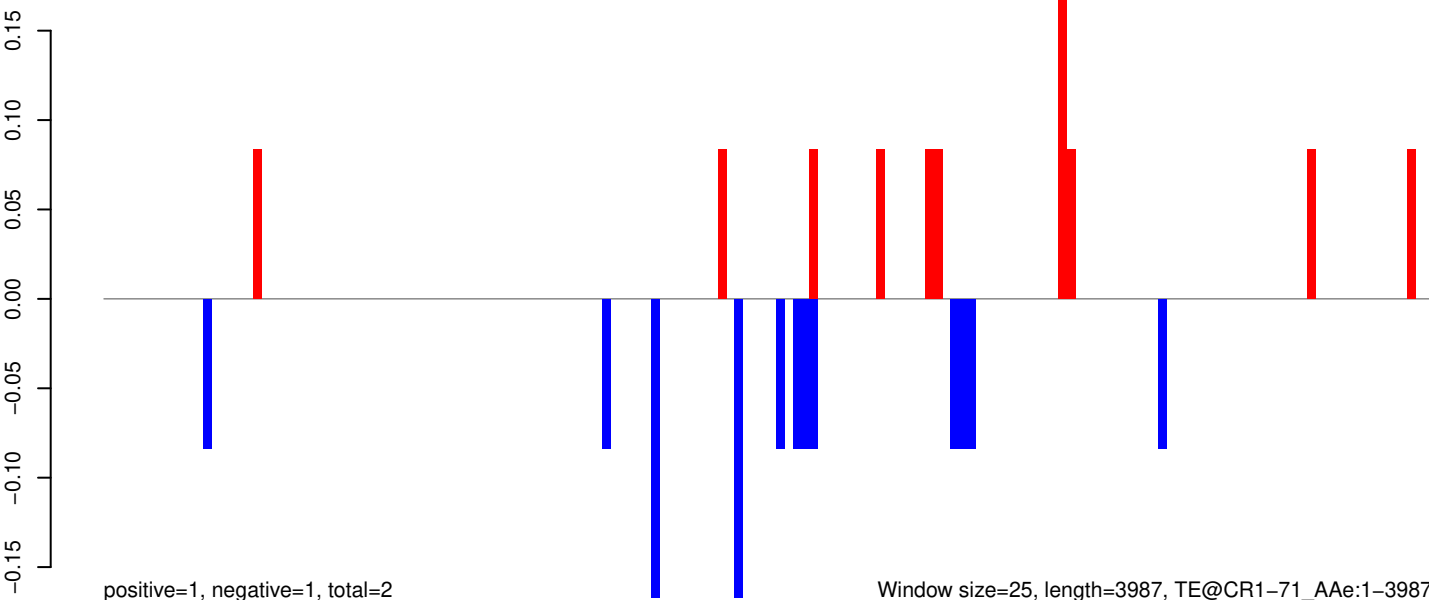
AeAeg_Aag2_Ago2_SINV_RA.18_23.rep



AeAeg_Aag2_Ago2_SINV_RA.24_35.rep

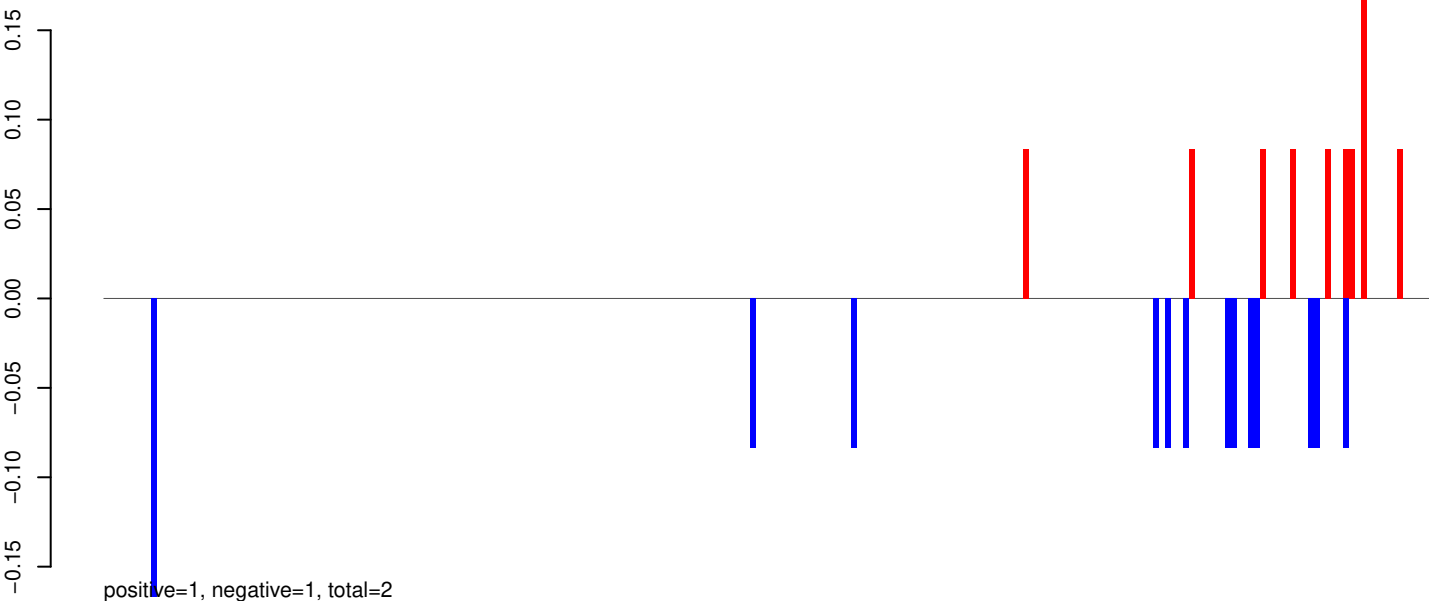


AeAeg_Aag2_Ago2_SINV_RA.rep

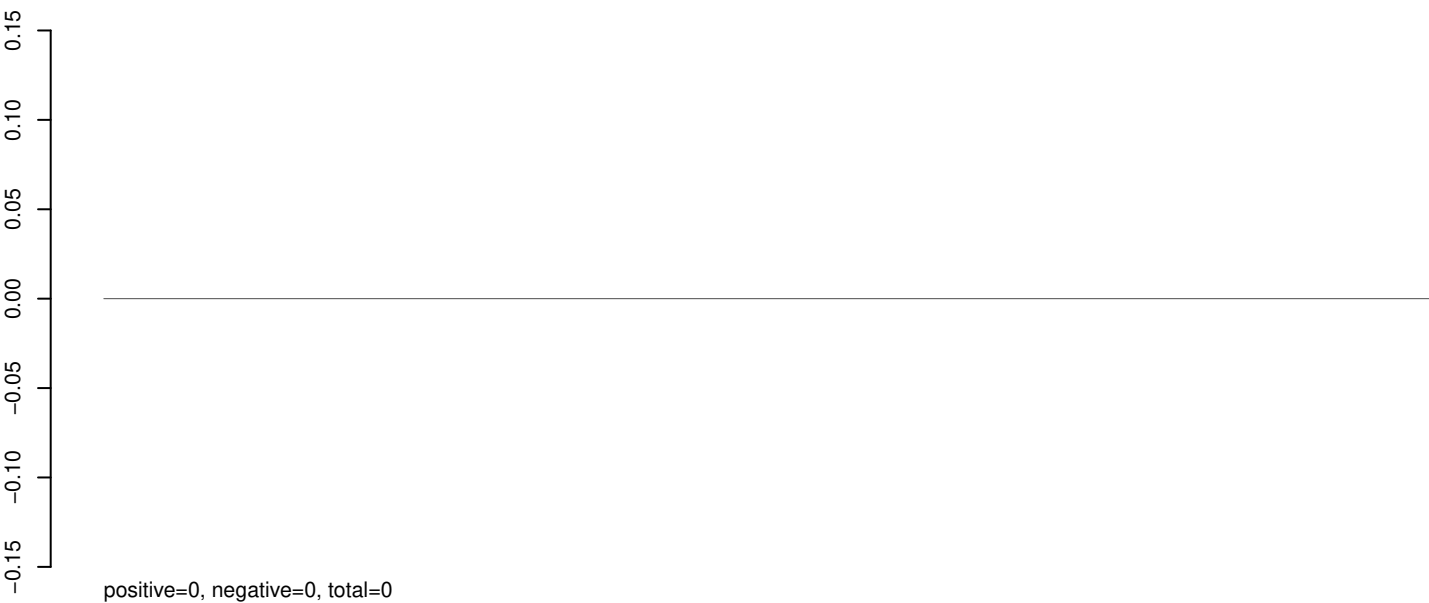


Window size=25, length=3987, TE@CR1-71_A Ae:1-3987

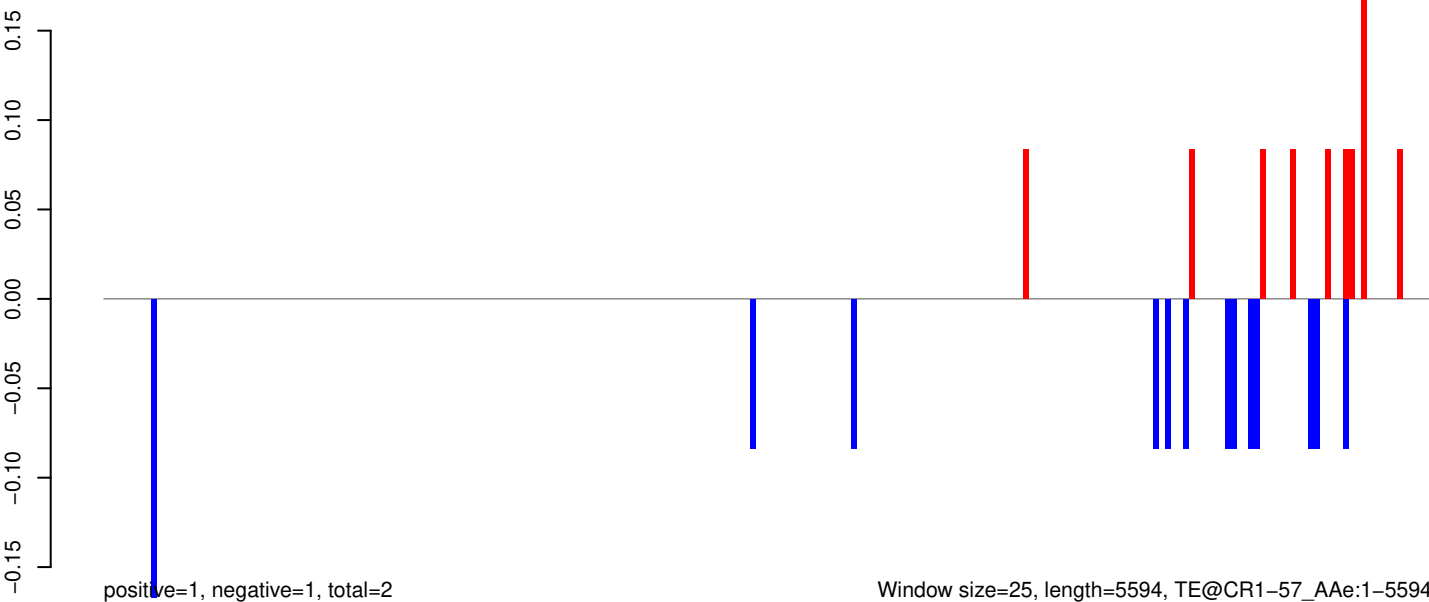
AeAeg_Aag2_Ago2_SINV_RA.18_23.rep



AeAeg_Aag2_Ago2_SINV_RA.24_35.rep

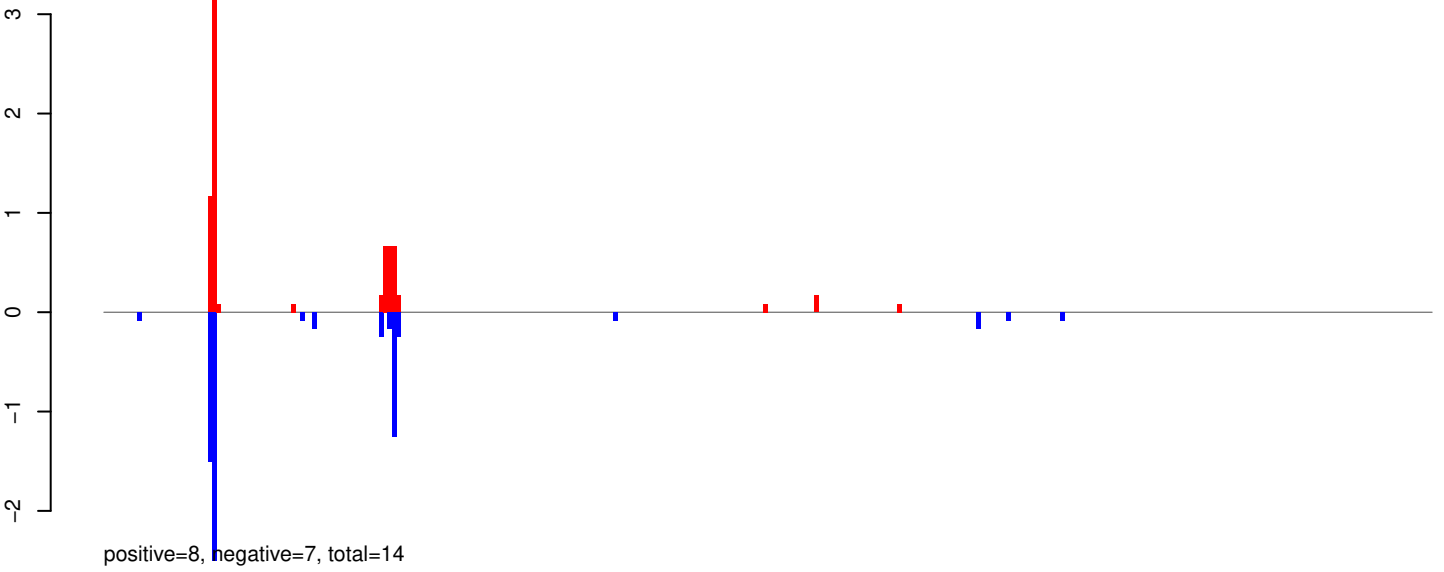


AeAeg_Aag2_Ago2_SINV_RA.rep

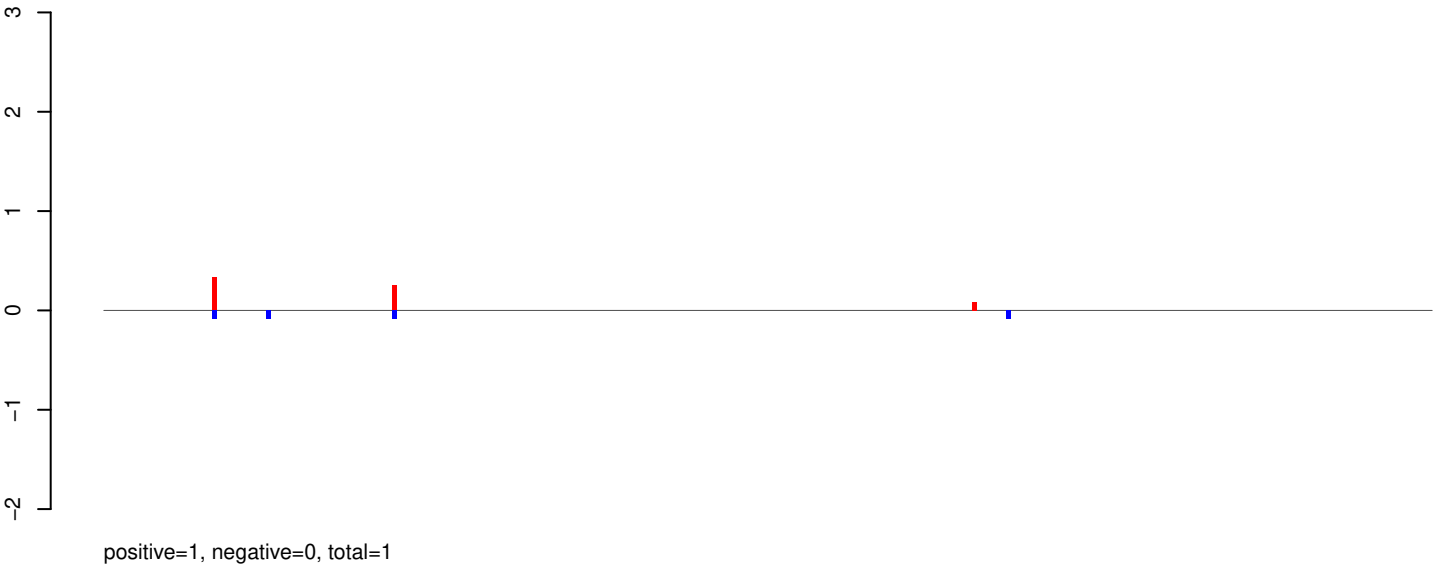


Window size=25, length=5594, TE@CR1-57_A Ae:1-5594

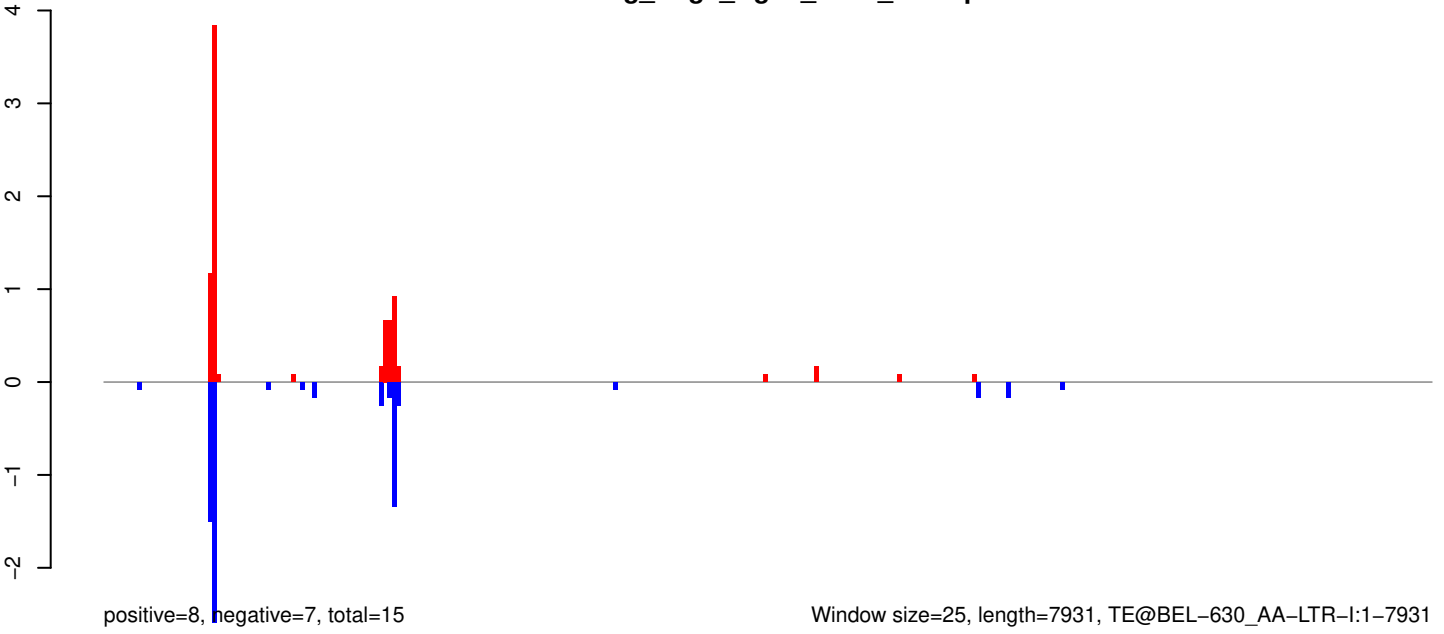
AeAeg_Aag2_Ago2_SINV_RA.18_23.rep



AeAeg_Aag2_Ago2_SINV_RA.24_35.rep



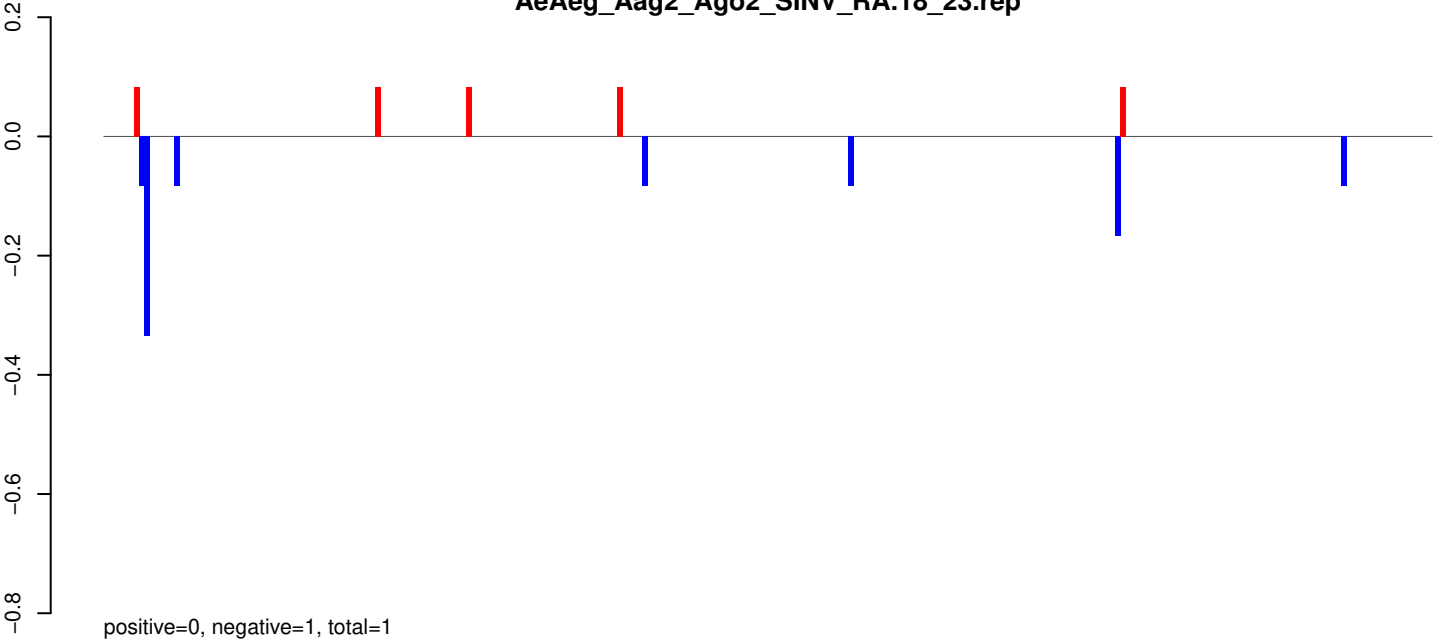
AeAeg_Aag2_Ago2_SINV_RA.rep



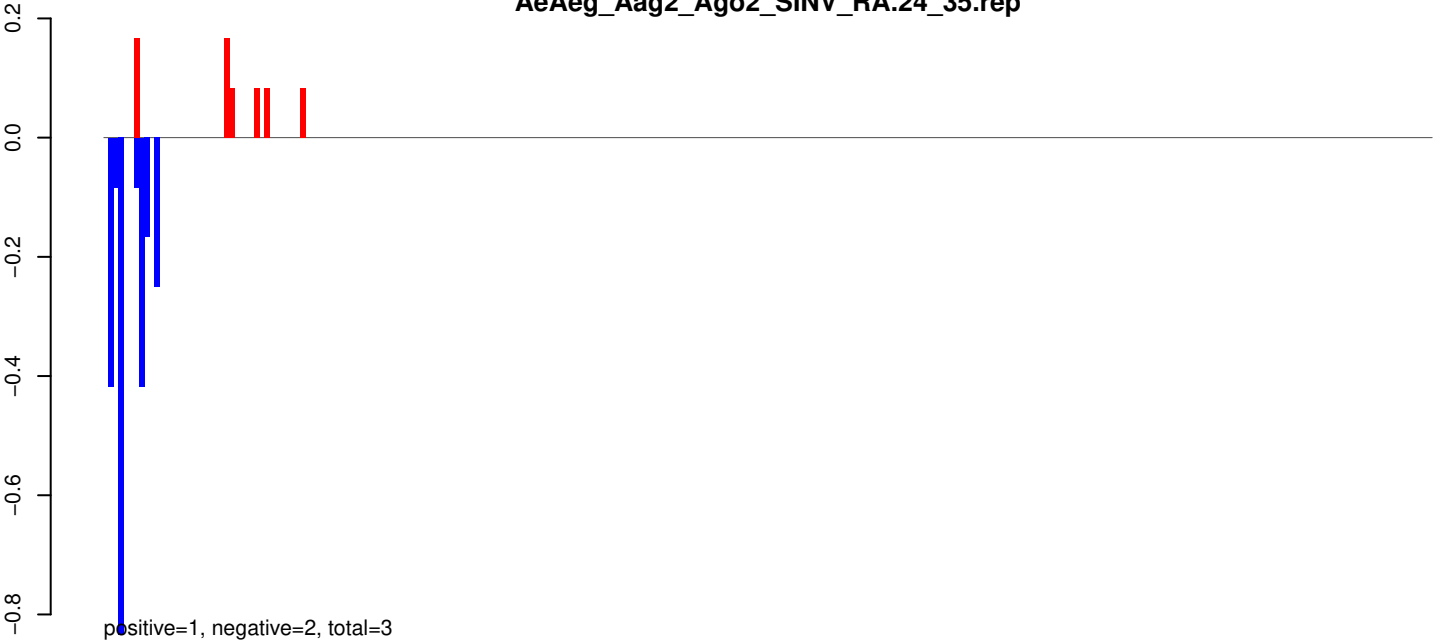
Window size=25, length=7931, TE@BEL-630_AA-LTR-I:1-7931

0 2000 4000 6000 8000

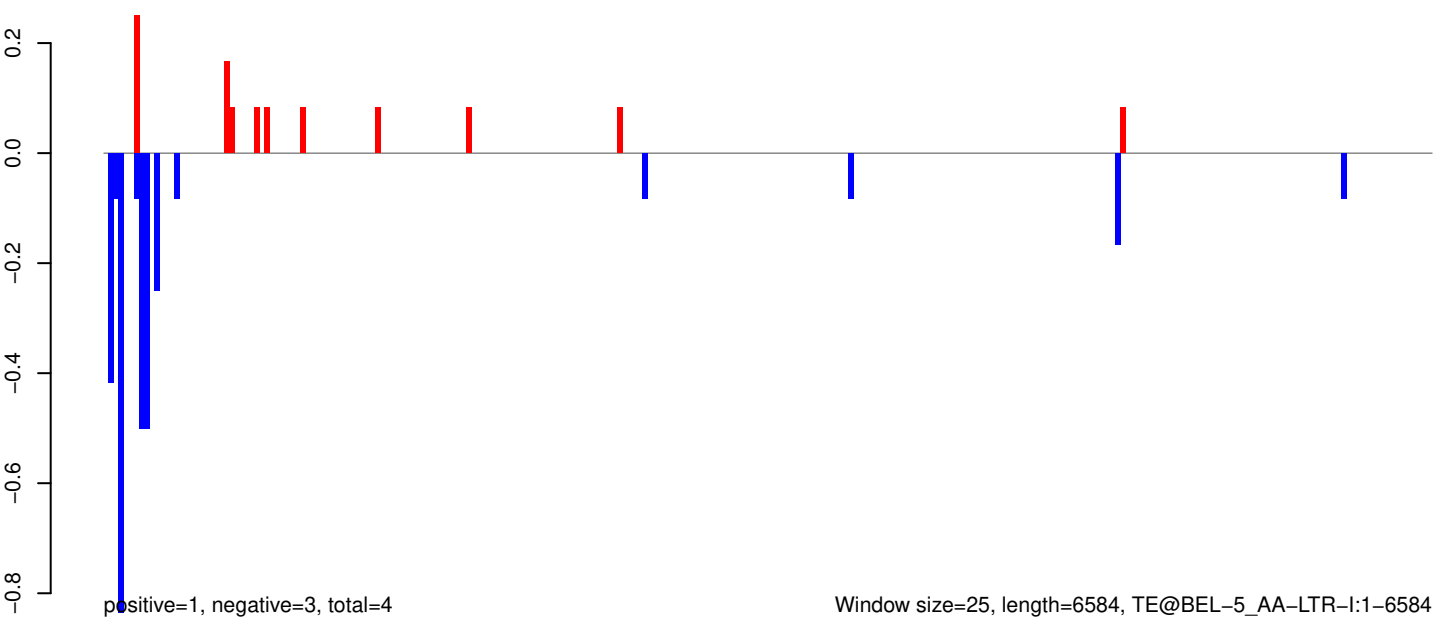
AeAeg_Aag2_Ago2_SINV_RA.18_23.rep



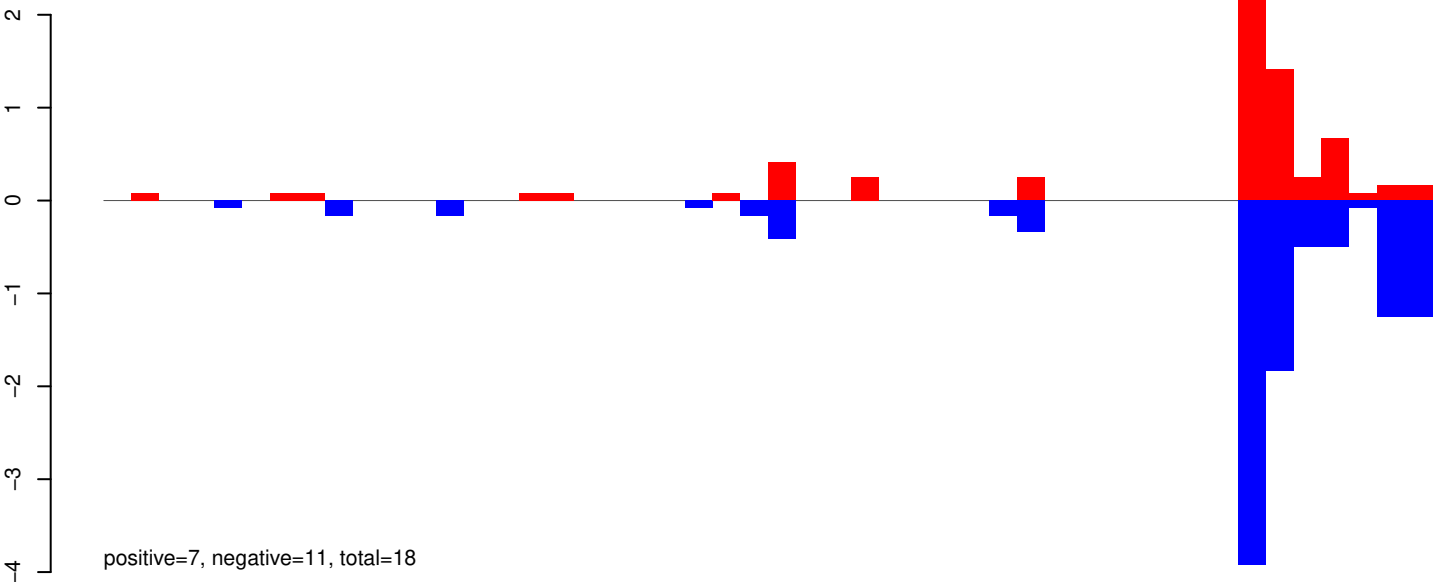
AeAeg_Aag2_Ago2_SINV_RA.24_35.rep



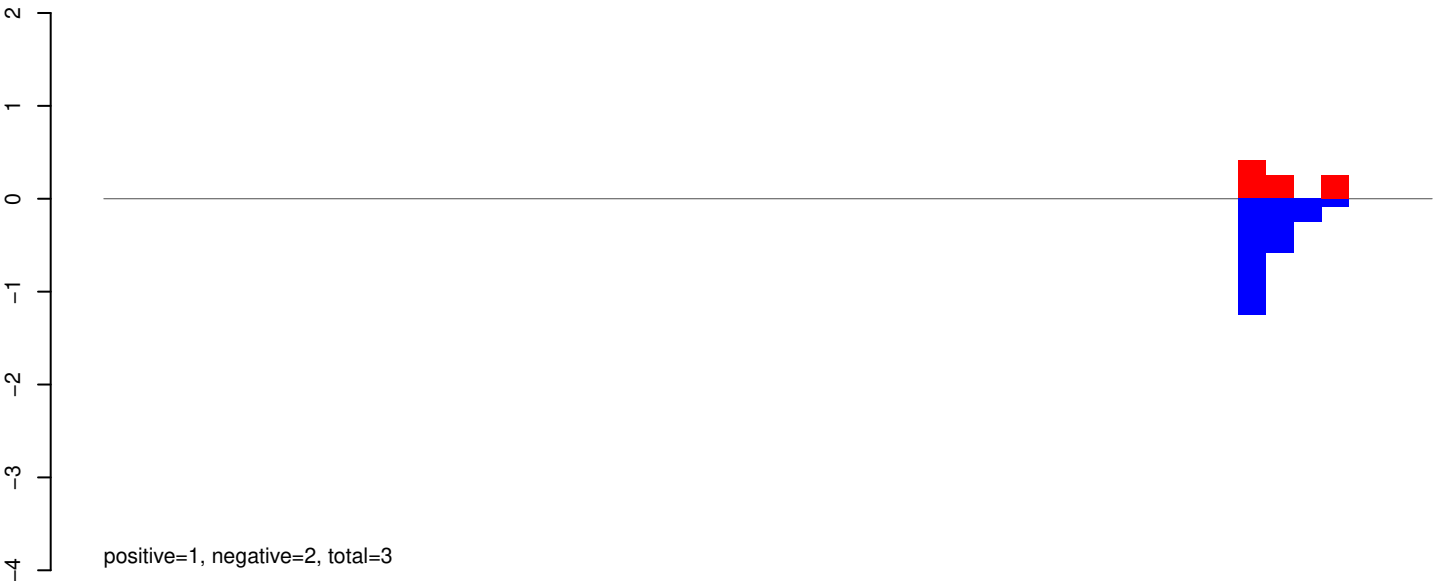
AeAeg_Aag2_Ago2_SINV_RA.rep



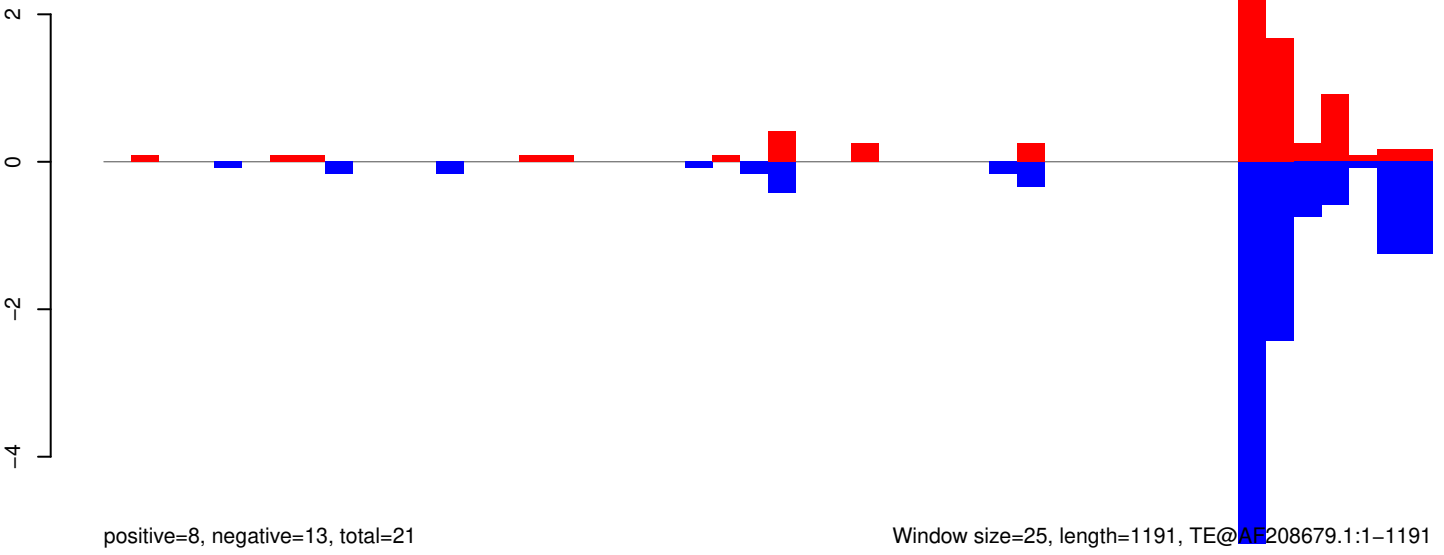
AeAeg_Aag2_Ago2_SINV_RA.18_23.rep



AeAeg_Aag2_Ago2_SINV_RA.24_35.rep

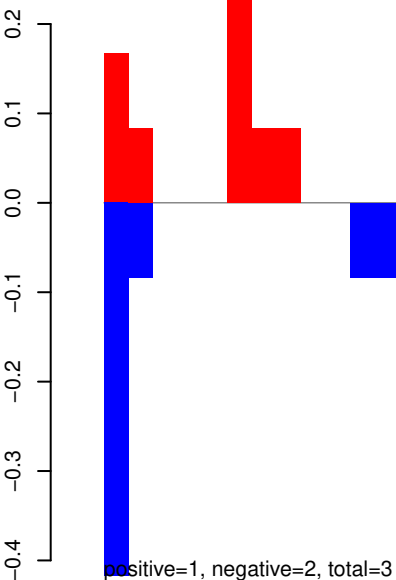


AeAeg_Aag2_Ago2_SINV_RA.rep

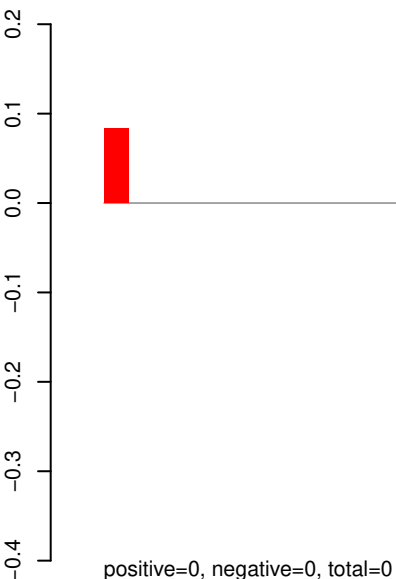


Window size=25, length=1191, TE@AF208679.1:1-1191

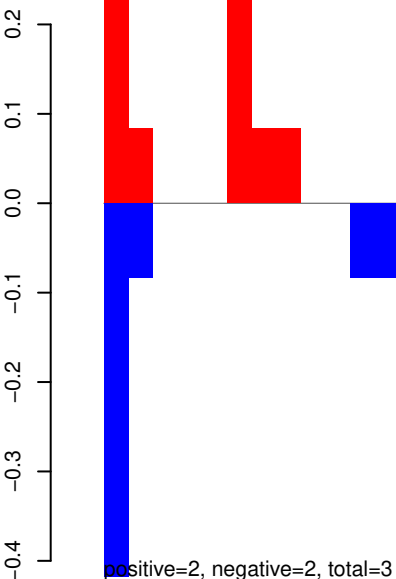
AeAeg_Aag2_Ago2_SINV_RA.18_23.rep



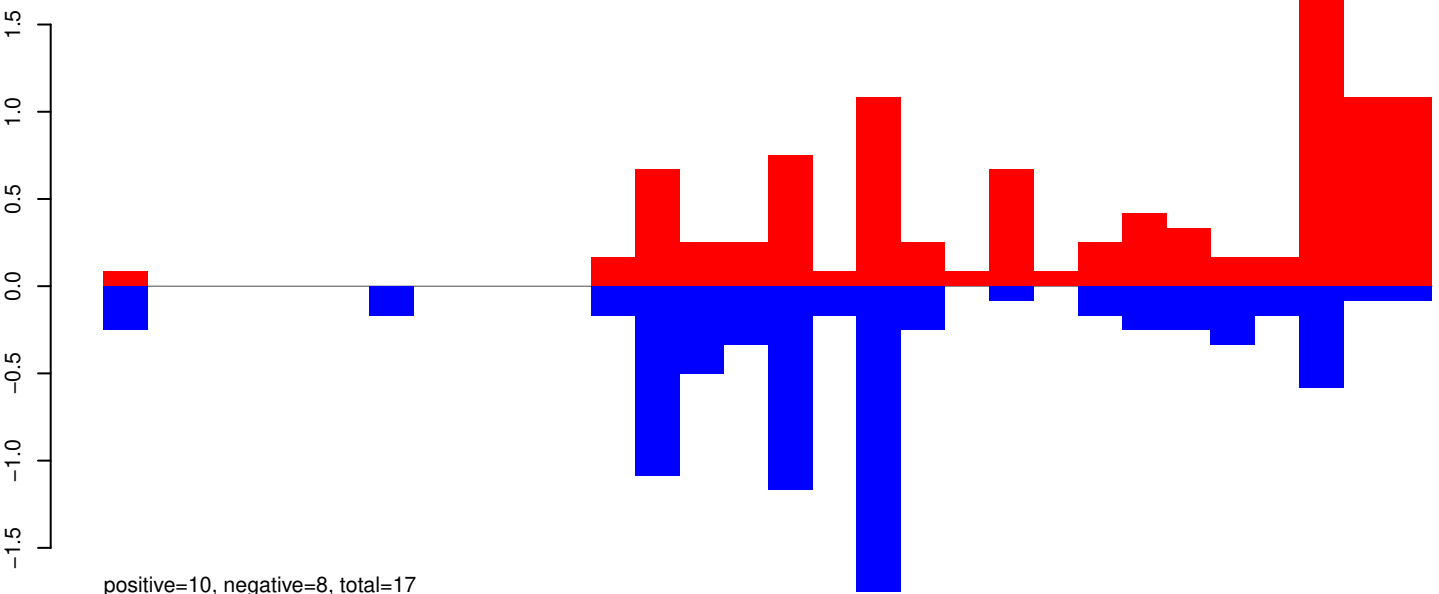
AeAeg_Aag2_Ago2_SINV_RA.24_35.rep



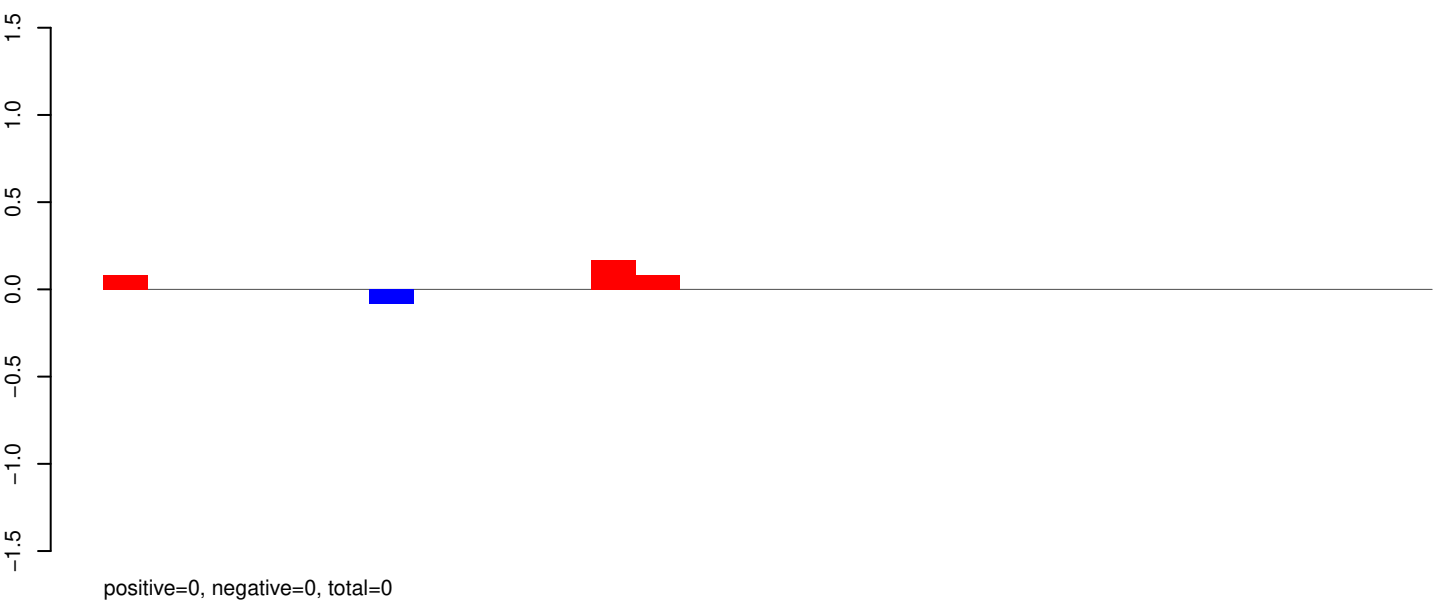
AeAeg_Aag2_Ago2_SINV_RA.rep



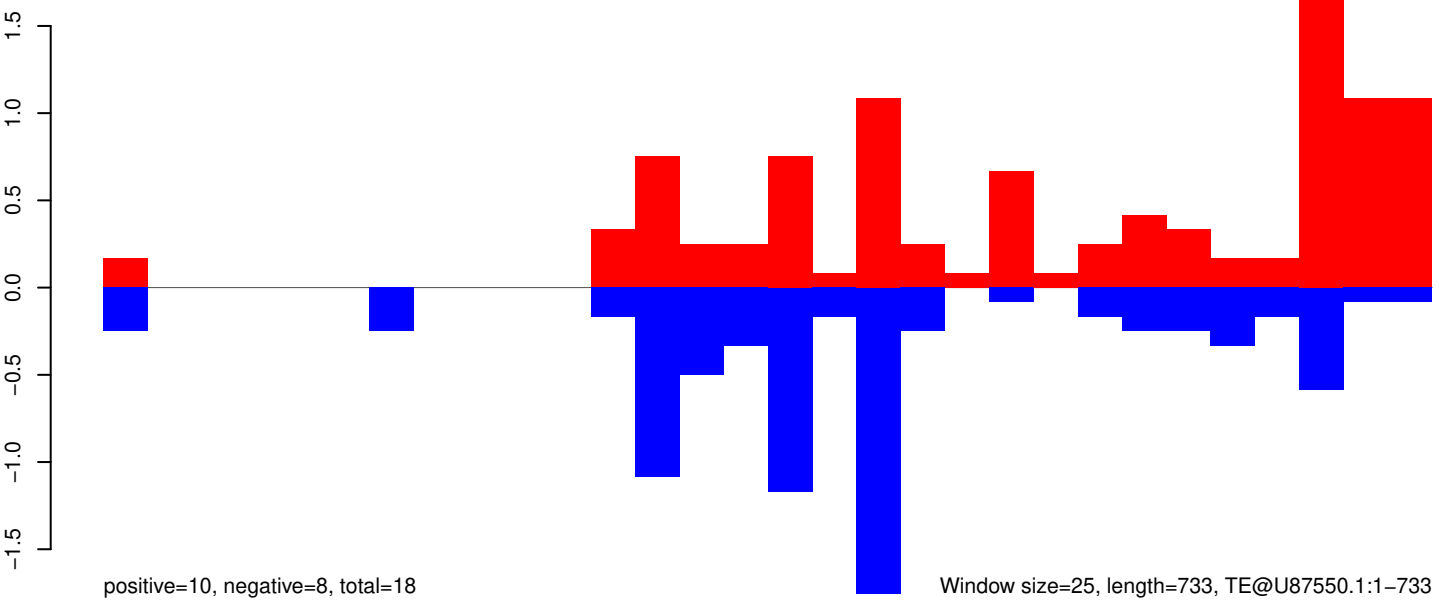
AeAeg_Aag2_Ago2_SINV_RA.18_23.rep



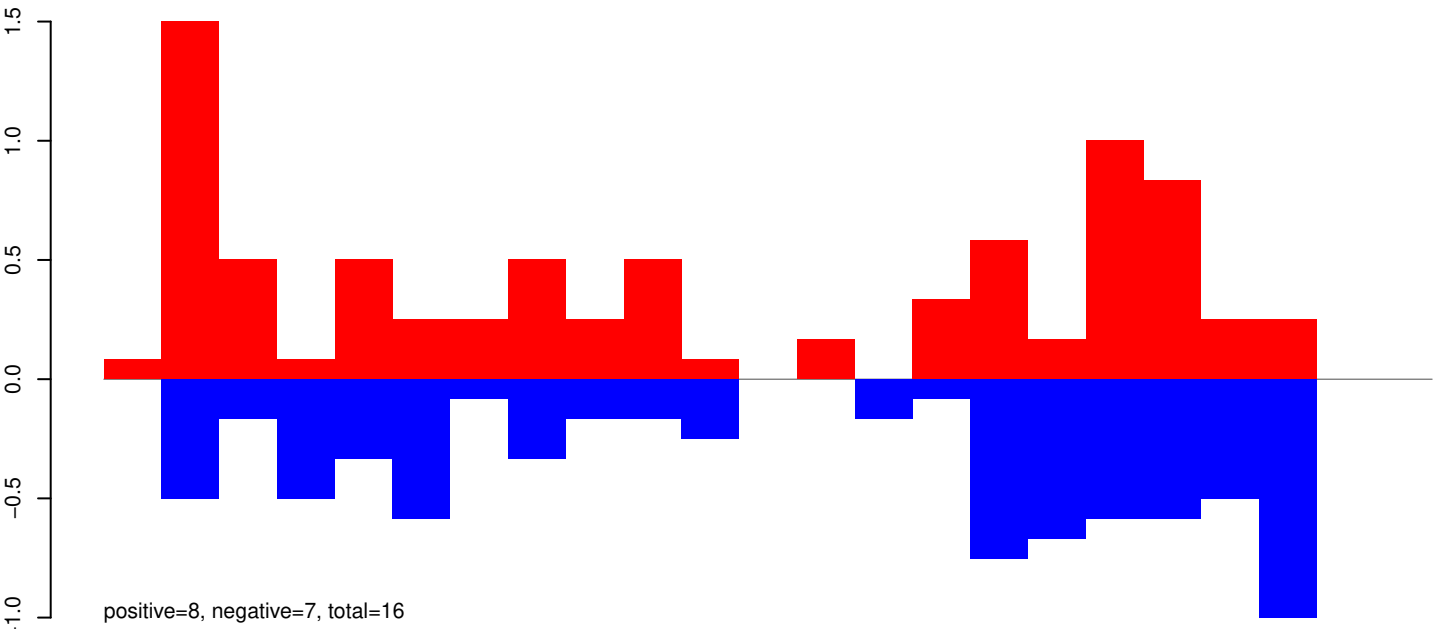
AeAeg_Aag2_Ago2_SINV_RA.24_35.rep



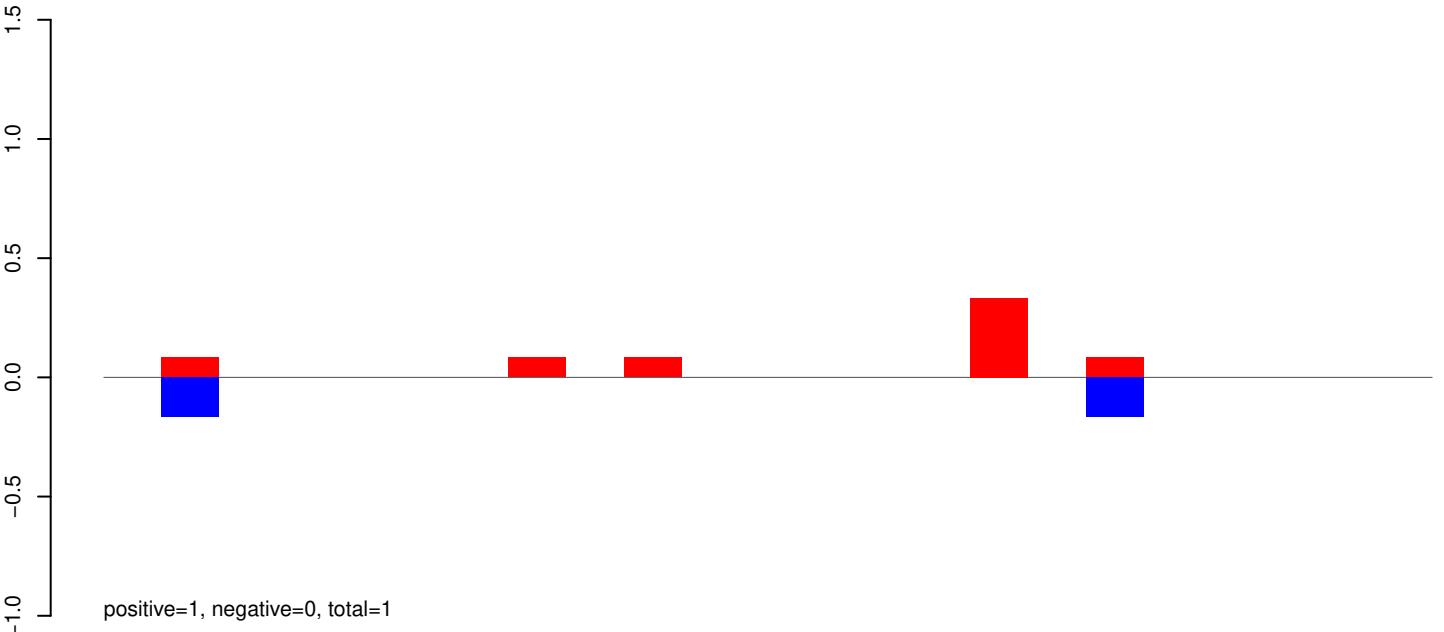
AeAeg_Aag2_Ago2_SINV_RA.rep



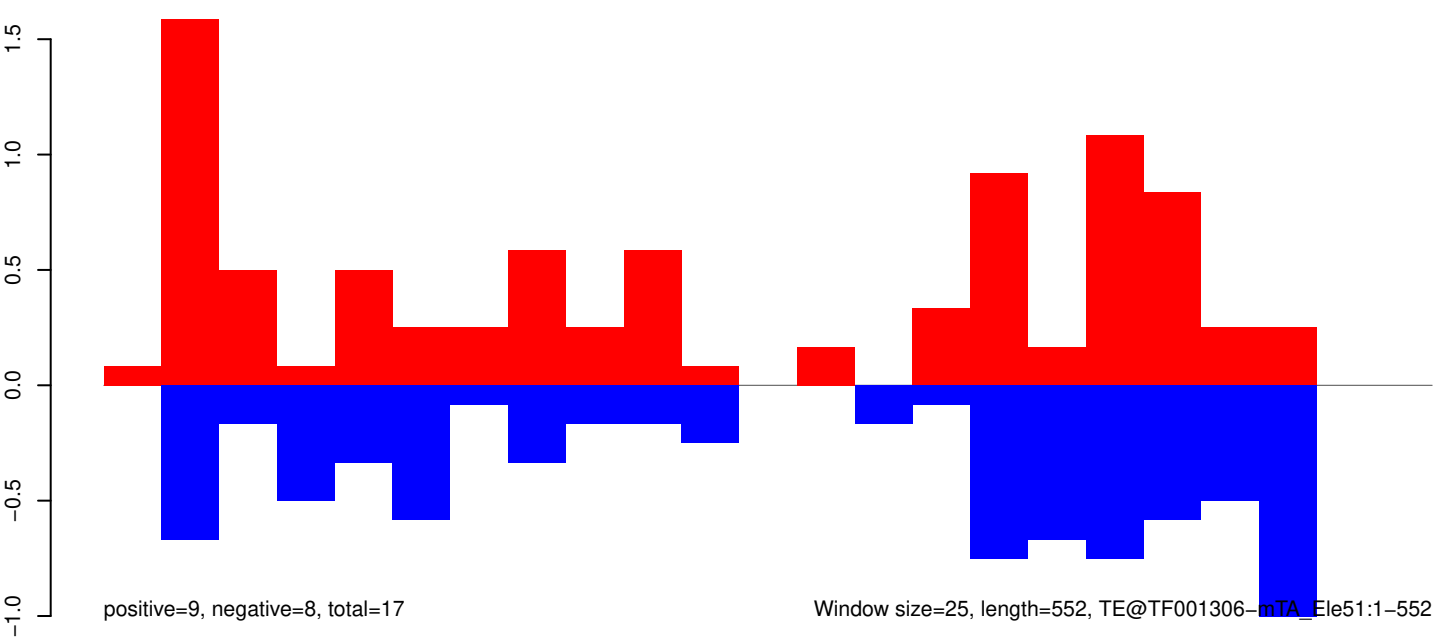
AeAeg_Aag2_Ago2_SINV_RA.18_23.rep



AeAeg_Aag2_Ago2_SINV_RA.24_35.rep

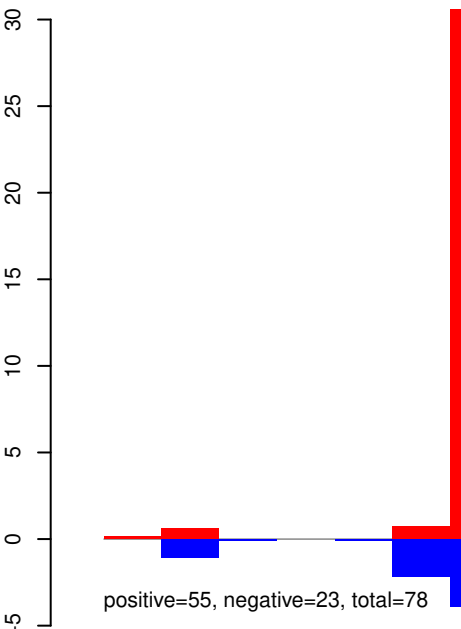


AeAeg_Aag2_Ago2_SINV_RA.rep

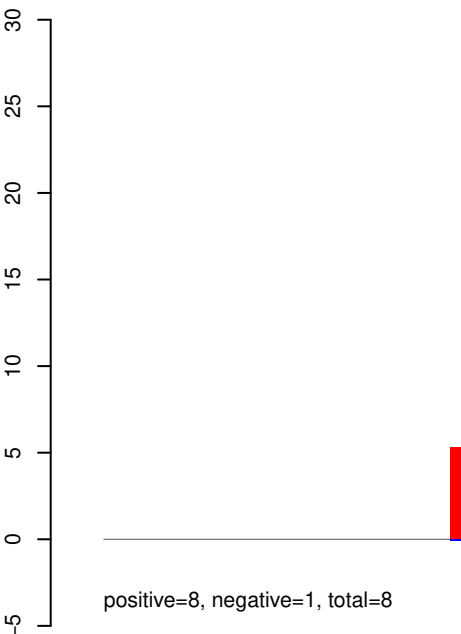


Window size=25, length=552, TE@TF001306-mTA_Ele51:1-552

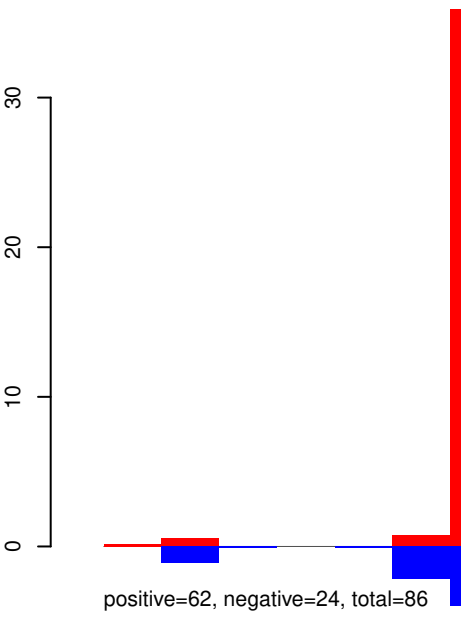
AeAeg_Aag2_Ago2_SINV_RA.18_23.rep



AeAeg_Aag2_Ago2_SINV_RA.24_35.rep

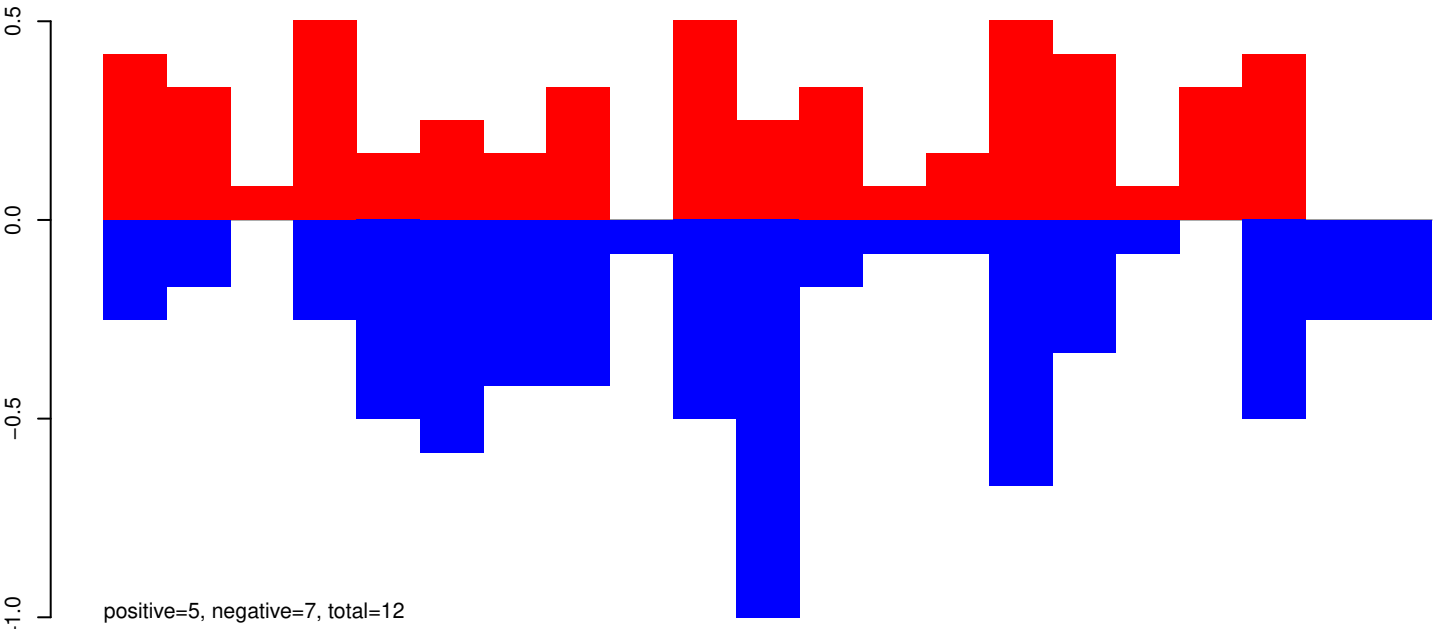


AeAeg_Aag2_Ago2_SINV_RA.rep

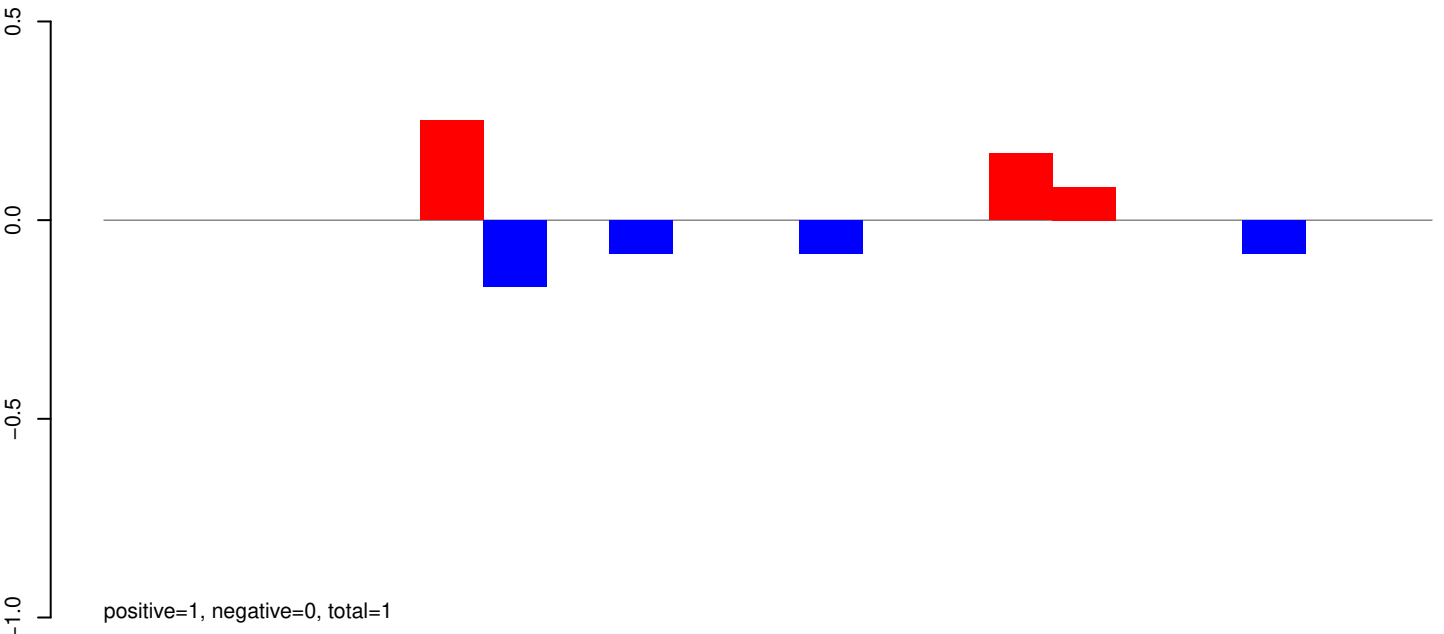


Window size=25, length=569, TE@TF001293-UD_Ele8:1-569

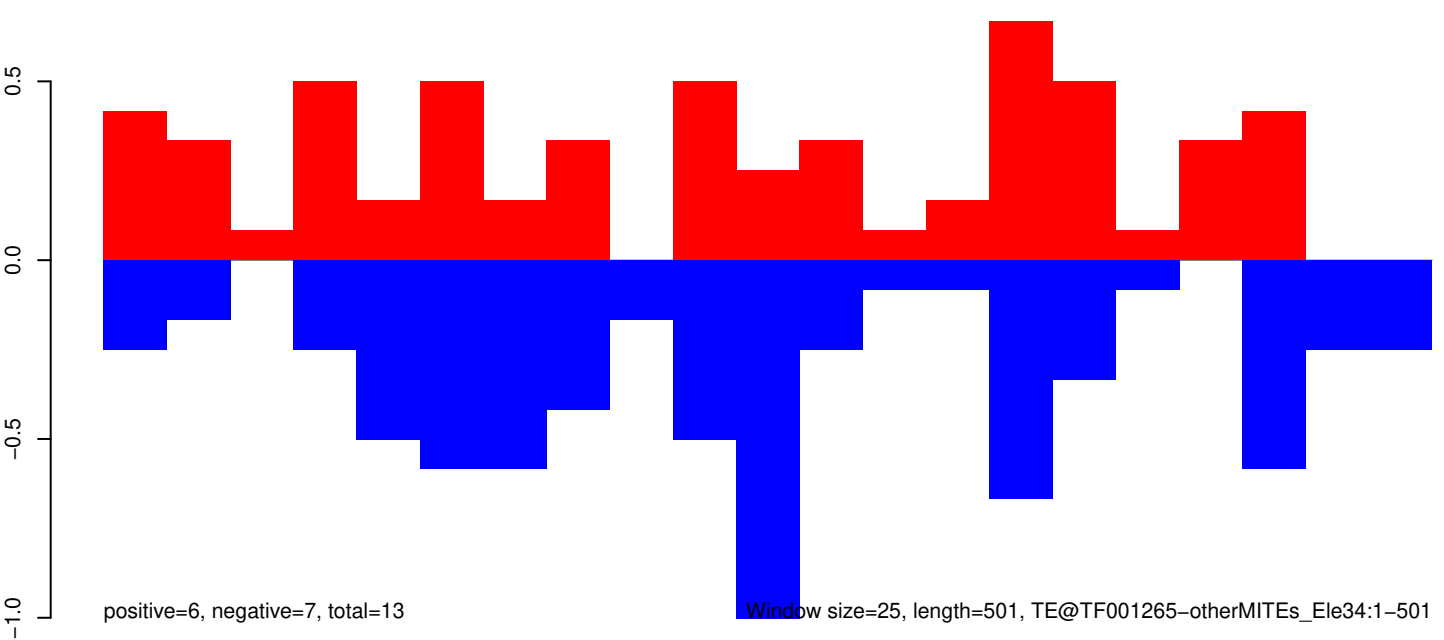
AeAeg_Aag2_Ago2_SINV_RA.18_23.rep



AeAeg_Aag2_Ago2_SINV_RA.24_35.rep

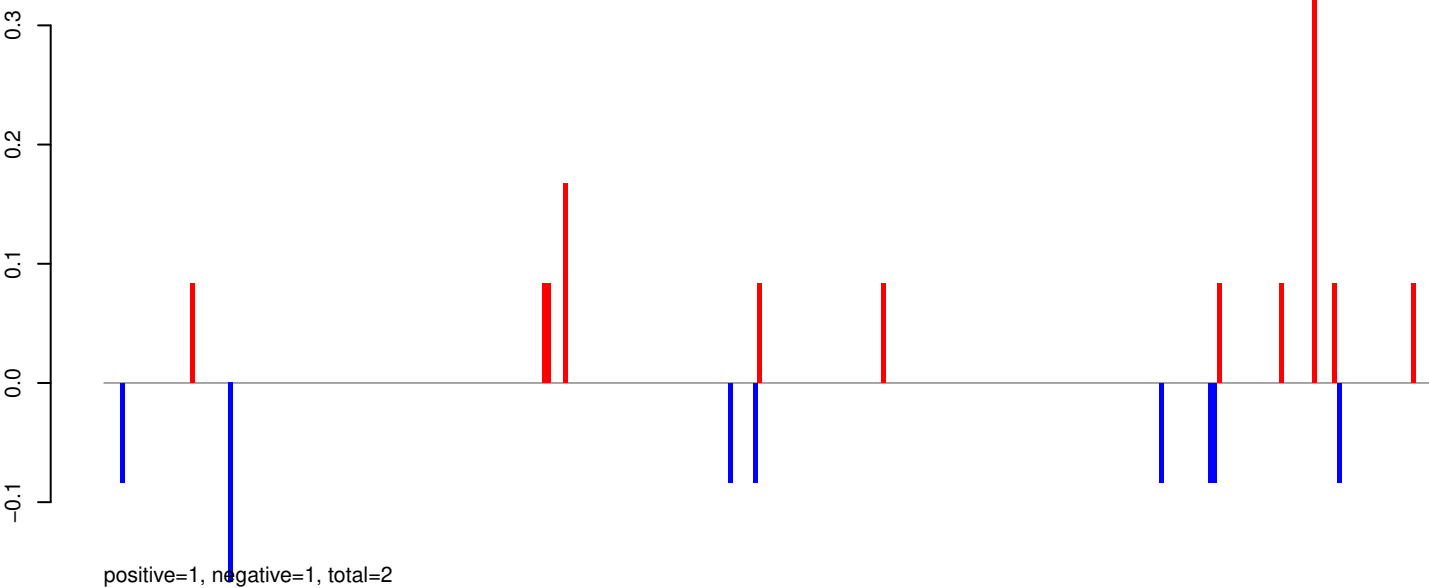


AeAeg_Aag2_Ago2_SINV_RA.rep

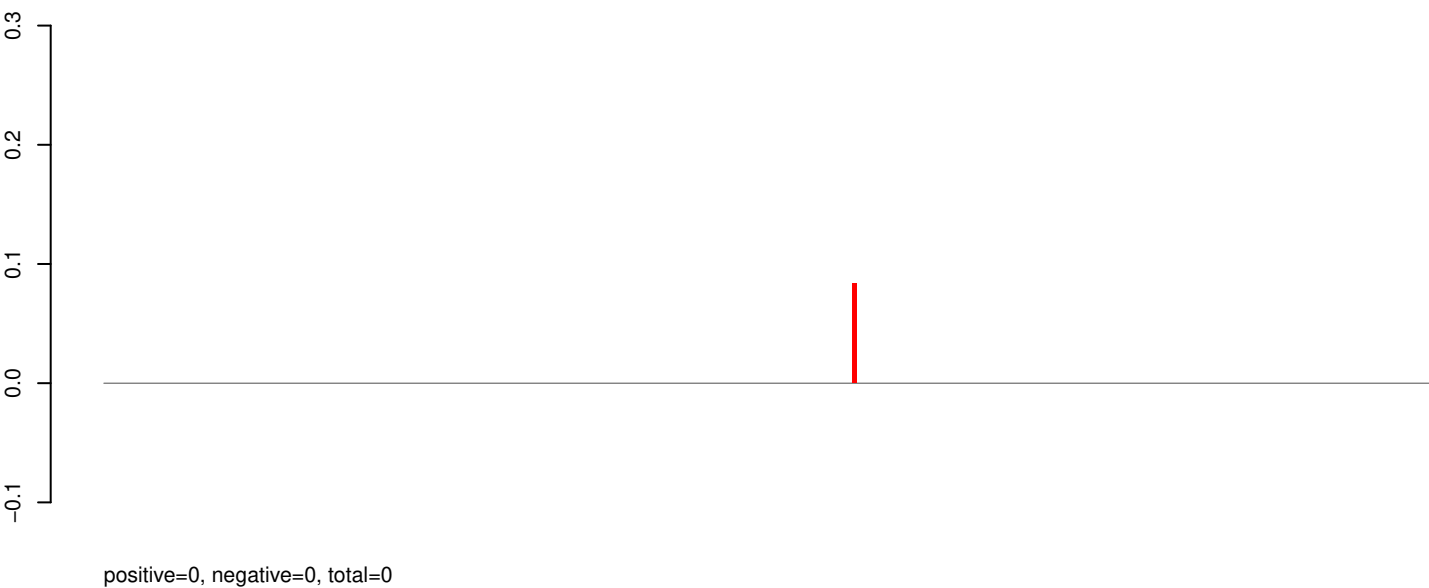


Window size=25, length=501, TE@TF001265-otherMITEs_Ele34:1-501

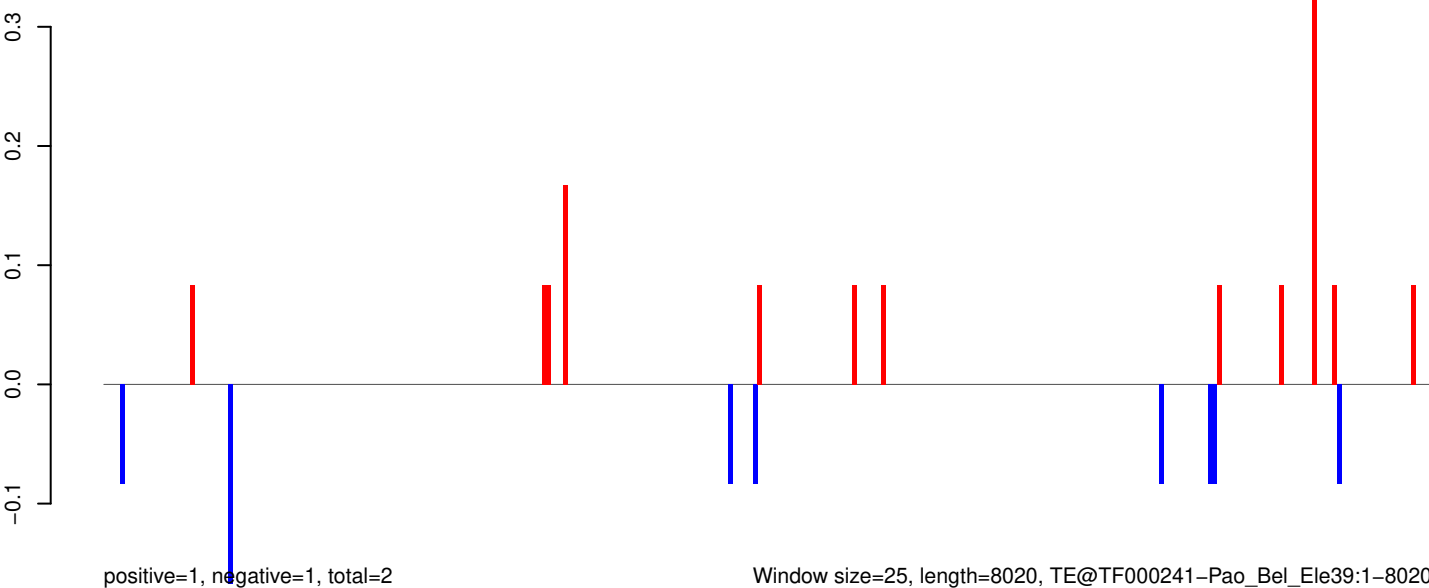
AeAeg_Aag2_Ago2_SINV_RA.18_23.rep



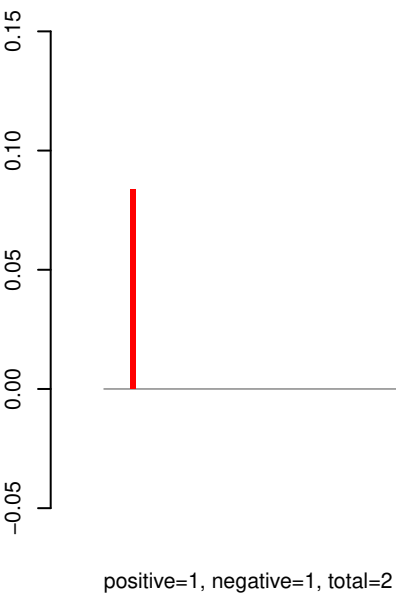
AeAeg_Aag2_Ago2_SINV_RA.24_35.rep



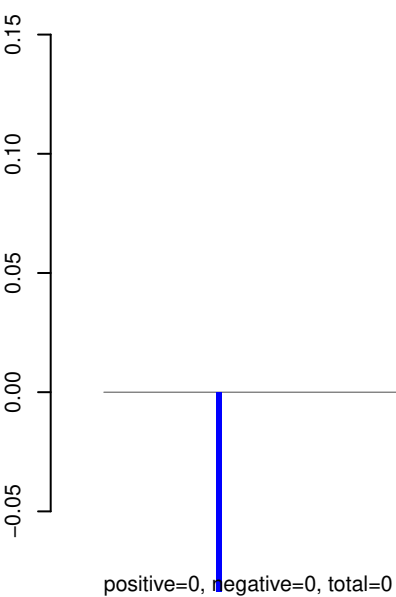
AeAeg_Aag2_Ago2_SINV_RA.rep



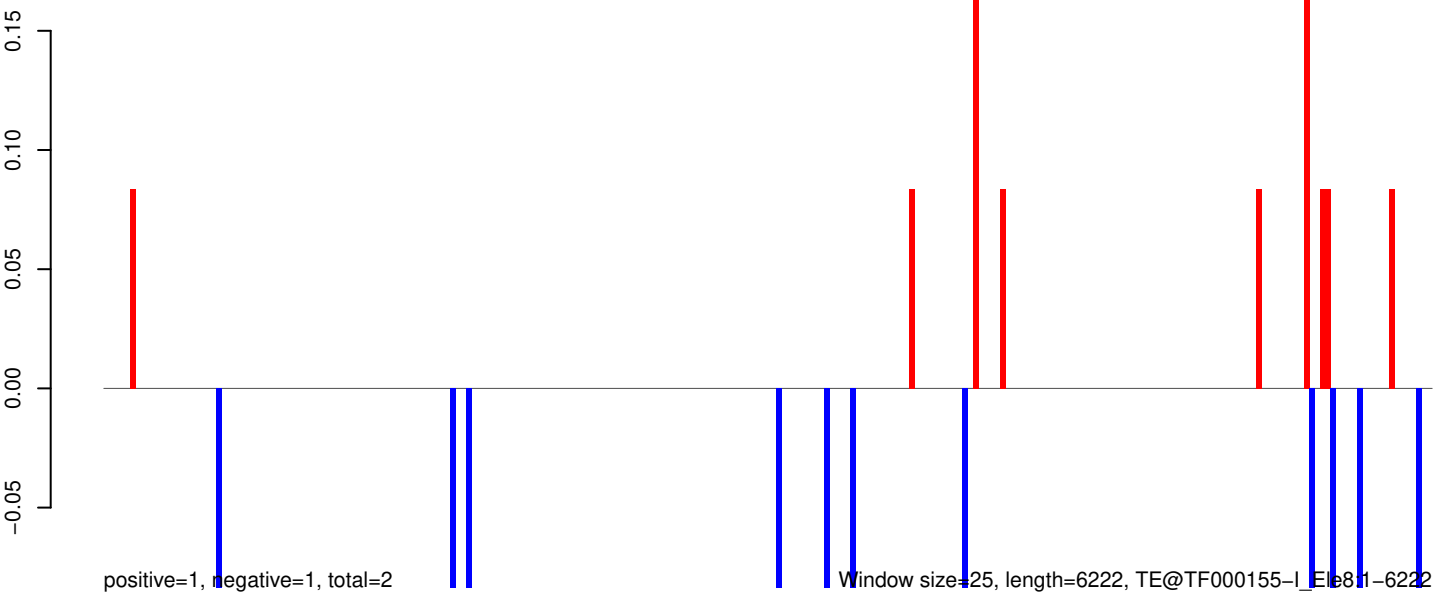
AeAeg_Aag2_Ago2_SINV_RA.18_23.rep



AeAeg_Aag2_Ago2_SINV_RA.24_35.rep

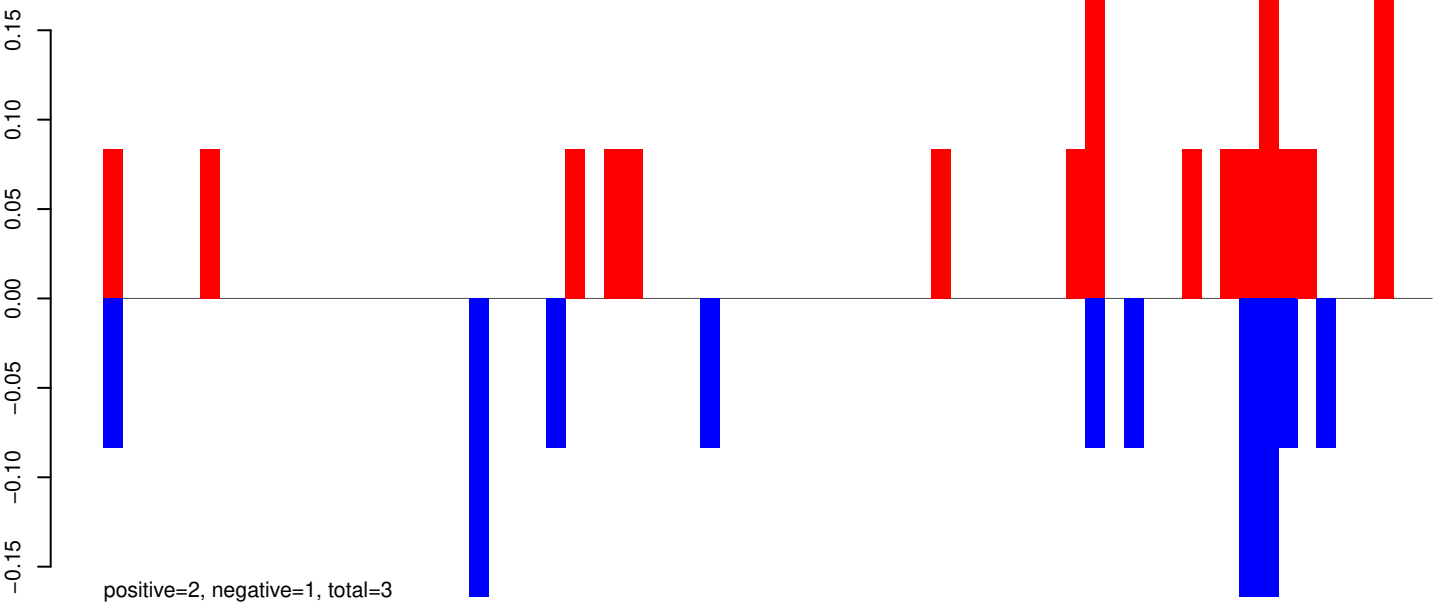


AeAeg_Aag2_Ago2_SINV_RA.rep

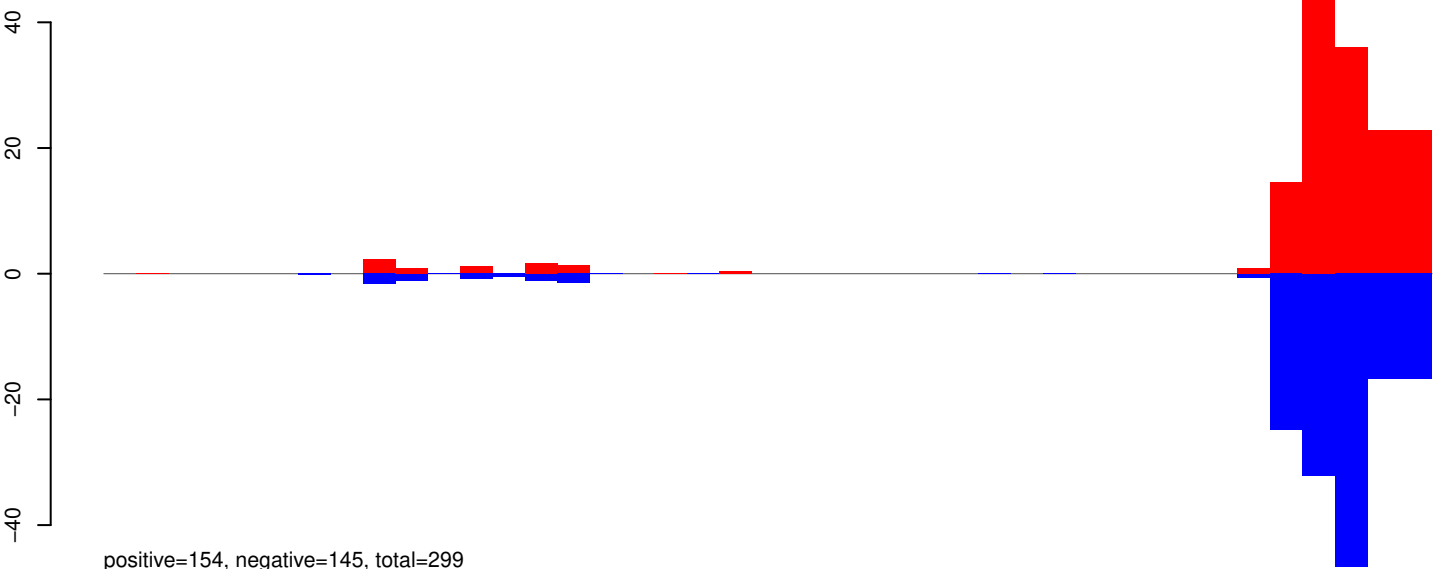


0 1000 2000 3000 4000 5000 6000

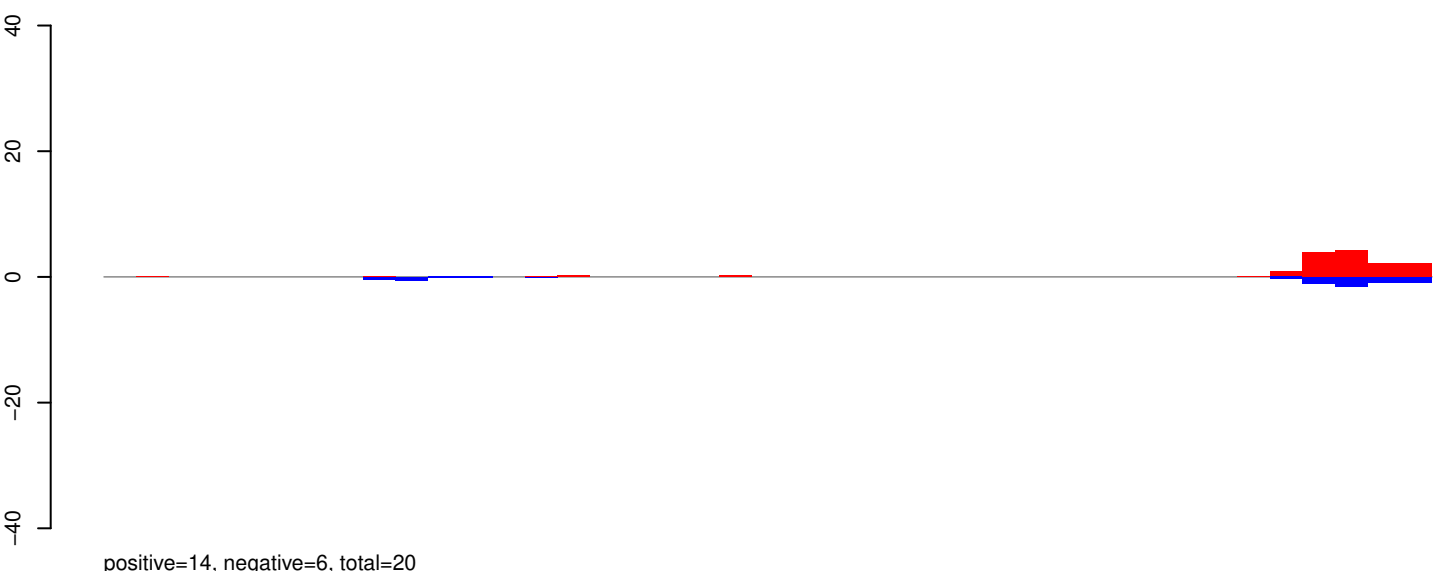
AeAeg_Aag2_Ago2_SINV_RA.18_23.rep



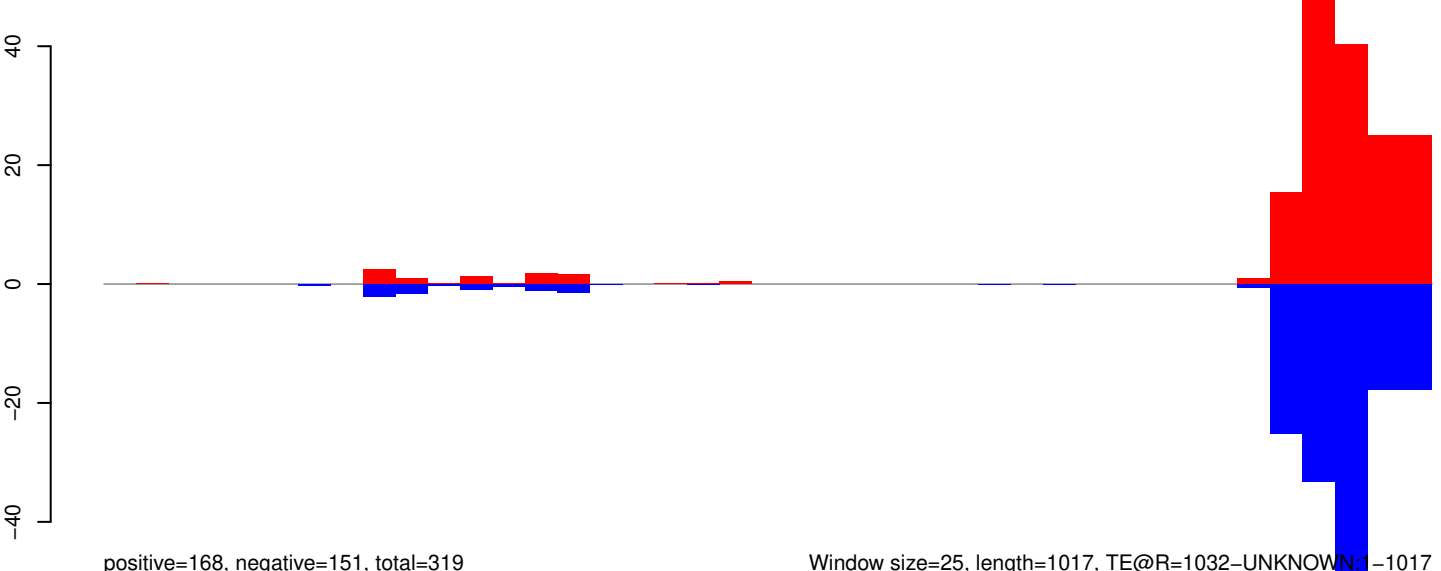
AeAeg_Aag2_Ago2_SINV_RA.18_23.rep



AeAeg_Aag2_Ago2_SINV_RA.24_35.rep

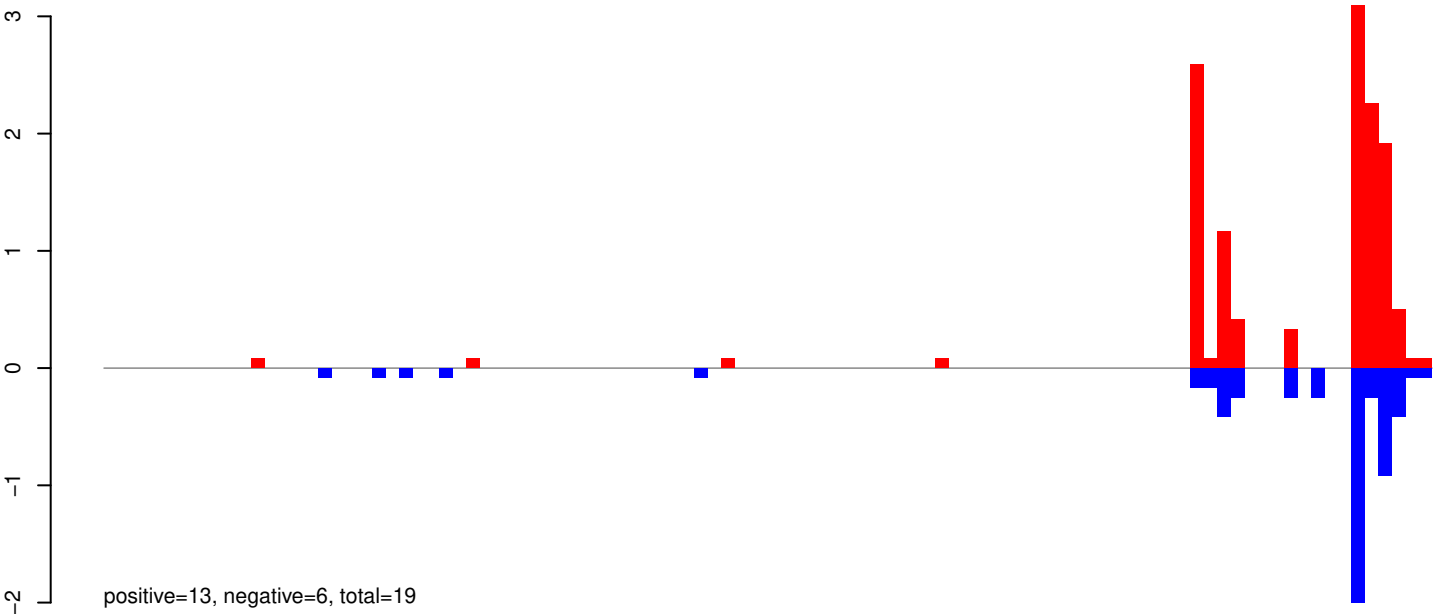


AeAeg_Aag2_Ago2_SINV_RA.rep

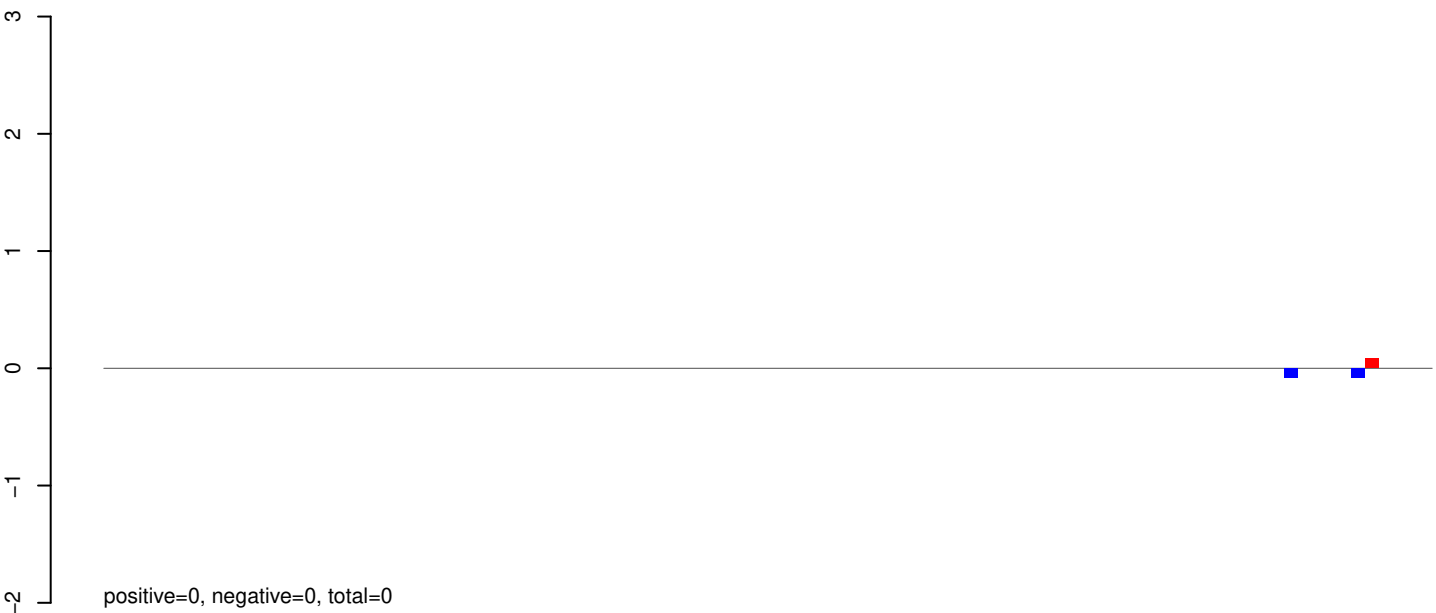


Window size=25, length=1017, TE@R=1032-UNKNOWN:1-1017

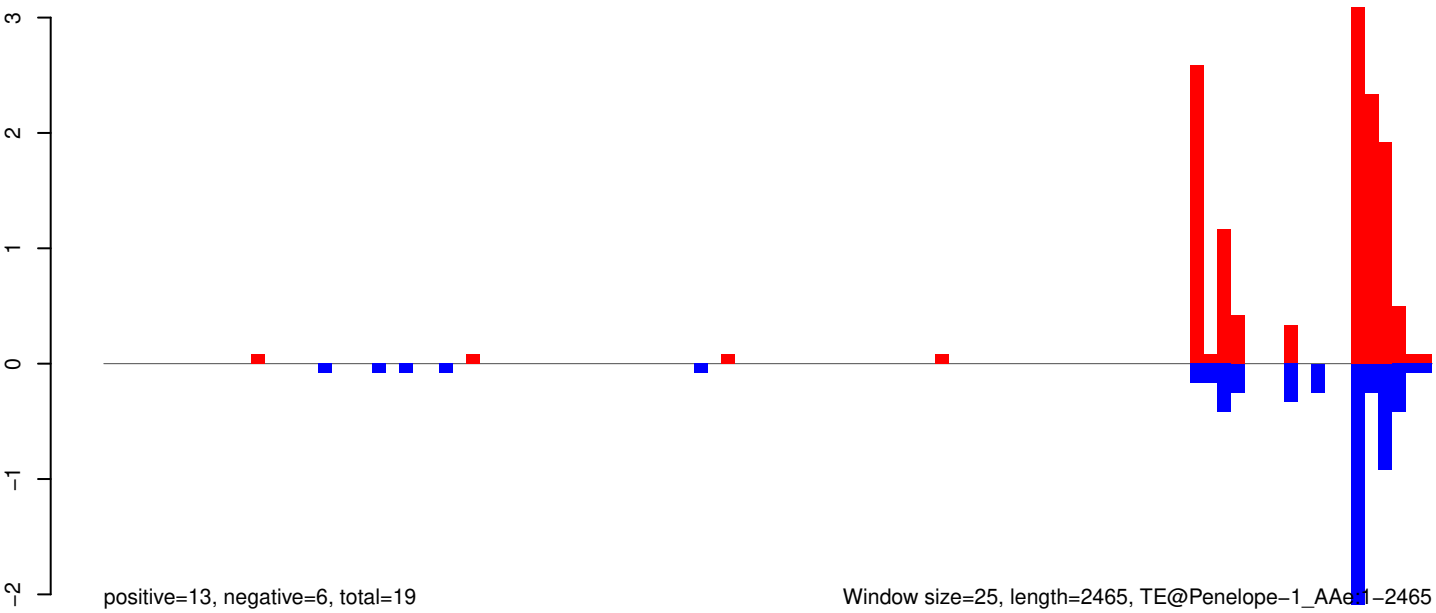
AeAeg_Aag2_Ago2_SINV_RA.18_23.rep



AeAeg_Aag2_Ago2_SINV_RA.24_35.rep

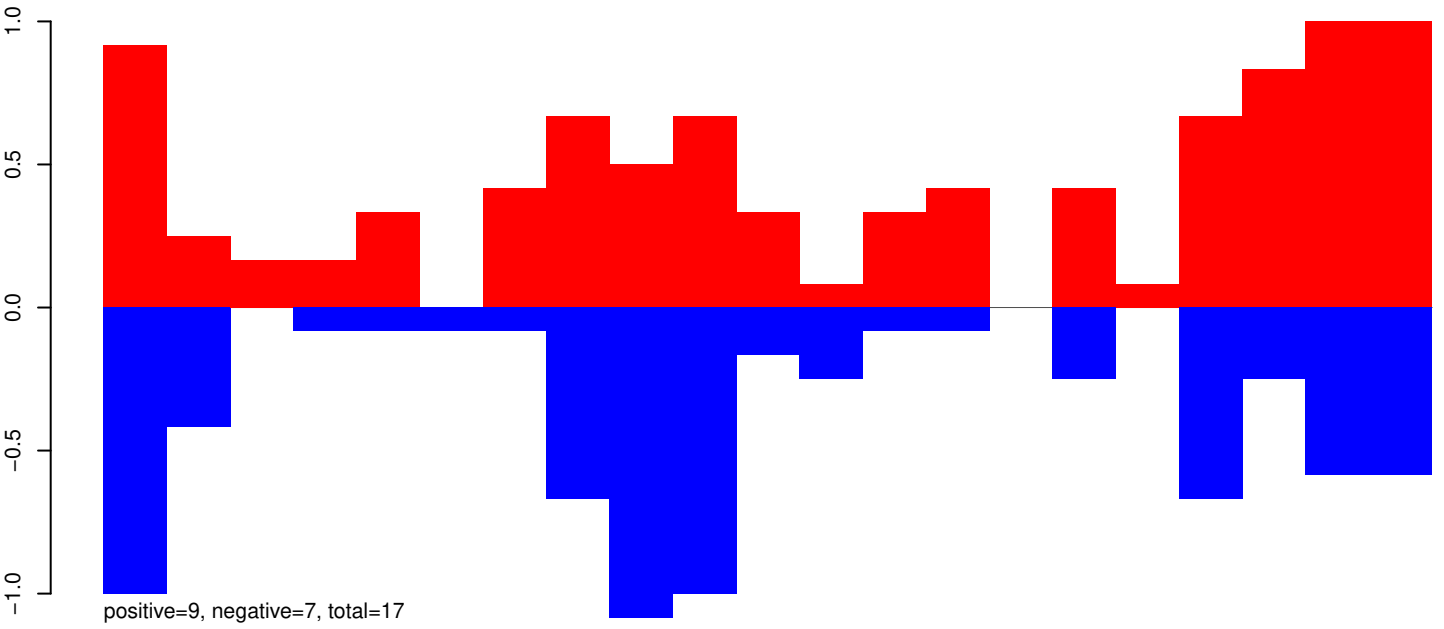


AeAeg_Aag2_Ago2_SINV_RA.rep

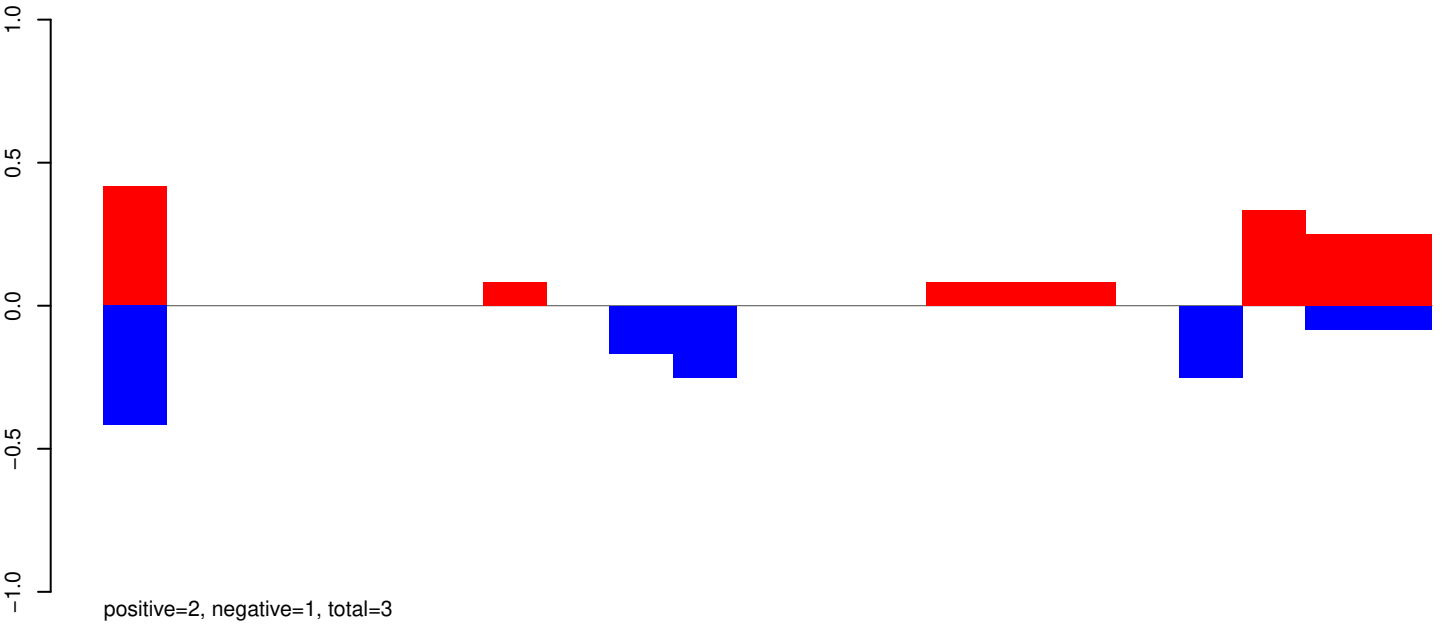


Window size=25, length=2465, TE@Penelope-1_AAe1-2465

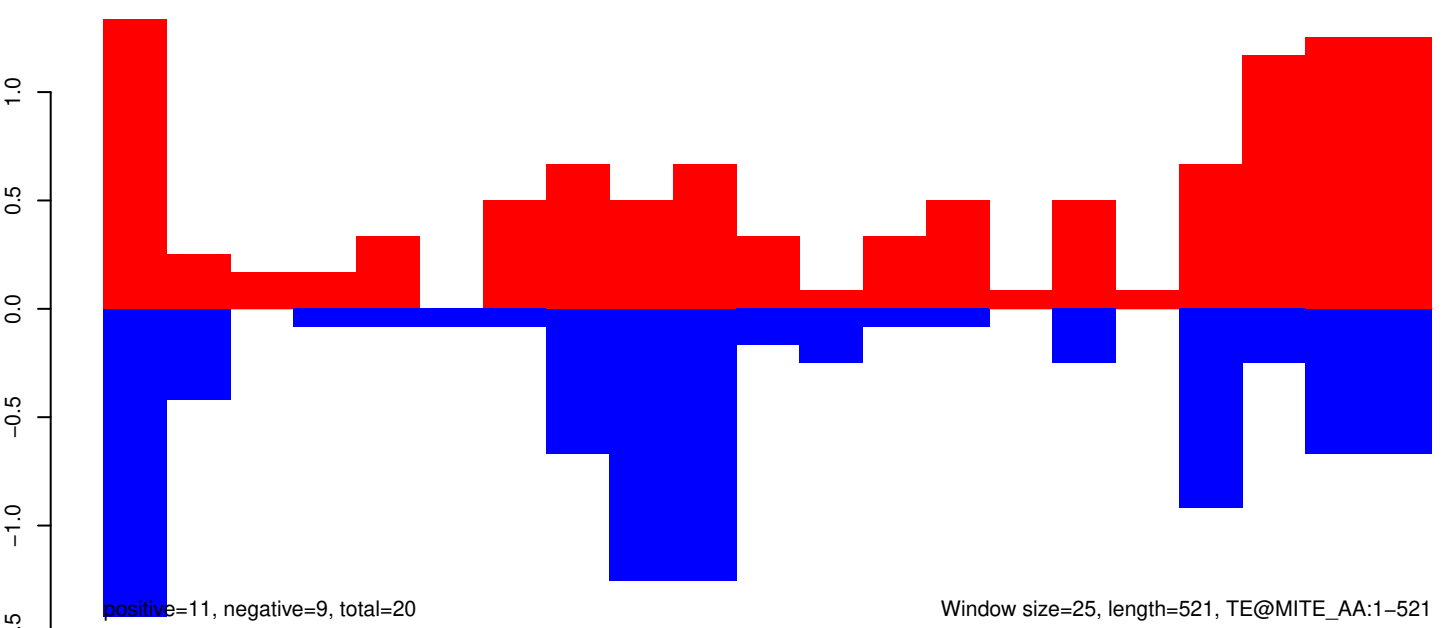
AeAeg_Aag2_Ago2_SINV_RA.18_23.rep



AeAeg_Aag2_Ago2_SINV_RA.24_35.rep

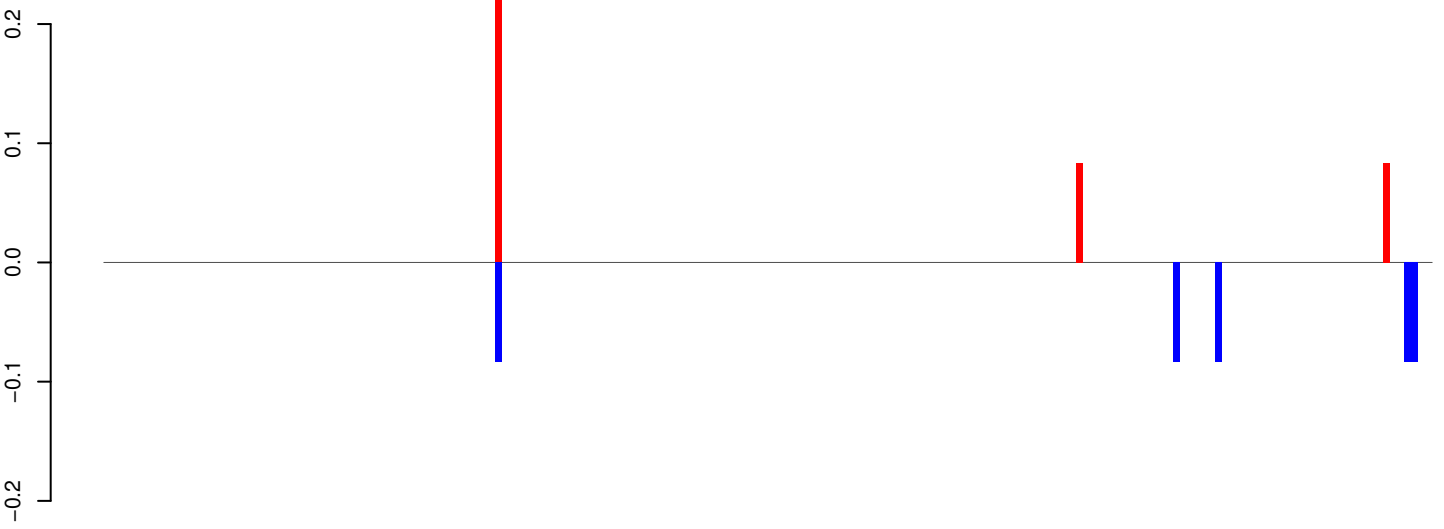


AeAeg_Aag2_Ago2_SINV_RA.rep



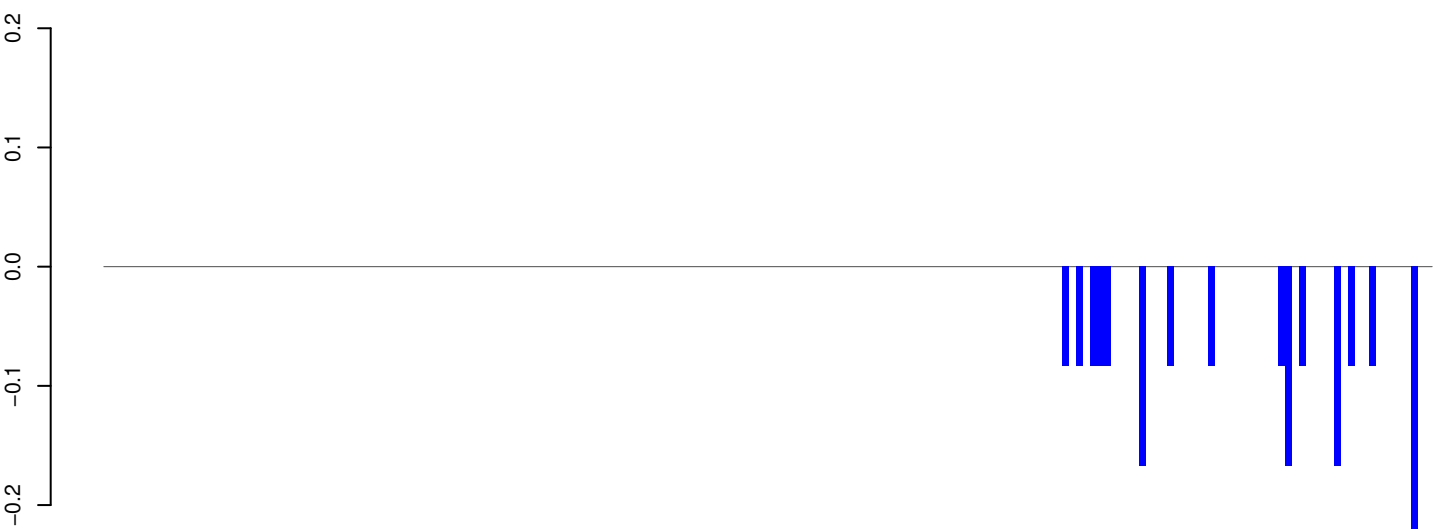
Window size=25, length=521, TE@MITE_AA:1-521

AeAeg_Aag2_Ago2_SINV_RA.18_23.rep



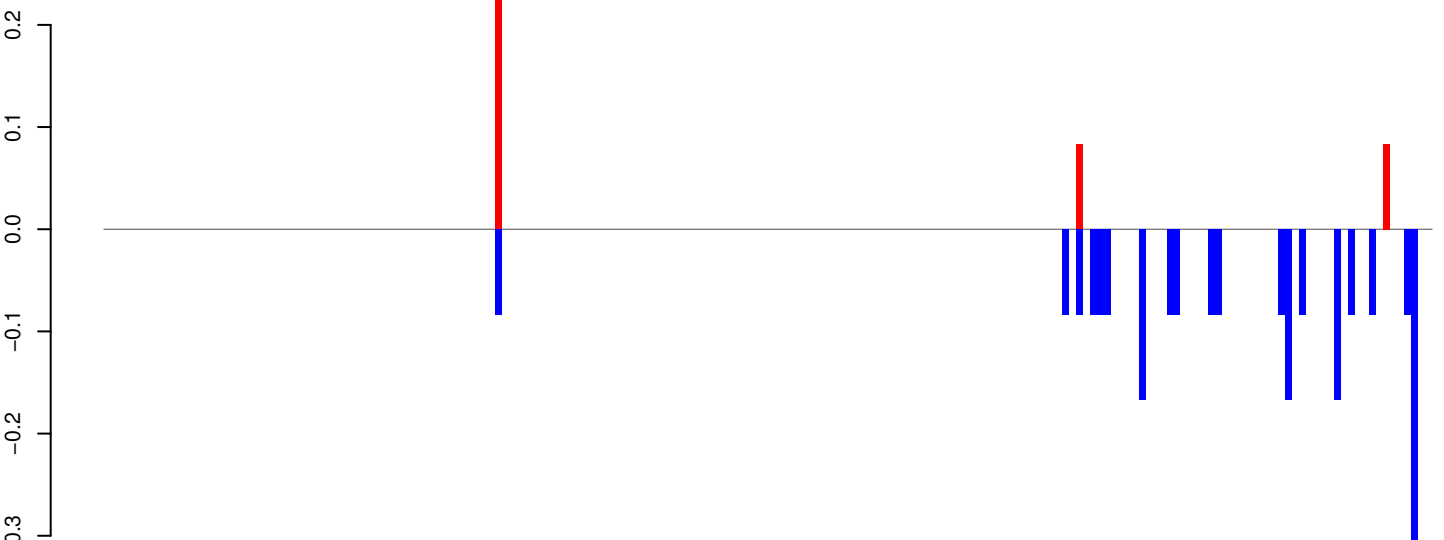
positive=0, negative=0, total=1

AeAeg_Aag2_Ago2_SINV_RA.24_35.rep



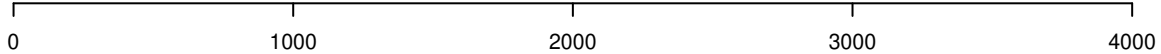
positive=0, negative=2, total=2

AeAeg_Aag2_Ago2_SINV_RA.rep

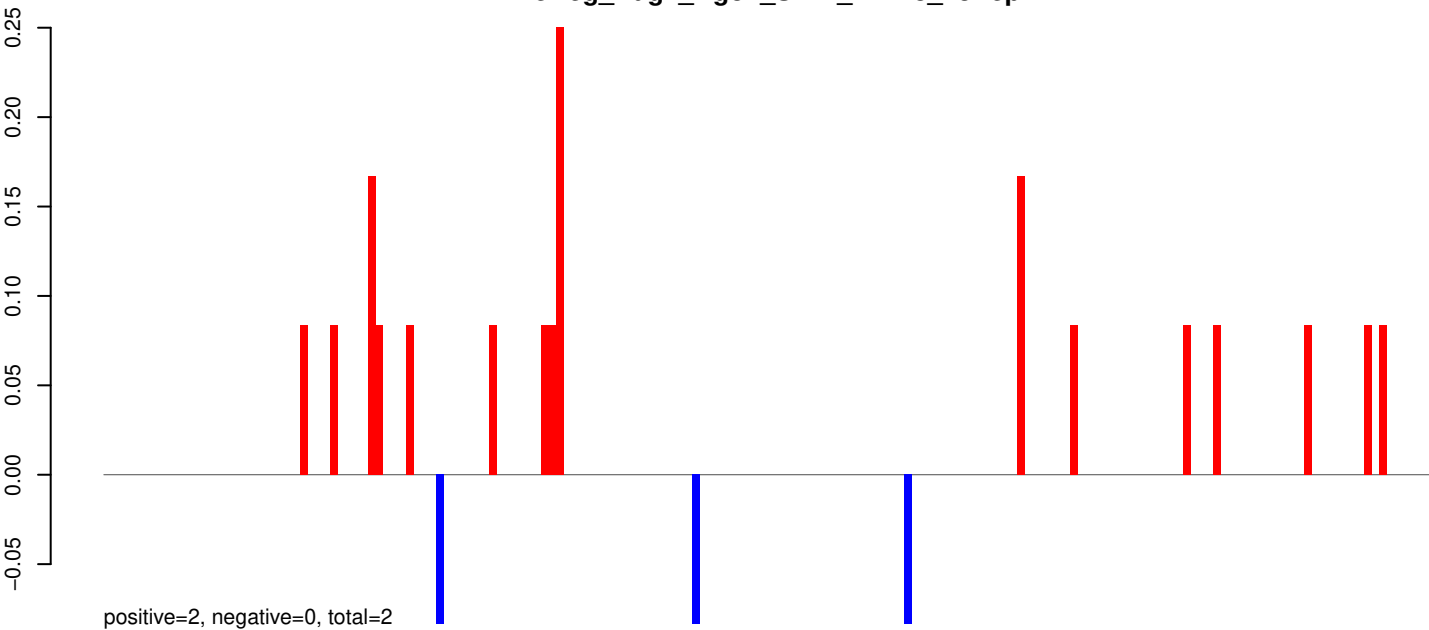


positive=0, negative=2, total=3

Window size=25, length=4747, TE@Kiri-6_AAe:1-4747



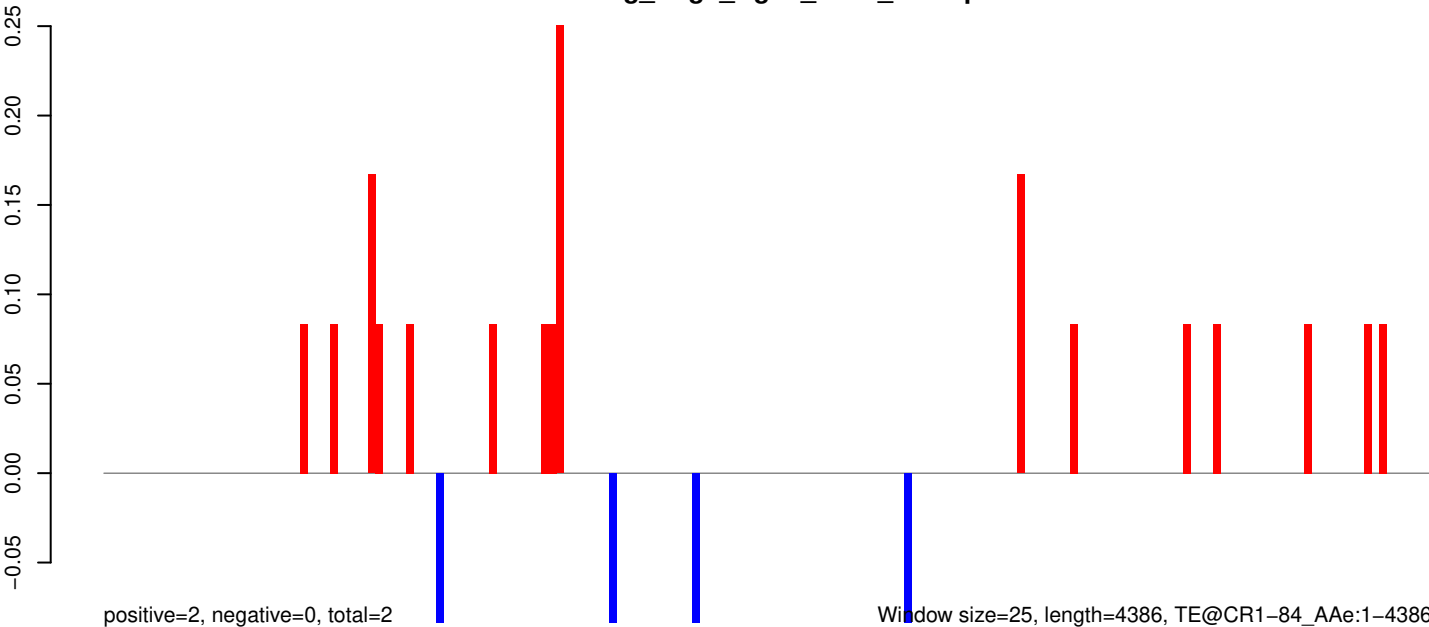
AeAeg_Aag2_Ago2_SINV_RA.18_23.rep



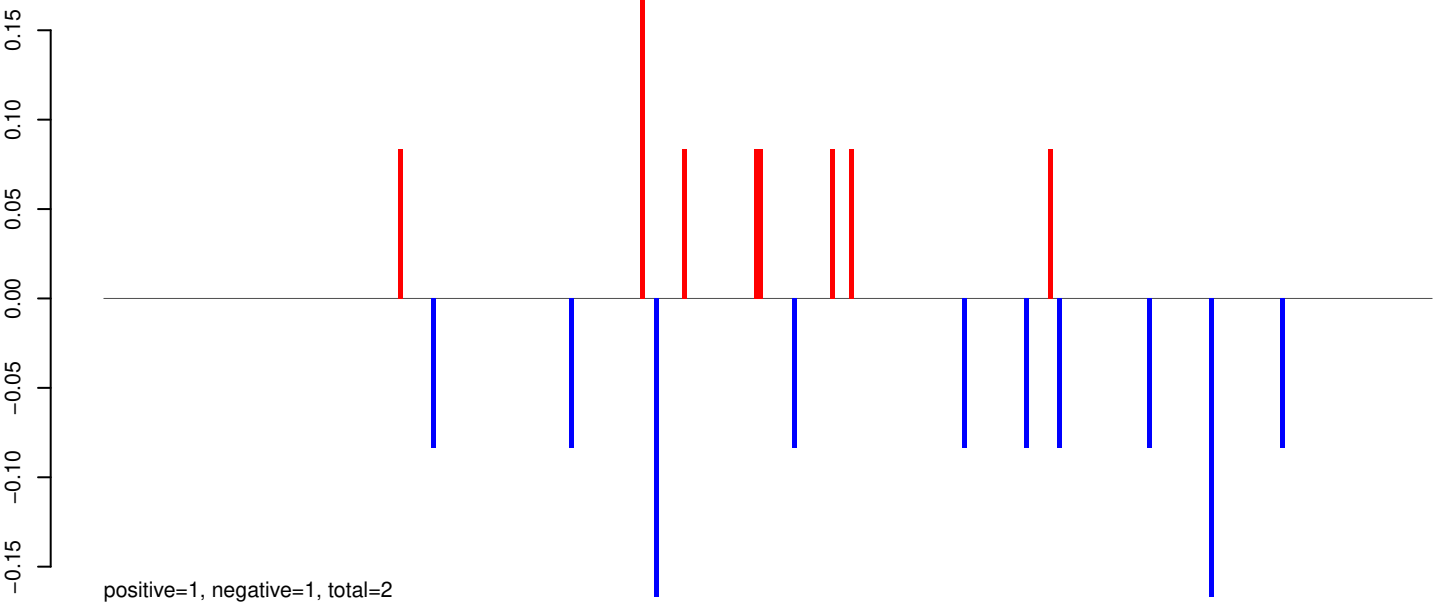
AeAeg_Aag2_Ago2_SINV_RA.24_35.rep



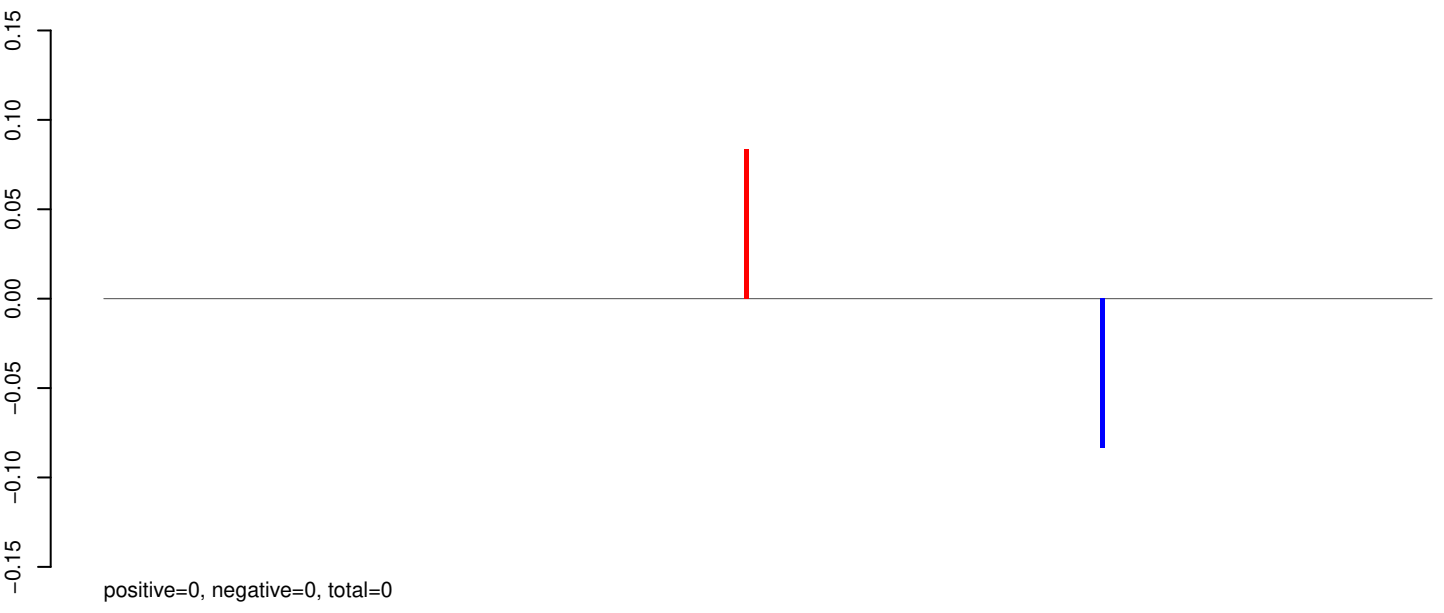
AeAeg_Aag2_Ago2_SINV_RA.rep



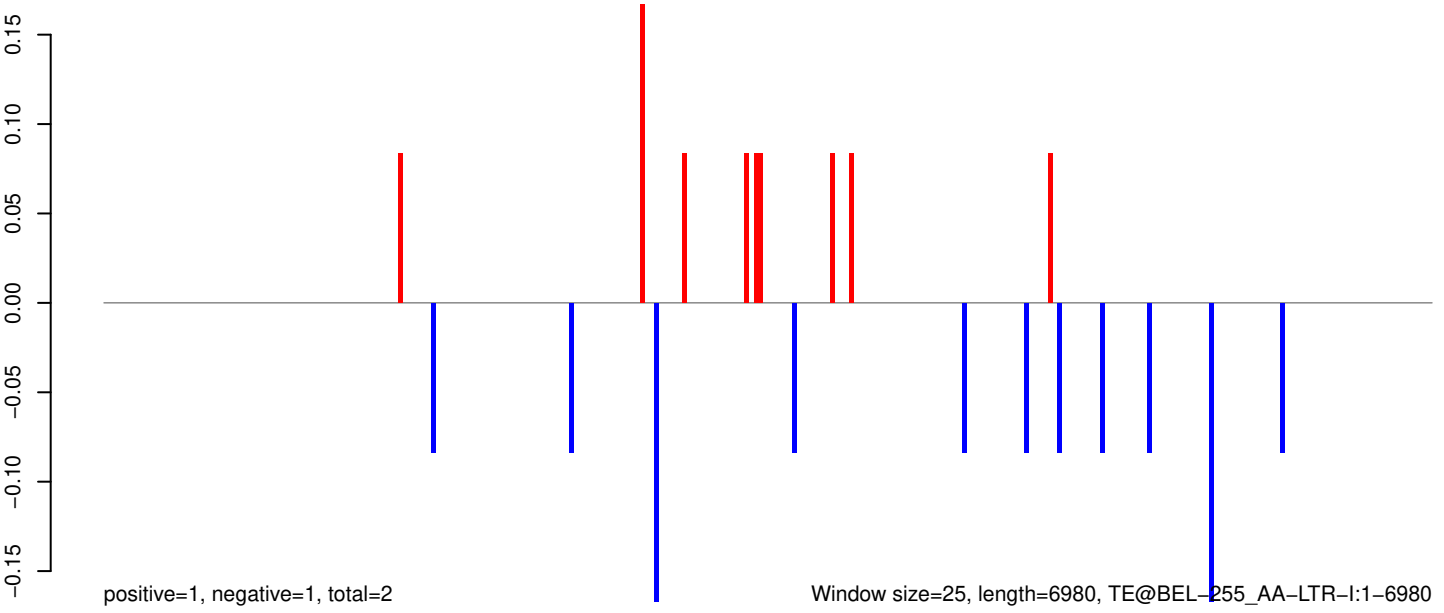
AeAeg_Aag2_Ago2_SINV_RA.18_23.rep



AeAeg_Aag2_Ago2_SINV_RA.24_35.rep



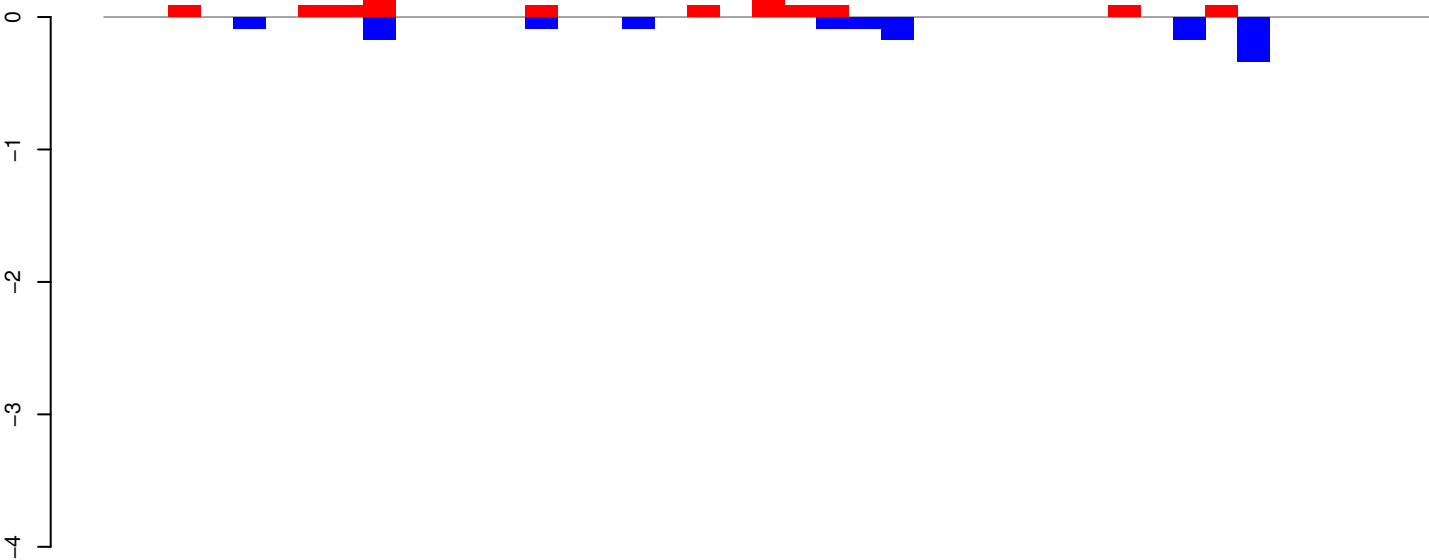
AeAeg_Aag2_Ago2_SINV_RA.rep



Window size=25, length=6980, TE@BEL-255_AA-LTR-I:1-6980

0 1000 2000 3000 4000 5000 6000 7000

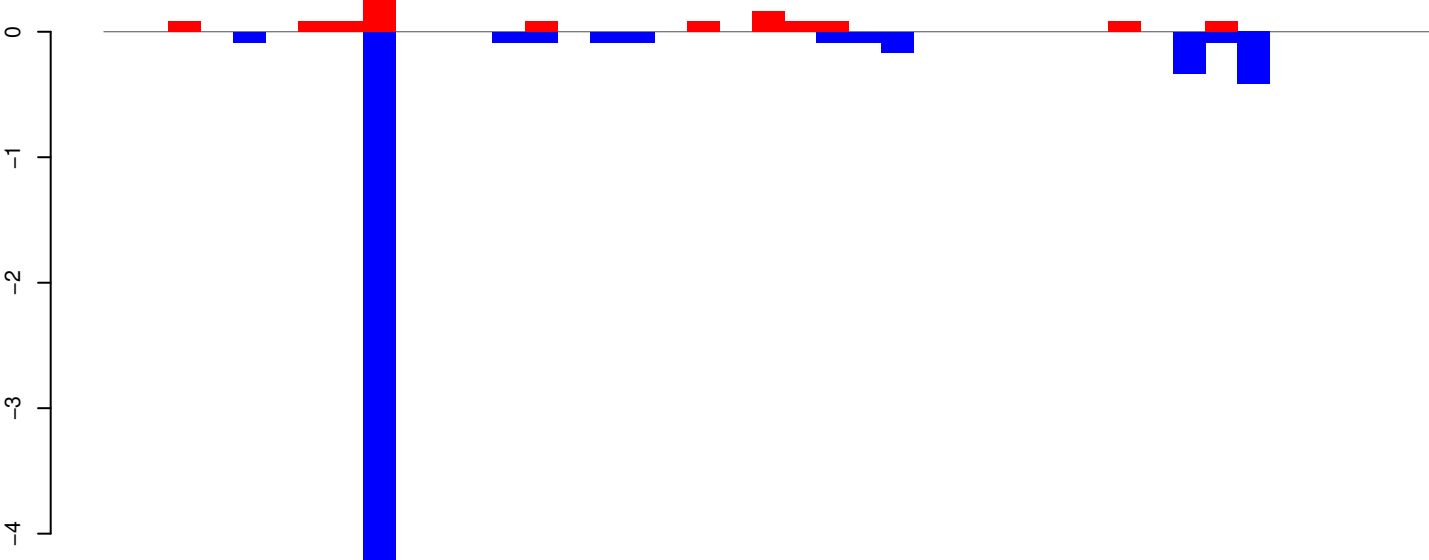
AeAeg_Aag2_Ago2_SINV_RA.18_23.rep



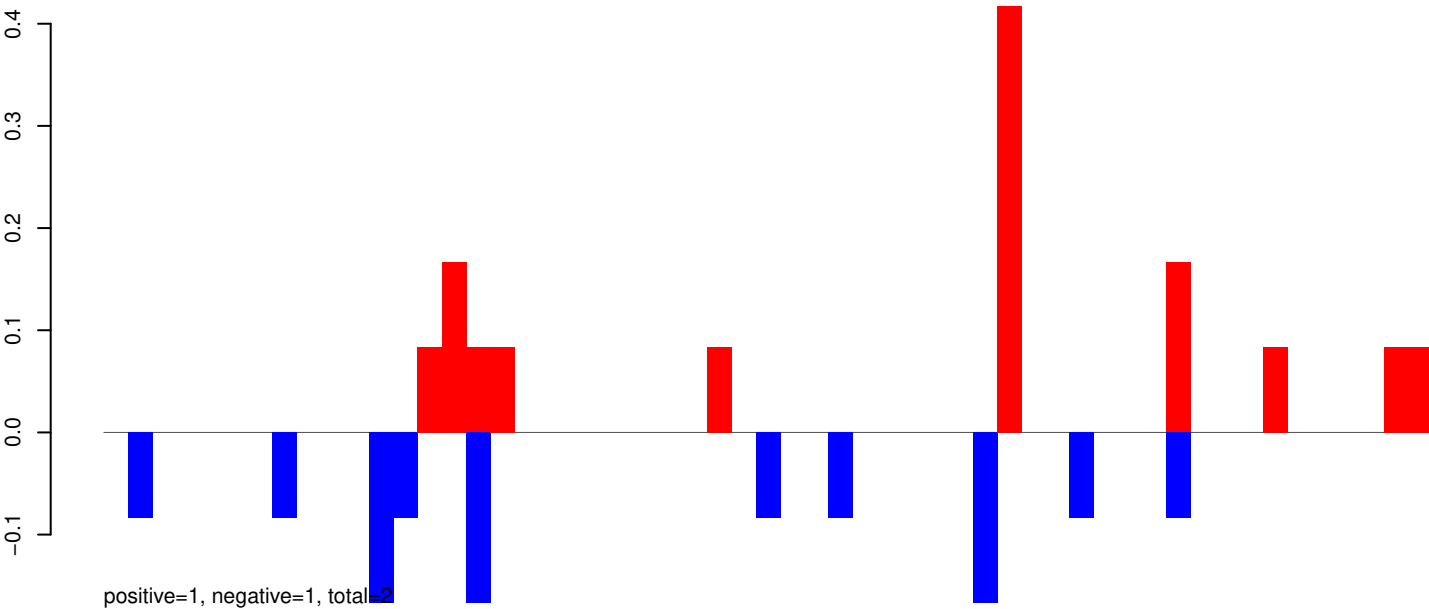
AeAeg_Aag2_Ago2_SINV_RA.24_35.rep



AeAeg_Aag2_Ago2_SINV_RA.rep



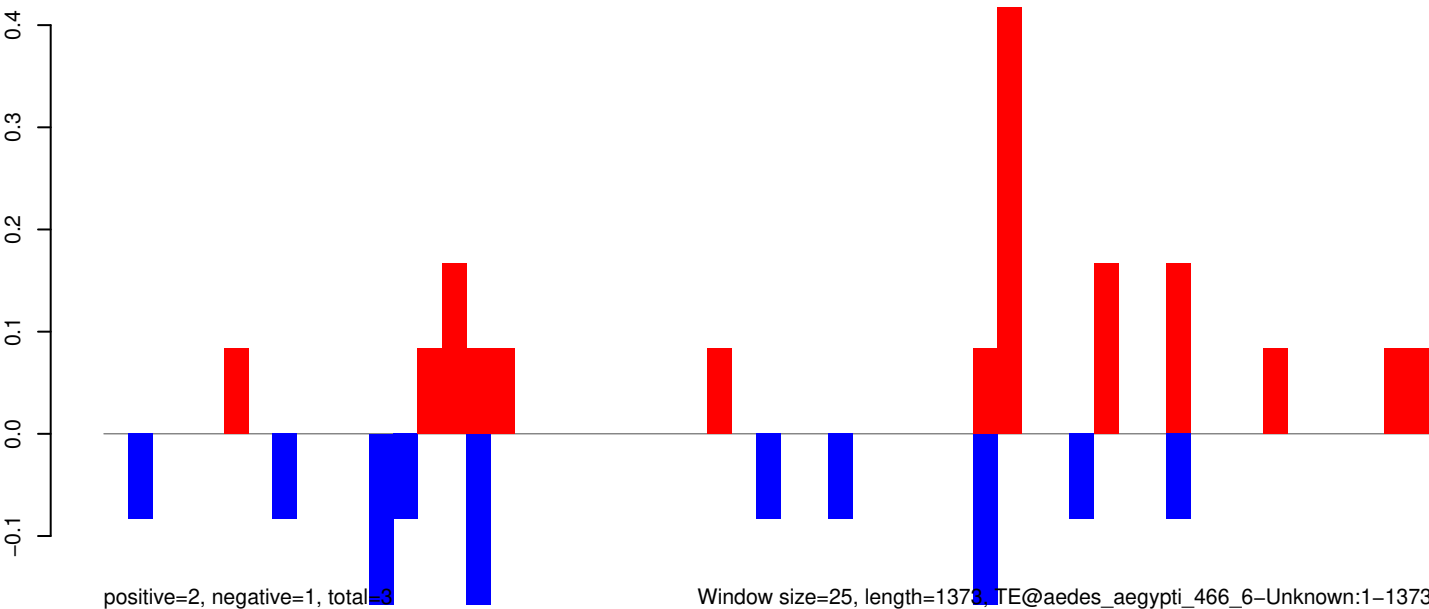
AeAeg_Aag2_Ago2_SINV_RA.18_23.rep



AeAeg_Aag2_Ago2_SINV_RA.24_35.rep



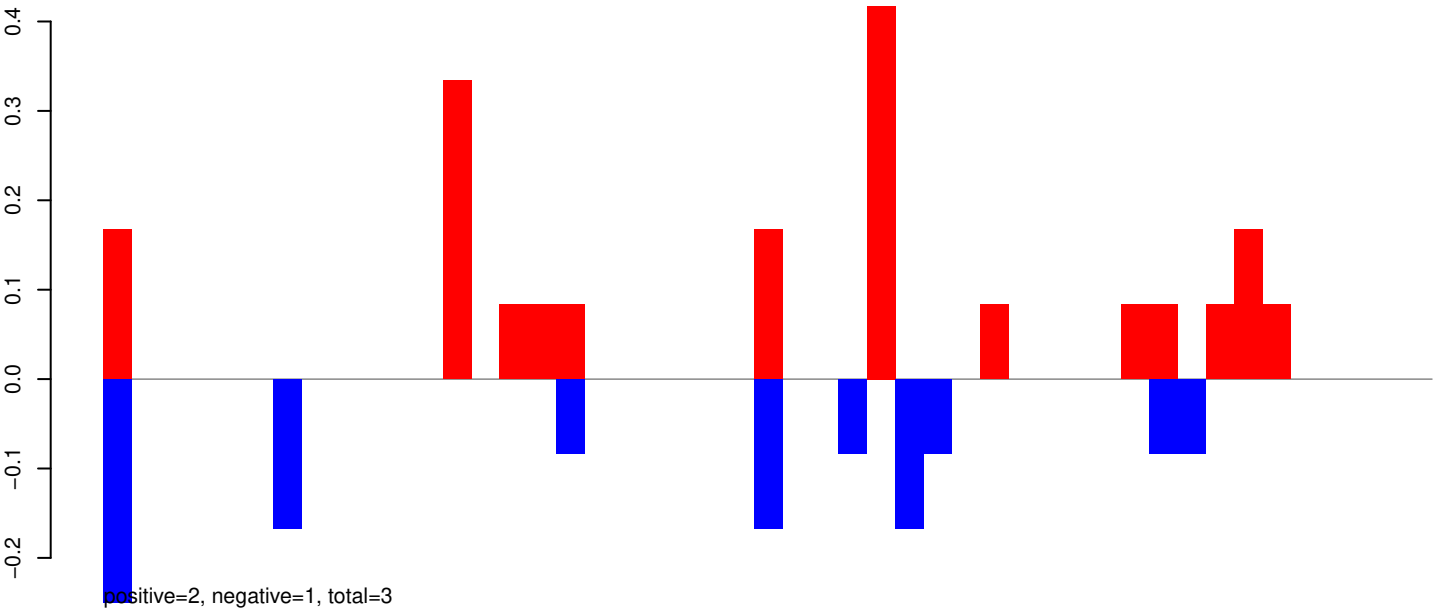
AeAeg_Aag2_Ago2_SINV_RA.rep



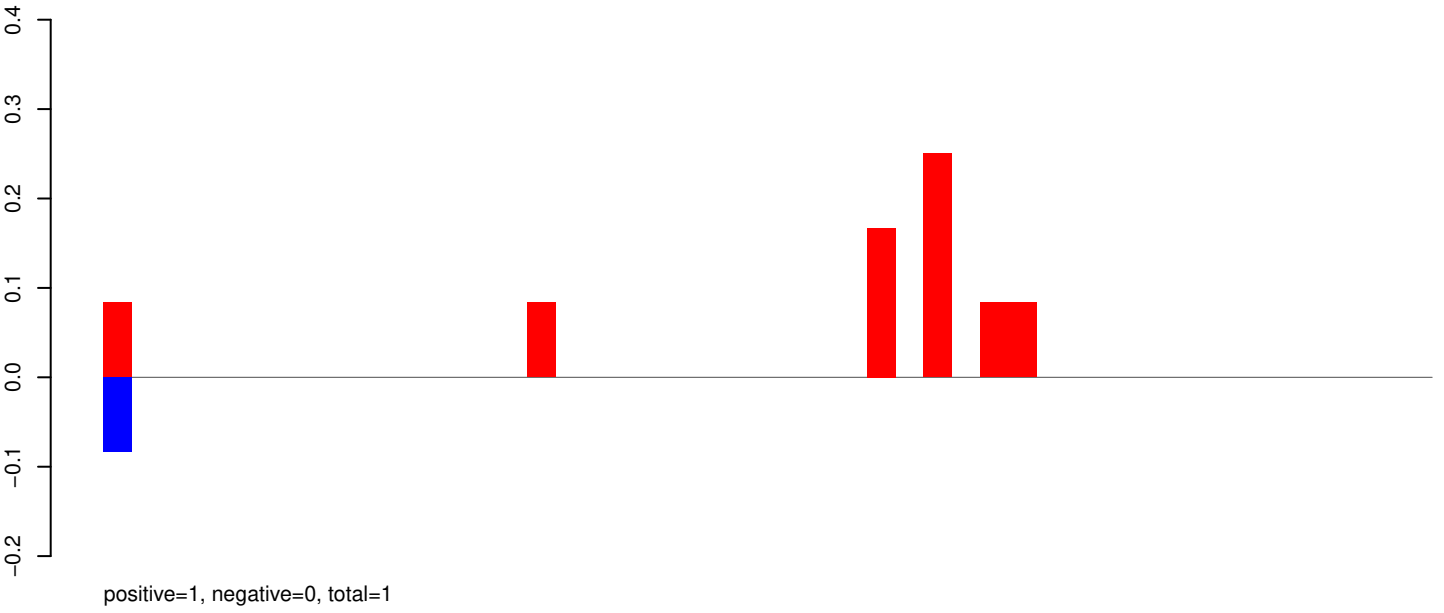
Window size=25, length=1373, TE@aedes_aegypti_466_6-Unknown:1-1373

0 200 400 600 800 1000 1200 1400

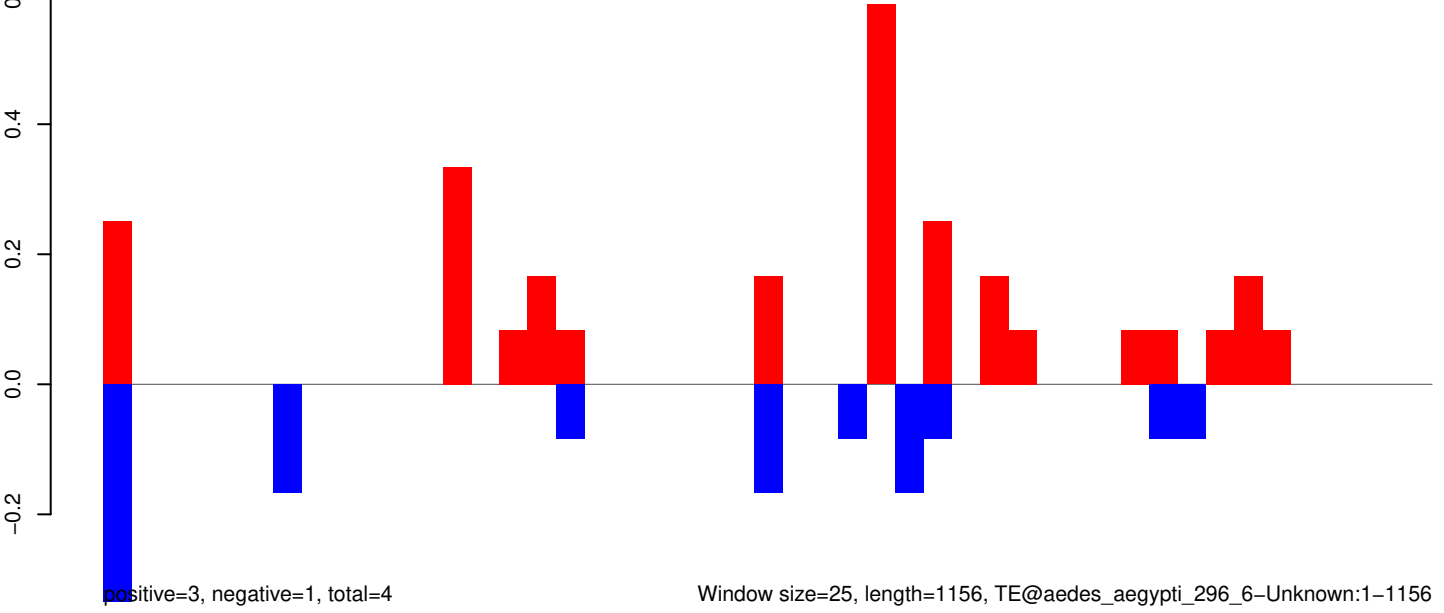
AeAeg_Aag2_Ago2_SINV_RA.18_23.rep



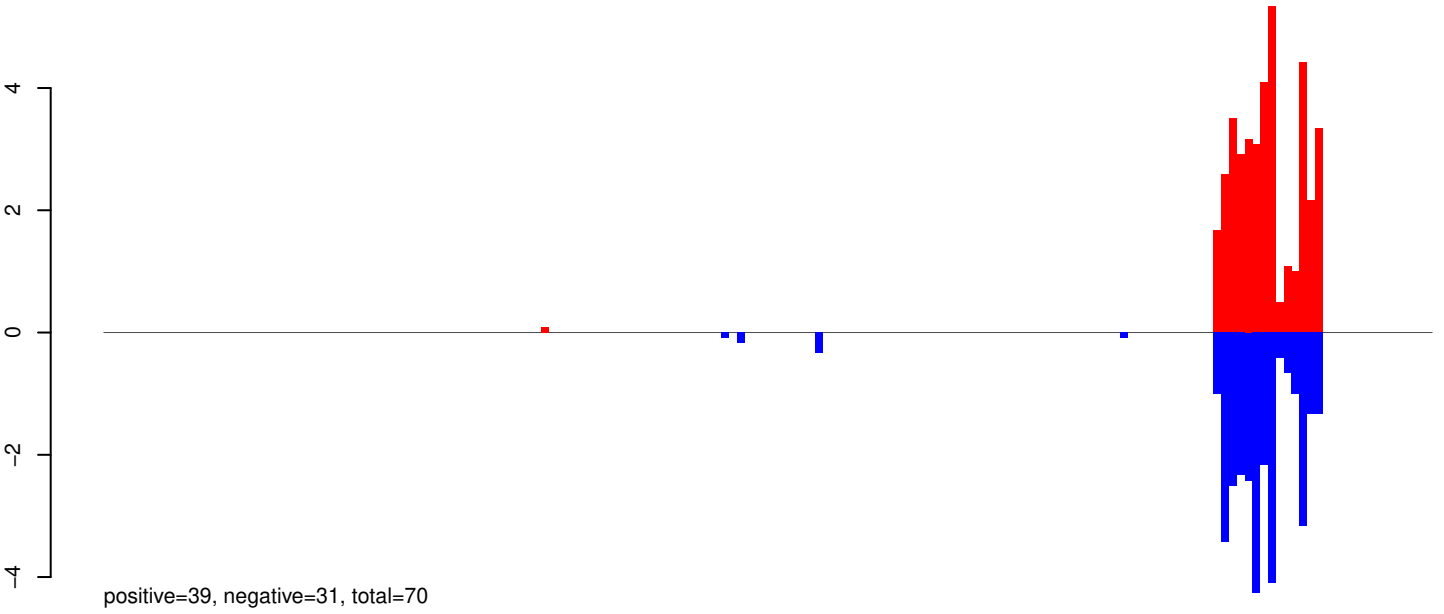
AeAeg_Aag2_Ago2_SINV_RA.24_35.rep



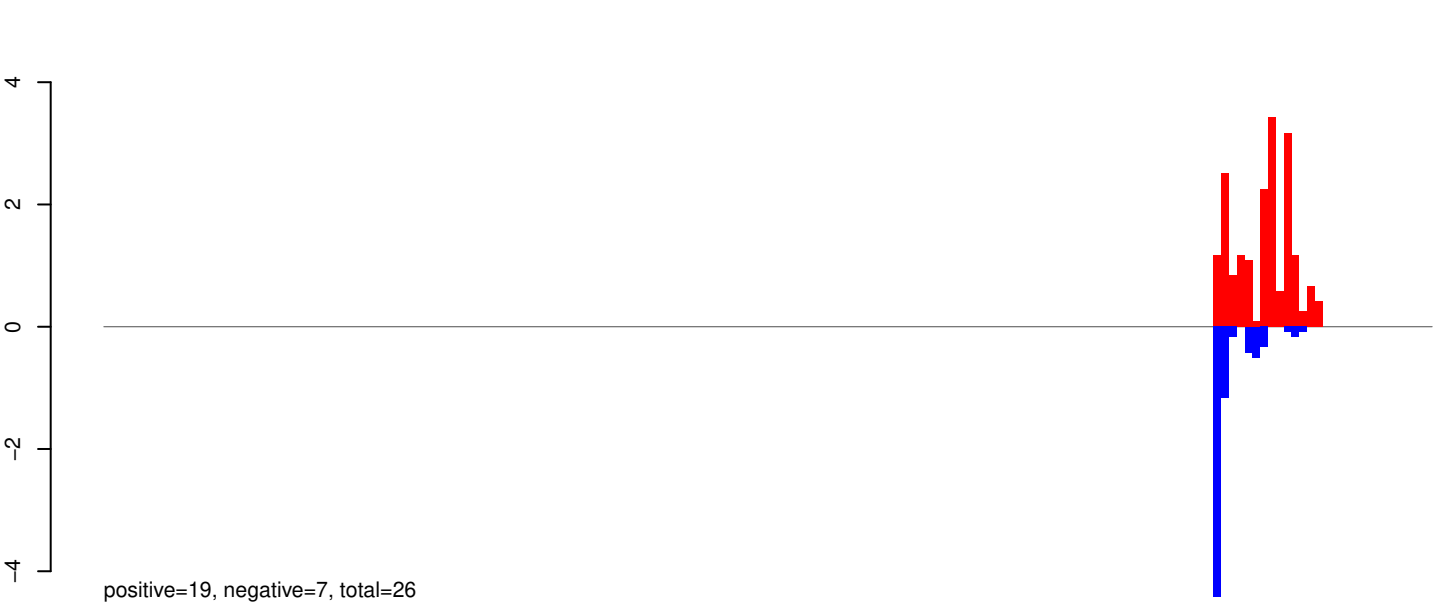
AeAeg_Aag2_Ago2_SINV_RA.rep



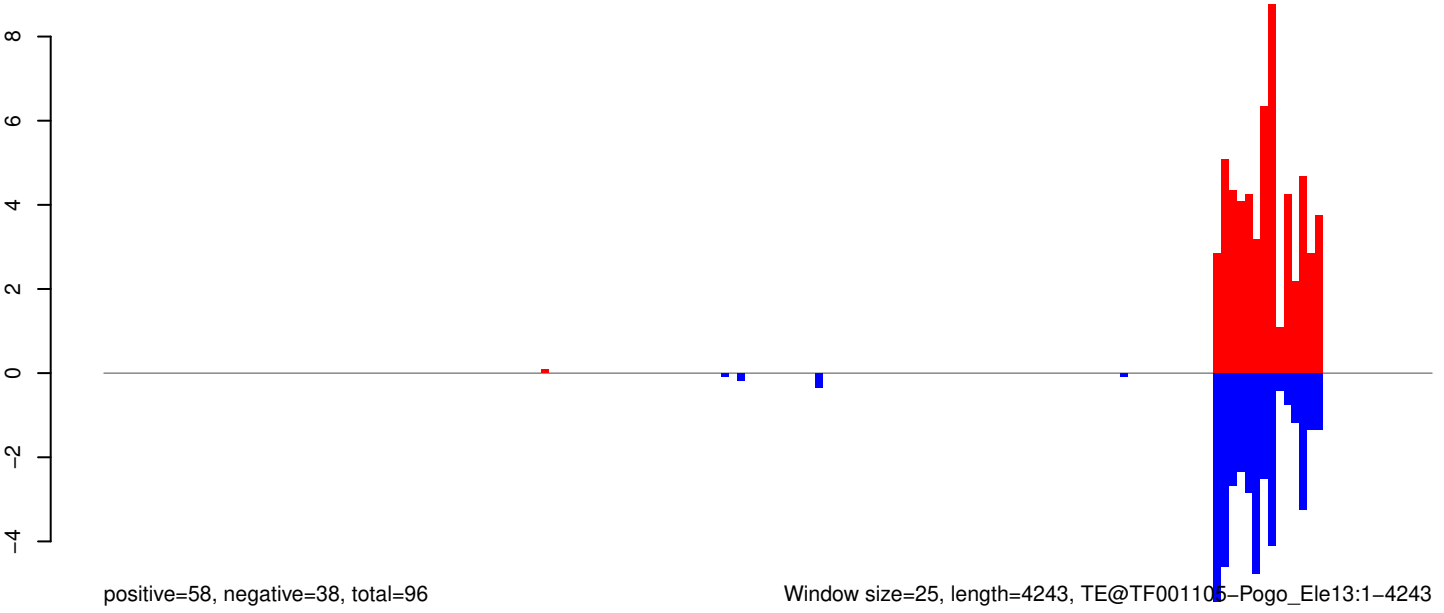
AeAeg_Aag2_Ago2_SINV_RA.18_23.rep



AeAeg_Aag2_Ago2_SINV_RA.24_35.rep



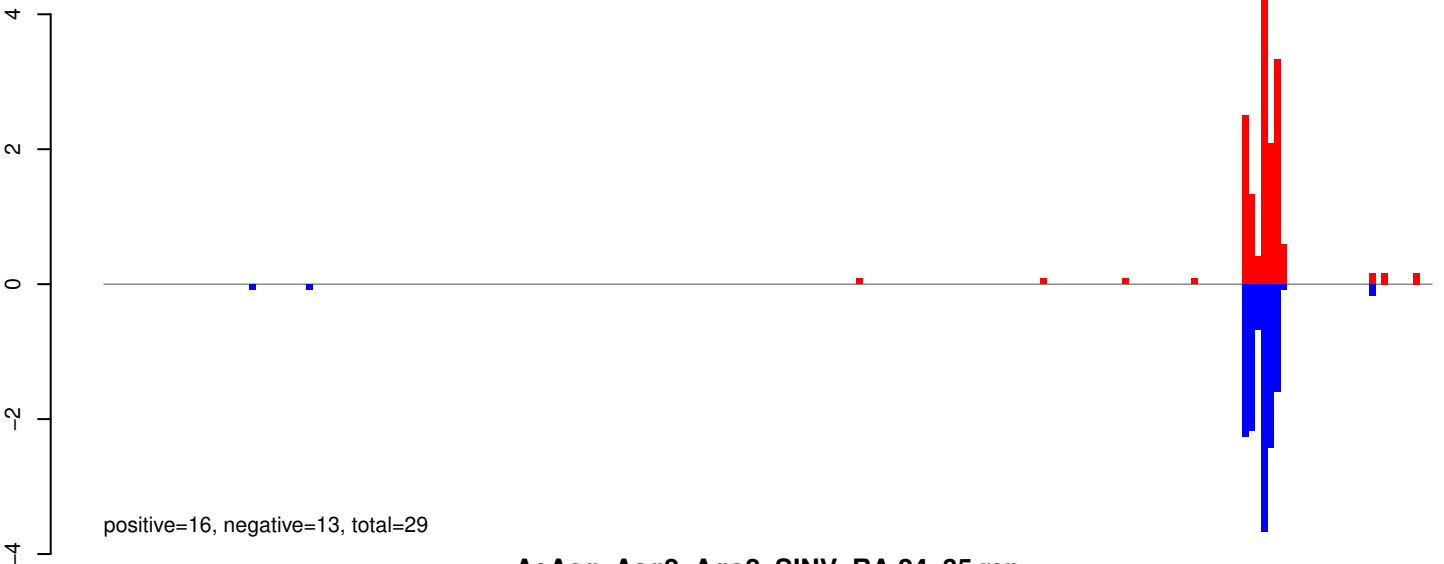
AeAeg_Aag2_Ago2_SINV_RA.rep



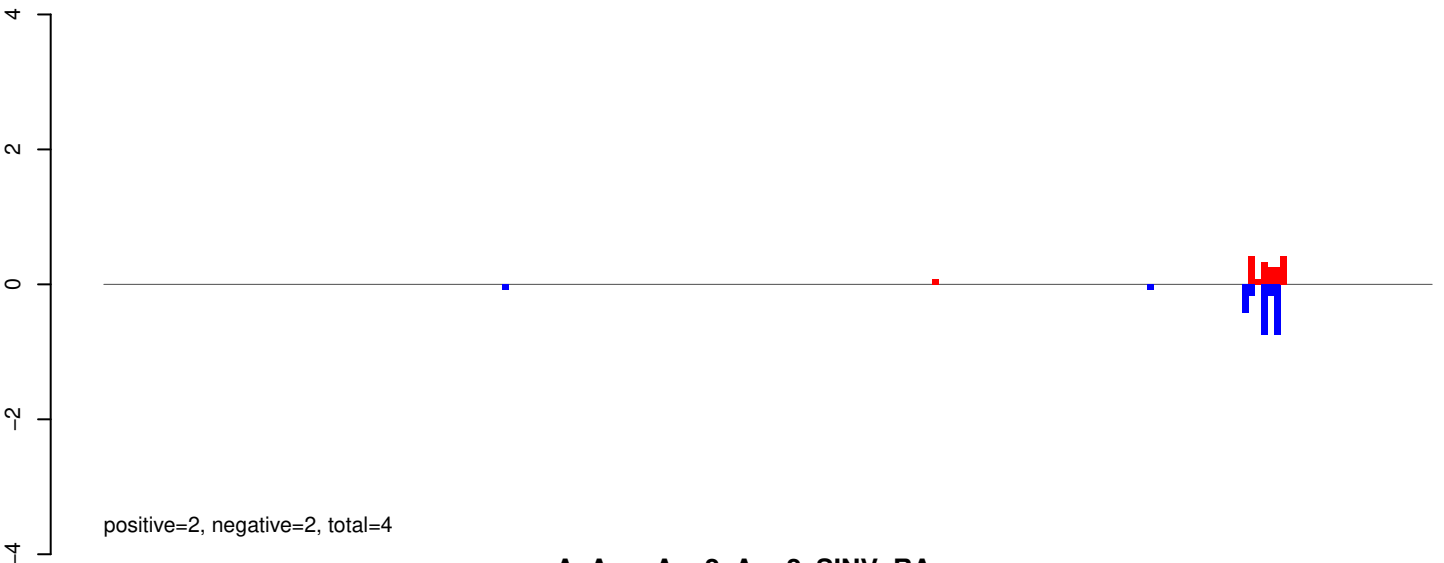
Window size=25, length=4243, TE@TF001105-Pogo_Ele13:1-4243

0 1000 2000 3000 4000

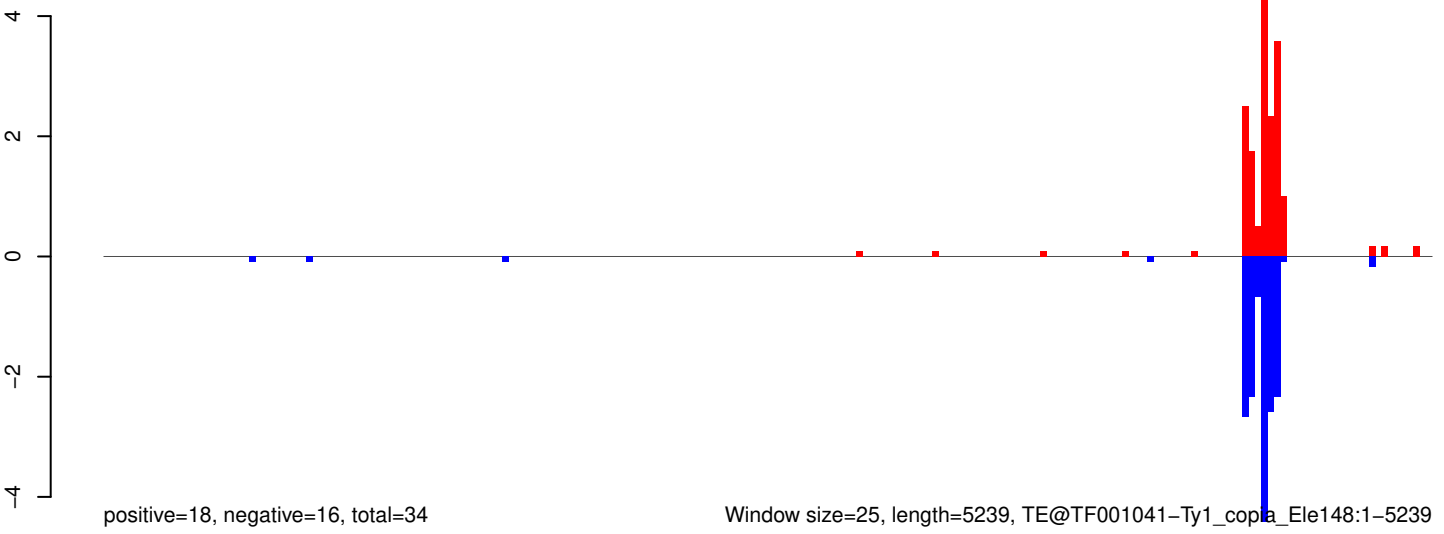
AeAeg_Aag2_Ago2_SINV_RA.18_23.rep



AeAeg_Aag2_Ago2_SINV_RA.24_35.rep



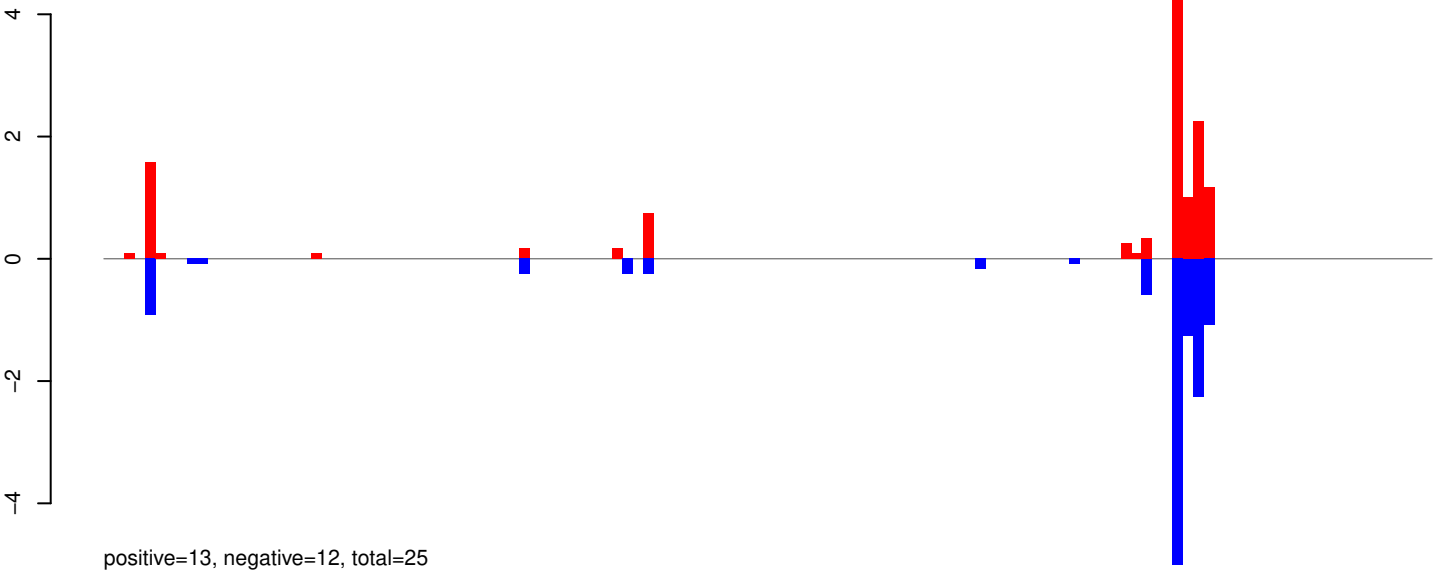
AeAeg_Aag2_Ago2_SINV_RA.rep



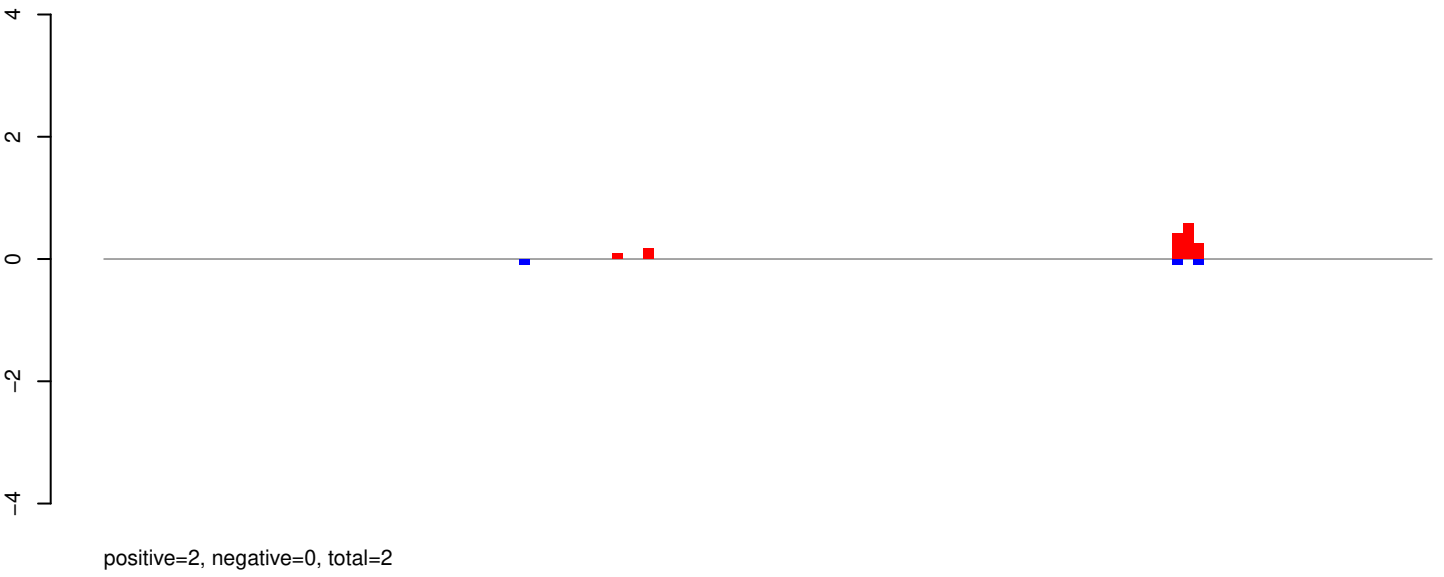
Window size=25, length=5239, TE@TF001041-Ty1_copa_Ele148:1-5239

0 1000 2000 3000 4000 5000

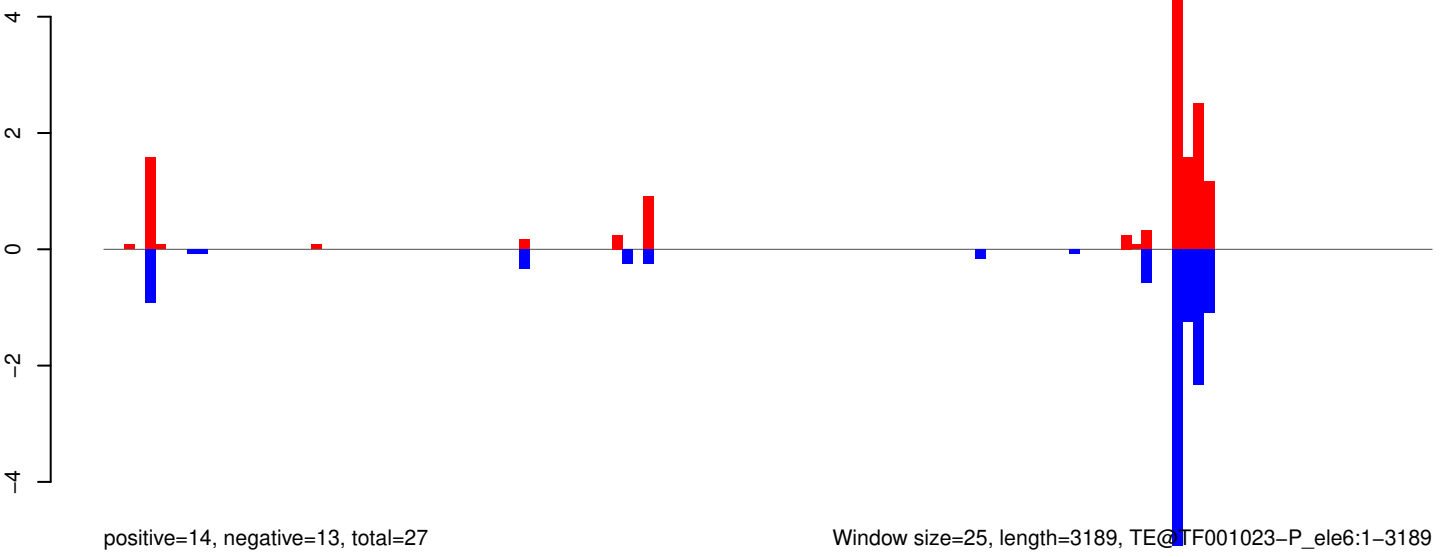
AeAeg_Aag2_Ago2_SINV_RA.18_23.rep



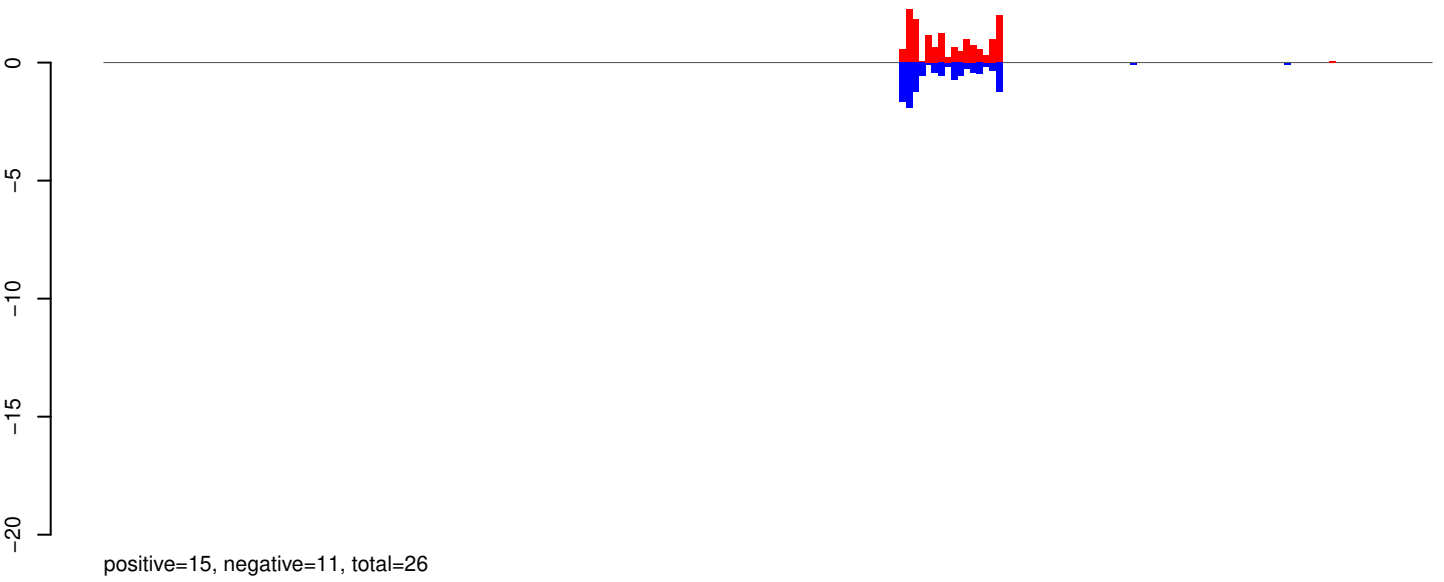
AeAeg_Aag2_Ago2_SINV_RA.24_35.rep



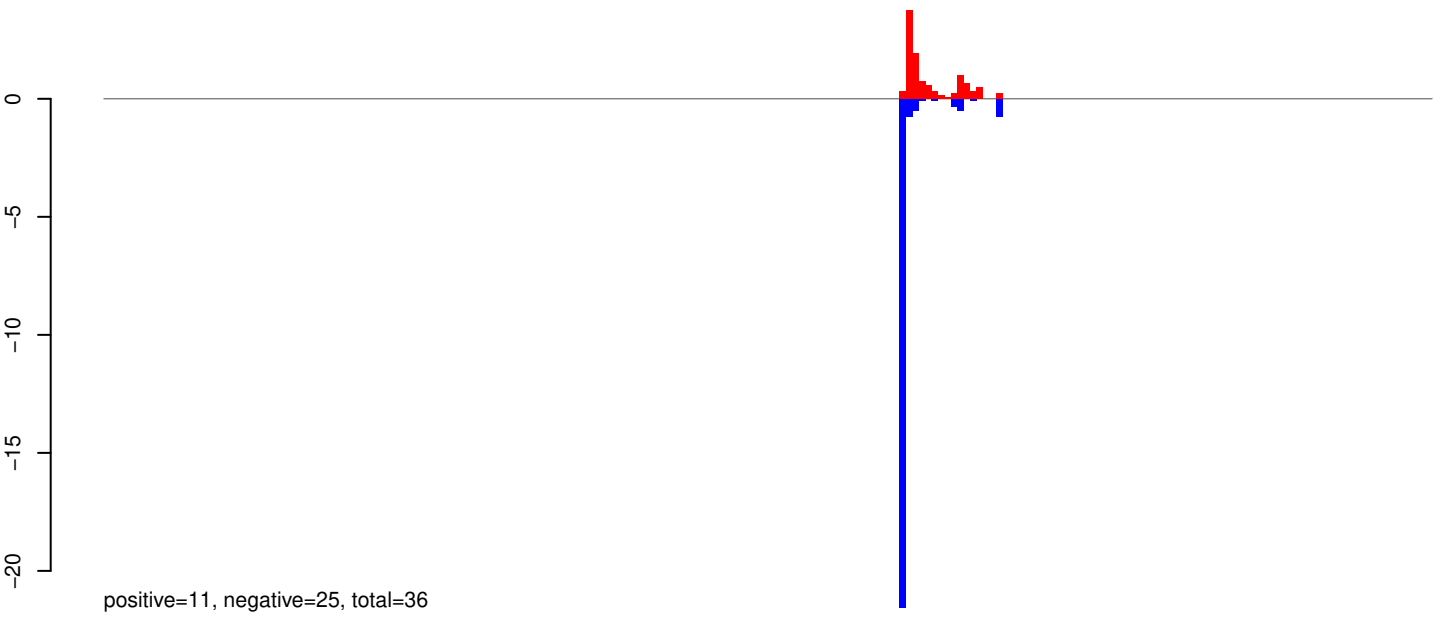
AeAeg_Aag2_Ago2_SINV_RA.rep



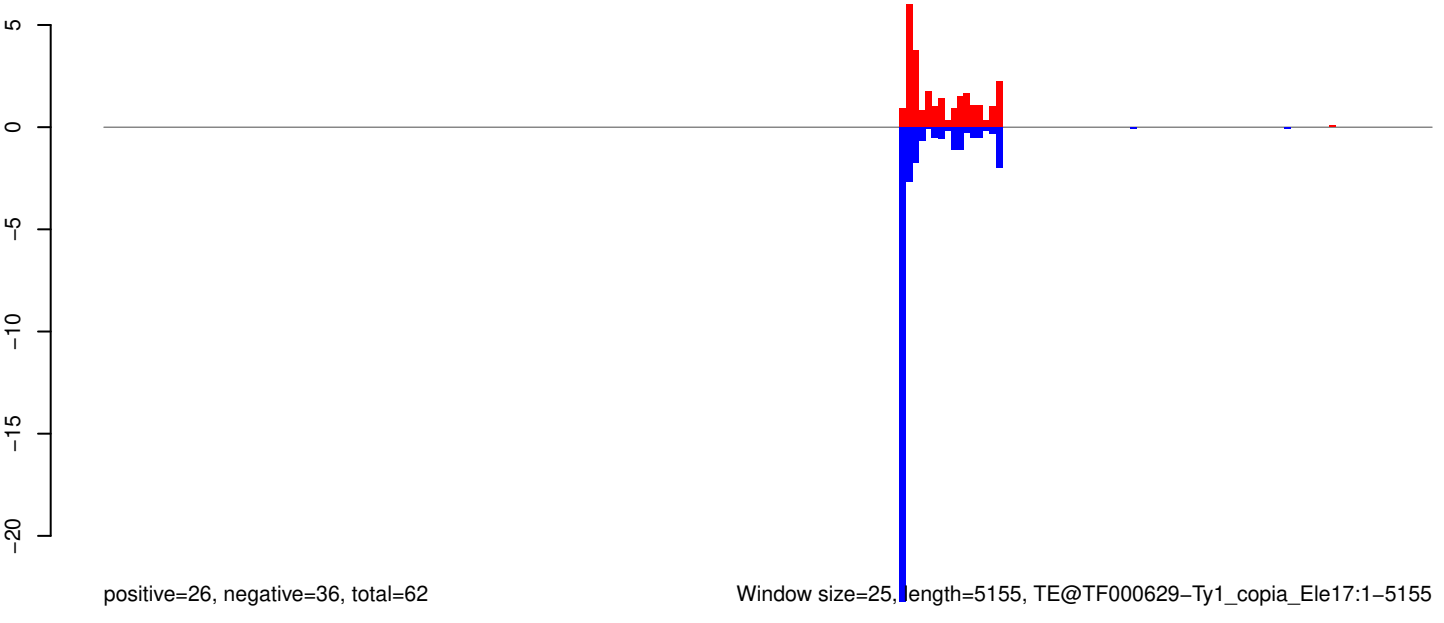
AeAeg_Aag2_Ago2_SINV_RA.18_23.rep



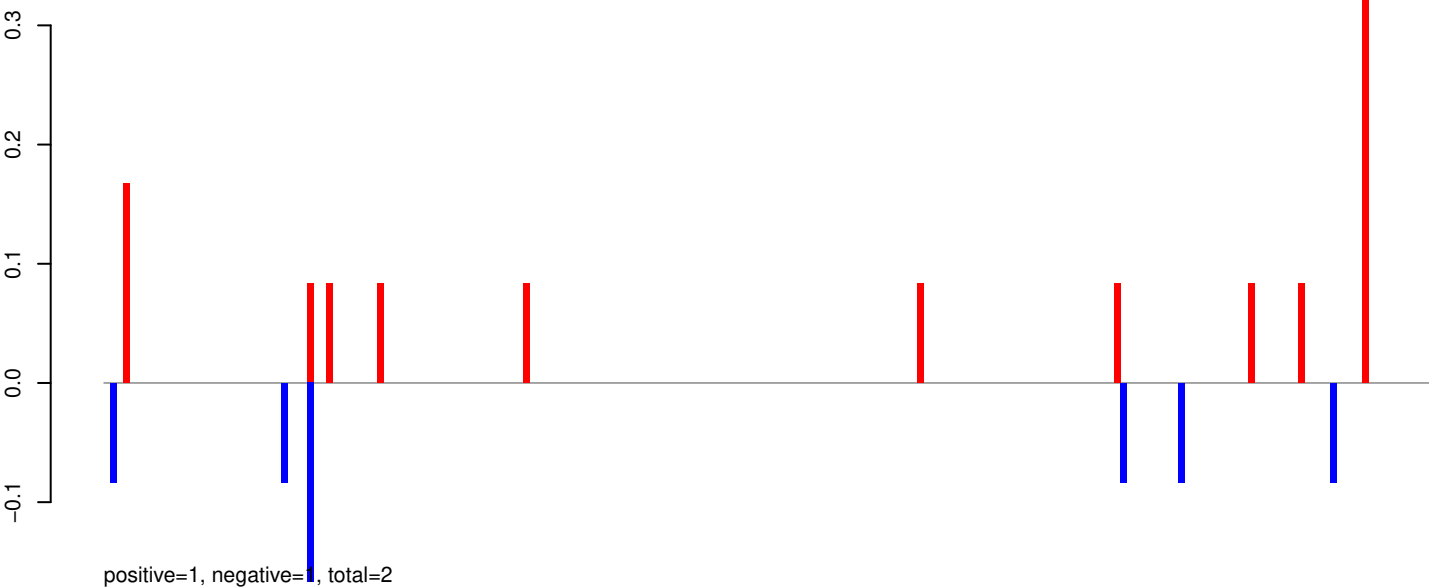
AeAeg_Aag2_Ago2_SINV_RA.24_35.rep



AeAeg_Aag2_Ago2_SINV_RA.rep



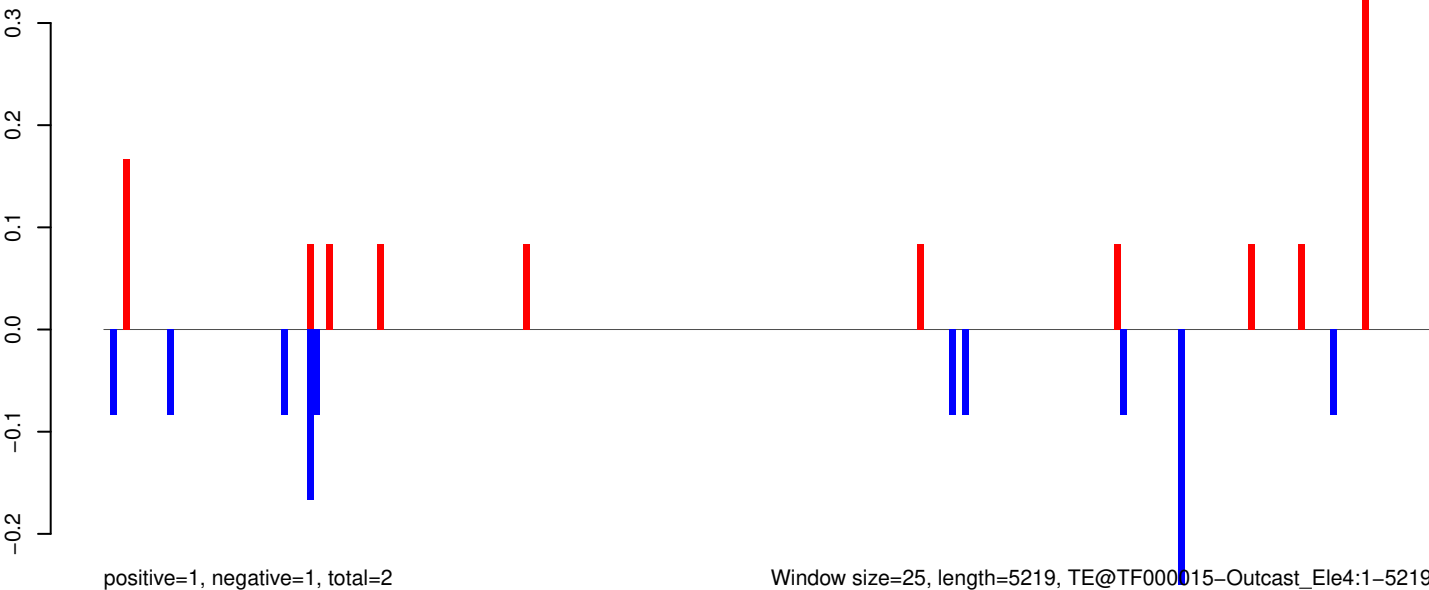
AeAeg_Aag2_Ago2_SINV_RA.18_23.rep

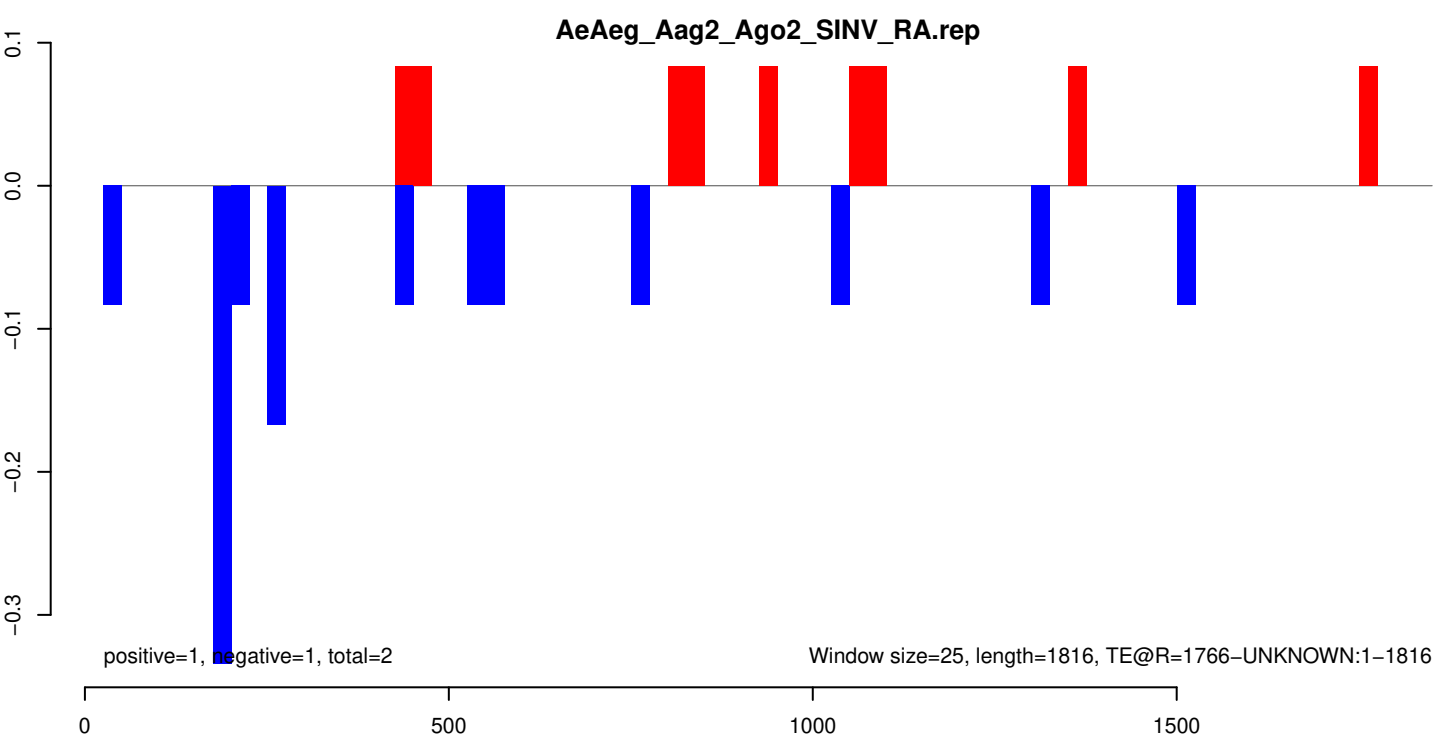
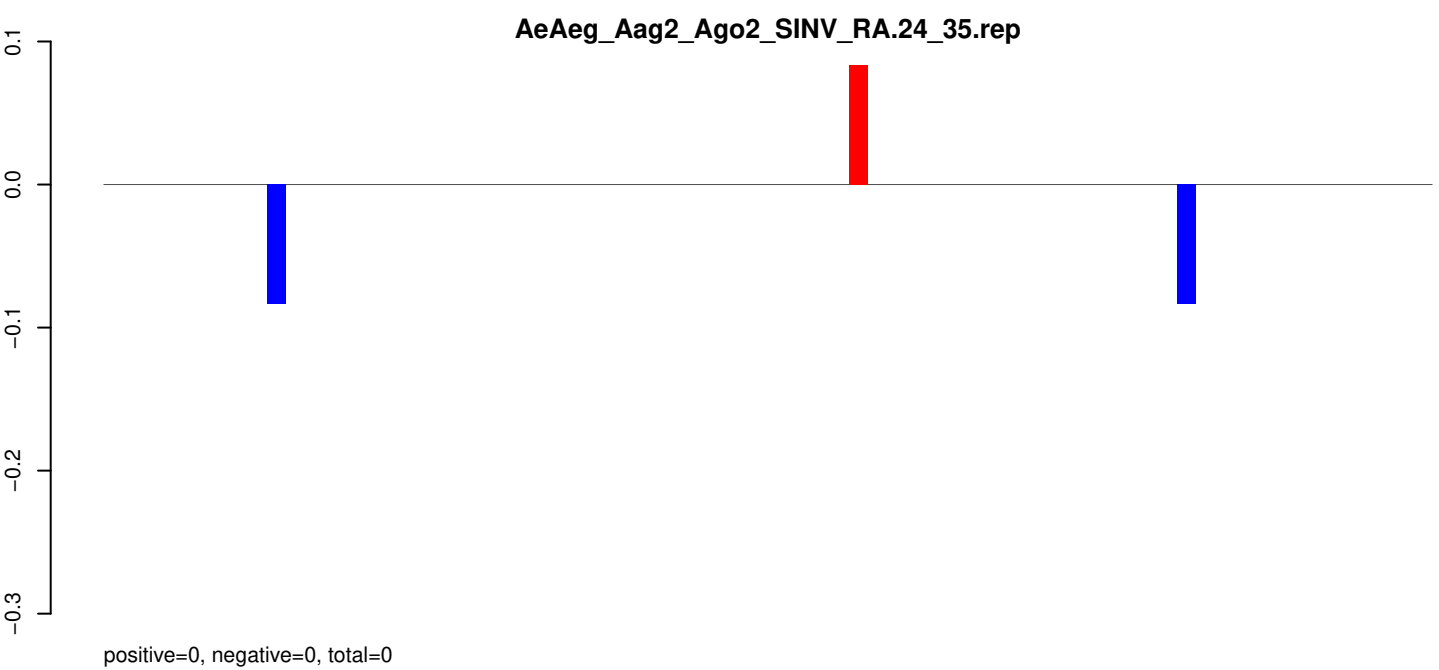
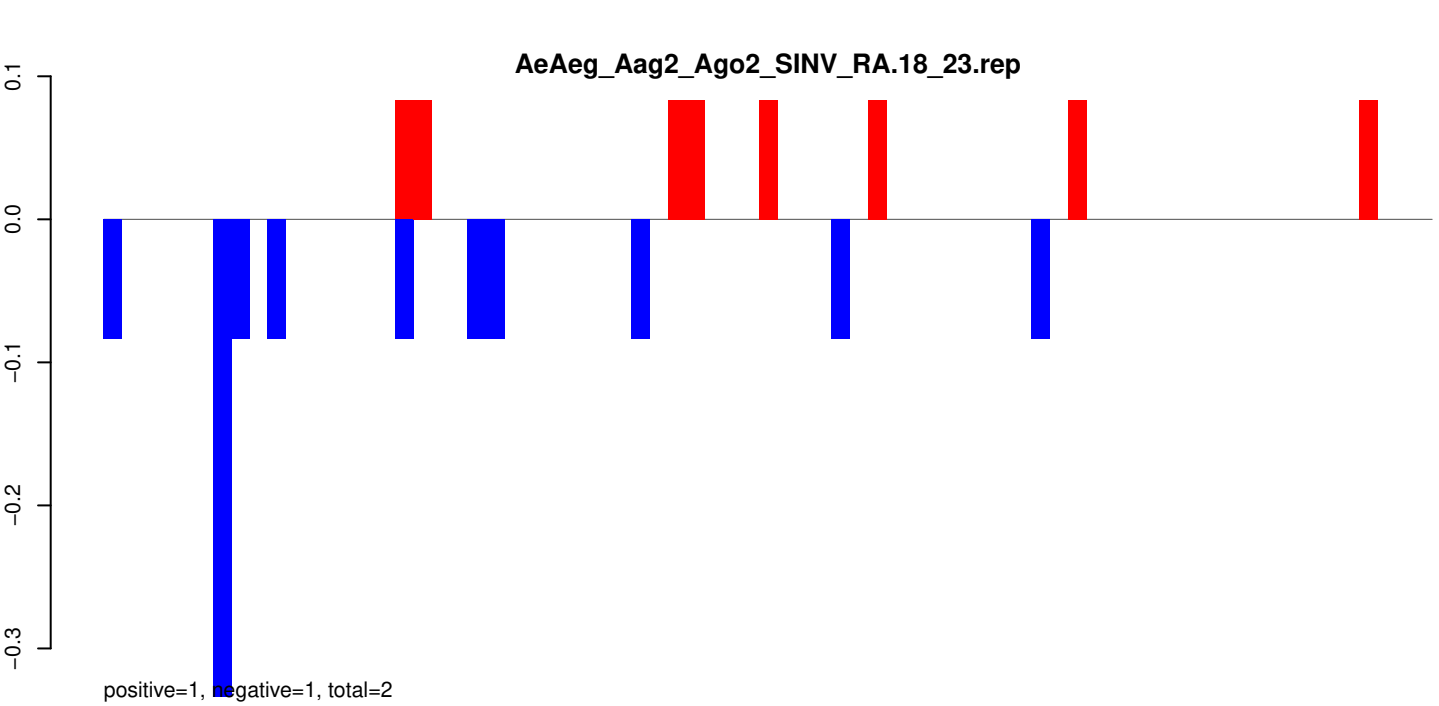


AeAeg_Aag2_Ago2_SINV_RA.24_35.rep

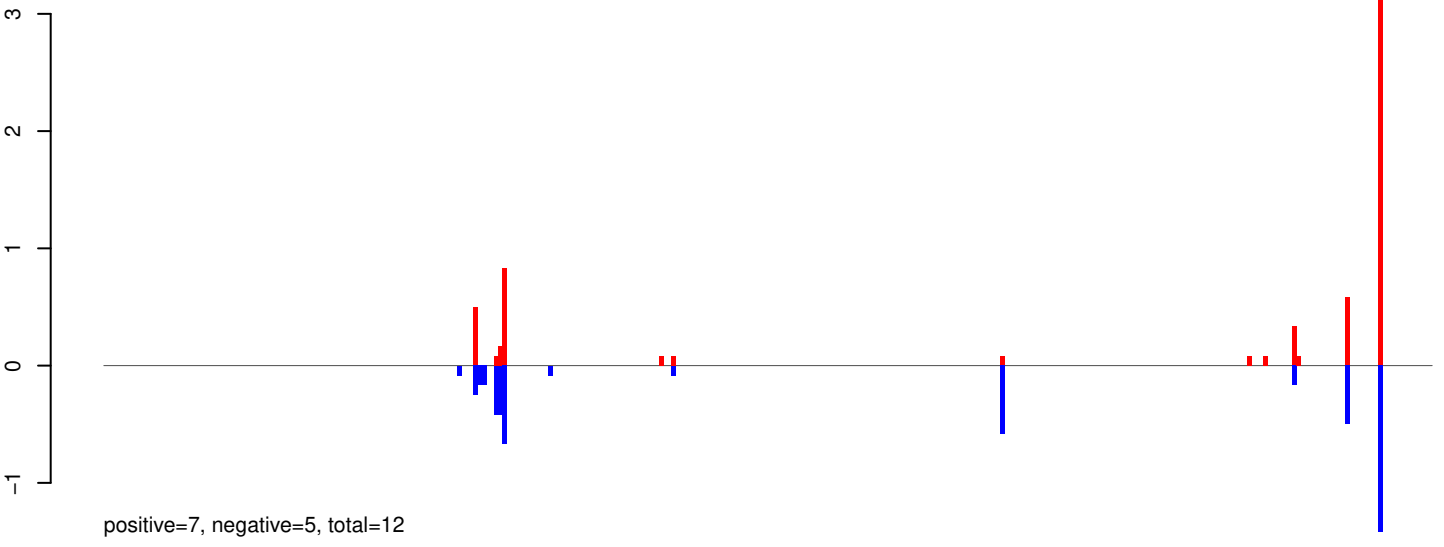


AeAeg_Aag2_Ago2_SINV_RA.rep

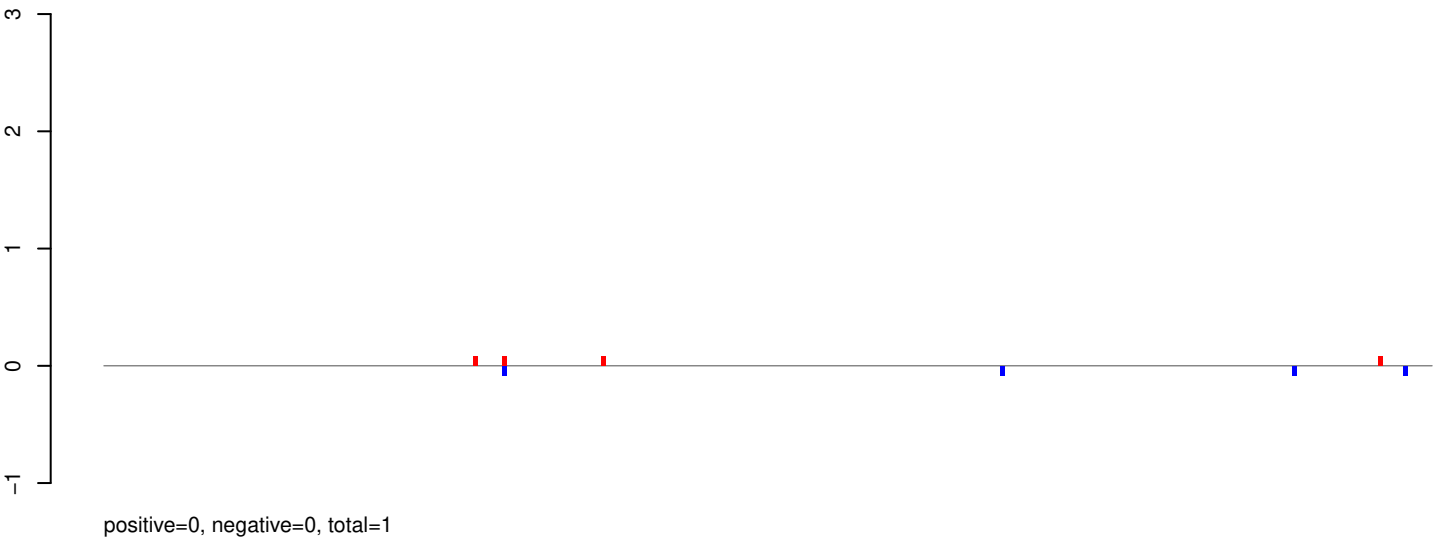




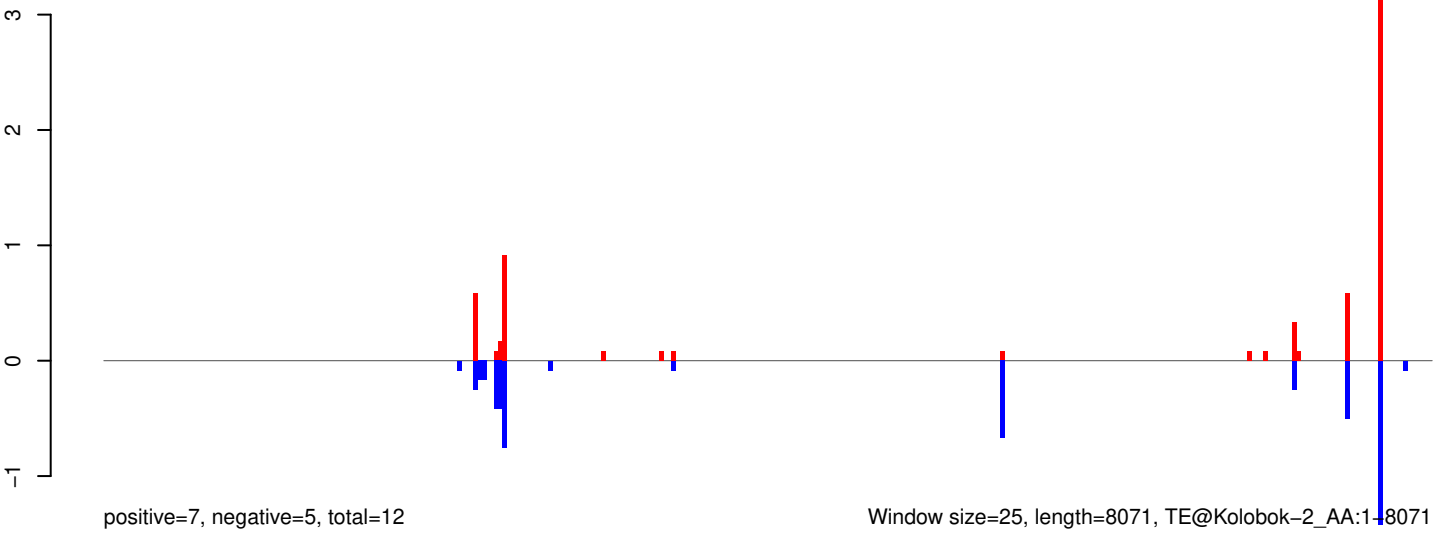
AeAeg_Aag2_Ago2_SINV_RA.18_23.rep



AeAeg_Aag2_Ago2_SINV_RA.24_35.rep



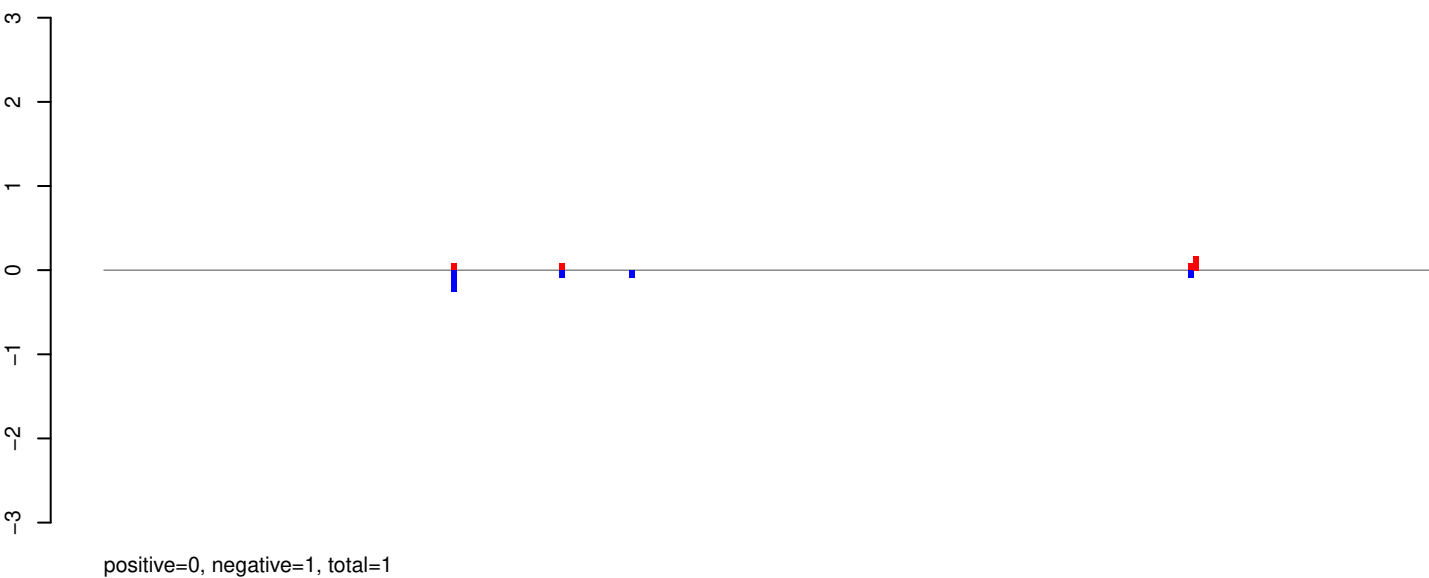
AeAeg_Aag2_Ago2_SINV_RA.rep



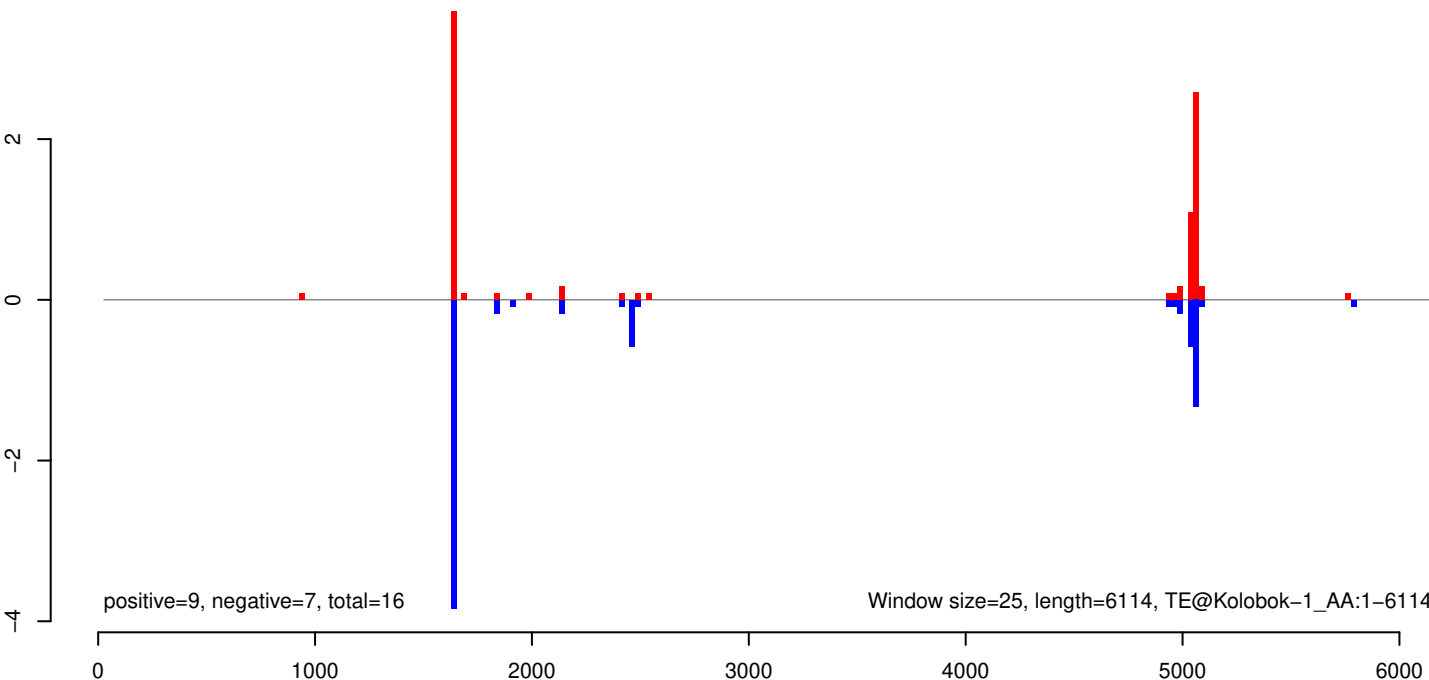
AeAeg_Aag2_Ago2_SINV_RA.18_23.rep



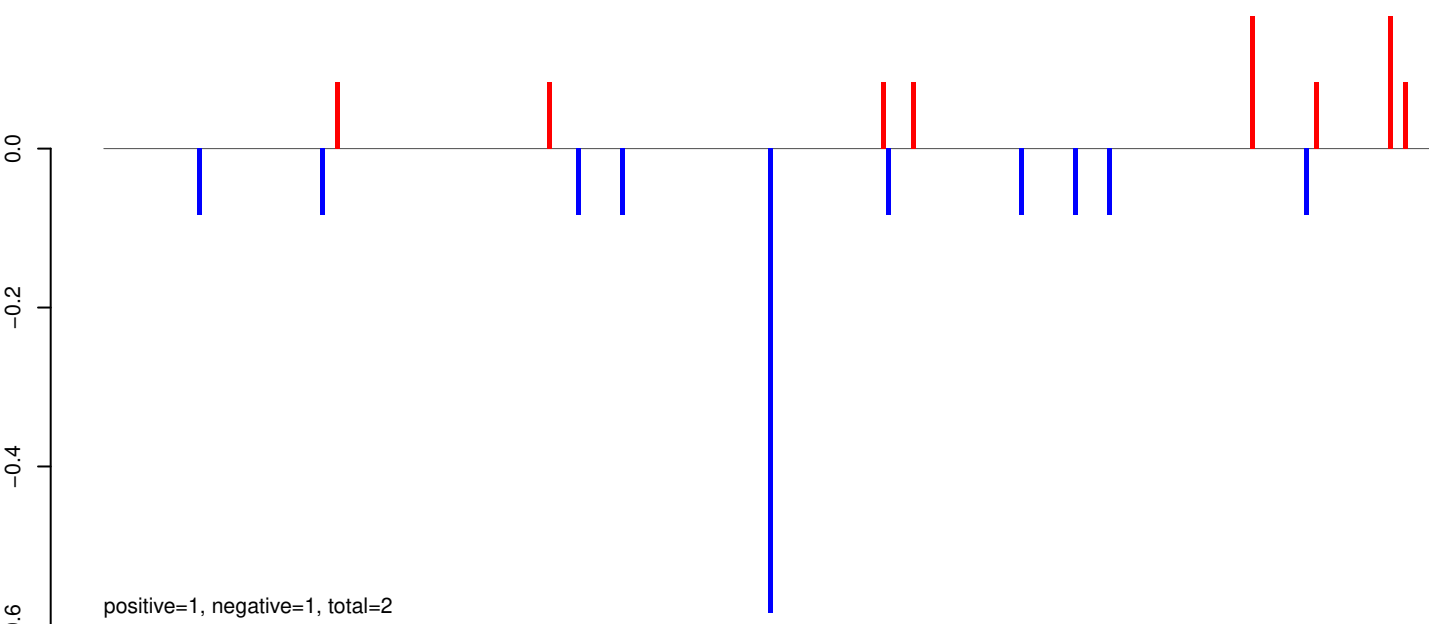
AeAeg_Aag2_Ago2_SINV_RA.24_35.rep



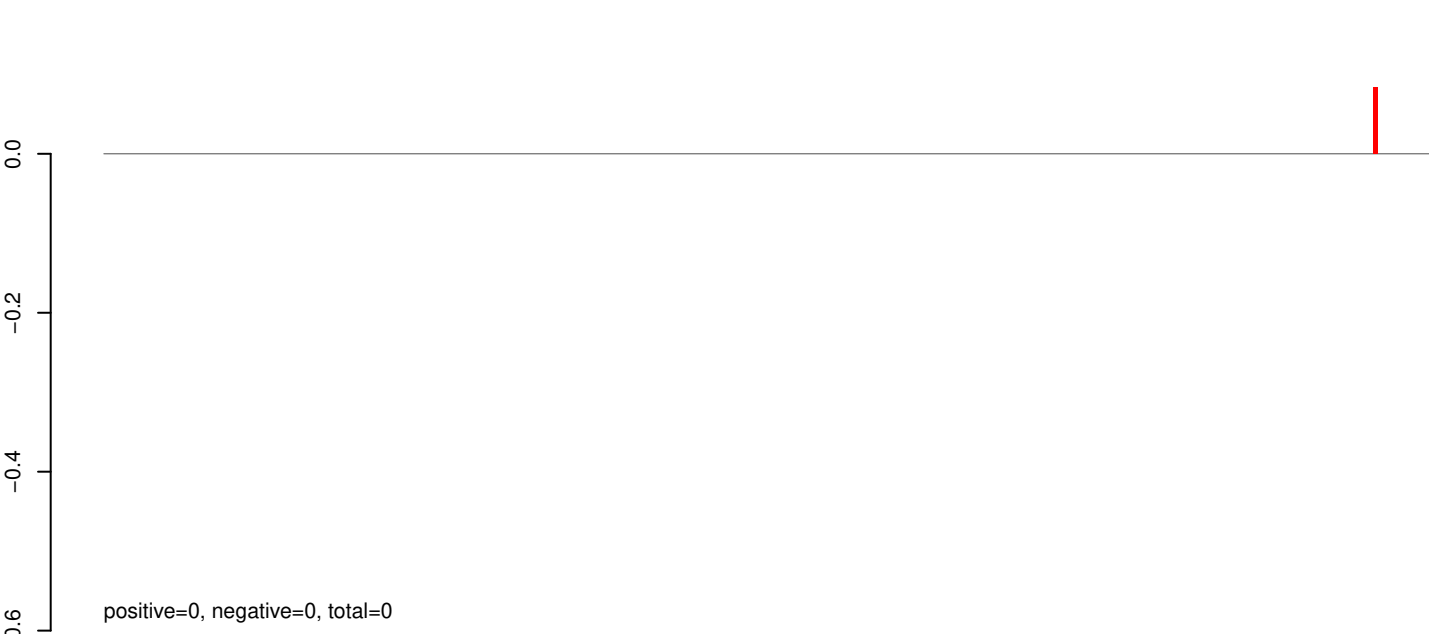
AeAeg_Aag2_Ago2_SINV_RA.rep



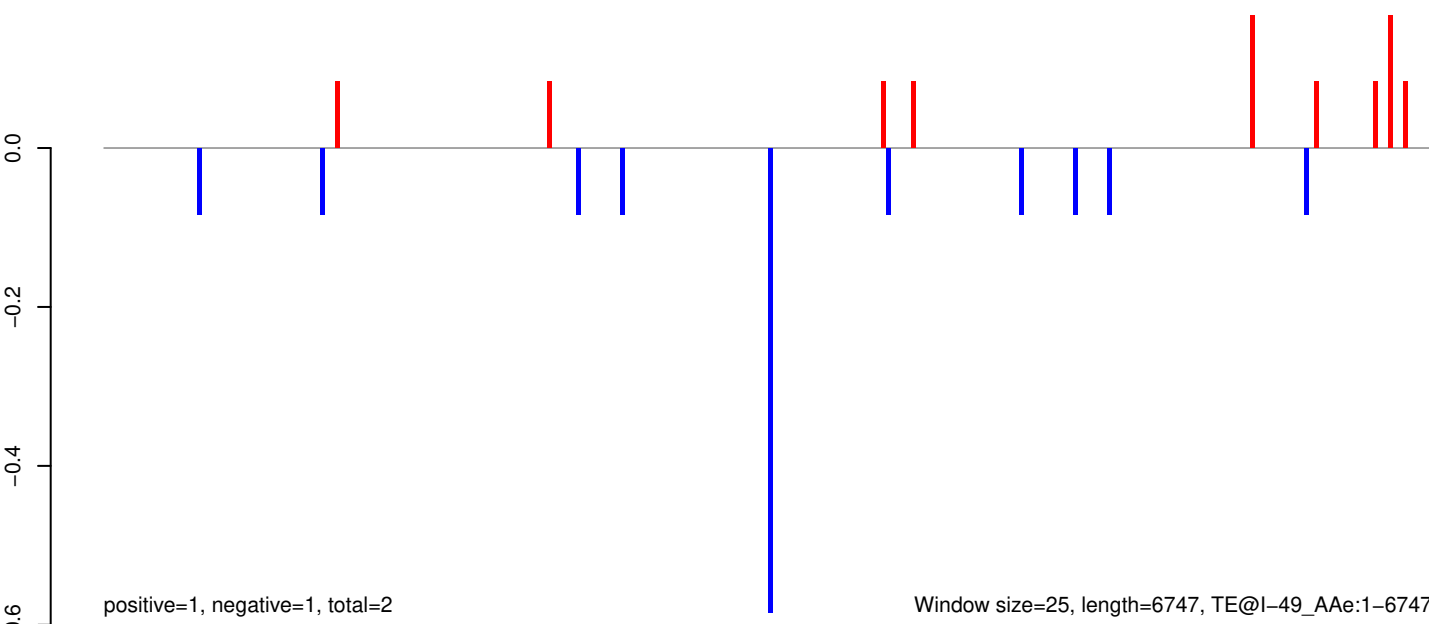
AeAeg_Aag2_Ago2_SINV_RA.18_23.rep



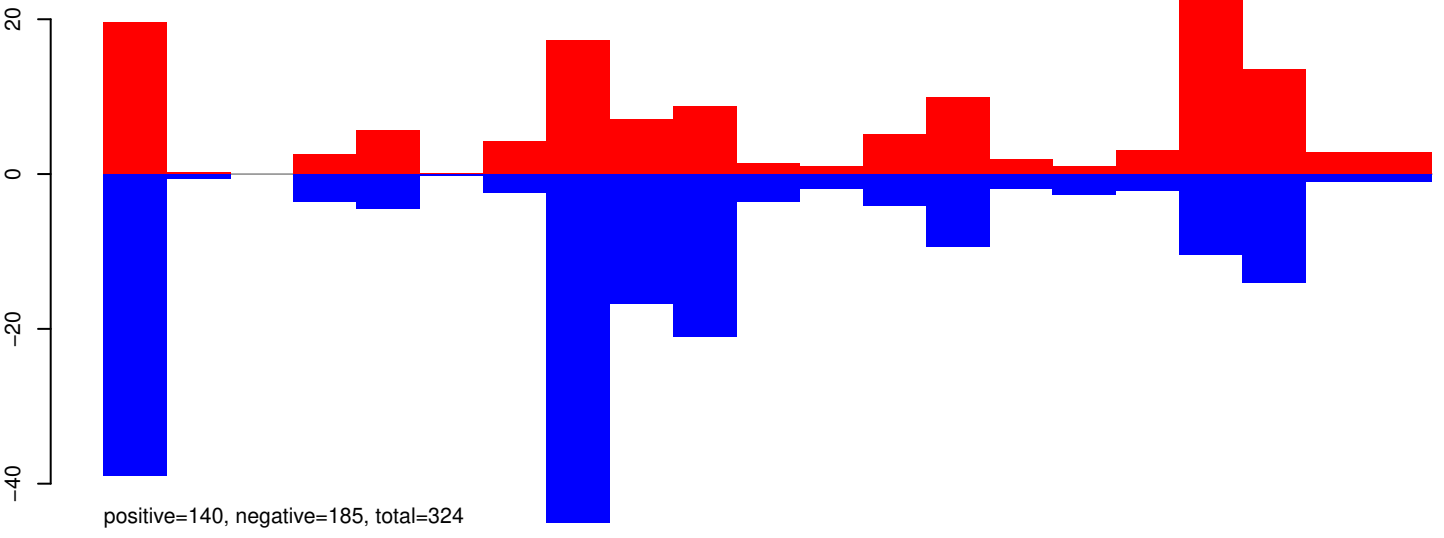
AeAeg_Aag2_Ago2_SINV_RA.24_35.rep



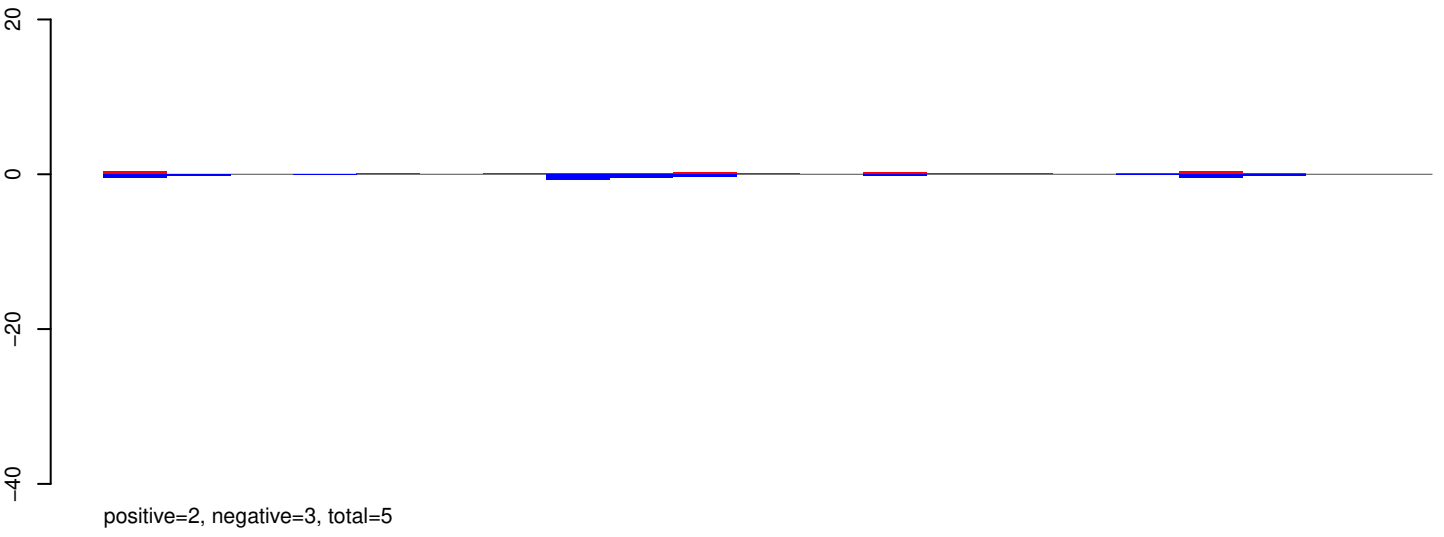
AeAeg_Aag2_Ago2_SINV_RA.rep



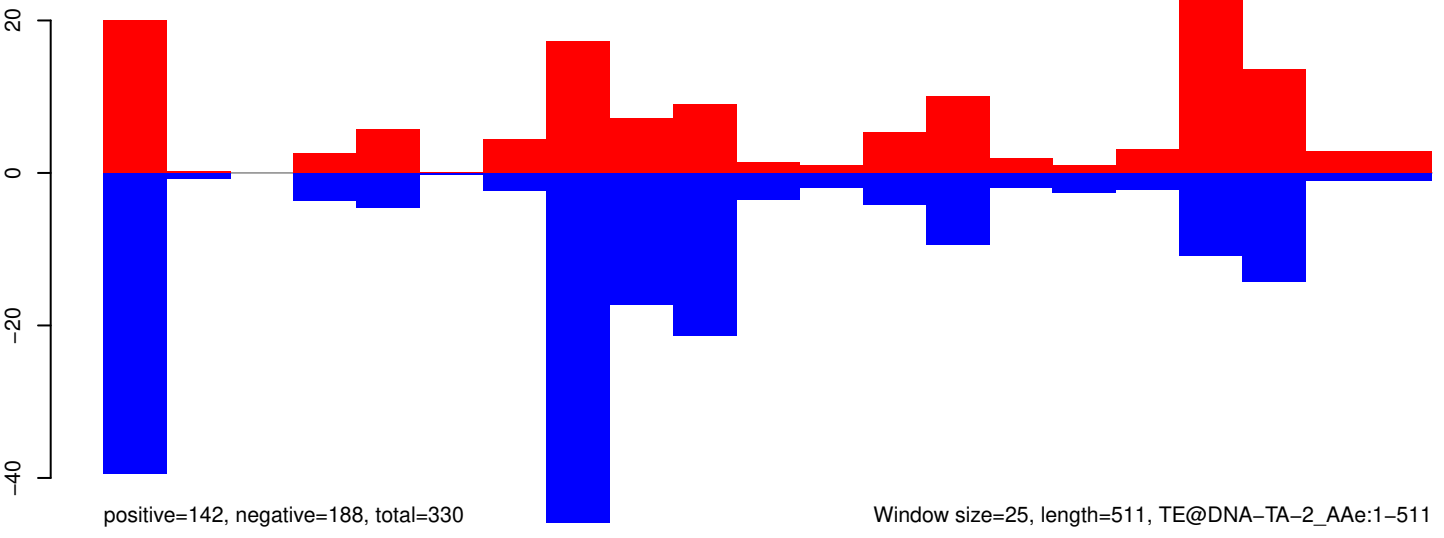
AeAeg_Aag2_Ago2_SINV_RA.18_23.rep



AeAeg_Aag2_Ago2_SINV_RA.24_35.rep

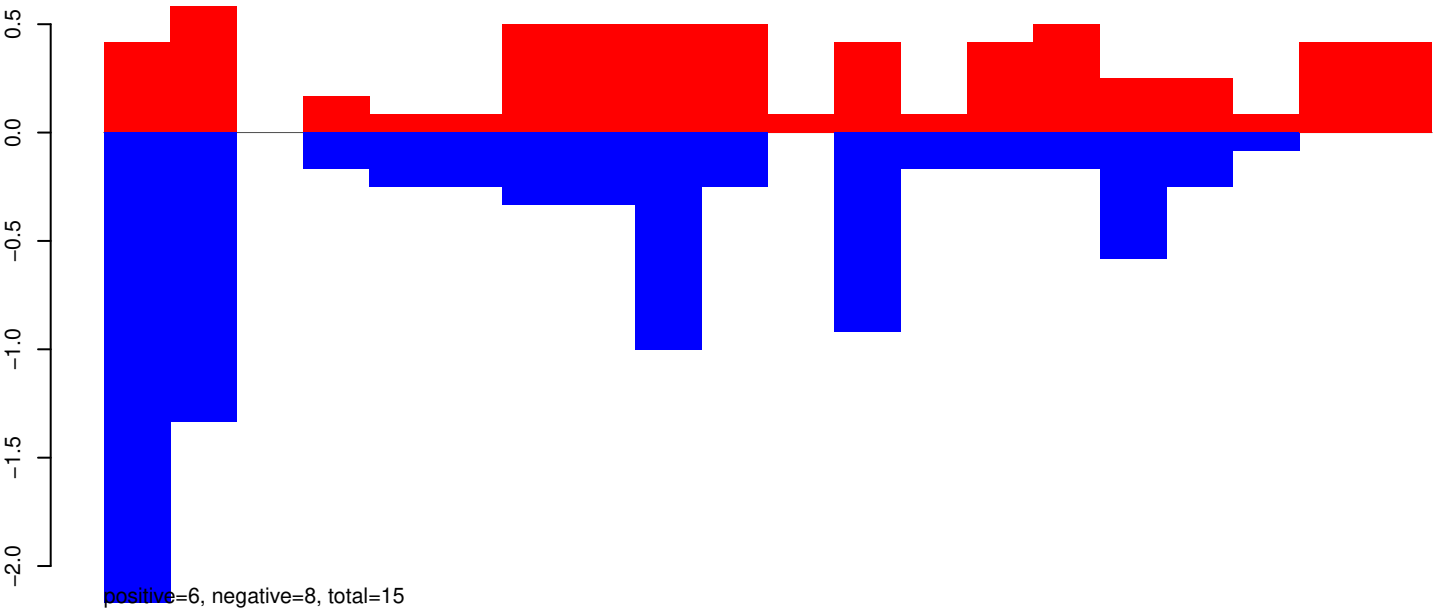


AeAeg_Aag2_Ago2_SINV_RA.rep

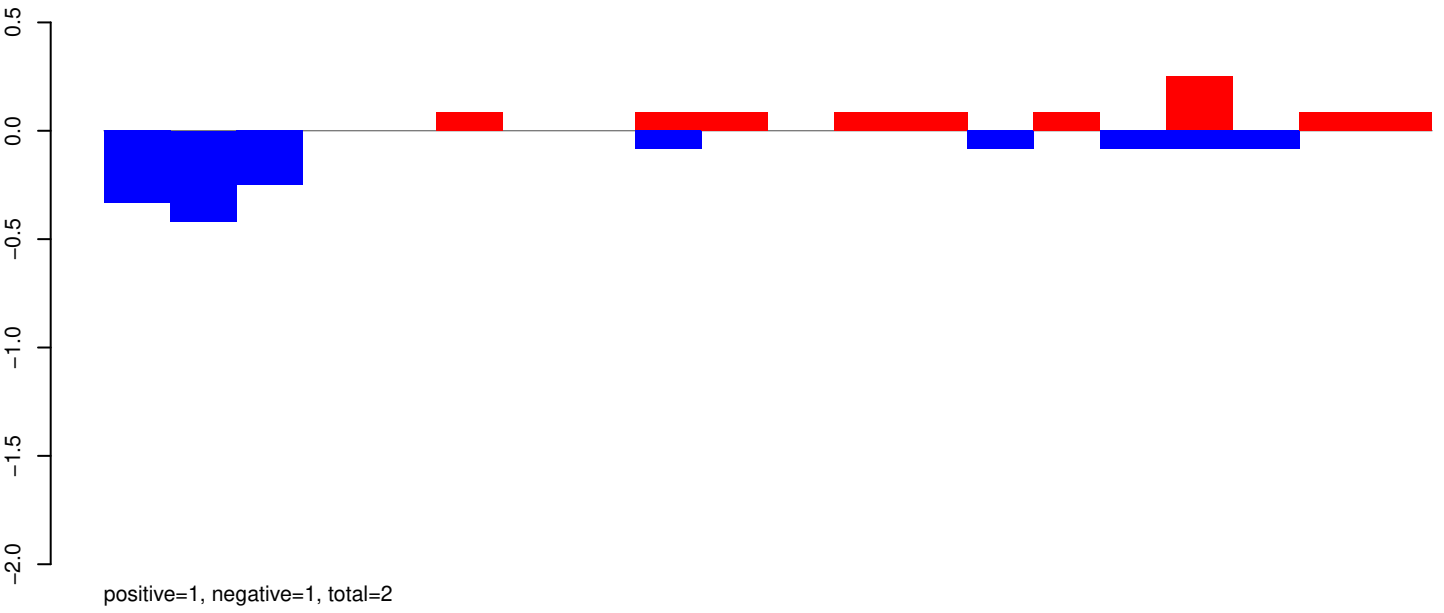


Window size=25, length=511, TE@DNA-TA-2_Ae:1-511

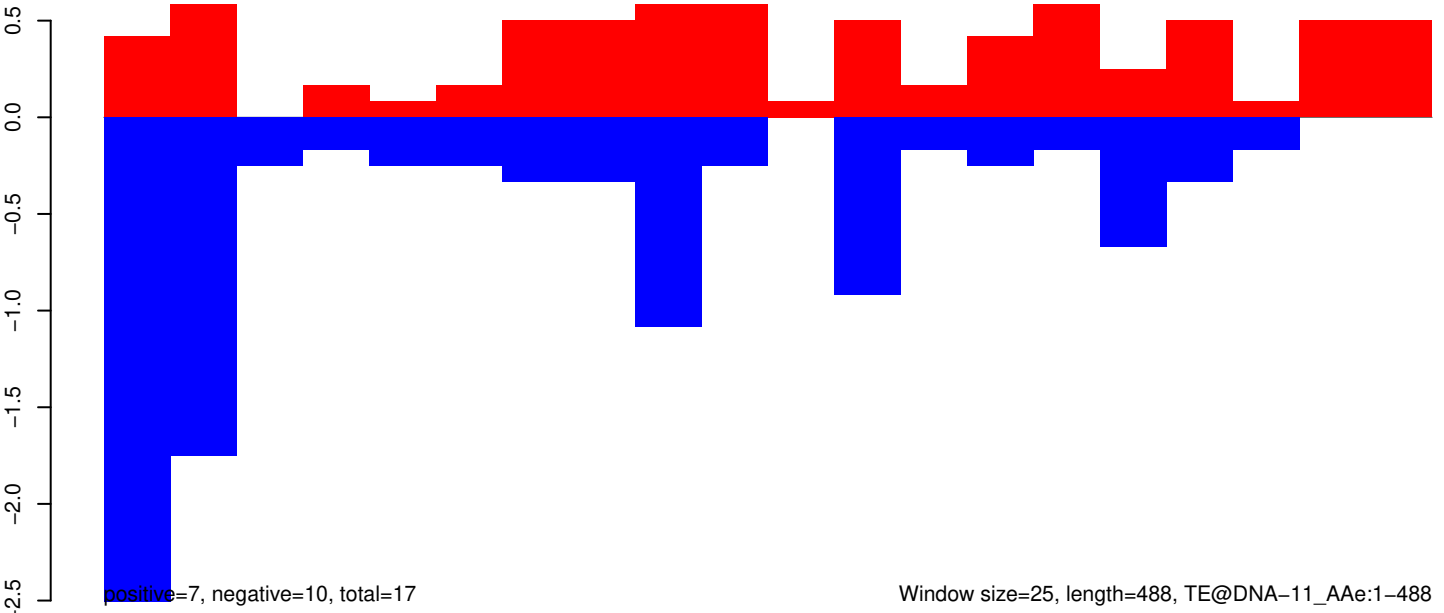
AeAeg_Aag2_Ago2_SINV_RA.18_23.rep



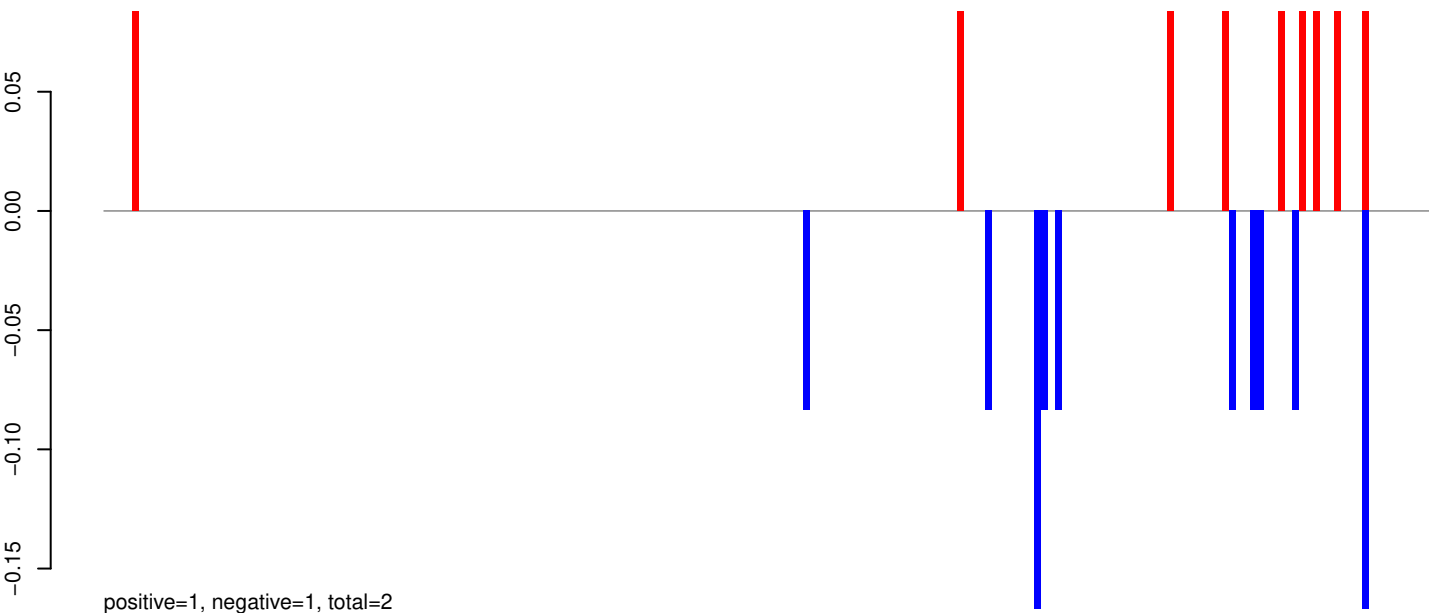
AeAeg_Aag2_Ago2_SINV_RA.24_35.rep



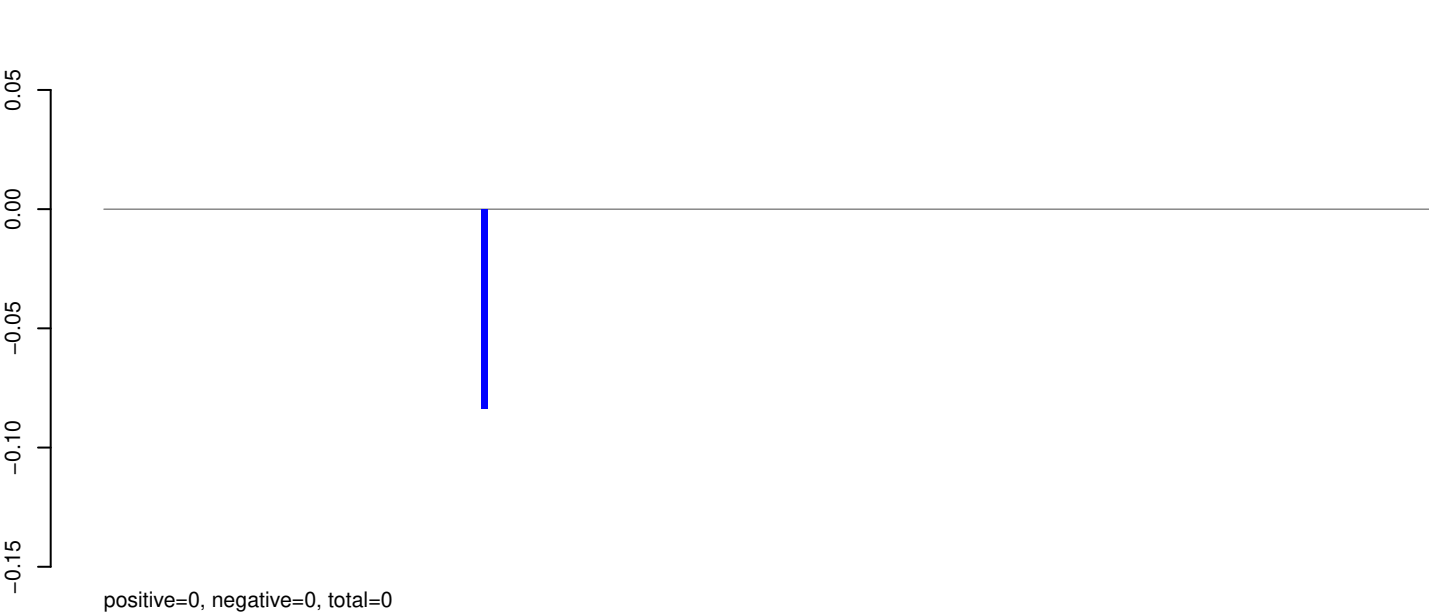
AeAeg_Aag2_Ago2_SINV_RA.rep



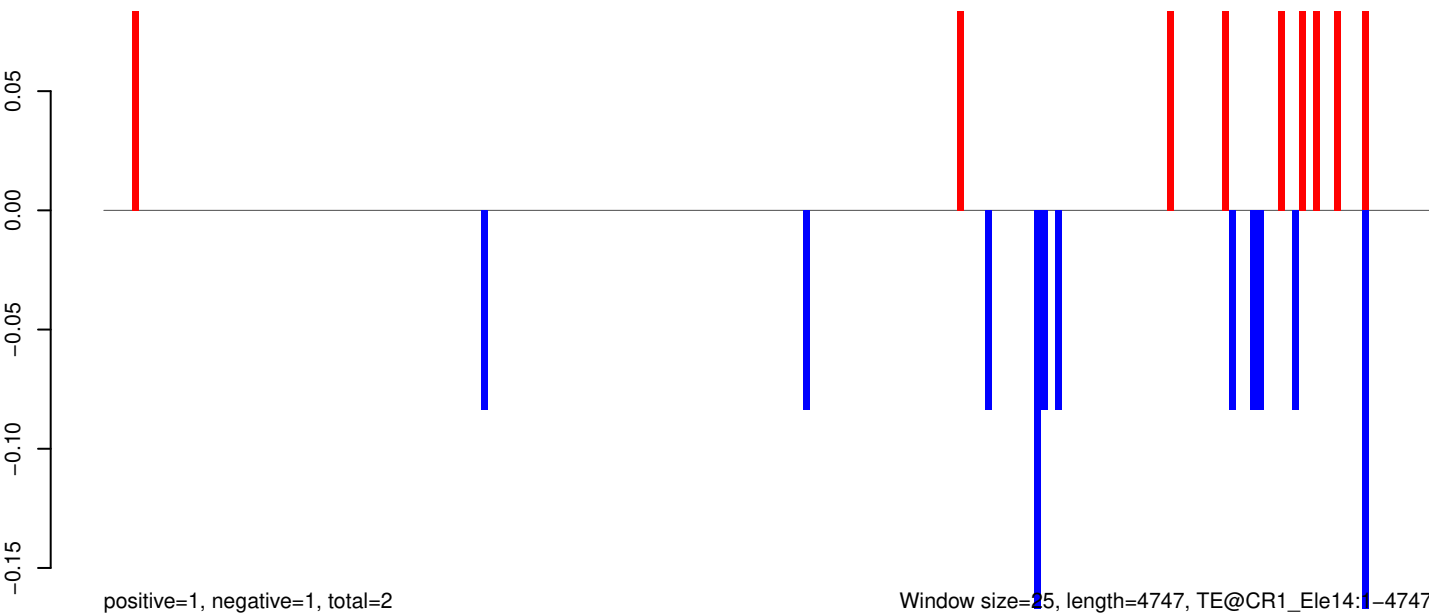
AeAeg_Aag2_Ago2_SINV_RA.18_23.rep



AeAeg_Aag2_Ago2_SINV_RA.24_35.rep



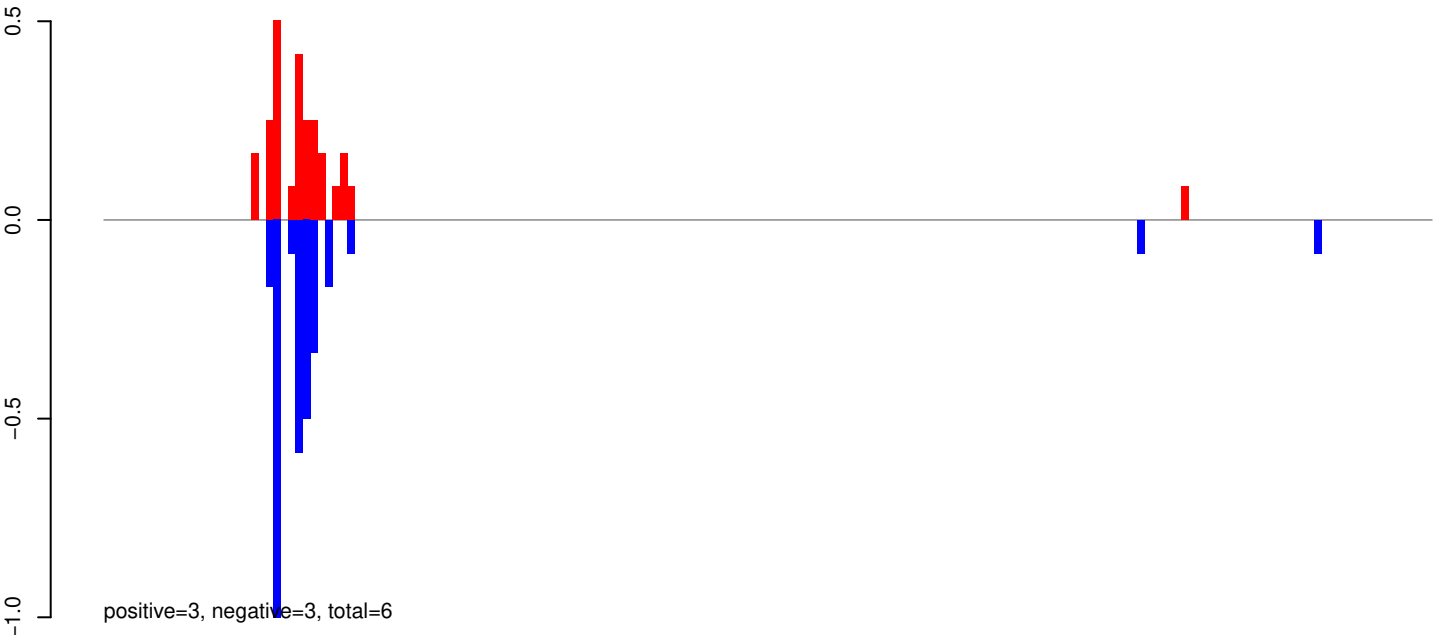
AeAeg_Aag2_Ago2_SINV_RA.rep



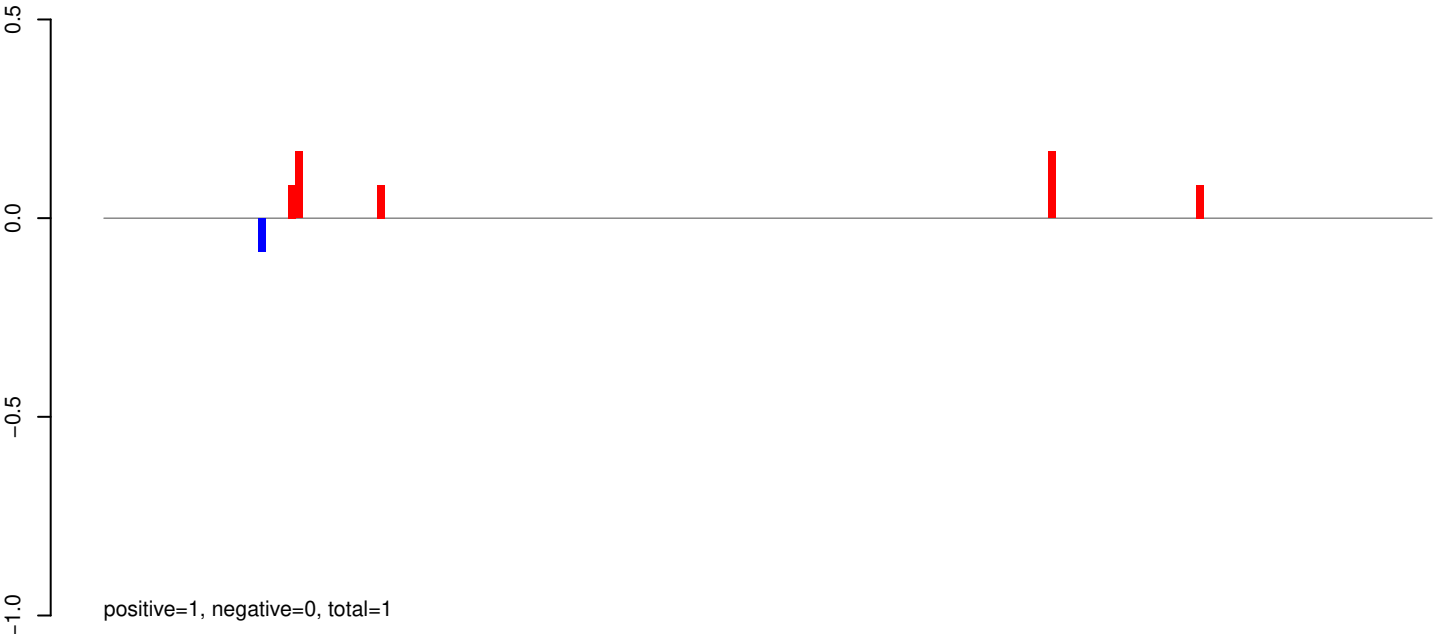
Window size=25, length=4747, TE@CR1_Ele14:1-4747



AeAeg_Aag2_Ago2_SINV_RA.18_23.rep



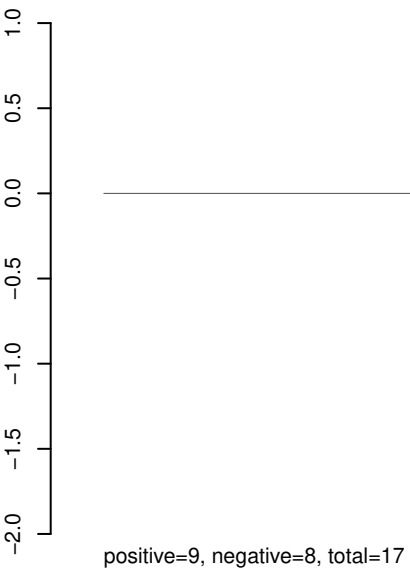
AeAeg_Aag2_Ago2_SINV_RA.24_35.rep



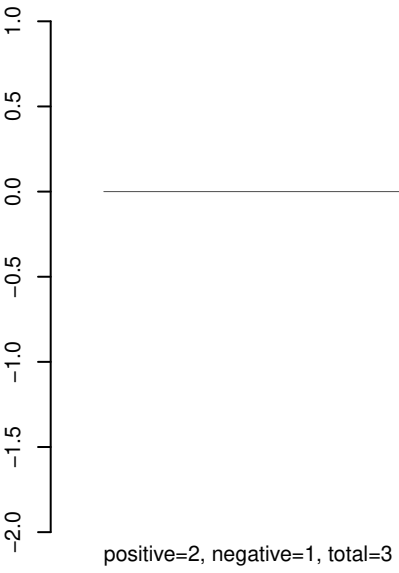
AeAeg_Aag2_Ago2_SINV_RA.rep



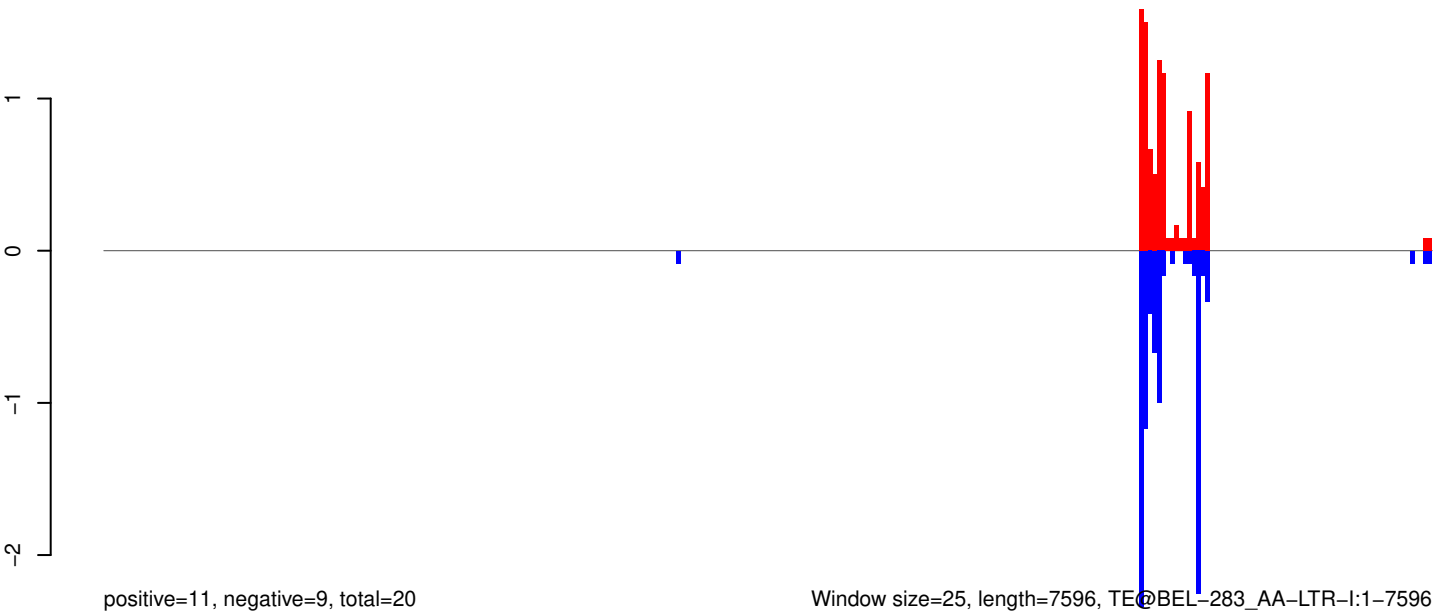
AeAeg_Aag2_Ago2_SINV_RA.18_23.rep



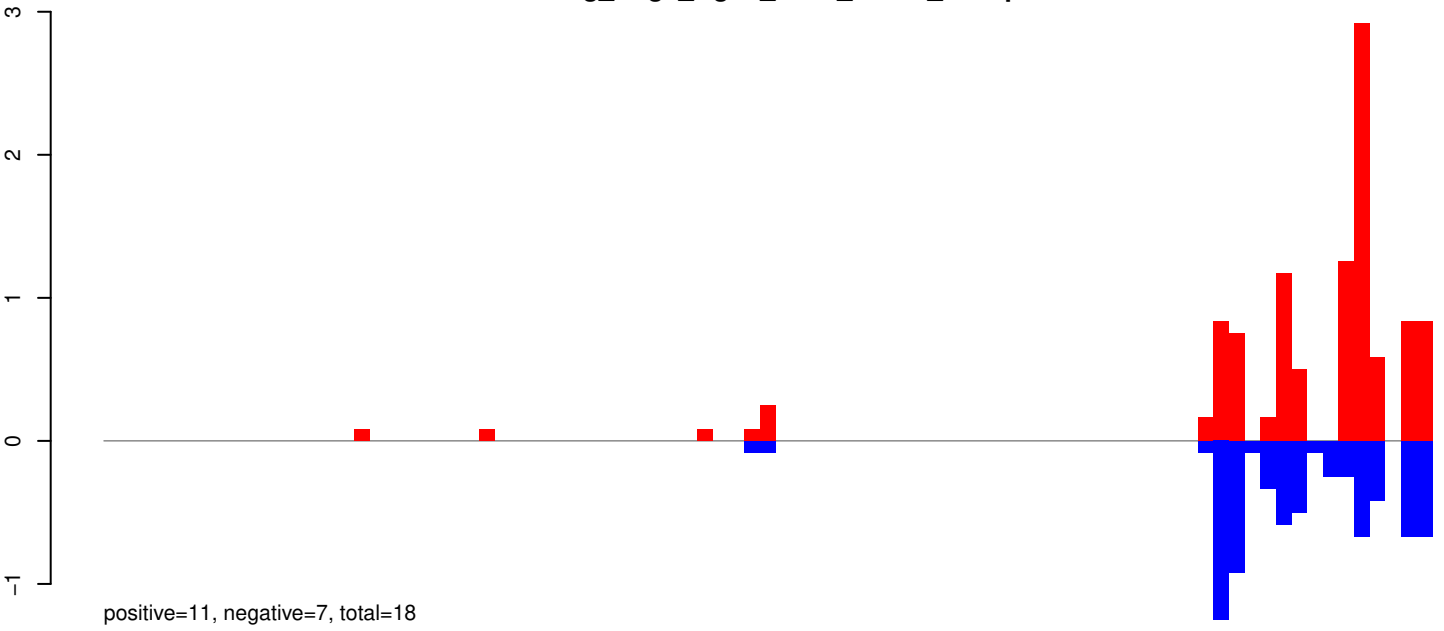
AeAeg_Aag2_Ago2_SINV_RA.24_35.rep



AeAeg_Aag2_Ago2_SINV_RA.rep



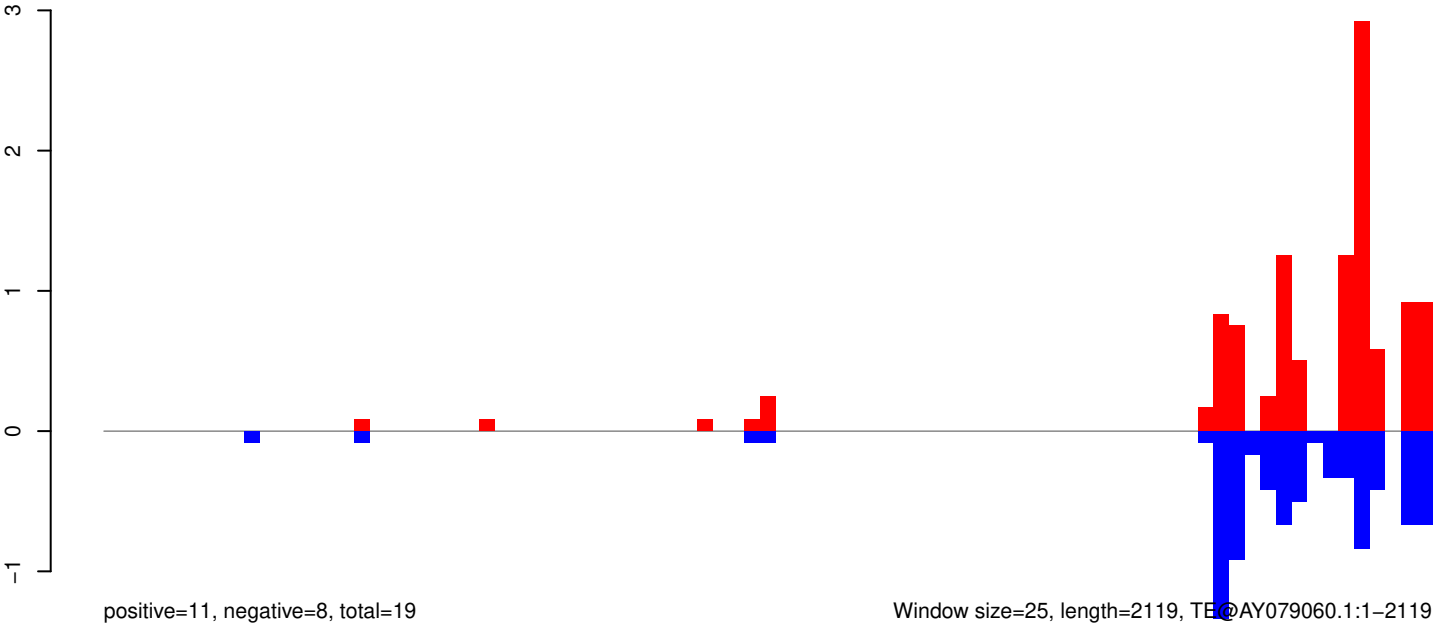
AeAeg_Aag2_Ago2_SINV_RA.18_23.rep



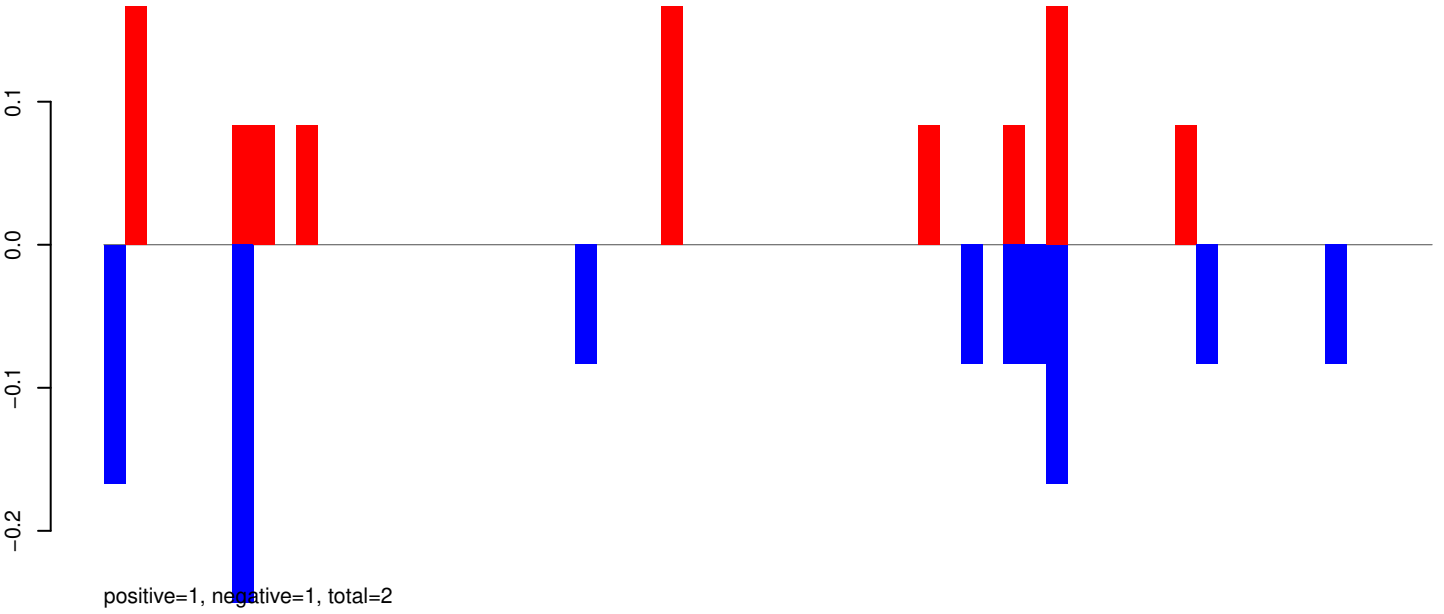
AeAeg_Aag2_Ago2_SINV_RA.24_35.rep



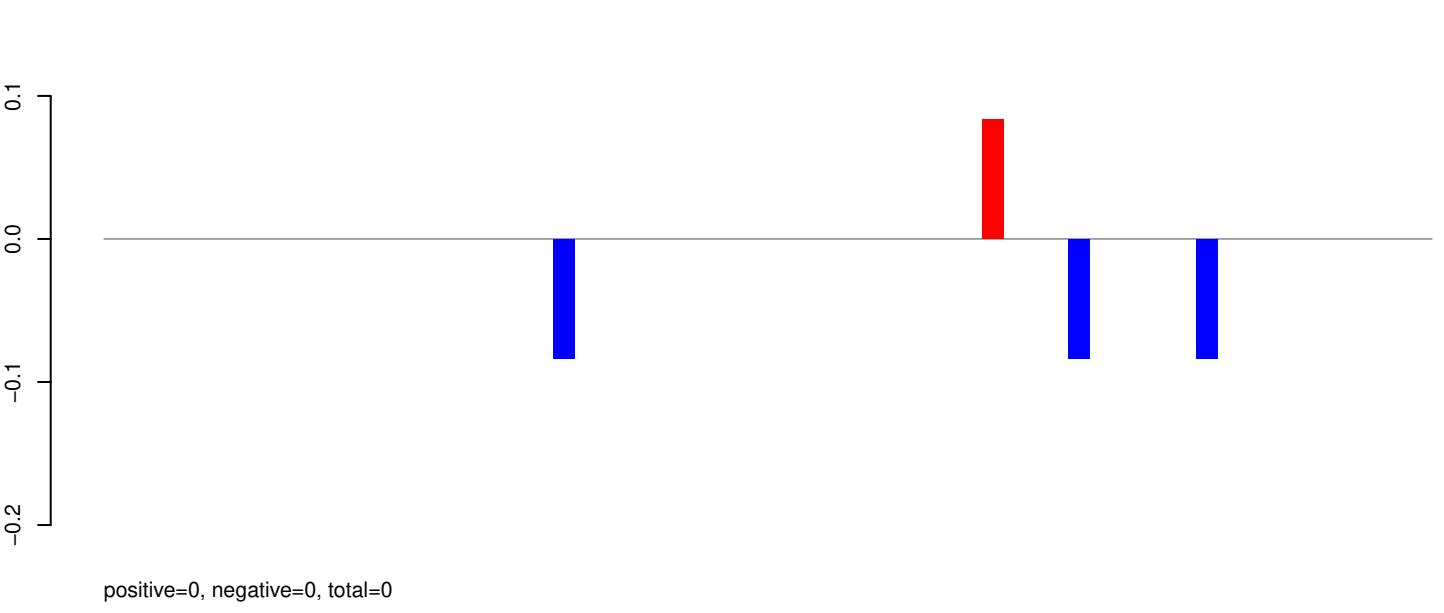
AeAeg_Aag2_Ago2_SINV_RA.rep



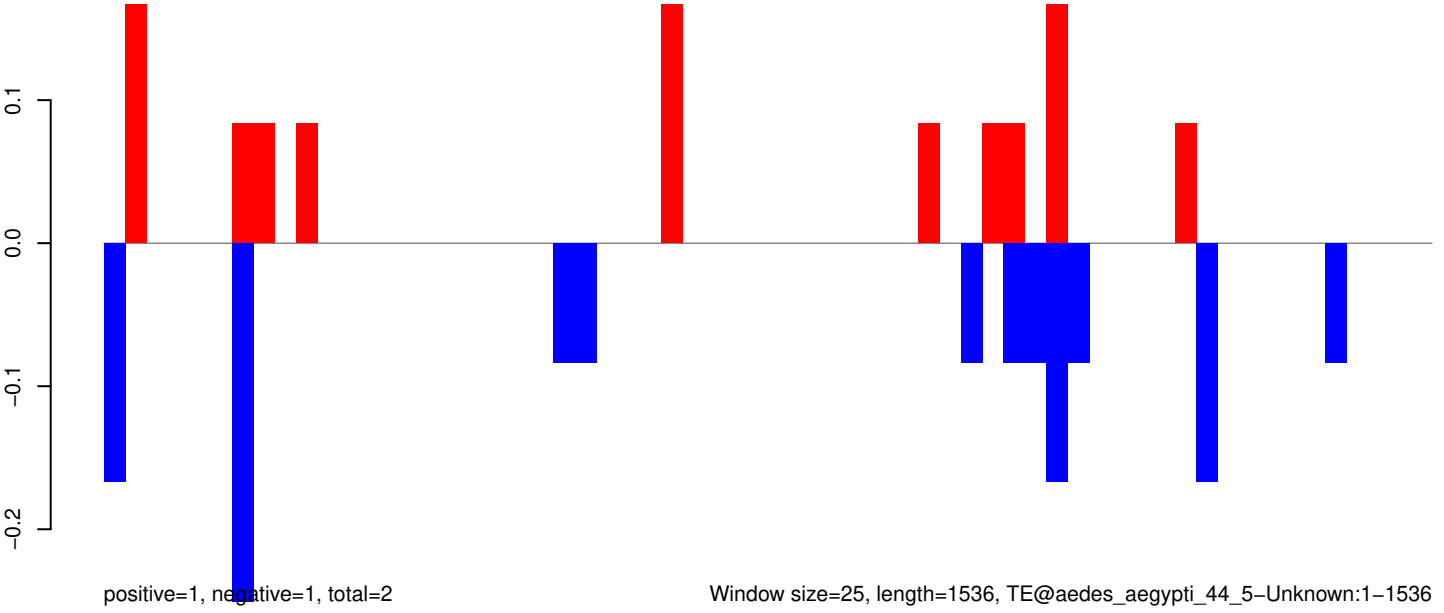
AeAeg_Aag2_Ago2_SINV_RA.18_23.rep



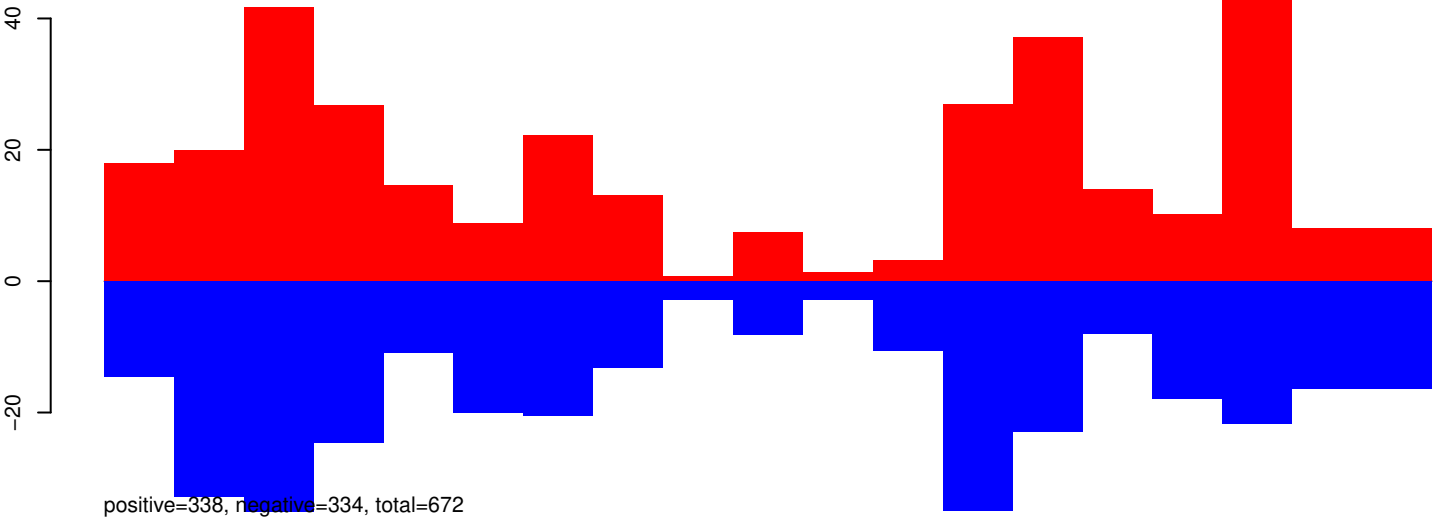
AeAeg_Aag2_Ago2_SINV_RA.24_35.rep



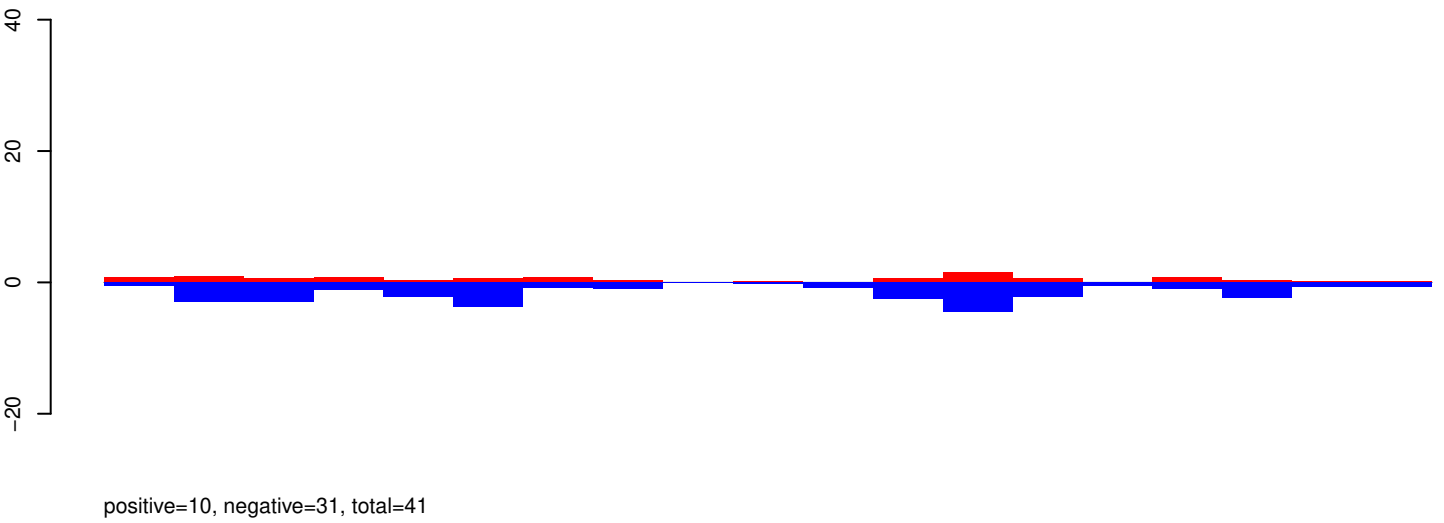
AeAeg_Aag2_Ago2_SINV_RA.rep



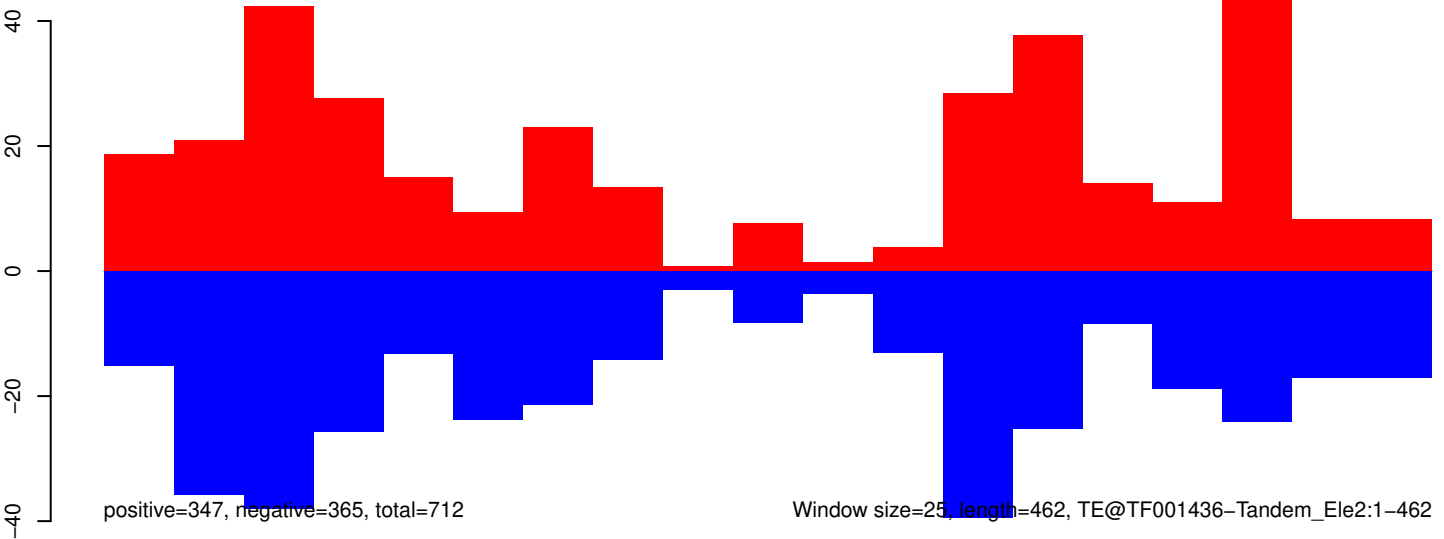
AeAeg_Aag2_Ago2_SINV_RA.18_23.rep



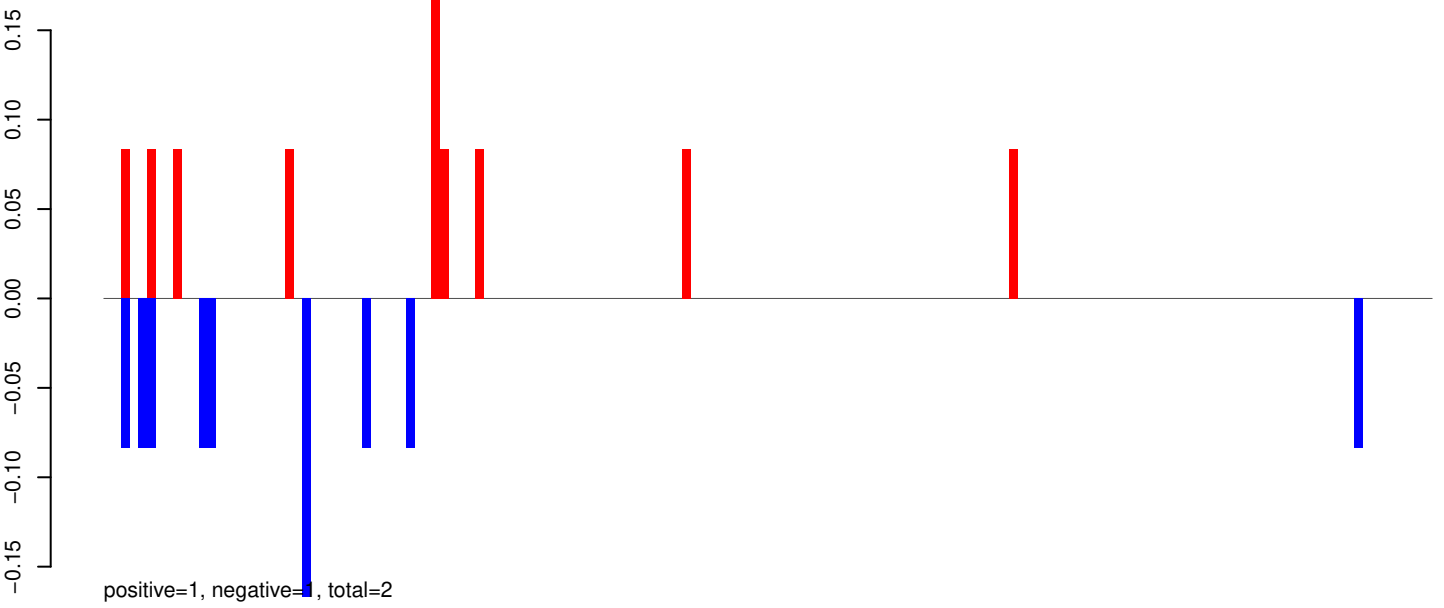
AeAeg_Aag2_Ago2_SINV_RA.24_35.rep



AeAeg_Aag2_Ago2_SINV_RA.rep



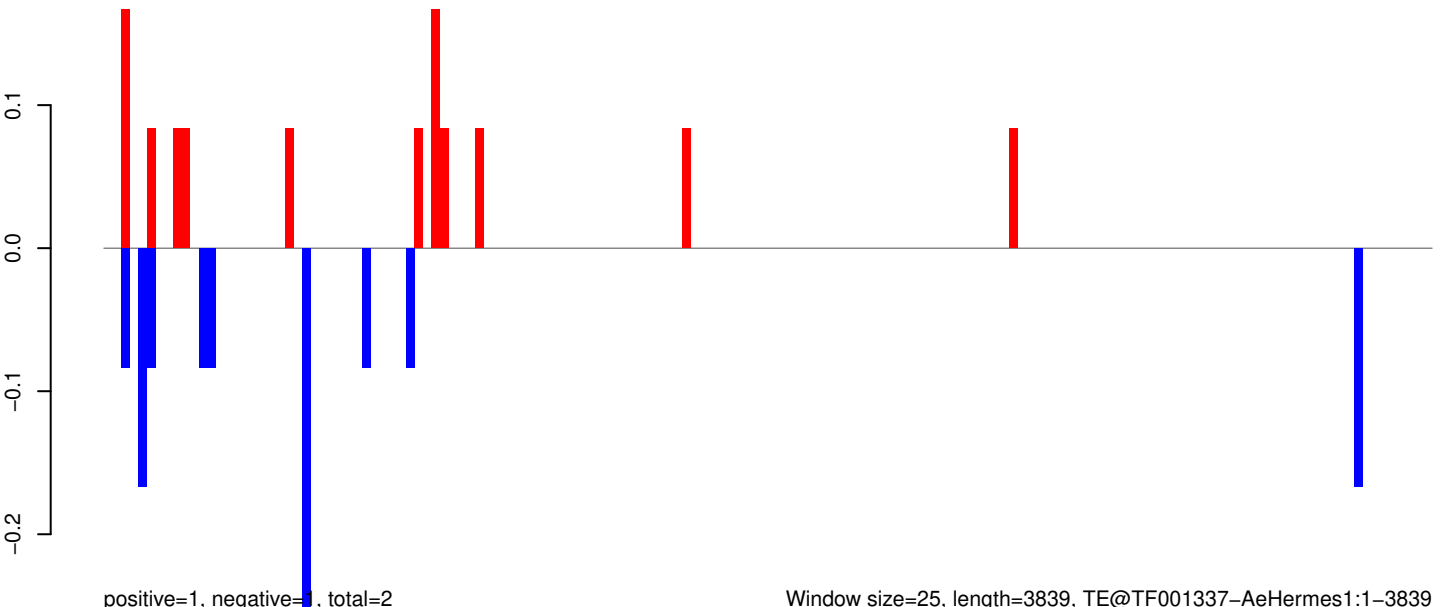
AeAeg_Aag2_Ago2_SINV_RA.18_23.rep



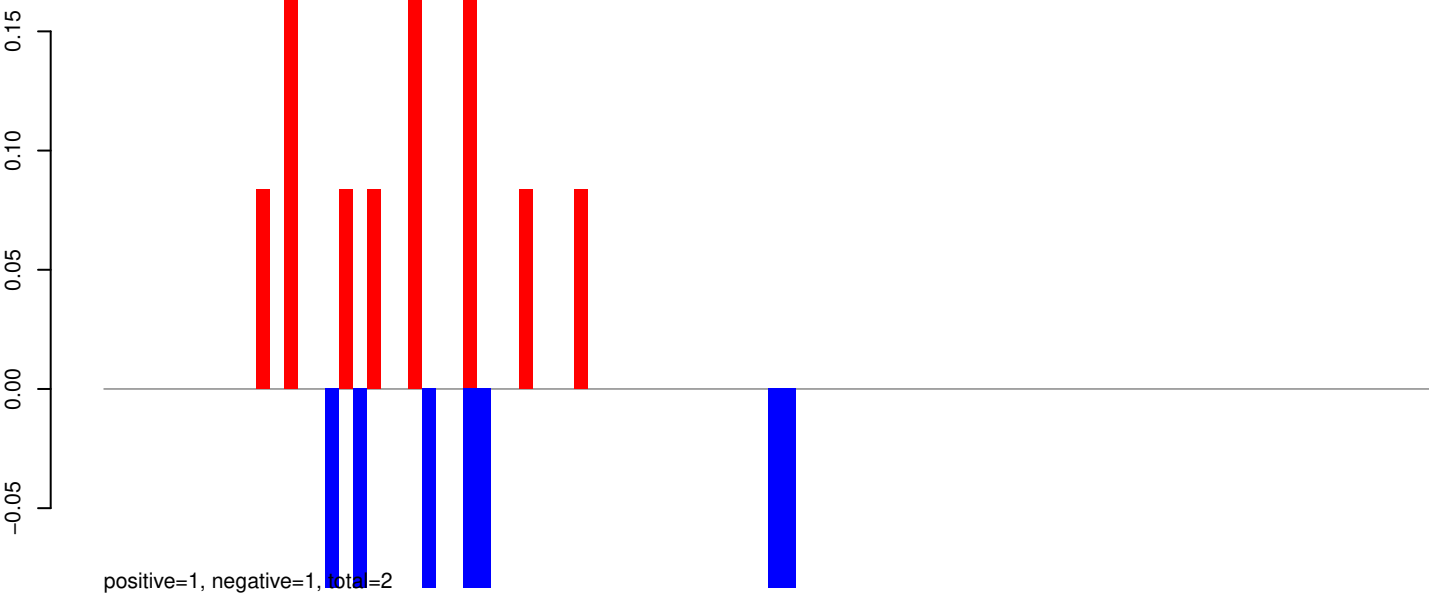
AeAeg_Aag2_Ago2_SINV_RA.24_35.rep



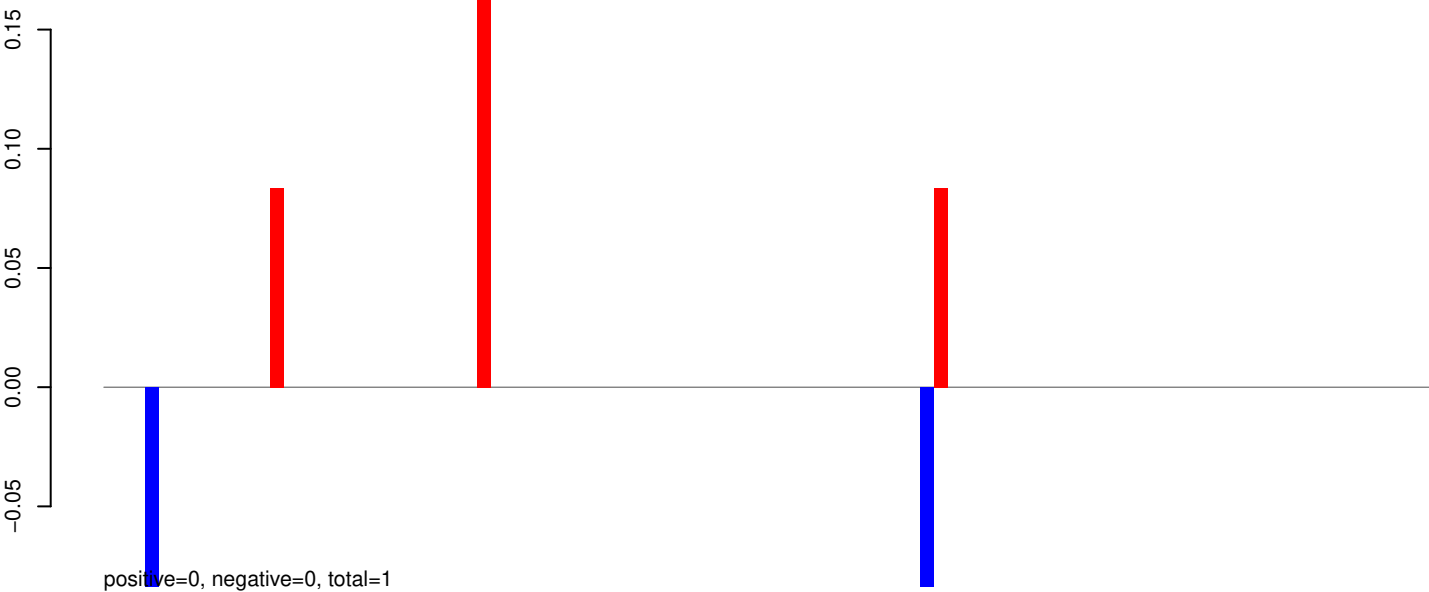
AeAeg_Aag2_Ago2_SINV_RA.rep



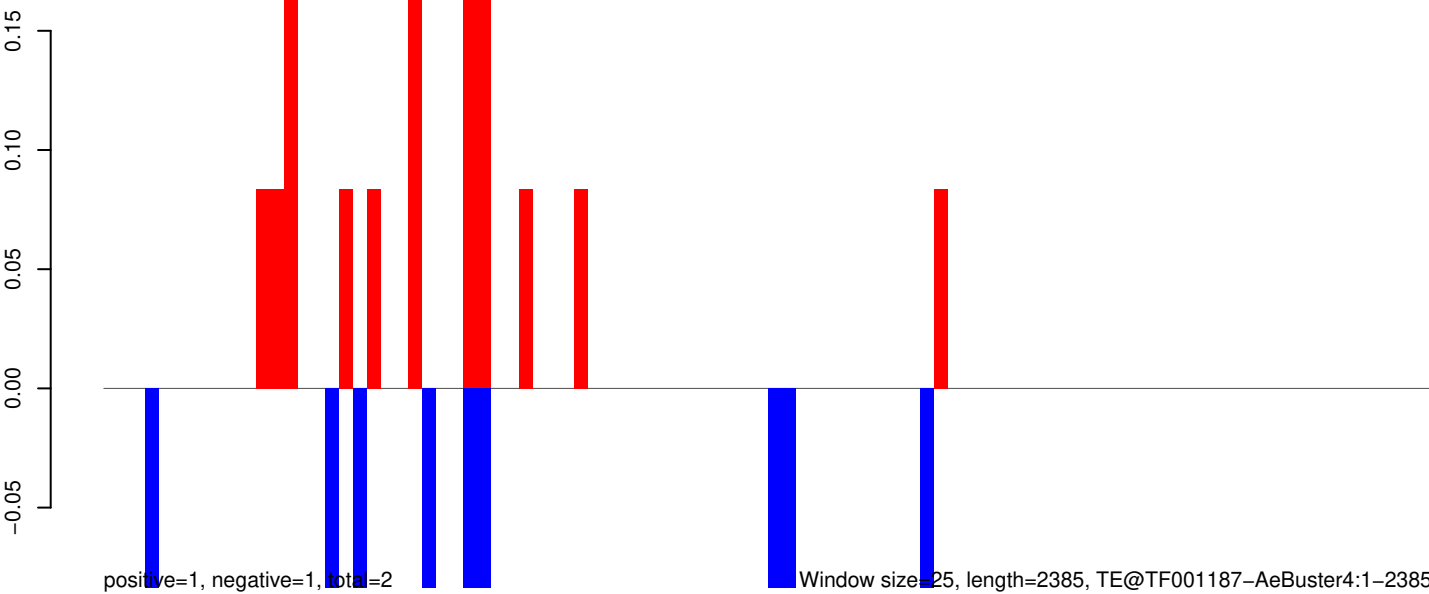
AeAeg_Aag2_Ago2_SINV_RA.18_23.rep



AeAeg_Aag2_Ago2_SINV_RA.24_35.rep



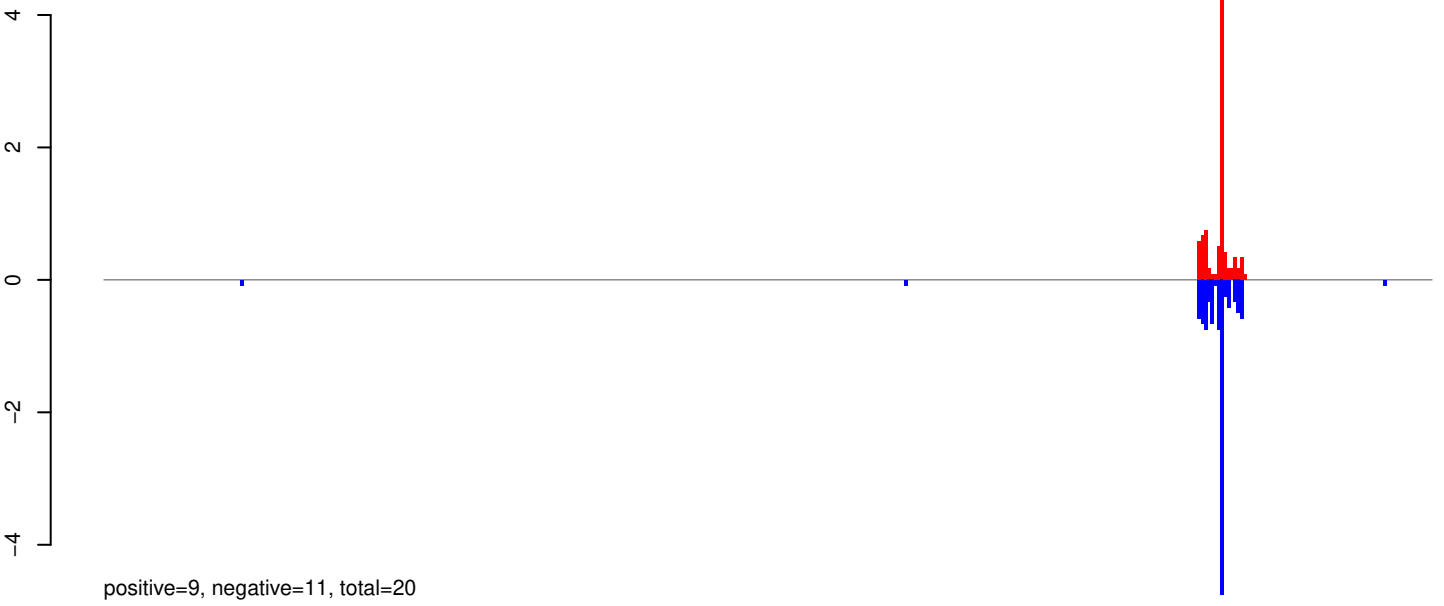
AeAeg_Aag2_Ago2_SINV_RA.rep



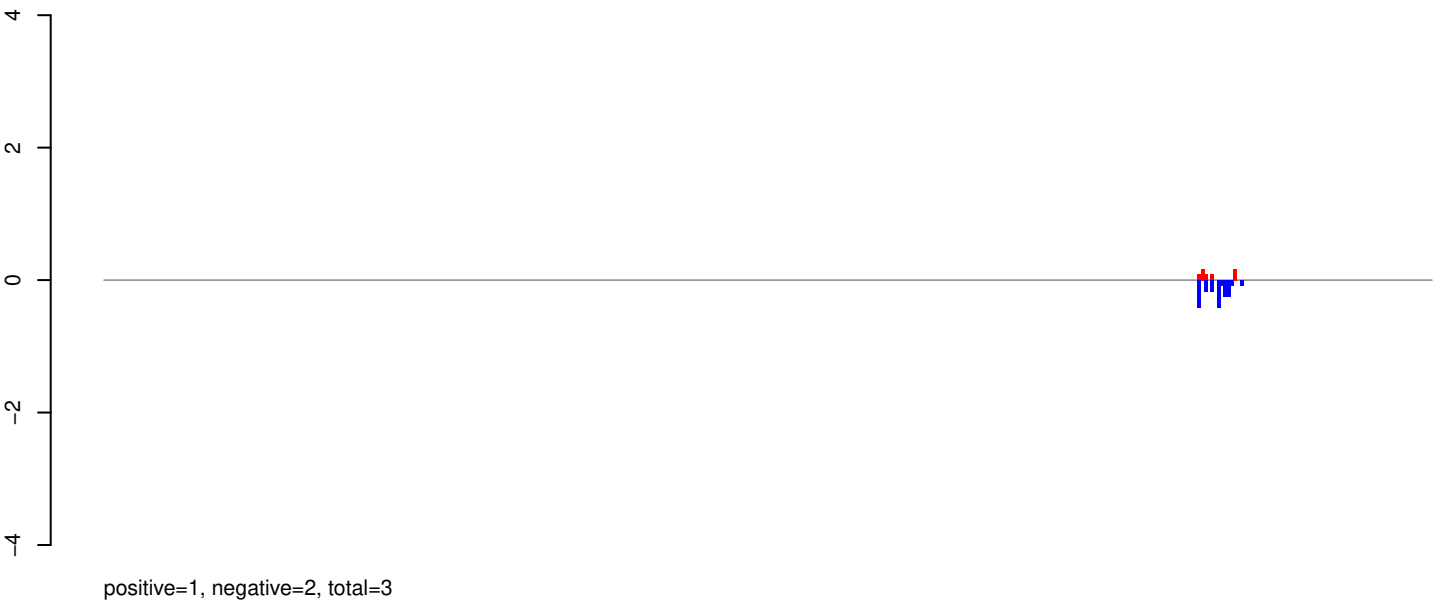
Window size=25, length=2385, TE@TF001187-AeBuster4:1-2385

0 500 1000 1500 2000 2500

AeAeg_Aag2_Ago2_SINV_RA.18_23.rep



AeAeg_Aag2_Ago2_SINV_RA.24_35.rep



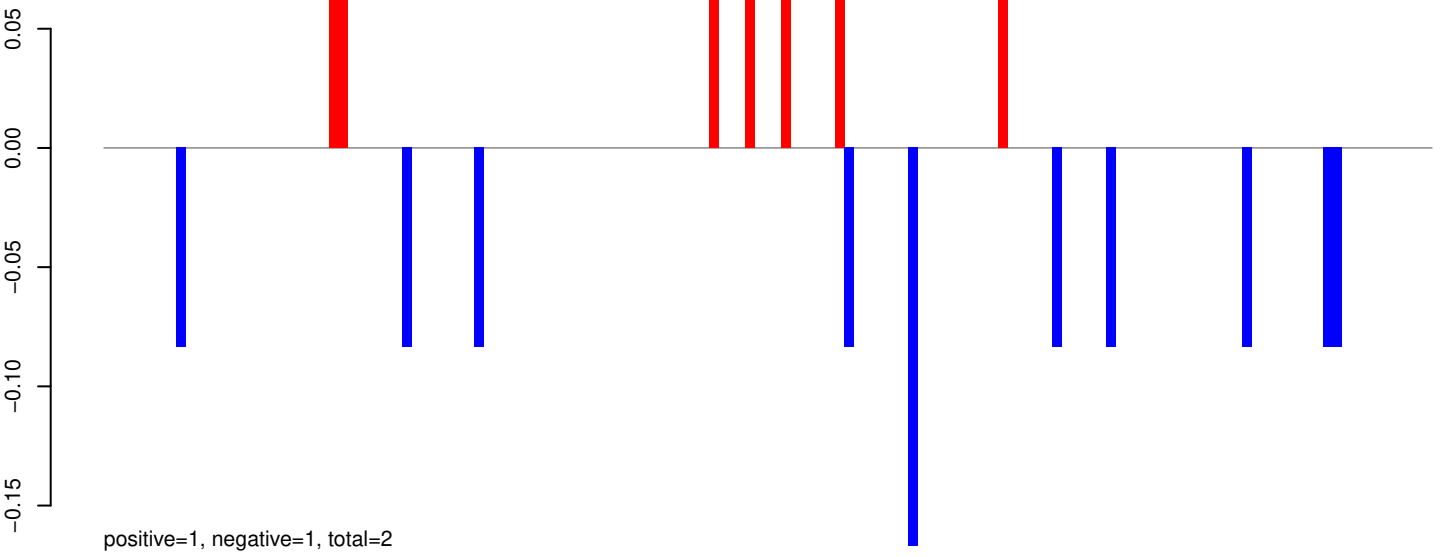
AeAeg_Aag2_Ago2_SINV_RA.rep



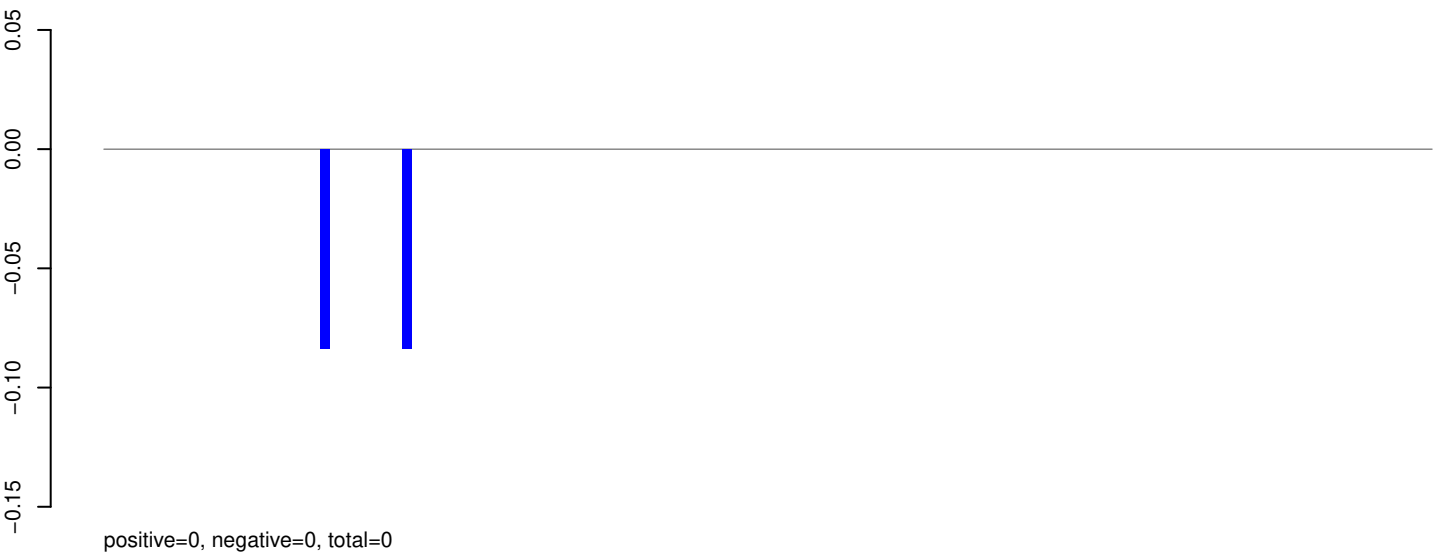
Window size=25, length=10199, TE@TF000942-Ty3_gypsy_Ele174:1-10199

0 2000 4000 6000 8000 10000

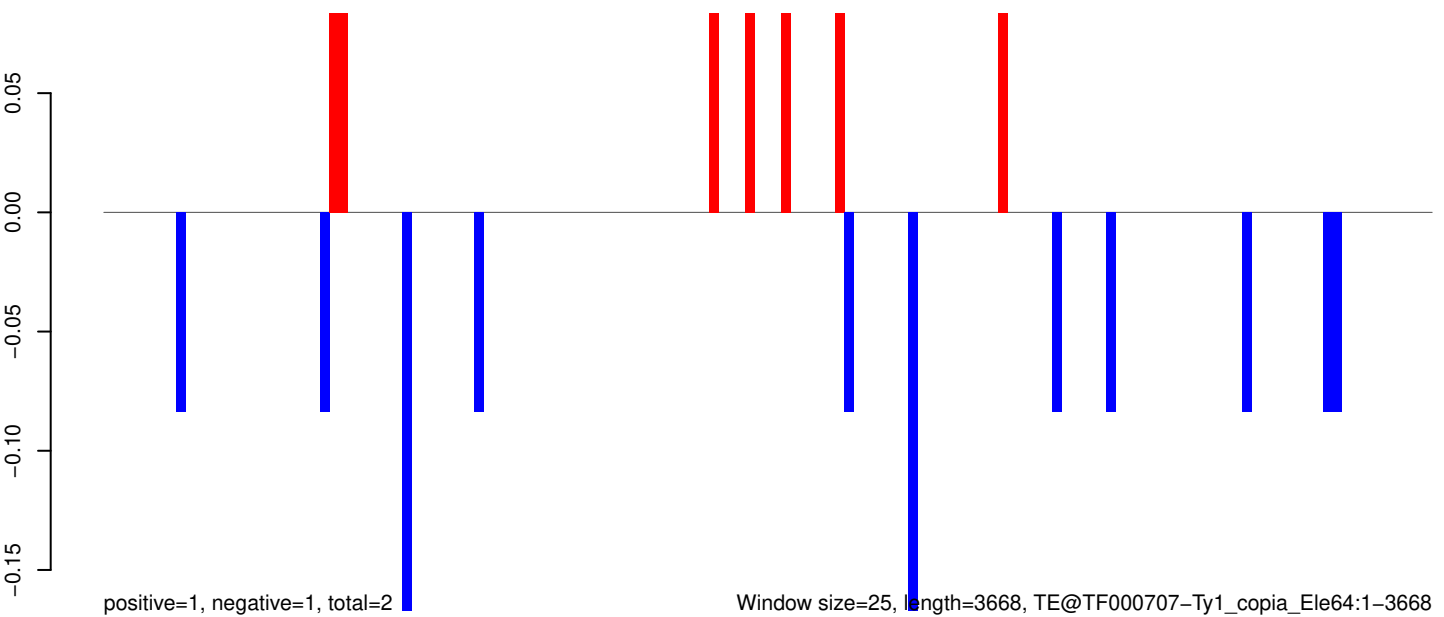
AeAeg_Aag2_Ago2_SINV_RA.18_23.rep



AeAeg_Aag2_Ago2_SINV_RA.24_35.rep



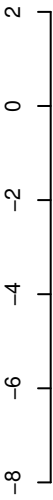
AeAeg_Aag2_Ago2_SINV_RA.rep



Window size=25, length=3668, TE@TF000707-Ty1_copia_Ele64:1-3668

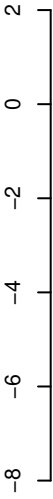
0 1000 2000 3000

AeAeg_Aag2_Ago2_SINV_RA.18_23.rep



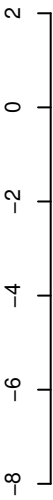
positive=7, negative=14, total=21

AeAeg_Aag2_Ago2_SINV_RA.24_35.rep



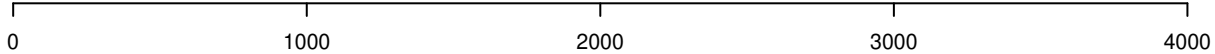
positive=0, negative=0, total=0

AeAeg_Aag2_Ago2_SINV_RA.rep

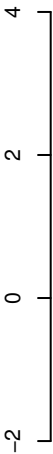


positive=7, negative=14, total=21

Window size=25, length=4516, TE@TF000640-Ty1_copia_Ele28:1-4516

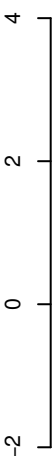


AeAeg_Aag2_Ago2_SINV_RA.18_23.rep



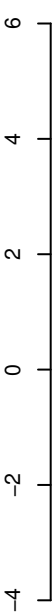
positive=20, negative=14, total=34

AeAeg_Aag2_Ago2_SINV_RA.24_35.rep



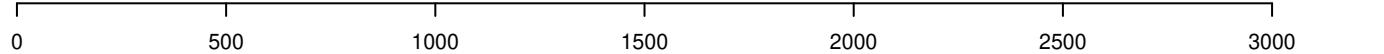
positive=2, negative=7, total=9

AeAeg_Aag2_Ago2_SINV_RA.rep

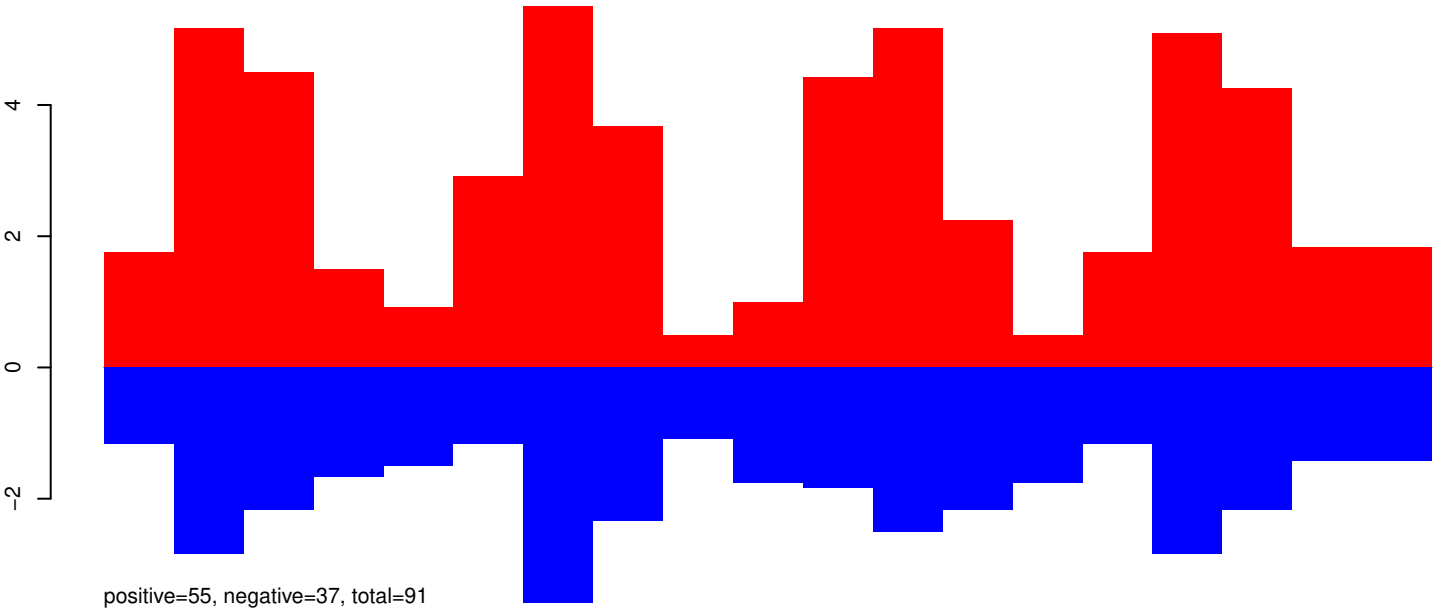


positive=22, negative=21, total=43

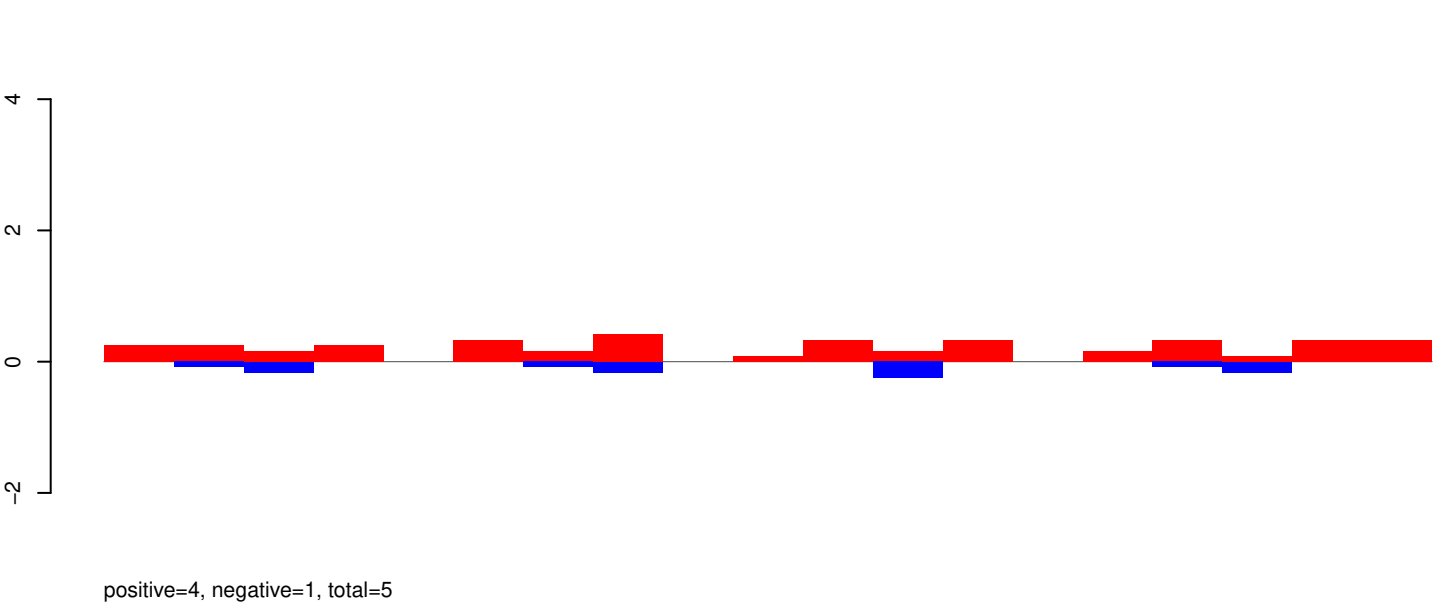
Window size=25, length=3171, TE@Sola1-4_AA:1-3171



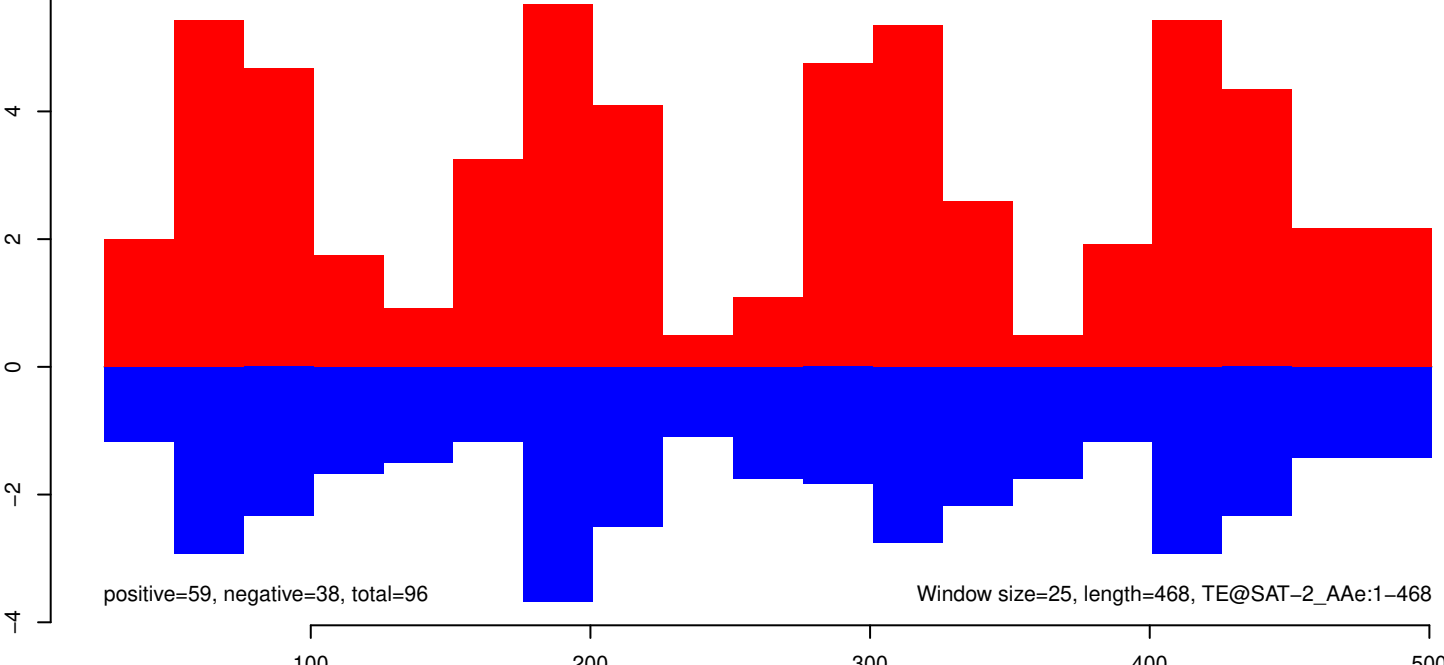
AeAeg_Aag2_Ago2_SINV_RA.18_23.rep



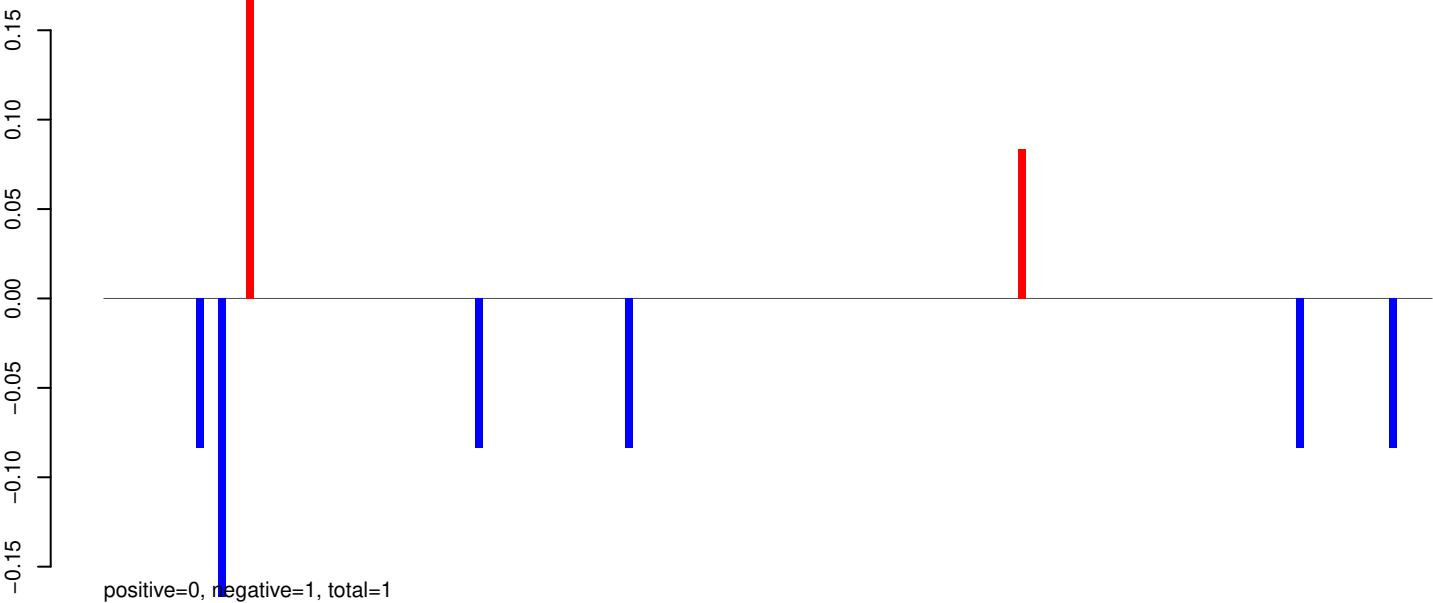
AeAeg_Aag2_Ago2_SINV_RA.24_35.rep



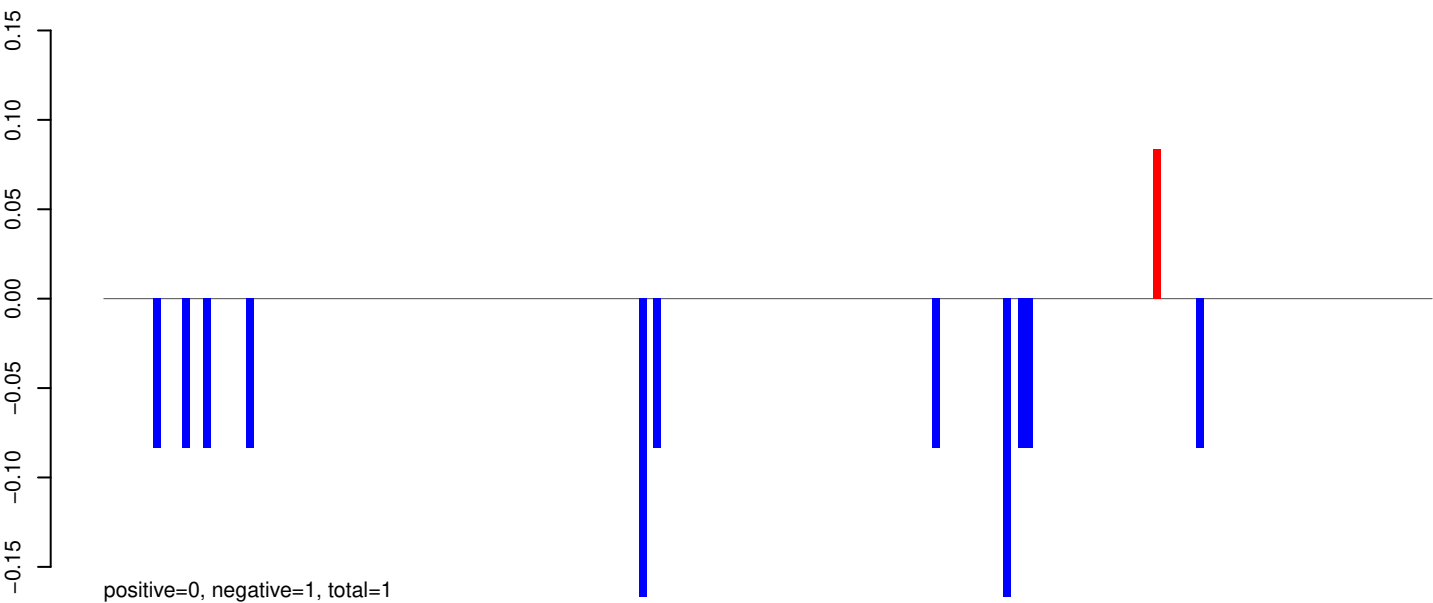
AeAeg_Aag2_Ago2_SINV_RA.rep



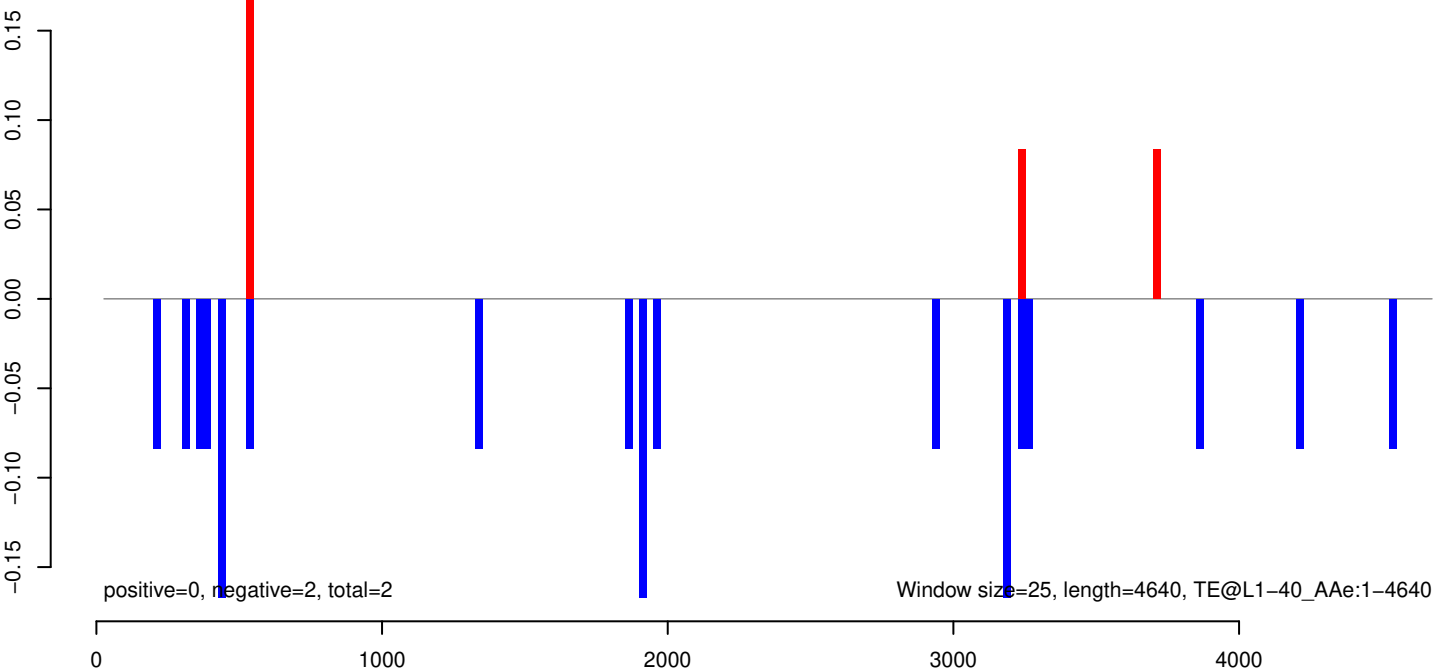
AeAeg_Aag2_Ago2_SINV_RA.18_23.rep



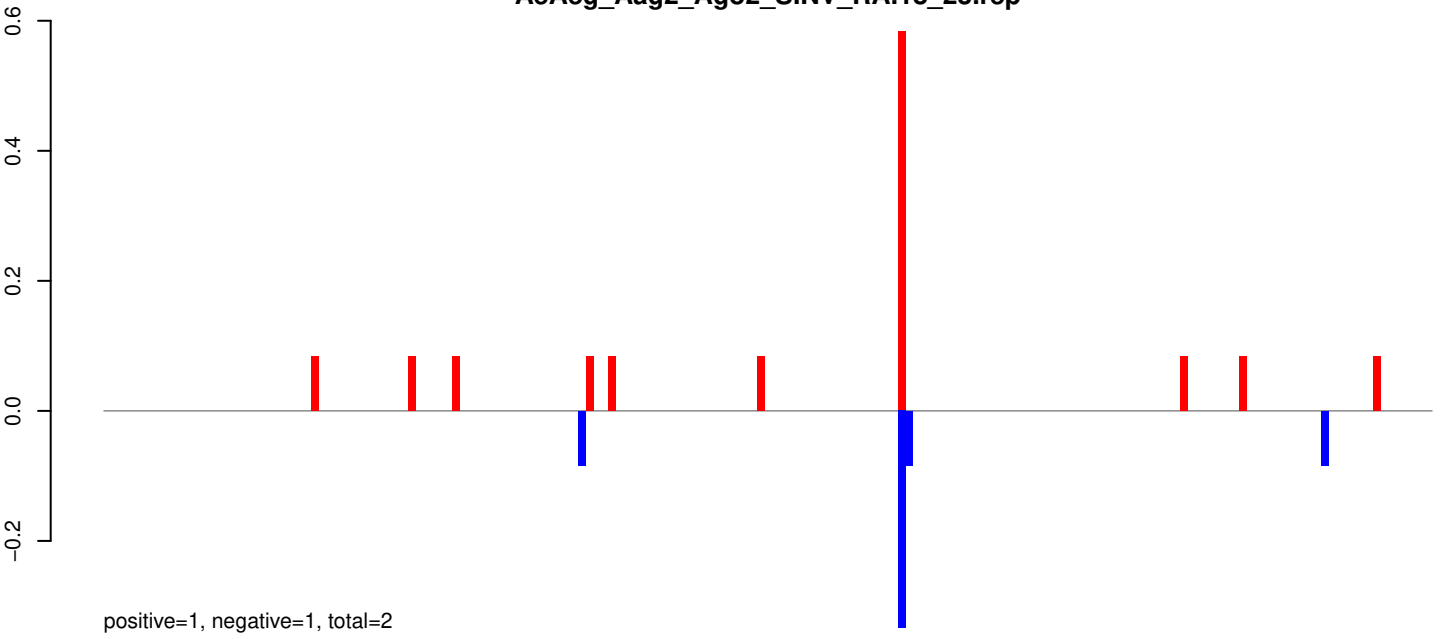
AeAeg_Aag2_Ago2_SINV_RA.24_35.rep



AeAeg_Aag2_Ago2_SINV_RA.rep



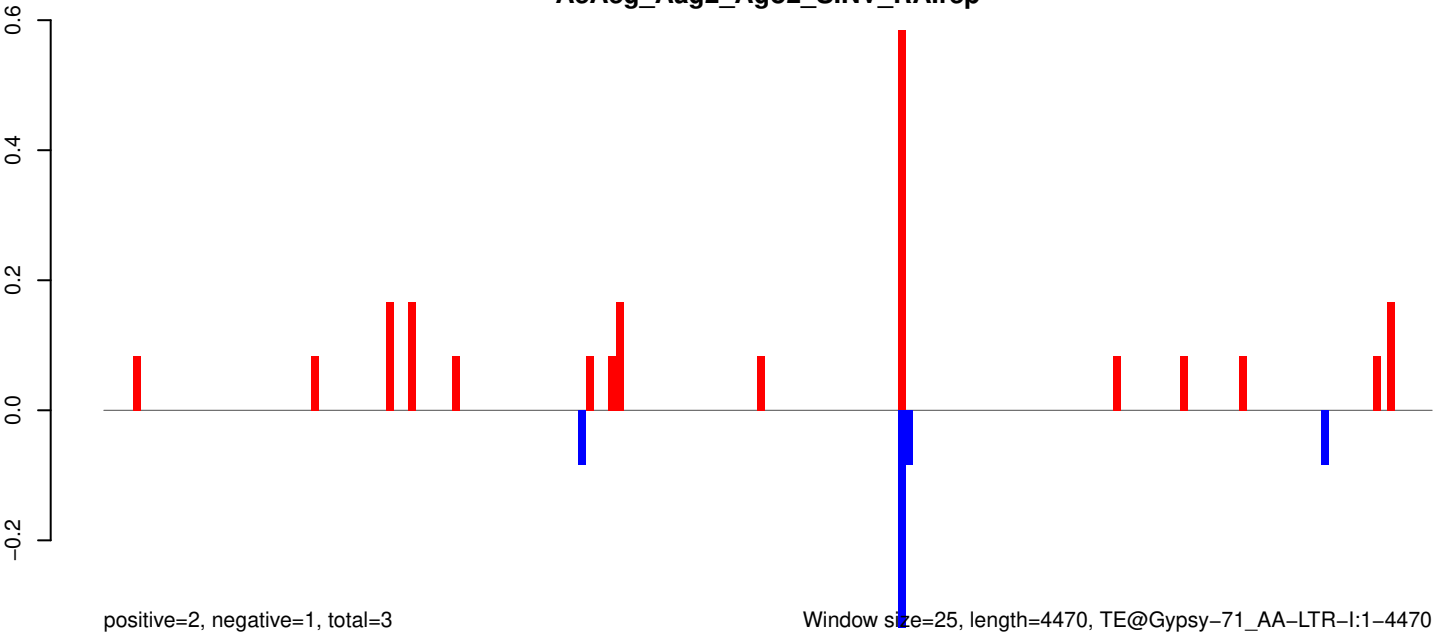
AeAeg_Aag2_Ago2_SINV_RA.18_23.rep



AeAeg_Aag2_Ago2_SINV_RA.24_35.rep

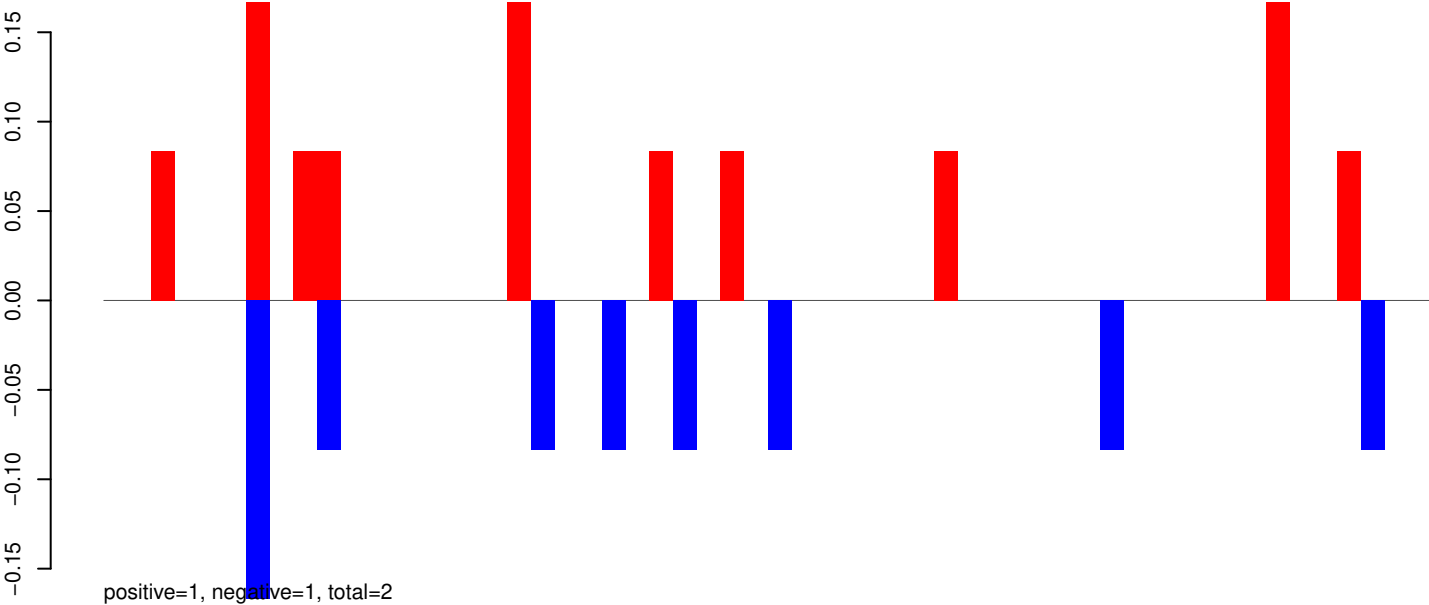


AeAeg_Aag2_Ago2_SINV_RA.rep

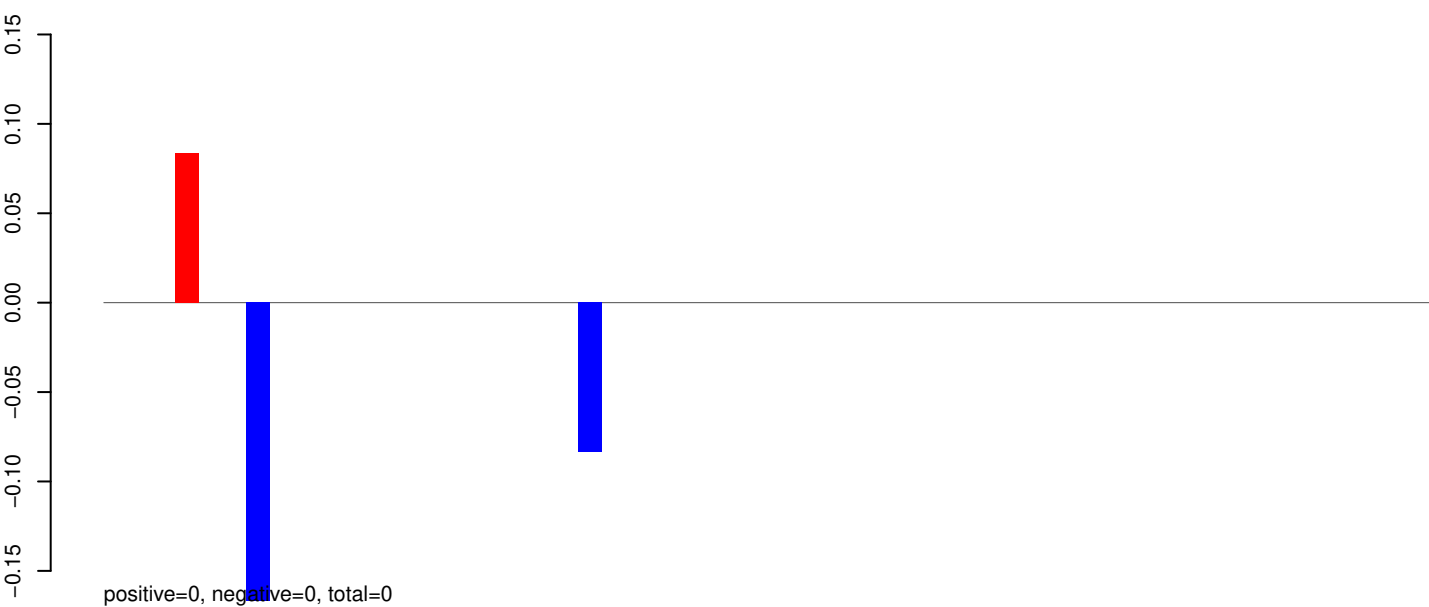


Window size=25, length=4470, TE@Gypsy-71_AA-LTR-I:1-4470

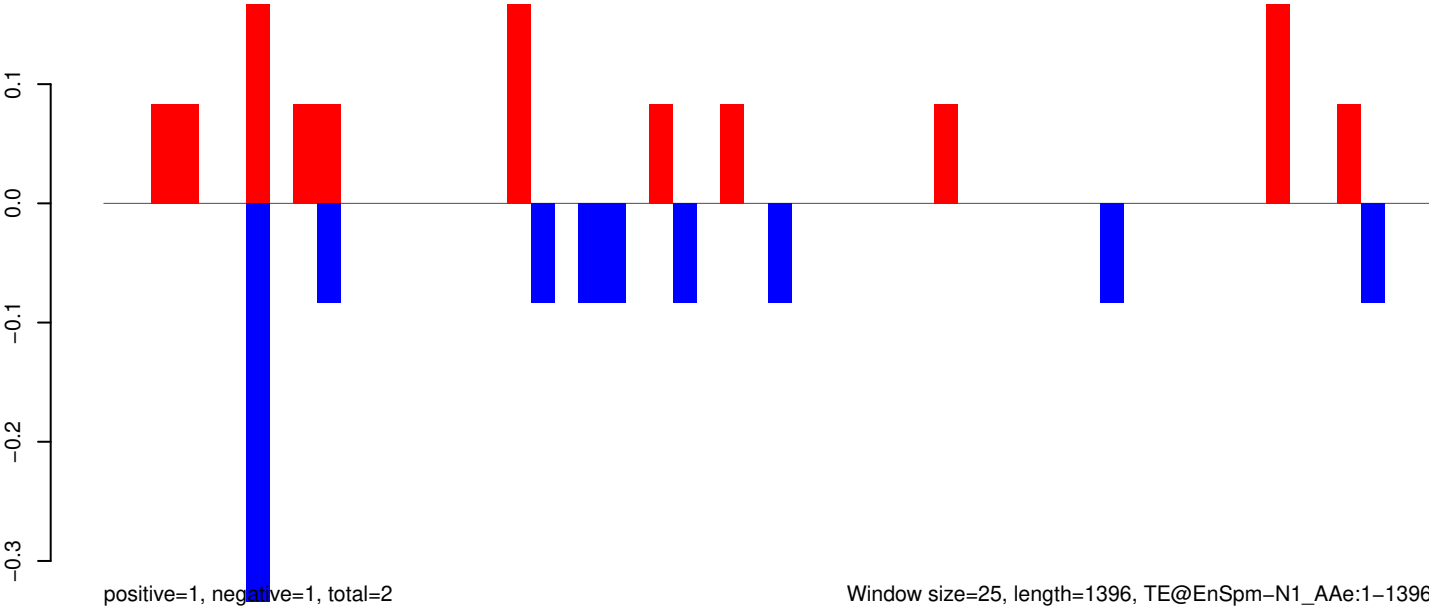
AeAeg_Aag2_Ago2_SINV_RA.18_23.rep



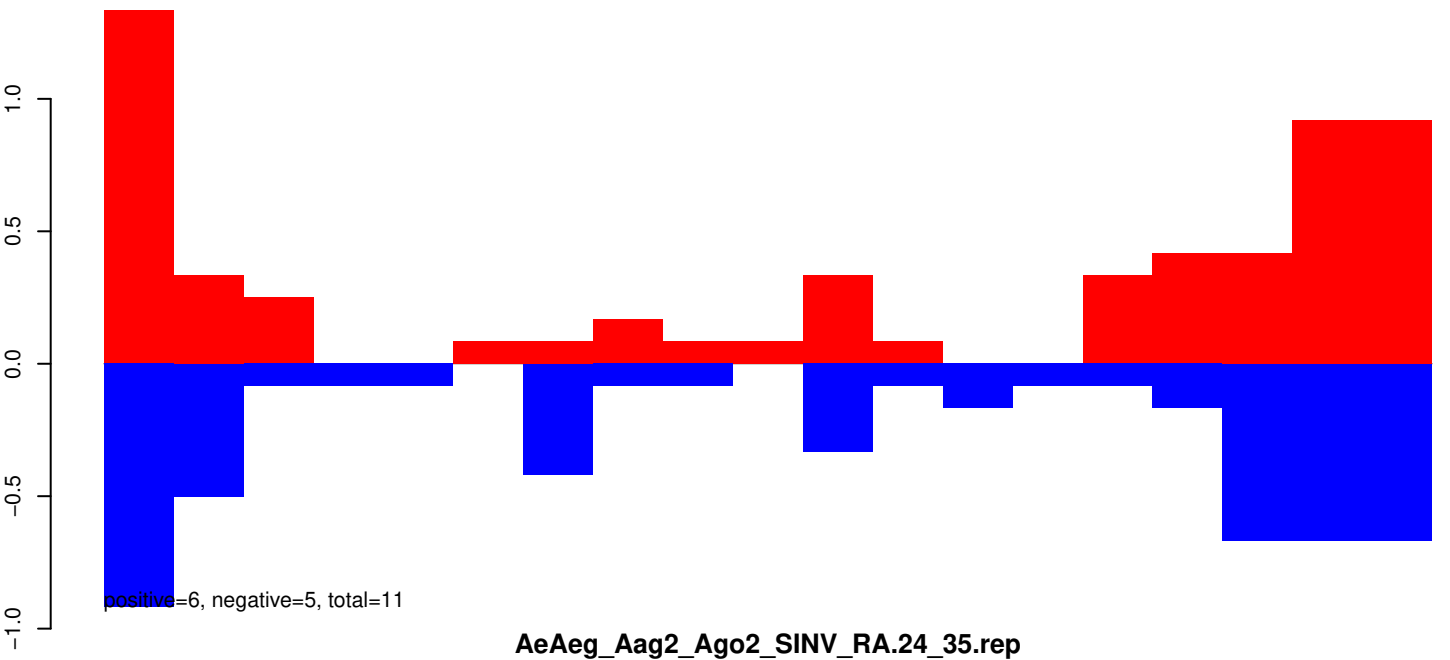
AeAeg_Aag2_Ago2_SINV_RA.24_35.rep



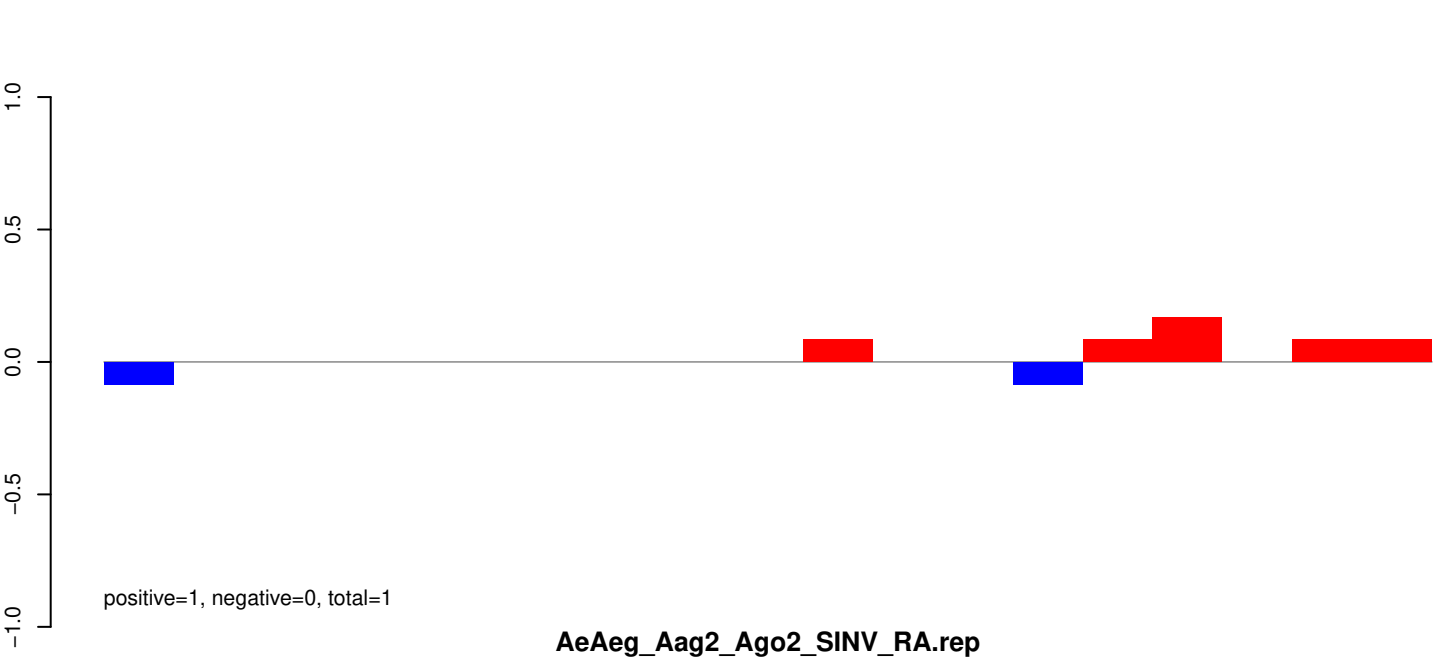
AeAeg_Aag2_Ago2_SINV_RA.rep



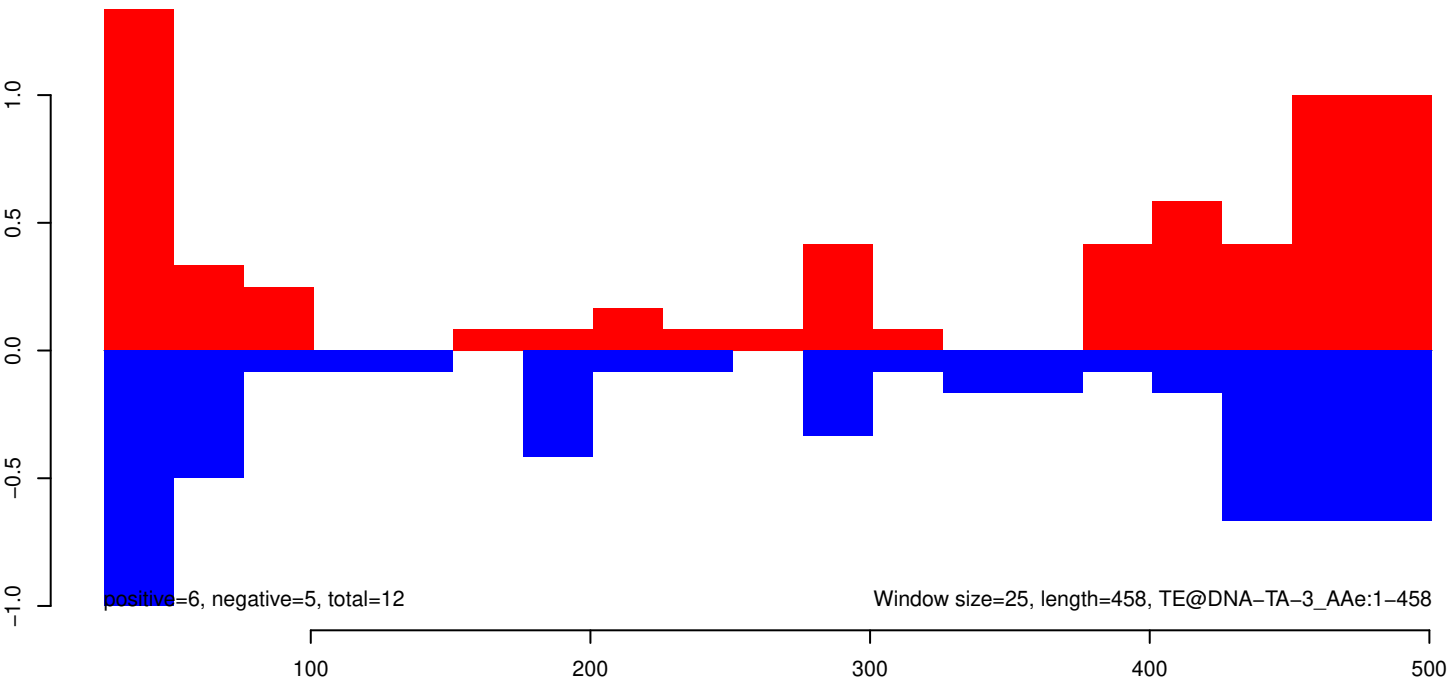
AeAeg_Aag2_Ago2_SINV_RA.18_23.rep



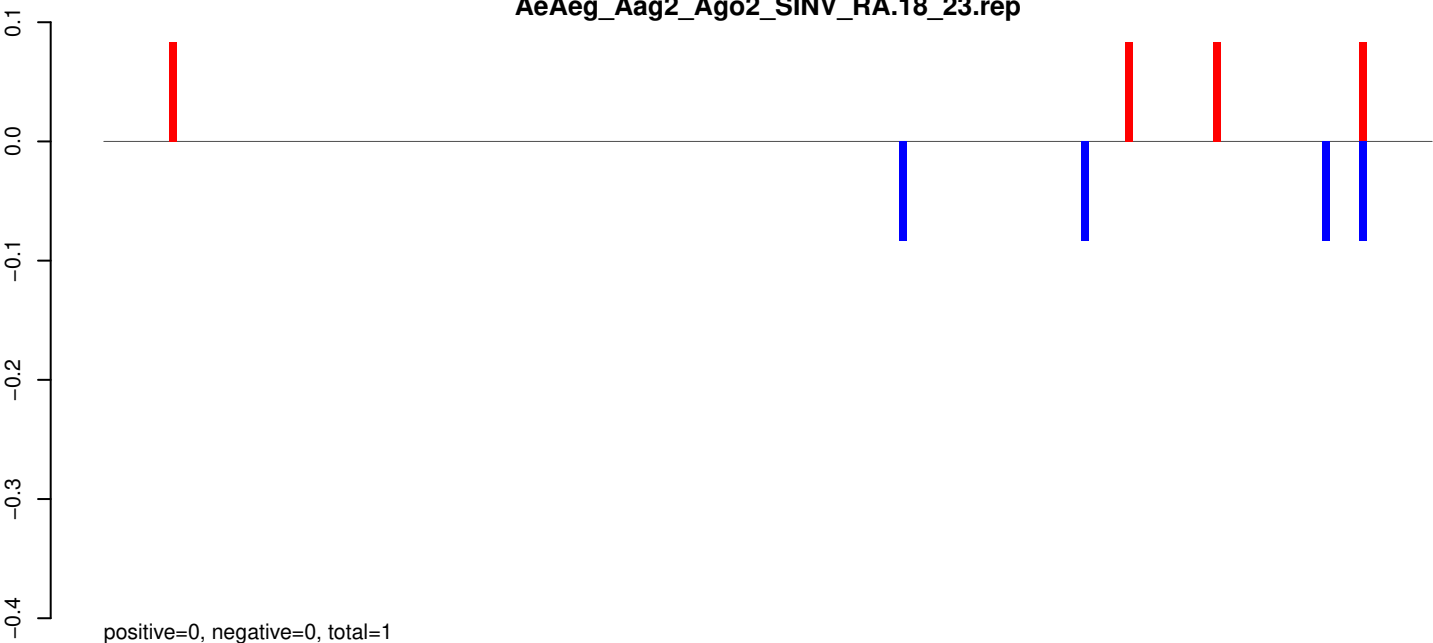
AeAeg_Aag2_Ago2_SINV_RA.24_35.rep



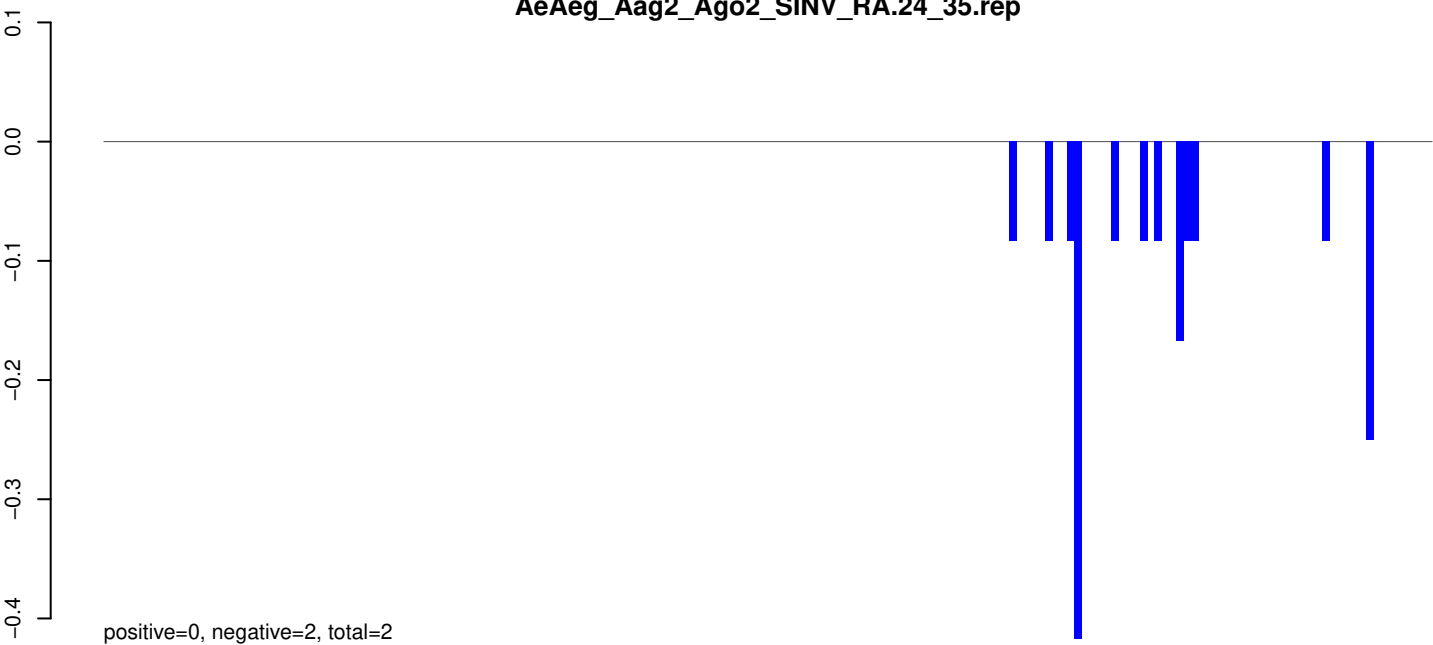
AeAeg_Aag2_Ago2_SINV_RA.rep



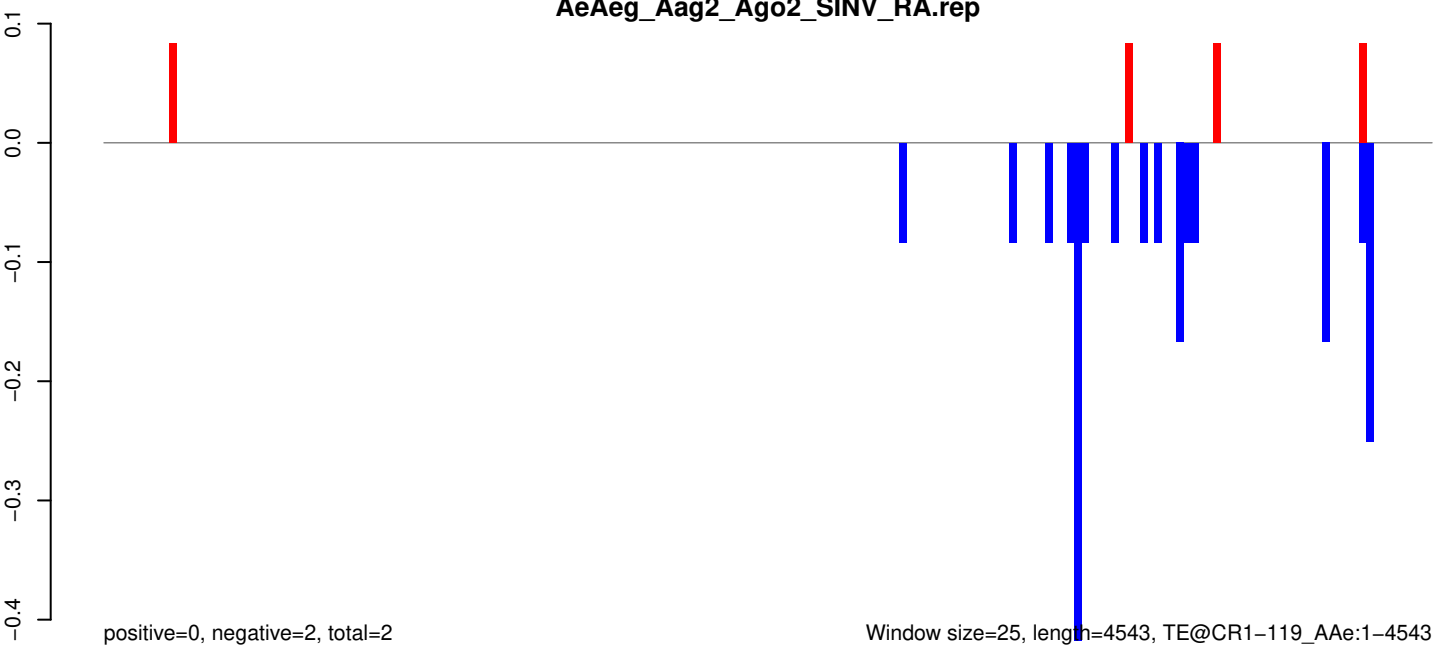
AeAeg_Aag2_Ago2_SINV_RA.18_23.rep



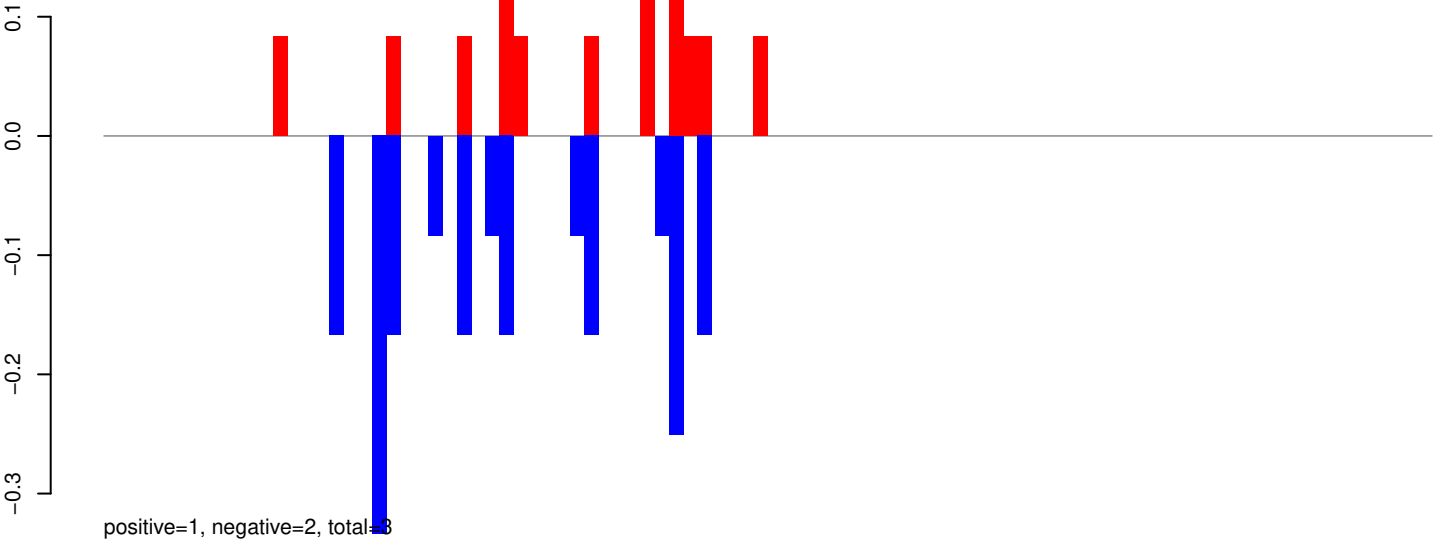
AeAeg_Aag2_Ago2_SINV_RA.24_35.rep



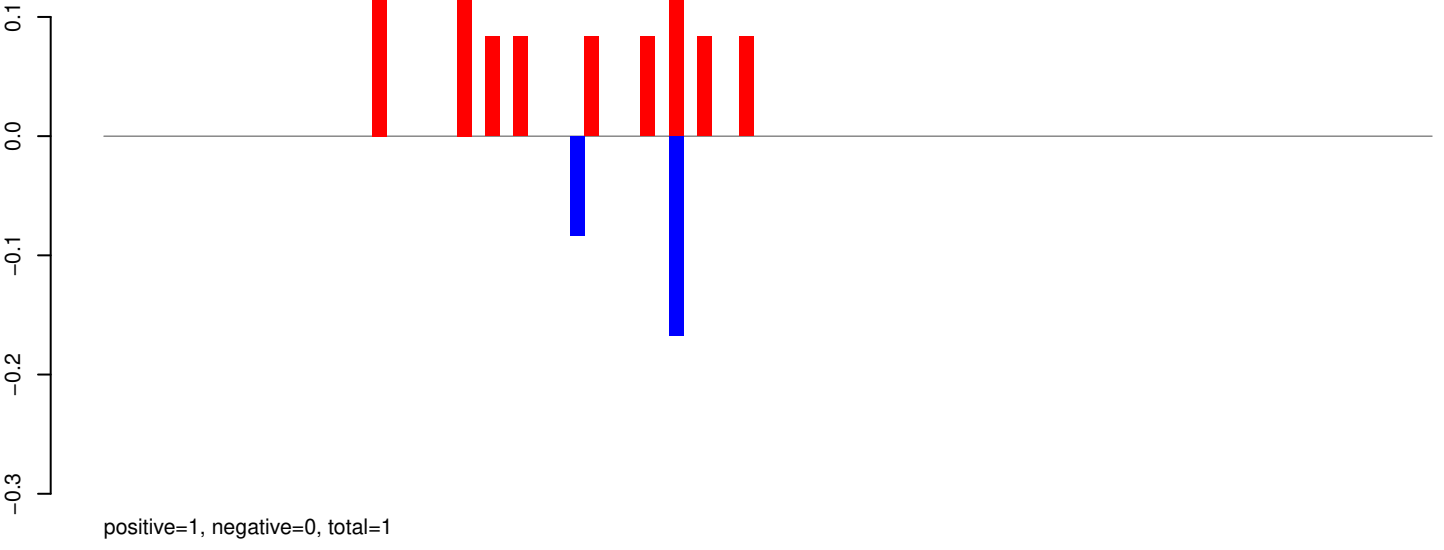
AeAeg_Aag2_Ago2_SINV_RA.rep



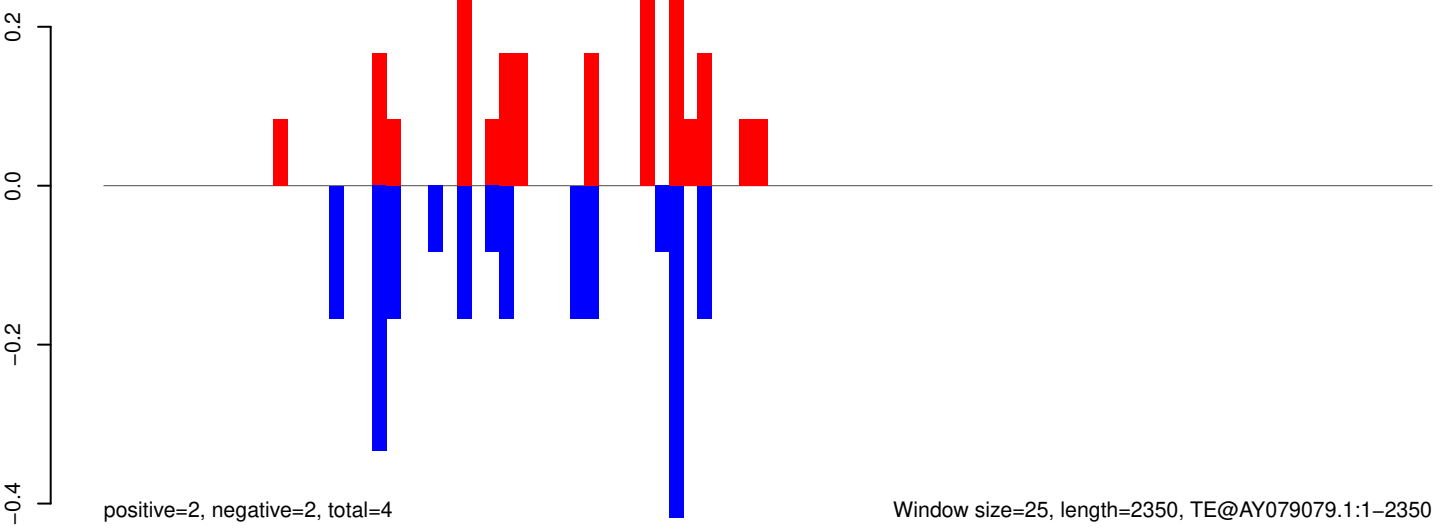
AeAeg_Aag2_Ago2_SINV_RA.18_23.rep



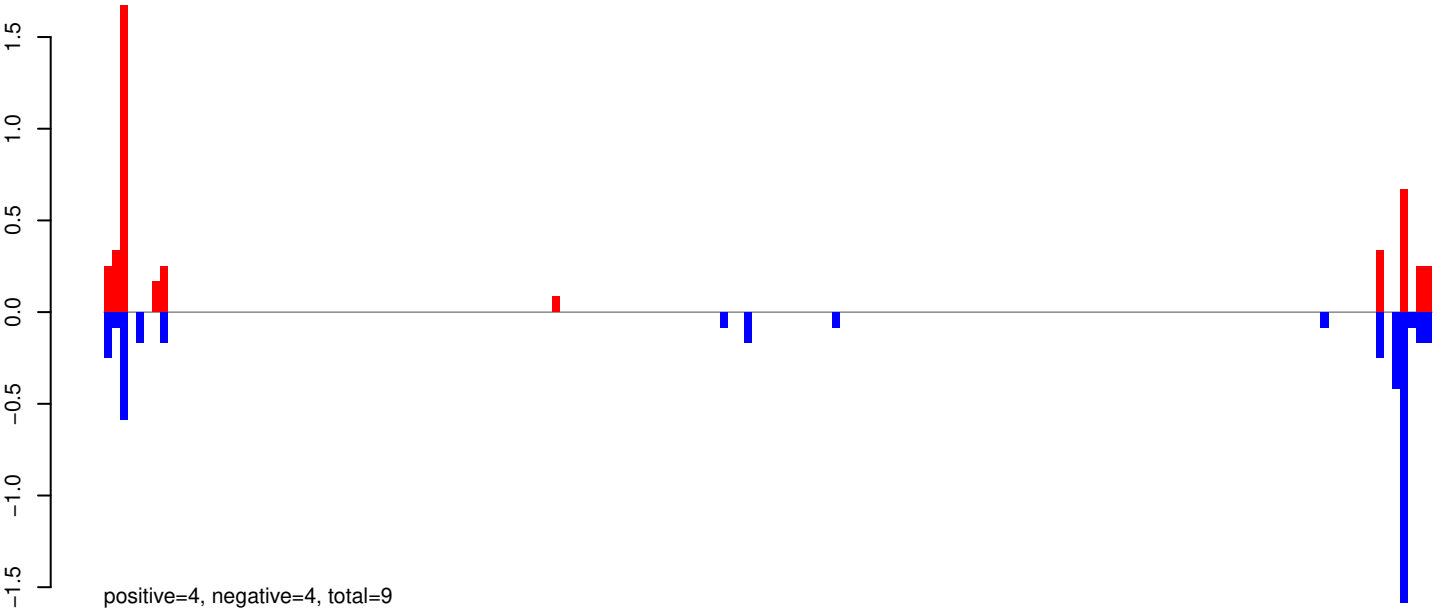
AeAeg_Aag2_Ago2_SINV_RA.24_35.rep



AeAeg_Aag2_Ago2_SINV_RA.rep



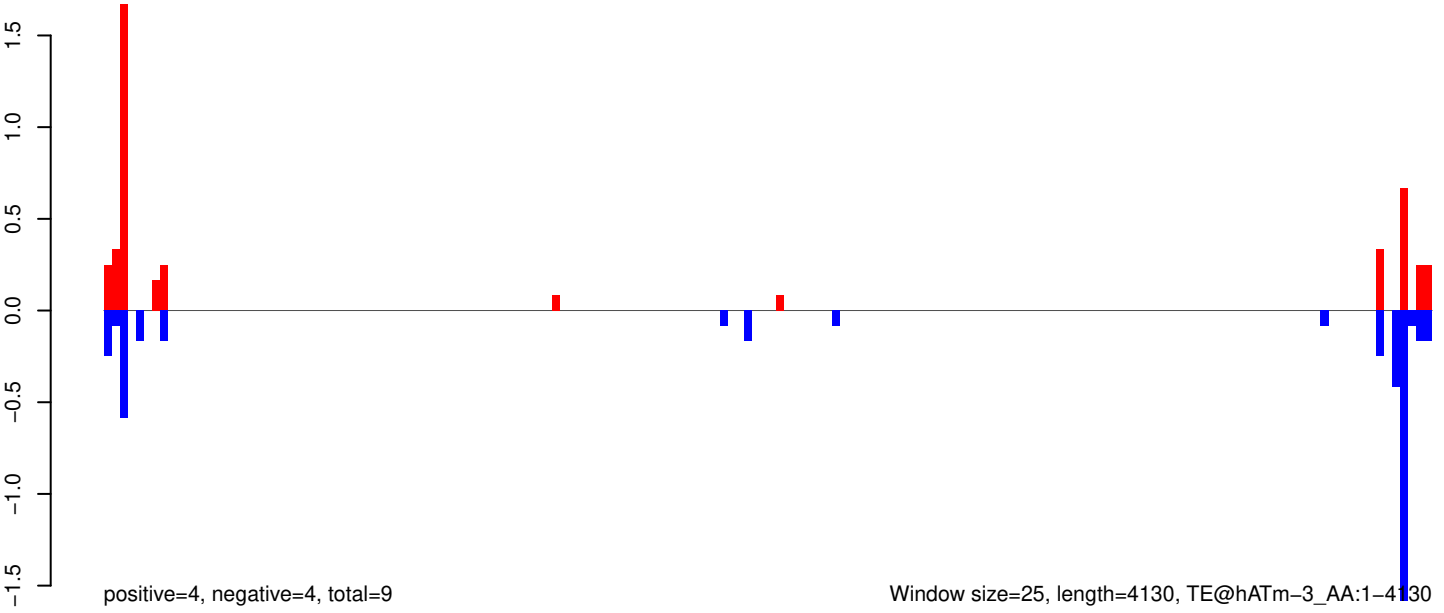
AeAeg_Aag2_Ago2_SINV_RA.18_23.rep



AeAeg_Aag2_Ago2_SINV_RA.24_35.rep

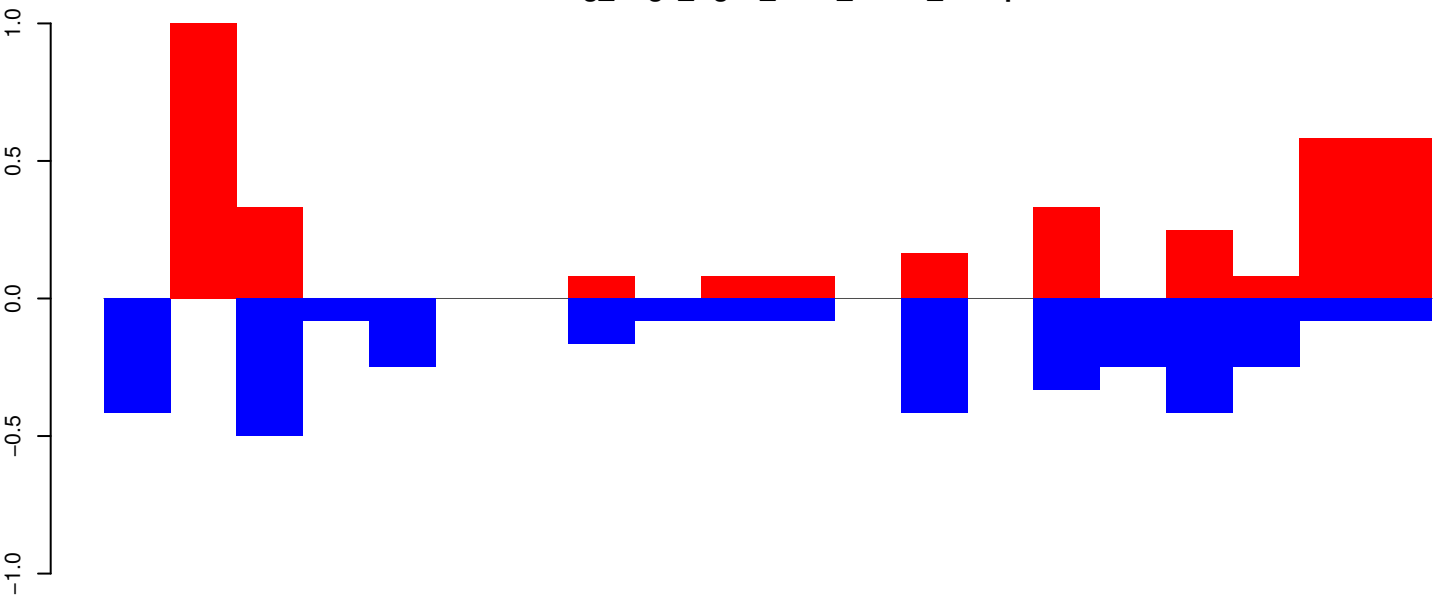


AeAeg_Aag2_Ago2_SINV_RA.rep

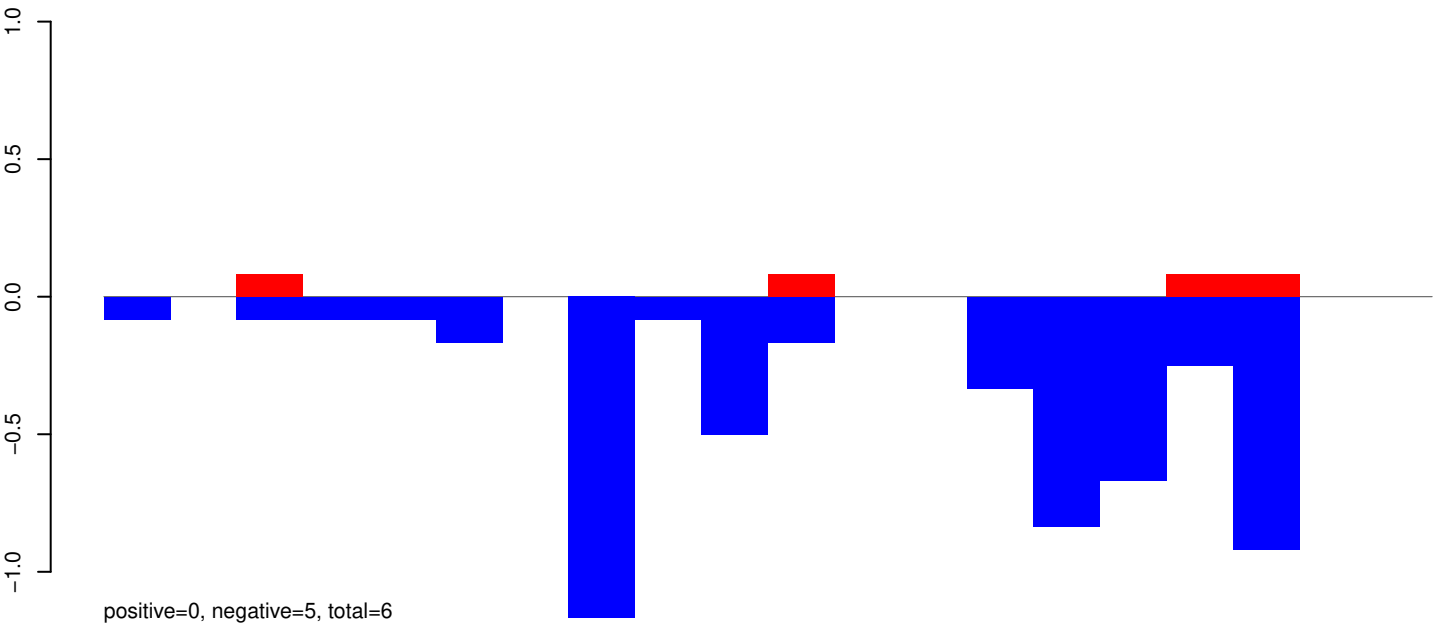


Window size=25, length=4130, TE@hATm-3_AA:1-4130

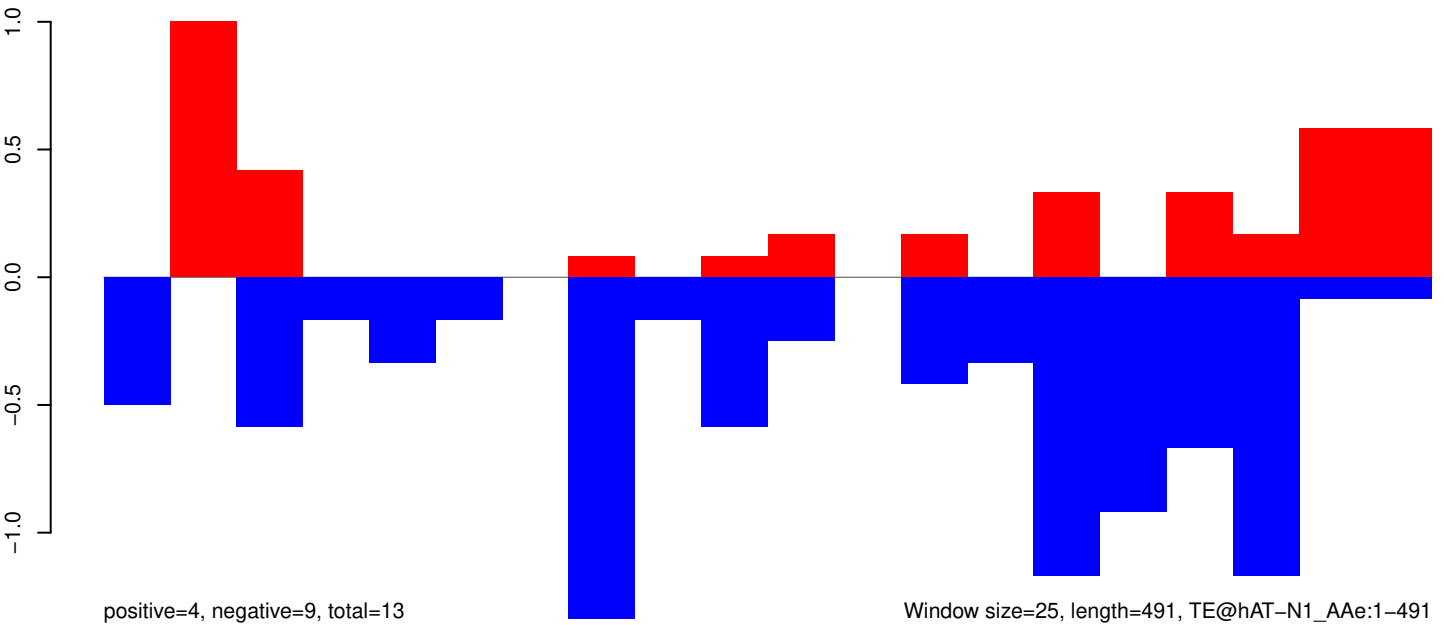
AeAeg_Aag2_Ago2_SINV_RA.18_23.rep



AeAeg_Aag2_Ago2_SINV_RA.24_35.rep

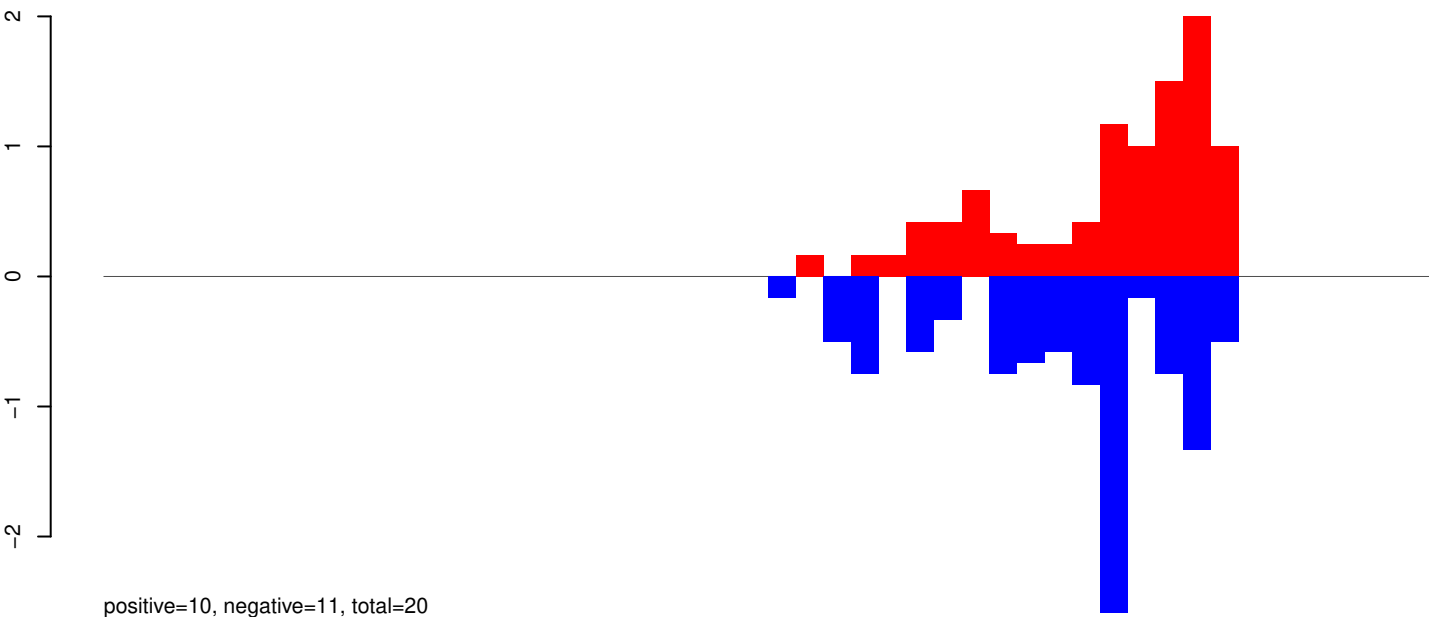


AeAeg_Aag2_Ago2_SINV_RA.rep

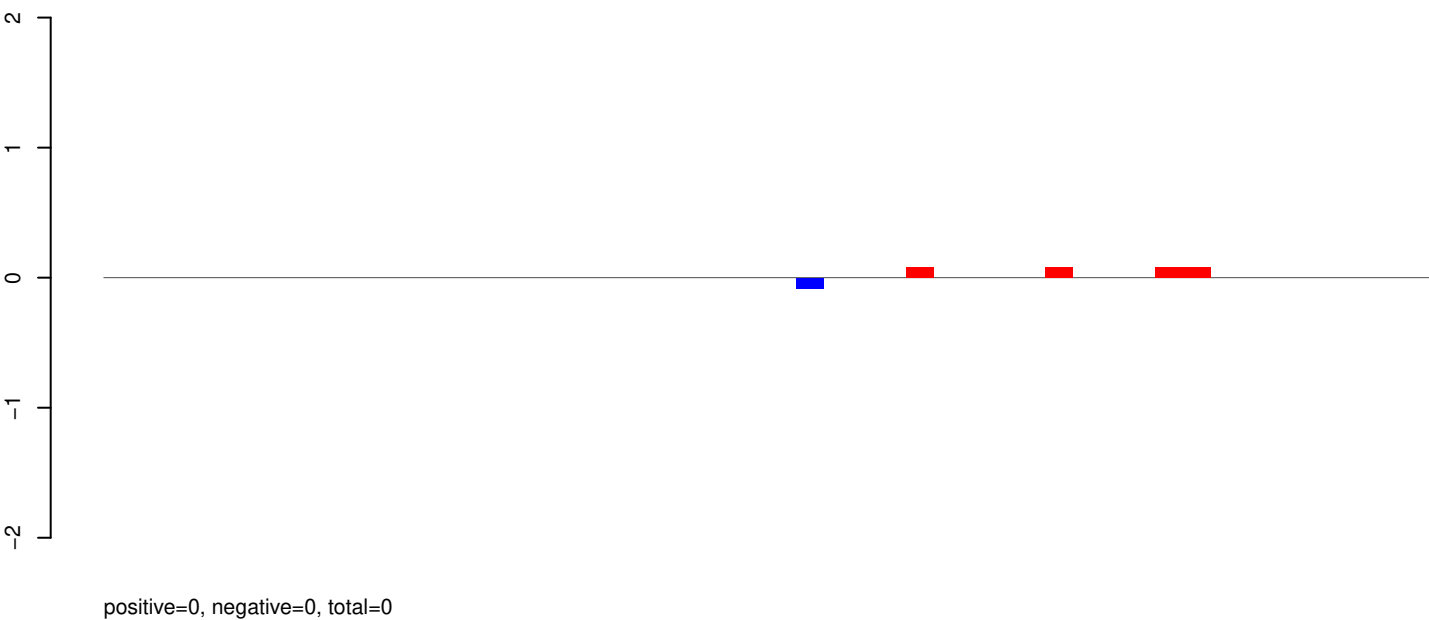


Window size=25, length=491, TE@hAT-N1_AAe:1-491

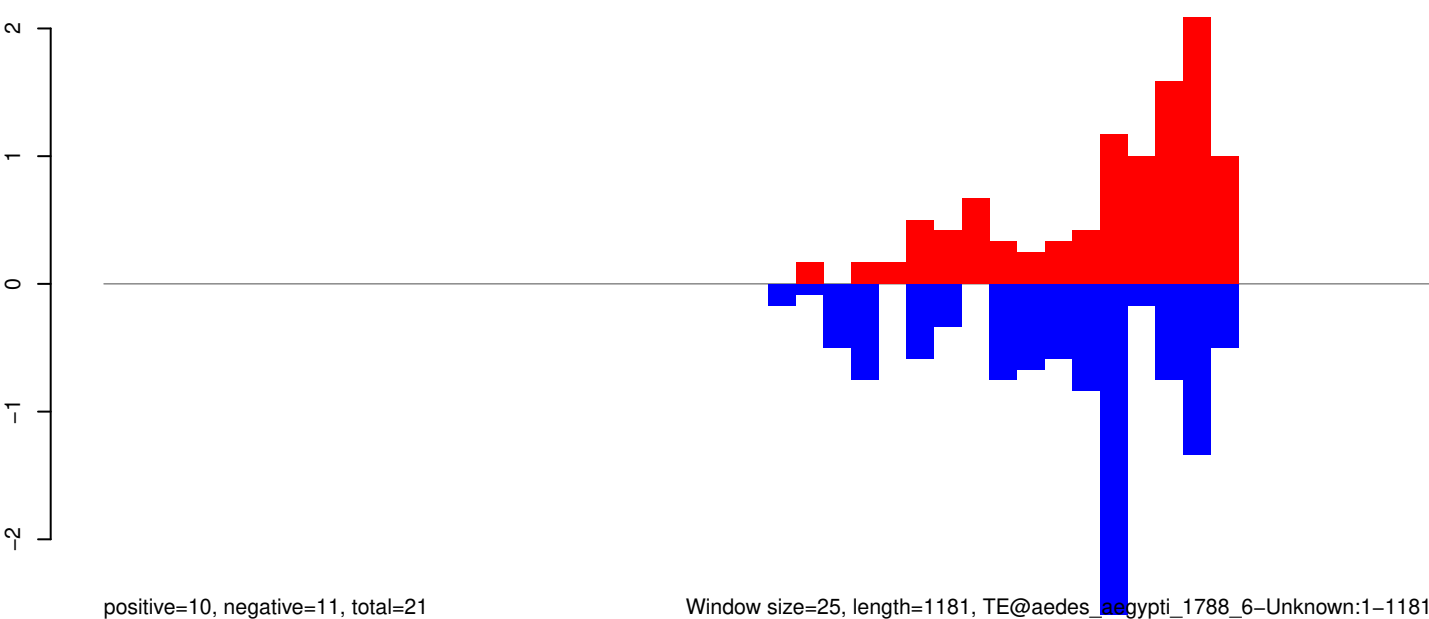
AeAeg_Aag2_Ago2_SINV_RA.18_23.rep



AeAeg_Aag2_Ago2_SINV_RA.24_35.rep



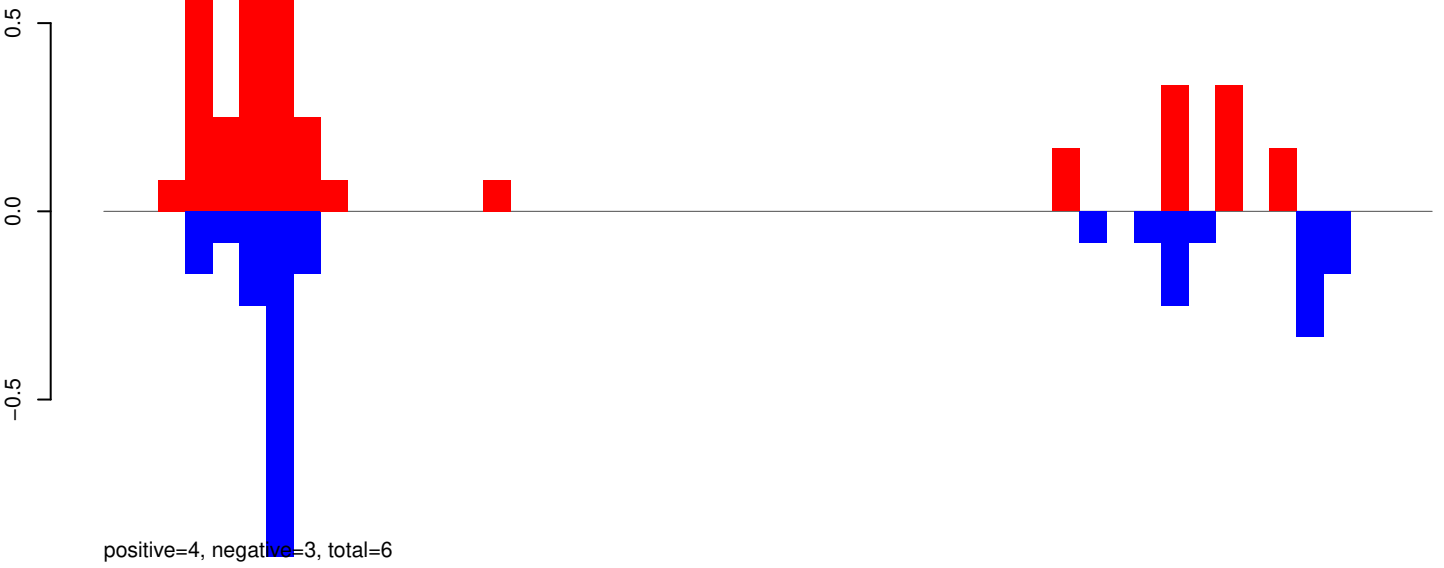
AeAeg_Aag2_Ago2_SINV_RA.rep



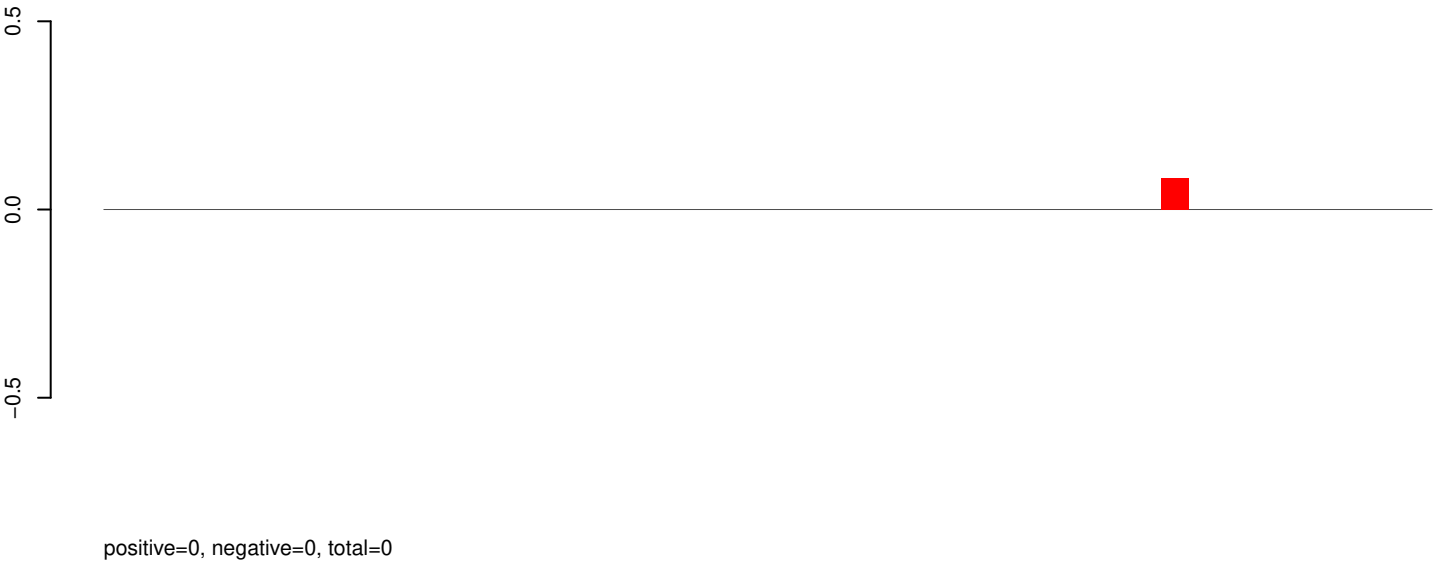
Window size=25, length=1181, TE@aedes_aegypti_1788_6-Unknown:1-1181

0 200 400 600 800 1000 1200

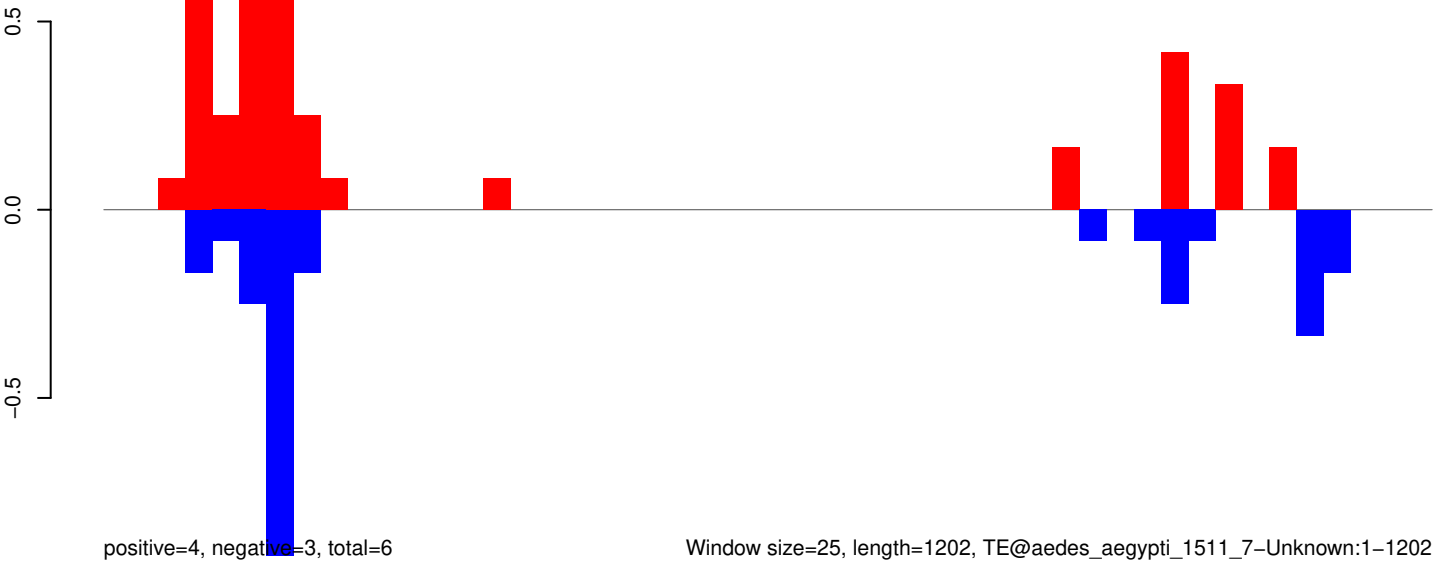
AeAeg_Aag2_Ago2_SINV_RA.18_23.rep



AeAeg_Aag2_Ago2_SINV_RA.24_35.rep

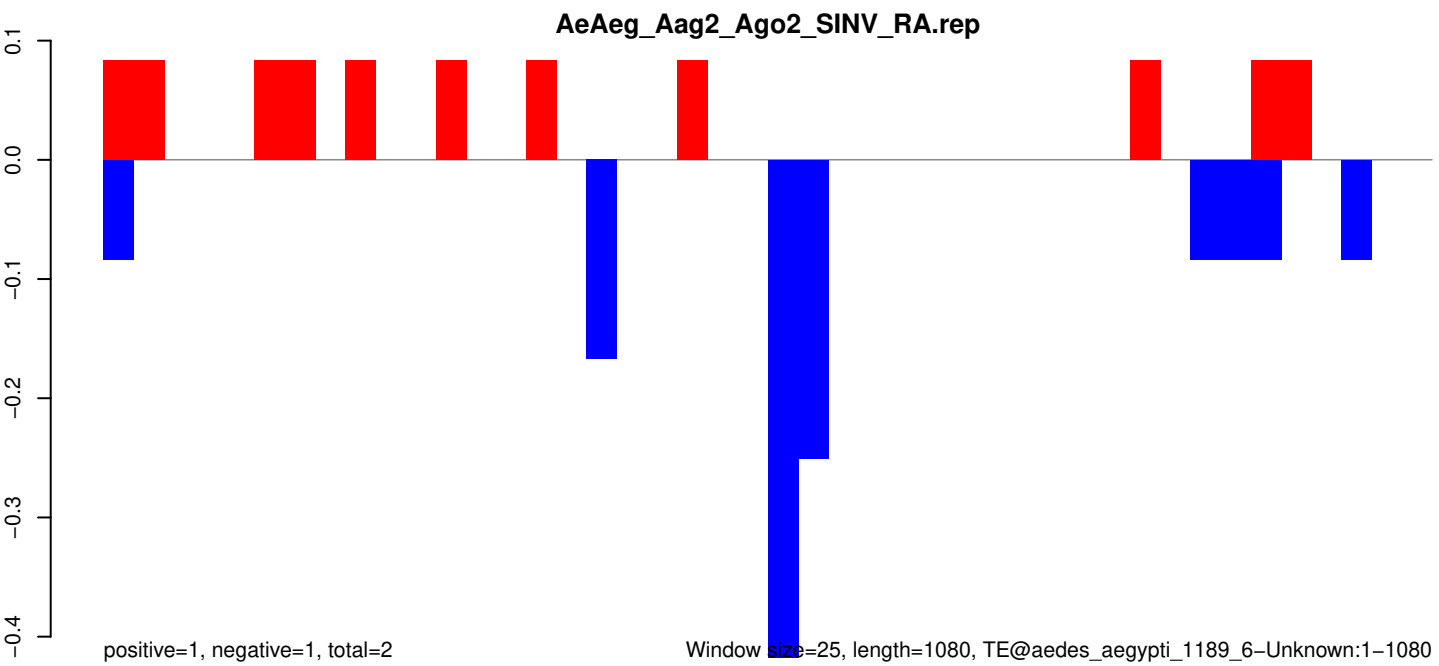
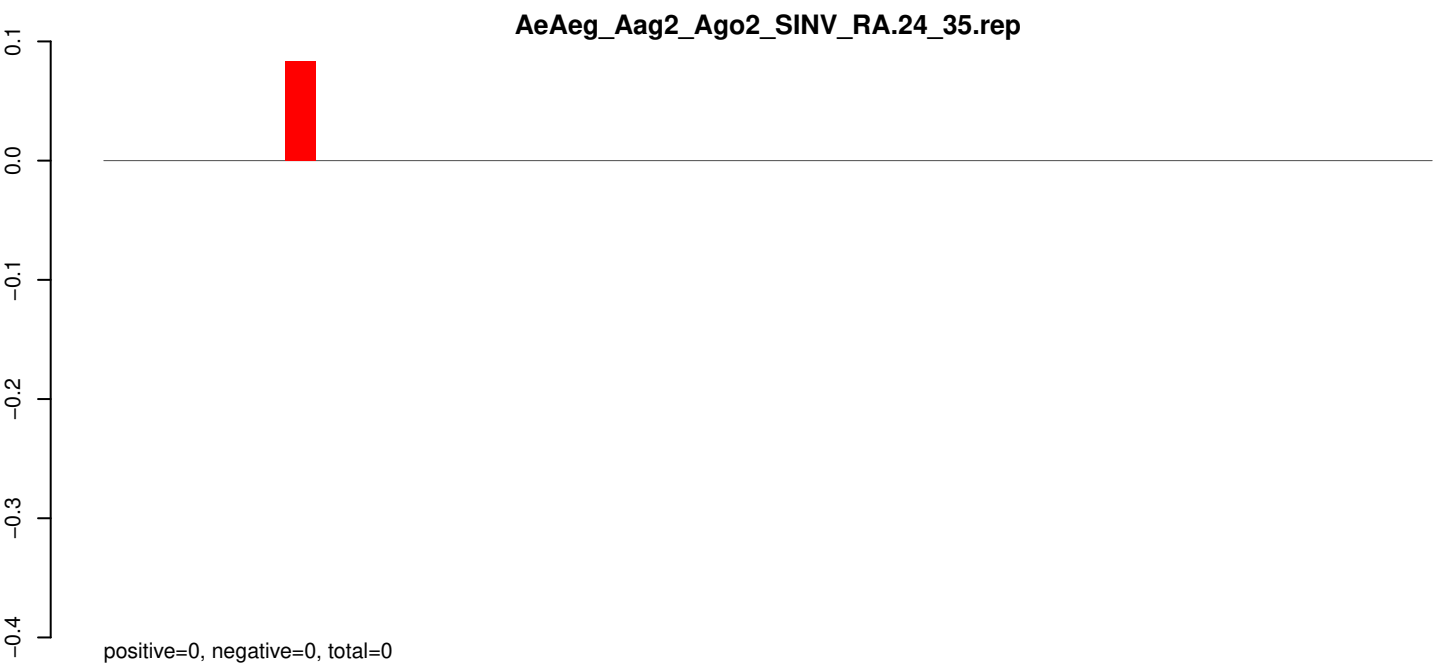
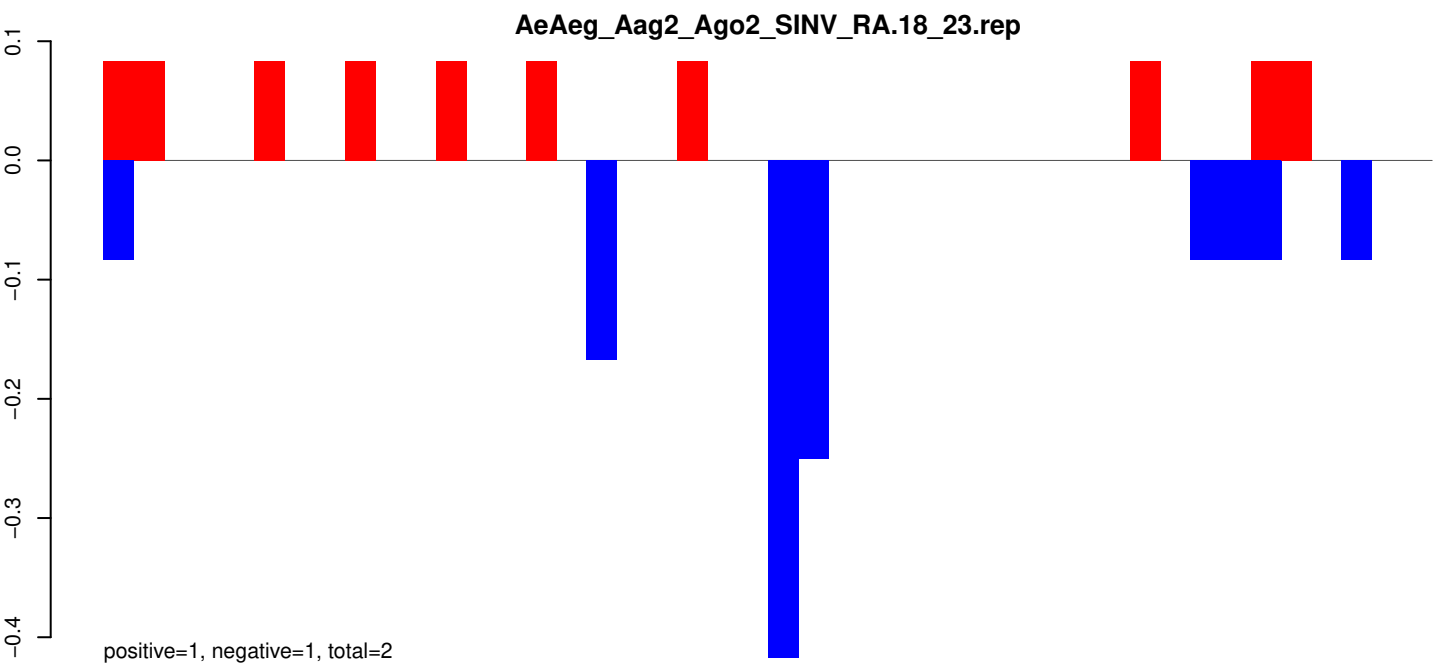


AeAeg_Aag2_Ago2_SINV_RA.rep

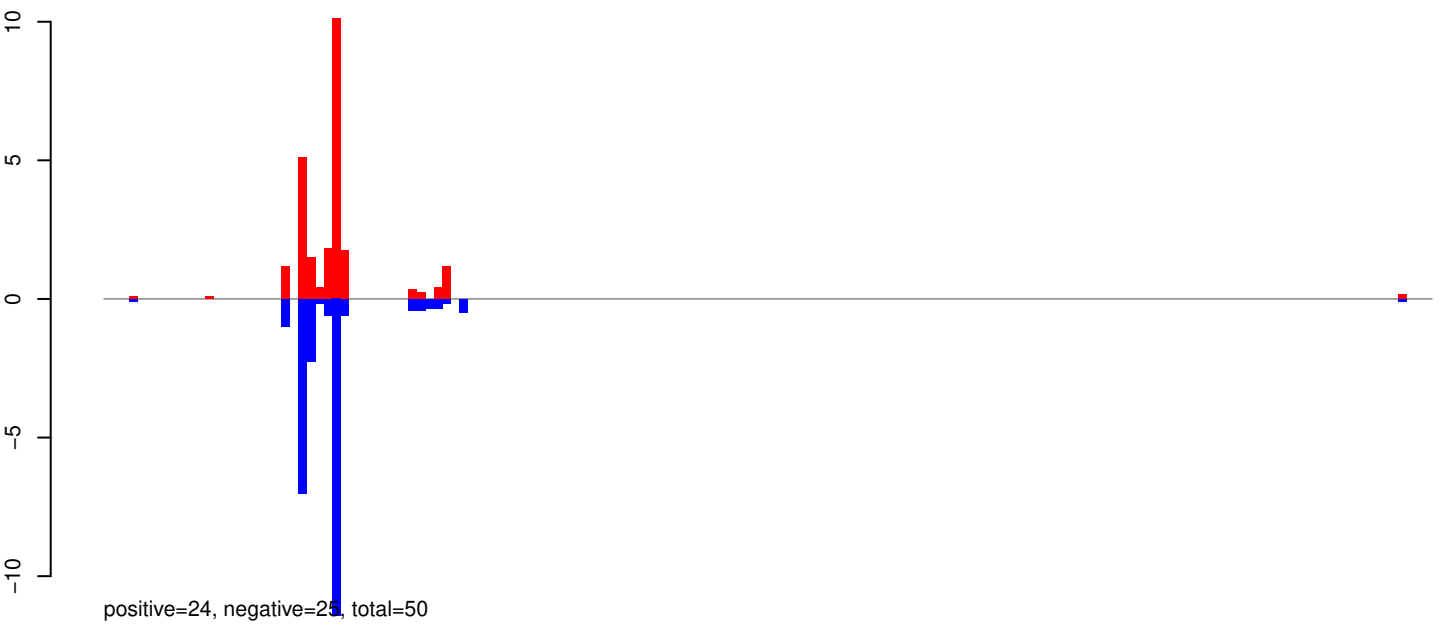


Window size=25, length=1202, TE@aedes_aegypti_1511_7-Unknown:1-1202

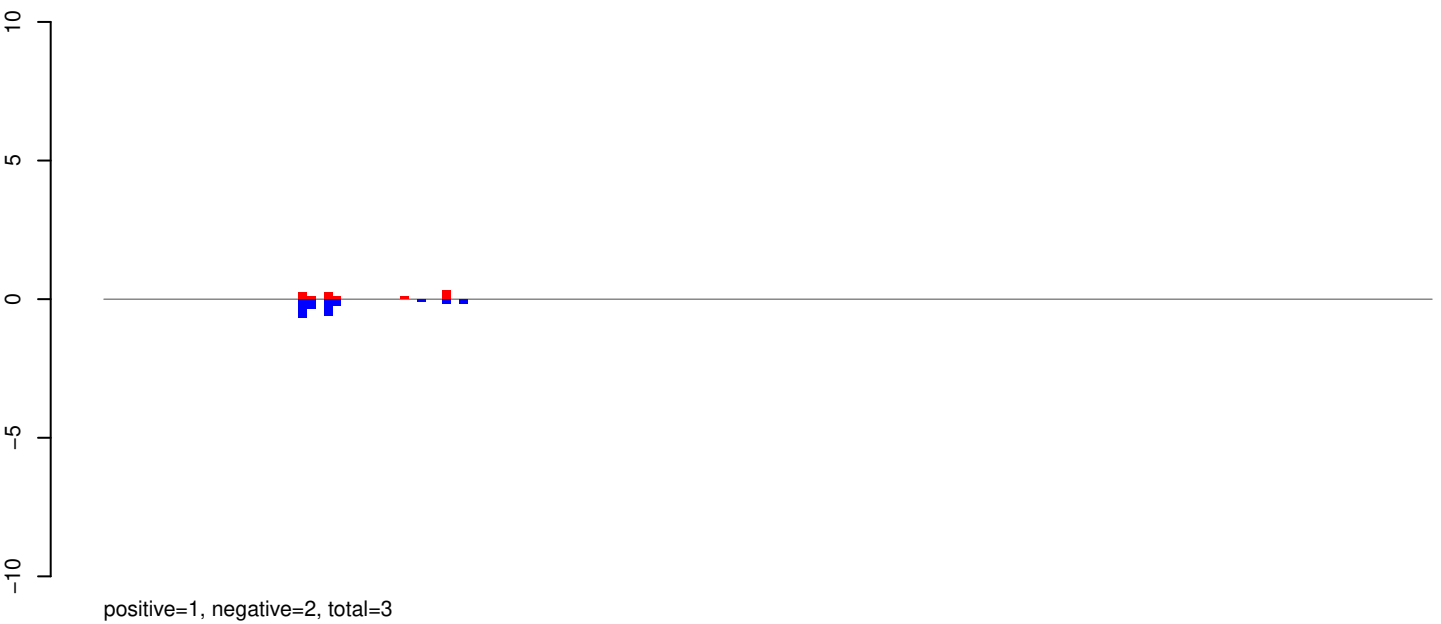
0 200 400 600 800 1000 1200



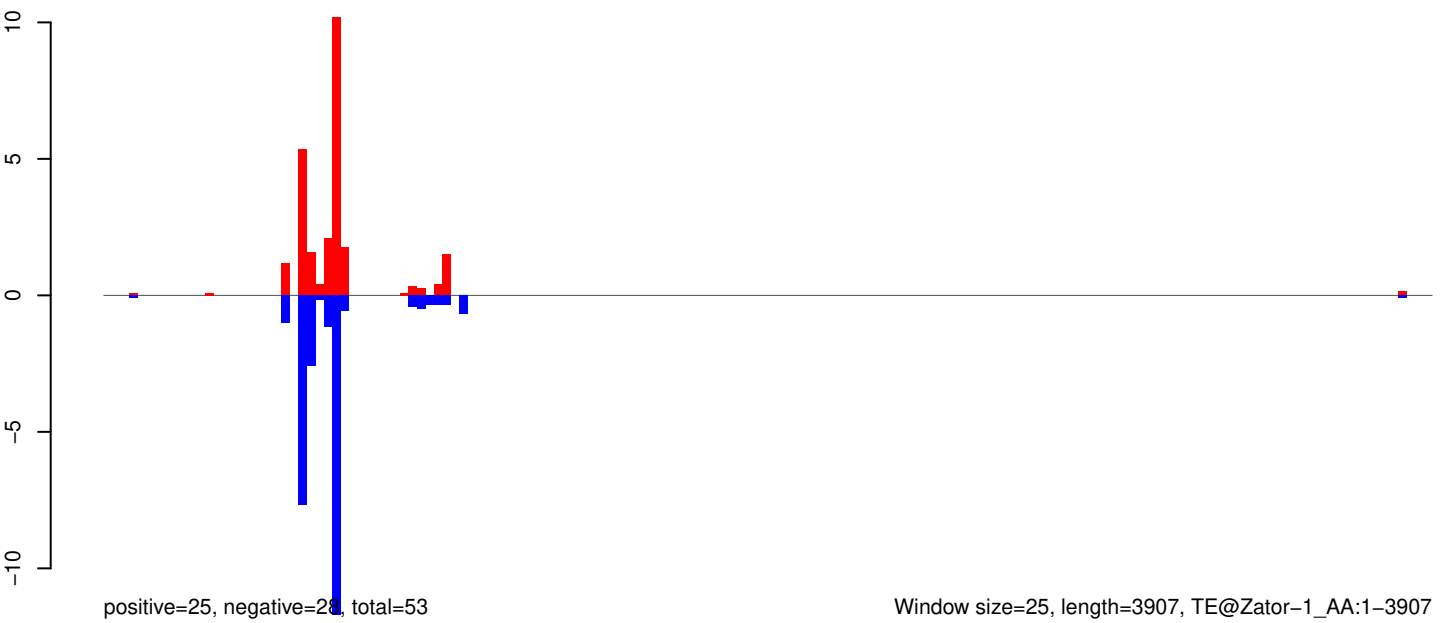
AeAeg_Aag2_Ago2_SINV_RA.18_23.rep



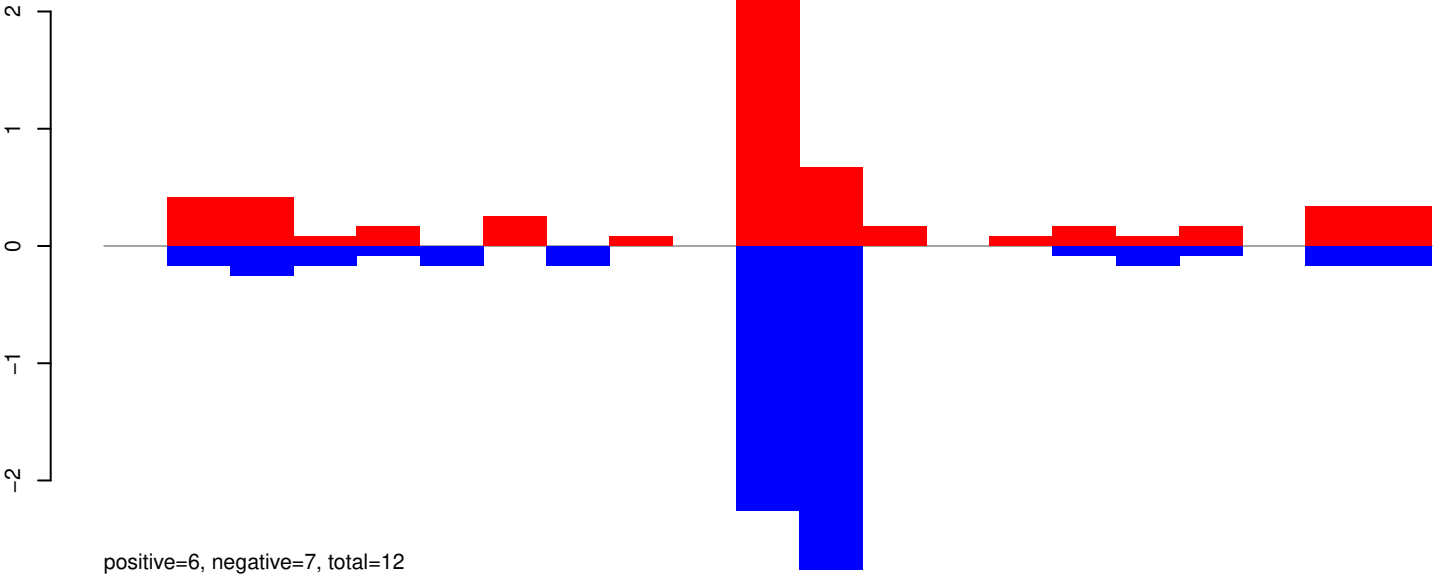
AeAeg_Aag2_Ago2_SINV_RA.24_35.rep



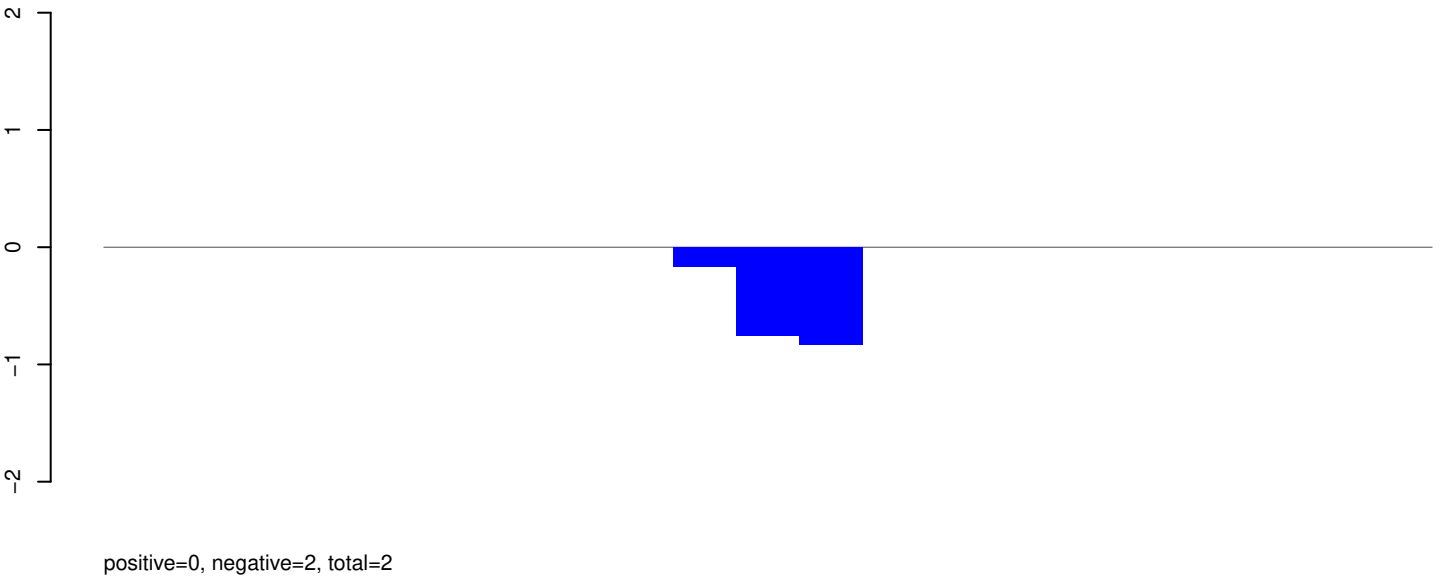
AeAeg_Aag2_Ago2_SINV_RA.rep



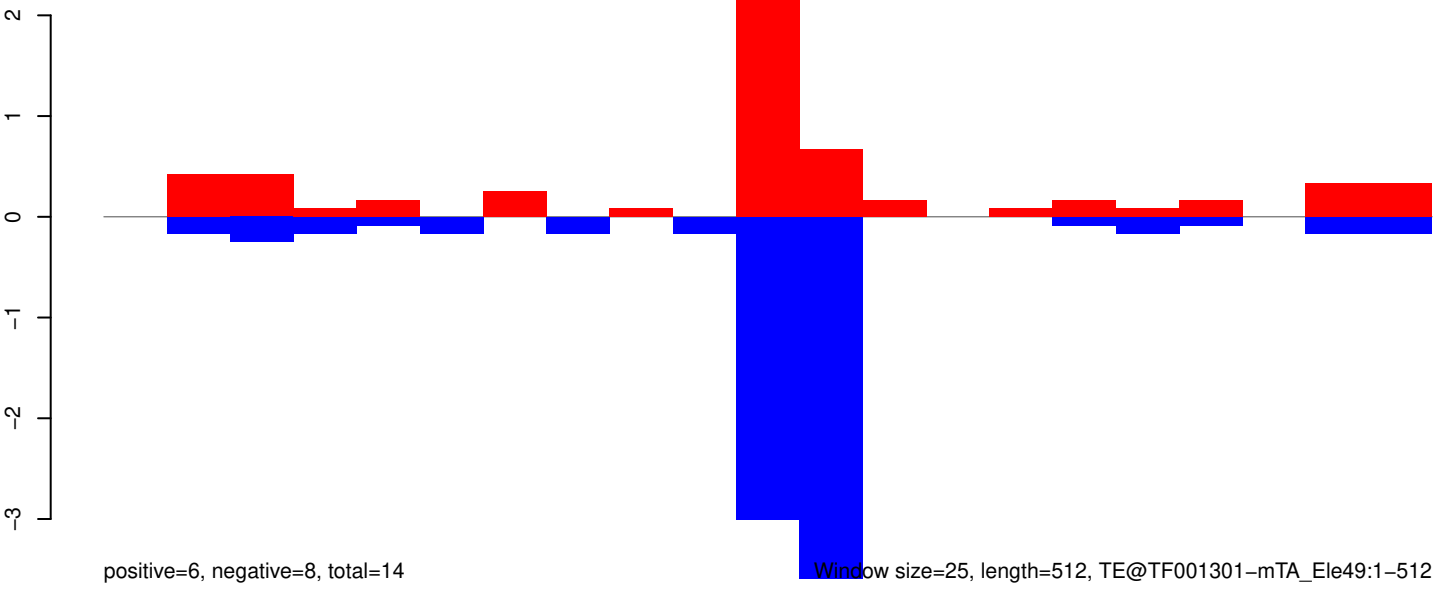
AeAeg_Aag2_Ago2_SINV_RA.18_23.rep



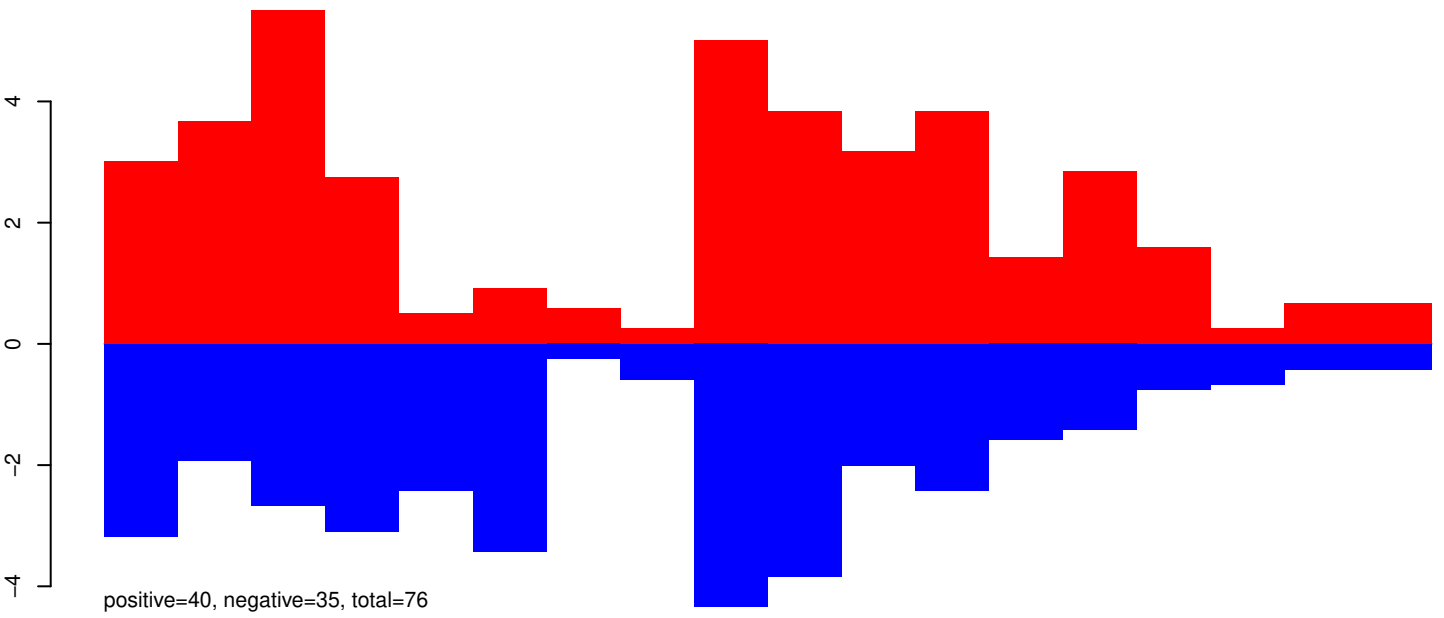
AeAeg_Aag2_Ago2_SINV_RA.24_35.rep



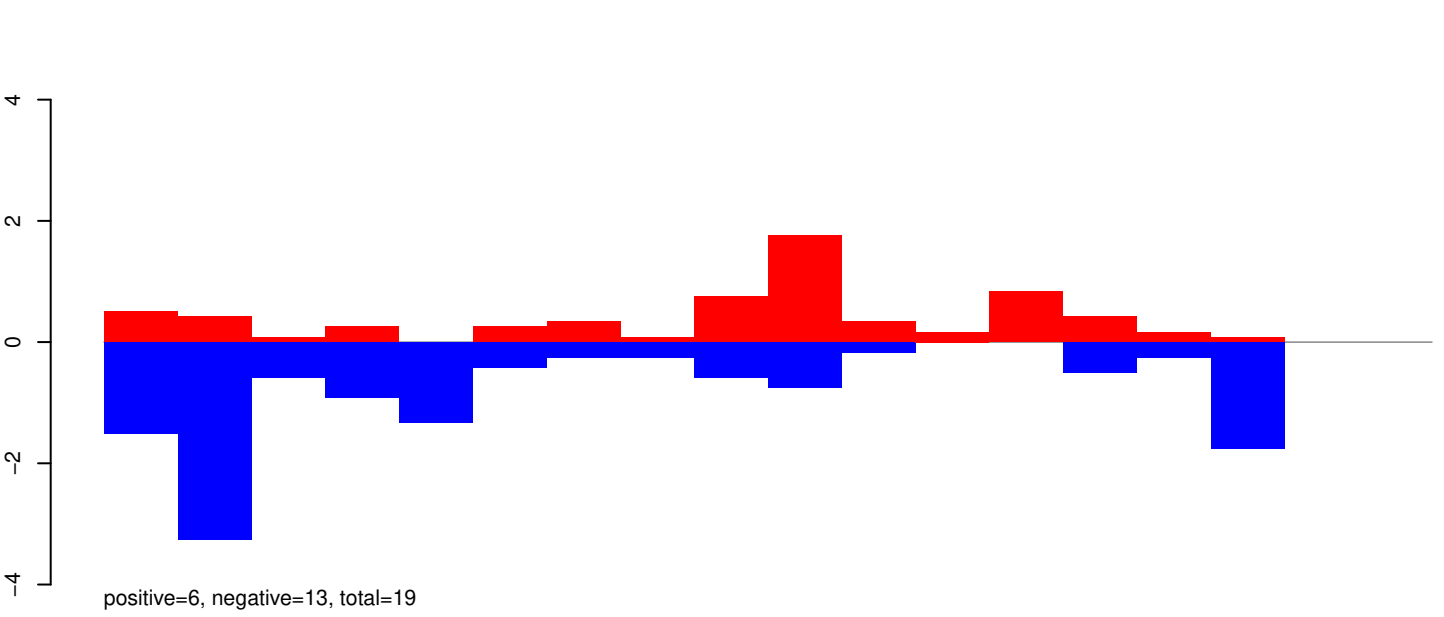
AeAeg_Aag2_Ago2_SINV_RA.rep



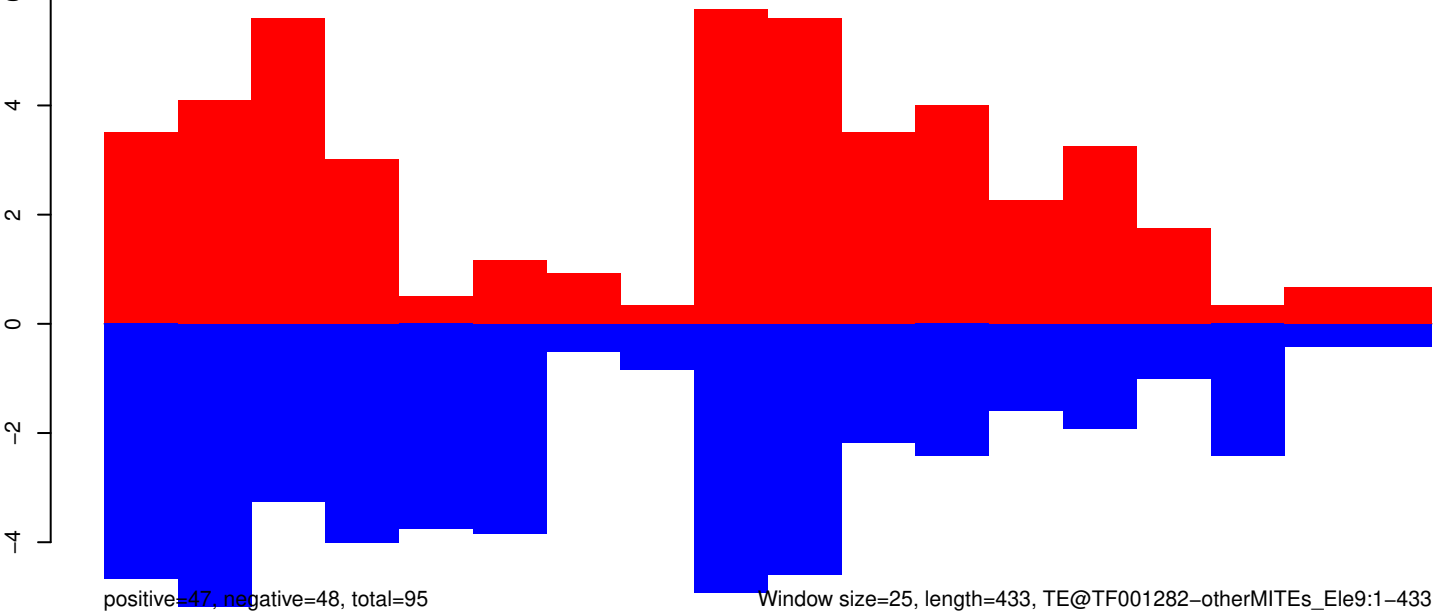
AeAeg_Aag2_Ago2_SINV_RA.18_23.rep



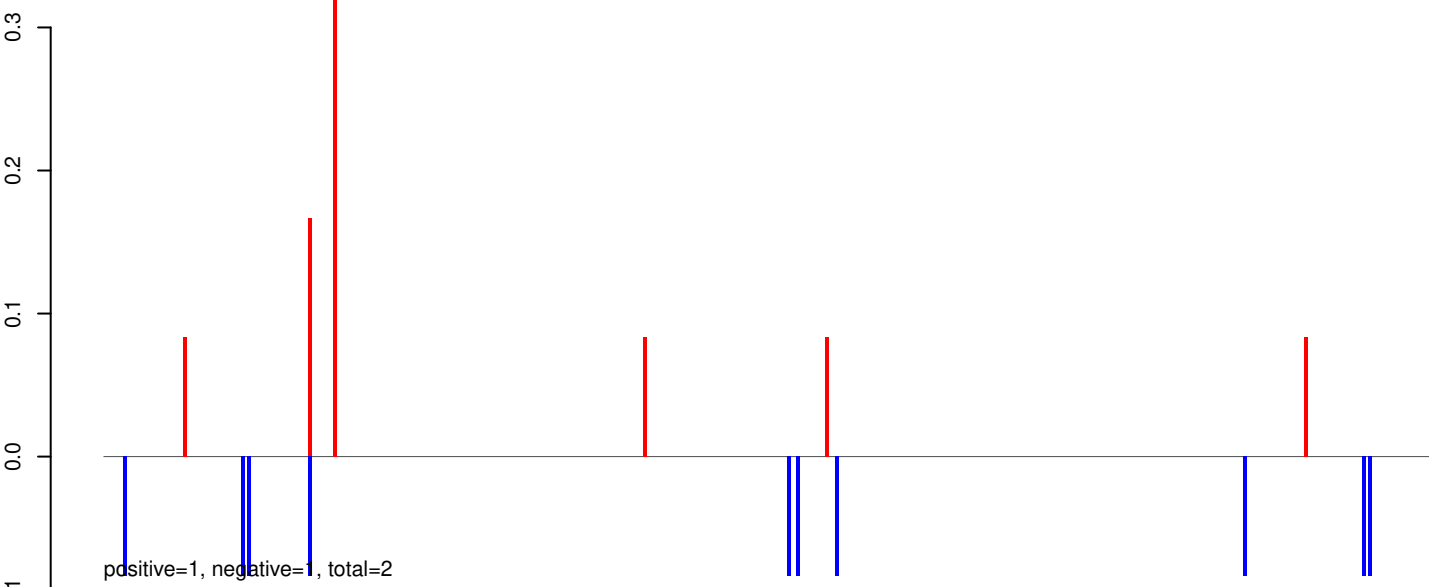
AeAeg_Aag2_Ago2_SINV_RA.24_35.rep



AeAeg_Aag2_Ago2_SINV_RA.rep



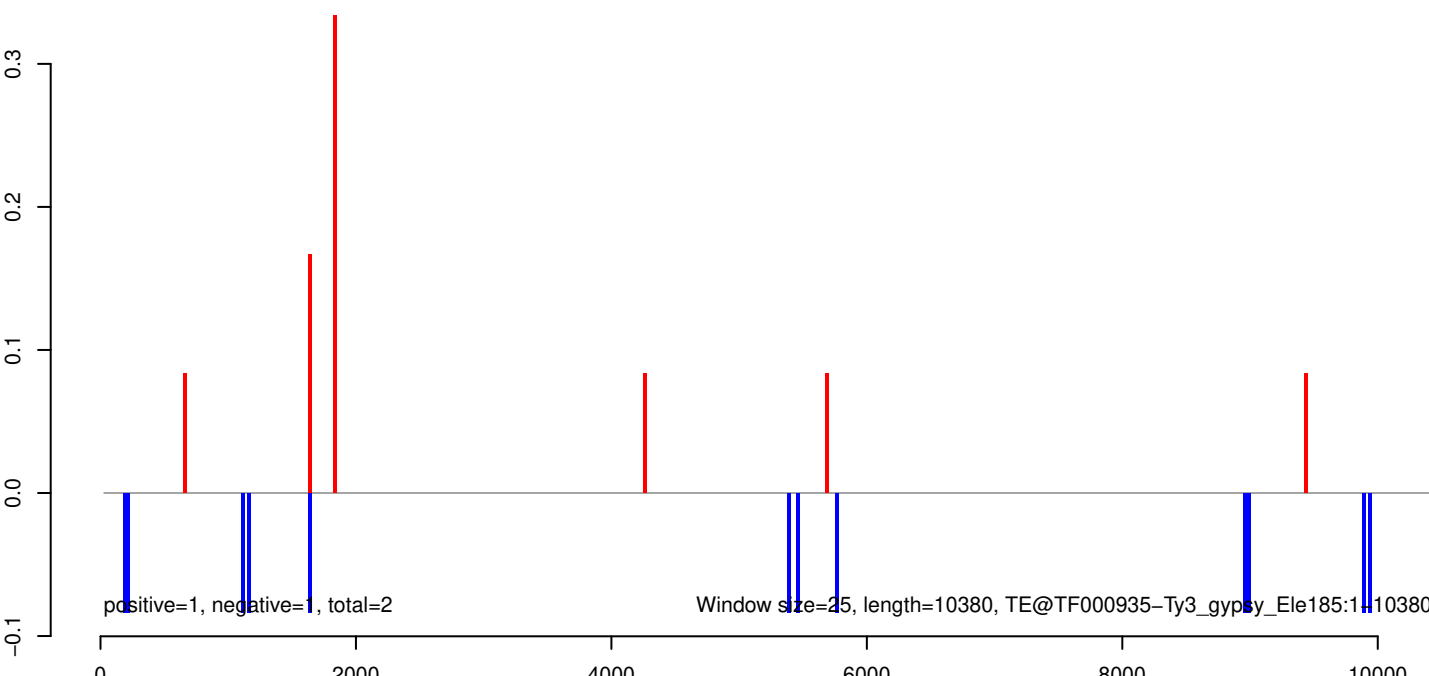
AeAeg_Aag2_Ago2_SINV_RA.18_23.rep



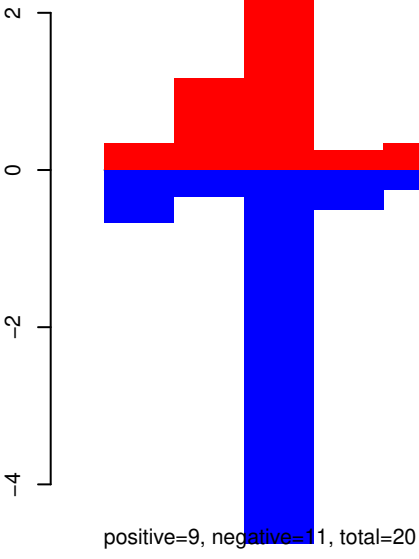
AeAeg_Aag2_Ago2_SINV_RA.24_35.rep



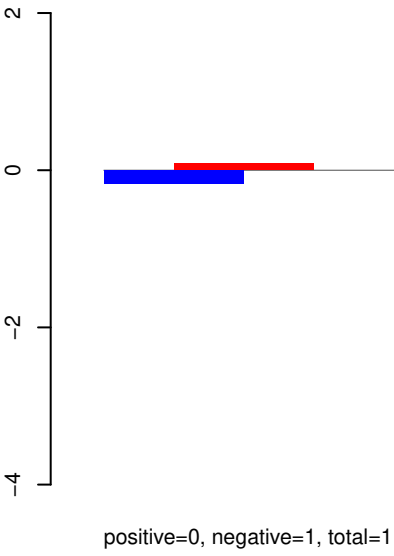
AeAeg_Aag2_Ago2_SINV_RA.rep



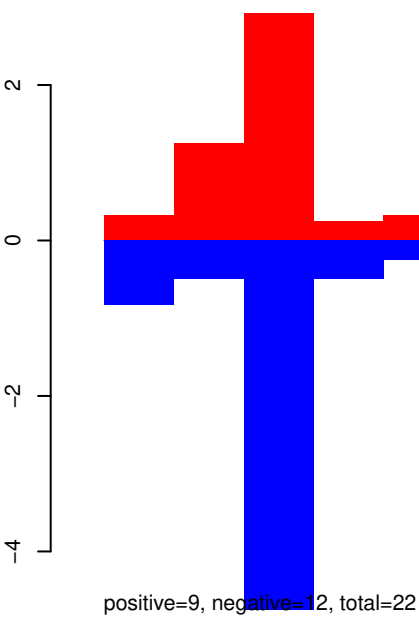
AeAeg_Aag2_Ago2_SINV_RA.18_23.rep



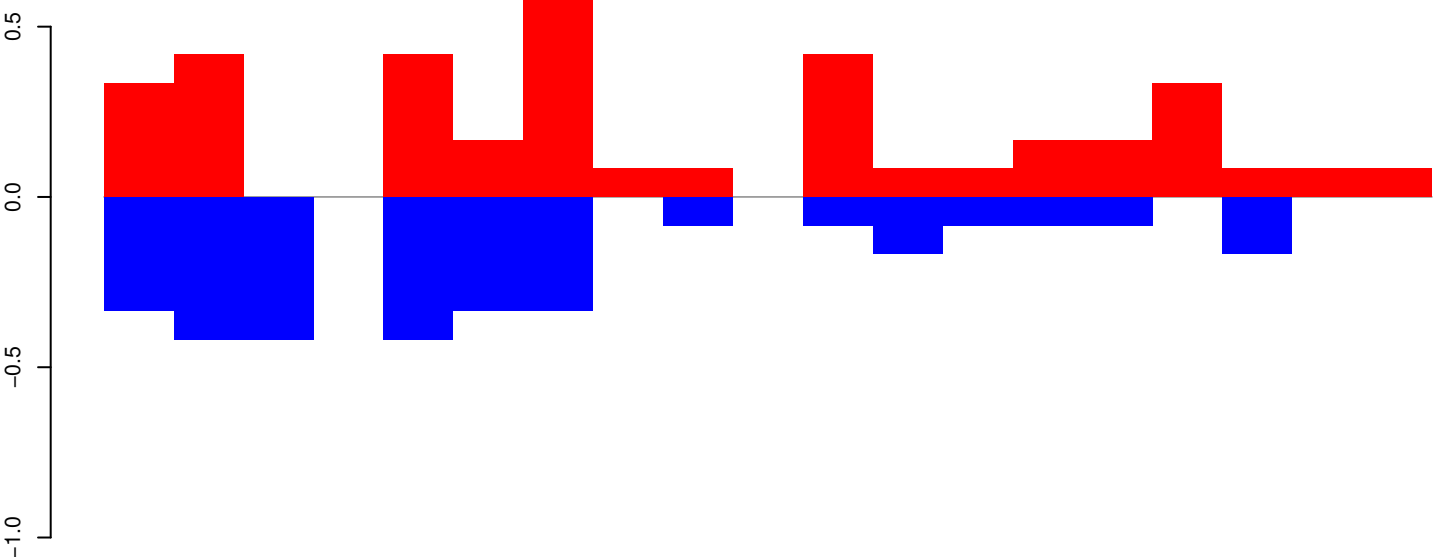
AeAeg_Aag2_Ago2_SINV_RA.24_35.rep



AeAeg_Aag2_Ago2_SINV_RA.rep

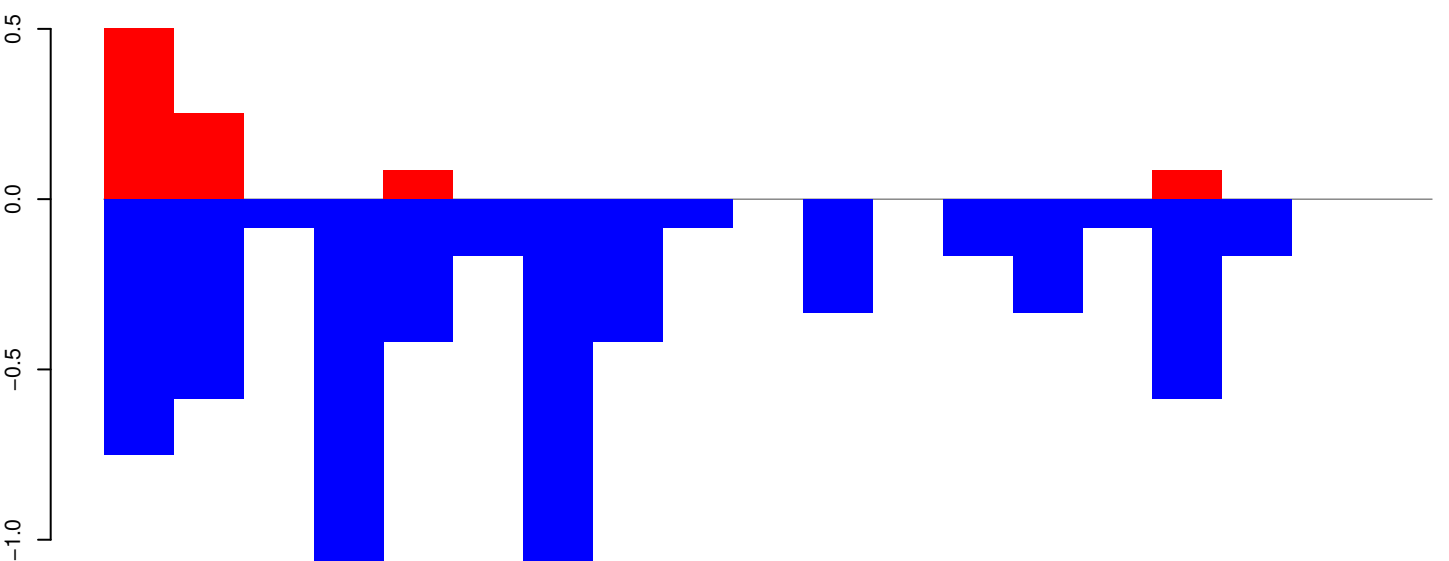


AeAeg_Aag2_Ago2_SINV_RA.18_23.rep



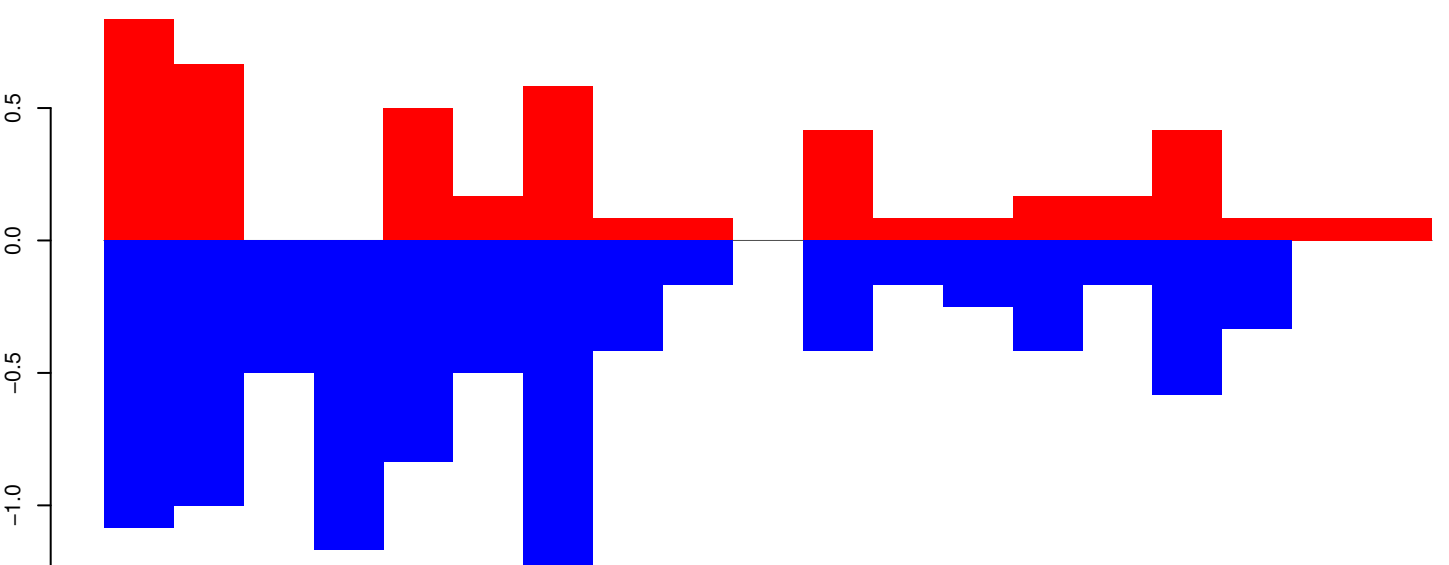
positive=4, negative=3, total=7

AeAeg_Aag2_Ago2_SINV_RA.24_35.rep



positive=1, negative=6, total=7

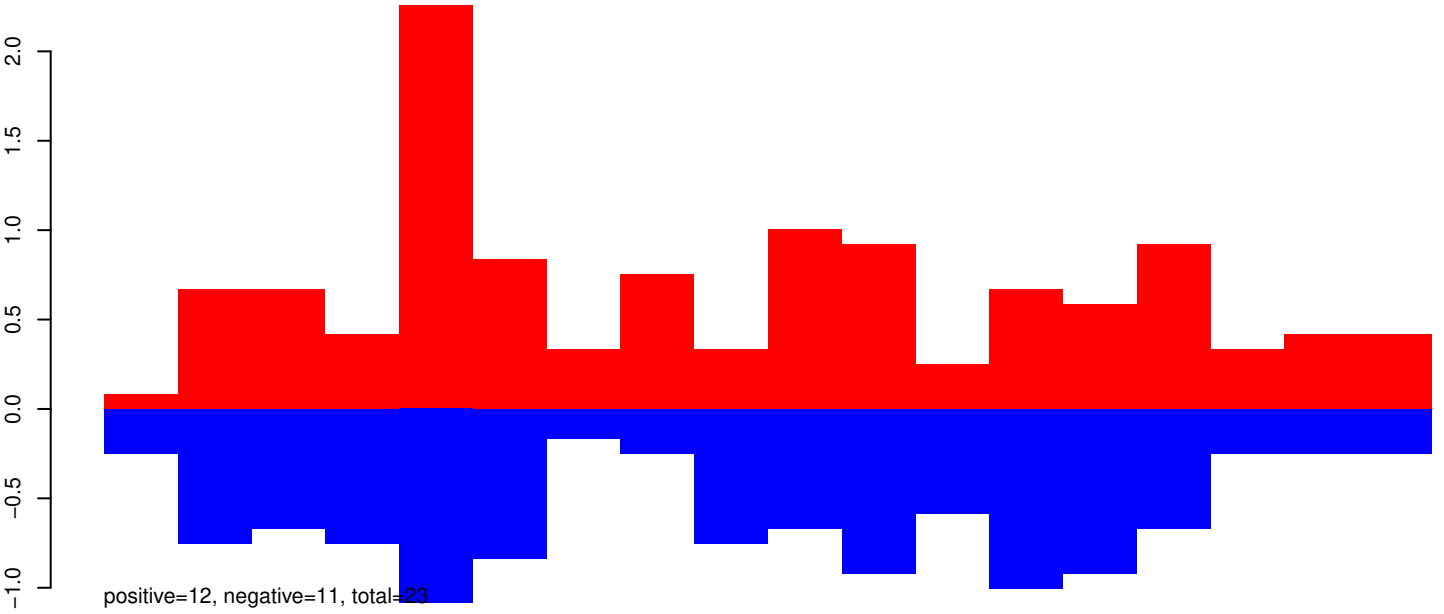
AeAeg_Aag2_Ago2_SINV_RA.rep



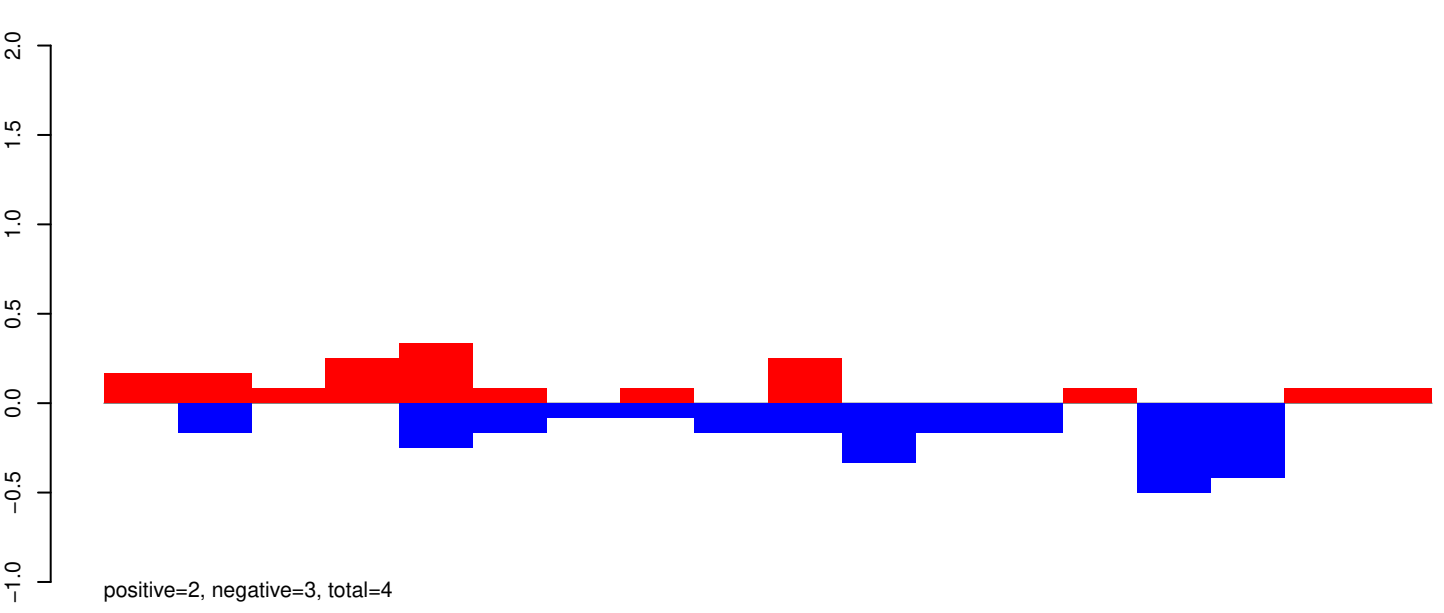
positive=5, negative=9, total=14

Window size=25, length=472, TE@TF000715-m8bp_Ele7:1-472

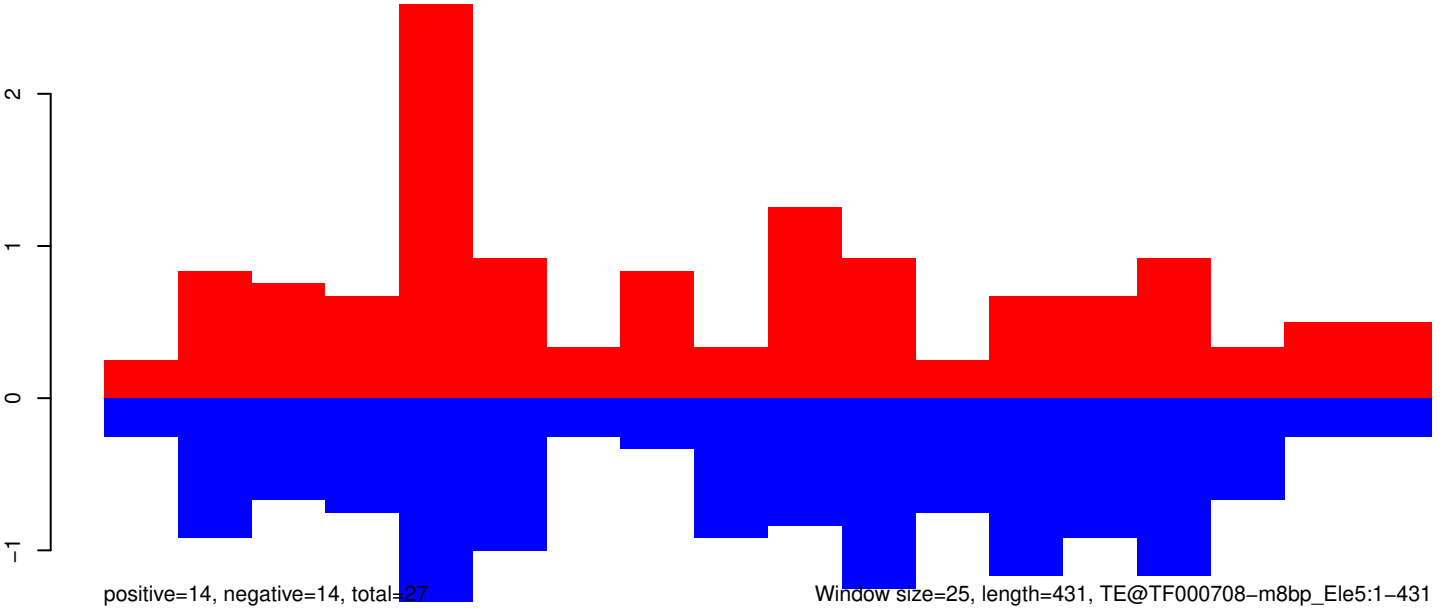
AeAeg_Aag2_Ago2_SINV_RA.18_23.rep



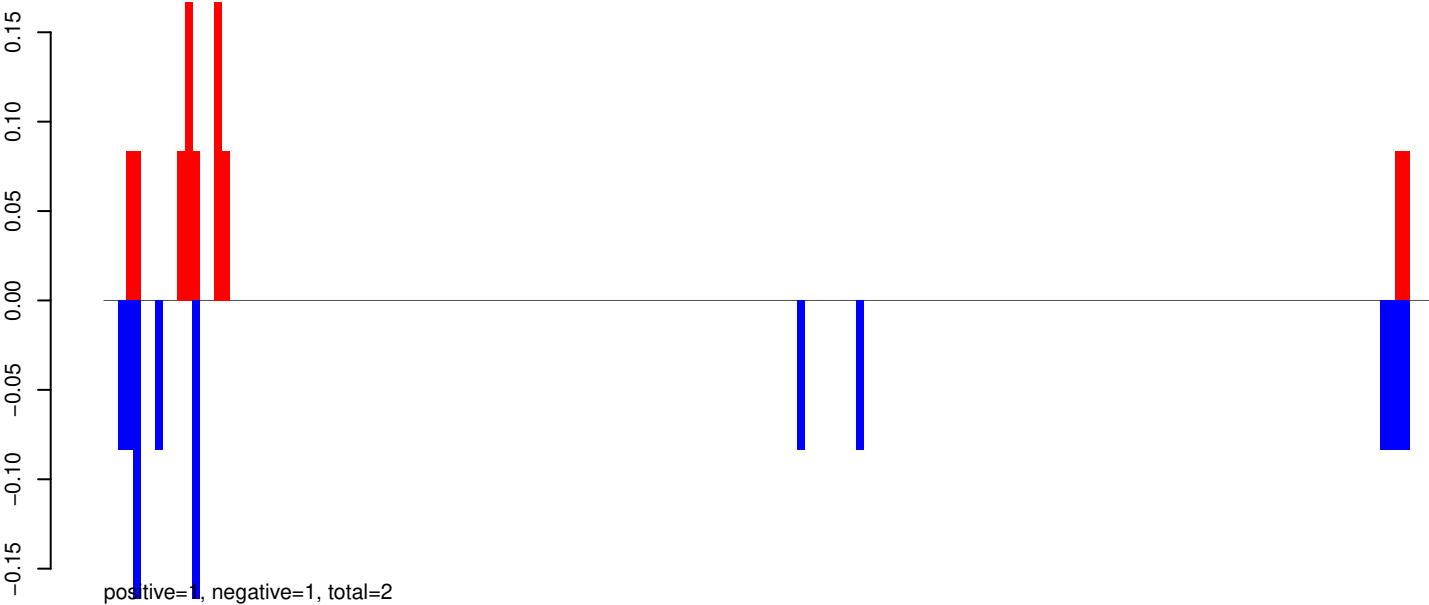
AeAeg_Aag2_Ago2_SINV_RA.24_35.rep



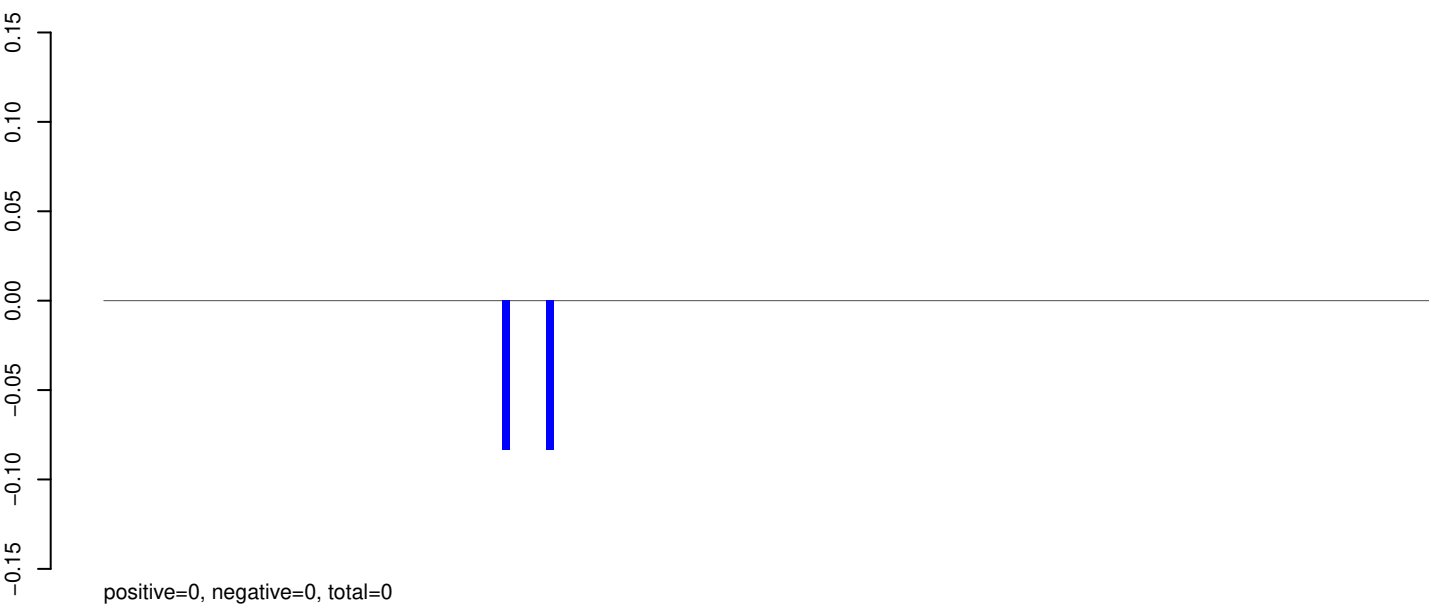
AeAeg_Aag2_Ago2_SINV_RA.rep



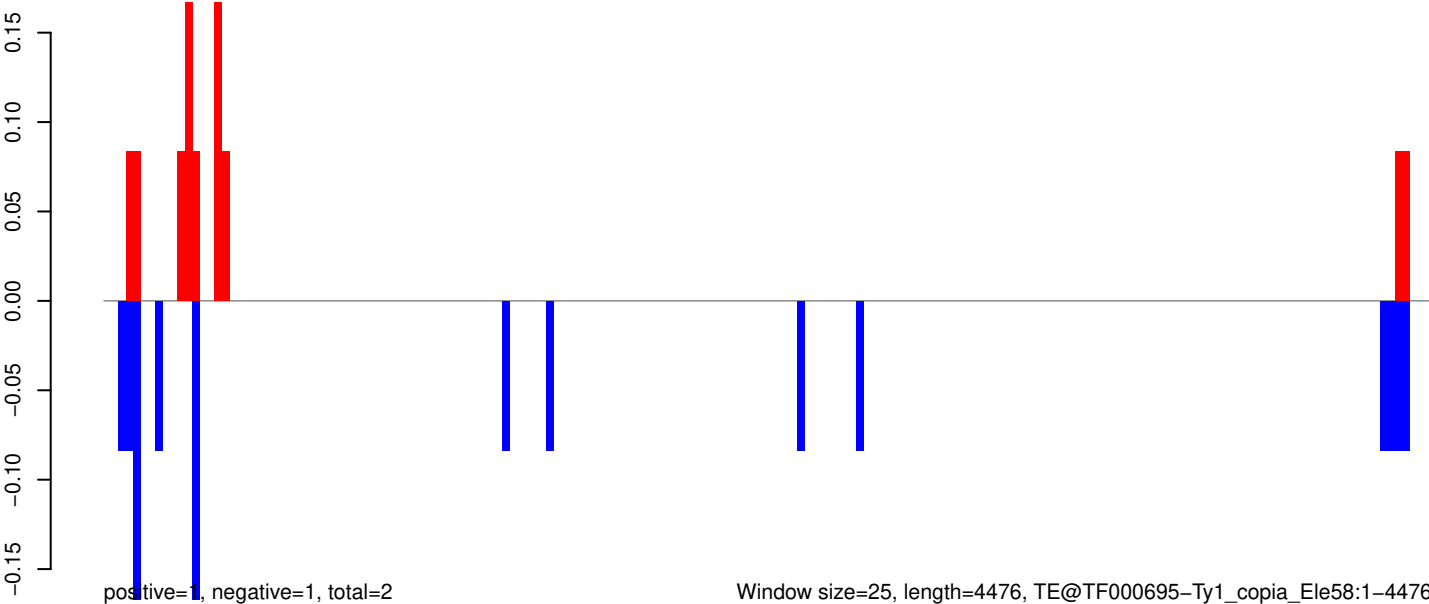
AeAeg_Aag2_Ago2_SINV_RA.18_23.rep



AeAeg_Aag2_Ago2_SINV_RA.24_35.rep



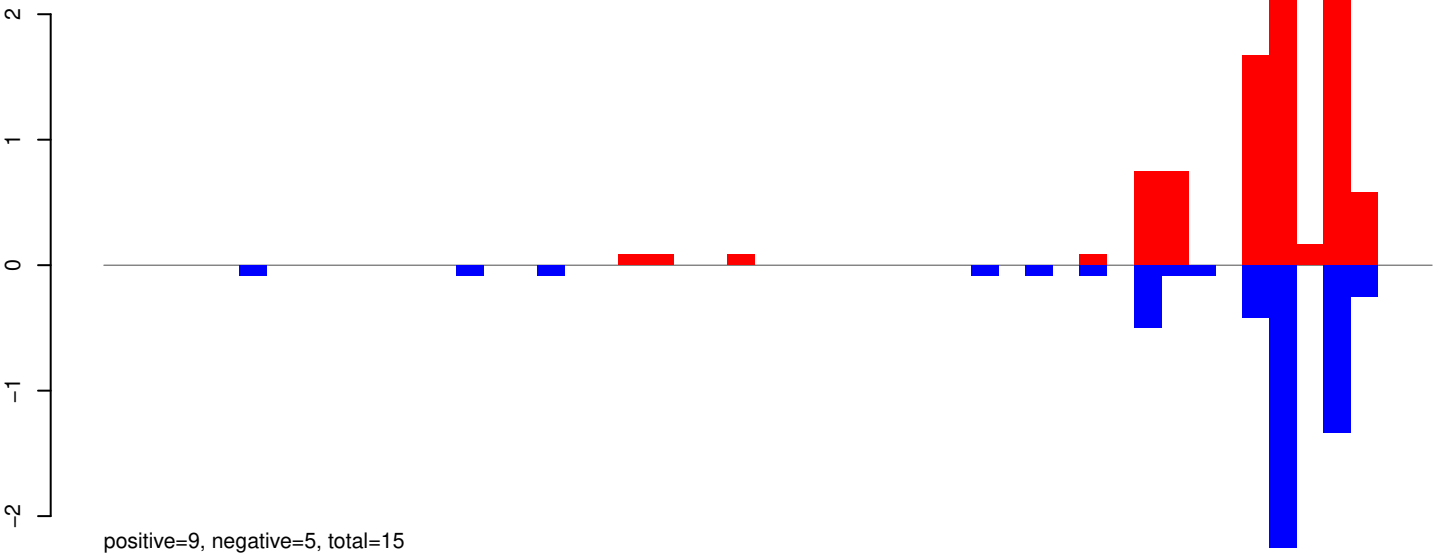
AeAeg_Aag2_Ago2_SINV_RA.rep



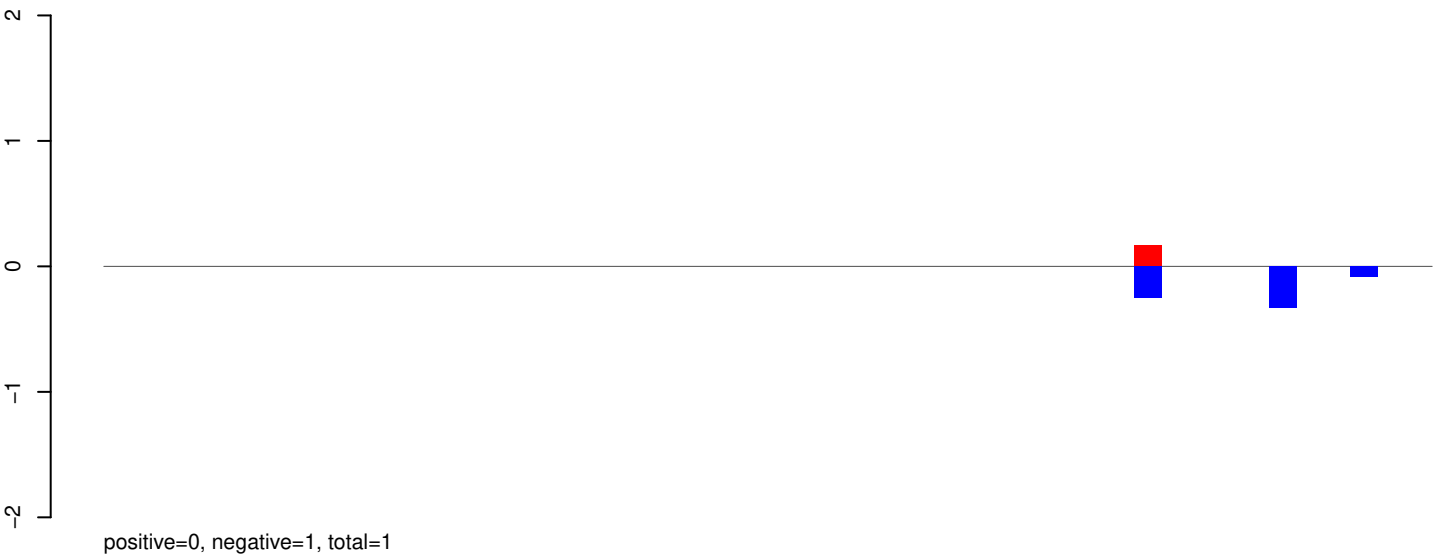
Window size=25, length=4476, TE@TF000695-Ty1_copia_Ele58:1-4476

0 1000 2000 3000 4000

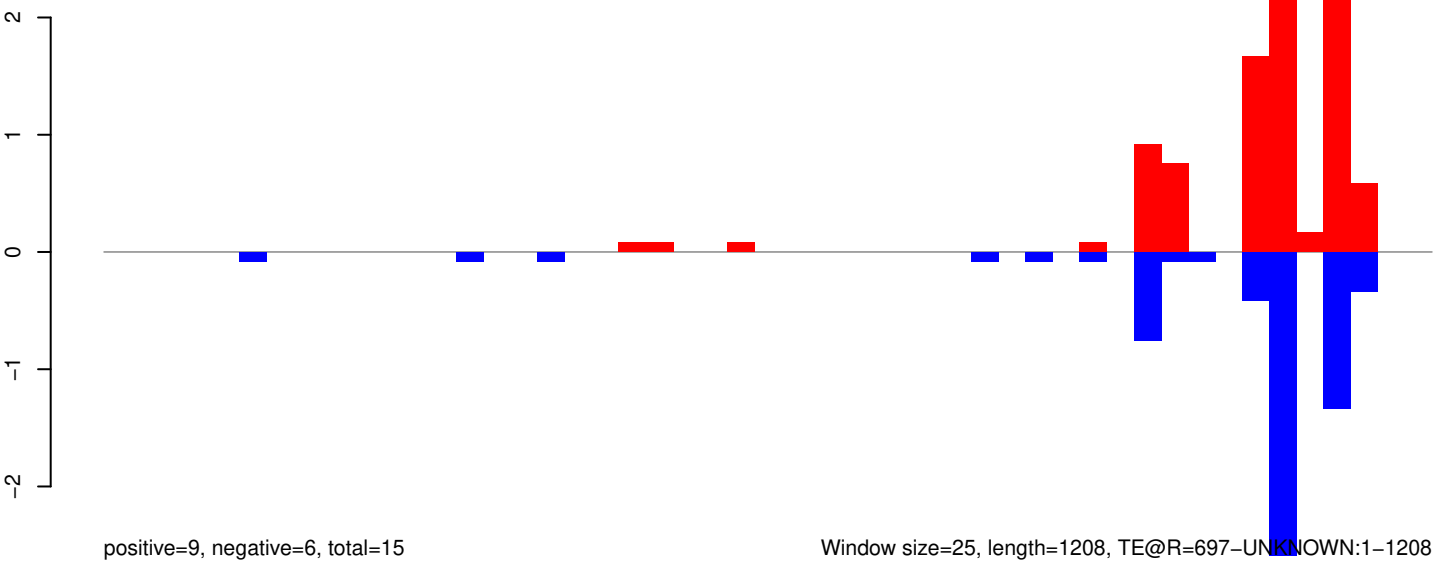
AeAeg_Aag2_Ago2_SINV_RA.18_23.rep



AeAeg_Aag2_Ago2_SINV_RA.24_35.rep



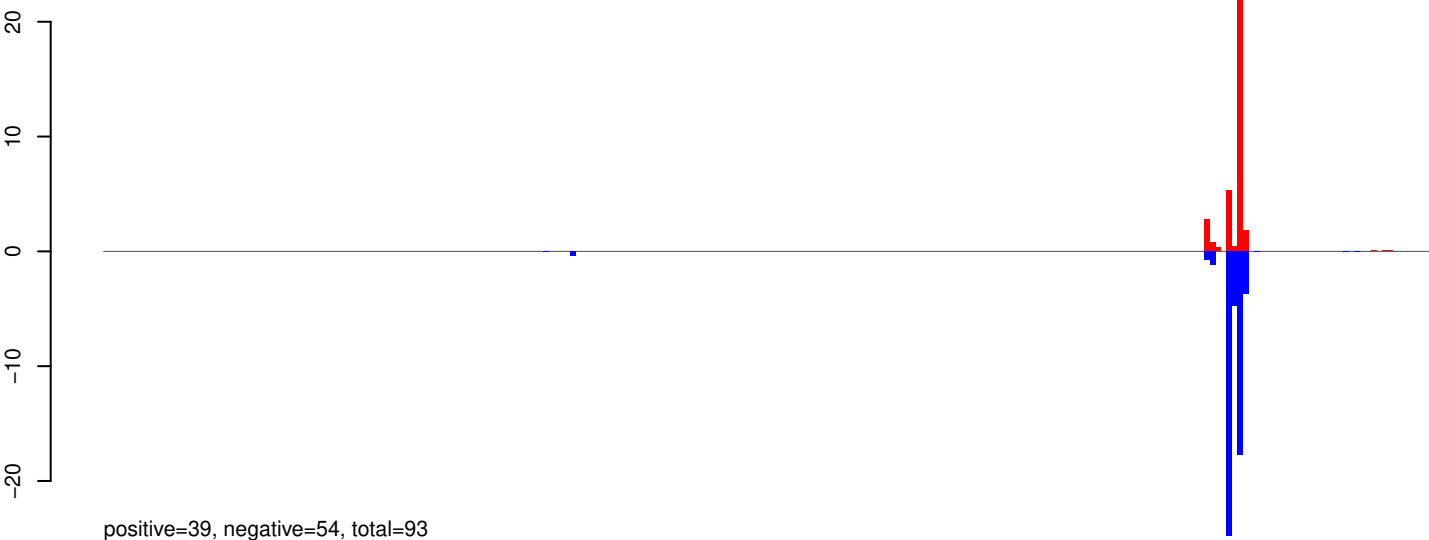
AeAeg_Aag2_Ago2_SINV_RA.rep



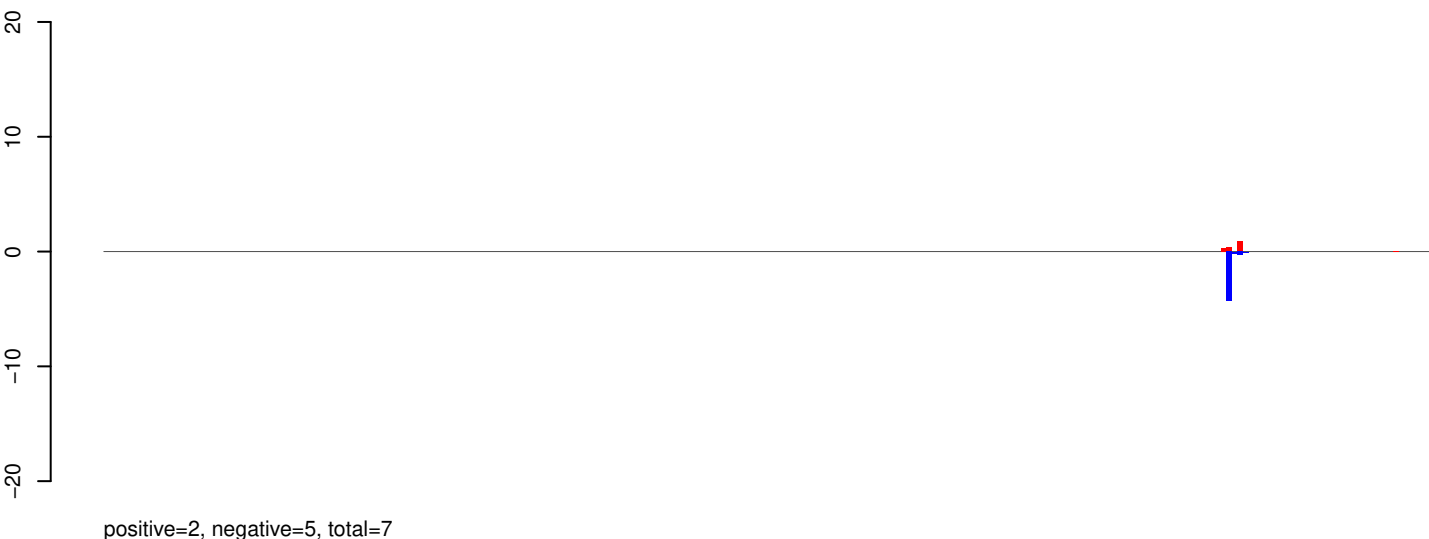
Window size=25, length=1208, TE@R=697-UNKNOWN:1-1208

0 200 400 600 800 1000 1200

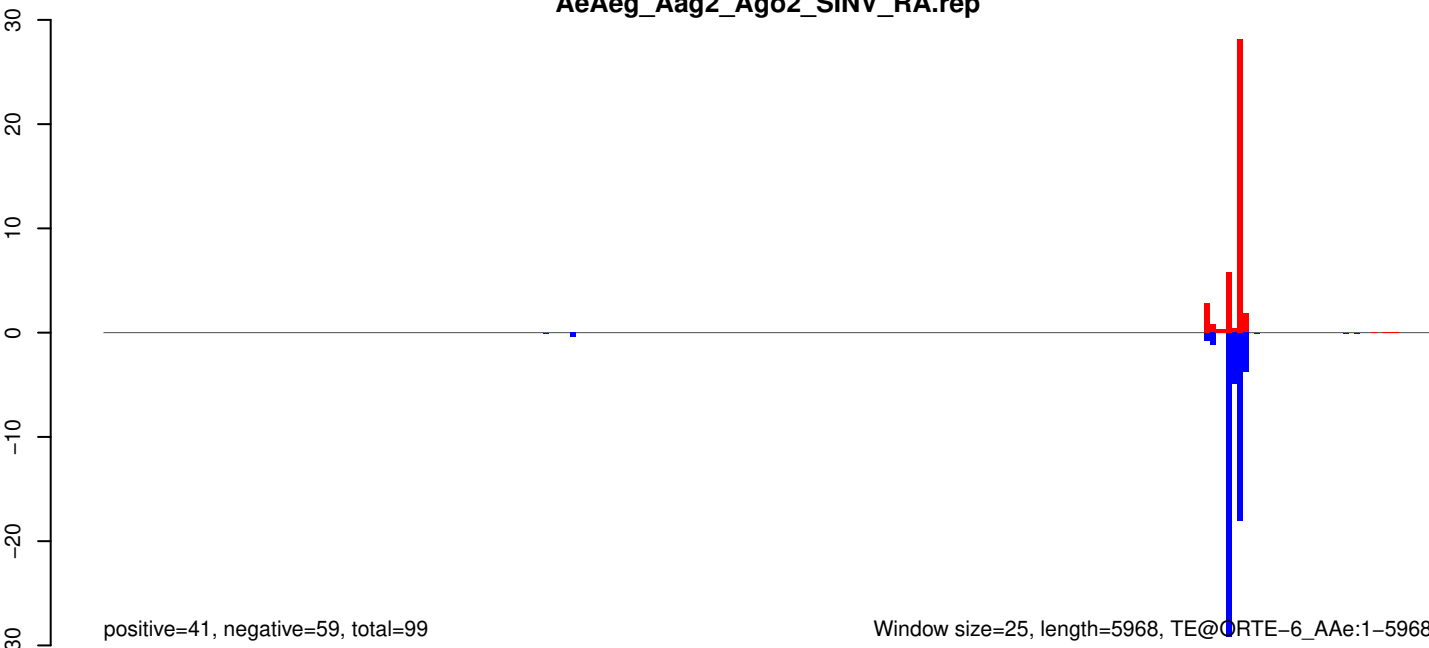
AeAeg_Aag2_Ago2_SINV_RA.18_23.rep



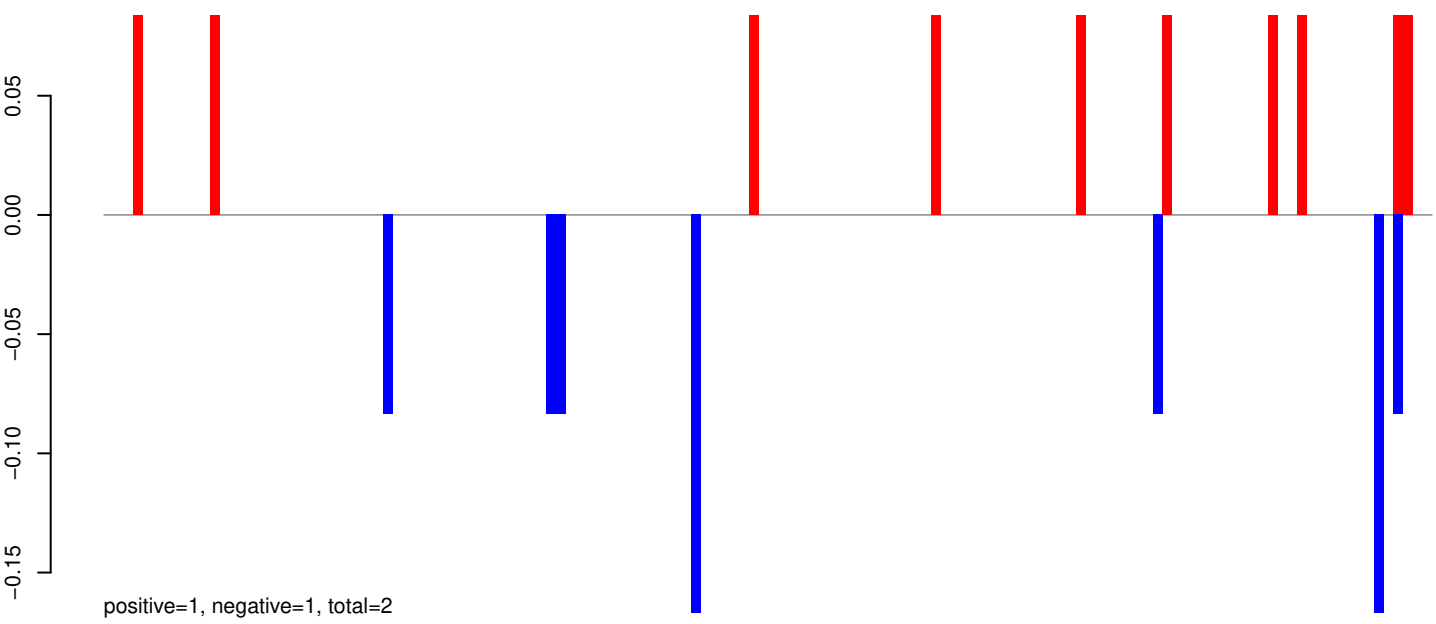
AeAeg_Aag2_Ago2_SINV_RA.24_35.rep



AeAeg_Aag2_Ago2_SINV_RA.rep



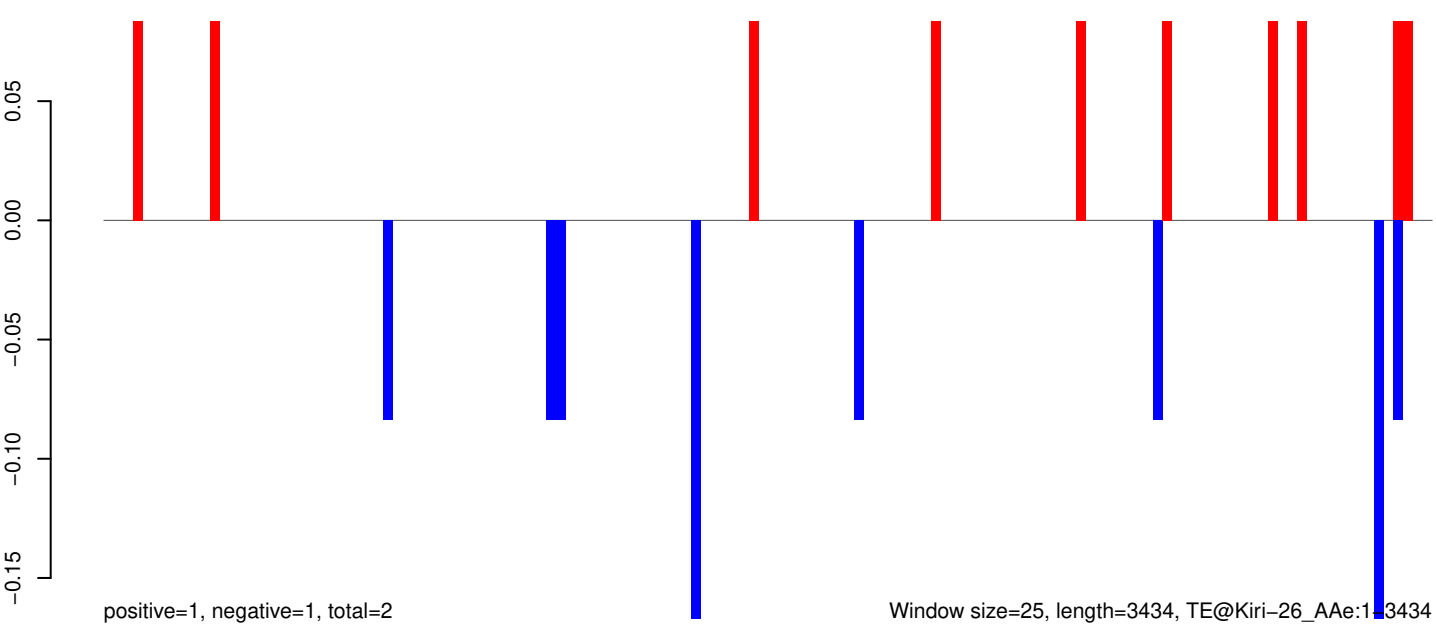
AeAeg_Aag2_Ago2_SINV_RA.18_23.rep



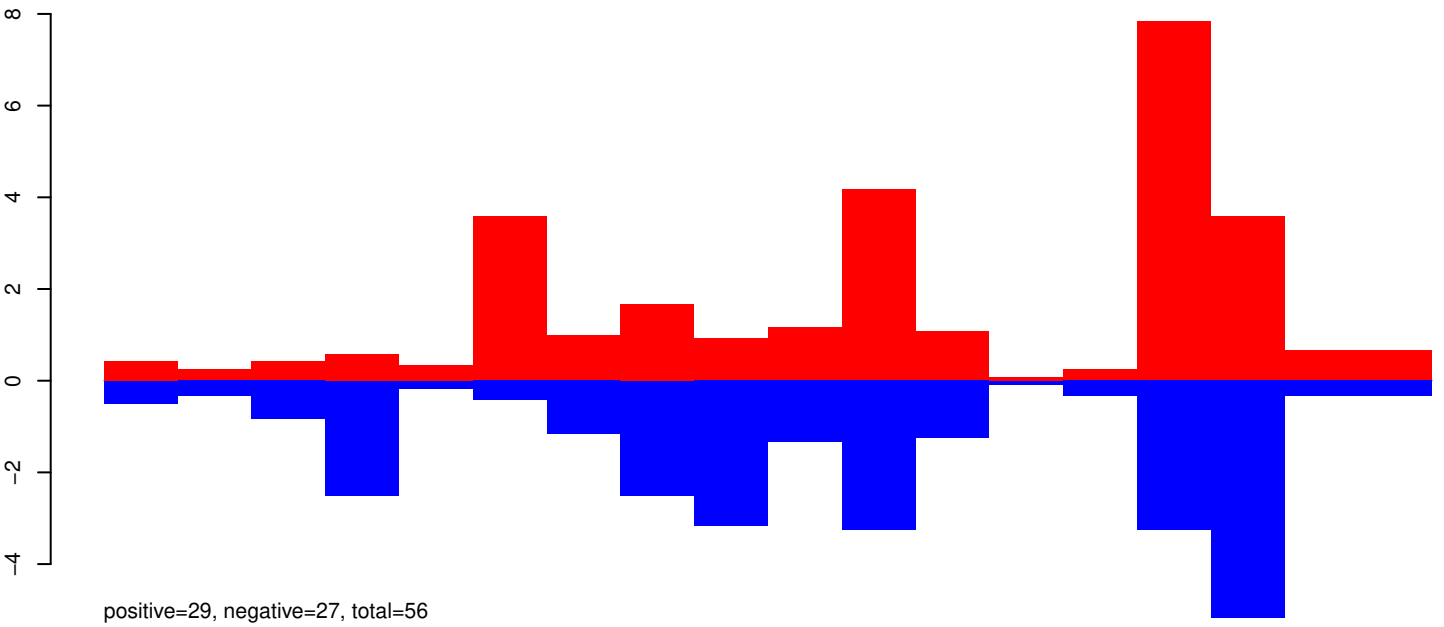
AeAeg_Aag2_Ago2_SINV_RA.24_35.rep



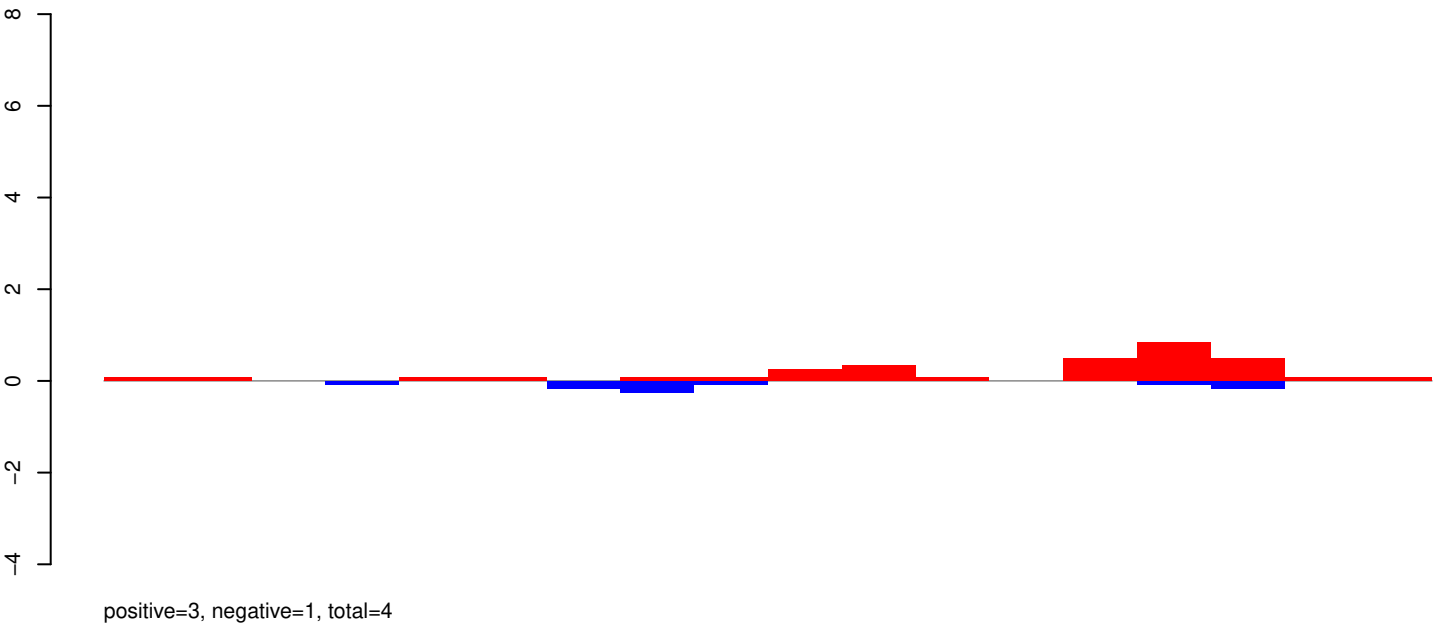
AeAeg_Aag2_Ago2_SINV_RA.rep



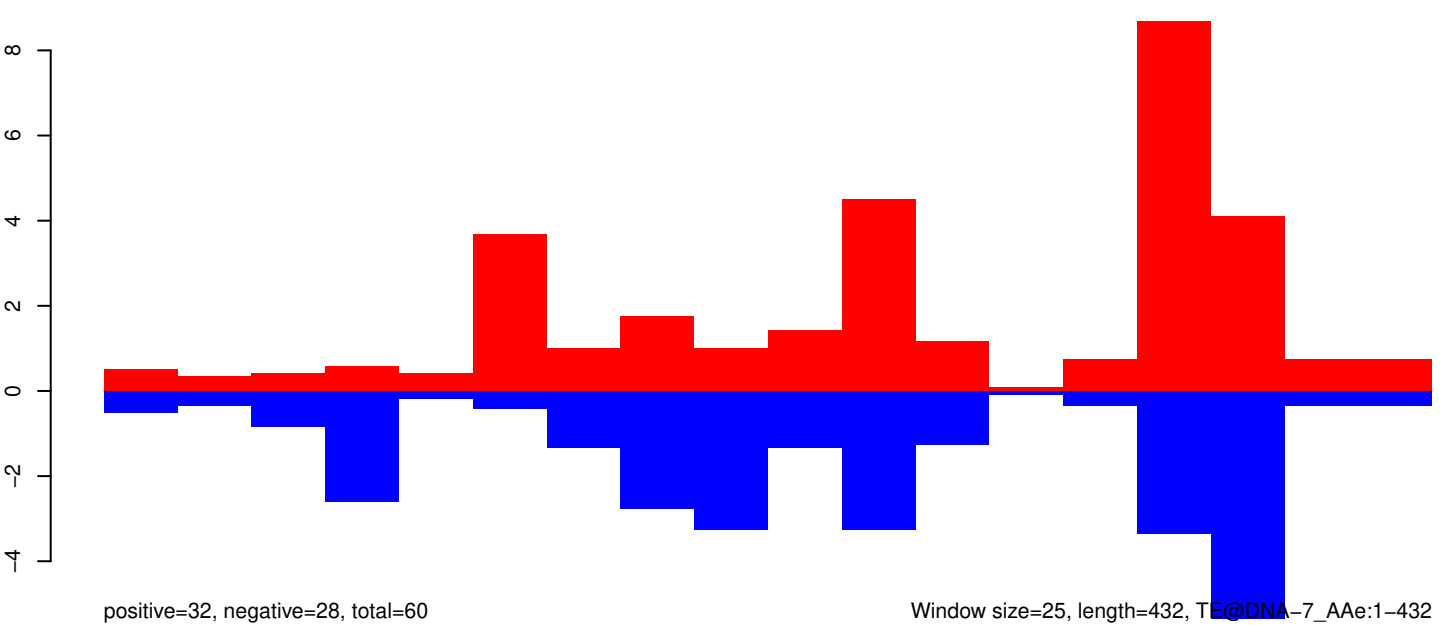
AeAeg_Aag2_Ago2_SINV_RA.18_23.rep



AeAeg_Aag2_Ago2_SINV_RA.24_35.rep



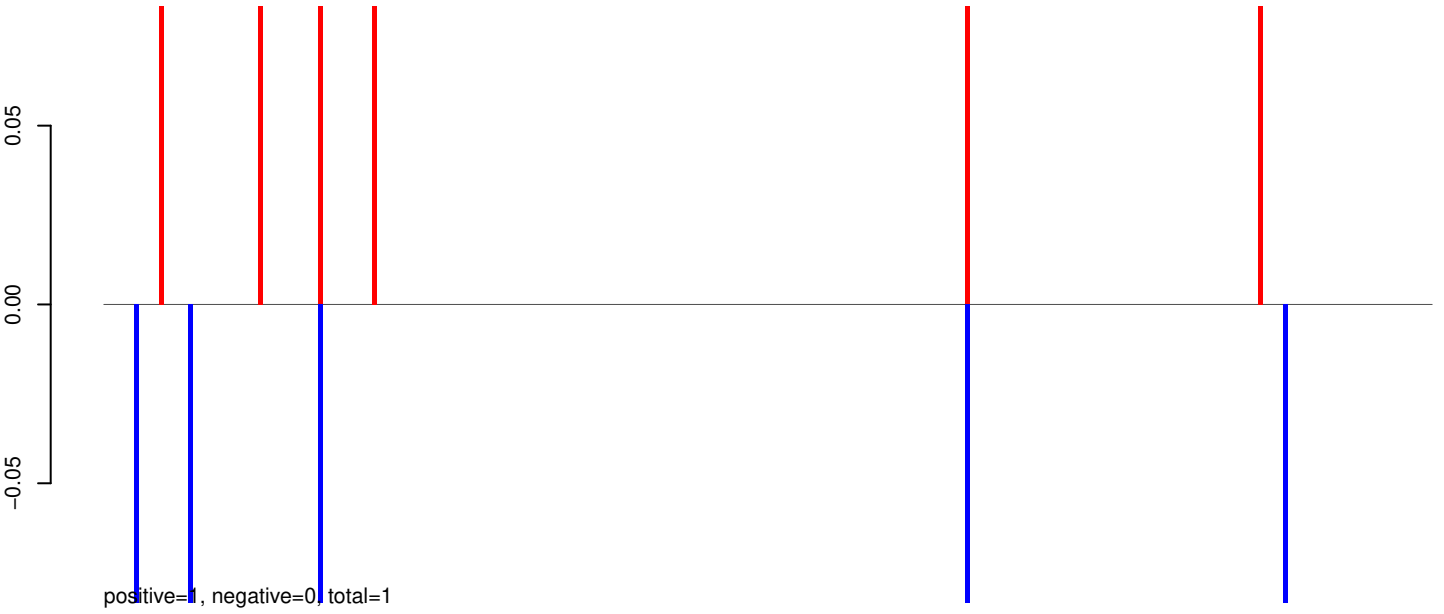
AeAeg_Aag2_Ago2_SINV_RA.rep



Window size=25, length=432, TE@DNA-7_AAe:1-432

100 200 300 400

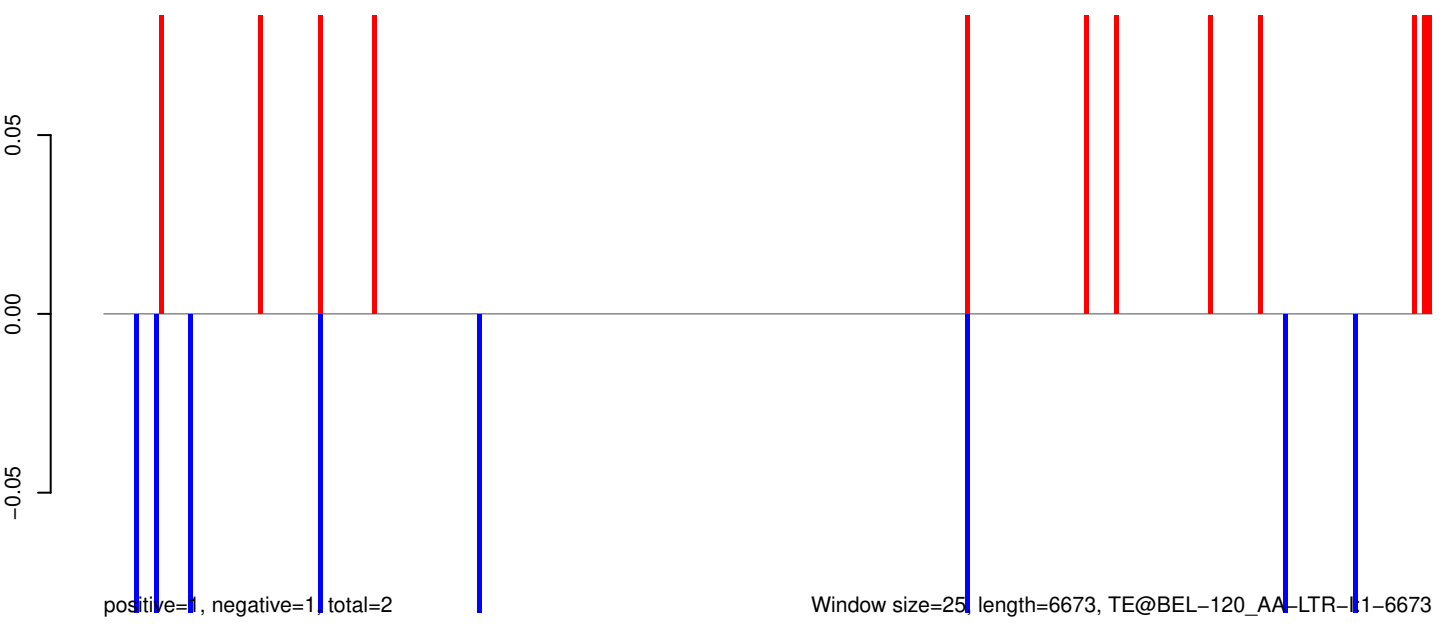
AeAeg_Aag2_Ago2_SINV_RA.18_23.rep



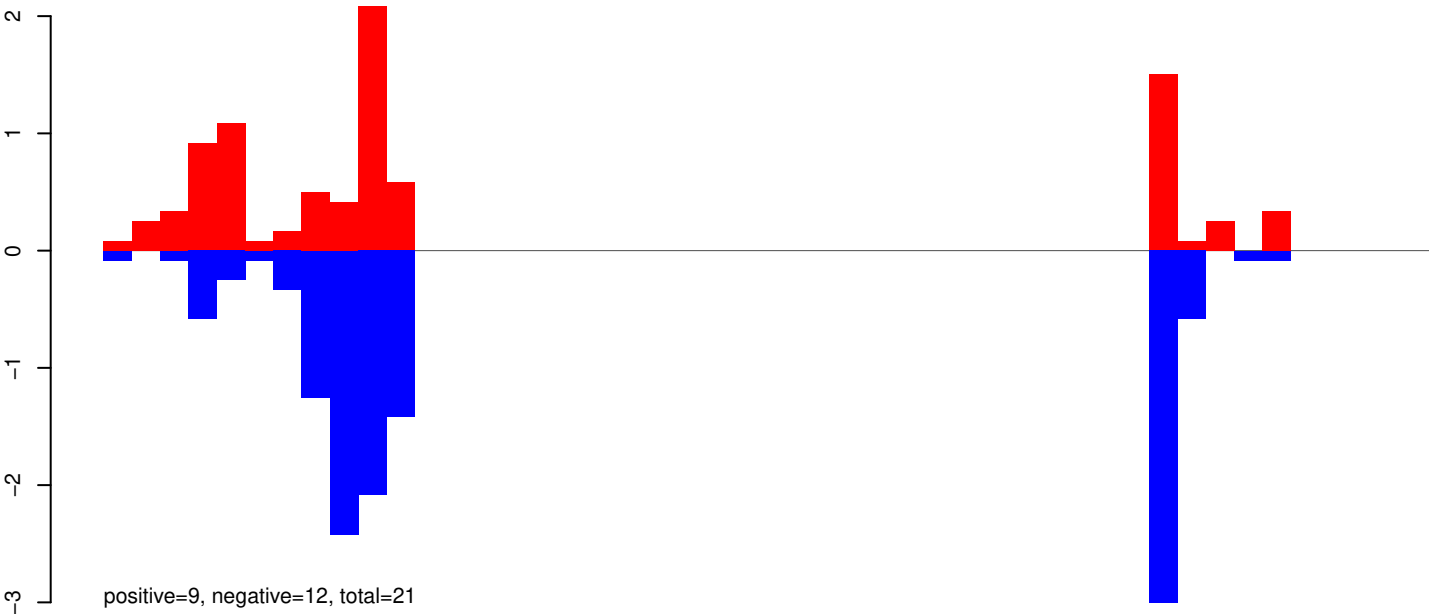
AeAeg_Aag2_Ago2_SINV_RA.24_35.rep



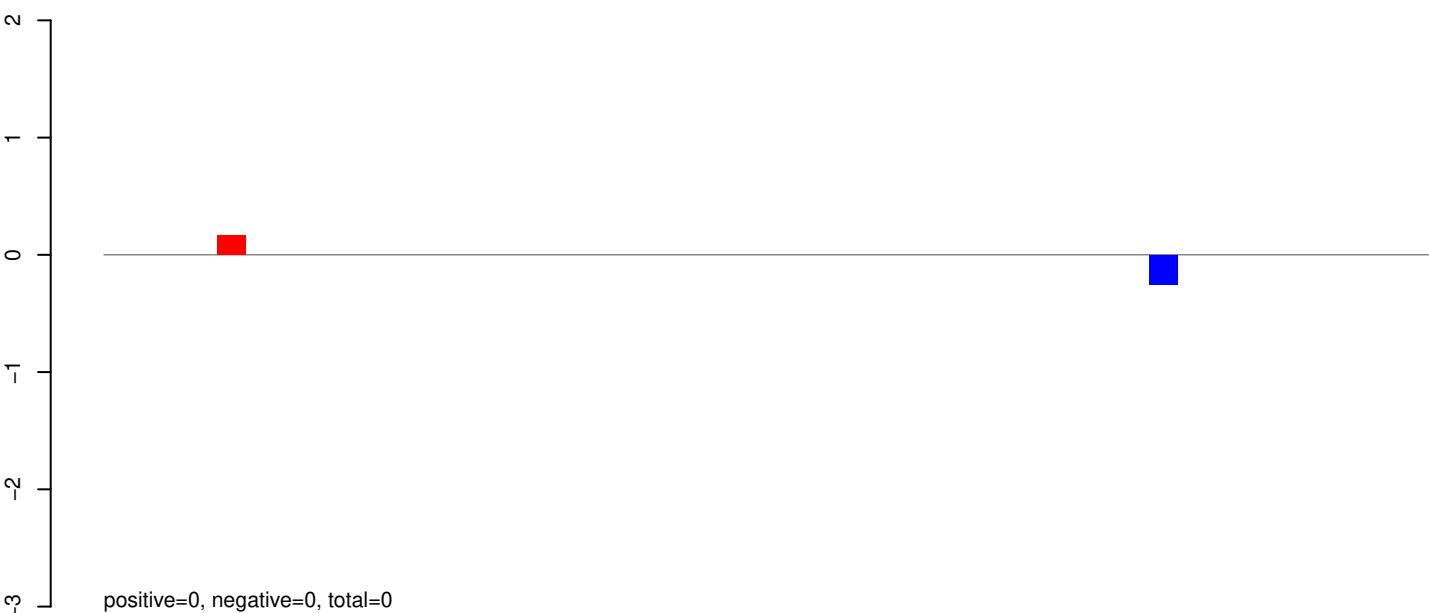
AeAeg_Aag2_Ago2_SINV_RA.rep



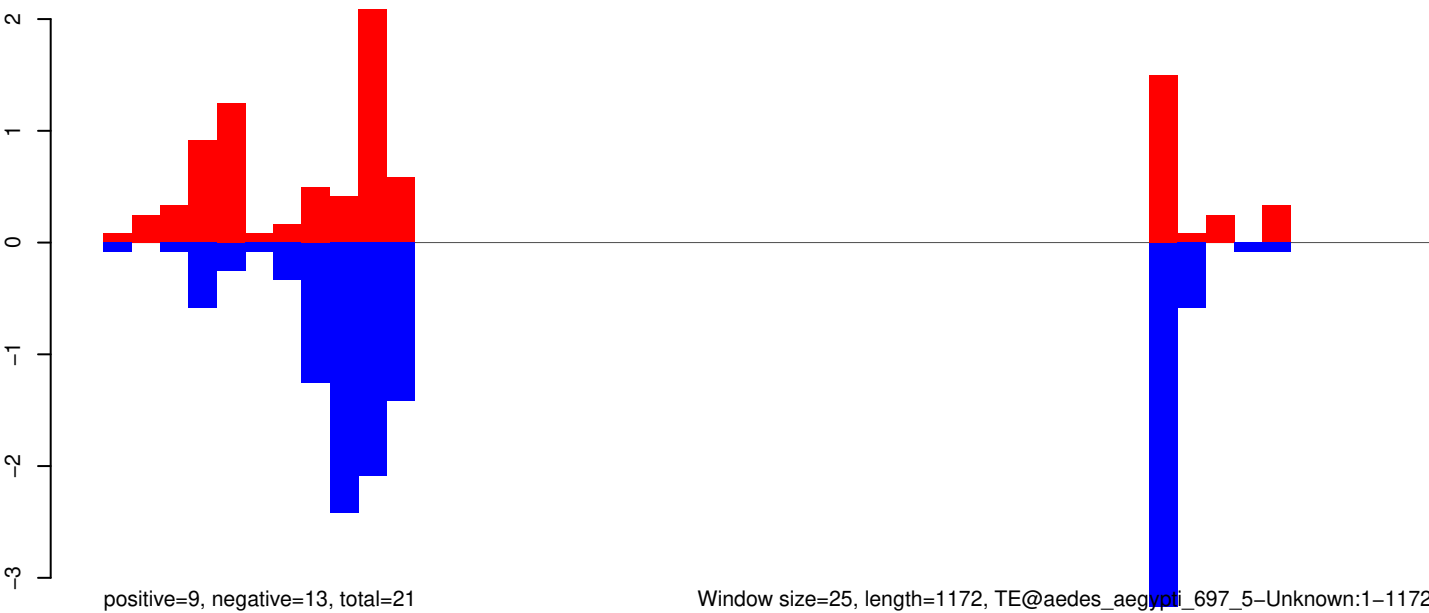
AeAeg_Aag2_Ago2_SINV_RA.18_23.rep



AeAeg_Aag2_Ago2_SINV_RA.24_35.rep



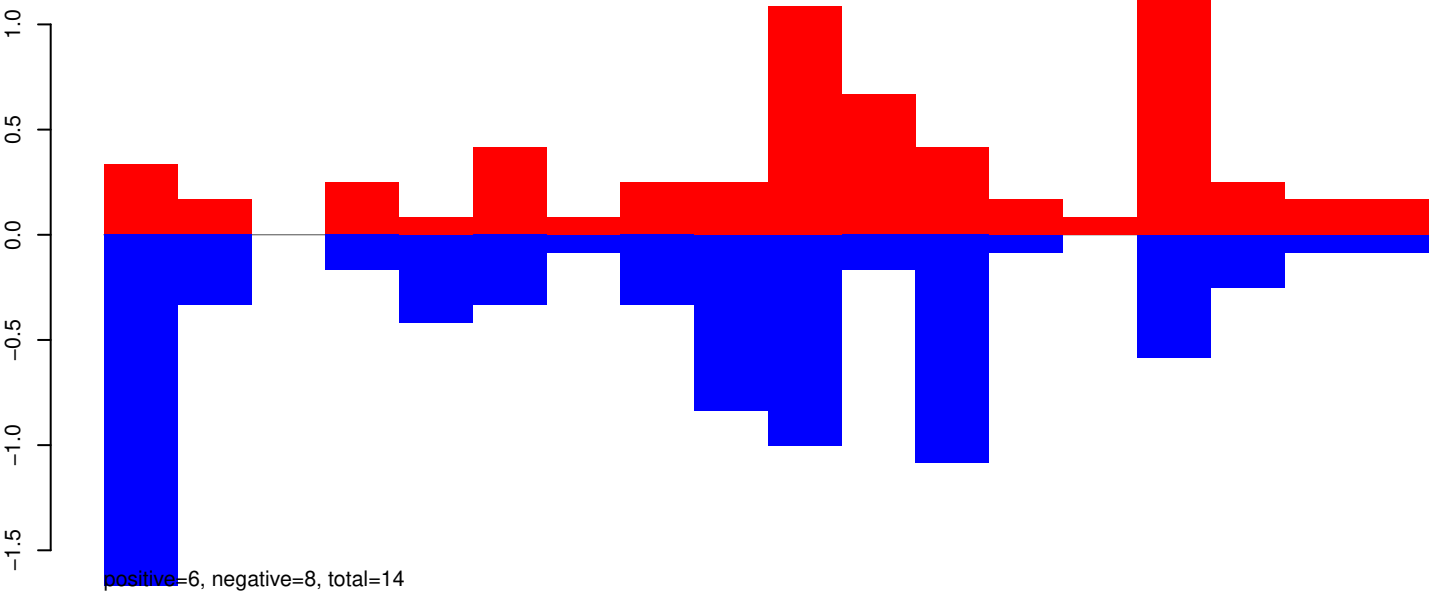
AeAeg_Aag2_Ago2_SINV_RA.rep



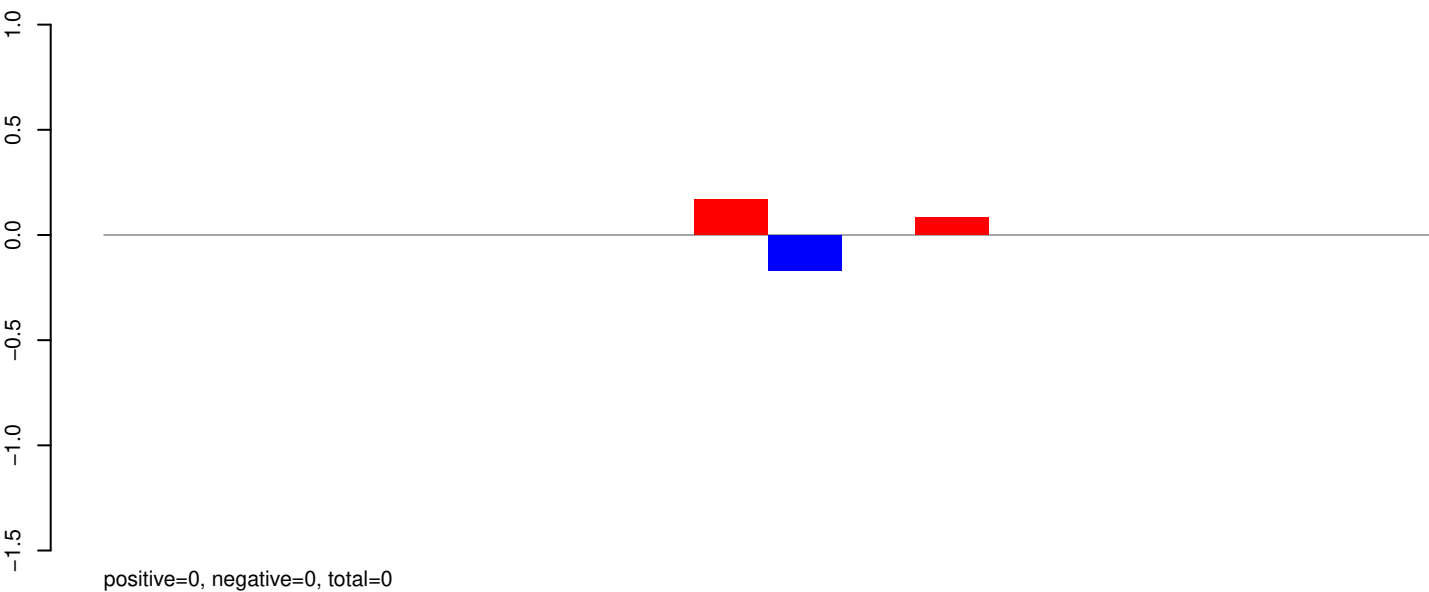
Window size=25, length=1172, TE@aedes_aegypti_697_5-Unknown:1-1172

0 200 400 600 800 1000 1200

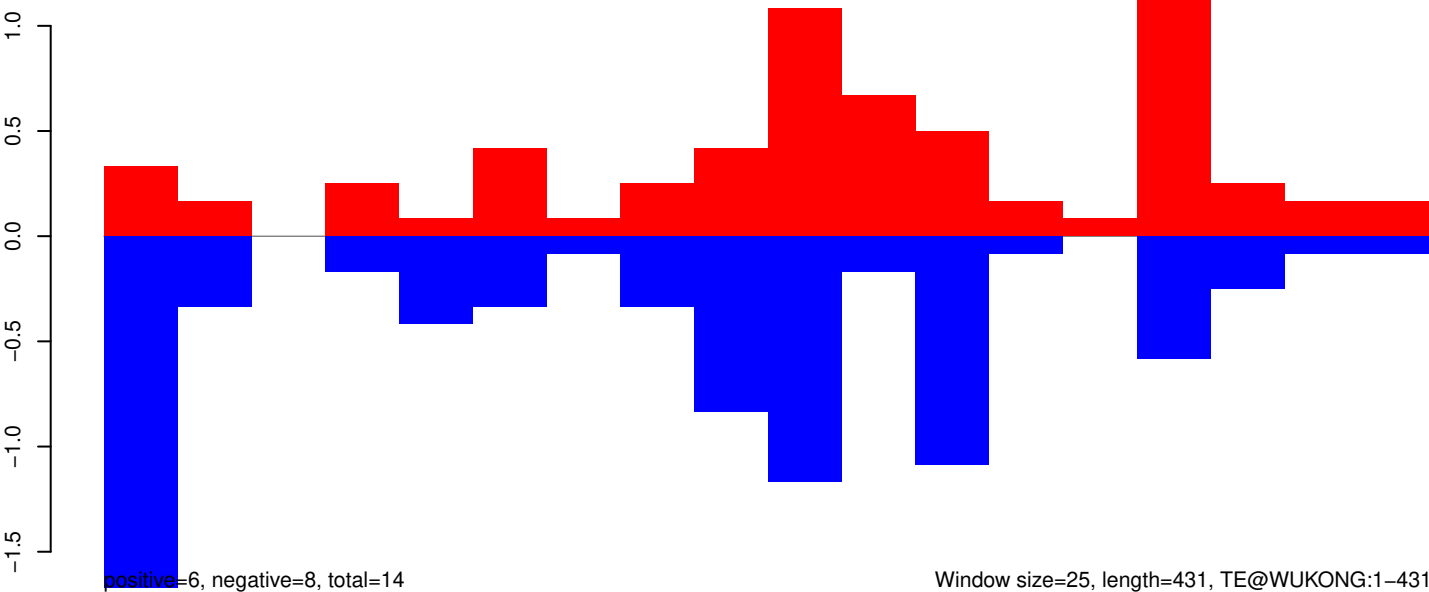
AeAeg_Aag2_Ago2_SINV_RA.18_23.rep



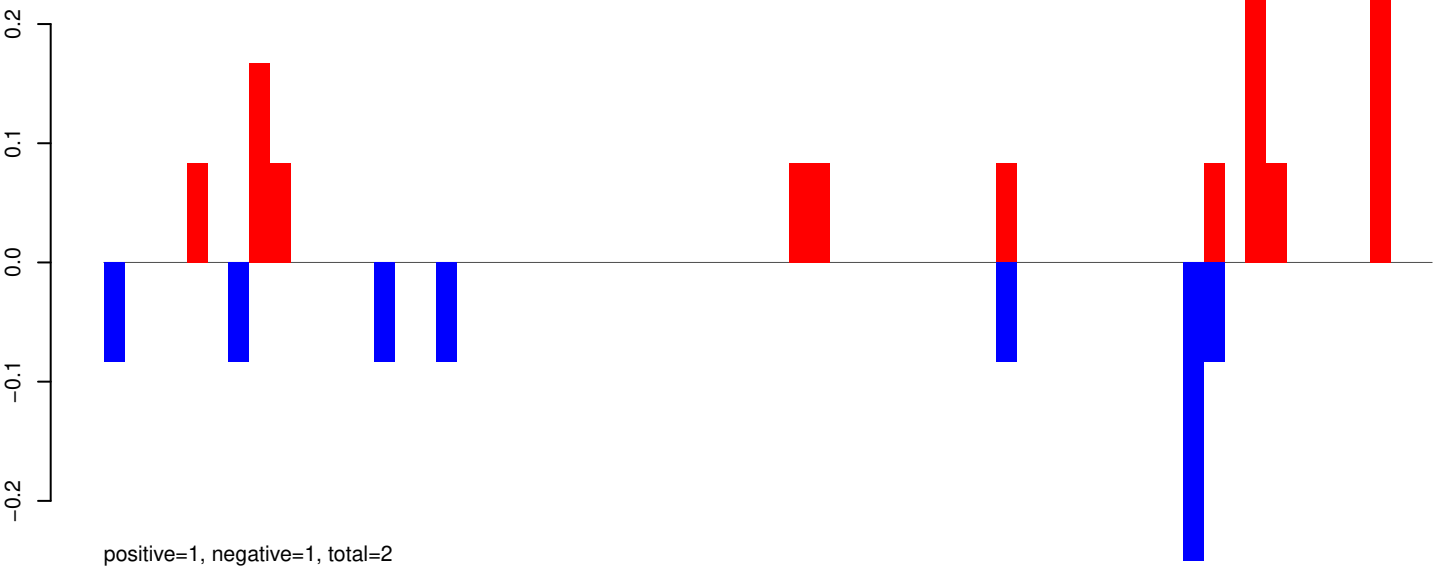
AeAeg_Aag2_Ago2_SINV_RA.24_35.rep



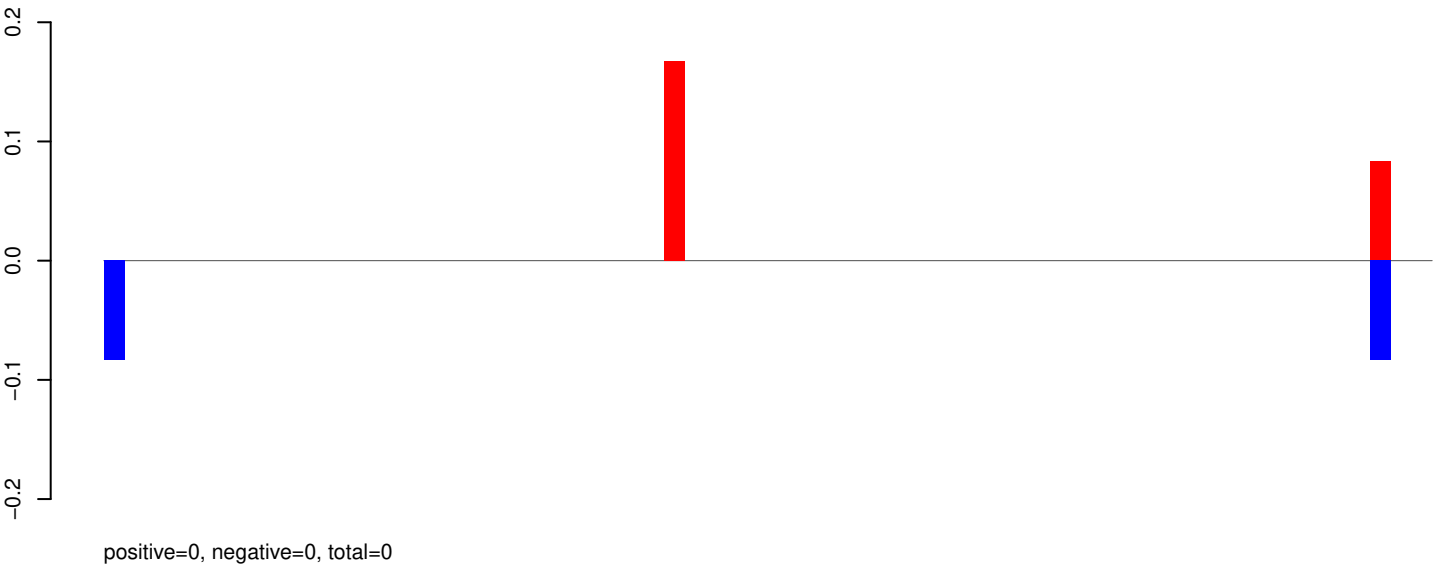
AeAeg_Aag2_Ago2_SINV_RA.rep



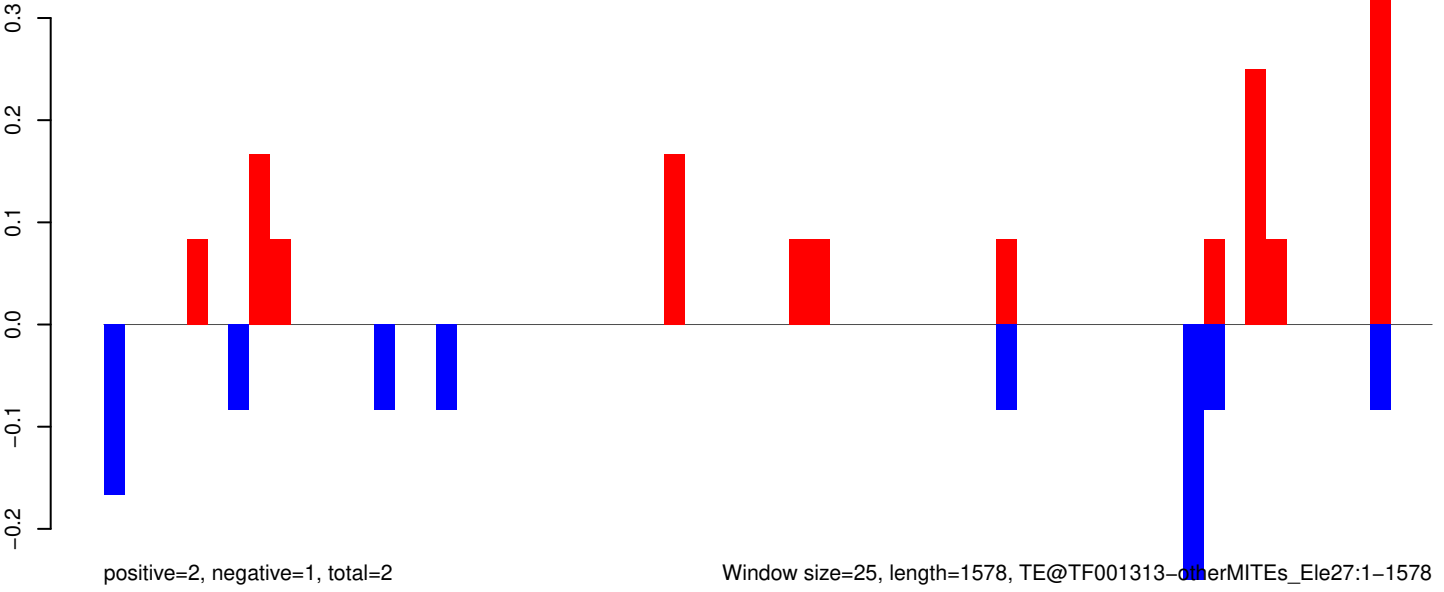
AeAeg_Aag2_Ago2_SINV_RA.18_23.rep



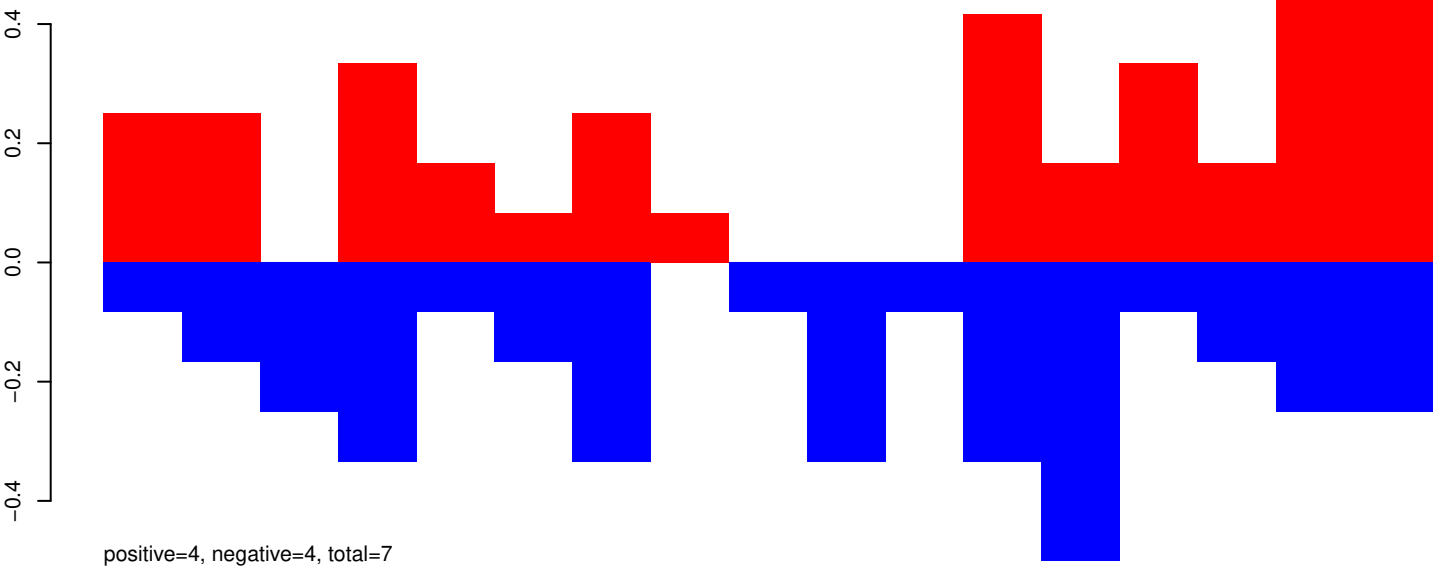
AeAeg_Aag2_Ago2_SINV_RA.24_35.rep



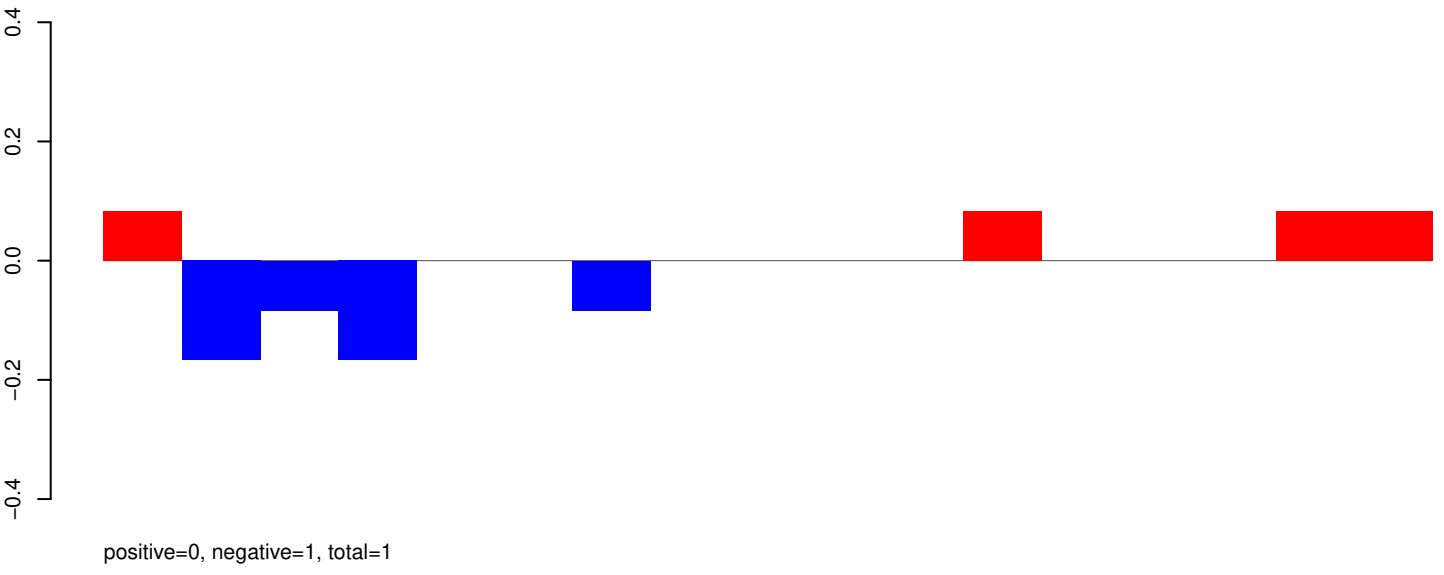
AeAeg_Aag2_Ago2_SINV_RA.rep



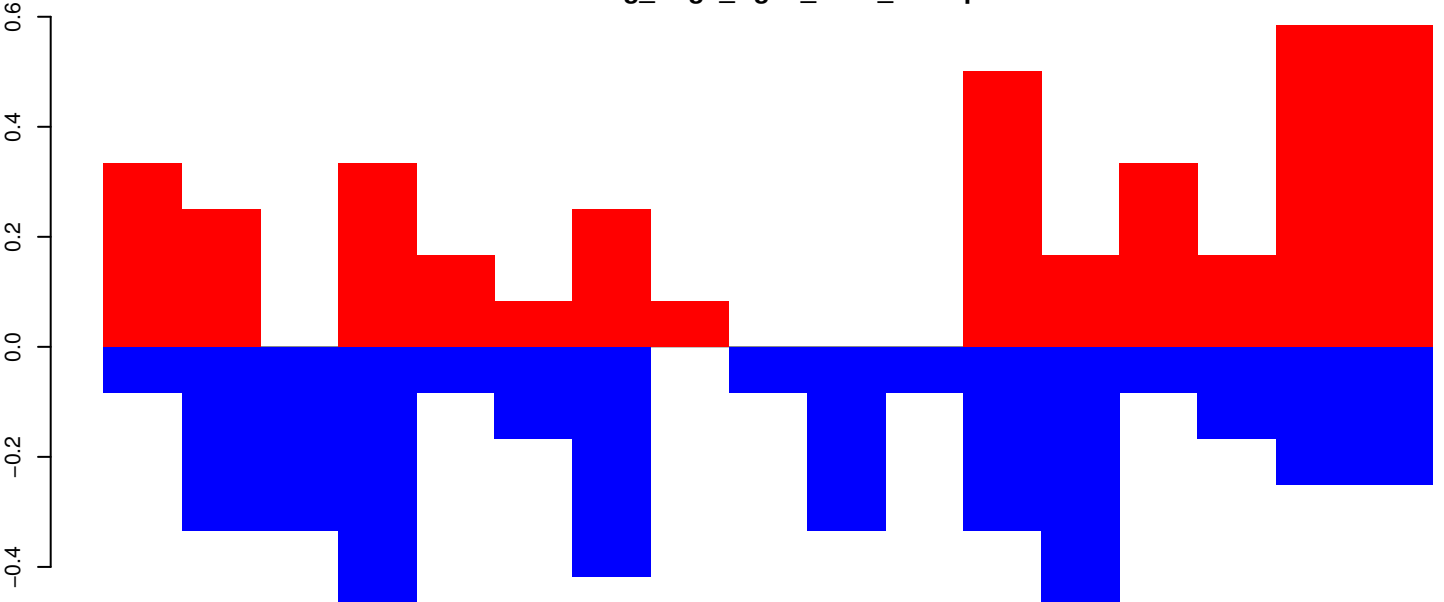
AeAeg_Aag2_Ago2_SINV_RA.18_23.rep



AeAeg_Aag2_Ago2_SINV_RA.24_35.rep

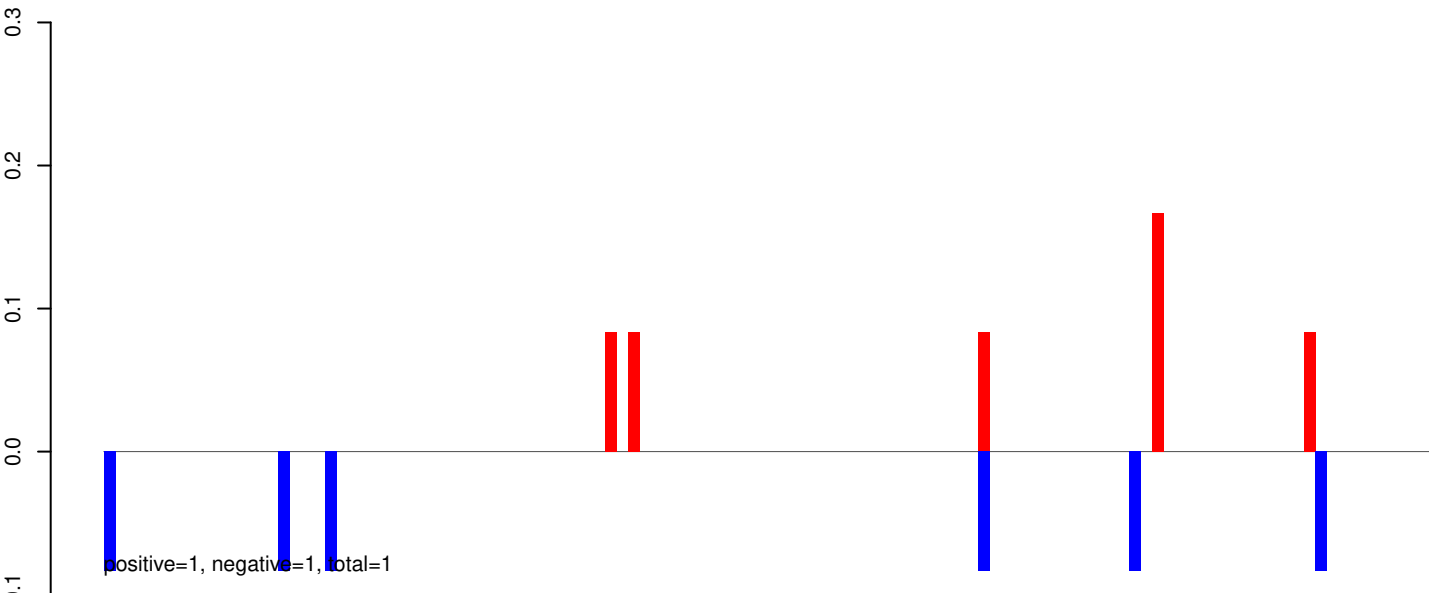


AeAeg_Aag2_Ago2_SINV_RA.rep

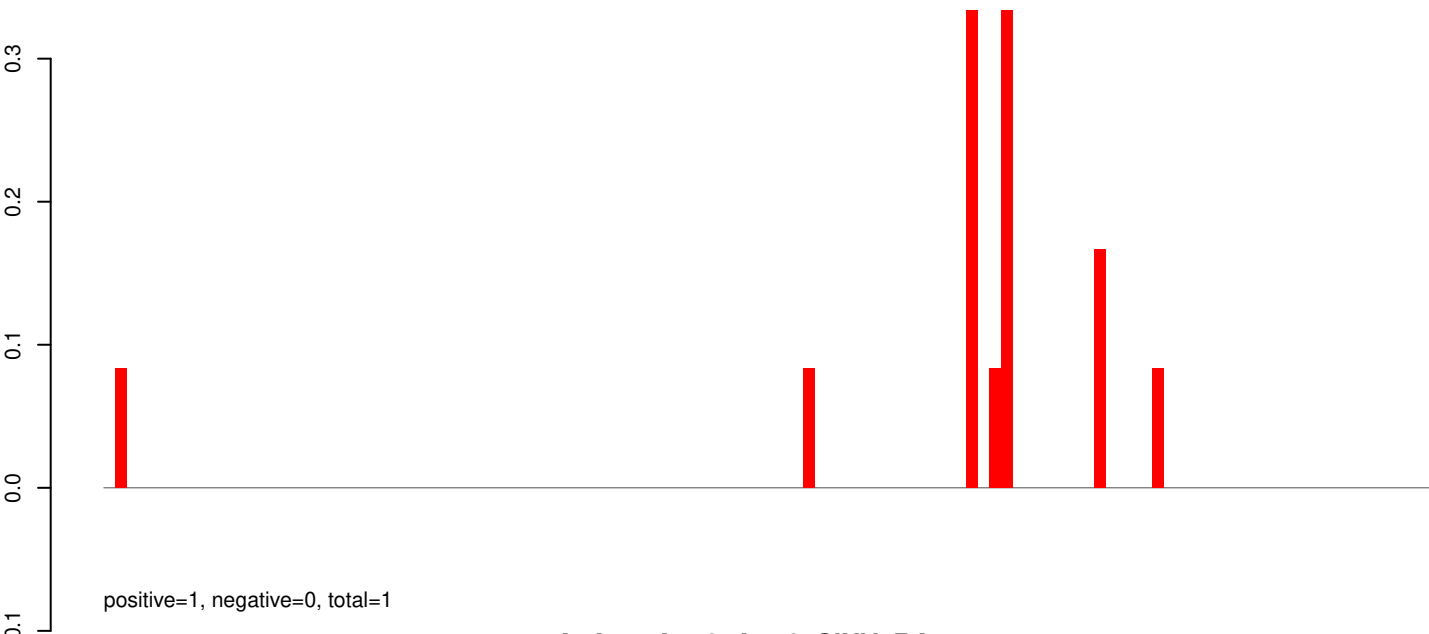


Window size=25, length=420, TE@TF001275-m8bp_Ele17:1-420

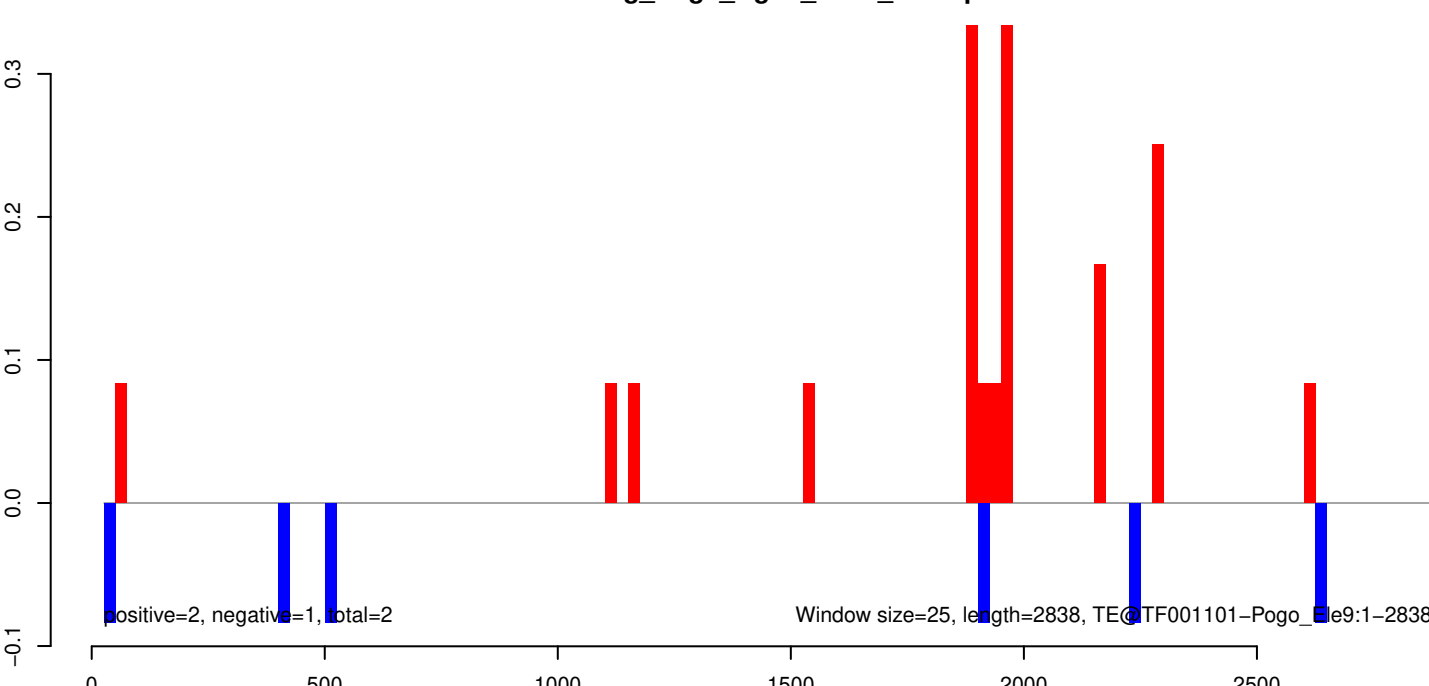
AeAeg_Aag2_Ago2_SINV_RA.18_23.rep



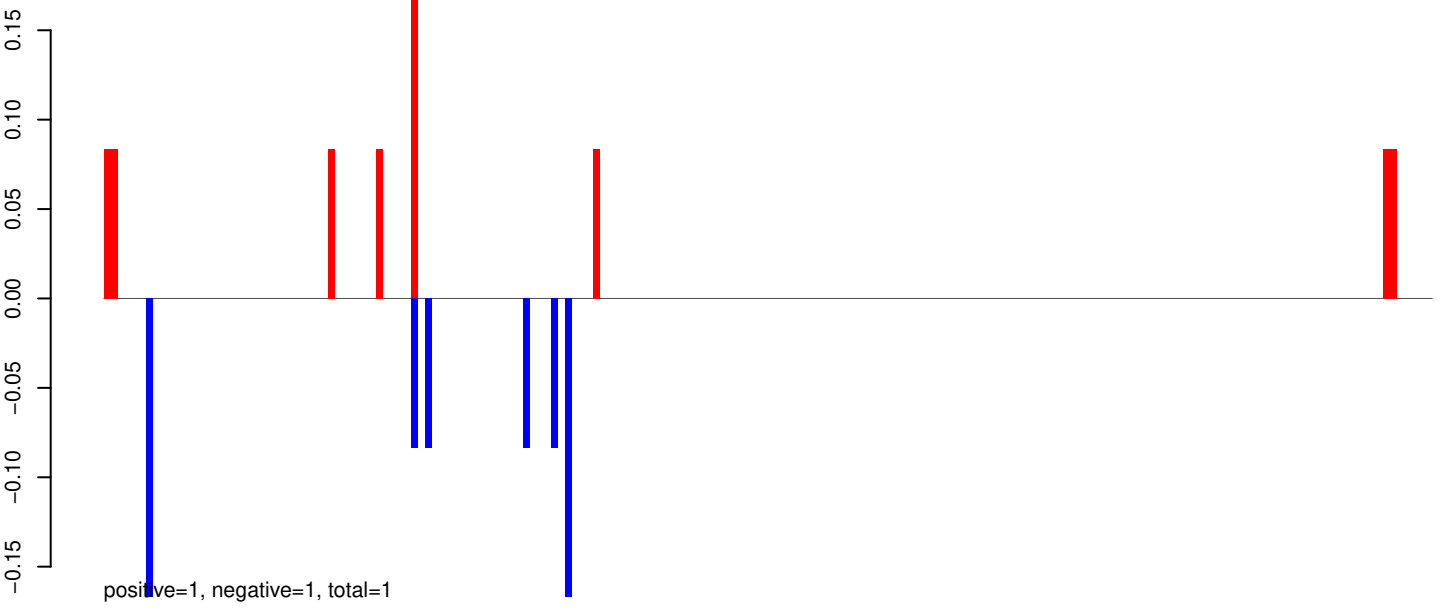
AeAeg_Aag2_Ago2_SINV_RA.24_35.rep



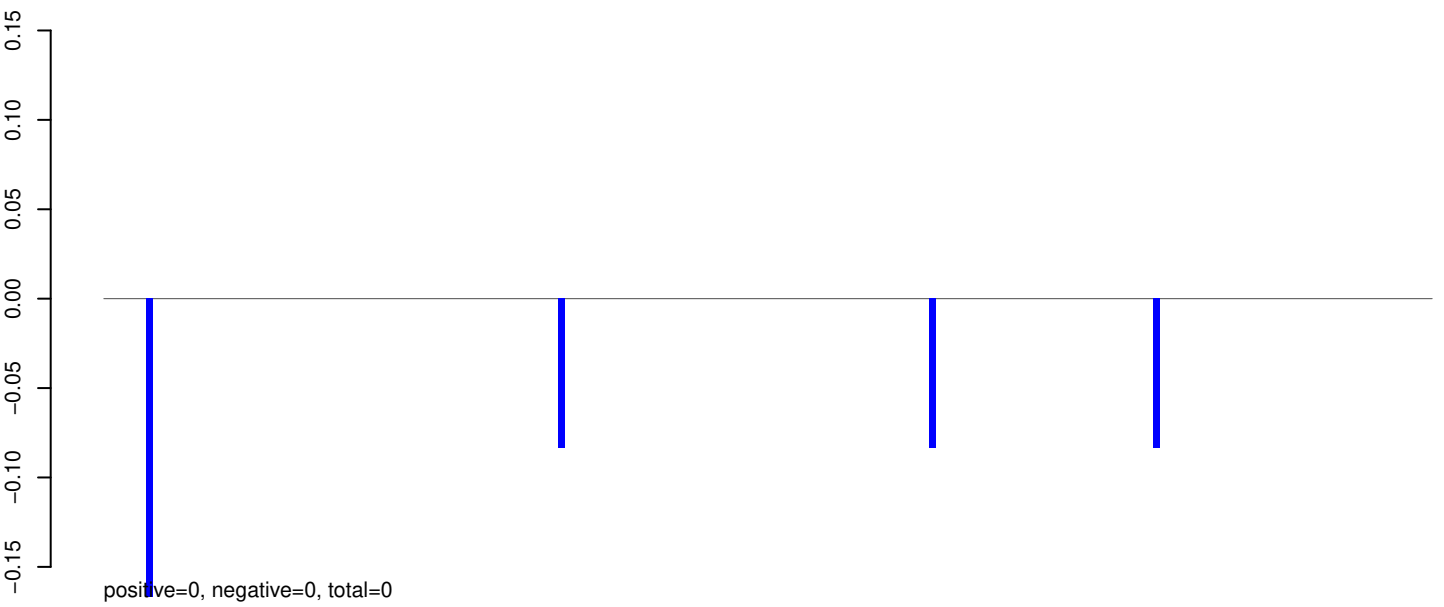
AeAeg_Aag2_Ago2_SINV_RA.rep



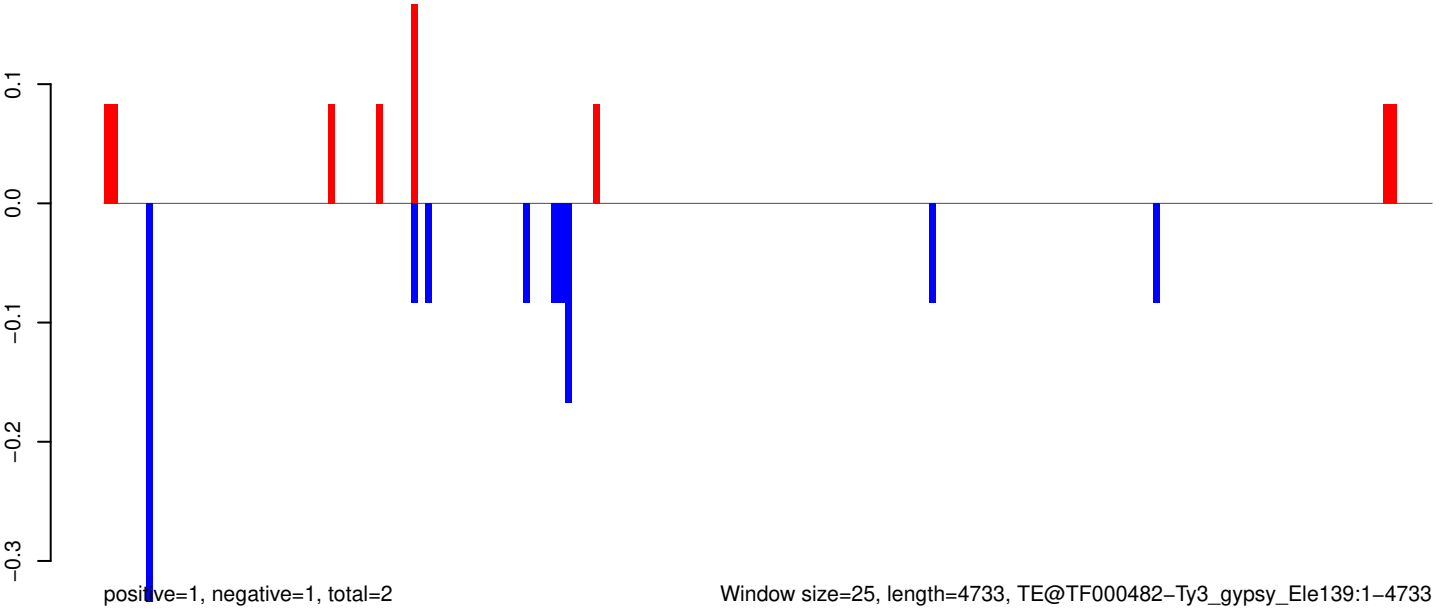
AeAeg_Aag2_Ago2_SINV_RA.18_23.rep



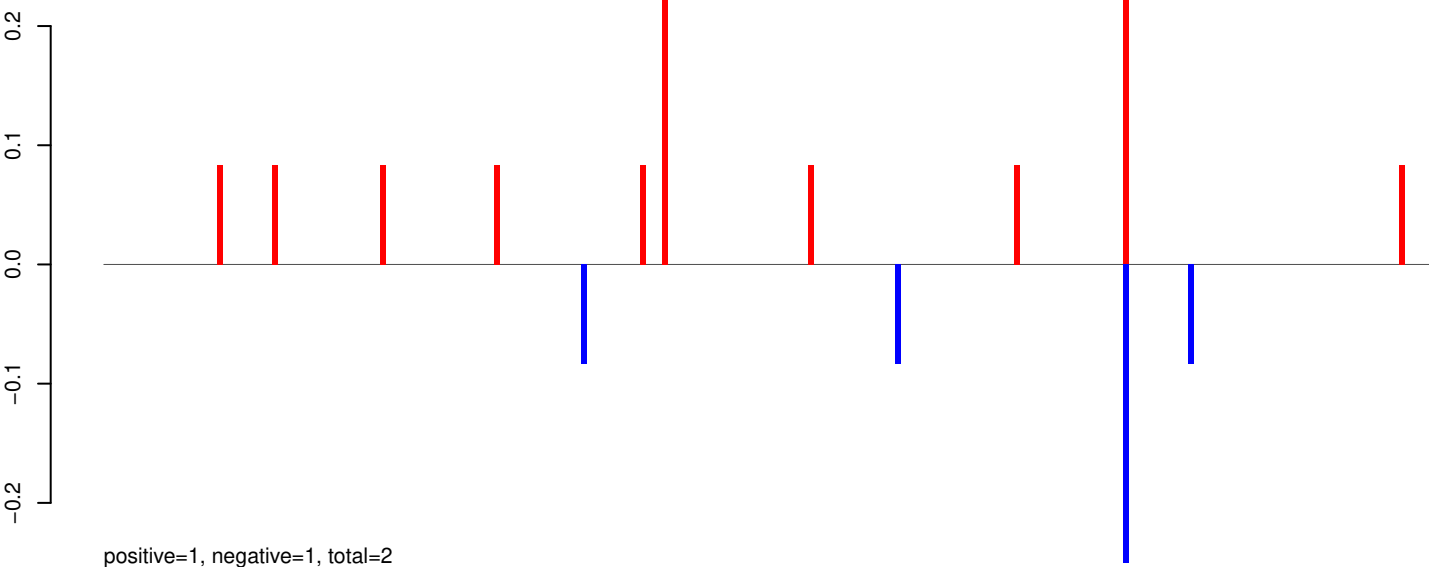
AeAeg_Aag2_Ago2_SINV_RA.24_35.rep



AeAeg_Aag2_Ago2_SINV_RA.rep



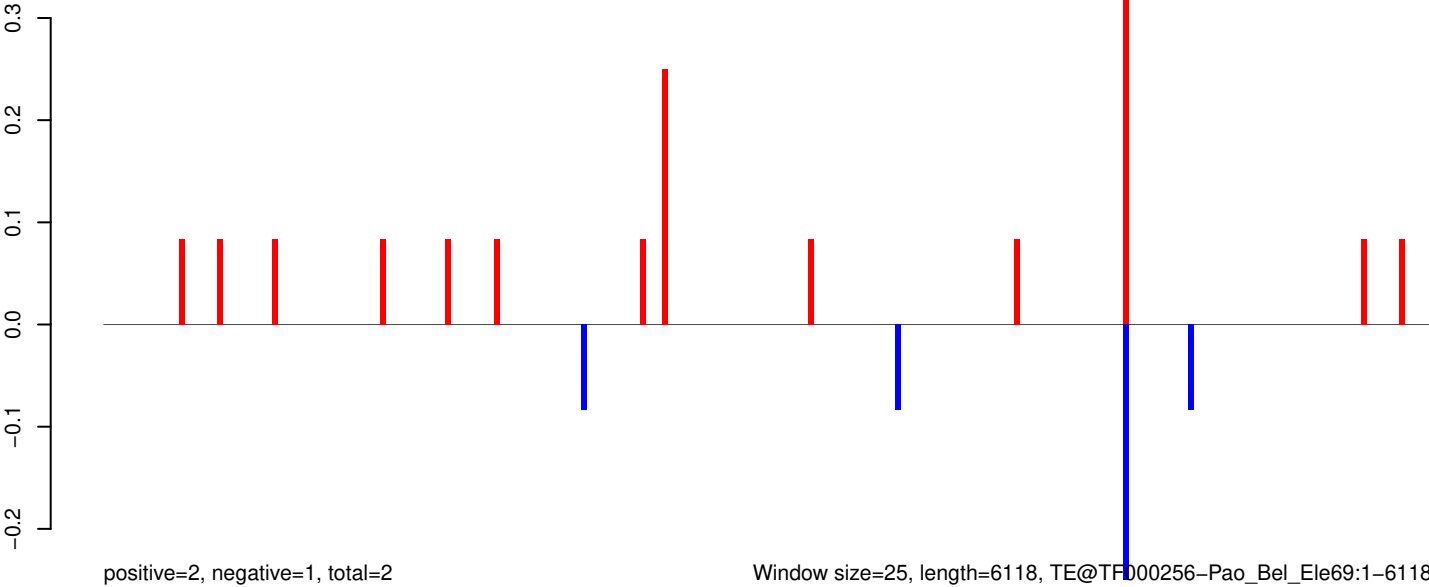
AeAeg_Aag2_Ago2_SINV_RA.18_23.rep



AeAeg_Aag2_Ago2_SINV_RA.24_35.rep

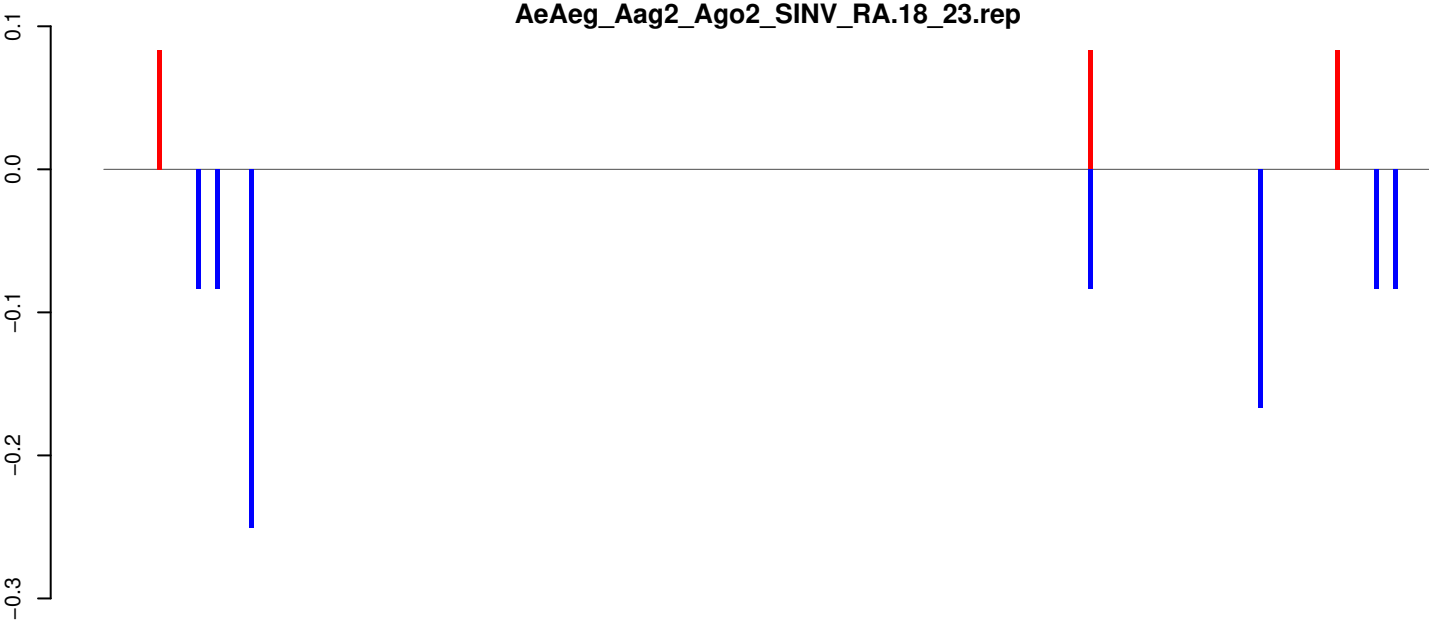


AeAeg_Aag2_Ago2_SINV_RA.rep



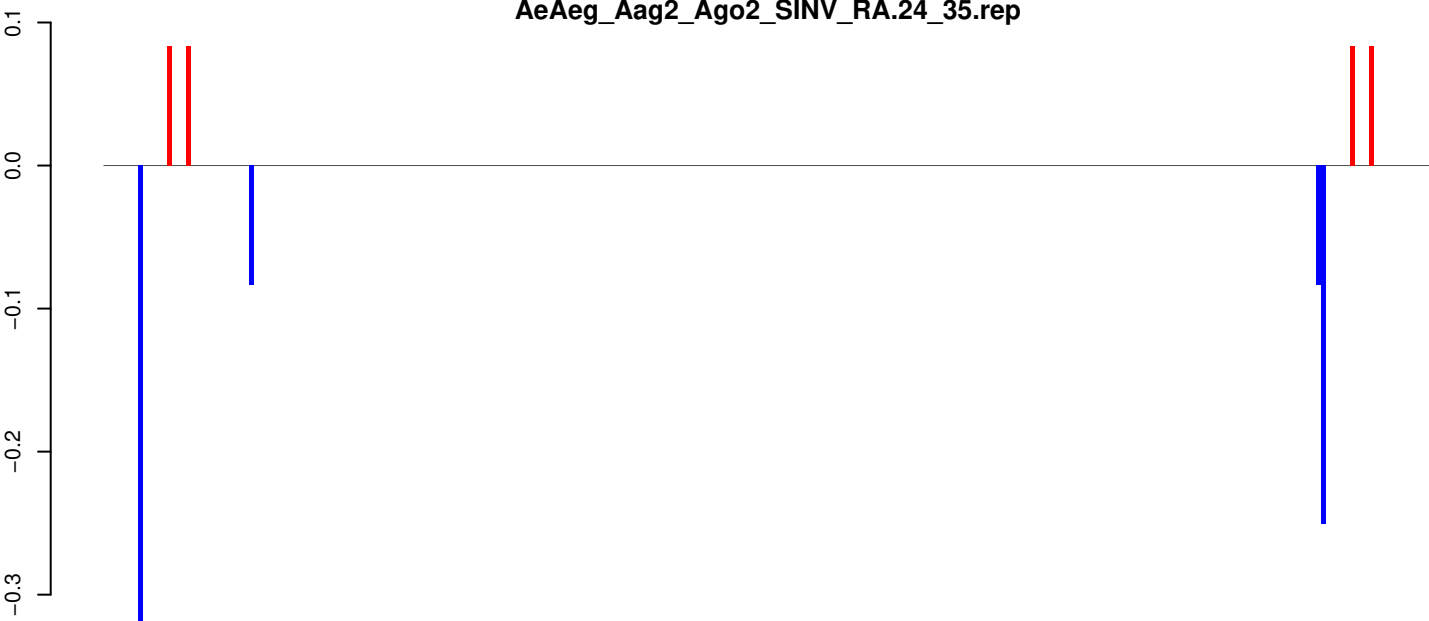
Window size=25, length=6118, TE@TF000256-Pao_Bel_Ele69:1-6118

AeAeg_Aag2_Ago2_SINV_RA.18_23.rep



positive=0, negative=1, total=1

AeAeg_Aag2_Ago2_SINV_RA.24_35.rep



positive=0, negative=1, total=1

AeAeg_Aag2_Ago2_SINV_RA.rep

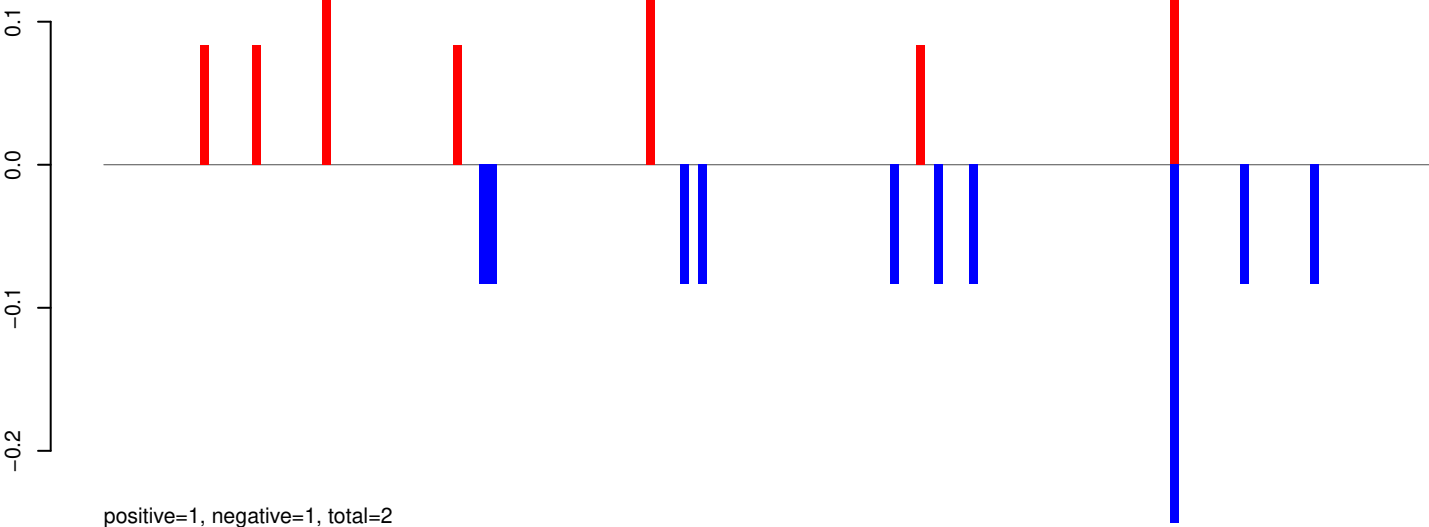


positive=1, negative=2, total=2

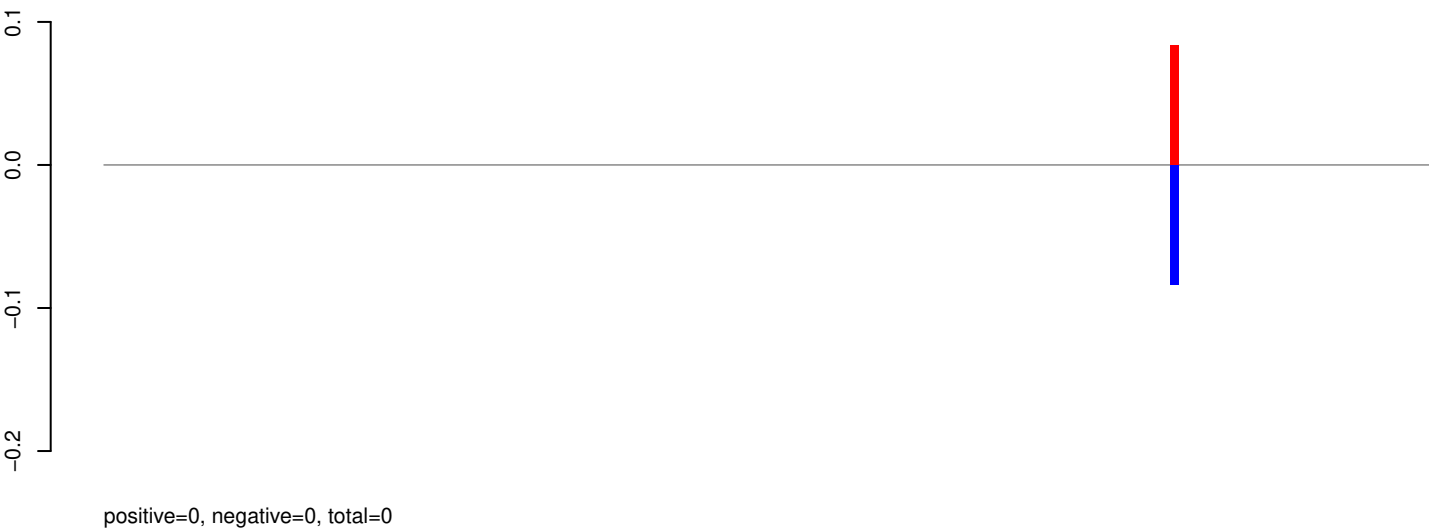
Window size=25, length=6840, TE@TF000134-Ty3_gypsy_Ele39:1-6840

0 1000 2000 3000 4000 5000 6000 7000

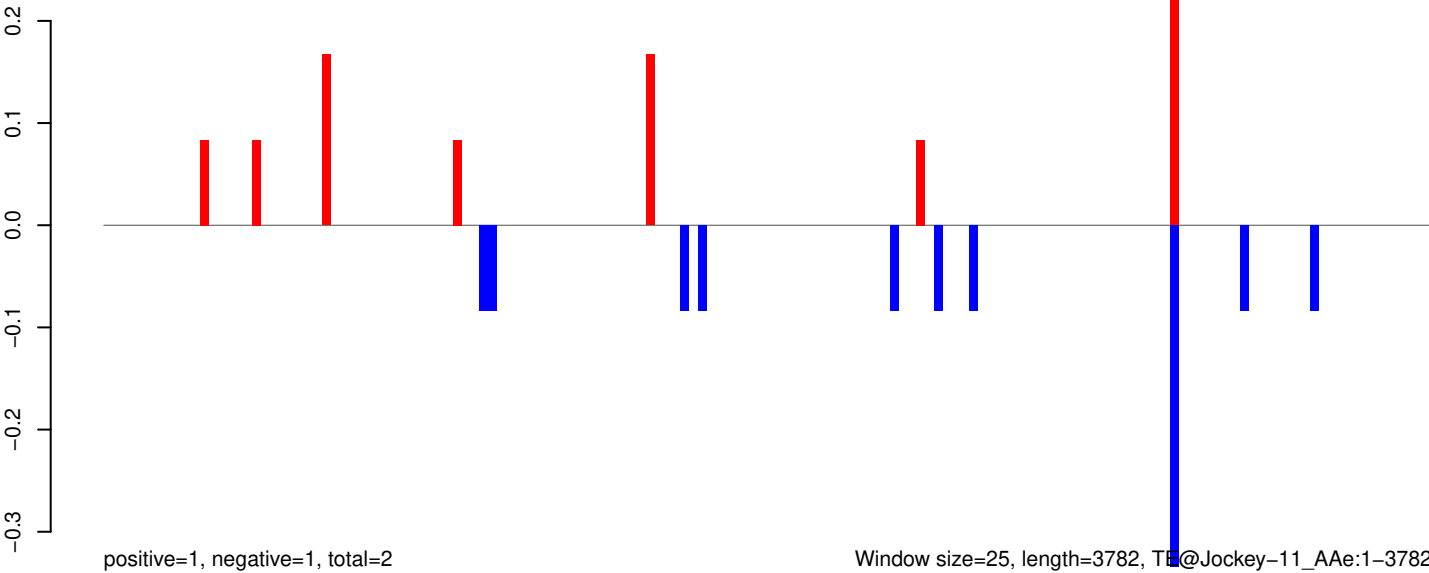
AeAeg_Aag2_Ago2_SINV_RA.18_23.rep



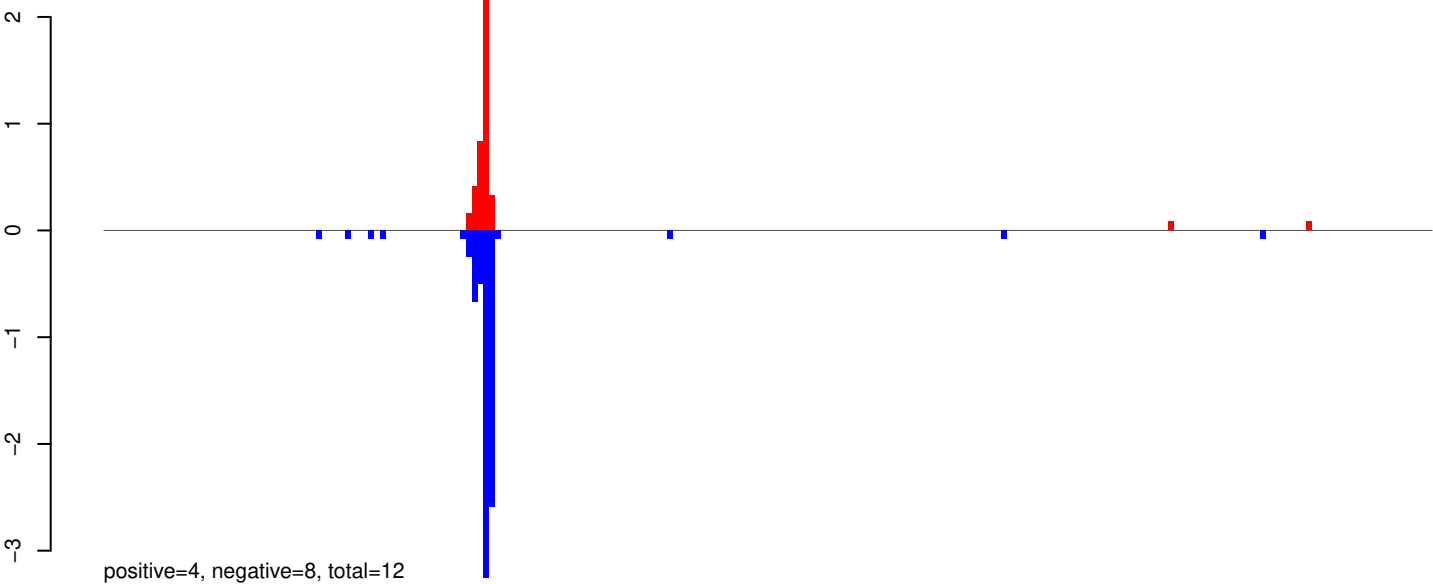
AeAeg_Aag2_Ago2_SINV_RA.24_35.rep



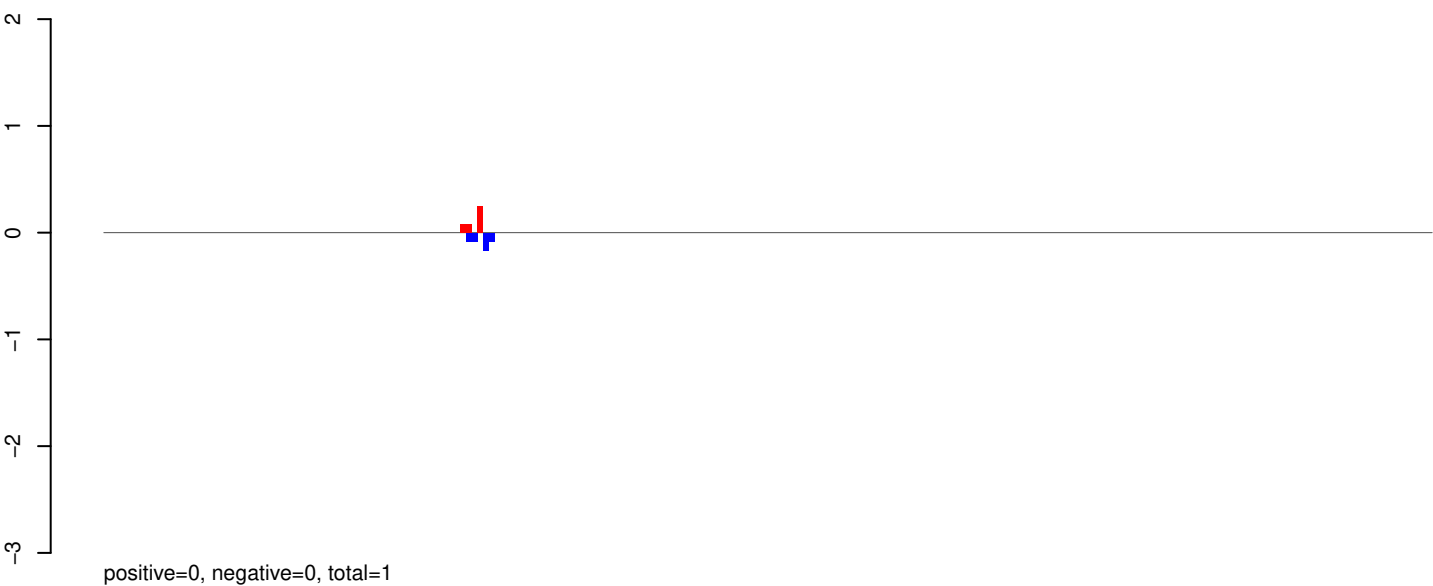
AeAeg_Aag2_Ago2_SINV_RA.rep



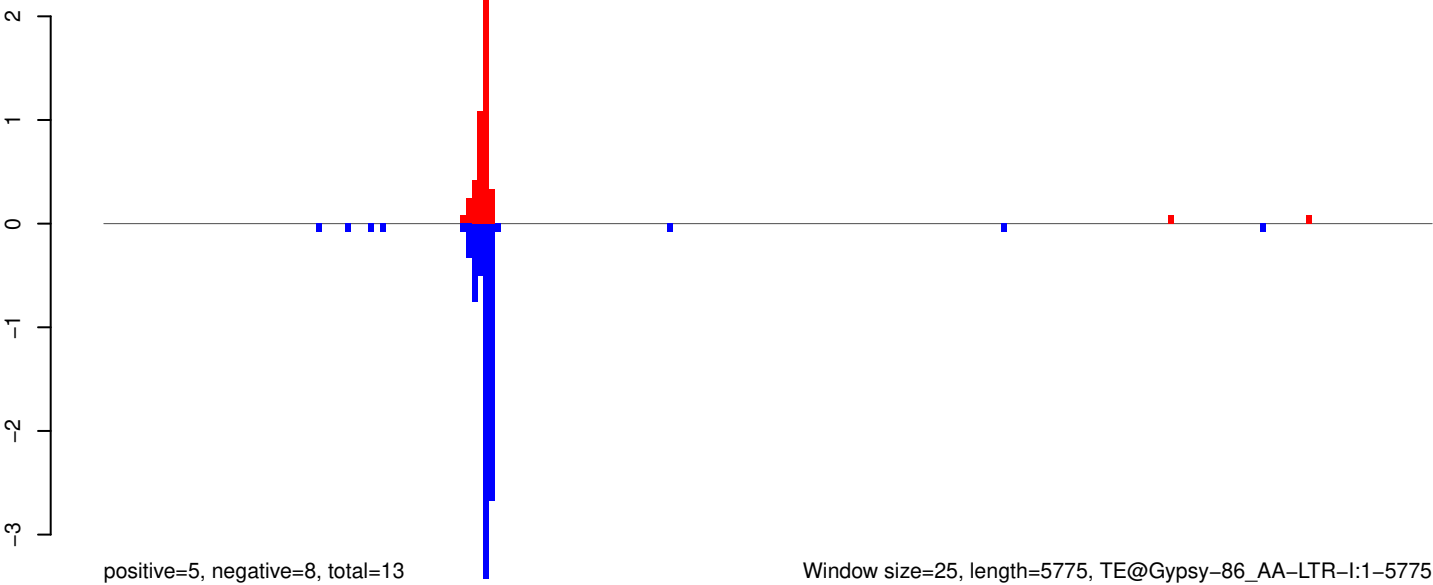
AeAeg_Aag2_Ago2_SINV_RA.18_23.rep



AeAeg_Aag2_Ago2_SINV_RA.24_35.rep

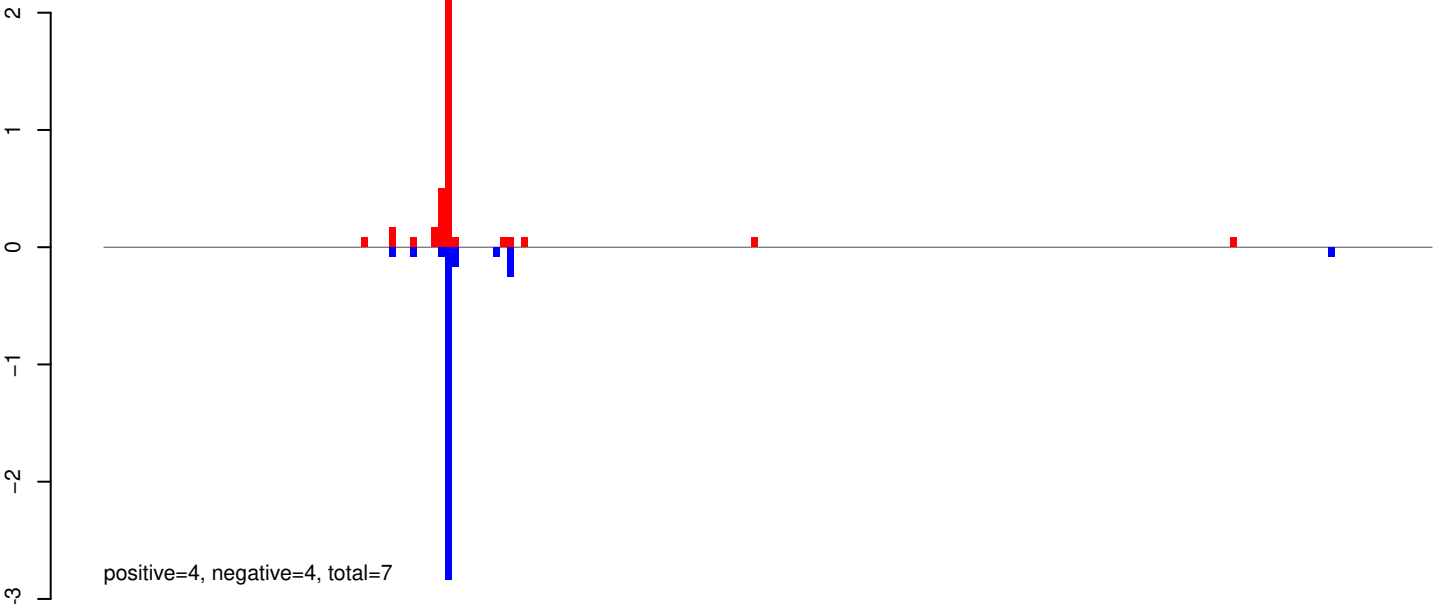


AeAeg_Aag2_Ago2_SINV_RA.rep

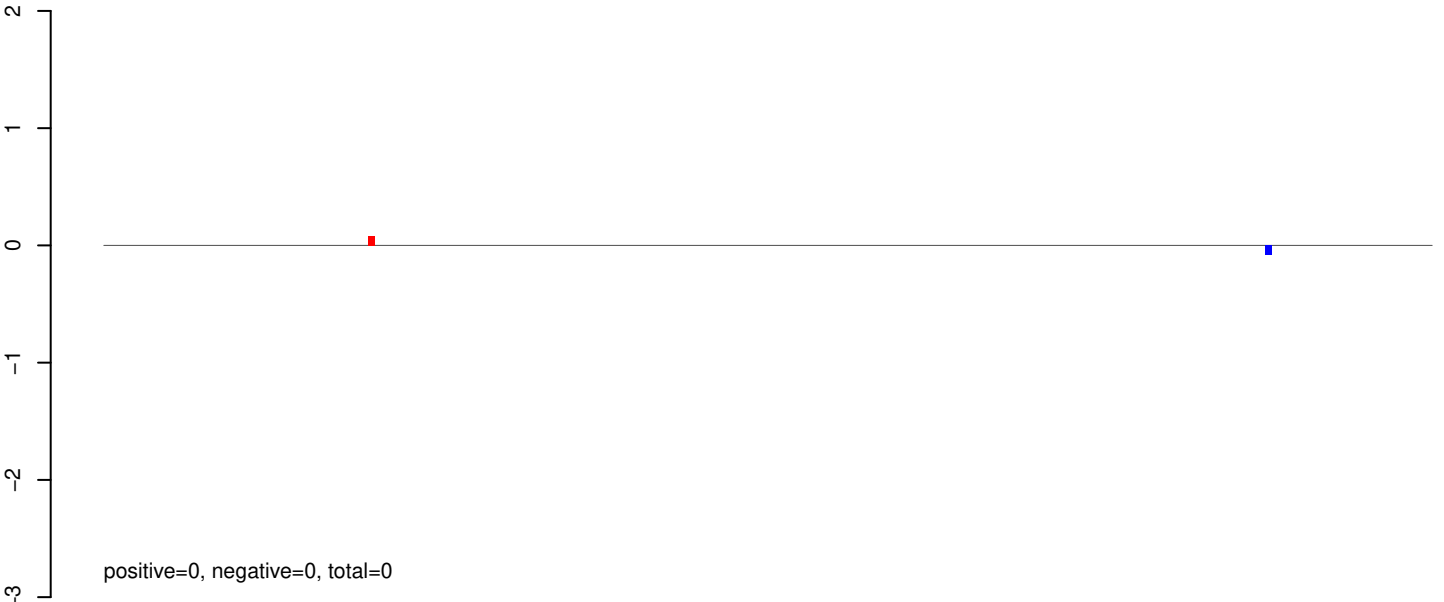


Window size=25, length=5775, TE@Gypsy-86_AA-LTR-I:1-5775

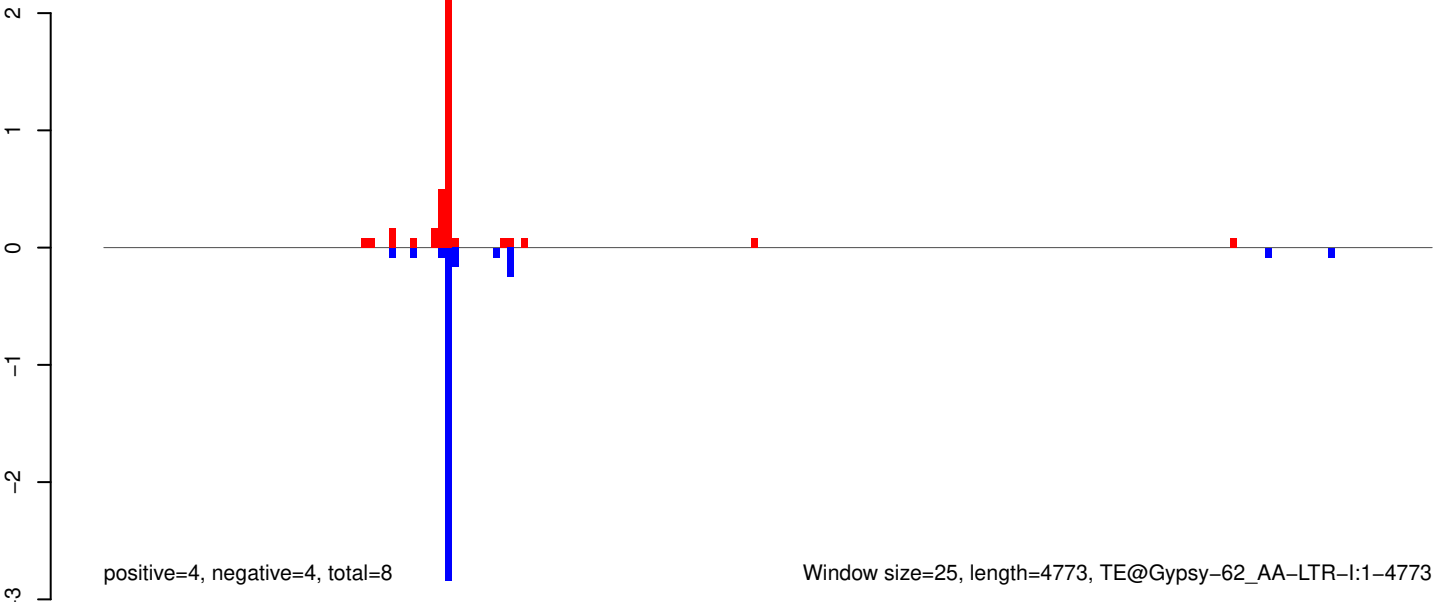
AeAeg_Aag2_Ago2_SINV_RA.18_23.rep



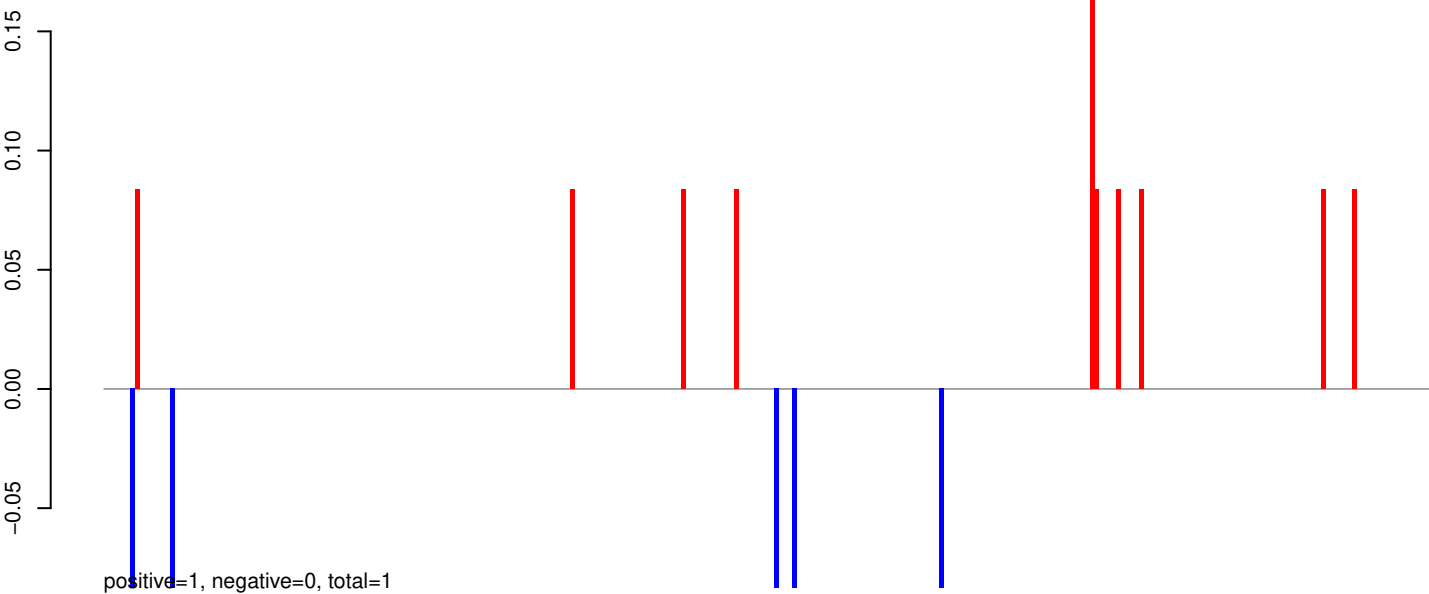
AeAeg_Aag2_Ago2_SINV_RA.24_35.rep



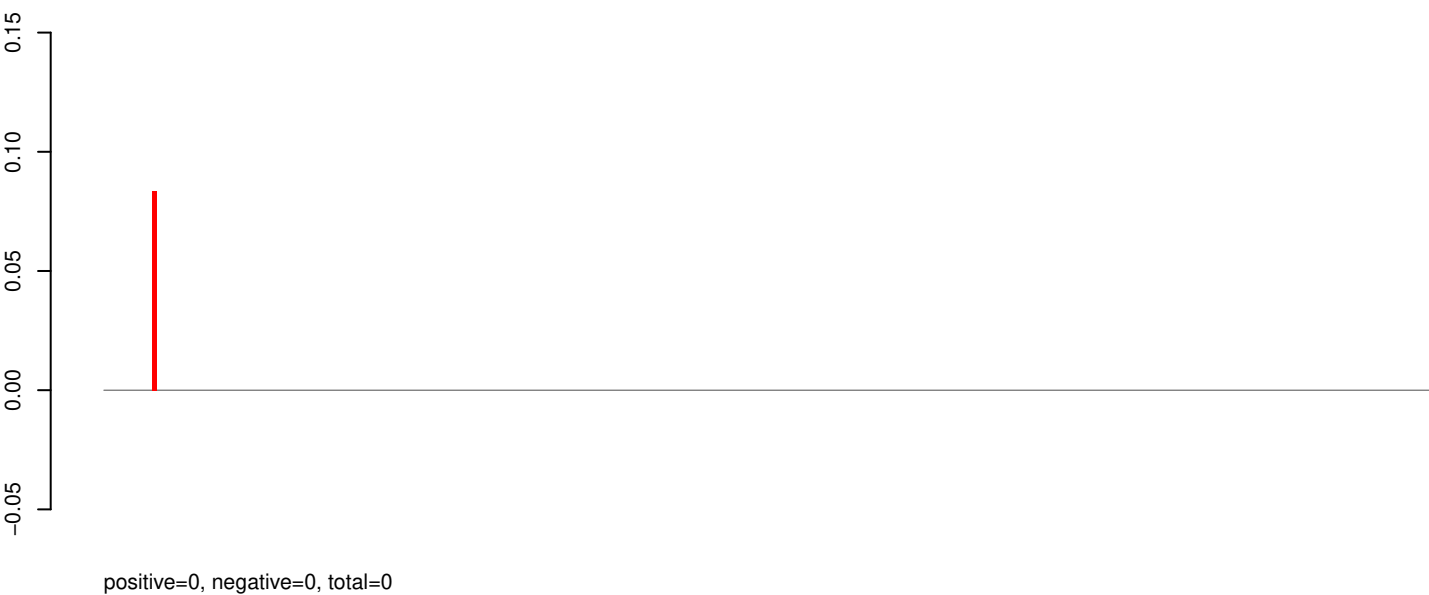
AeAeg_Aag2_Ago2_SINV_RA.rep



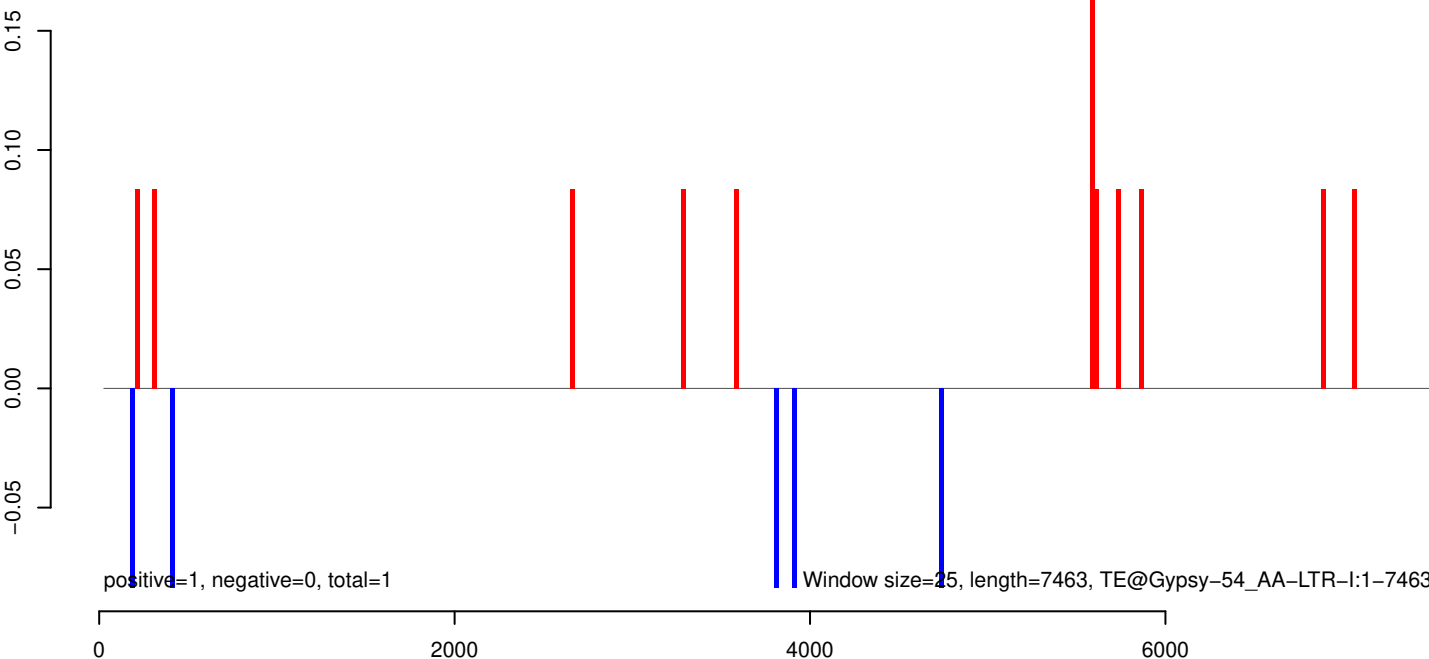
AeAeg_Aag2_Ago2_SINV_RA.18_23.rep



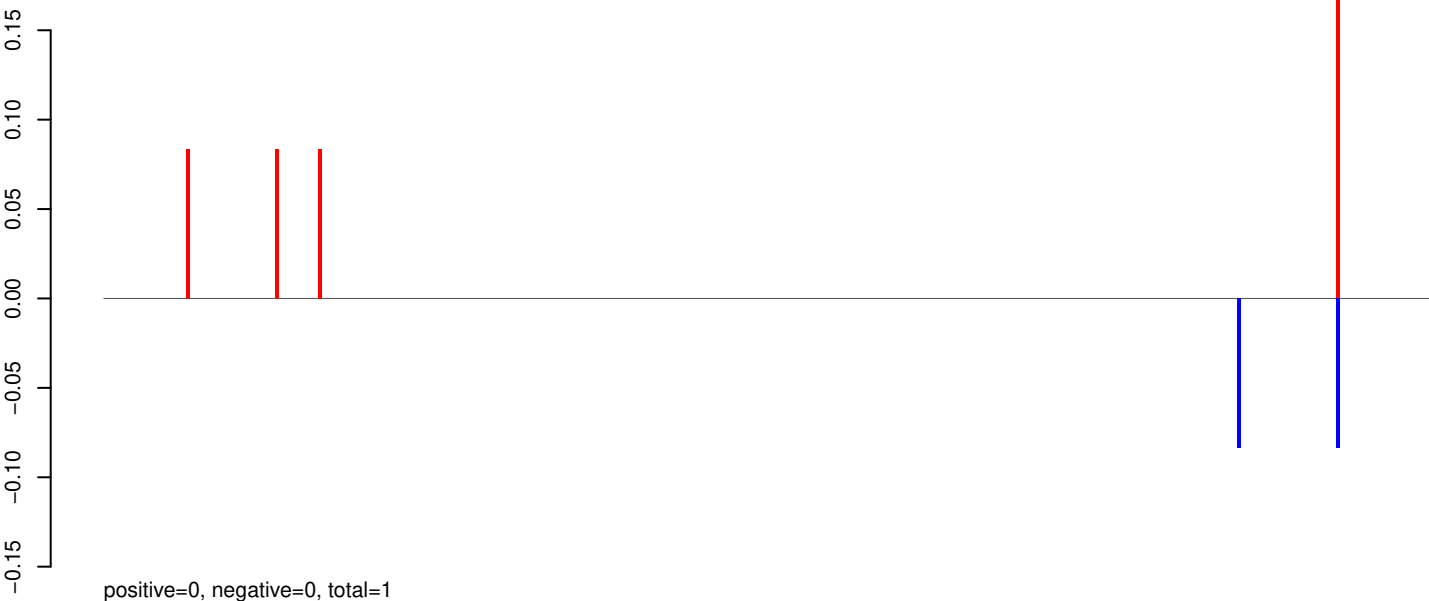
AeAeg_Aag2_Ago2_SINV_RA.24_35.rep



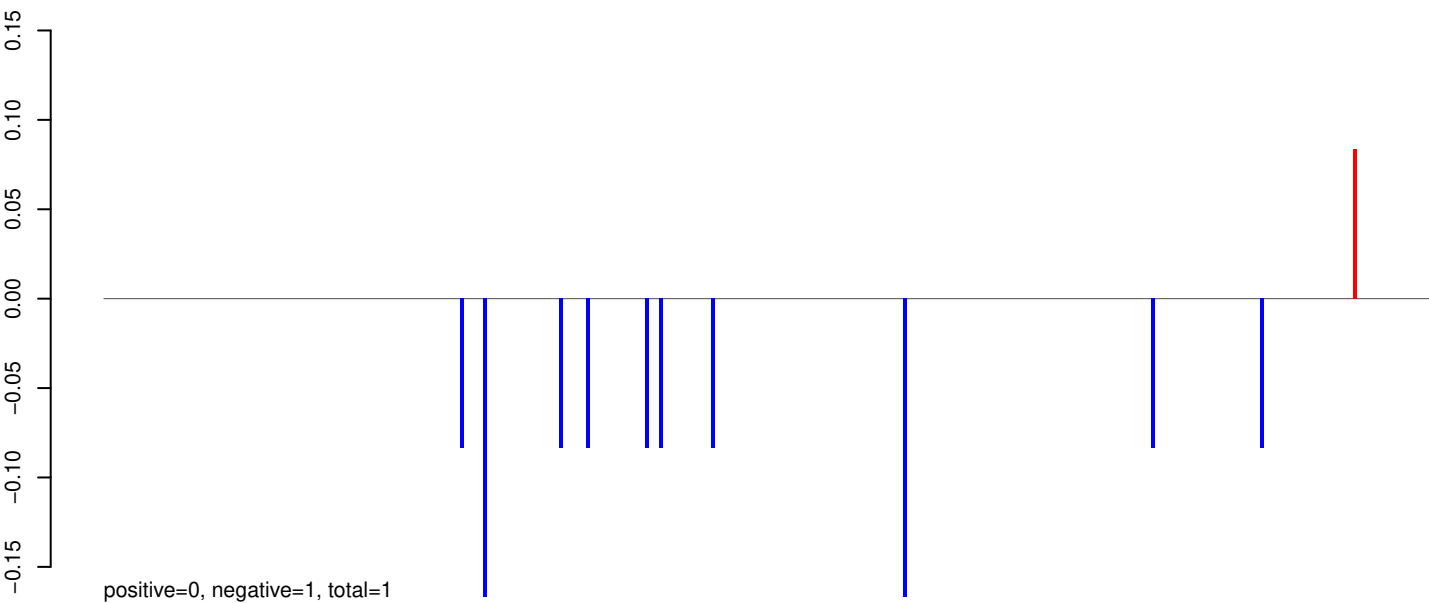
AeAeg_Aag2_Ago2_SINV_RA.rep



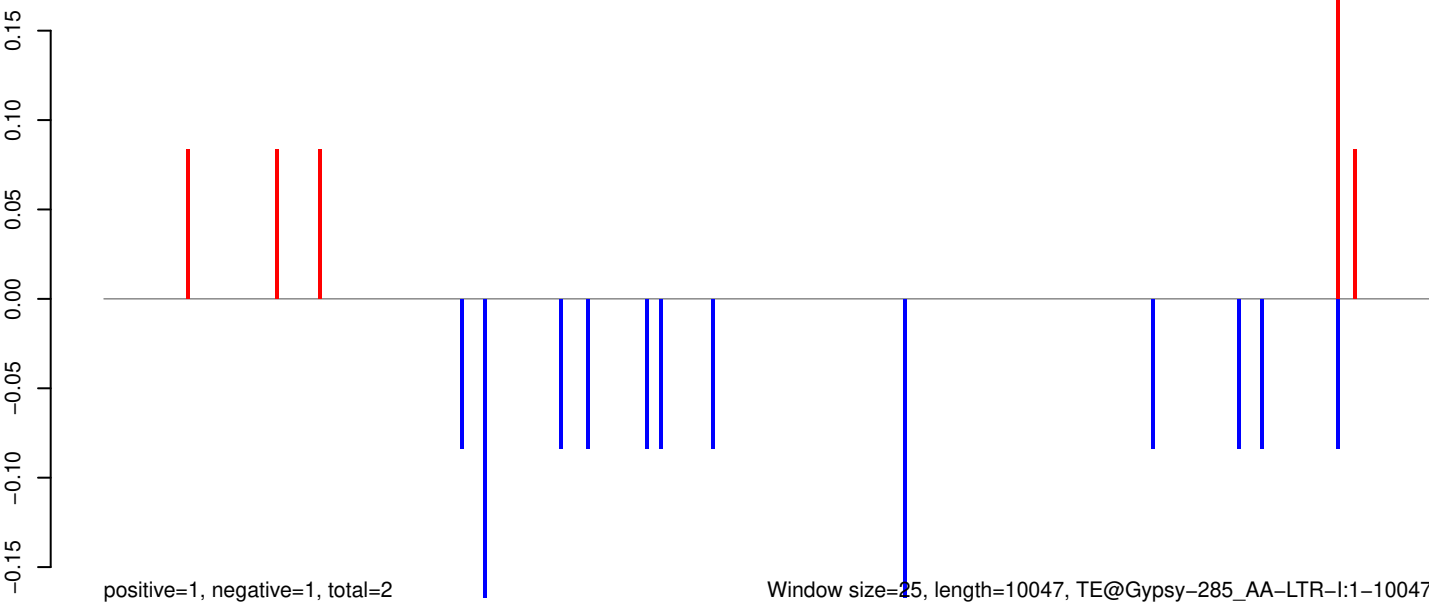
AeAeg_Aag2_Ago2_SINV_RA.18_23.rep



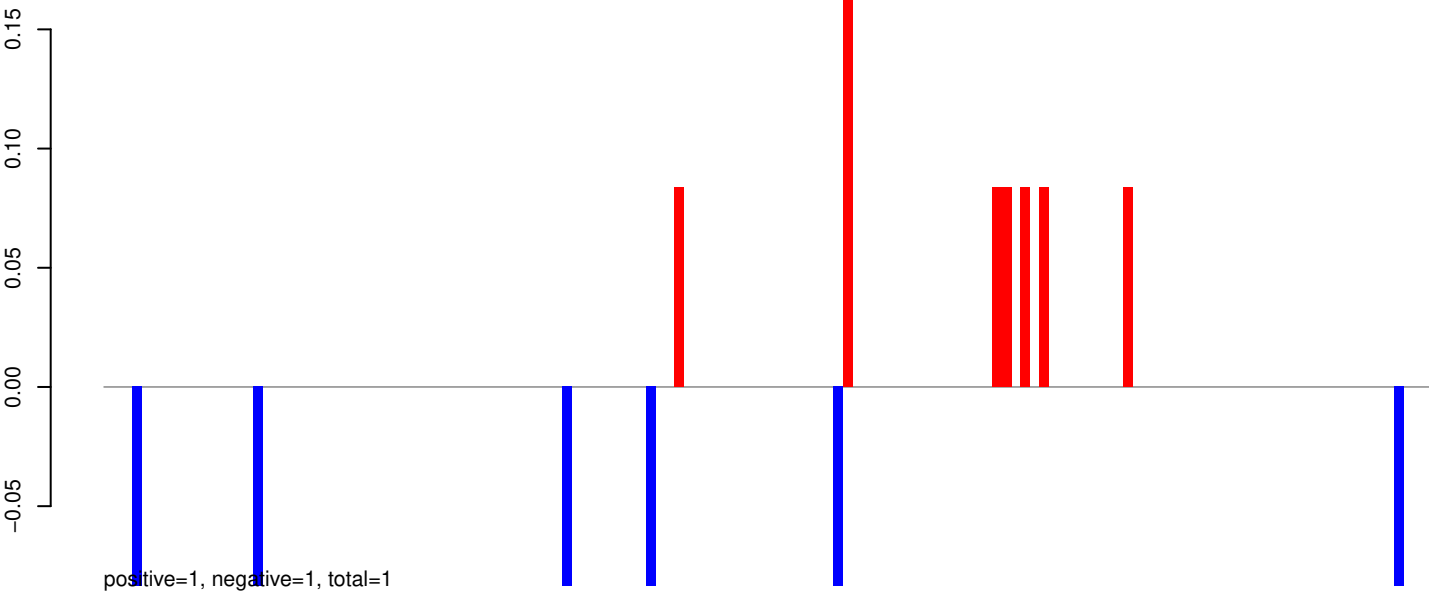
AeAeg_Aag2_Ago2_SINV_RA.24_35.rep



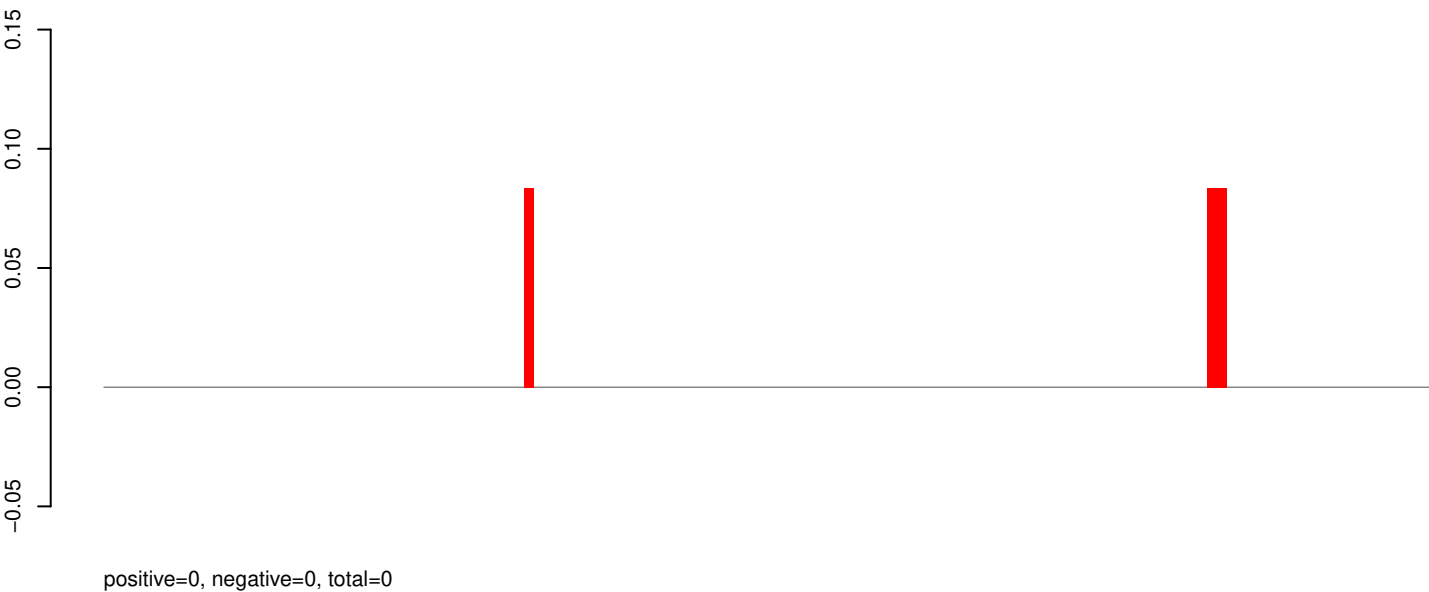
AeAeg_Aag2_Ago2_SINV_RA.rep



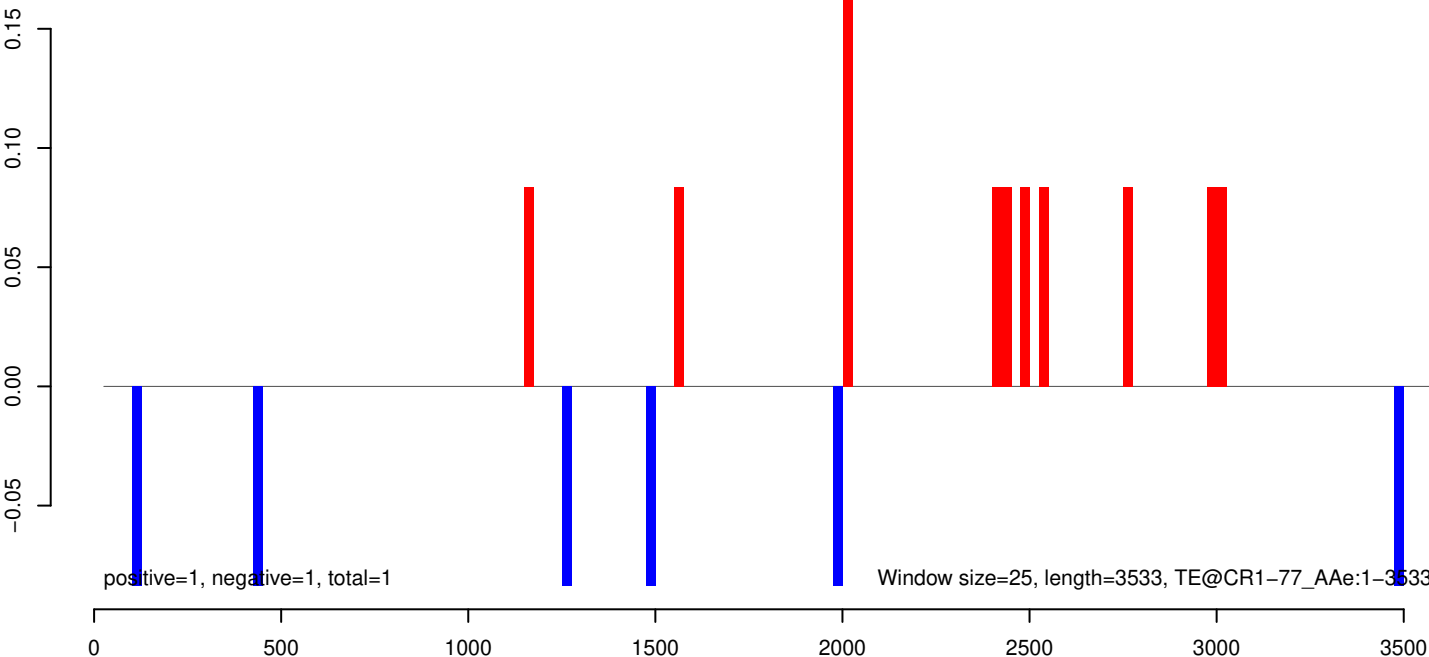
AeAeg_Aag2_Ago2_SINV_RA.18_23.rep



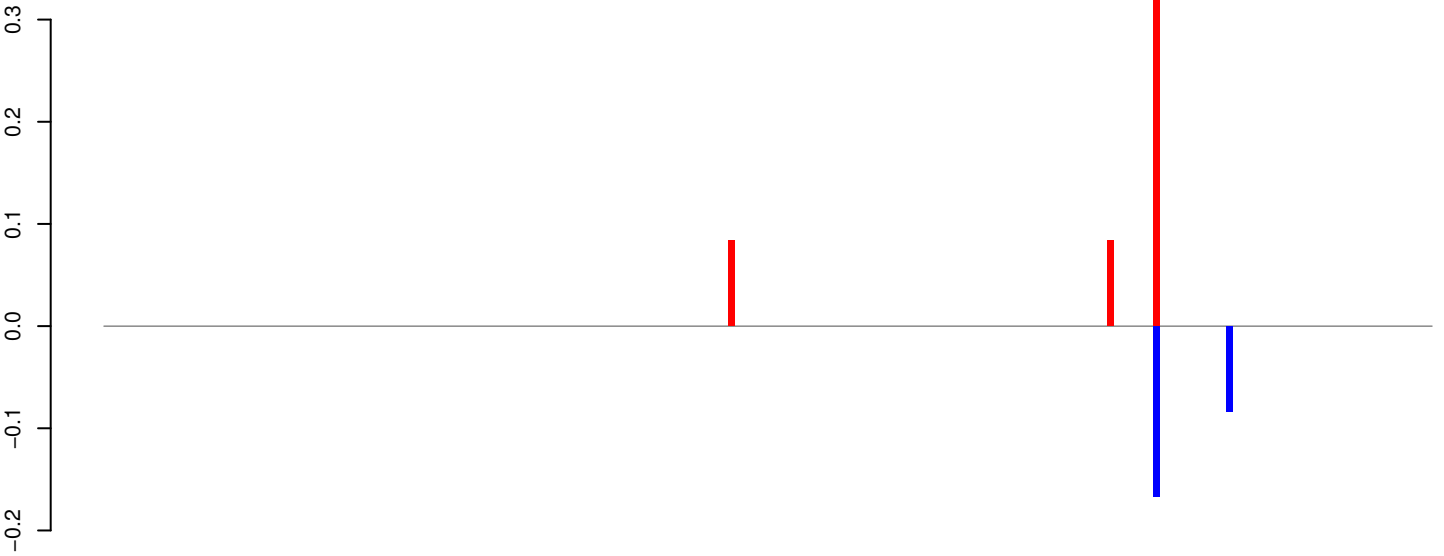
AeAeg_Aag2_Ago2_SINV_RA.24_35.rep



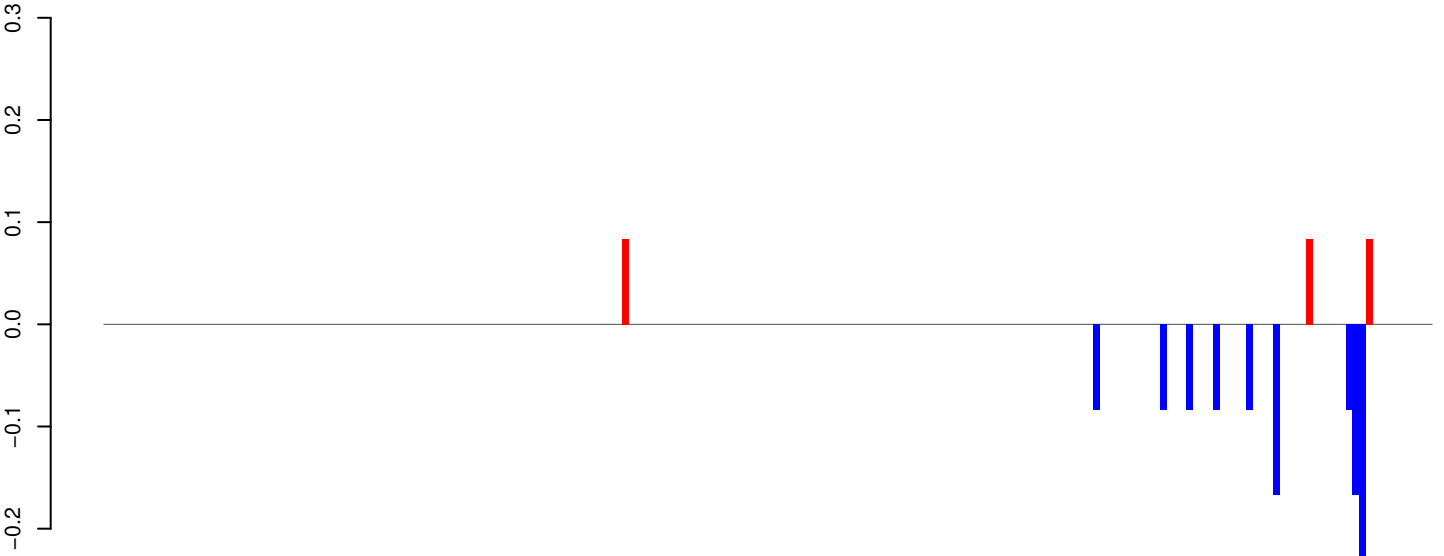
AeAeg_Aag2_Ago2_SINV_RA.rep



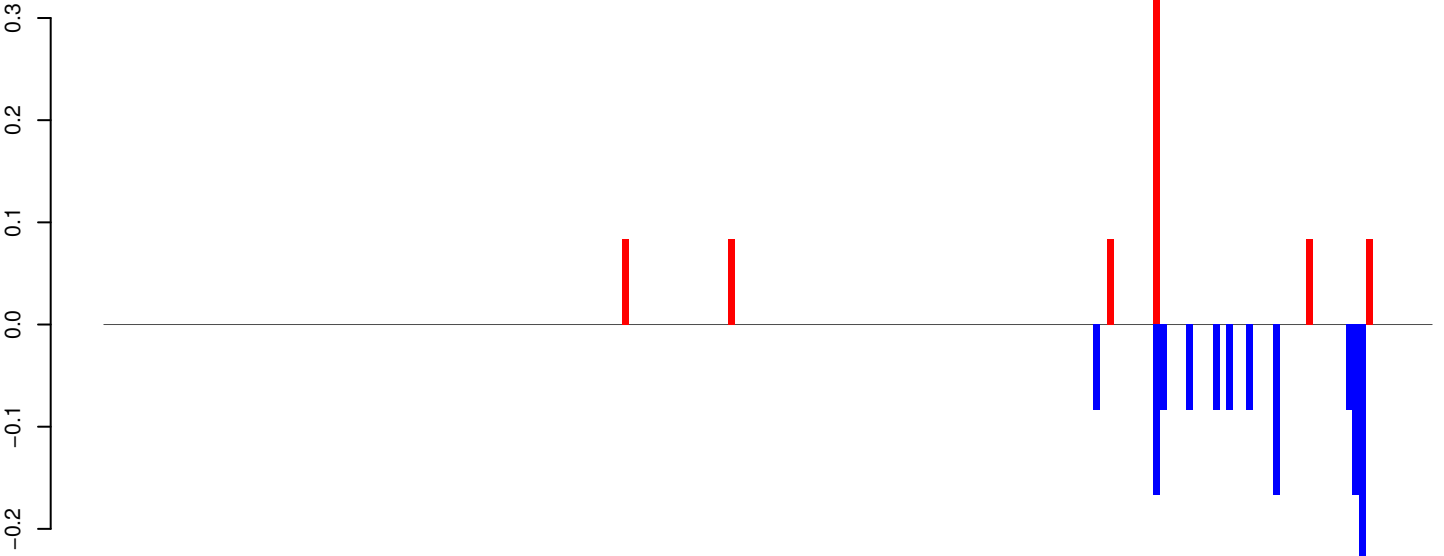
AeAeg_Aag2_Ago2_SINV_RA.18_23.rep



AeAeg_Aag2_Ago2_SINV_RA.24_35.rep



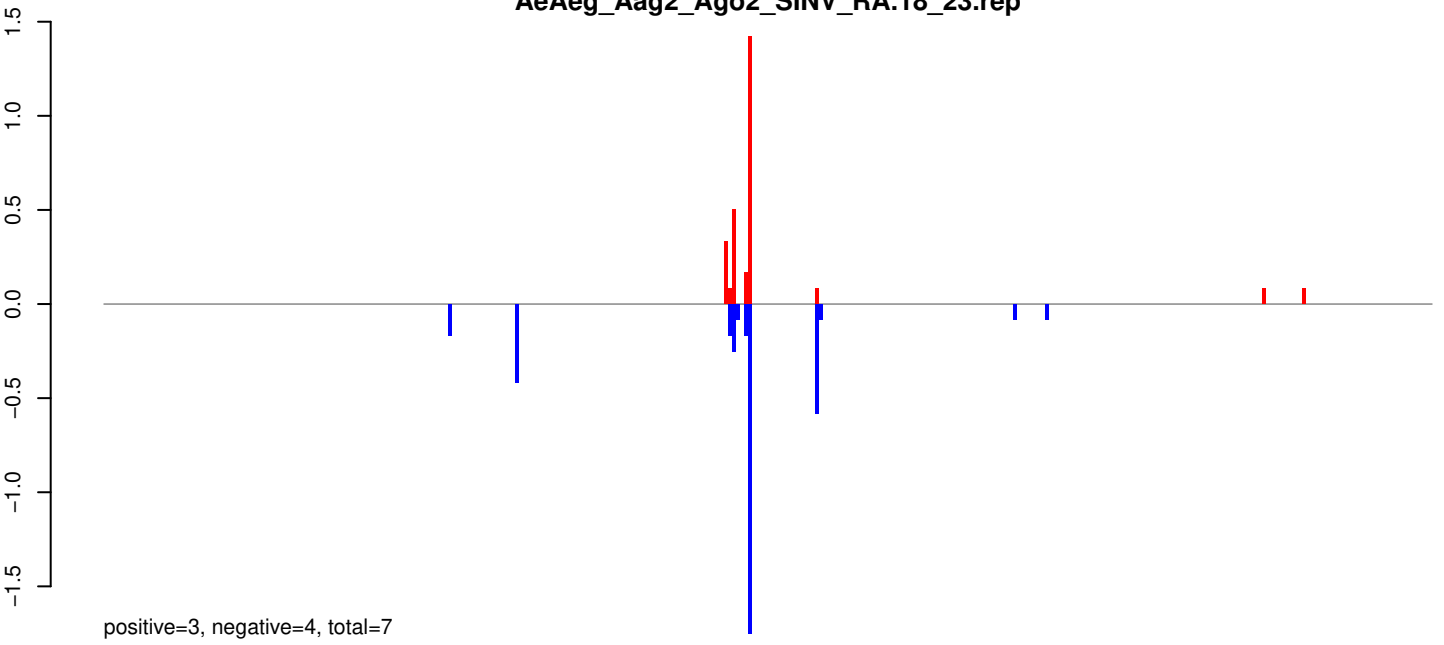
AeAeg_Aag2_Ago2_SINV_RA.rep



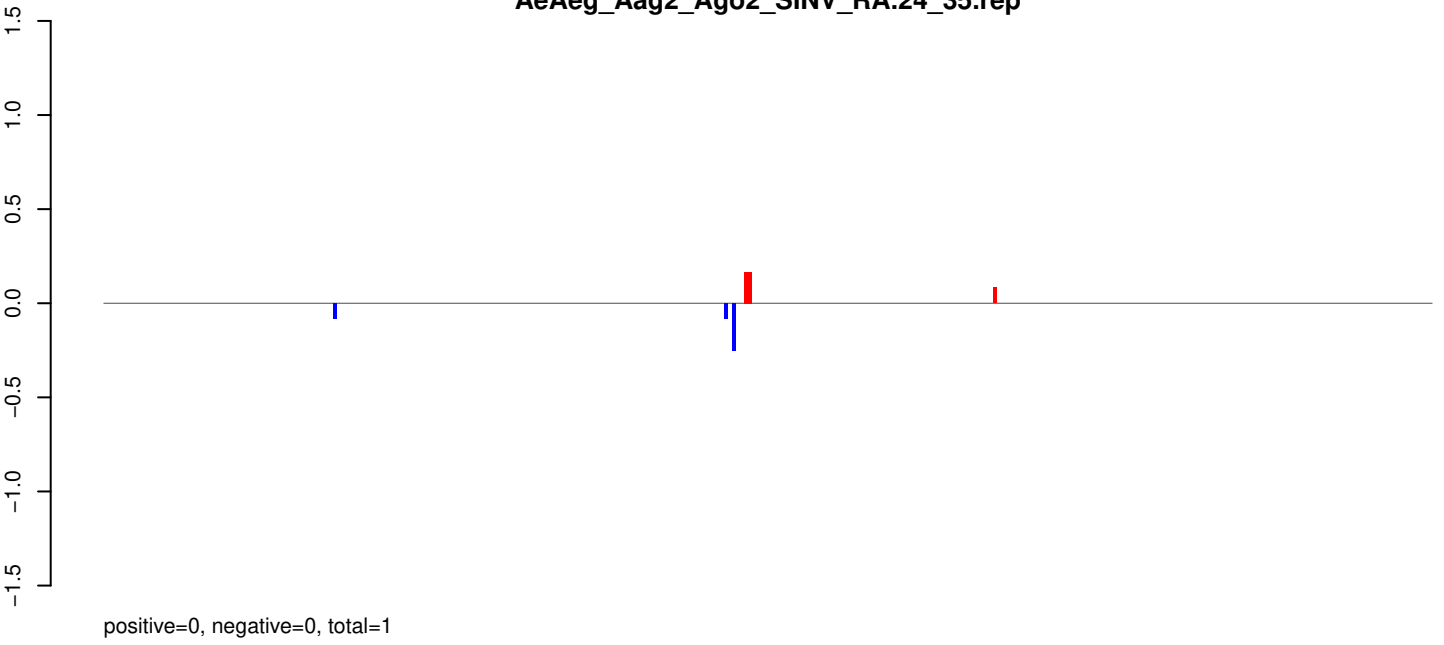
Window size=25, length=4978, TE@CR1-114_AAe1-4978

0 1000 2000 3000 4000 5000

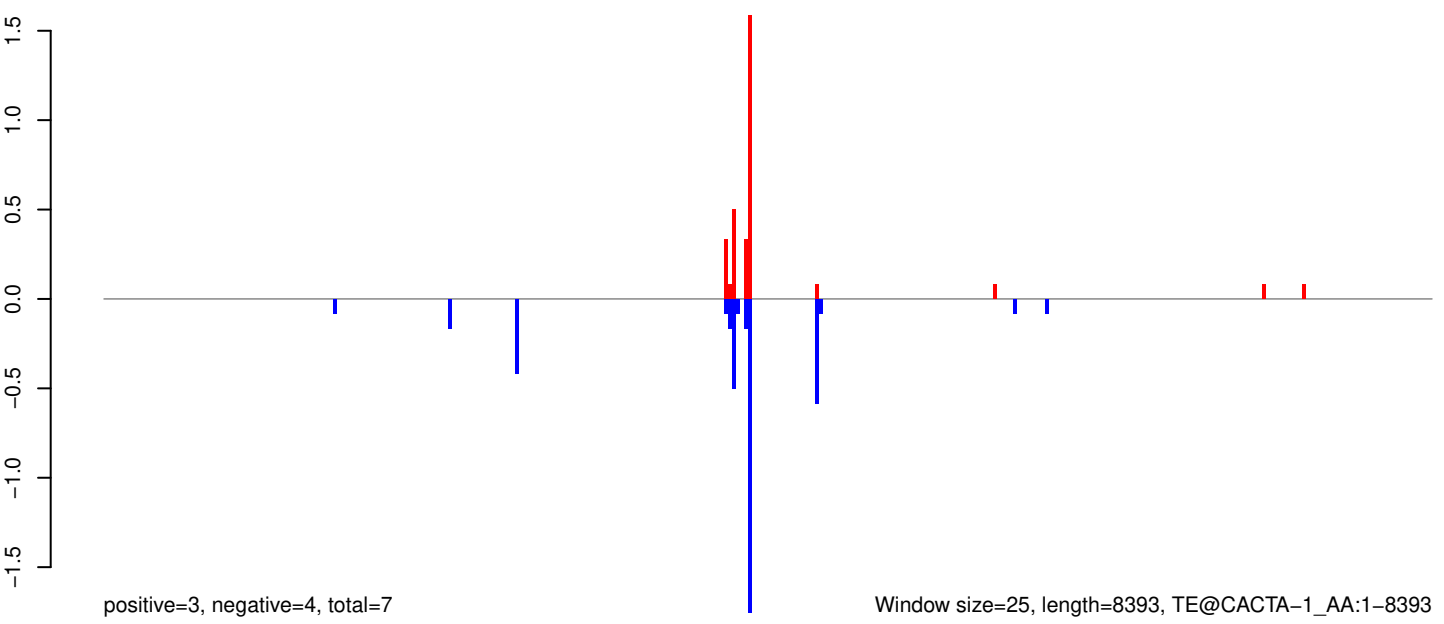
AeAeg_Aag2_Ago2_SINV_RA.18_23.rep



AeAeg_Aag2_Ago2_SINV_RA.24_35.rep



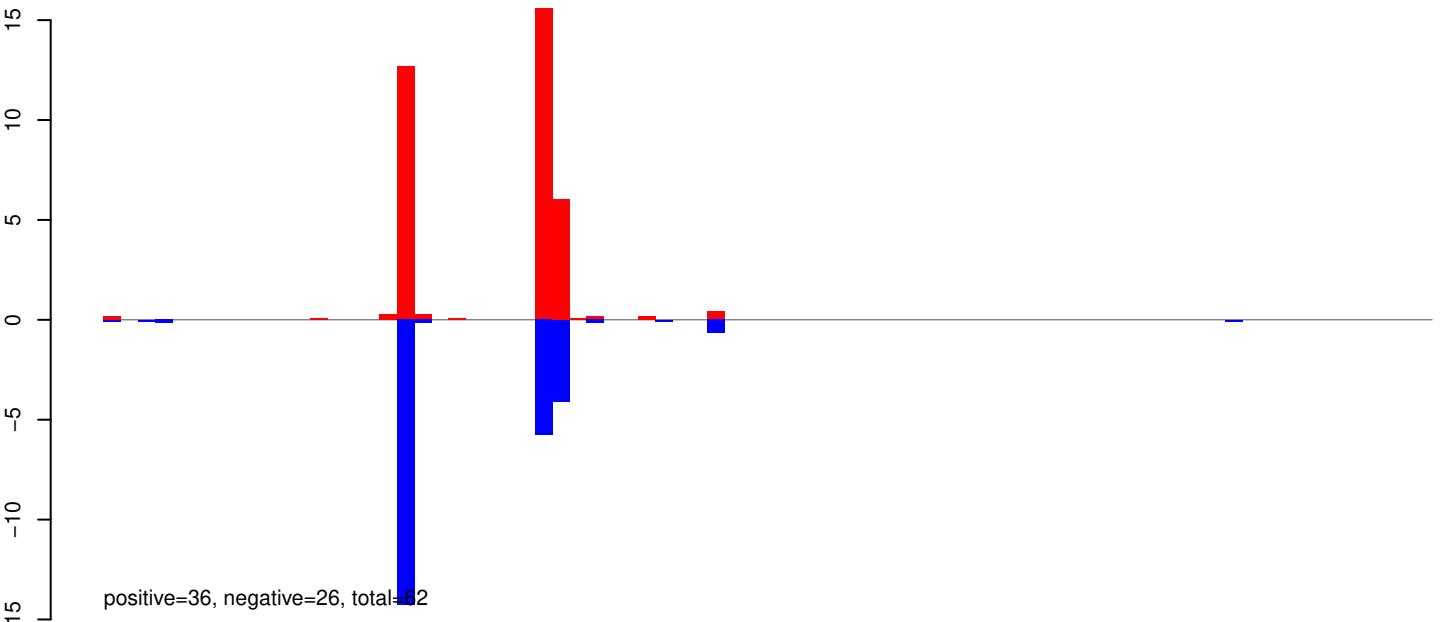
AeAeg_Aag2_Ago2_SINV_RA.rep



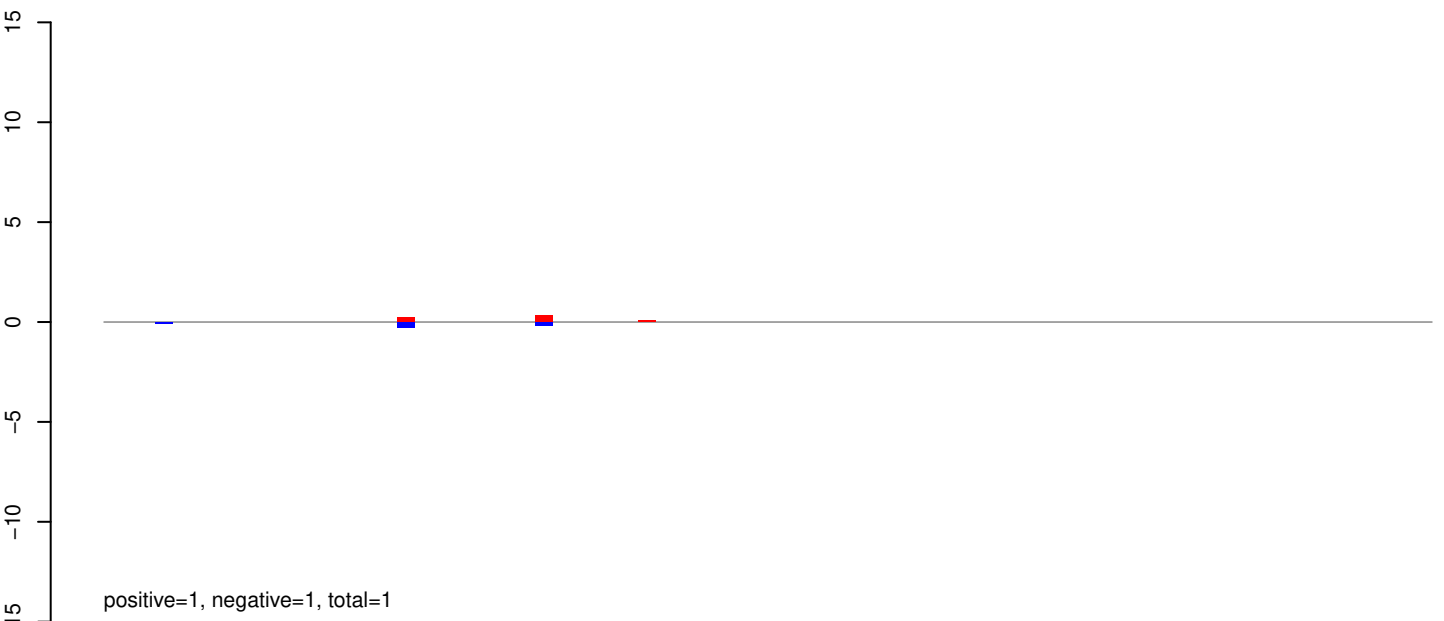
Window size=25, length=8393, TE@CACTA-1_AA:1-8393

0 2000 4000 6000 8000

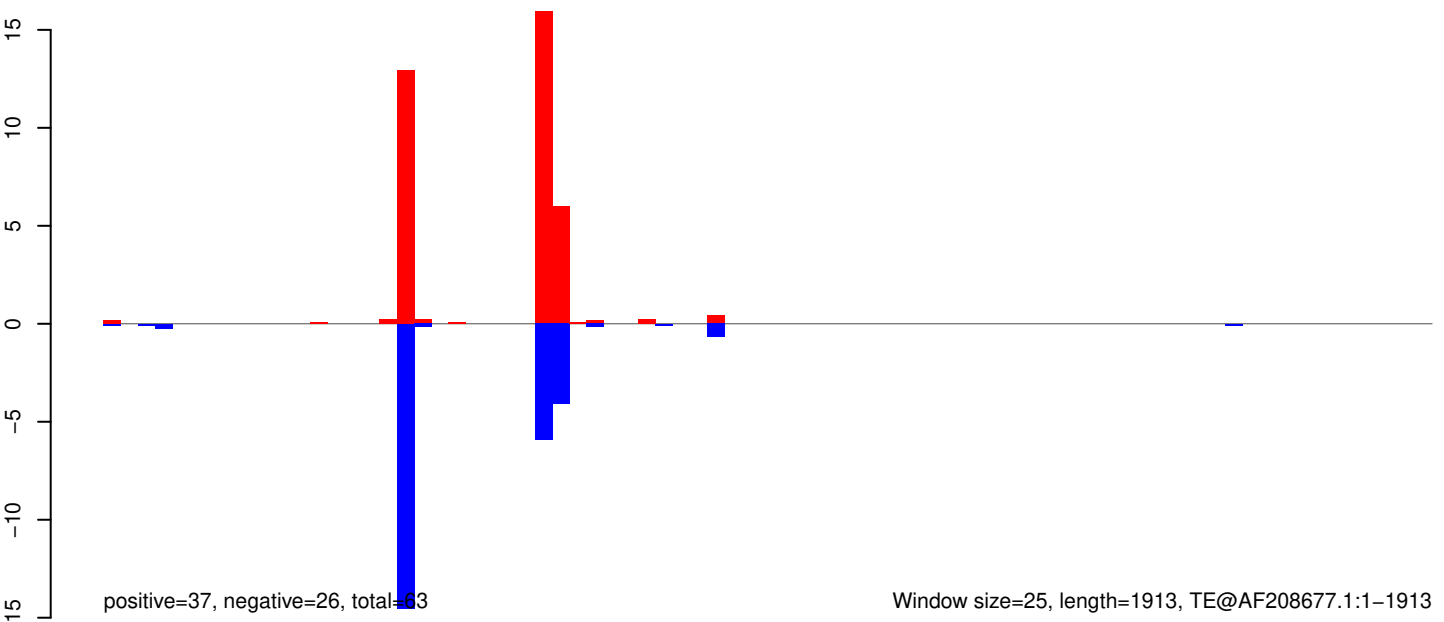
AeAeg_Aag2_Ago2_SINV_RA.18_23.rep



AeAeg_Aag2_Ago2_SINV_RA.24_35.rep



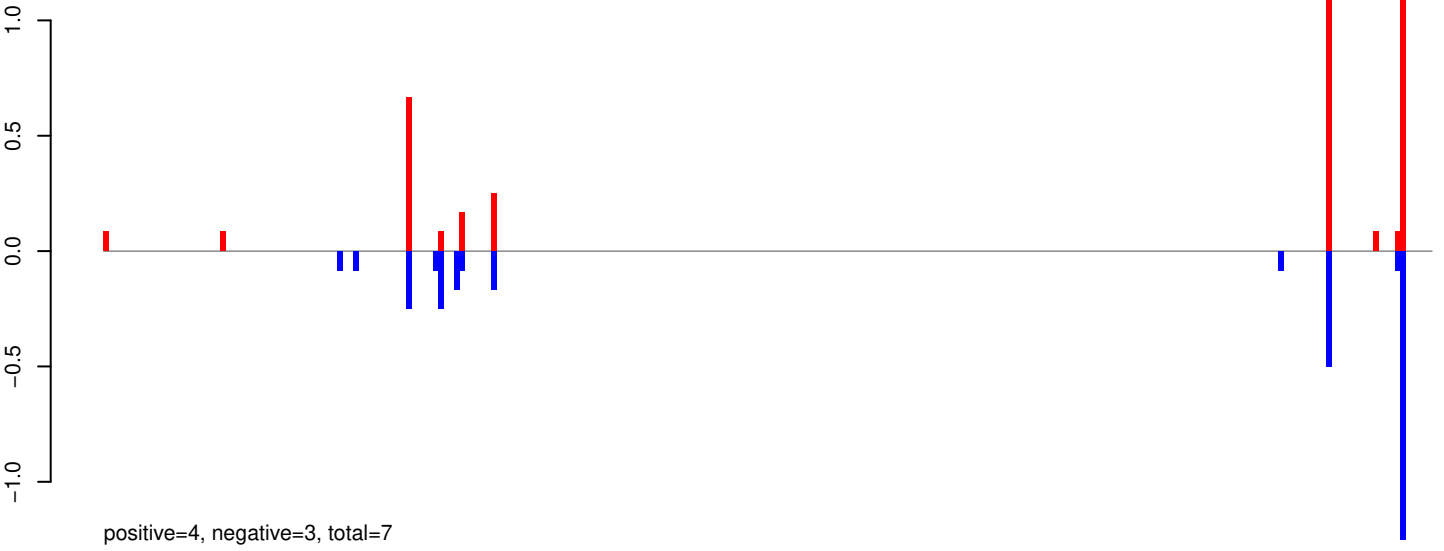
AeAeg_Aag2_Ago2_SINV_RA.rep



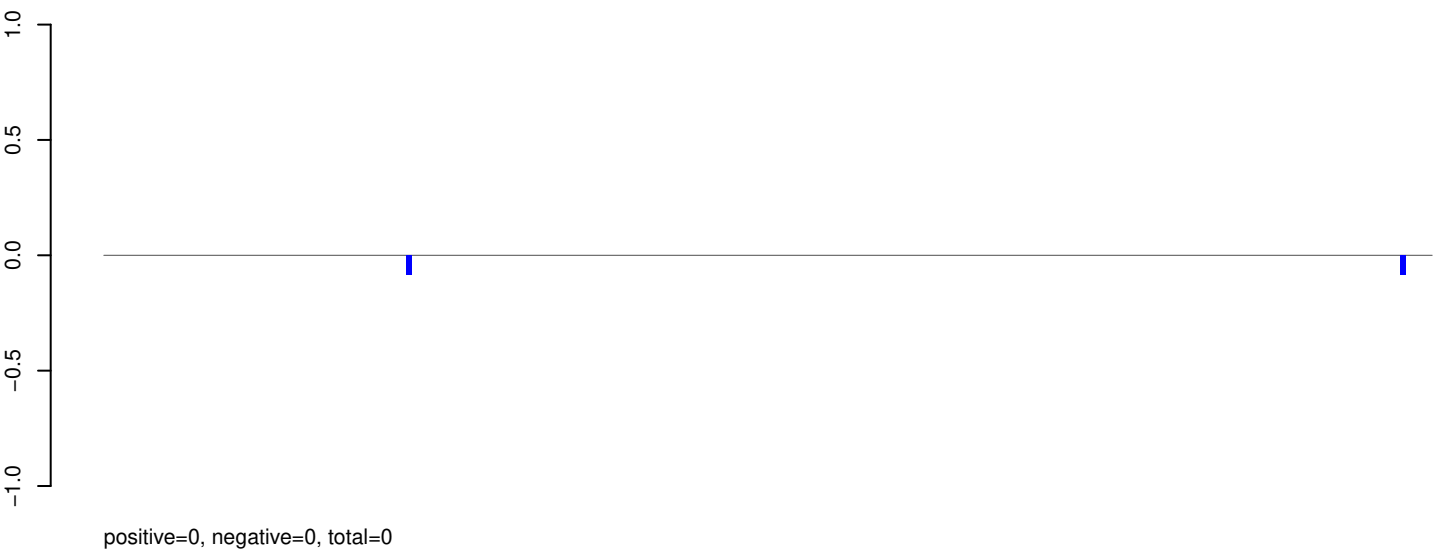
Window size=25, length=1913, TE@AF208677.1:1-1913

0 500 1000 1500 2000

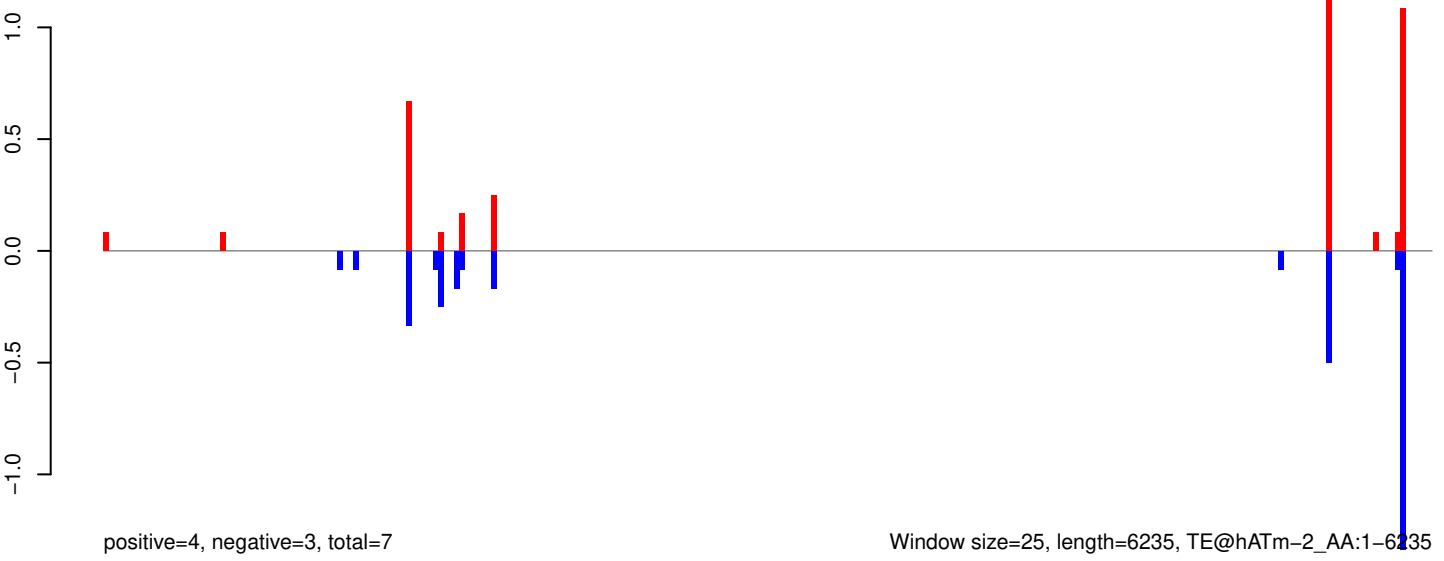
AeAeg_Aag2_Ago2_SINV_RA.18_23.rep



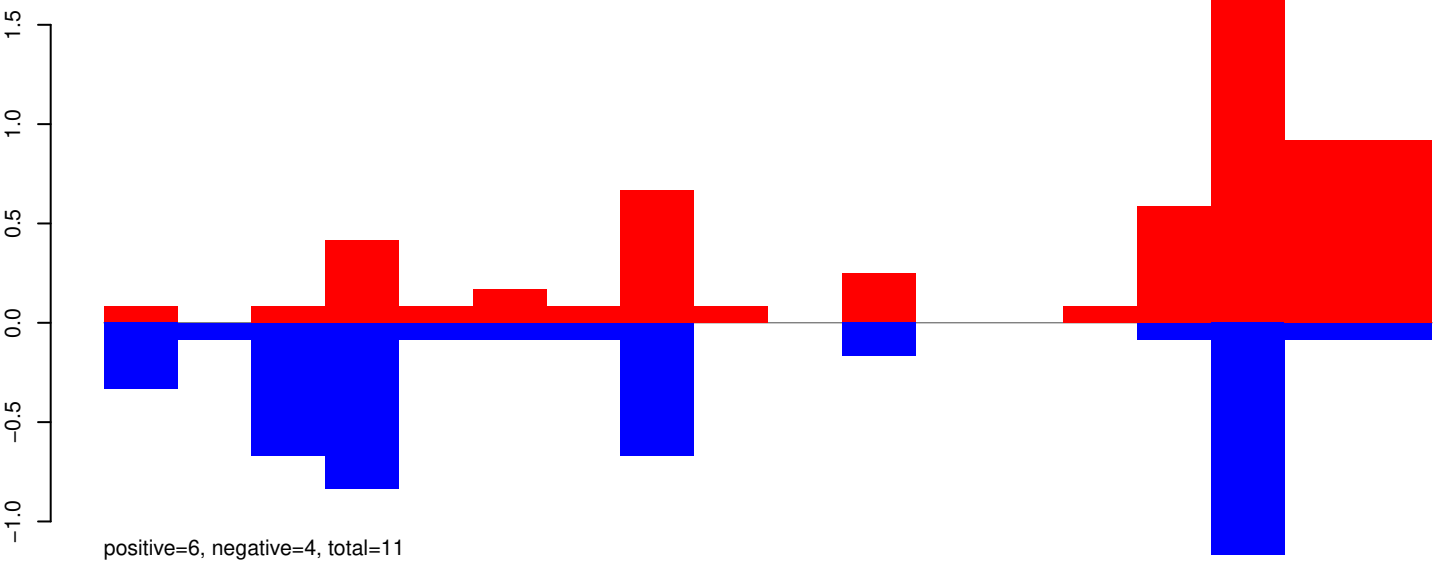
AeAeg_Aag2_Ago2_SINV_RA.24_35.rep



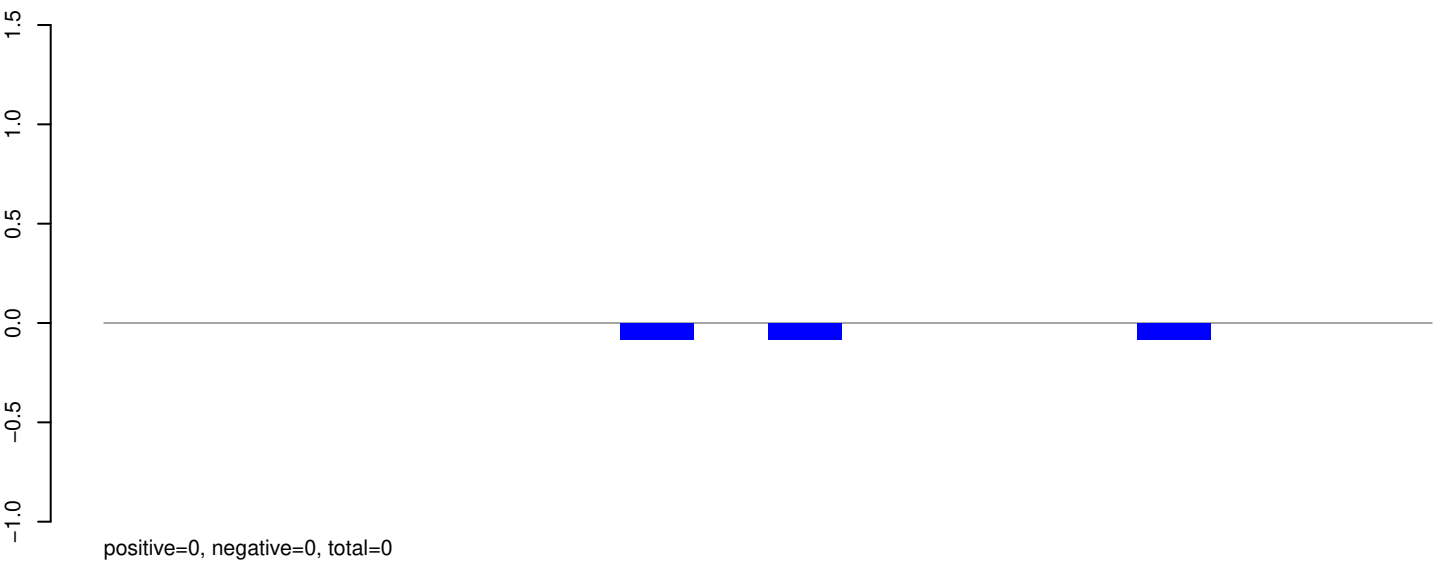
AeAeg_Aag2_Ago2_SINV_RA.rep



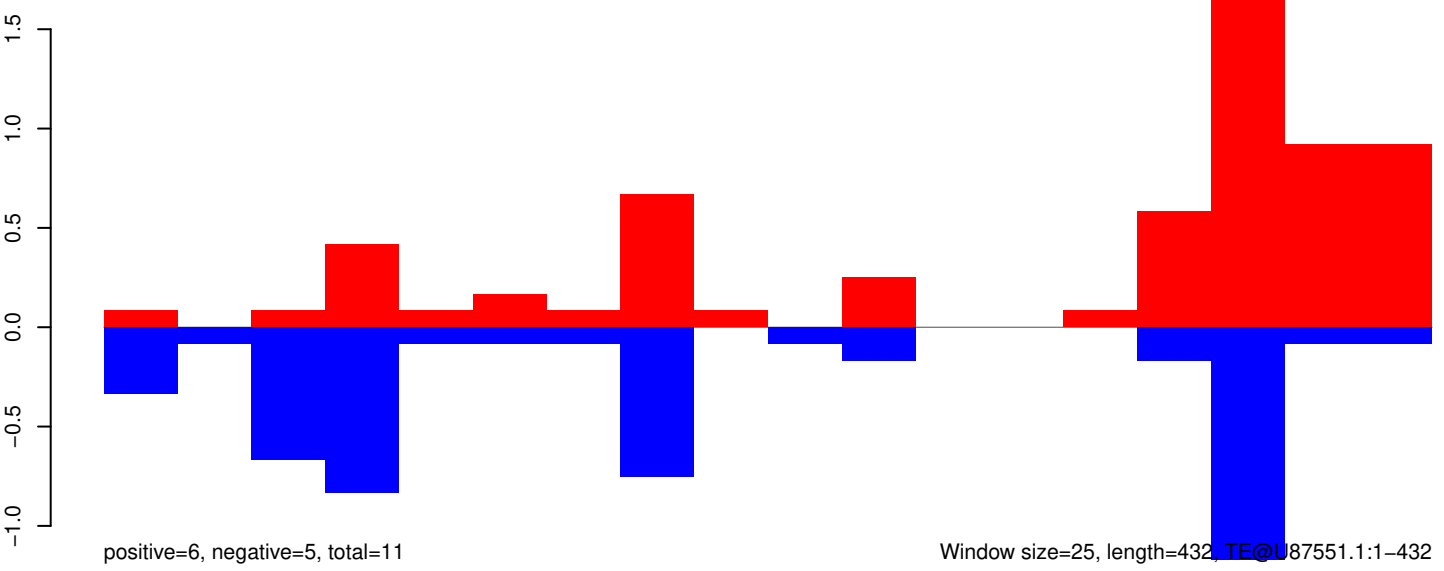
AeAeg_Aag2_Ago2_SINV_RA.18_23.rep



AeAeg_Aag2_Ago2_SINV_RA.24_35.rep



AeAeg_Aag2_Ago2_SINV_RA.rep



AeAeg_Aag2_Ago2_SINV_RA.18_23.rep

4
2
0
-2

positive=10, negative=7, total=17

AeAeg_Aag2_Ago2_SINV_RA.24_35.rep

4
2
0
-2

positive=0, negative=0, total=0

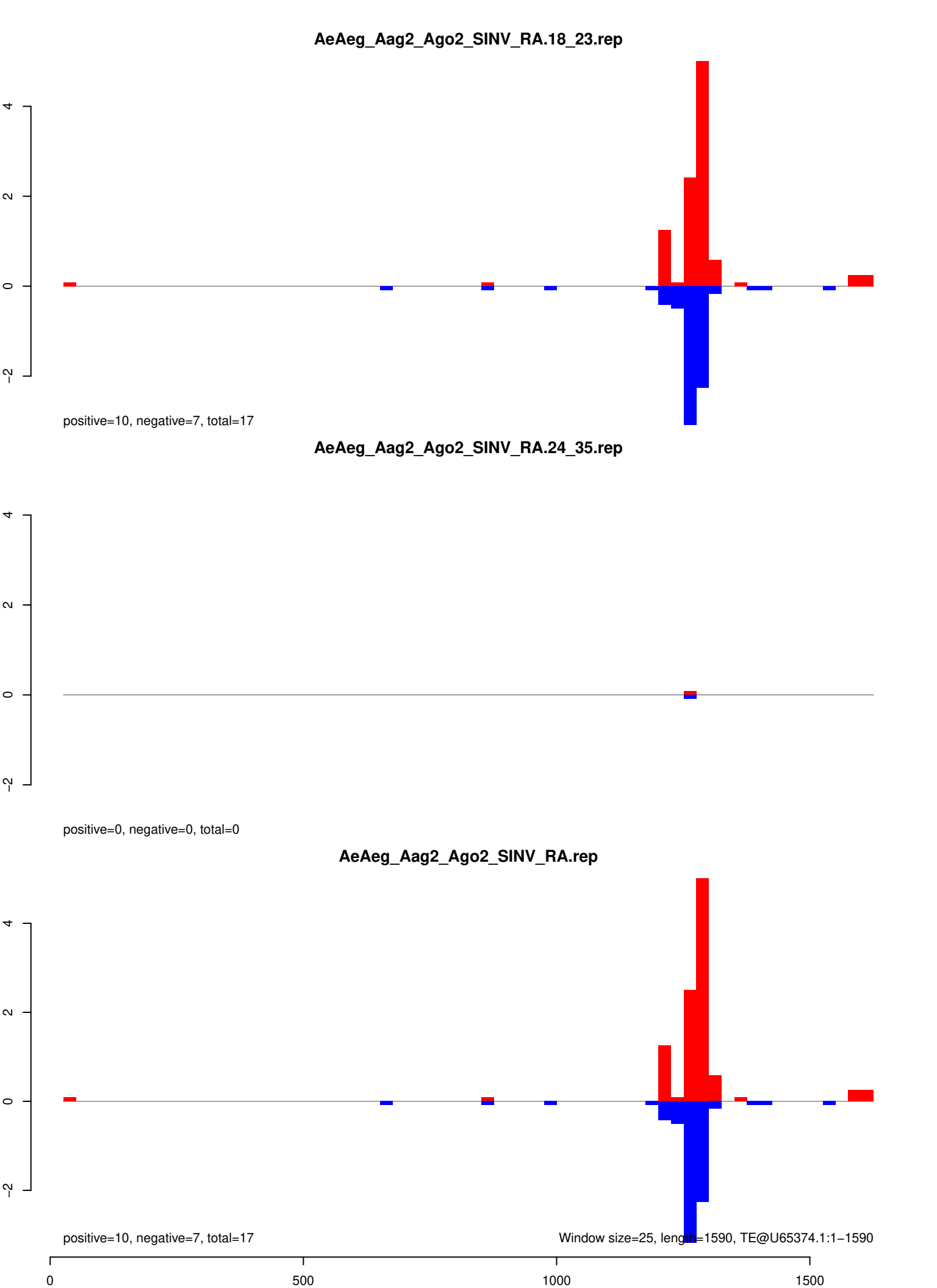
AeAeg_Aag2_Ago2_SINV_RA.rep

4
2
0
-2

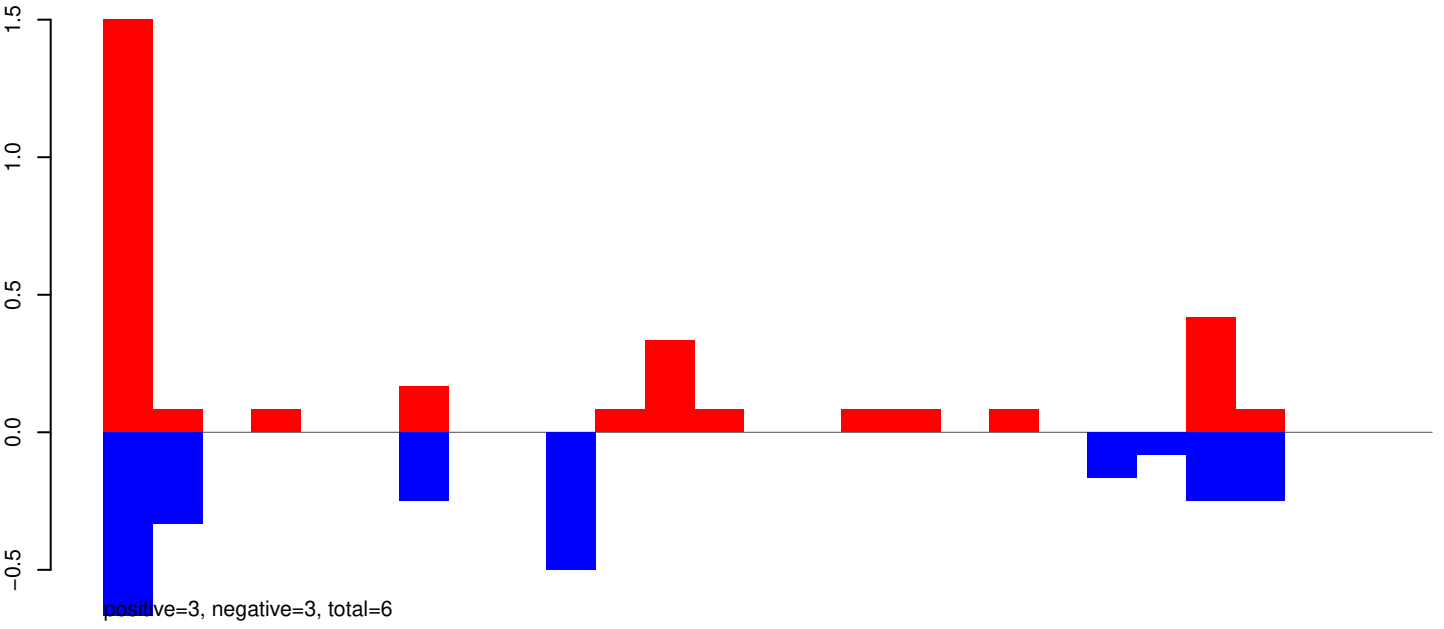
positive=10, negative=7, total=17

Window size=25, length=1590, TE@U65374.1:1-1590

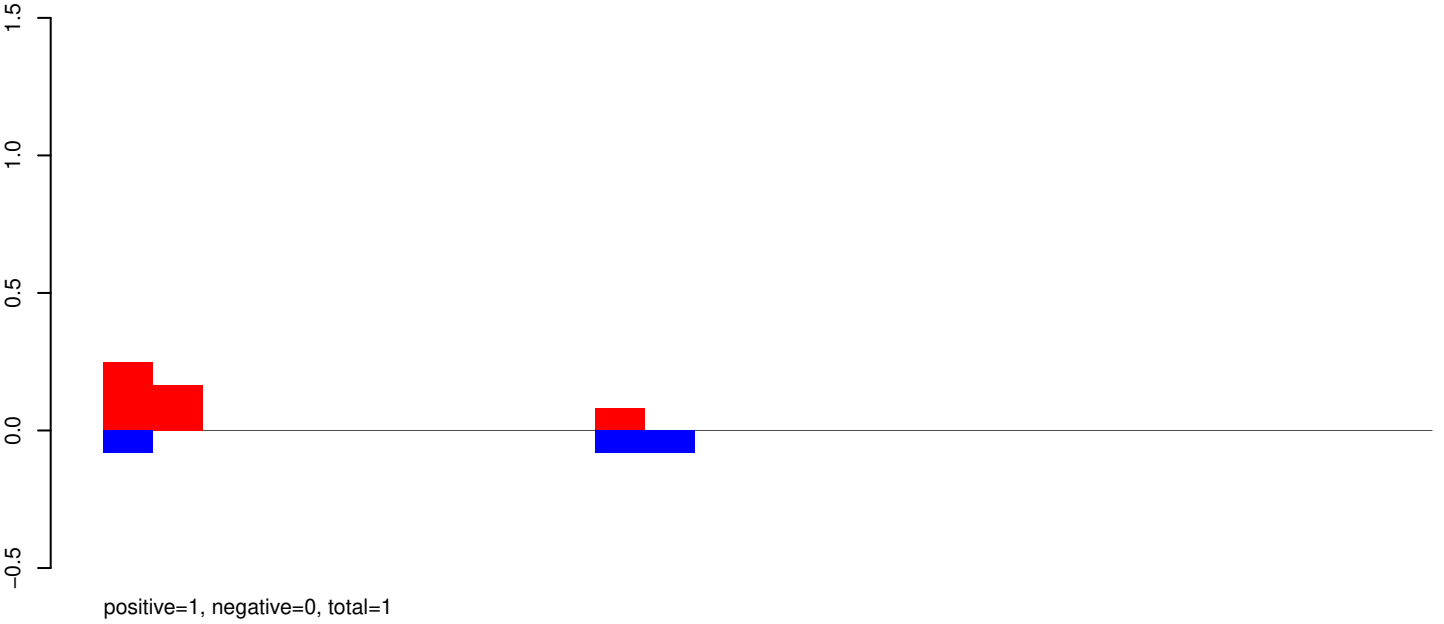
0 500 1000 1500



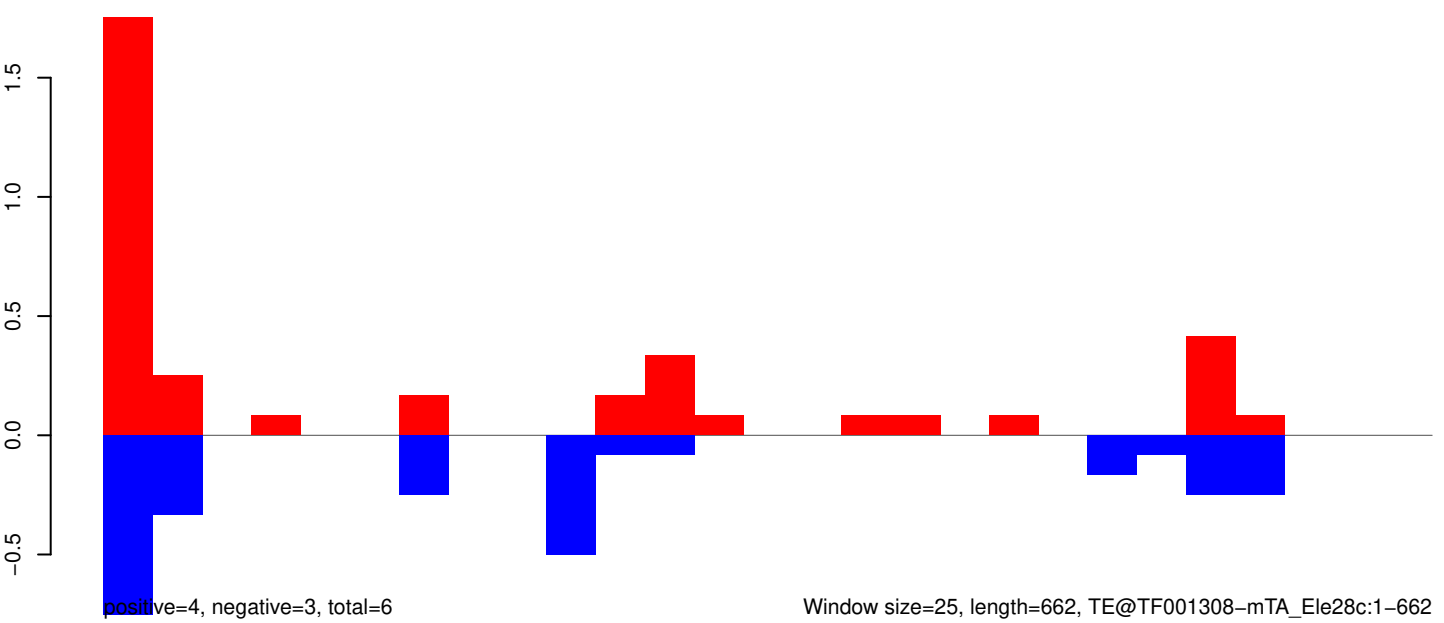
AeAeg_Aag2_Ago2_SINV_RA.18_23.rep



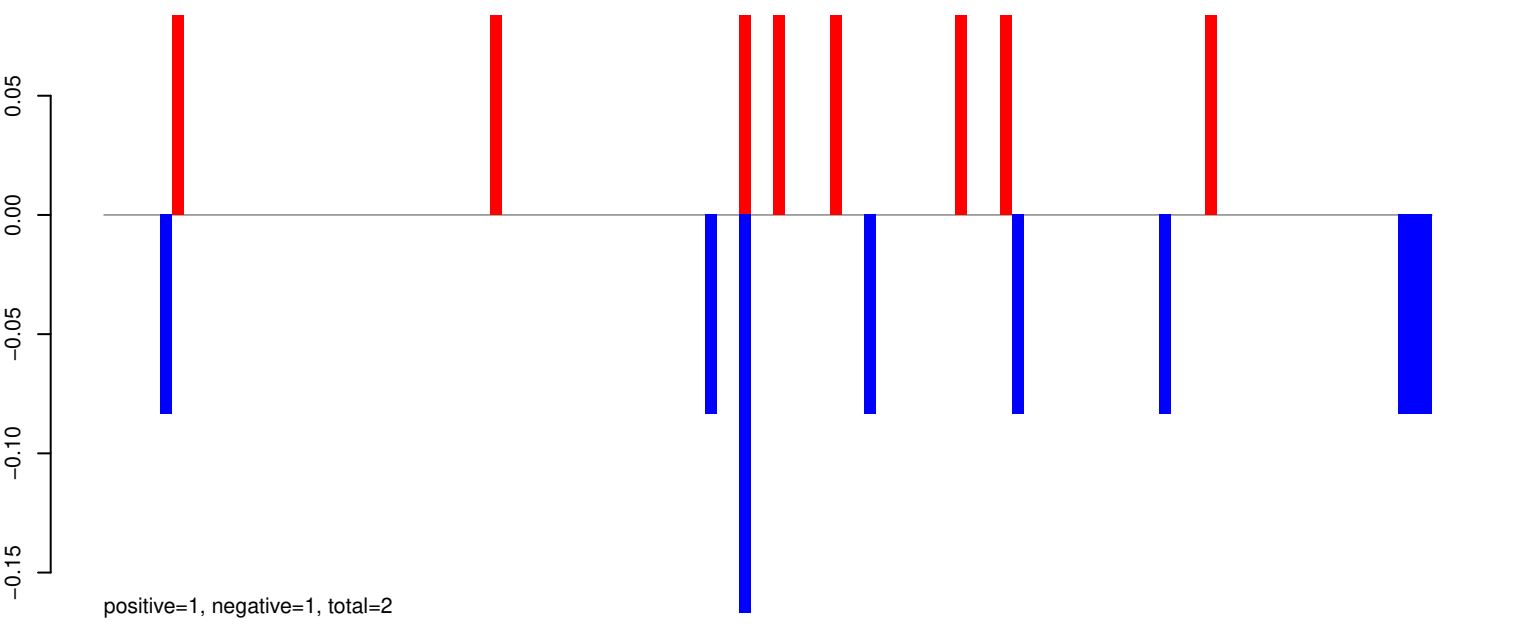
AeAeg_Aag2_Ago2_SINV_RA.24_35.rep



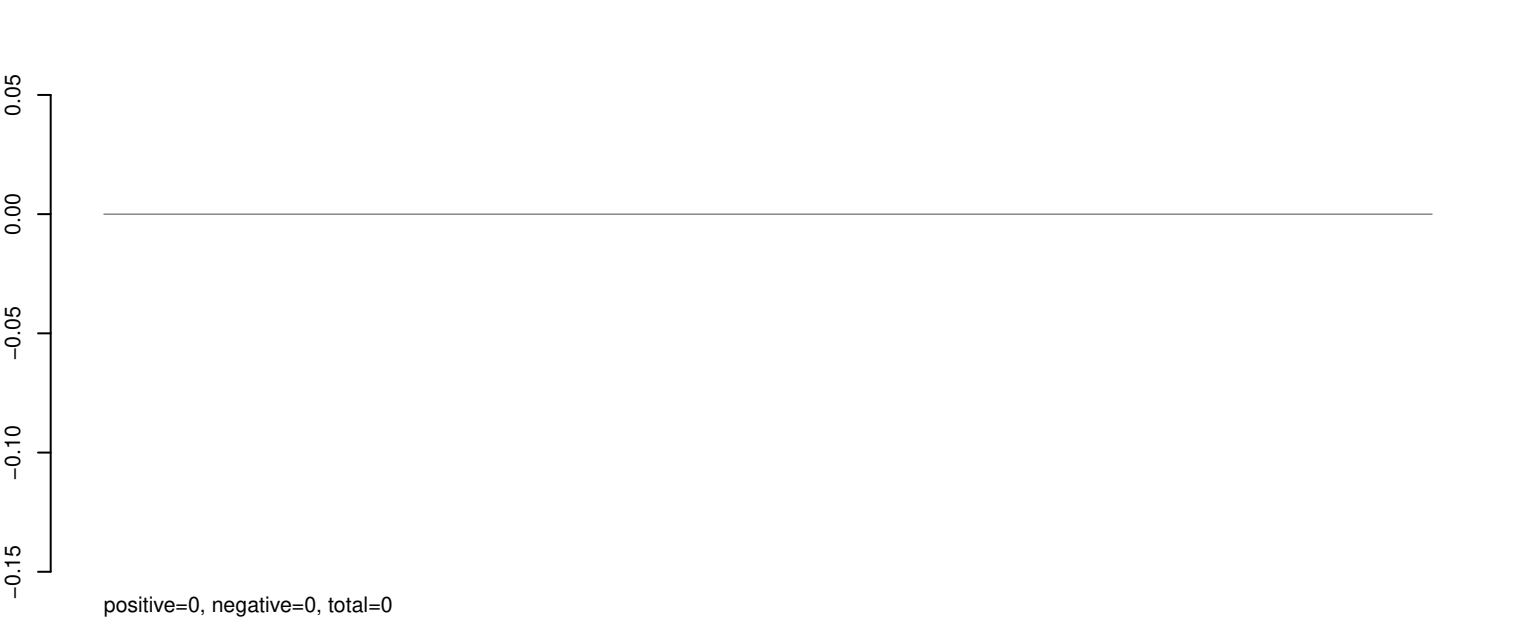
AeAeg_Aag2_Ago2_SINV_RA.rep



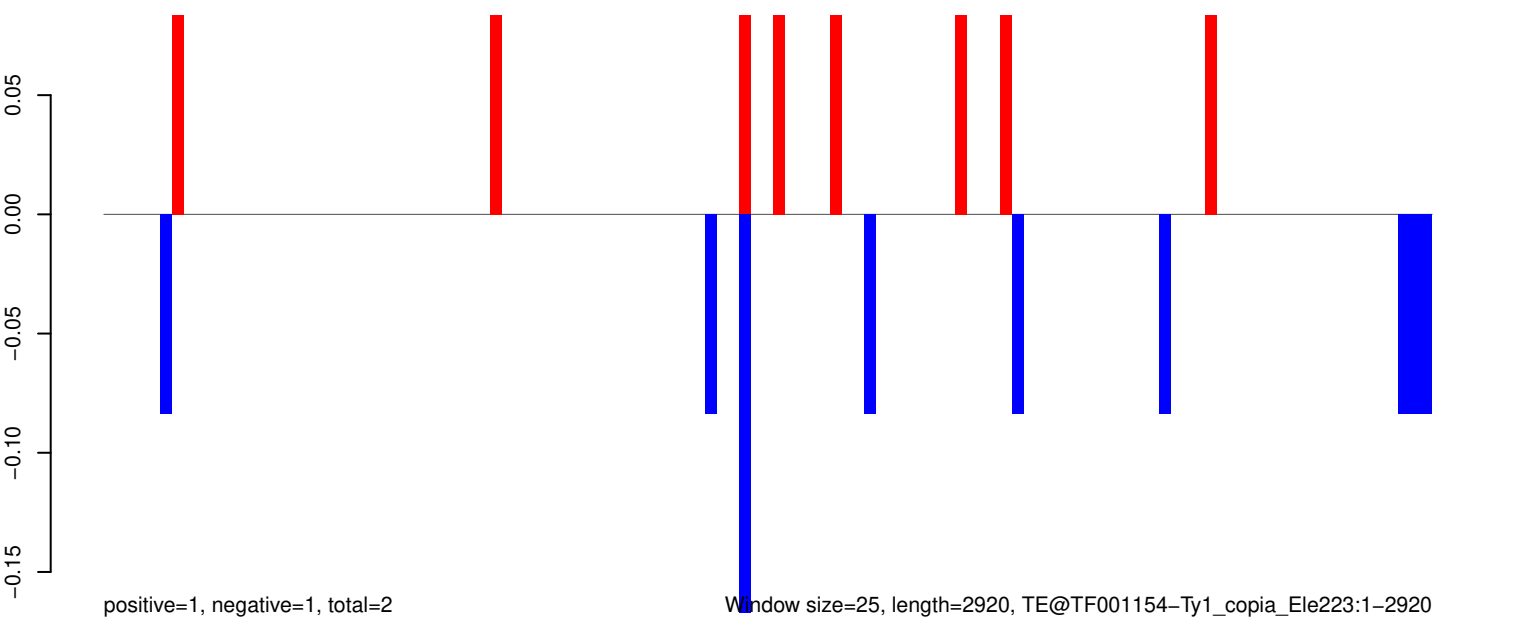
AeAeg_Aag2_Ago2_SINV_RA.18_23.rep



AeAeg_Aag2_Ago2_SINV_RA.24_35.rep

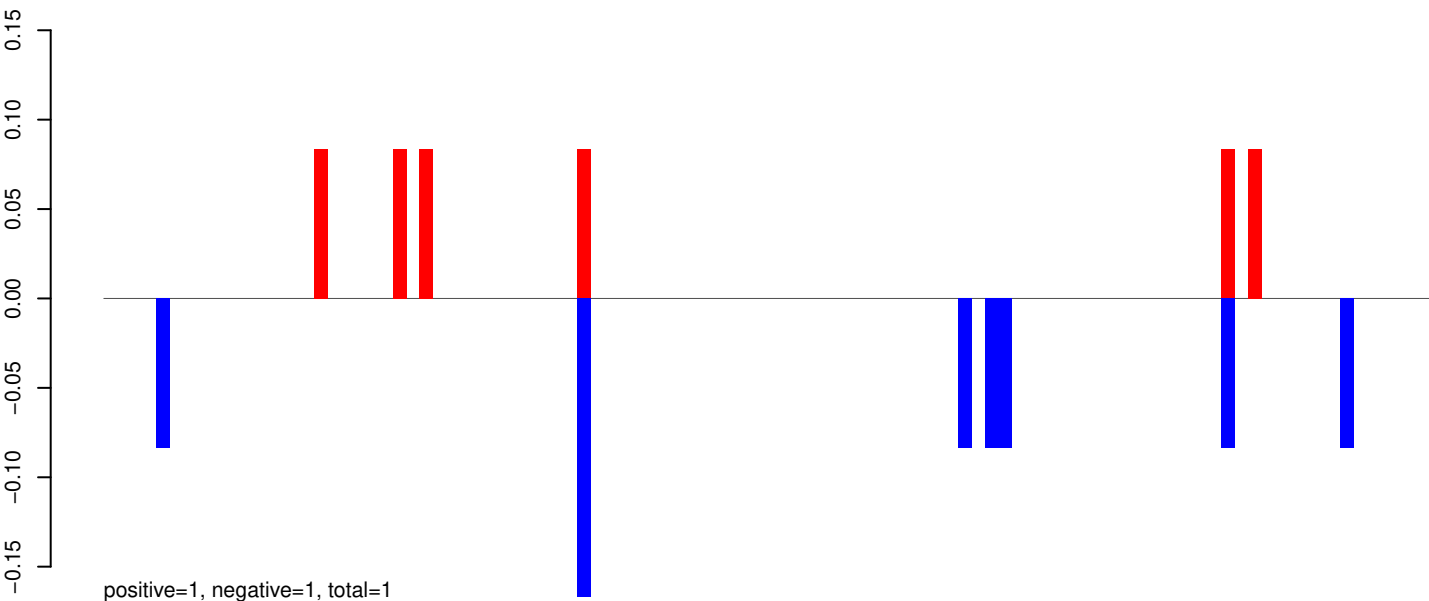


AeAeg_Aag2_Ago2_SINV_RA.rep



0 500 1000 1500 2000 2500 3000

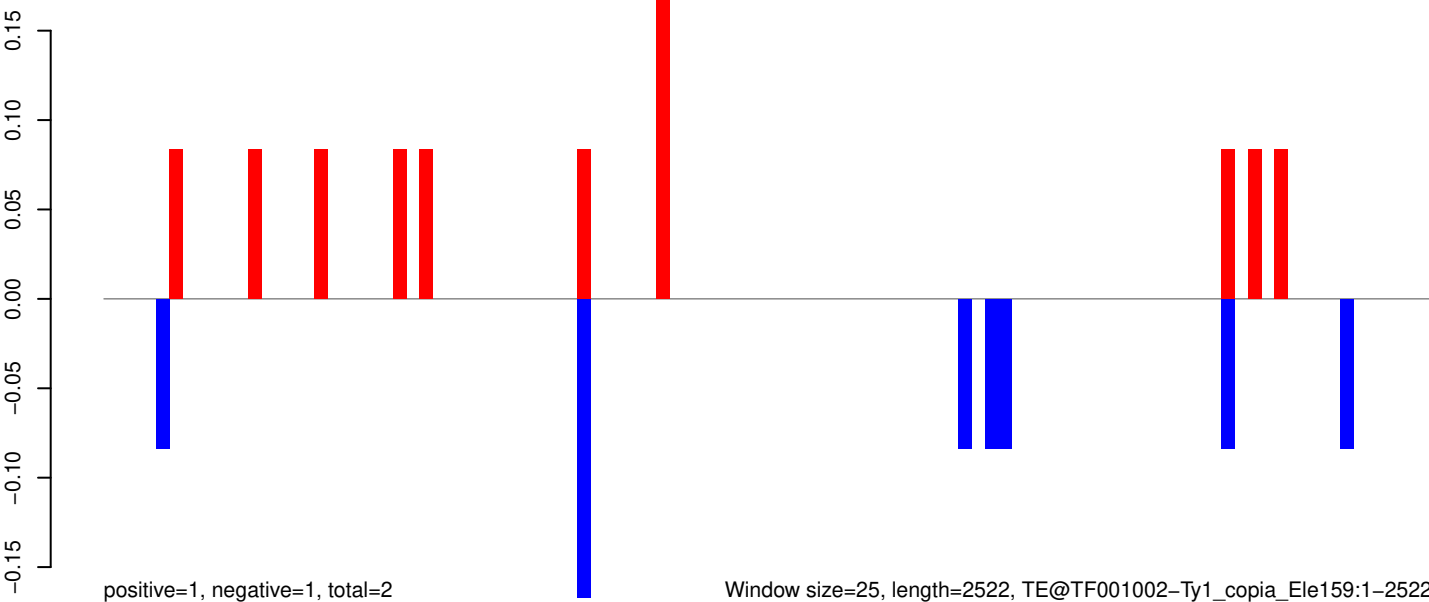
AeAeg_Aag2_Ago2_SINV_RA.18_23.rep



AeAeg_Aag2_Ago2_SINV_RA.24_35.rep

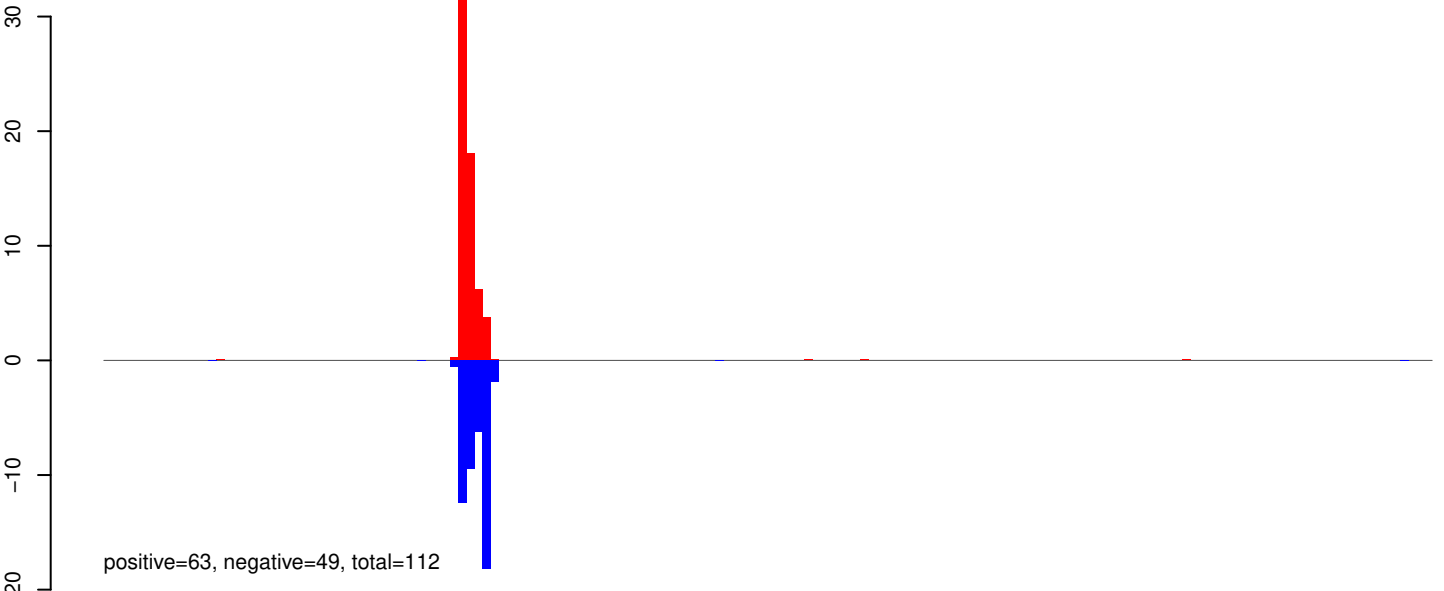


AeAeg_Aag2_Ago2_SINV_RA.rep

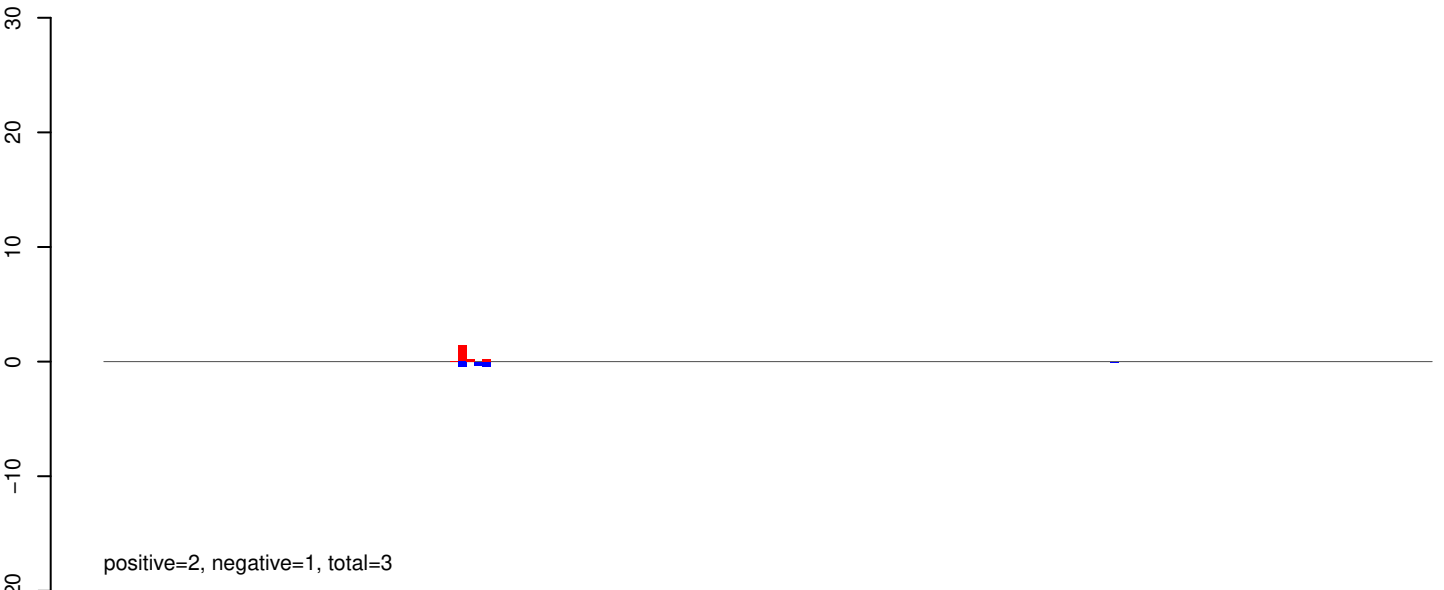


Window size=25, length=2522, TE@TF001002-Ty1_copia_Ele159:1-2522

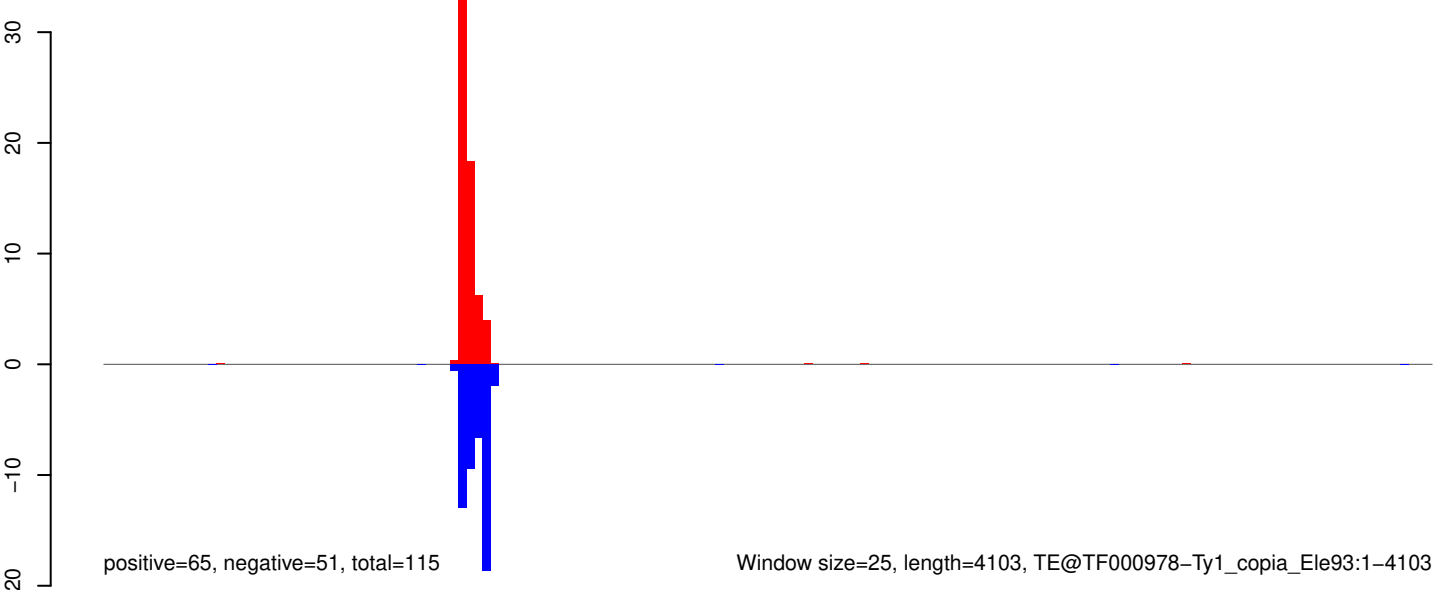
AeAeg_Aag2_Ago2_SINV_RA.18_23.rep



AeAeg_Aag2_Ago2_SINV_RA.24_35.rep

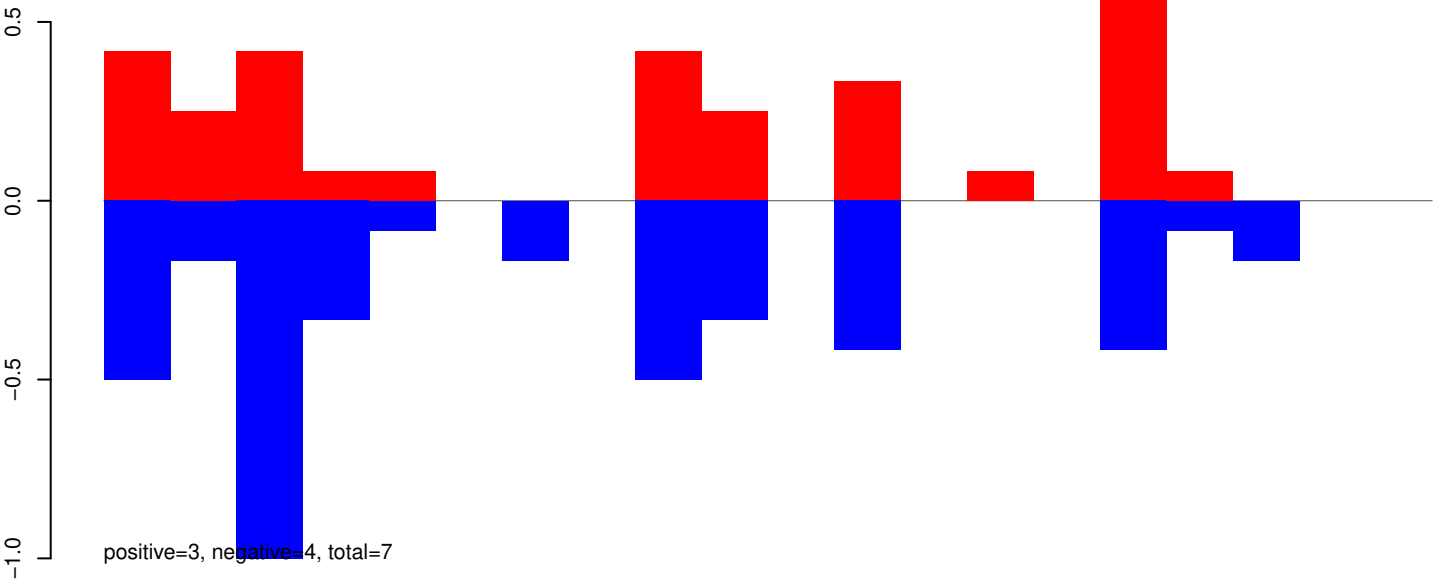


AeAeg_Aag2_Ago2_SINV_RA.rep

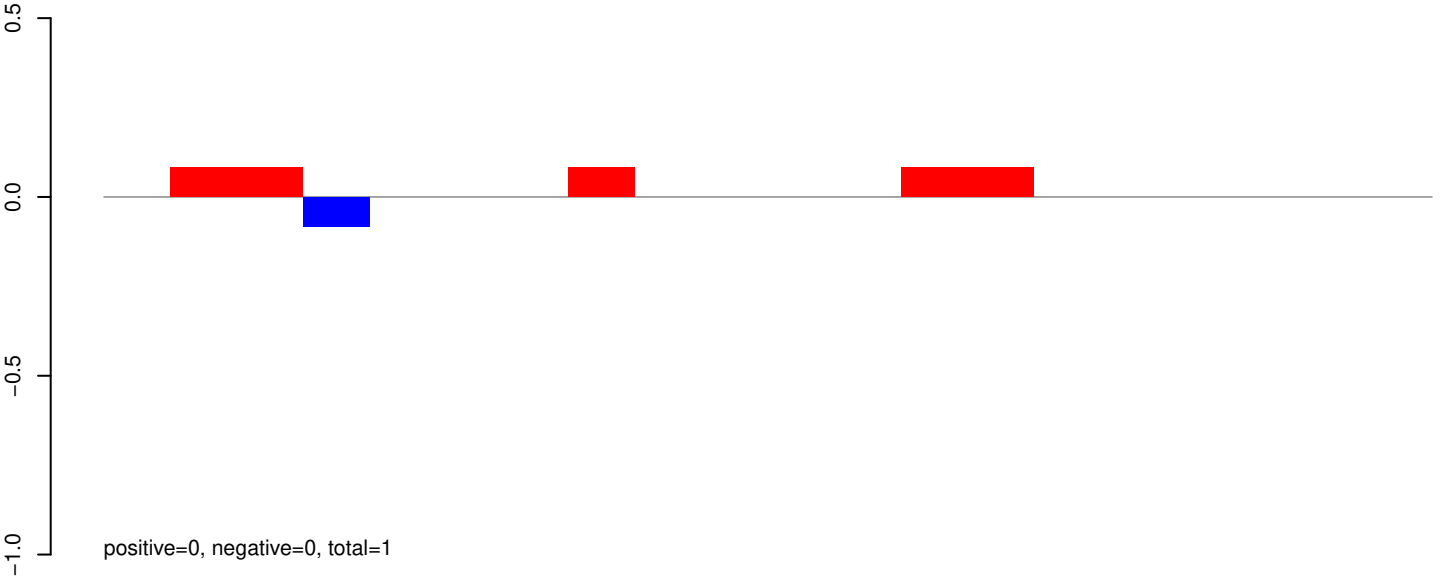


Window size=25, length=4103, TE@TF000978-Ty1_copia_Ele93:1-4103

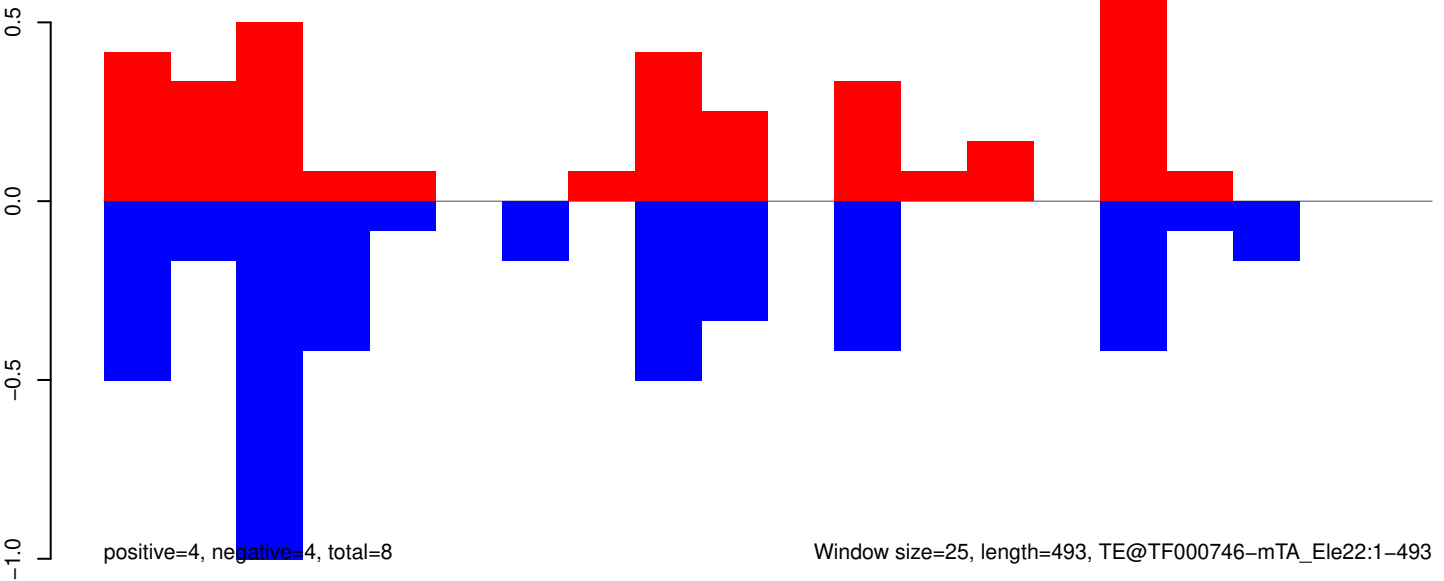
AeAeg_Aag2_Ago2_SINV_RA.18_23.rep



AeAeg_Aag2_Ago2_SINV_RA.24_35.rep

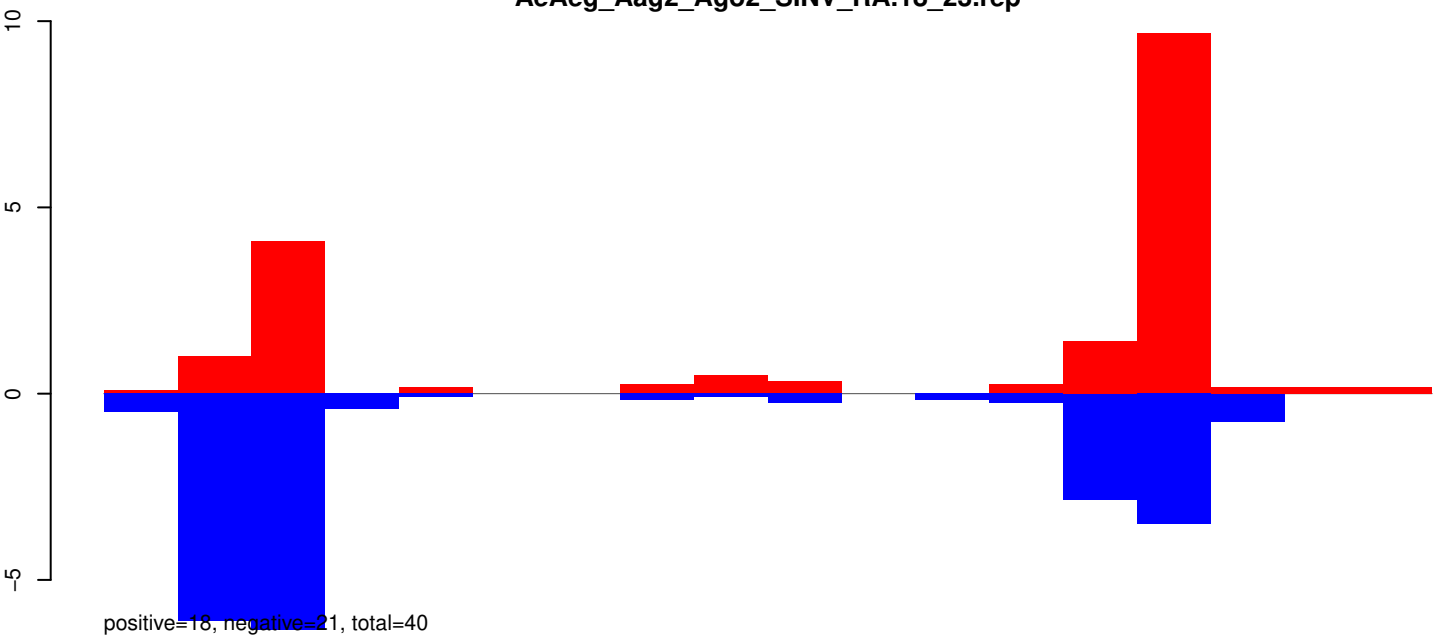


AeAeg_Aag2_Ago2_SINV_RA.rep

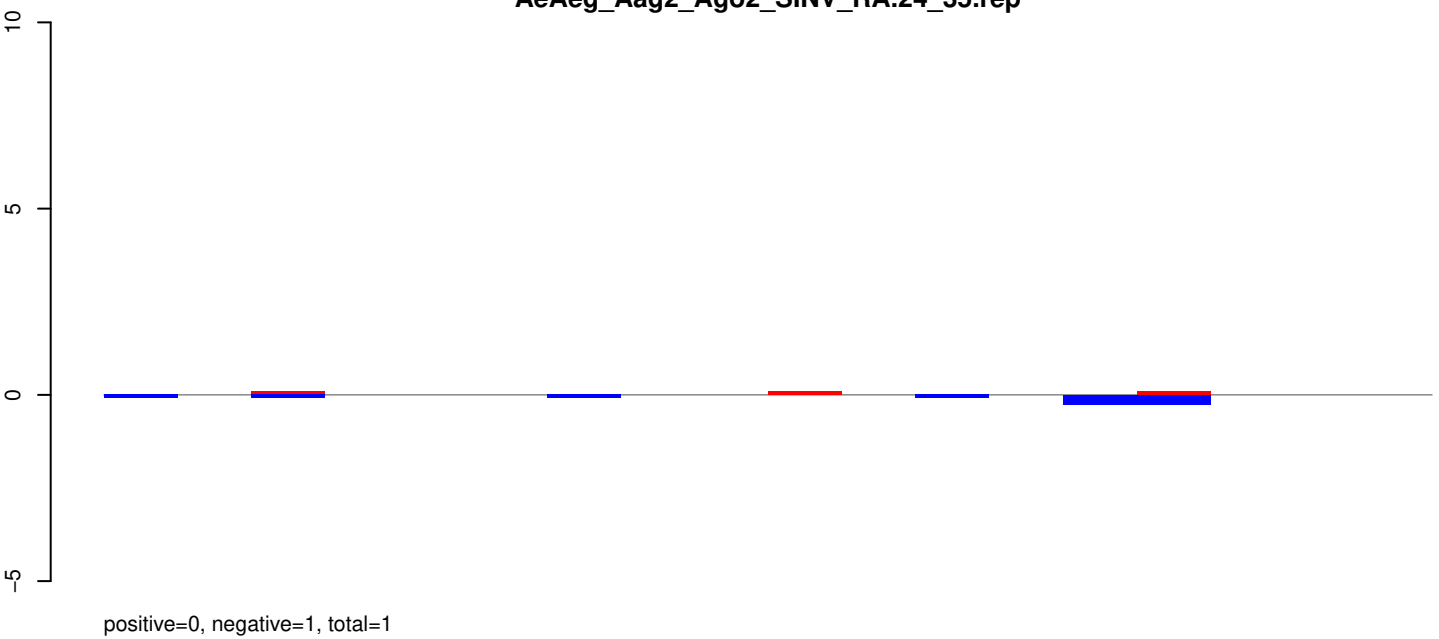


Window size=25, length=493, TE@TF000746-mTA_Ele22:1-493

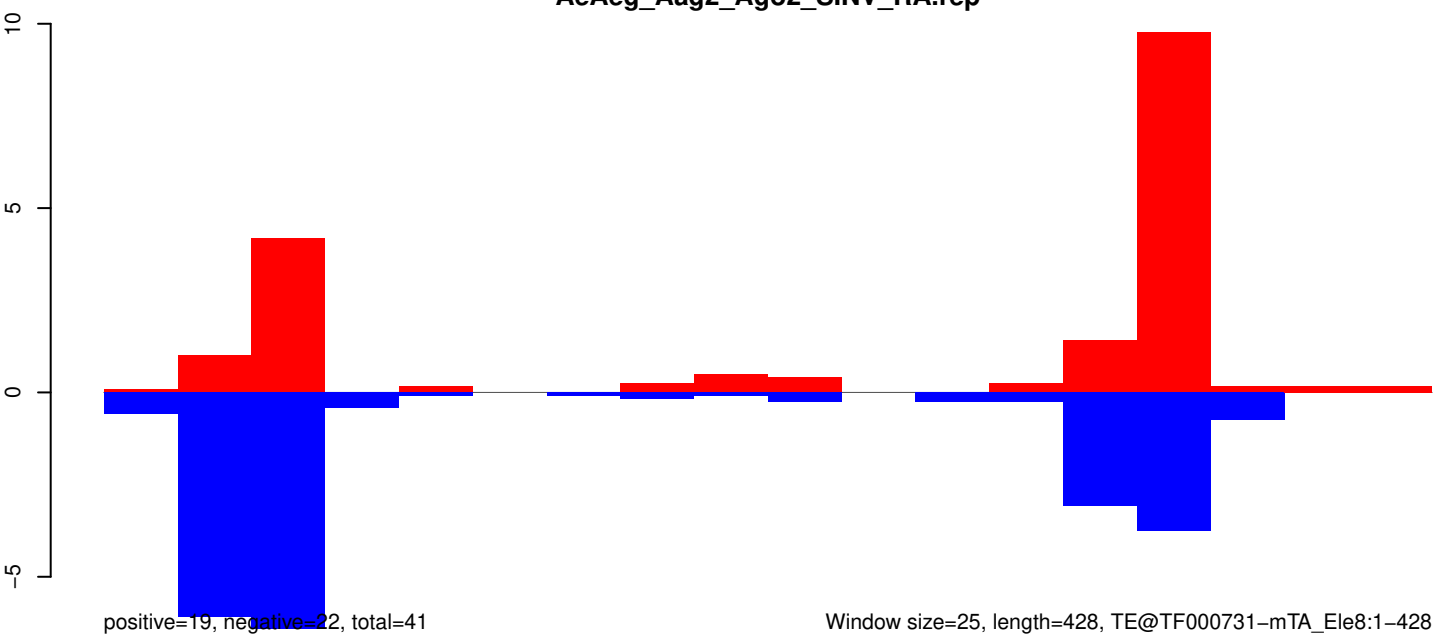
AeAeg_Aag2_Ago2_SINV_RA.18_23.rep



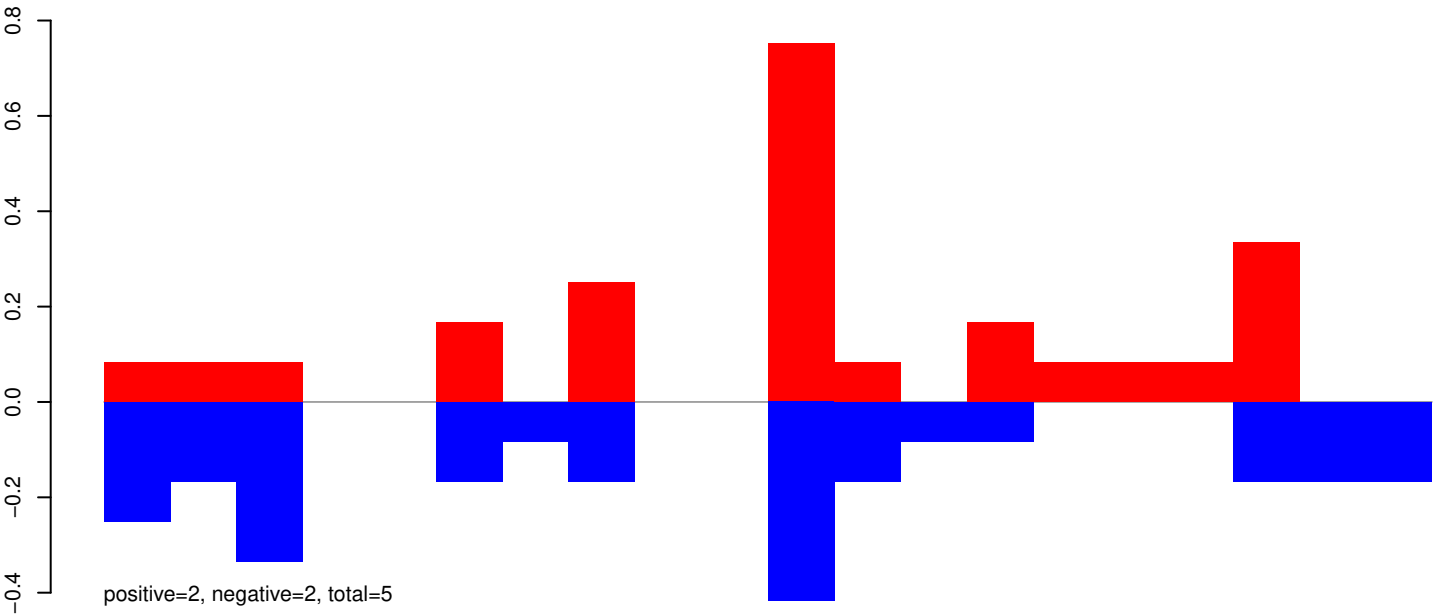
AeAeg_Aag2_Ago2_SINV_RA.24_35.rep



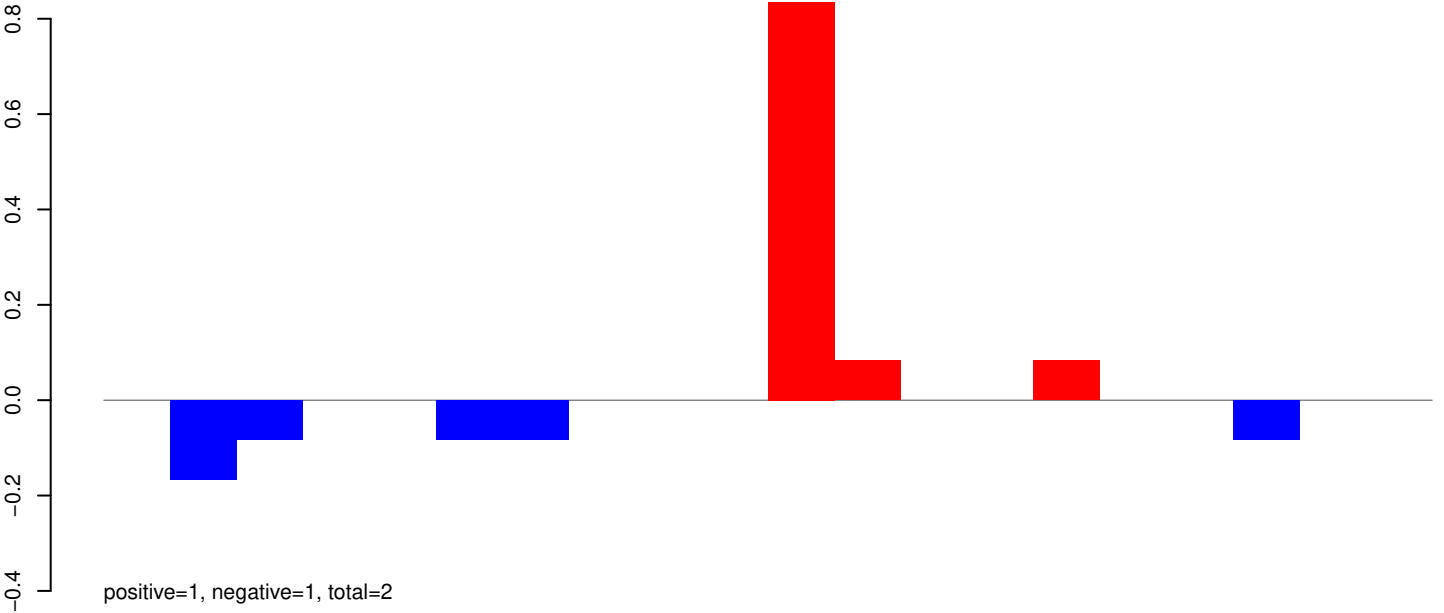
AeAeg_Aag2_Ago2_SINV_RA.rep



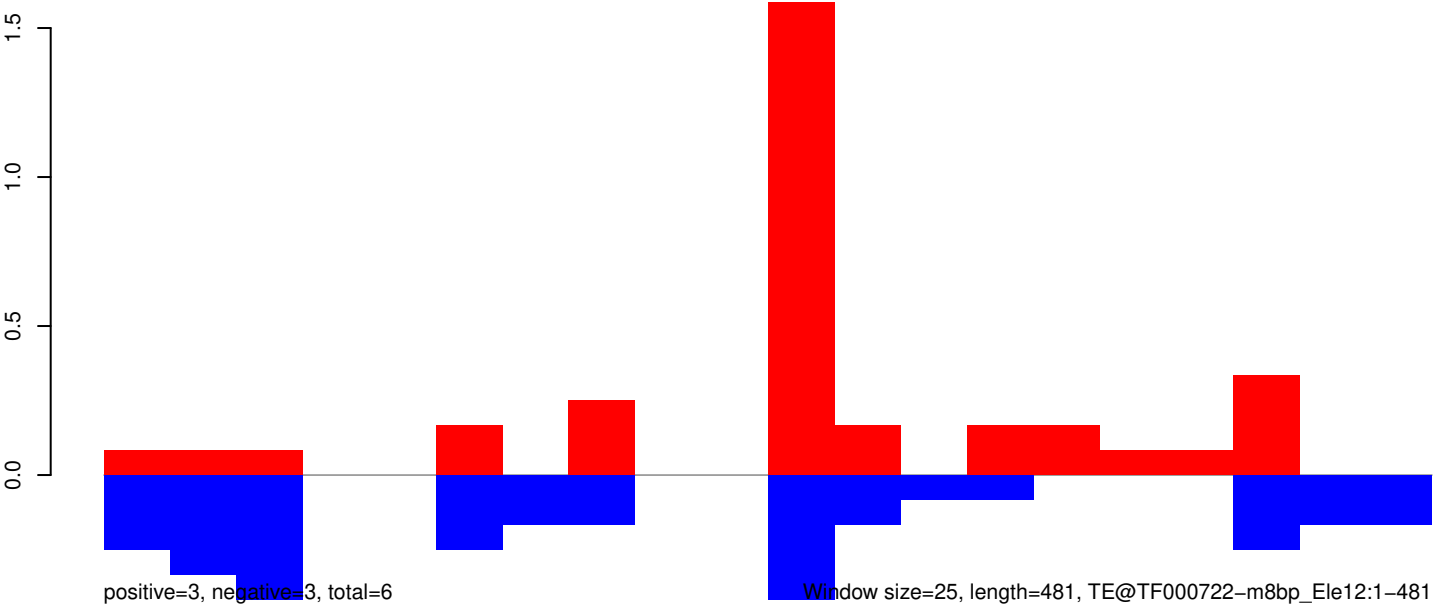
AeAeg_Aag2_Ago2_SINV_RA.18_23.rep



AeAeg_Aag2_Ago2_SINV_RA.24_35.rep

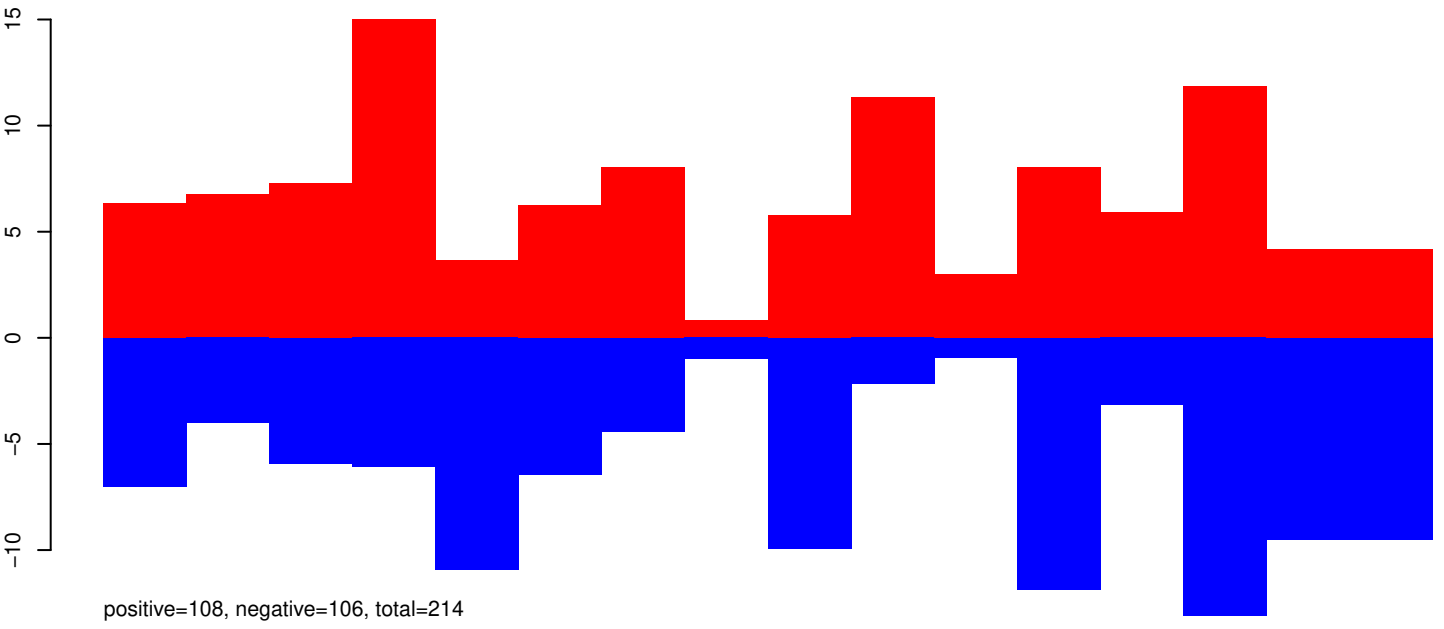


AeAeg_Aag2_Ago2_SINV_RA.rep

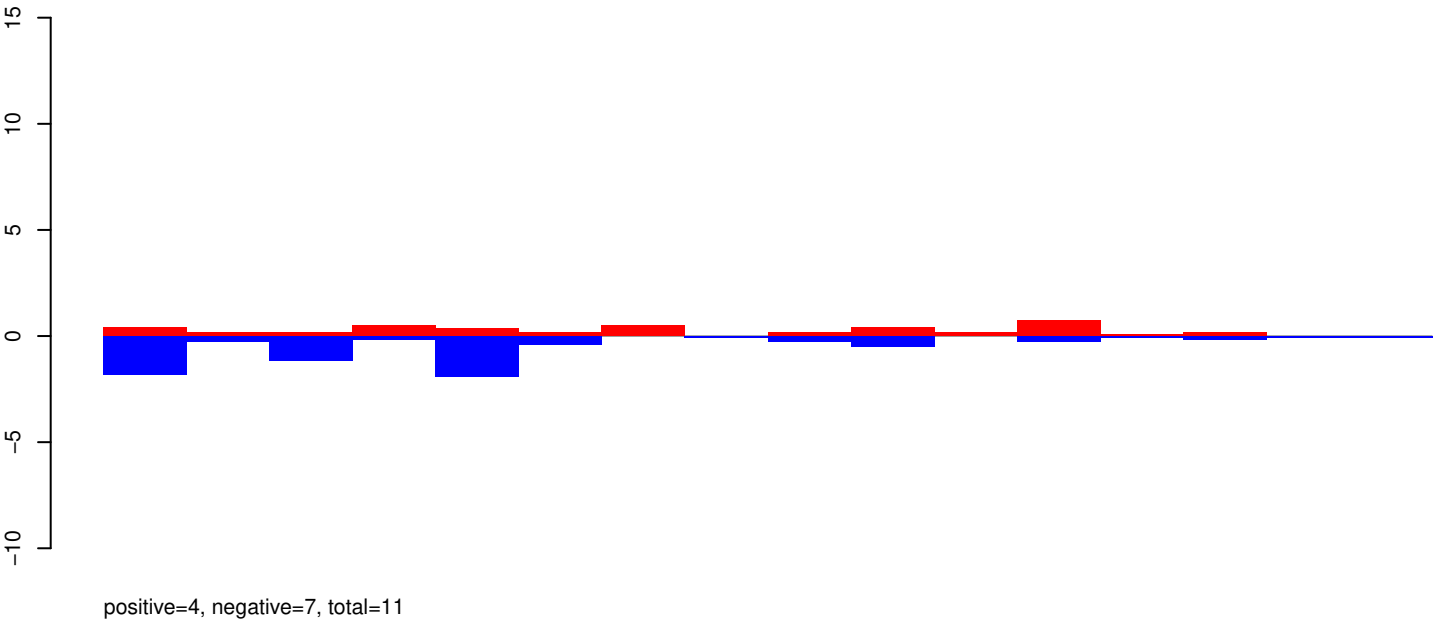


Window size=25, length=481, TE@TF000722-m8bp_Ele12:1-481

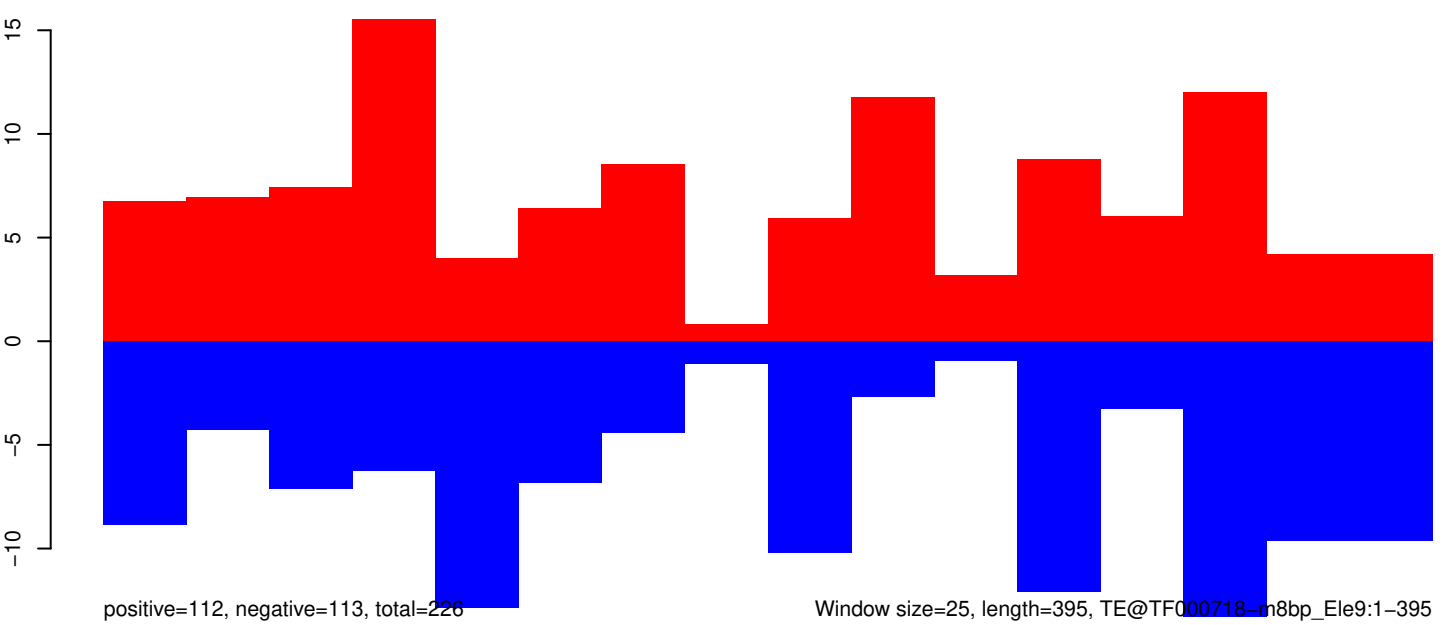
AeAeg_Aag2_Ago2_SINV_RA.18_23.rep



AeAeg_Aag2_Ago2_SINV_RA.24_35.rep

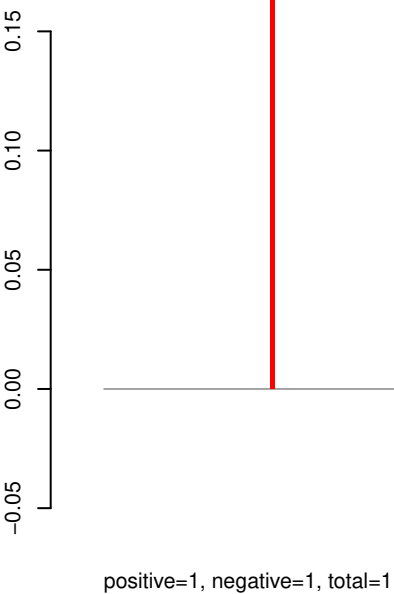


AeAeg_Aag2_Ago2_SINV_RA.rep

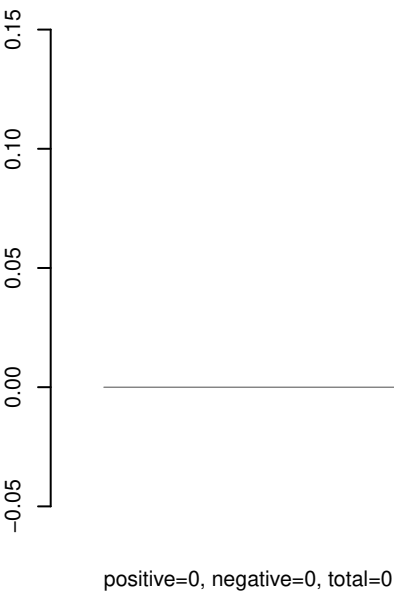


Window size=25, length=395, TE@TF000718-m8bp_Ele9:1-395

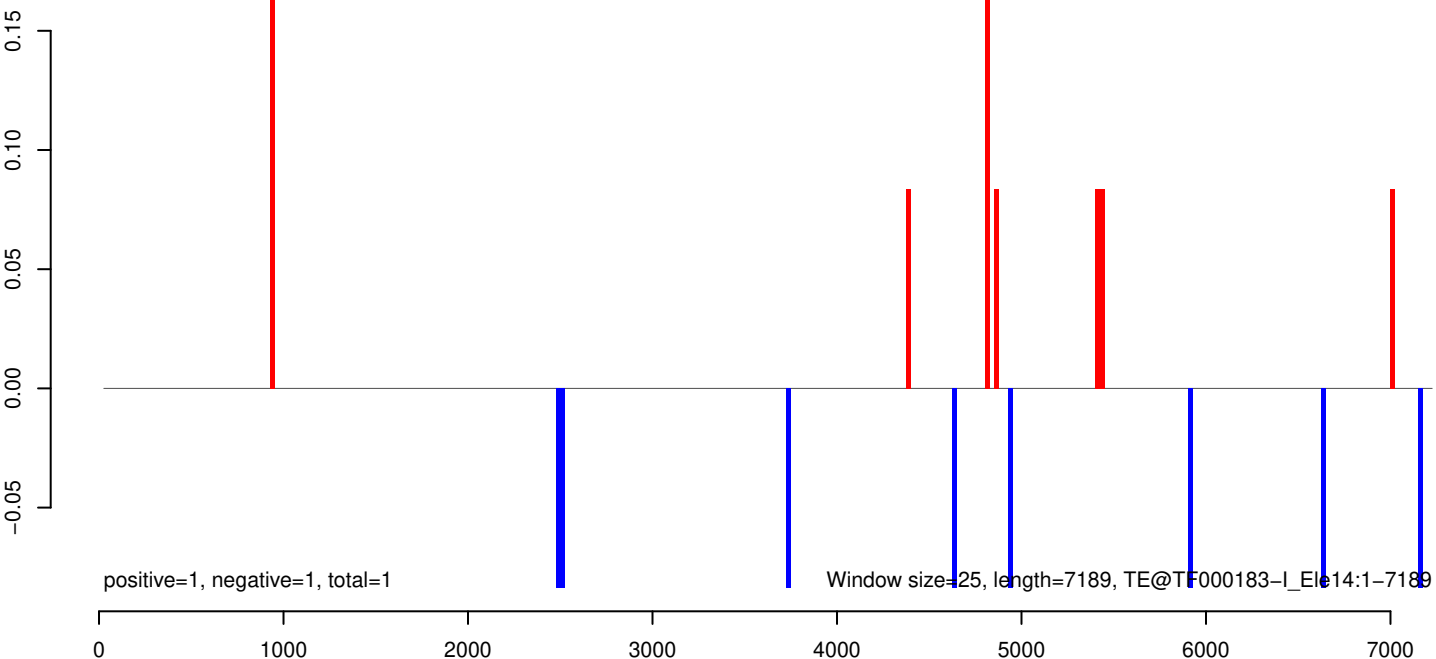
AeAeg_Aag2_Ago2_SINV_RA.18_23.rep



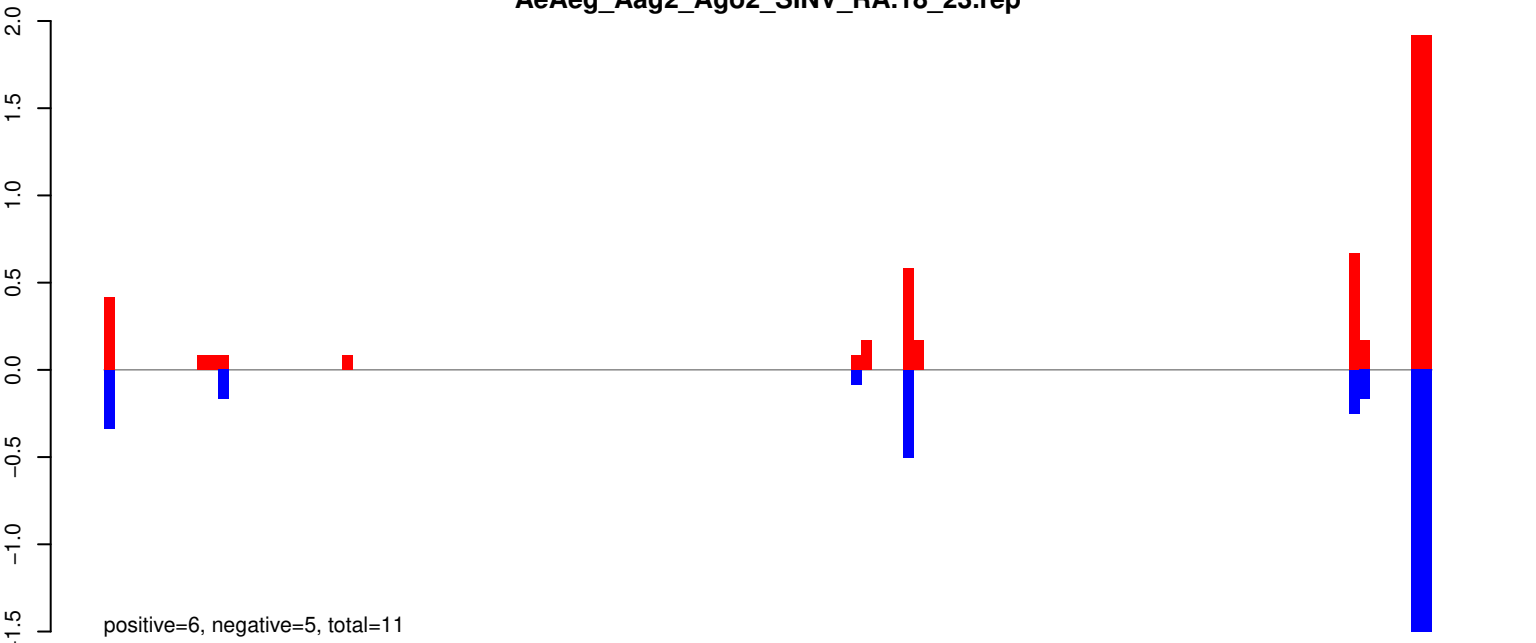
AeAeg_Aag2_Ago2_SINV_RA.24_35.rep



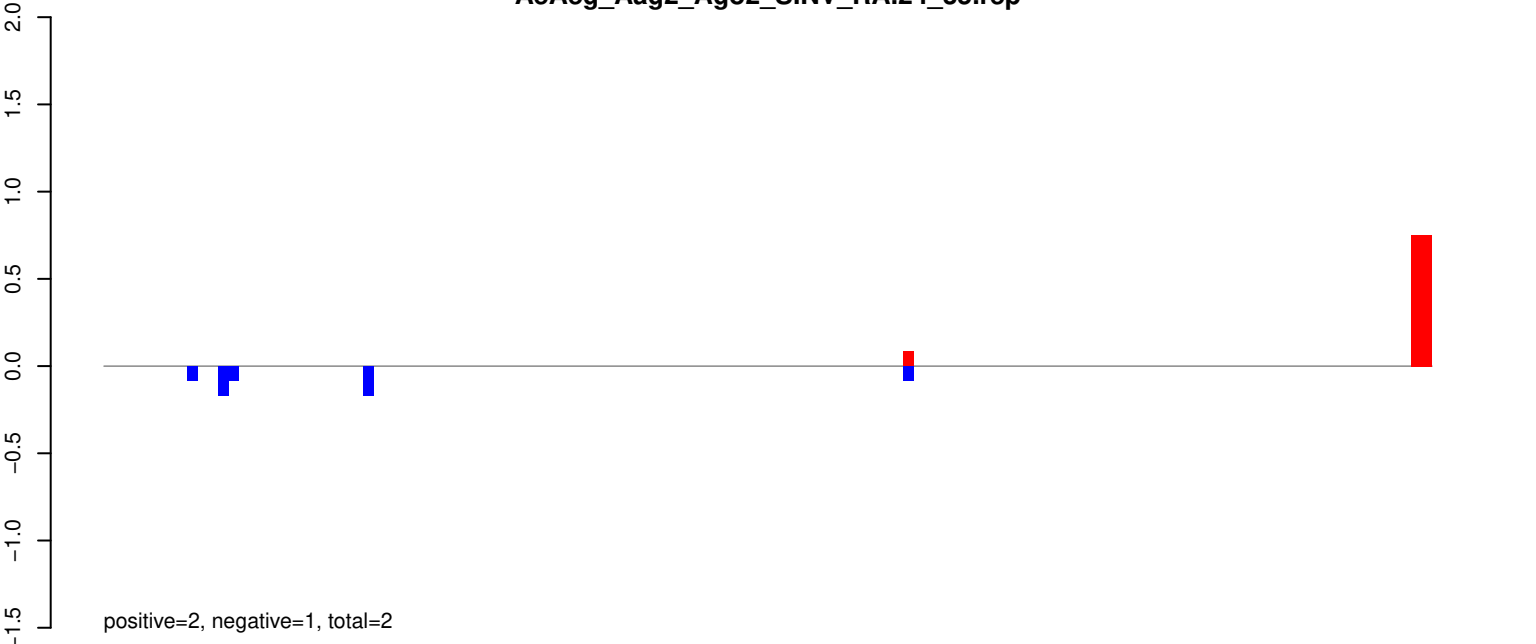
AeAeg_Aag2_Ago2_SINV_RA.rep



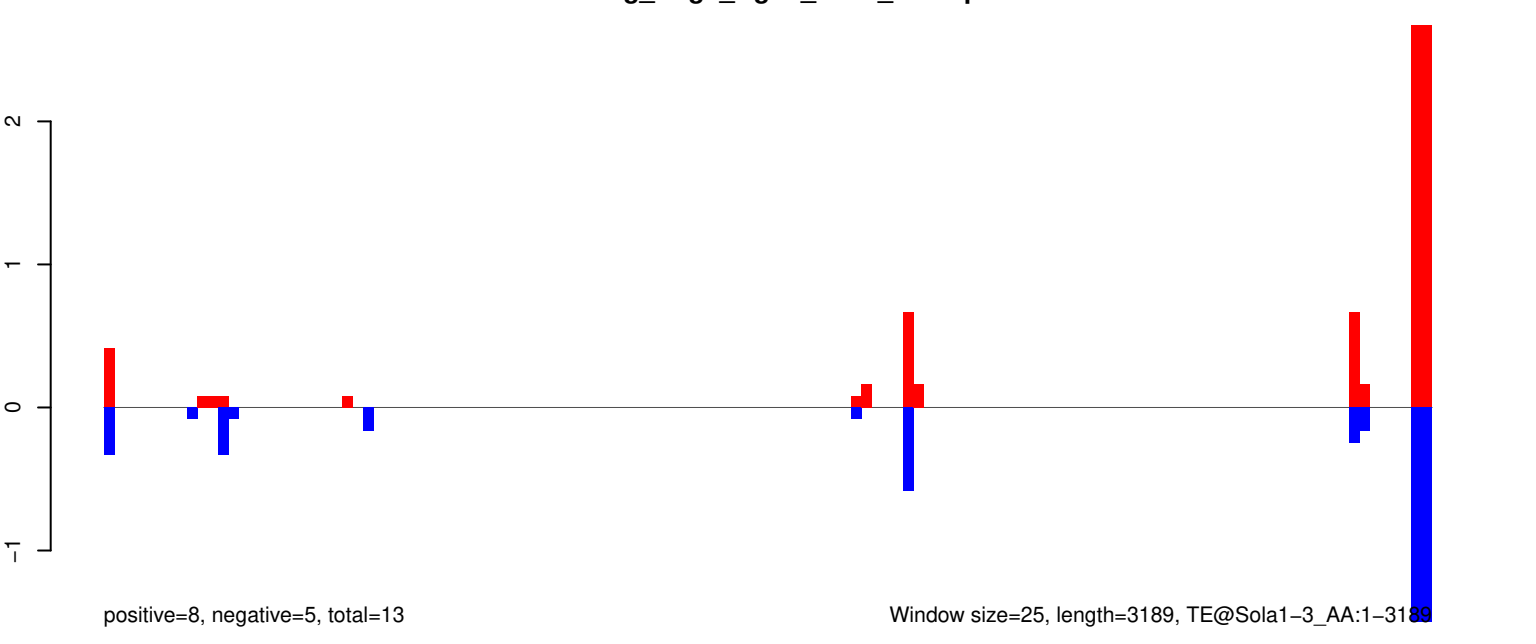
AeAeg_Aag2_Ago2_SINV_RA.18_23.rep



AeAeg_Aag2_Ago2_SINV_RA.24_35.rep



AeAeg_Aag2_Ago2_SINV_RA.rep



AeAeg_Aag2_Ago2_SINV_RA.18_23.rep

0.4
0.2
0.0
-0.2
-0.4
-0.6

positive=1, negative=2, total=3

AeAeg_Aag2_Ago2_SINV_RA.24_35.rep

0.4
0.2
0.0
-0.2
-0.4
-0.6

positive=0, negative=0, total=1

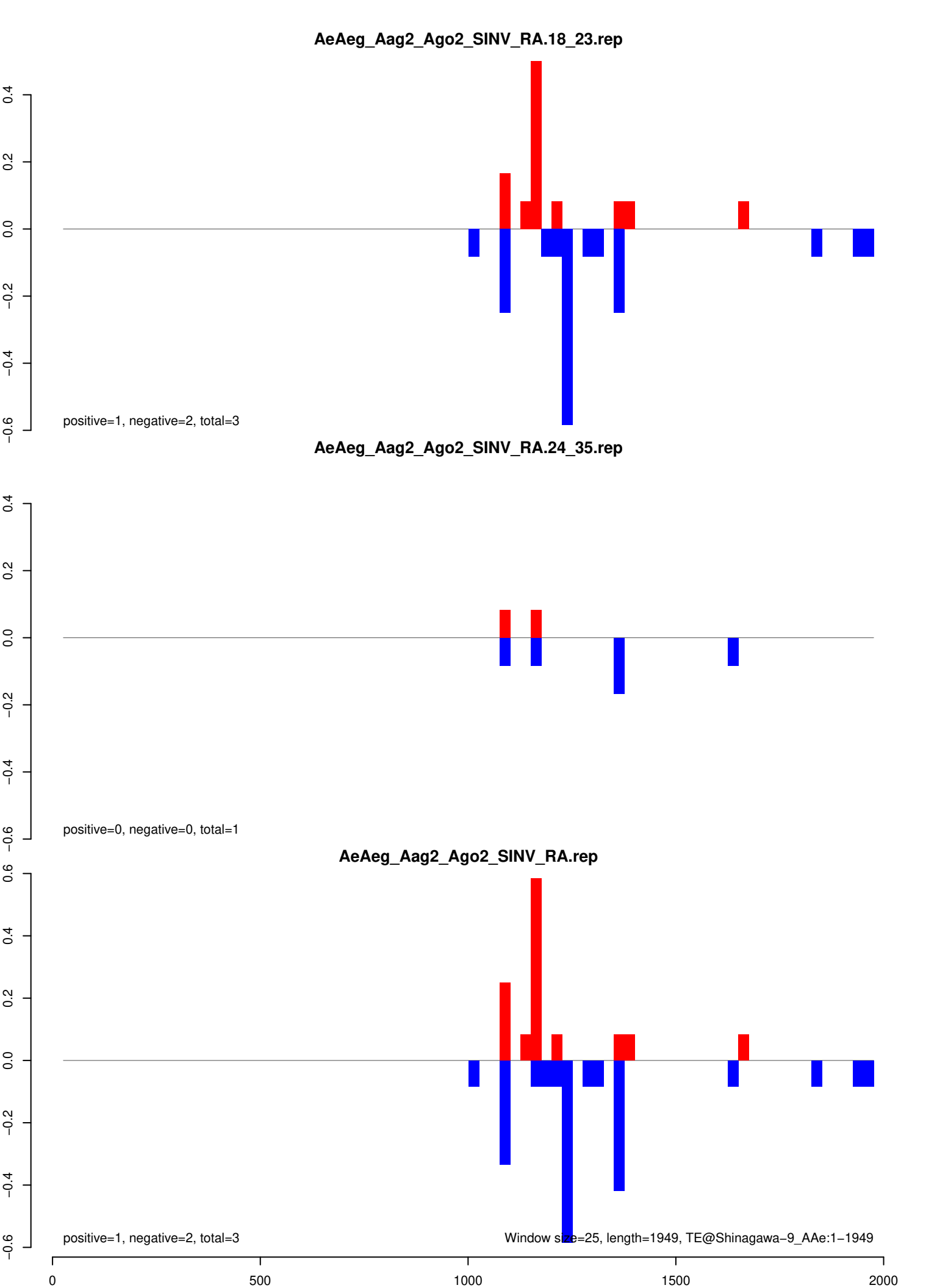
AeAeg_Aag2_Ago2_SINV_RA.rep

0.6
0.4
0.2
0.0
-0.2
-0.4
-0.6

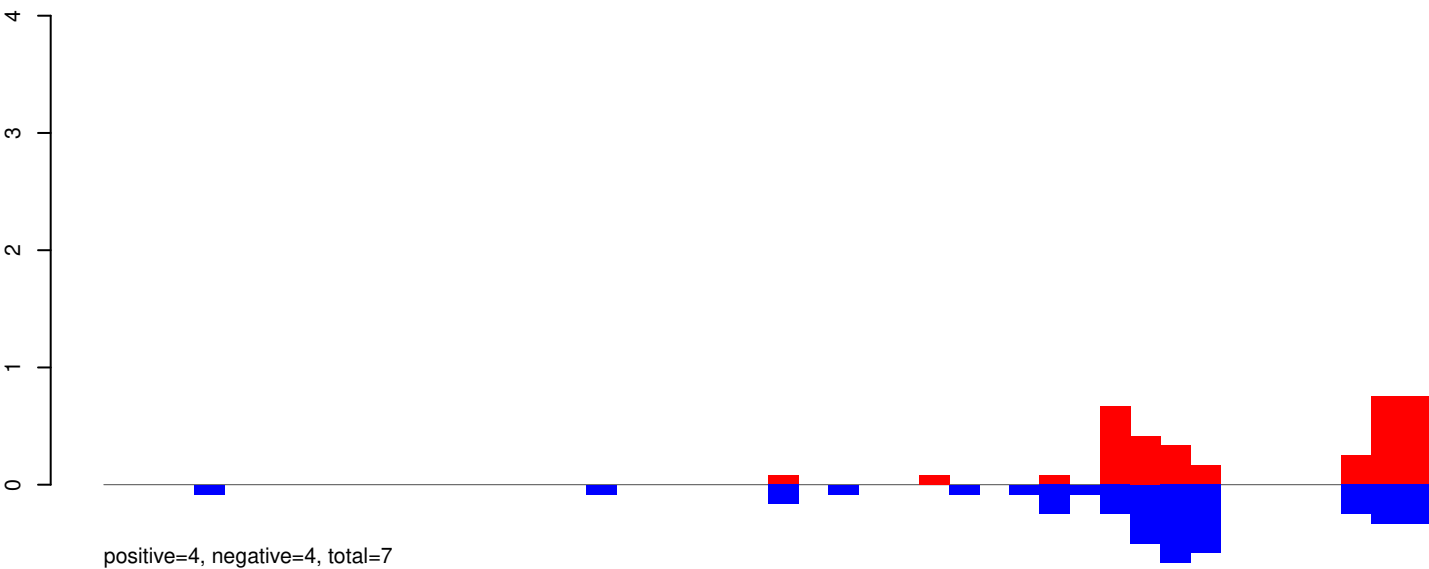
positive=1, negative=2, total=3

Window size=25, length=1949, TE@Shinagawa-9_A Ae:1-1949

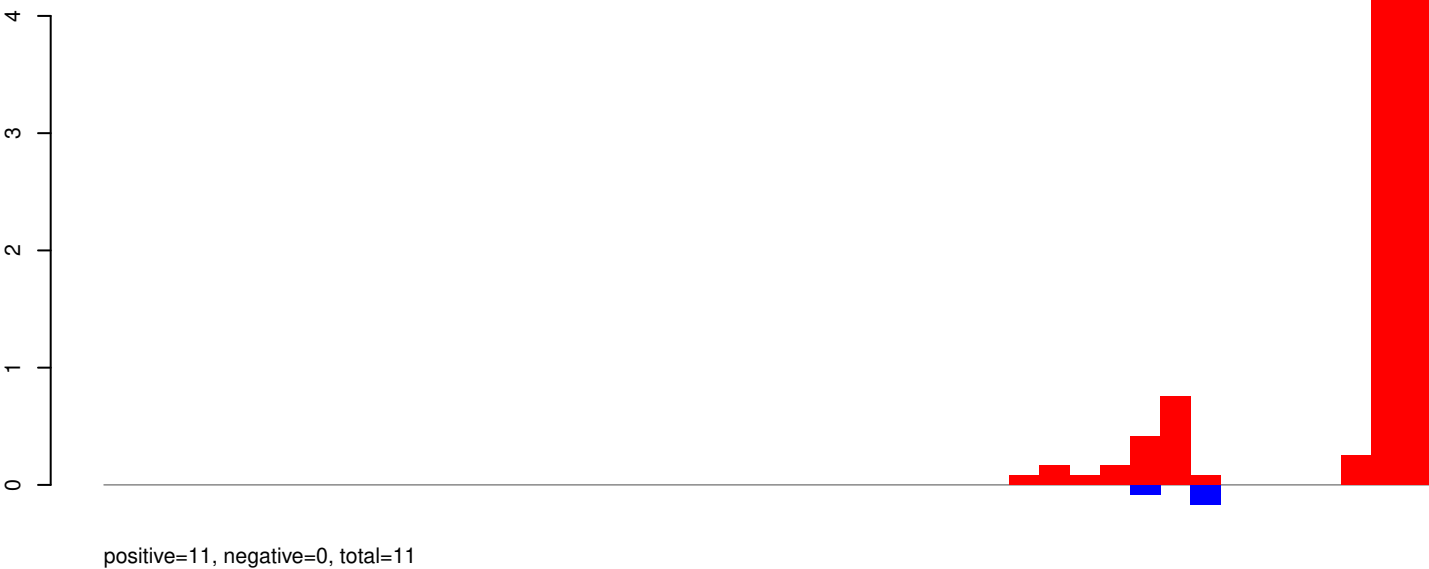
0 500 1000 1500 2000



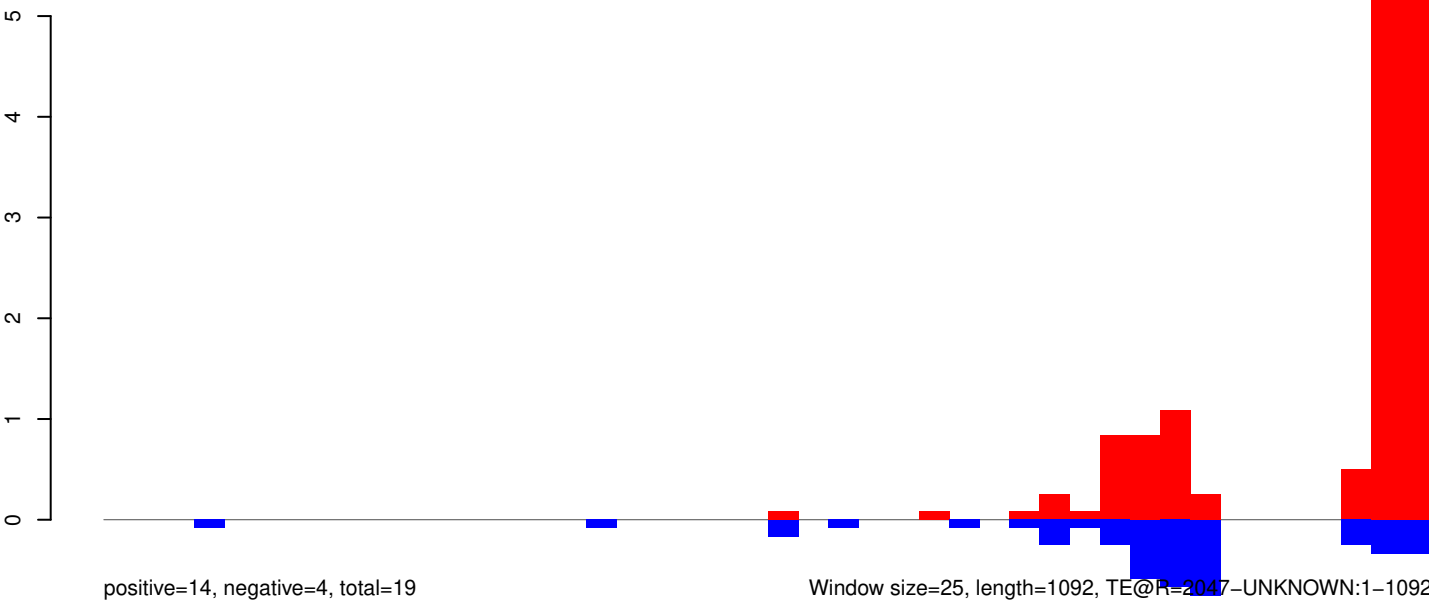
AeAeg_Aag2_Ago2_SINV_RA.18_23.rep



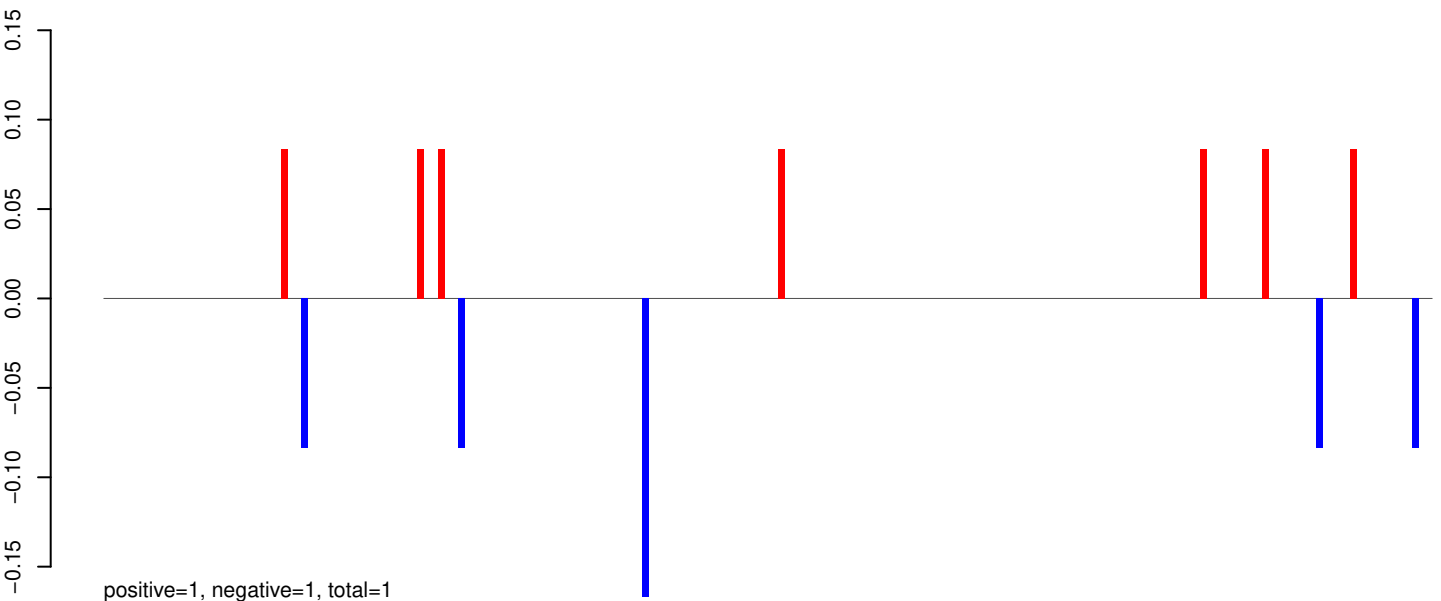
AeAeg_Aag2_Ago2_SINV_RA.24_35.rep



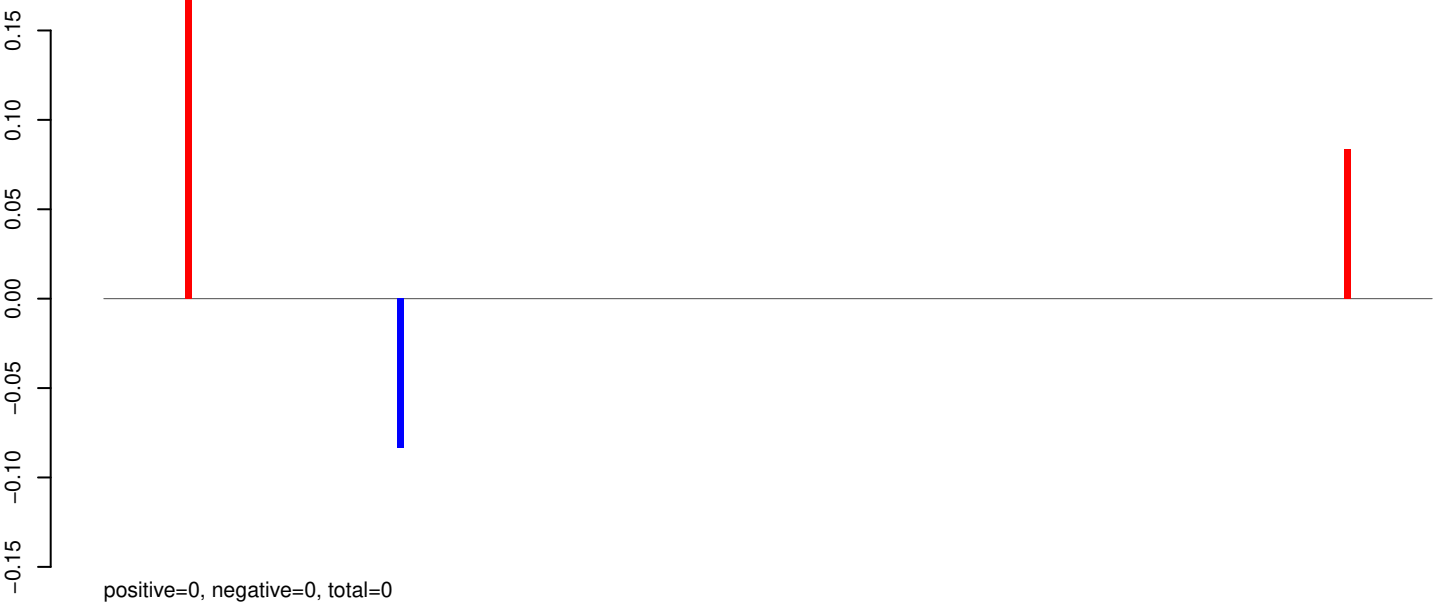
AeAeg_Aag2_Ago2_SINV_RA.rep



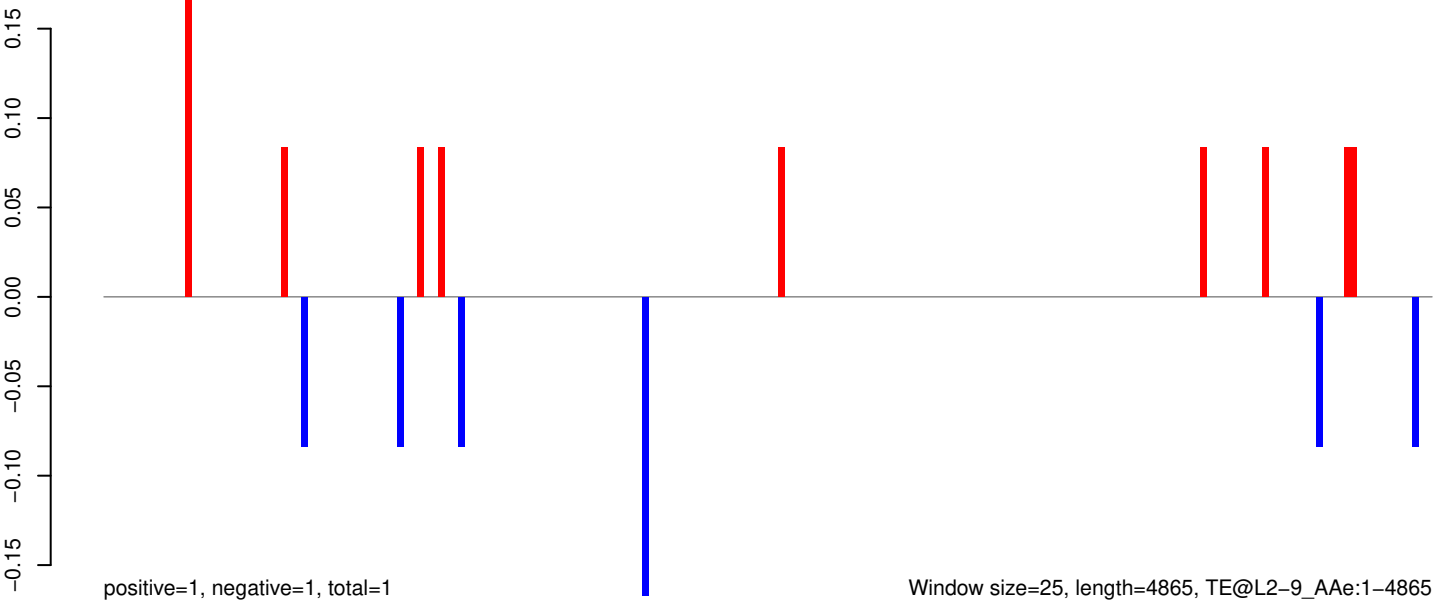
AeAeg_Aag2_Ago2_SINV_RA.18_23.rep



AeAeg_Aag2_Ago2_SINV_RA.24_35.rep

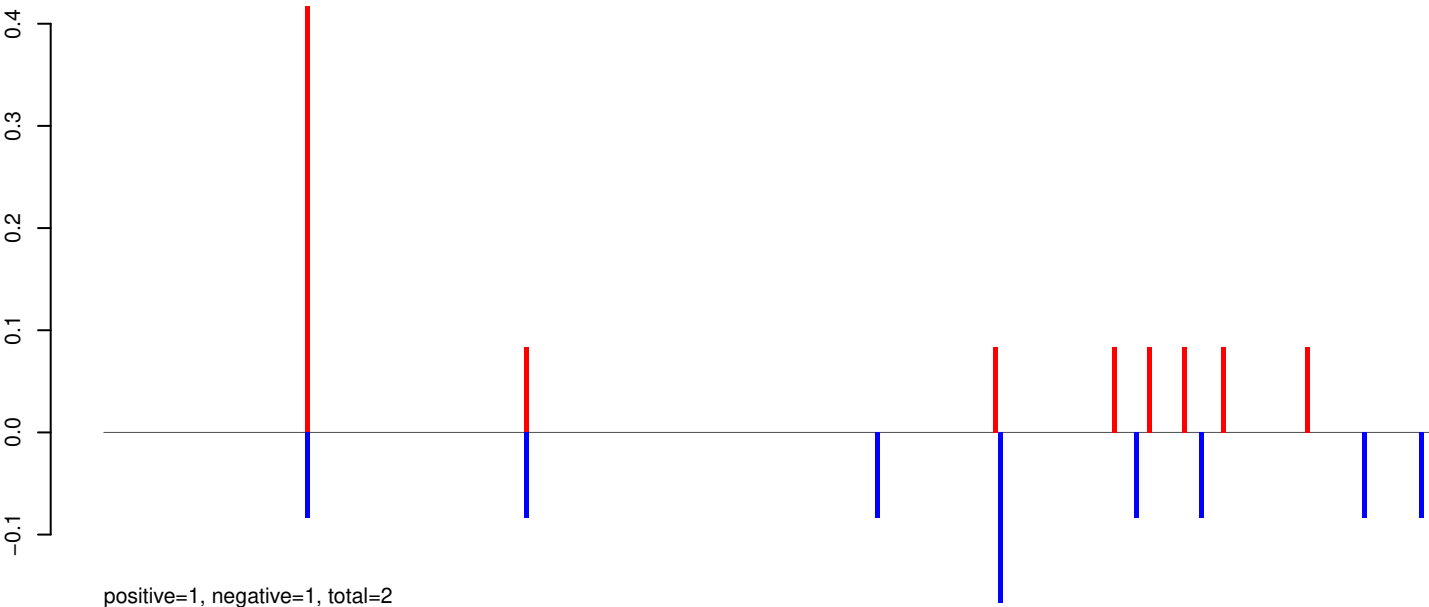


AeAeg_Aag2_Ago2_SINV_RA.rep

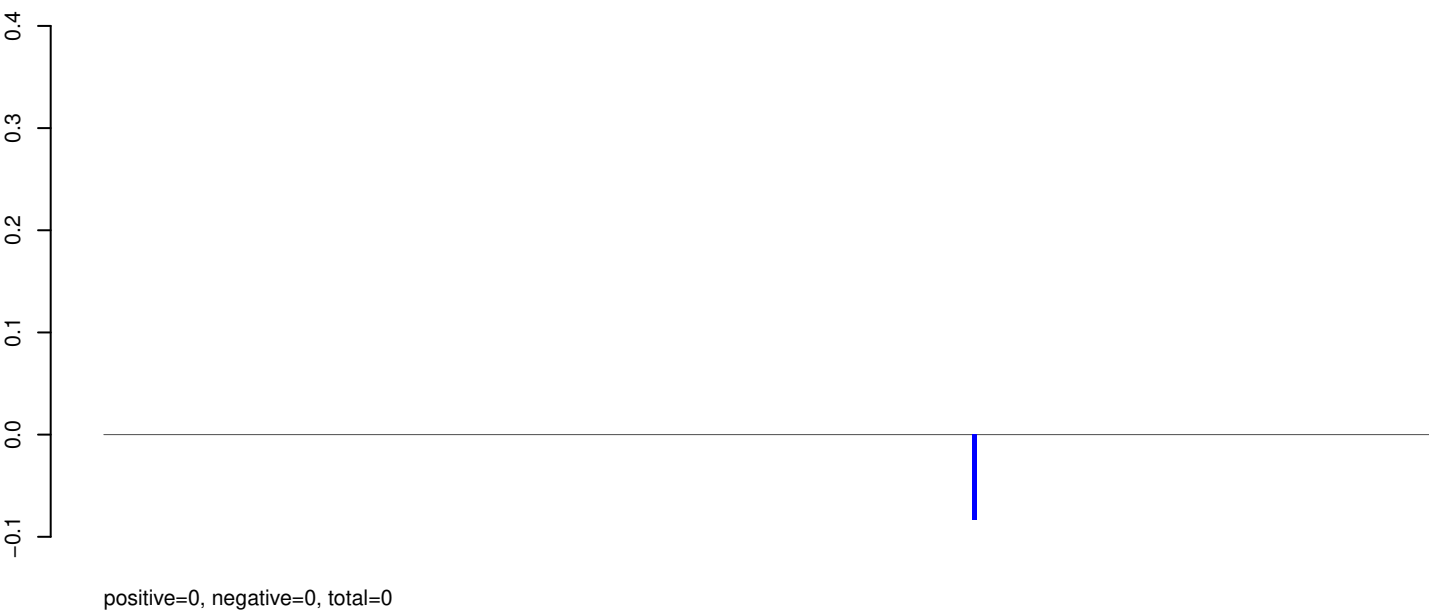


Window size=25, length=4865, TE@L2-9_A Ae:1-4865

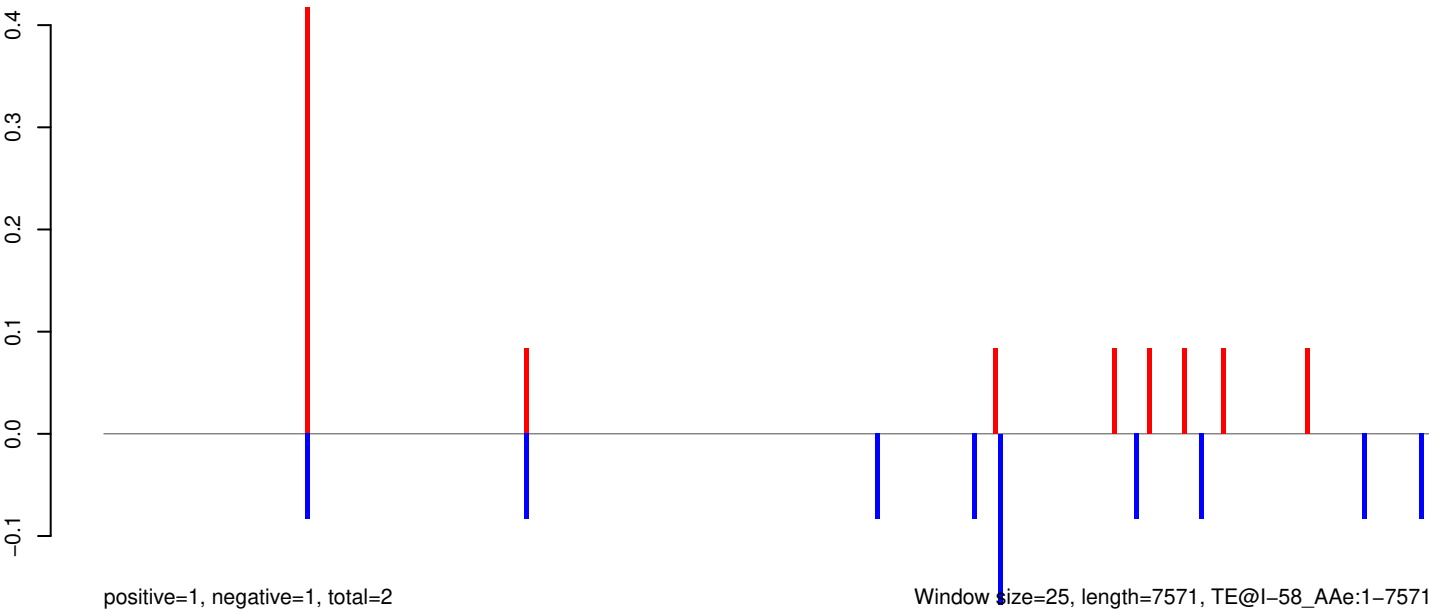
AeAeg_Aag2_Ago2_SINV_RA.18_23.rep



AeAeg_Aag2_Ago2_SINV_RA.24_35.rep

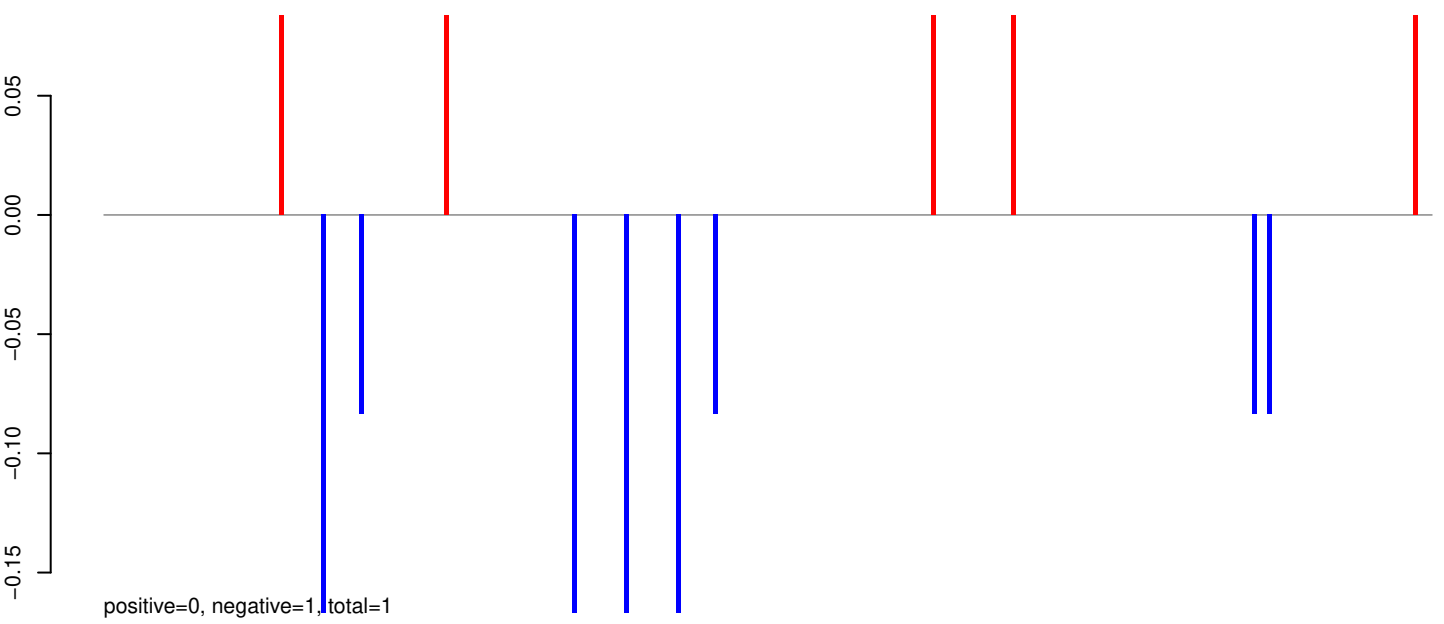


AeAeg_Aag2_Ago2_SINV_RA.rep

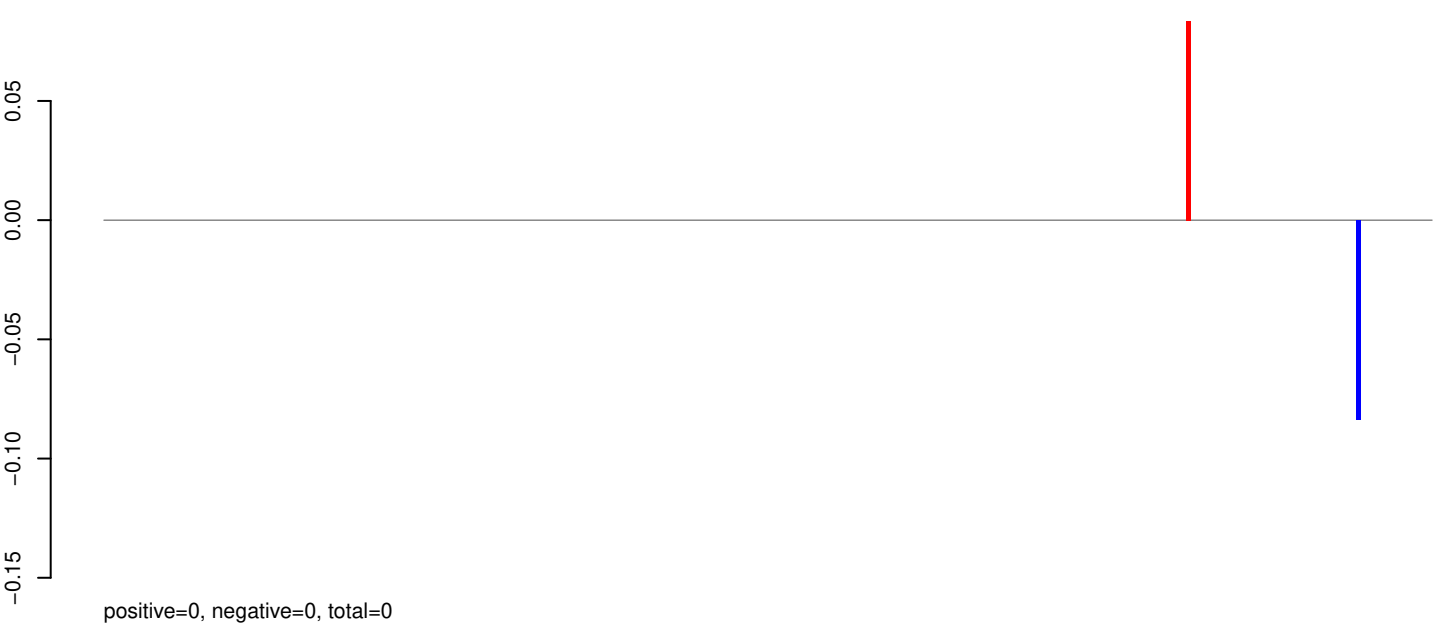


Window size=25, length=7571, TE@l-58_A Ae:1-7571

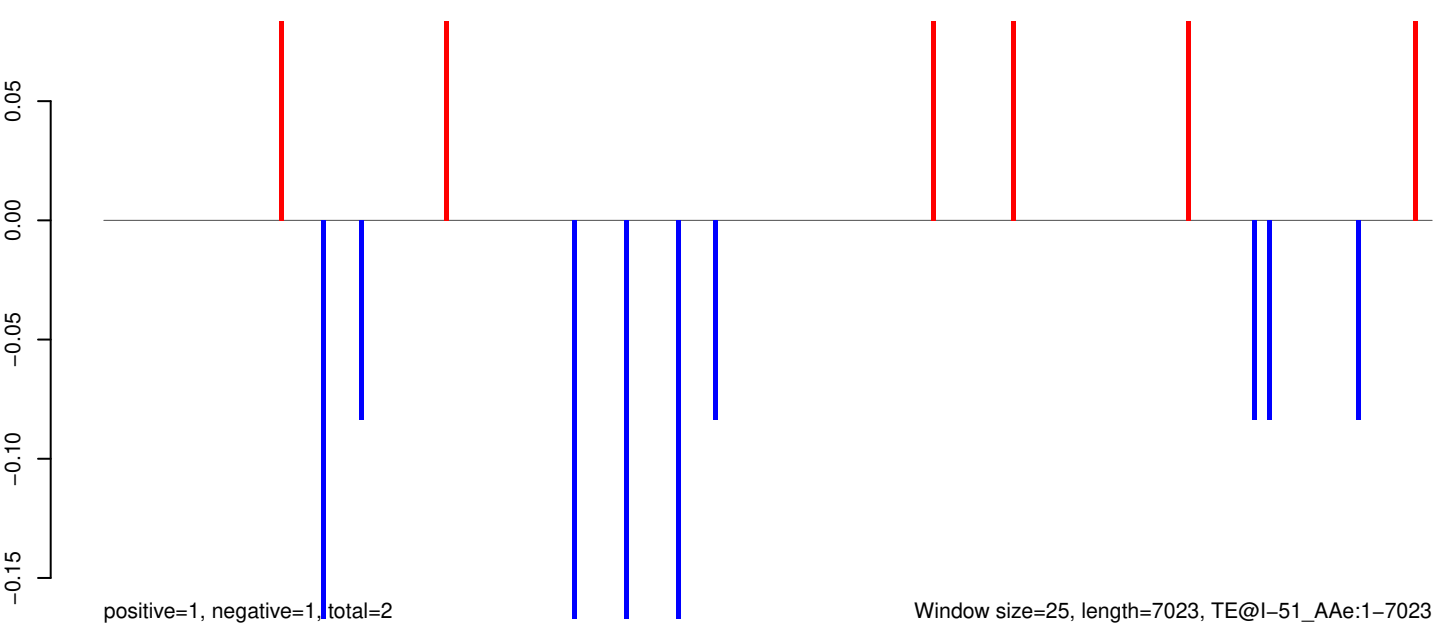
AeAeg_Aag2_Ago2_SINV_RA.18_23.rep



AeAeg_Aag2_Ago2_SINV_RA.24_35.rep

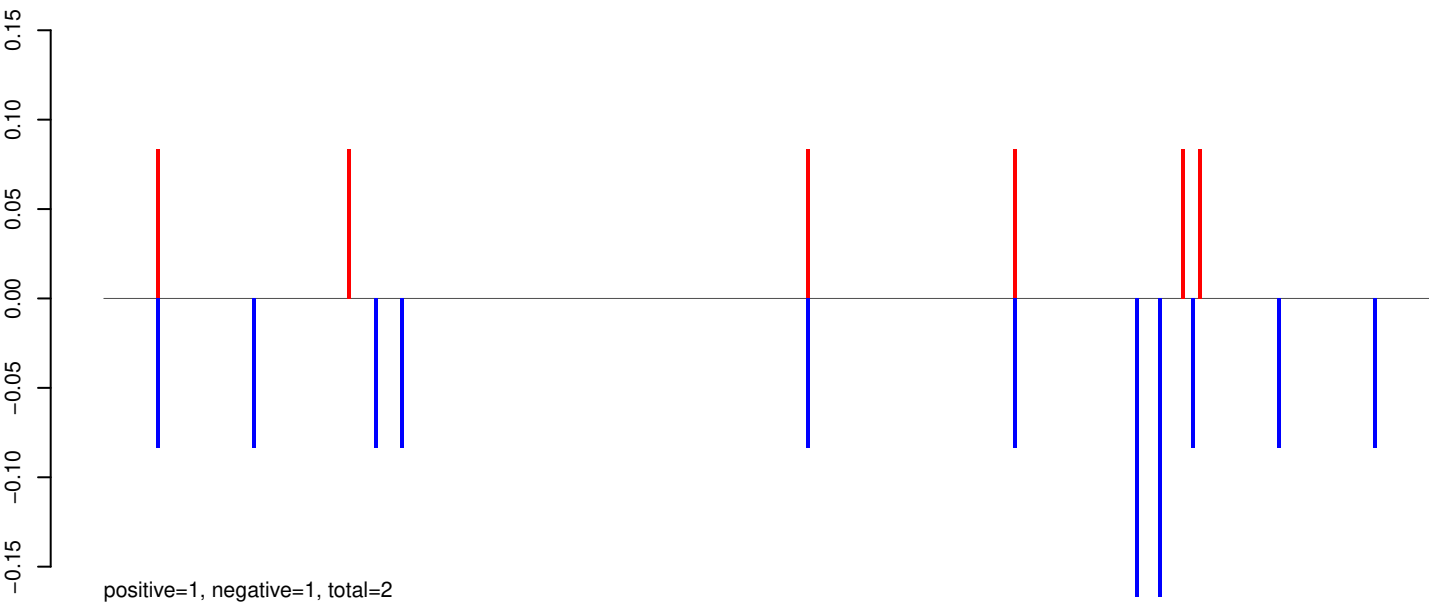


AeAeg_Aag2_Ago2_SINV_RA.rep

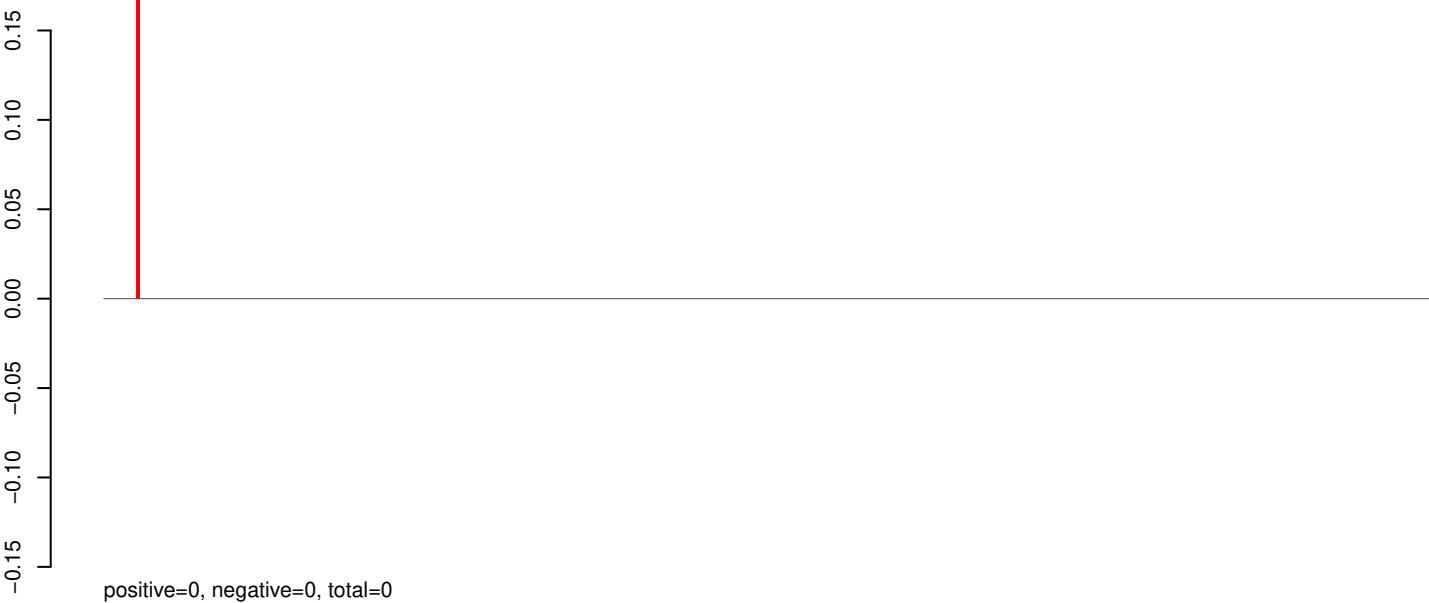


Window size=25, length=7023, TE@I-51_A Ae:1-7023

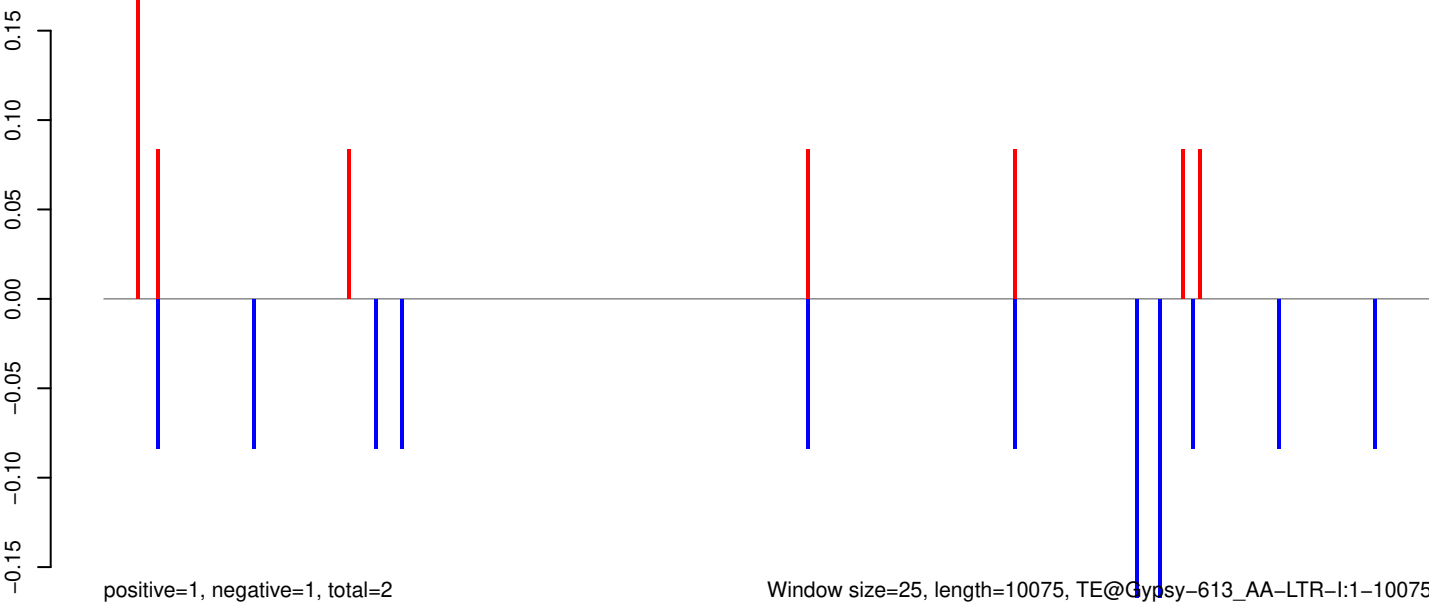
AeAeg_Aag2_Ago2_SINV_RA.18_23.rep



AeAeg_Aag2_Ago2_SINV_RA.24_35.rep



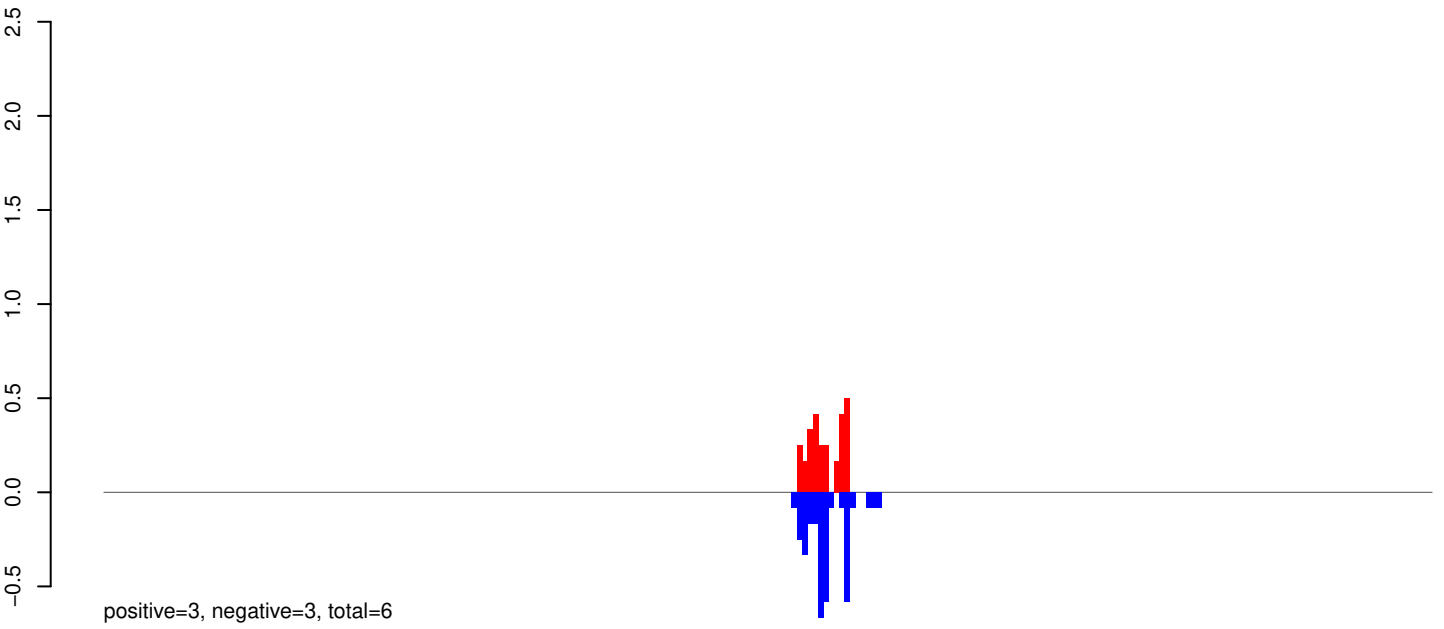
AeAeg_Aag2_Ago2_SINV_RA.rep



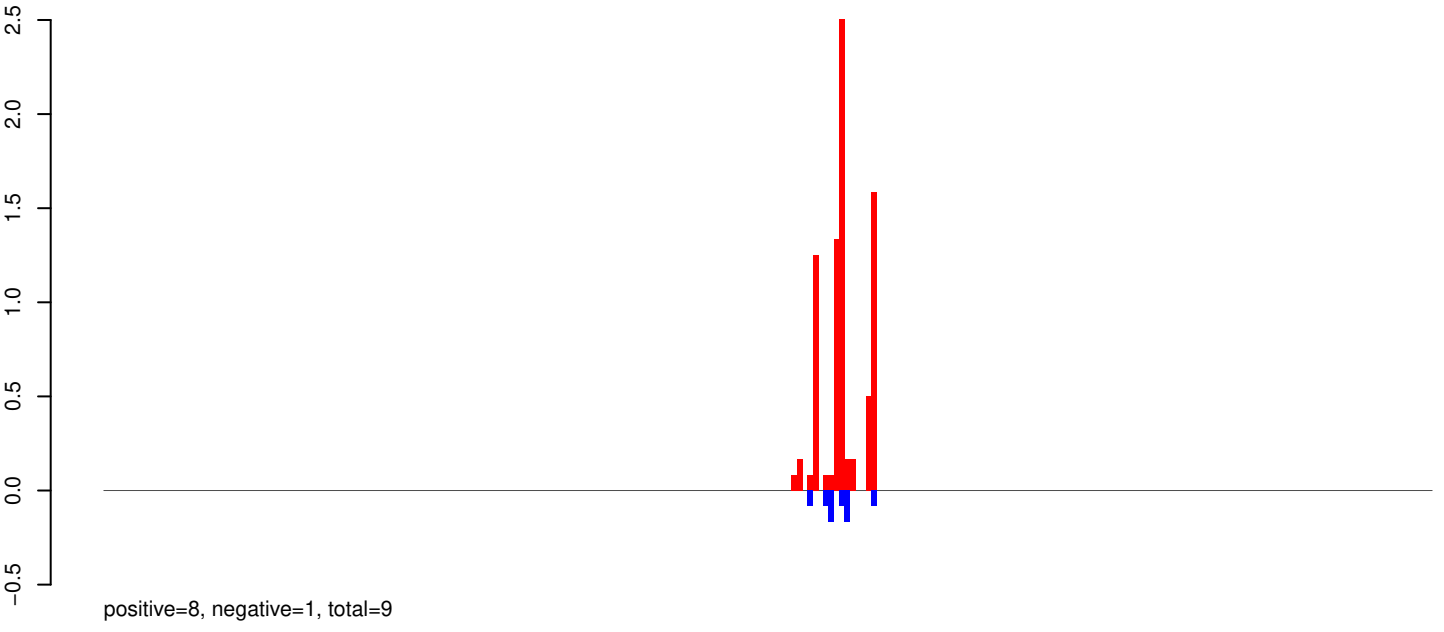
Window size=25, length=10075, TE@Gypsy-613_AA-LTR-I:1-10075

0 2000 4000 6000 8000 10000

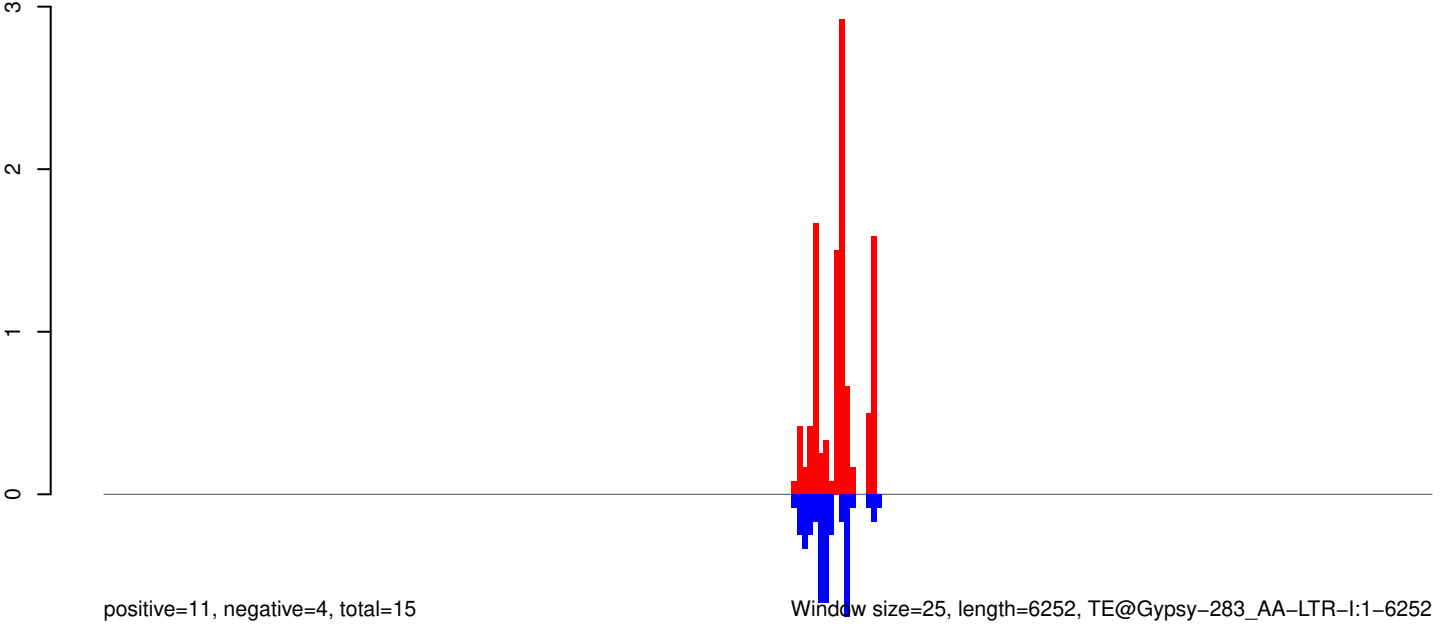
AeAeg_Aag2_Ago2_SINV_RA.18_23.rep



AeAeg_Aag2_Ago2_SINV_RA.24_35.rep



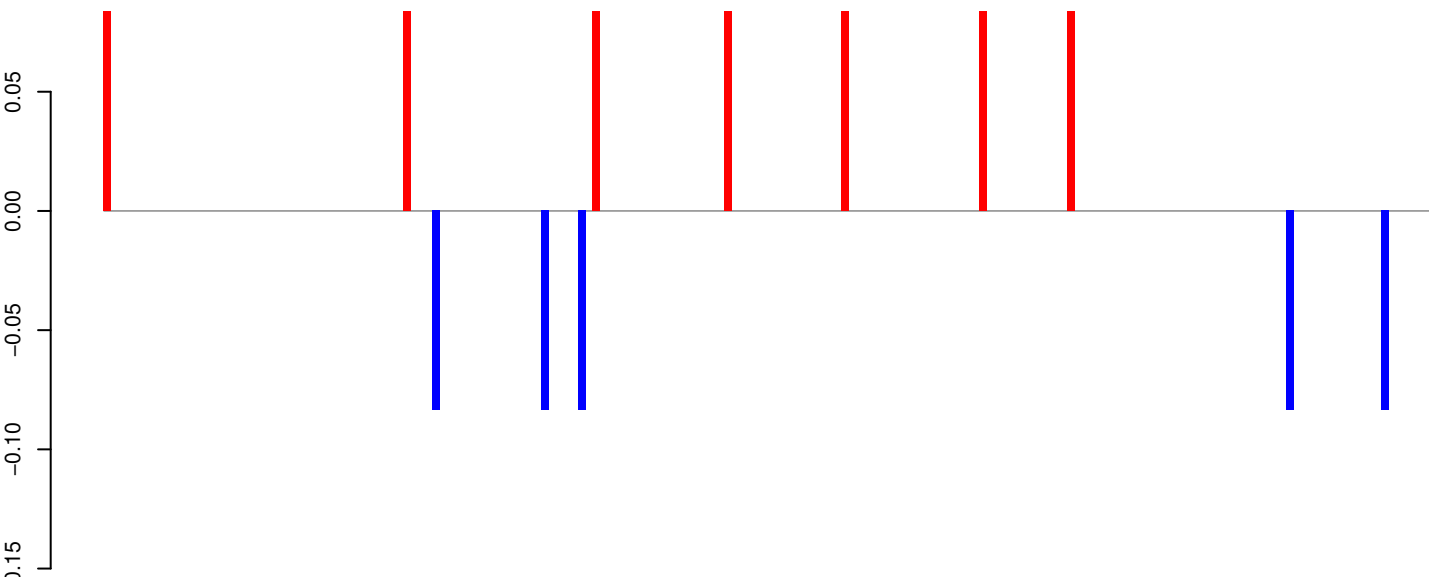
AeAeg_Aag2_Ago2_SINV_RA.rep



Window size=25, length=6252, TE@Gypsy-283_AA-LTR-I:1-6252

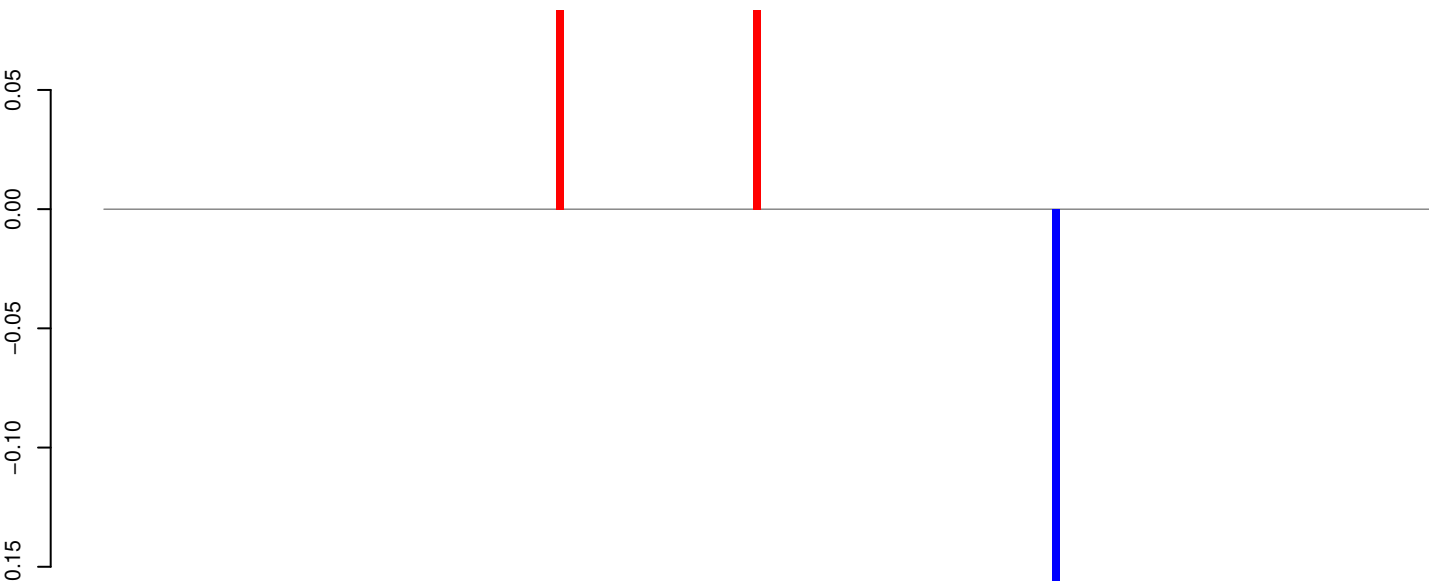
0 1000 2000 3000 4000 5000 6000

AeAeg_Aag2_Ago2_SINV_RA.18_23.rep



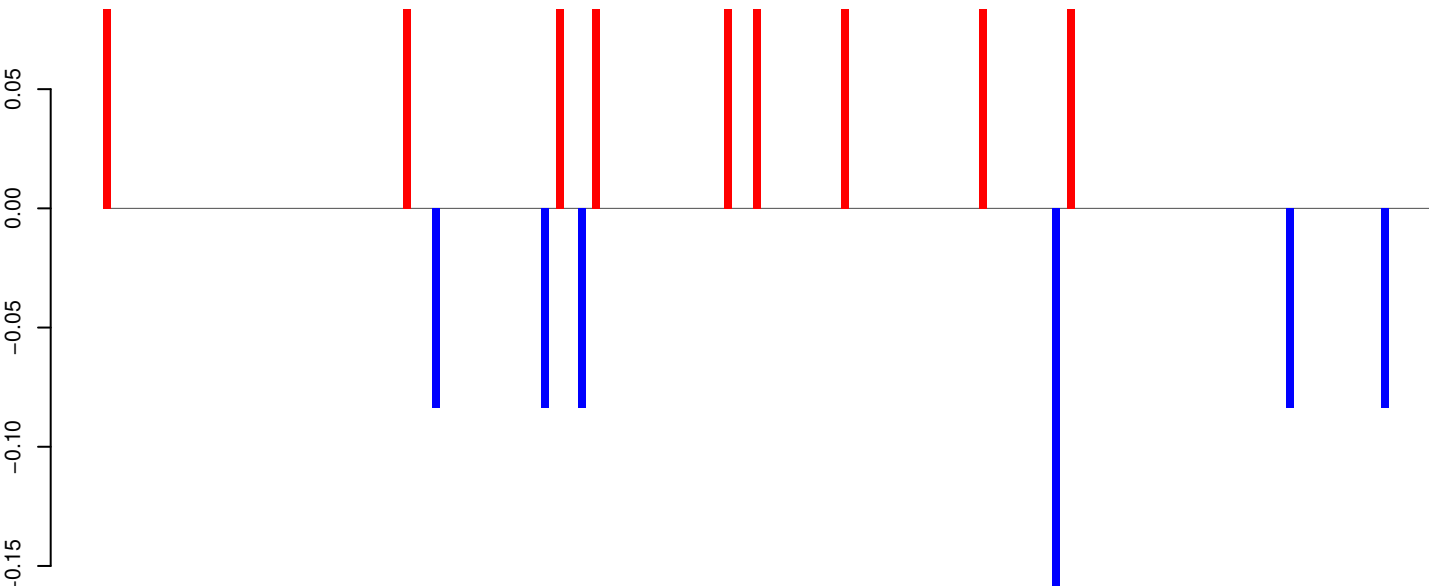
positive=1, negative=0, total=1

AeAeg_Aag2_Ago2_SINV_RA.24_35.rep



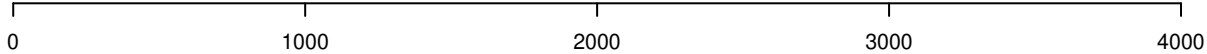
positive=0, negative=0, total=0

AeAeg_Aag2_Ago2_SINV_RA.rep

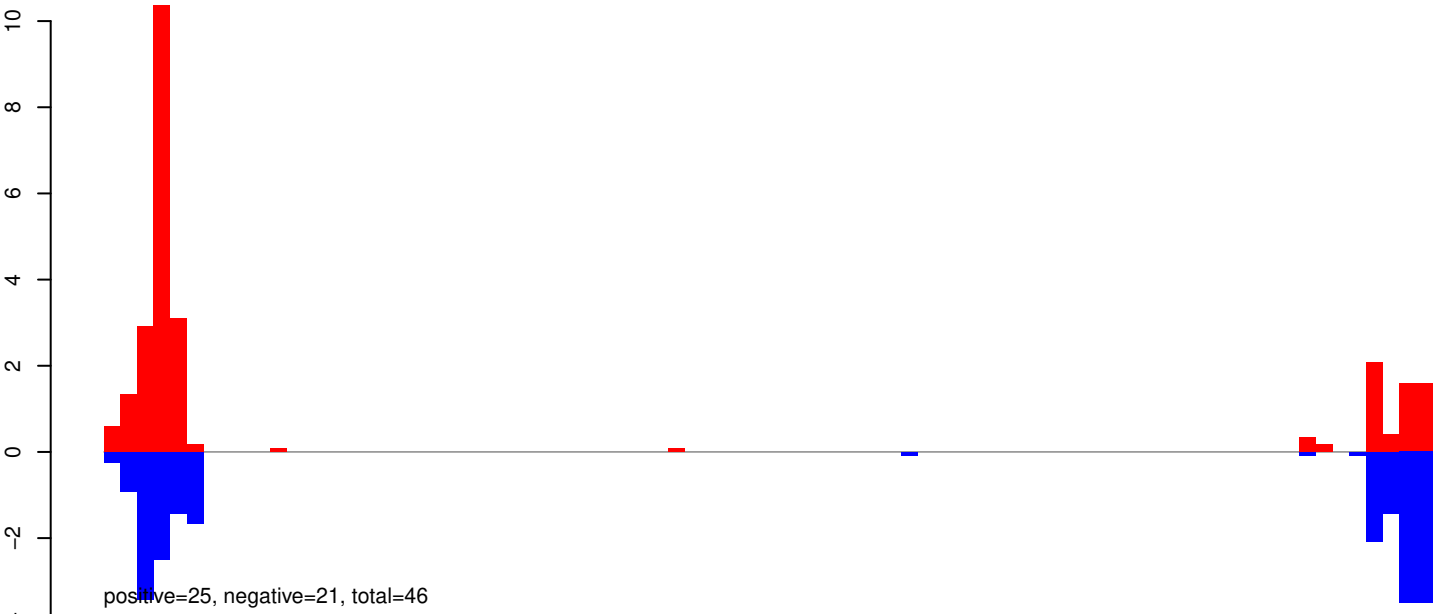


positive=1, negative=1, total=1

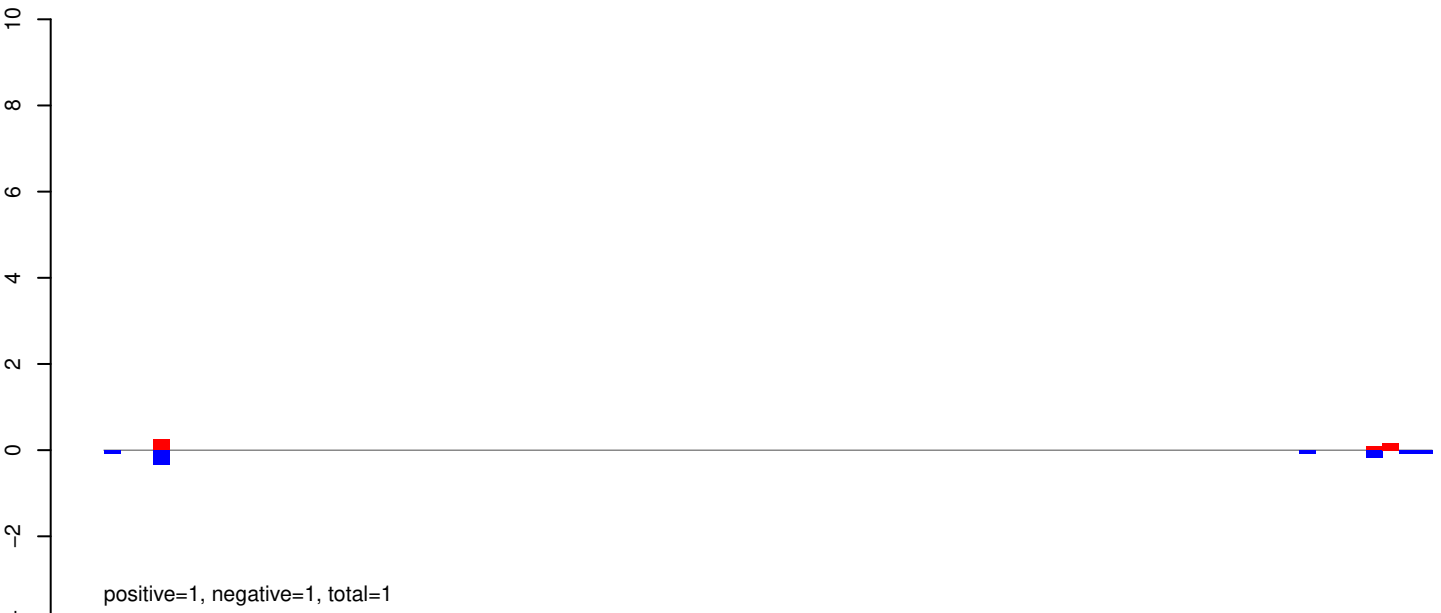
Window size=25, length=4527, TE@Gypsy-262_AA-LTR-I:1-4527



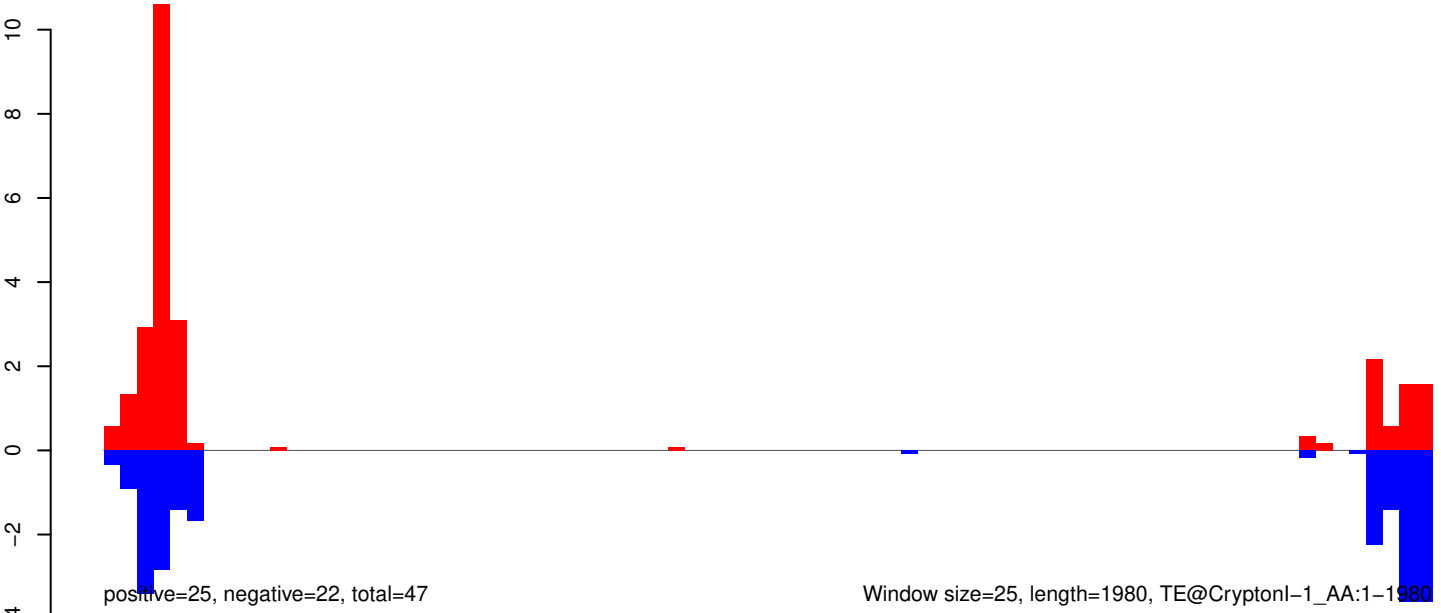
AeAeg_Aag2_Ago2_SINV_RA.18_23.rep

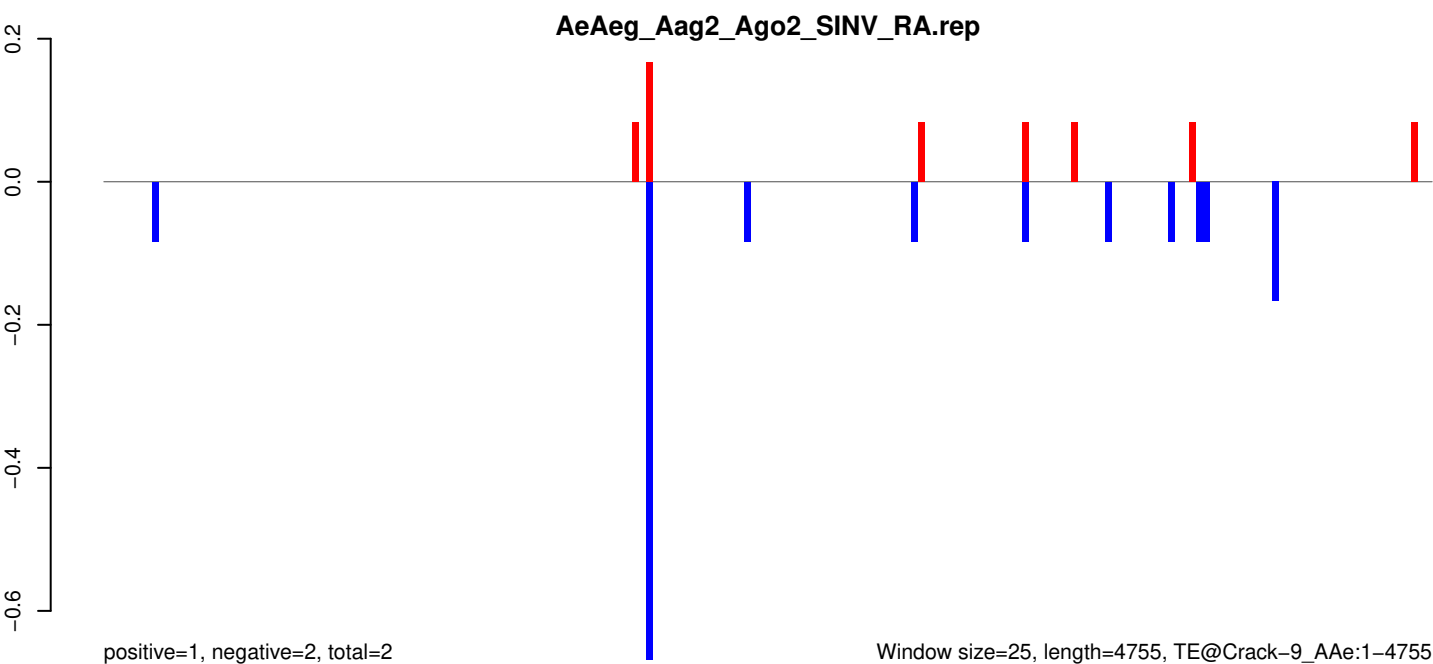
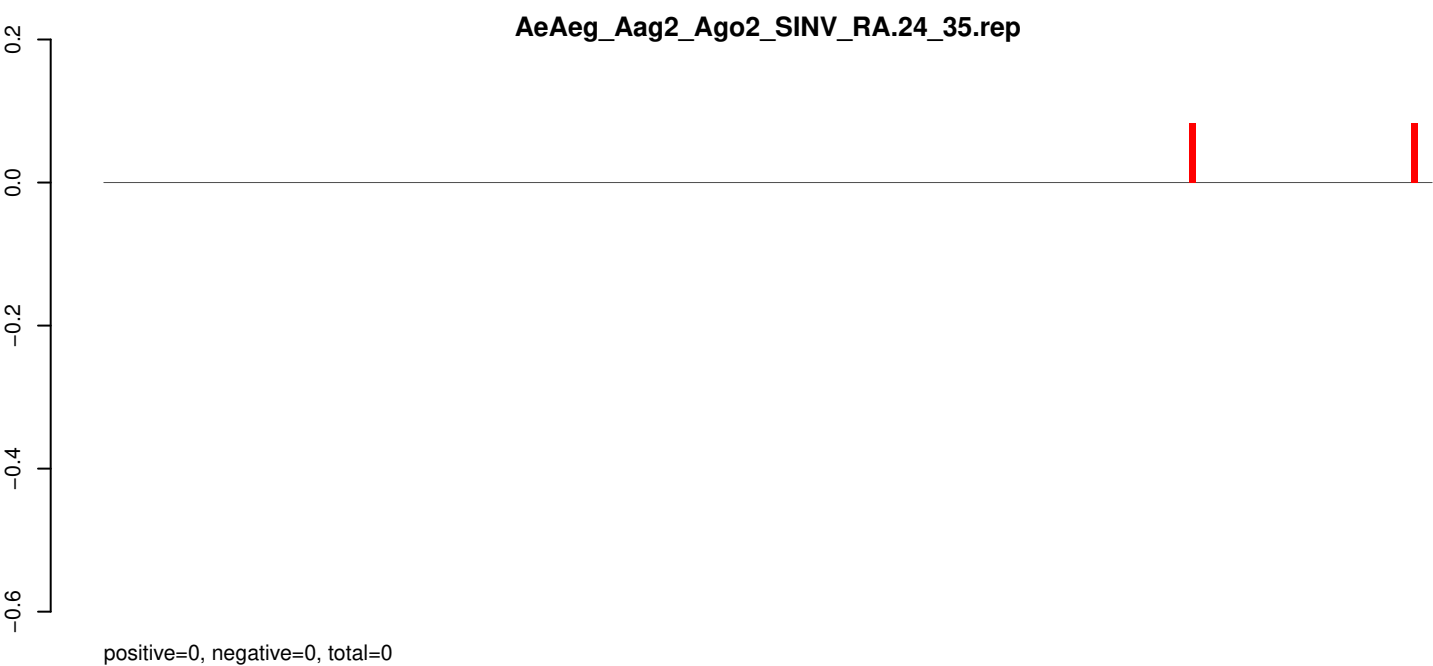
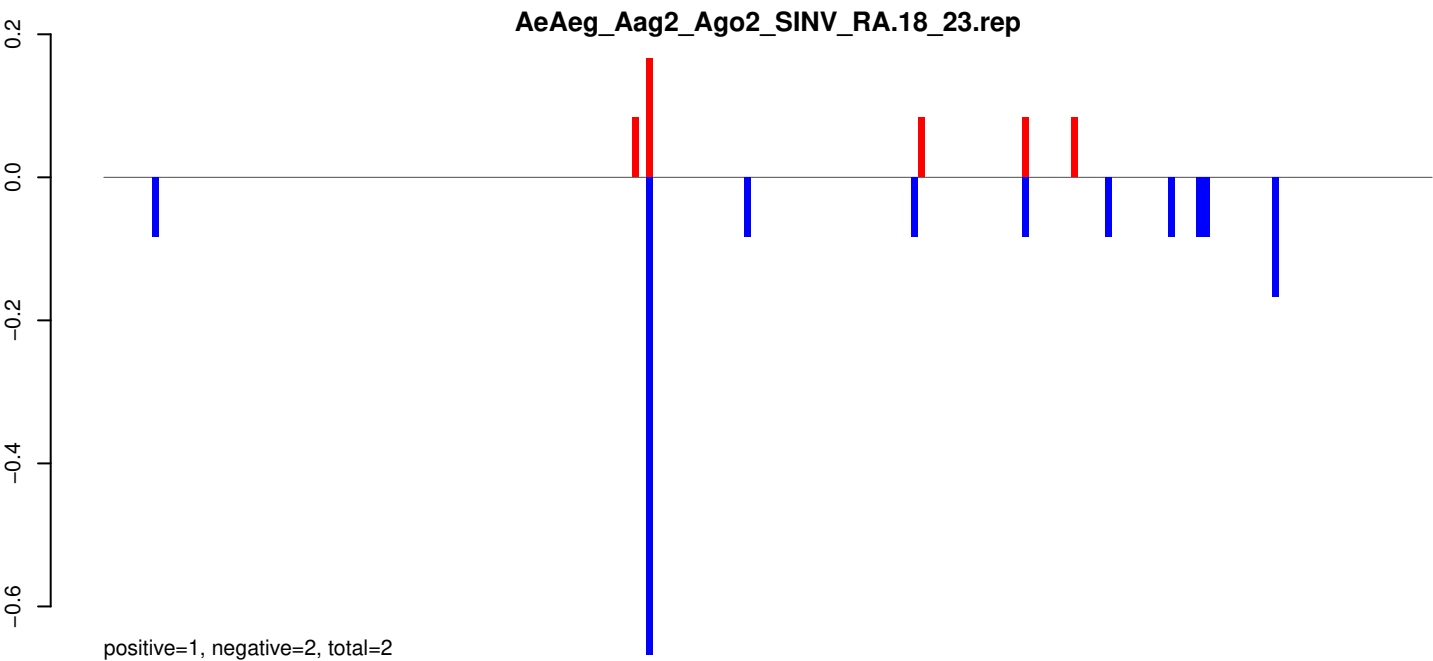


AeAeg_Aag2_Ago2_SINV_RA.24_35.rep

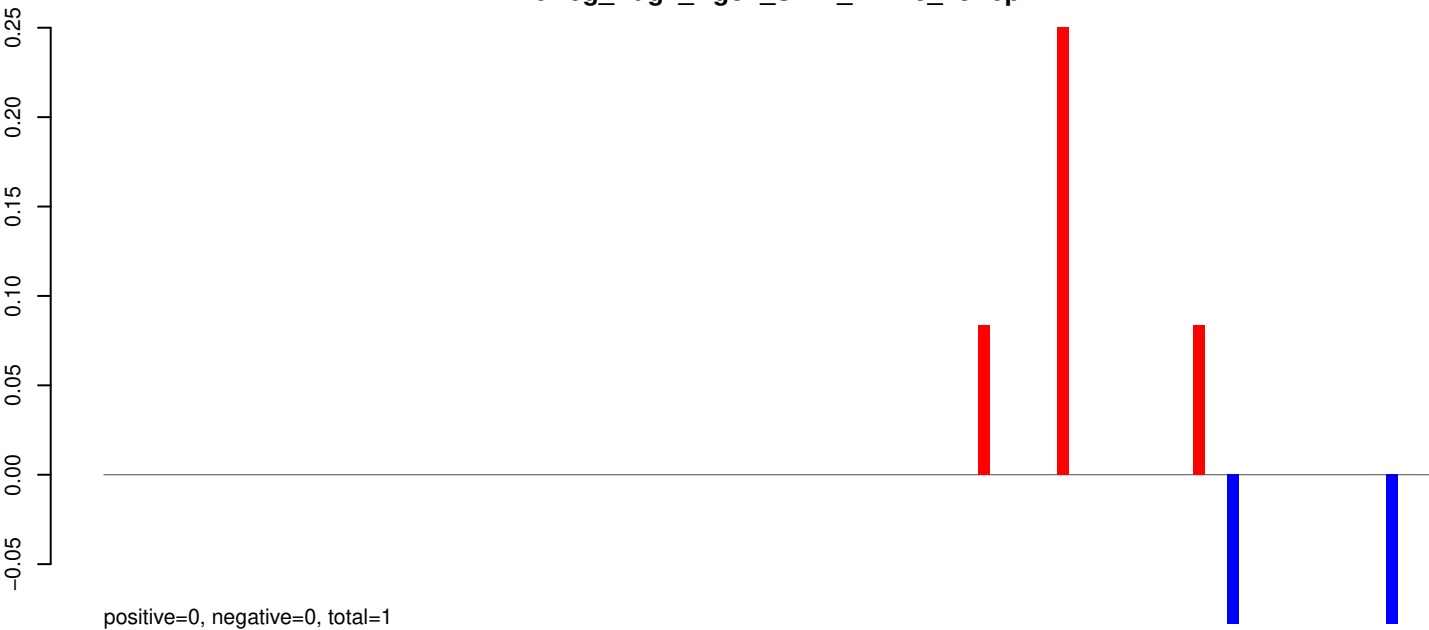


AeAeg_Aag2_Ago2_SINV_RA.rep

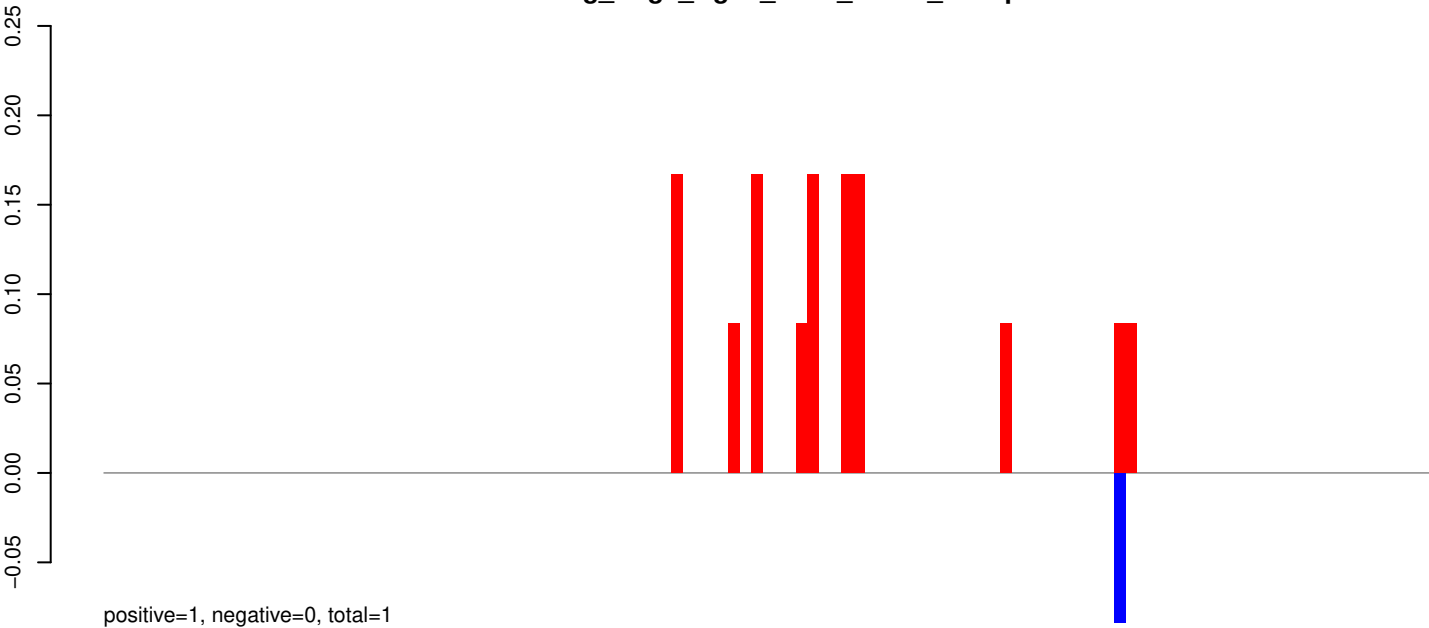




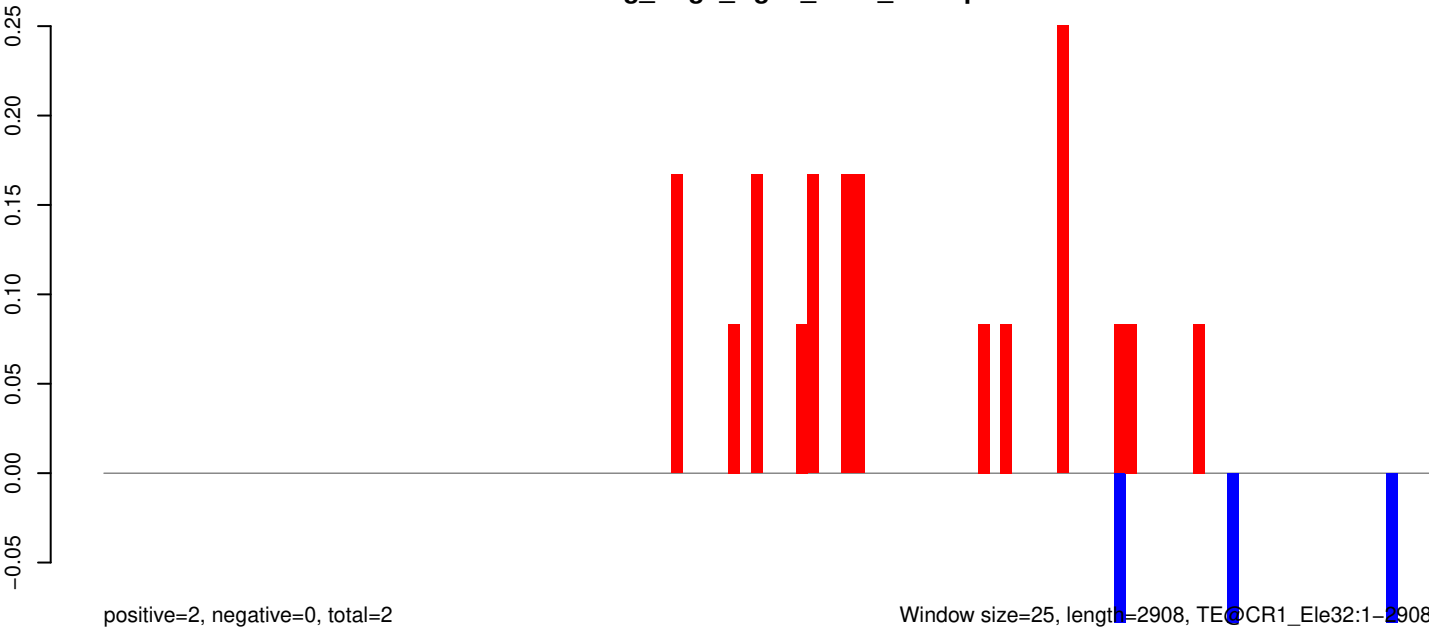
AeAeg_Aag2_Ago2_SINV_RA.18_23.rep



AeAeg_Aag2_Ago2_SINV_RA.24_35.rep

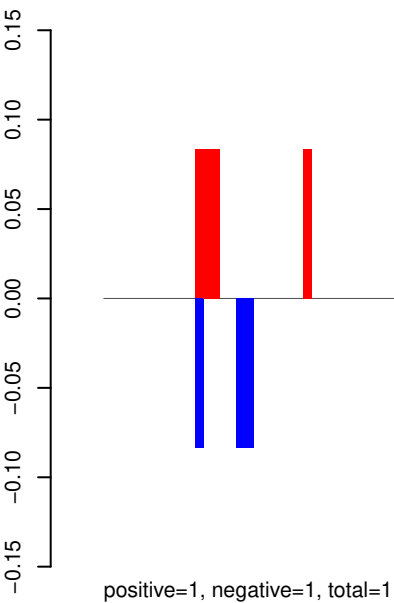


AeAeg_Aag2_Ago2_SINV_RA.rep

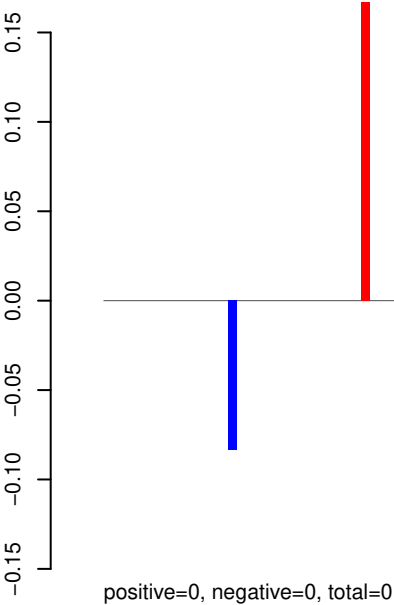


Window size=25, length=2908, TE@CR1_Ele32:1-2908

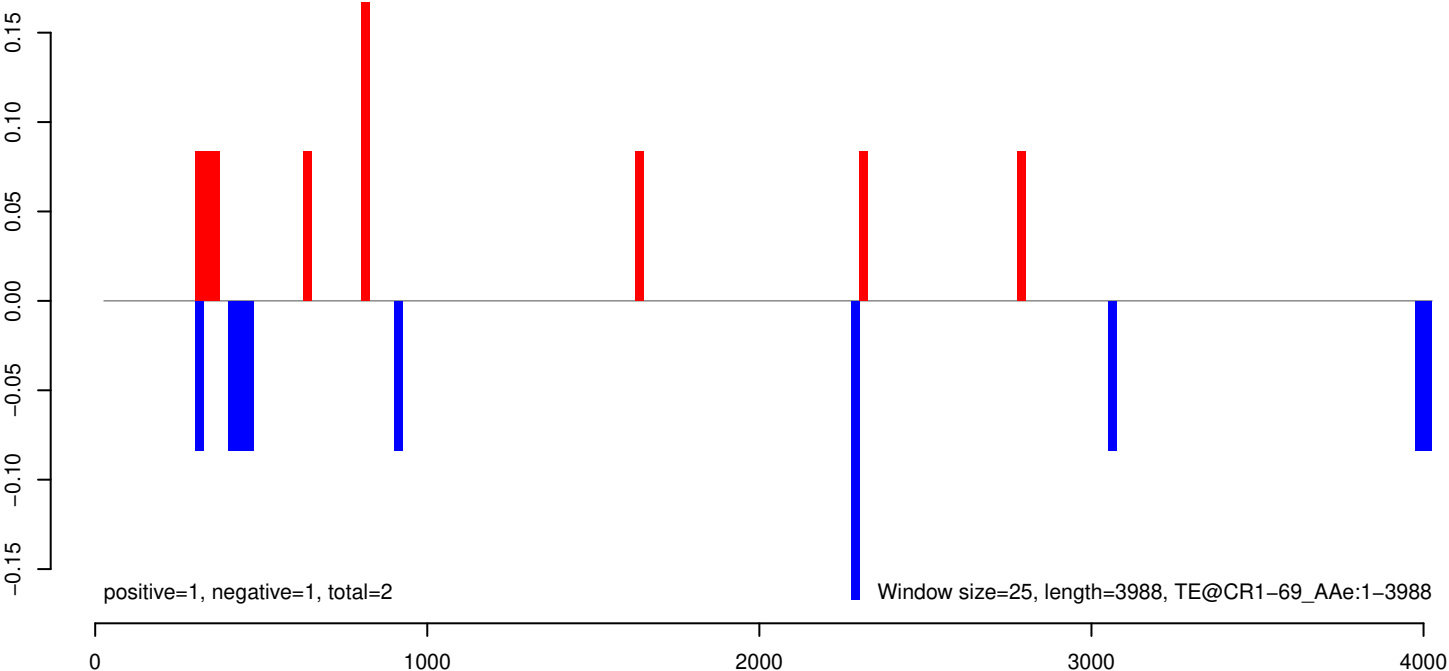
AeAeg_Aag2_Ago2_SINV_RA.18_23.rep



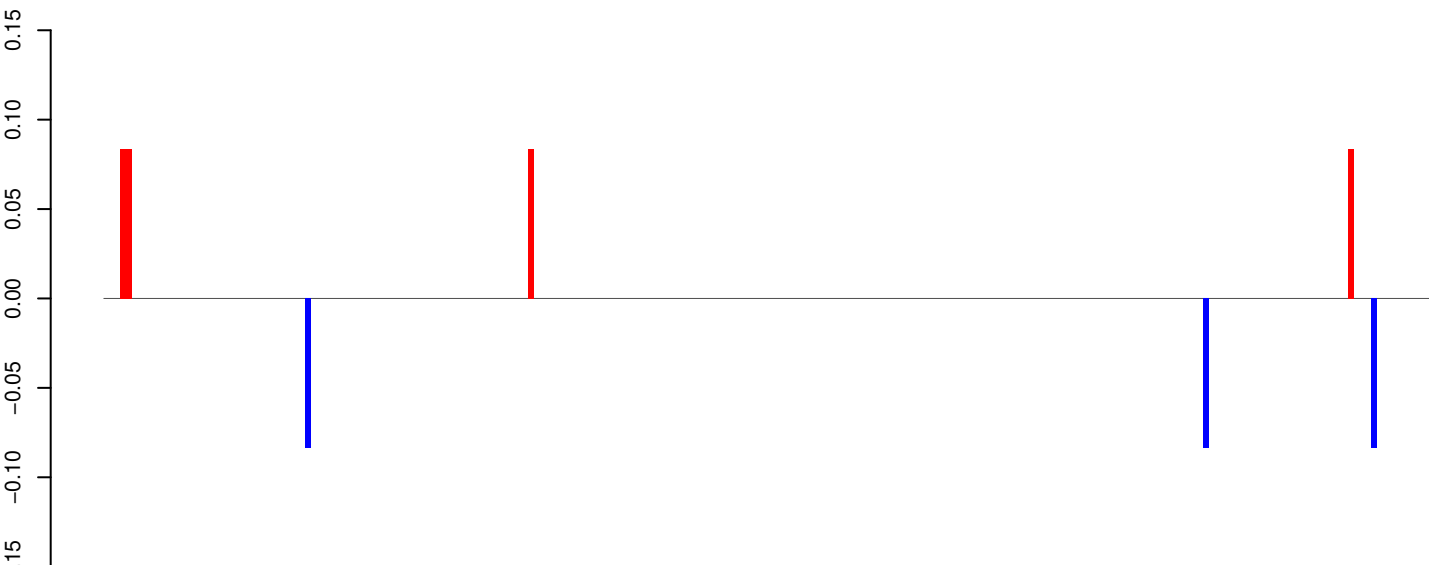
AeAeg_Aag2_Ago2_SINV_RA.24_35.rep



AeAeg_Aag2_Ago2_SINV_RA.rep

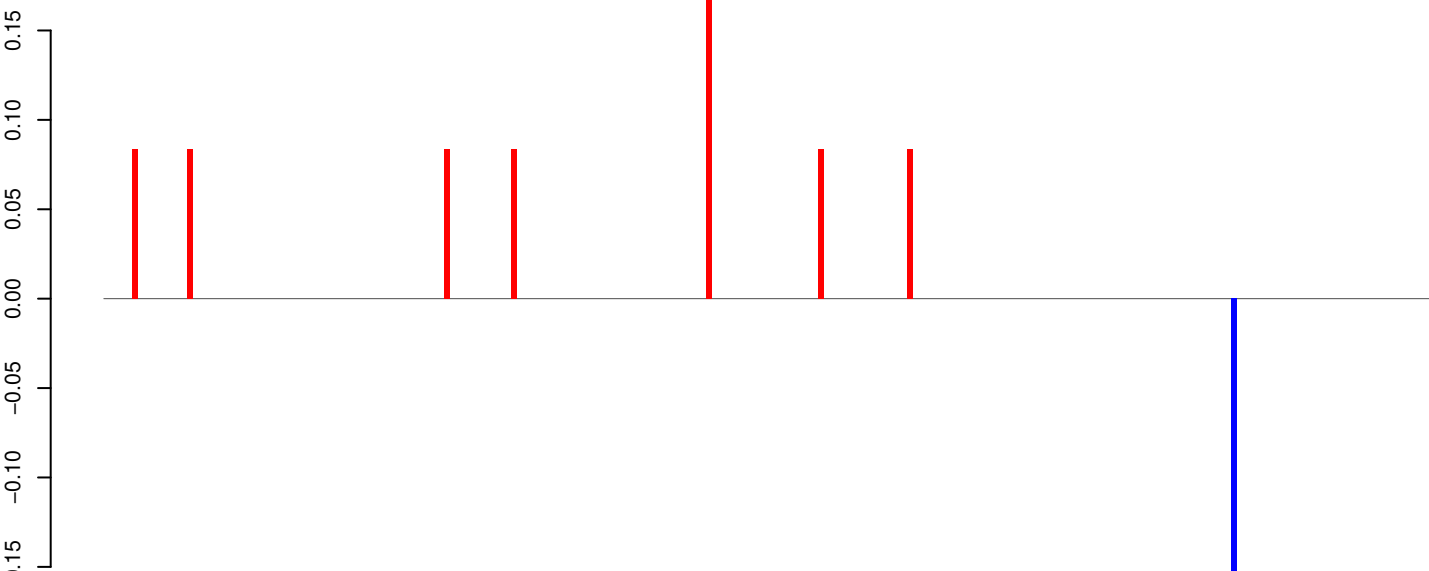


AeAeg_Aag2_Ago2_SINV_RA.18_23.rep



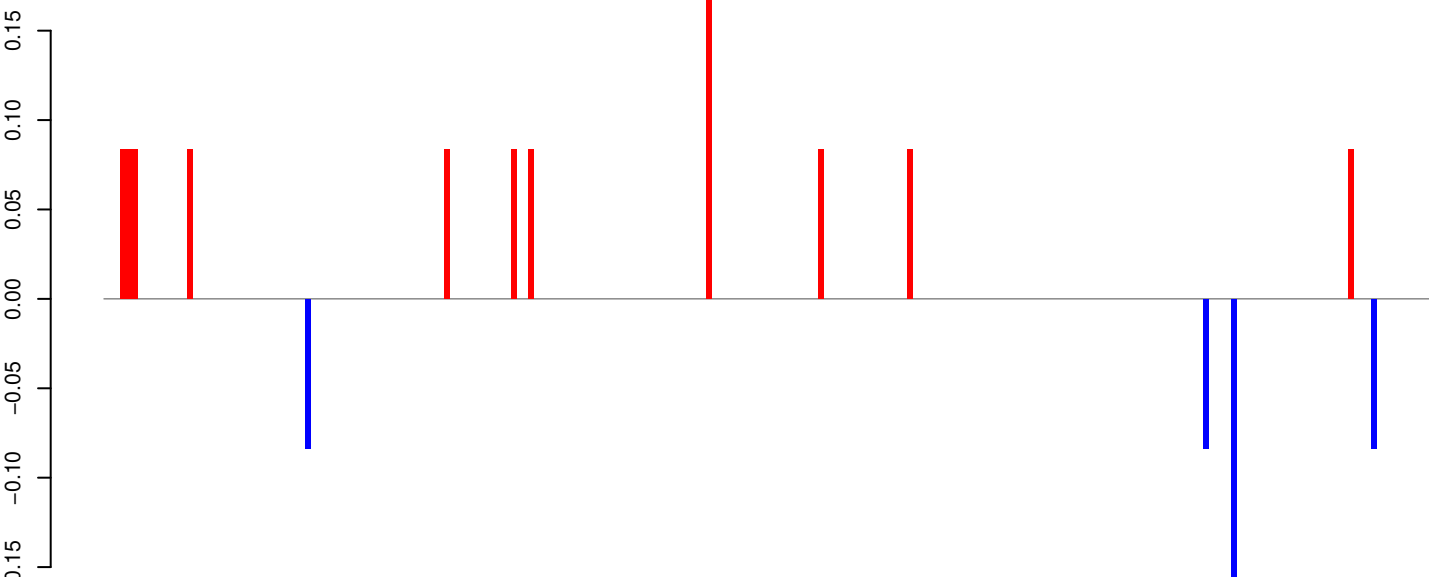
positive=0, negative=0, total=1

AeAeg_Aag2_Ago2_SINV_RA.24_35.rep



positive=1, negative=0, total=1

AeAeg_Aag2_Ago2_SINV_RA.rep

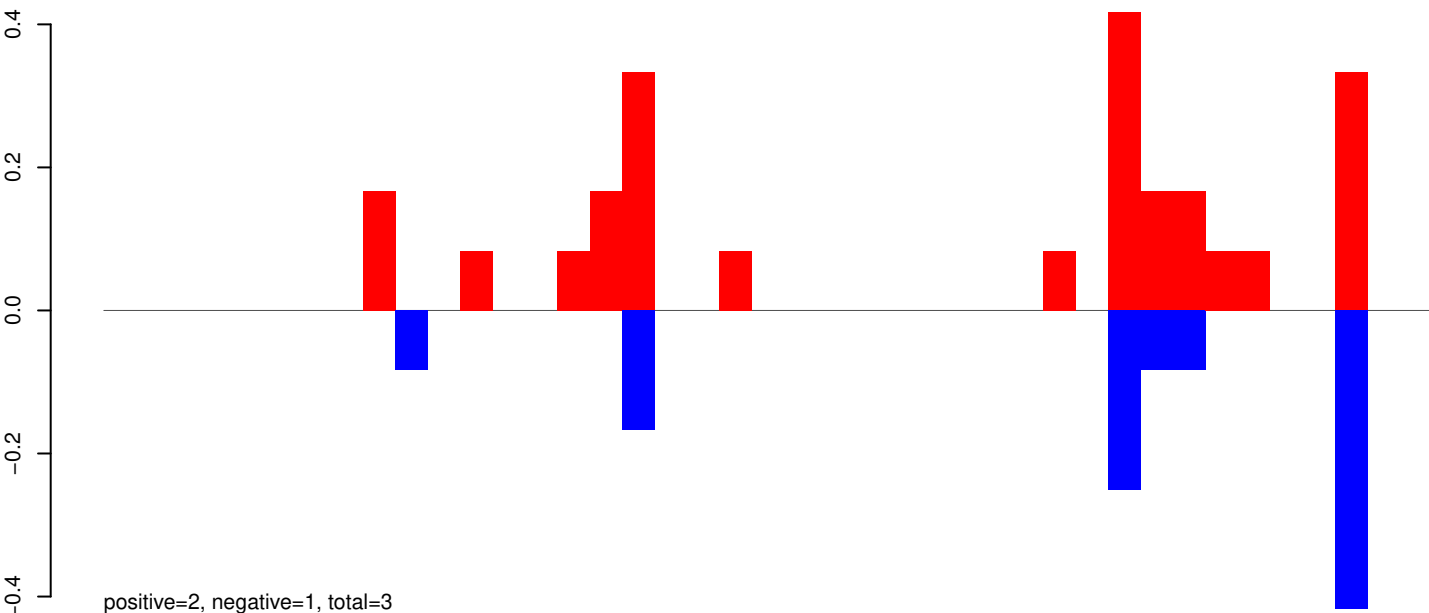


positive=1, negative=0, total=1

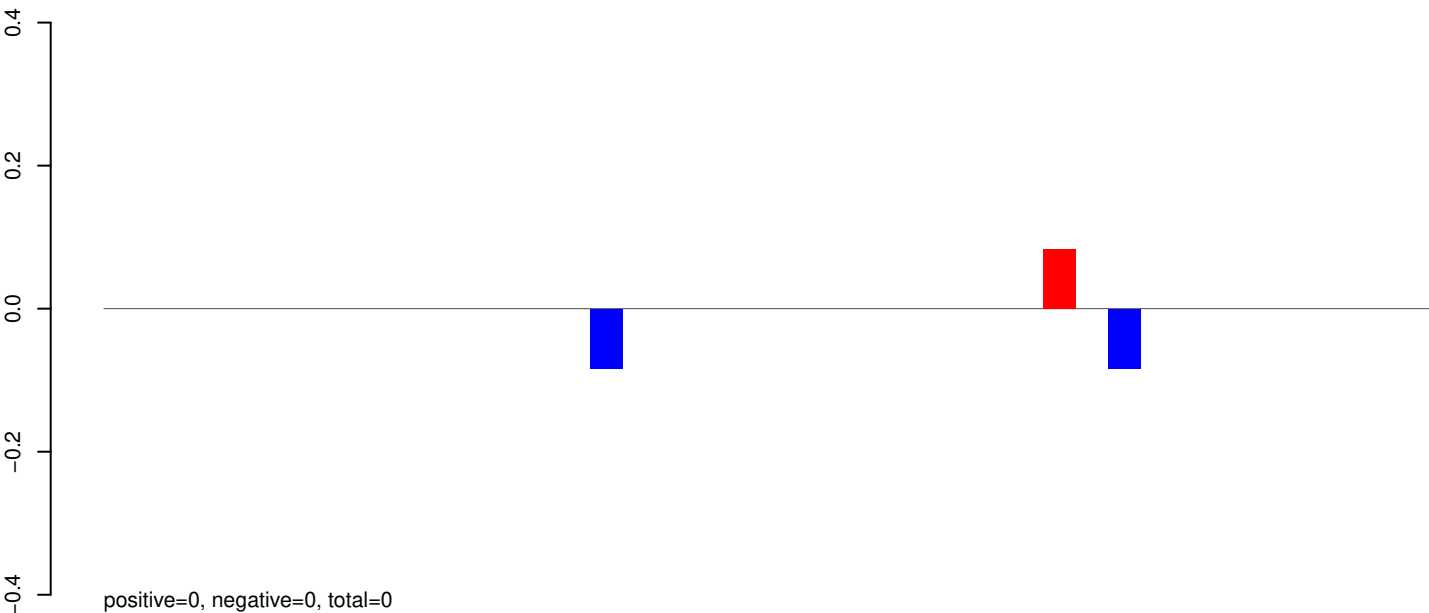
Window size=25, length=5945, TE@BEL-89_AA-LTR-I:1-5945

0 1000 2000 3000 4000 5000 6000

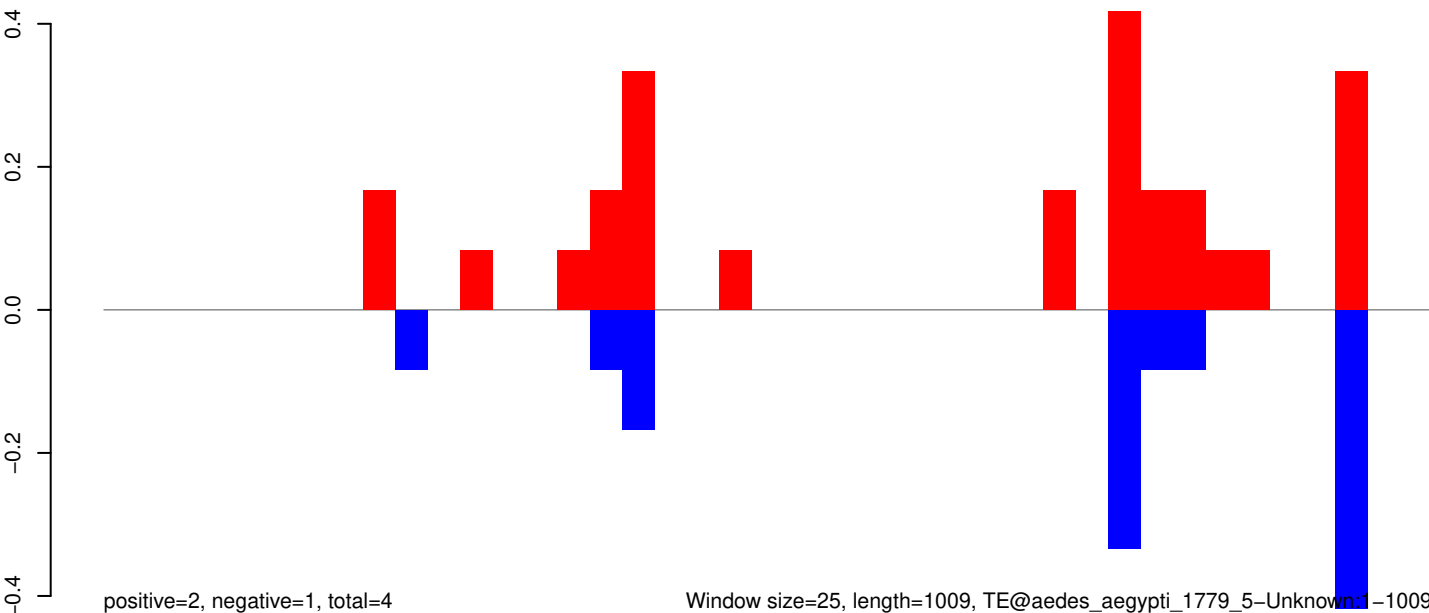
AeAeg_Aag2_Ago2_SINV_RA.18_23.rep



AeAeg_Aag2_Ago2_SINV_RA.24_35.rep

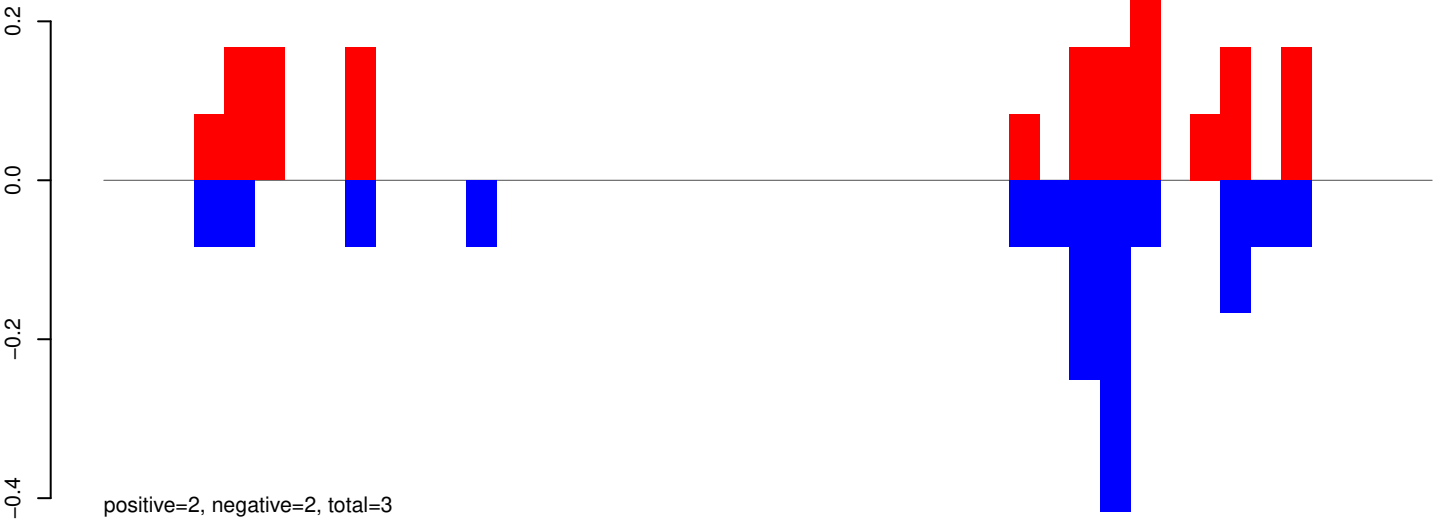


AeAeg_Aag2_Ago2_SINV_RA.rep

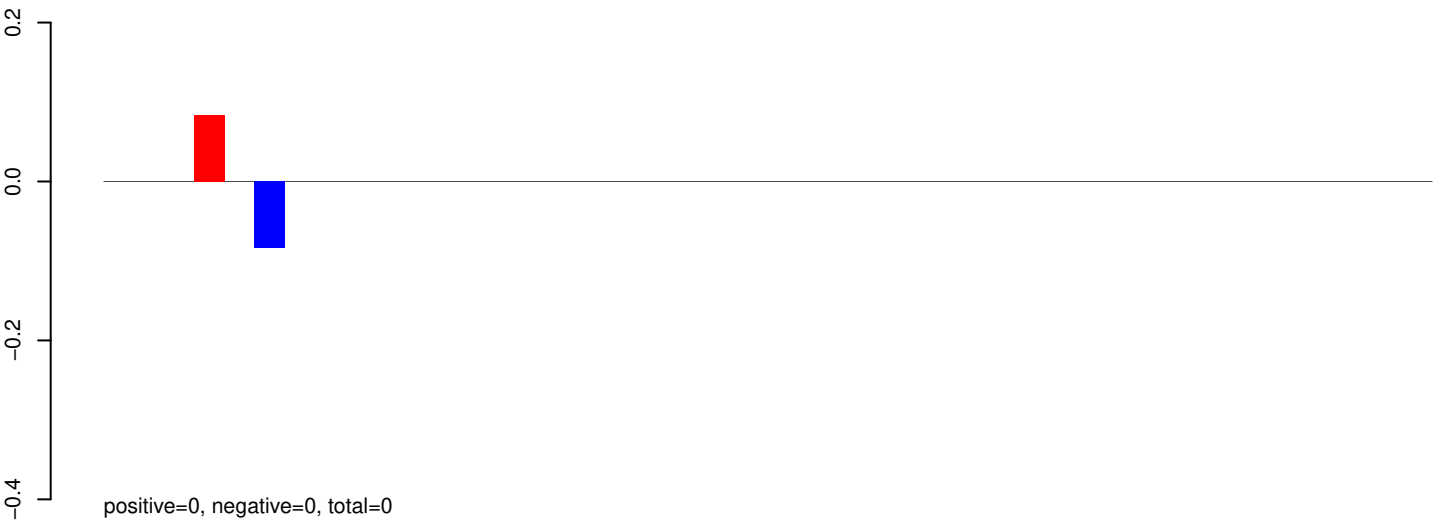


Window size=25, length=1009, TE@aedes_aegypti_1779_5-Unknown:1-1009

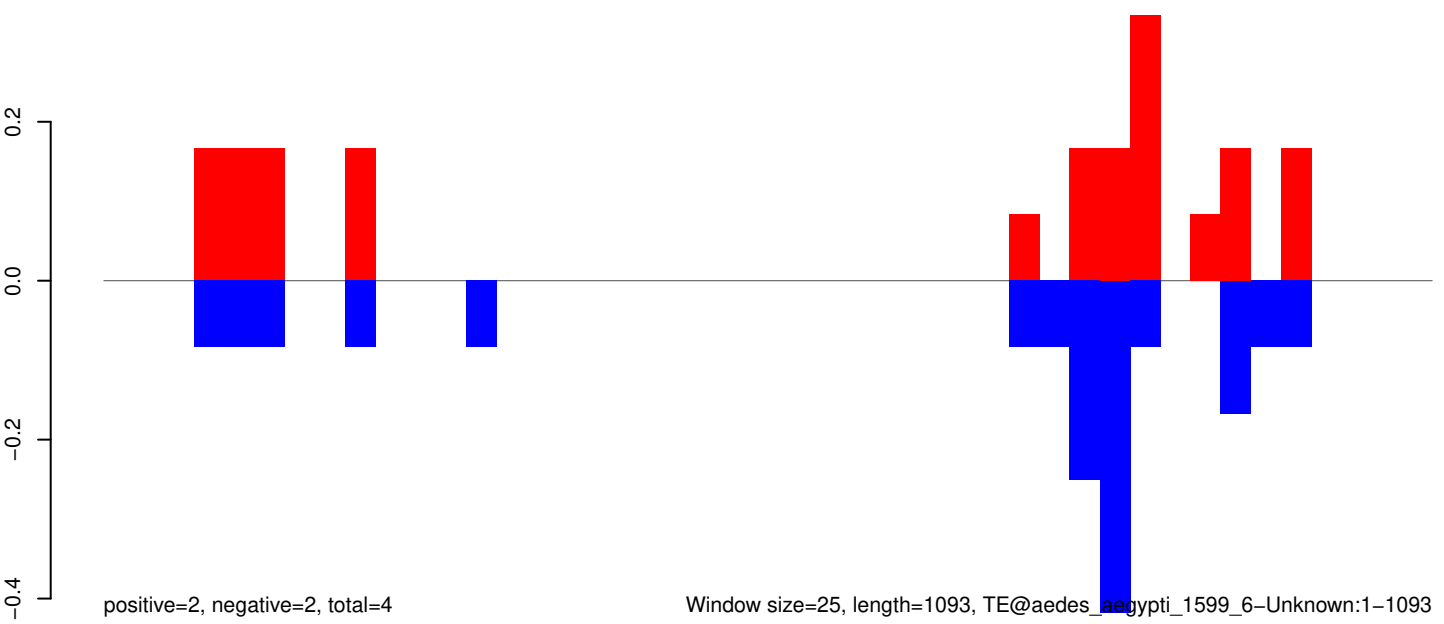
AeAeg_Aag2_Ago2_SINV_RA.18_23.rep



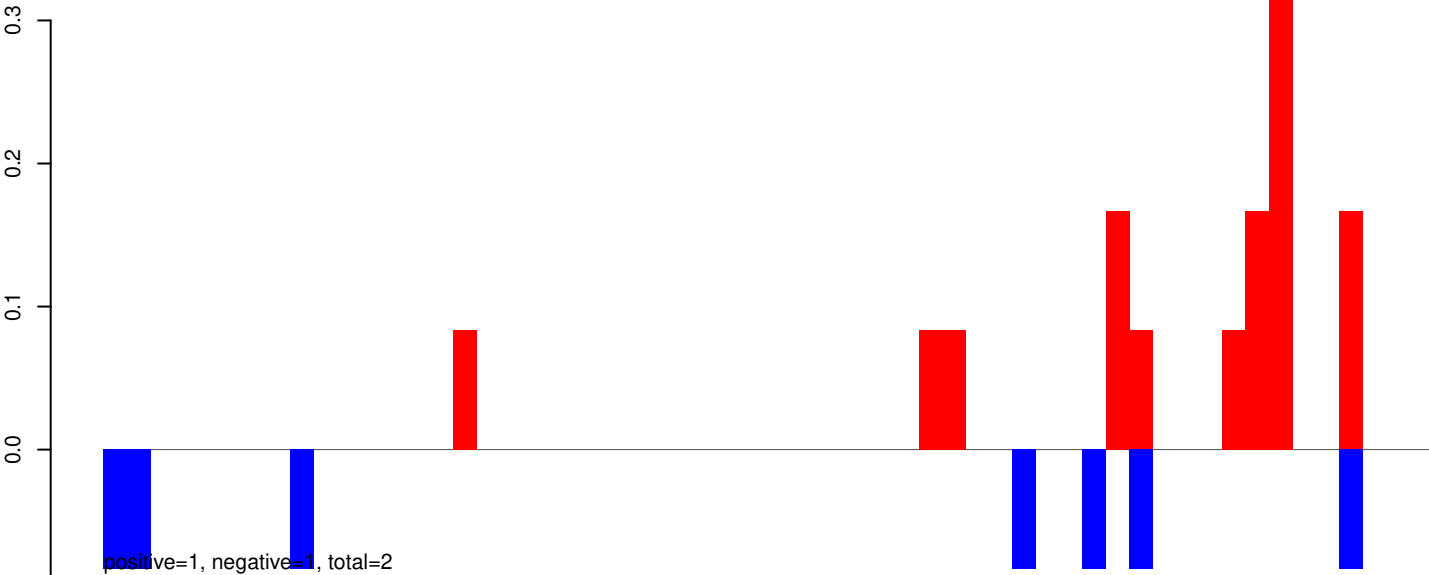
AeAeg_Aag2_Ago2_SINV_RA.24_35.rep



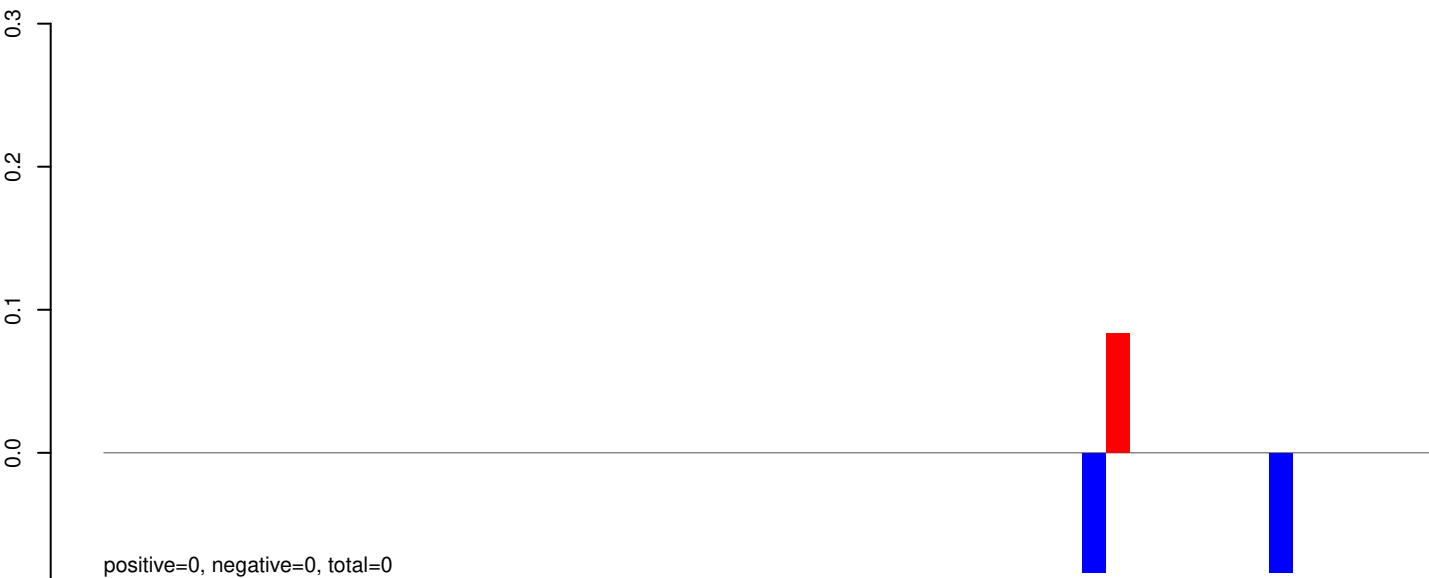
AeAeg_Aag2_Ago2_SINV_RA.rep



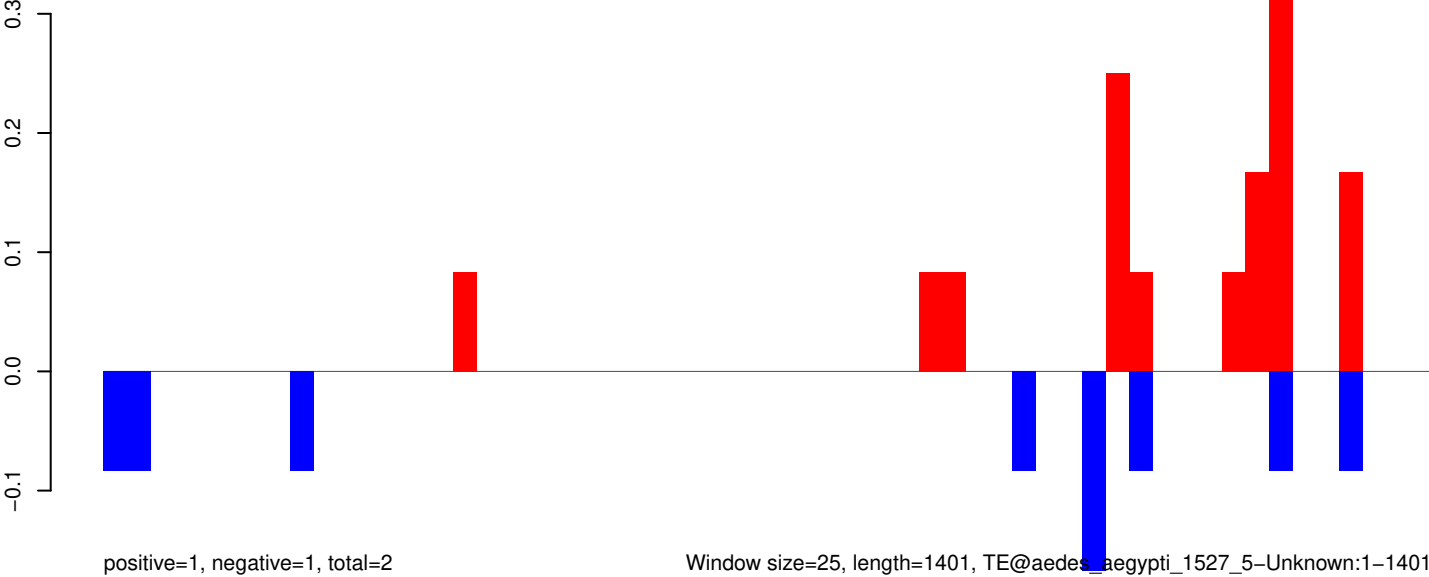
AeAeg_Aag2_Ago2_SINV_RA.18_23.rep



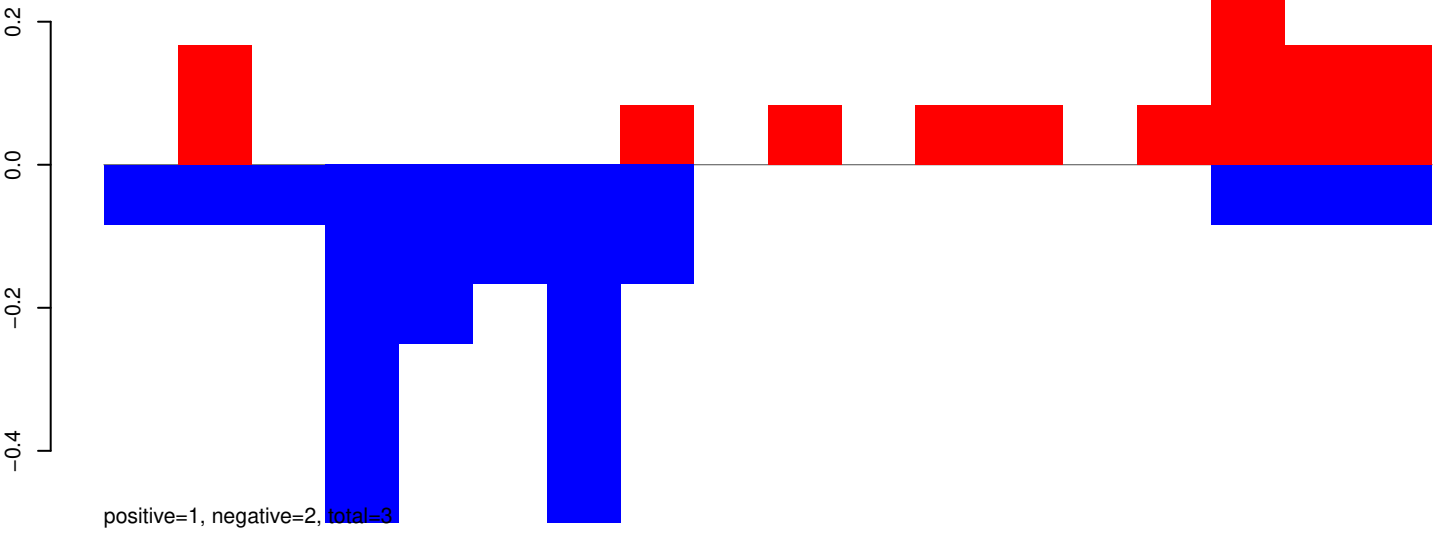
AeAeg_Aag2_Ago2_SINV_RA.24_35.rep



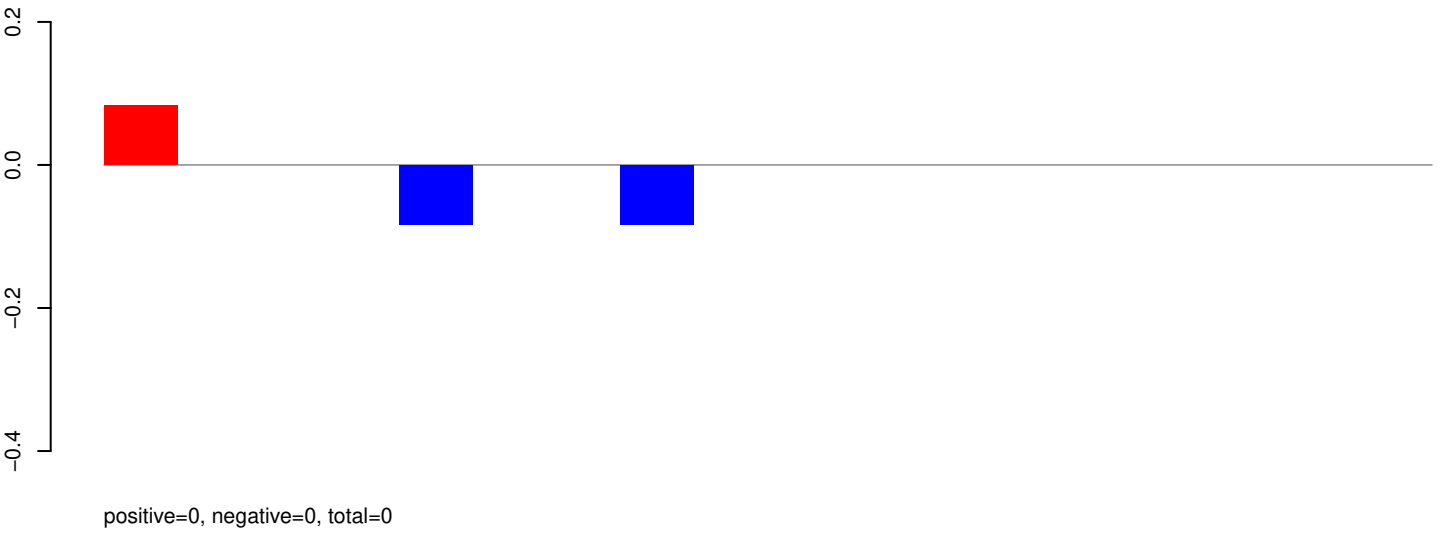
AeAeg_Aag2_Ago2_SINV_RA.rep



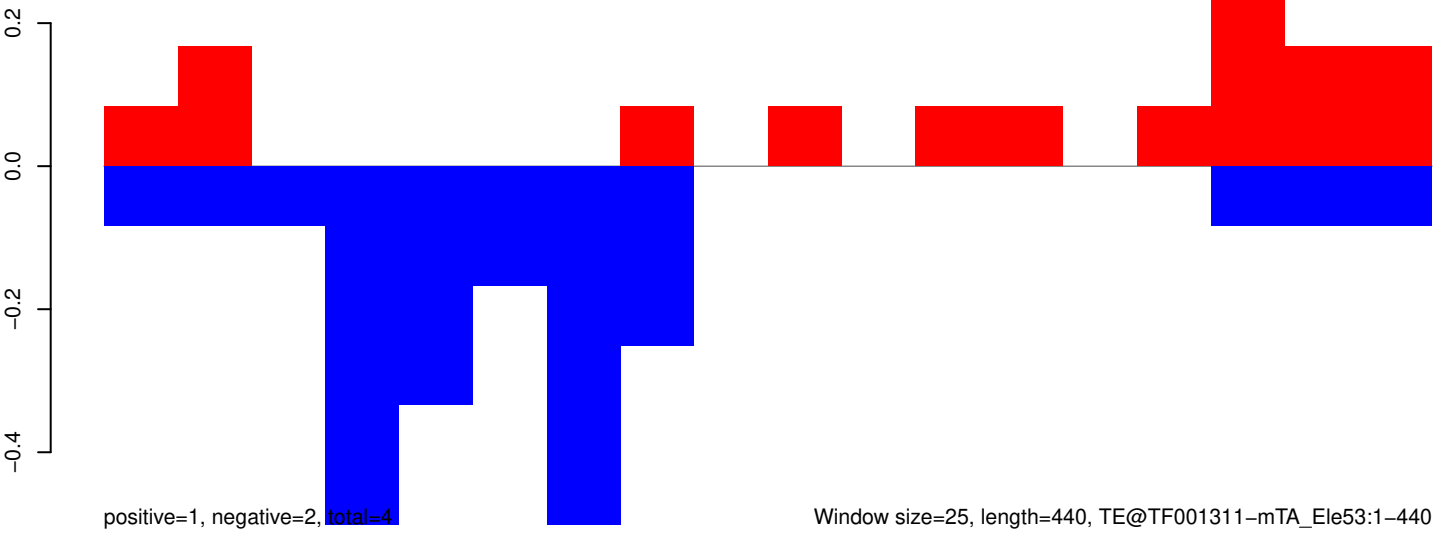
AeAeg_Aag2_Ago2_SINV_RA.18_23.rep



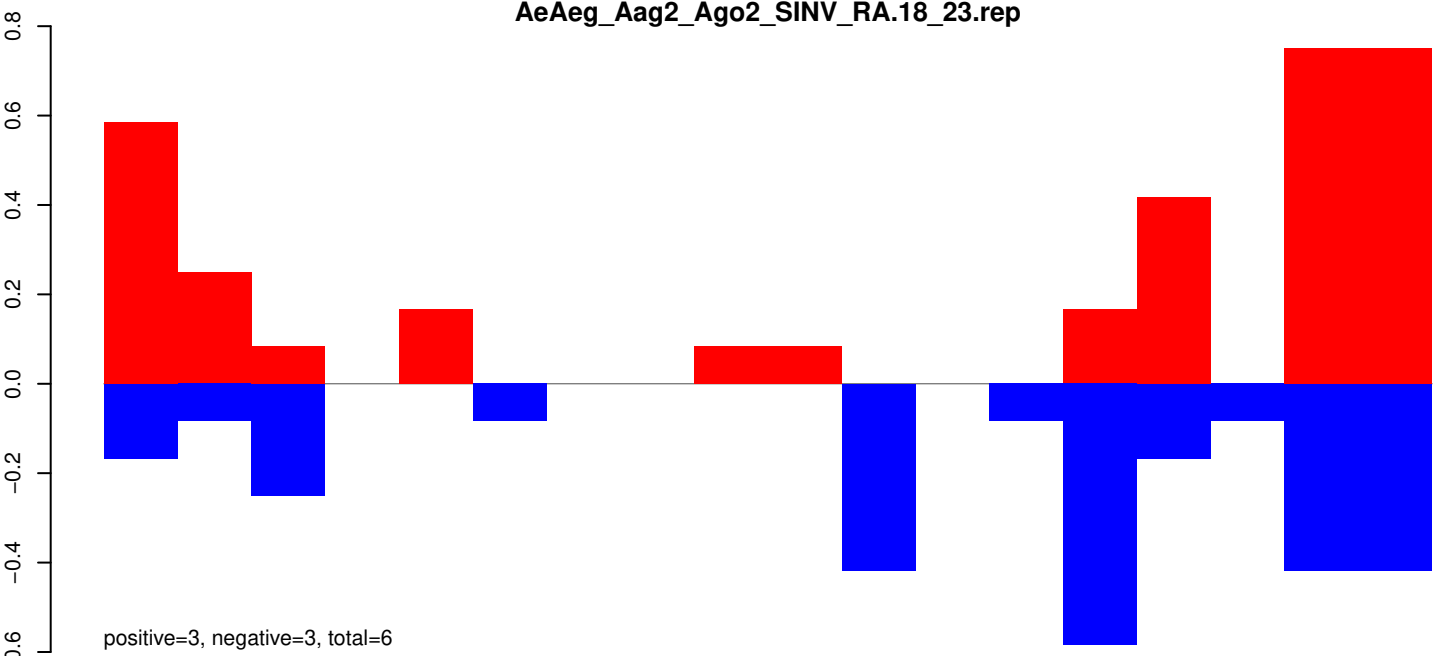
AeAeg_Aag2_Ago2_SINV_RA.24_35.rep



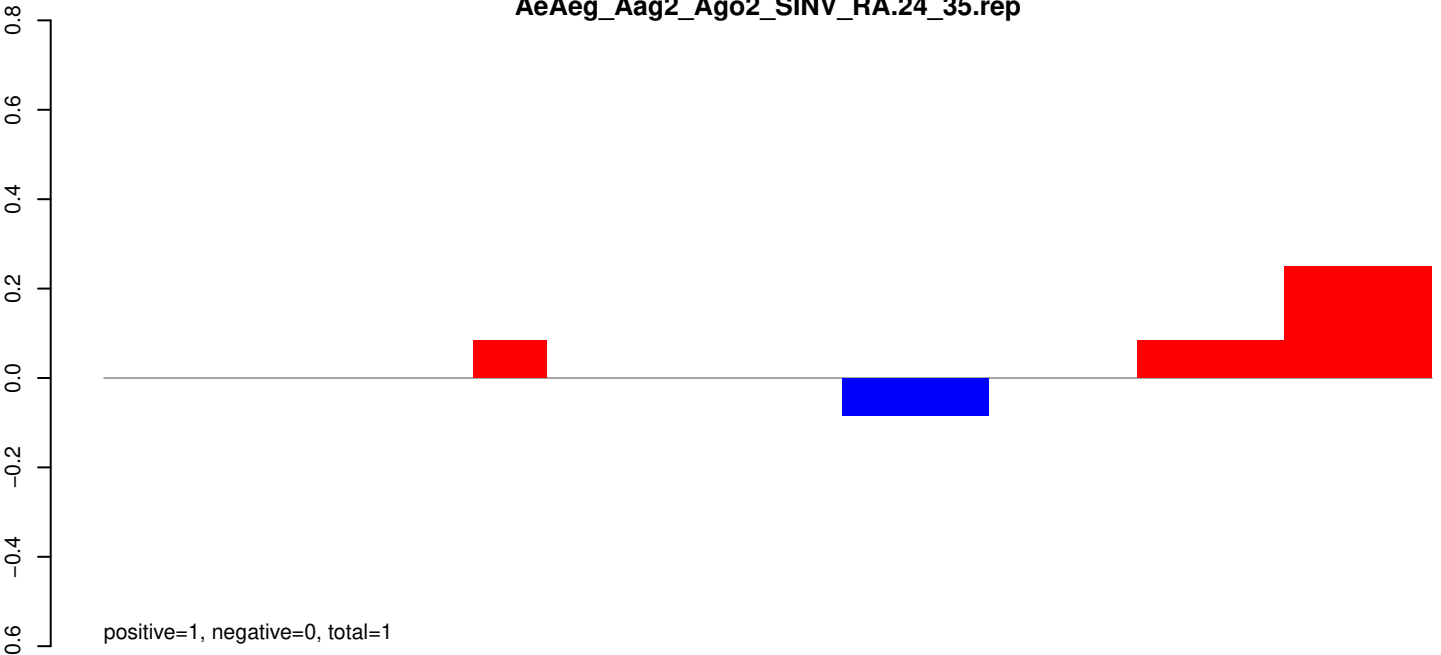
AeAeg_Aag2_Ago2_SINV_RA.rep



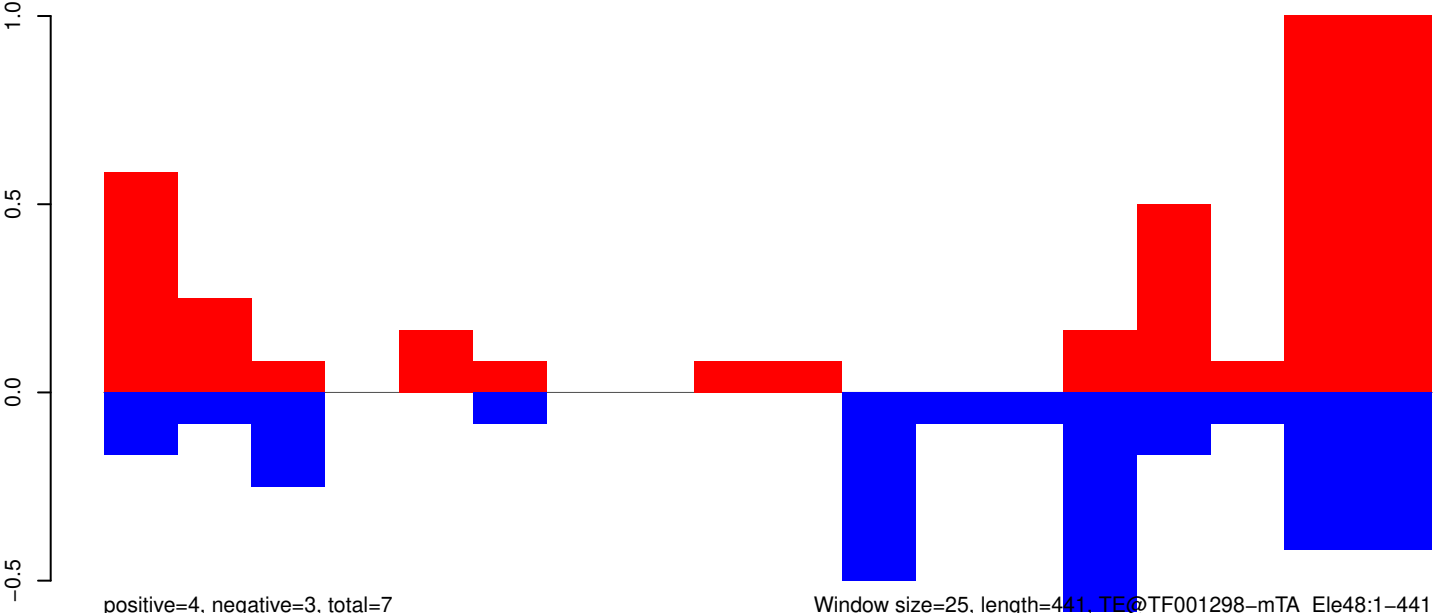
AeAeg_Aag2_Ago2_SINV_RA.18_23.rep



AeAeg_Aag2_Ago2_SINV_RA.24_35.rep

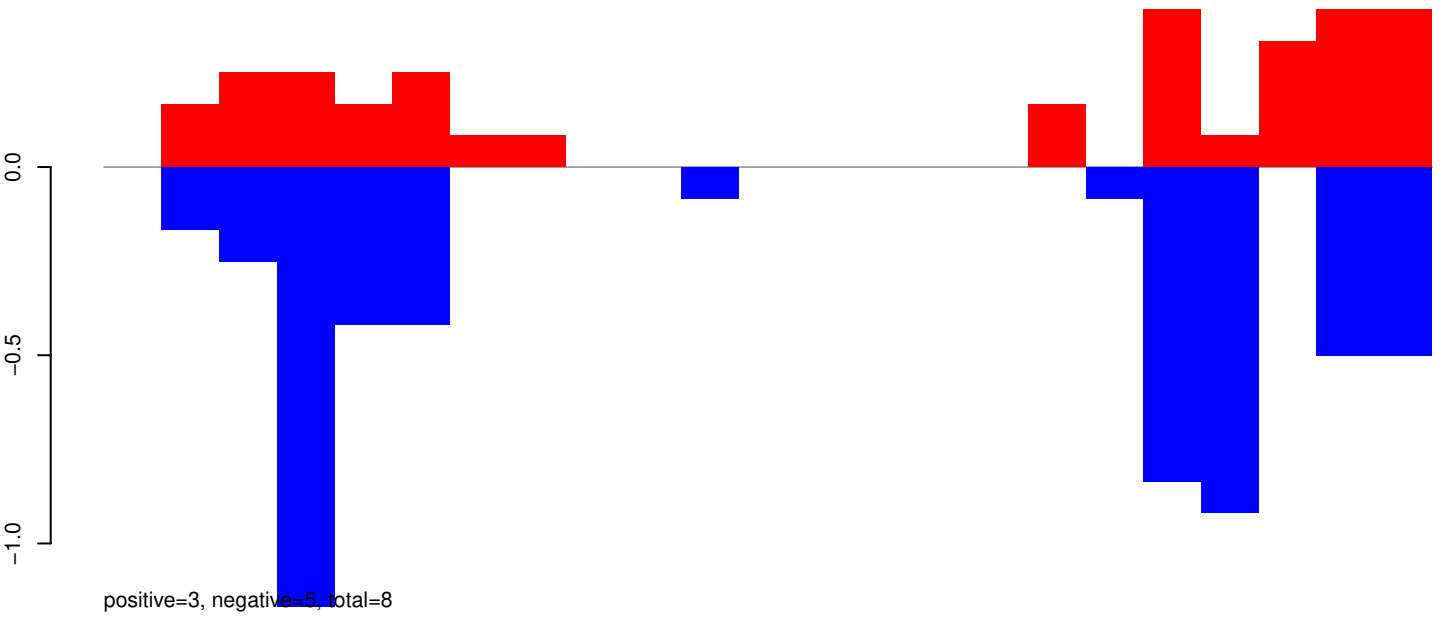


AeAeg_Aag2_Ago2_SINV_RA.rep

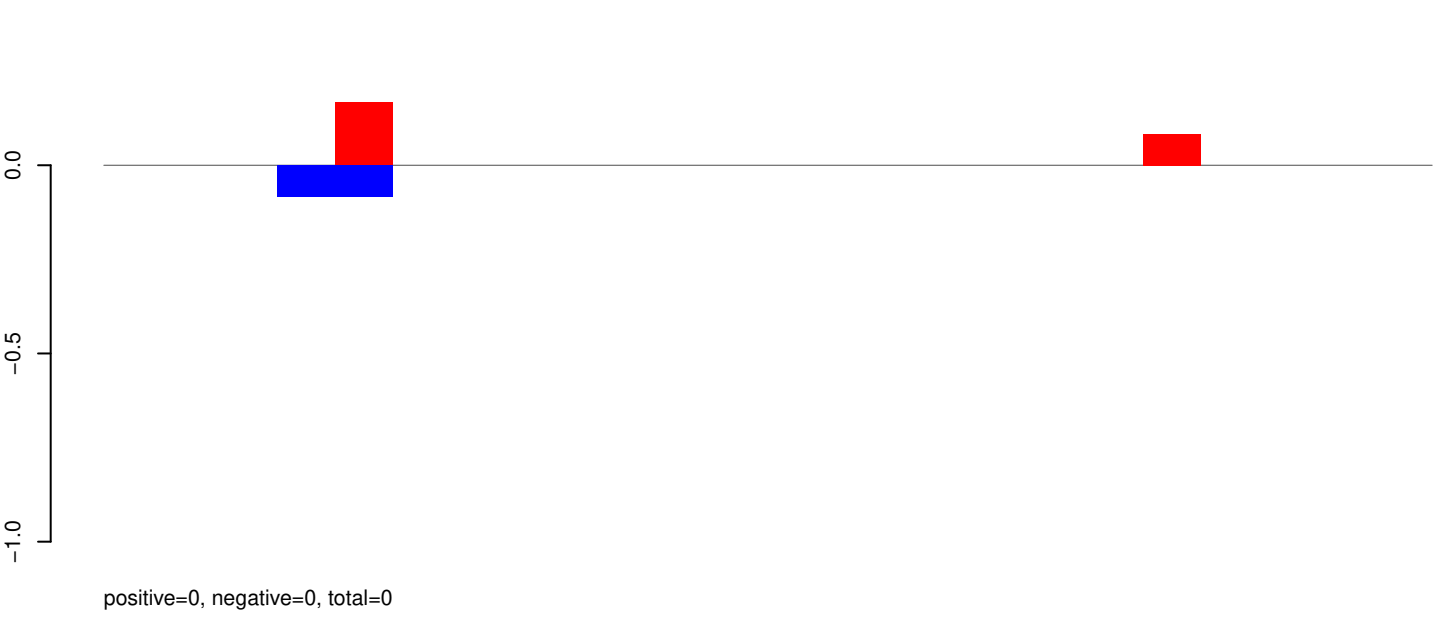


Window size=25, length=441, TE@TF001298-mTA_Ele48:1-441

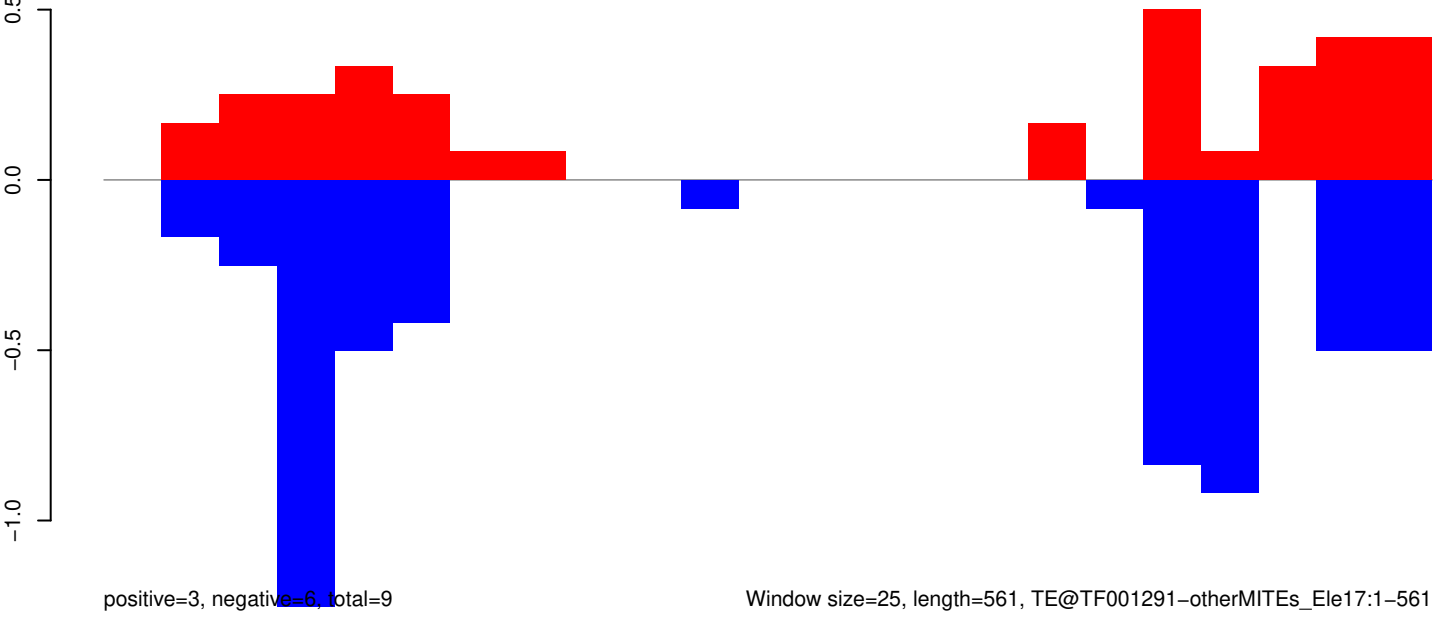
AeAeg_Aag2_Ago2_SINV_RA.18_23.rep



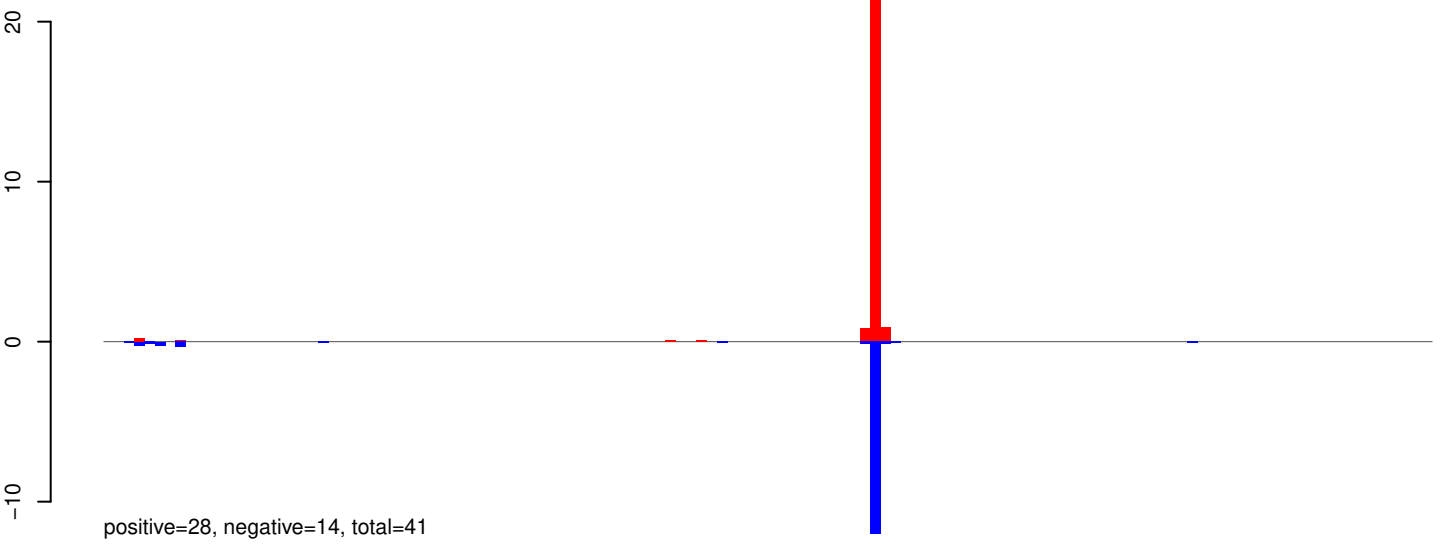
AeAeg_Aag2_Ago2_SINV_RA.24_35.rep



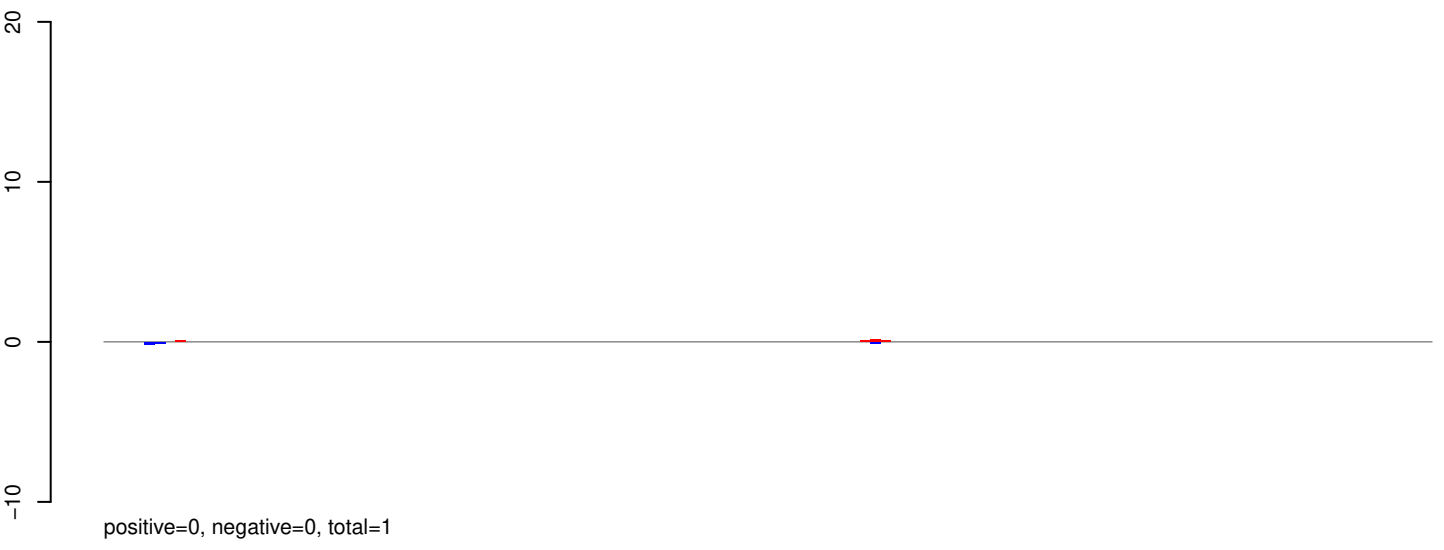
AeAeg_Aag2_Ago2_SINV_RA.rep



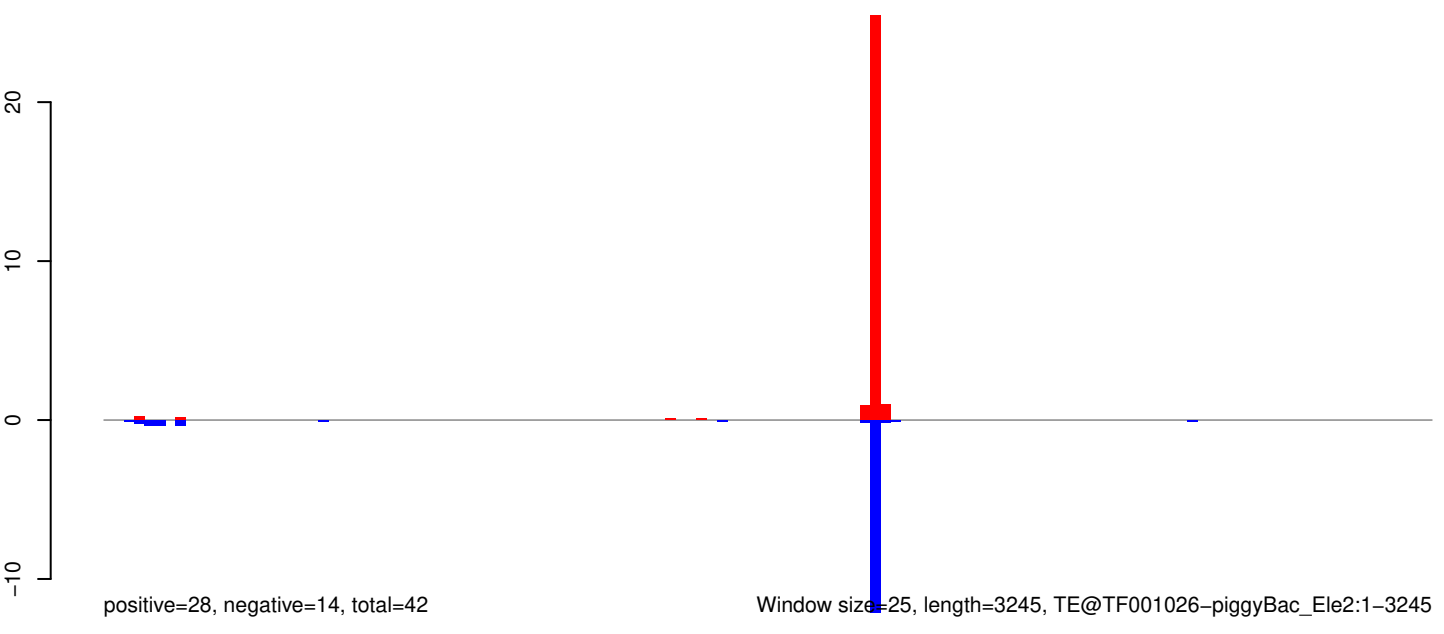
AeAeg_Aag2_Ago2_SINV_RA.18_23.rep



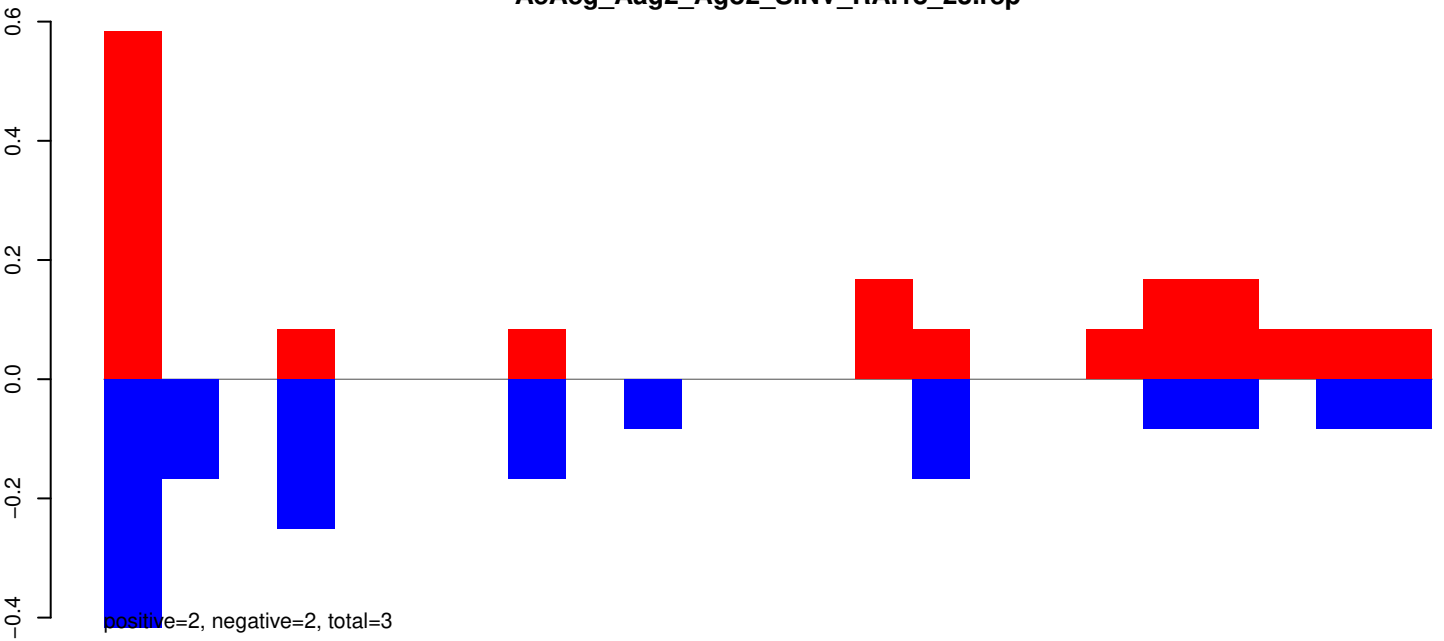
AeAeg_Aag2_Ago2_SINV_RA.24_35.rep



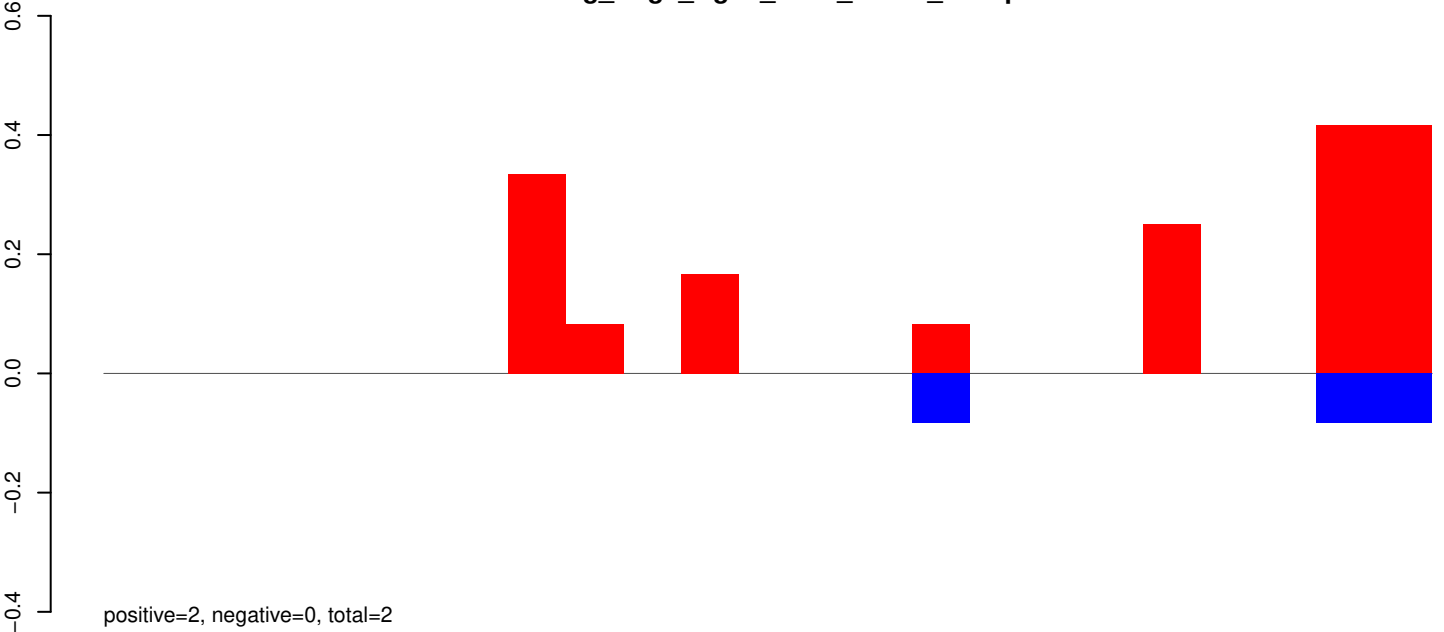
AeAeg_Aag2_Ago2_SINV_RA.rep



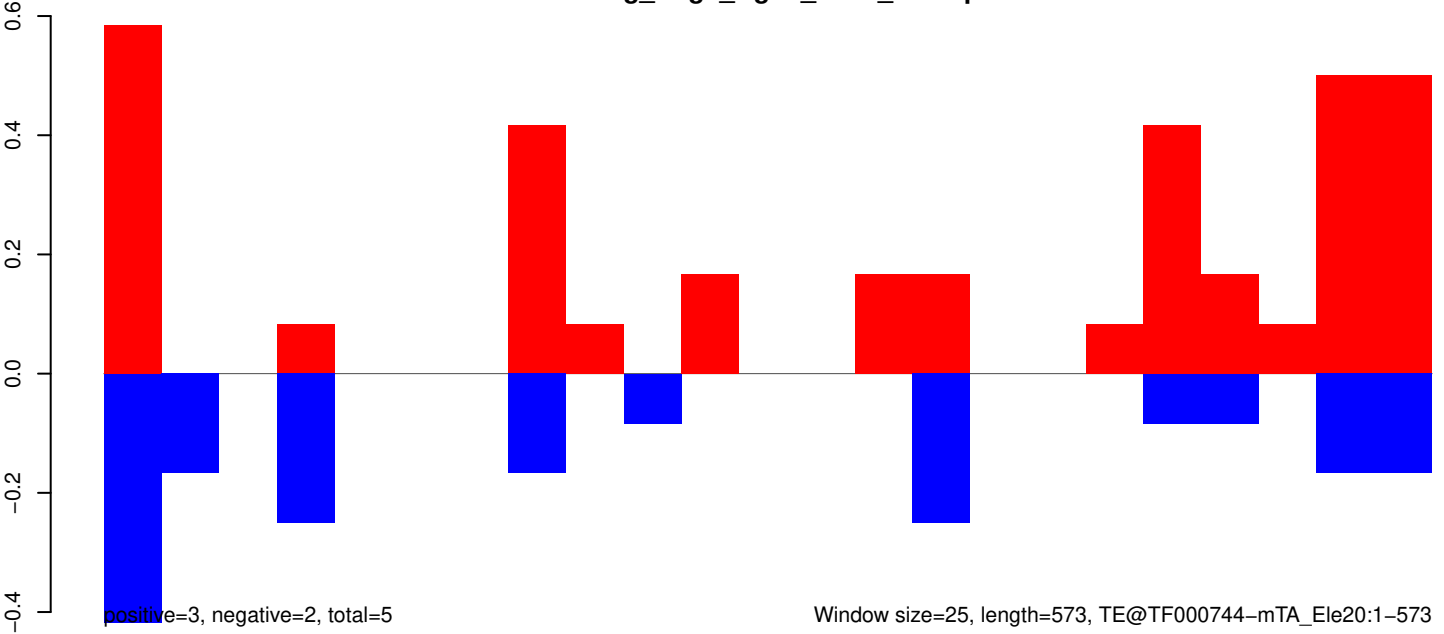
AeAeg_Aag2_Ago2_SINV_RA.18_23.rep



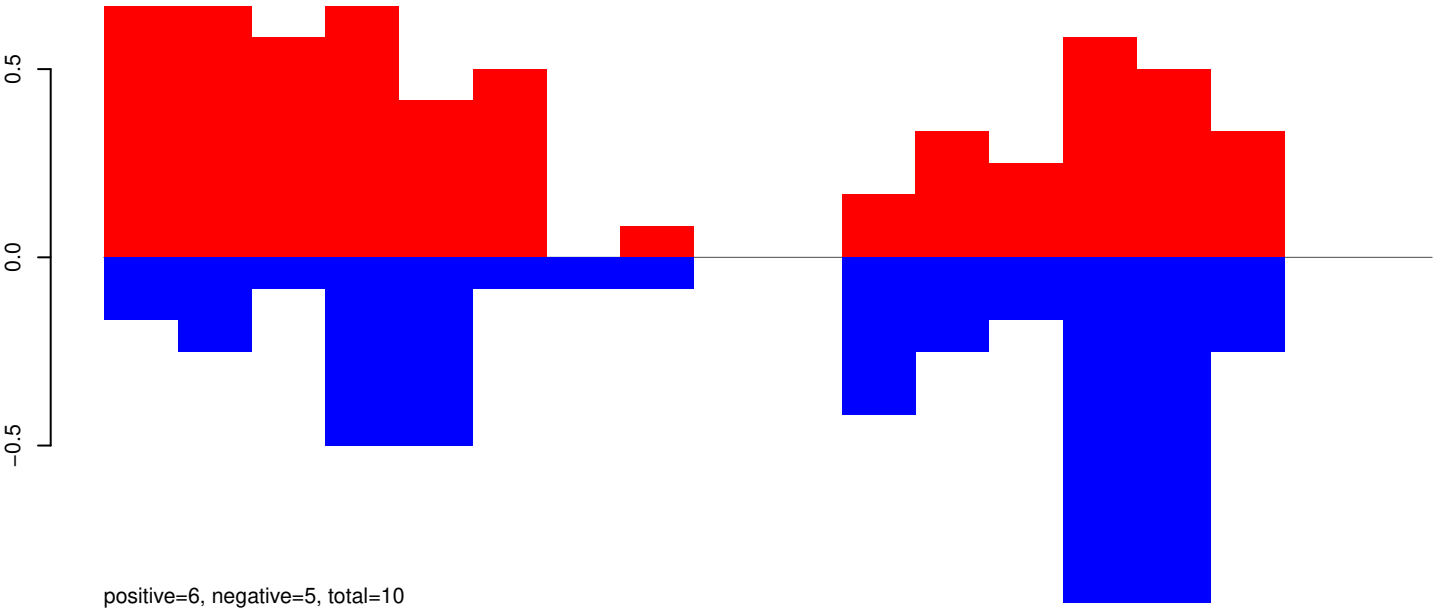
AeAeg_Aag2_Ago2_SINV_RA.24_35.rep



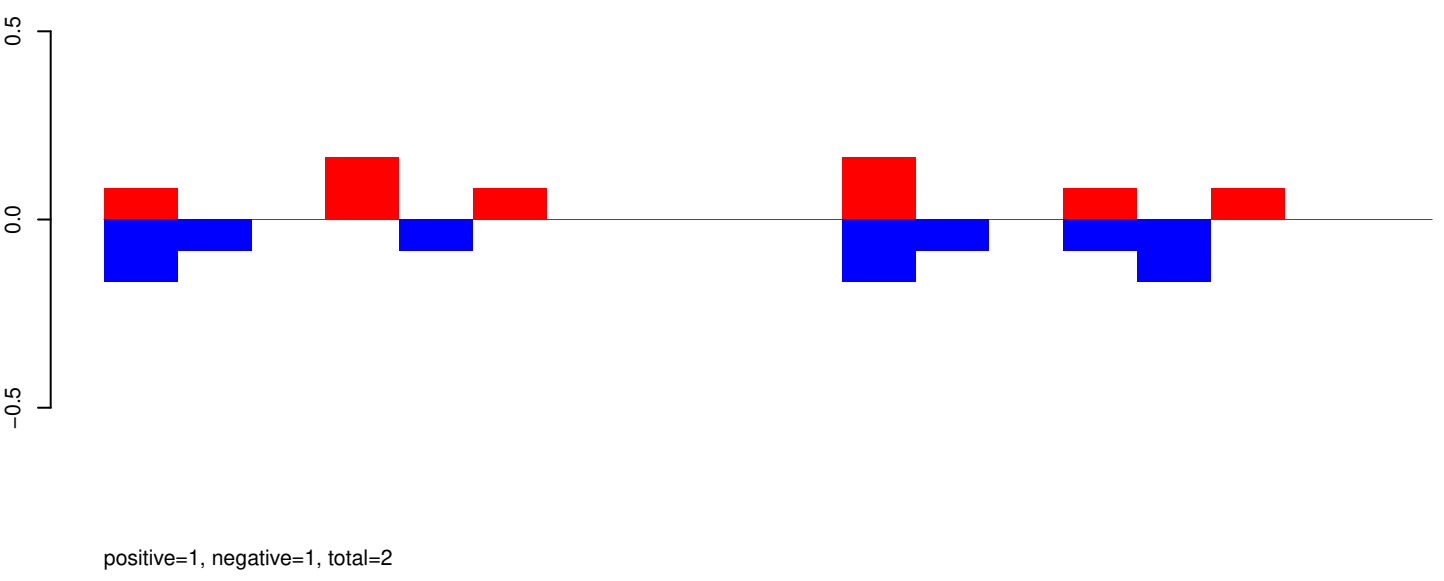
AeAeg_Aag2_Ago2_SINV_RA.rep



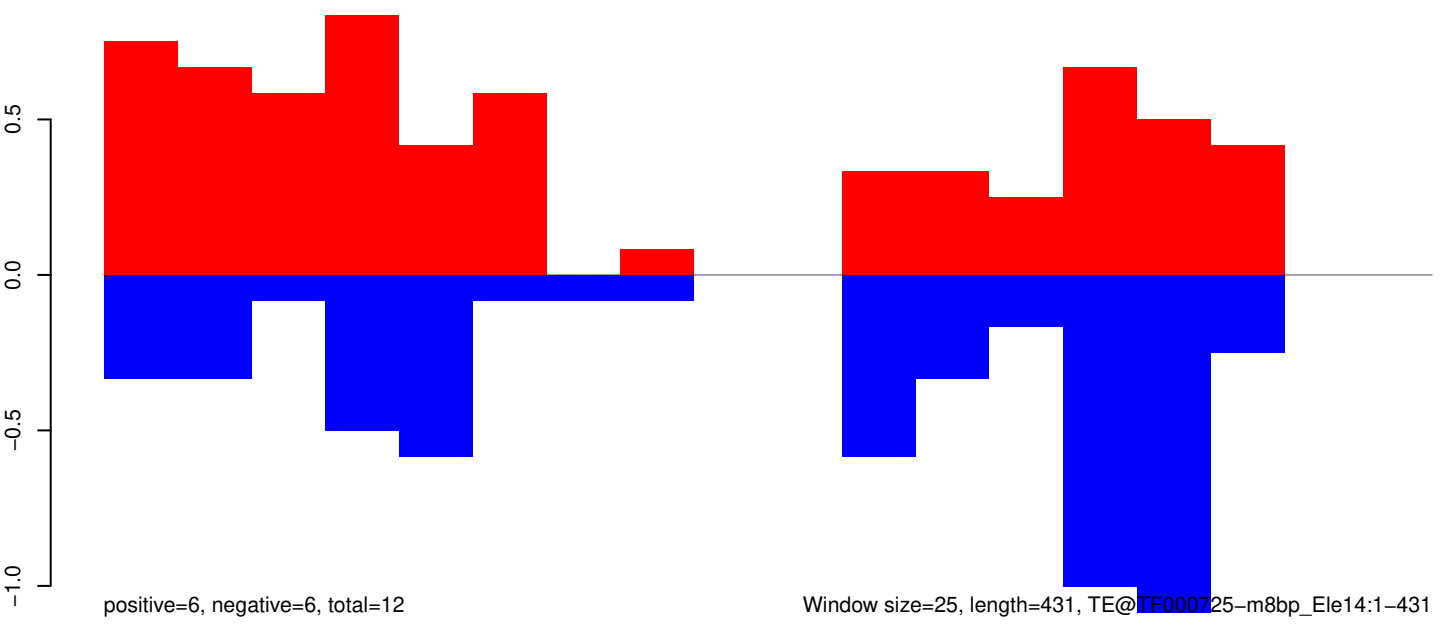
AeAeg_Aag2_Ago2_SINV_RA.18_23.rep



AeAeg_Aag2_Ago2_SINV_RA.24_35.rep

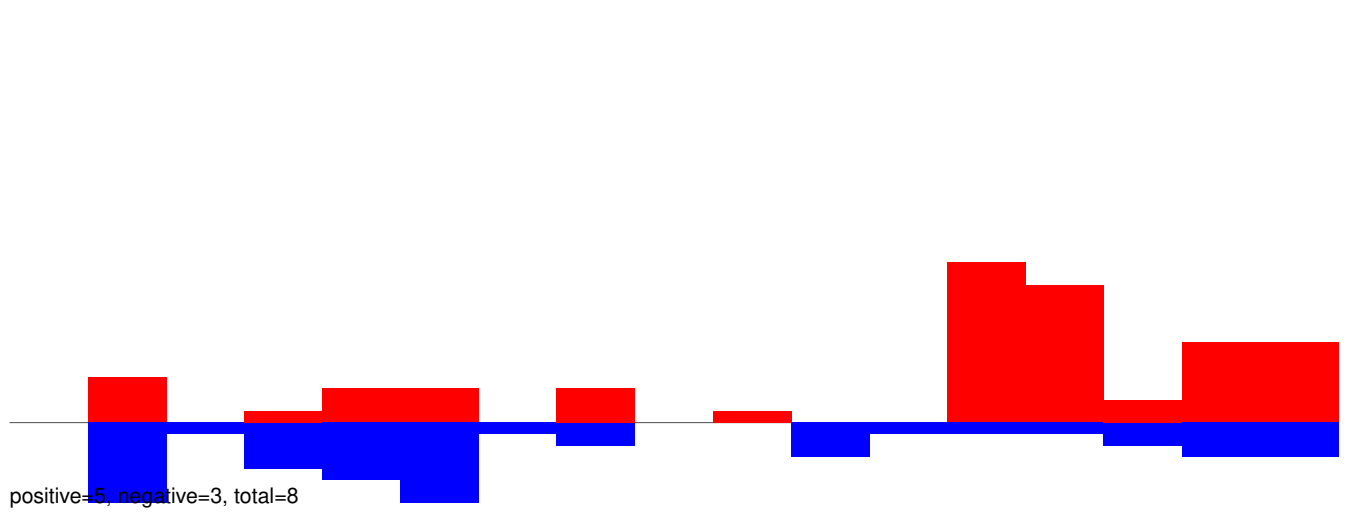


AeAeg_Aag2_Ago2_SINV_RA.rep

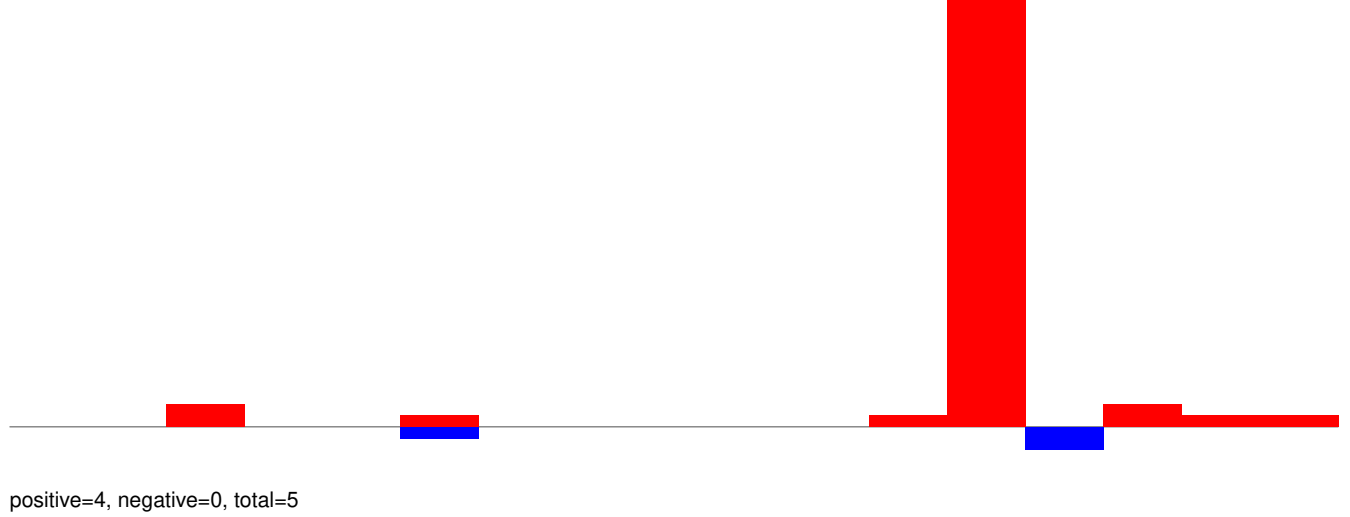


Window size=25, length=431, TE@TE000725-m8bp_Ele14:1-431

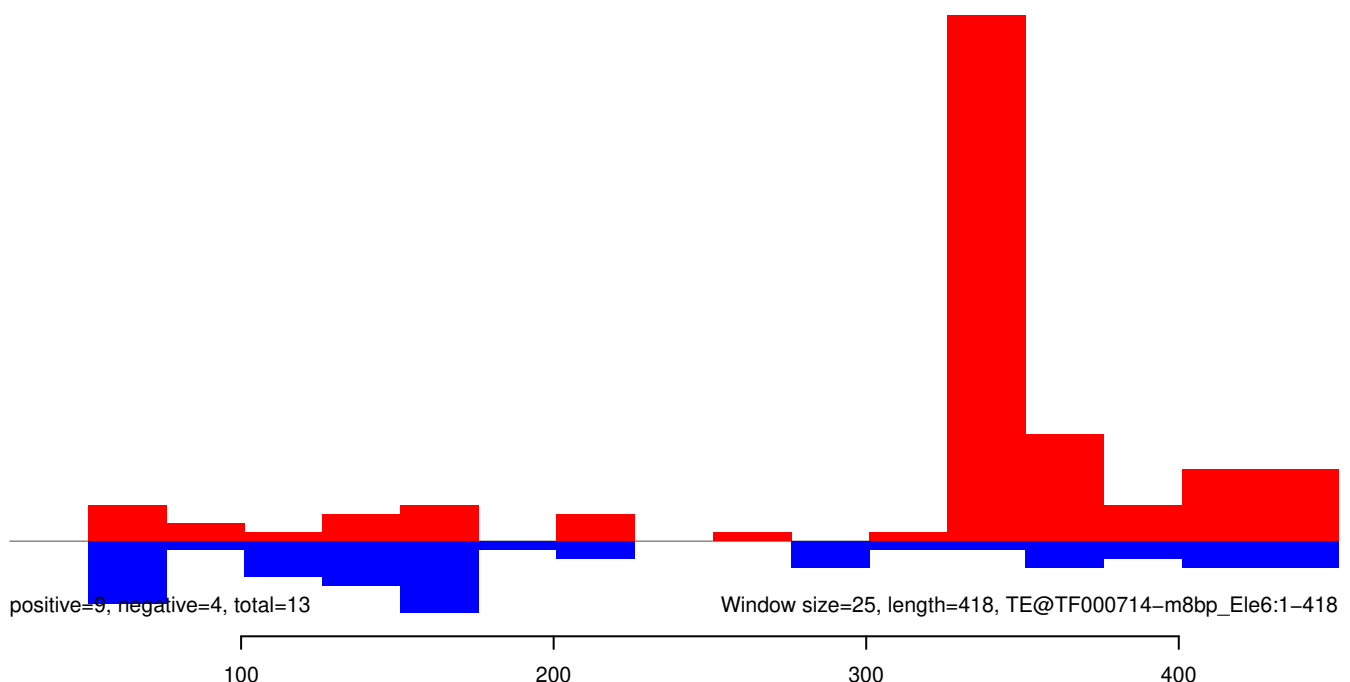
AeAeg_Aag2_Ago2_SINV_RA.18_23.rep



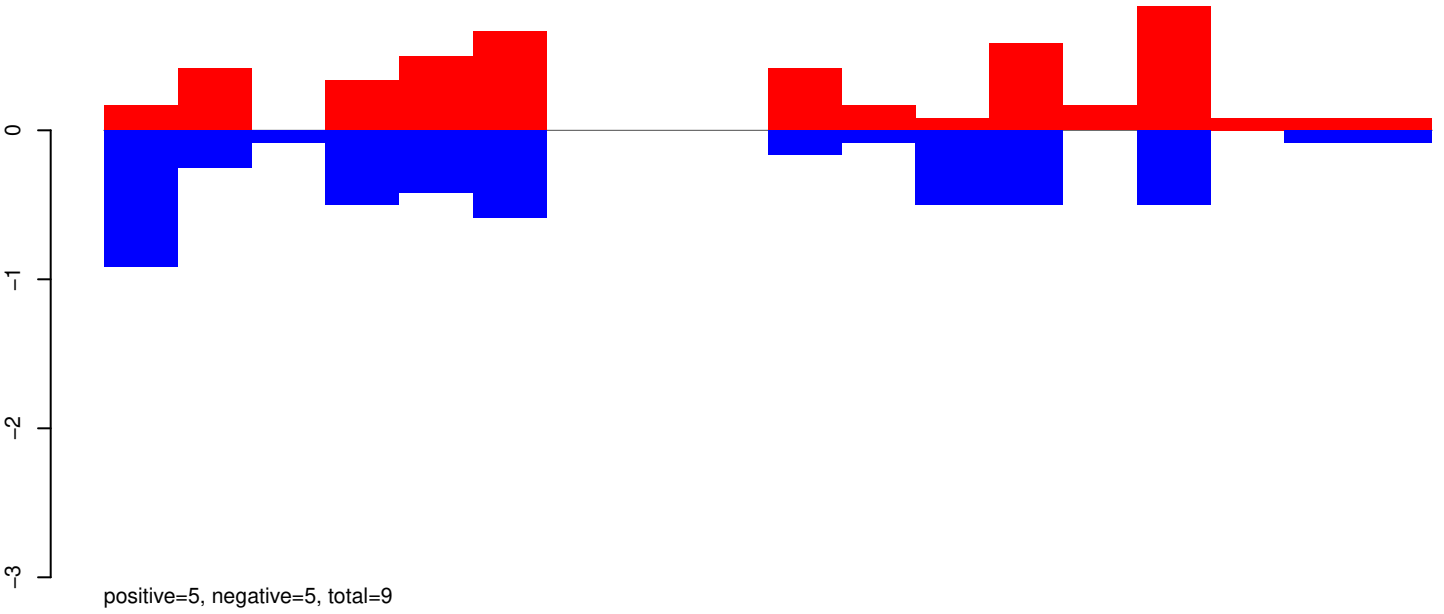
AeAeg_Aag2_Ago2_SINV_RA.24_35.rep



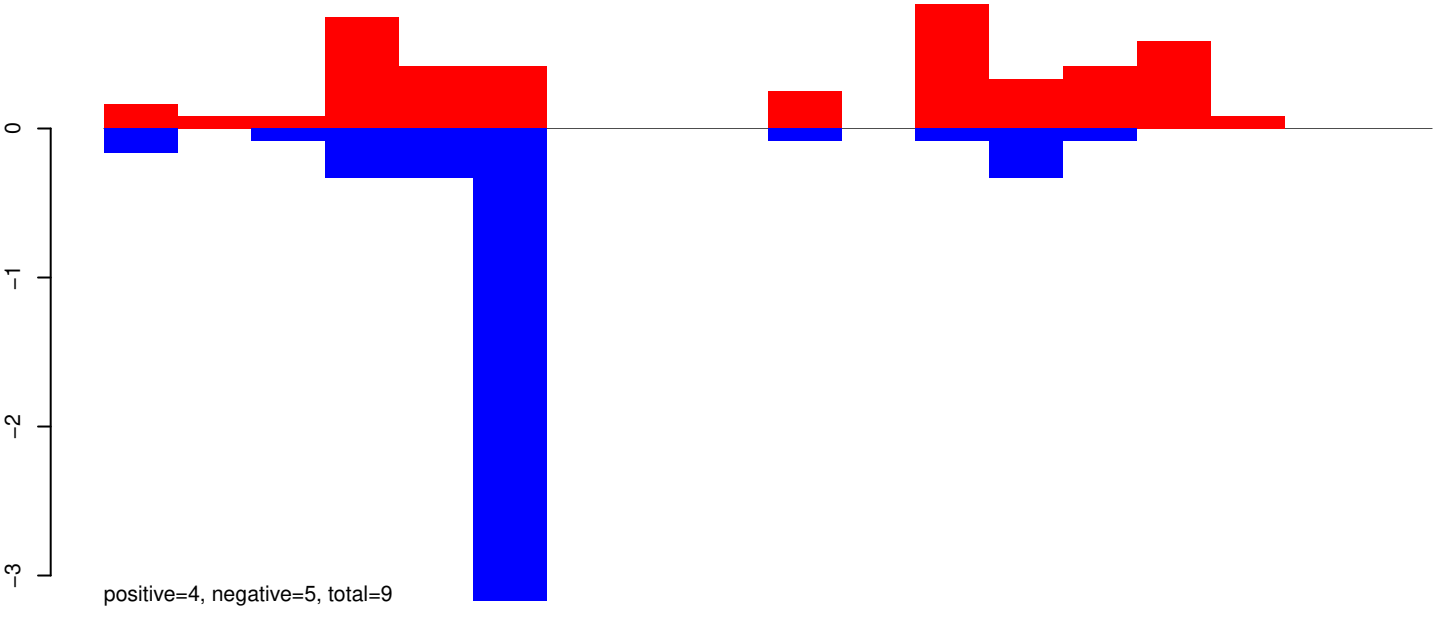
AeAeg_Aag2_Ago2_SINV_RA.rep



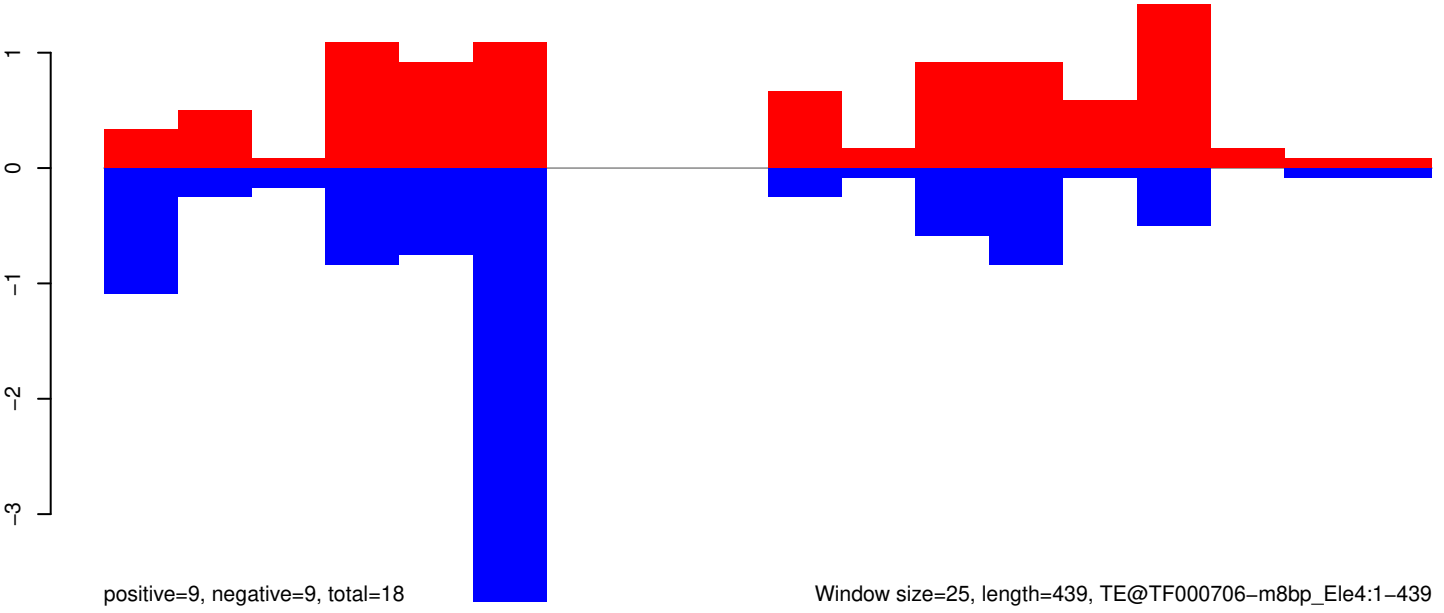
AeAeg_Aag2_Ago2_SINV_RA.18_23.rep



AeAeg_Aag2_Ago2_SINV_RA.24_35.rep



AeAeg_Aag2_Ago2_SINV_RA.rep



Window size=25, length=439, TE@TF000706-m8bp_Ele4:1-439

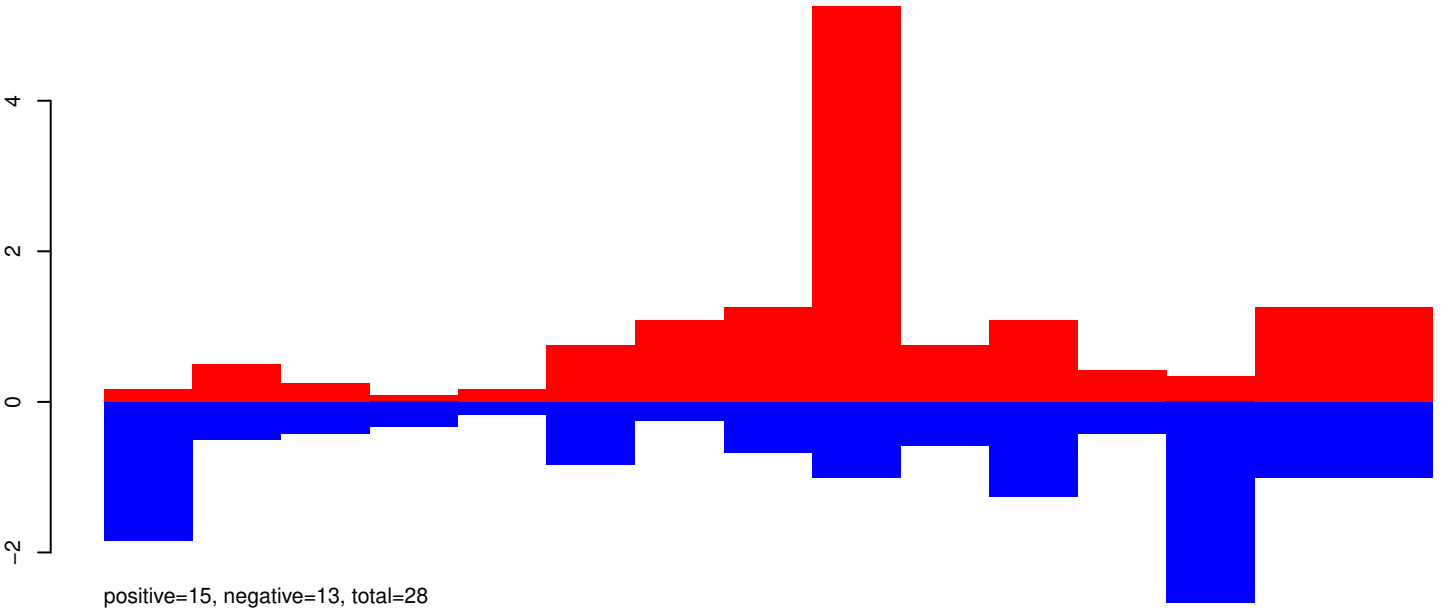
100

200

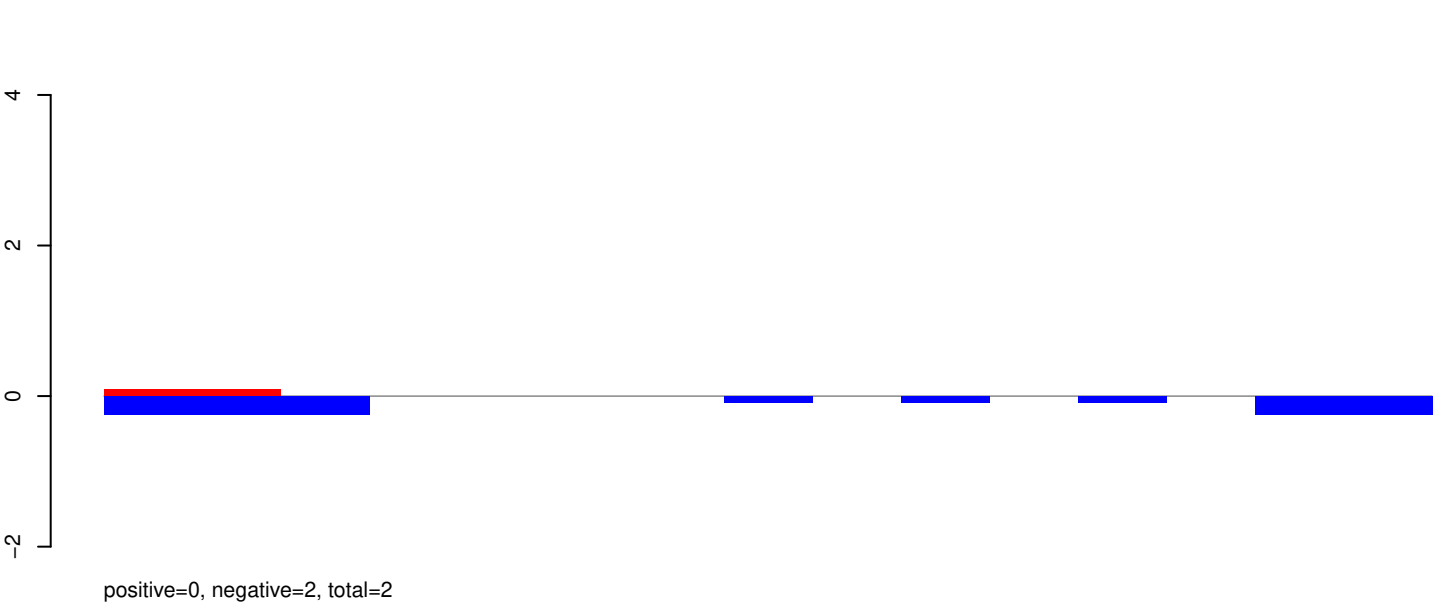
300

400

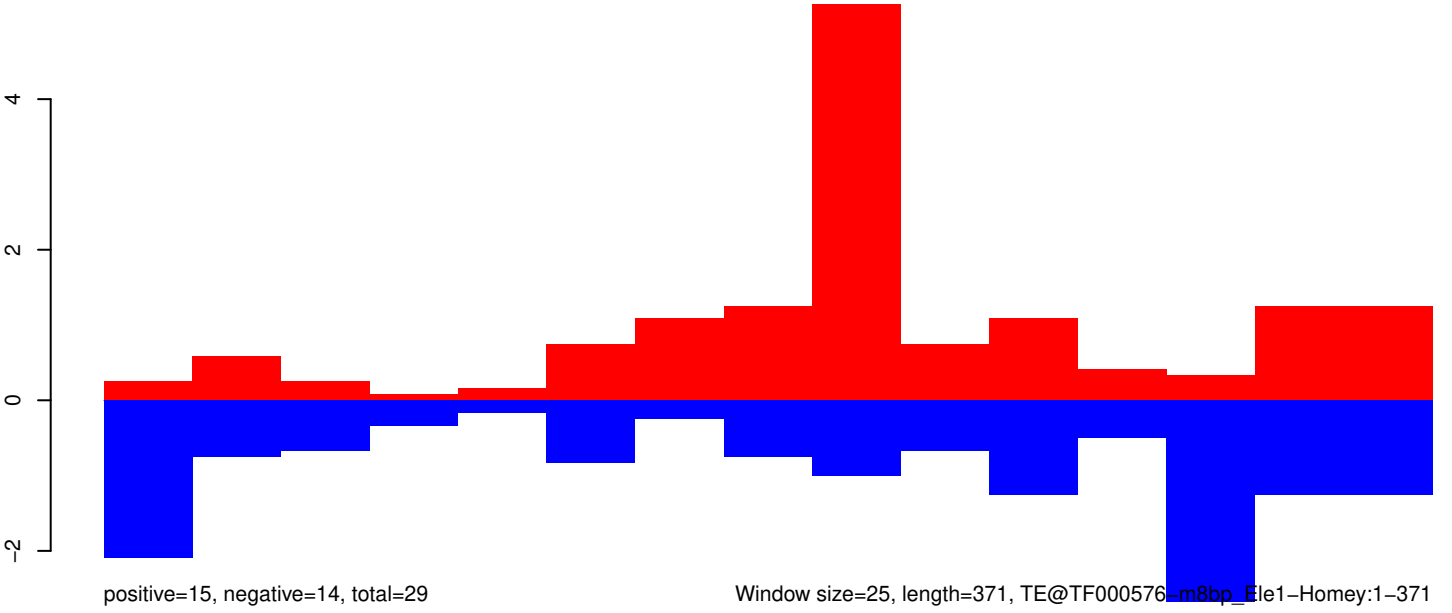
AeAeg_Aag2_Ago2_SINV_RA.18_23.rep



AeAeg_Aag2_Ago2_SINV_RA.24_35.rep



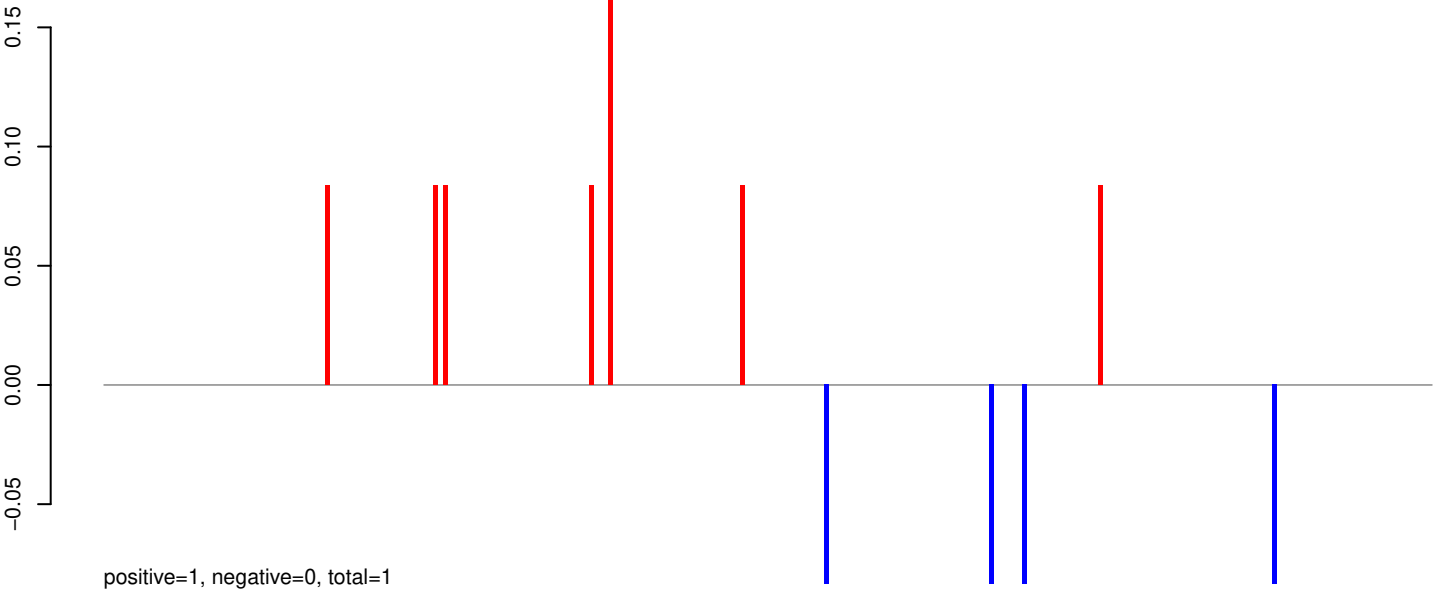
AeAeg_Aag2_Ago2_SINV_RA.rep



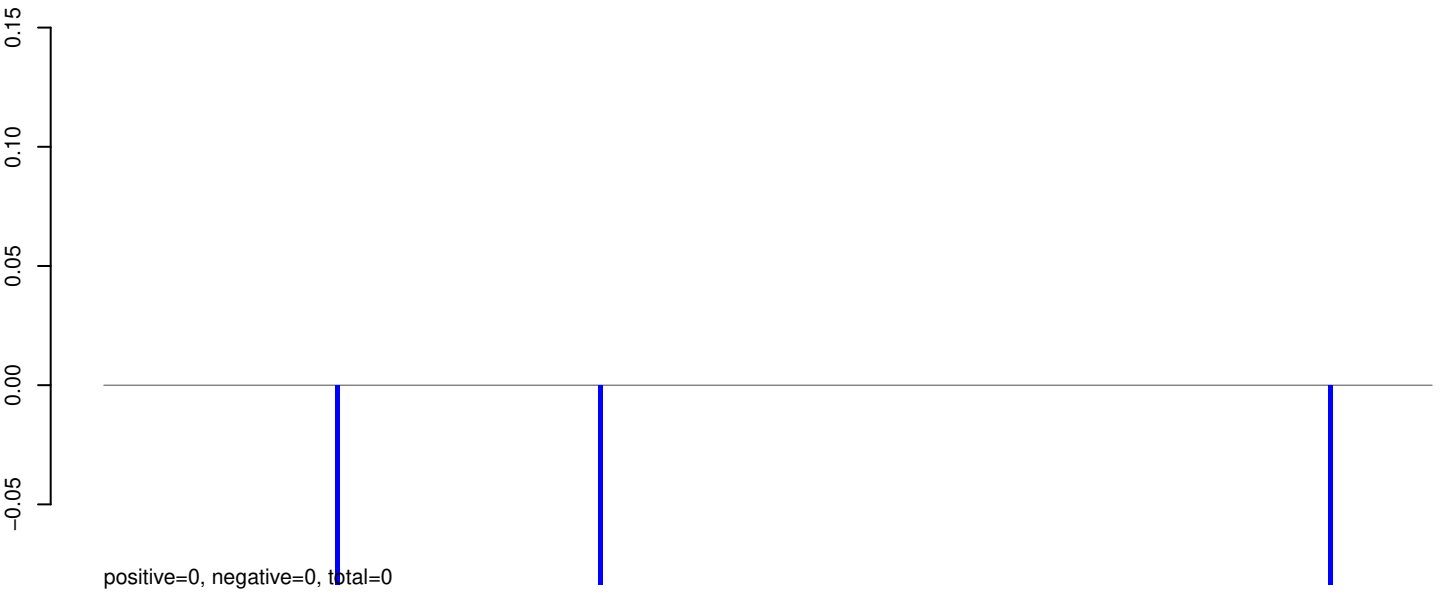
Window size=25, length=371, TE@TF000576_m8bp_Ele1-Homey:1-371

100 200 300 400

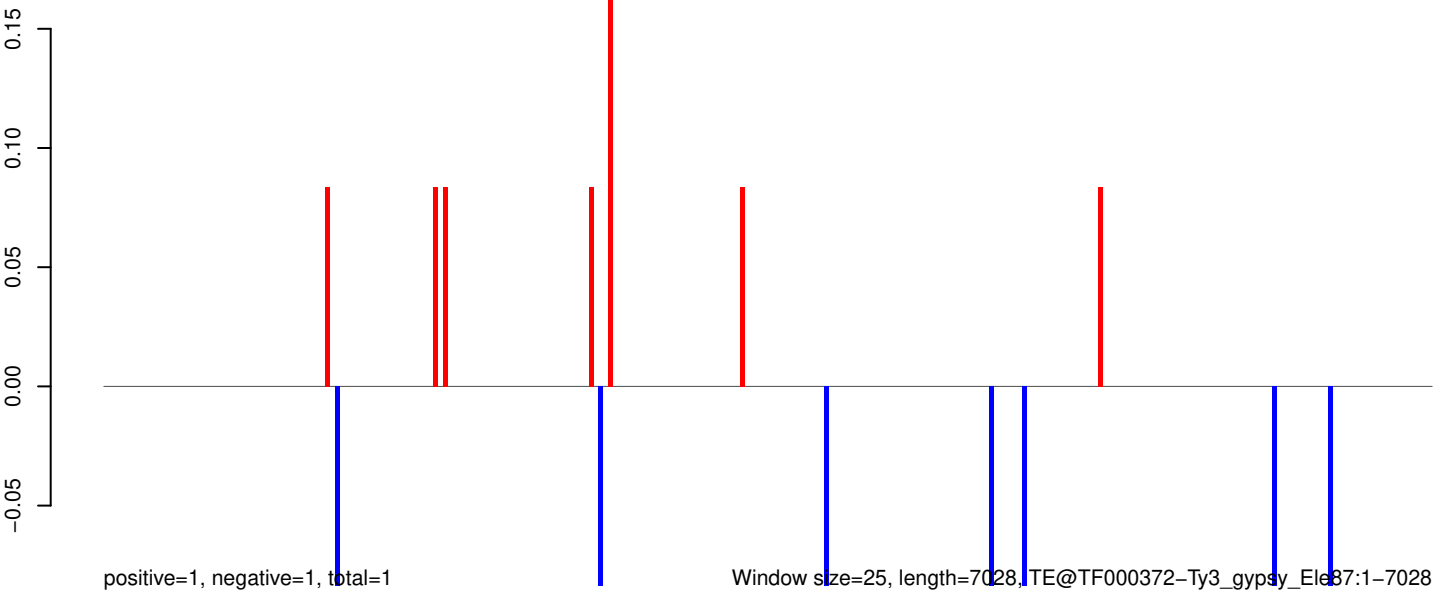
AeAeg_Aag2_Ago2_SINV_RA.18_23.rep



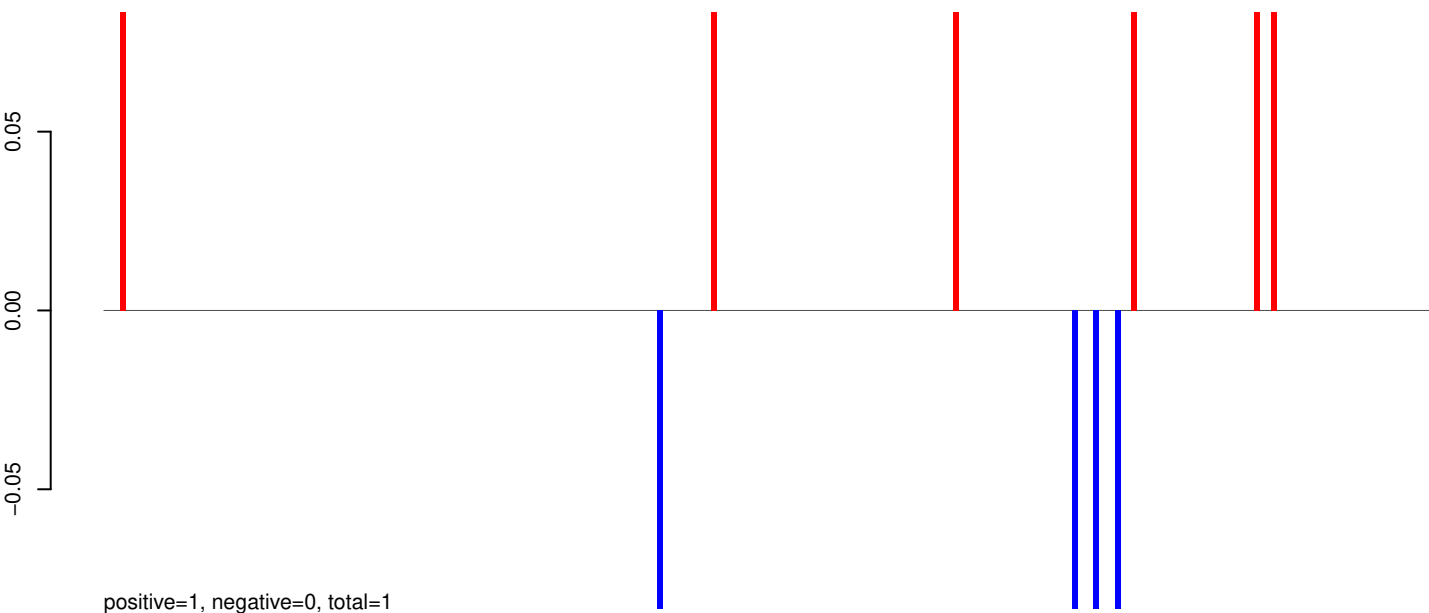
AeAeg_Aag2_Ago2_SINV_RA.24_35.rep



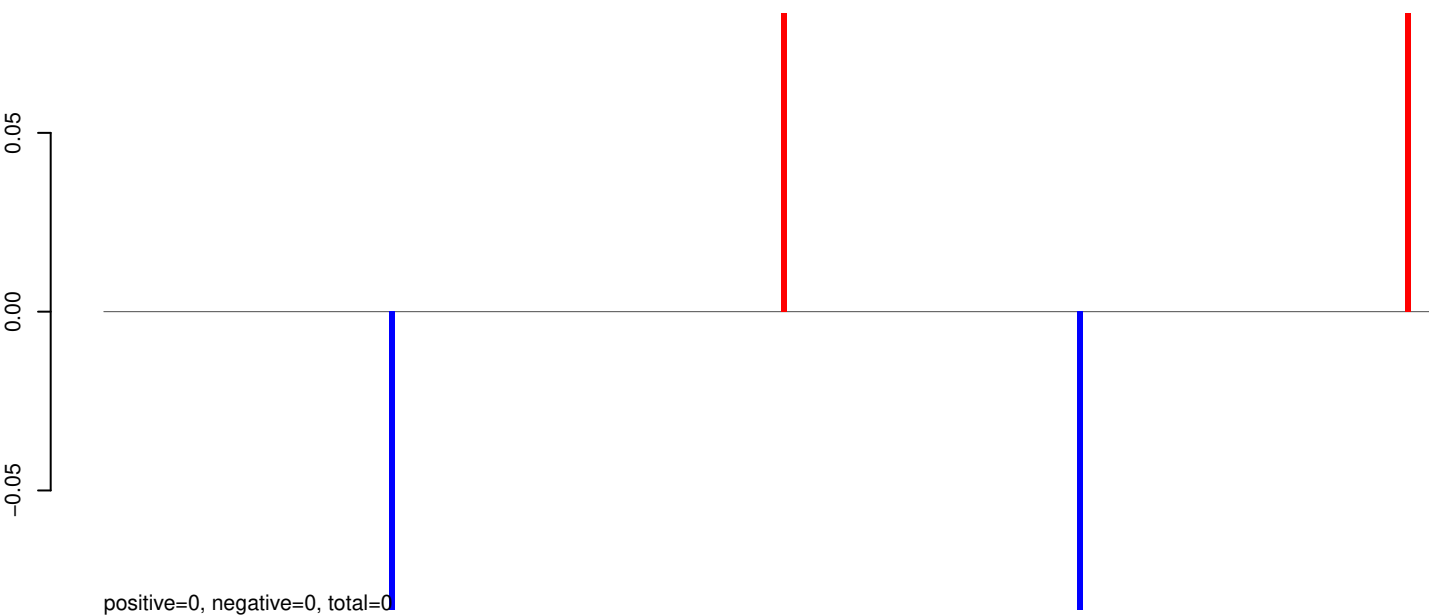
AeAeg_Aag2_Ago2_SINV_RA.rep



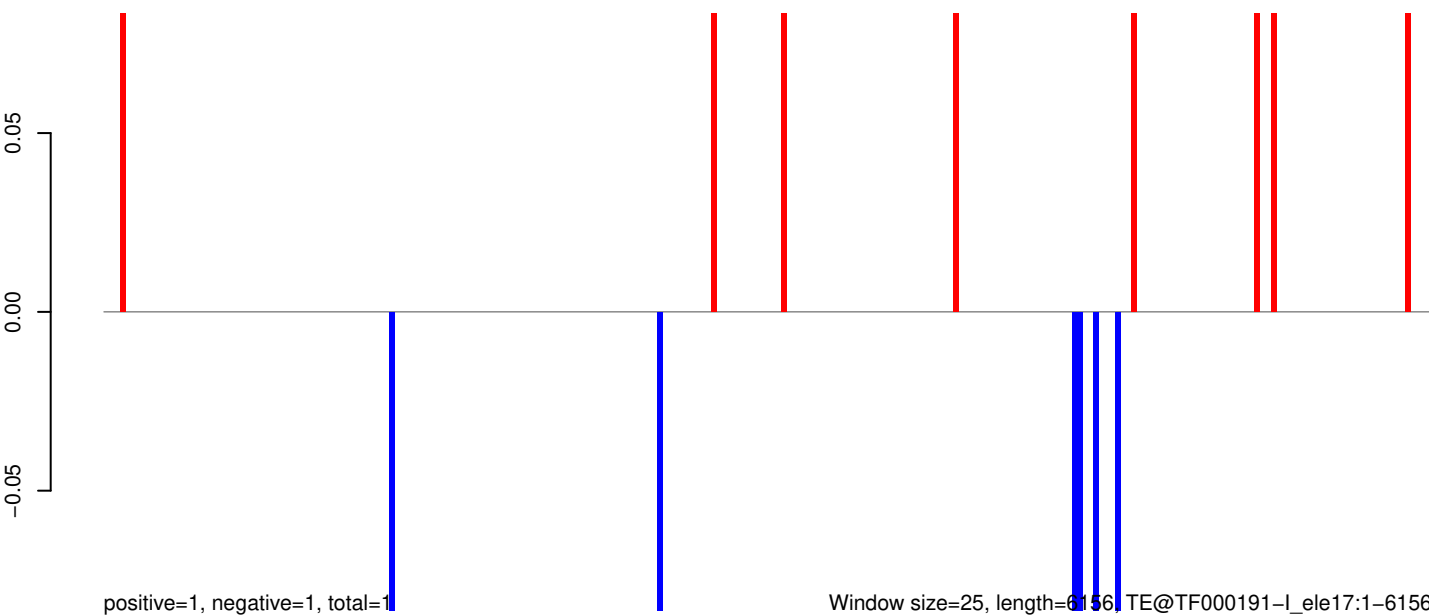
AeAeg_Aag2_Ago2_SINV_RA.18_23.rep



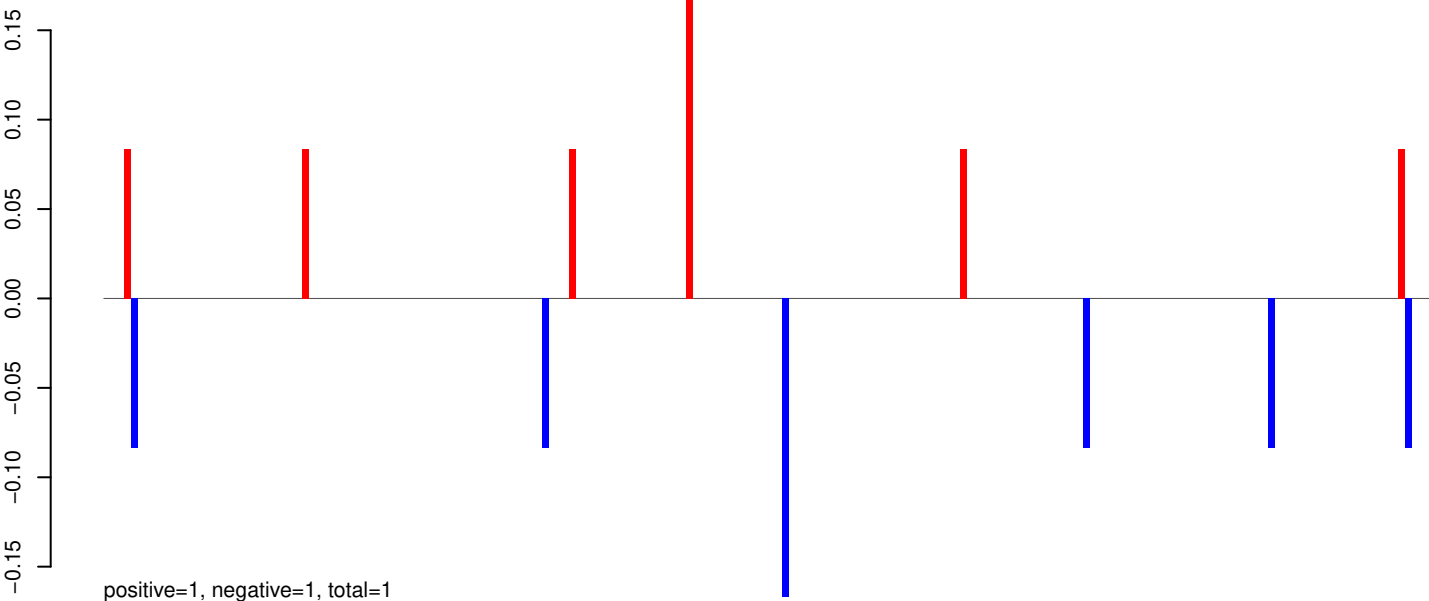
AeAeg_Aag2_Ago2_SINV_RA.24_35.rep



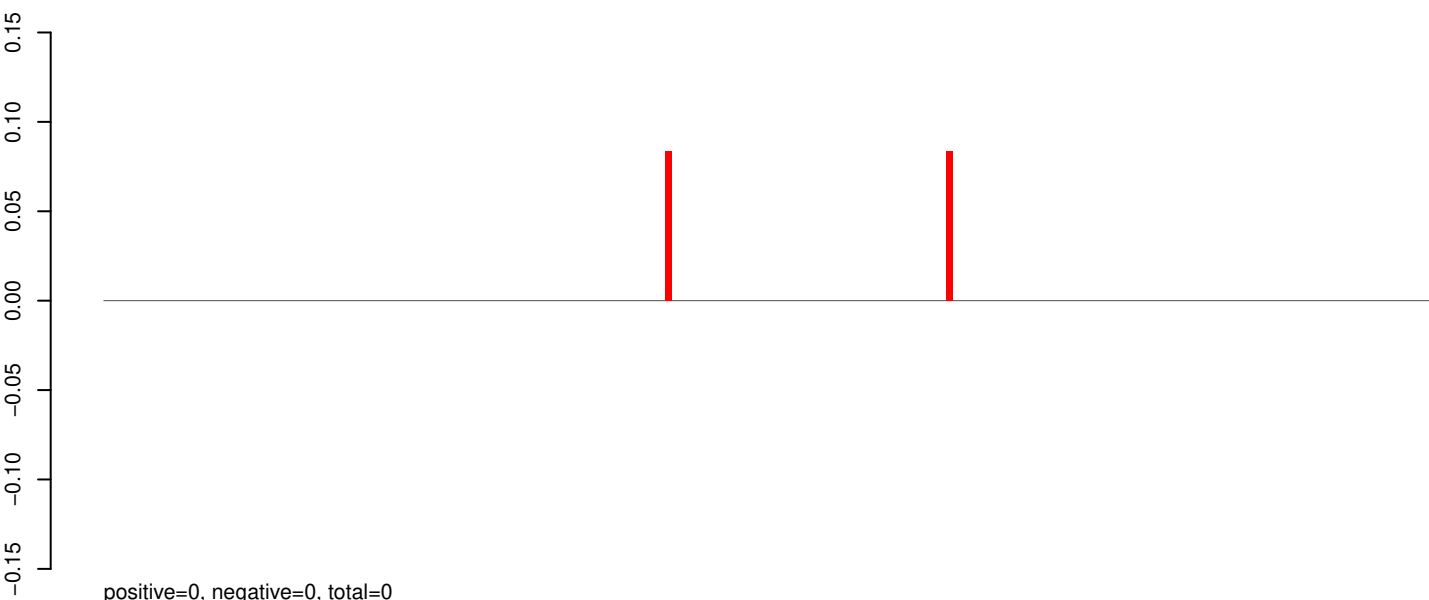
AeAeg_Aag2_Ago2_SINV_RA.rep



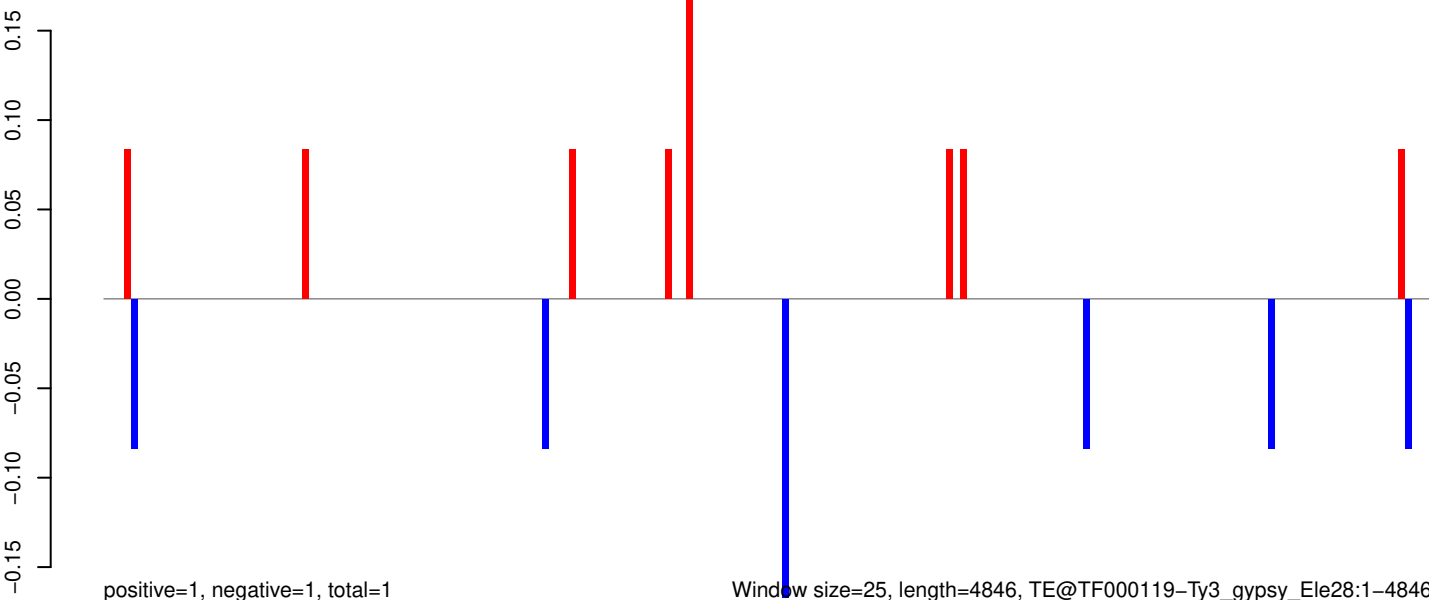
AeAeg_Aag2_Ago2_SINV_RA.18_23.rep



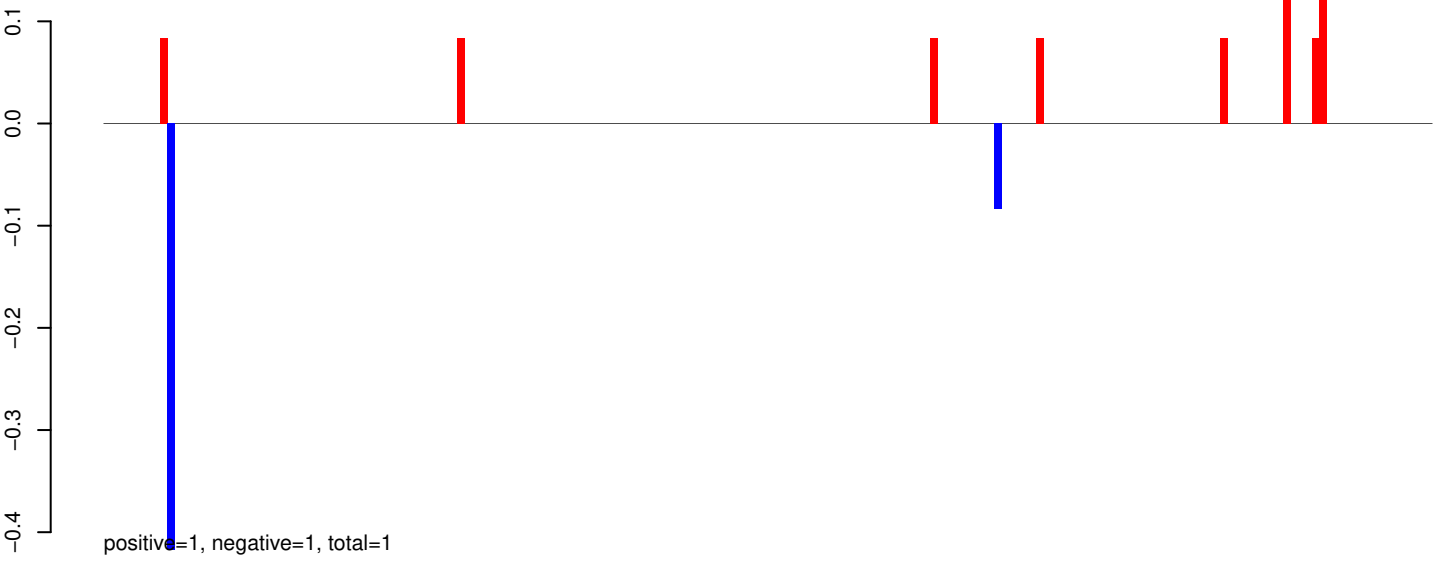
AeAeg_Aag2_Ago2_SINV_RA.24_35.rep



AeAeg_Aag2_Ago2_SINV_RA.rep



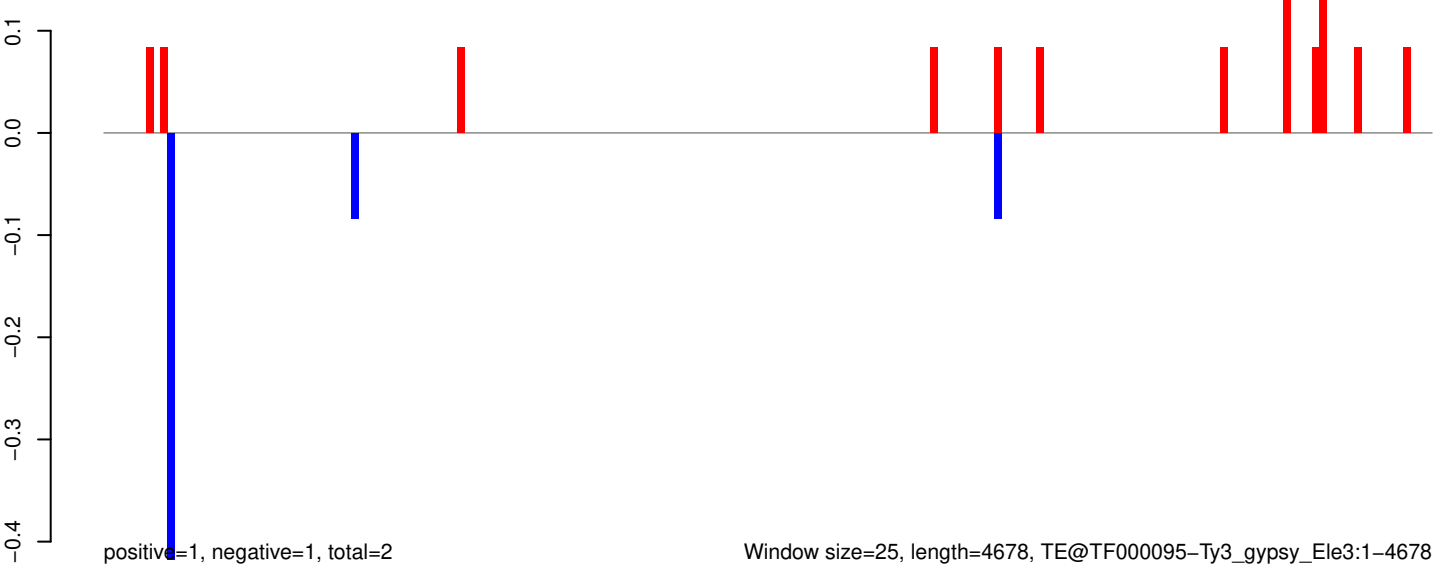
AeAeg_Aag2_Ago2_SINV_RA.18_23.rep



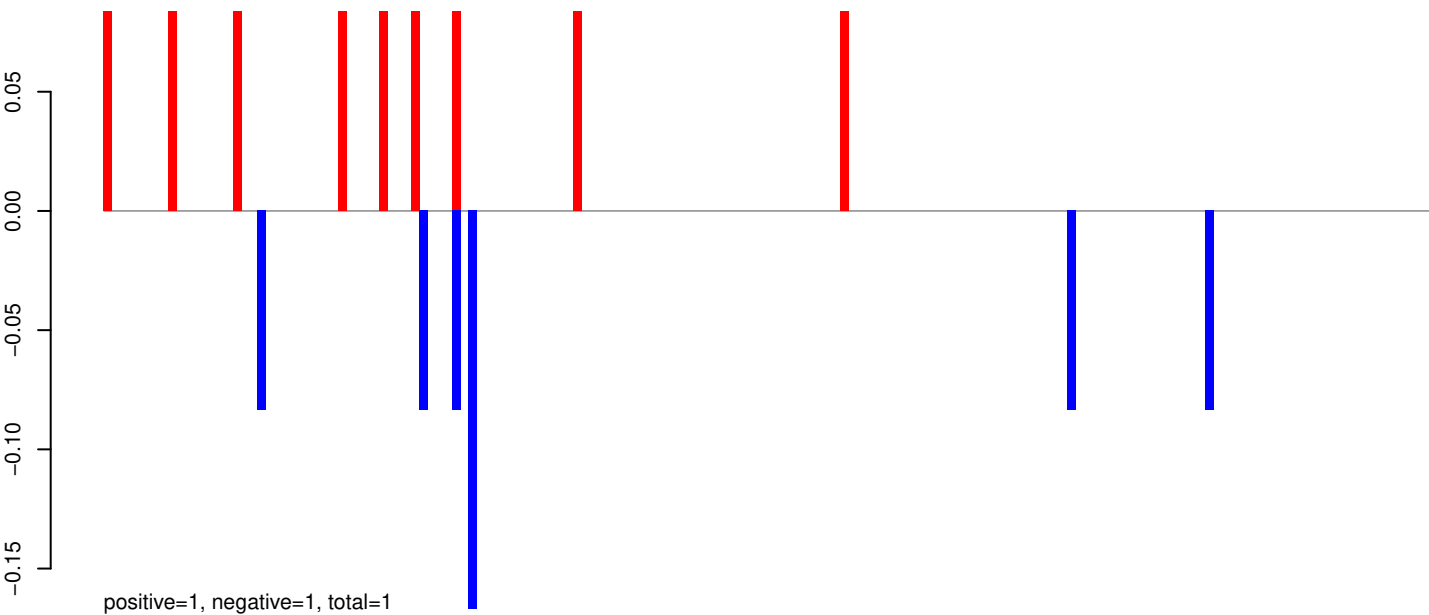
AeAeg_Aag2_Ago2_SINV_RA.24_35.rep



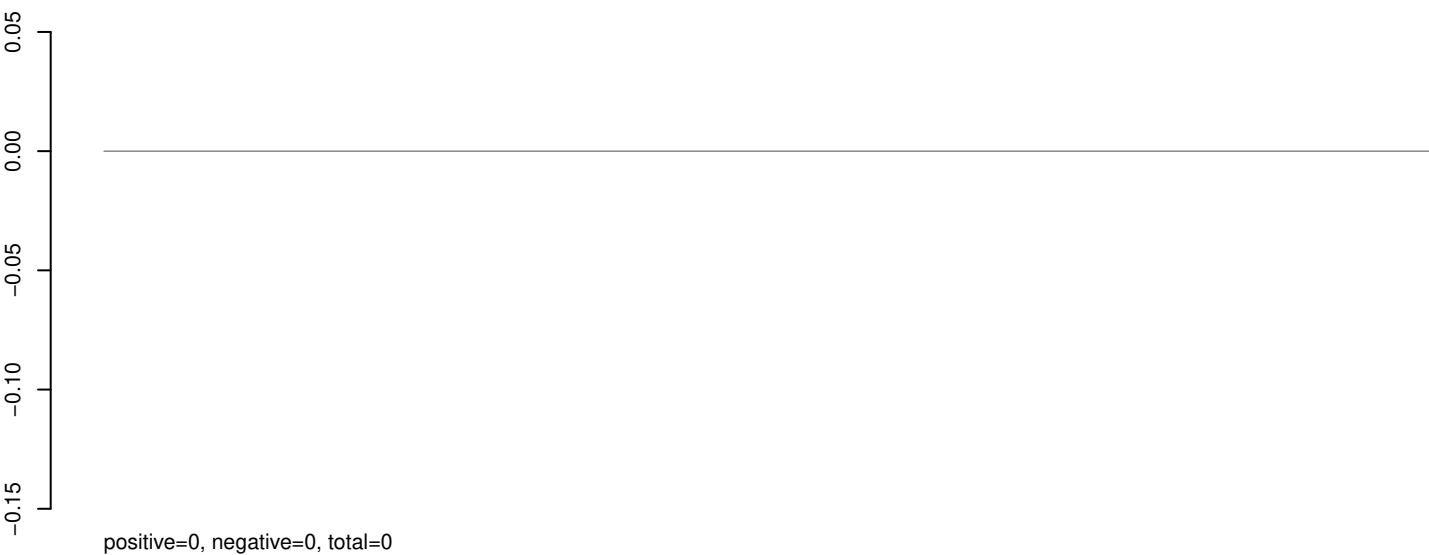
AeAeg_Aag2_Ago2_SINV_RA.rep



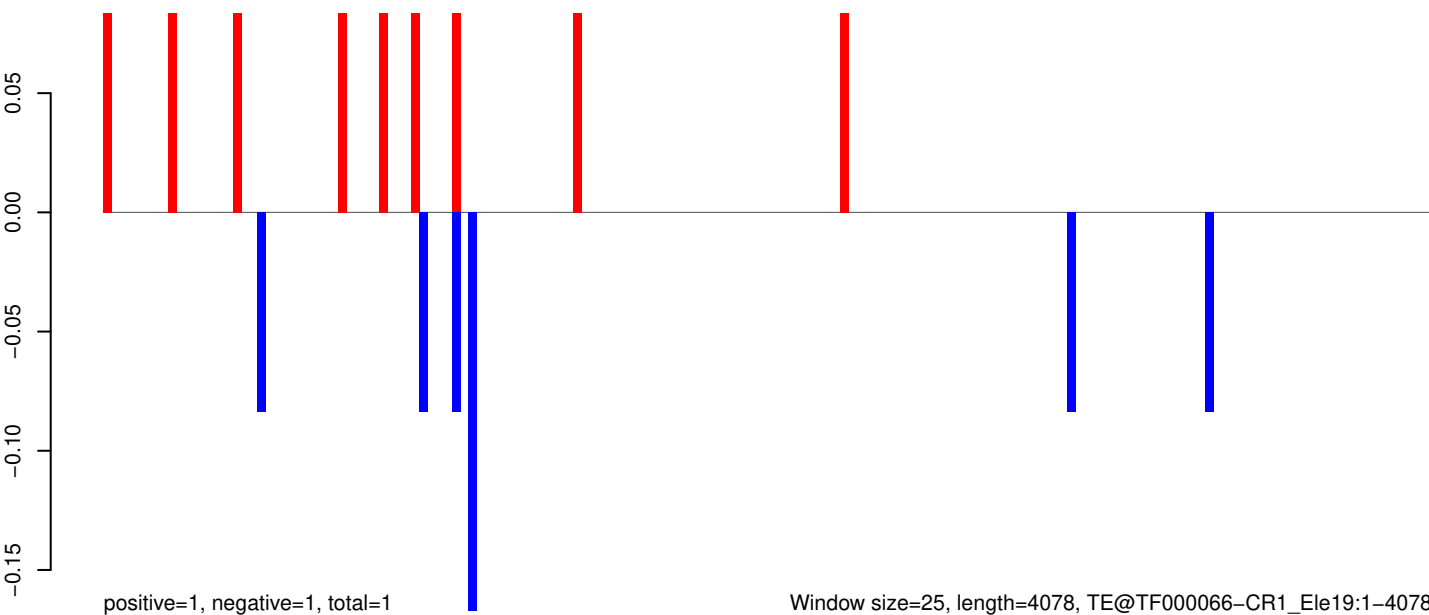
AeAeg_Aag2_Ago2_SINV_RA.18_23.rep



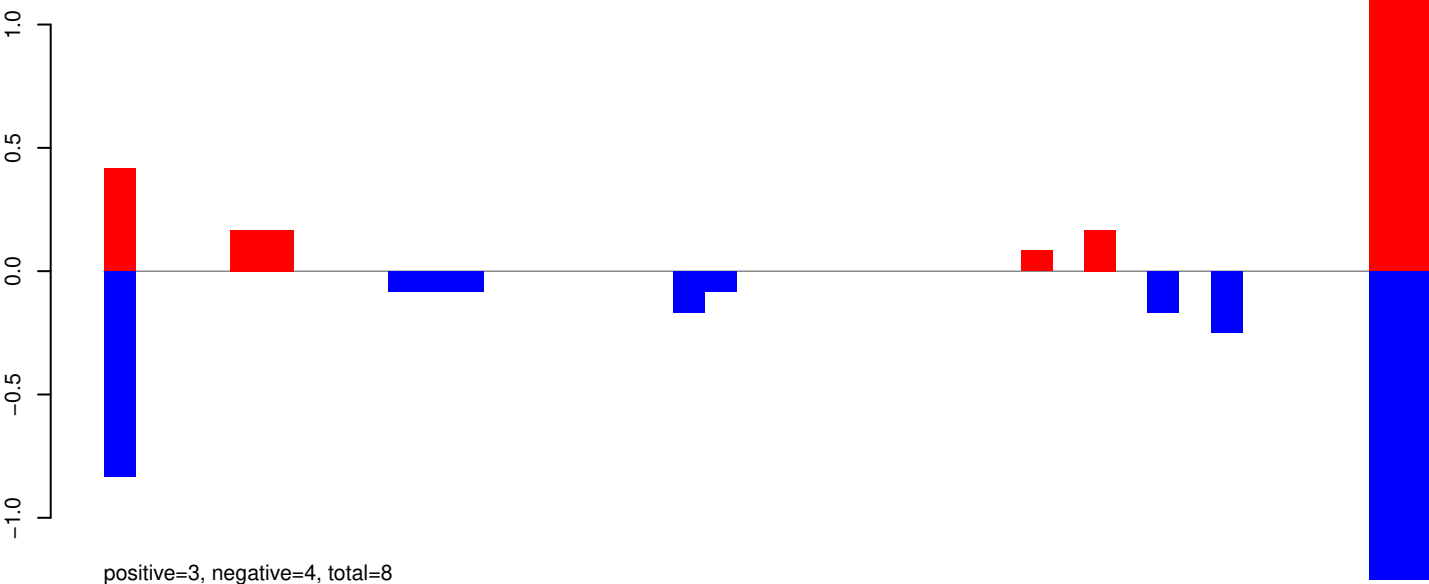
AeAeg_Aag2_Ago2_SINV_RA.24_35.rep



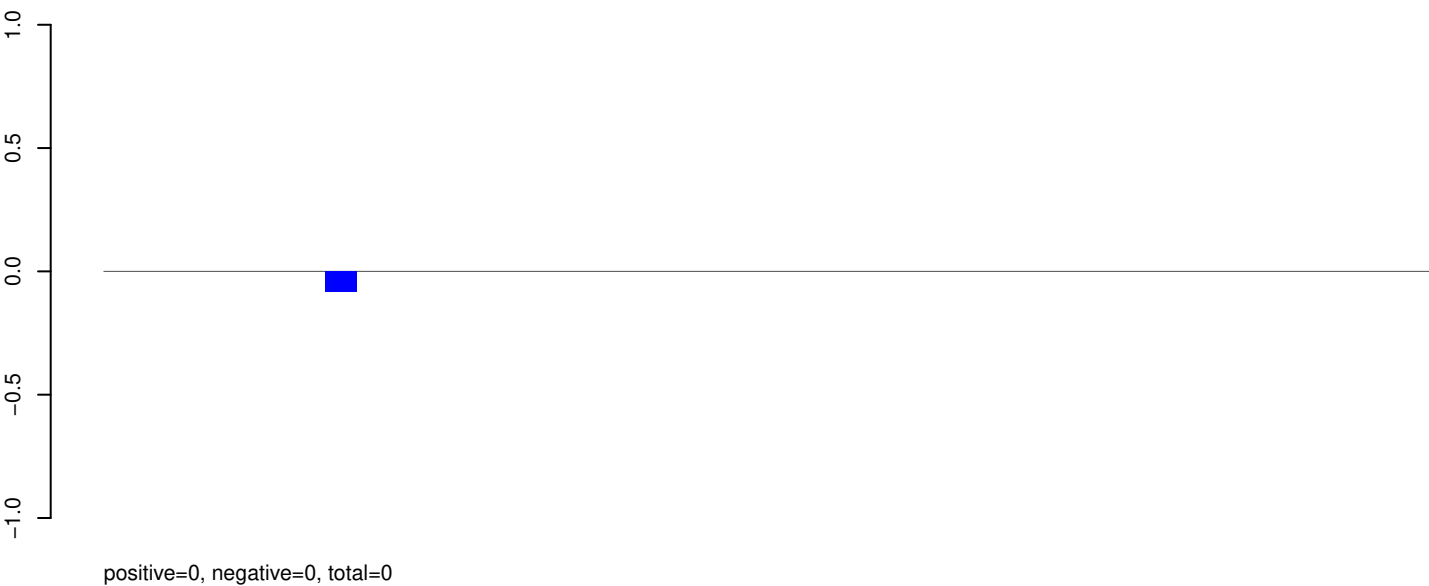
AeAeg_Aag2_Ago2_SINV_RA.rep



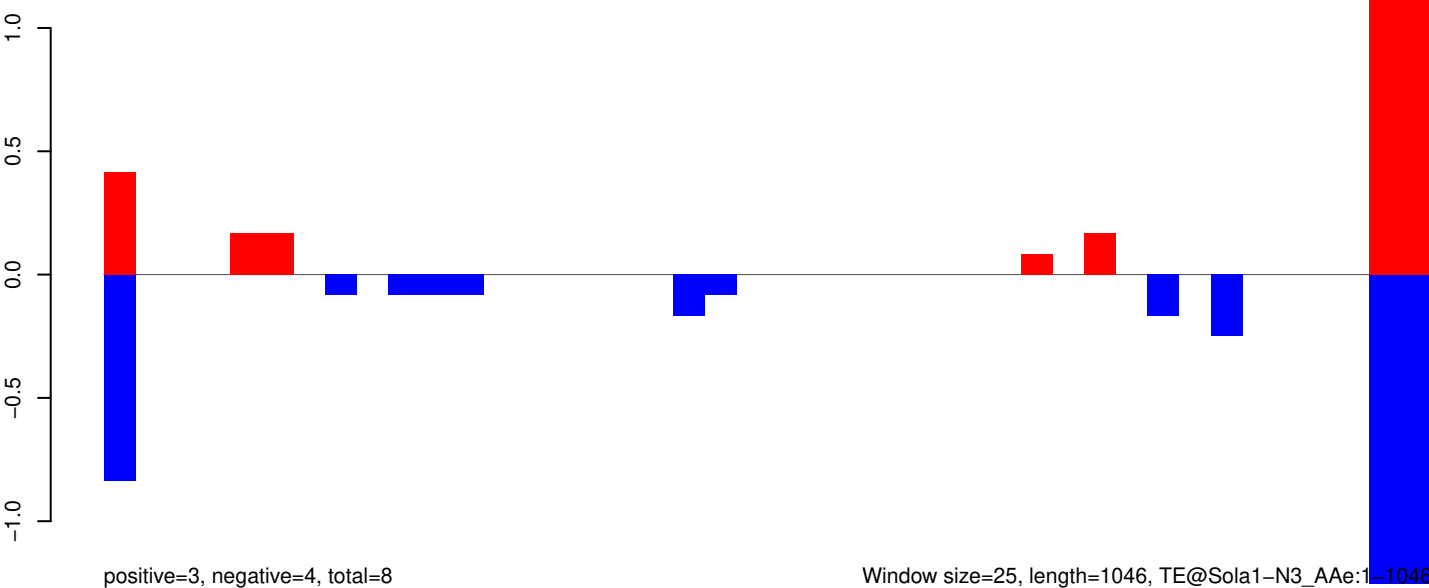
AeAeg_Aag2_Ago2_SINV_RA.18_23.rep



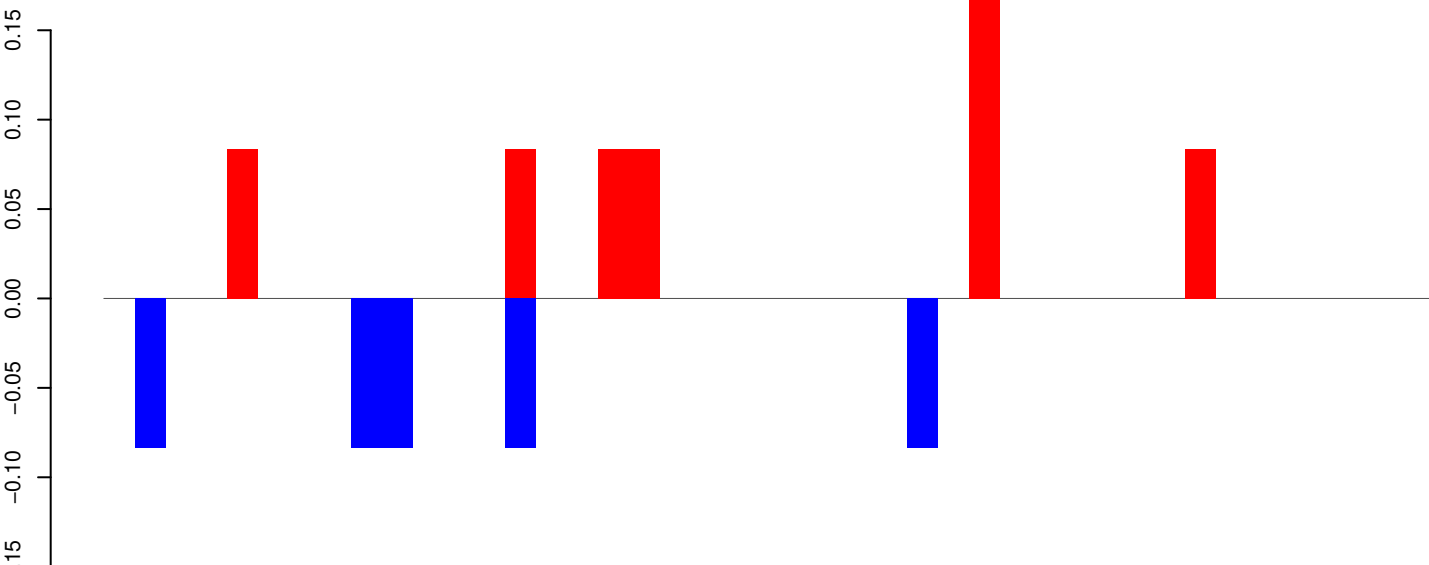
AeAeg_Aag2_Ago2_SINV_RA.24_35.rep



AeAeg_Aag2_Ago2_SINV_RA.rep

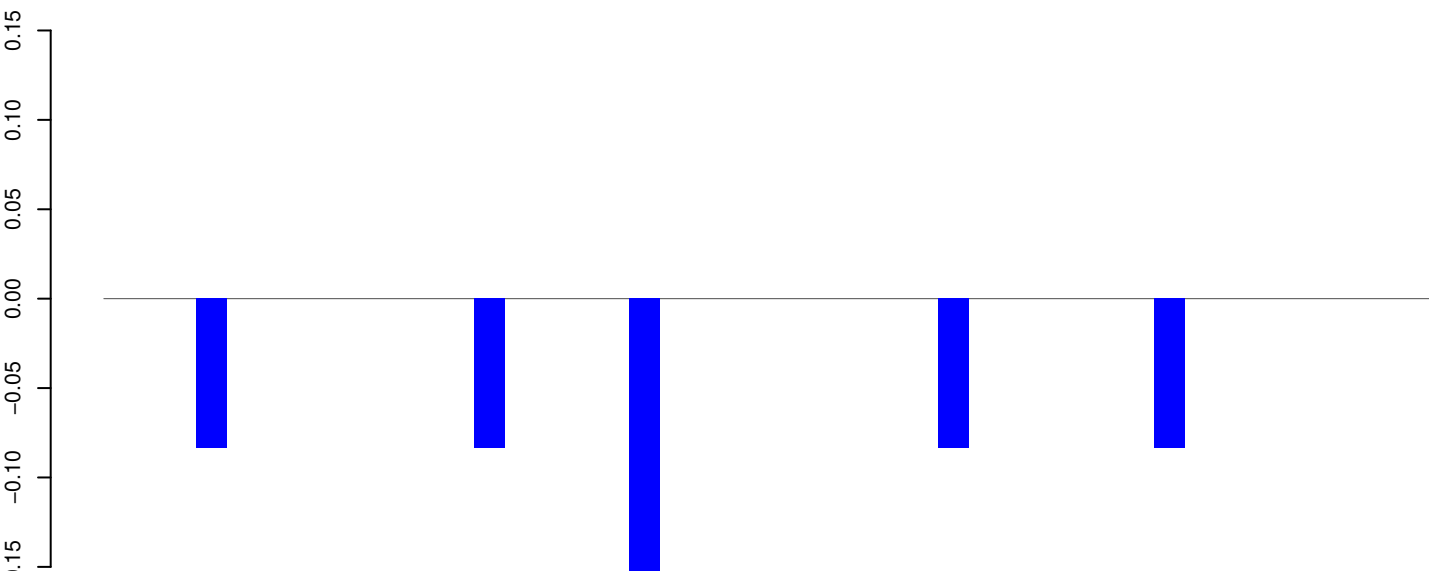


AeAeg_Aag2_Ago2_SINV_RA.18_23.rep



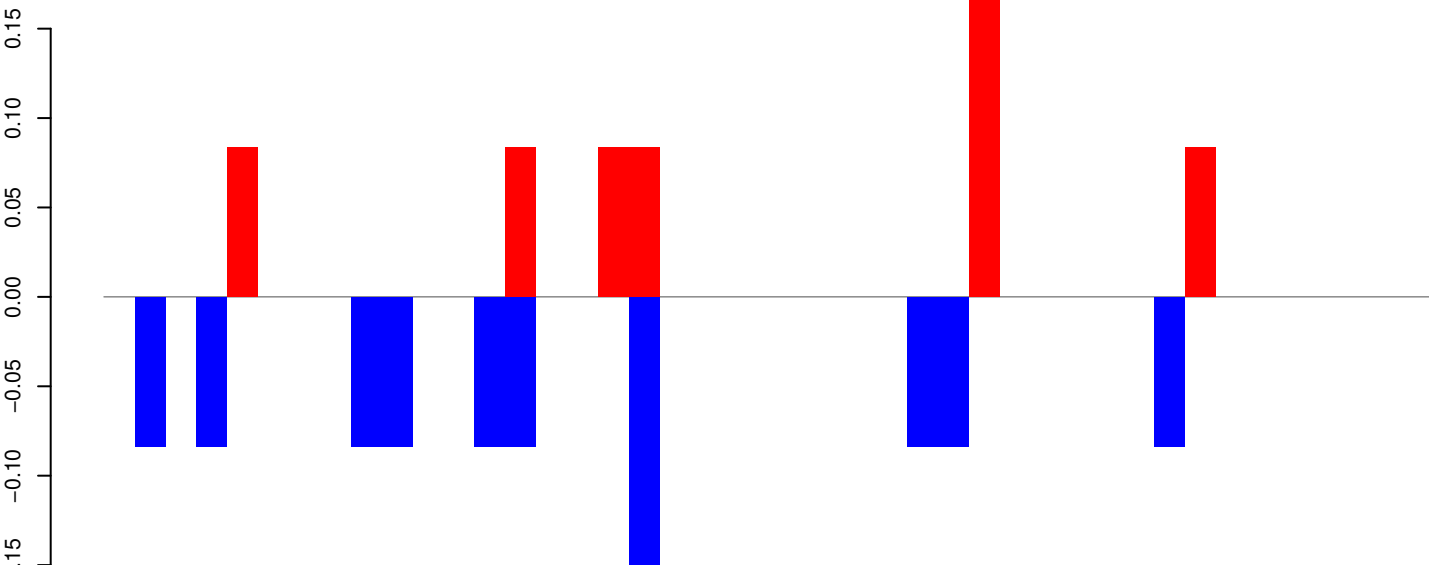
positive=1, negative=0, total=1

AeAeg_Aag2_Ago2_SINV_RA.24_35.rep



positive=0, negative=1, total=1

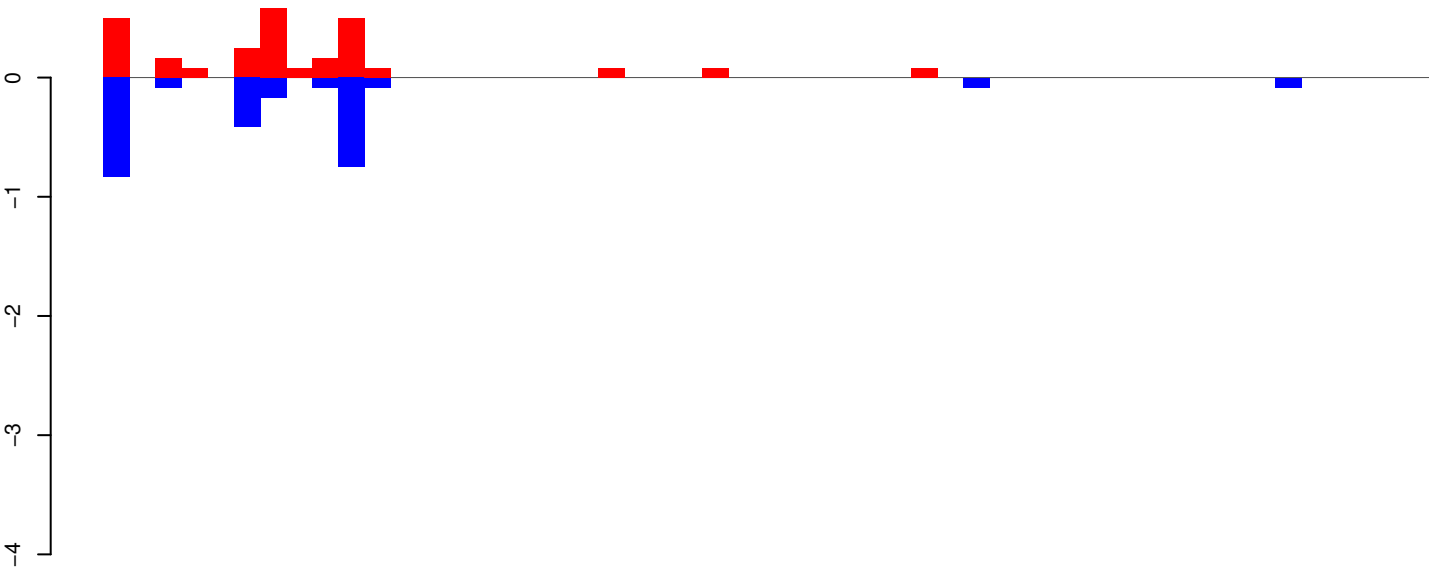
AeAeg_Aag2_Ago2_SINV_RA.rep



positive=1, negative=1, total=2

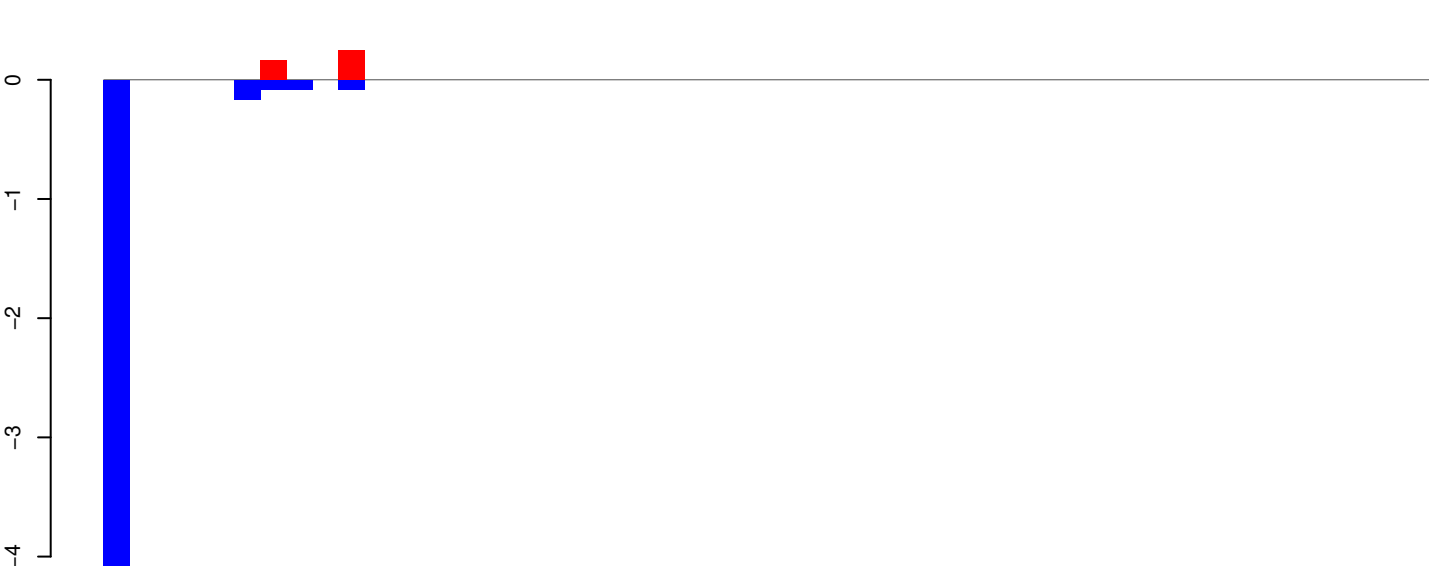
Window size=25, length=1058, TE@R=454-UNKNOWN:1-1058

AeAeg_Aag2_Ago2_SINV_RA.18_23.rep



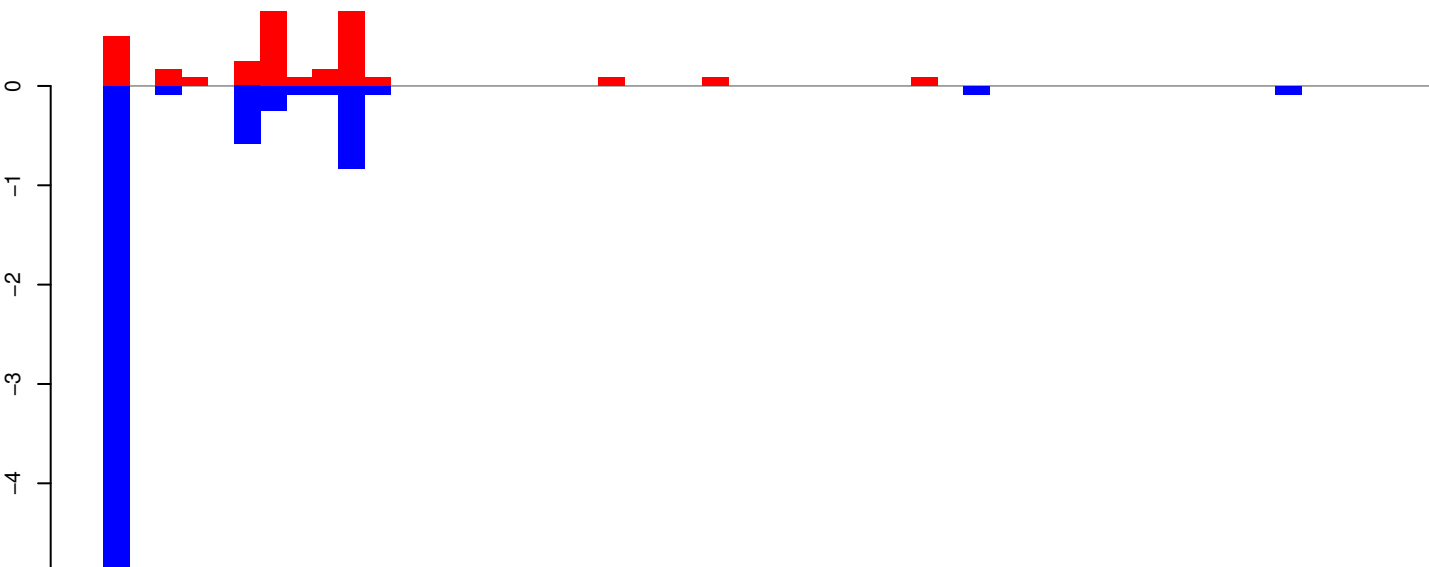
positive=3, negative=3, total=5

AeAeg_Aag2_Ago2_SINV_RA.24_35.rep



positive=0, negative=5, total=5

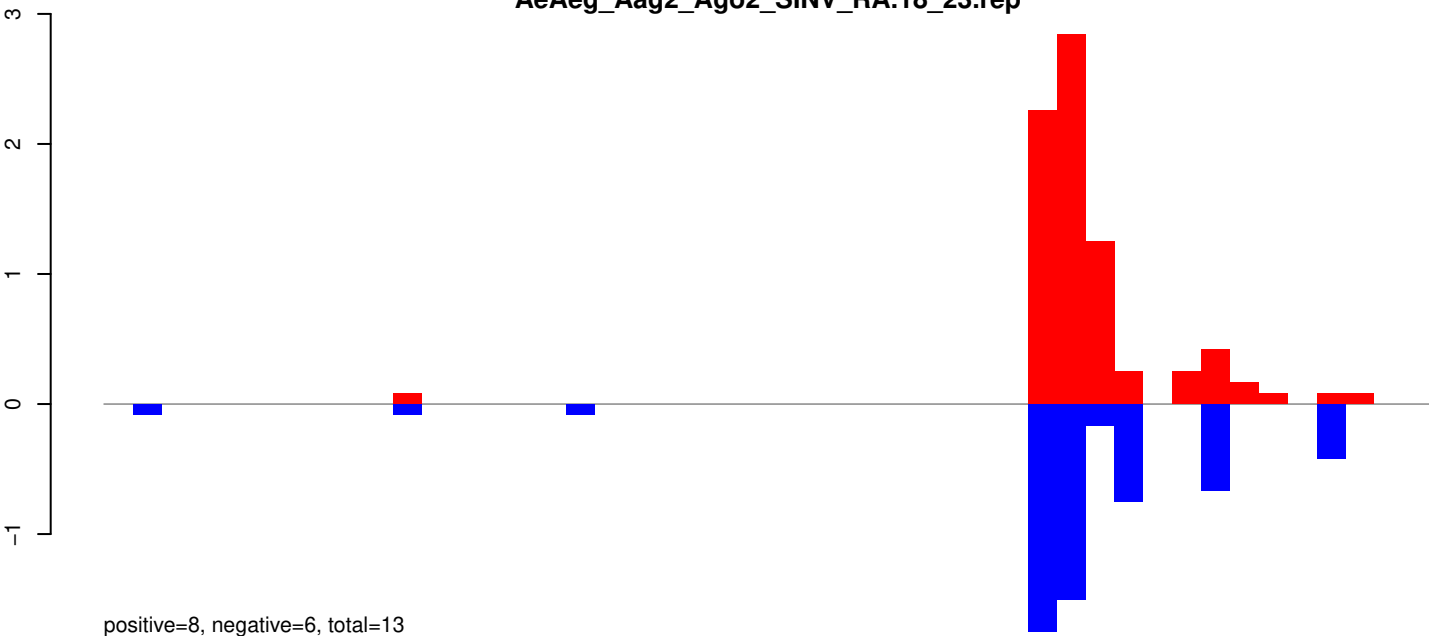
AeAeg_Aag2_Ago2_SINV_RA.rep



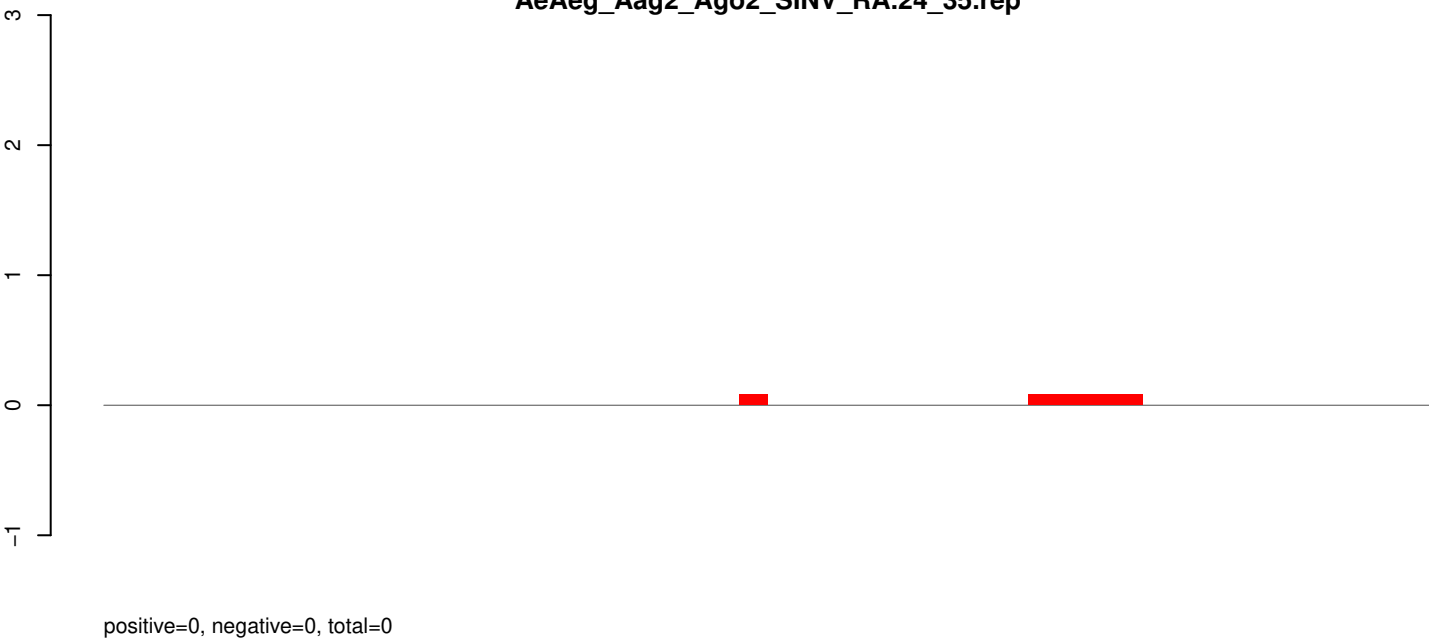
positive=3, negative=7, total=11

Window size=25, length=1261, TE@R=2174-UNKNOWN:1-1261

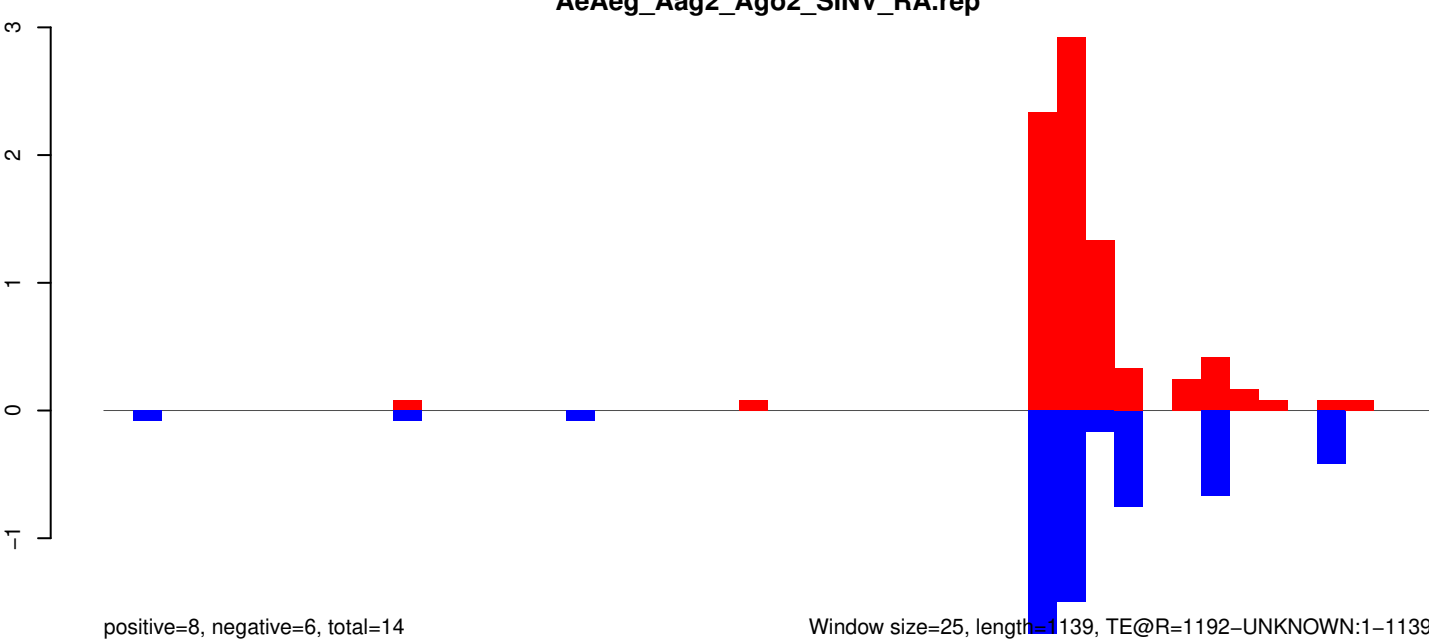
AeAeg_Aag2_Ago2_SINV_RA.18_23.rep



AeAeg_Aag2_Ago2_SINV_RA.24_35.rep

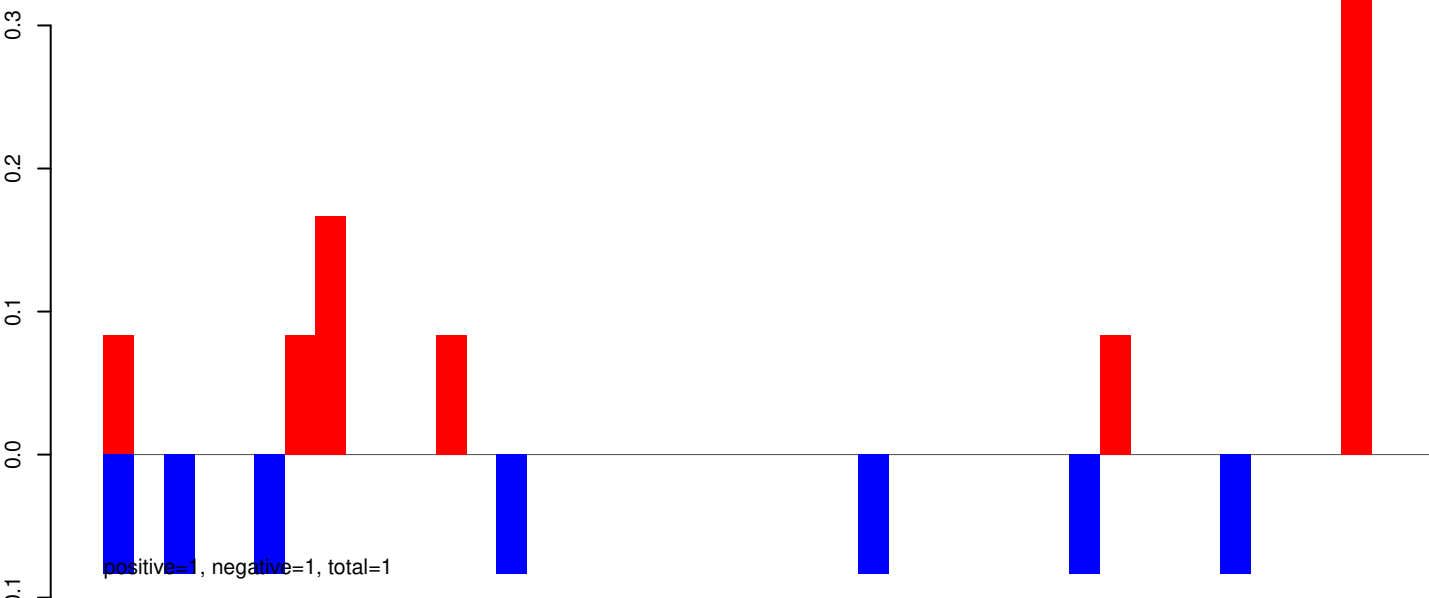


AeAeg_Aag2_Ago2_SINV_RA.rep

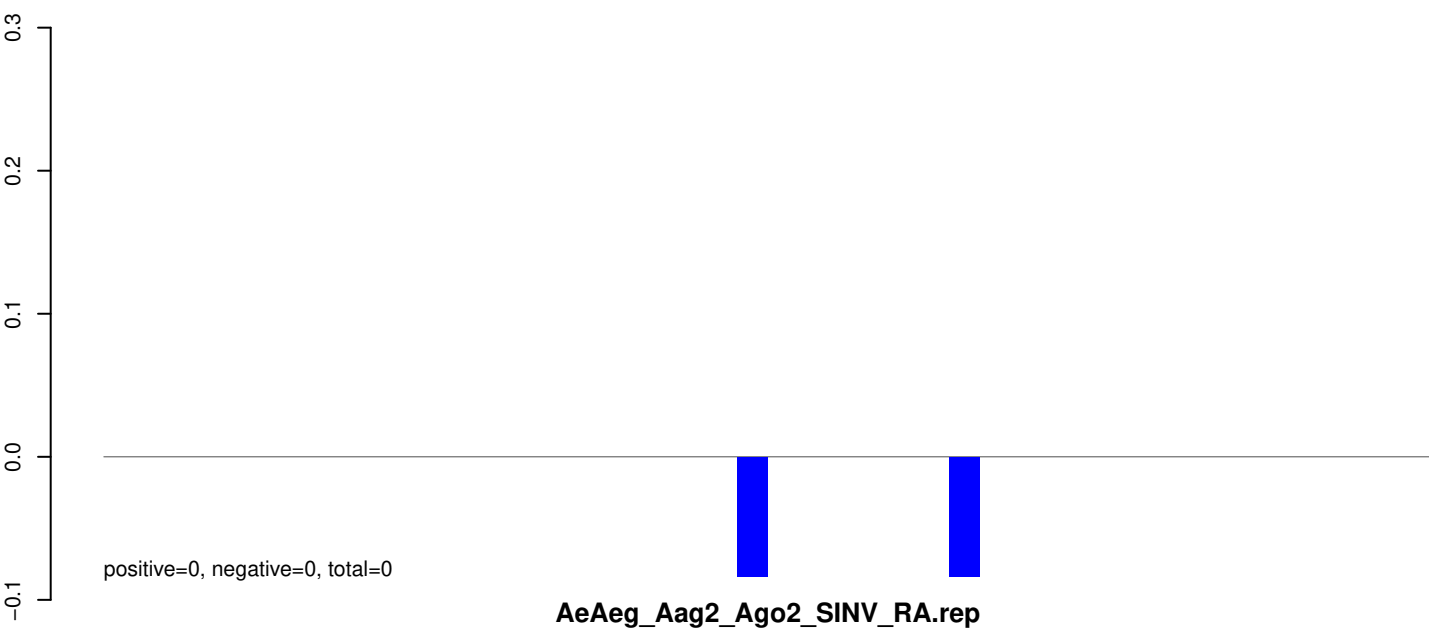


Window size=25, length=1139, TE@R=1192-UNKNOWN:1-1139

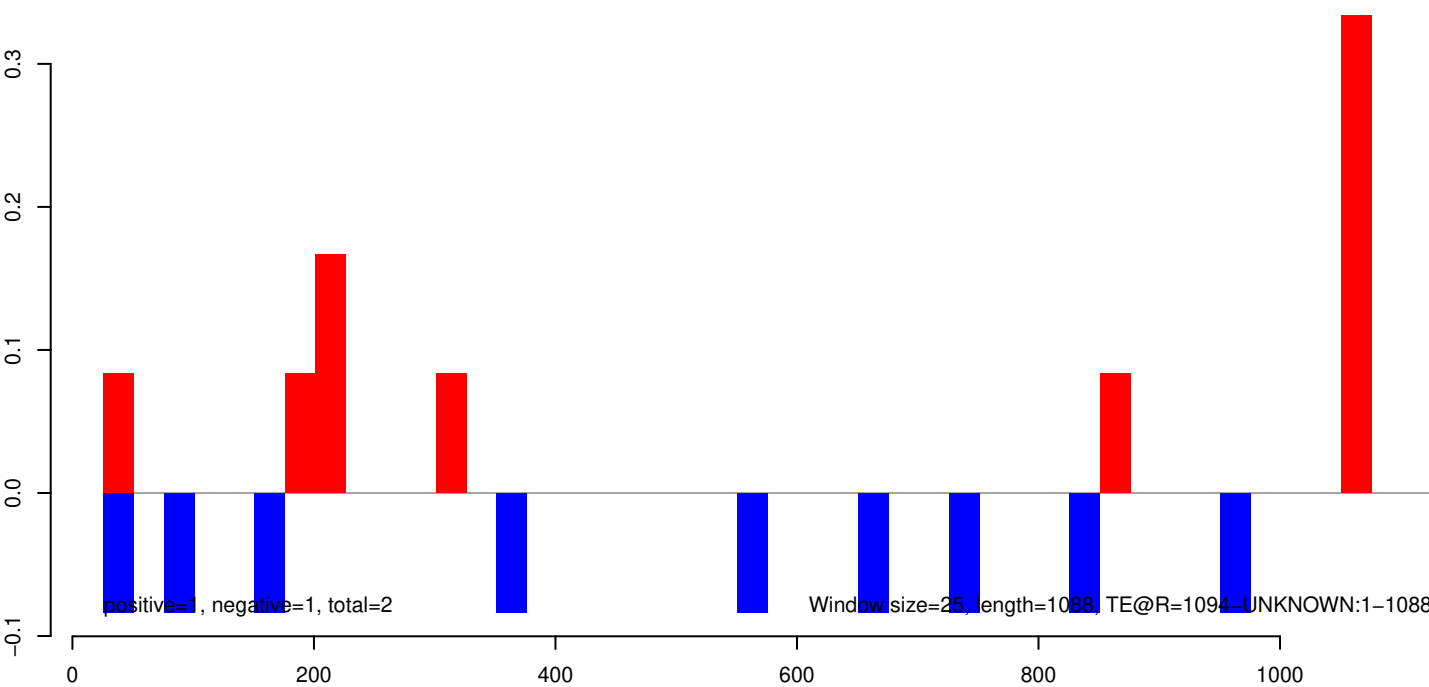
AeAeg_Aag2_Ago2_SINV_RA.18_23.rep



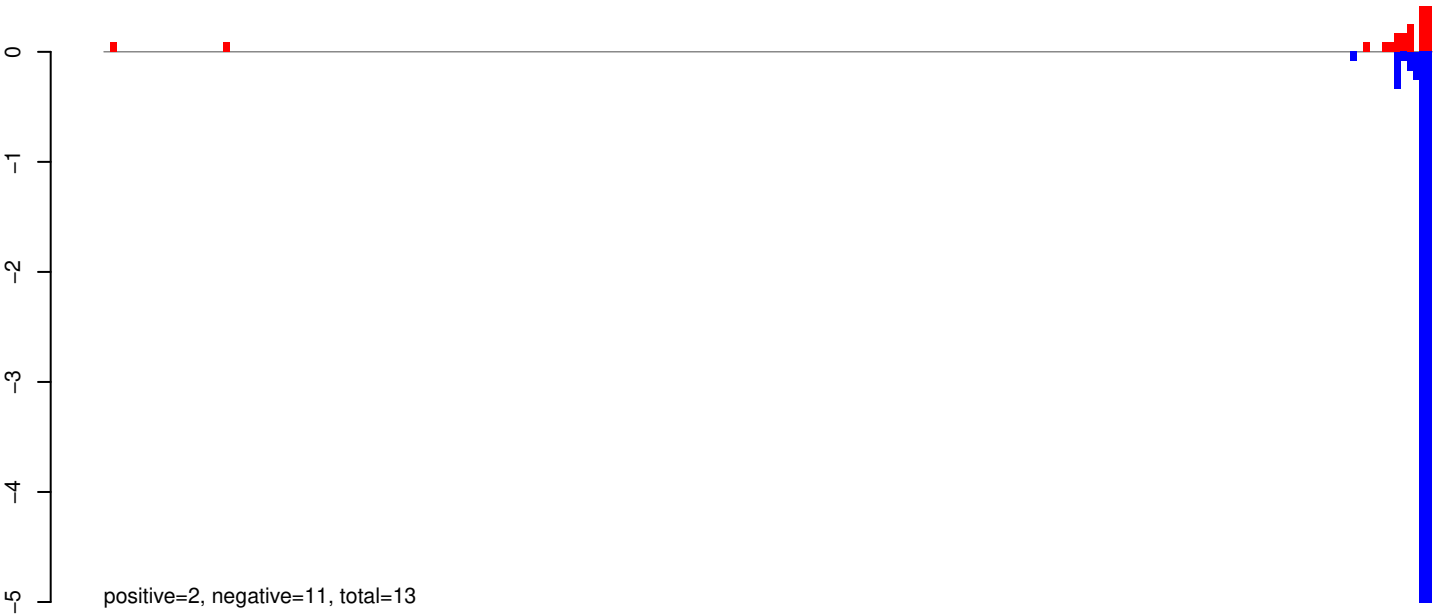
AeAeg_Aag2_Ago2_SINV_RA.24_35.rep



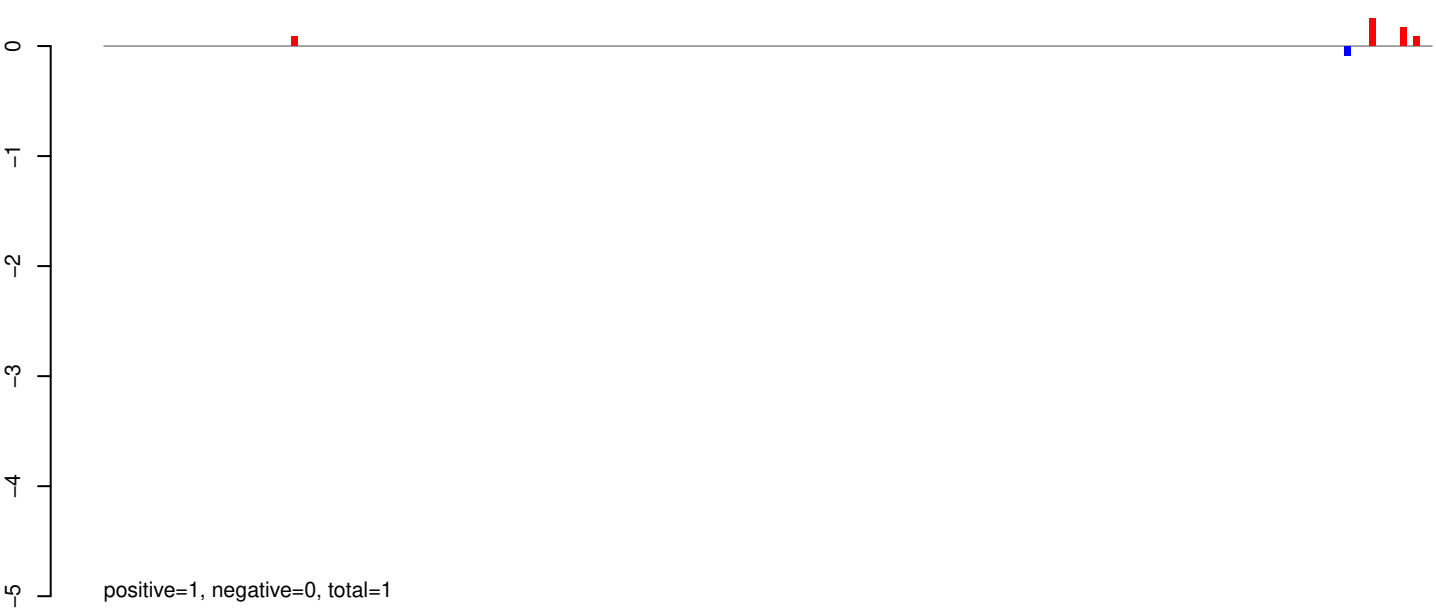
AeAeg_Aag2_Ago2_SINV_RA.rep



AeAeg_Aag2_Ago2_SINV_RA.18_23.rep



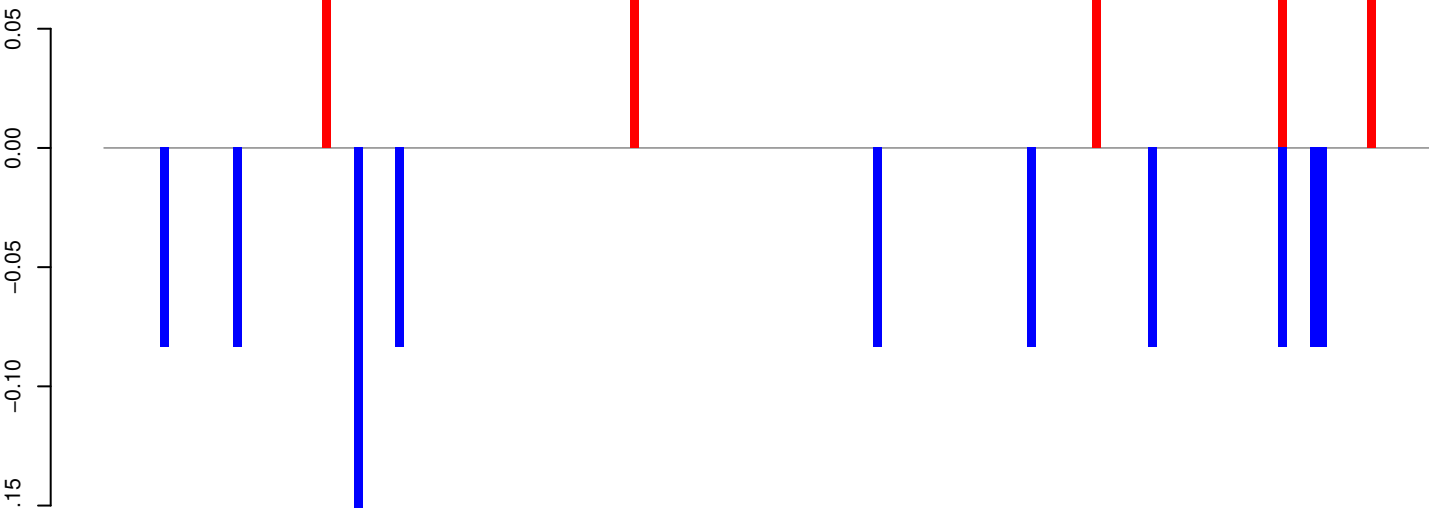
AeAeg_Aag2_Ago2_SINV_RA.24_35.rep



AeAeg_Aag2_Ago2_SINV_RA.rep

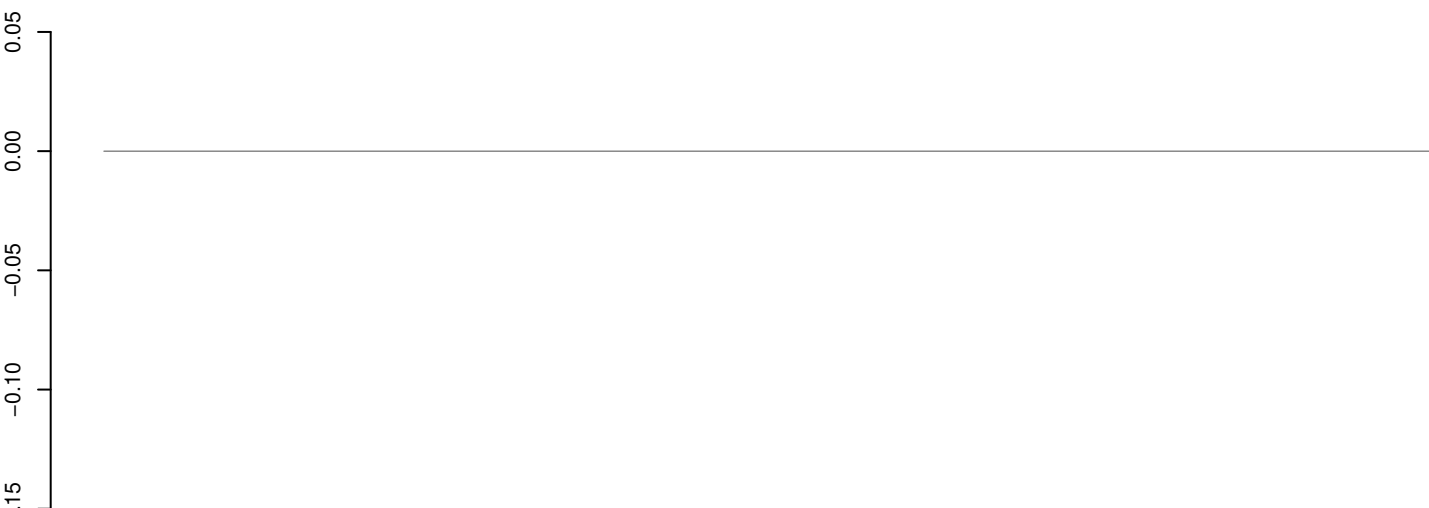


AeAeg_Aag2_Ago2_SINV_RA.18_23.rep



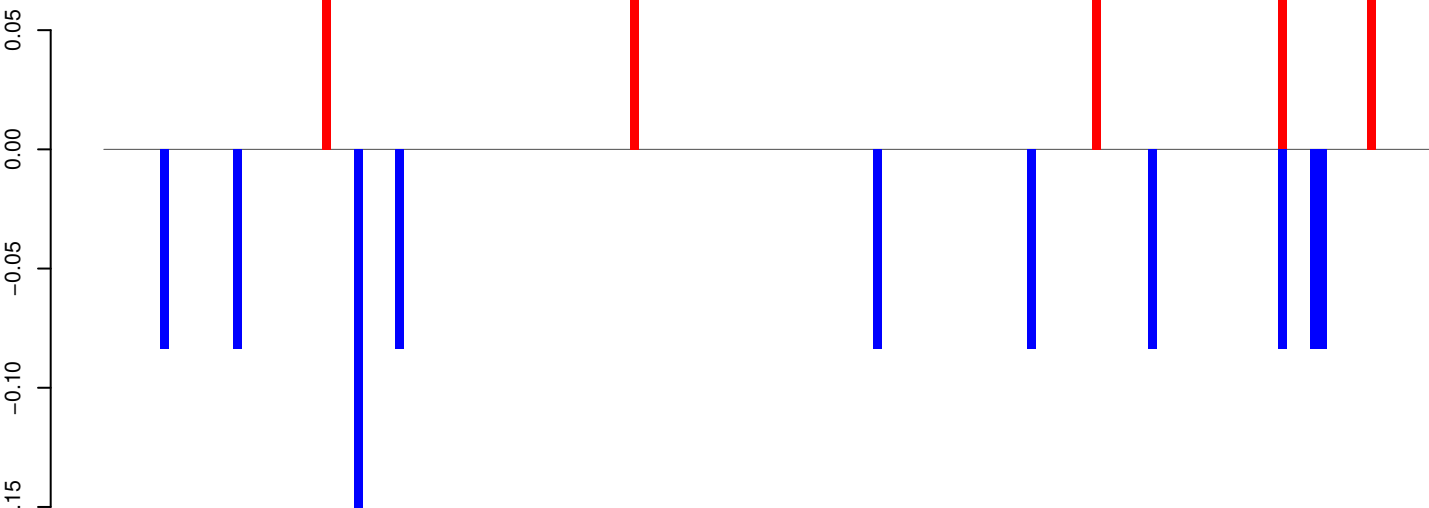
positive=0, negative=1, total=1

AeAeg_Aag2_Ago2_SINV_RA.24_35.rep



positive=0, negative=0, total=0

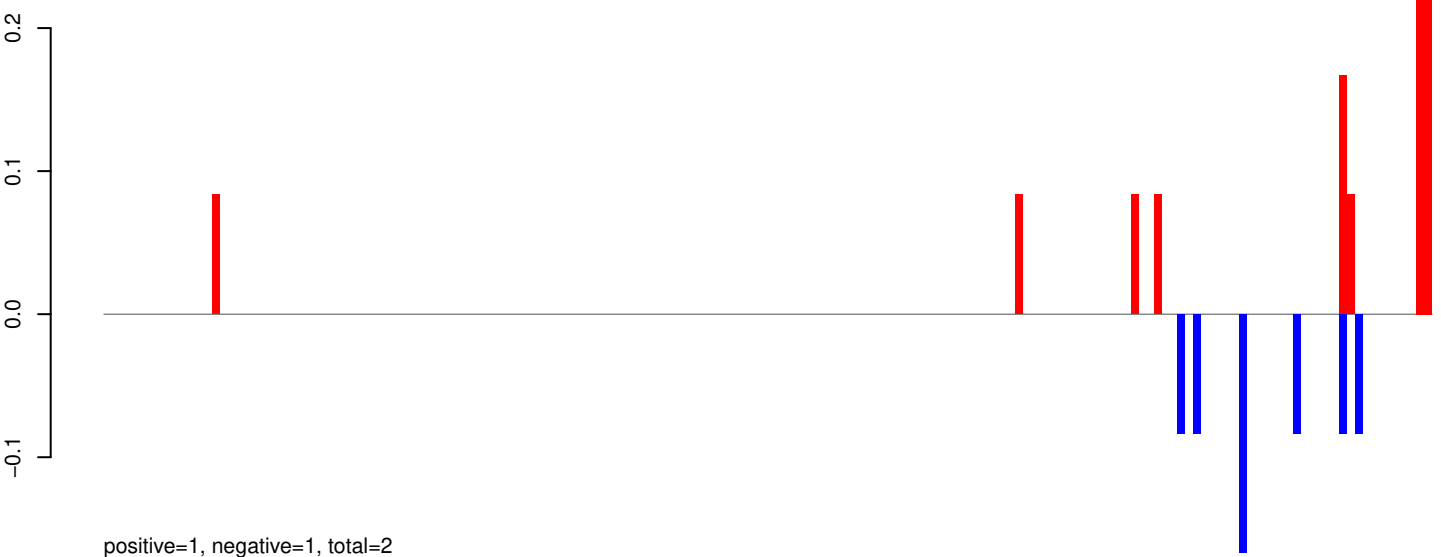
AeAeg_Aag2_Ago2_SINV_RA.rep



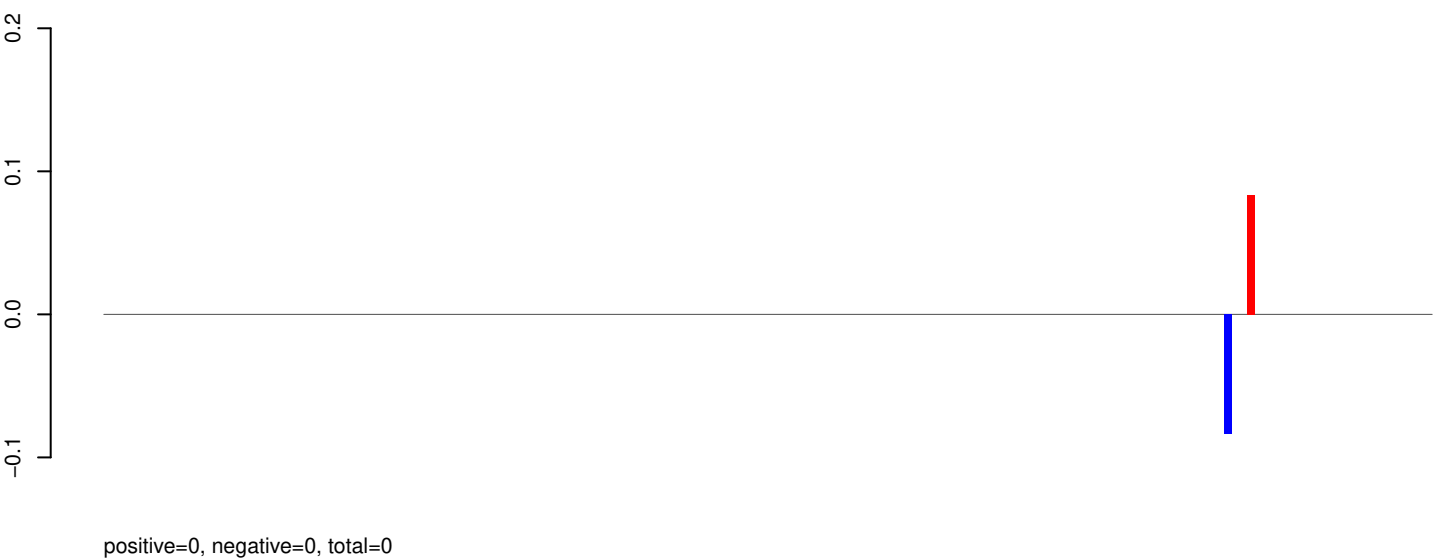
positive=0, negative=1, total=1

Window size=25, length=4099, TE@Kiri-27_AAe:1-4099

AeAeg_Aag2_Ago2_SINV_RA.18_23.rep



AeAeg_Aag2_Ago2_SINV_RA.24_35.rep

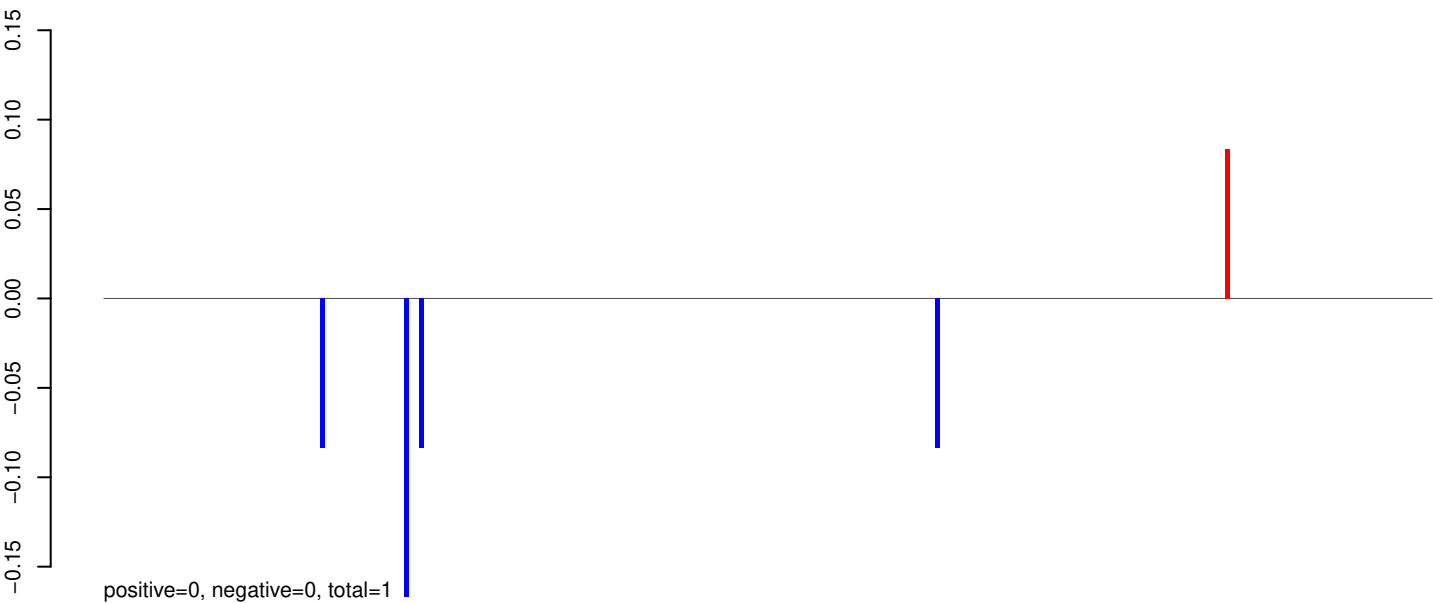


AeAeg_Aag2_Ago2_SINV_RA.rep

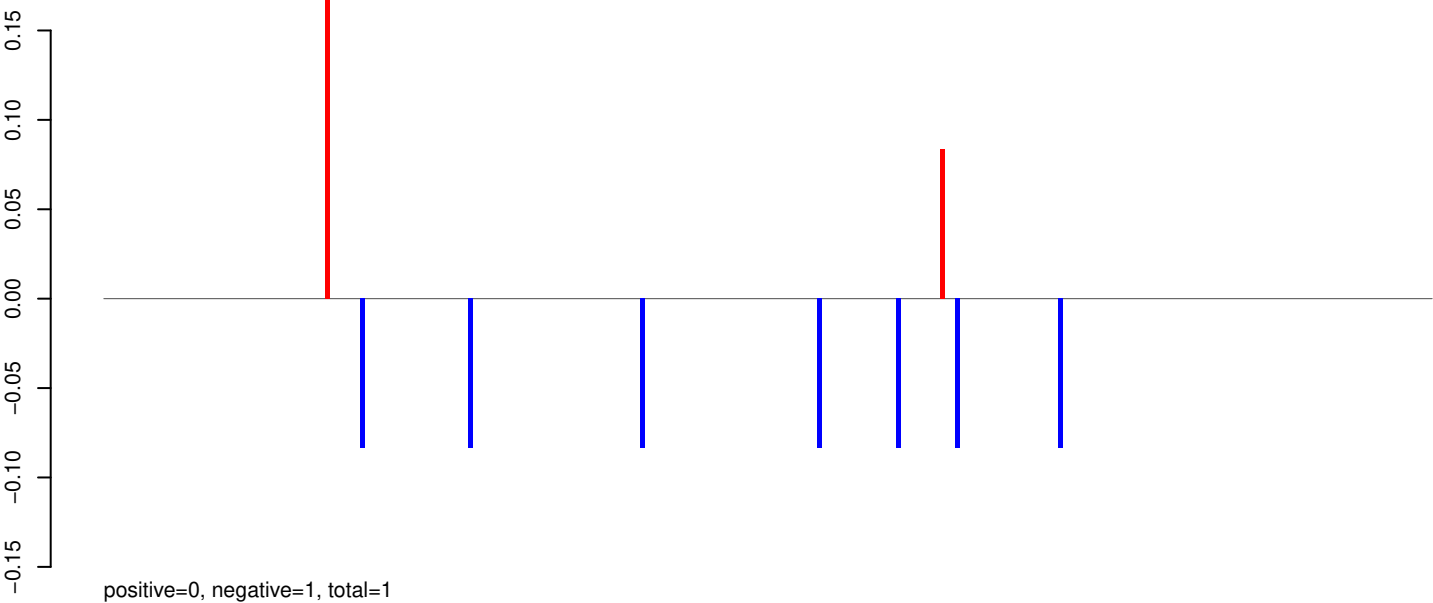


Window size=25, length=4282, TE@Kiri-11_AAe:1-4282

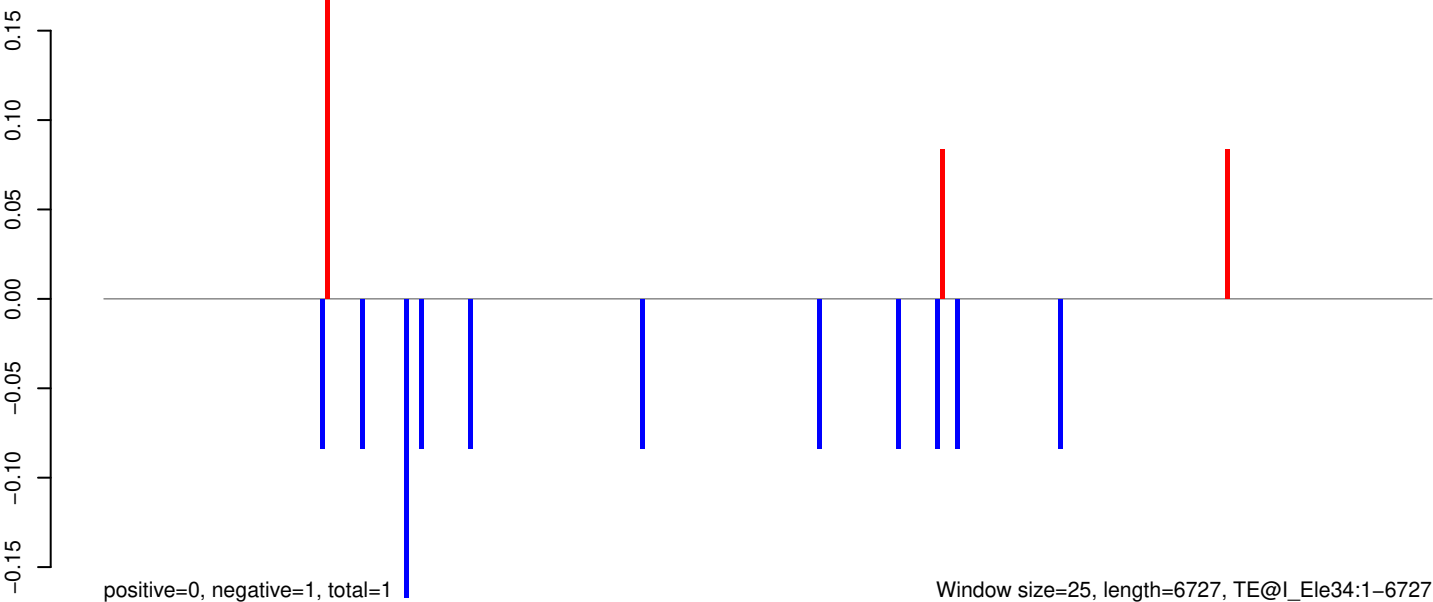
AeAeg_Aag2_Ago2_SINV_RA.18_23.rep



AeAeg_Aag2_Ago2_SINV_RA.24_35.rep



AeAeg_Aag2_Ago2_SINV_RA.rep



Window size=25, length=6727, TE@I_Ele34:1-6727

AeAeg_Aag2_Ago2_SINV_RA.18_23.rep

0.1
0.0
-0.1
-0.2

positive=0, negative=1, total=1

AeAeg_Aag2_Ago2_SINV_RA.24_35.rep

0.1
0.0
-0.1
-0.2

positive=0, negative=0, total=0

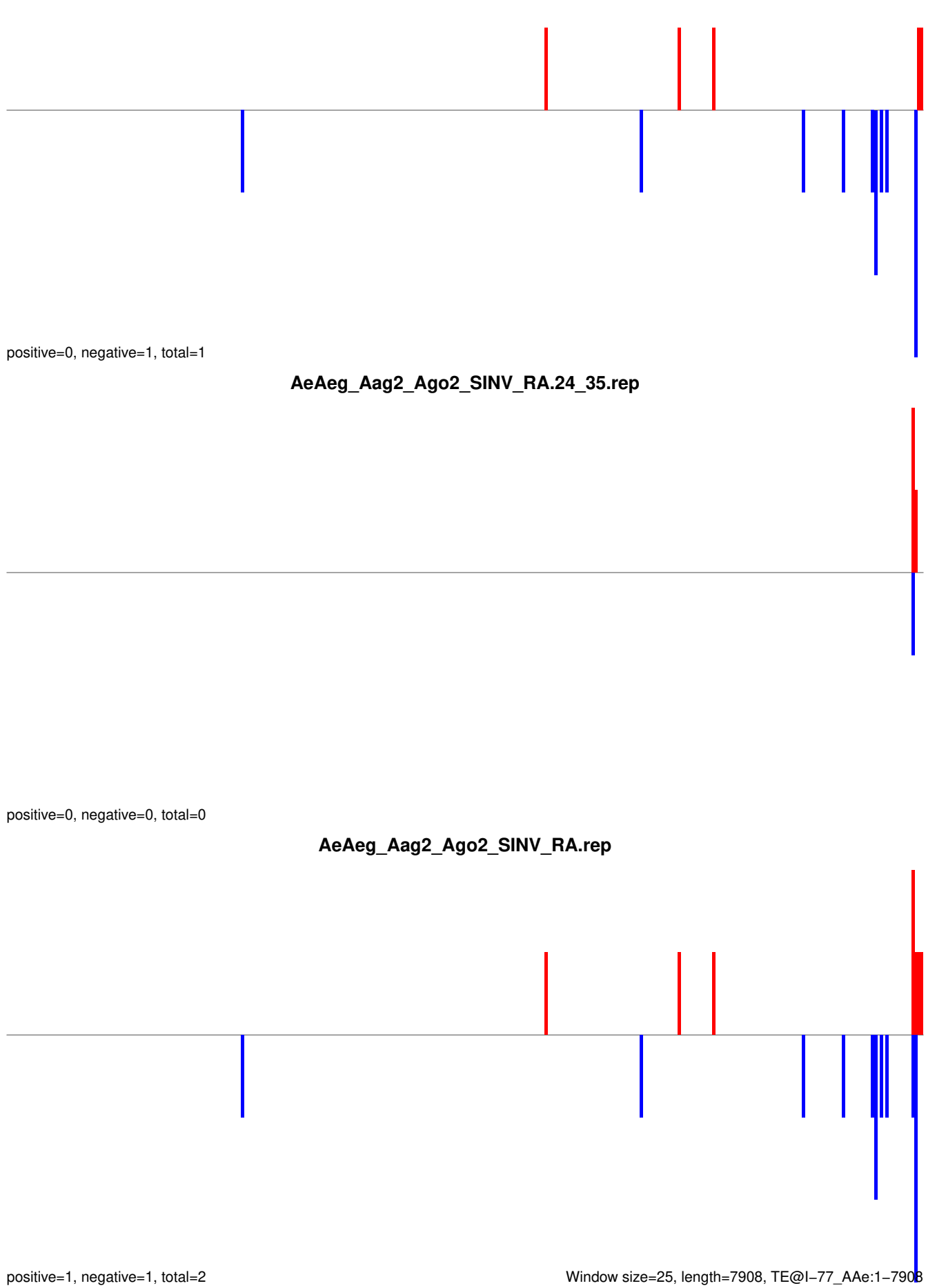
AeAeg_Aag2_Ago2_SINV_RA.rep

0.1
0.0
-0.1
-0.2

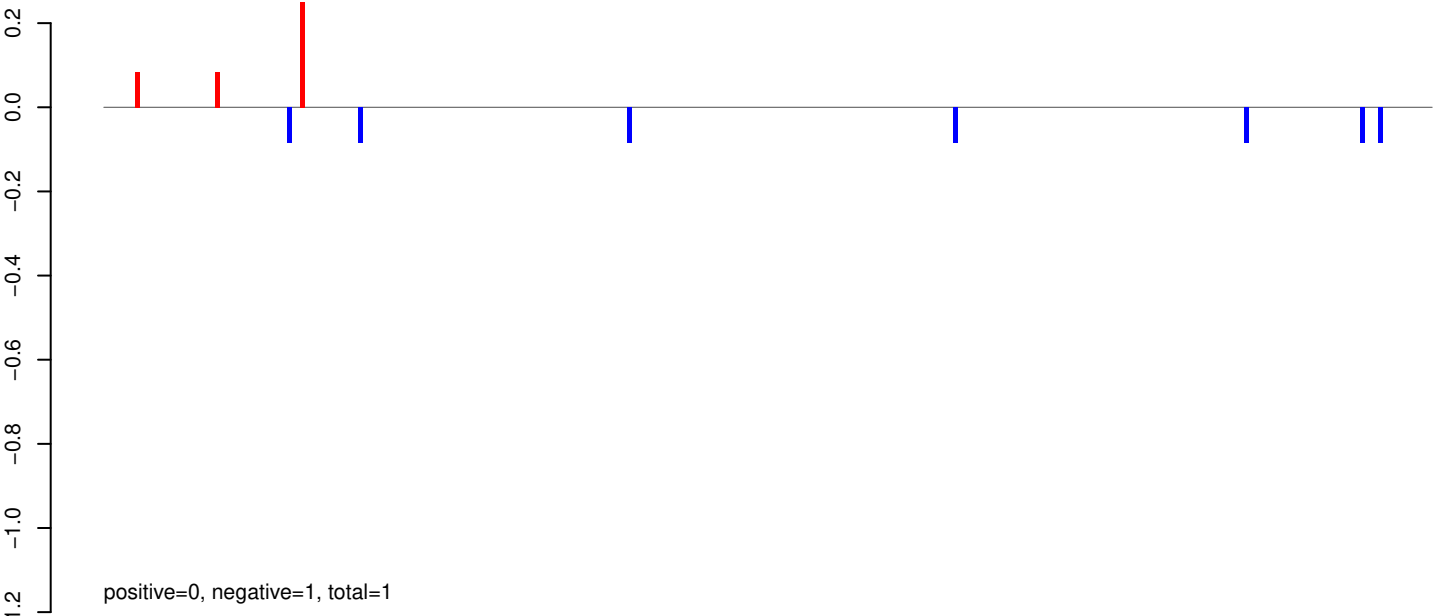
positive=1, negative=1, total=2

Window size=25, length=7908, TE@l-77_A Ae:1-7908

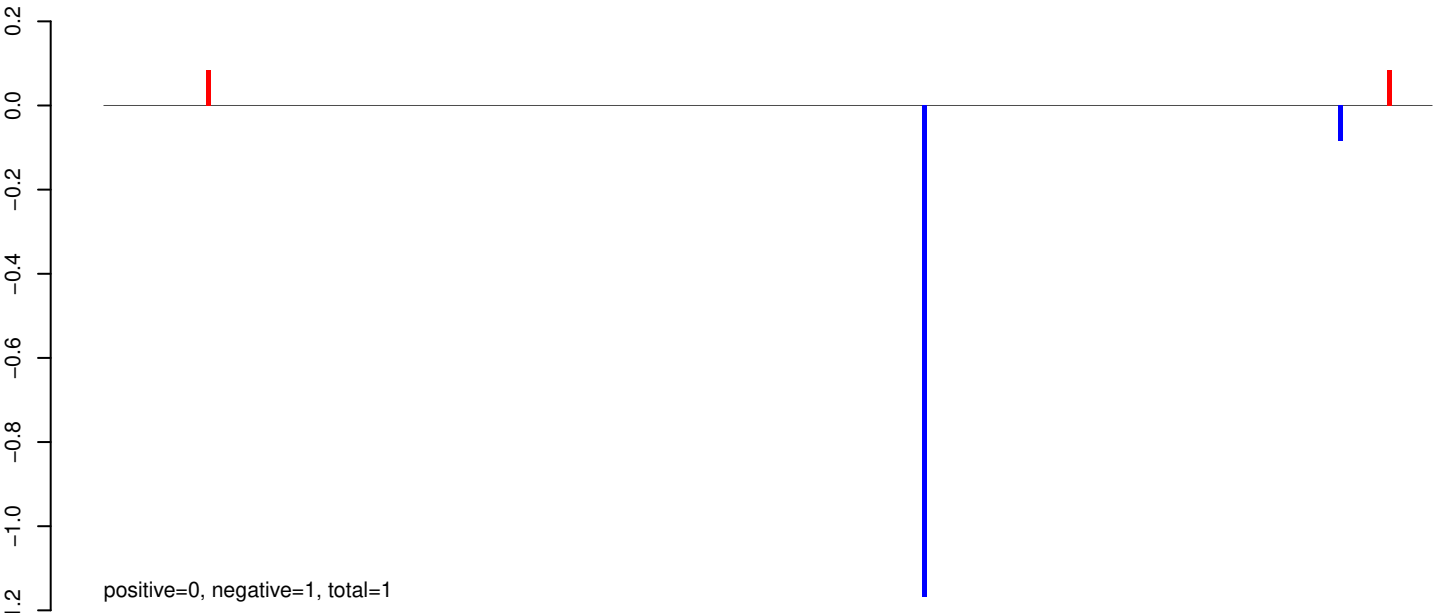
0 2000 4000 6000 8000



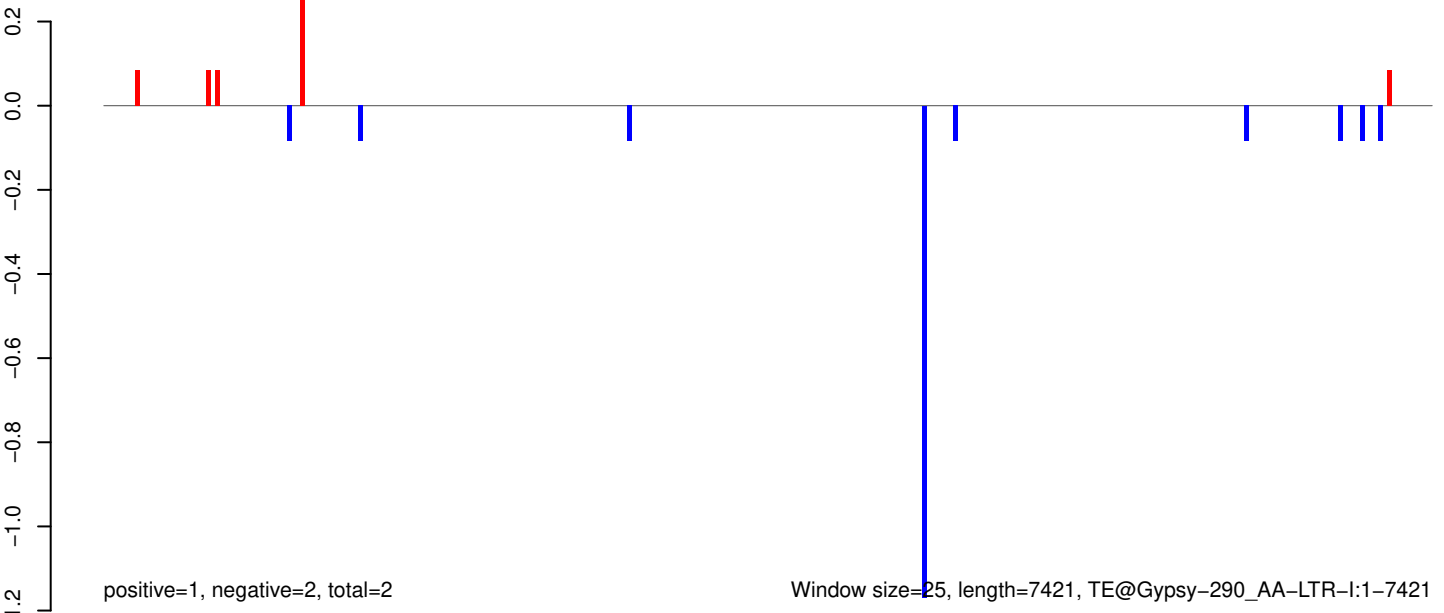
AeAeg_Aag2_Ago2_SINV_RA.18_23.rep



AeAeg_Aag2_Ago2_SINV_RA.24_35.rep



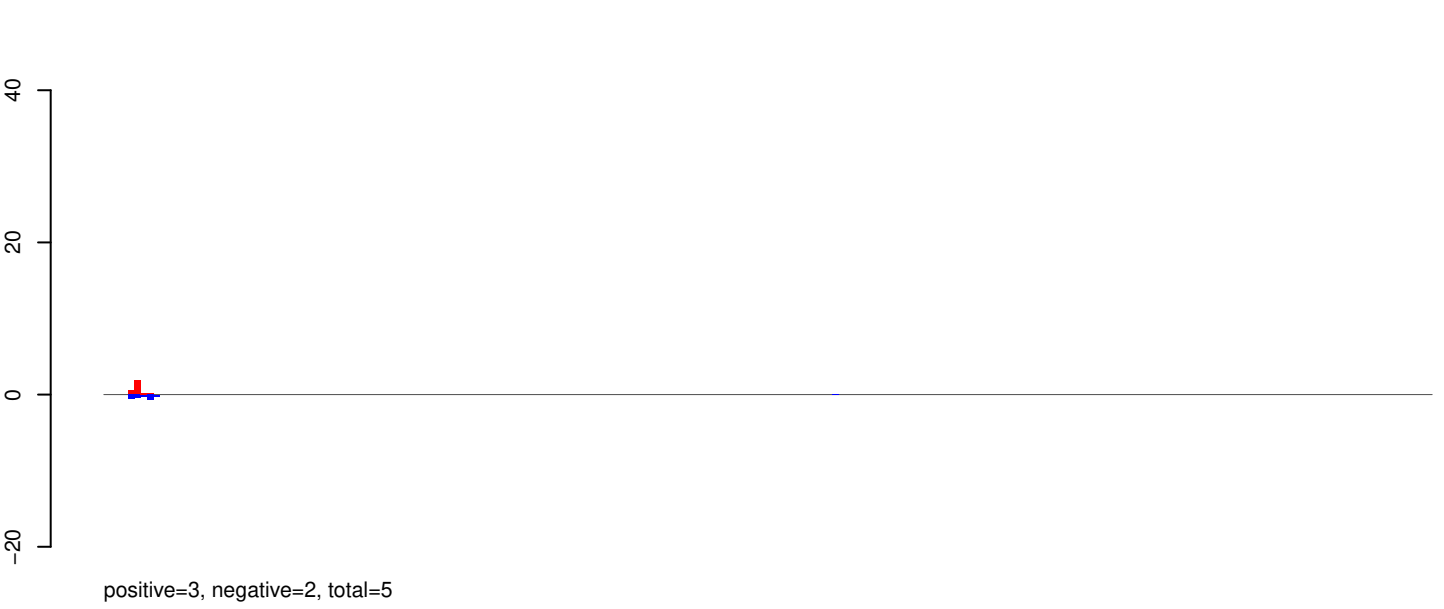
AeAeg_Aag2_Ago2_SINV_RA.rep



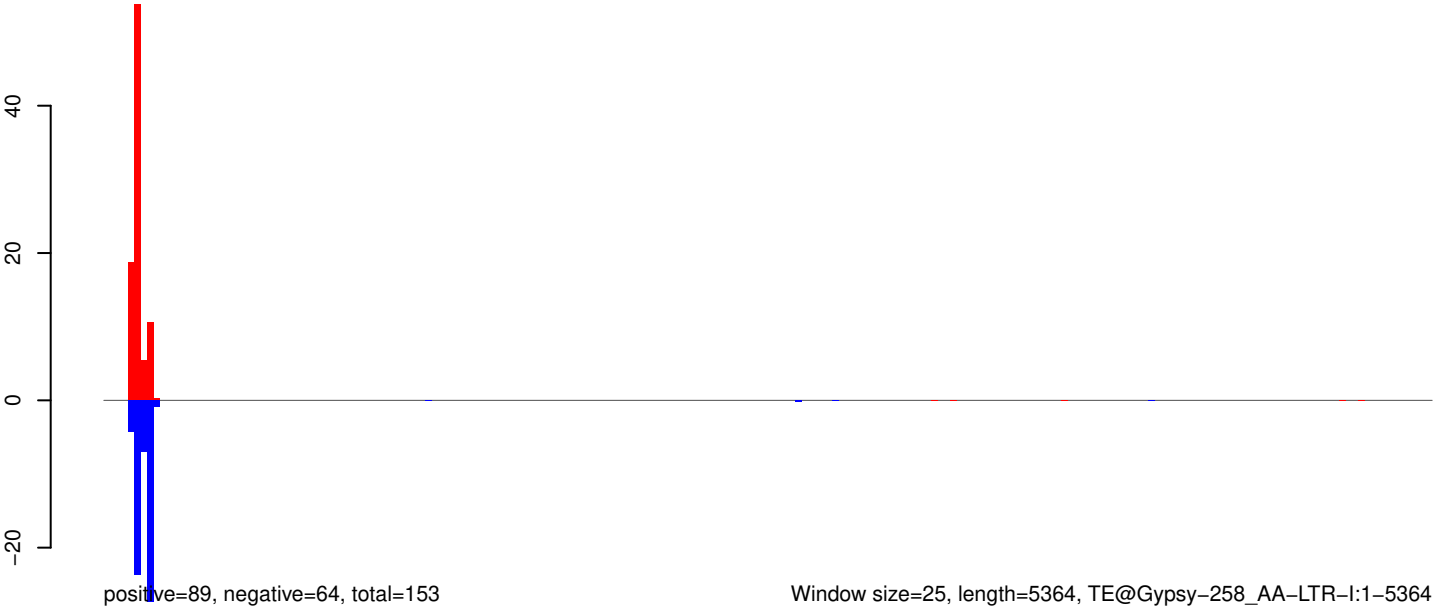
AeAeg_Aag2_Ago2_SINV_RA.18_23.rep



AeAeg_Aag2_Ago2_SINV_RA.24_35.rep



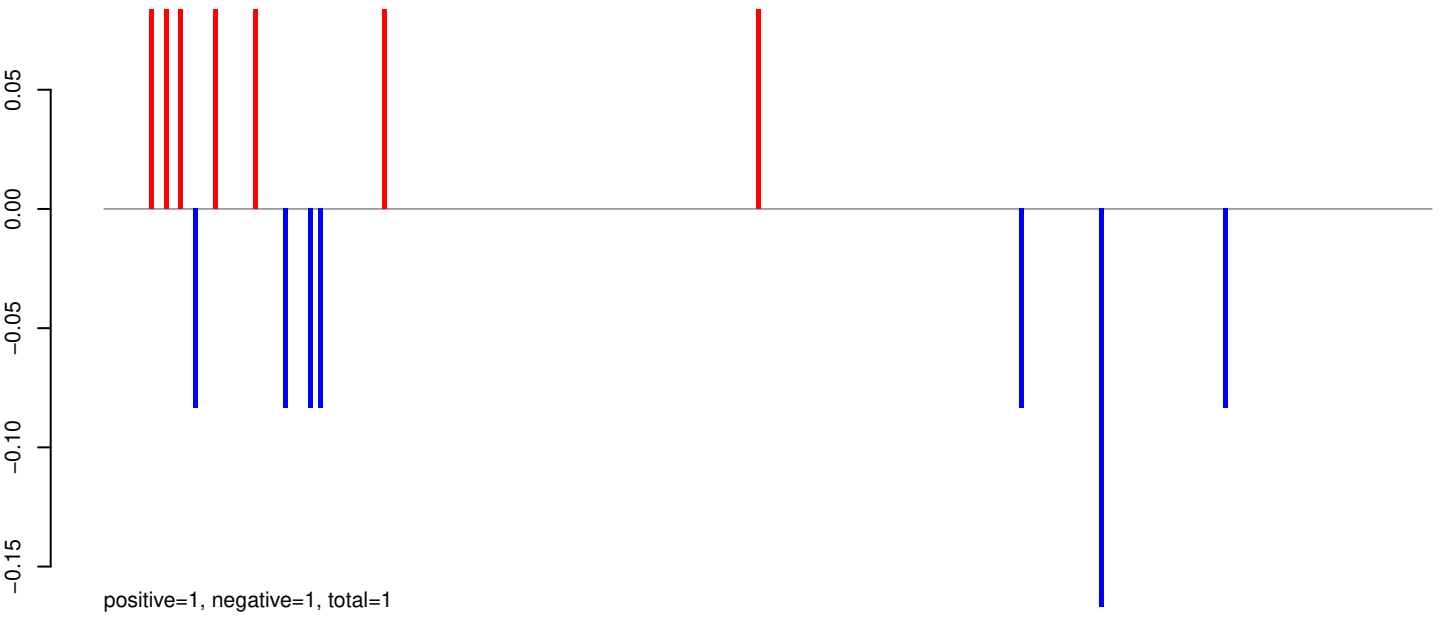
AeAeg_Aag2_Ago2_SINV_RA.rep



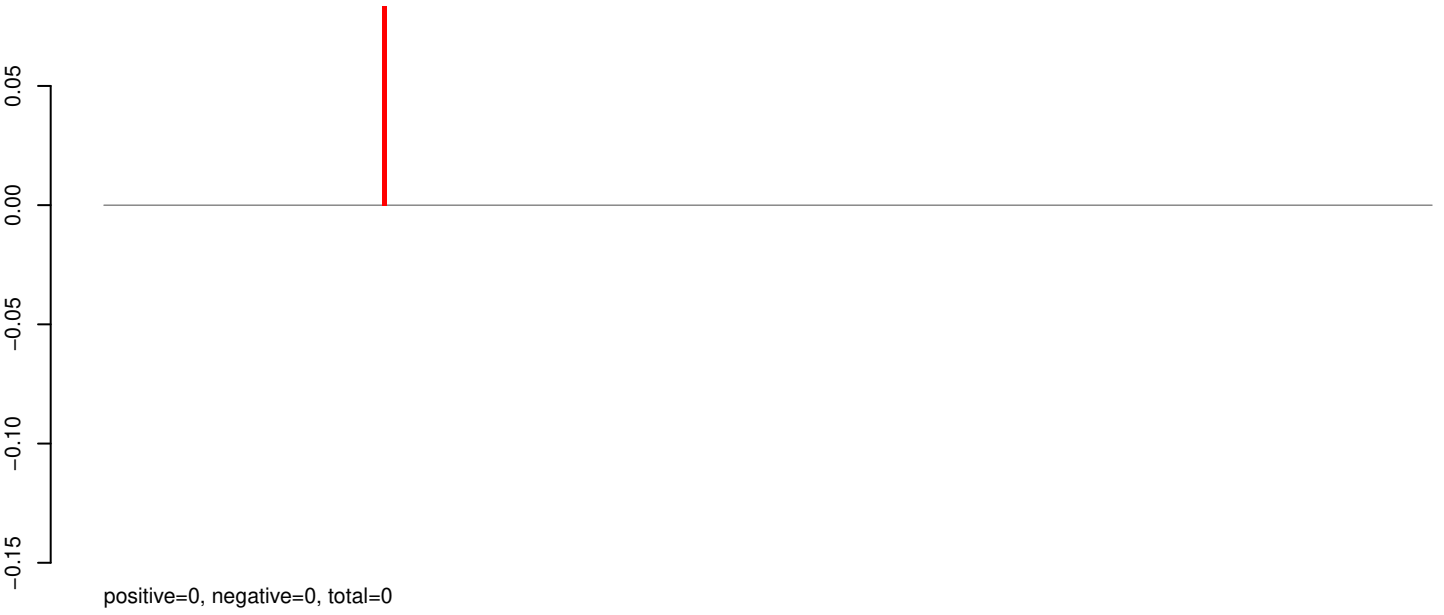
Window size=25, length=5364, TE@Gypsy-258_AA-LTR-I:1-5364

0 1000 2000 3000 4000 5000

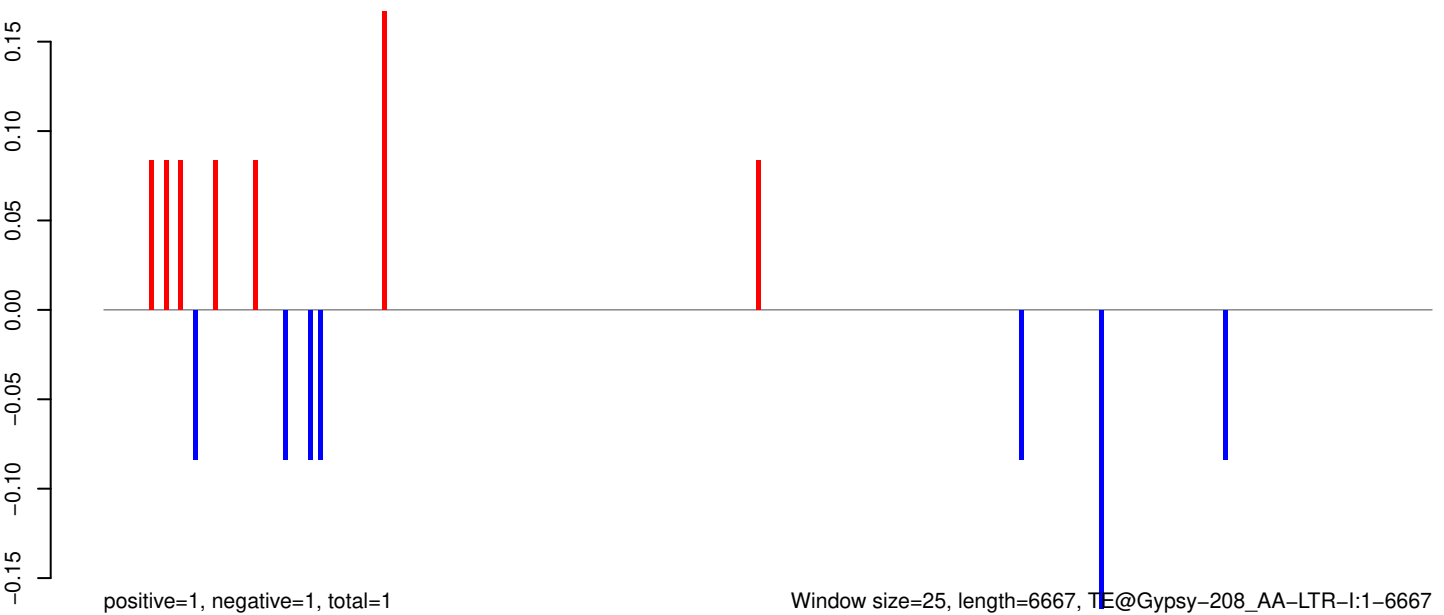
AeAeg_Aag2_Ago2_SINV_RA.18_23.rep



AeAeg_Aag2_Ago2_SINV_RA.24_35.rep

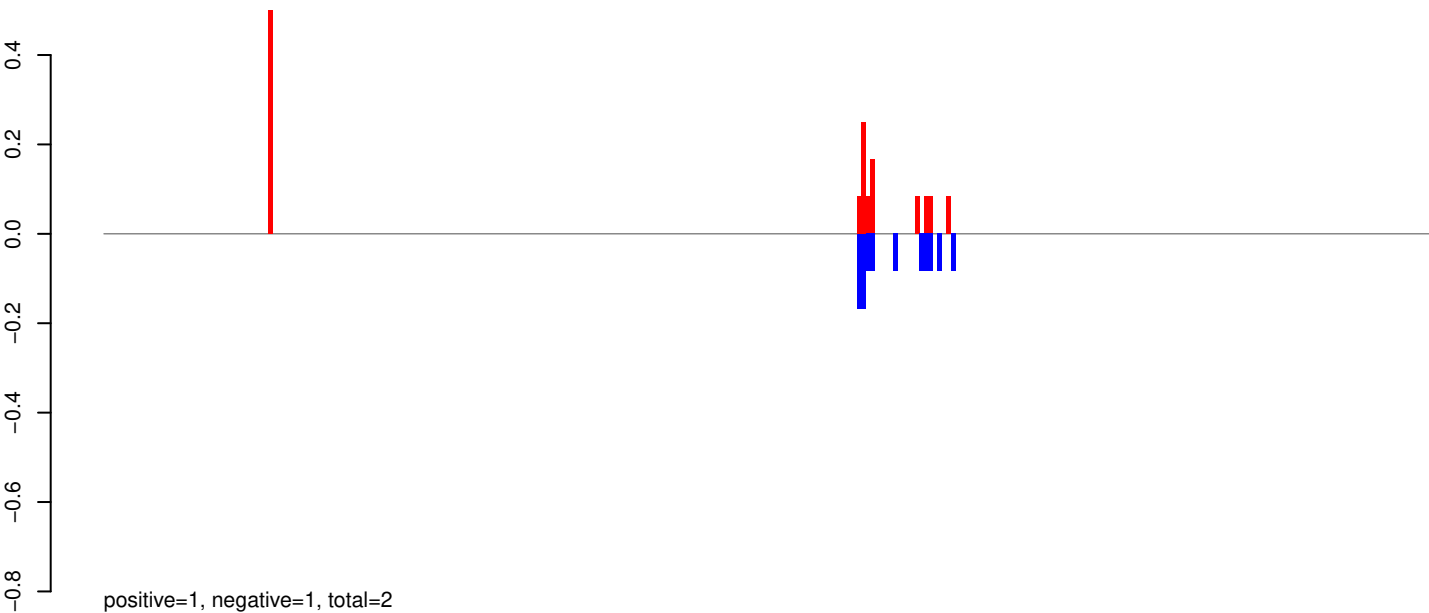


AeAeg_Aag2_Ago2_SINV_RA.rep

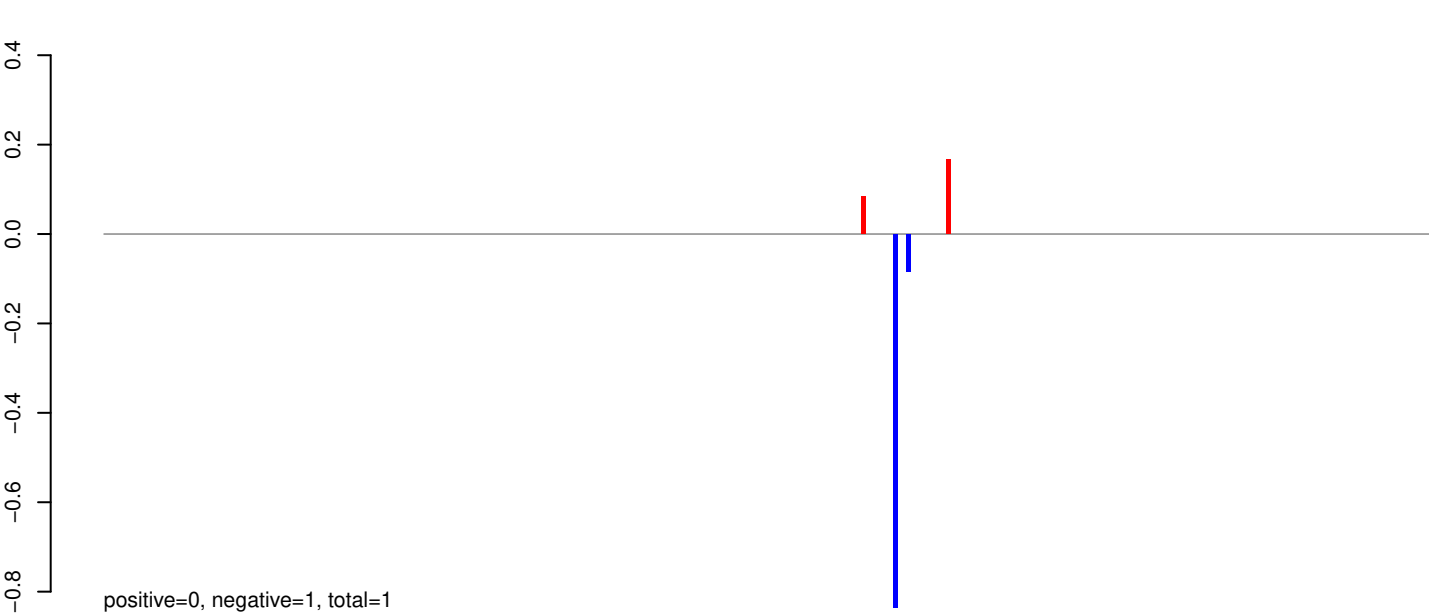


0 1000 2000 3000 4000 5000 6000

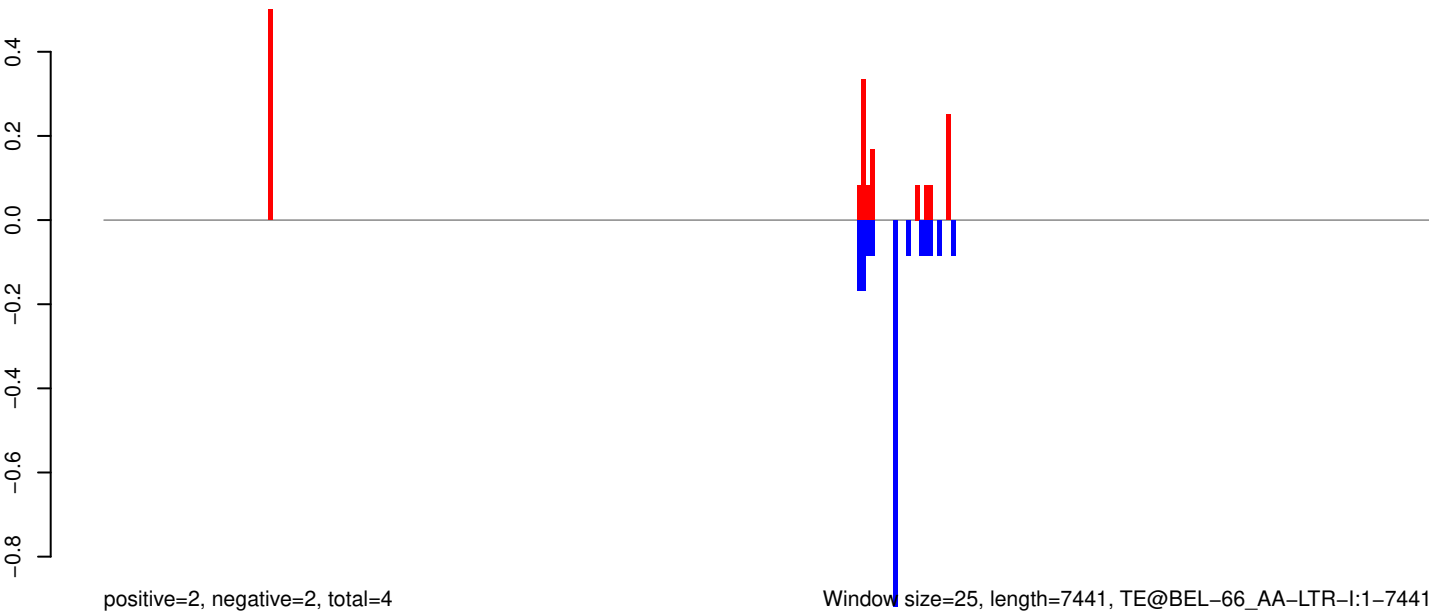
AeAeg_Aag2_Ago2_SINV_RA.18_23.rep



AeAeg_Aag2_Ago2_SINV_RA.24_35.rep



AeAeg_Aag2_Ago2_SINV_RA.rep



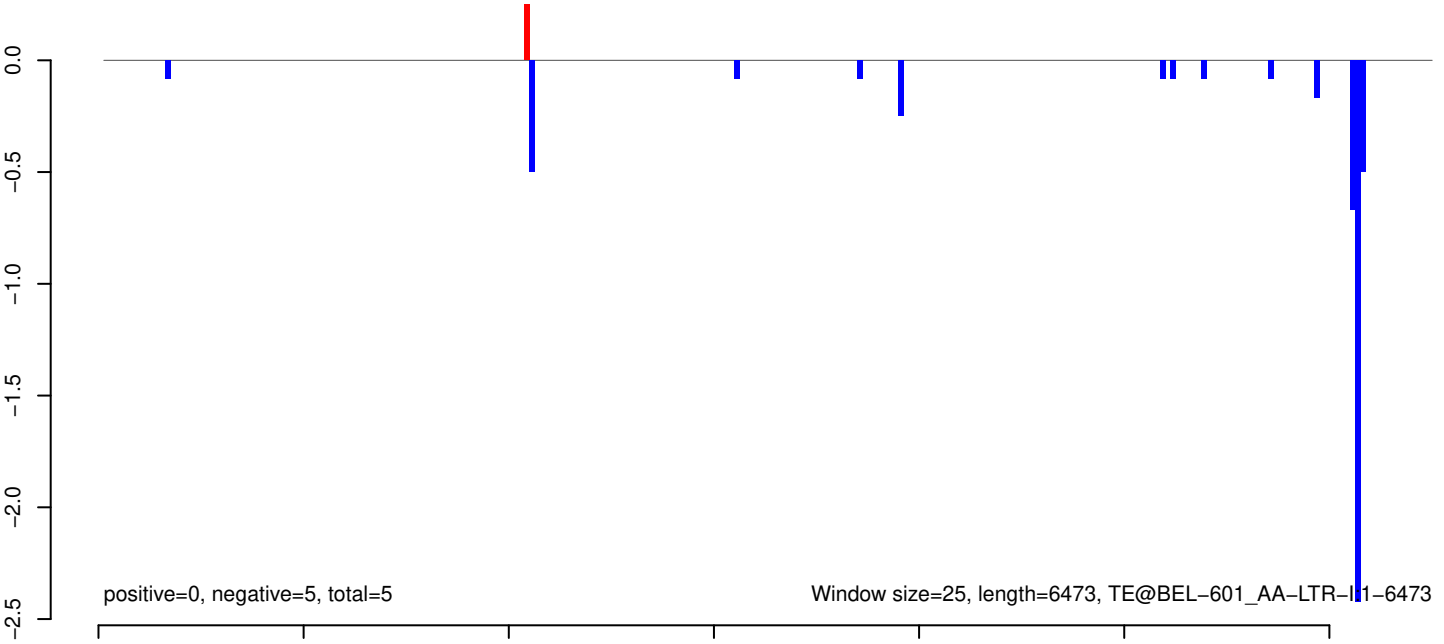
AeAeg_Aag2_Ago2_SINV_RA.18_23.rep



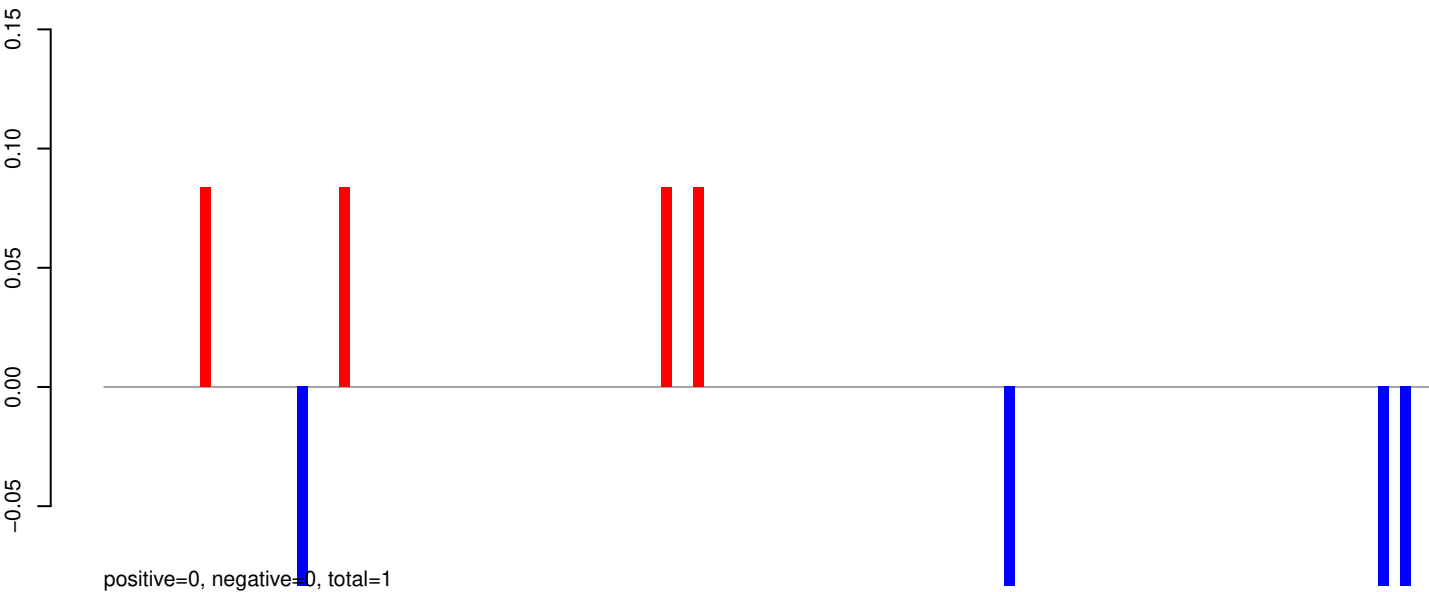
AeAeg_Aag2_Ago2_SINV_RA.24_35.rep



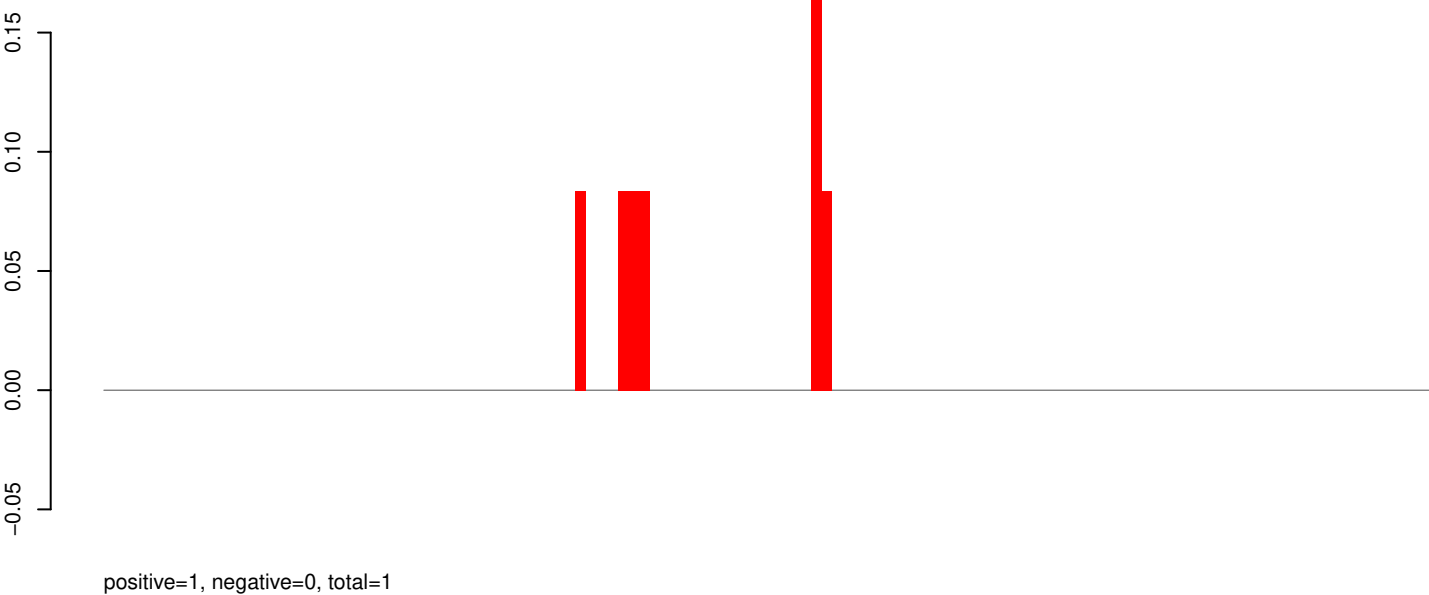
AeAeg_Aag2_Ago2_SINV_RA.rep



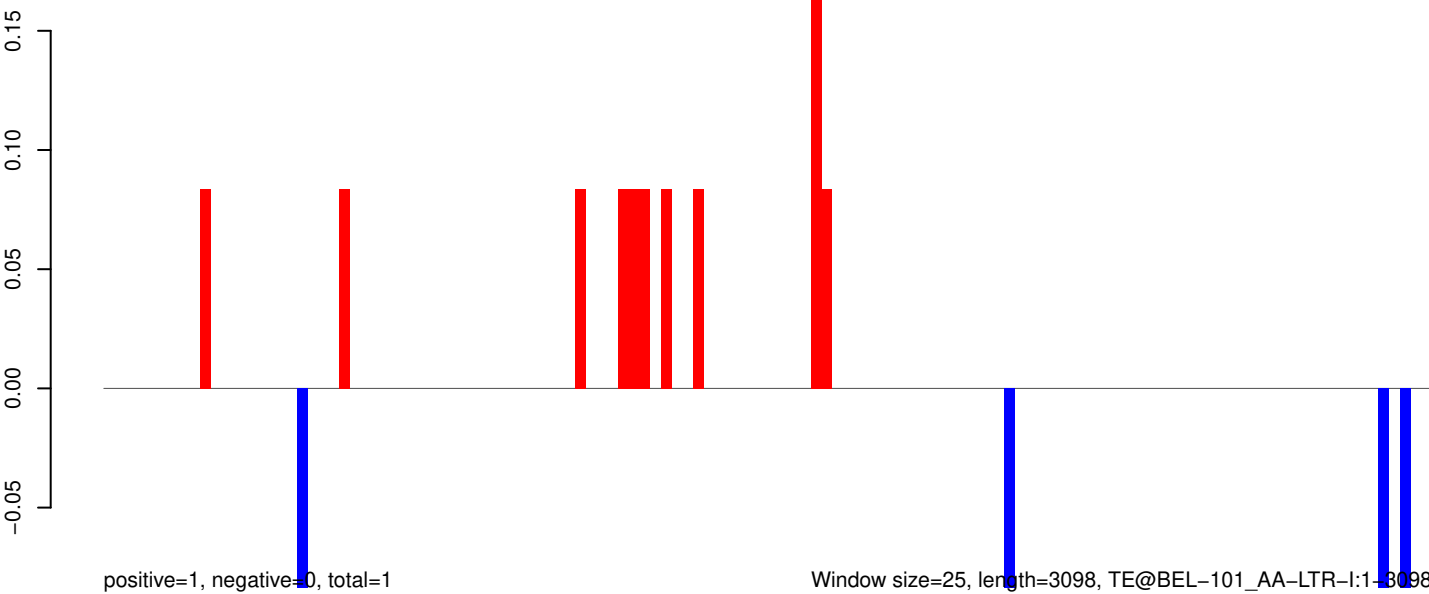
AeAeg_Aag2_Ago2_SINV_RA.18_23.rep



AeAeg_Aag2_Ago2_SINV_RA.24_35.rep

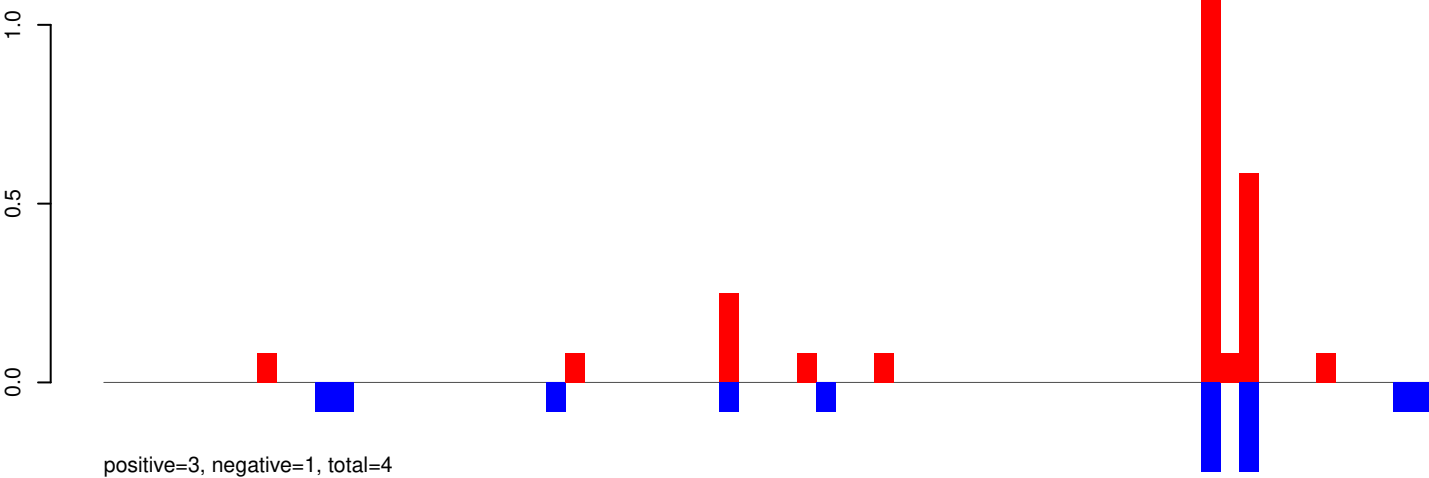


AeAeg_Aag2_Ago2_SINV_RA.rep

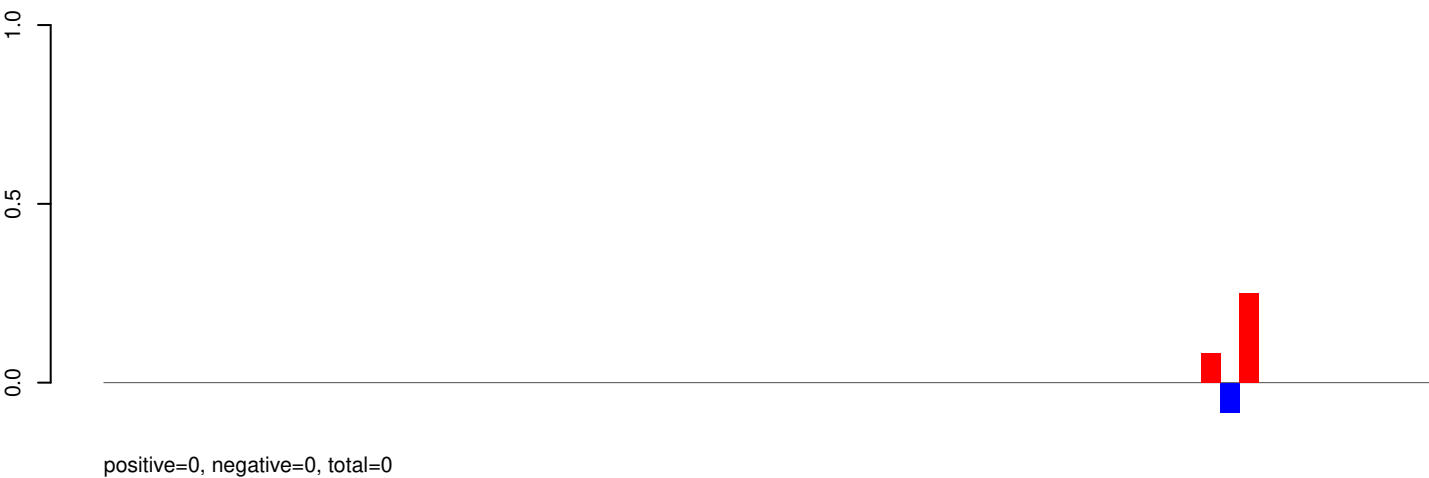


0 500 1000 1500 2000 2500 3000

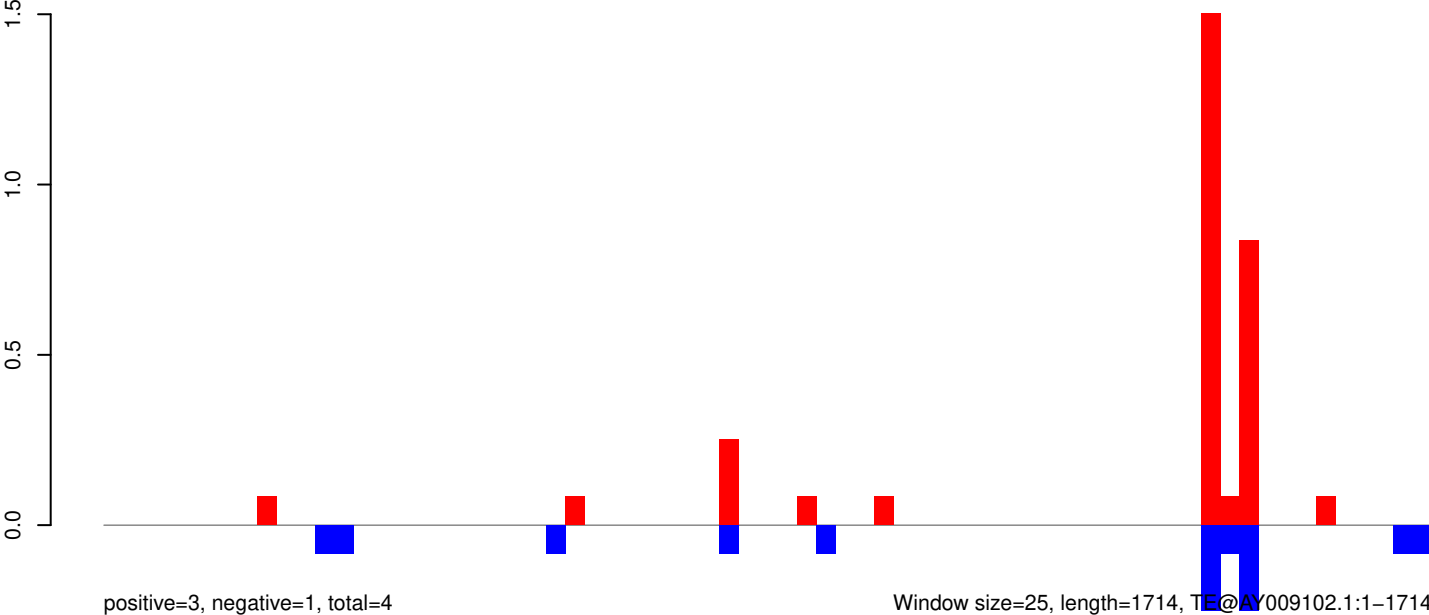
AeAeg_Aag2_Ago2_SINV_RA.18_23.rep



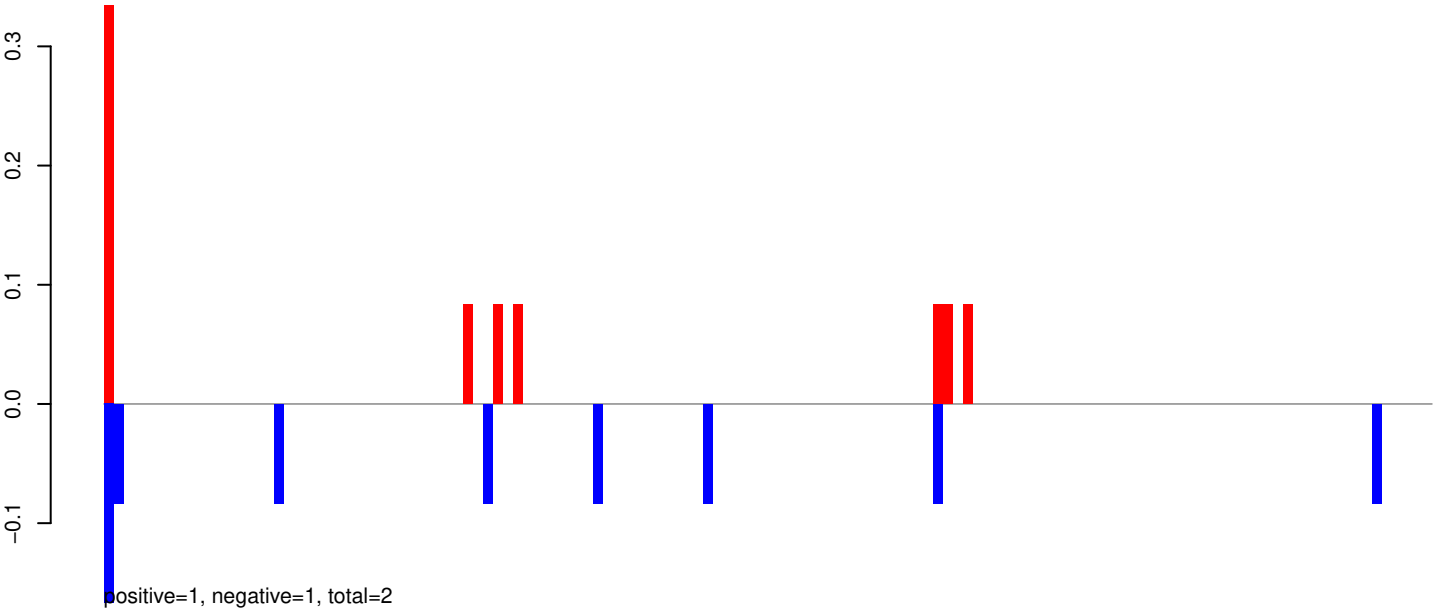
AeAeg_Aag2_Ago2_SINV_RA.24_35.rep



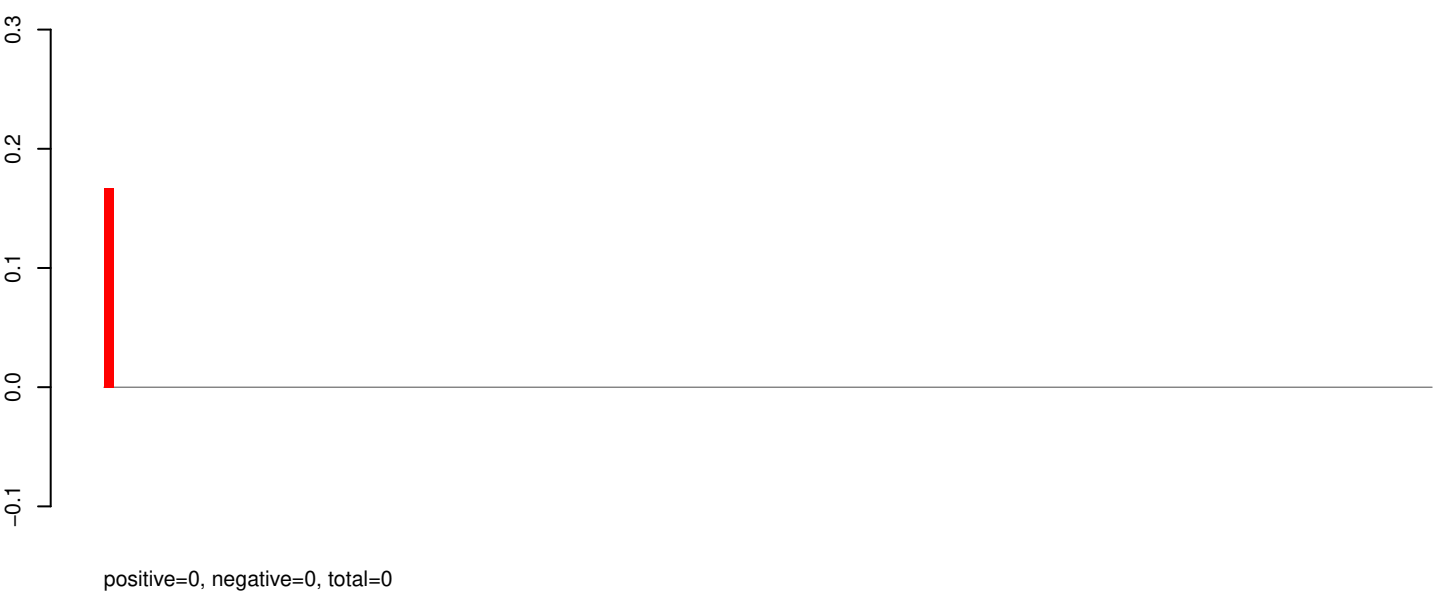
AeAeg_Aag2_Ago2_SINV_RA.rep



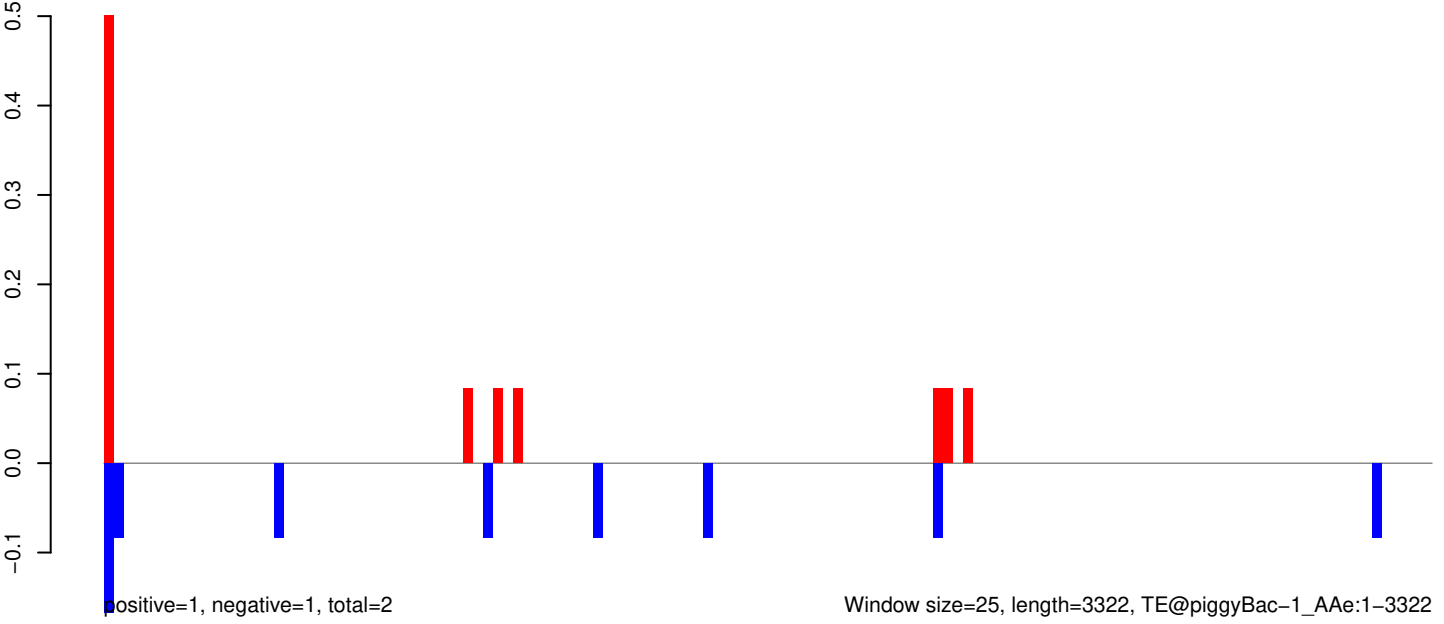
AeAeg_Aag2_Ago2_SINV_RA.18_23.rep



AeAeg_Aag2_Ago2_SINV_RA.24_35.rep

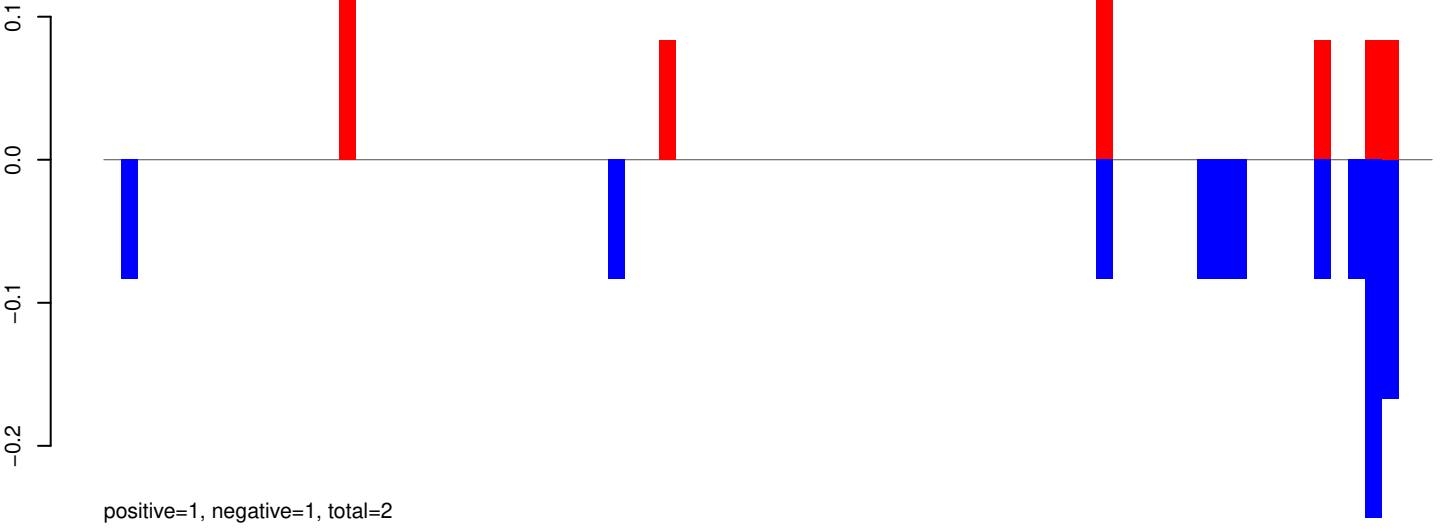


AeAeg_Aag2_Ago2_SINV_RA.rep

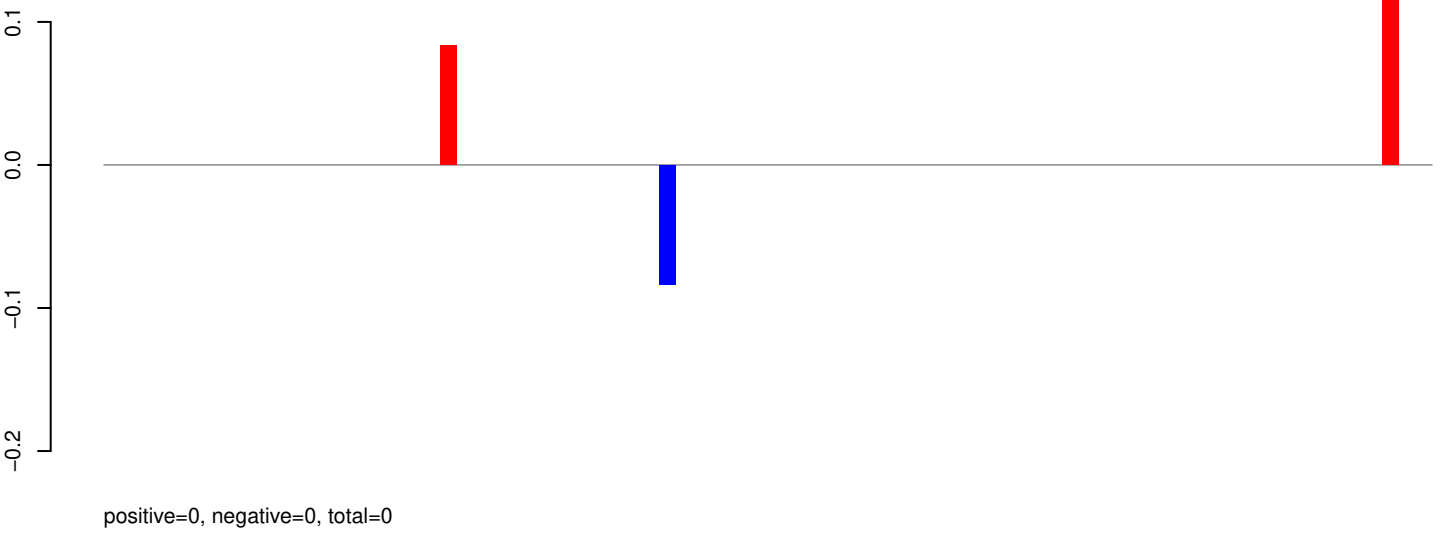


Window size=25, length=3322, TE@piggyBac-1_AAe:1-3322

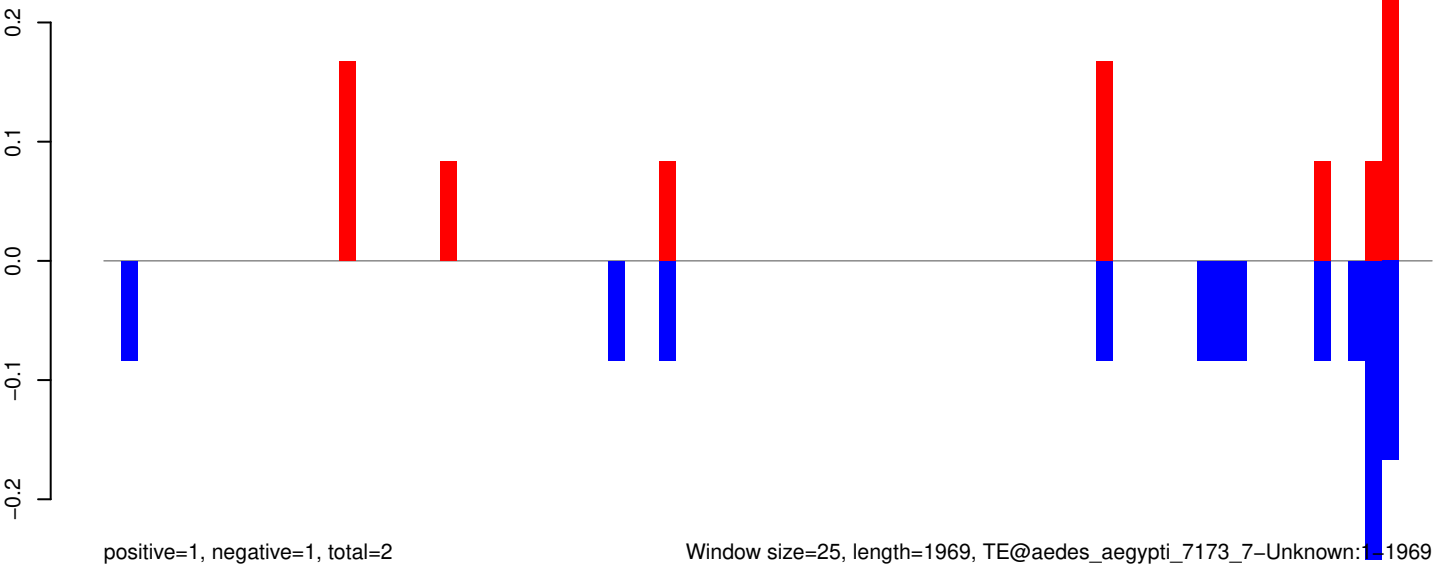
AeAeg_Aag2_Ago2_SINV_RA.18_23.rep



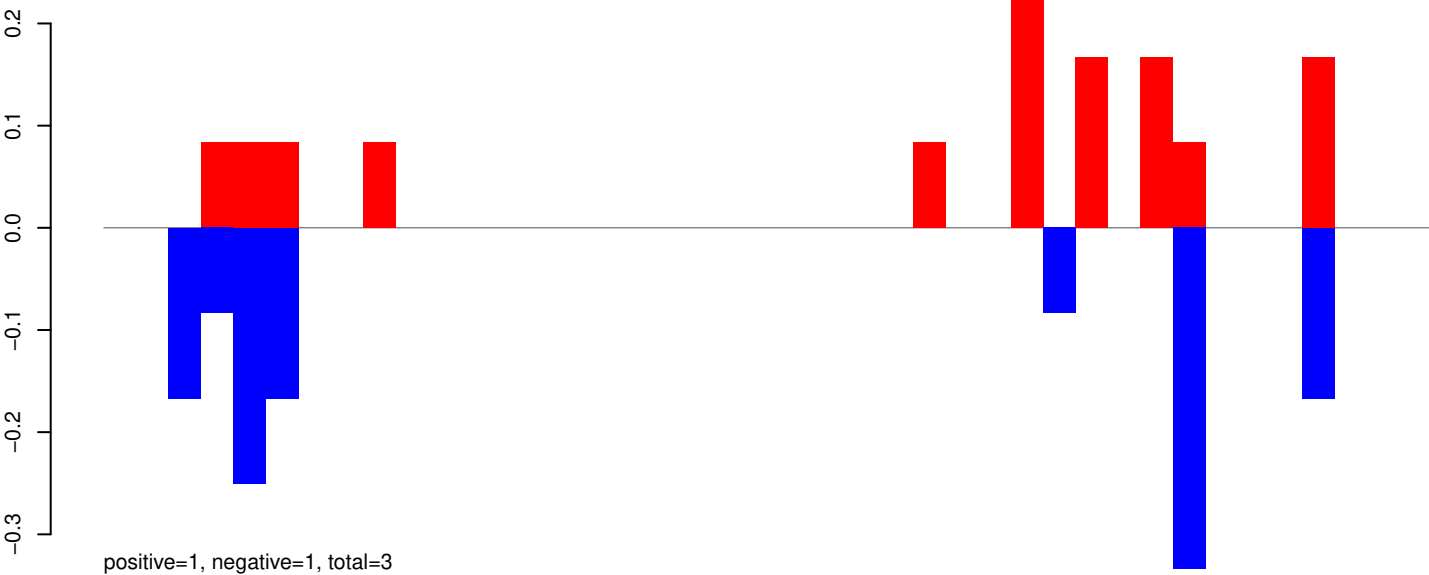
AeAeg_Aag2_Ago2_SINV_RA.24_35.rep



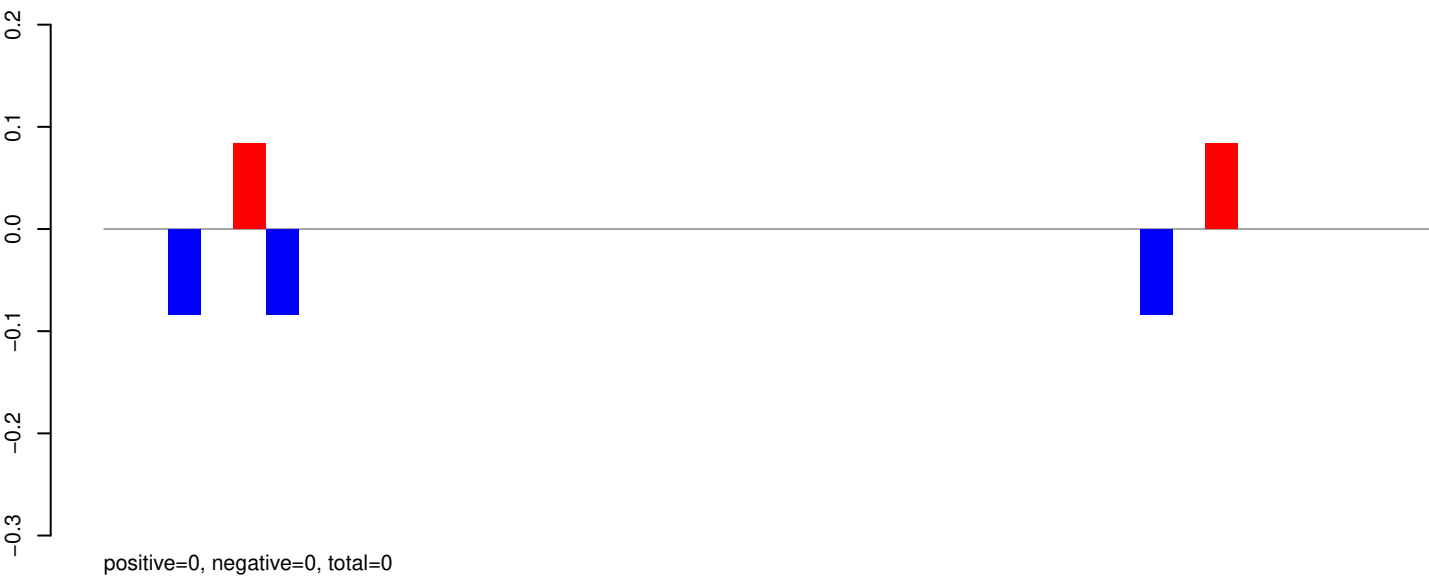
AeAeg_Aag2_Ago2_SINV_RA.rep



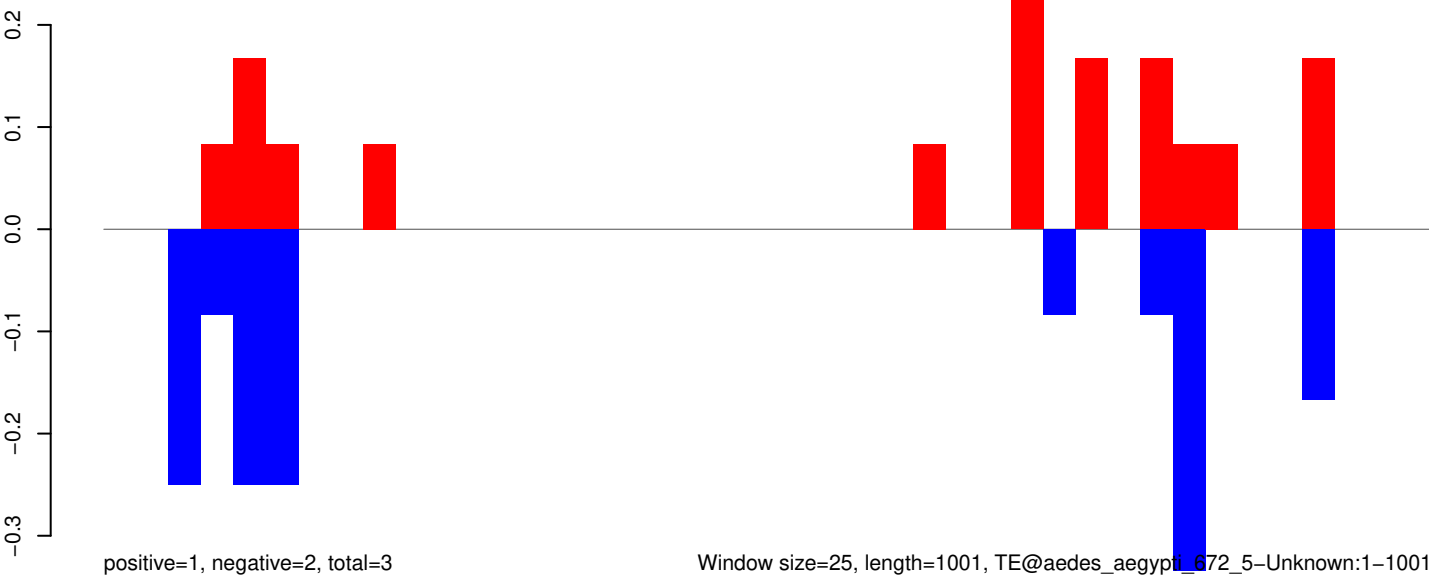
AeAeg_Aag2_Ago2_SINV_RA.18_23.rep



AeAeg_Aag2_Ago2_SINV_RA.24_35.rep

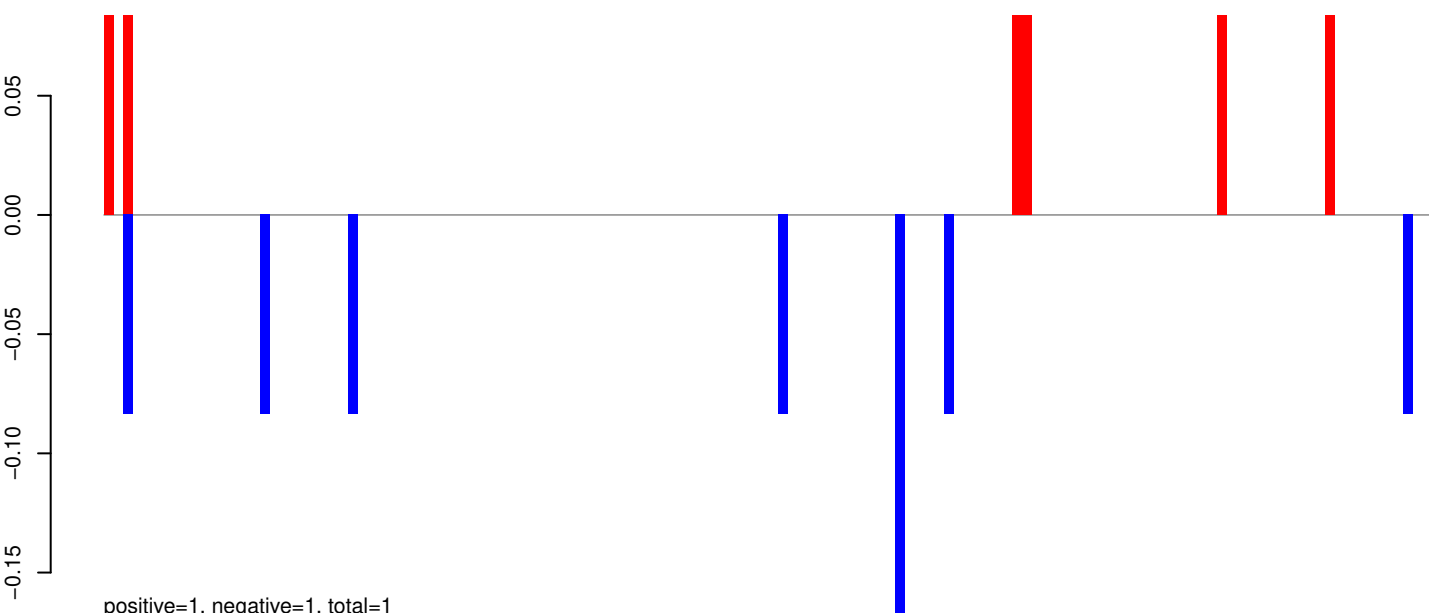


AeAeg_Aag2_Ago2_SINV_RA.rep

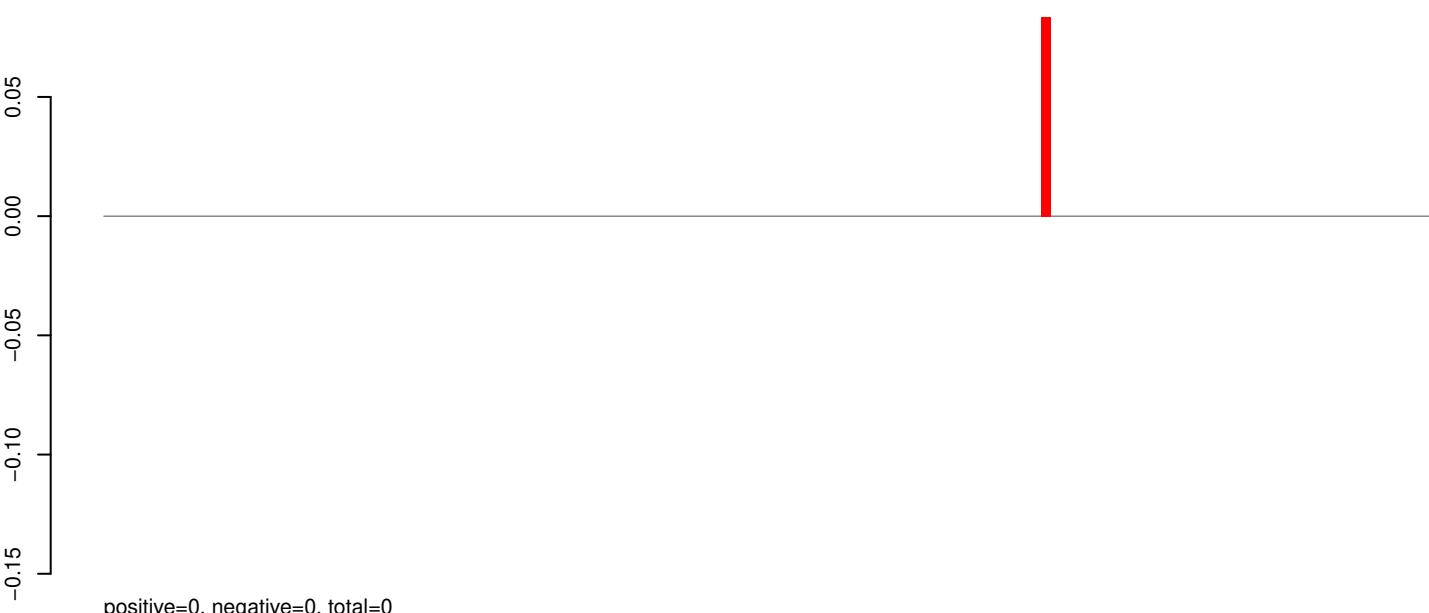


Window size=25, length=1001, TE@aedes_aegypti_672_5-Unknown:1-1001

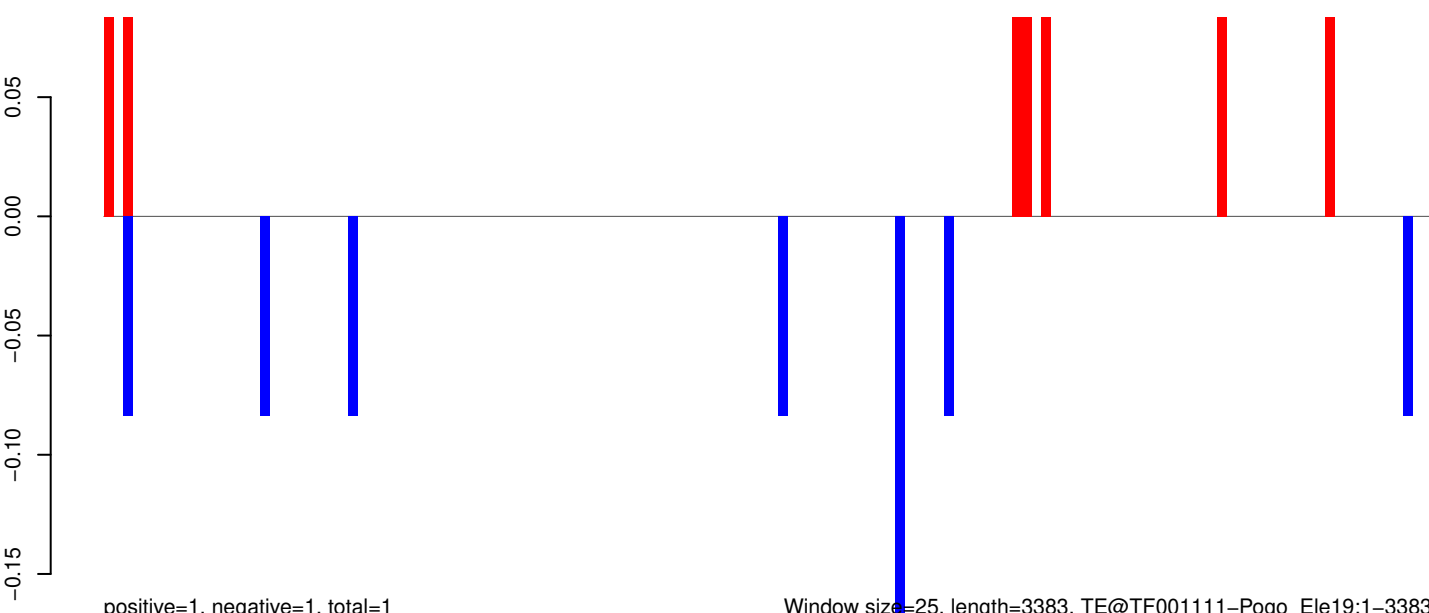
AeAeg_Aag2_Ago2_SINV_RA.18_23.rep



AeAeg_Aag2_Ago2_SINV_RA.24_35.rep

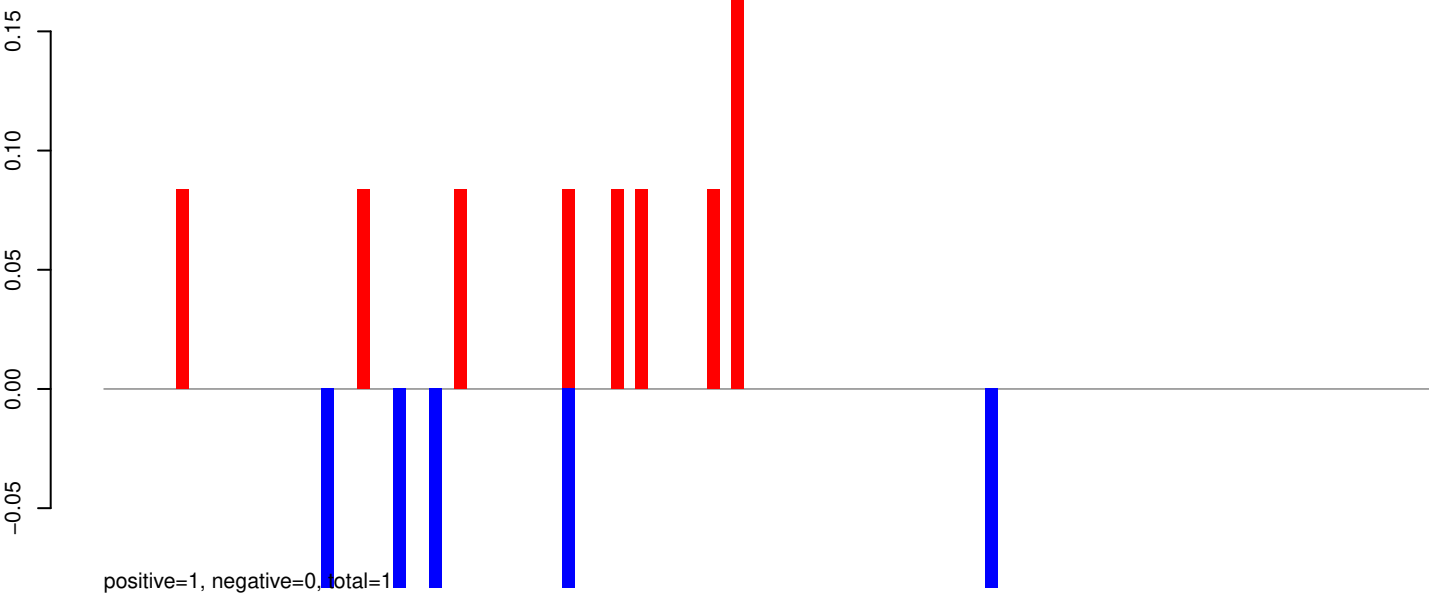


AeAeg_Aag2_Ago2_SINV_RA.rep

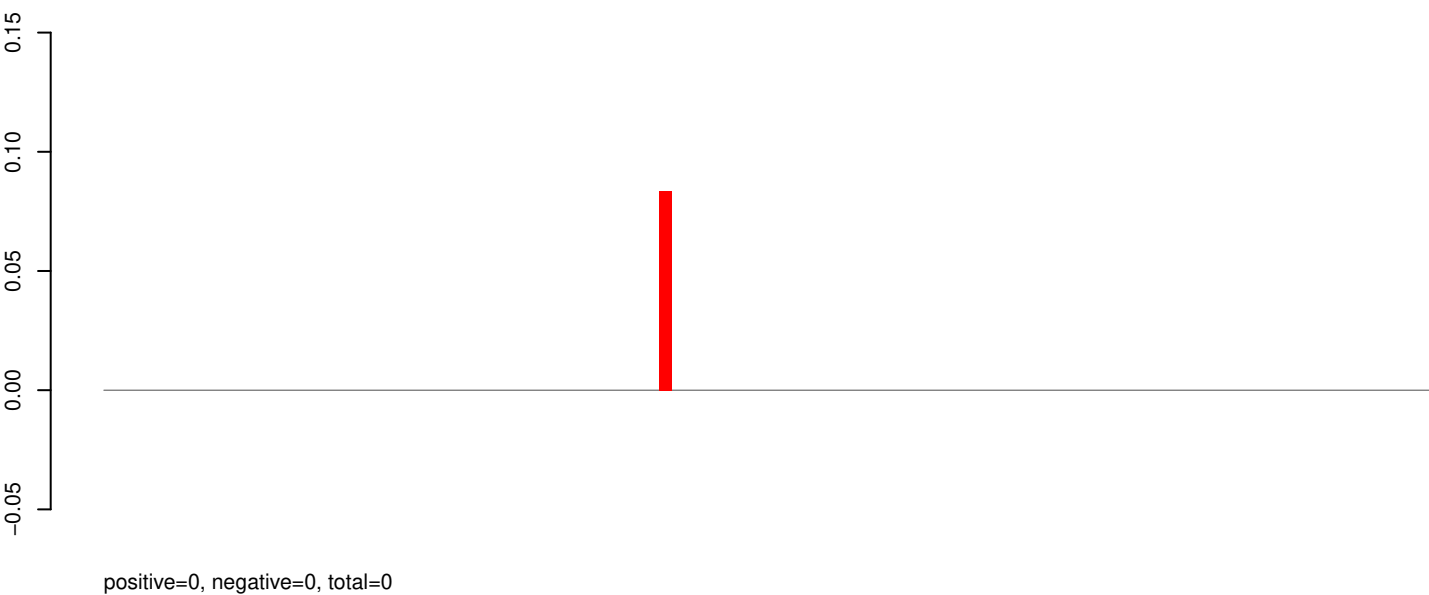


Window size=25, length=3383, TE@TF001111-Pogo_Ele19:1-3383

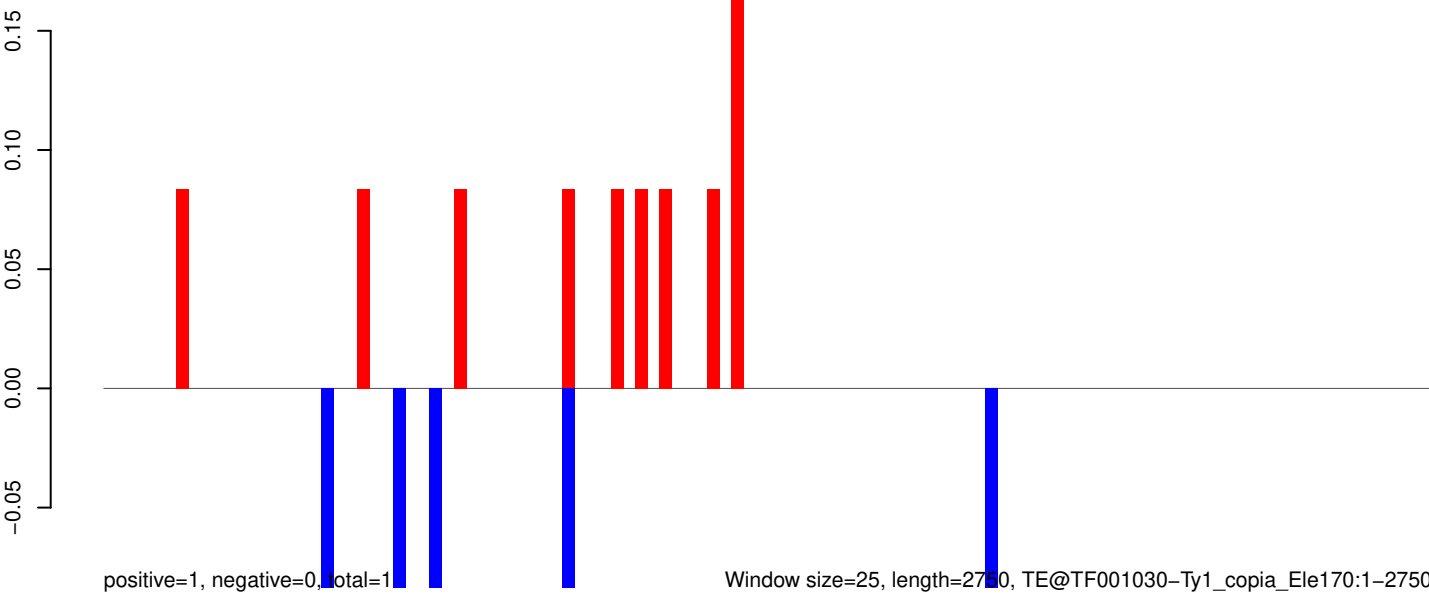
AeAeg_Aag2_Ago2_SINV_RA.18_23.rep



AeAeg_Aag2_Ago2_SINV_RA.24_35.rep

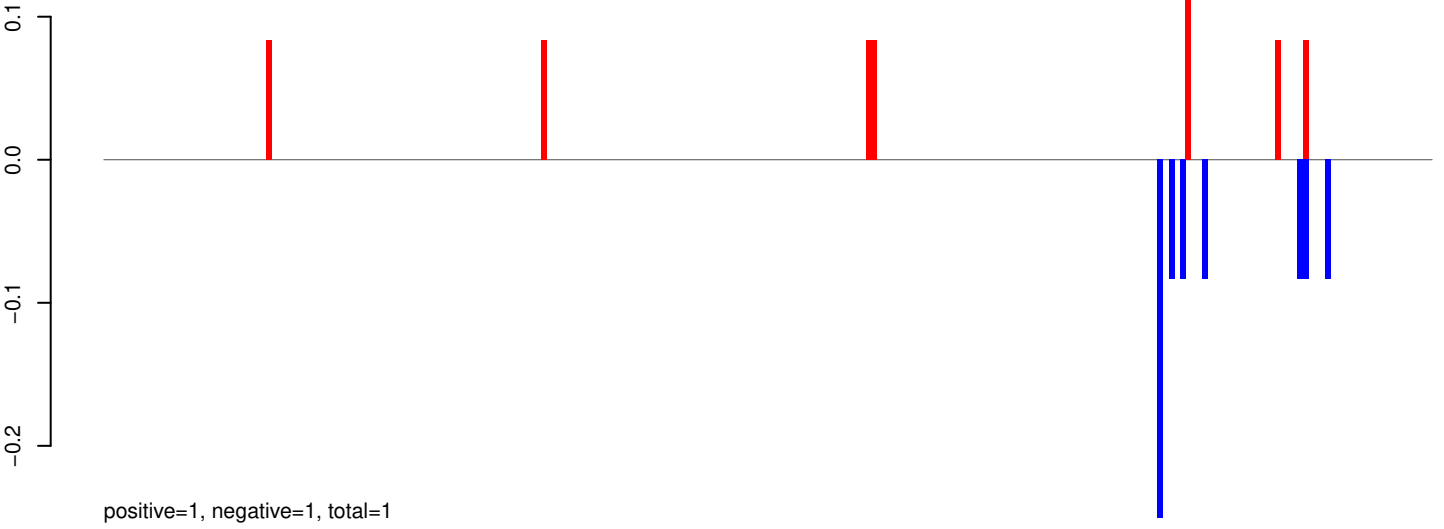


AeAeg_Aag2_Ago2_SINV_RA.rep

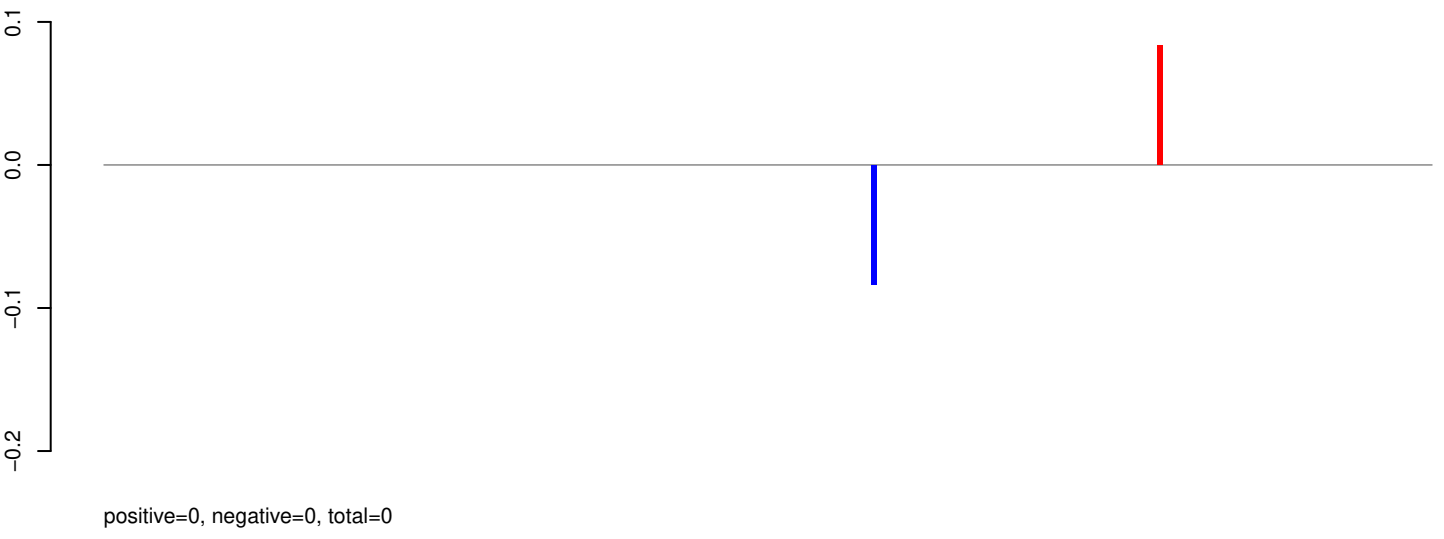


0 500 1000 1500 2000 2500

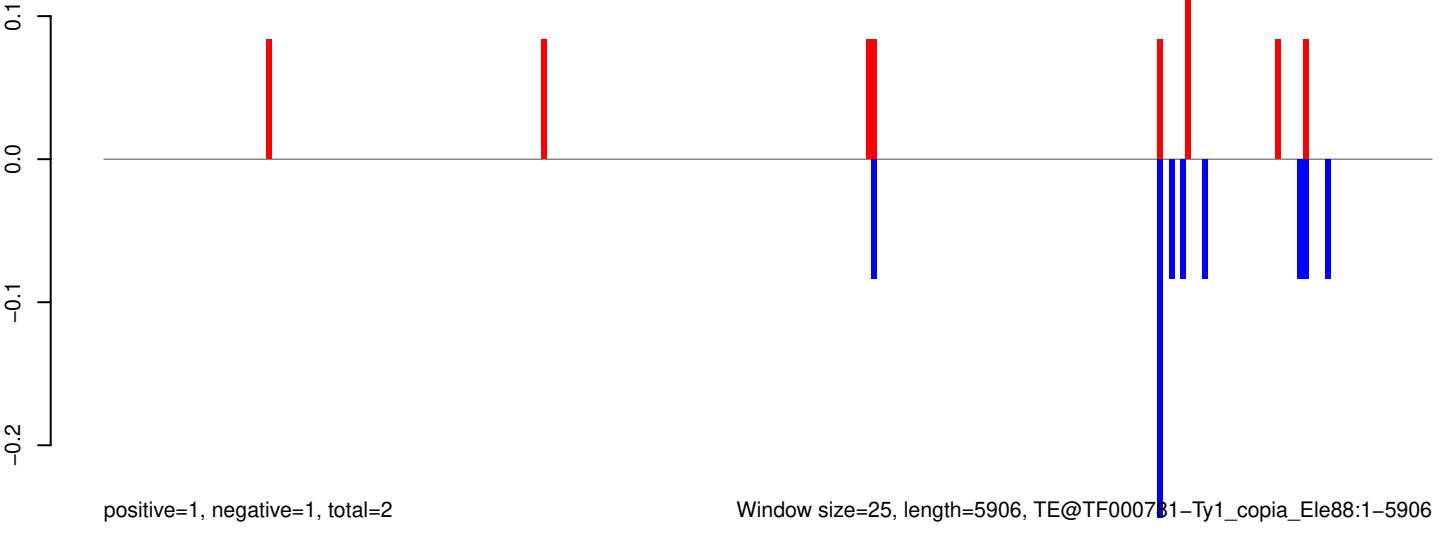
AeAeg_Aag2_Ago2_SINV_RA.18_23.rep



AeAeg_Aag2_Ago2_SINV_RA.24_35.rep

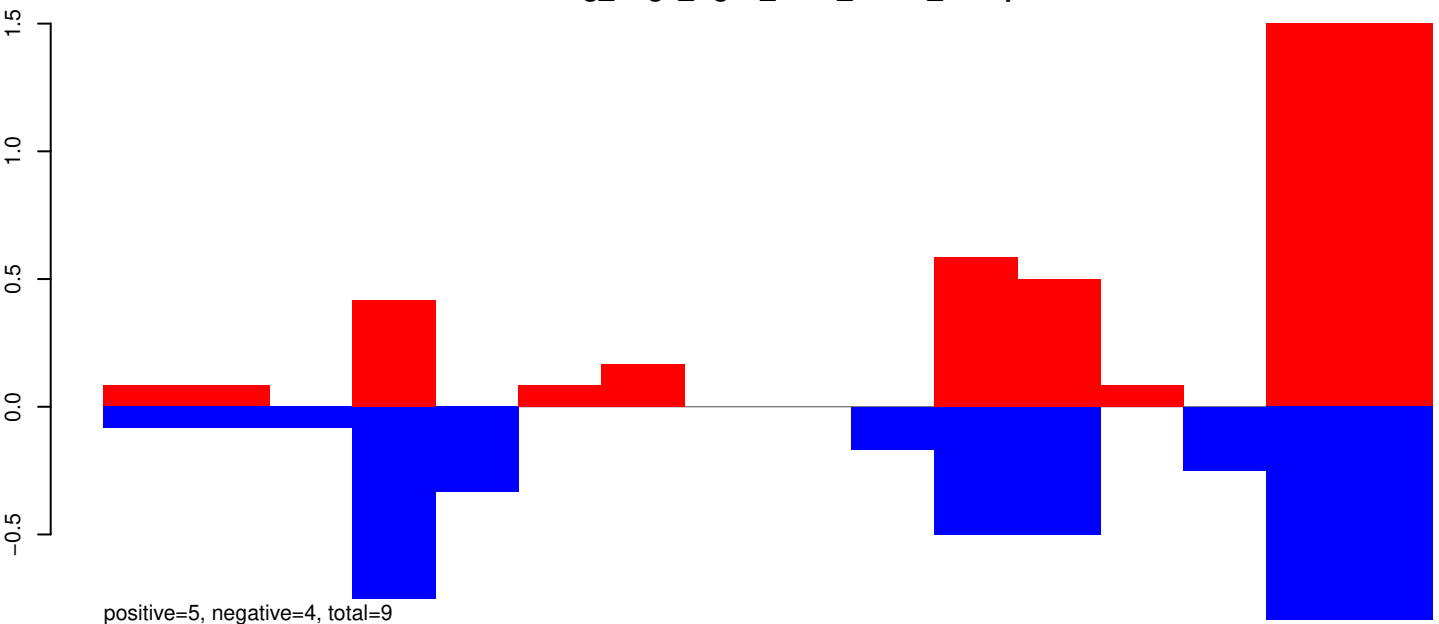


AeAeg_Aag2_Ago2_SINV_RA.rep

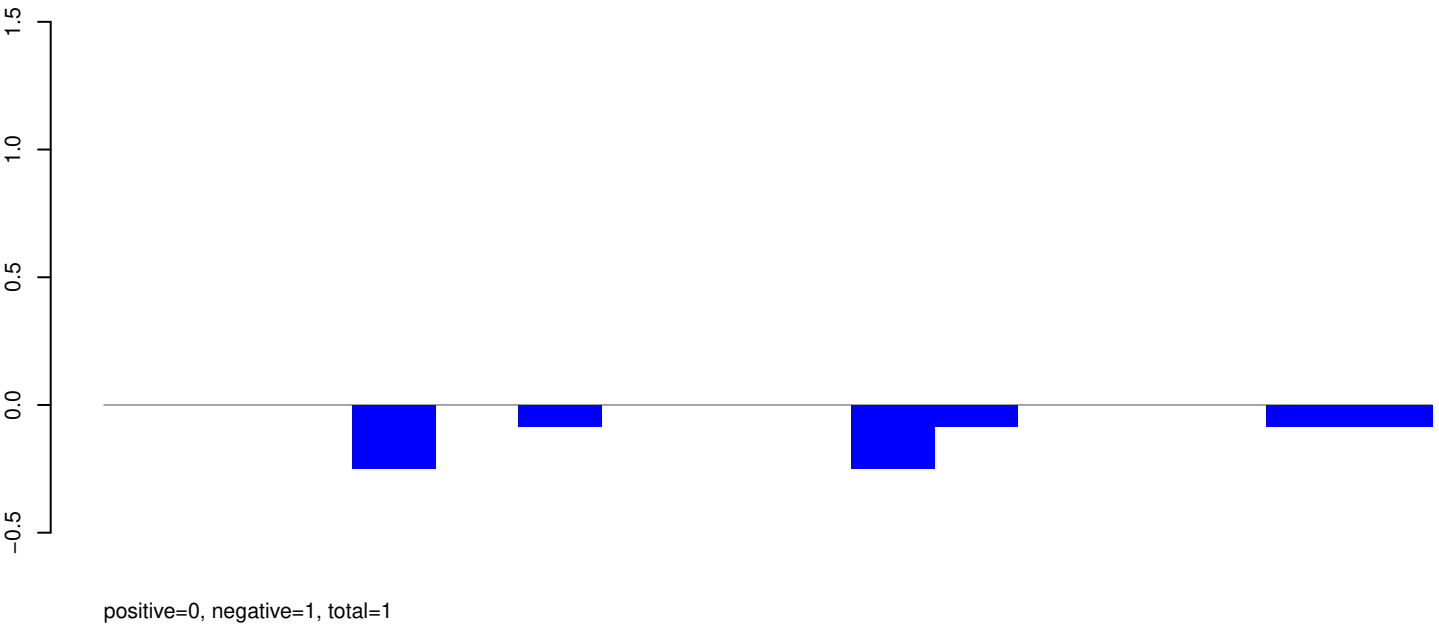


0 1000 2000 3000 4000 5000 6000

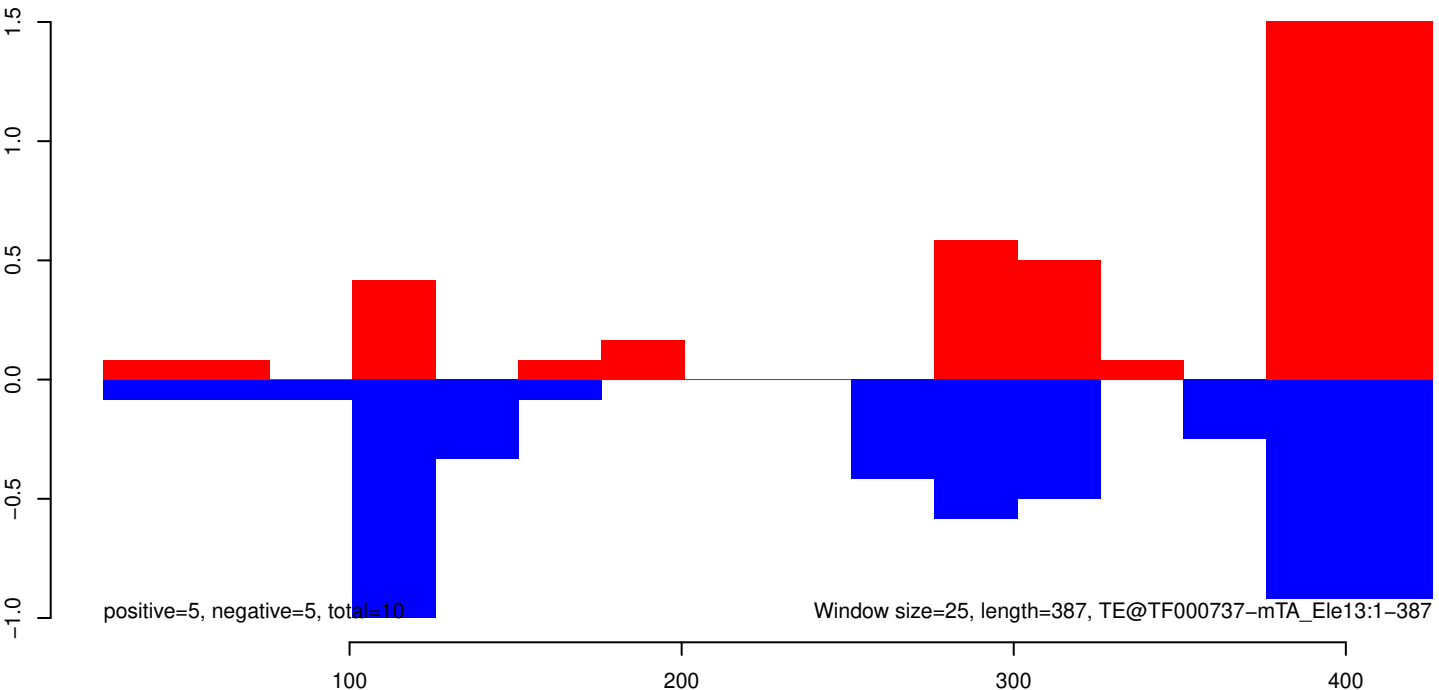
AeAeg_Aag2_Ago2_SINV_RA.18_23.rep

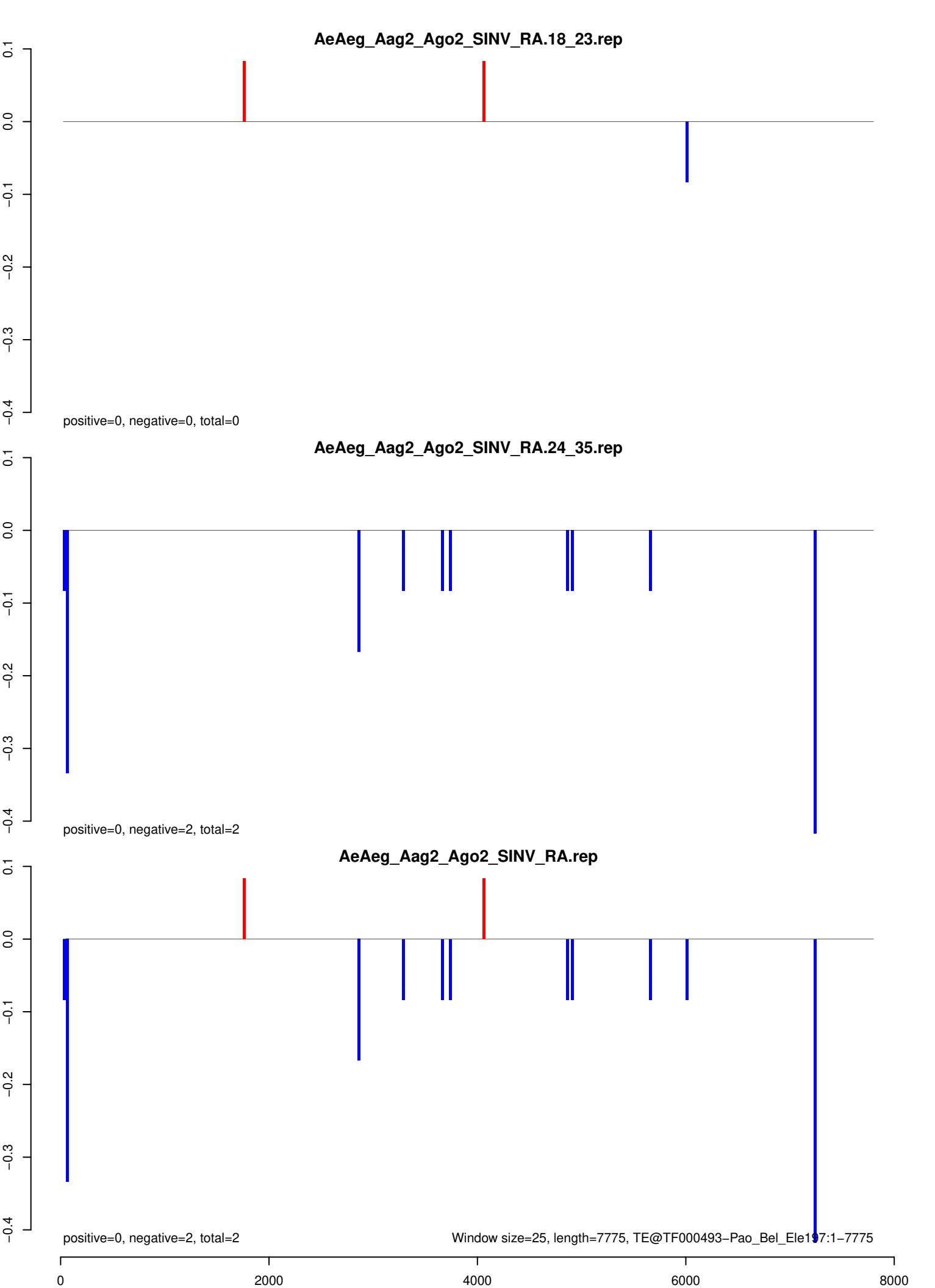


AeAeg_Aag2_Ago2_SINV_RA.24_35.rep

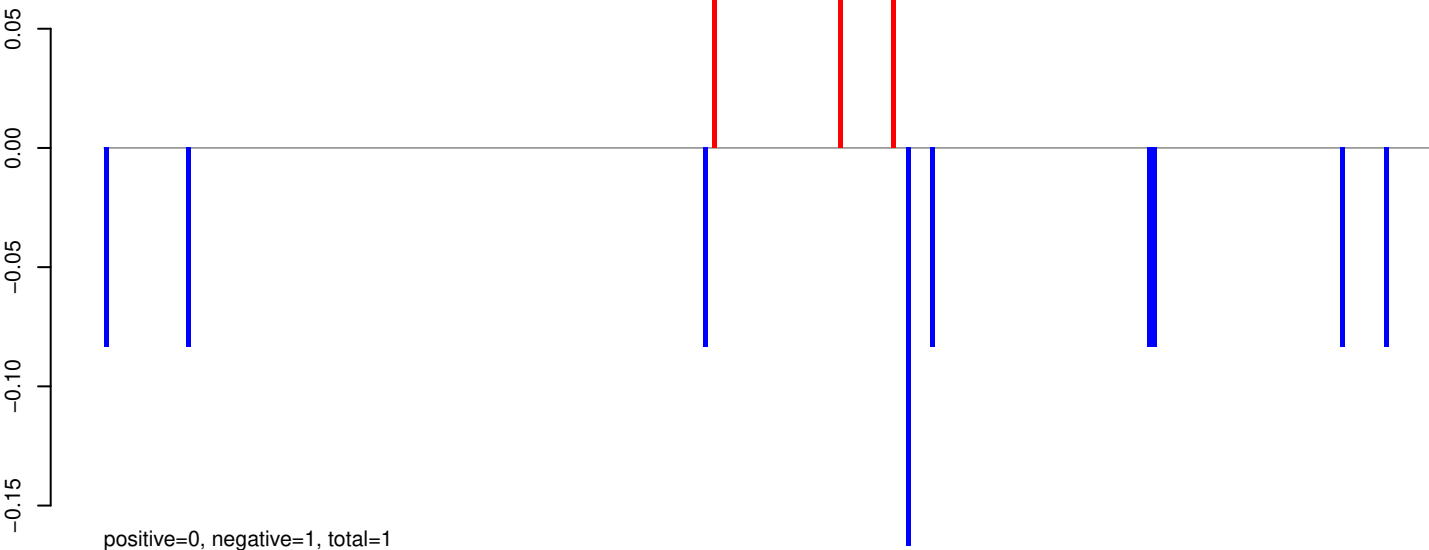


AeAeg_Aag2_Ago2_SINV_RA.rep

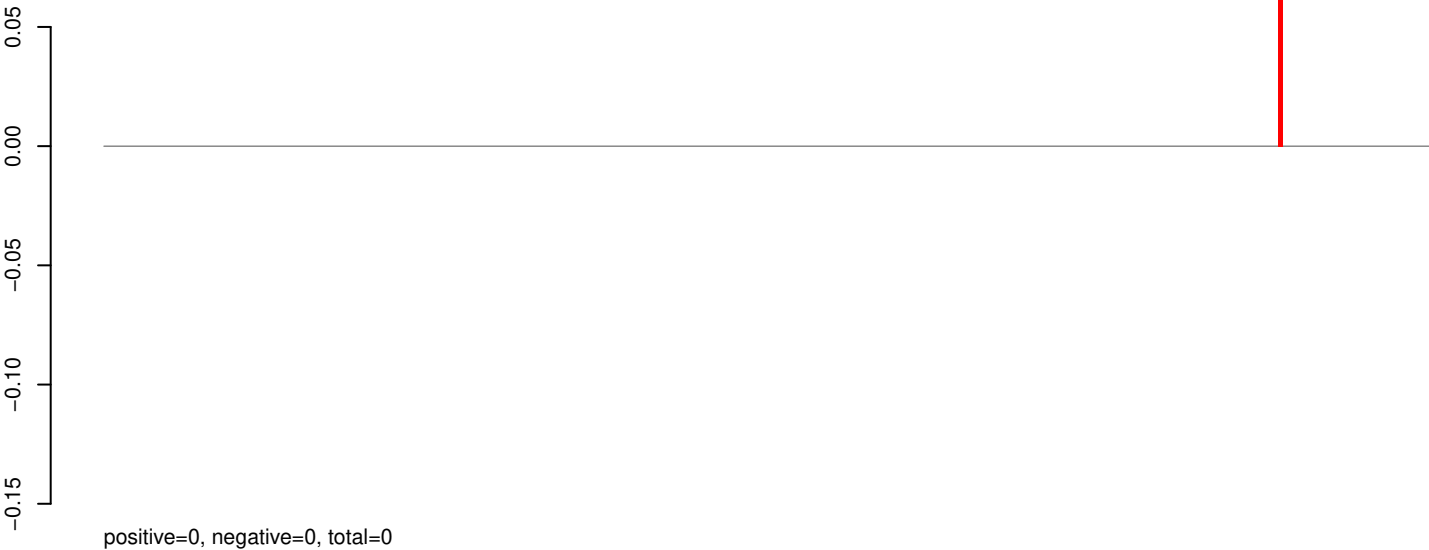




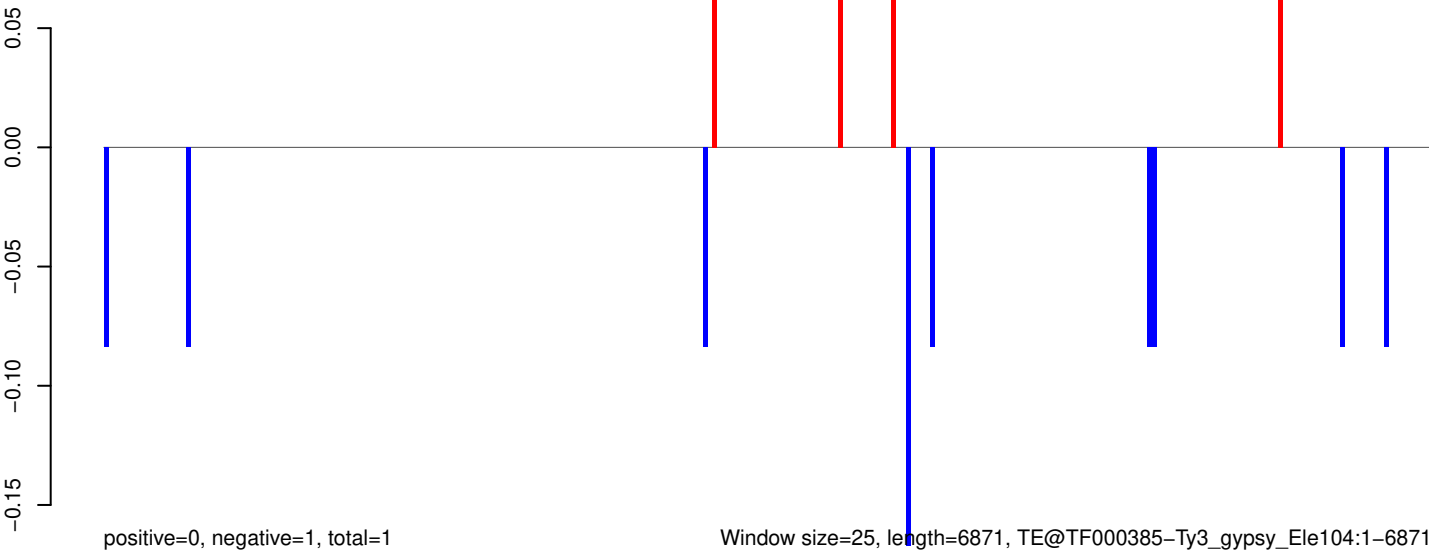
AeAeg_Aag2_Ago2_SINV_RA.18_23.rep



AeAeg_Aag2_Ago2_SINV_RA.24_35.rep



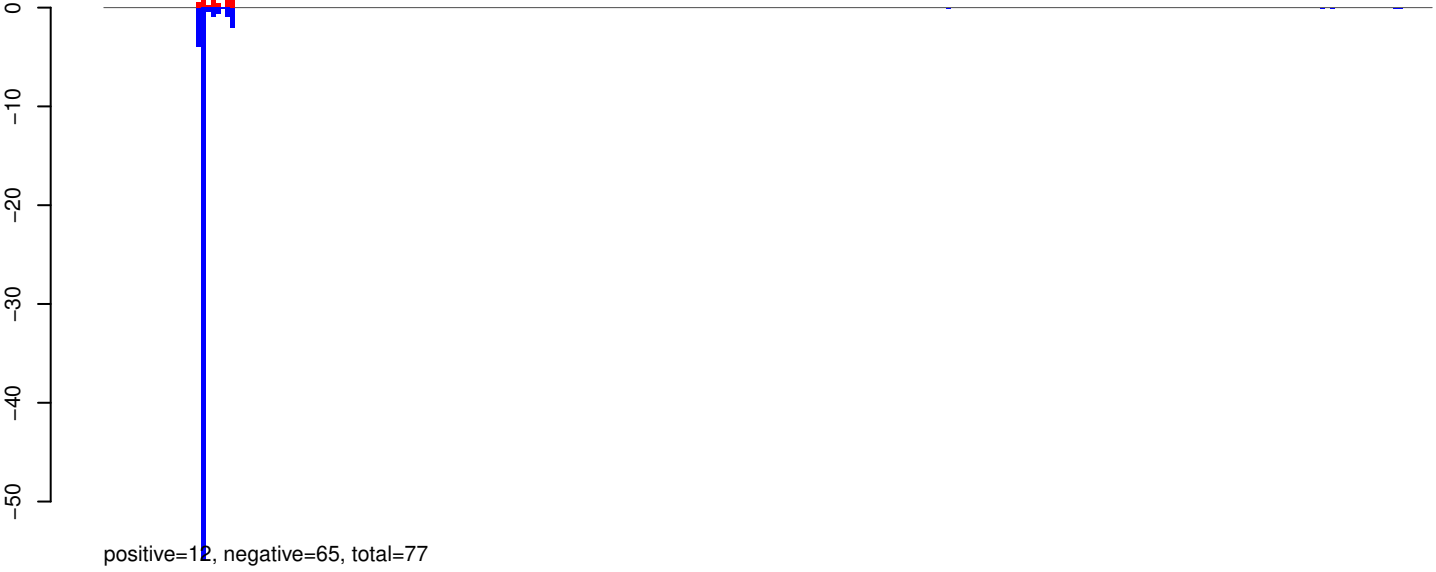
AeAeg_Aag2_Ago2_SINV_RA.rep



Window size=25, length=6871, TE@TF000385-Ty3_gypsy_Ele104:1-6871

0 1000 2000 3000 4000 5000 6000 7000

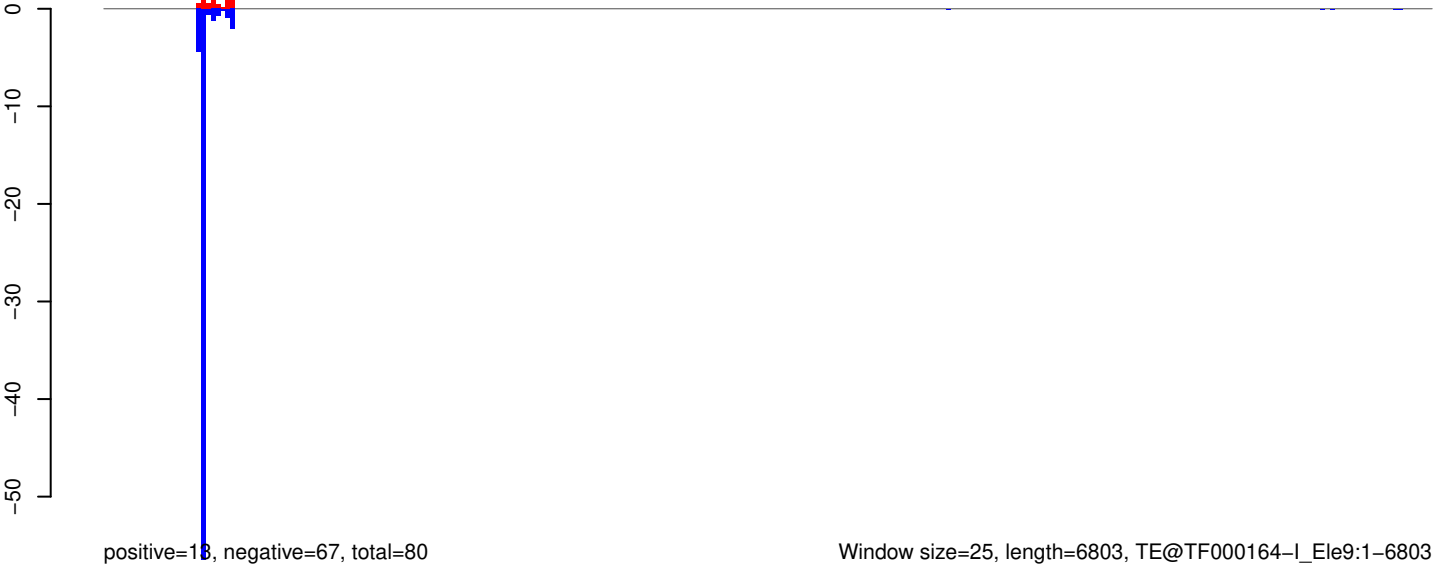
AeAeg_Aag2_Ago2_SINV_RA.18_23.rep



AeAeg_Aag2_Ago2_SINV_RA.24_35.rep



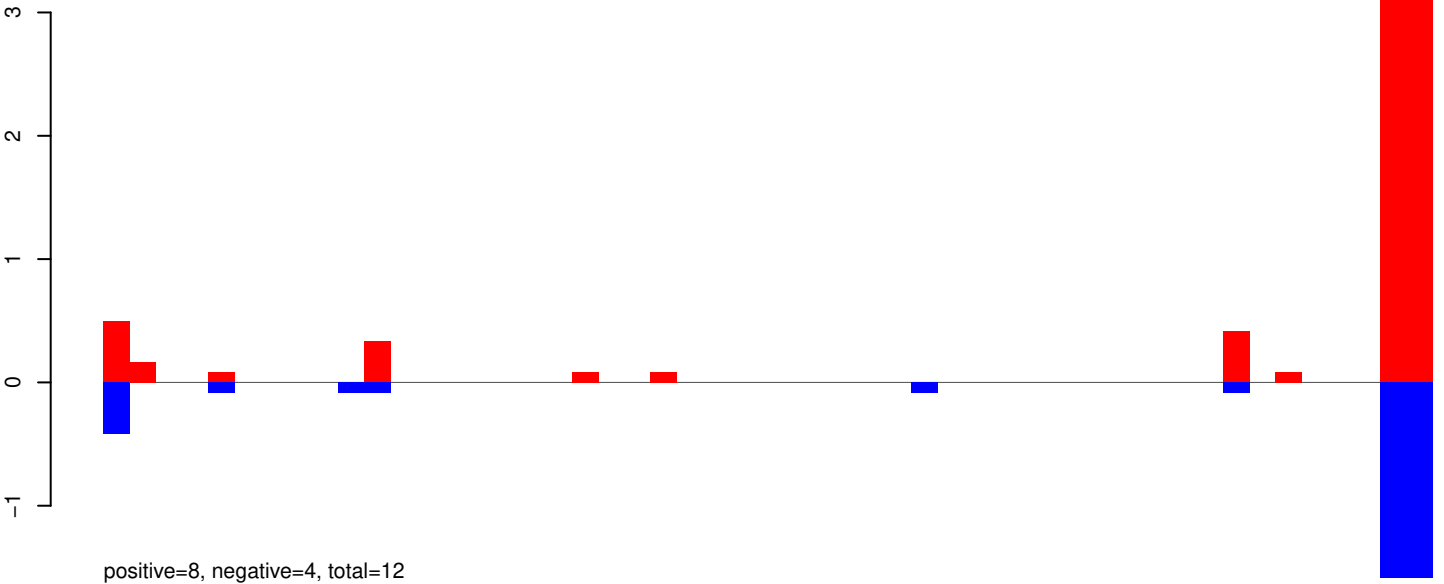
AeAeg_Aag2_Ago2_SINV_RA.rep



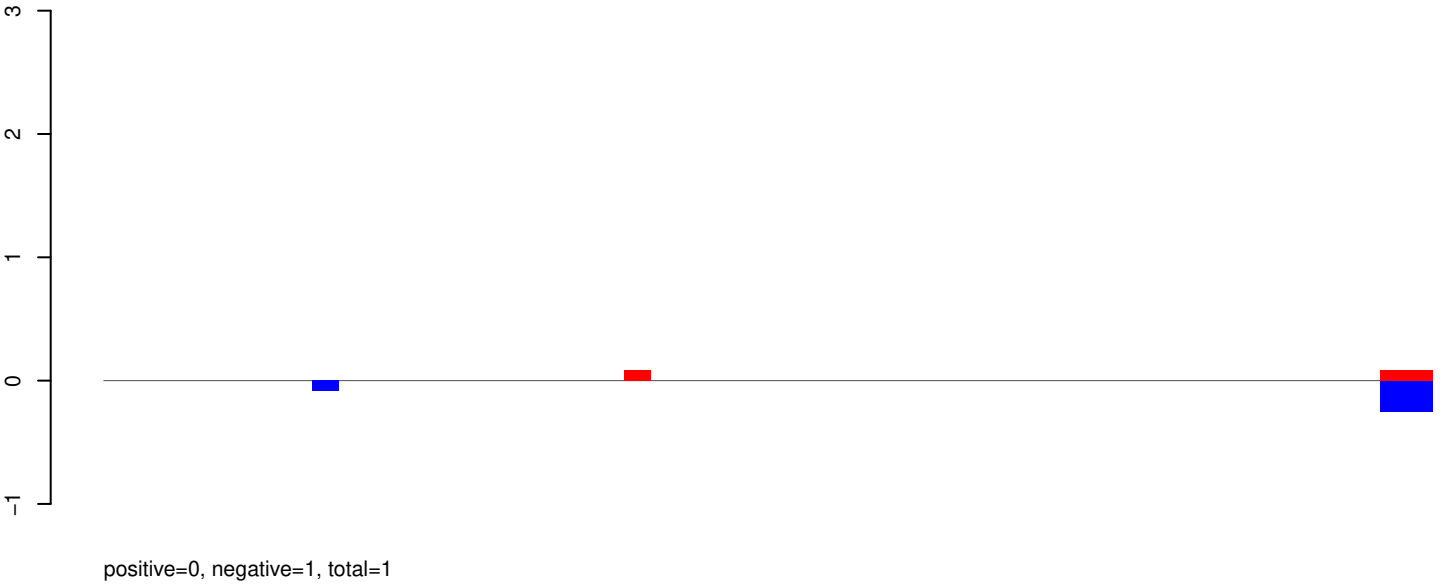
Window size=25, length=6803, TE@TF000164-I_Ele9:1-6803

0 1000 2000 3000 4000 5000 6000 7000

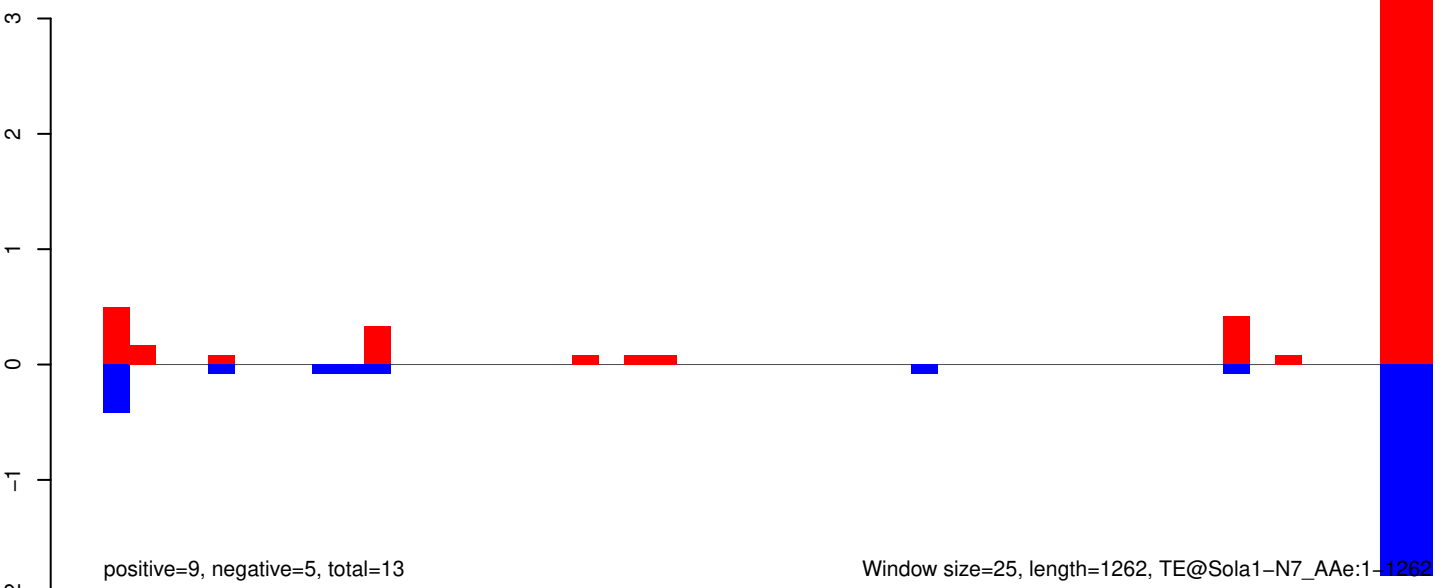
AeAeg_Aag2_Ago2_SINV_RA.18_23.rep



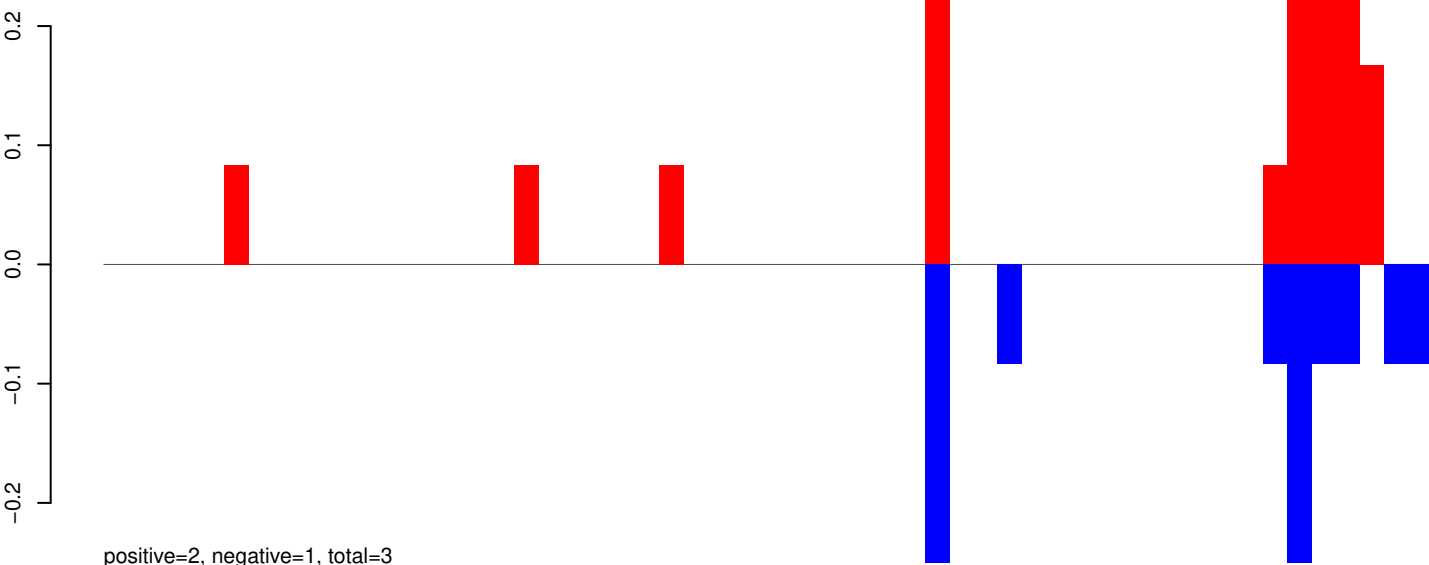
AeAeg_Aag2_Ago2_SINV_RA.24_35.rep



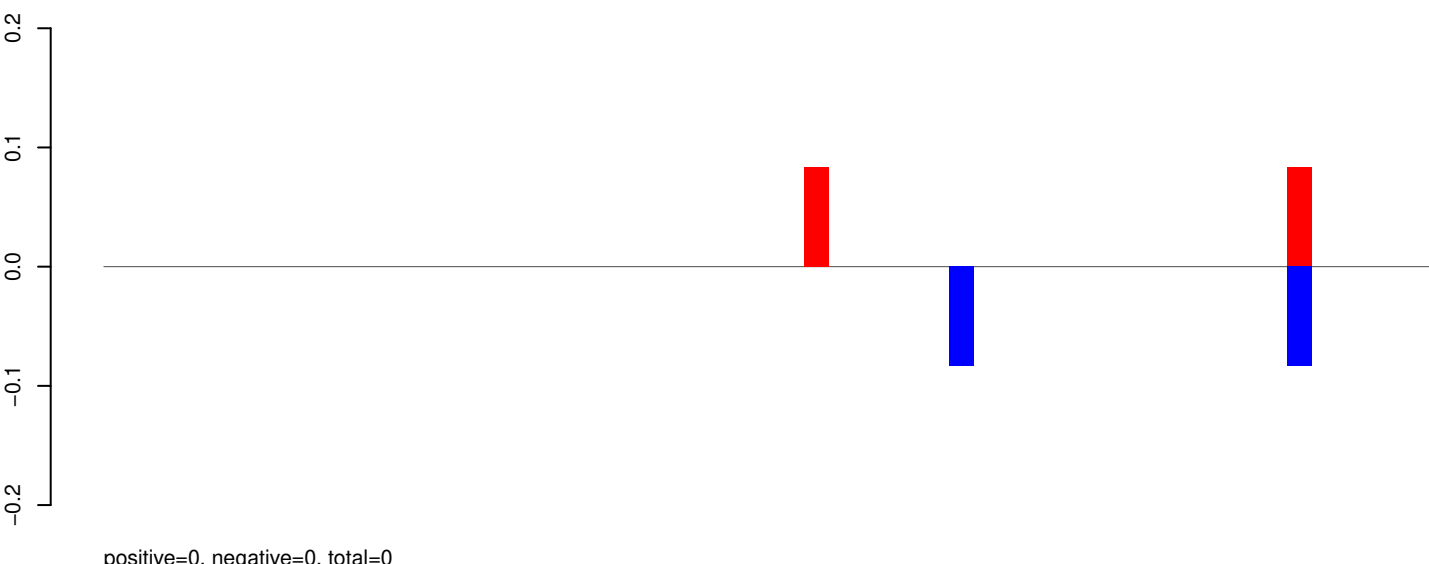
AeAeg_Aag2_Ago2_SINV_RA.rep



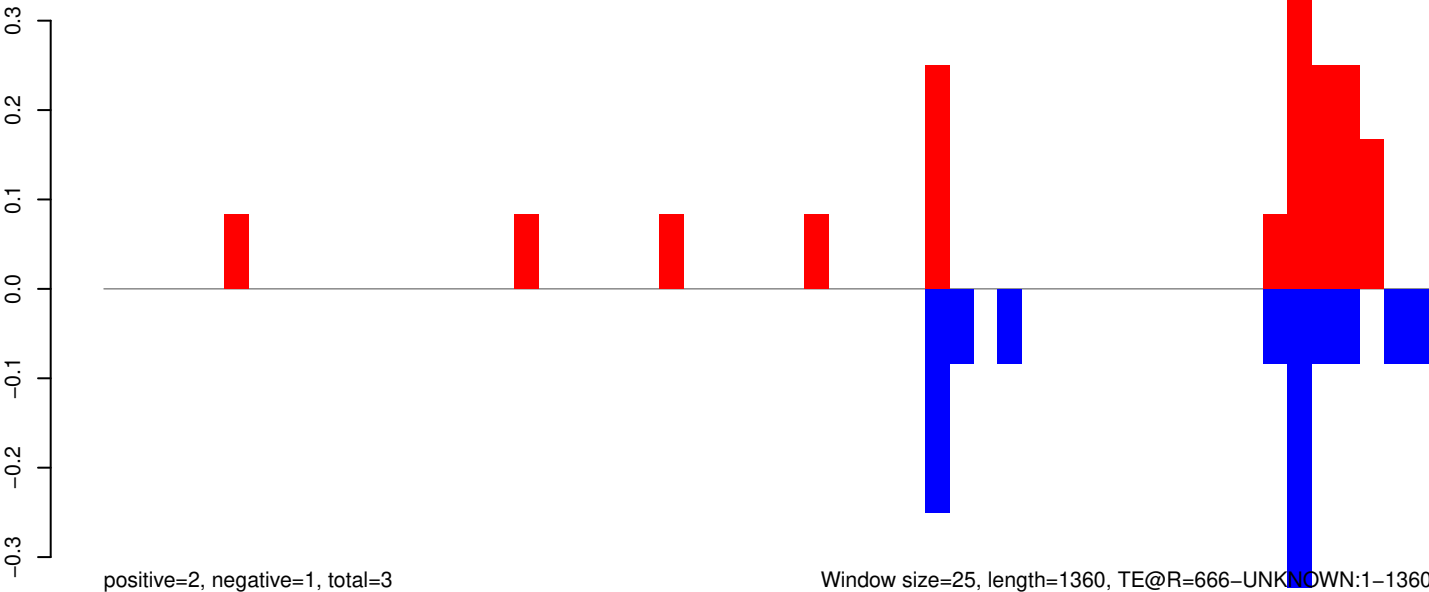
AeAeg_Aag2_Ago2_SINV_RA.18_23.rep



AeAeg_Aag2_Ago2_SINV_RA.24_35.rep

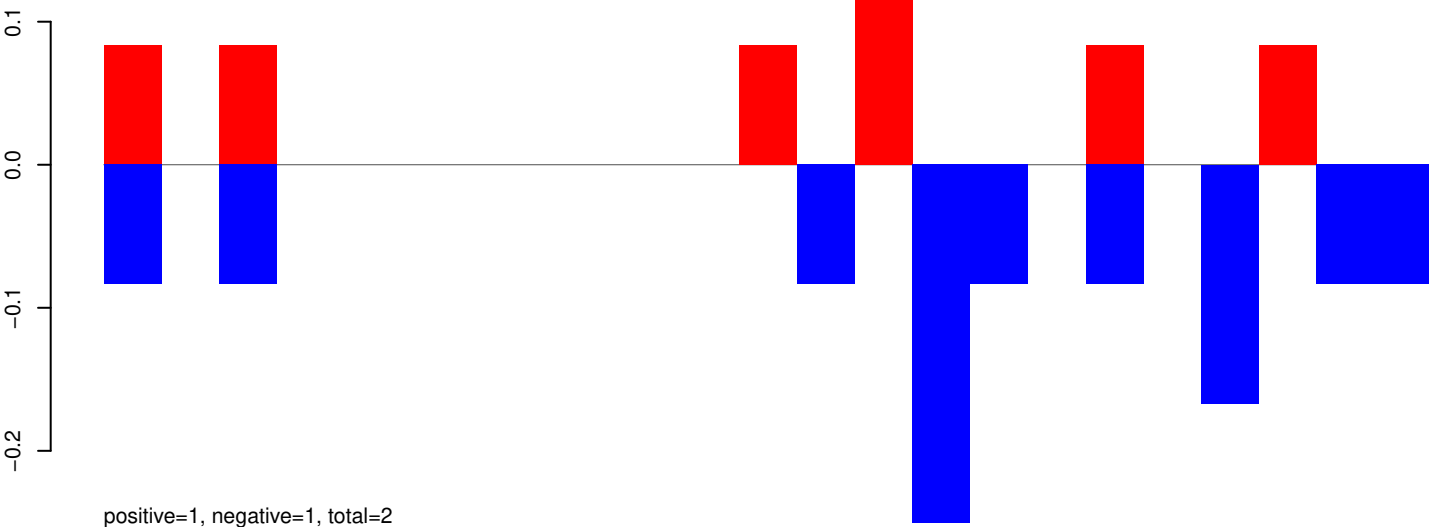


AeAeg_Aag2_Ago2_SINV_RA.rep

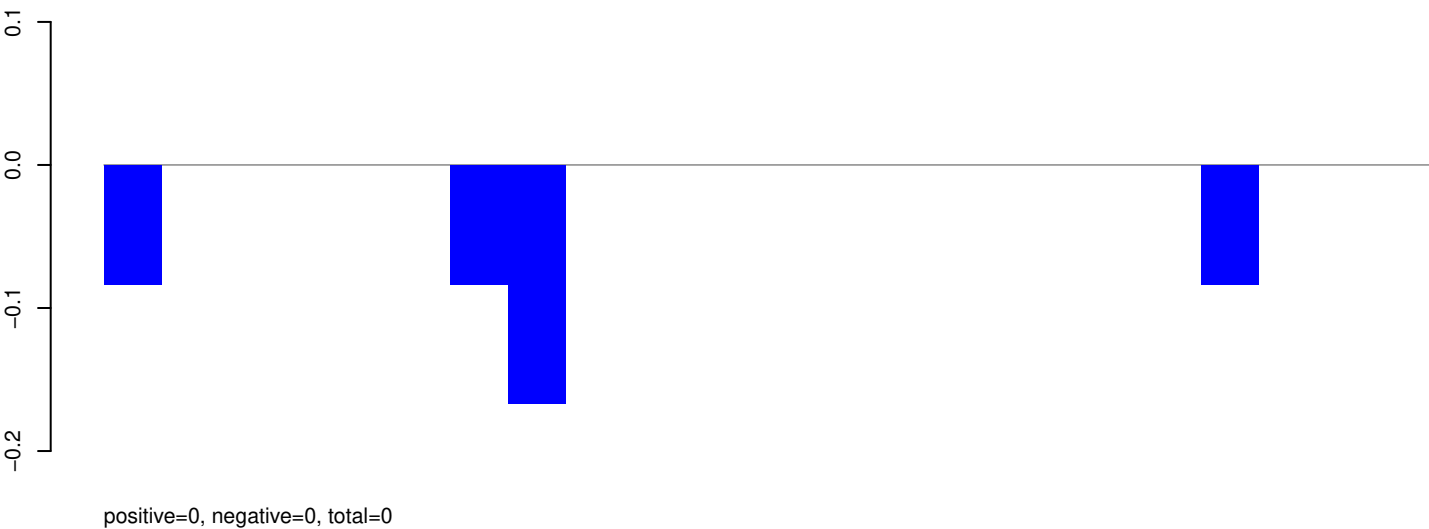


Window size=25, length=1360, TE@R=666-UNKNOWN:1-1360

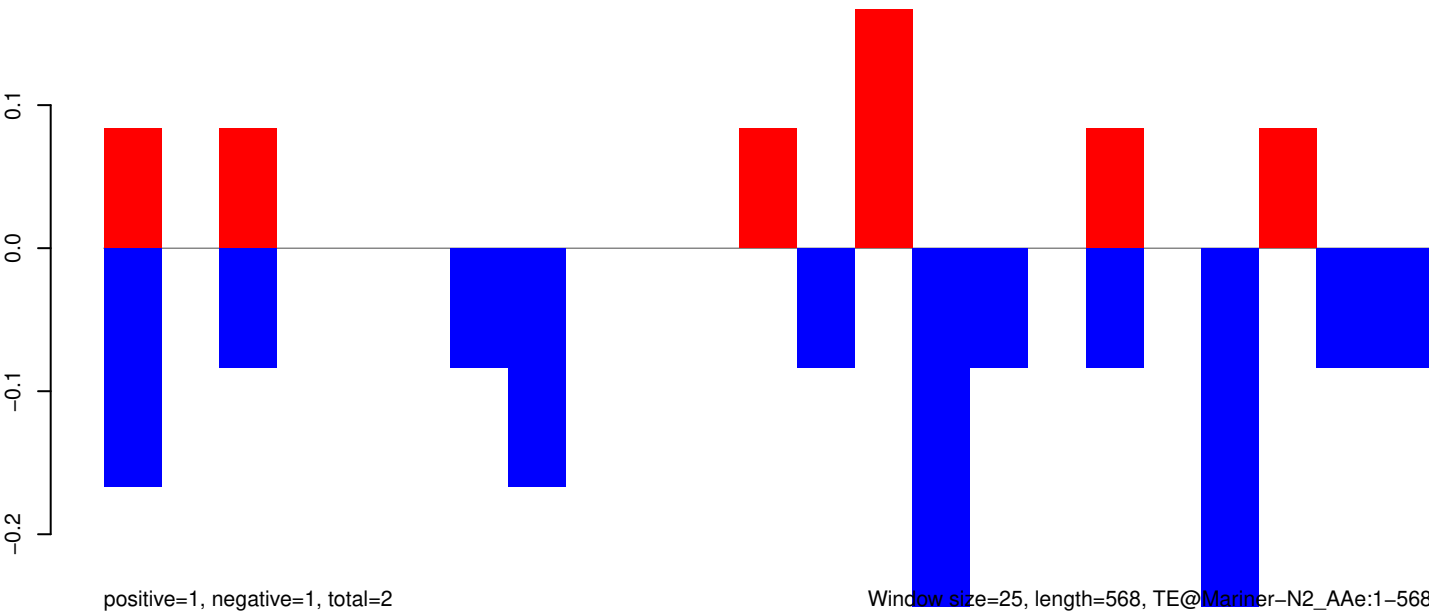
AeAeg_Aag2_Ago2_SINV_RA.18_23.rep



AeAeg_Aag2_Ago2_SINV_RA.24_35.rep



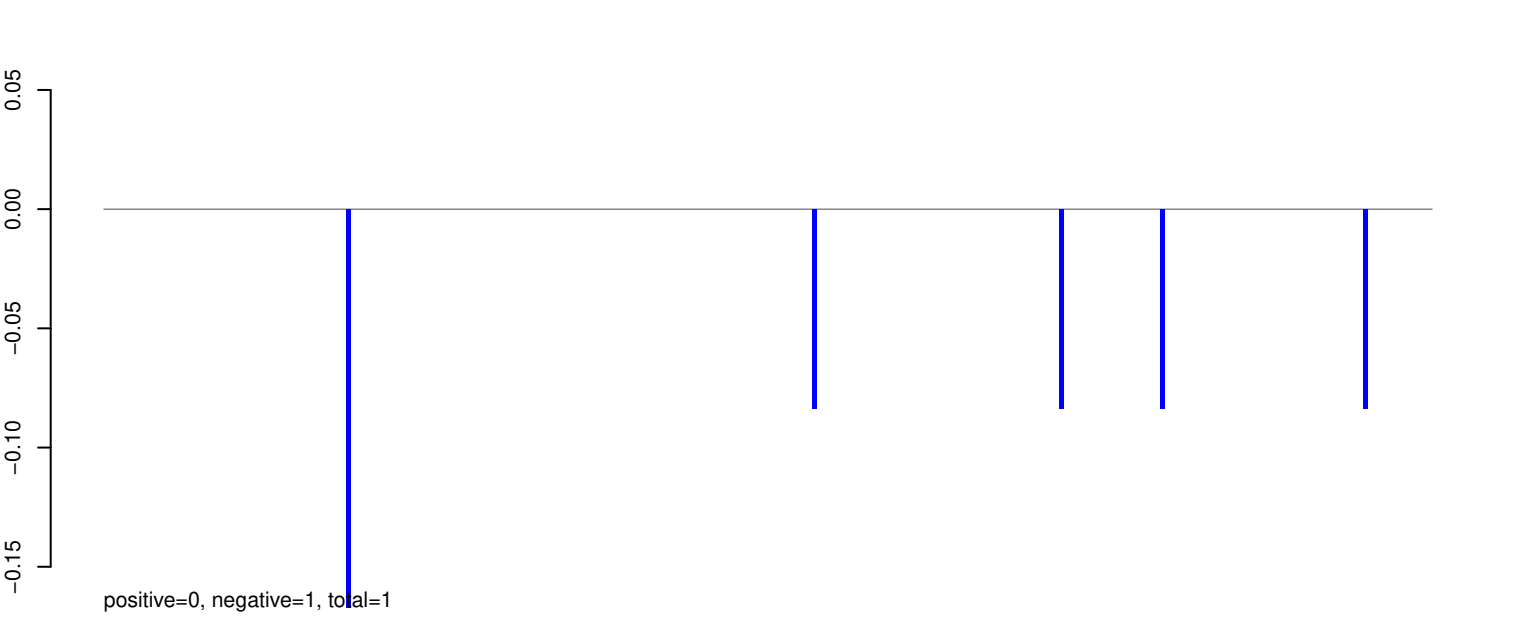
AeAeg_Aag2_Ago2_SINV_RA.rep



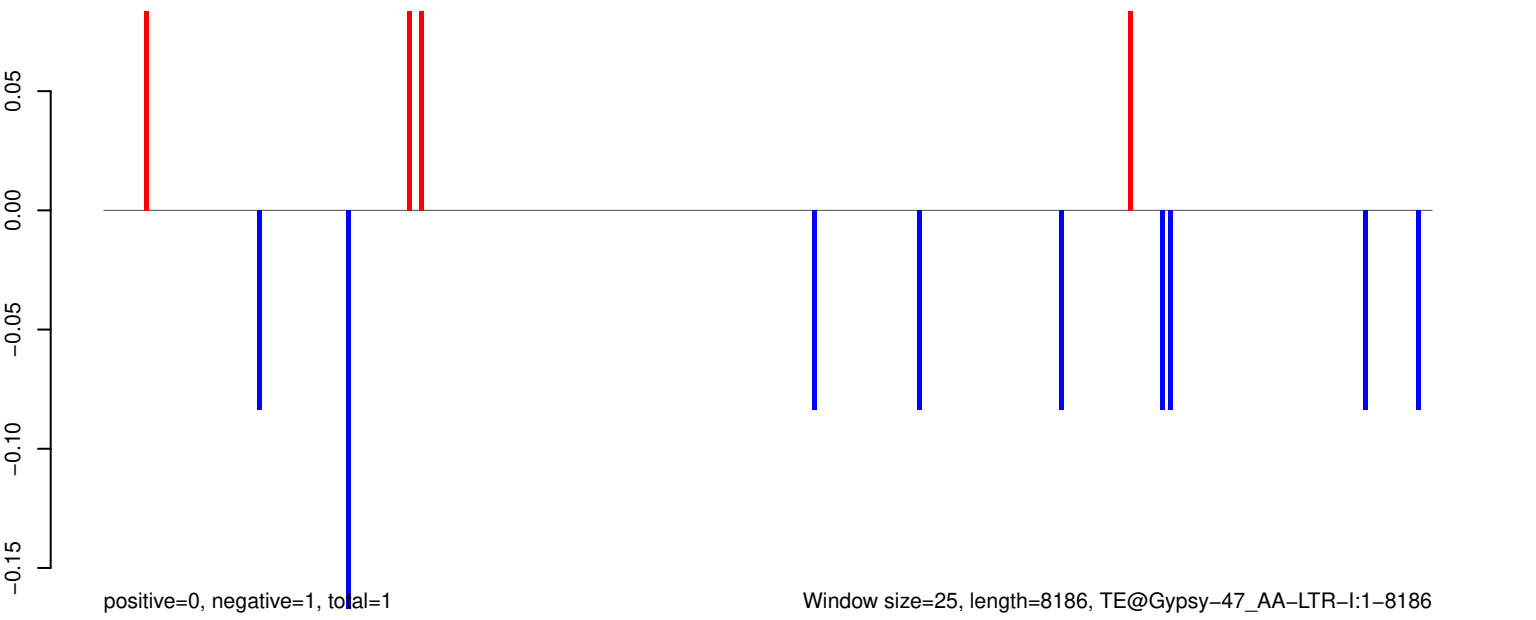
AeAeg_Aag2_Ago2_SINV_RA.18_23.rep



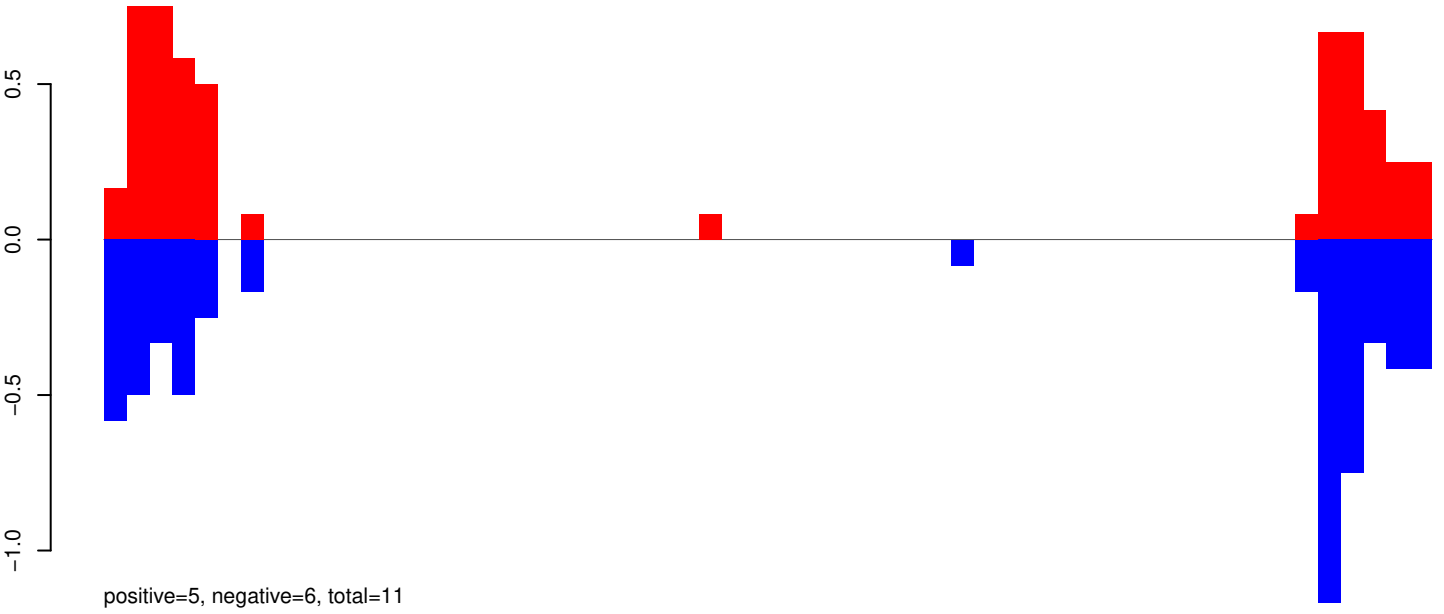
AeAeg_Aag2_Ago2_SINV_RA.24_35.rep



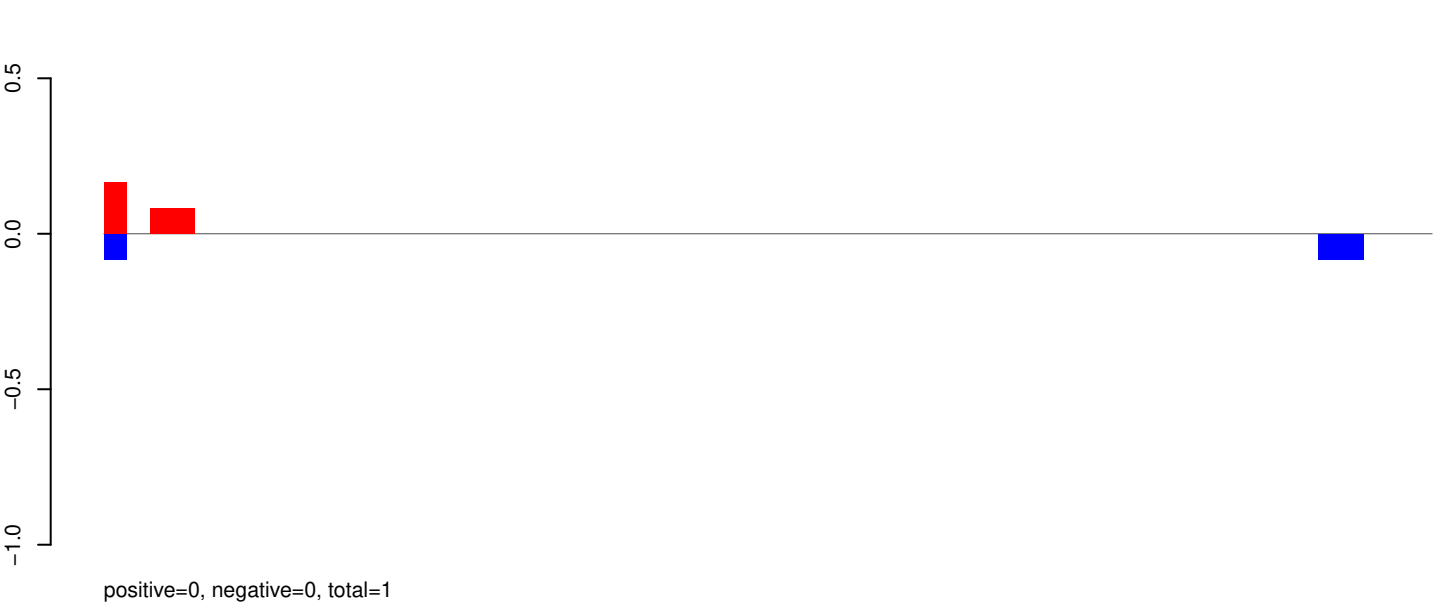
AeAeg_Aag2_Ago2_SINV_RA.rep



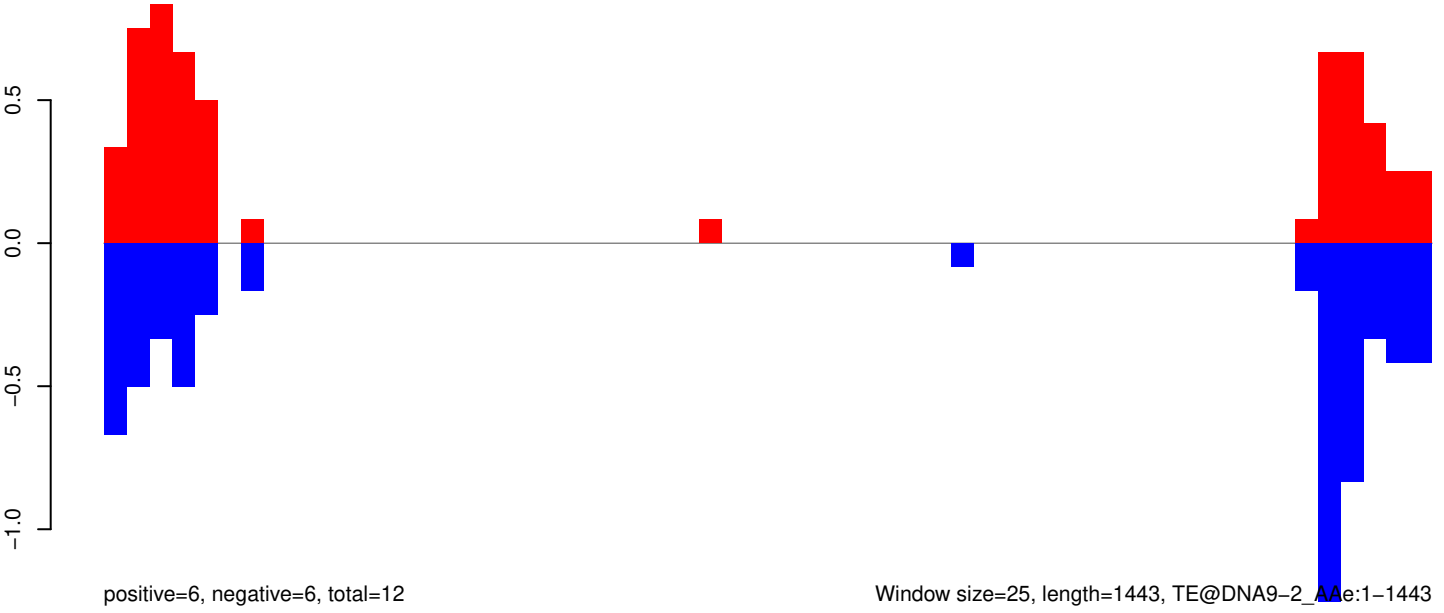
AeAeg_Aag2_Ago2_SINV_RA.18_23.rep



AeAeg_Aag2_Ago2_SINV_RA.24_35.rep

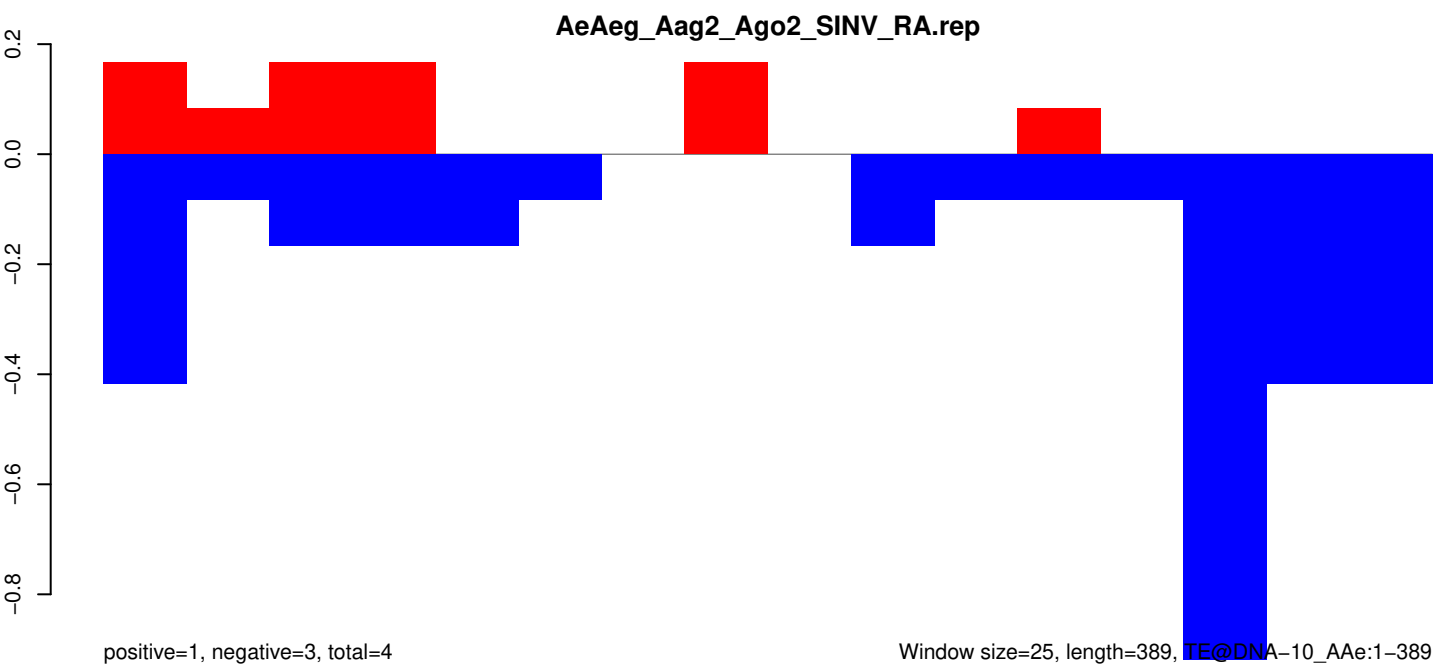
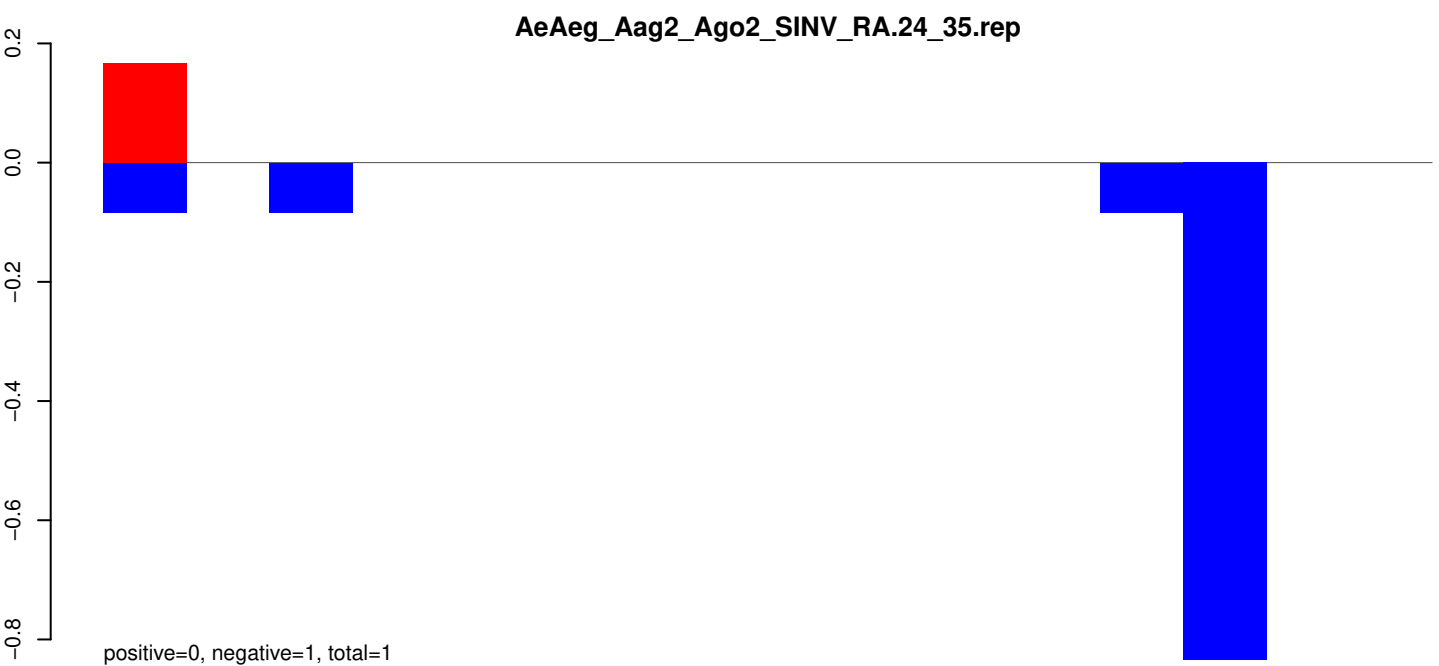
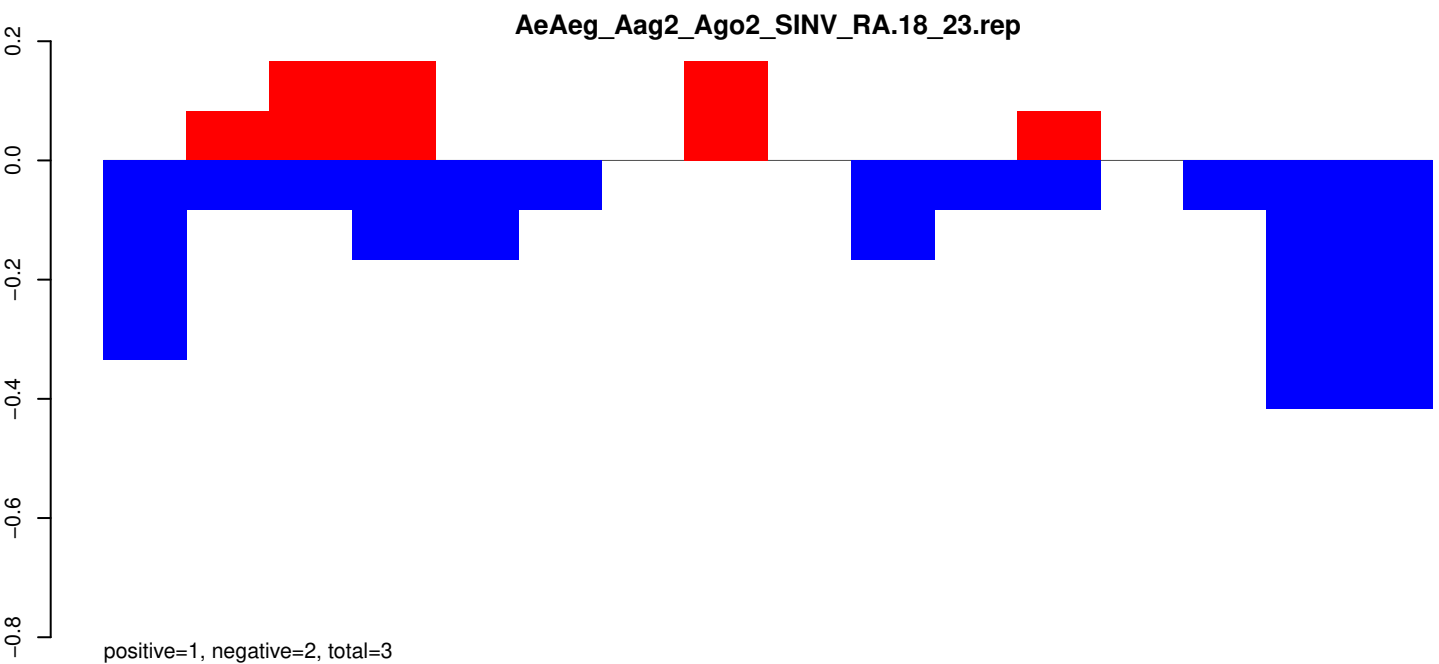


AeAeg_Aag2_Ago2_SINV_RA.rep

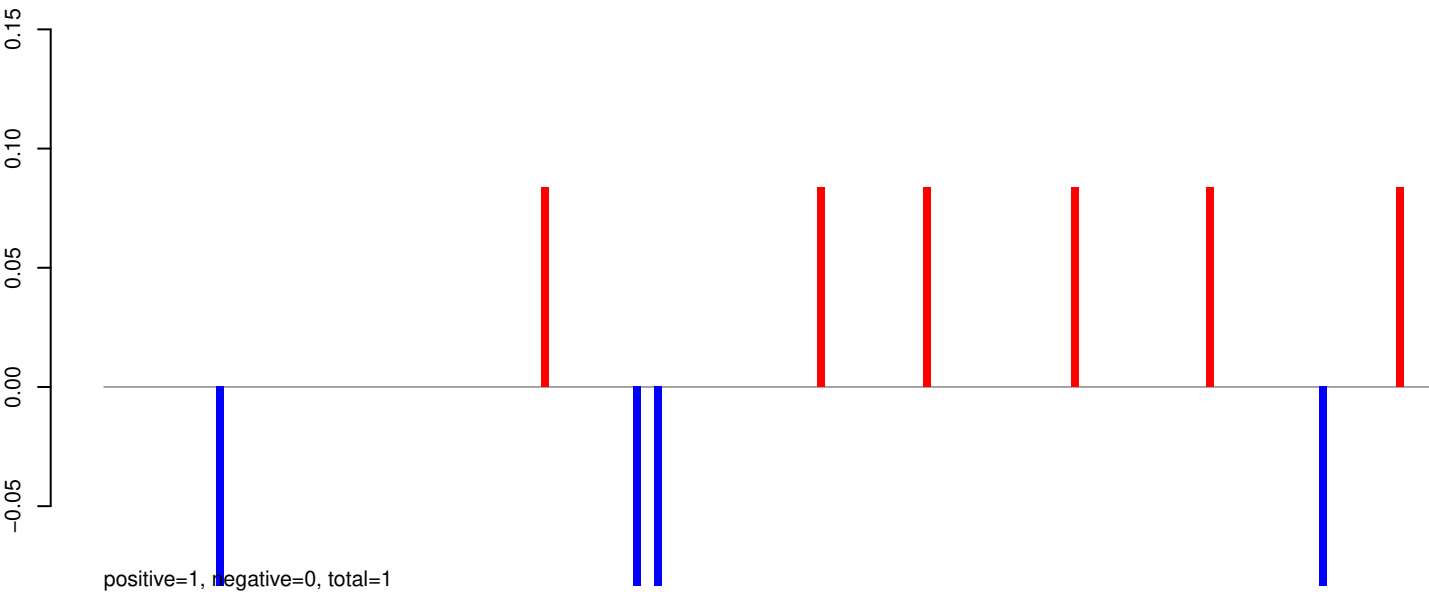


Window size=25, length=1443, TE@DNA9-2_AAg:1-1443

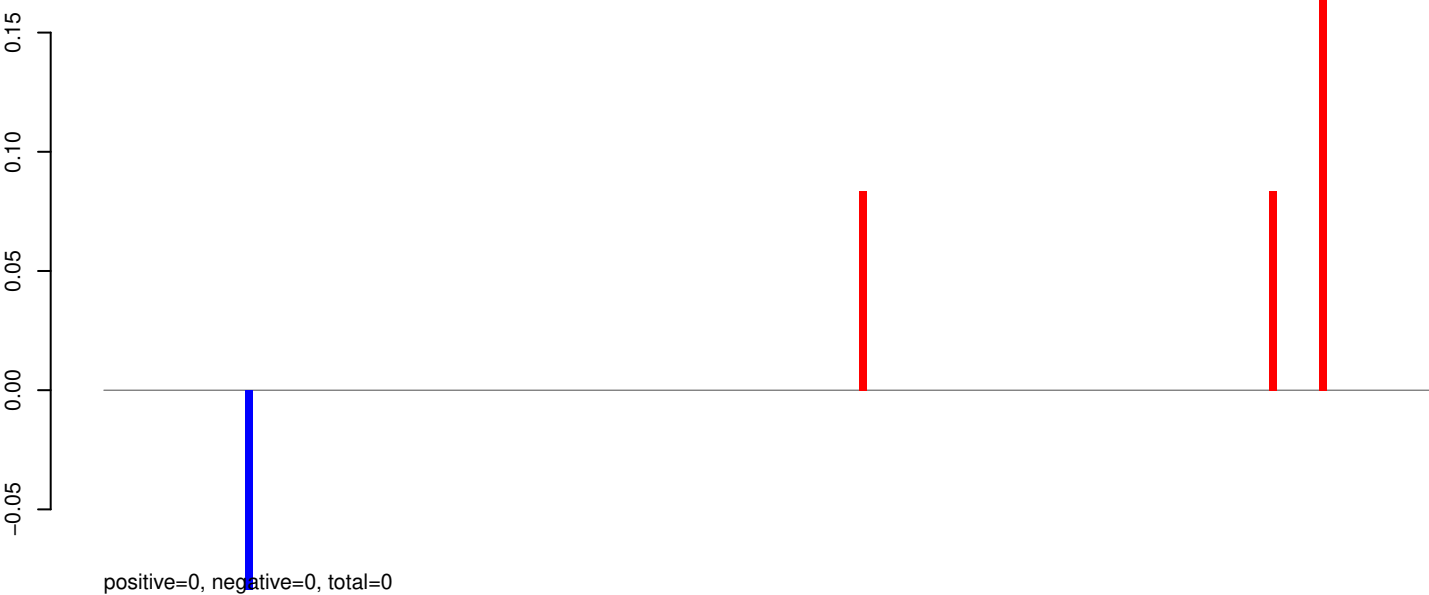
0 500 1000 1500



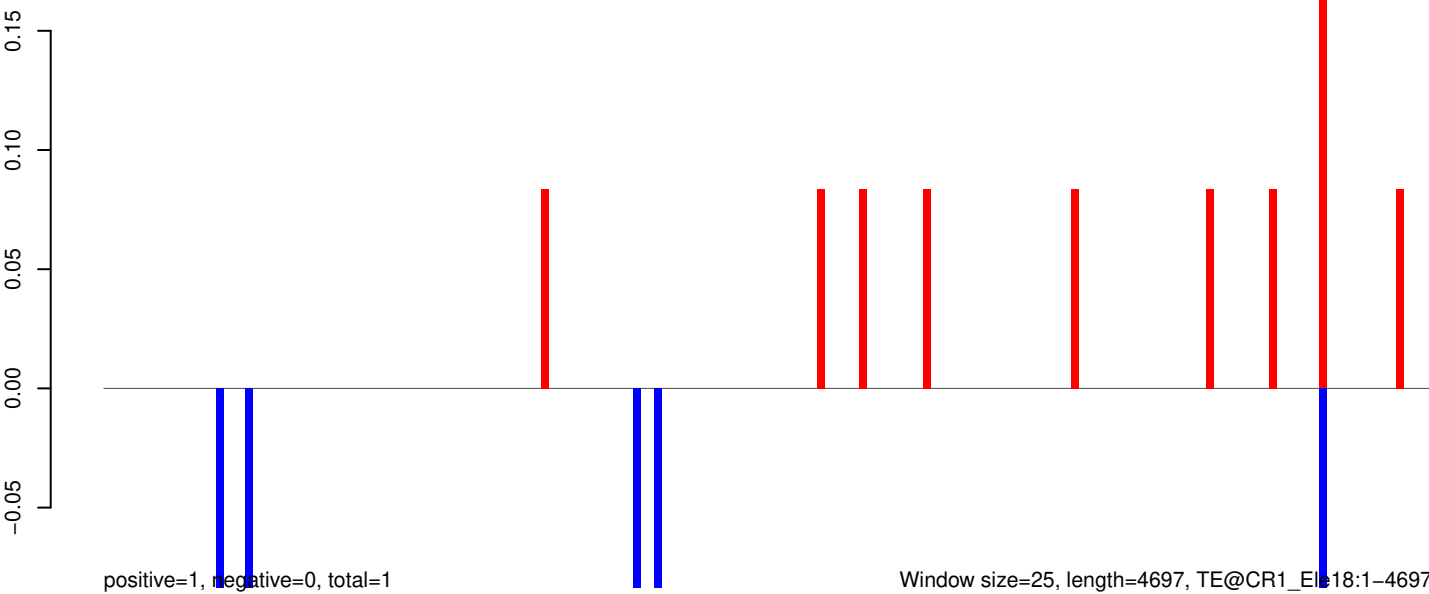
AeAeg_Aag2_Ago2_SINV_RA.18_23.rep



AeAeg_Aag2_Ago2_SINV_RA.24_35.rep



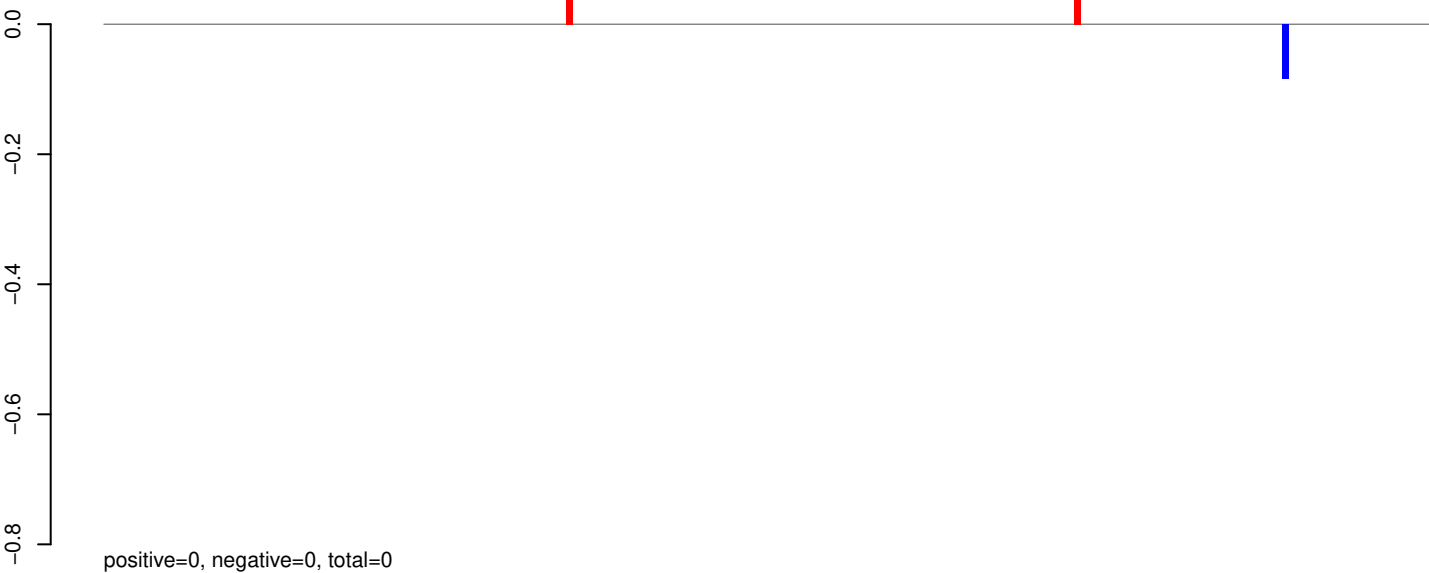
AeAeg_Aag2_Ago2_SINV_RA.rep



Window size=25, length=4697, TE@CR1_Els18:1-4697

0 1000 2000 3000 4000

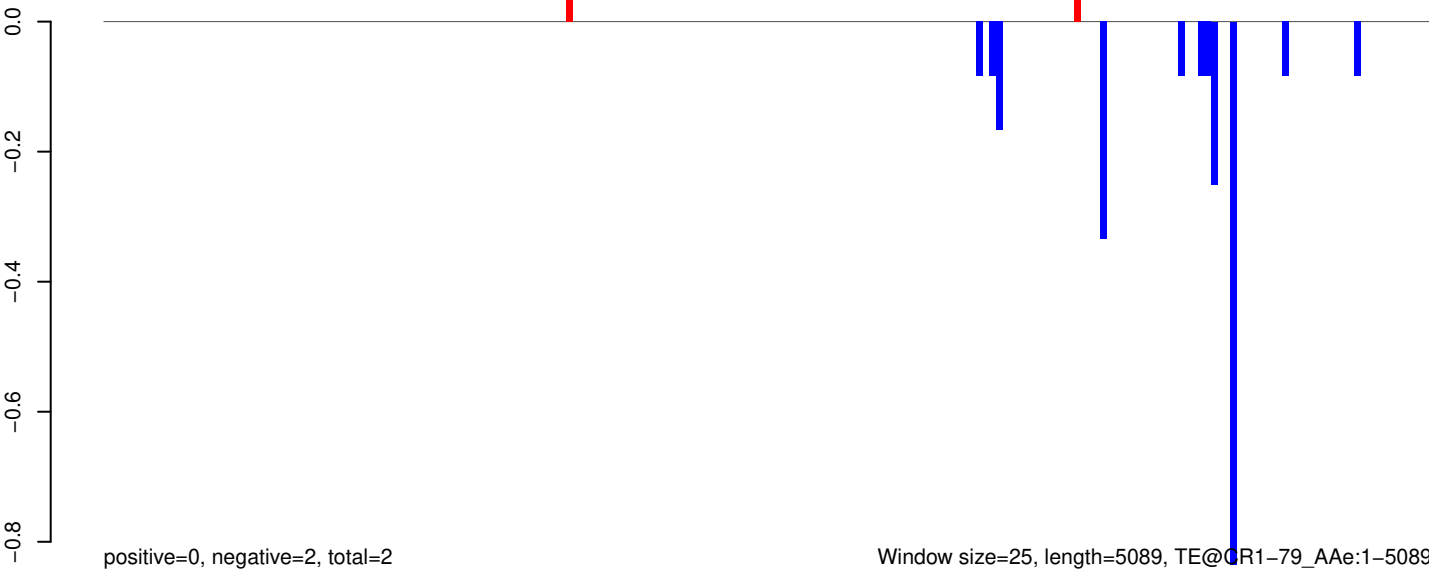
AeAeg_Aag2_Ago2_SINV_RA.18_23.rep



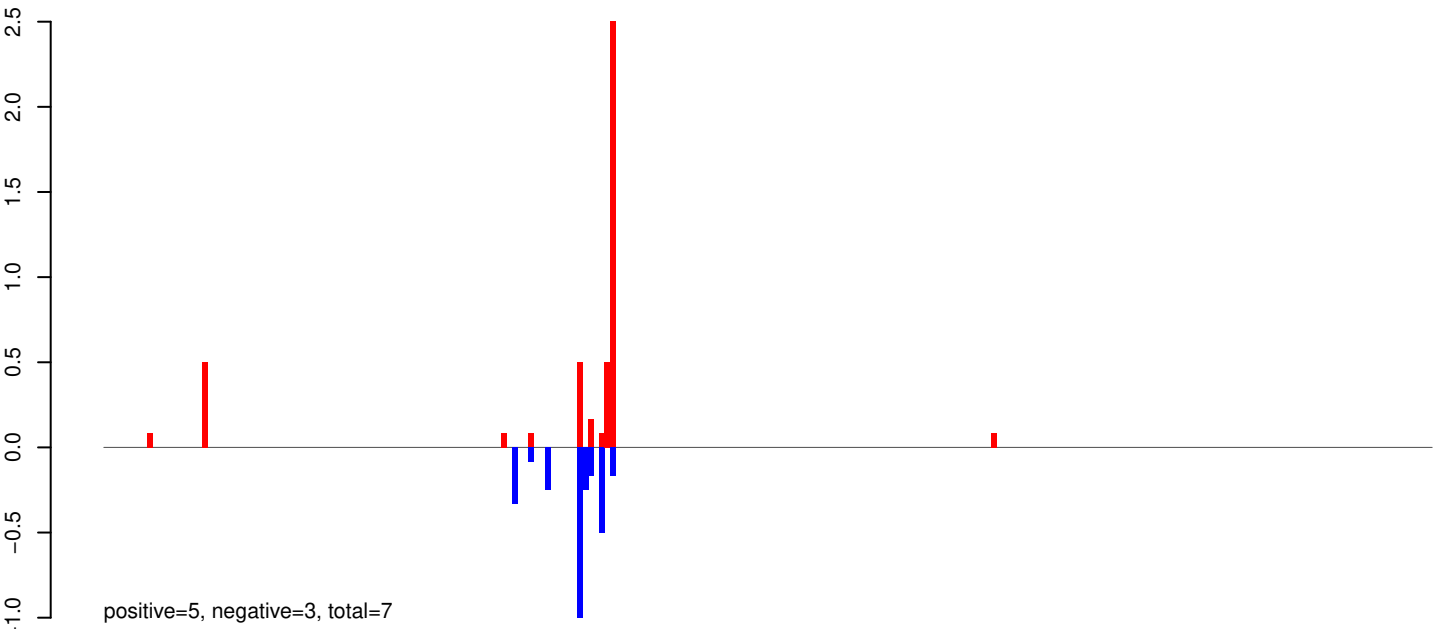
AeAeg_Aag2_Ago2_SINV_RA.24_35.rep



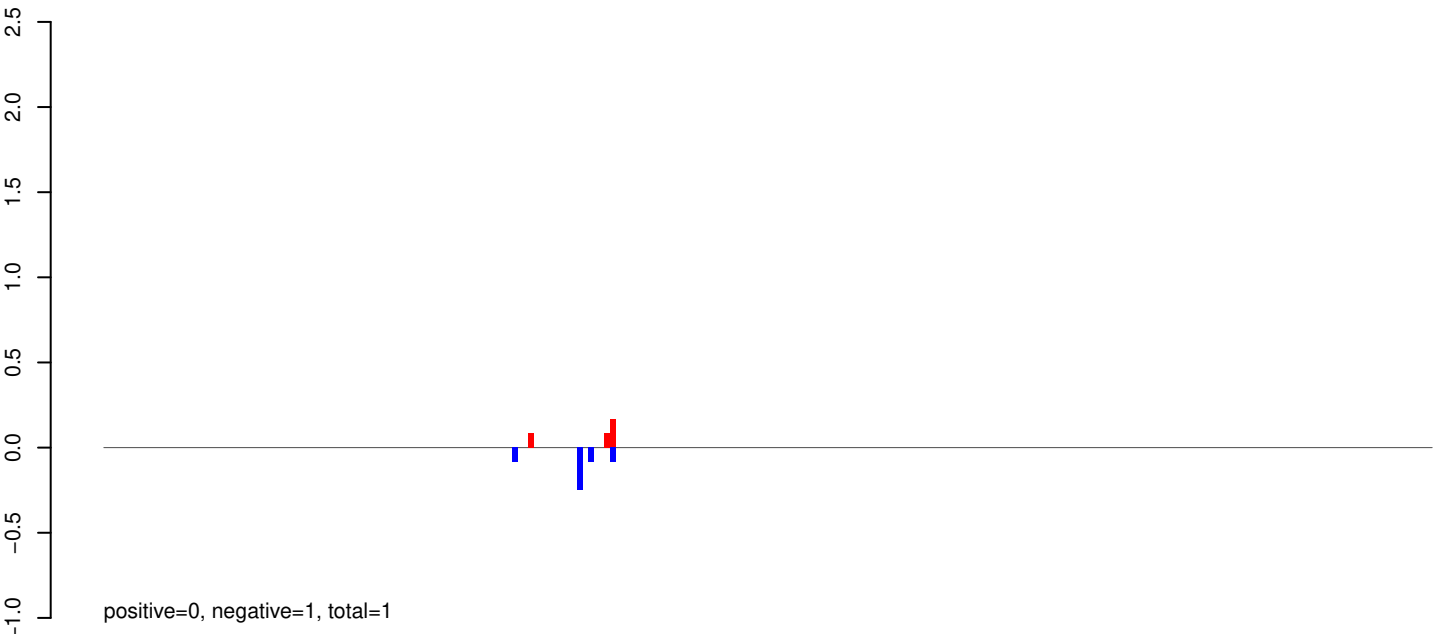
AeAeg_Aag2_Ago2_SINV_RA.rep



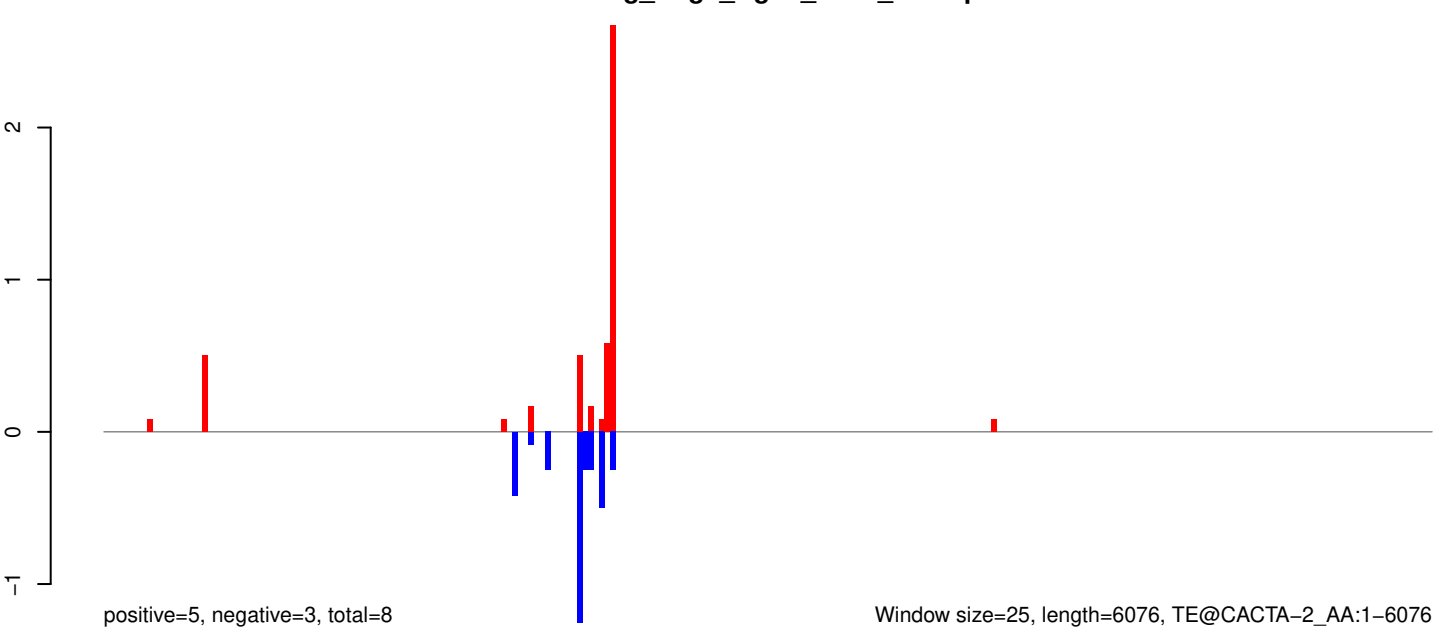
AeAeg_Aag2_Ago2_SINV_RA.18_23.rep



AeAeg_Aag2_Ago2_SINV_RA.24_35.rep

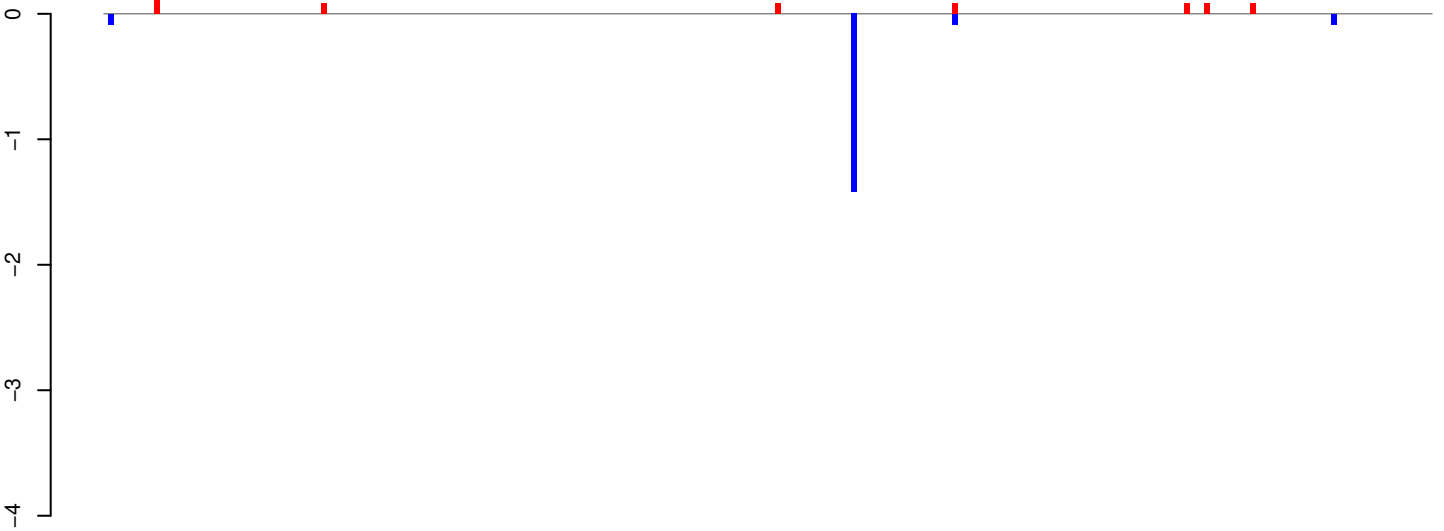


AeAeg_Aag2_Ago2_SINV_RA.rep



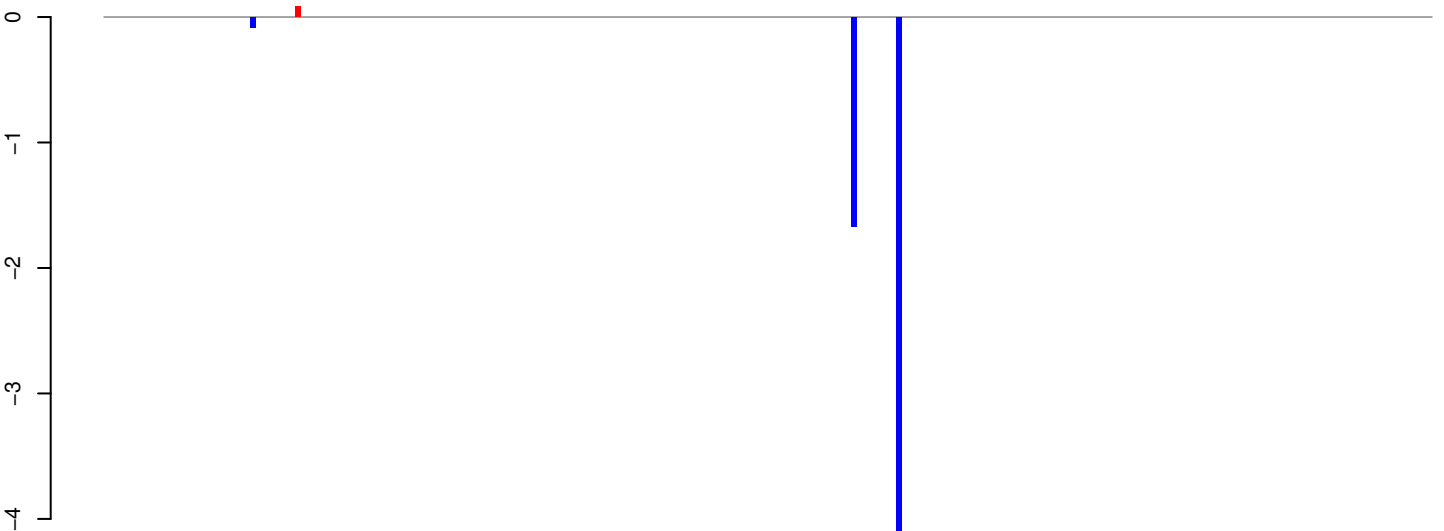
0 1000 2000 3000 4000 5000 6000

AeAeg_Aag2_Ago2_SINV_RA.18_23.rep



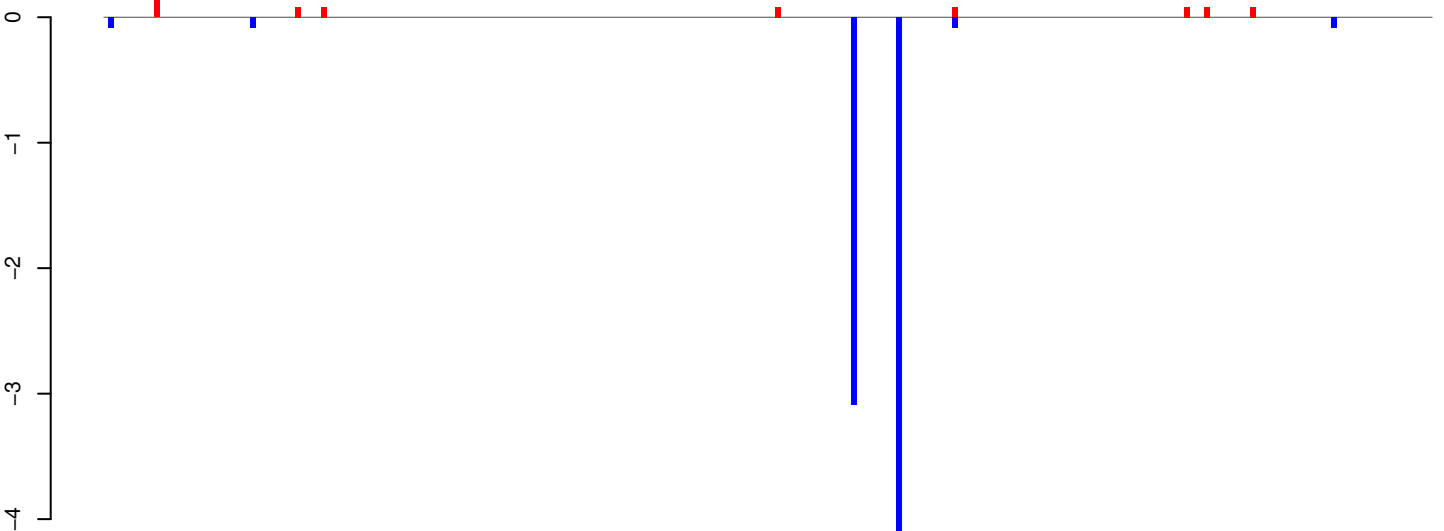
positive=1, negative=2, total=3

AeAeg_Aag2_Ago2_SINV_RA.24_35.rep



positive=0, negative=6, total=6

AeAeg_Aag2_Ago2_SINV_RA.rep

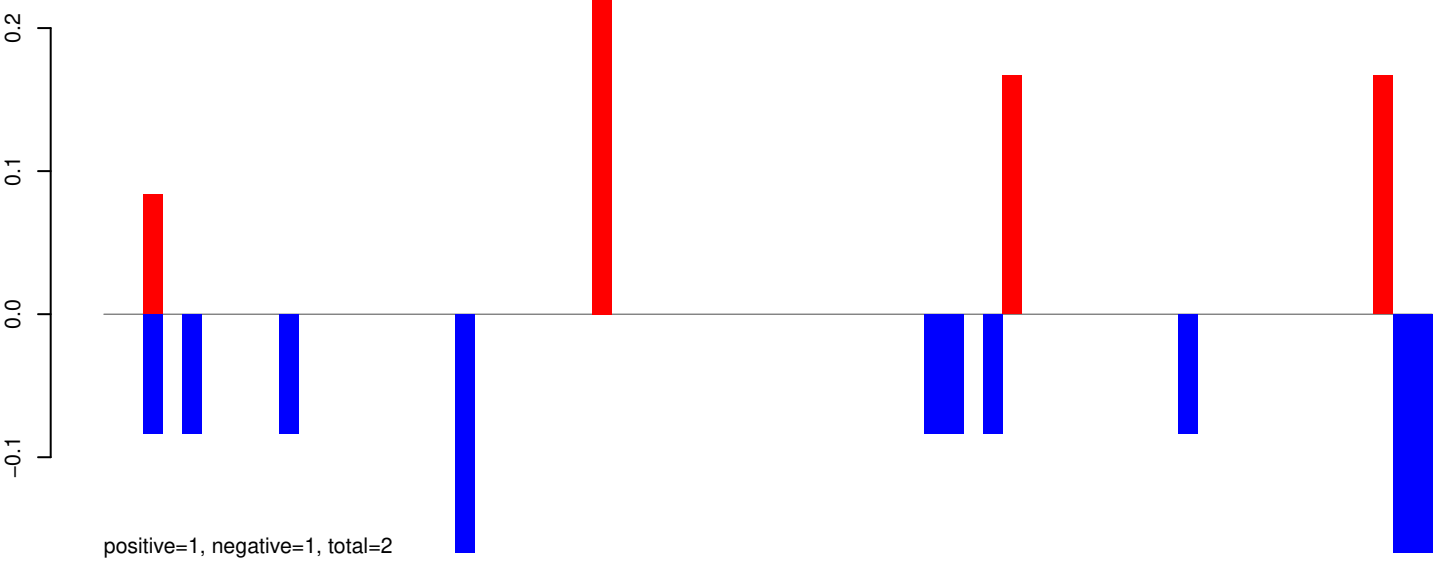


positive=1, negative=8, total=9

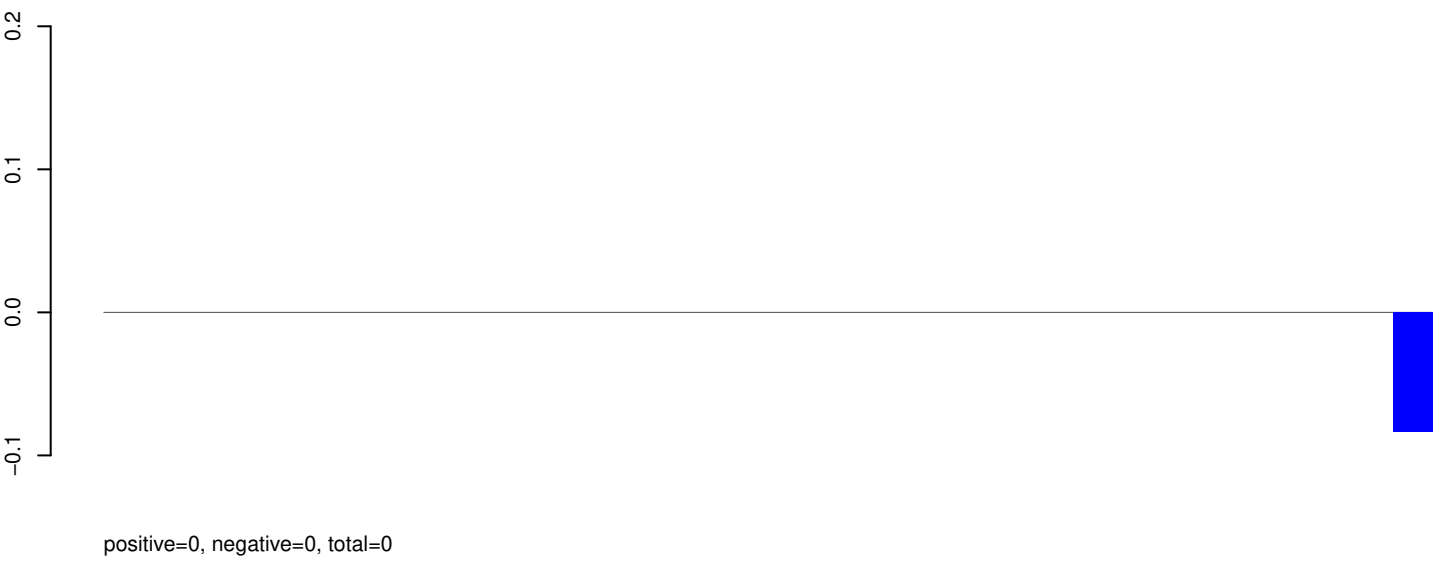
Window size=25, length=6551, TE@BEL-275_AA-LTR-I:1-6551

0 1000 2000 3000 4000 5000 6000

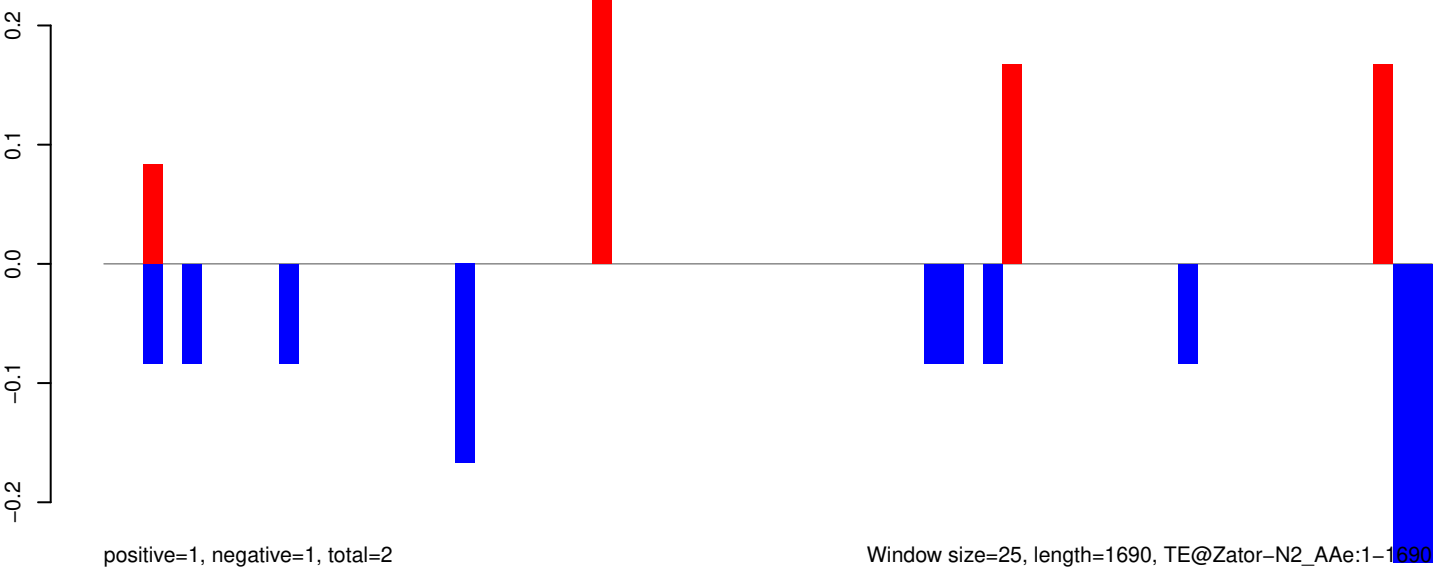
AeAeg_Aag2_Ago2_SINV_RA.18_23.rep



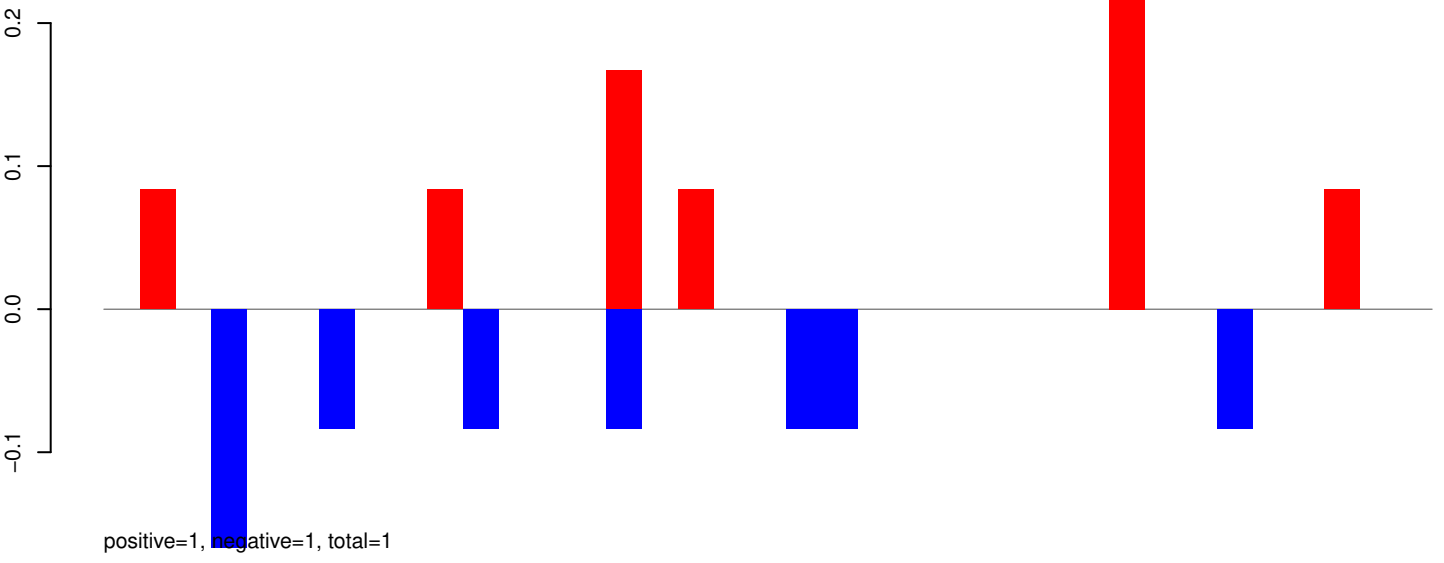
AeAeg_Aag2_Ago2_SINV_RA.24_35.rep



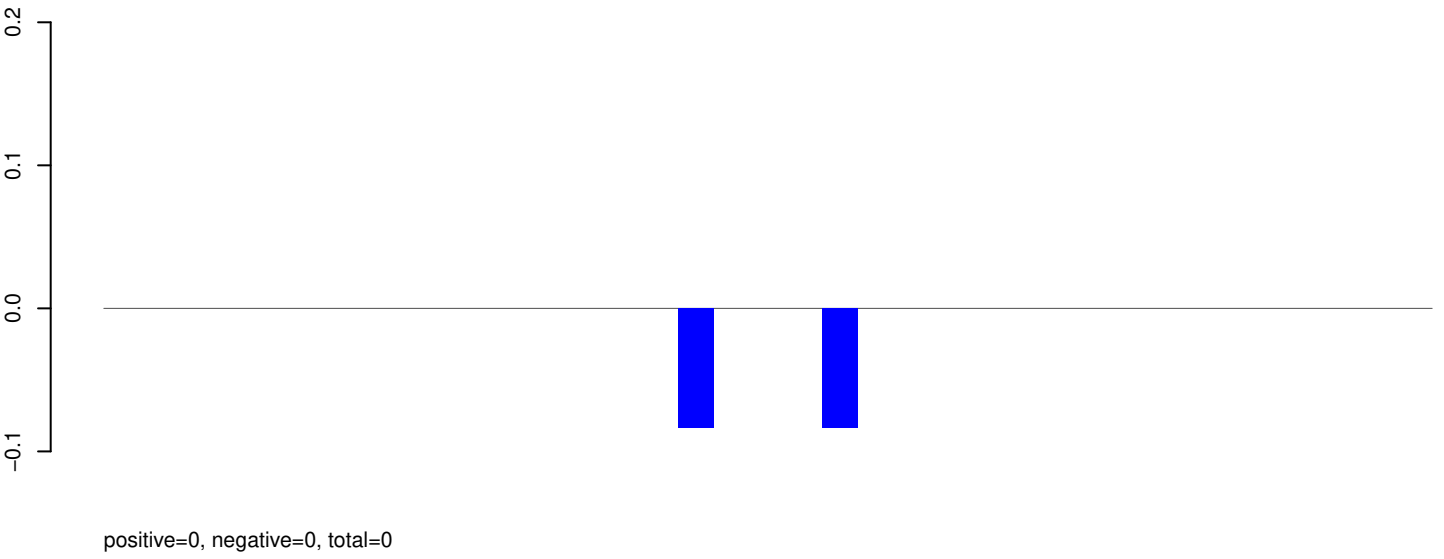
AeAeg_Aag2_Ago2_SINV_RA.rep



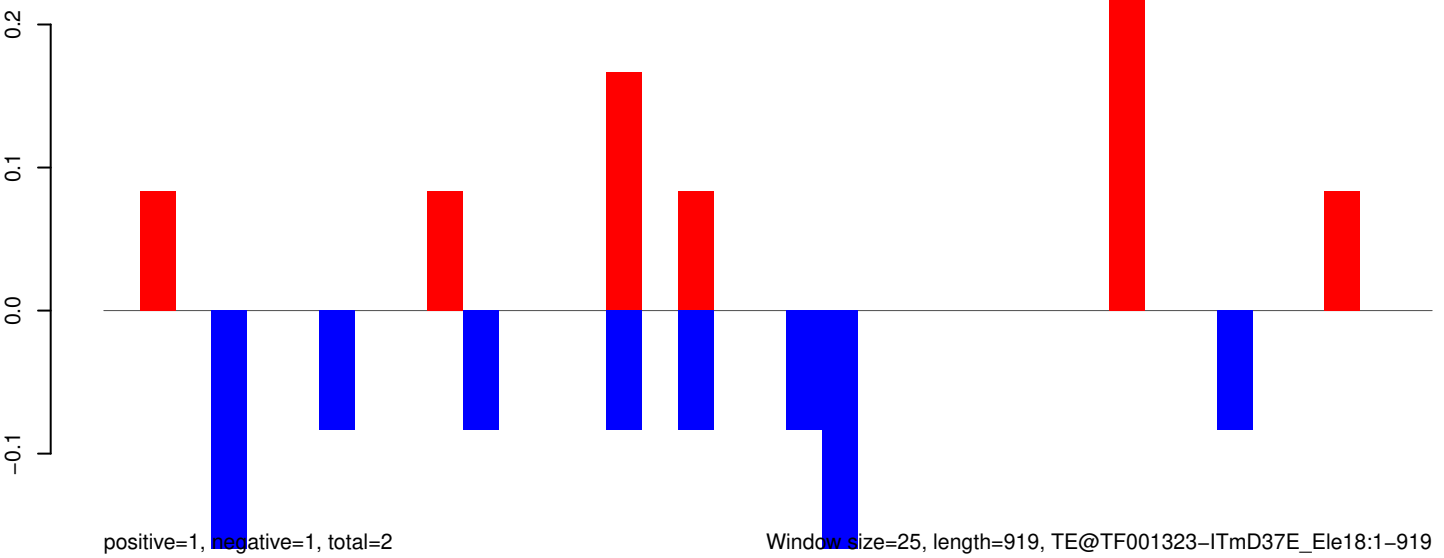
AeAeg_Aag2_Ago2_SINV_RA.18_23.rep



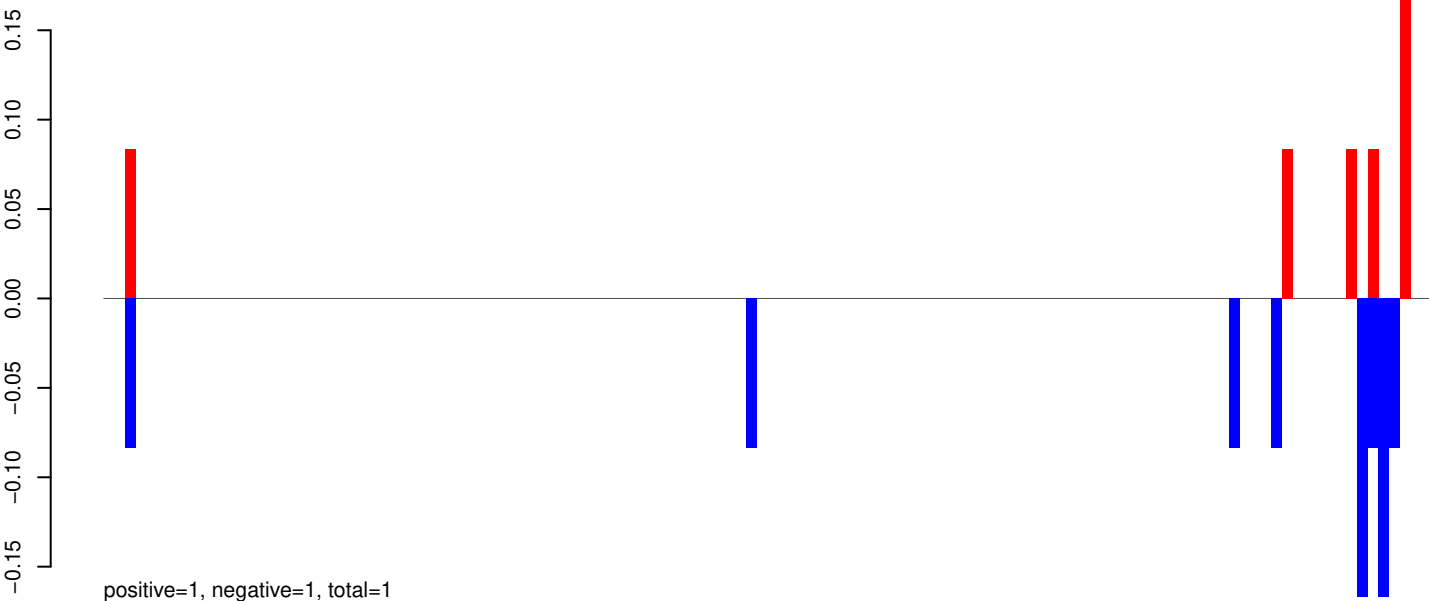
AeAeg_Aag2_Ago2_SINV_RA.24_35.rep



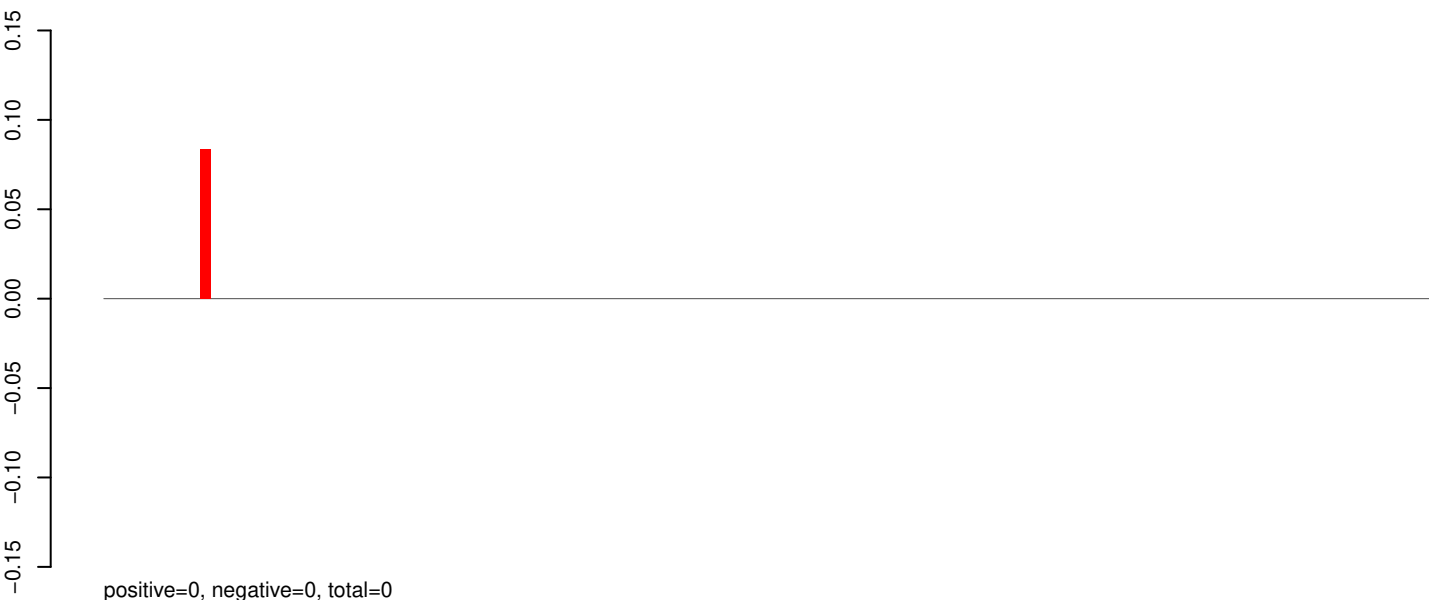
AeAeg_Aag2_Ago2_SINV_RA.rep



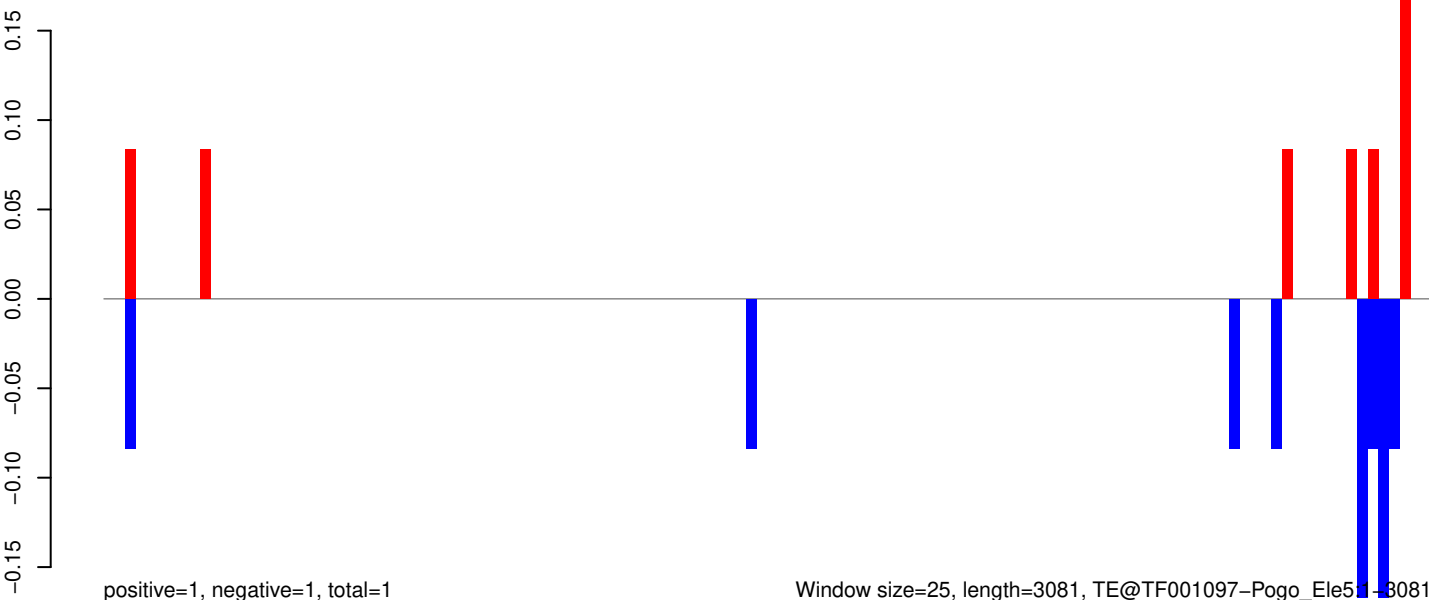
AeAeg_Aag2_Ago2_SINV_RA.18_23.rep



AeAeg_Aag2_Ago2_SINV_RA.24_35.rep



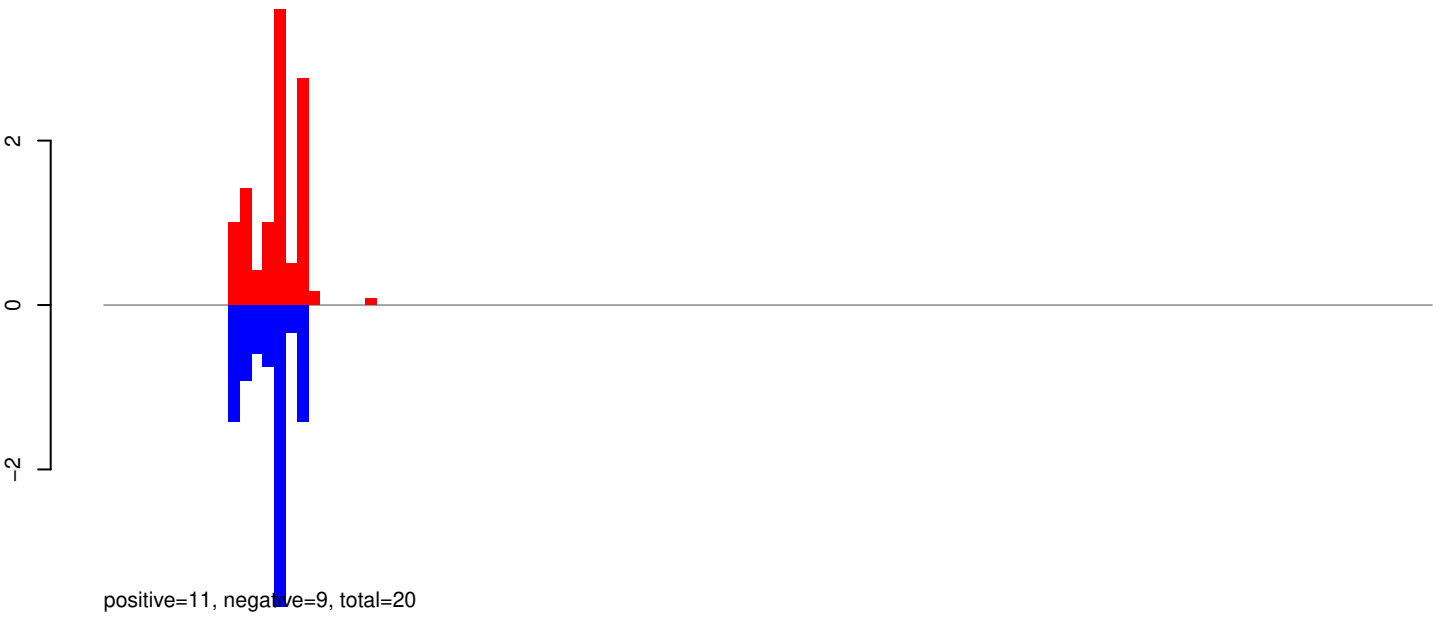
AeAeg_Aag2_Ago2_SINV_RA.rep



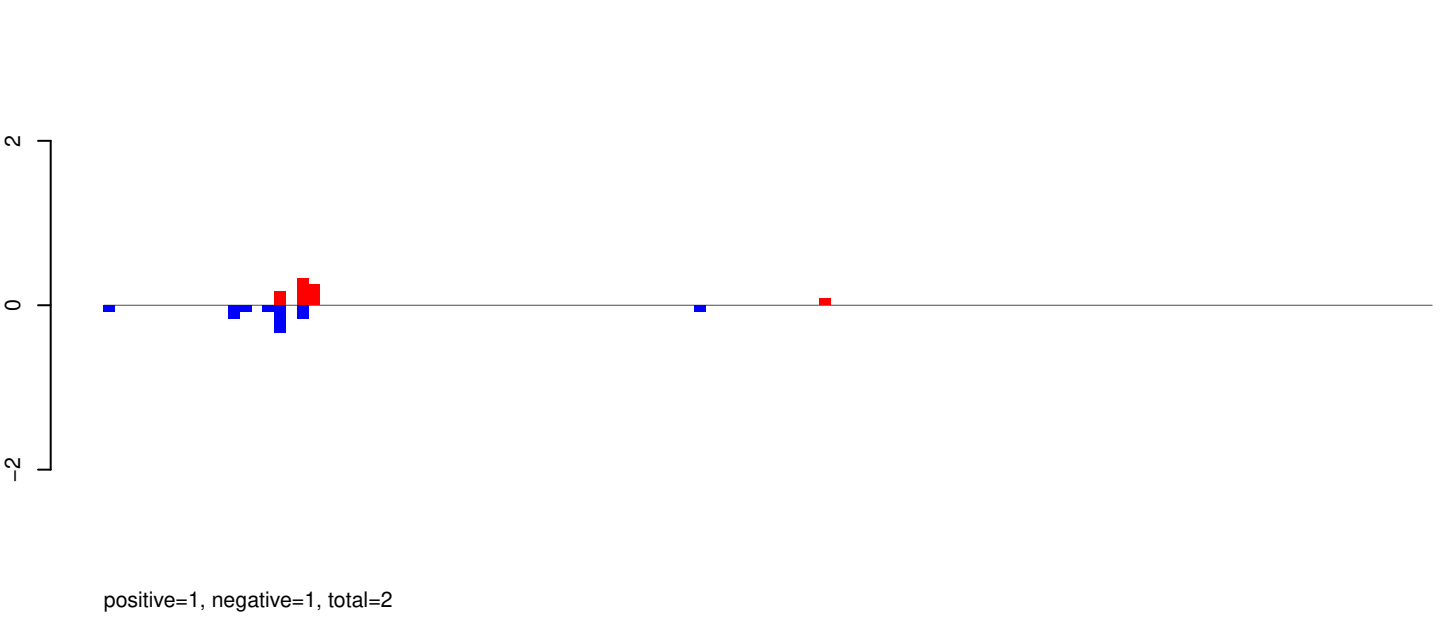
Window size=25, length=3081, TE@TF001097-Pogo_Ele511-3081

0 500 1000 1500 2000 2500 3000

AeAeg_Aag2_Ago2_SINV_RA.18_23.rep



AeAeg_Aag2_Ago2_SINV_RA.24_35.rep



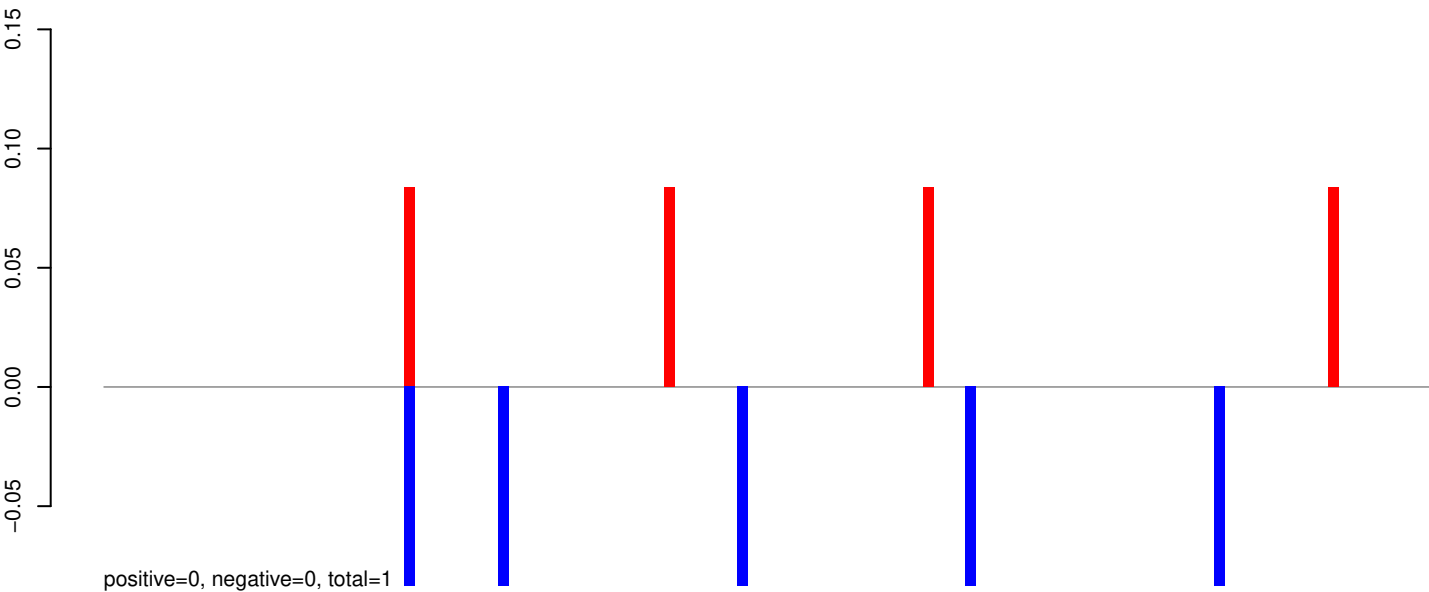
AeAeg_Aag2_Ago2_SINV_RA.rep



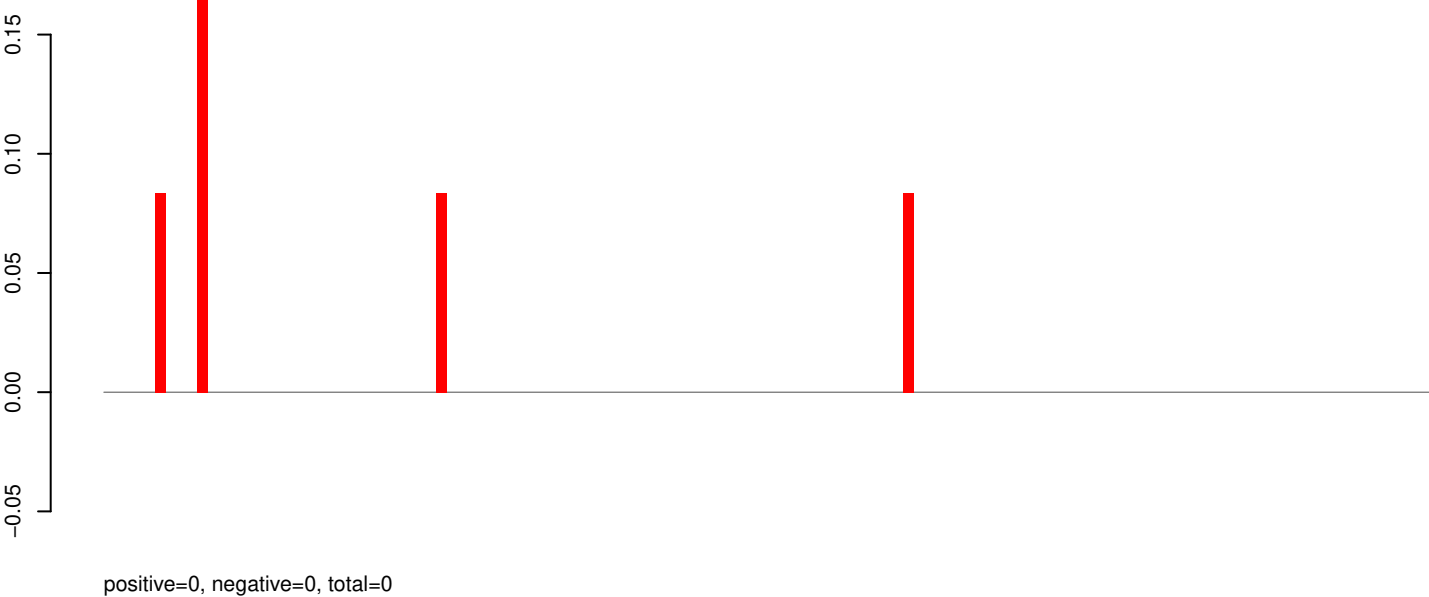
Window size=25, length=2907, TE@TF001086-Ty1_copia_Ele205:1-2907

0 500 1000 1500 2000 2500 3000

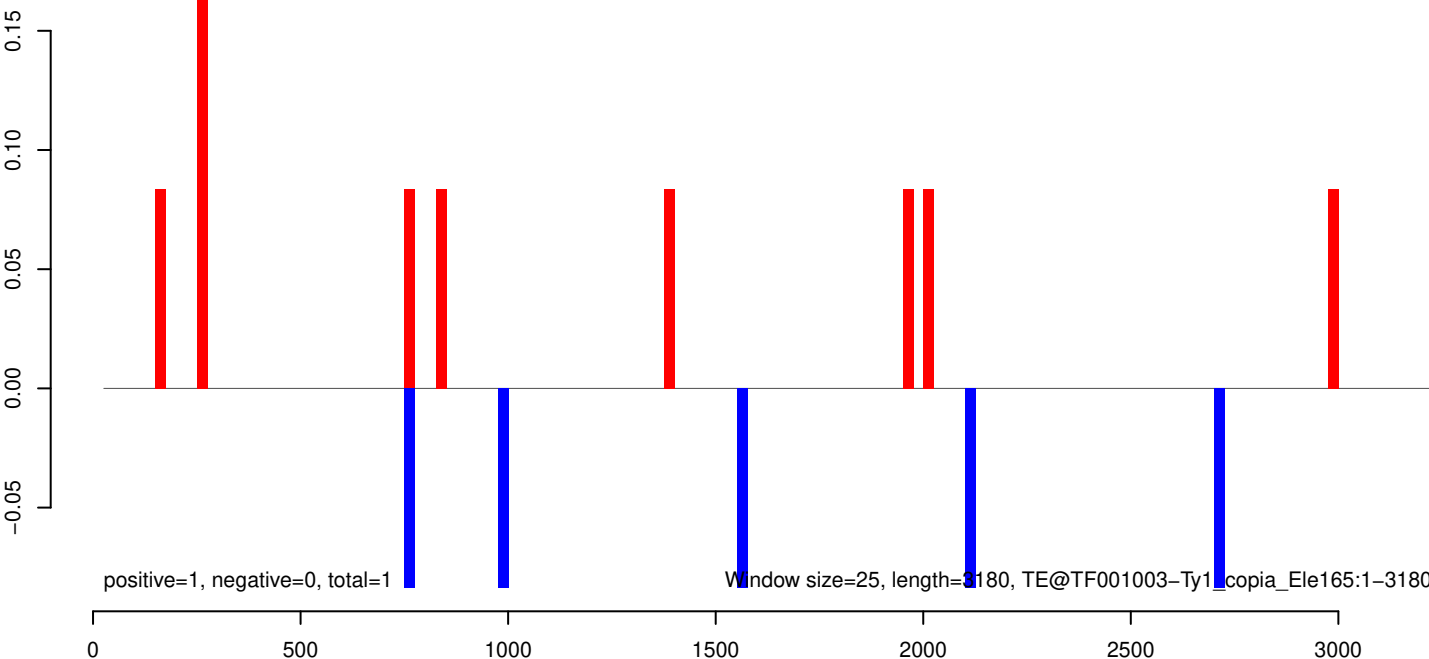
AeAeg_Aag2_Ago2_SINV_RA.18_23.rep



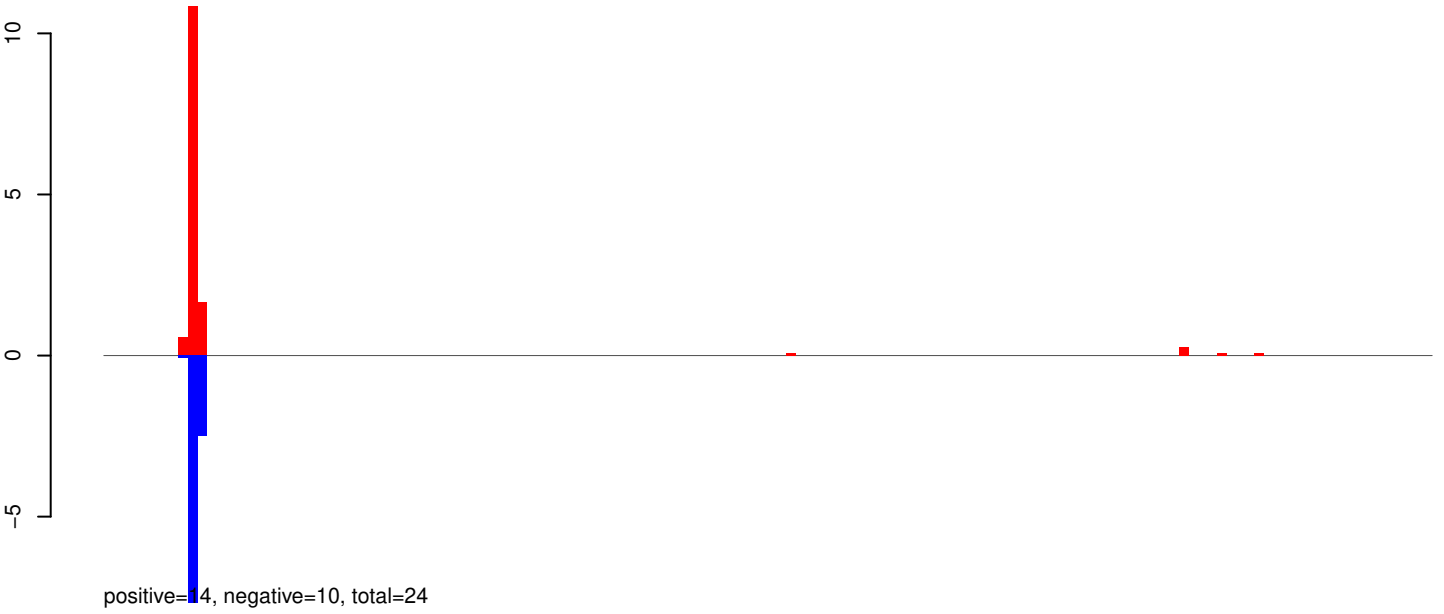
AeAeg_Aag2_Ago2_SINV_RA.24_35.rep



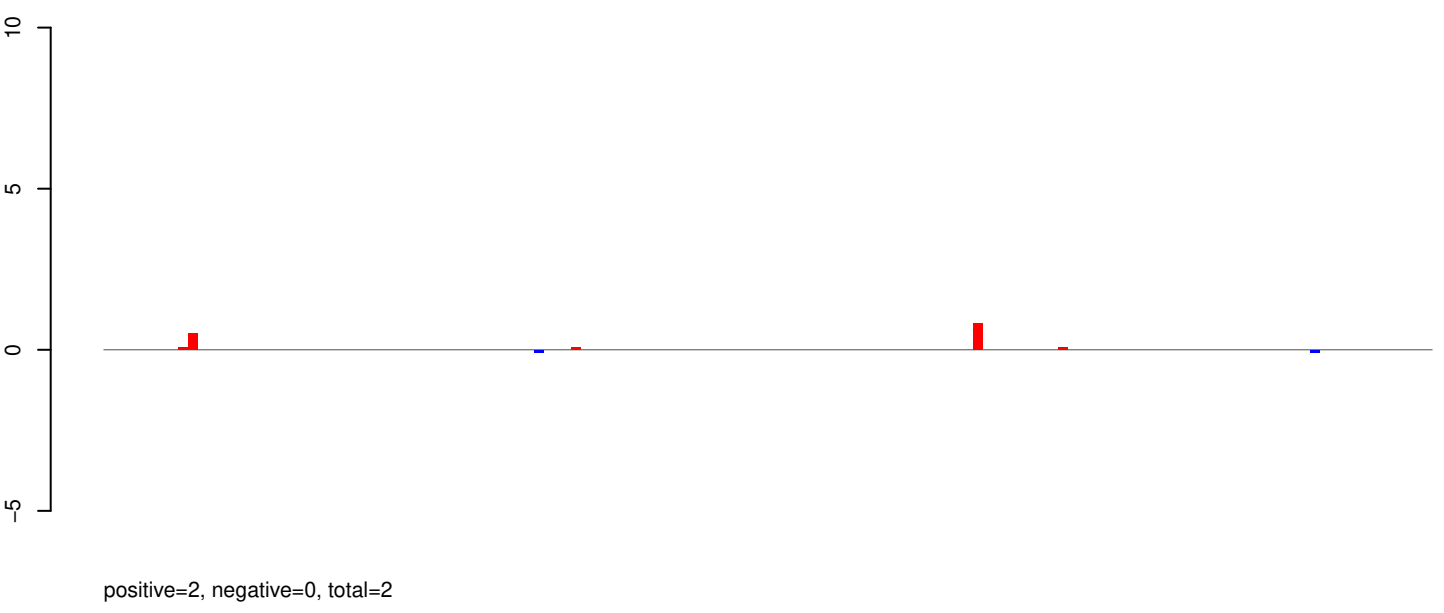
AeAeg_Aag2_Ago2_SINV_RA.rep



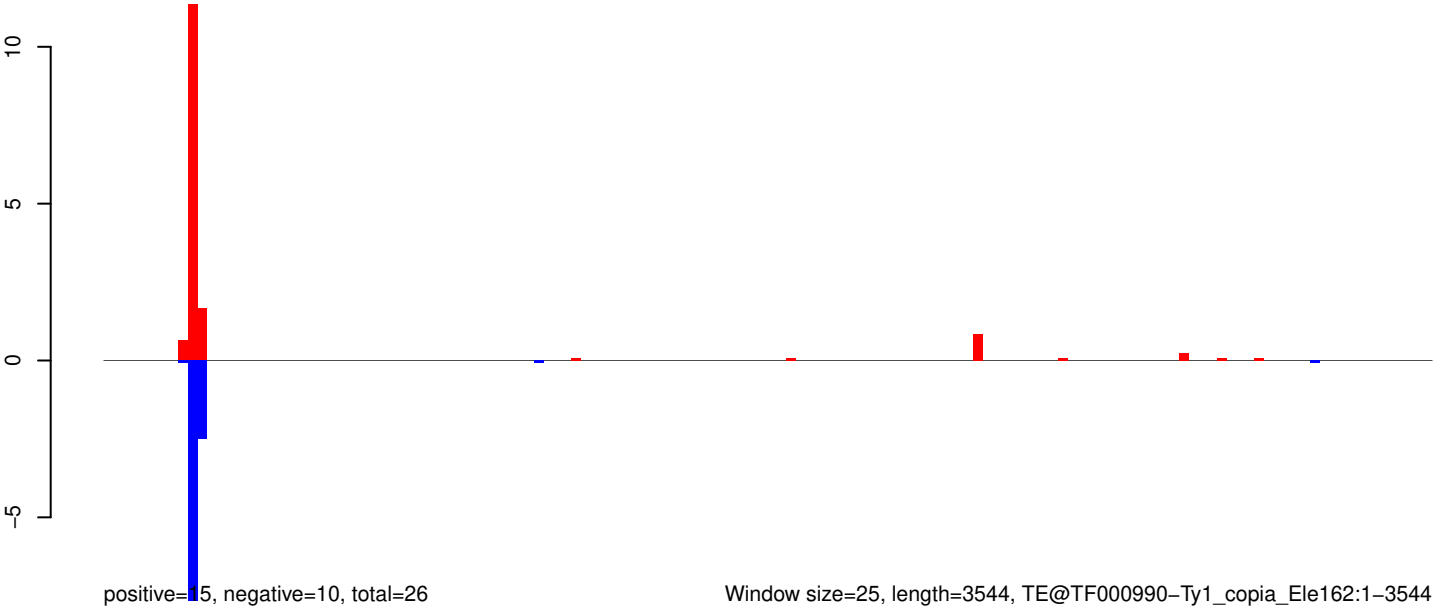
AeAeg_Aag2_Ago2_SINV_RA.18_23.rep



AeAeg_Aag2_Ago2_SINV_RA.24_35.rep



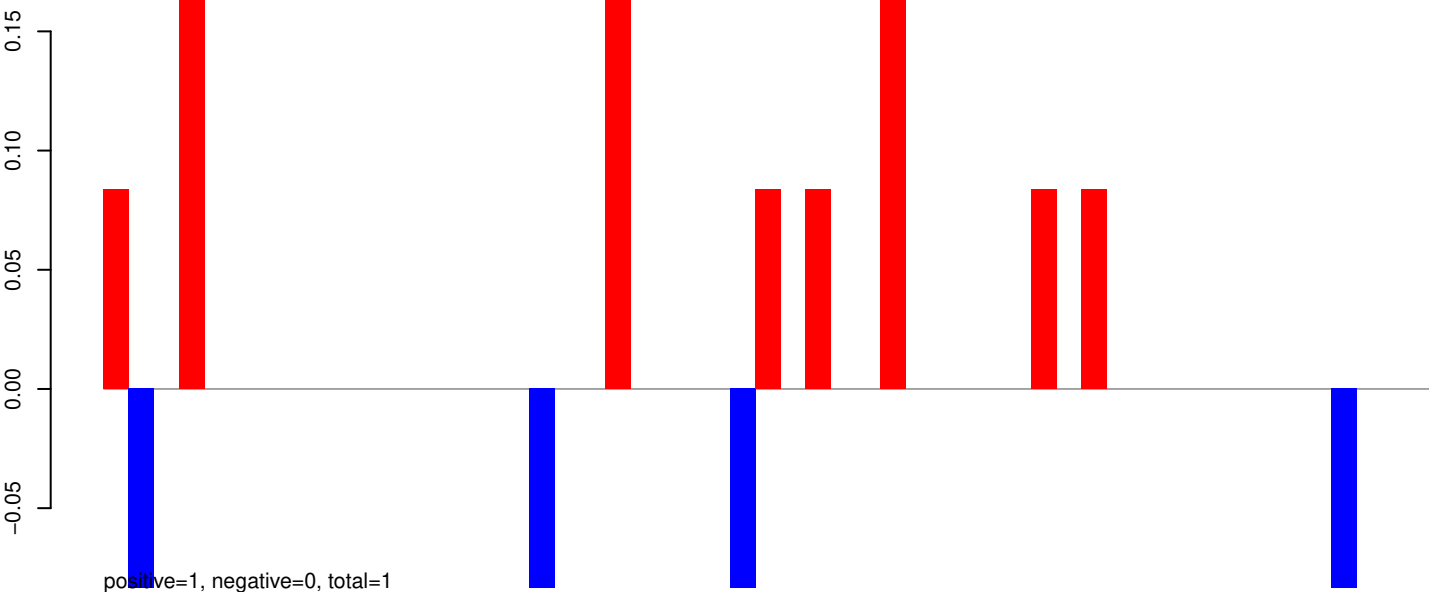
AeAeg_Aag2_Ago2_SINV_RA.rep



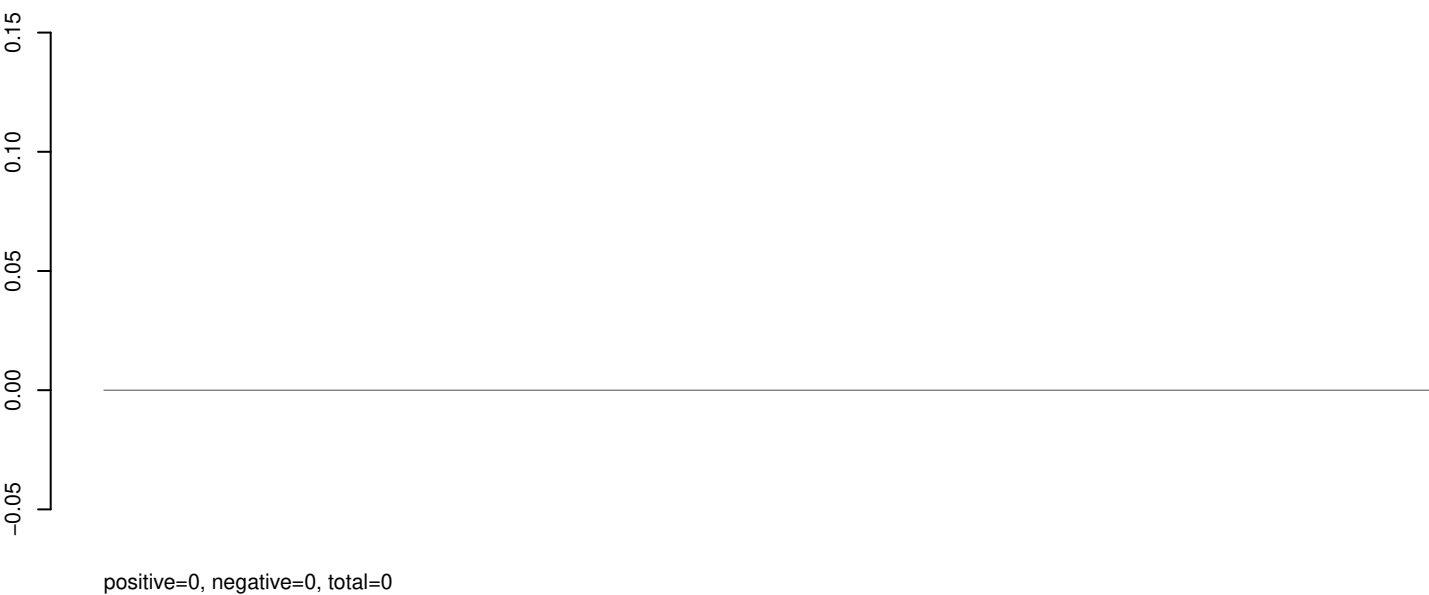
Window size=25, length=3544, TE@TF000990-Ty1_copia_Ele162:1-3544

0 500 1000 1500 2000 2500 3000 3500

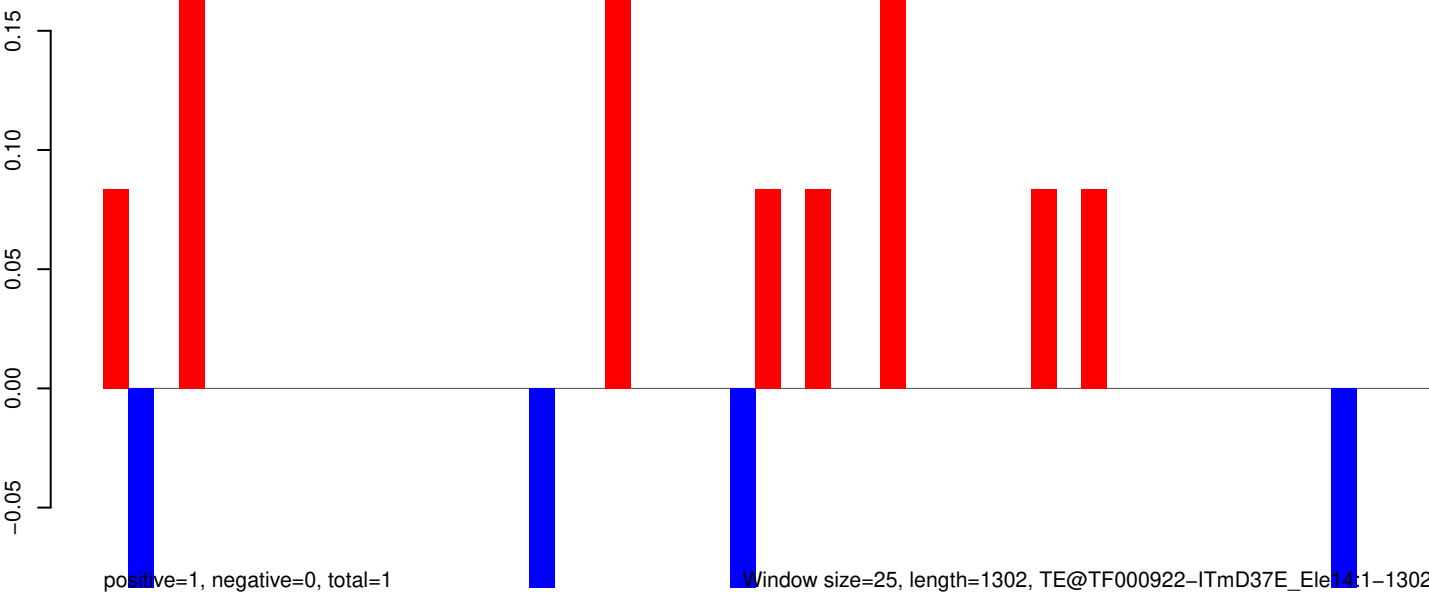
AeAeg_Aag2_Ago2_SINV_RA.18_23.rep



AeAeg_Aag2_Ago2_SINV_RA.24_35.rep



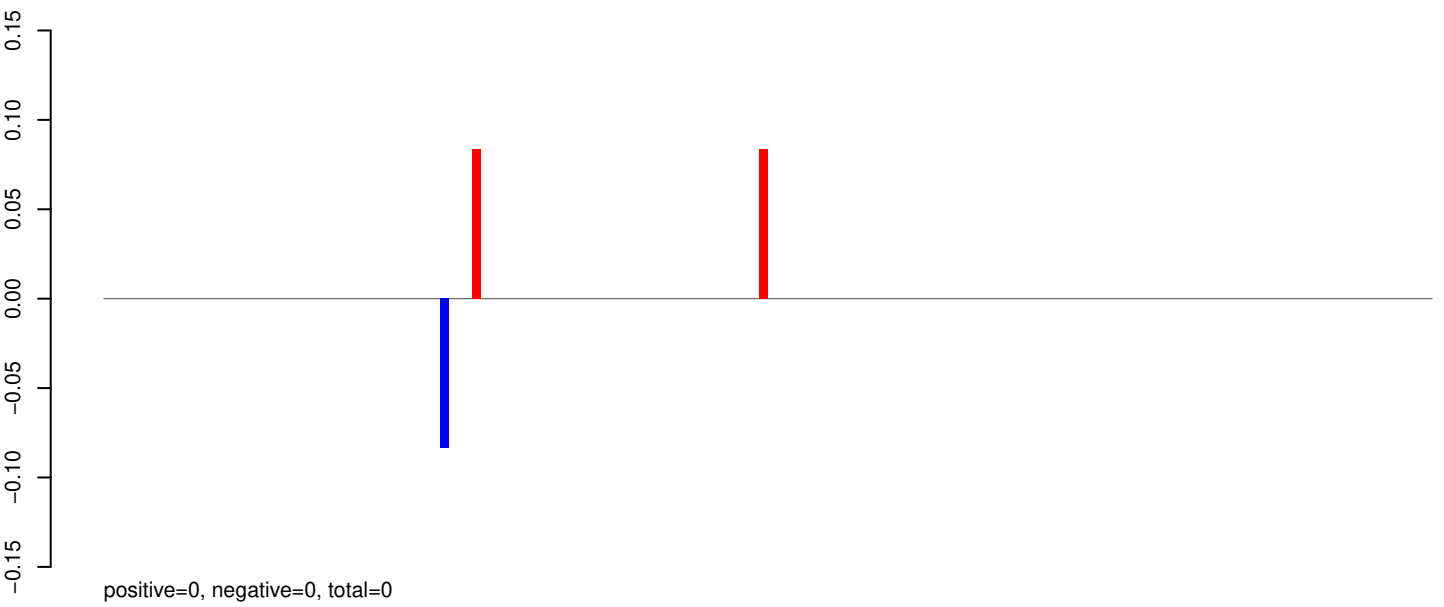
AeAeg_Aag2_Ago2_SINV_RA.rep



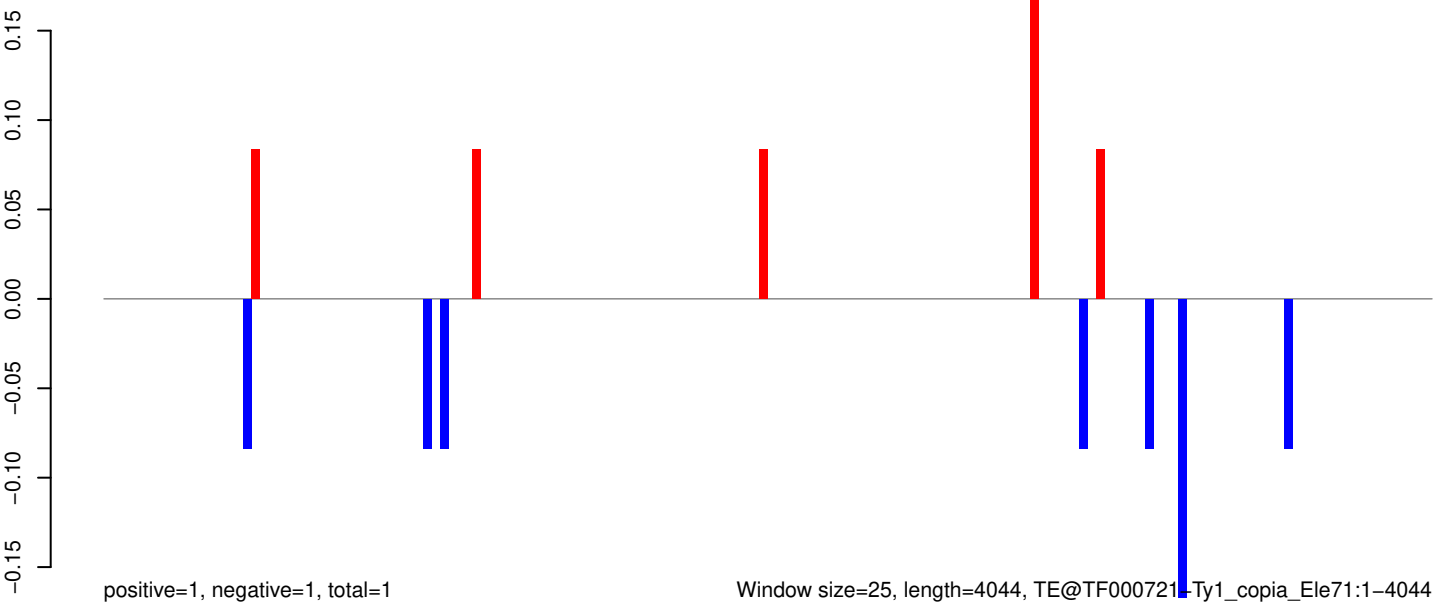
AeAeg_Aag2_Ago2_SINV_RA.18_23.rep



AeAeg_Aag2_Ago2_SINV_RA.24_35.rep



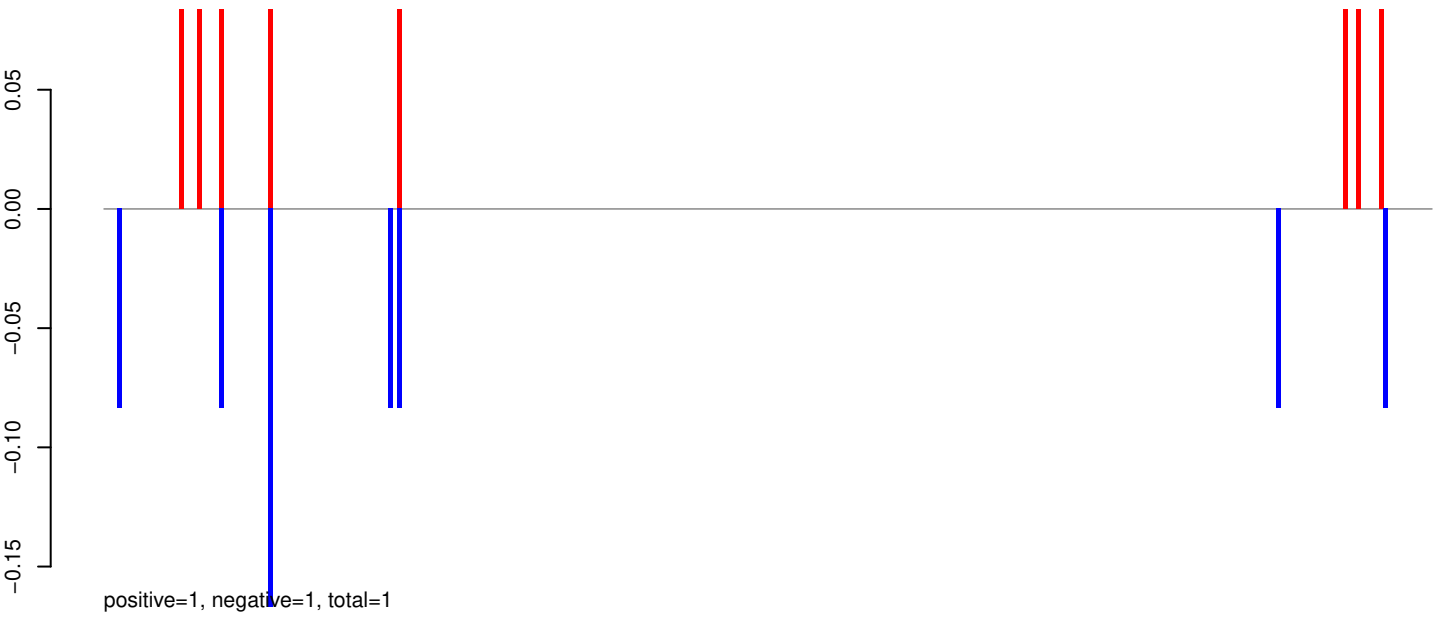
AeAeg_Aag2_Ago2_SINV_RA.rep



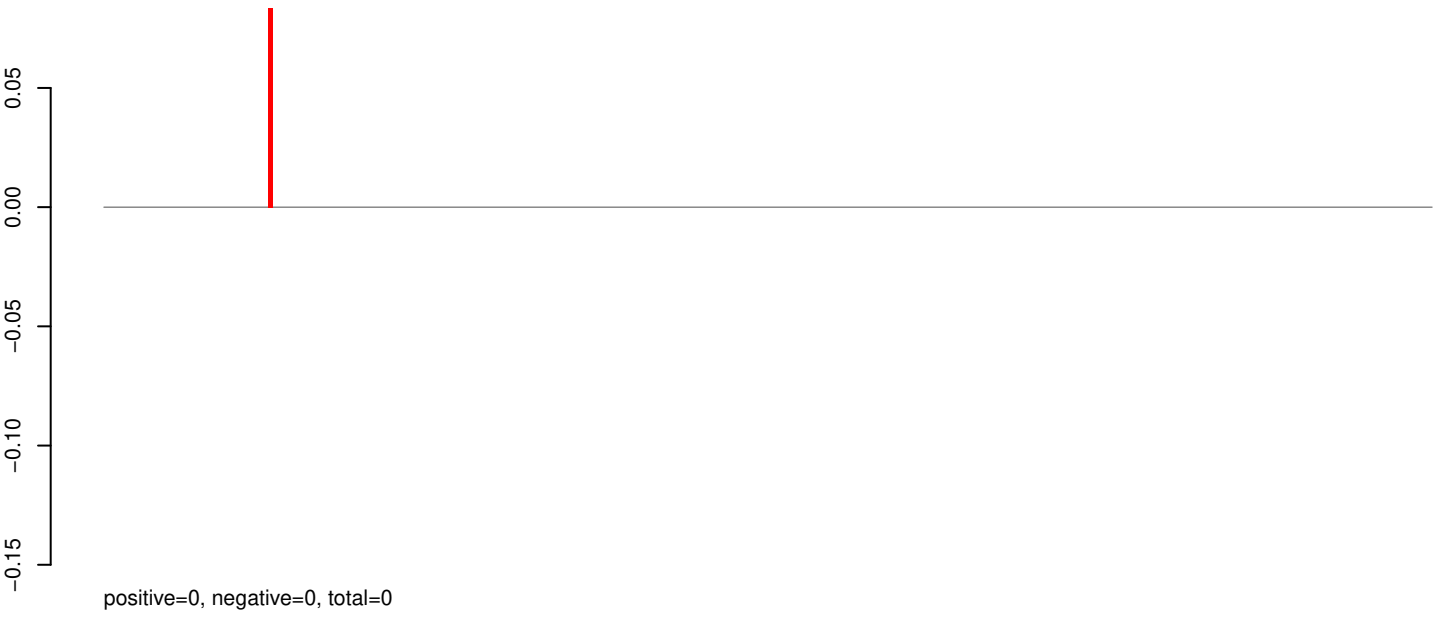
Window size=25, length=4044, TE@TF000721-Ty1_copia_Ele71:1-4044

0 1000 2000 3000 4000

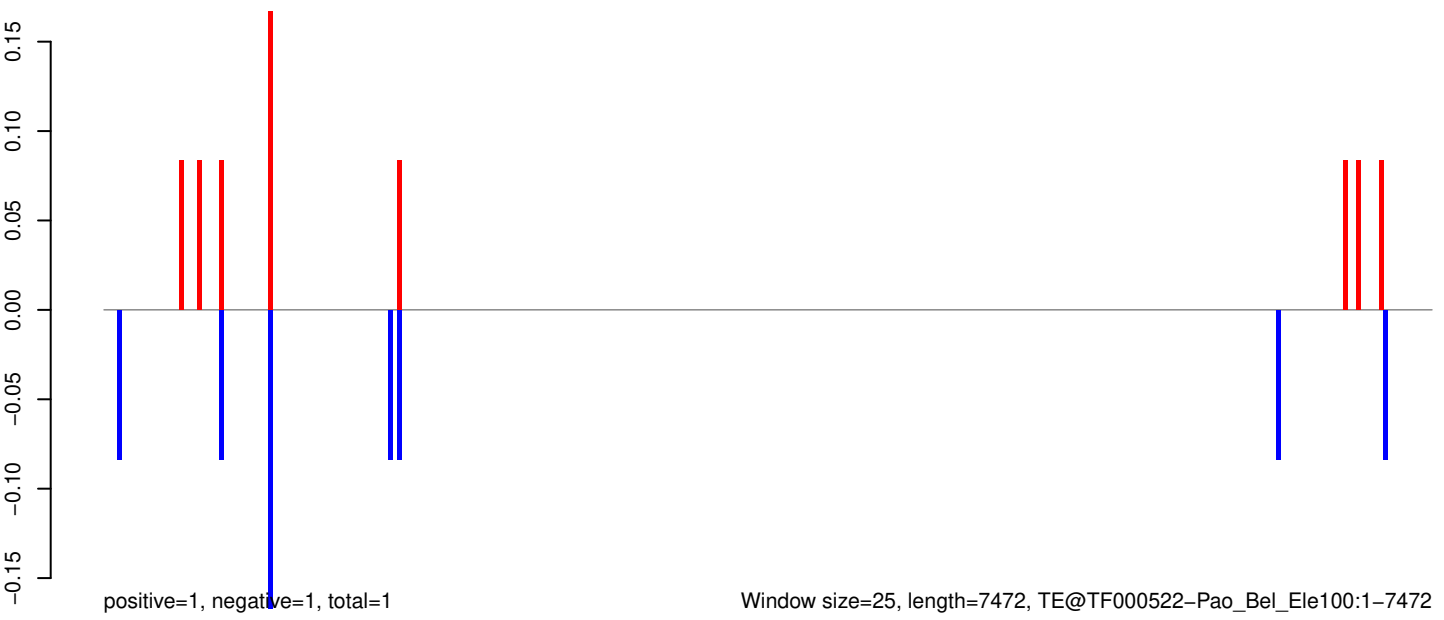
AeAeg_Aag2_Ago2_SINV_RA.18_23.rep



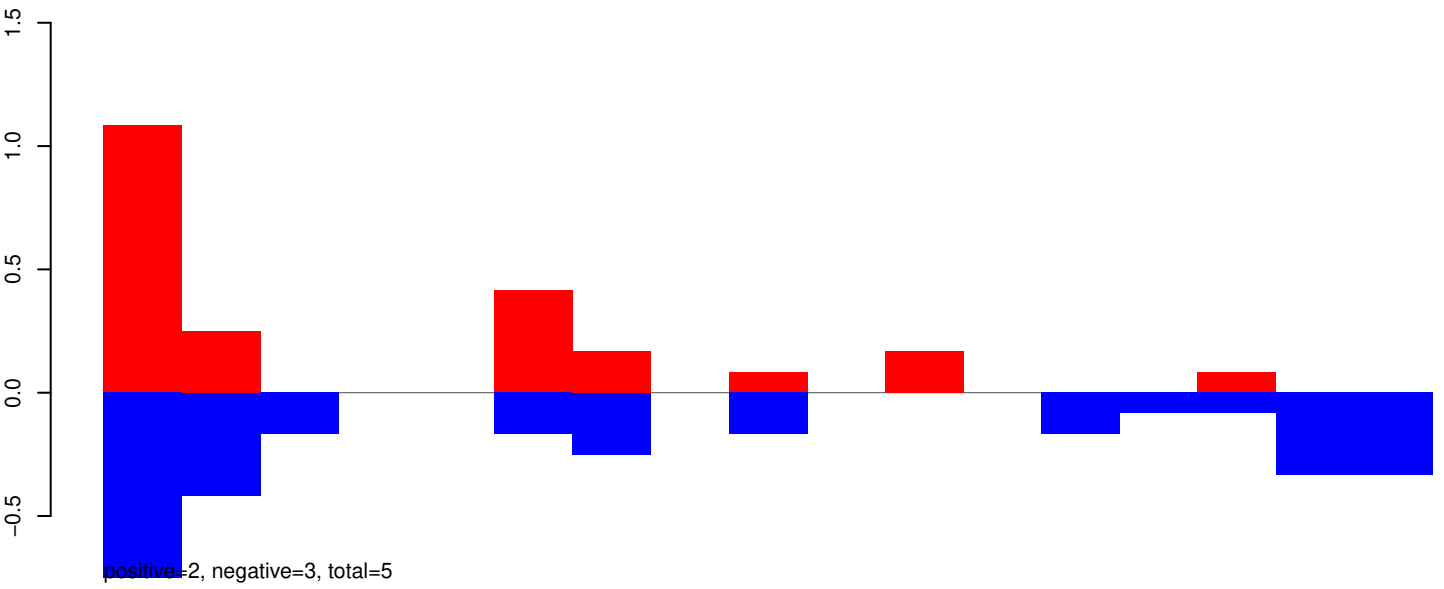
AeAeg_Aag2_Ago2_SINV_RA.24_35.rep



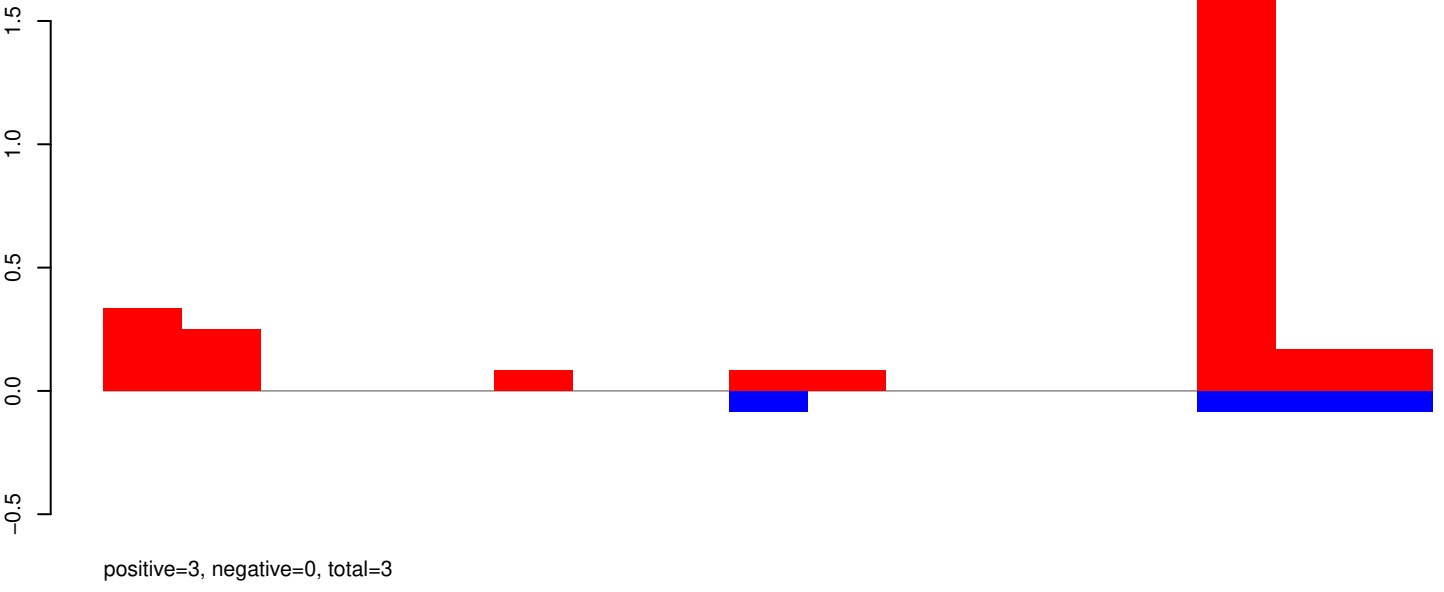
AeAeg_Aag2_Ago2_SINV_RA.rep



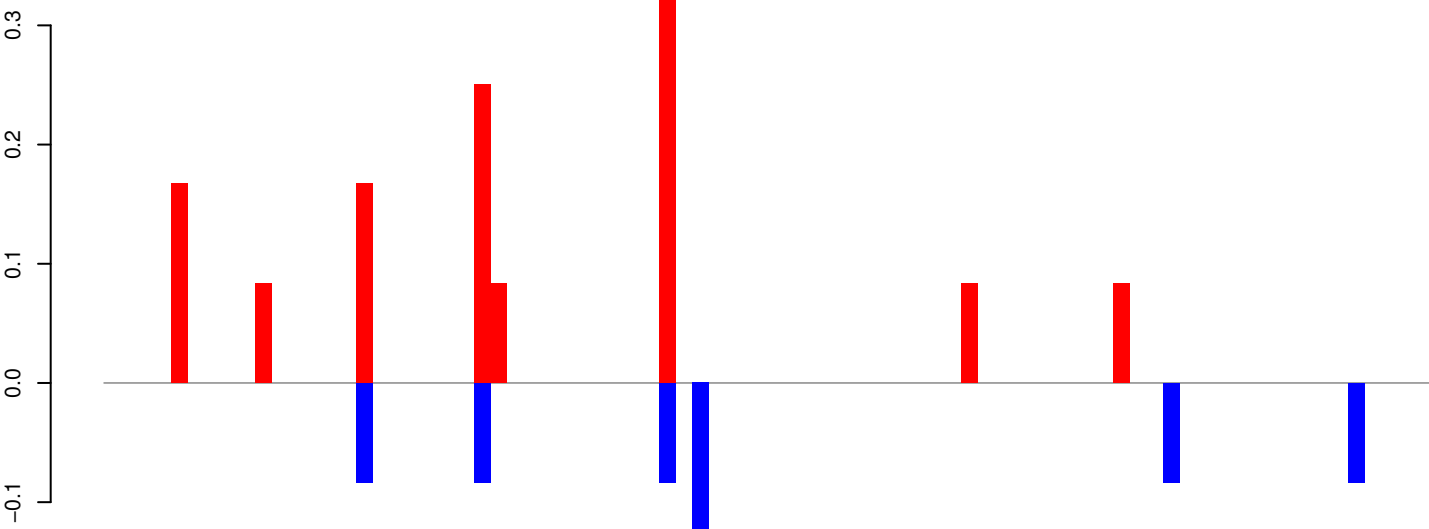
AeAeg_Aag2_Ago2_SINV_RA.18_23.rep



AeAeg_Aag2_Ago2_SINV_RA.24_35.rep

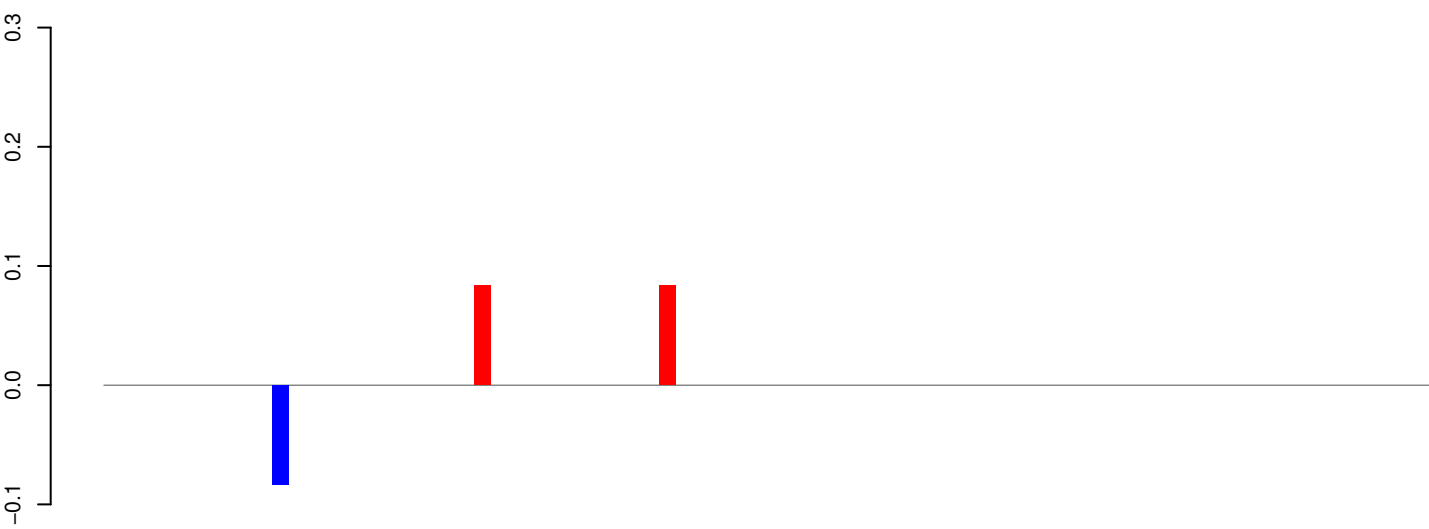


AeAeg_Aag2_Ago2_SINV_RA.18_23.rep



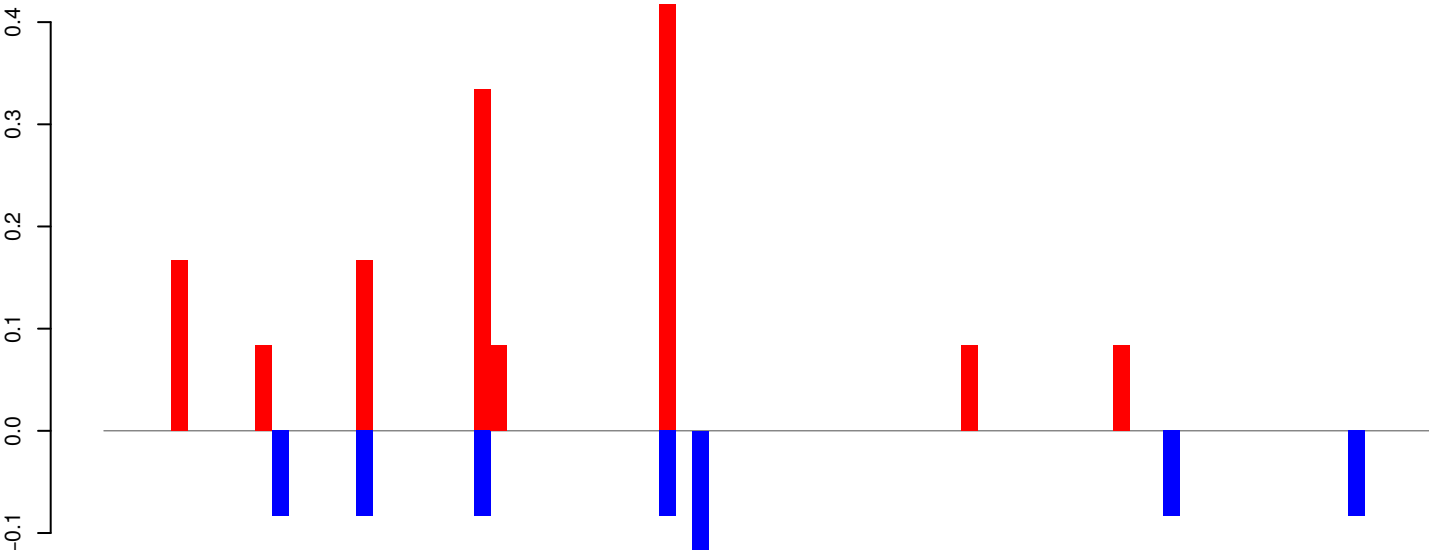
positive=1, negative=1, total=2

AeAeg_Aag2_Ago2_SINV_RA.24_35.rep



positive=0, negative=0, total=0

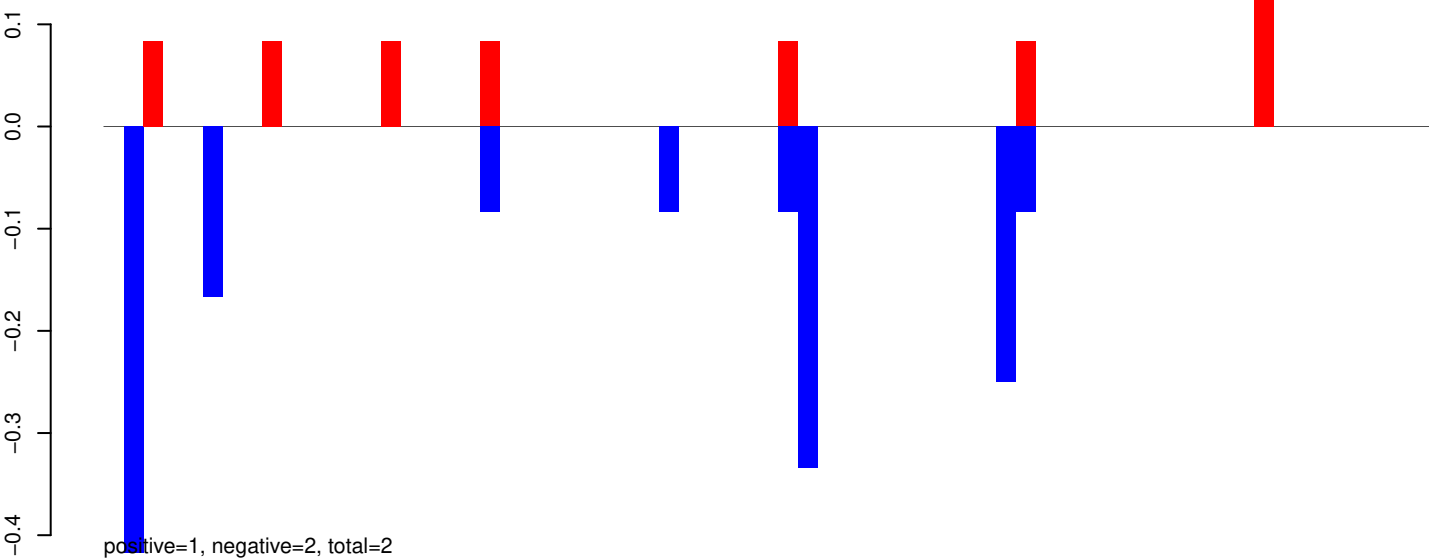
AeAeg_Aag2_Ago2_SINV_RA.rep



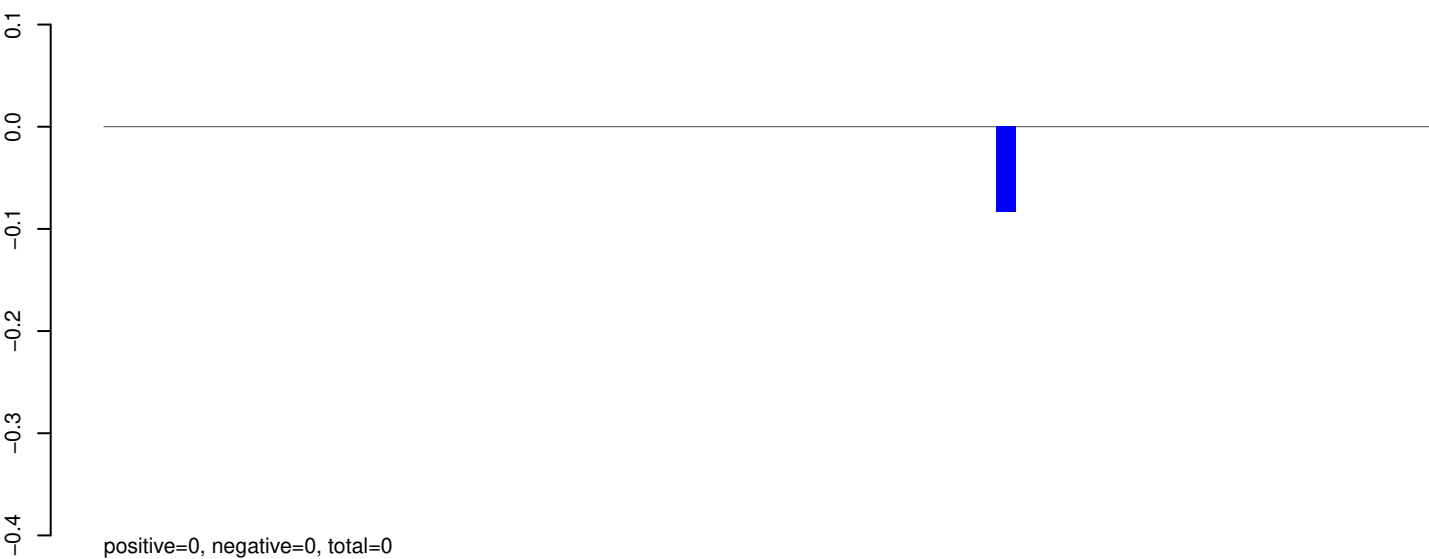
positive=1, negative=1, total=2

Window size=25, length=1967, TE@R=889-UNKNOWN:1-1967

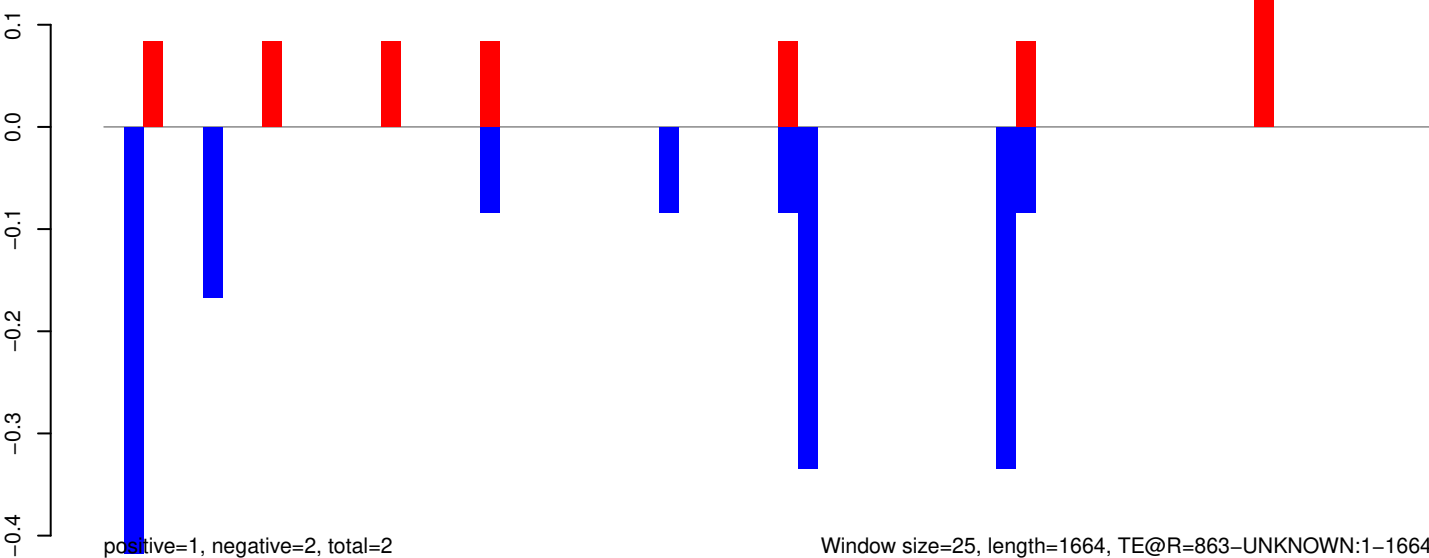
AeAeg_Aag2_Ago2_SINV_RA.18_23.rep



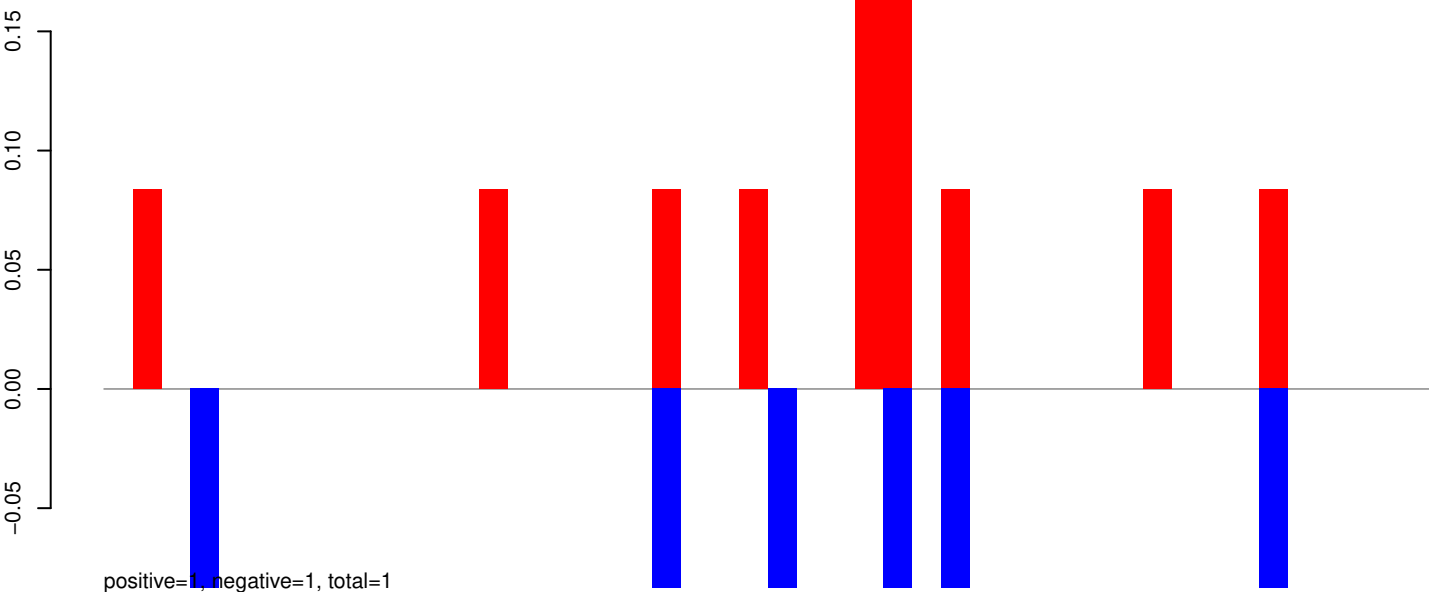
AeAeg_Aag2_Ago2_SINV_RA.24_35.rep



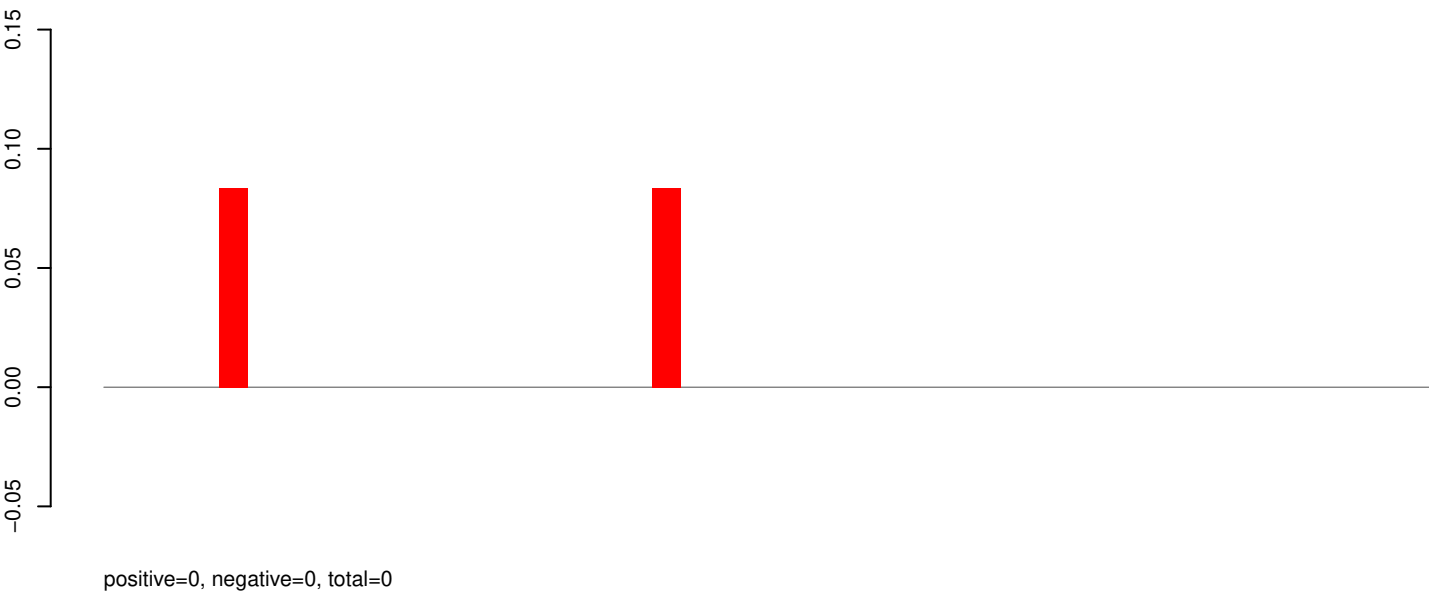
AeAeg_Aag2_Ago2_SINV_RA.rep



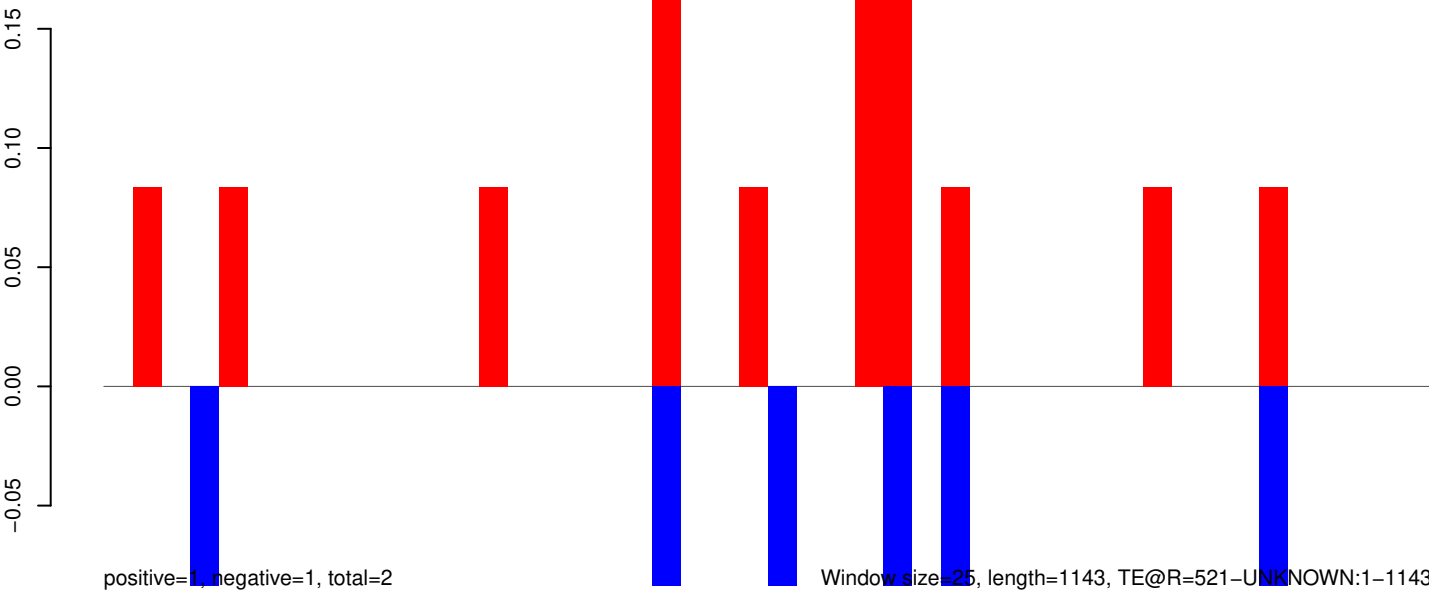
AeAeg_Aag2_Ago2_SINV_RA.18_23.rep



AeAeg_Aag2_Ago2_SINV_RA.24_35.rep

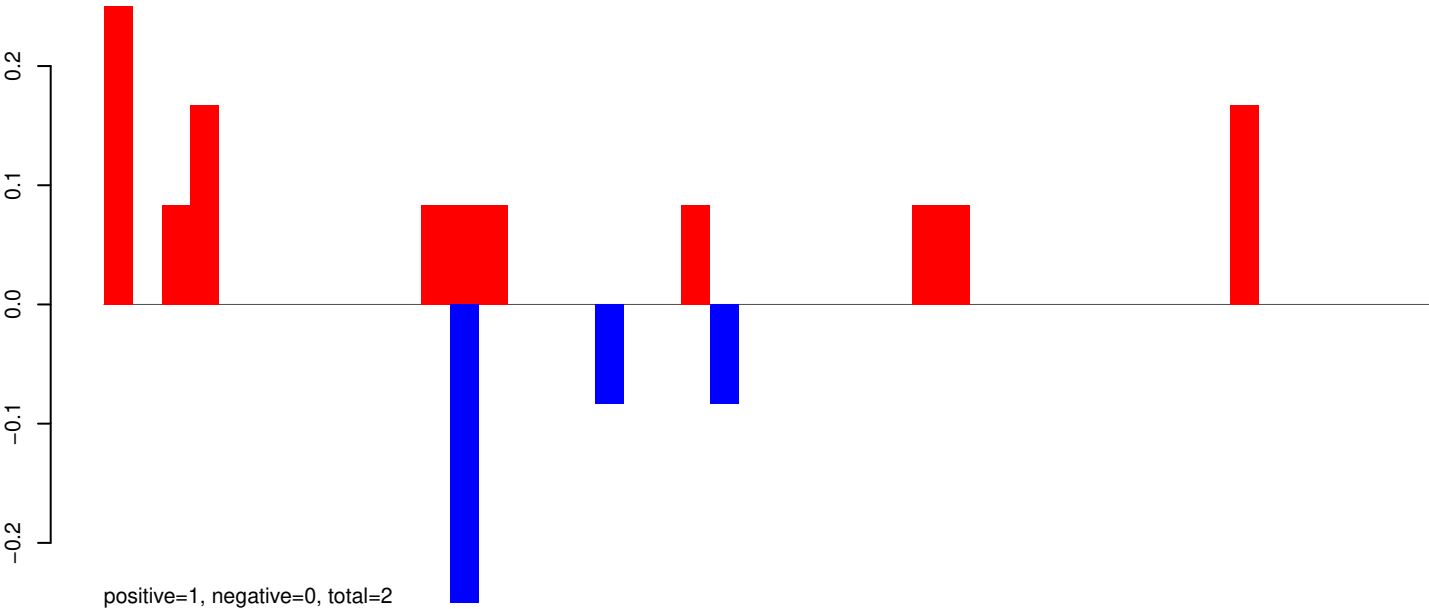


AeAeg_Aag2_Ago2_SINV_RA.rep

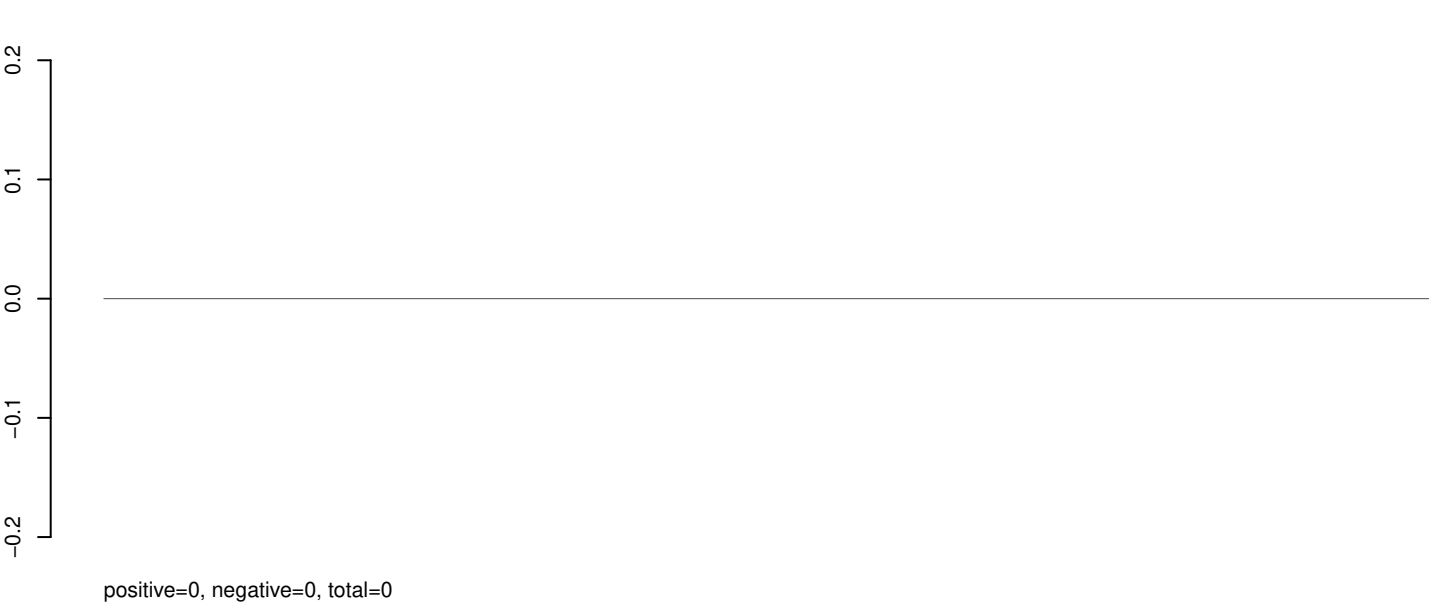


Window size=25, length=1143, TE@R=521-UNKNOWN:1-1143

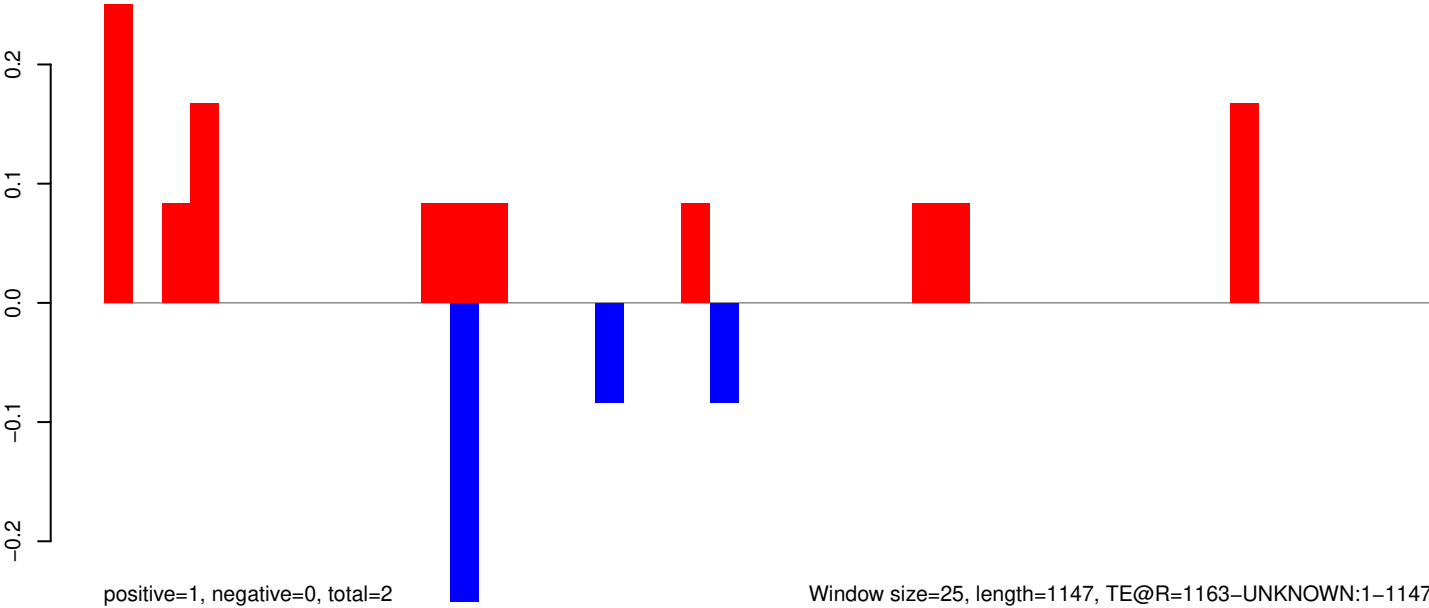
AeAeg_Aag2_Ago2_SINV_RA.18_23.rep



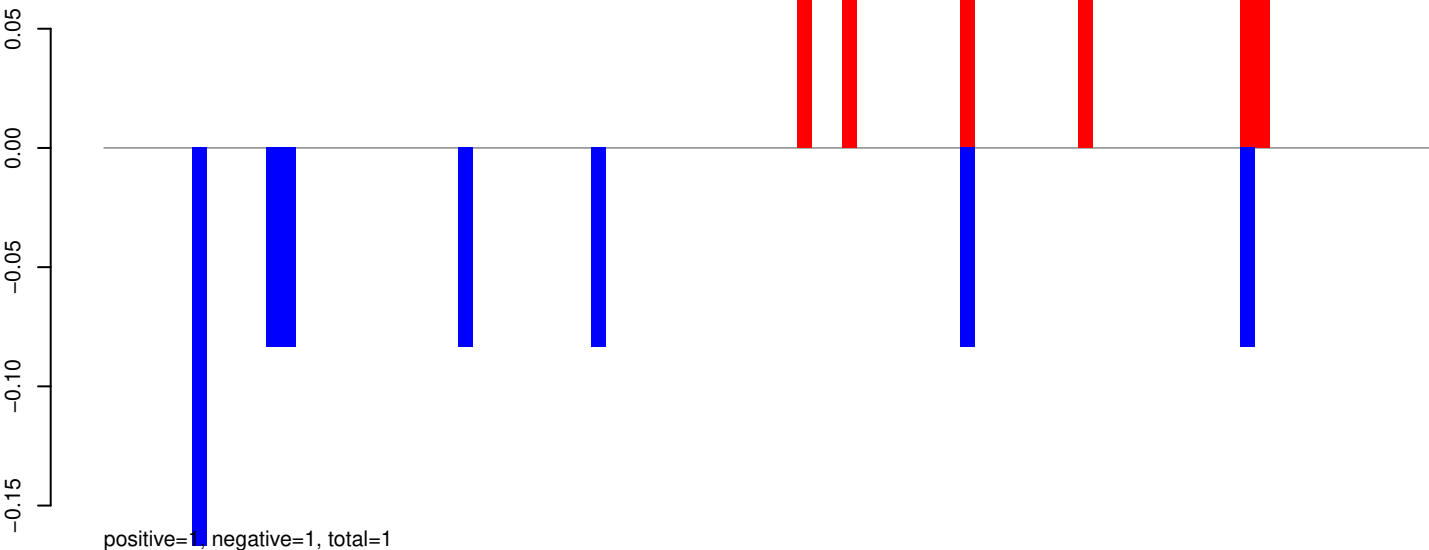
AeAeg_Aag2_Ago2_SINV_RA.24_35.rep



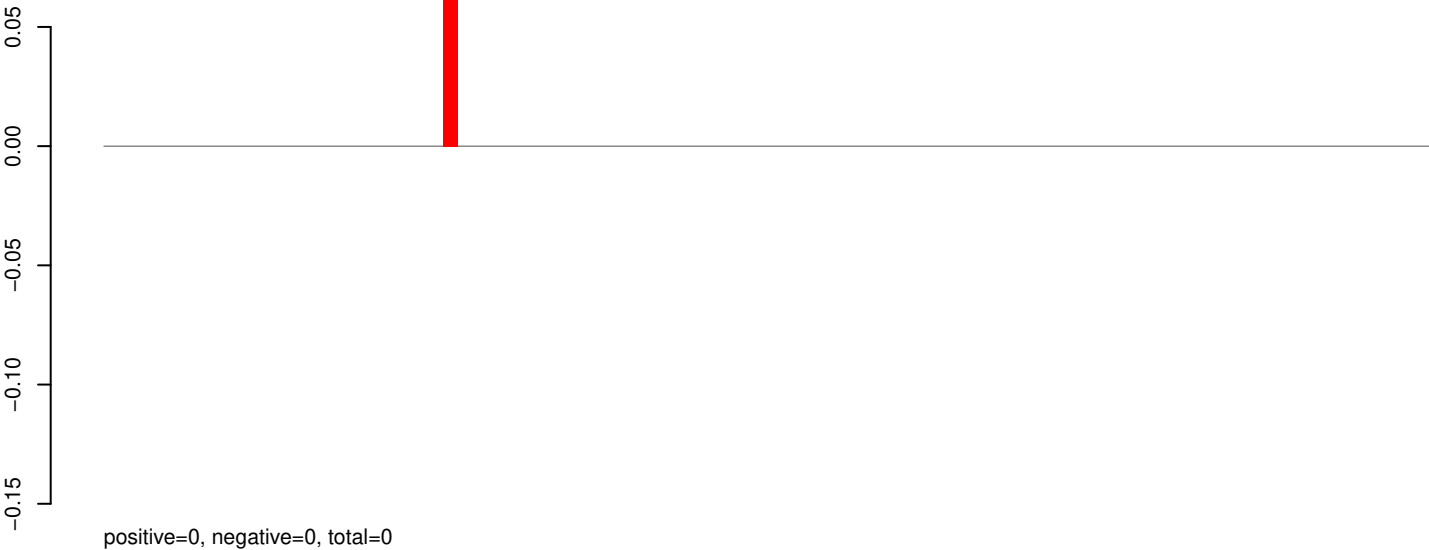
AeAeg_Aag2_Ago2_SINV_RA.rep



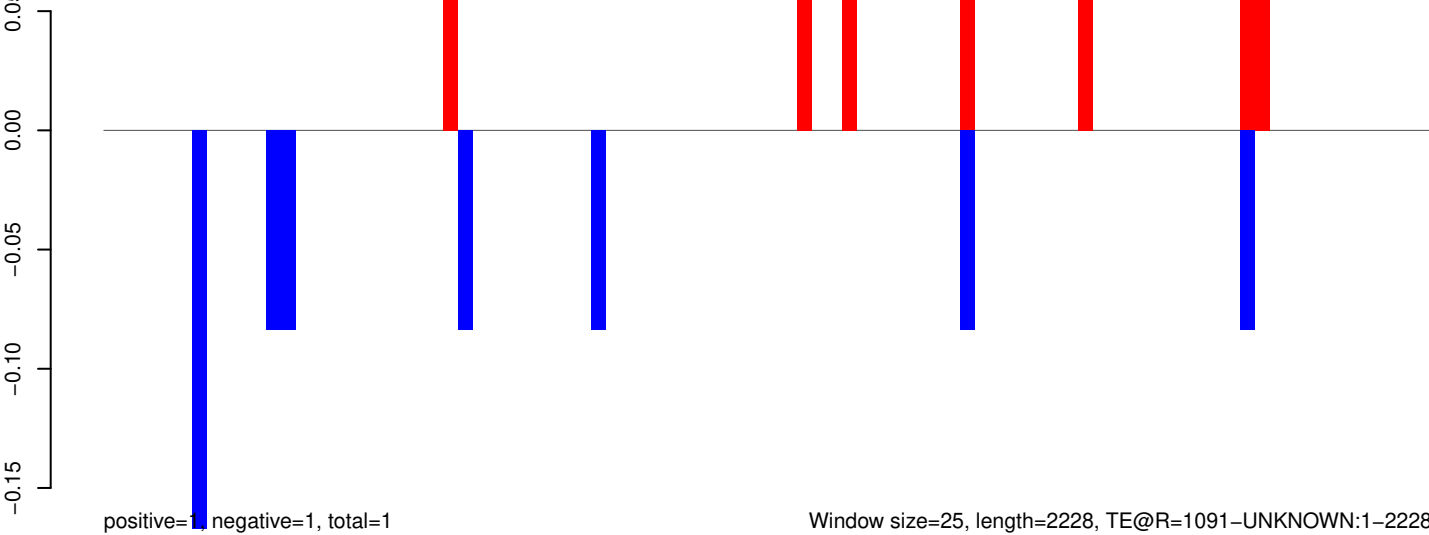
AeAeg_Aag2_Ago2_SINV_RA.18_23.rep



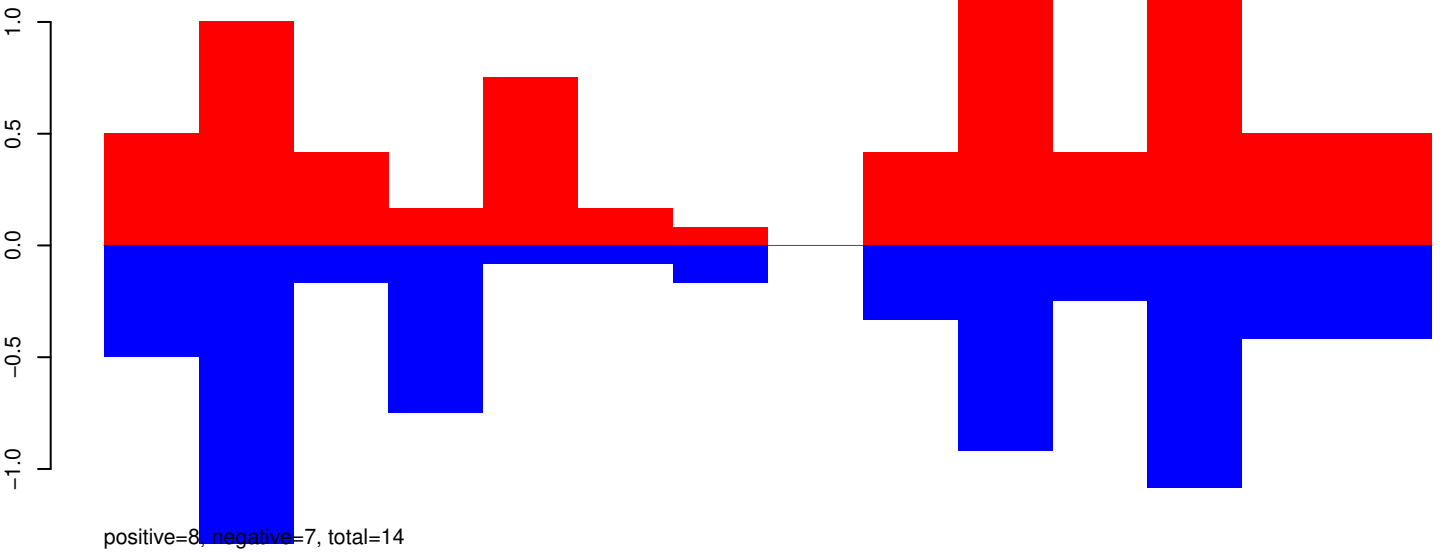
AeAeg_Aag2_Ago2_SINV_RA.24_35.rep



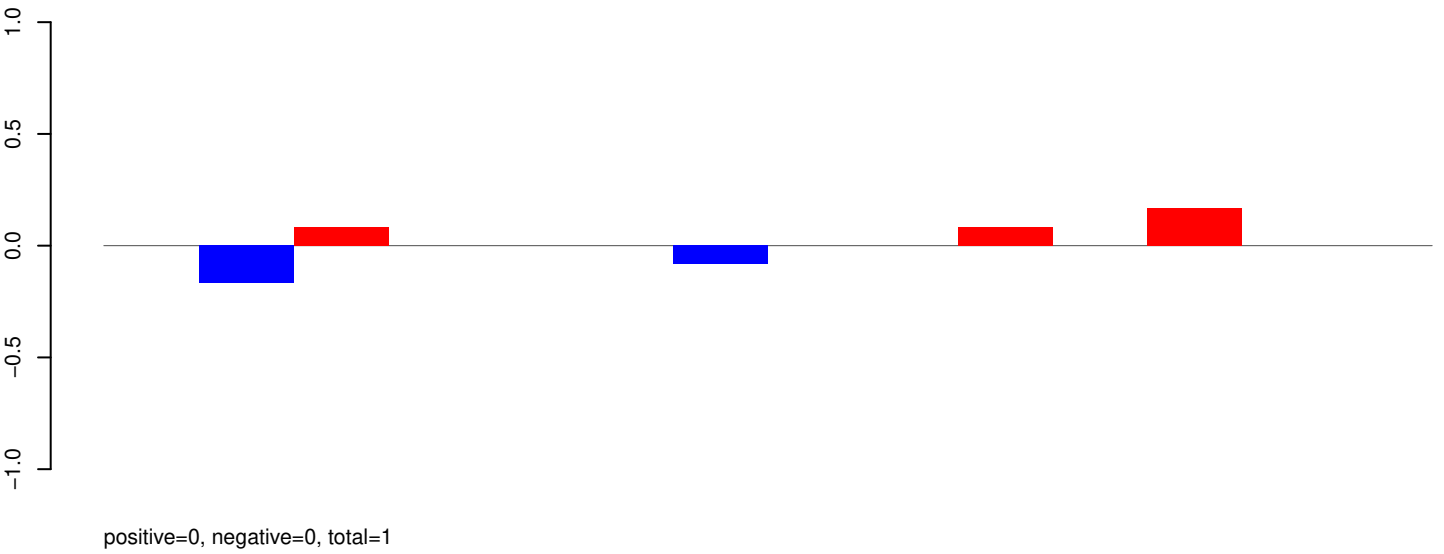
AeAeg_Aag2_Ago2_SINV_RA.rep



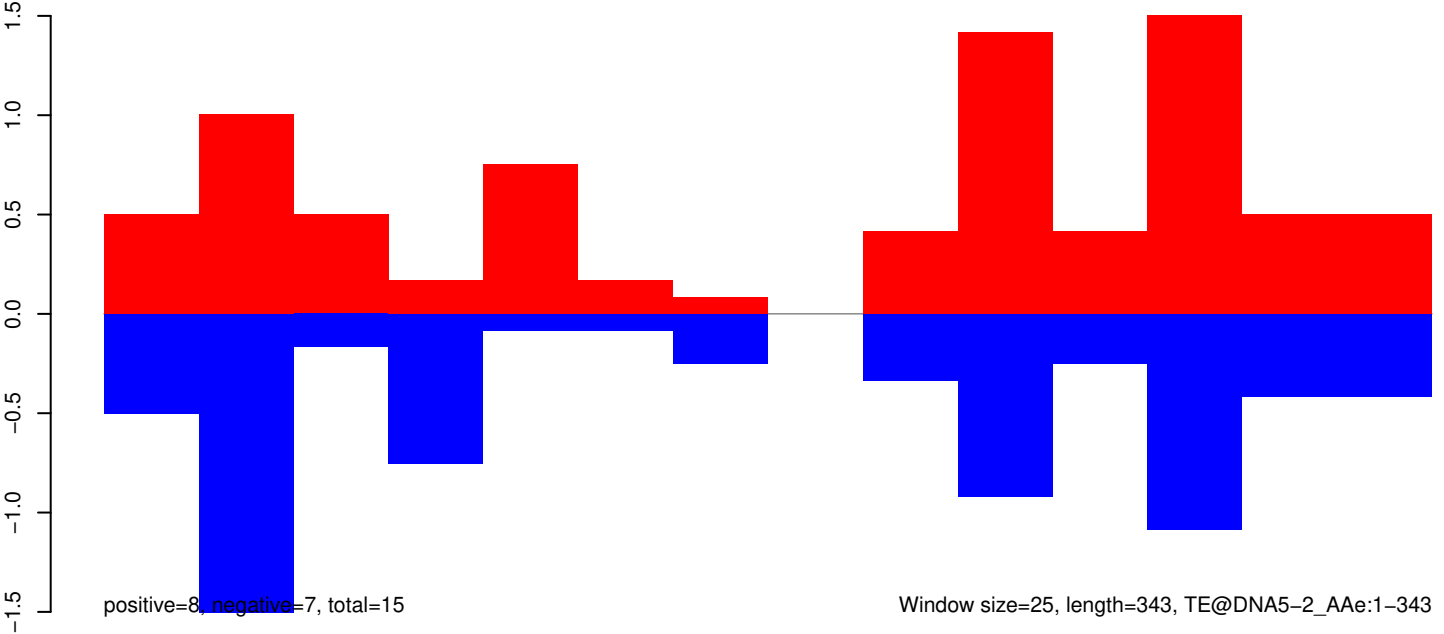
AeAeg_Aag2_Ago2_SINV_RA.18_23.rep



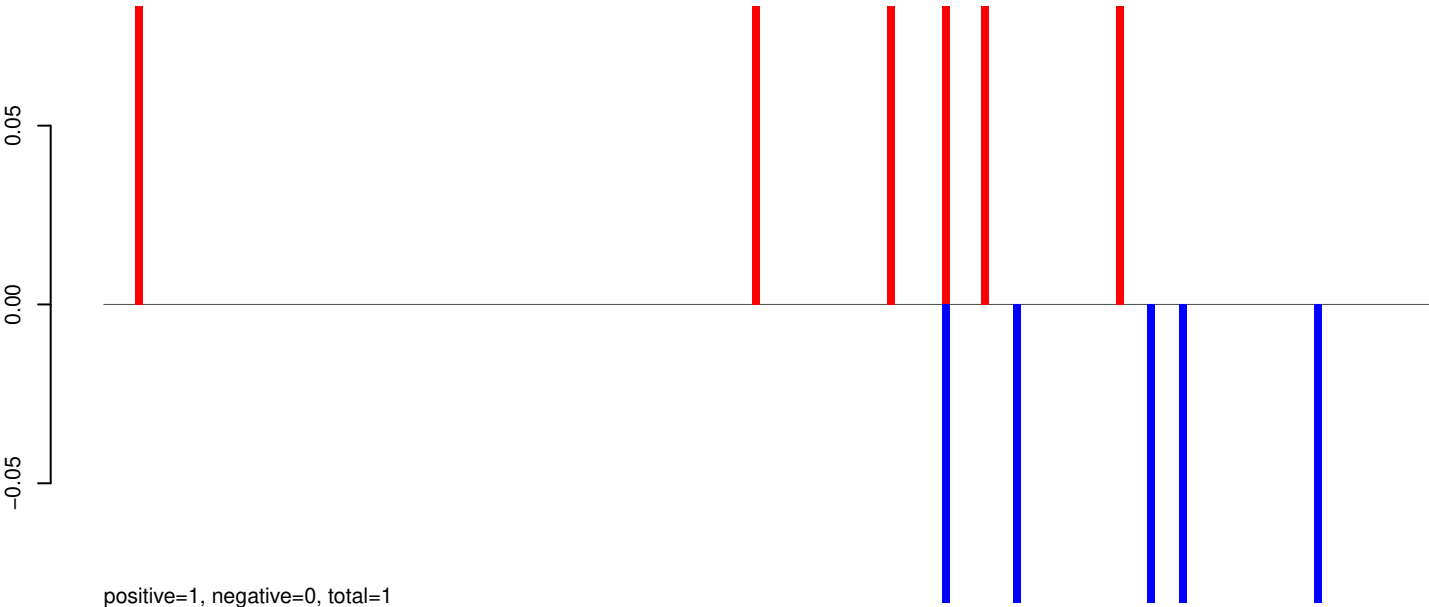
AeAeg_Aag2_Ago2_SINV_RA.24_35.rep



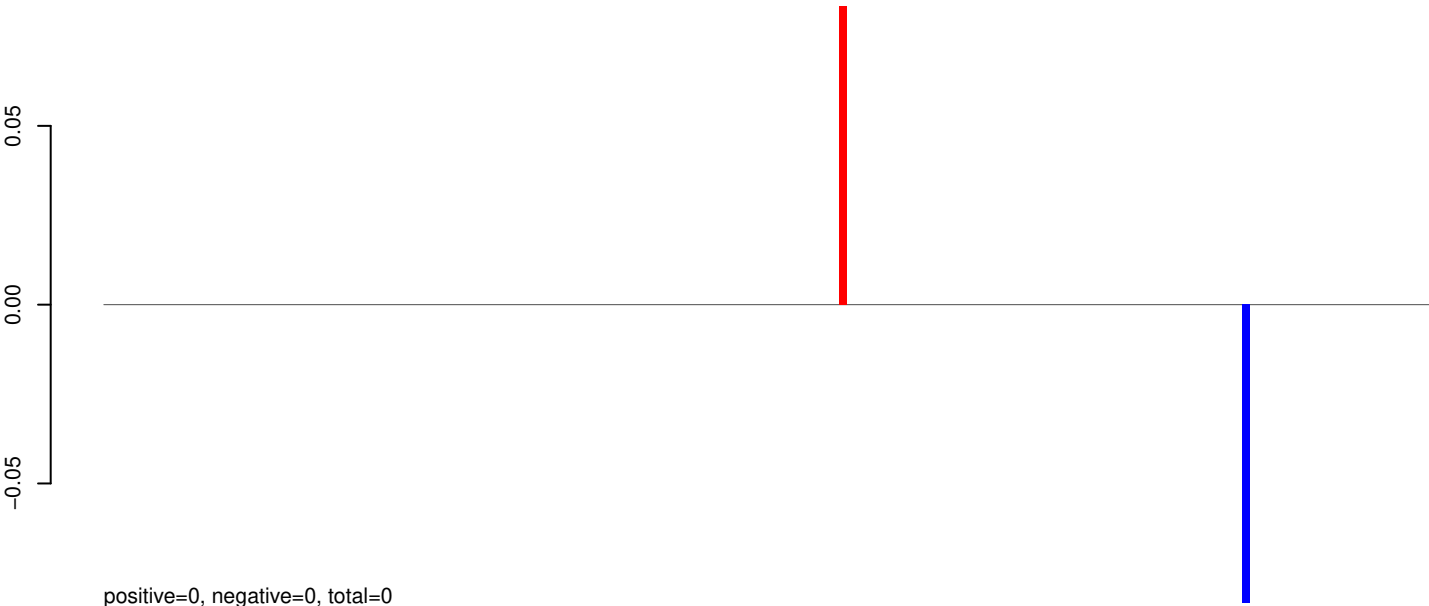
AeAeg_Aag2_Ago2_SINV_RA.rep



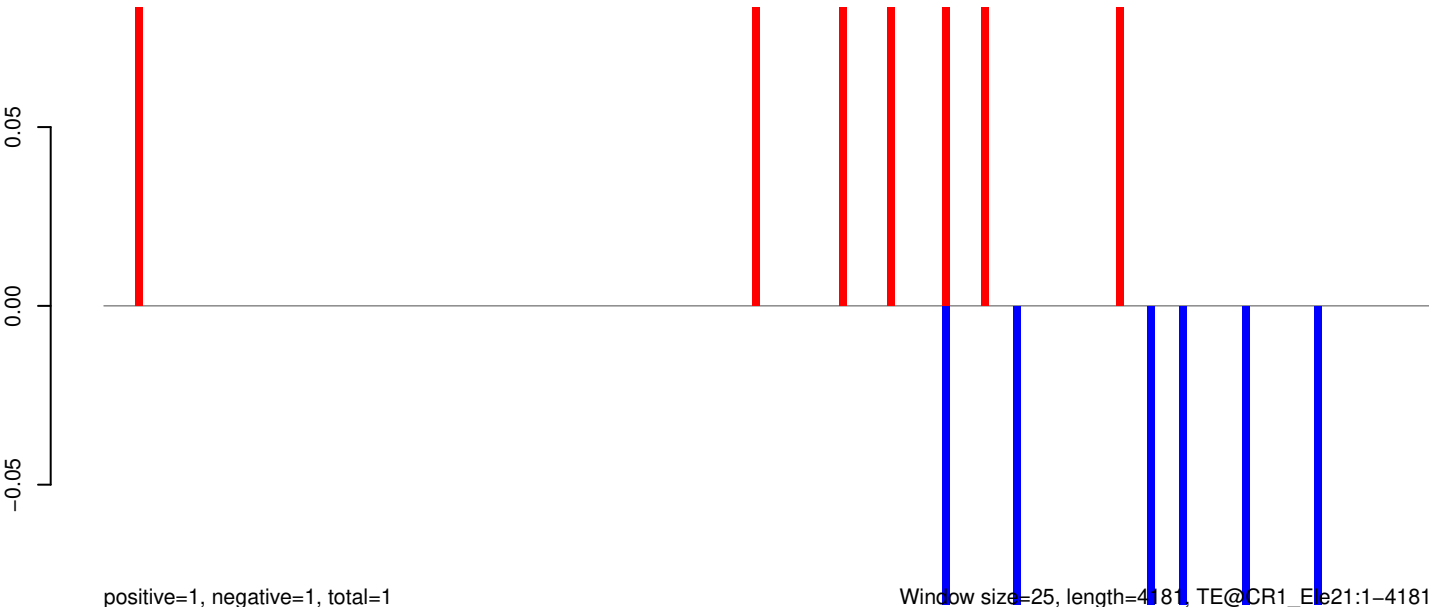
AeAeg_Aag2_Ago2_SINV_RA.18_23.rep



AeAeg_Aag2_Ago2_SINV_RA.24_35.rep



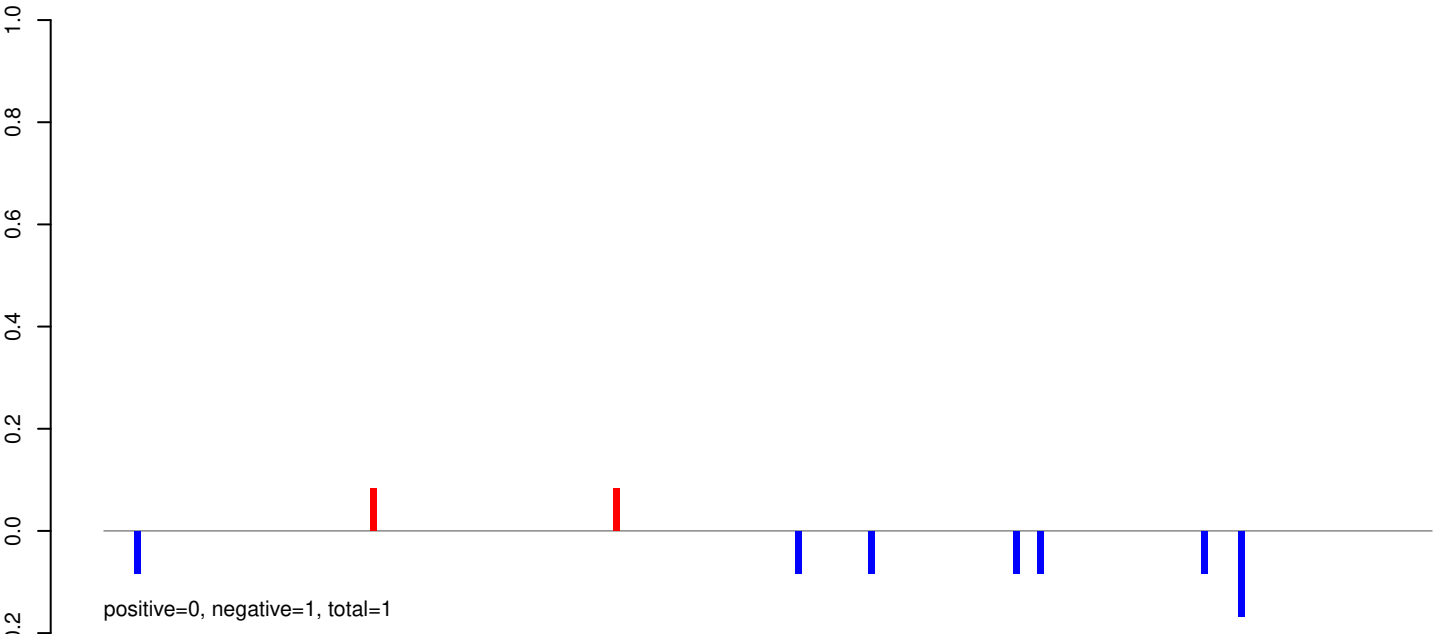
AeAeg_Aag2_Ago2_SINV_RA.rep



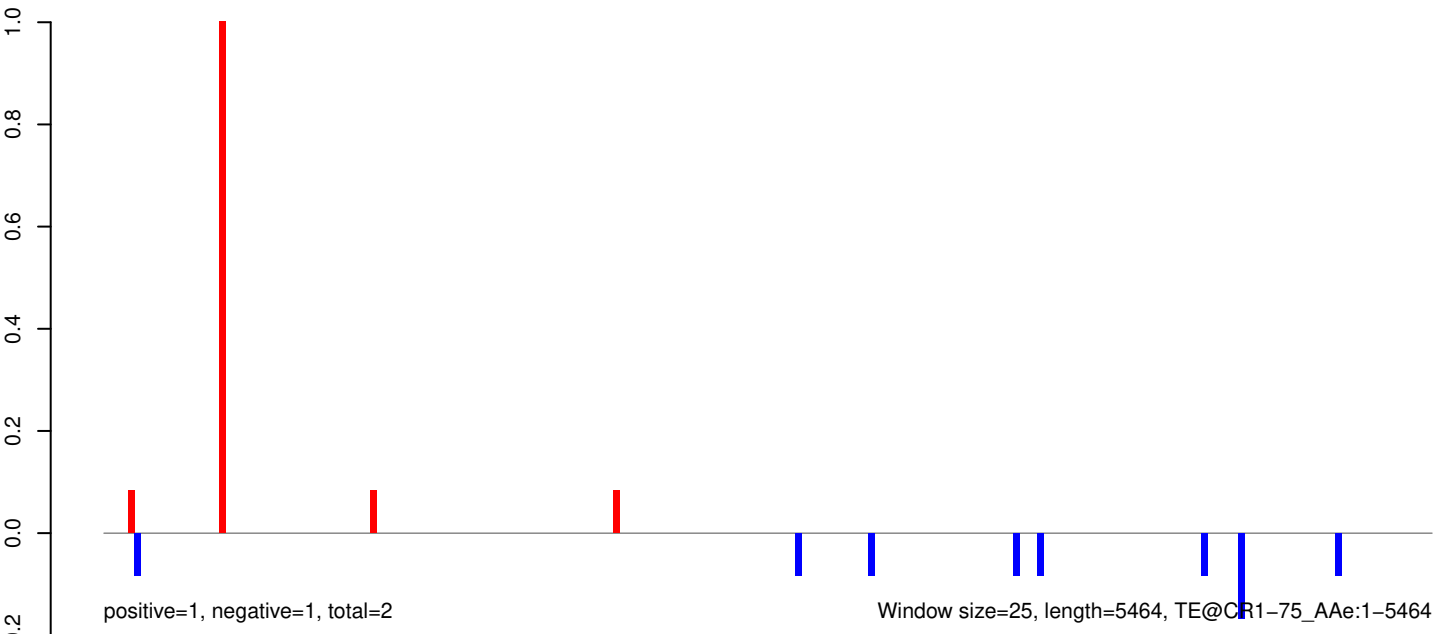
AeAeg_Aag2_Ago2_SINV_RA.18_23.rep



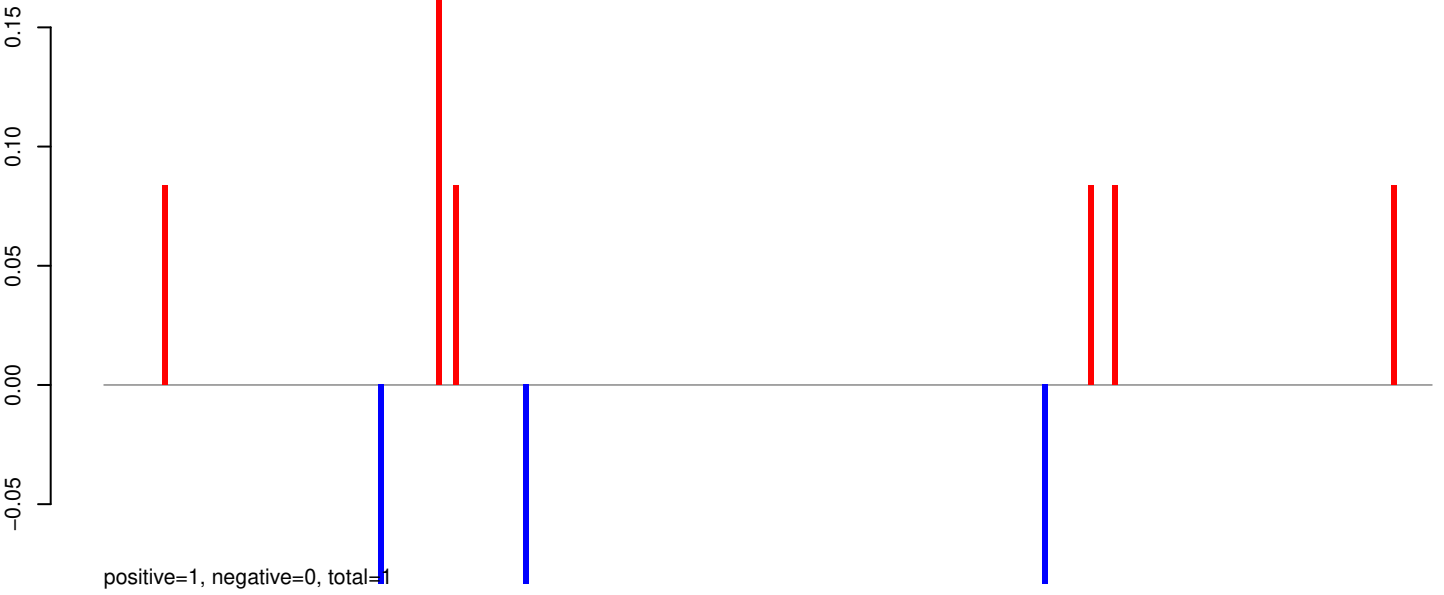
AeAeg_Aag2_Ago2_SINV_RA.24_35.rep



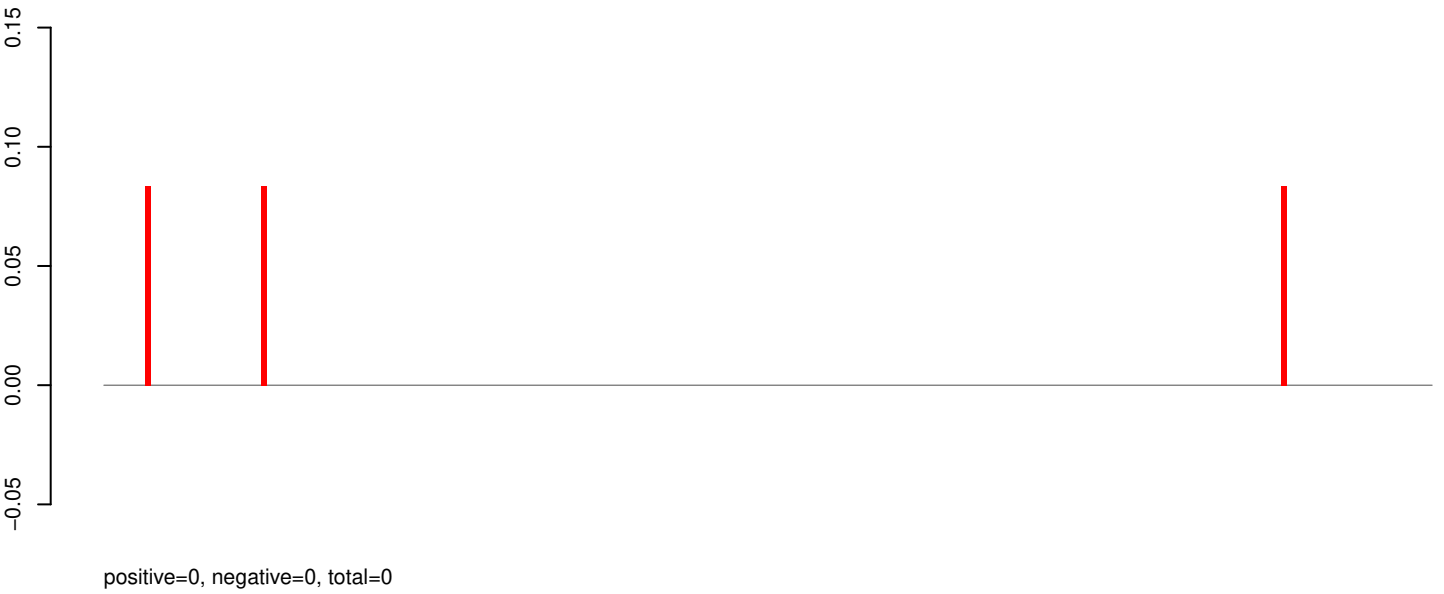
AeAeg_Aag2_Ago2_SINV_RA.rep



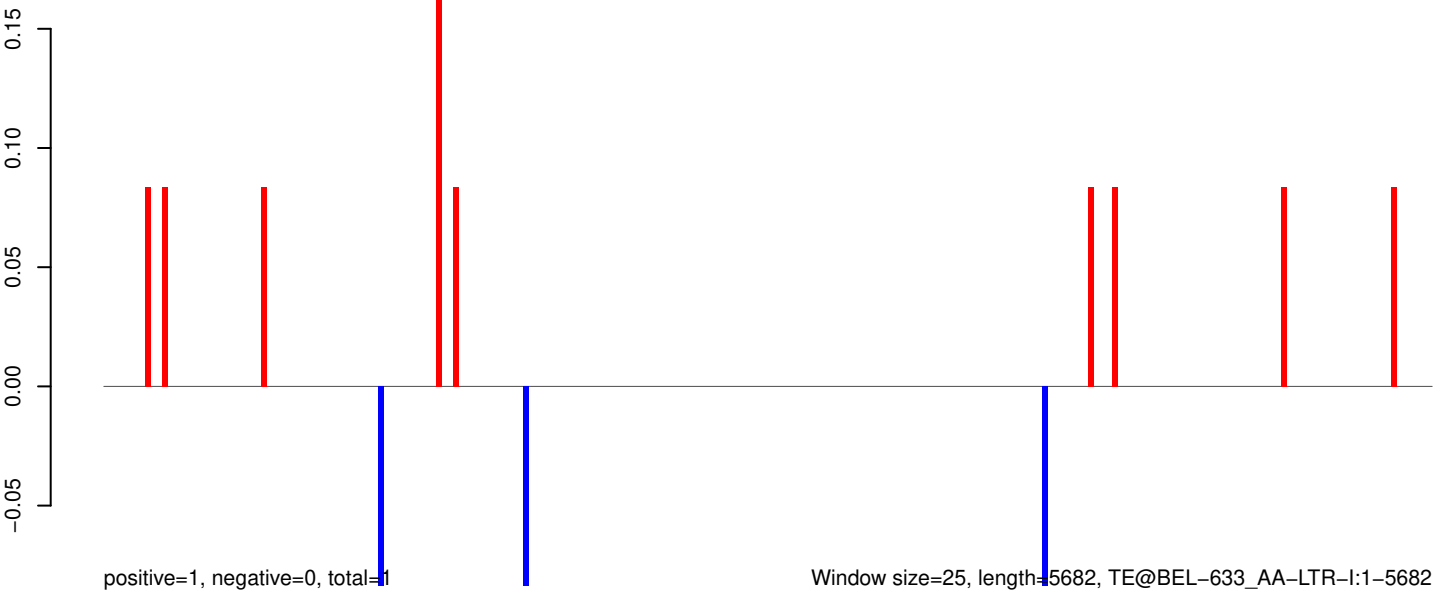
AeAeg_Aag2_Ago2_SINV_RA.18_23.rep



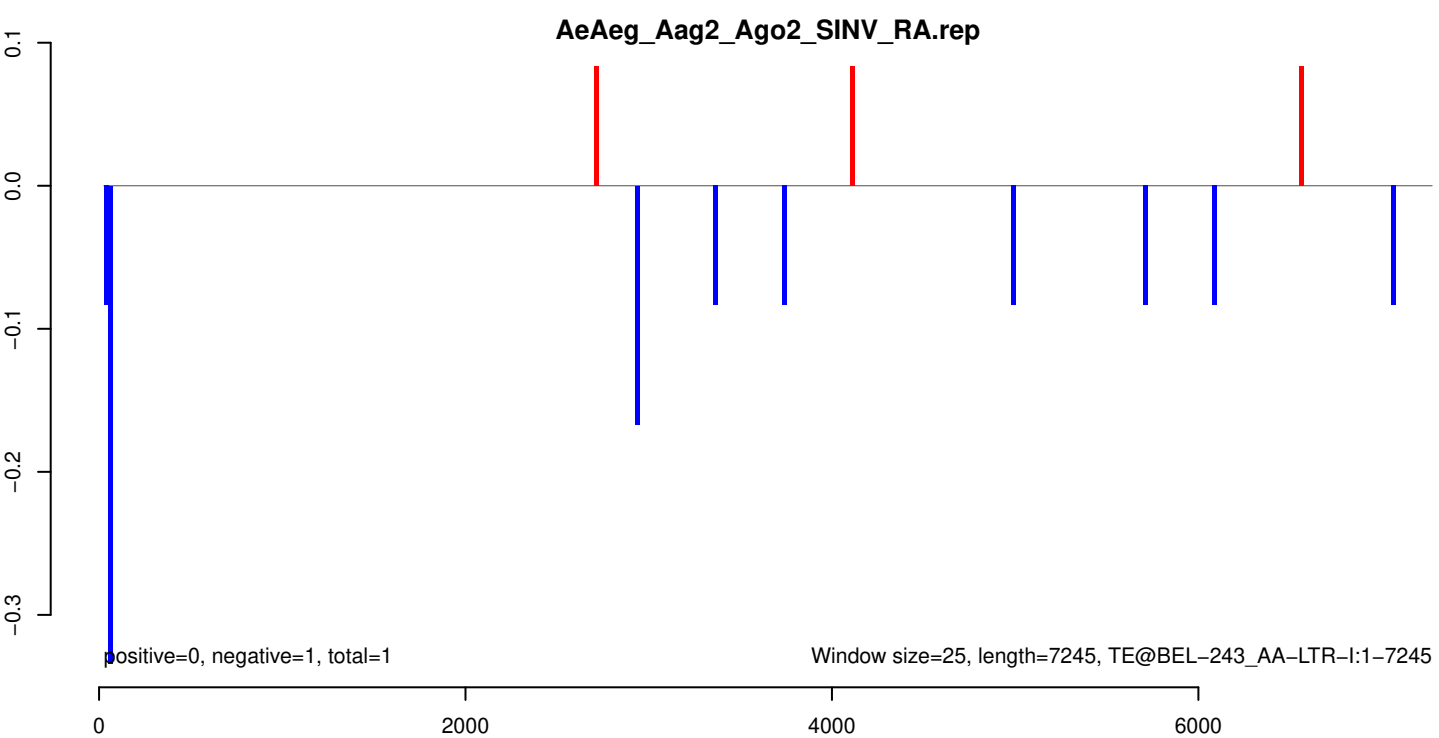
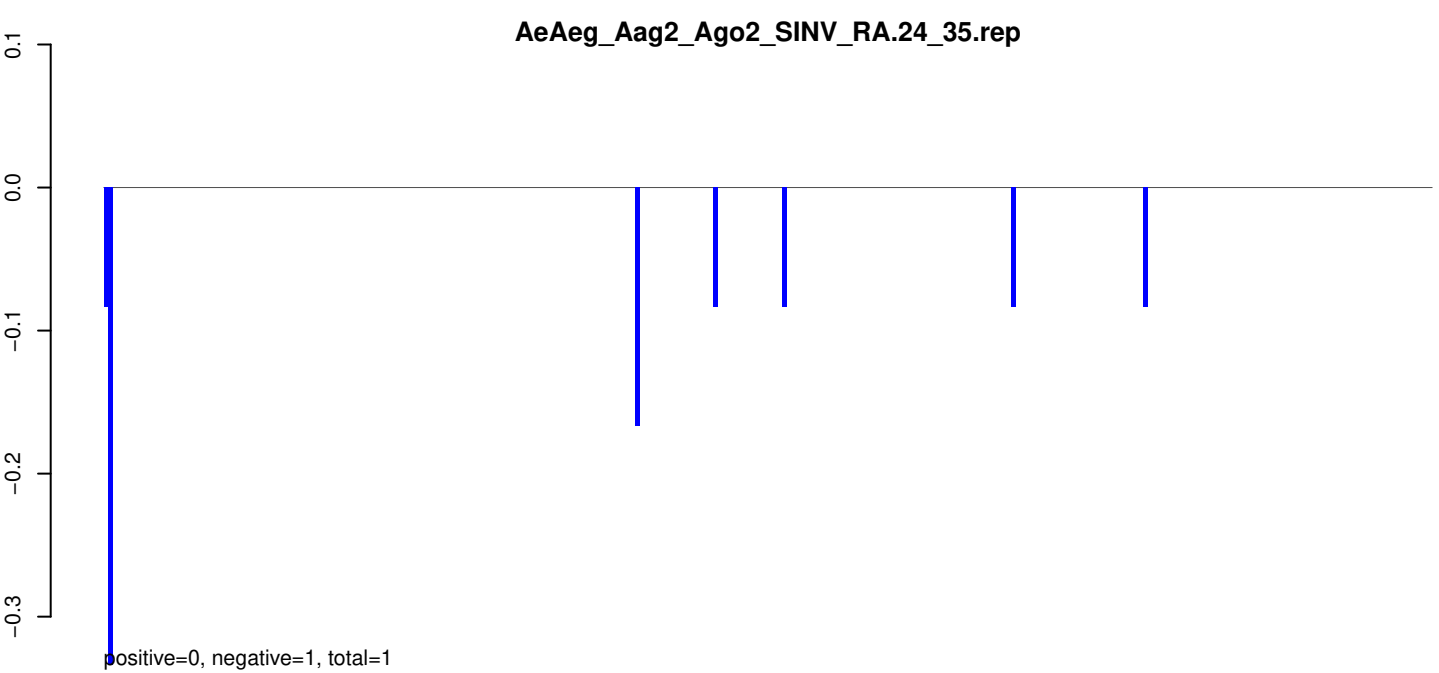
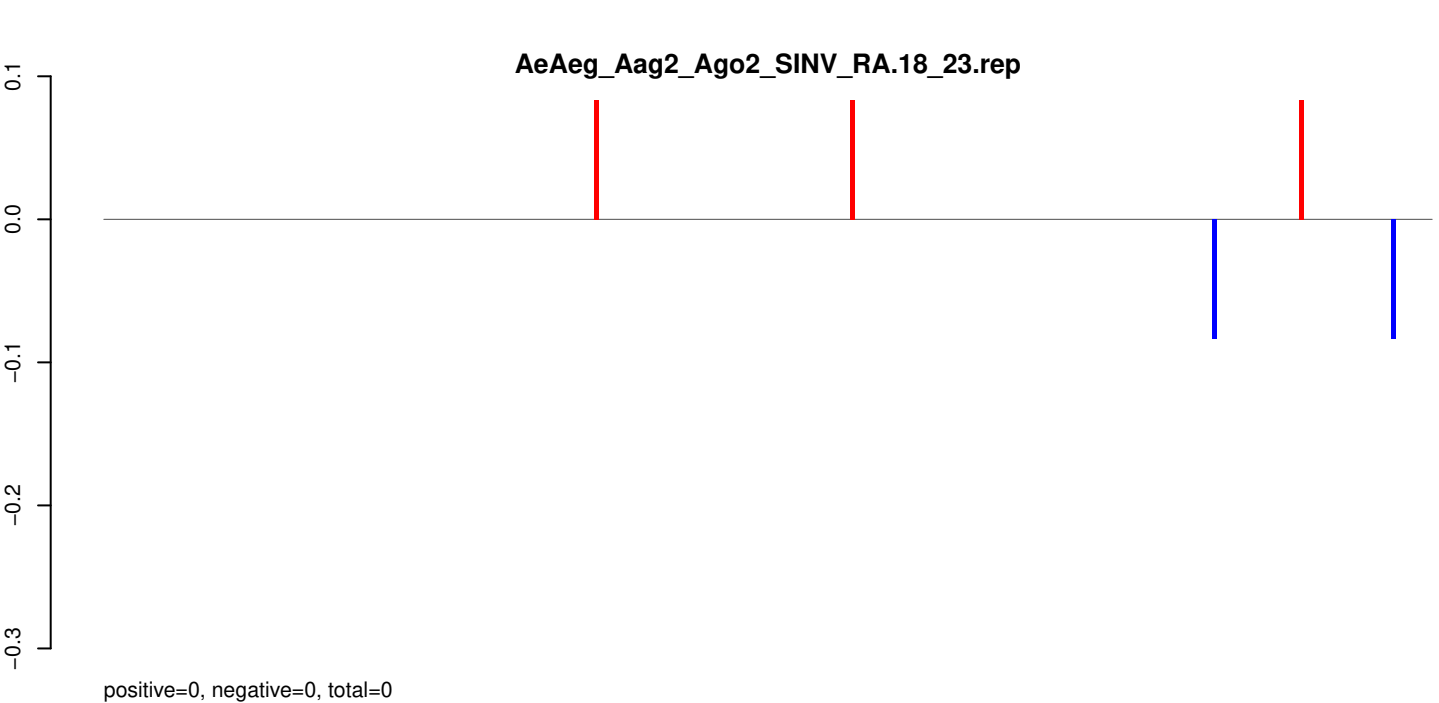
AeAeg_Aag2_Ago2_SINV_RA.24_35.rep



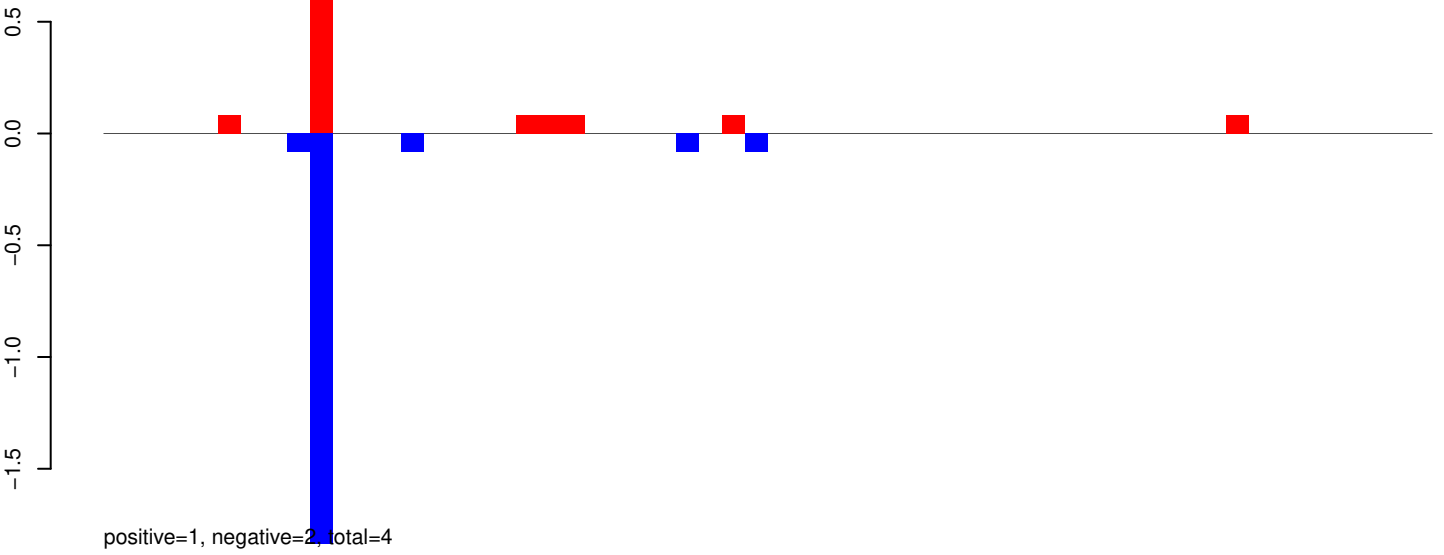
AeAeg_Aag2_Ago2_SINV_RA.rep



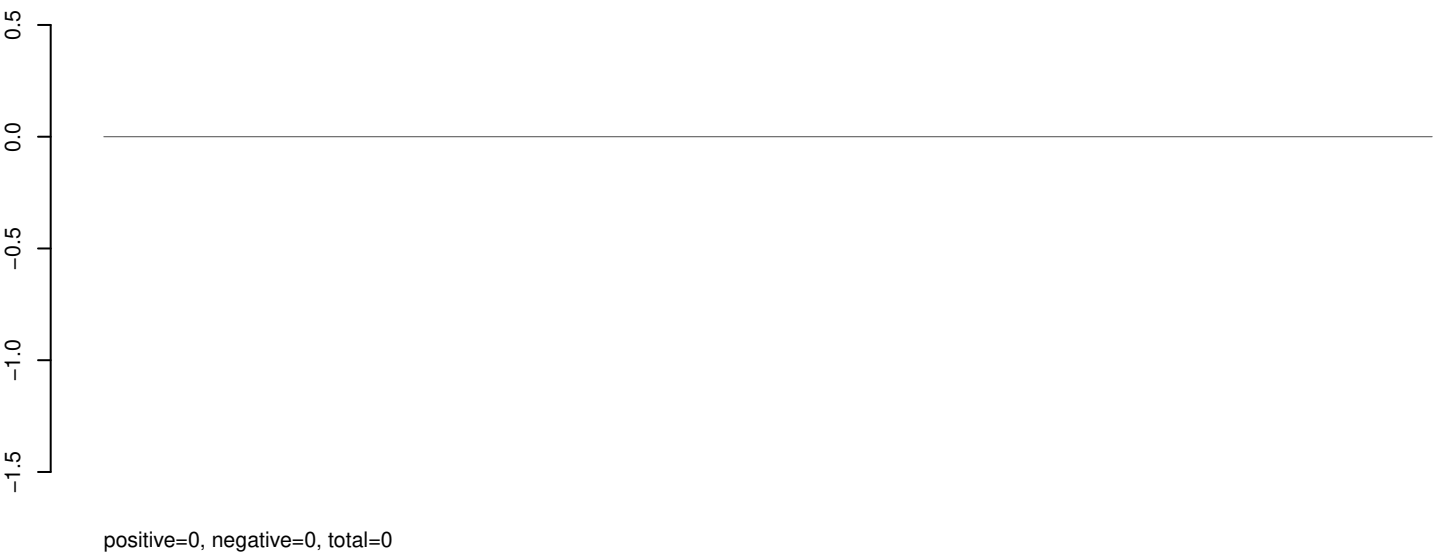
0 1000 2000 3000 4000 5000



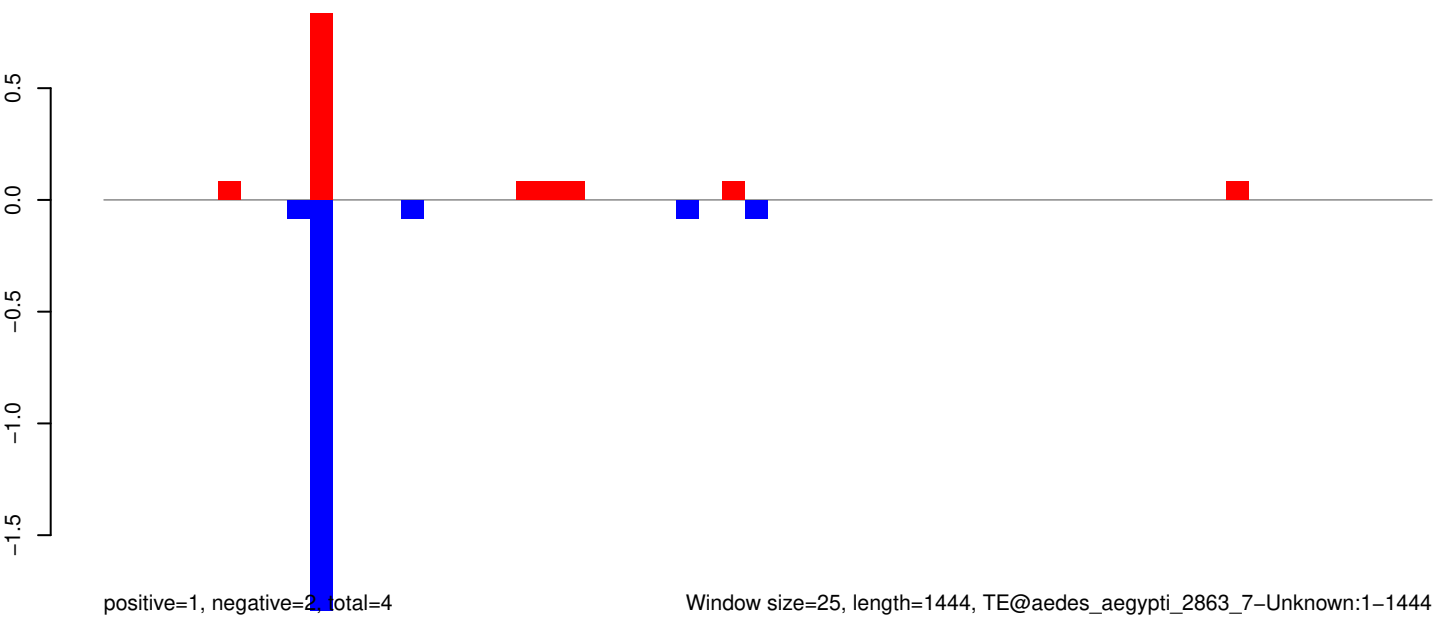
AeAeg_Aag2_Ago2_SINV_RA.18_23.rep



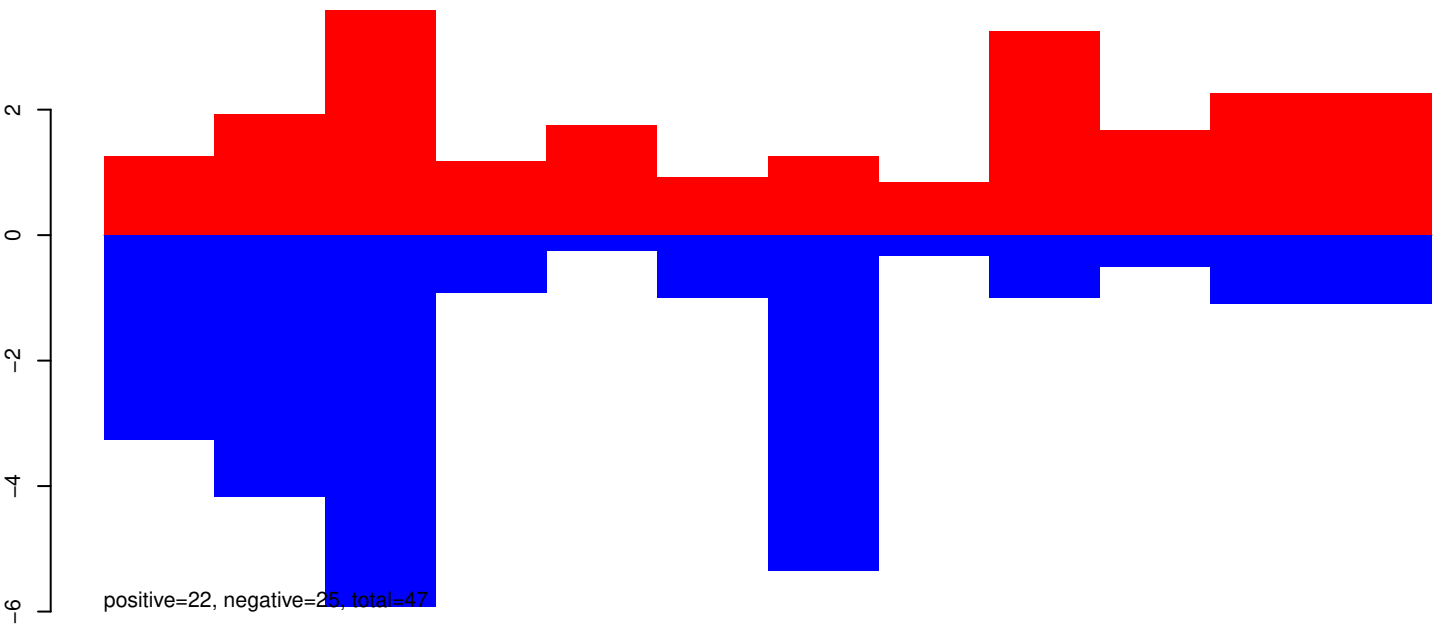
AeAeg_Aag2_Ago2_SINV_RA.24_35.rep



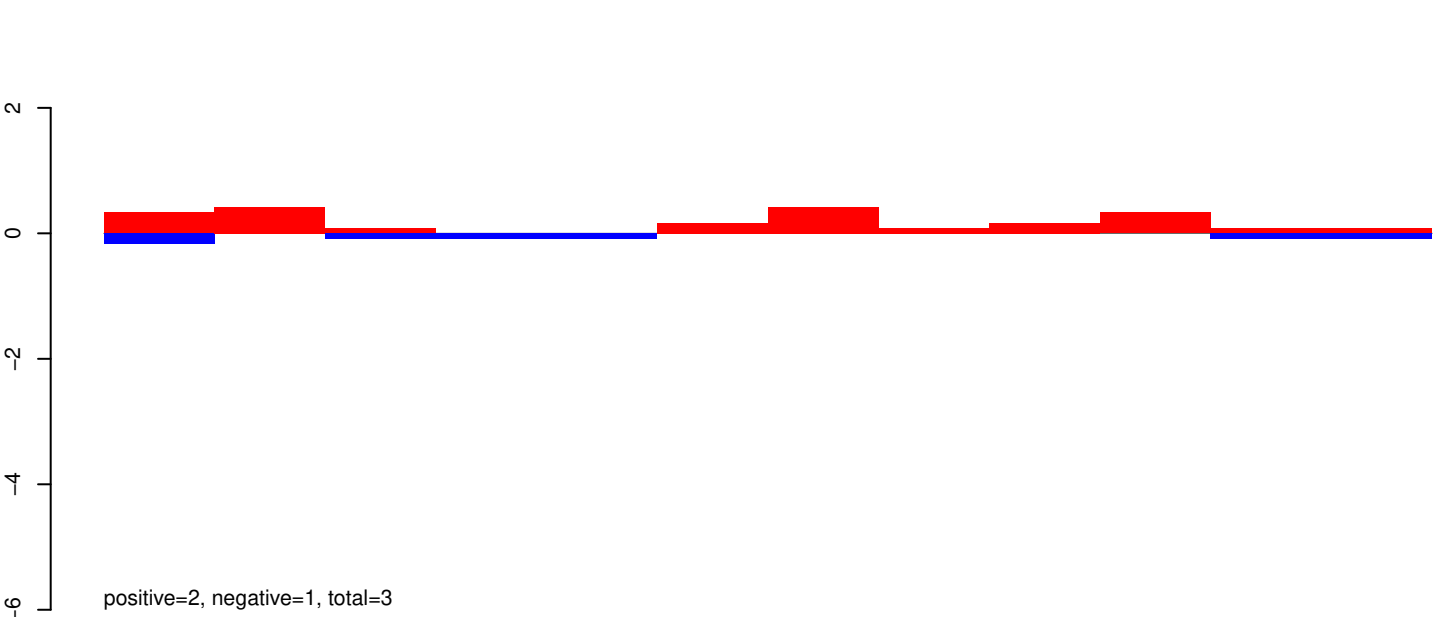
AeAeg_Aag2_Ago2_SINV_RA.rep



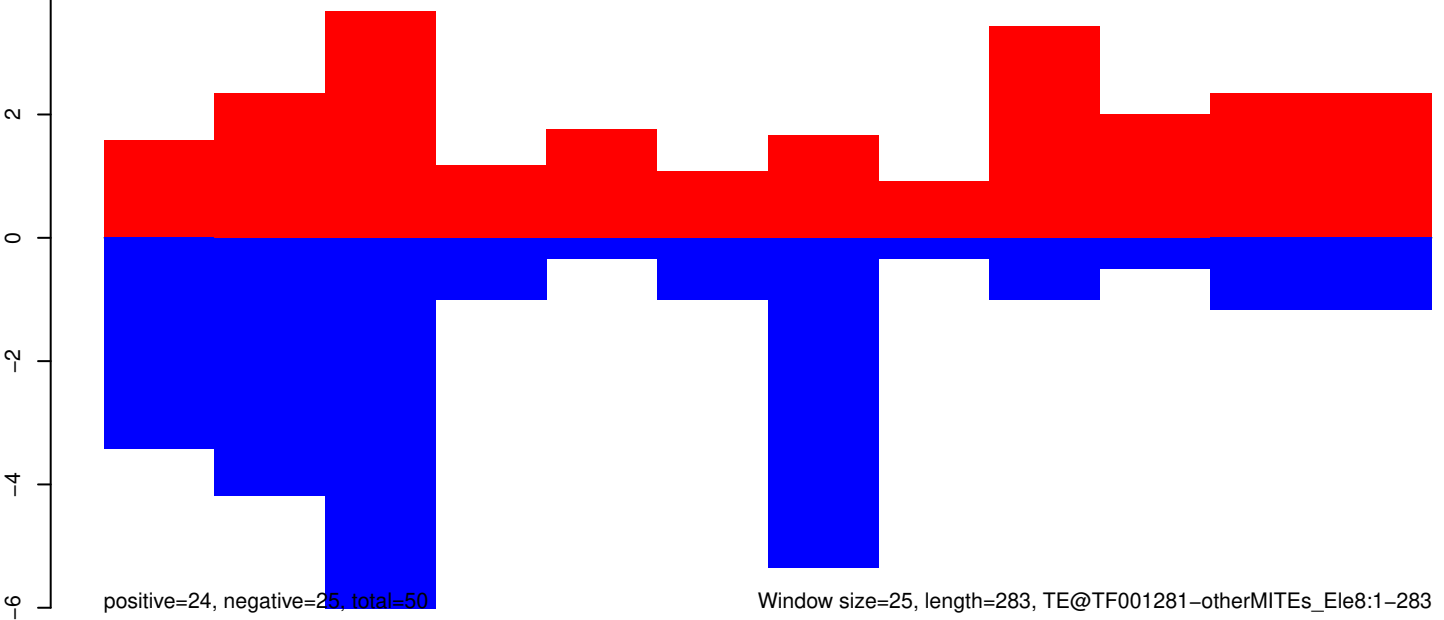
AeAeg_Aag2_Ago2_SINV_RA.18_23.rep



AeAeg_Aag2_Ago2_SINV_RA.24_35.rep

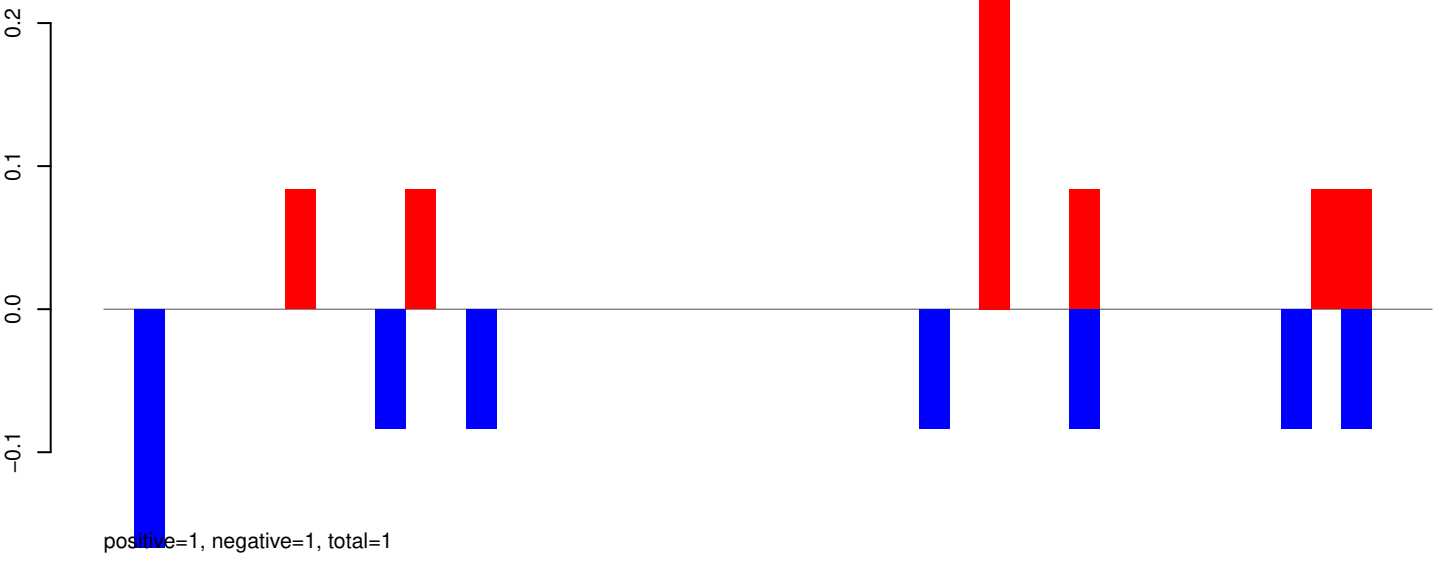


AeAeg_Aag2_Ago2_SINV_RA.rep

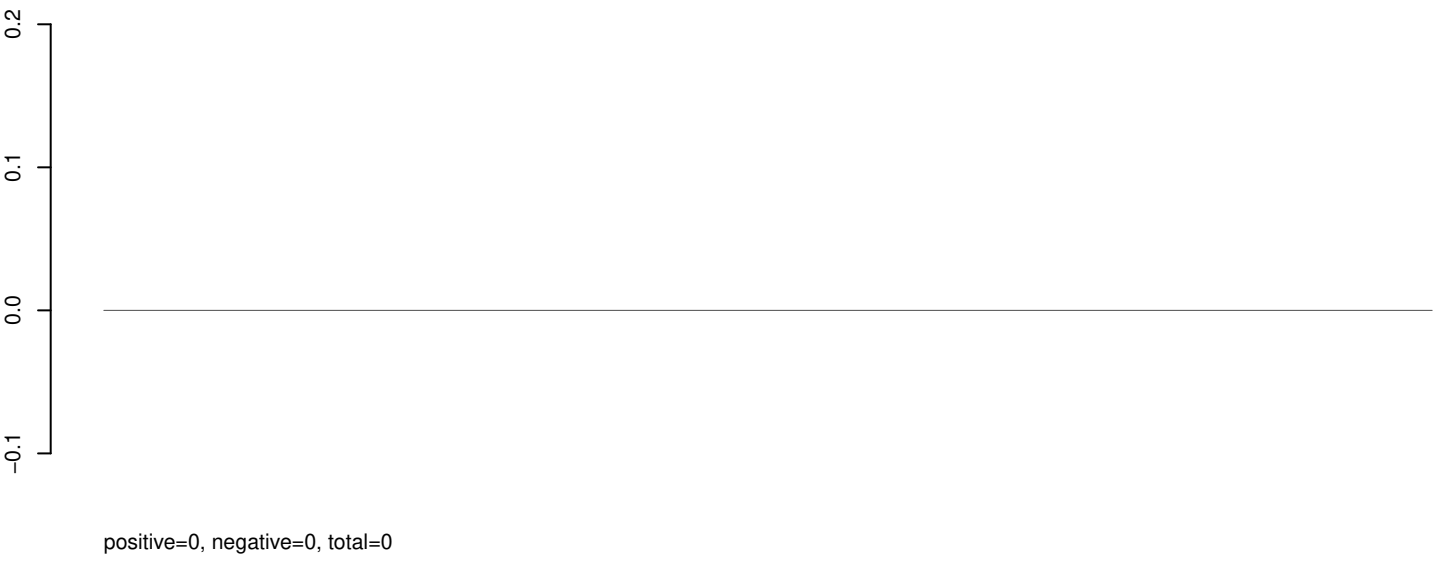


Window size=25, length=283, TE@TF001281-otherMITEs_Ele8:1-283

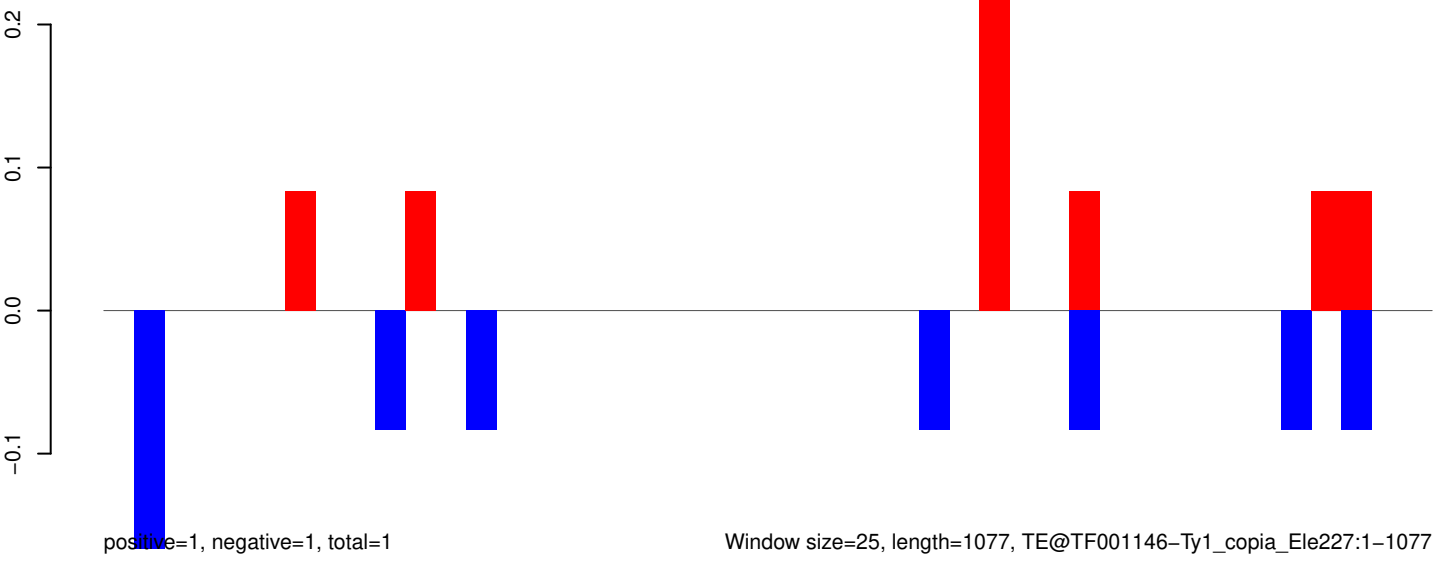
AeAeg_Aag2_Ago2_SINV_RA.18_23.rep



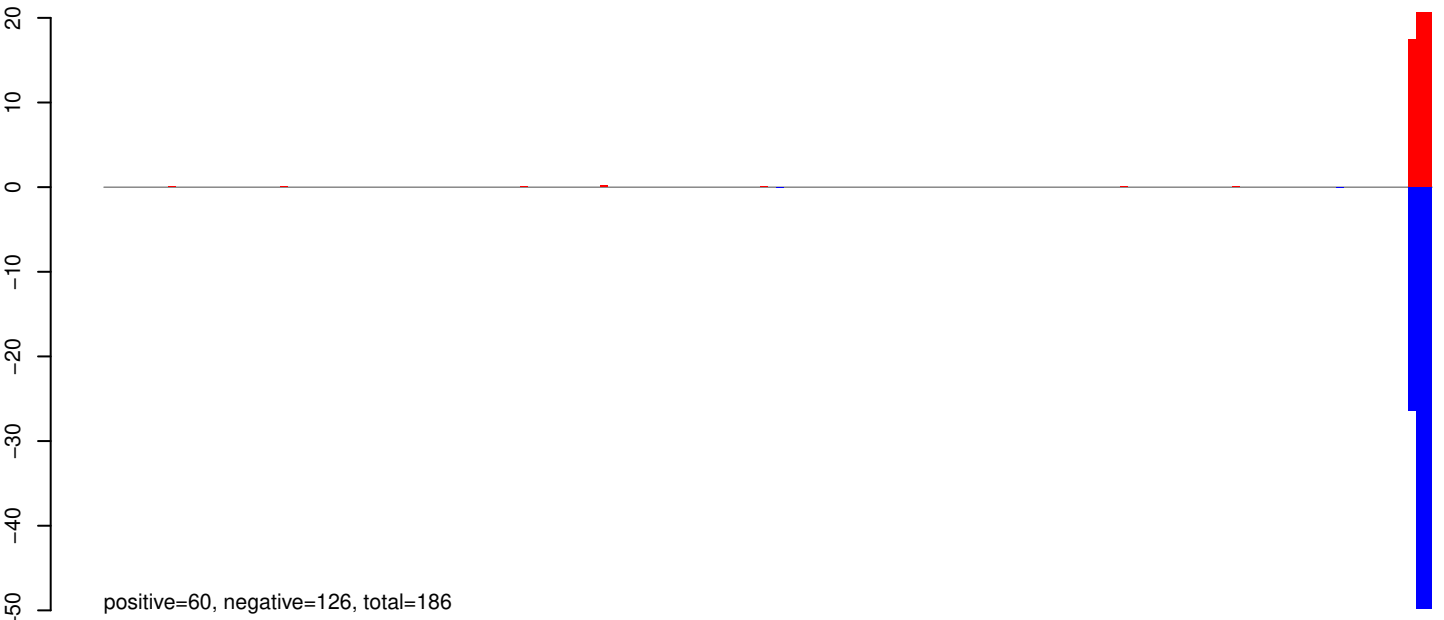
AeAeg_Aag2_Ago2_SINV_RA.24_35.rep



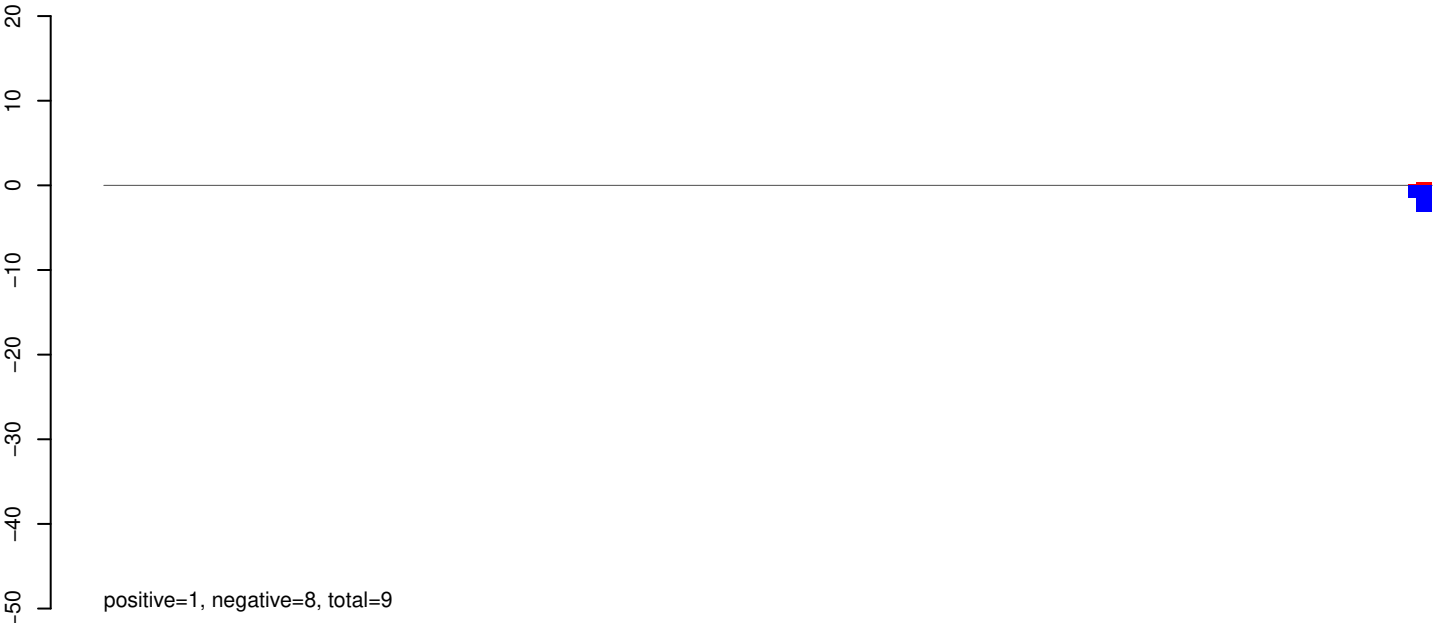
AeAeg_Aag2_Ago2_SINV_RA.rep



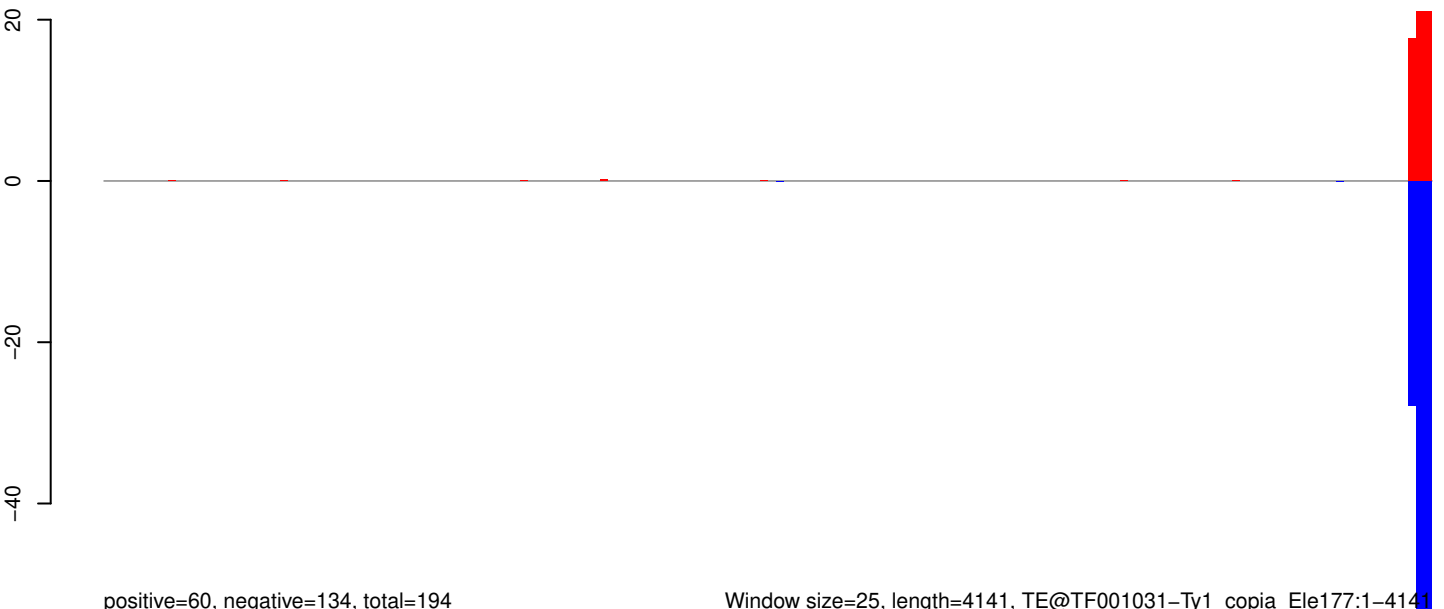
AeAeg_Aag2_Ago2_SINV_RA.18_23.rep



AeAeg_Aag2_Ago2_SINV_RA.24_35.rep



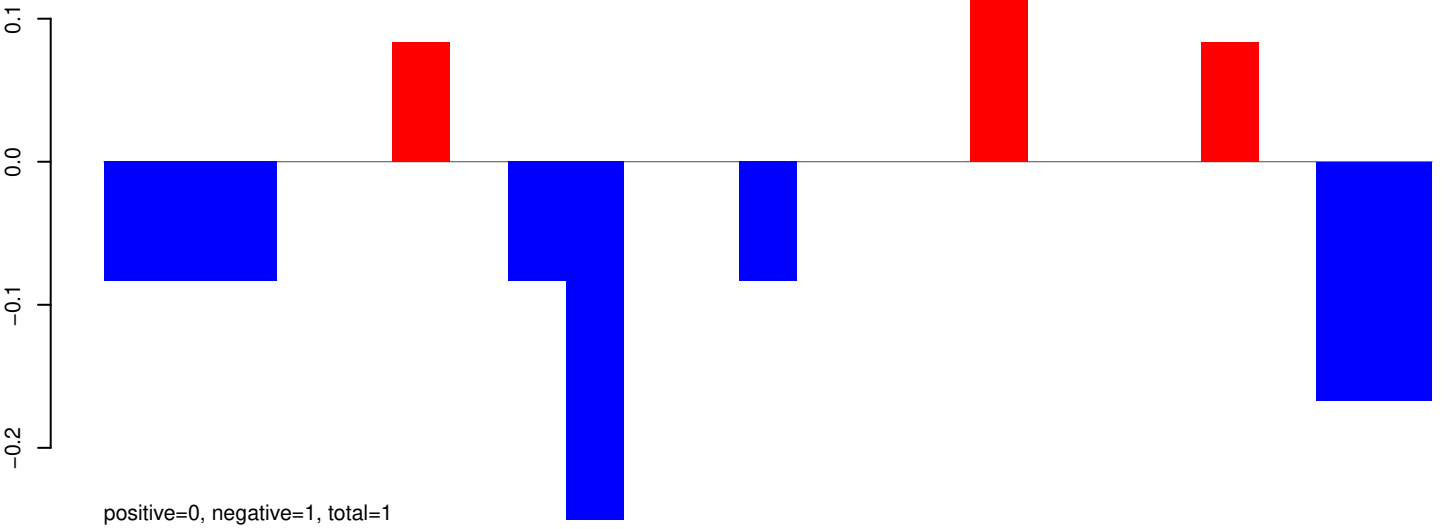
AeAeg_Aag2_Ago2_SINV_RA.rep



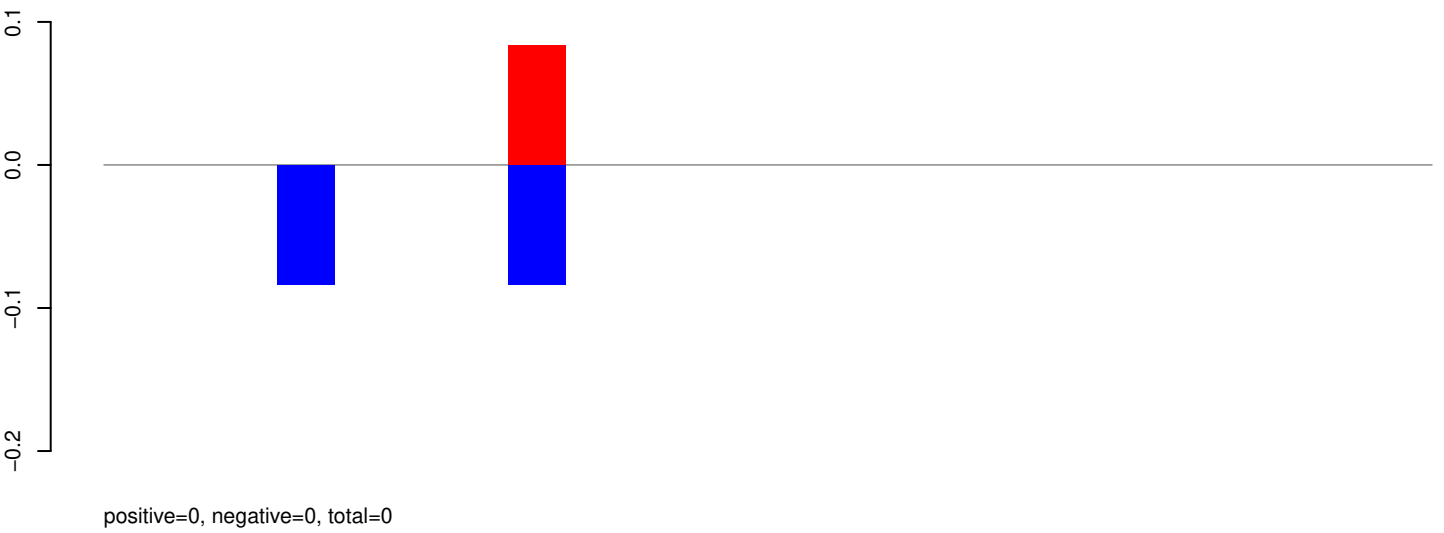
Window size=25, length=4141, TE@TF001031-Ty1_copia_Ele177:1-4141

0 1000 2000 3000 4000

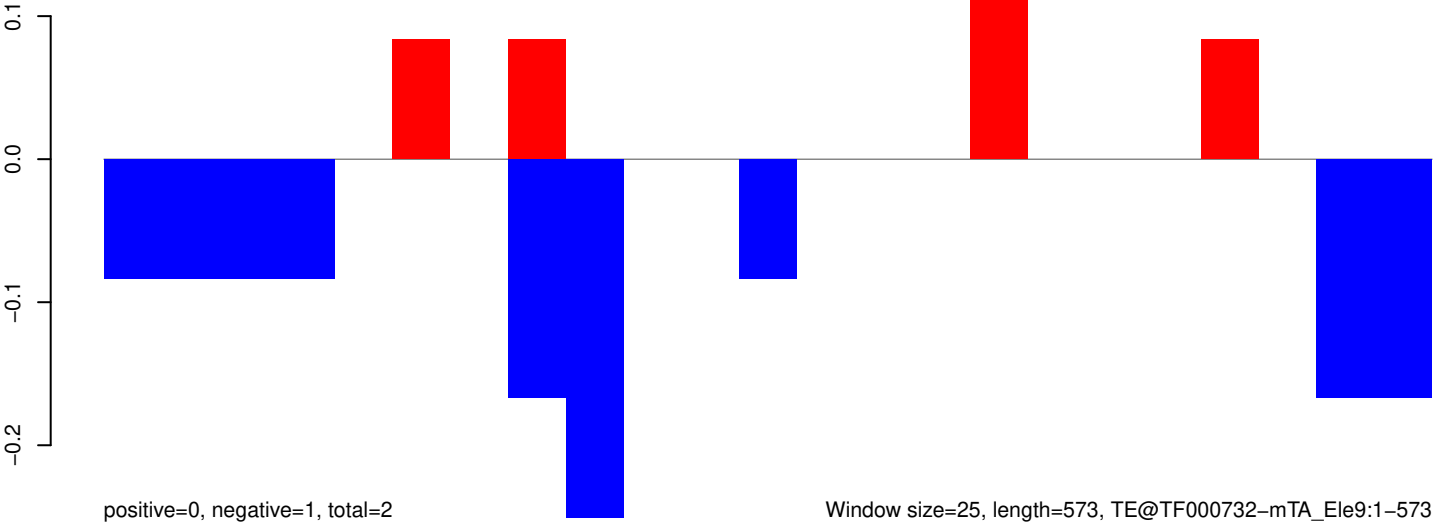
AeAeg_Aag2_Ago2_SINV_RA.18_23.rep



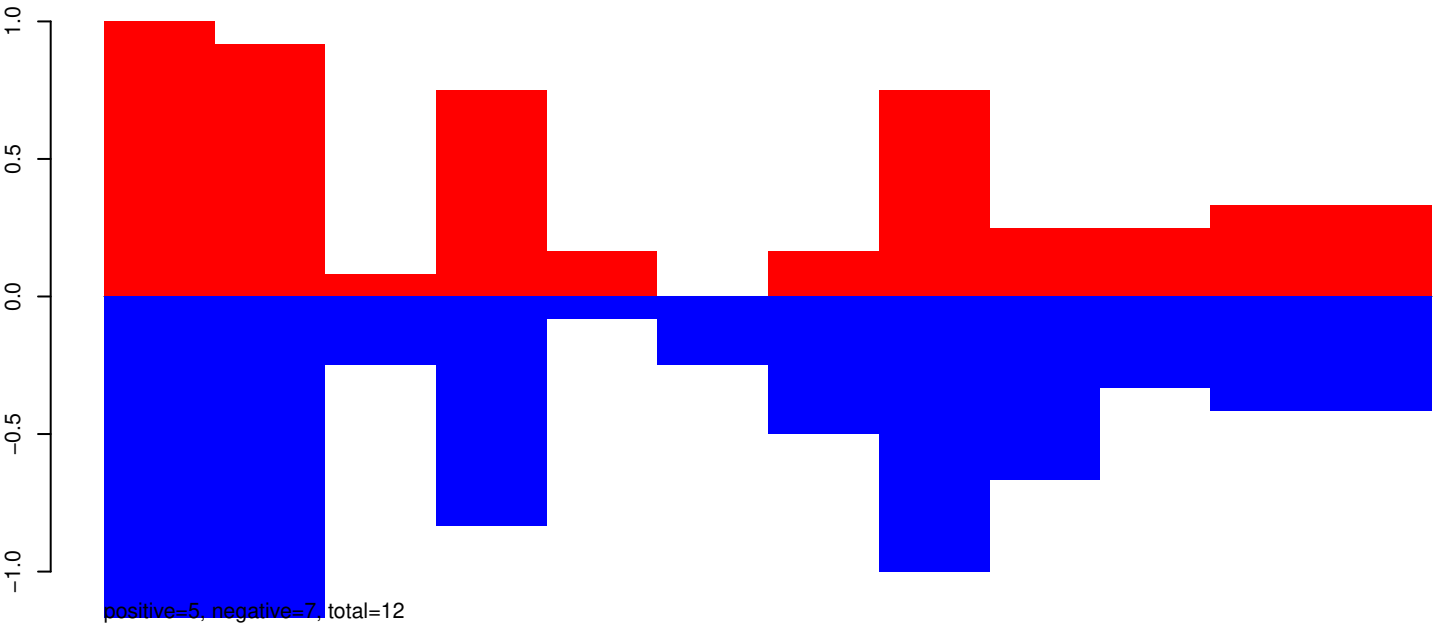
AeAeg_Aag2_Ago2_SINV_RA.24_35.rep



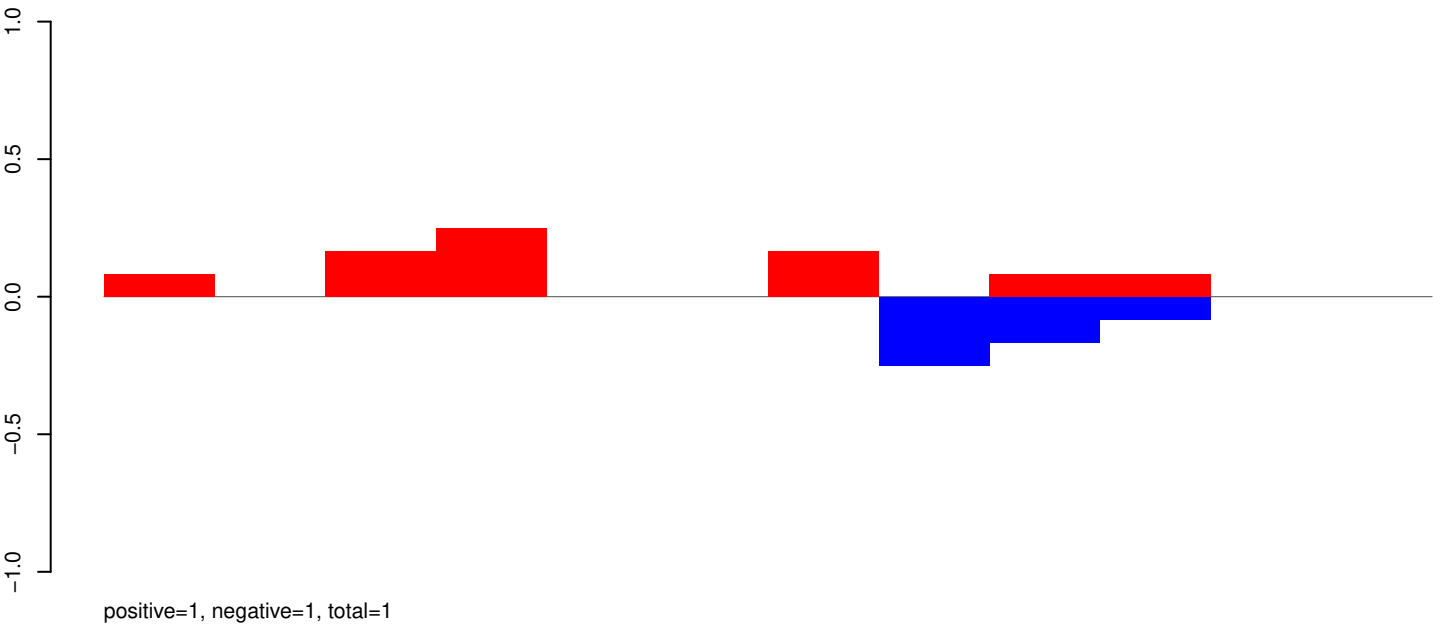
AeAeg_Aag2_Ago2_SINV_RA.rep



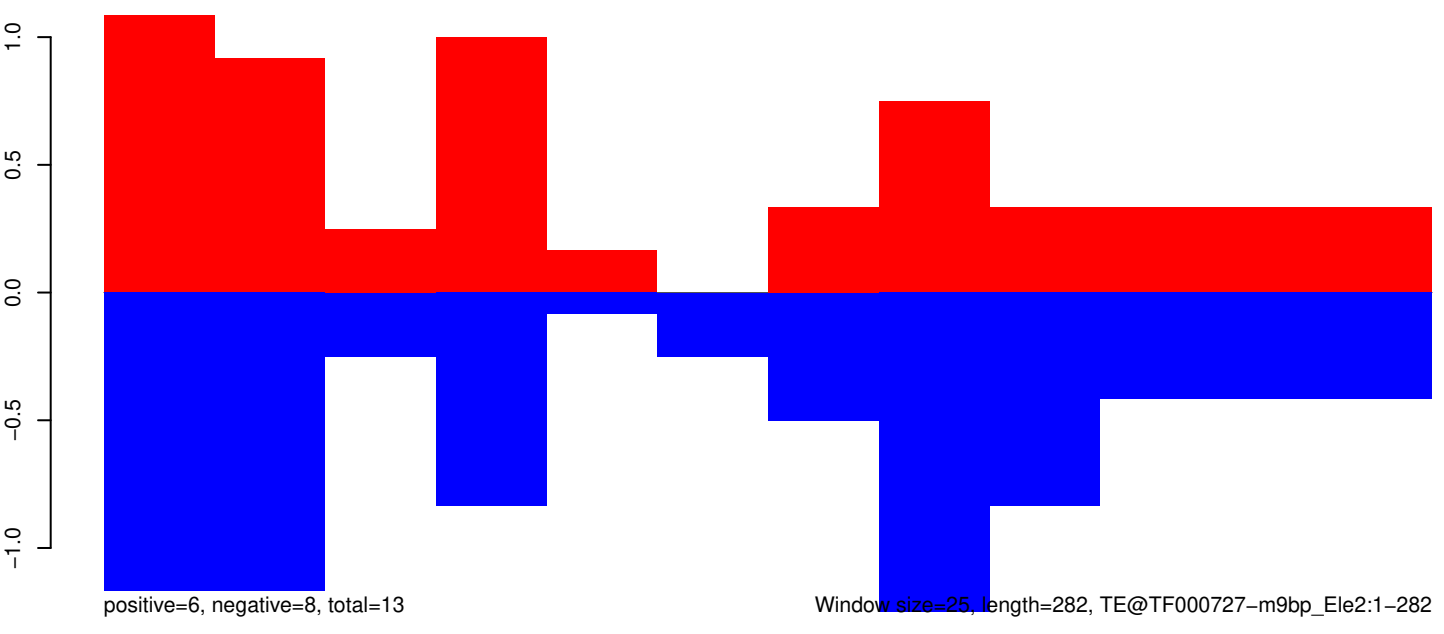
AeAeg_Aag2_Ago2_SINV_RA.18_23.rep



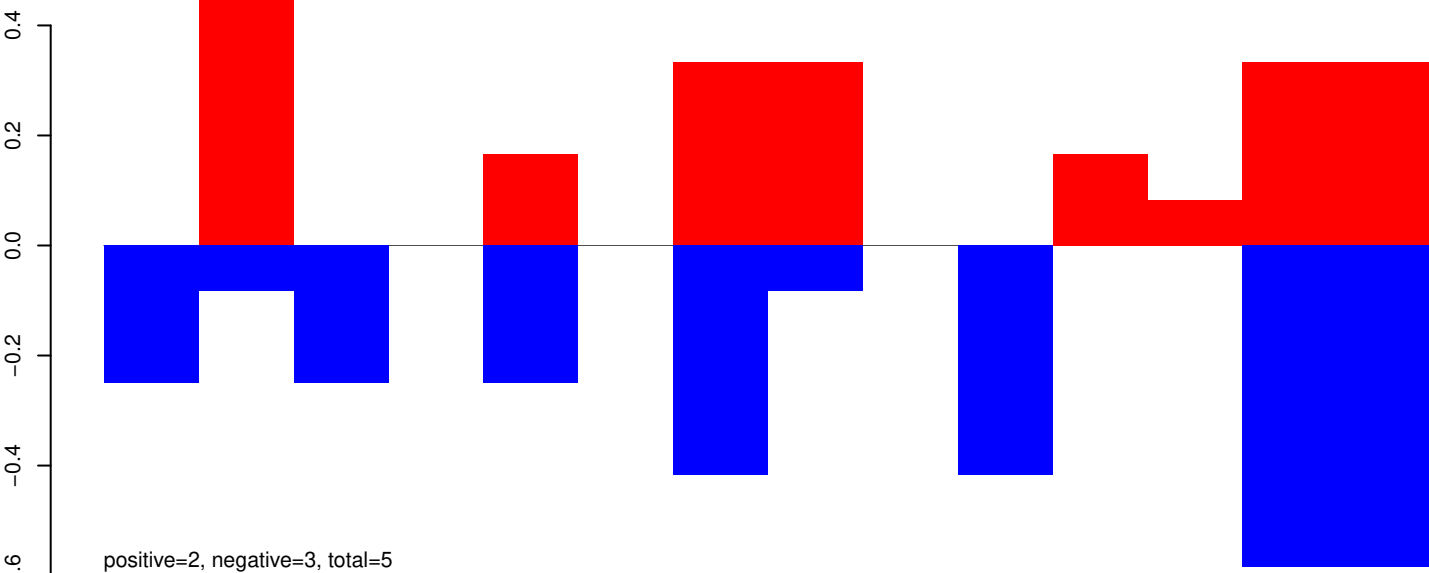
AeAeg_Aag2_Ago2_SINV_RA.24_35.rep



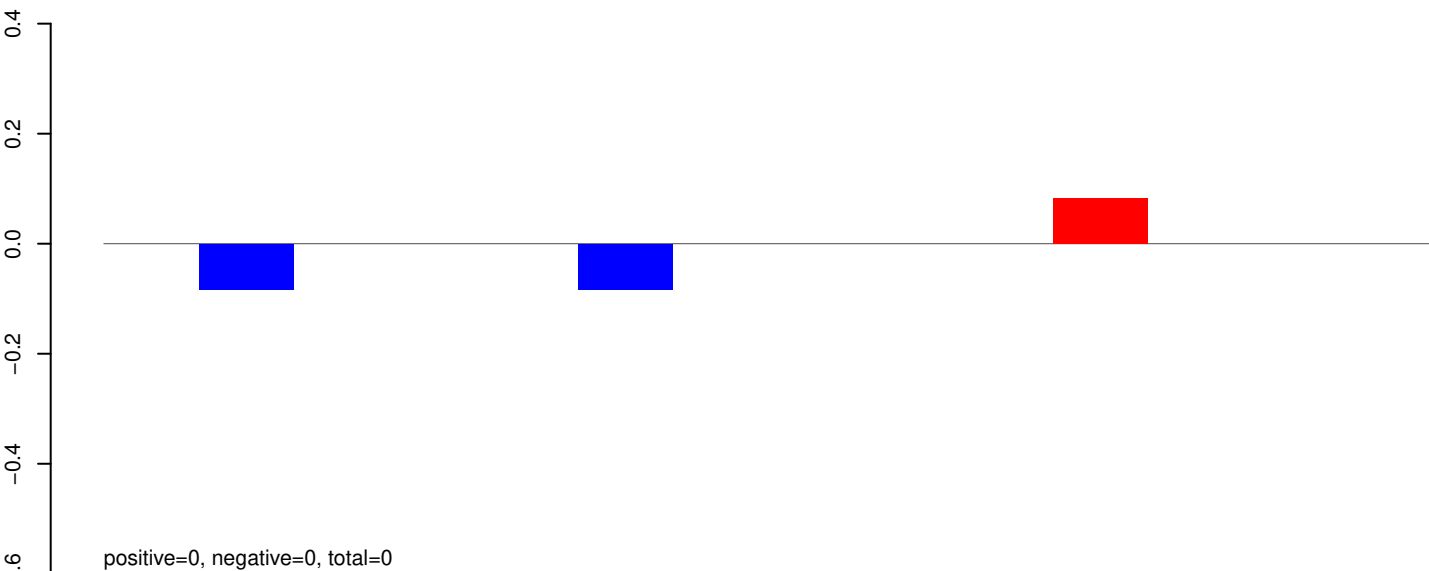
AeAeg_Aag2_Ago2_SINV_RA.rep



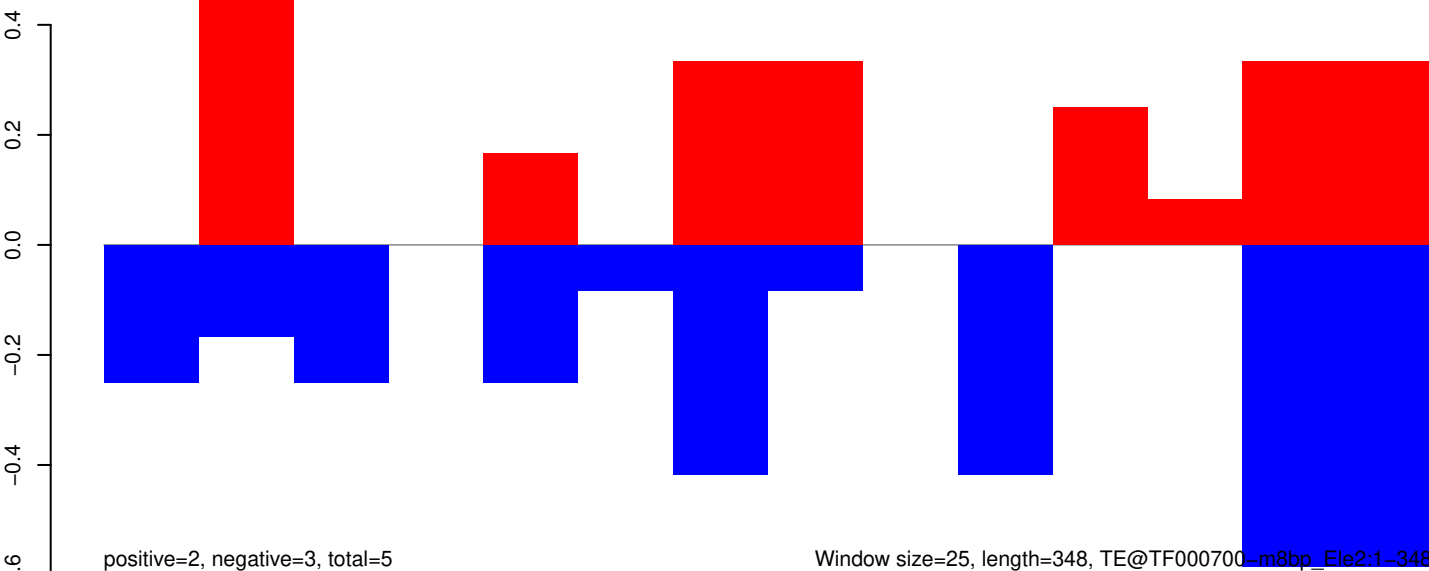
AeAeg_Aag2_Ago2_SINV_RA.18_23.rep



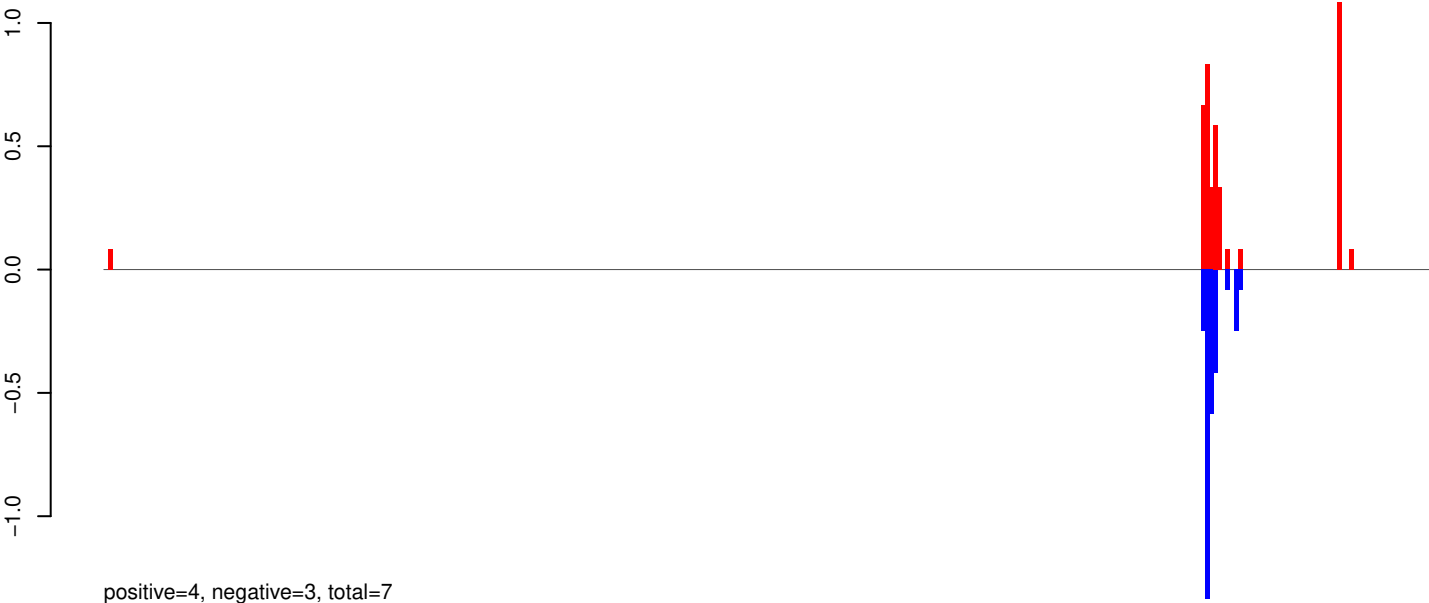
AeAeg_Aag2_Ago2_SINV_RA.24_35.rep



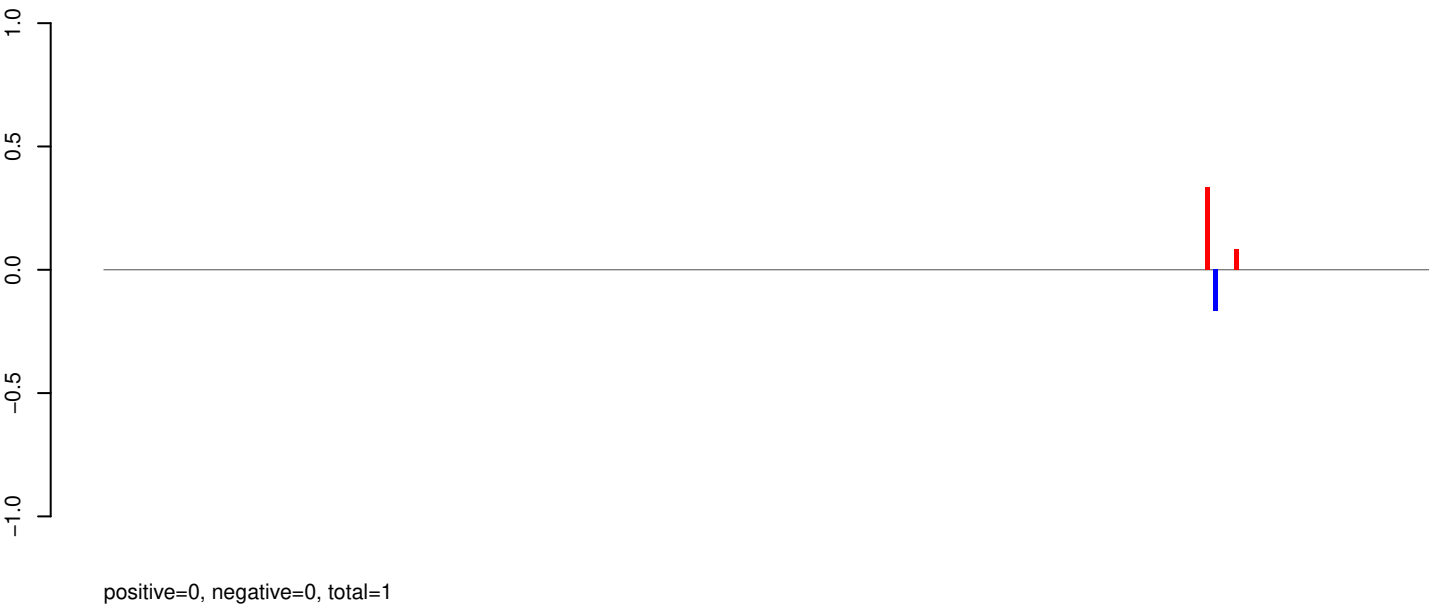
AeAeg_Aag2_Ago2_SINV_RA.rep



AeAeg_Aag2_Ago2_SINV_RA.18_23.rep



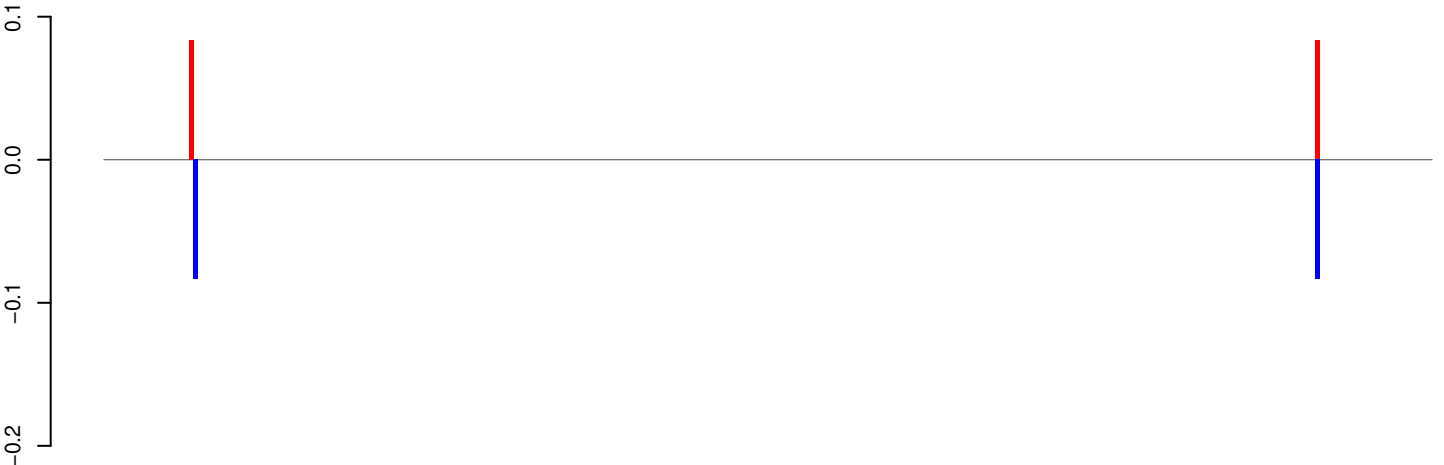
AeAeg_Aag2_Ago2_SINV_RA.24_35.rep



AeAeg_Aag2_Ago2_SINV_RA.rep

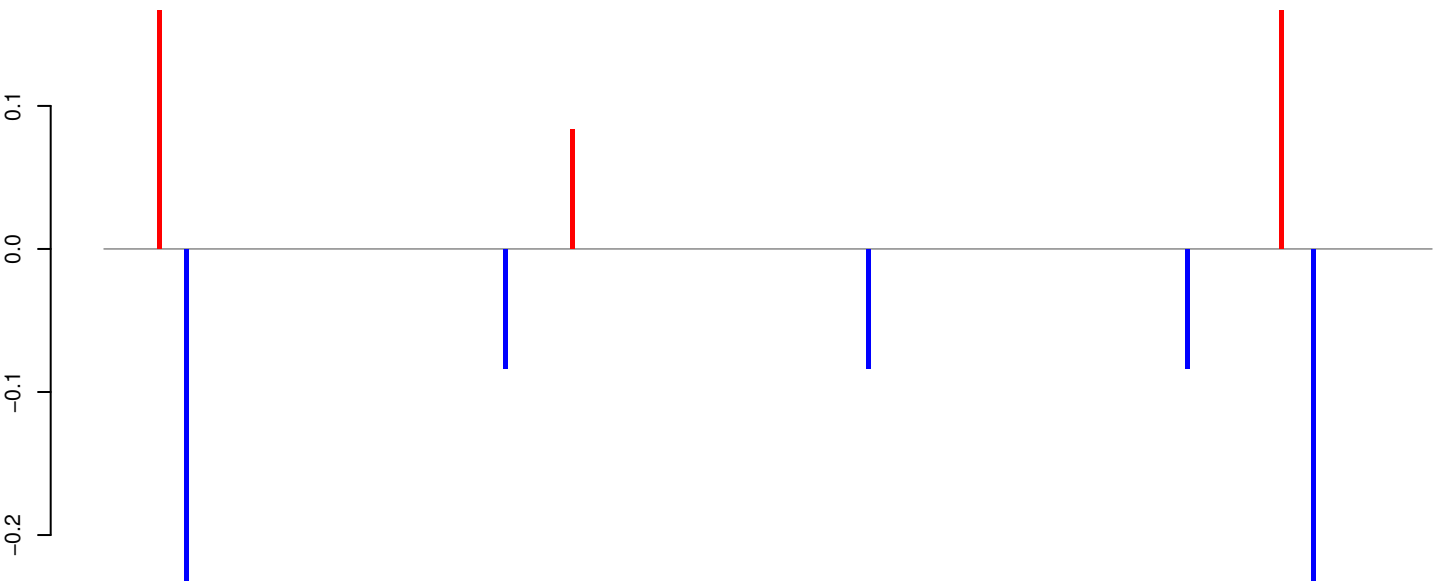


AeAeg_Aag2_Ago2_SINV_RA.18_23.rep



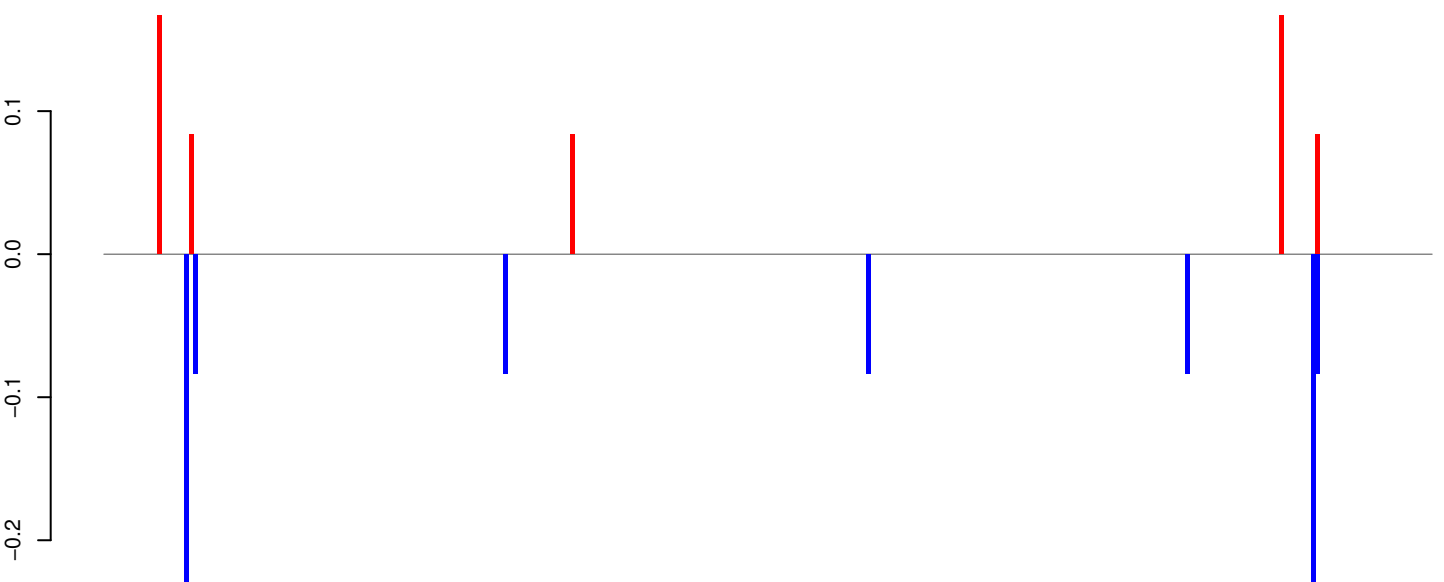
positive=0, negative=0, total=0

AeAeg_Aag2_Ago2_SINV_RA.24_35.rep



positive=0, negative=1, total=1

AeAeg_Aag2_Ago2_SINV_RA.rep

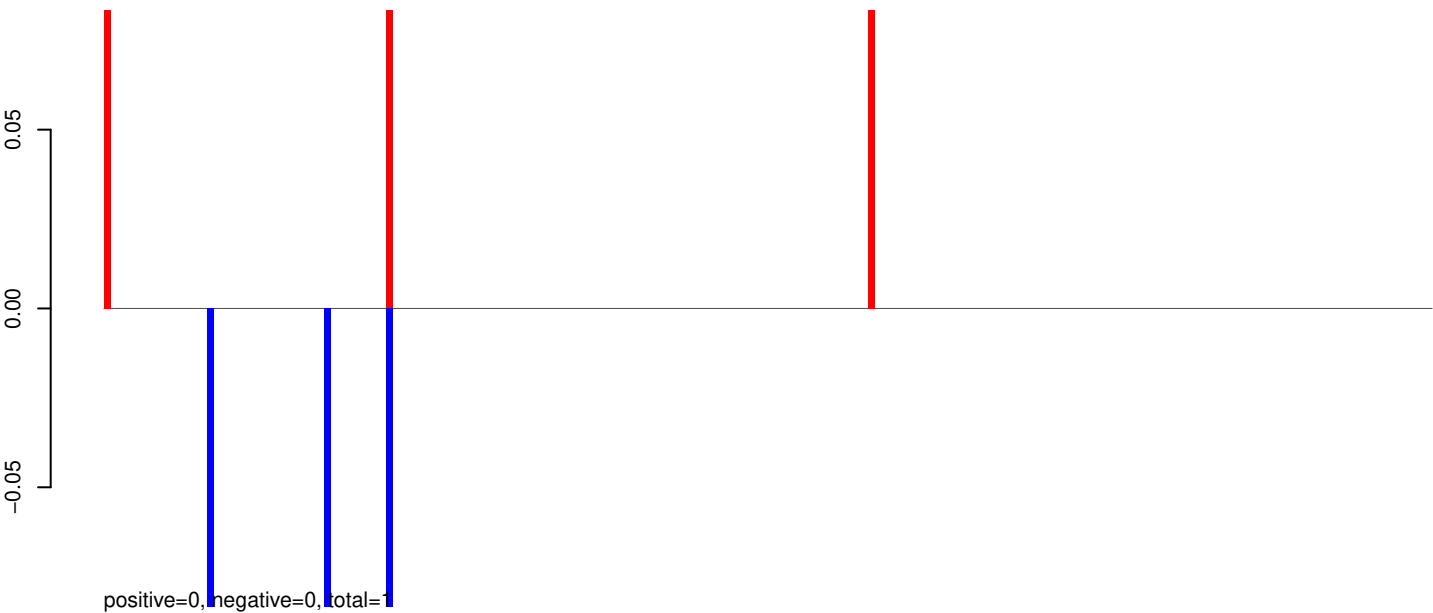


positive=1, negative=1, total=2

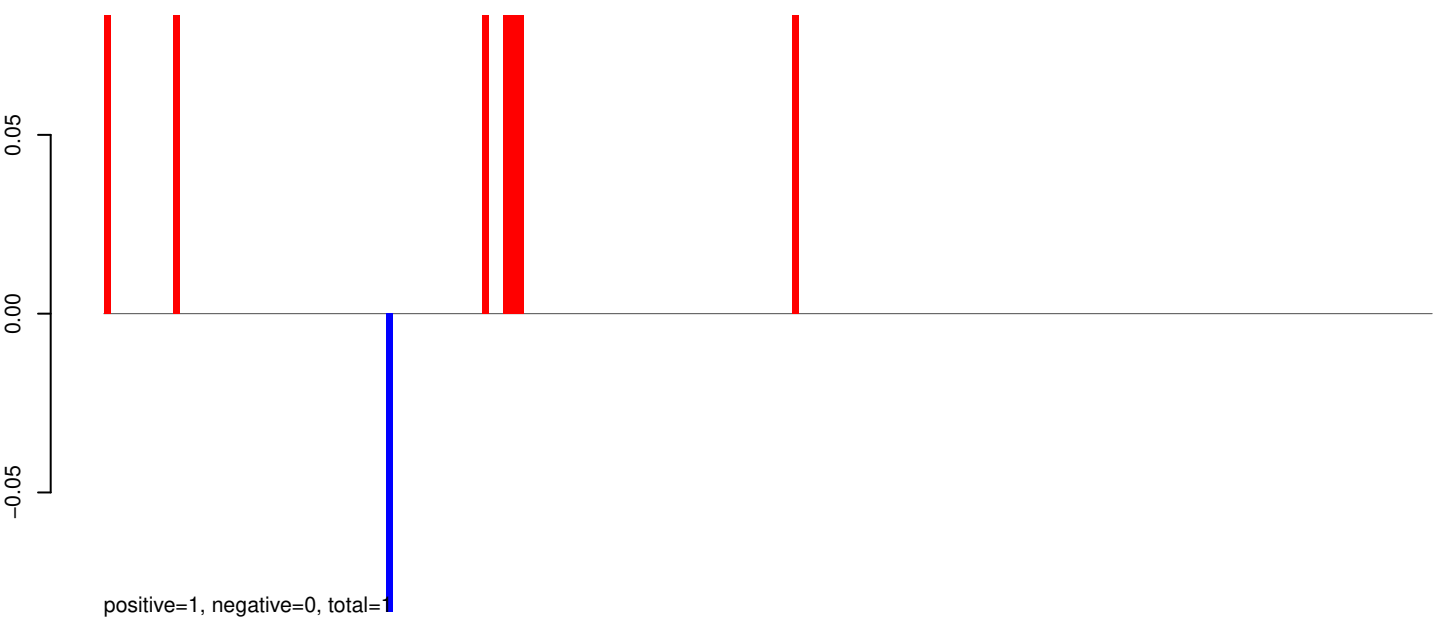
Window size=25, length=7390, TE@TF000127-Ty3_gypsy_Ele36:1-7390

0 2000 4000 6000

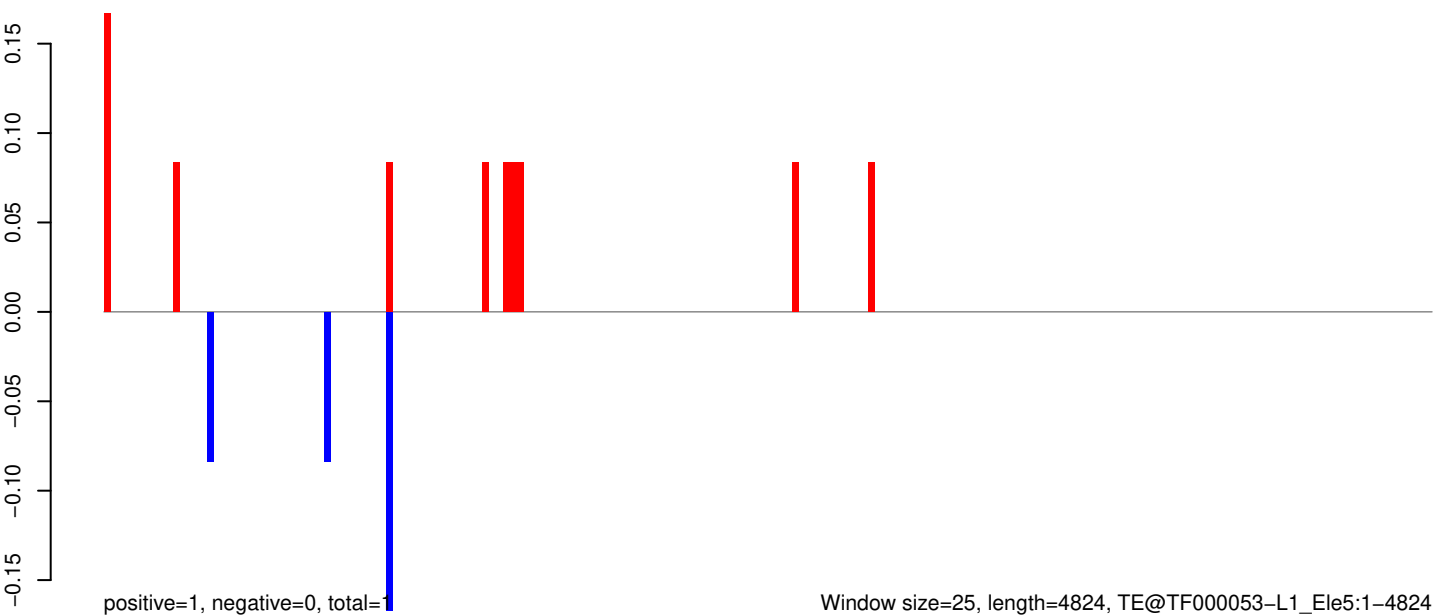
AeAeg_Aag2_Ago2_SINV_RA.18_23.rep



AeAeg_Aag2_Ago2_SINV_RA.24_35.rep



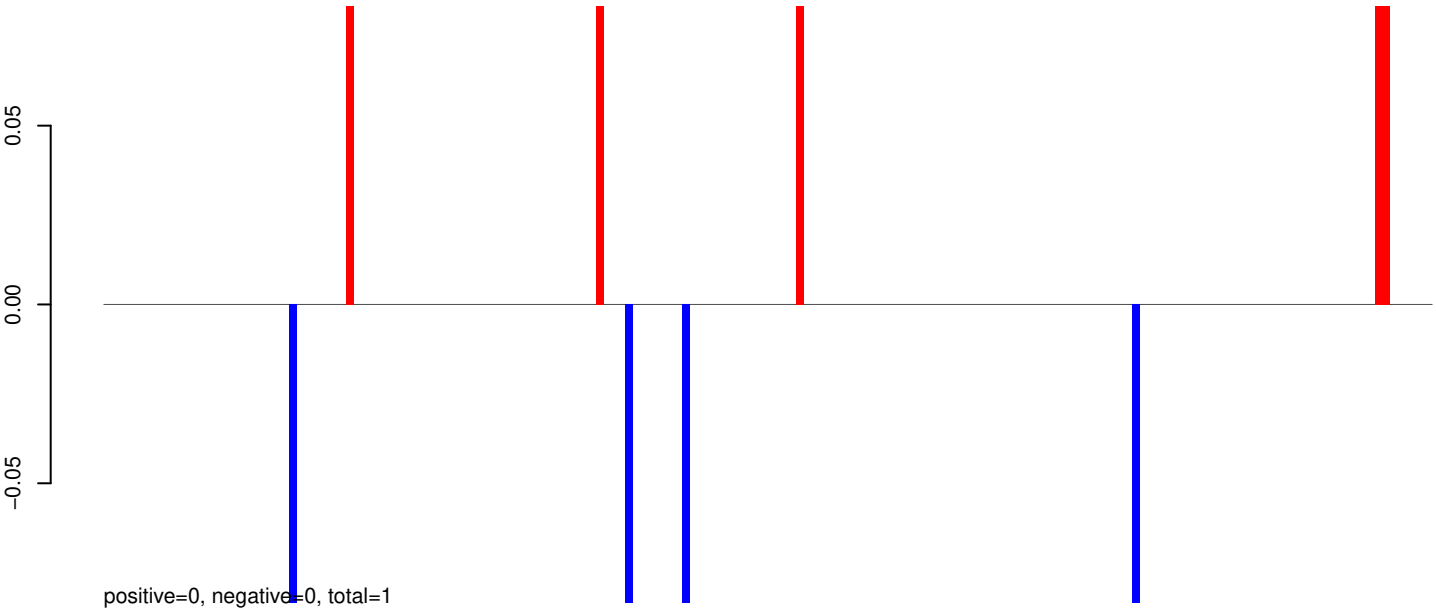
AeAeg_Aag2_Ago2_SINV_RA.rep



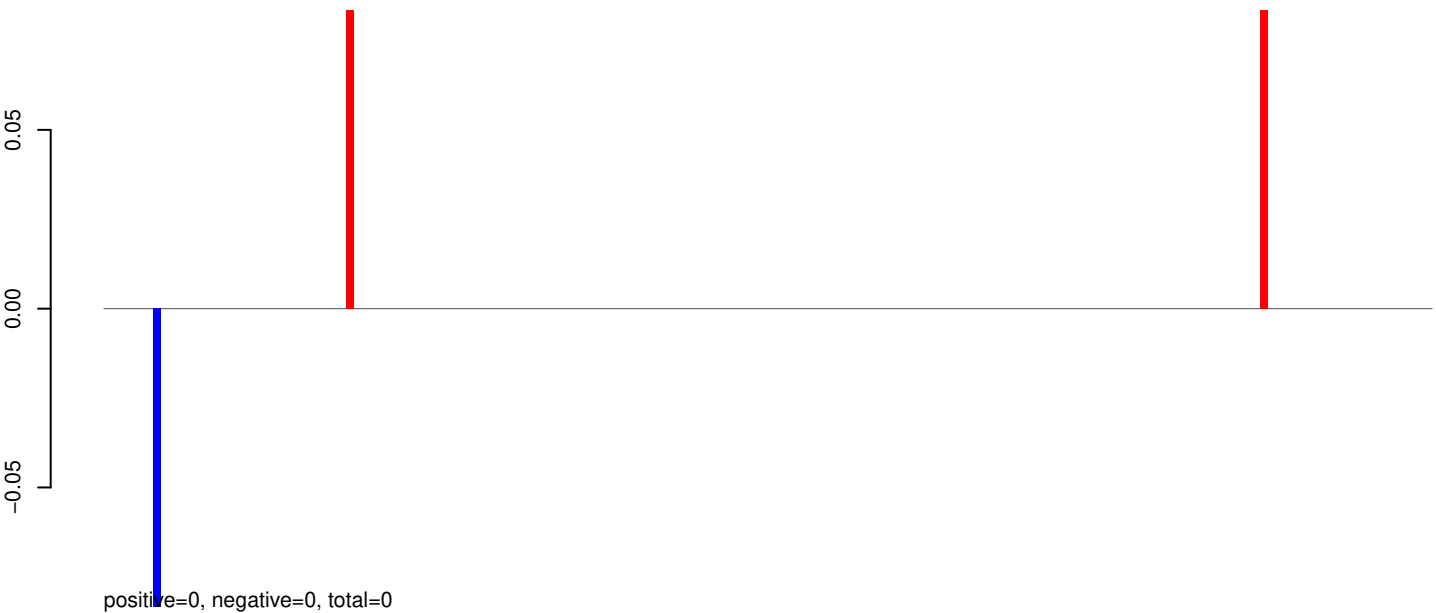
Window size=25, length=4824, TE@TF000053-L1_Ele5:1-4824

0 1000 2000 3000 4000 5000

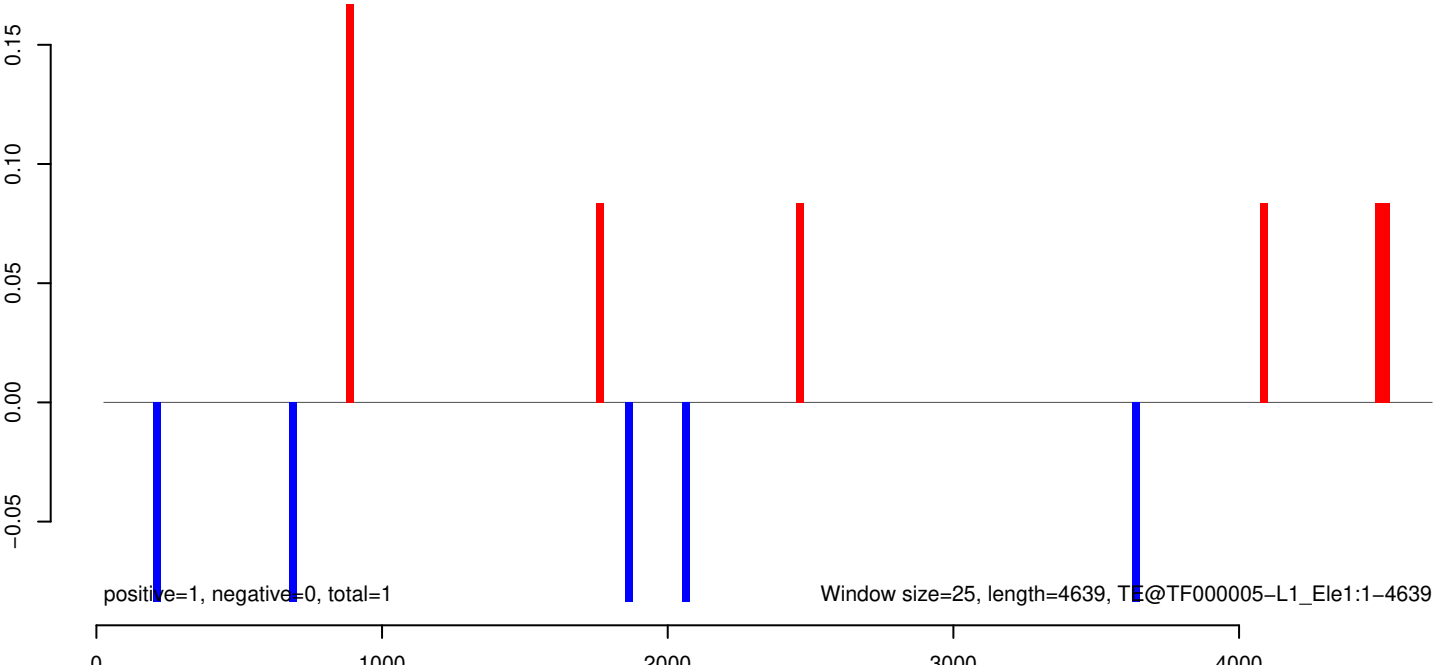
AeAeg_Aag2_Ago2_SINV_RA.18_23.rep



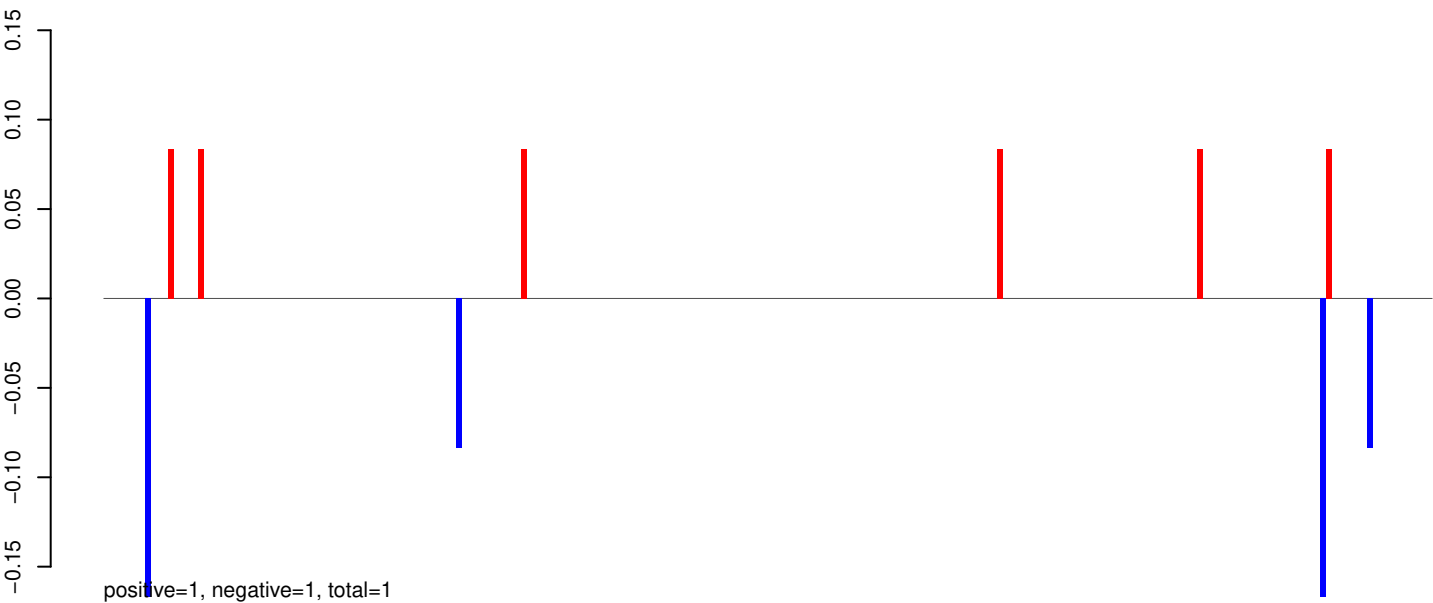
AeAeg_Aag2_Ago2_SINV_RA.24_35.rep



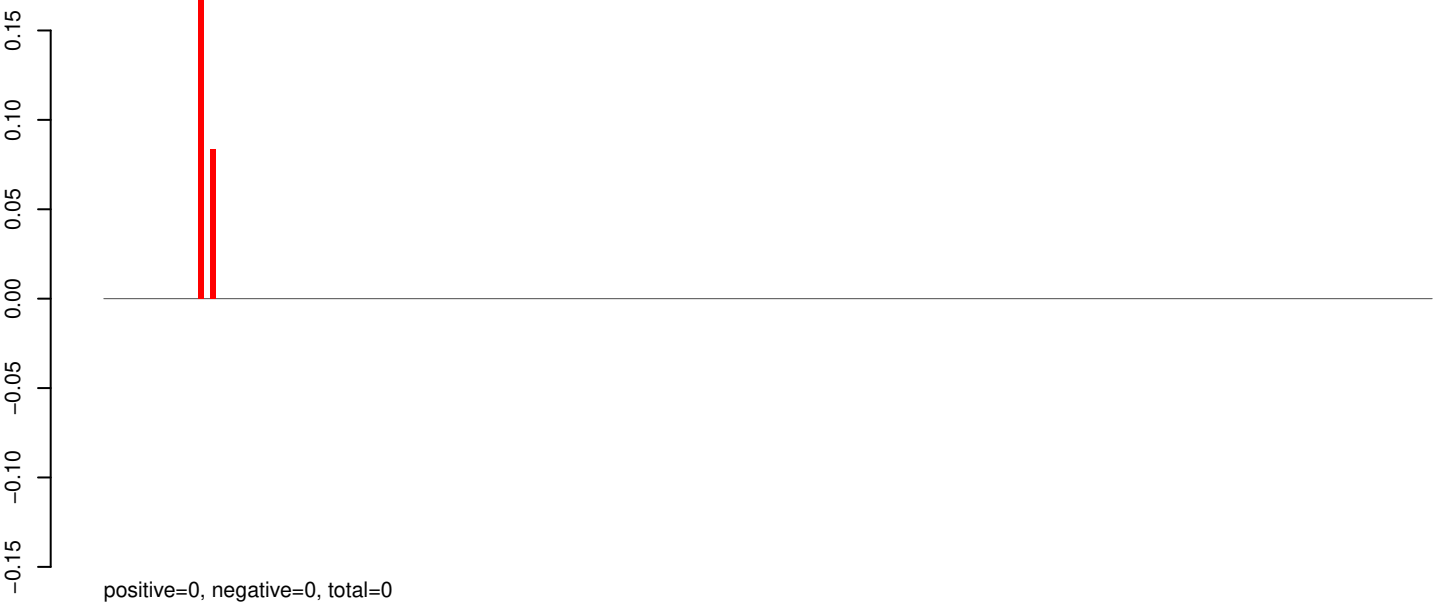
AeAeg_Aag2_Ago2_SINV_RA.rep



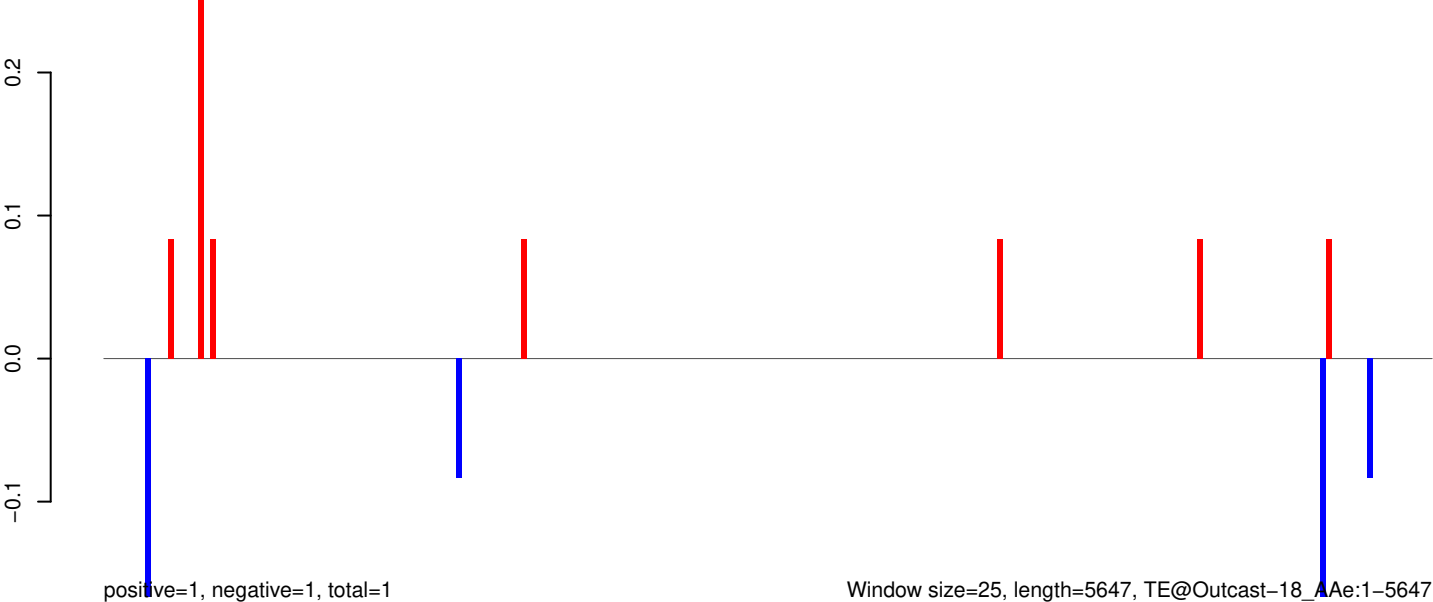
AeAeg_Aag2_Ago2_SINV_RA.18_23.rep



AeAeg_Aag2_Ago2_SINV_RA.24_35.rep



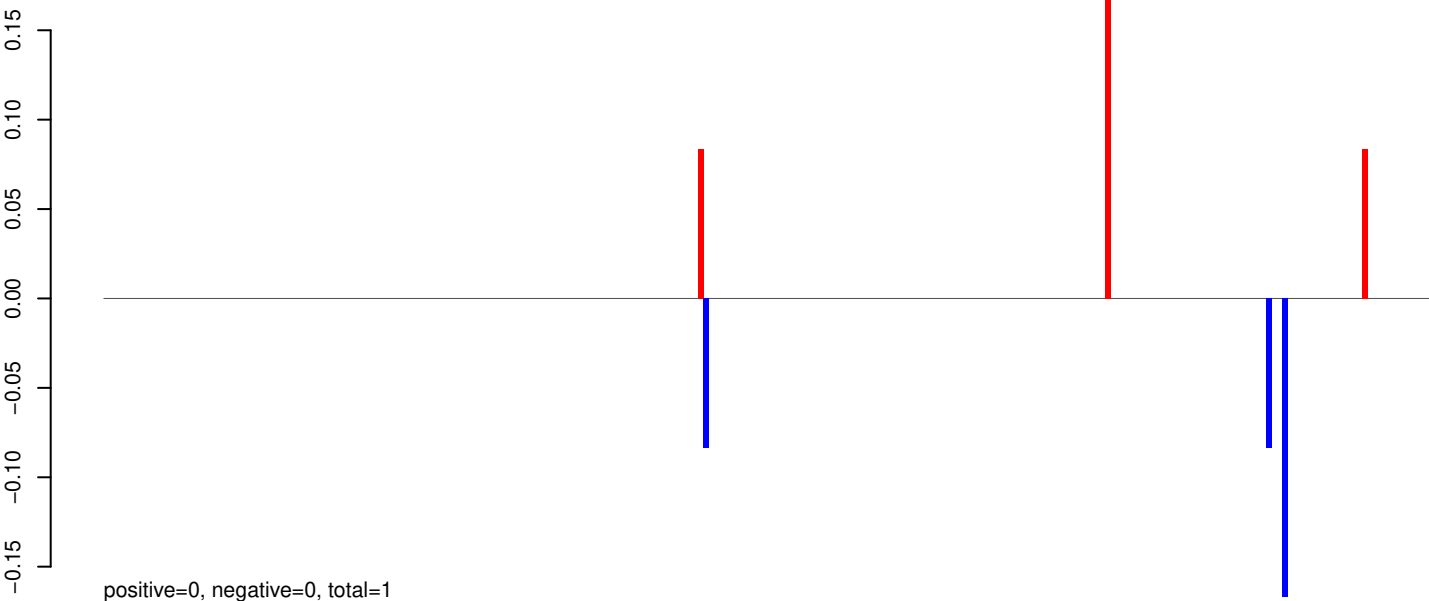
AeAeg_Aag2_Ago2_SINV_RA.rep



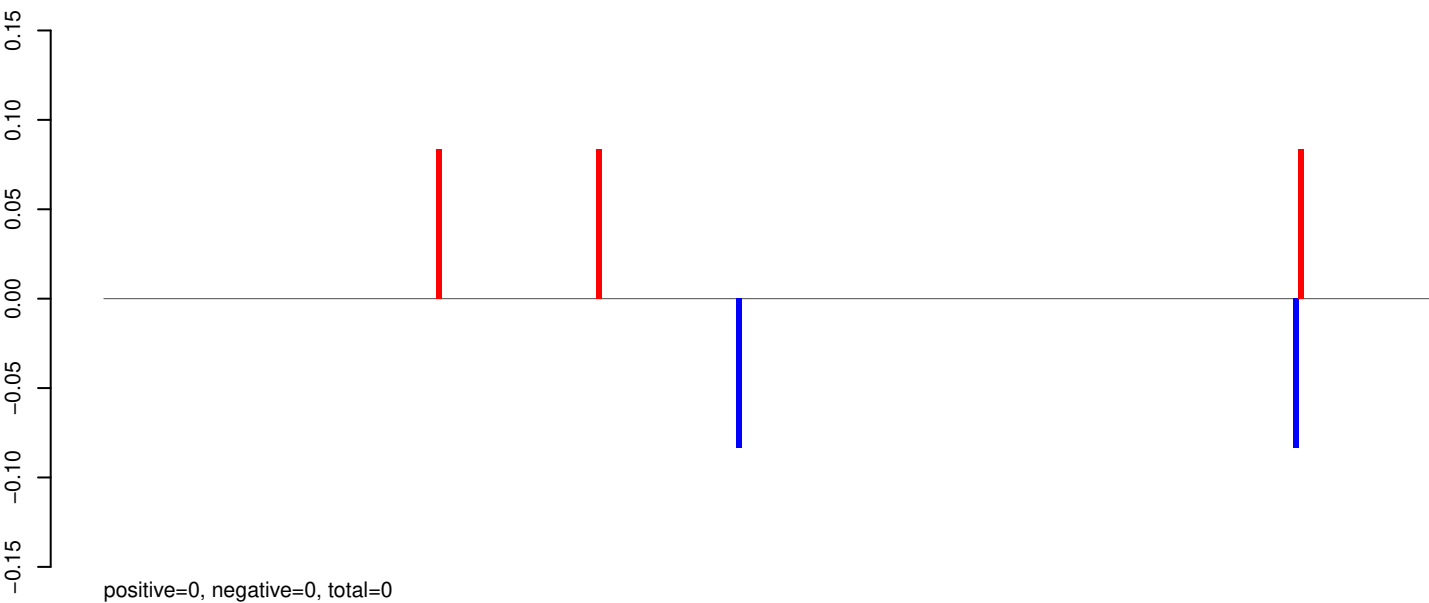
Window size=25, length=5647, TE@Outcast-18_Ae:1-5647

0 1000 2000 3000 4000 5000

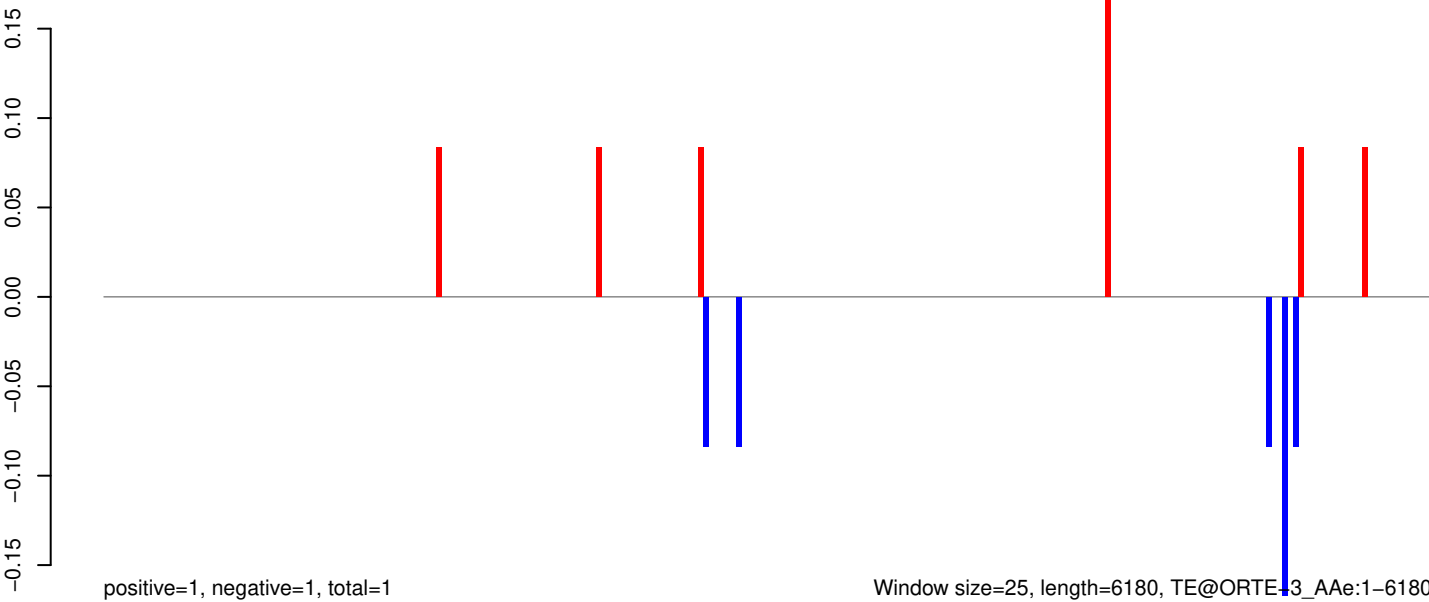
AeAeg_Aag2_Ago2_SINV_RA.18_23.rep



AeAeg_Aag2_Ago2_SINV_RA.24_35.rep



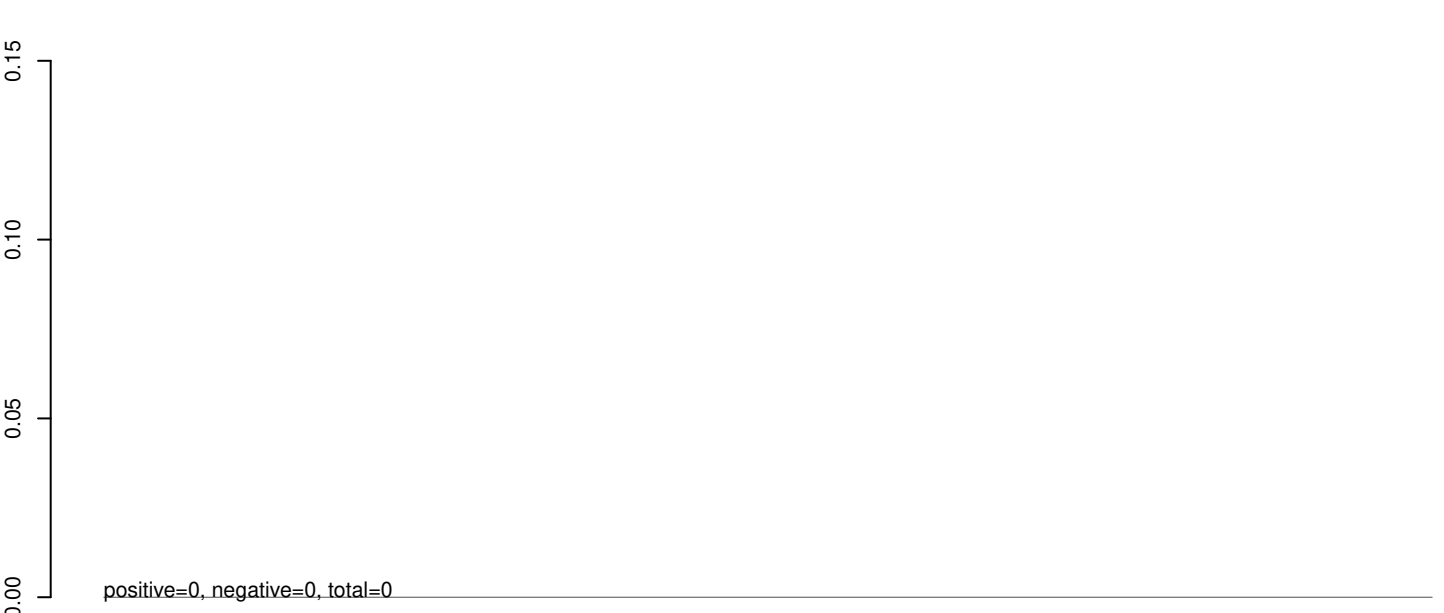
AeAeg_Aag2_Ago2_SINV_RA.rep



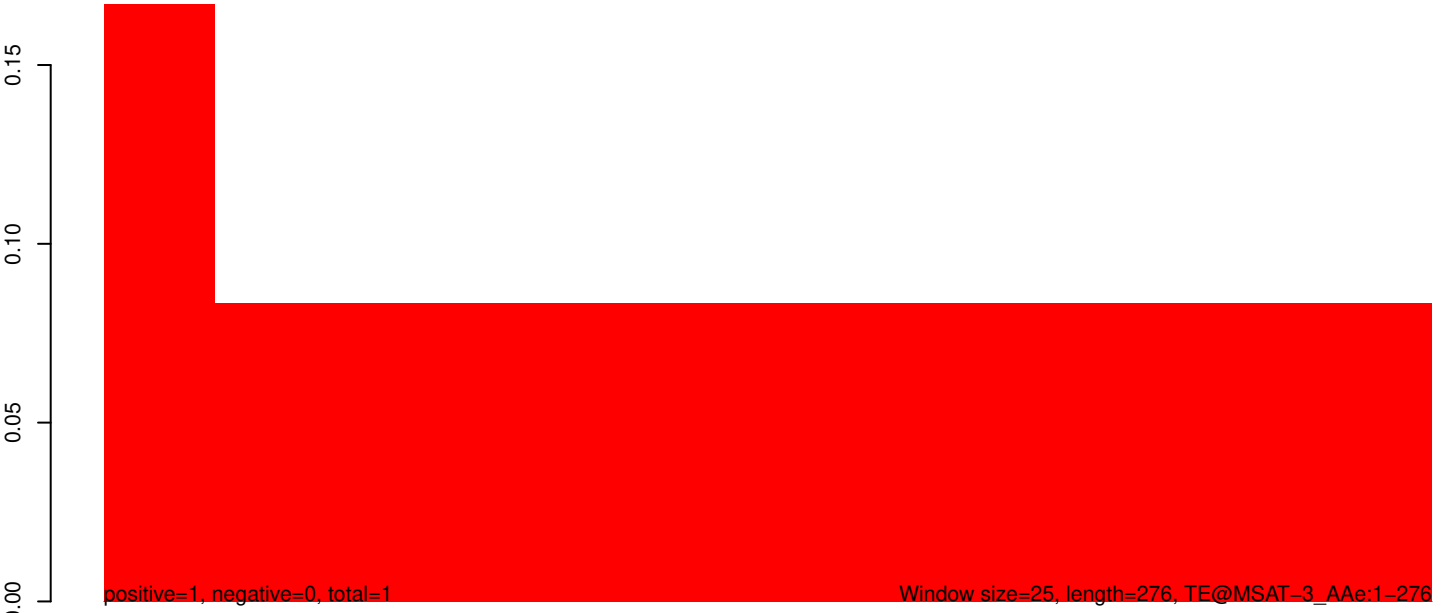
AeAeg_Aag2_Ago2_SINV_RA.18_23.rep



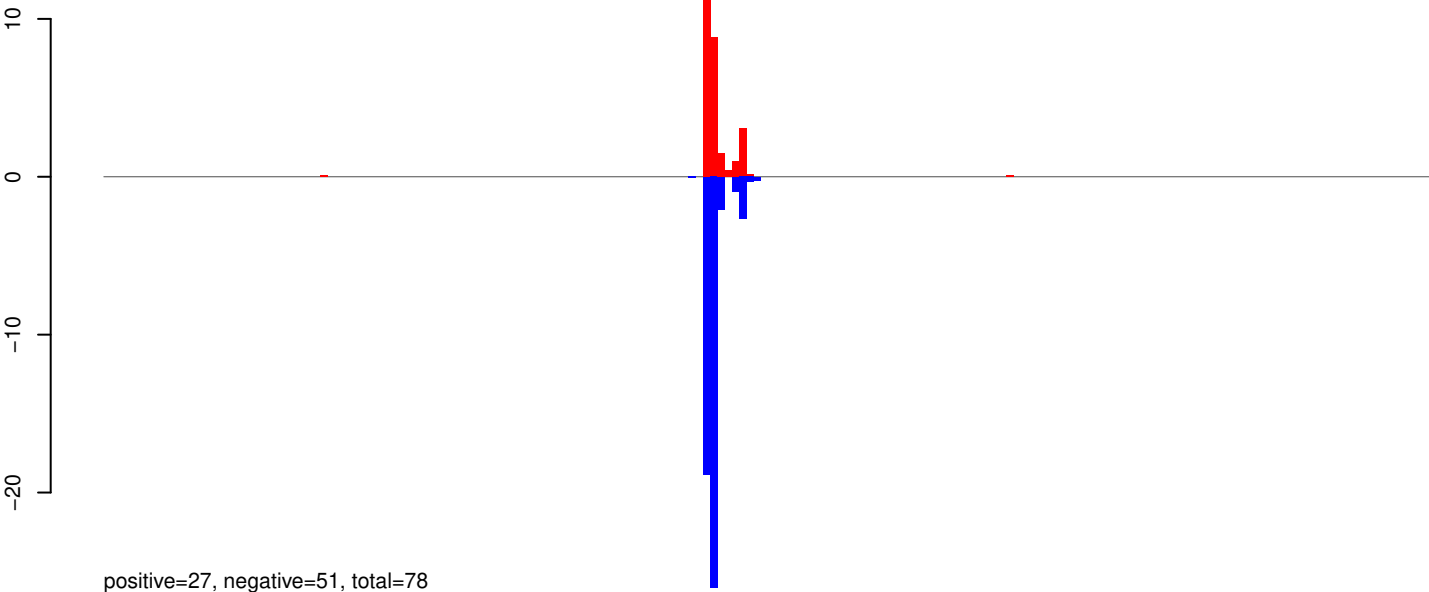
AeAeg_Aag2_Ago2_SINV_RA.24_35.rep



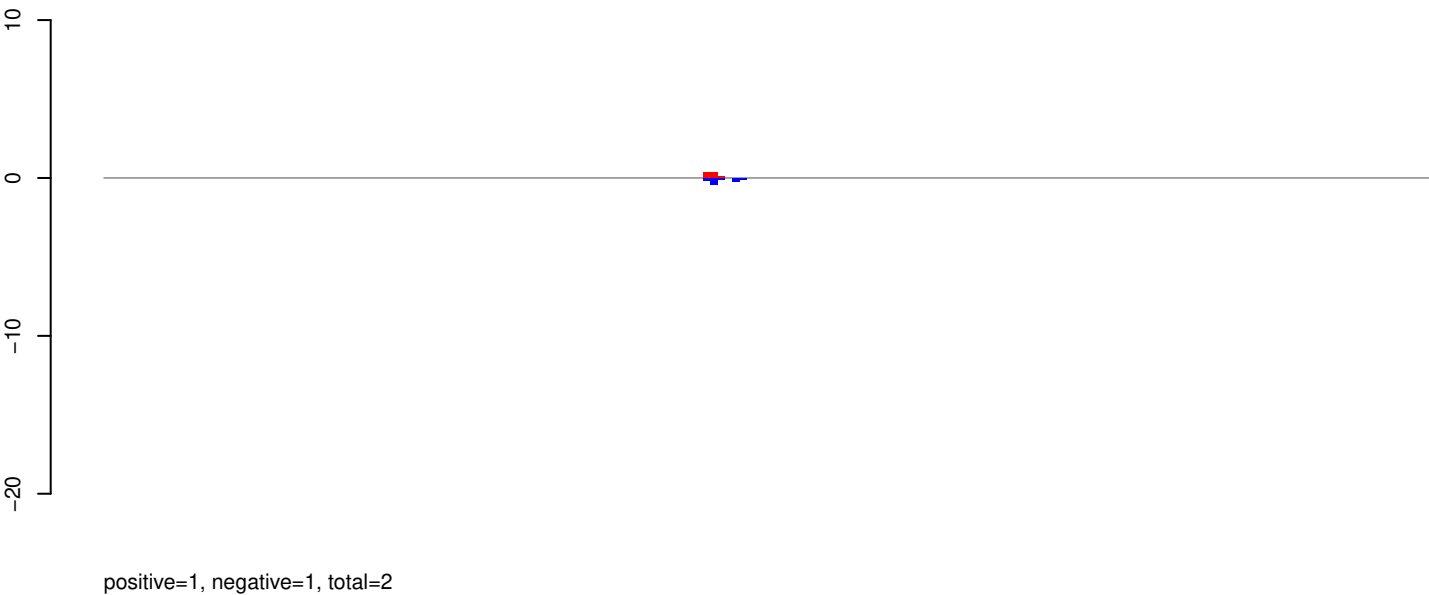
AeAeg_Aag2_Ago2_SINV_RA.rep



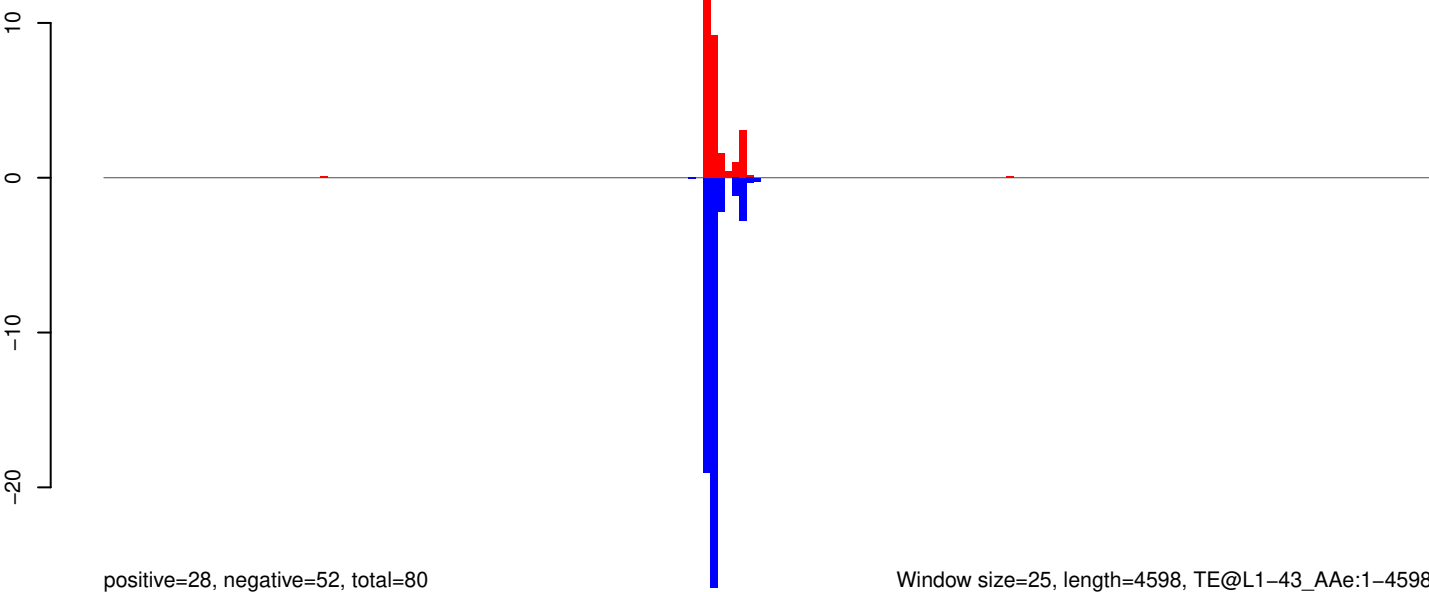
AeAeg_Aag2_Ago2_SINV_RA.18_23.rep



AeAeg_Aag2_Ago2_SINV_RA.24_35.rep



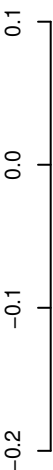
AeAeg_Aag2_Ago2_SINV_RA.rep



Window size=25, length=4598, TE@L1-43_A Ae:1-4598

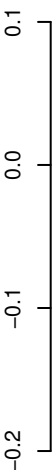
0 1000 2000 3000 4000

AeAeg_Aag2_Ago2_SINV_RA.18_23.rep



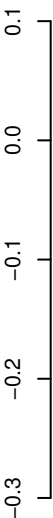
positive=1, negative=1, total=2

AeAeg_Aag2_Ago2_SINV_RA.24_35.rep



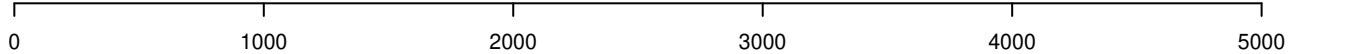
positive=0, negative=0, total=0

AeAeg_Aag2_Ago2_SINV_RA.rep

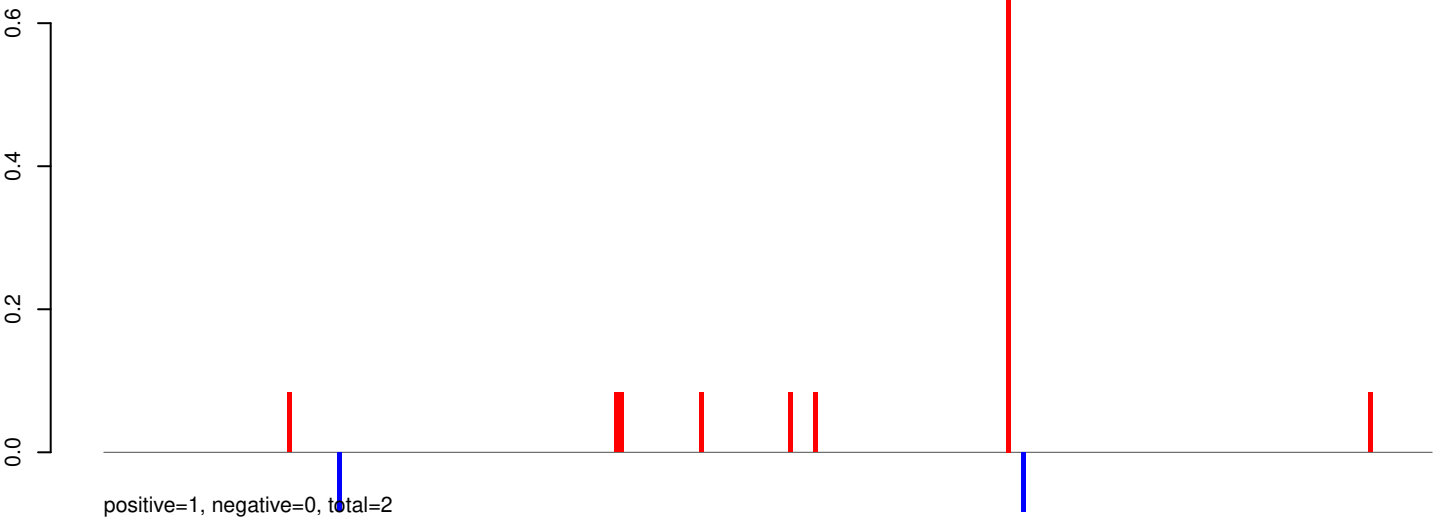


positive=1, negative=1, total=2

Window size=25, length=5314, TE@l_Ele7:1-5314



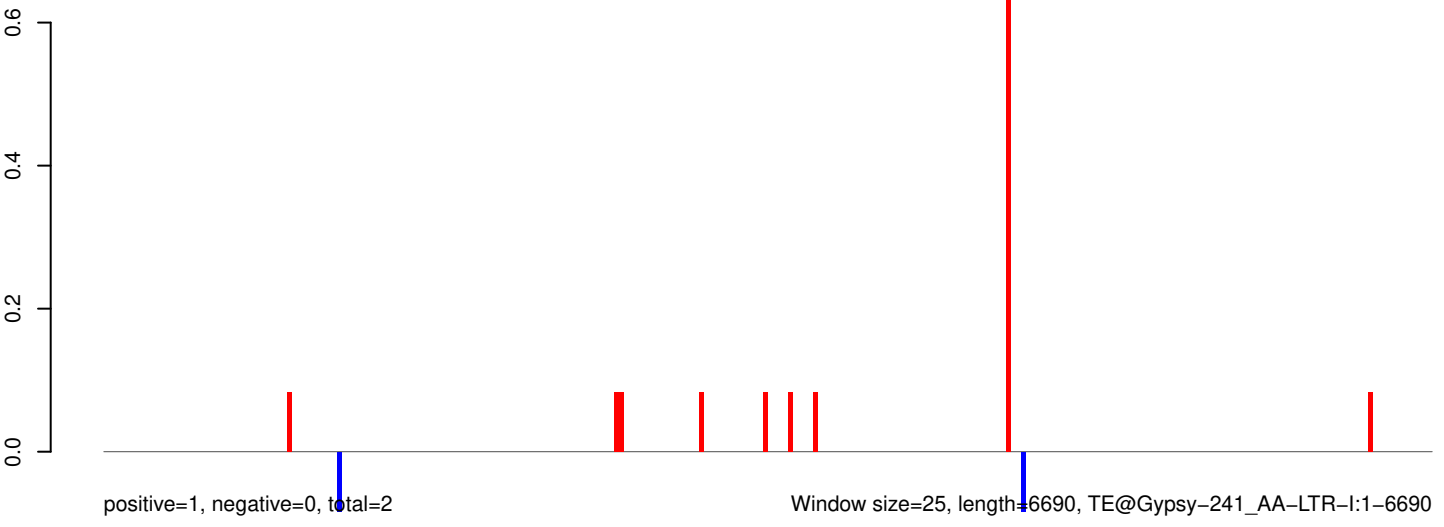
AeAeg_Aag2_Ago2_SINV_RA.18_23.rep



AeAeg_Aag2_Ago2_SINV_RA.24_35.rep



AeAeg_Aag2_Ago2_SINV_RA.rep



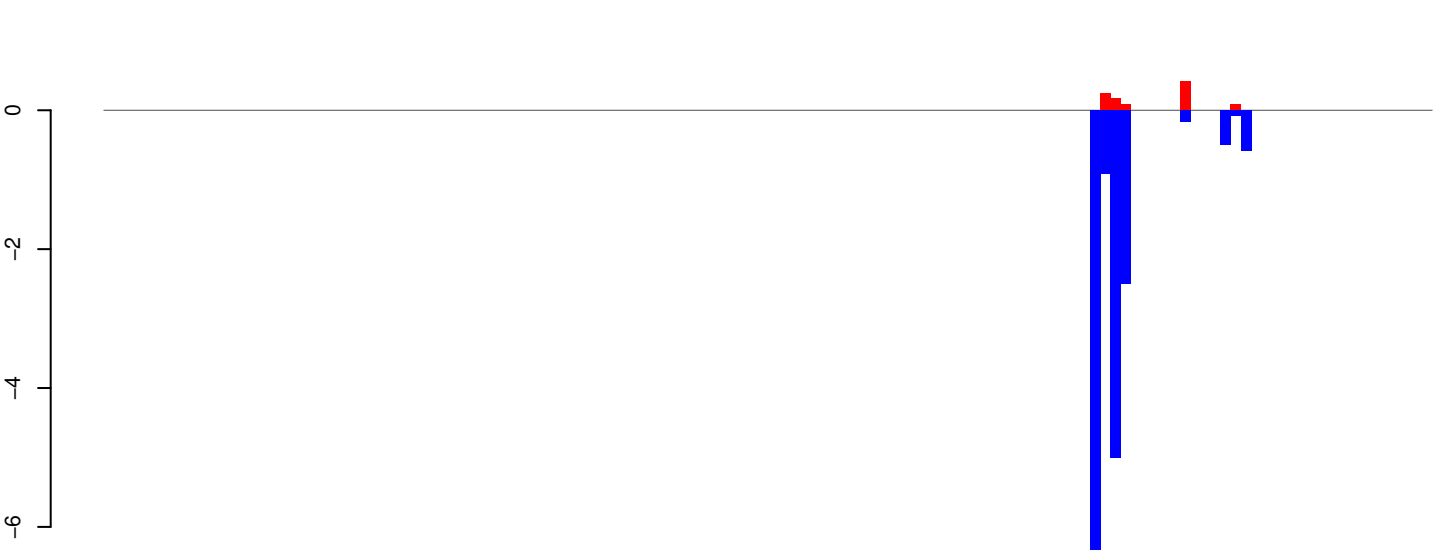
0 1000 2000 3000 4000 5000 6000

AeAeg_Aag2_Ago2_SINV_RA.18_23.rep



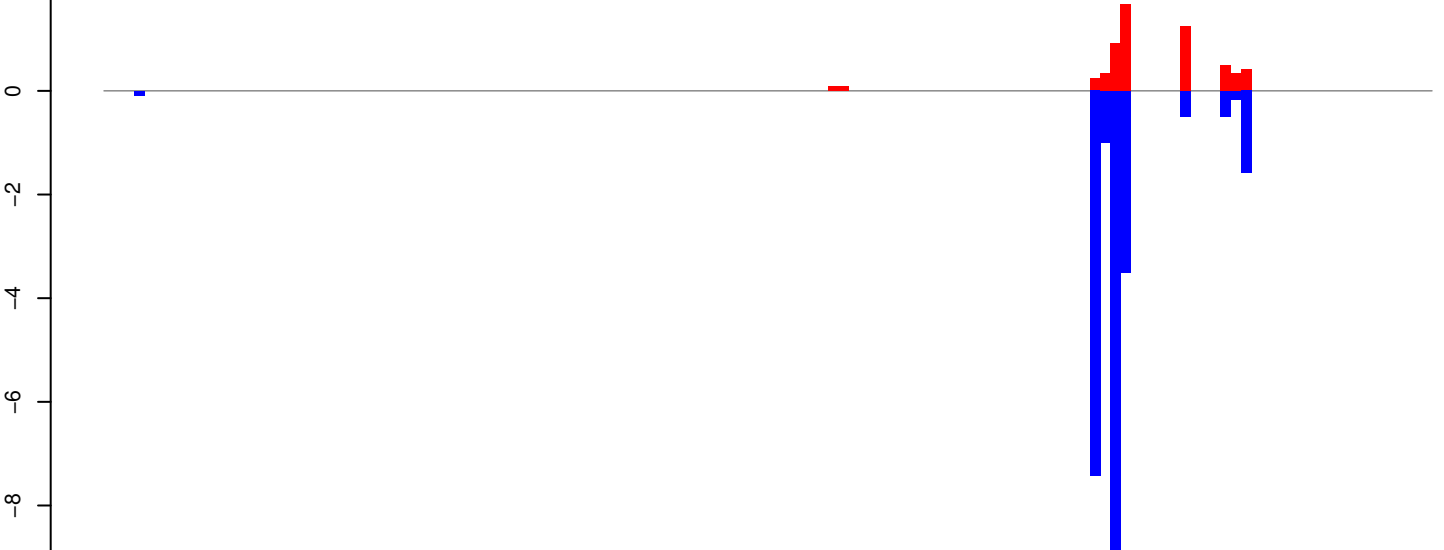
positive=5, negative=8, total=13

AeAeg_Aag2_Ago2_SINV_RA.24_35.rep



positive=1, negative=17, total=18

AeAeg_Aag2_Ago2_SINV_RA.rep

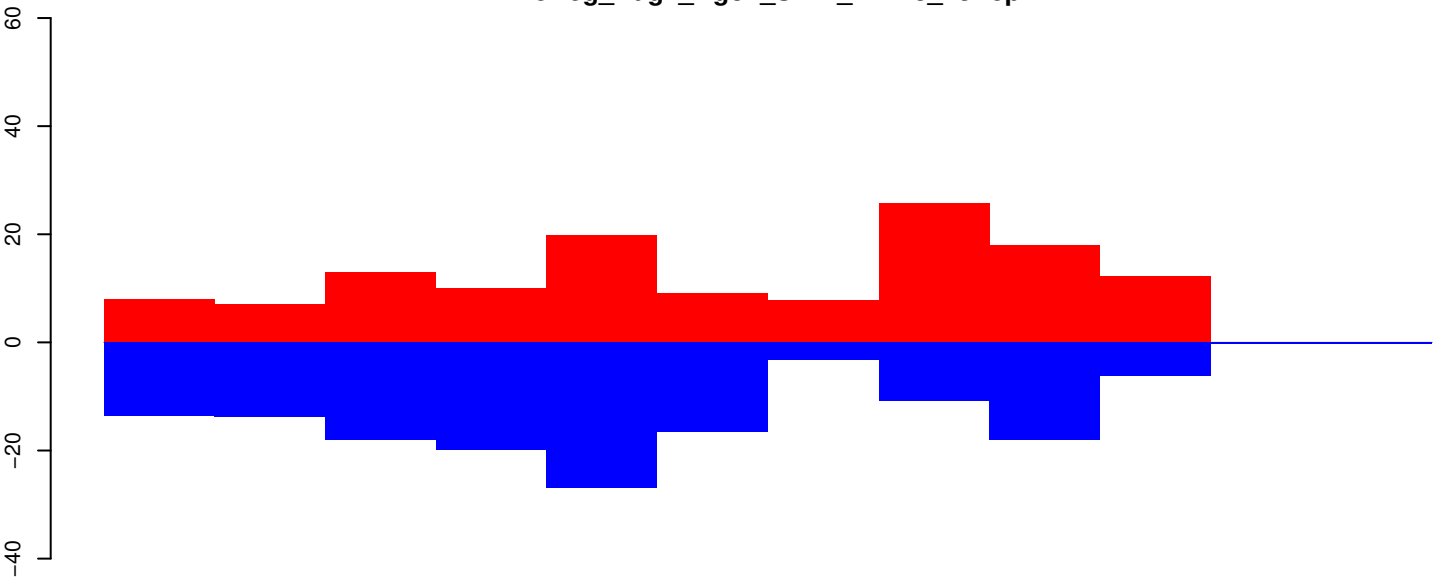


positive=6, negative=25, total=30

Window size=25, length=3289, TE@Gypsy-227_AA-LTR-I:1-3289

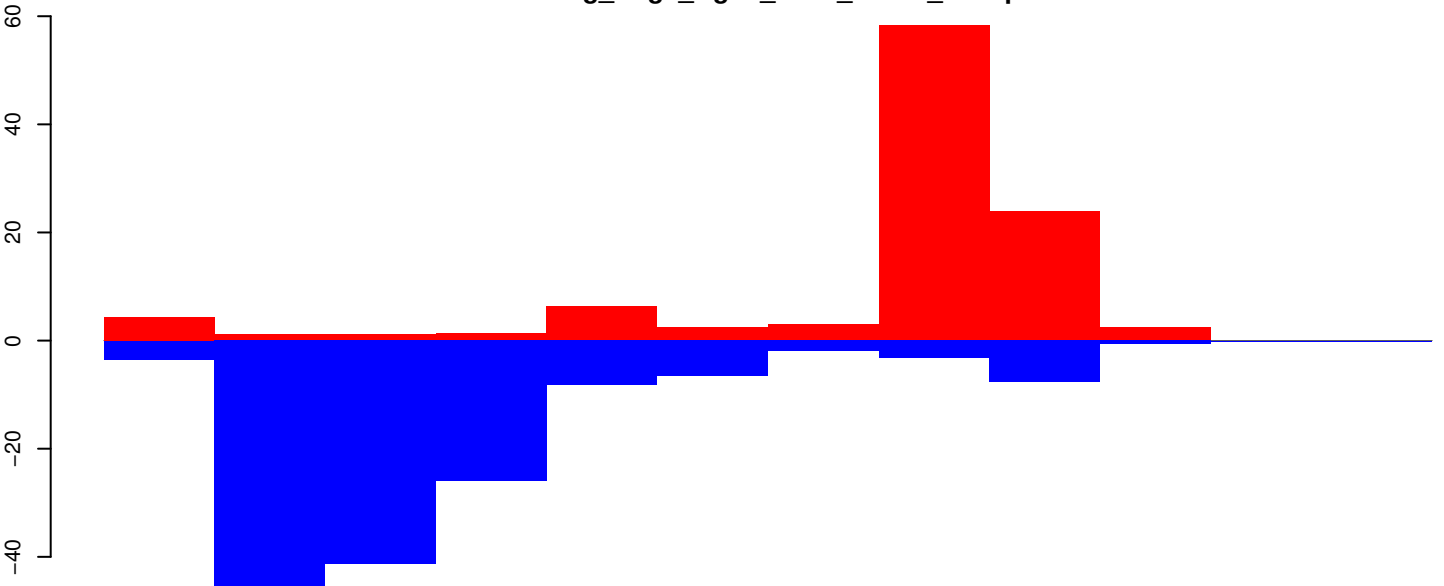
0 500 1000 1500 2000 2500 3000

AeAeg_Aag2_Ago2_SINV_RA.18_23.rep



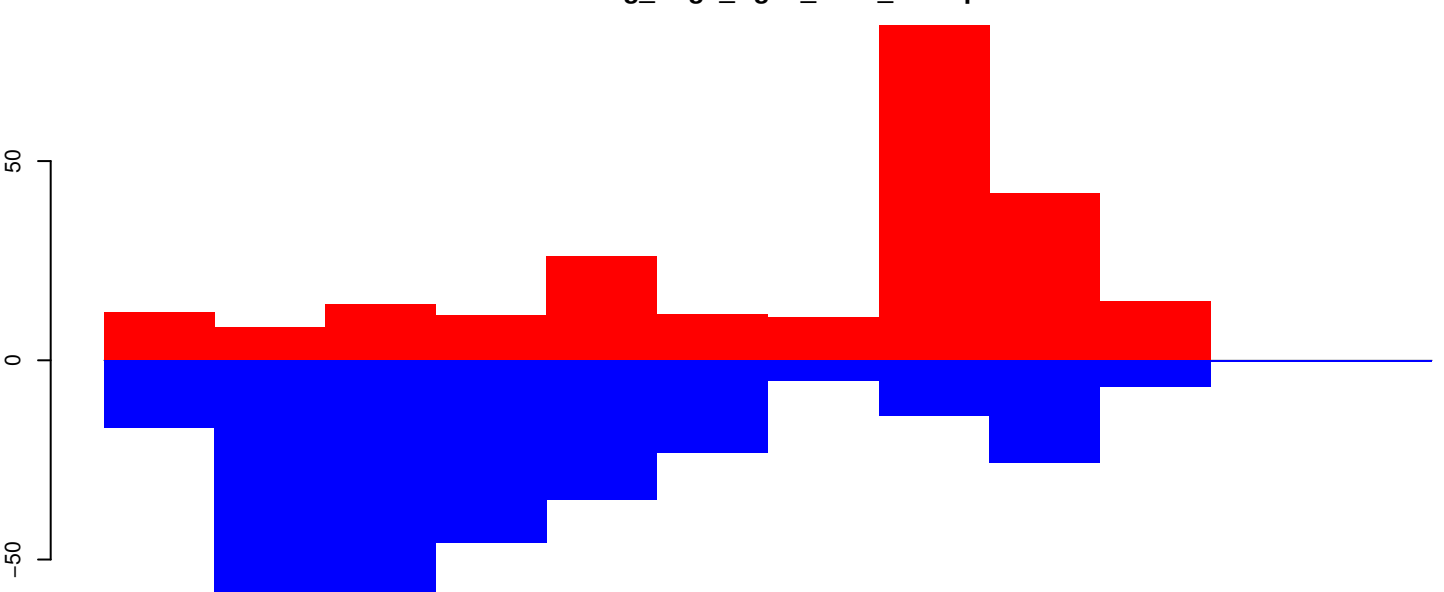
positive=131, negative=148, total=278

AeAeg_Aag2_Ago2_SINV_RA.24_35.rep



positive=105, negative=151, total=256

AeAeg_Aag2_Ago2_SINV_RA.rep

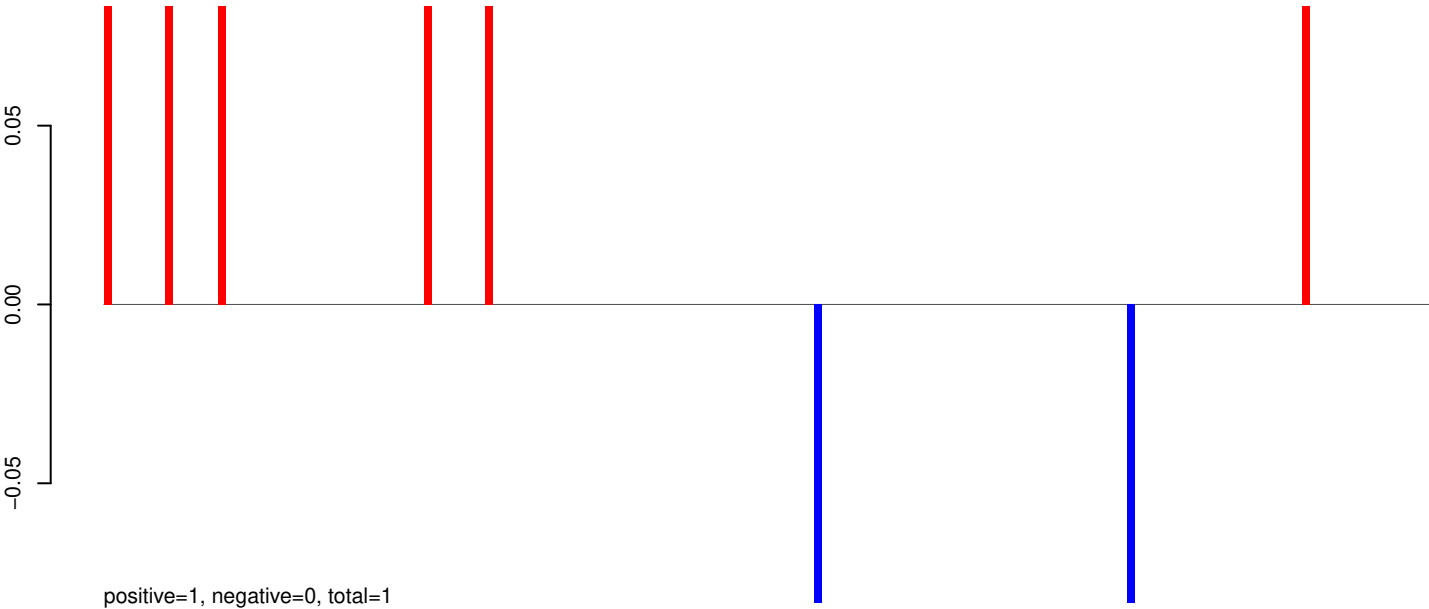


positive=236, negative=299, total=534

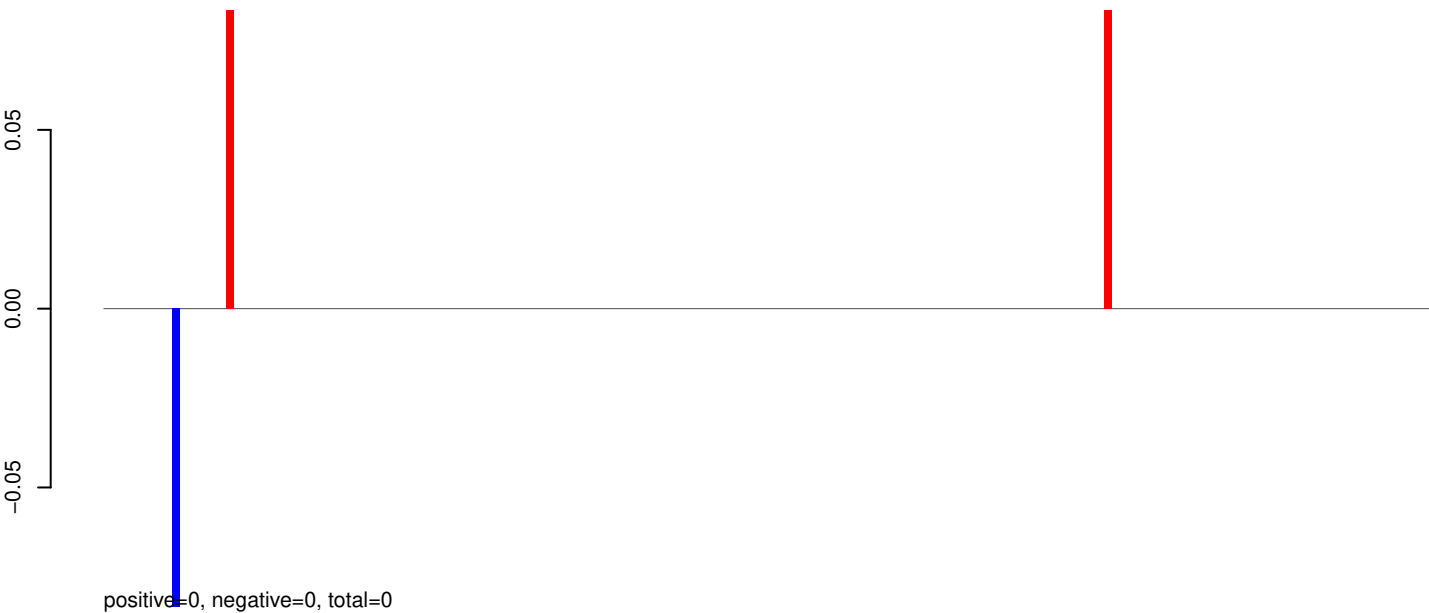
Window size=25, length=289, TE@FEILAI-1B_AAe:1-289

50 100 150 200 250 300

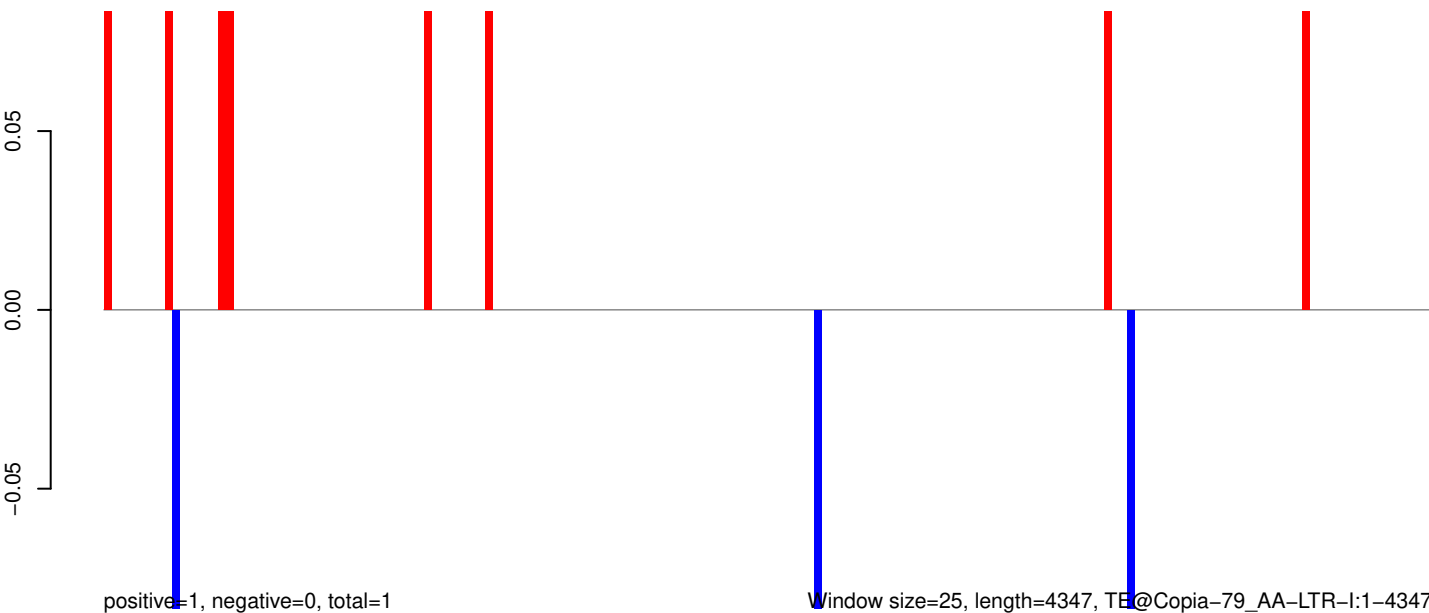
AeAeg_Aag2_Ago2_SINV_RA.18_23.rep



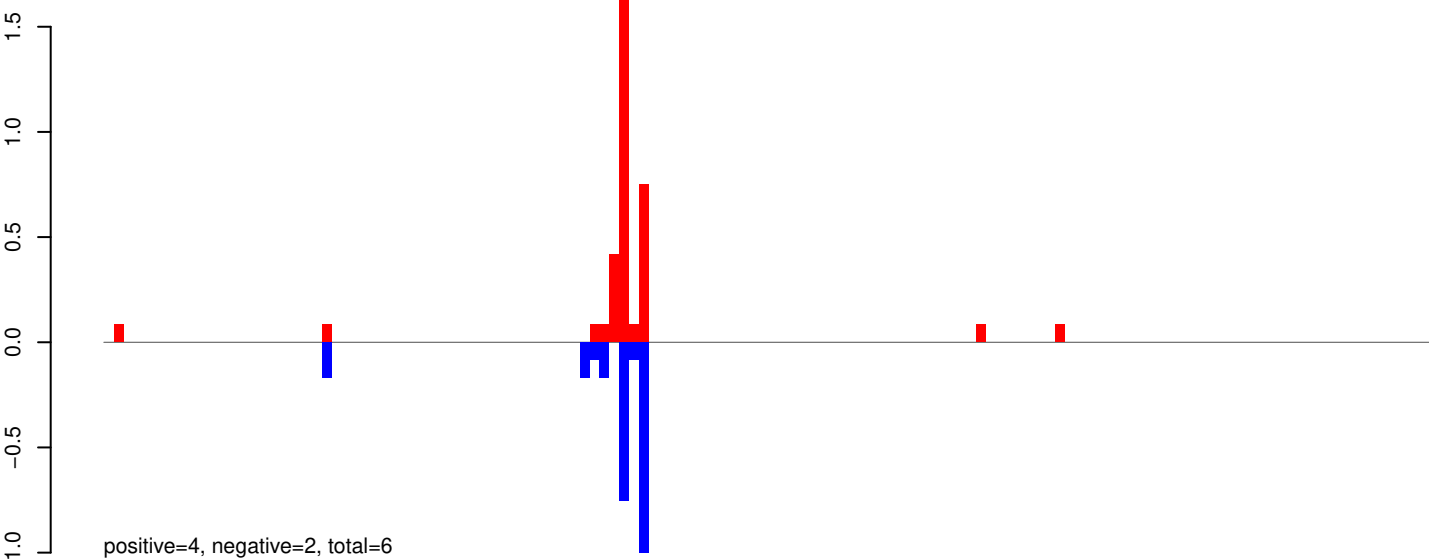
AeAeg_Aag2_Ago2_SINV_RA.24_35.rep



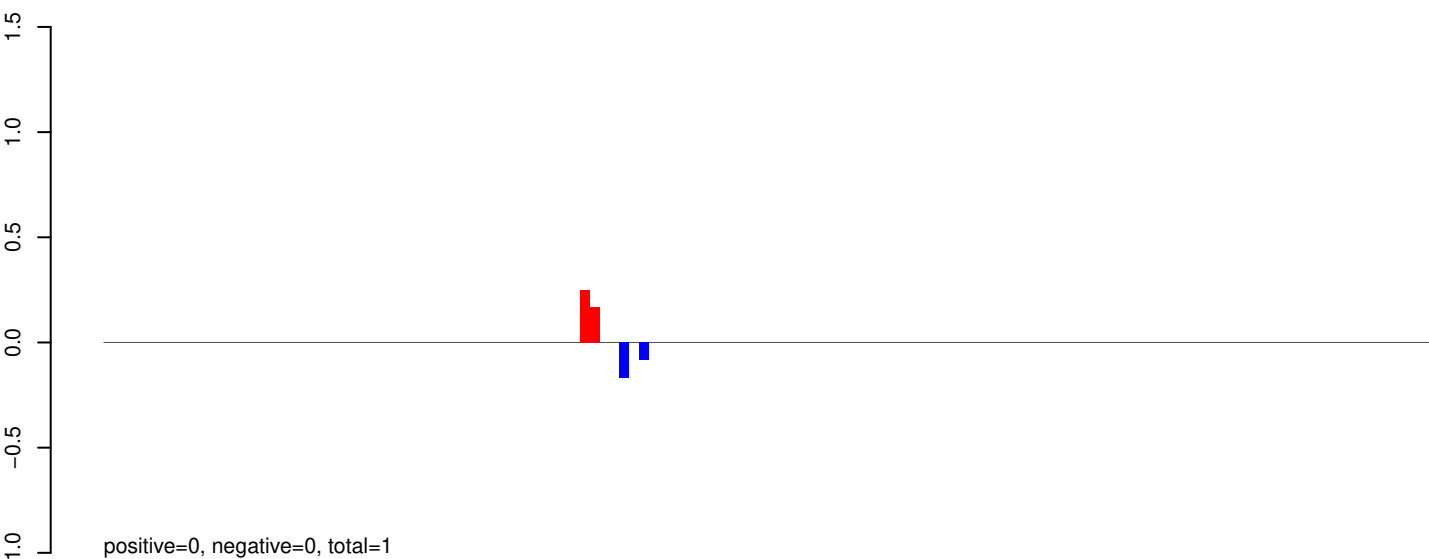
AeAeg_Aag2_Ago2_SINV_RA.rep



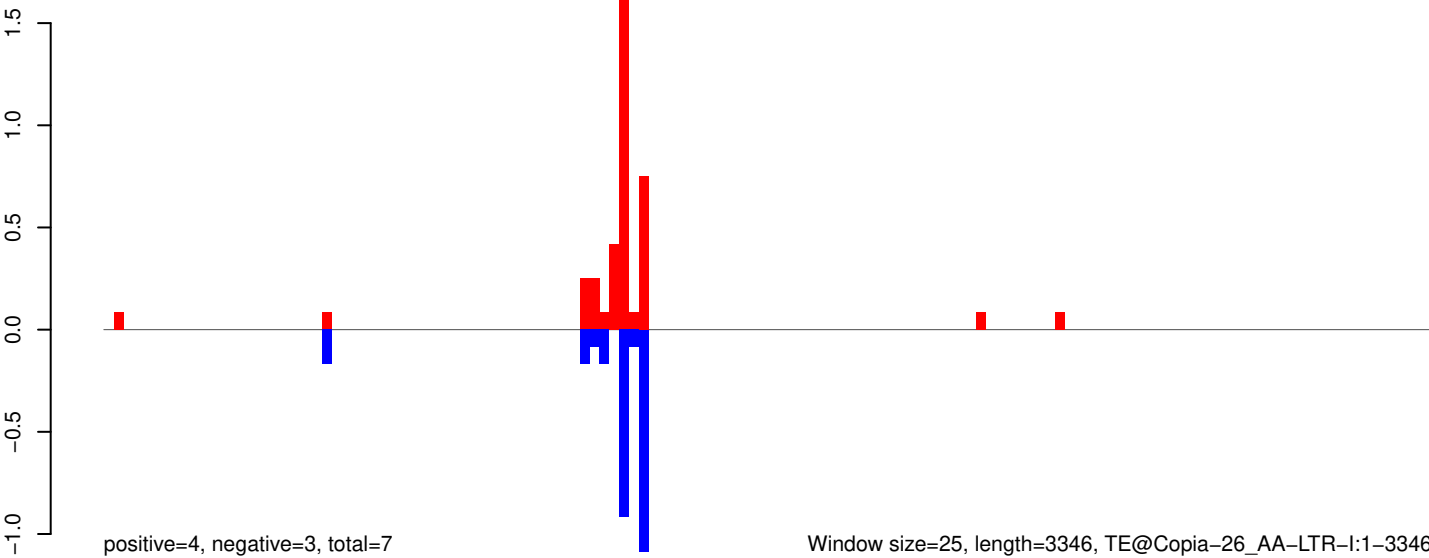
AeAeg_Aag2_Ago2_SINV_RA.18_23.rep



AeAeg_Aag2_Ago2_SINV_RA.24_35.rep



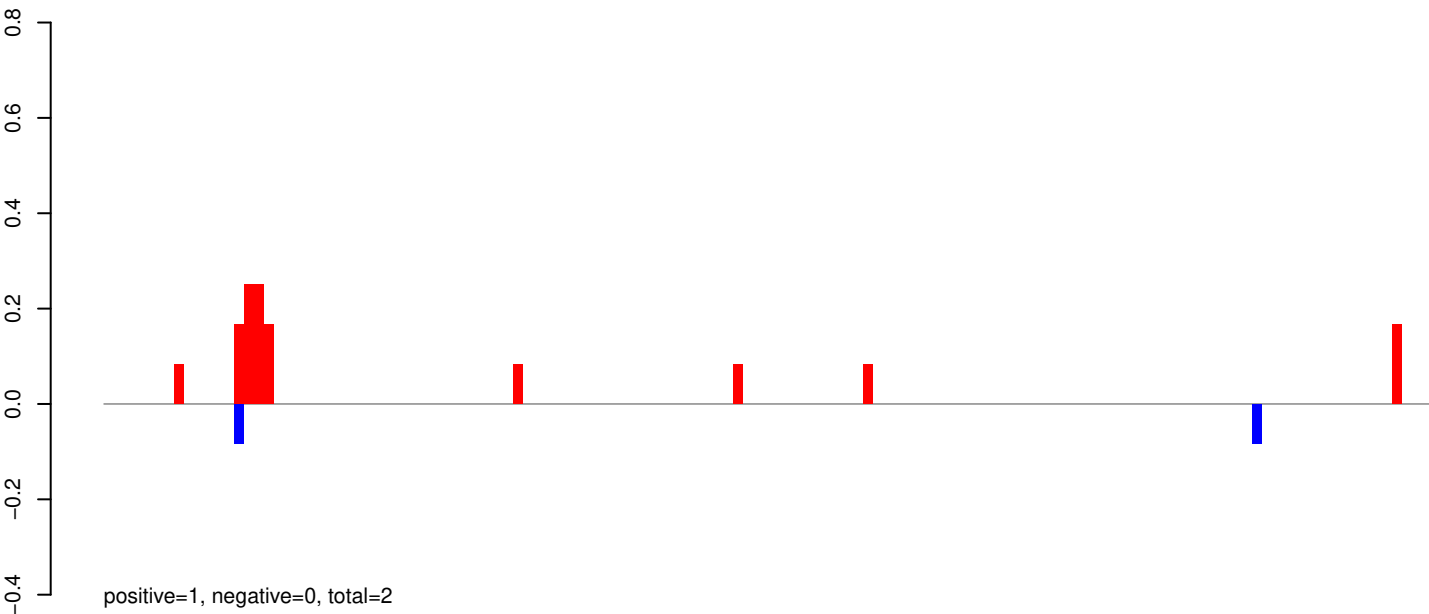
AeAeg_Aag2_Ago2_SINV_RA.rep



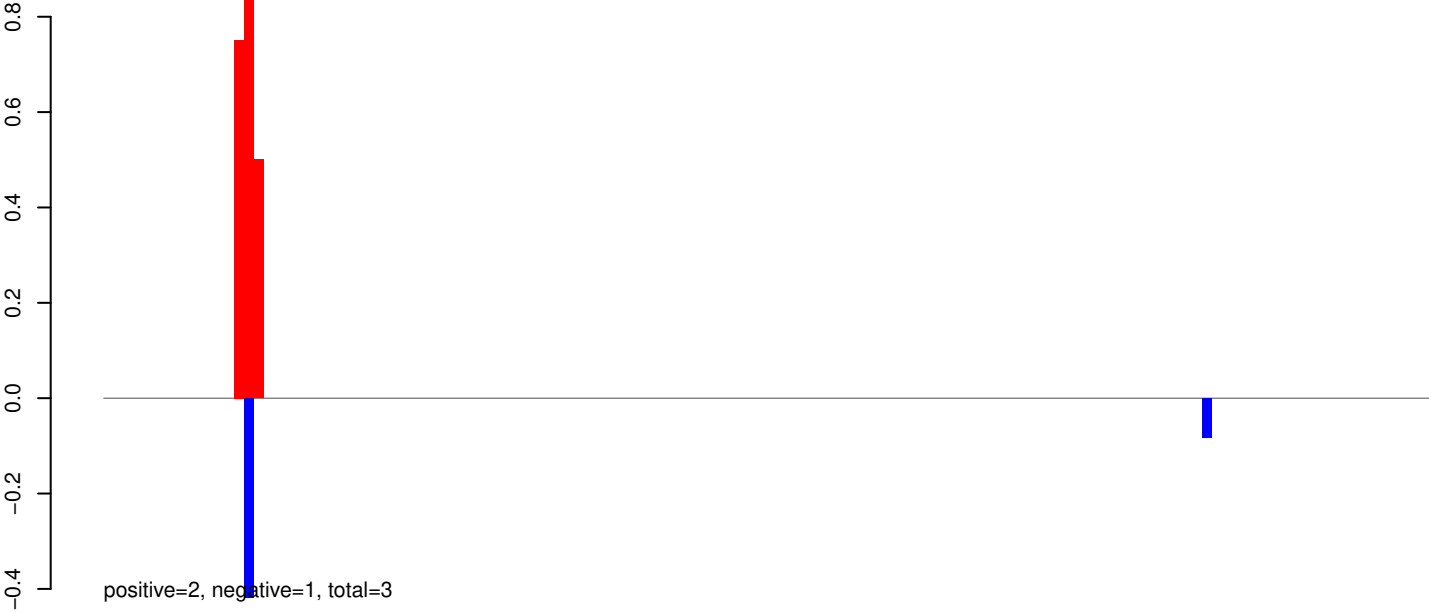
Window size=25, length=3346, TE@Copia-26_AA-LTR-I:1-3346

0 500 1000 1500 2000 2500 3000 3500

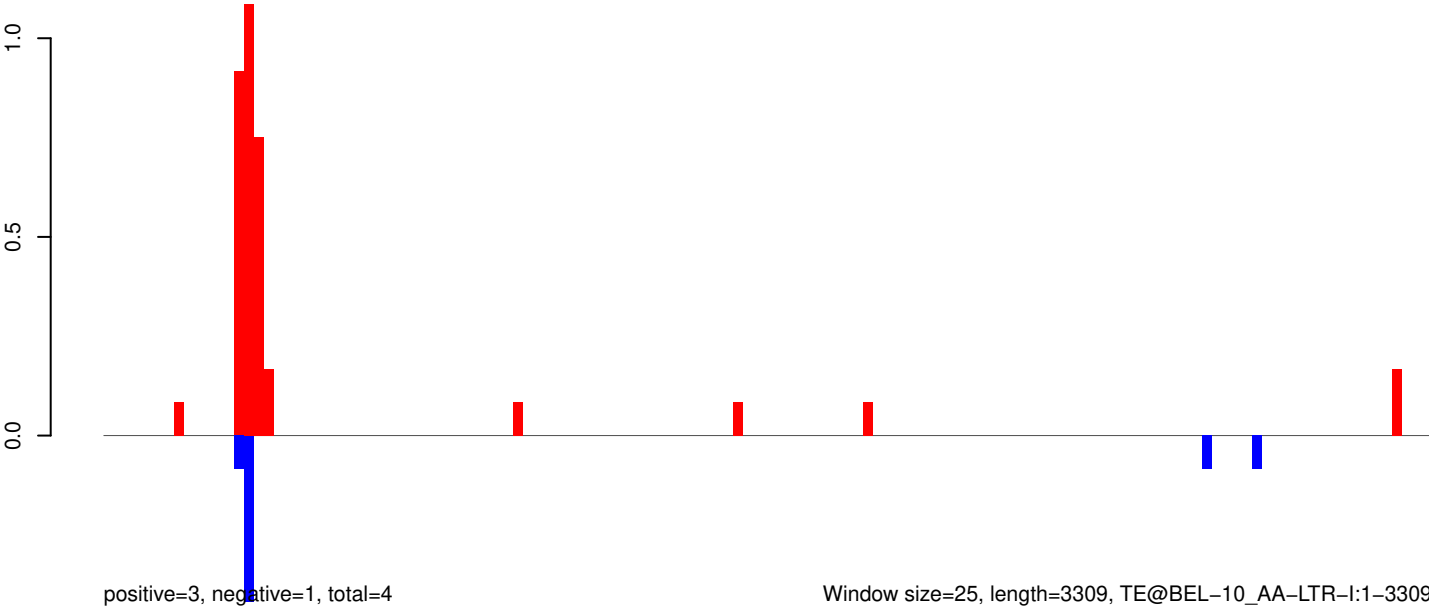
AeAeg_Aag2_Ago2_SINV_RA.18_23.rep



AeAeg_Aag2_Ago2_SINV_RA.24_35.rep



AeAeg_Aag2_Ago2_SINV_RA.rep



Window size=25, length=3309, TE@BEL-10_AA-LTR-I:1-3309

0 500 1000 1500 2000 2500 3000

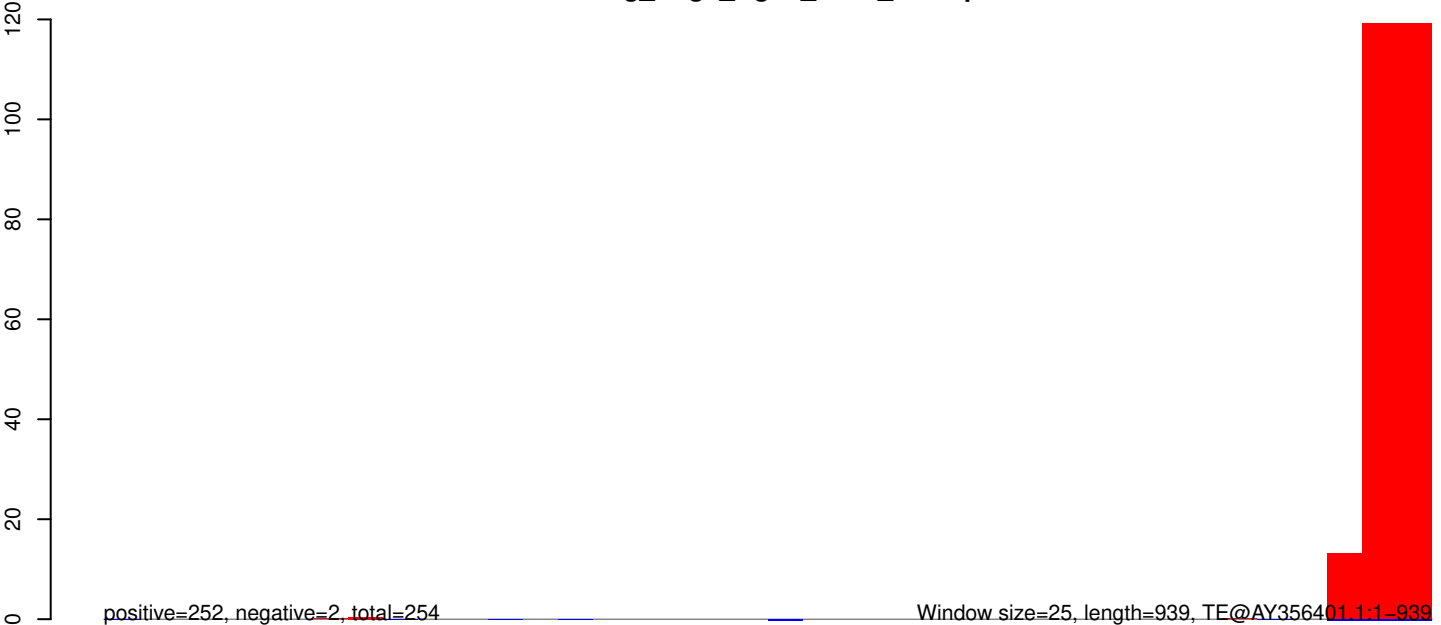
AeAeg_Aag2_Ago2_SINV_RA.18_23.rep



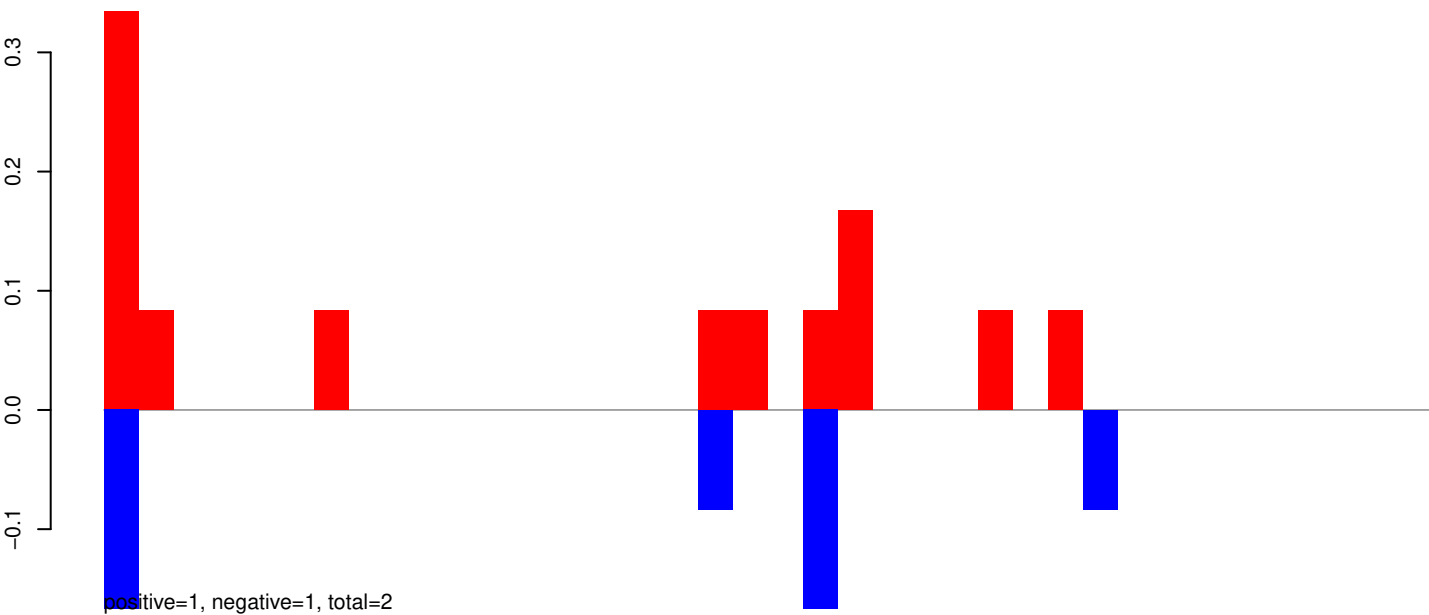
AeAeg_Aag2_Ago2_SINV_RA.24_35.rep



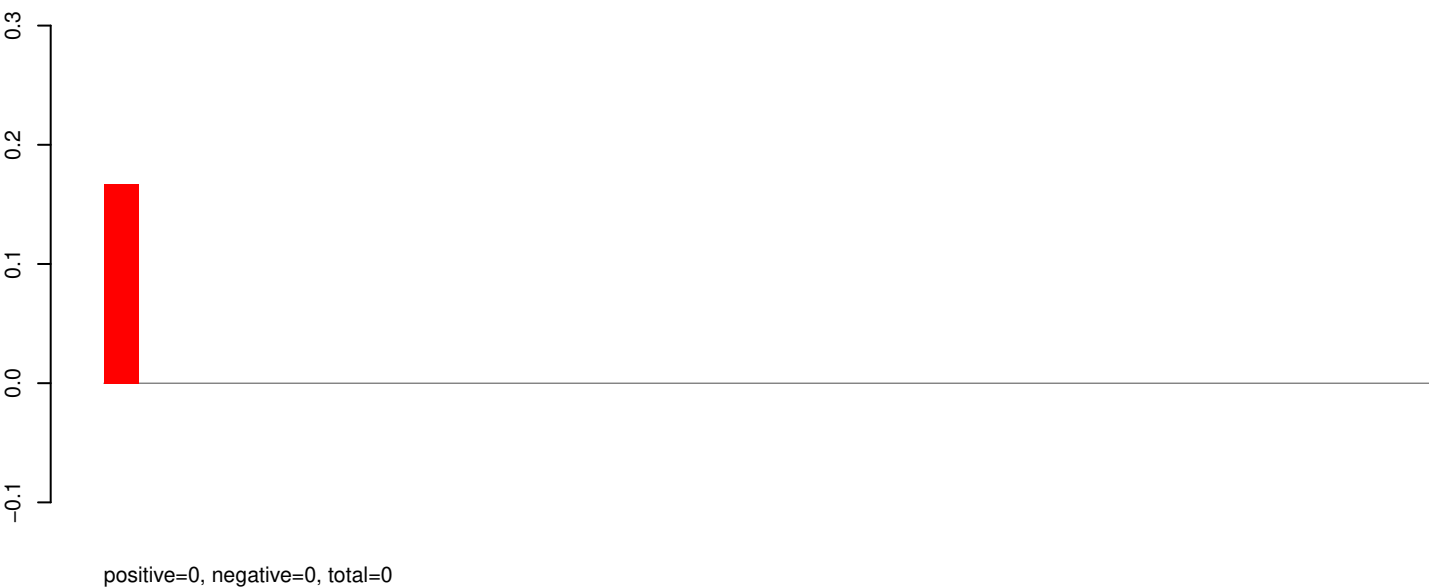
AeAeg_Aag2_Ago2_SINV_RA.rep



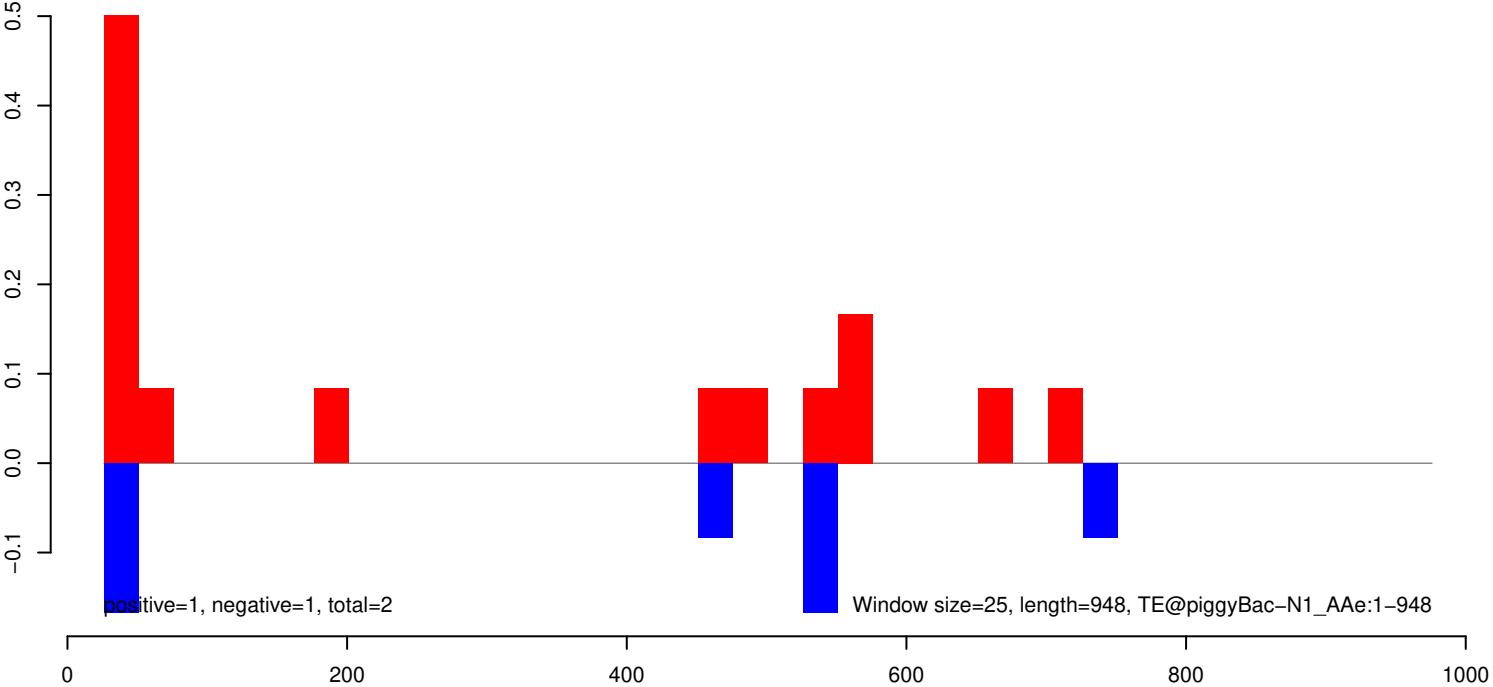
AeAeg_Aag2_Ago2_SINV_RA.18_23.rep



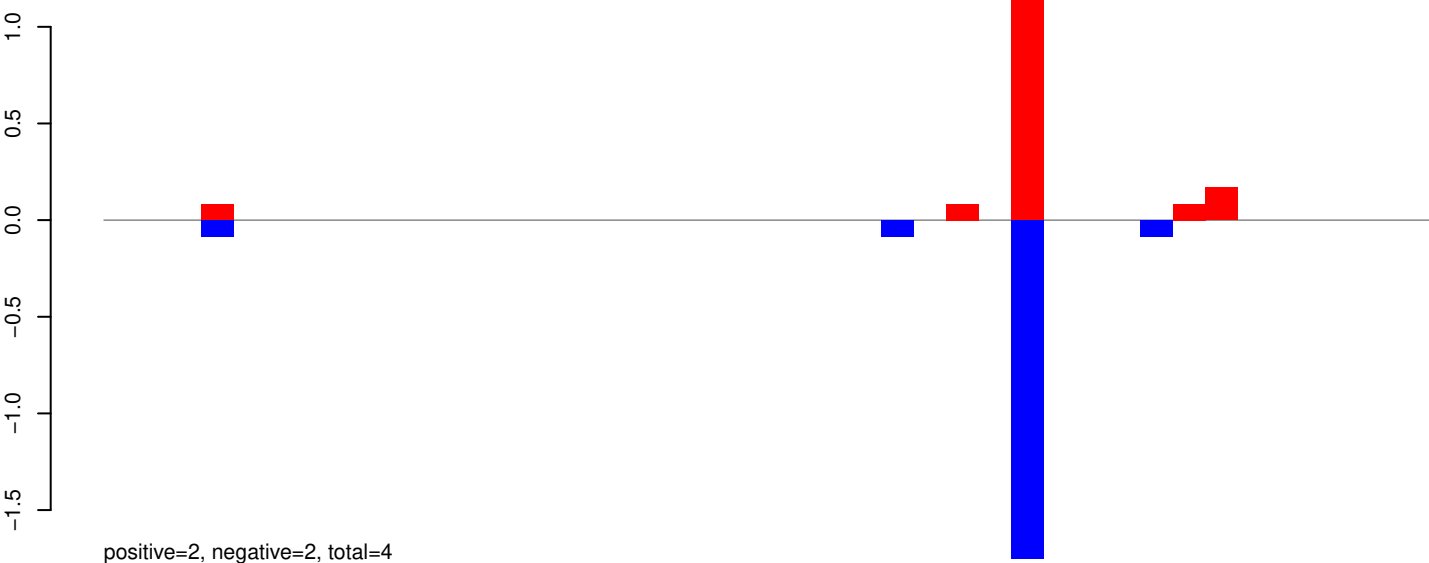
AeAeg_Aag2_Ago2_SINV_RA.24_35.rep



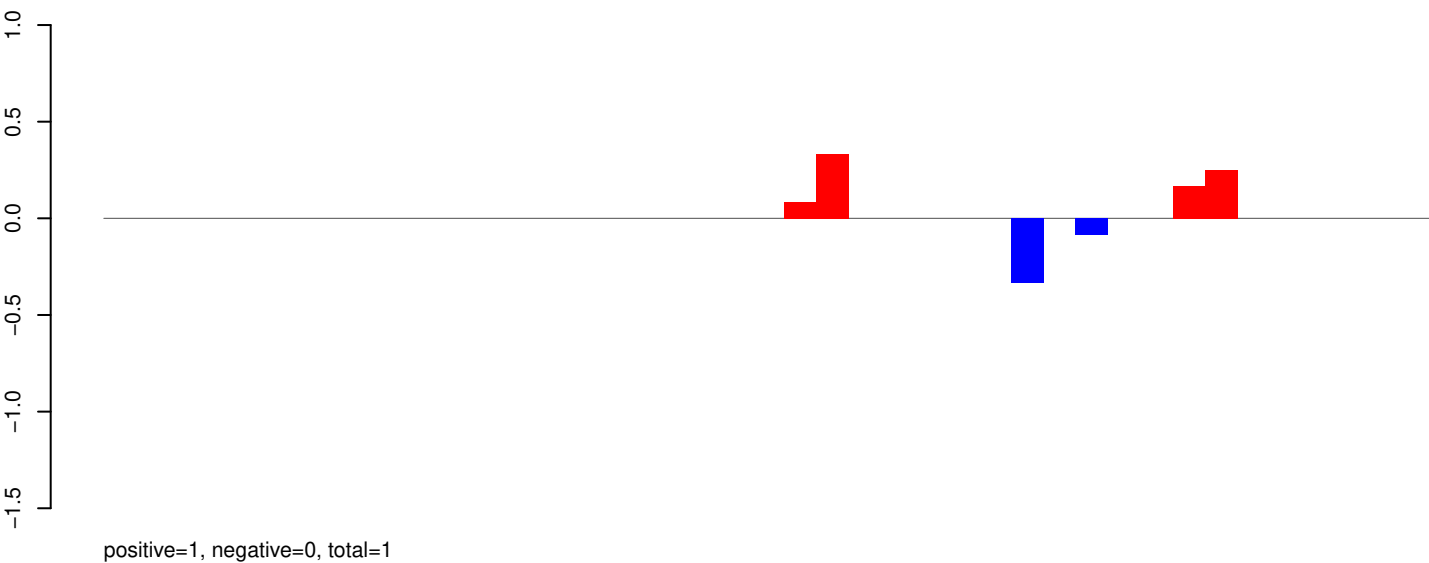
AeAeg_Aag2_Ago2_SINV_RA.rep



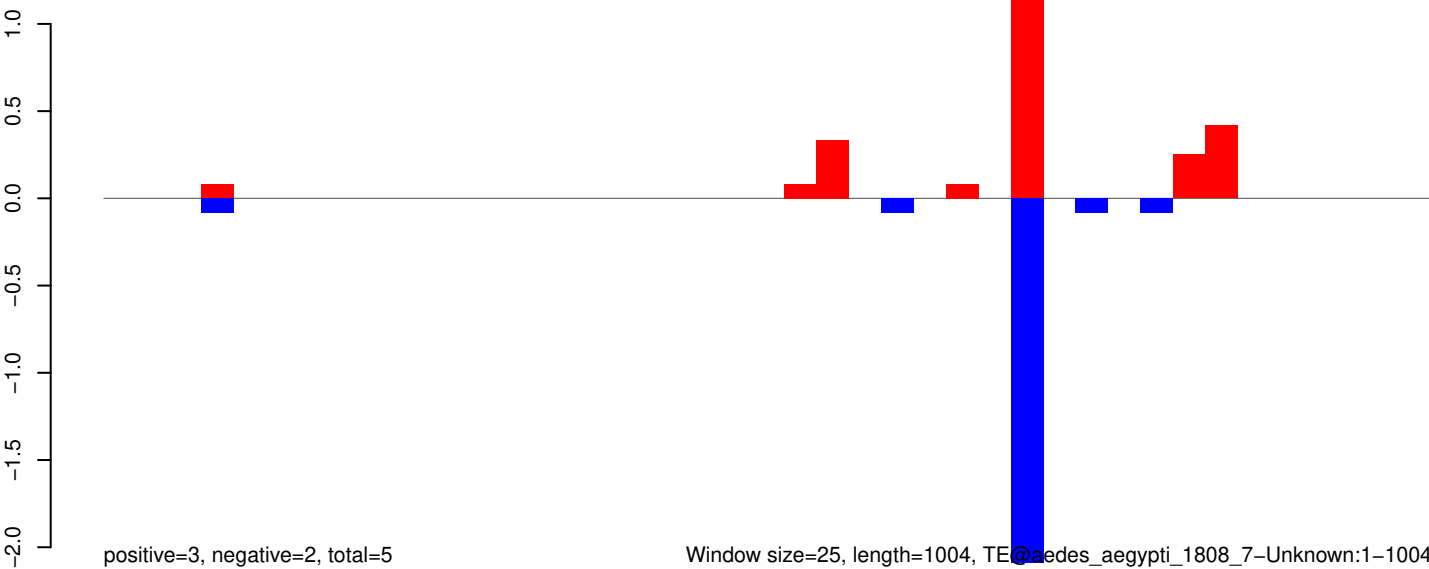
AeAeg_Aag2_Ago2_SINV_RA.18_23.rep



AeAeg_Aag2_Ago2_SINV_RA.24_35.rep

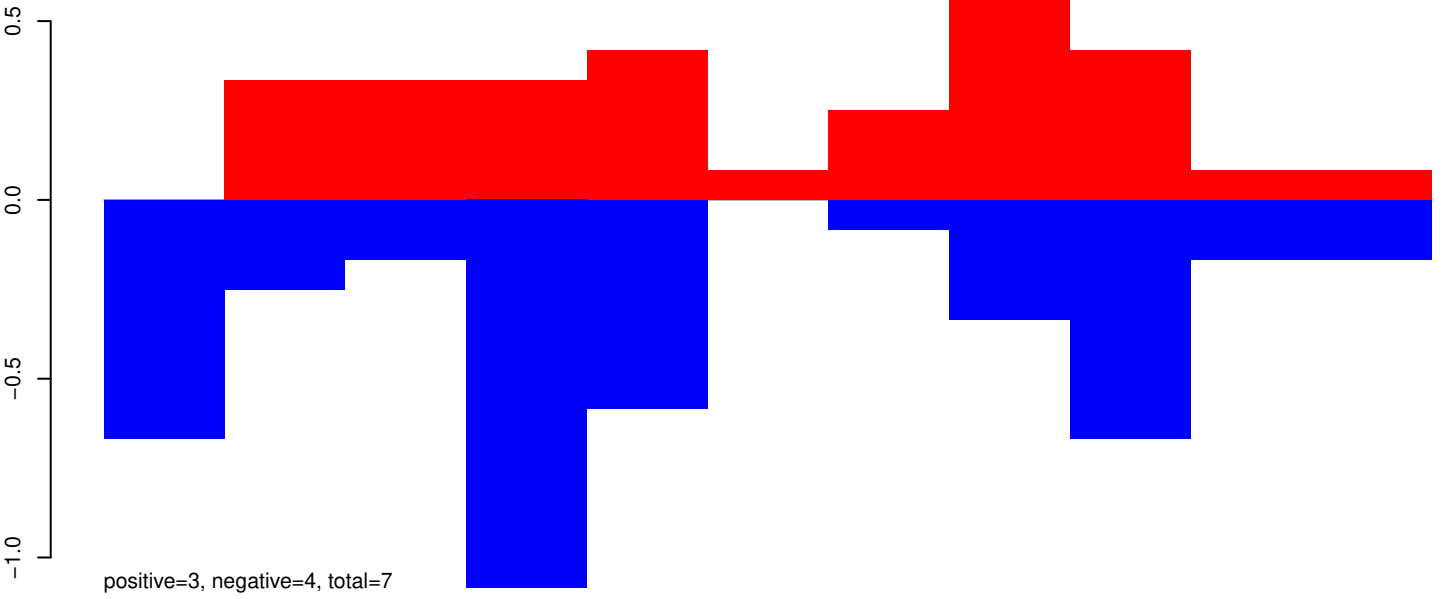


AeAeg_Aag2_Ago2_SINV_RA.rep

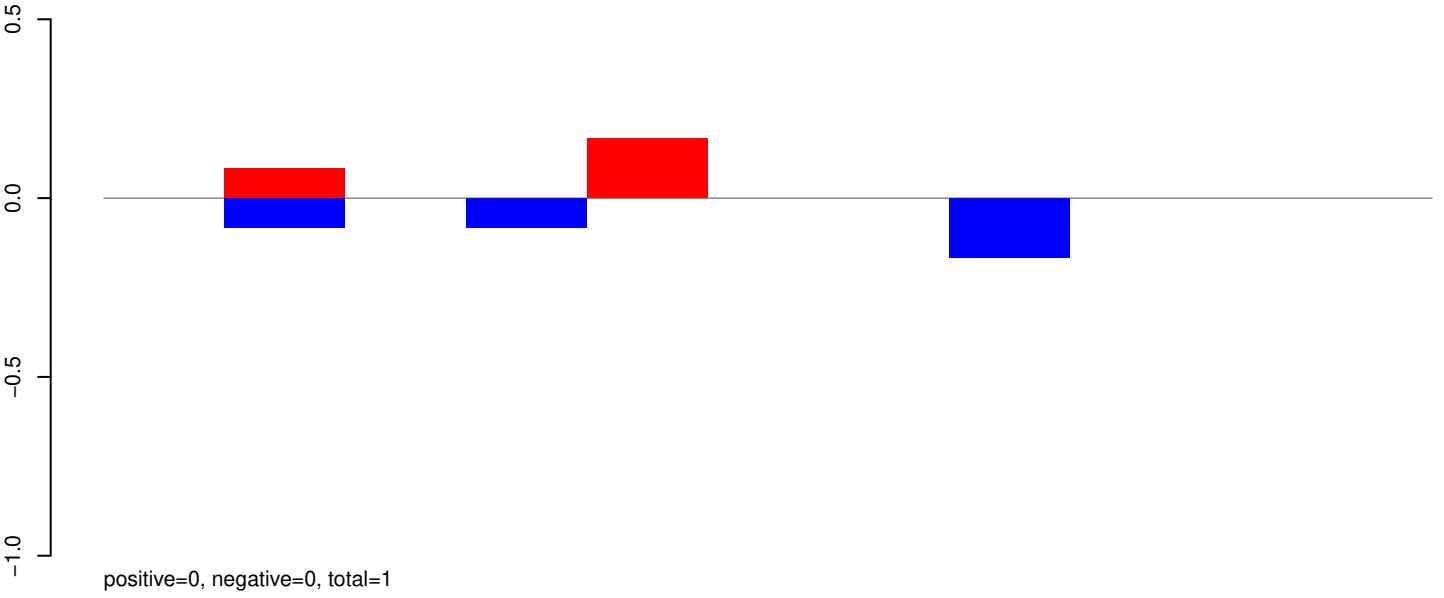


Window size=25, length=1004, TE@aedes_aegypti_1808_7-Unknown:1-1004

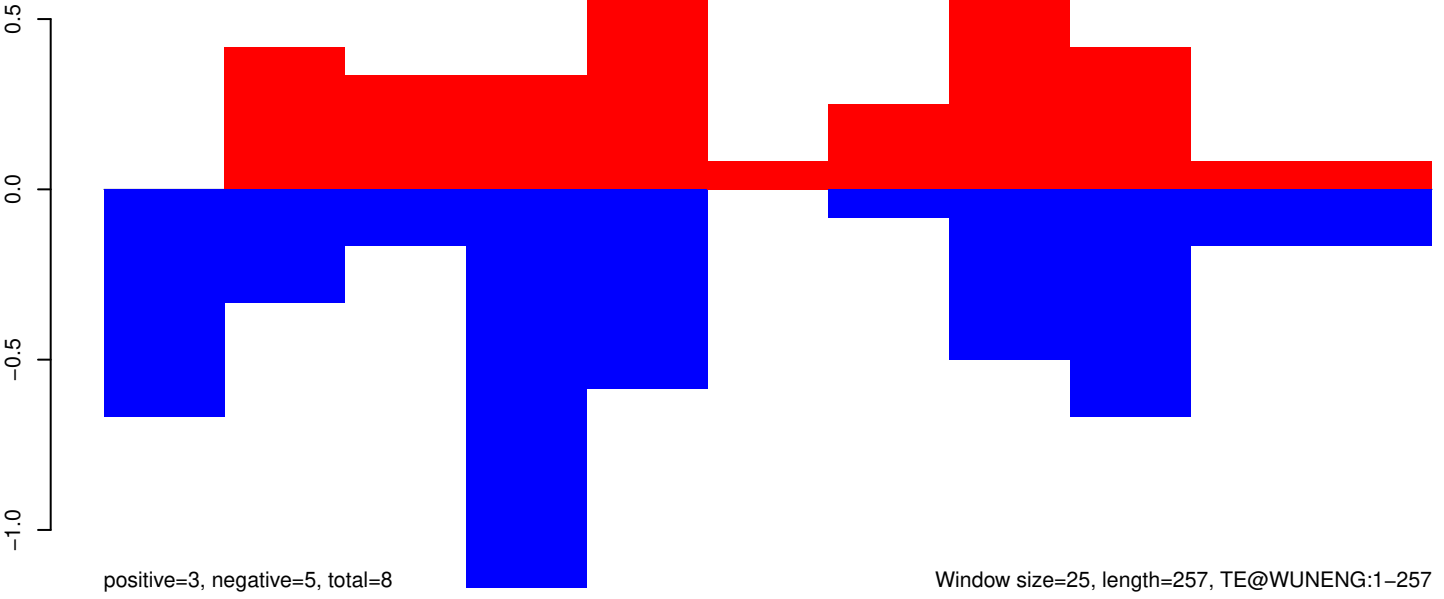
AeAeg_Aag2_Ago2_SINV_RA.18_23.rep



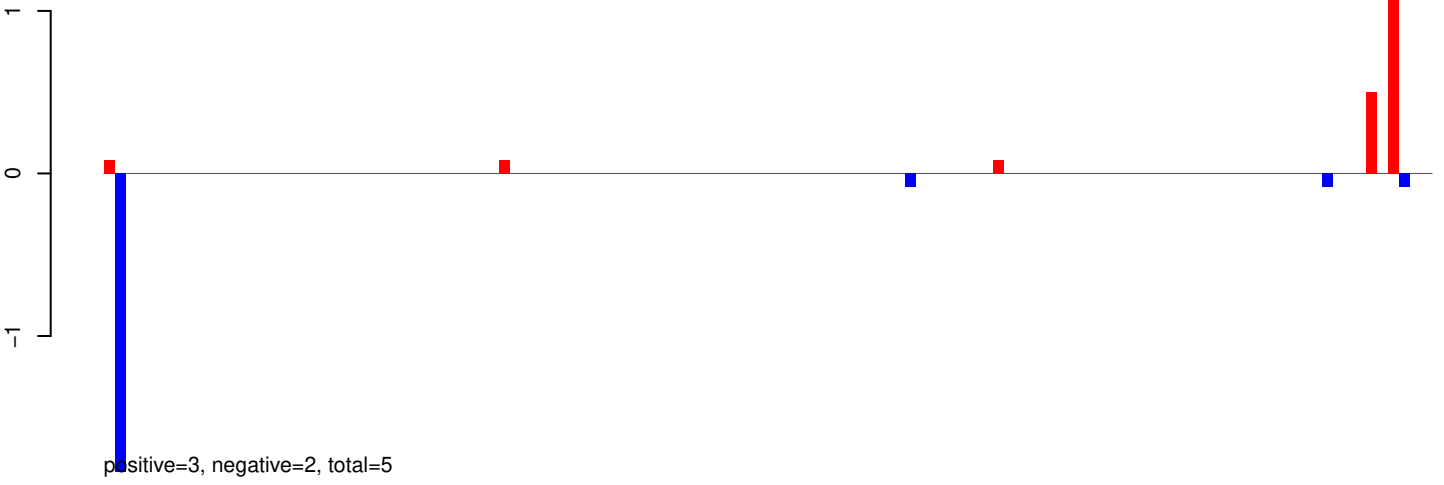
AeAeg_Aag2_Ago2_SINV_RA.24_35.rep



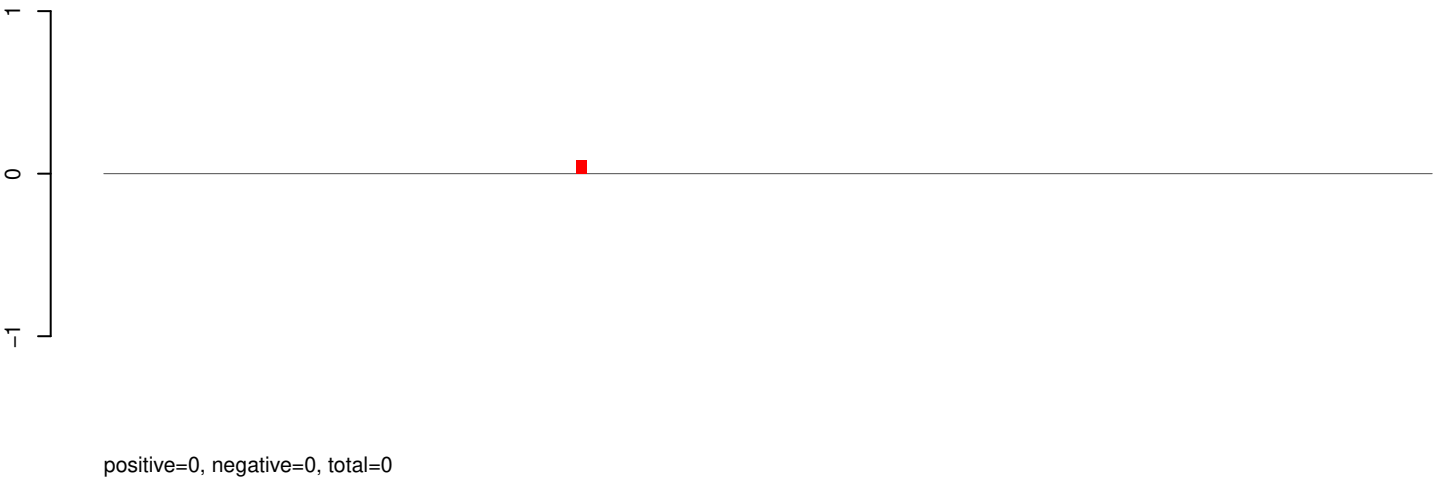
AeAeg_Aag2_Ago2_SINV_RA.rep



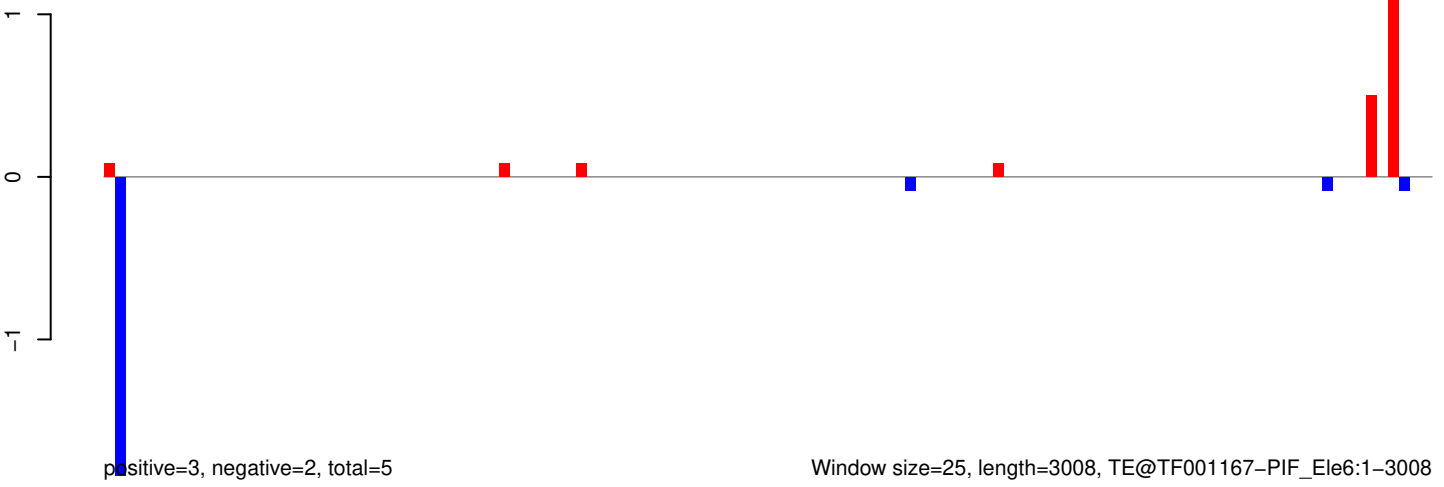
AeAeg_Aag2_Ago2_SINV_RA.18_23.rep



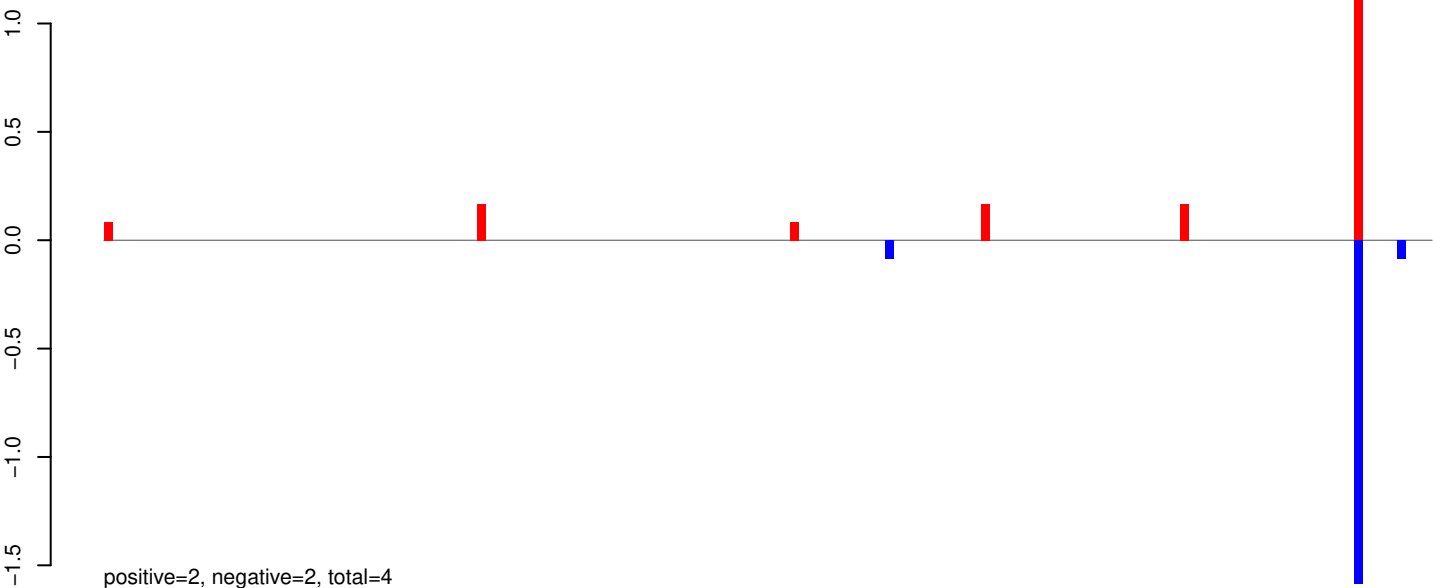
AeAeg_Aag2_Ago2_SINV_RA.24_35.rep



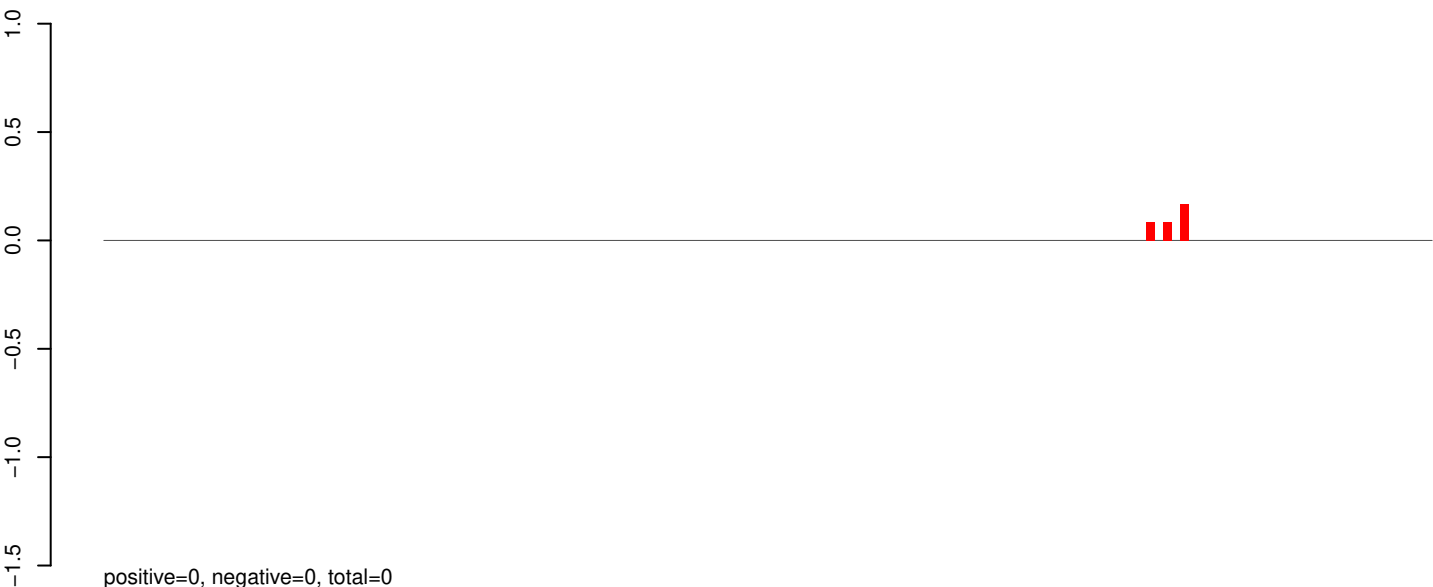
AeAeg_Aag2_Ago2_SINV_RA.rep



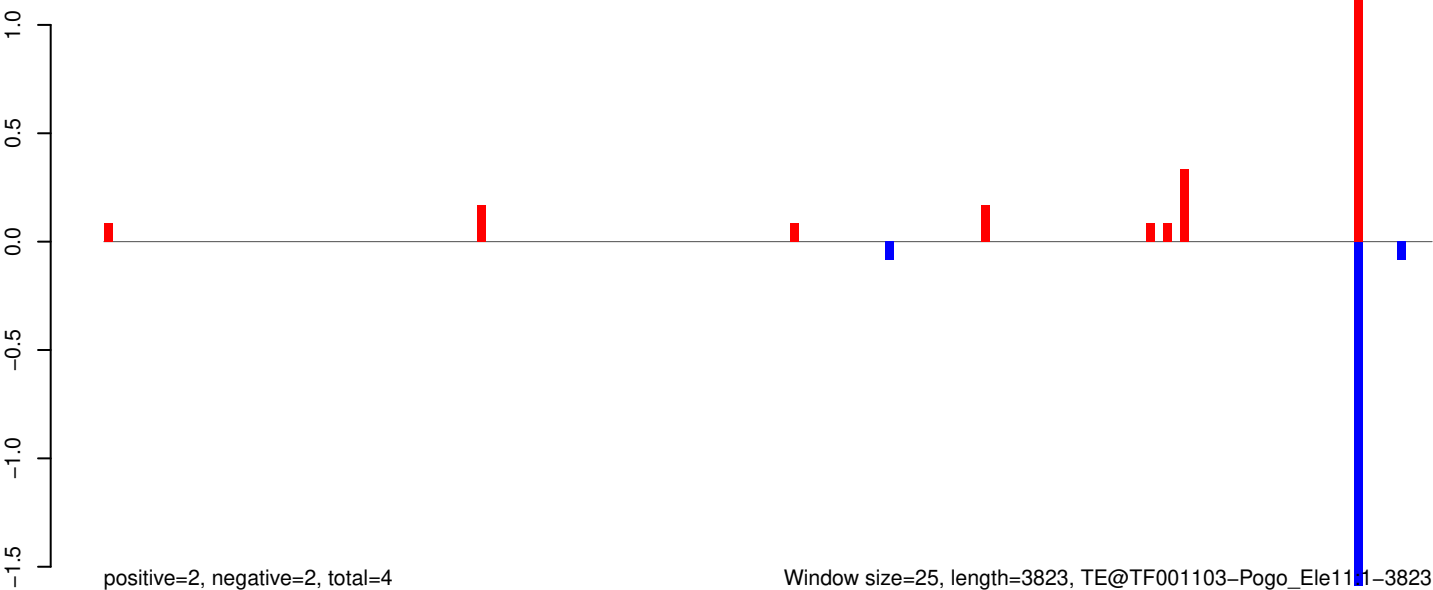
AeAeg_Aag2_Ago2_SINV_RA.18_23.rep



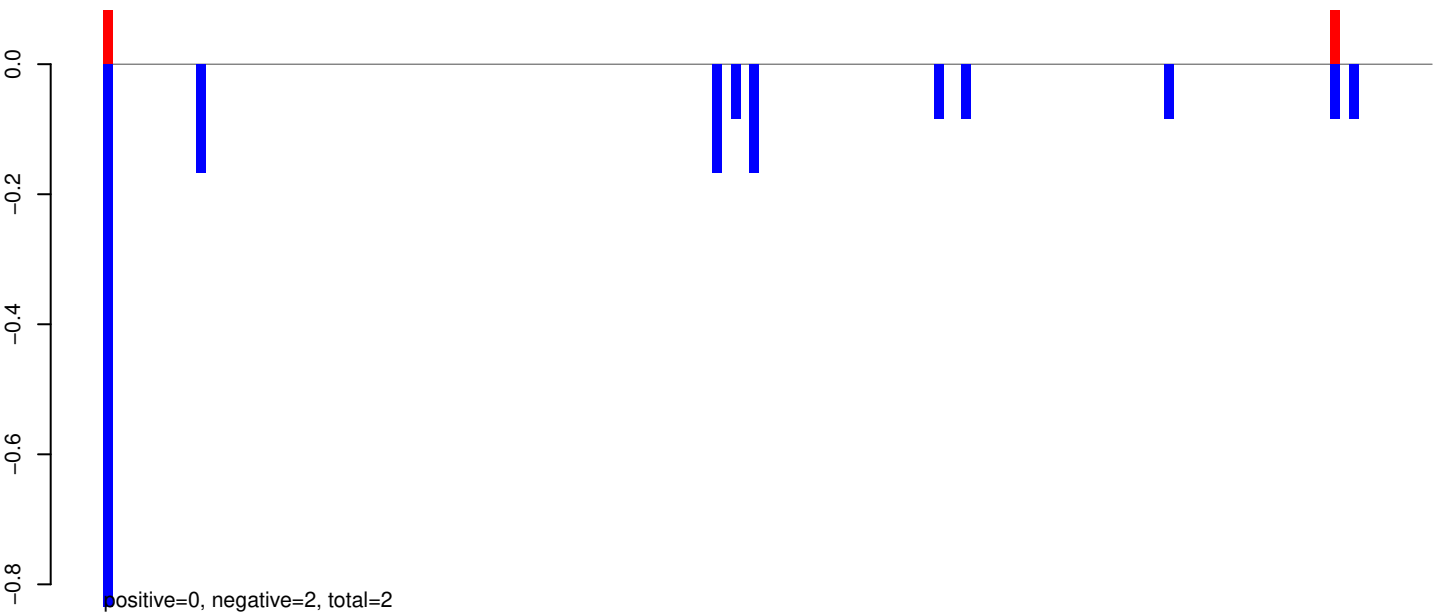
AeAeg_Aag2_Ago2_SINV_RA.24_35.rep



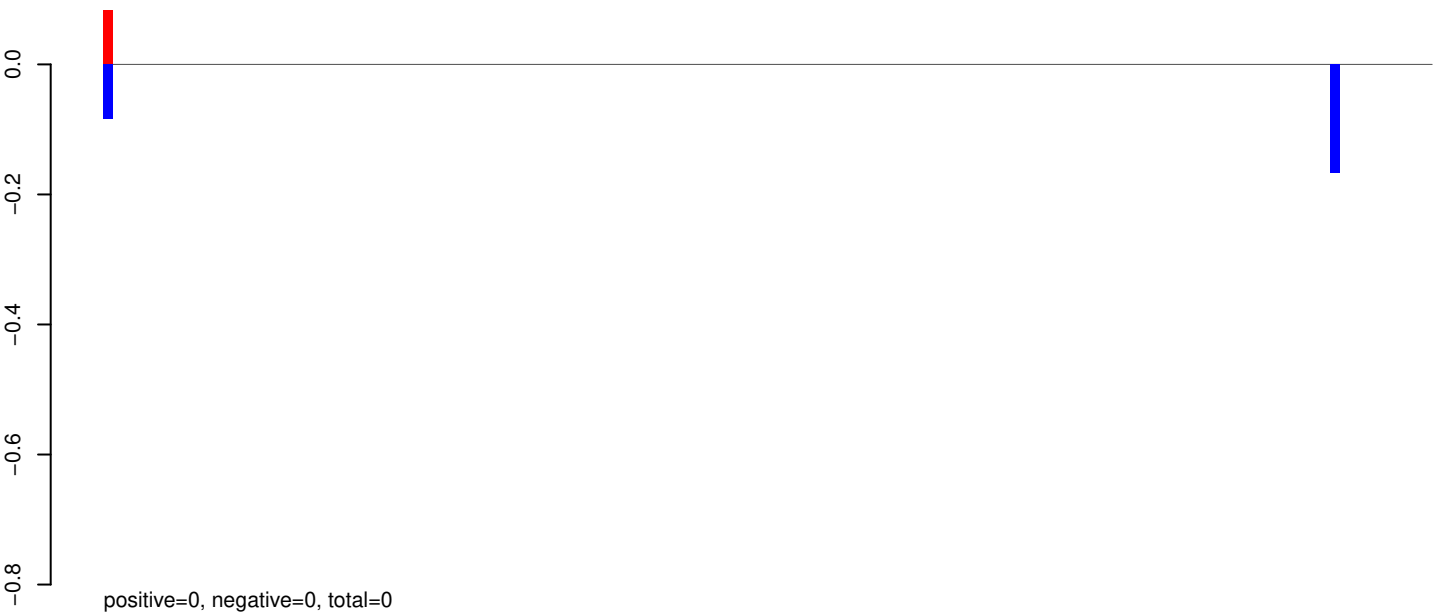
AeAeg_Aag2_Ago2_SINV_RA.rep



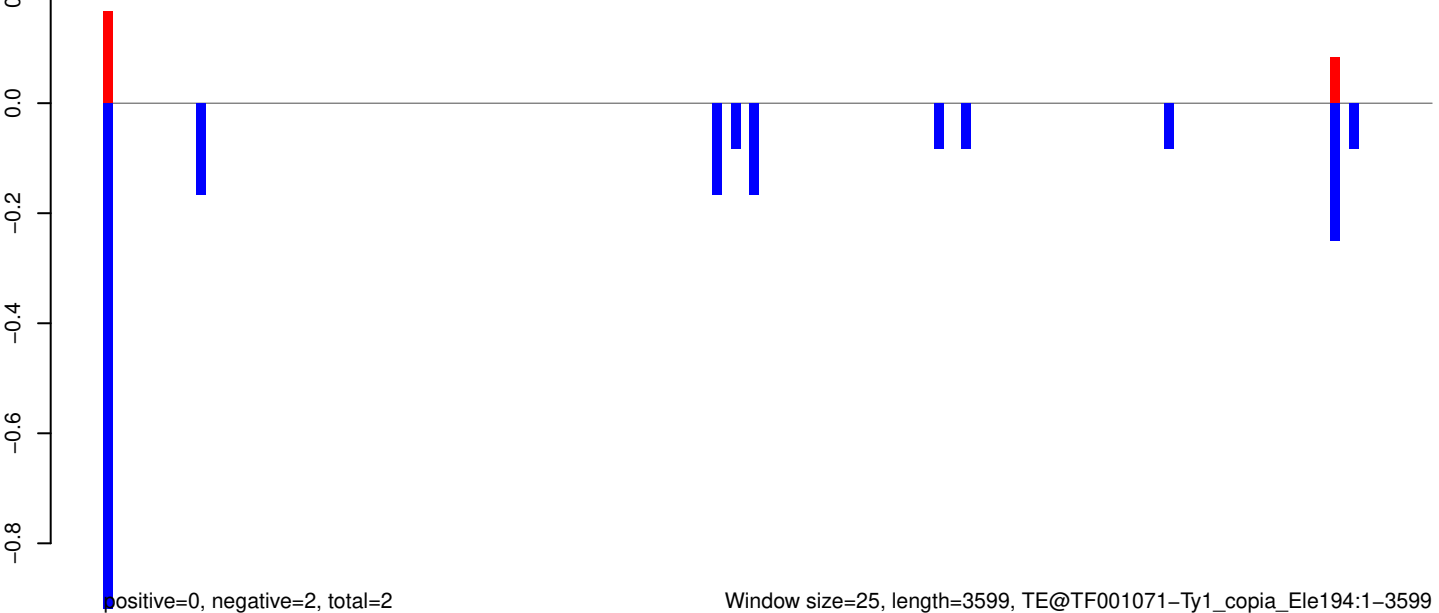
AeAeg_Aag2_Ago2_SINV_RA.18_23.rep



AeAeg_Aag2_Ago2_SINV_RA.24_35.rep



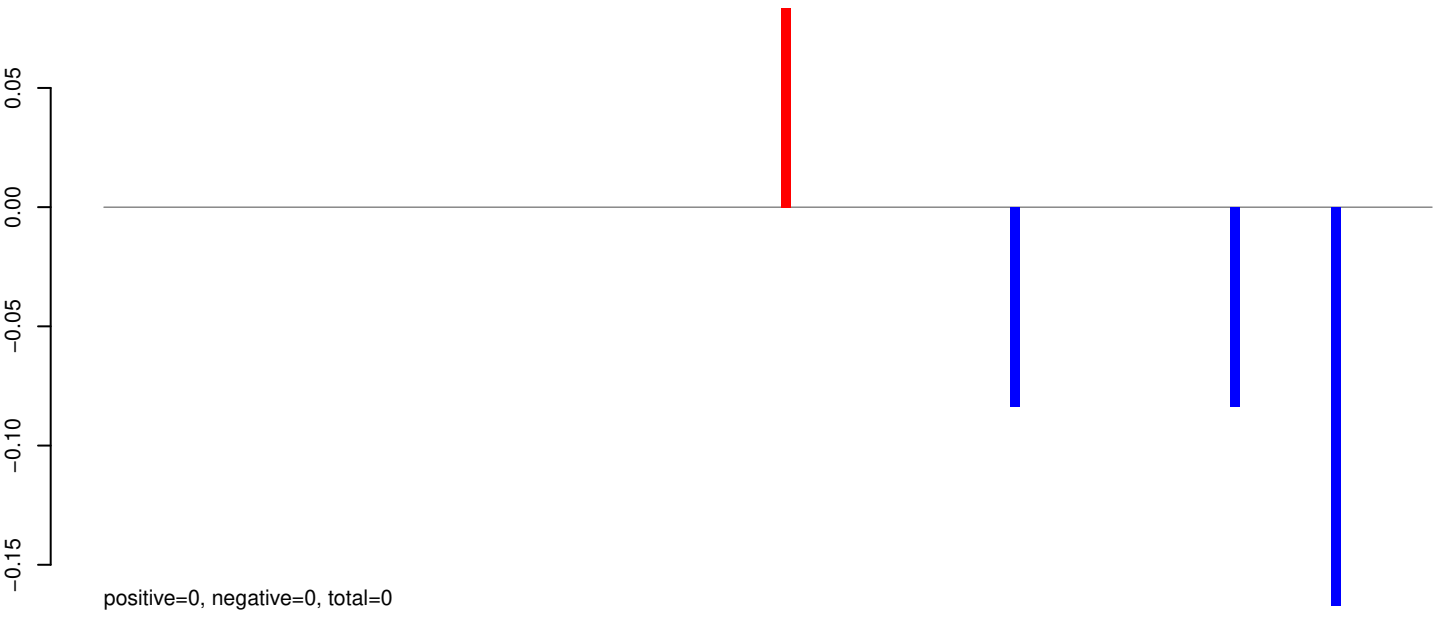
AeAeg_Aag2_Ago2_SINV_RA.rep



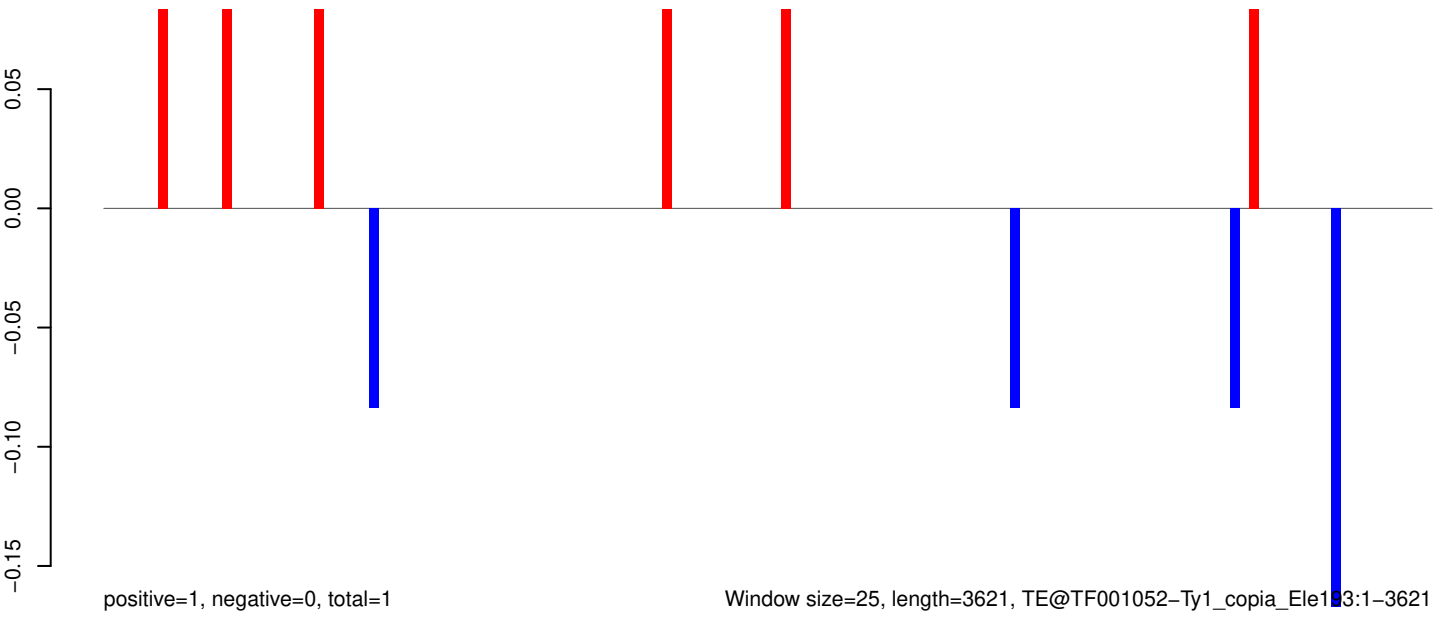
AeAeg_Aag2_Ago2_SINV_RA.18_23.rep



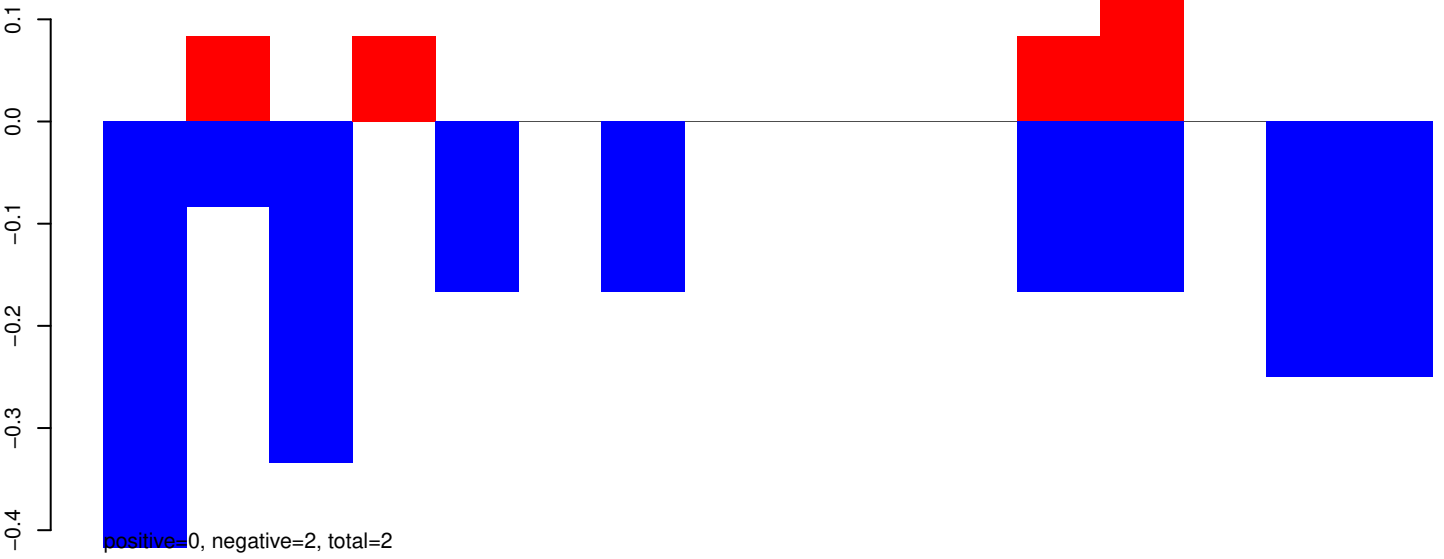
AeAeg_Aag2_Ago2_SINV_RA.24_35.rep



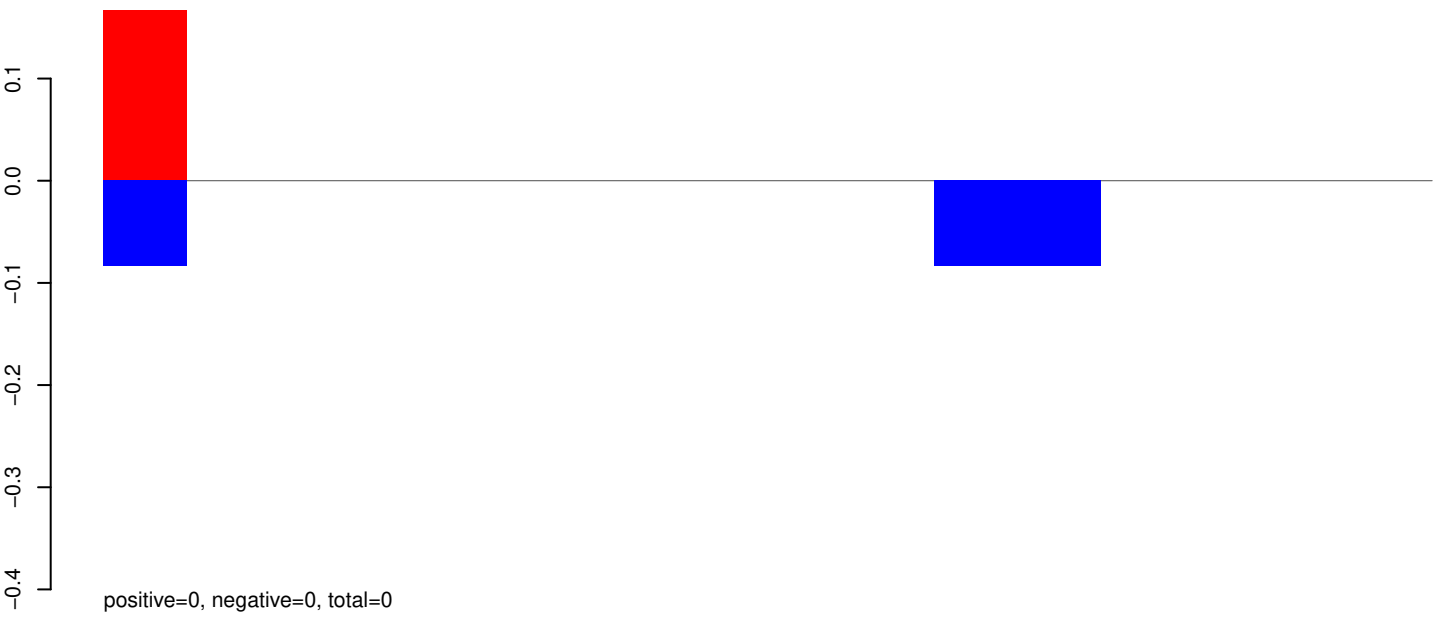
AeAeg_Aag2_Ago2_SINV_RA.rep



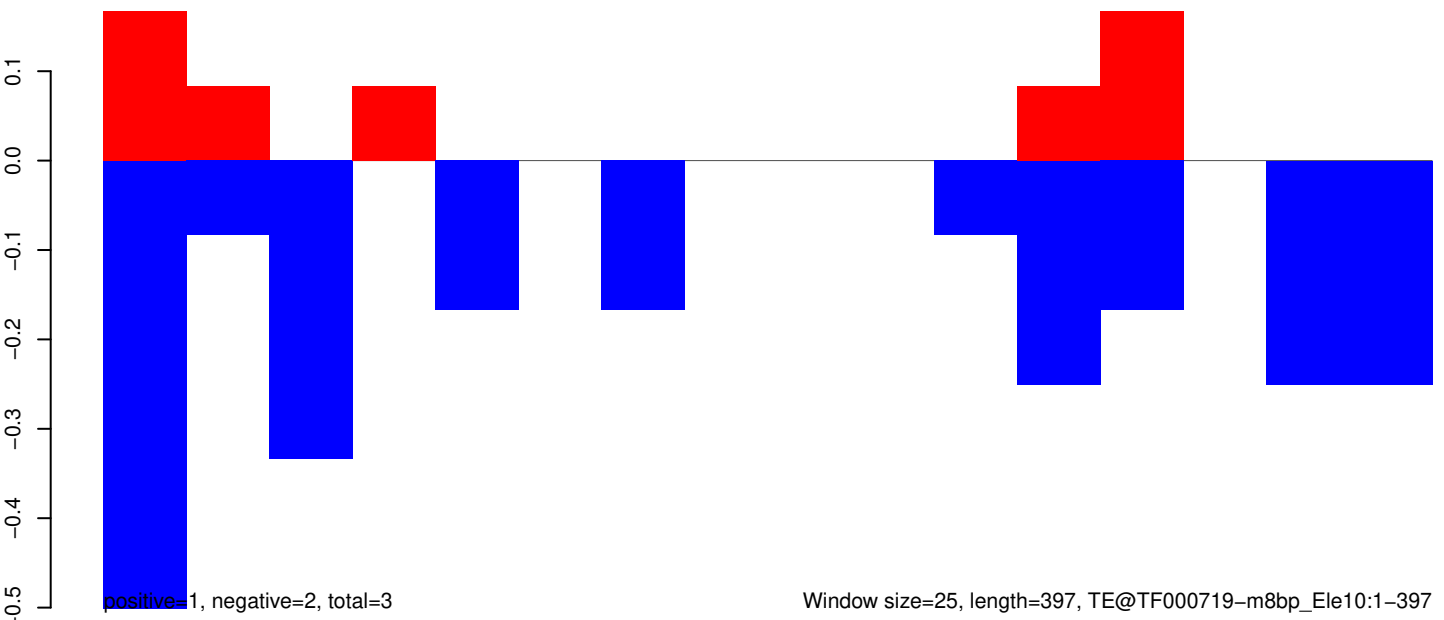
AeAeg_Aag2_Ago2_SINV_RA.18_23.rep



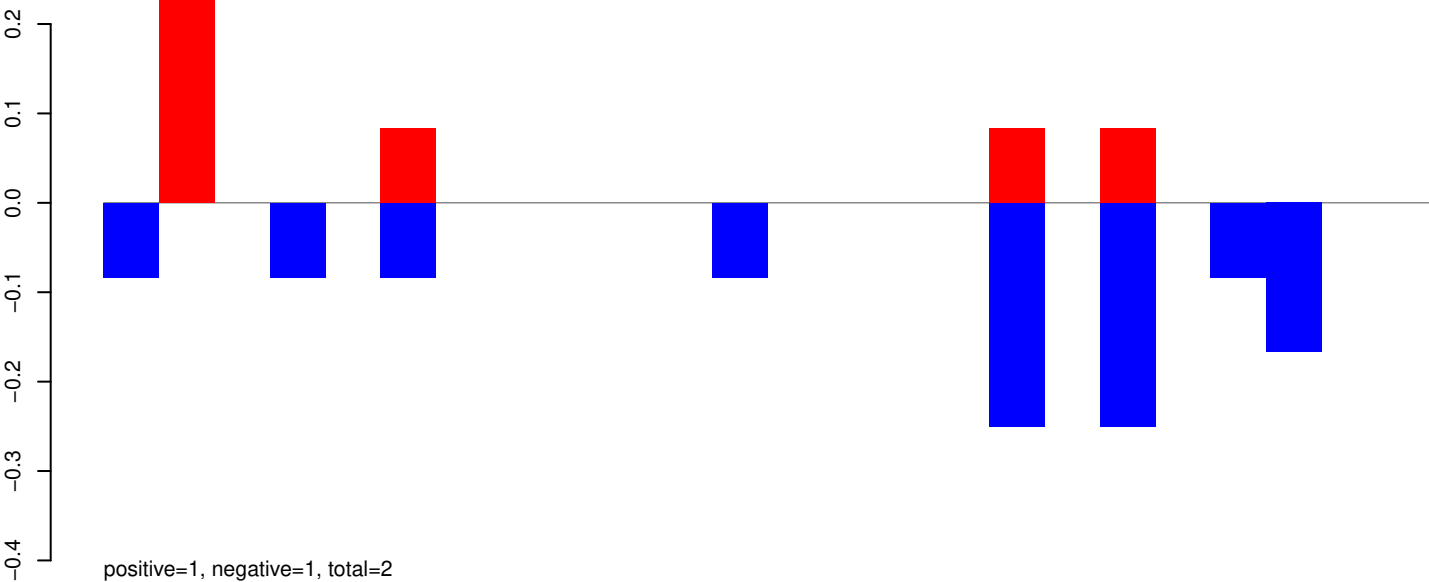
AeAeg_Aag2_Ago2_SINV_RA.24_35.rep



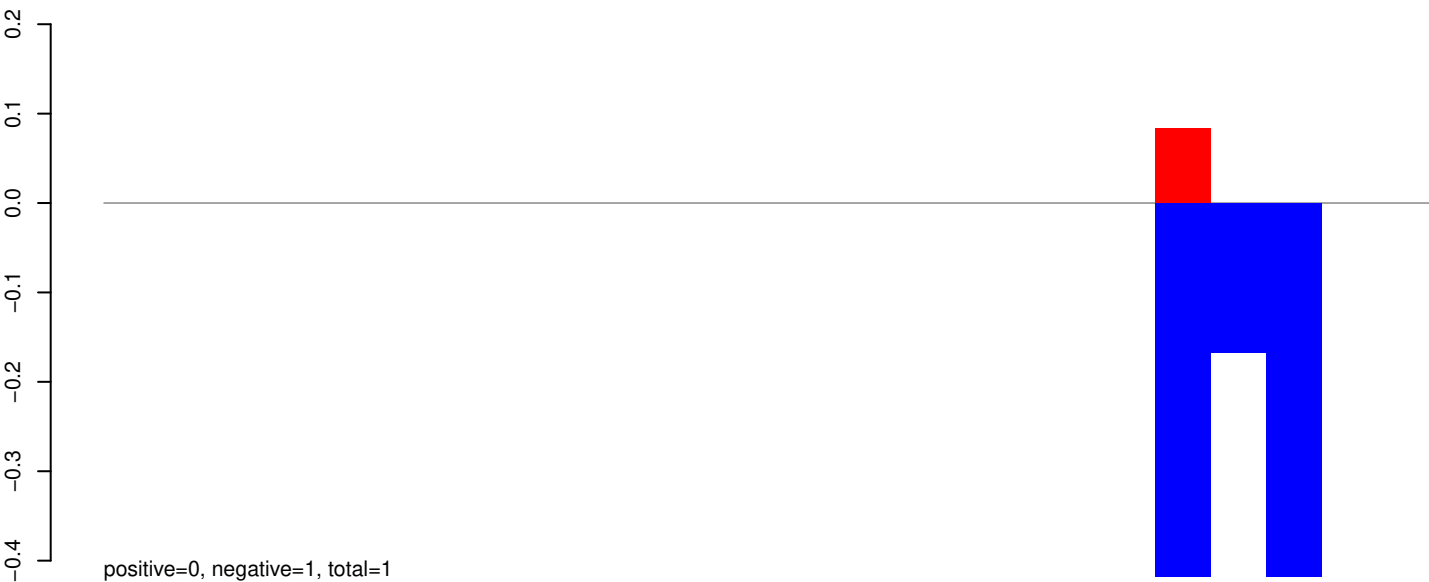
AeAeg_Aag2_Ago2_SINV_RA.rep



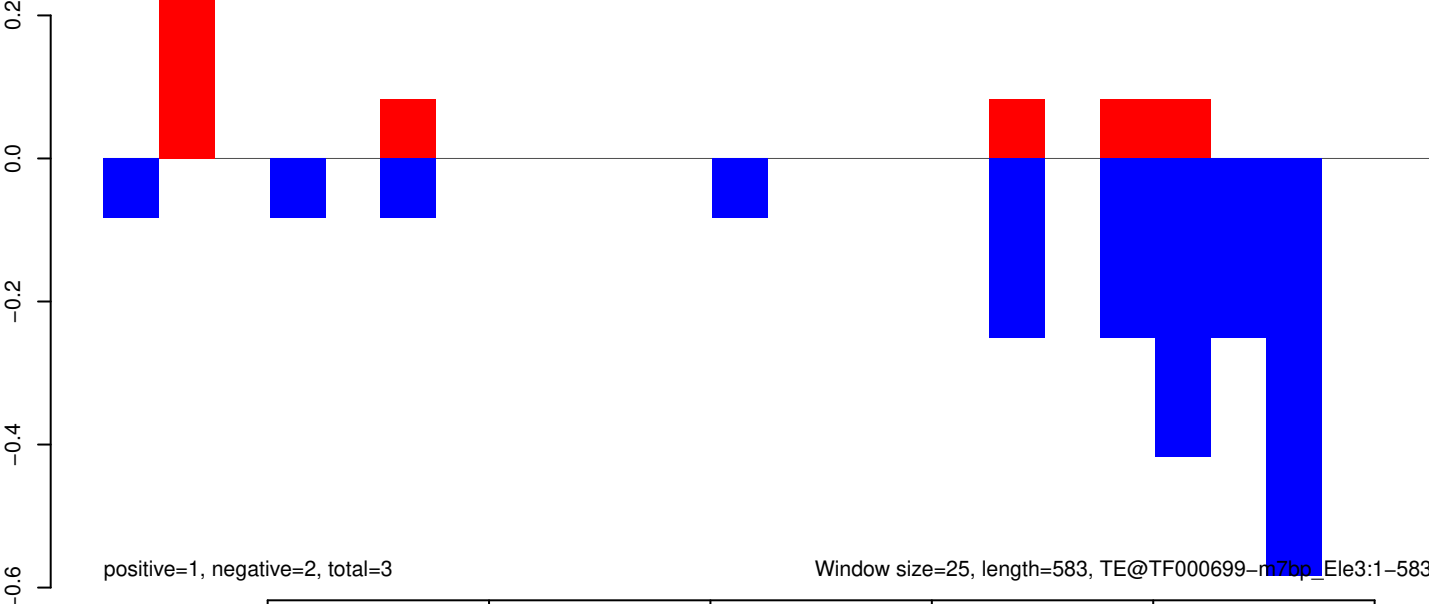
AeAeg_Aag2_Ago2_SINV_RA.18_23.rep



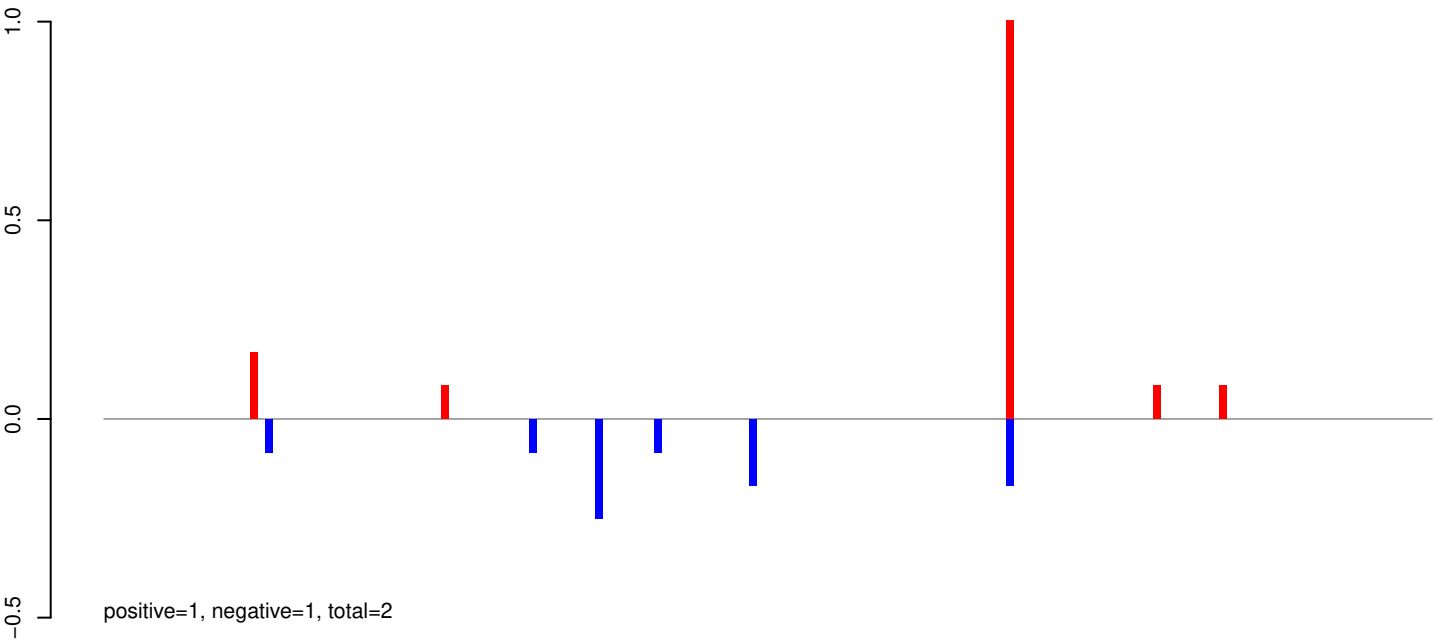
AeAeg_Aag2_Ago2_SINV_RA.24_35.rep



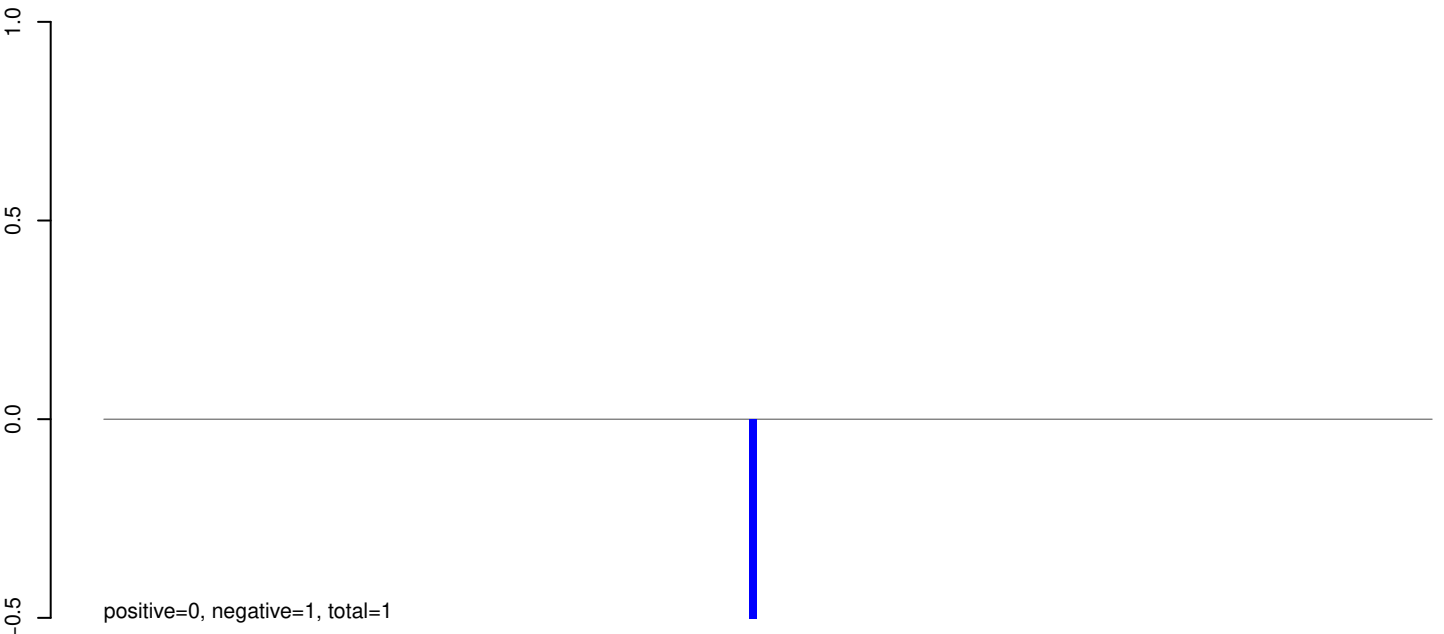
AeAeg_Aag2_Ago2_SINV_RA.rep



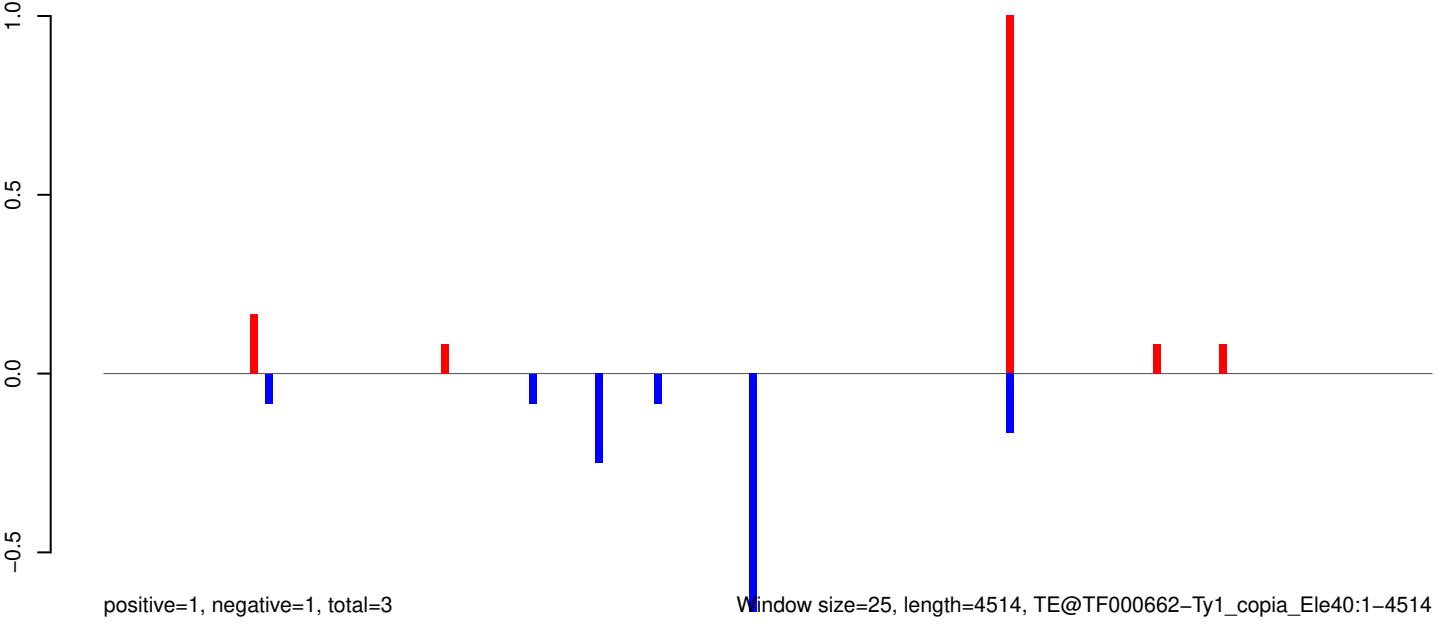
AeAeg_Aag2_Ago2_SINV_RA.18_23.rep



AeAeg_Aag2_Ago2_SINV_RA.24_35.rep

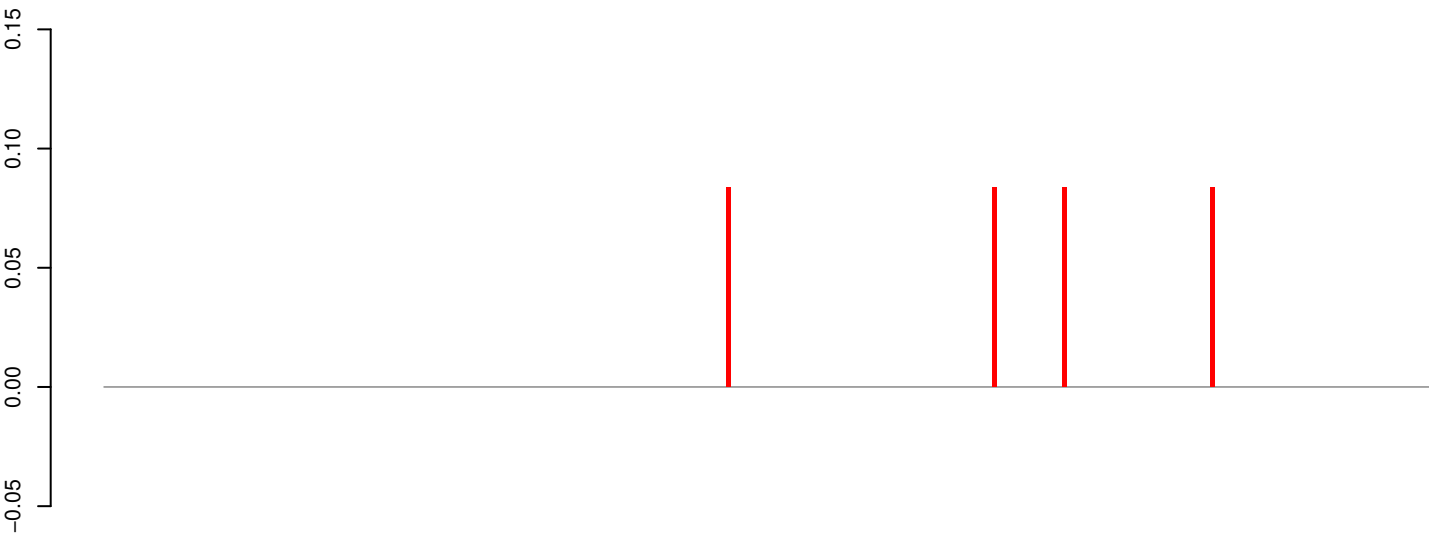


AeAeg_Aag2_Ago2_SINV_RA.rep



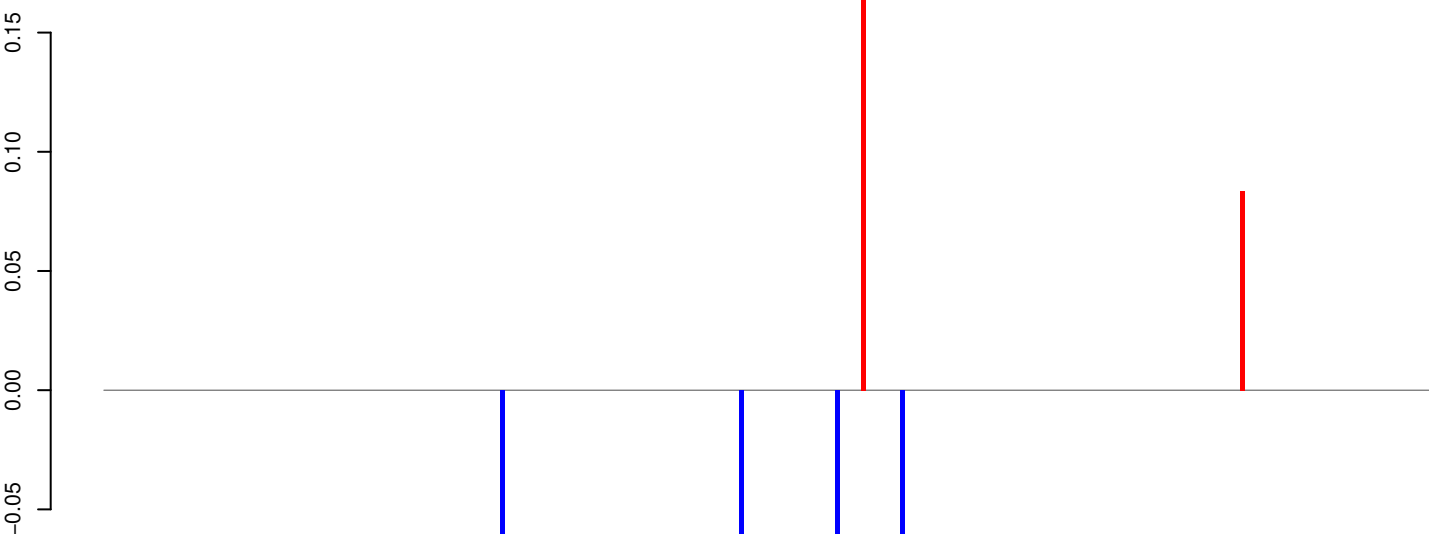
Window size=25, length=4514, TE@TF000662-Ty1_copia_Ele40:1-4514

AeAeg_Aag2_Ago2_SINV_RA.18_23.rep



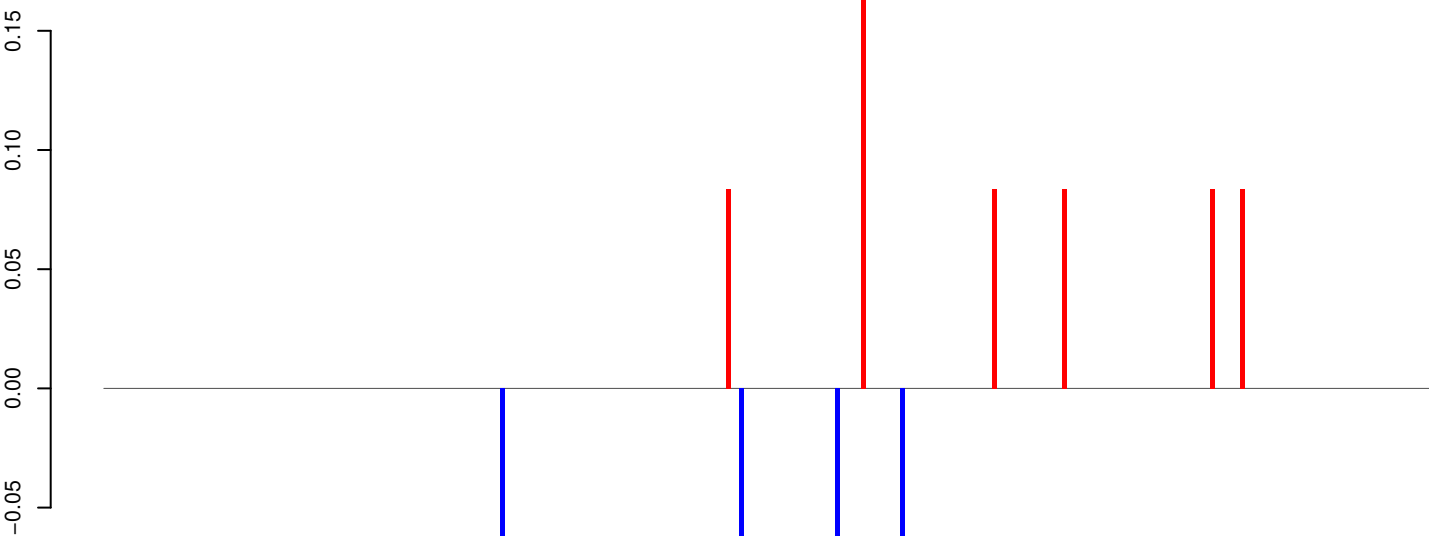
positive=0, negative=0, total=0

AeAeg_Aag2_Ago2_SINV_RA.24_35.rep



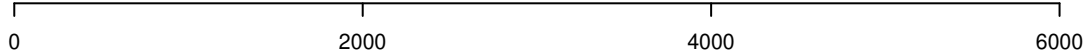
positive=0, negative=0, total=1

AeAeg_Aag2_Ago2_SINV_RA.rep

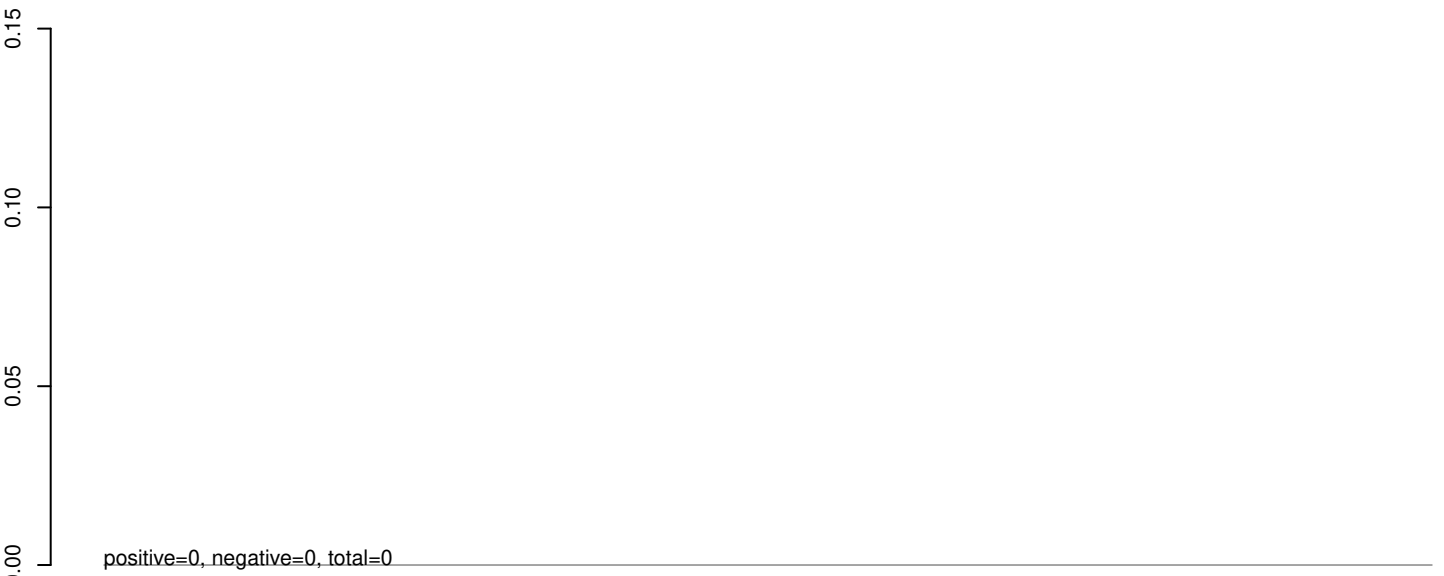


positive=1, negative=0, total=1

Window size=25, length=7601, TE@TF000313-Pao_Bel_Ele181:1-7601



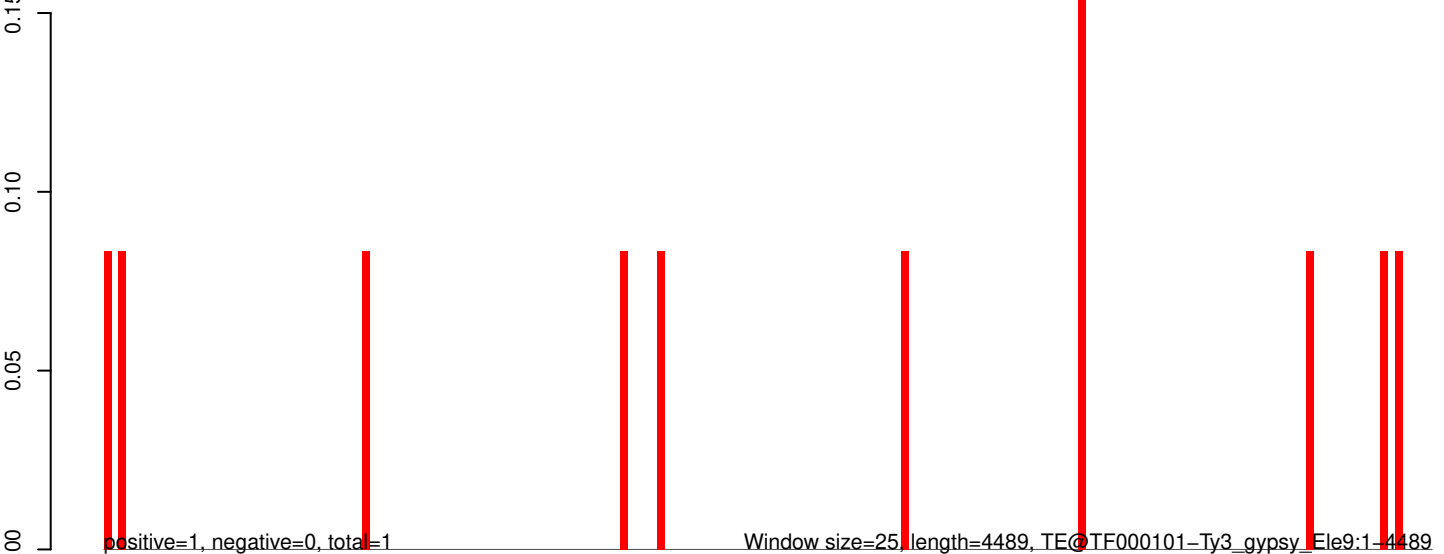
AeAeg_Aag2_Ago2_SINV_RA.18_23.rep



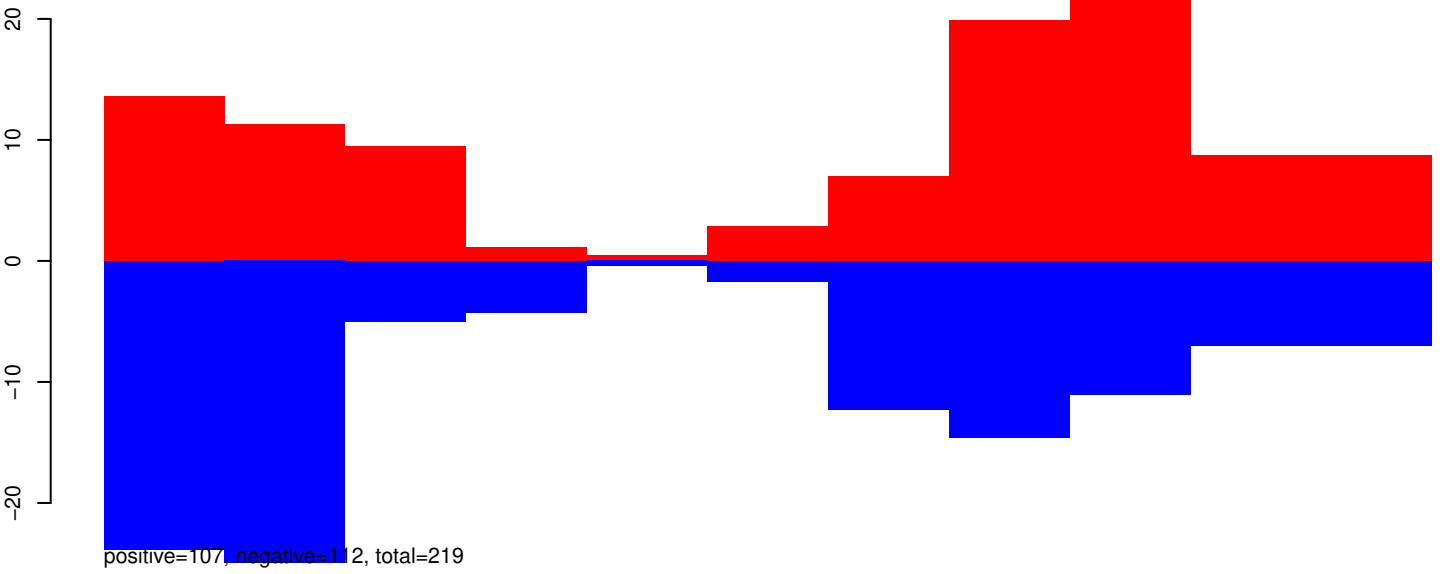
AeAeg_Aag2_Ago2_SINV_RA.24_35.rep



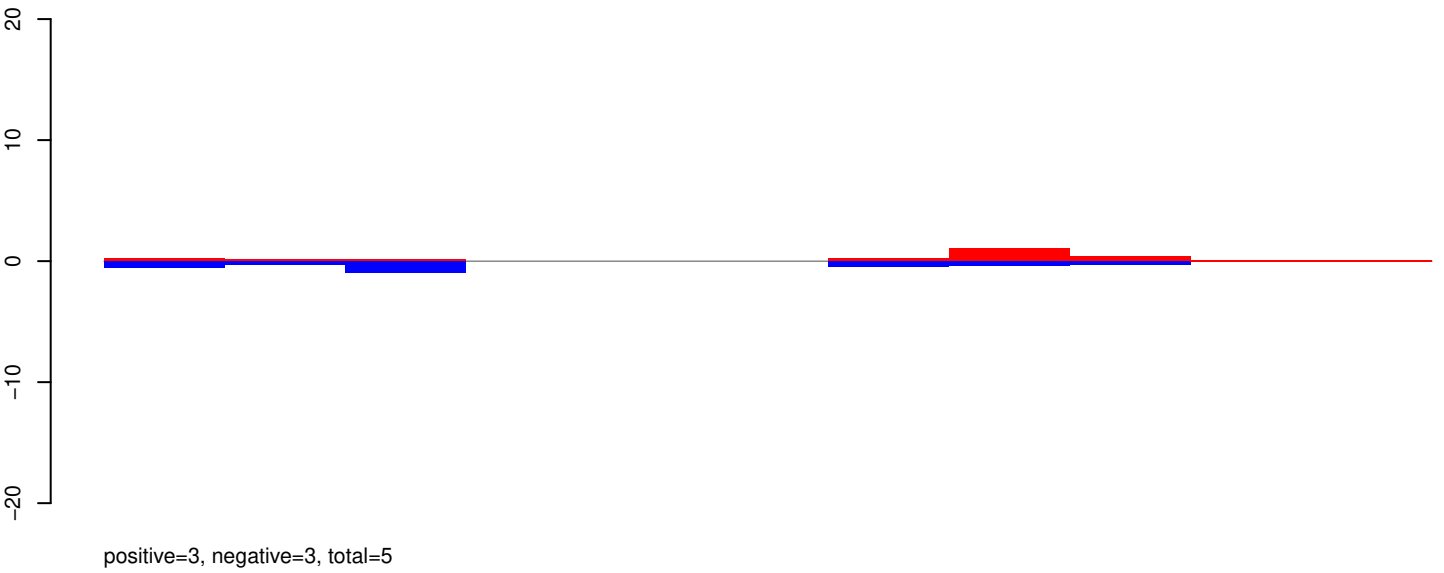
AeAeg_Aag2_Ago2_SINV_RA.rep



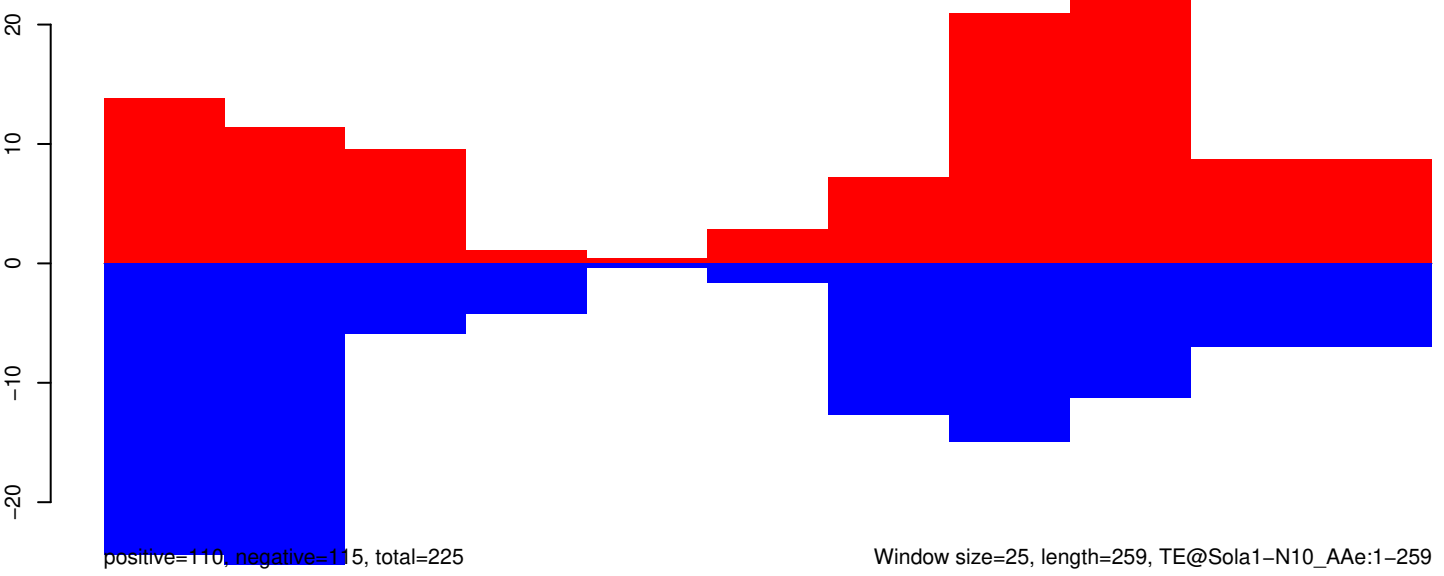
AeAeg_Aag2_Ago2_SINV_RA.18_23.rep



AeAeg_Aag2_Ago2_SINV_RA.24_35.rep

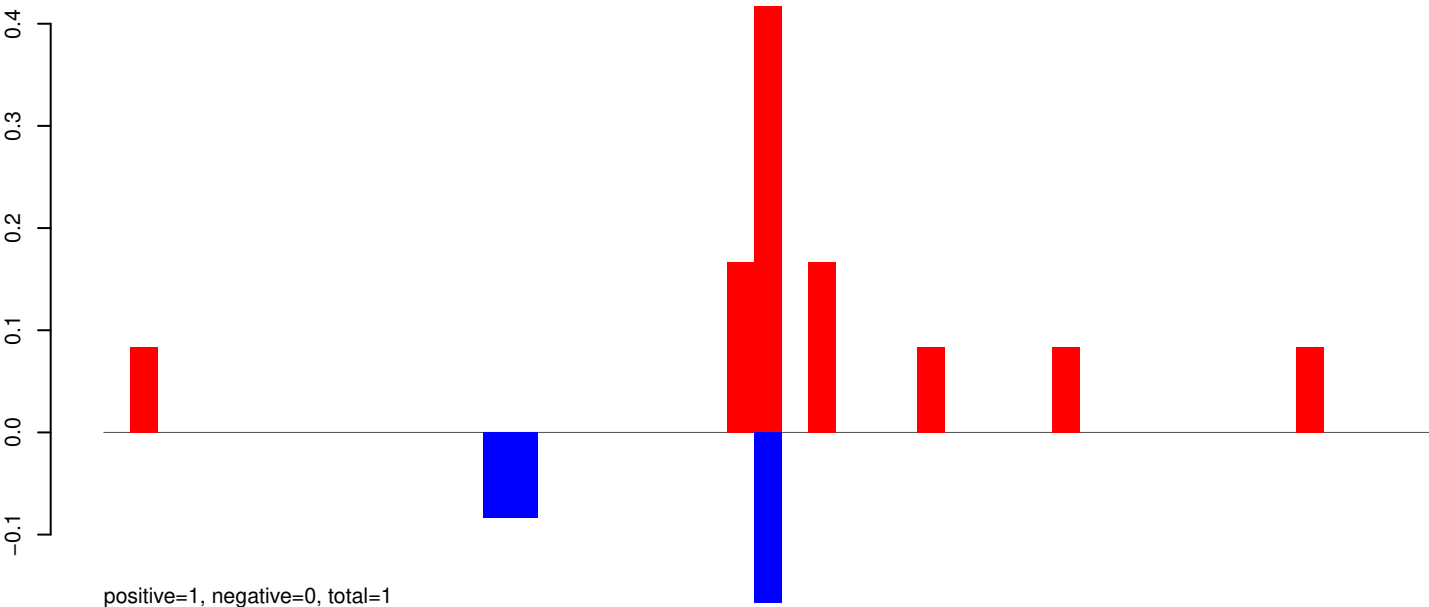


AeAeg_Aag2_Ago2_SINV_RA.rep

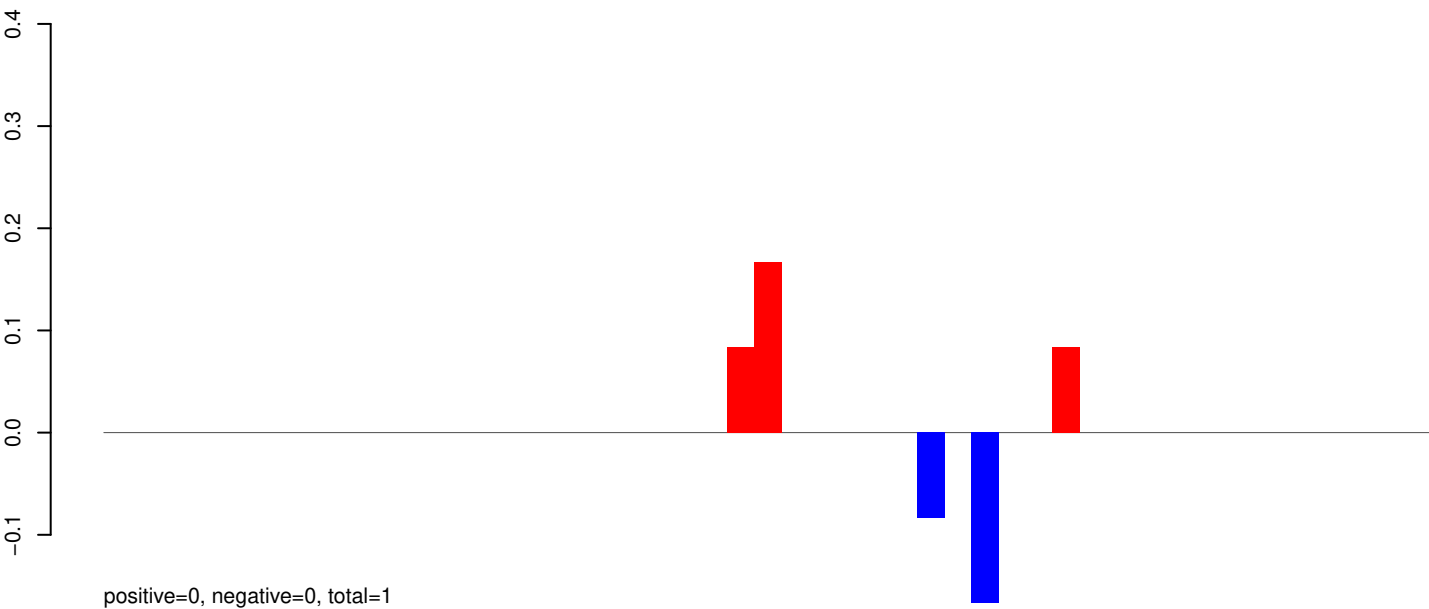


Window size=25, length=259, TE@Sola1-N10_AAe:1-259

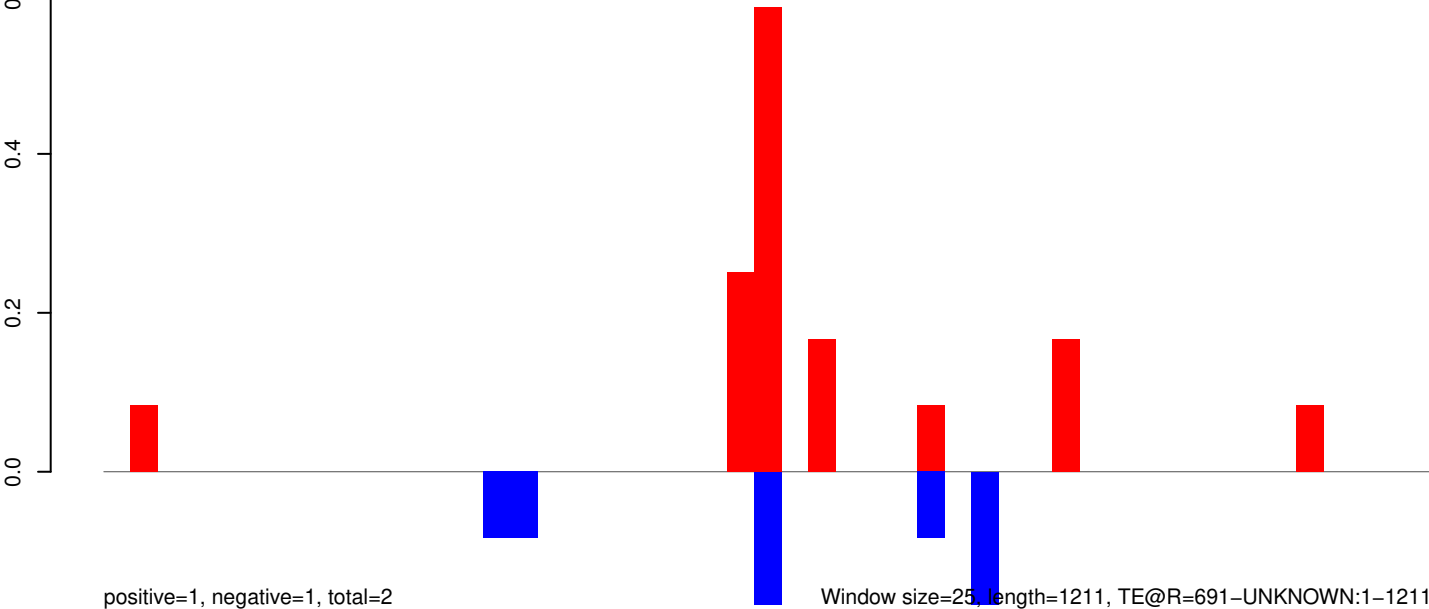
AeAeg_Aag2_Ago2_SINV_RA.18_23.rep



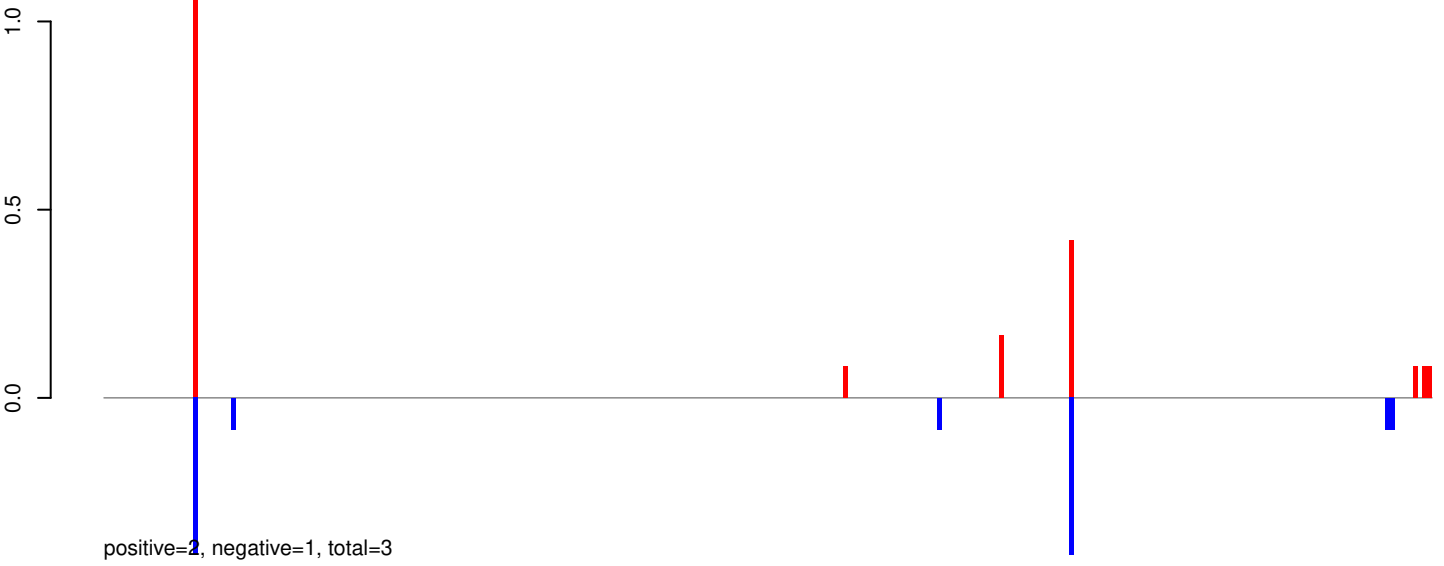
AeAeg_Aag2_Ago2_SINV_RA.24_35.rep



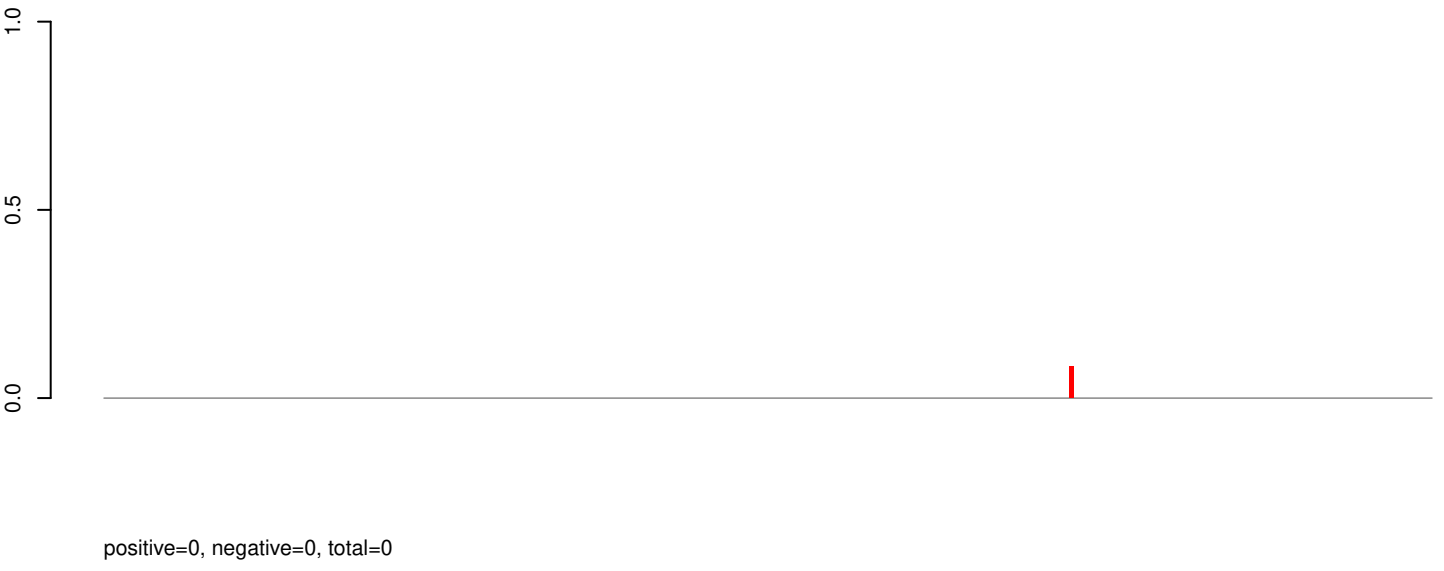
AeAeg_Aag2_Ago2_SINV_RA.rep



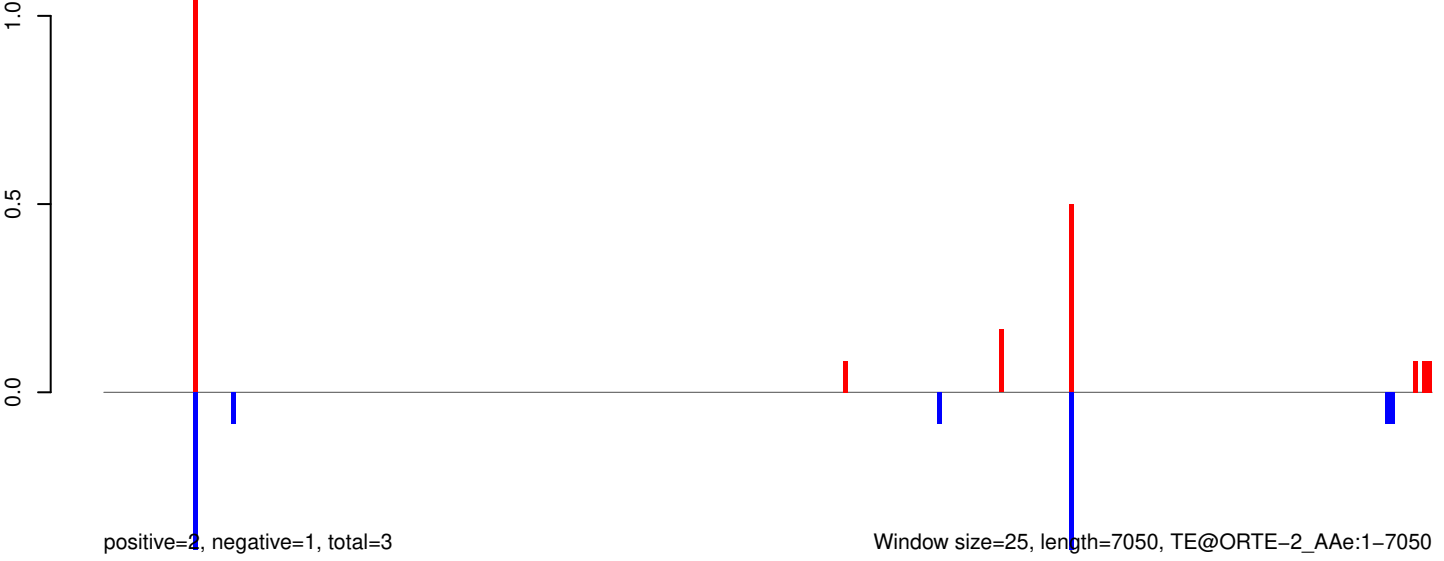
AeAeg_Aag2_Ago2_SINV_RA.18_23.rep



AeAeg_Aag2_Ago2_SINV_RA.24_35.rep

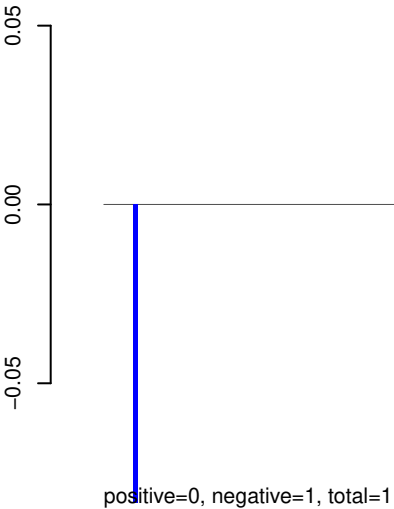


AeAeg_Aag2_Ago2_SINV_RA.rep

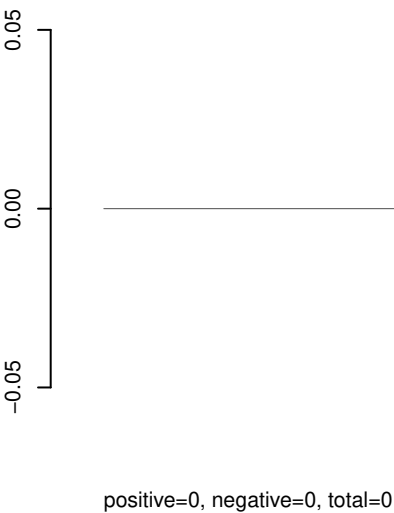


Window size=25, length=7050, TE@ORTE-2_AAe:1-7050

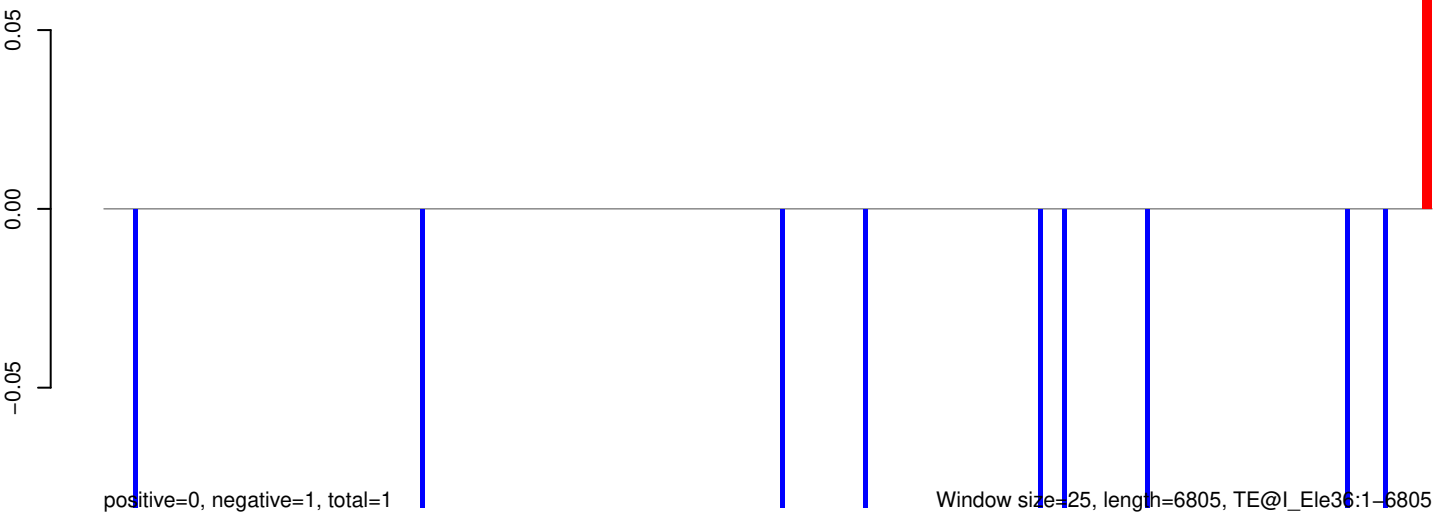
AeAeg_Aag2_Ago2_SINV_RA.18_23.rep



AeAeg_Aag2_Ago2_SINV_RA.24_35.rep

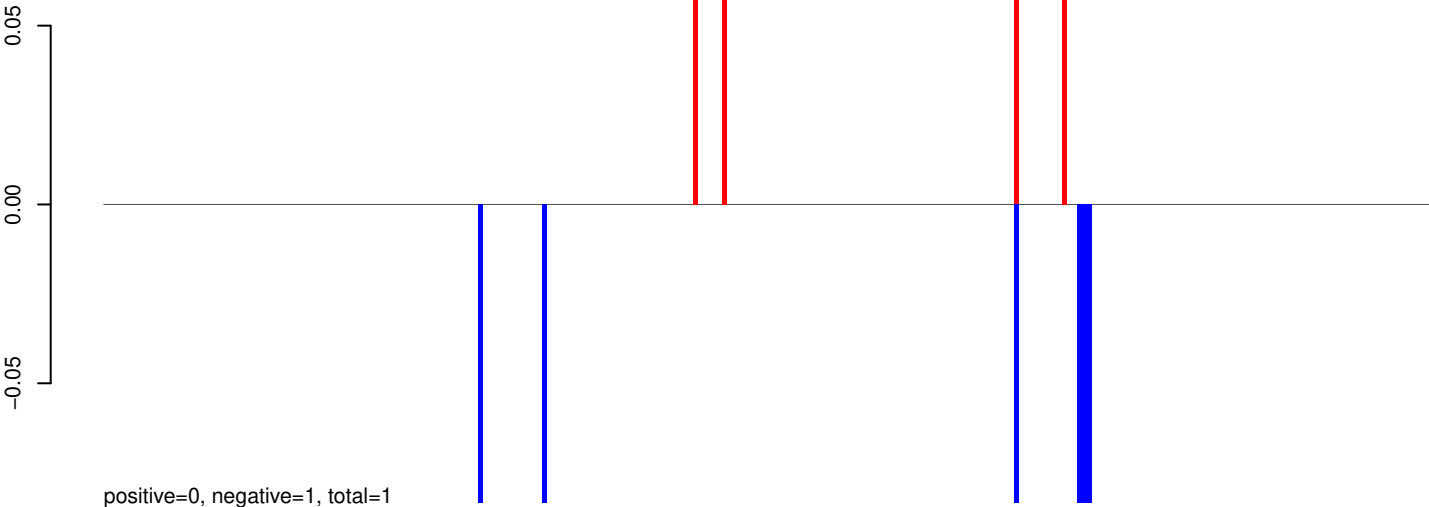


AeAeg_Aag2_Ago2_SINV_RA.rep

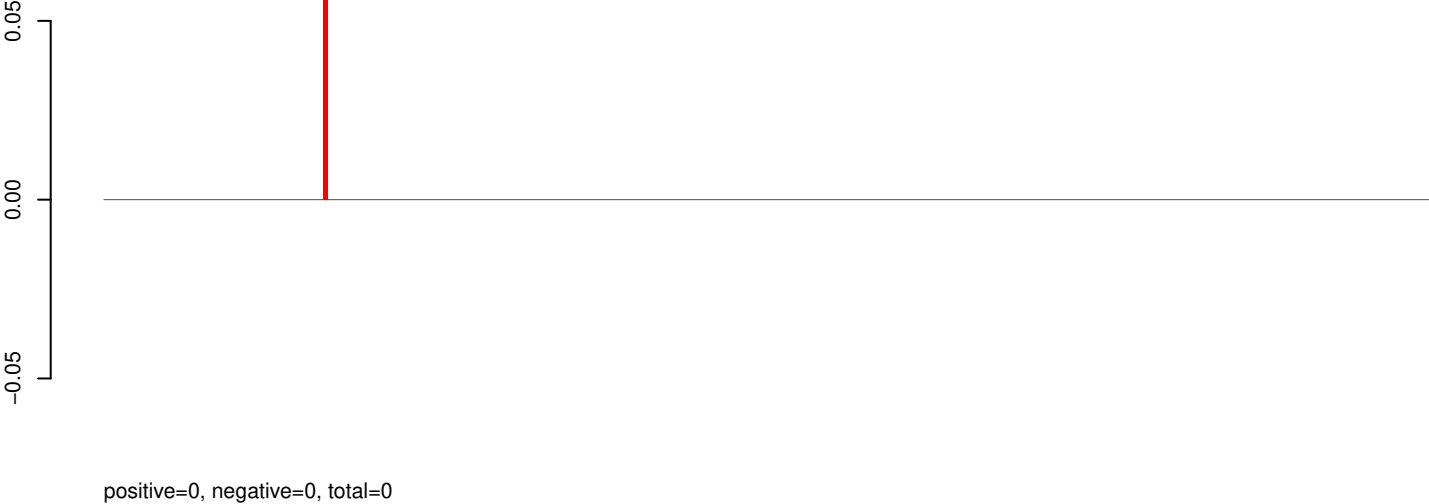


0 1000 2000 3000 4000 5000 6000 7000

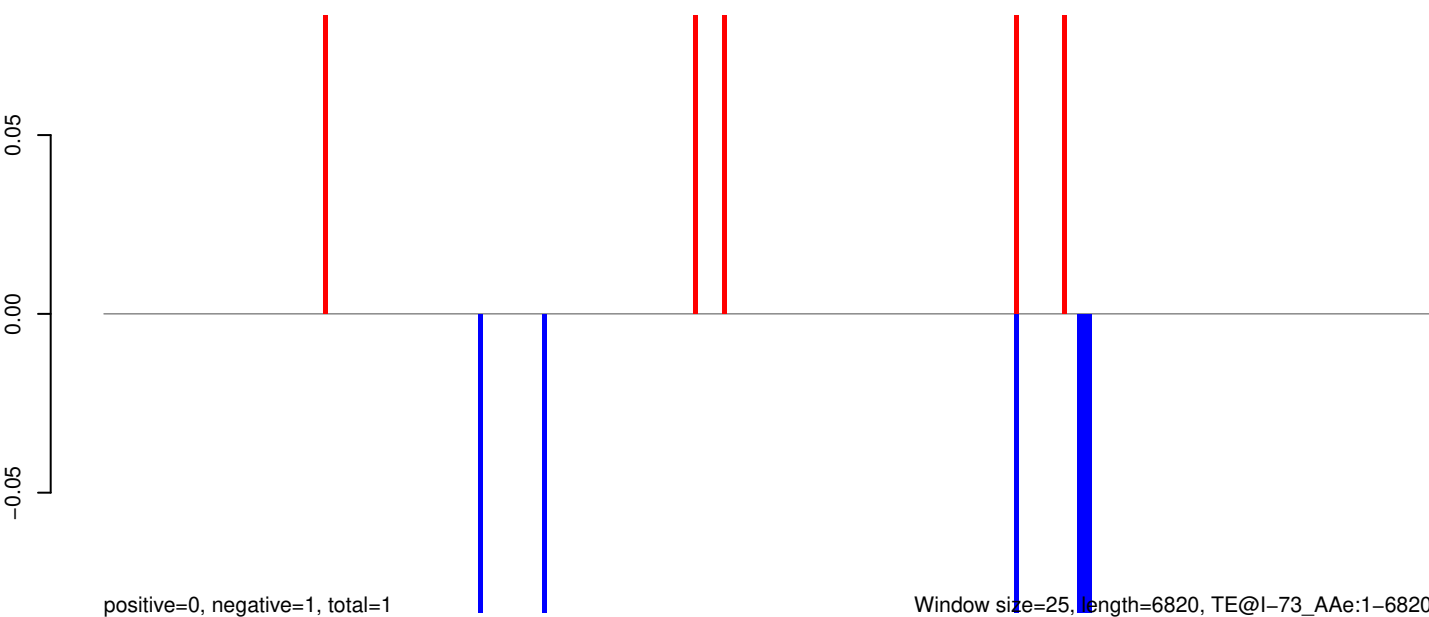
AeAeg_Aag2_Ago2_SINV_RA.18_23.rep



AeAeg_Aag2_Ago2_SINV_RA.24_35.rep



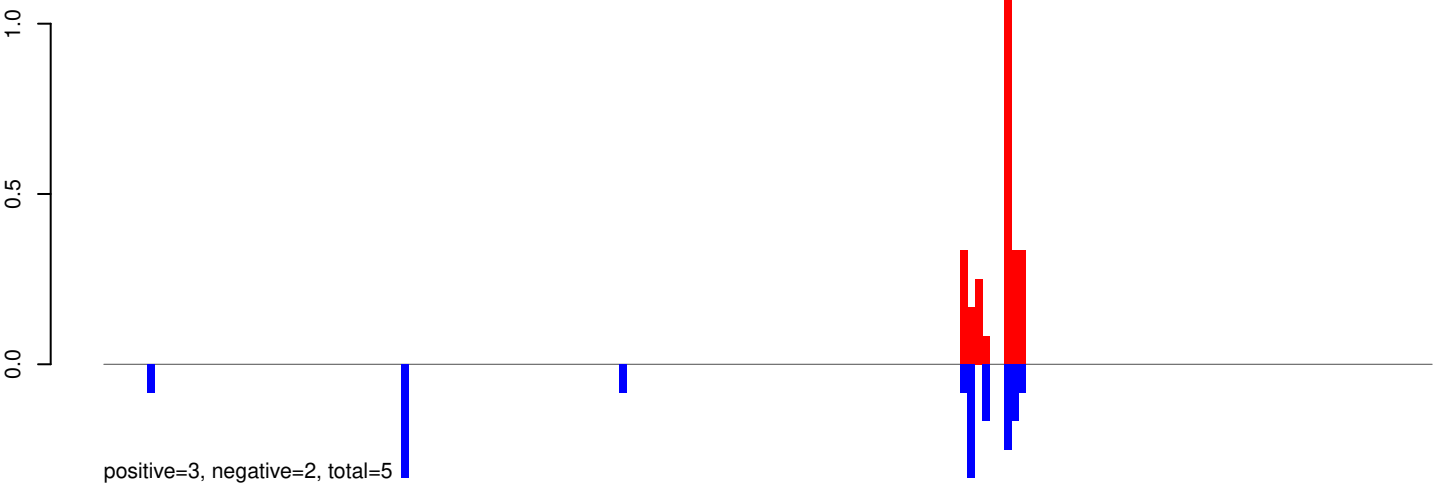
AeAeg_Aag2_Ago2_SINV_RA.rep



Window size=25, length=6820, TE@l-73_A Ae:1-6820

0 1000 2000 3000 4000 5000 6000 7000

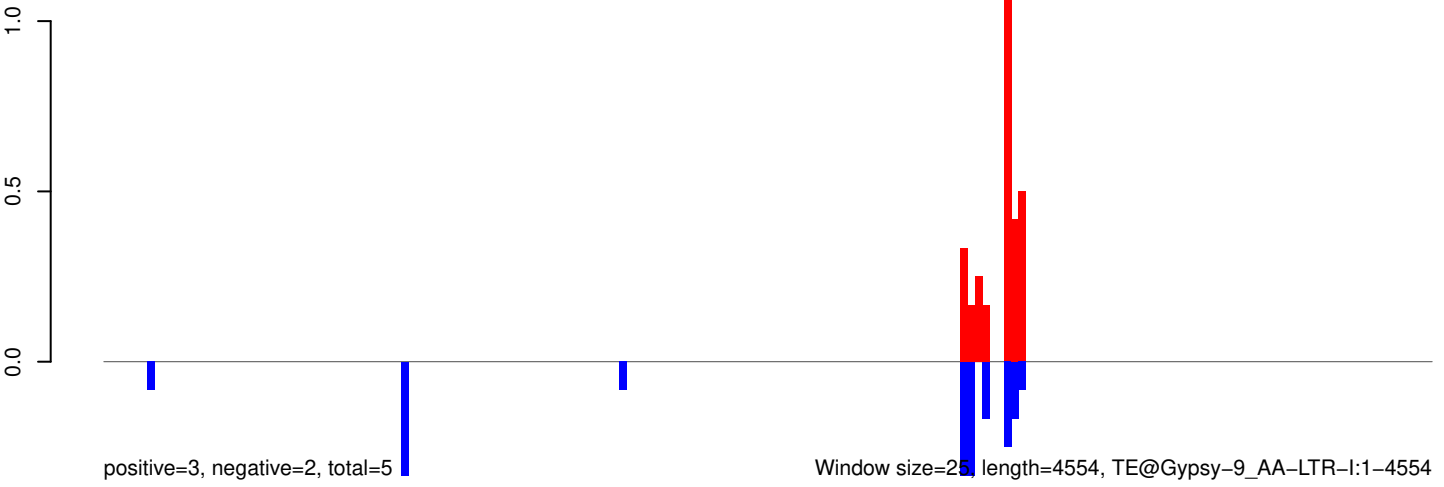
AeAeg_Aag2_Ago2_SINV_RA.18_23.rep



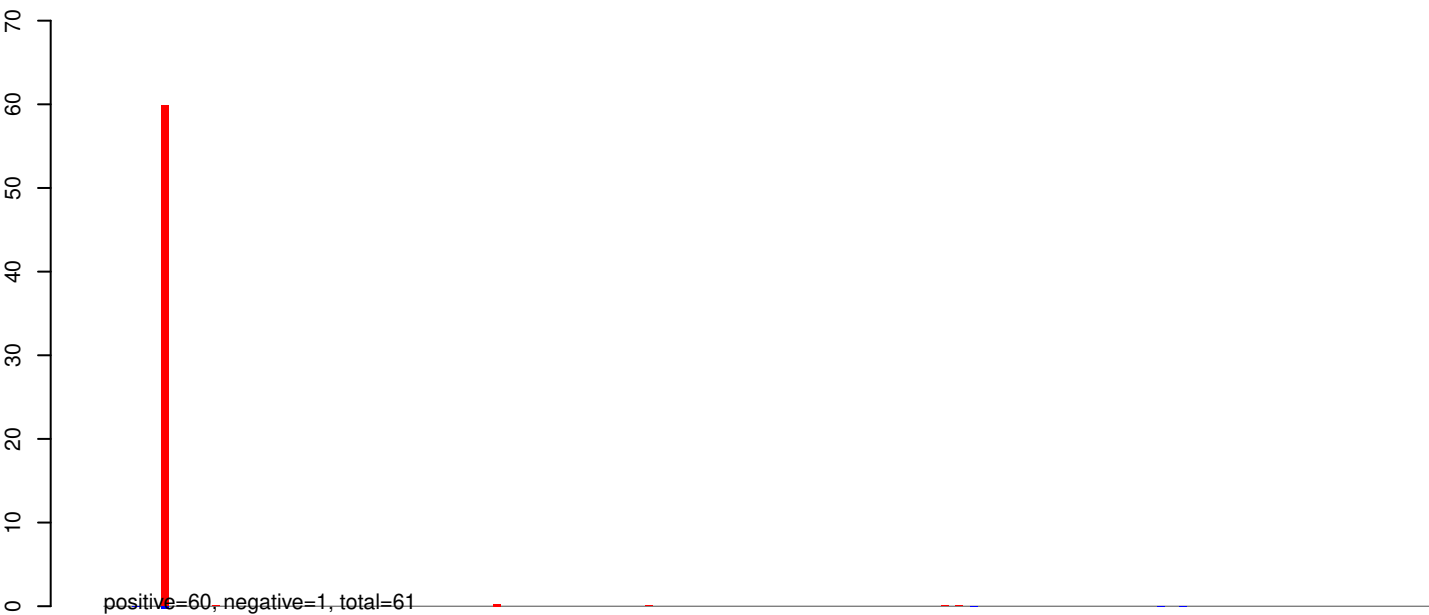
AeAeg_Aag2_Ago2_SINV_RA.24_35.rep



AeAeg_Aag2_Ago2_SINV_RA.rep



AeAeg_Aag2_Ago2_SINV_RA.18_23.rep



AeAeg_Aag2_Ago2_SINV_RA.24_35.rep

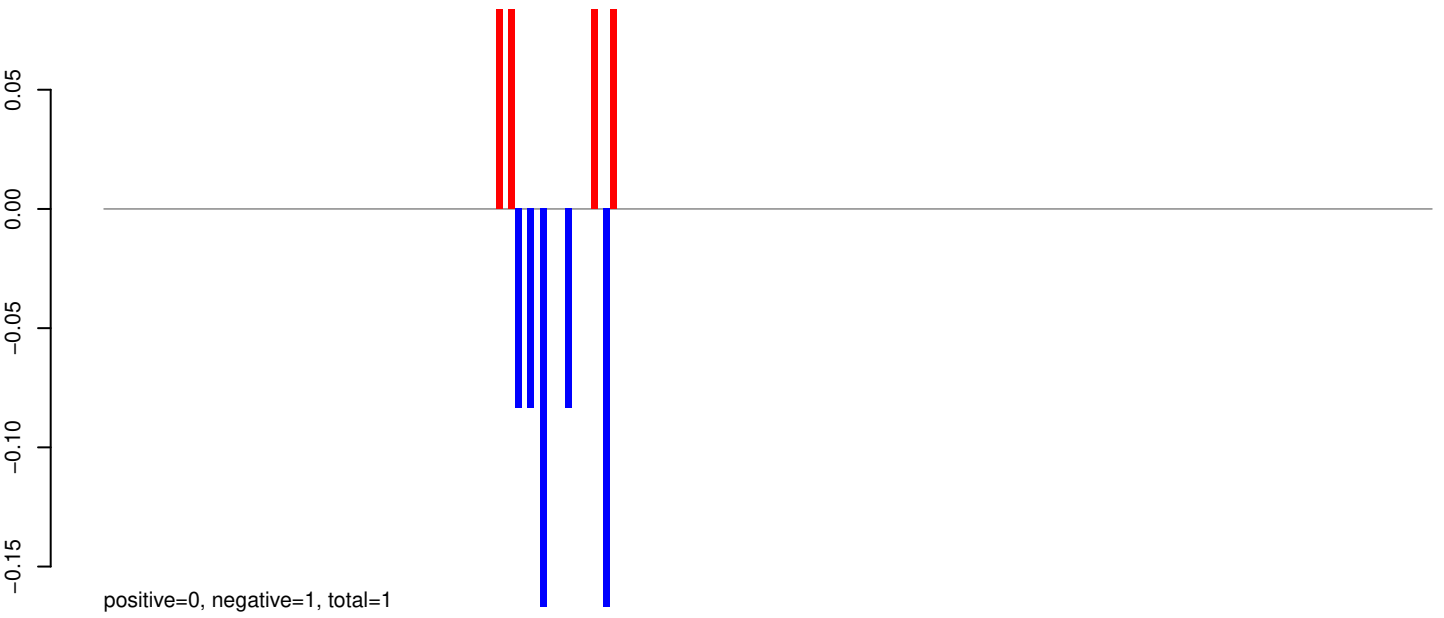


AeAeg_Aag2_Ago2_SINV_RA.rep

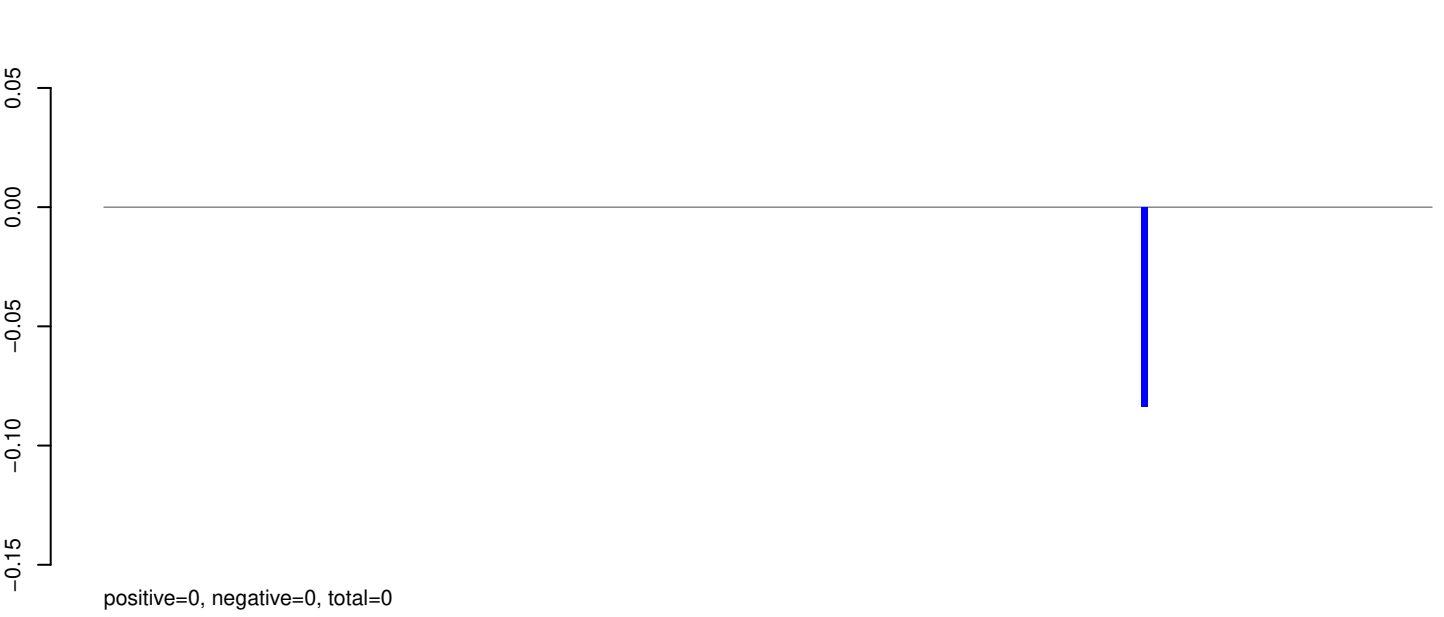


0 1000 2000 3000 4000

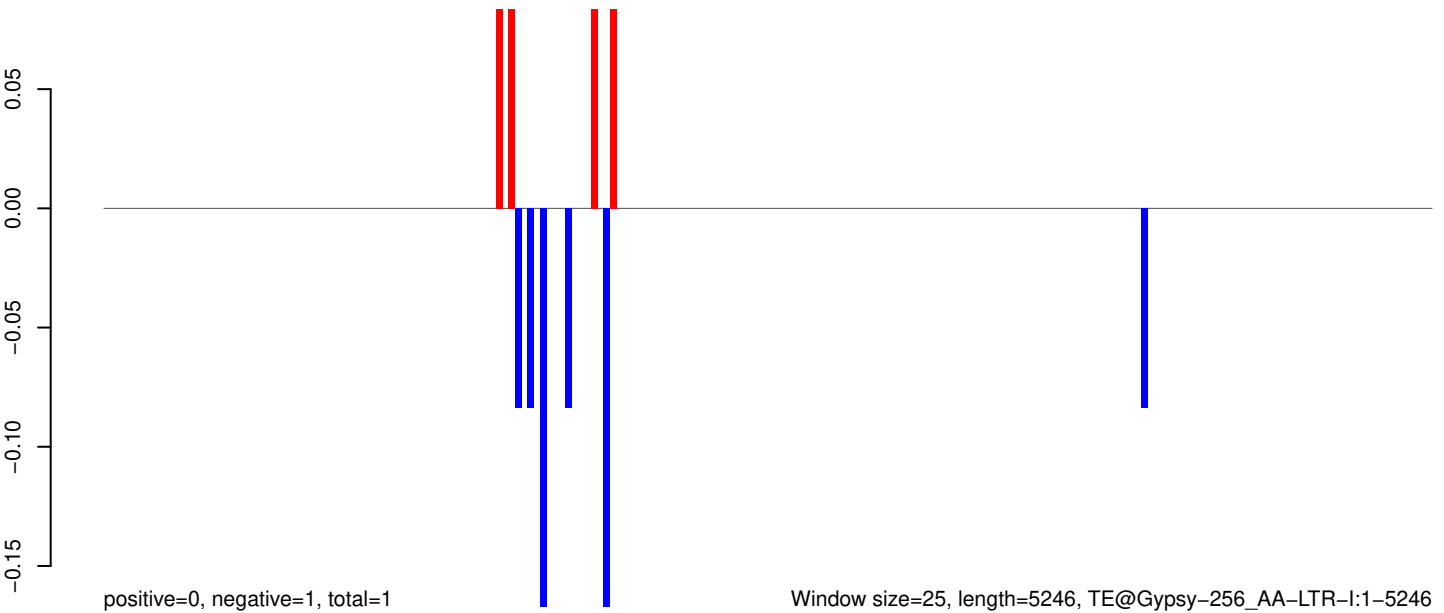
AeAeg_Aag2_Ago2_SINV_RA.18_23.rep



AeAeg_Aag2_Ago2_SINV_RA.24_35.rep



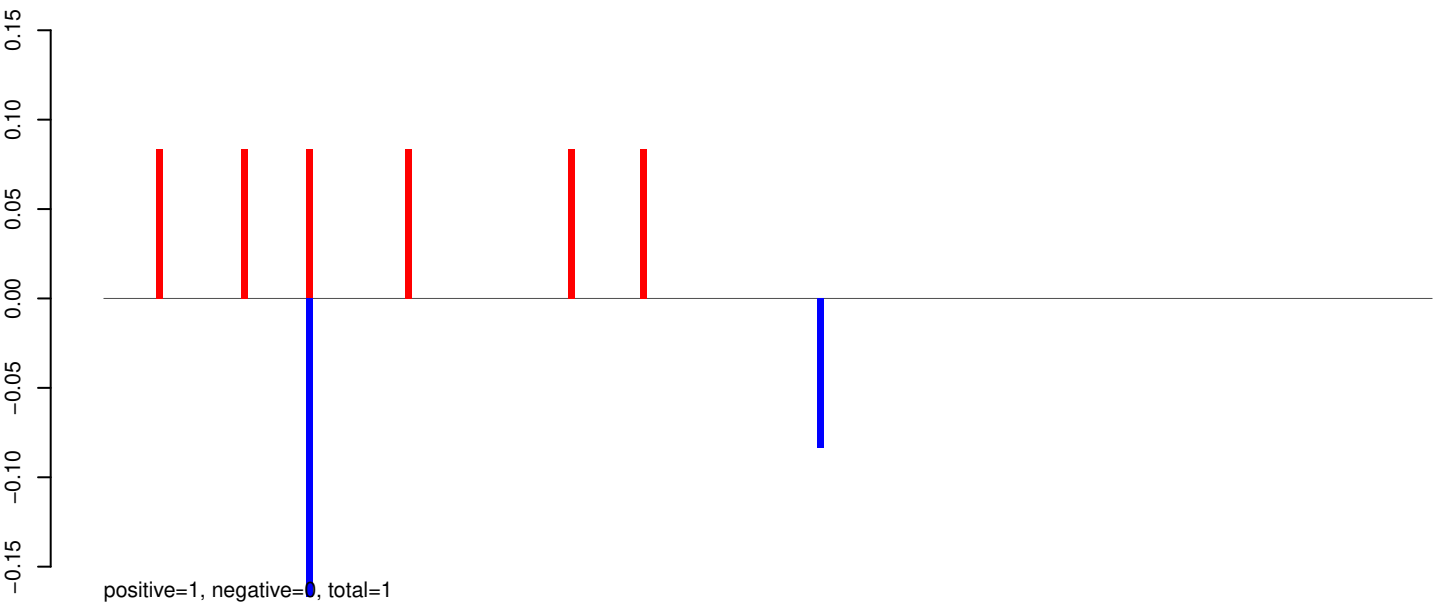
AeAeg_Aag2_Ago2_SINV_RA.rep



Window size=25, length=5246, TE@Gypsy-256_AA-LTR-I:1-5246

0 1000 2000 3000 4000 5000

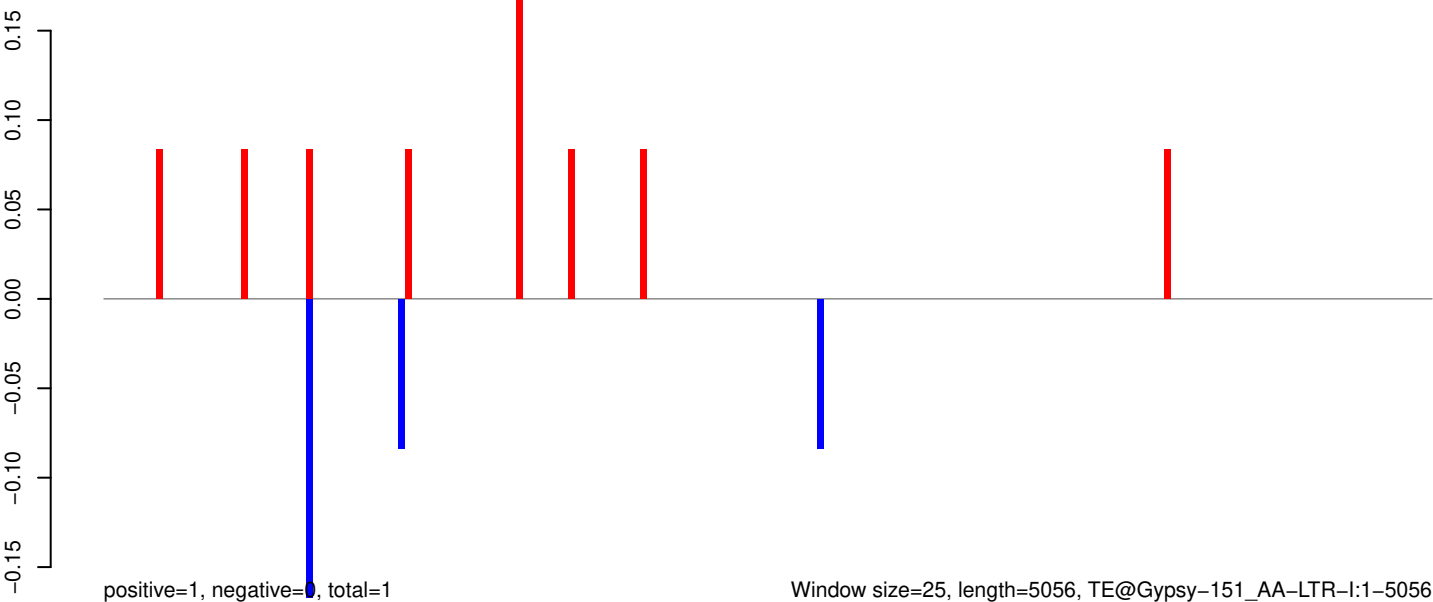
AeAeg_Aag2_Ago2_SINV_RA.18_23.rep



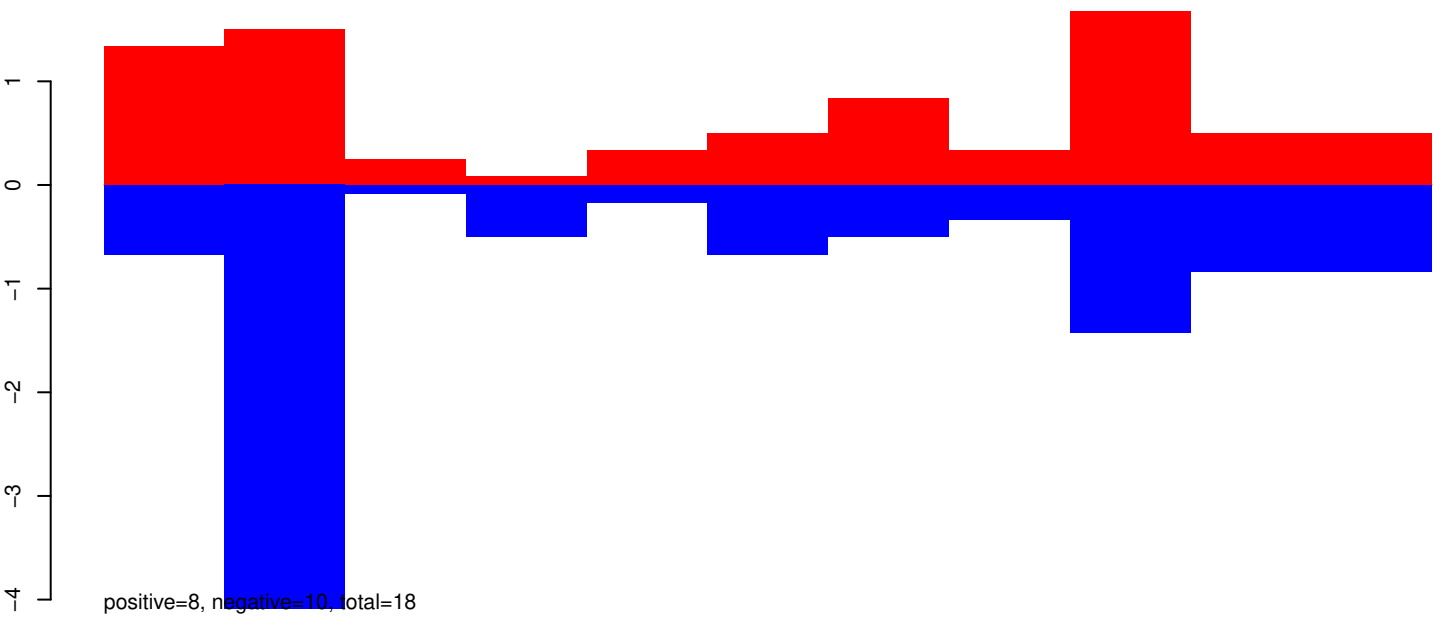
AeAeg_Aag2_Ago2_SINV_RA.24_35.rep



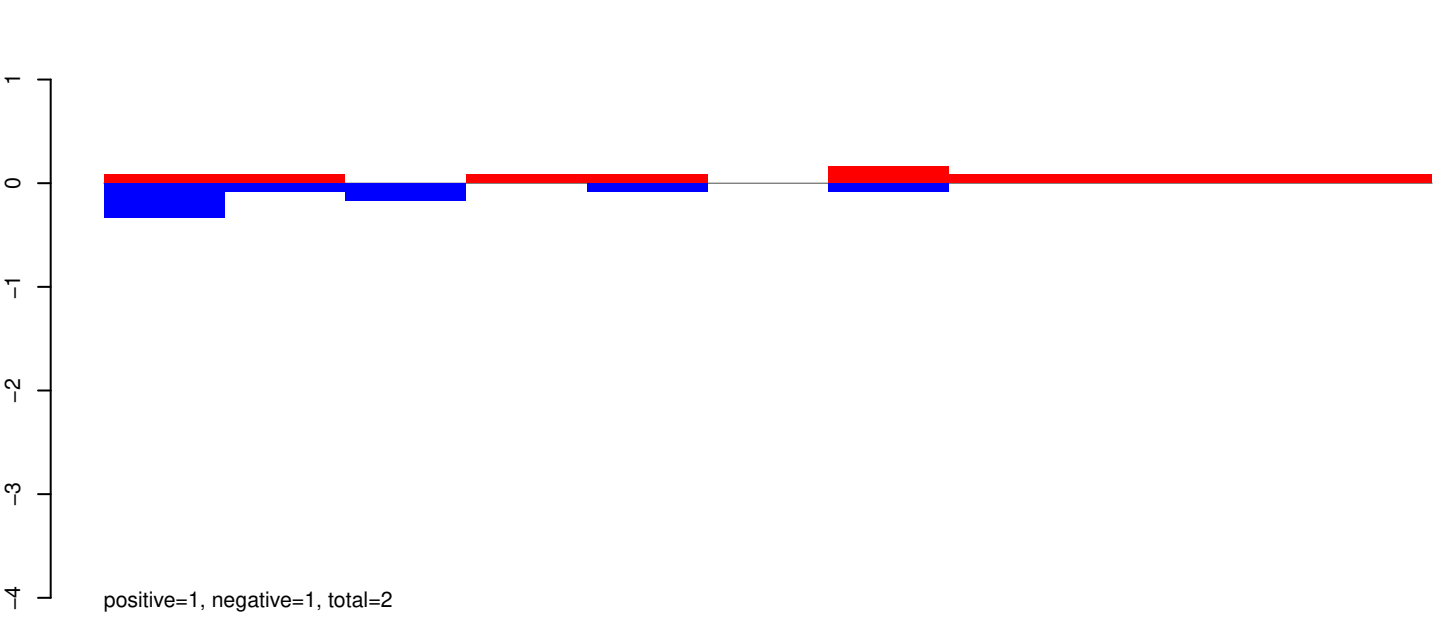
AeAeg_Aag2_Ago2_SINV_RA.rep



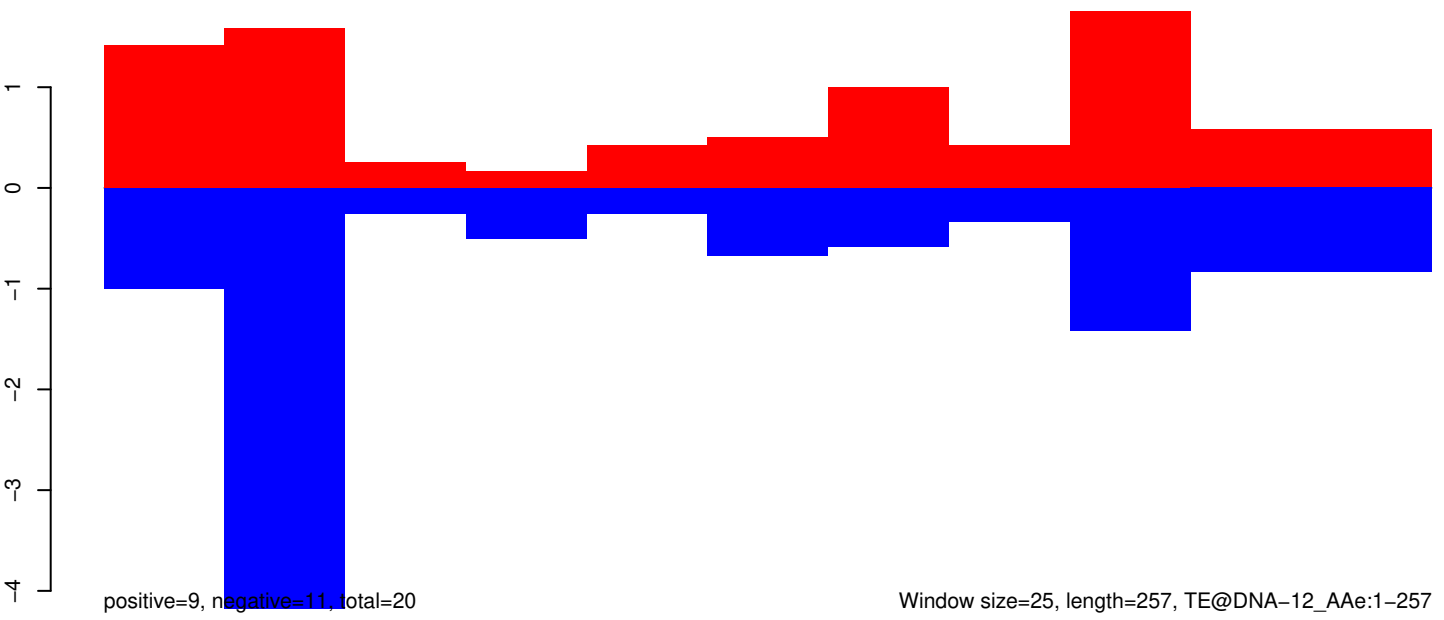
AeAeg_Aag2_Ago2_SINV_RA.18_23.rep



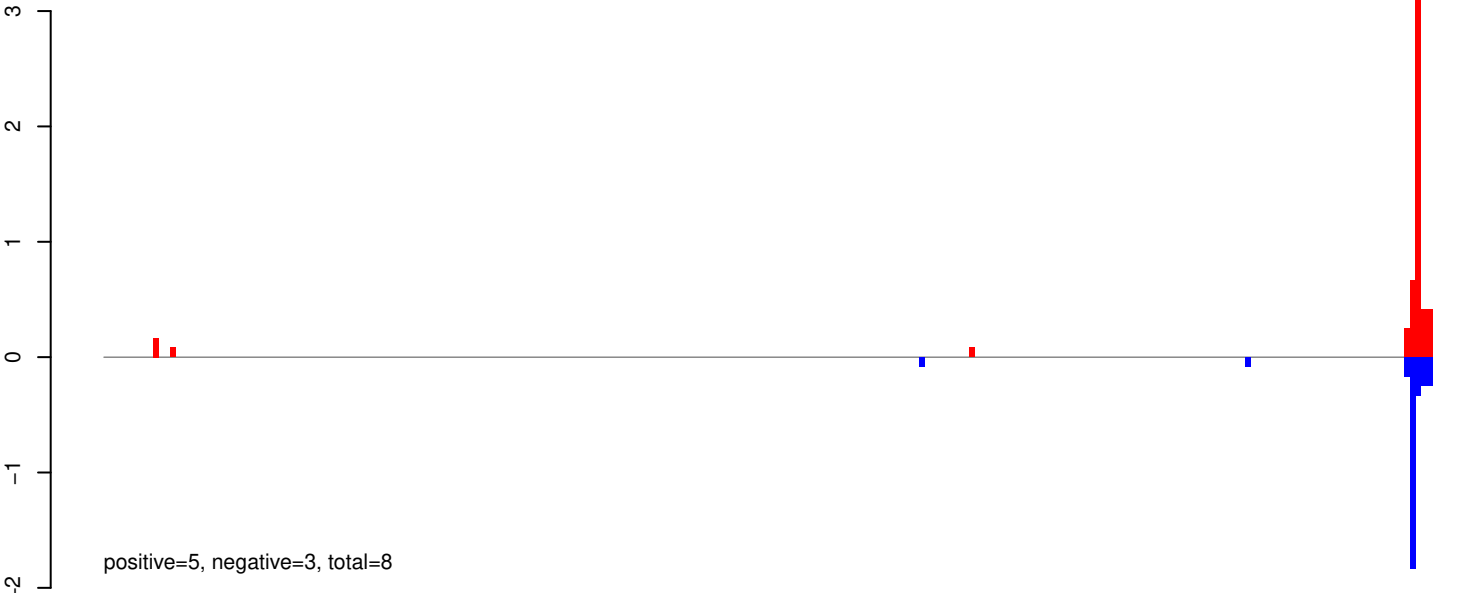
AeAeg_Aag2_Ago2_SINV_RA.24_35.rep



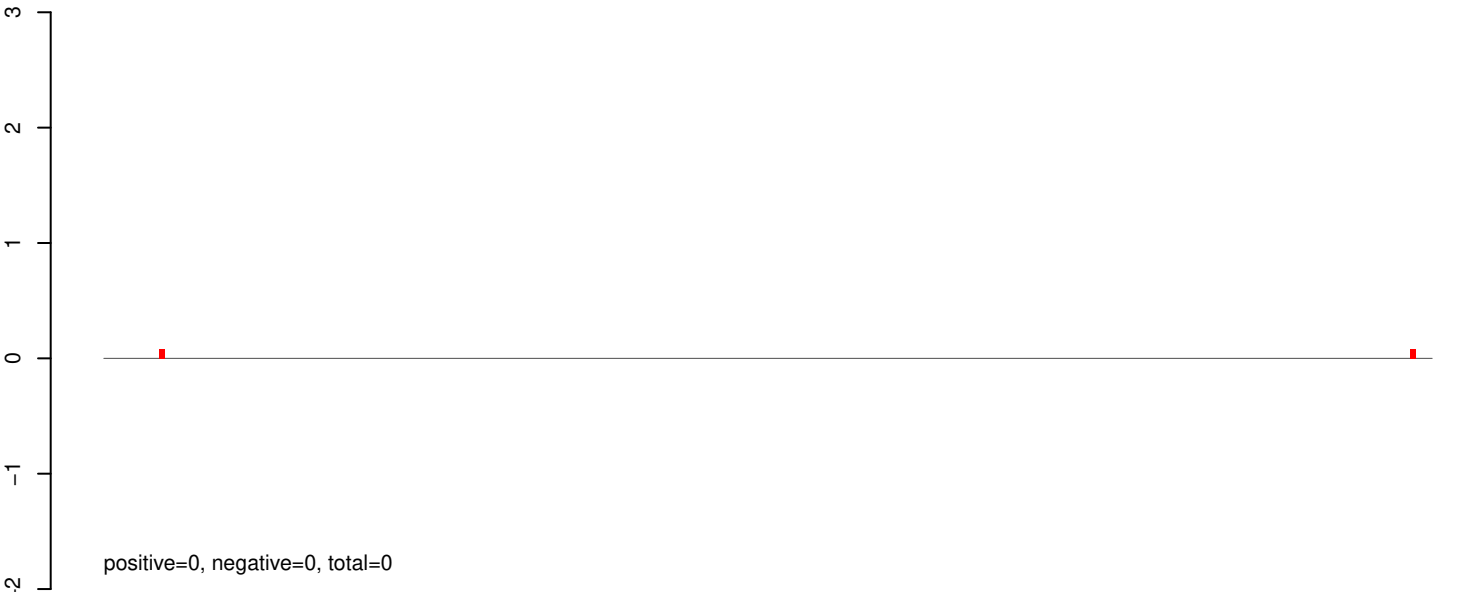
AeAeg_Aag2_Ago2_SINV_RA.rep



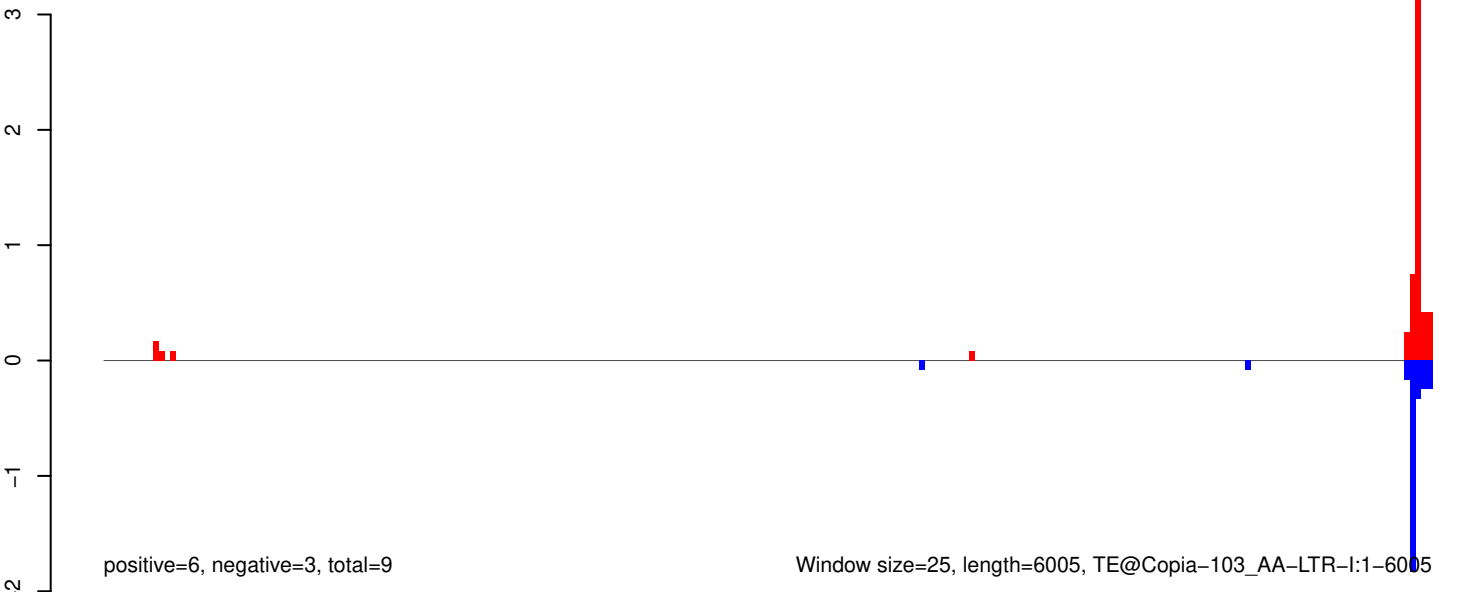
AeAeg_Aag2_Ago2_SINV_RA.18_23.rep



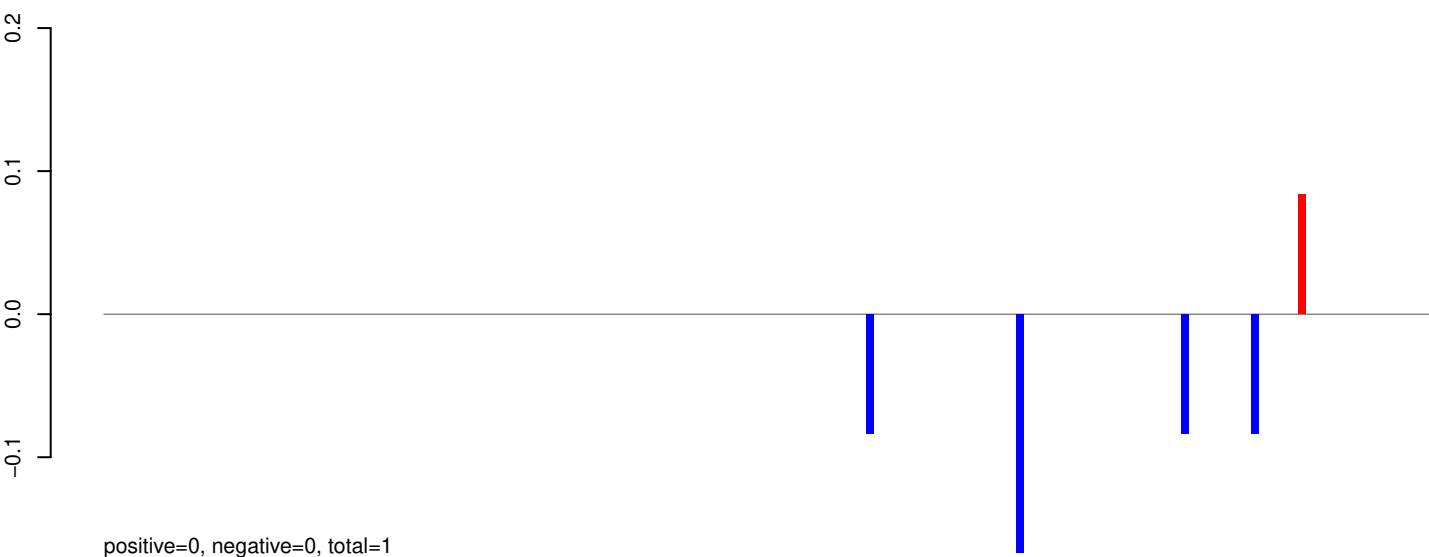
AeAeg_Aag2_Ago2_SINV_RA.24_35.rep



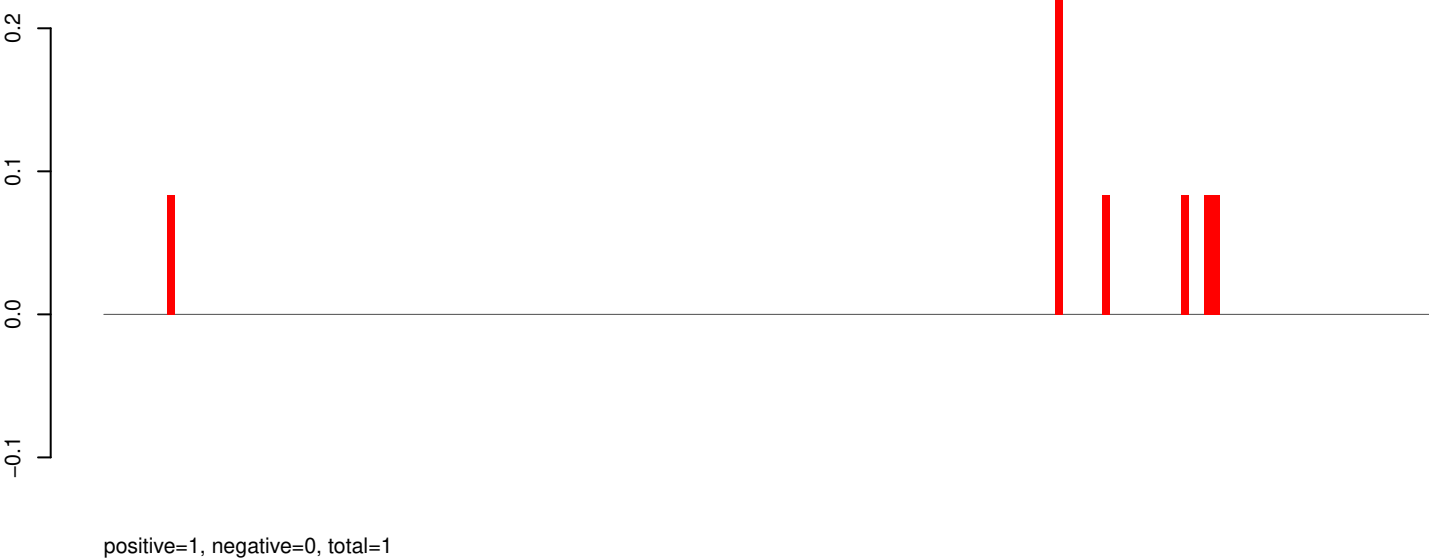
AeAeg_Aag2_Ago2_SINV_RA.rep



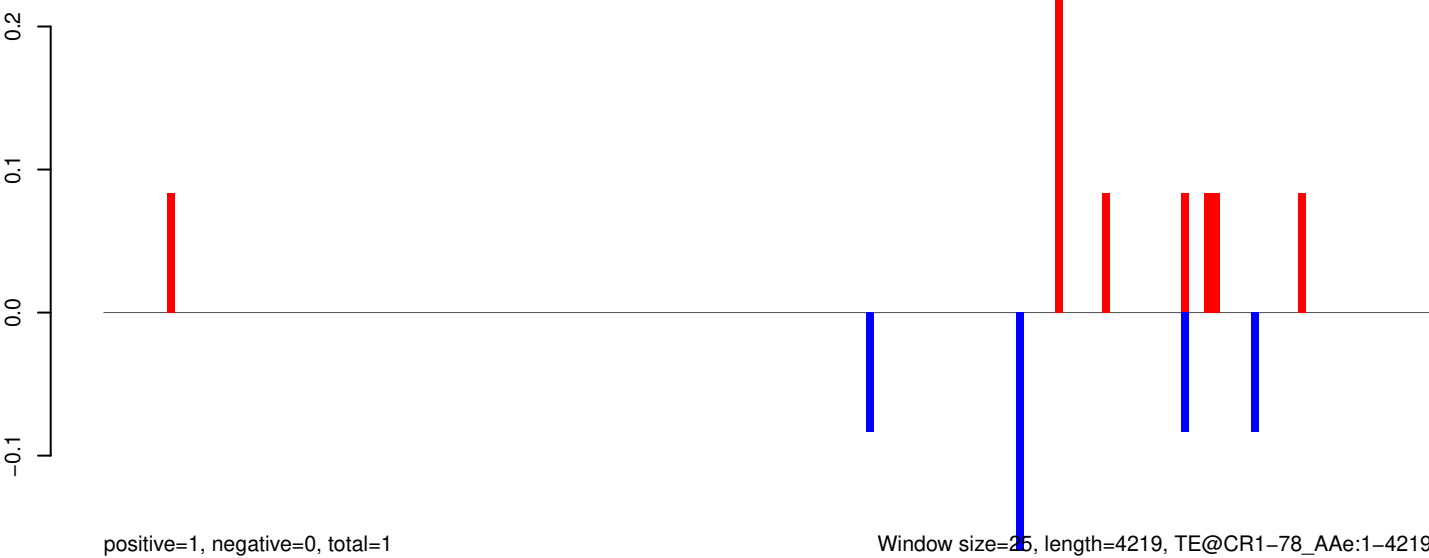
AeAeg_Aag2_Ago2_SINV_RA.18_23.rep



AeAeg_Aag2_Ago2_SINV_RA.24_35.rep



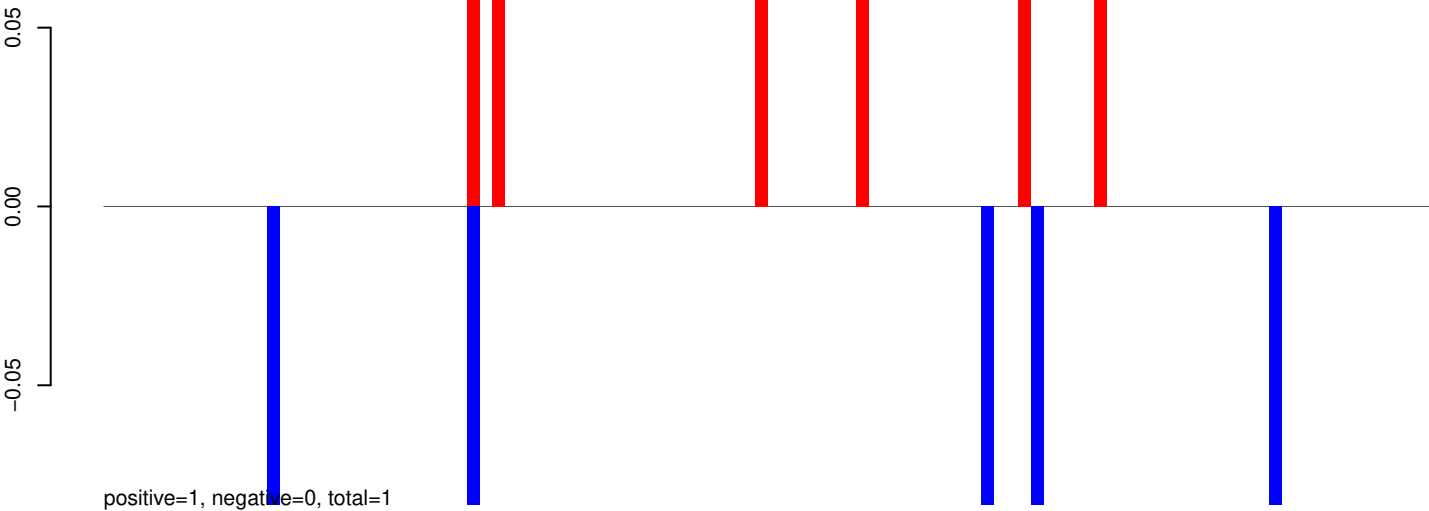
AeAeg_Aag2_Ago2_SINV_RA.rep



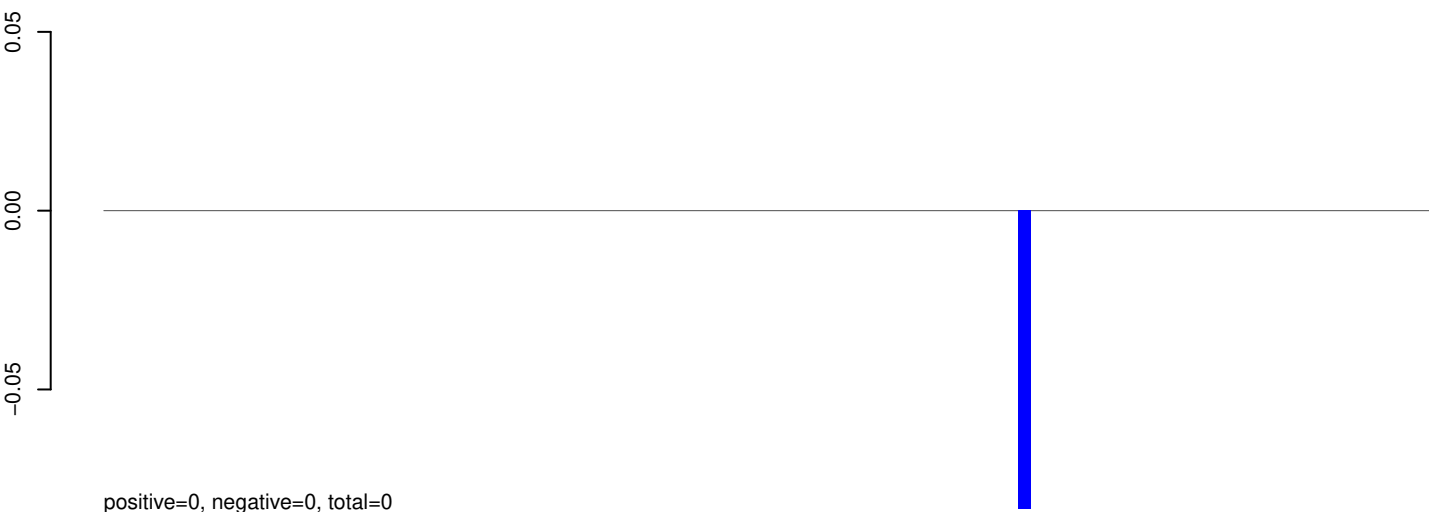
Window size=25, length=4219, TE@CR1-78_AAe:1-4219

0 1000 2000 3000 4000

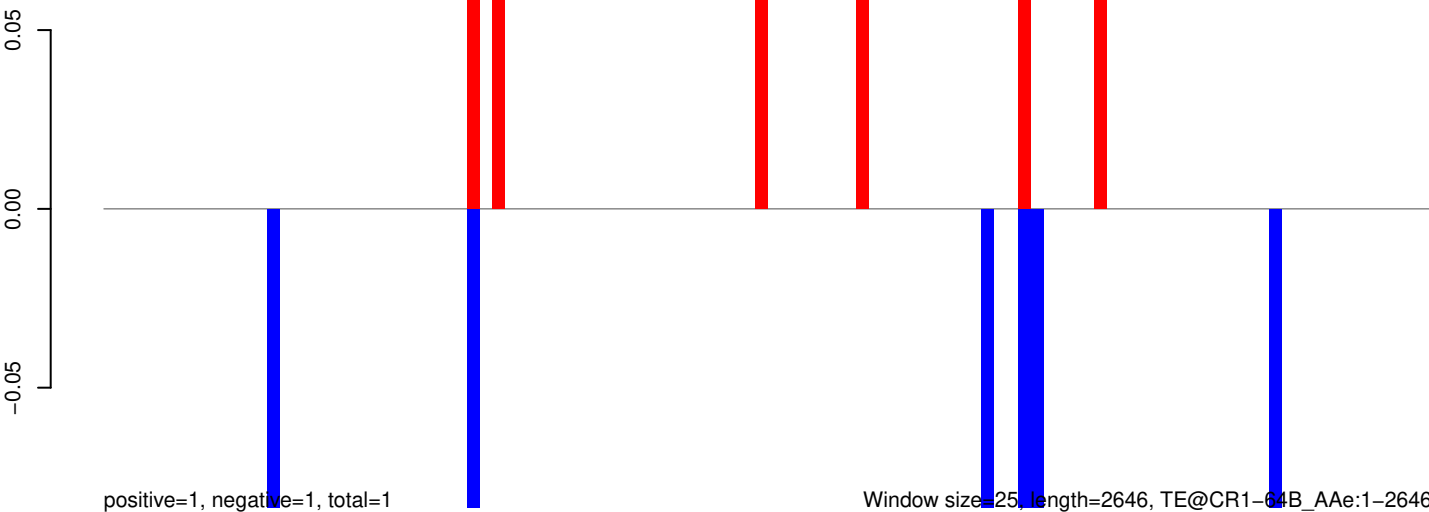
AeAeg_Aag2_Ago2_SINV_RA.18_23.rep



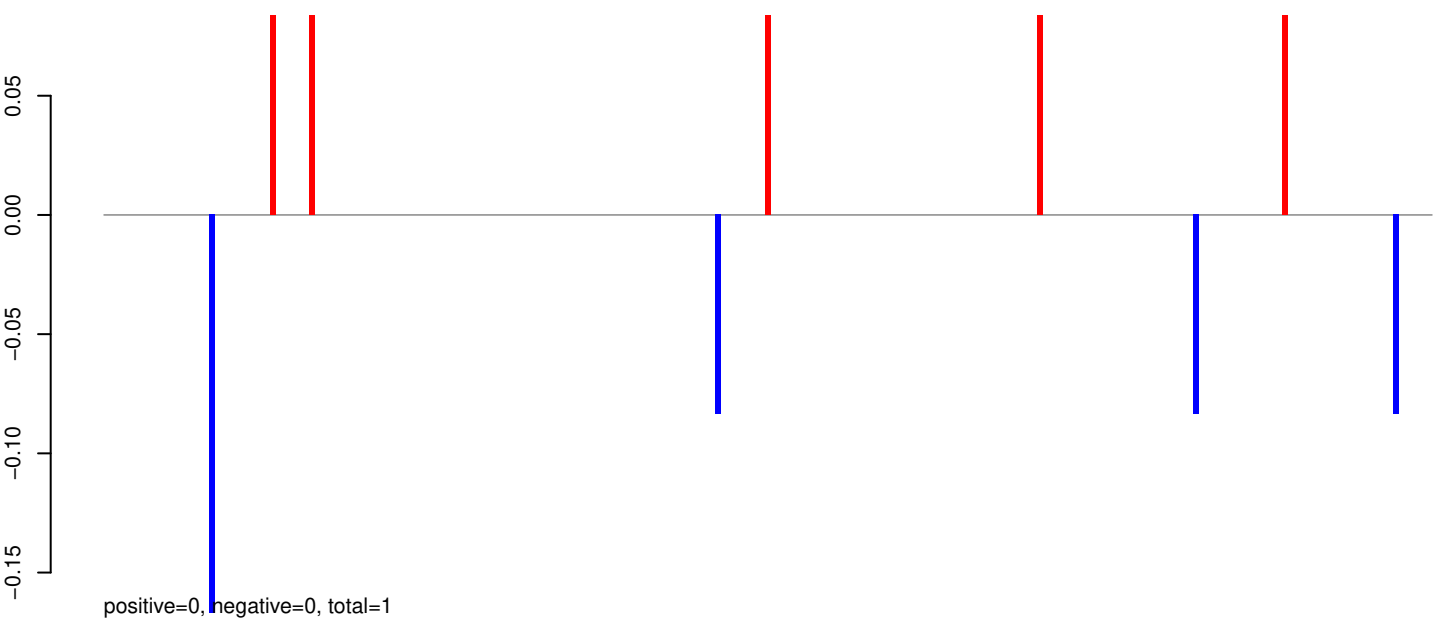
AeAeg_Aag2_Ago2_SINV_RA.24_35.rep



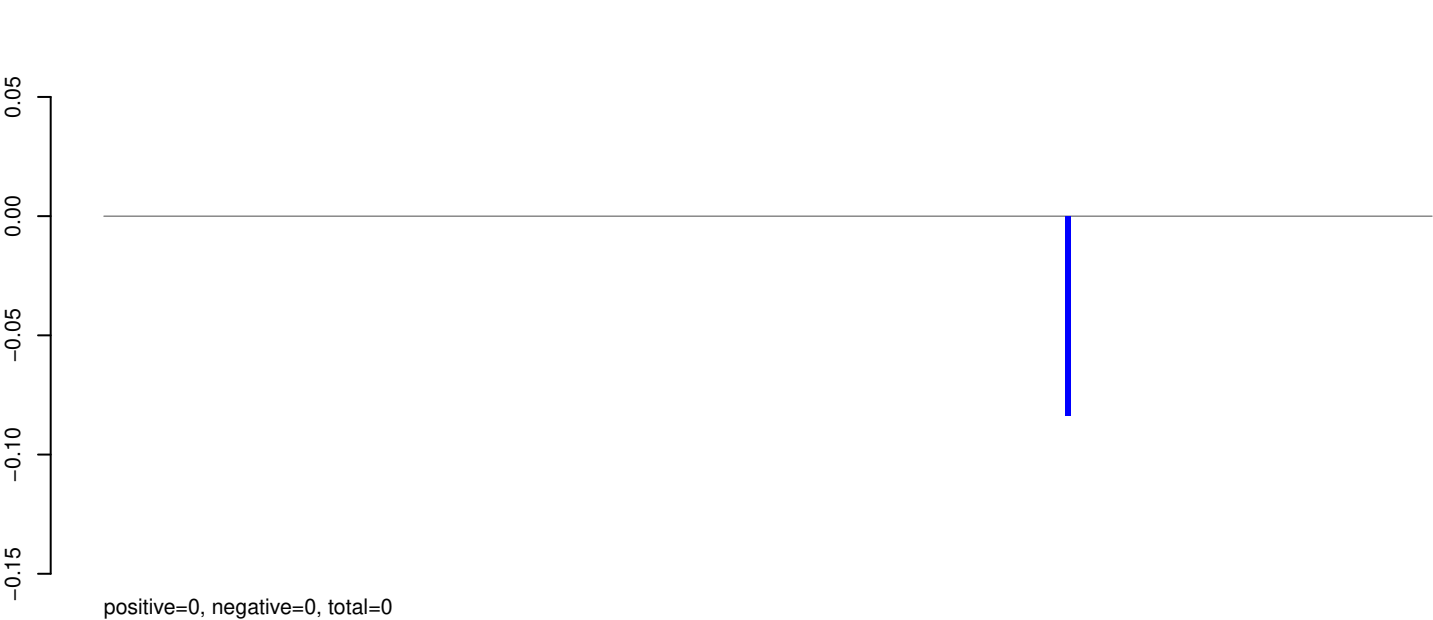
AeAeg_Aag2_Ago2_SINV_RA.rep



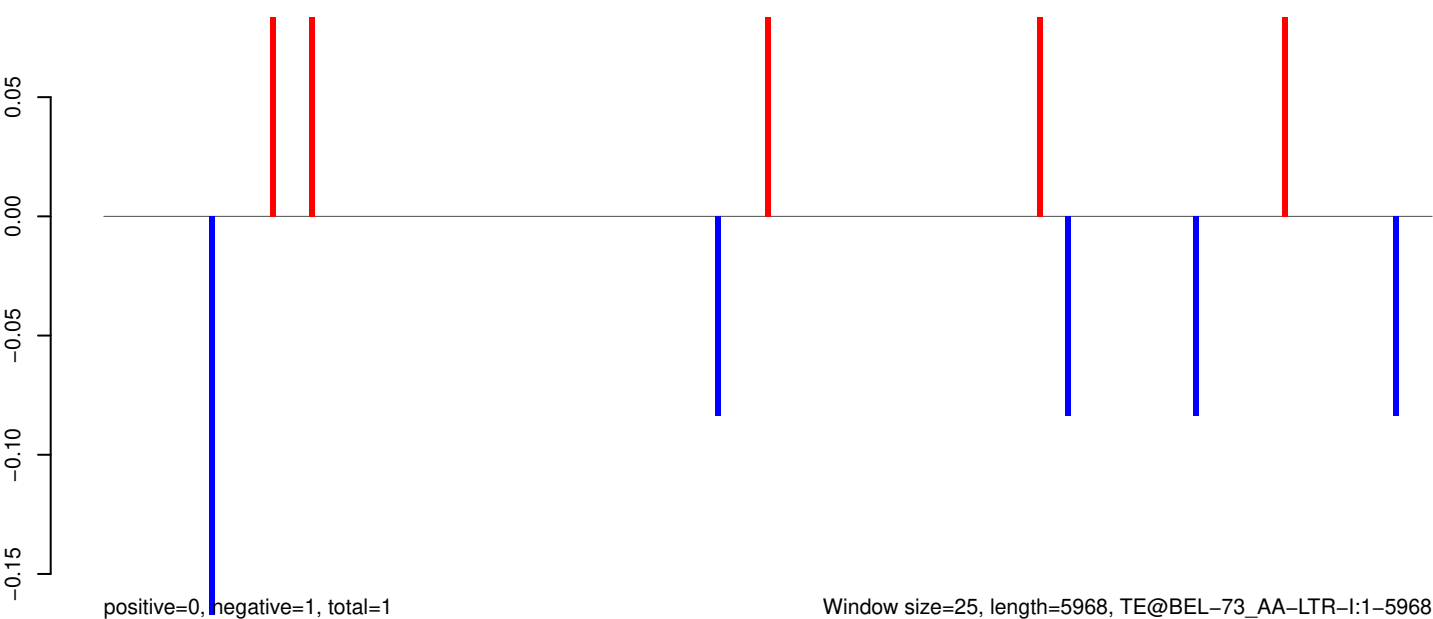
AeAeg_Aag2_Ago2_SINV_RA.18_23.rep



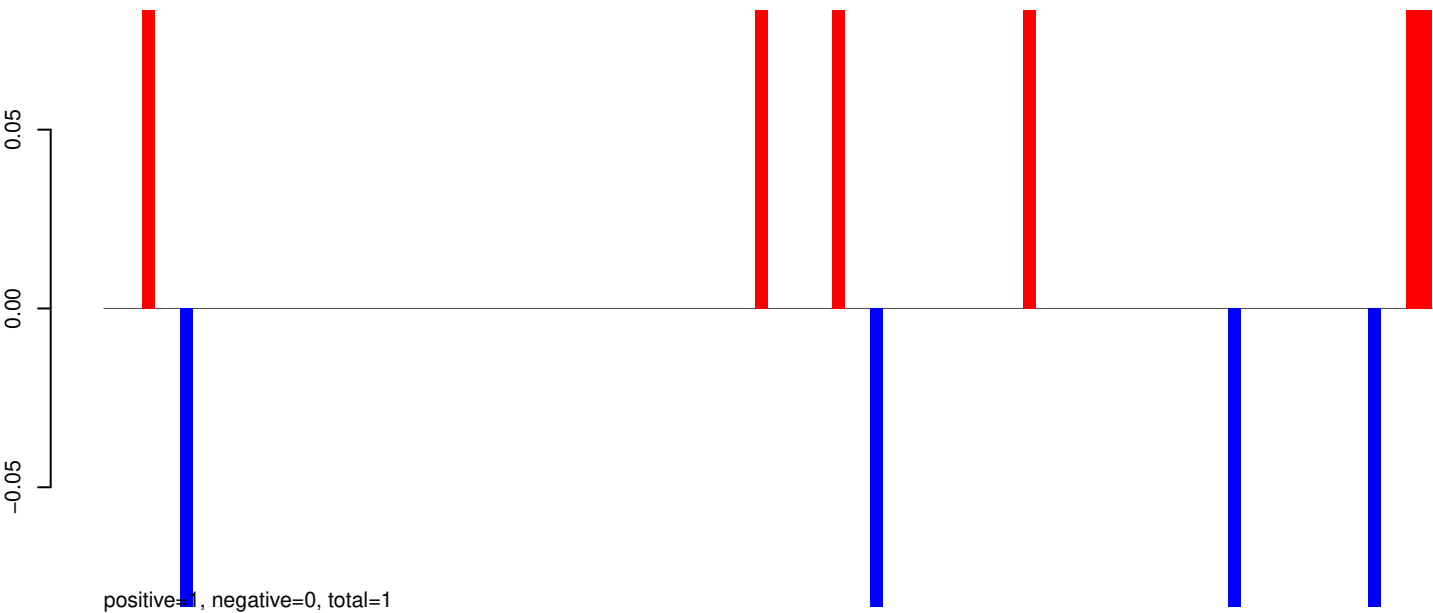
AeAeg_Aag2_Ago2_SINV_RA.24_35.rep



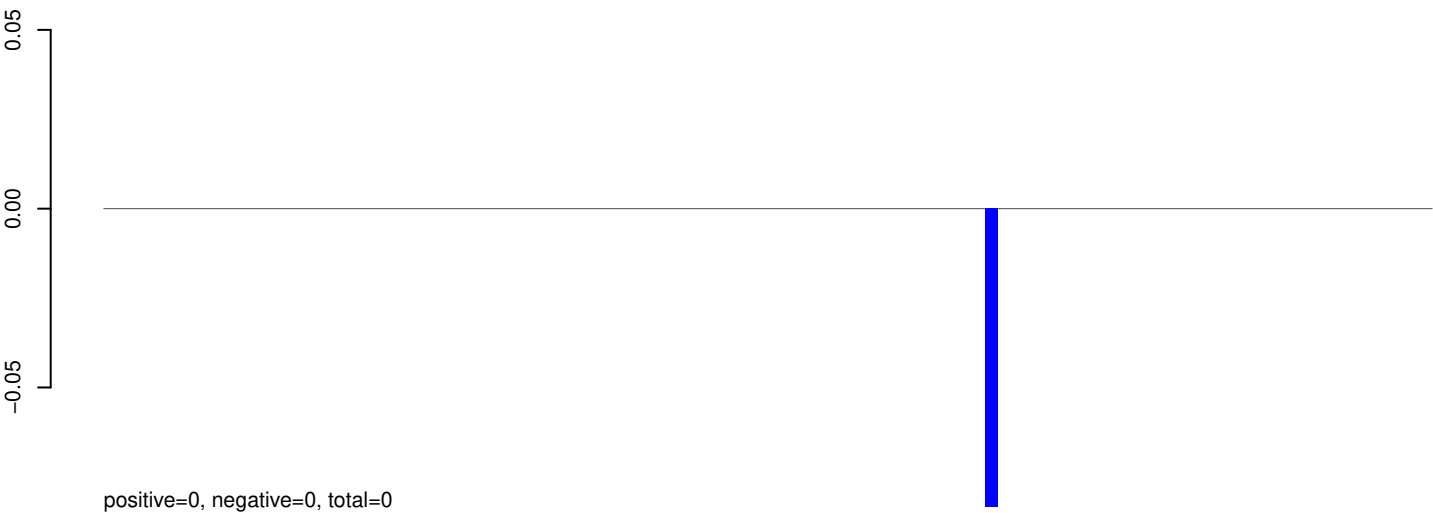
AeAeg_Aag2_Ago2_SINV_RA.rep



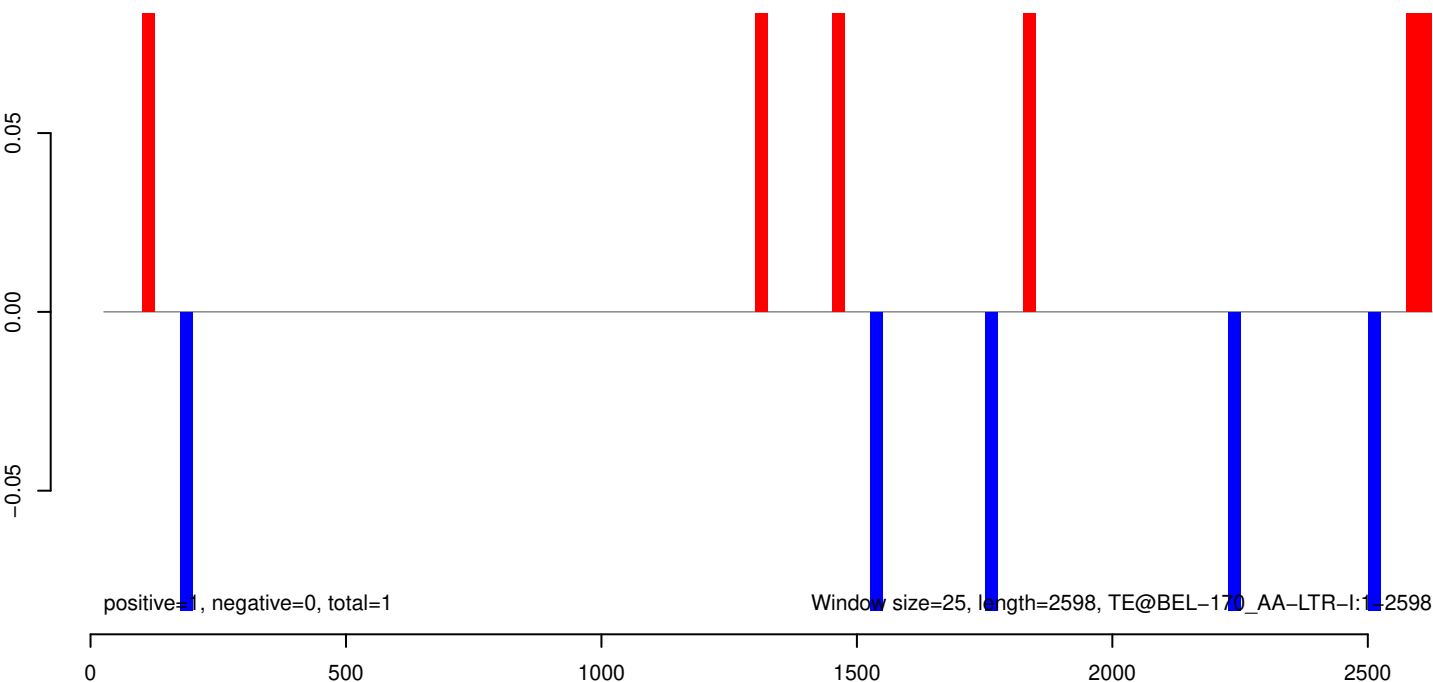
AeAeg_Aag2_Ago2_SINV_RA.18_23.rep



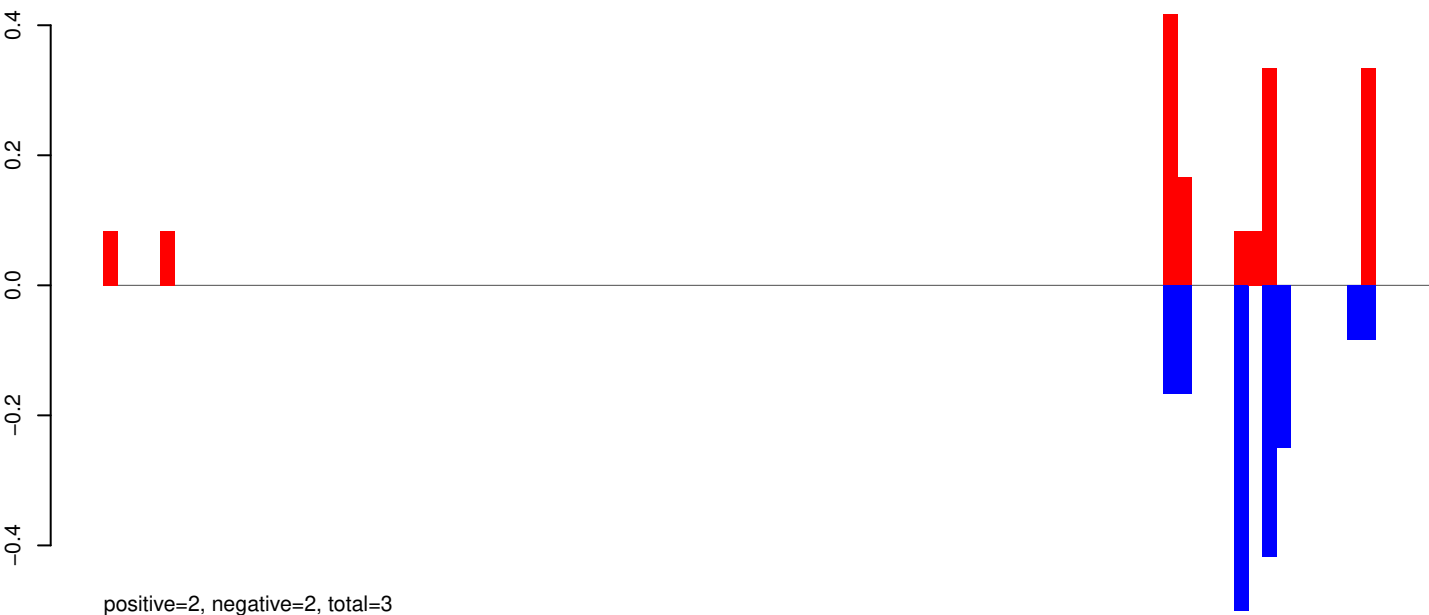
AeAeg_Aag2_Ago2_SINV_RA.24_35.rep



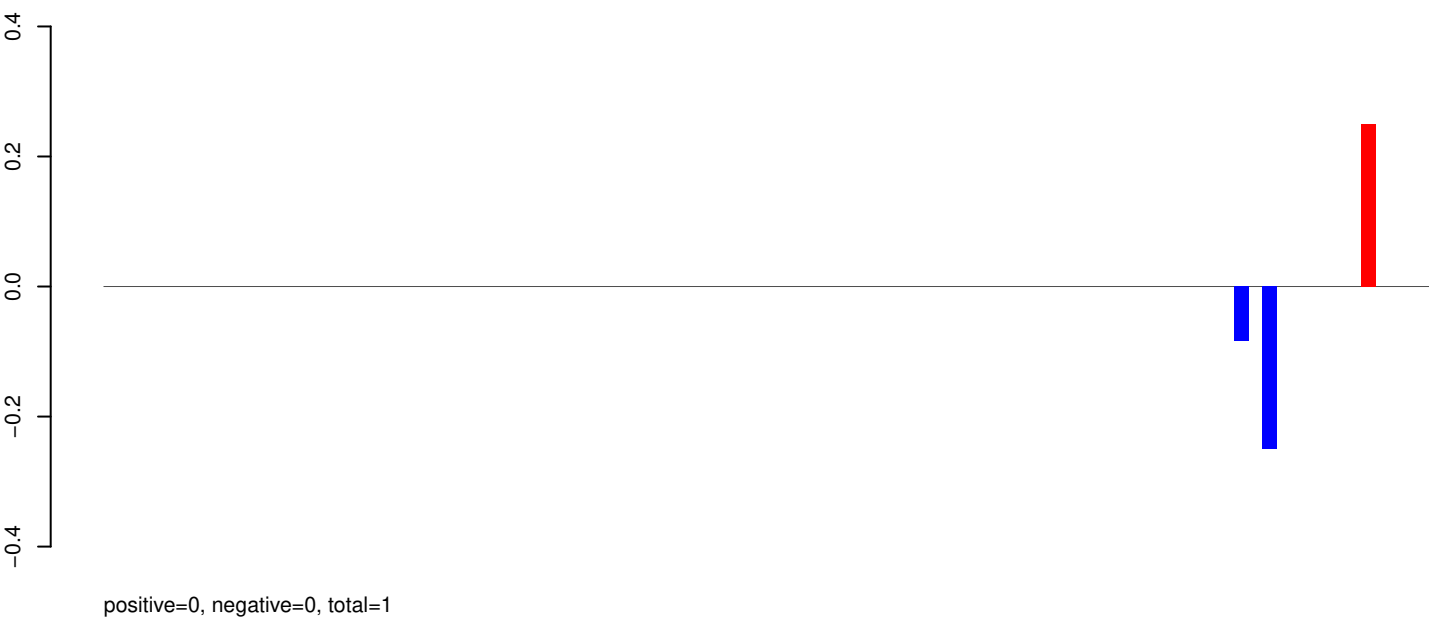
AeAeg_Aag2_Ago2_SINV_RA.rep



AeAeg_Aag2_Ago2_SINV_RA.18_23.rep



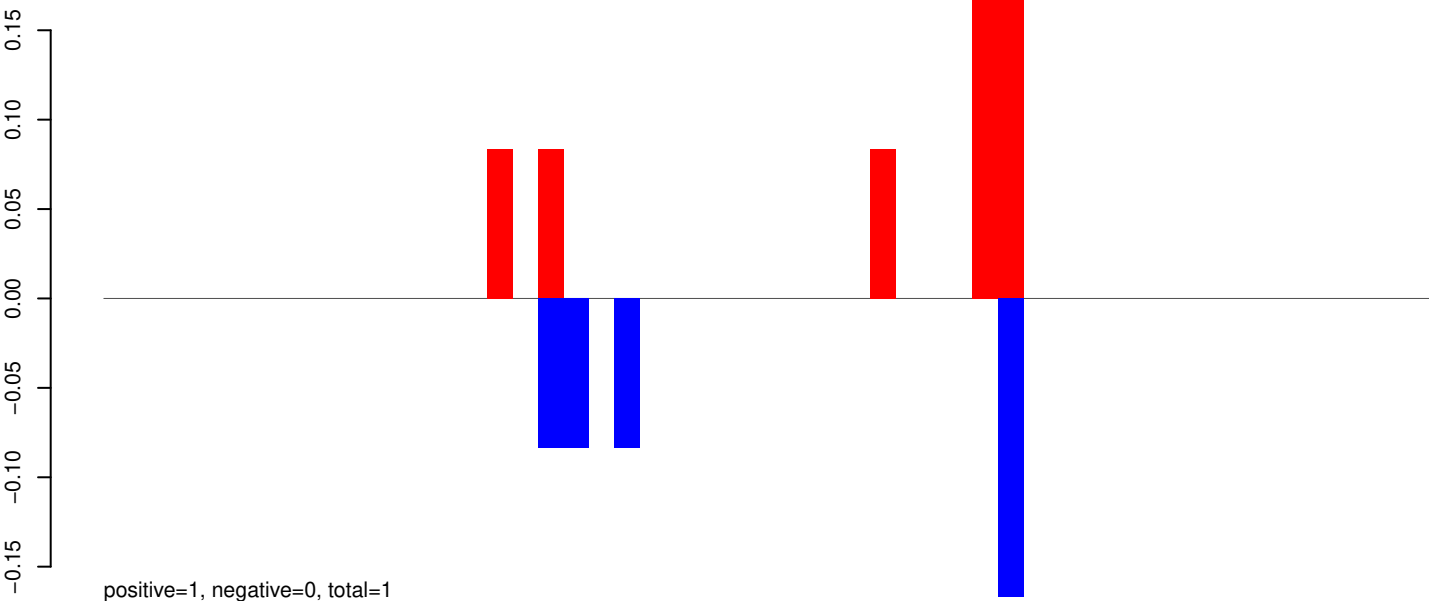
AeAeg_Aag2_Ago2_SINV_RA.24_35.rep



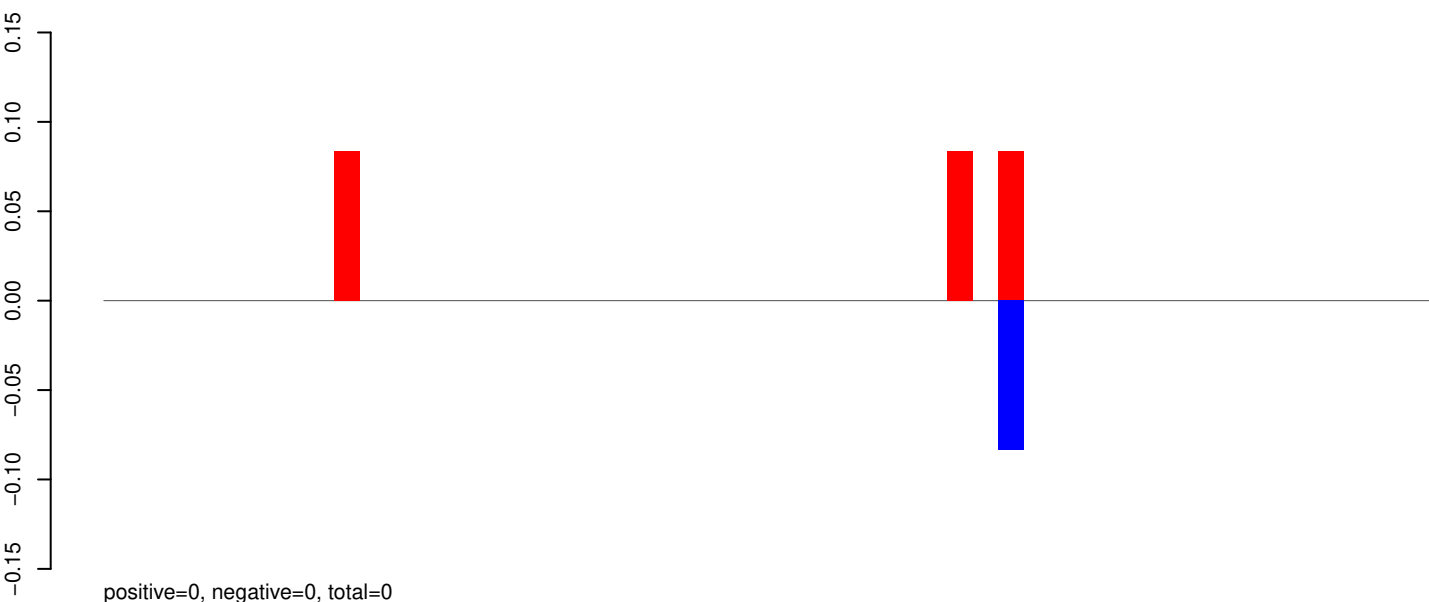
AeAeg_Aag2_Ago2_SINV_RA.rep



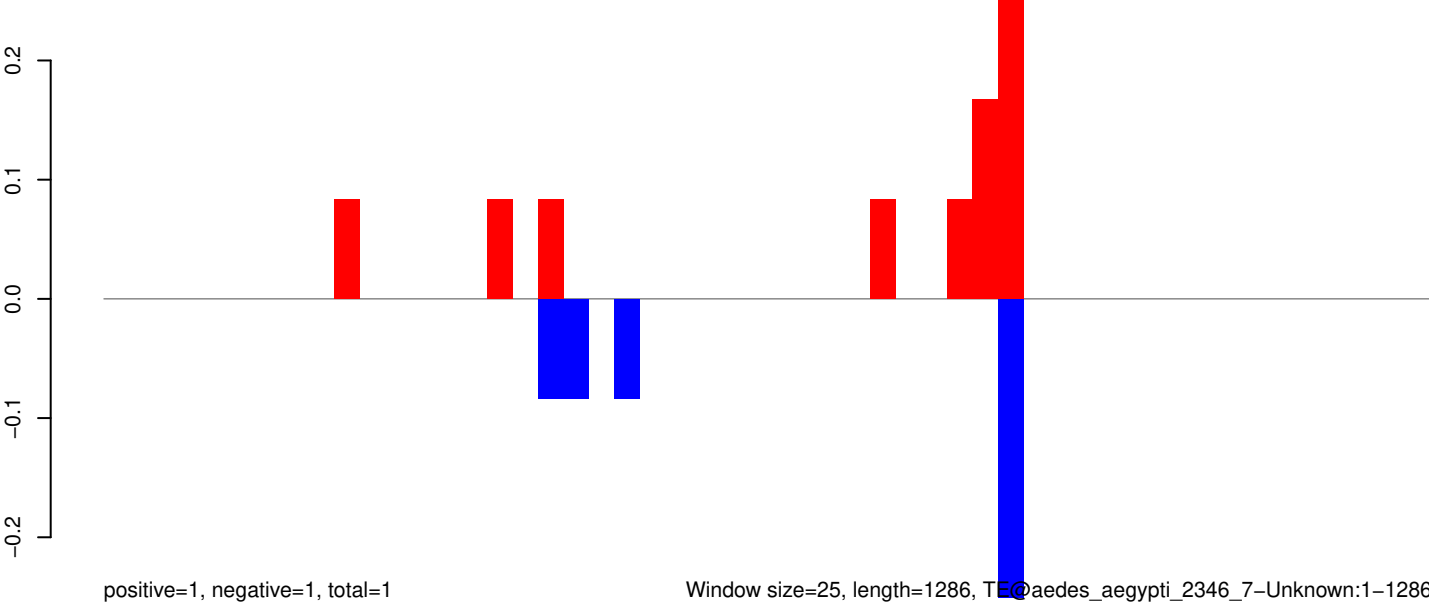
AeAeg_Aag2_Ago2_SINV_RA.18_23.rep



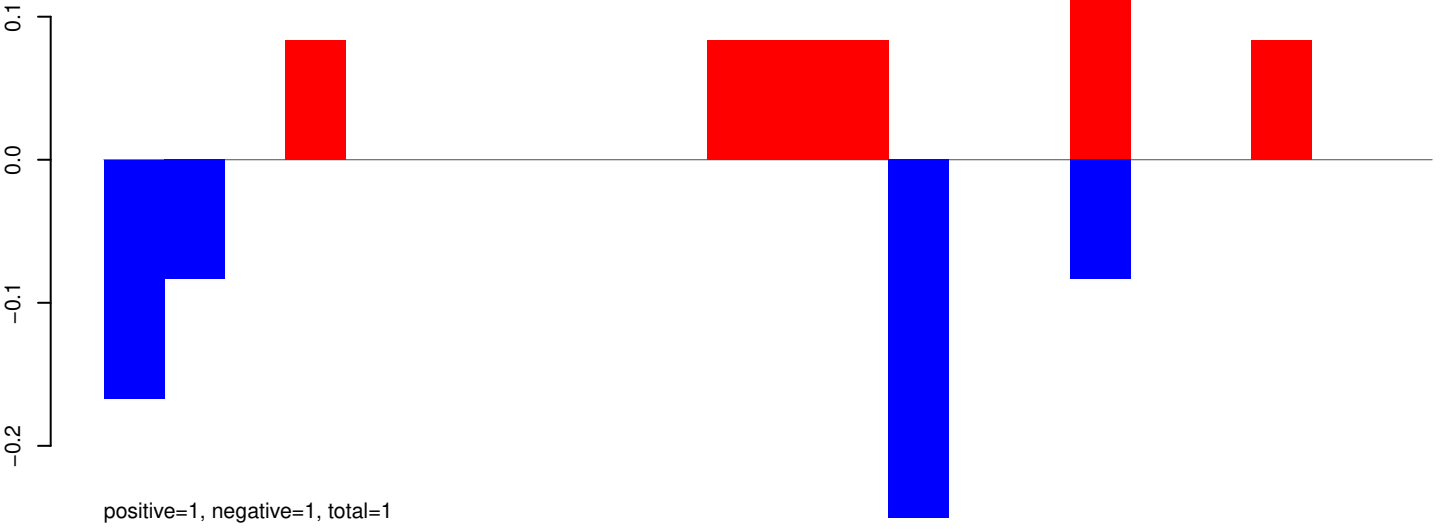
AeAeg_Aag2_Ago2_SINV_RA.24_35.rep



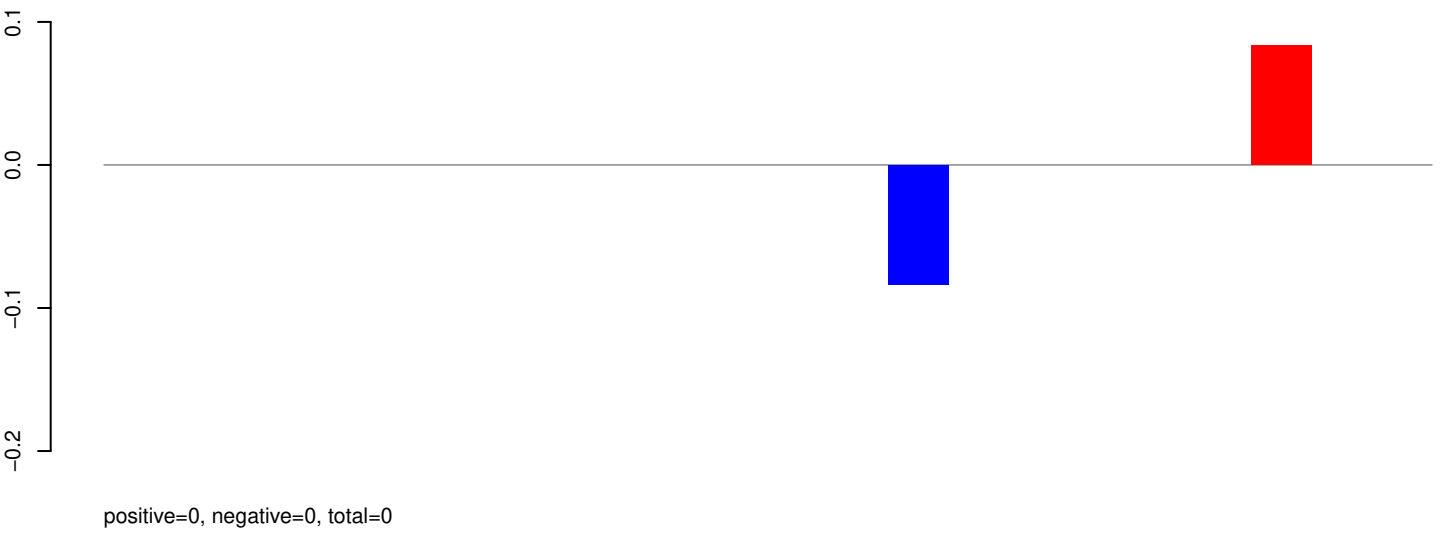
AeAeg_Aag2_Ago2_SINV_RA.rep



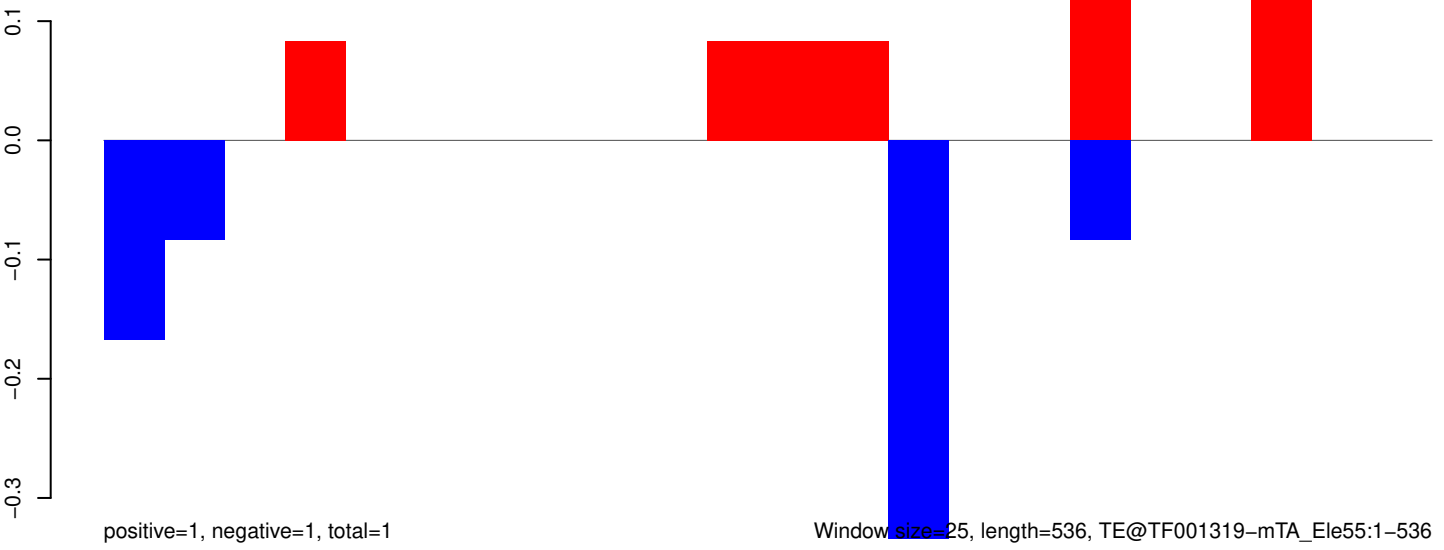
AeAeg_Aag2_Ago2_SINV_RA.18_23.rep



AeAeg_Aag2_Ago2_SINV_RA.24_35.rep

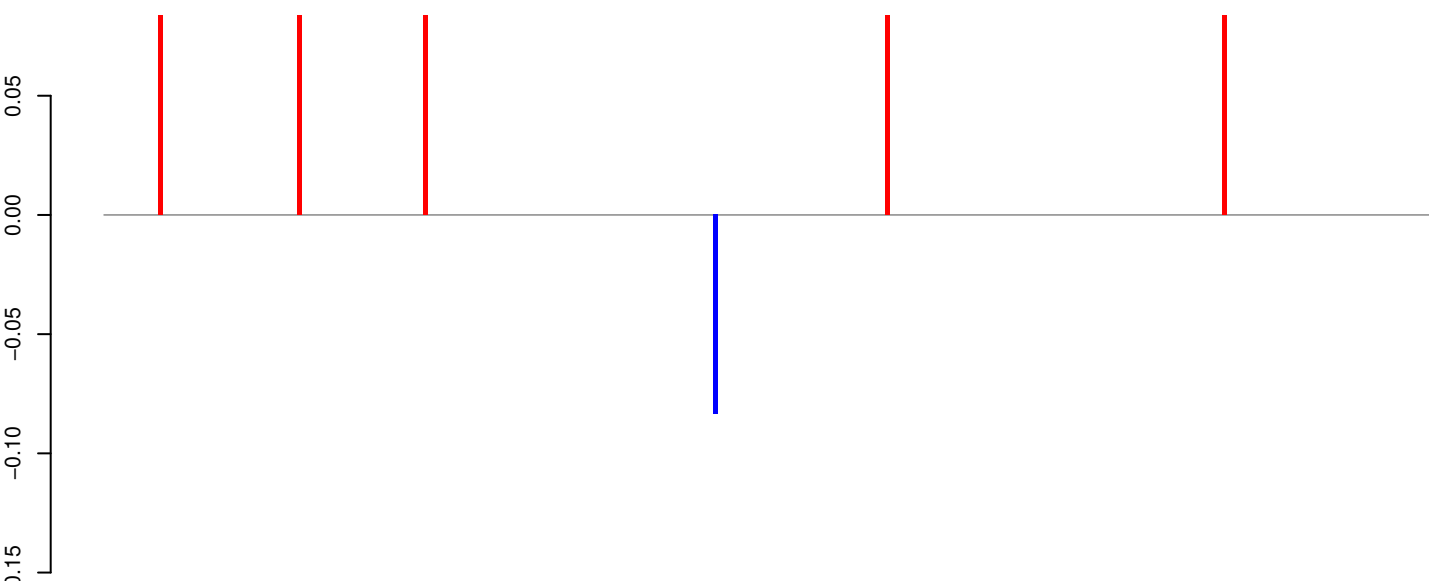


AeAeg_Aag2_Ago2_SINV_RA.rep



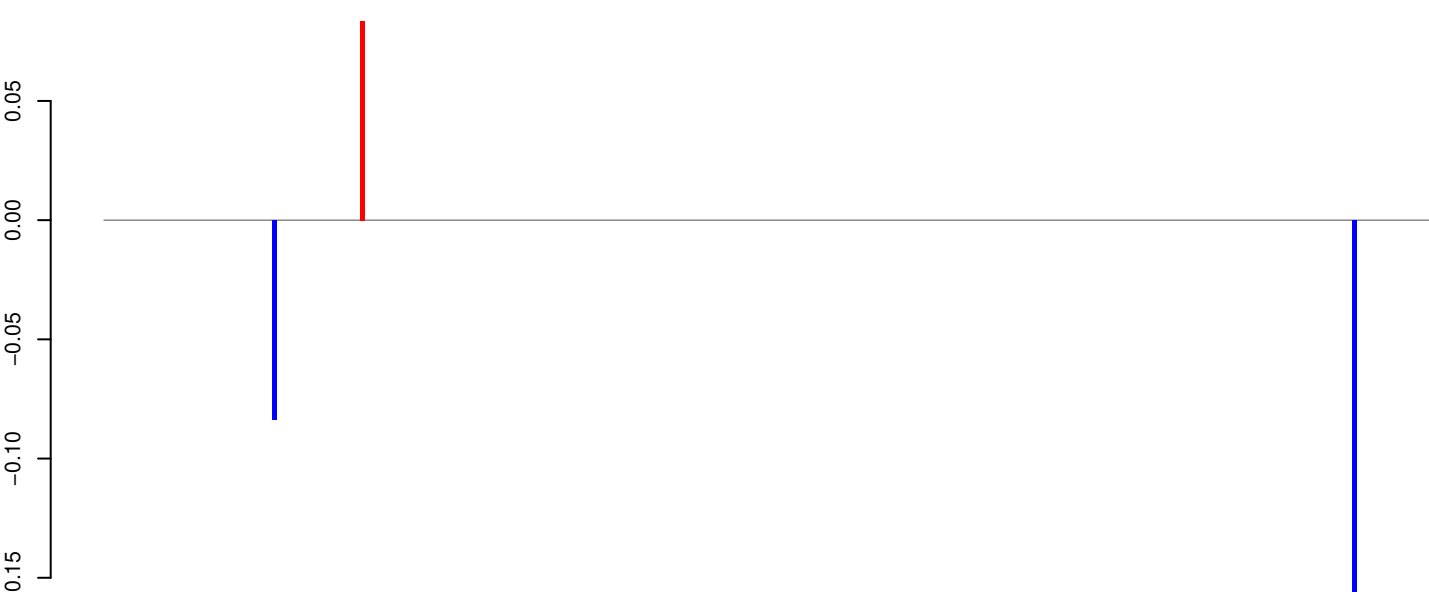
Window size=25, length=536, TE@TF001319-mTA_Ele55:1-536

AeAeg_Aag2_Ago2_SINV_RA.18_23.rep



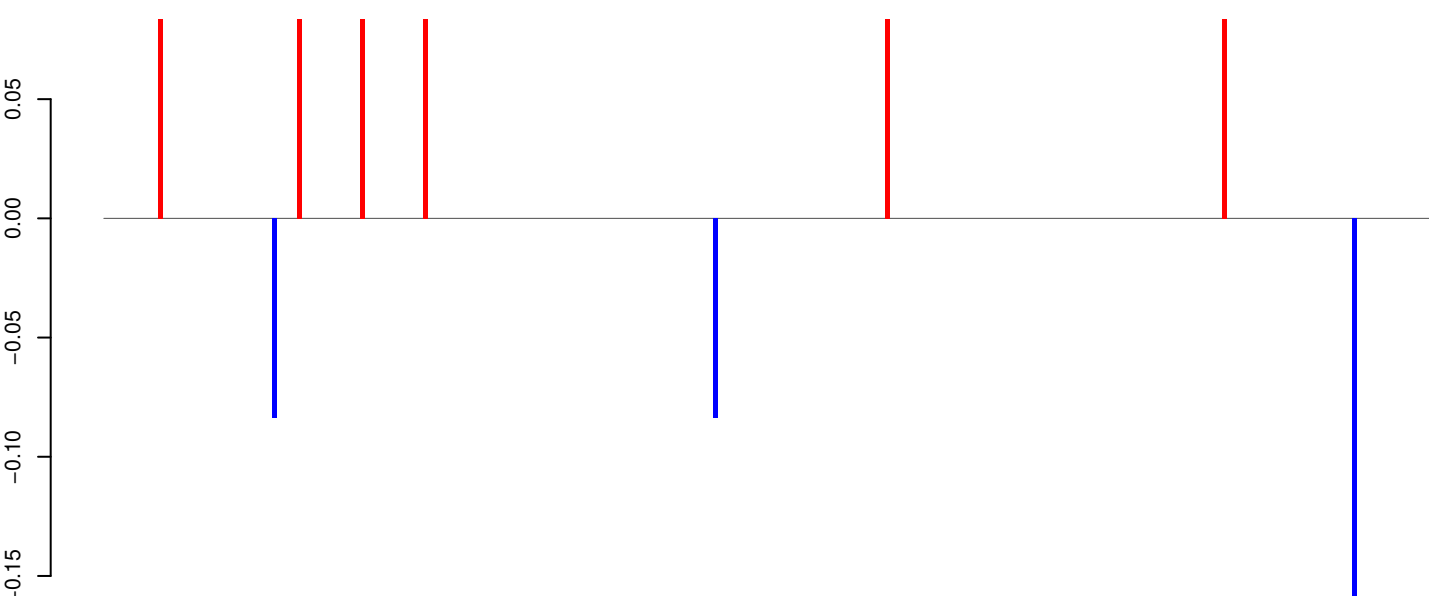
positive=0, negative=0, total=1

AeAeg_Aag2_Ago2_SINV_RA.24_35.rep



positive=0, negative=0, total=0

AeAeg_Aag2_Ago2_SINV_RA.rep

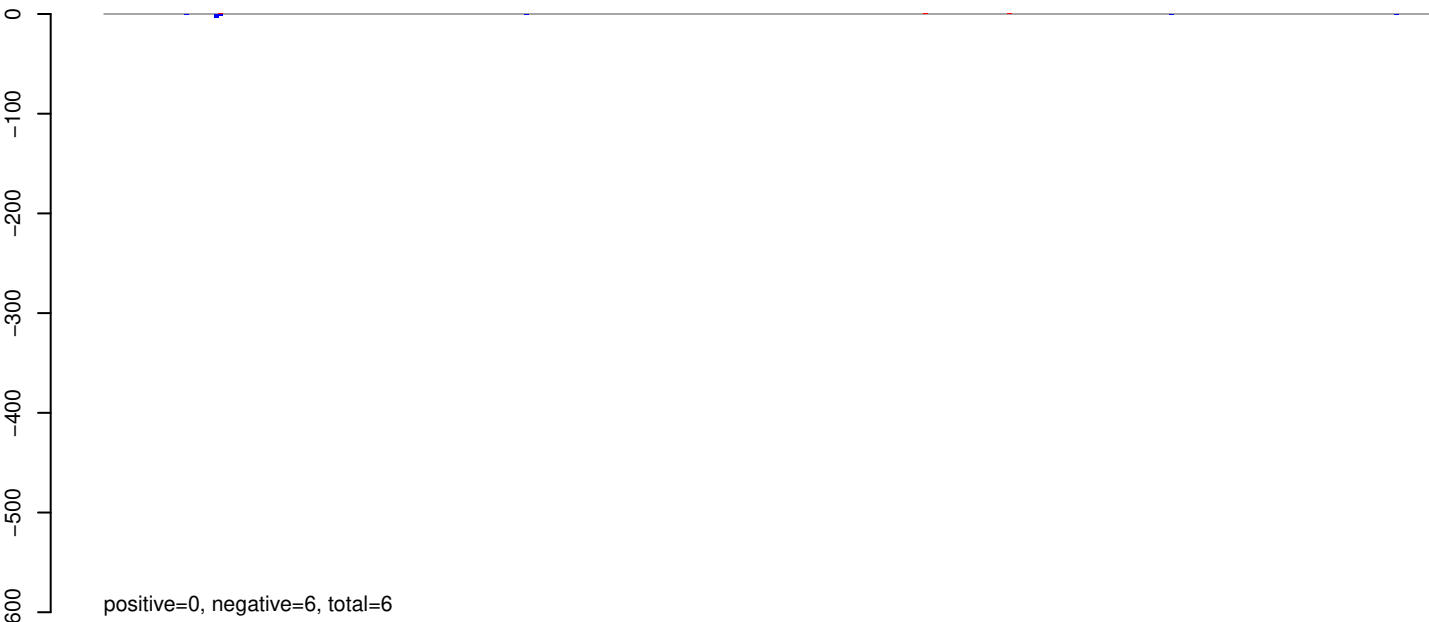


positive=1, negative=0, total=1

Window size=25, length=7895, TE@TF001184-Pao_Bel_Ele190:1-7895

0 2000 4000 6000 8000

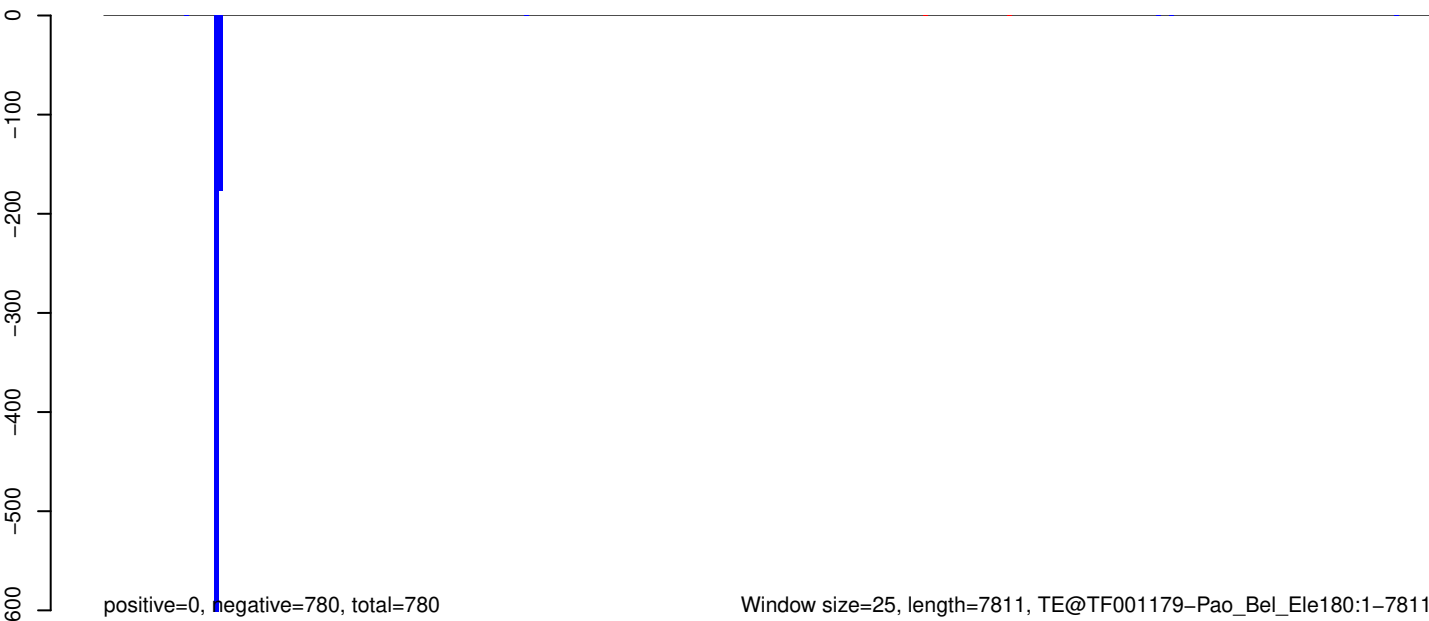
AeAeg_Aag2_Ago2_SINV_RA.18_23.rep



AeAeg_Aag2_Ago2_SINV_RA.24_35.rep

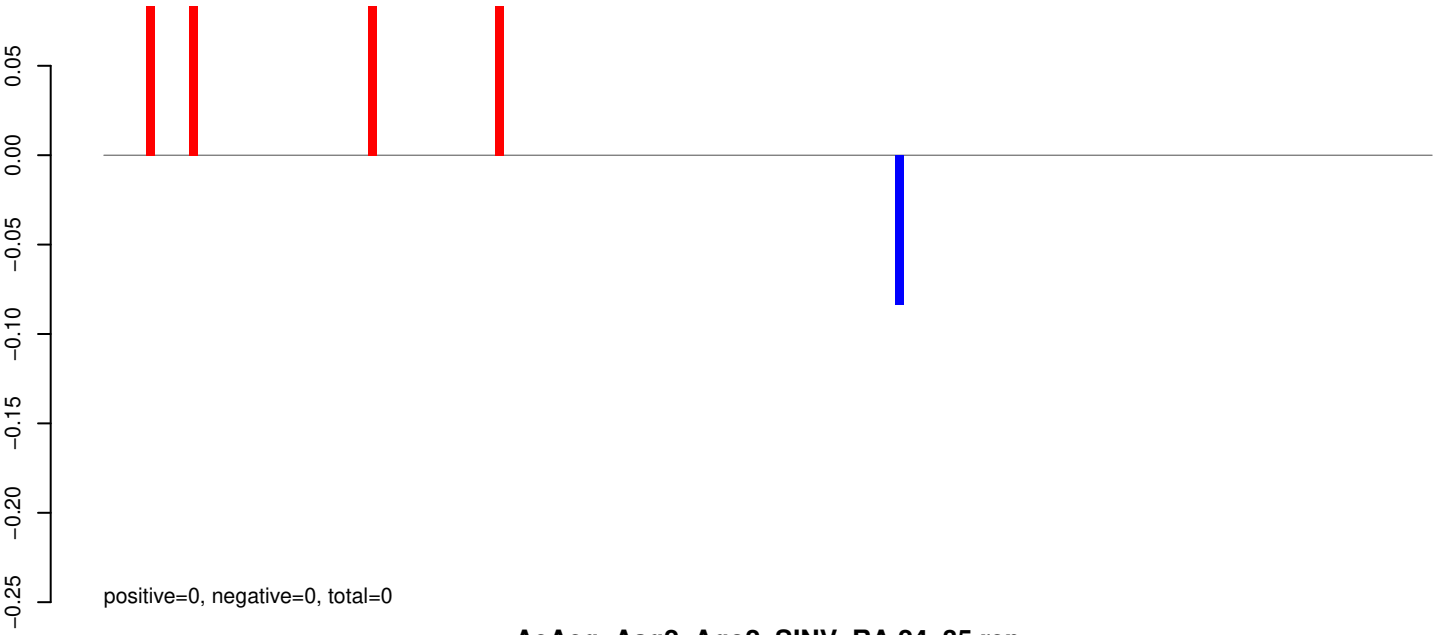


AeAeg_Aag2_Ago2_SINV_RA.rep

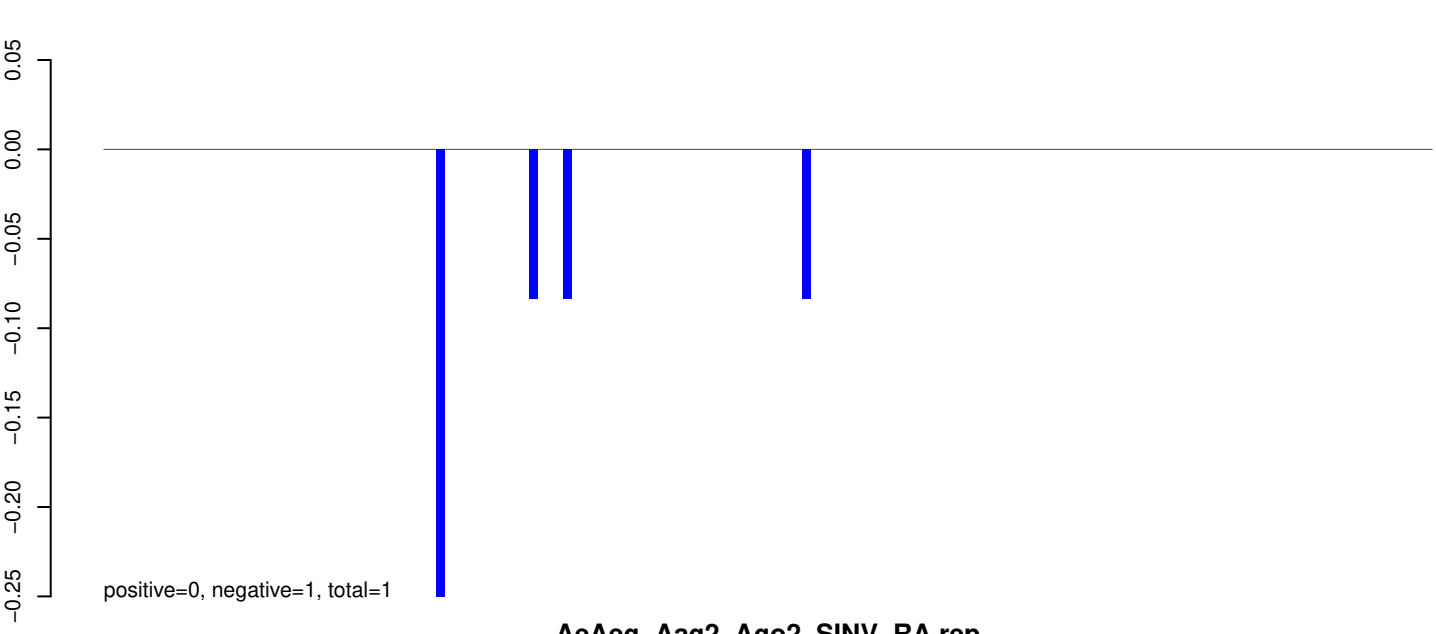


Window size=25, length=7811, TE@TF001179-Pao_Bel_Ele180:1-7811

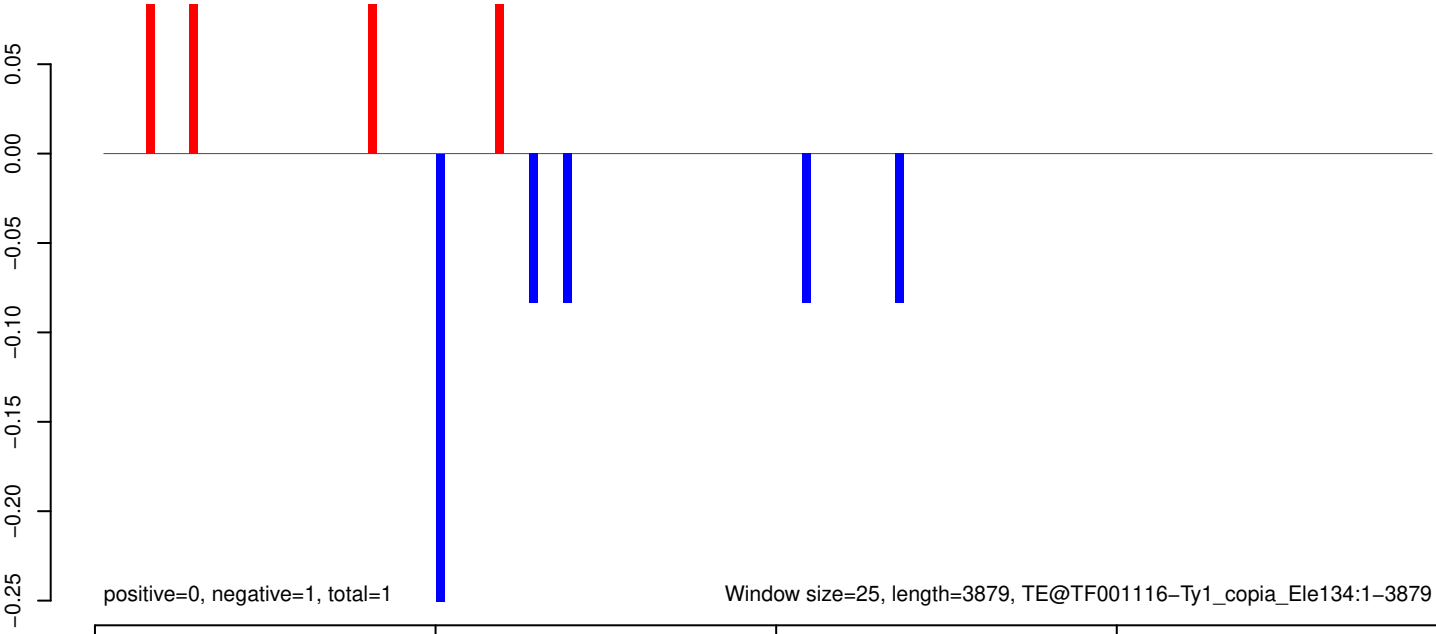
AeAeg_Aag2_Ago2_SINV_RA.18_23.rep



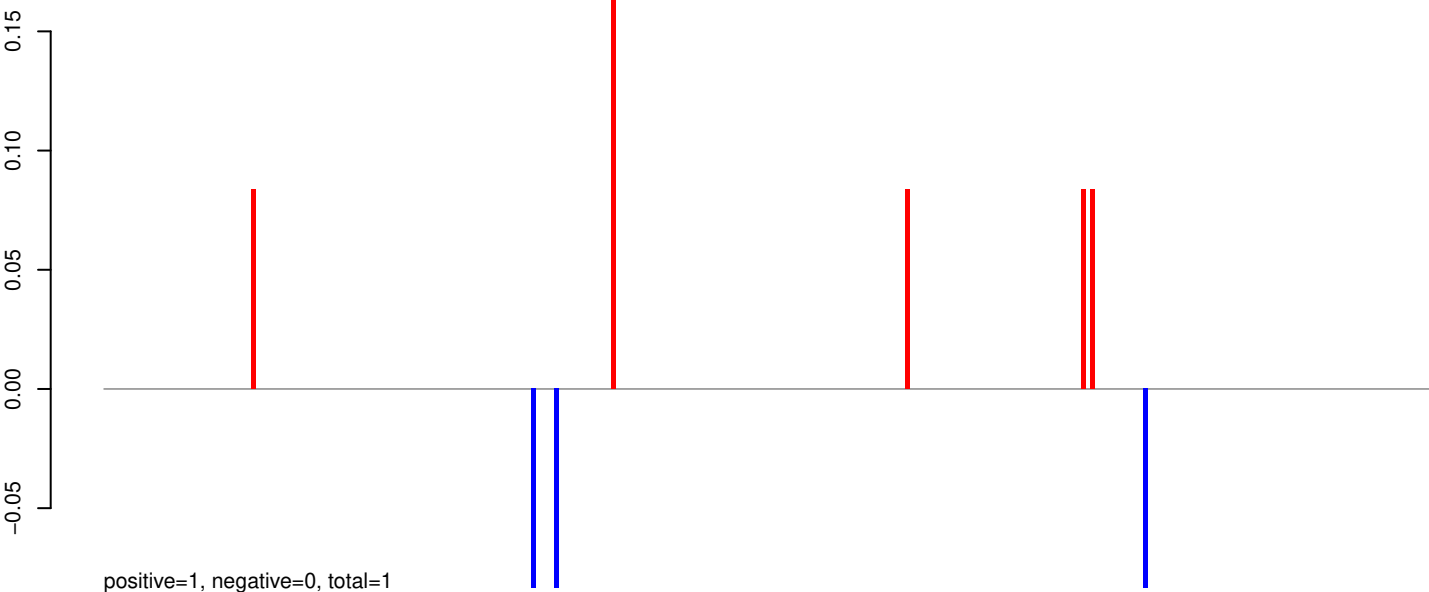
AeAeg_Aag2_Ago2_SINV_RA.24_35.rep



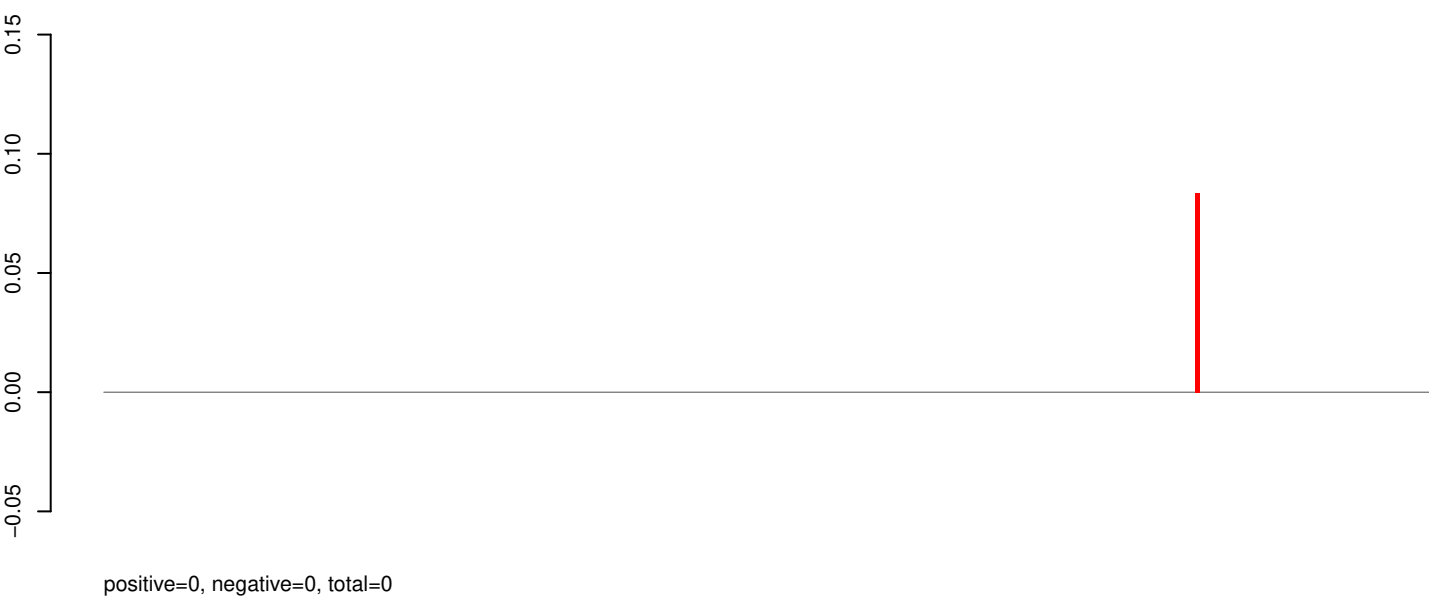
AeAeg_Aag2_Ago2_SINV_RA.rep



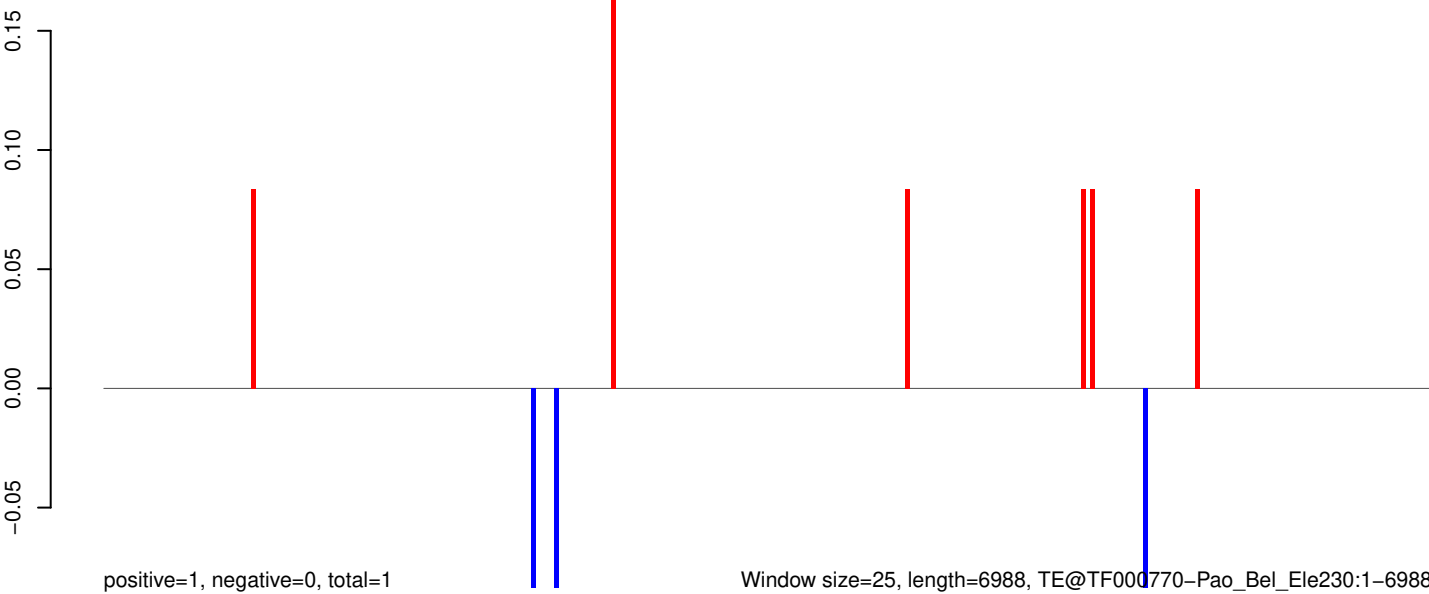
AeAeg_Aag2_Ago2_SINV_RA.18_23.rep



AeAeg_Aag2_Ago2_SINV_RA.24_35.rep



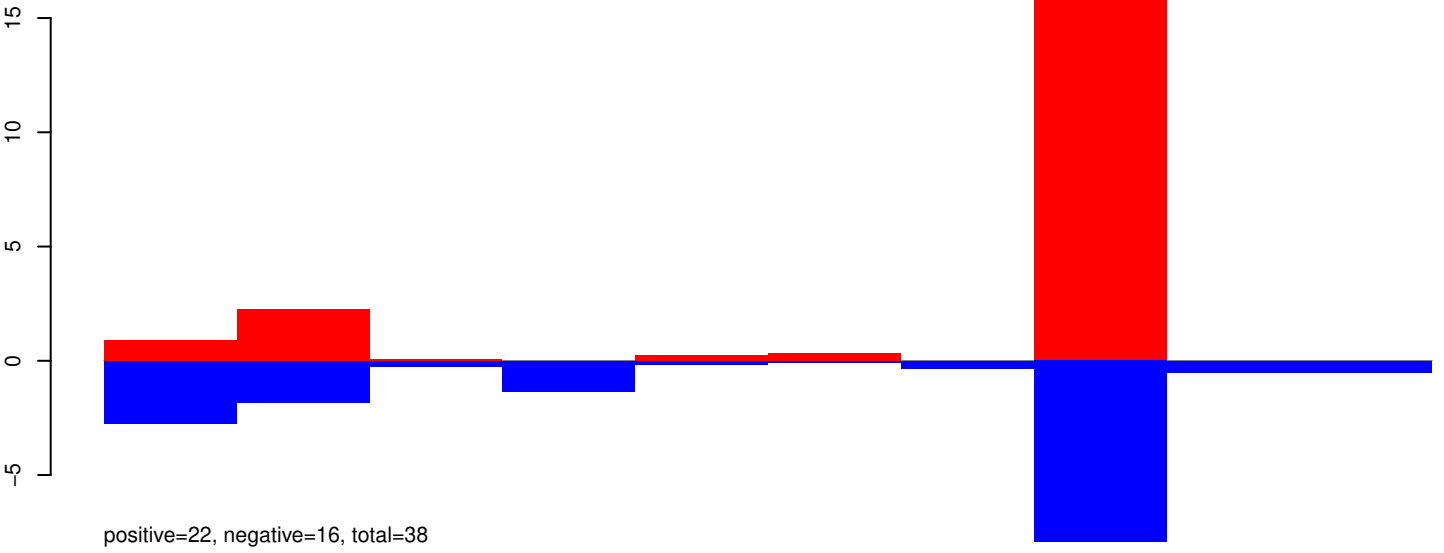
AeAeg_Aag2_Ago2_SINV_RA.rep



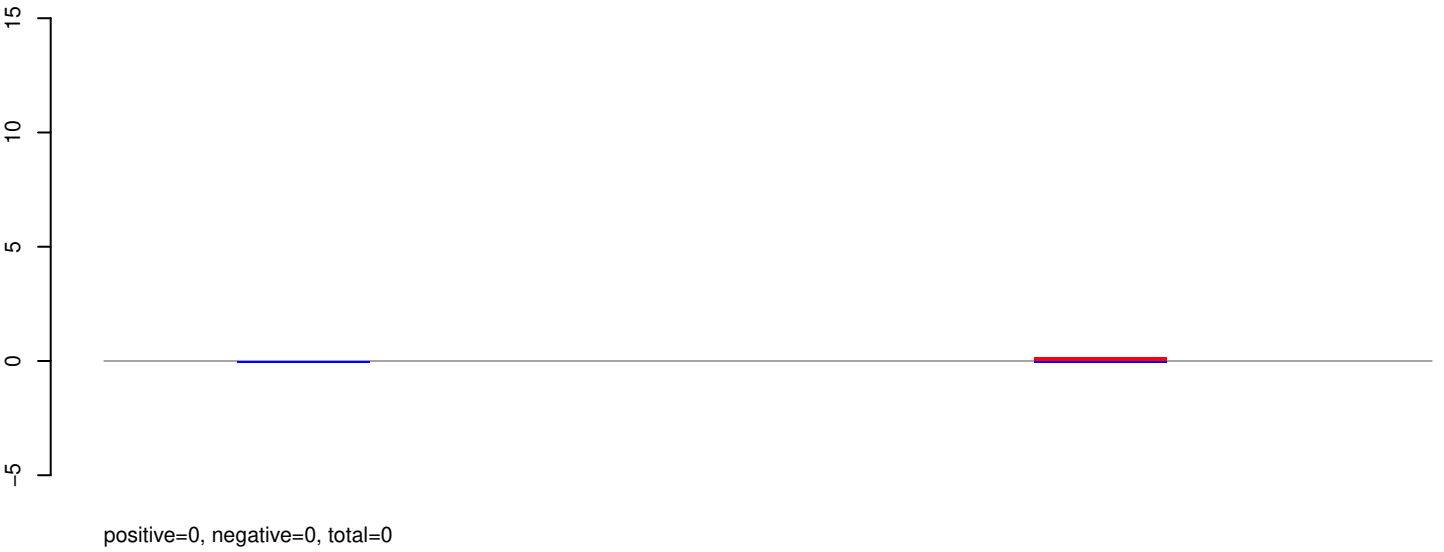
Window size=25, length=6988, TE@TF000770-Pao_Bel_Ele230:1-6988

0 1000 2000 3000 4000 5000 6000 7000

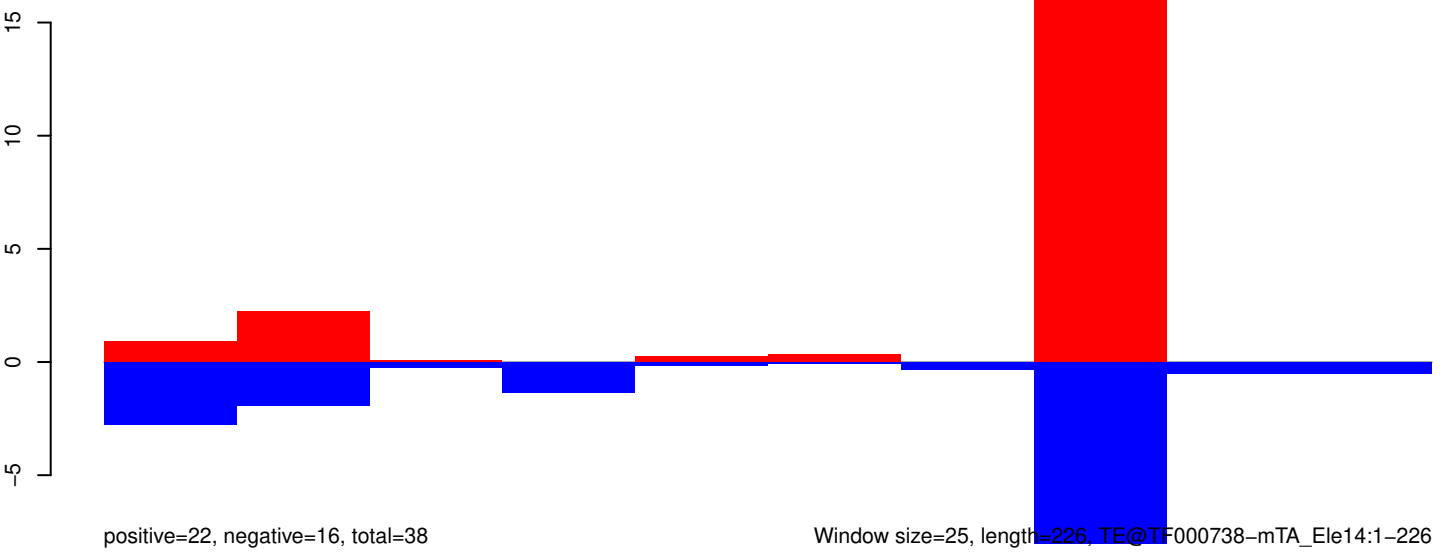
AeAeg_Aag2_Ago2_SINV_RA.18_23.rep



AeAeg_Aag2_Ago2_SINV_RA.24_35.rep

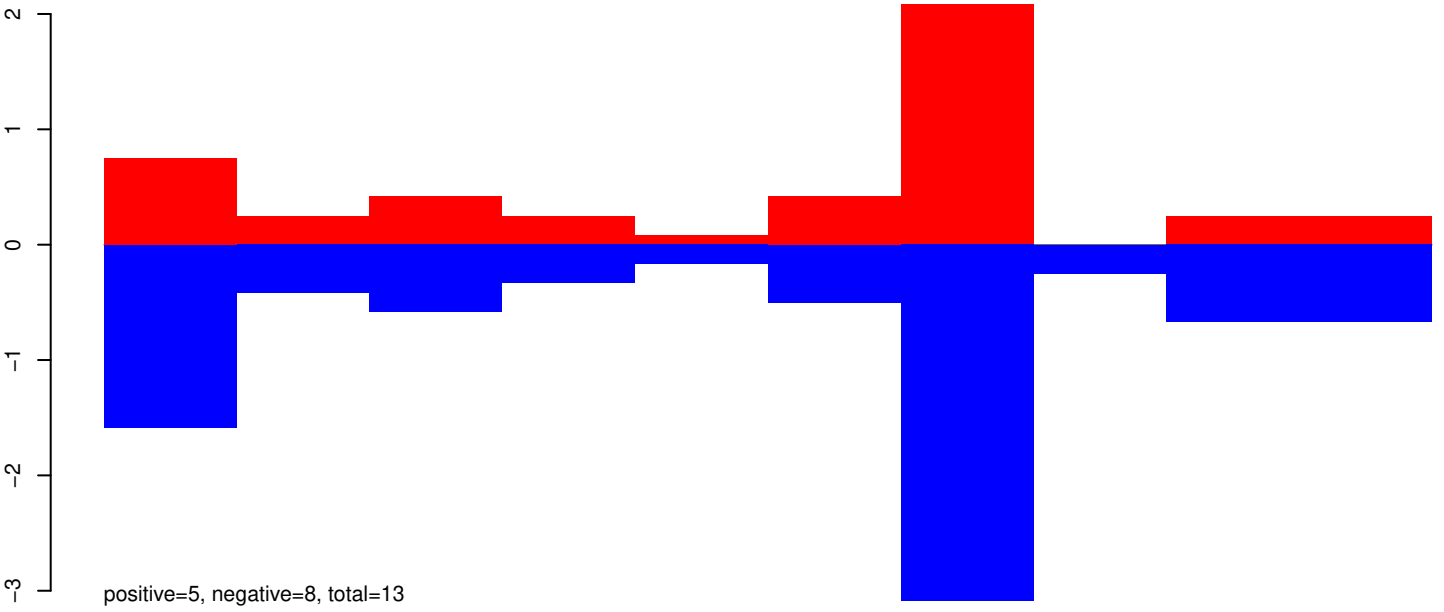


AeAeg_Aag2_Ago2_SINV_RA.rep



50 100 150 200 250

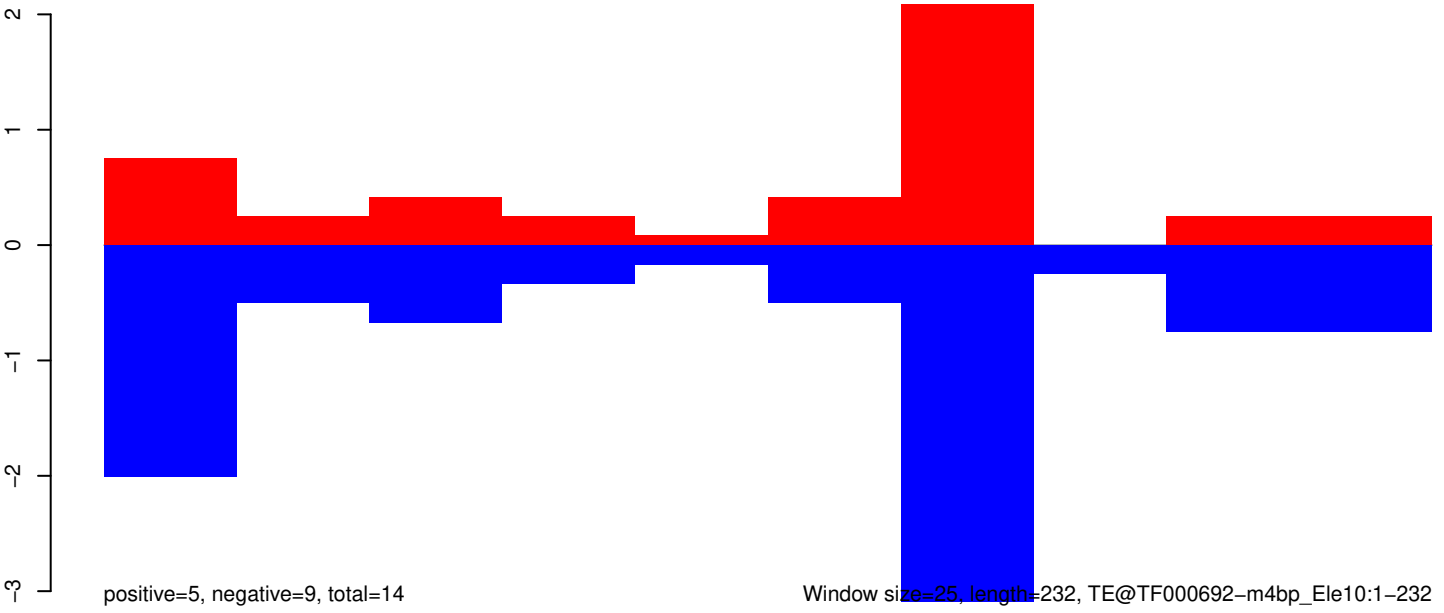
AeAeg_Aag2_Ago2_SINV_RA.18_23.rep



AeAeg_Aag2_Ago2_SINV_RA.24_35.rep



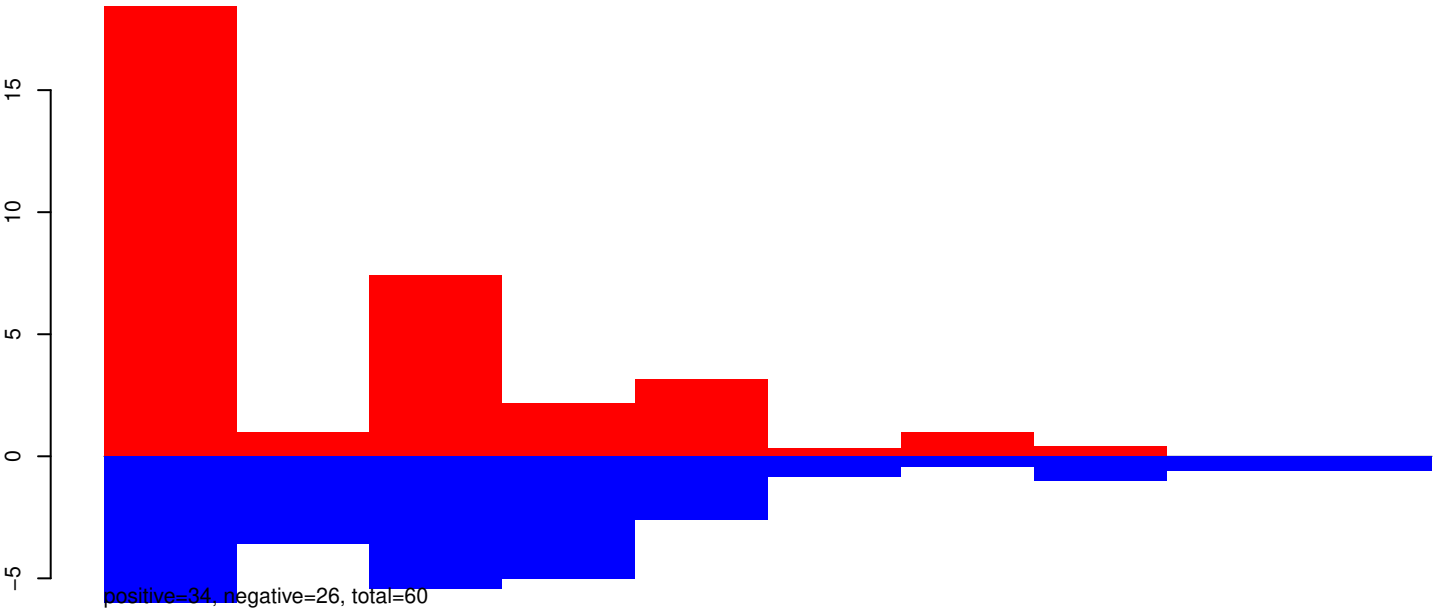
AeAeg_Aag2_Ago2_SINV_RA.rep



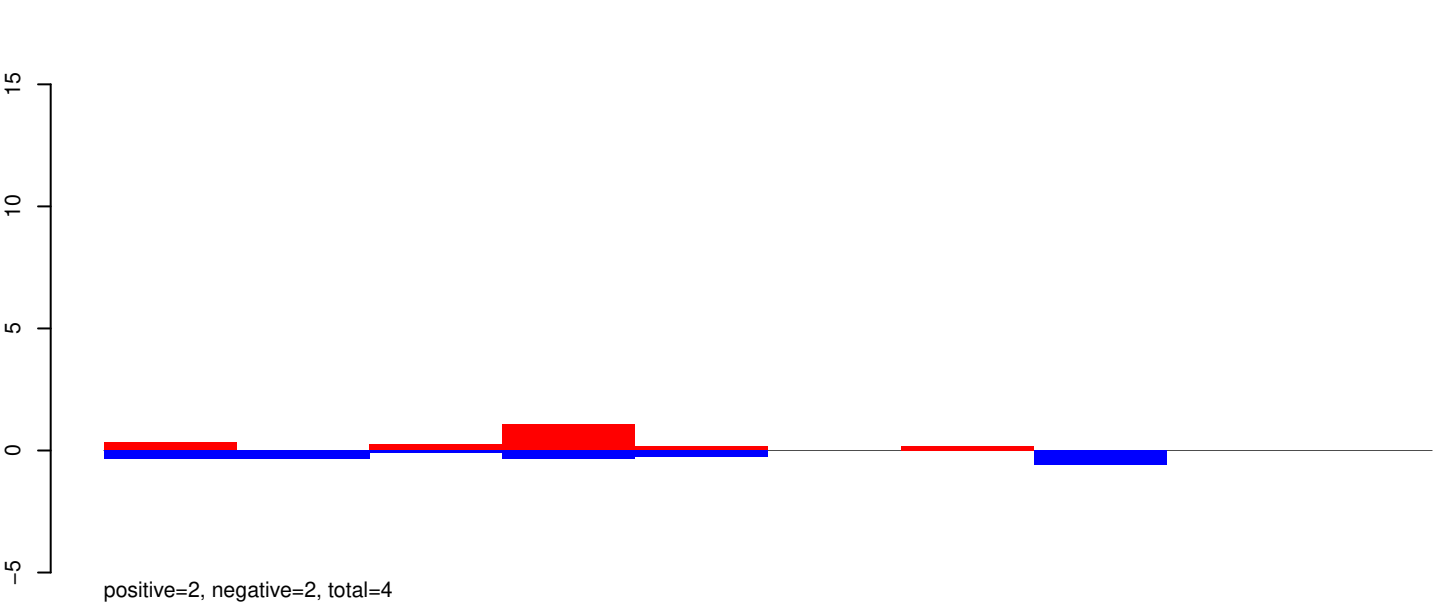
Window size=25, length=232, TE@TF000692-m4bp_Ele10:1-232

50 100 150 200 250

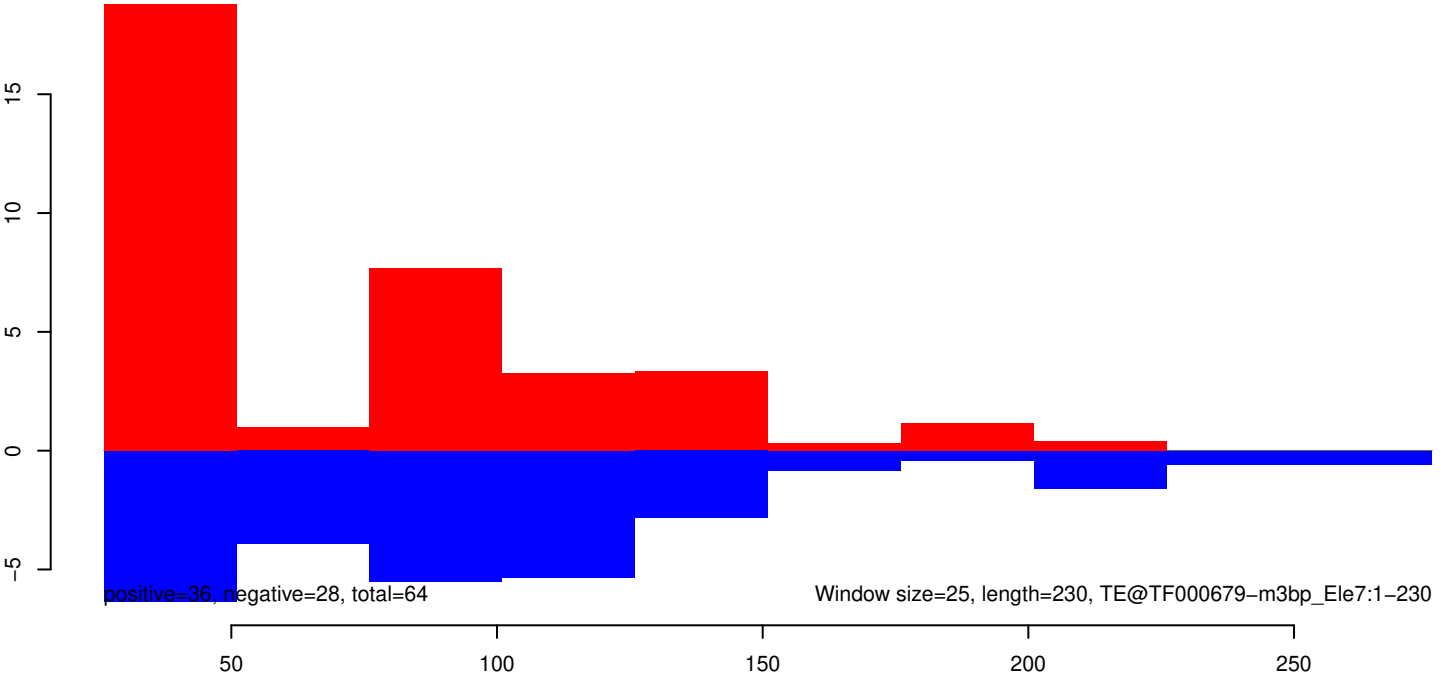
AeAeg_Aag2_Ago2_SINV_RA.18_23.rep



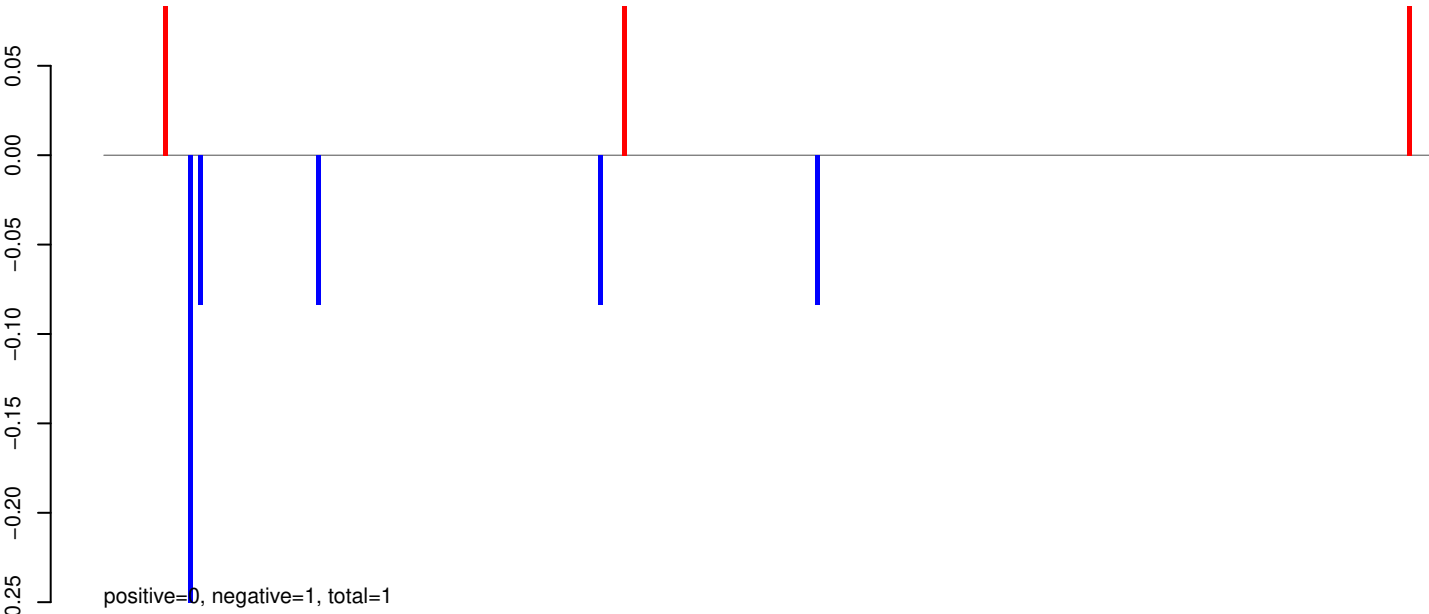
AeAeg_Aag2_Ago2_SINV_RA.24_35.rep



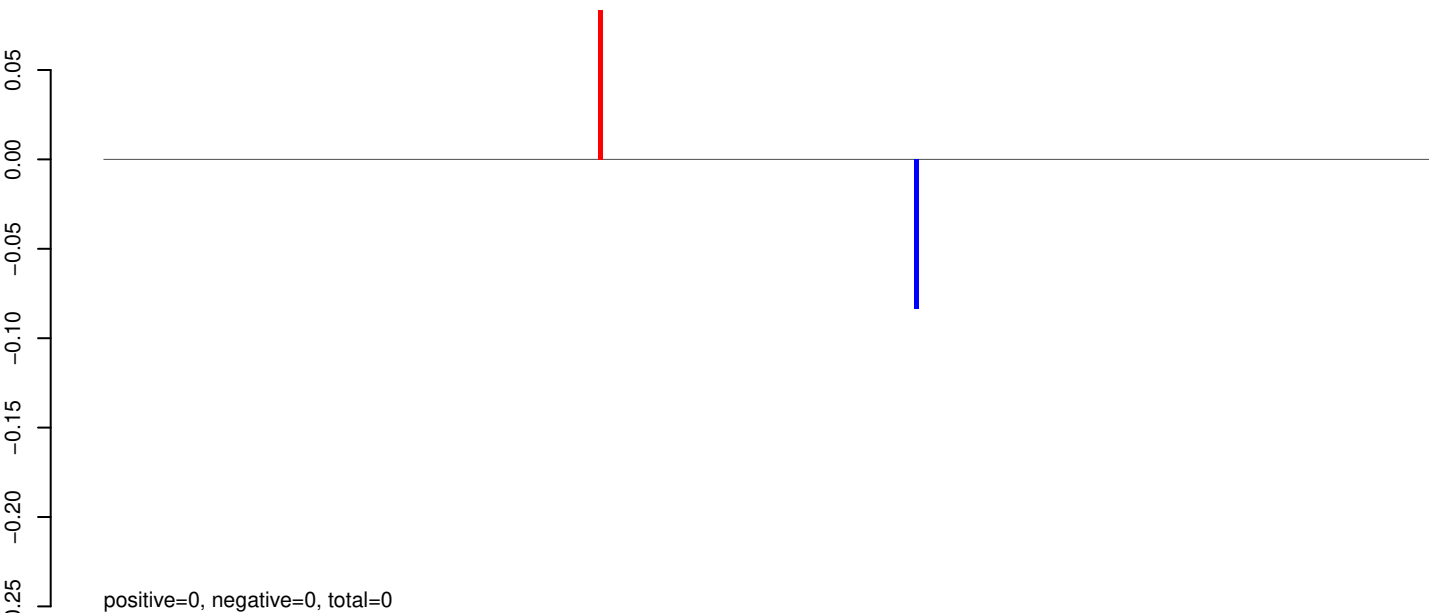
AeAeg_Aag2_Ago2_SINV_RA.rep



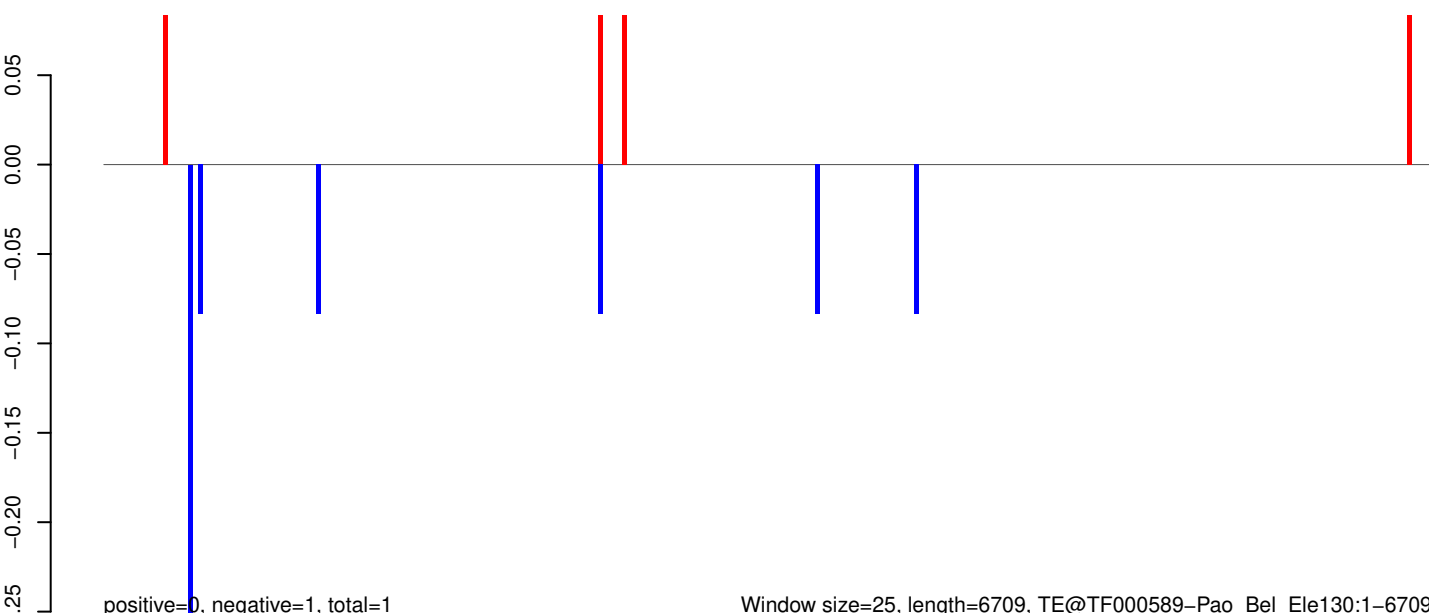
AeAeg_Aag2_Ago2_SINV_RA.18_23.rep



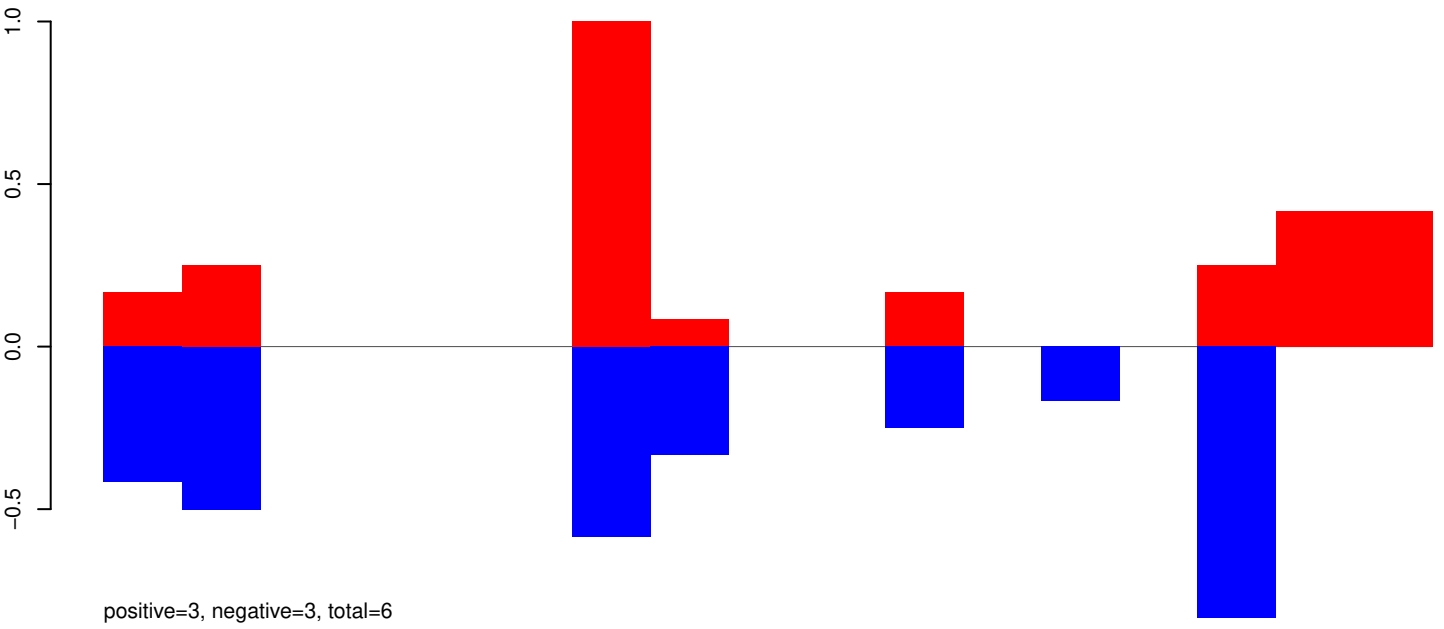
AeAeg_Aag2_Ago2_SINV_RA.24_35.rep



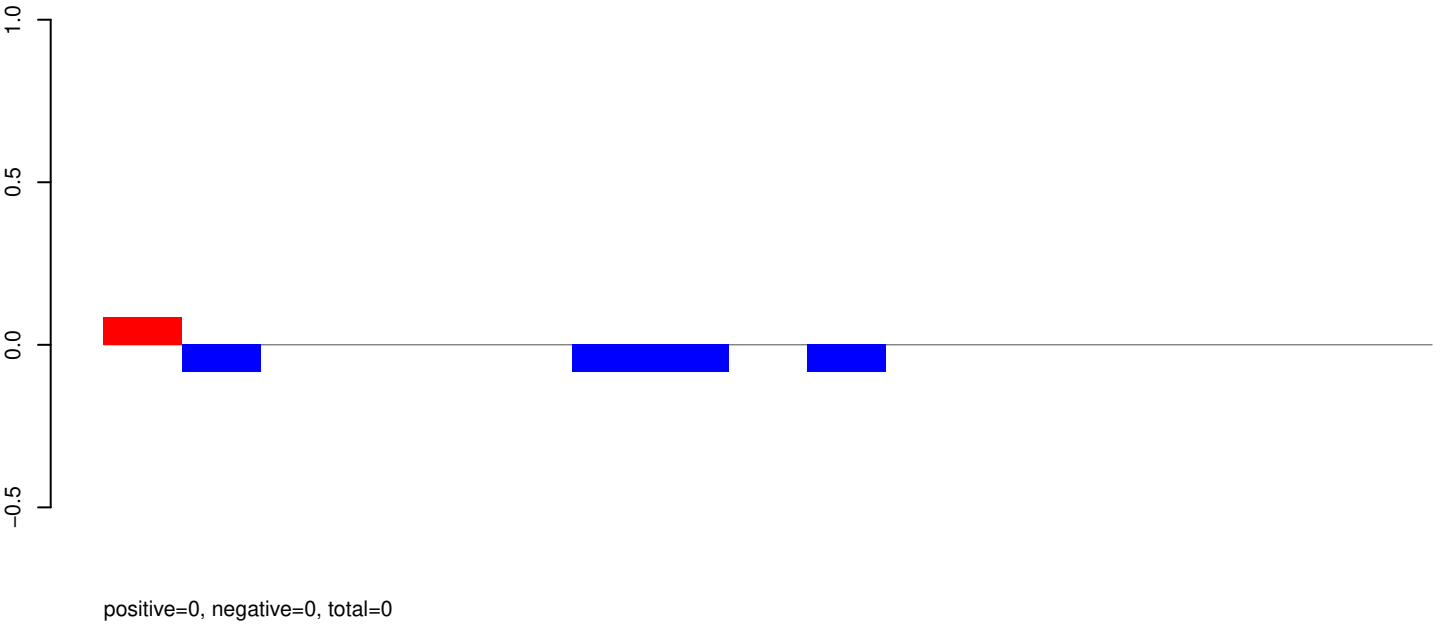
AeAeg_Aag2_Ago2_SINV_RA.rep



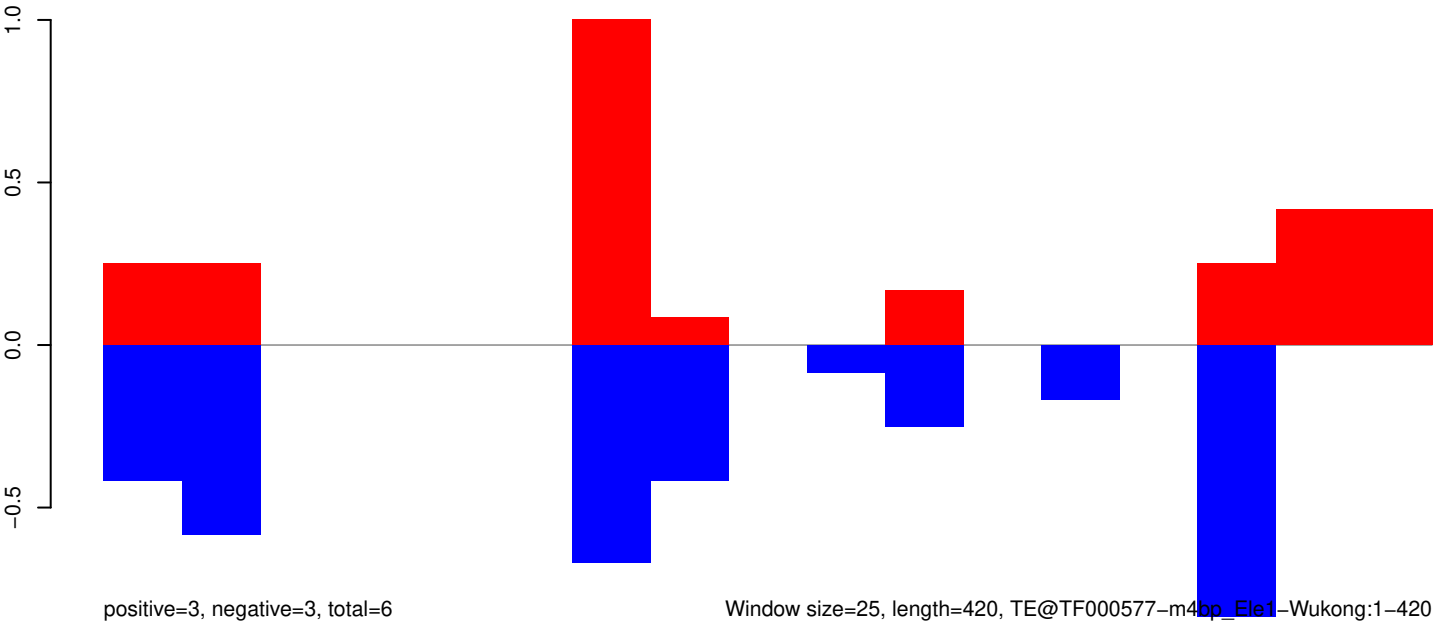
AeAeg_Aag2_Ago2_SINV_RA.18_23.rep



AeAeg_Aag2_Ago2_SINV_RA.24_35.rep

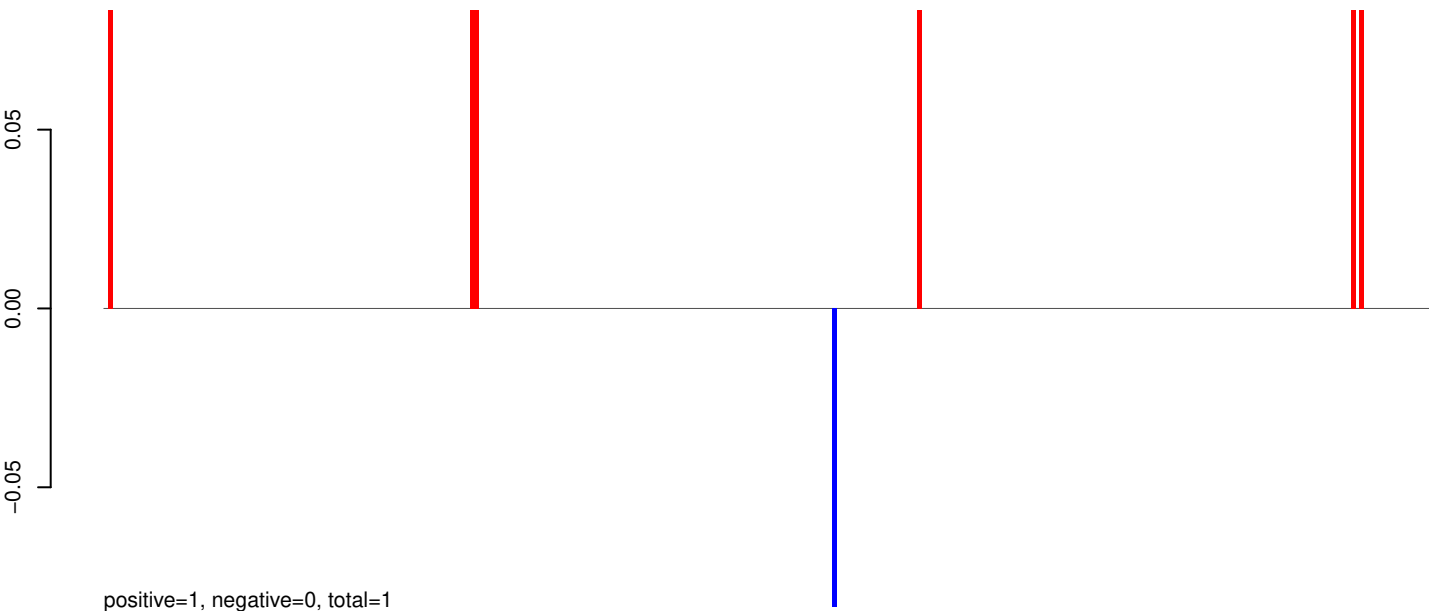


AeAeg_Aag2_Ago2_SINV_RA.rep



Window size=25, length=420, TE@TF000577-m4bp_Ele1-Wukong:1-420

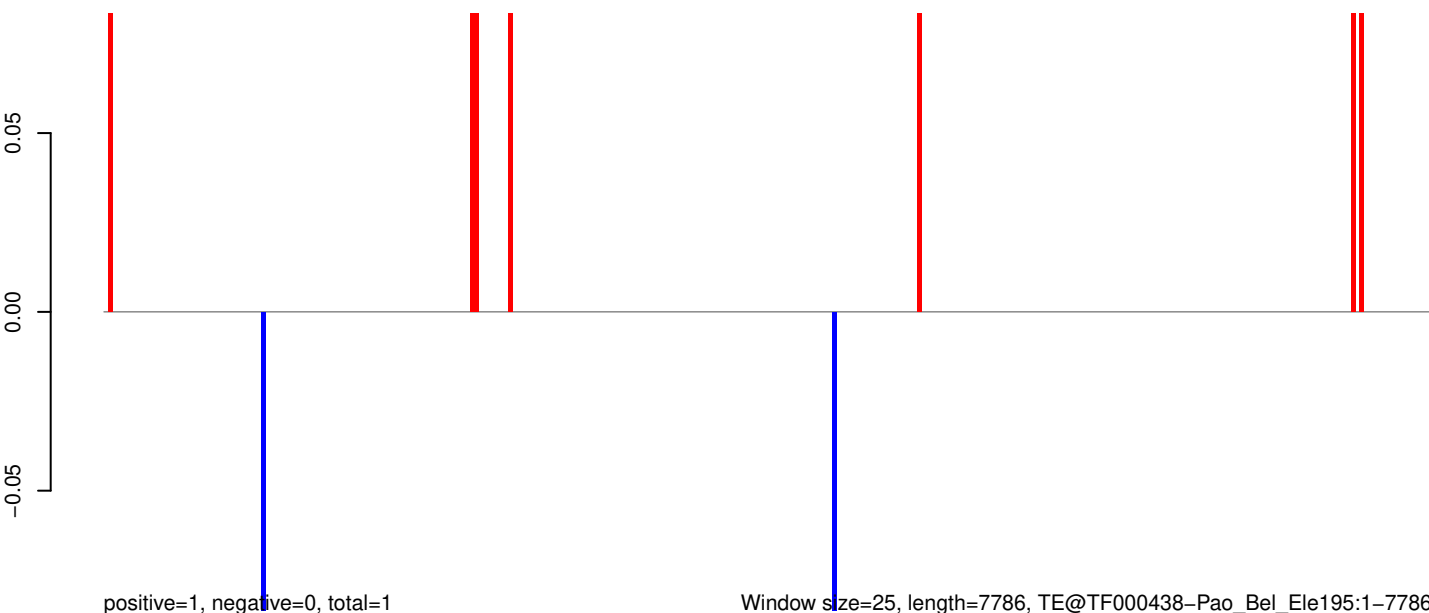
AeAeg_Aag2_Ago2_SINV_RA.18_23.rep



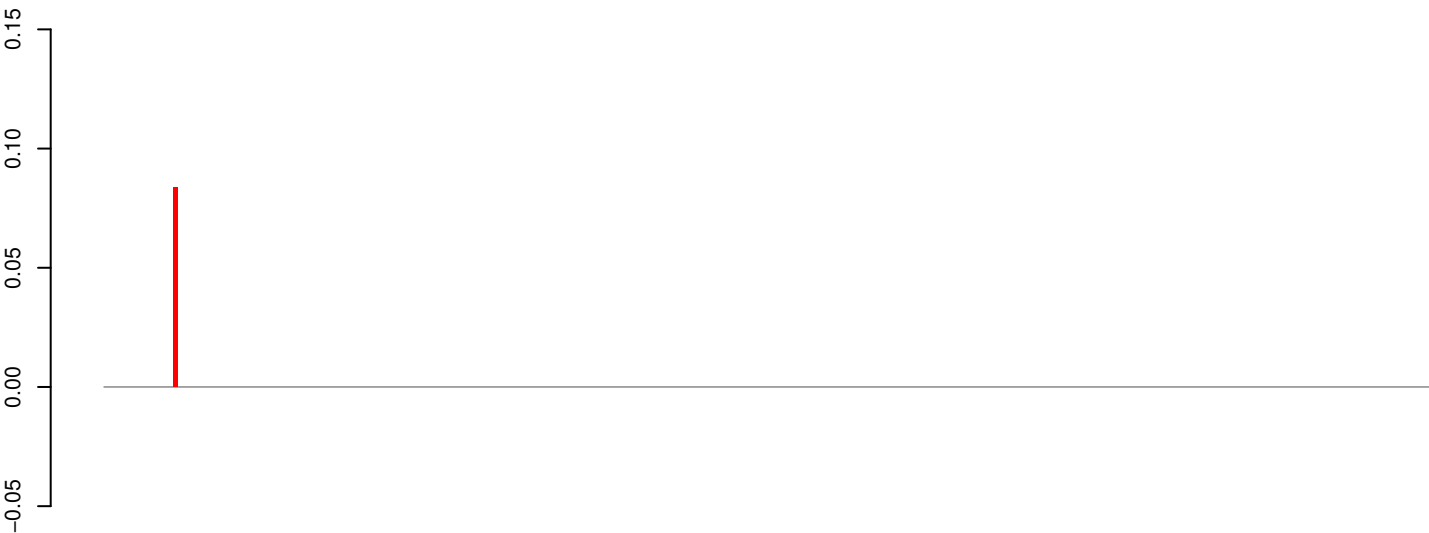
AeAeg_Aag2_Ago2_SINV_RA.24_35.rep



AeAeg_Aag2_Ago2_SINV_RA.rep

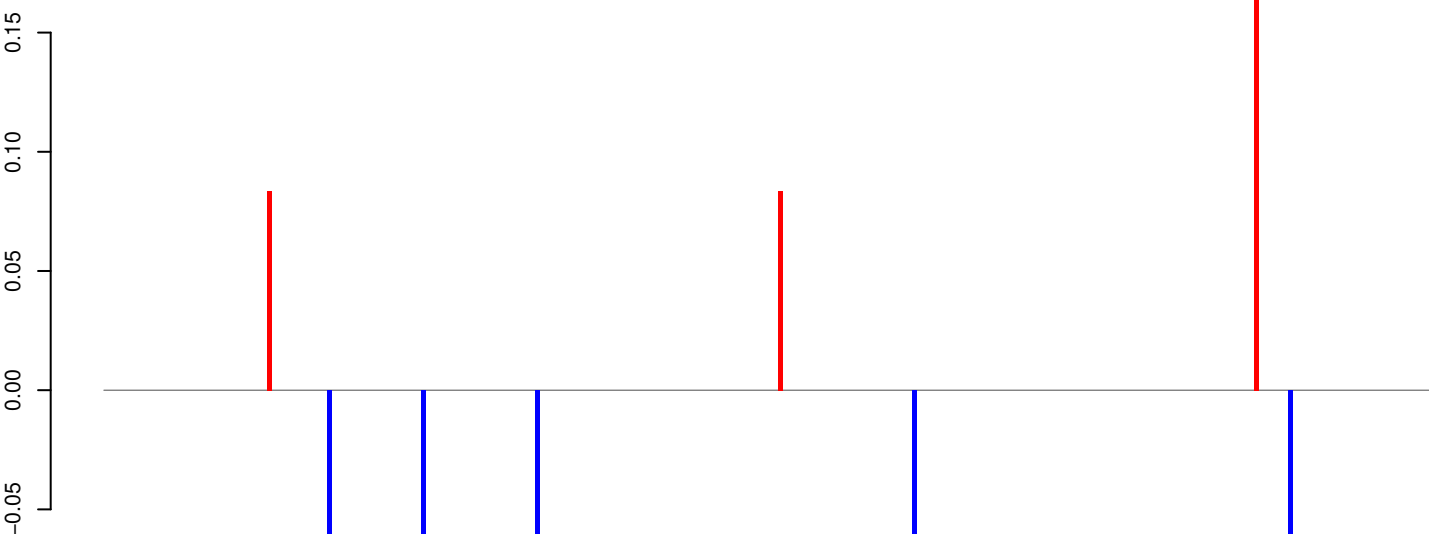


AeAeg_Aag2_Ago2_SINV_RA.18_23.rep



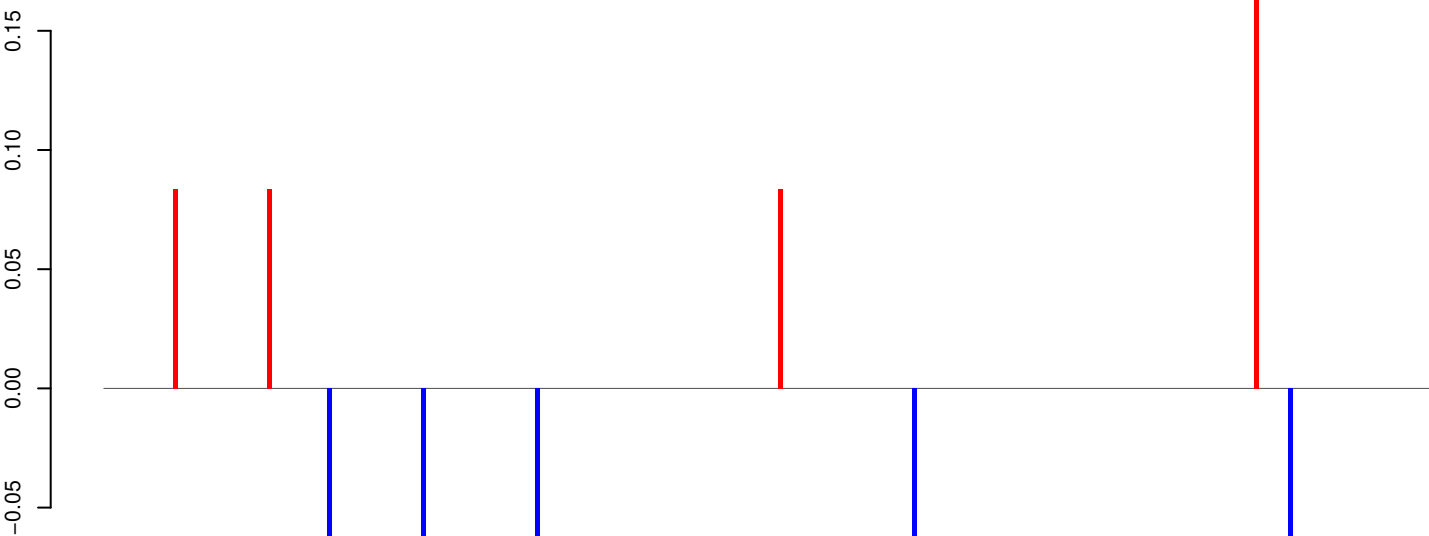
positive=0, negative=0, total=0

AeAeg_Aag2_Ago2_SINV_RA.24_35.rep



positive=0, negative=0, total=1

AeAeg_Aag2_Ago2_SINV_RA.rep

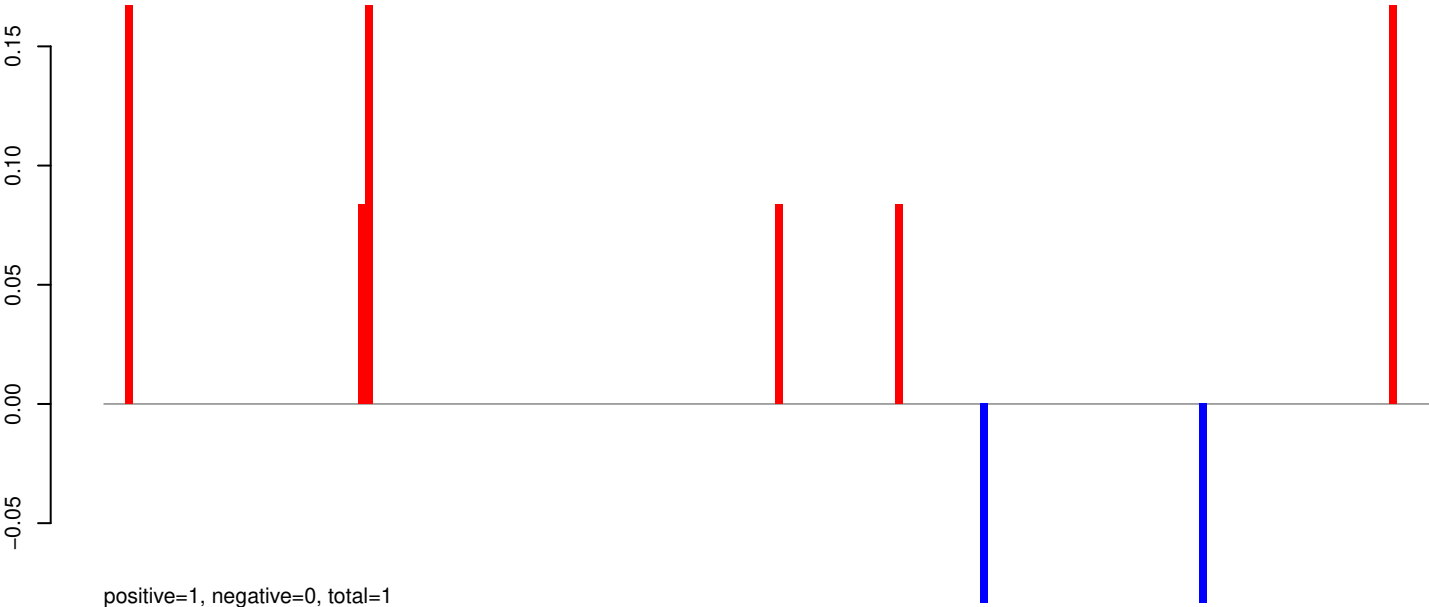


positive=0, negative=0, total=1

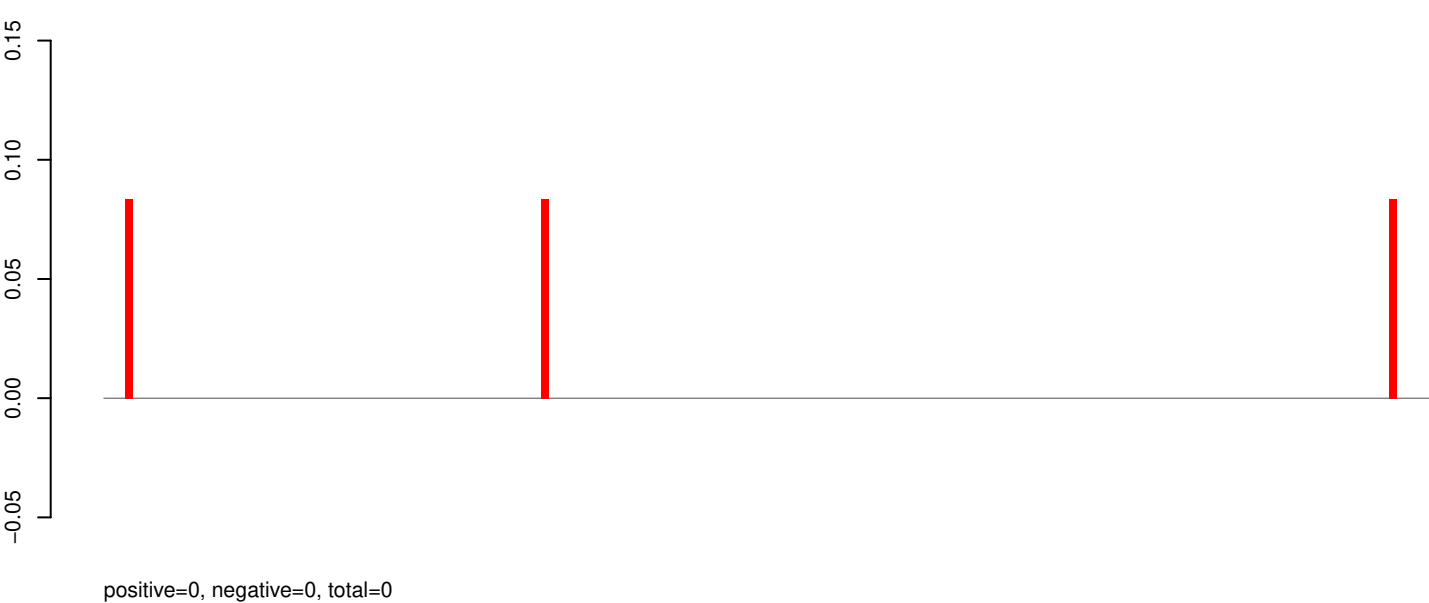
Window size=25, length=6697, TE@TF000406-Pao_Bel_Ele56:1-6697

0 1000 2000 3000 4000 5000 6000

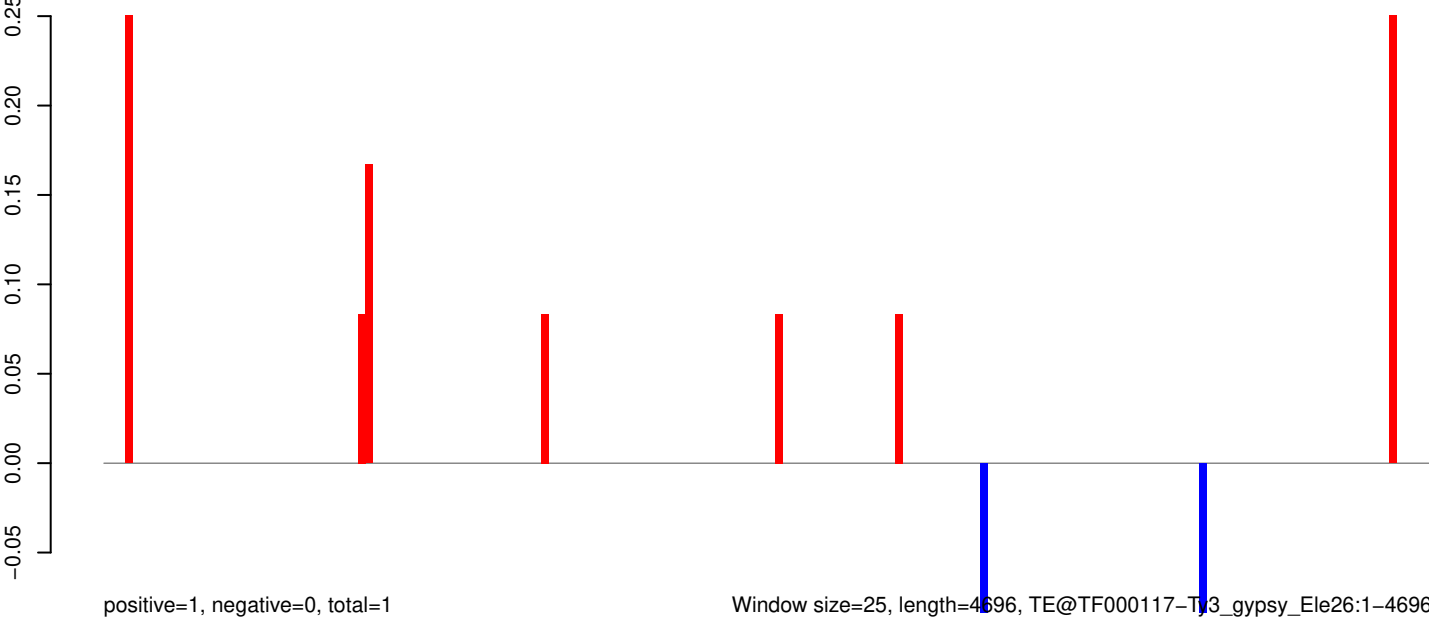
AeAeg_Aag2_Ago2_SINV_RA.18_23.rep



AeAeg_Aag2_Ago2_SINV_RA.24_35.rep



AeAeg_Aag2_Ago2_SINV_RA.rep



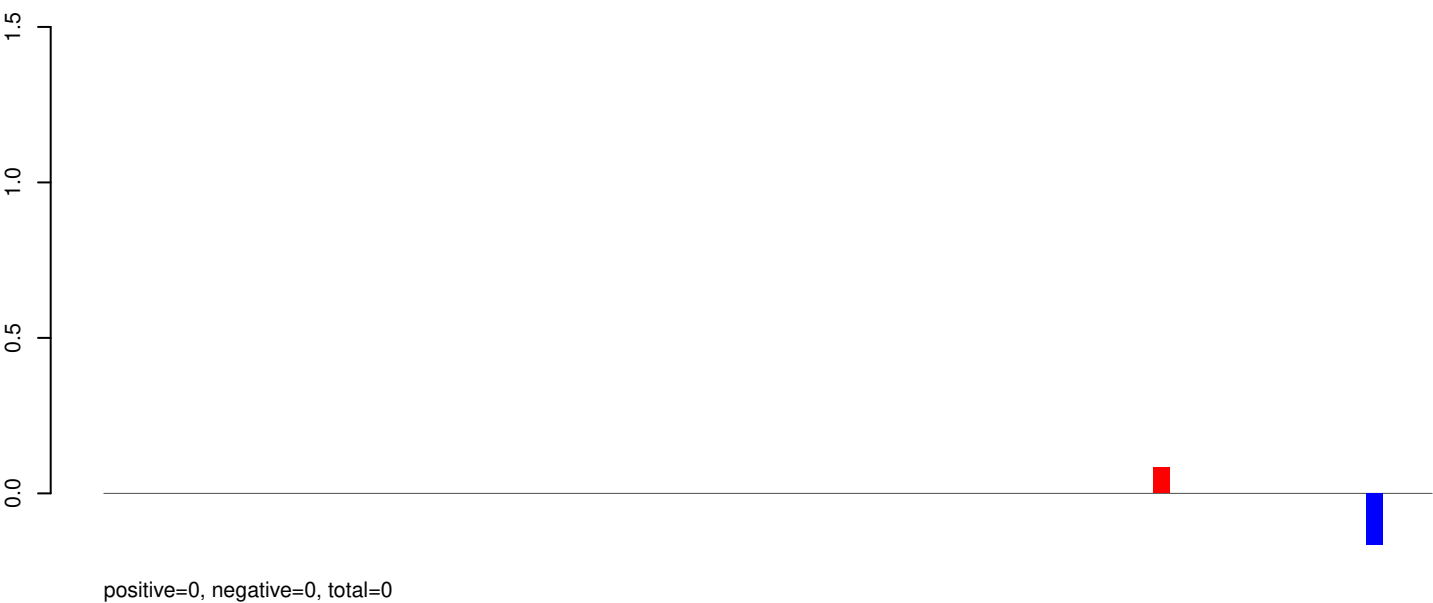
Window size=25, length=4696, TE@TF000117-Ty3_gypsy_Ele26:1-4696

0 1000 2000 3000 4000

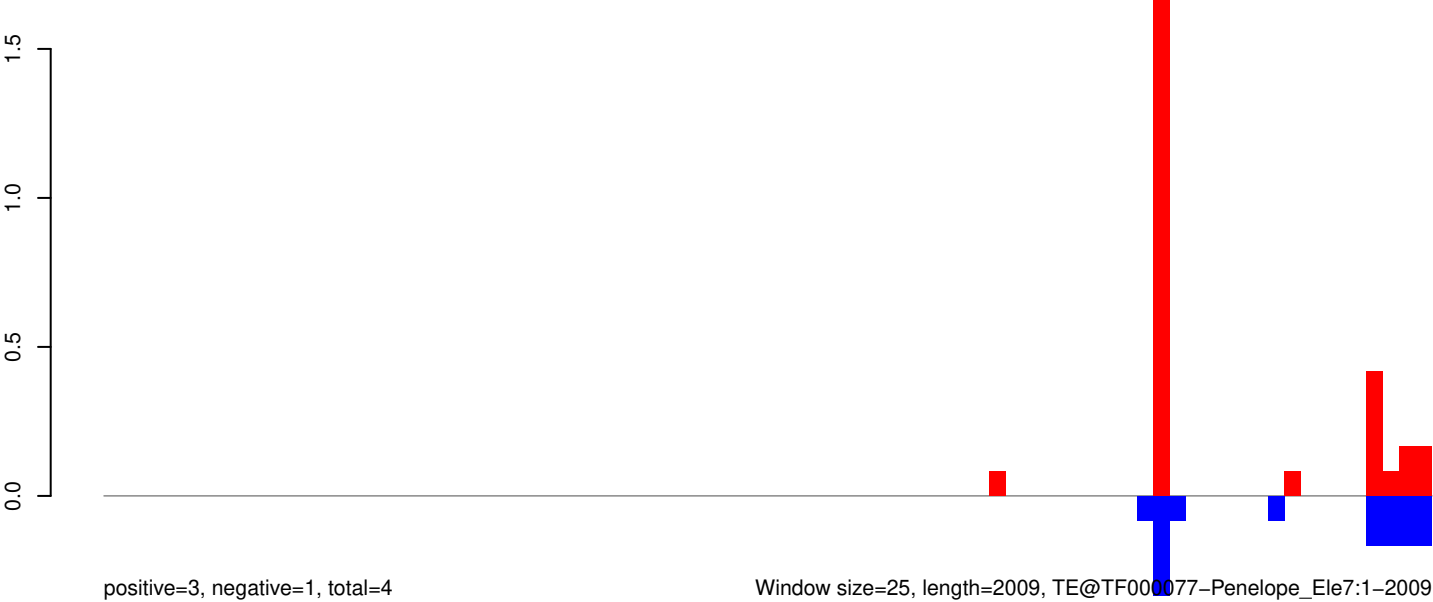
AeAeg_Aag2_Ago2_SINV_RA.18_23.rep



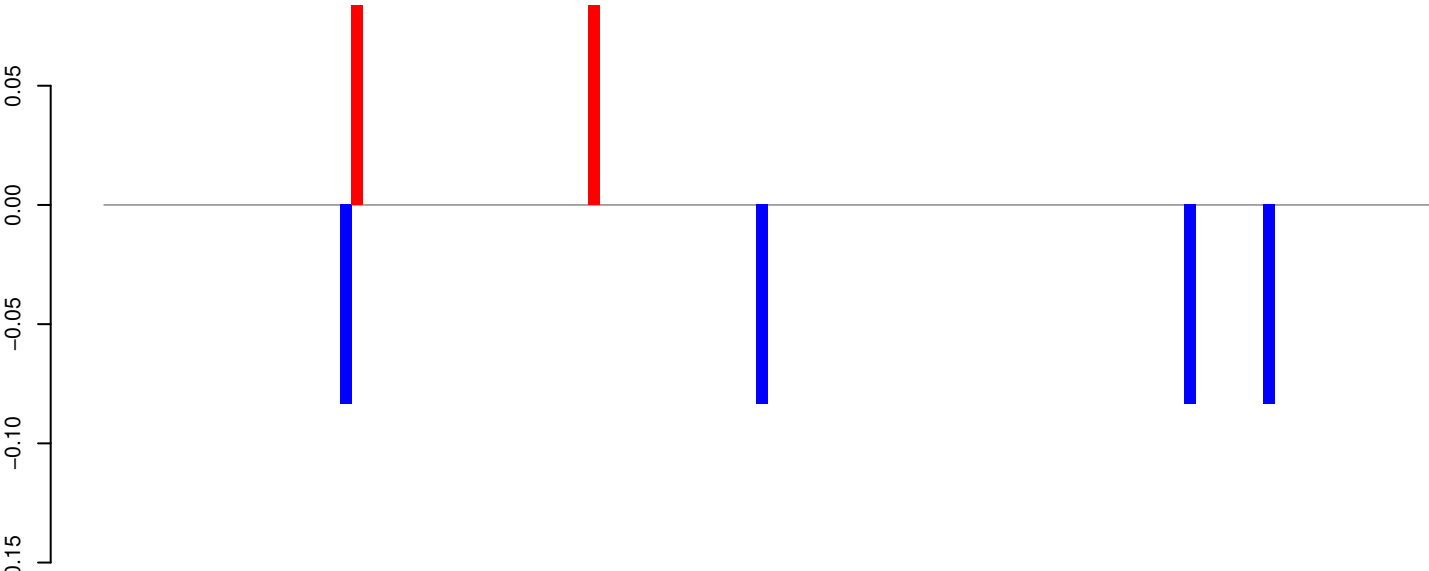
AeAeg_Aag2_Ago2_SINV_RA.24_35.rep



AeAeg_Aag2_Ago2_SINV_RA.rep



AeAeg_Aag2_Ago2_SINV_RA.18_23.rep



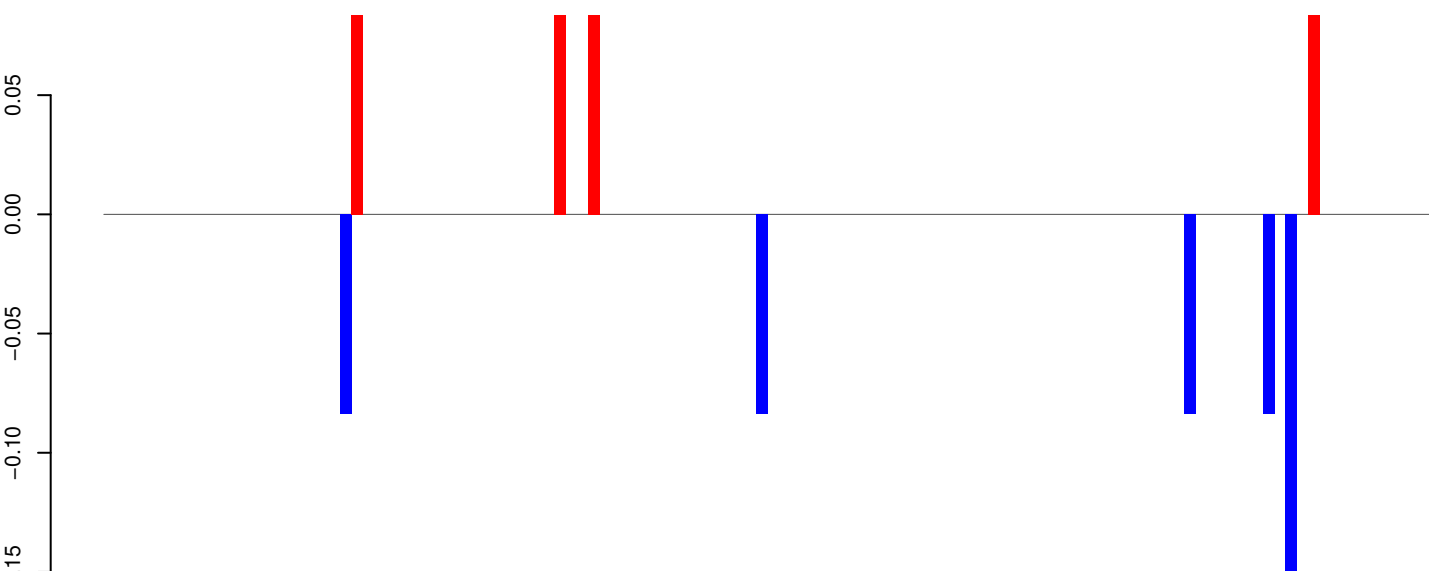
positive=0, negative=0, total=1

AeAeg_Aag2_Ago2_SINV_RA.24_35.rep



positive=0, negative=0, total=0

AeAeg_Aag2_Ago2_SINV_RA.rep

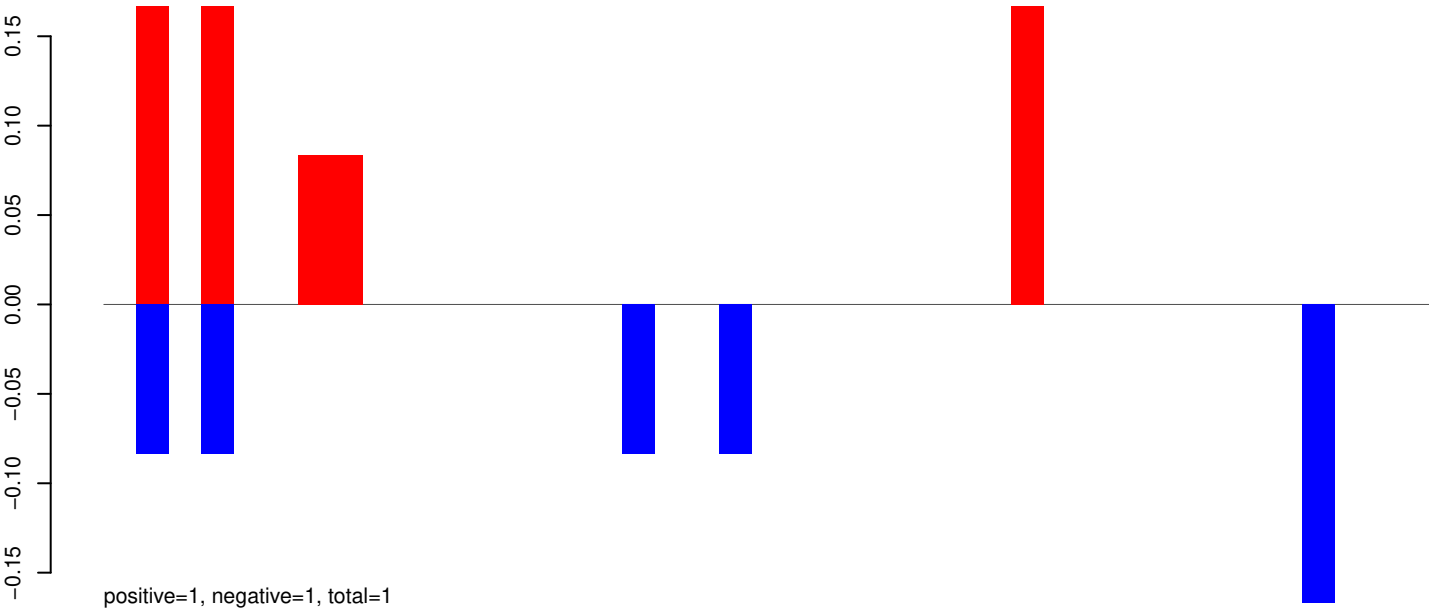


positive=0, negative=1, total=1

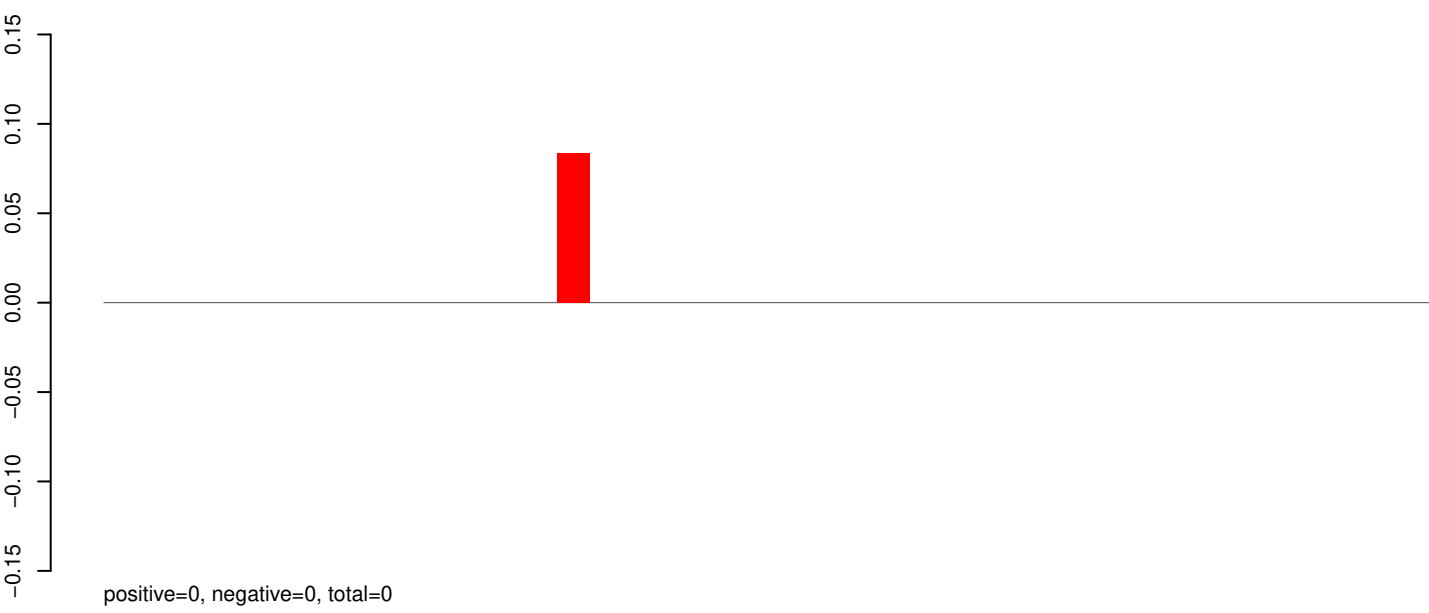
Window size=25, length=2949, TE@TF000030-CR_Ele2:1-2949

0 500 1000 1500 2000 2500 3000

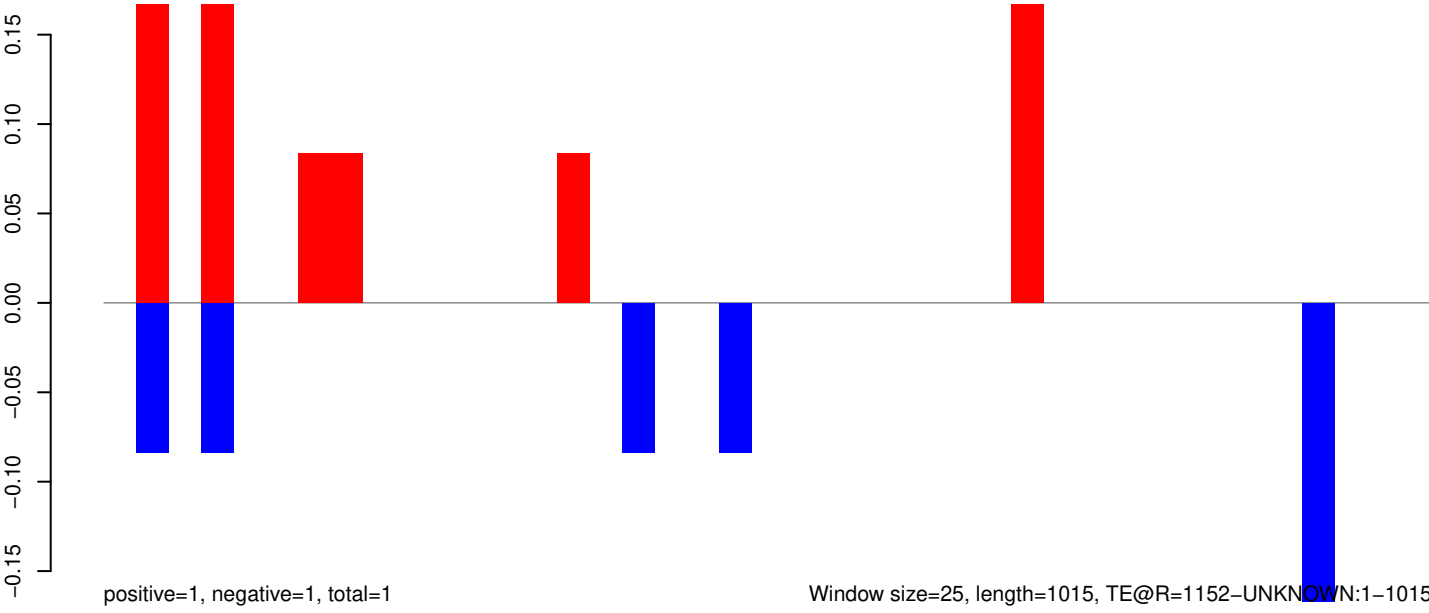
AeAeg_Aag2_Ago2_SINV_RA.18_23.rep



AeAeg_Aag2_Ago2_SINV_RA.24_35.rep



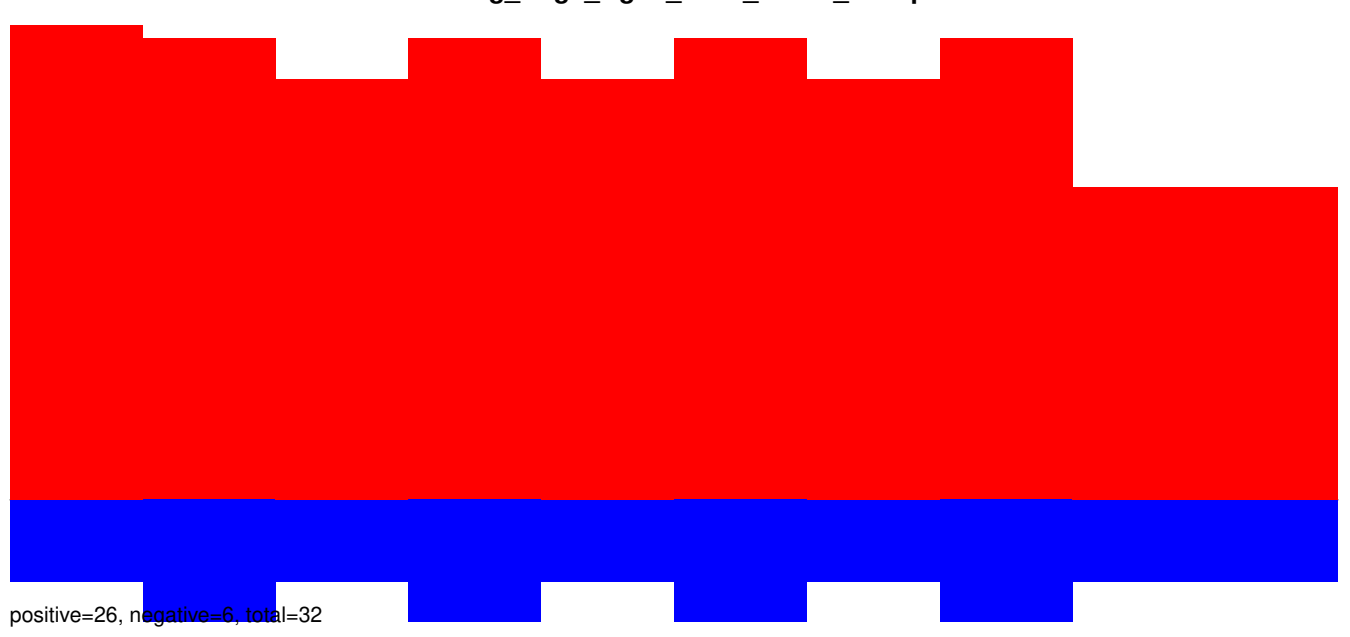
AeAeg_Aag2_Ago2_SINV_RA.rep



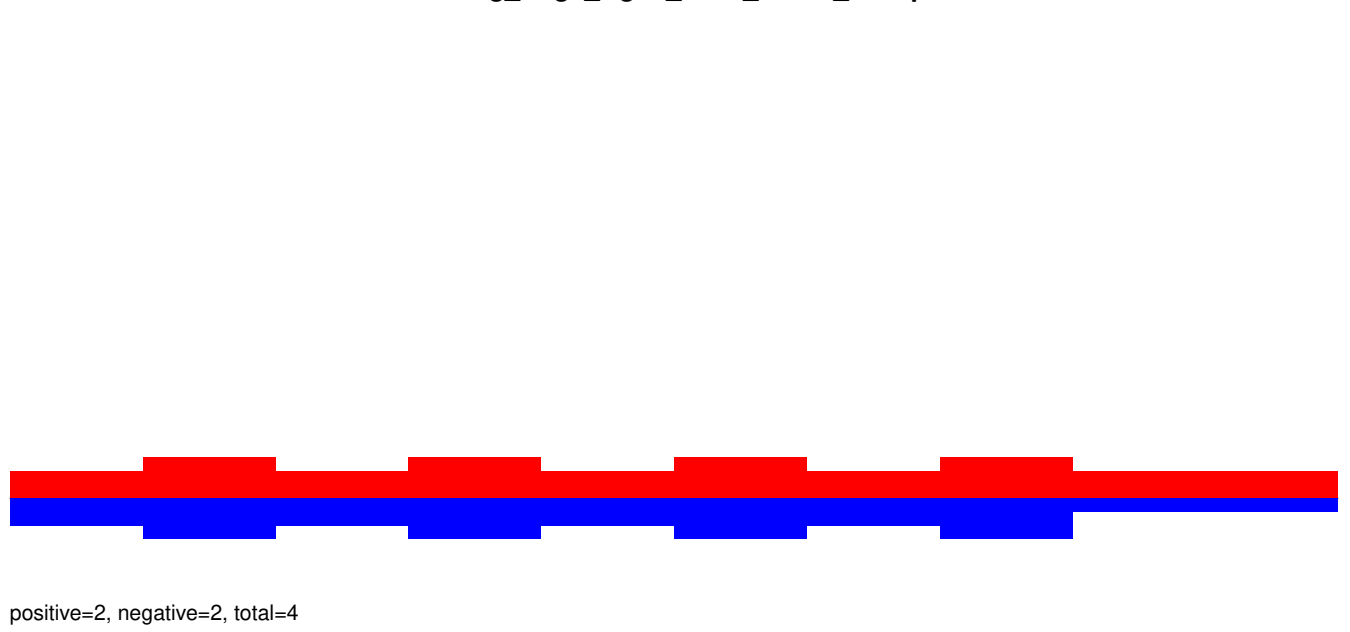
Window size=25, length=1015, TE@R=1152-UNKNOWN:1-1015

0 200 400 600 800 1000

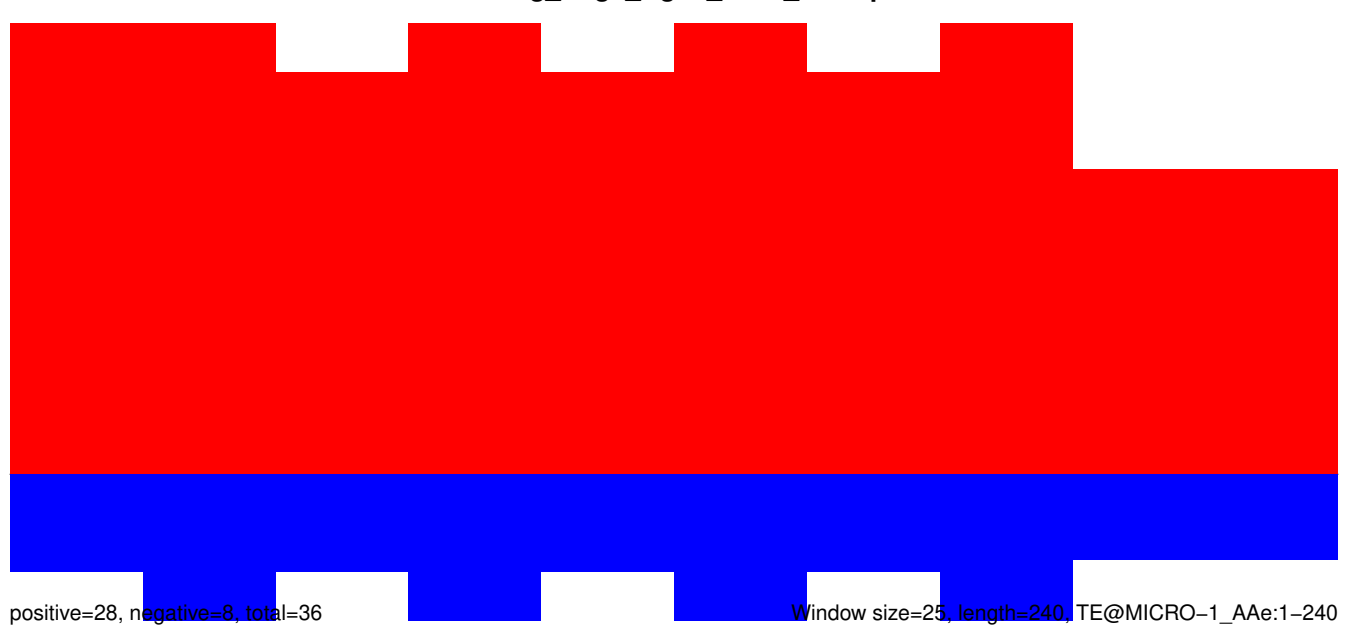
AeAeg_Aag2_Ago2_SINV_RA.18_23.rep



AeAeg_Aag2_Ago2_SINV_RA.24_35.rep

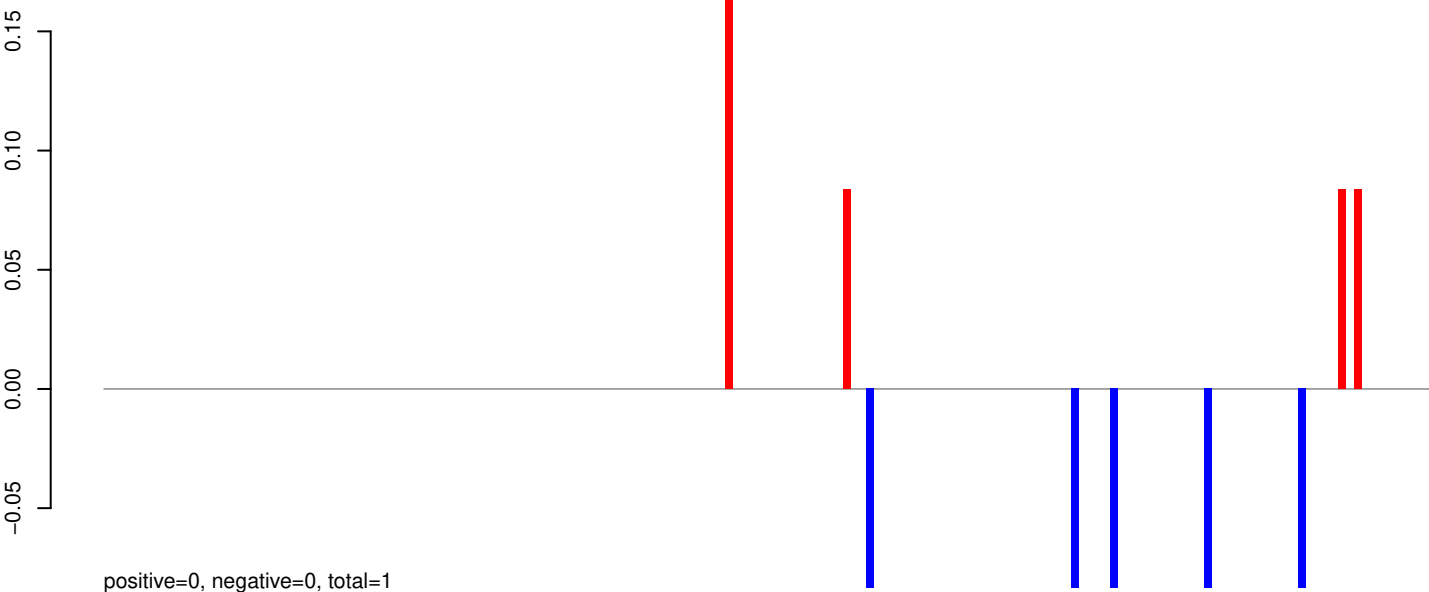


AeAeg_Aag2_Ago2_SINV_RA.rep

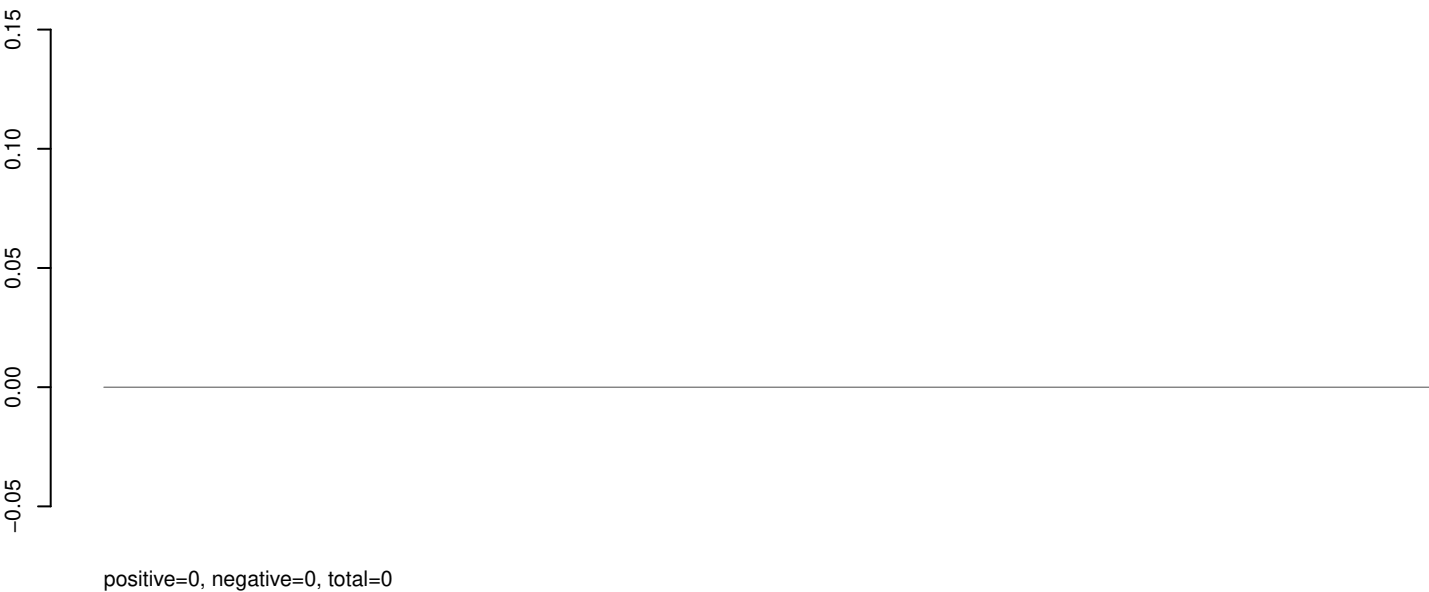


Window size=25, length=240, TE@MICRO-1_AAe:1-240

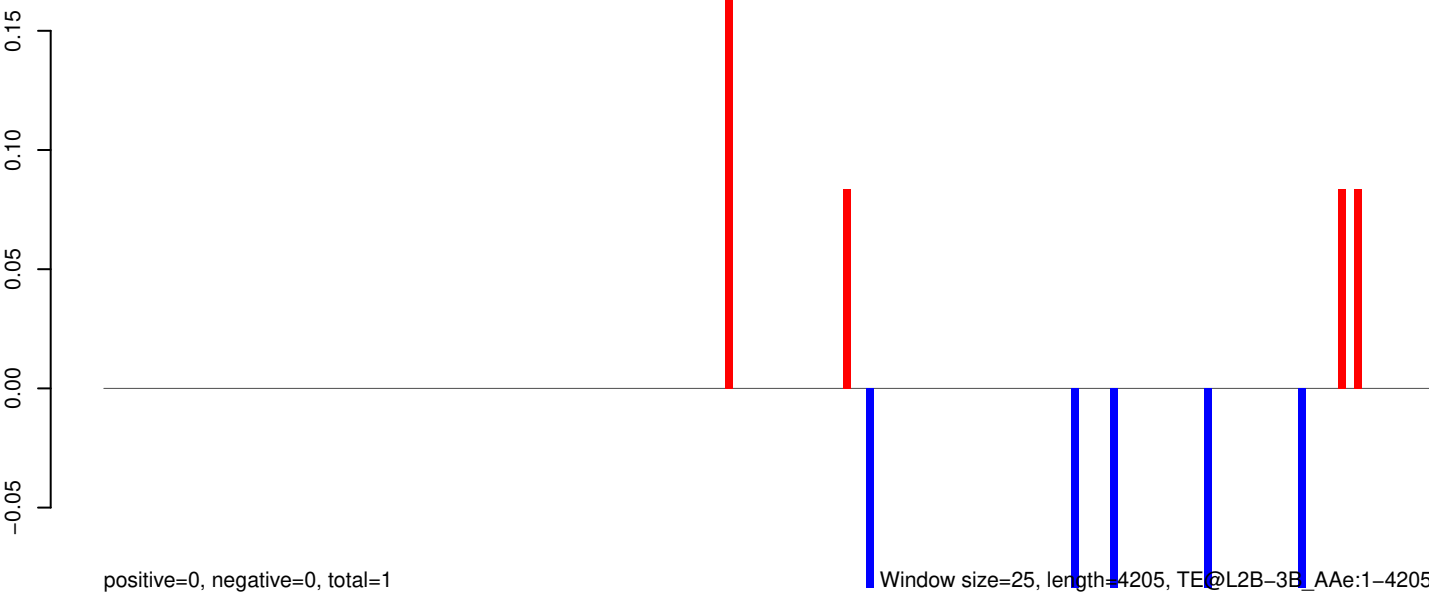
AeAeg_Aag2_Ago2_SINV_RA.18_23.rep



AeAeg_Aag2_Ago2_SINV_RA.24_35.rep



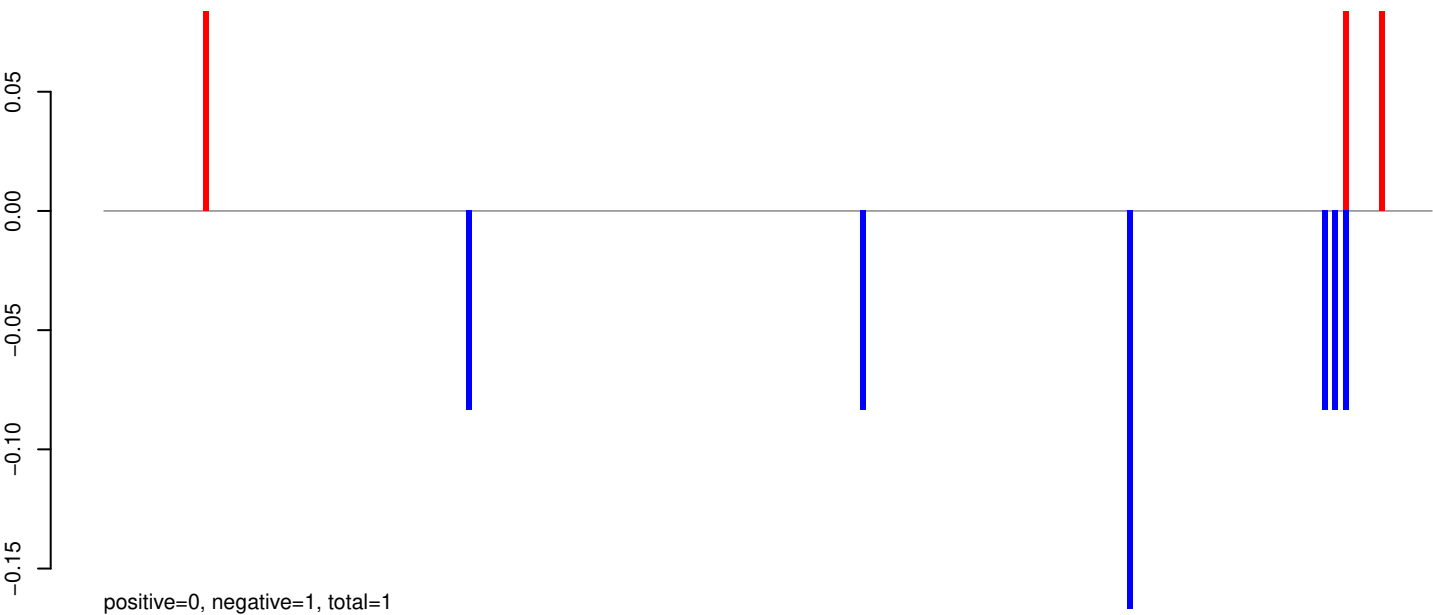
AeAeg_Aag2_Ago2_SINV_RA.rep



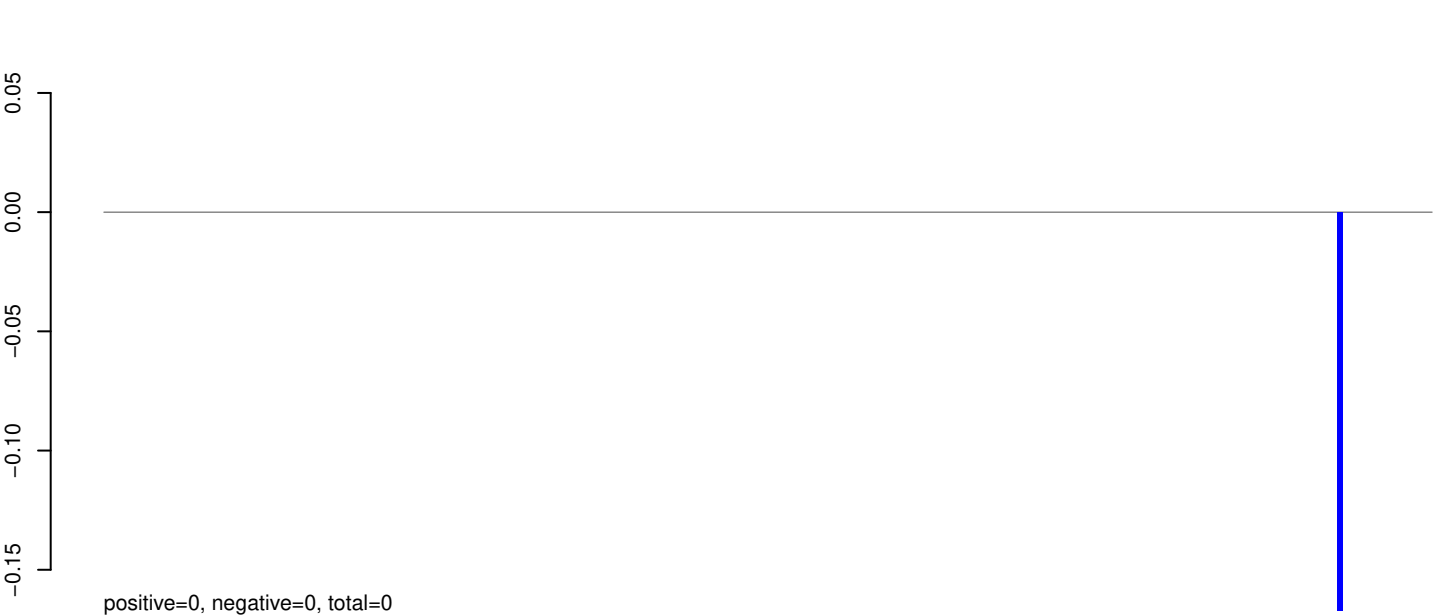
Window size=25, length=4205, TE@L2B-3B_AAE:1-4205

0 1000 2000 3000 4000

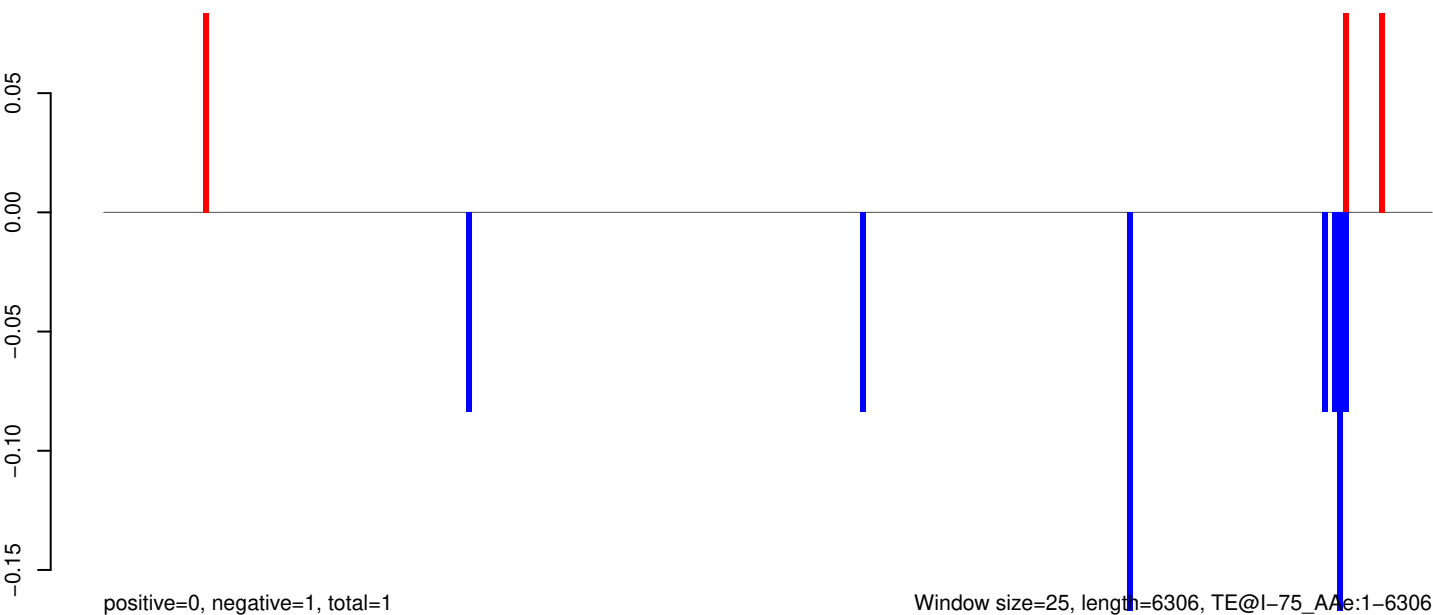
AeAeg_Aag2_Ago2_SINV_RA.18_23.rep



AeAeg_Aag2_Ago2_SINV_RA.24_35.rep



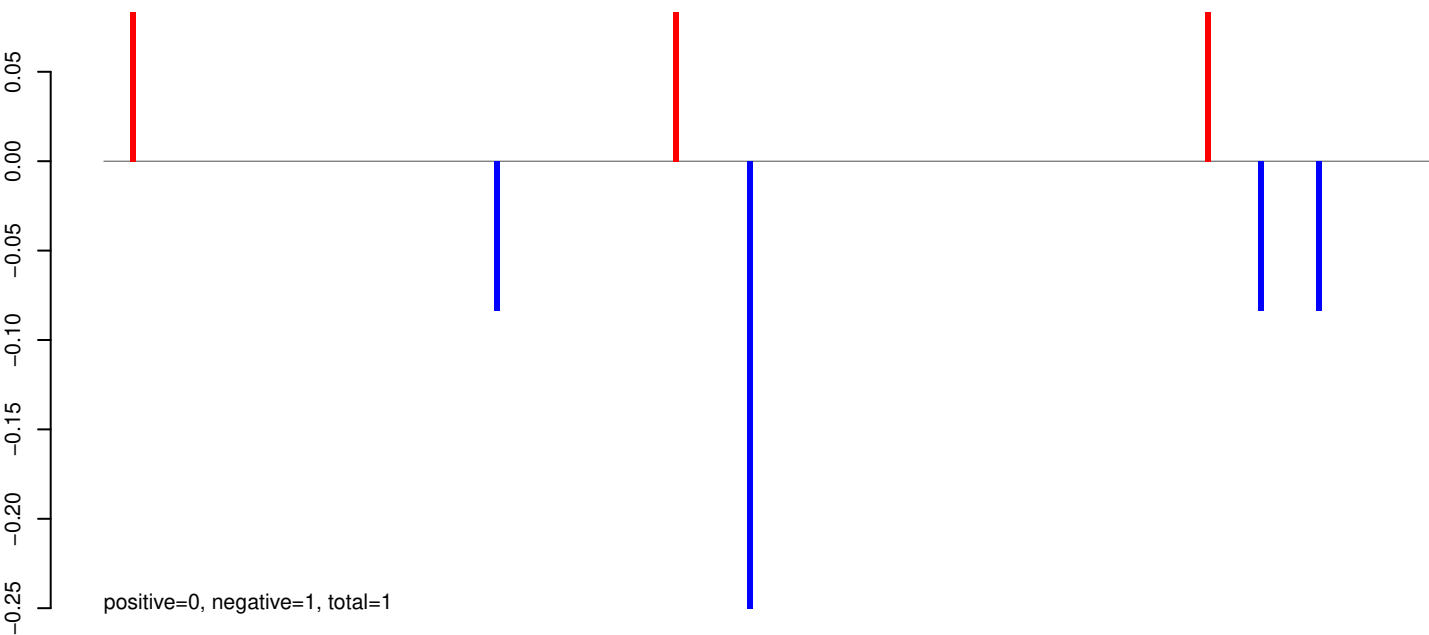
AeAeg_Aag2_Ago2_SINV_RA.rep



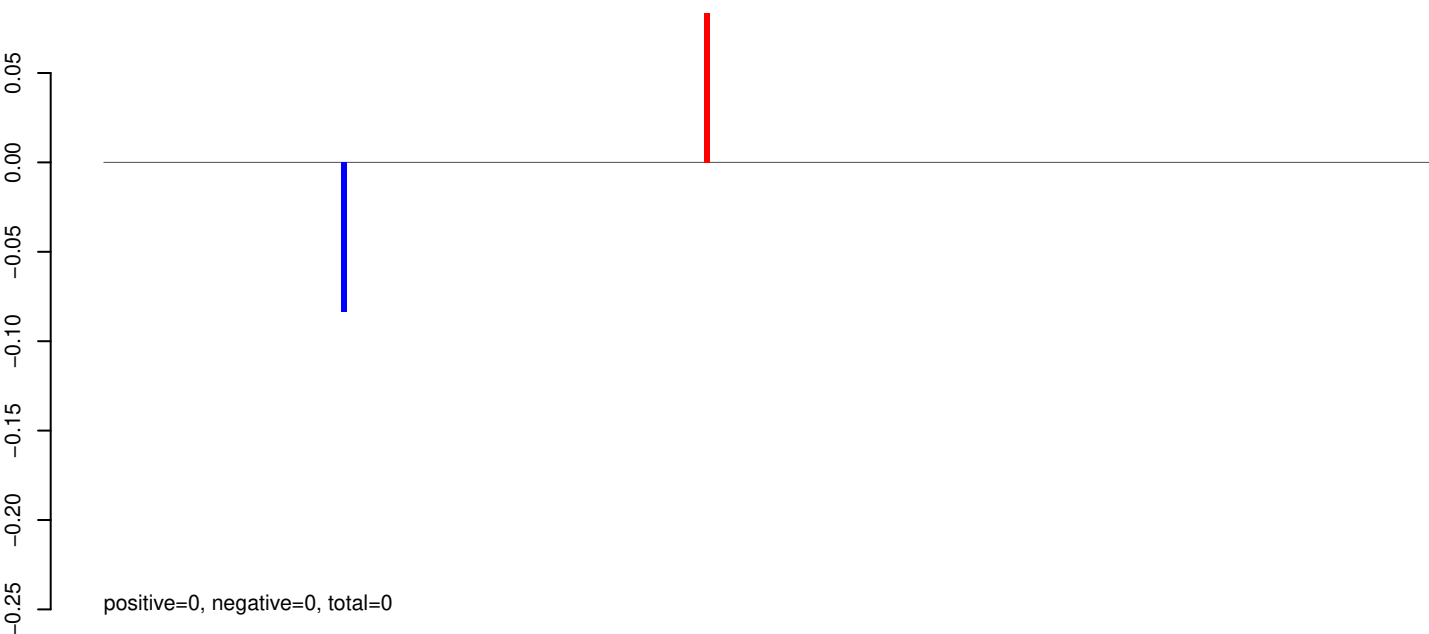
Window size=25, length=6306, TE@l-75_AAg:1-6306

0 1000 2000 3000 4000 5000 6000

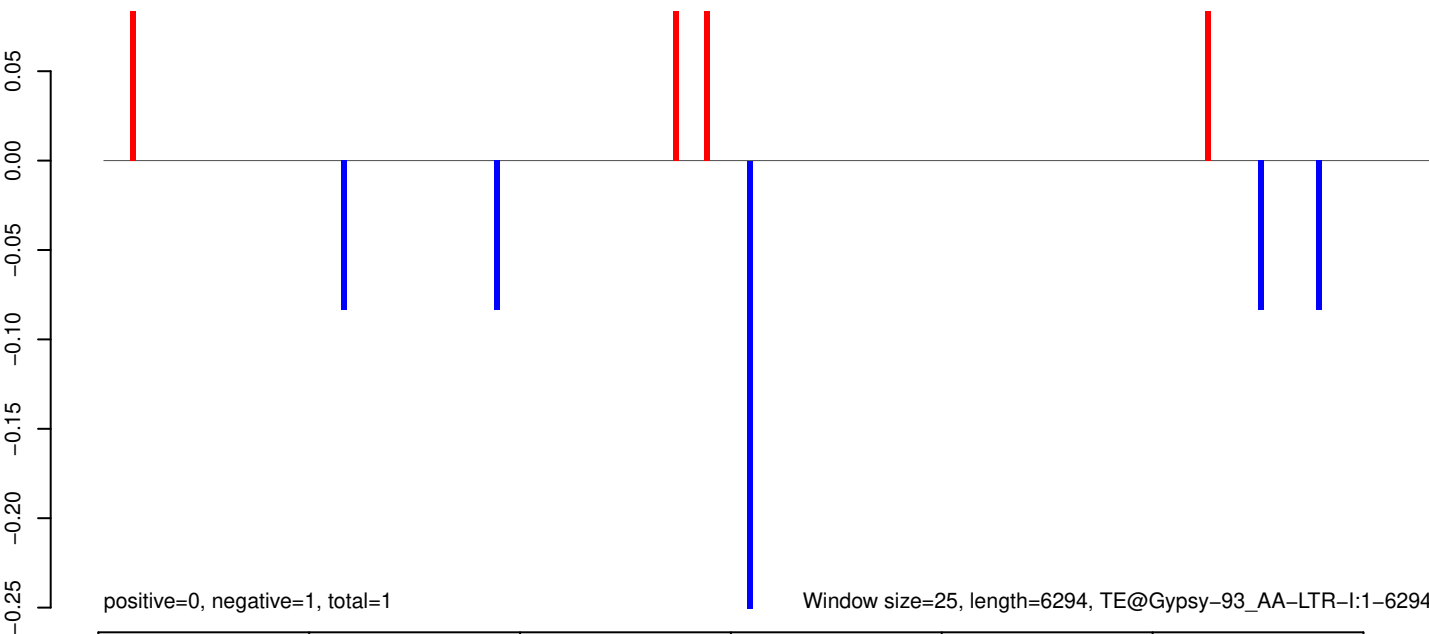
AeAeg_Aag2_Ago2_SINV_RA.18_23.rep



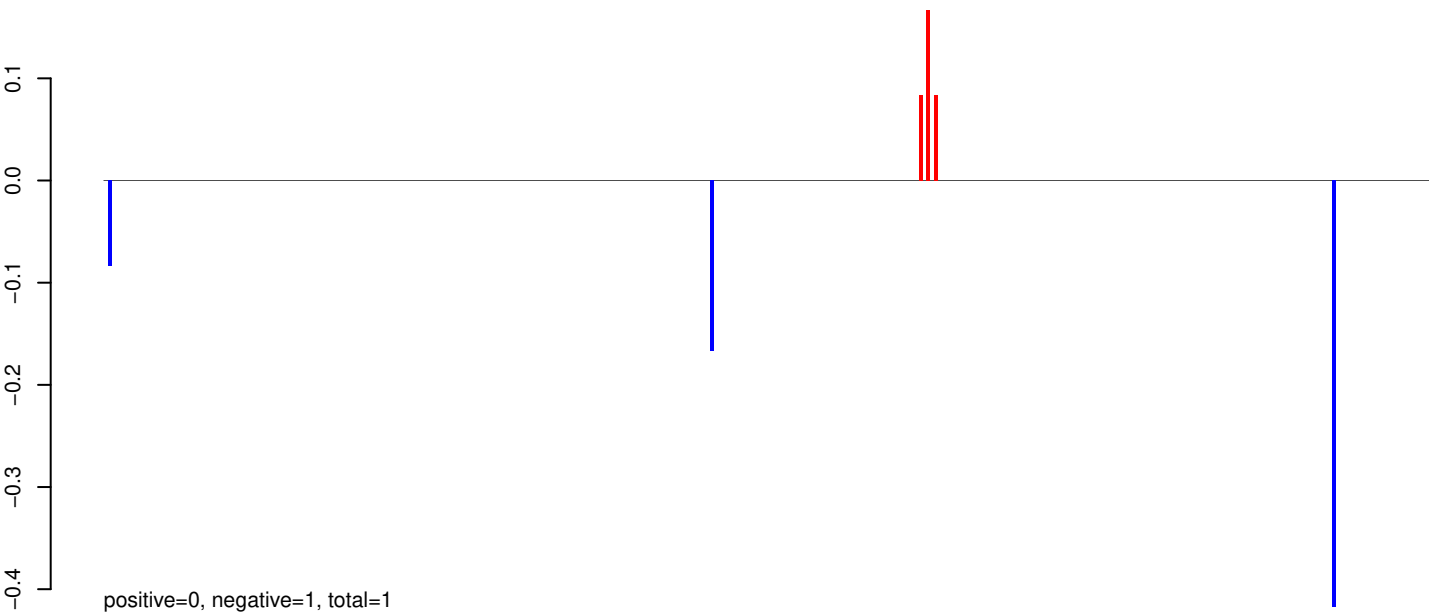
AeAeg_Aag2_Ago2_SINV_RA.24_35.rep



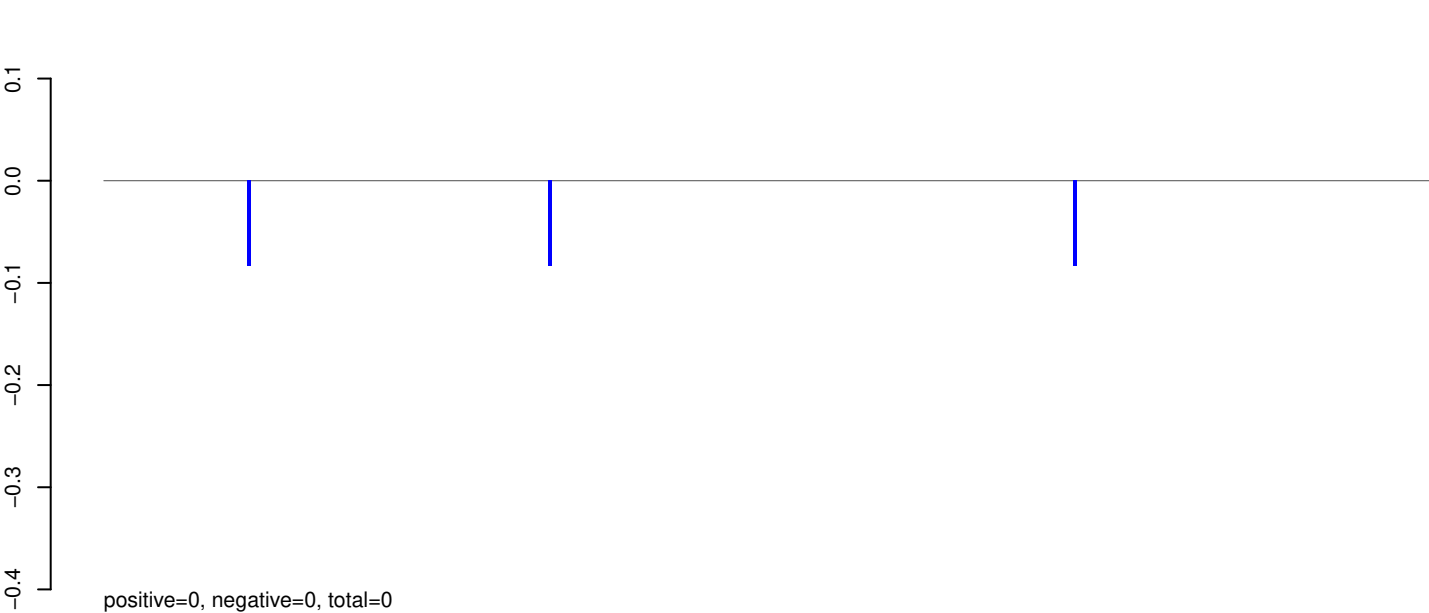
AeAeg_Aag2_Ago2_SINV_RA.rep



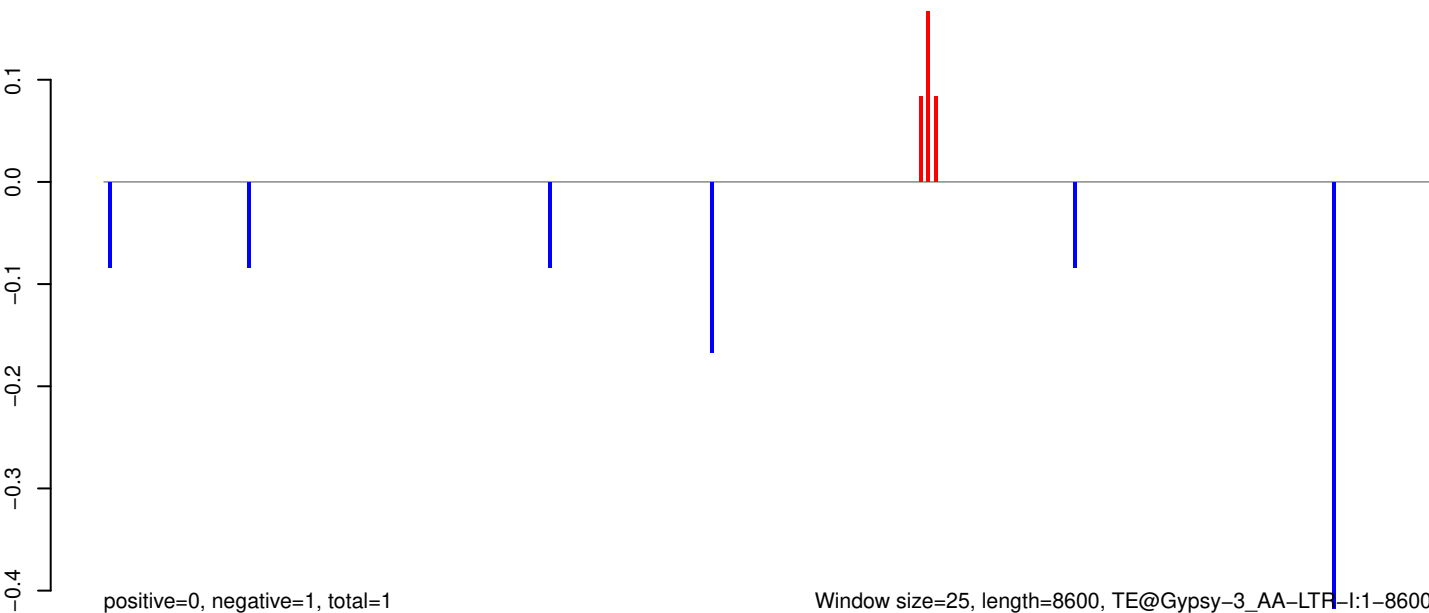
AeAeg_Aag2_Ago2_SINV_RA.18_23.rep



AeAeg_Aag2_Ago2_SINV_RA.24_35.rep

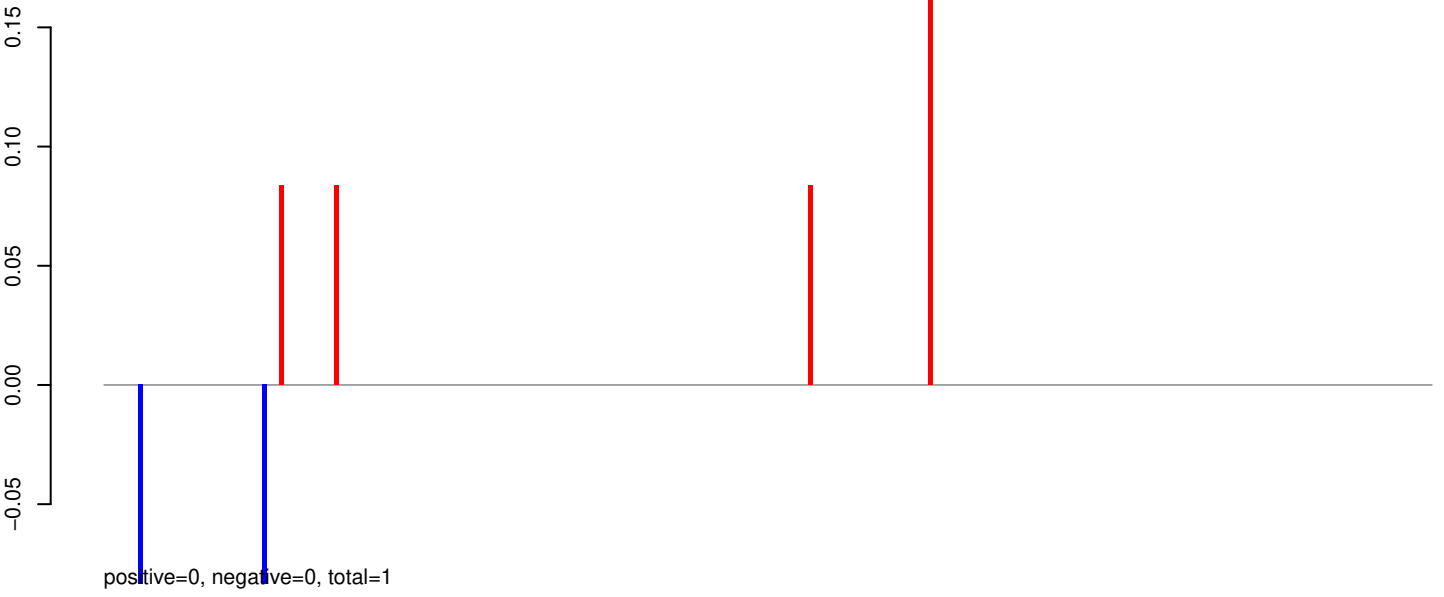


AeAeg_Aag2_Ago2_SINV_RA.rep

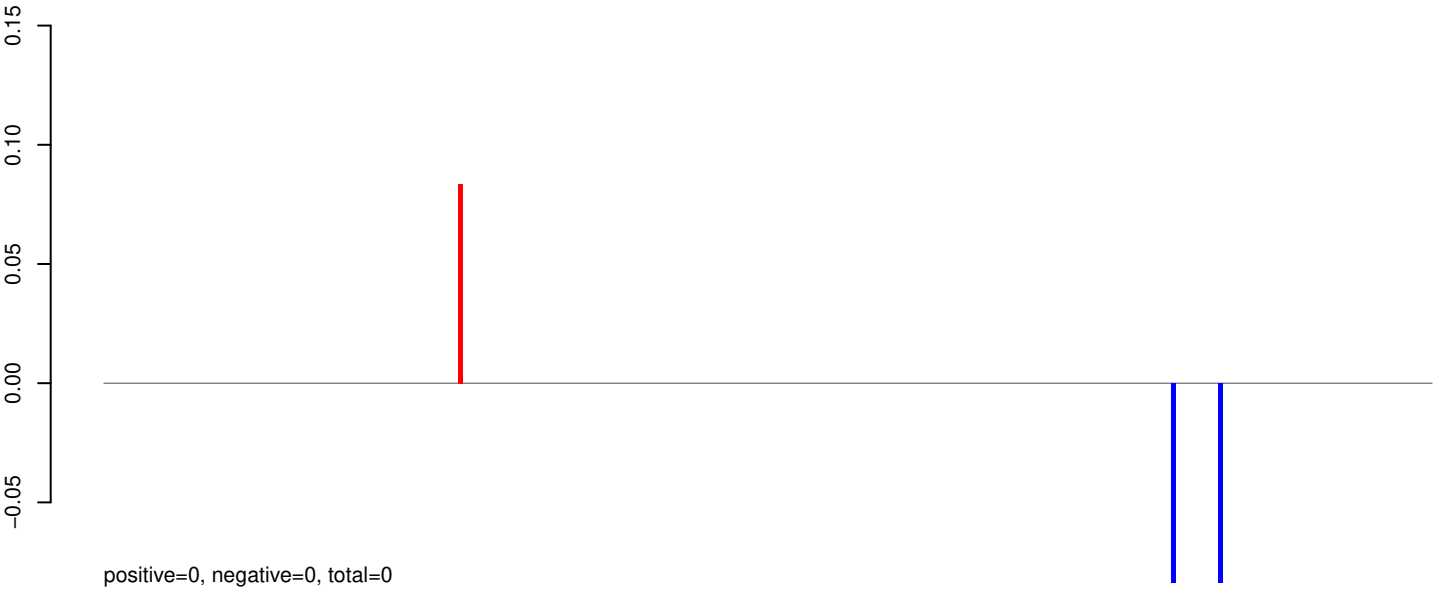


Window size=25, length=8600, TE@Gypsy-3_AA-LTR-I:1-8600

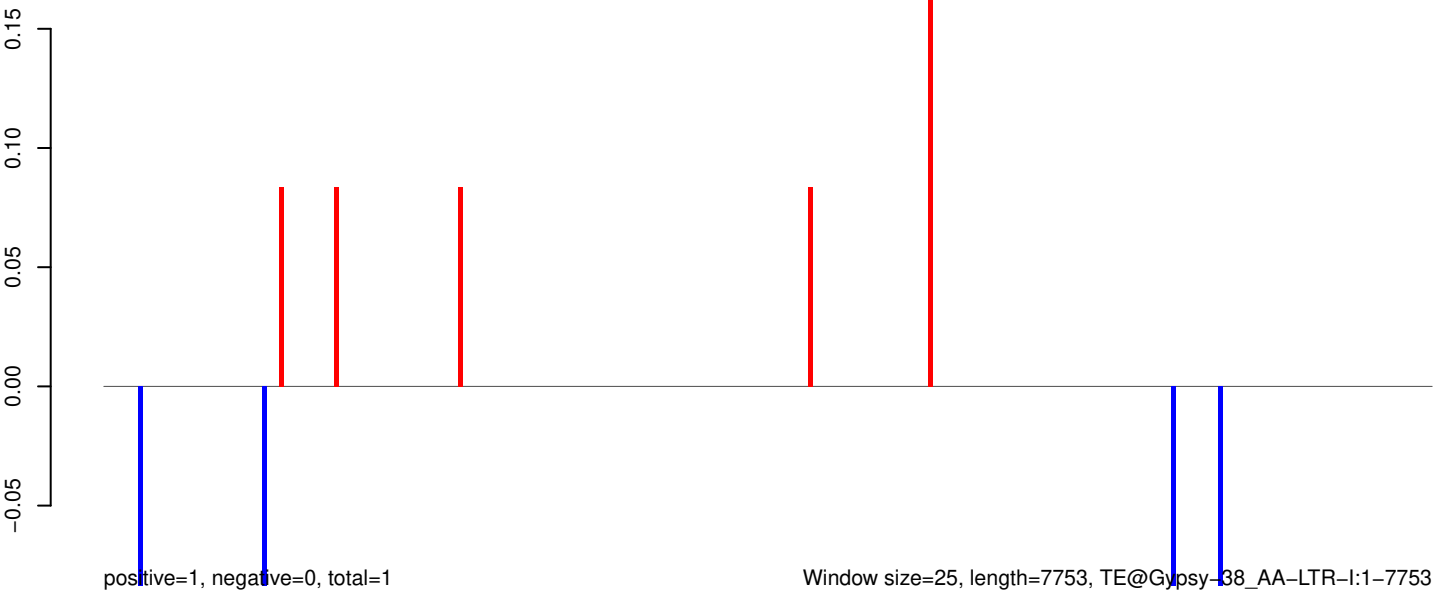
AeAeg_Aag2_Ago2_SINV_RA.18_23.rep



AeAeg_Aag2_Ago2_SINV_RA.24_35.rep



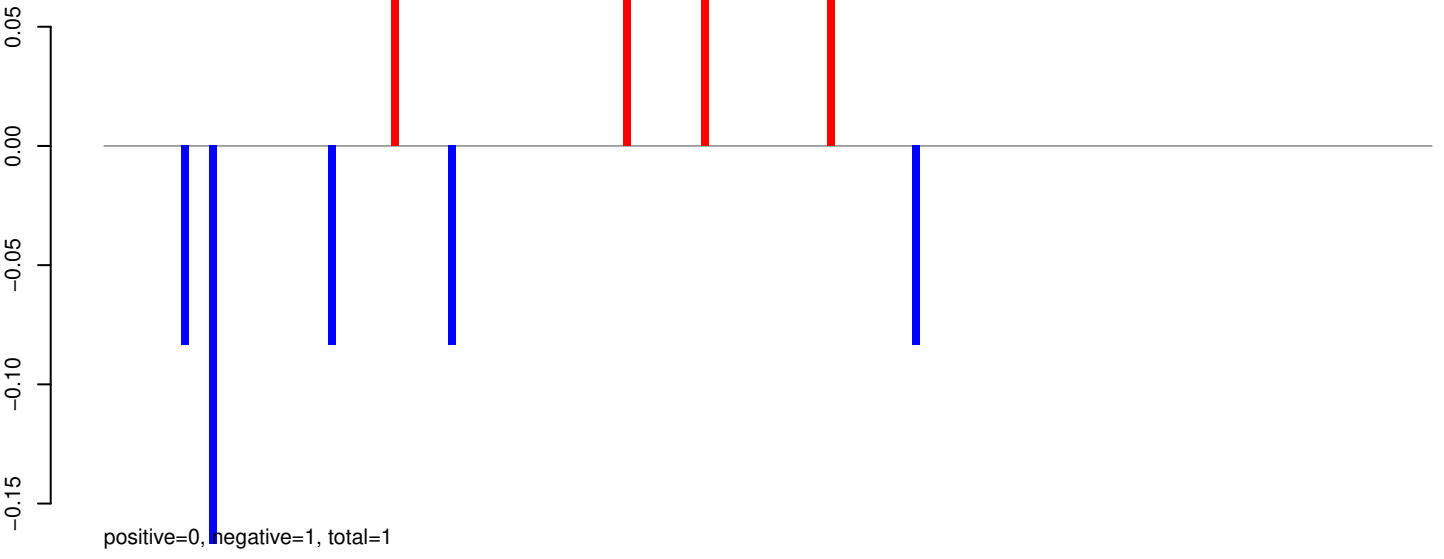
AeAeg_Aag2_Ago2_SINV_RA.rep



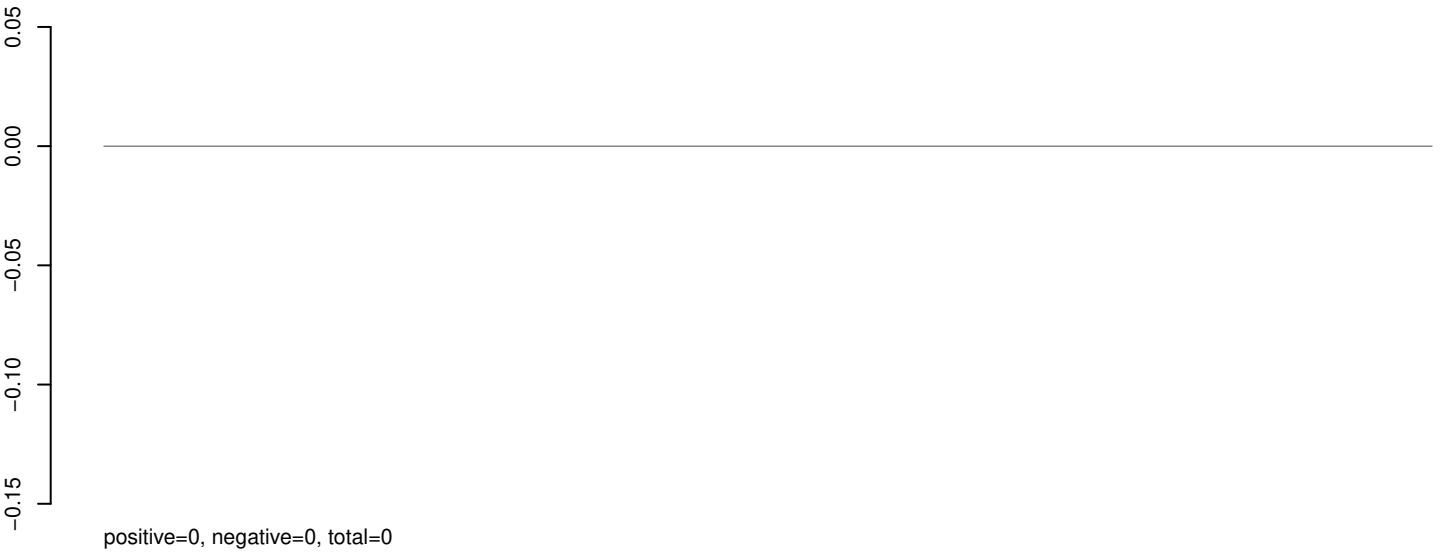
Window size=25, length=7753, TE@Gypsy-38_AA-LTR-I:1-7753

0 2000 4000 6000 8000

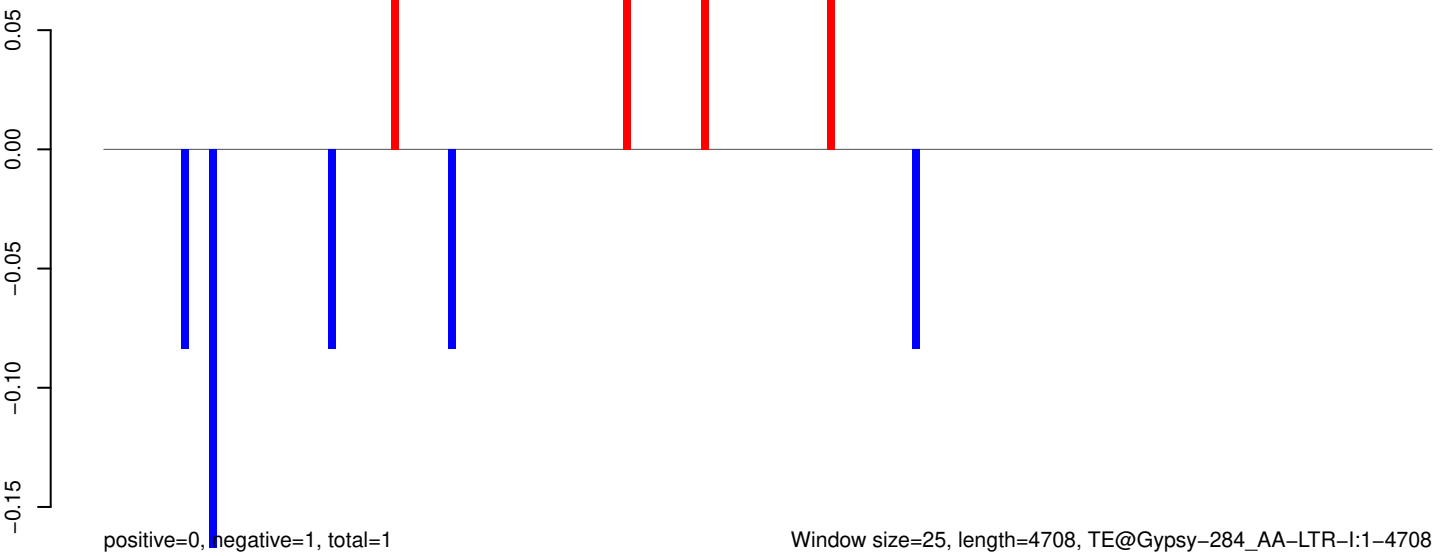
AeAeg_Aag2_Ago2_SINV_RA.18_23.rep



AeAeg_Aag2_Ago2_SINV_RA.24_35.rep



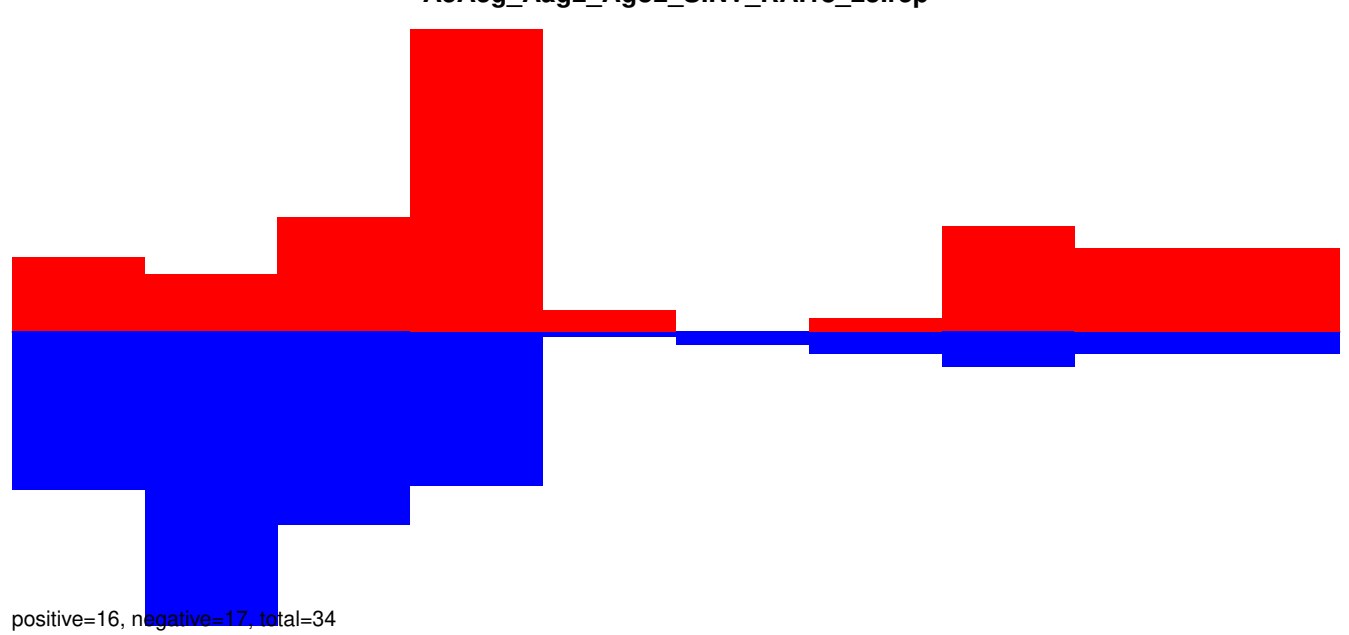
AeAeg_Aag2_Ago2_SINV_RA.rep



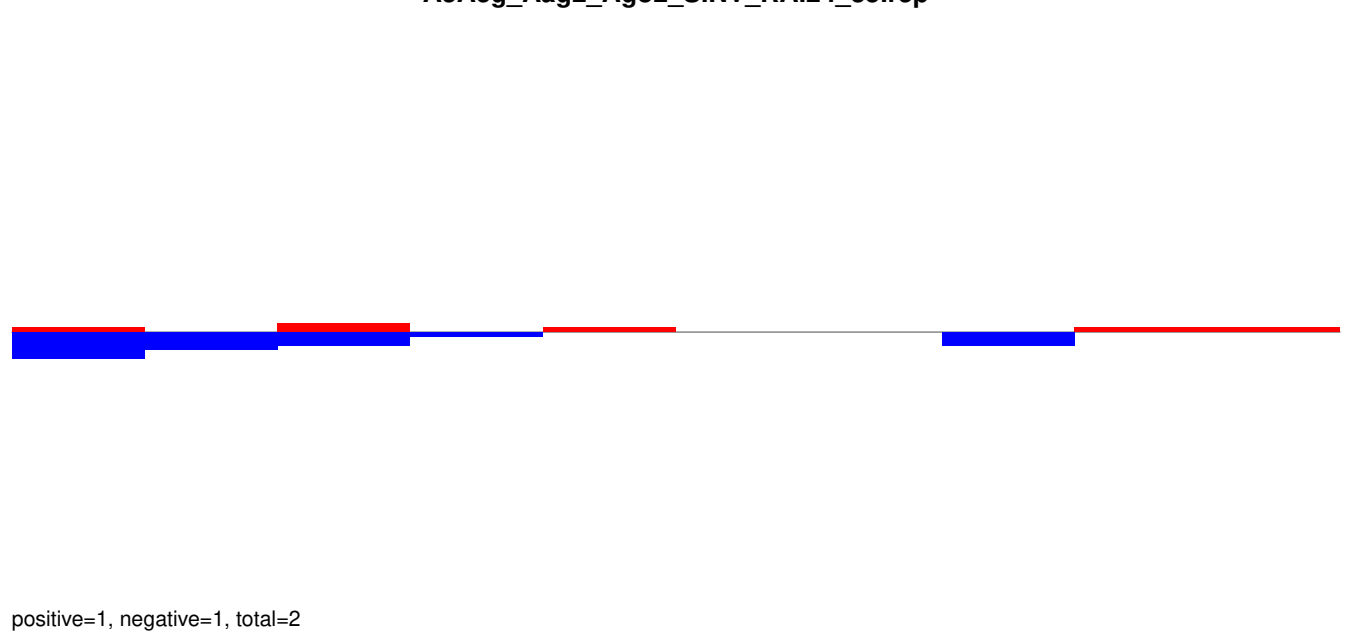
Window size=25, length=4708, TE@Gypsy-284_AA-LTR-I:1-4708

0 1000 2000 3000 4000

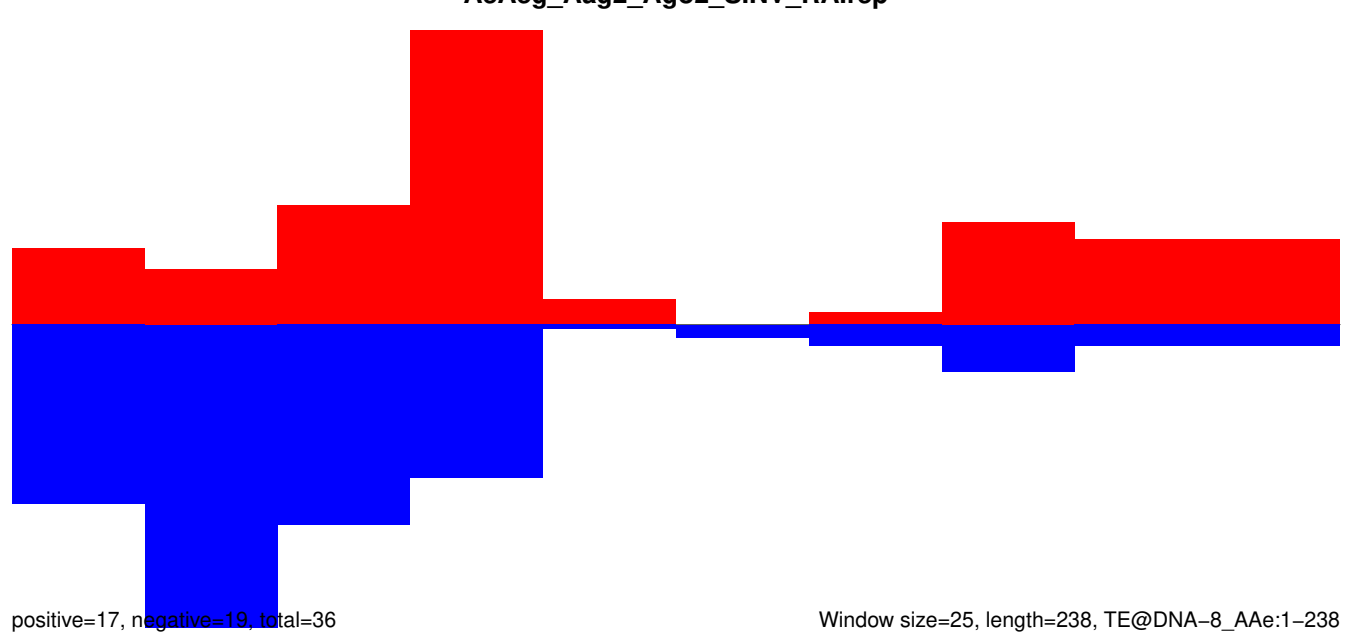
AeAeg_Aag2_Ago2_SINV_RA.18_23.rep



AeAeg_Aag2_Ago2_SINV_RA.24_35.rep

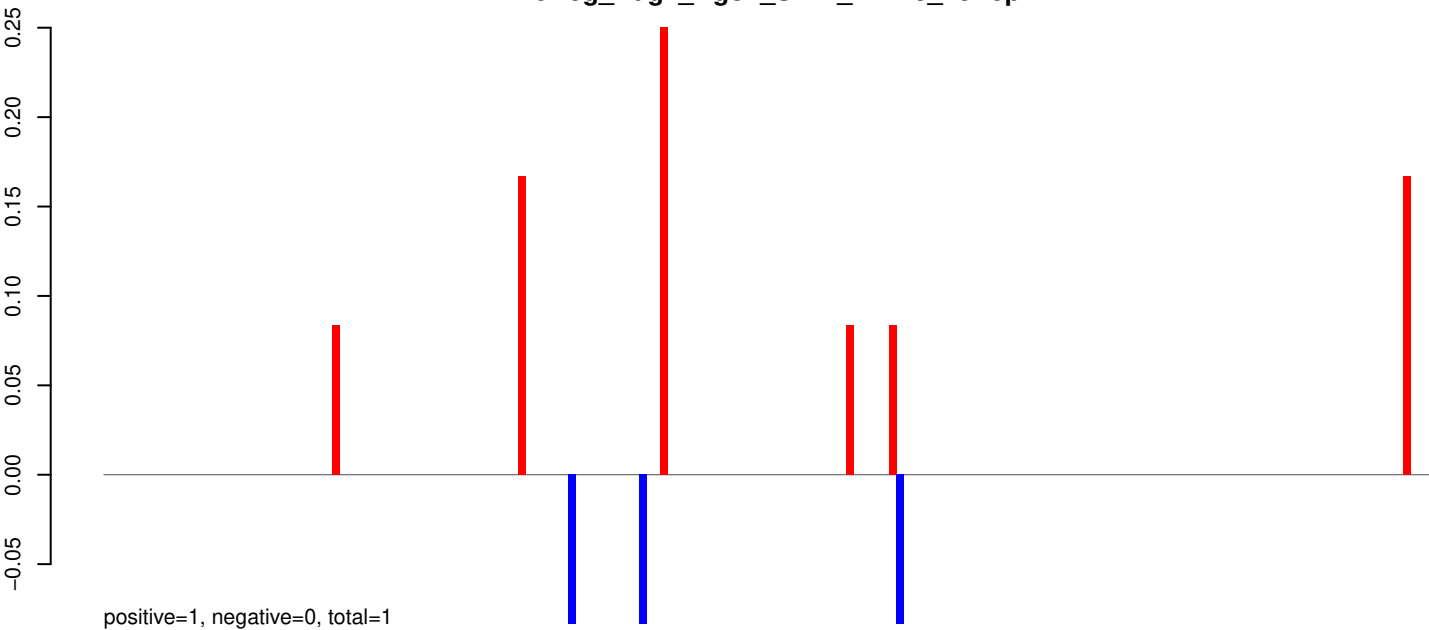


AeAeg_Aag2_Ago2_SINV_RA.rep

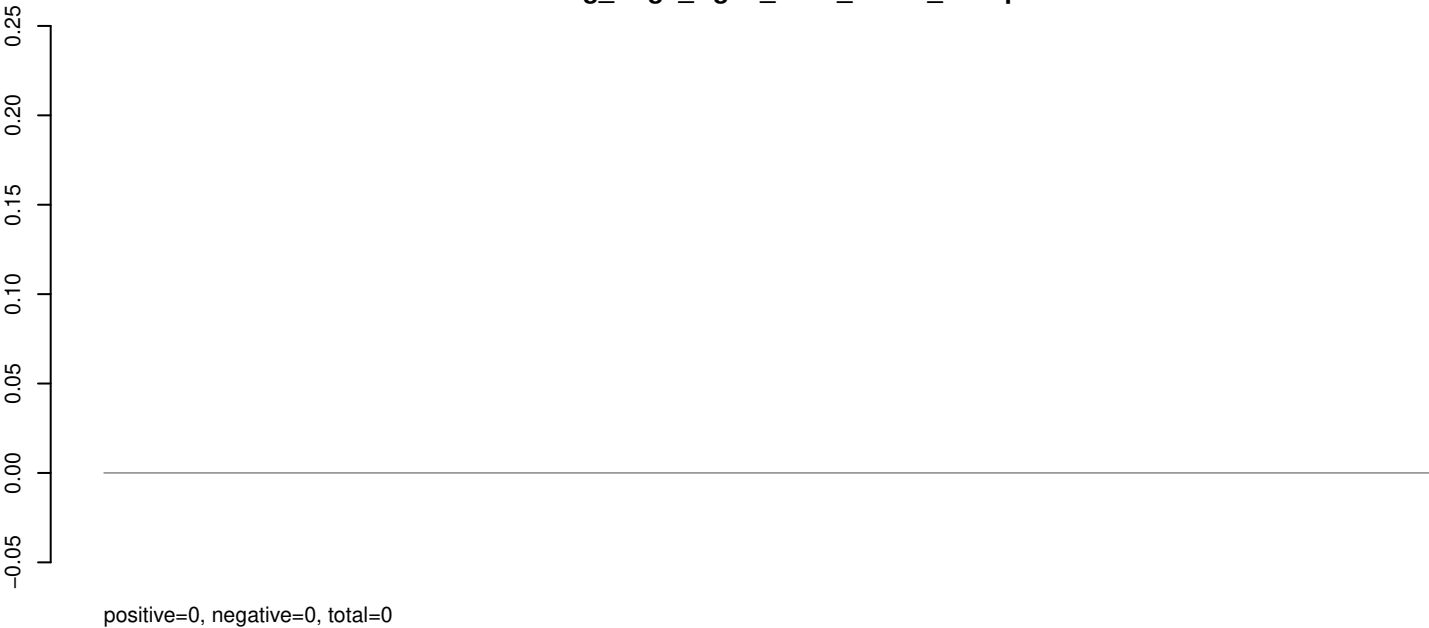


Window size=25, length=238, TE@DNA-8_AAe:1-238

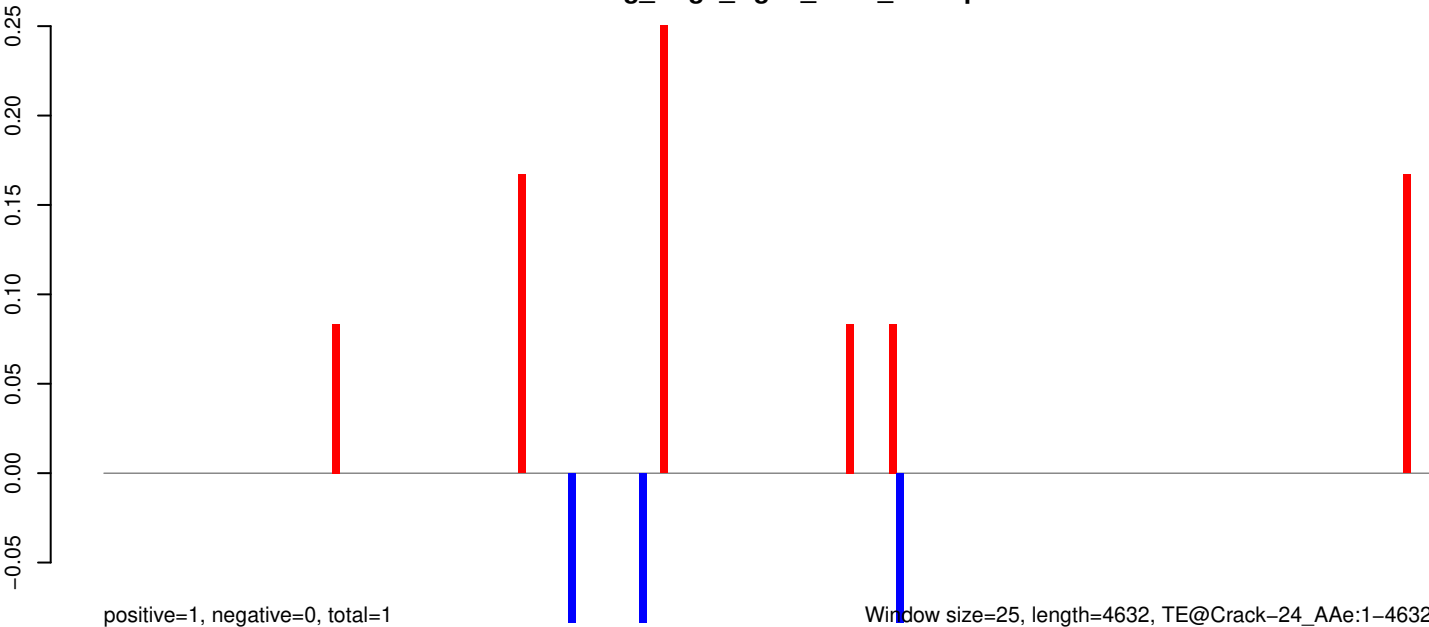
AeAeg_Aag2_Ago2_SINV_RA.18_23.rep



AeAeg_Aag2_Ago2_SINV_RA.24_35.rep



AeAeg_Aag2_Ago2_SINV_RA.rep



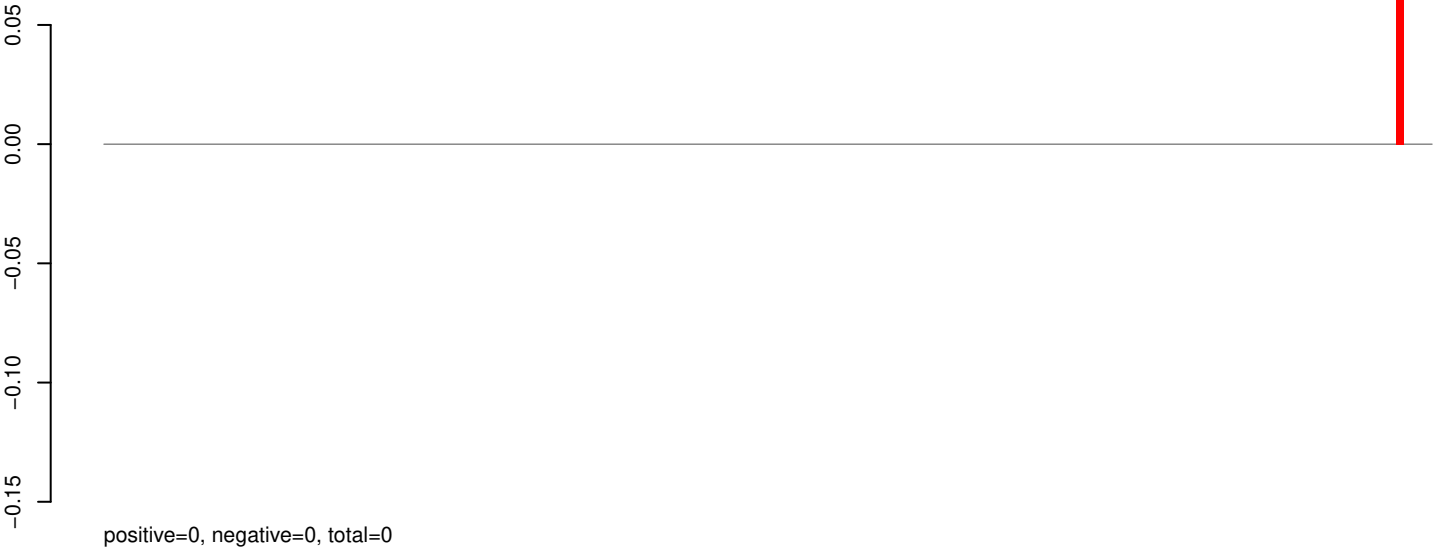
Window size=25, length=4632, TE@Crack-24_AAE:1-4632

0 1000 2000 3000 4000

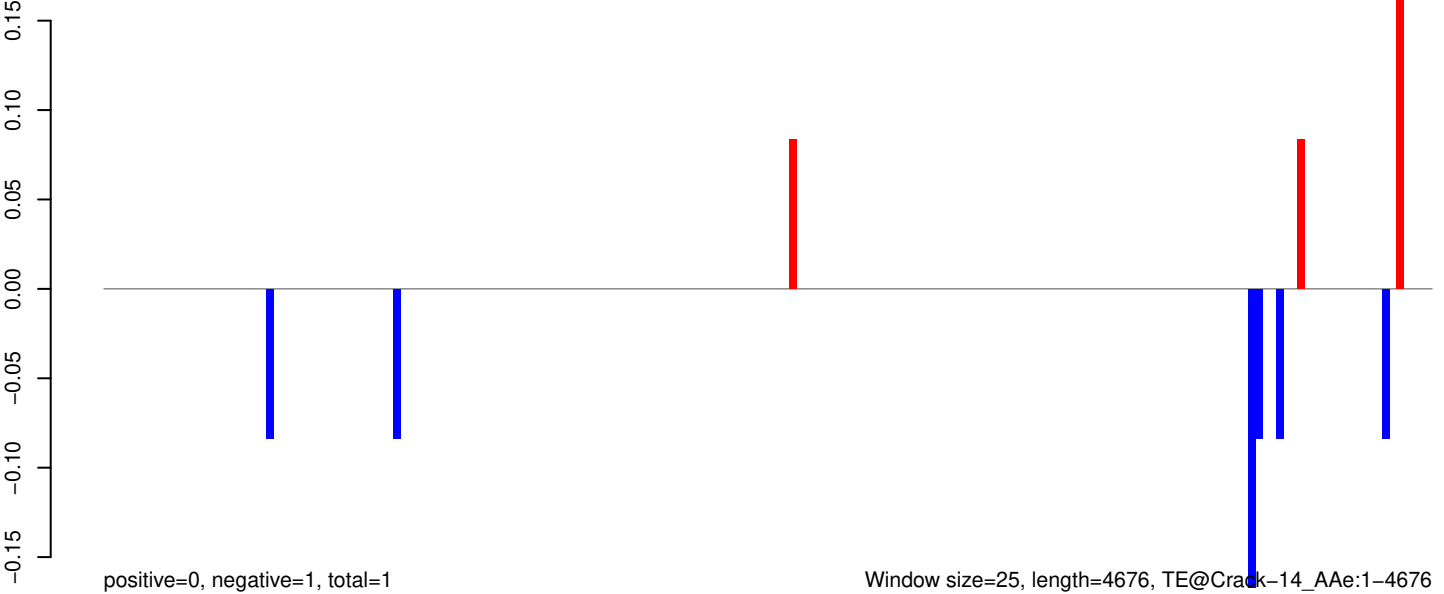
AeAeg_Aag2_Ago2_SINV_RA.18_23.rep



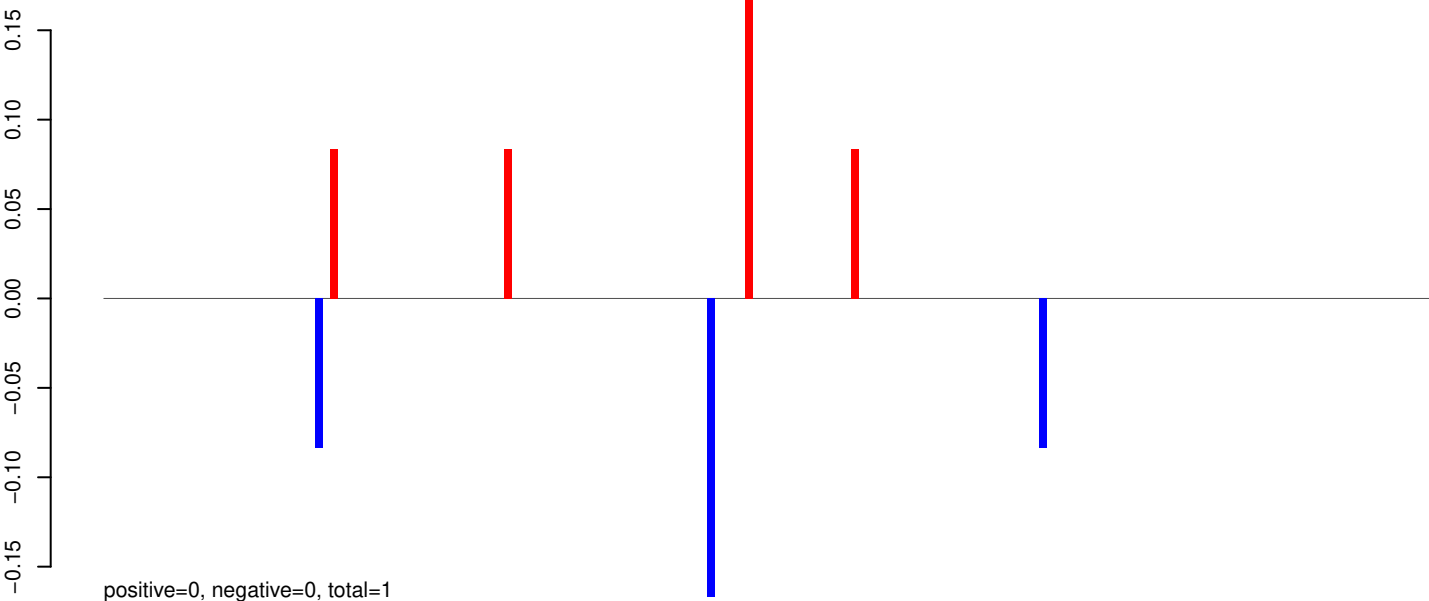
AeAeg_Aag2_Ago2_SINV_RA.24_35.rep



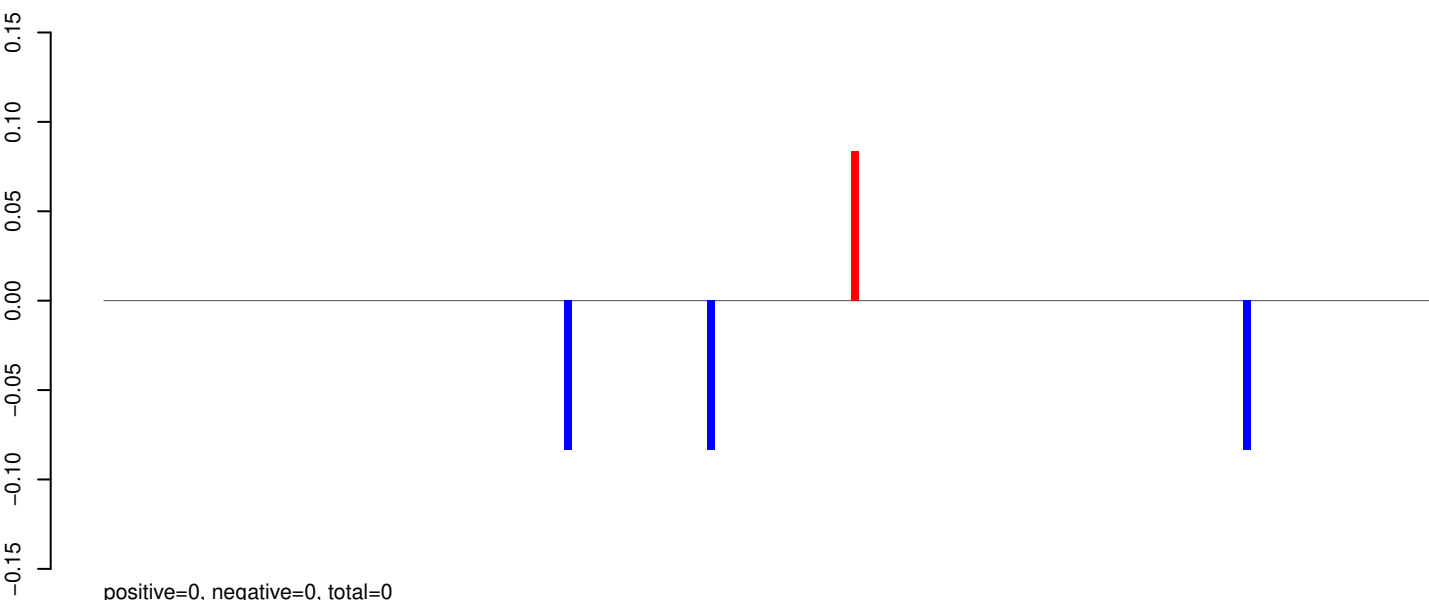
AeAeg_Aag2_Ago2_SINV_RA.rep



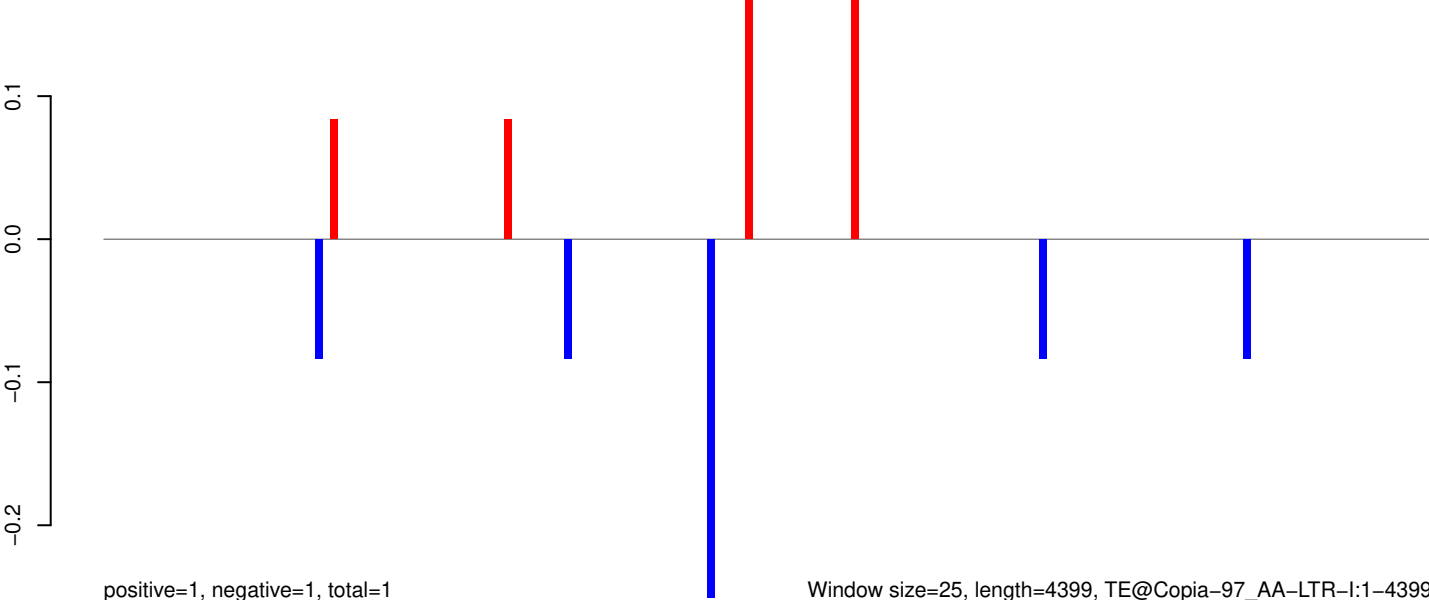
AeAeg_Aag2_Ago2_SINV_RA.18_23.rep



AeAeg_Aag2_Ago2_SINV_RA.24_35.rep

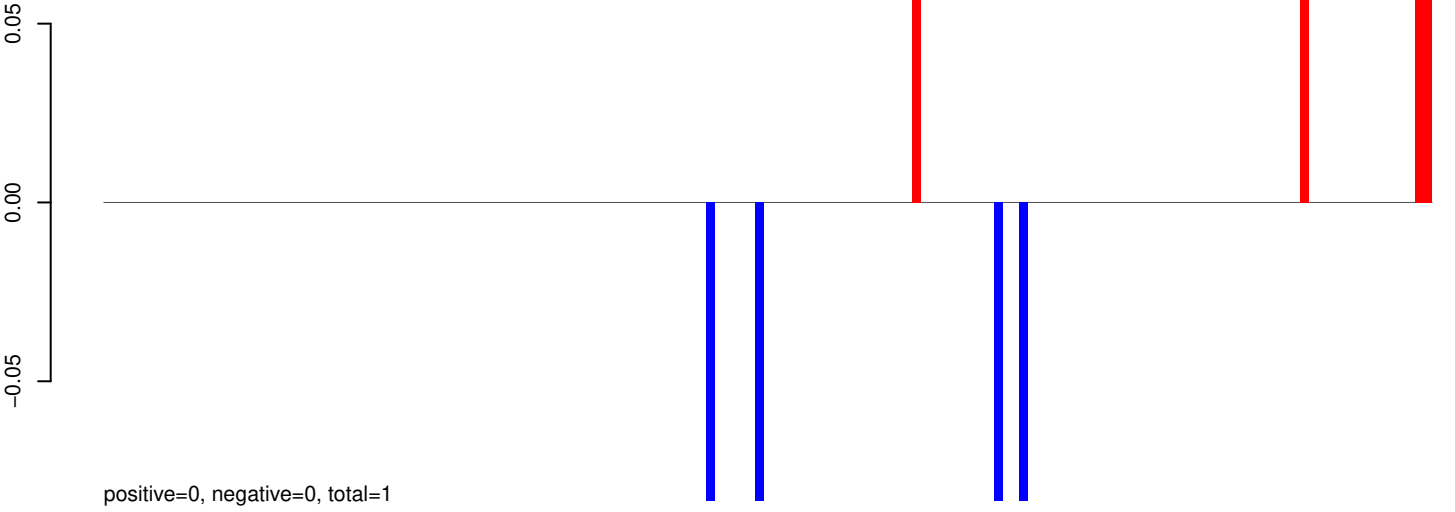


AeAeg_Aag2_Ago2_SINV_RA.rep

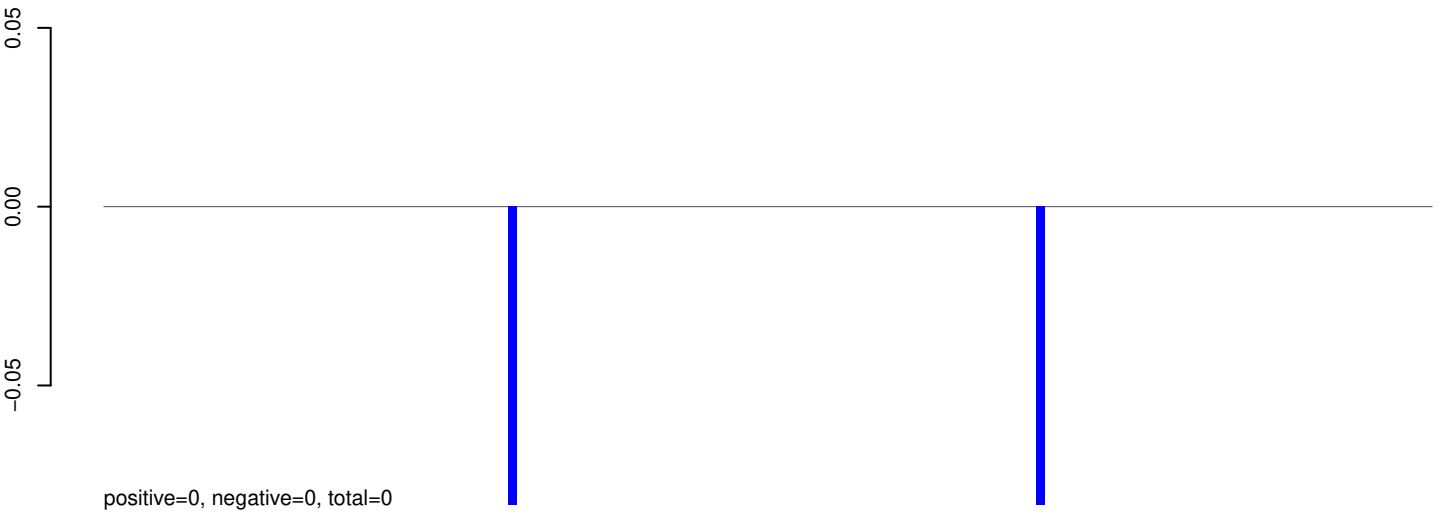


Window size=25, length=4399, TE@Copia-97_AA-LTR-I:1-4399

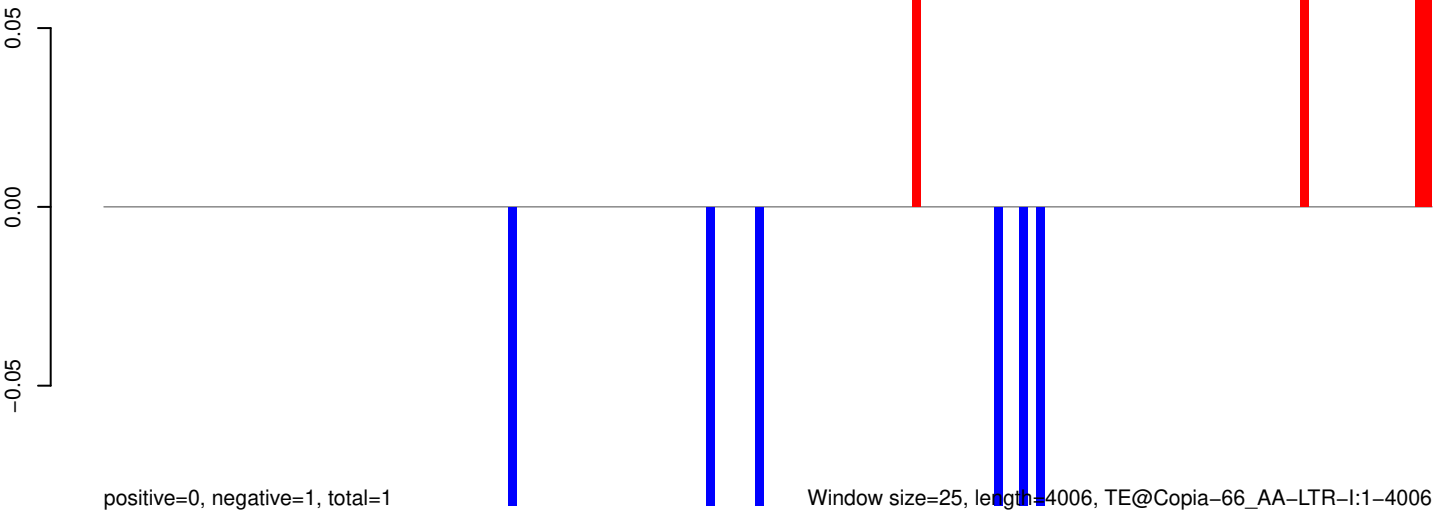
AeAeg_Aag2_Ago2_SINV_RA.18_23.rep



AeAeg_Aag2_Ago2_SINV_RA.24_35.rep

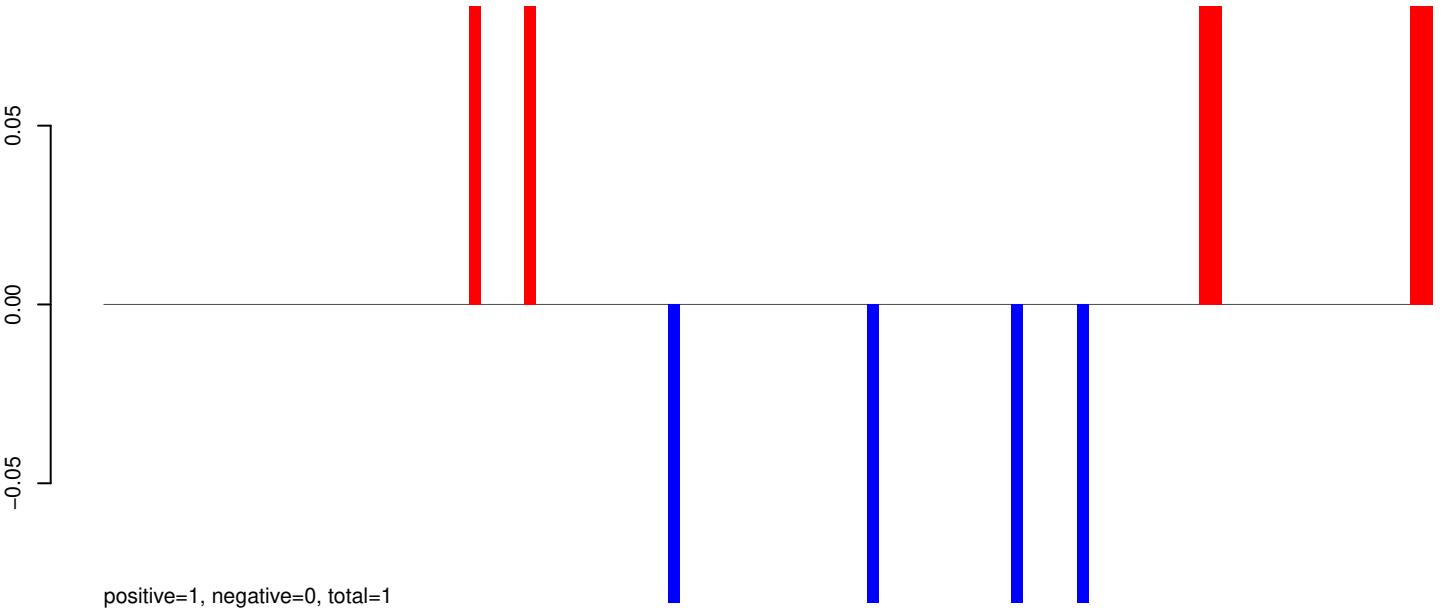


AeAeg_Aag2_Ago2_SINV_RA.rep

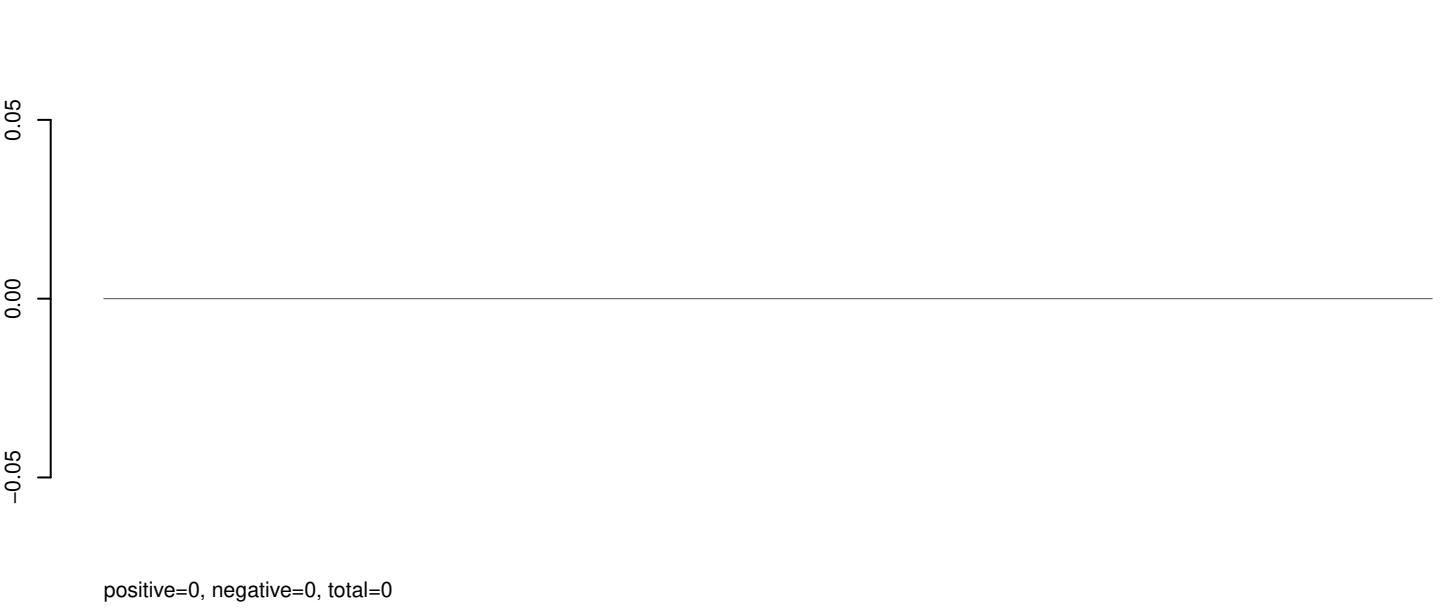


Window size=25, length=4006, TE@Copia-66_AA-LTR-I:1-4006

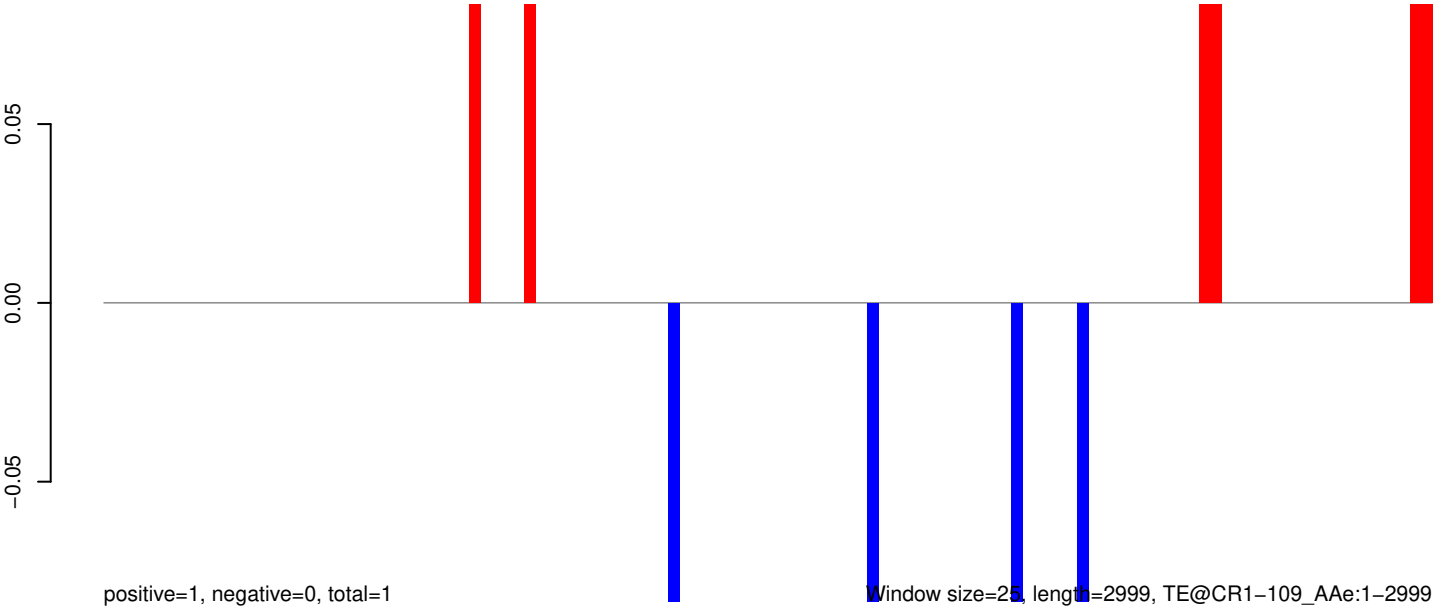
AeAeg_Aag2_Ago2_SINV_RA.18_23.rep



AeAeg_Aag2_Ago2_SINV_RA.24_35.rep

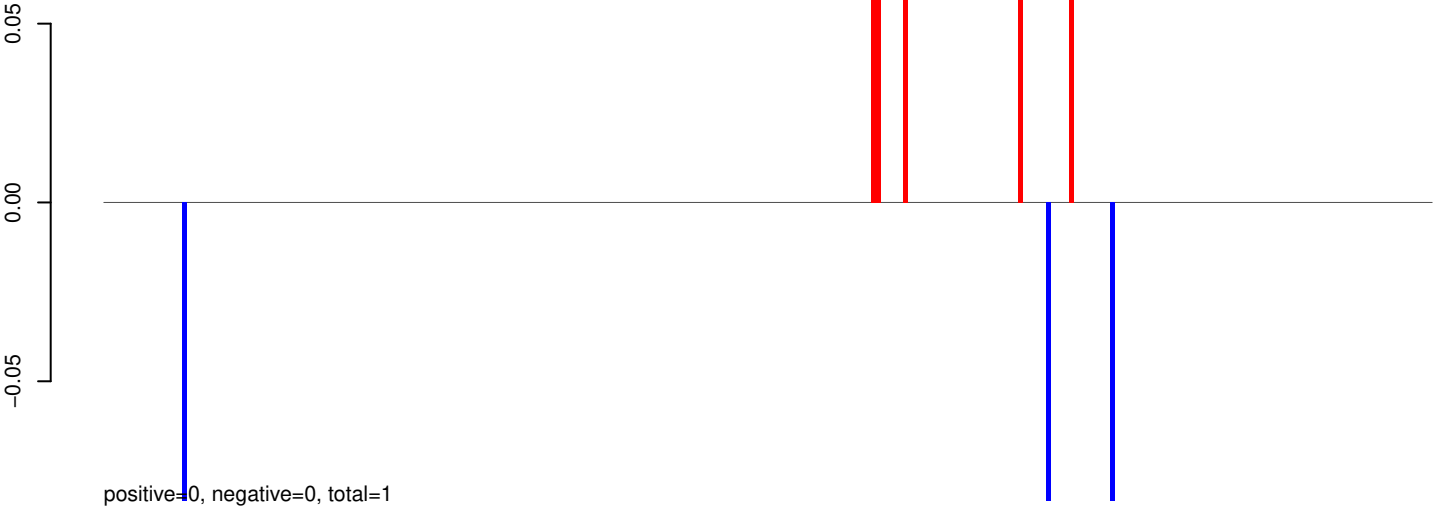


AeAeg_Aag2_Ago2_SINV_RA.rep



Window size=25, length=2999, TE@CR1-109_A Ae:1-2999

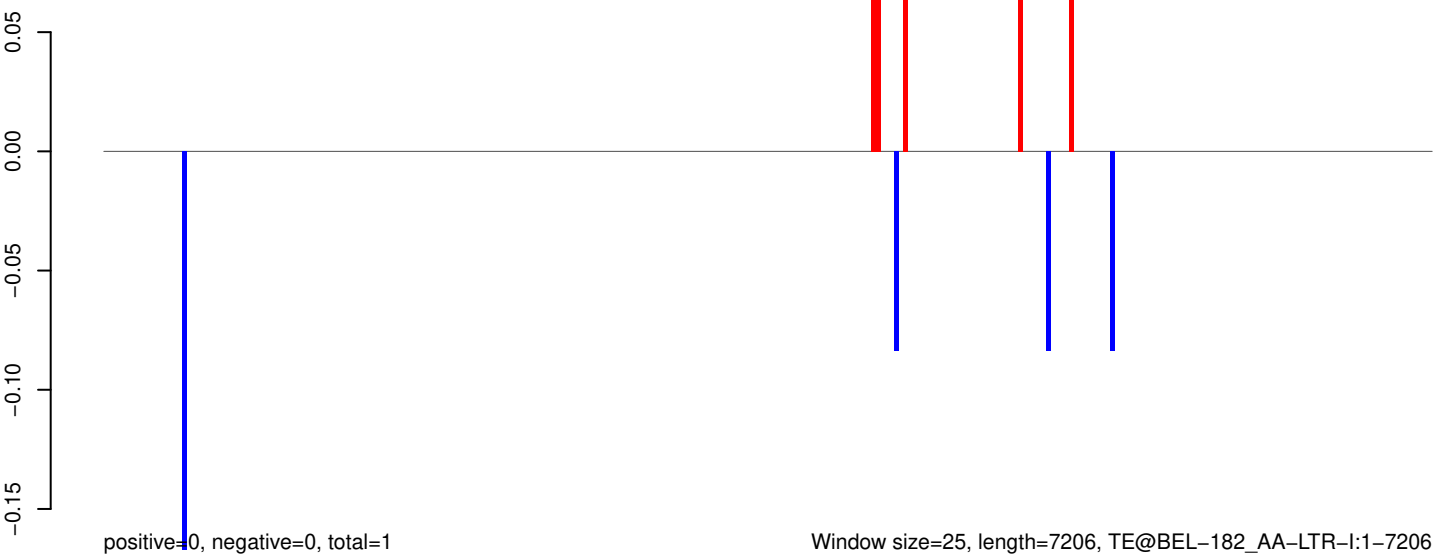
AeAeg_Aag2_Ago2_SINV_RA.18_23.rep



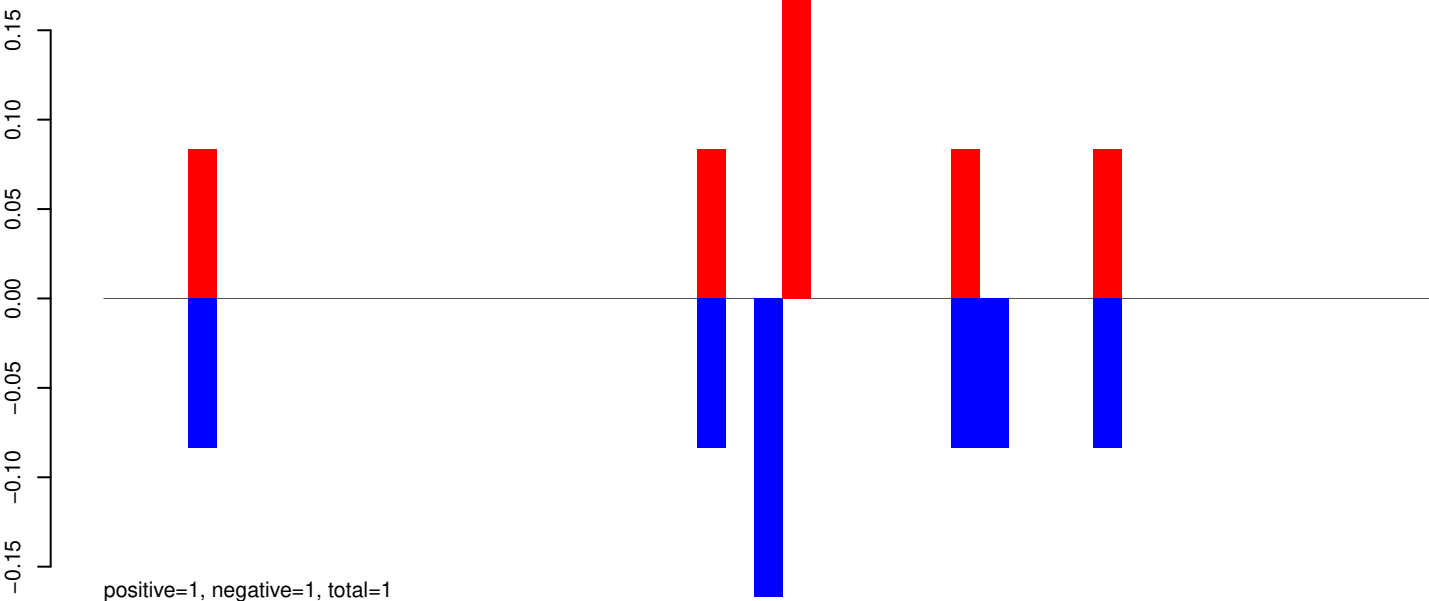
AeAeg_Aag2_Ago2_SINV_RA.24_35.rep



AeAeg_Aag2_Ago2_SINV_RA.rep



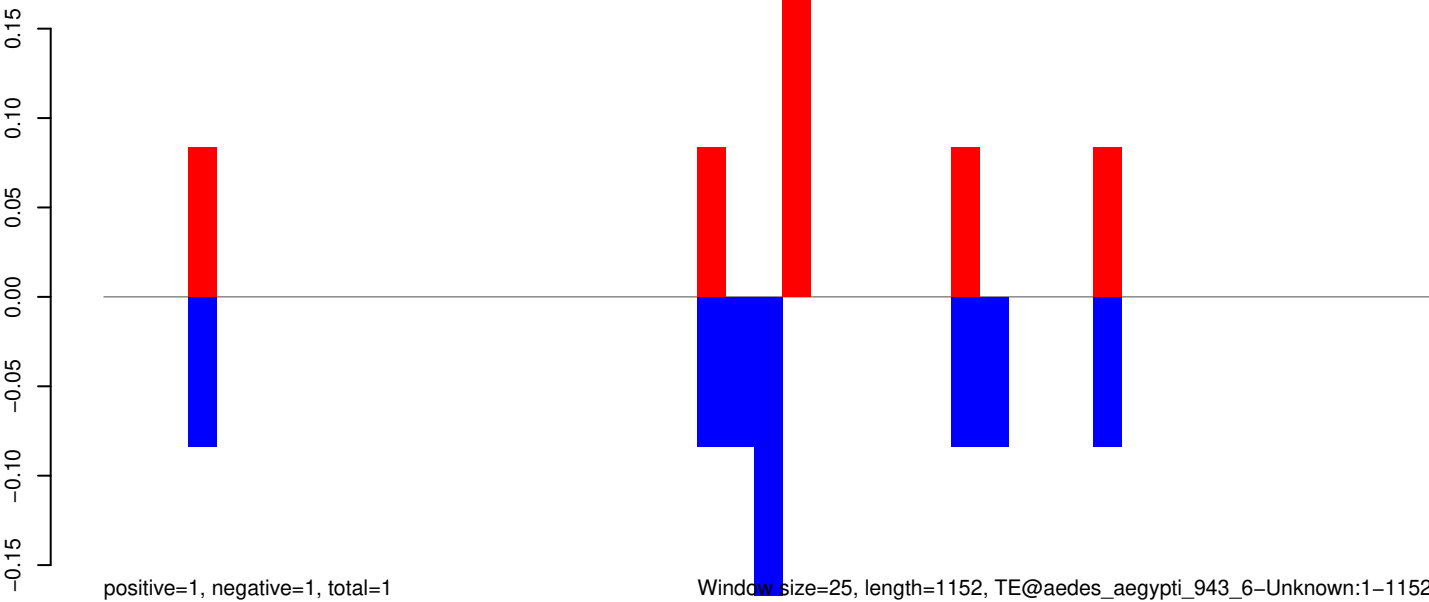
AeAeg_Aag2_Ago2_SINV_RA.18_23.rep



AeAeg_Aag2_Ago2_SINV_RA.24_35.rep



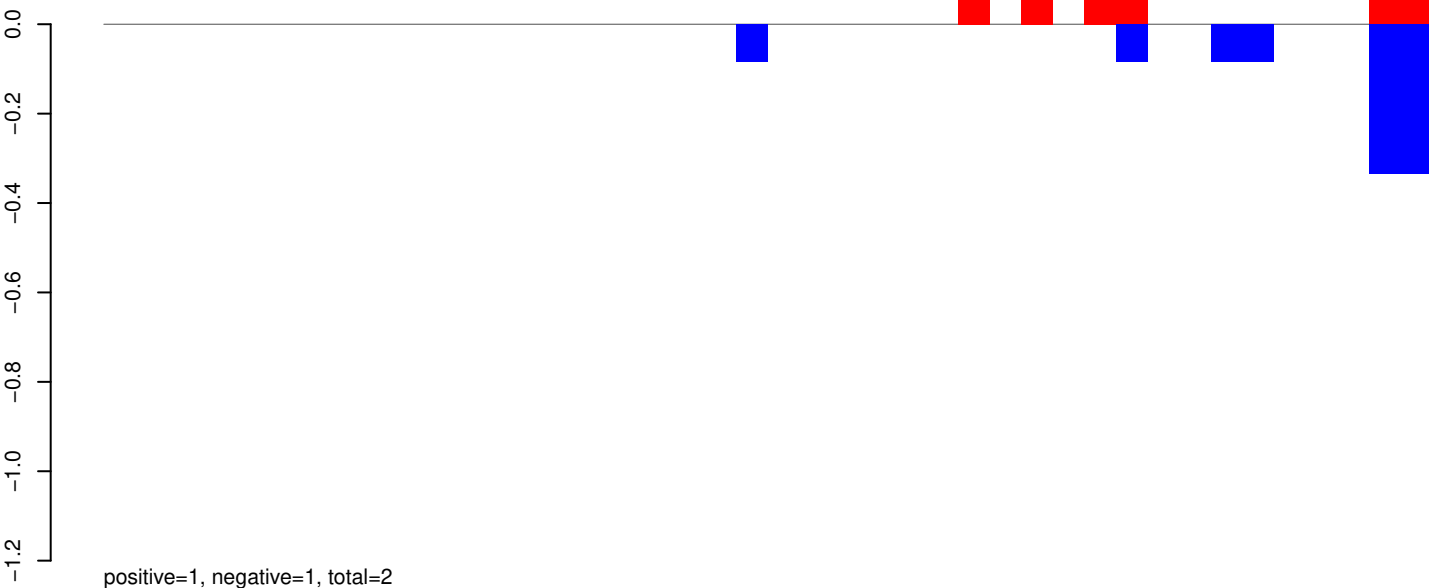
AeAeg_Aag2_Ago2_SINV_RA.rep



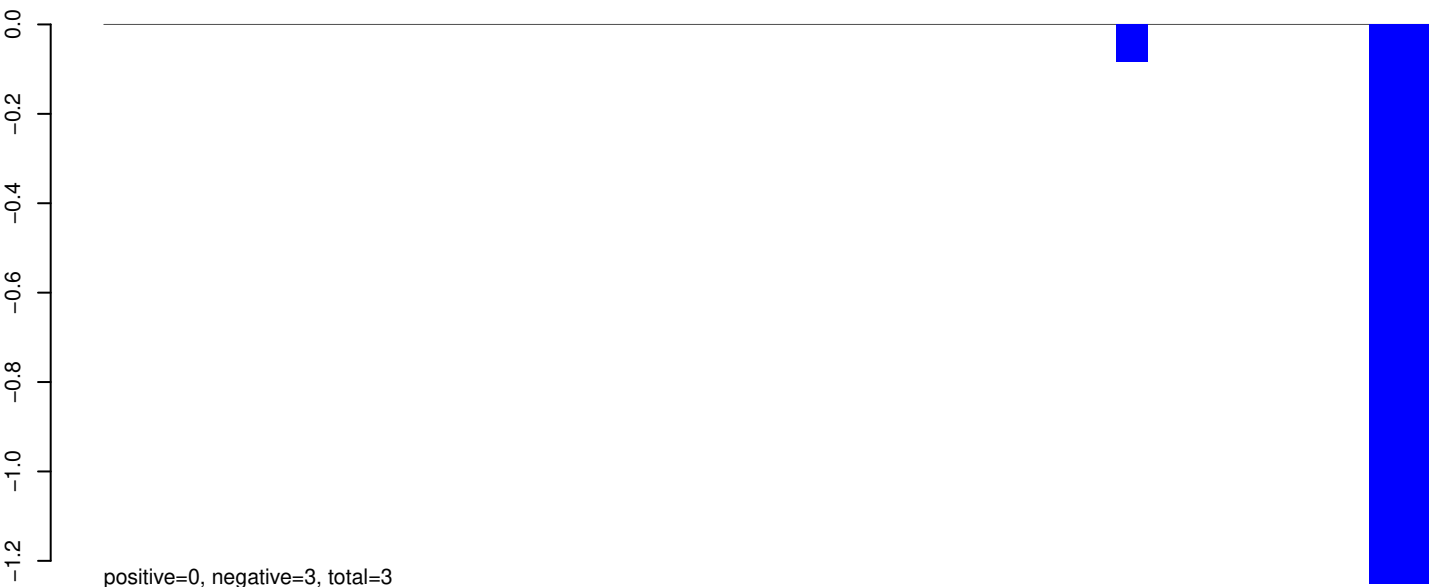
Window size=25, length=1152, TE@aedes_aegypti_943_6-Unknown:1-1152

0 200 400 600 800 1000 1200

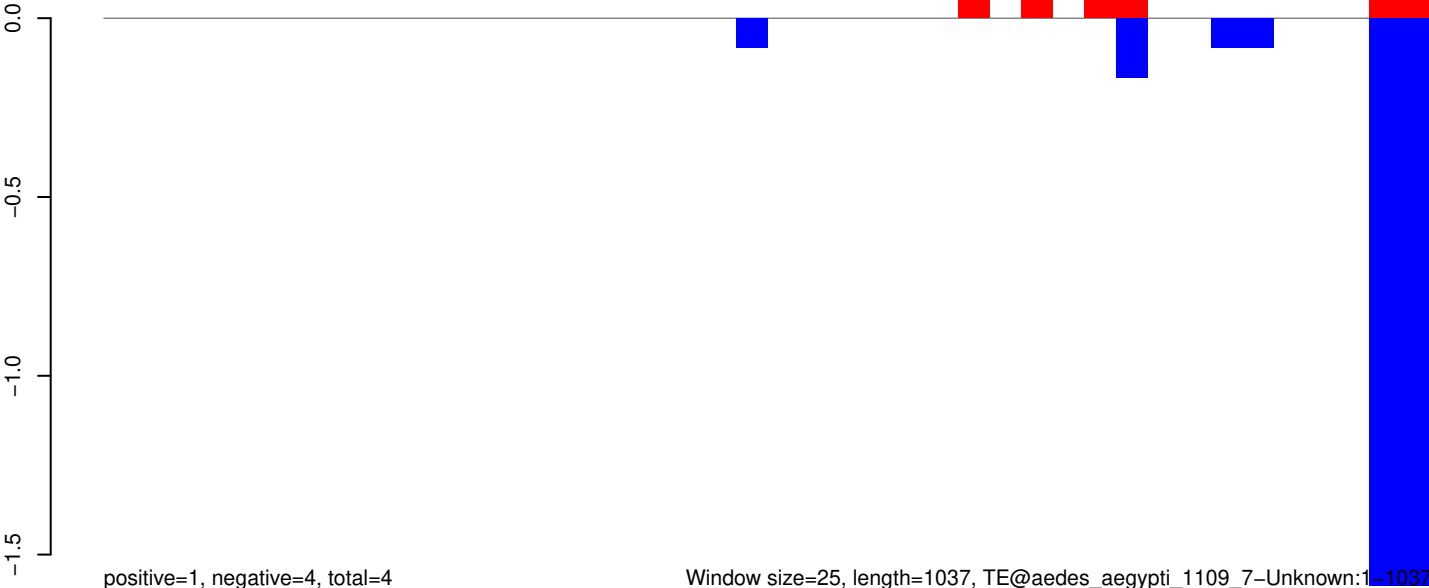
AeAeg_Aag2_Ago2_SINV_RA.18_23.rep



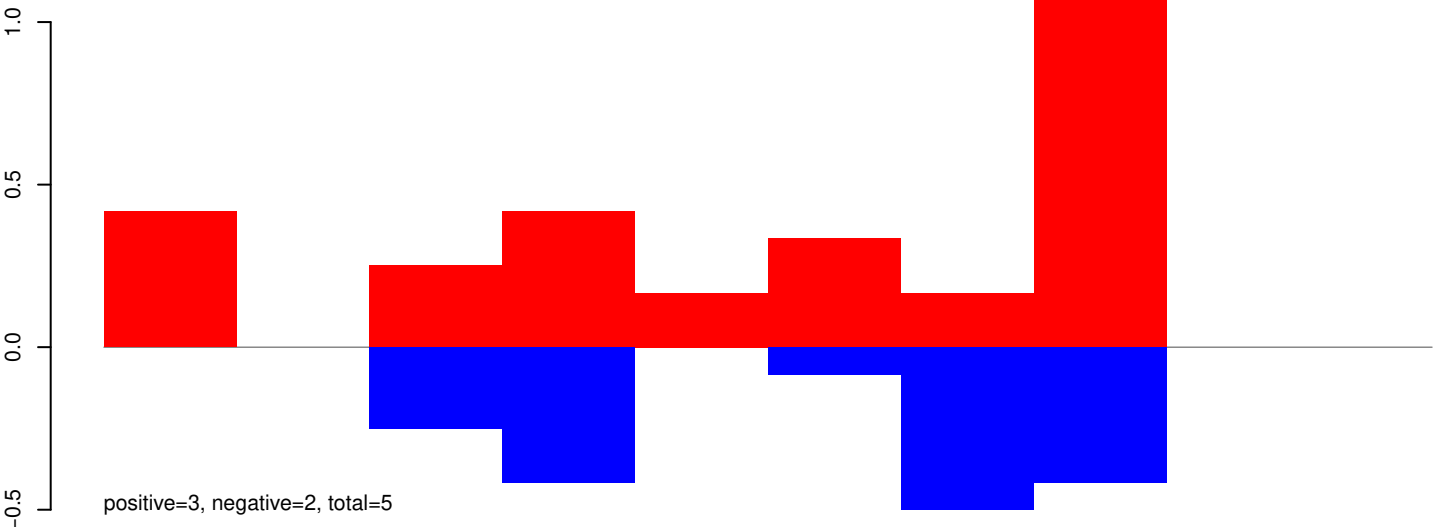
AeAeg_Aag2_Ago2_SINV_RA.24_35.rep



AeAeg_Aag2_Ago2_SINV_RA.rep



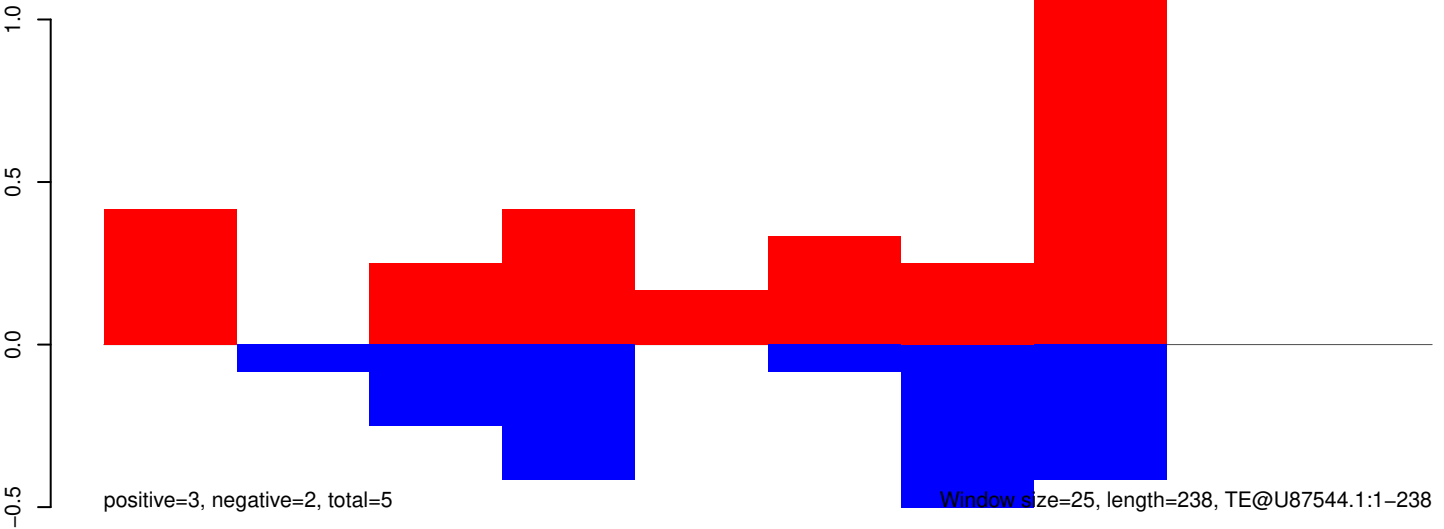
AeAeg_Aag2_Ago2_SINV_RA.18_23.rep



AeAeg_Aag2_Ago2_SINV_RA.24_35.rep



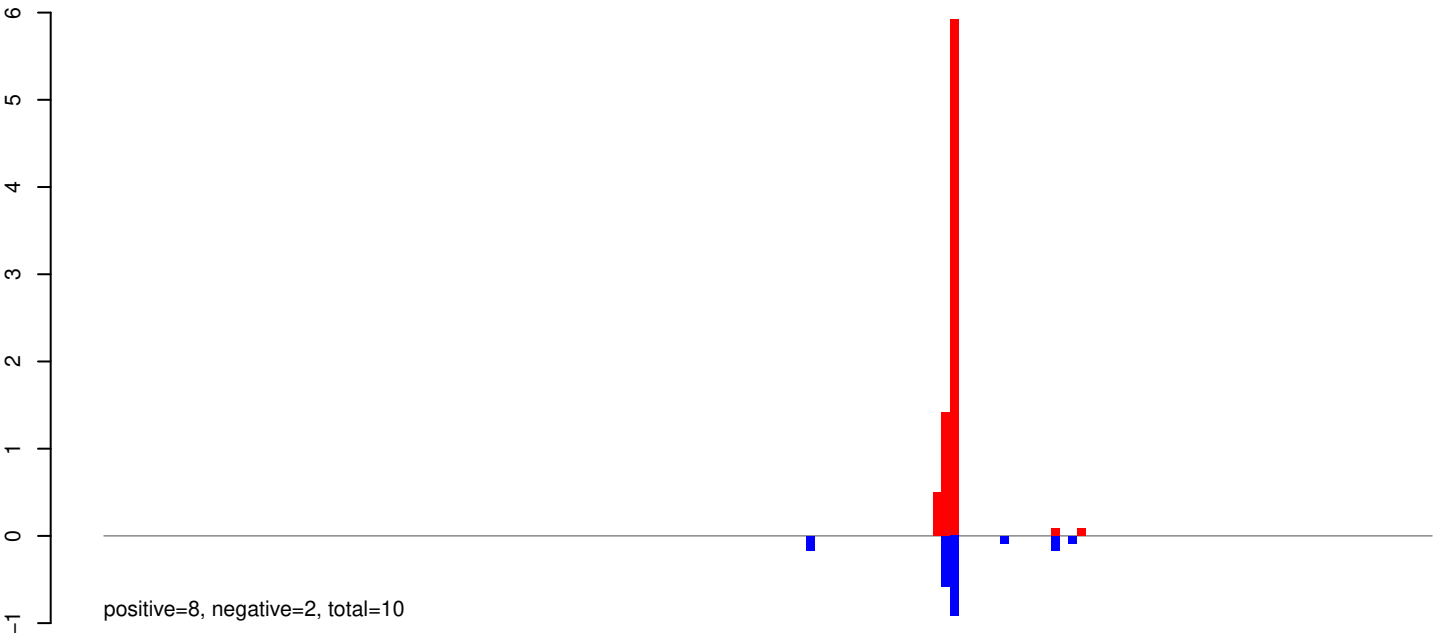
AeAeg_Aag2_Ago2_SINV_RA.rep



Window size=25, length=238, TE@U87544.1:1-238

50 100 150 200 250

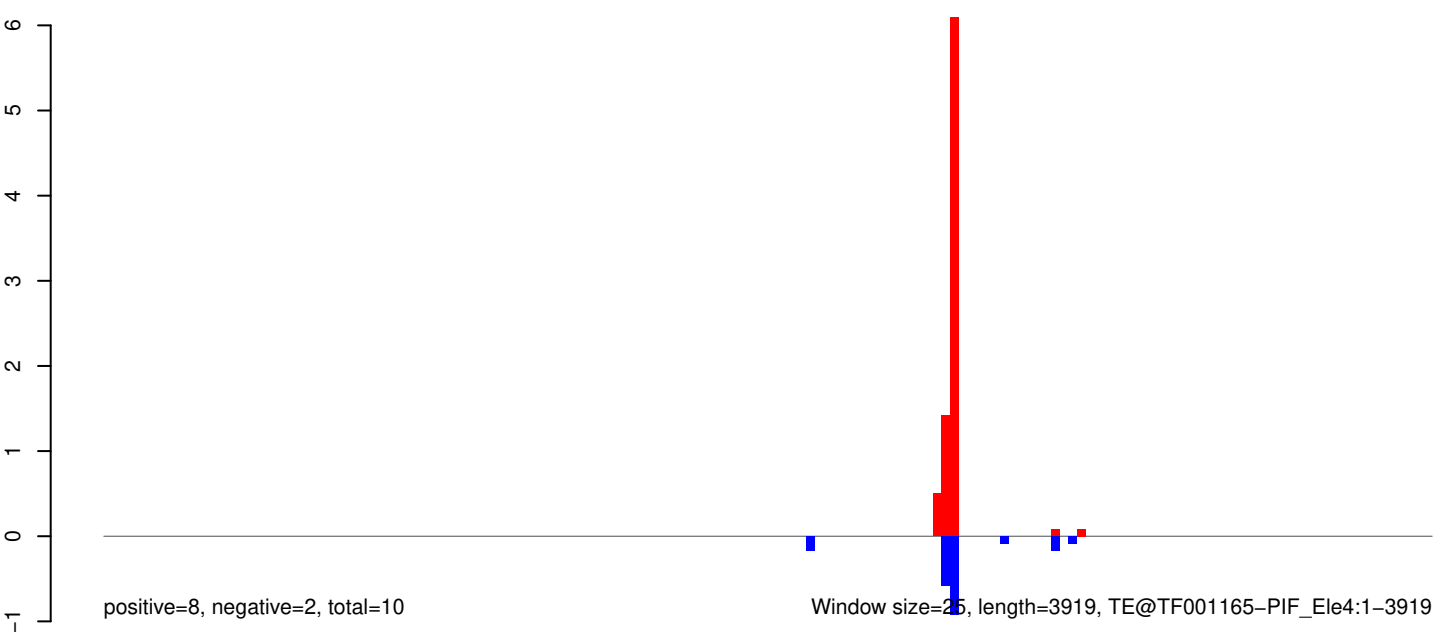
AeAeg_Aag2_Ago2_SINV_RA.18_23.rep



AeAeg_Aag2_Ago2_SINV_RA.24_35.rep



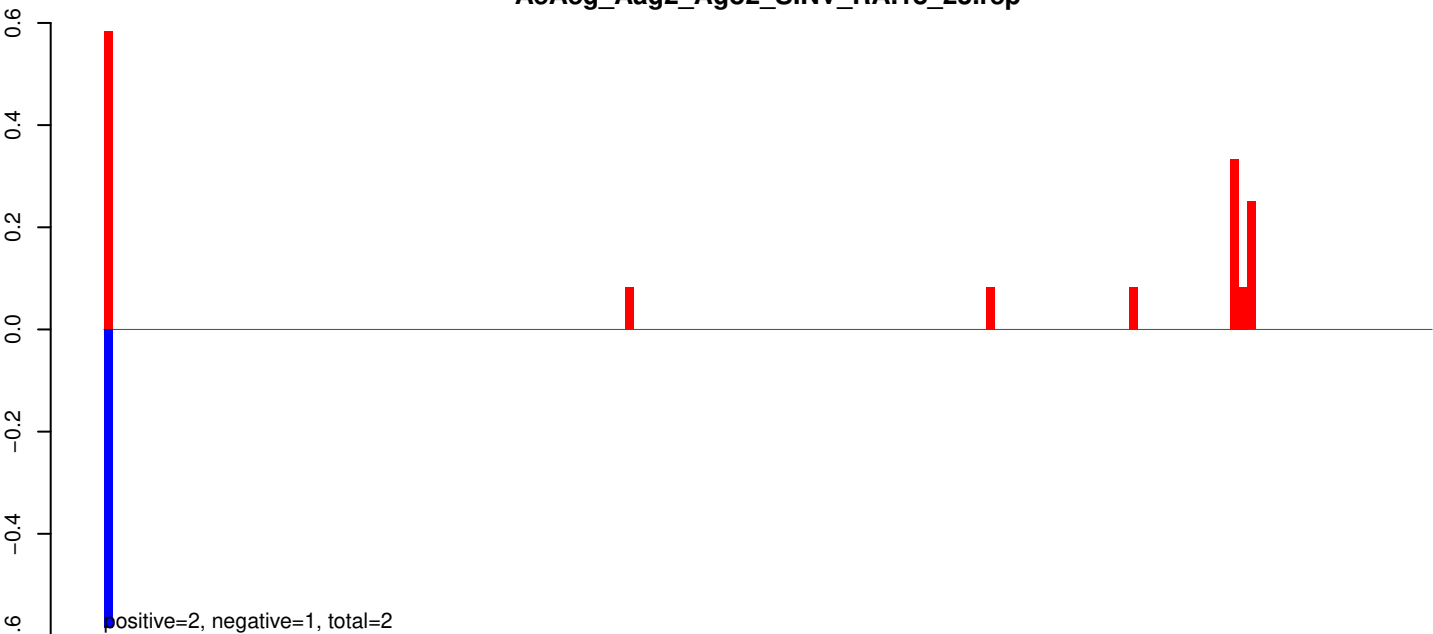
AeAeg_Aag2_Ago2_SINV_RA.rep



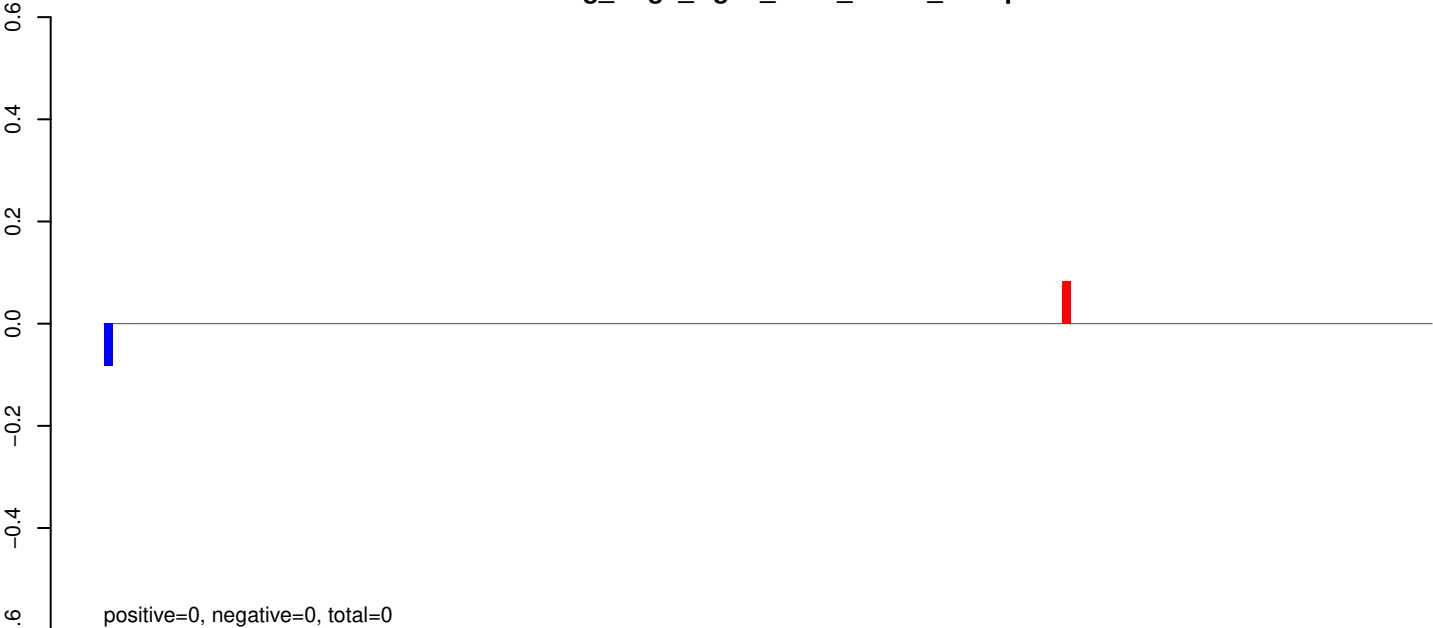
Window size=25, length=3919, TE@TF001165-PIF_Ele4:1-3919

0 1000 2000 3000 4000

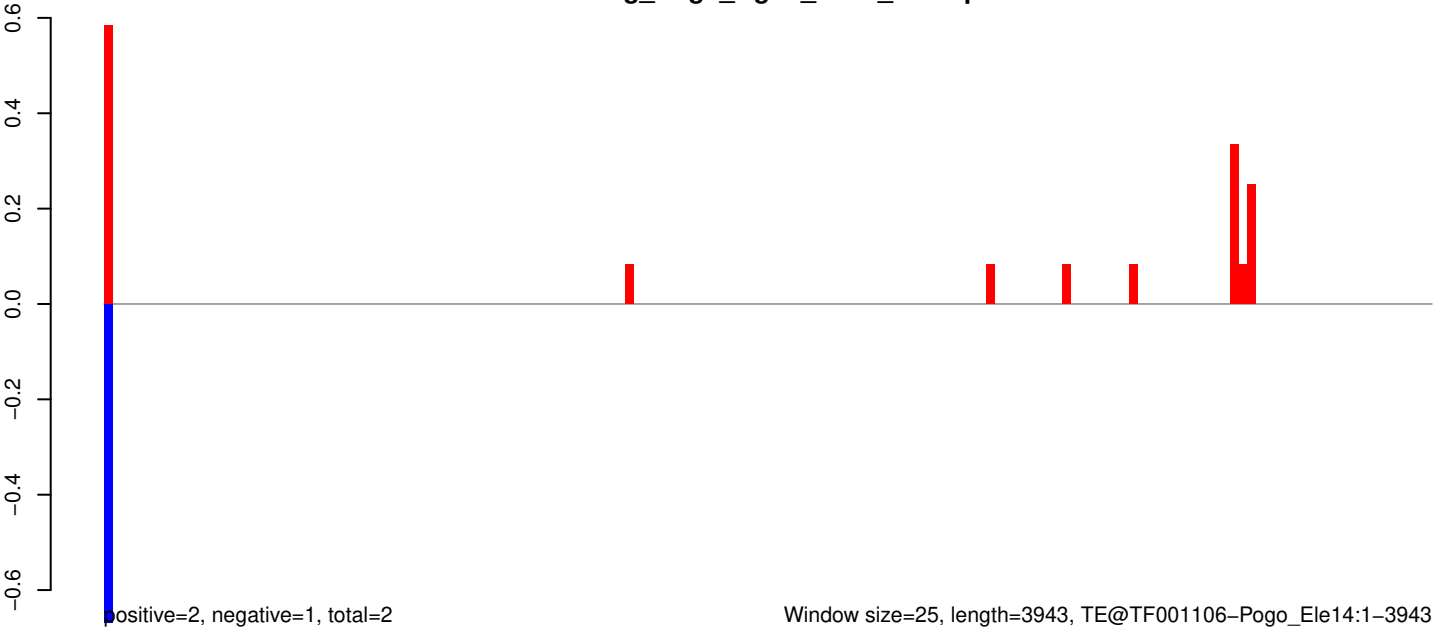
AeAeg_Aag2_Ago2_SINV_RA.18_23.rep



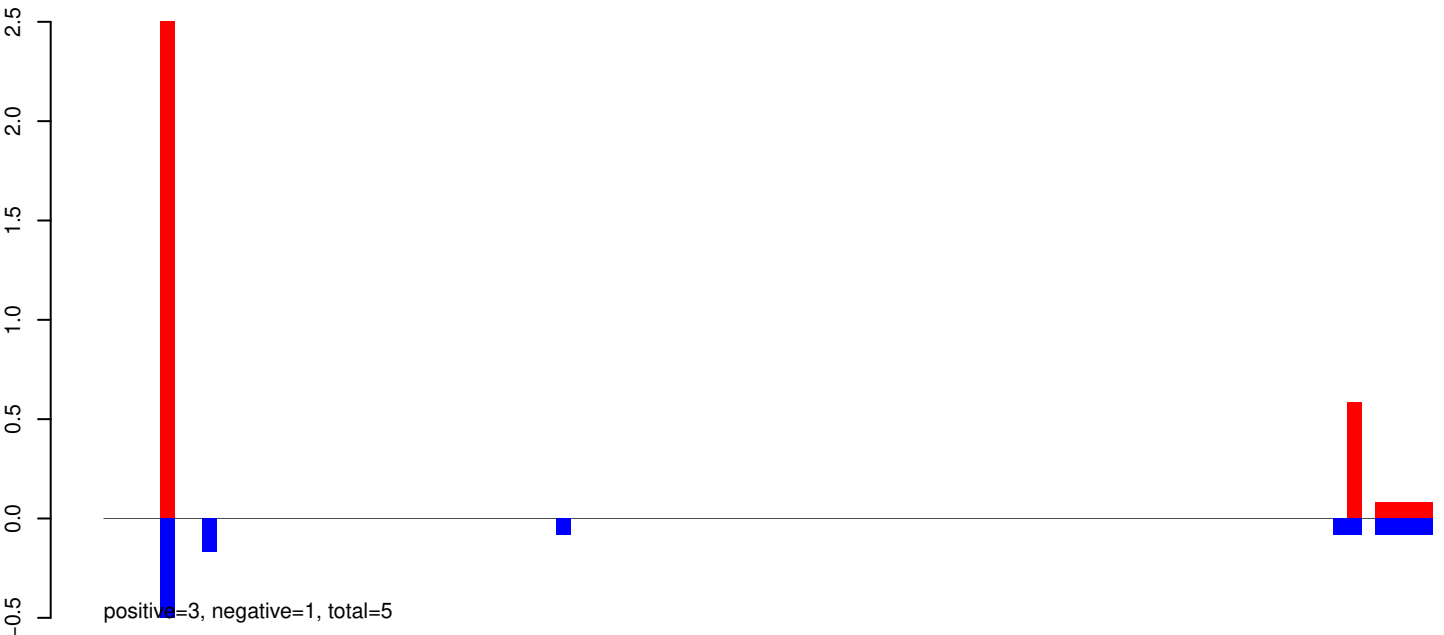
AeAeg_Aag2_Ago2_SINV_RA.24_35.rep



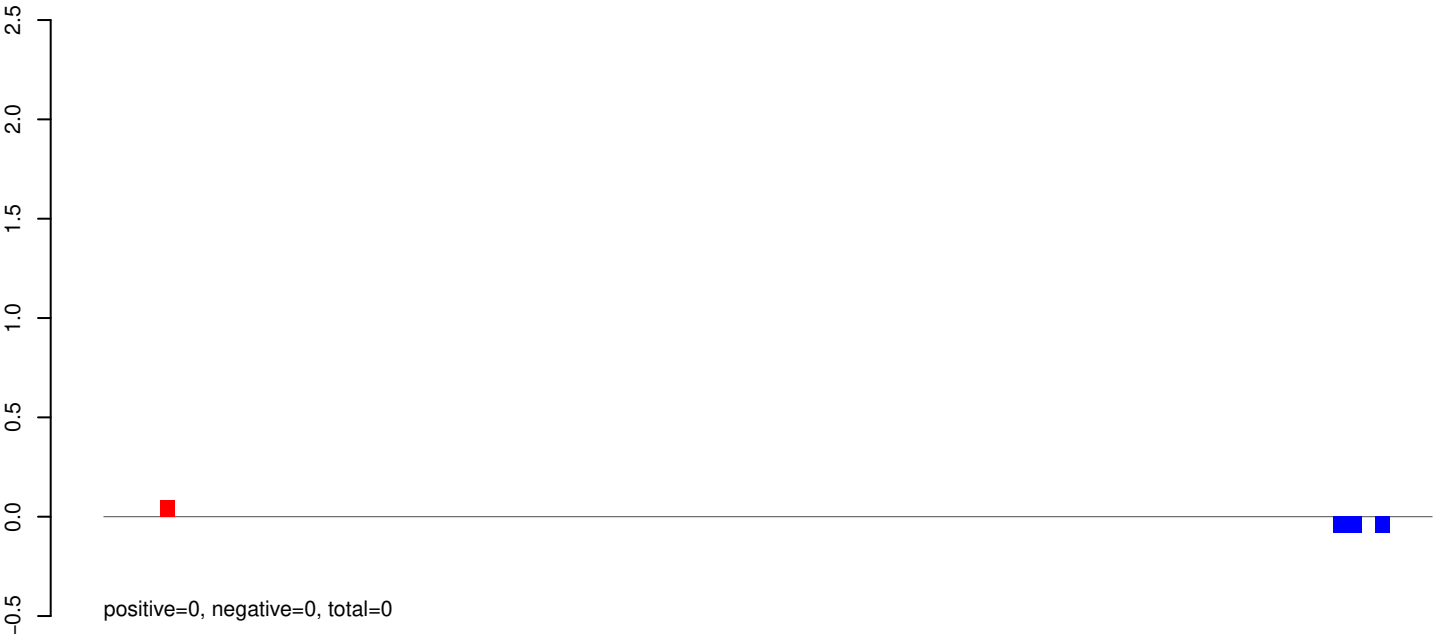
AeAeg_Aag2_Ago2_SINV_RA.rep



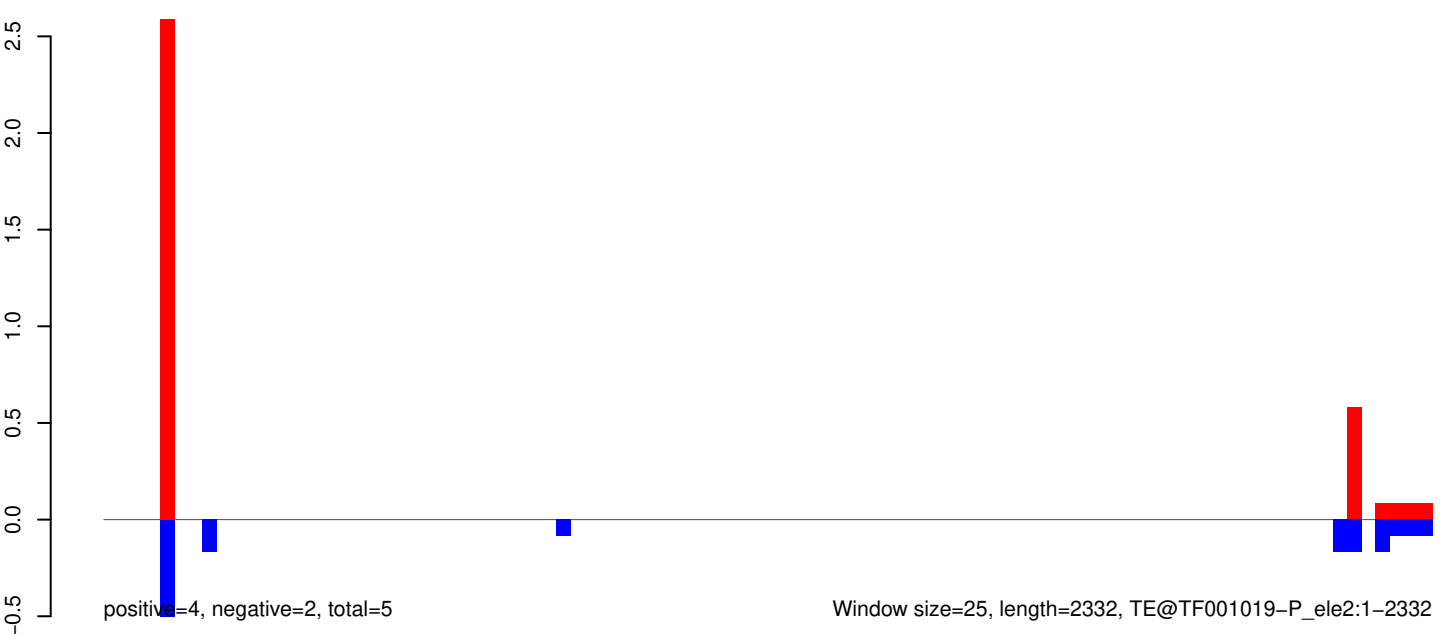
AeAeg_Aag2_Ago2_SINV_RA.18_23.rep



AeAeg_Aag2_Ago2_SINV_RA.24_35.rep



AeAeg_Aag2_Ago2_SINV_RA.rep

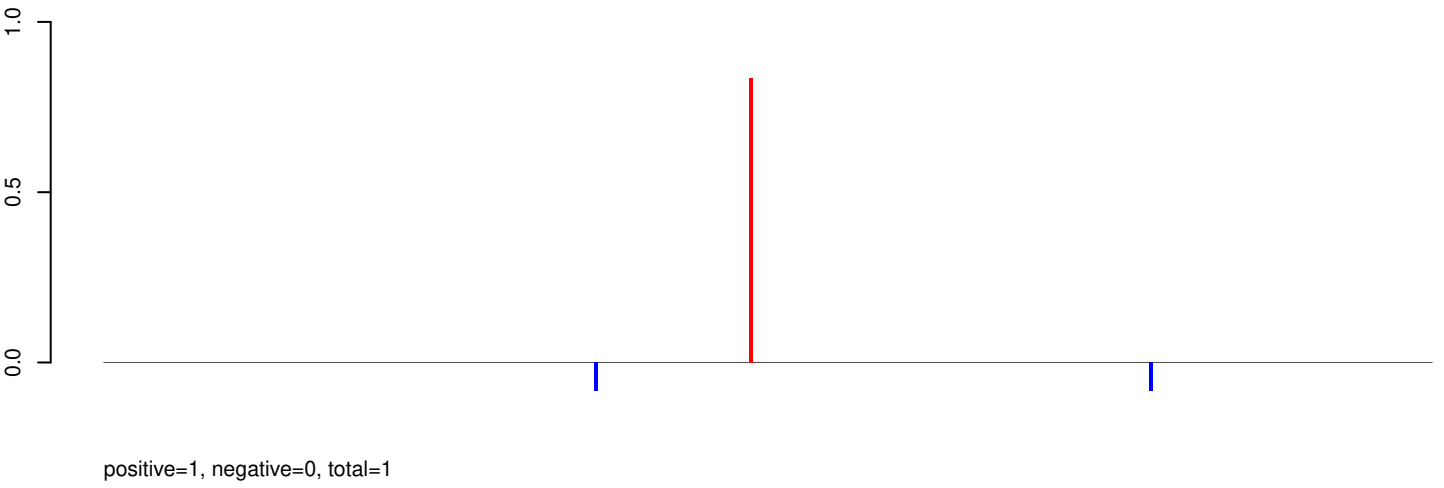


Window size=25, length=2332, TE@TF001019-P_ele2:1-2332

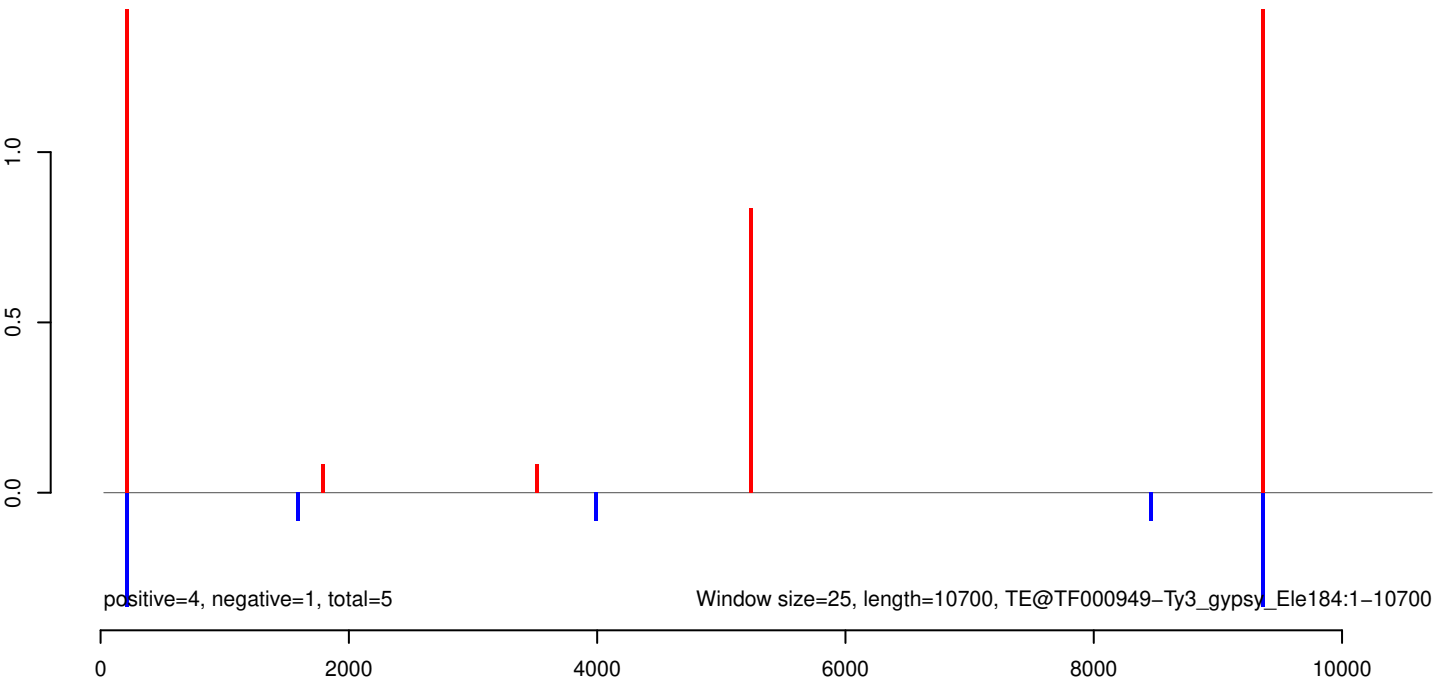
AeAeg_Aag2_Ago2_SINV_RA.18_23.rep



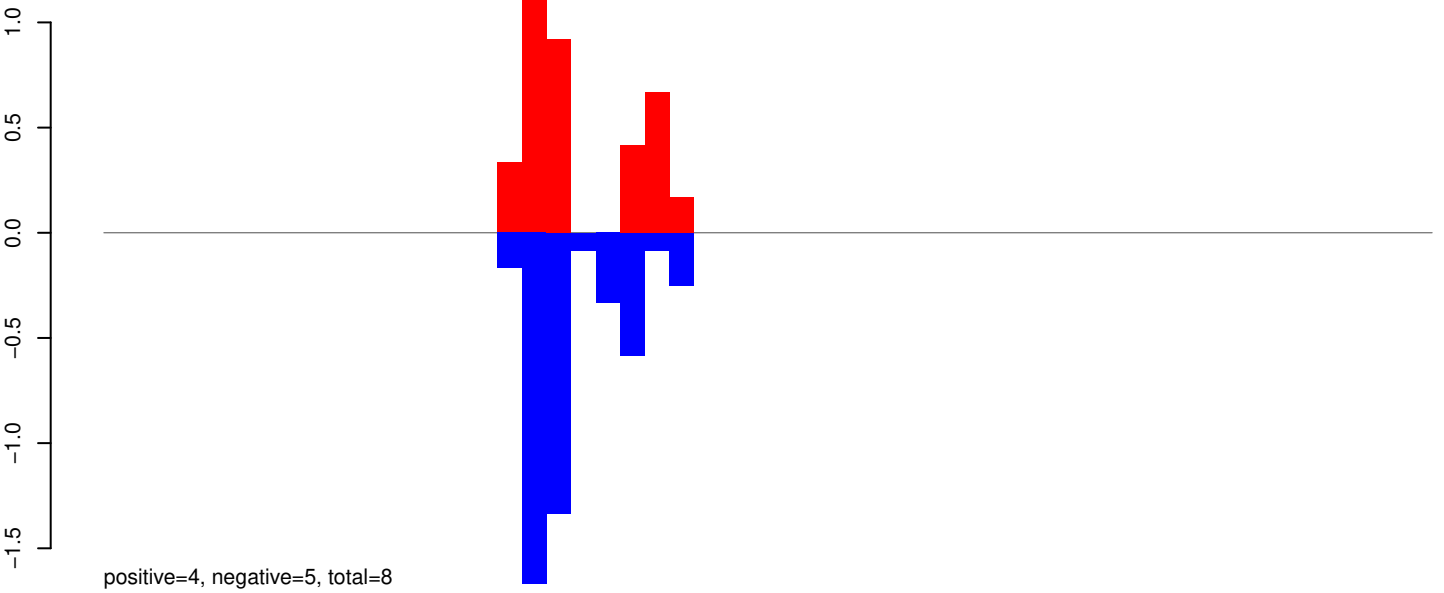
AeAeg_Aag2_Ago2_SINV_RA.24_35.rep



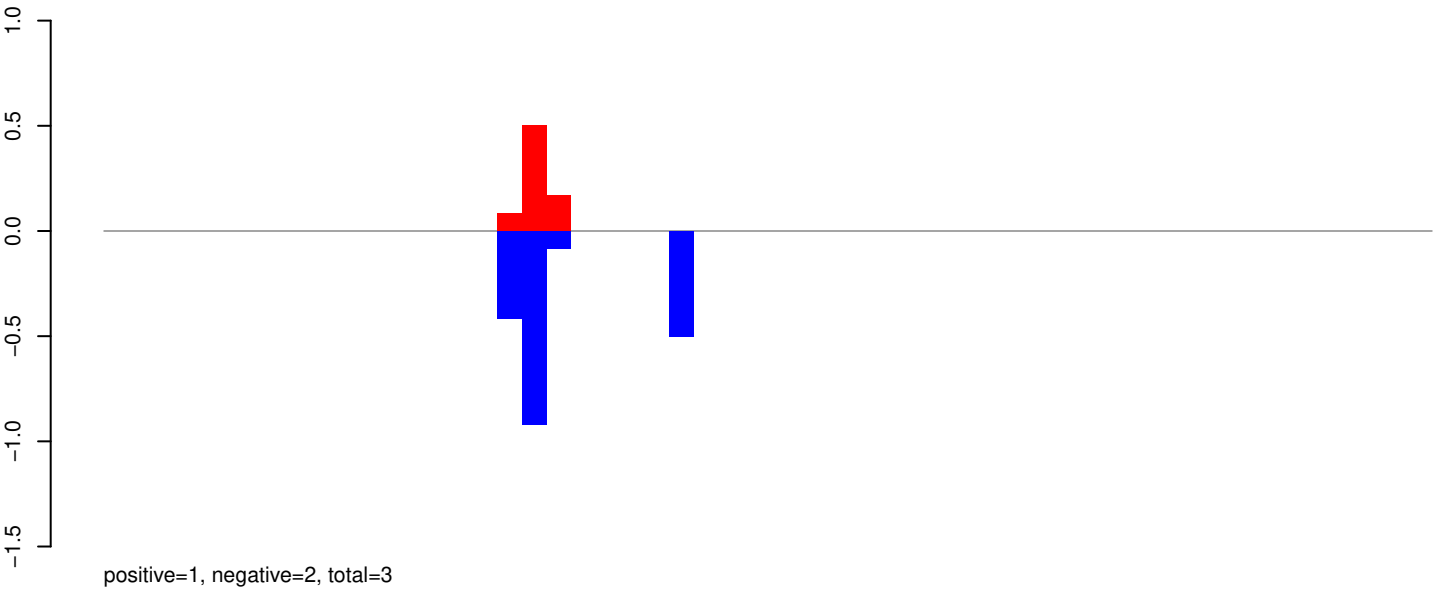
AeAeg_Aag2_Ago2_SINV_RA.rep



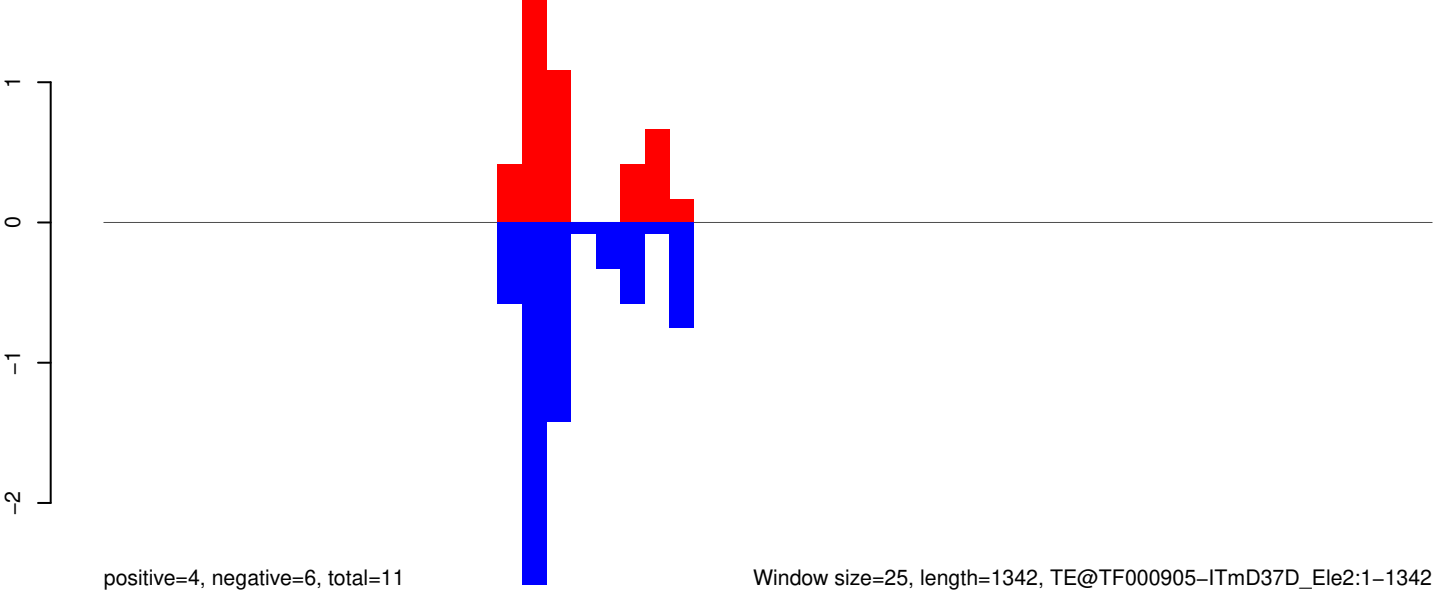
AeAeg_Aag2_Ago2_SINV_RA.18_23.rep



AeAeg_Aag2_Ago2_SINV_RA.24_35.rep



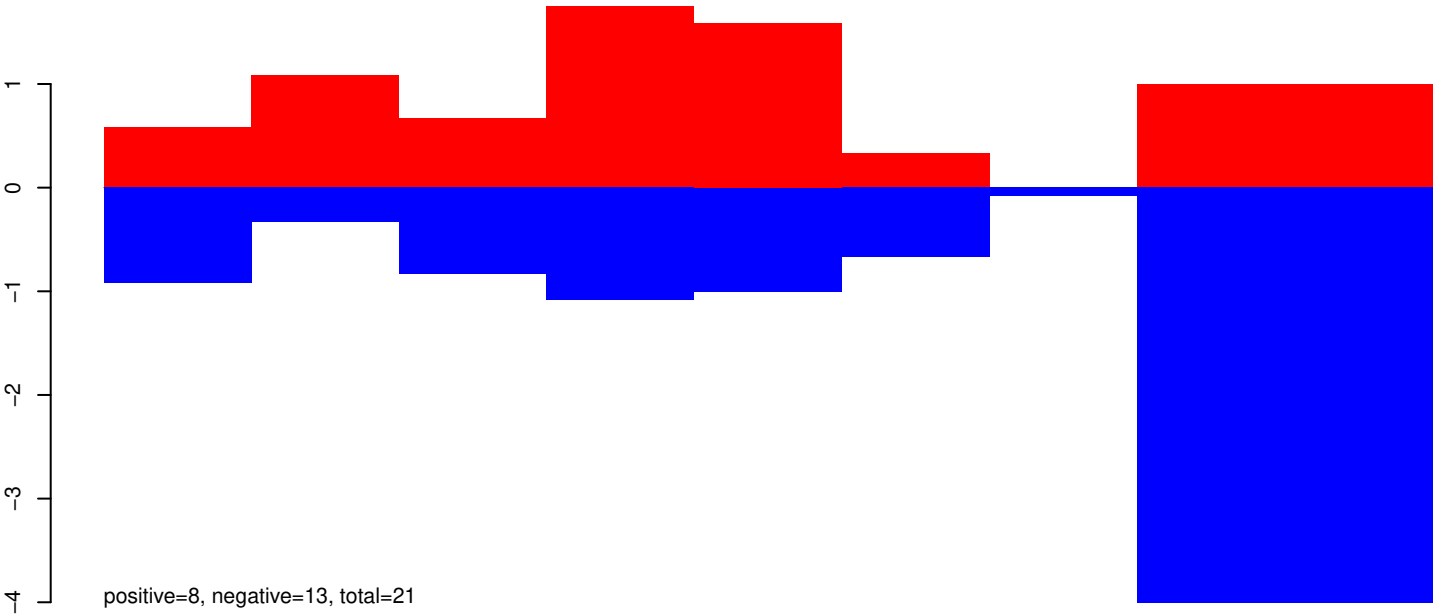
AeAeg_Aag2_Ago2_SINV_RA.rep



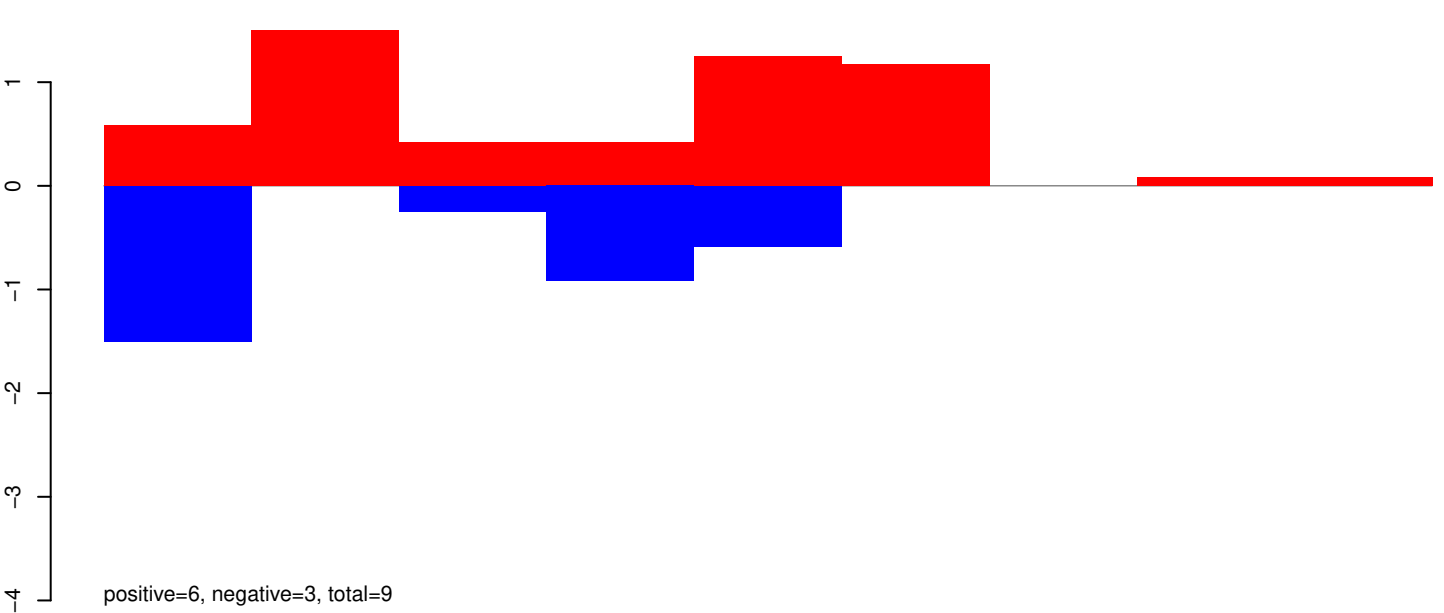
Window size=25, length=1342, TE@TF000905-ITmD37D_Ele2:1-1342

0 200 400 600 800 1000 1200 1400

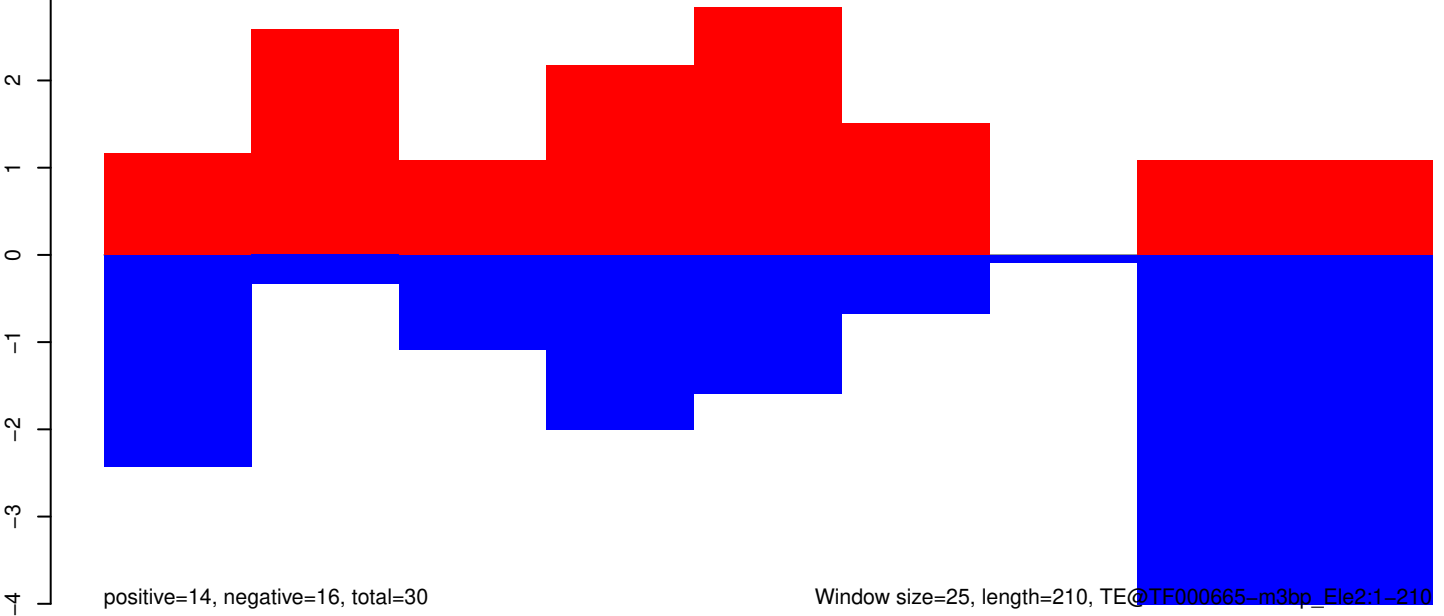
AeAeg_Aag2_Ago2_SINV_RA.18_23.rep



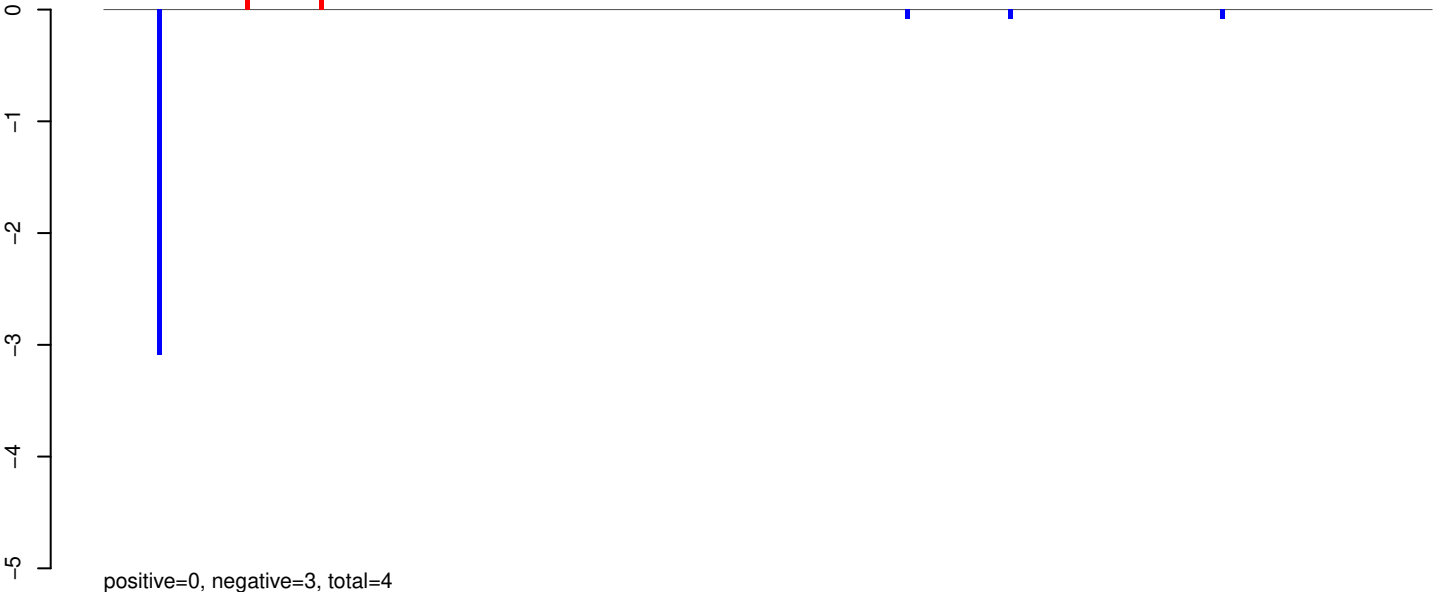
AeAeg_Aag2_Ago2_SINV_RA.24_35.rep



AeAeg_Aag2_Ago2_SINV_RA.rep



AeAeg_Aag2_Ago2_SINV_RA.18_23.rep

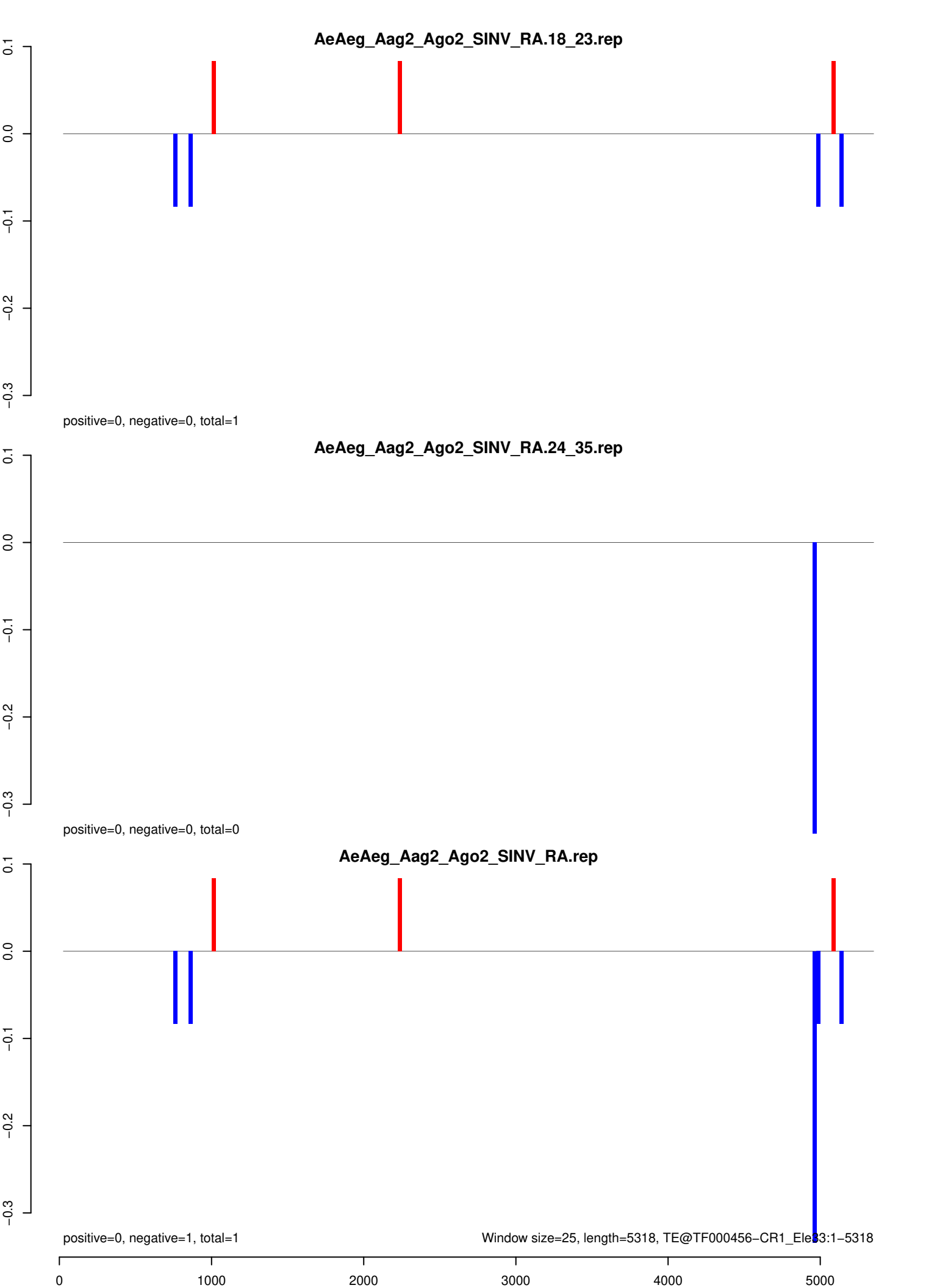


AeAeg_Aag2_Ago2_SINV_RA.24_35.rep

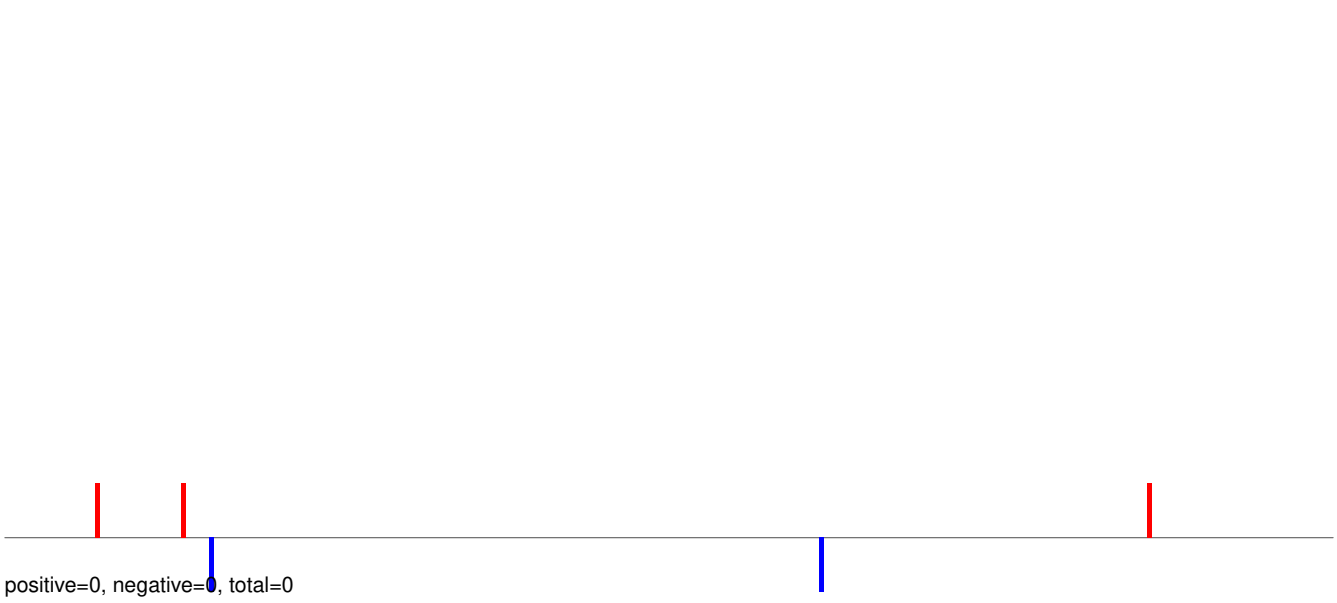


AeAeg_Aag2_Ago2_SINV_RA.rep





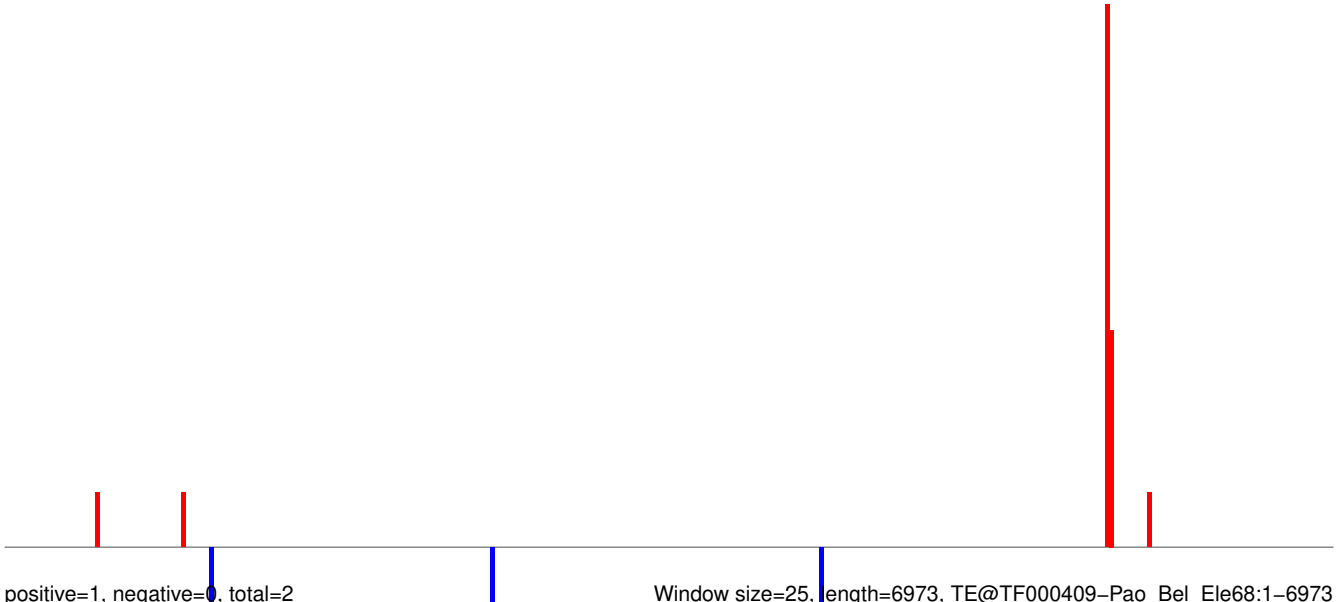
AeAeg_Aag2_Ago2_SINV_RA.18_23.rep



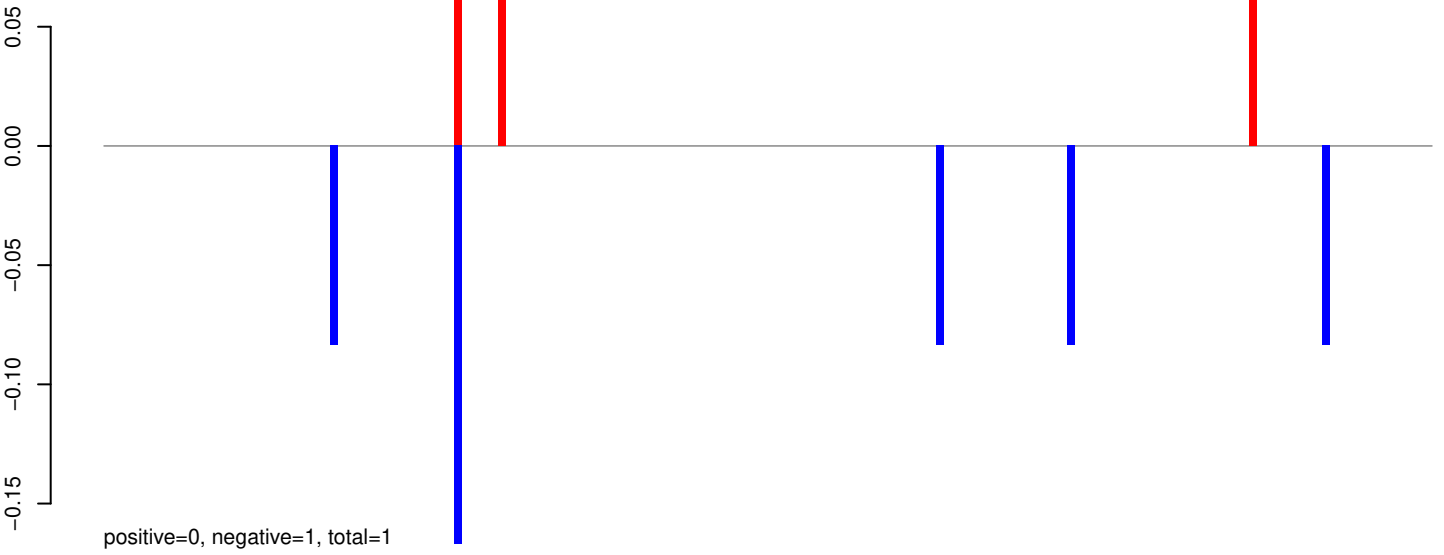
AeAeg_Aag2_Ago2_SINV_RA.24_35.rep



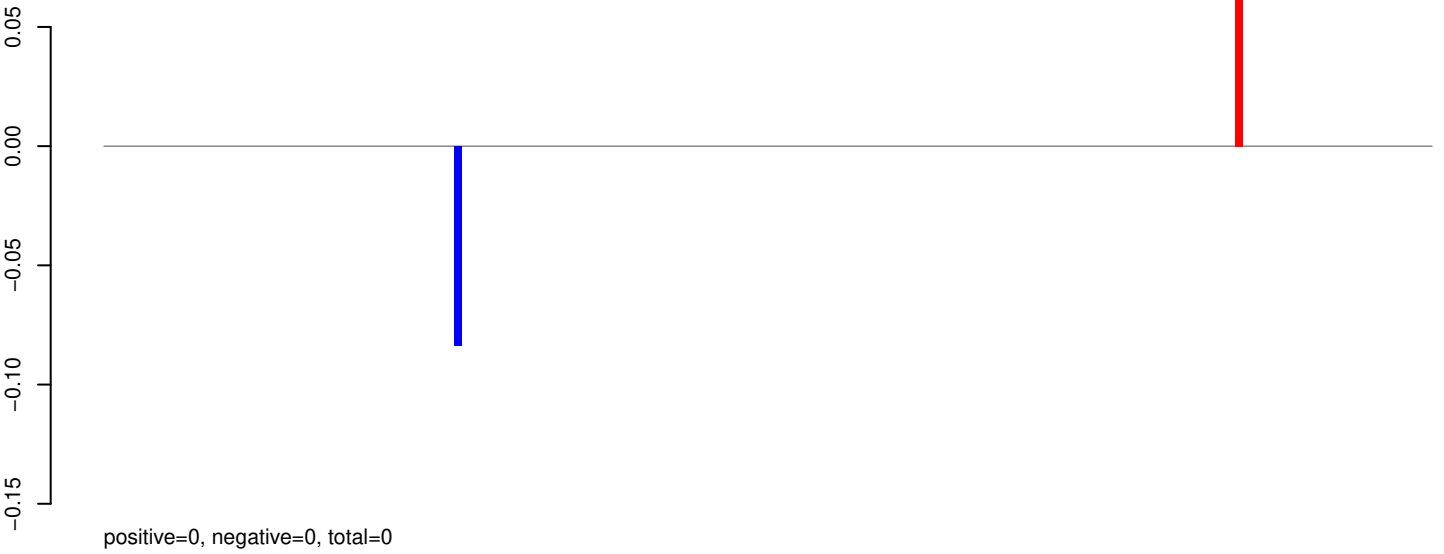
AeAeg_Aag2_Ago2_SINV_RA.rep



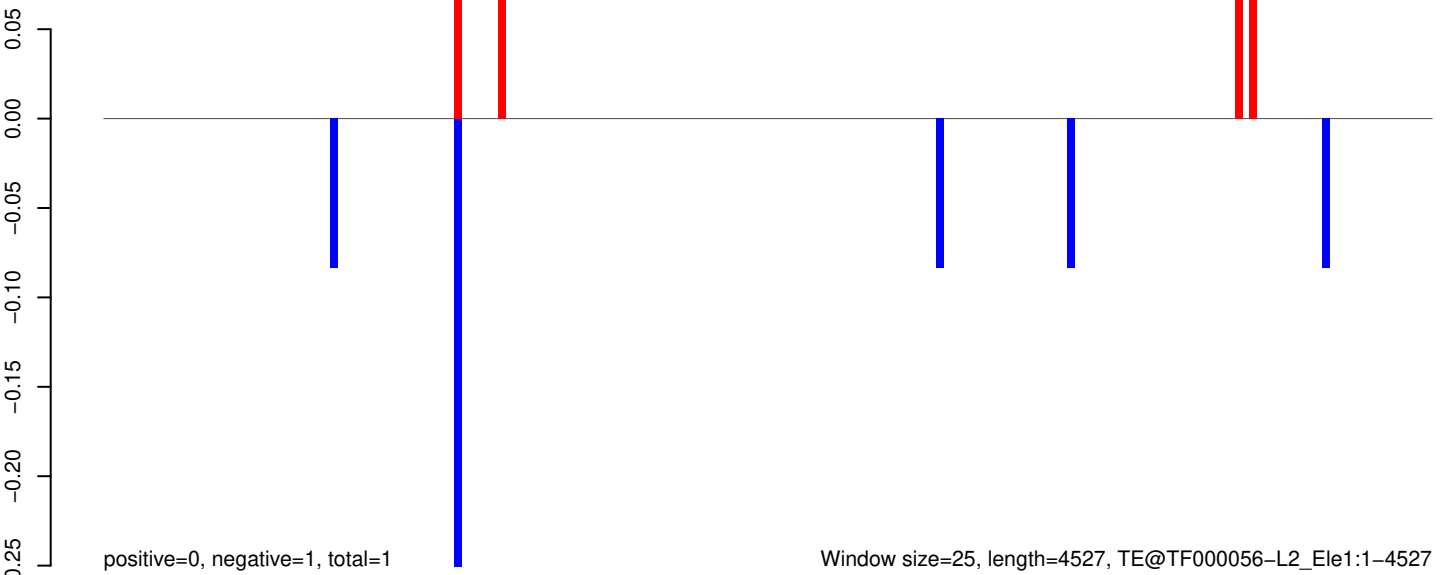
AeAeg_Aag2_Ago2_SINV_RA.18_23.rep



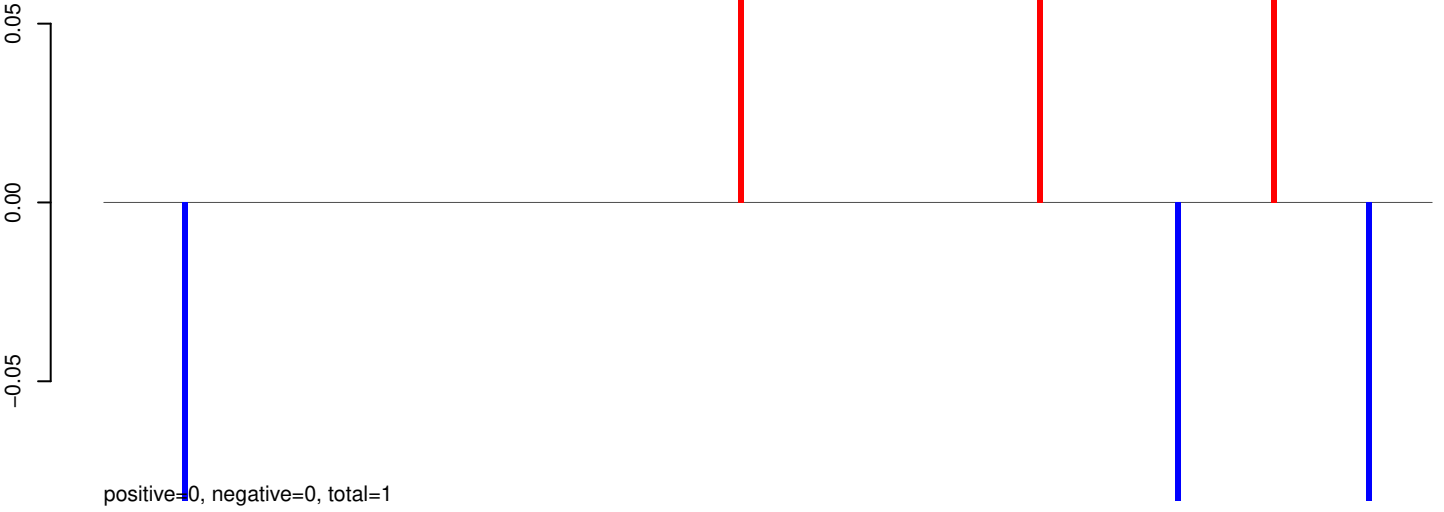
AeAeg_Aag2_Ago2_SINV_RA.24_35.rep



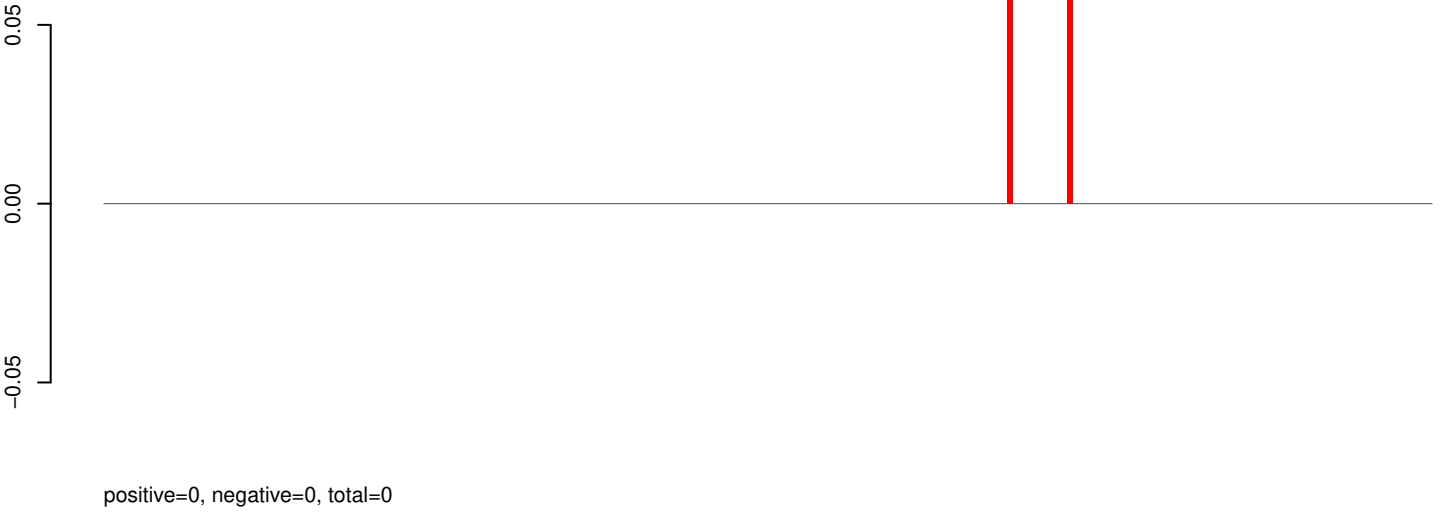
AeAeg_Aag2_Ago2_SINV_RA.rep



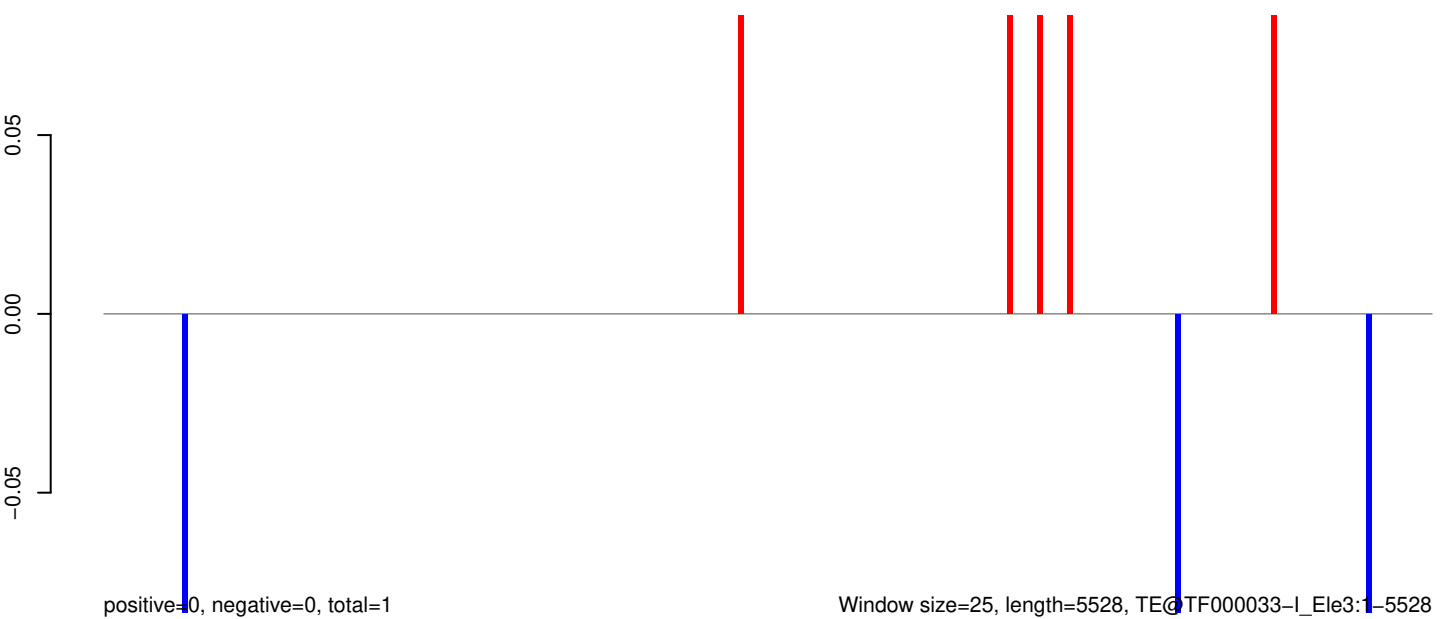
AeAeg_Aag2_Ago2_SINV_RA.18_23.rep



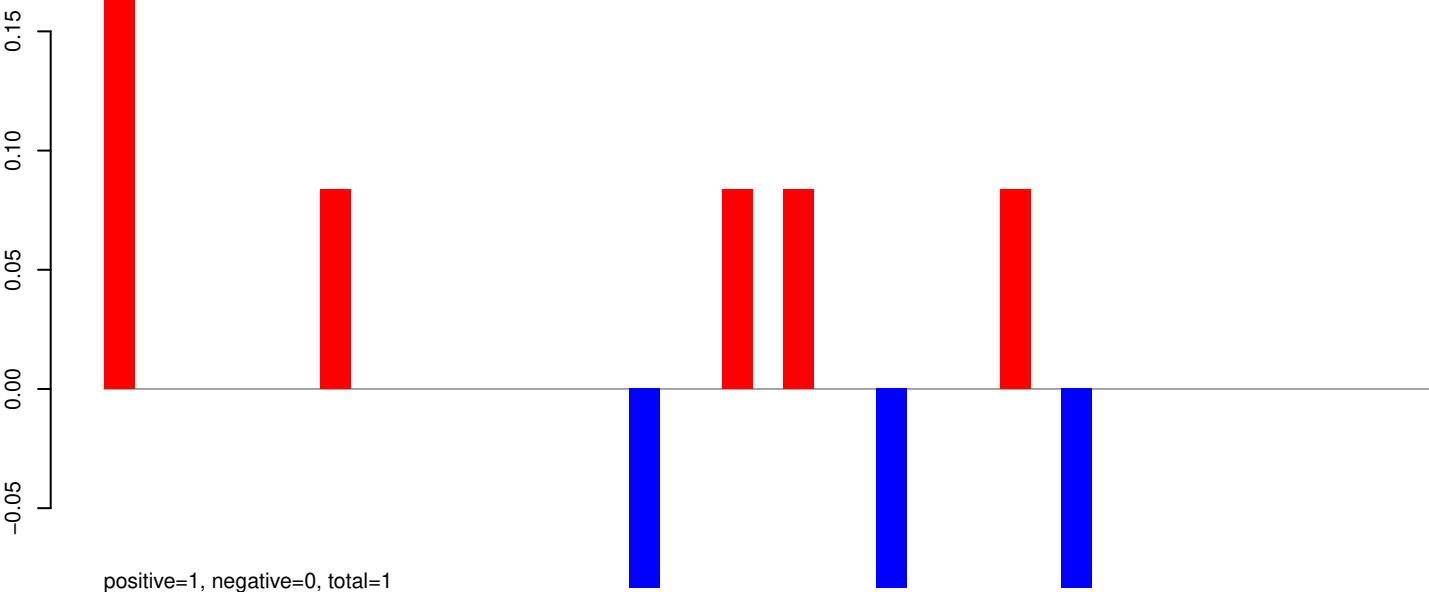
AeAeg_Aag2_Ago2_SINV_RA.24_35.rep



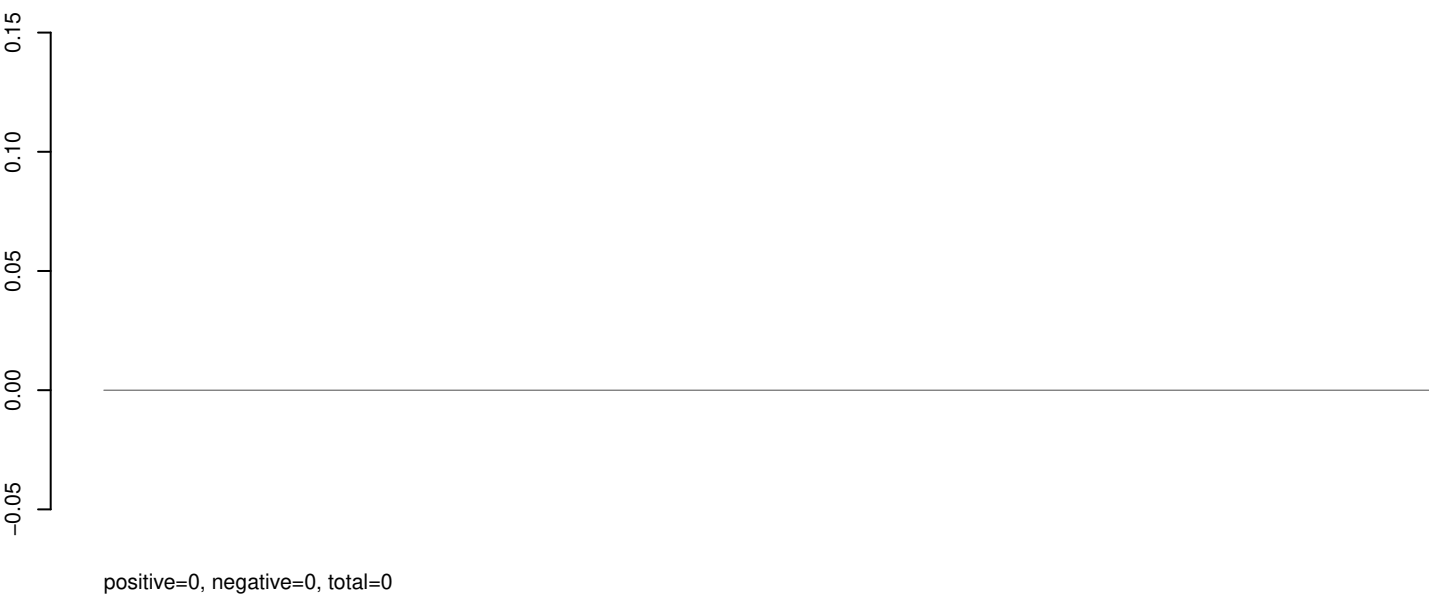
AeAeg_Aag2_Ago2_SINV_RA.rep



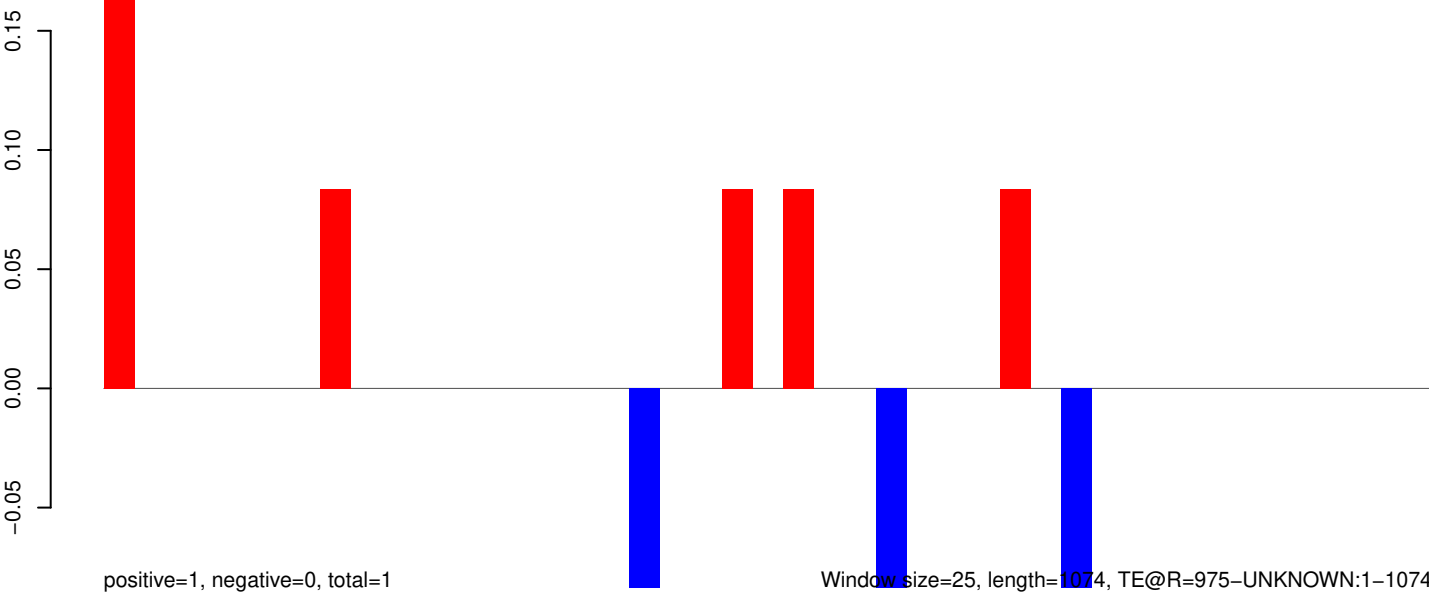
AeAeg_Aag2_Ago2_SINV_RA.18_23.rep



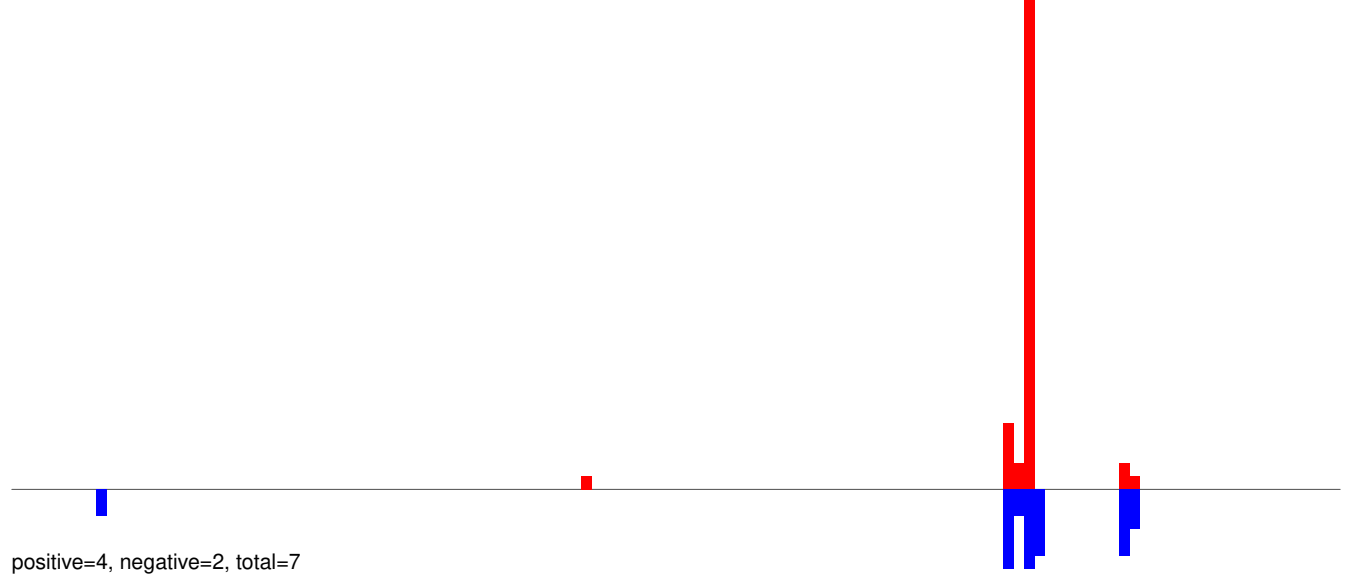
AeAeg_Aag2_Ago2_SINV_RA.24_35.rep



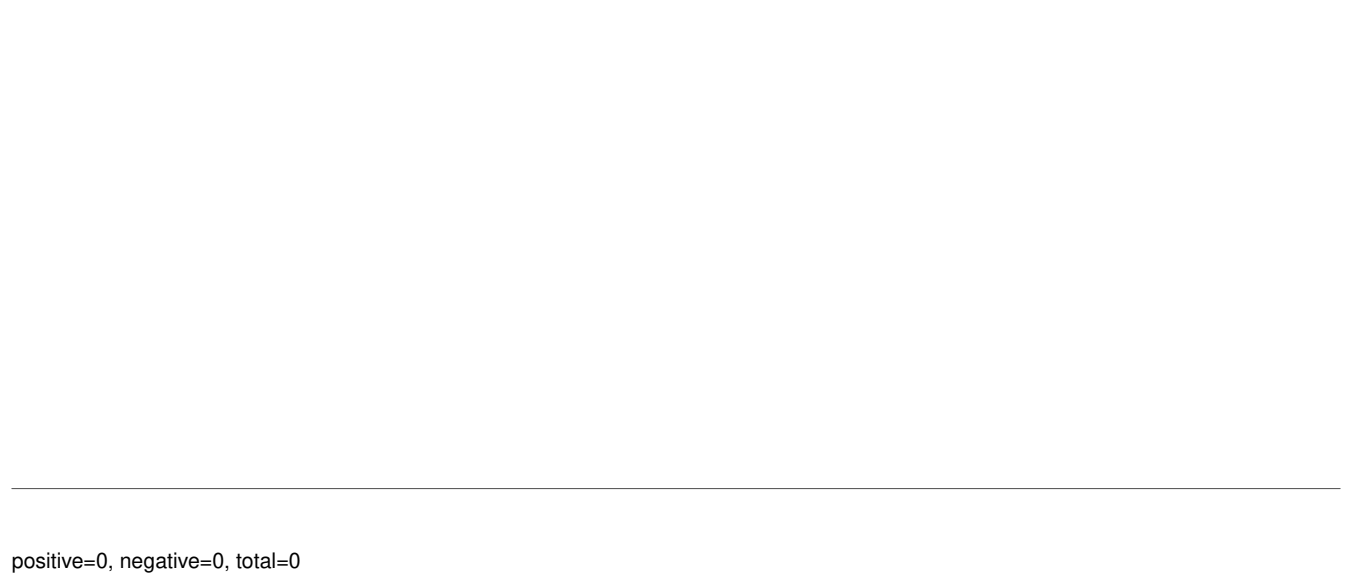
AeAeg_Aag2_Ago2_SINV_RA.rep



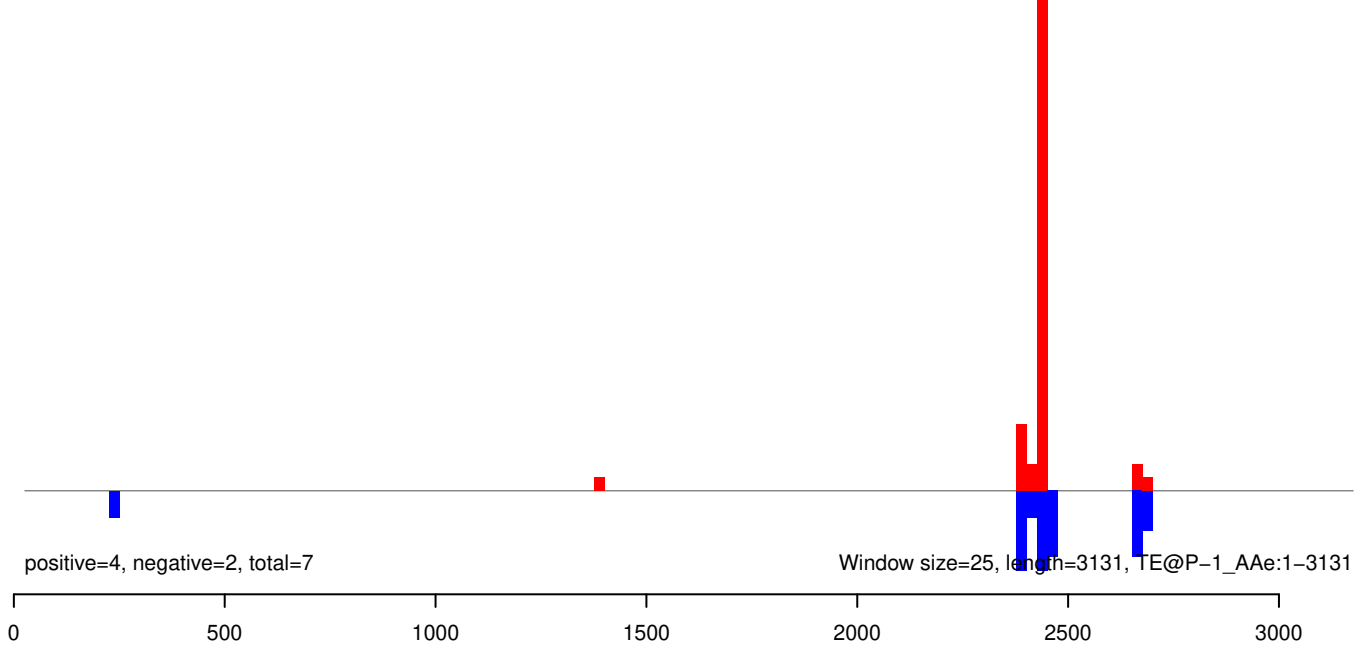
AeAeg_Aag2_Ago2_SINV_RA.18_23.rep



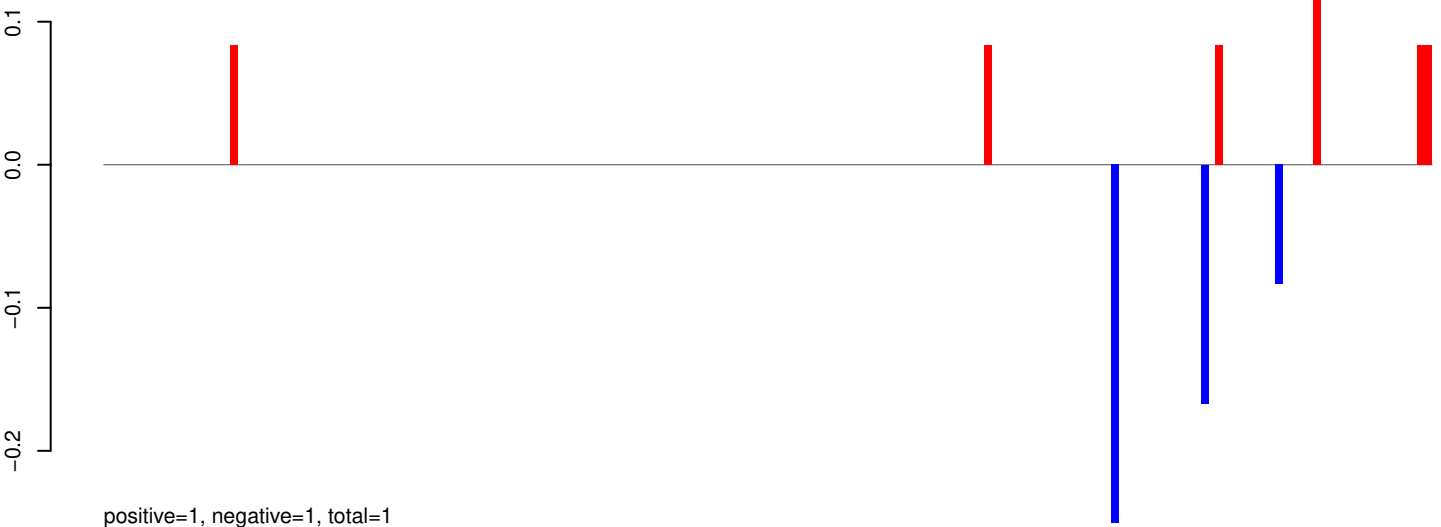
AeAeg_Aag2_Ago2_SINV_RA.24_35.rep



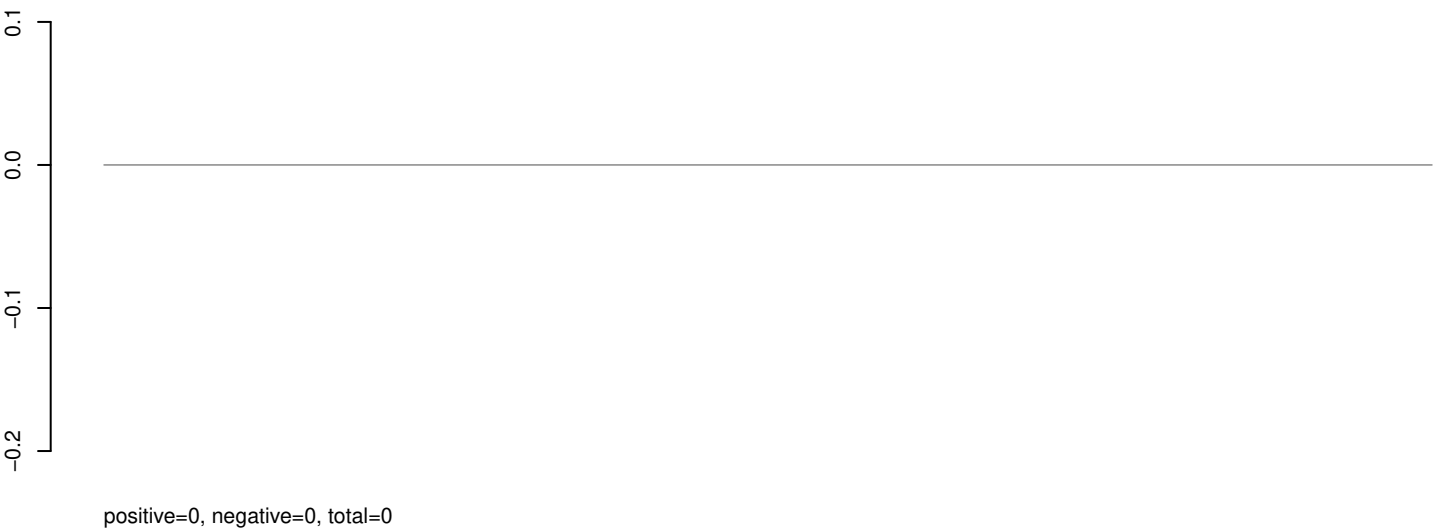
AeAeg_Aag2_Ago2_SINV_RA.rep



AeAeg_Aag2_Ago2_SINV_RA.18_23.rep



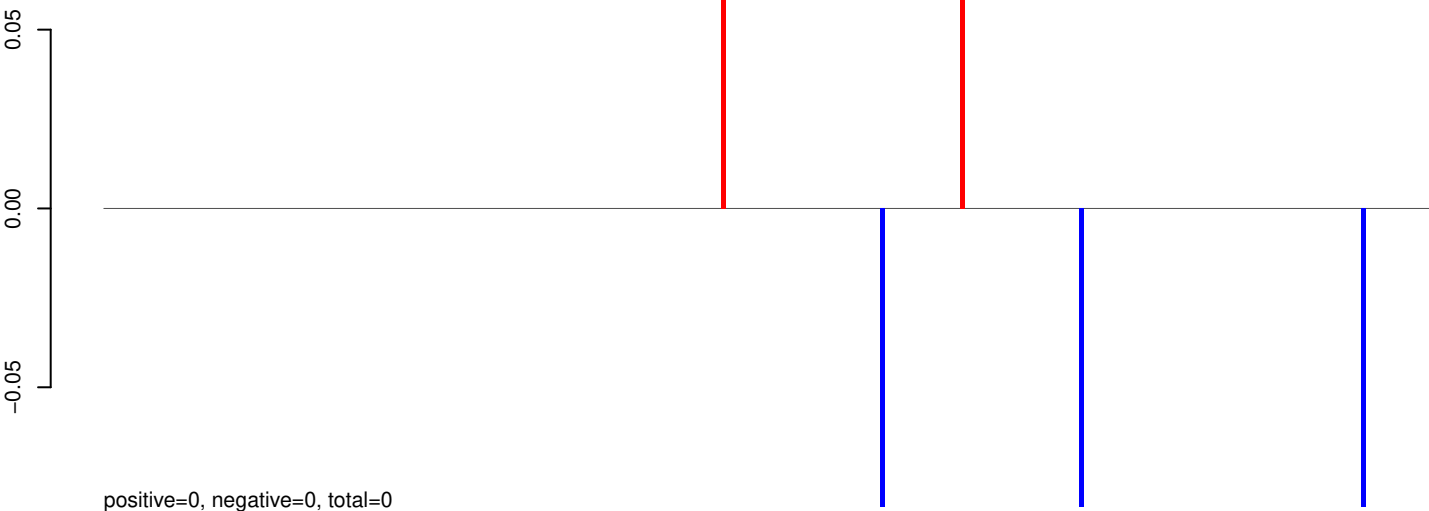
AeAeg_Aag2_Ago2_SINV_RA.24_35.rep



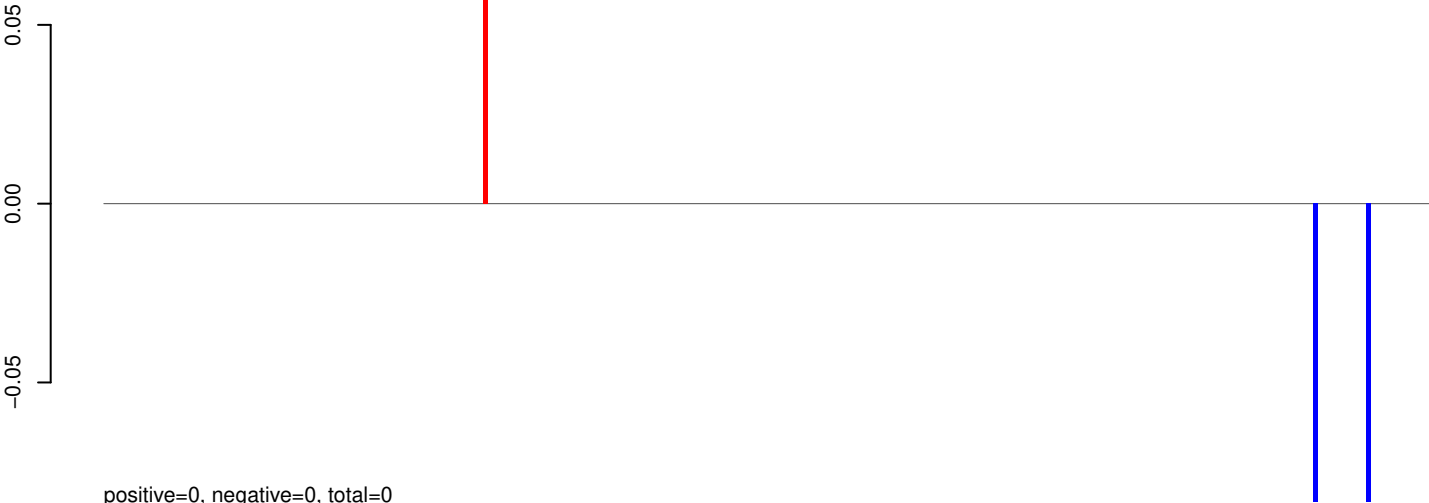
AeAeg_Aag2_Ago2_SINV_RA.rep



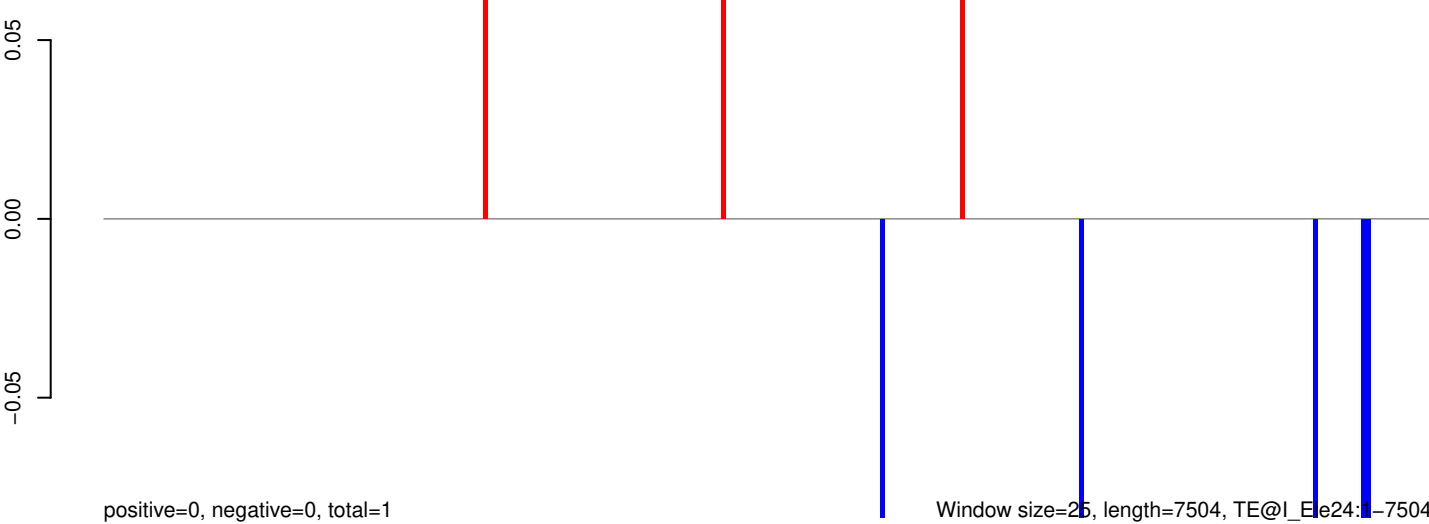
AeAeg_Aag2_Ago2_SINV_RA.18_23.rep



AeAeg_Aag2_Ago2_SINV_RA.24_35.rep



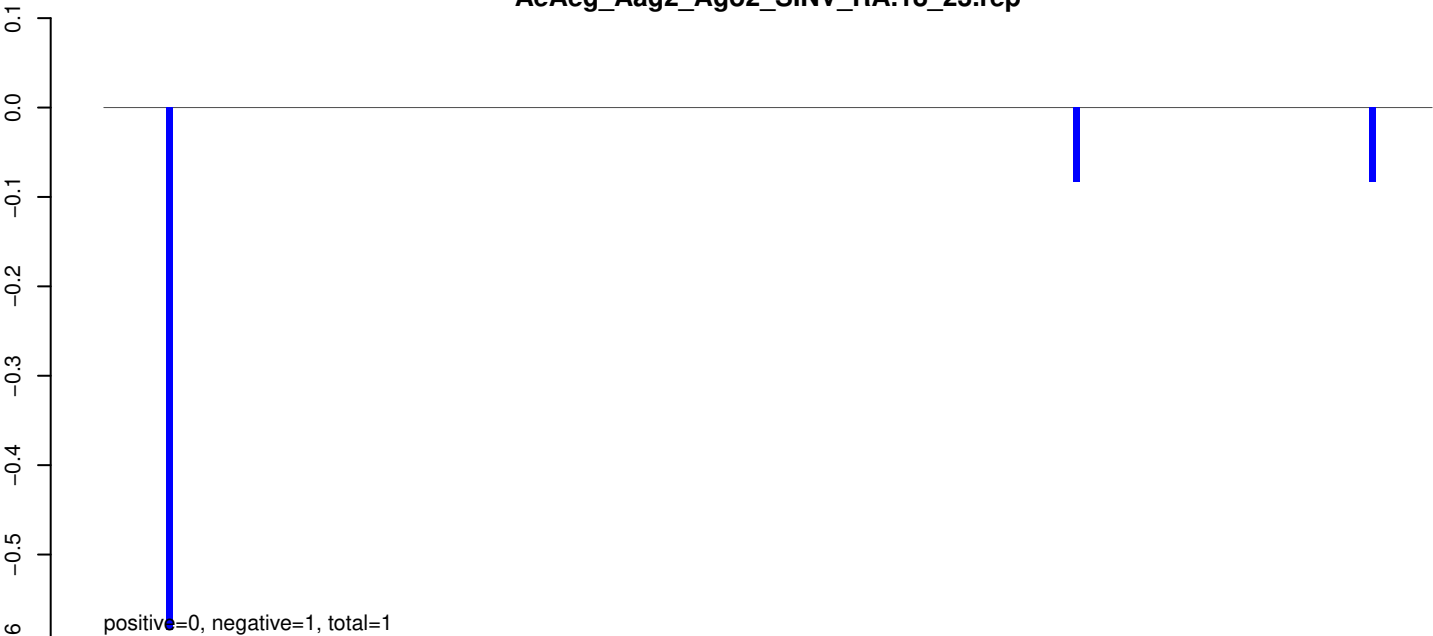
AeAeg_Aag2_Ago2_SINV_RA.rep



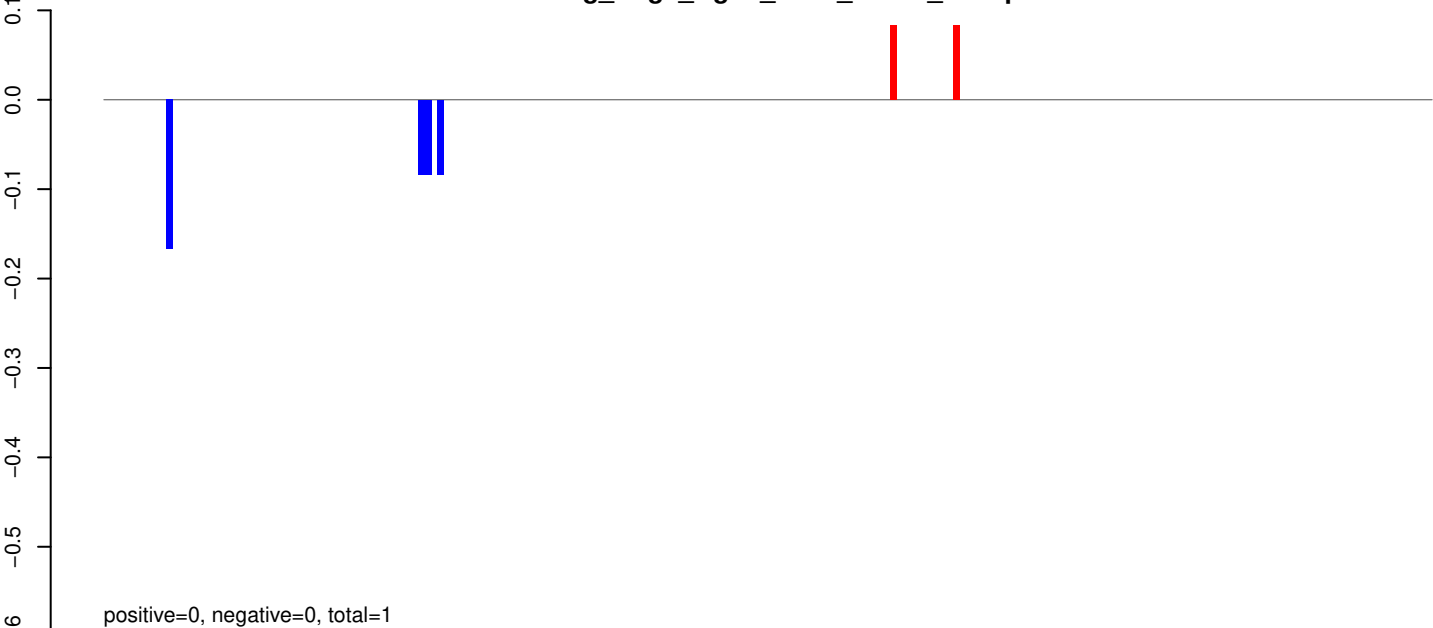
Window size=25, length=7504, TE@I_Ele24:1-7504

0 2000 4000 6000

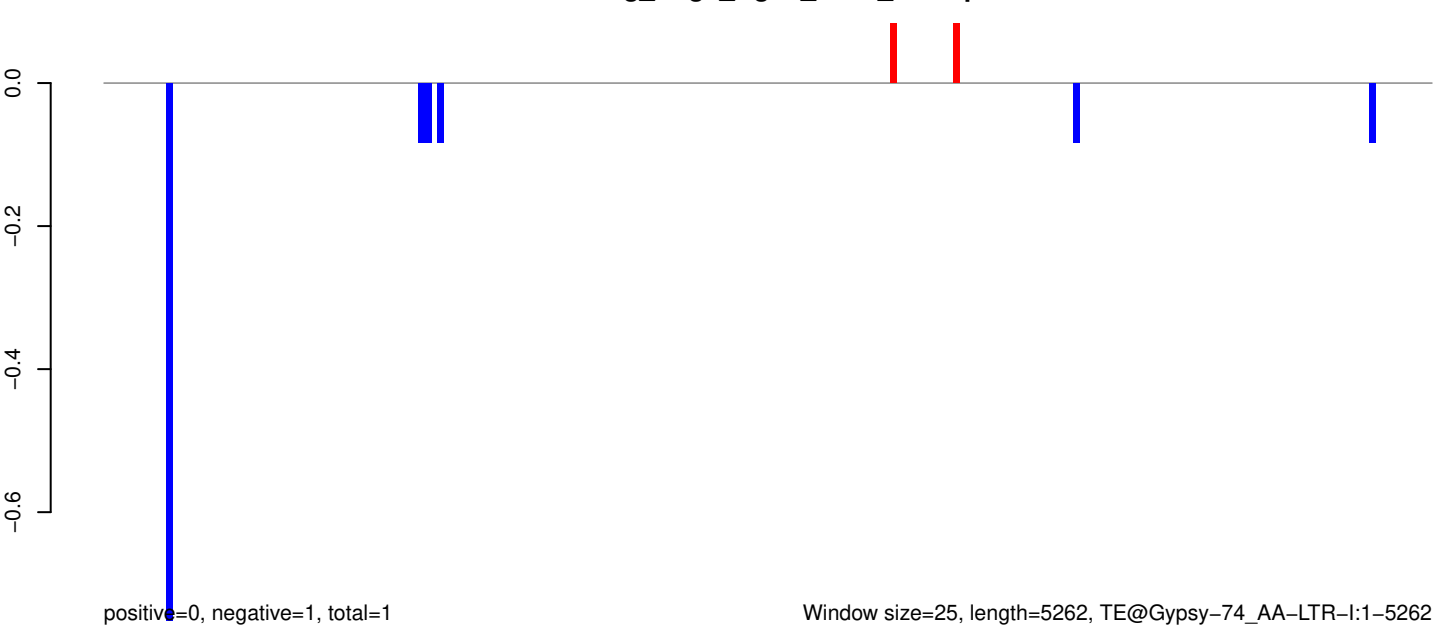
AeAeg_Aag2_Ago2_SINV_RA.18_23.rep



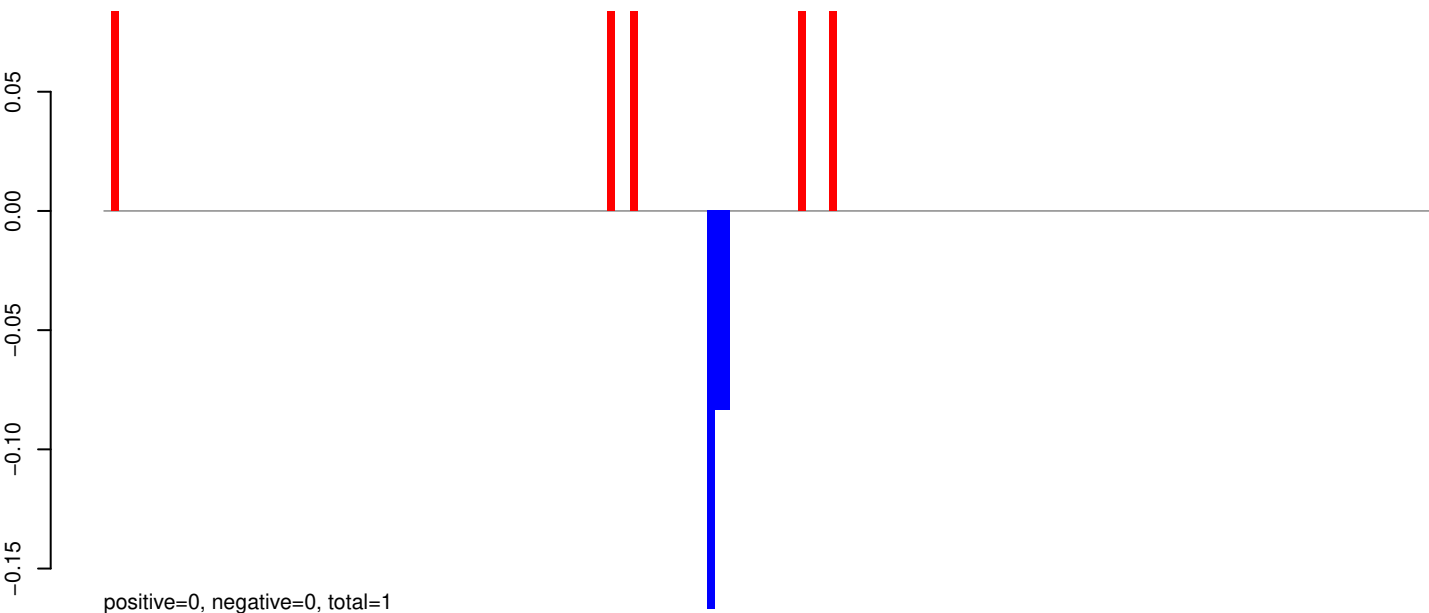
AeAeg_Aag2_Ago2_SINV_RA.24_35.rep



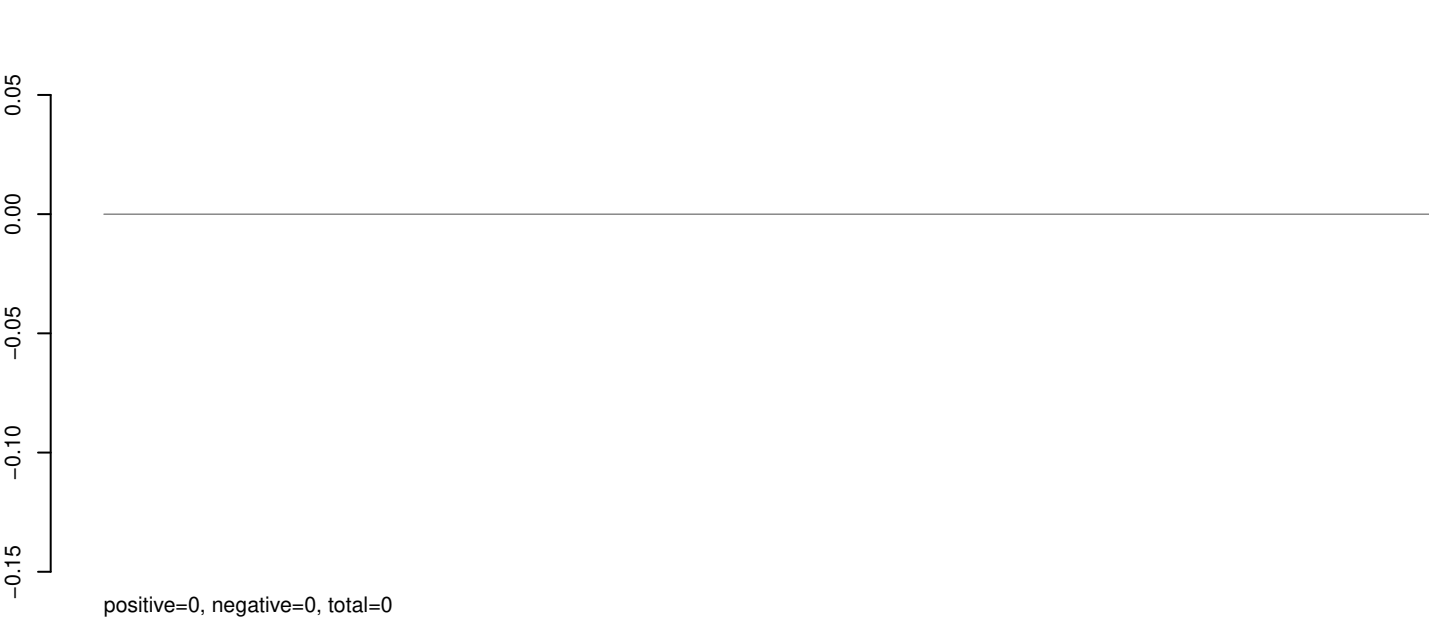
AeAeg_Aag2_Ago2_SINV_RA.rep



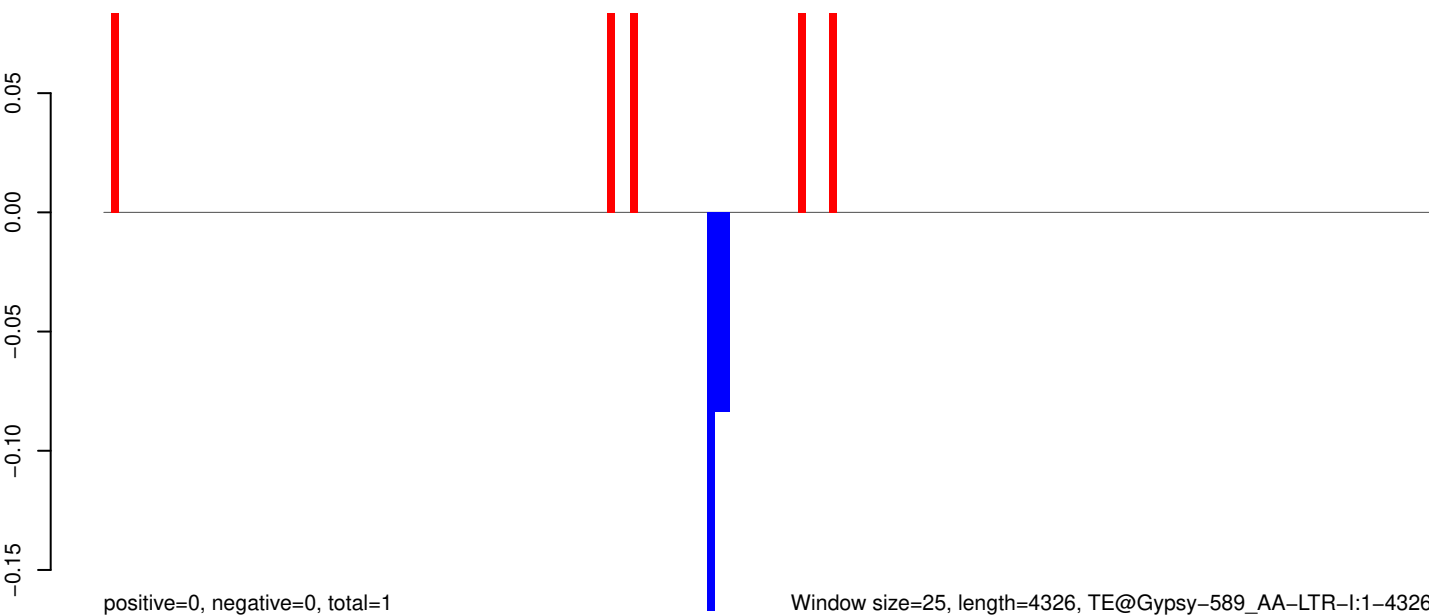
AeAeg_Aag2_Ago2_SINV_RA.18_23.rep



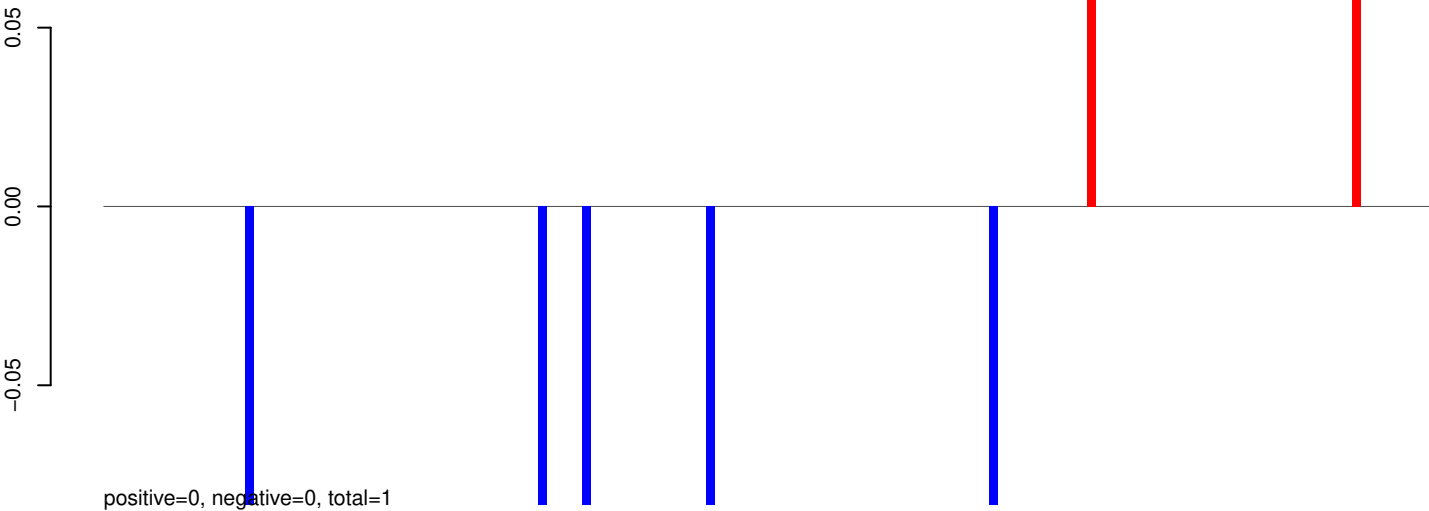
AeAeg_Aag2_Ago2_SINV_RA.24_35.rep



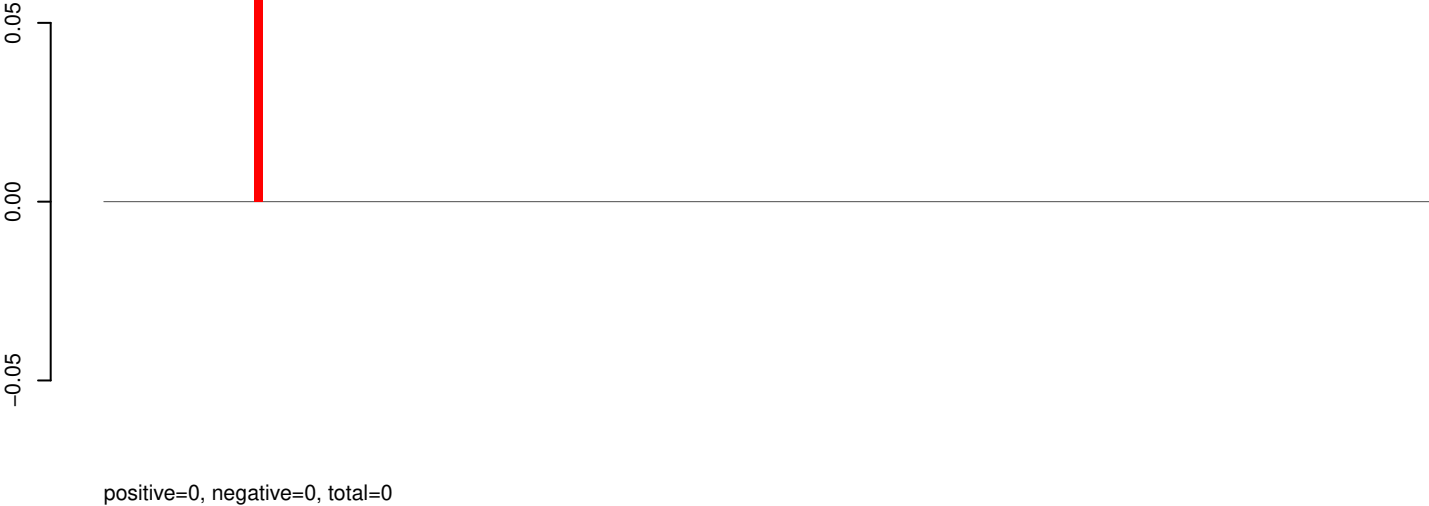
AeAeg_Aag2_Ago2_SINV_RA.rep



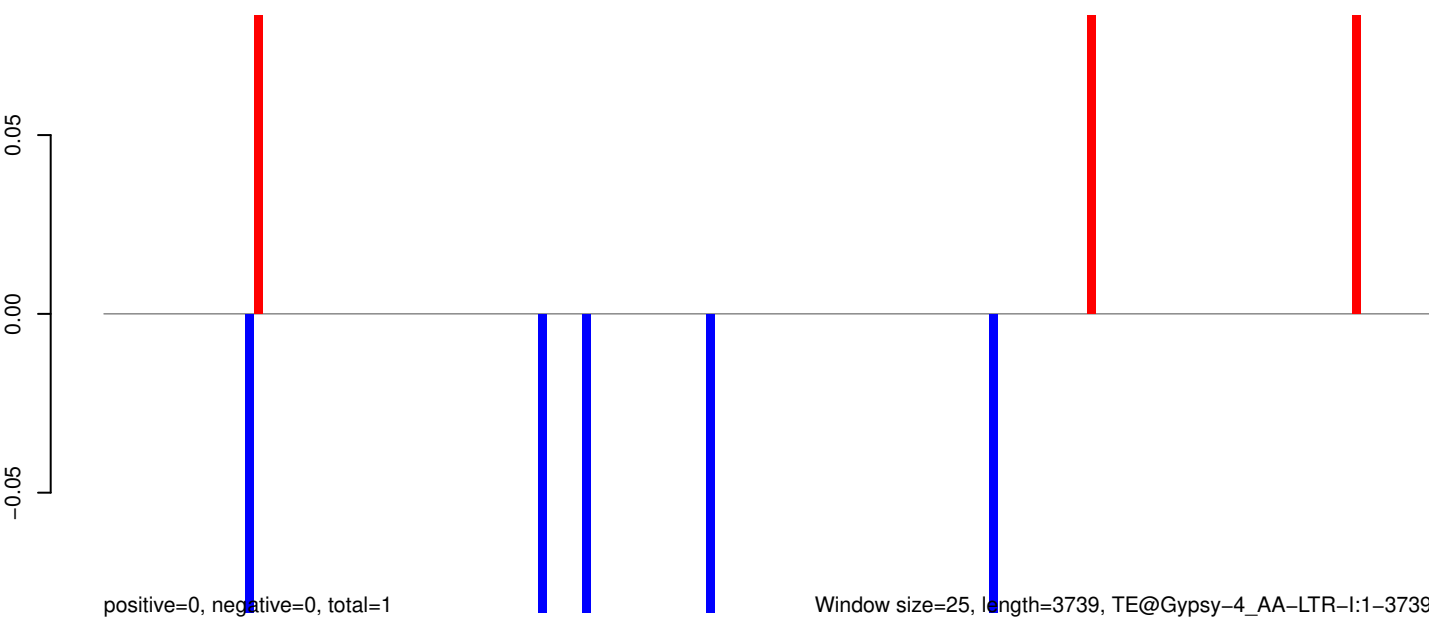
AeAeg_Aag2_Ago2_SINV_RA.18_23.rep



AeAeg_Aag2_Ago2_SINV_RA.24_35.rep



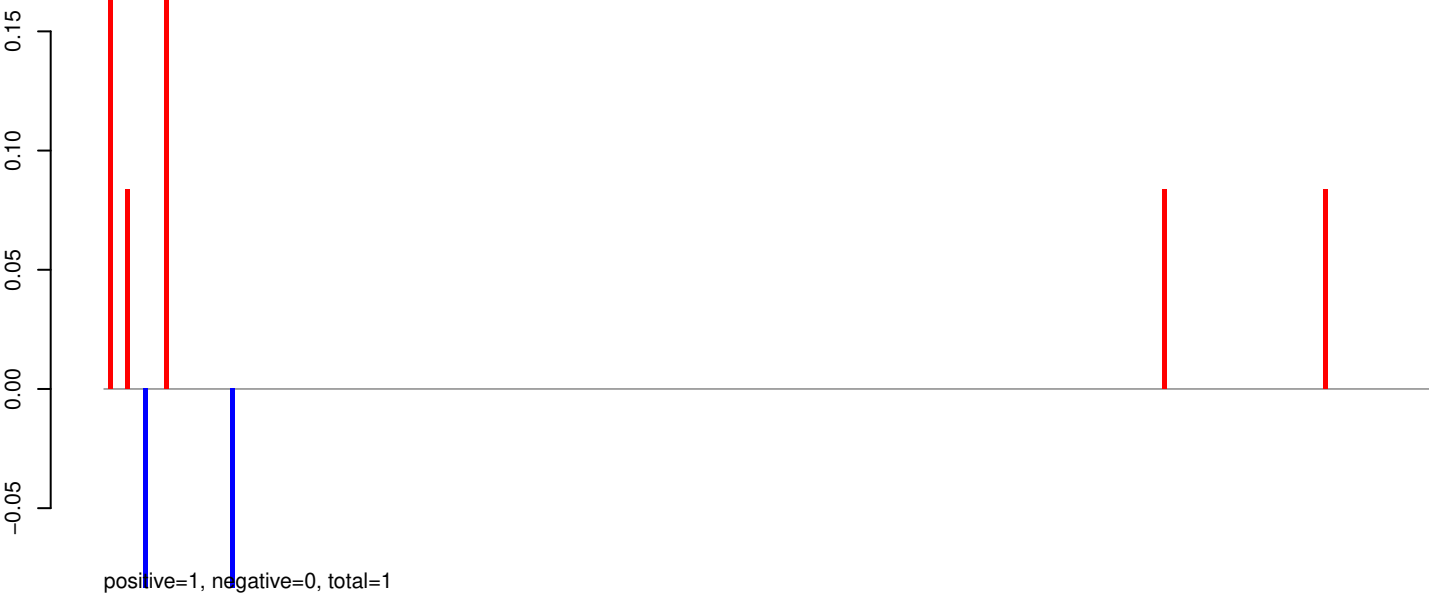
AeAeg_Aag2_Ago2_SINV_RA.rep



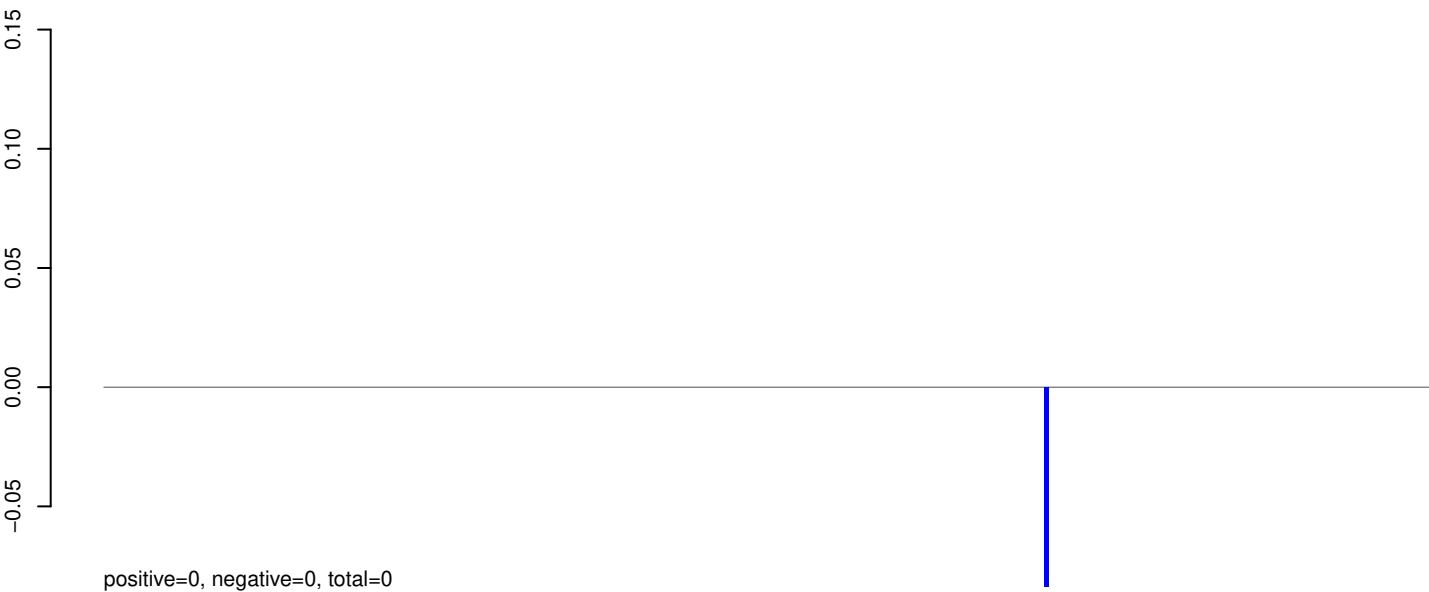
Window size=25, length=3739, TE@Gypsy-4_AA-LTR-I:1-3739

0 1000 2000 3000

AeAeg_Aag2_Ago2_SINV_RA.18_23.rep



AeAeg_Aag2_Ago2_SINV_RA.24_35.rep



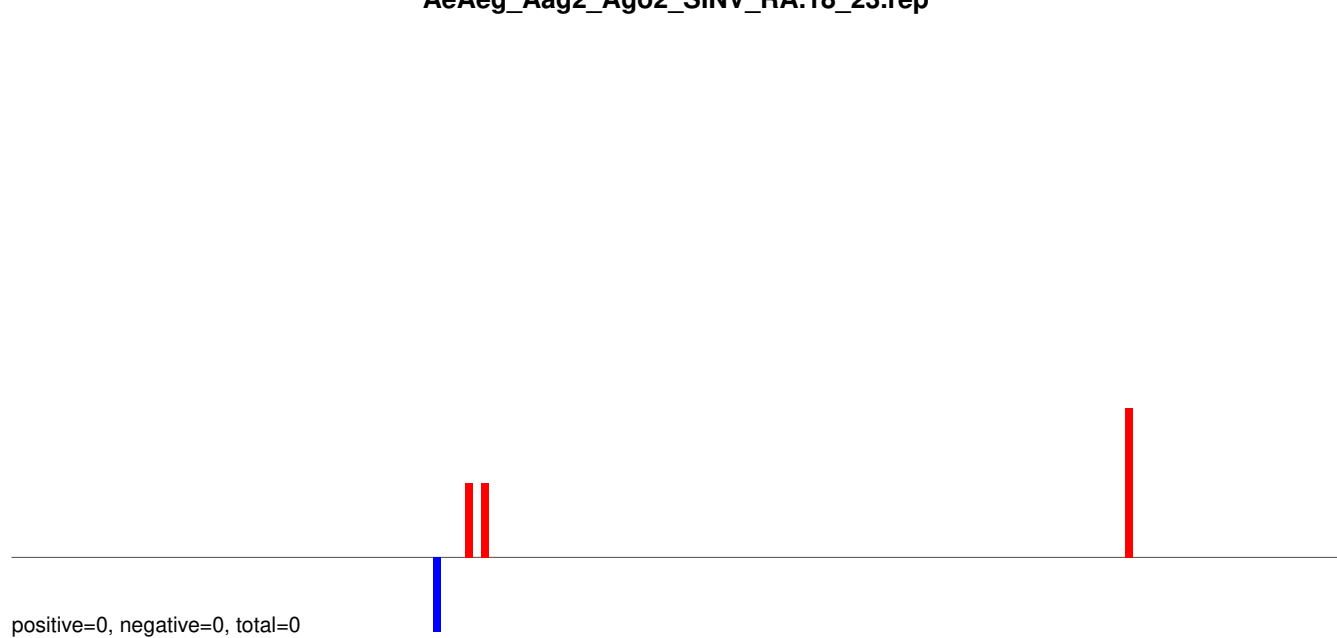
AeAeg_Aag2_Ago2_SINV_RA.rep



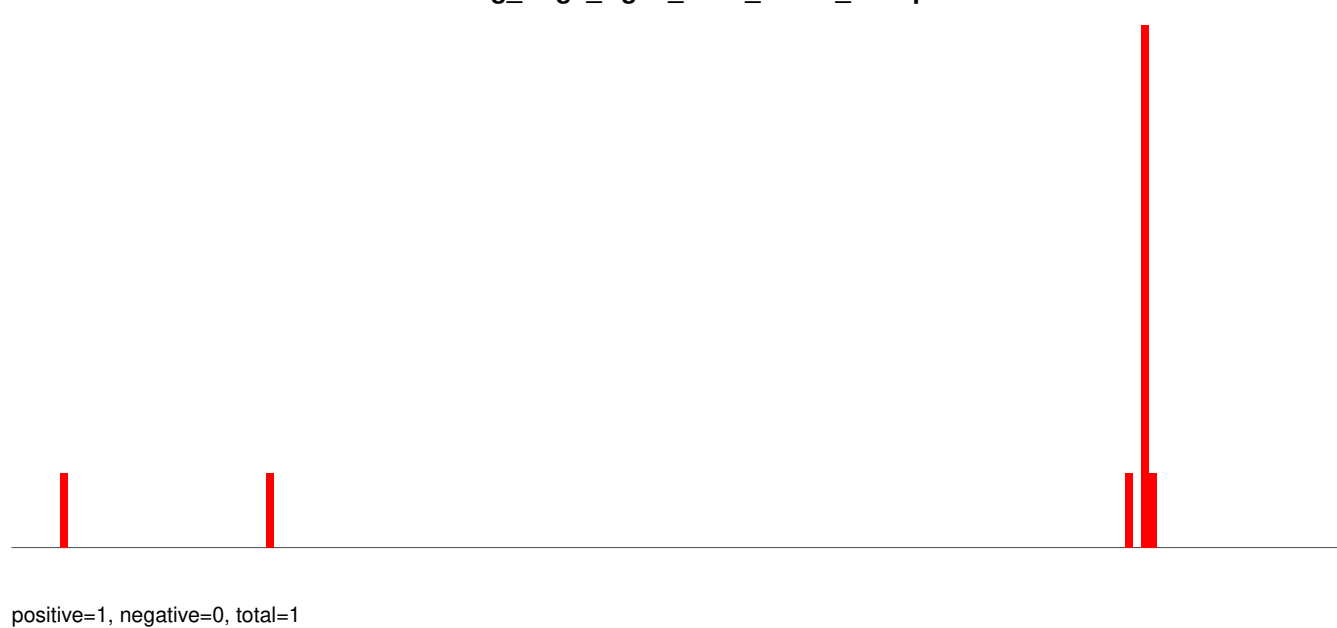
Window size=25, length=7605, TE@Gypsy-32_AA-LTR-I:1-7605

0 2000 4000 6000

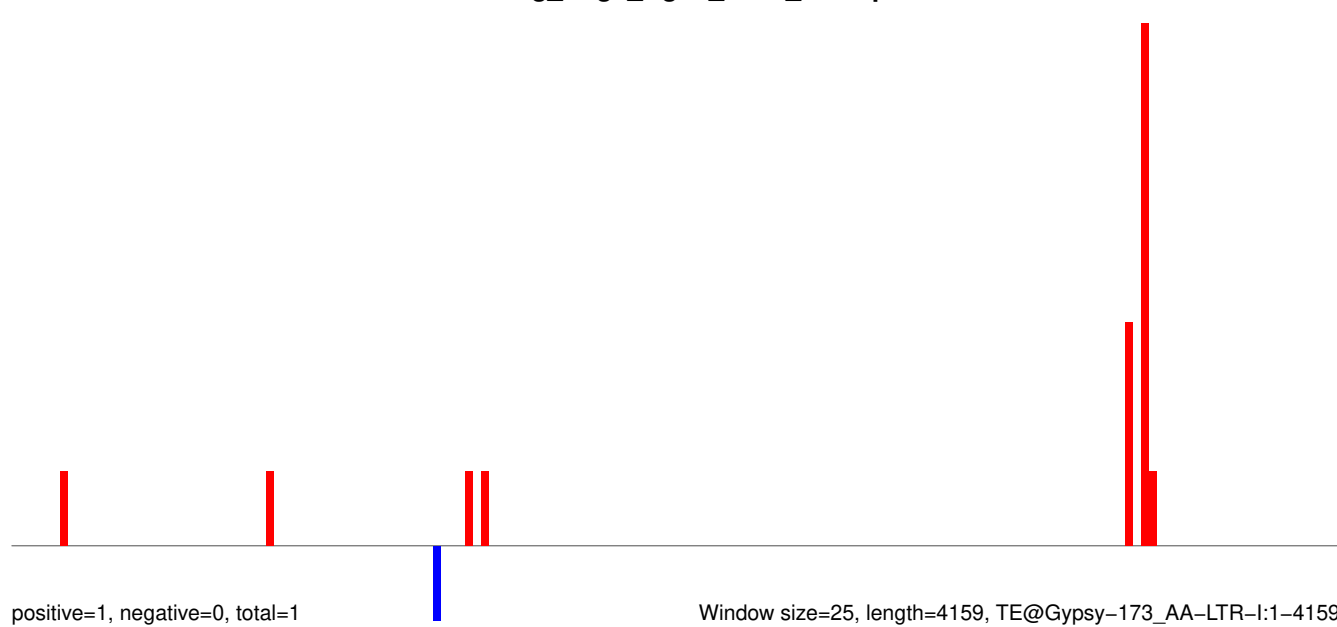
AeAeg_Aag2_Ago2_SINV_RA.18_23.rep



AeAeg_Aag2_Ago2_SINV_RA.24_35.rep

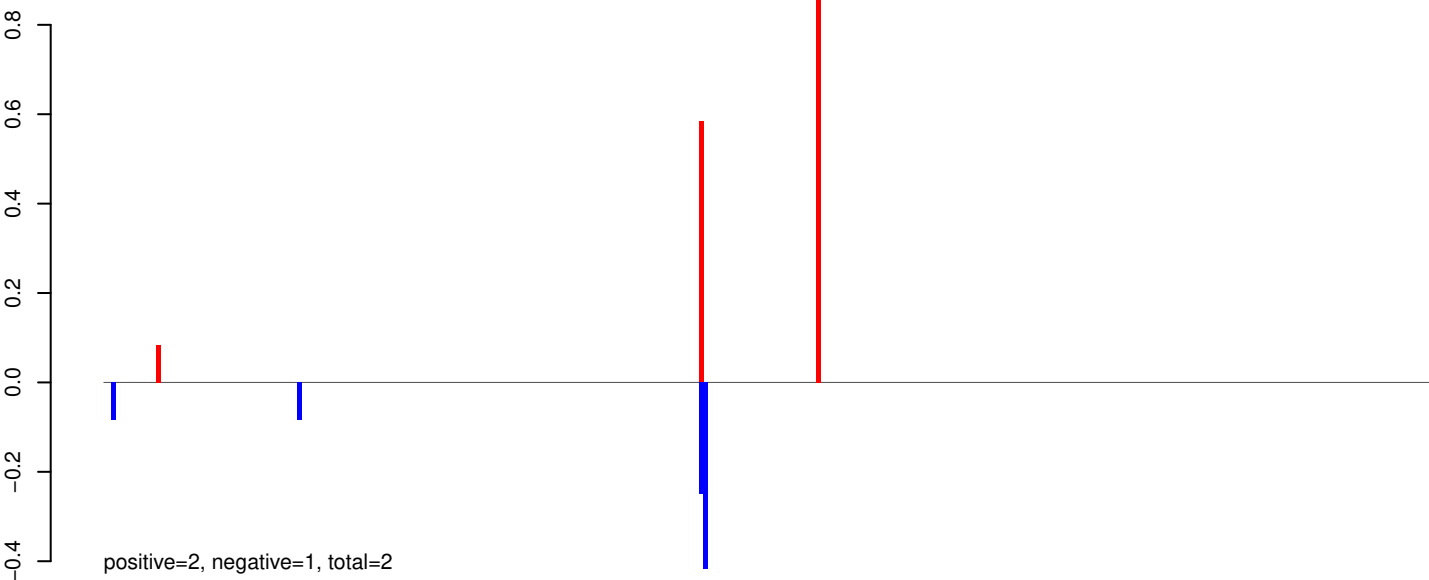


AeAeg_Aag2_Ago2_SINV_RA.rep

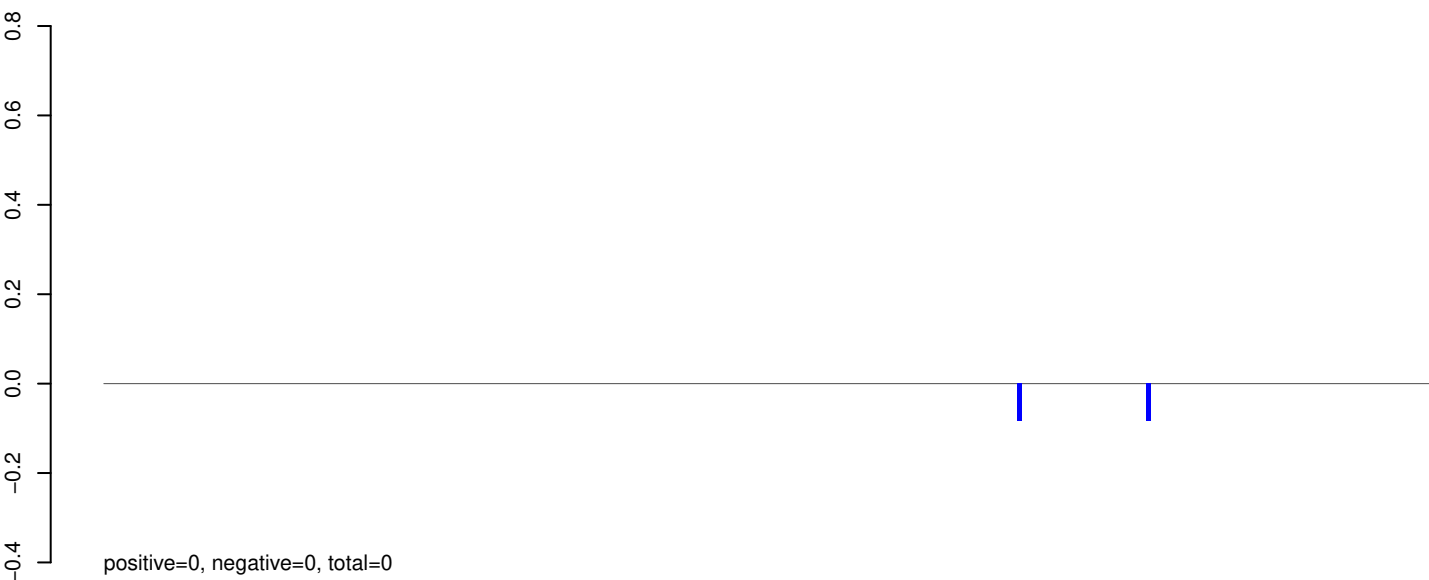


Window size=25, length=4159, TE@Gypsy-173_AA-LTR-I:1-4159

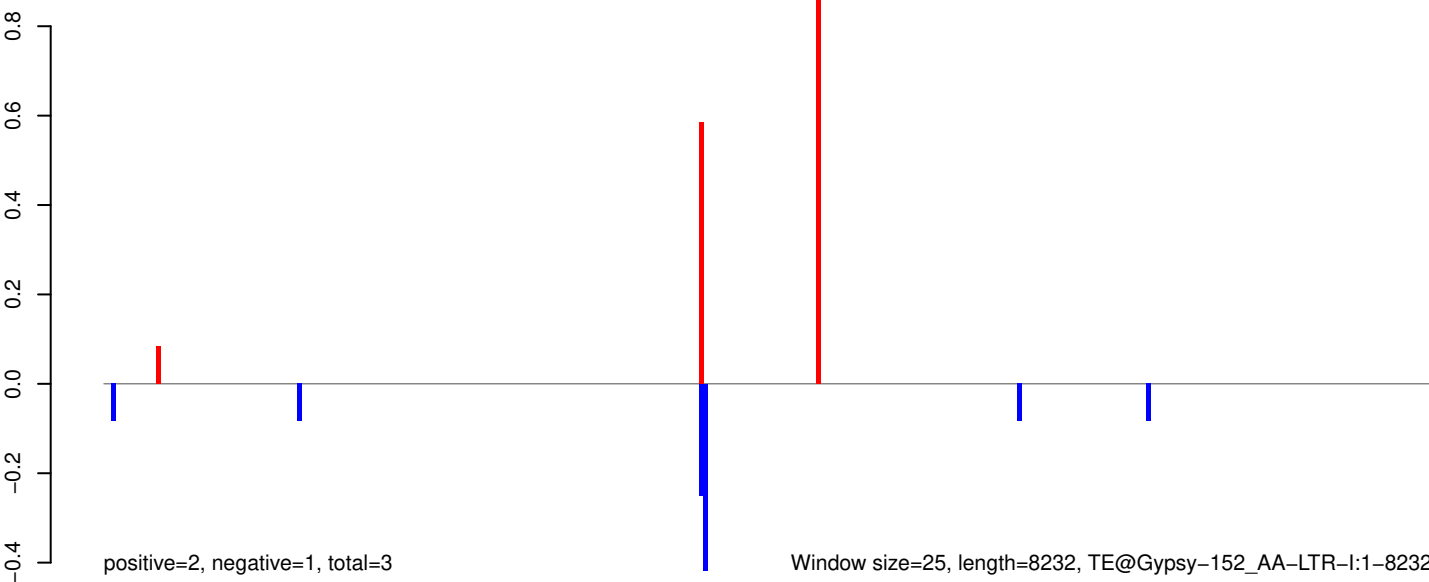
AeAeg_Aag2_Ago2_SINV_RA.18_23.rep



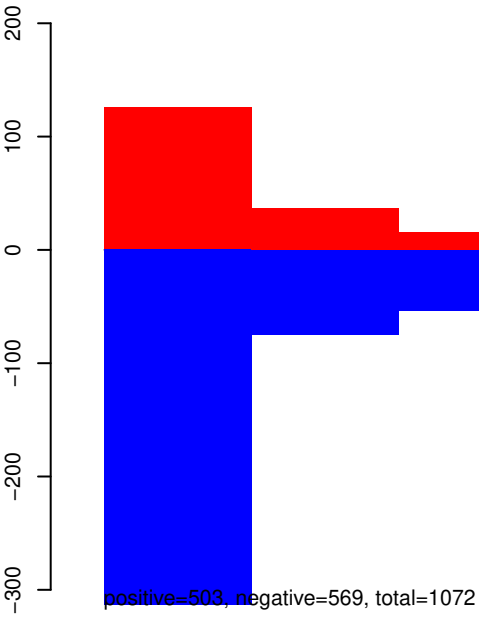
AeAeg_Aag2_Ago2_SINV_RA.24_35.rep



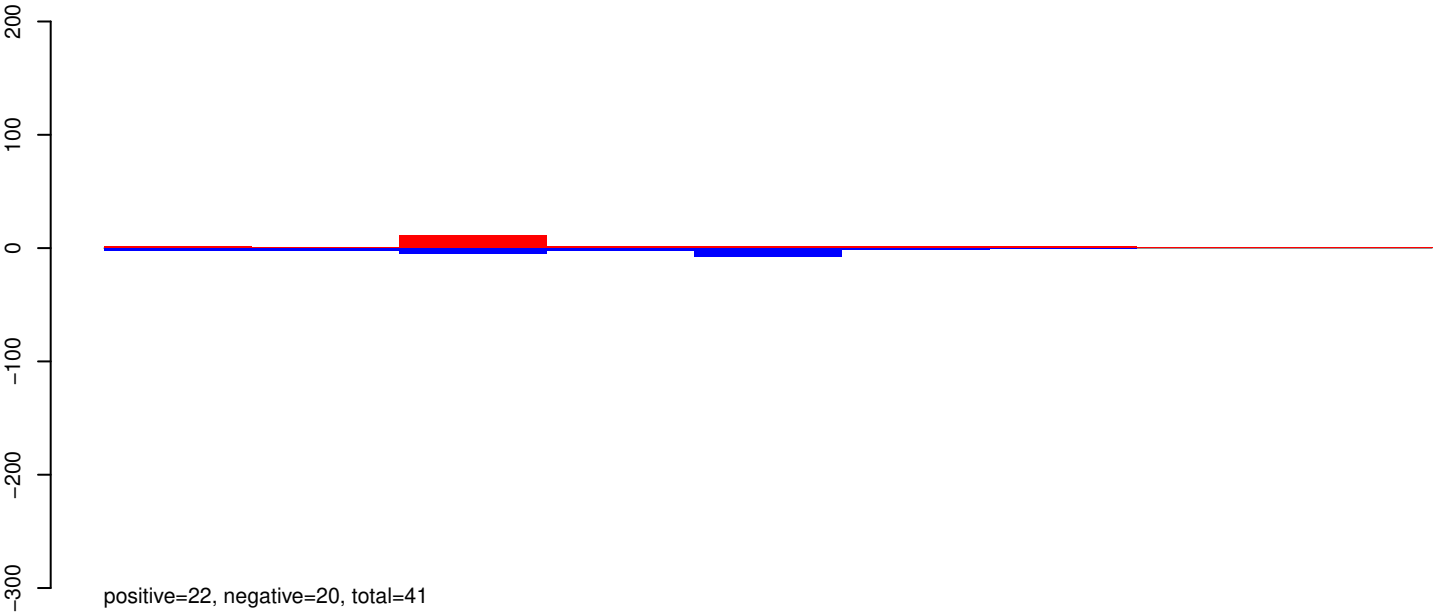
AeAeg_Aag2_Ago2_SINV_RA.rep



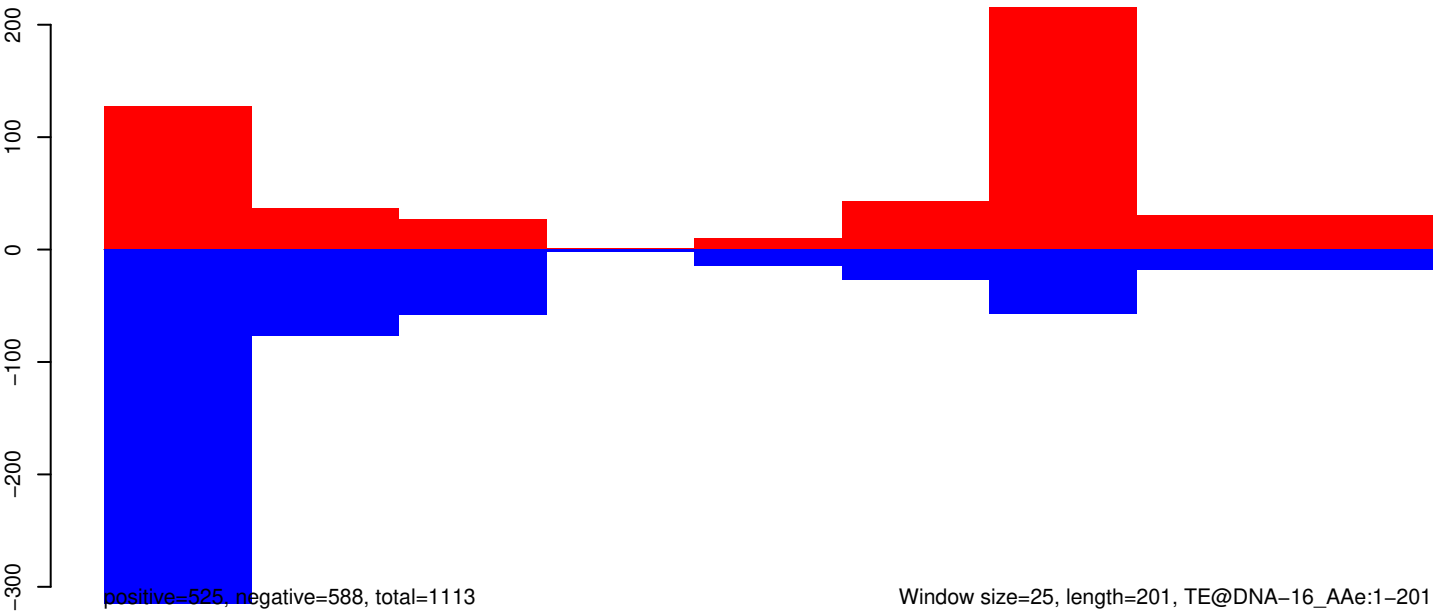
AeAeg_Aag2_Ago2_SINV_RA.18_23.rep



AeAeg_Aag2_Ago2_SINV_RA.24_35.rep



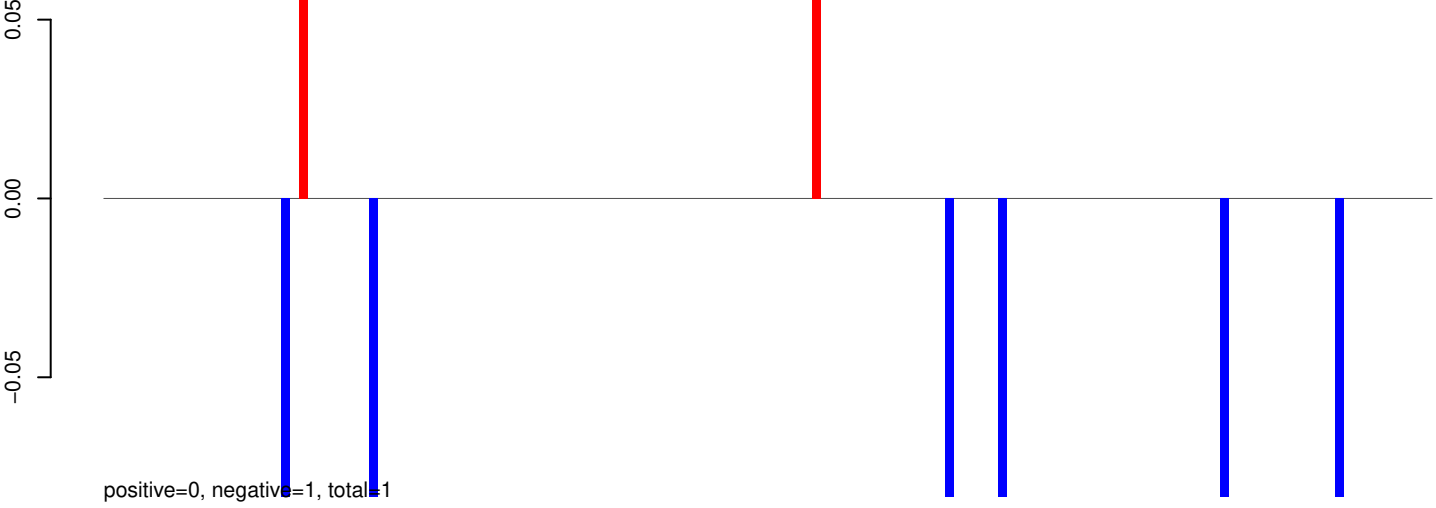
AeAeg_Aag2_Ago2_SINV_RA.rep



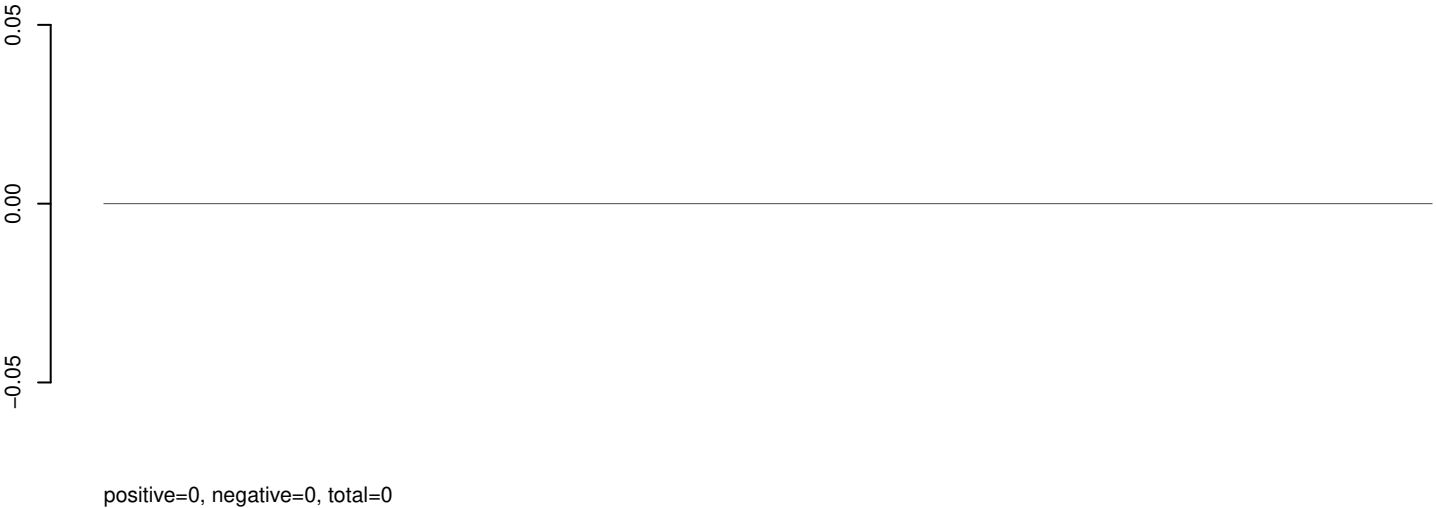
Window size=25, length=201, TE@DNA-16_AAe:1-201

50 100 150 200 250

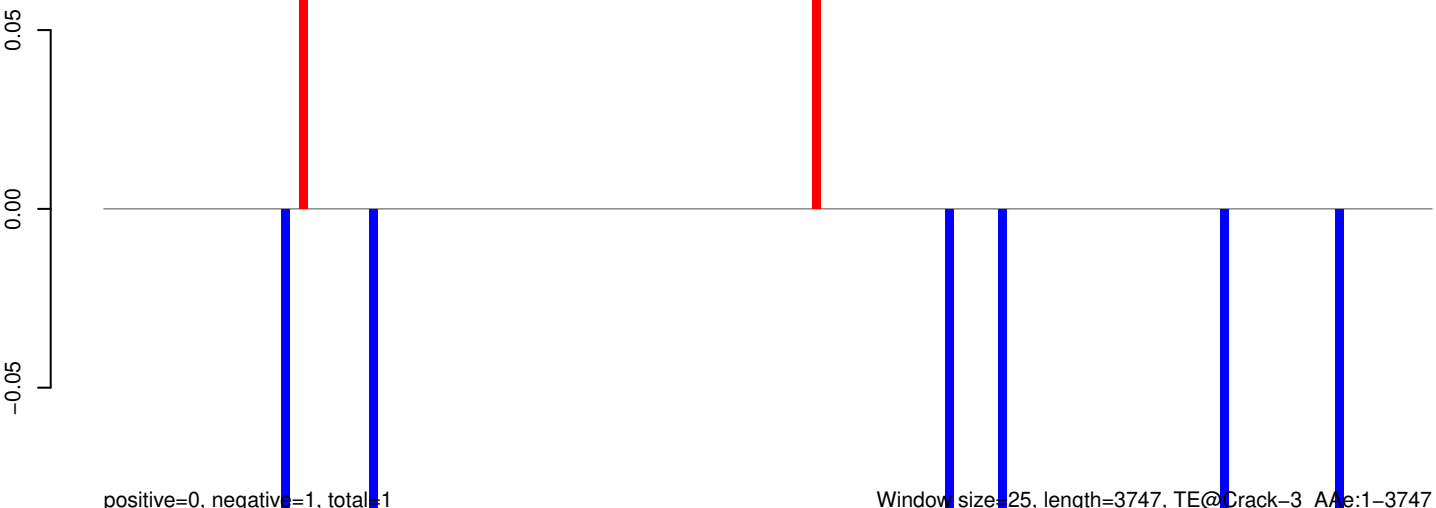
AeAeg_Aag2_Ago2_SINV_RA.18_23.rep



AeAeg_Aag2_Ago2_SINV_RA.24_35.rep



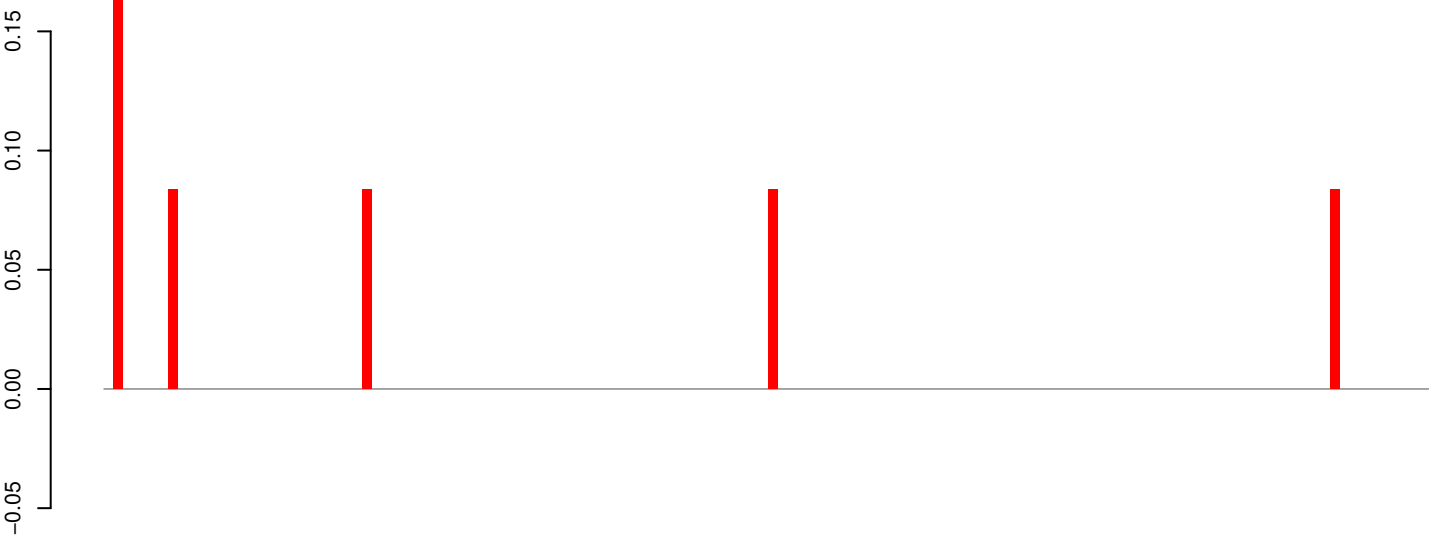
AeAeg_Aag2_Ago2_SINV_RA.rep



Window size=25, length=3747, TE@Crack-3_AAe:1-3747

0 1000 2000 3000

AeAeg_Aag2_Ago2_SINV_RA.18_23.rep



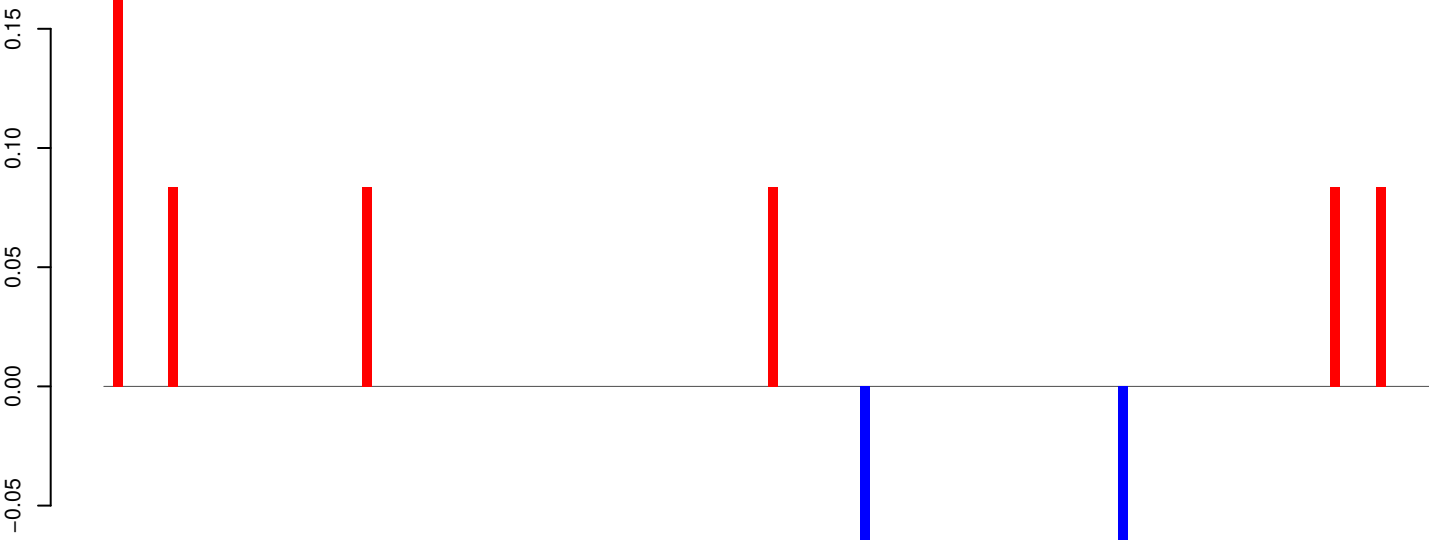
positive=1, negative=0, total=1

AeAeg_Aag2_Ago2_SINV_RA.24_35.rep



positive=0, negative=0, total=0

AeAeg_Aag2_Ago2_SINV_RA.rep

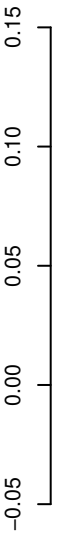


positive=1, negative=0, total=1

Window size=25, length=3578, TE@Copia-98_AA-LTR-I:1-3578

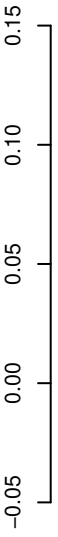
0 500 1000 1500 2000 2500 3000 3500

AeAeg_Aag2_Ago2_SINV_RA.18_23.rep



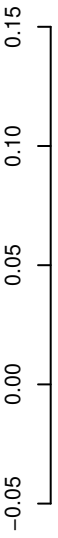
positive=1, negative=0, total=1

AeAeg_Aag2_Ago2_SINV_RA.24_35.rep



positive=0, negative=0, total=0

AeAeg_Aag2_Ago2_SINV_RA.rep

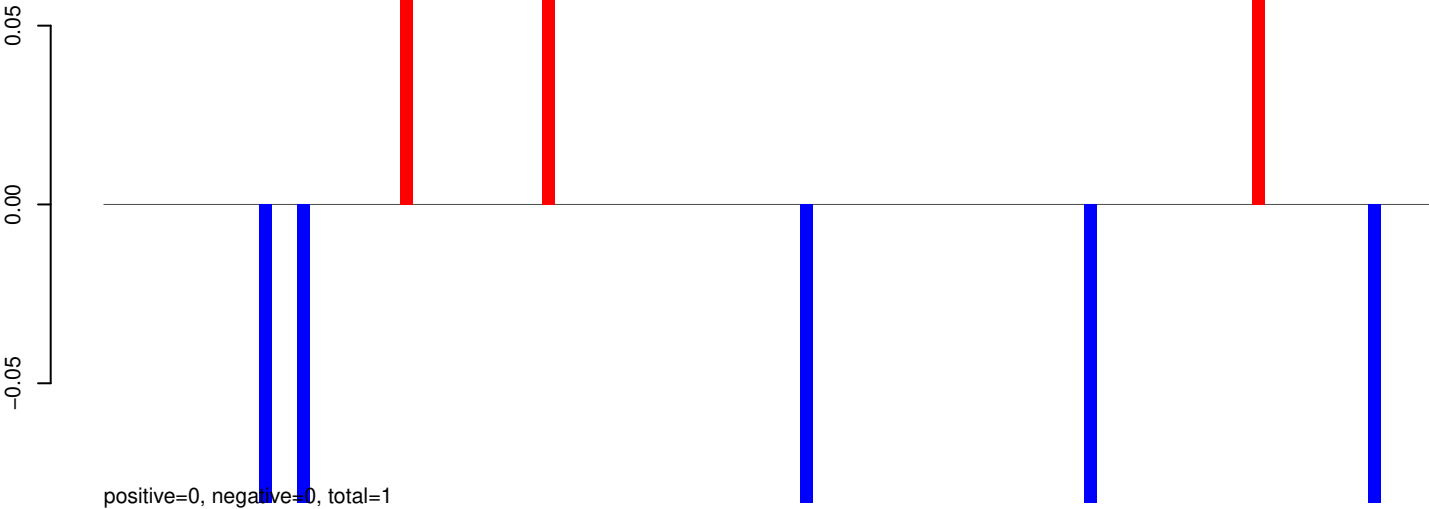


positive=1, negative=0, total=1

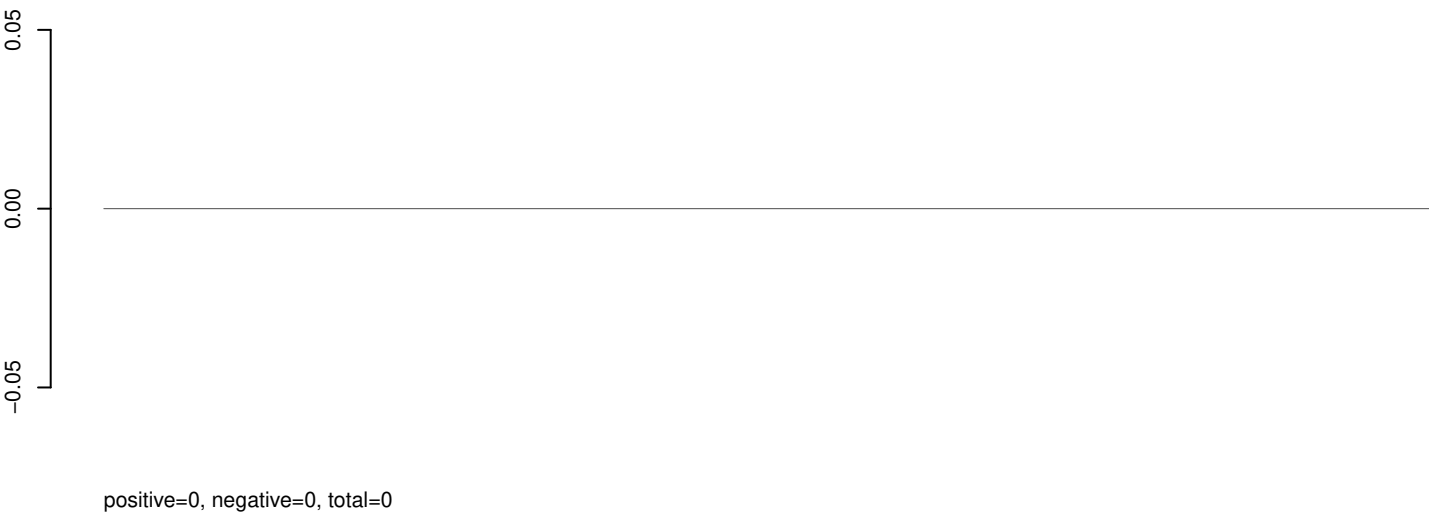
Window size=25, length=5344, TE@CR1-117_A Ae:1-5344



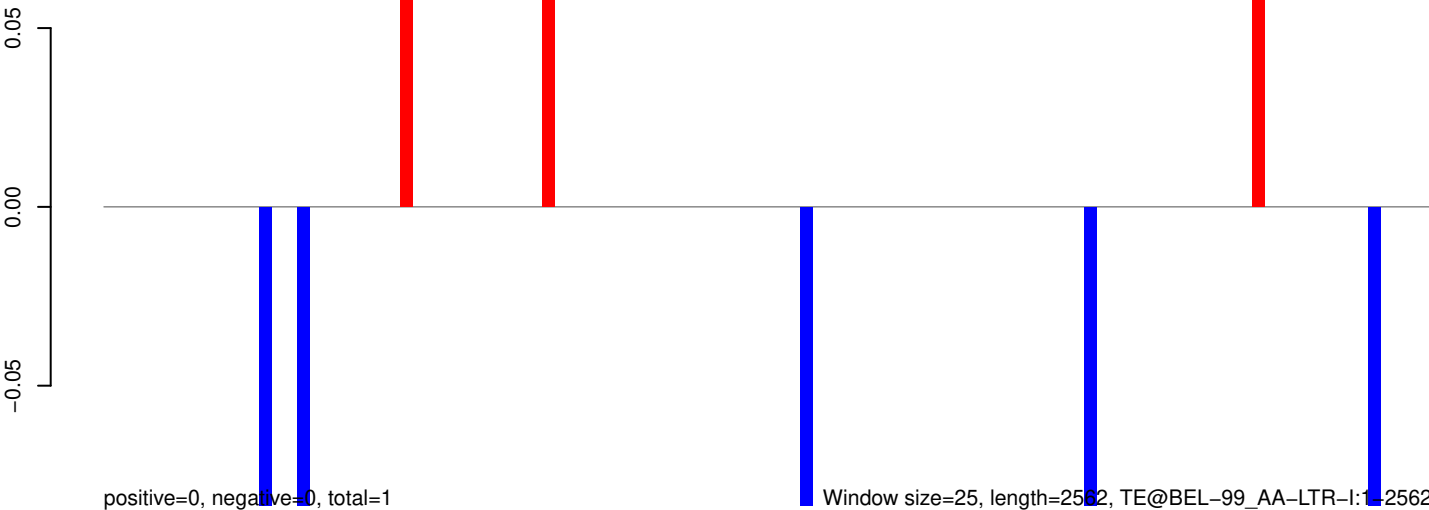
AeAeg_Aag2_Ago2_SINV_RA.18_23.rep



AeAeg_Aag2_Ago2_SINV_RA.24_35.rep

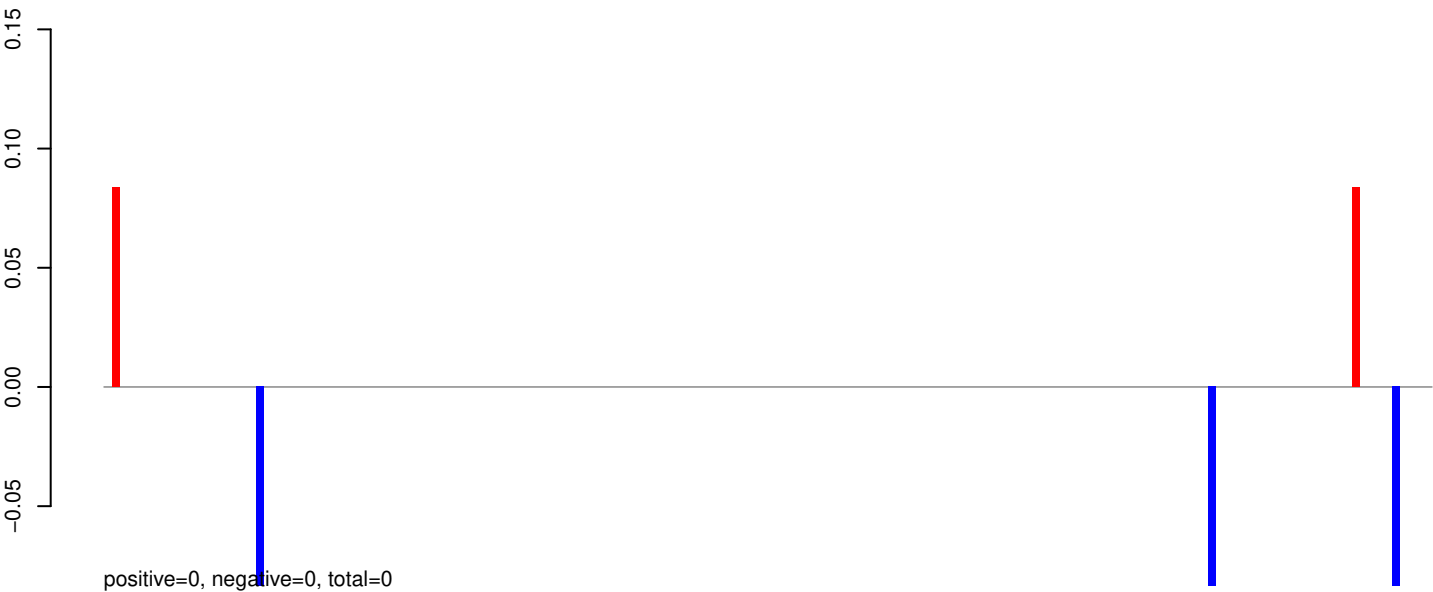


AeAeg_Aag2_Ago2_SINV_RA.rep



Window size=25, length=2562, TE@BEL-99_AA-LTR-I:1-2562

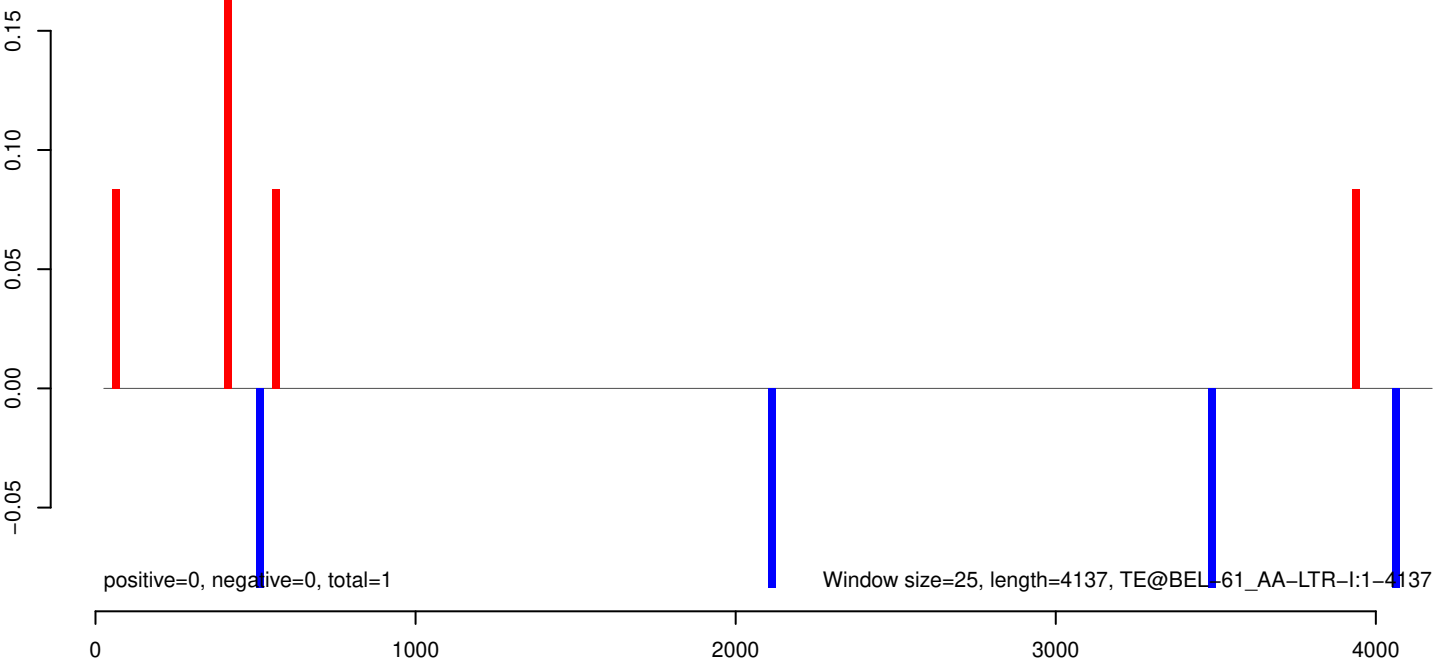
AeAeg_Aag2_Ago2_SINV_RA.18_23.rep



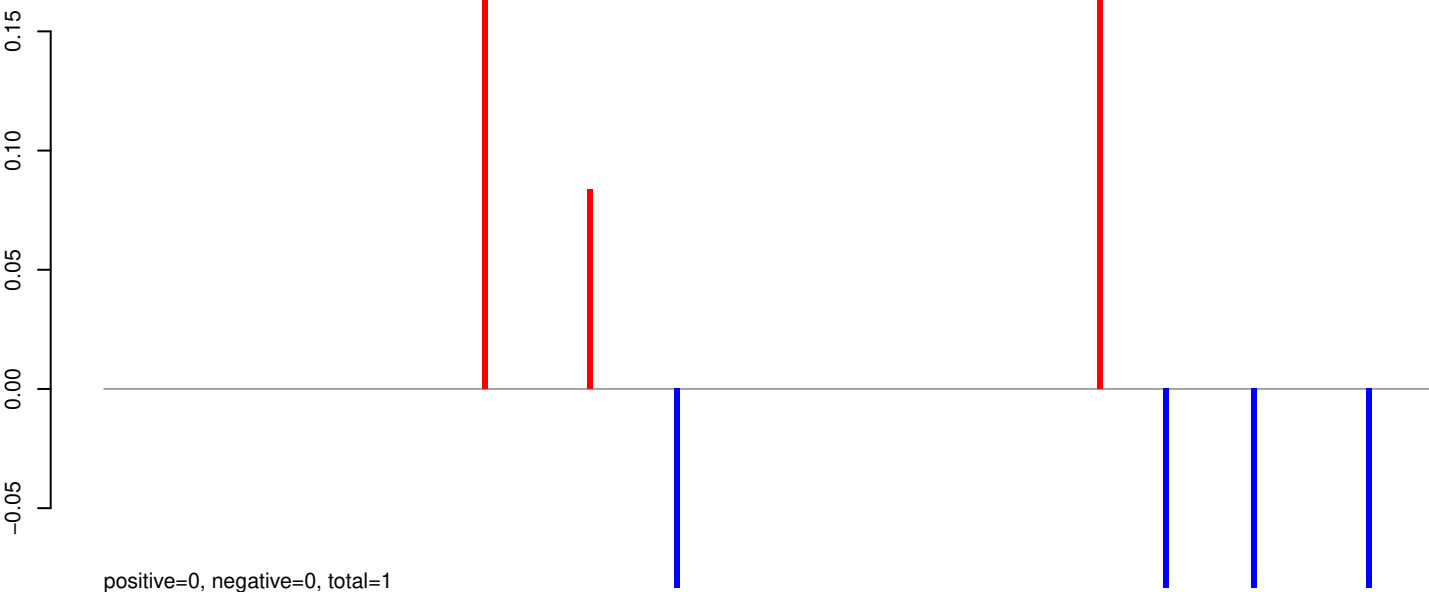
AeAeg_Aag2_Ago2_SINV_RA.24_35.rep



AeAeg_Aag2_Ago2_SINV_RA.rep



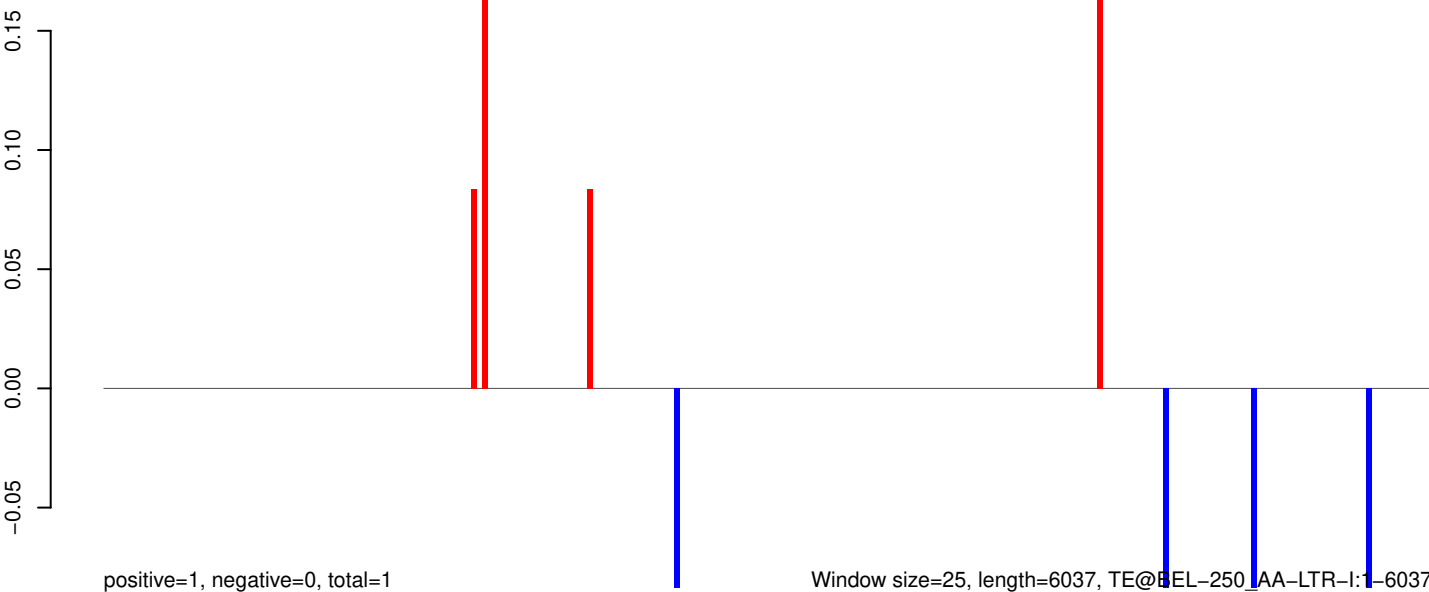
AeAeg_Aag2_Ago2_SINV_RA.18_23.rep



AeAeg_Aag2_Ago2_SINV_RA.24_35.rep



AeAeg_Aag2_Ago2_SINV_RA.rep

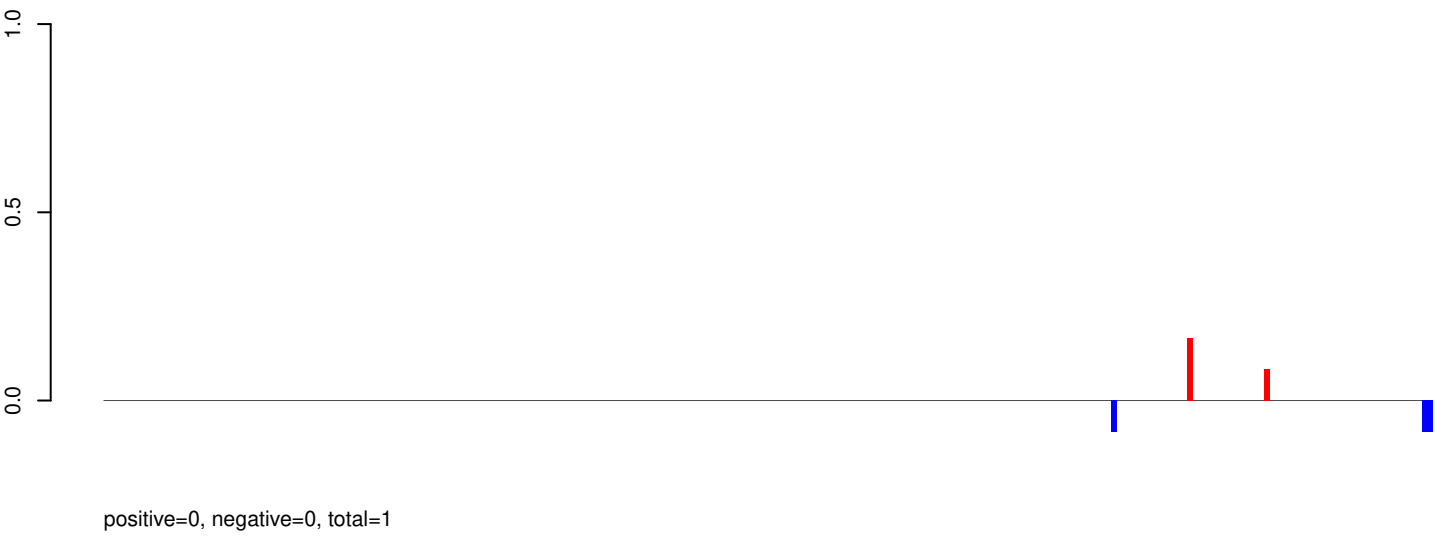


Window size=25, length=6037, TE@BEL-250_AA-LTR-I:1-6037

AeAeg_Aag2_Ago2_SINV_RA.18_23.rep



AeAeg_Aag2_Ago2_SINV_RA.24_35.rep



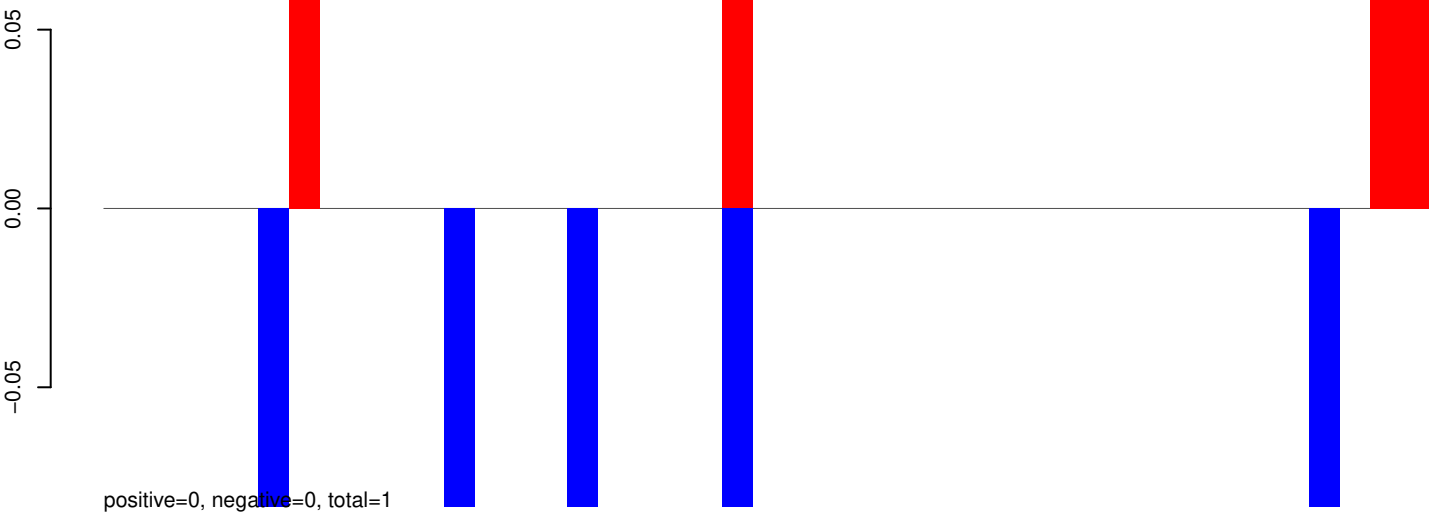
AeAeg_Aag2_Ago2_SINV_RA.rep



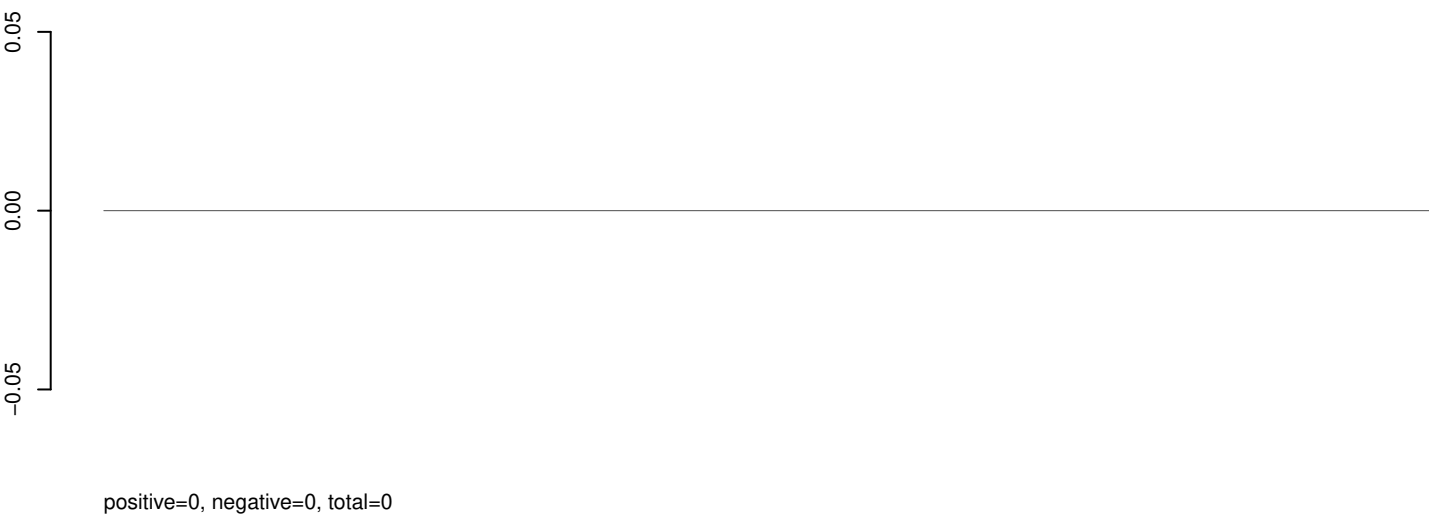
Window size=25, length=6519, TE@BEL-162_AA-LTR-I:1-6519

0 1000 2000 3000 4000 5000 6000

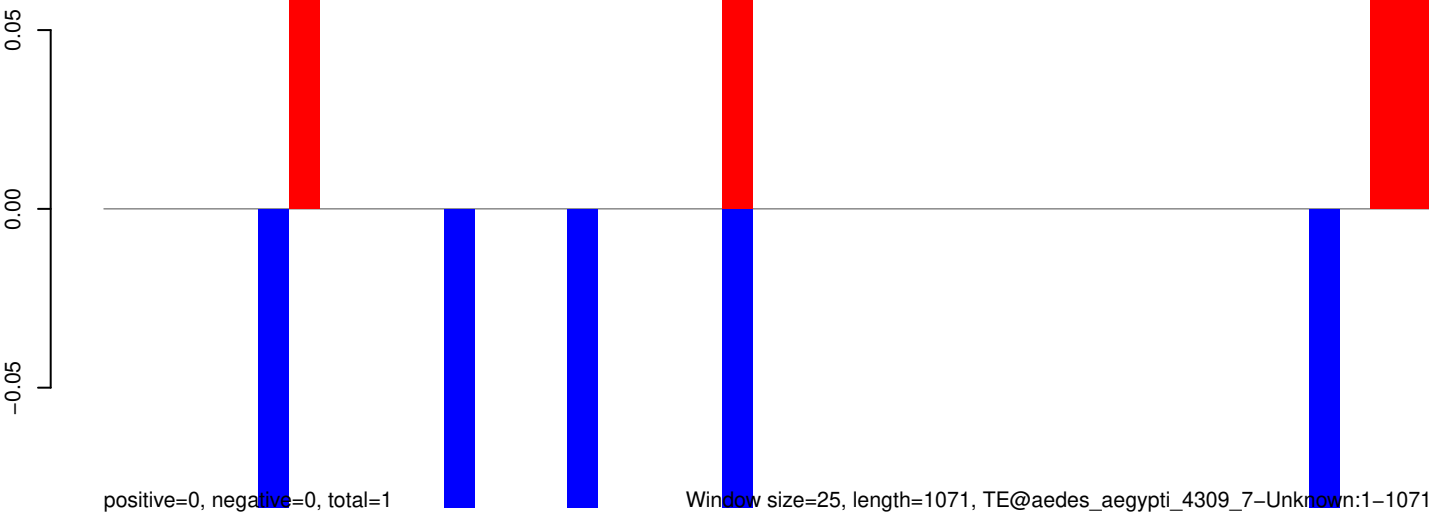
AeAeg_Aag2_Ago2_SINV_RA.18_23.rep



AeAeg_Aag2_Ago2_SINV_RA.24_35.rep

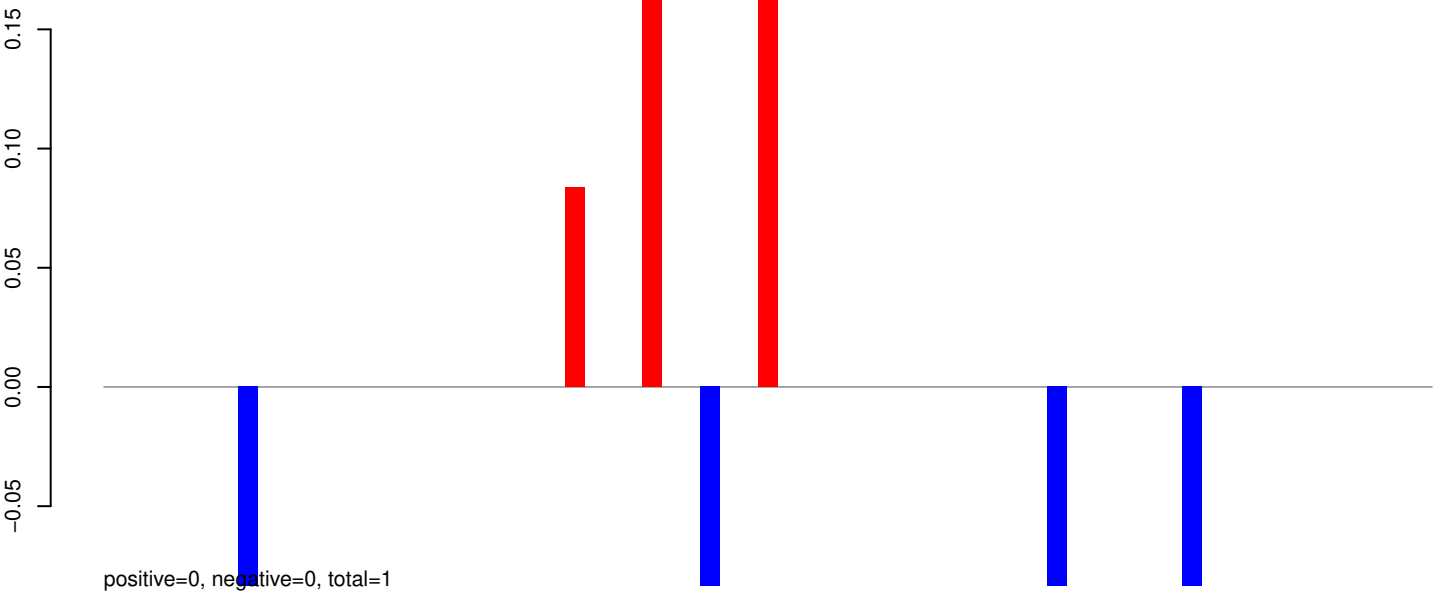


AeAeg_Aag2_Ago2_SINV_RA.rep

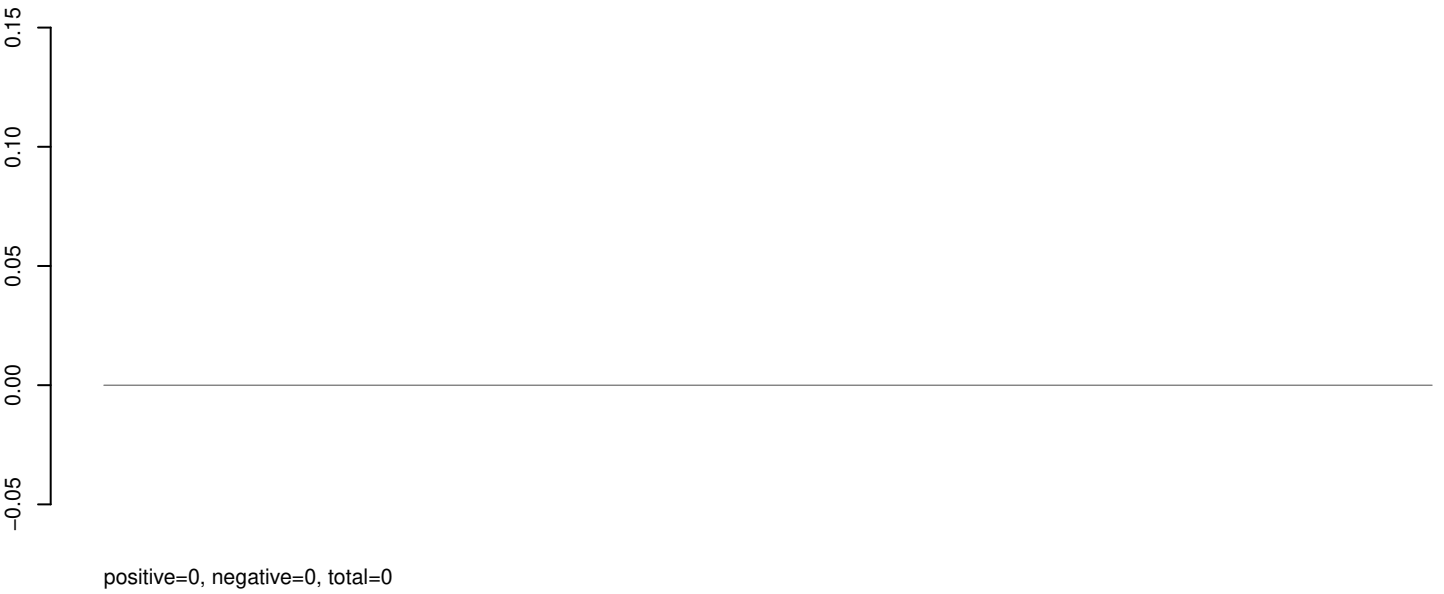


0 200 400 600 800 1000

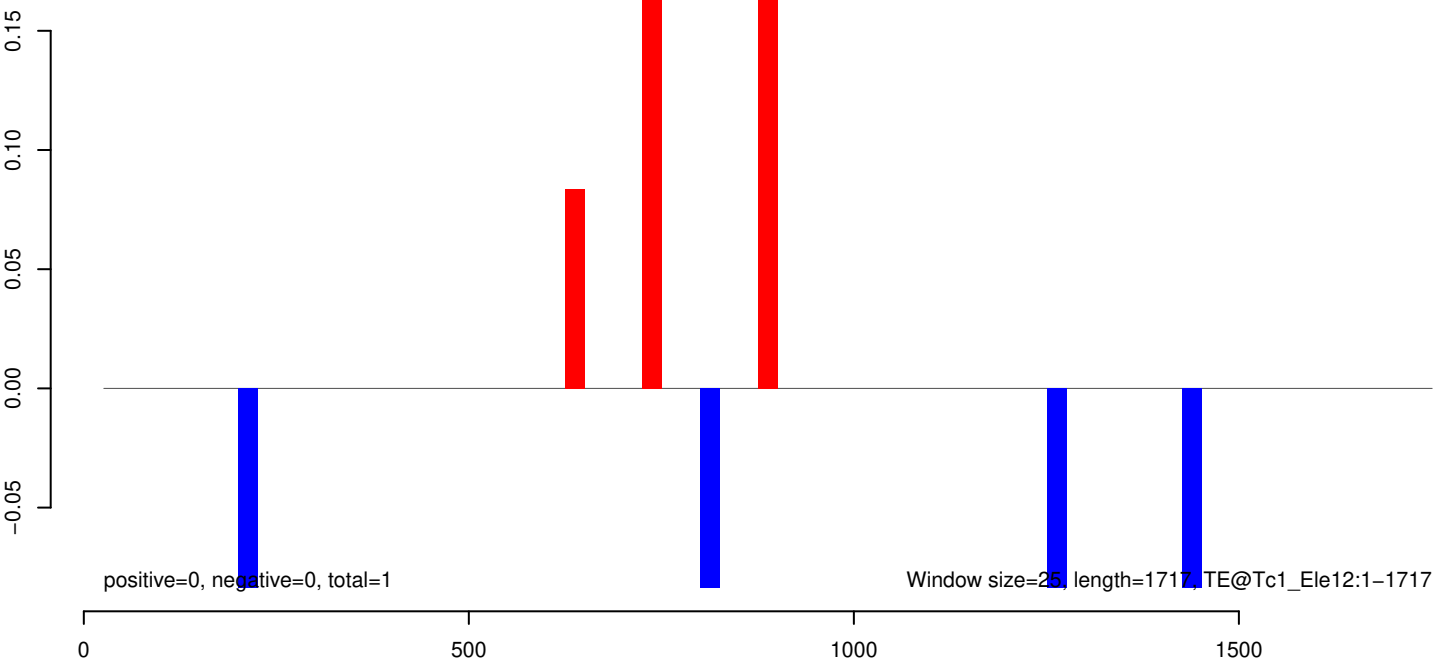
AeAeg_Aag2_Ago2_SINV_RA.18_23.rep



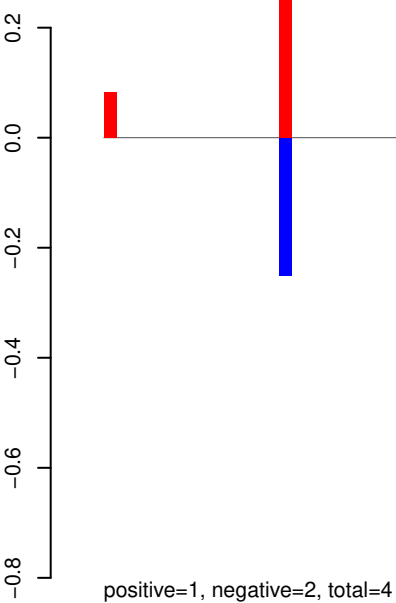
AeAeg_Aag2_Ago2_SINV_RA.24_35.rep



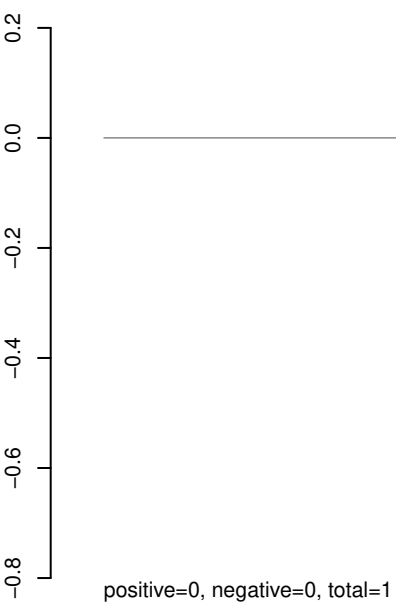
AeAeg_Aag2_Ago2_SINV_RA.rep



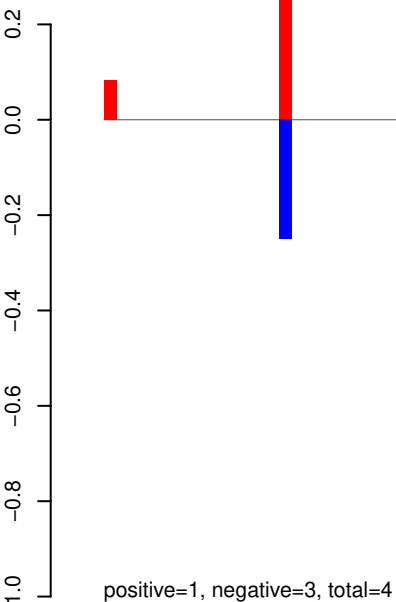
AeAeg_Aag2_Ago2_SINV_RA.18_23.rep



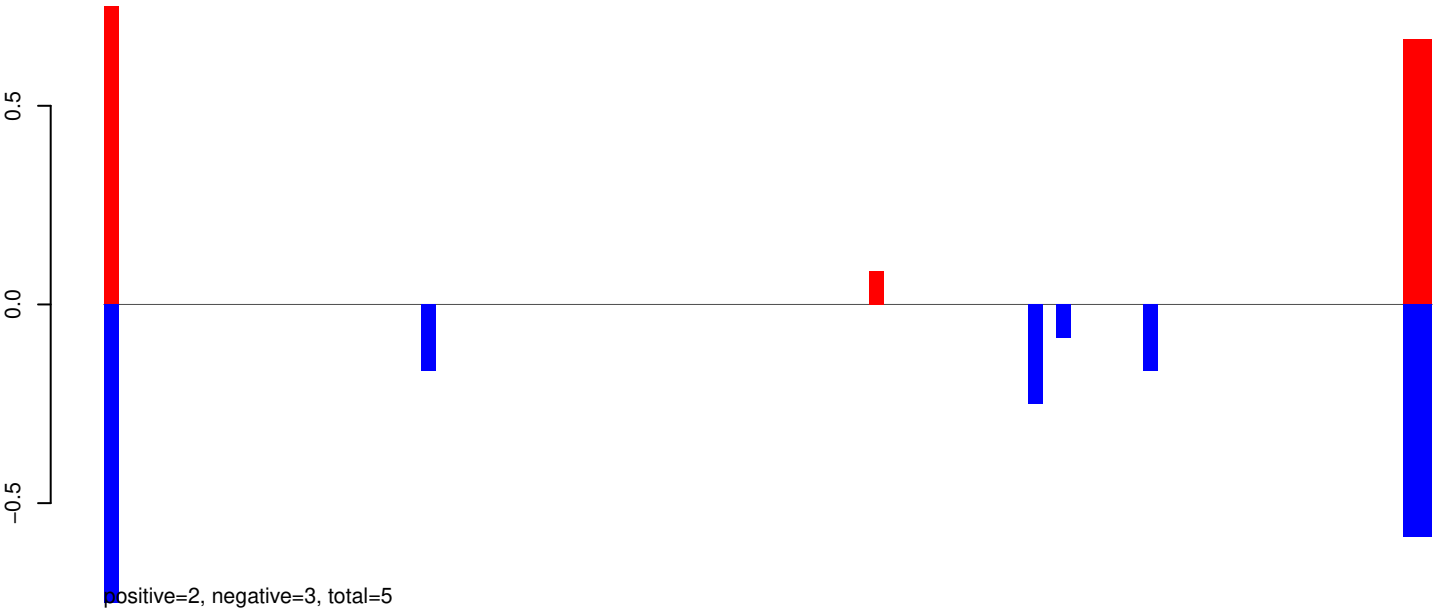
AeAeg_Aag2_Ago2_SINV_RA.24_35.rep



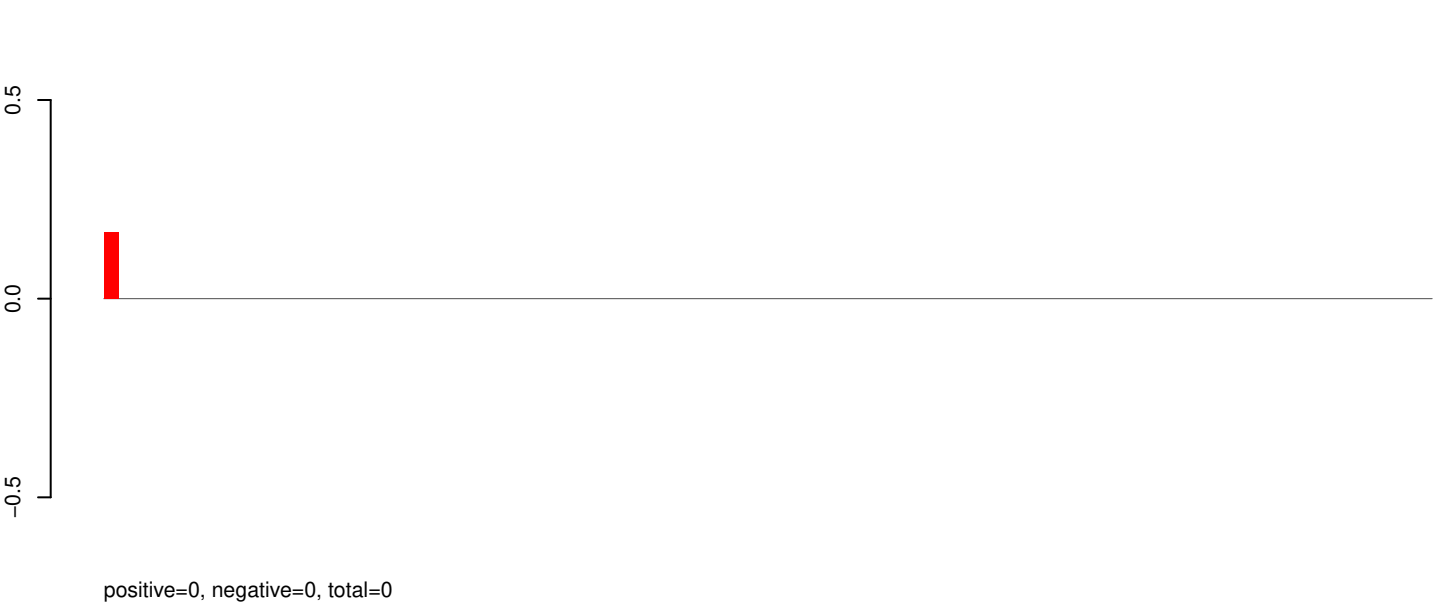
AeAeg_Aag2_Ago2_SINV_RA.rep



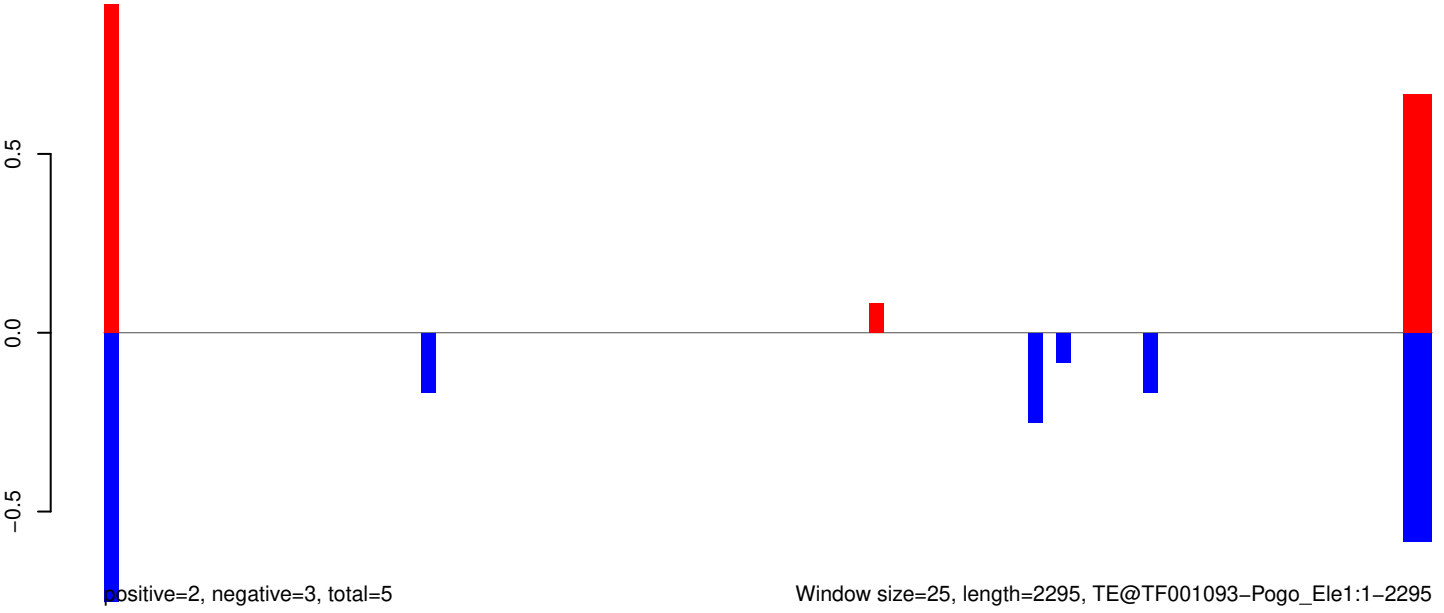
AeAeg_Aag2_Ago2_SINV_RA.18_23.rep



AeAeg_Aag2_Ago2_SINV_RA.24_35.rep

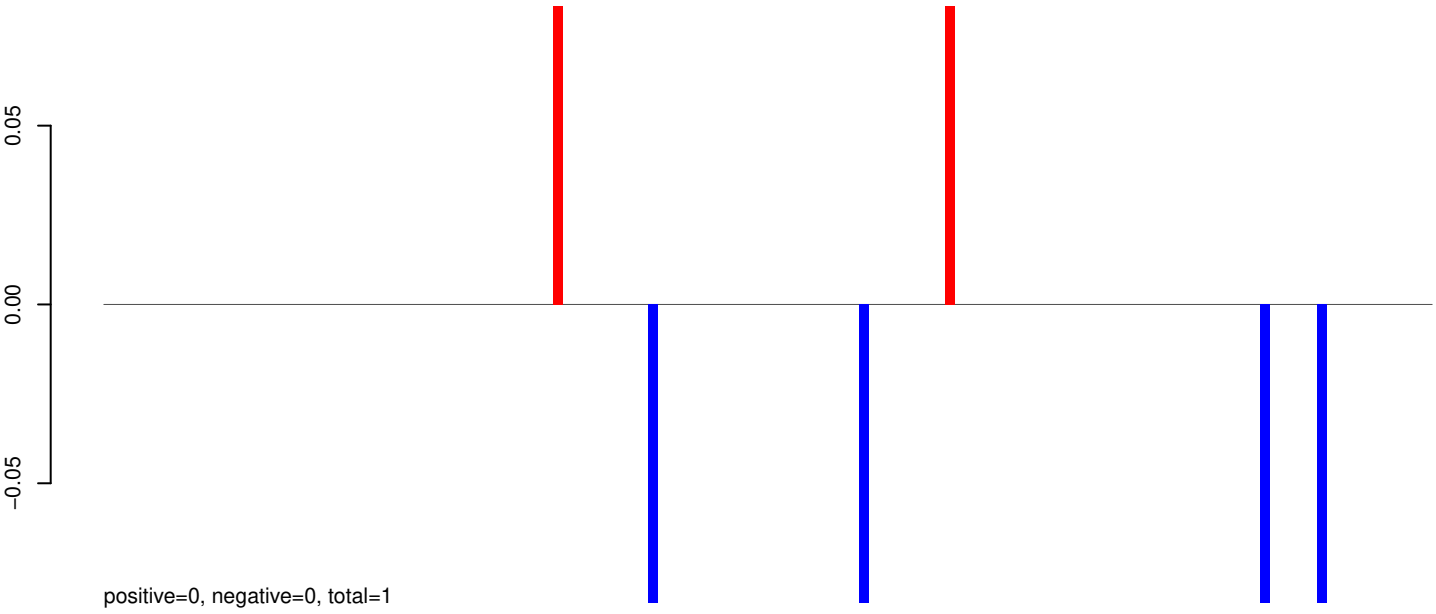


AeAeg_Aag2_Ago2_SINV_RA.rep

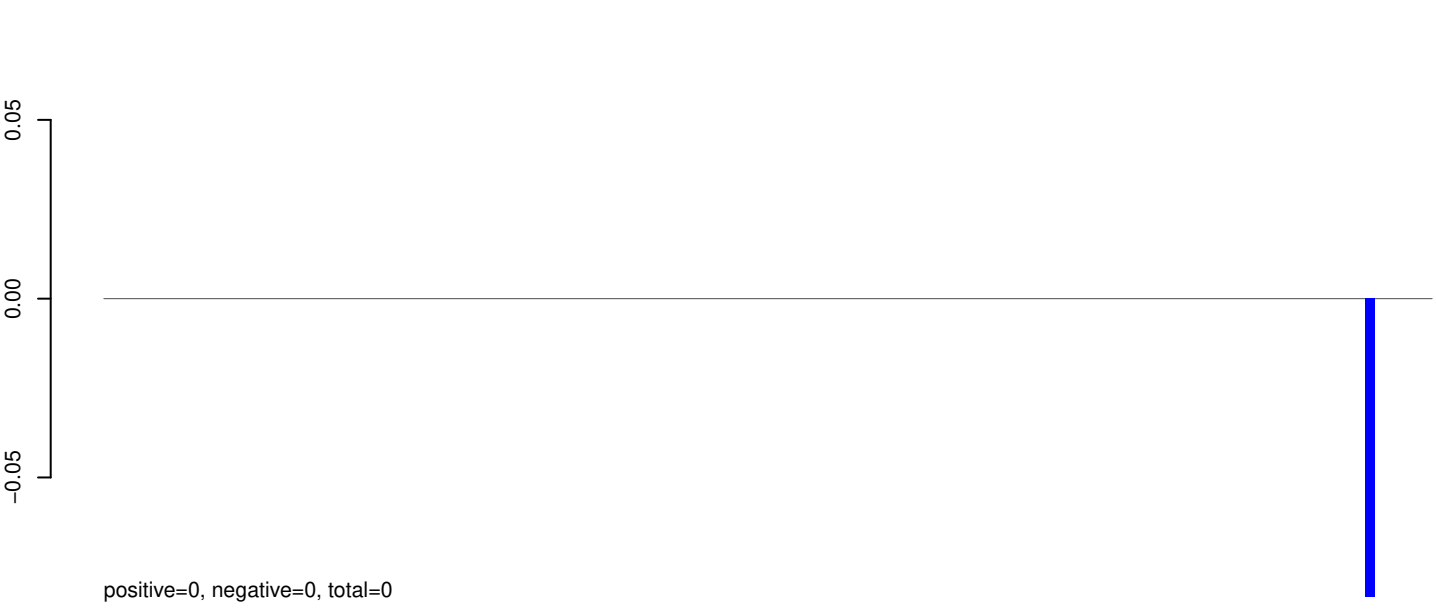


Window size=25, length=2295, TE@TF001093-Pogo_Ele1:1-2295

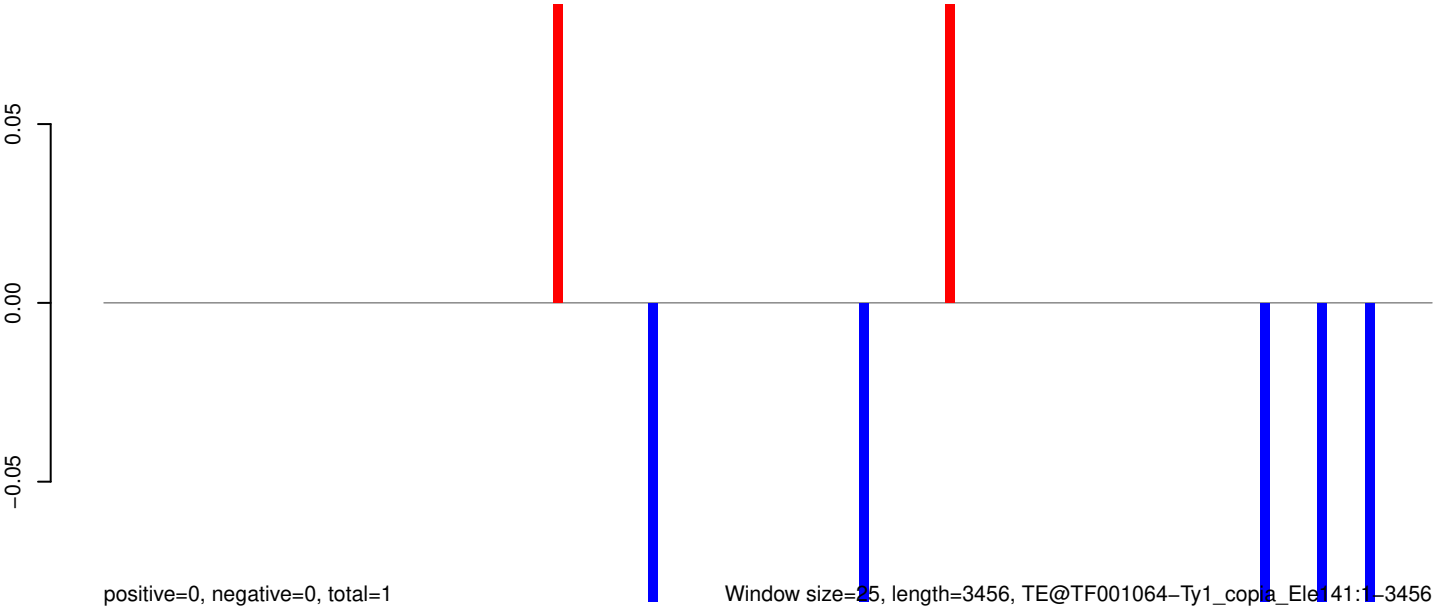
AeAeg_Aag2_Ago2_SINV_RA.18_23.rep



AeAeg_Aag2_Ago2_SINV_RA.24_35.rep



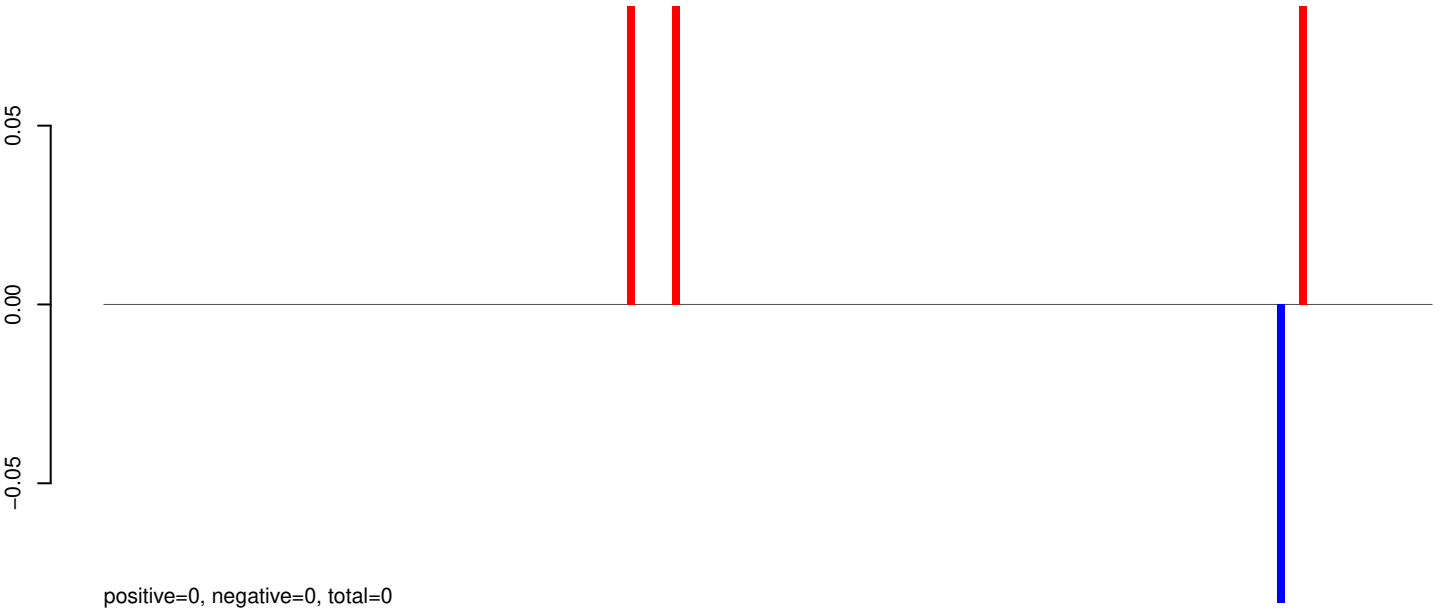
AeAeg_Aag2_Ago2_SINV_RA.rep



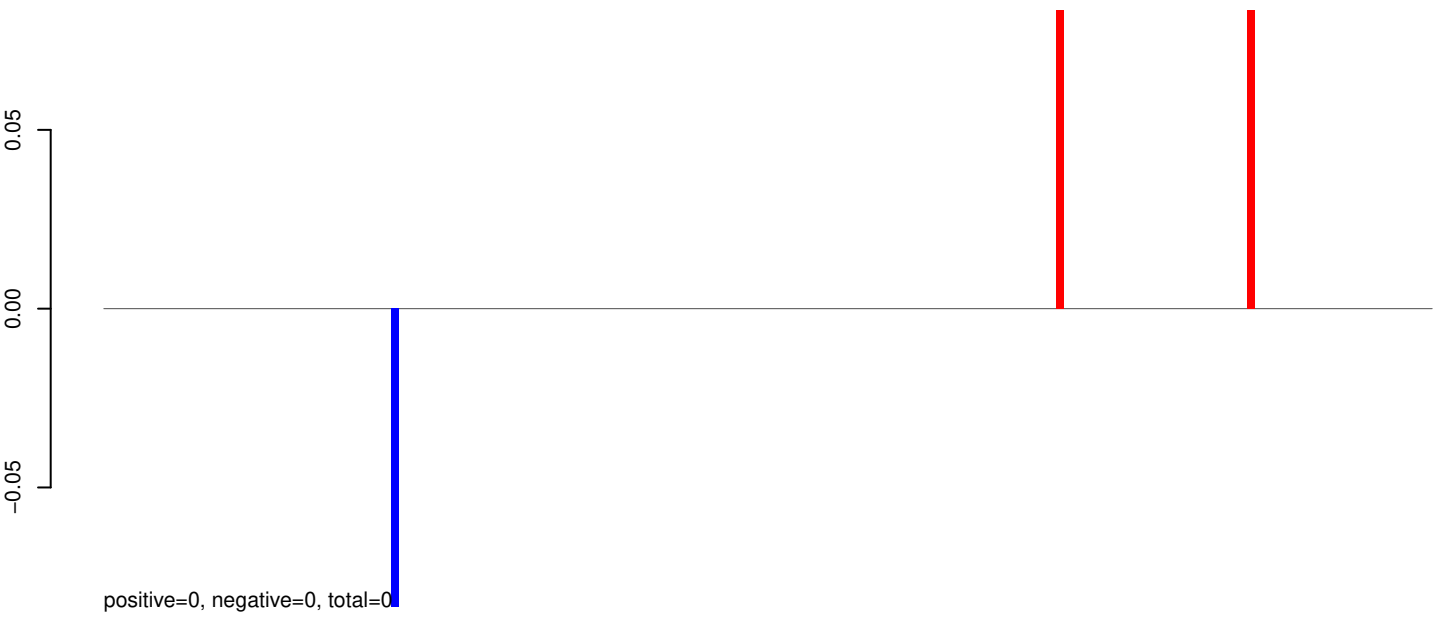
Window size=25, length=3456, TE@TF001064-Ty1_copia_Element41:1-3456

0 500 1000 1500 2000 2500 3000 3500

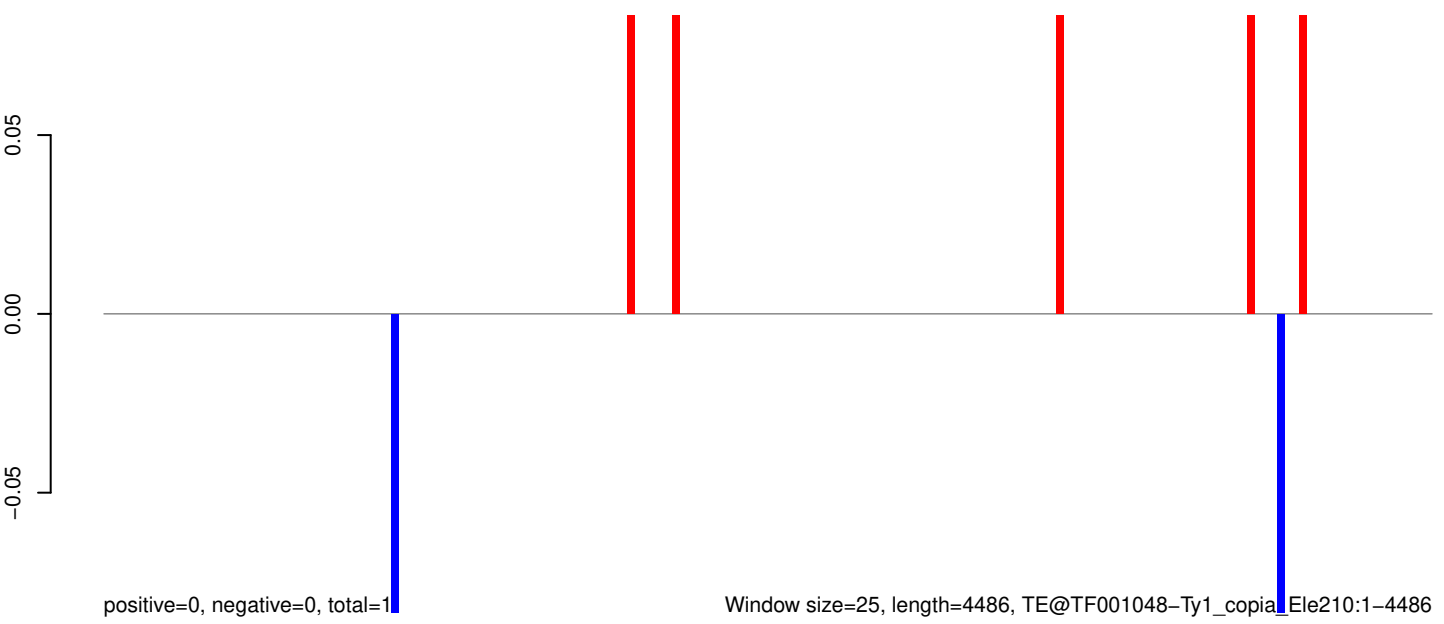
AeAeg_Aag2_Ago2_SINV_RA.18_23.rep



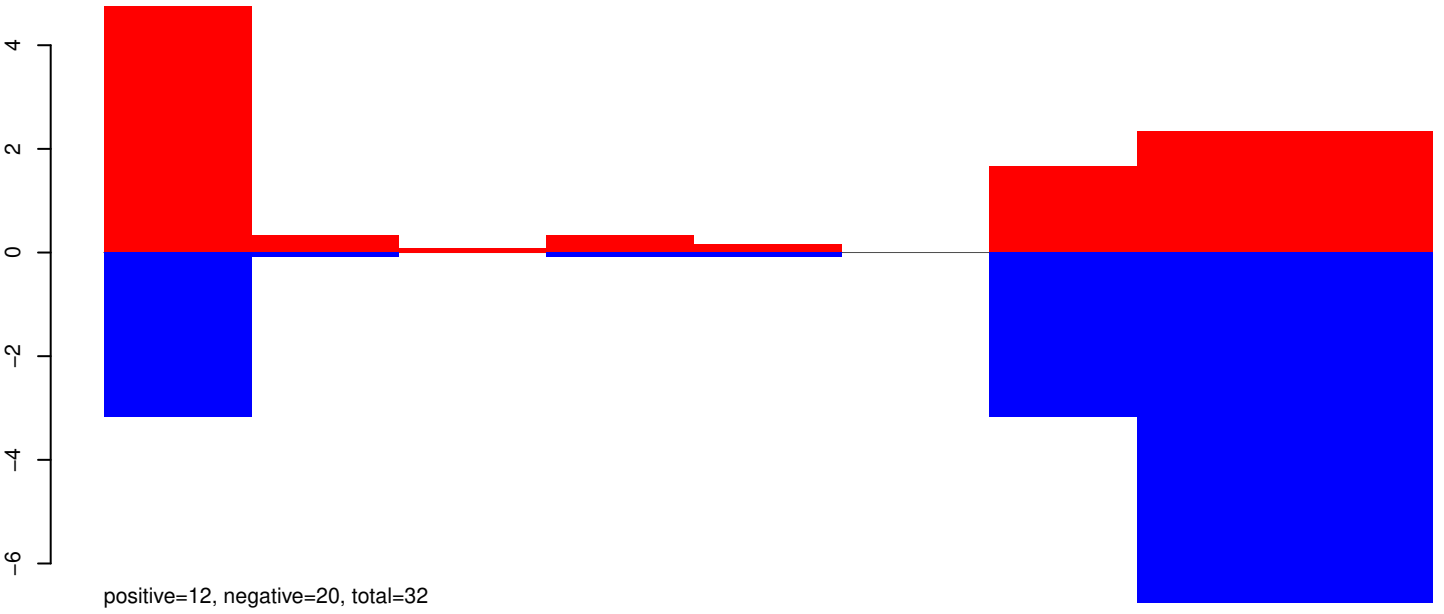
AeAeg_Aag2_Ago2_SINV_RA.24_35.rep



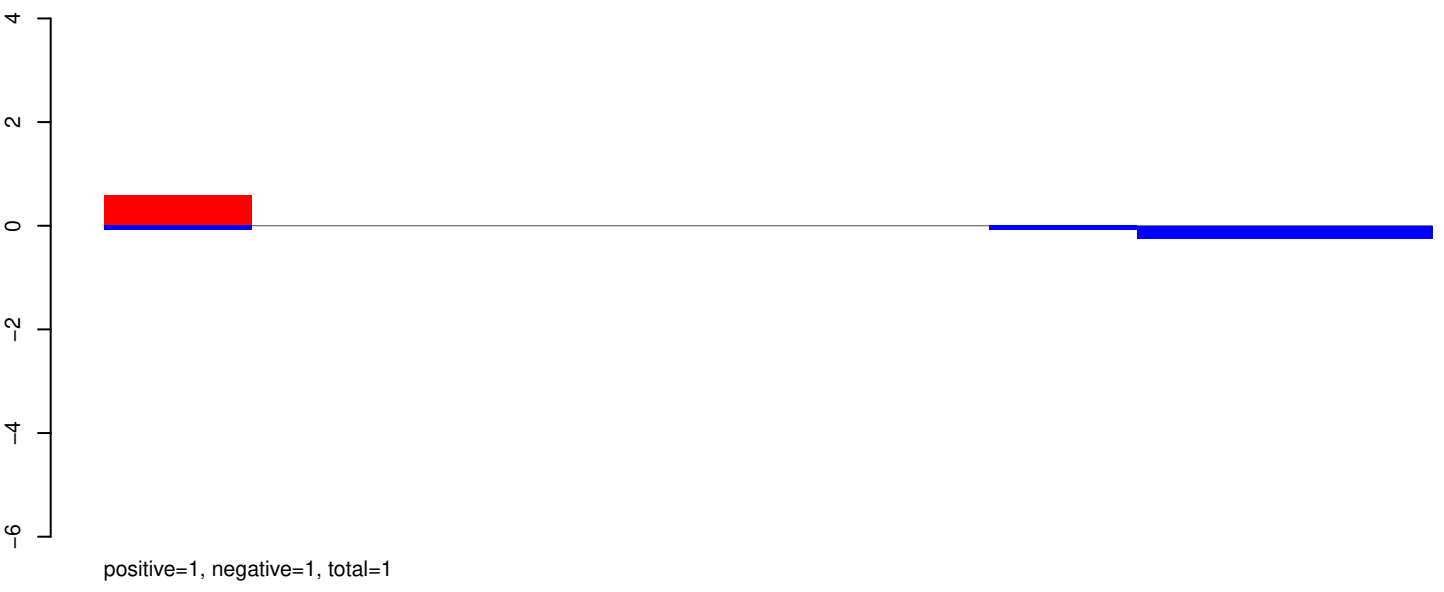
AeAeg_Aag2_Ago2_SINV_RA.rep



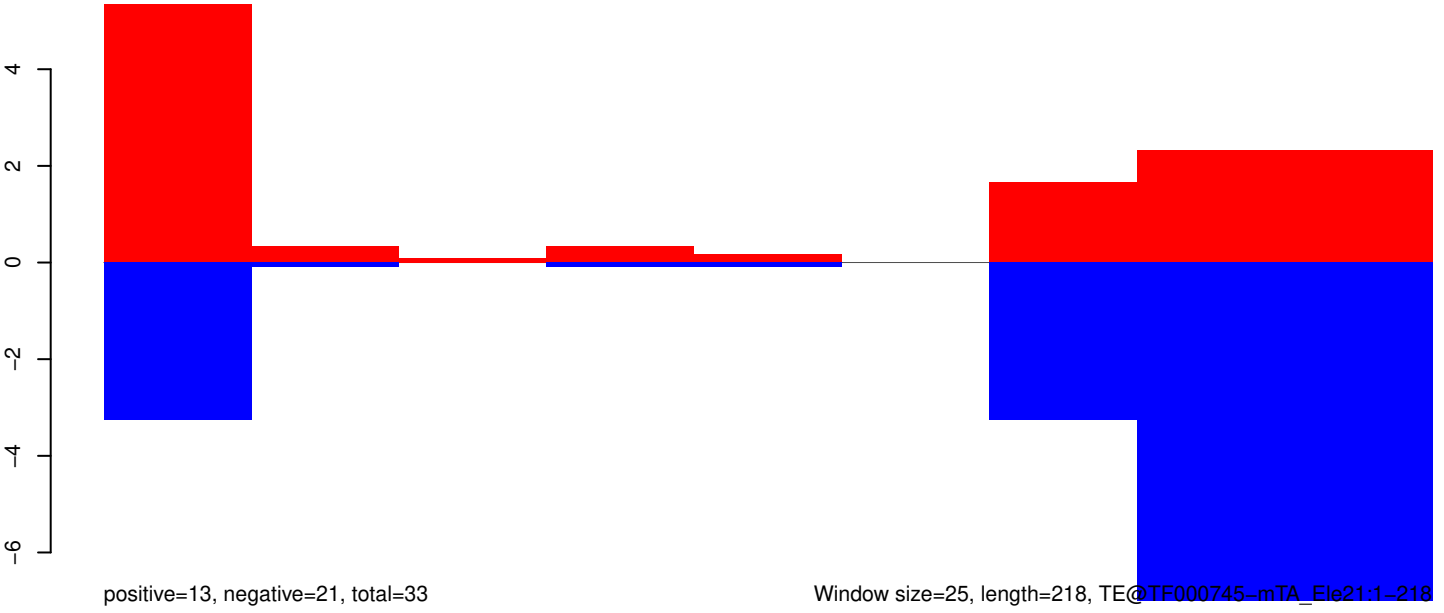
AeAeg_Aag2_Ago2_SINV_RA.18_23.rep



AeAeg_Aag2_Ago2_SINV_RA.24_35.rep

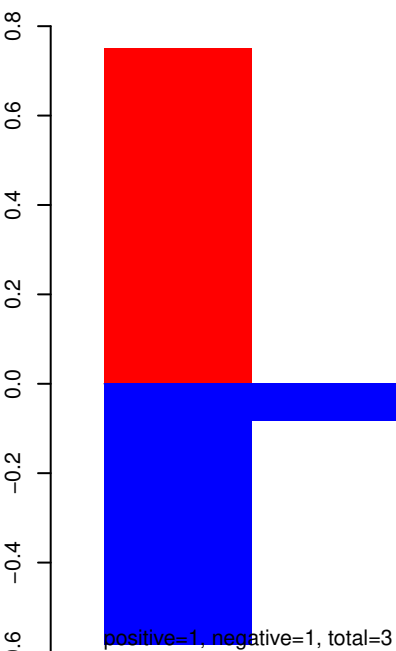


AeAeg_Aag2_Ago2_SINV_RA.rep

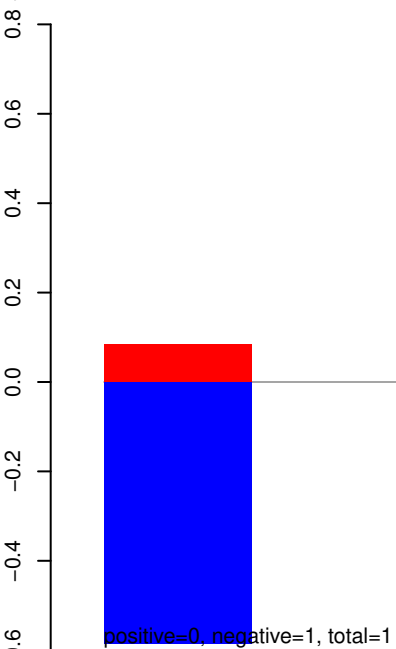


Window size=25, length=218, TE@TF000745-mTA_Ele21:1-218

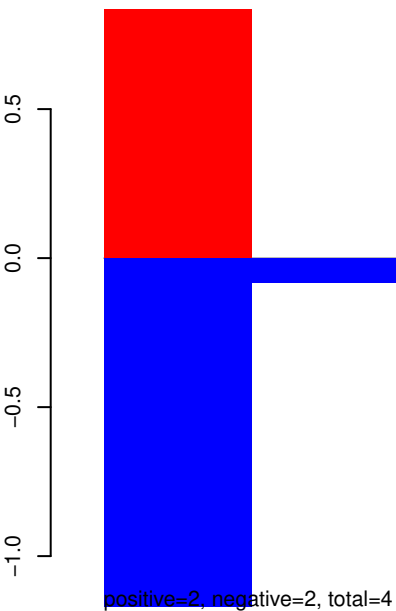
AeAeg_Aag2_Ago2_SINV_RA.18_23.rep



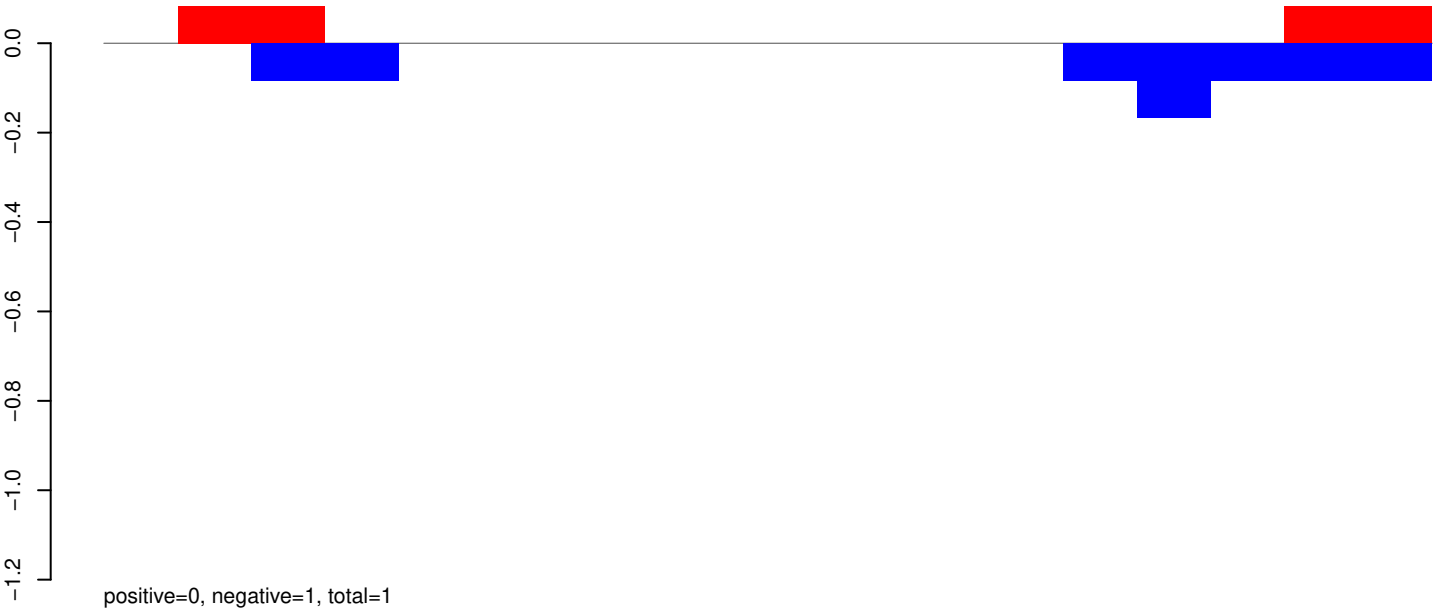
AeAeg_Aag2_Ago2_SINV_RA.24_35.rep



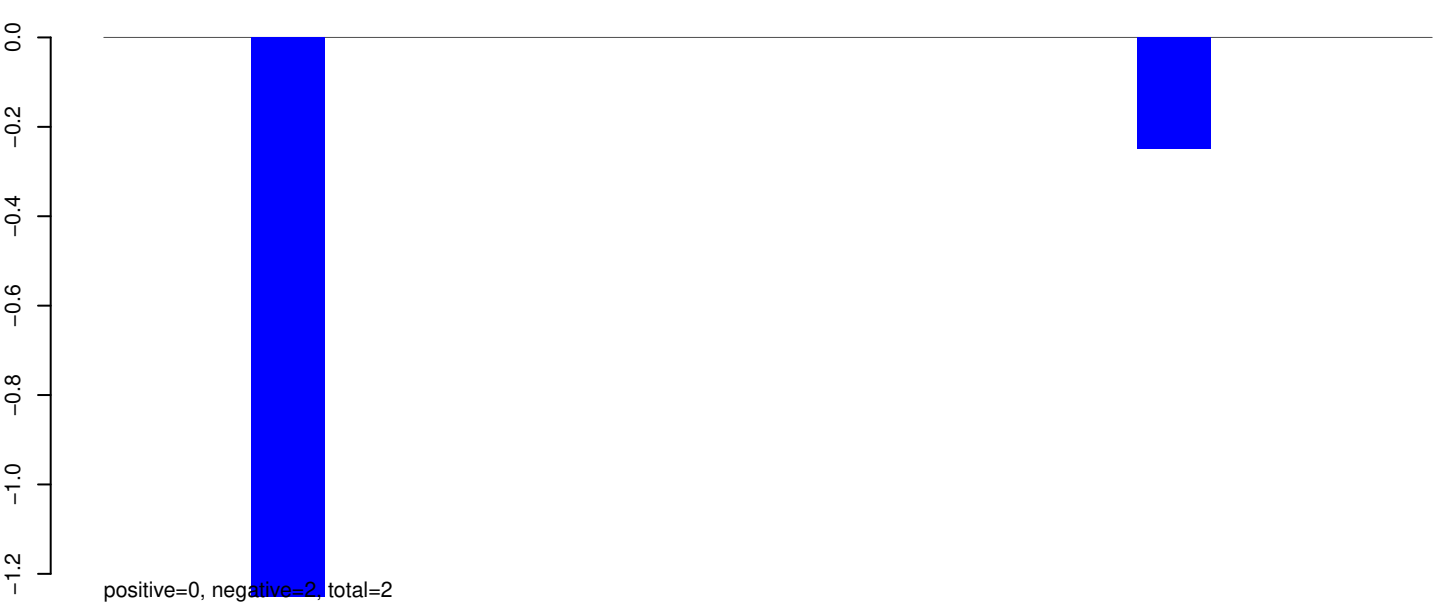
AeAeg_Aag2_Ago2_SINV_RA.rep



AeAeg_Aag2_Ago2_SINV_RA.18_23.rep



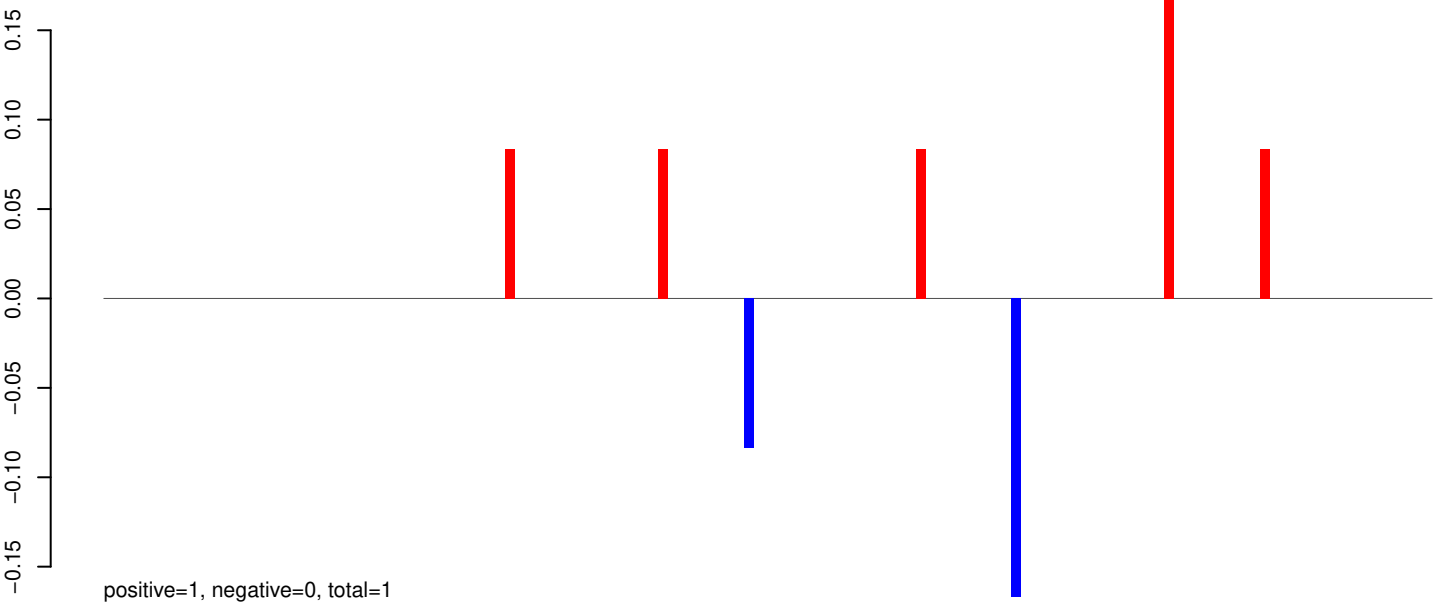
AeAeg_Aag2_Ago2_SINV_RA.24_35.rep



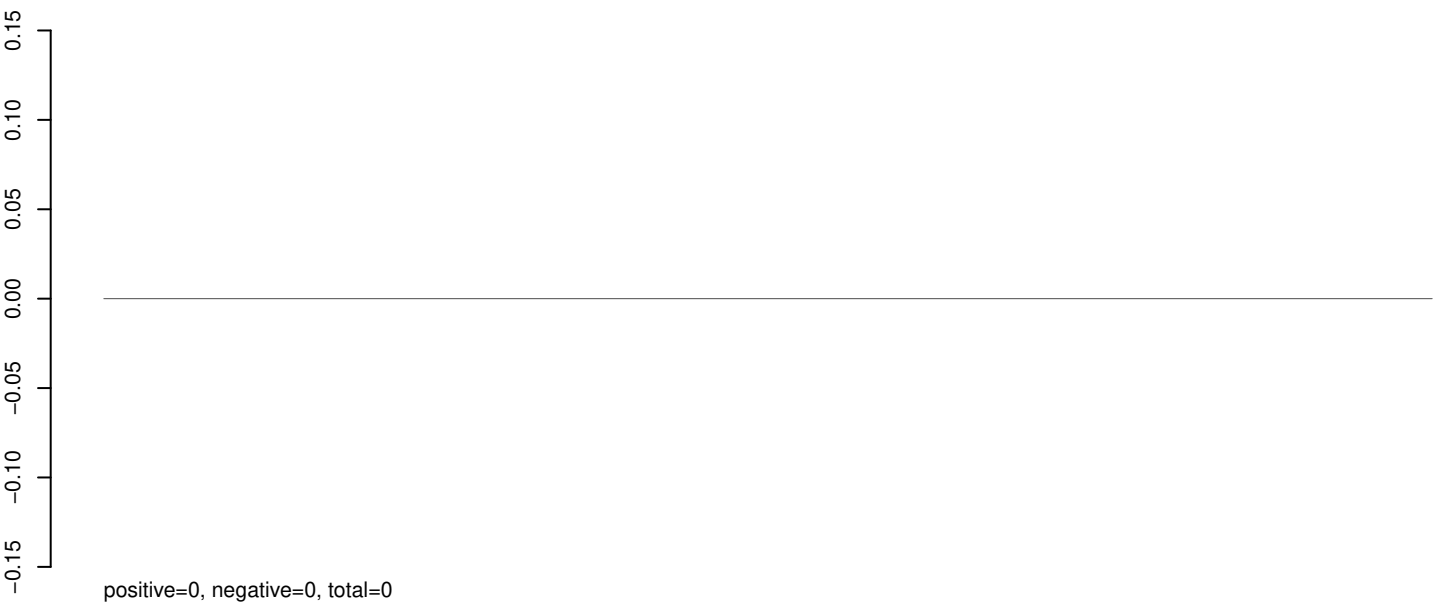
AeAeg_Aag2_Ago2_SINV_RA.rep



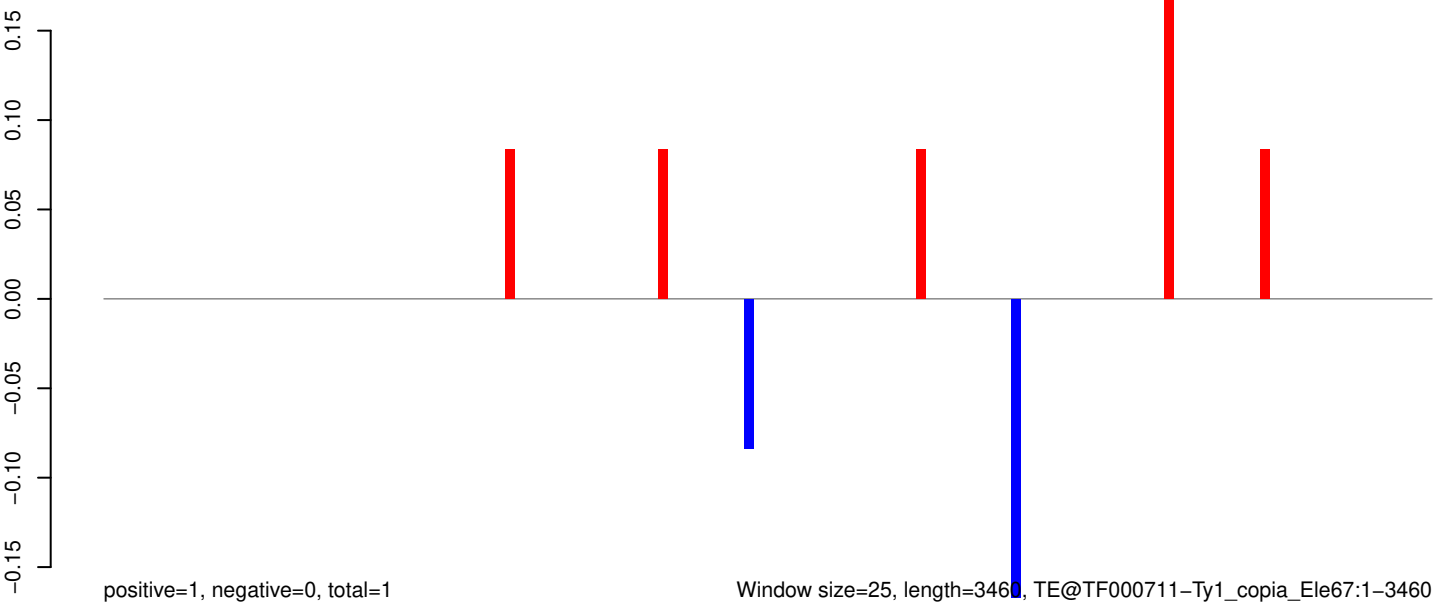
AeAeg_Aag2_Ago2_SINV_RA.18_23.rep



AeAeg_Aag2_Ago2_SINV_RA.24_35.rep



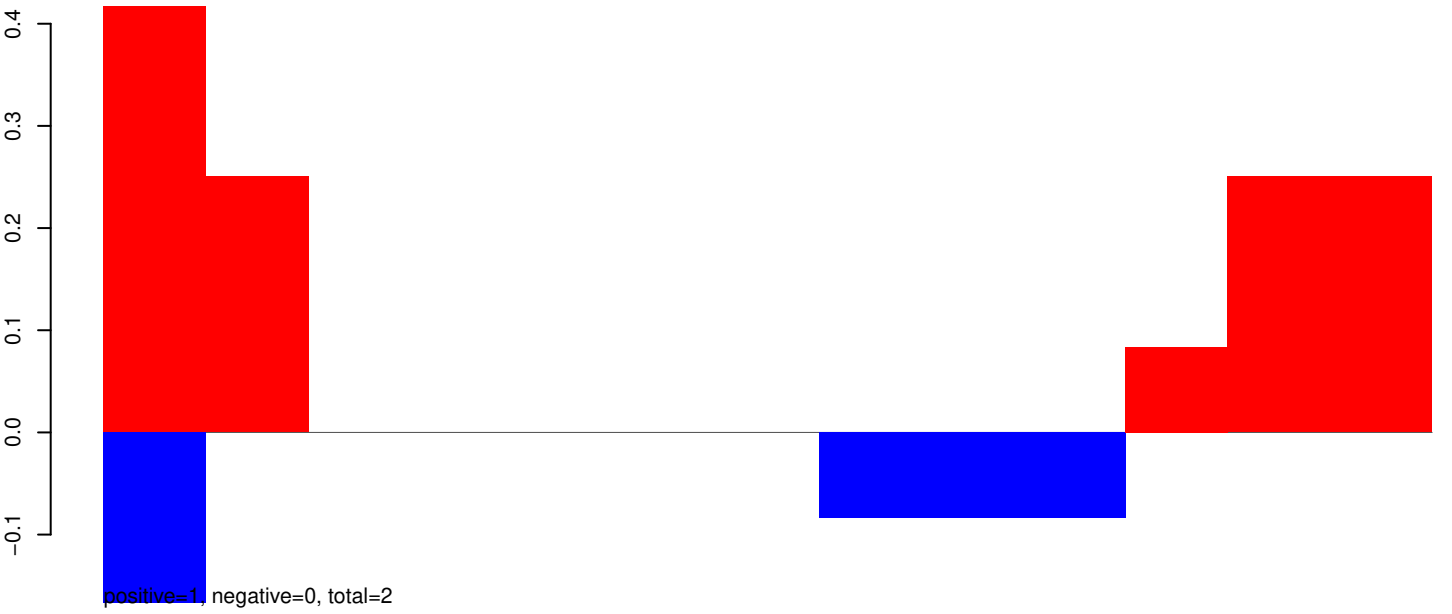
AeAeg_Aag2_Ago2_SINV_RA.rep



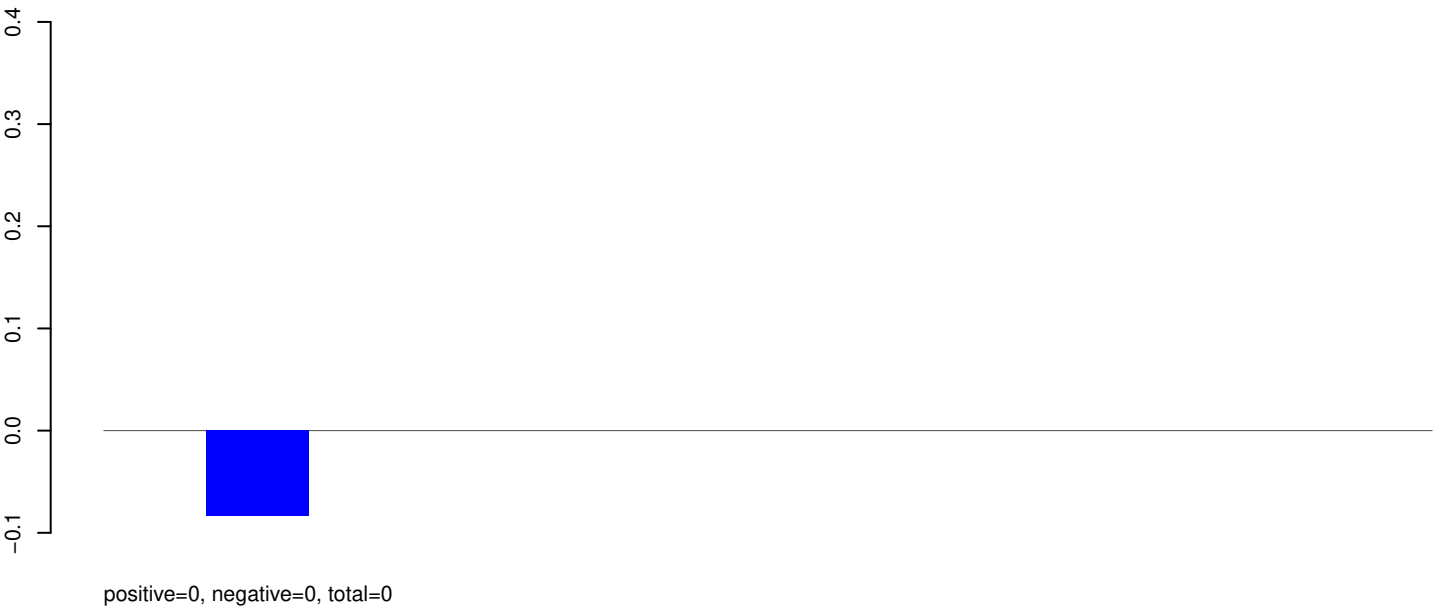
Window size=25, length=3460, TE@TF000711-Ty1_copia_Ele67:1-3460

0 500 1000 1500 2000 2500 3000 3500

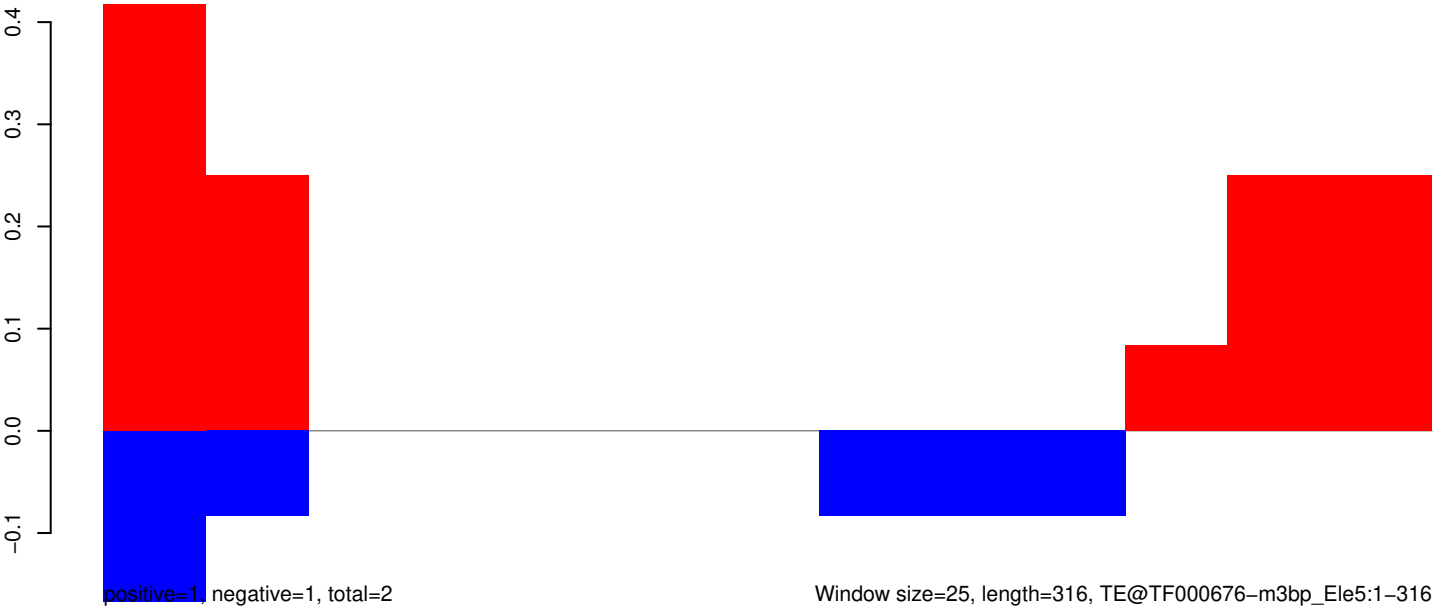
AeAeg_Aag2_Ago2_SINV_RA.18_23.rep



AeAeg_Aag2_Ago2_SINV_RA.24_35.rep

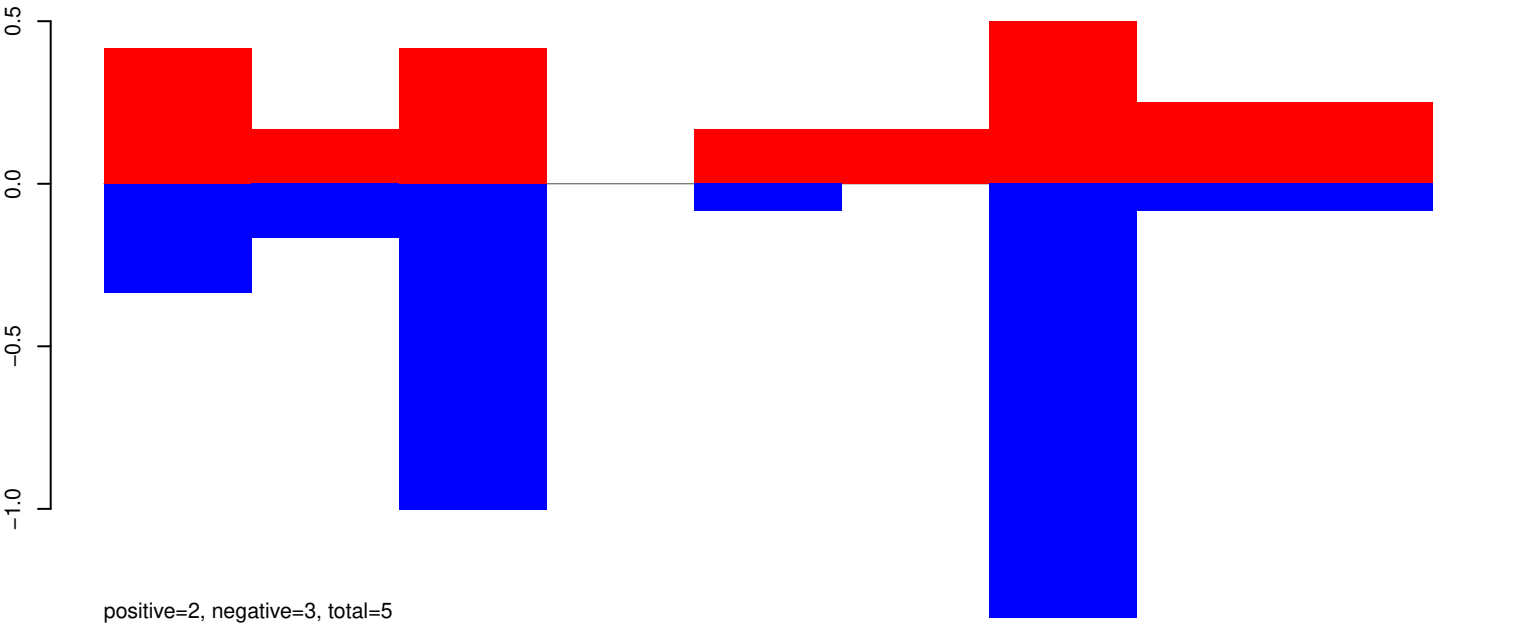


AeAeg_Aag2_Ago2_SINV_RA.rep

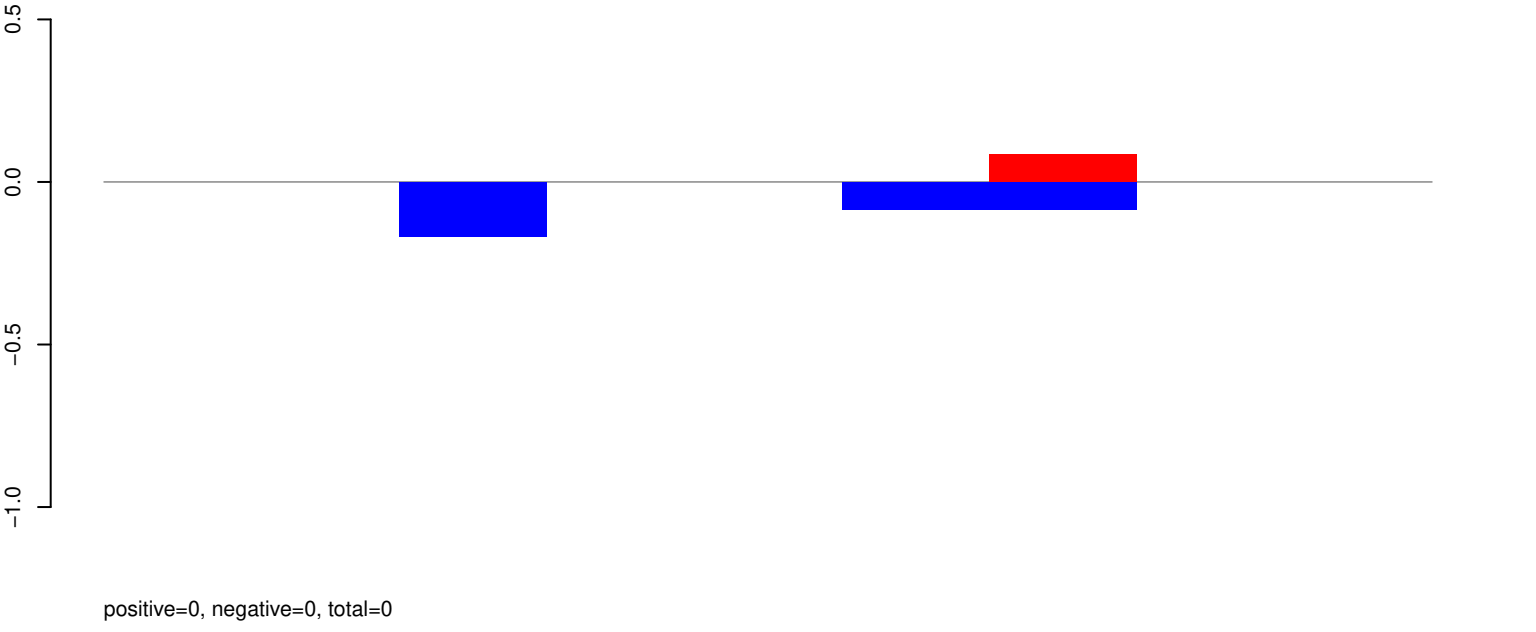


Window size=25, length=316, TE@TF000676-m3bp_Ele5:1-316

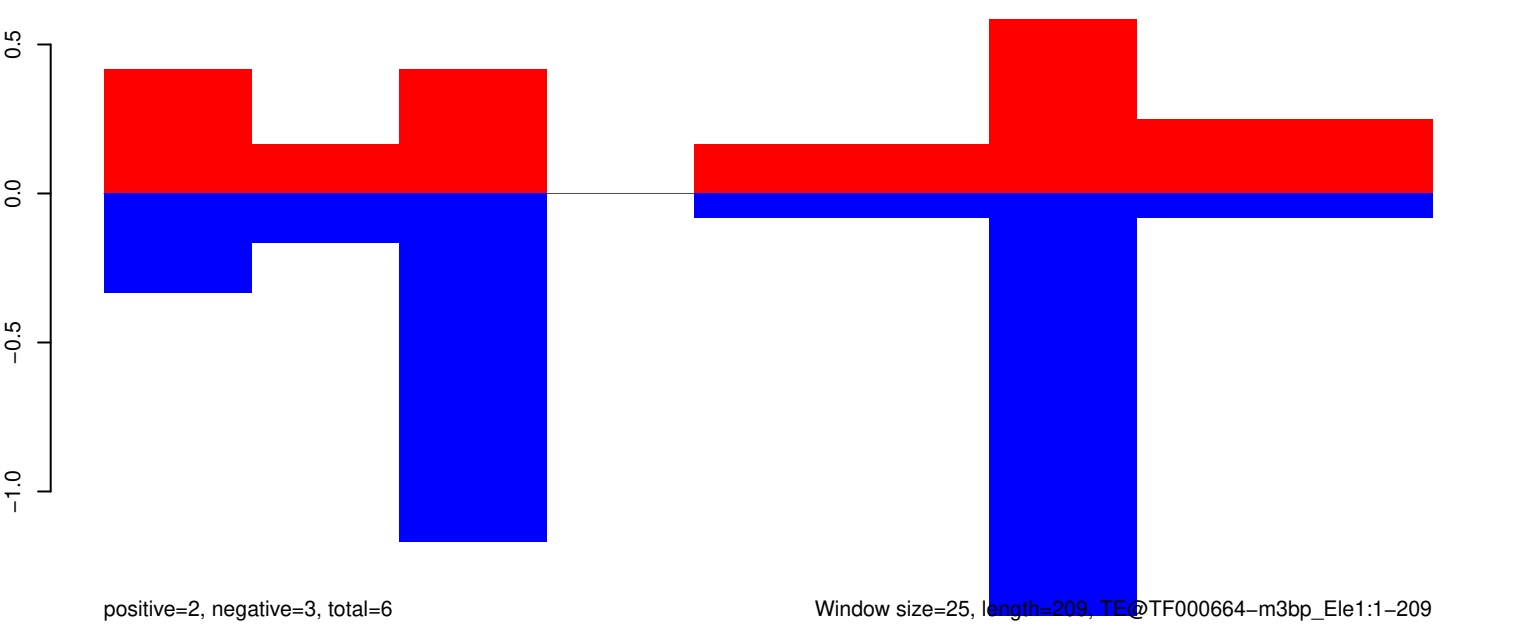
AeAeg_Aag2_Ago2_SINV_RA.18_23.rep



AeAeg_Aag2_Ago2_SINV_RA.24_35.rep



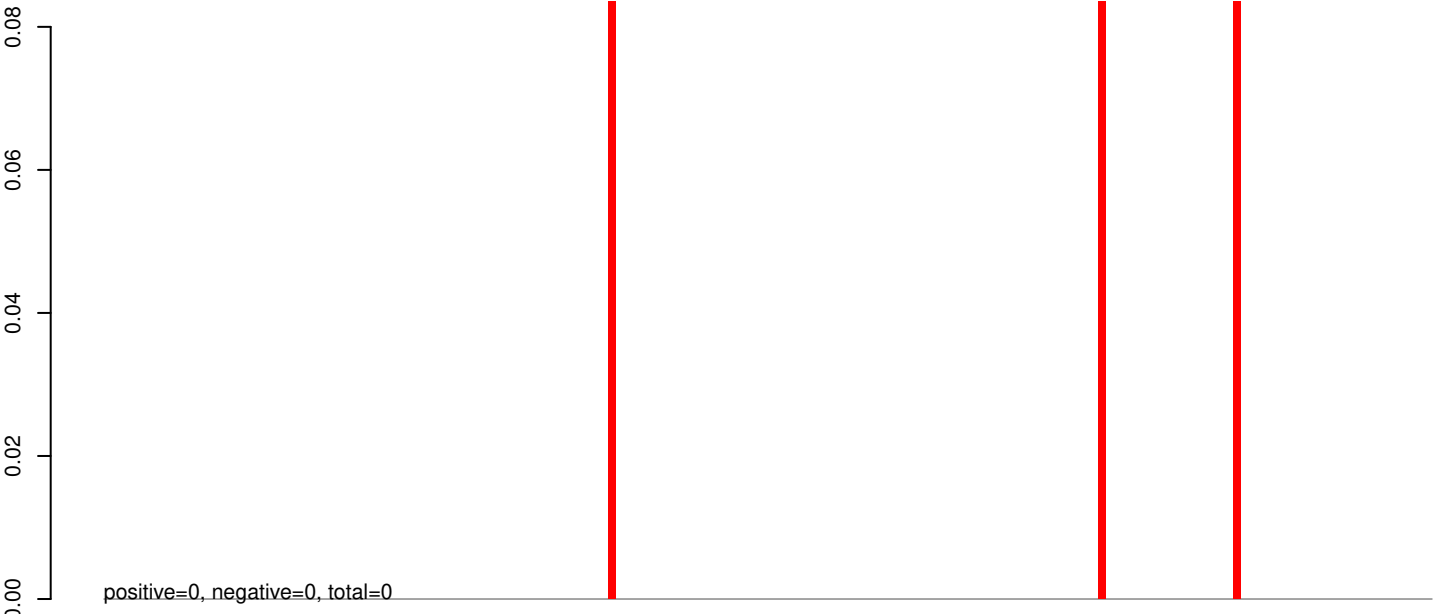
AeAeg_Aag2_Ago2_SINV_RA.rep



Window size=25, length=209, TE@TF000664-m3bp_Ele1:1-209

50 100 150 200 250

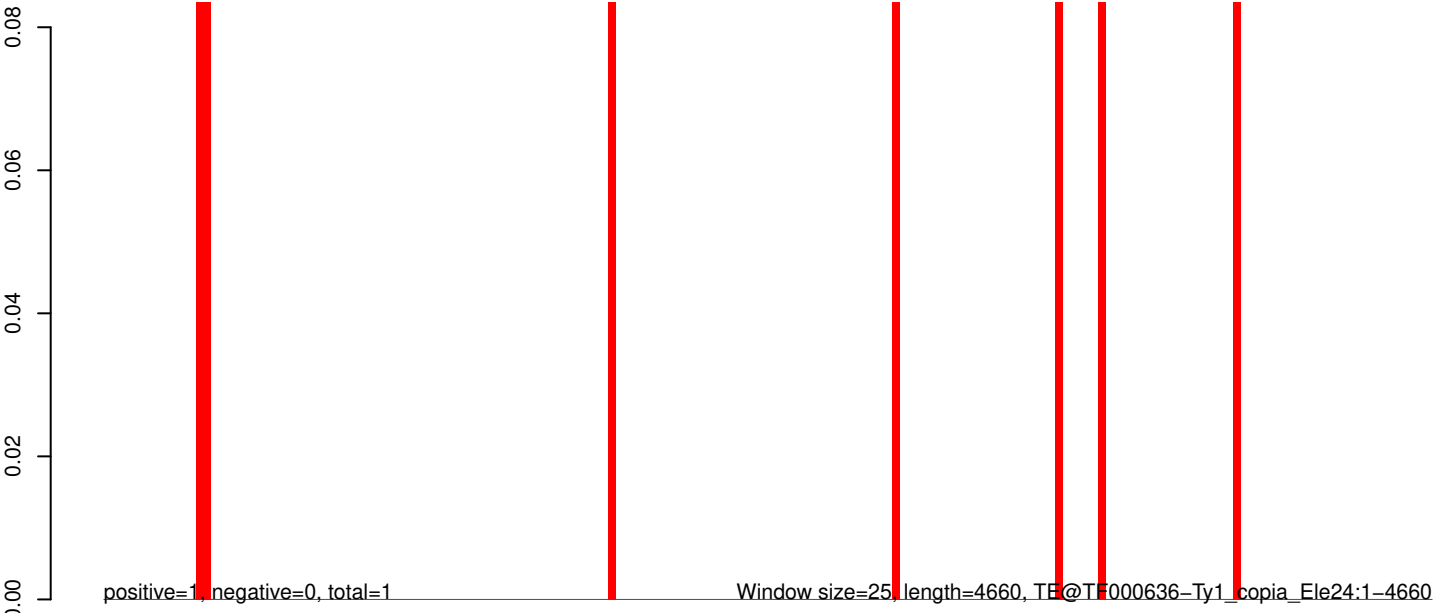
AeAeg_Aag2_Ago2_SINV_RA.18_23.rep



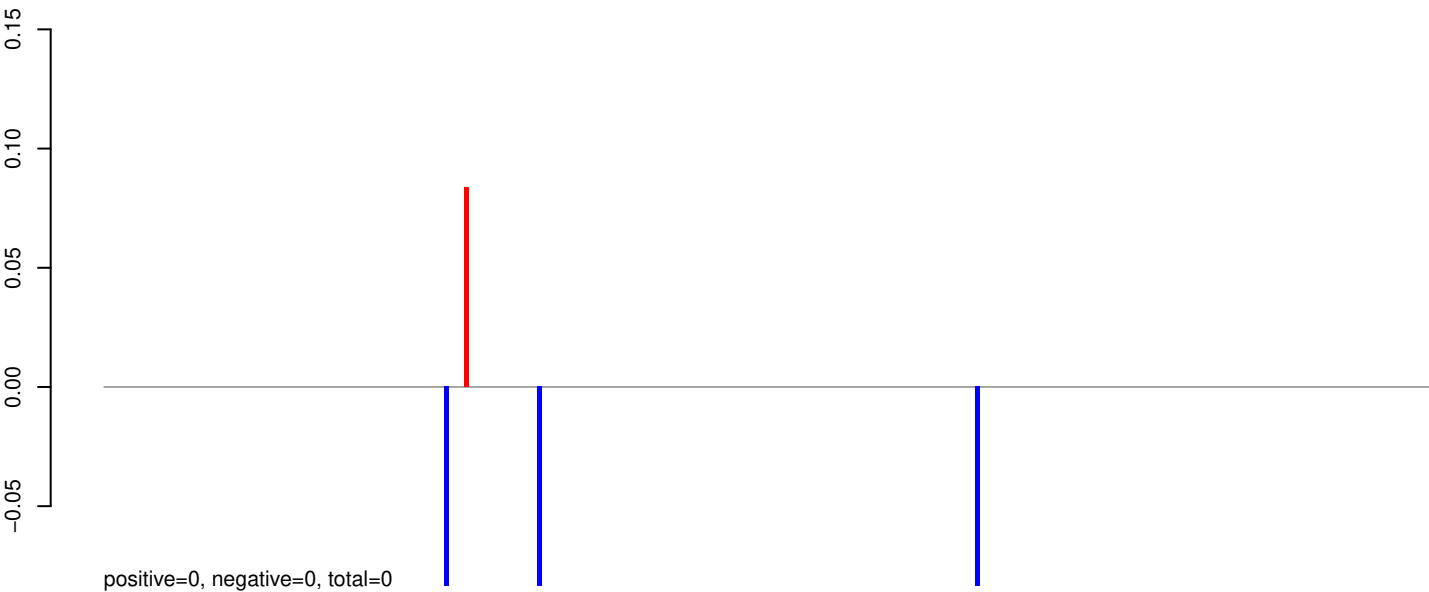
AeAeg_Aag2_Ago2_SINV_RA.24_35.rep



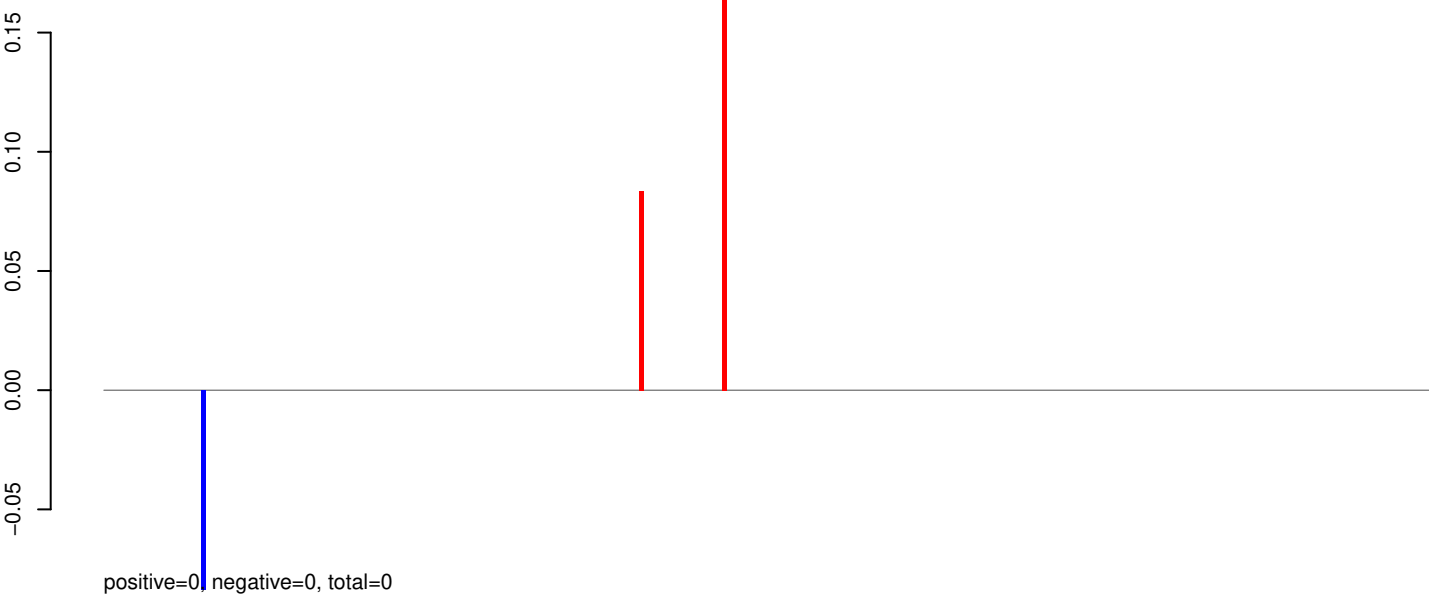
AeAeg_Aag2_Ago2_SINV_RA.rep



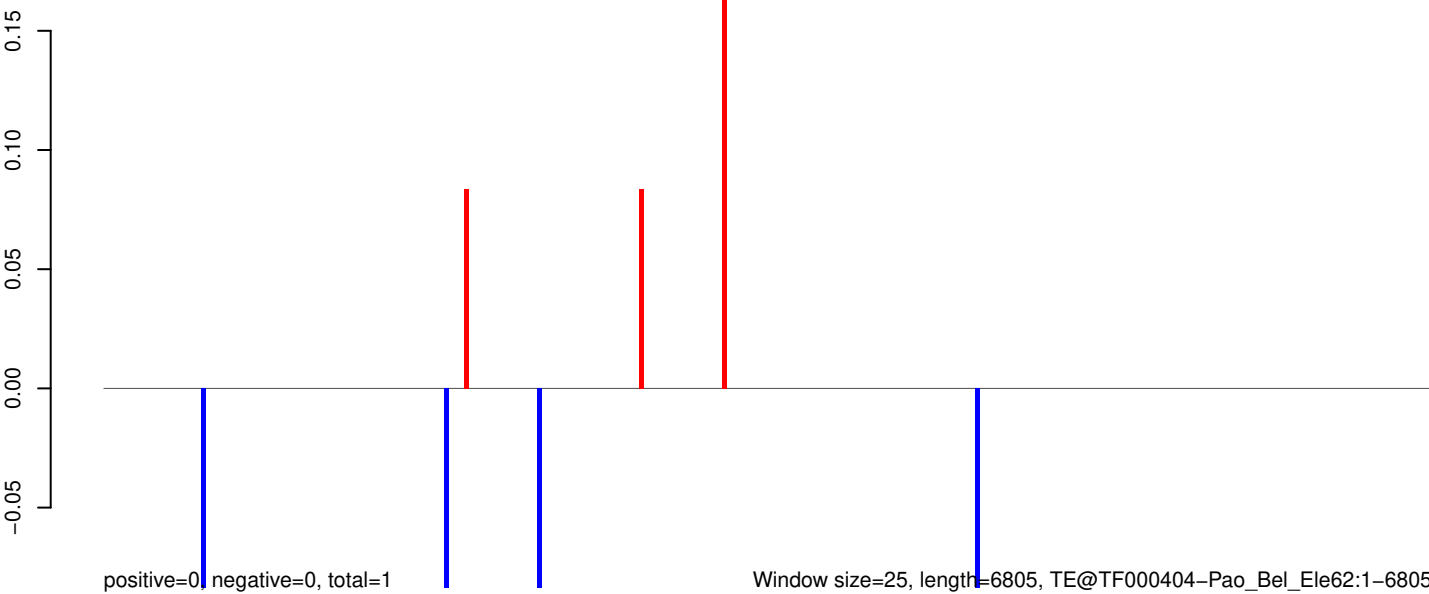
AeAeg_Aag2_Ago2_SINV_RA.18_23.rep



AeAeg_Aag2_Ago2_SINV_RA.24_35.rep



AeAeg_Aag2_Ago2_SINV_RA.rep



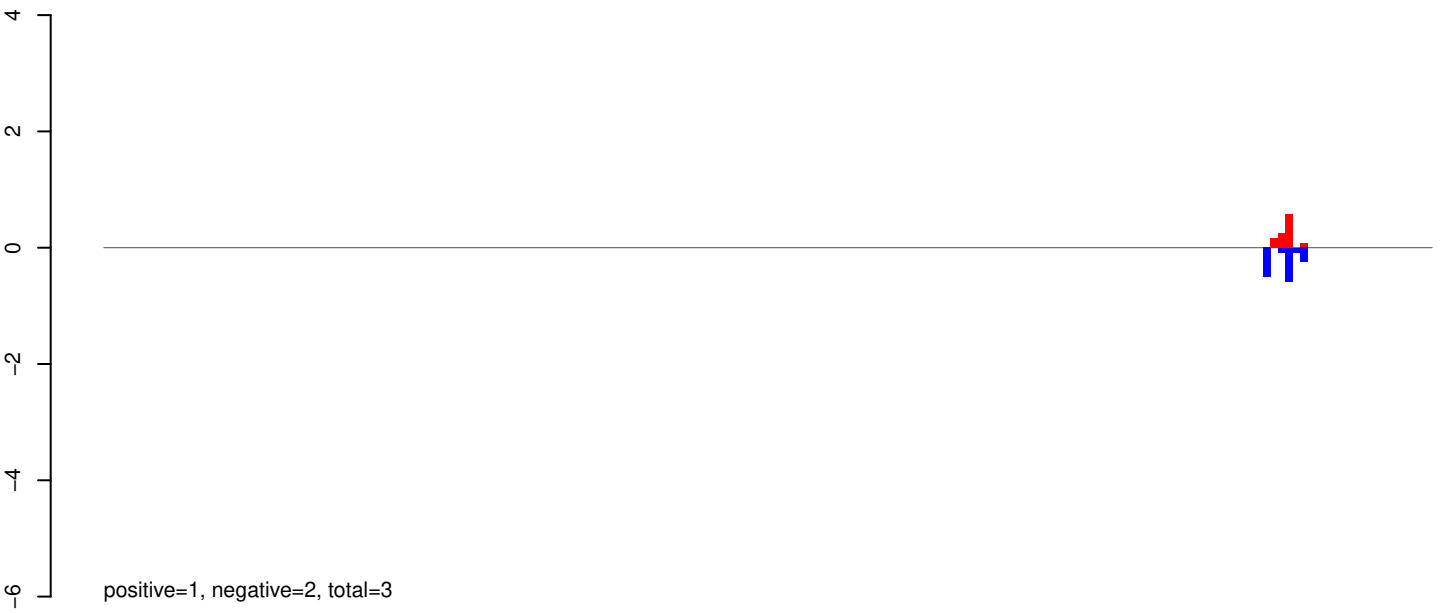
Window size=25, length=6805, TE@TF000404-Pao_Bel_Ele62:1-6805

0 1000 2000 3000 4000 5000 6000 7000

AeAeg_Aag2_Ago2_SINV_RA.18_23.rep



AeAeg_Aag2_Ago2_SINV_RA.24_35.rep



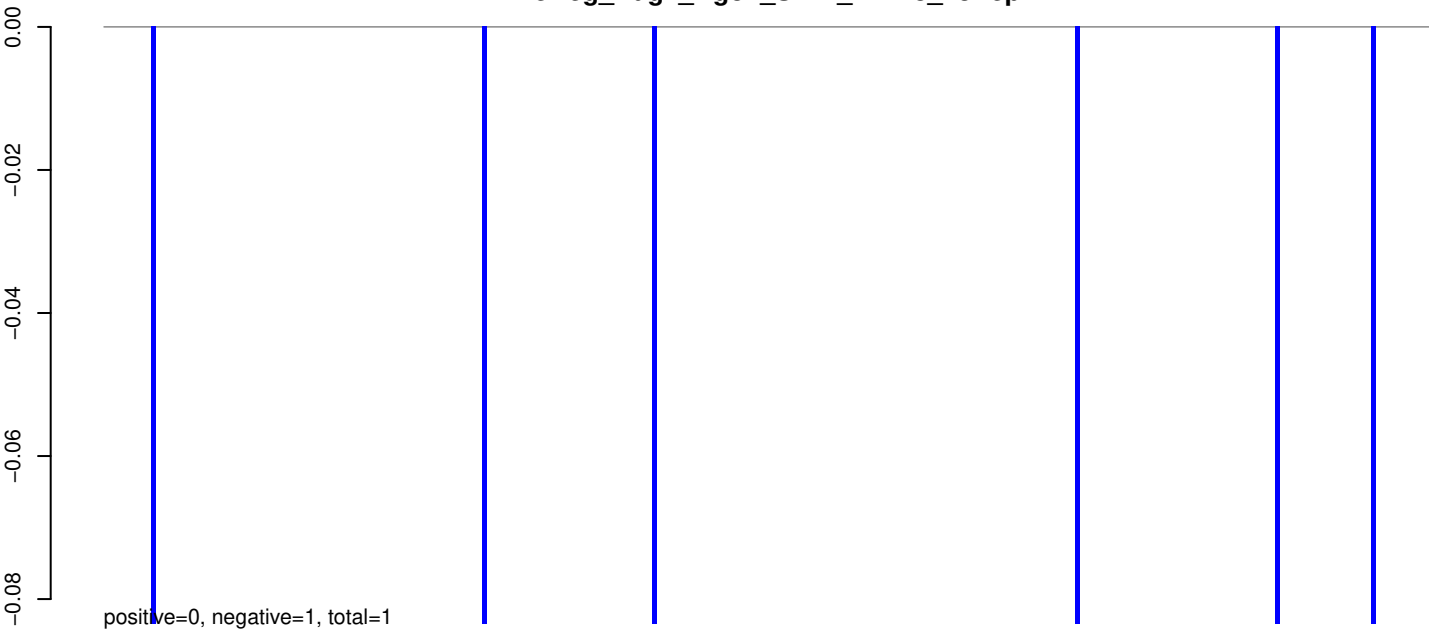
AeAeg_Aag2_Ago2_SINV_RA.rep



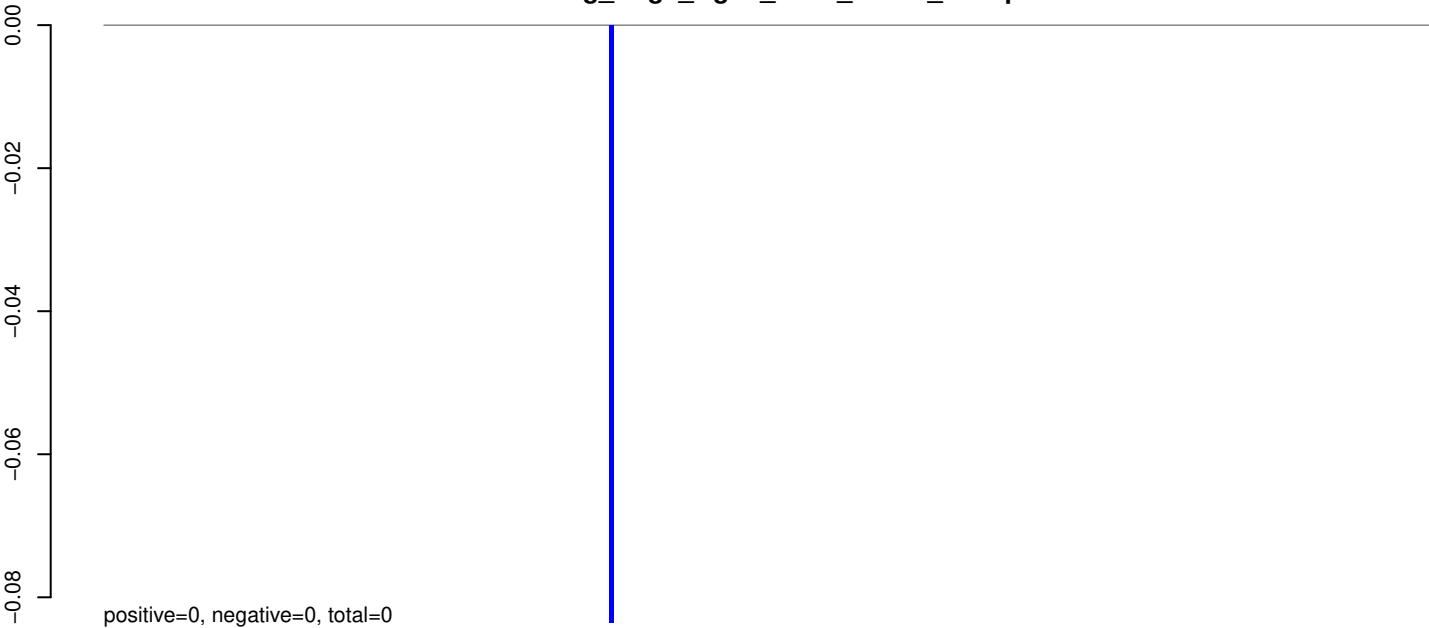
Window size=25, length=4519, TE@TF000390-Ty3_gypsy_Ele109:1-4519

0 1000 2000 3000 4000

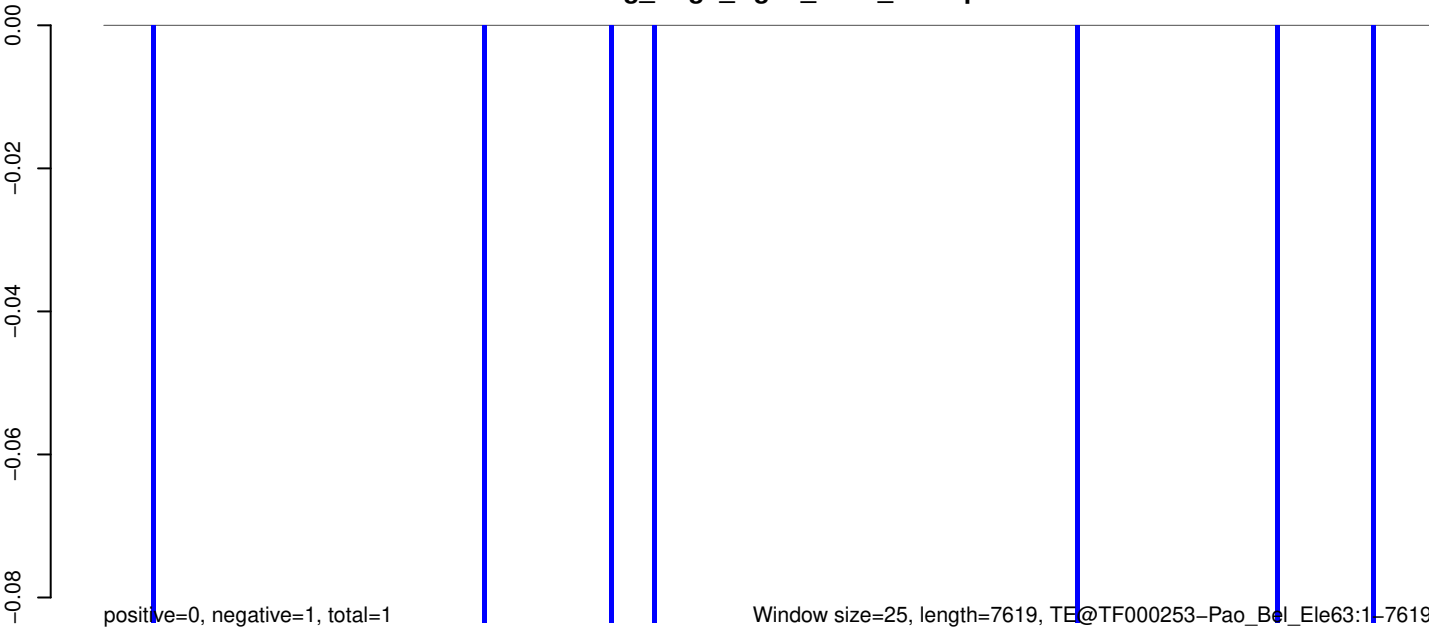
AeAeg_Aag2_Ago2_SINV_RA.18_23.rep



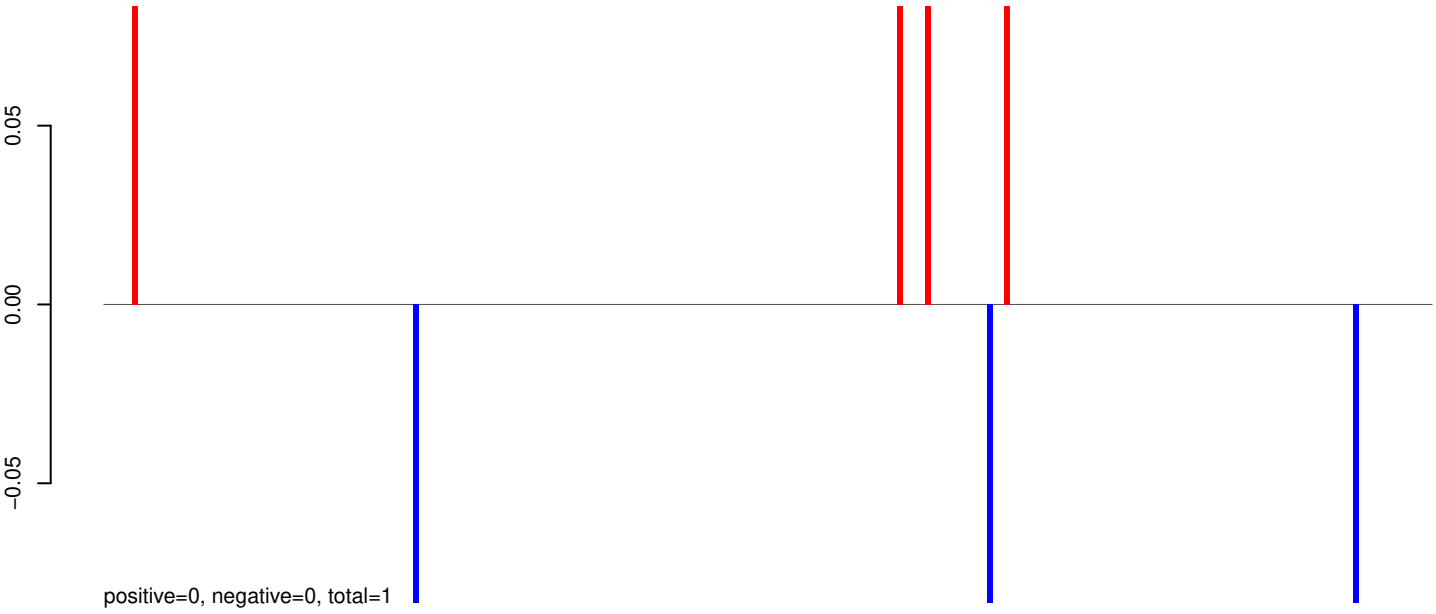
AeAeg_Aag2_Ago2_SINV_RA.24_35.rep



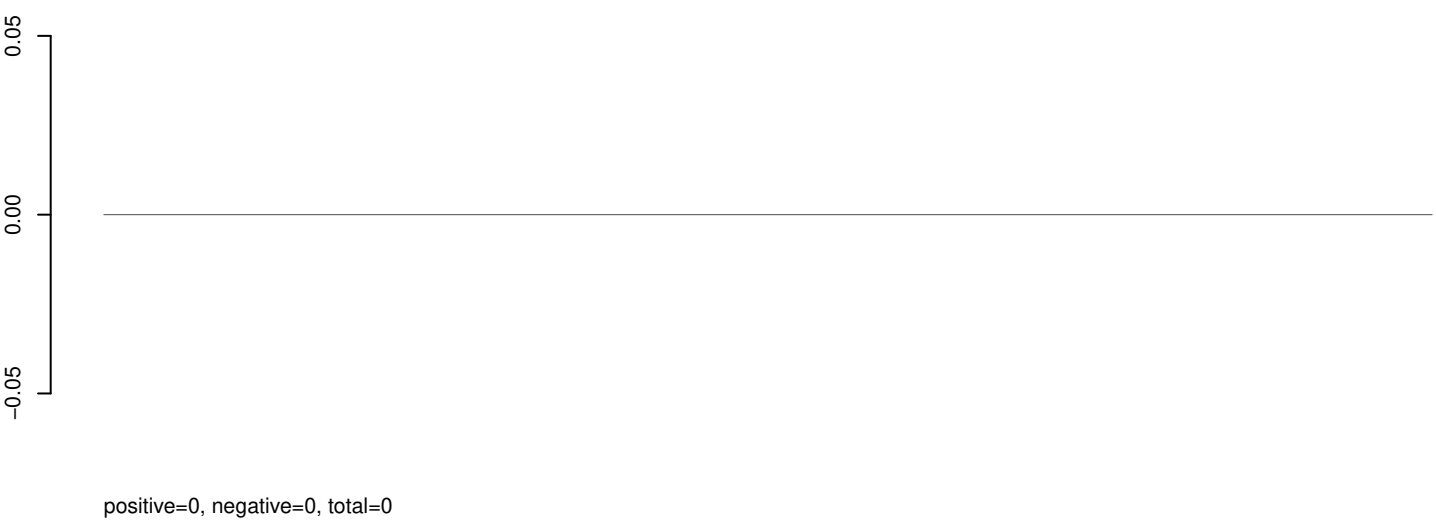
AeAeg_Aag2_Ago2_SINV_RA.rep



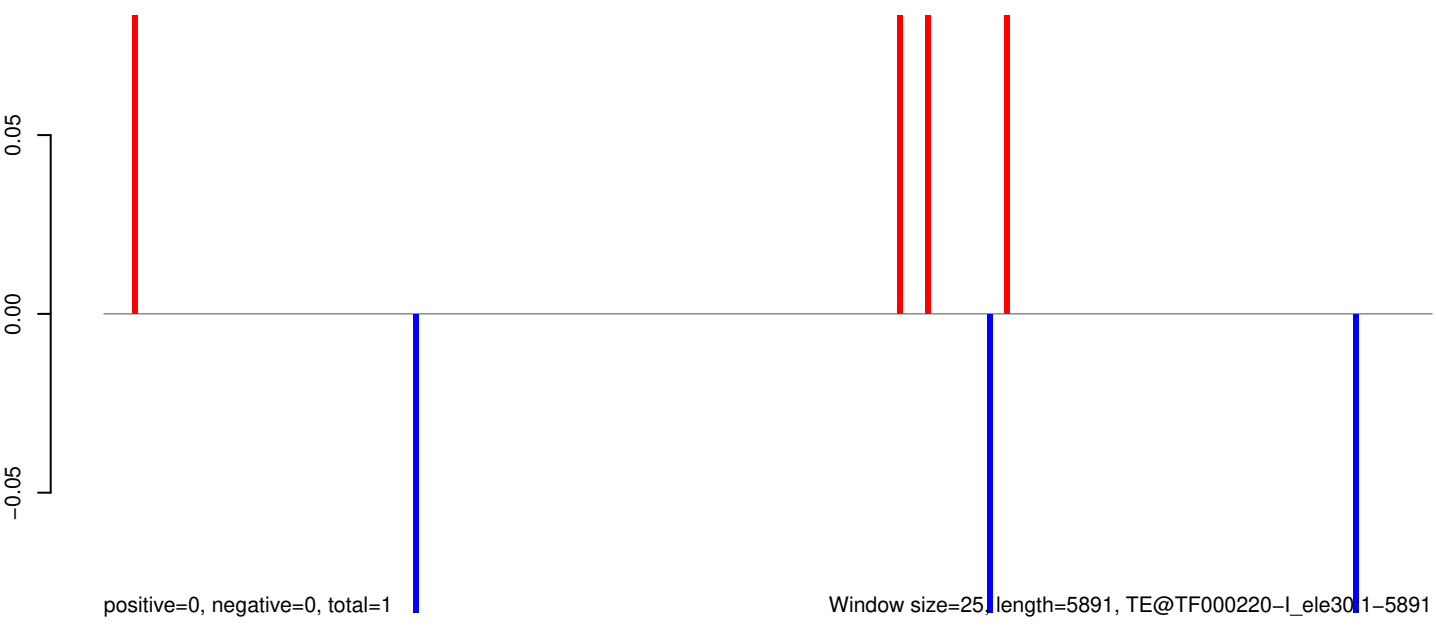
AeAeg_Aag2_Ago2_SINV_RA.18_23.rep



AeAeg_Aag2_Ago2_SINV_RA.24_35.rep

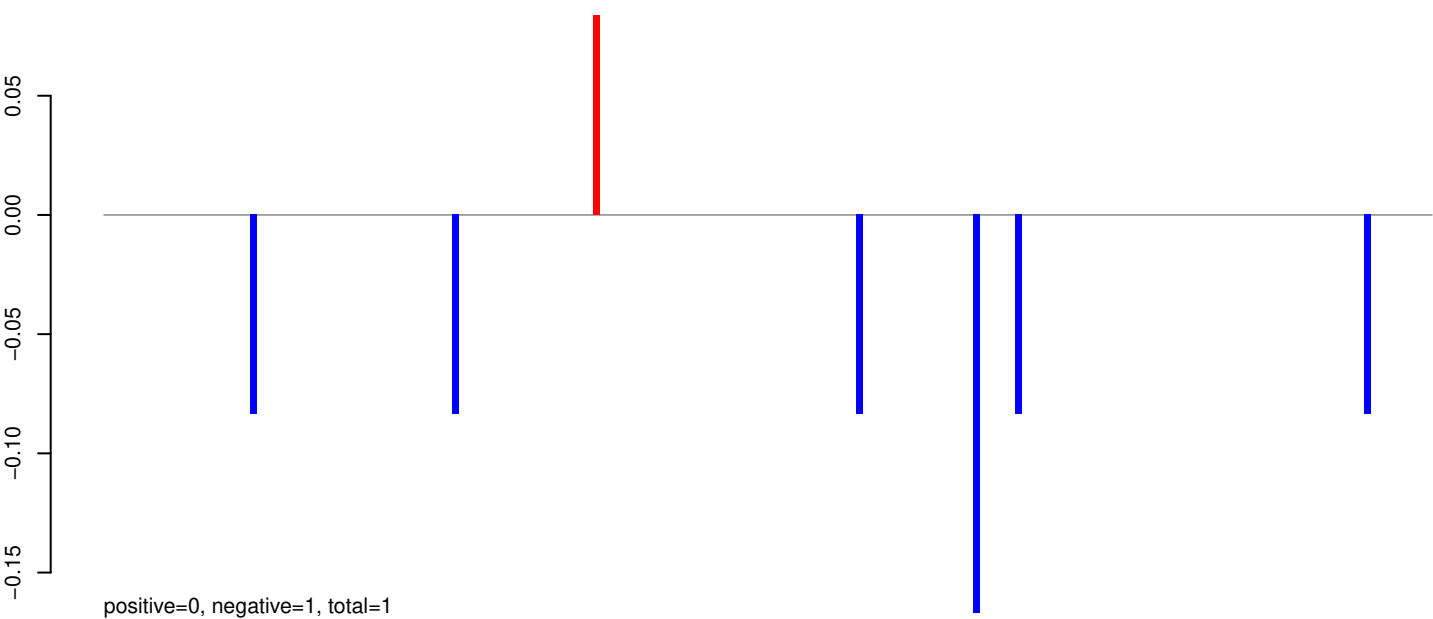


AeAeg_Aag2_Ago2_SINV_RA.rep

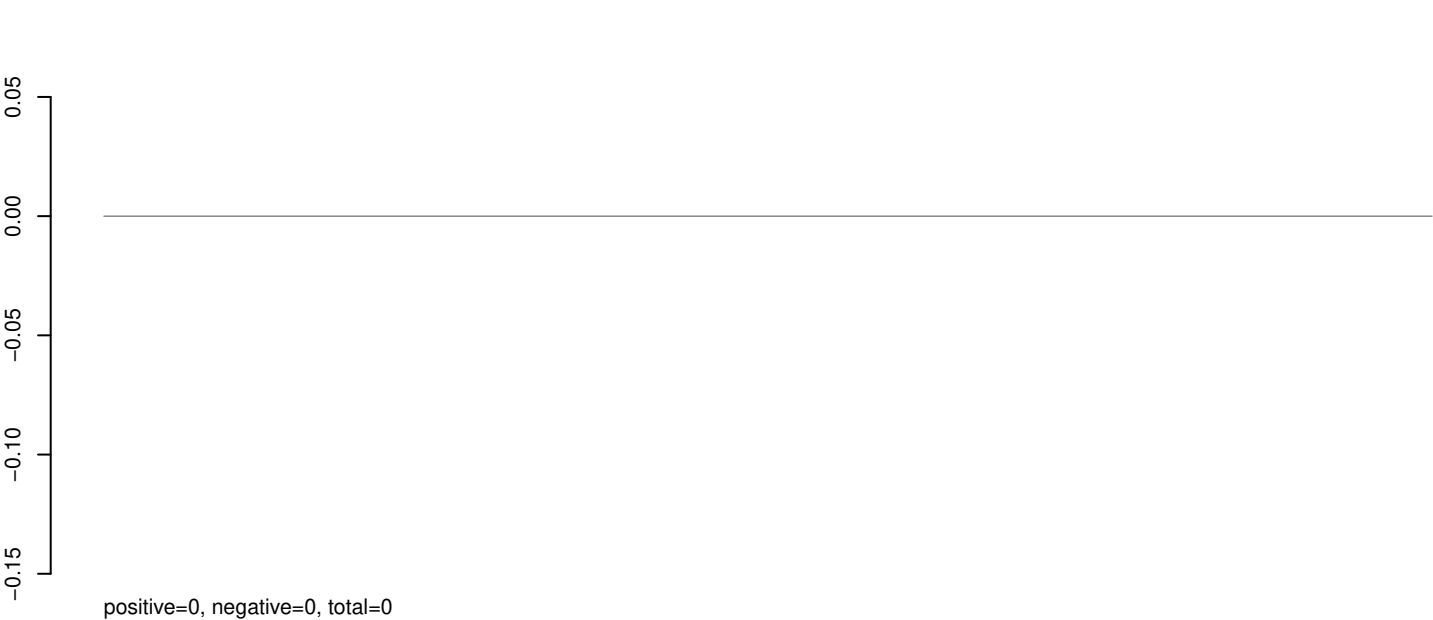


Window size=25, length=5891, TE@TF000220-I_ele30.1-5891

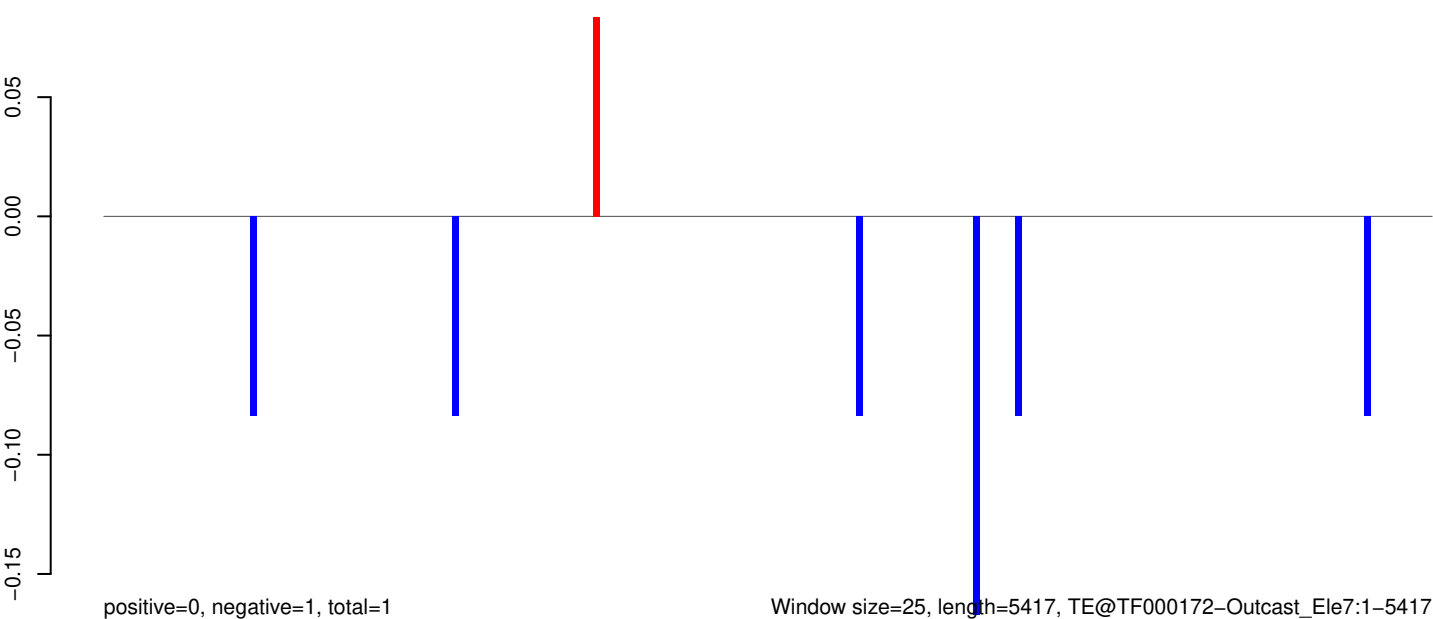
AeAeg_Aag2_Ago2_SINV_RA.18_23.rep



AeAeg_Aag2_Ago2_SINV_RA.24_35.rep

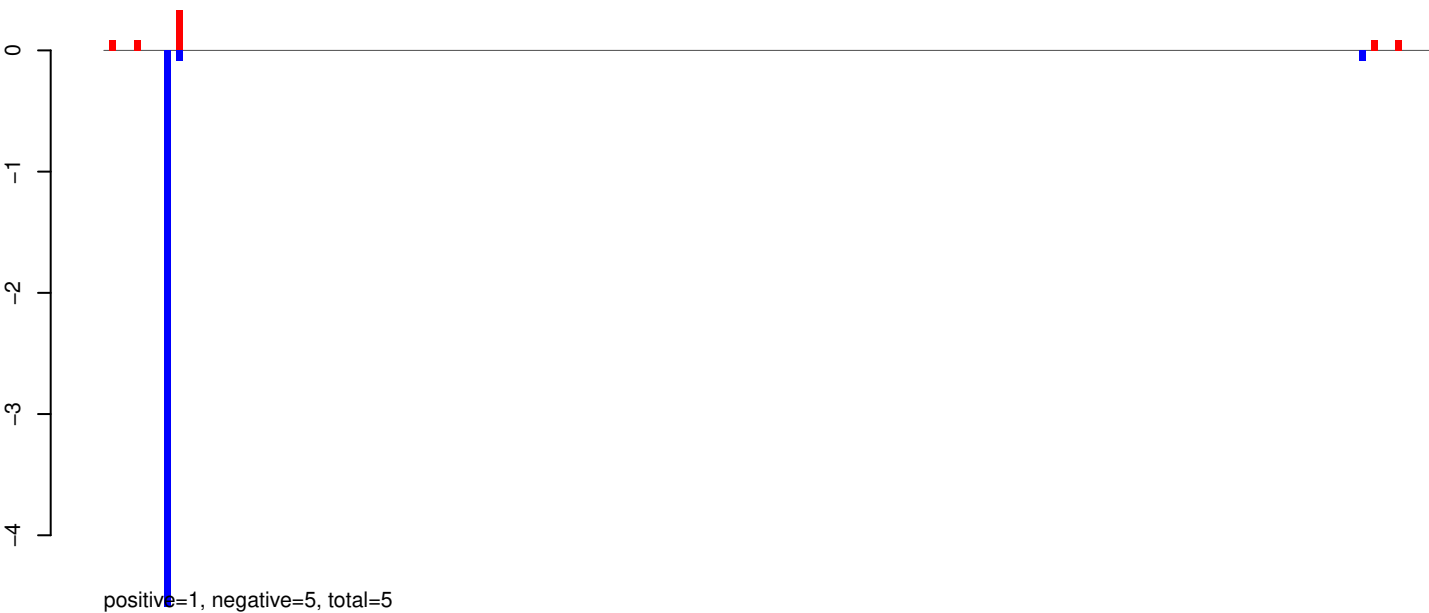


AeAeg_Aag2_Ago2_SINV_RA.rep

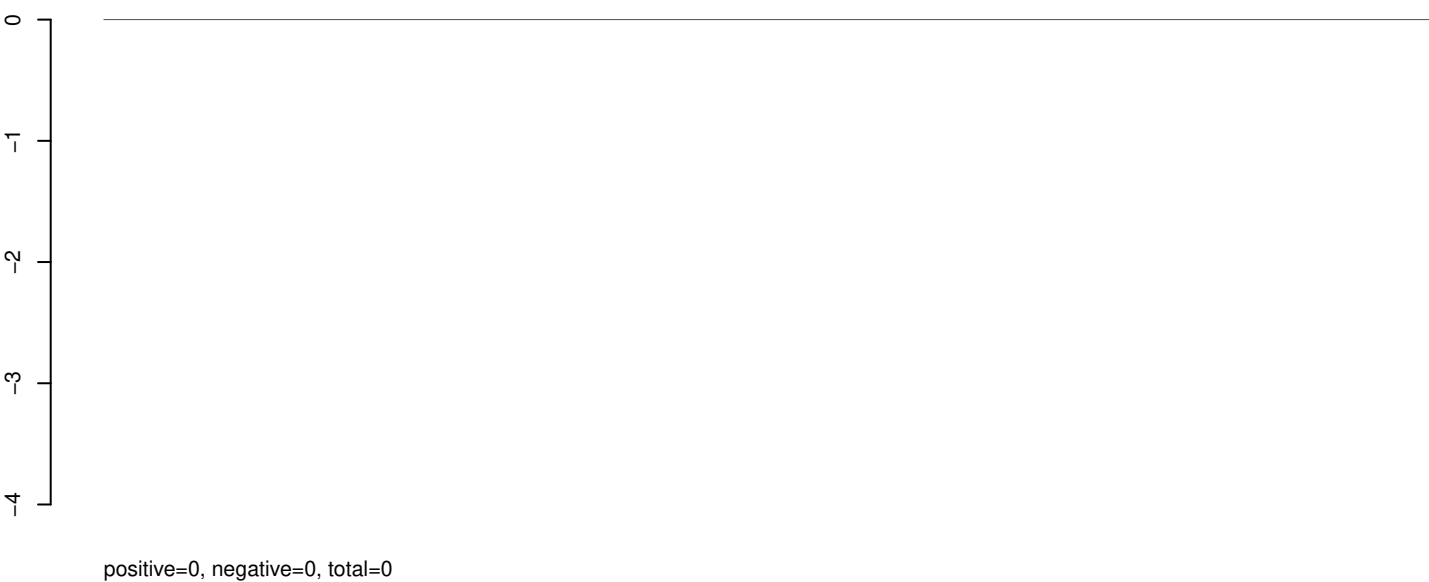


Window size=25, length=5417, TE@TF000172-Outcast_Ele7:1-5417

AeAeg_Aag2_Ago2_SINV_RA.18_23.rep



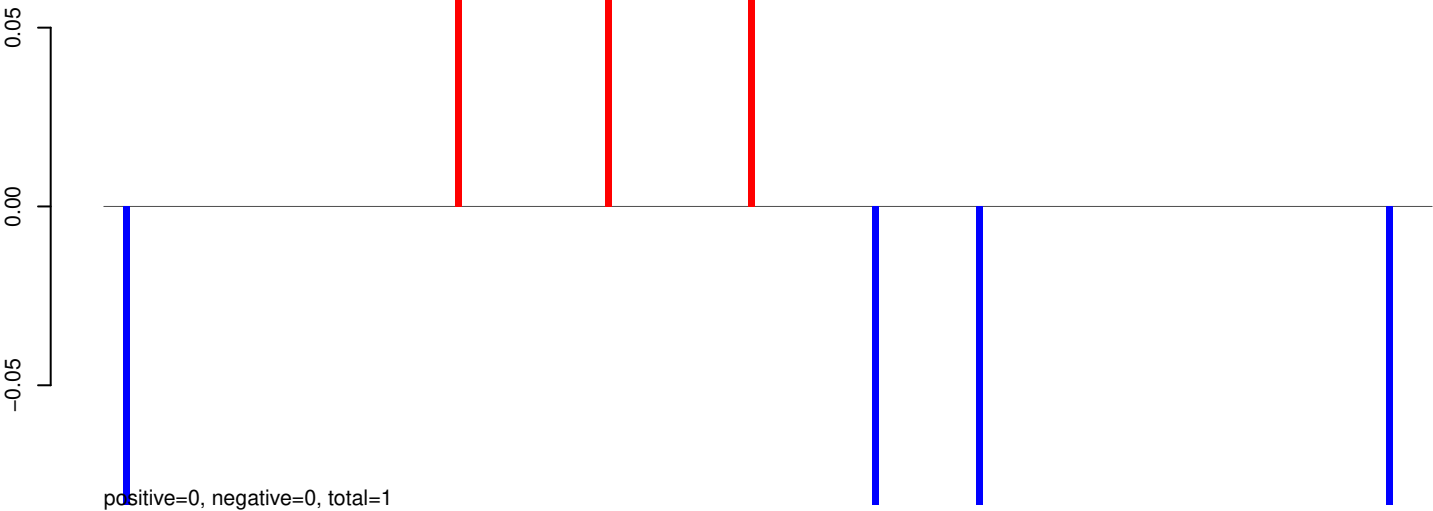
AeAeg_Aag2_Ago2_SINV_RA.24_35.rep



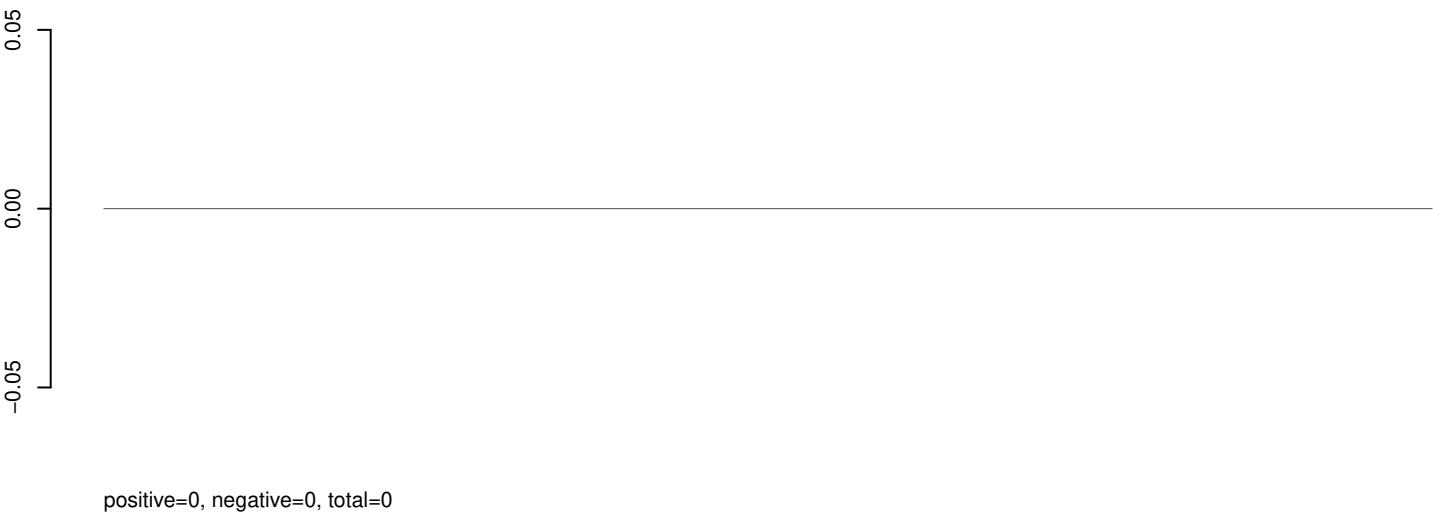
AeAeg_Aag2_Ago2_SINV_RA.rep



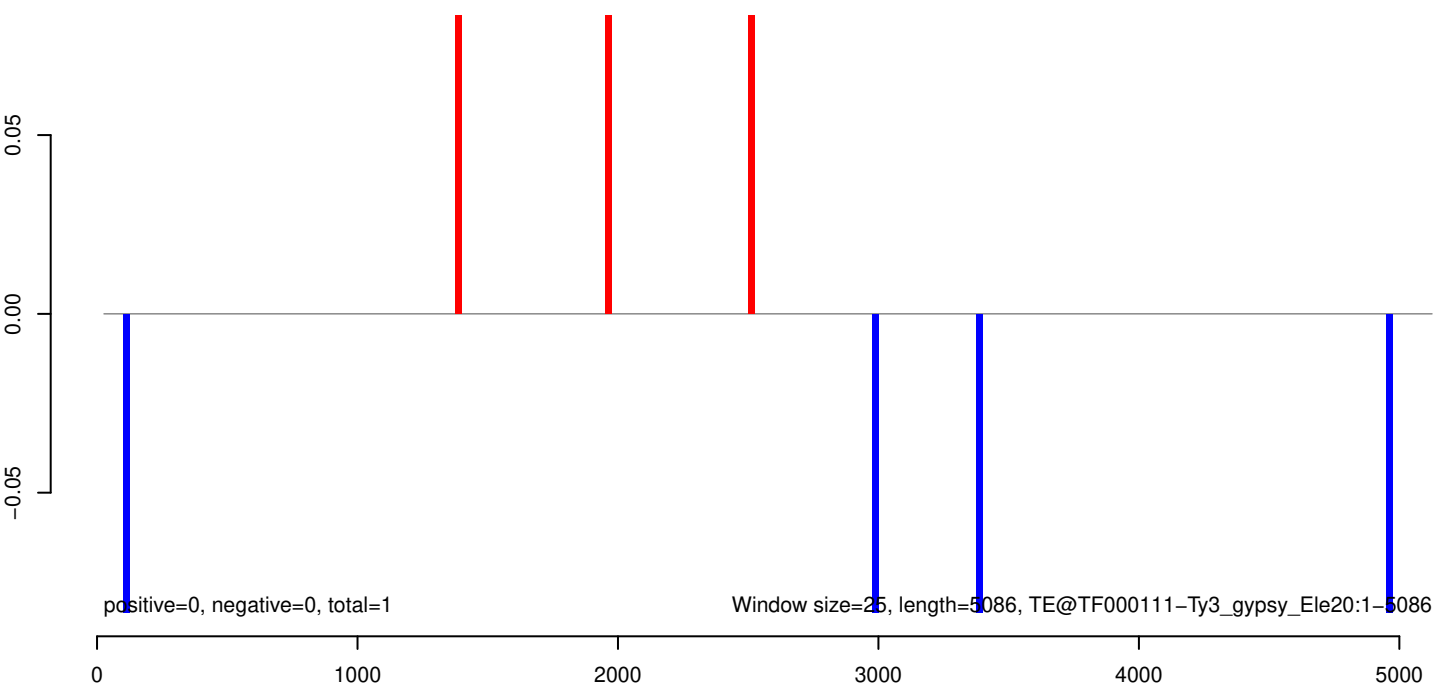
AeAeg_Aag2_Ago2_SINV_RA.18_23.rep



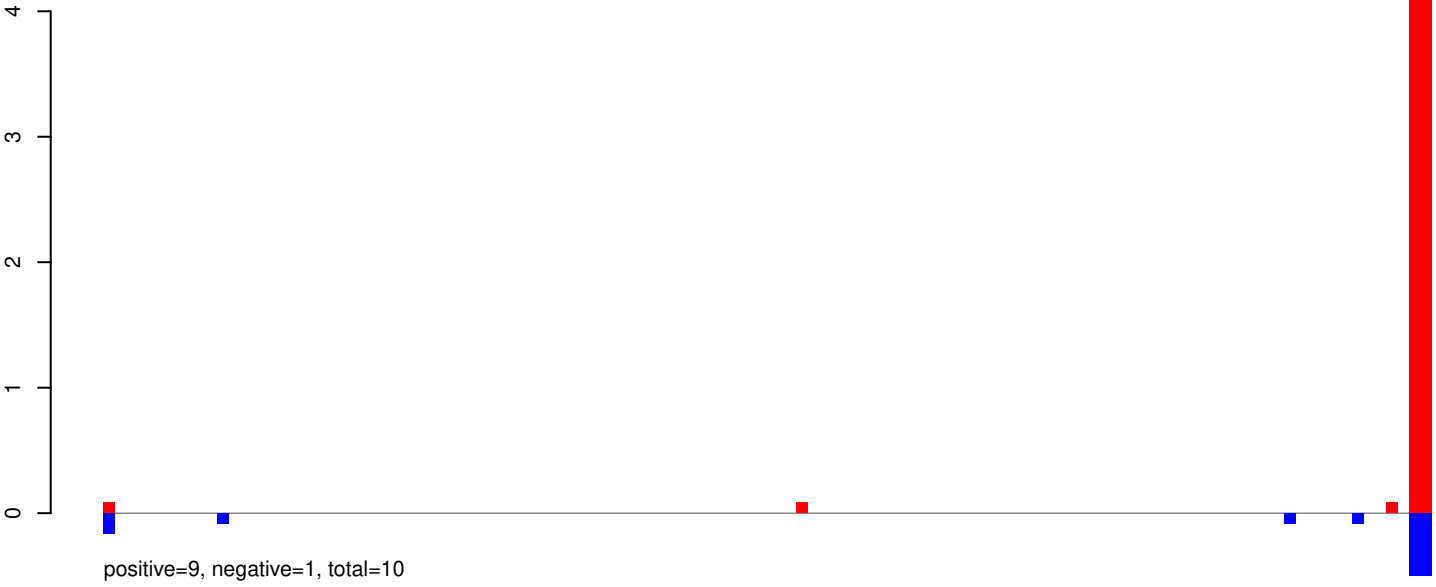
AeAeg_Aag2_Ago2_SINV_RA.24_35.rep



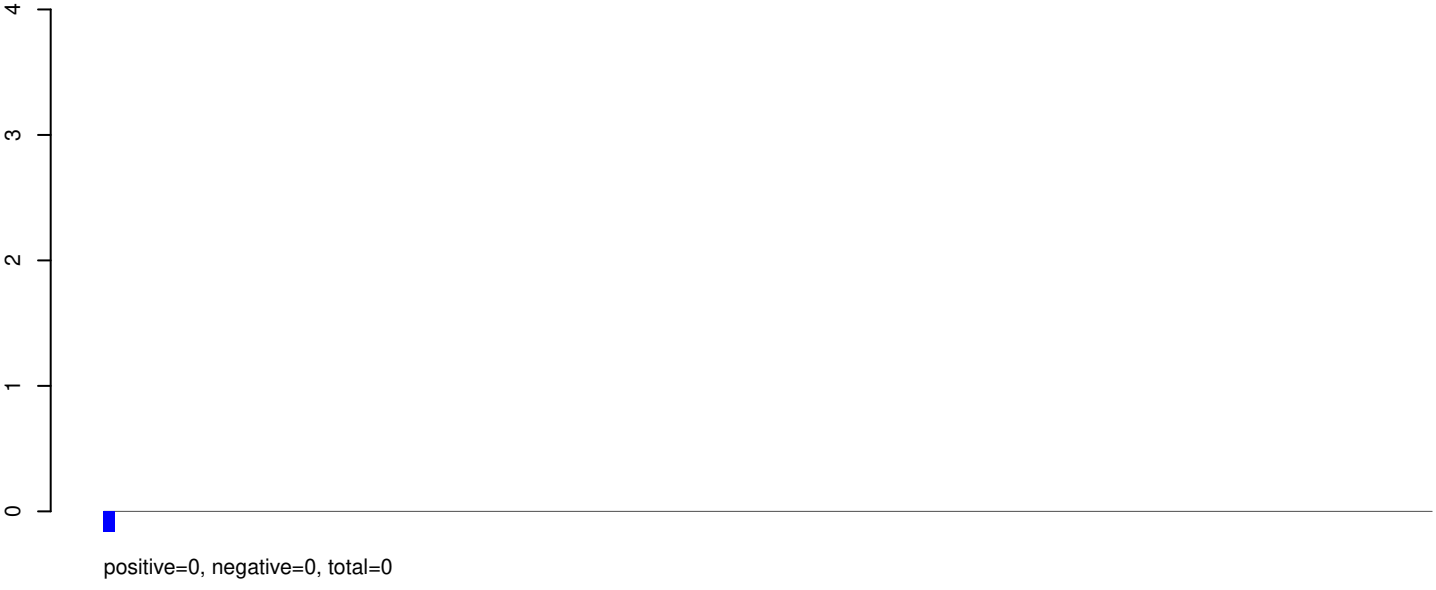
AeAeg_Aag2_Ago2_SINV_RA.rep



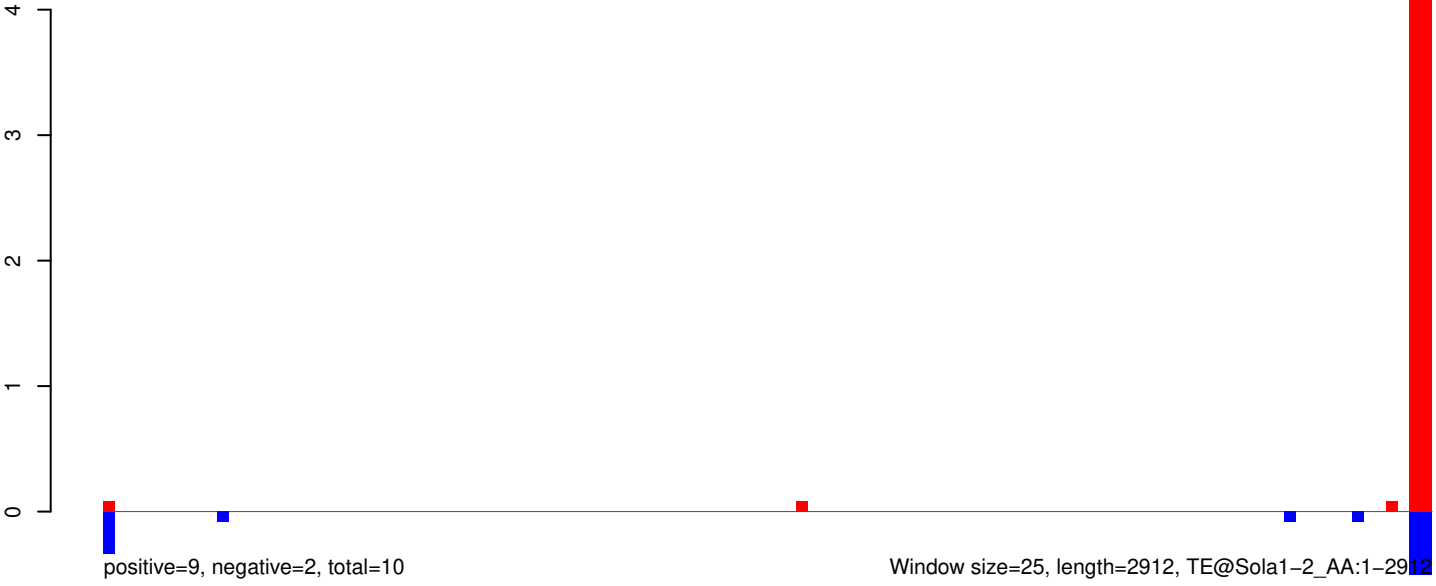
AeAeg_Aag2_Ago2_SINV_RA.18_23.rep



AeAeg_Aag2_Ago2_SINV_RA.24_35.rep

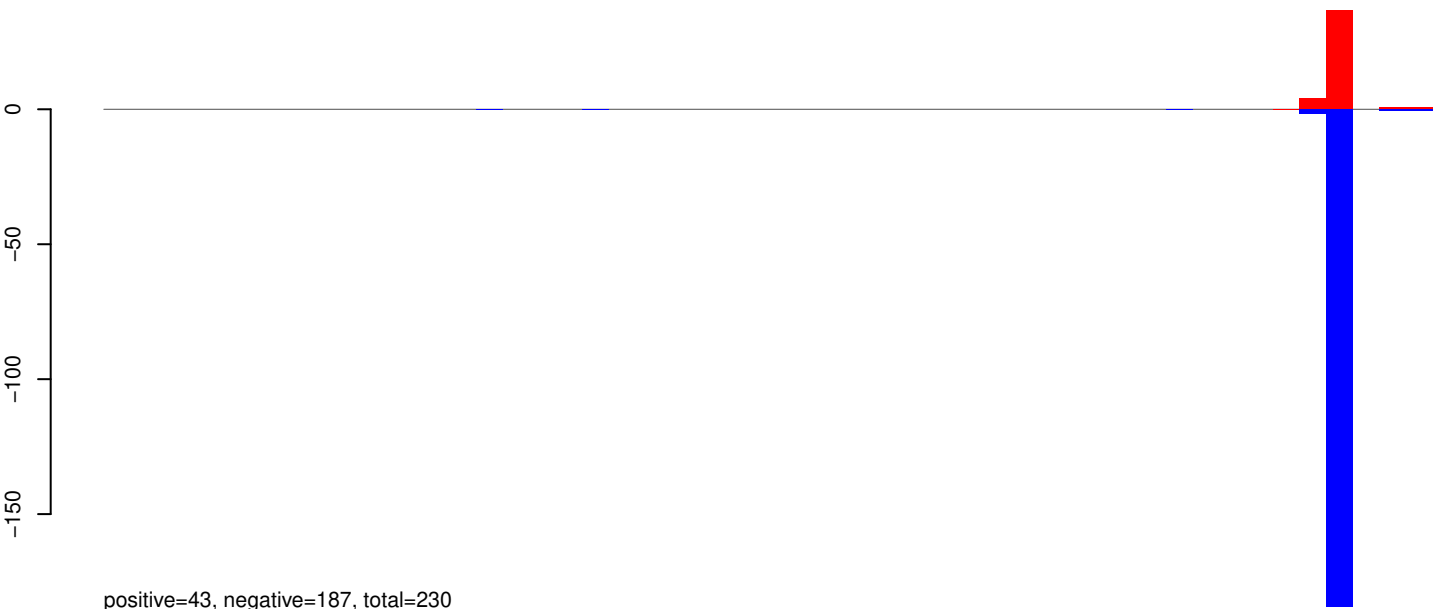


AeAeg_Aag2_Ago2_SINV_RA.rep

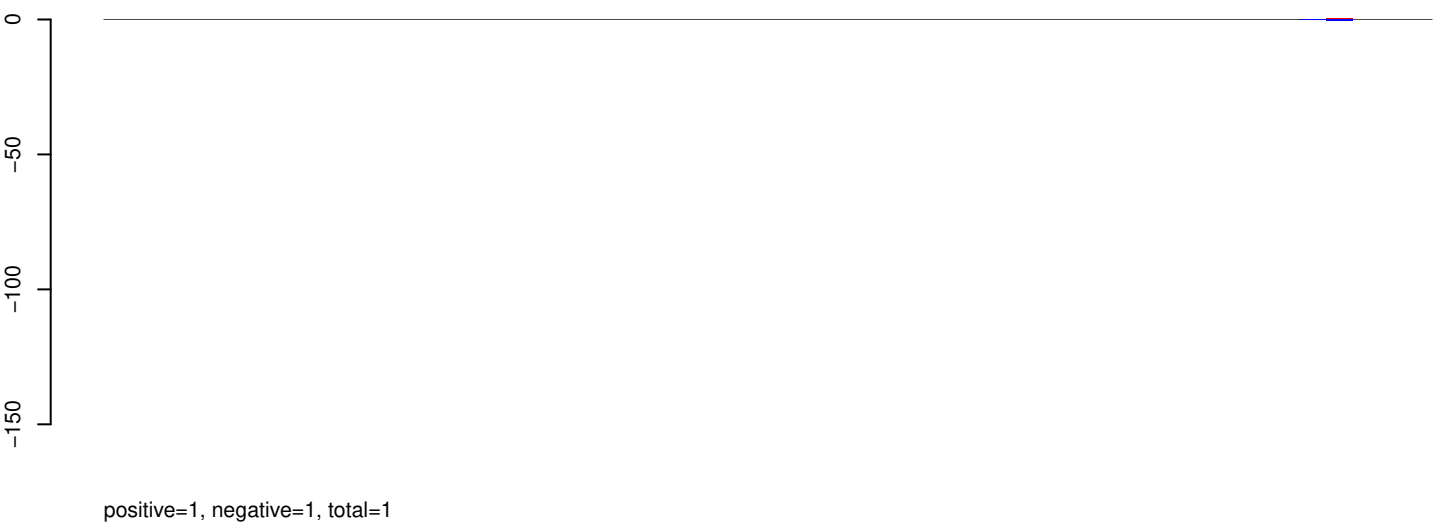


0 500 1000 1500 2000 2500 3000

AeAeg_Aag2_Ago2_SINV_RA.18_23.rep



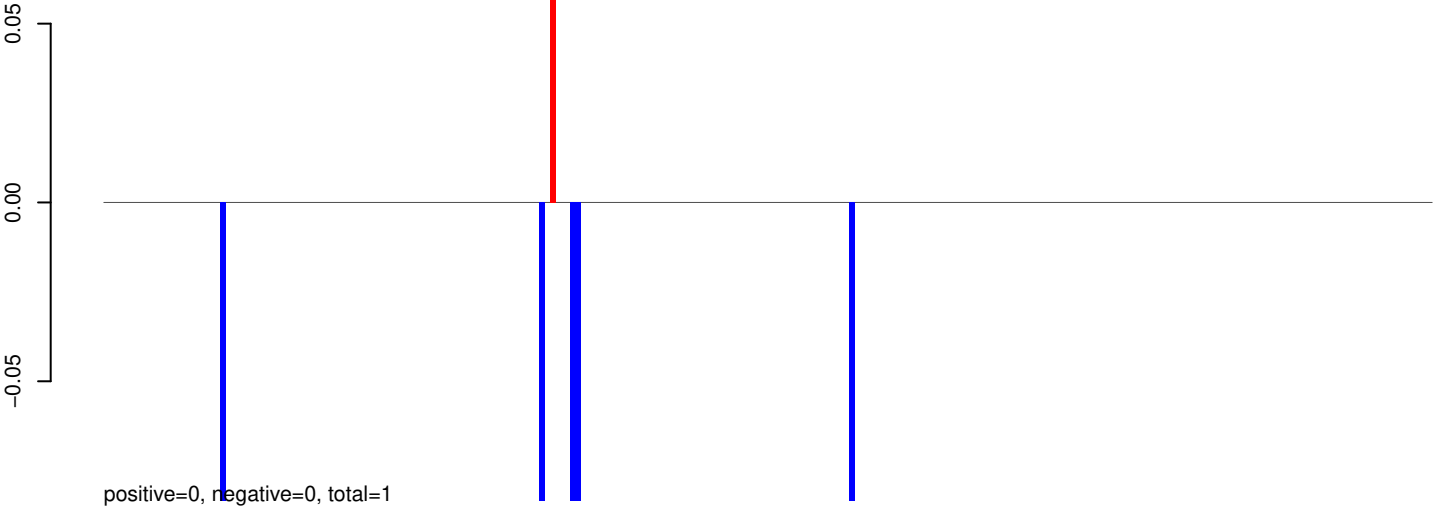
AeAeg_Aag2_Ago2_SINV_RA.24_35.rep



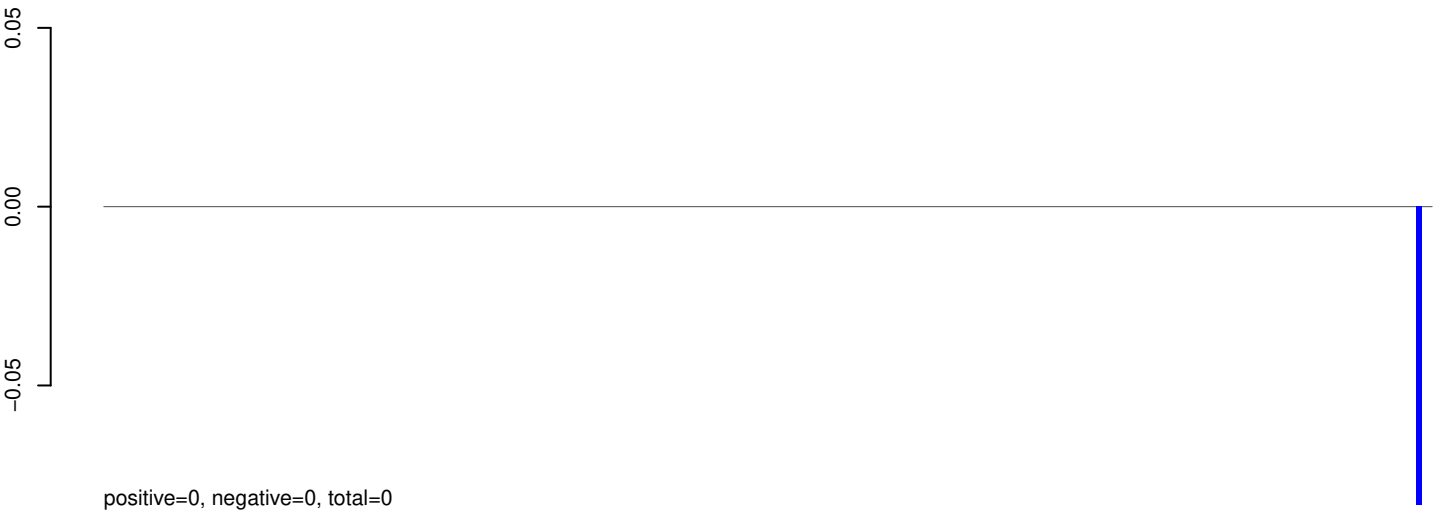
AeAeg_Aag2_Ago2_SINV_RA.rep



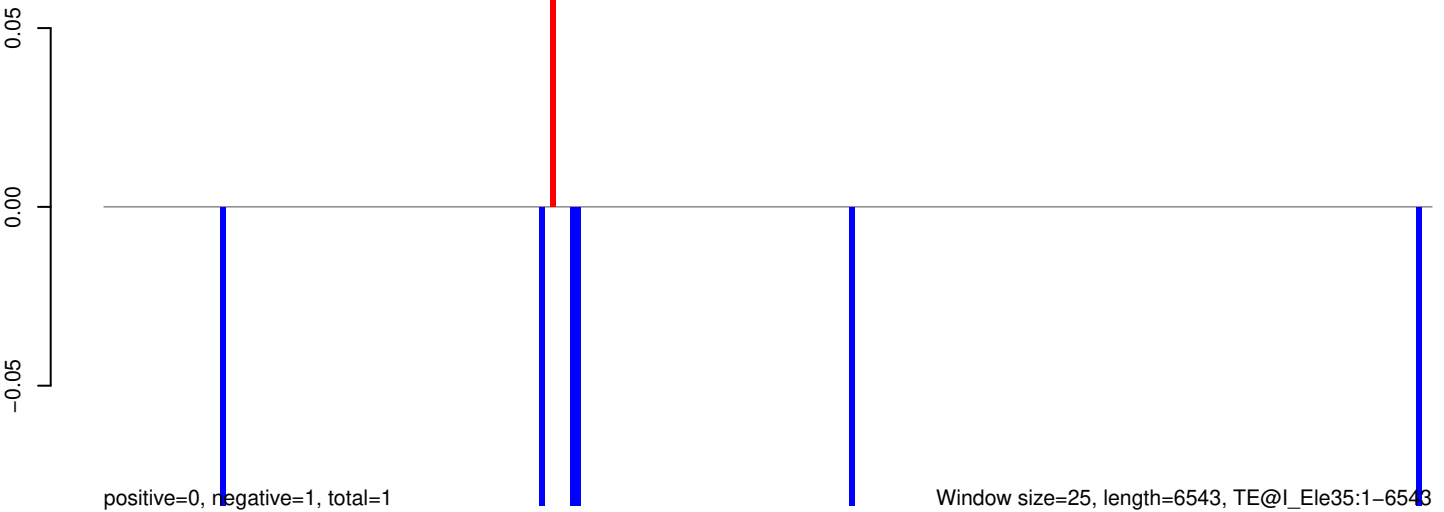
AeAeg_Aag2_Ago2_SINV_RA.18_23.rep



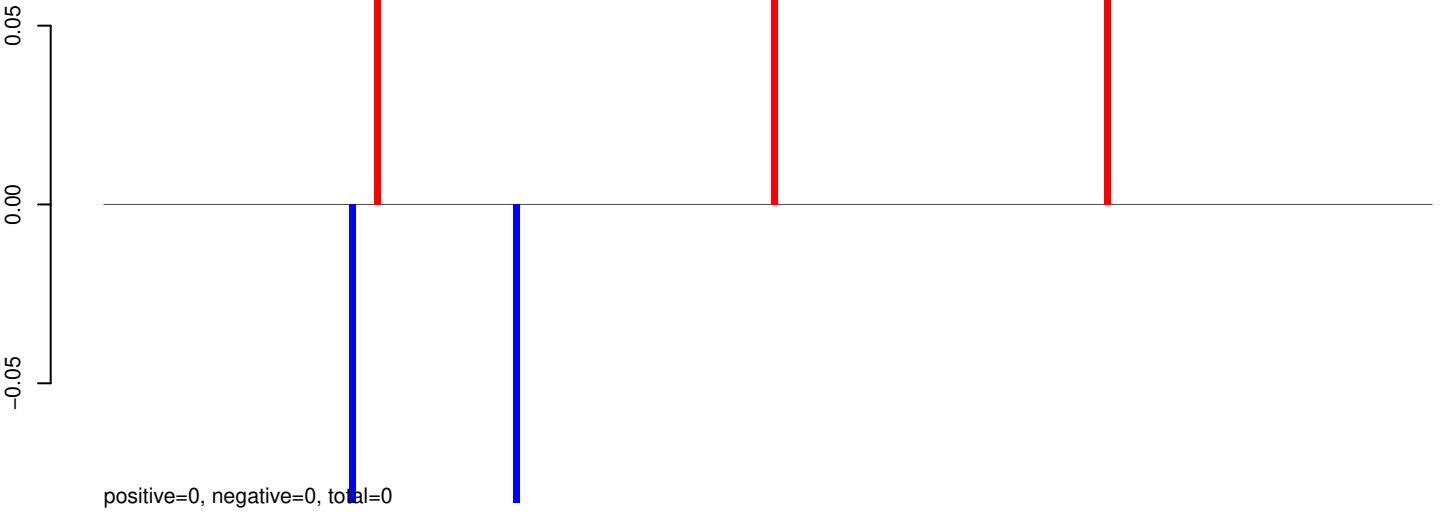
AeAeg_Aag2_Ago2_SINV_RA.24_35.rep



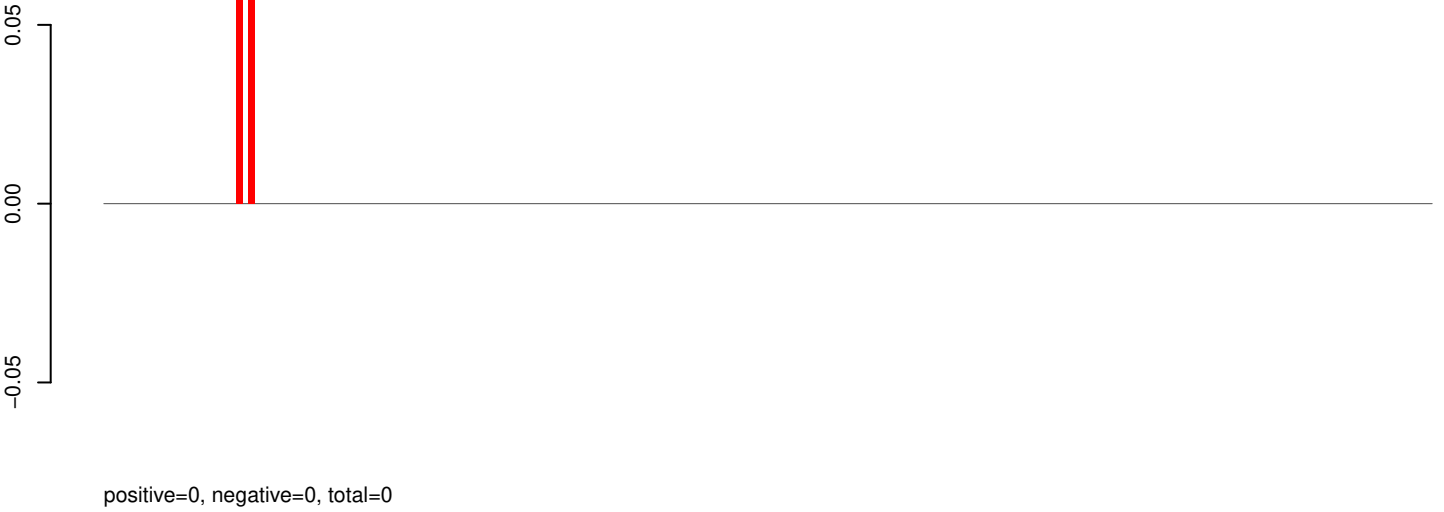
AeAeg_Aag2_Ago2_SINV_RA.rep



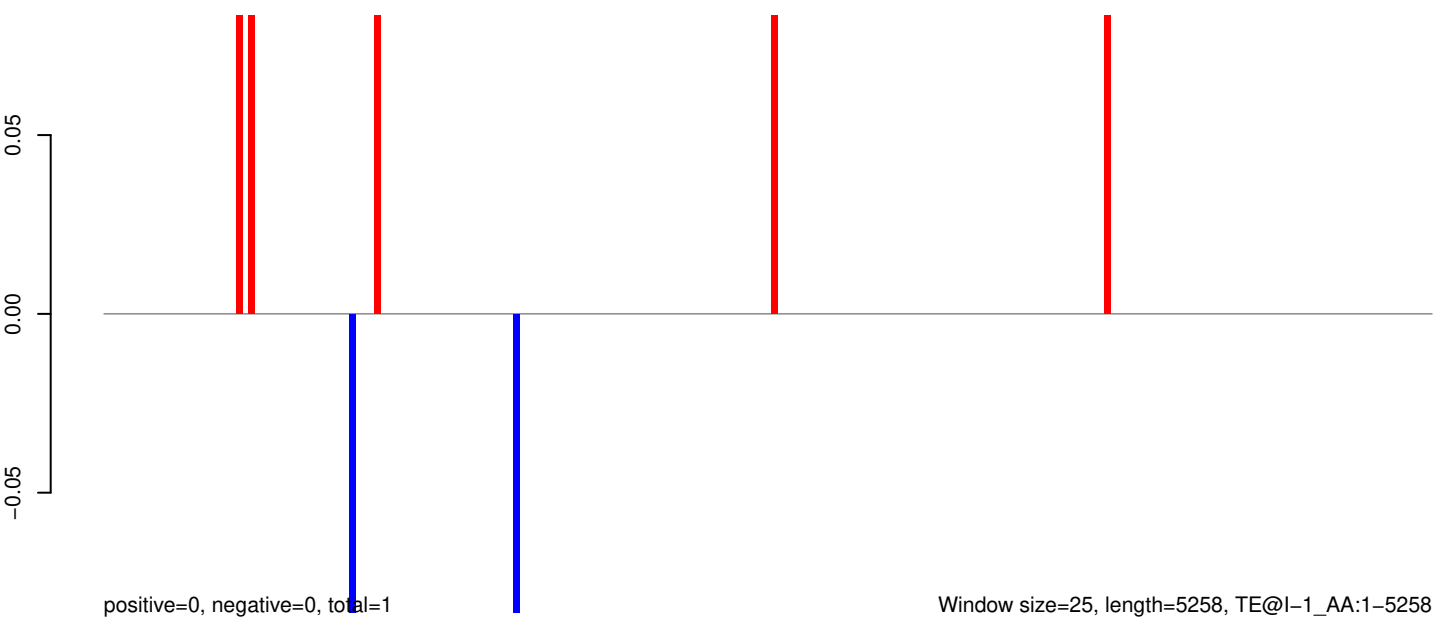
AeAeg_Aag2_Ago2_SINV_RA.18_23.rep



AeAeg_Aag2_Ago2_SINV_RA.24_35.rep



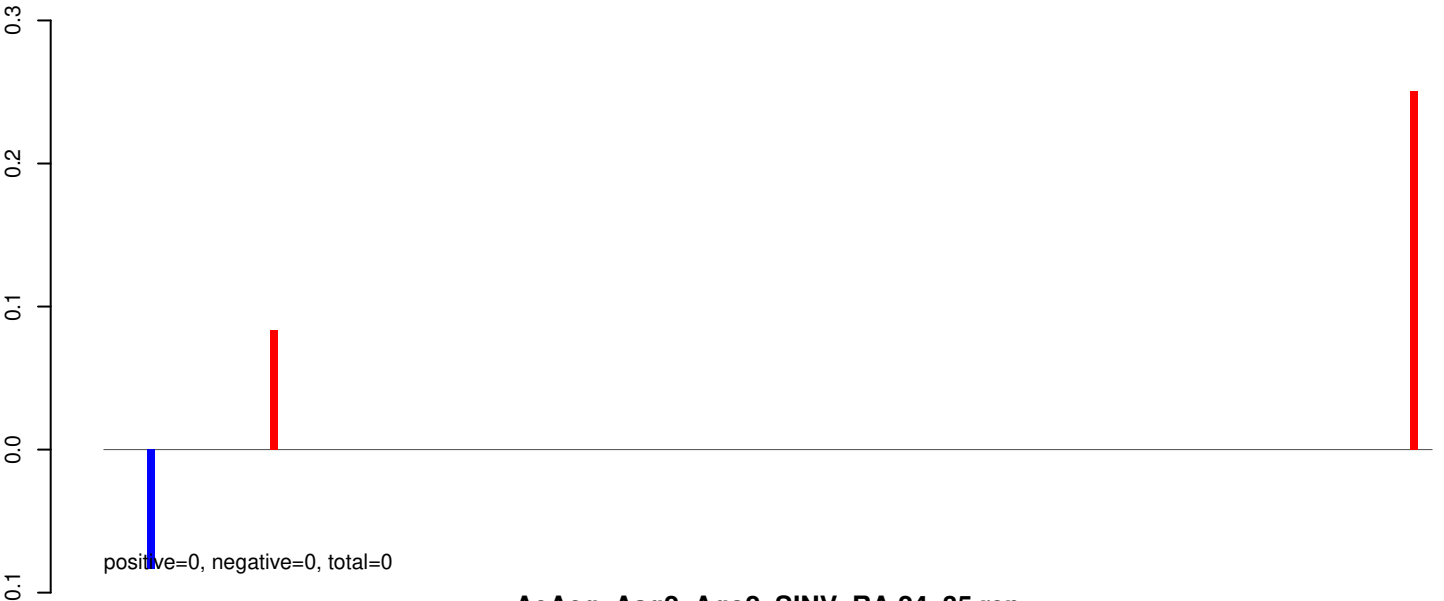
AeAeg_Aag2_Ago2_SINV_RA.rep



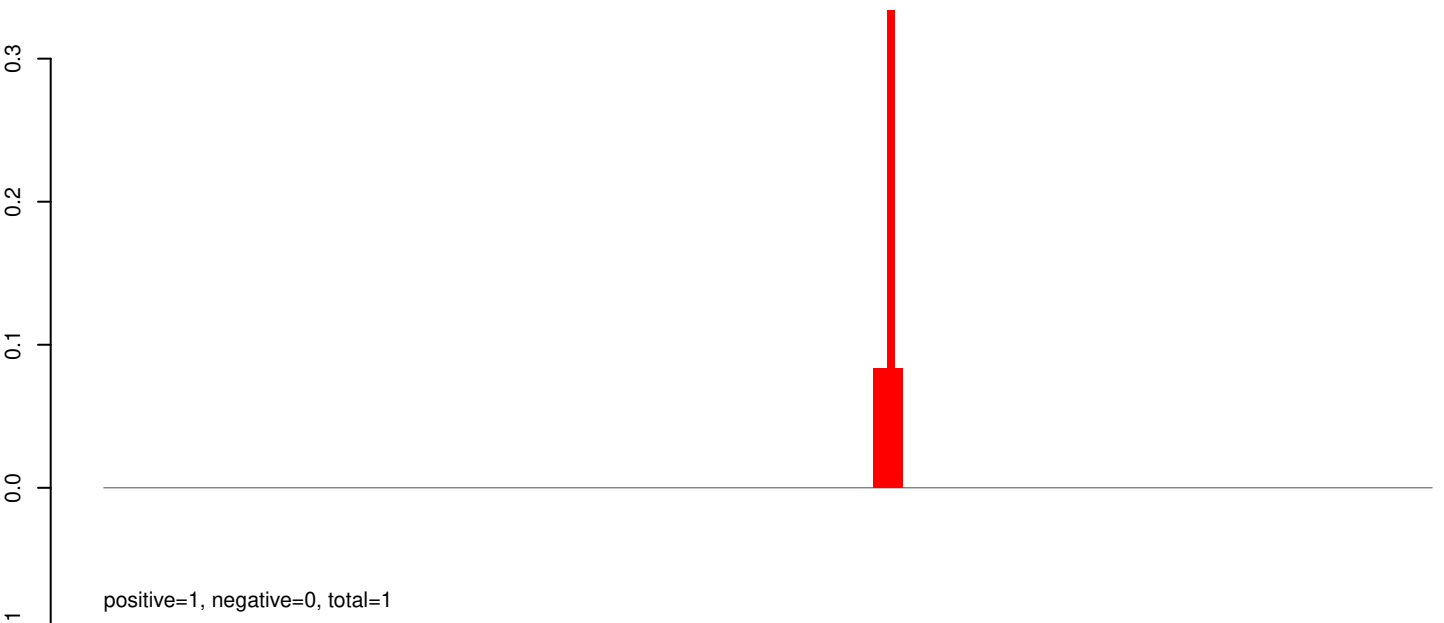
Window size=25, length=5258, TE@I-1_AA:1-5258

0 1000 2000 3000 4000 5000

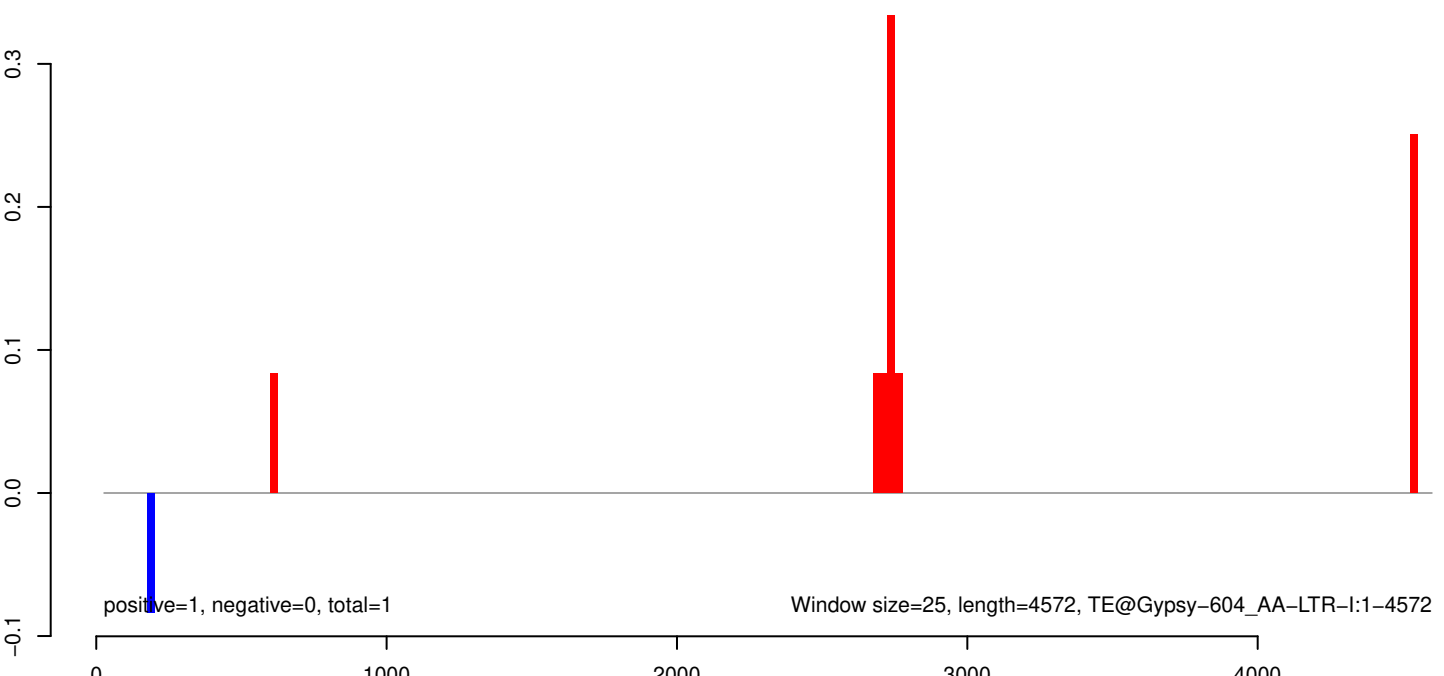
AeAeg_Aag2_Ago2_SINV_RA.18_23.rep



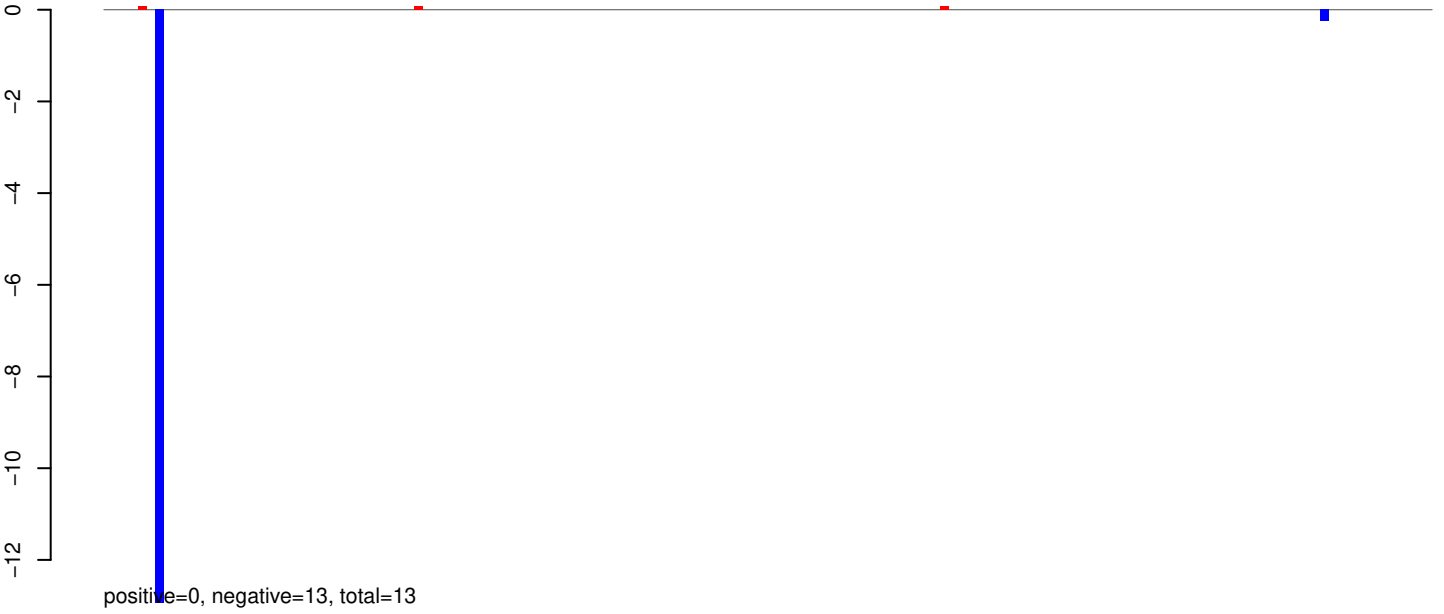
AeAeg_Aag2_Ago2_SINV_RA.24_35.rep



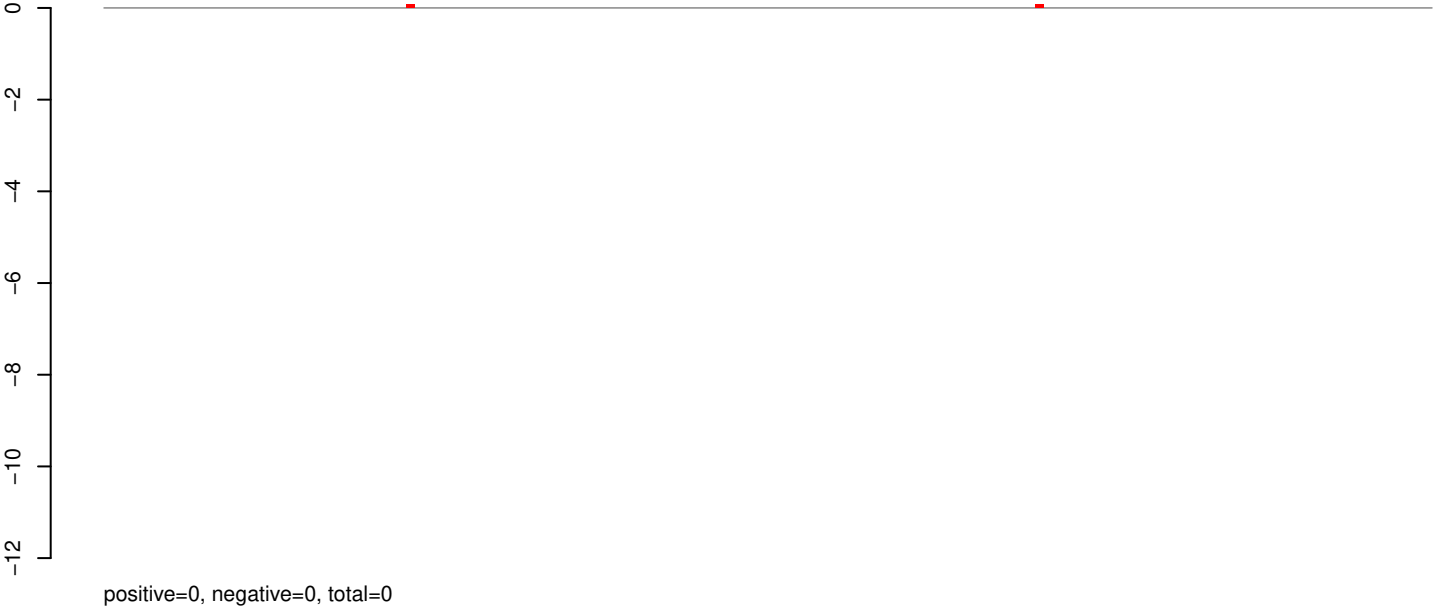
AeAeg_Aag2_Ago2_SINV_RA.rep



AeAeg_Aag2_Ago2_SINV_RA.18_23.rep



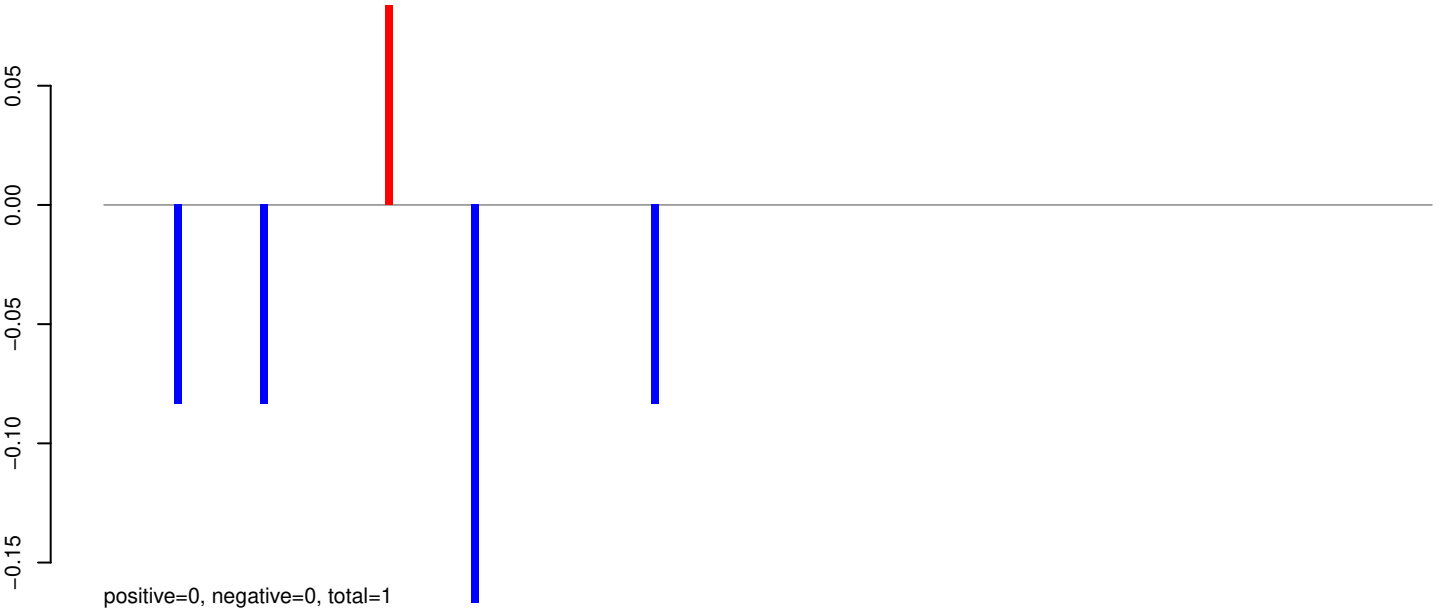
AeAeg_Aag2_Ago2_SINV_RA.24_35.rep



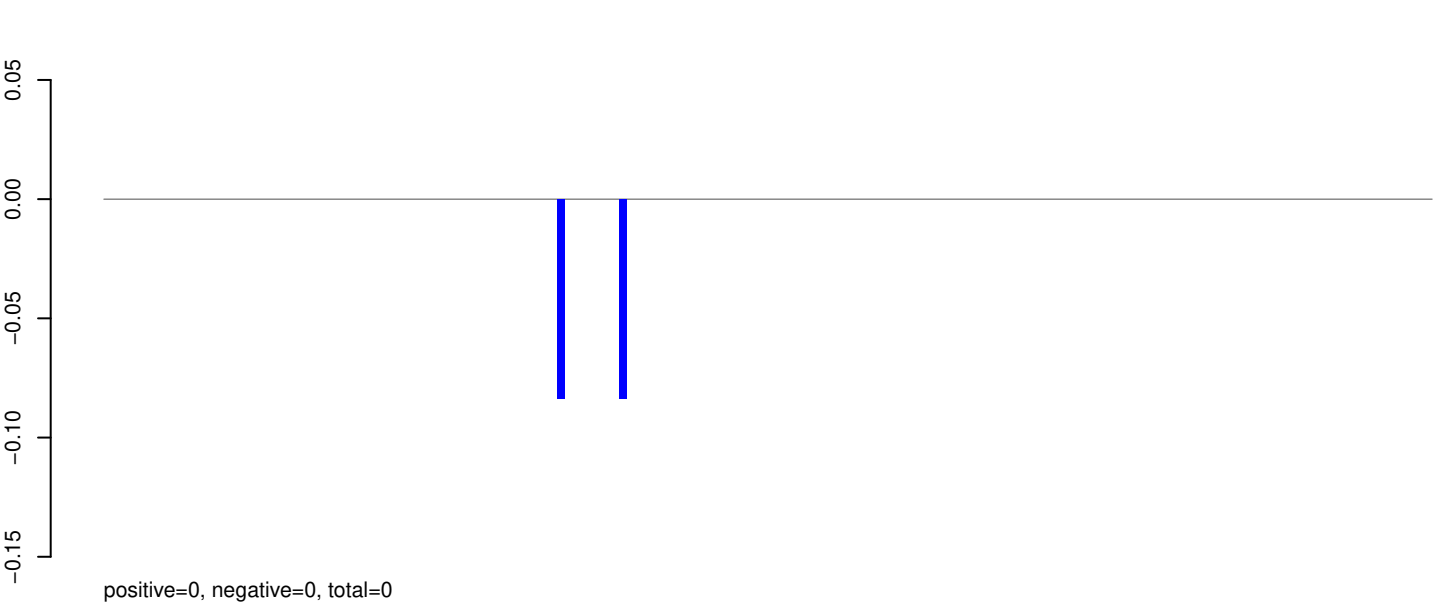
AeAeg_Aag2_Ago2_SINV_RA.rep



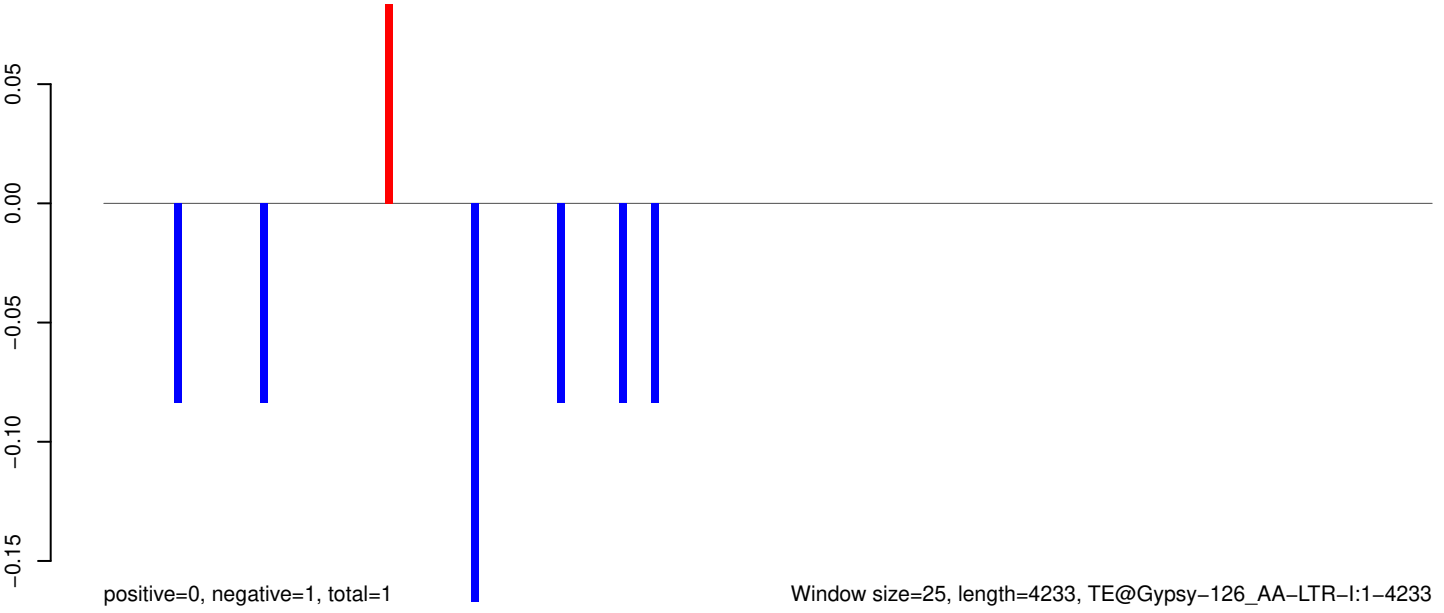
AeAeg_Aag2_Ago2_SINV_RA.18_23.rep



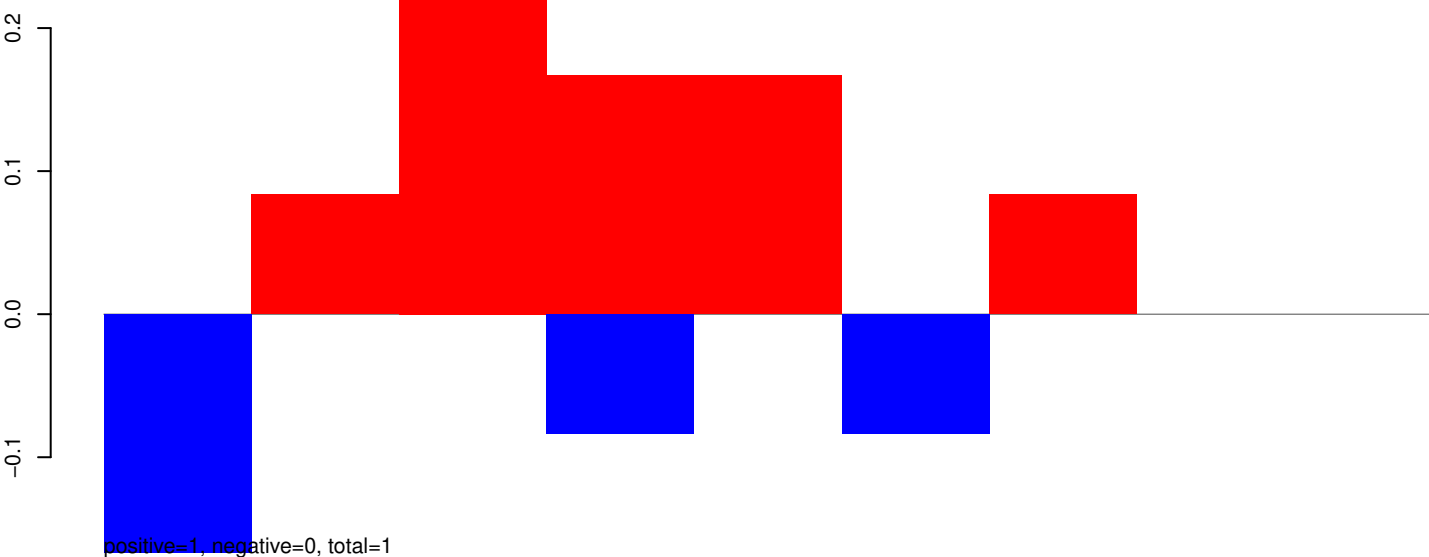
AeAeg_Aag2_Ago2_SINV_RA.24_35.rep



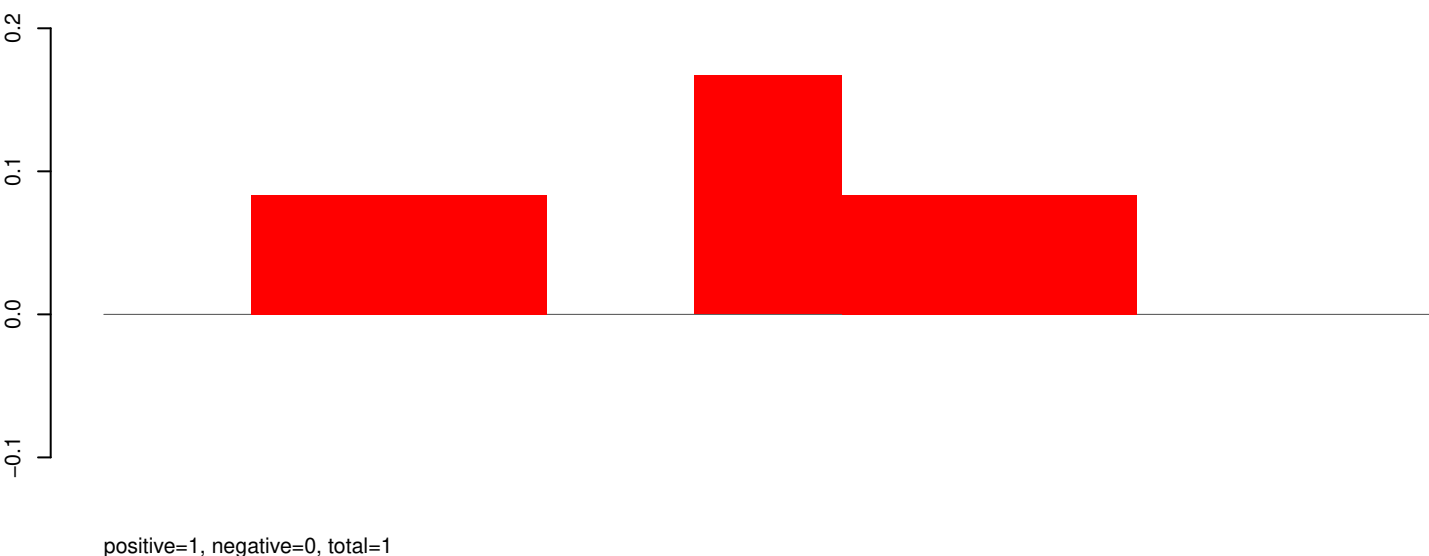
AeAeg_Aag2_Ago2_SINV_RA.rep



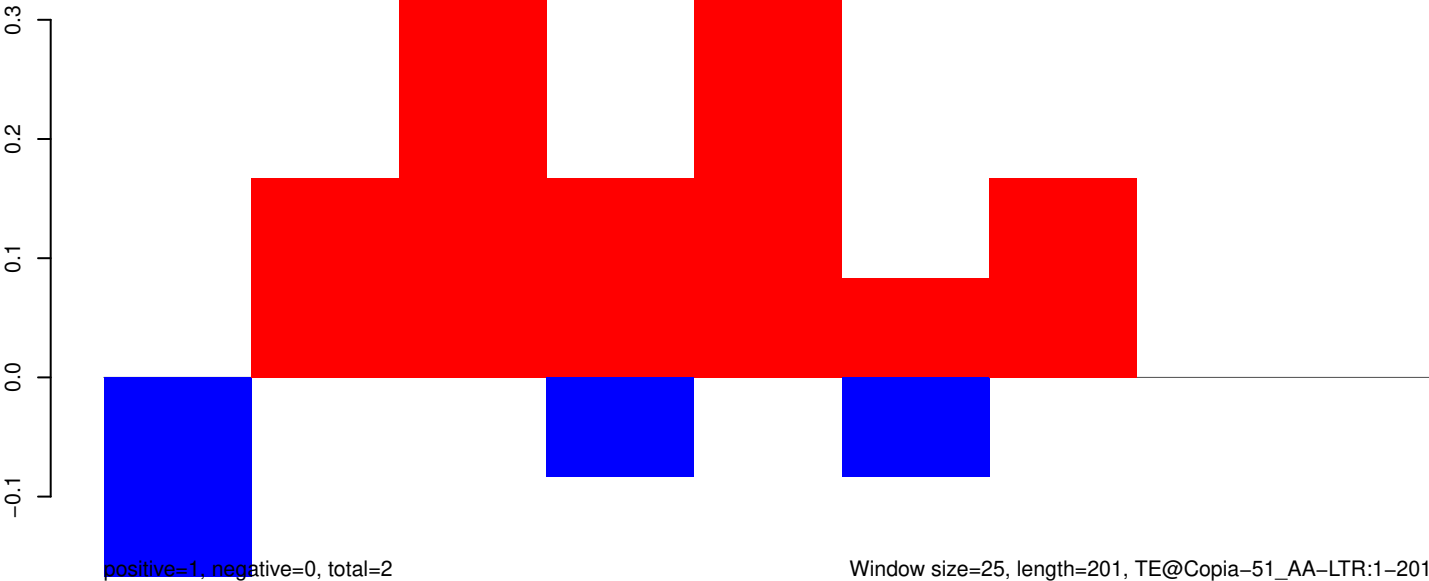
AeAeg_Aag2_Ago2_SINV_RA.18_23.rep



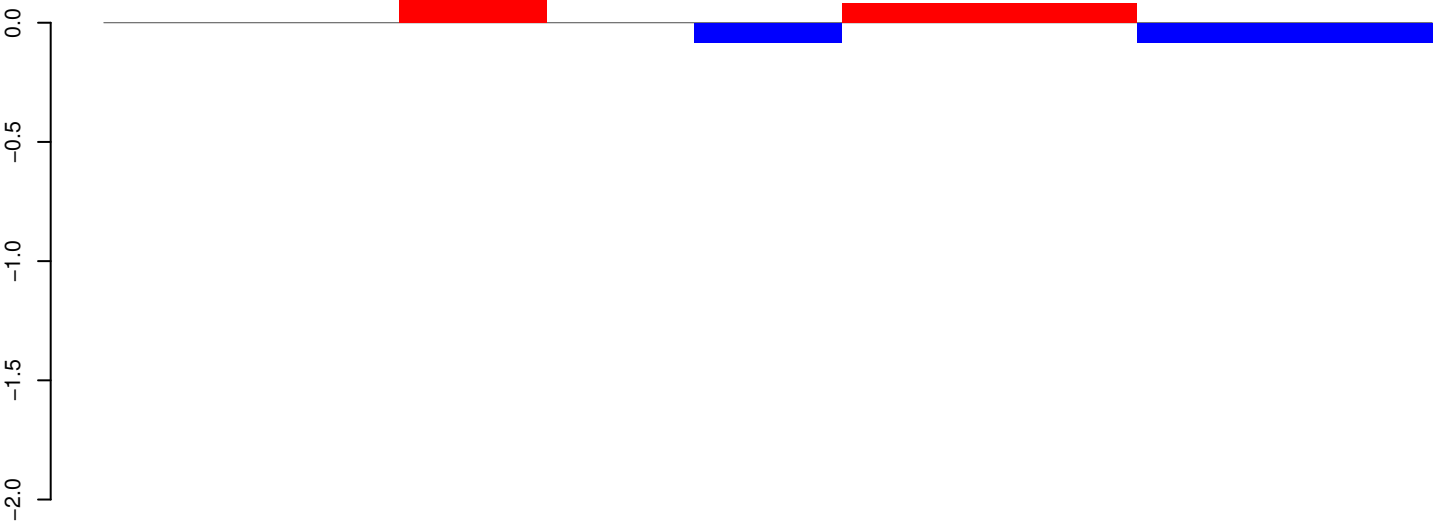
AeAeg_Aag2_Ago2_SINV_RA.24_35.rep



AeAeg_Aag2_Ago2_SINV_RA.rep

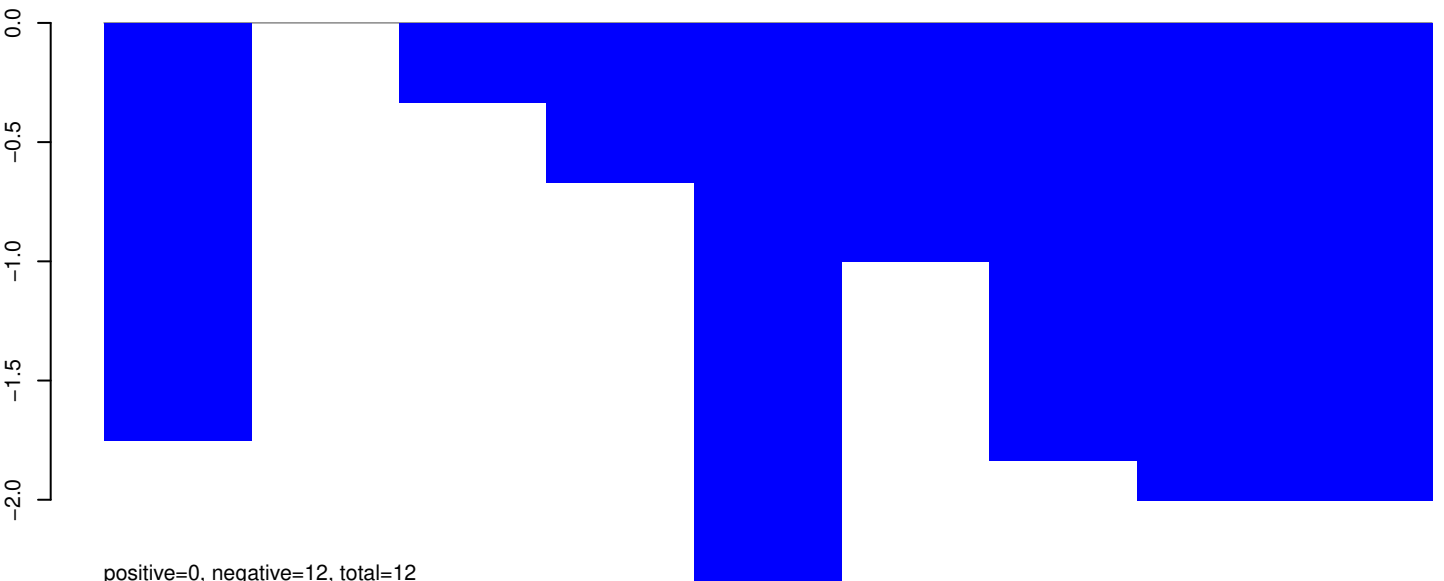


AeAeg_Aag2_Ago2_SINV_RA.18_23.rep



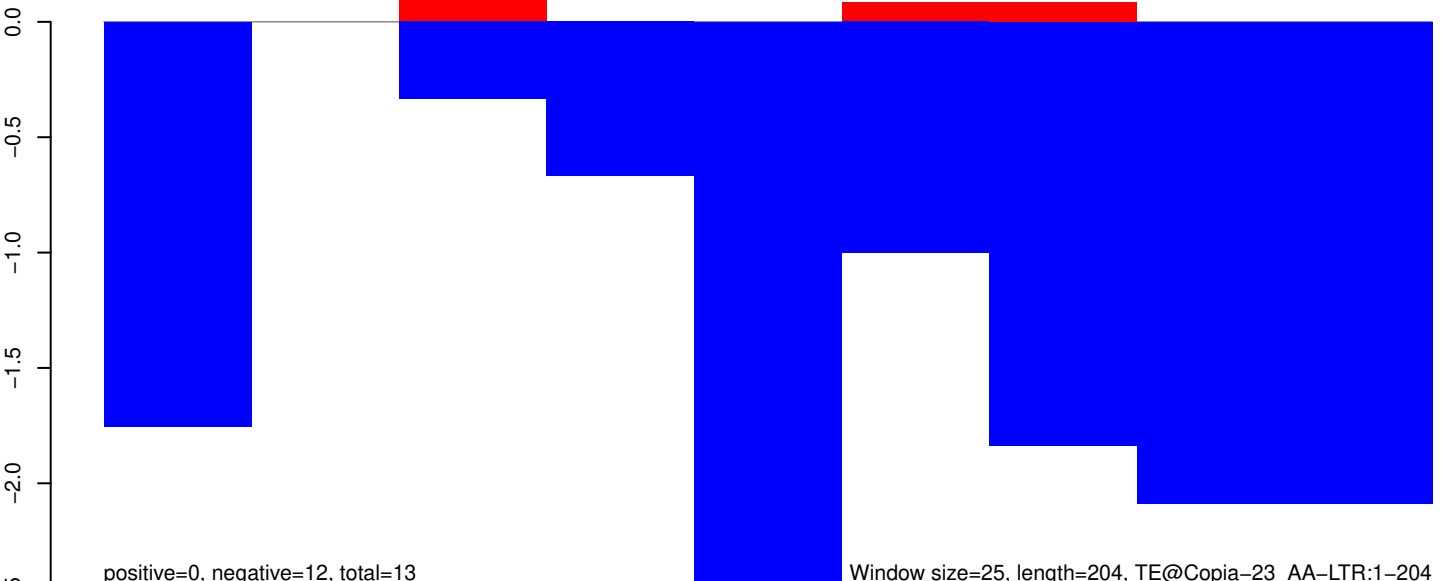
positive=0, negative=0, total=1

AeAeg_Aag2_Ago2_SINV_RA.24_35.rep



positive=0, negative=12, total=12

AeAeg_Aag2_Ago2_SINV_RA.rep



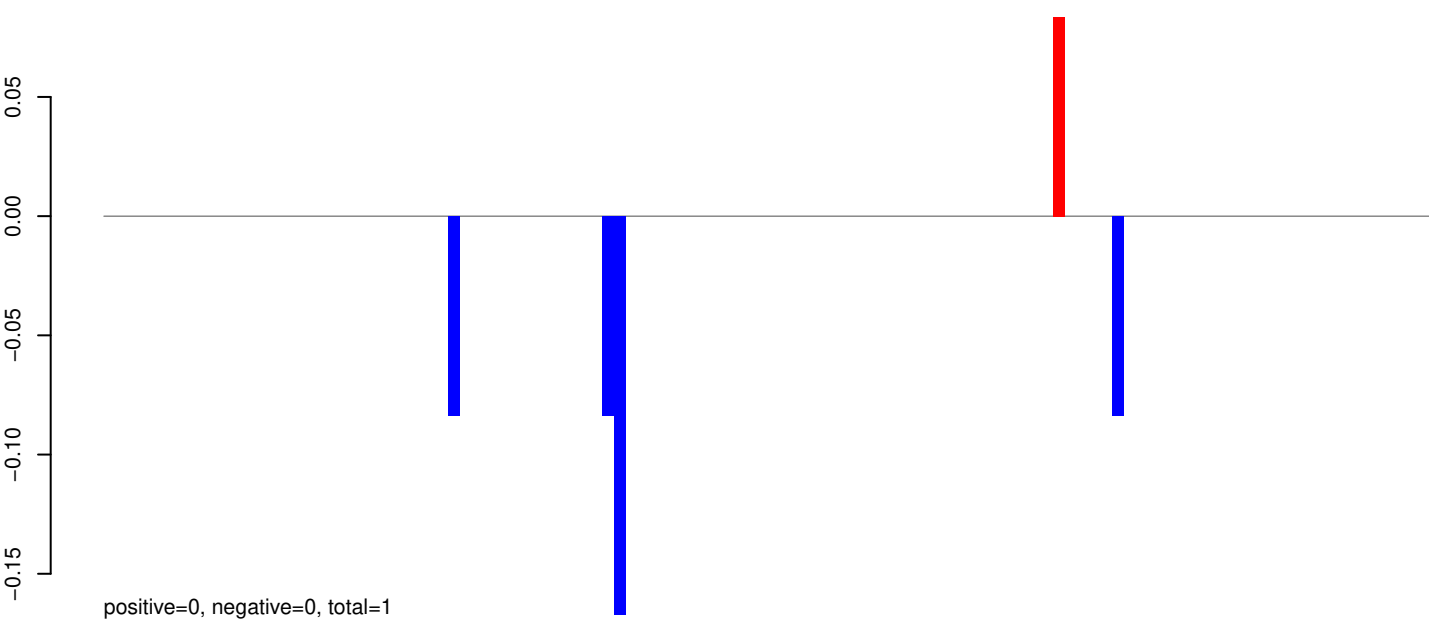
positive=0, negative=12, total=13

Window size=25, length=204, TE@Copia-23_AA-LTR:1-204

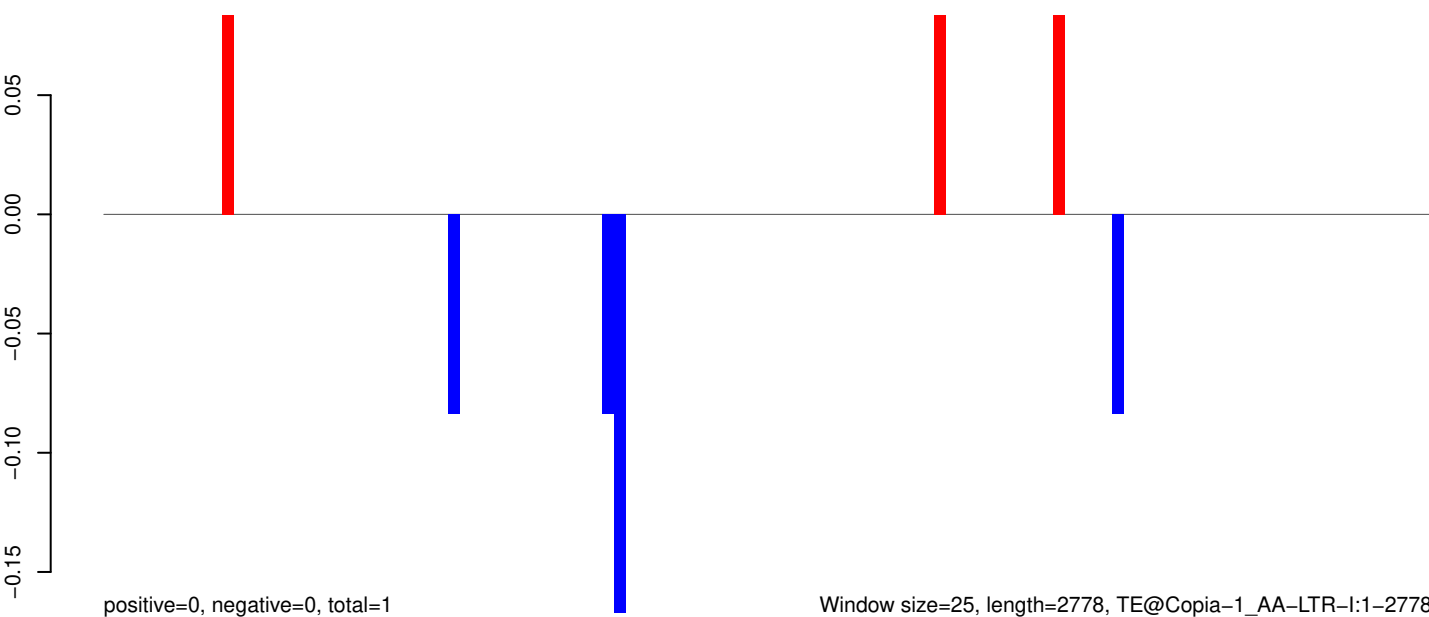
AeAeg_Aag2_Ago2_SINV_RA.18_23.rep



AeAeg_Aag2_Ago2_SINV_RA.24_35.rep



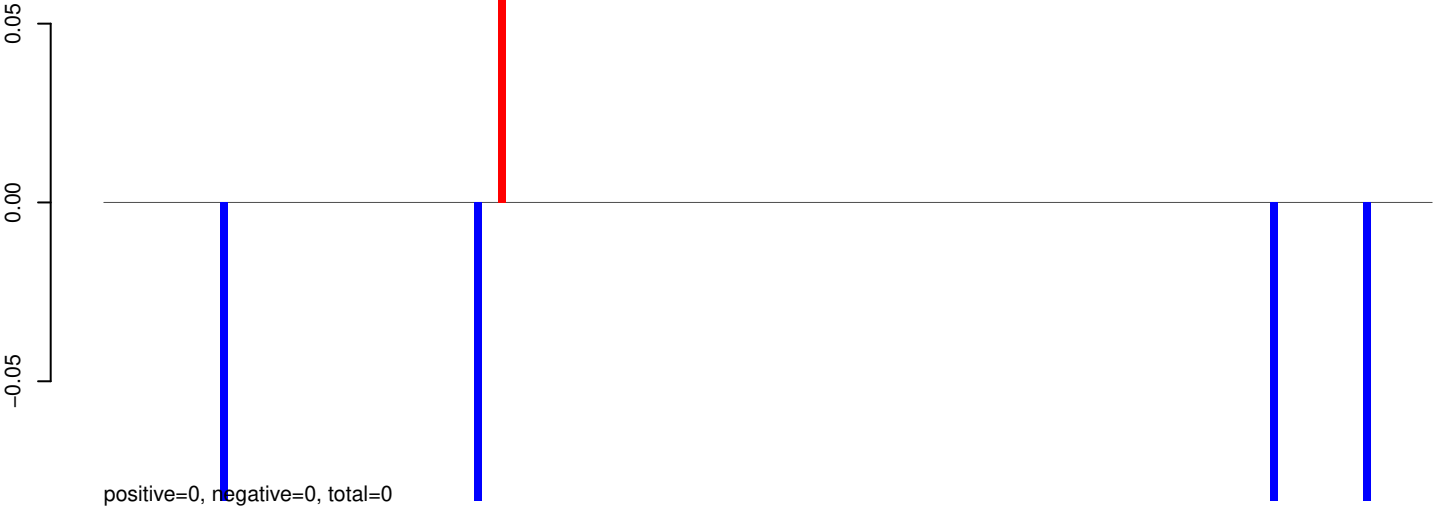
AeAeg_Aag2_Ago2_SINV_RA.rep



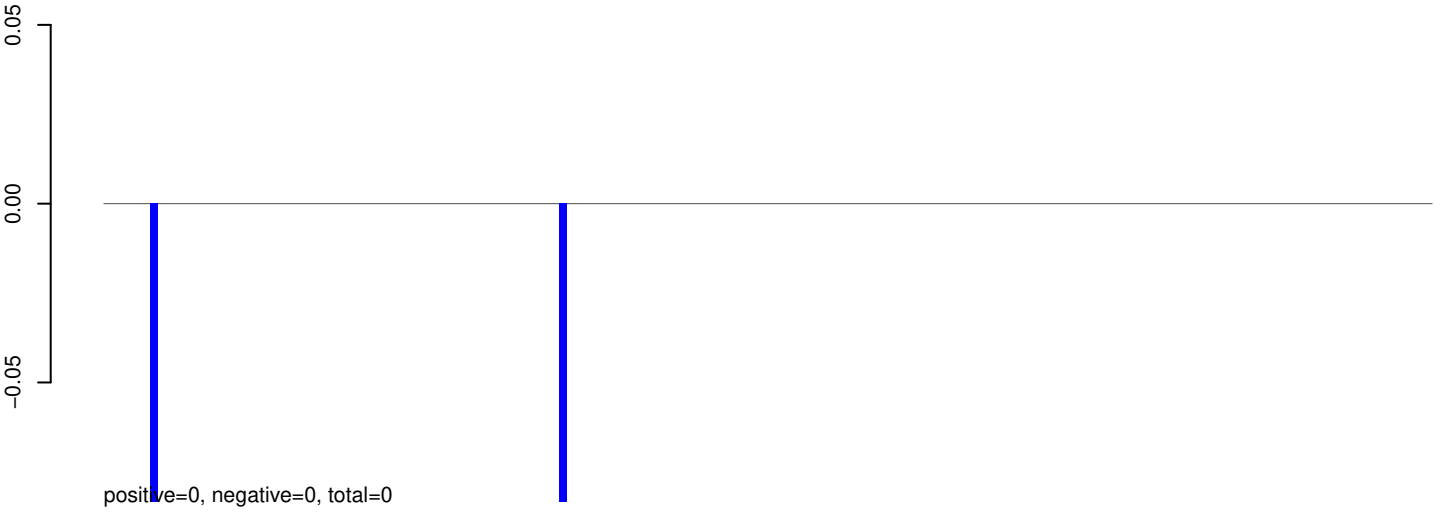
Window size=25, length=2778, TE@Copia-1_AA-LTR-I:1-2778

0 500 1000 1500 2000 2500

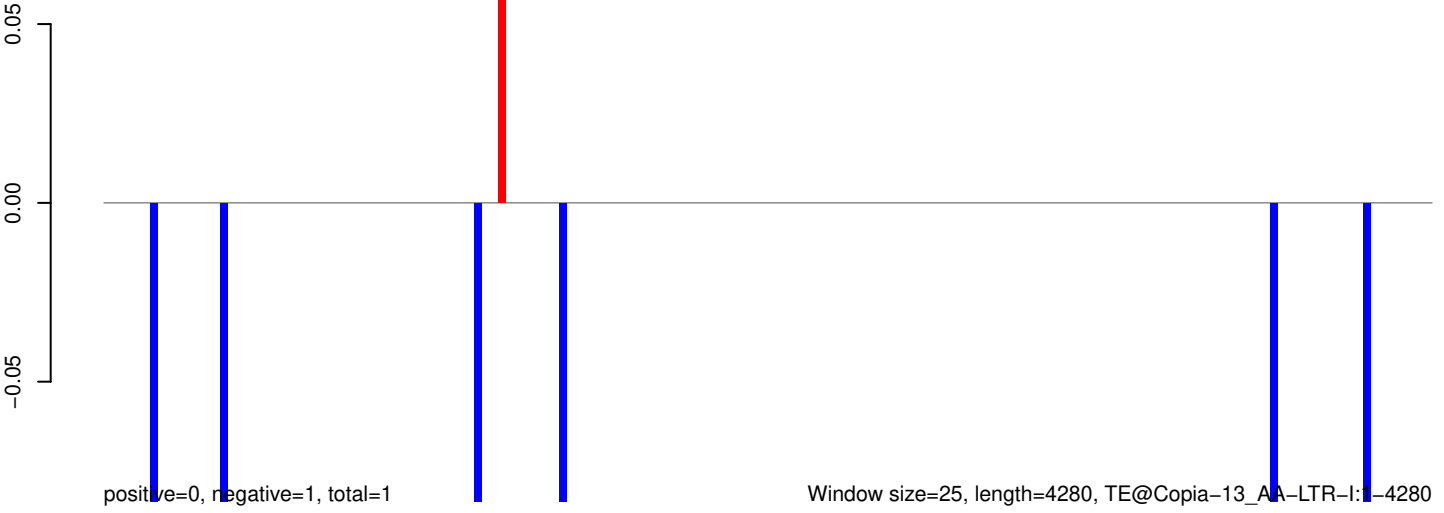
AeAeg_Aag2_Ago2_SINV_RA.18_23.rep



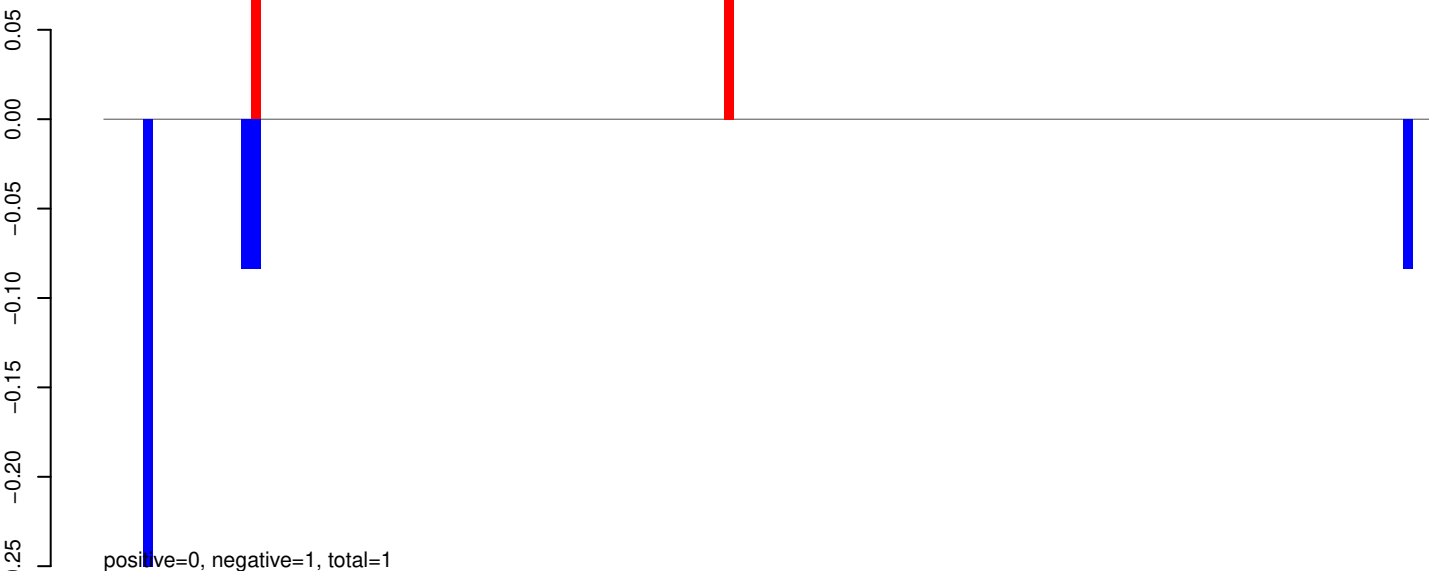
AeAeg_Aag2_Ago2_SINV_RA.24_35.rep



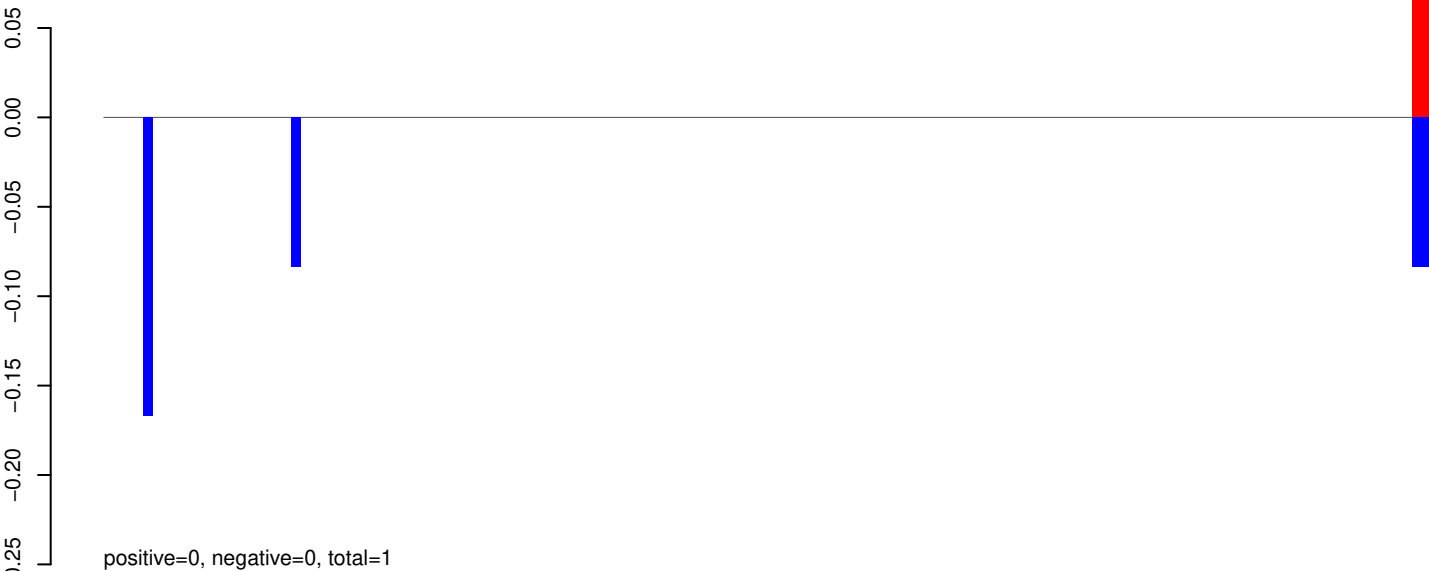
AeAeg_Aag2_Ago2_SINV_RA.rep



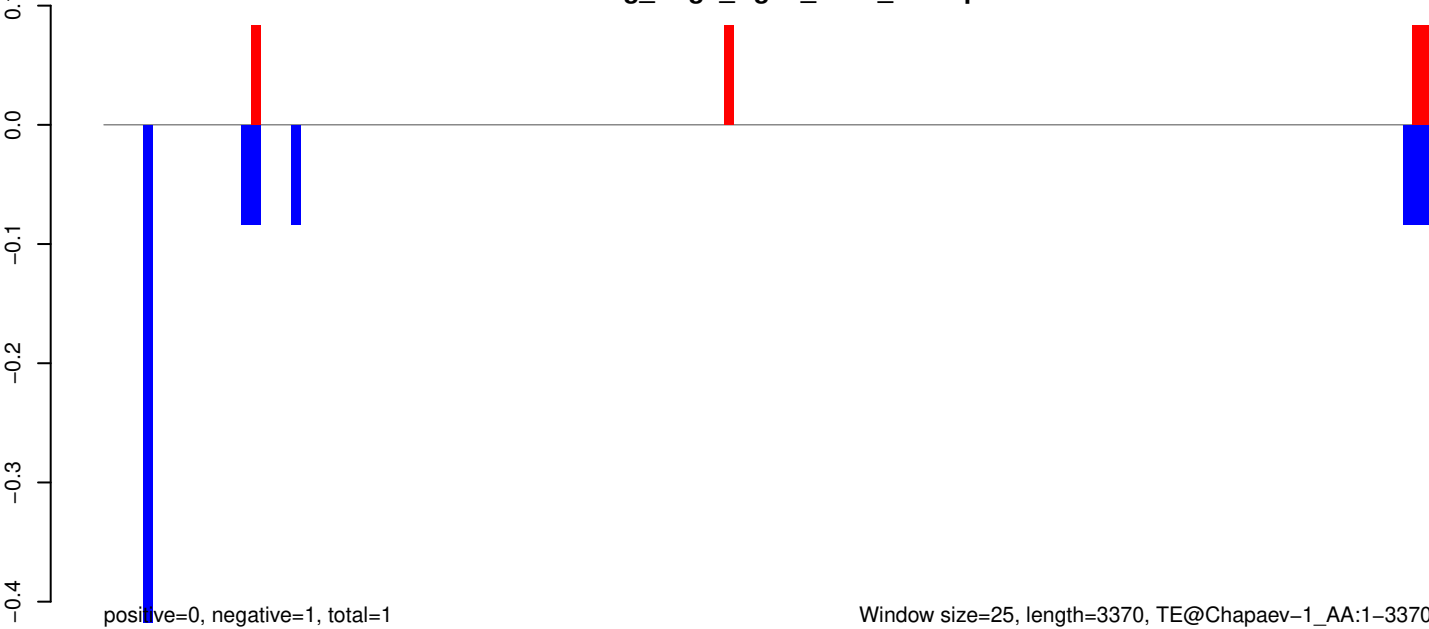
AeAeg_Aag2_Ago2_SINV_RA.18_23.rep



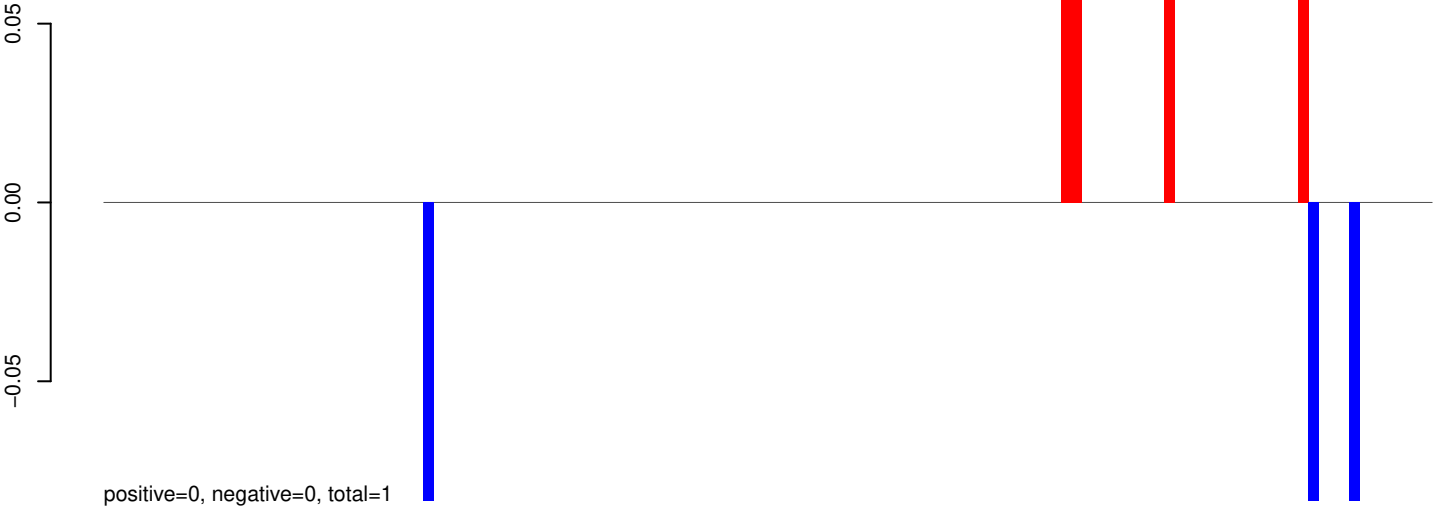
AeAeg_Aag2_Ago2_SINV_RA.24_35.rep



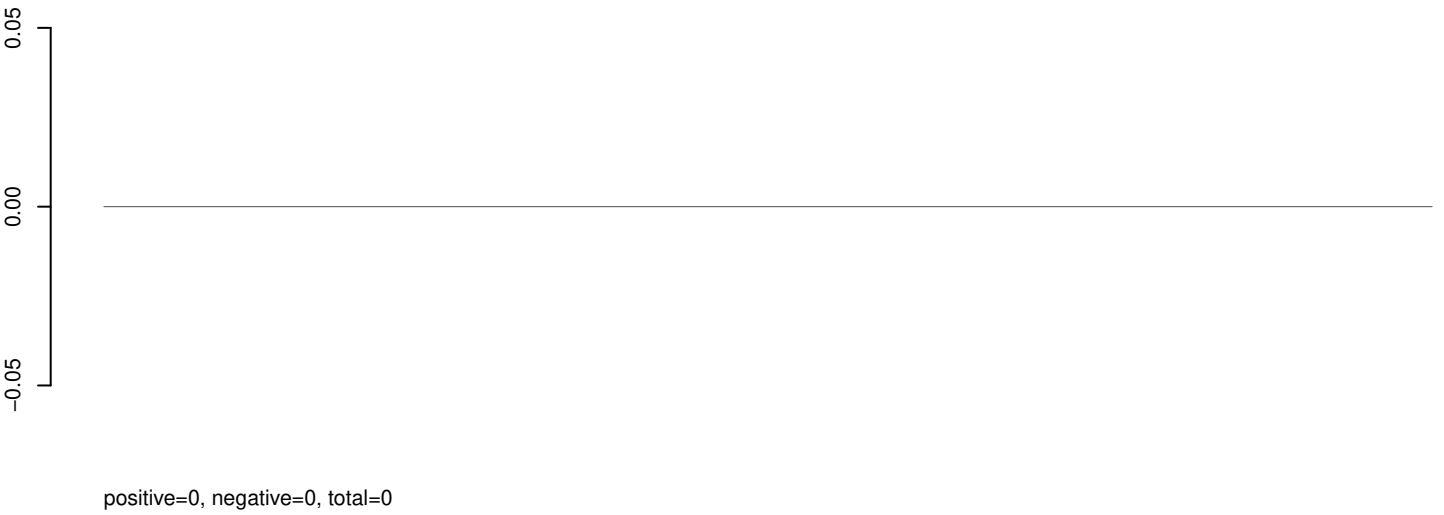
AeAeg_Aag2_Ago2_SINV_RA.rep



AeAeg_Aag2_Ago2_SINV_RA.18_23.rep



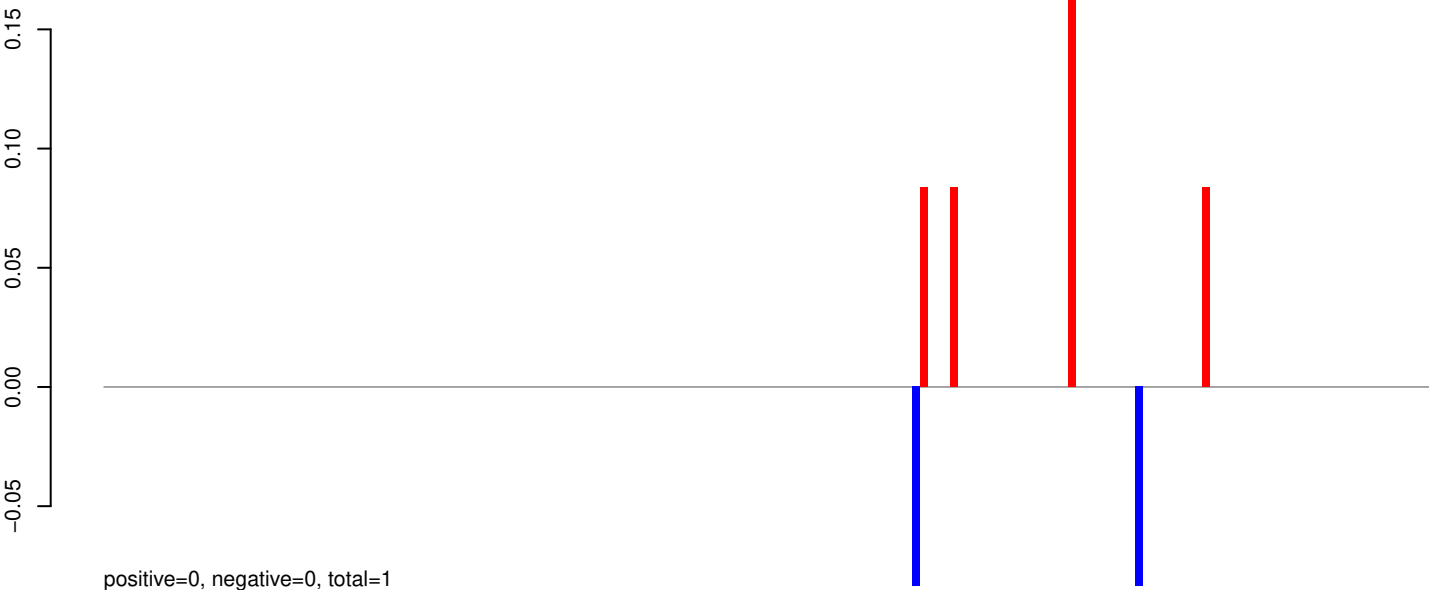
AeAeg_Aag2_Ago2_SINV_RA.24_35.rep



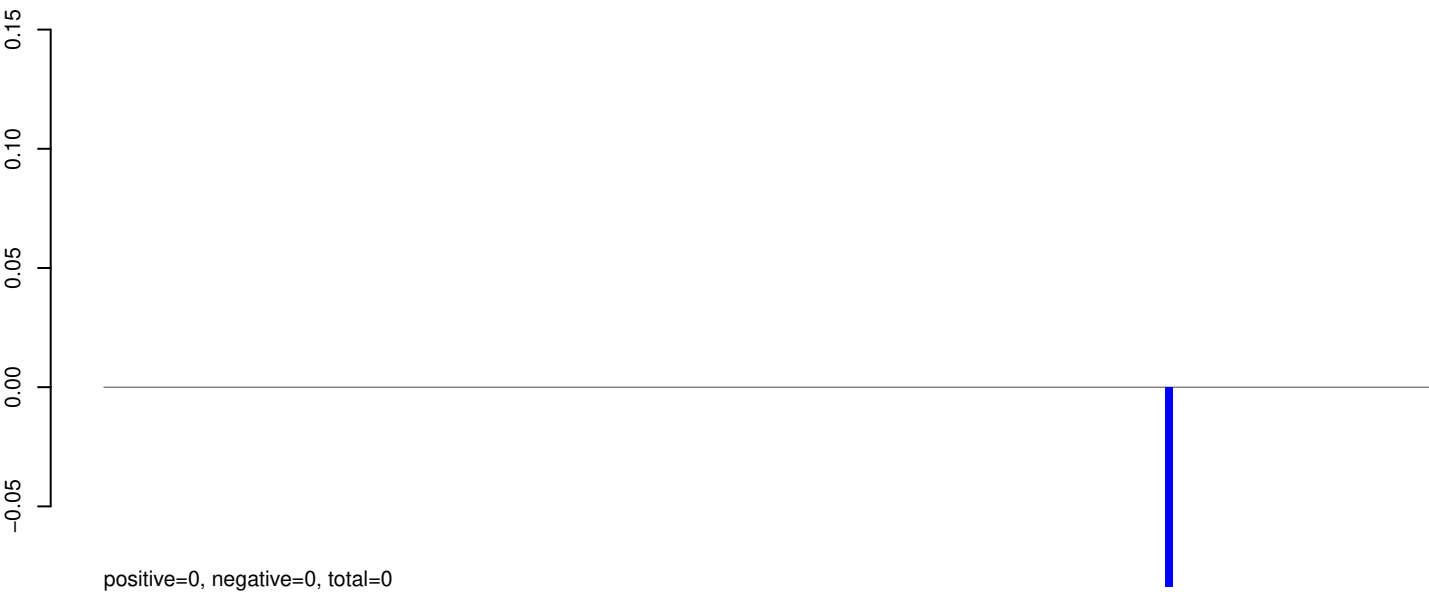
AeAeg_Aag2_Ago2_SINV_RA.rep



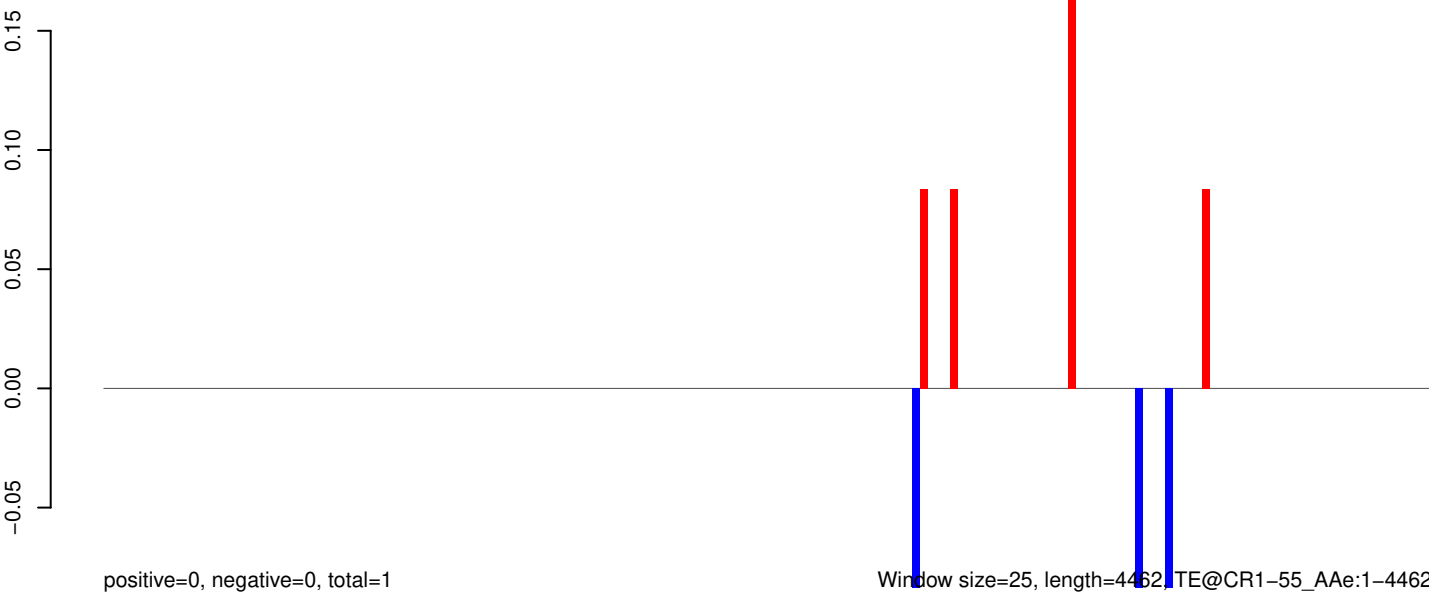
AeAeg_Aag2_Ago2_SINV_RA.18_23.rep



AeAeg_Aag2_Ago2_SINV_RA.24_35.rep



AeAeg_Aag2_Ago2_SINV_RA.rep

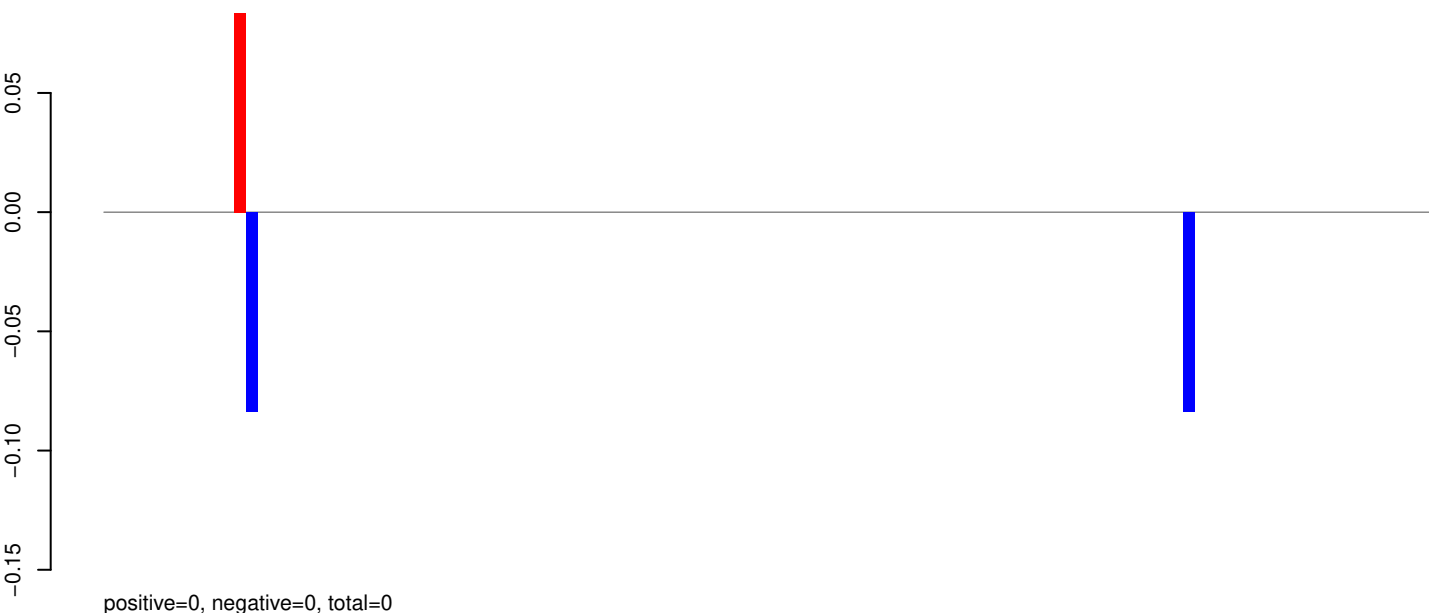


Window size=25, length=4462, TE@CR1-55_AAe:1-4462

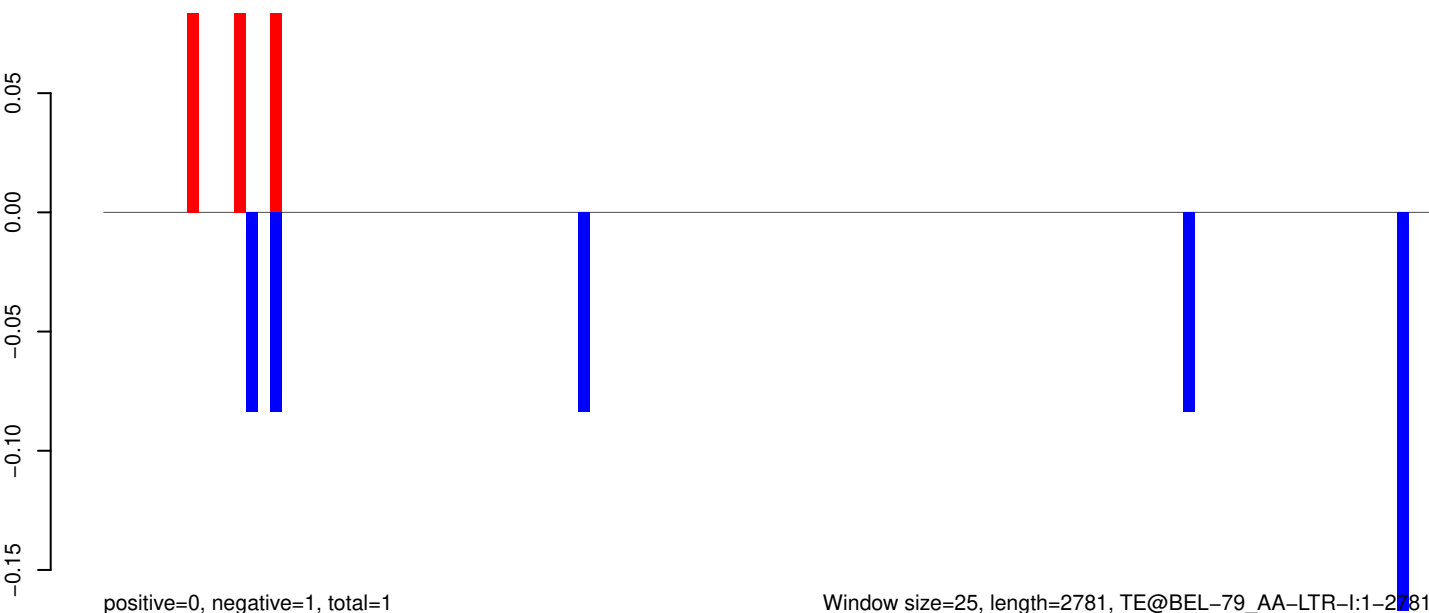
AeAeg_Aag2_Ago2_SINV_RA.18_23.rep



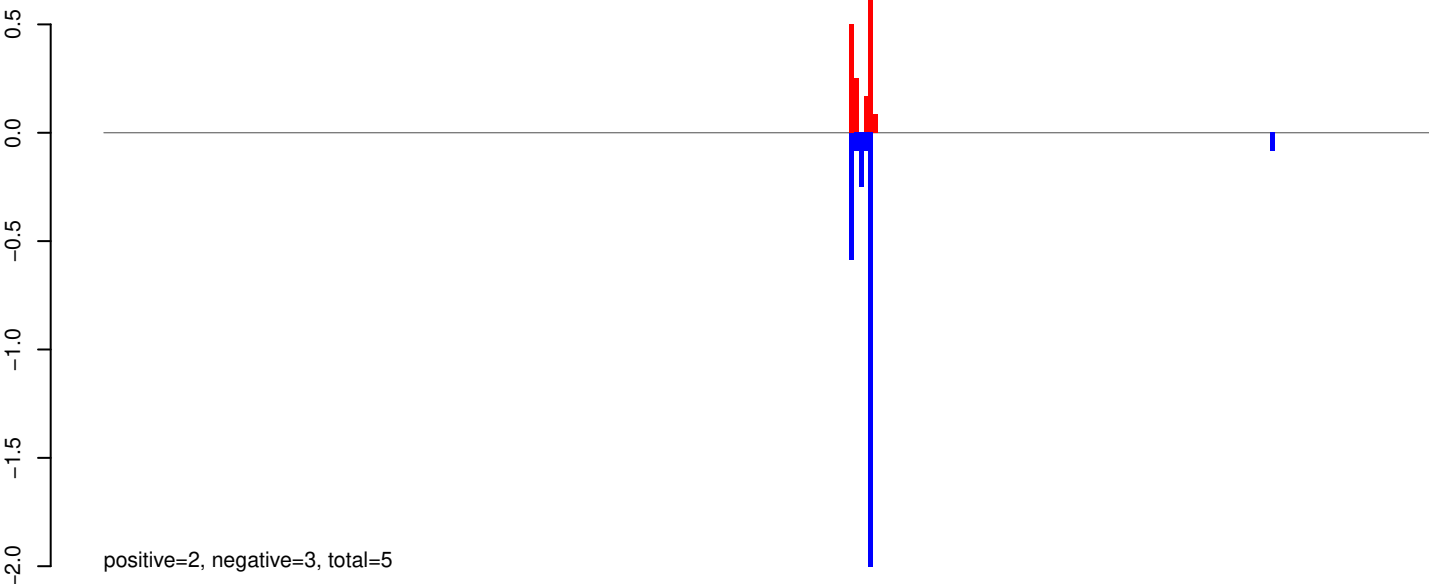
AeAeg_Aag2_Ago2_SINV_RA.24_35.rep



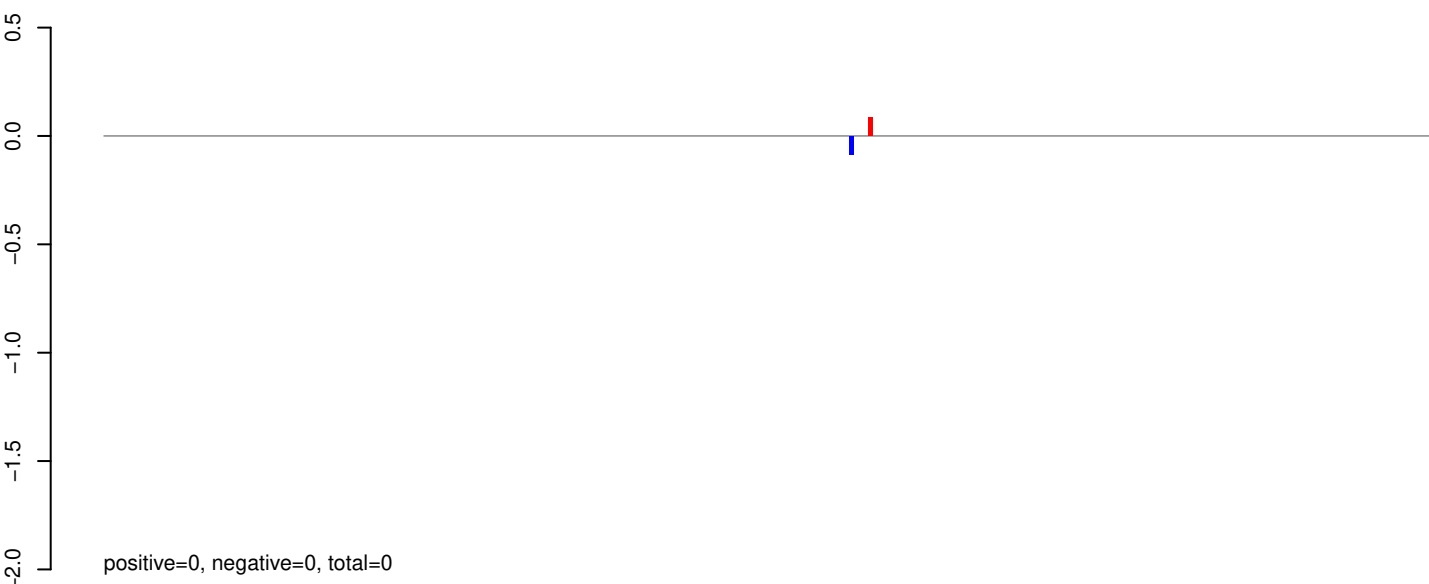
AeAeg_Aag2_Ago2_SINV_RA.rep



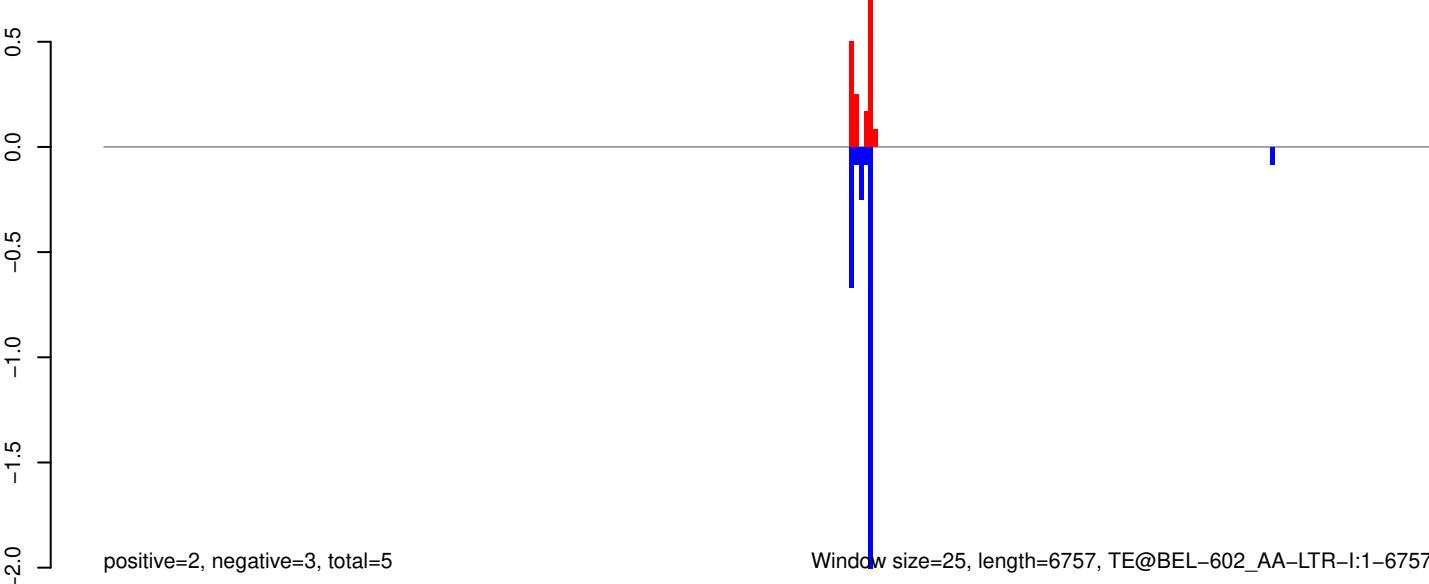
AeAeg_Aag2_Ago2_SINV_RA.18_23.rep



AeAeg_Aag2_Ago2_SINV_RA.24_35.rep



AeAeg_Aag2_Ago2_SINV_RA.rep

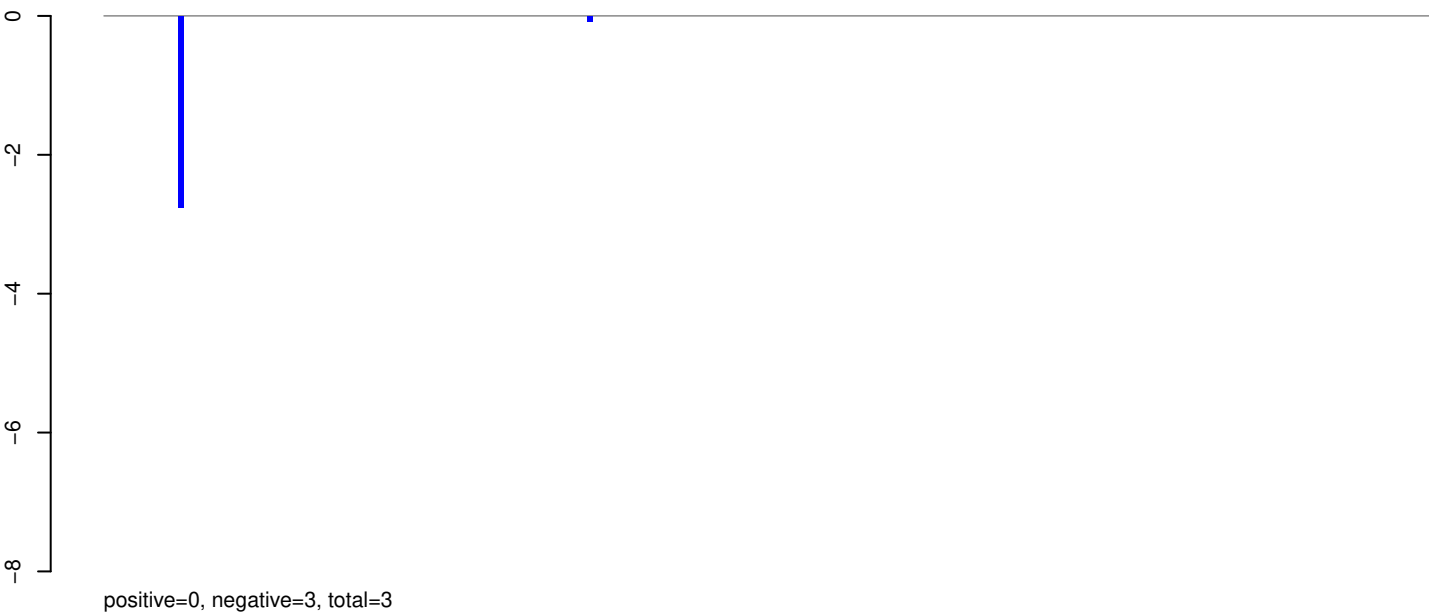


0 1000 2000 3000 4000 5000 6000 7000

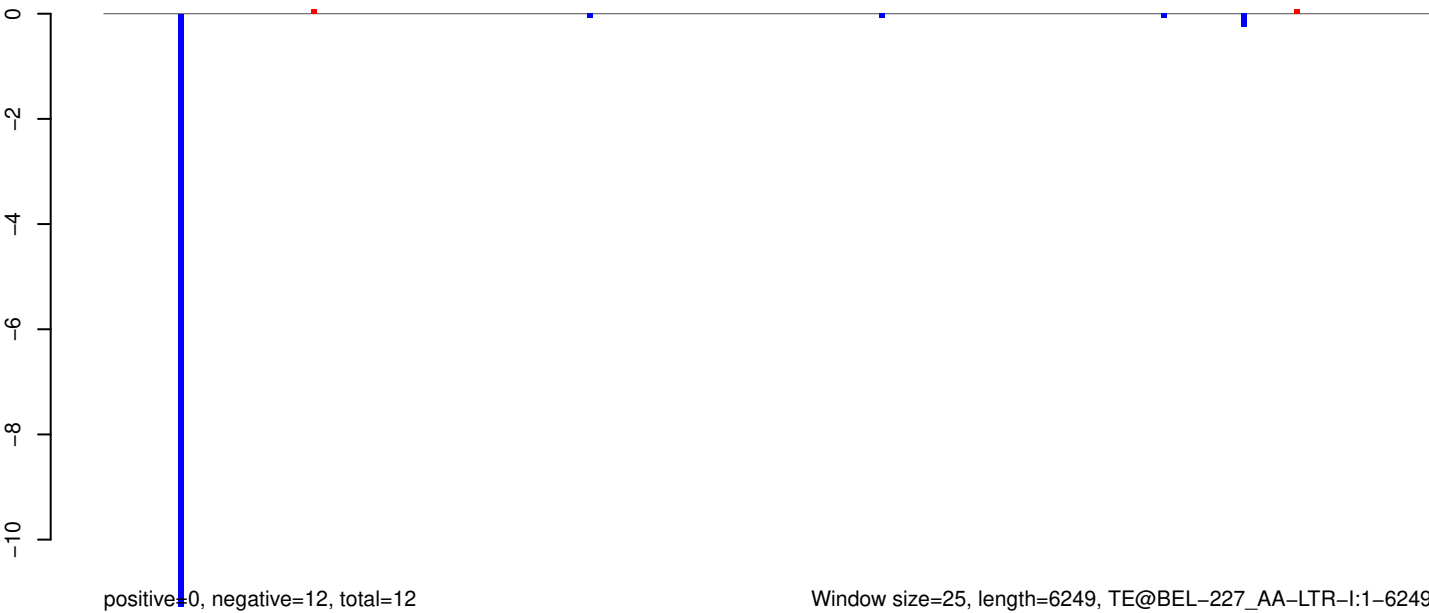
AeAeg_Aag2_Ago2_SINV_RA.18_23.rep



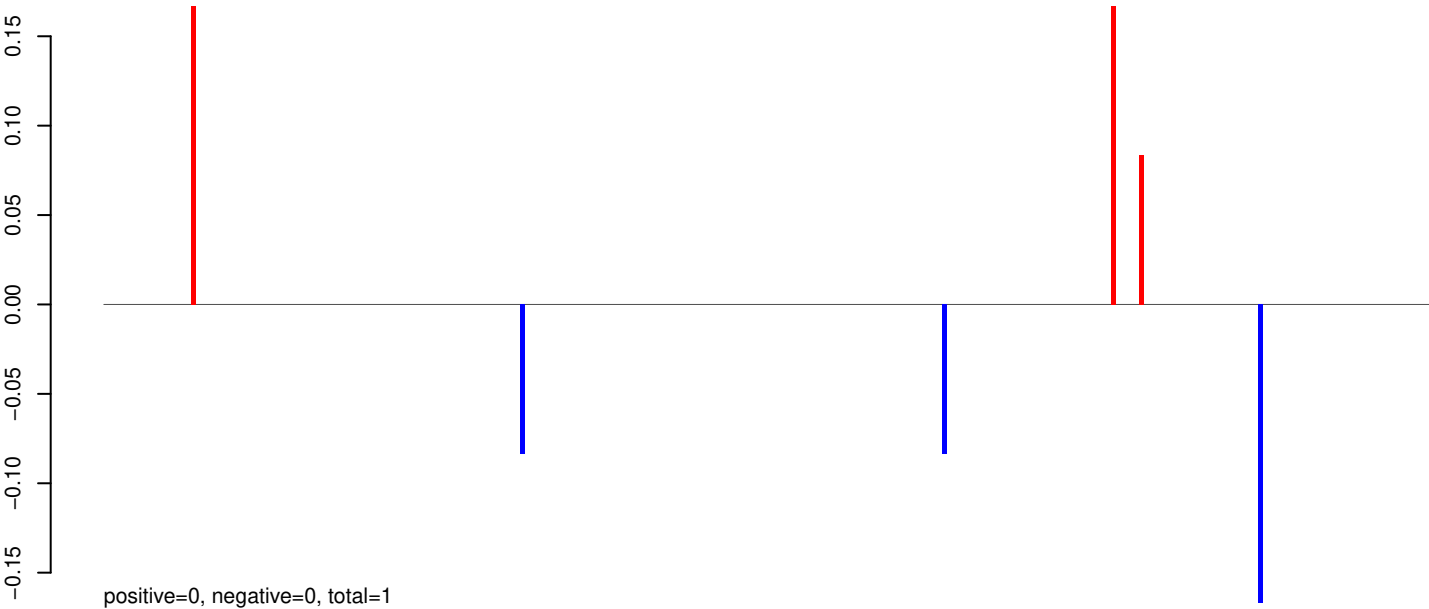
AeAeg_Aag2_Ago2_SINV_RA.24_35.rep



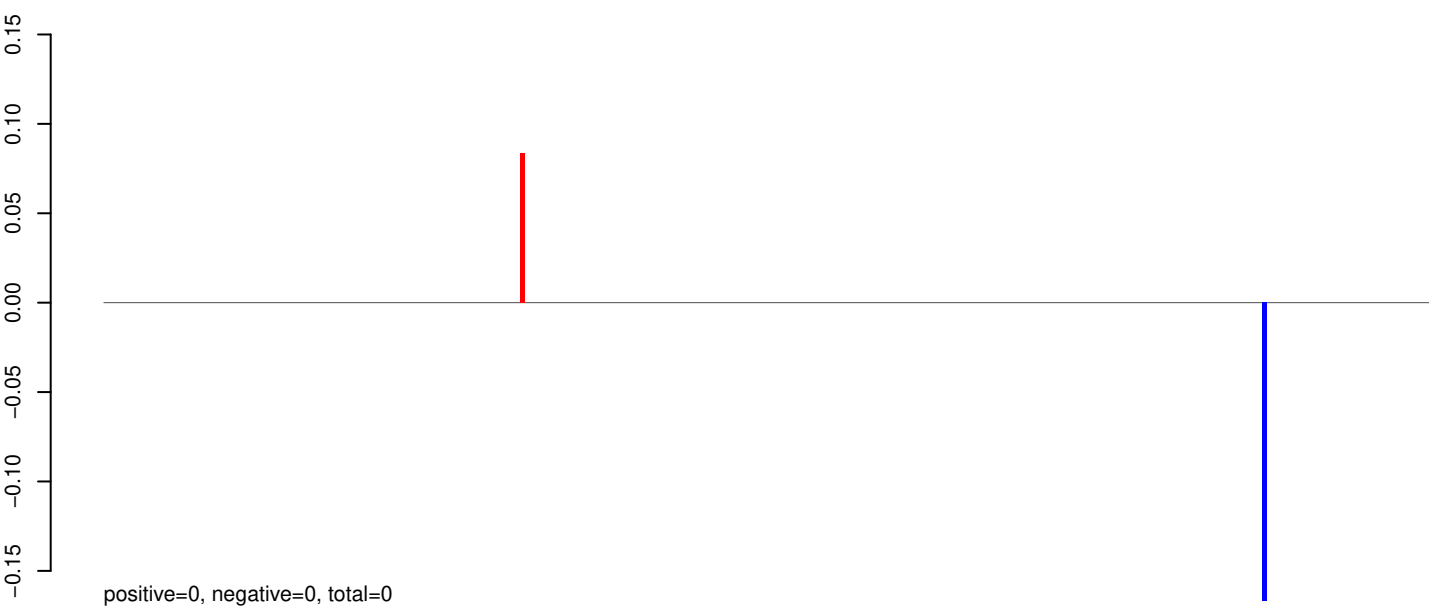
AeAeg_Aag2_Ago2_SINV_RA.rep



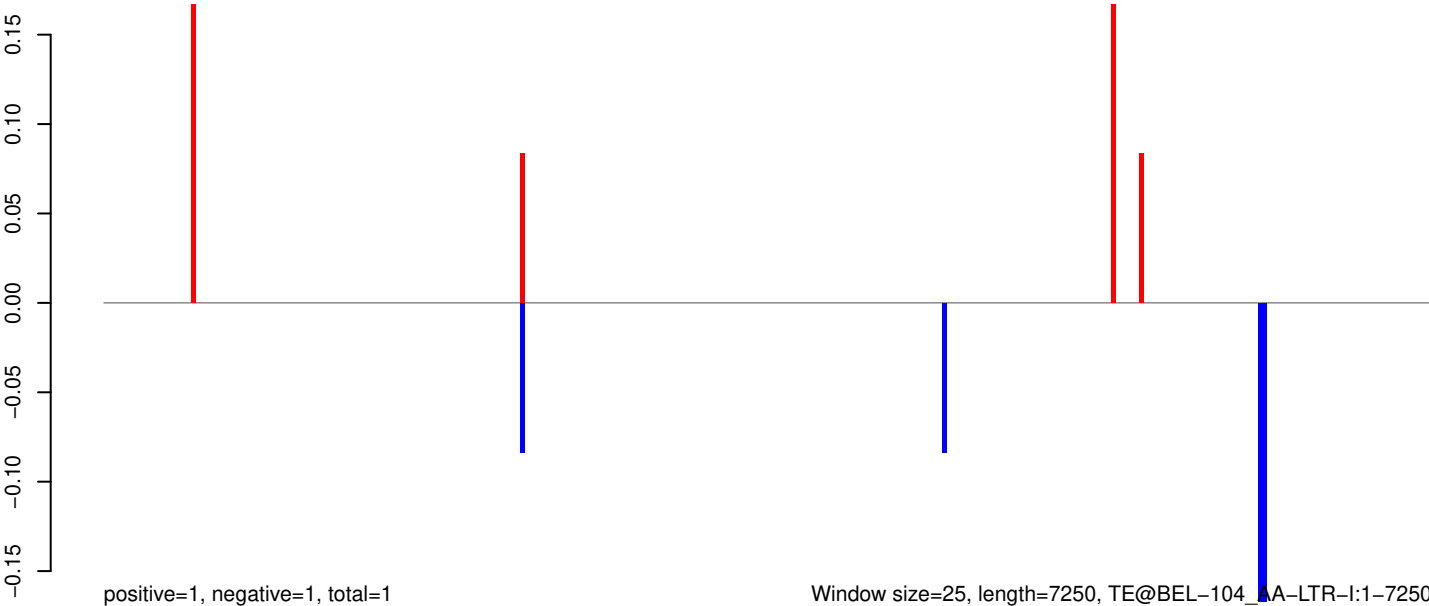
AeAeg_Aag2_Ago2_SINV_RA.18_23.rep



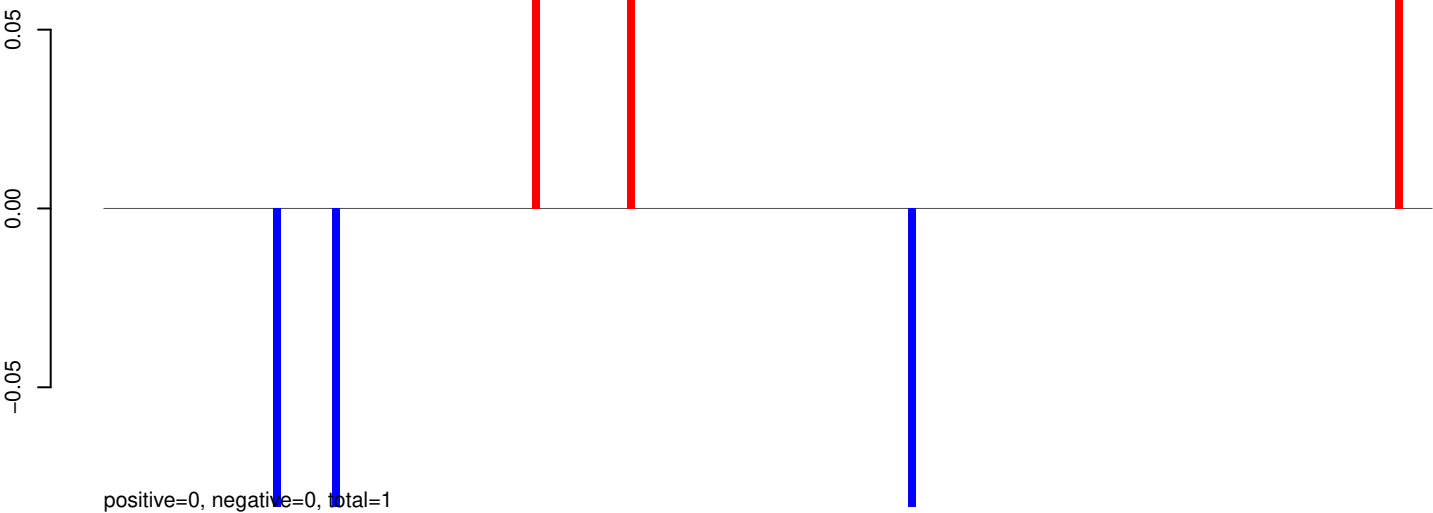
AeAeg_Aag2_Ago2_SINV_RA.24_35.rep



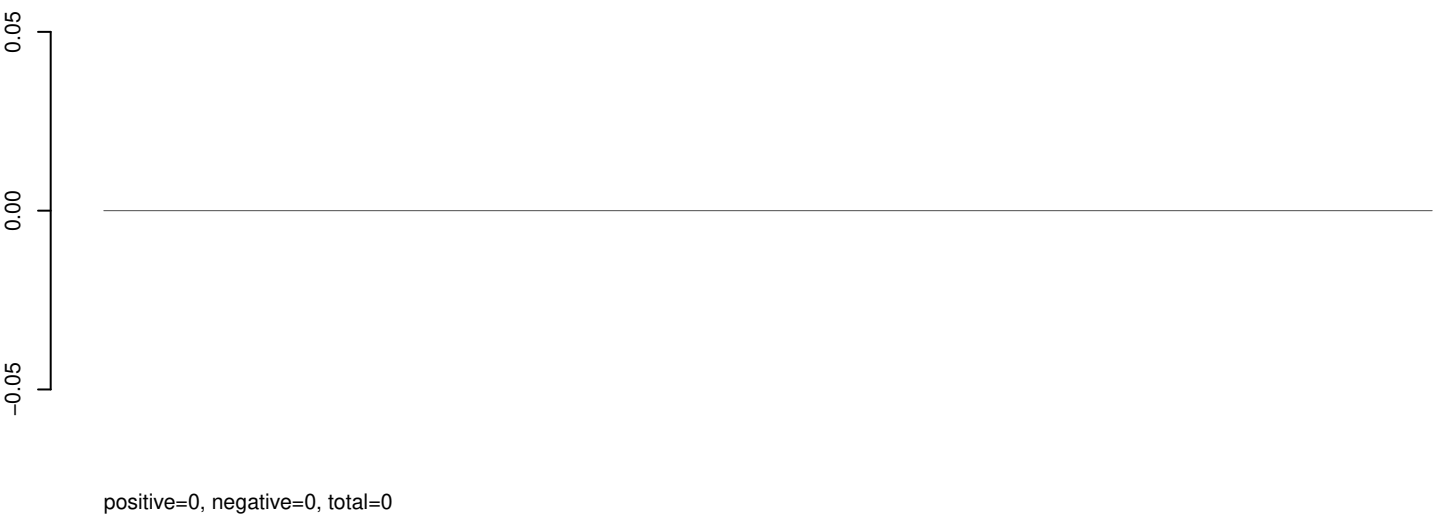
AeAeg_Aag2_Ago2_SINV_RA.rep



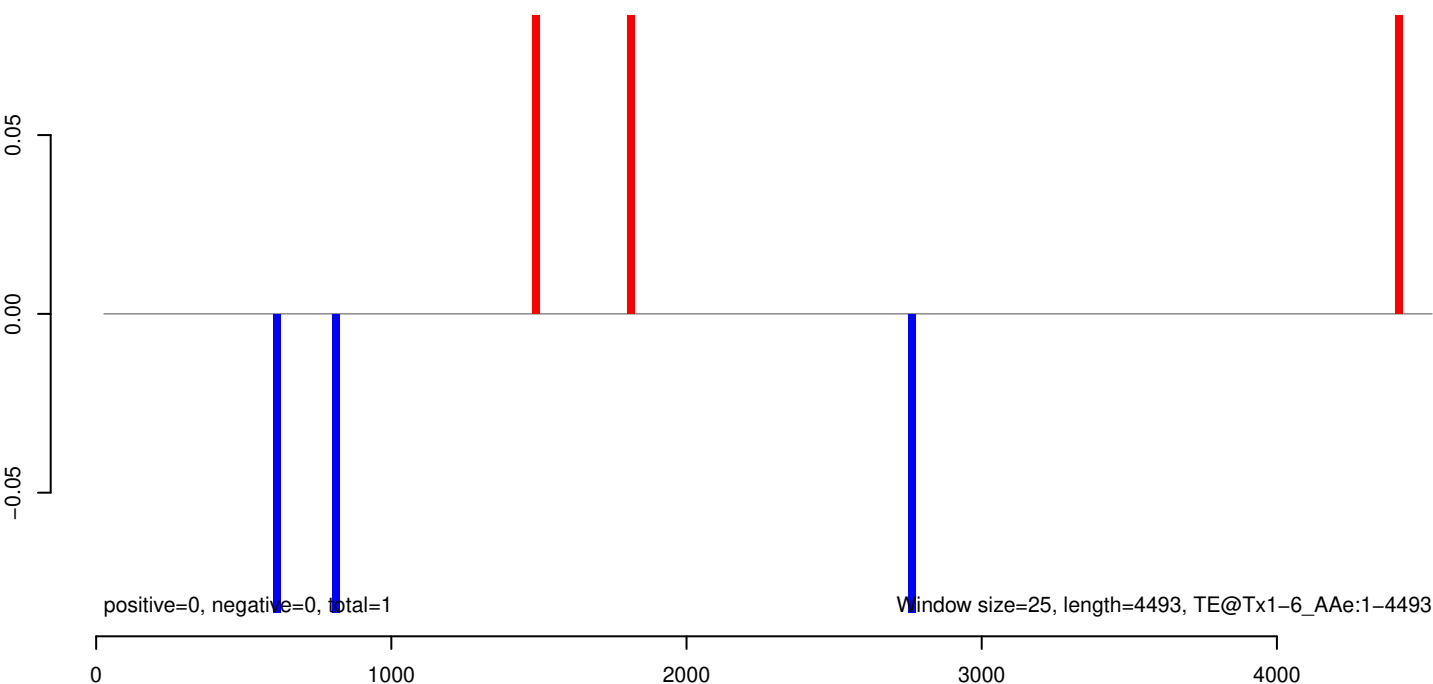
AeAeg_Aag2_Ago2_SINV_RA.18_23.rep



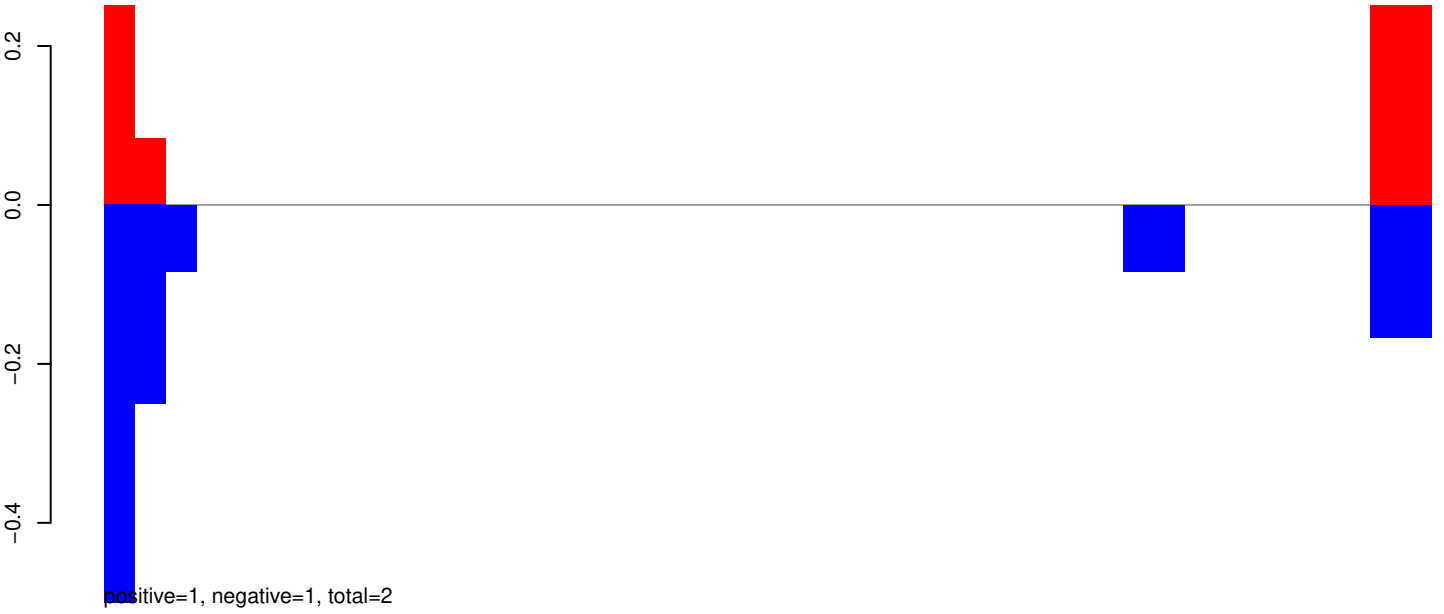
AeAeg_Aag2_Ago2_SINV_RA.24_35.rep



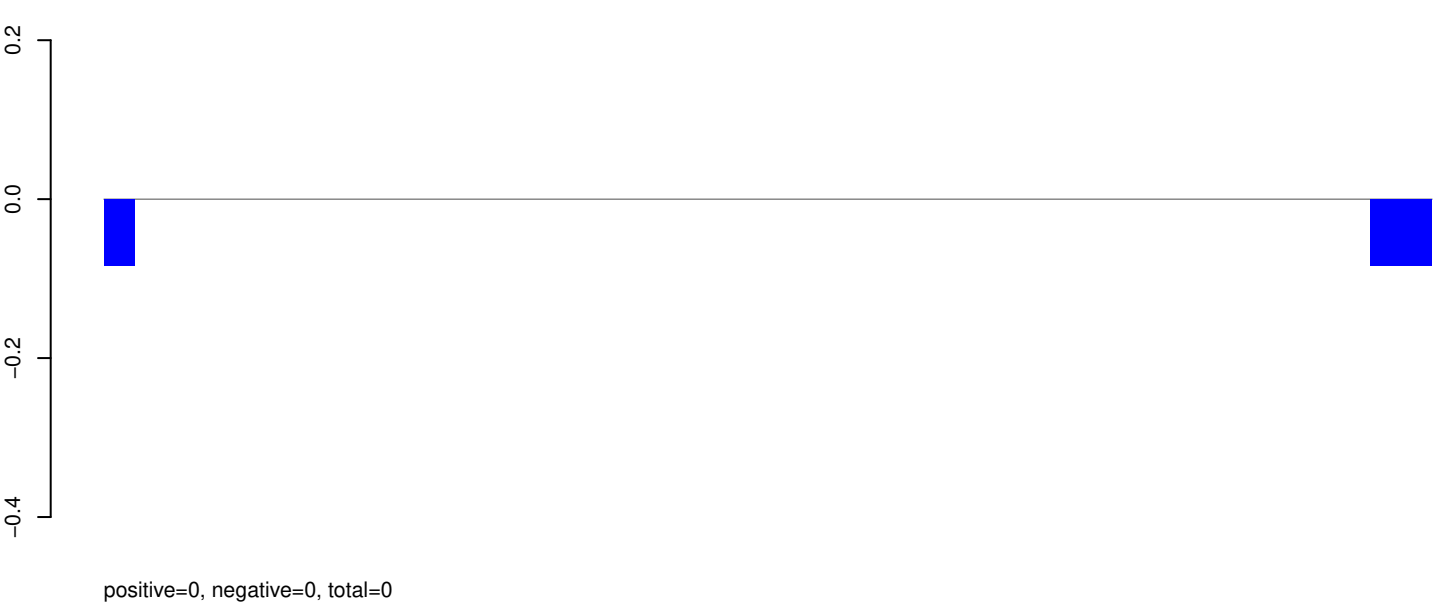
AeAeg_Aag2_Ago2_SINV_RA.rep



AeAeg_Aag2_Ago2_SINV_RA.18_23.rep



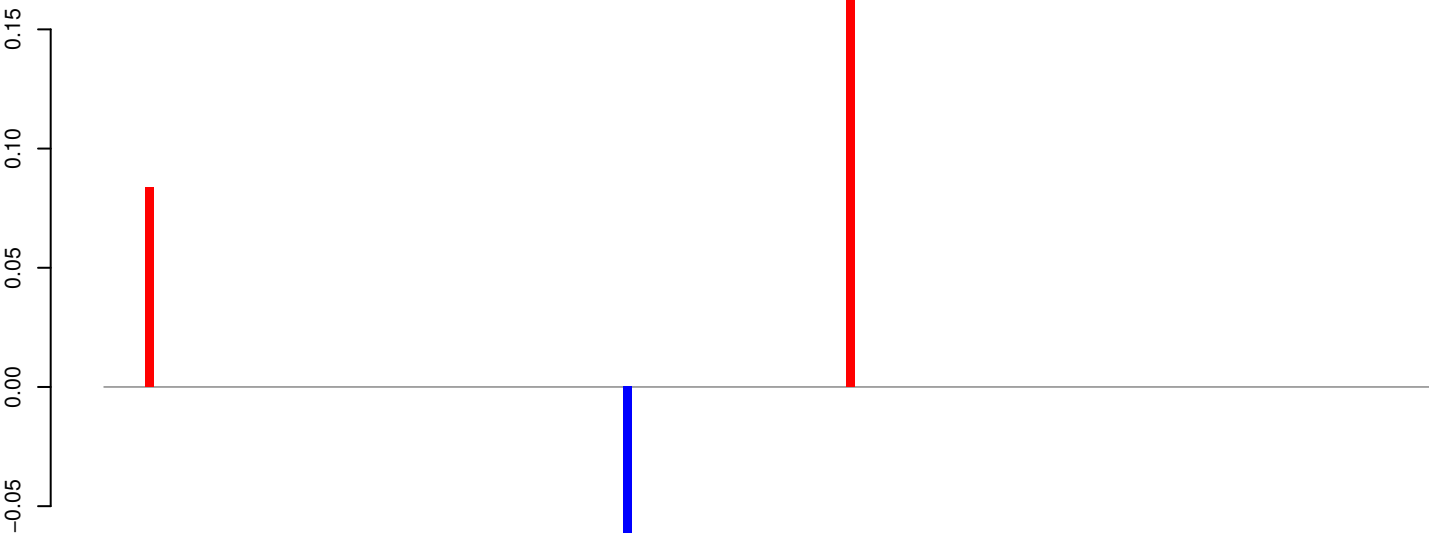
AeAeg_Aag2_Ago2_SINV_RA.24_35.rep



AeAeg_Aag2_Ago2_SINV_RA.rep

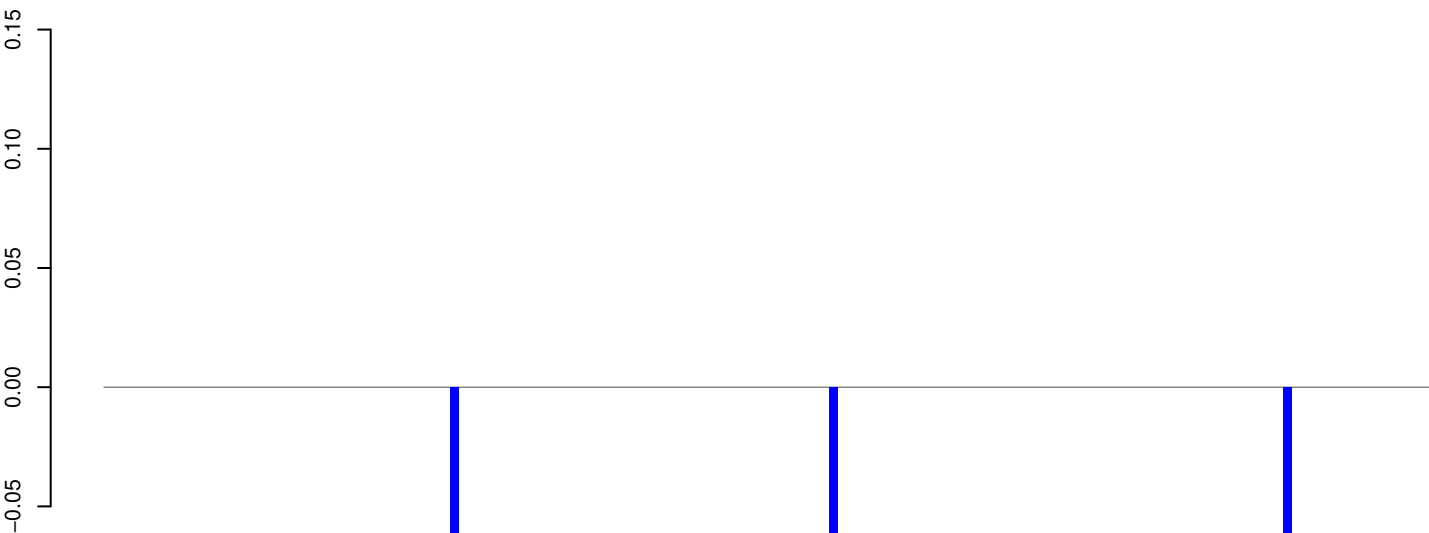


AeAeg_Aag2_Ago2_SINV_RA.18_23.rep



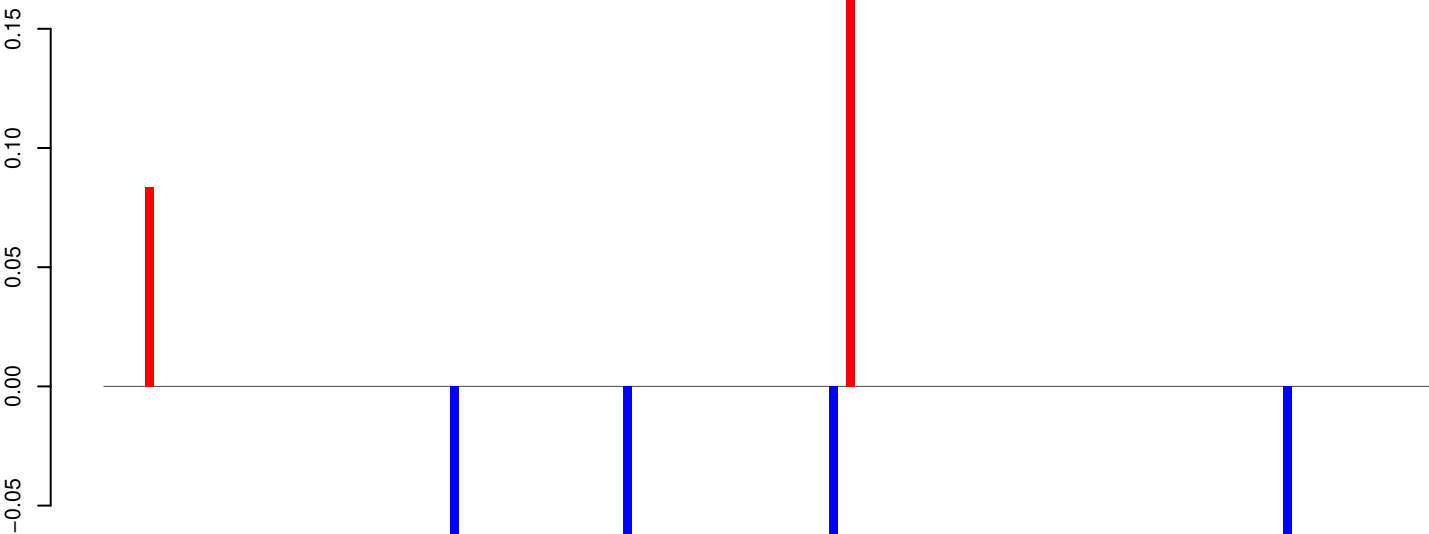
positive=0, negative=0, total=0

AeAeg_Aag2_Ago2_SINV_RA.24_35.rep



positive=0, negative=0, total=0

AeAeg_Aag2_Ago2_SINV_RA.rep

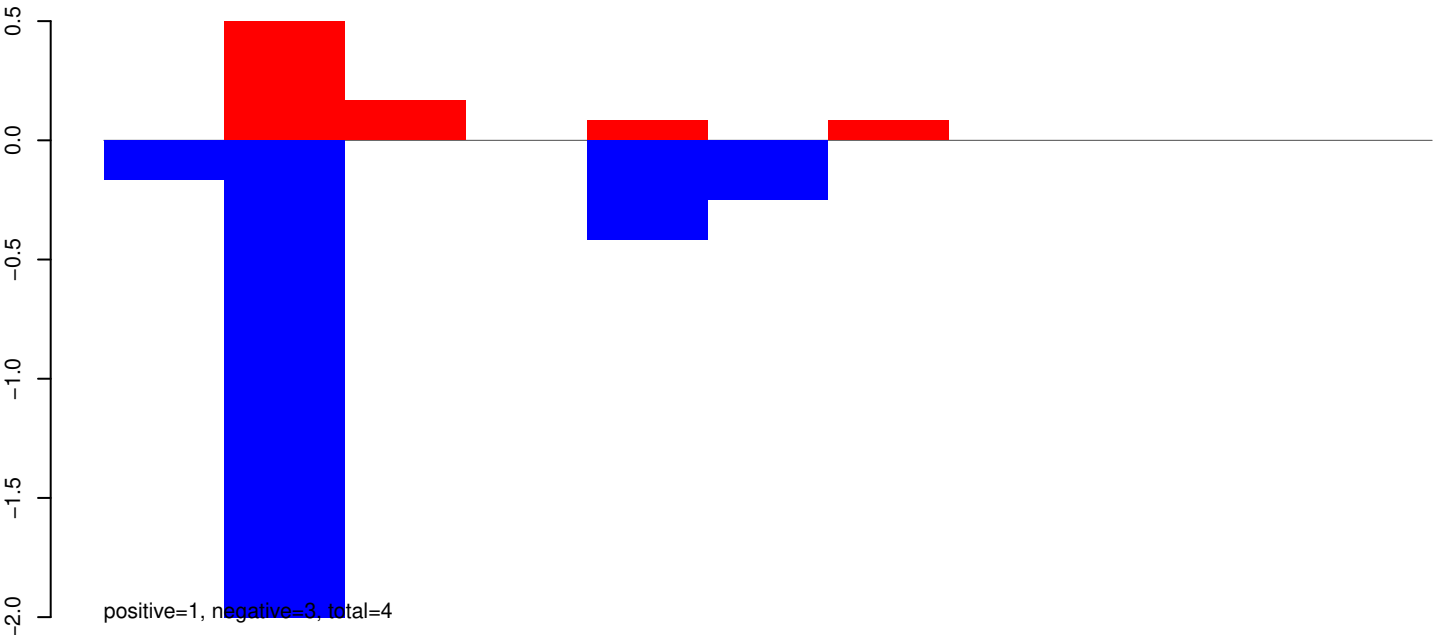


positive=0, negative=0, total=1

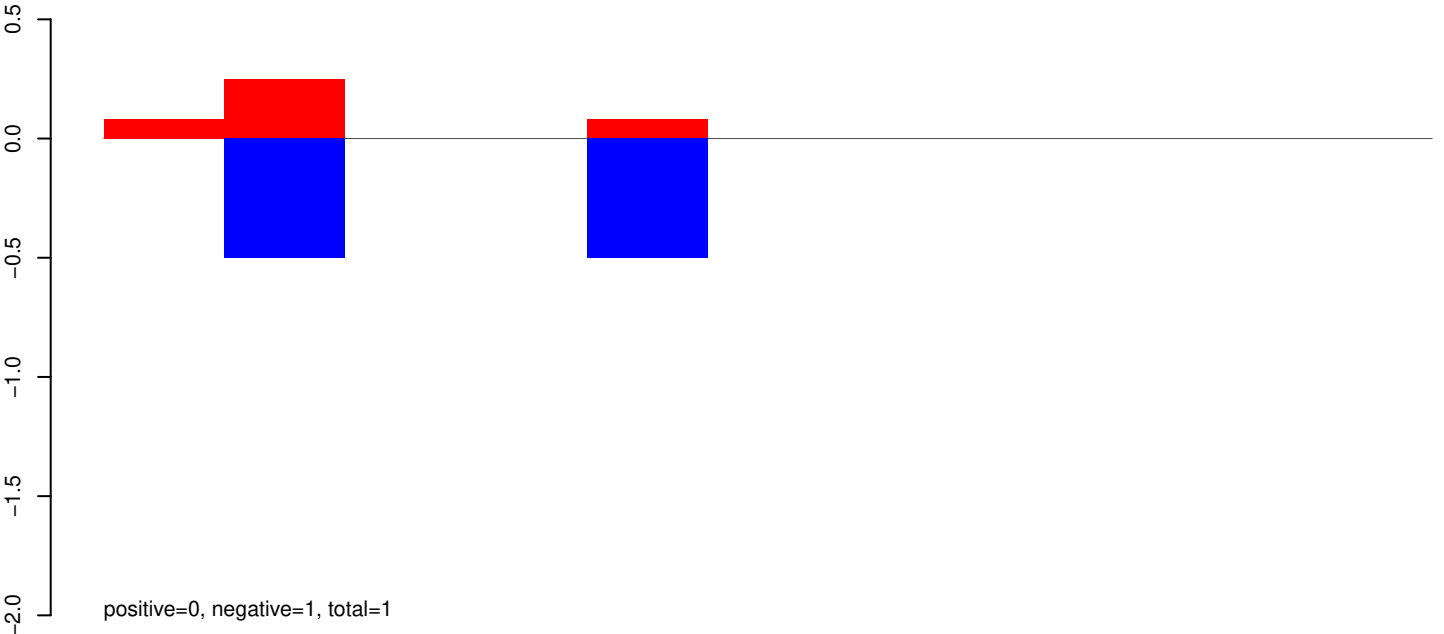
Window size=25, length=4001, TE@TF001134-Ty1_copia_Ele129:1-4001

0 1000 2000 3000 4000

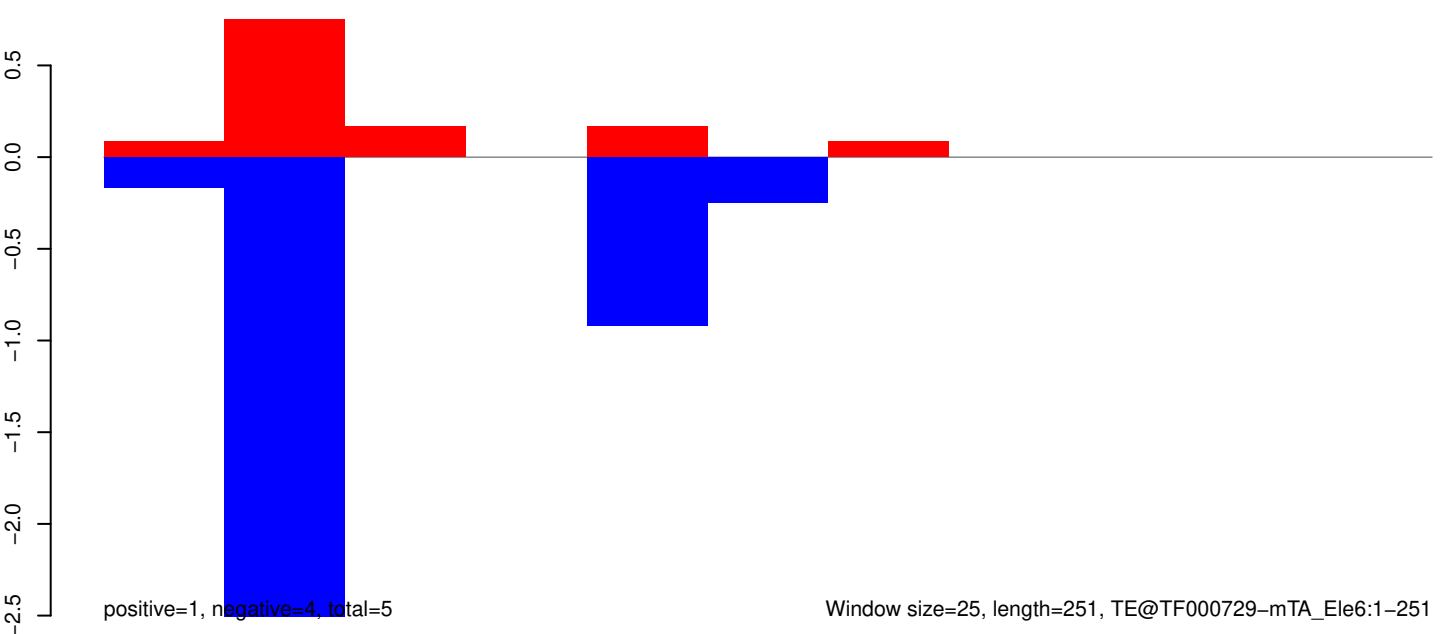
AeAeg_Aag2_Ago2_SINV_RA.18_23.rep



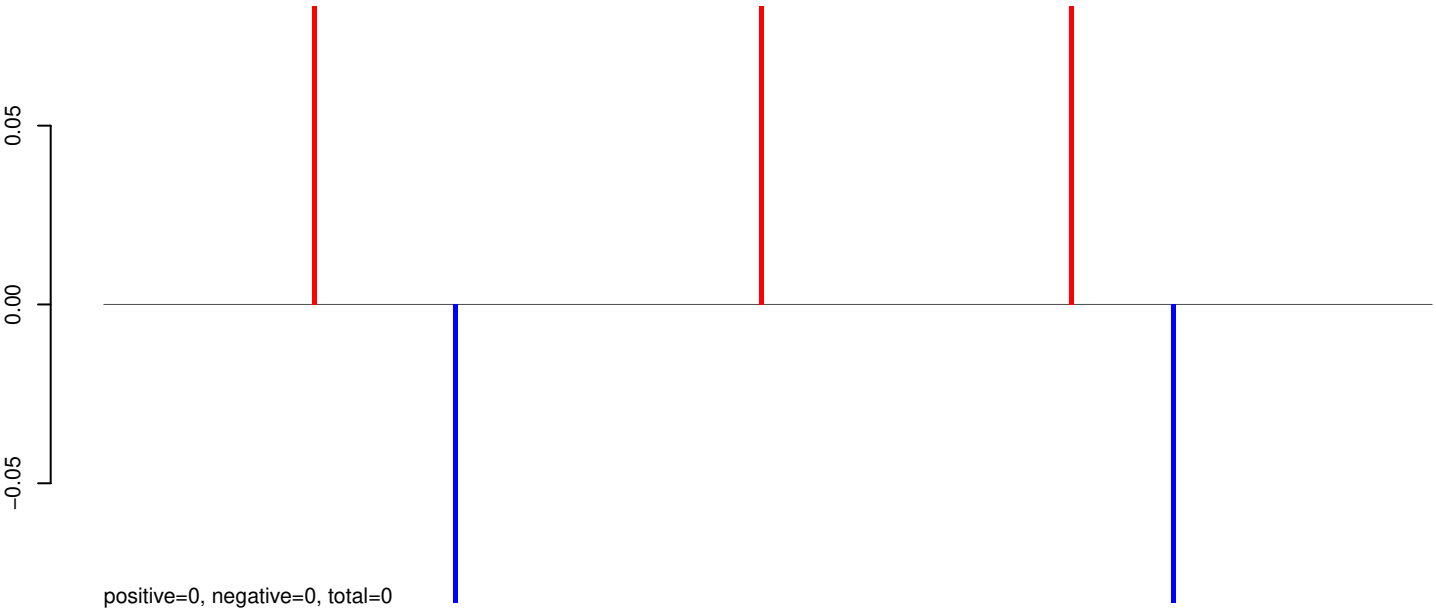
AeAeg_Aag2_Ago2_SINV_RA.24_35.rep



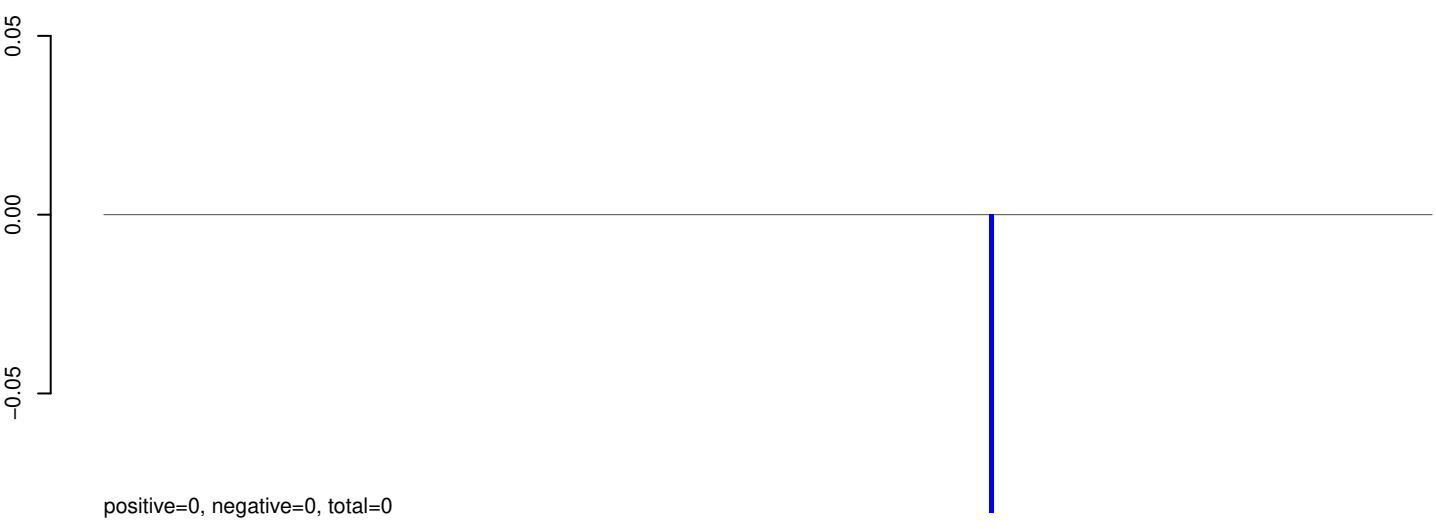
AeAeg_Aag2_Ago2_SINV_RA.rep



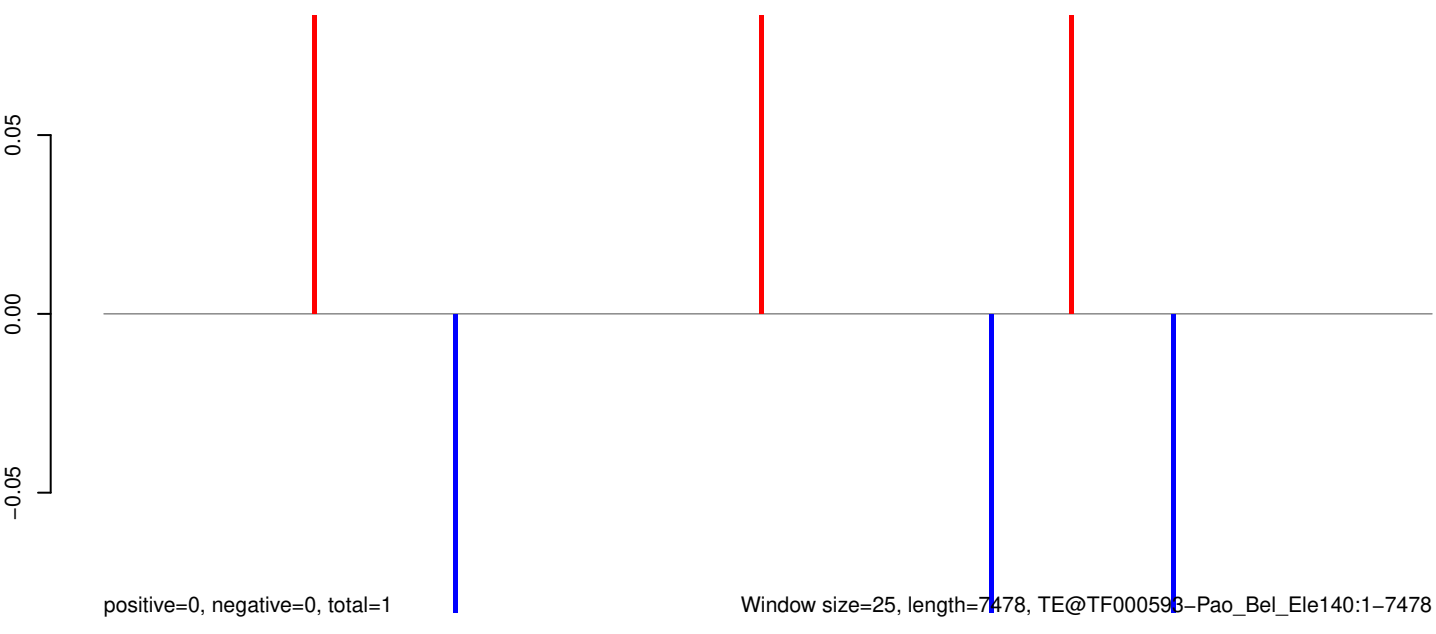
AeAeg_Aag2_Ago2_SINV_RA.18_23.rep



AeAeg_Aag2_Ago2_SINV_RA.24_35.rep

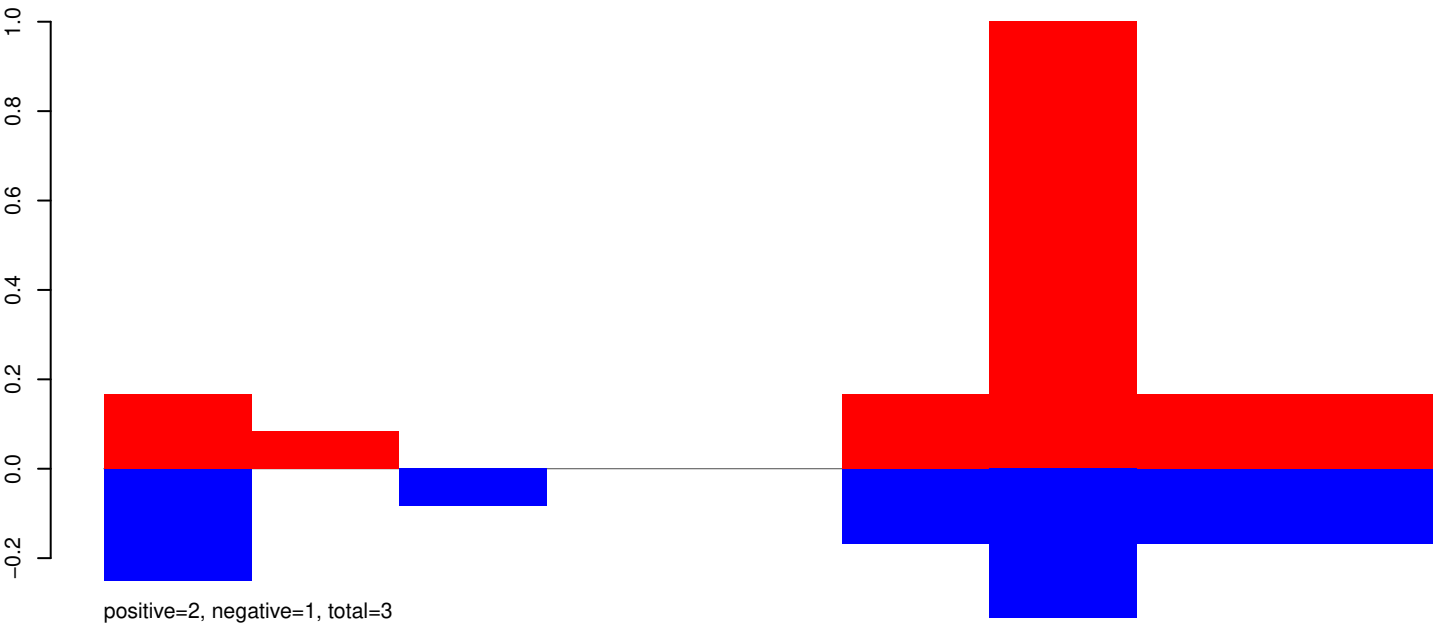


AeAeg_Aag2_Ago2_SINV_RA.rep

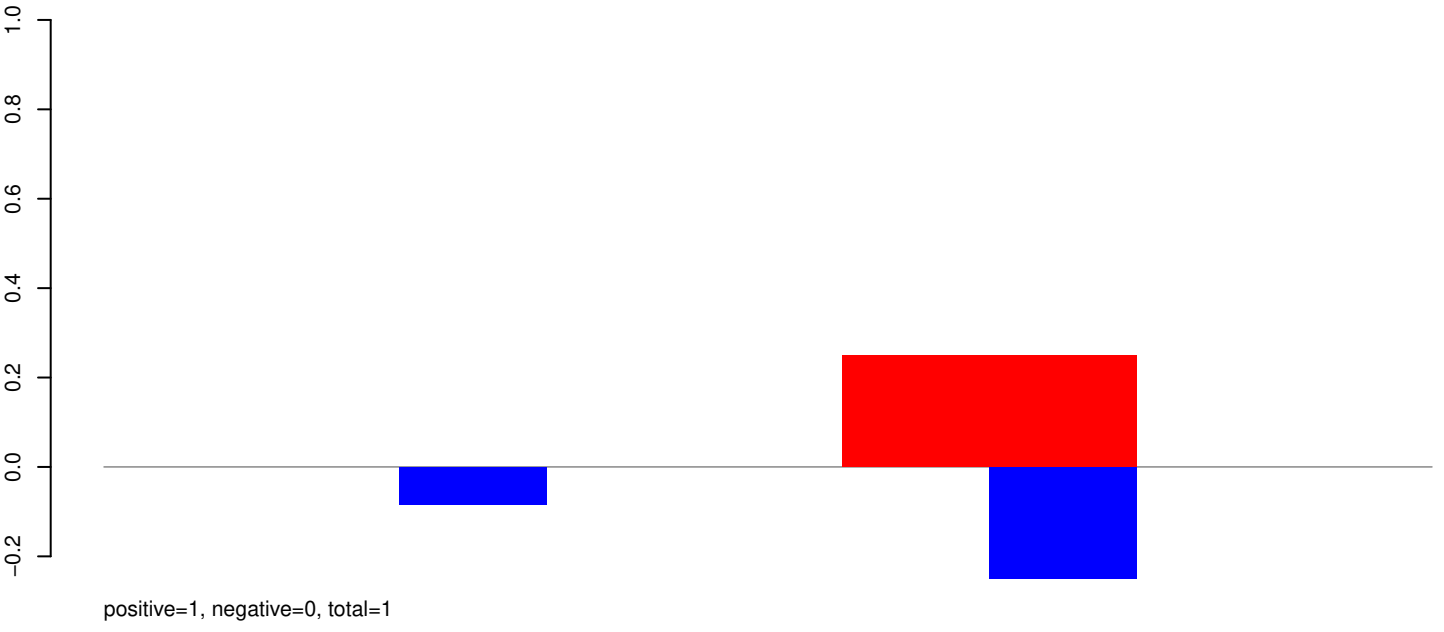


0 2000 4000 6000

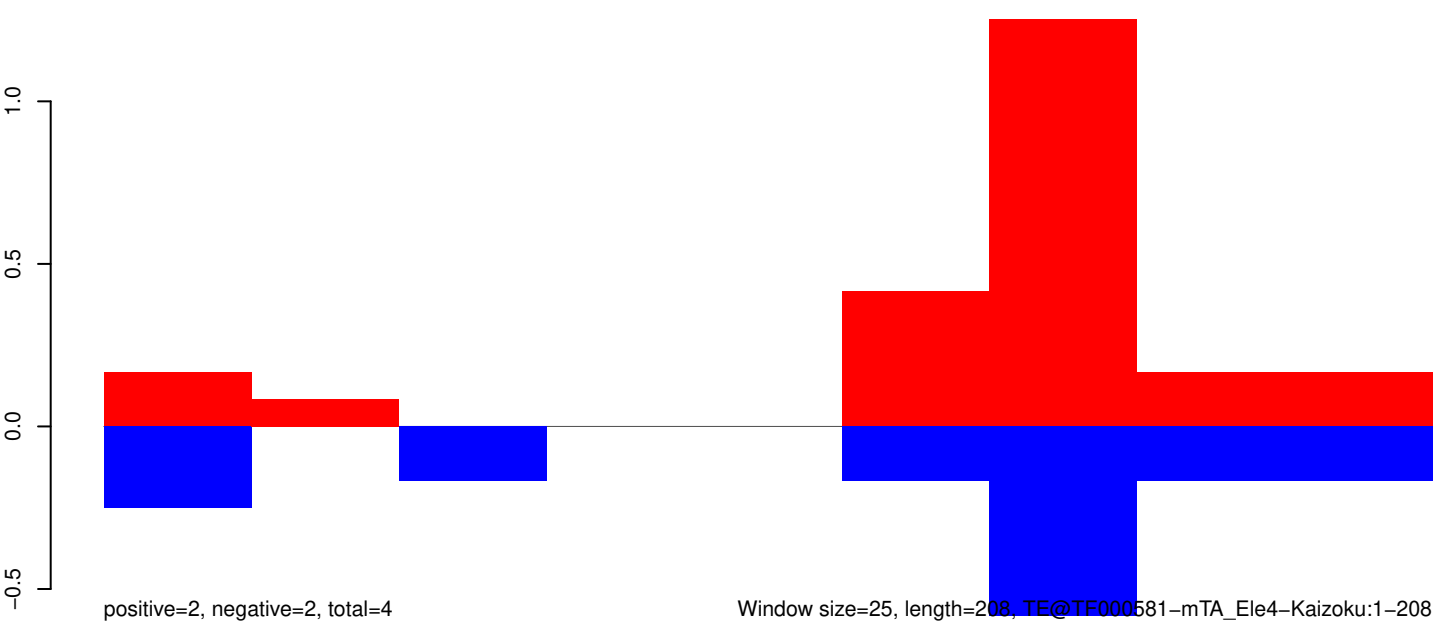
AeAeg_Aag2_Ago2_SINV_RA.18_23.rep



AeAeg_Aag2_Ago2_SINV_RA.24_35.rep

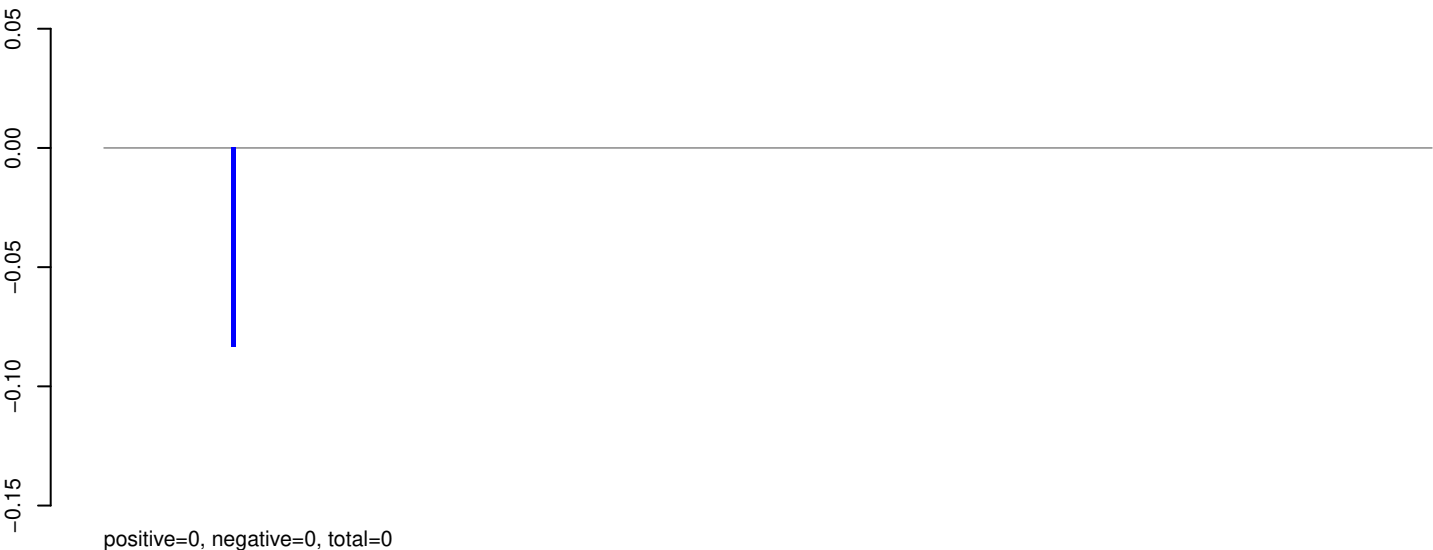


AeAeg_Aag2_Ago2_SINV_RA.rep

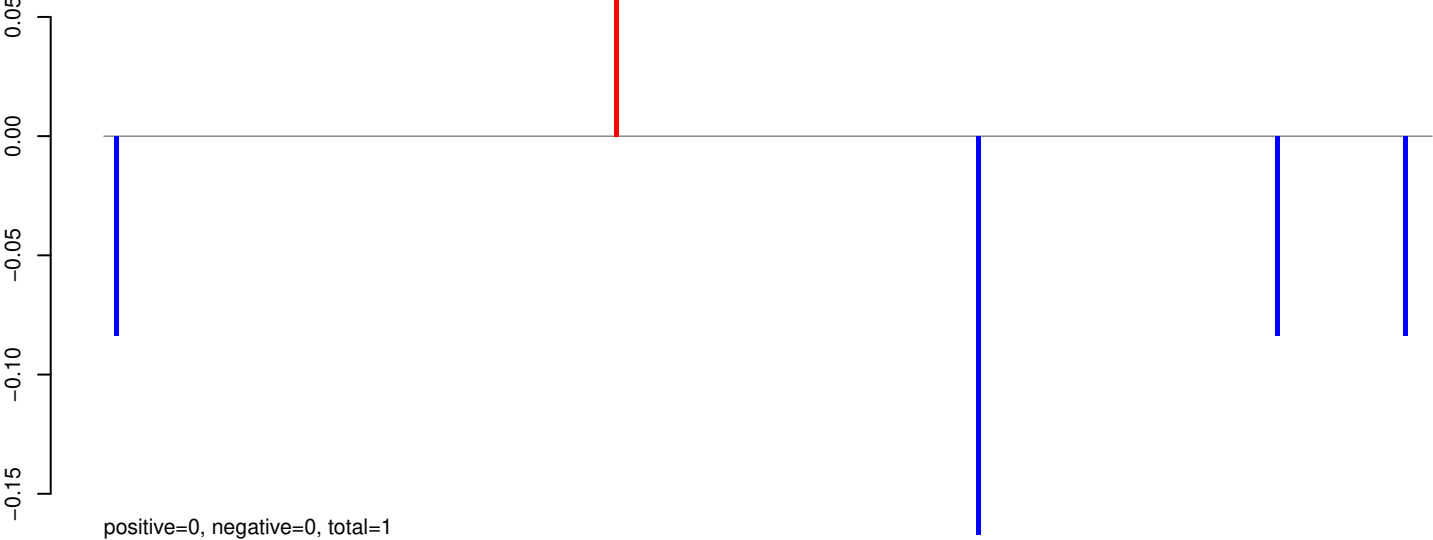


Window size=25, length=208, TE@TF000581-mTA_Ele4-Kaizoku:1-208

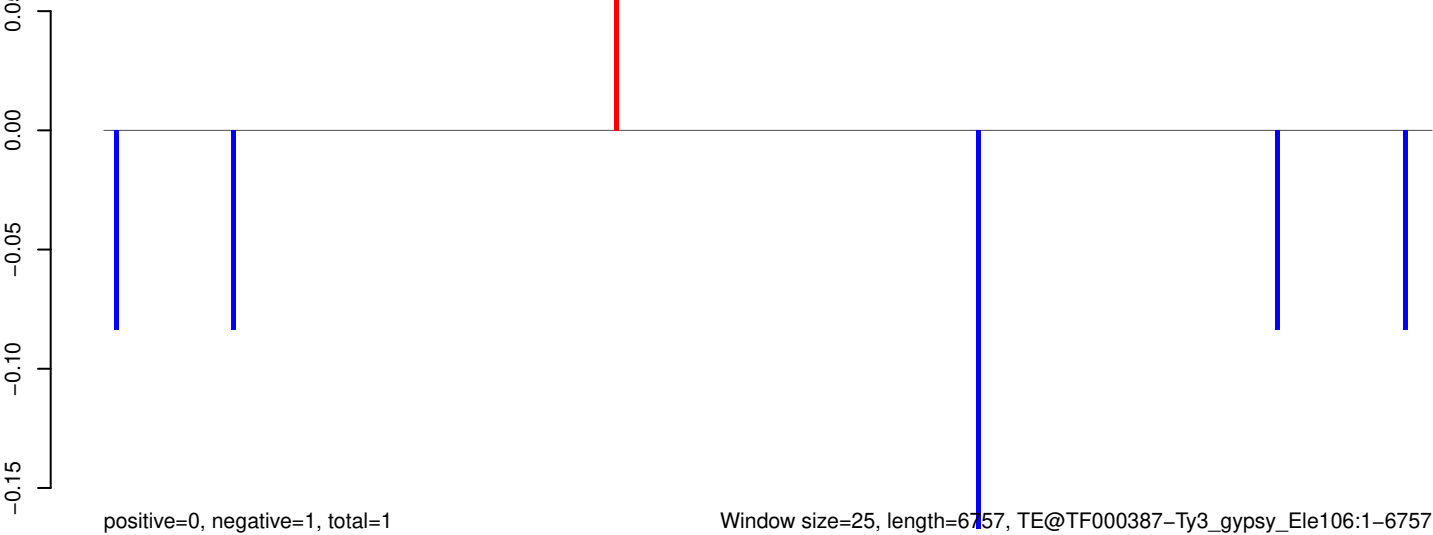
AeAeg_Aag2_Ago2_SINV_RA.18_23.rep



AeAeg_Aag2_Ago2_SINV_RA.24_35.rep



AeAeg_Aag2_Ago2_SINV_RA.rep



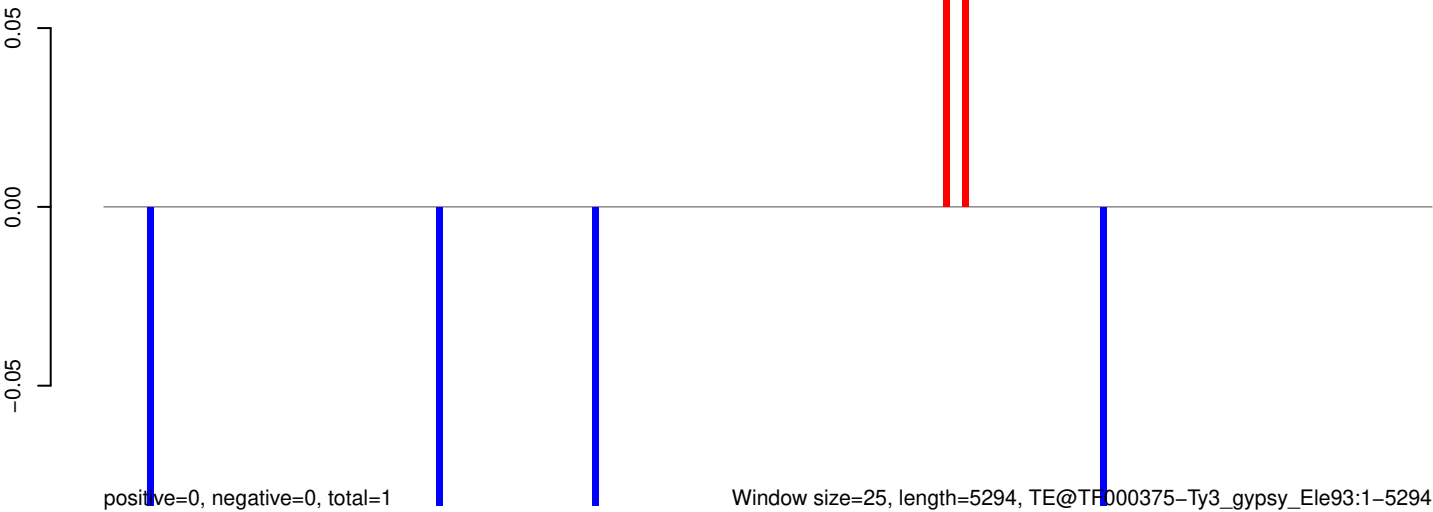
AeAeg_Aag2_Ago2_SINV_RA.18_23.rep



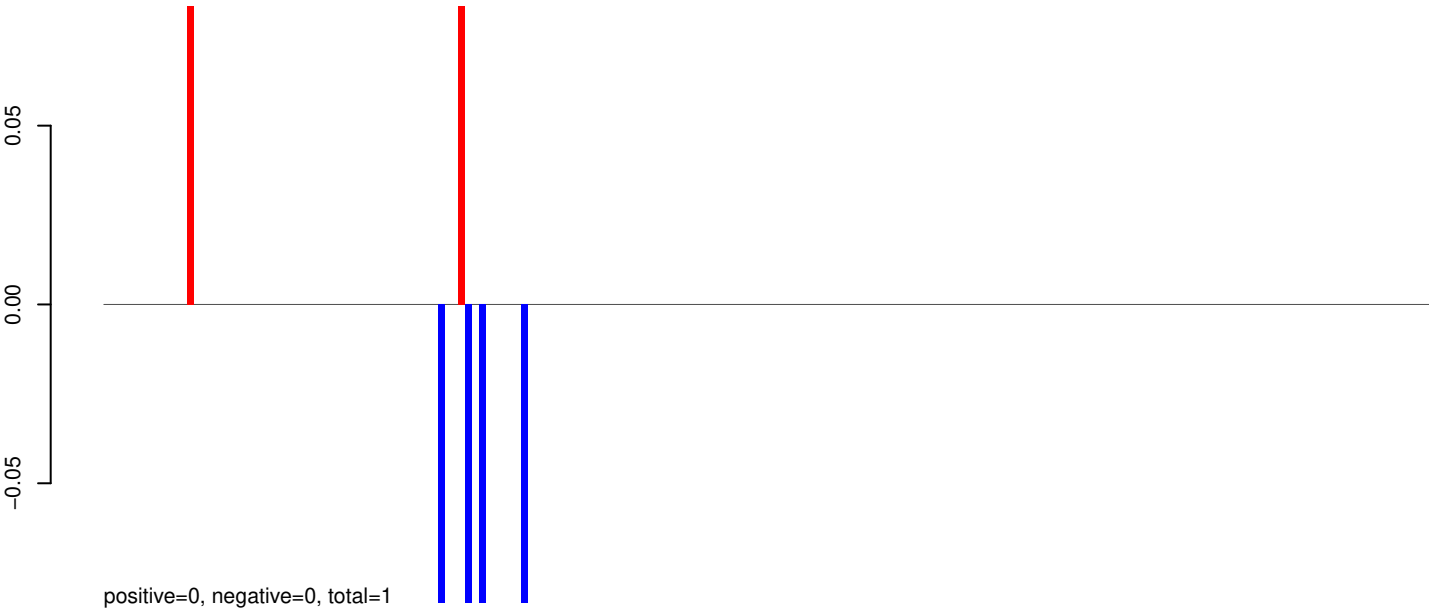
AeAeg_Aag2_Ago2_SINV_RA.24_35.rep



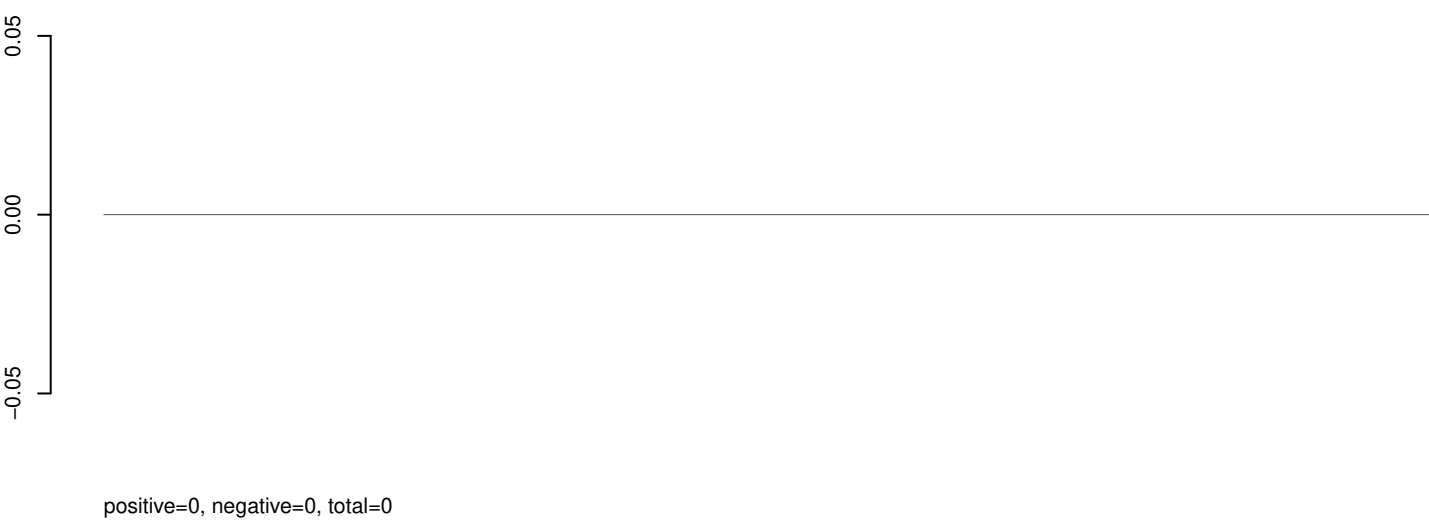
AeAeg_Aag2_Ago2_SINV_RA.rep



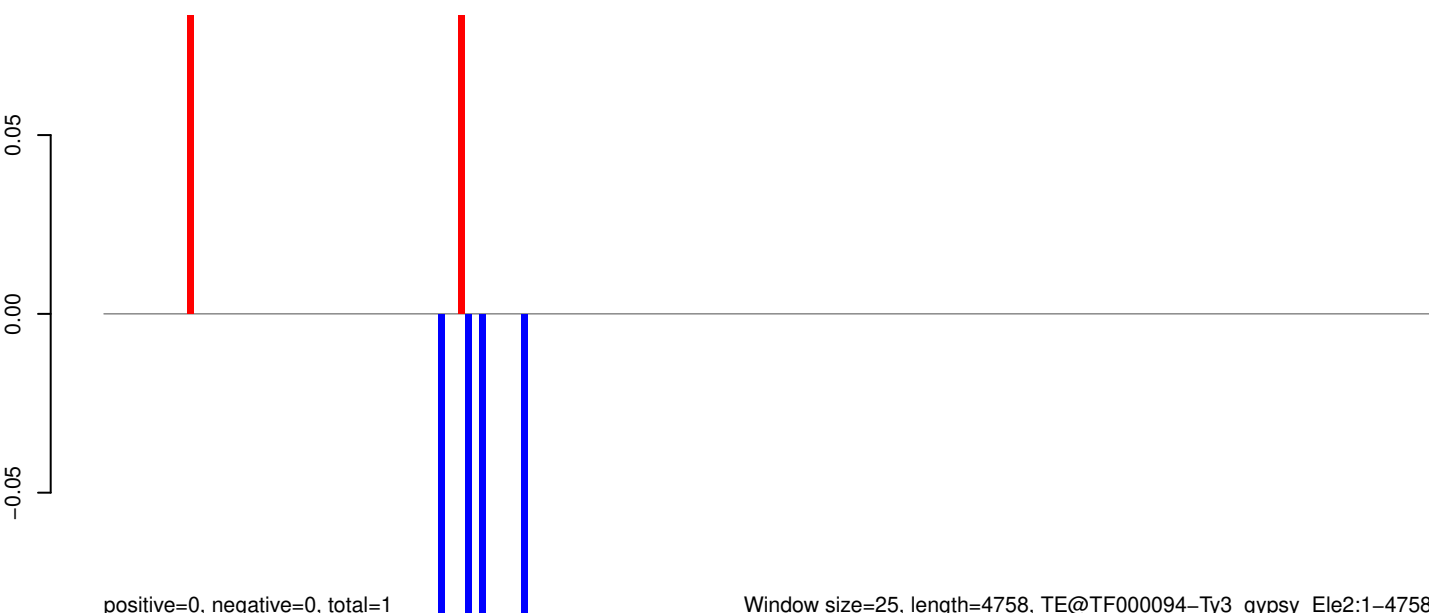
AeAeg_Aag2_Ago2_SINV_RA.18_23.rep



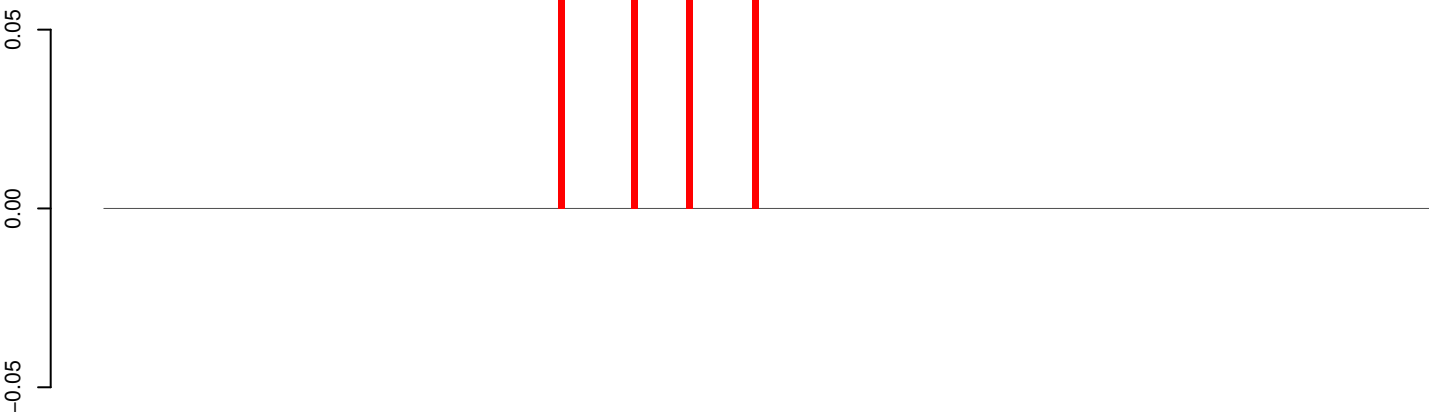
AeAeg_Aag2_Ago2_SINV_RA.24_35.rep



AeAeg_Aag2_Ago2_SINV_RA.rep

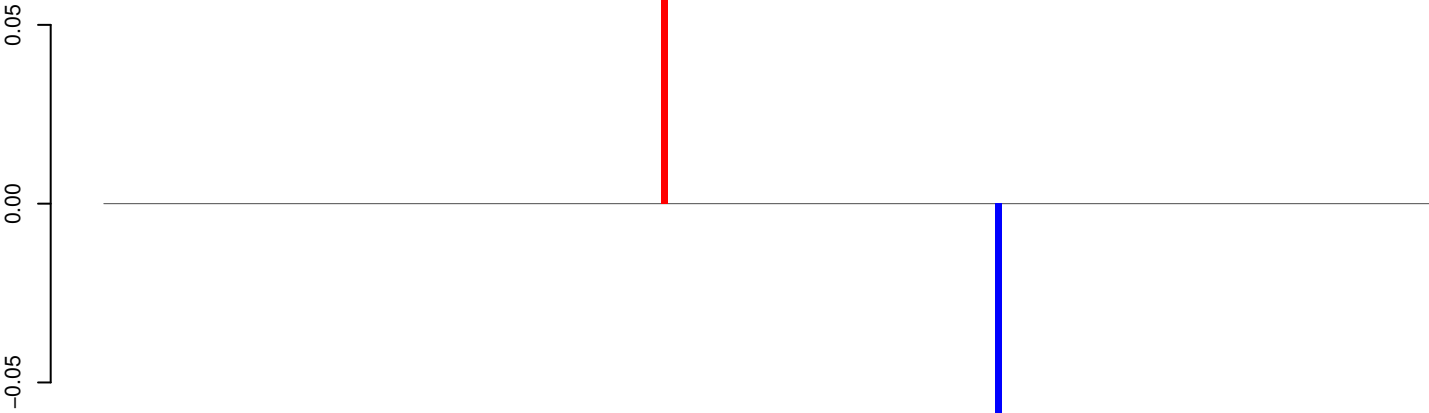


AeAeg_Aag2_Ago2_SINV_RA.18_23.rep



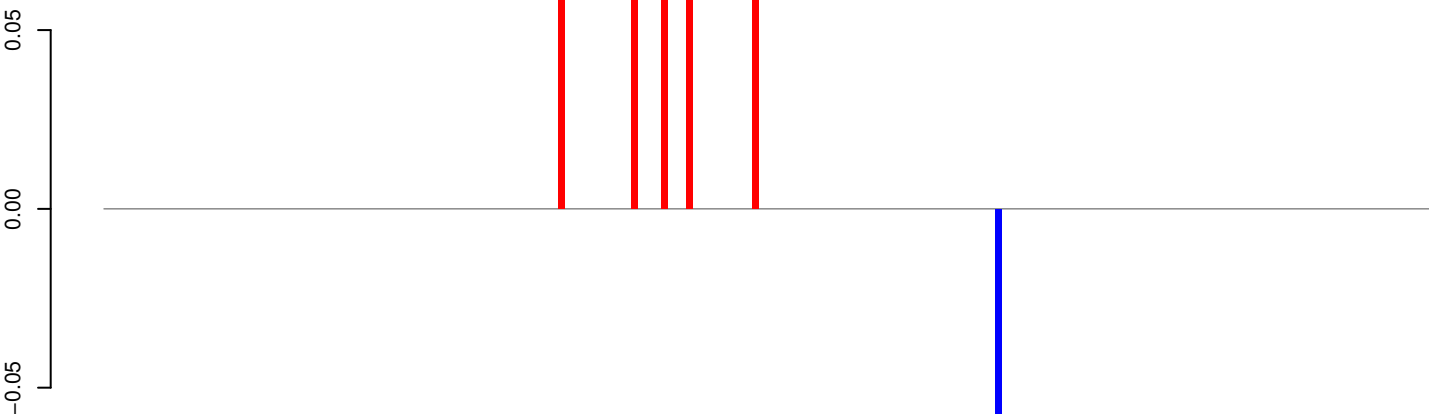
positive=0, negative=0, total=0

AeAeg_Aag2_Ago2_SINV_RA.24_35.rep



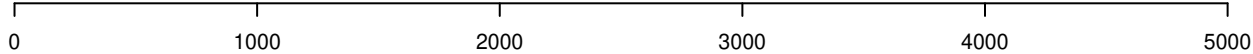
positive=0, negative=0, total=0

AeAeg_Aag2_Ago2_SINV_RA.rep

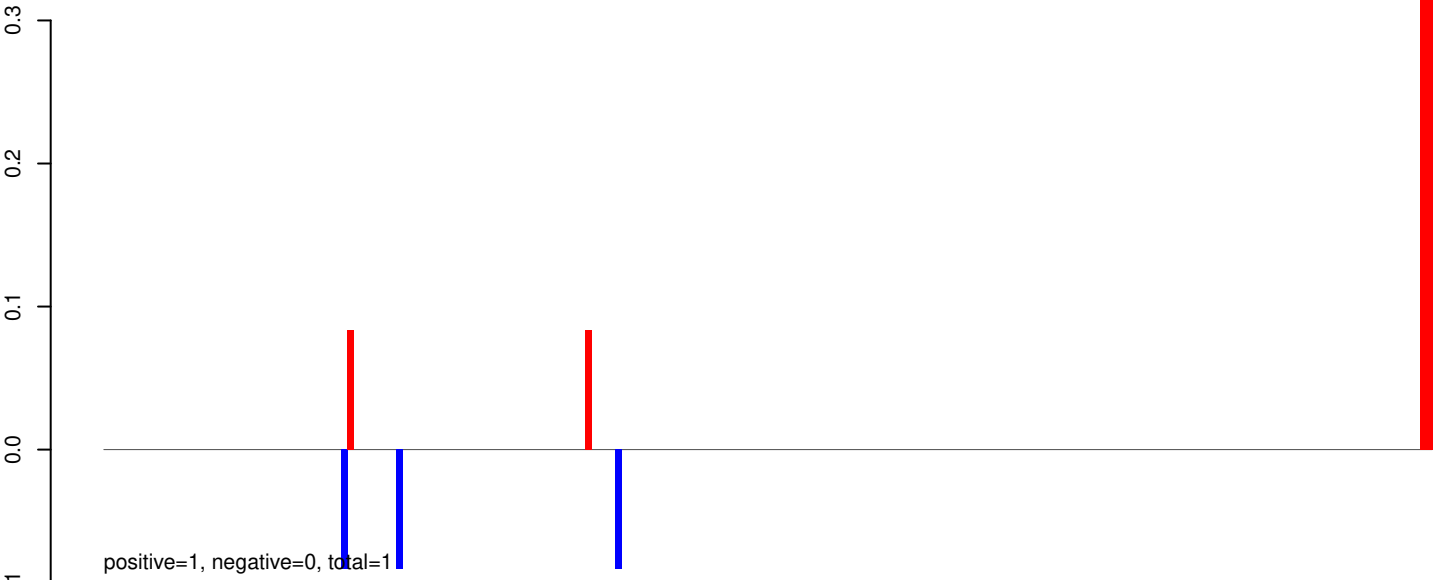


positive=0, negative=0, total=1

Window size=25, length=5462, TE@TF000060-I_Ele5:1-5462



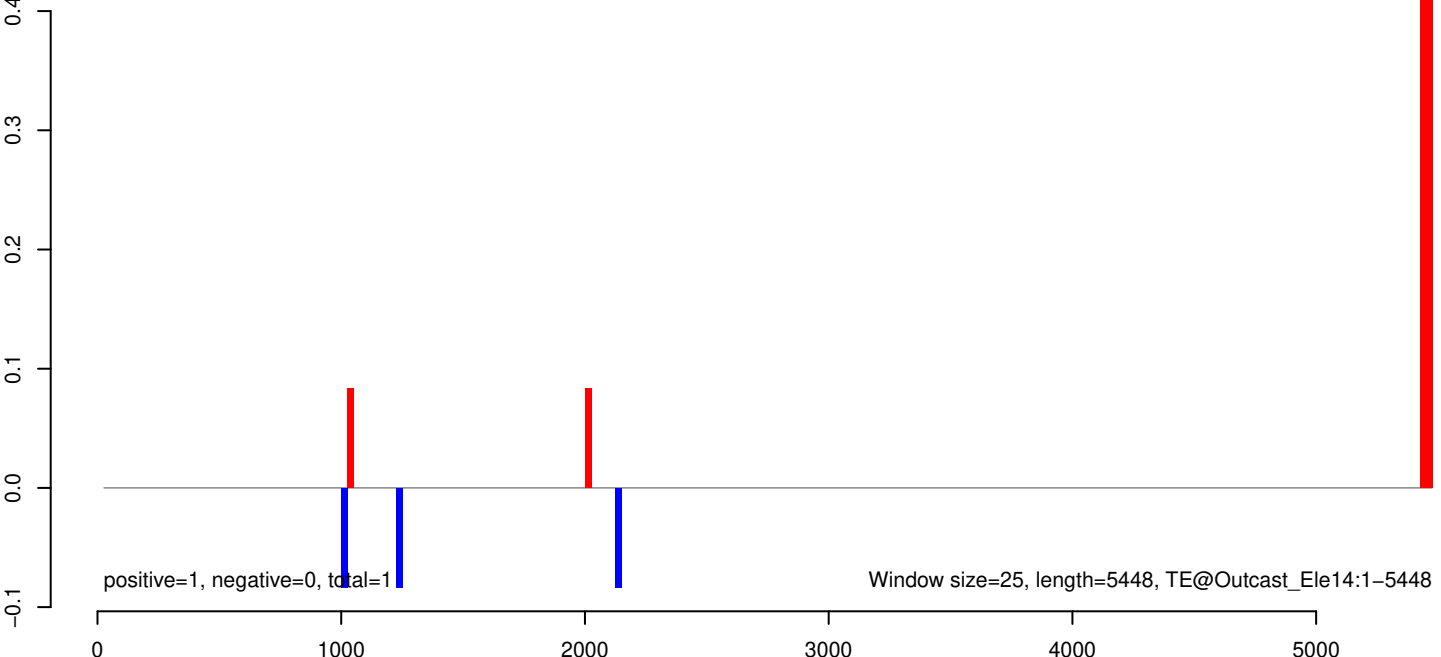
AeAeg_Aag2_Ago2_SINV_RA.18_23.rep



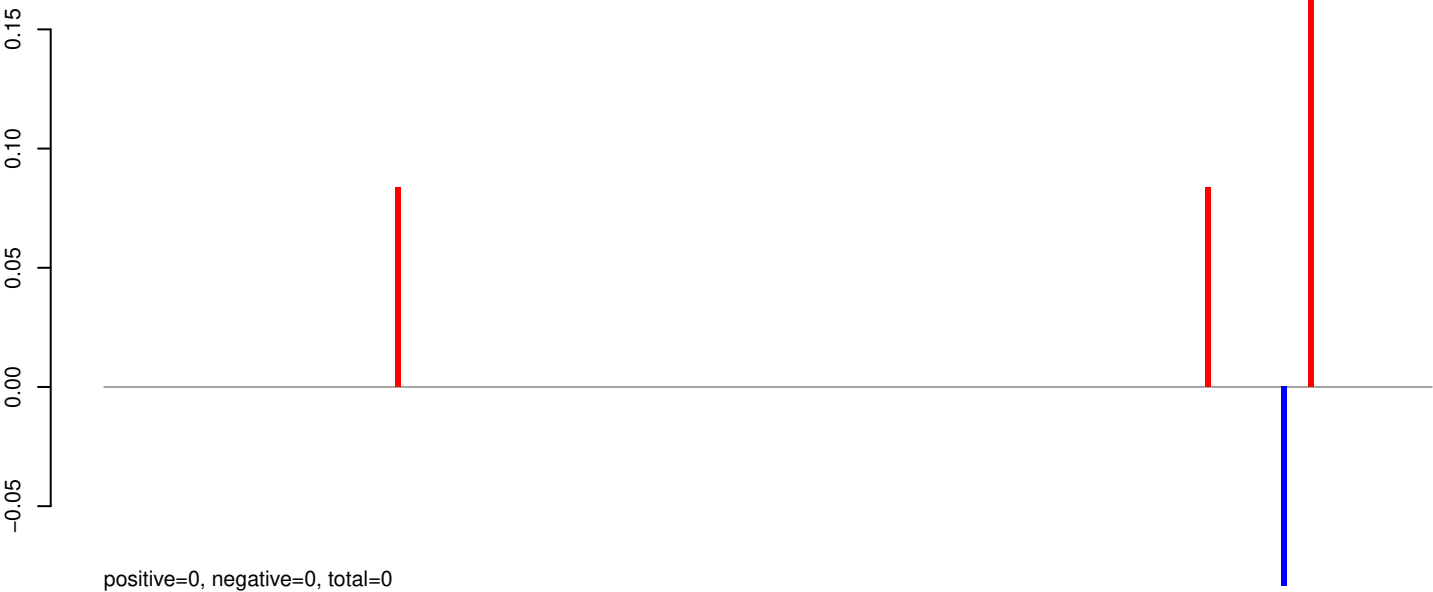
AeAeg_Aag2_Ago2_SINV_RA.24_35.rep



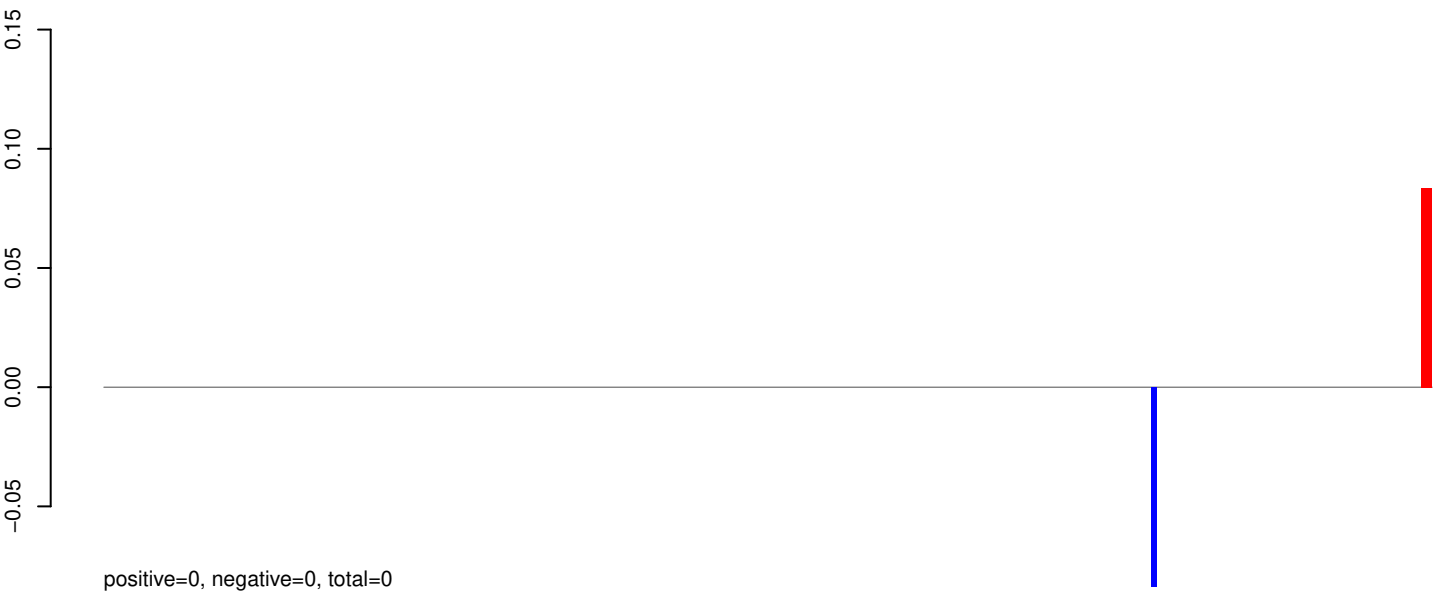
AeAeg_Aag2_Ago2_SINV_RA.rep



AeAeg_Aag2_Ago2_SINV_RA.18_23.rep



AeAeg_Aag2_Ago2_SINV_RA.24_35.rep



AeAeg_Aag2_Ago2_SINV_RA.rep



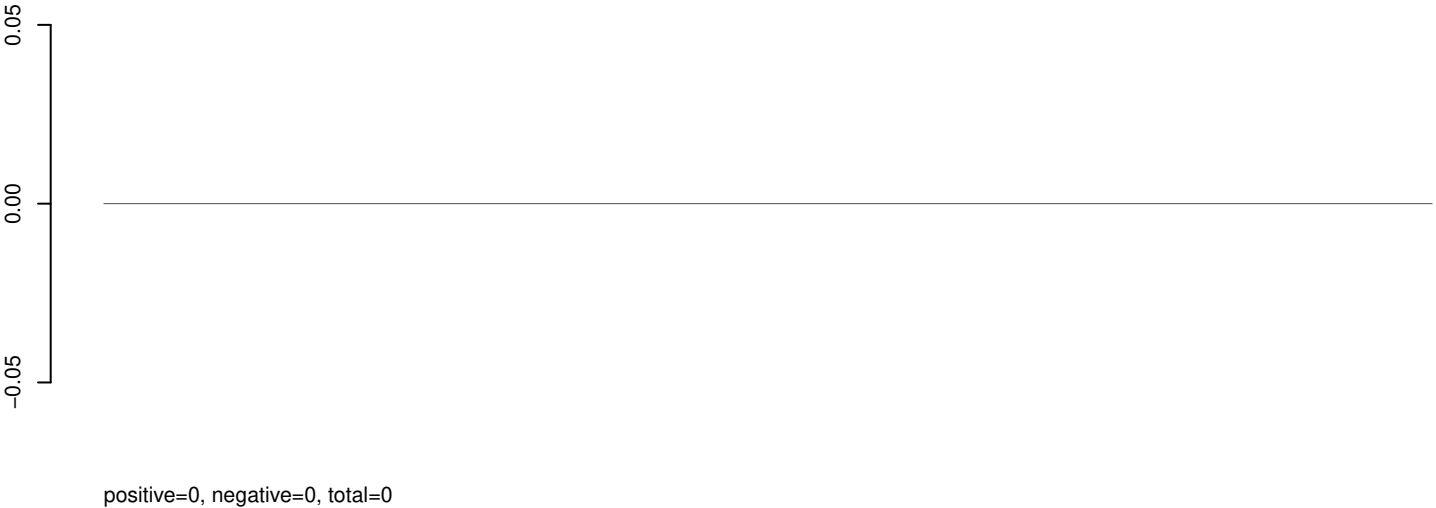
Window size=25, length=6134, TE@Nimb+2_AAe:1-6134

0 1000 2000 3000 4000 5000 6000

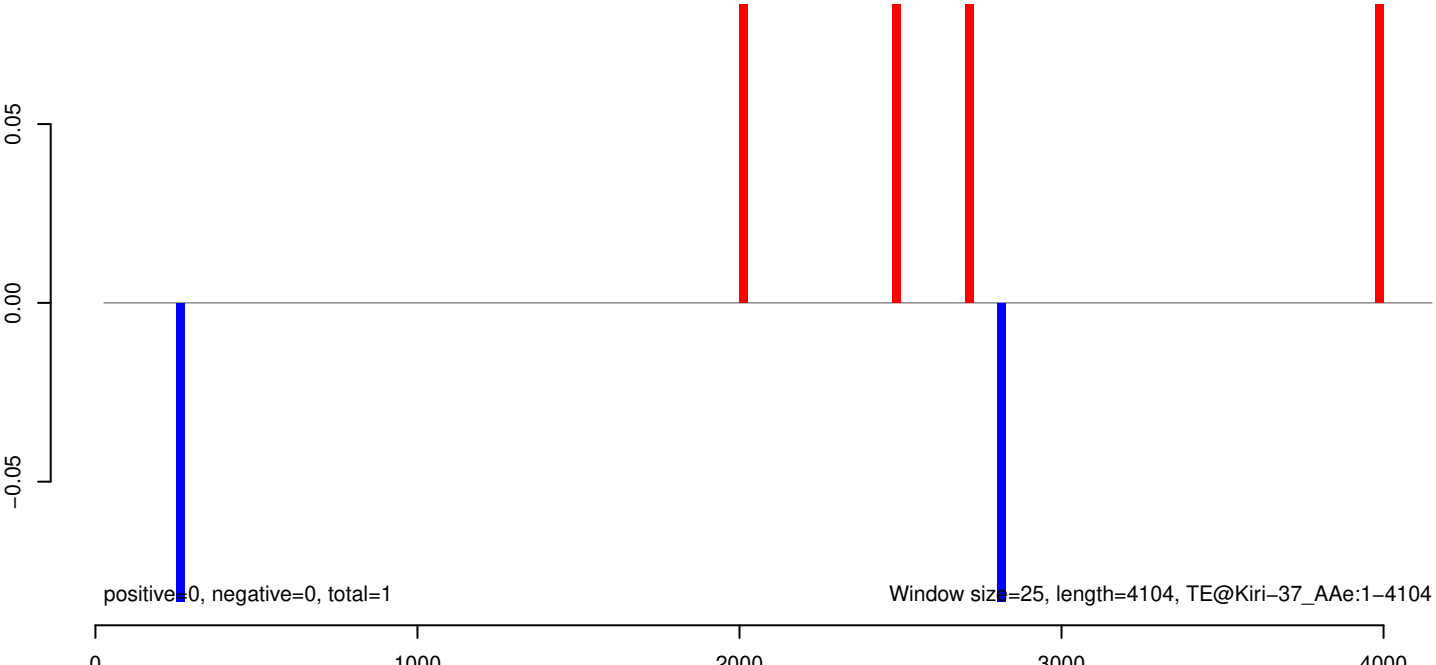
AeAeg_Aag2_Ago2_SINV_RA.18_23.rep



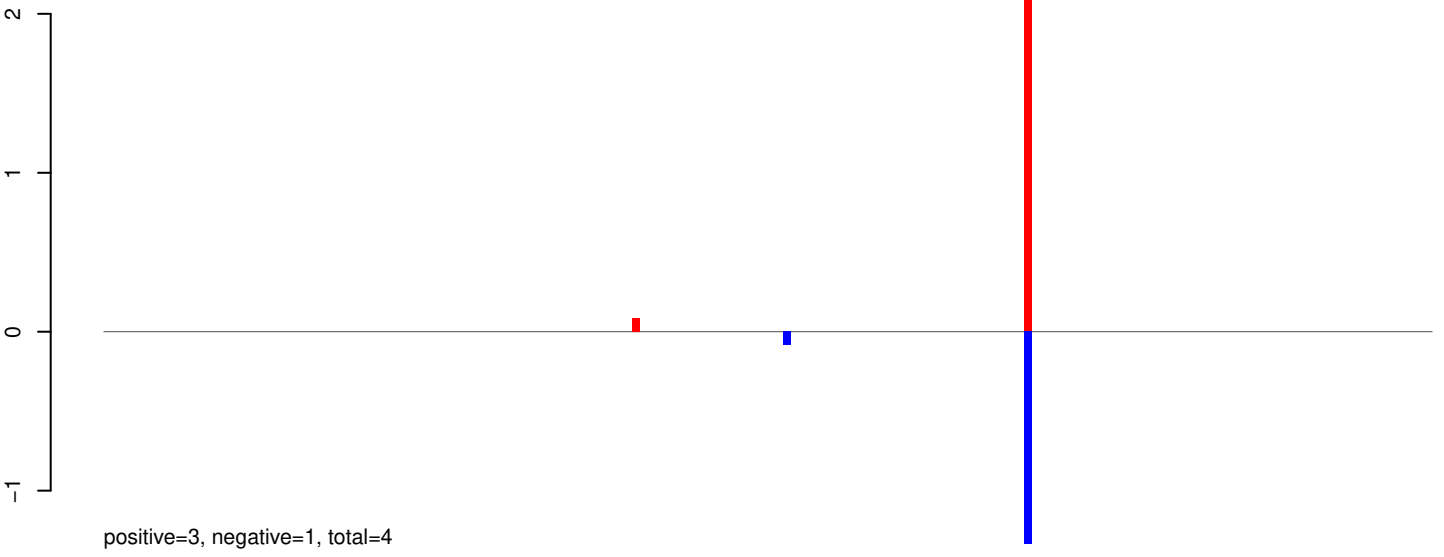
AeAeg_Aag2_Ago2_SINV_RA.24_35.rep



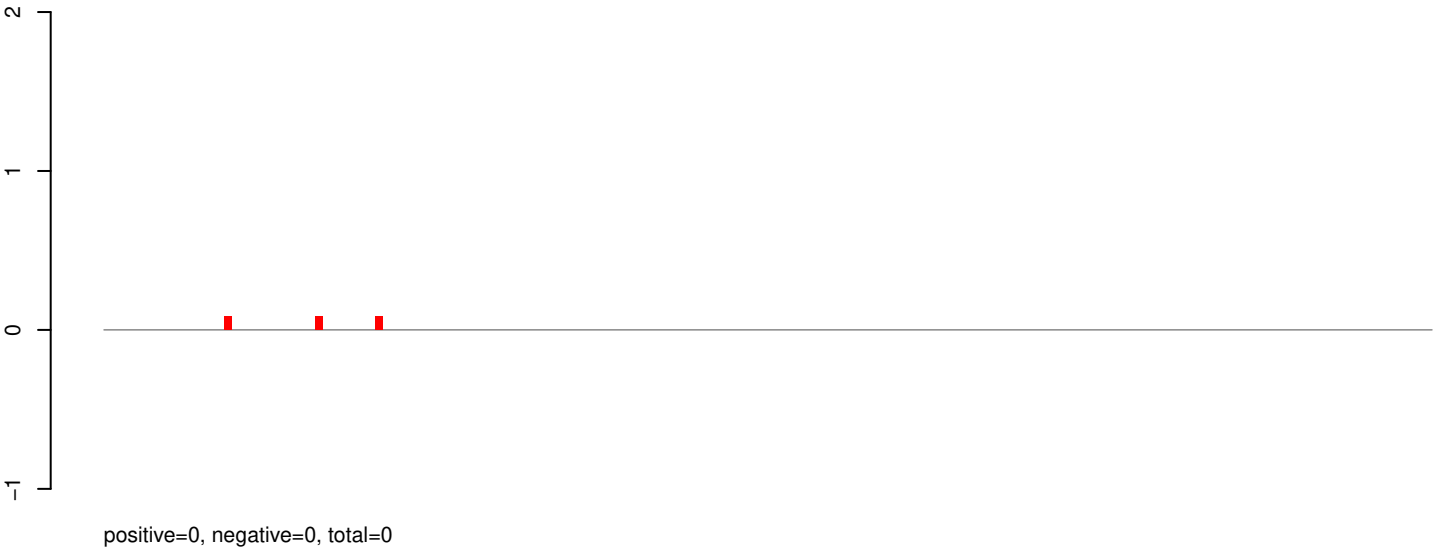
AeAeg_Aag2_Ago2_SINV_RA.rep



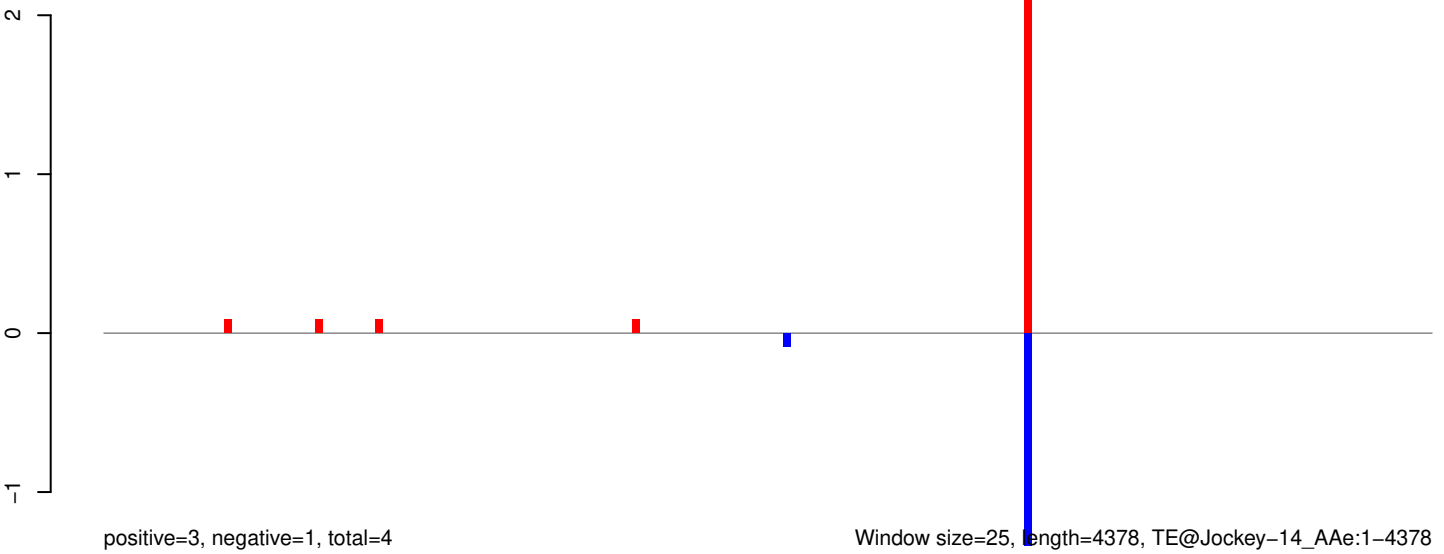
AeAeg_Aag2_Ago2_SINV_RA.18_23.rep



AeAeg_Aag2_Ago2_SINV_RA.24_35.rep

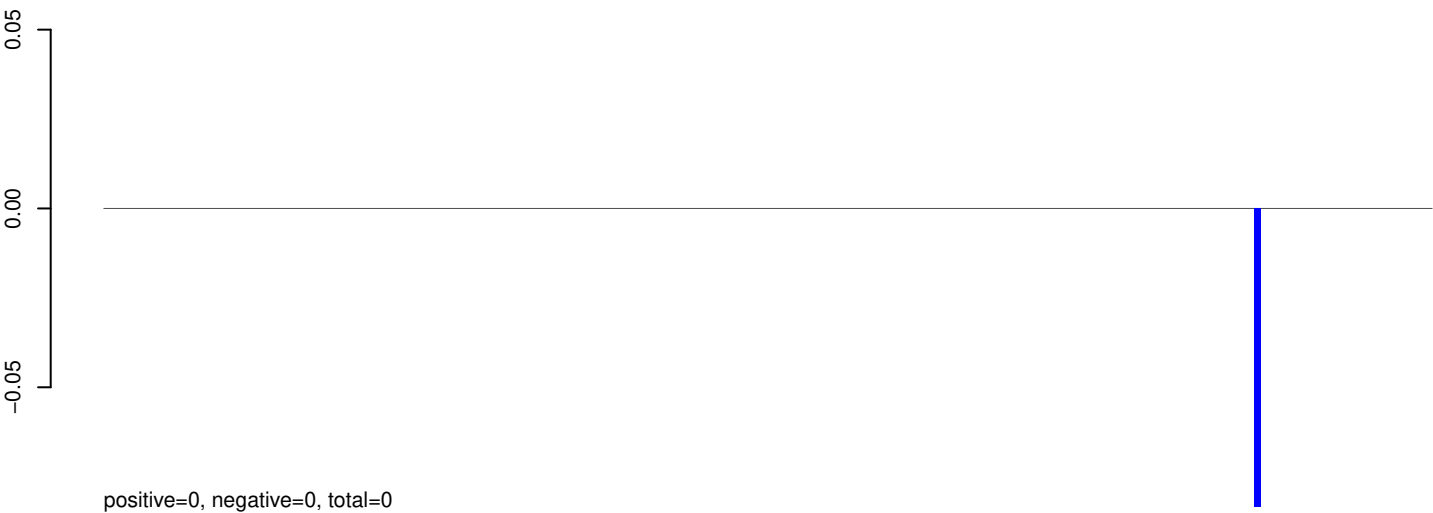


AeAeg_Aag2_Ago2_SINV_RA.rep



Window size=25, length=4378, TE@Jockey-14_AAe:1-4378

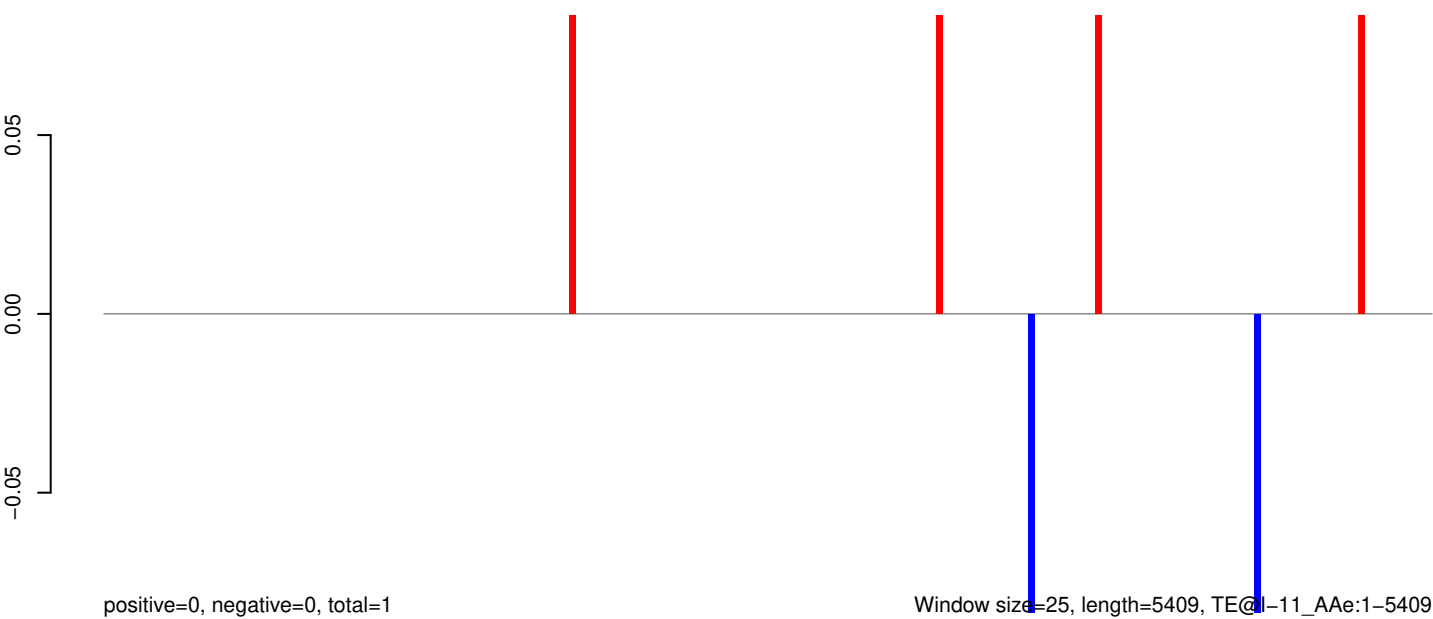
AeAeg_Aag2_Ago2_SINV_RA.18_23.rep



AeAeg_Aag2_Ago2_SINV_RA.24_35.rep



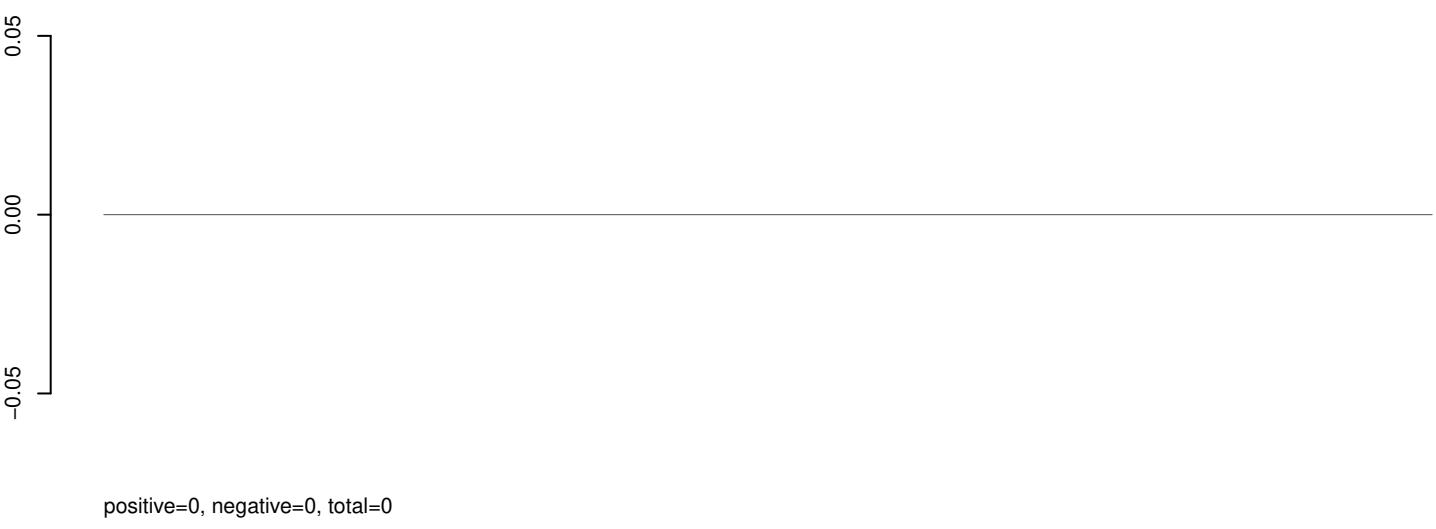
AeAeg_Aag2_Ago2_SINV_RA.rep



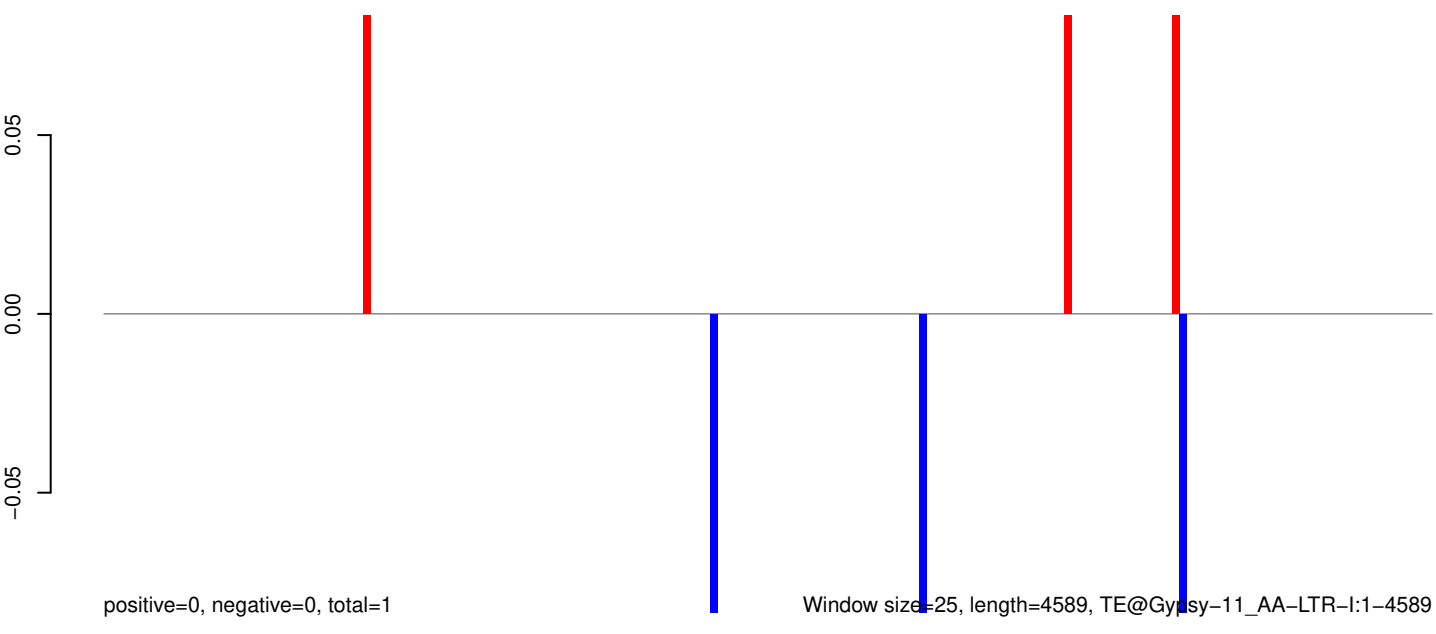
AeAeg_Aag2_Ago2_SINV_RA.18_23.rep



AeAeg_Aag2_Ago2_SINV_RA.24_35.rep

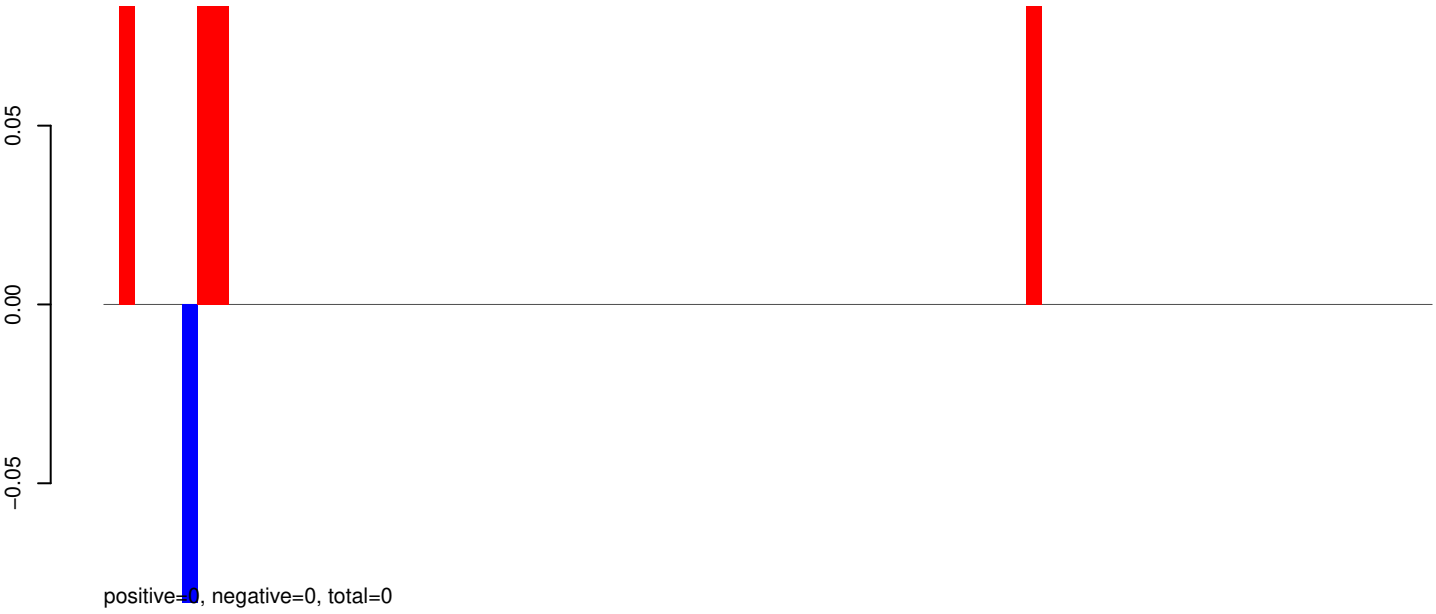


AeAeg_Aag2_Ago2_SINV_RA.rep

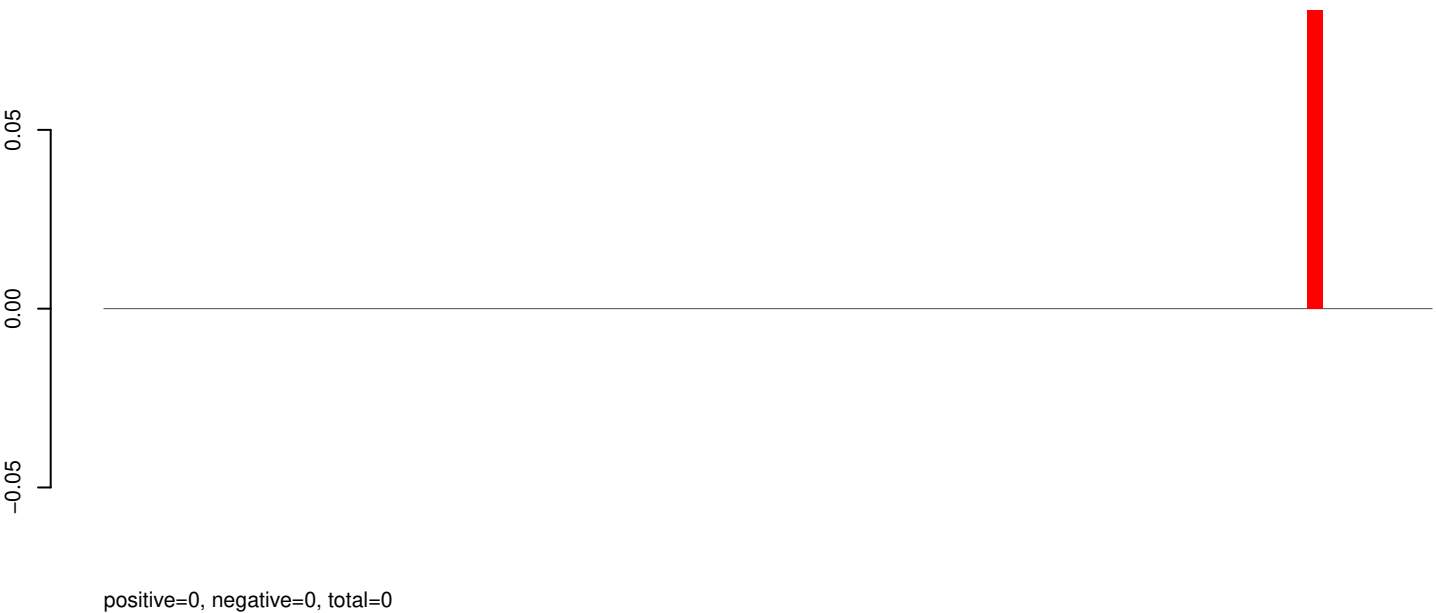


0 1000 2000 3000 4000

AeAeg_Aag2_Ago2_SINV_RA.18_23.rep



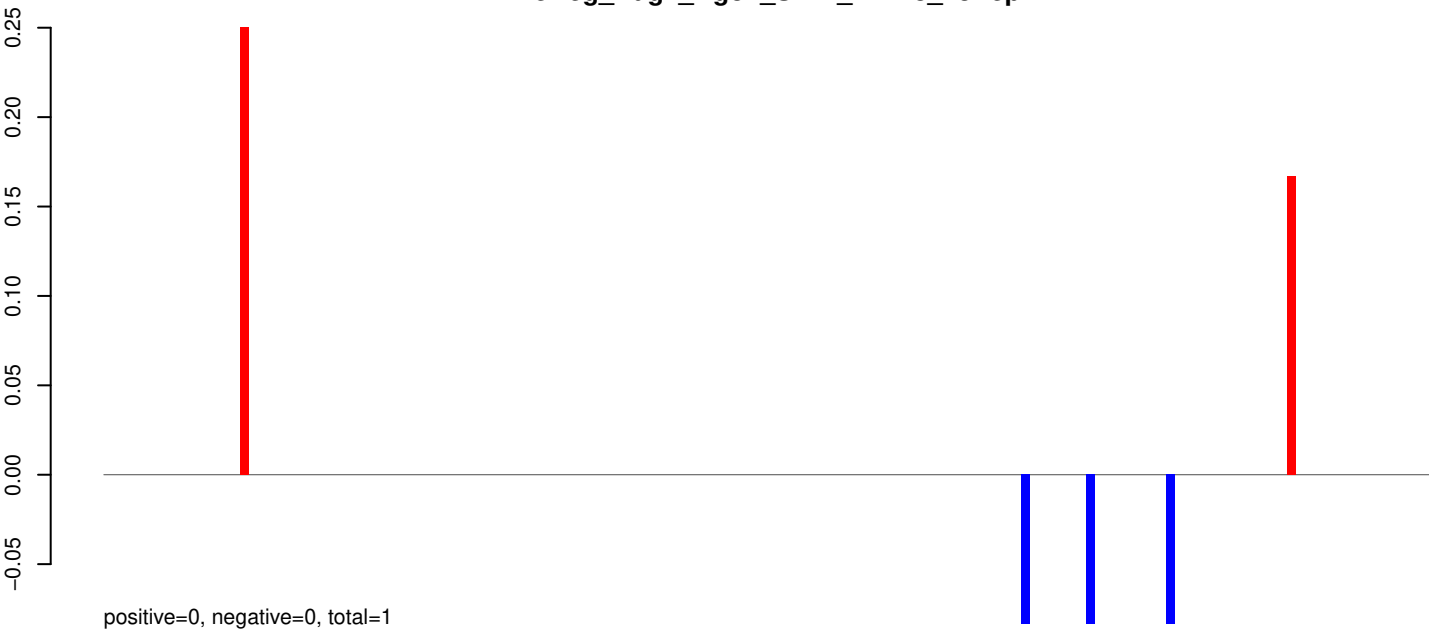
AeAeg_Aag2_Ago2_SINV_RA.24_35.rep



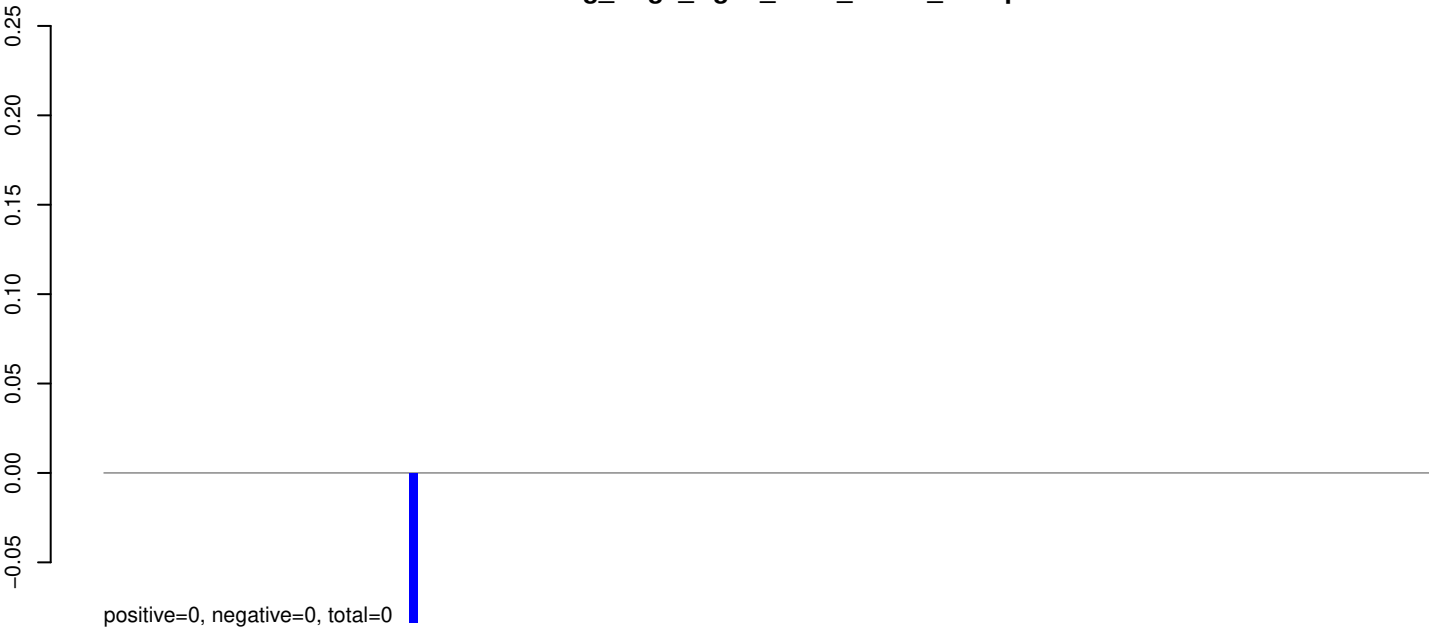
AeAeg_Aag2_Ago2_SINV_RA.rep



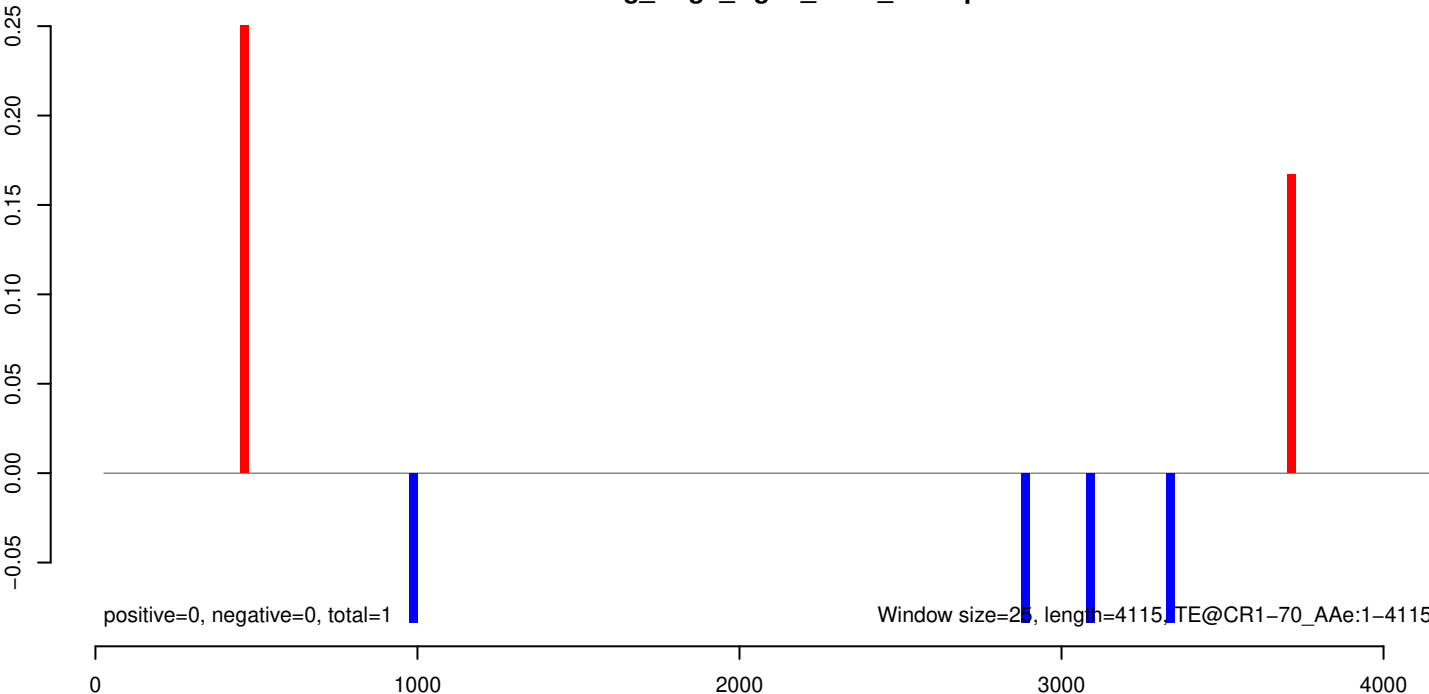
AeAeg_Aag2_Ago2_SINV_RA.18_23.rep



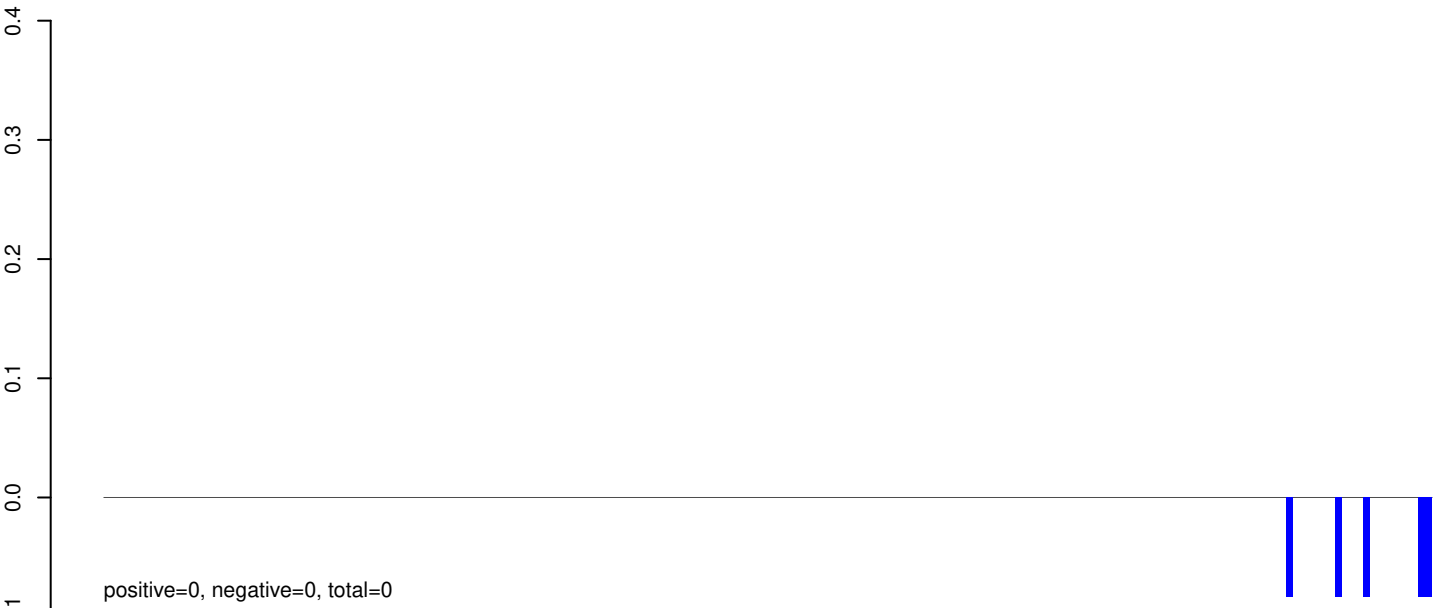
AeAeg_Aag2_Ago2_SINV_RA.24_35.rep



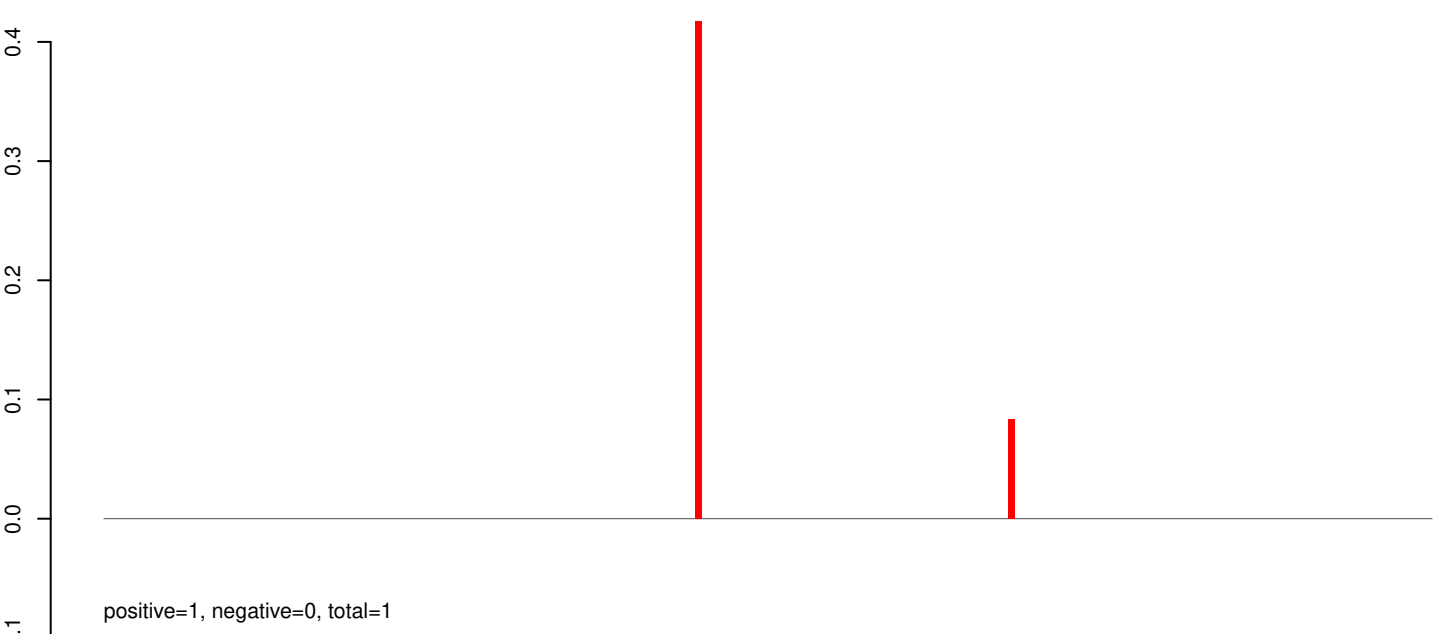
AeAeg_Aag2_Ago2_SINV_RA.rep



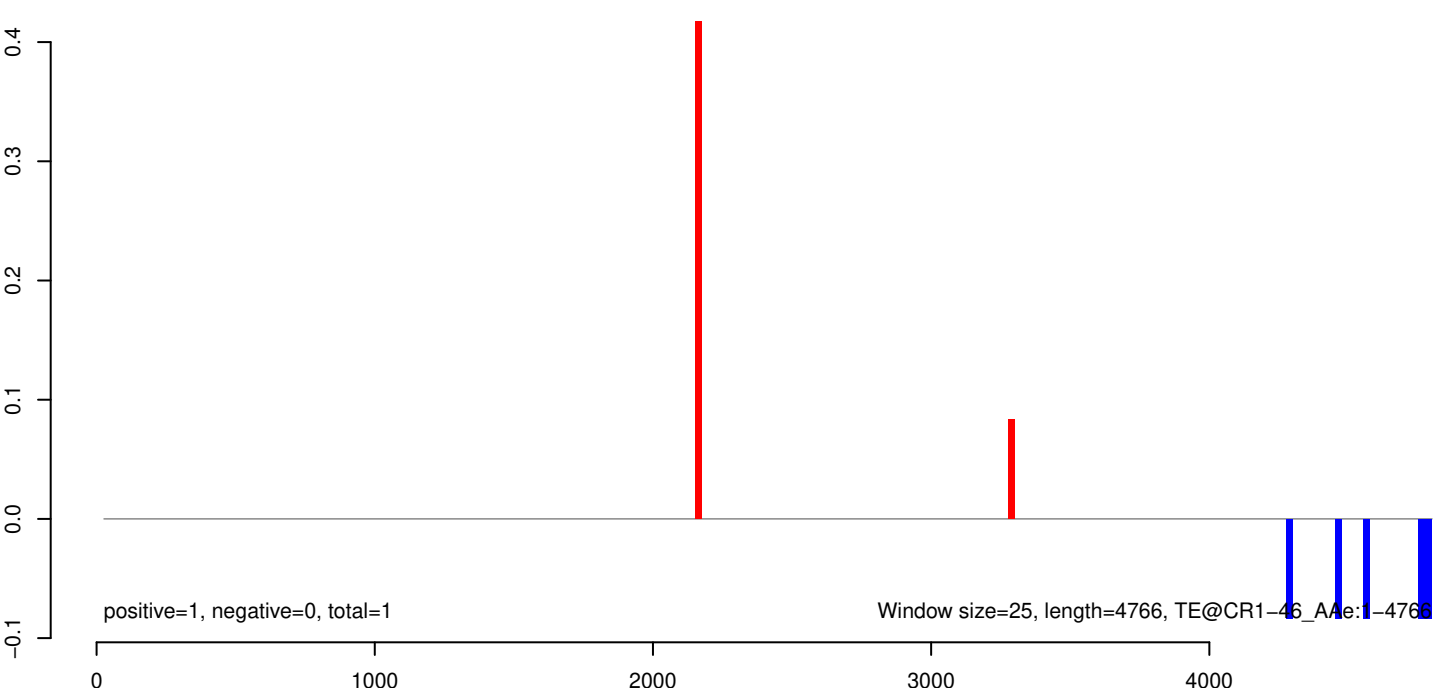
AeAeg_Aag2_Ago2_SINV_RA.18_23.rep



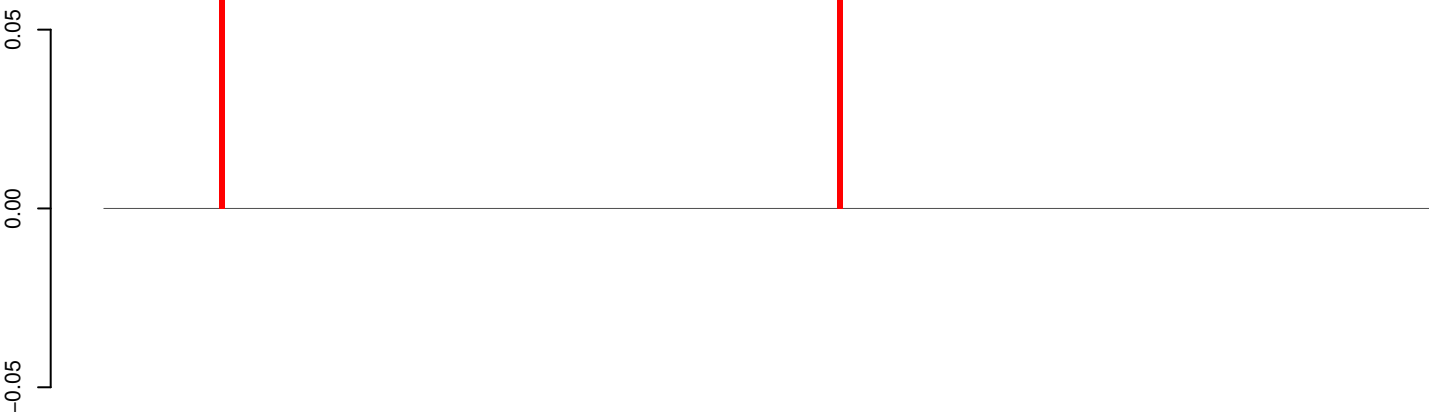
AeAeg_Aag2_Ago2_SINV_RA.24_35.rep



AeAeg_Aag2_Ago2_SINV_RA.rep

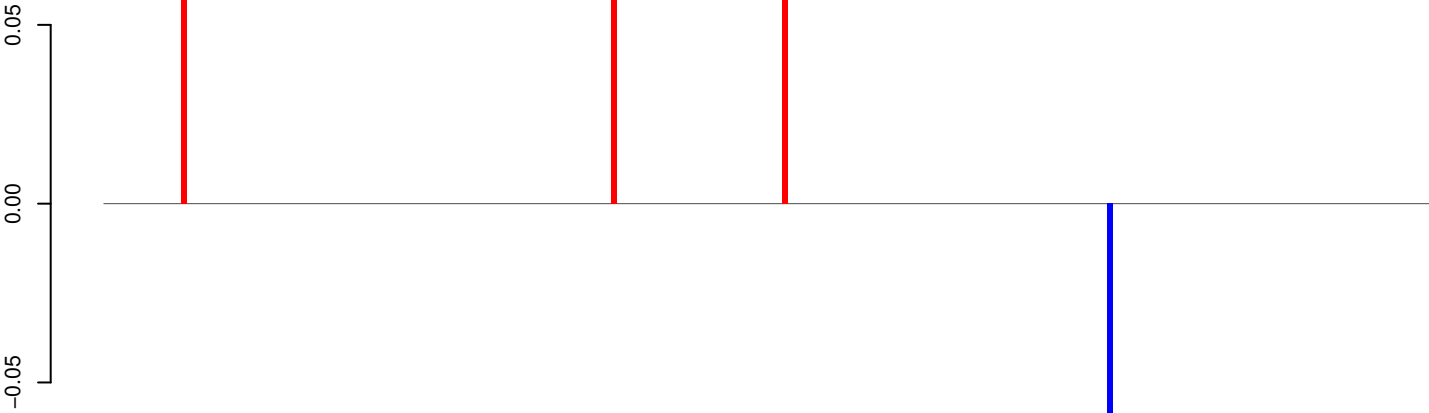


AeAeg_Aag2_Ago2_SINV_RA.18_23.rep



positive=0, negative=0, total=0

AeAeg_Aag2_Ago2_SINV_RA.24_35.rep



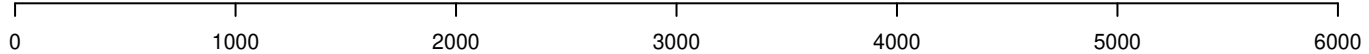
positive=0, negative=0, total=0

AeAeg_Aag2_Ago2_SINV_RA.rep

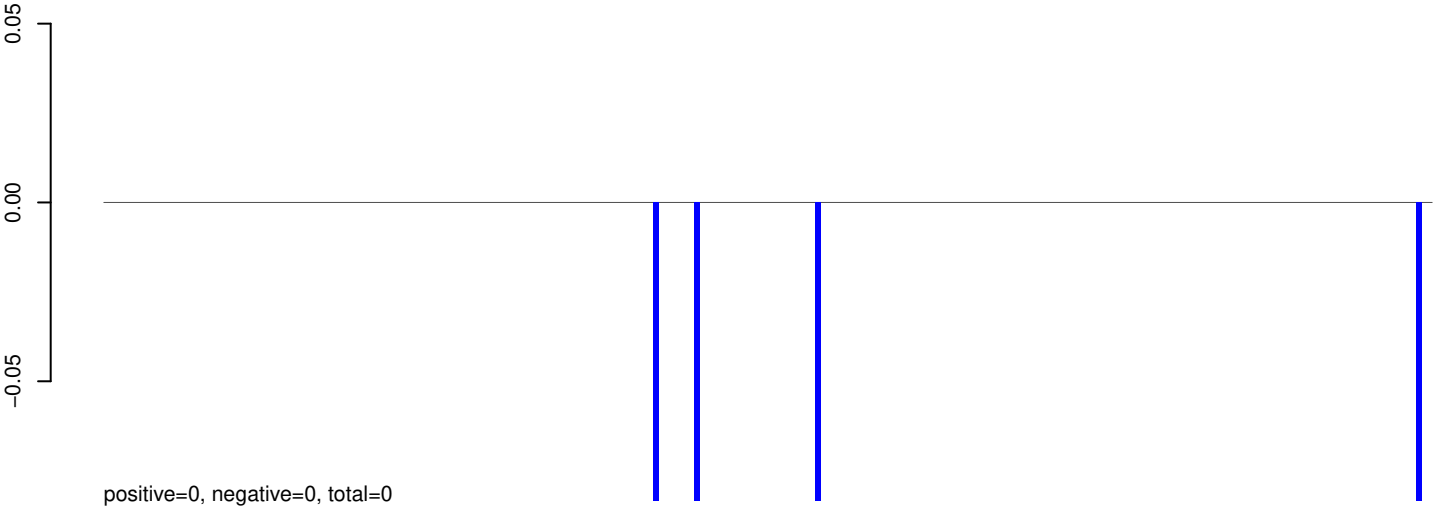


positive=0, negative=0, total=1

Window size=25, length=6016, TE@BEL-53_AA-LTR-I:1-6016



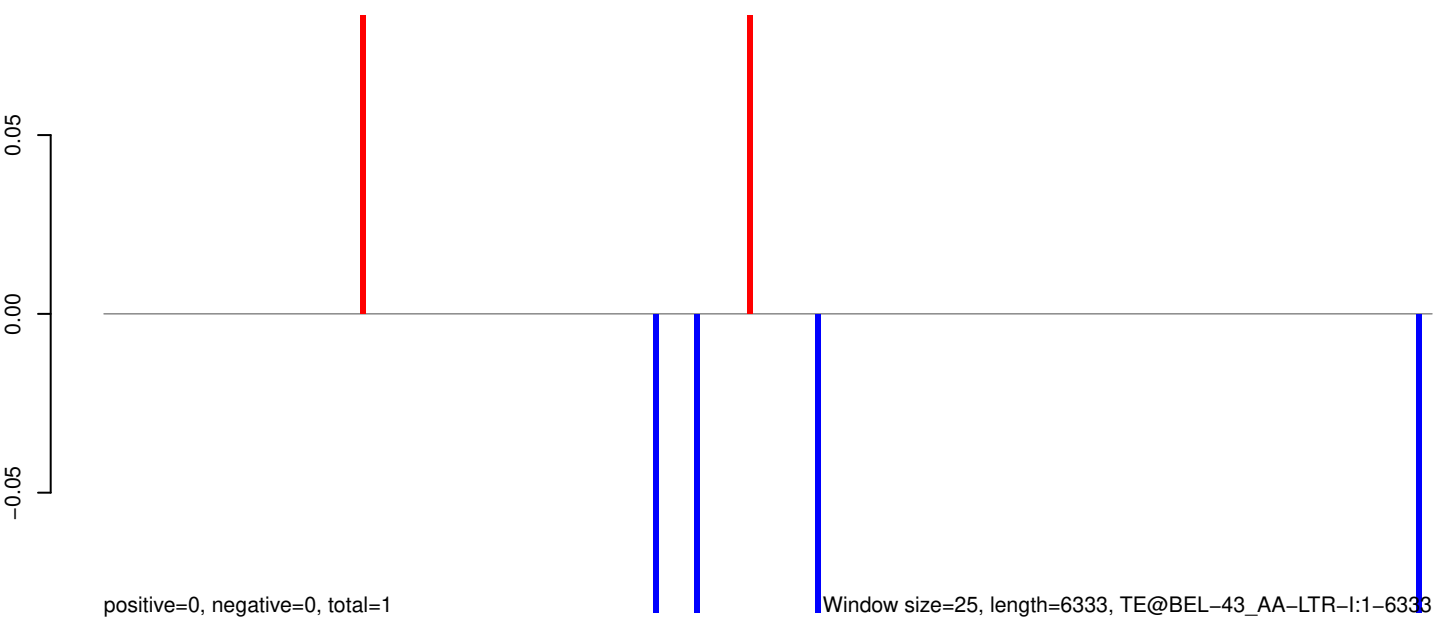
AeAeg_Aag2_Ago2_SINV_RA.18_23.rep



AeAeg_Aag2_Ago2_SINV_RA.24_35.rep

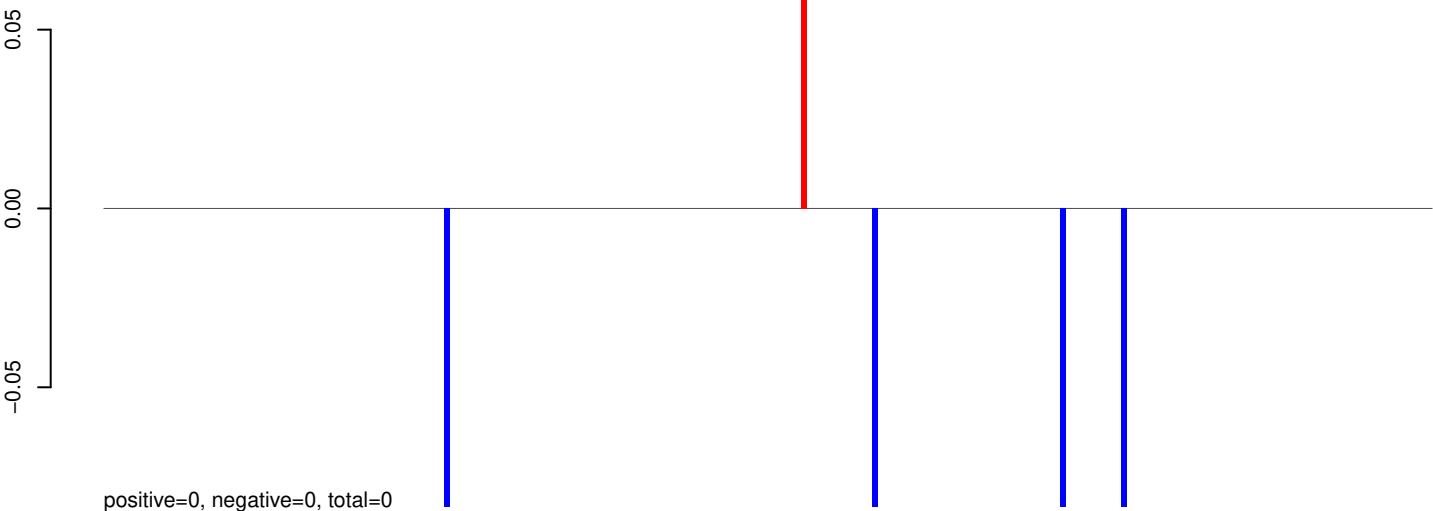


AeAeg_Aag2_Ago2_SINV_RA.rep

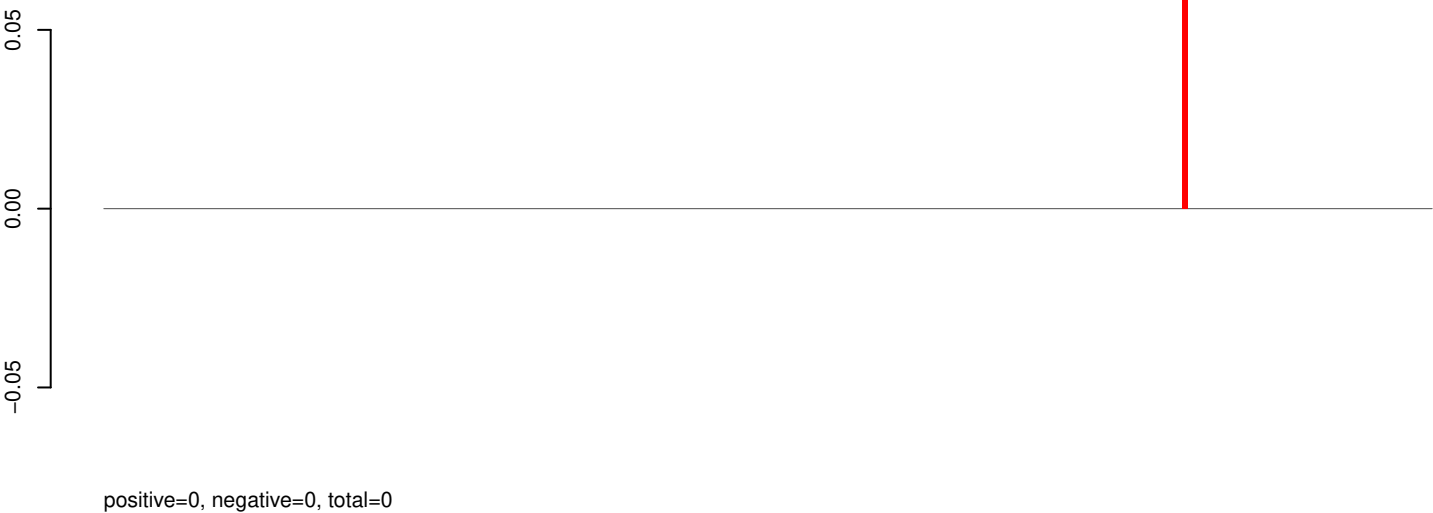


0 1000 2000 3000 4000 5000 6000

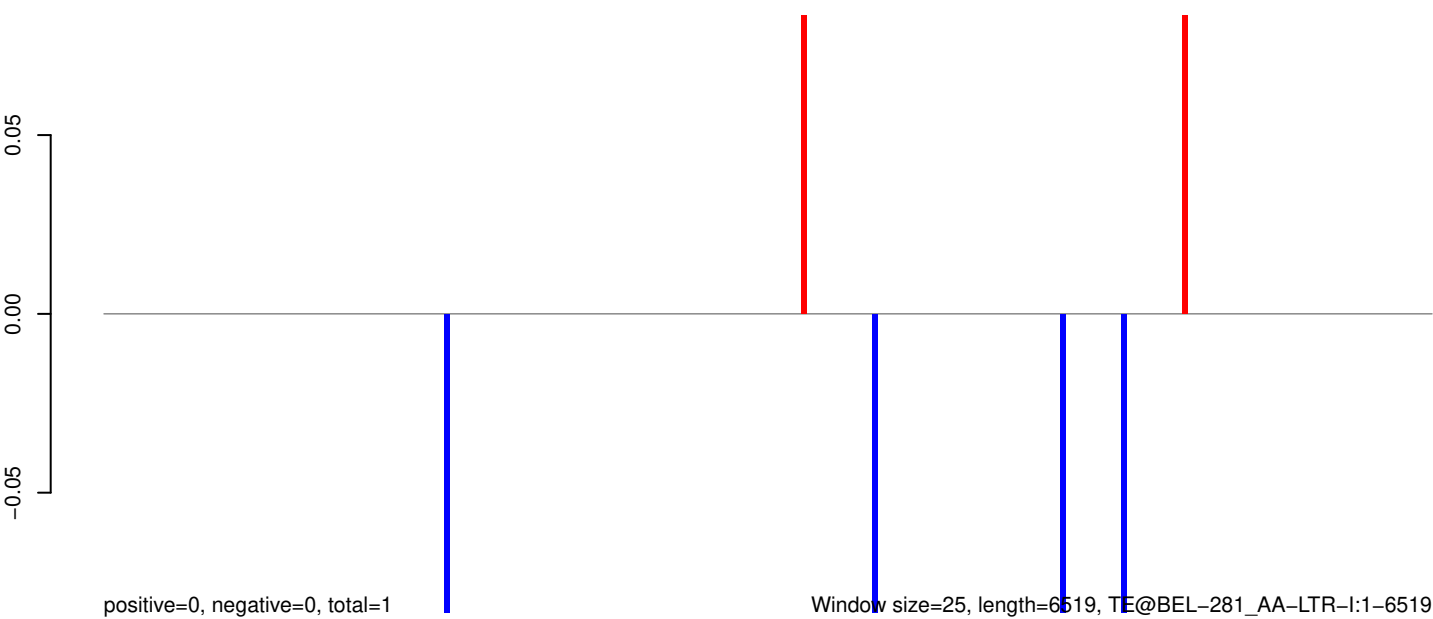
AeAeg_Aag2_Ago2_SINV_RA.18_23.rep



AeAeg_Aag2_Ago2_SINV_RA.24_35.rep

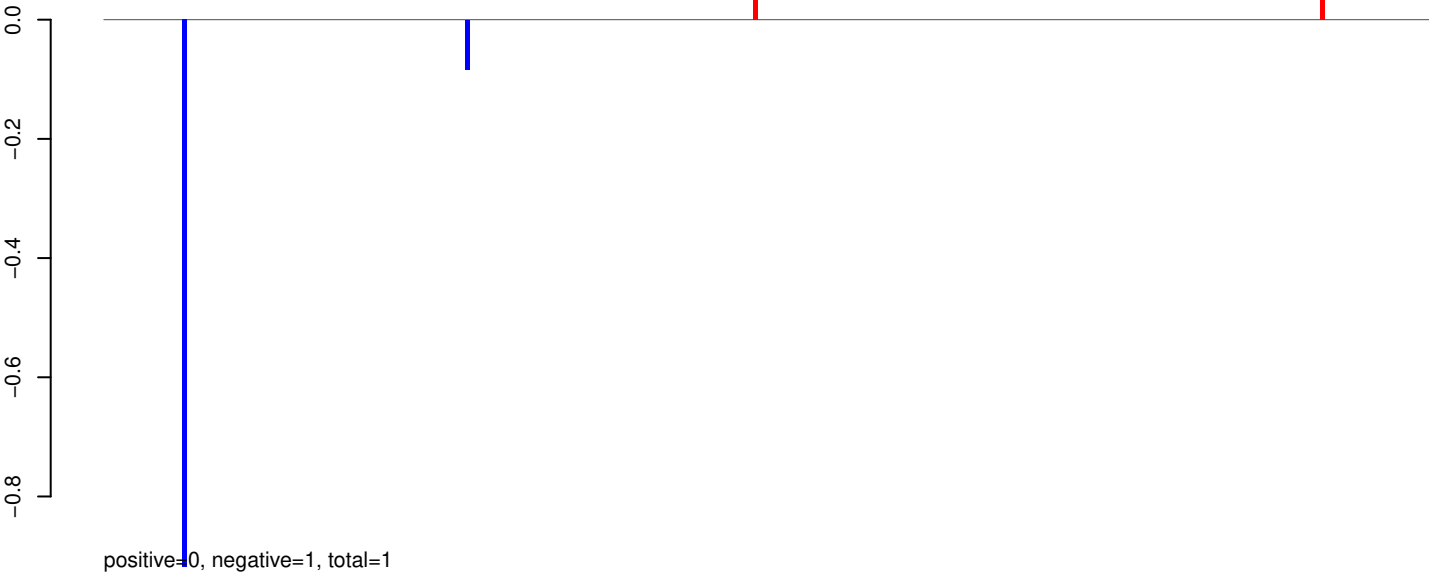


AeAeg_Aag2_Ago2_SINV_RA.rep

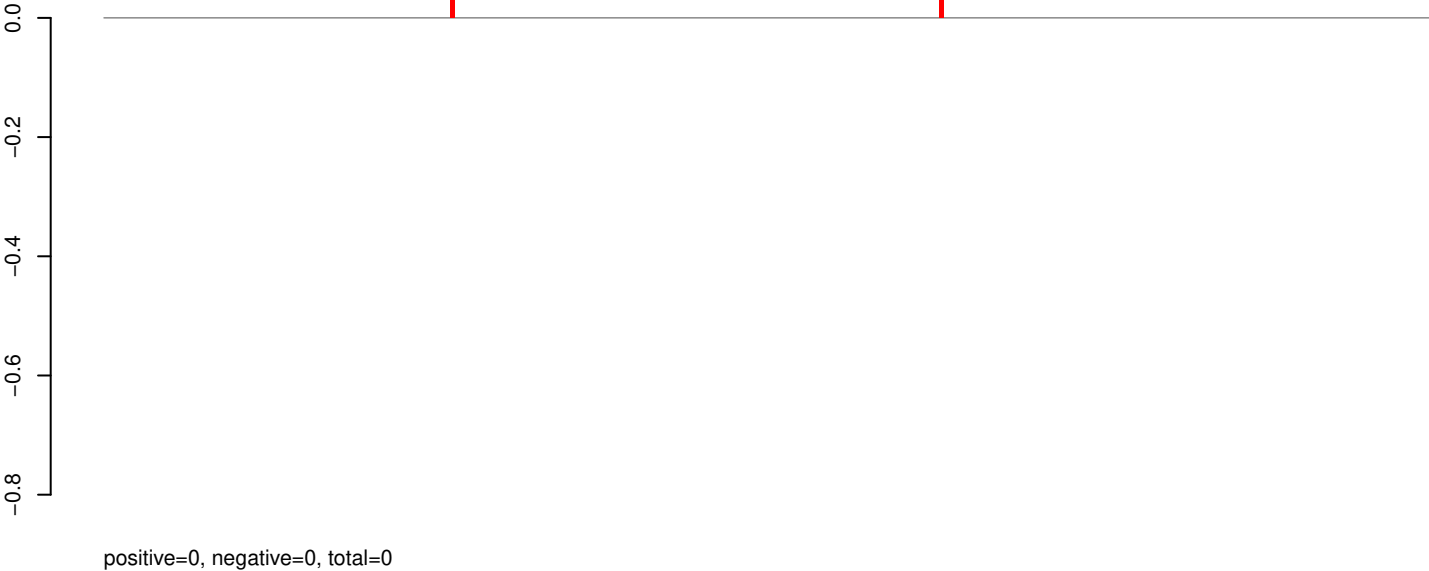


0 1000 2000 3000 4000 5000 6000

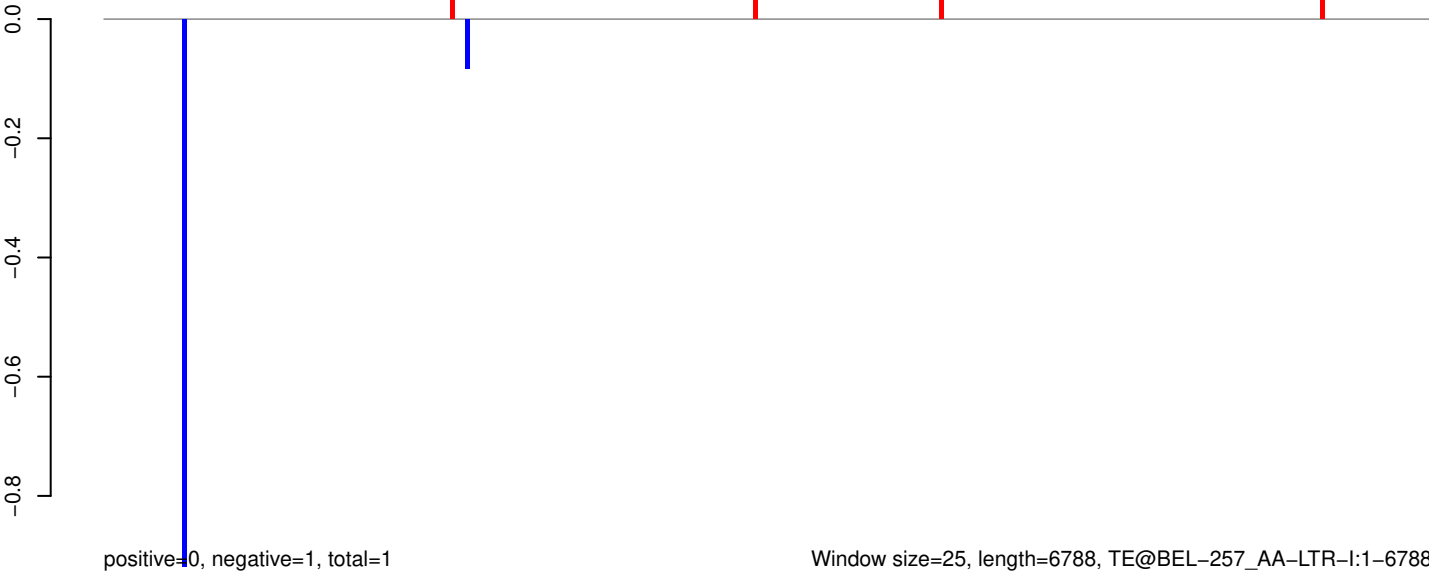
AeAeg_Aag2_Ago2_SINV_RA.18_23.rep



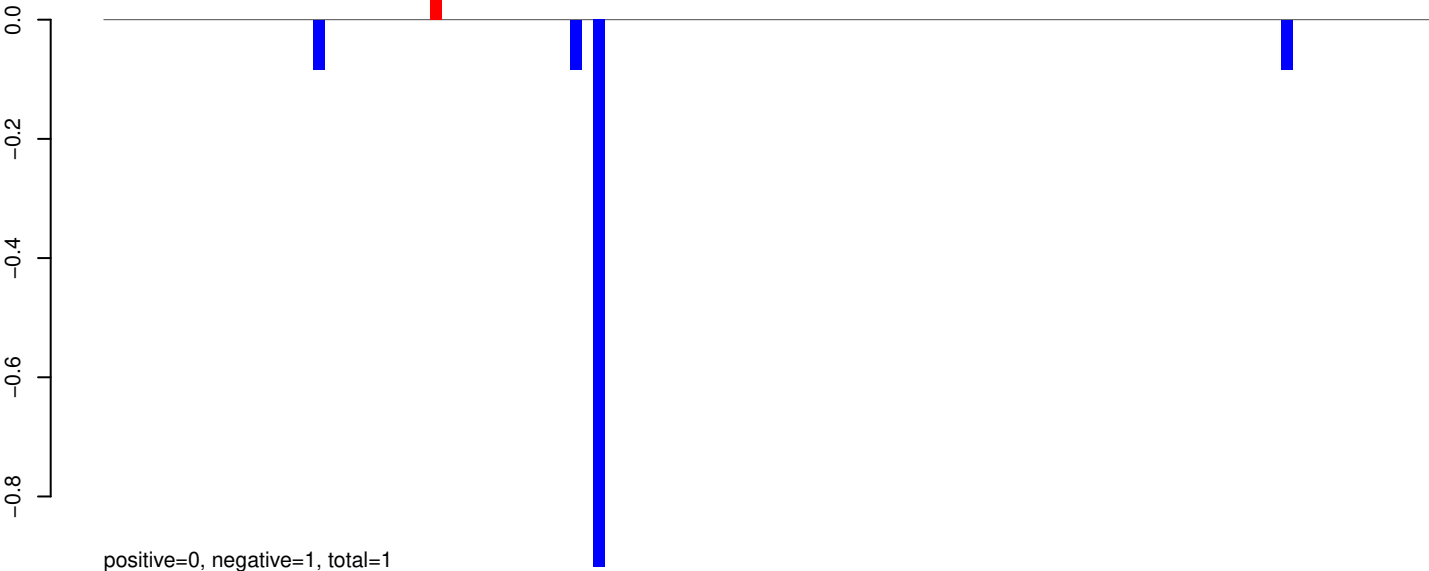
AeAeg_Aag2_Ago2_SINV_RA.24_35.rep



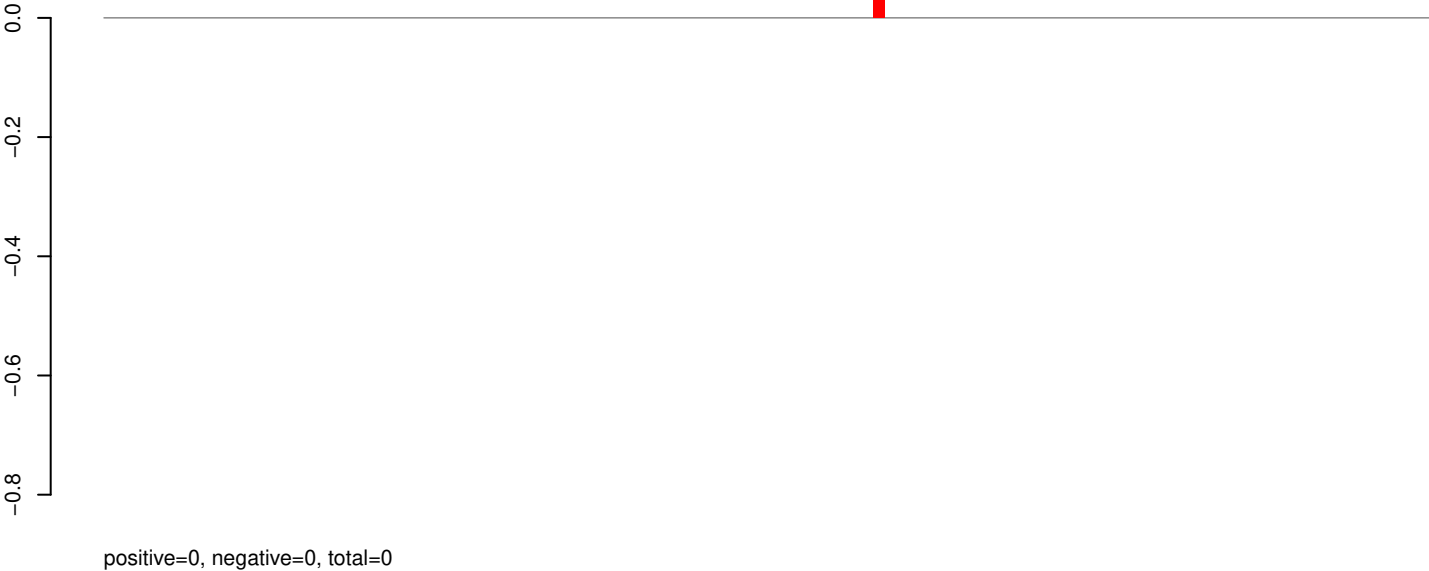
AeAeg_Aag2_Ago2_SINV_RA.rep



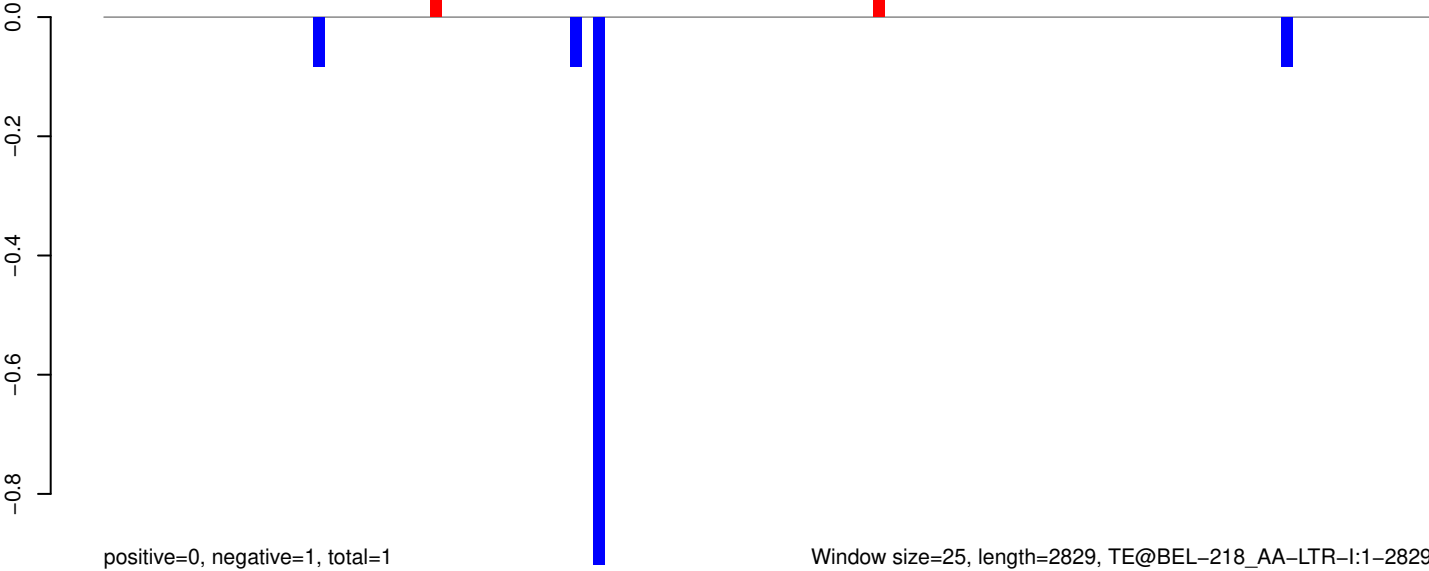
AeAeg_Aag2_Ago2_SINV_RA.18_23.rep



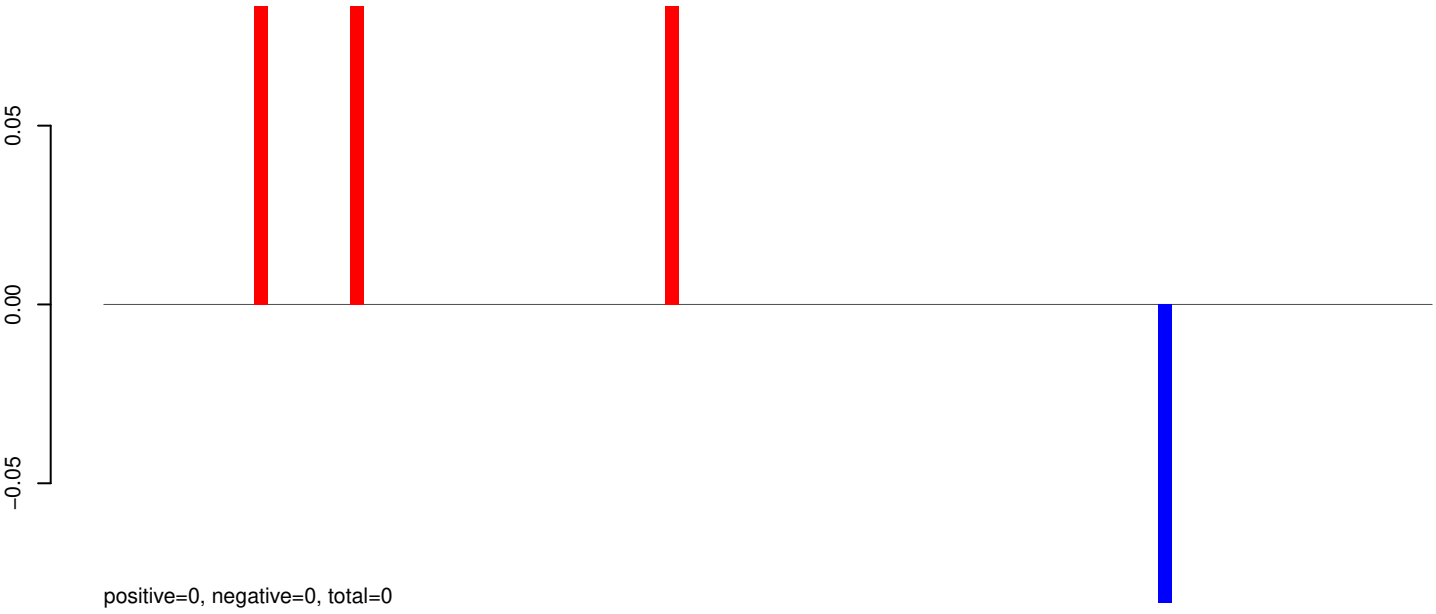
AeAeg_Aag2_Ago2_SINV_RA.24_35.rep



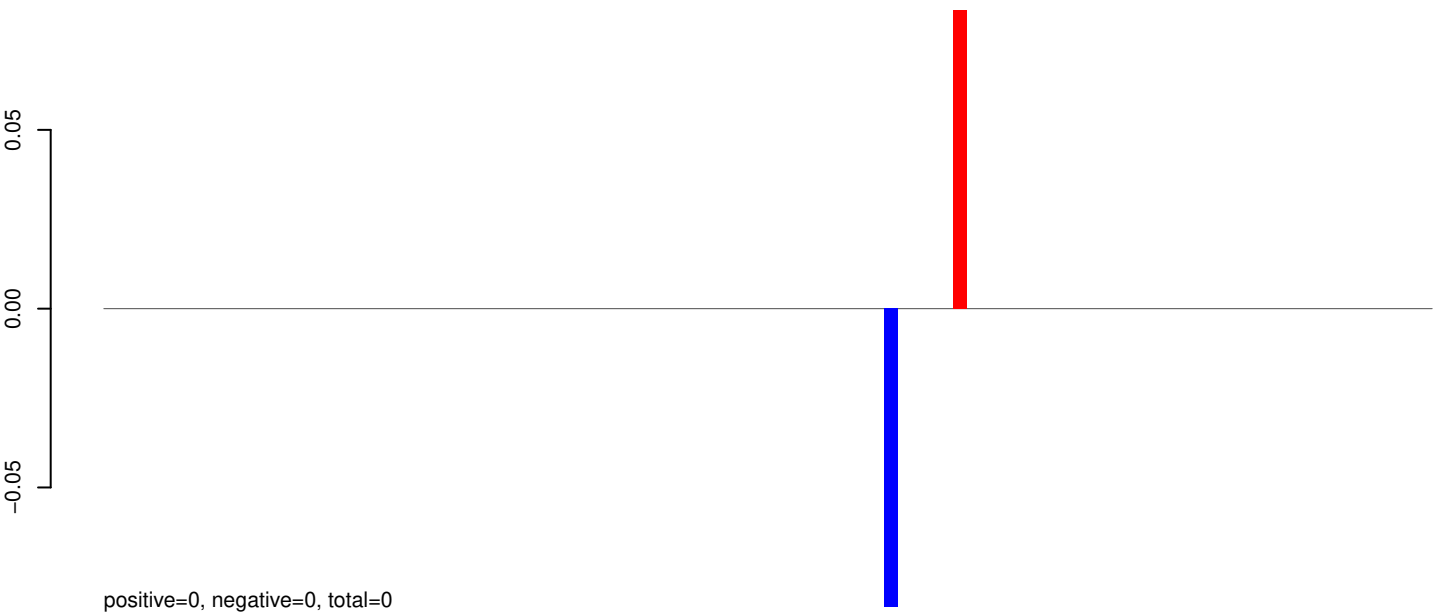
AeAeg_Aag2_Ago2_SINV_RA.rep



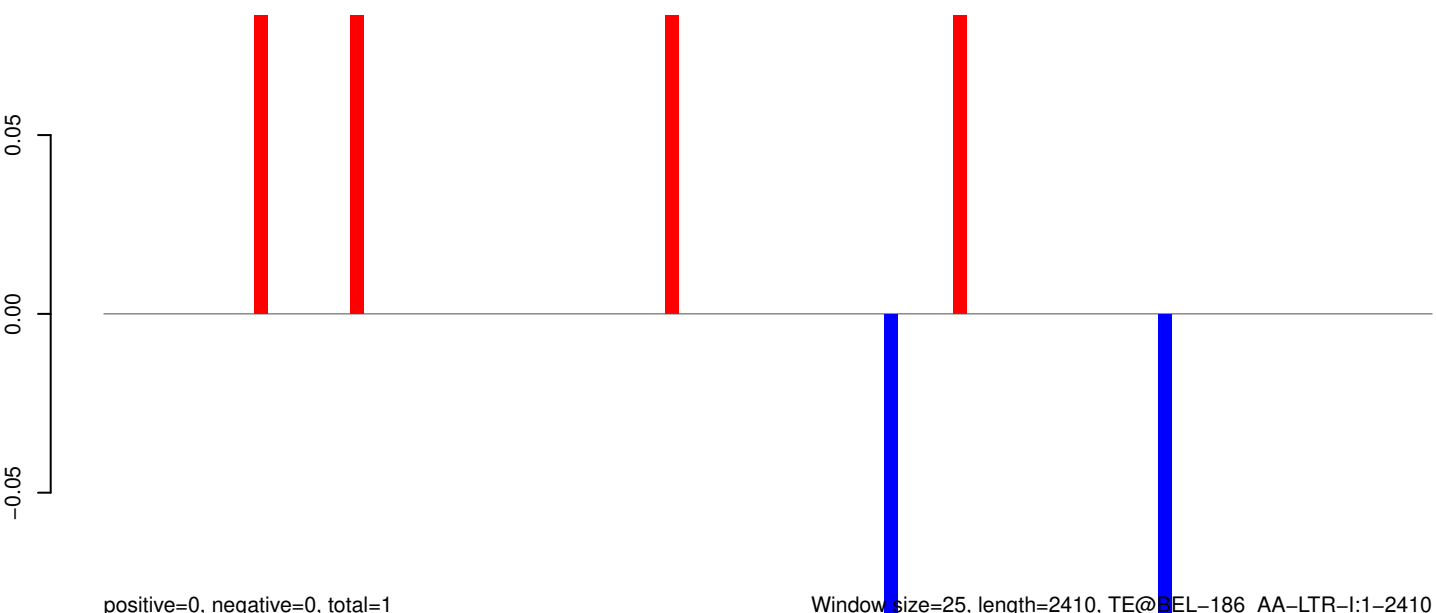
AeAeg_Aag2_Ago2_SINV_RA.18_23.rep



AeAeg_Aag2_Ago2_SINV_RA.24_35.rep

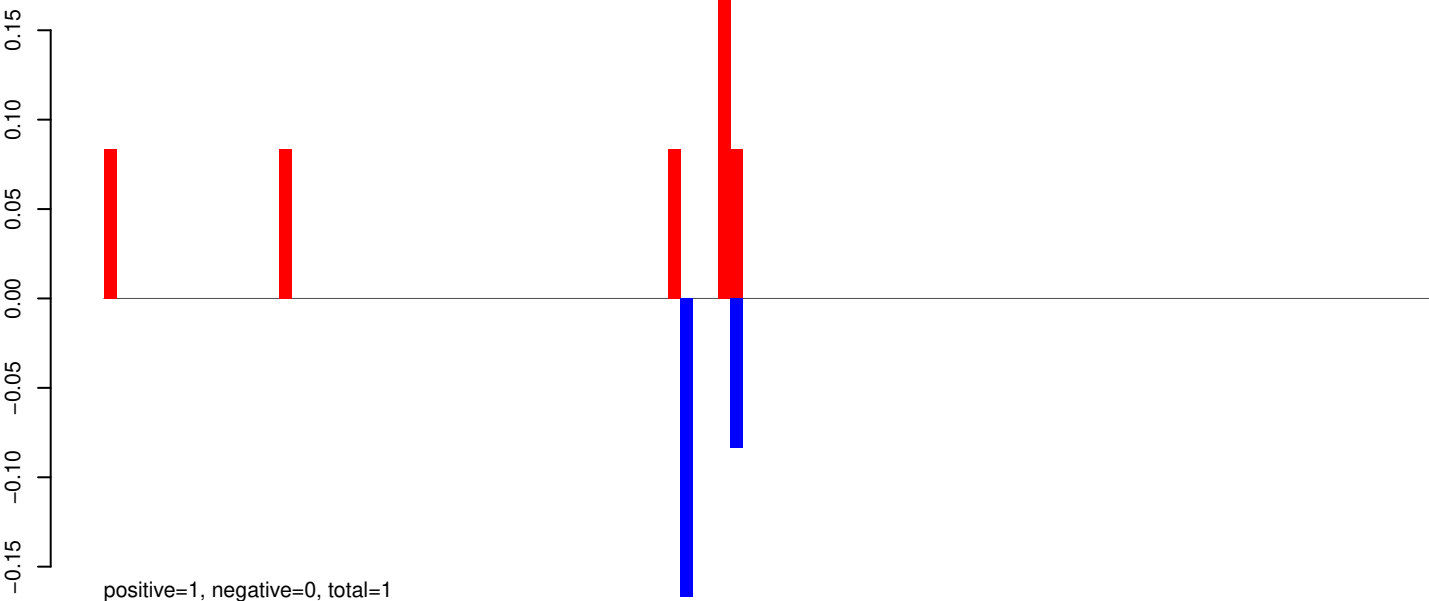


AeAeg_Aag2_Ago2_SINV_RA.rep



Window size=25, length=2410, TE@HEL-186_AA-LTR-I:1-2410

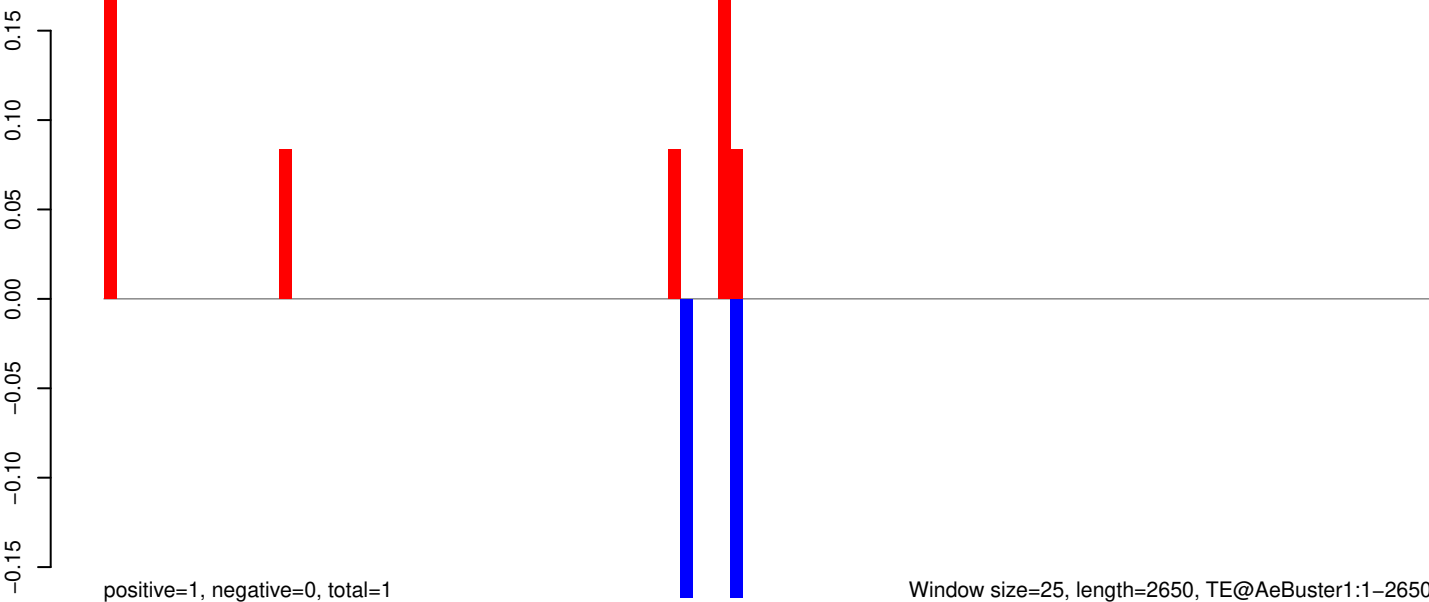
AeAeg_Aag2_Ago2_SINV_RA.18_23.rep



AeAeg_Aag2_Ago2_SINV_RA.24_35.rep



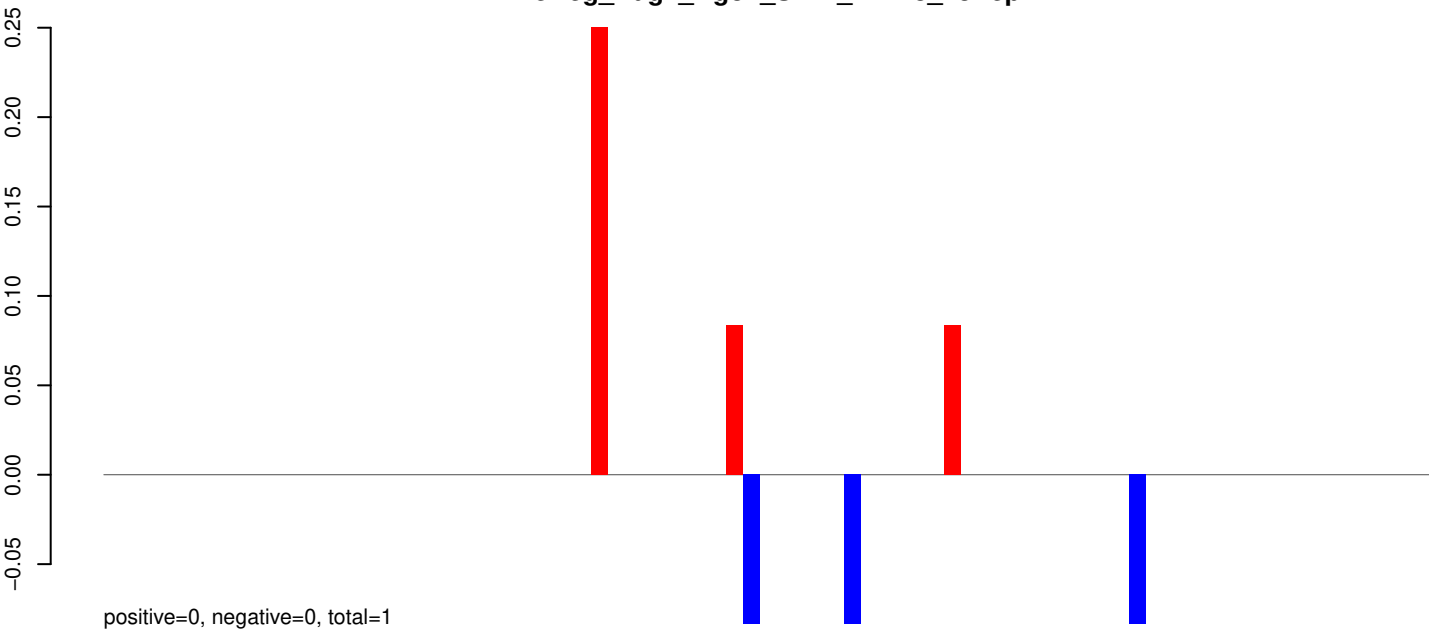
AeAeg_Aag2_Ago2_SINV_RA.rep



Window size=25, length=2650, TE@AeBuster1:1-2650

0 500 1000 1500 2000 2500

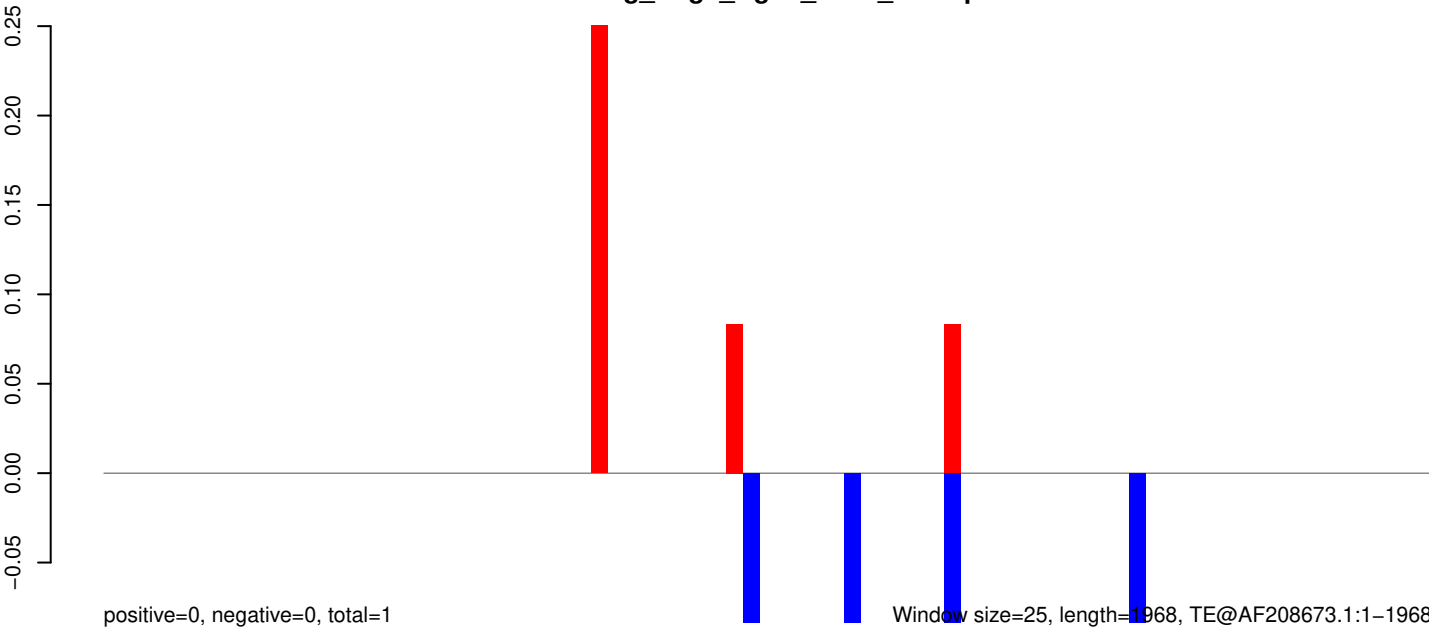
AeAeg_Aag2_Ago2_SINV_RA.18_23.rep



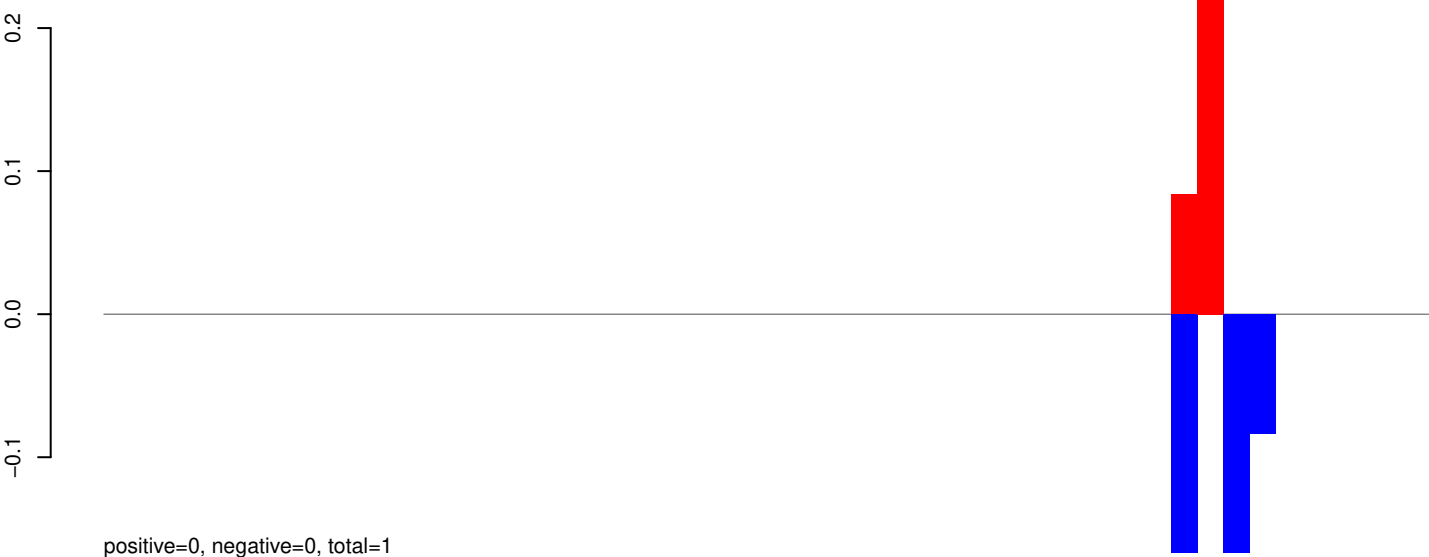
AeAeg_Aag2_Ago2_SINV_RA.24_35.rep



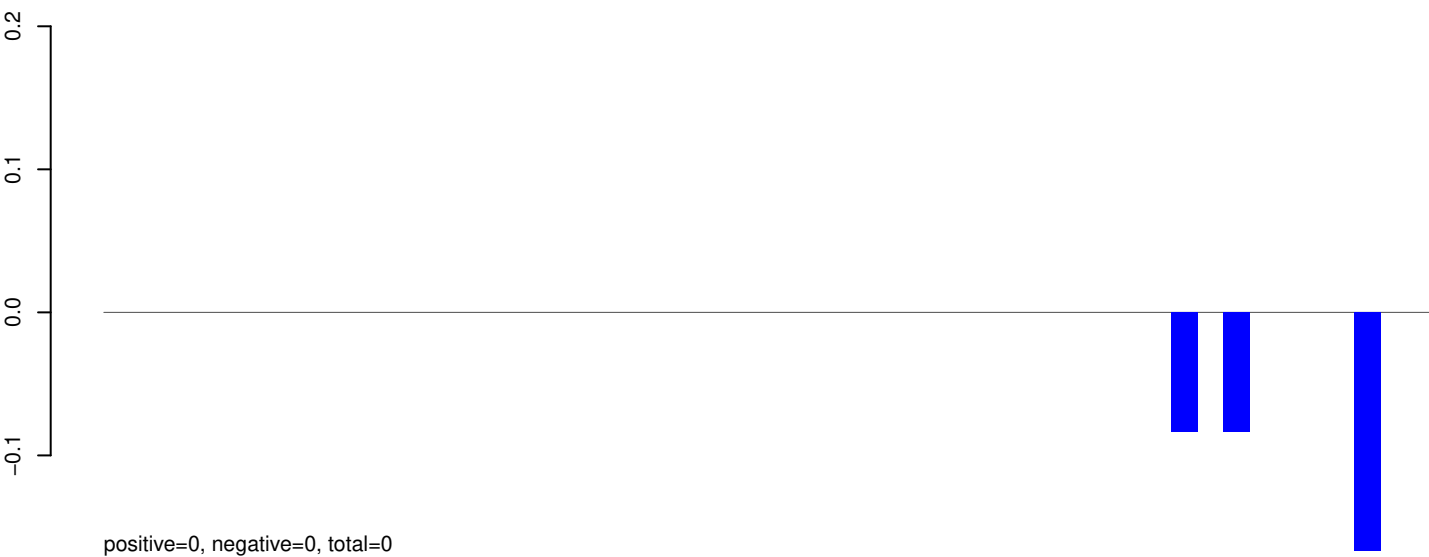
AeAeg_Aag2_Ago2_SINV_RA.rep



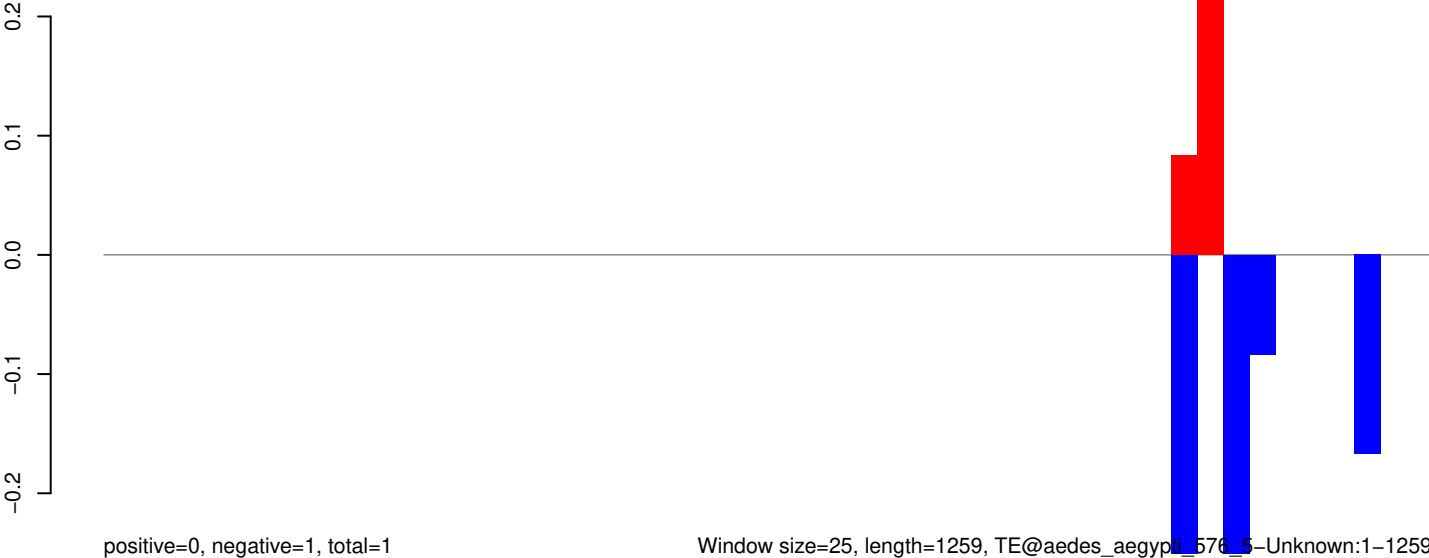
AeAeg_Aag2_Ago2_SINV_RA.18_23.rep



AeAeg_Aag2_Ago2_SINV_RA.24_35.rep



AeAeg_Aag2_Ago2_SINV_RA.rep



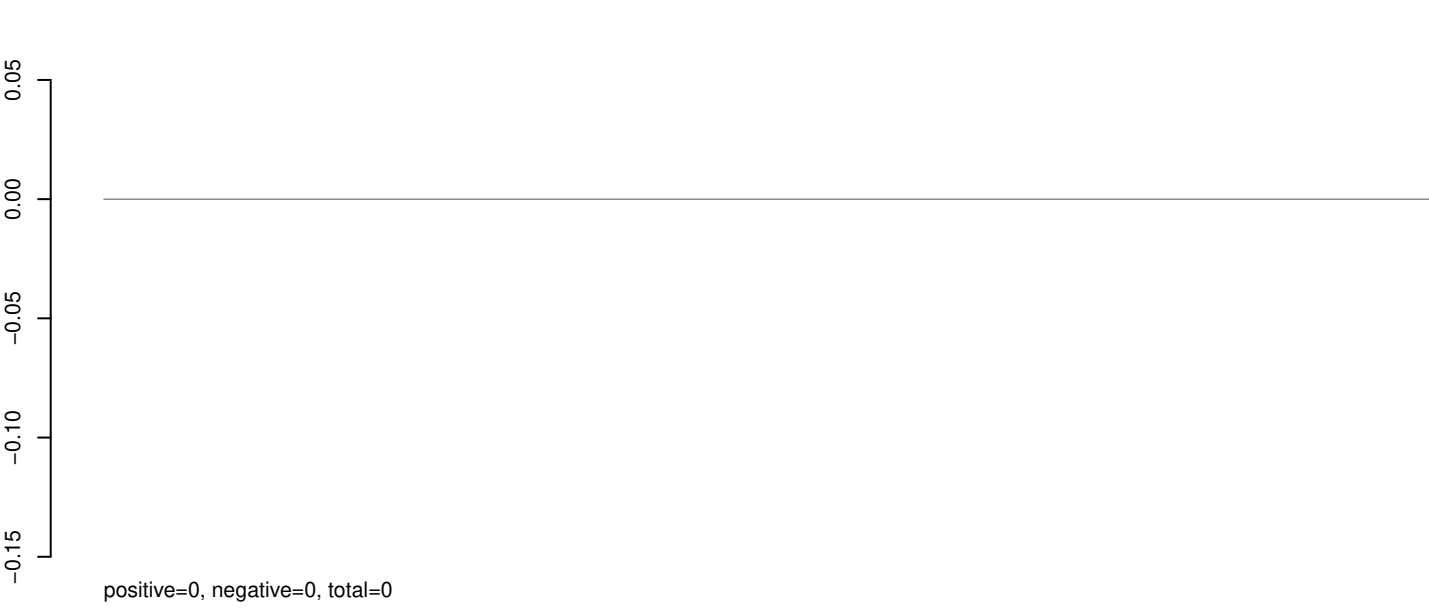
Window size=25, length=1259, TE@aedes_aegypti_576_5-Unknown:1-1259

0 200 400 600 800 1000 1200

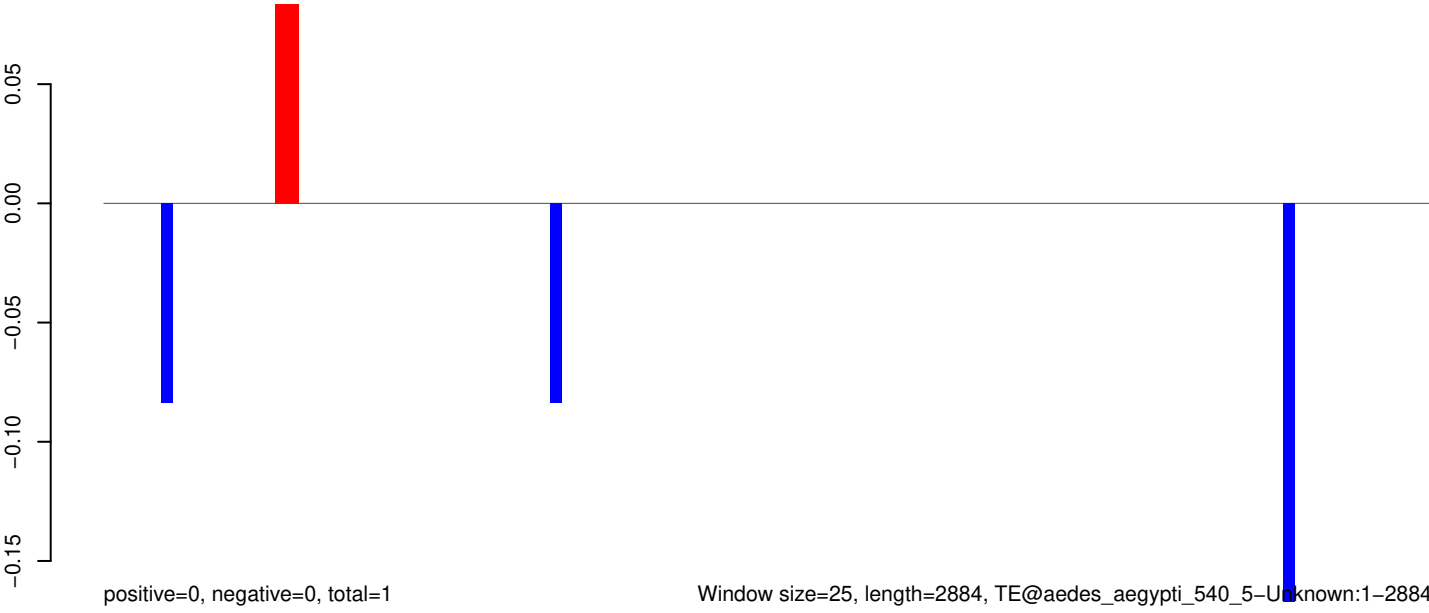
AeAeg_Aag2_Ago2_SINV_RA.18_23.rep



AeAeg_Aag2_Ago2_SINV_RA.24_35.rep



AeAeg_Aag2_Ago2_SINV_RA.rep

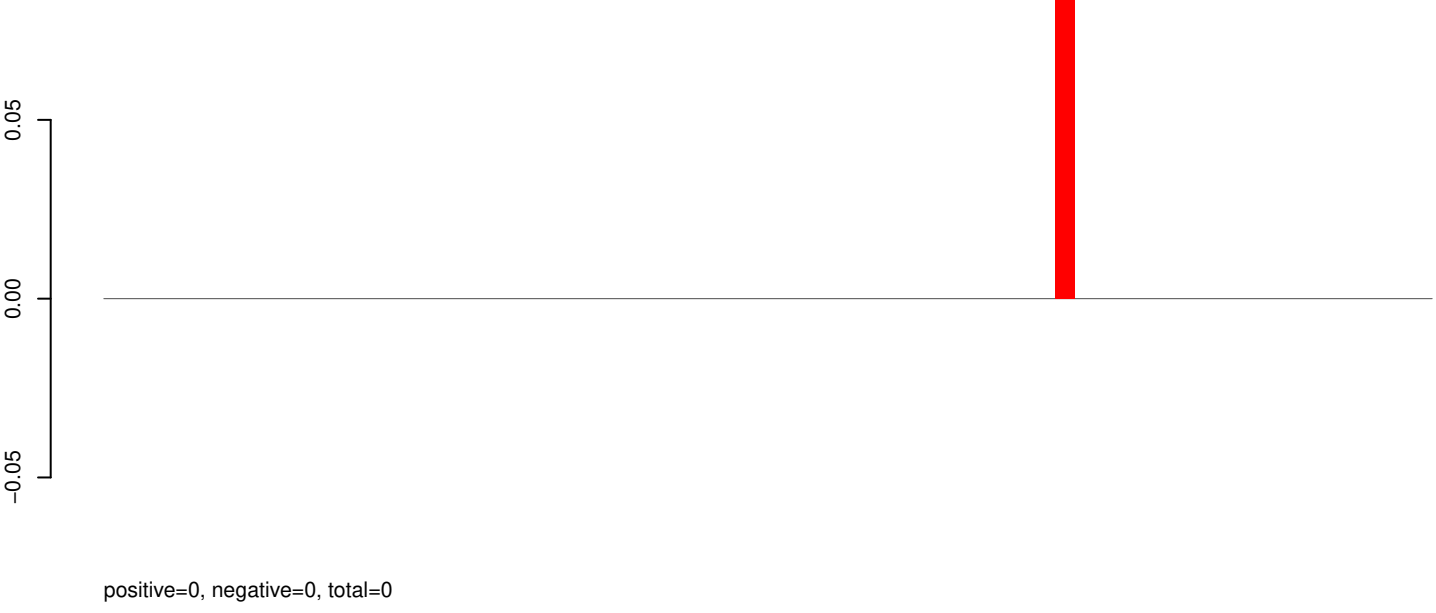


Window size=25, length=2884, TE@aedes_aegypti_540_5-Unknown:1-2884

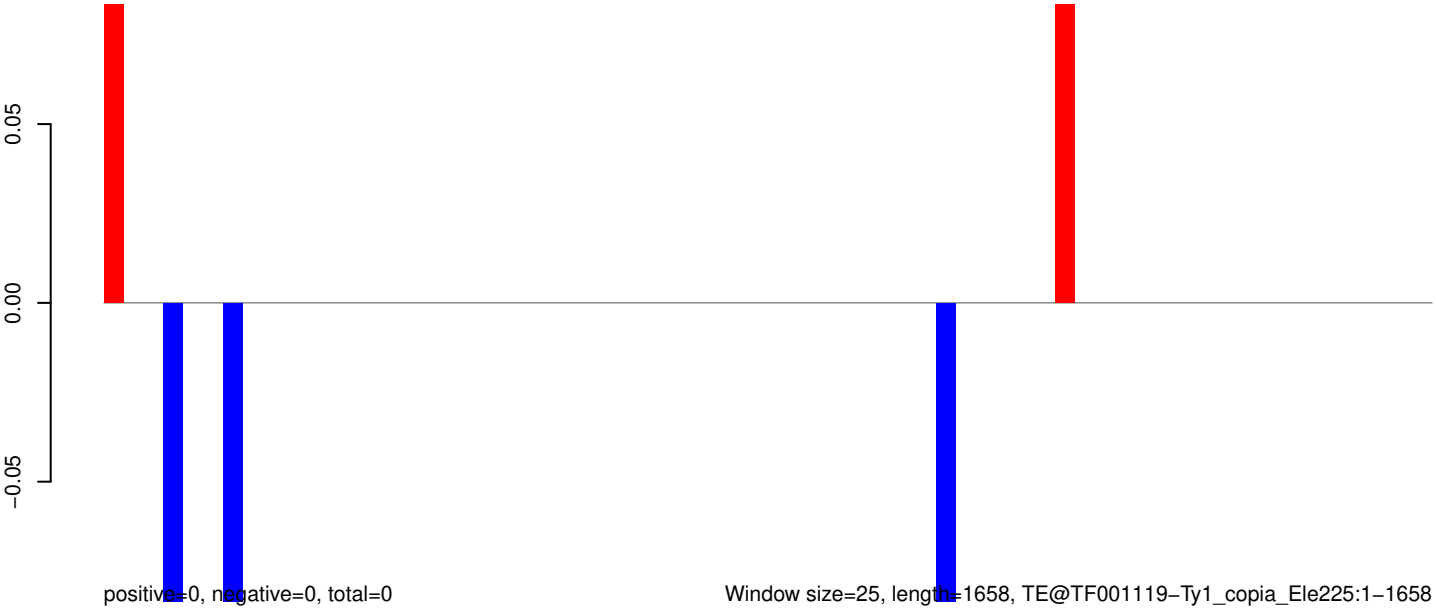
AeAeg_Aag2_Ago2_SINV_RA.18_23.rep



AeAeg_Aag2_Ago2_SINV_RA.24_35.rep

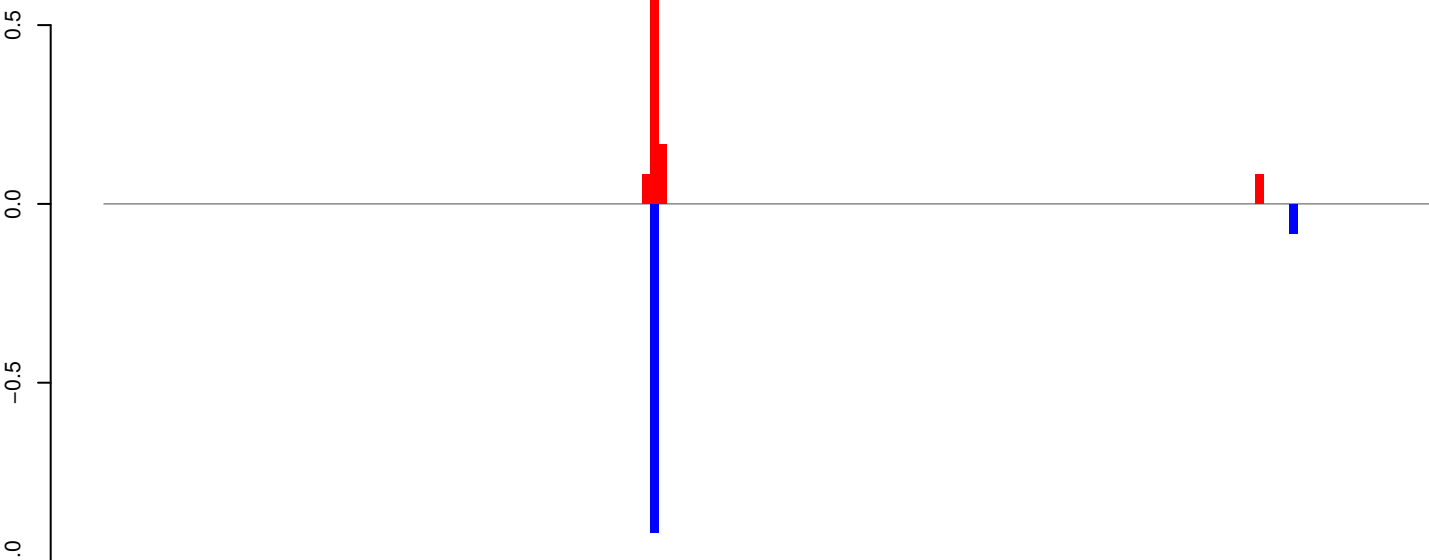


AeAeg_Aag2_Ago2_SINV_RA.rep



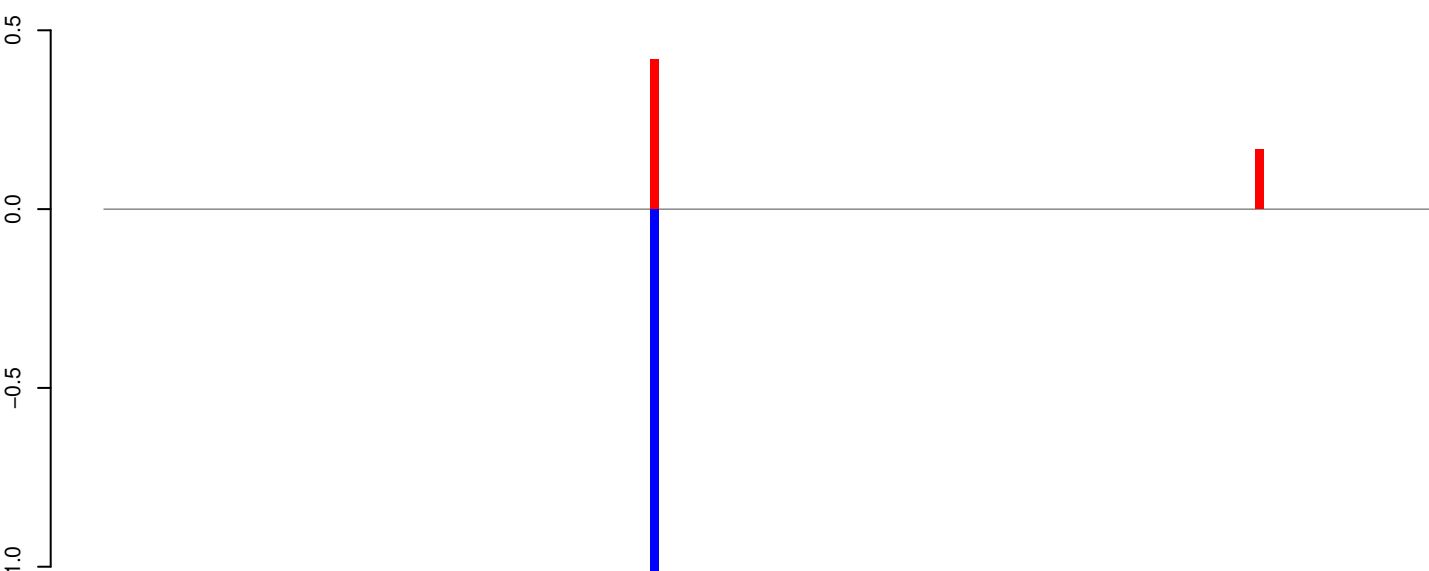
0 500 1000 1500

AeAeg_Aag2_Ago2_SINV_RA.18_23.rep



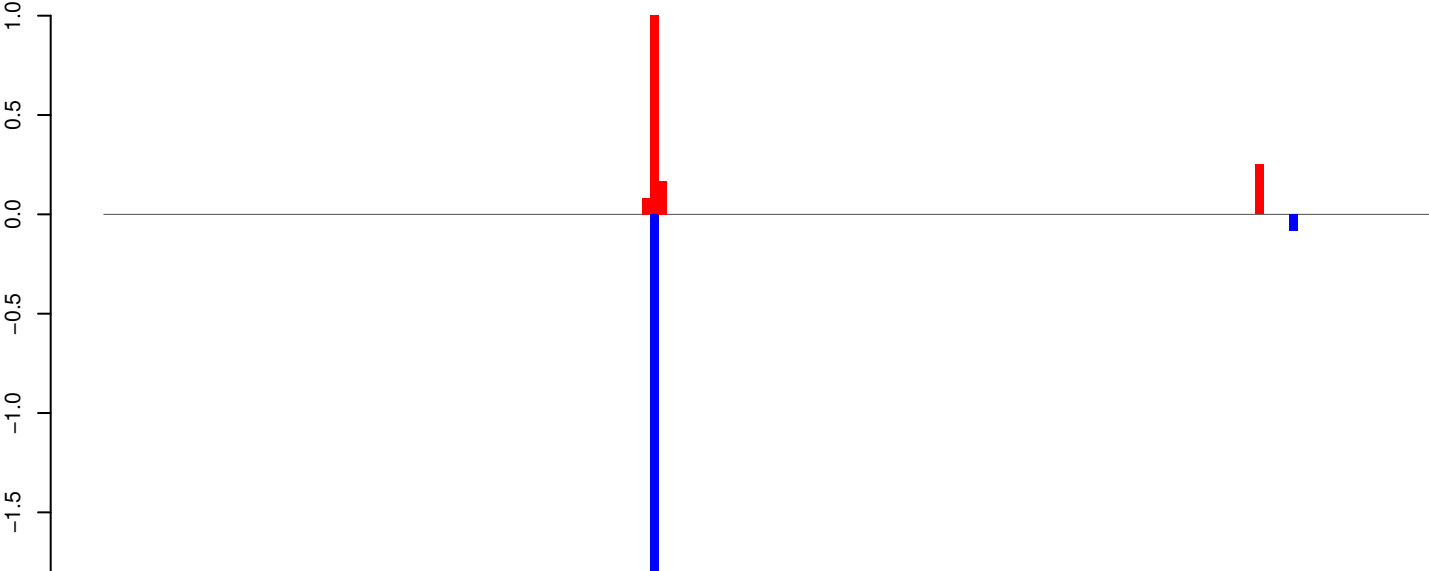
positive=1, negative=1, total=2

AeAeg_Aag2_Ago2_SINV_RA.24_35.rep



positive=1, negative=1, total=2

AeAeg_Aag2_Ago2_SINV_RA.rep



positive=2, negative=2, total=4

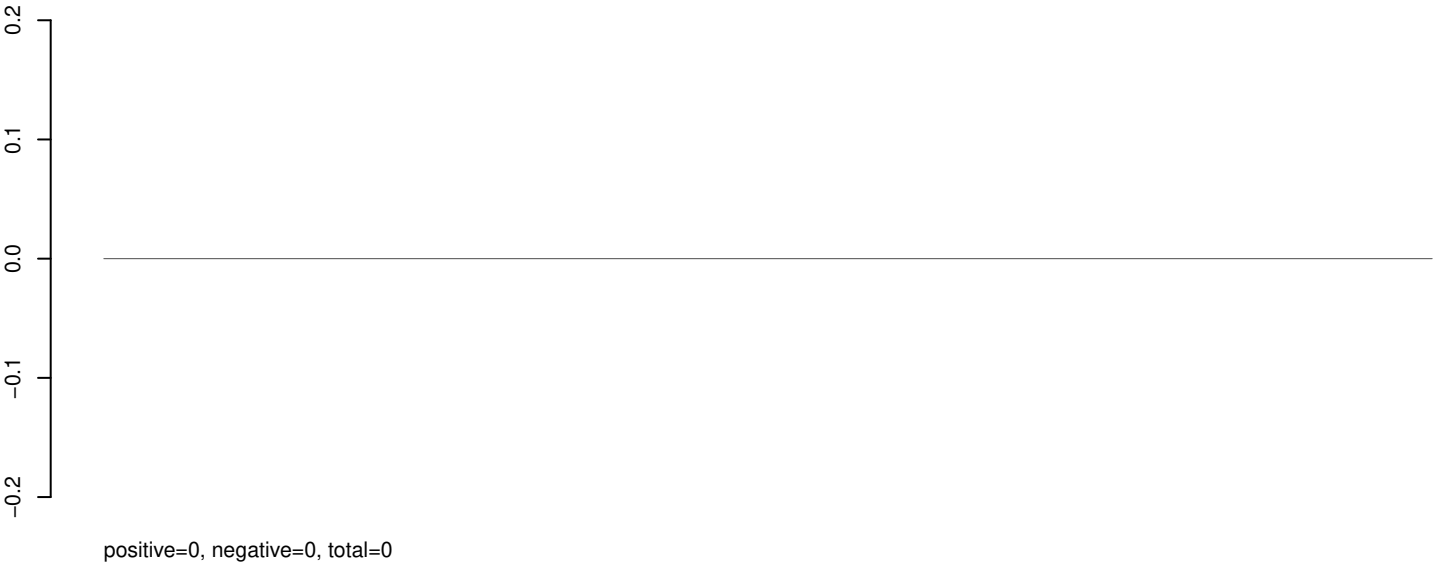
Window size=25, length=3932, TE@TF001104-Pogo_Ele12:1-3932

0 1000 2000 3000 4000

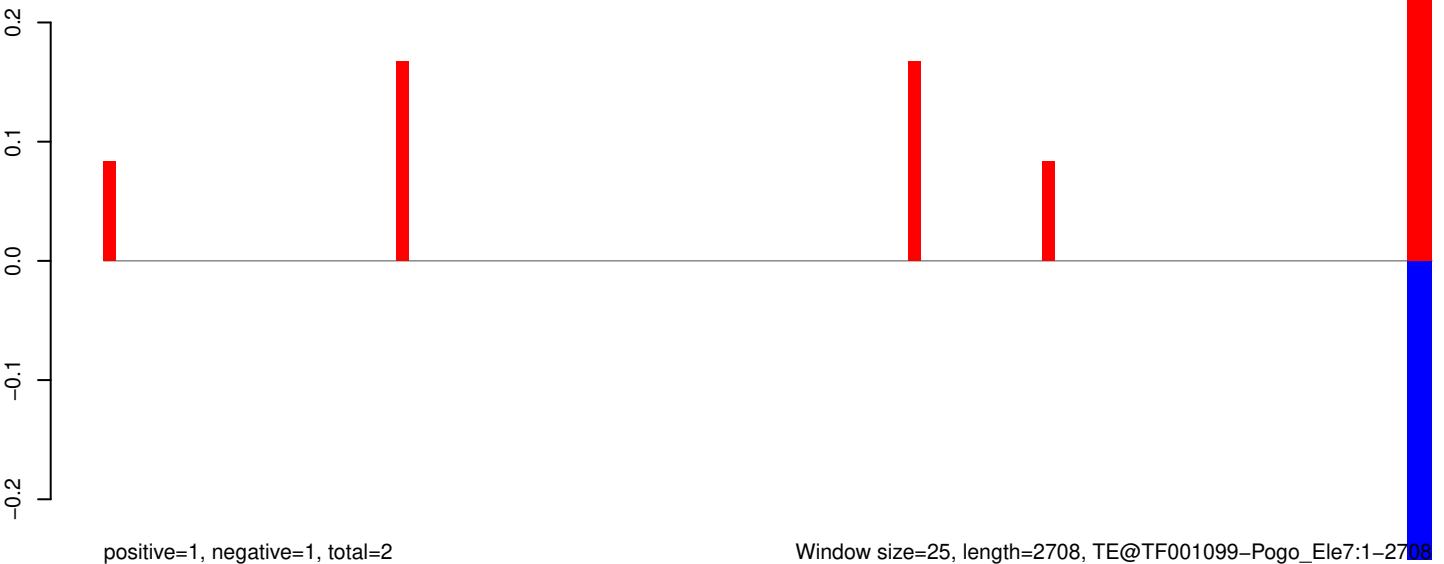
AeAeg_Aag2_Ago2_SINV_RA.18_23.rep



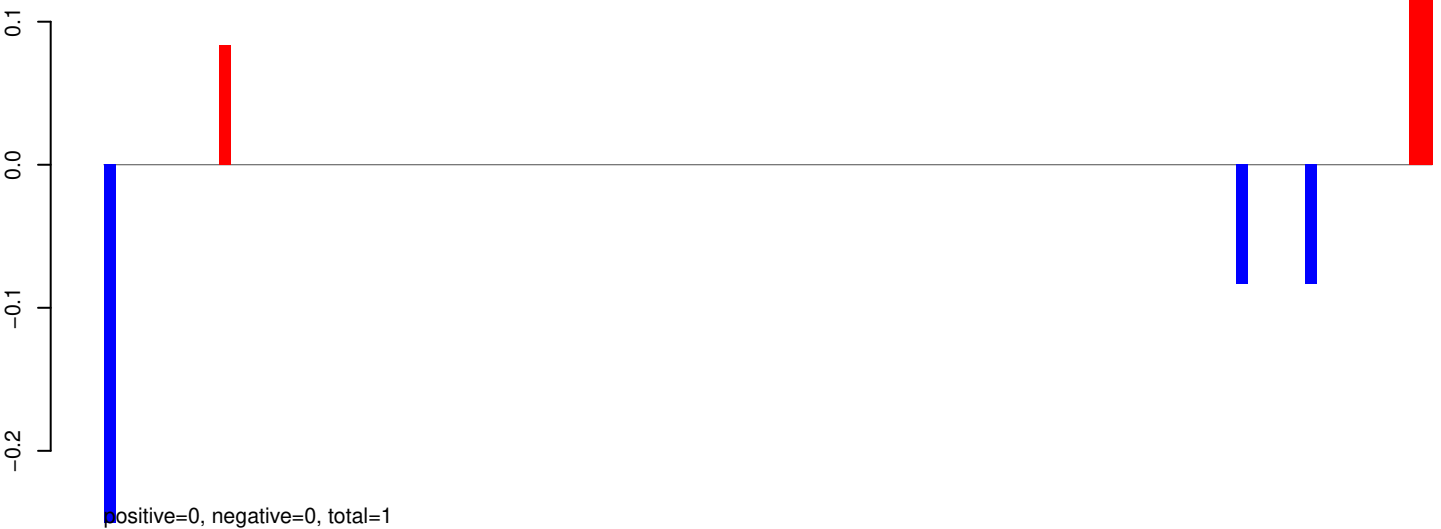
AeAeg_Aag2_Ago2_SINV_RA.24_35.rep



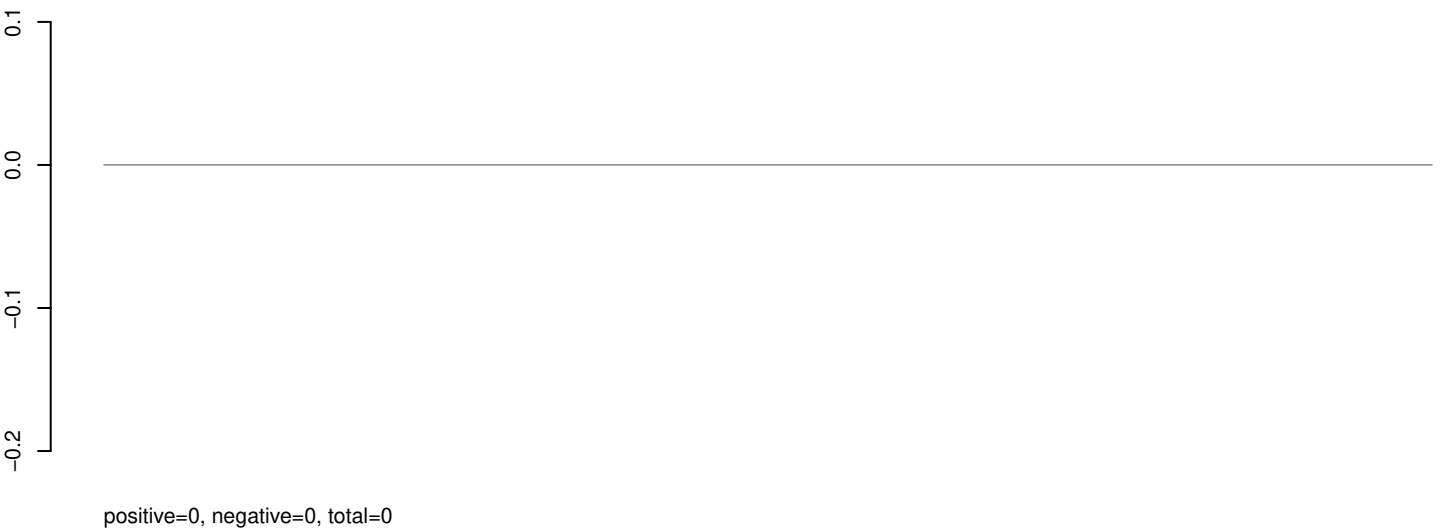
AeAeg_Aag2_Ago2_SINV_RA.rep



AeAeg_Aag2_Ago2_SINV_RA.18_23.rep



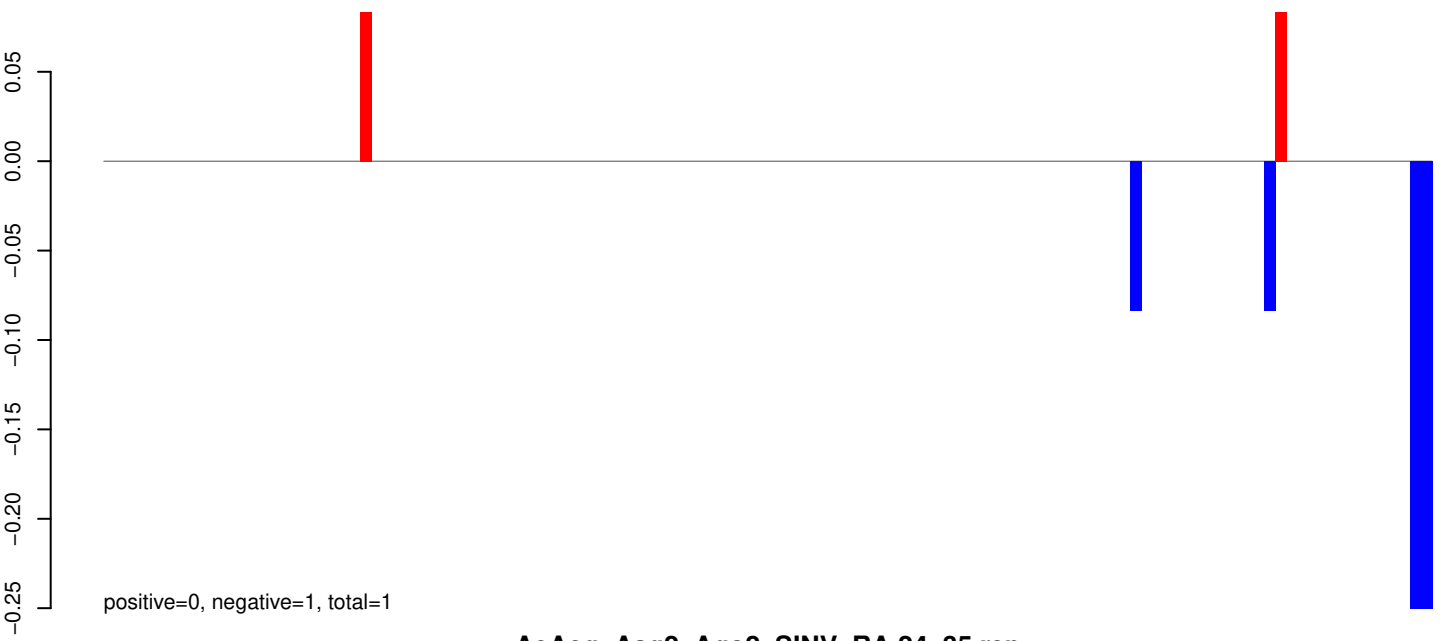
AeAeg_Aag2_Ago2_SINV_RA.24_35.rep



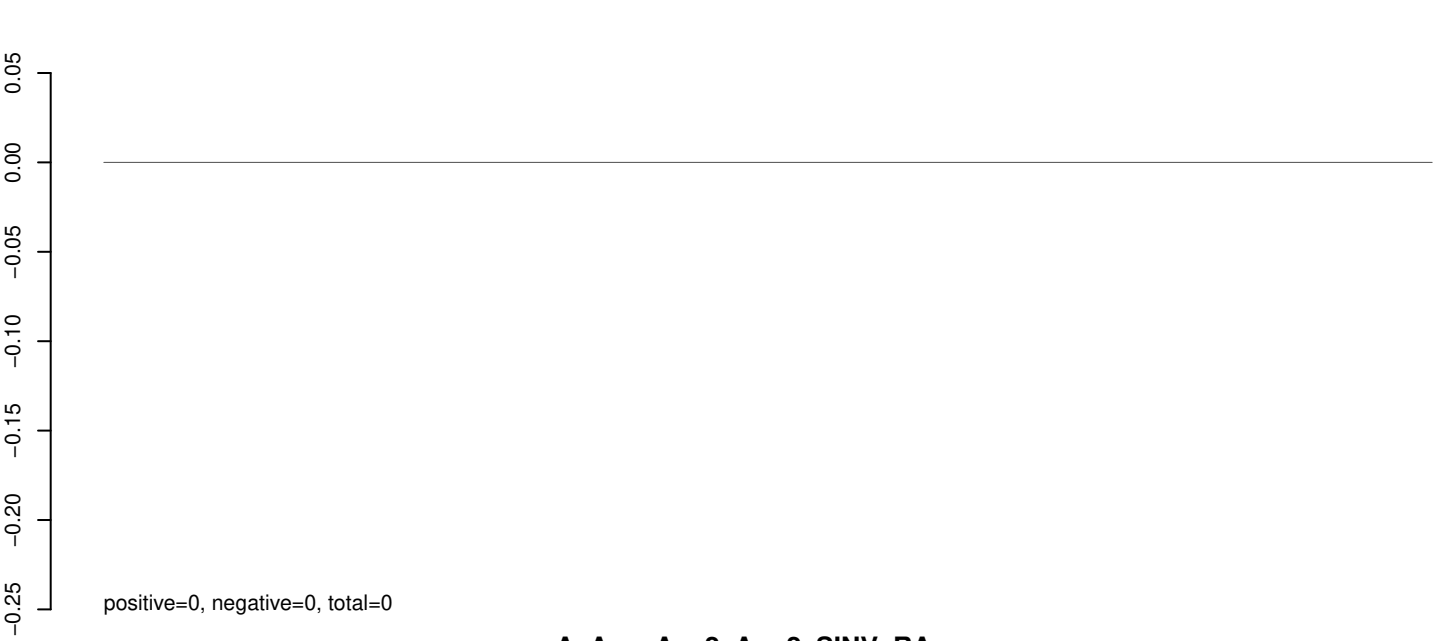
AeAeg_Aag2_Ago2_SINV_RA.rep



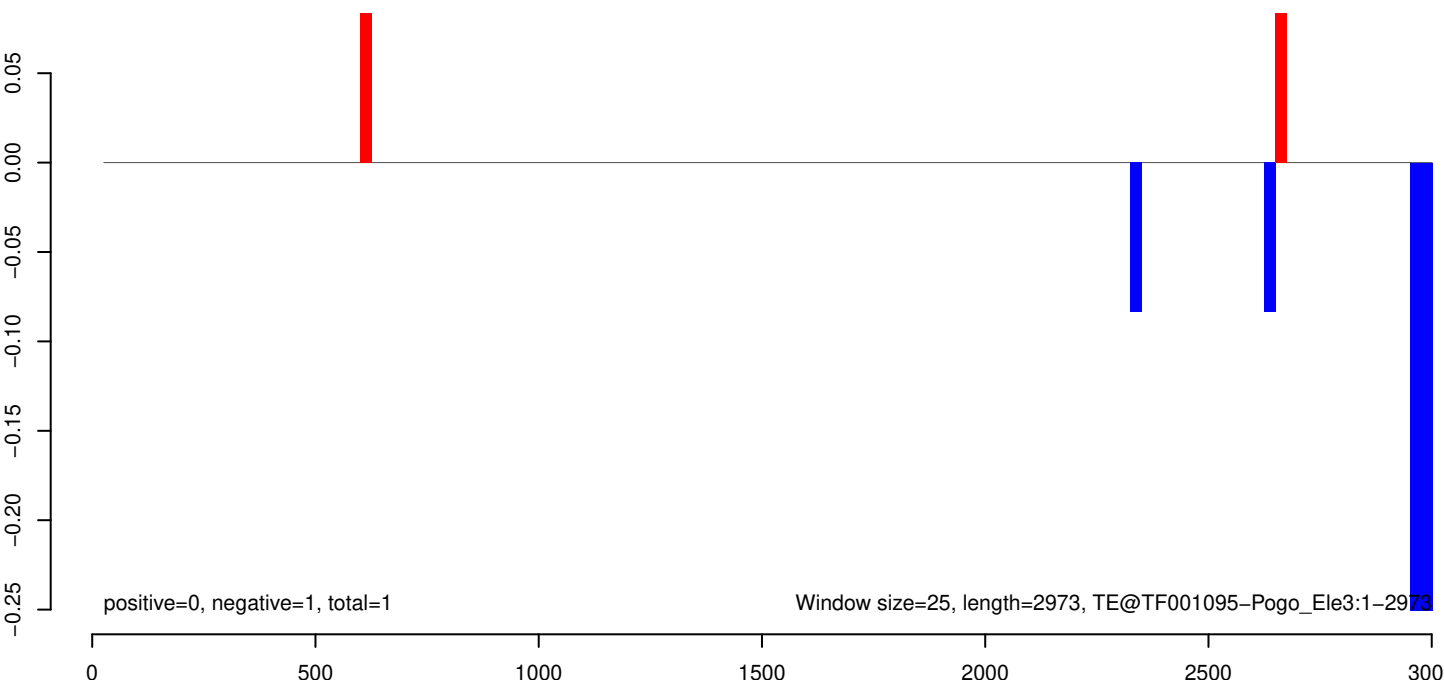
AeAeg_Aag2_Ago2_SINV_RA.18_23.rep



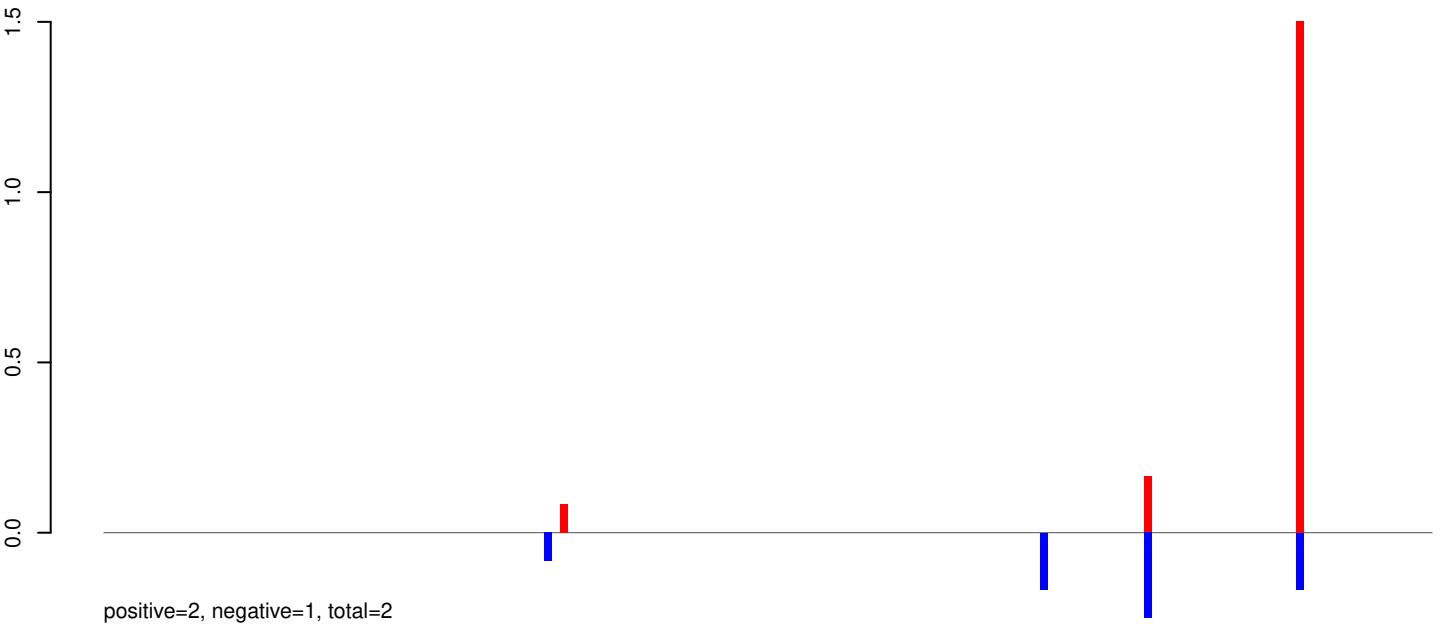
AeAeg_Aag2_Ago2_SINV_RA.24_35.rep



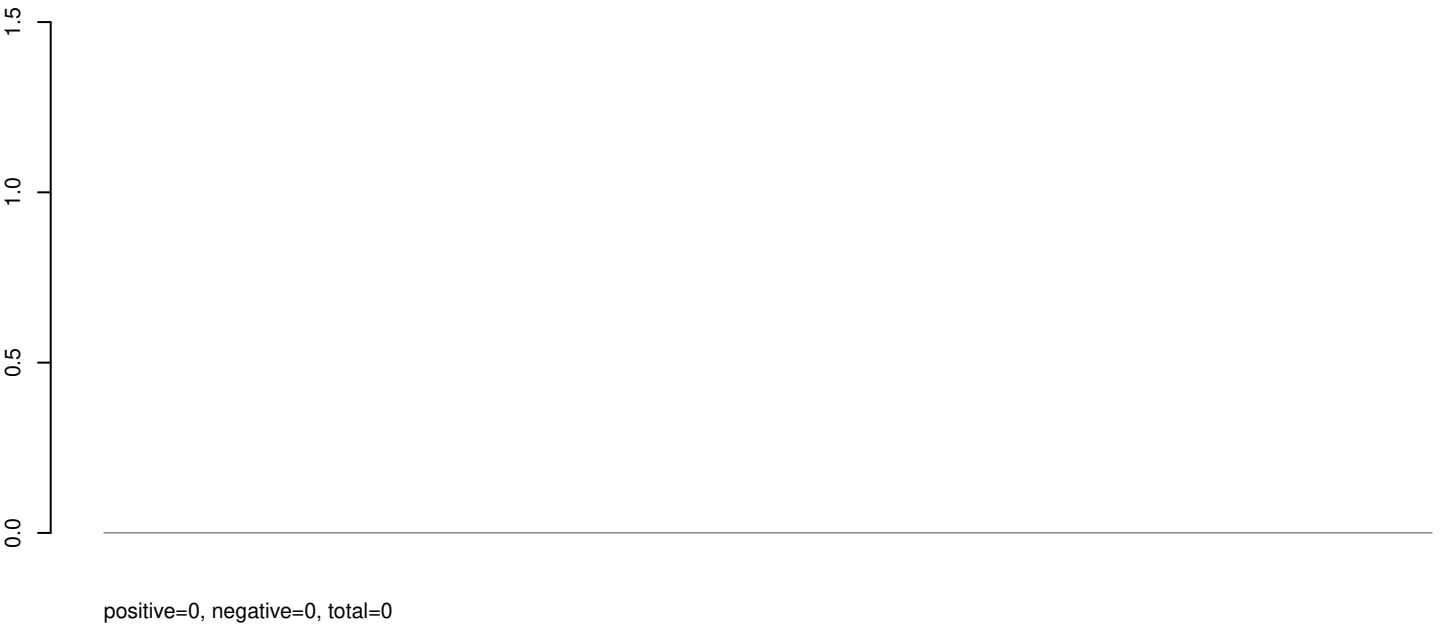
AeAeg_Aag2_Ago2_SINV_RA.rep



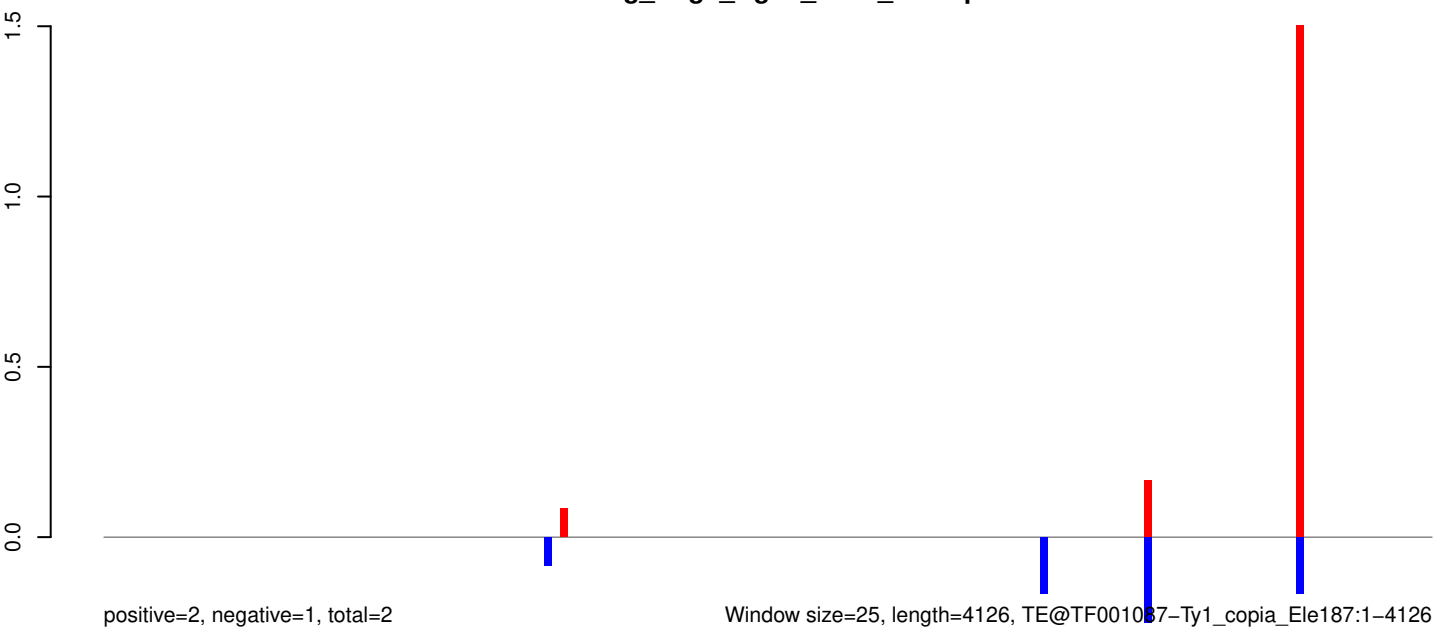
AeAeg_Aag2_Ago2_SINV_RA.18_23.rep



AeAeg_Aag2_Ago2_SINV_RA.24_35.rep



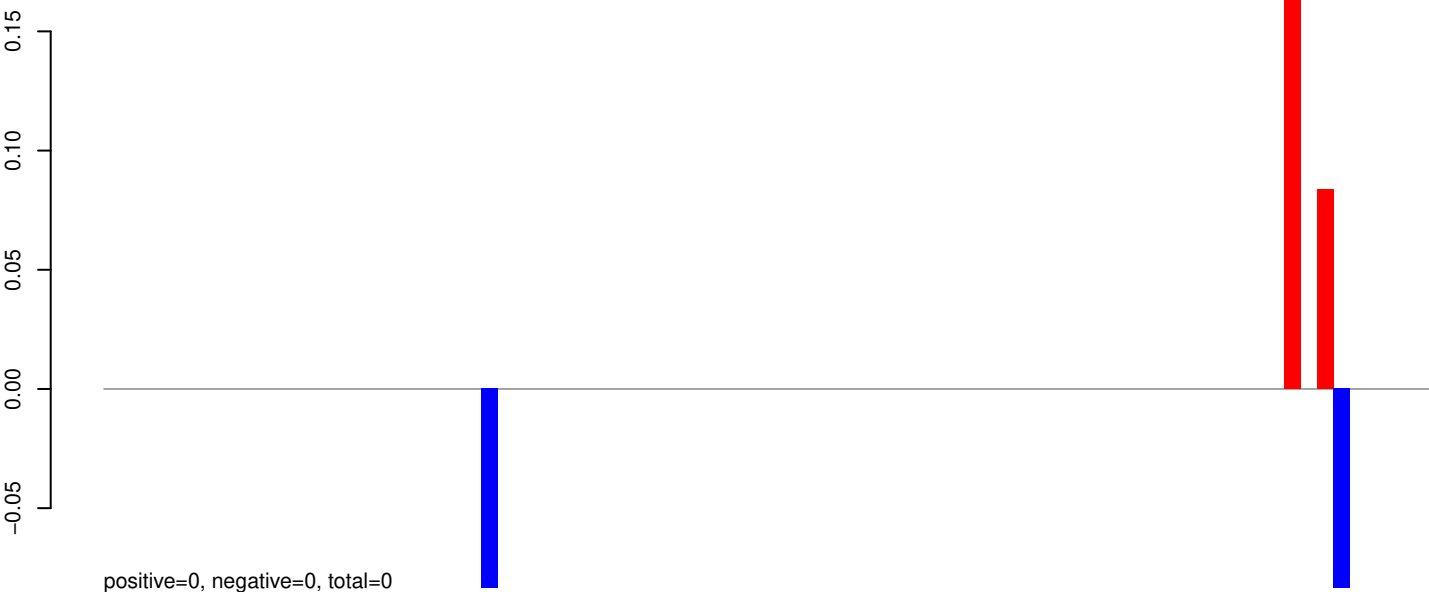
AeAeg_Aag2_Ago2_SINV_RA.rep



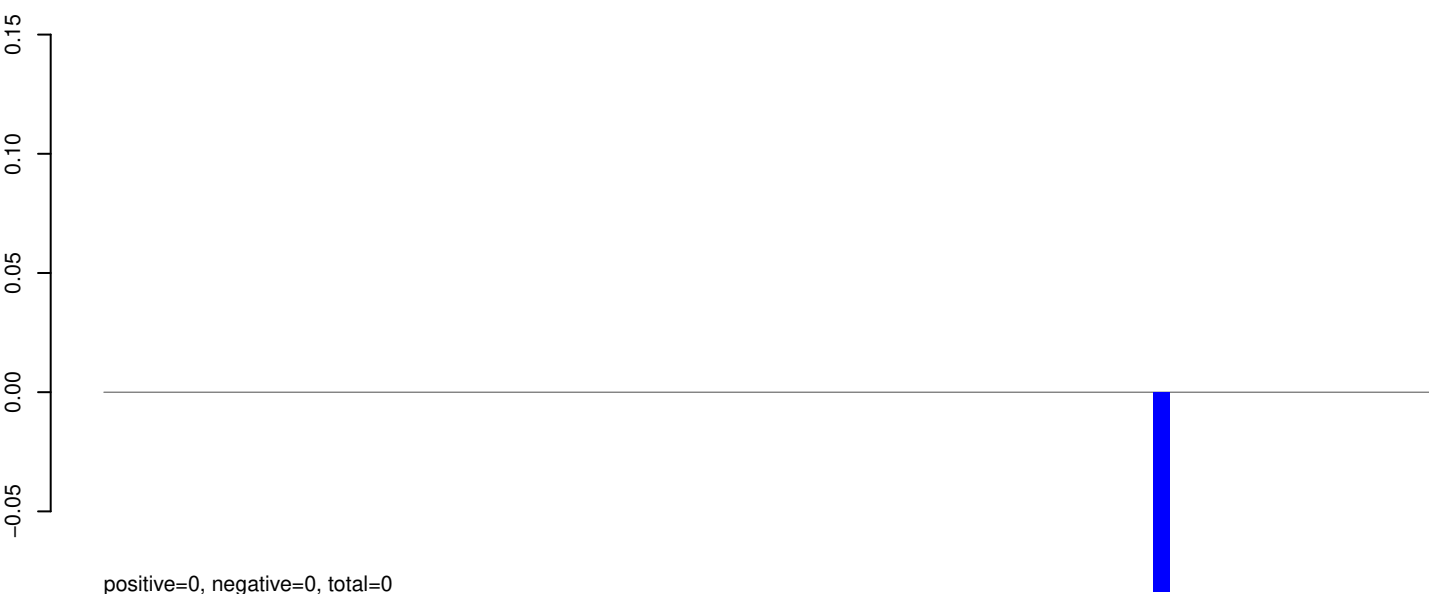
Window size=25, length=4126, TE@TF001037-Ty1_copia_Ele187:1-4126

0 1000 2000 3000 4000

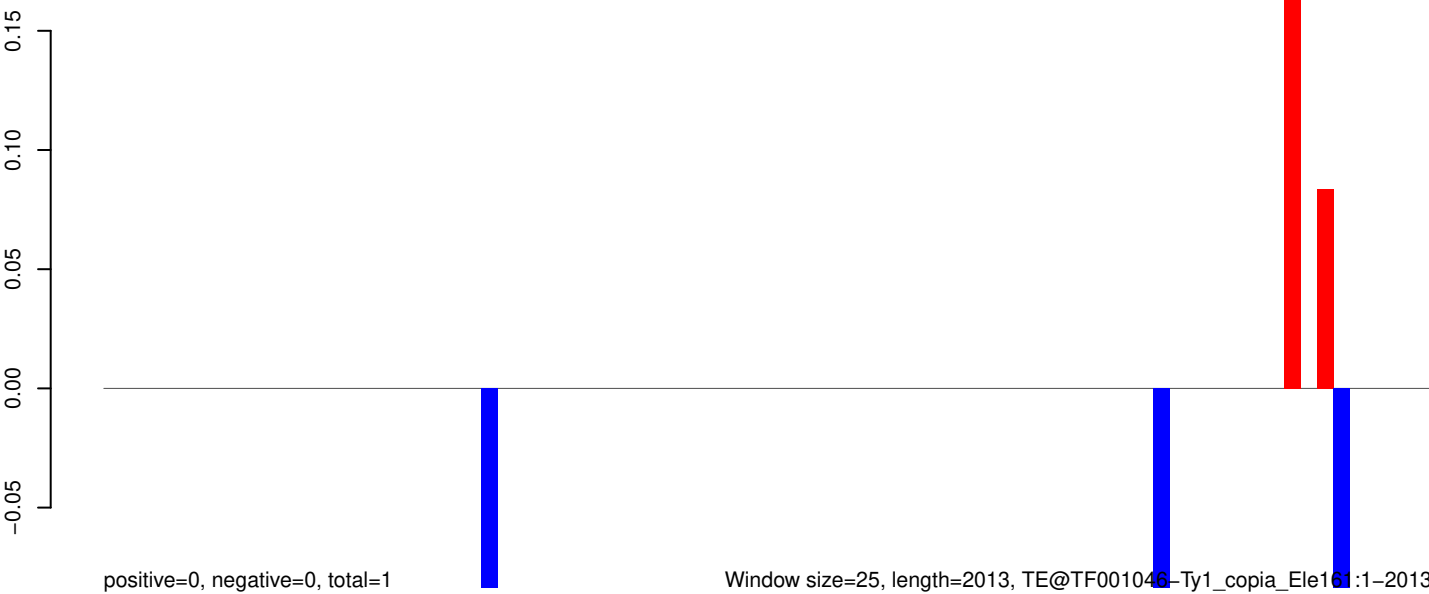
AeAeg_Aag2_Ago2_SINV_RA.18_23.rep



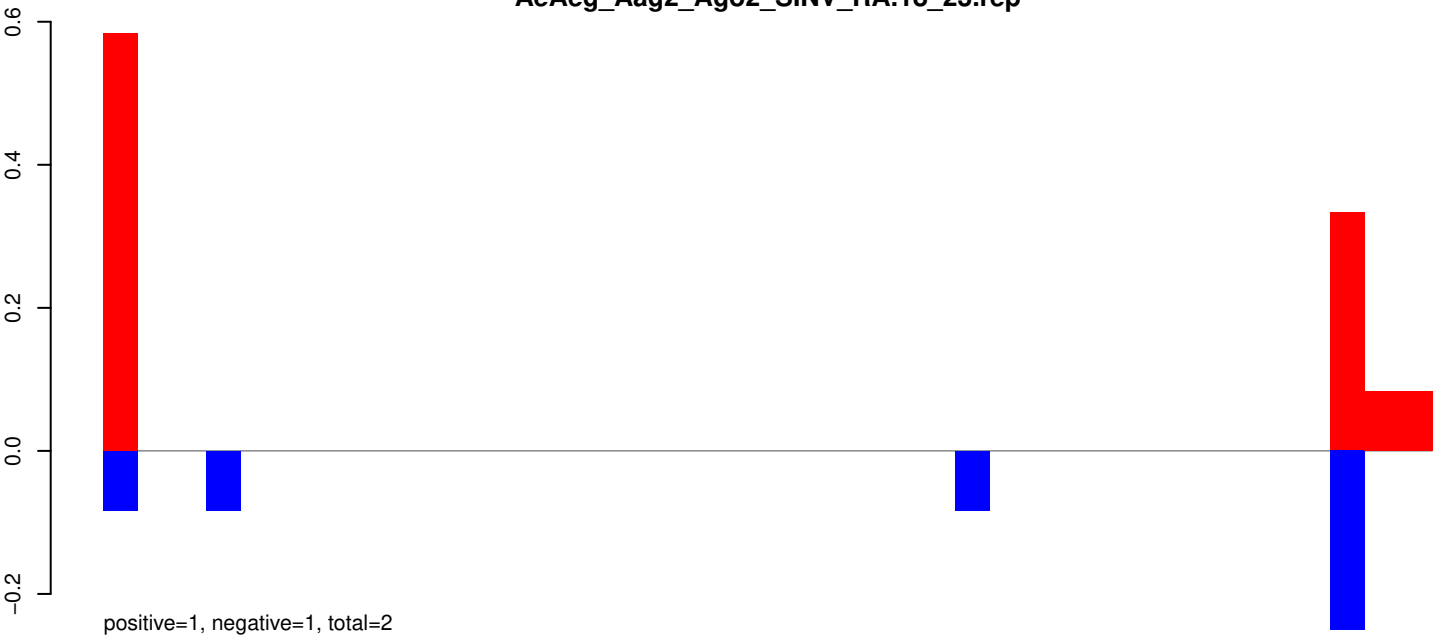
AeAeg_Aag2_Ago2_SINV_RA.24_35.rep



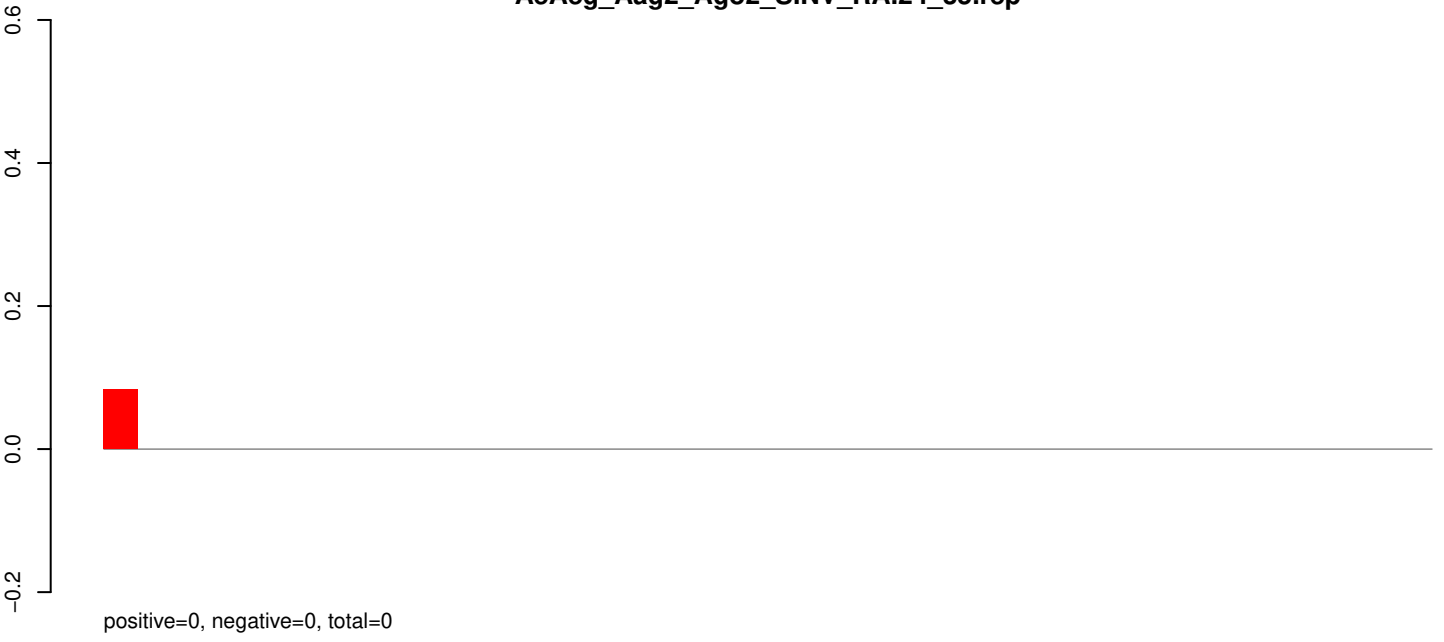
AeAeg_Aag2_Ago2_SINV_RA.rep



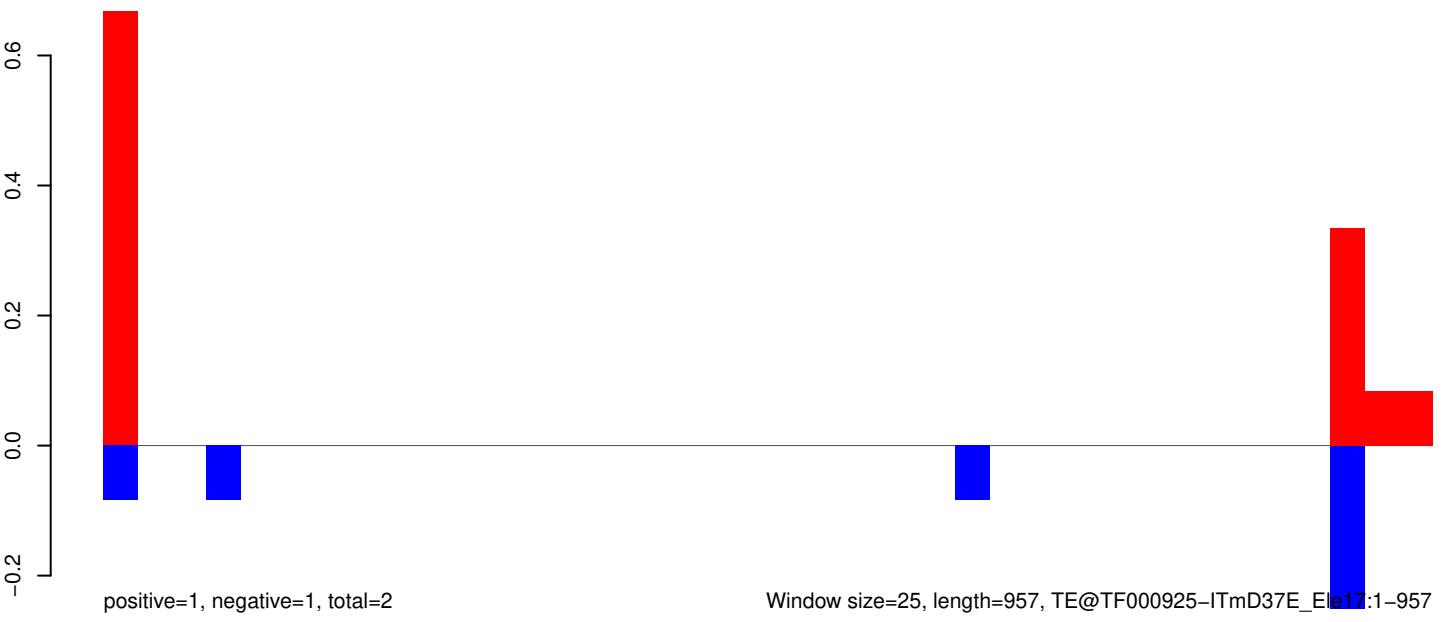
AeAeg_Aag2_Ago2_SINV_RA.18_23.rep



AeAeg_Aag2_Ago2_SINV_RA.24_35.rep



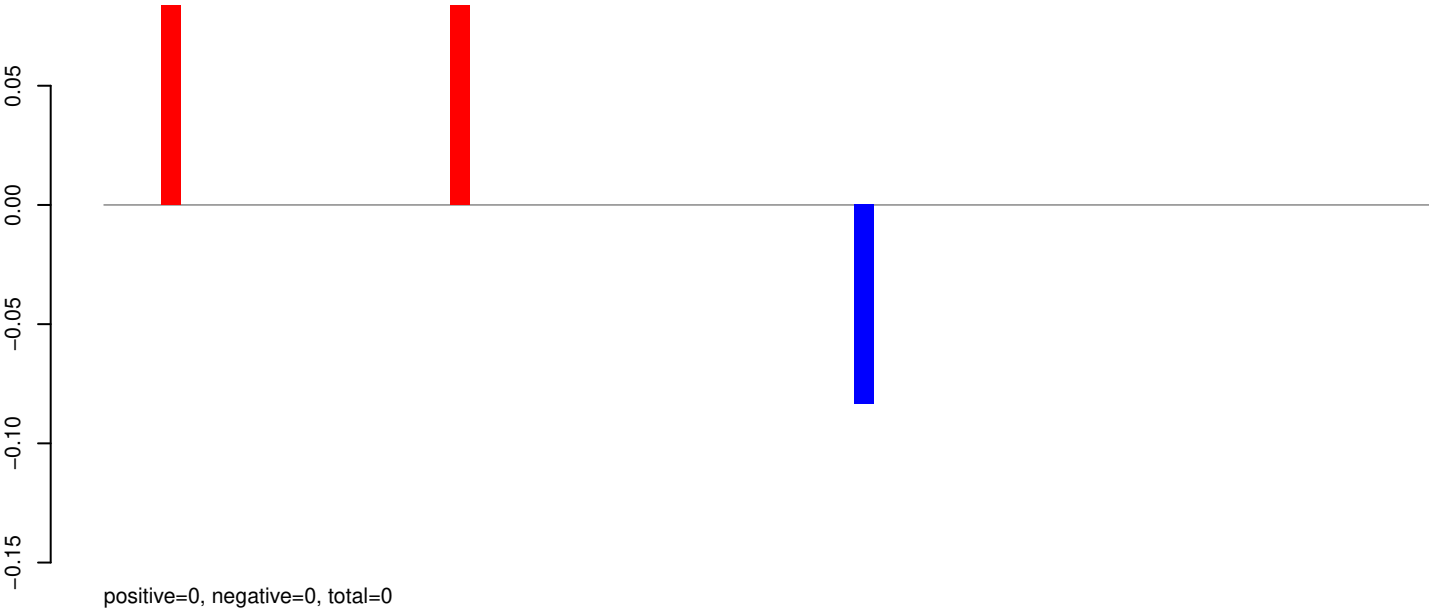
AeAeg_Aag2_Ago2_SINV_RA.rep



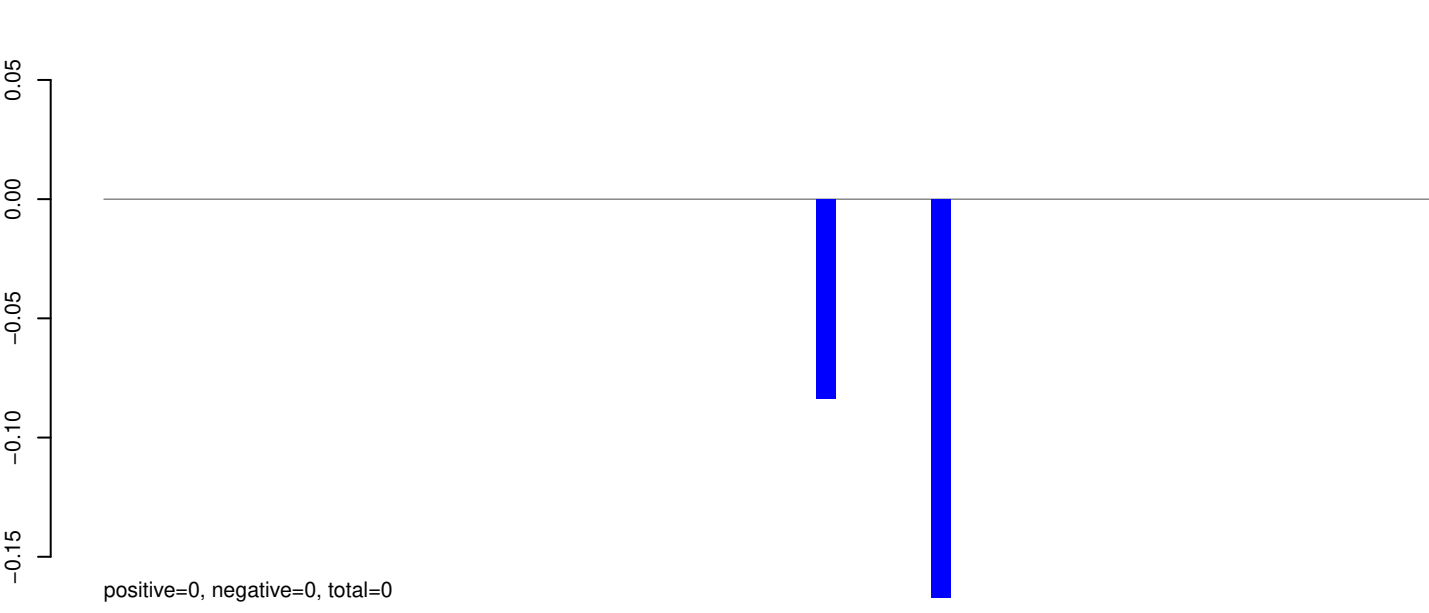
Window size=25, length=957, TE@TF000925-ITmD37E_Ele17:1-957

0 200 400 600 800 1000

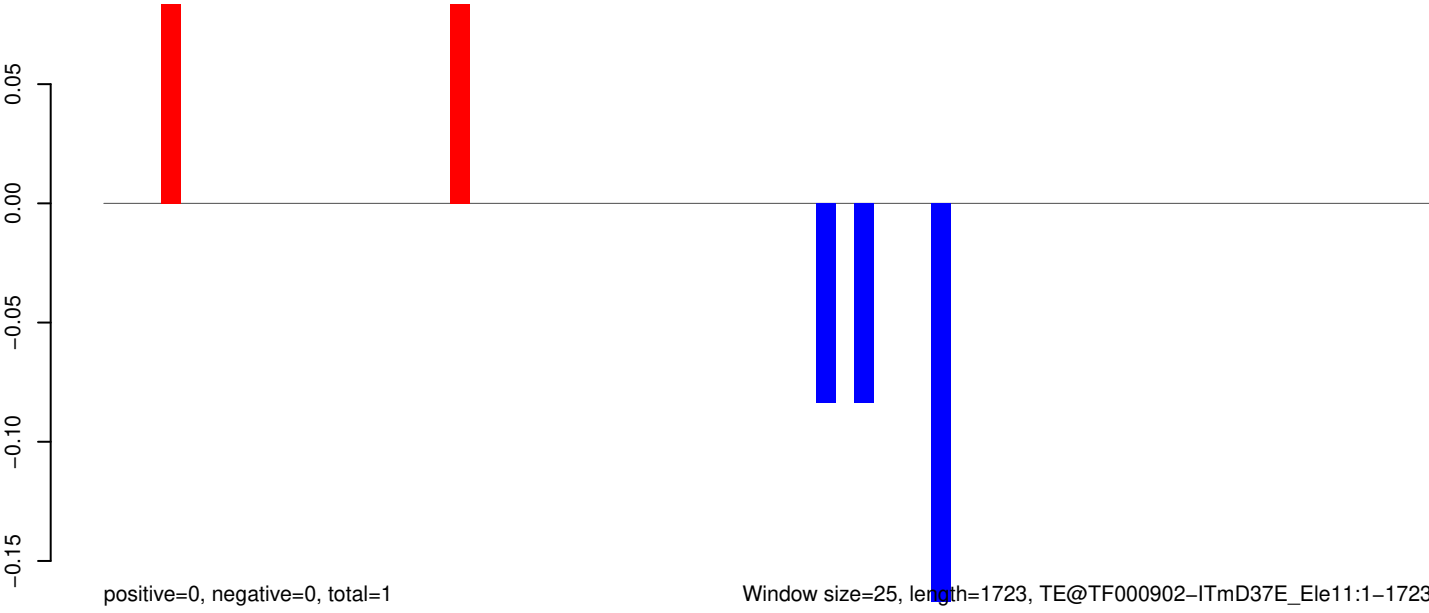
AeAeg_Aag2_Ago2_SINV_RA.18_23.rep



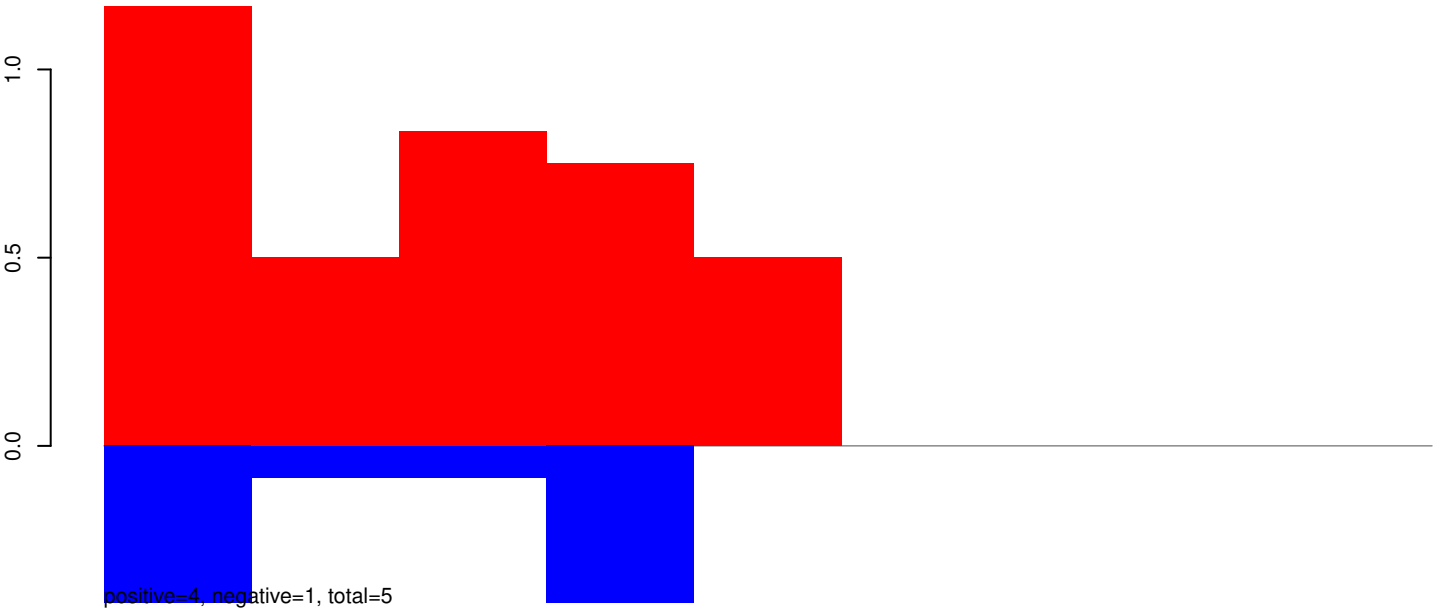
AeAeg_Aag2_Ago2_SINV_RA.24_35.rep



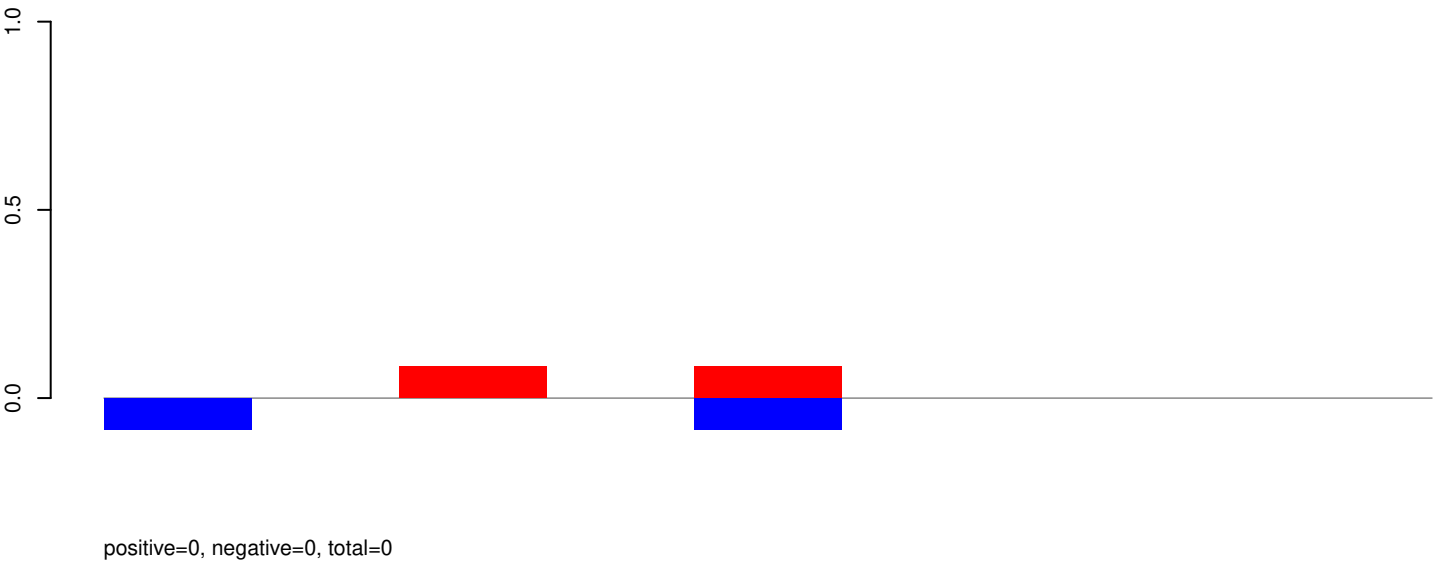
AeAeg_Aag2_Ago2_SINV_RA.rep



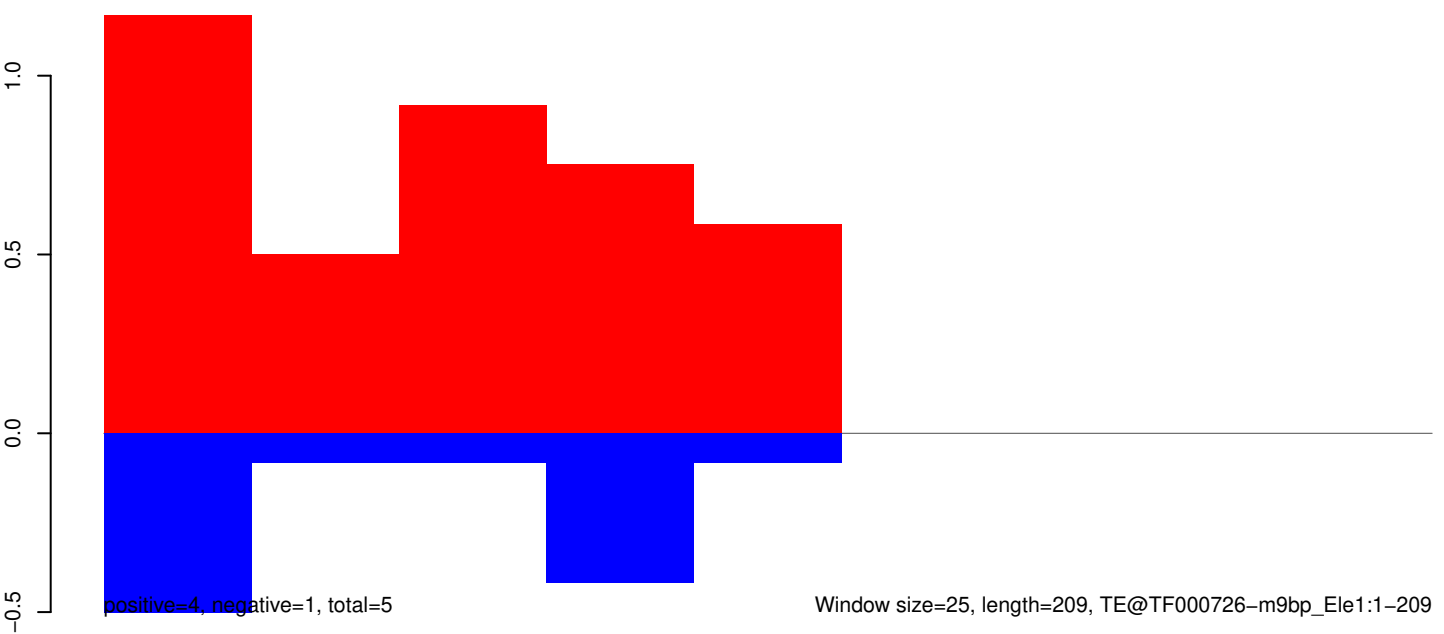
AeAeg_Aag2_Ago2_SINV_RA.18_23.rep



AeAeg_Aag2_Ago2_SINV_RA.24_35.rep



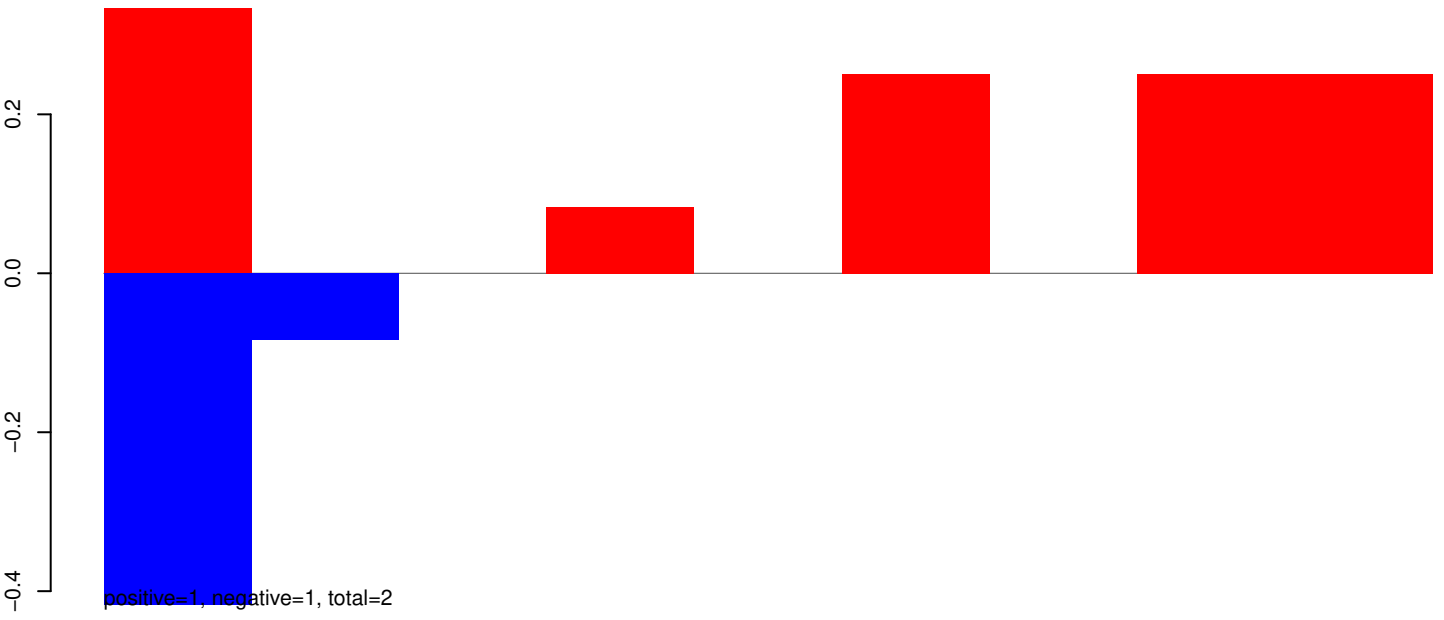
AeAeg_Aag2_Ago2_SINV_RA.rep



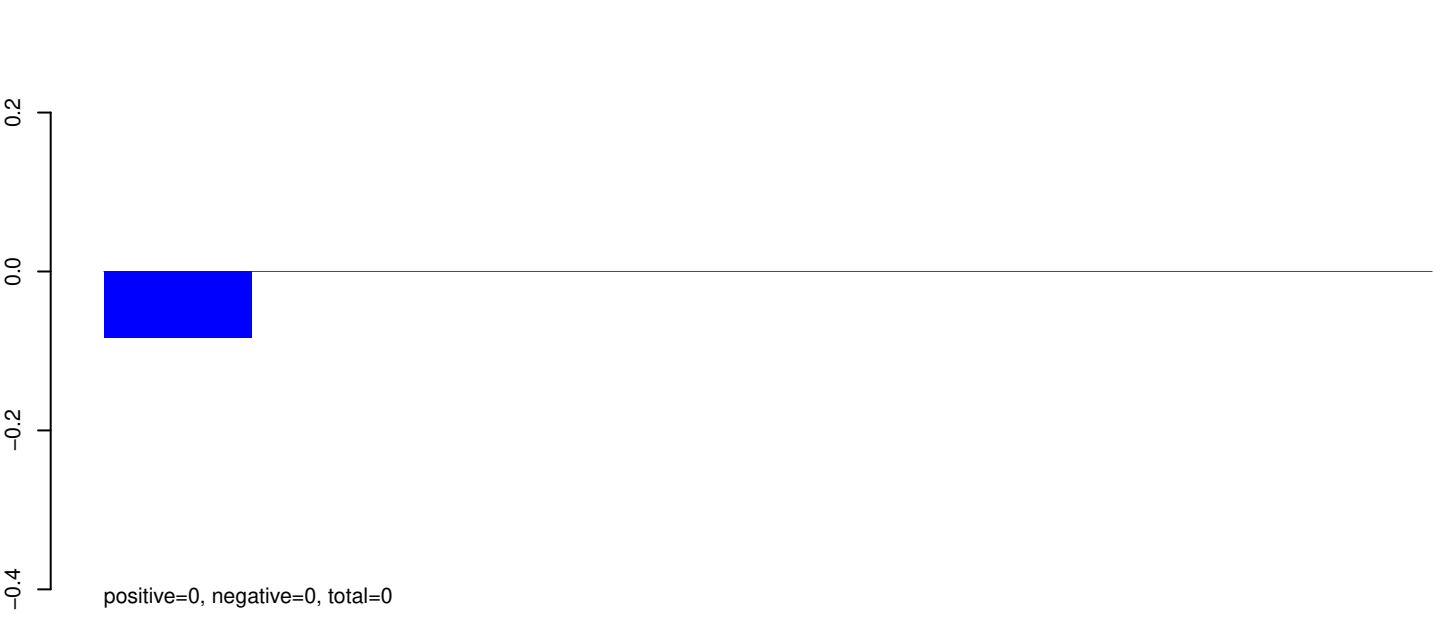
Window size=25, length=209, TE@TF000726-m9bp_Ele1:1-209

50 100 150 200 250

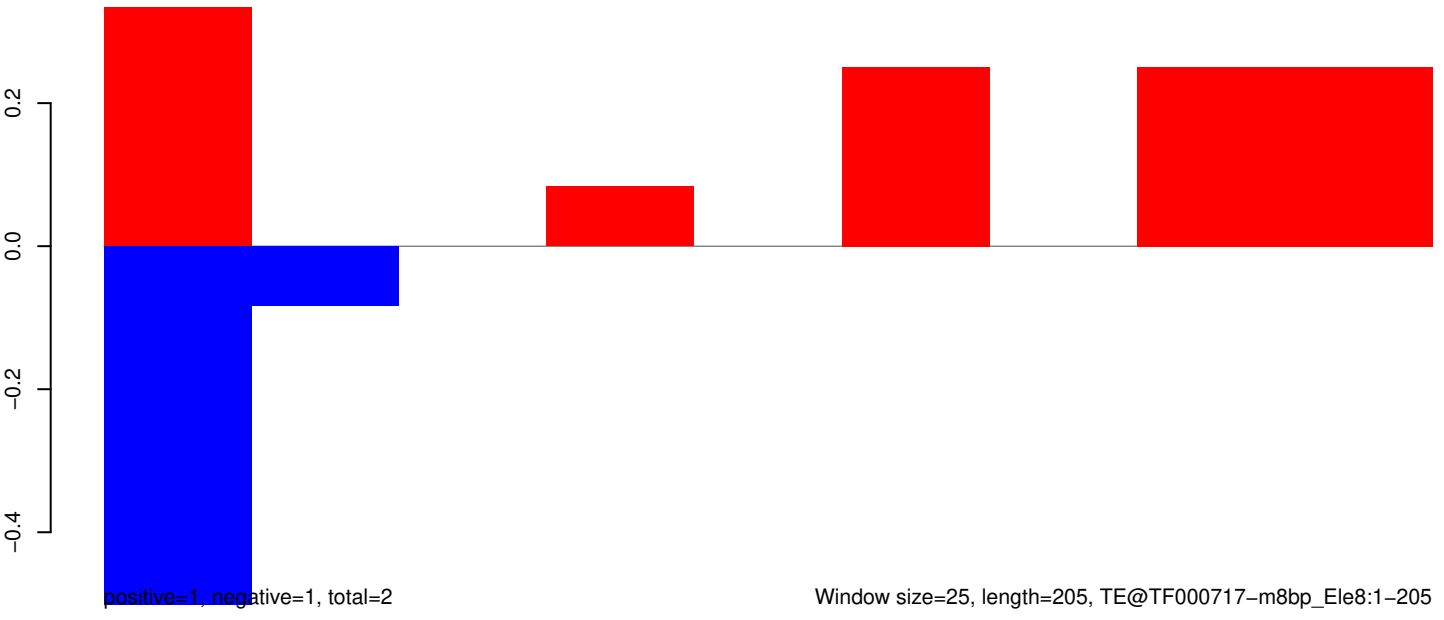
AeAeg_Aag2_Ago2_SINV_RA.18_23.rep



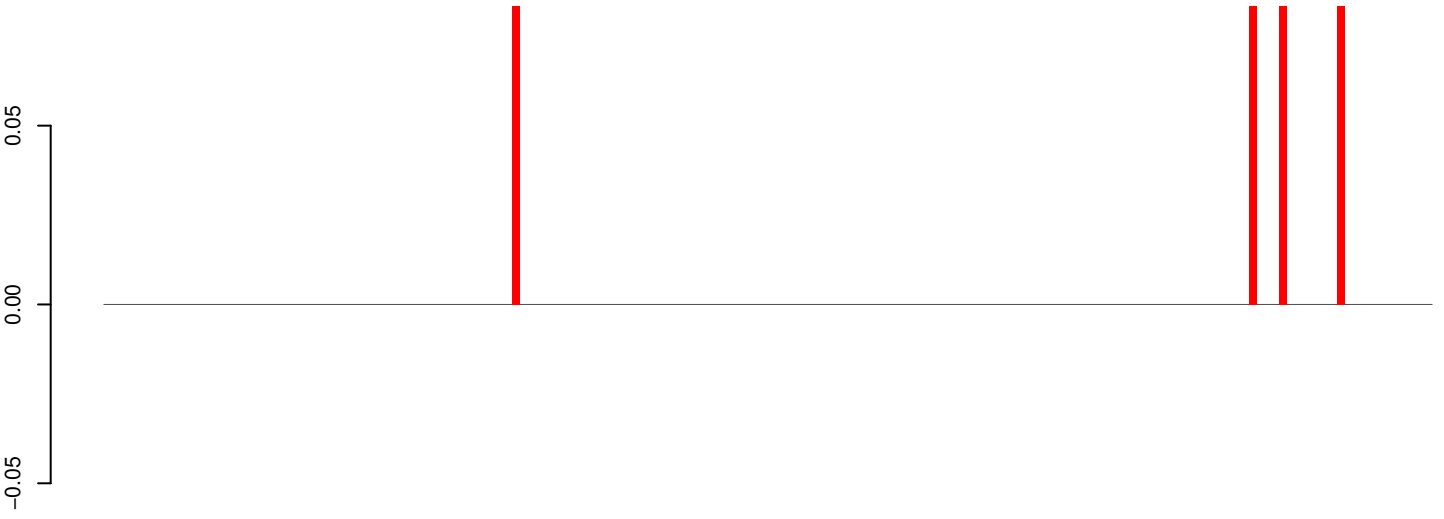
AeAeg_Aag2_Ago2_SINV_RA.24_35.rep



AeAeg_Aag2_Ago2_SINV_RA.rep

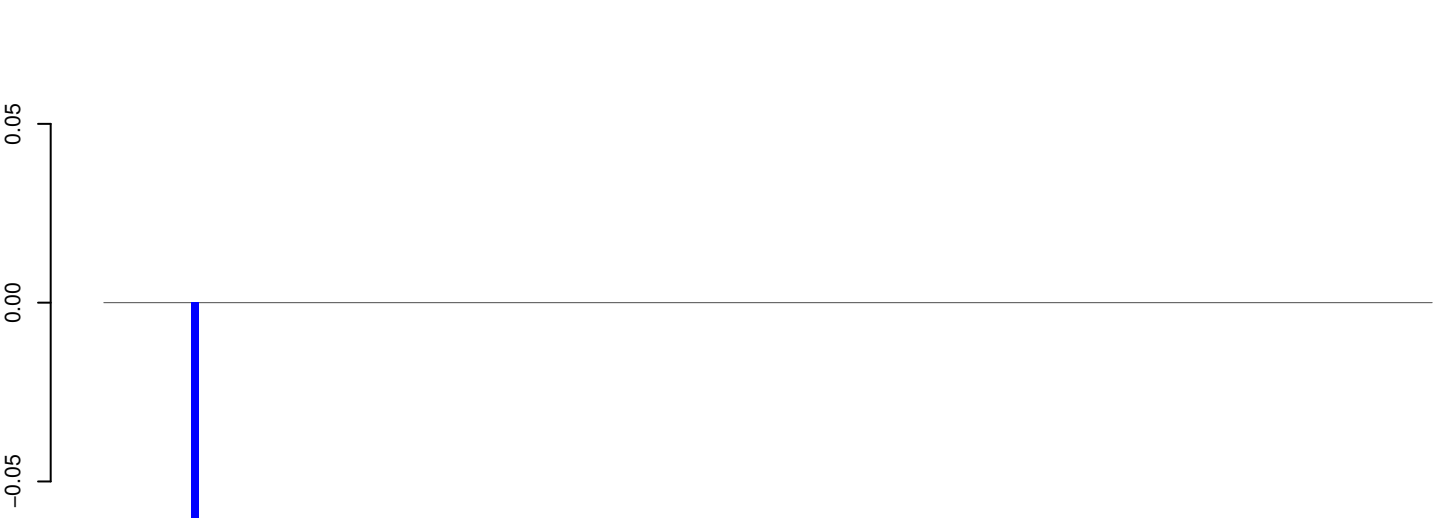


AeAeg_Aag2_Ago2_SINV_RA.18_23.rep



positive=0, negative=0, total=0

AeAeg_Aag2_Ago2_SINV_RA.24_35.rep



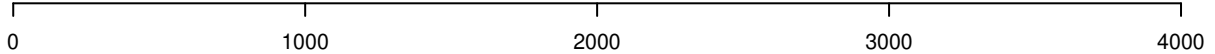
positive=0, negative=0, total=0

AeAeg_Aag2_Ago2_SINV_RA.rep

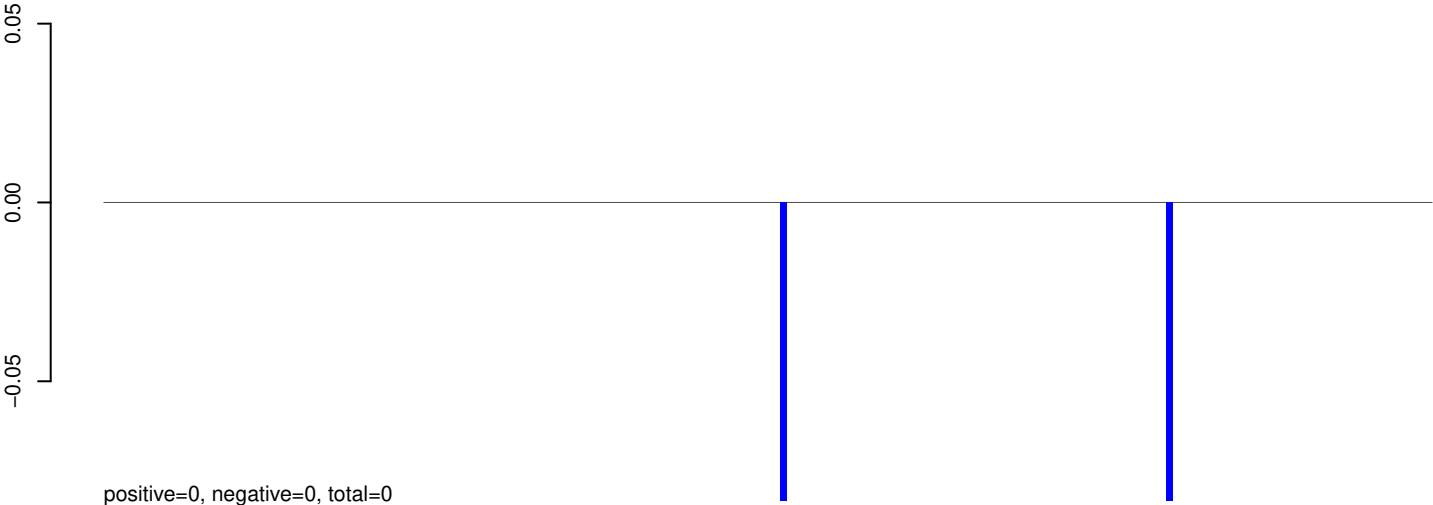


positive=0, negative=0, total=0

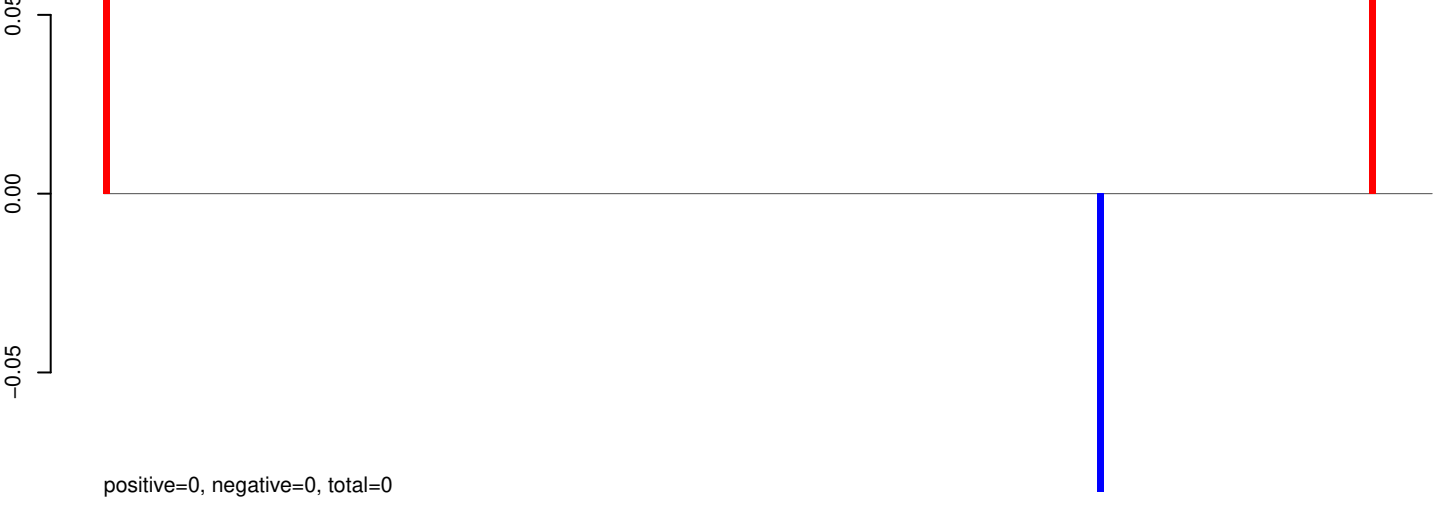
Window size=25, length=4548, TE@TF000630-Ty1_copia_Ele18:1-4548



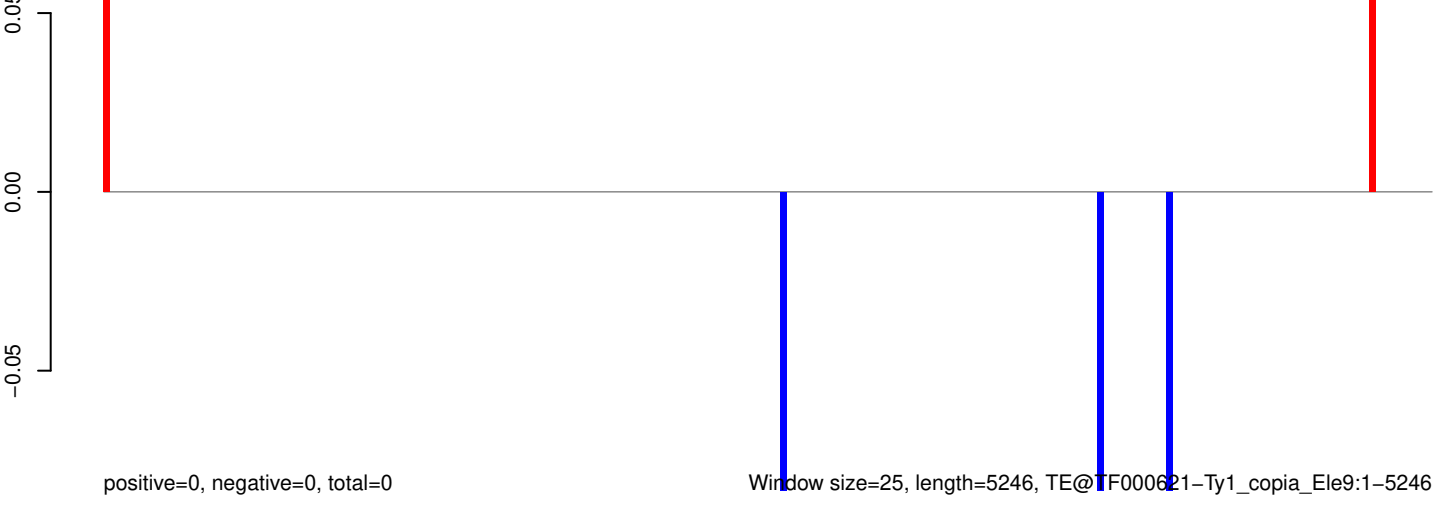
AeAeg_Aag2_Ago2_SINV_RA.18_23.rep



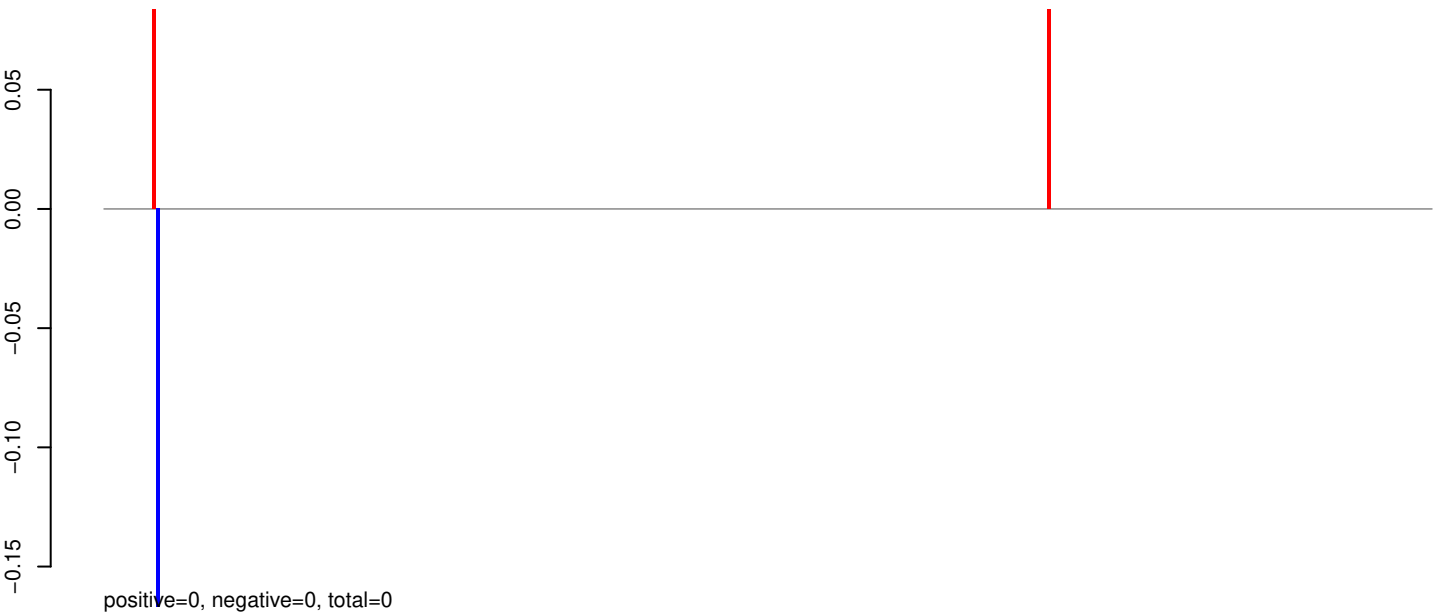
AeAeg_Aag2_Ago2_SINV_RA.24_35.rep



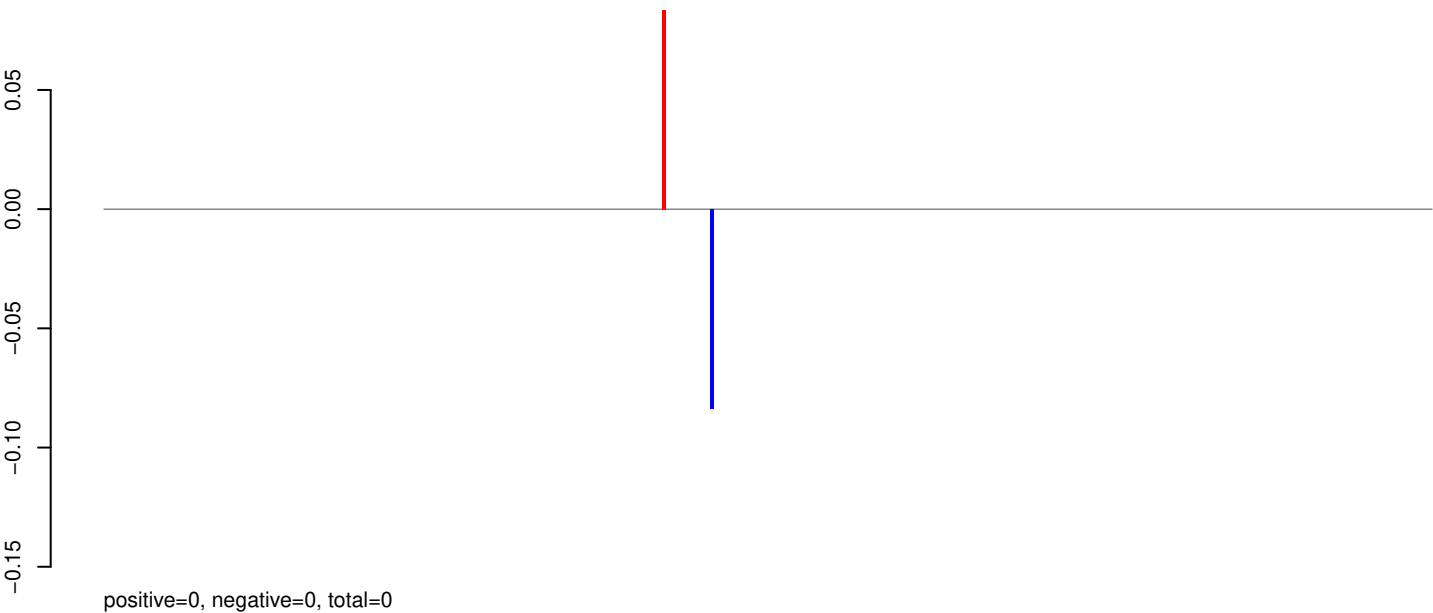
AeAeg_Aag2_Ago2_SINV_RA.rep



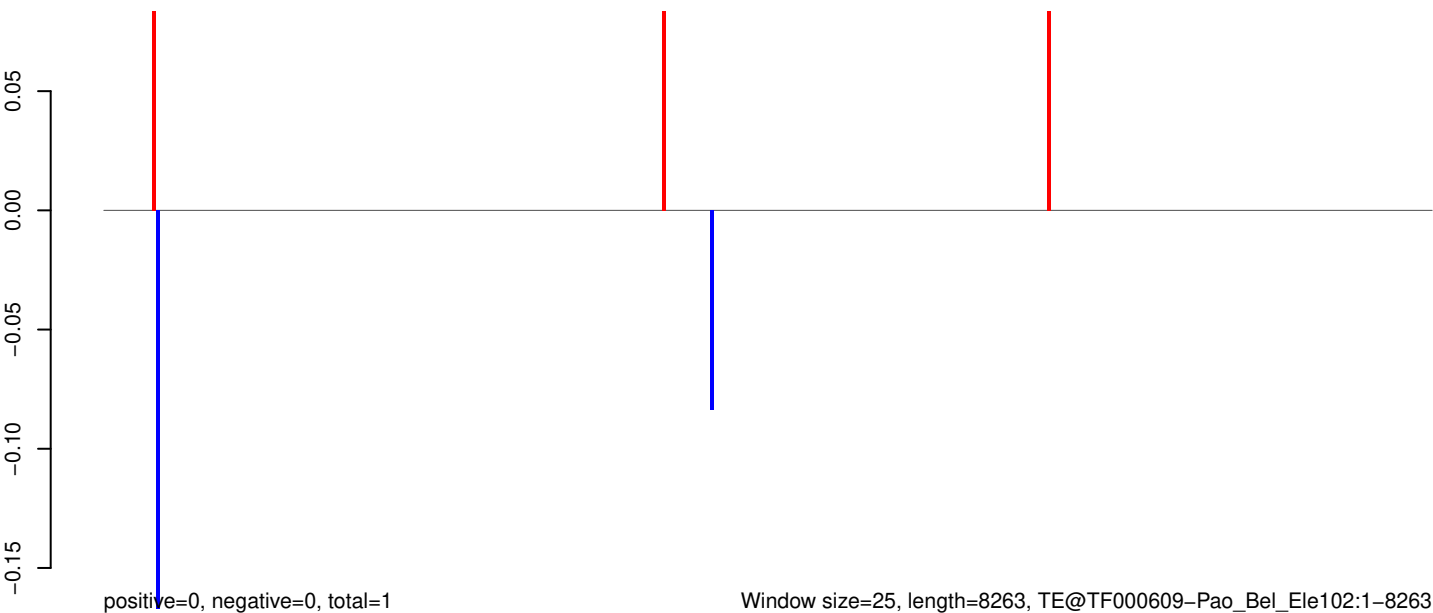
AeAeg_Aag2_Ago2_SINV_RA.18_23.rep



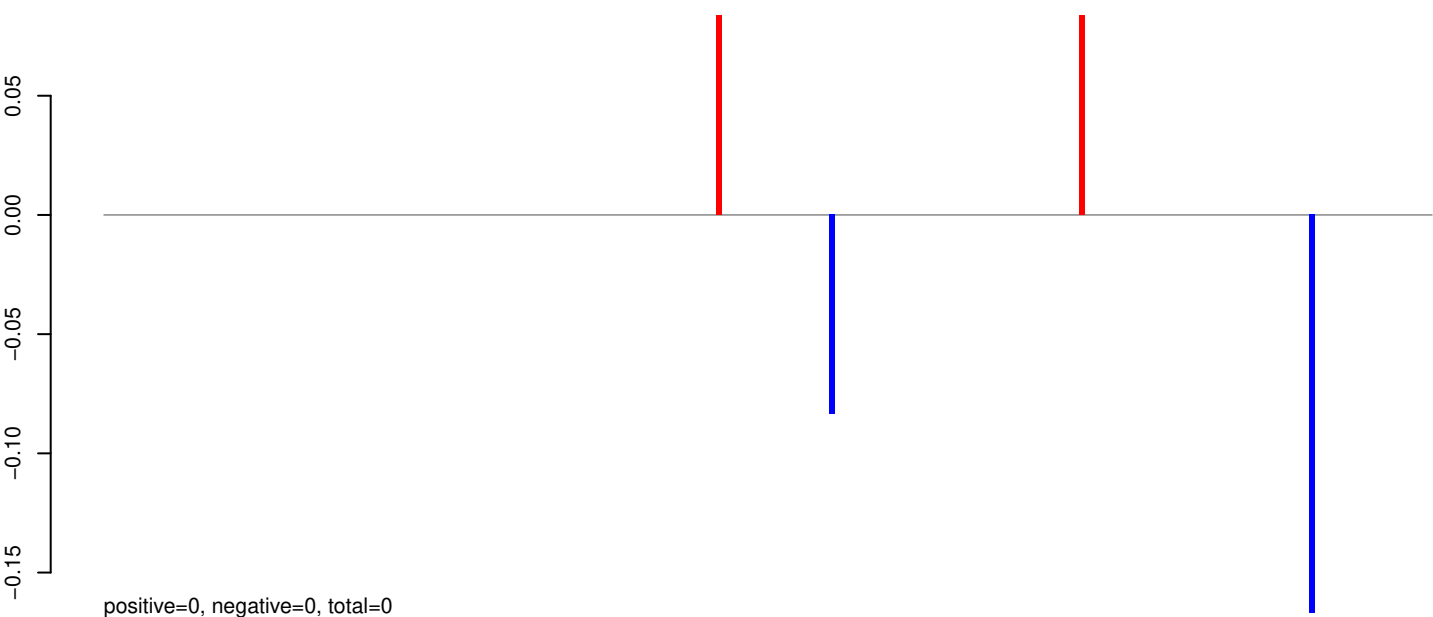
AeAeg_Aag2_Ago2_SINV_RA.24_35.rep



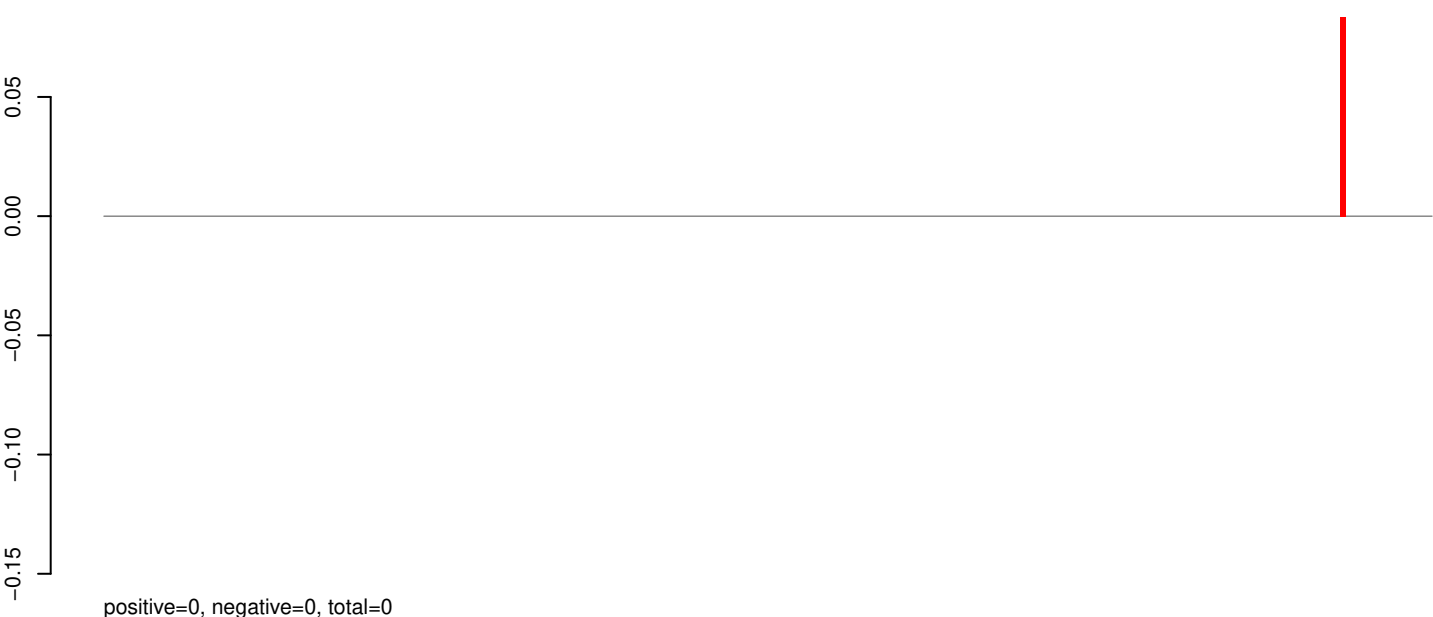
AeAeg_Aag2_Ago2_SINV_RA.rep



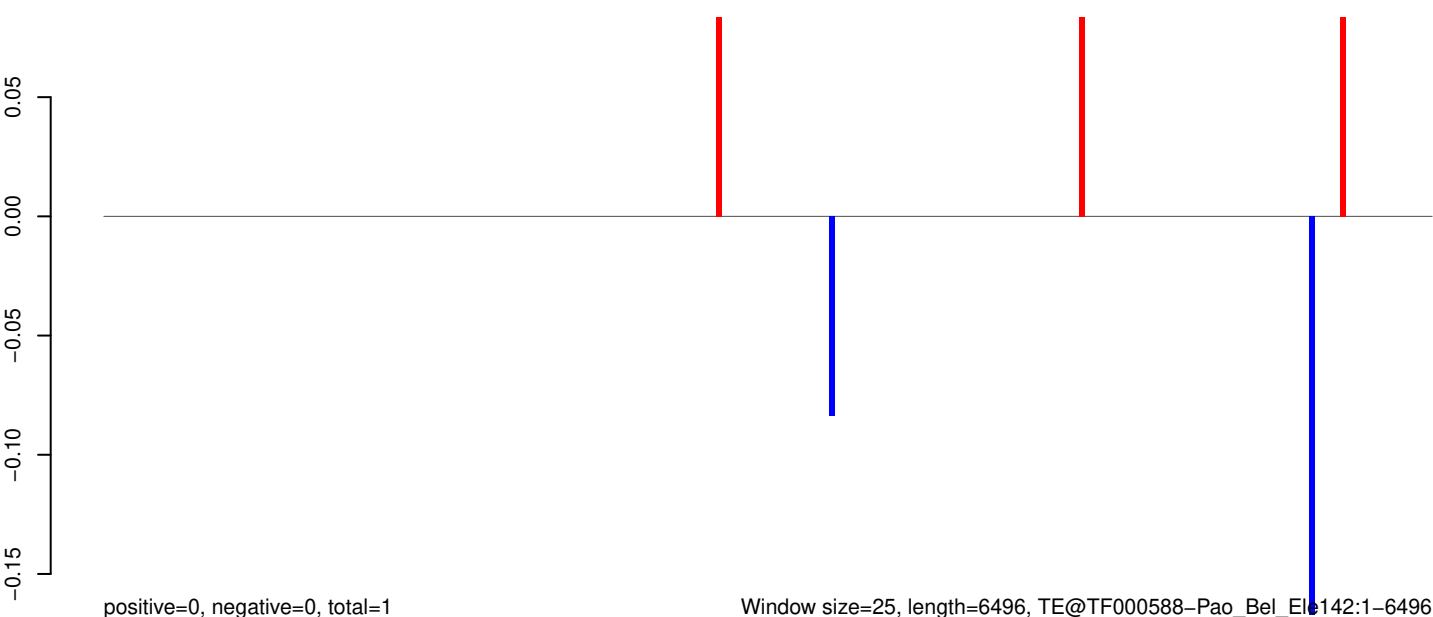
AeAeg_Aag2_Ago2_SINV_RA.18_23.rep



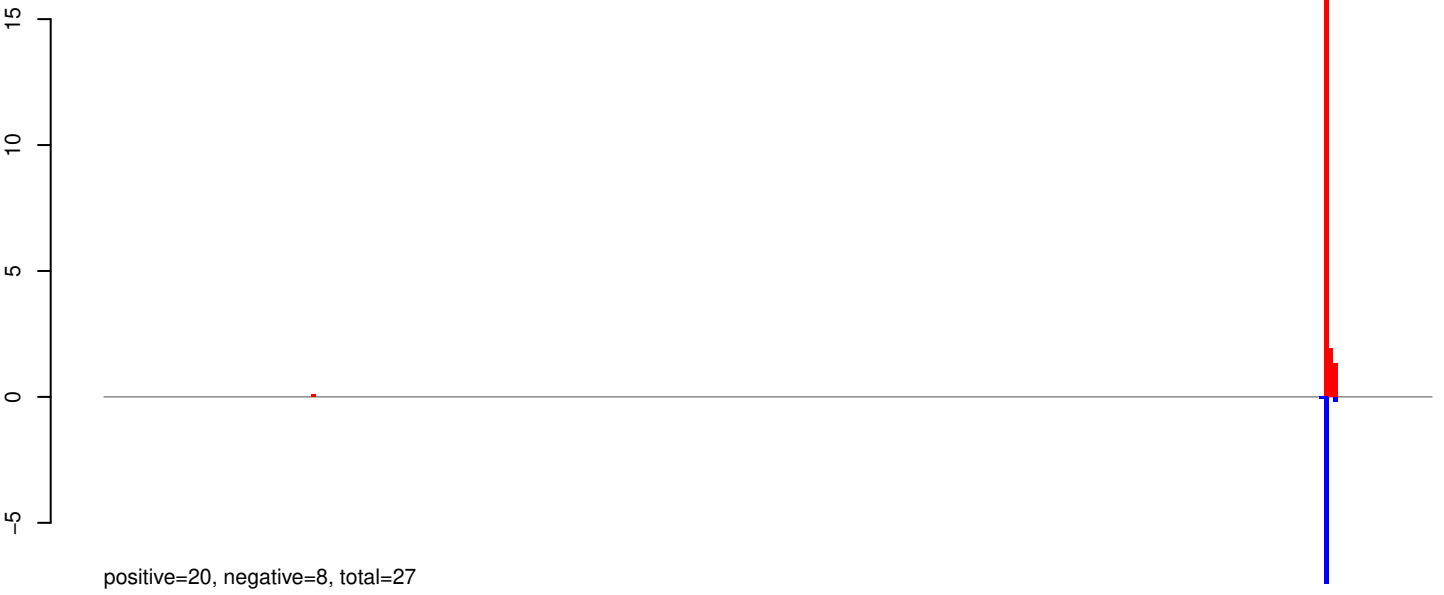
AeAeg_Aag2_Ago2_SINV_RA.24_35.rep



AeAeg_Aag2_Ago2_SINV_RA.rep



AeAeg_Aag2_Ago2_SINV_RA.18_23.rep



AeAeg_Aag2_Ago2_SINV_RA.24_35.rep



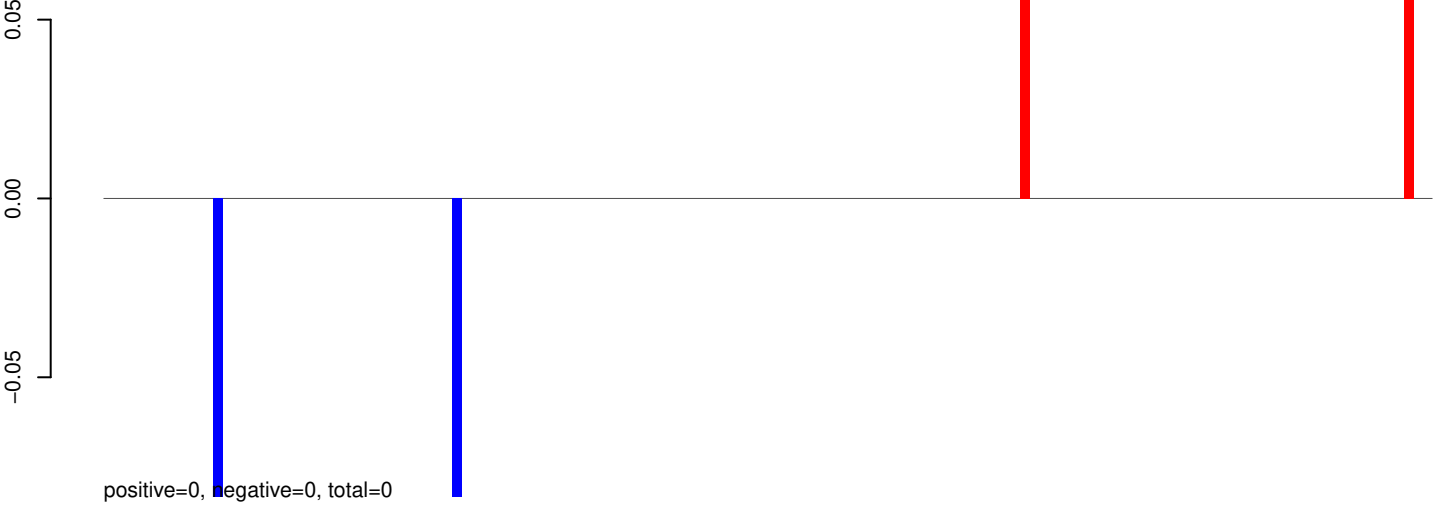
AeAeg_Aag2_Ago2_SINV_RA.rep



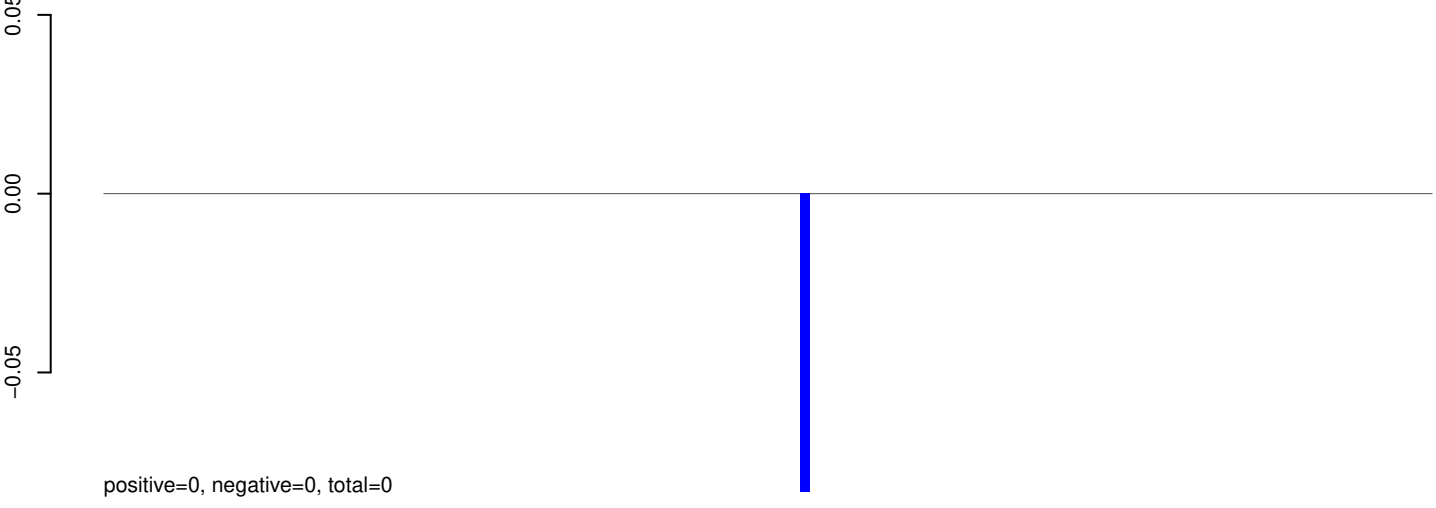
Window size=25, length=7027, TE@TF000388-Ty3_gypsy_Element107:1-7027

0 1000 2000 3000 4000 5000 6000 7000

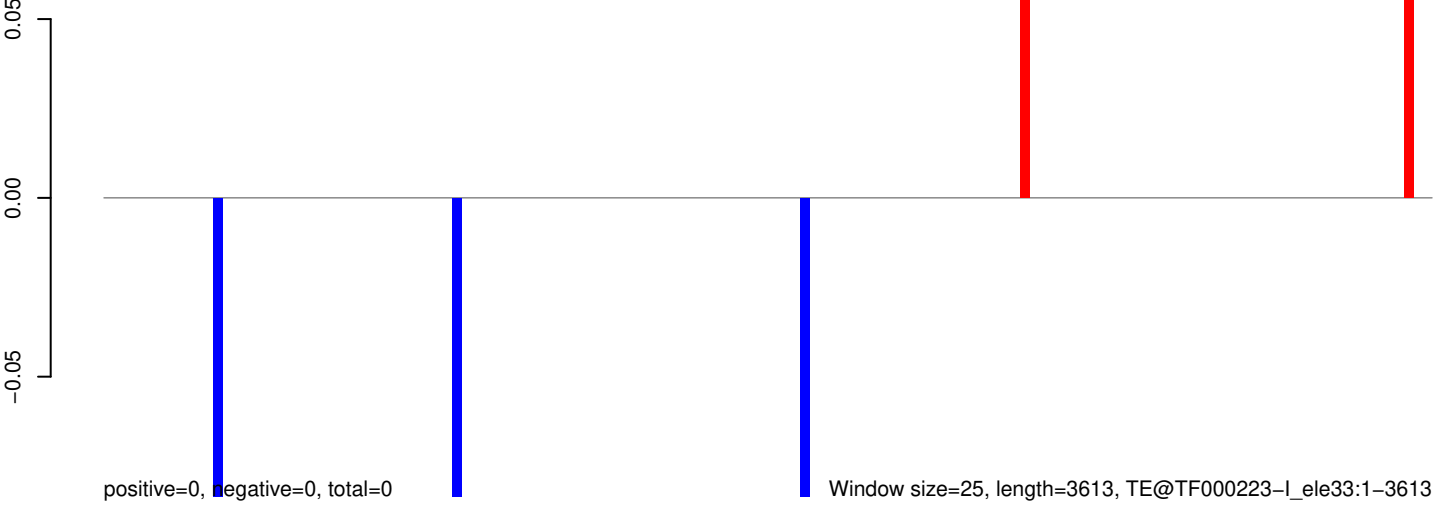
AeAeg_Aag2_Ago2_SINV_RA.18_23.rep



AeAeg_Aag2_Ago2_SINV_RA.24_35.rep



AeAeg_Aag2_Ago2_SINV_RA.rep

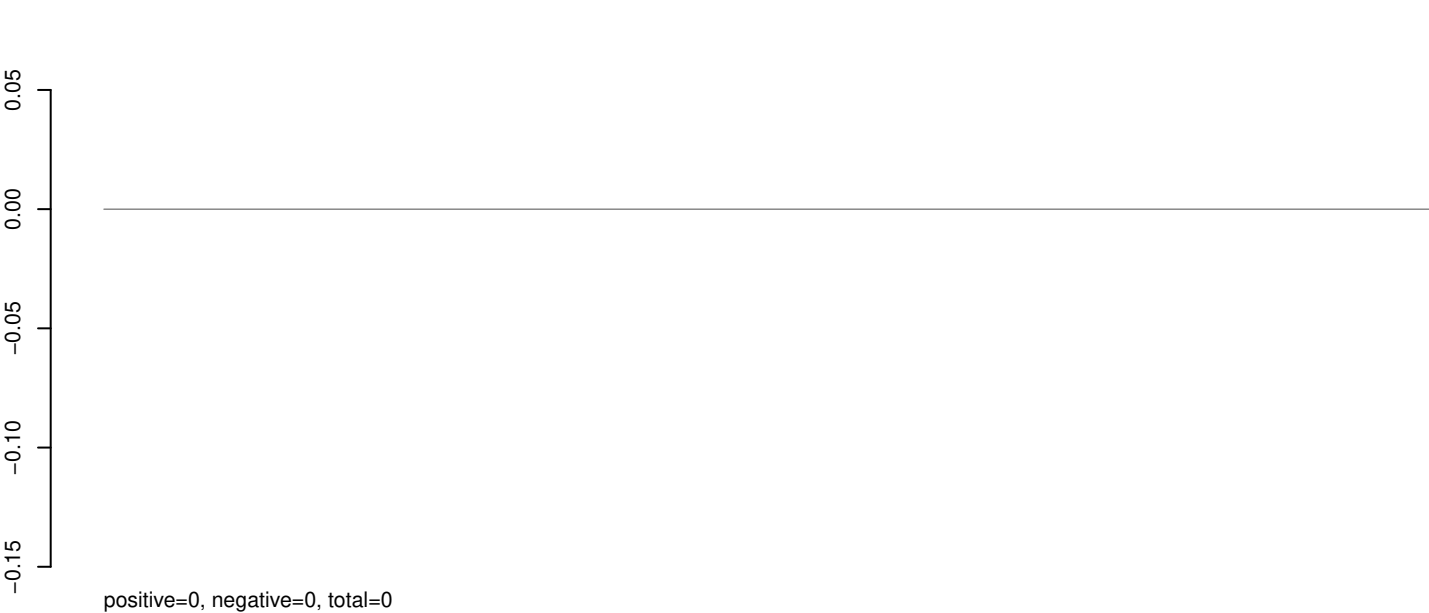


0 1000 2000 3000

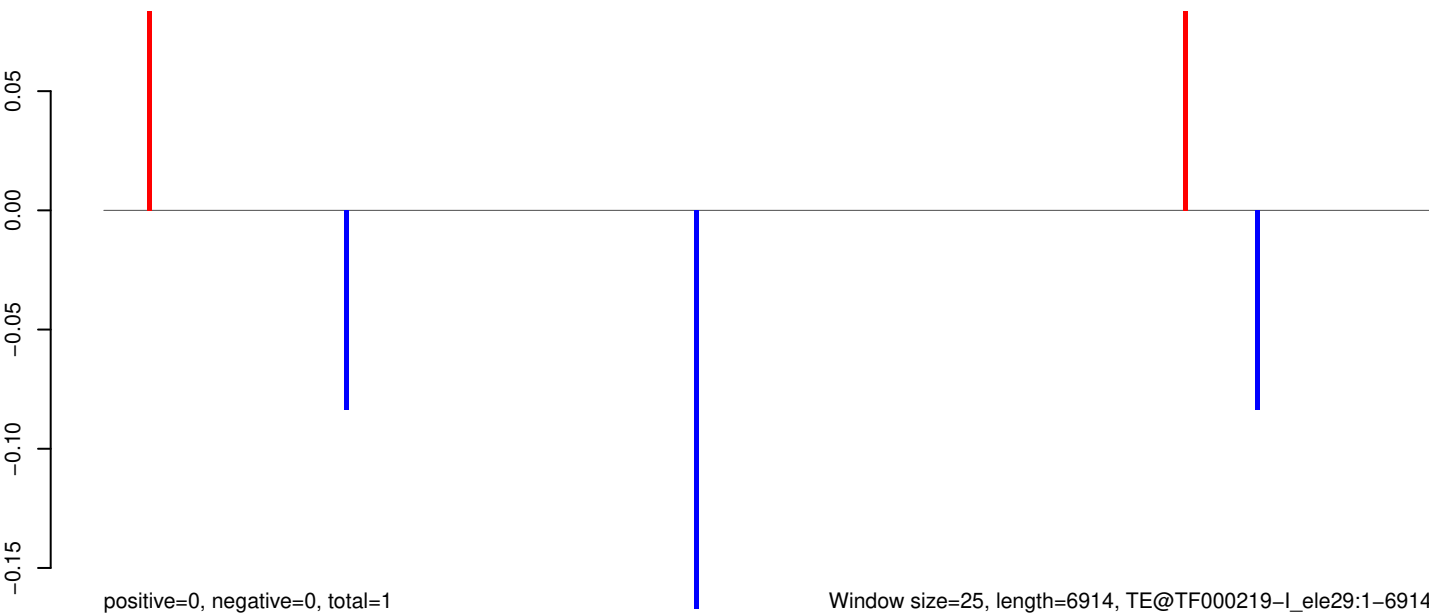
AeAeg_Aag2_Ago2_SINV_RA.18_23.rep



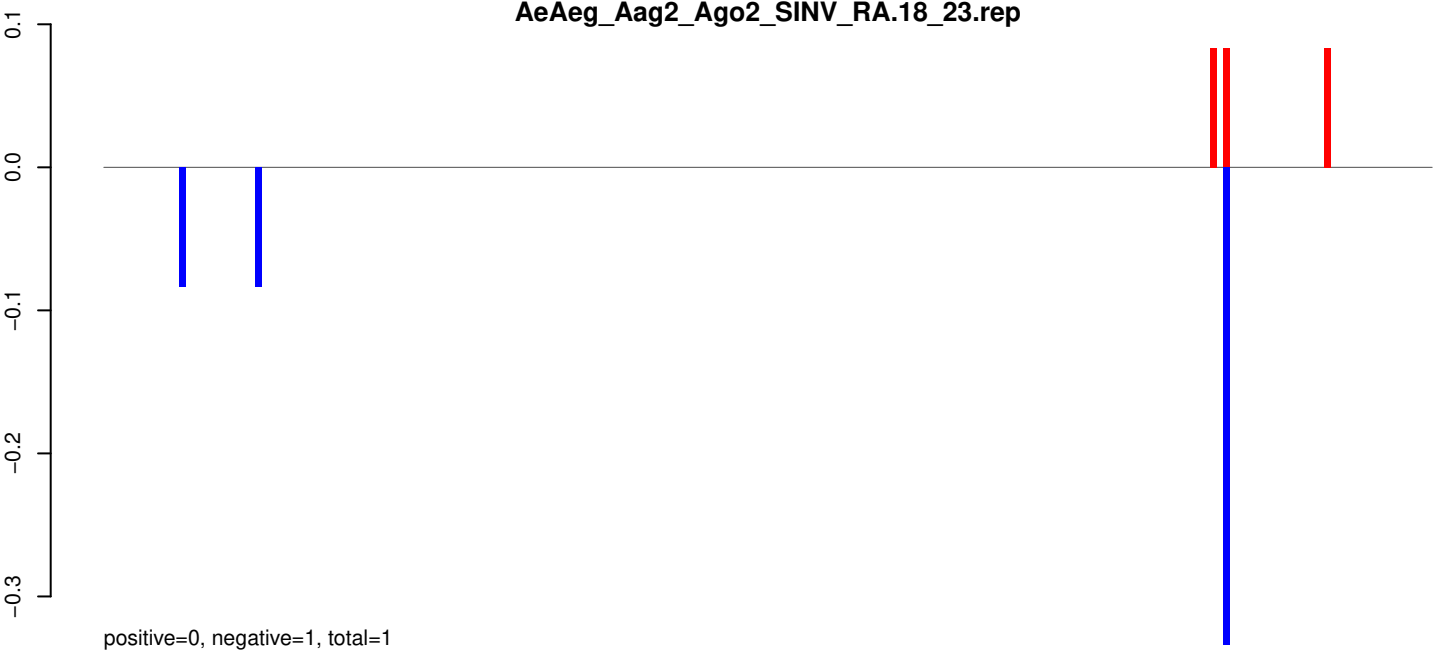
AeAeg_Aag2_Ago2_SINV_RA.24_35.rep



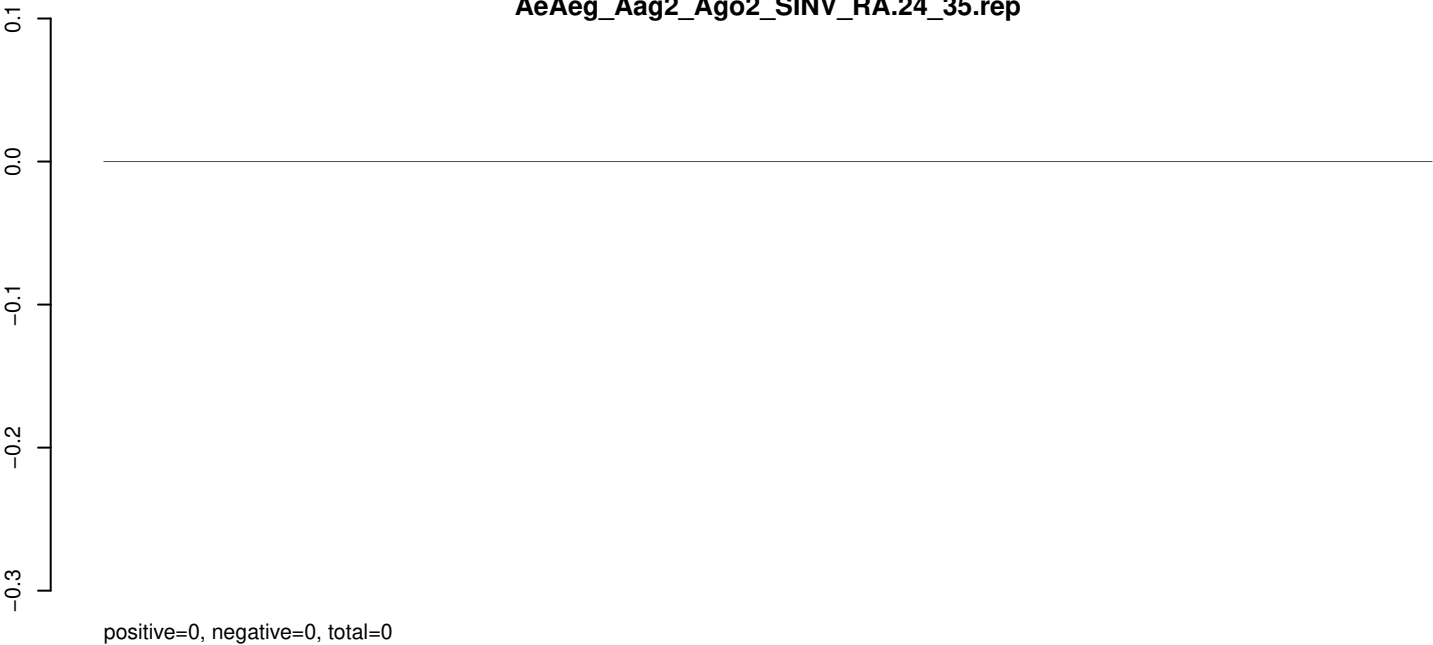
AeAeg_Aag2_Ago2_SINV_RA.rep



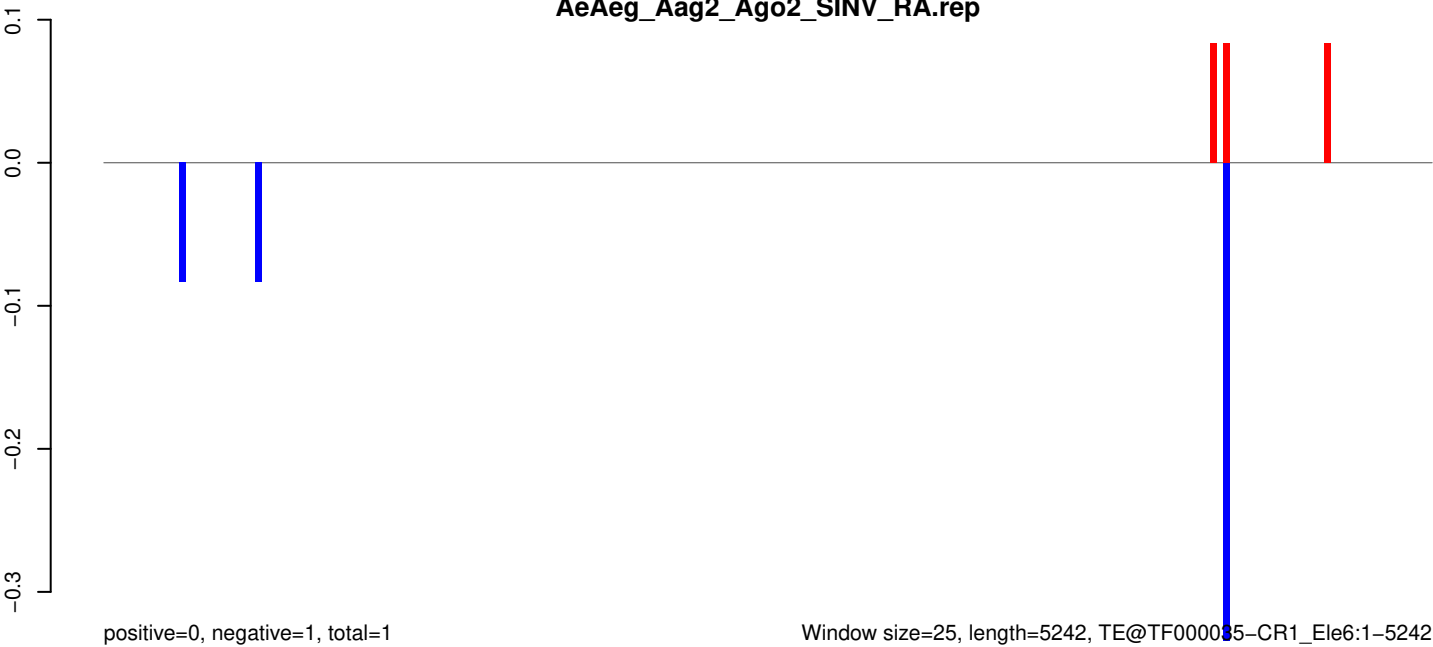
AeAeg_Aag2_Ago2_SINV_RA.18_23.rep



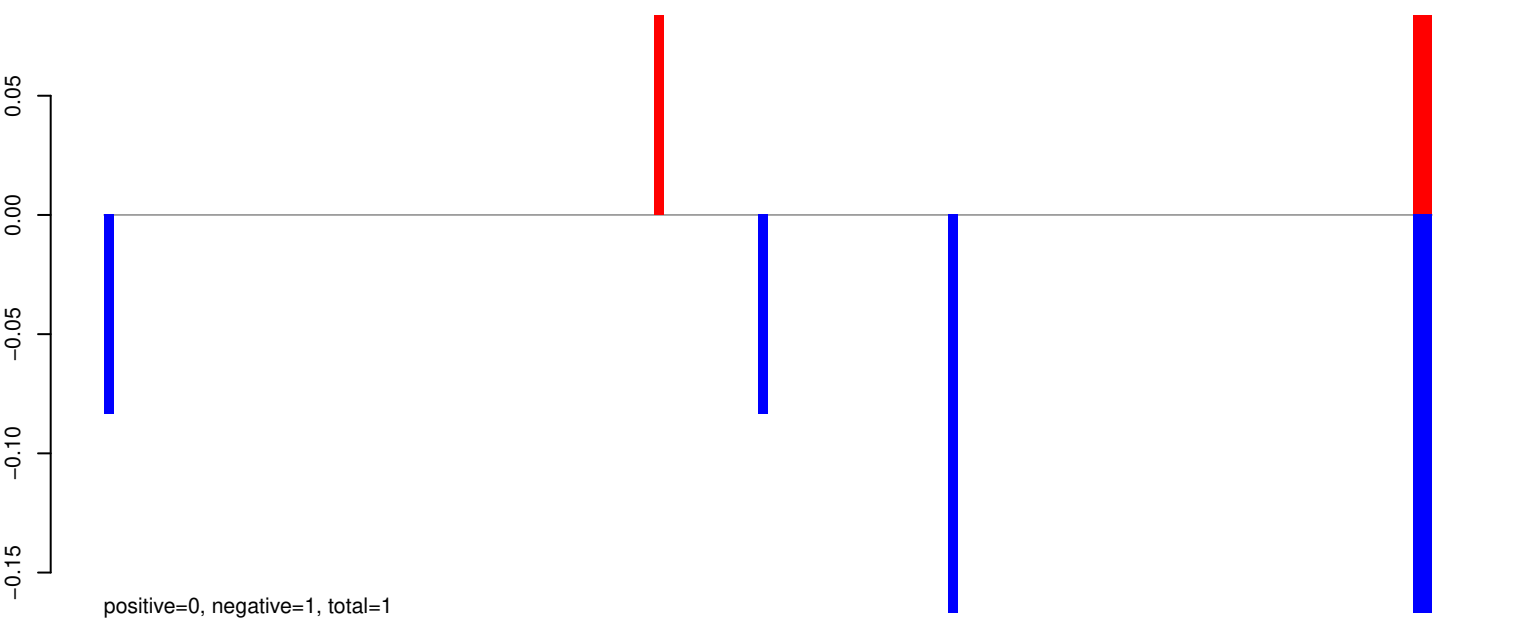
AeAeg_Aag2_Ago2_SINV_RA.24_35.rep



AeAeg_Aag2_Ago2_SINV_RA.rep



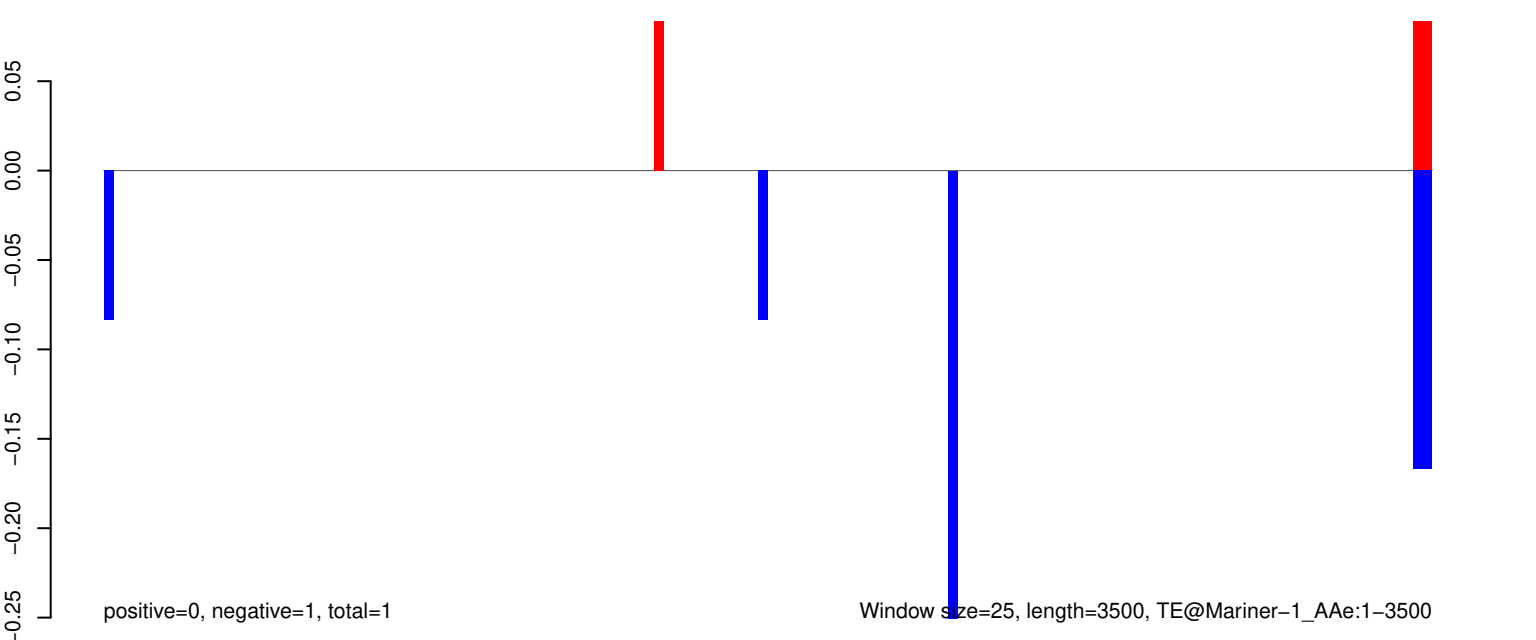
AeAeg_Aag2_Ago2_SINV_RA.18_23.rep



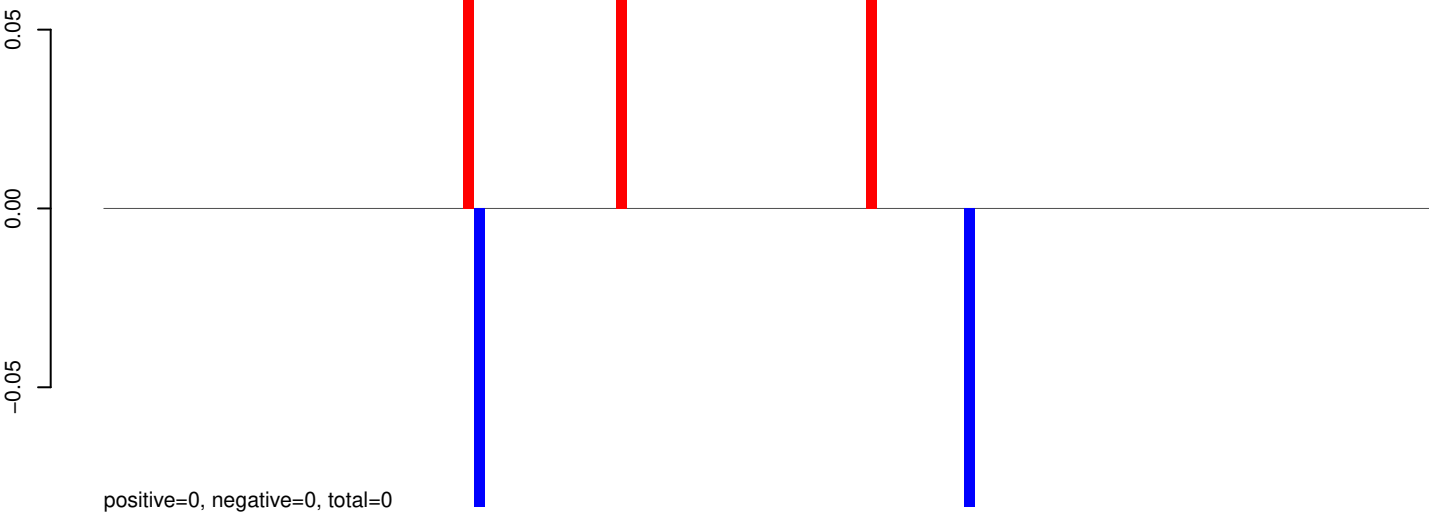
AeAeg_Aag2_Ago2_SINV_RA.24_35.rep



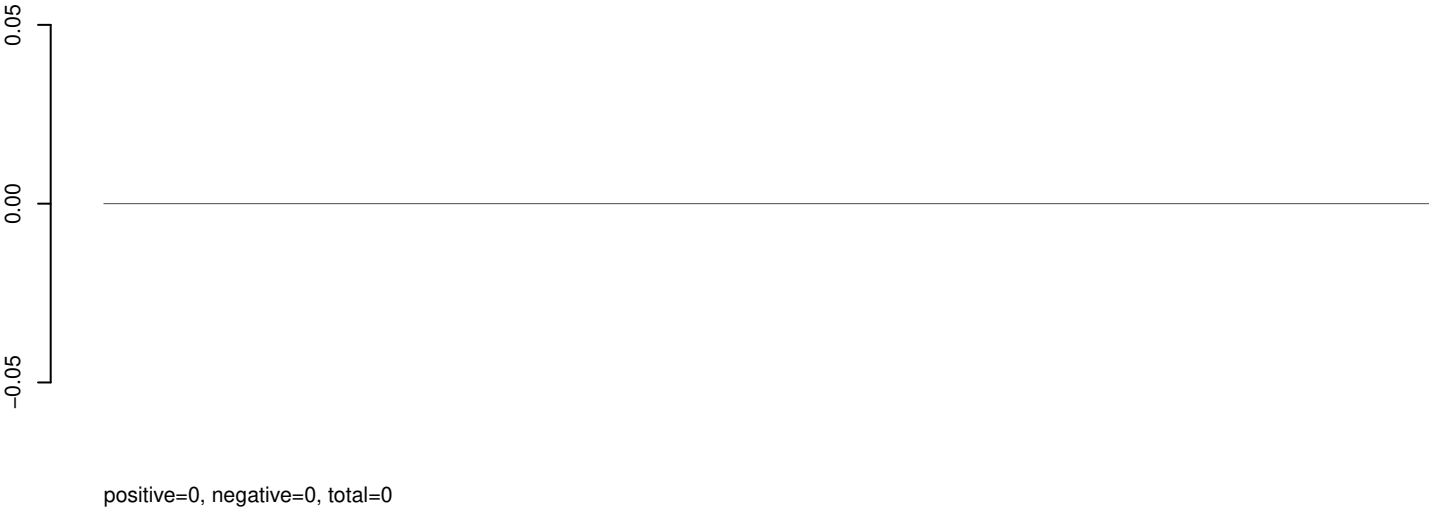
AeAeg_Aag2_Ago2_SINV_RA.rep



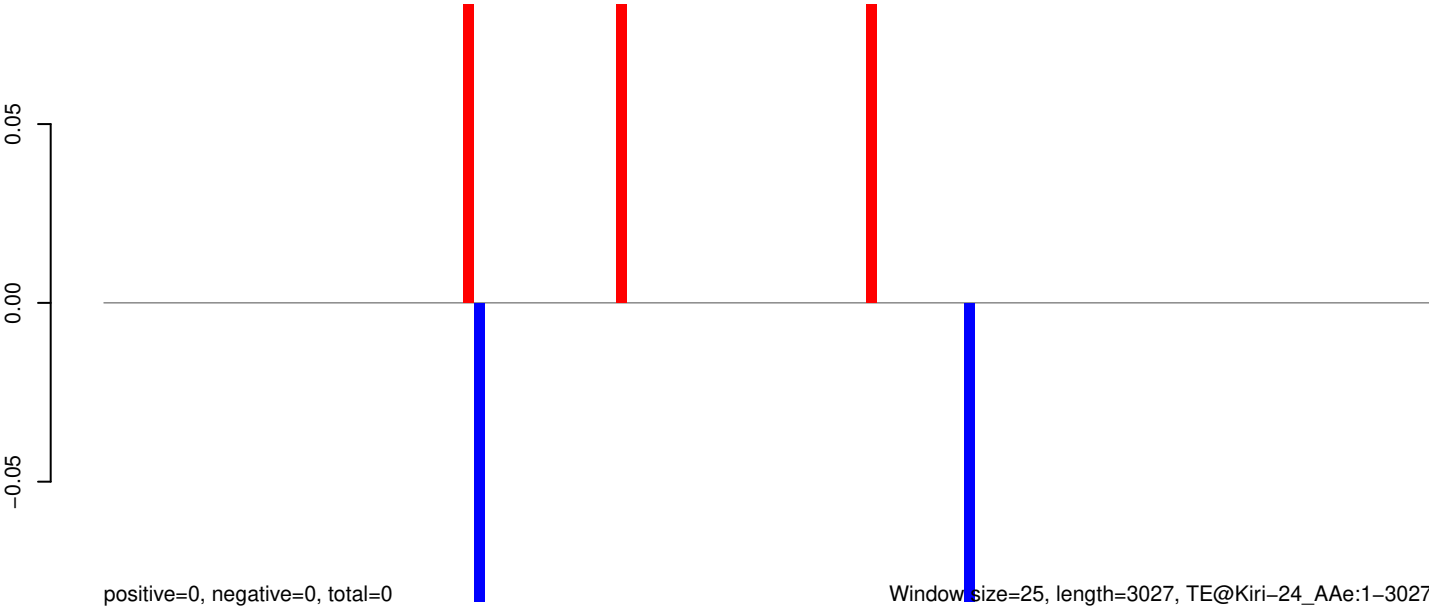
AeAeg_Aag2_Ago2_SINV_RA.18_23.rep



AeAeg_Aag2_Ago2_SINV_RA.24_35.rep

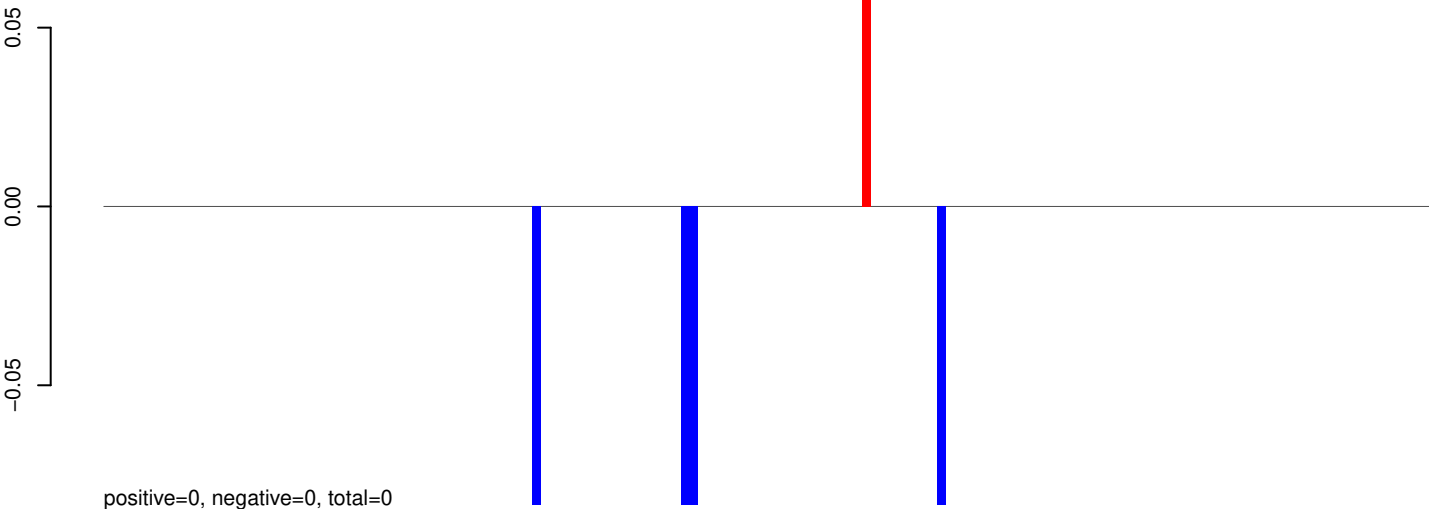


AeAeg_Aag2_Ago2_SINV_RA.rep

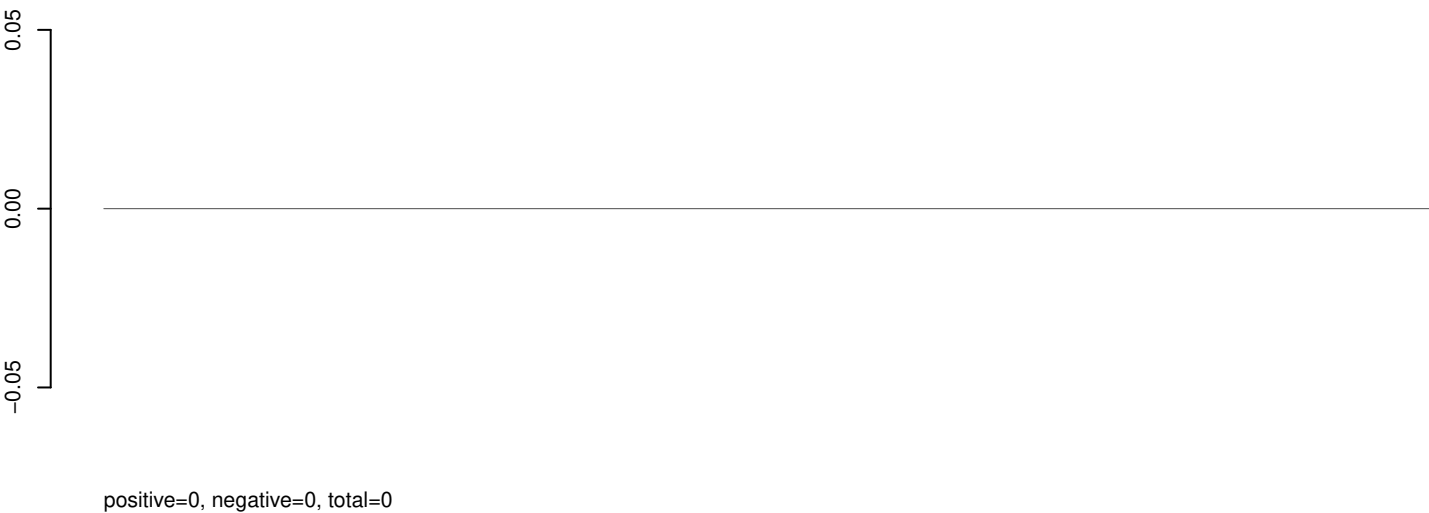


0 500 1000 1500 2000 2500 3000

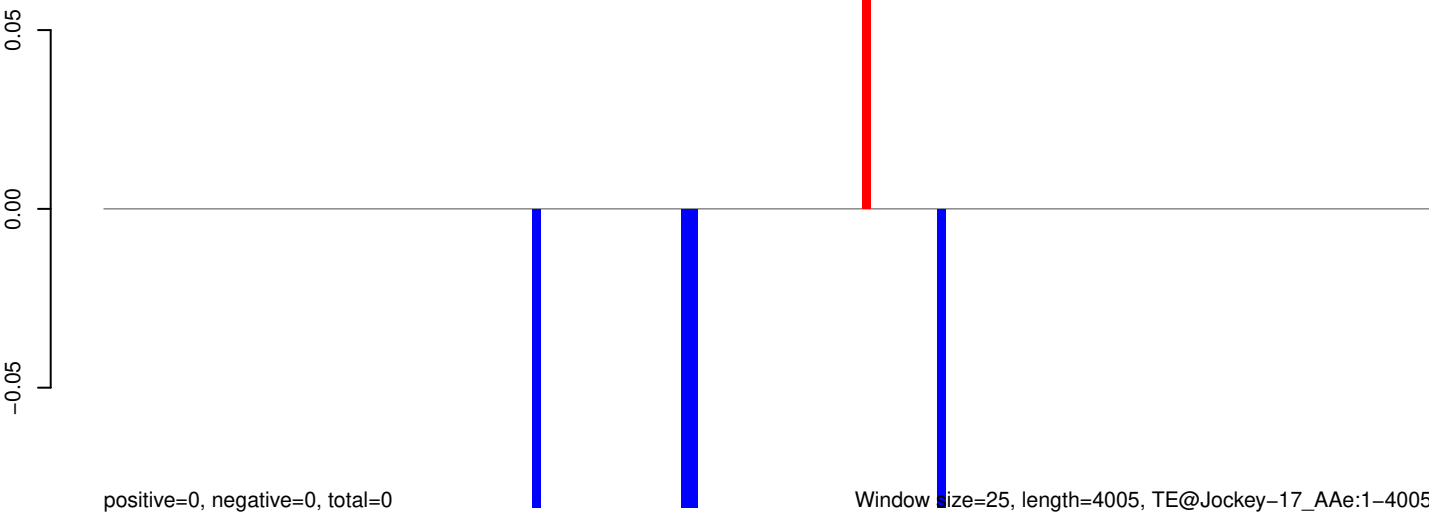
AeAeg_Aag2_Ago2_SINV_RA.18_23.rep



AeAeg_Aag2_Ago2_SINV_RA.24_35.rep



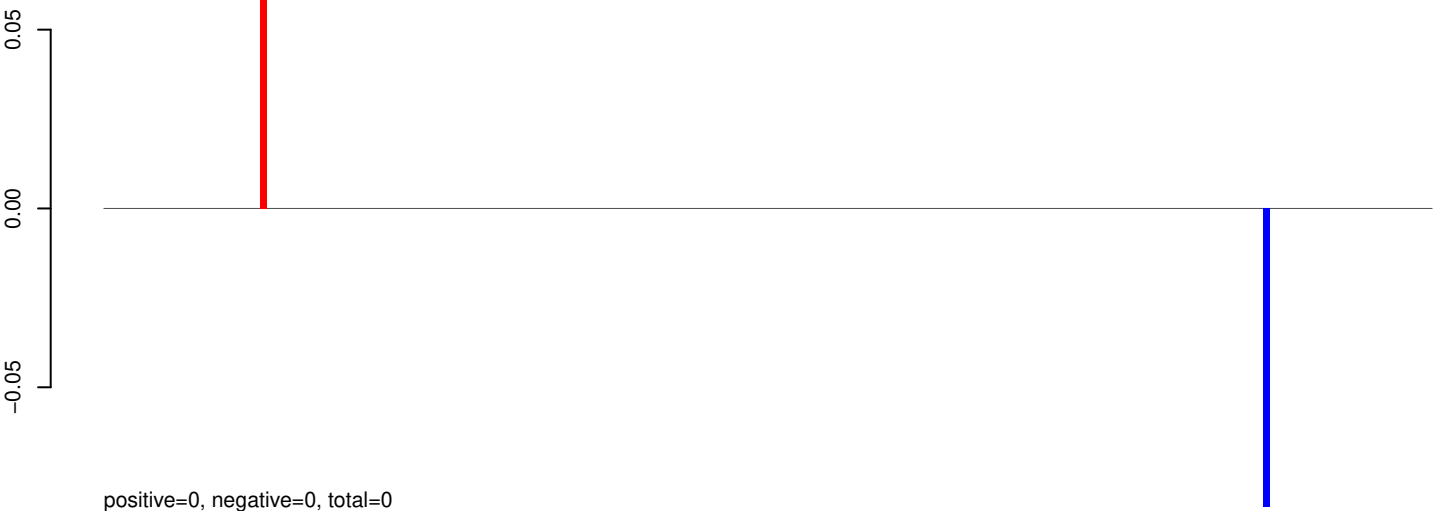
AeAeg_Aag2_Ago2_SINV_RA.rep



Window size=25, length=4005, TE@Jockey-17_AAe:1-4005

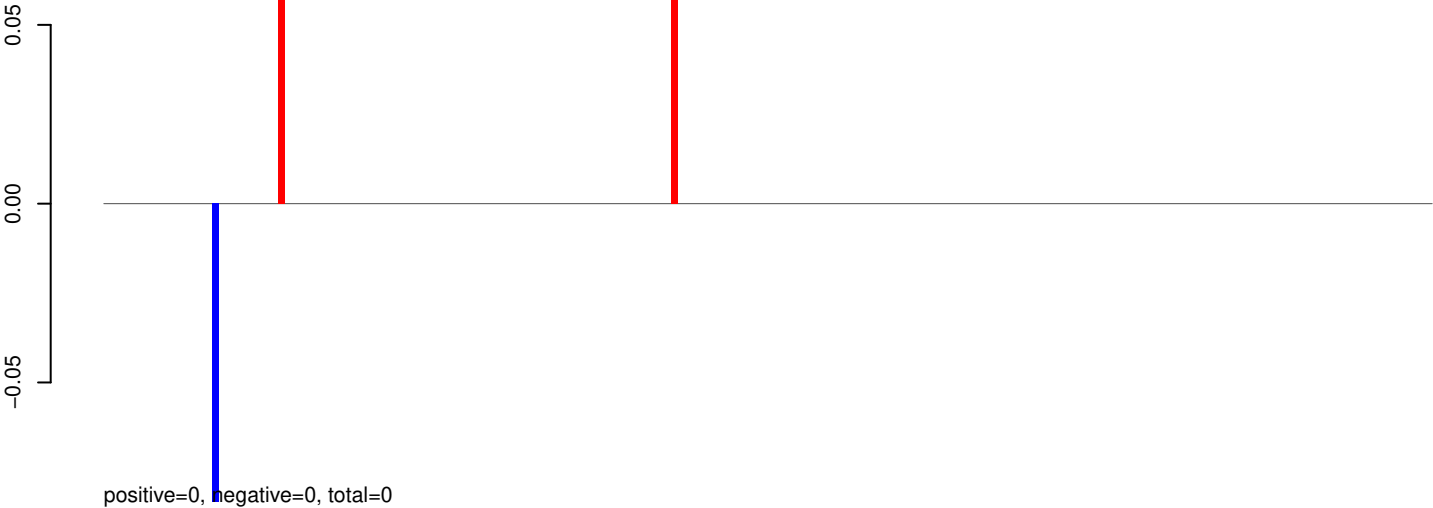
0 1000 2000 3000 4000

AeAeg_Aag2_Ago2_SINV_RA.18_23.rep



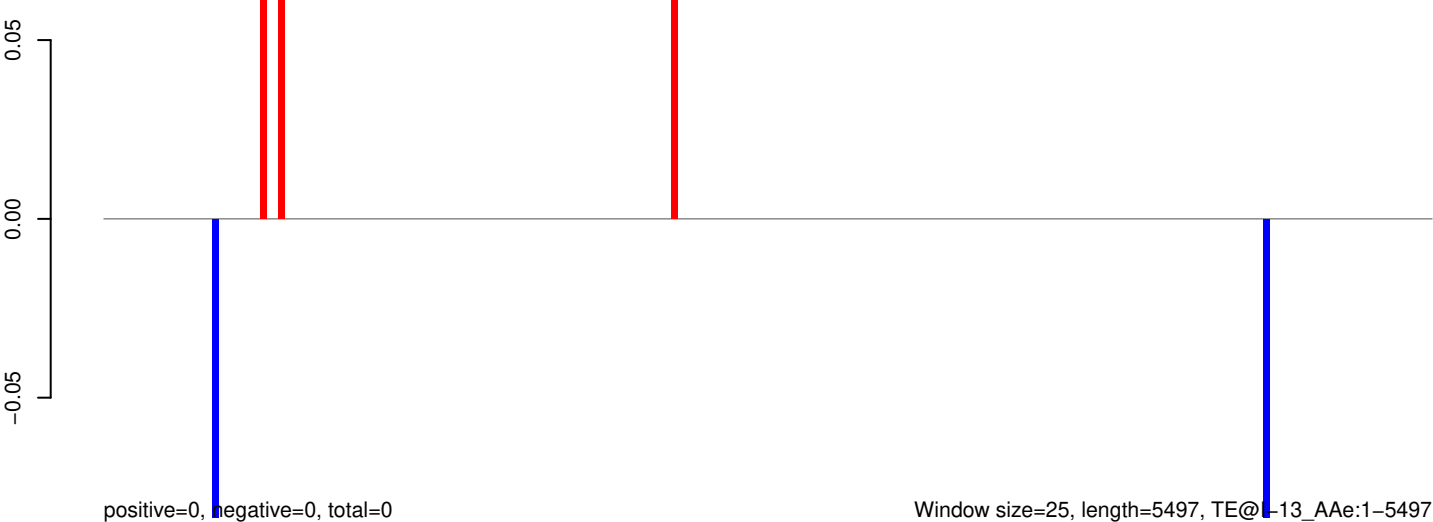
positive=0, negative=0, total=0

AeAeg_Aag2_Ago2_SINV_RA.24_35.rep



positive=0, negative=0, total=0

AeAeg_Aag2_Ago2_SINV_RA.rep

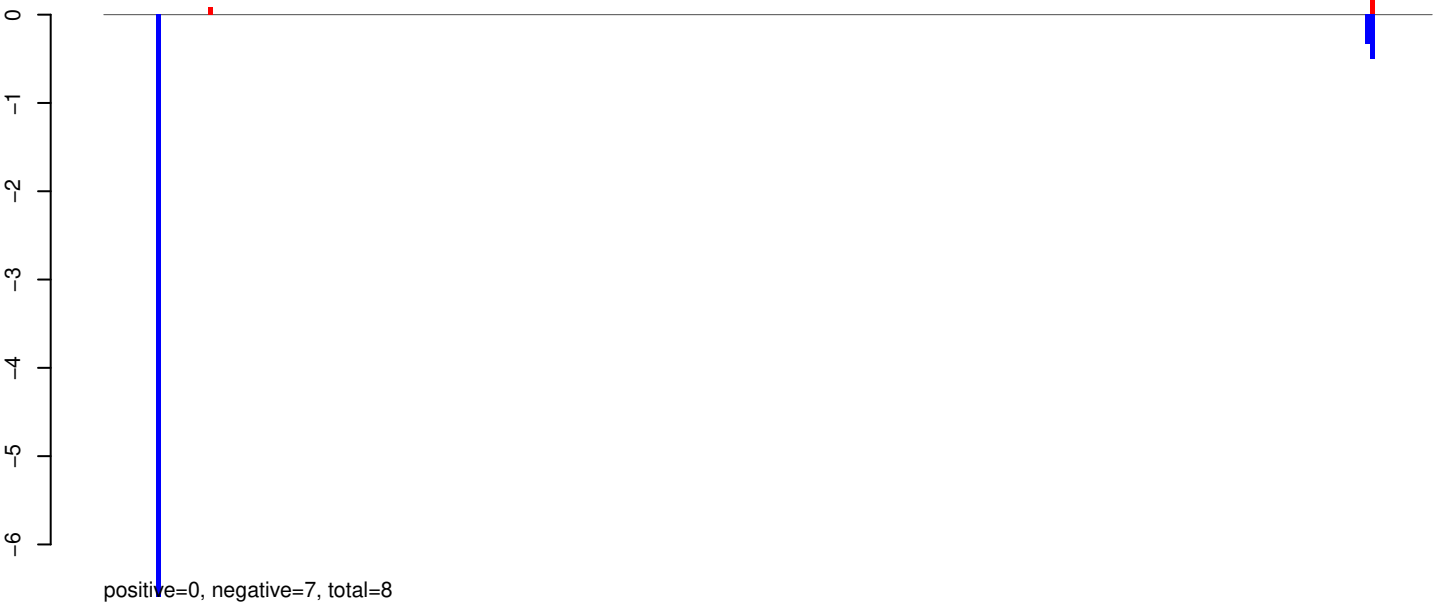


positive=0, negative=0, total=0

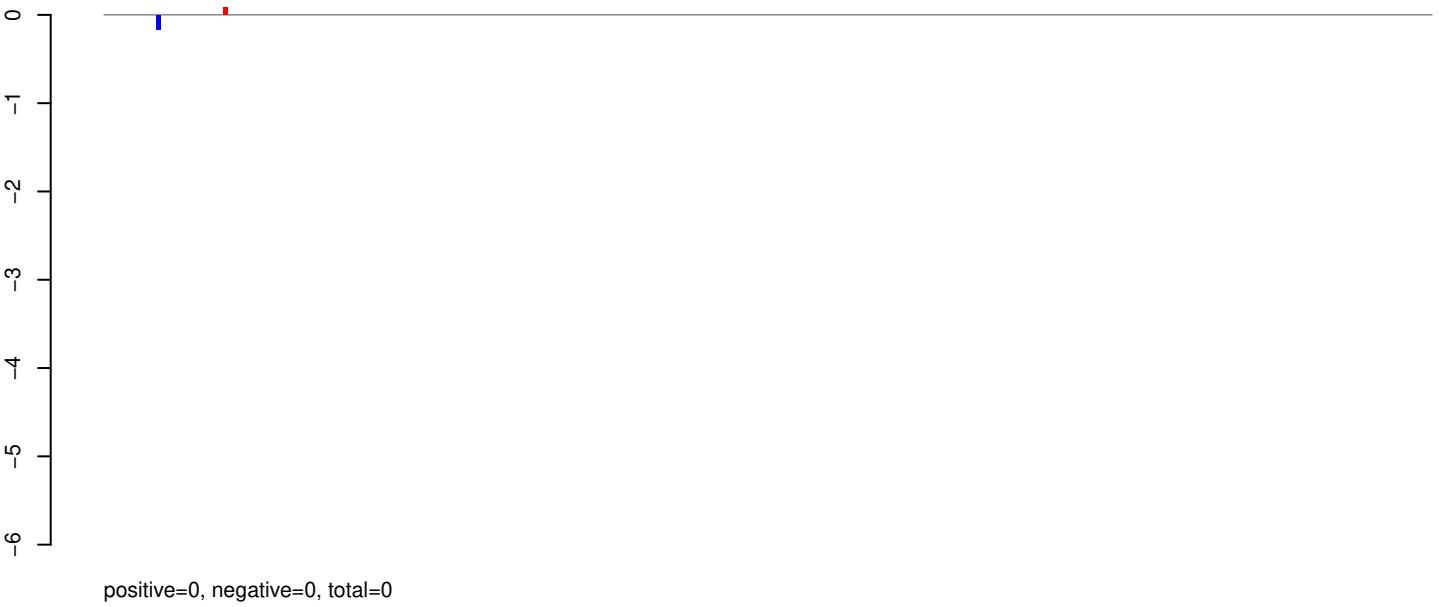
Window size=25, length=5497, TE@L-13_AAe:1-5497

0 1000 2000 3000 4000 5000

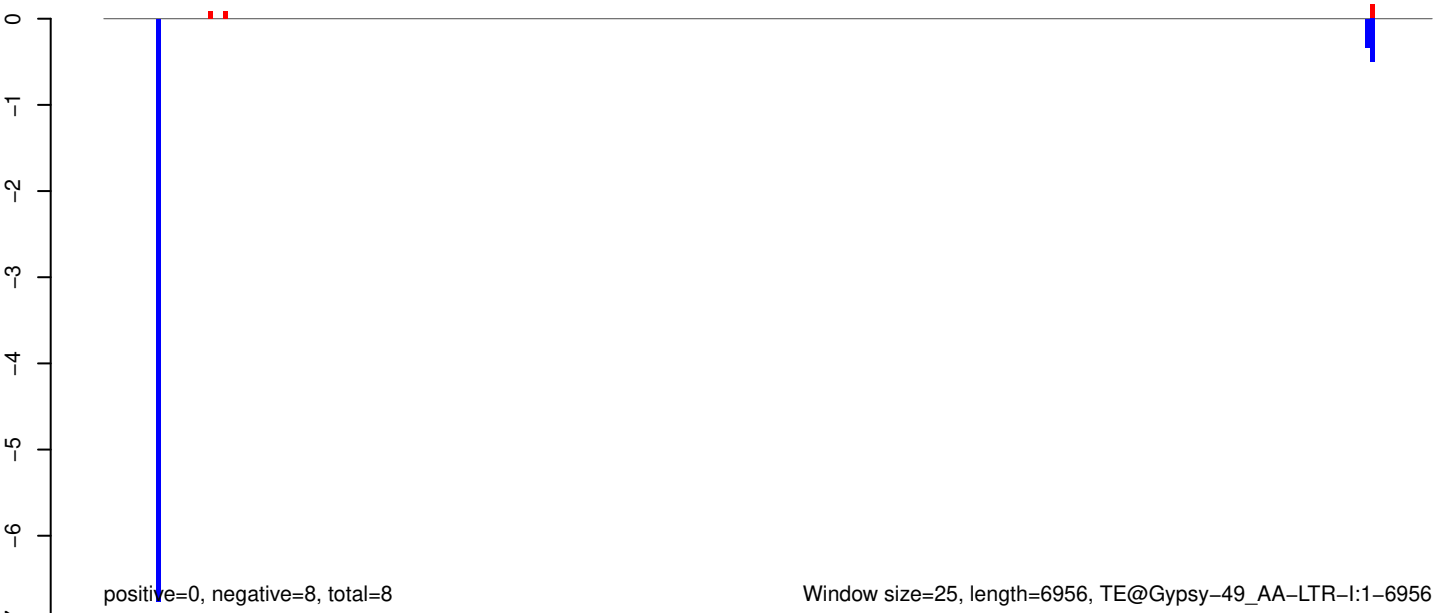
AeAeg_Aag2_Ago2_SINV_RA.18_23.rep



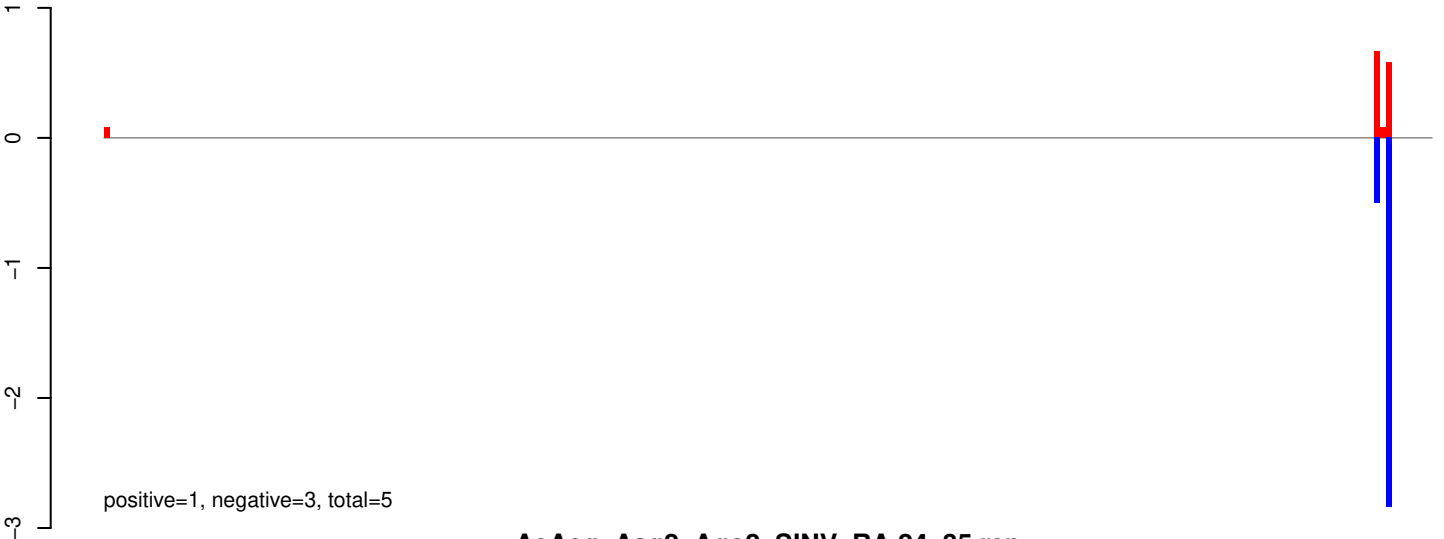
AeAeg_Aag2_Ago2_SINV_RA.24_35.rep



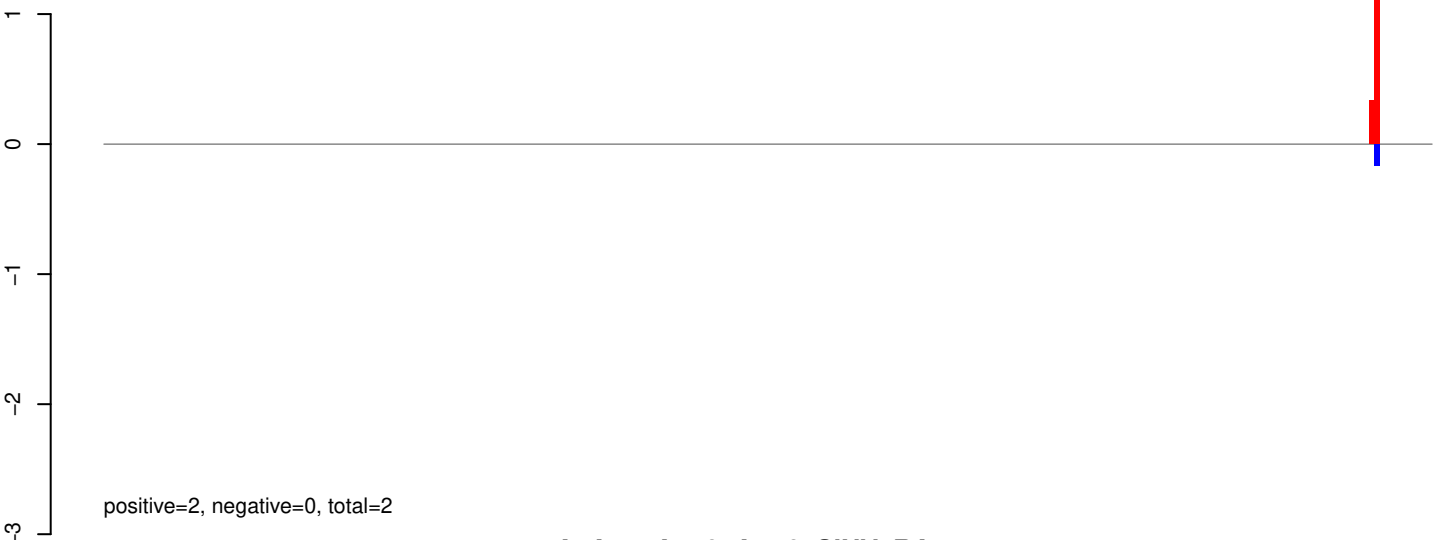
AeAeg_Aag2_Ago2_SINV_RA.rep



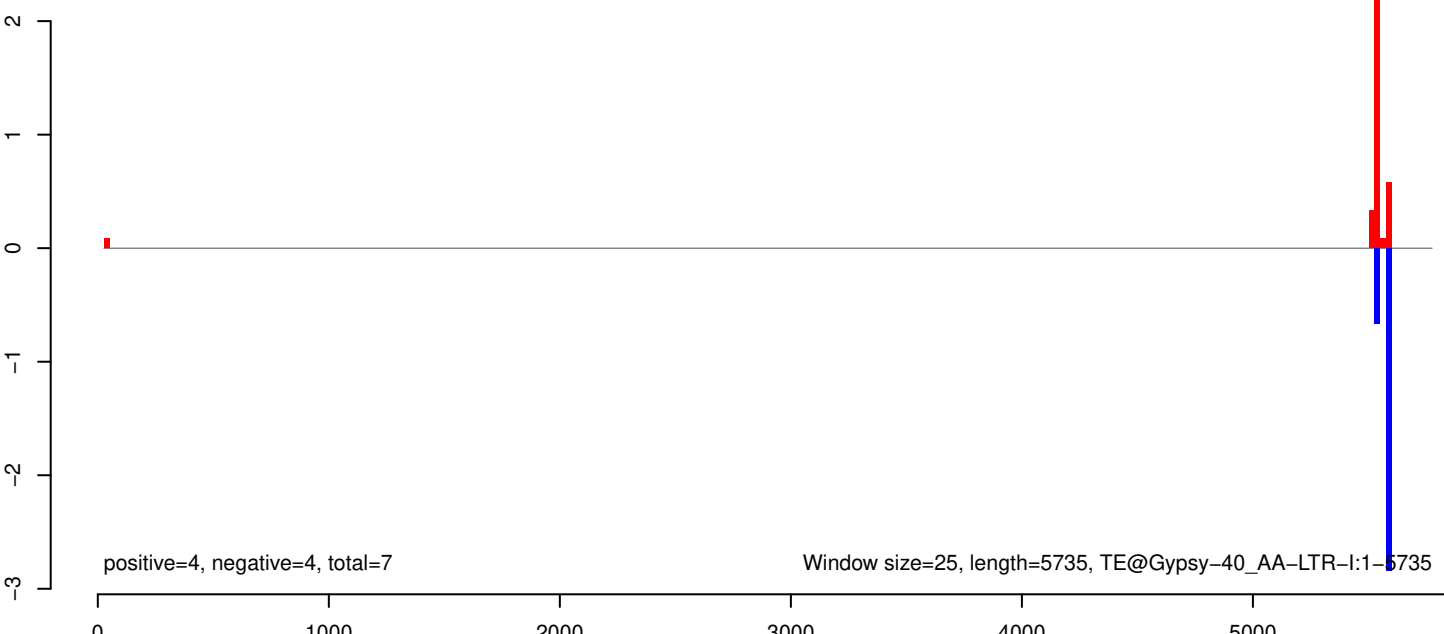
AeAeg_Aag2_Ago2_SINV_RA.18_23.rep



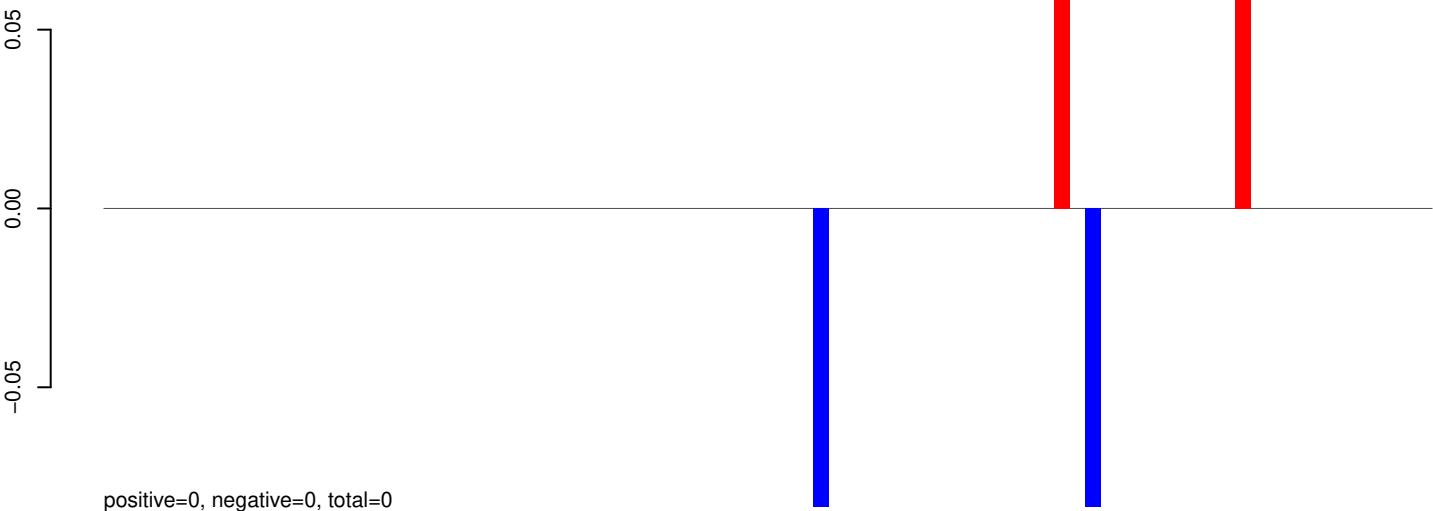
AeAeg_Aag2_Ago2_SINV_RA.24_35.rep



AeAeg_Aag2_Ago2_SINV_RA.rep



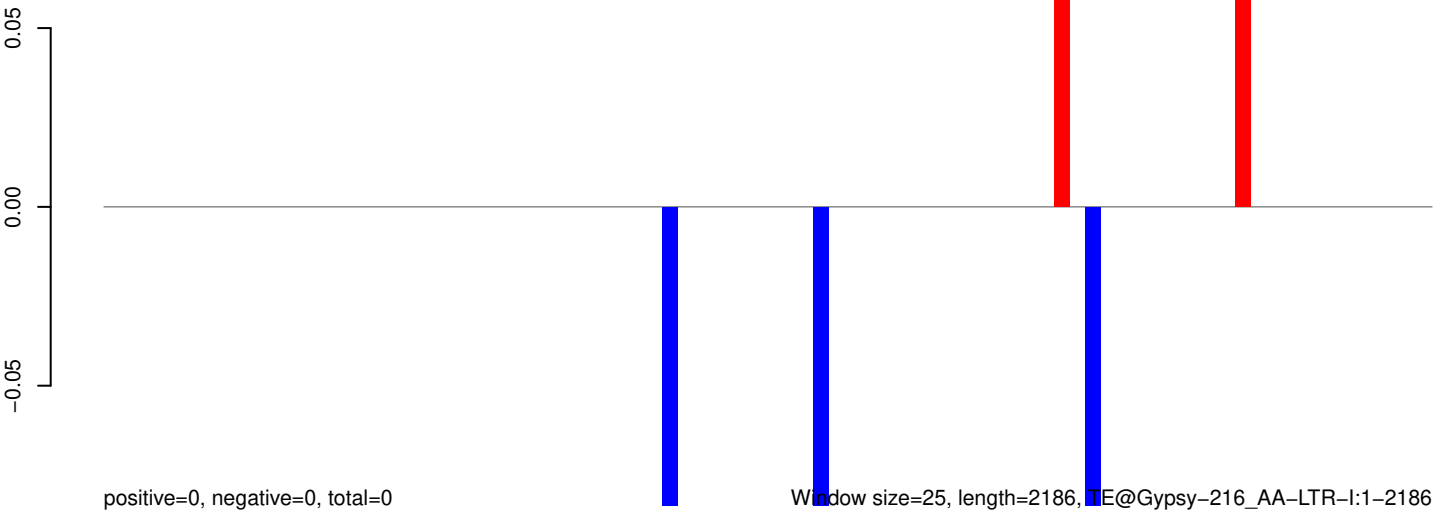
AeAeg_Aag2_Ago2_SINV_RA.18_23.rep



AeAeg_Aag2_Ago2_SINV_RA.24_35.rep



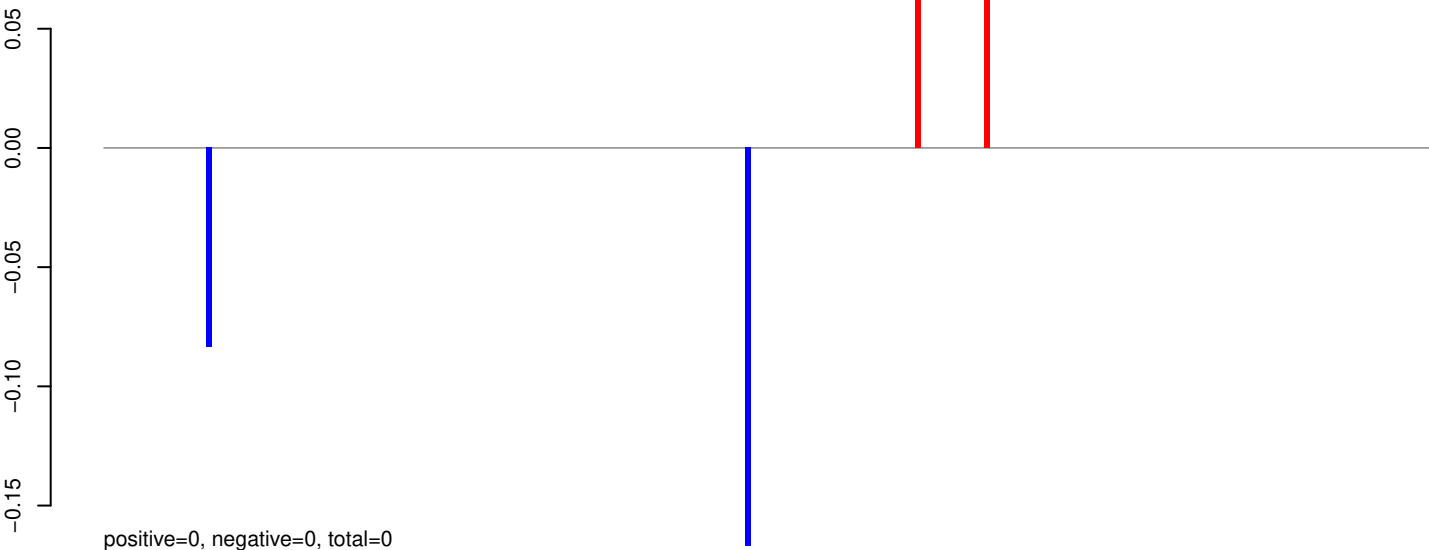
AeAeg_Aag2_Ago2_SINV_RA.rep



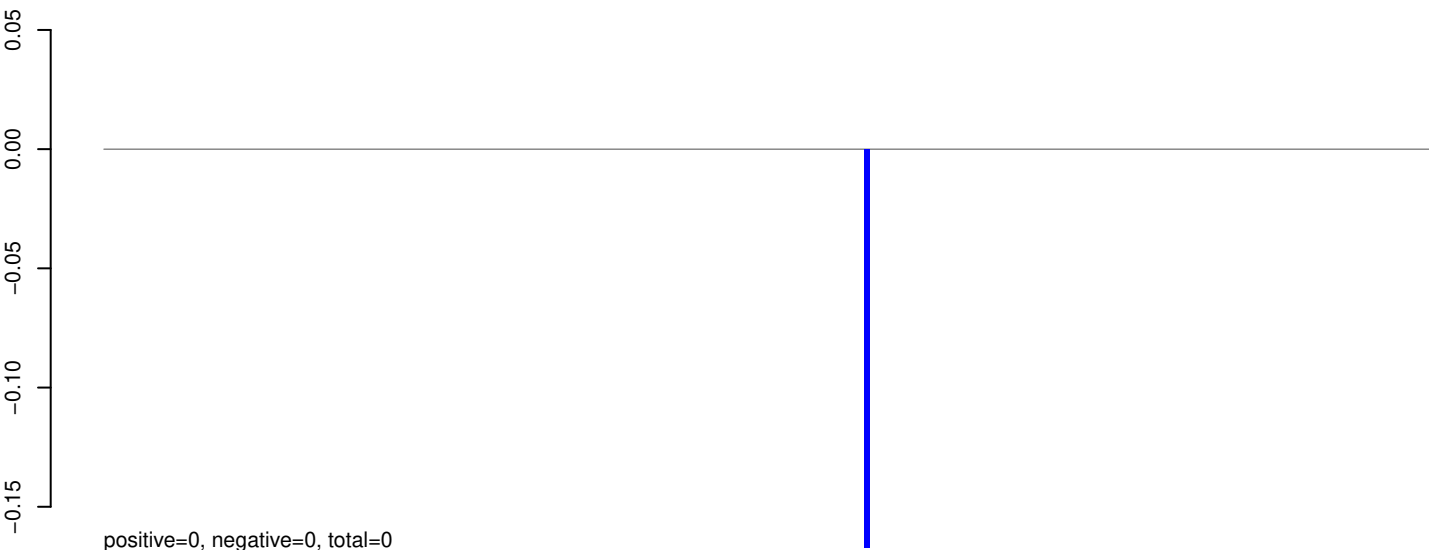
Window size=25, length=2186, TE@Gypsy-216_AA-LTR-I:1-2186

0 500 1000 1500 2000

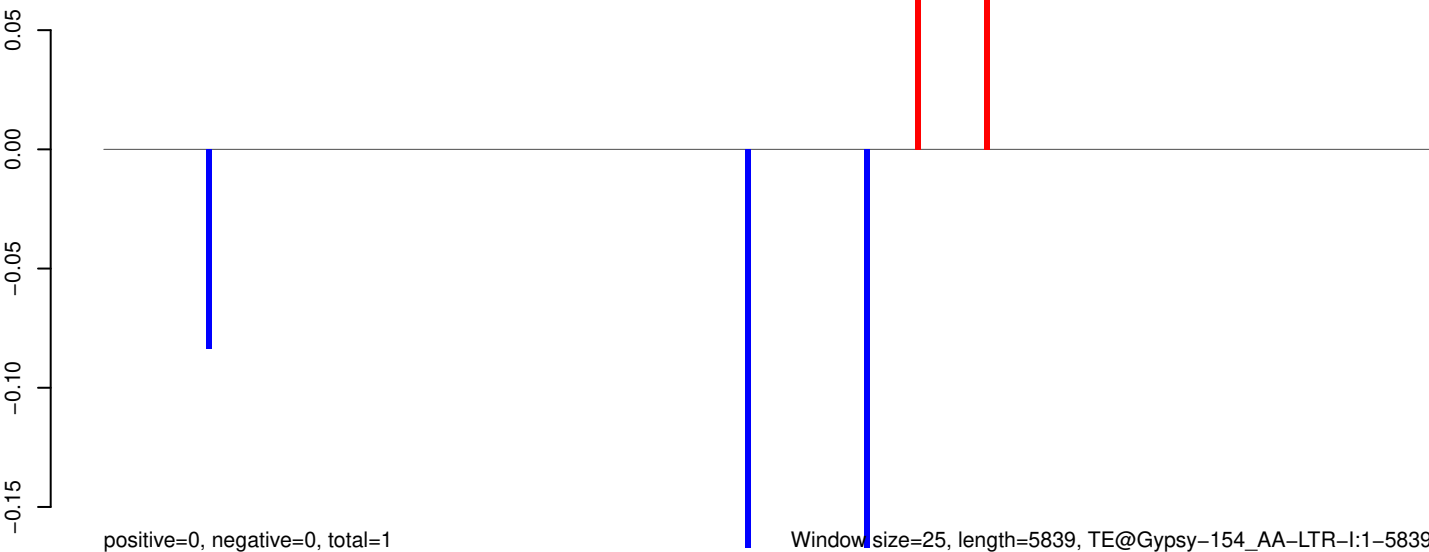
AeAeg_Aag2_Ago2_SINV_RA.18_23.rep



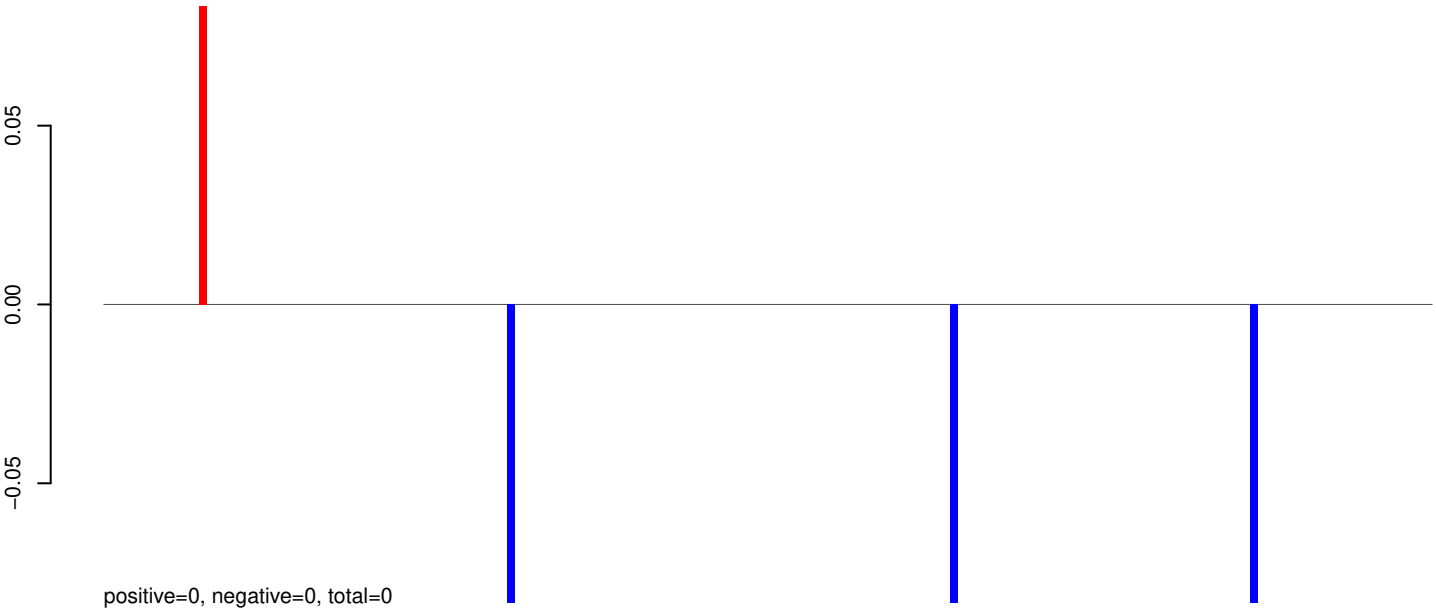
AeAeg_Aag2_Ago2_SINV_RA.24_35.rep



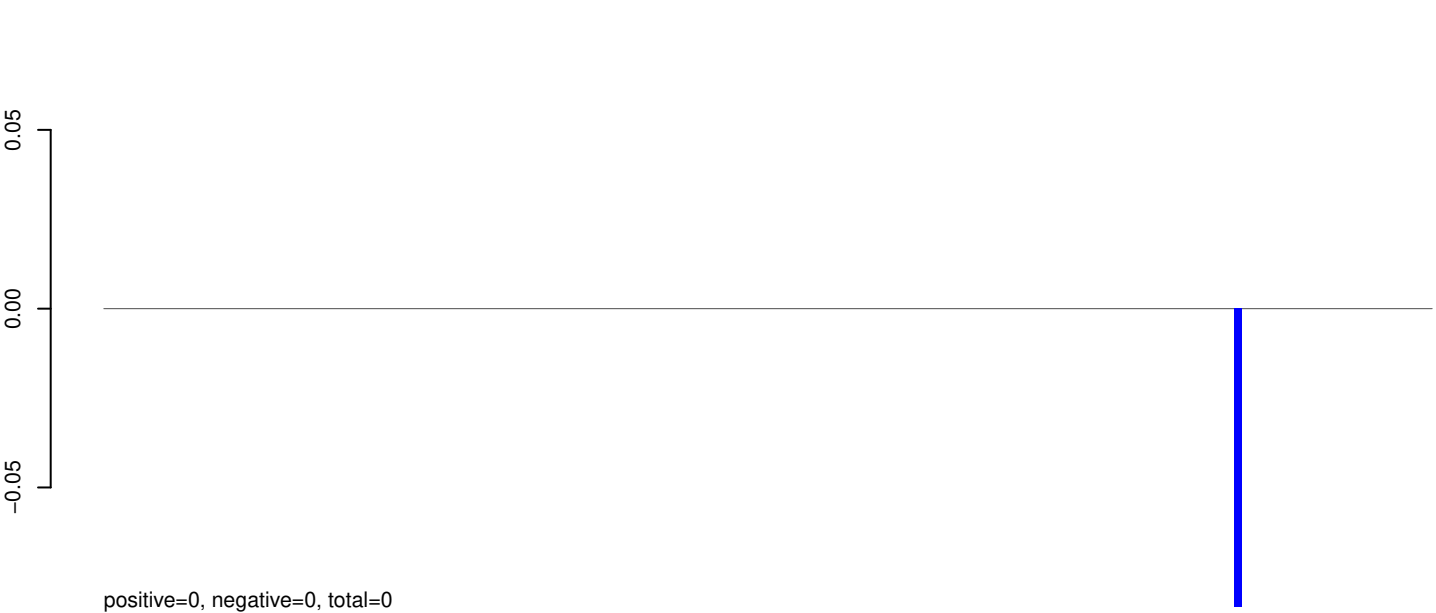
AeAeg_Aag2_Ago2_SINV_RA.rep



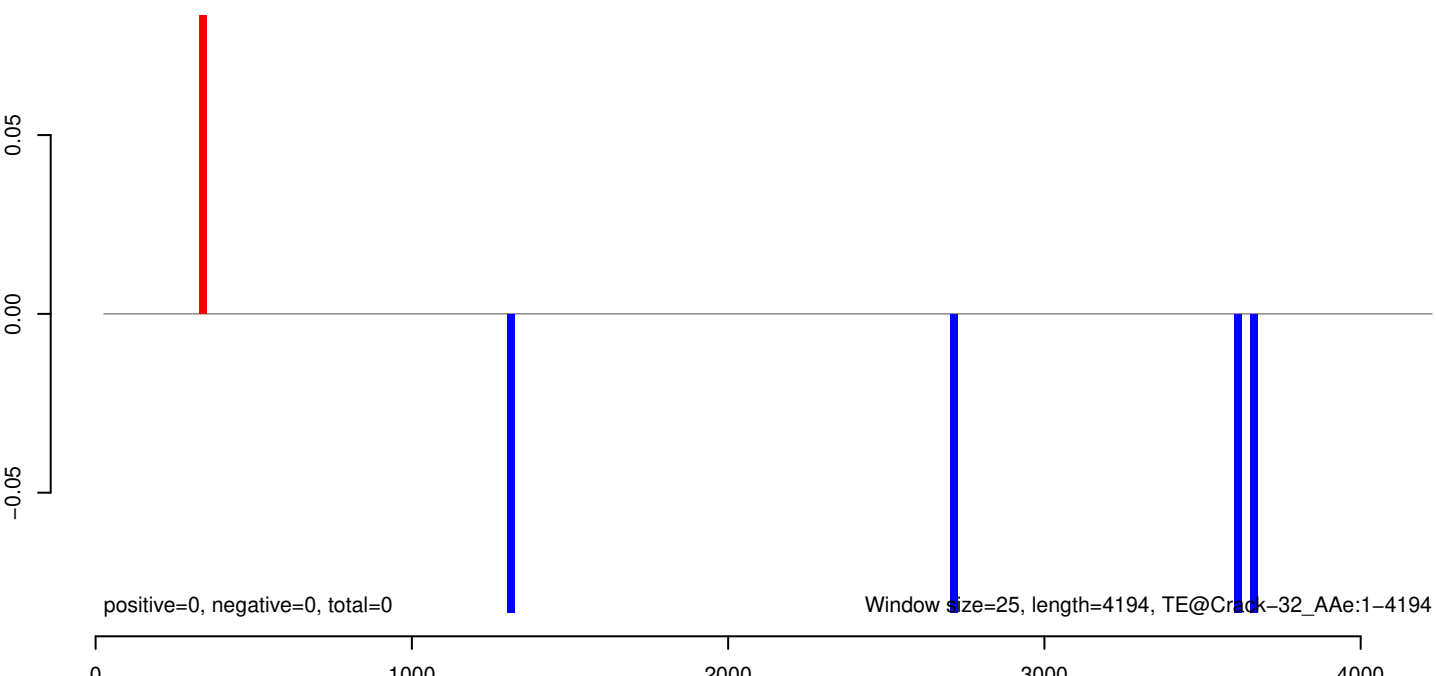
AeAeg_Aag2_Ago2_SINV_RA.18_23.rep



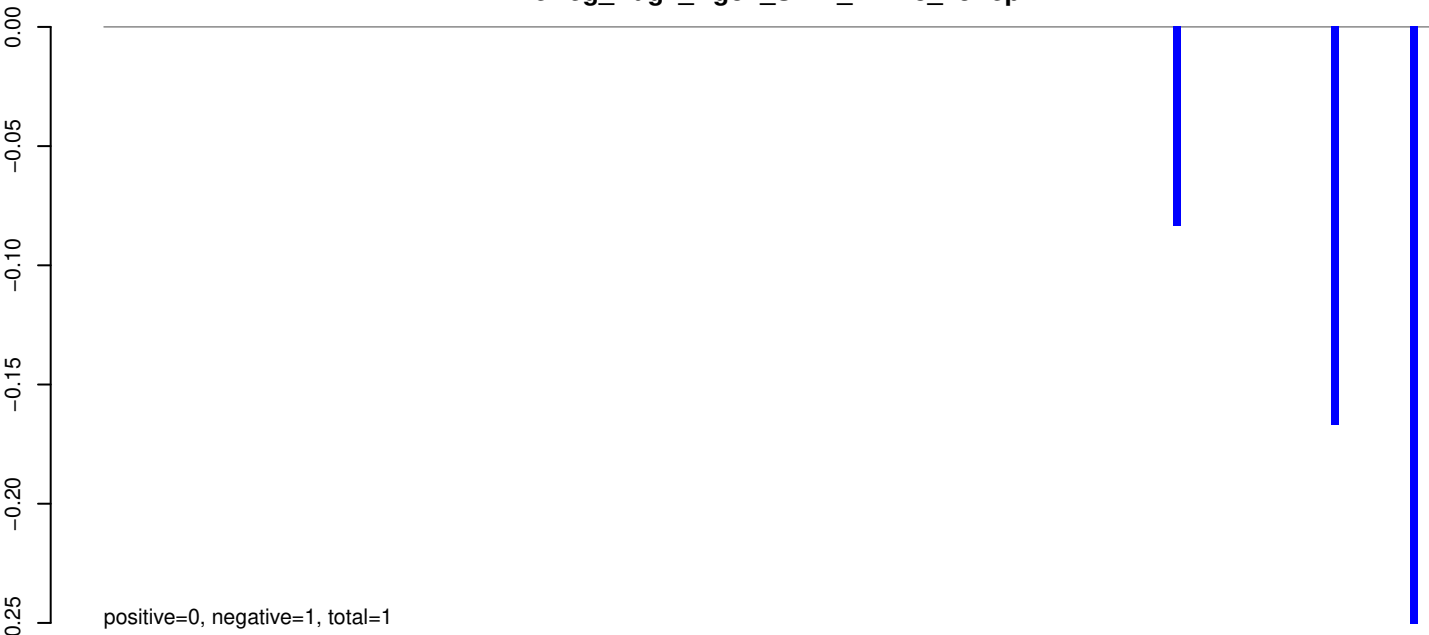
AeAeg_Aag2_Ago2_SINV_RA.24_35.rep



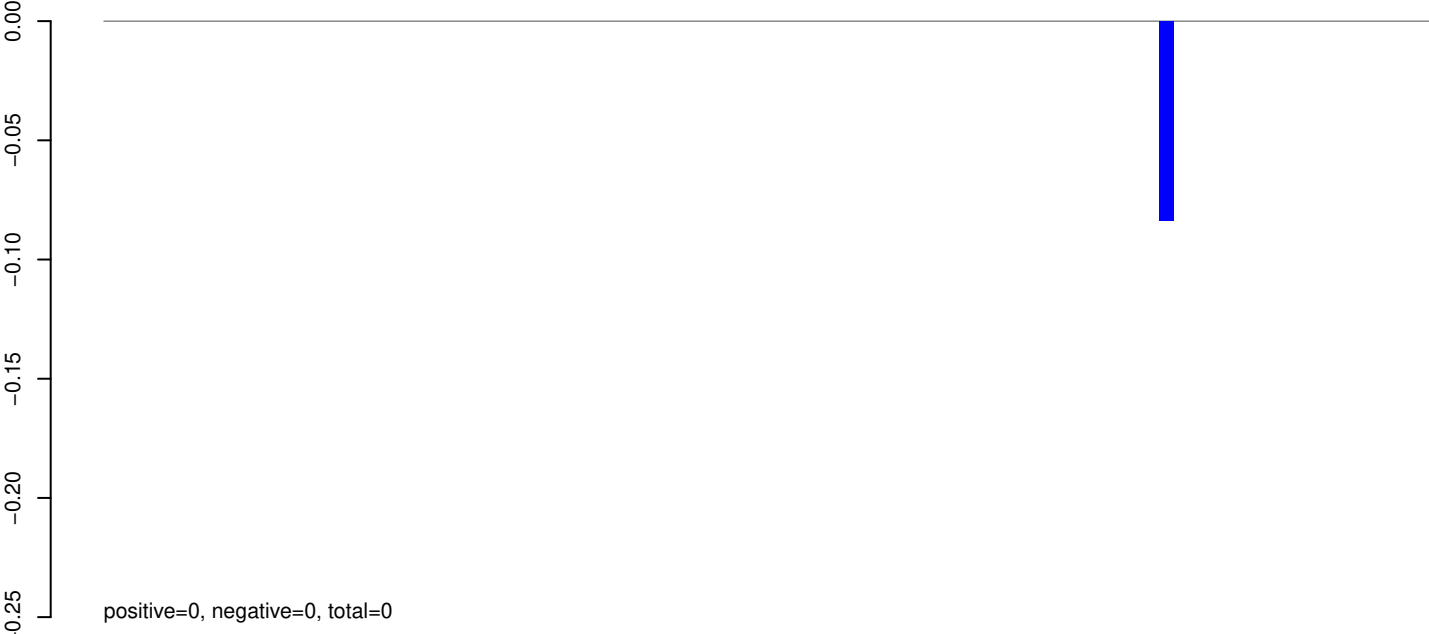
AeAeg_Aag2_Ago2_SINV_RA.rep



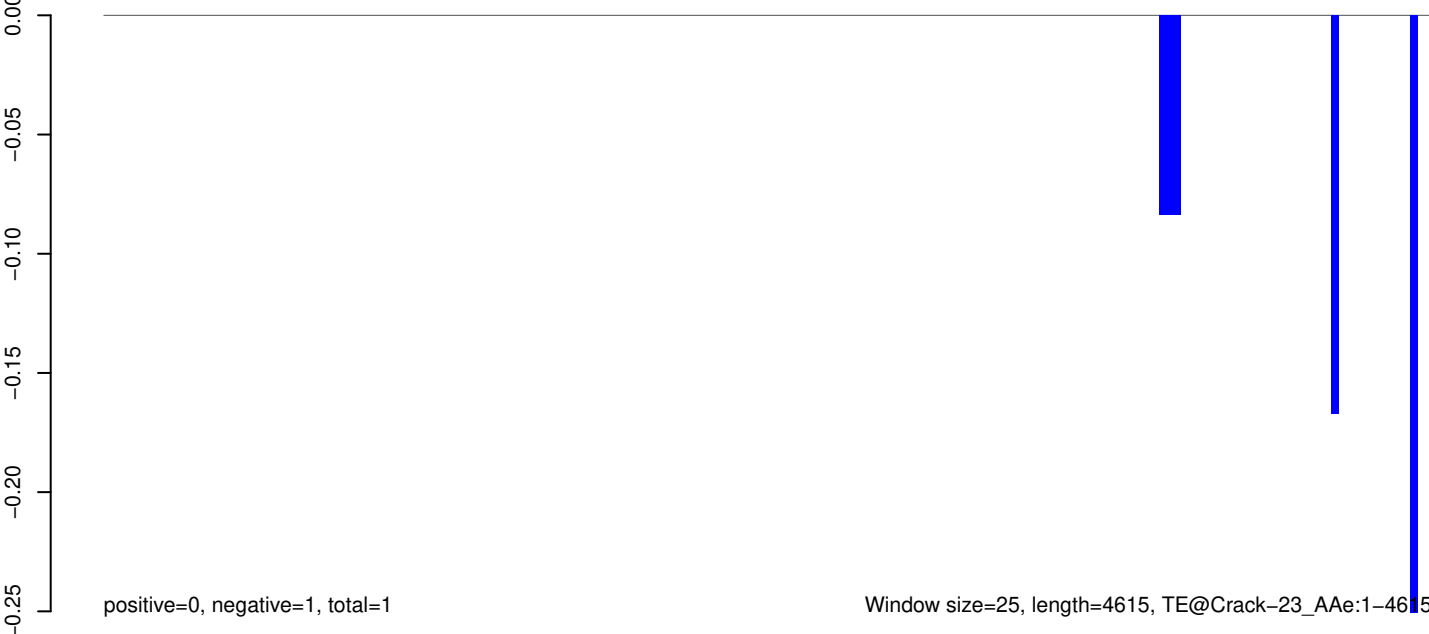
AeAeg_Aag2_Ago2_SINV_RA.18_23.rep



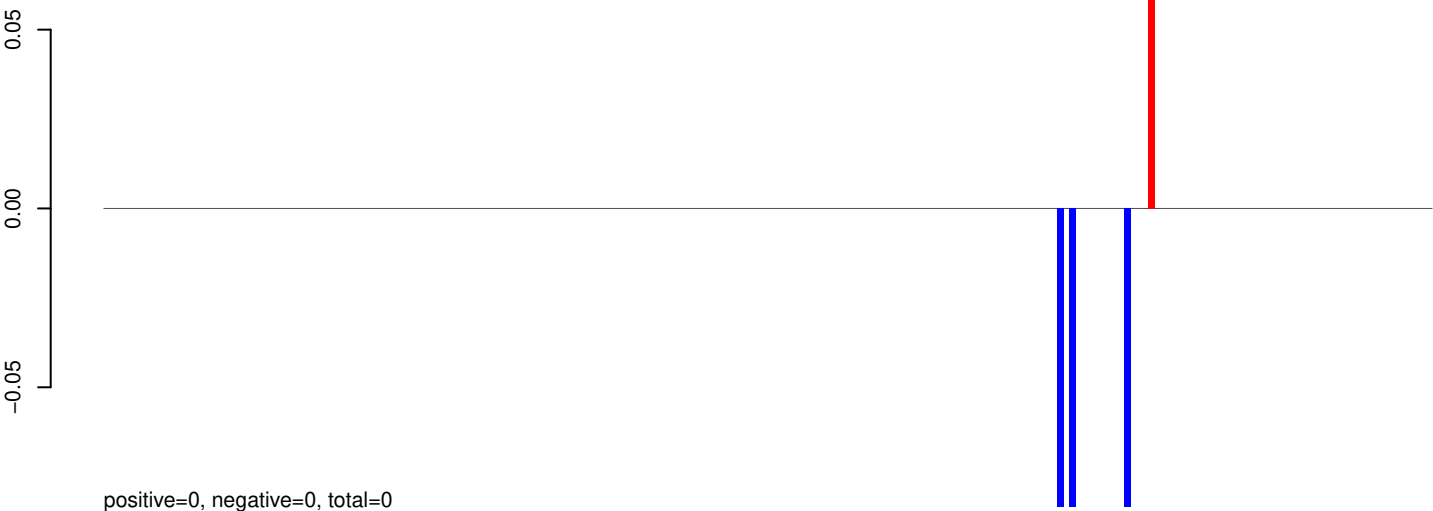
AeAeg_Aag2_Ago2_SINV_RA.24_35.rep



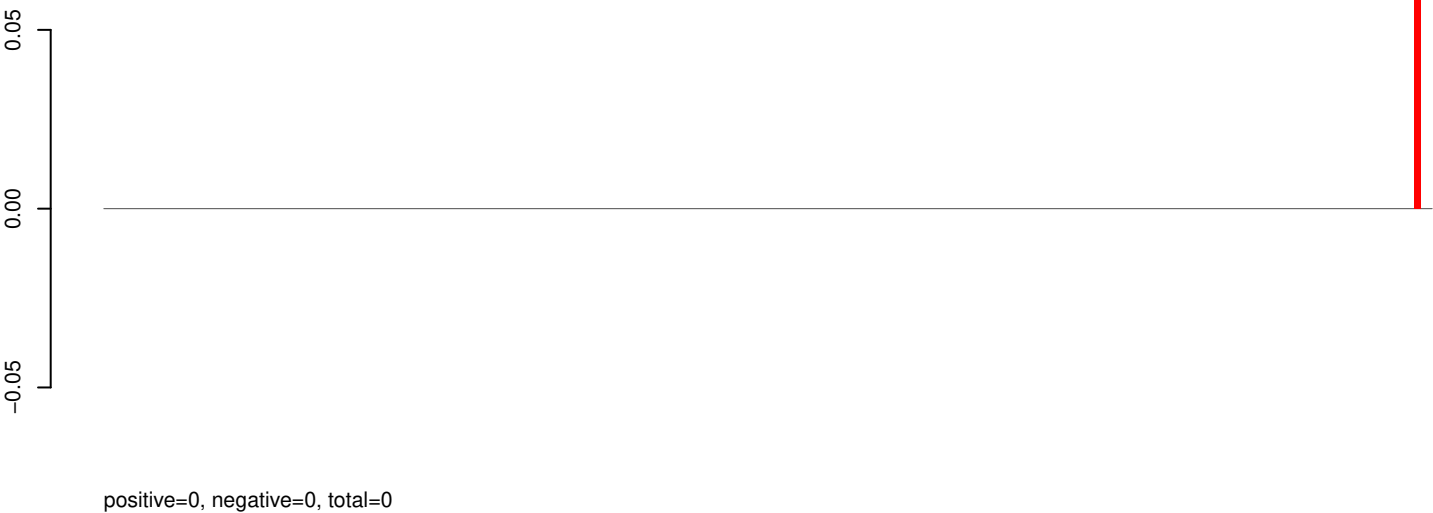
AeAeg_Aag2_Ago2_SINV_RA.rep



AeAeg_Aag2_Ago2_SINV_RA.18_23.rep



AeAeg_Aag2_Ago2_SINV_RA.24_35.rep



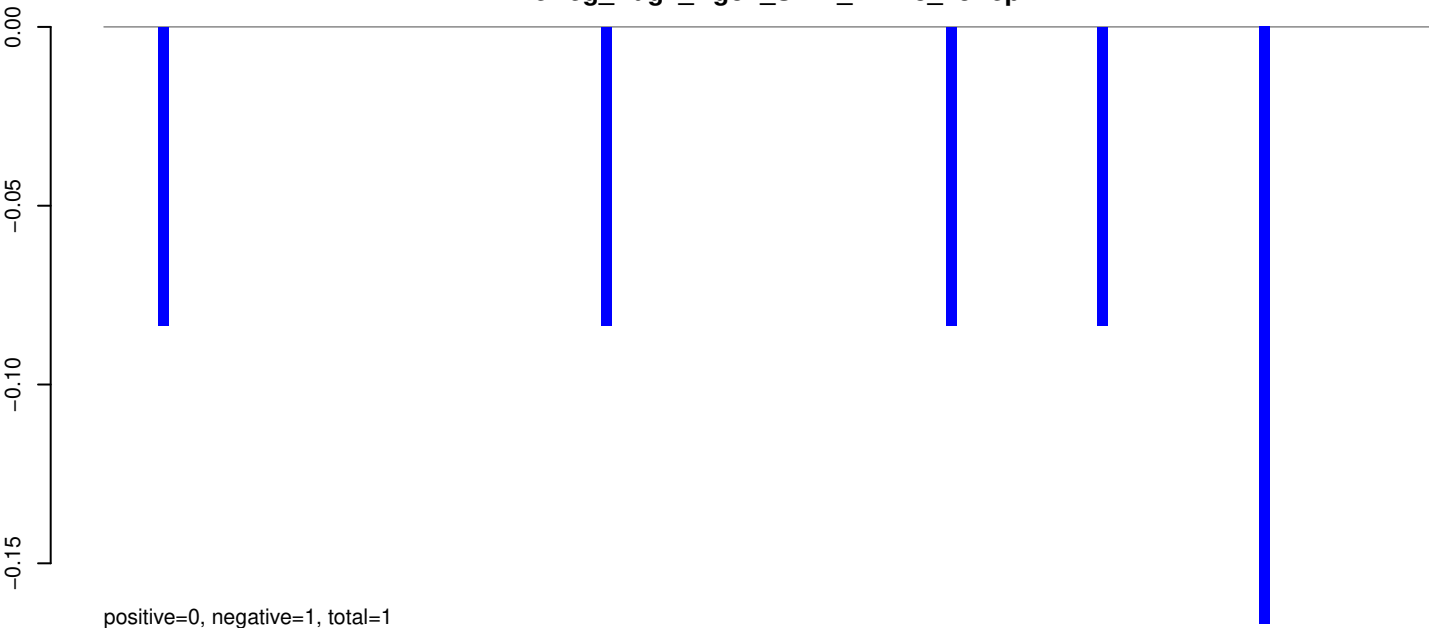
AeAeg_Aag2_Ago2_SINV_RA.rep



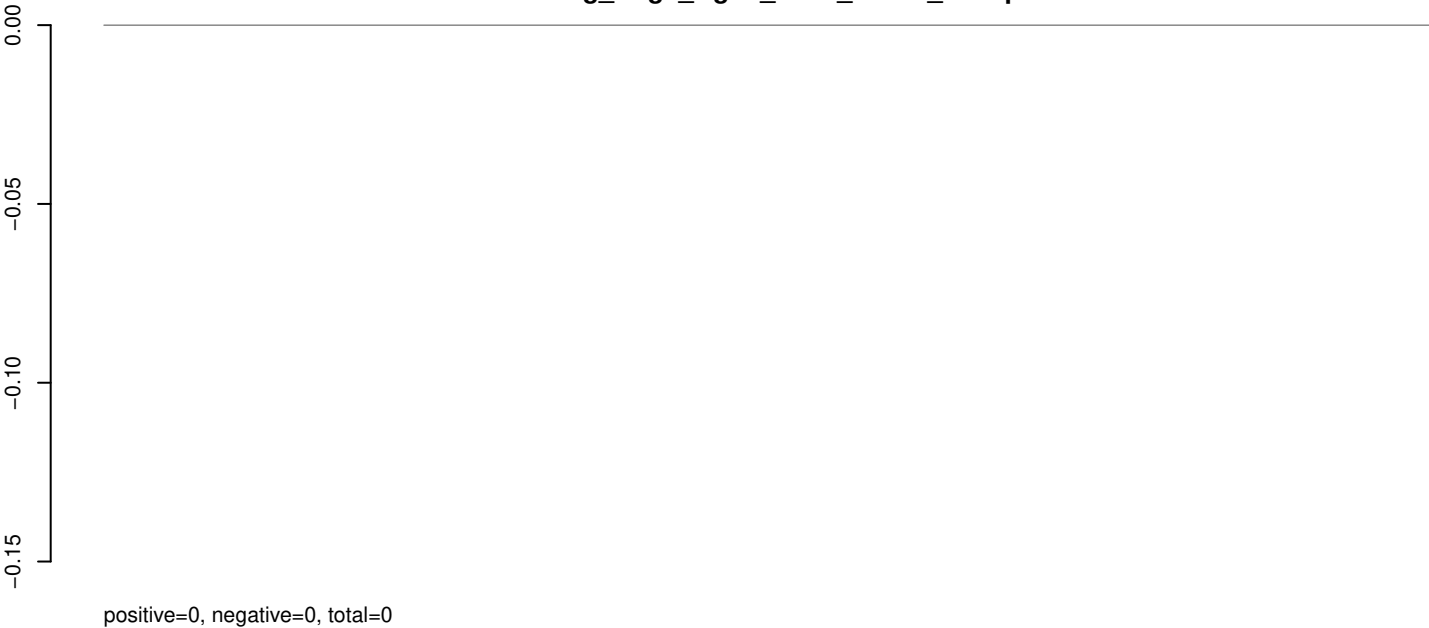
Window size=25, length=5491, TE@Crack-16_A Ae:1-5491

0 1000 2000 3000 4000 5000

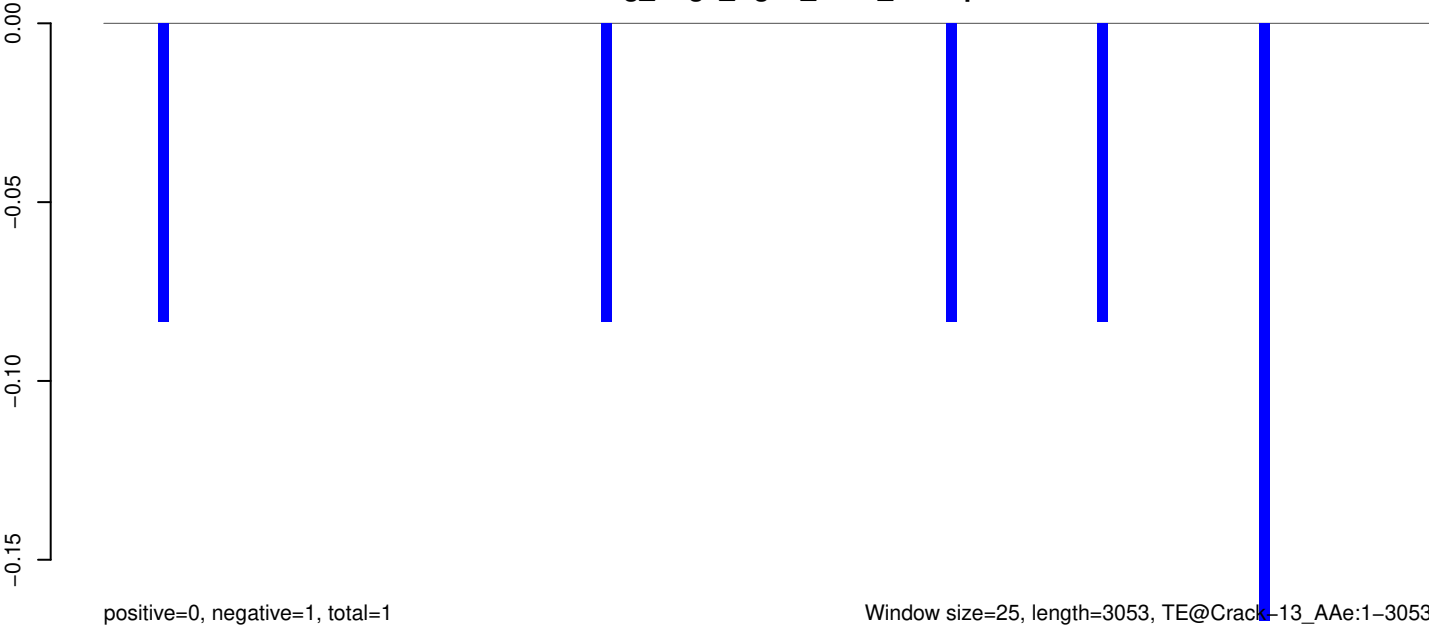
AeAeg_Aag2_Ago2_SINV_RA.18_23.rep



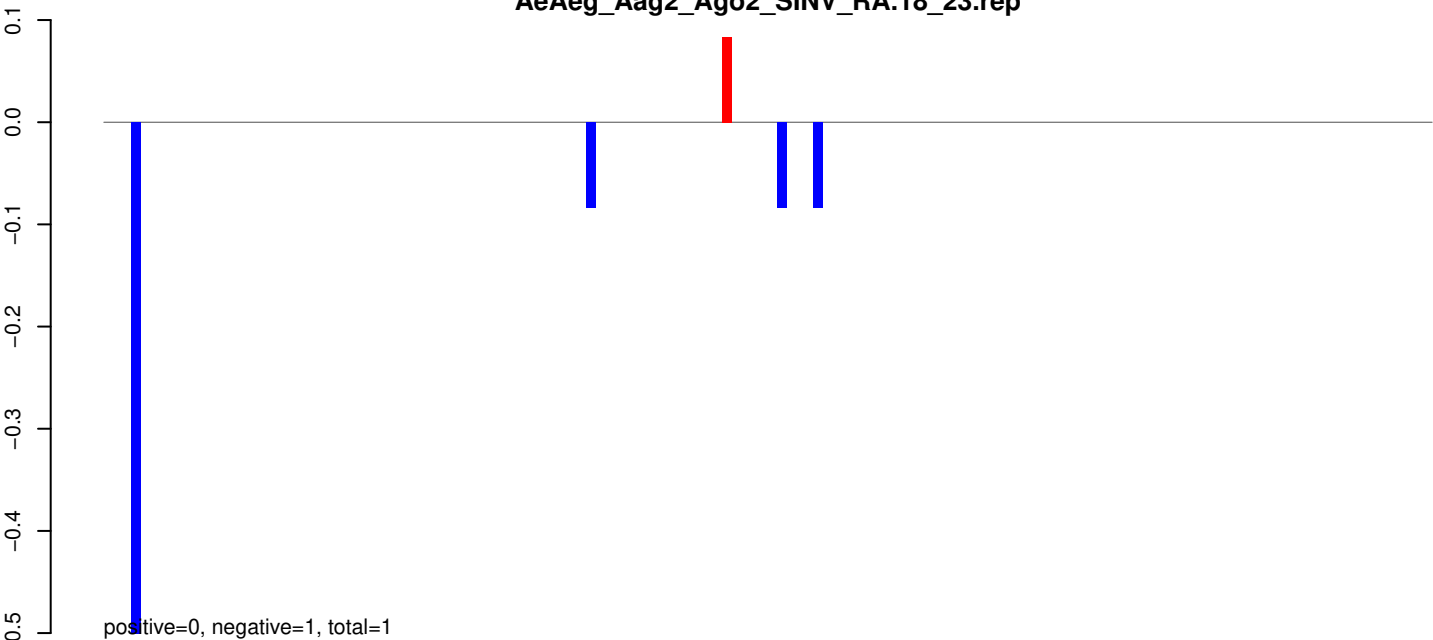
AeAeg_Aag2_Ago2_SINV_RA.24_35.rep



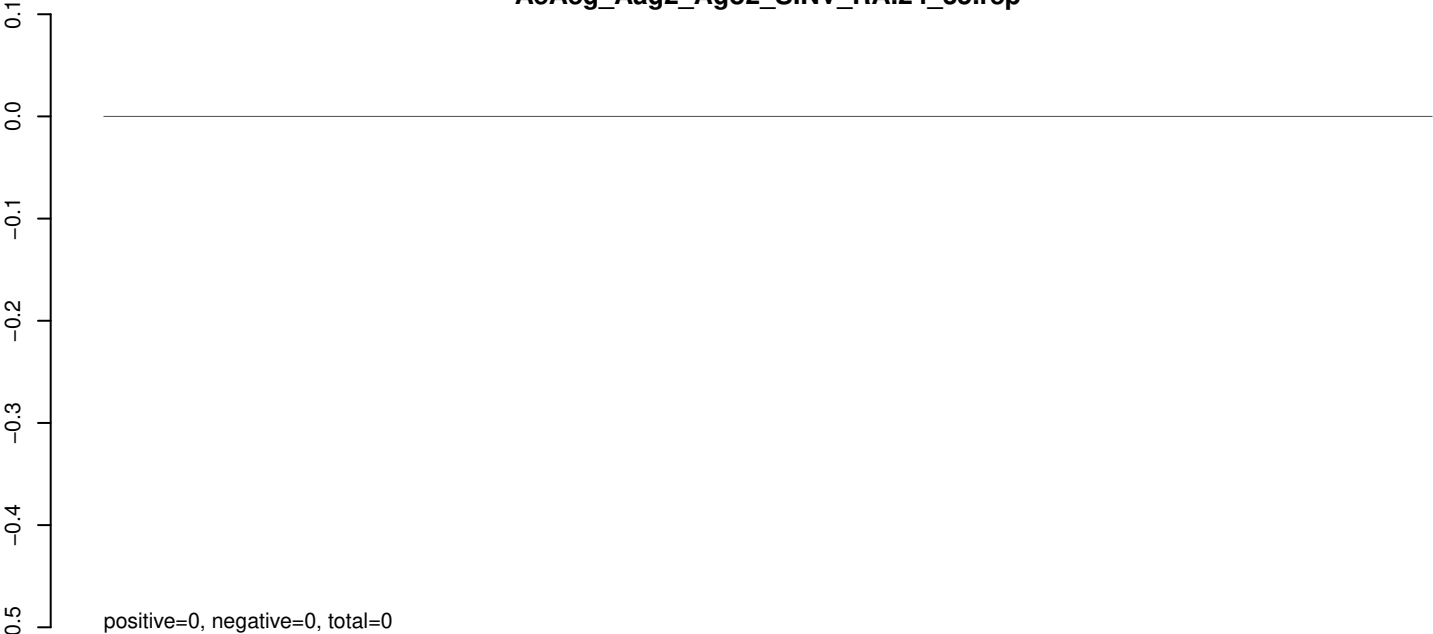
AeAeg_Aag2_Ago2_SINV_RA.rep



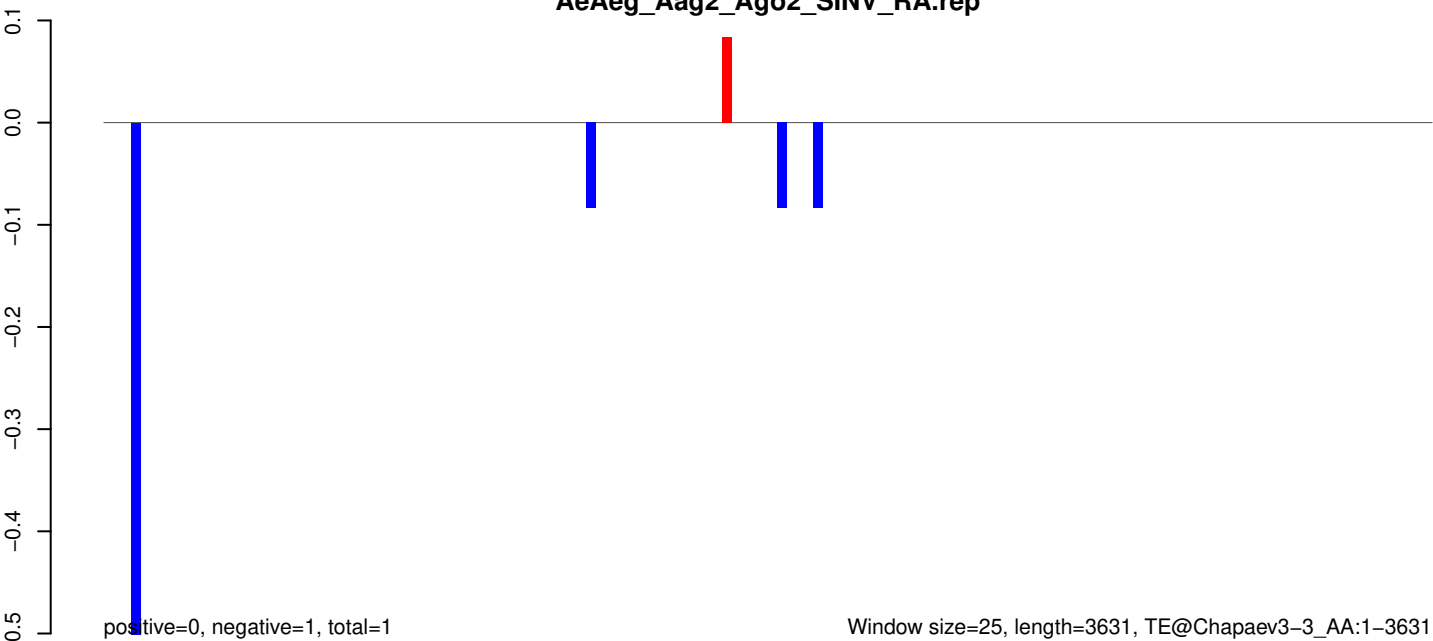
AeAeg_Aag2_Ago2_SINV_RA.18_23.rep



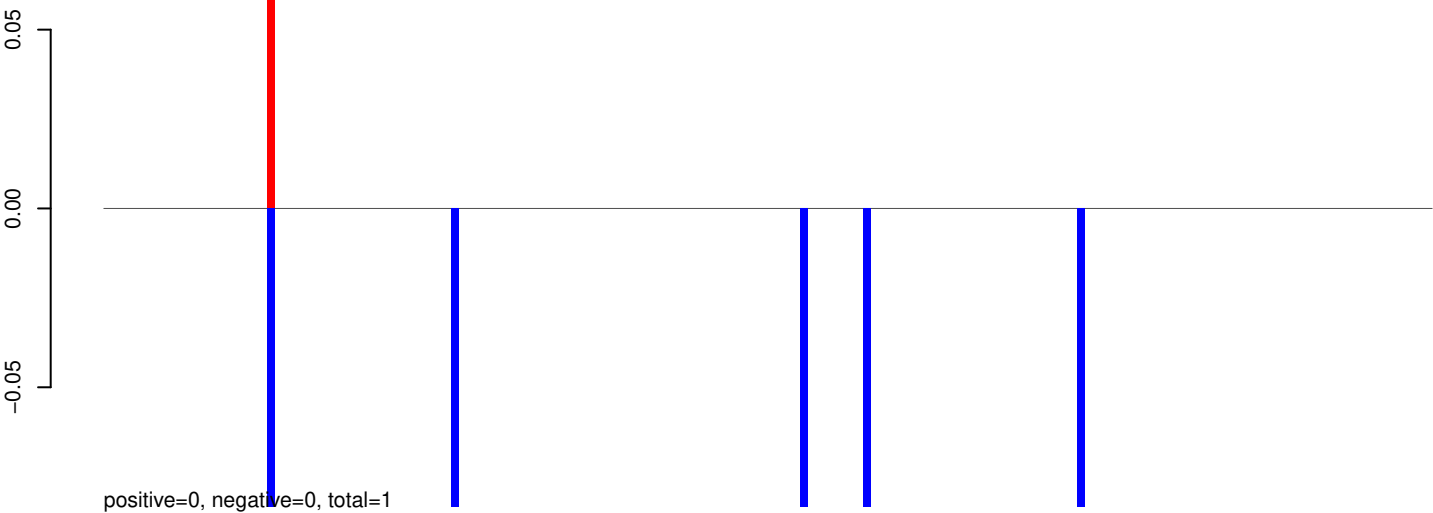
AeAeg_Aag2_Ago2_SINV_RA.24_35.rep



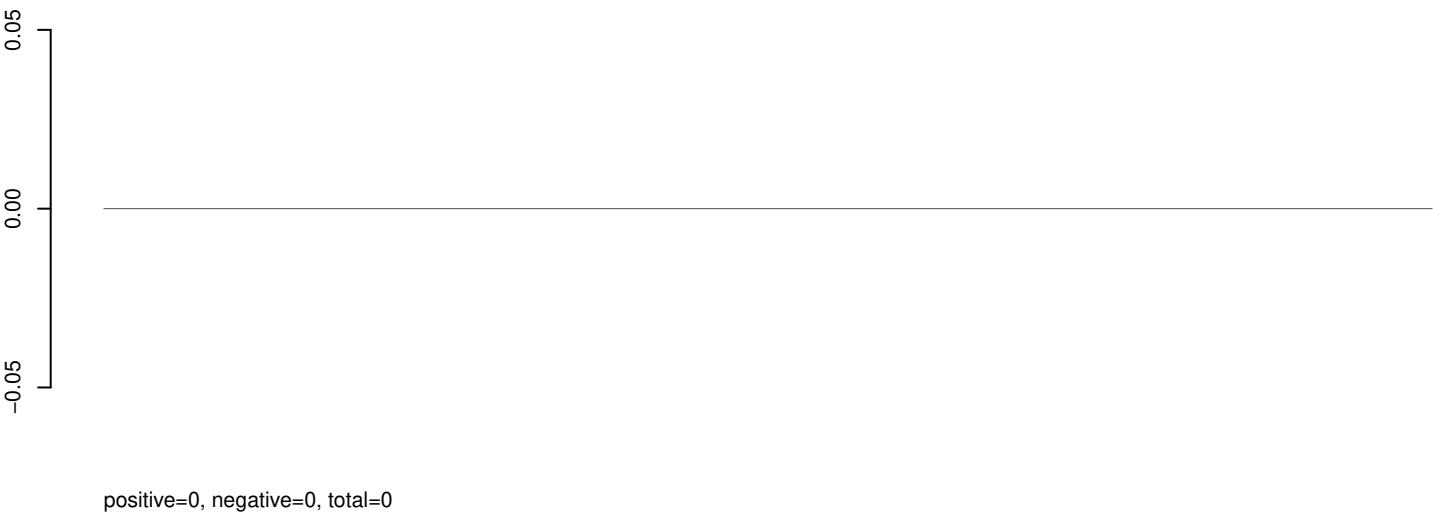
AeAeg_Aag2_Ago2_SINV_RA.rep



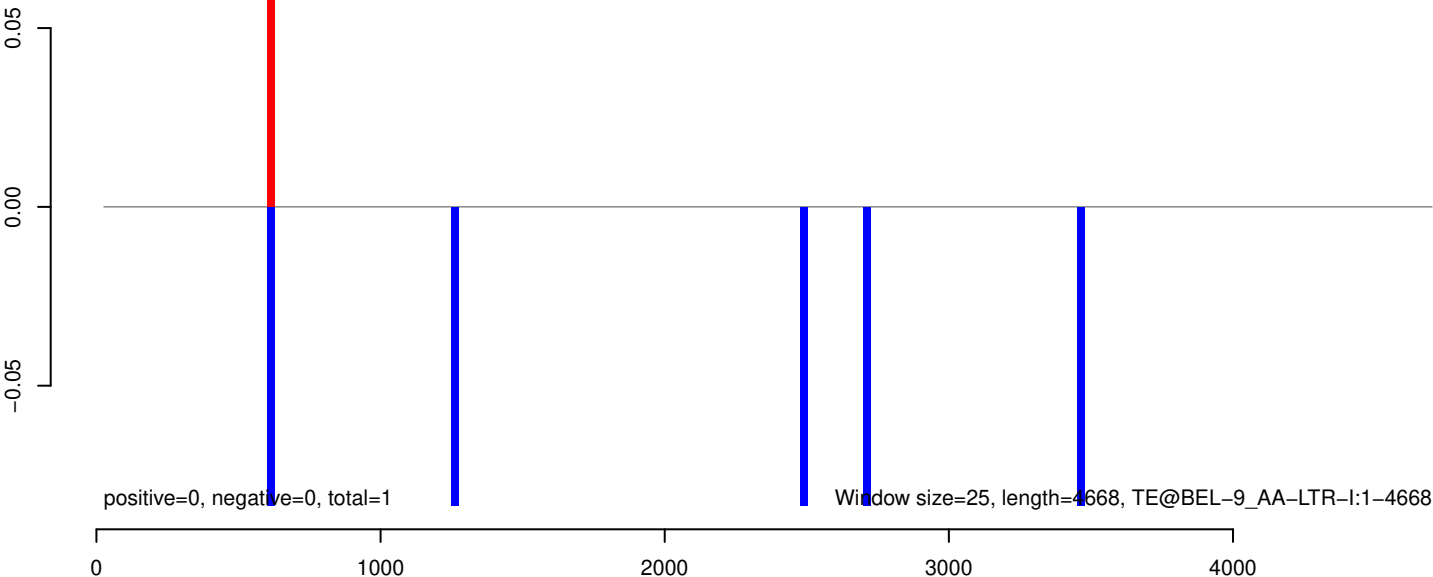
AeAeg_Aag2_Ago2_SINV_RA.18_23.rep



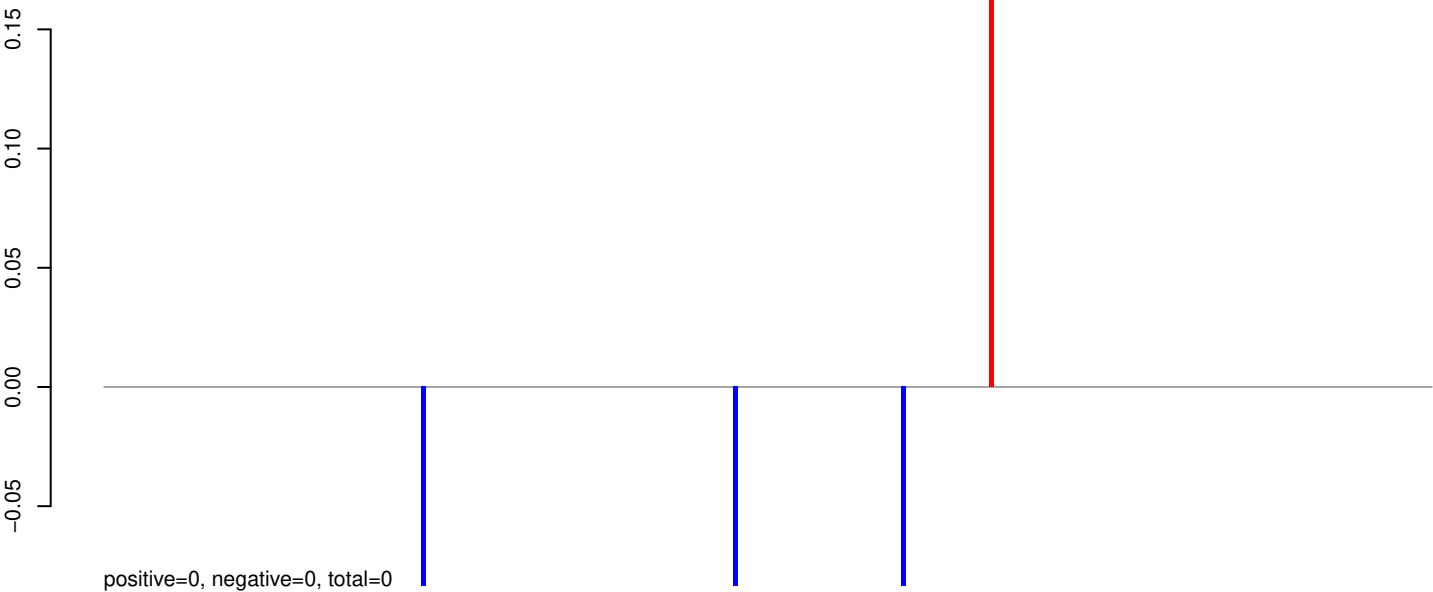
AeAeg_Aag2_Ago2_SINV_RA.24_35.rep



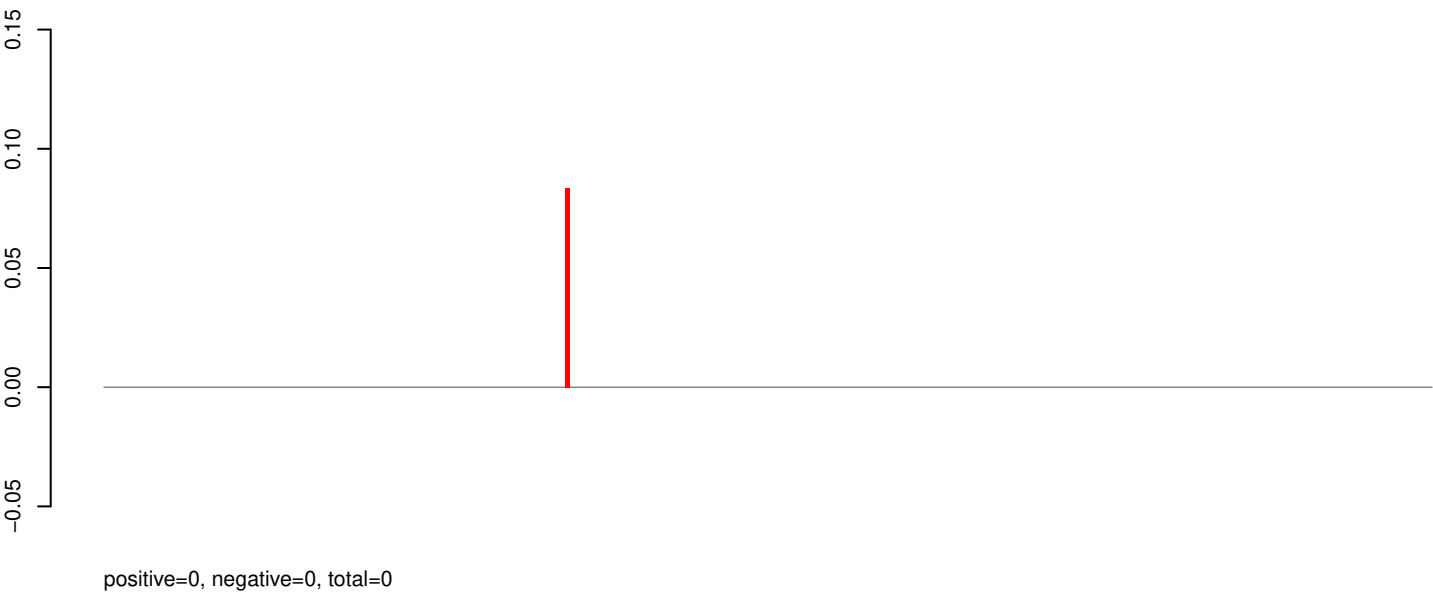
AeAeg_Aag2_Ago2_SINV_RA.rep



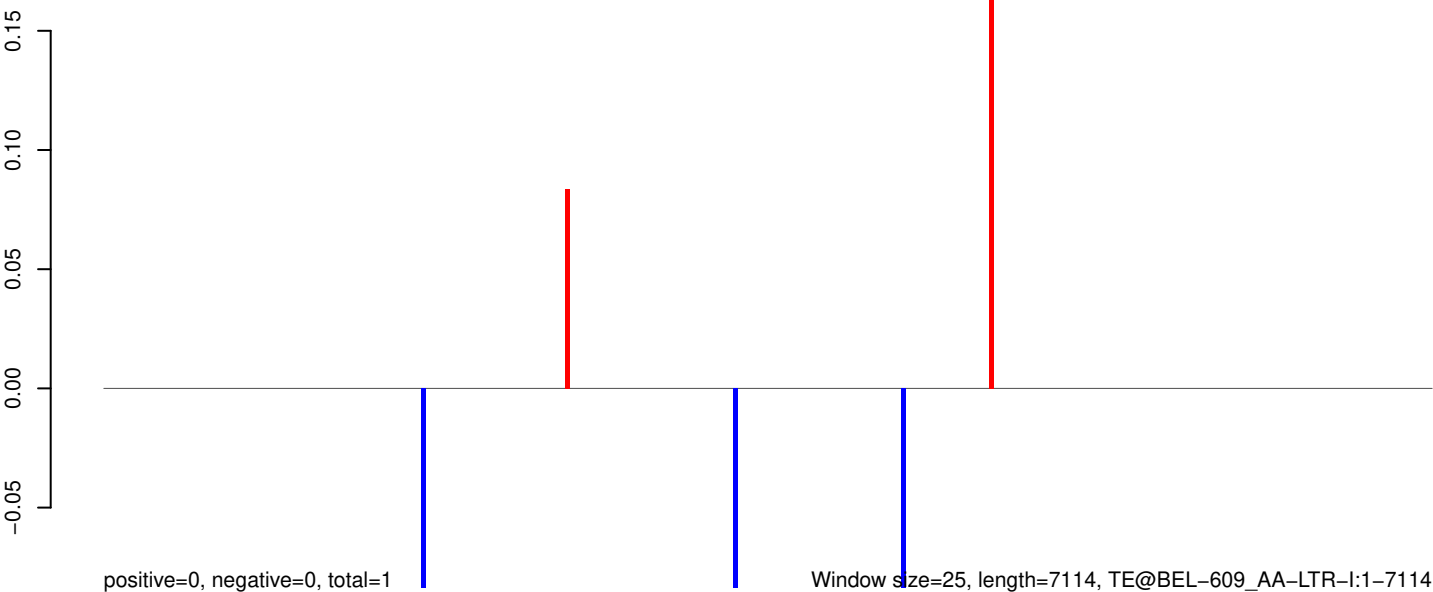
AeAeg_Aag2_Ago2_SINV_RA.18_23.rep



AeAeg_Aag2_Ago2_SINV_RA.24_35.rep



AeAeg_Aag2_Ago2_SINV_RA.rep

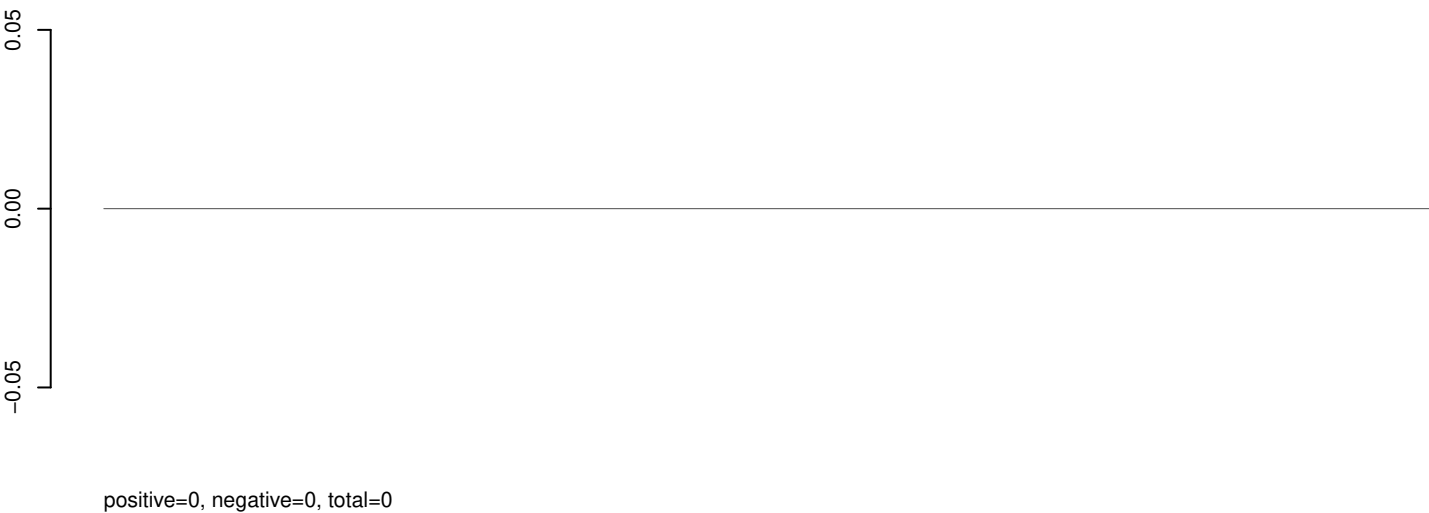


0 1000 2000 3000 4000 5000 6000 7000

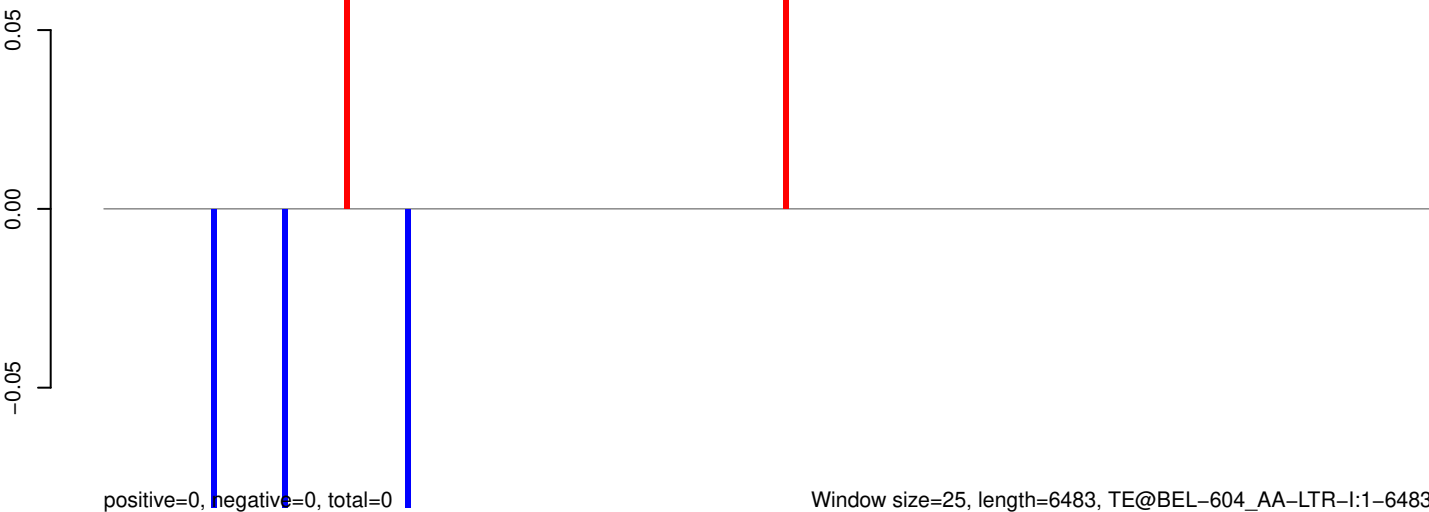
AeAeg_Aag2_Ago2_SINV_RA.18_23.rep



AeAeg_Aag2_Ago2_SINV_RA.24_35.rep



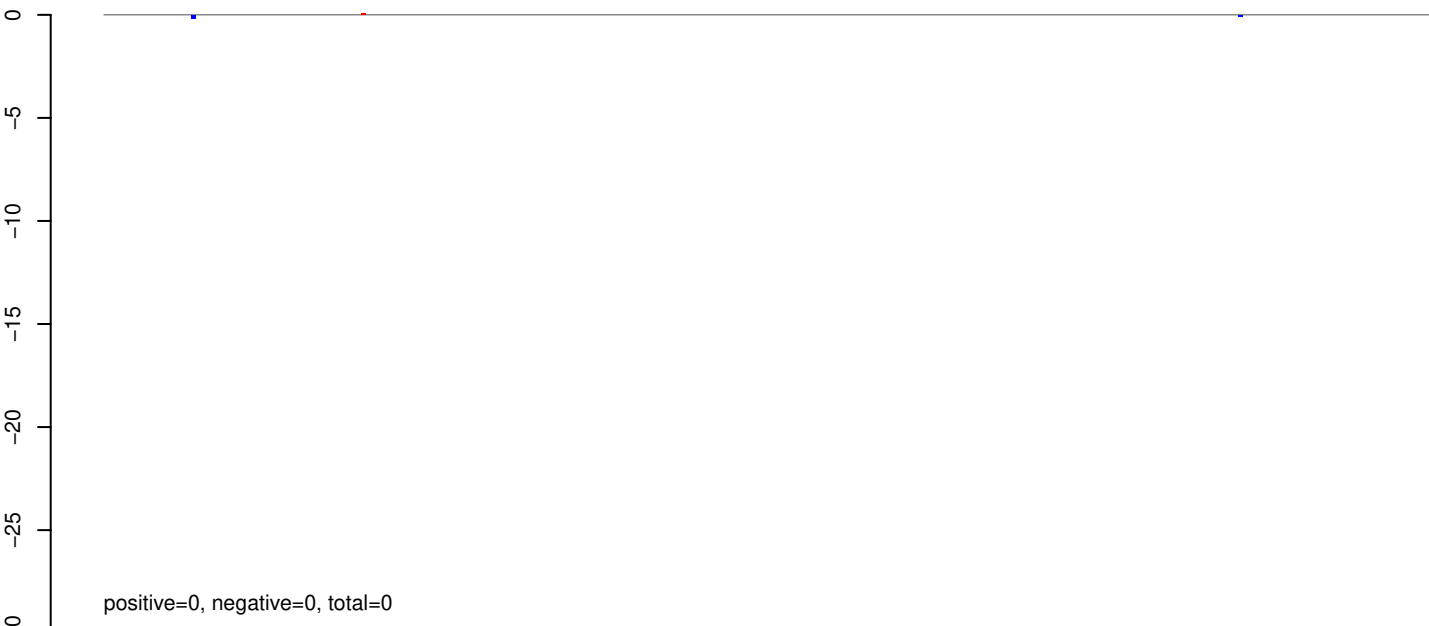
AeAeg_Aag2_Ago2_SINV_RA.rep



AeAeg_Aag2_Ago2_SINV_RA.18_23.rep



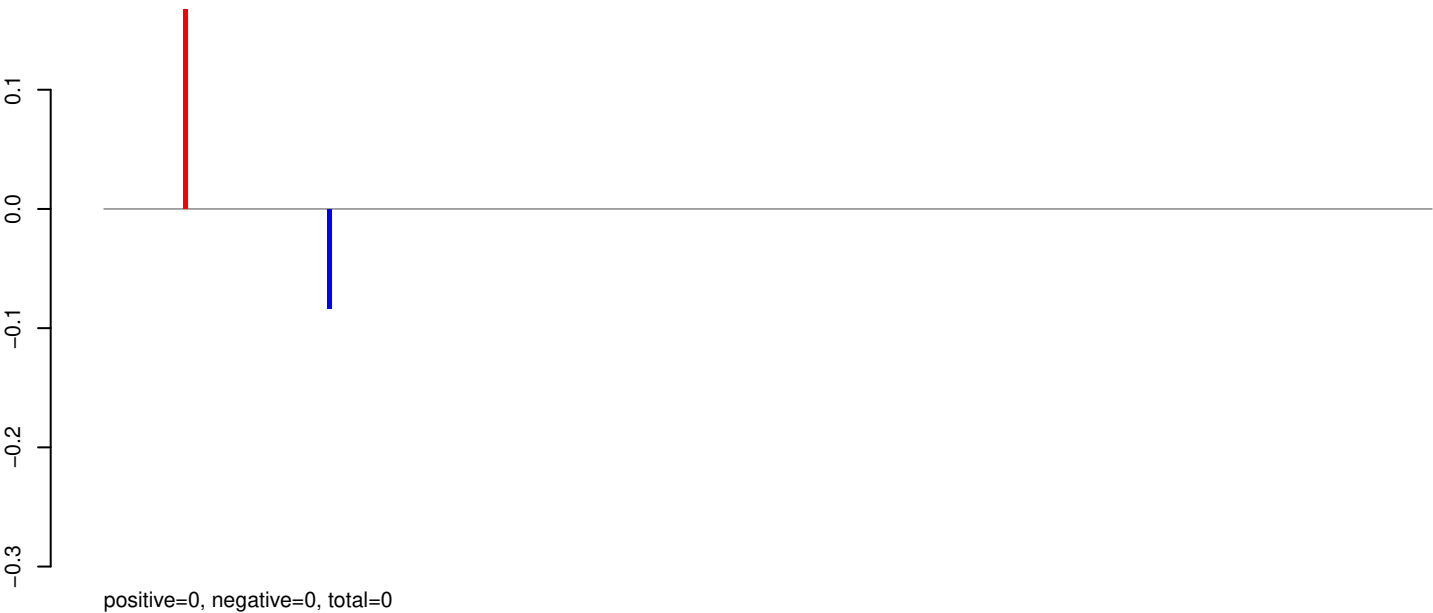
AeAeg_Aag2_Ago2_SINV_RA.24_35.rep



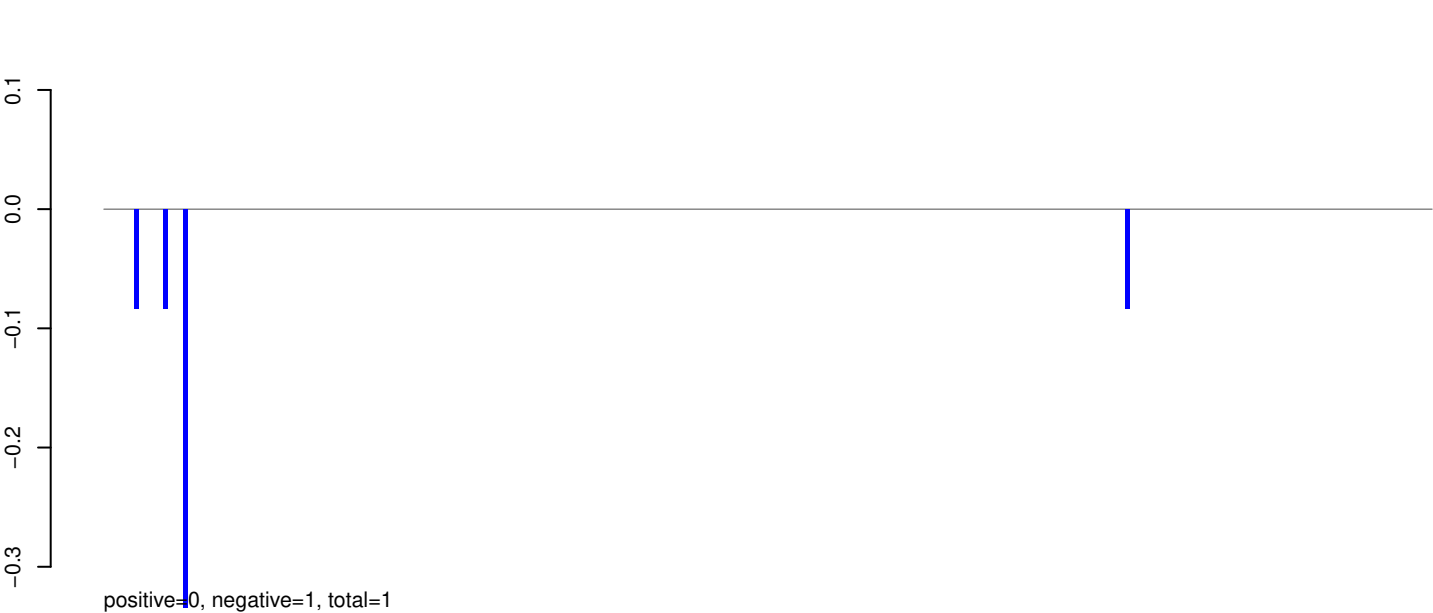
AeAeg_Aag2_Ago2_SINV_RA.rep



AeAeg_Aag2_Ago2_SINV_RA.18_23.rep



AeAeg_Aag2_Ago2_SINV_RA.24_35.rep



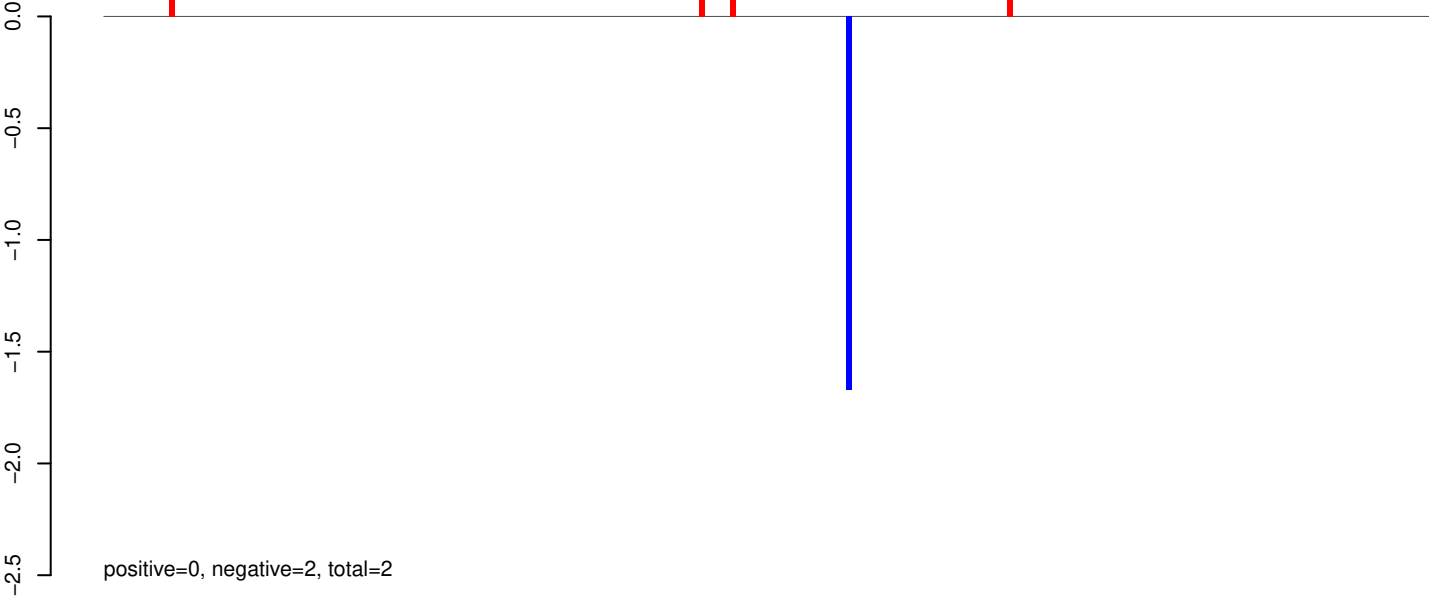
AeAeg_Aag2_Ago2_SINV_RA.rep



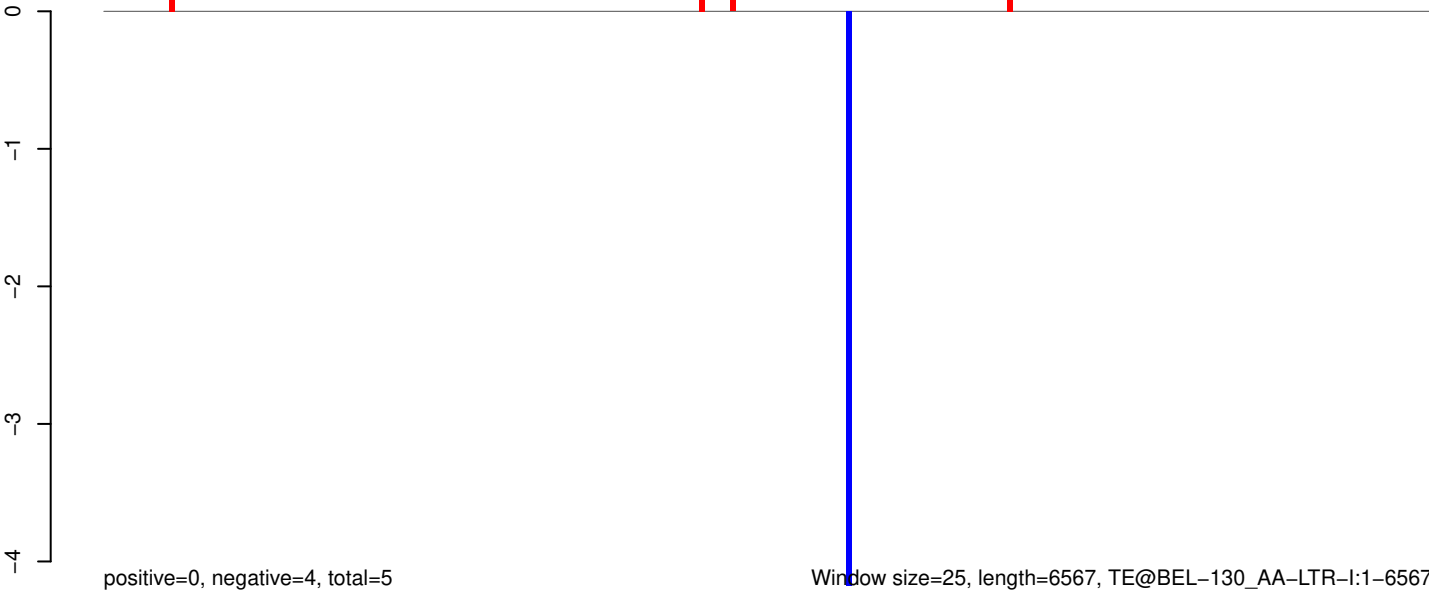
AeAeg_Aag2_Ago2_SINV_RA.18_23.rep



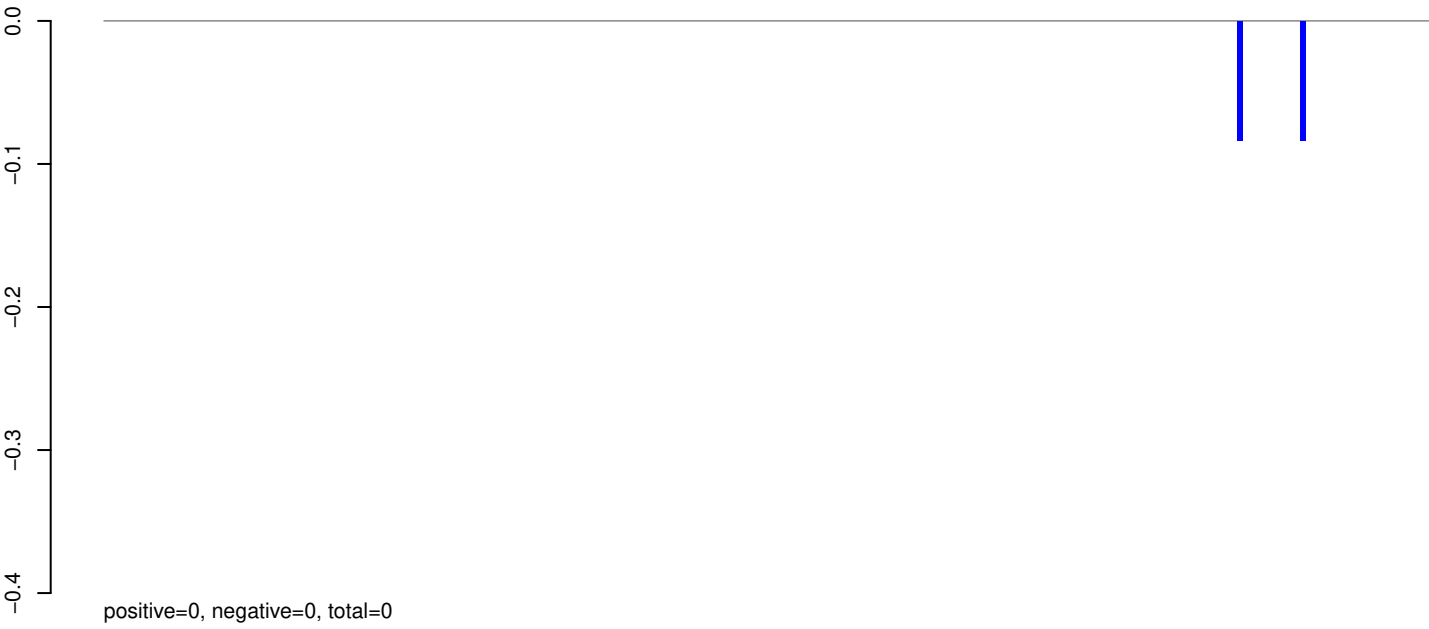
AeAeg_Aag2_Ago2_SINV_RA.24_35.rep



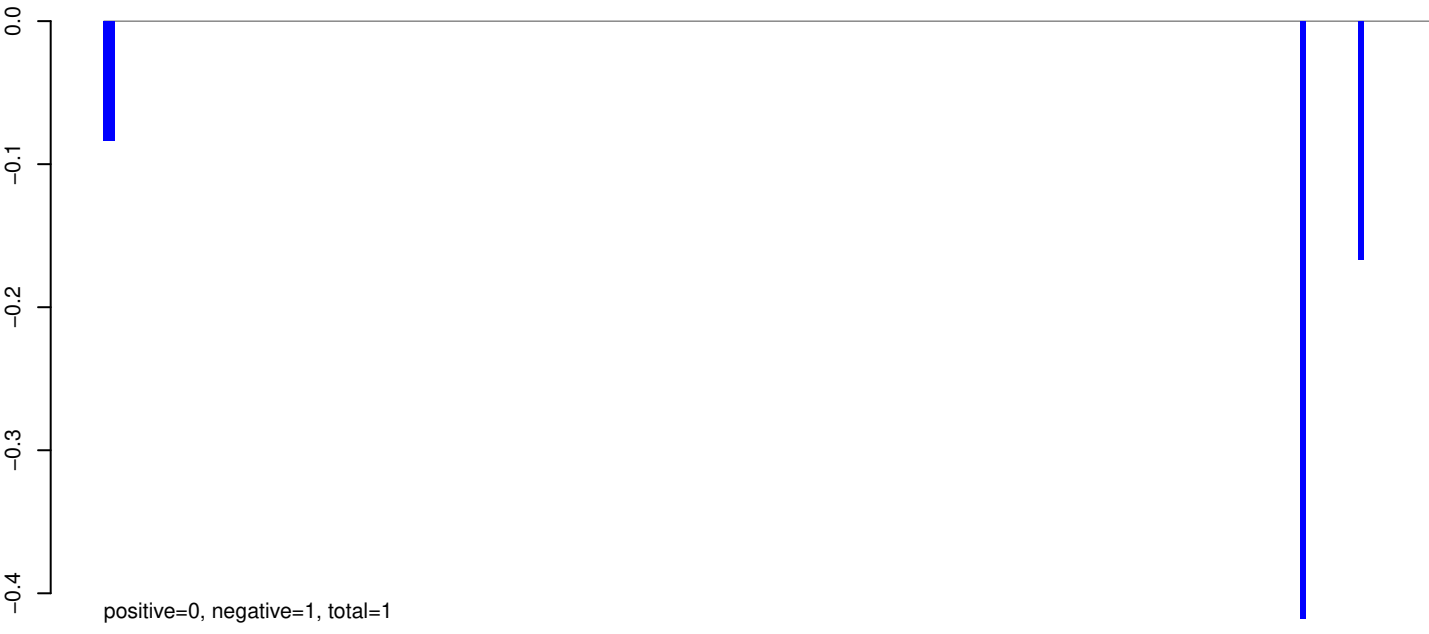
AeAeg_Aag2_Ago2_SINV_RA.rep



AeAeg_Aag2_Ago2_SINV_RA.18_23.rep



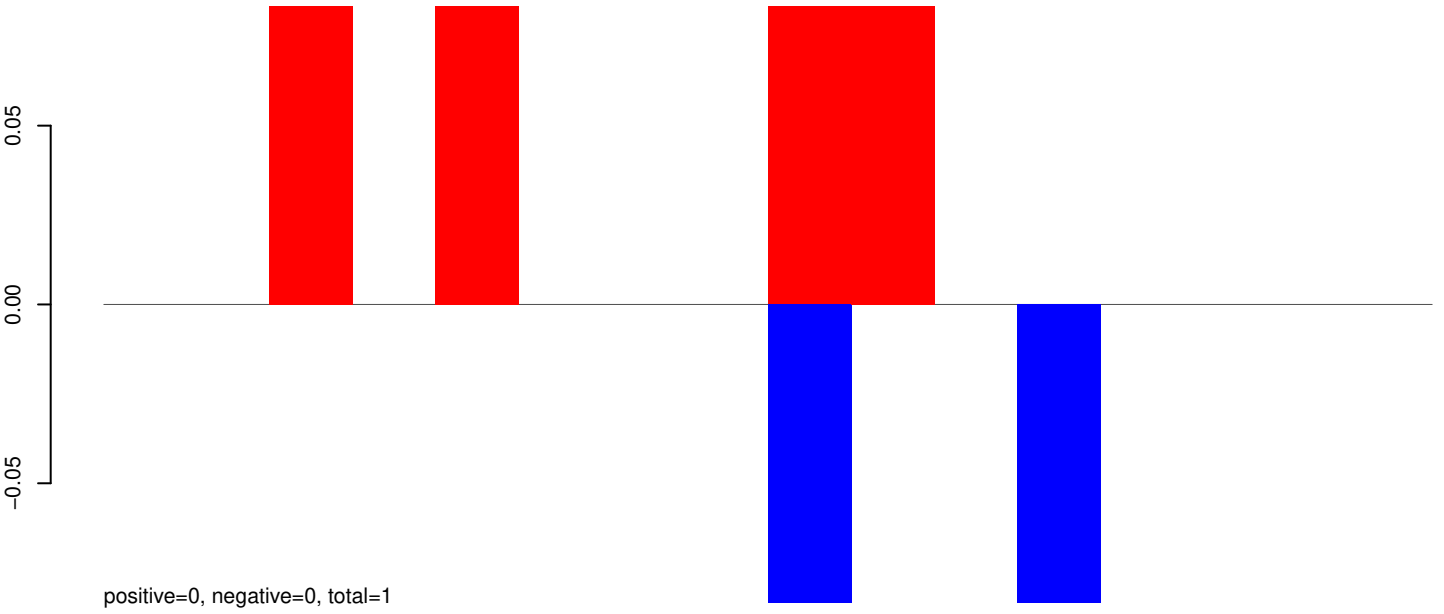
AeAeg_Aag2_Ago2_SINV_RA.24_35.rep



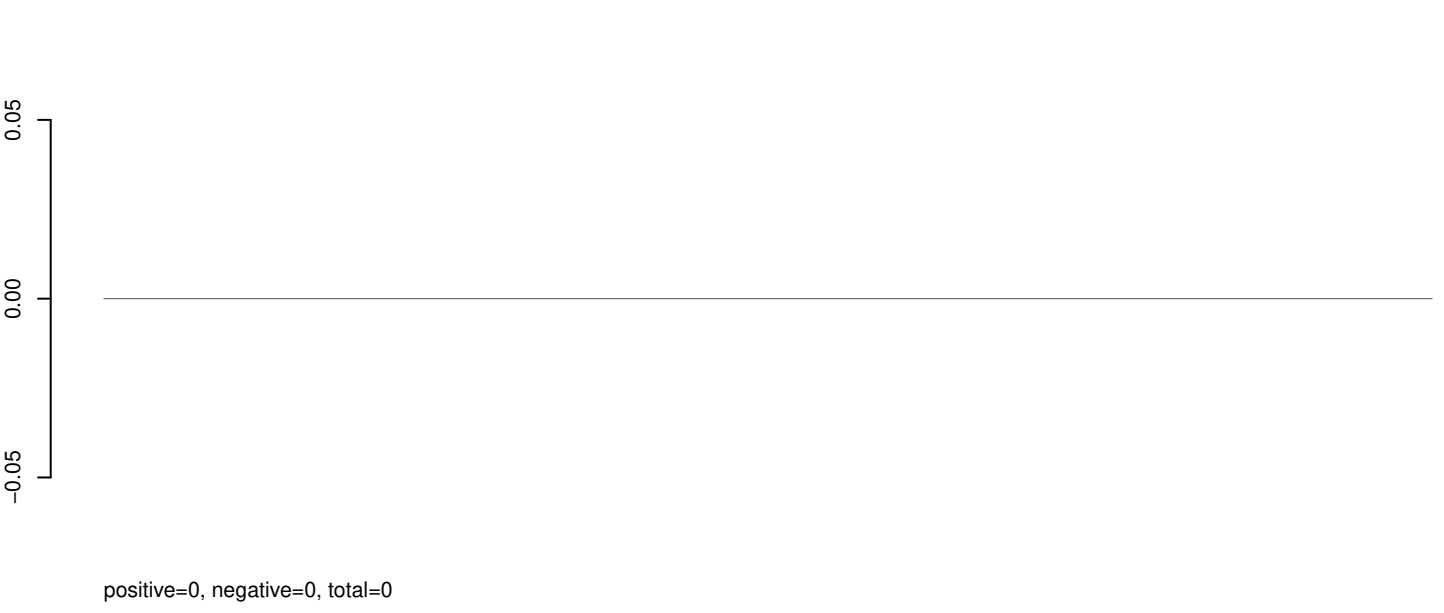
AeAeg_Aag2_Ago2_SINV_RA.rep



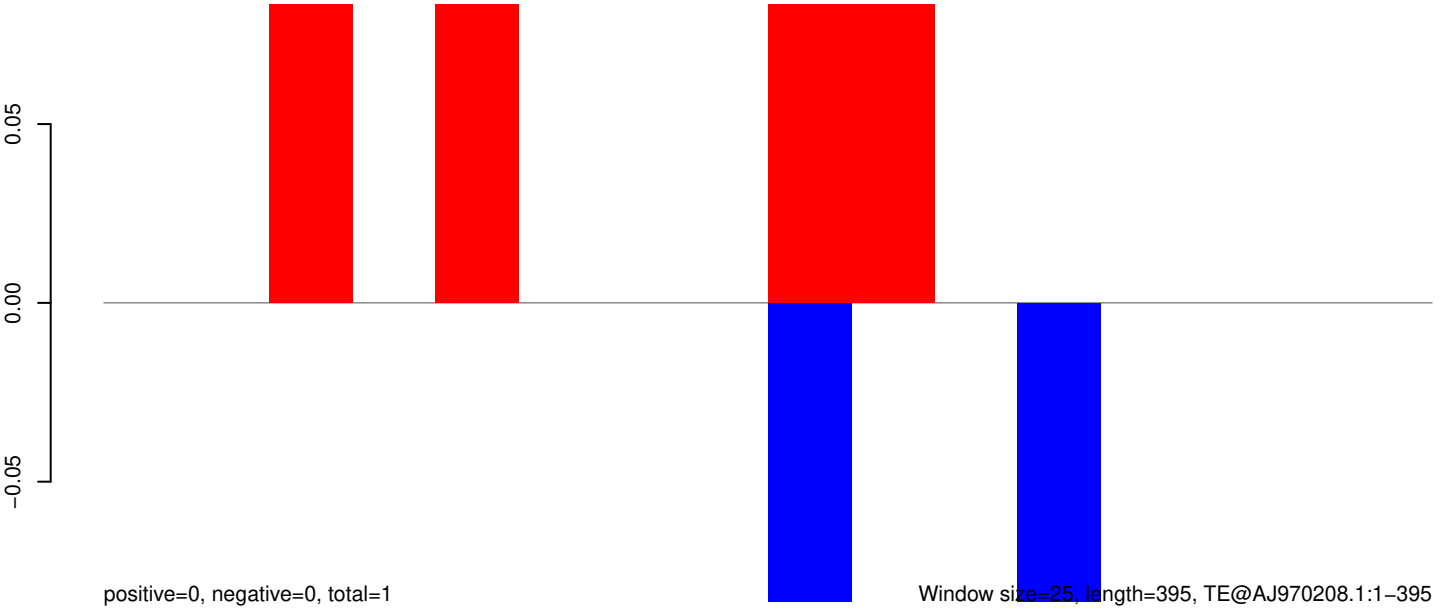
AeAeg_Aag2_Ago2_SINV_RA.18_23.rep



AeAeg_Aag2_Ago2_SINV_RA.24_35.rep



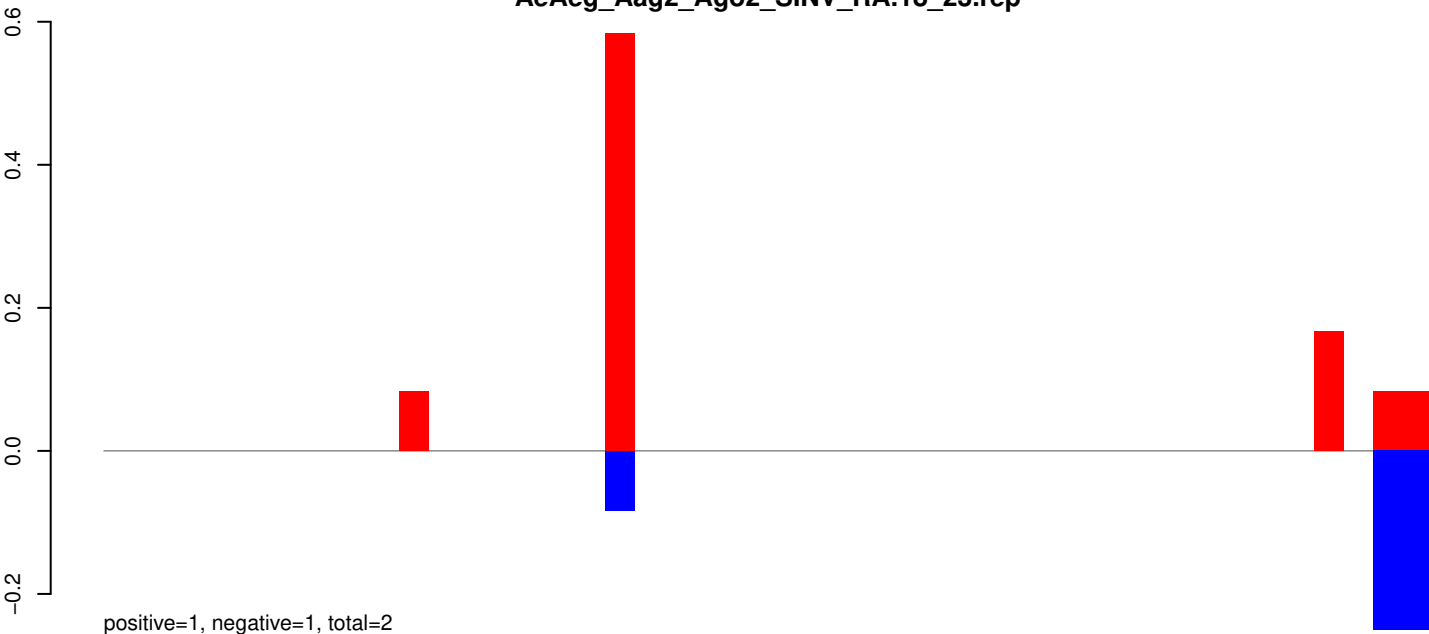
AeAeg_Aag2_Ago2_SINV_RA.rep



Window size=25, length=395, TE@AJ970208.1:1-395

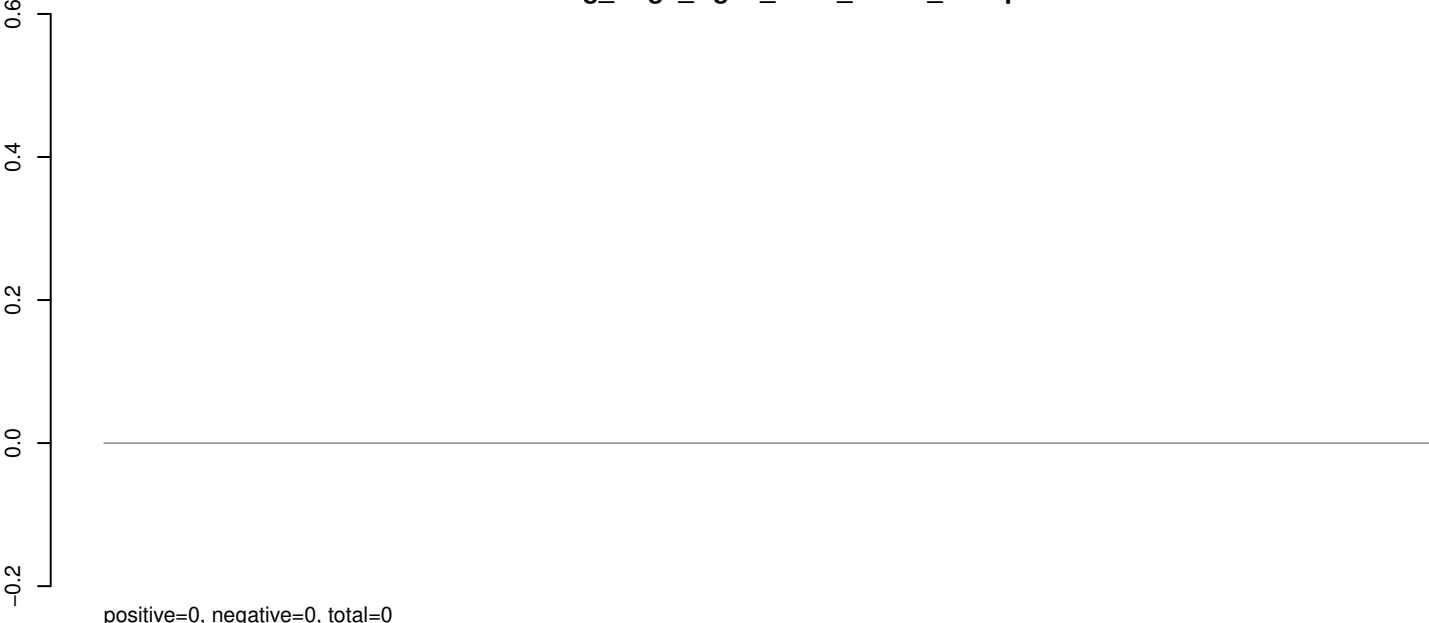
100 200 300 400

AeAeg_Aag2_Ago2_SINV_RA.18_23.rep



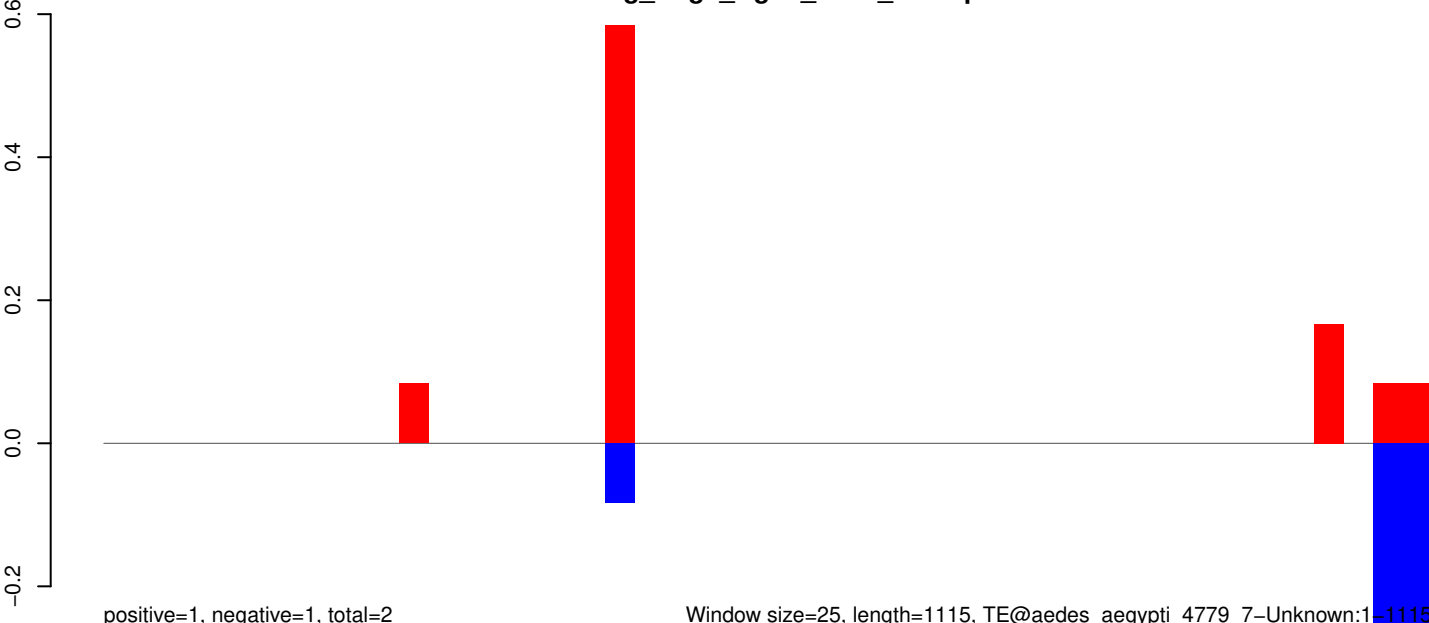
positive=1, negative=1, total=2

AeAeg_Aag2_Ago2_SINV_RA.24_35.rep



positive=0, negative=0, total=0

AeAeg_Aag2_Ago2_SINV_RA.rep

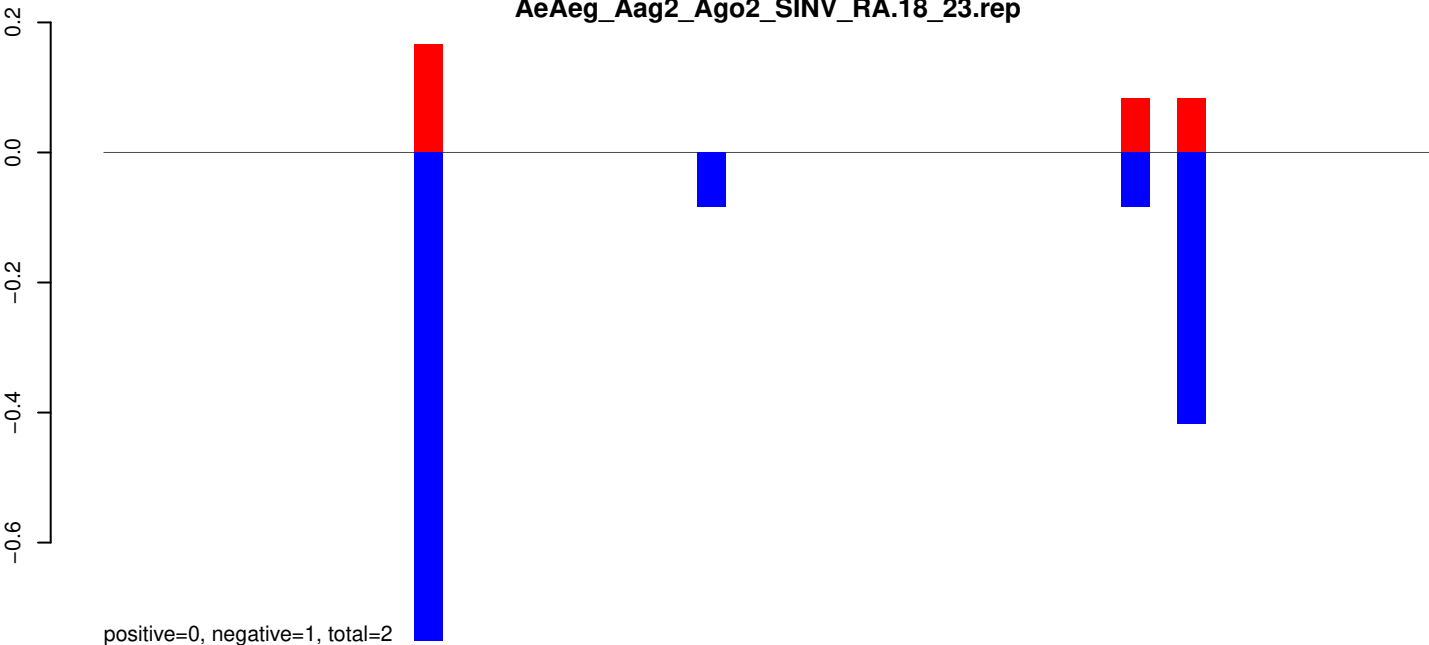


positive=1, negative=1, total=2

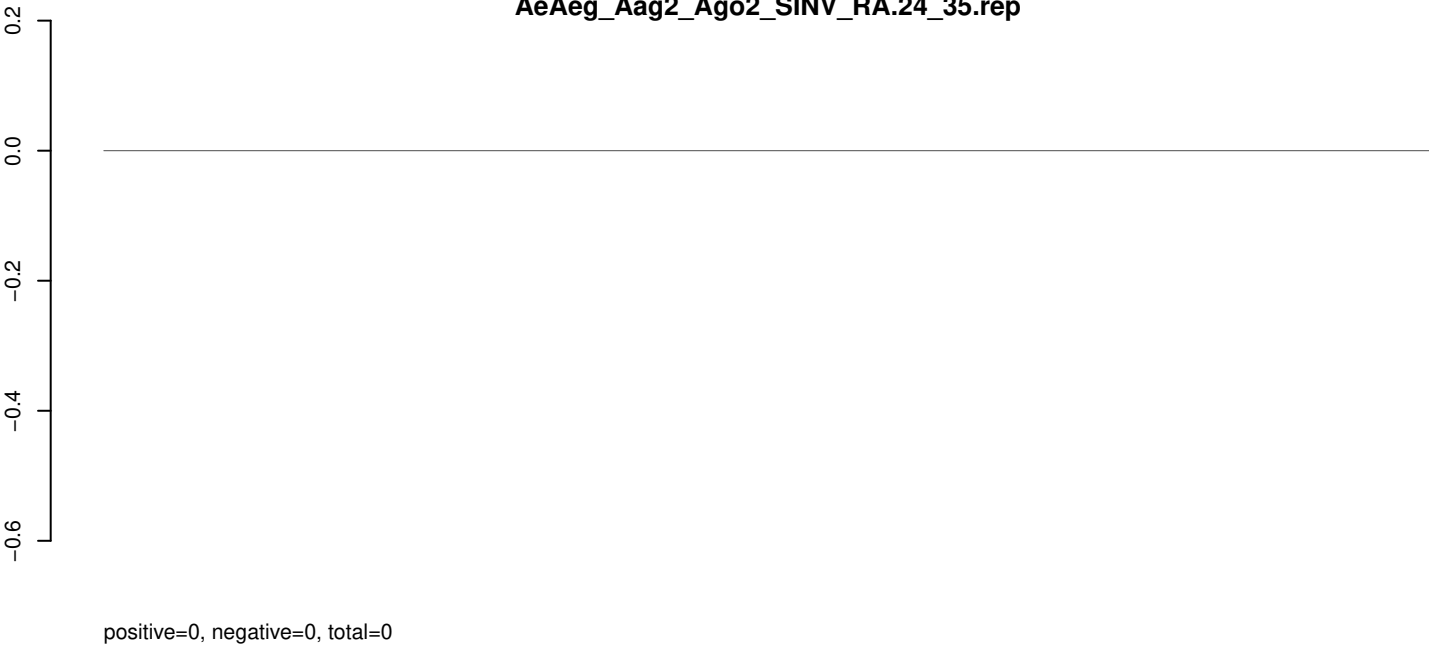
Window size=25, length=1115, TE@aedes_aegypti_4779_7-Unknown:1-1115

0 200 400 600 800 1000

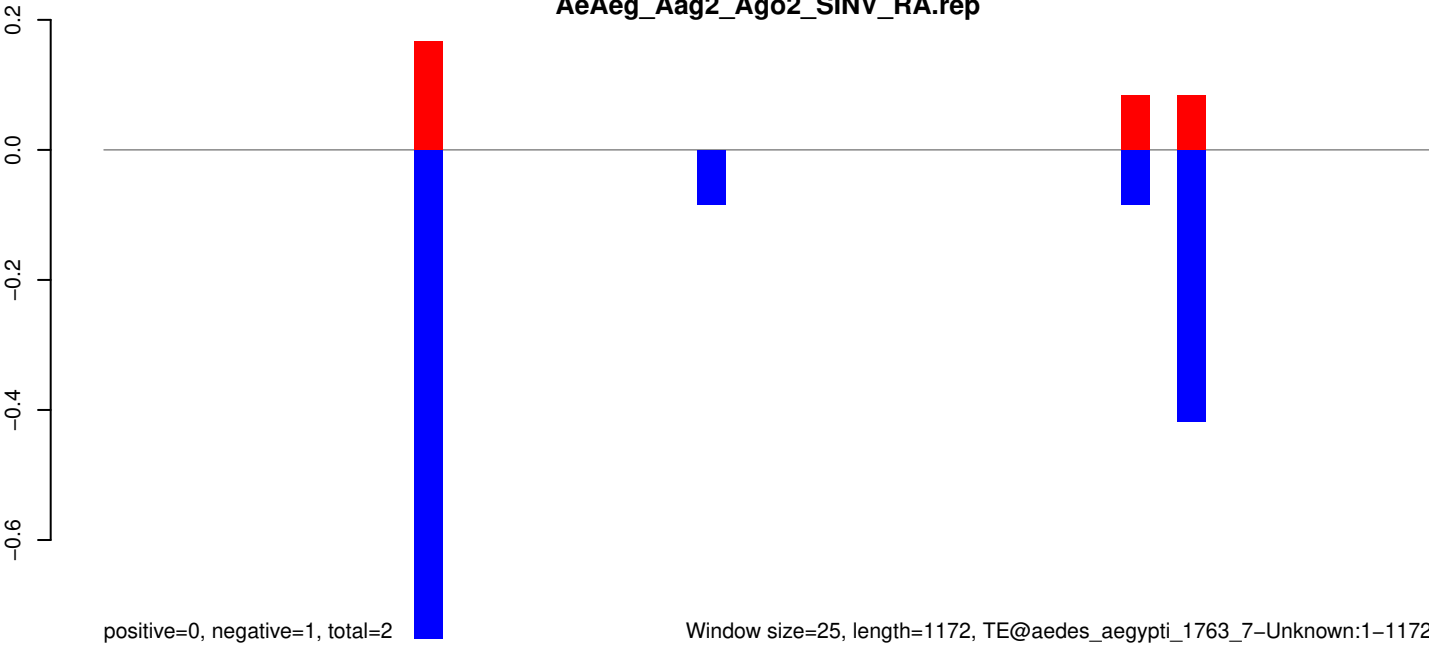
AeAeg_Aag2_Ago2_SINV_RA.18_23.rep



AeAeg_Aag2_Ago2_SINV_RA.24_35.rep



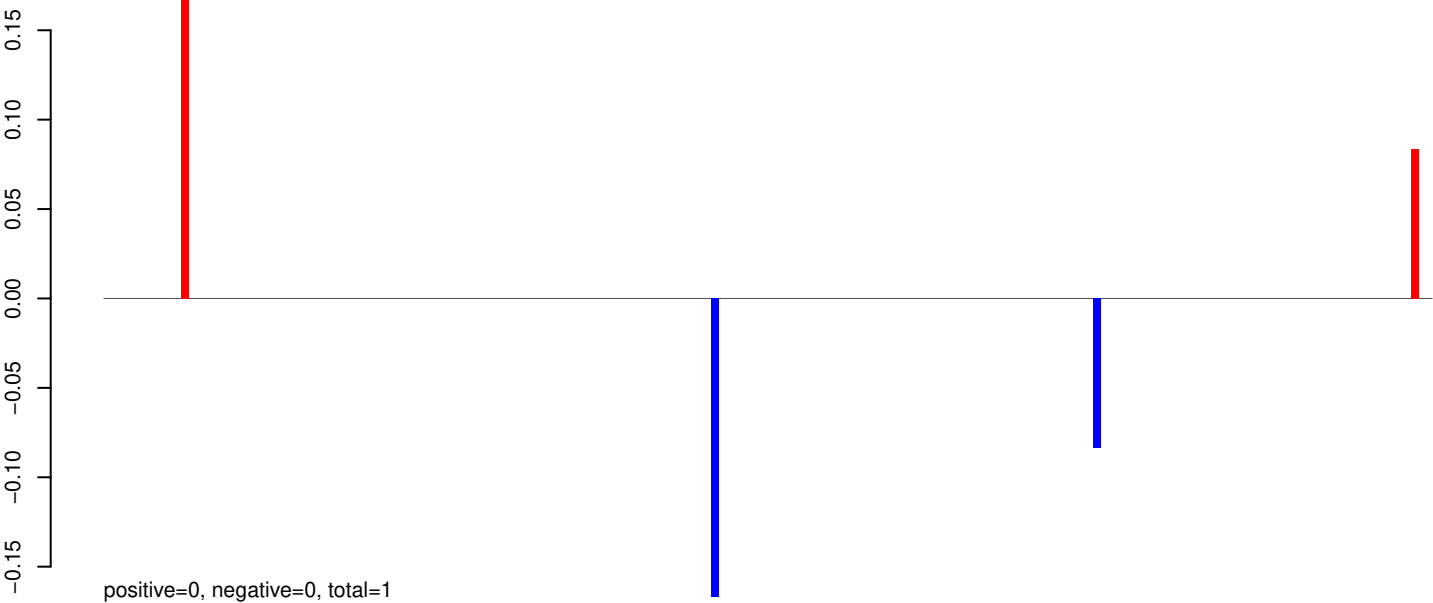
AeAeg_Aag2_Ago2_SINV_RA.rep



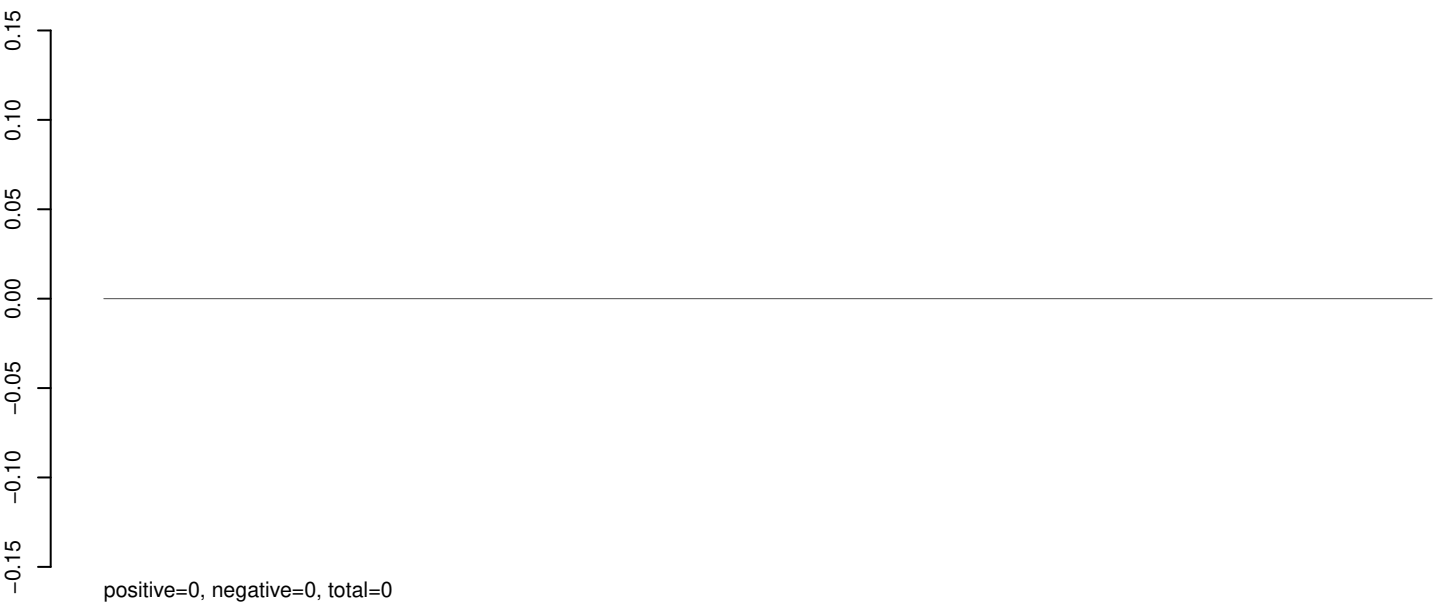
Window size=25, length=1172, TE@aedes_aegypti_1763_7-Unknown:1-1172

0 200 400 600 800 1000 1200

AeAeg_Aag2_Ago2_SINV_RA.18_23.rep



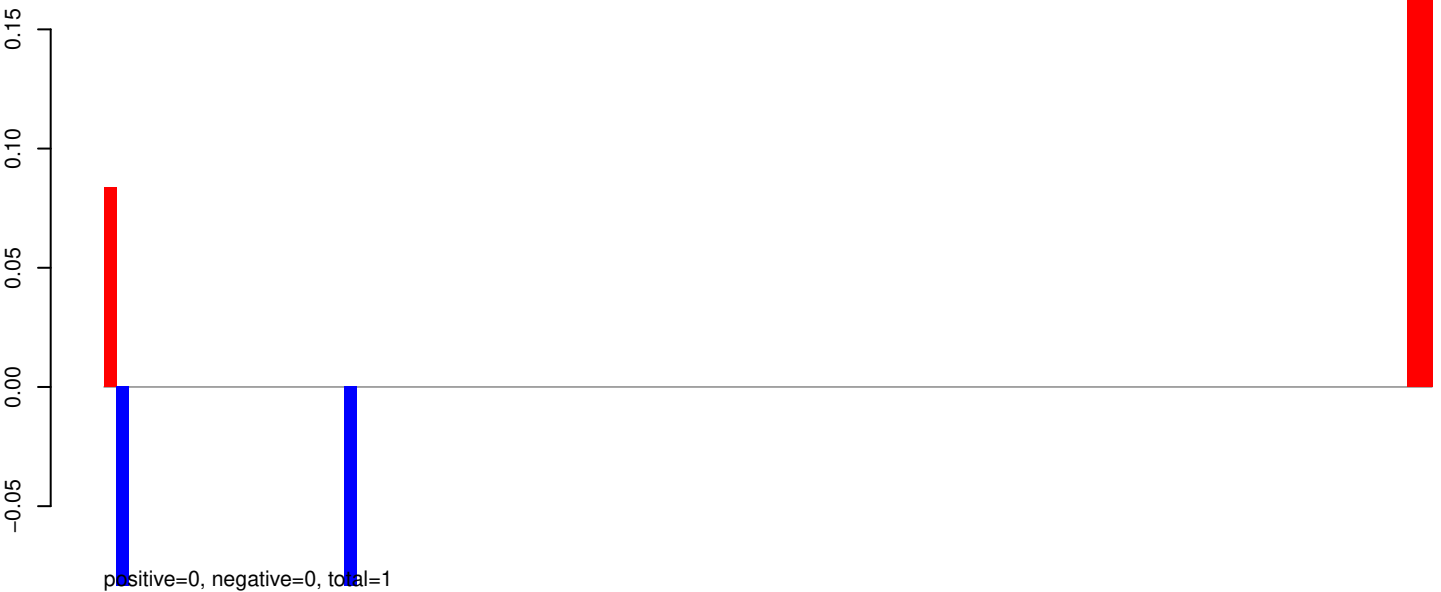
AeAeg_Aag2_Ago2_SINV_RA.24_35.rep



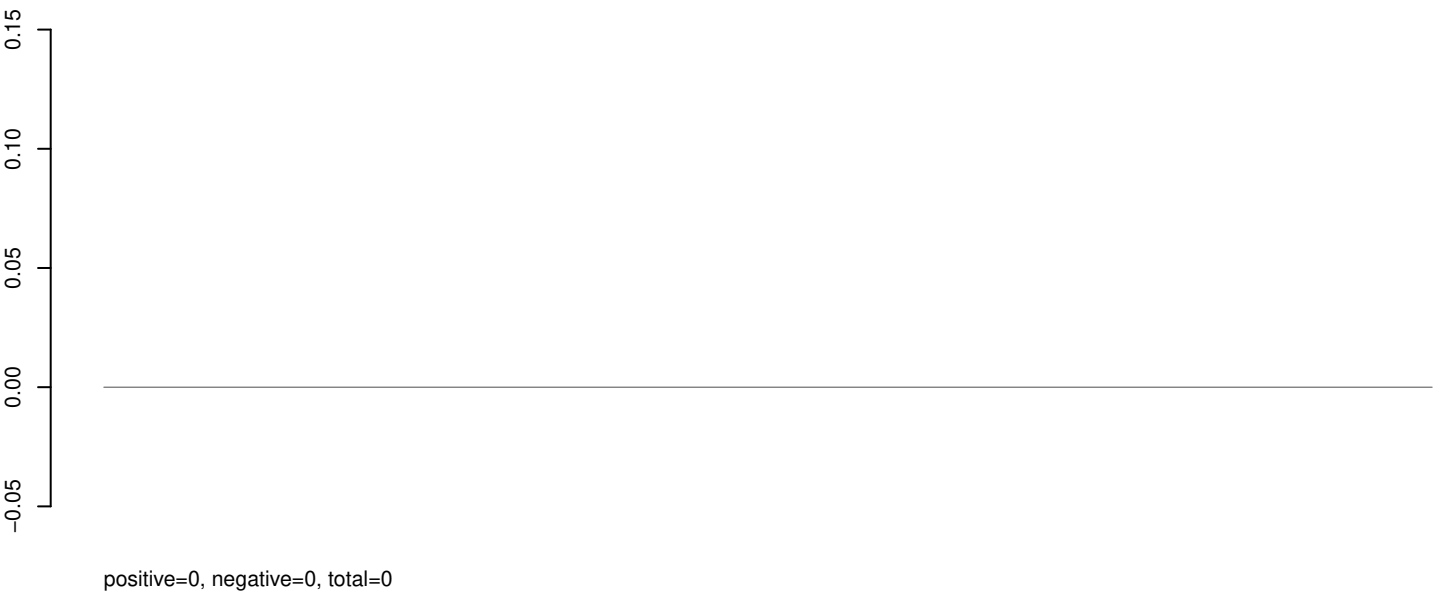
AeAeg_Aag2_Ago2_SINV_RA.rep



AeAeg_Aag2_Ago2_SINV_RA.18_23.rep



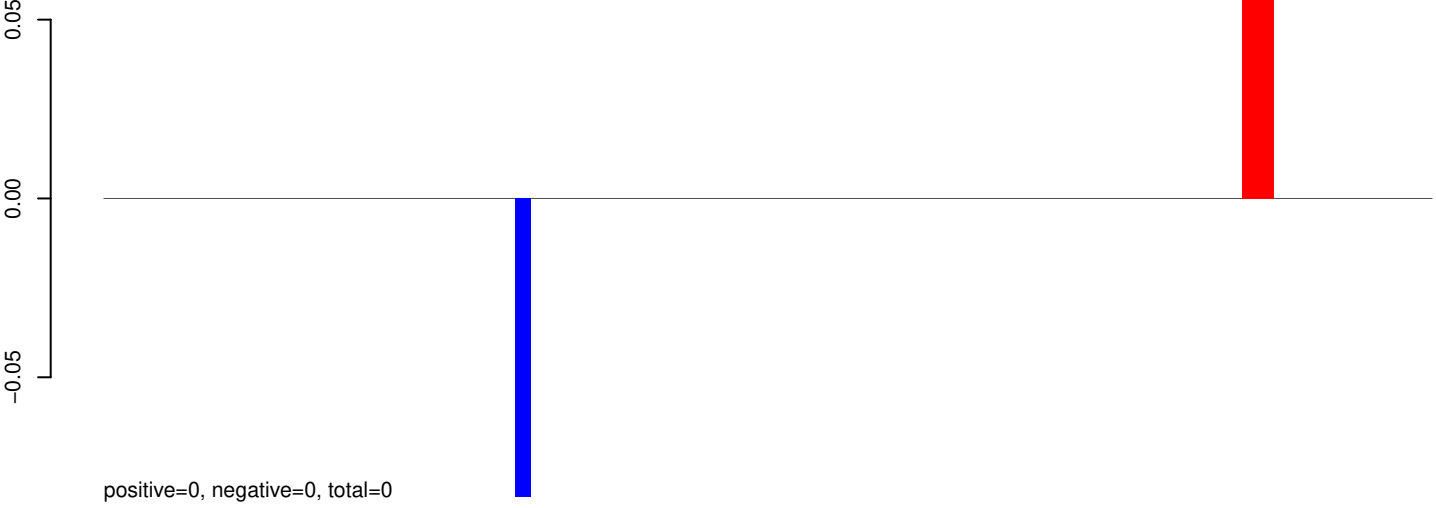
AeAeg_Aag2_Ago2_SINV_RA.24_35.rep



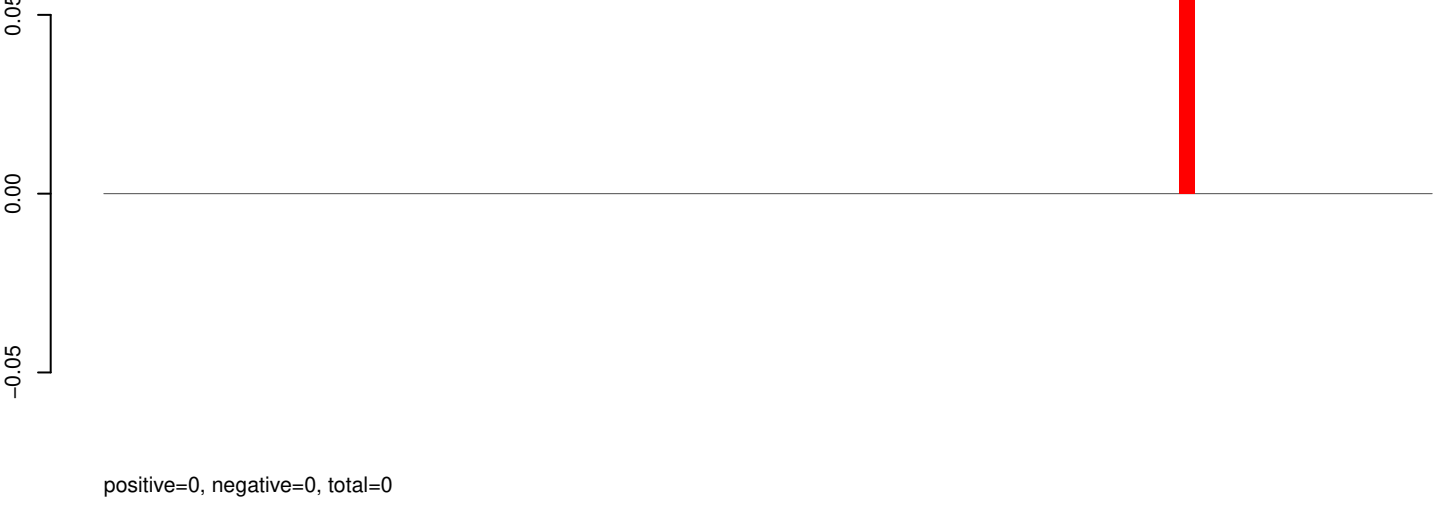
AeAeg_Aag2_Ago2_SINV_RA.rep



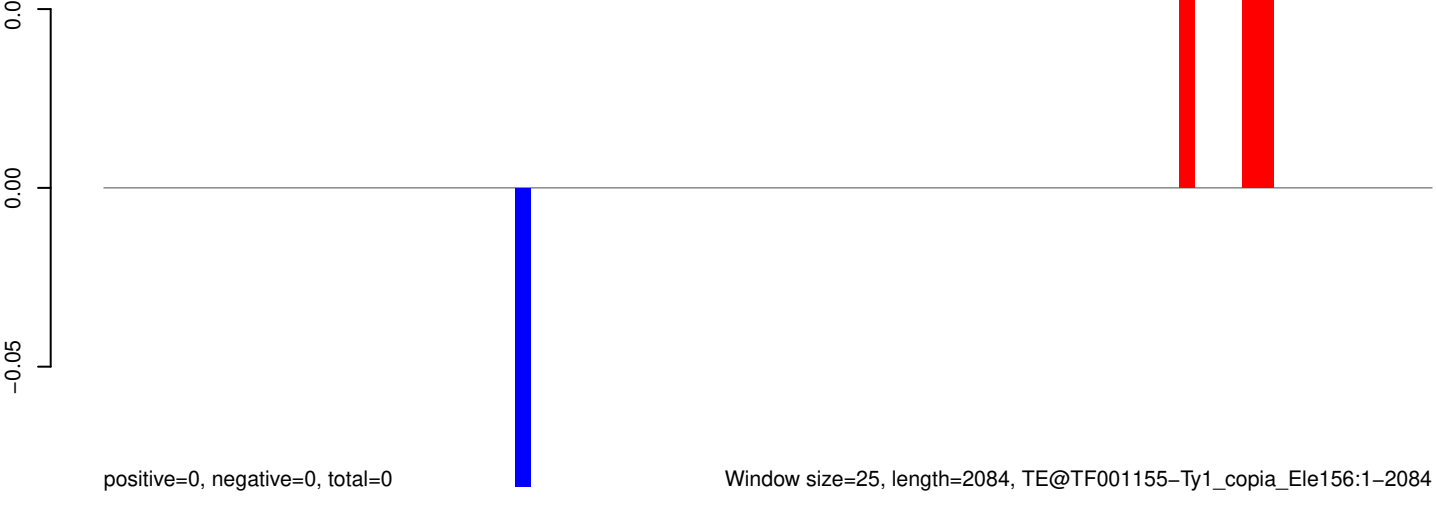
AeAeg_Aag2_Ago2_SINV_RA.18_23.rep



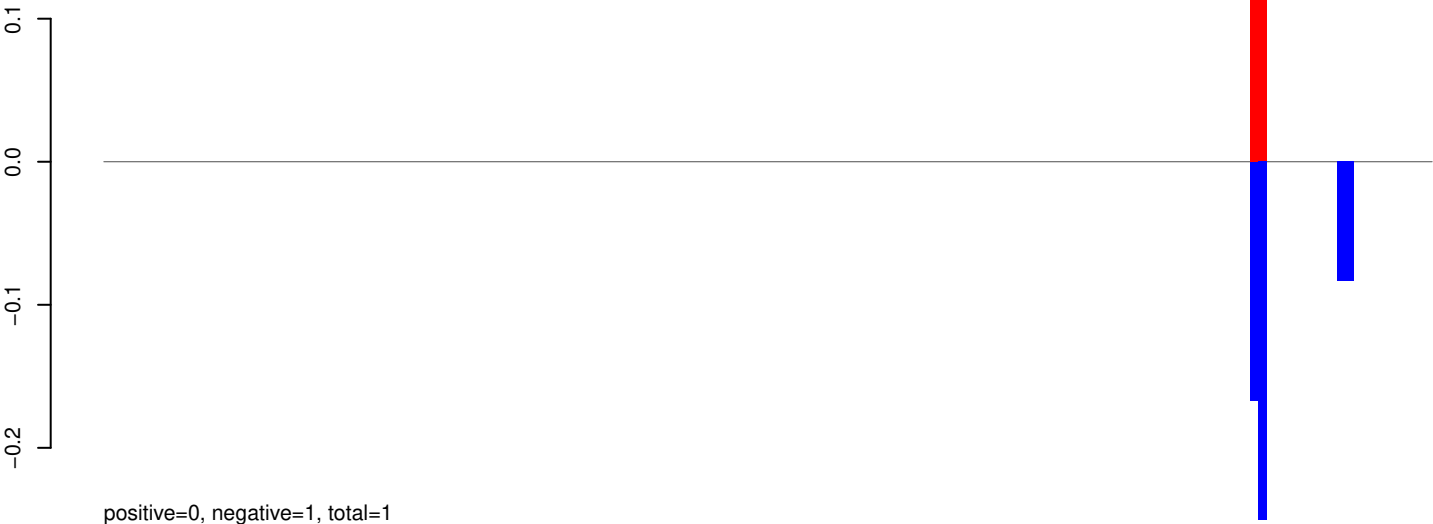
AeAeg_Aag2_Ago2_SINV_RA.24_35.rep



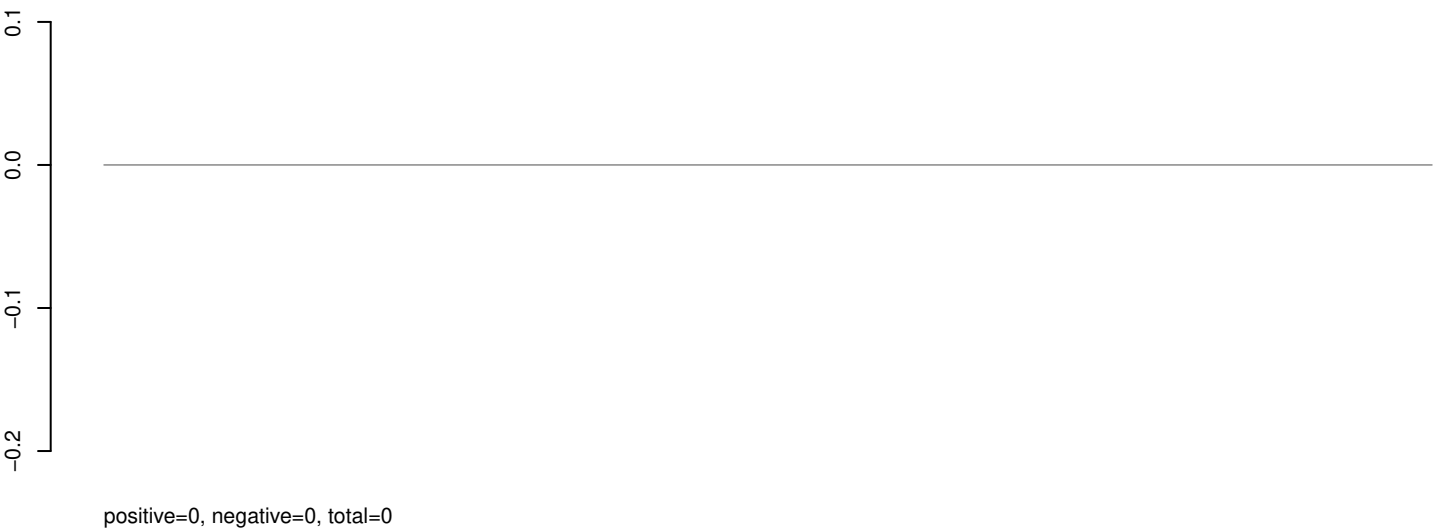
AeAeg_Aag2_Ago2_SINV_RA.rep



AeAeg_Aag2_Ago2_SINV_RA.18_23.rep



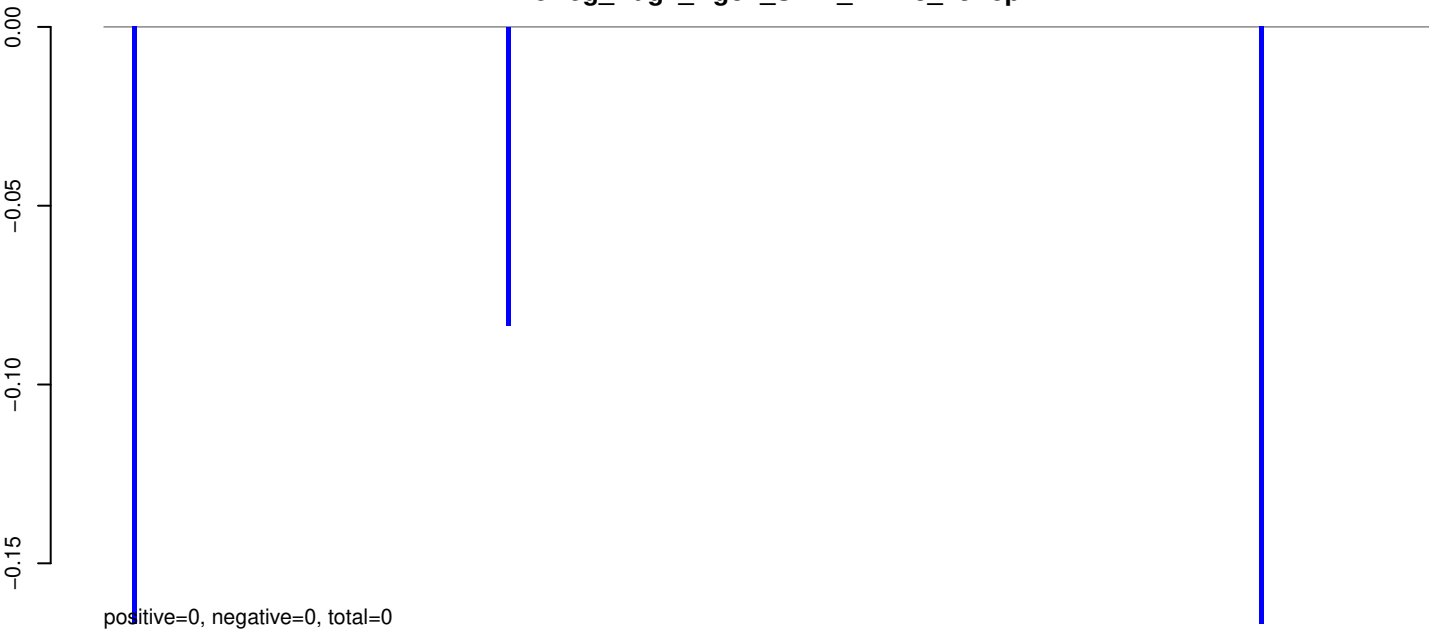
AeAeg_Aag2_Ago2_SINV_RA.24_35.rep



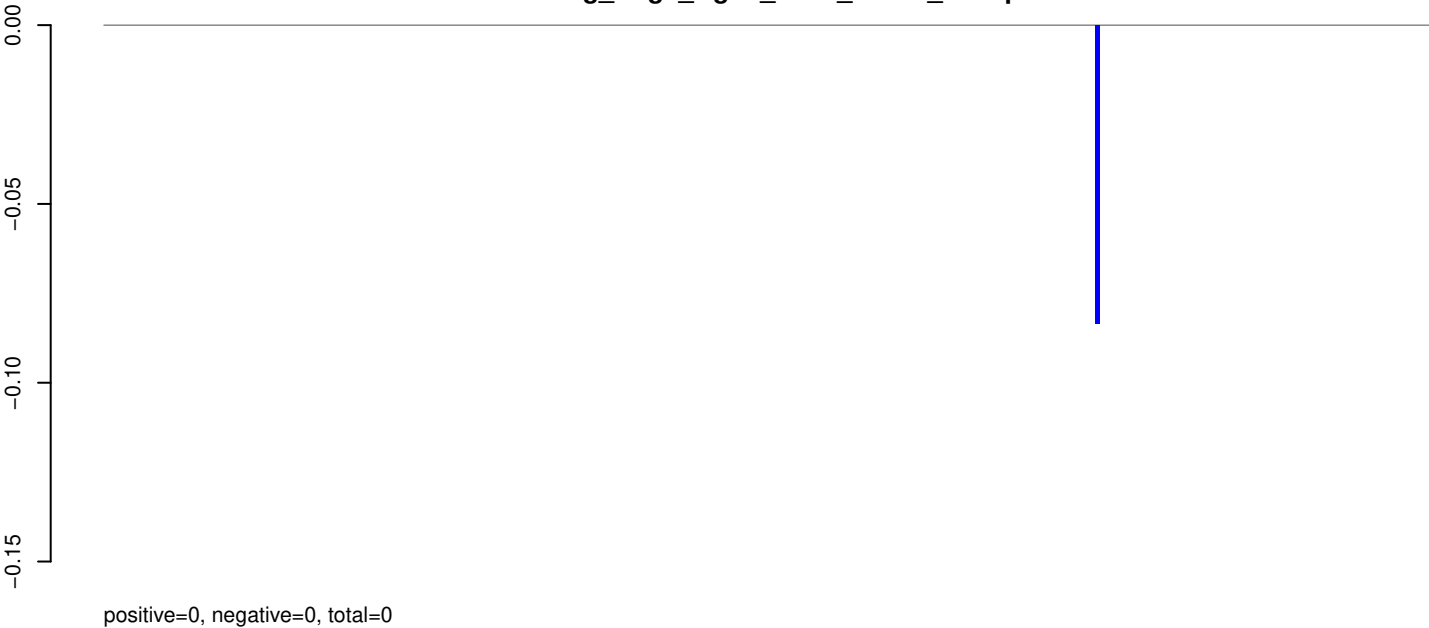
AeAeg_Aag2_Ago2_SINV_RA.rep



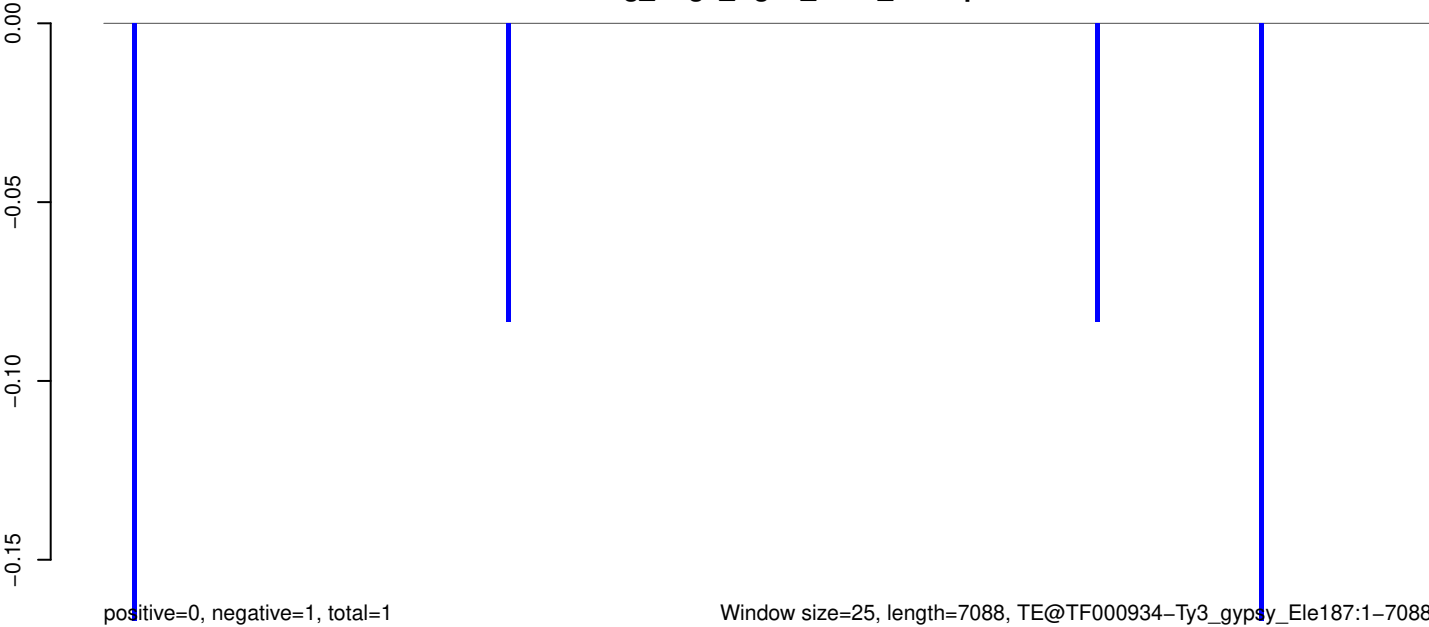
AeAeg_Aag2_Ago2_SINV_RA.18_23.rep



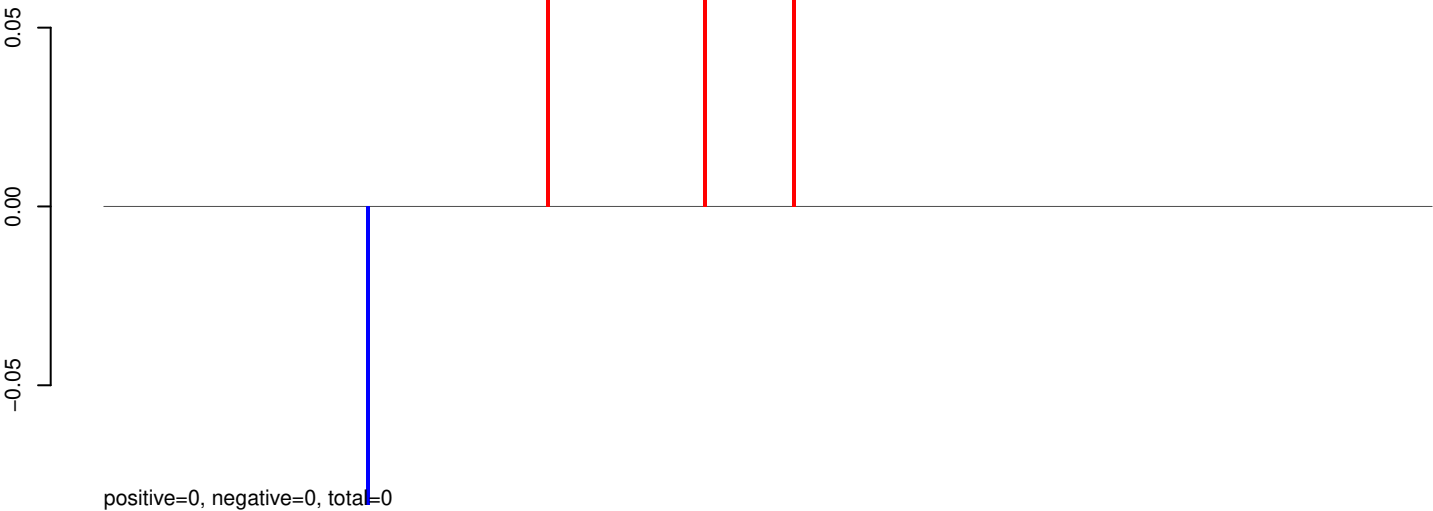
AeAeg_Aag2_Ago2_SINV_RA.24_35.rep



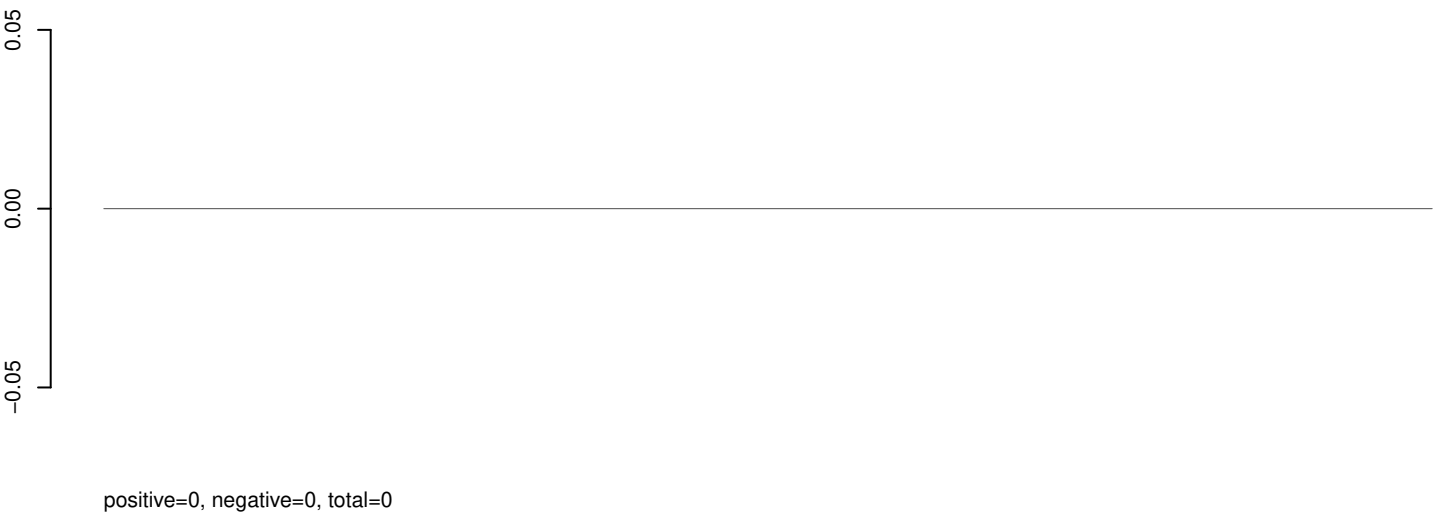
AeAeg_Aag2_Ago2_SINV_RA.rep



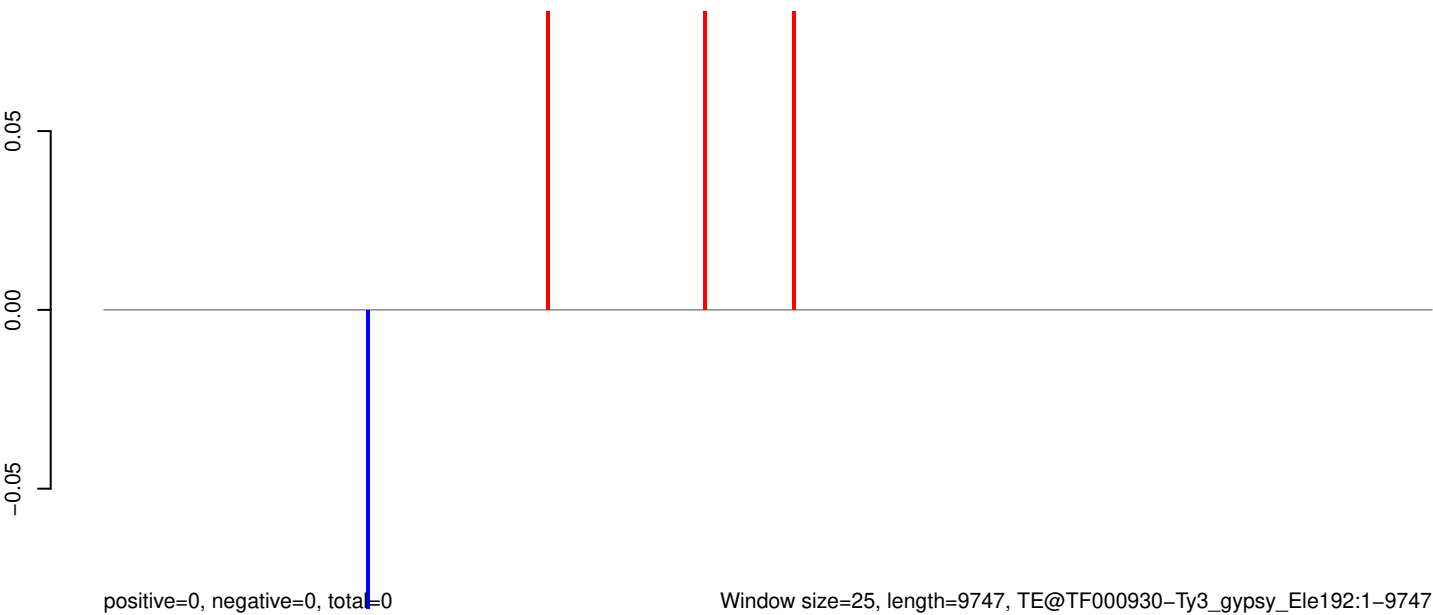
AeAeg_Aag2_Ago2_SINV_RA.18_23.rep



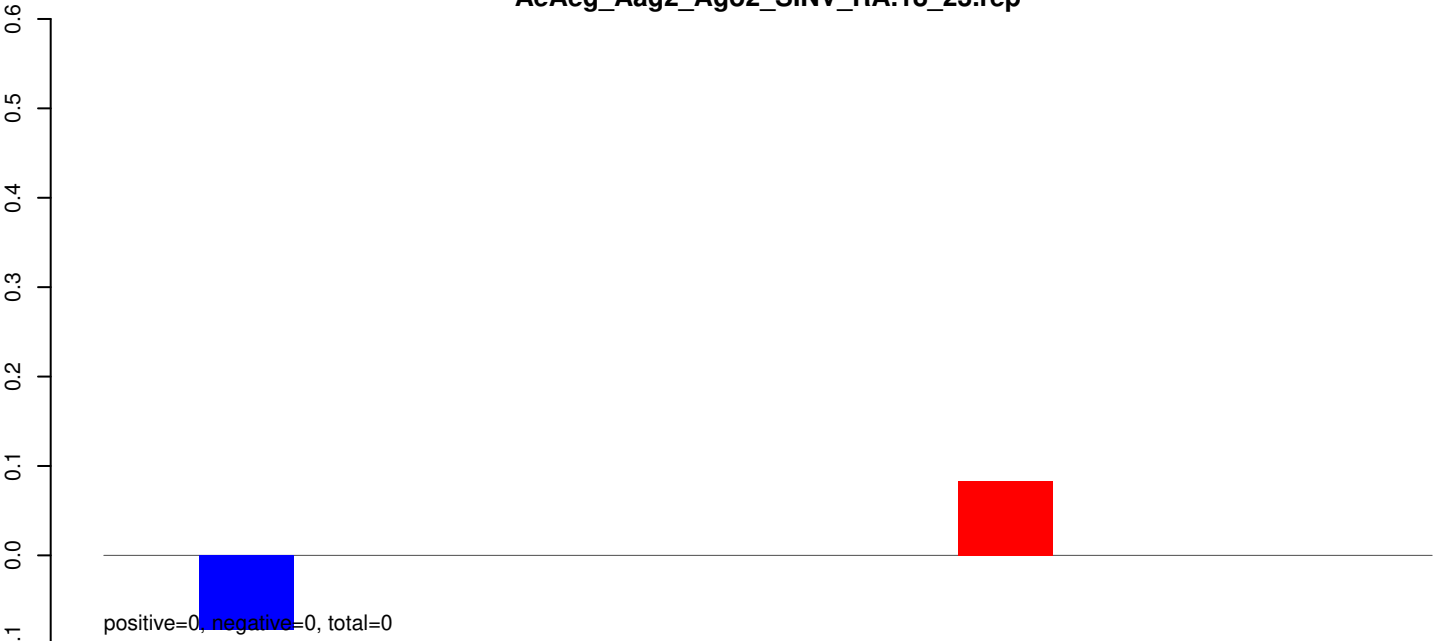
AeAeg_Aag2_Ago2_SINV_RA.24_35.rep



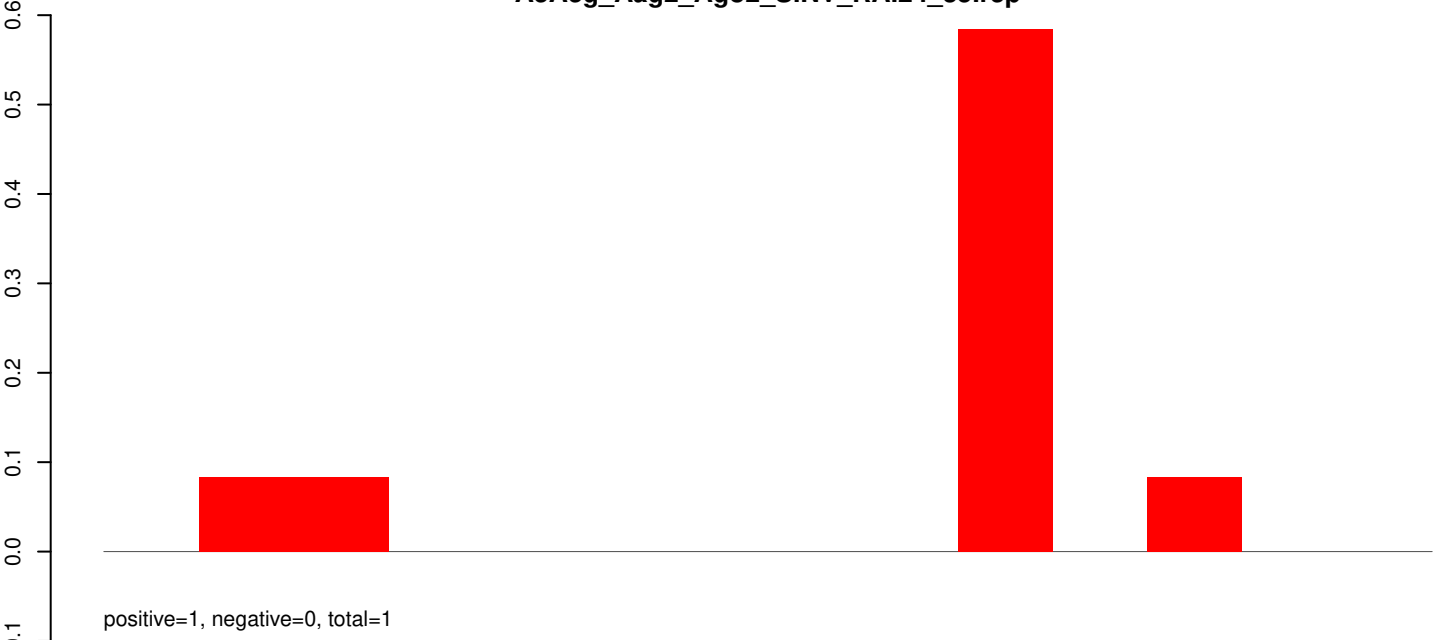
AeAeg_Aag2_Ago2_SINV_RA.rep



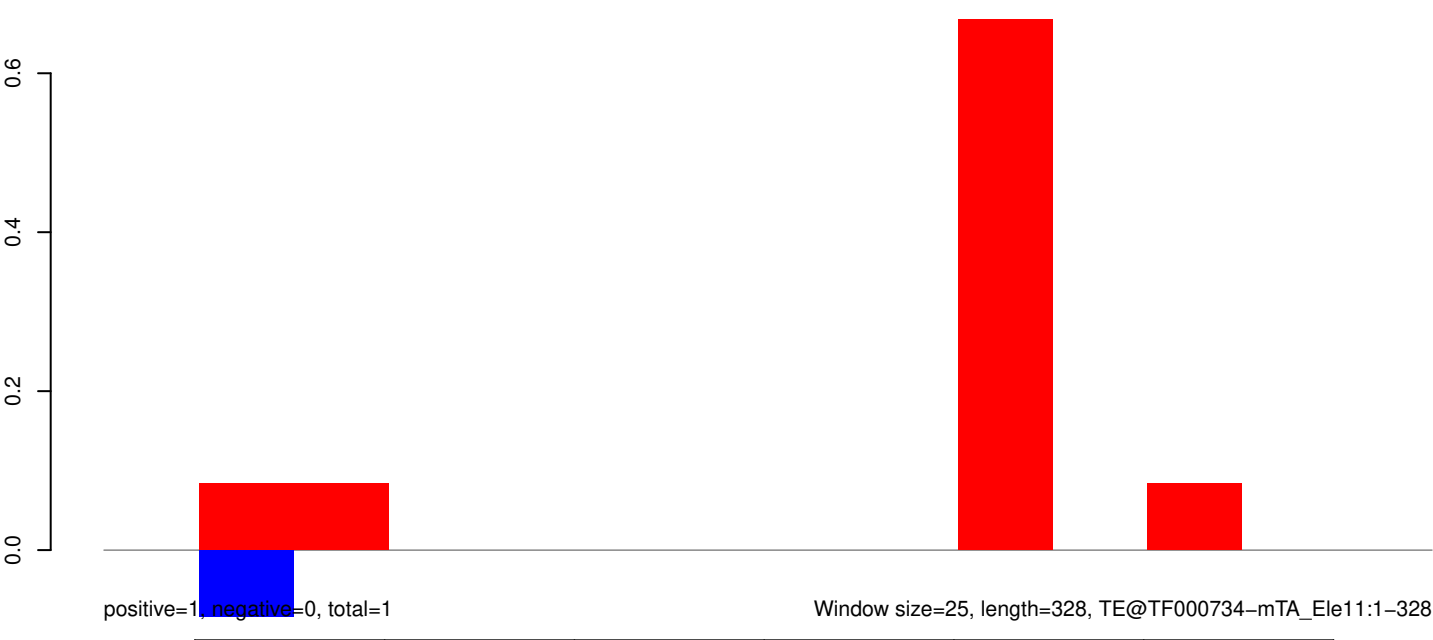
AeAeg_Aag2_Ago2_SINV_RA.18_23.rep



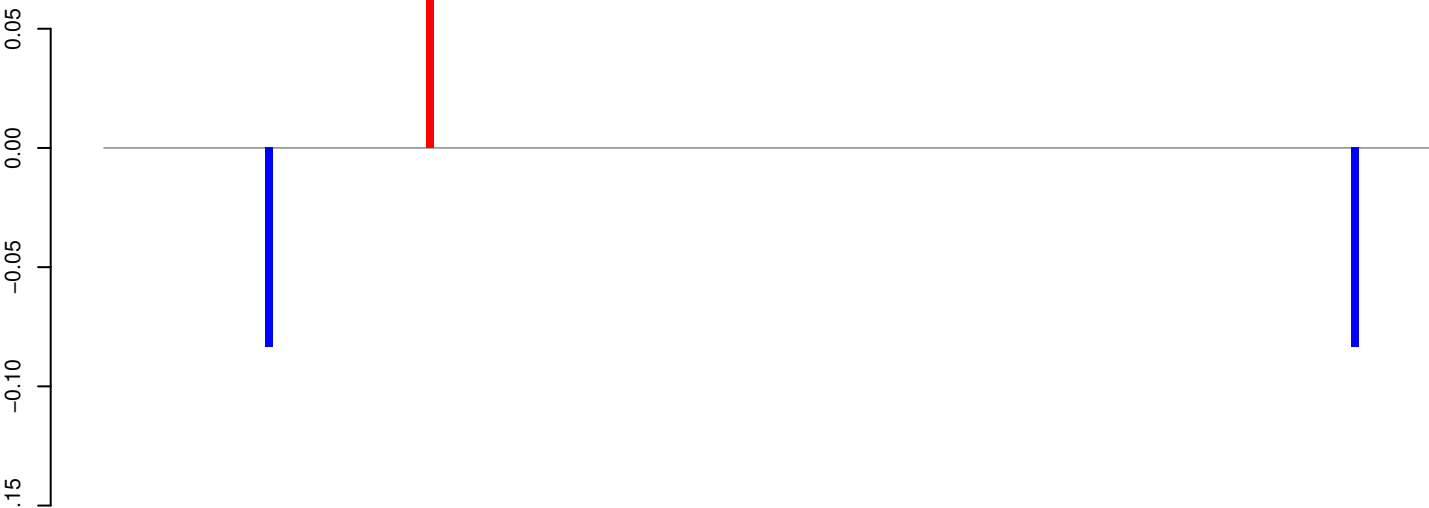
AeAeg_Aag2_Ago2_SINV_RA.24_35.rep



AeAeg_Aag2_Ago2_SINV_RA.rep

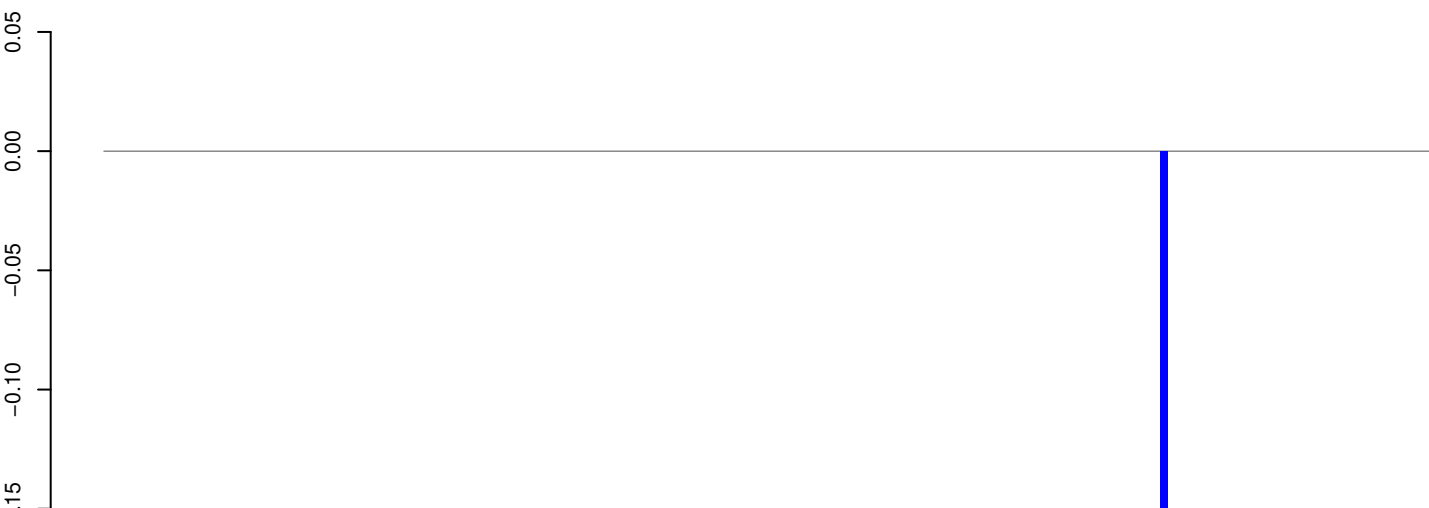


AeAeg_Aag2_Ago2_SINV_RA.18_23.rep



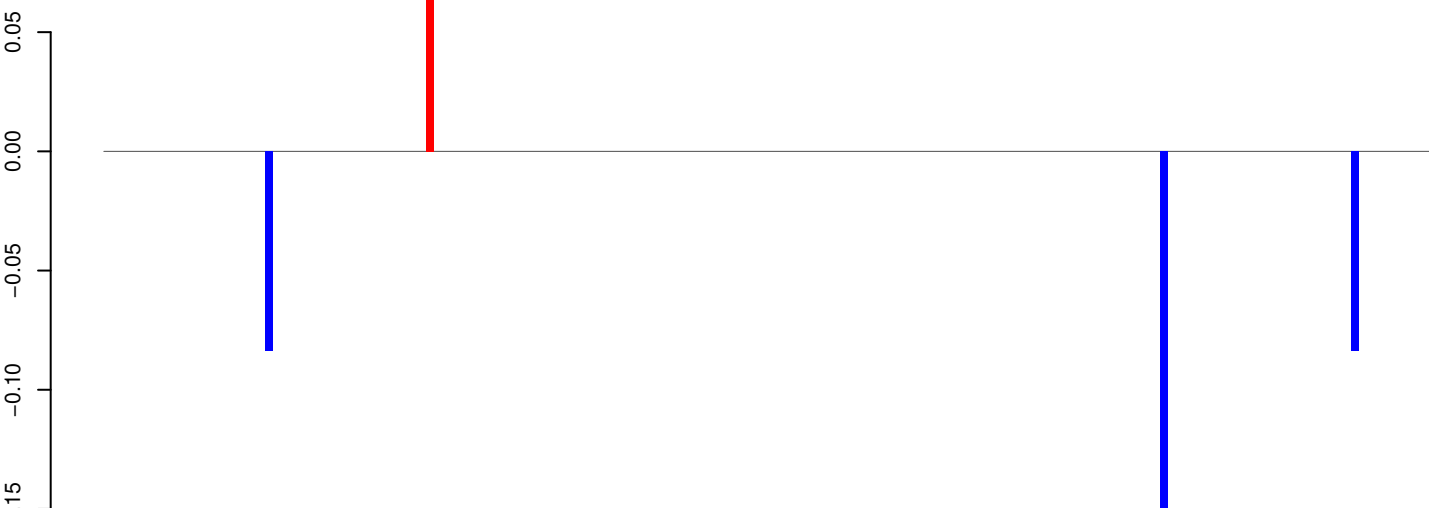
positive=0, negative=0, total=0

AeAeg_Aag2_Ago2_SINV_RA.24_35.rep



positive=0, negative=0, total=0

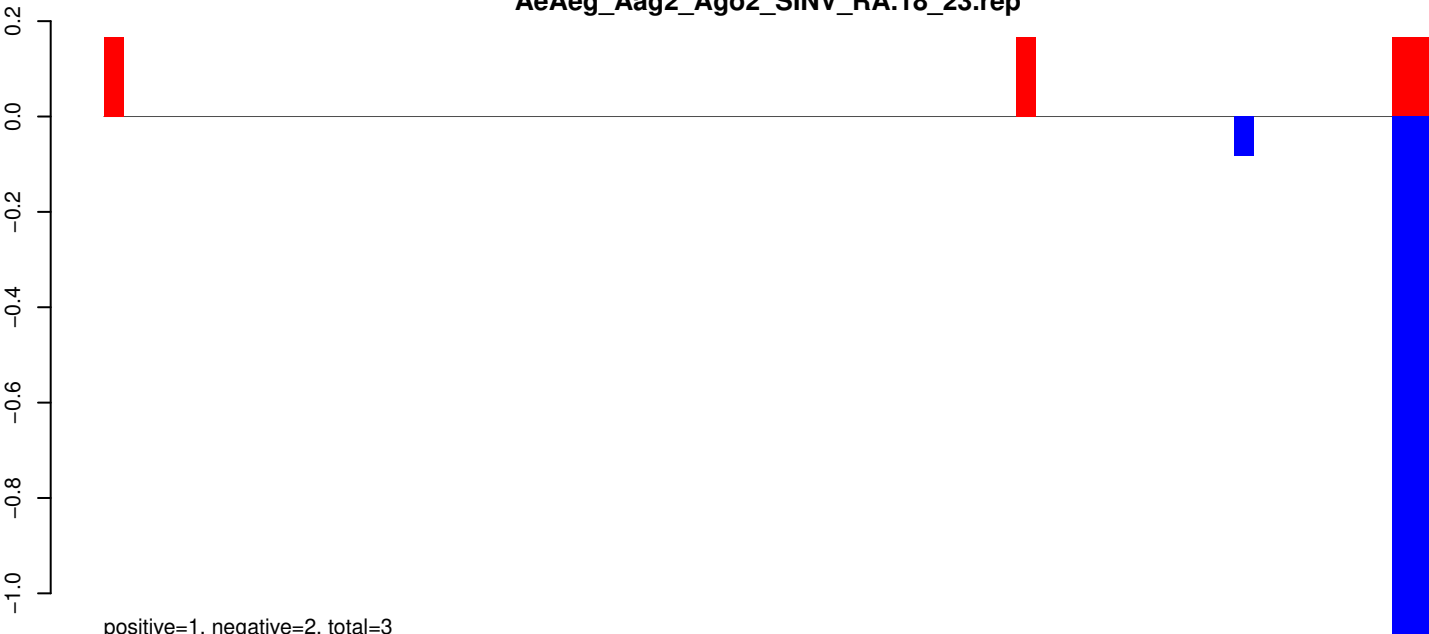
AeAeg_Aag2_Ago2_SINV_RA.rep



positive=0, negative=0, total=0

Window size=25, length=4518, TE@TF000613-Ty1_copia_Ele21:1-4518

AeAeg_Aag2_Ago2_SINV_RA.18_23.rep



positive=1, negative=2, total=3

AeAeg_Aag2_Ago2_SINV_RA.24_35.rep



positive=0, negative=0, total=0

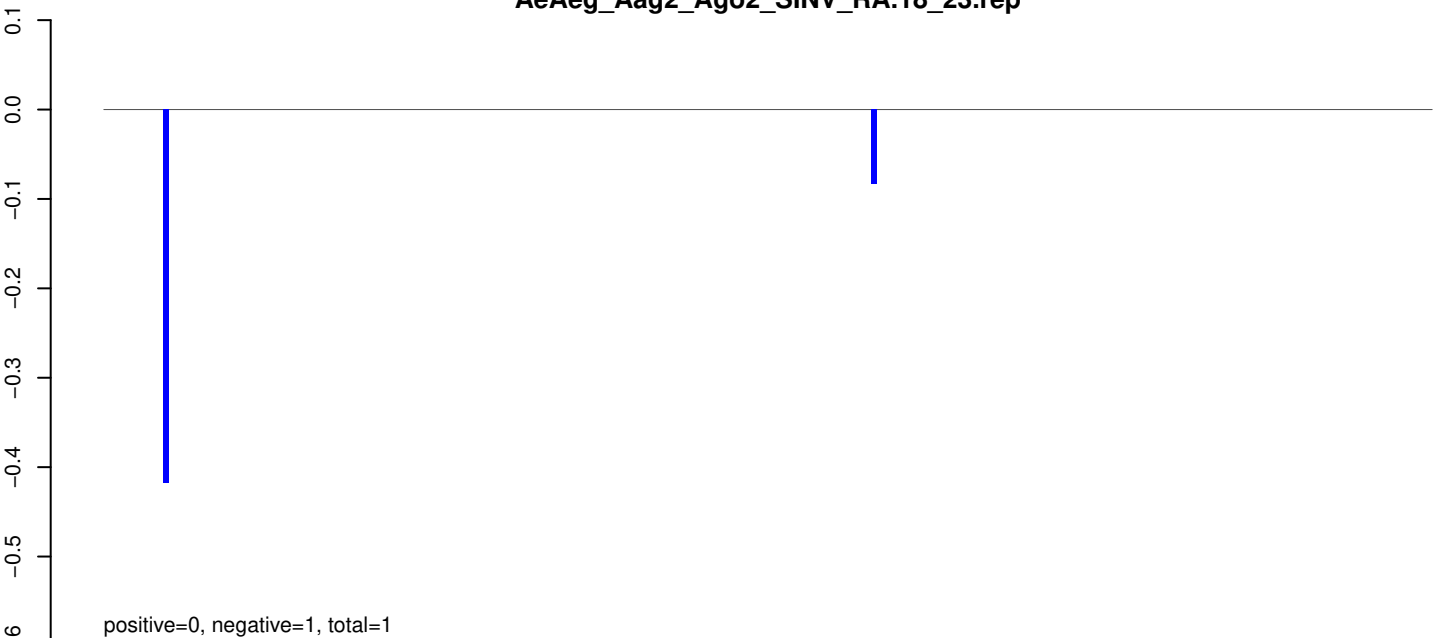
AeAeg_Aag2_Ago2_SINV_RA.rep



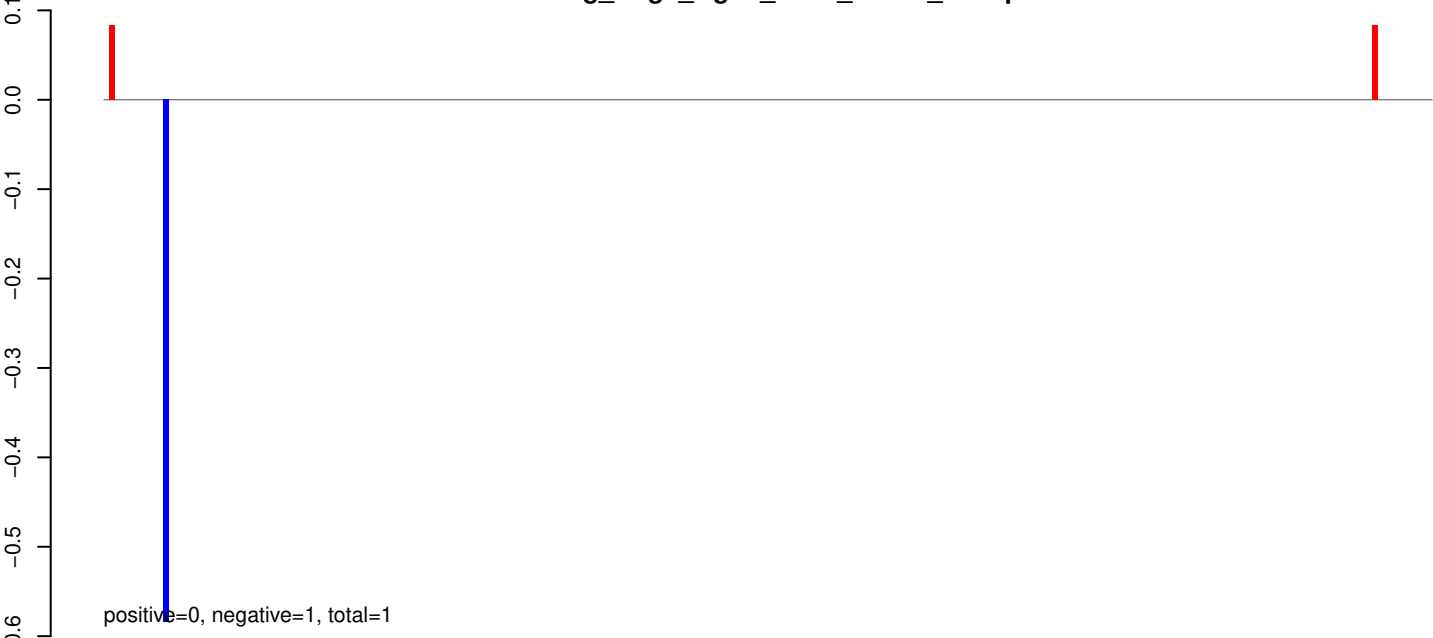
positive=1, negative=2, total=3

Window size=25, length=1660, TE@TF000553-Tc1_Le5:1-1660

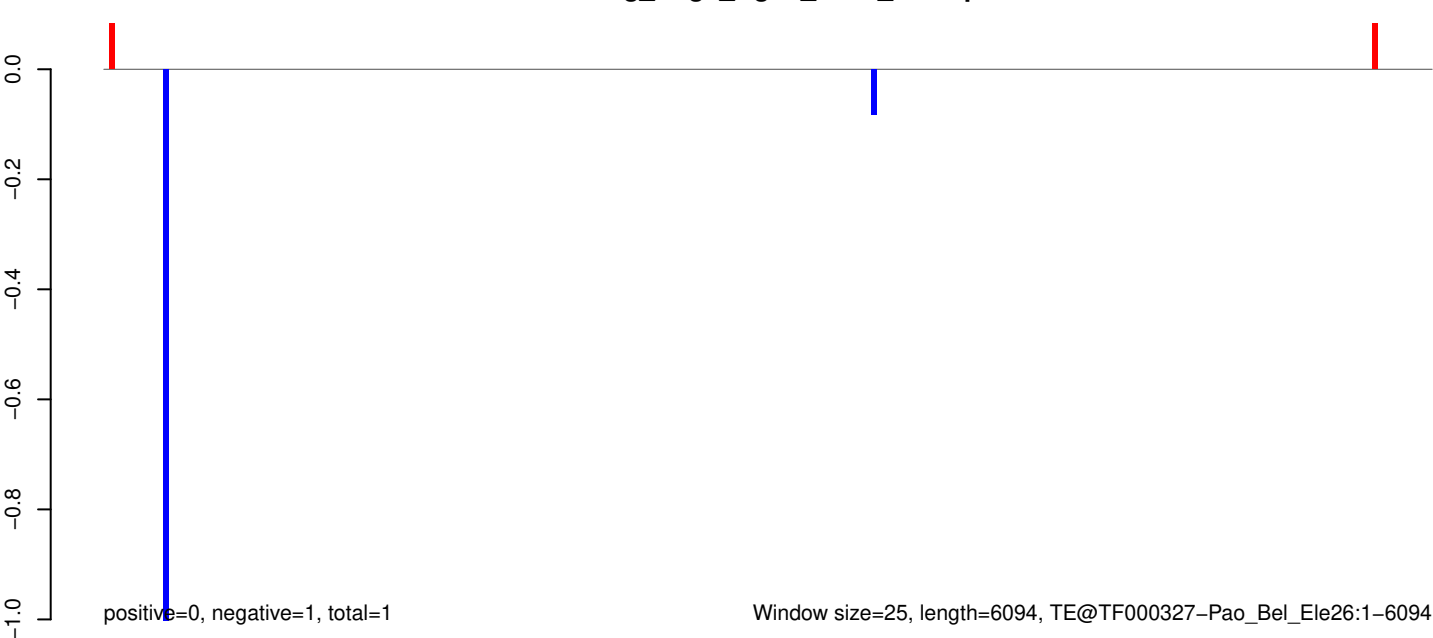
AeAeg_Aag2_Ago2_SINV_RA.18_23.rep



AeAeg_Aag2_Ago2_SINV_RA.24_35.rep



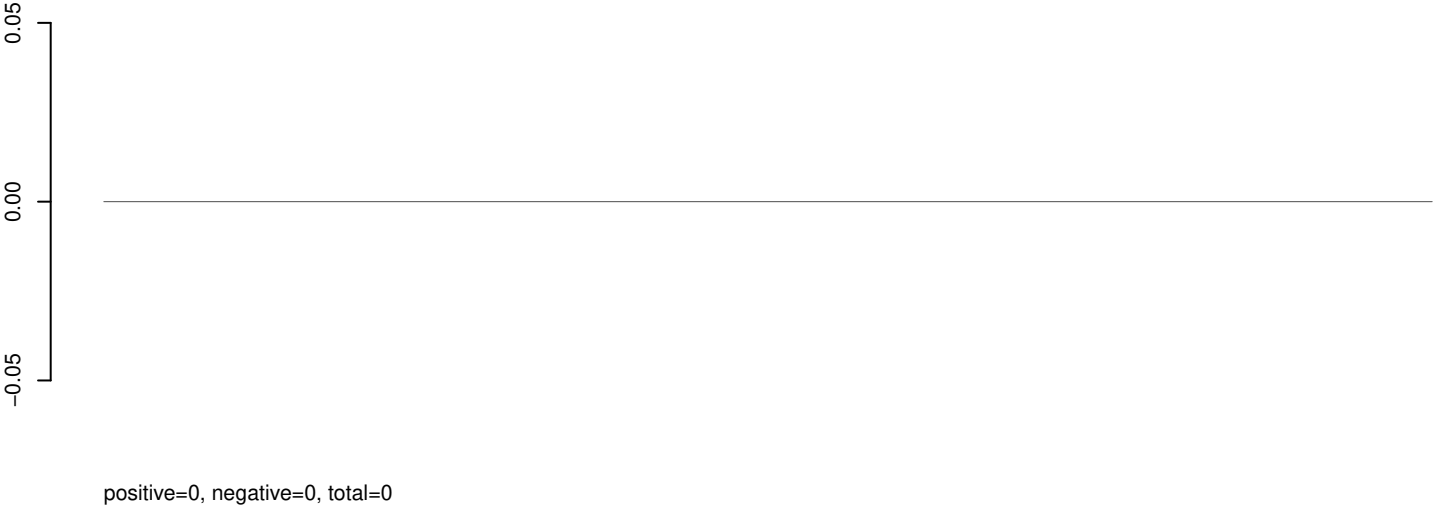
AeAeg_Aag2_Ago2_SINV_RA.rep



AeAeg_Aag2_Ago2_SINV_RA.18_23.rep



AeAeg_Aag2_Ago2_SINV_RA.24_35.rep



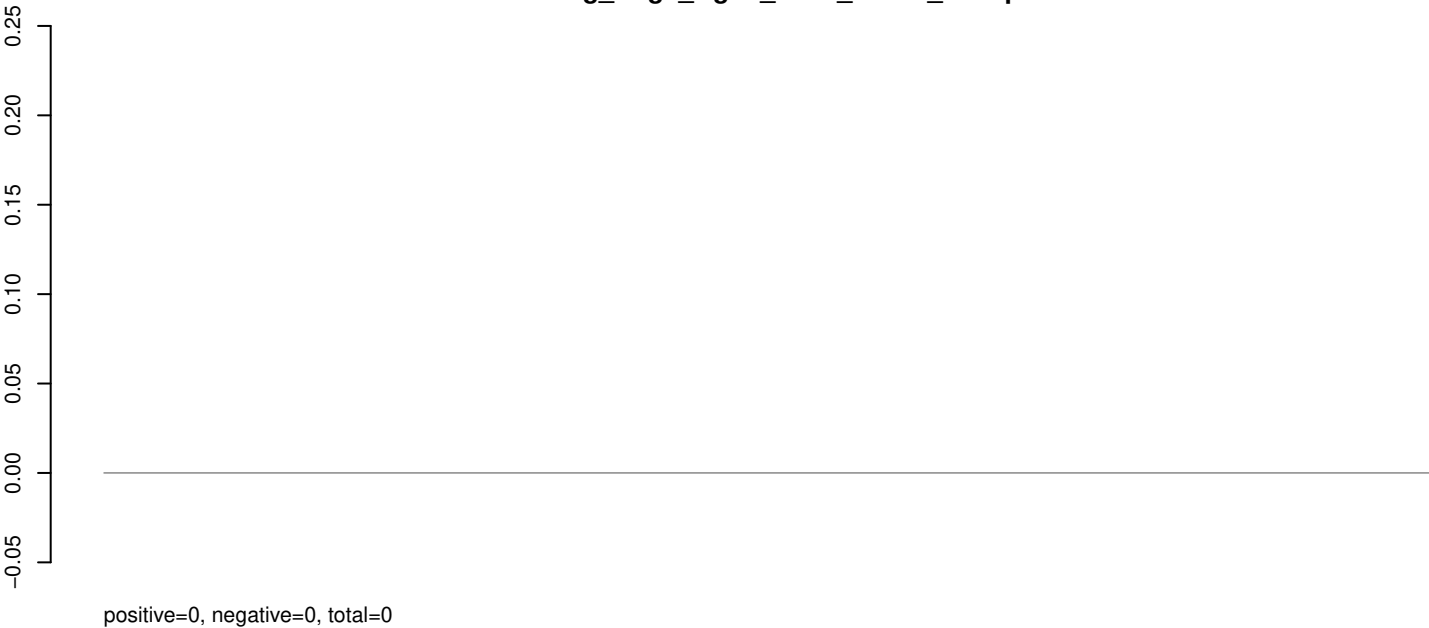
AeAeg_Aag2_Ago2_SINV_RA.rep



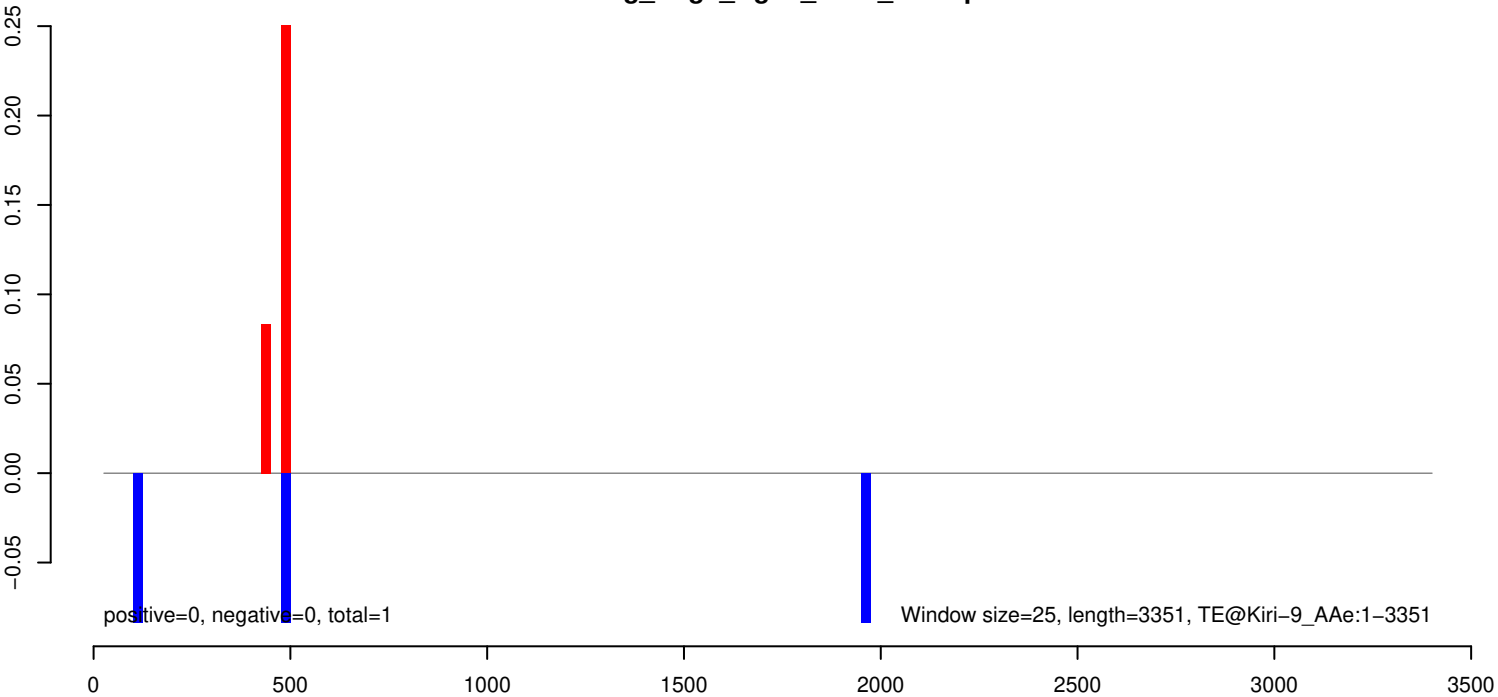
AeAeg_Aag2_Ago2_SINV_RA.18_23.rep



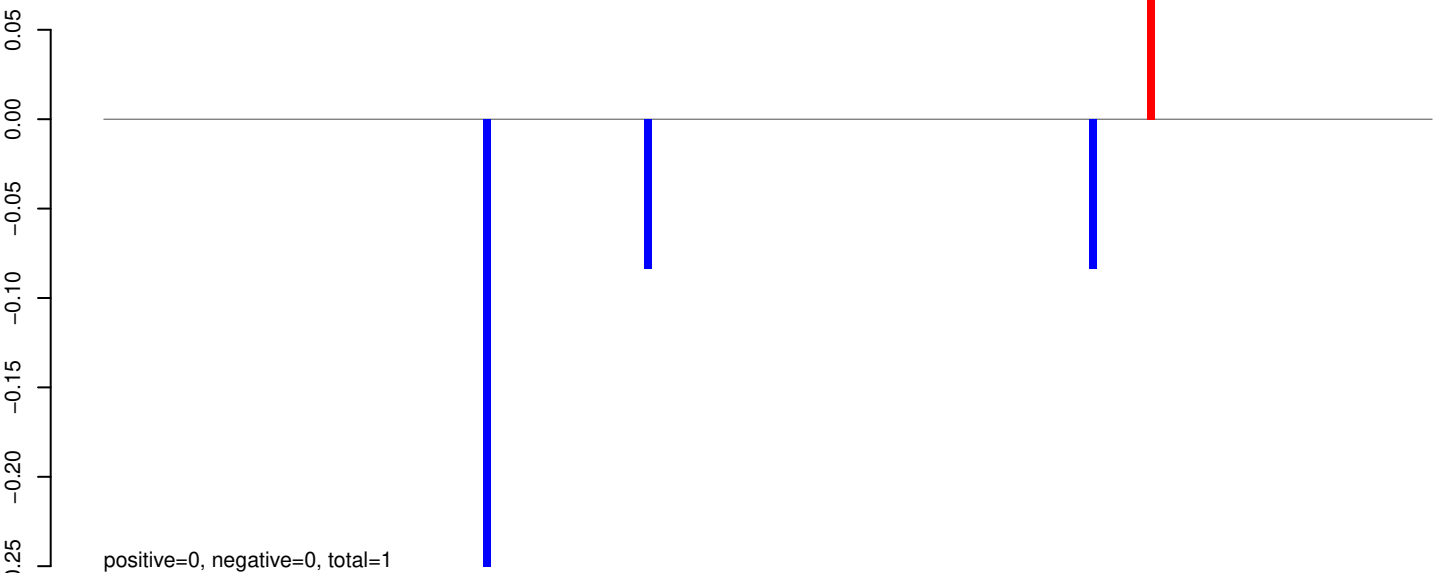
AeAeg_Aag2_Ago2_SINV_RA.24_35.rep



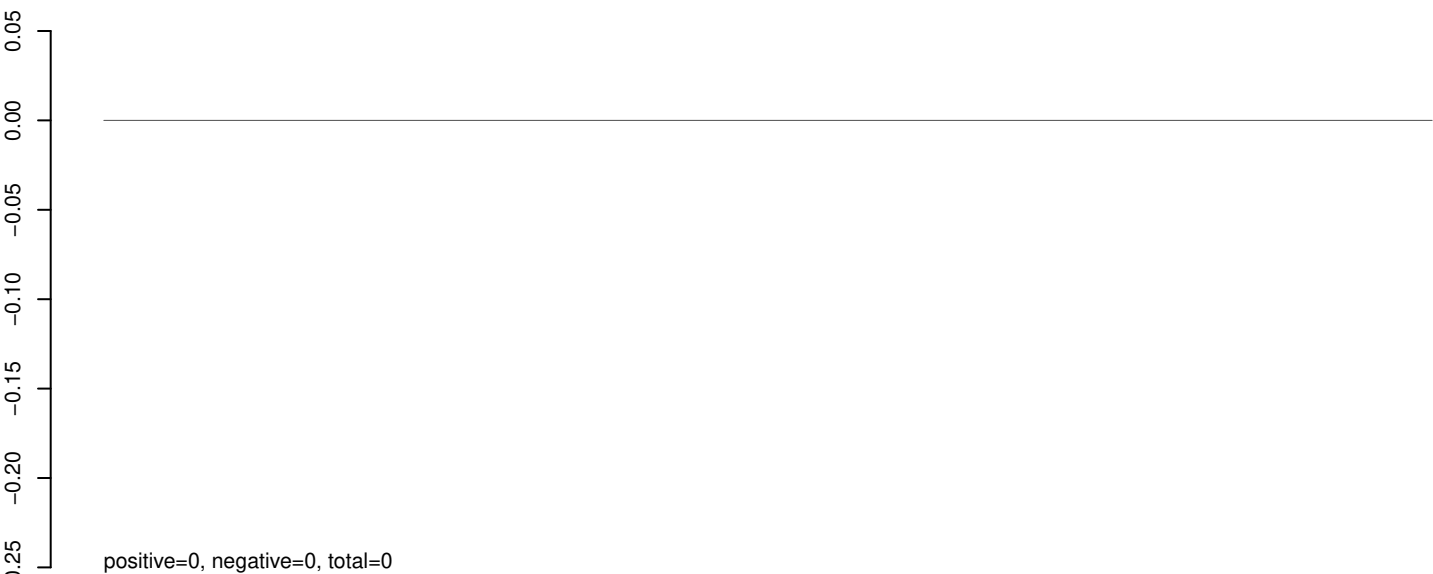
AeAeg_Aag2_Ago2_SINV_RA.rep



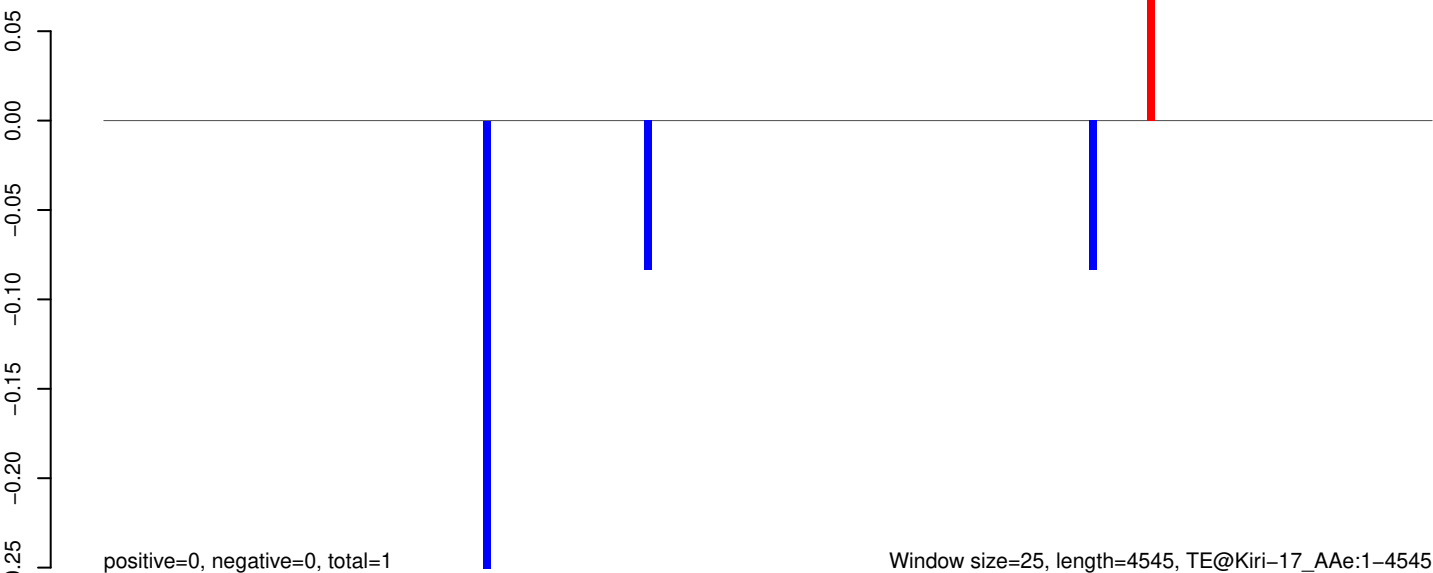
AeAeg_Aag2_Ago2_SINV_RA.18_23.rep



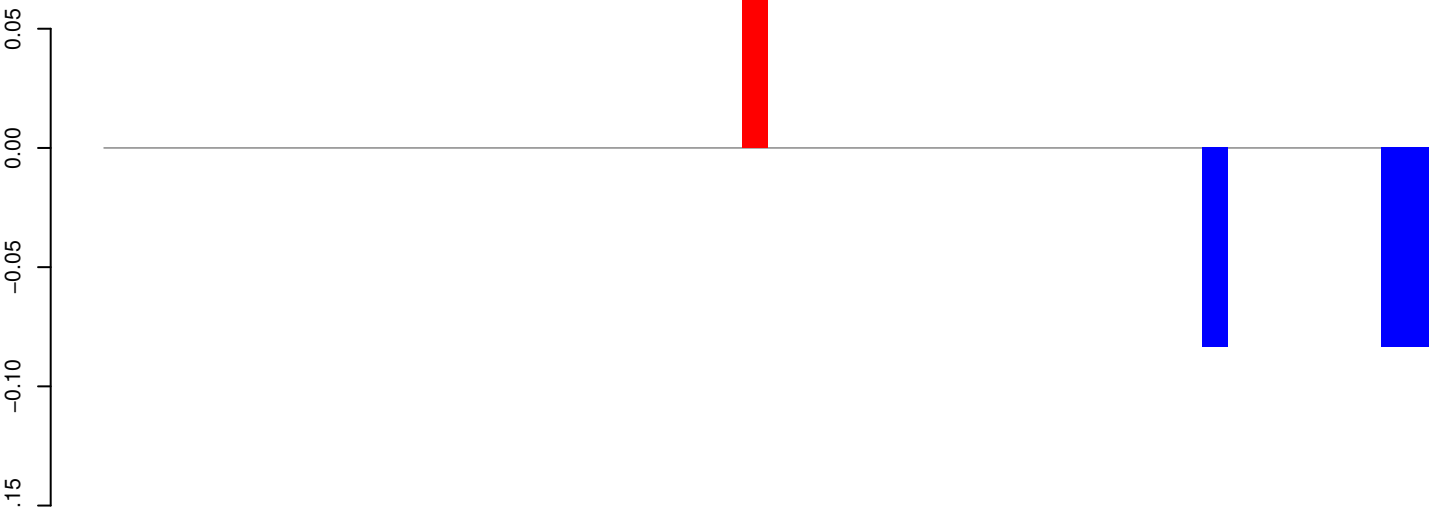
AeAeg_Aag2_Ago2_SINV_RA.24_35.rep



AeAeg_Aag2_Ago2_SINV_RA.rep

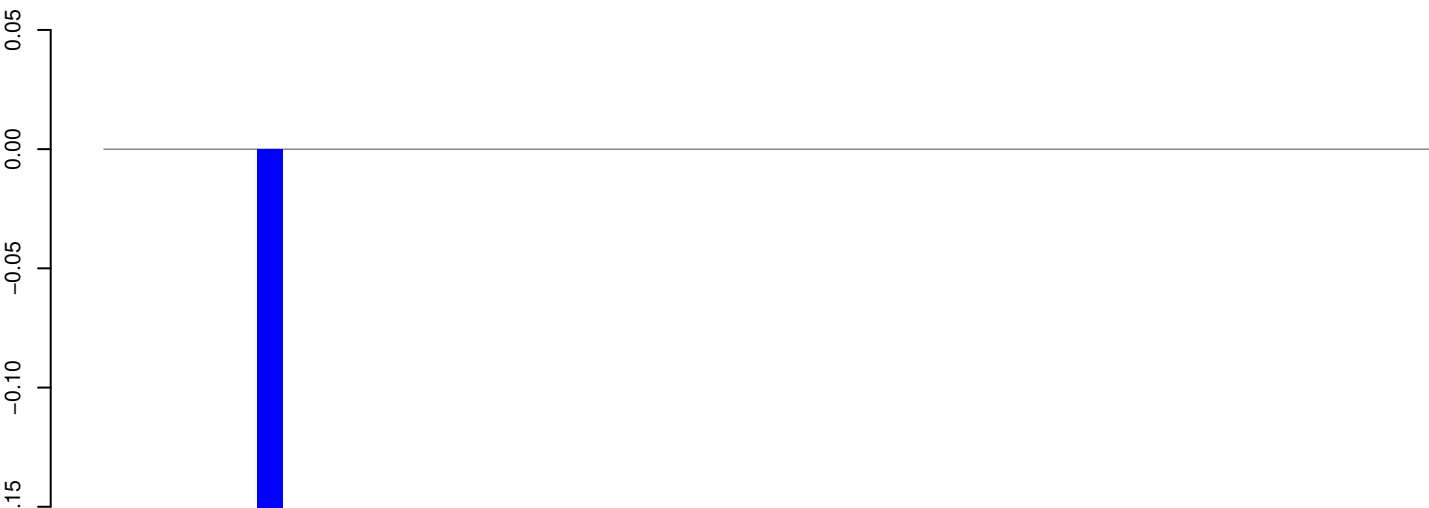


AeAeg_Aag2_Ago2_SINV_RA.18_23.rep



positive=0, negative=0, total=0

AeAeg_Aag2_Ago2_SINV_RA.24_35.rep



positive=0, negative=0, total=0

AeAeg_Aag2_Ago2_SINV_RA.rep



positive=0, negative=0, total=1

Window size=25, length=1300, TE@ITmD37D_Ele6:1-1300

0 200 400 600 800 1000 1200

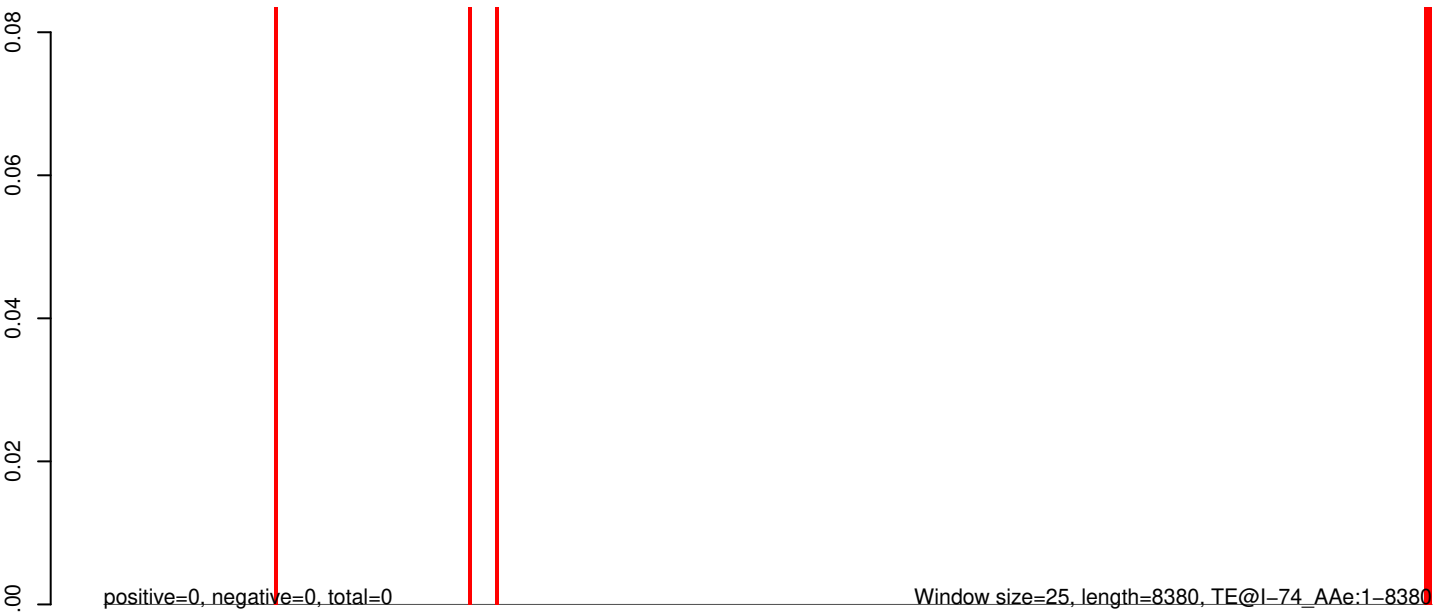
AeAeg_Aag2_Ago2_SINV_RA.18_23.rep



AeAeg_Aag2_Ago2_SINV_RA.24_35.rep



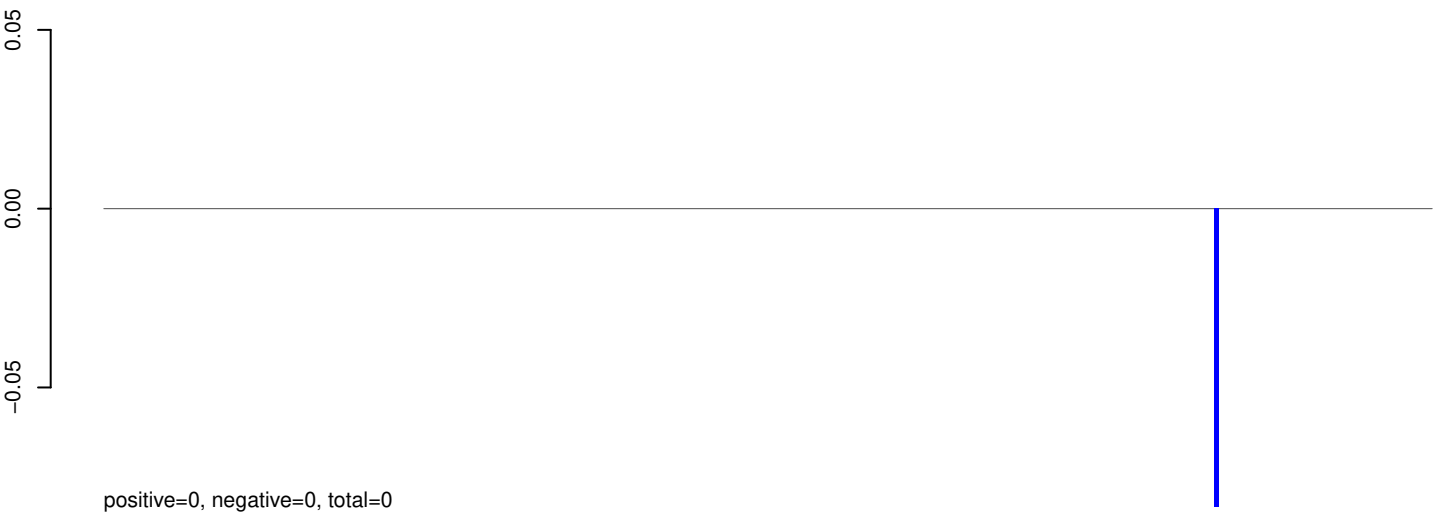
AeAeg_Aag2_Ago2_SINV_RA.rep



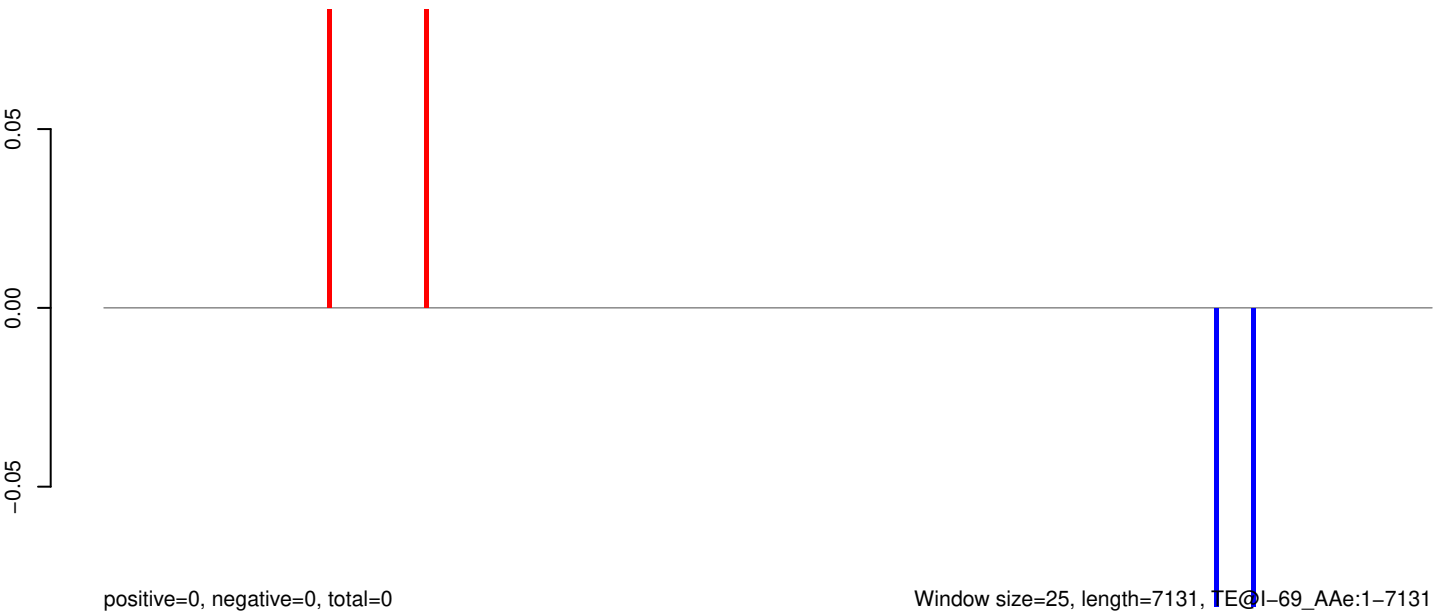
AeAeg_Aag2_Ago2_SINV_RA.18_23.rep



AeAeg_Aag2_Ago2_SINV_RA.24_35.rep



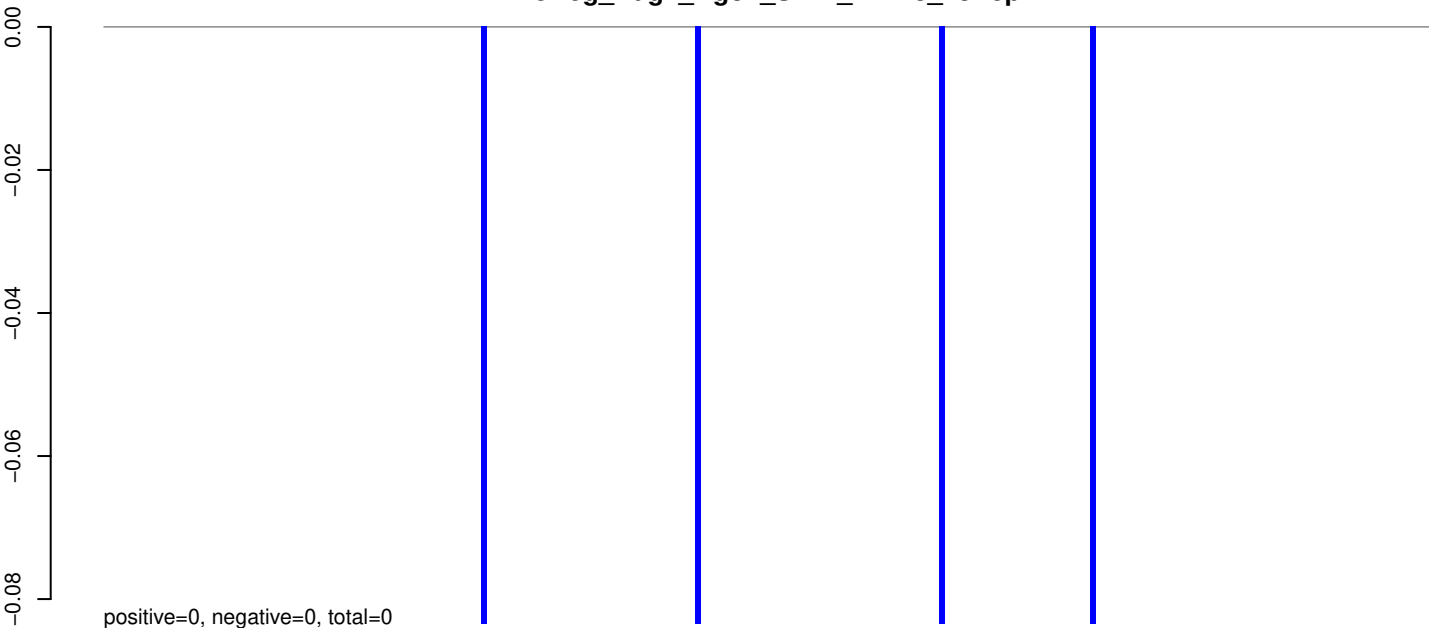
AeAeg_Aag2_Ago2_SINV_RA.rep



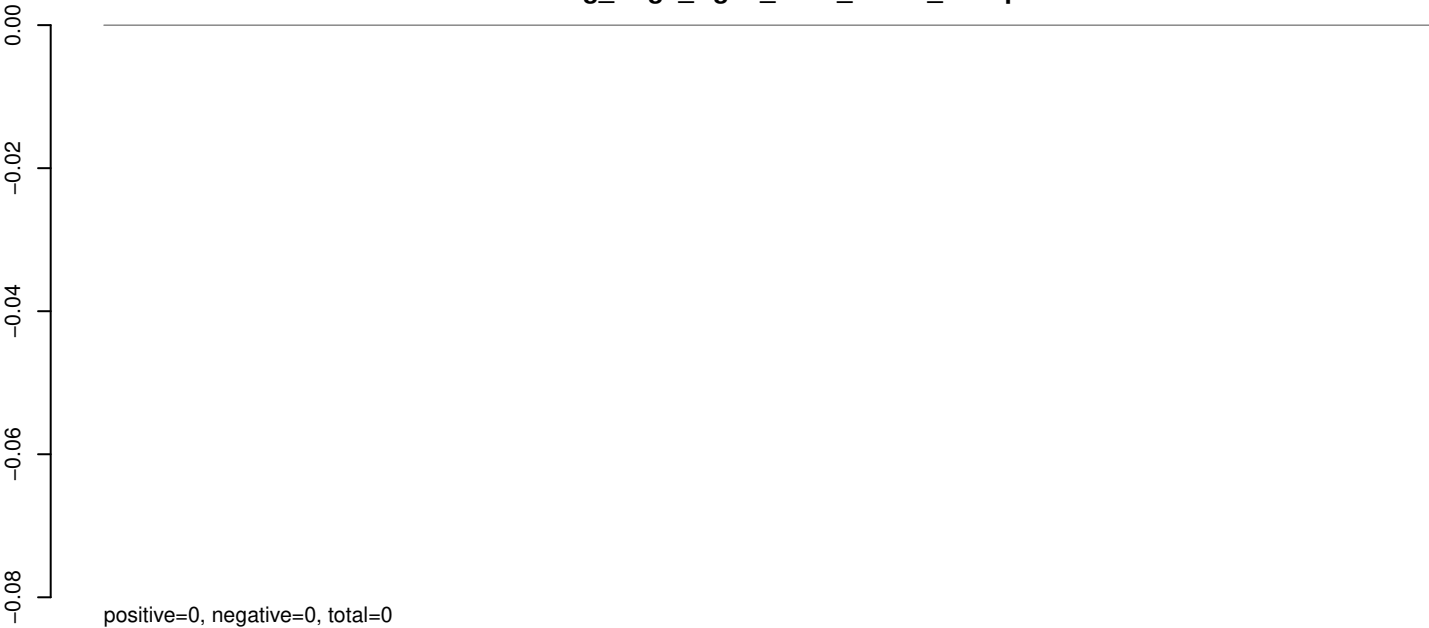
Window size=25, length=7131, TE@1-69_A Ae:1-7131

0 1000 2000 3000 4000 5000 6000 7000

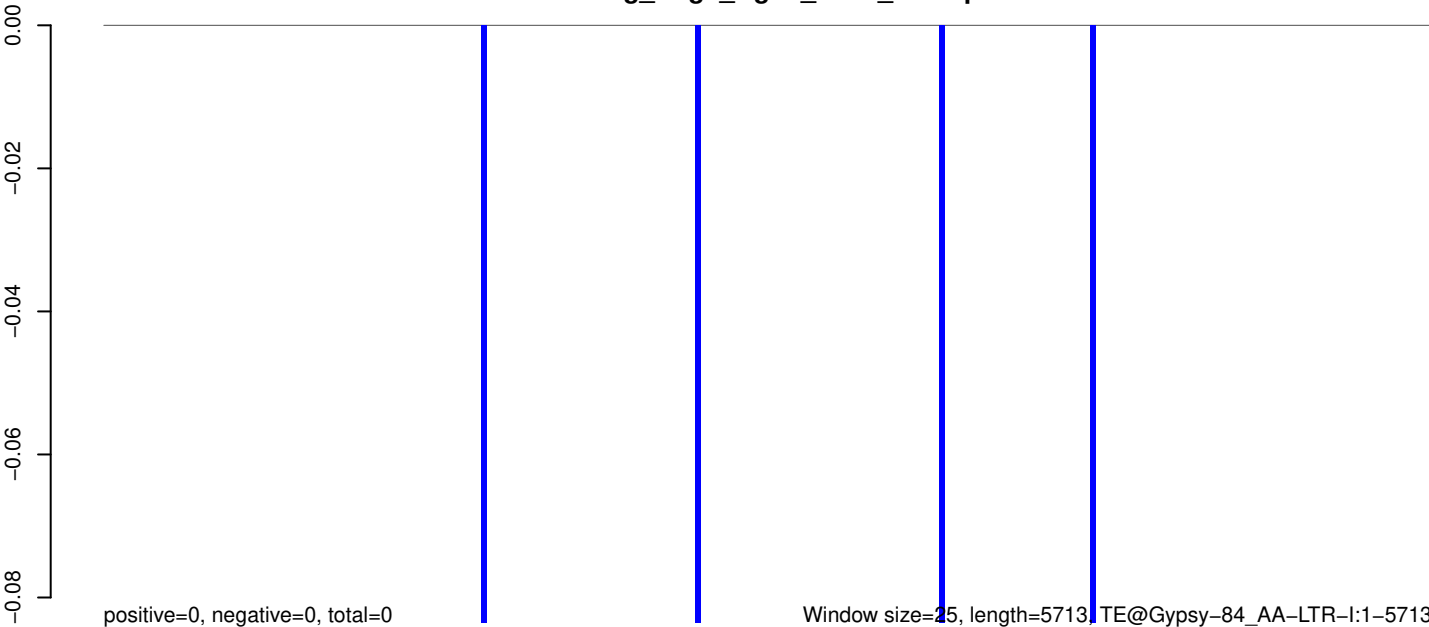
AeAeg_Aag2_Ago2_SINV_RA.18_23.rep



AeAeg_Aag2_Ago2_SINV_RA.24_35.rep

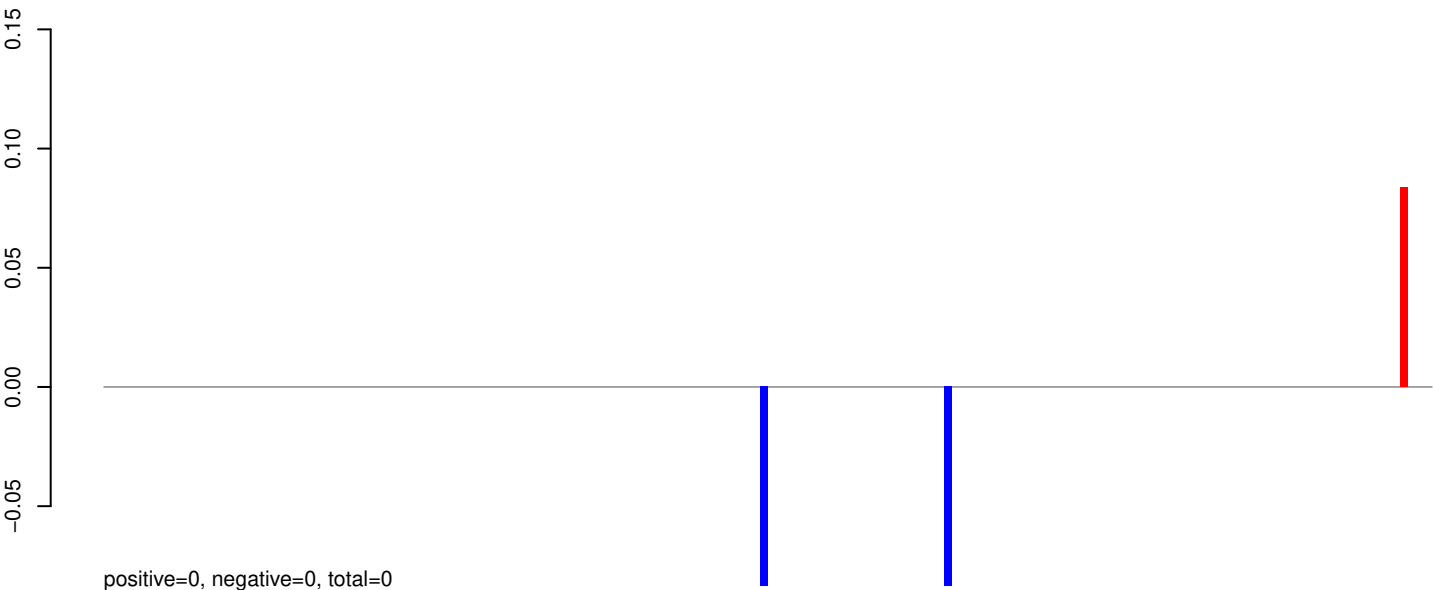


AeAeg_Aag2_Ago2_SINV_RA.rep

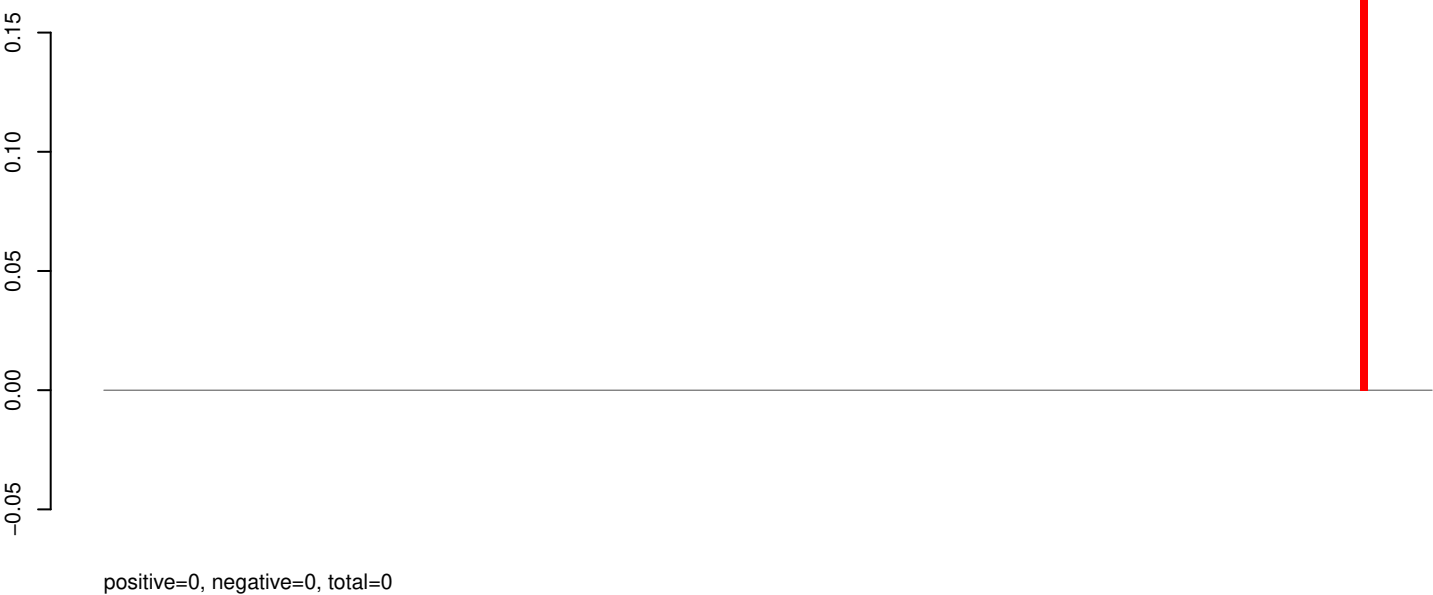


0 1000 2000 3000 4000 5000

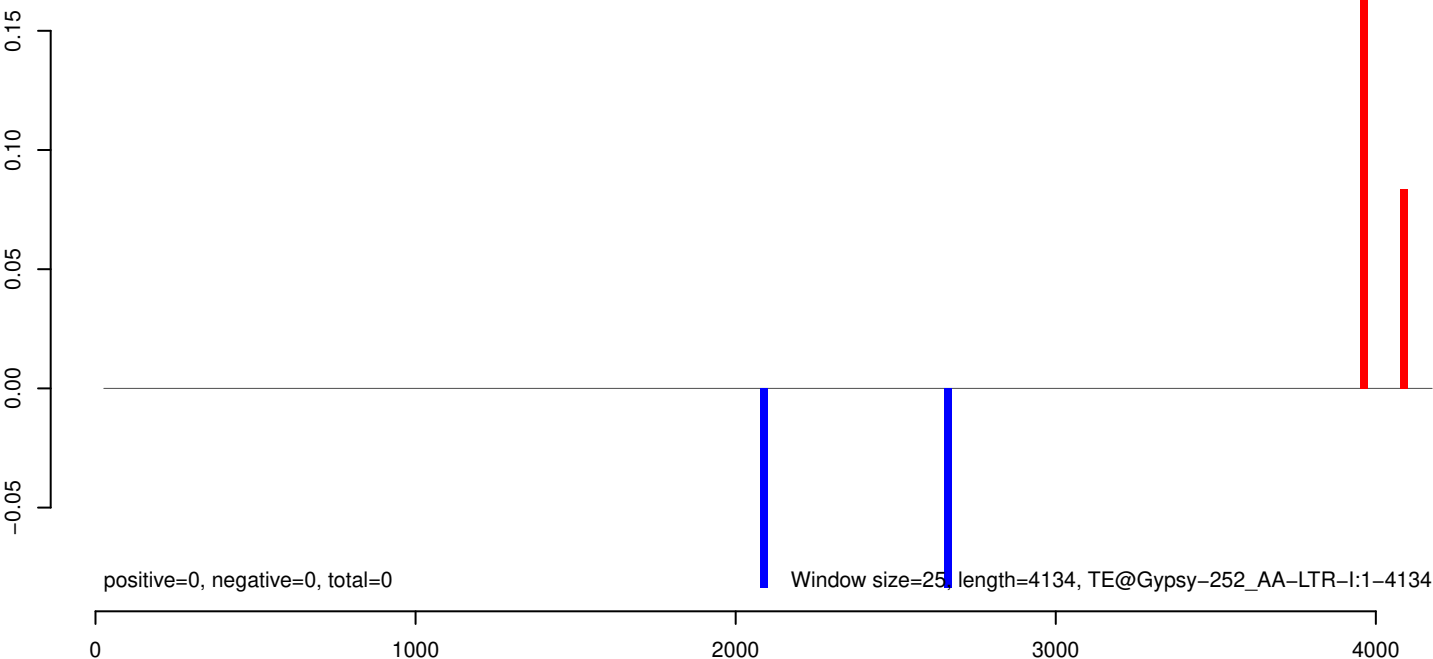
AeAeg_Aag2_Ago2_SINV_RA.18_23.rep



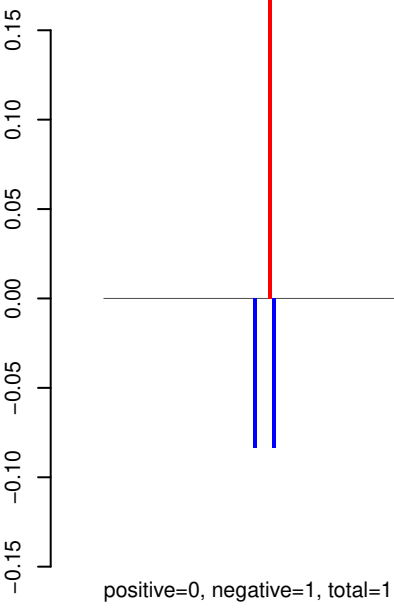
AeAeg_Aag2_Ago2_SINV_RA.24_35.rep



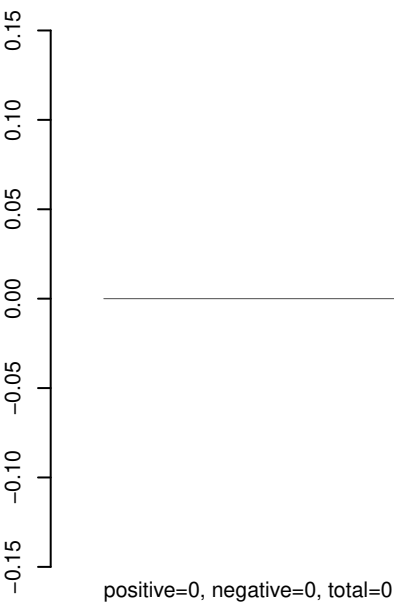
AeAeg_Aag2_Ago2_SINV_RA.rep



AeAeg_Aag2_Ago2_SINV_RA.18_23.rep



AeAeg_Aag2_Ago2_SINV_RA.24_35.rep

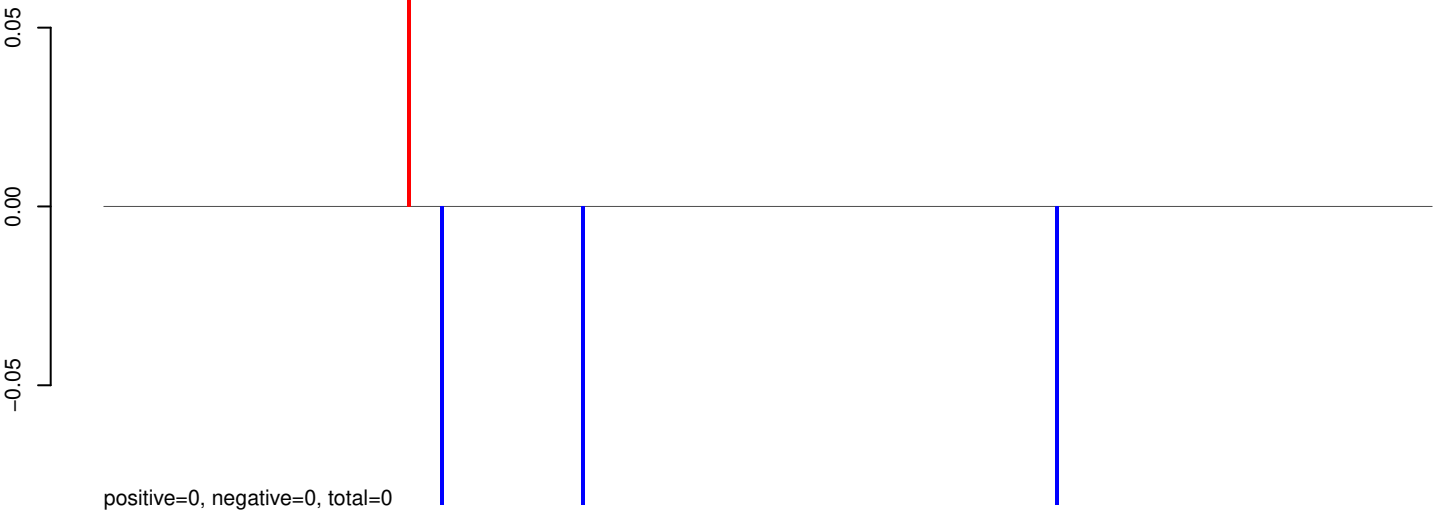


AeAeg_Aag2_Ago2_SINV_RA.rep

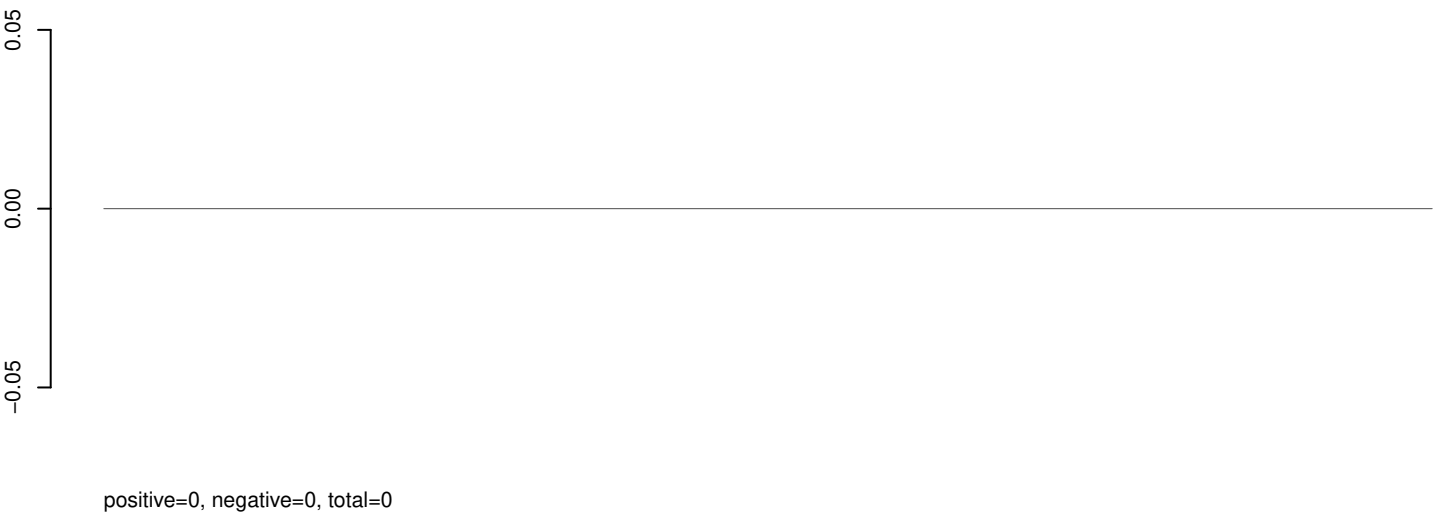


0 2000 4000 6000 8000

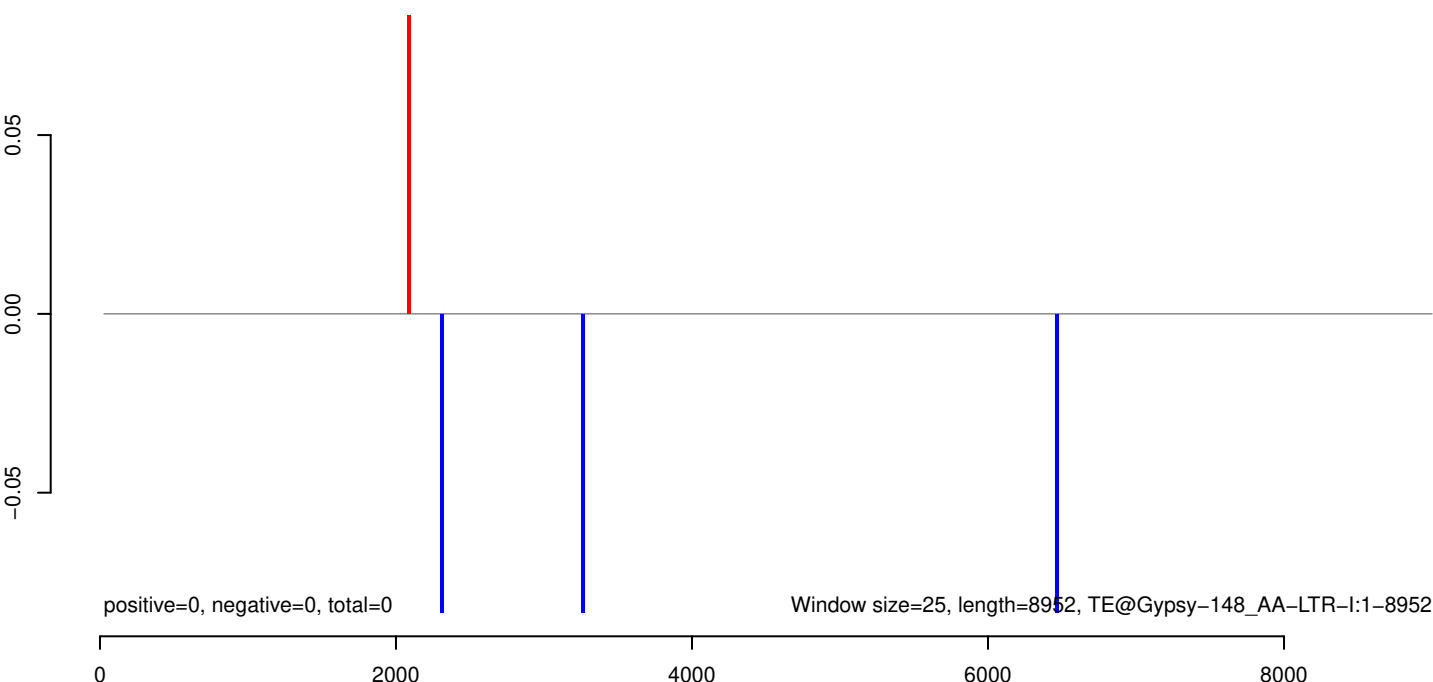
AeAeg_Aag2_Ago2_SINV_RA.18_23.rep



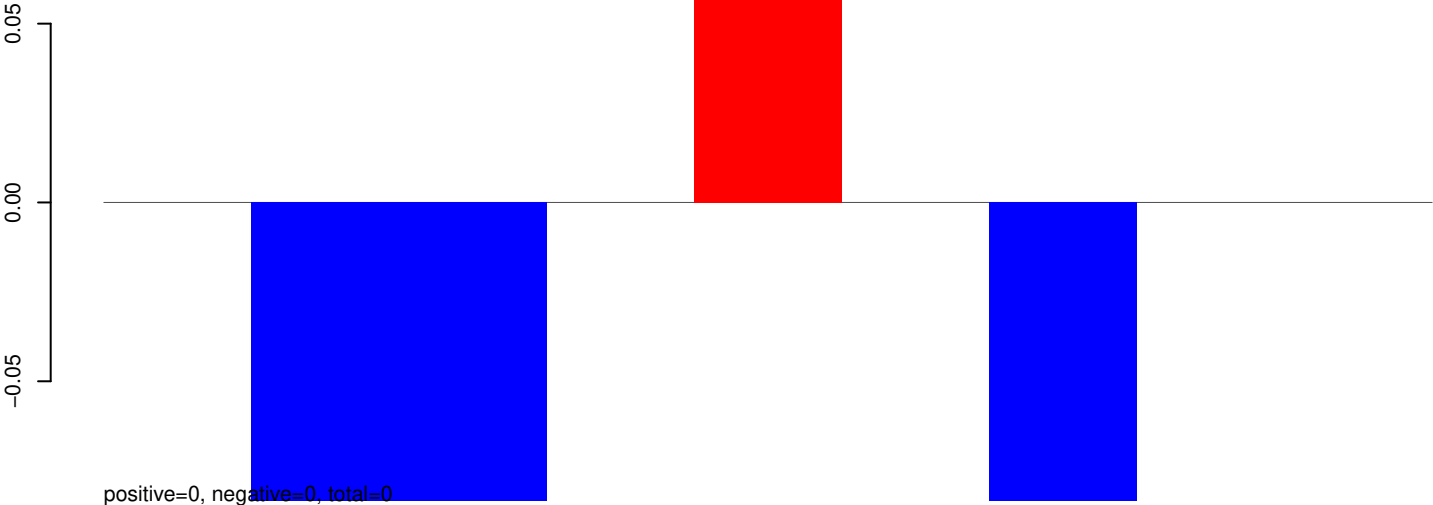
AeAeg_Aag2_Ago2_SINV_RA.24_35.rep



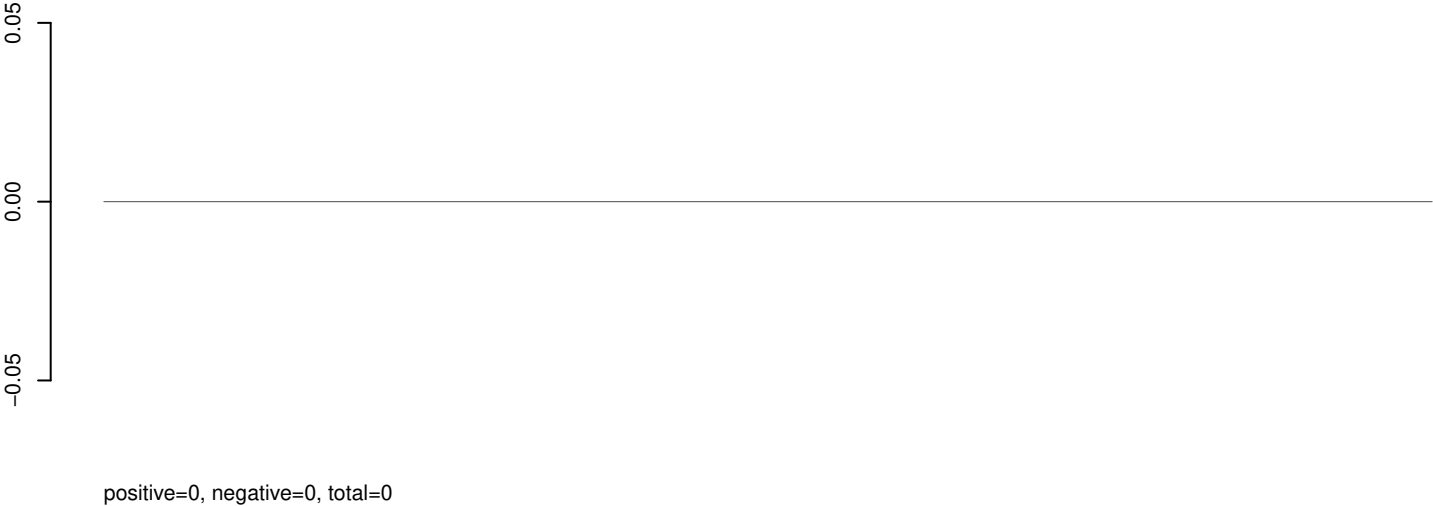
AeAeg_Aag2_Ago2_SINV_RA.rep



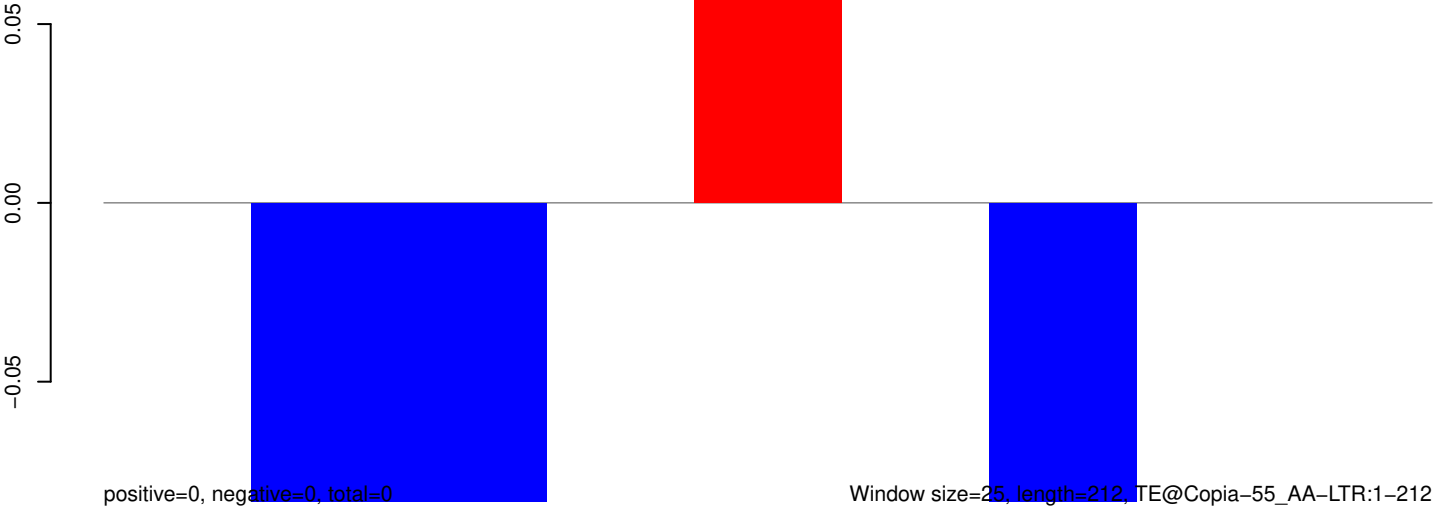
AeAeg_Aag2_Ago2_SINV_RA.18_23.rep



AeAeg_Aag2_Ago2_SINV_RA.24_35.rep

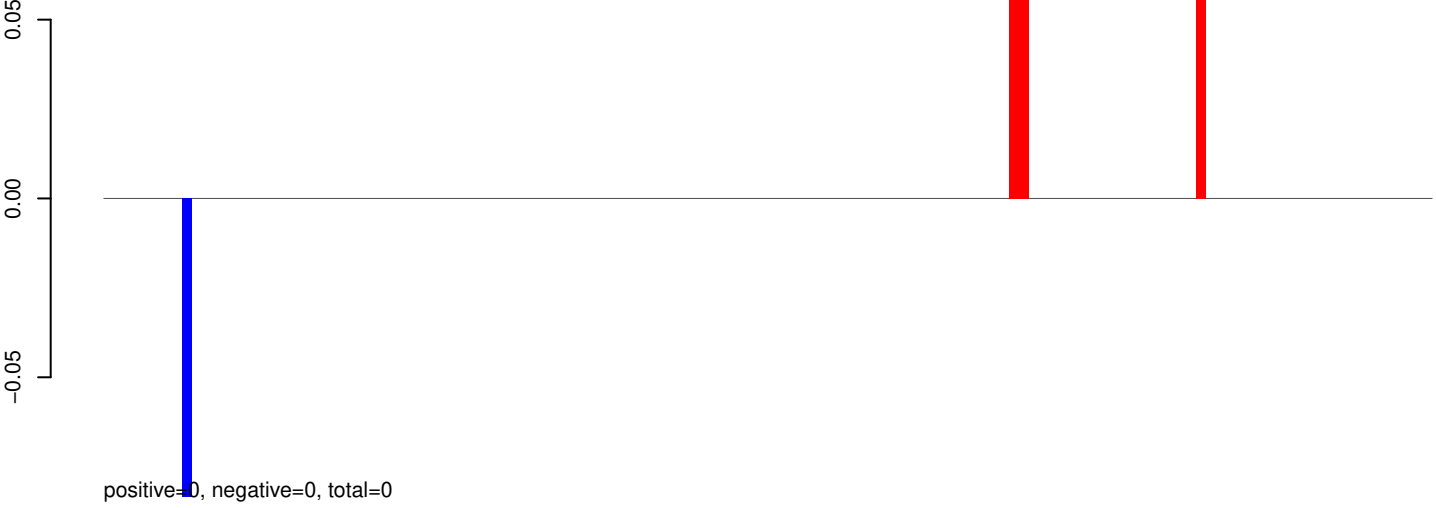


AeAeg_Aag2_Ago2_SINV_RA.rep

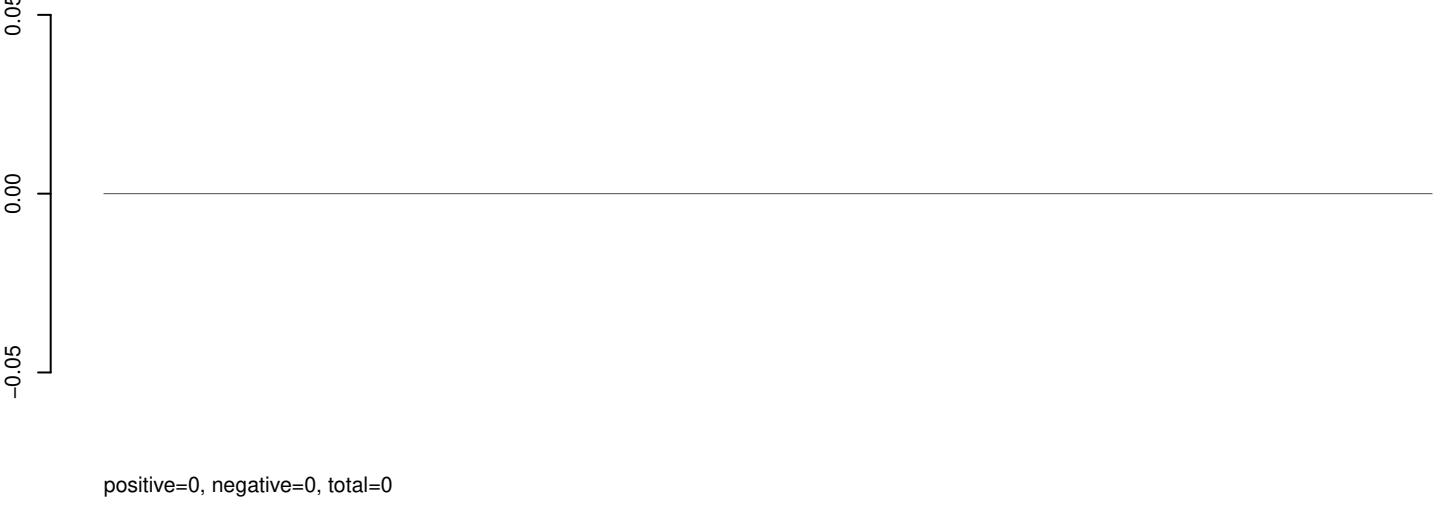


50 100 150 200 250

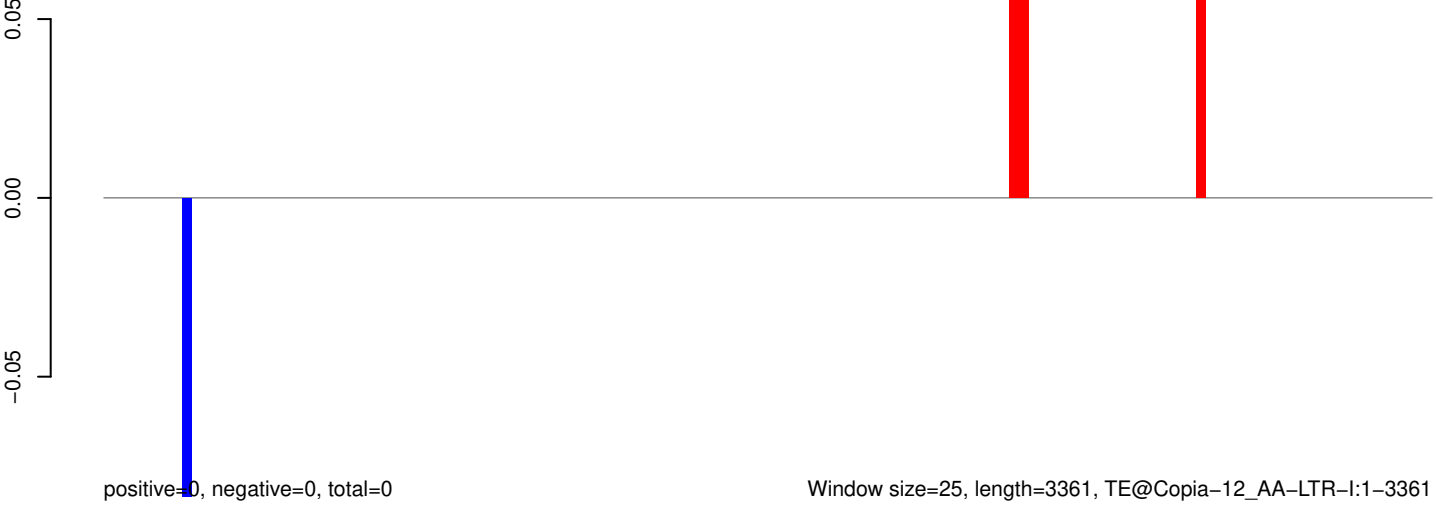
AeAeg_Aag2_Ago2_SINV_RA.18_23.rep



AeAeg_Aag2_Ago2_SINV_RA.24_35.rep



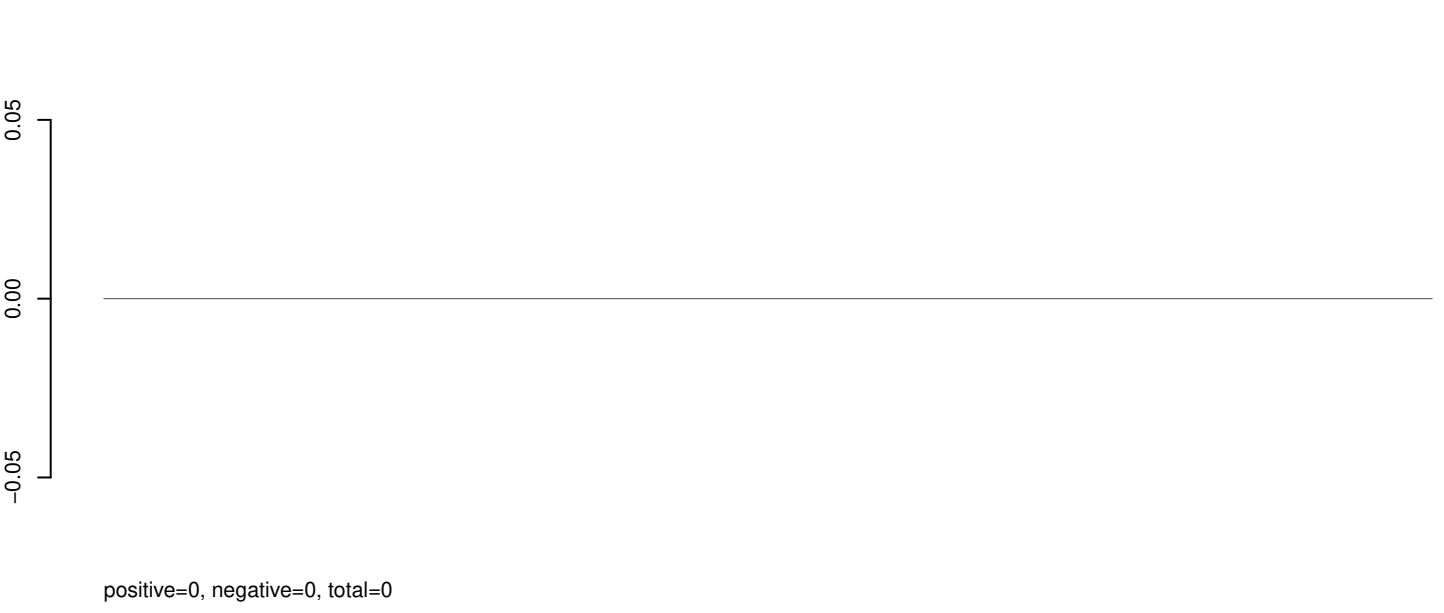
AeAeg_Aag2_Ago2_SINV_RA.rep



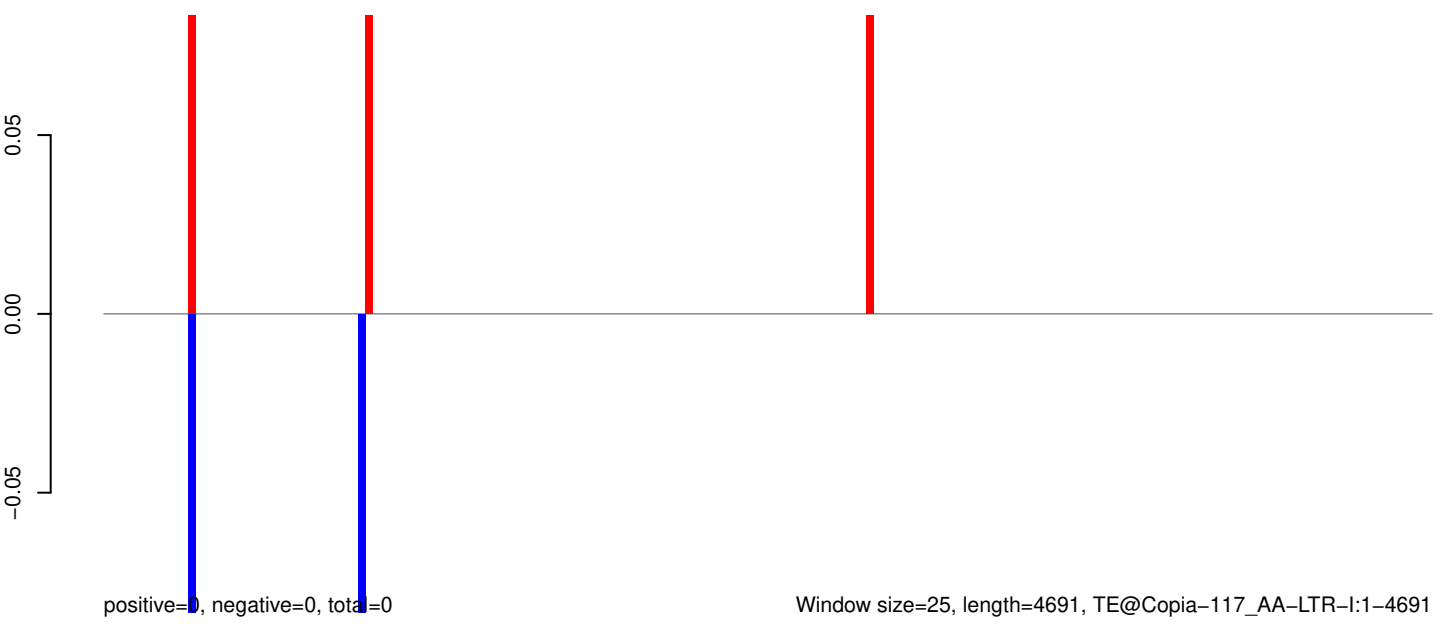
AeAeg_Aag2_Ago2_SINV_RA.18_23.rep



AeAeg_Aag2_Ago2_SINV_RA.24_35.rep



AeAeg_Aag2_Ago2_SINV_RA.rep



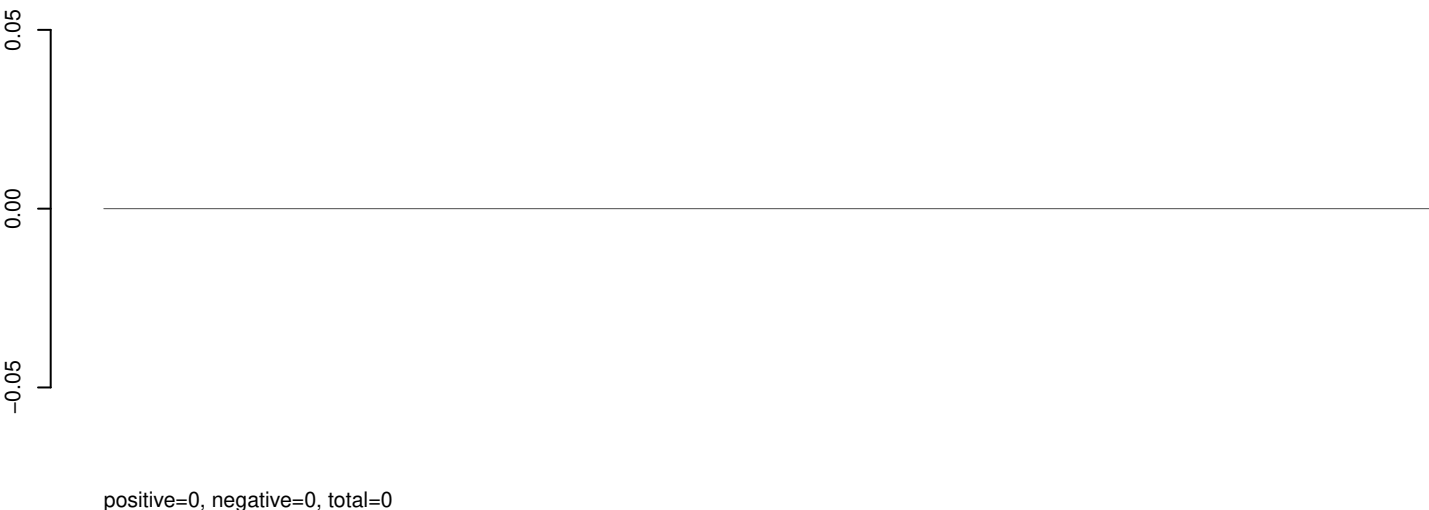
Window size=25, length=4691, TE@Copia-117_AA-LTR-I:1-4691

0 1000 2000 3000 4000

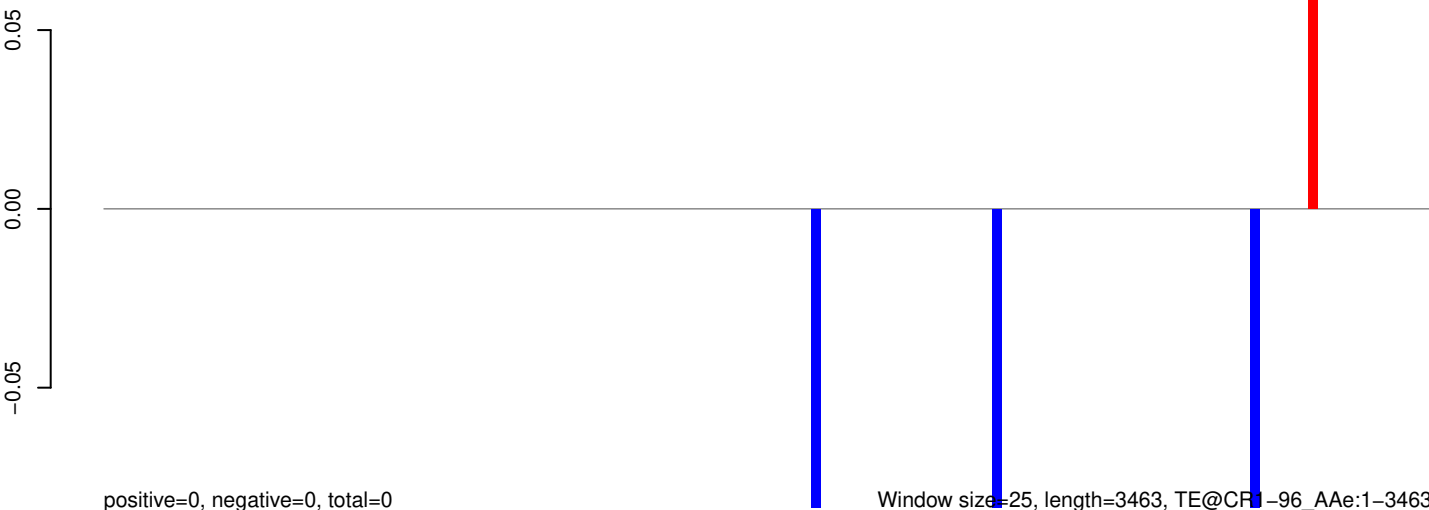
AeAeg_Aag2_Ago2_SINV_RA.18_23.rep



AeAeg_Aag2_Ago2_SINV_RA.24_35.rep



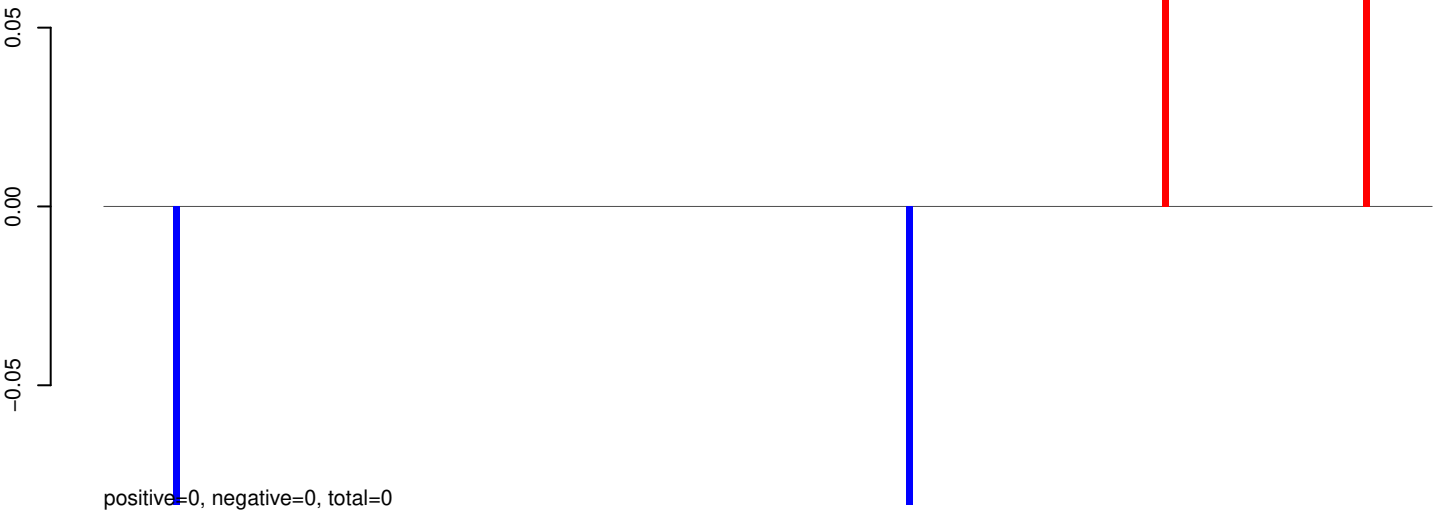
AeAeg_Aag2_Ago2_SINV_RA.rep



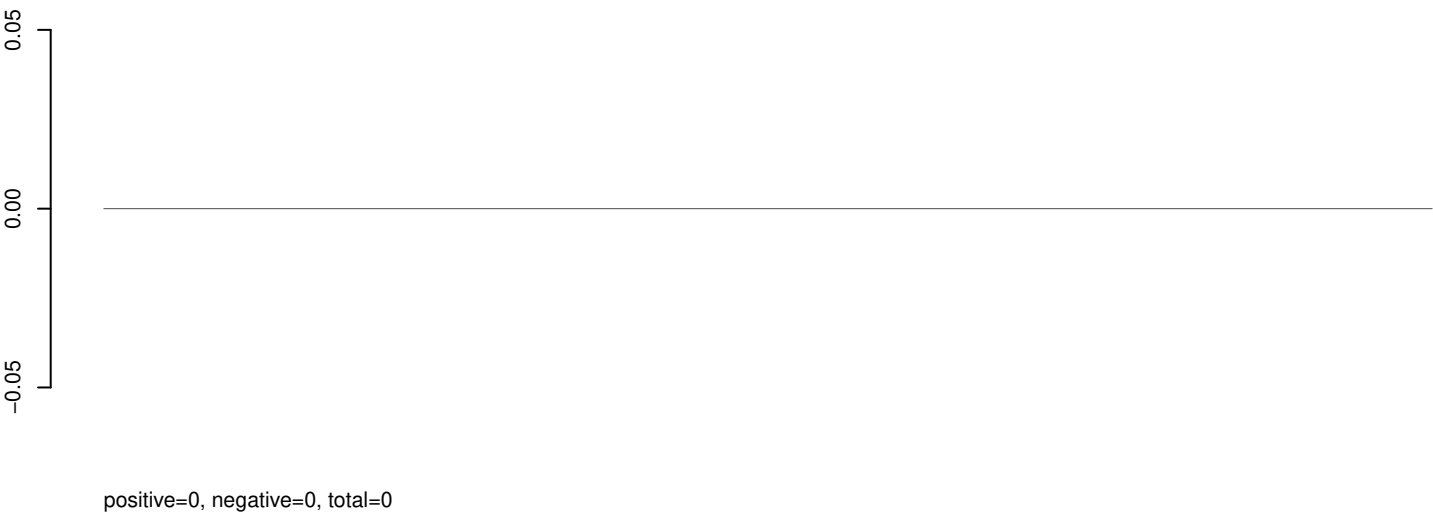
Window size=25, length=3463, TE@CF1-96_A Ae:1-3463

0 500 1000 1500 2000 2500 3000 3500

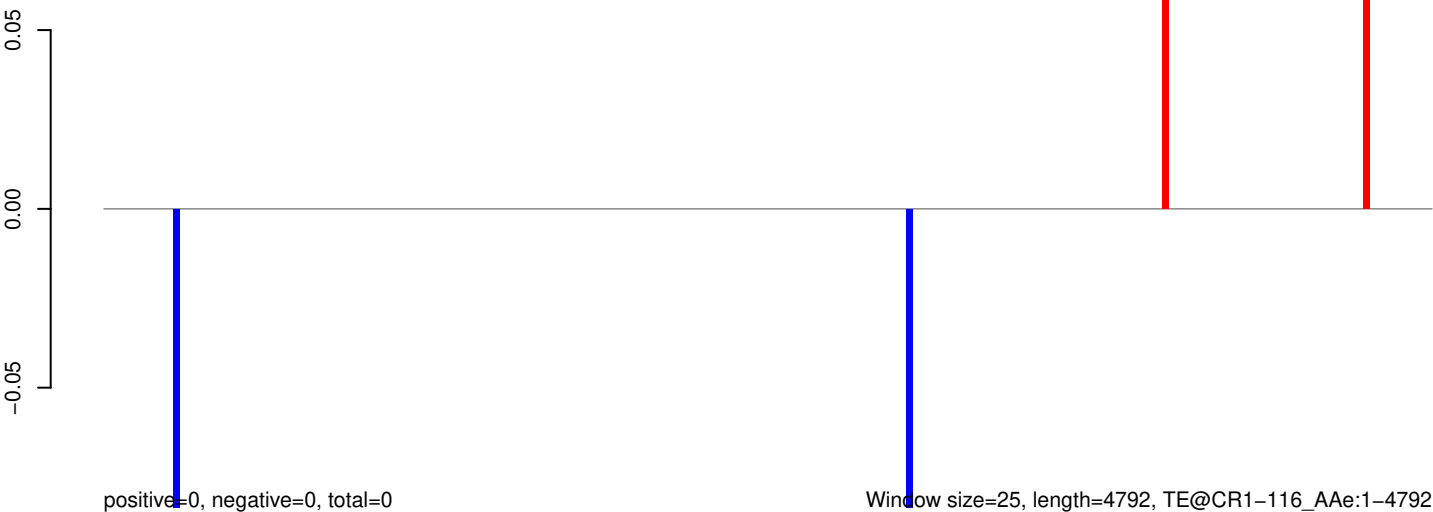
AeAeg_Aag2_Ago2_SINV_RA.18_23.rep



AeAeg_Aag2_Ago2_SINV_RA.24_35.rep

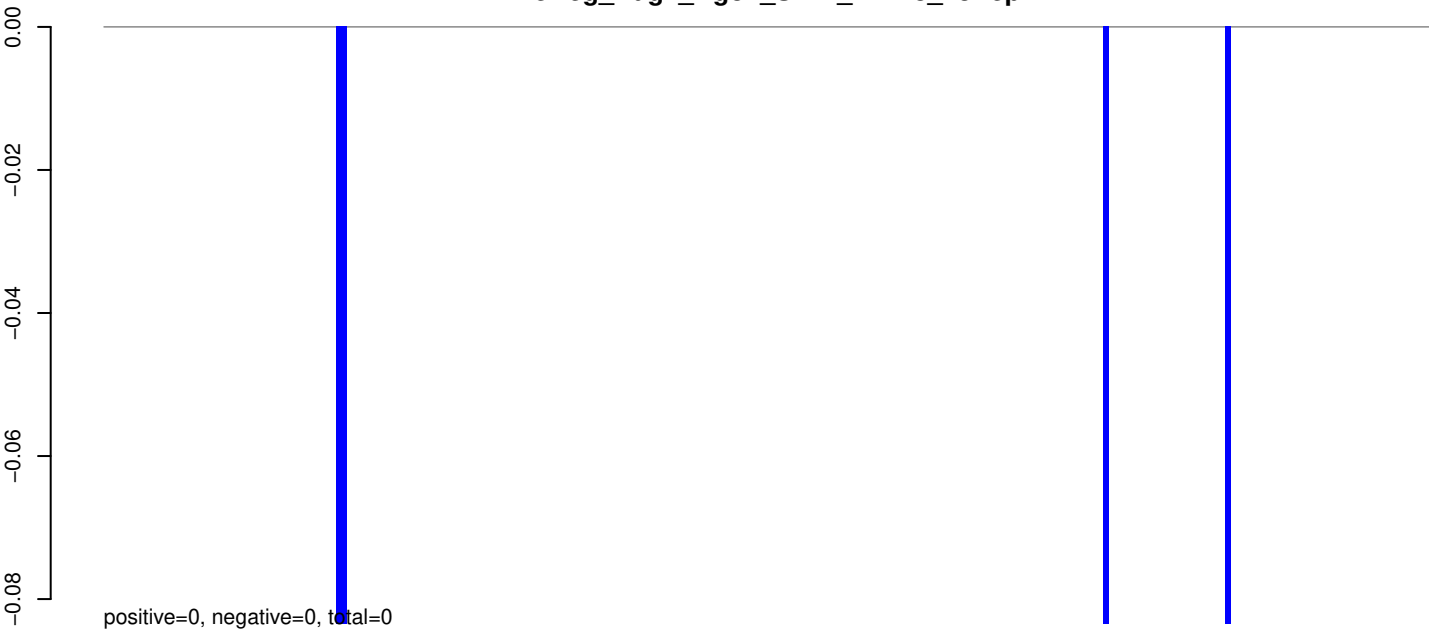


AeAeg_Aag2_Ago2_SINV_RA.rep

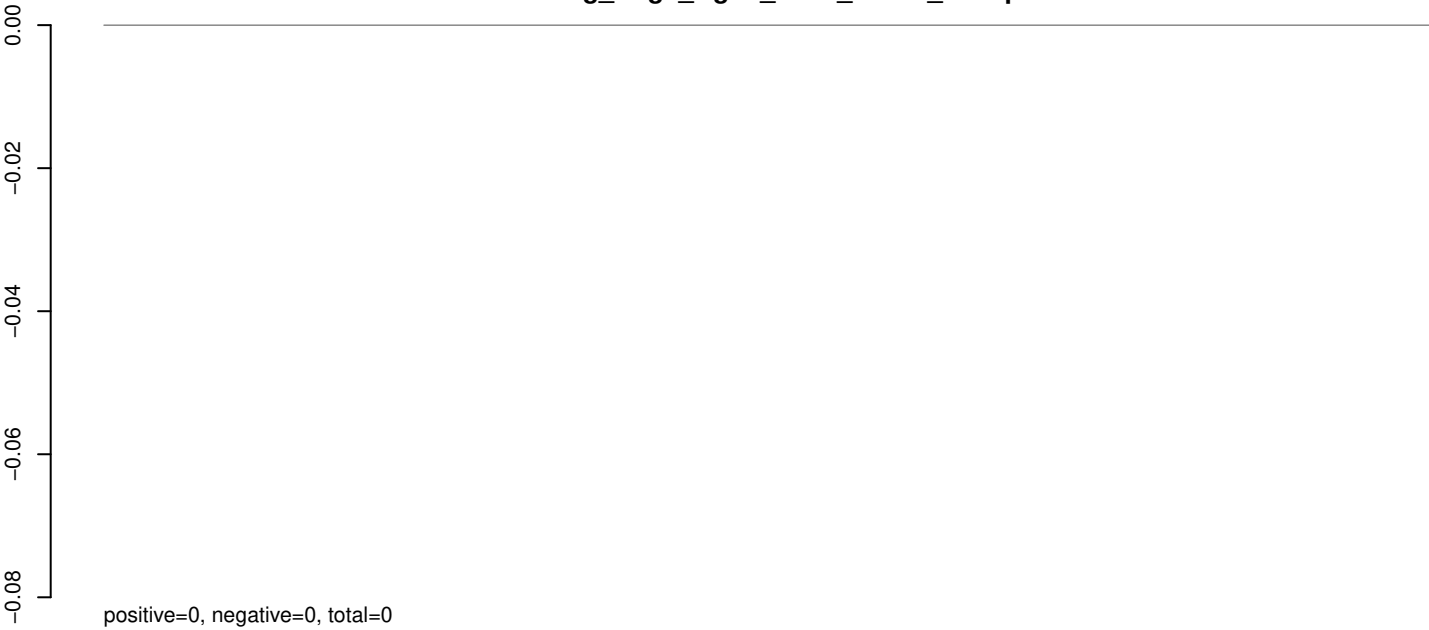


0 1000 2000 3000 4000 5000

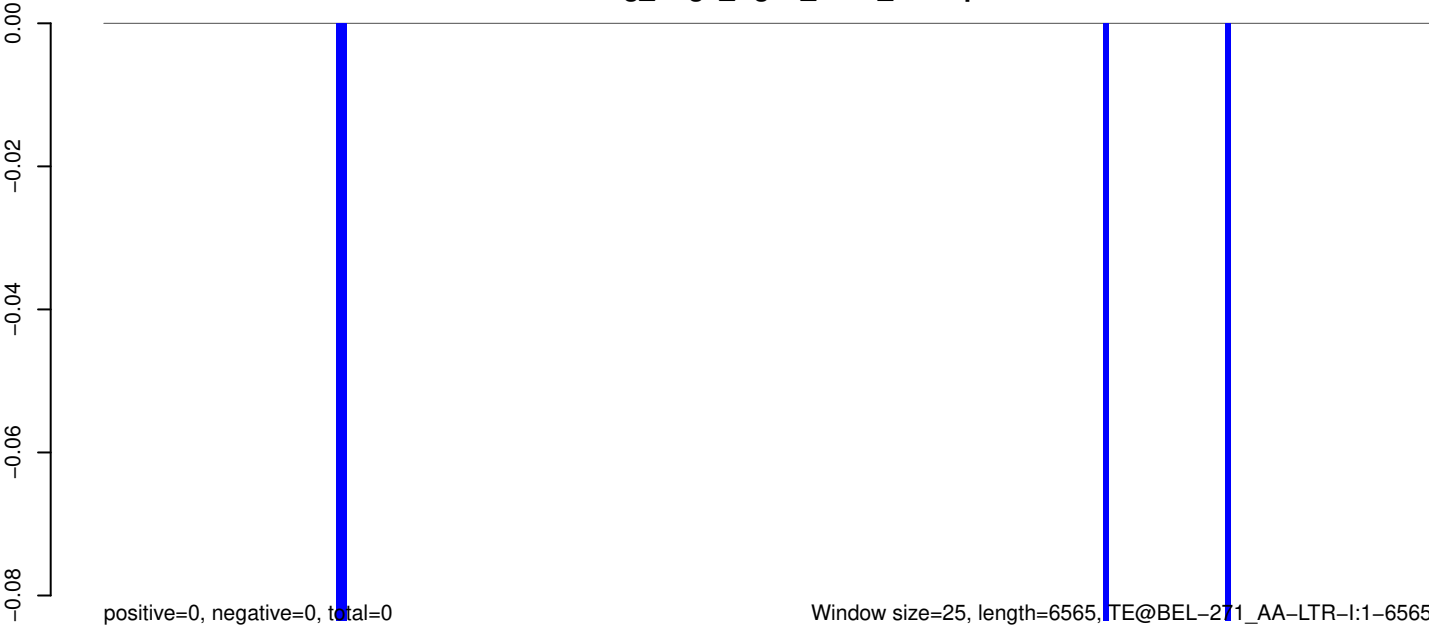
AeAeg_Aag2_Ago2_SINV_RA.18_23.rep



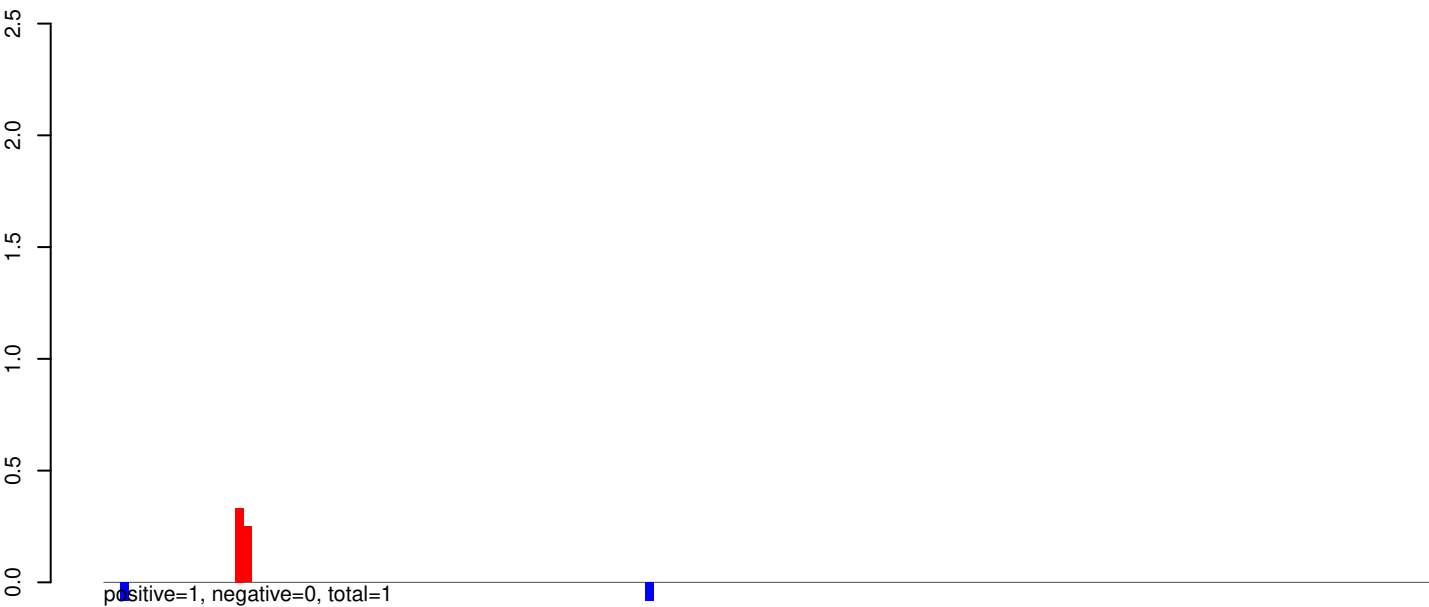
AeAeg_Aag2_Ago2_SINV_RA.24_35.rep



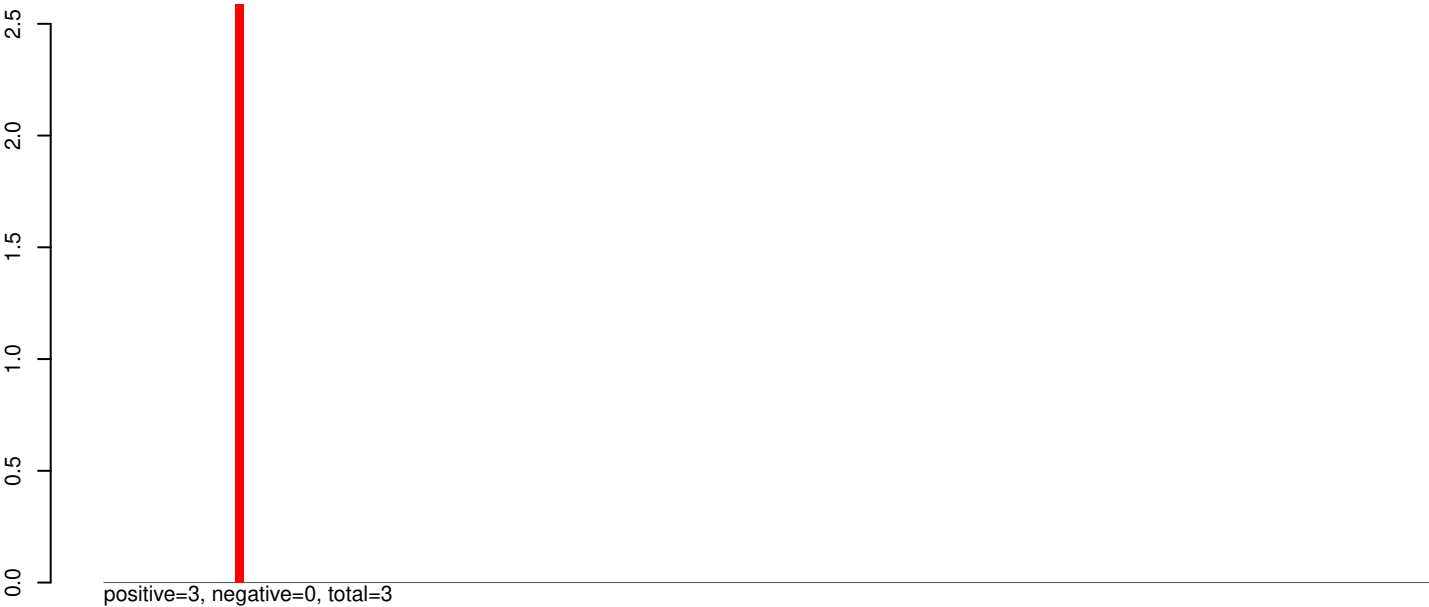
AeAeg_Aag2_Ago2_SINV_RA.rep



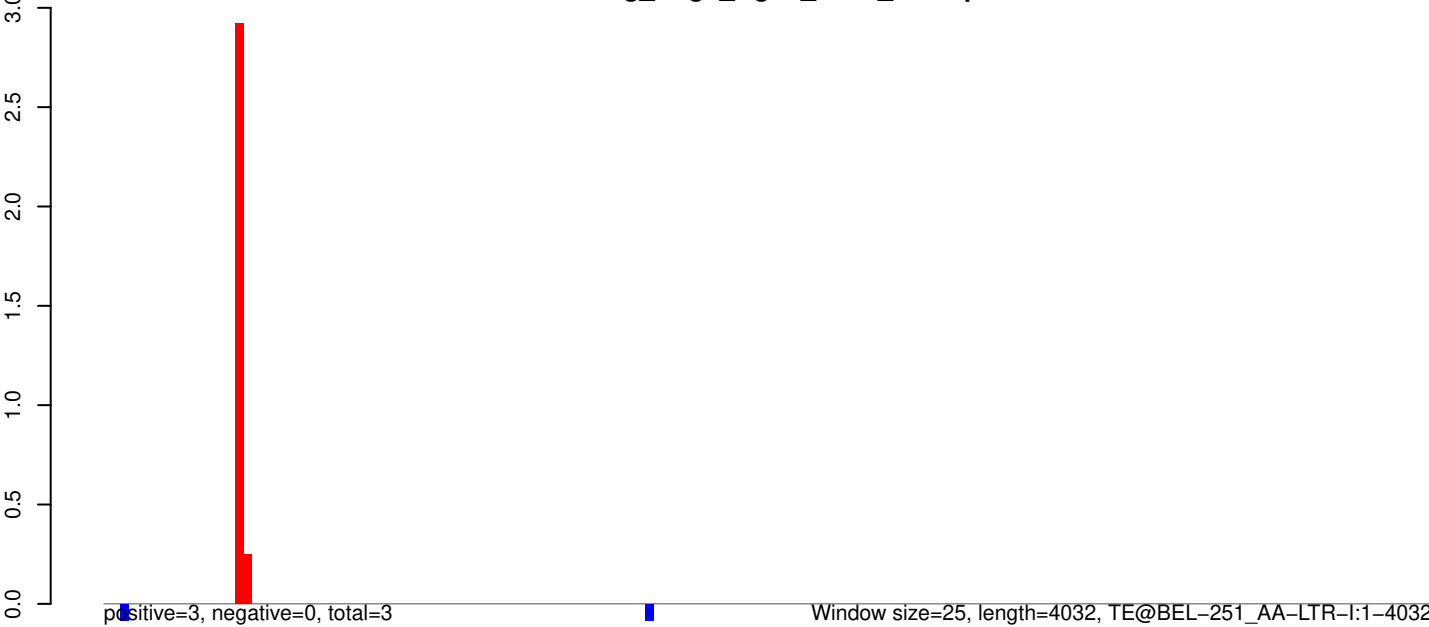
AeAeg_Aag2_Ago2_SINV_RA.18_23.rep



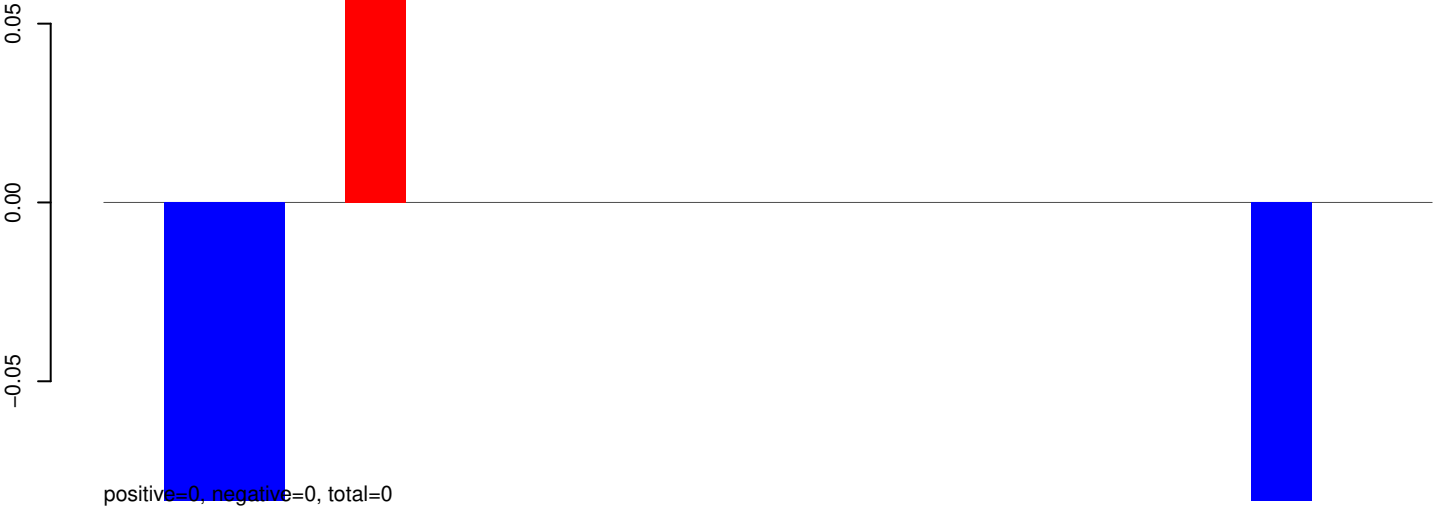
AeAeg_Aag2_Ago2_SINV_RA.24_35.rep



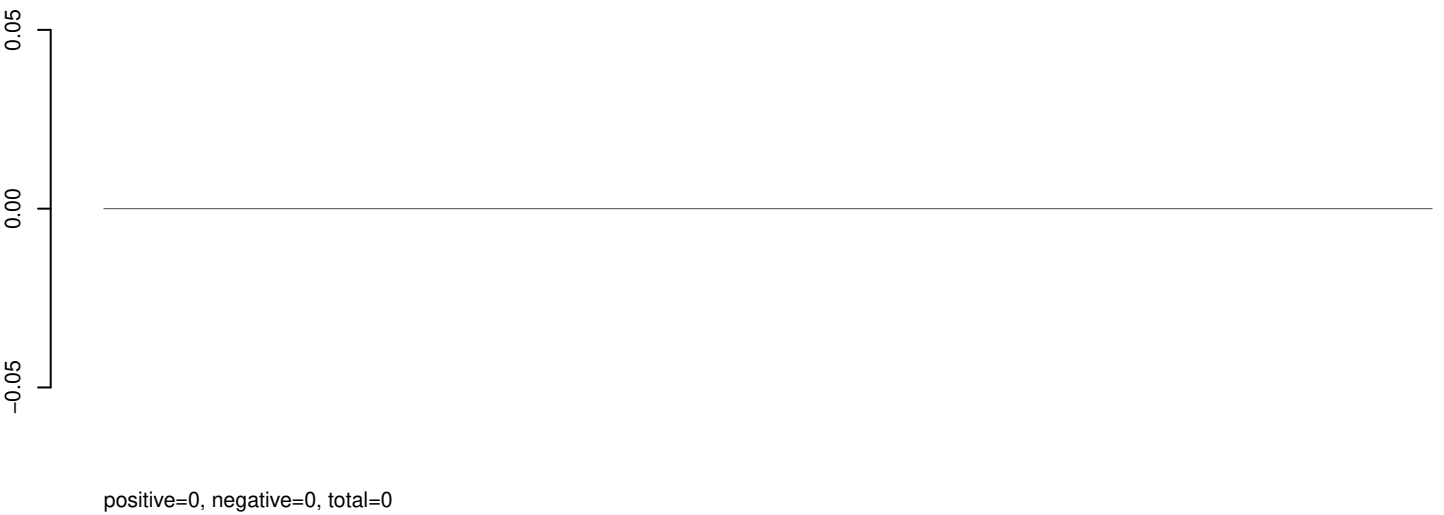
AeAeg_Aag2_Ago2_SINV_RA.rep



AeAeg_Aag2_Ago2_SINV_RA.18_23.rep



AeAeg_Aag2_Ago2_SINV_RA.24_35.rep



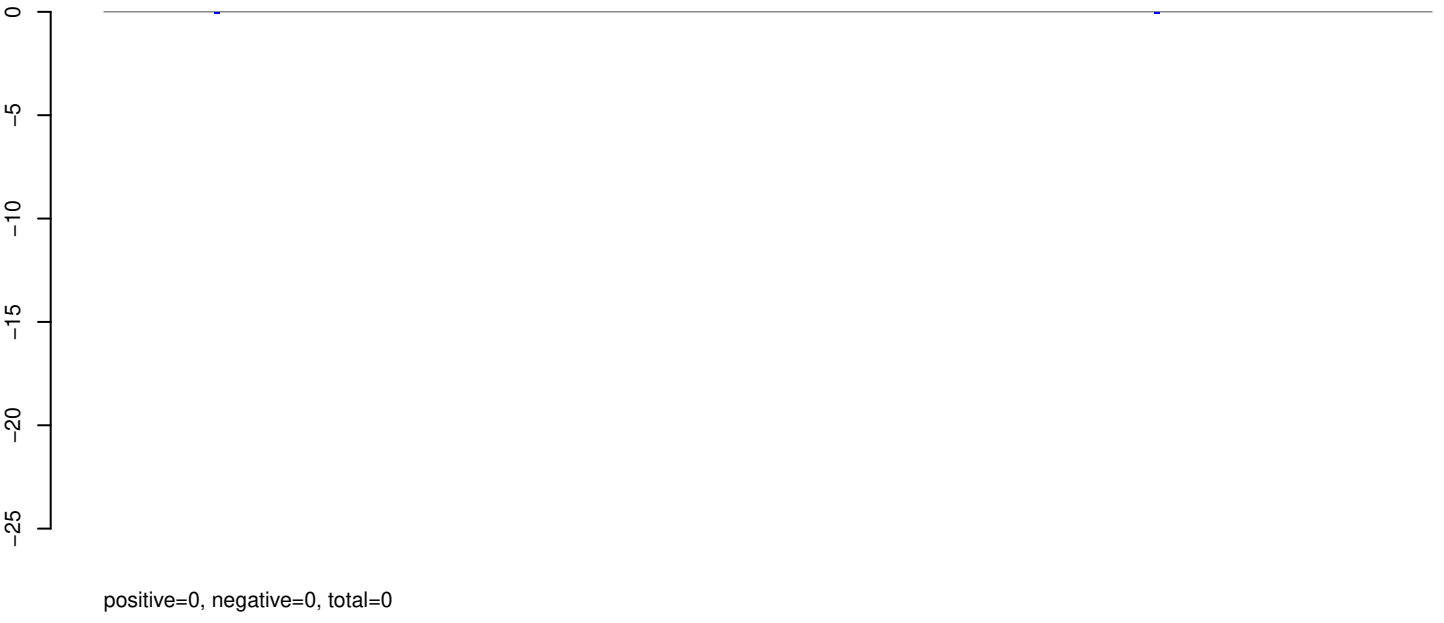
AeAeg_Aag2_Ago2_SINV_RA.rep



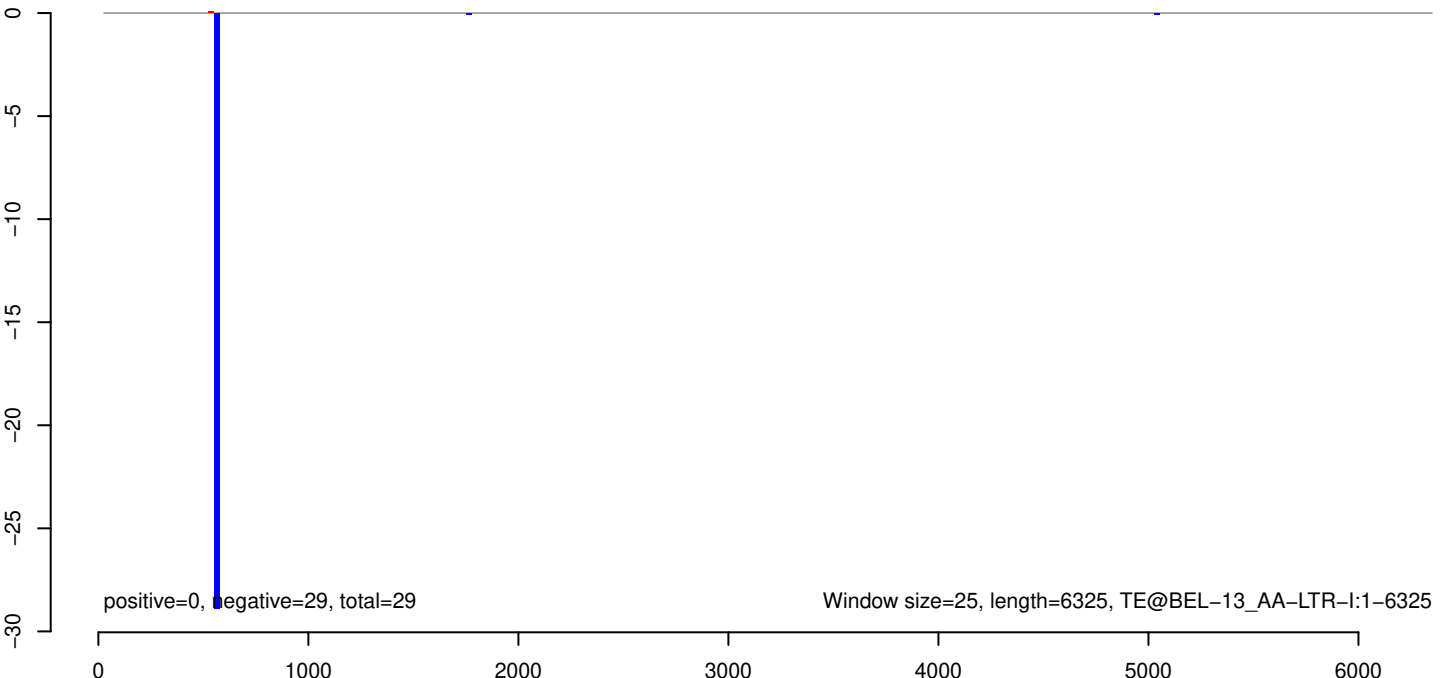
AeAeg_Aag2_Ago2_SINV_RA.18_23.rep



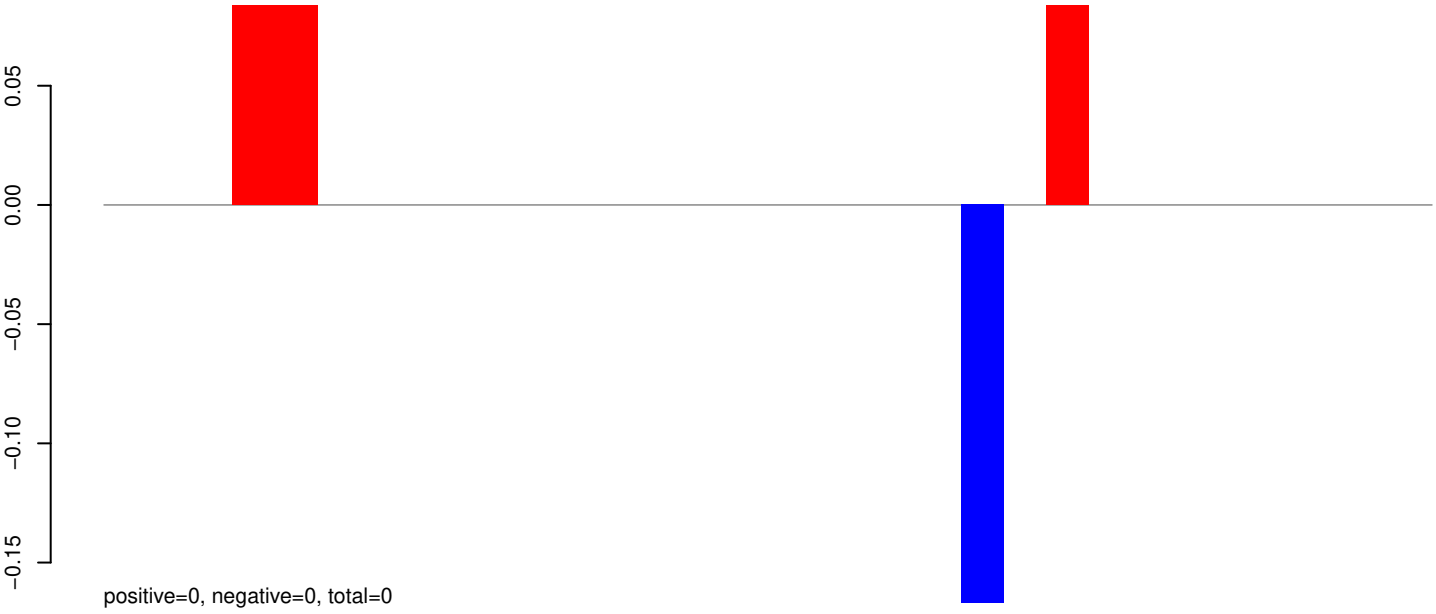
AeAeg_Aag2_Ago2_SINV_RA.24_35.rep



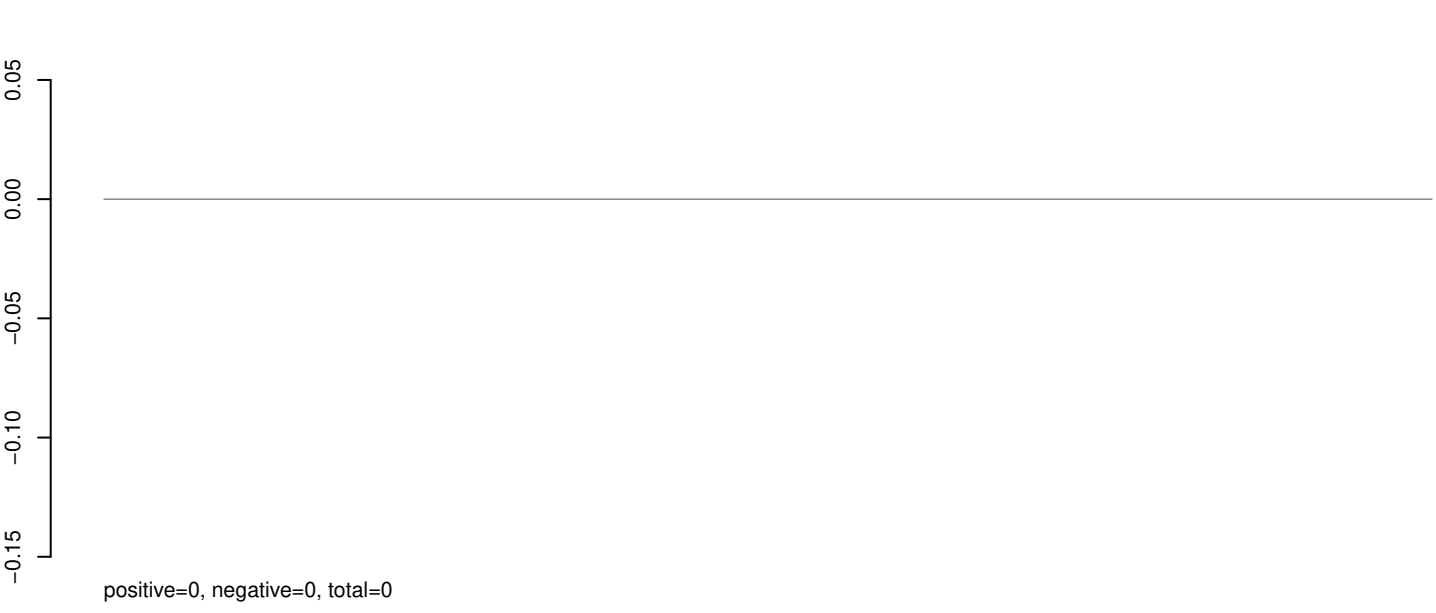
AeAeg_Aag2_Ago2_SINV_RA.rep



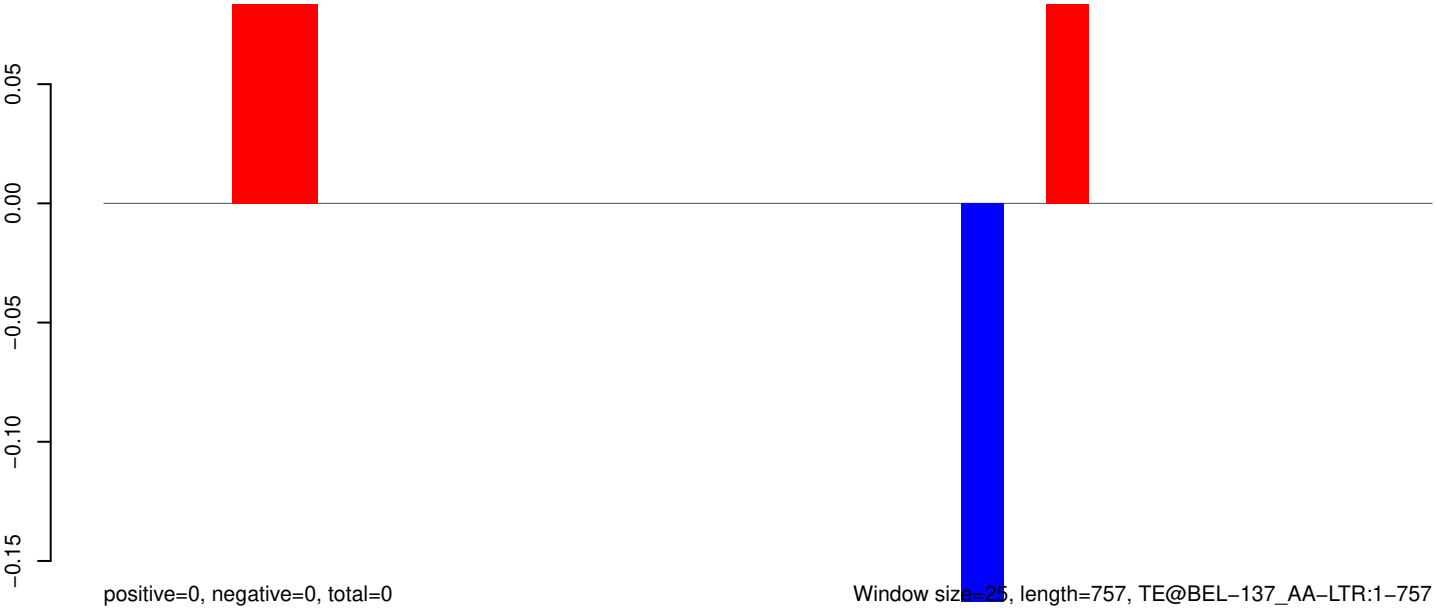
AeAeg_Aag2_Ago2_SINV_RA.18_23.rep



AeAeg_Aag2_Ago2_SINV_RA.24_35.rep

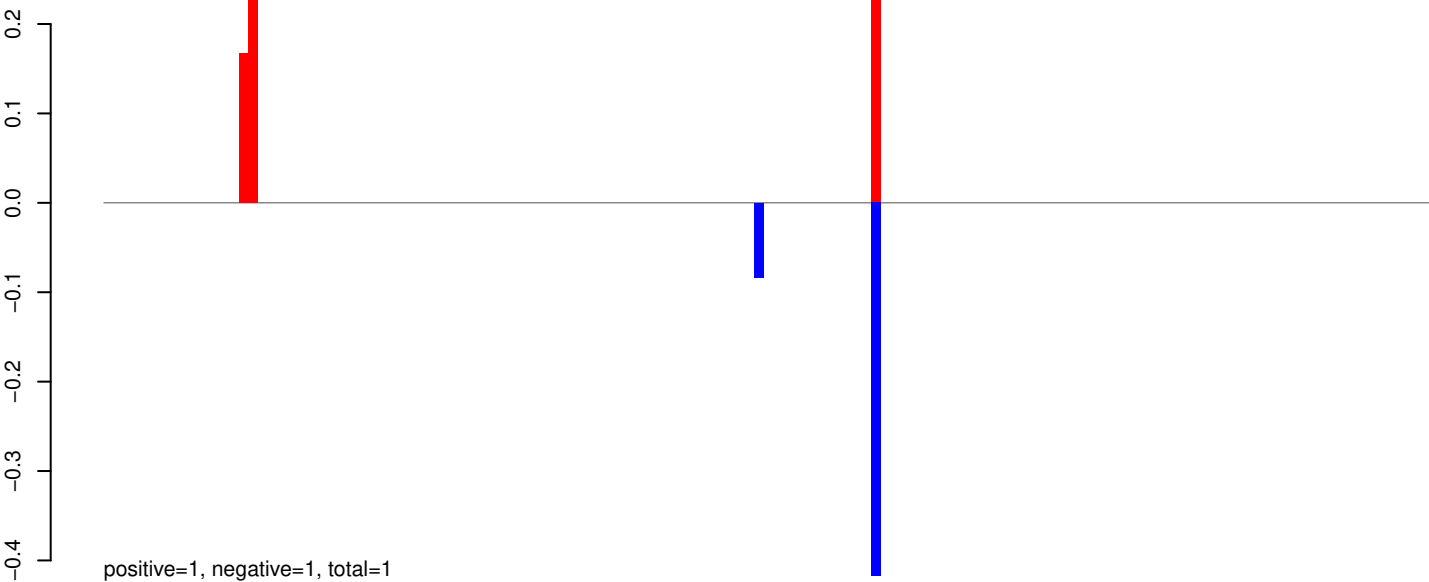


AeAeg_Aag2_Ago2_SINV_RA.rep

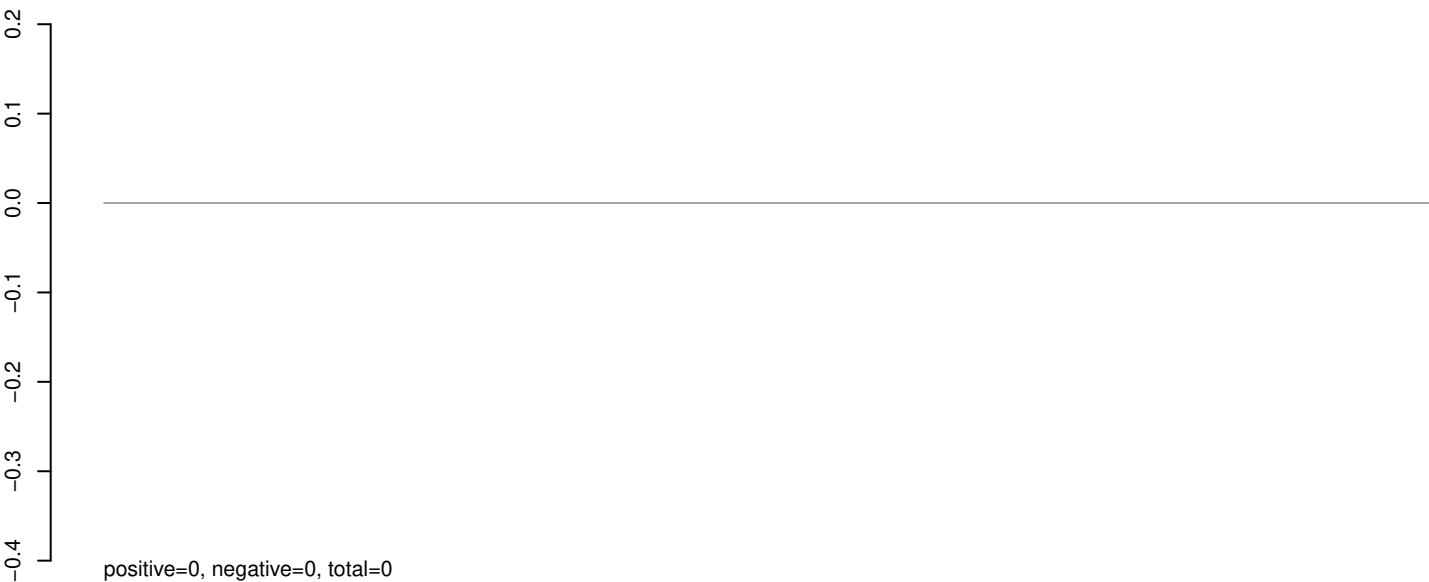


Window size=25, length=757, TE@BEL-137_AA-LTR:1-757

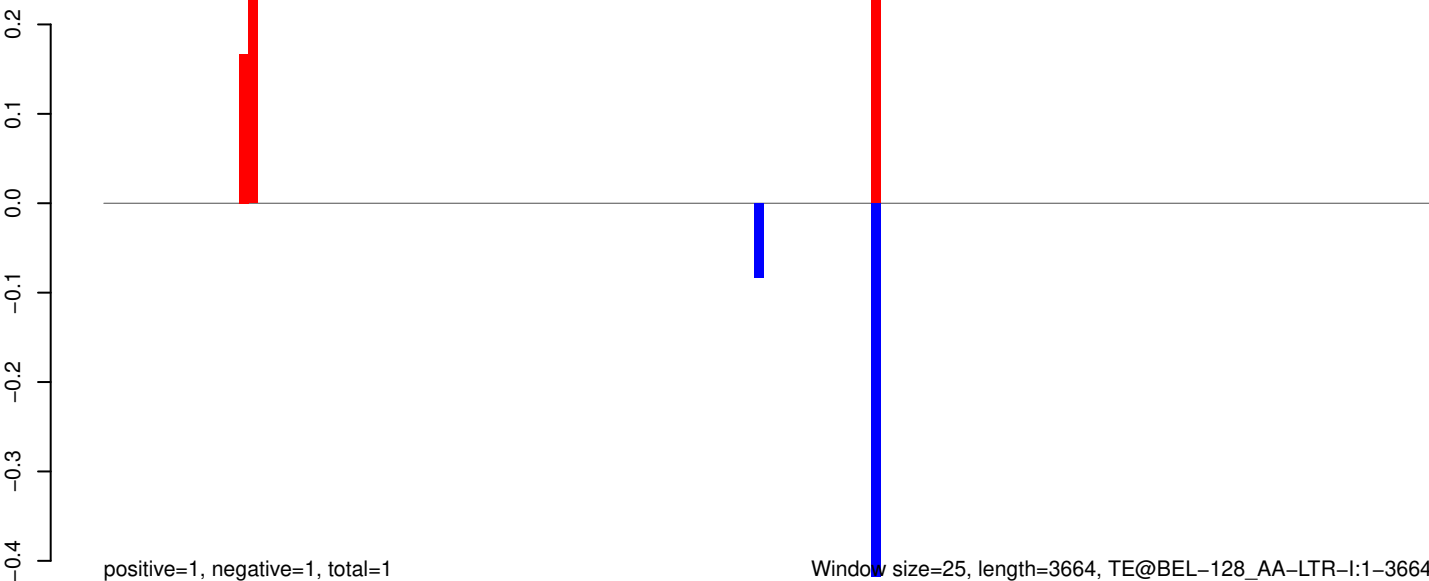
AeAeg_Aag2_Ago2_SINV_RA.18_23.rep



AeAeg_Aag2_Ago2_SINV_RA.24_35.rep

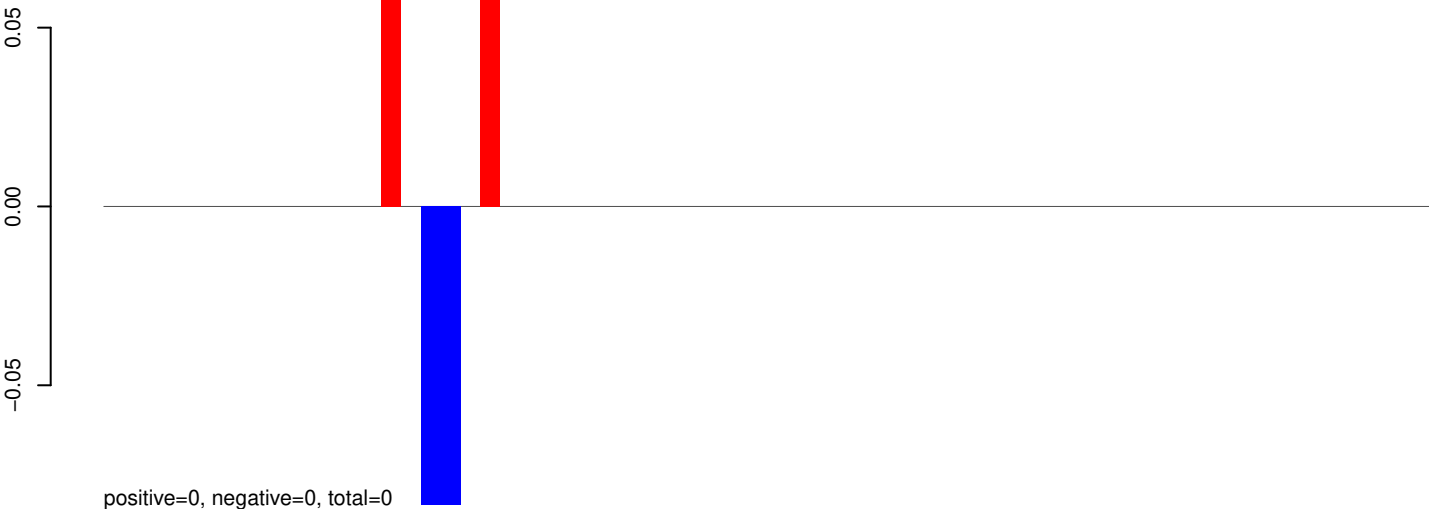


AeAeg_Aag2_Ago2_SINV_RA.rep

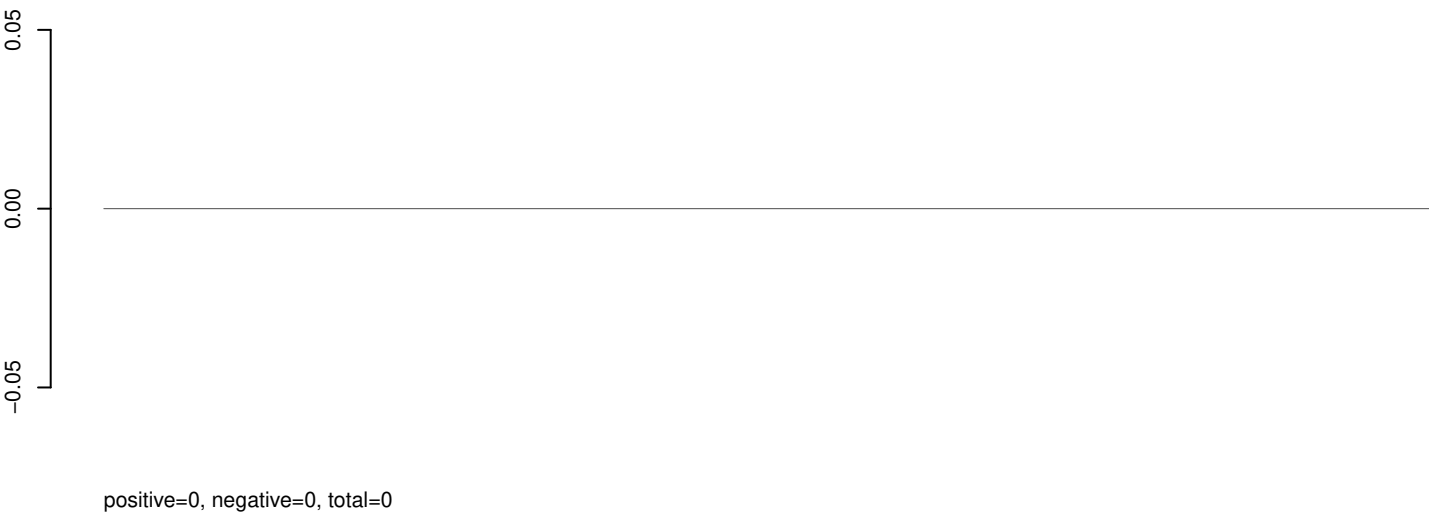


Window size=25, length=3664, TE@BEL-128_AA-LTR-I:1-3664

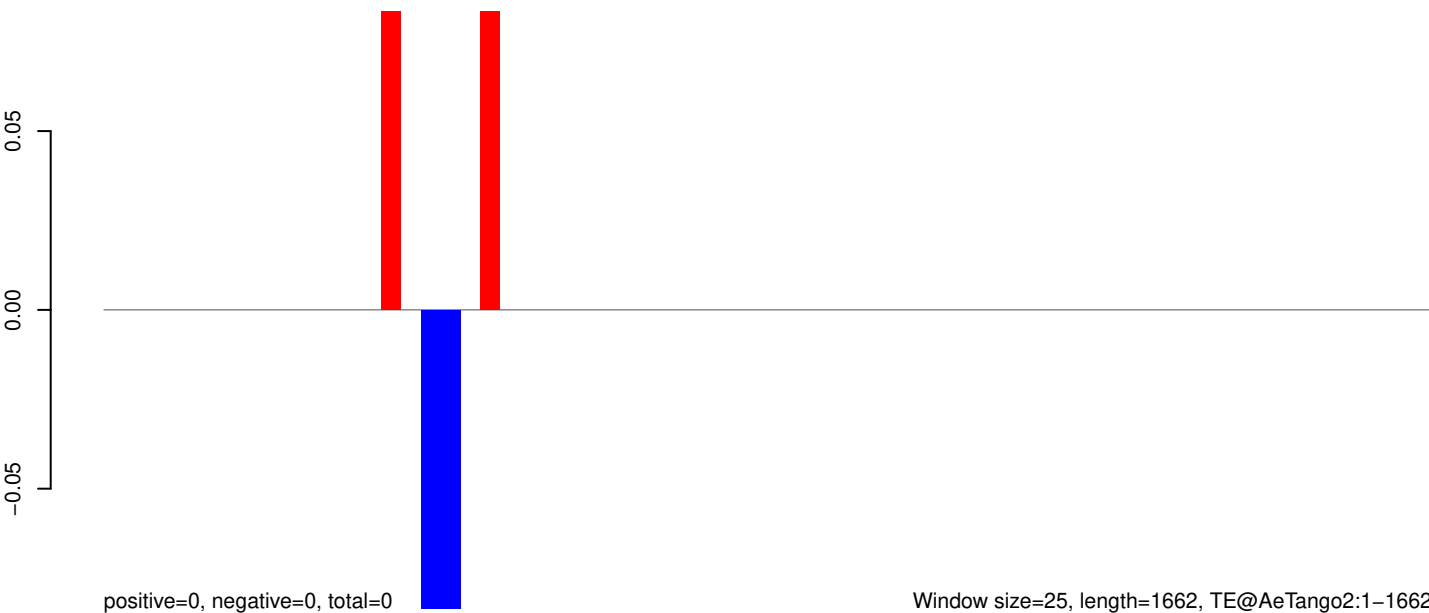
AeAeg_Aag2_Ago2_SINV_RA.18_23.rep



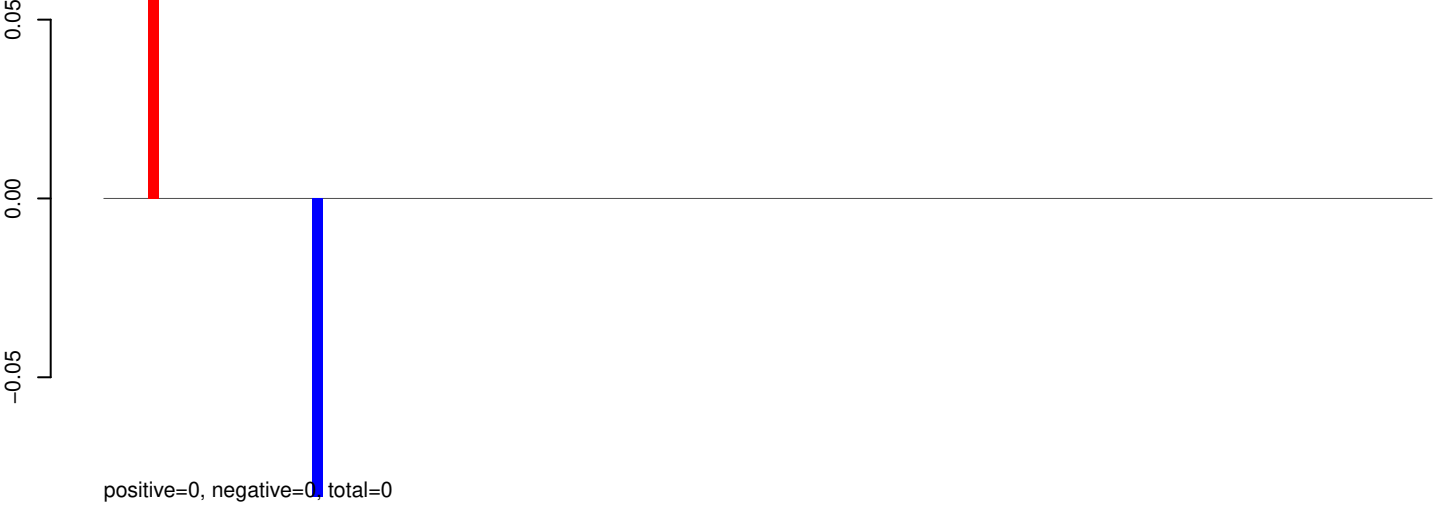
AeAeg_Aag2_Ago2_SINV_RA.24_35.rep



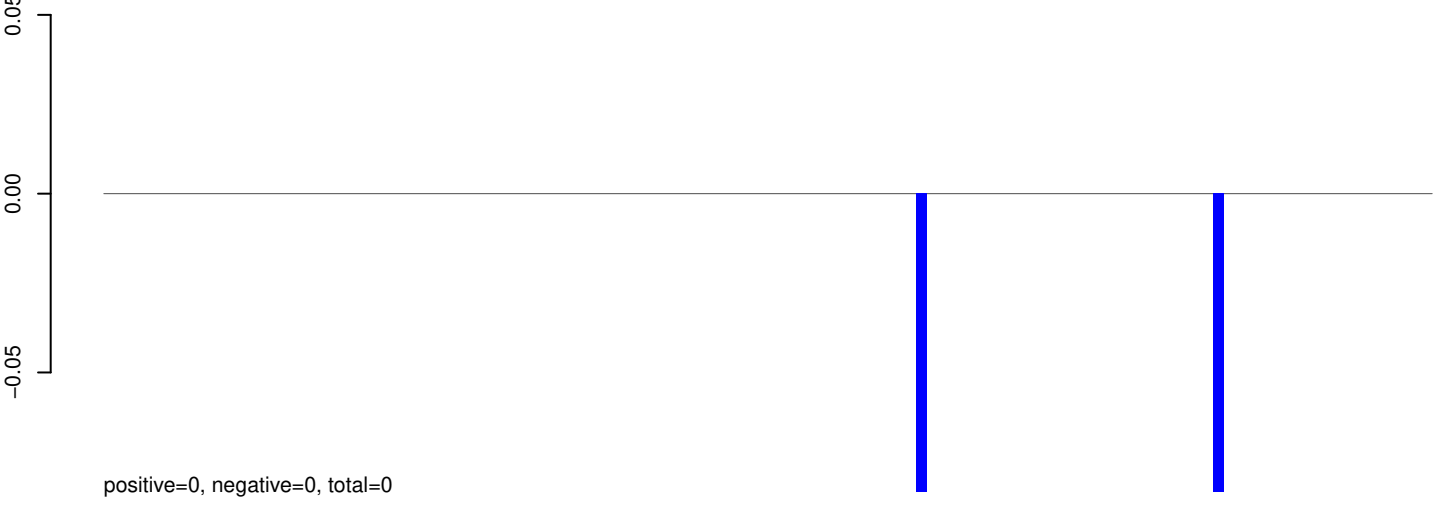
AeAeg_Aag2_Ago2_SINV_RA.rep



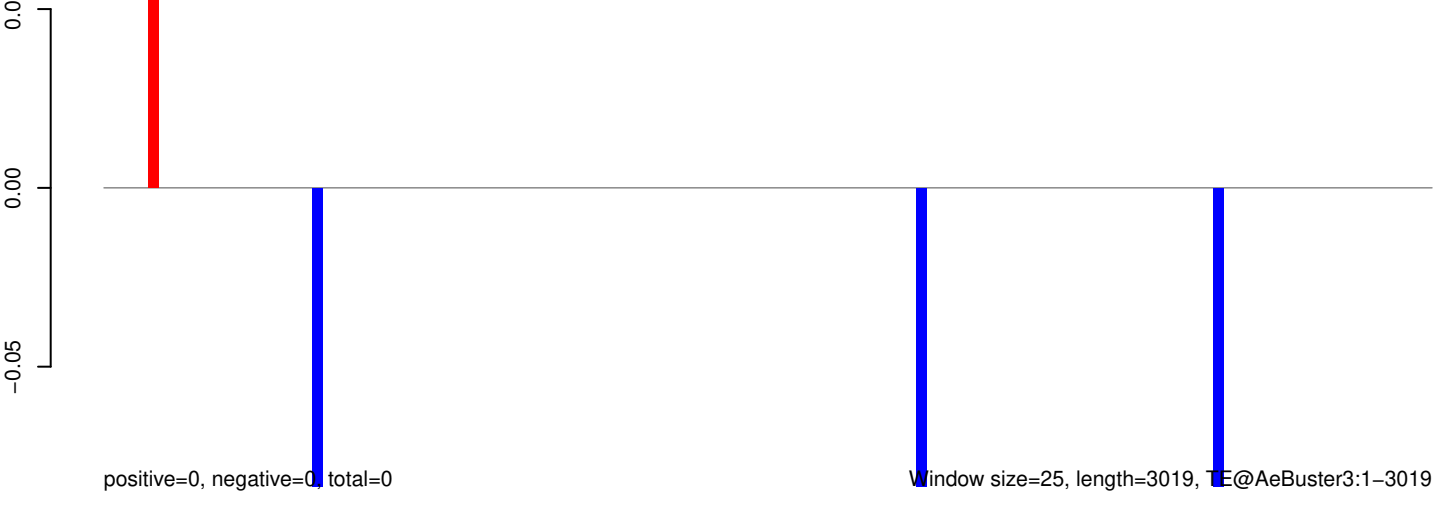
AeAeg_Aag2_Ago2_SINV_RA.18_23.rep



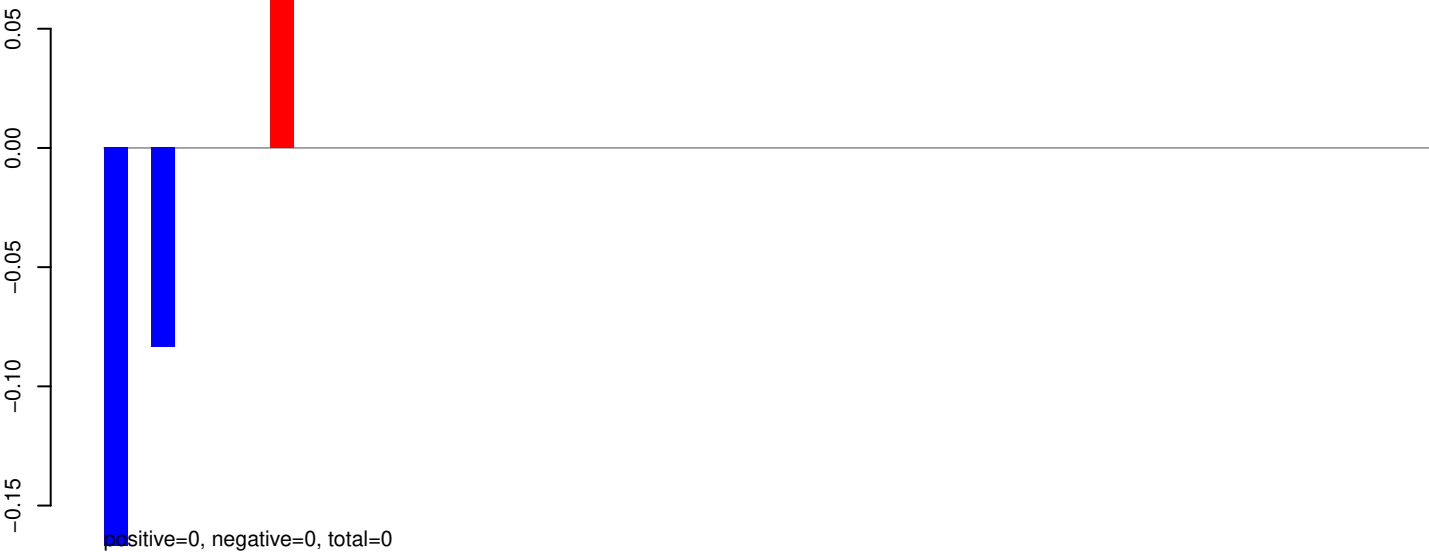
AeAeg_Aag2_Ago2_SINV_RA.24_35.rep



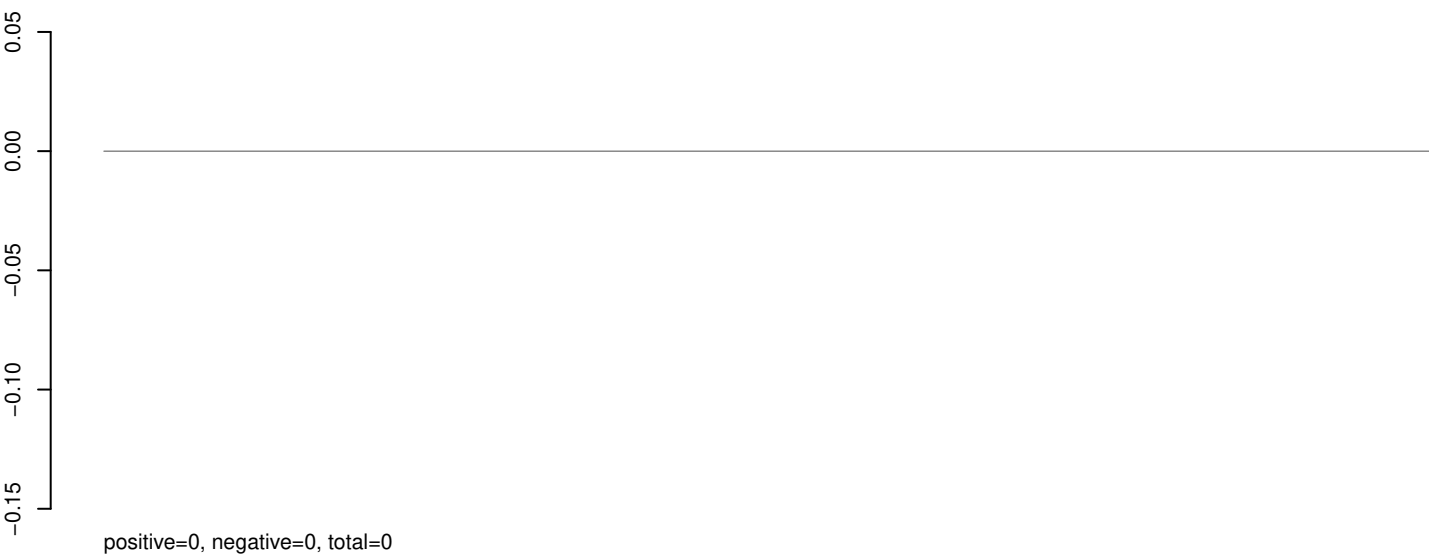
AeAeg_Aag2_Ago2_SINV_RA.rep



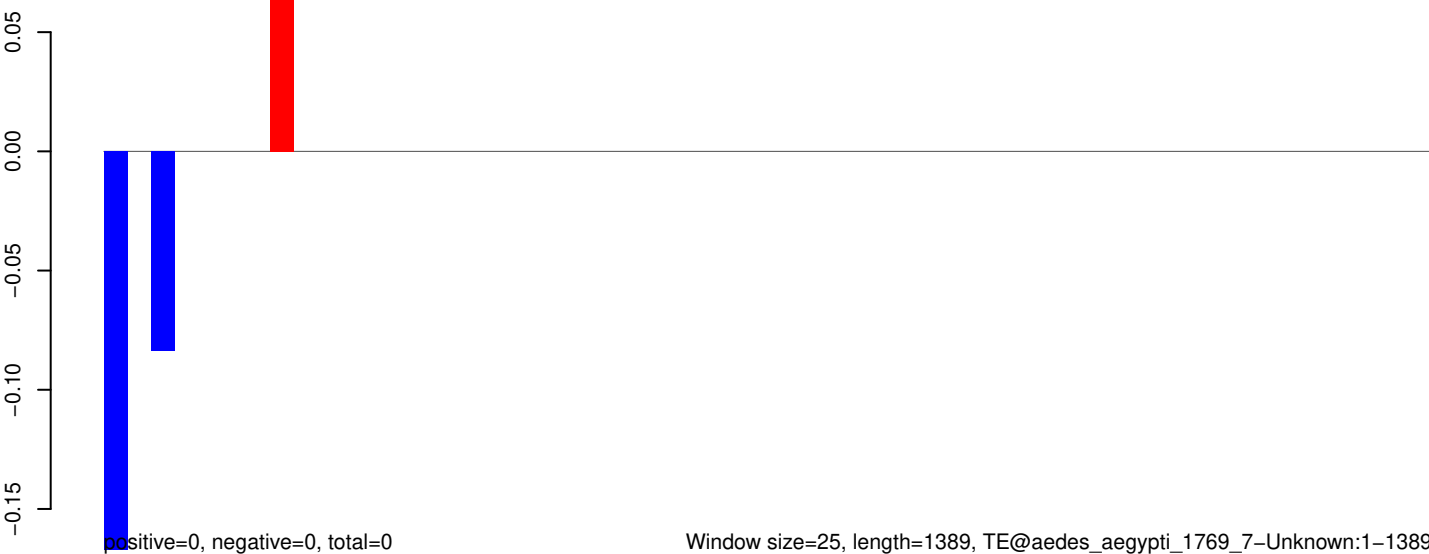
AeAeg_Aag2_Ago2_SINV_RA.18_23.rep



AeAeg_Aag2_Ago2_SINV_RA.24_35.rep



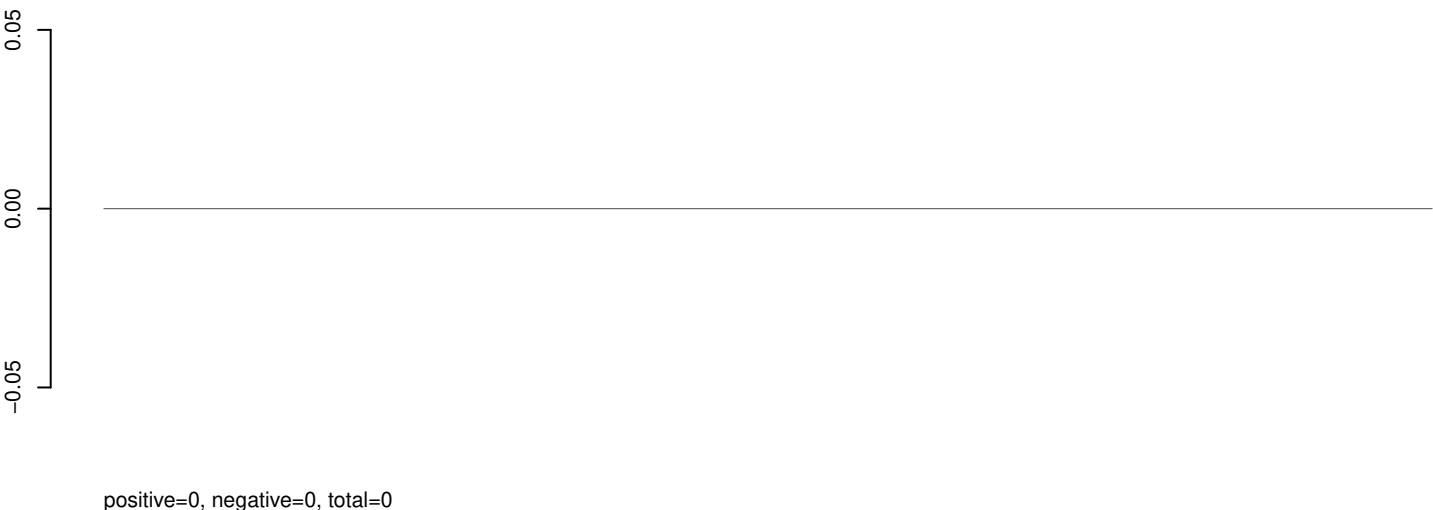
AeAeg_Aag2_Ago2_SINV_RA.rep



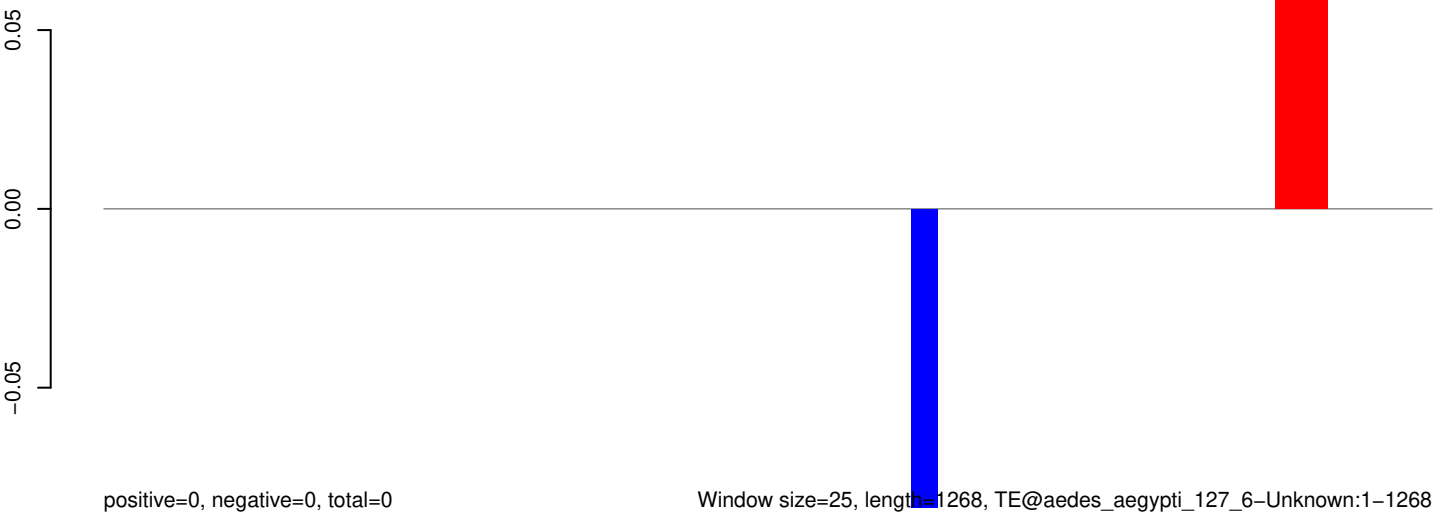
AeAeg_Aag2_Ago2_SINV_RA.18_23.rep



AeAeg_Aag2_Ago2_SINV_RA.24_35.rep



AeAeg_Aag2_Ago2_SINV_RA.rep

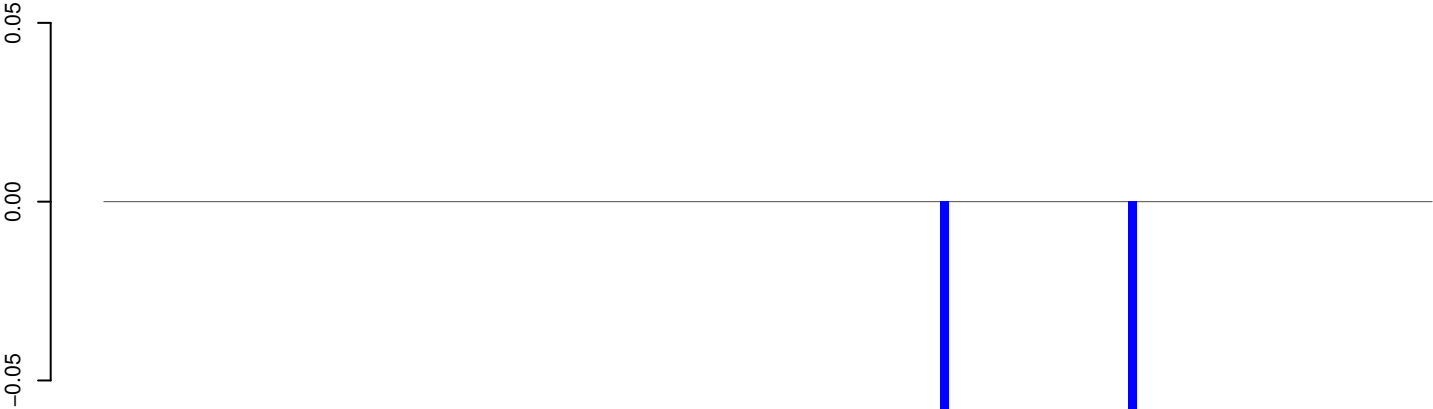


AeAeg_Aag2_Ago2_SINV_RA.18_23.rep



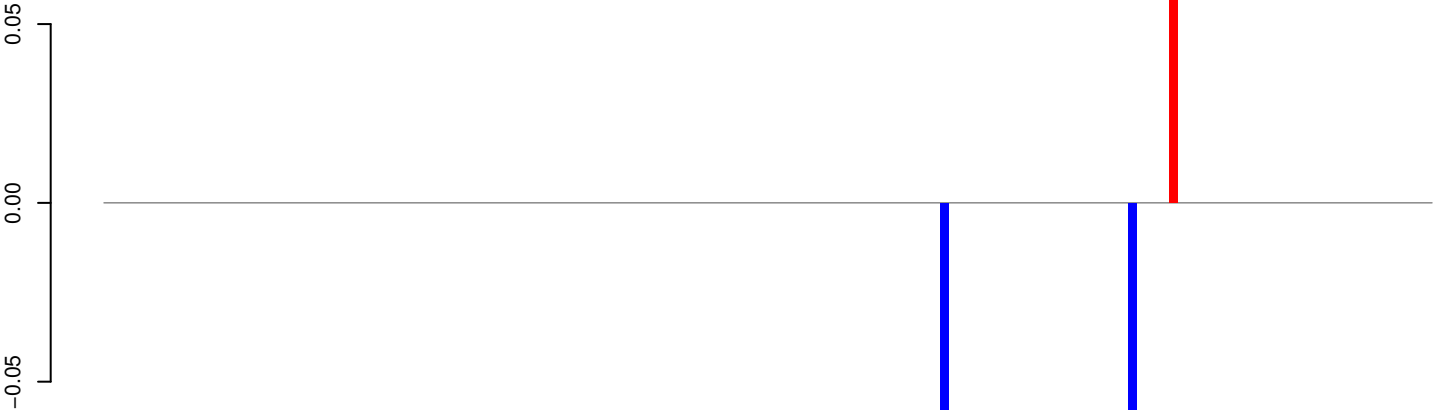
positive=0, negative=0, total=0

AeAeg_Aag2_Ago2_SINV_RA.24_35.rep



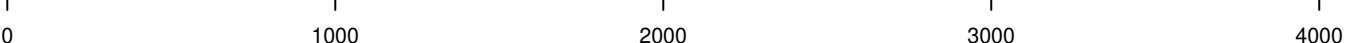
positive=0, negative=0, total=0

AeAeg_Aag2_Ago2_SINV_RA.rep

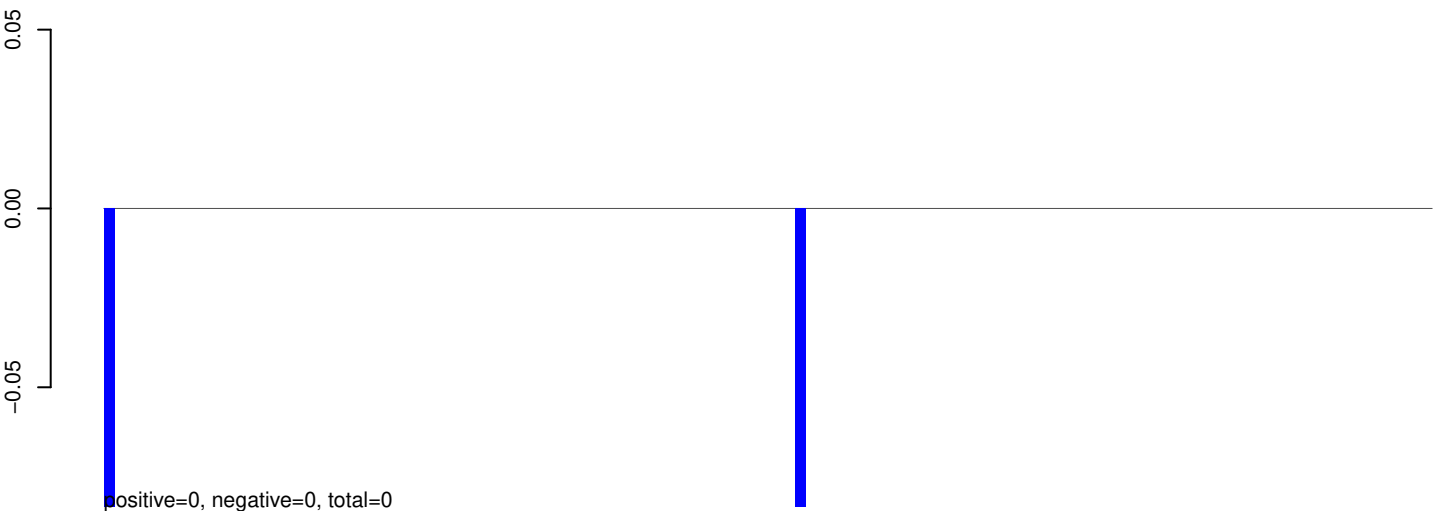


positive=0, negative=0, total=0

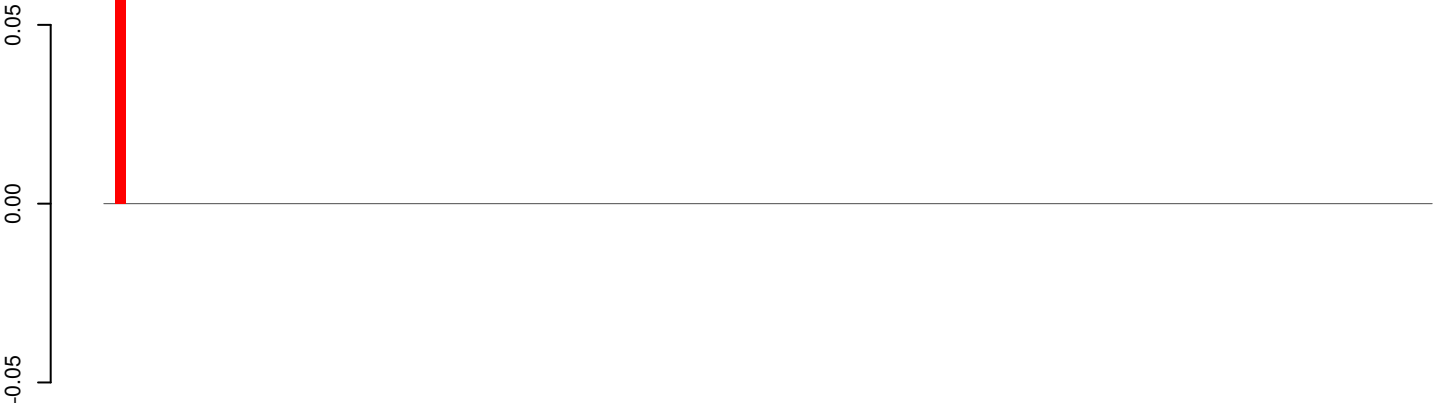
Window size=25, length=4043, TE@Zator-2_AA:1-4043



AeAeg_Aag2_Ago2_SINV_RA.18_23.rep

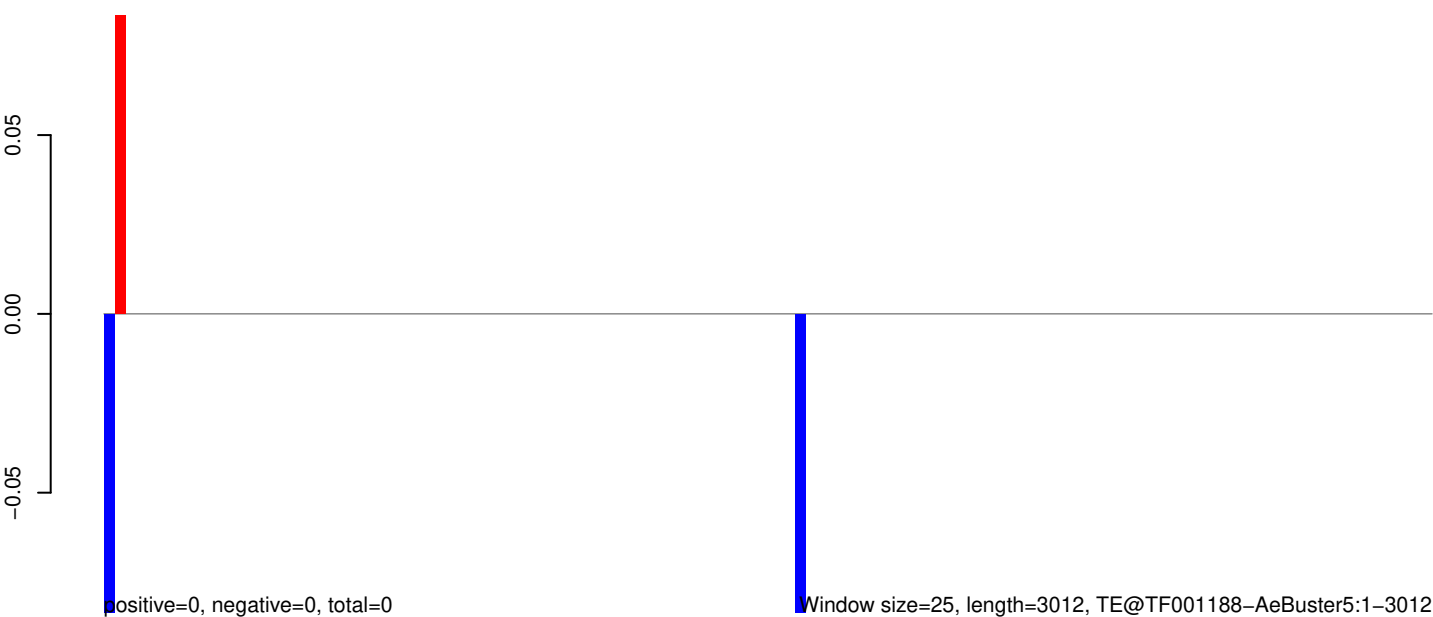


AeAeg_Aag2_Ago2_SINV_RA.24_35.rep



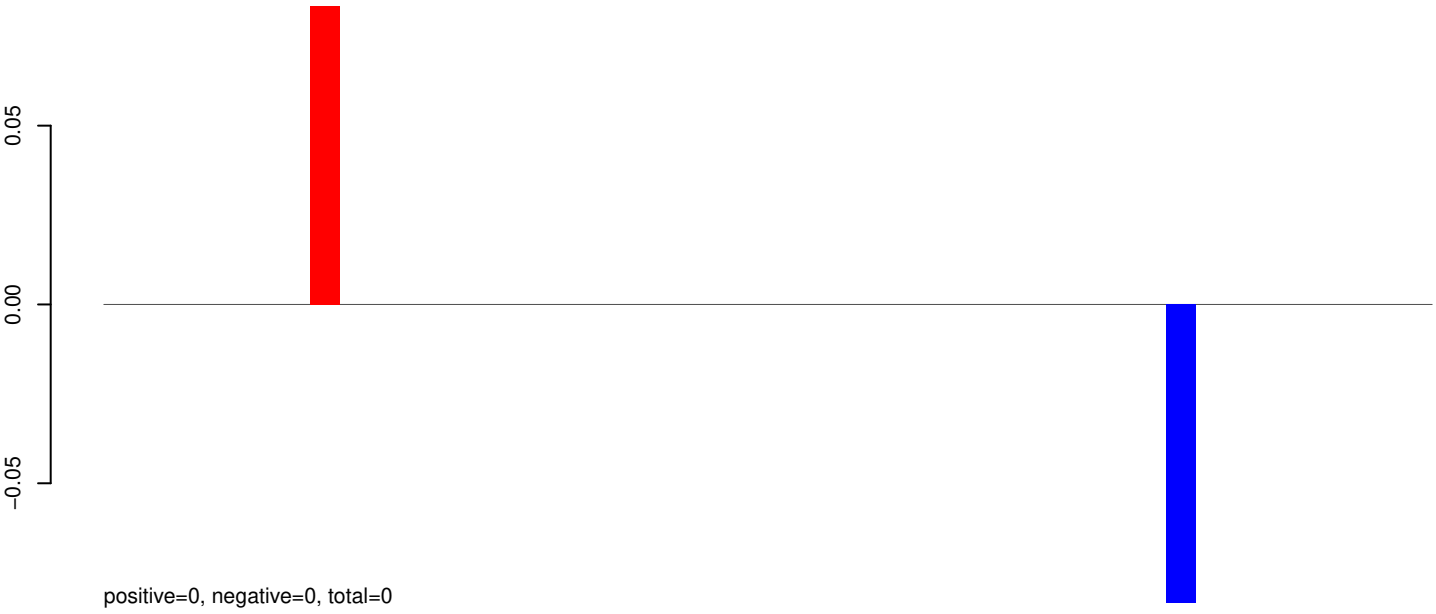
positive=0, negative=0, total=0

AeAeg_Aag2_Ago2_SINV_RA.rep

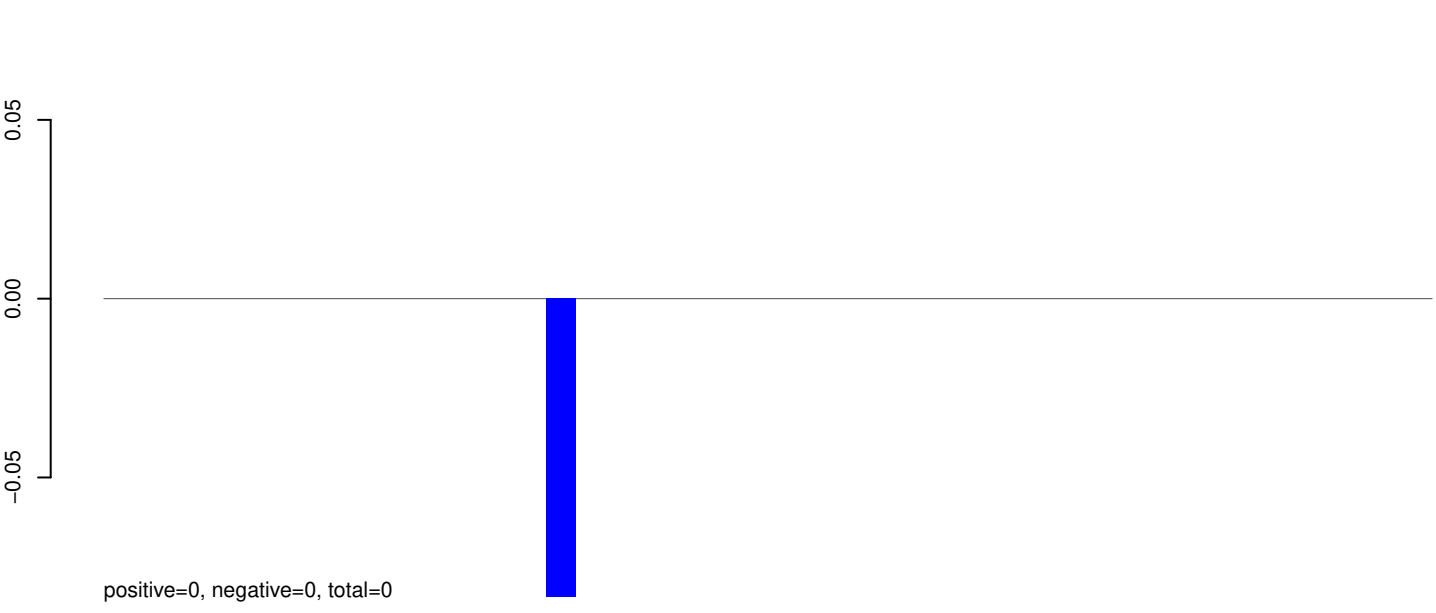


0 500 1000 1500 2000 2500 3000

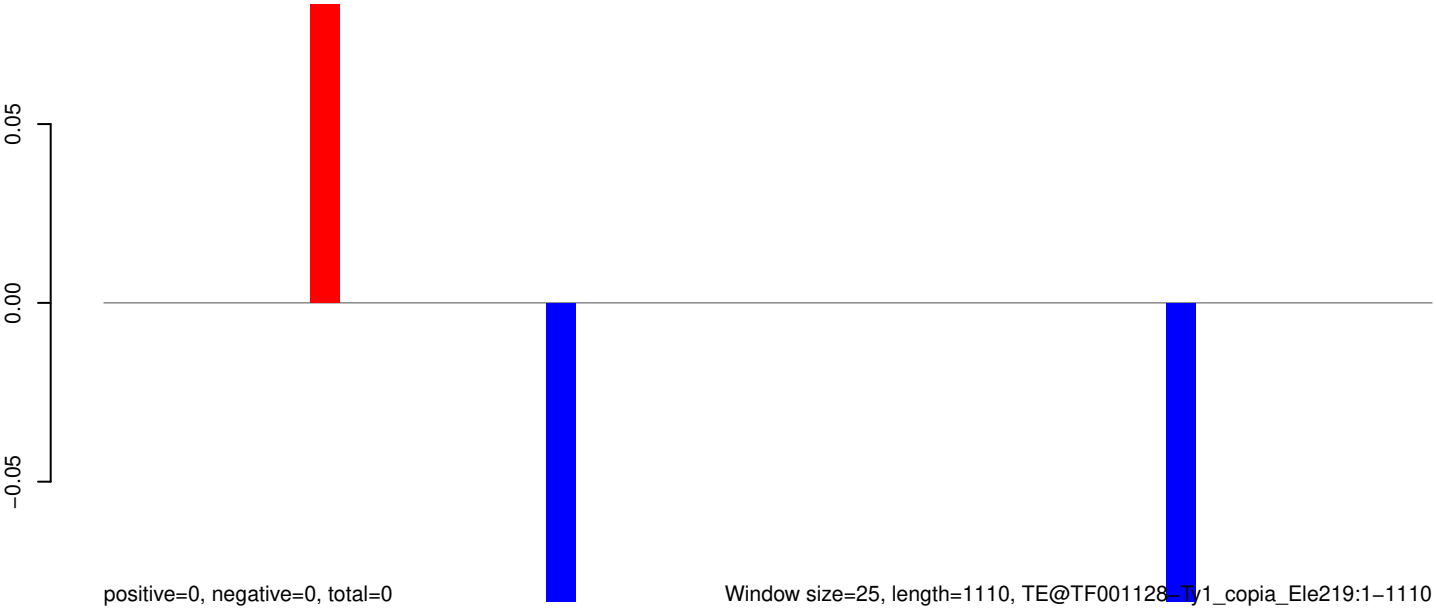
AeAeg_Aag2_Ago2_SINV_RA.18_23.rep



AeAeg_Aag2_Ago2_SINV_RA.24_35.rep



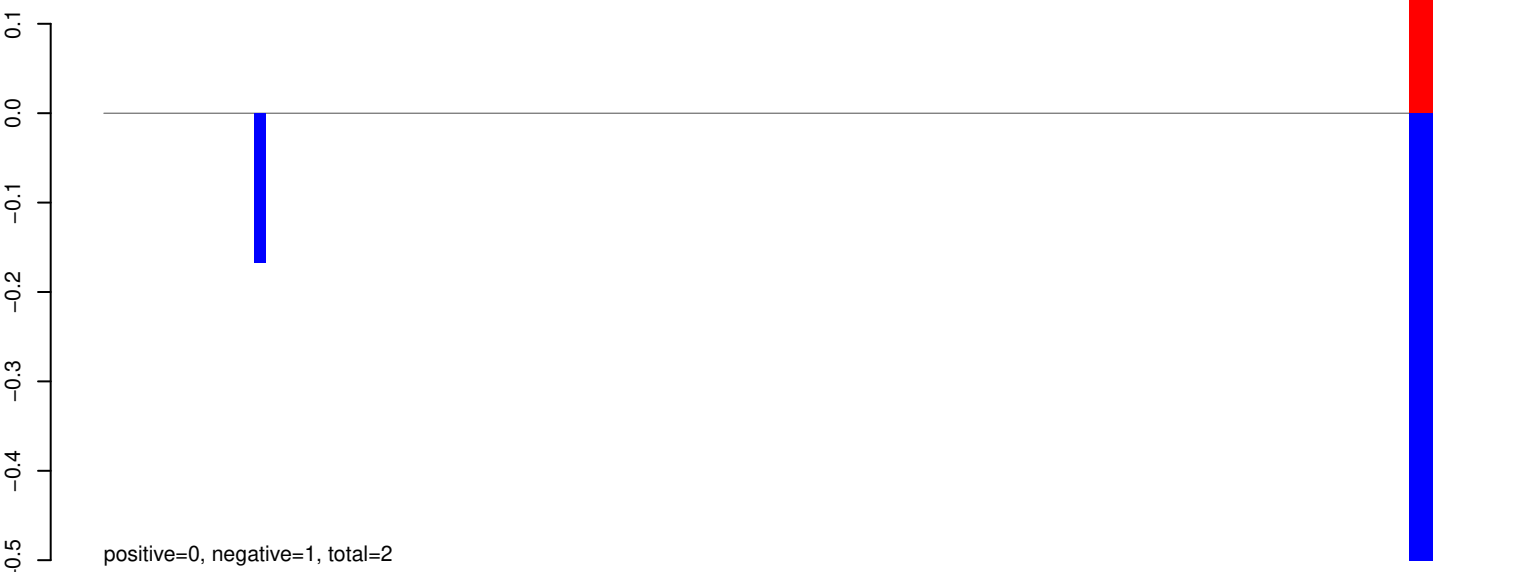
AeAeg_Aag2_Ago2_SINV_RA.rep



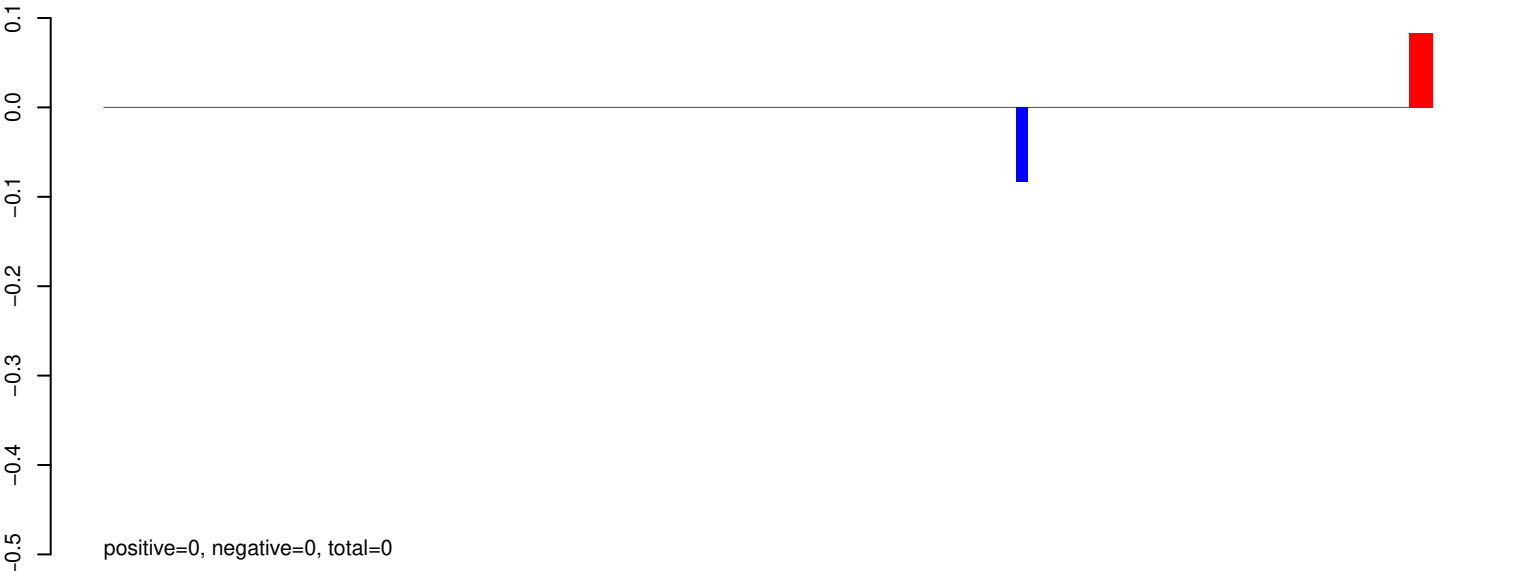
Window size=25, length=1110, TE@TF001128_Ty1_copia_Ele219:1-1110

0 200 400 600 800 1000

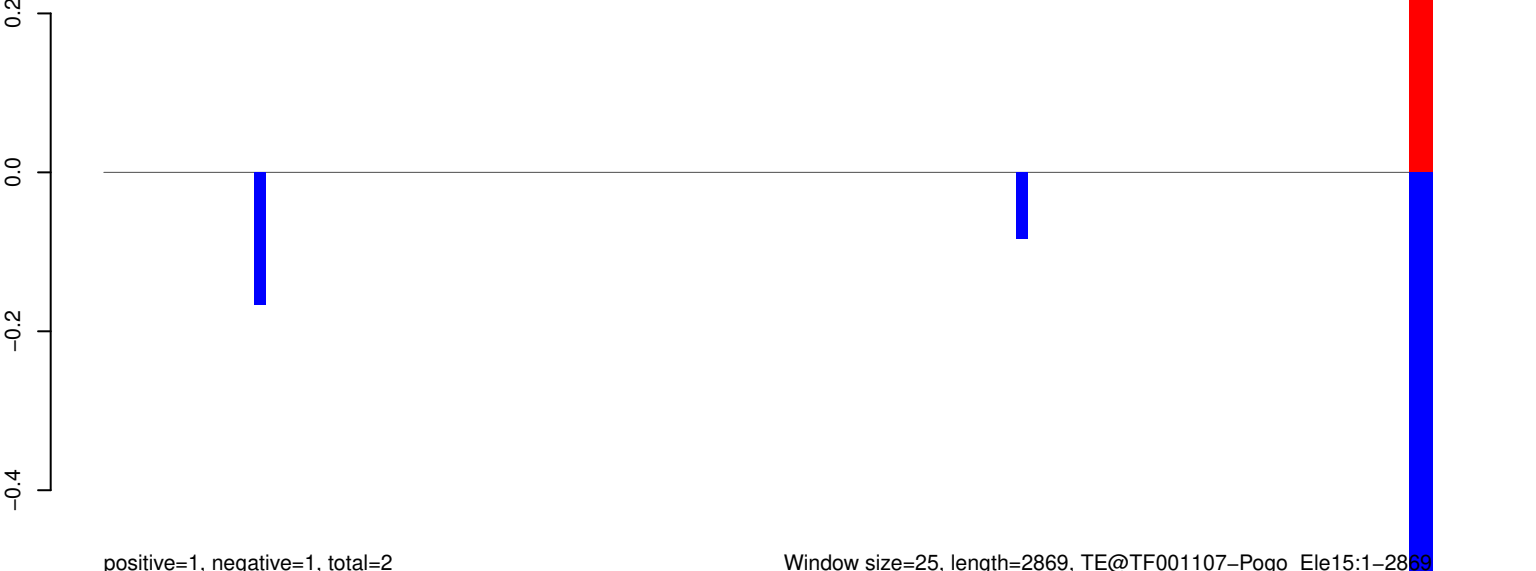
AeAeg_Aag2_Ago2_SINV_RA.18_23.rep



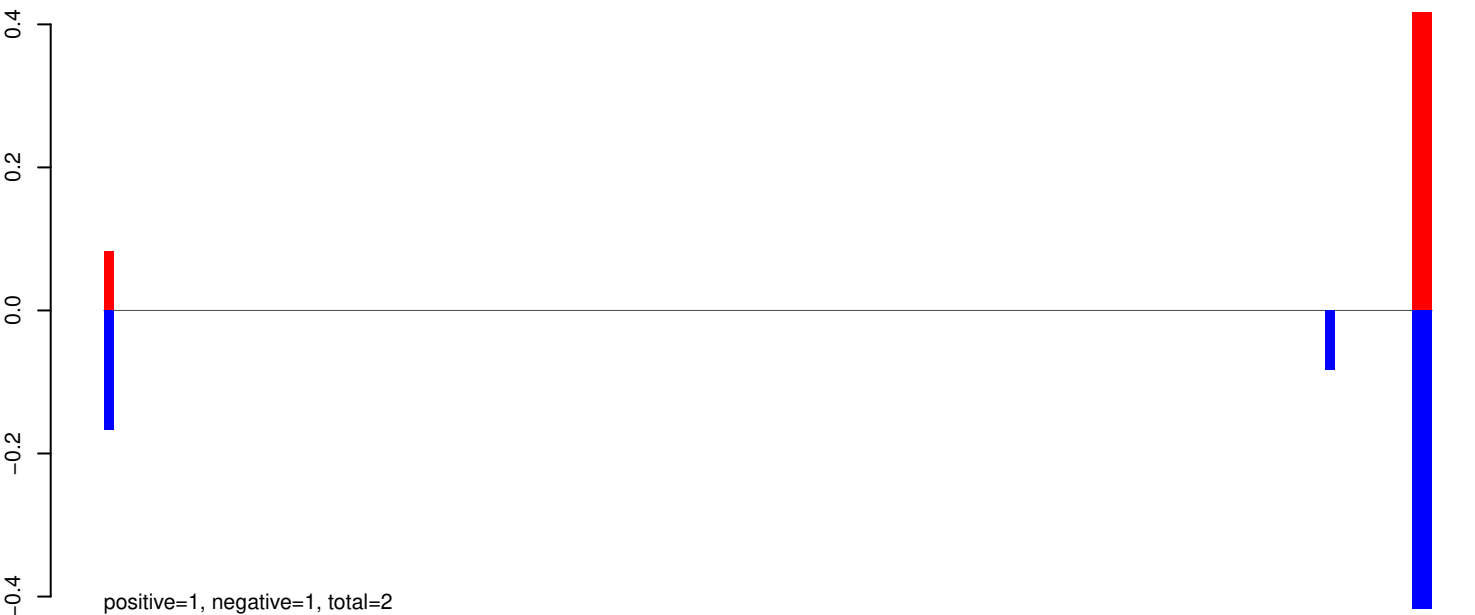
AeAeg_Aag2_Ago2_SINV_RA.24_35.rep



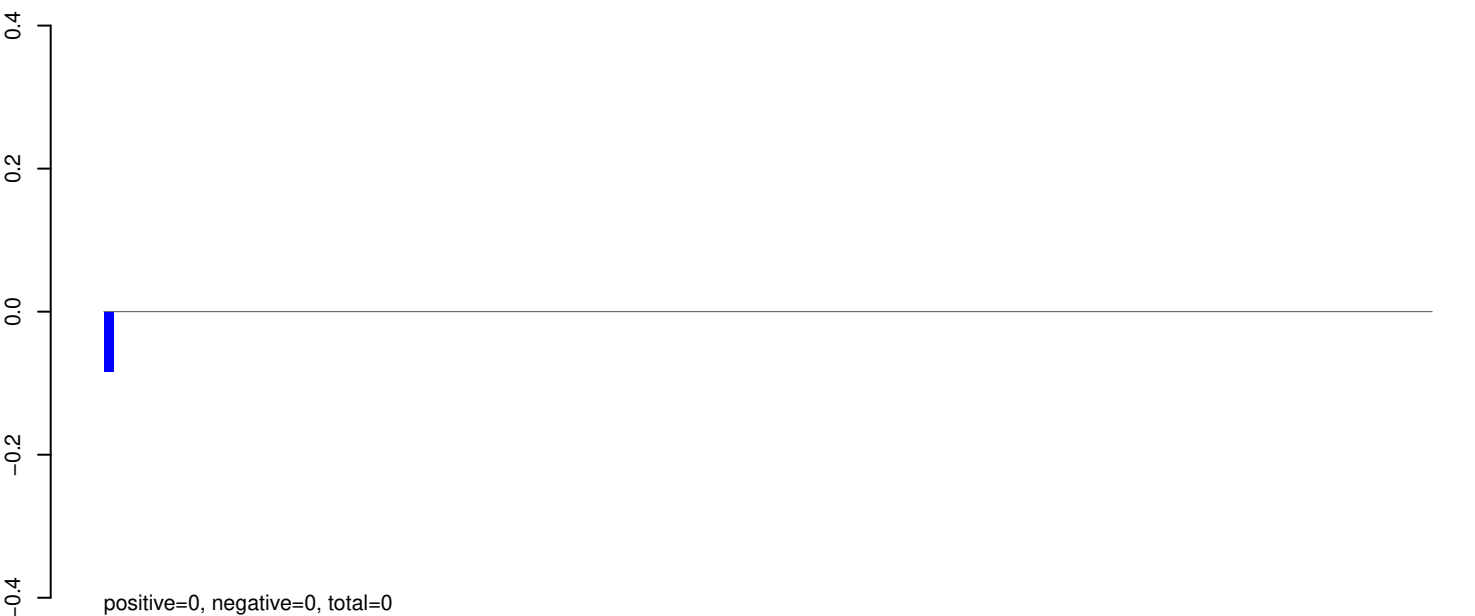
AeAeg_Aag2_Ago2_SINV_RA.rep



AeAeg_Aag2_Ago2_SINV_RA.18_23.rep



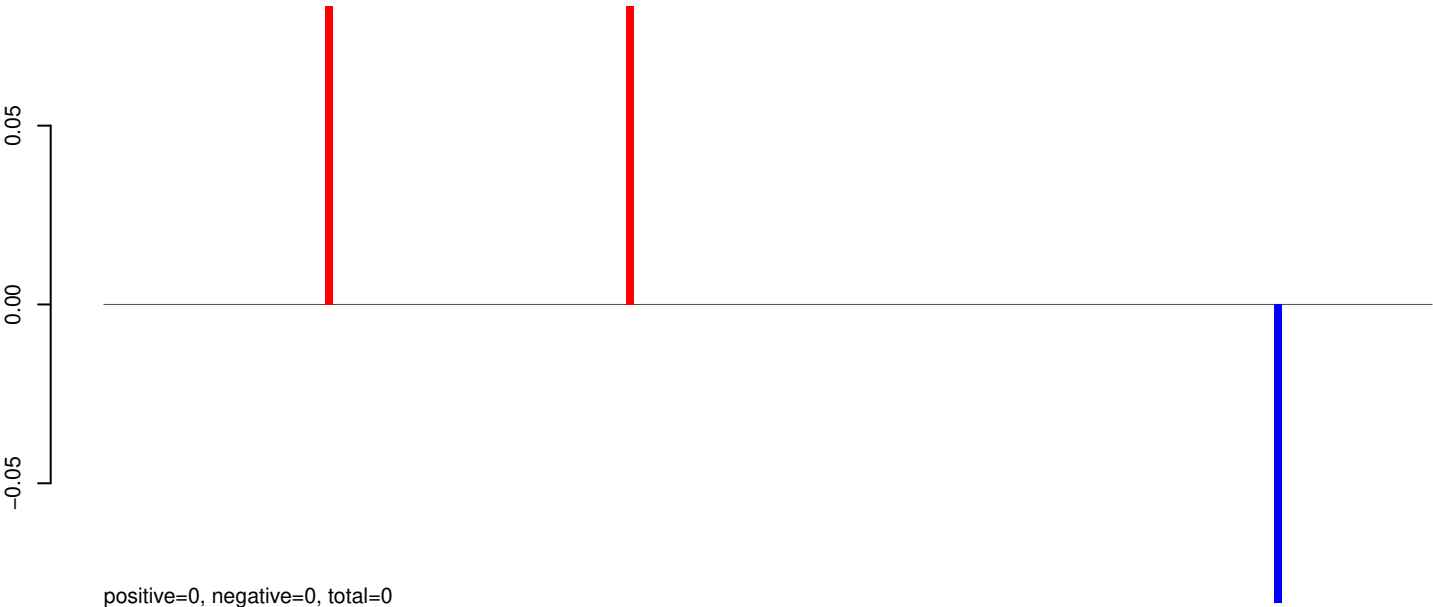
AeAeg_Aag2_Ago2_SINV_RA.24_35.rep



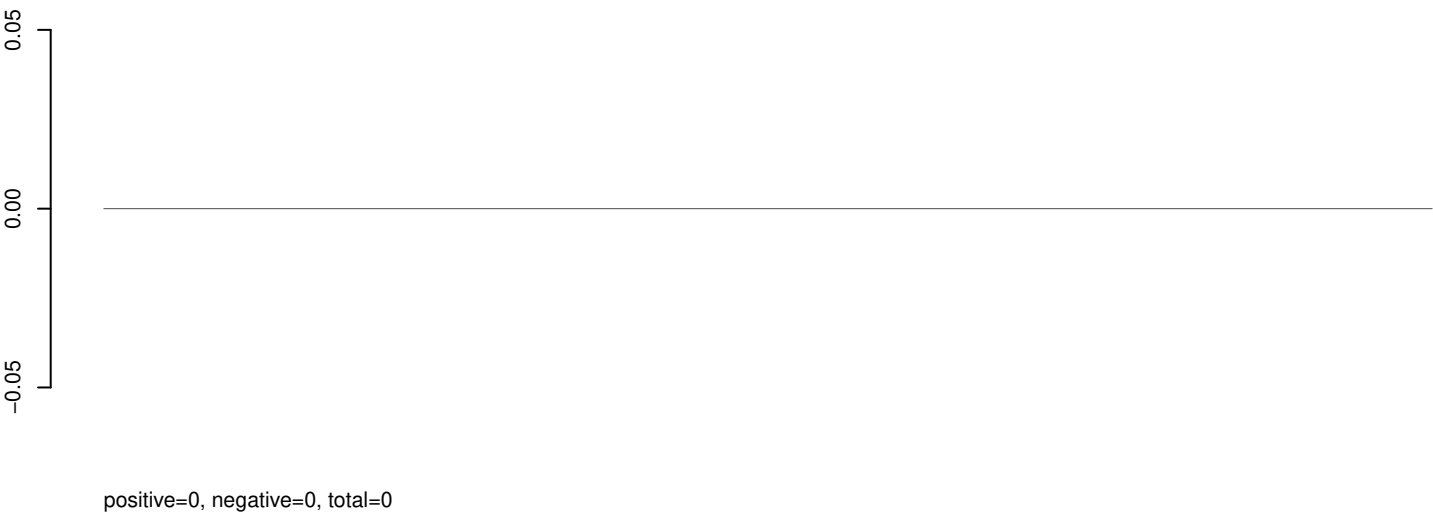
AeAeg_Aag2_Ago2_SINV_RA.rep



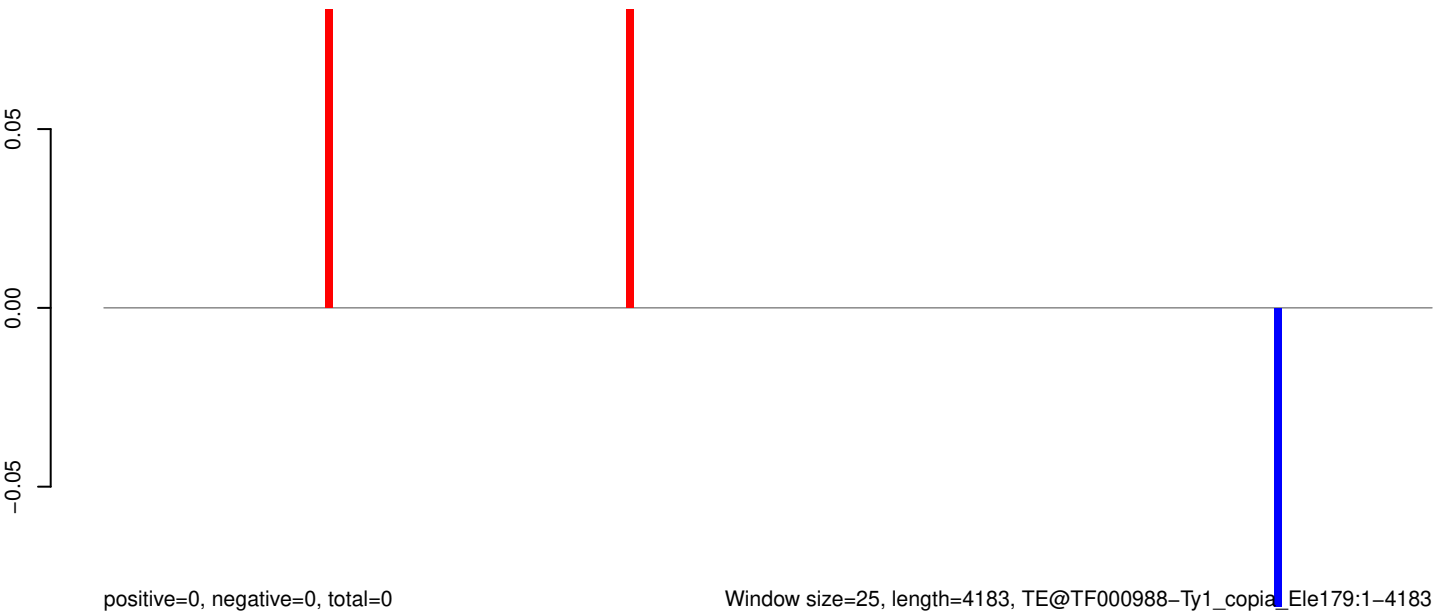
AeAeg_Aag2_Ago2_SINV_RA.18_23.rep



AeAeg_Aag2_Ago2_SINV_RA.24_35.rep



AeAeg_Aag2_Ago2_SINV_RA.rep



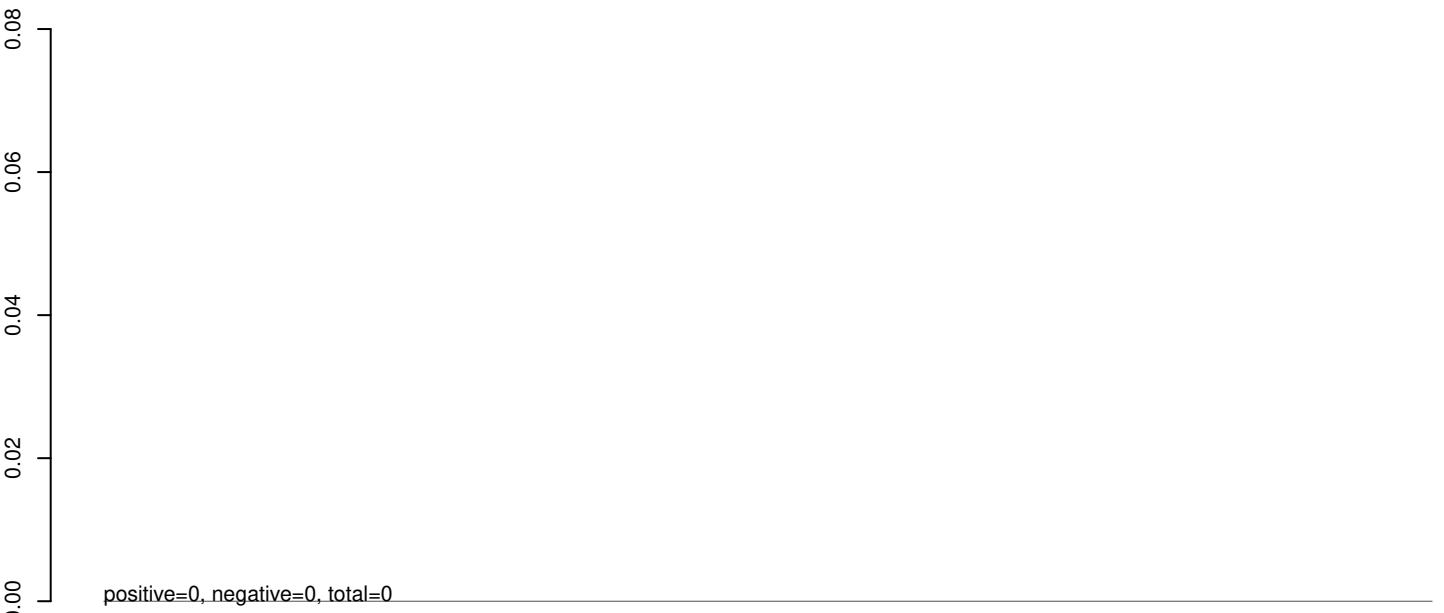
Window size=25, length=4183, TE@TF000988-Ty1_copia_Ele179:1-4183

0 1000 2000 3000 4000

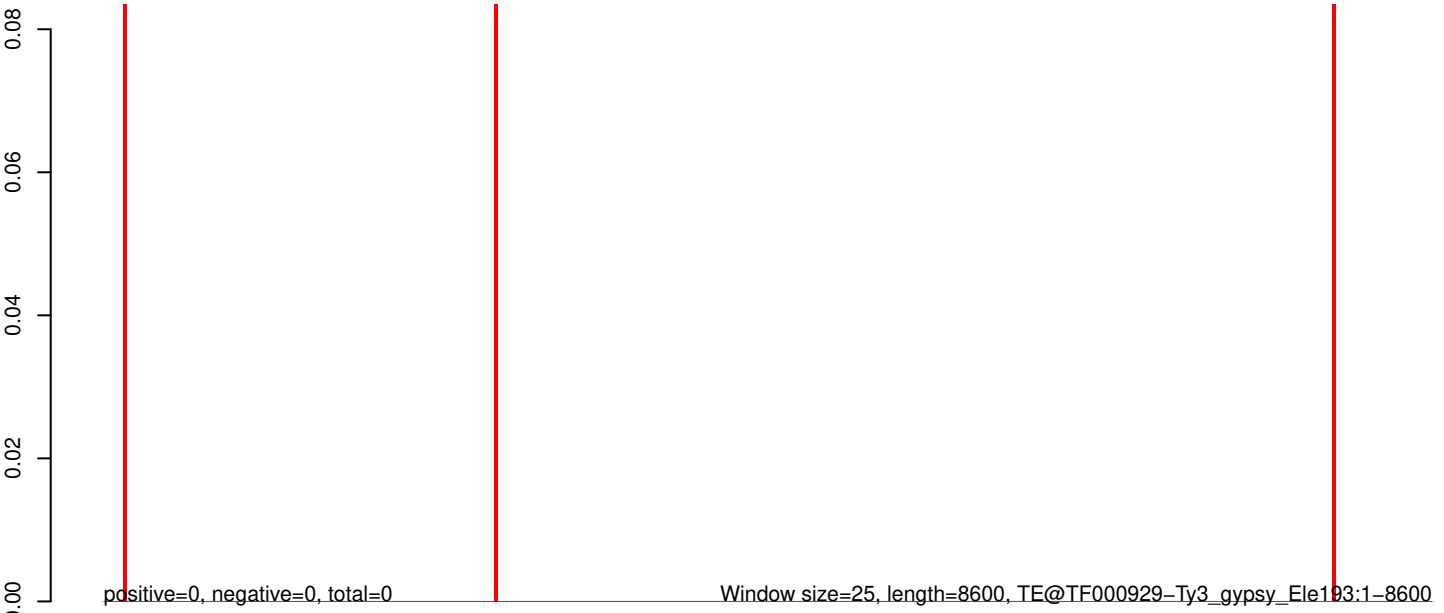
AeAeg_Aag2_Ago2_SINV_RA.18_23.rep



AeAeg_Aag2_Ago2_SINV_RA.24_35.rep



AeAeg_Aag2_Ago2_SINV_RA.rep



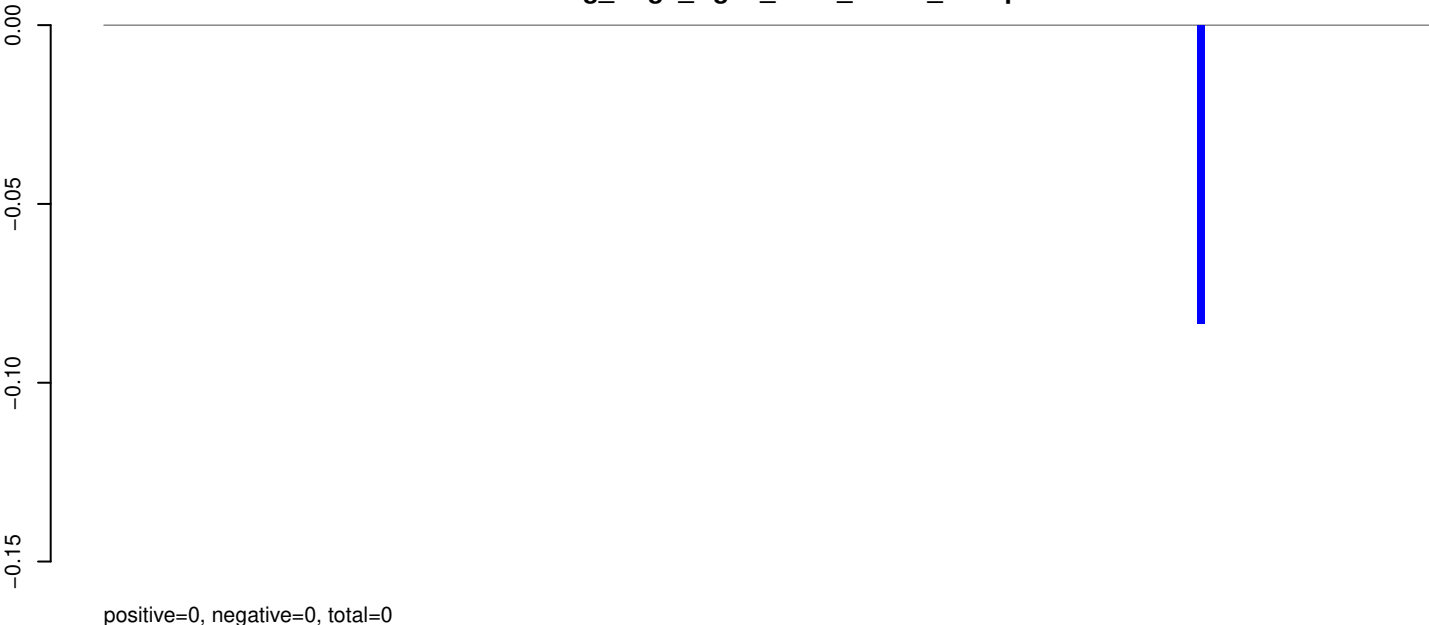
0 2000 4000 6000 8000

AeAeg_Aag2_Ago2_SINV_RA.18_23.rep



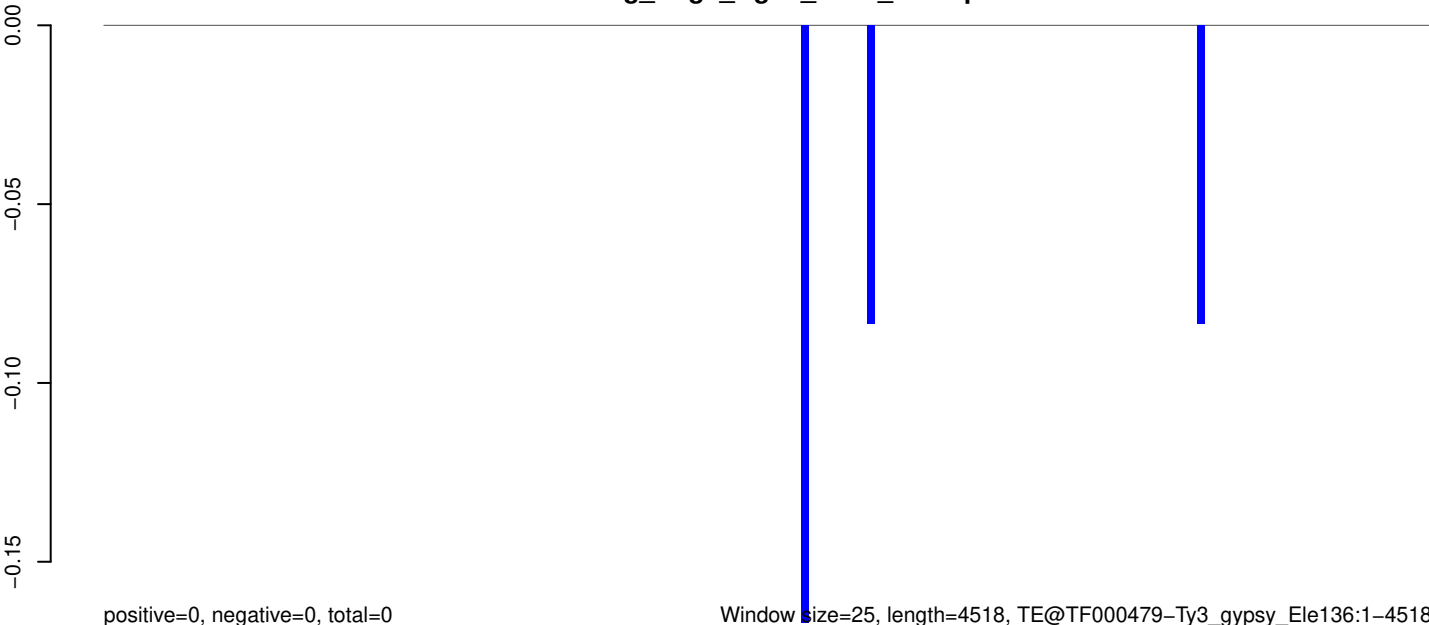
positive=0, negative=0, total=0

AeAeg_Aag2_Ago2_SINV_RA.24_35.rep



positive=0, negative=0, total=0

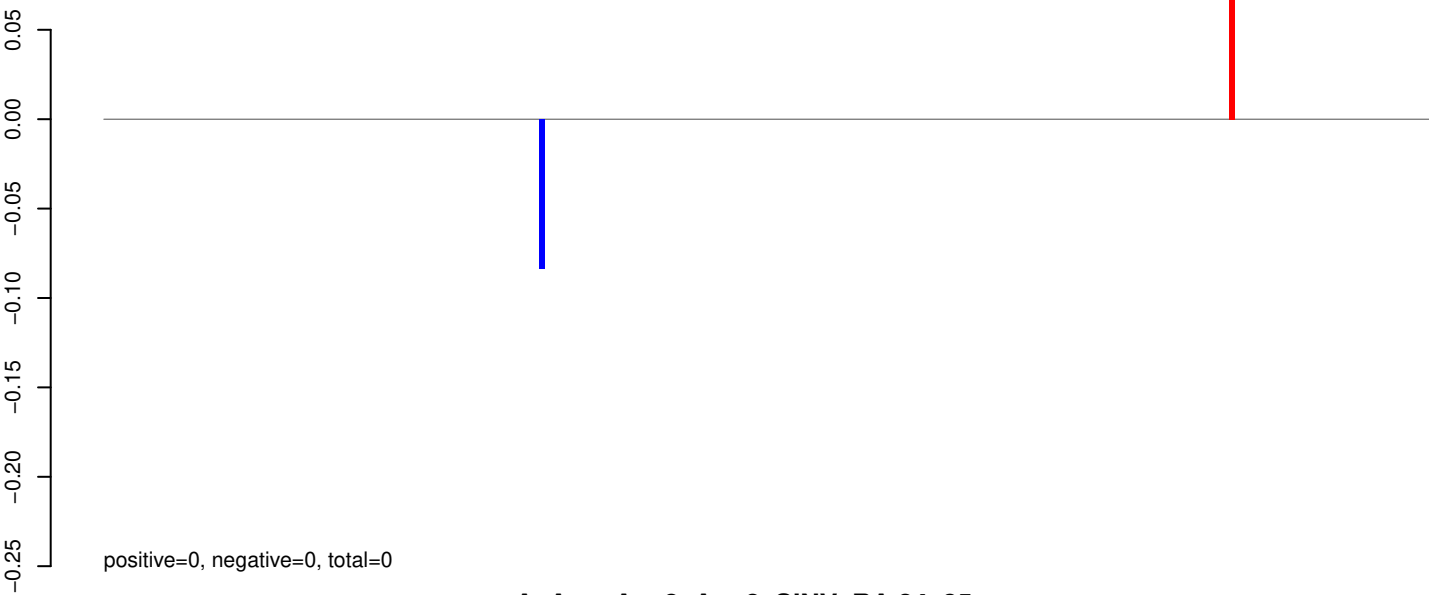
AeAeg_Aag2_Ago2_SINV_RA.rep



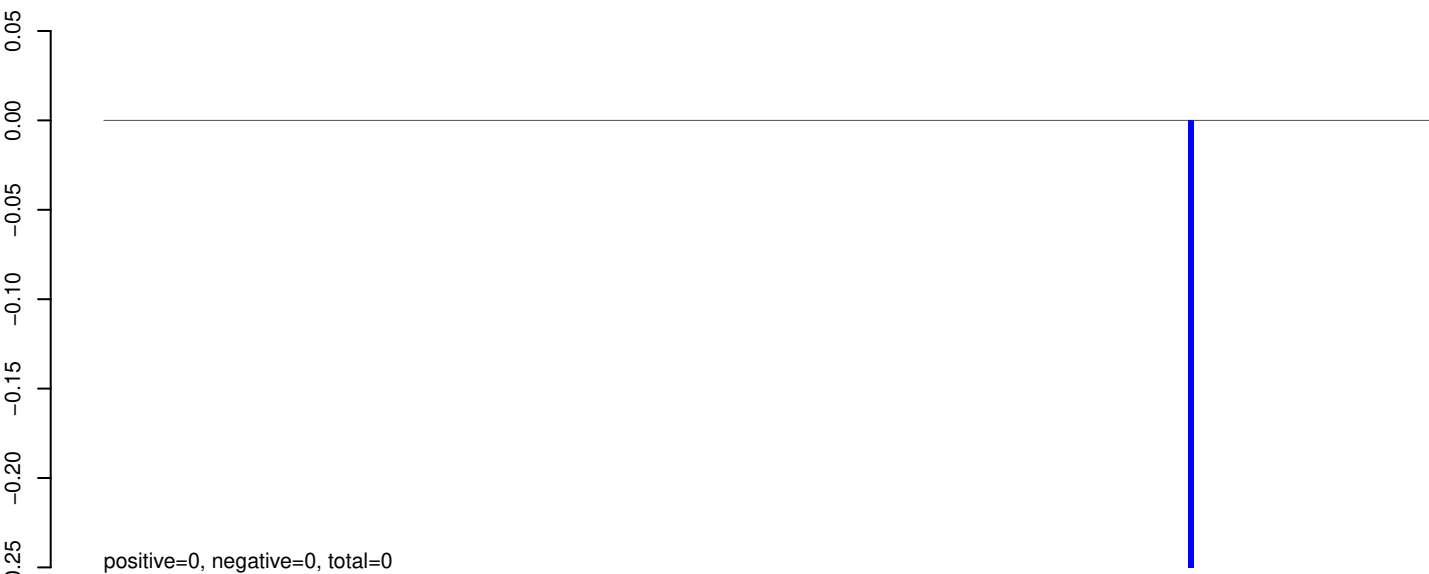
positive=0, negative=0, total=0

Window size=25, length=4518, TE@TF000479-Ty3_gypsy_Ele136:1-4518

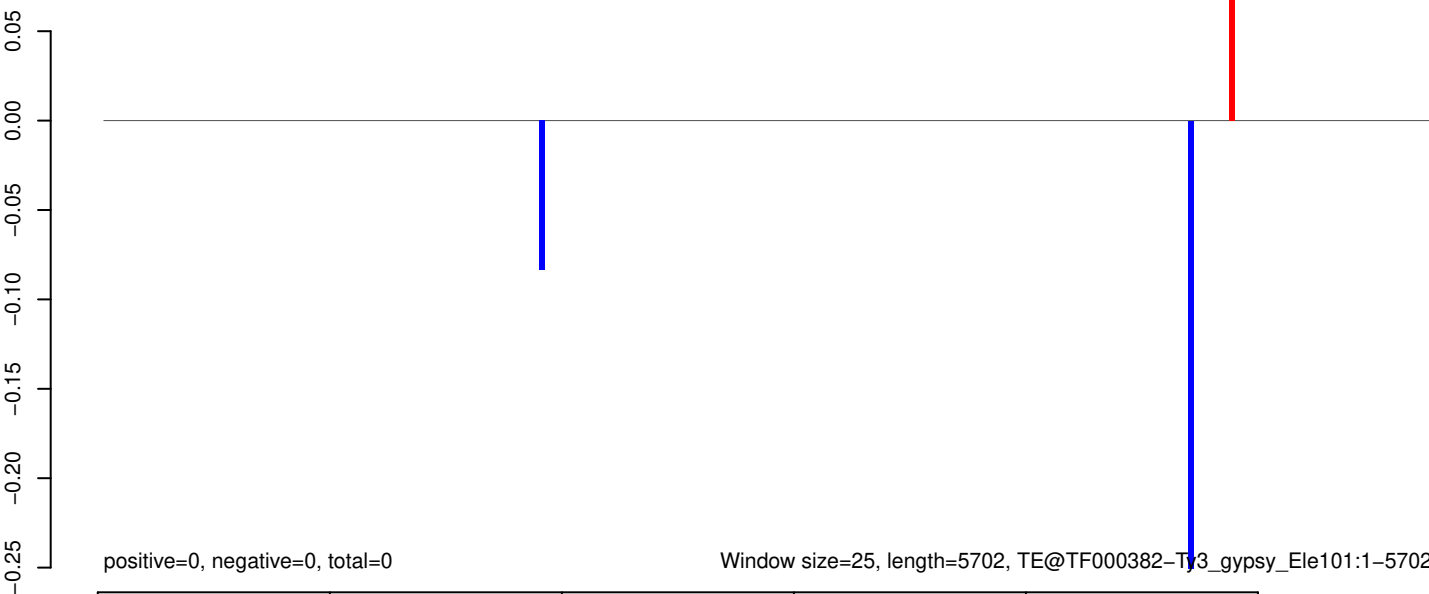
AeAeg_Aag2_Ago2_SINV_RA.18_23.rep



AeAeg_Aag2_Ago2_SINV_RA.24_35.rep



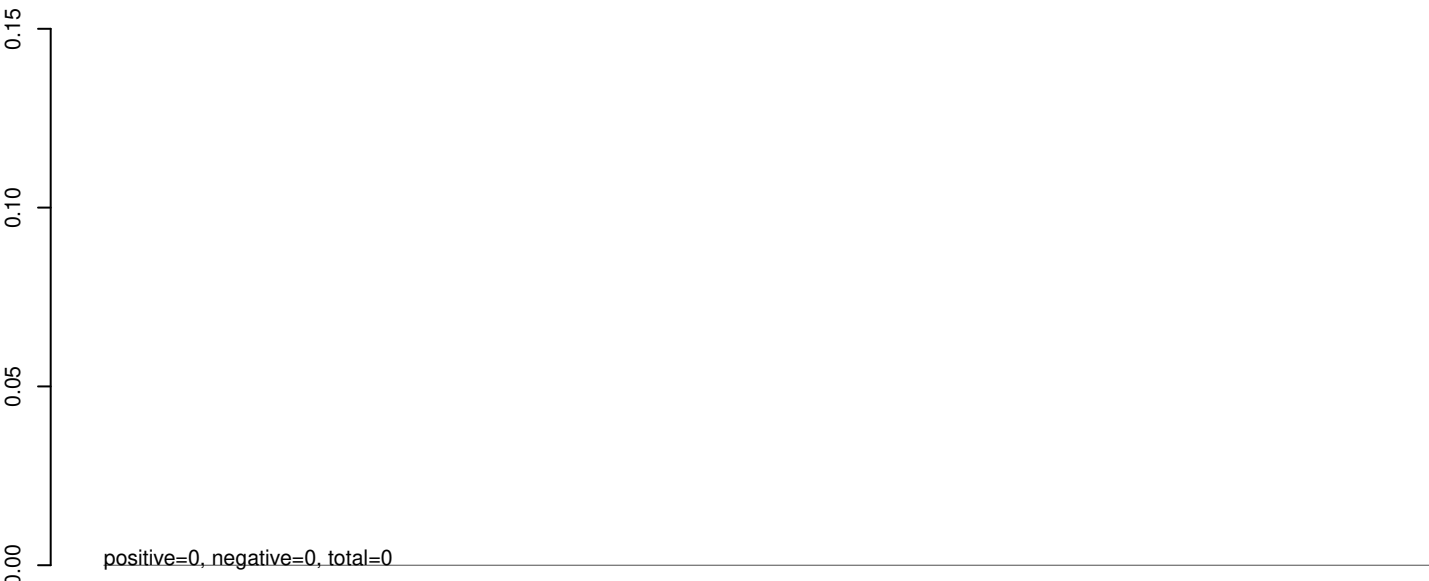
AeAeg_Aag2_Ago2_SINV_RA.rep



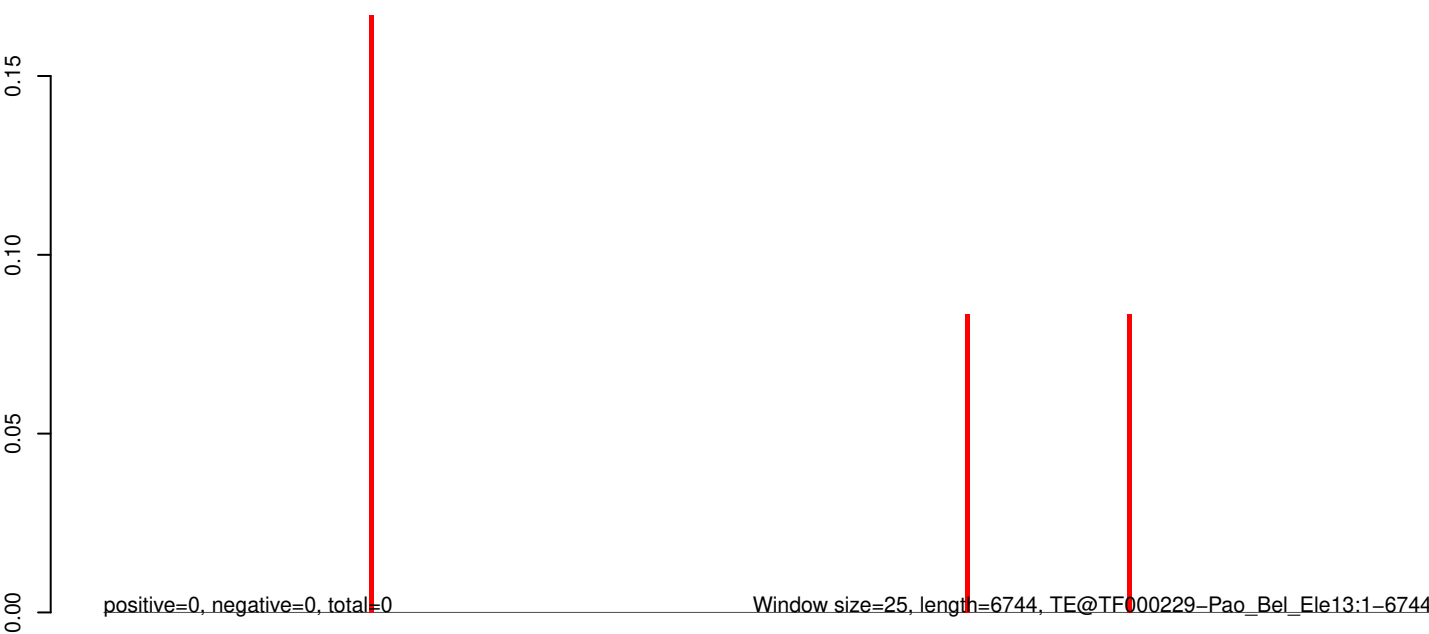
AeAeg_Aag2_Ago2_SINV_RA.18_23.rep



AeAeg_Aag2_Ago2_SINV_RA.24_35.rep



AeAeg_Aag2_Ago2_SINV_RA.rep



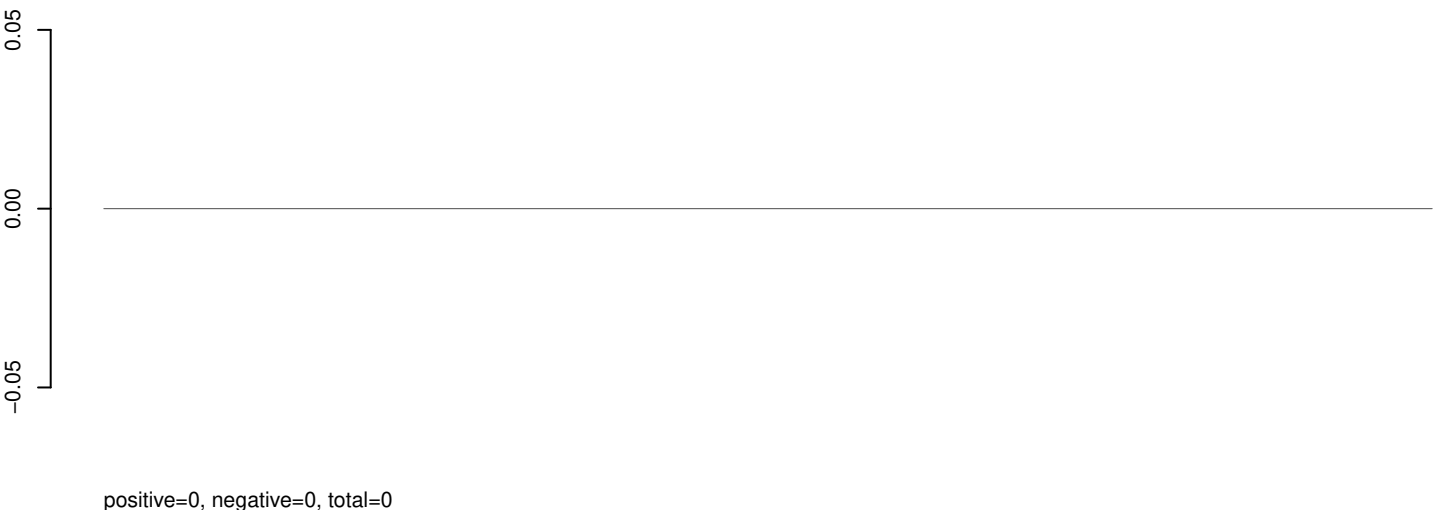
Window size=25, length=6744, TE@TF000229-Pao_Bel_Ele13:1-6744

0 1000 2000 3000 4000 5000 6000 7000

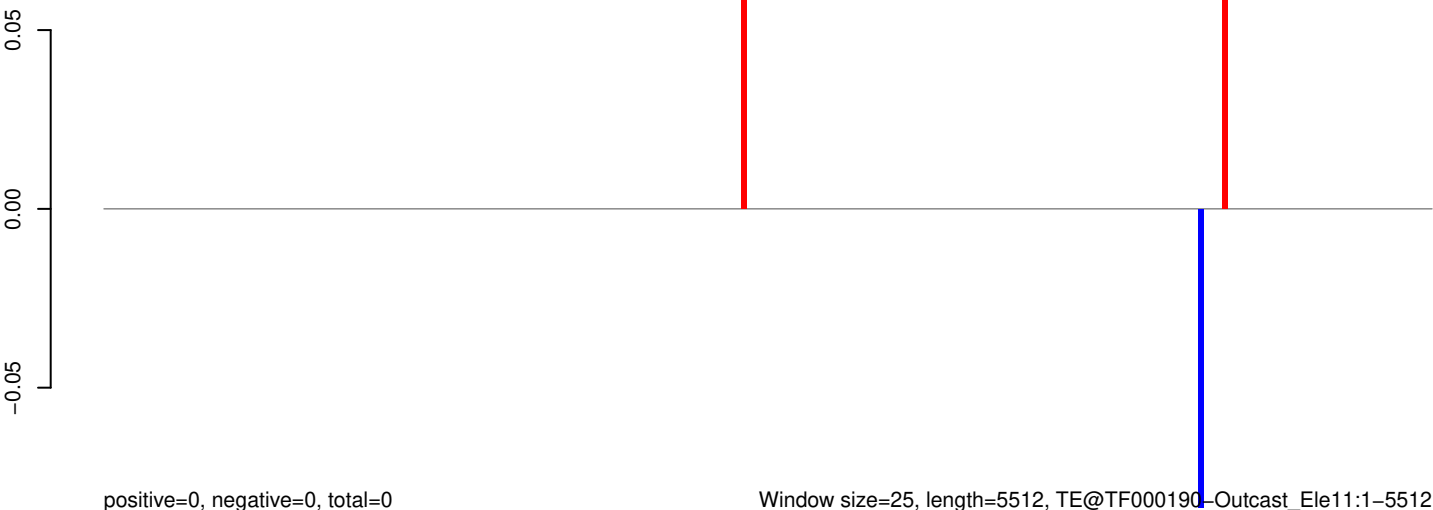
AeAeg_Aag2_Ago2_SINV_RA.18_23.rep



AeAeg_Aag2_Ago2_SINV_RA.24_35.rep



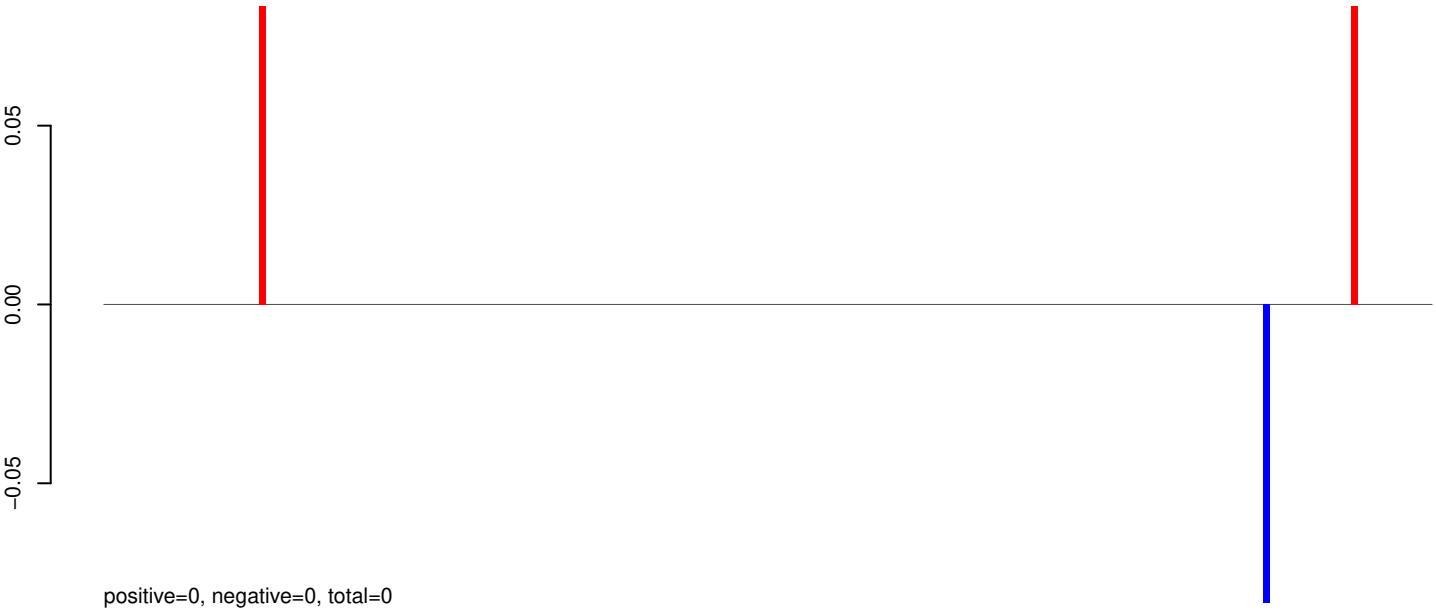
AeAeg_Aag2_Ago2_SINV_RA.rep



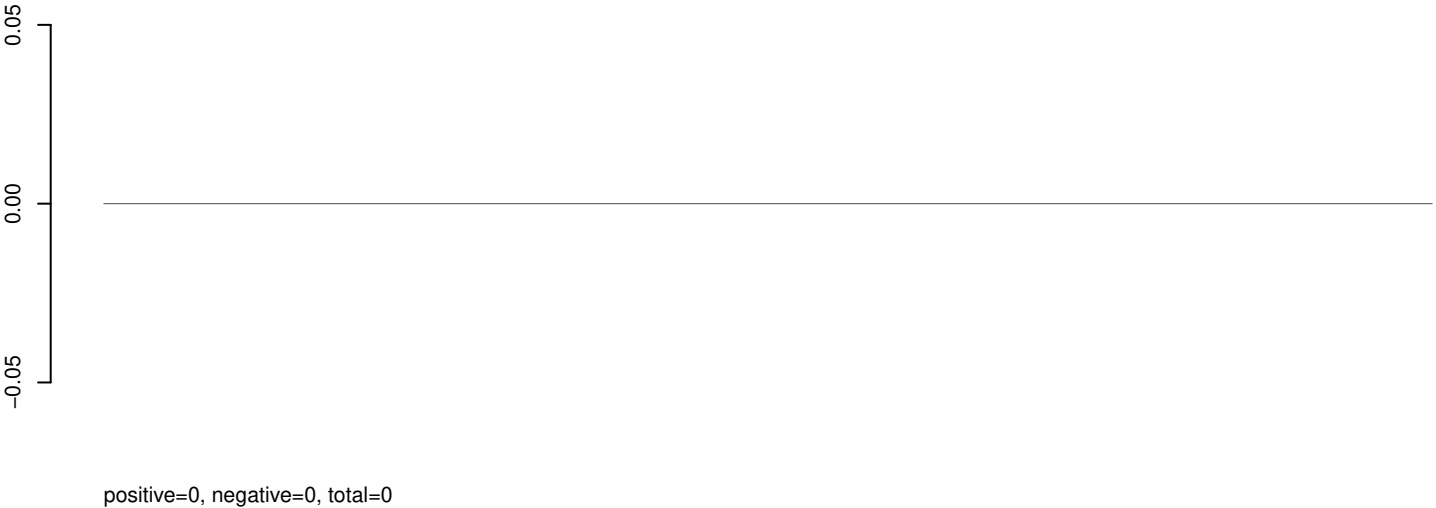
Window size=25, length=5512, TE@TF000190-Outcast_Ele11:1-5512

0 1000 2000 3000 4000 5000

AeAeg_Aag2_Ago2_SINV_RA.18_23.rep



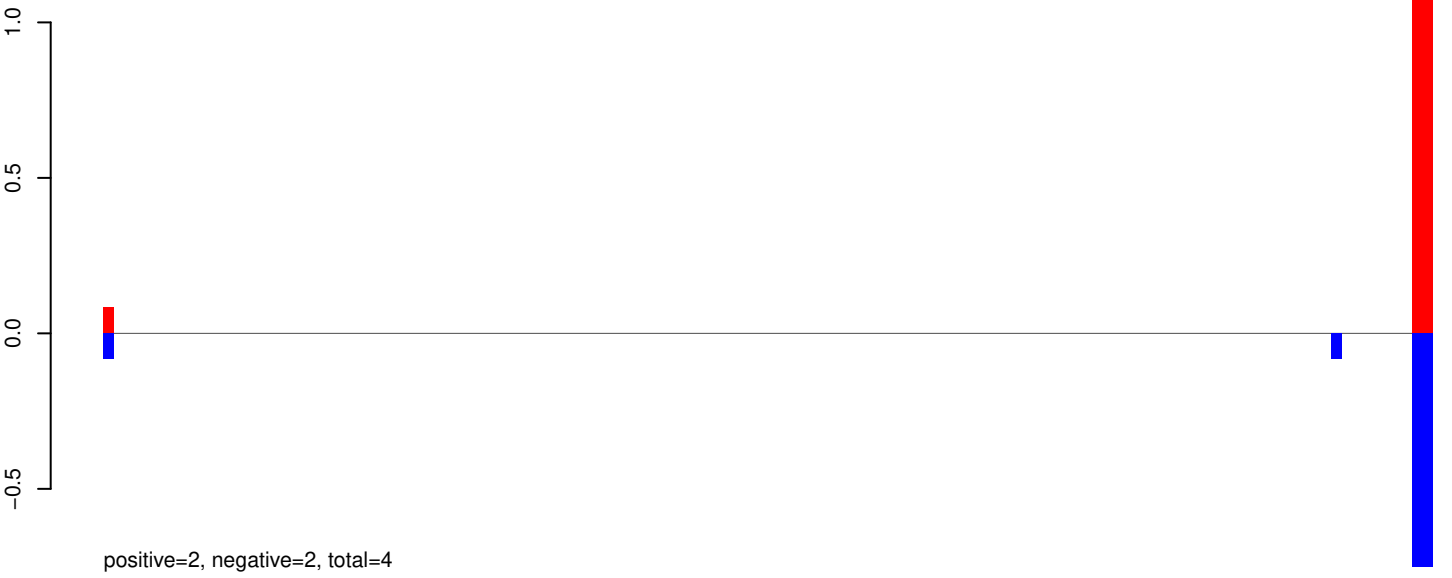
AeAeg_Aag2_Ago2_SINV_RA.24_35.rep



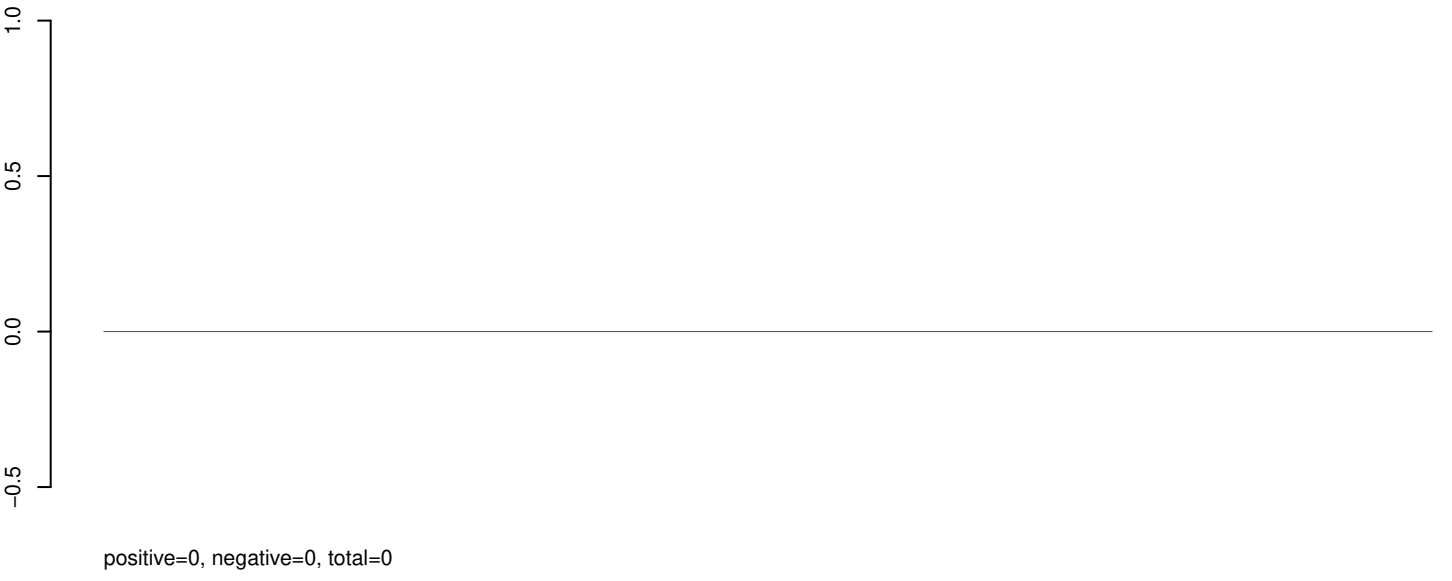
AeAeg_Aag2_Ago2_SINV_RA.rep



AeAeg_Aag2_Ago2_SINV_RA.18_23.rep



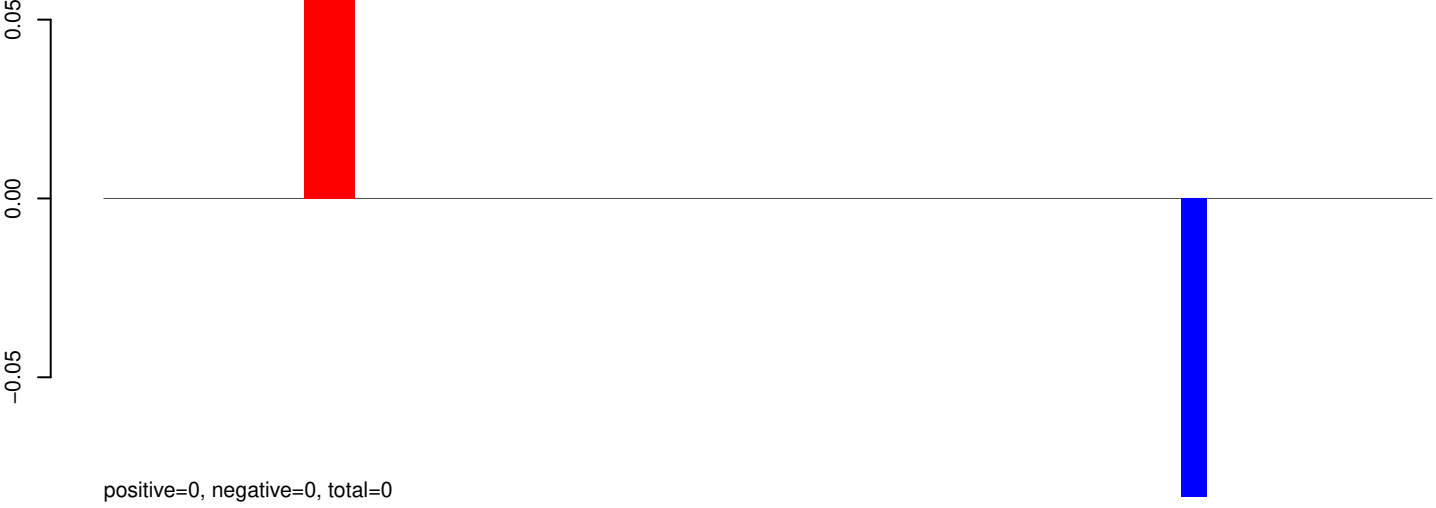
AeAeg_Aag2_Ago2_SINV_RA.24_35.rep



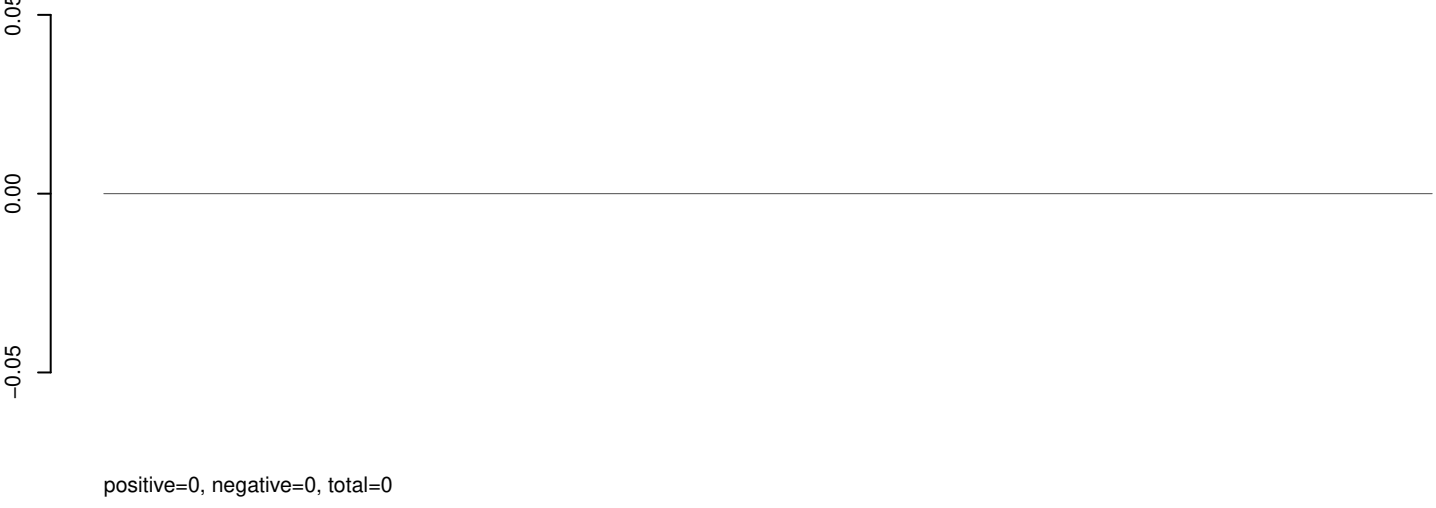
AeAeg_Aag2_Ago2_SINV_RA.rep



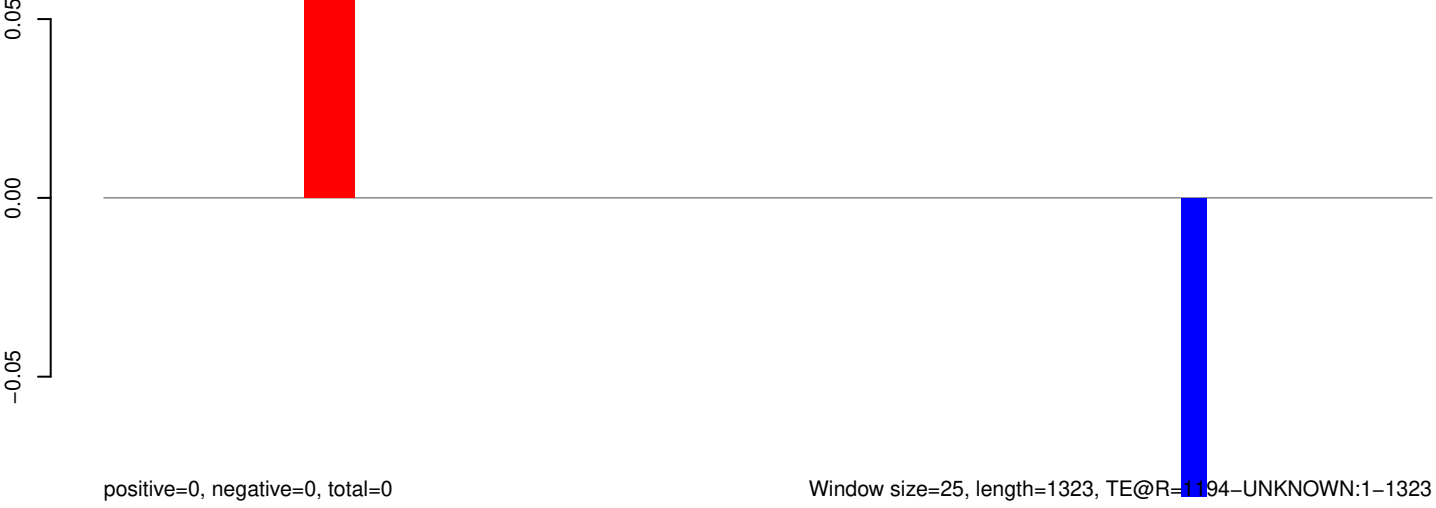
AeAeg_Aag2_Ago2_SINV_RA.18_23.rep



AeAeg_Aag2_Ago2_SINV_RA.24_35.rep



AeAeg_Aag2_Ago2_SINV_RA.rep

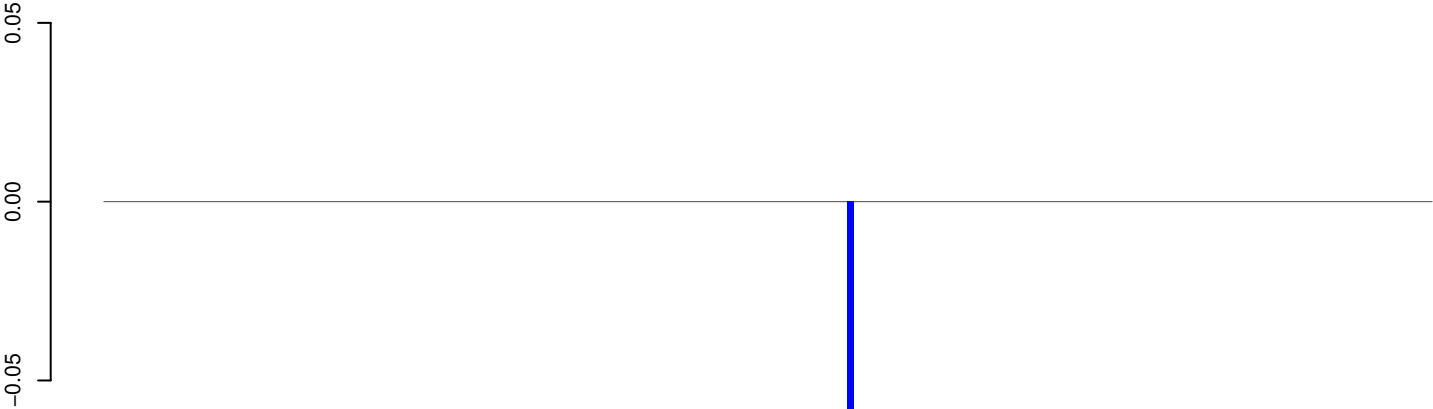


AeAeg_Aag2_Ago2_SINV_RA.18_23.rep



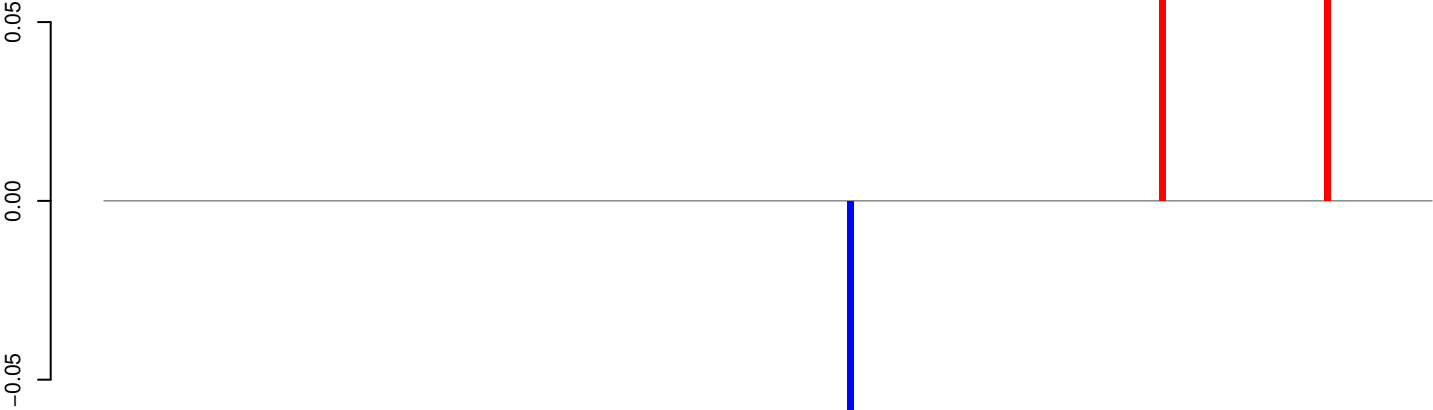
positive=0, negative=0, total=0

AeAeg_Aag2_Ago2_SINV_RA.24_35.rep



positive=0, negative=0, total=0

AeAeg_Aag2_Ago2_SINV_RA.rep

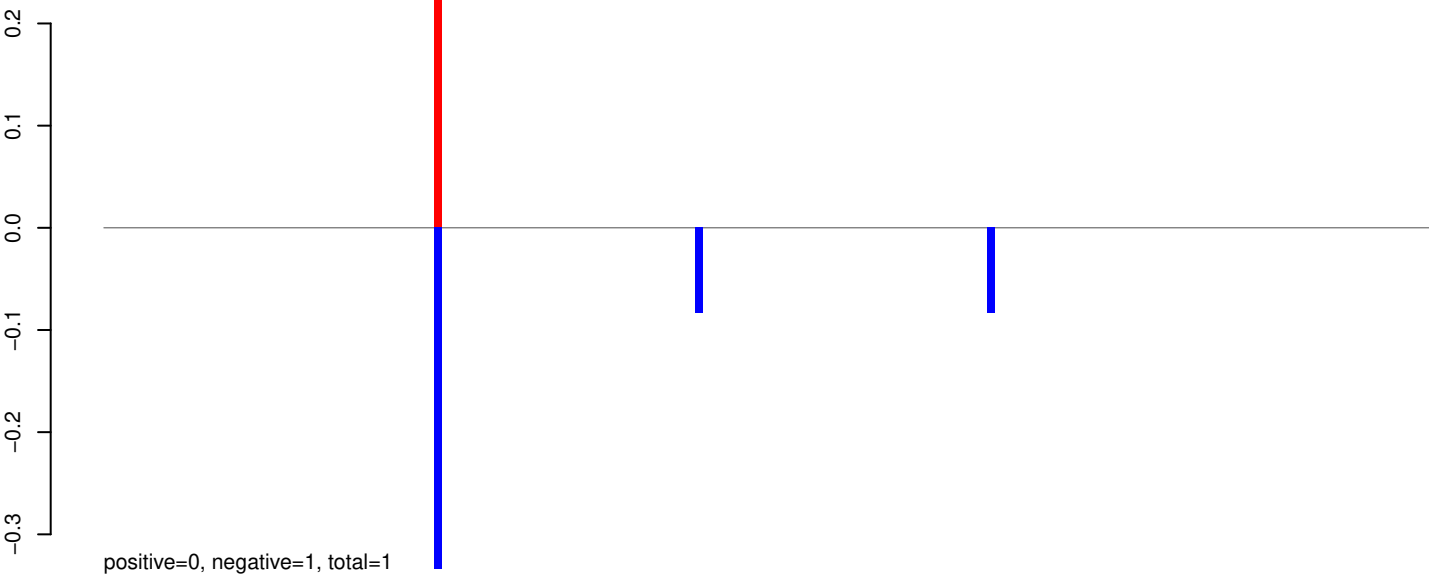


positive=0, negative=0, total=0

Window size=25, length=5209, TE@L1-31_A Ae:1-5209



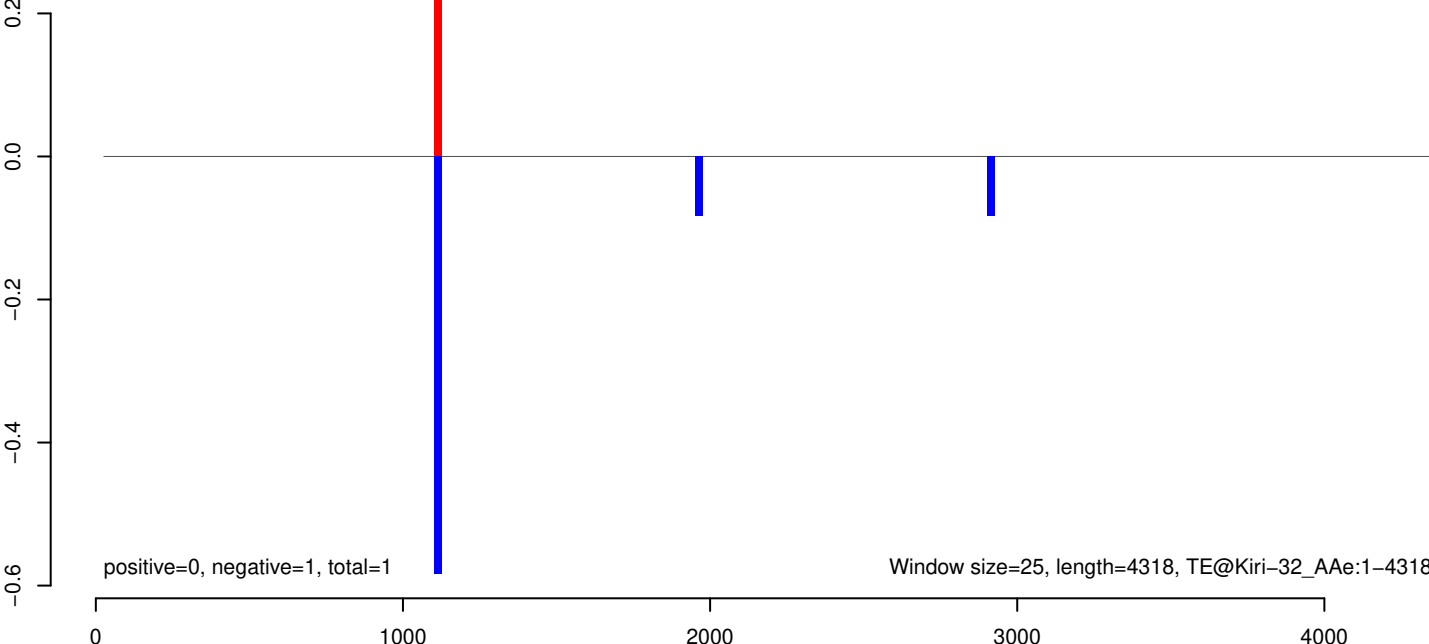
AeAeg_Aag2_Ago2_SINV_RA.18_23.rep



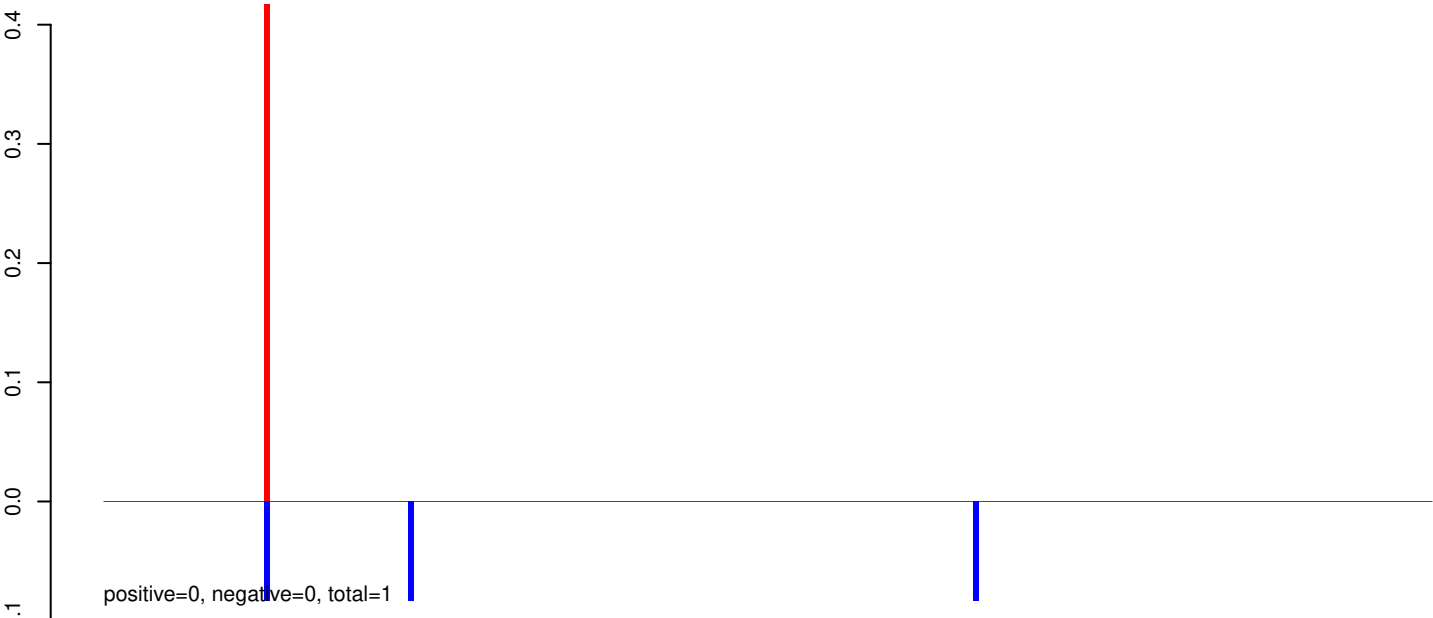
AeAeg_Aag2_Ago2_SINV_RA.24_35.rep



AeAeg_Aag2_Ago2_SINV_RA.rep



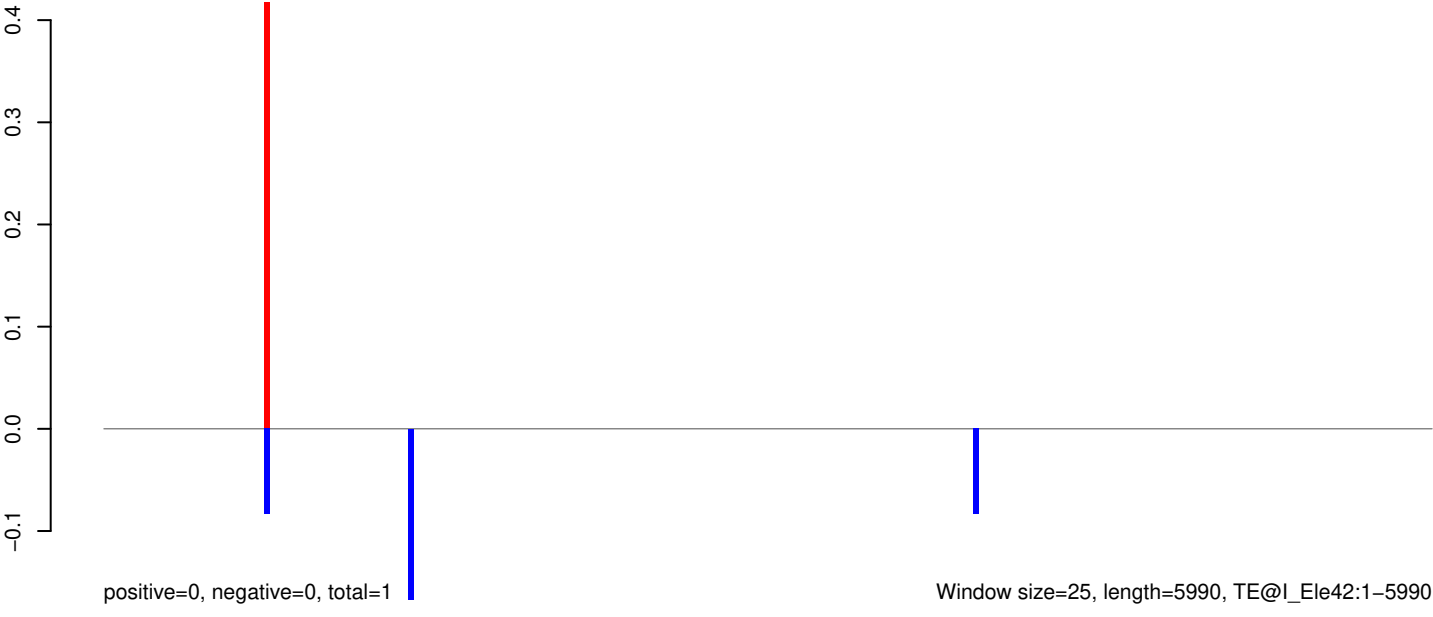
AeAeg_Aag2_Ago2_SINV_RA.18_23.rep



AeAeg_Aag2_Ago2_SINV_RA.24_35.rep

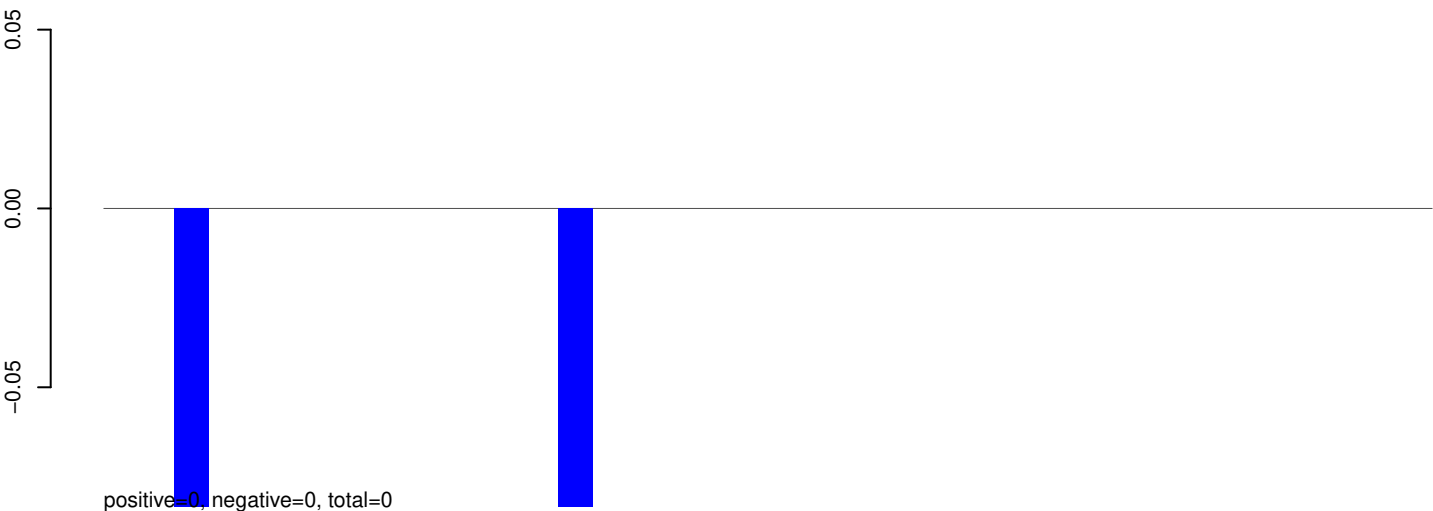


AeAeg_Aag2_Ago2_SINV_RA.rep

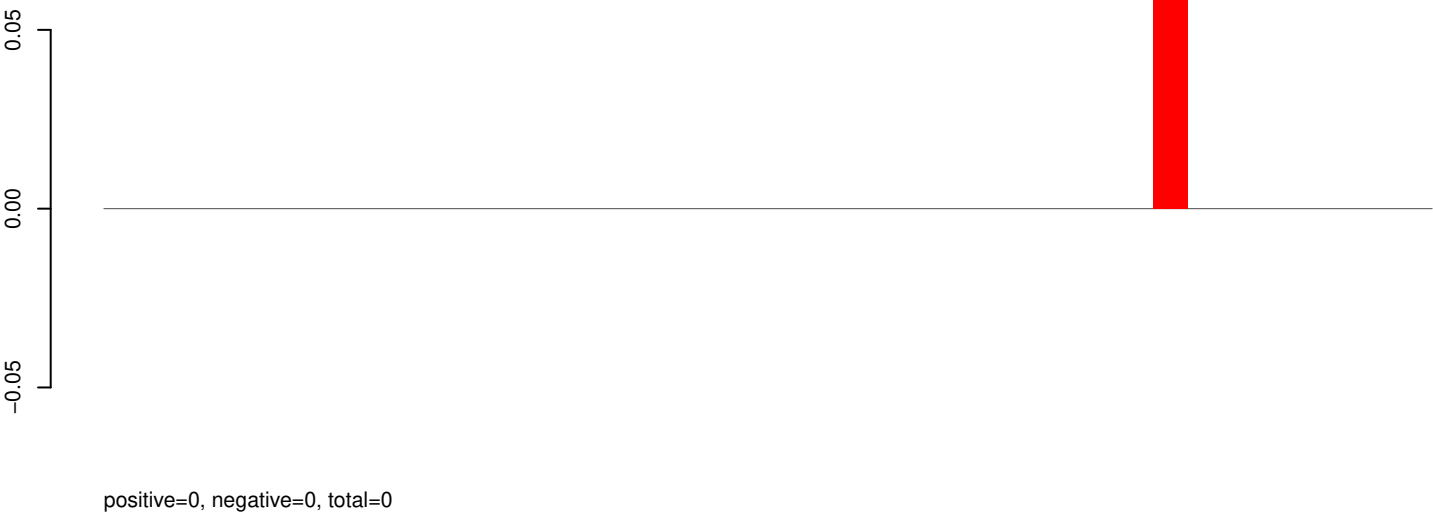


0 1000 2000 3000 4000 5000 6000

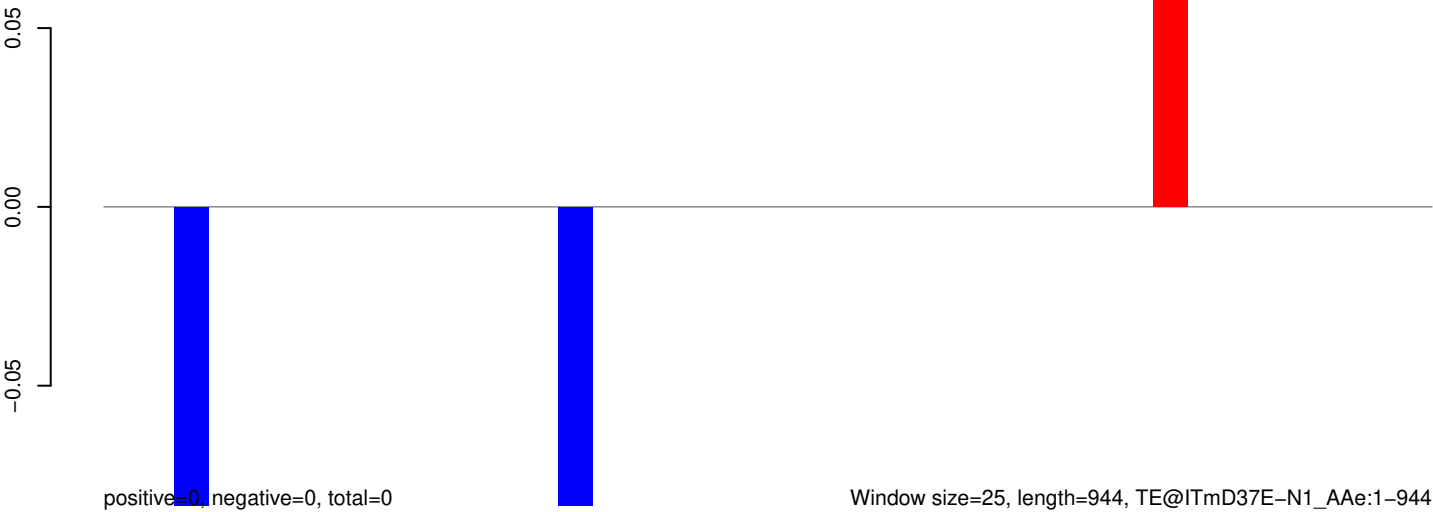
AeAeg_Aag2_Ago2_SINV_RA.18_23.rep



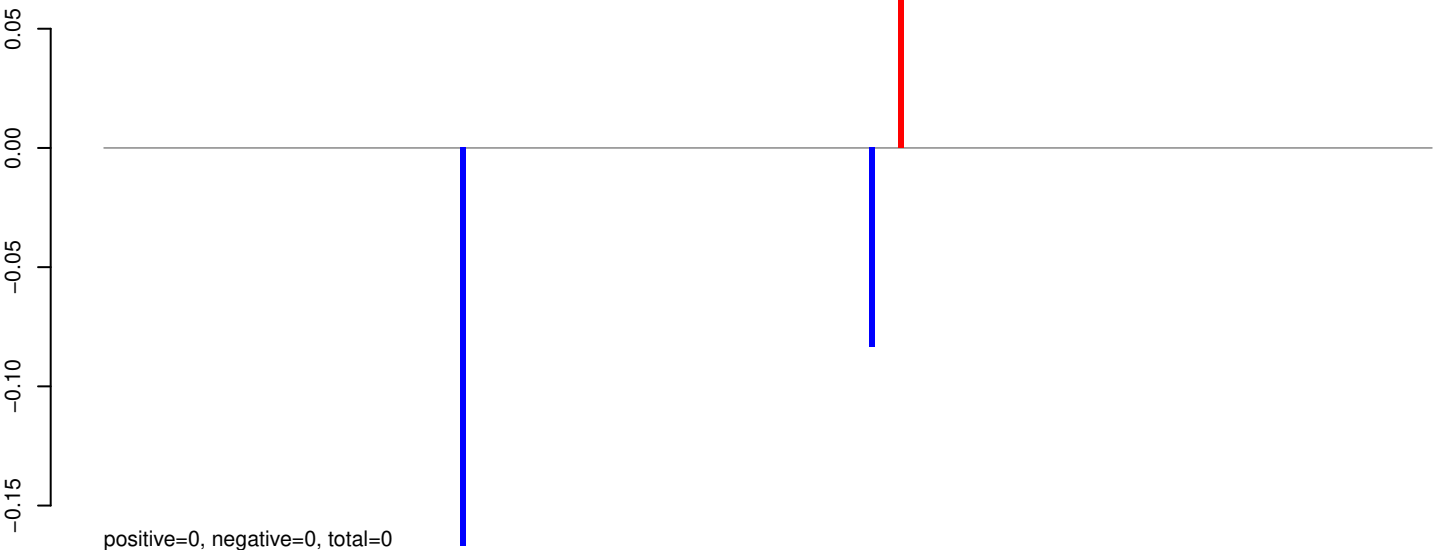
AeAeg_Aag2_Ago2_SINV_RA.24_35.rep



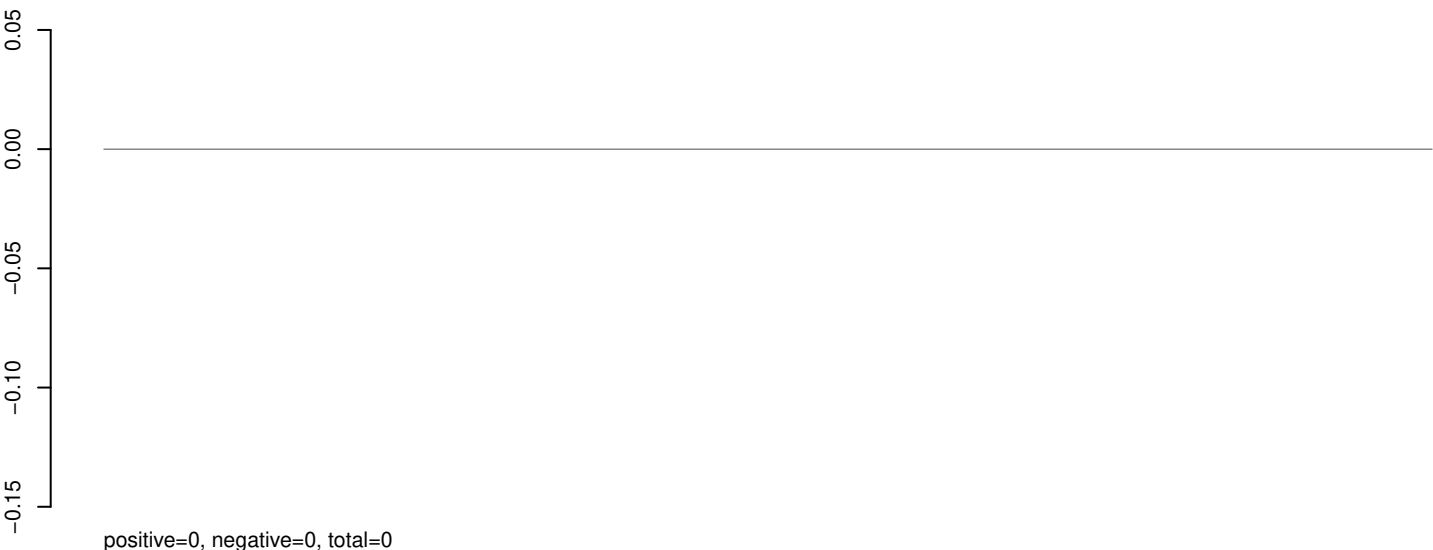
AeAeg_Aag2_Ago2_SINV_RA.rep



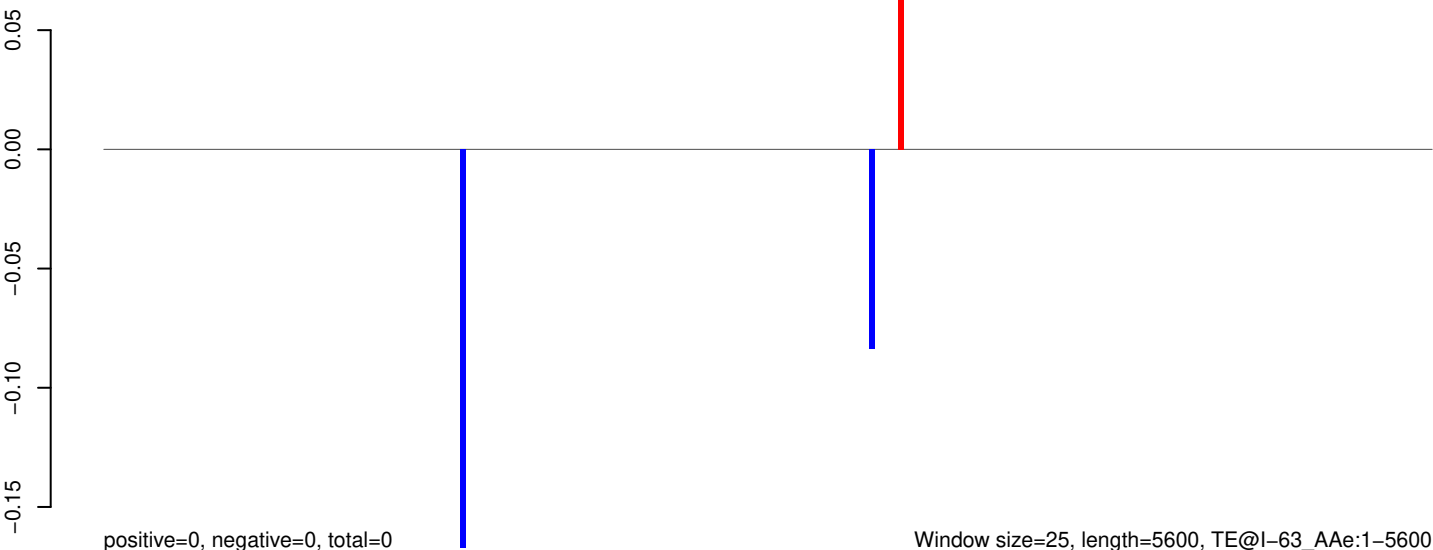
AeAeg_Aag2_Ago2_SINV_RA.18_23.rep



AeAeg_Aag2_Ago2_SINV_RA.24_35.rep

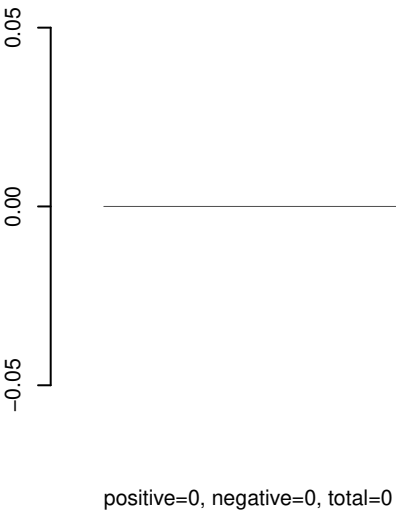


AeAeg_Aag2_Ago2_SINV_RA.rep

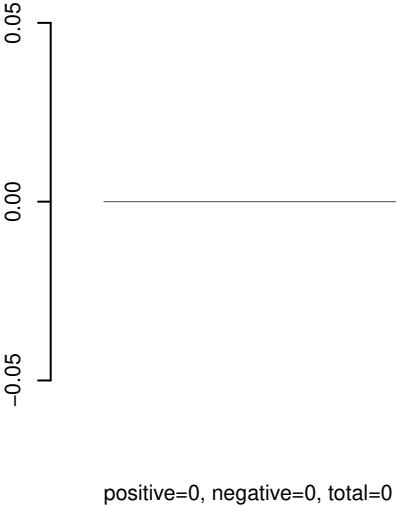


0 1000 2000 3000 4000 5000

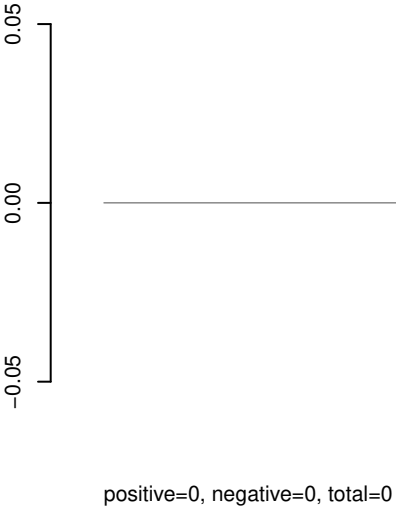
AeAeg_Aag2_Ago2_SINV_RA.18_23.rep



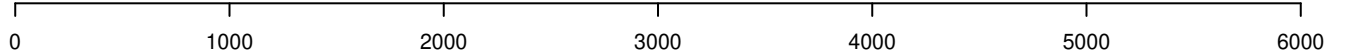
AeAeg_Aag2_Ago2_SINV_RA.24_35.rep



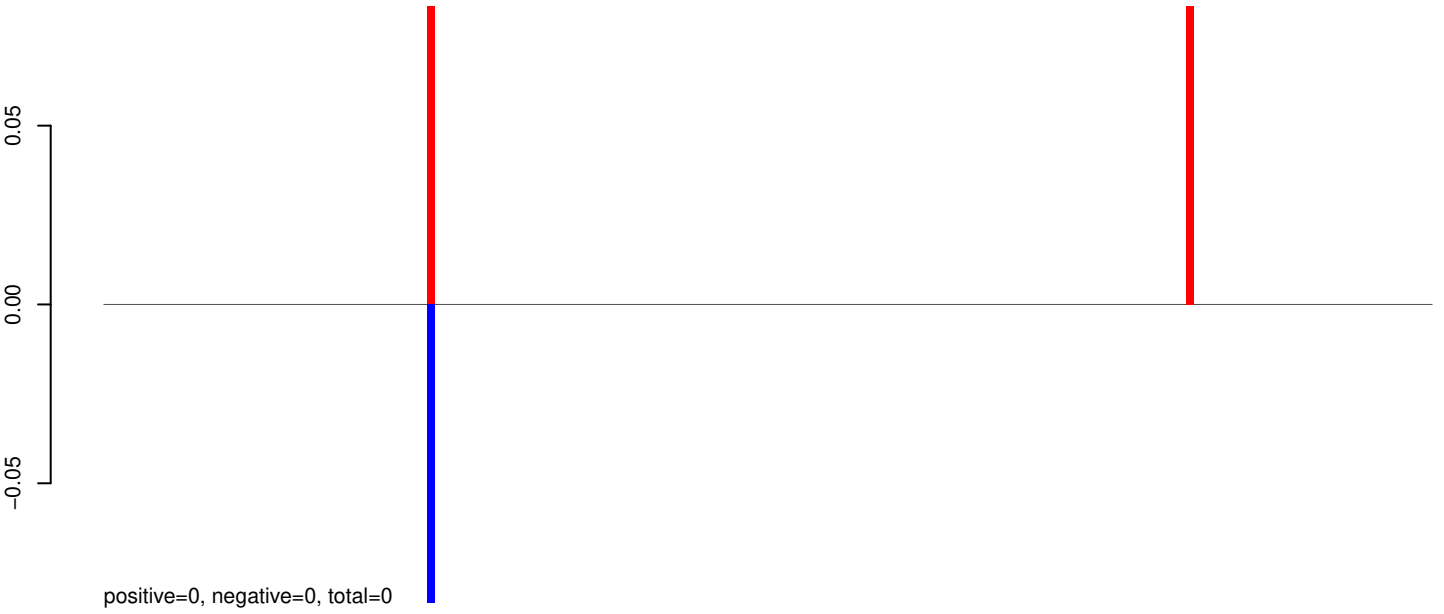
AeAeg_Aag2_Ago2_SINV_RA.rep



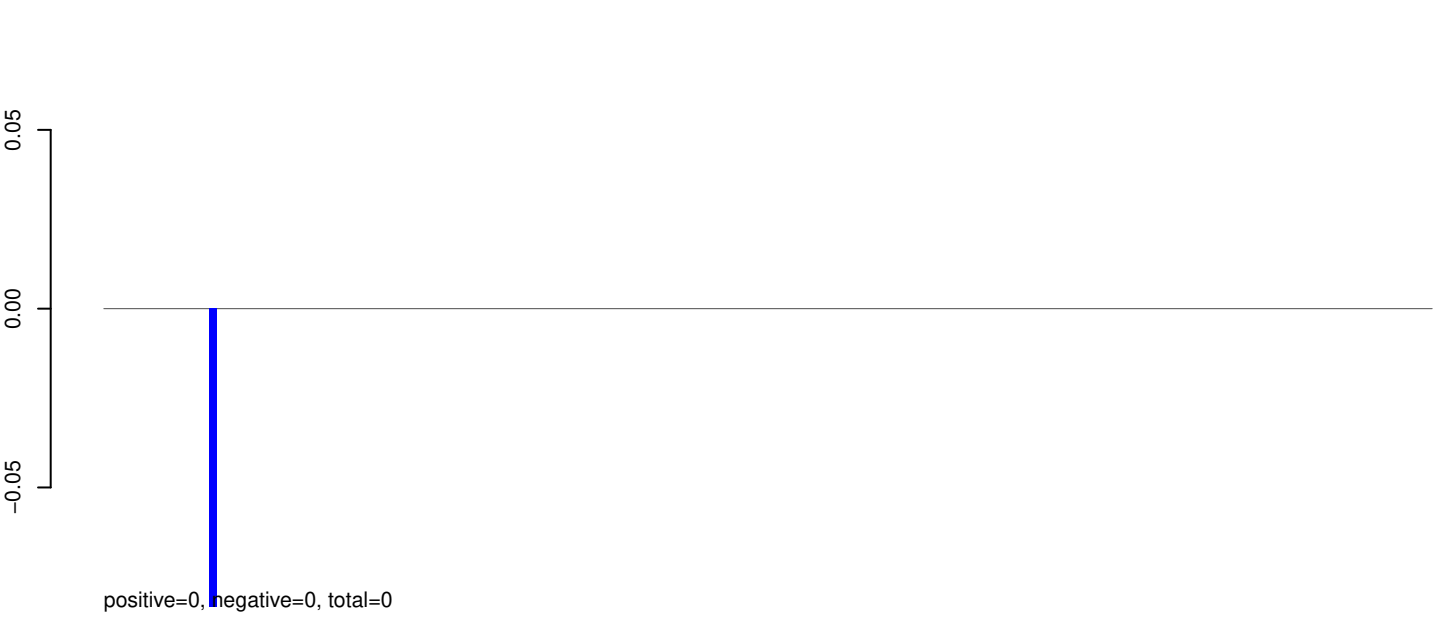
Window size=25, length=6198, TE@l-57_A Ae:1-6198



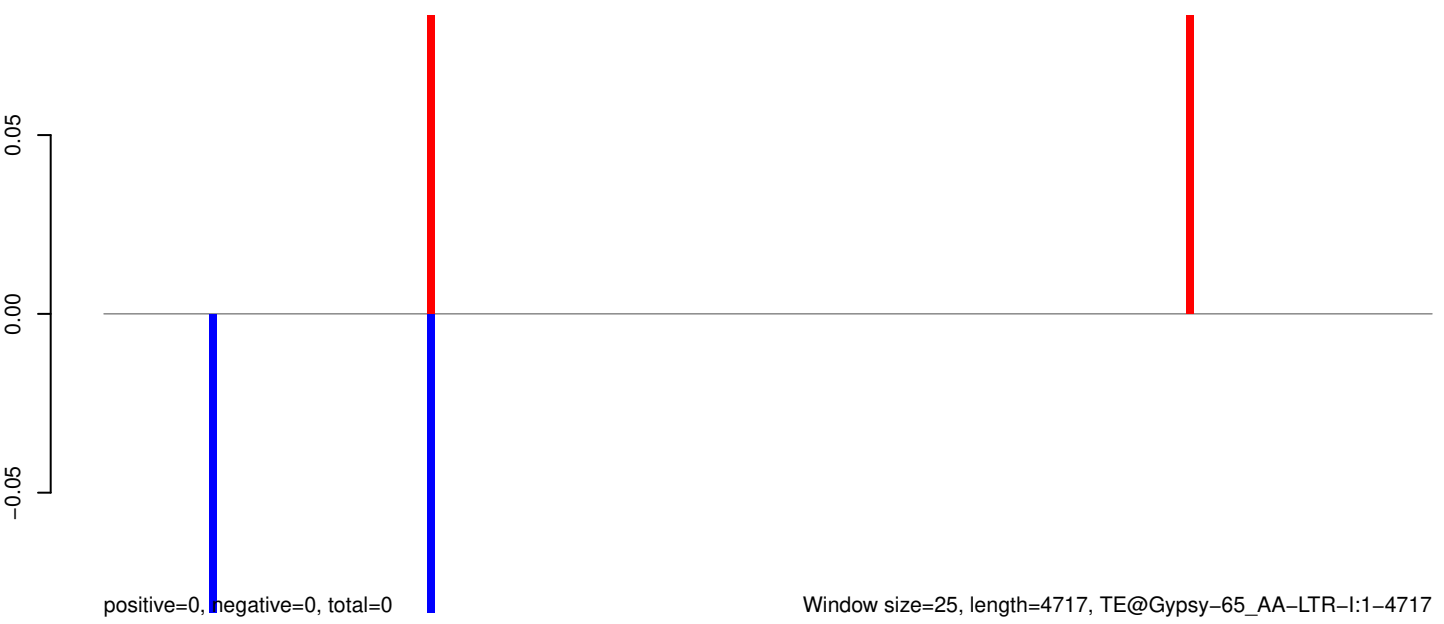
AeAeg_Aag2_Ago2_SINV_RA.18_23.rep



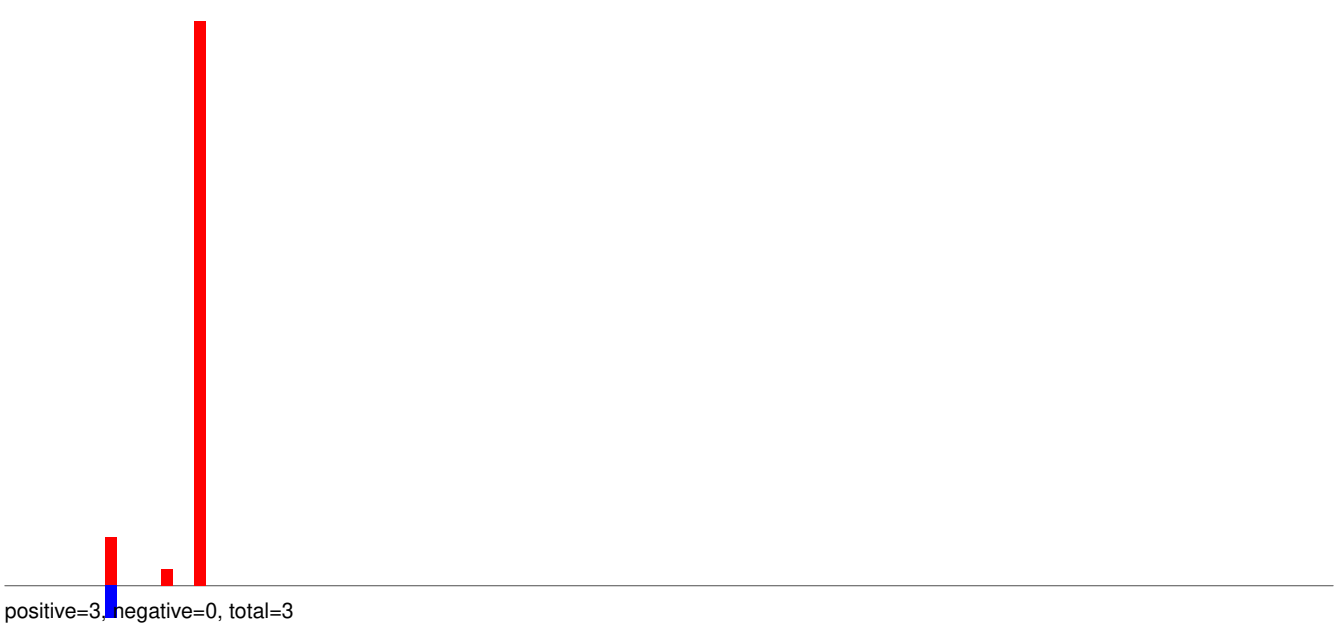
AeAeg_Aag2_Ago2_SINV_RA.24_35.rep



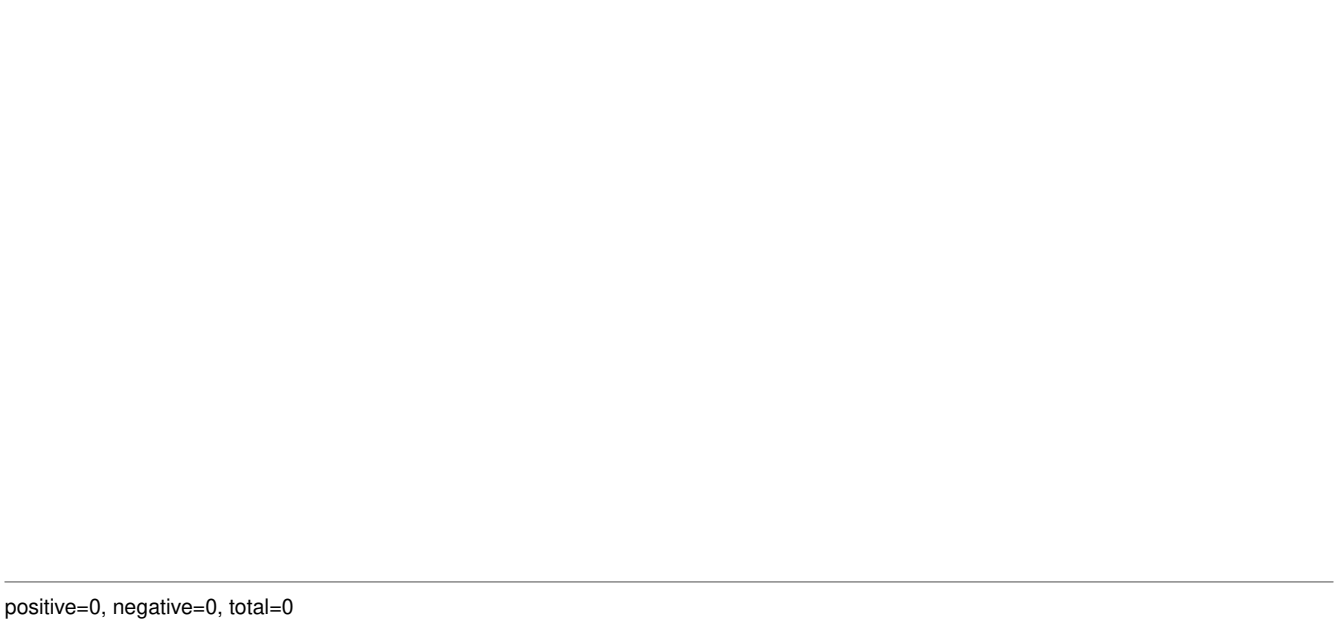
AeAeg_Aag2_Ago2_SINV_RA.rep



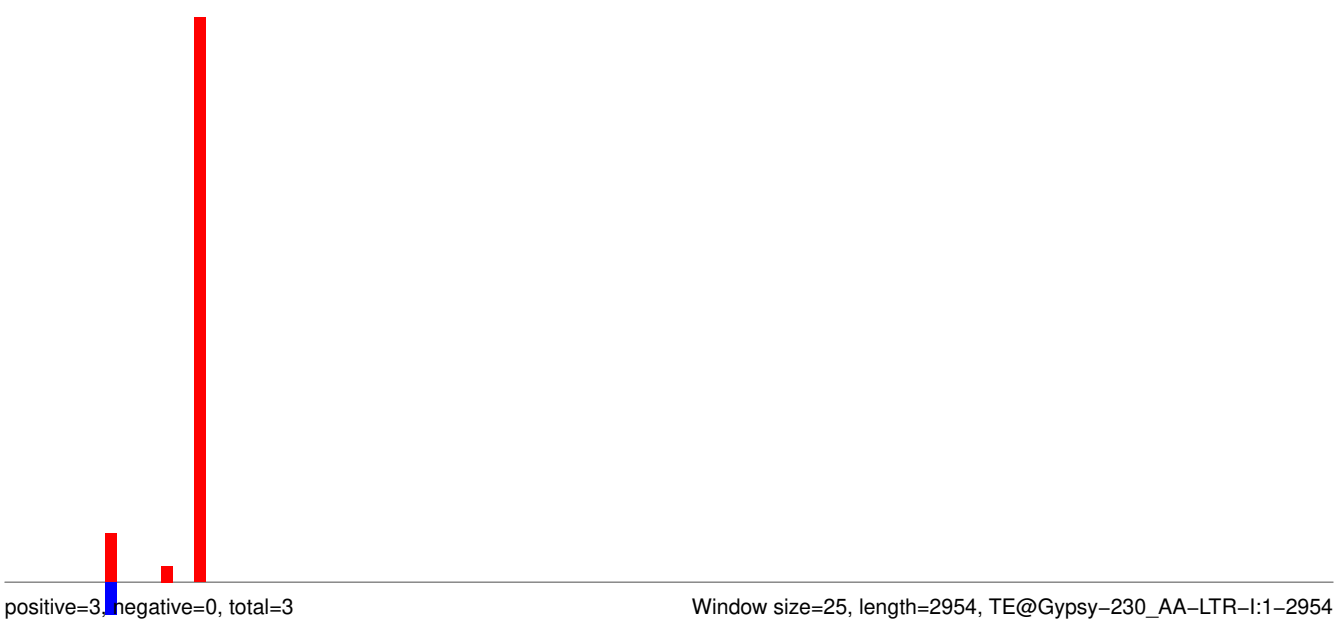
AeAeg_Aag2_Ago2_SINV_RA.18_23.rep



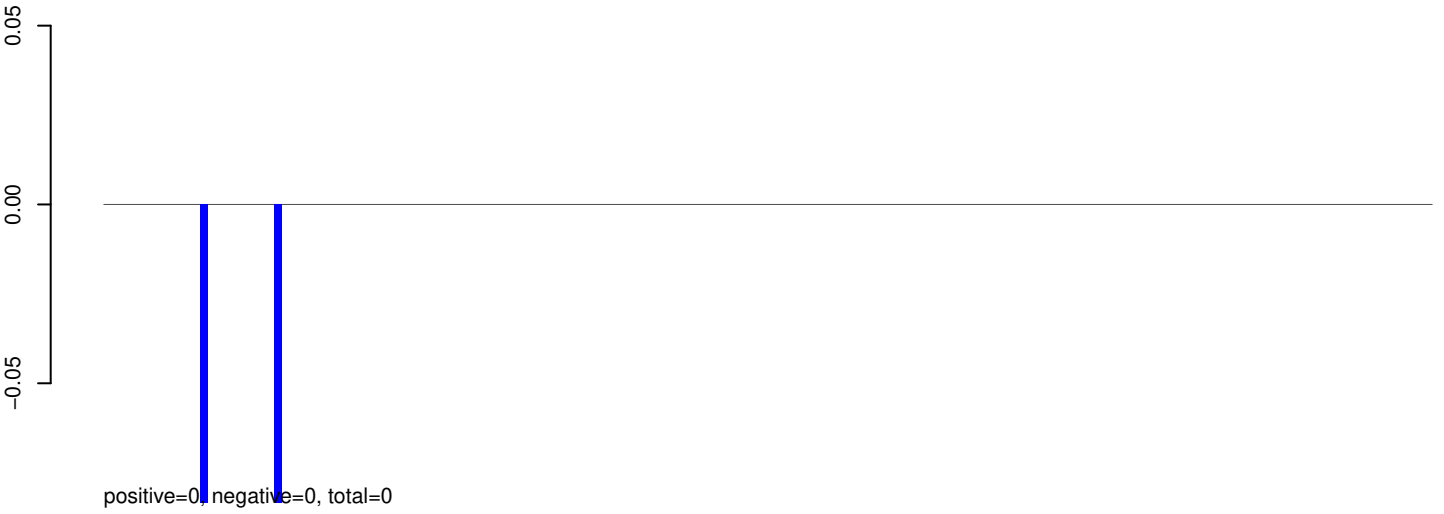
AeAeg_Aag2_Ago2_SINV_RA.24_35.rep



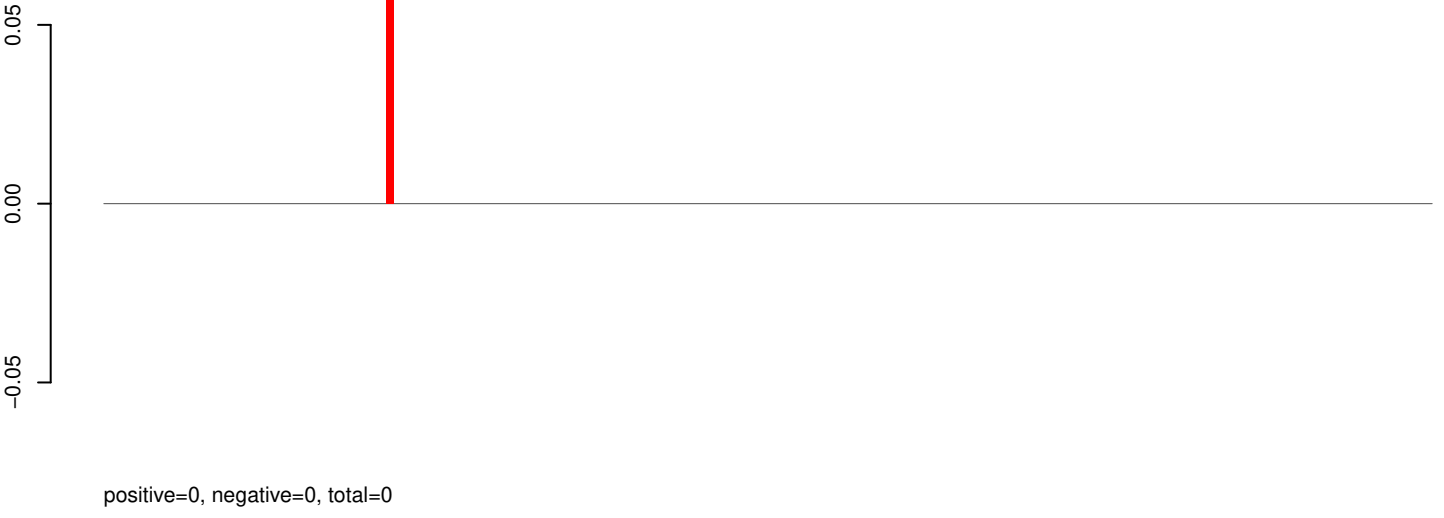
AeAeg_Aag2_Ago2_SINV_RA.rep



AeAeg_Aag2_Ago2_SINV_RA.18_23.rep



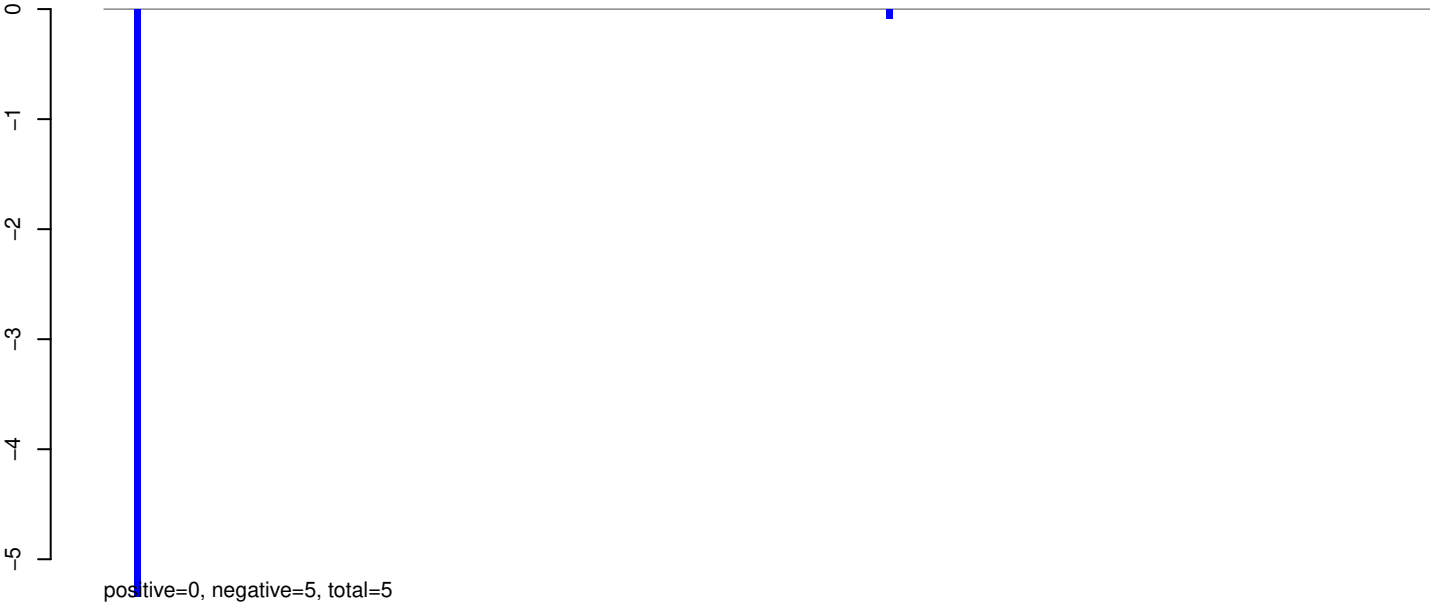
AeAeg_Aag2_Ago2_SINV_RA.24_35.rep



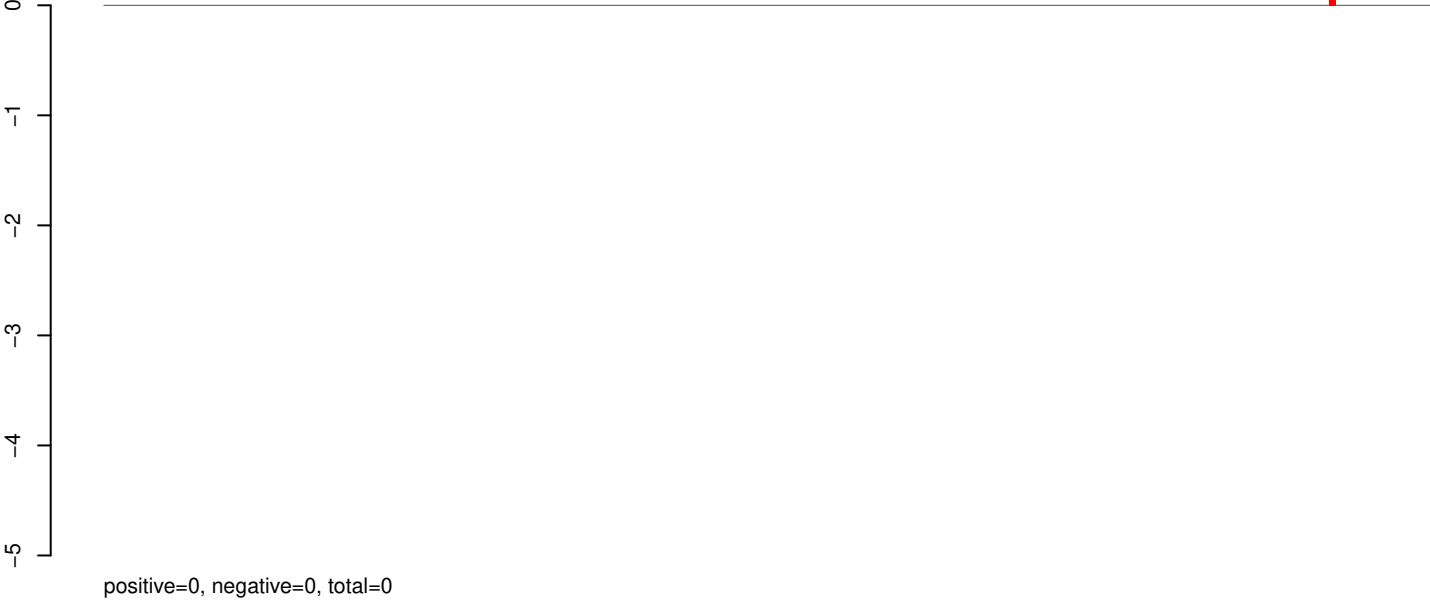
AeAeg_Aag2_Ago2_SINV_RA.rep



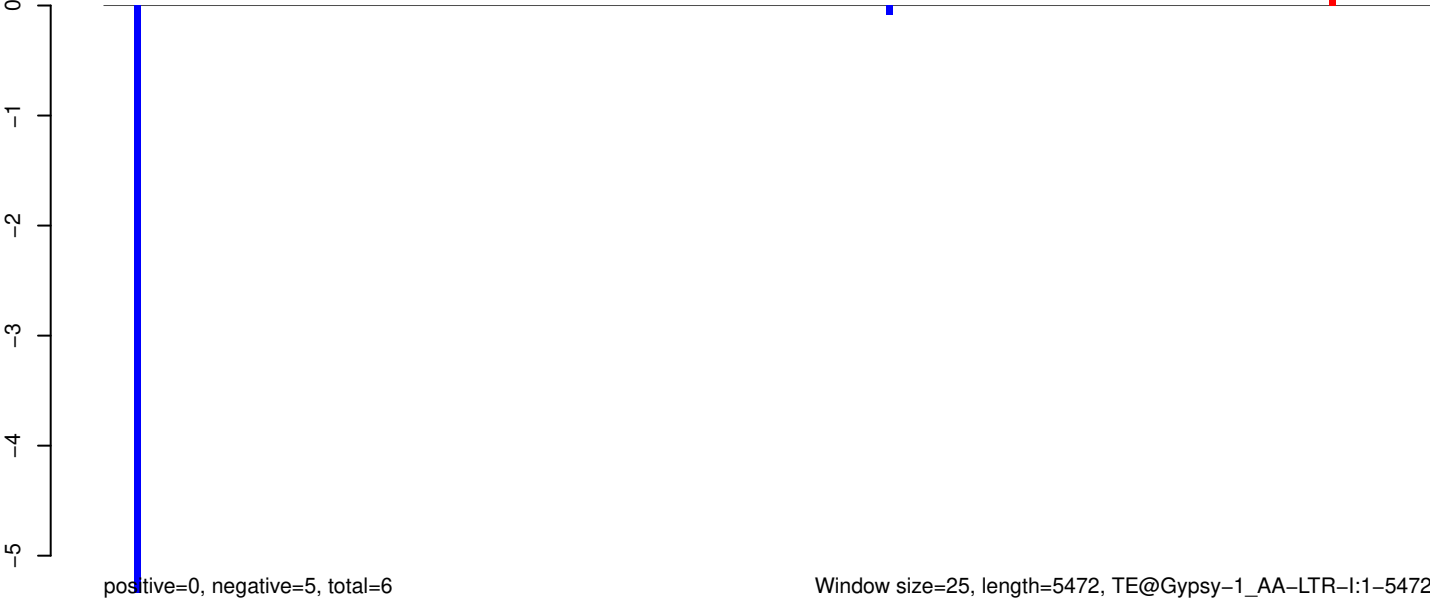
AeAeg_Aag2_Ago2_SINV_RA.18_23.rep

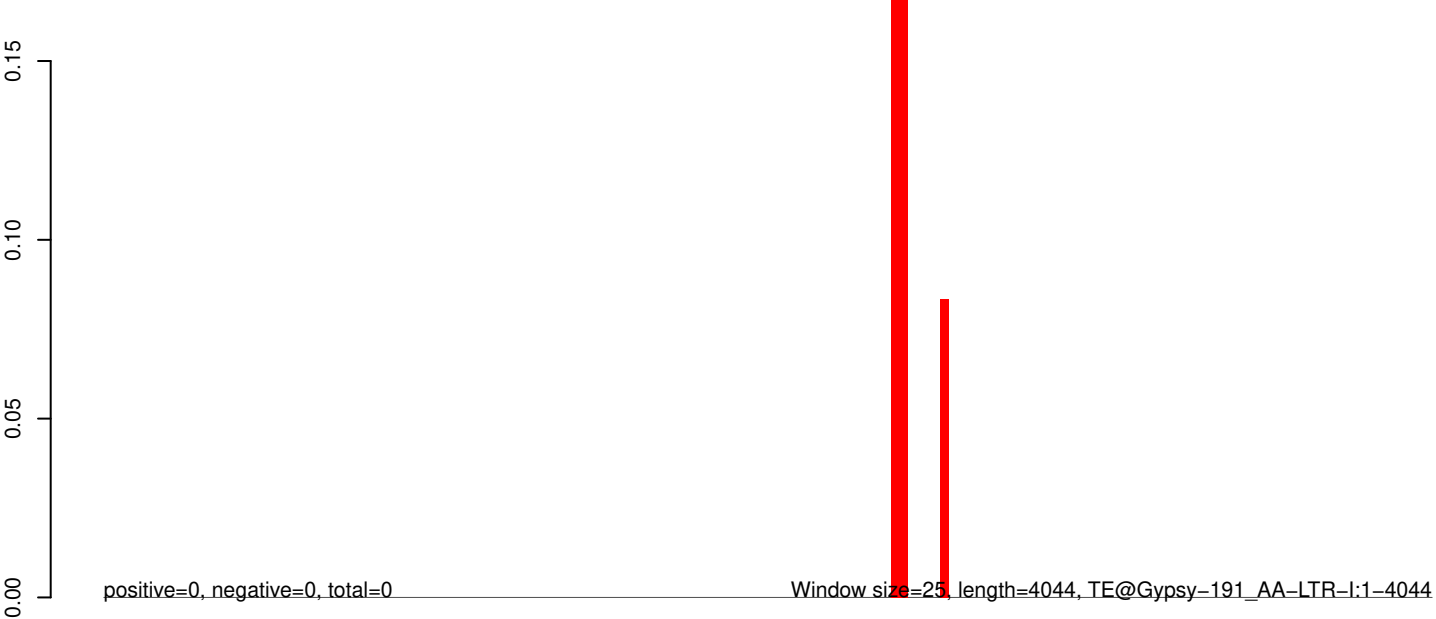
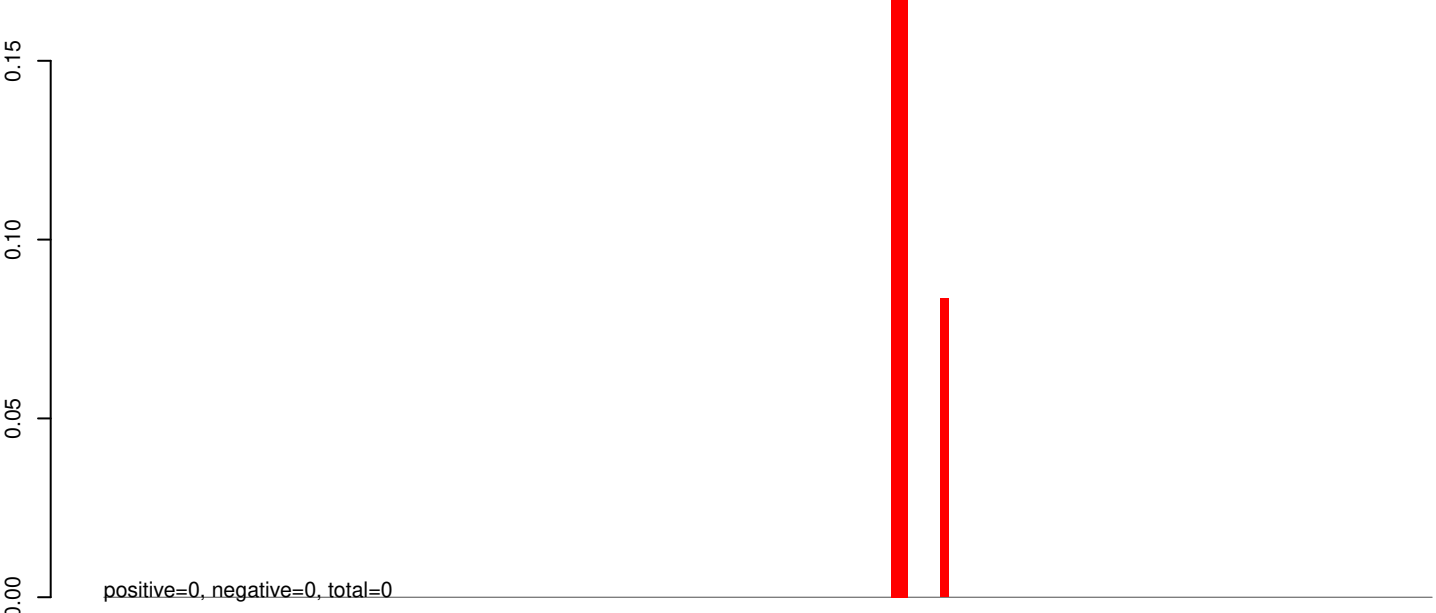
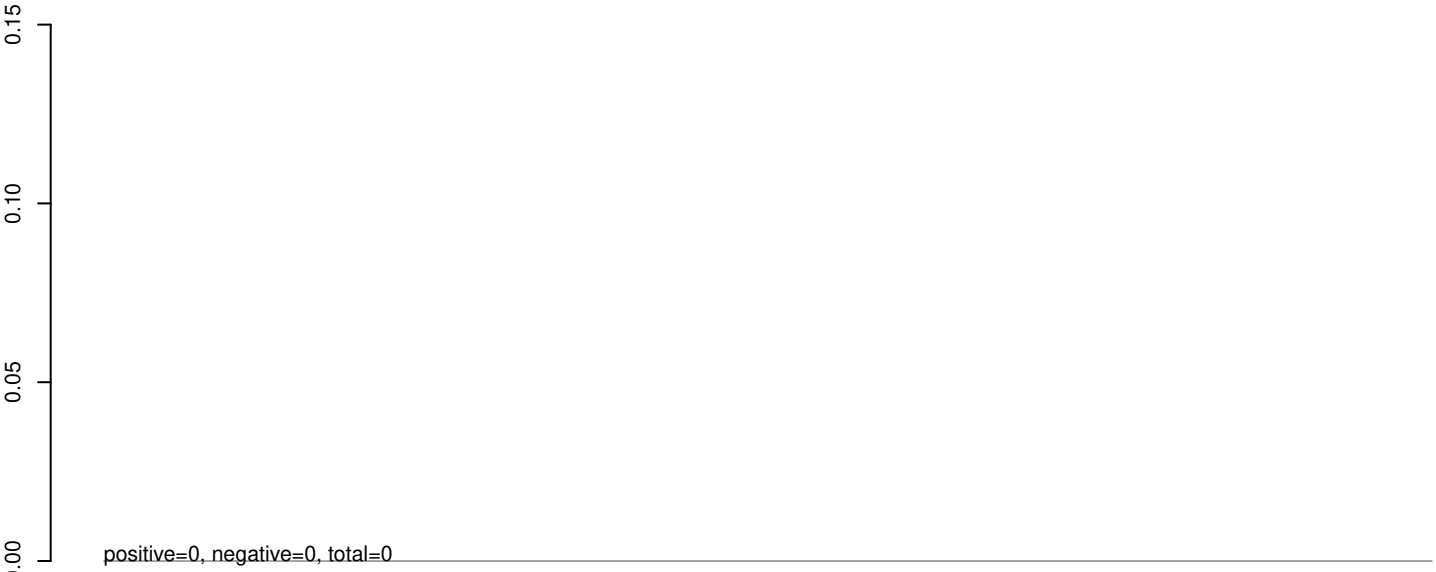


AeAeg_Aag2_Ago2_SINV_RA.24_35.rep

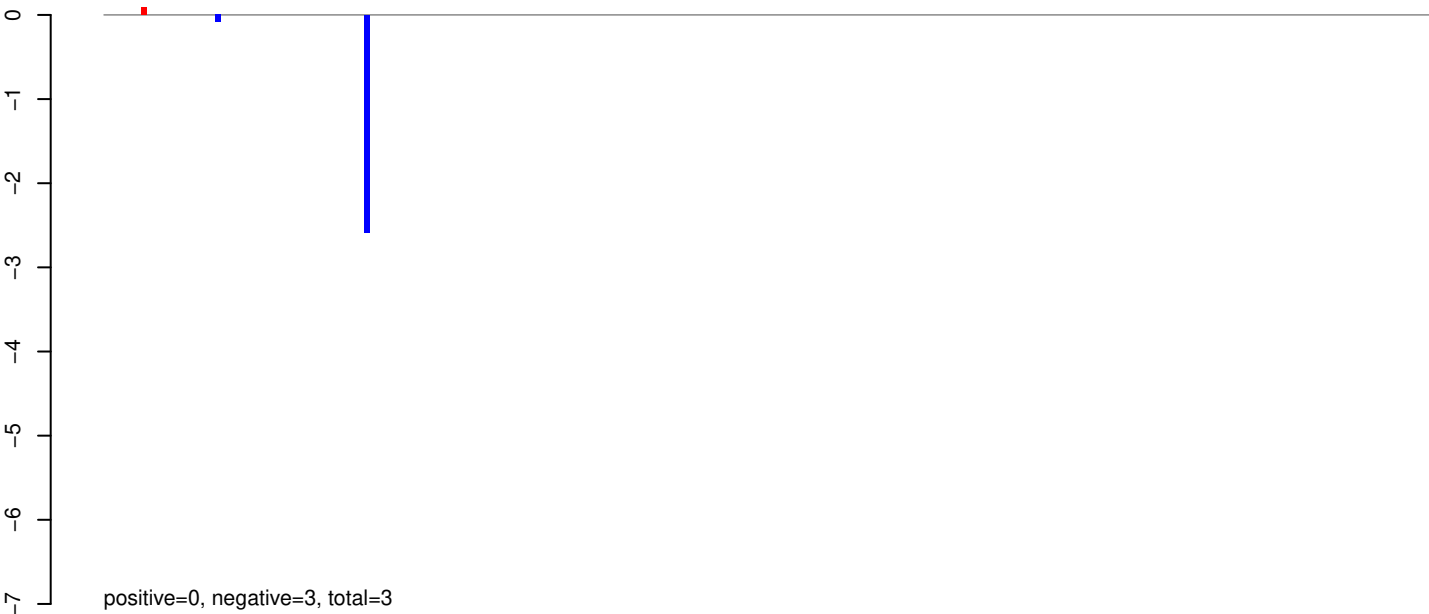


AeAeg_Aag2_Ago2_SINV_RA.rep

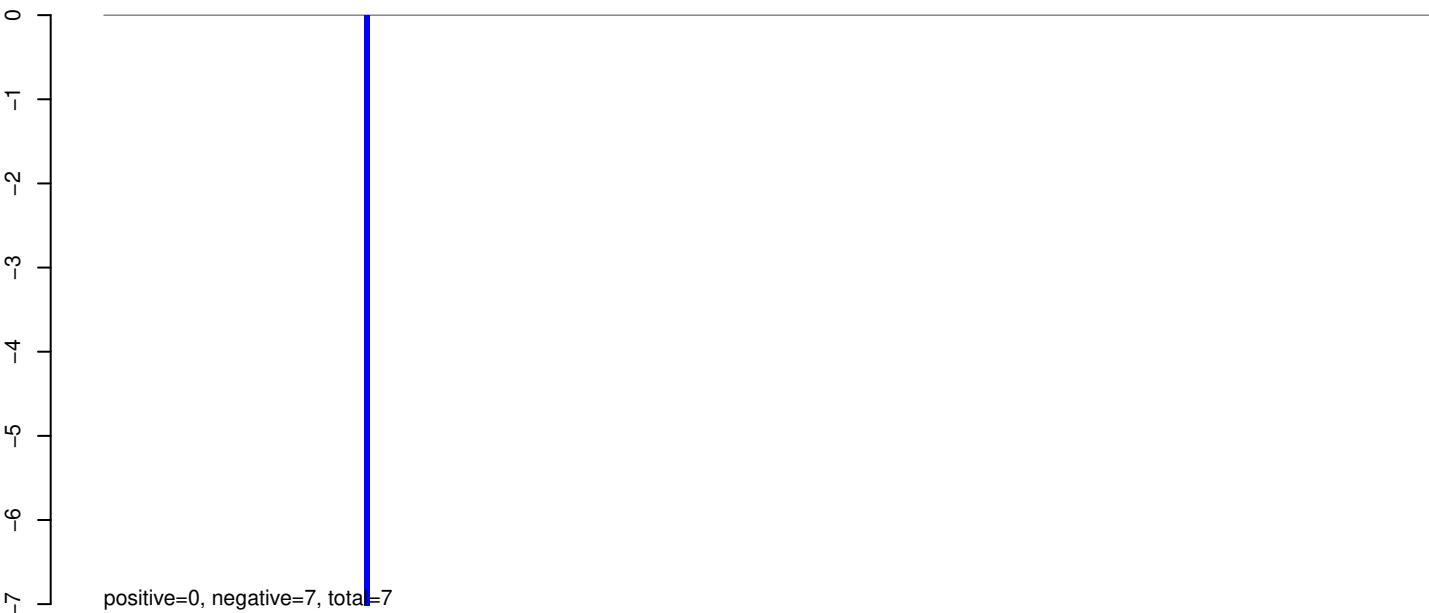




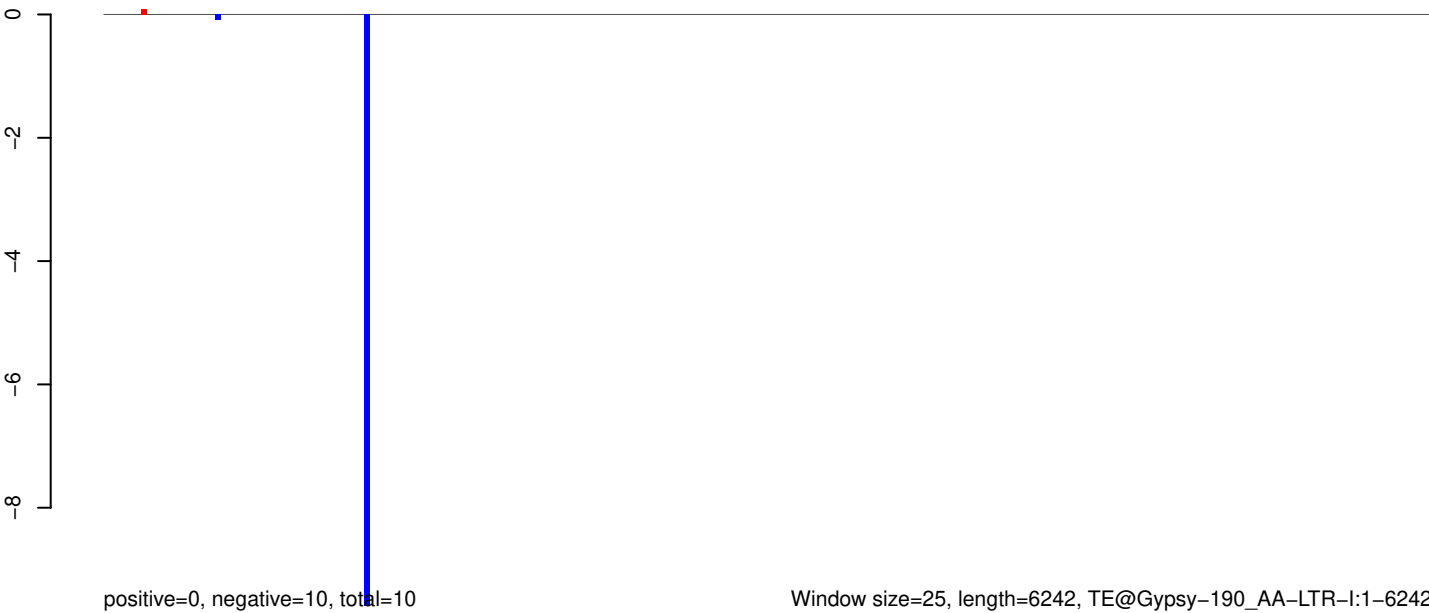
AeAeg_Aag2_Ago2_SINV_RA.18_23.rep



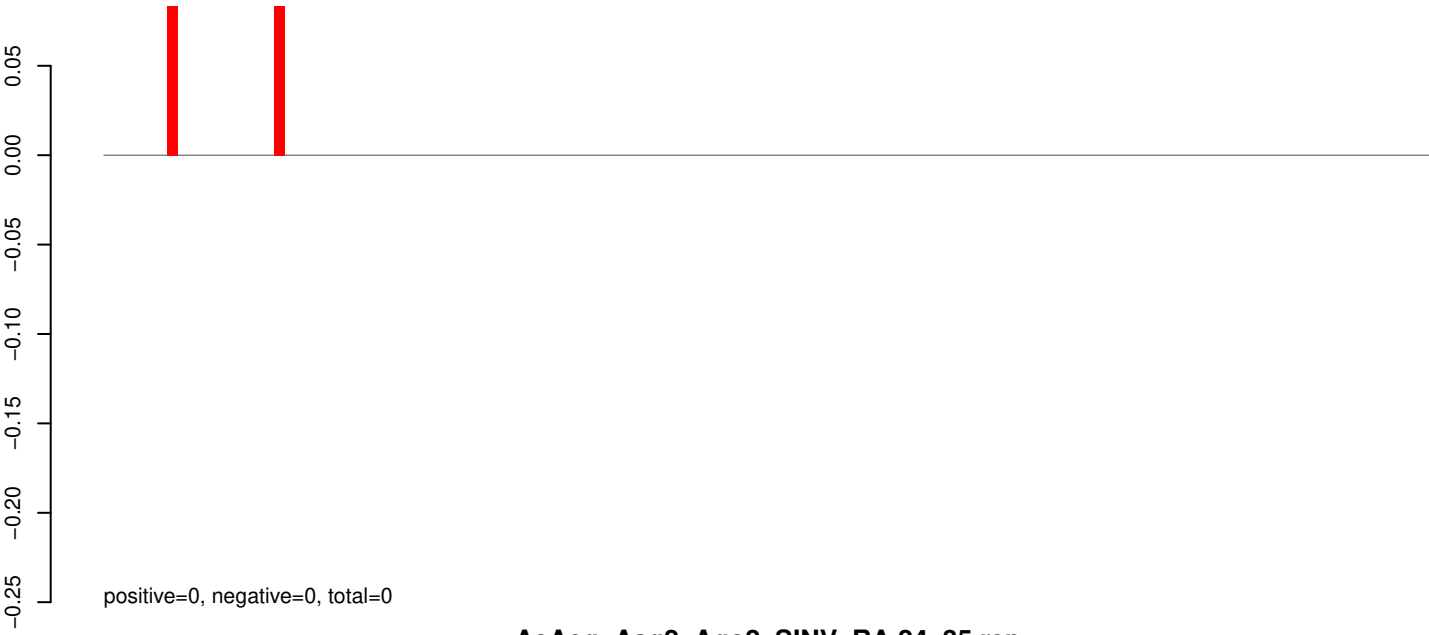
AeAeg_Aag2_Ago2_SINV_RA.24_35.rep



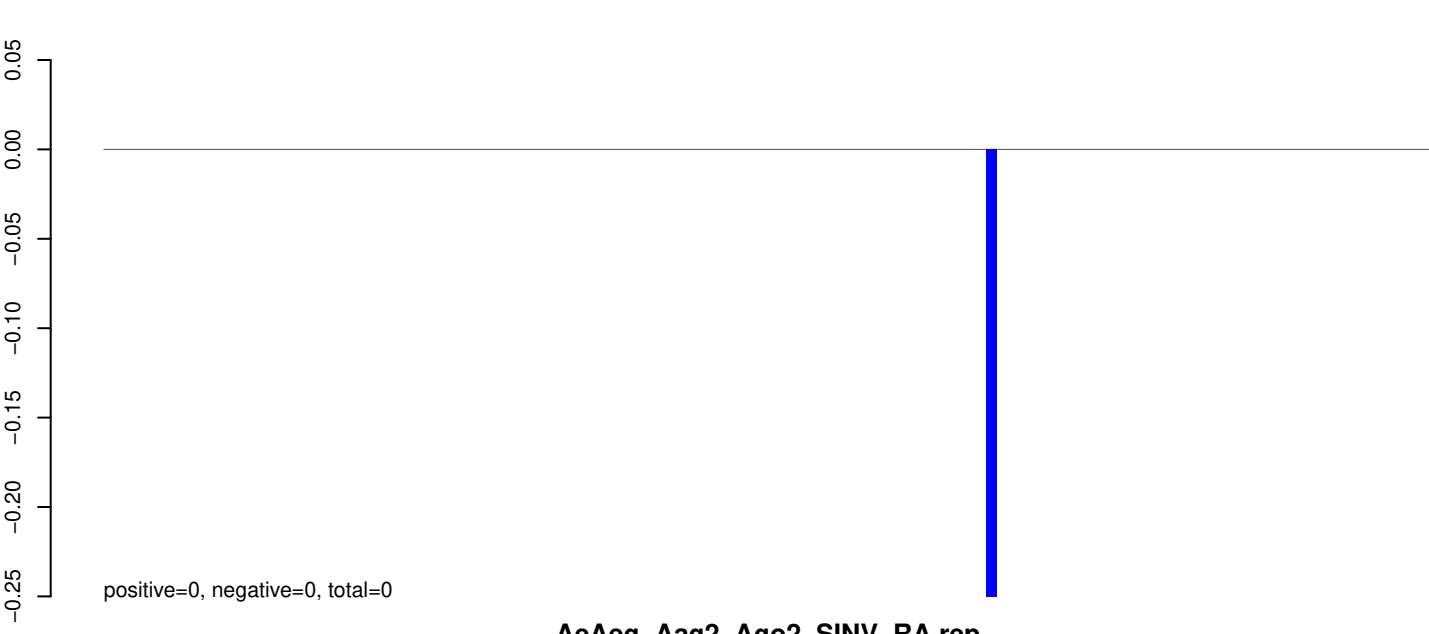
AeAeg_Aag2_Ago2_SINV_RA.rep



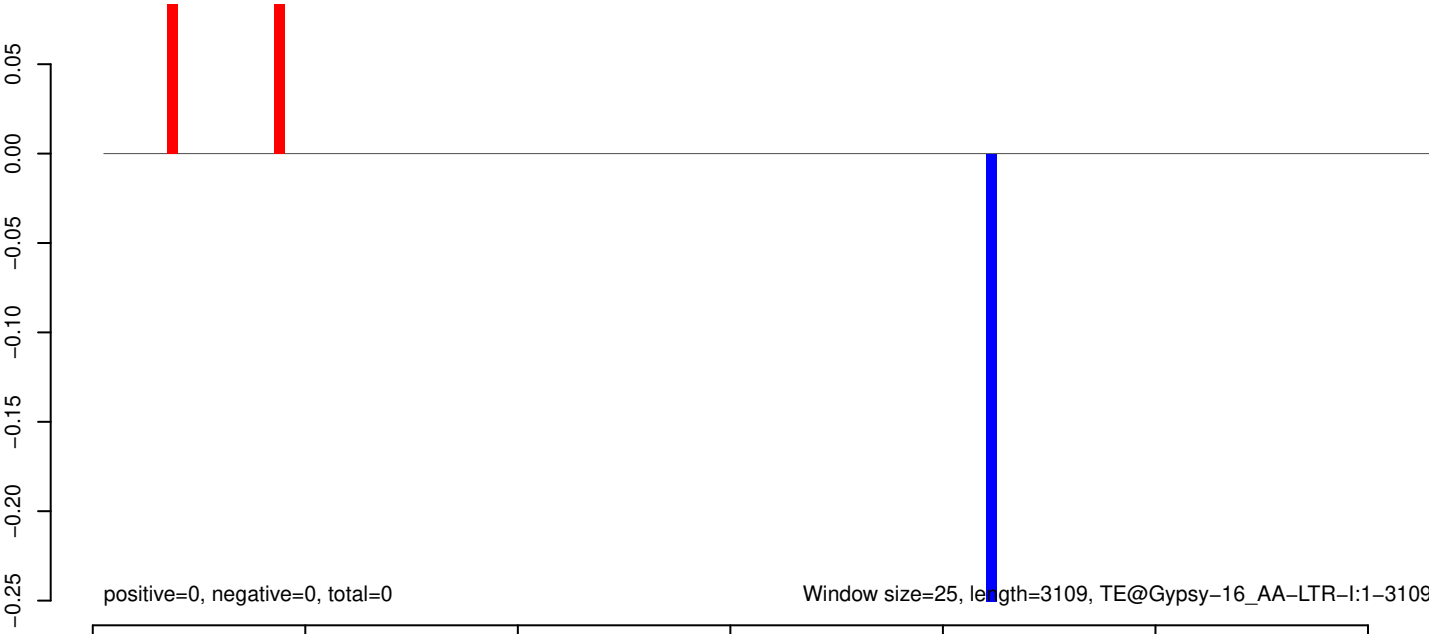
AeAeg_Aag2_Ago2_SINV_RA.18_23.rep



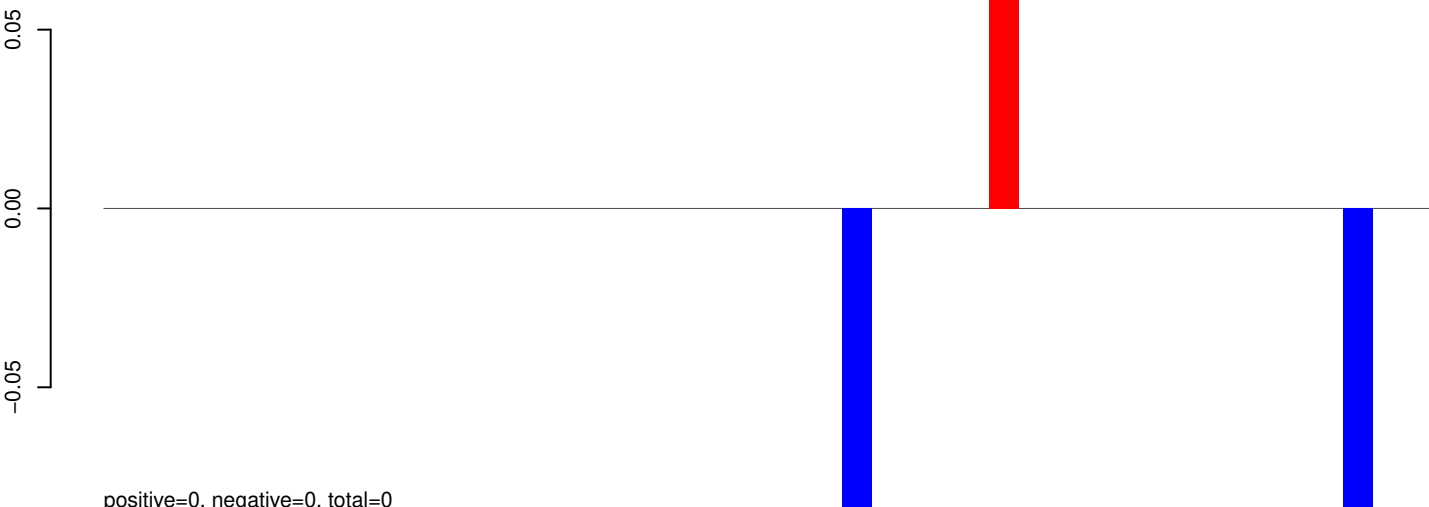
AeAeg_Aag2_Ago2_SINV_RA.24_35.rep



AeAeg_Aag2_Ago2_SINV_RA.rep



AeAeg_Aag2_Ago2_SINV_RA.18_23.rep



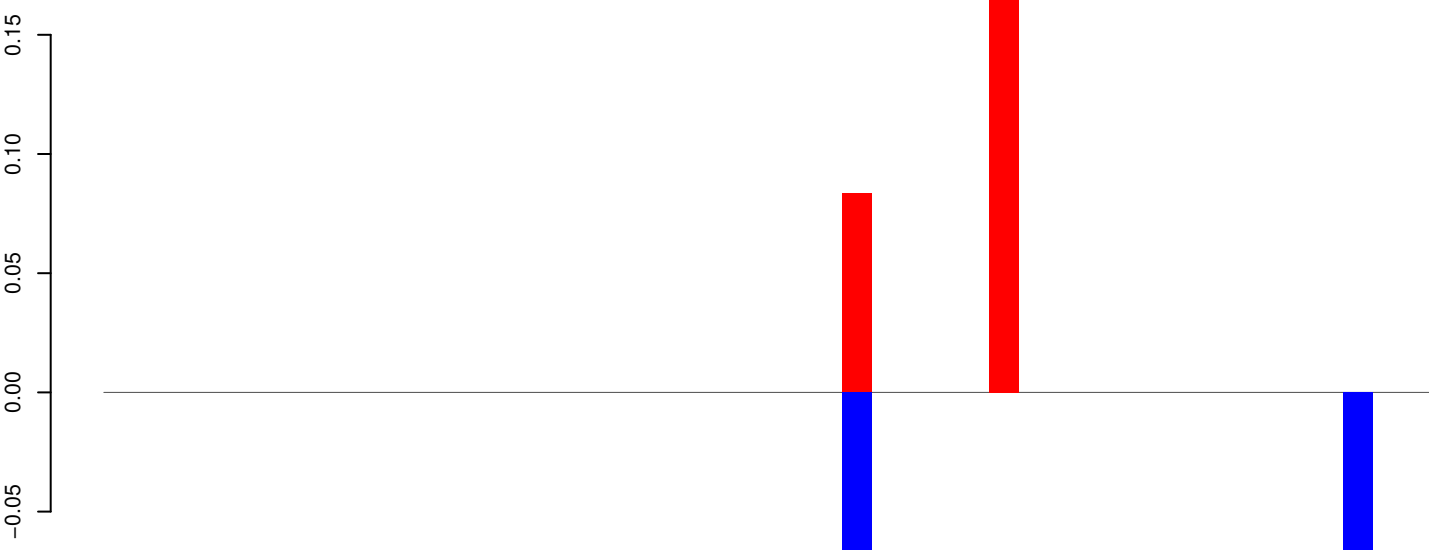
positive=0, negative=0, total=0

AeAeg_Aag2_Ago2_SINV_RA.24_35.rep



positive=0, negative=0, total=0

AeAeg_Aag2_Ago2_SINV_RA.rep

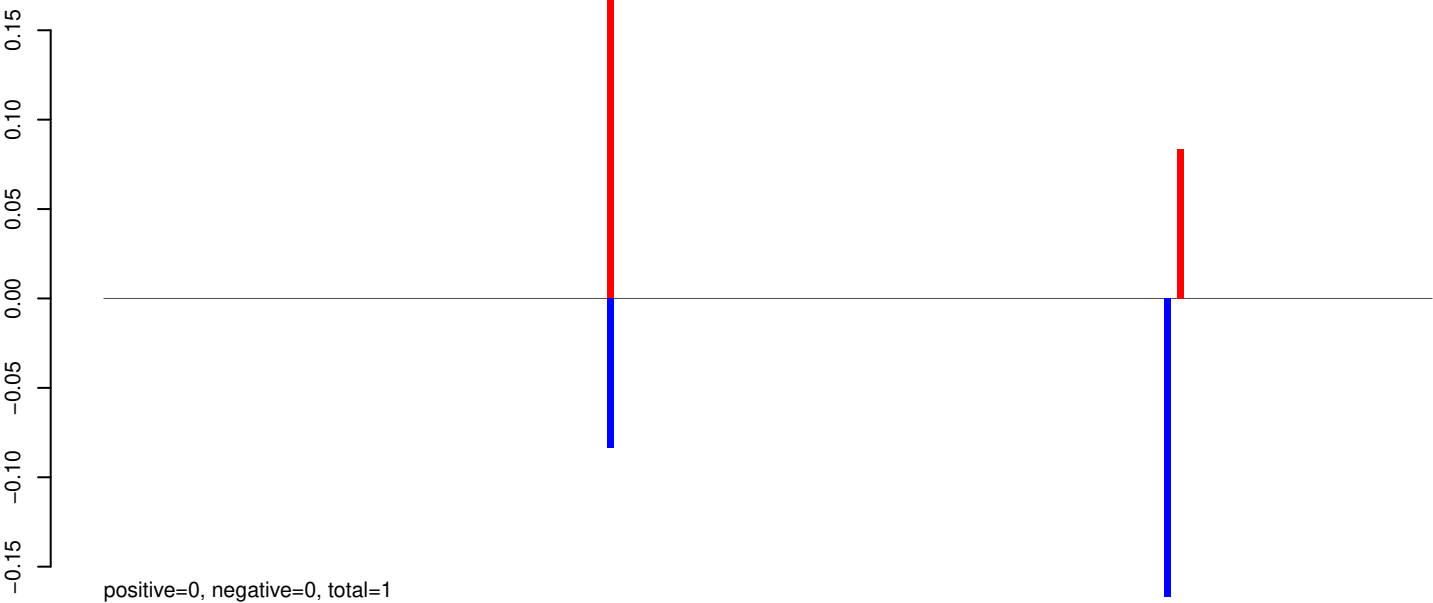


positive=0, negative=0, total=0

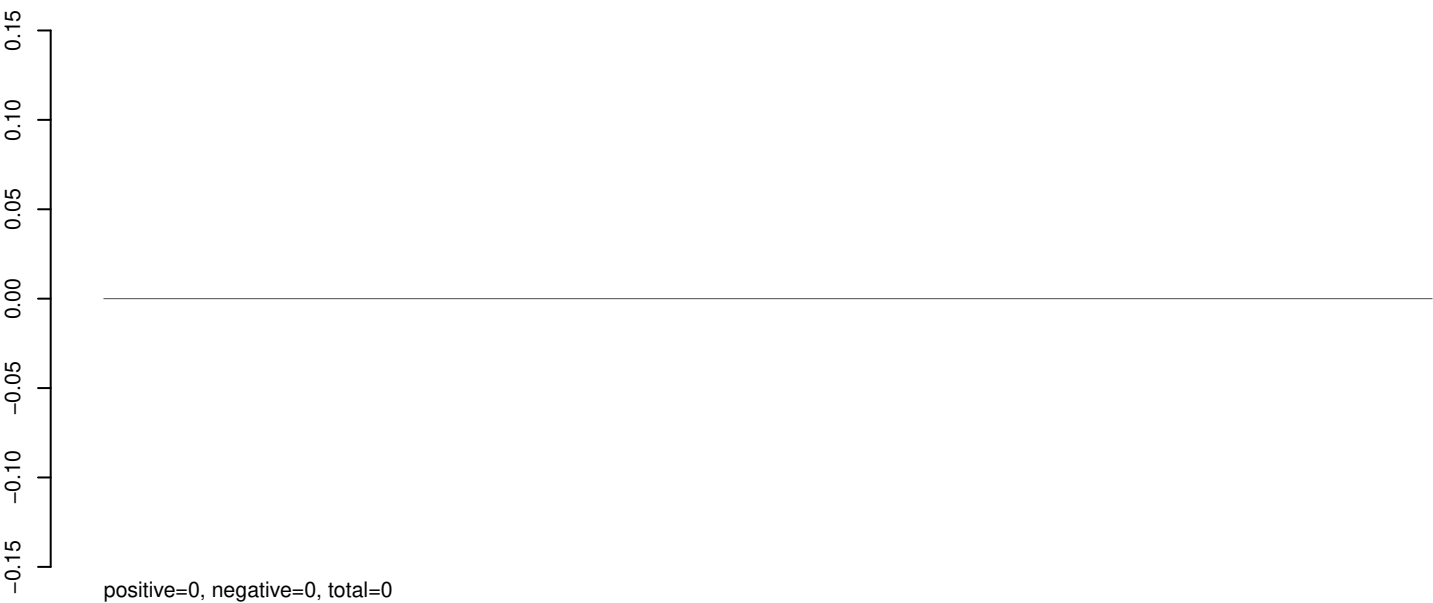
Window size=25, length=1107, TE@Gypsy-119_AA-LTR:1-1107

0 200 400 600 800 1000

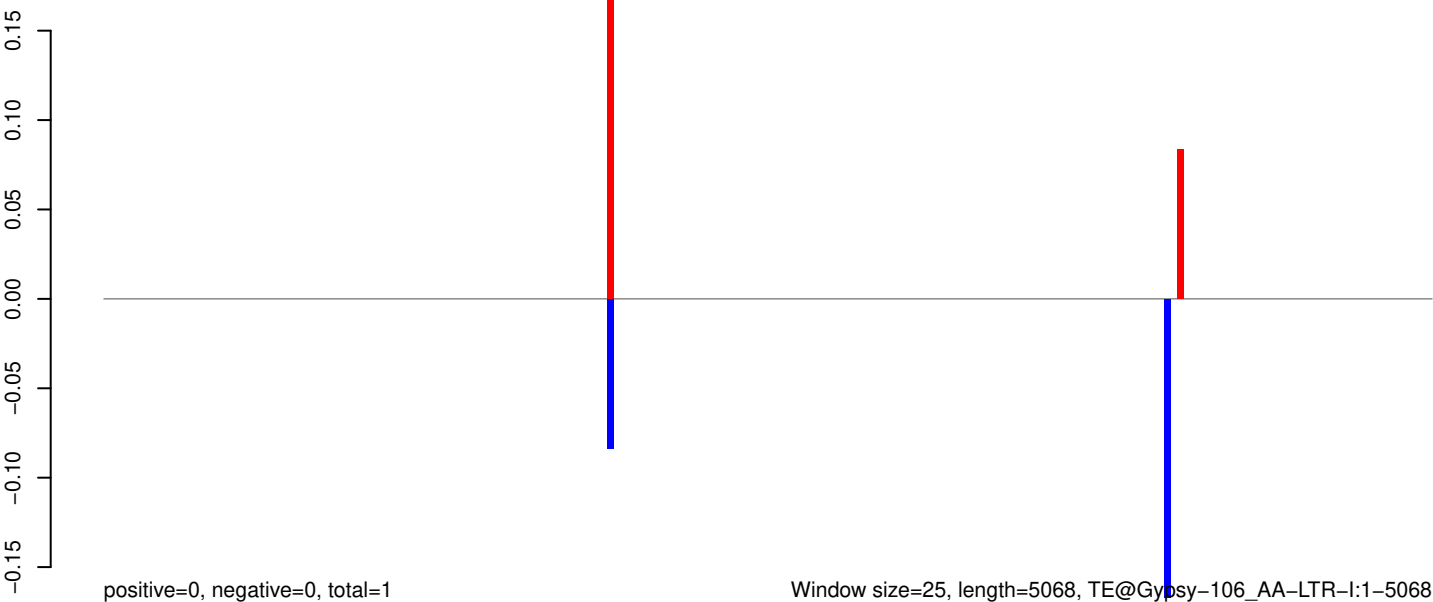
AeAeg_Aag2_Ago2_SINV_RA.18_23.rep



AeAeg_Aag2_Ago2_SINV_RA.24_35.rep



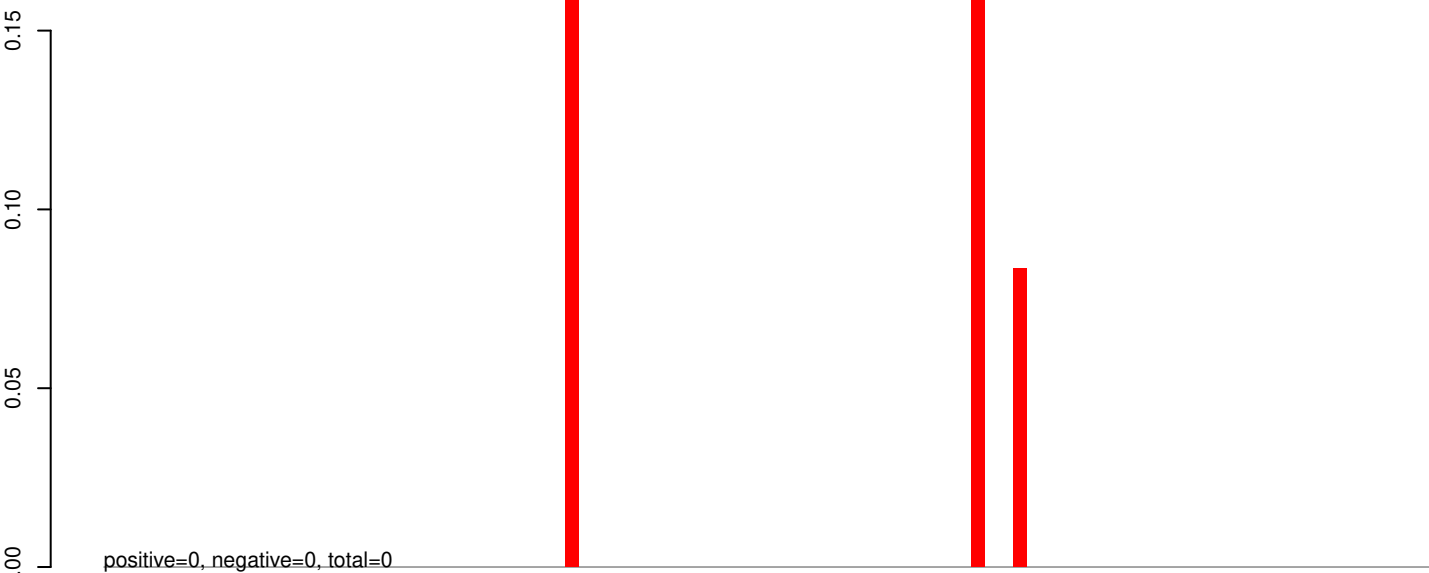
AeAeg_Aag2_Ago2_SINV_RA.rep



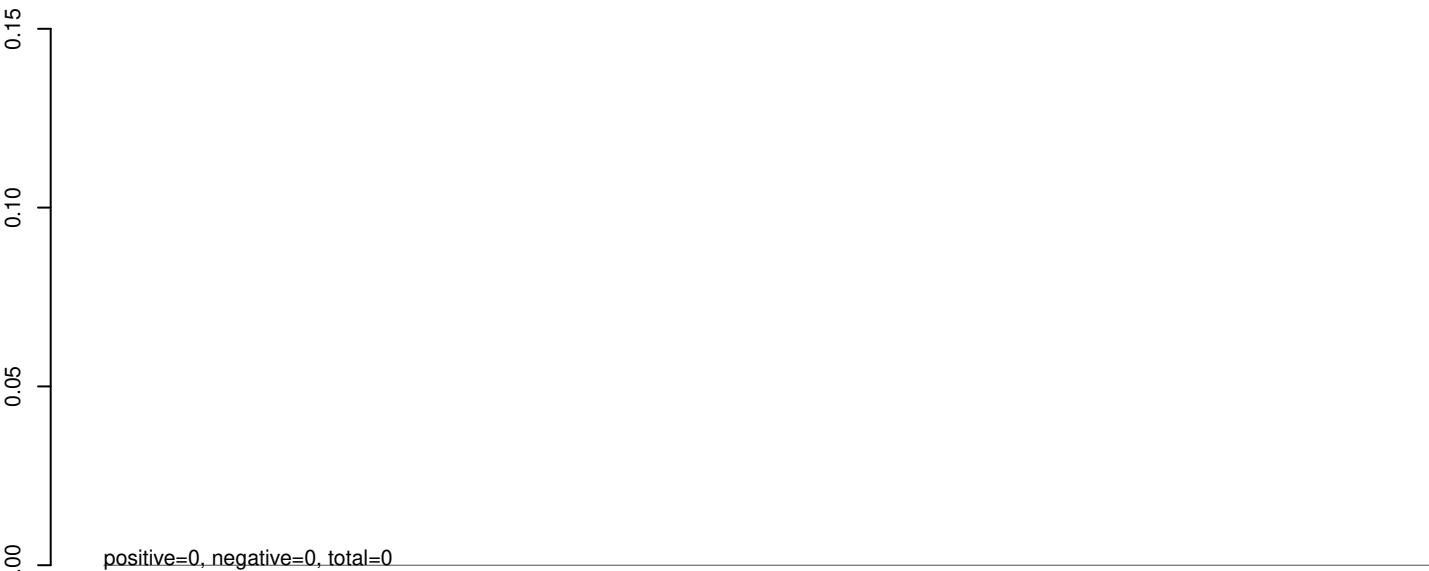
Window size=25, length=5068, TE@Gypsy-106_AA-LTR-I:1-5068

0 1000 2000 3000 4000 5000

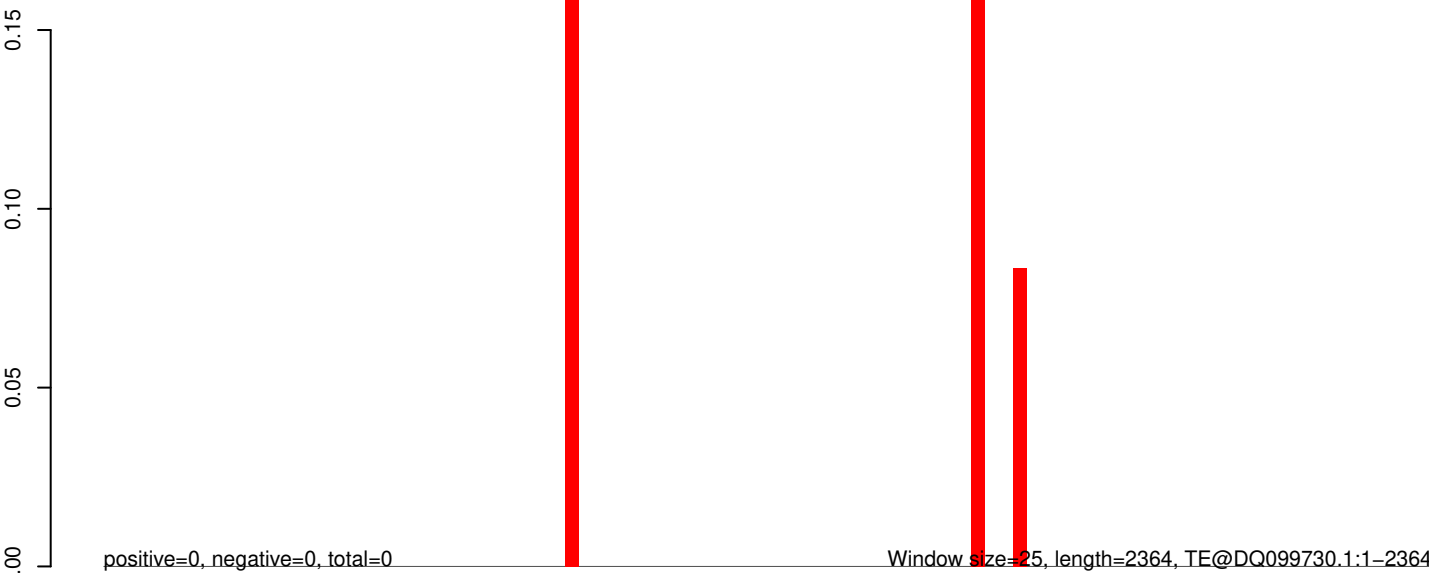
AeAeg_Aag2_Ago2_SINV_RA.18_23.rep



AeAeg_Aag2_Ago2_SINV_RA.24_35.rep

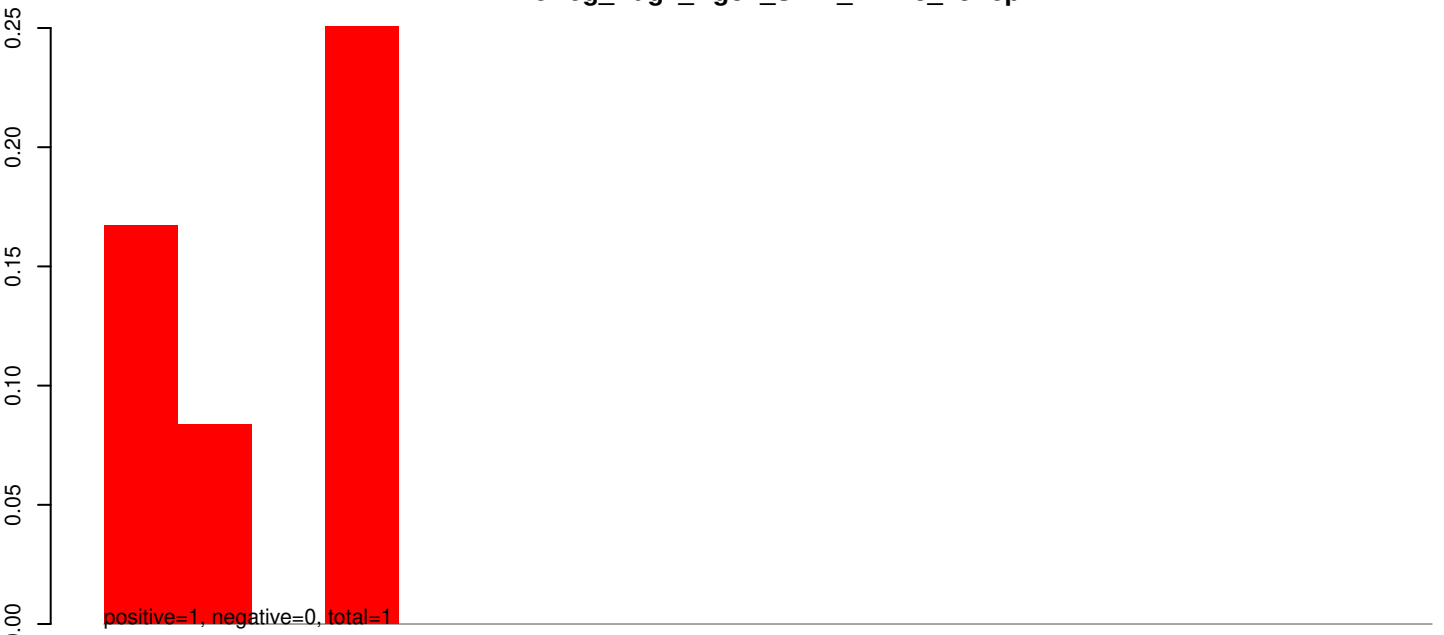


AeAeg_Aag2_Ago2_SINV_RA.rep

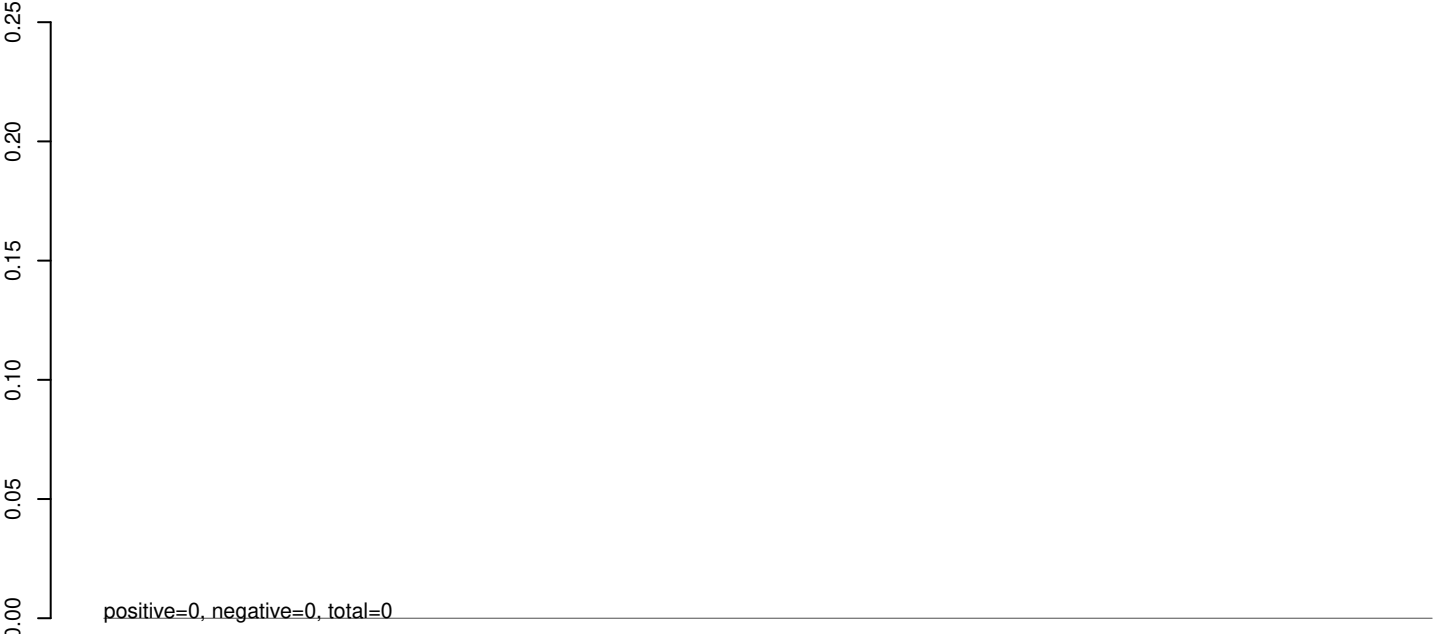


0 500 1000 1500 2000

AeAeg_Aag2_Ago2_SINV_RA.18_23.rep



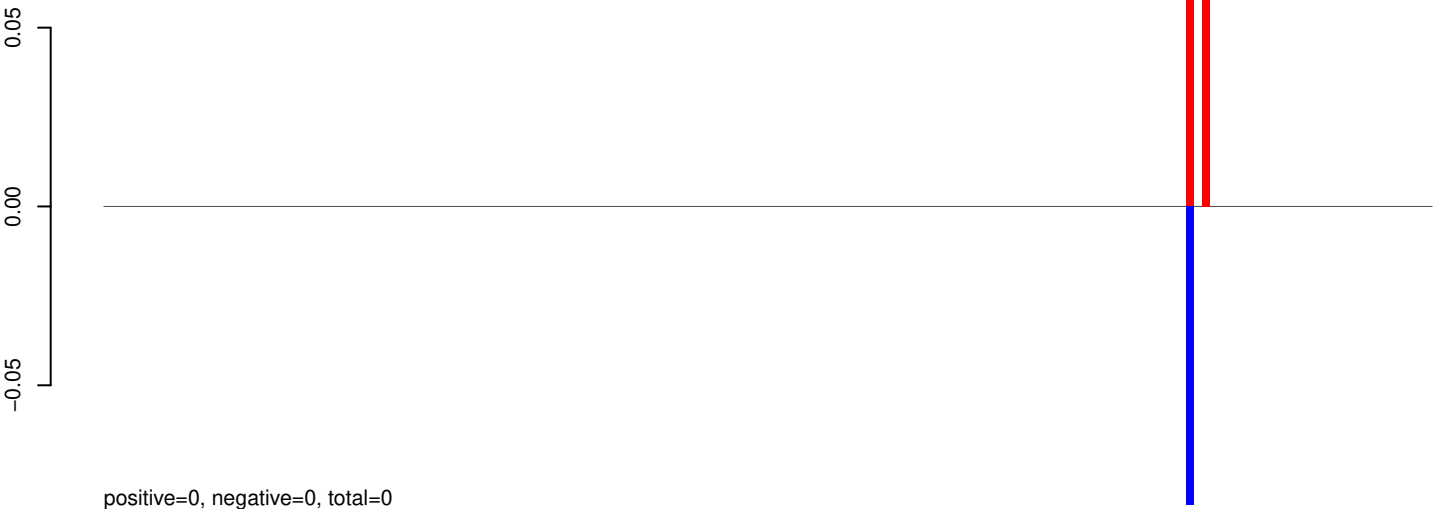
AeAeg_Aag2_Ago2_SINV_RA.24_35.rep



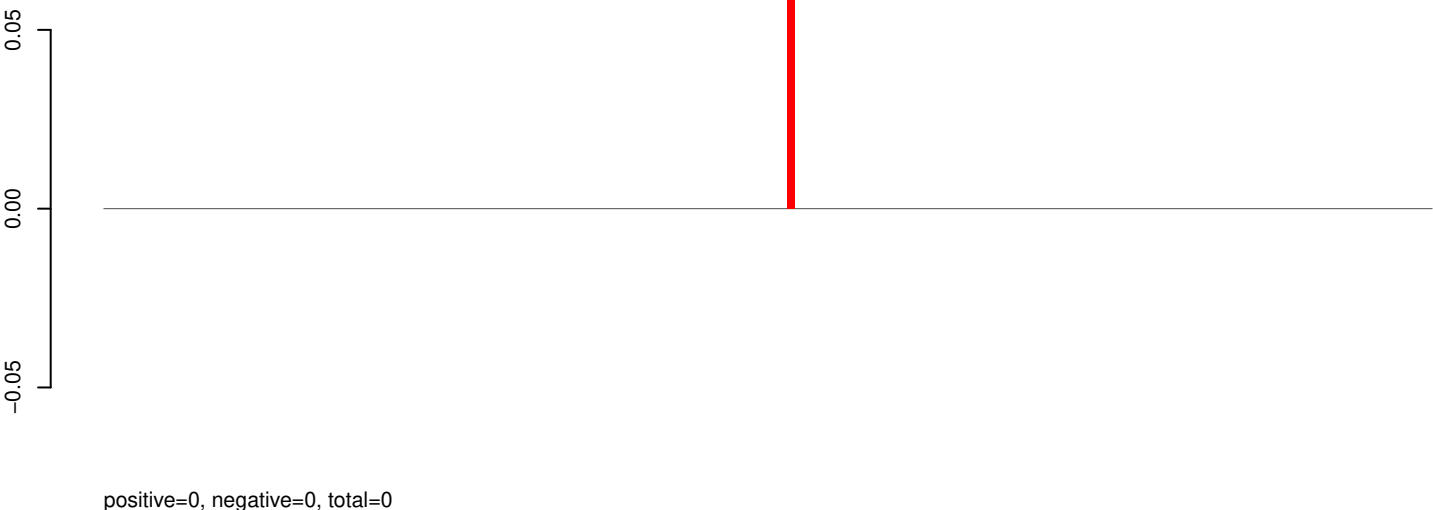
AeAeg_Aag2_Ago2_SINV_RA.rep



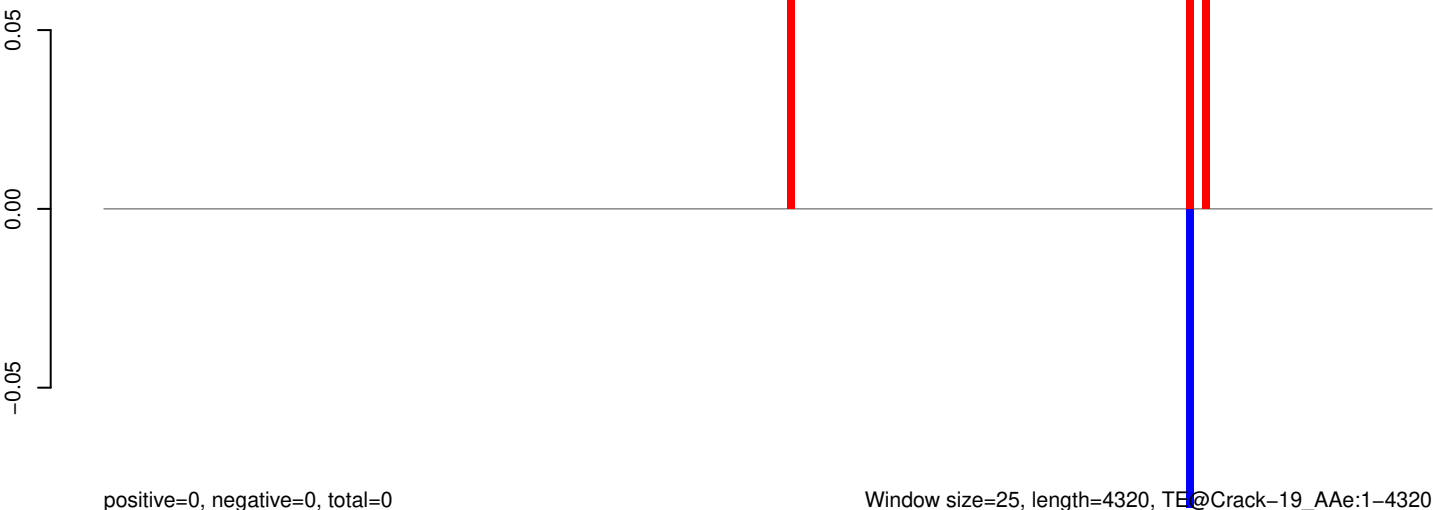
AeAeg_Aag2_Ago2_SINV_RA.18_23.rep



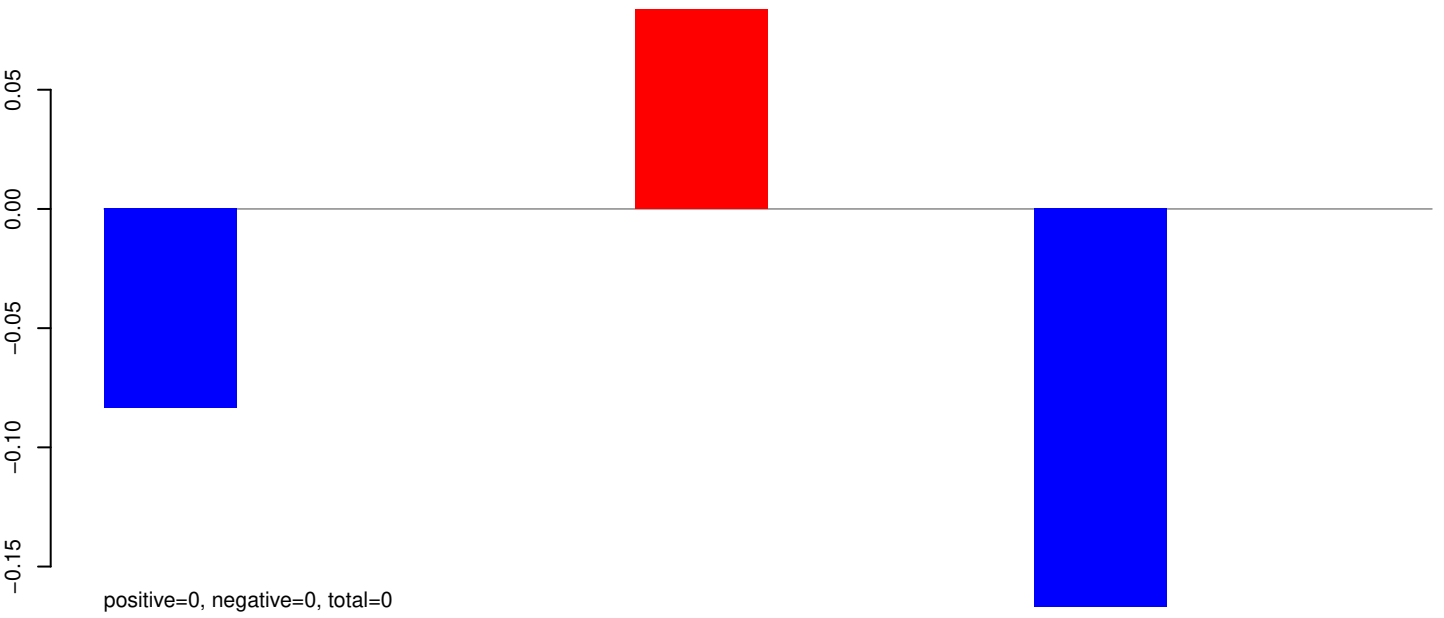
AeAeg_Aag2_Ago2_SINV_RA.24_35.rep



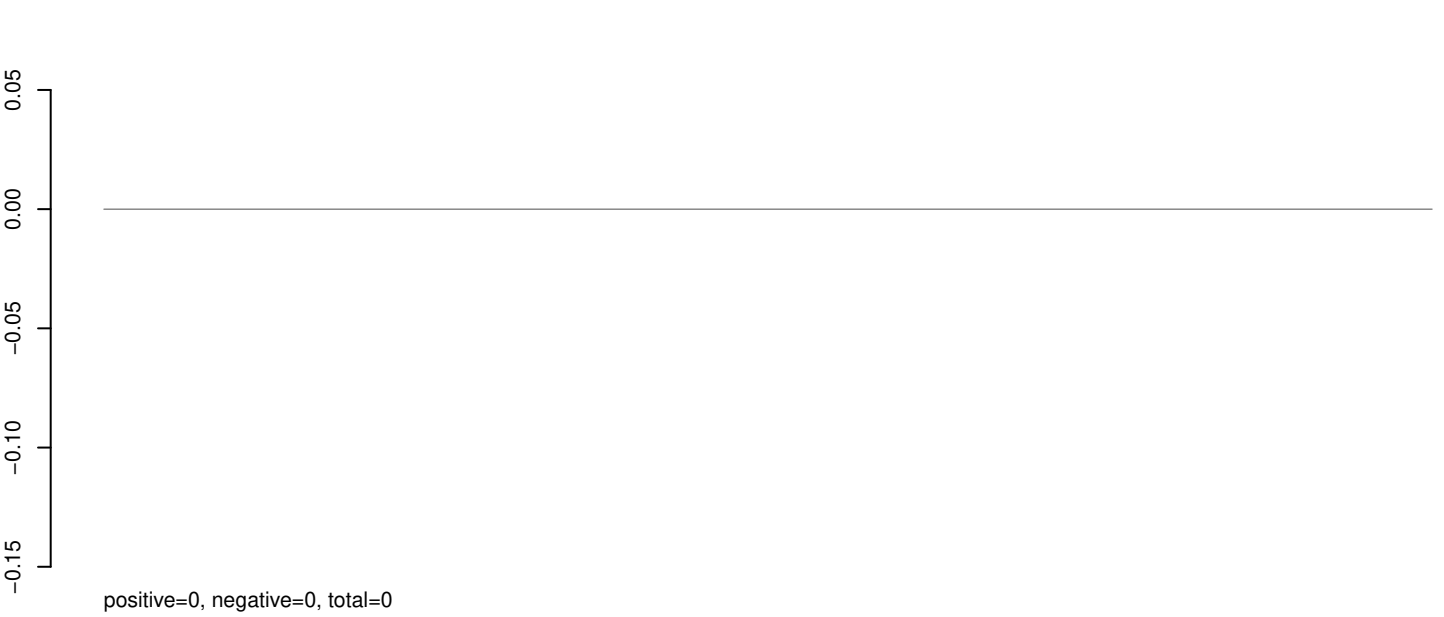
AeAeg_Aag2_Ago2_SINV_RA.rep



AeAeg_Aag2_Ago2_SINV_RA.18_23.rep



AeAeg_Aag2_Ago2_SINV_RA.24_35.rep



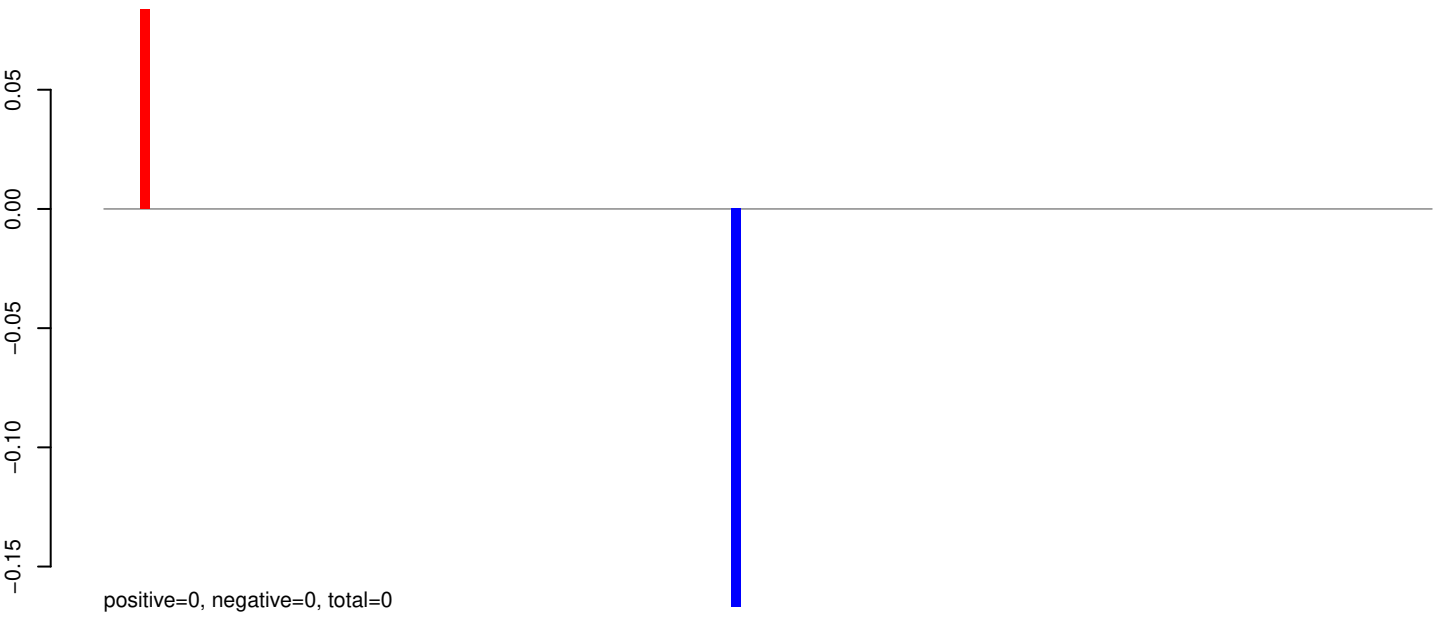
AeAeg_Aag2_Ago2_SINV_RA.rep



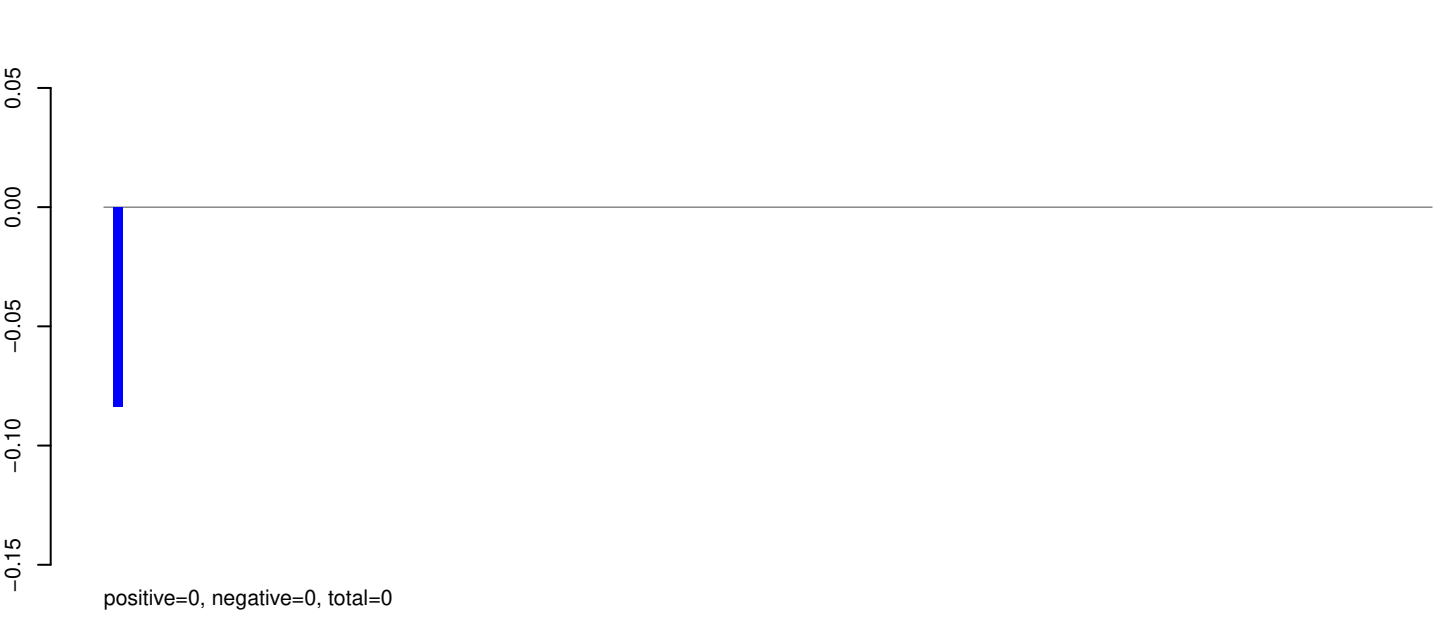
Window size=25, length=248, TE@Copia-54_AA-LTR:1-248

50 100 150 200 250

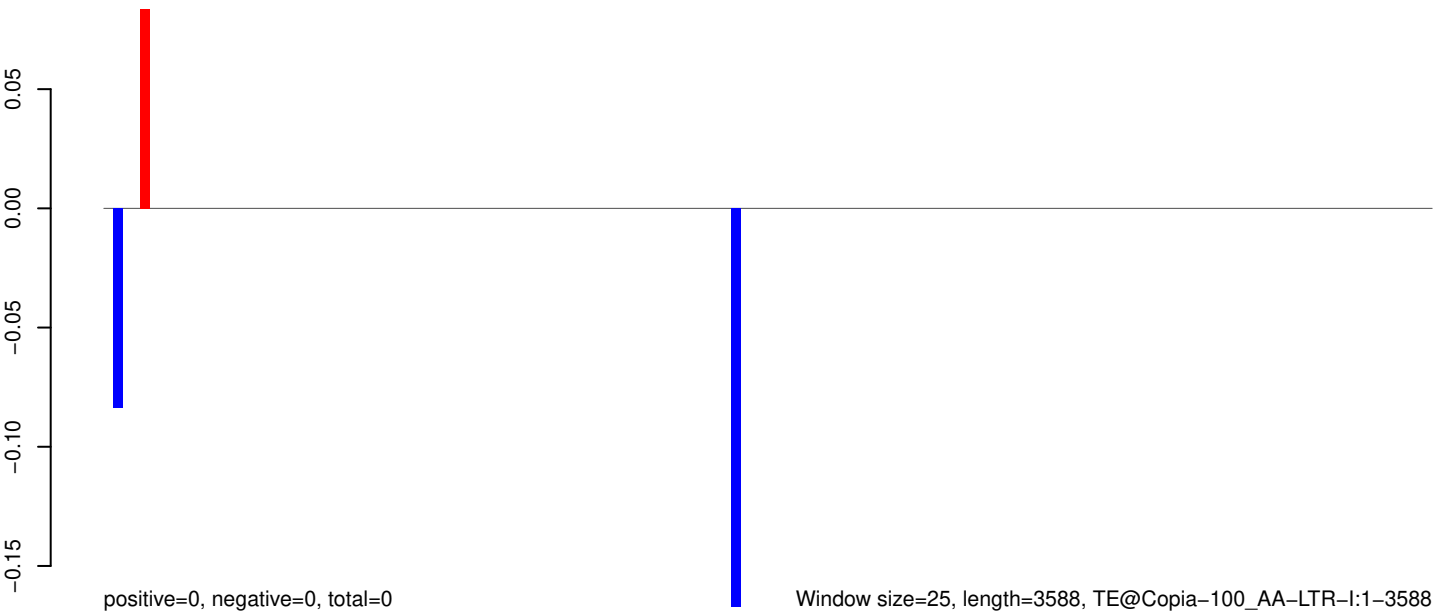
AeAeg_Aag2_Ago2_SINV_RA.18_23.rep



AeAeg_Aag2_Ago2_SINV_RA.24_35.rep



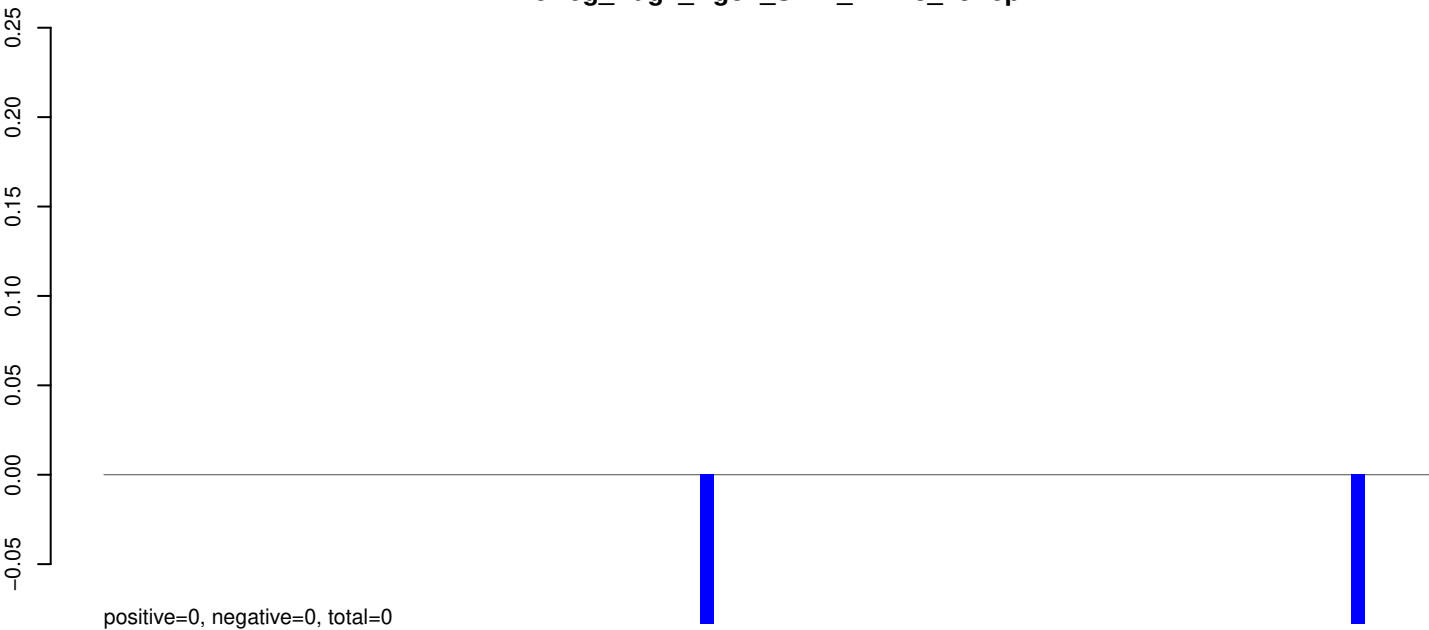
AeAeg_Aag2_Ago2_SINV_RA.rep



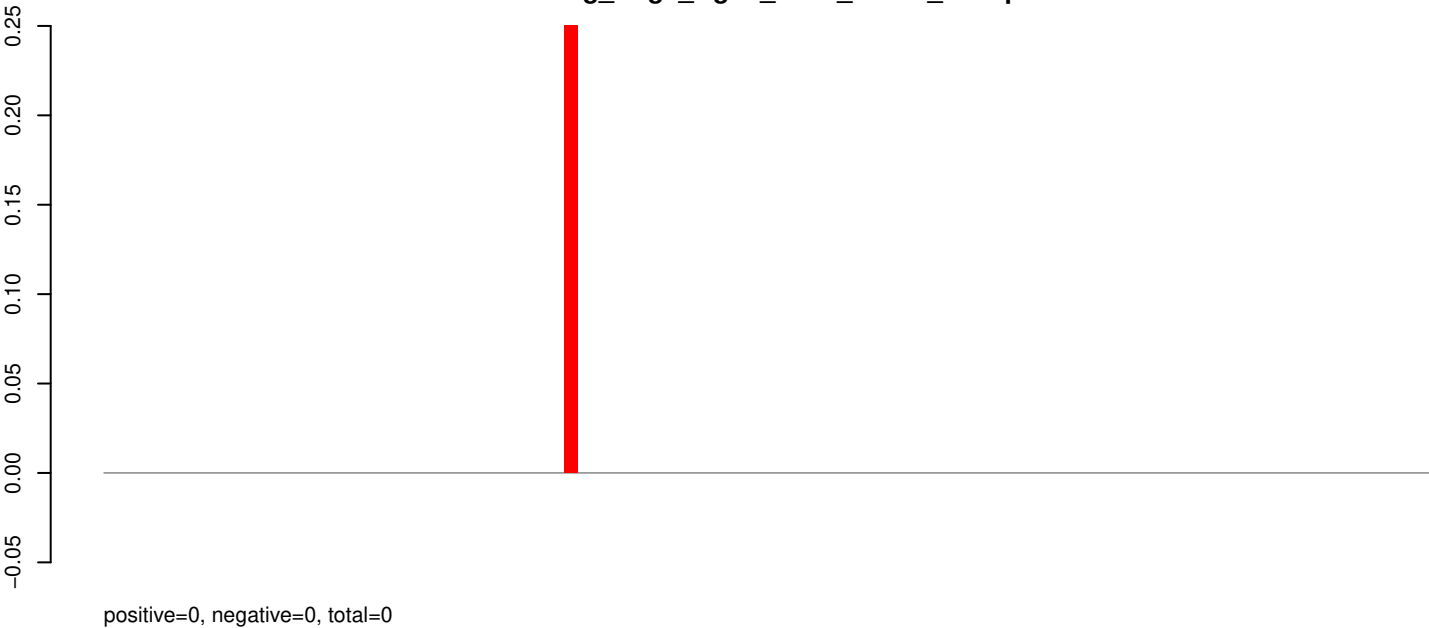
Window size=25, length=3588, TE@Copia-100_AA-LTR-I:1-3588

0 500 1000 1500 2000 2500 3000 3500

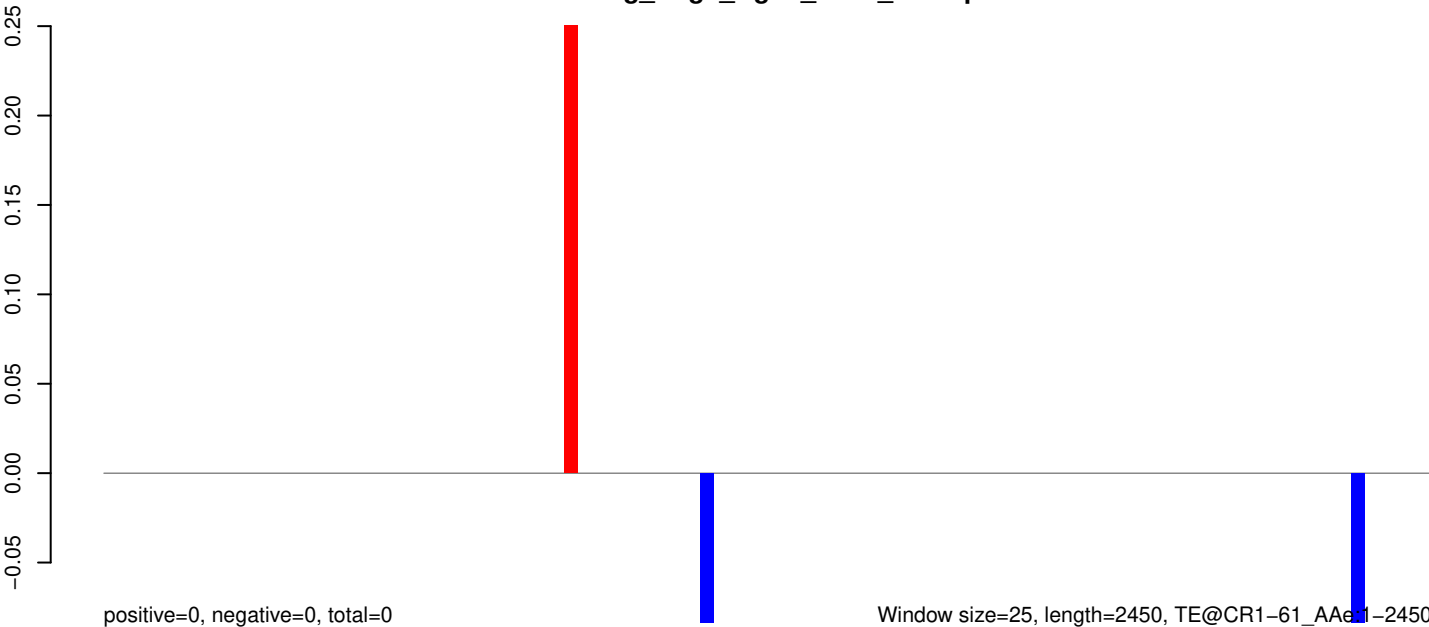
AeAeg_Aag2_Ago2_SINV_RA.18_23.rep



AeAeg_Aag2_Ago2_SINV_RA.24_35.rep

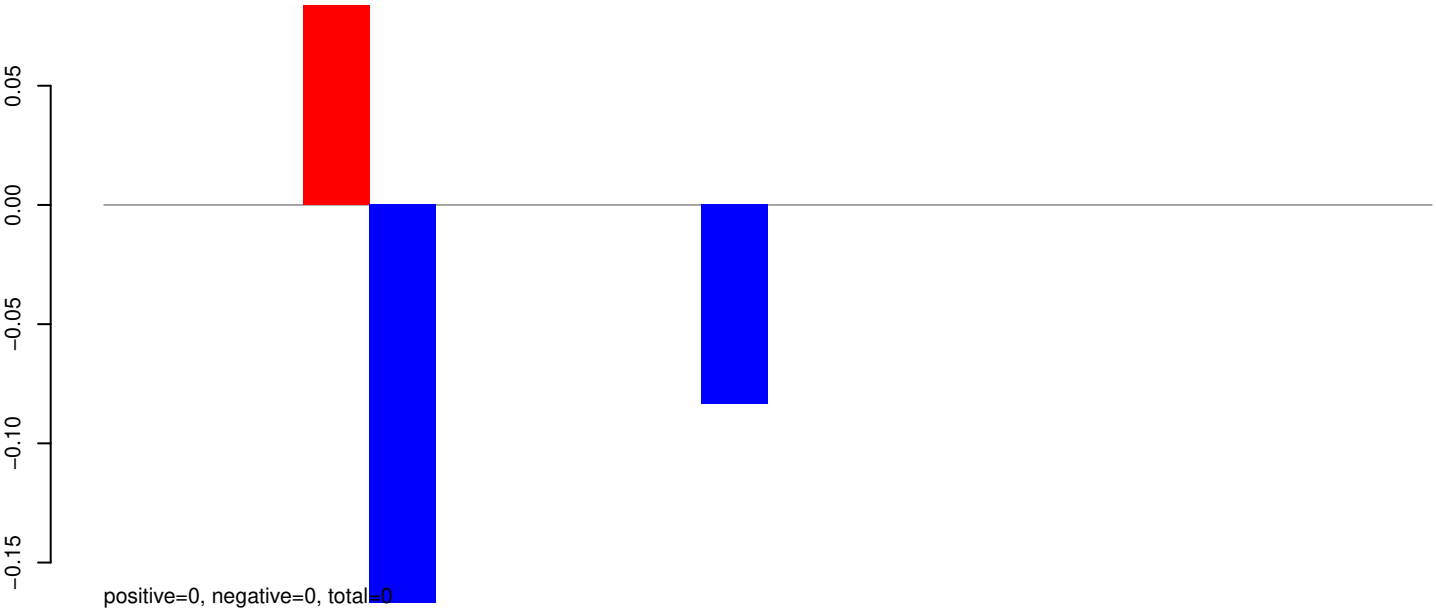


AeAeg_Aag2_Ago2_SINV_RA.rep

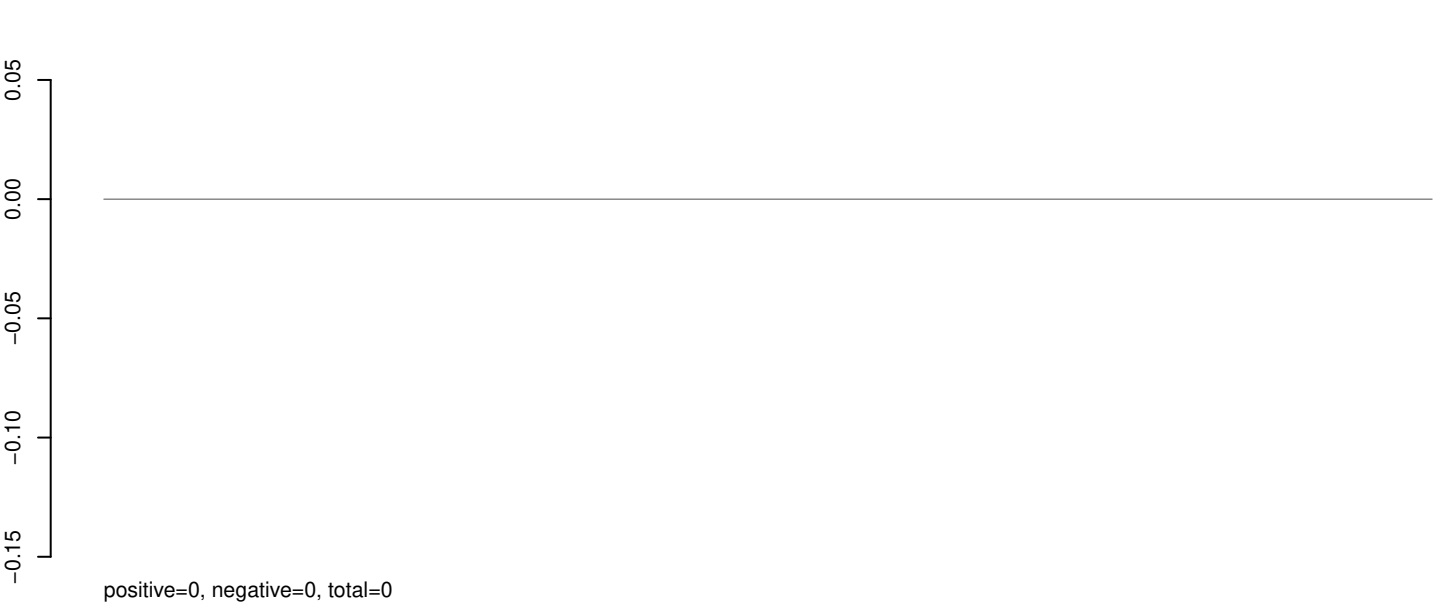


0 500 1000 1500 2000 2500

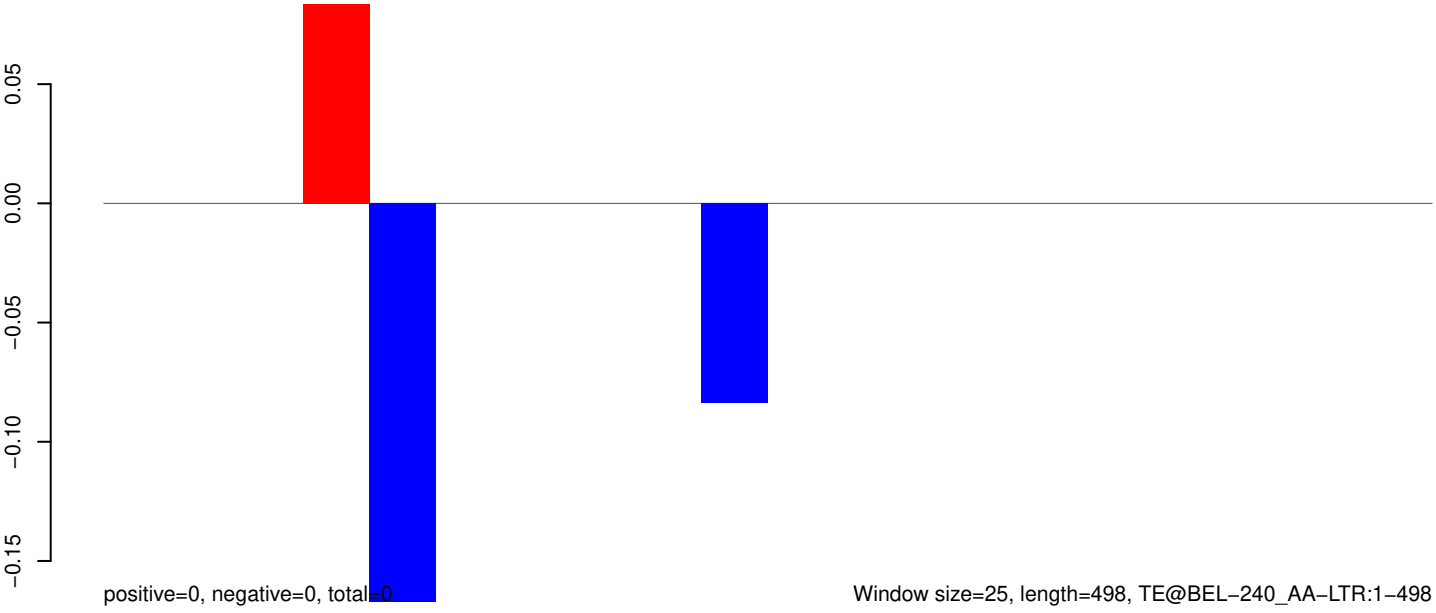
AeAeg_Aag2_Ago2_SINV_RA.18_23.rep



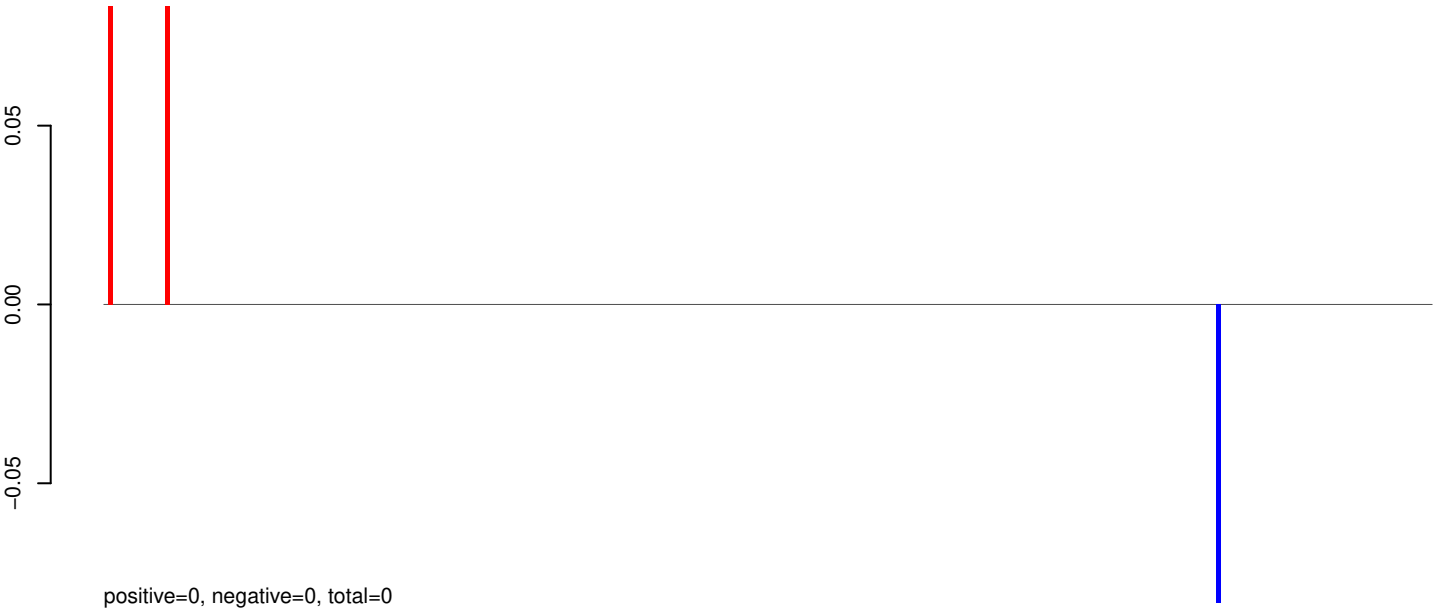
AeAeg_Aag2_Ago2_SINV_RA.24_35.rep



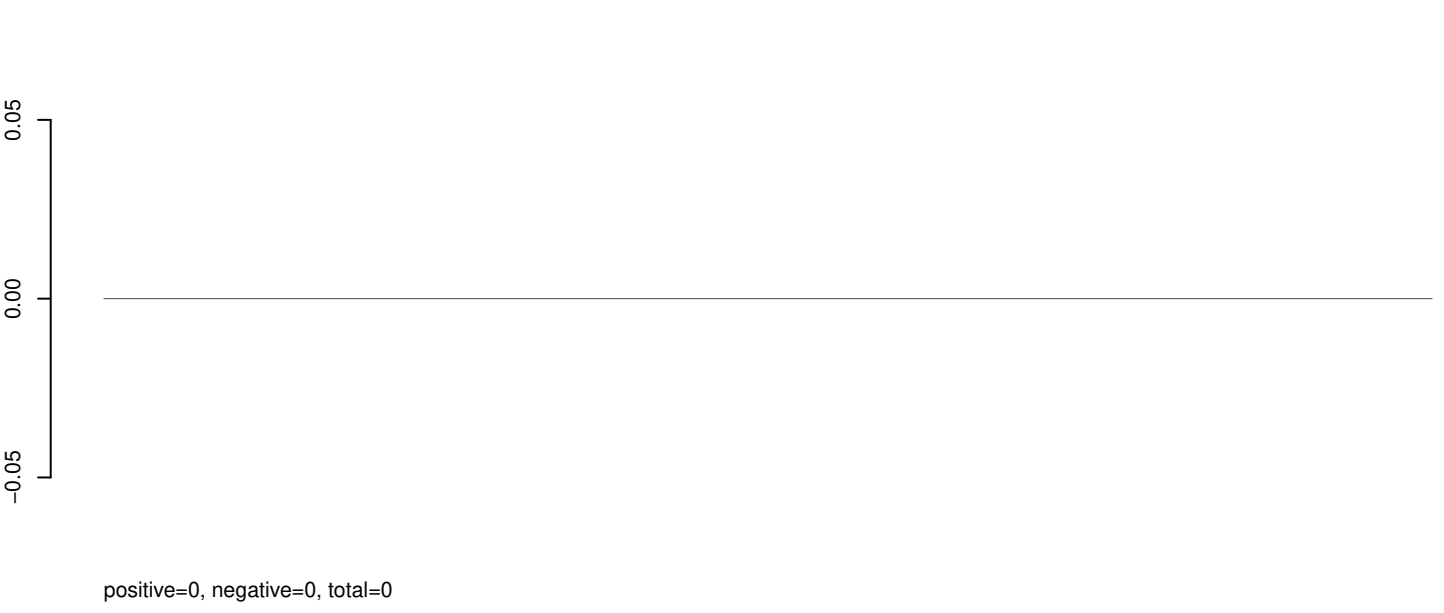
AeAeg_Aag2_Ago2_SINV_RA.rep



AeAeg_Aag2_Ago2_SINV_RA.18_23.rep



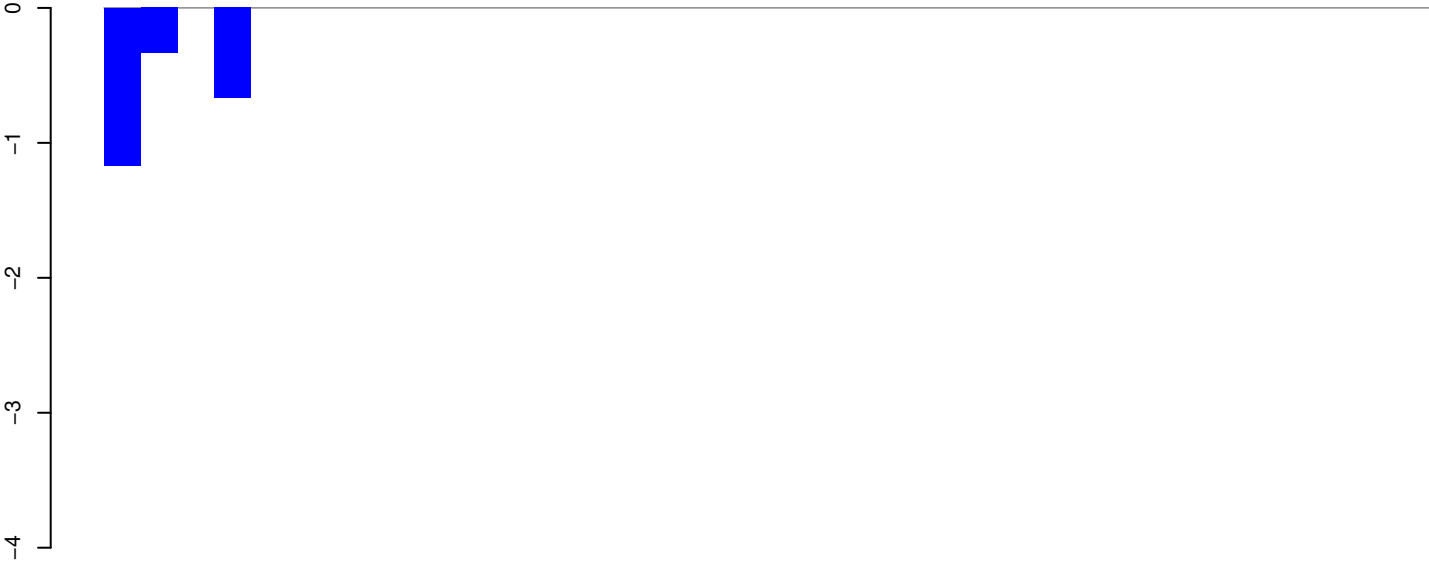
AeAeg_Aag2_Ago2_SINV_RA.24_35.rep



AeAeg_Aag2_Ago2_SINV_RA.rep

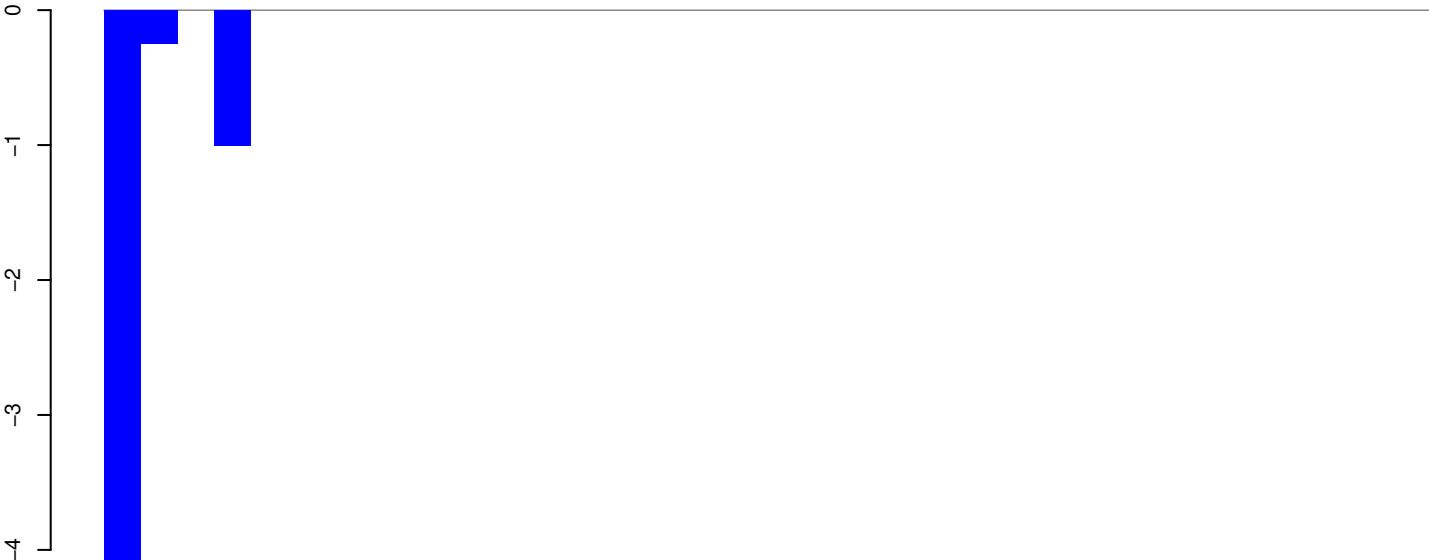


AeAeg_Aag2_Ago2_SINV_RA.18_23.rep



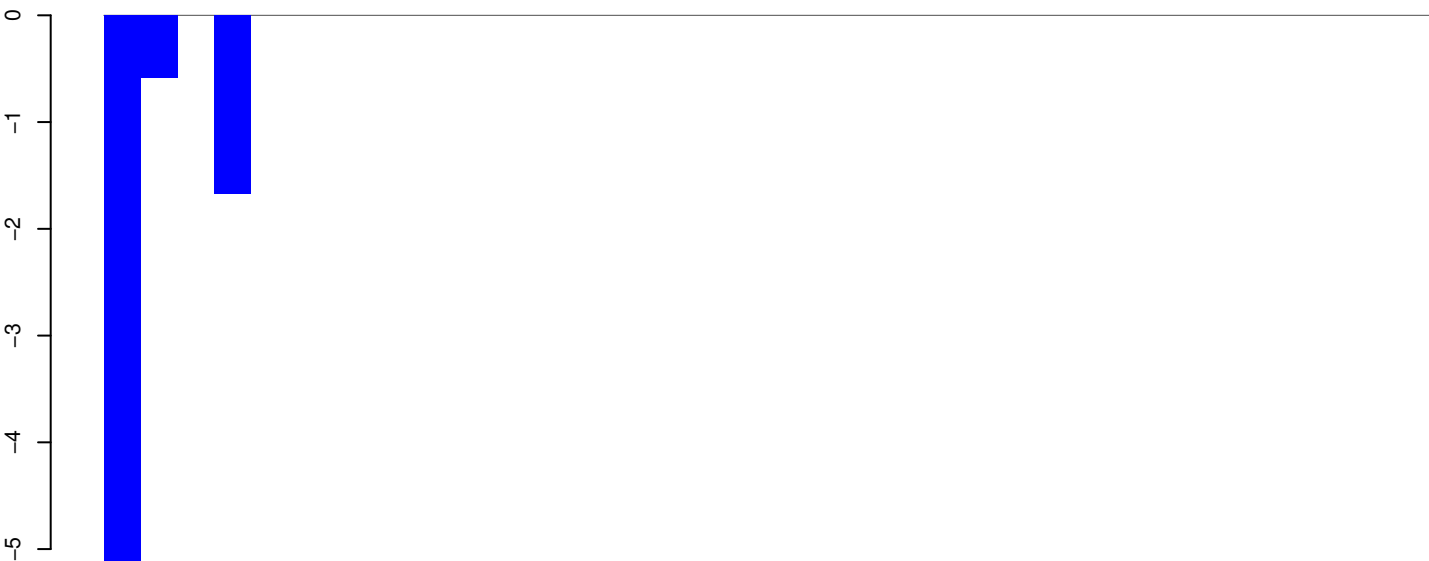
positive=0, negative=2, total=2

AeAeg_Aag2_Ago2_SINV_RA.24_35.rep



positive=0, negative=6, total=6

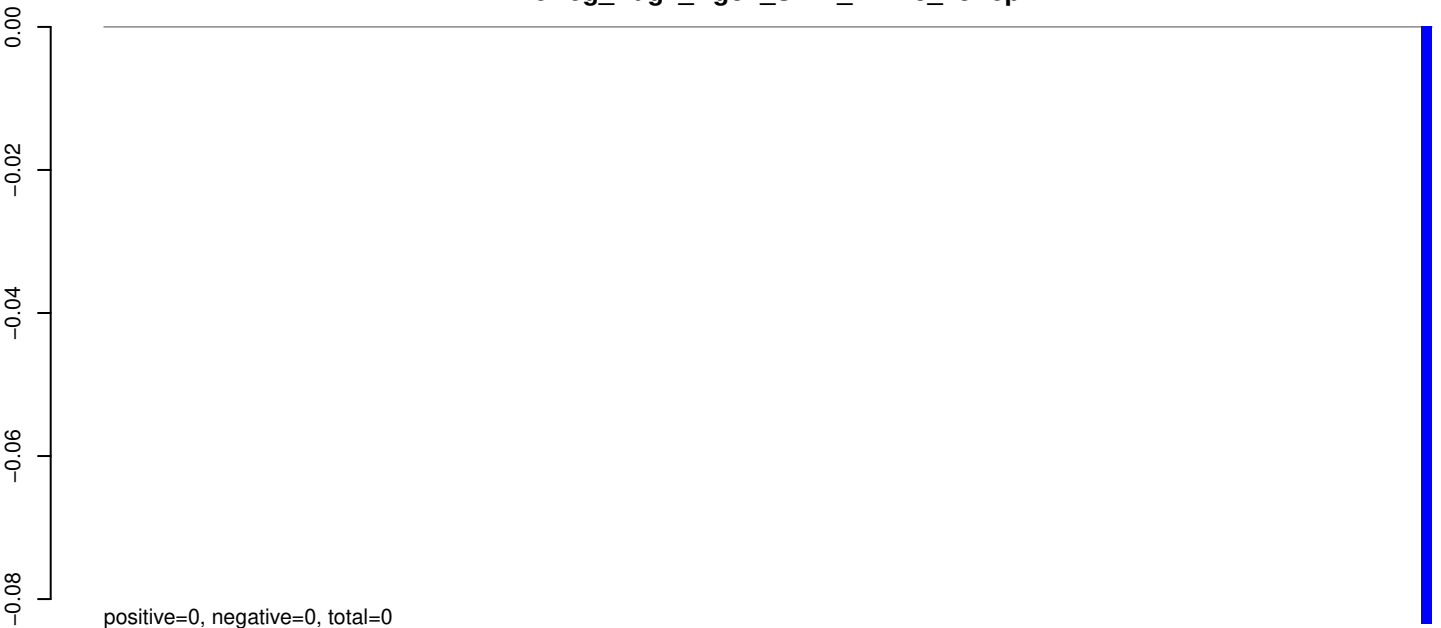
AeAeg_Aag2_Ago2_SINV_RA.rep



positive=0, negative=8, total=8

Window size=25, length=883, TE@BEL-146_AA-LTR:1-883

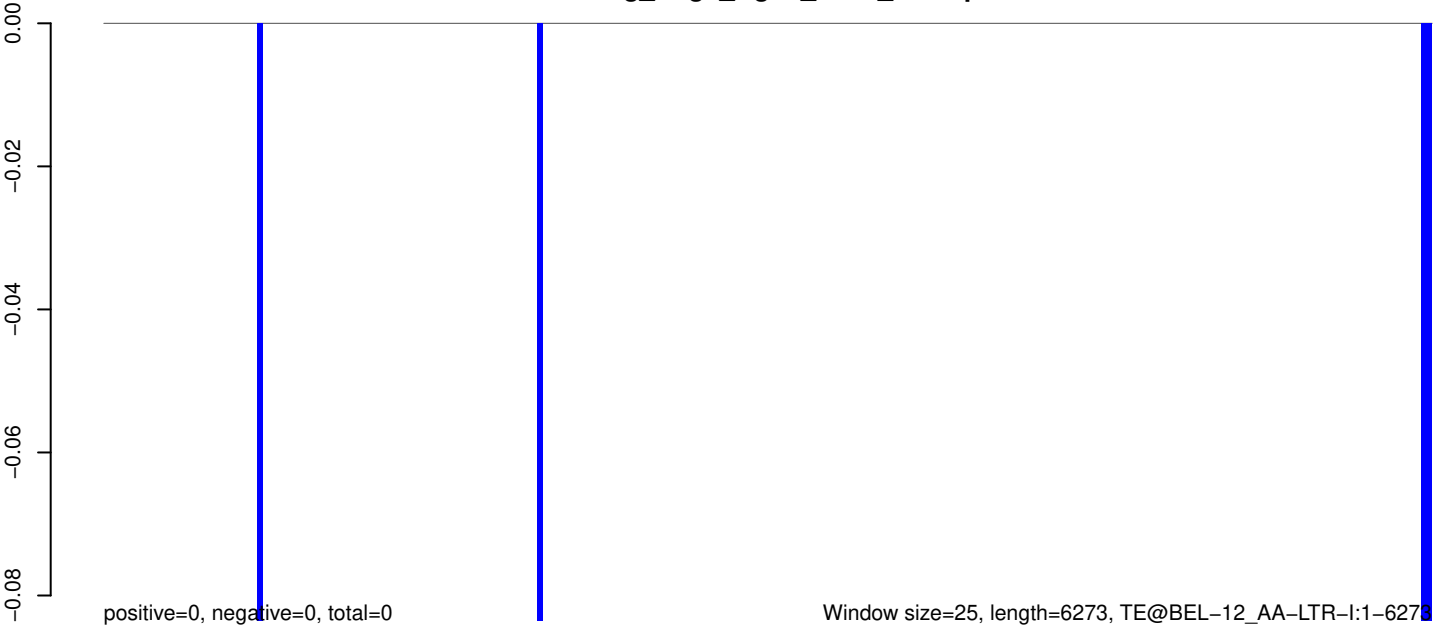
AeAeg_Aag2_Ago2_SINV_RA.18_23.rep



AeAeg_Aag2_Ago2_SINV_RA.24_35.rep

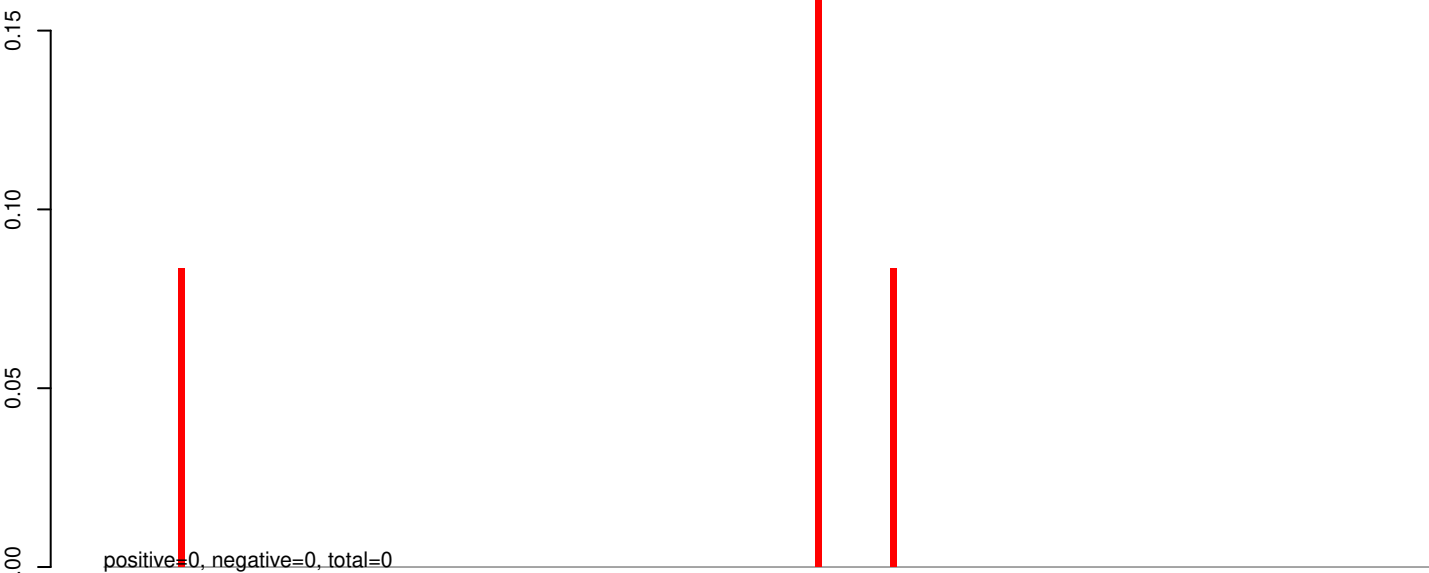


AeAeg_Aag2_Ago2_SINV_RA.rep

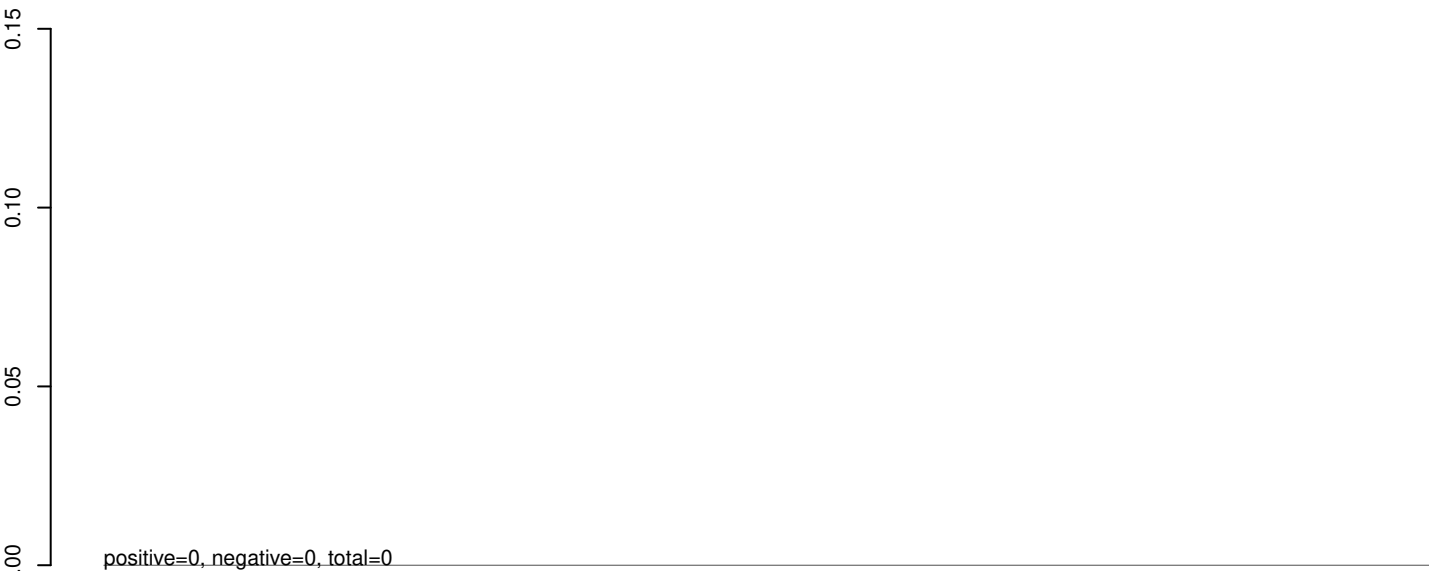


0 1000 2000 3000 4000 5000 6000

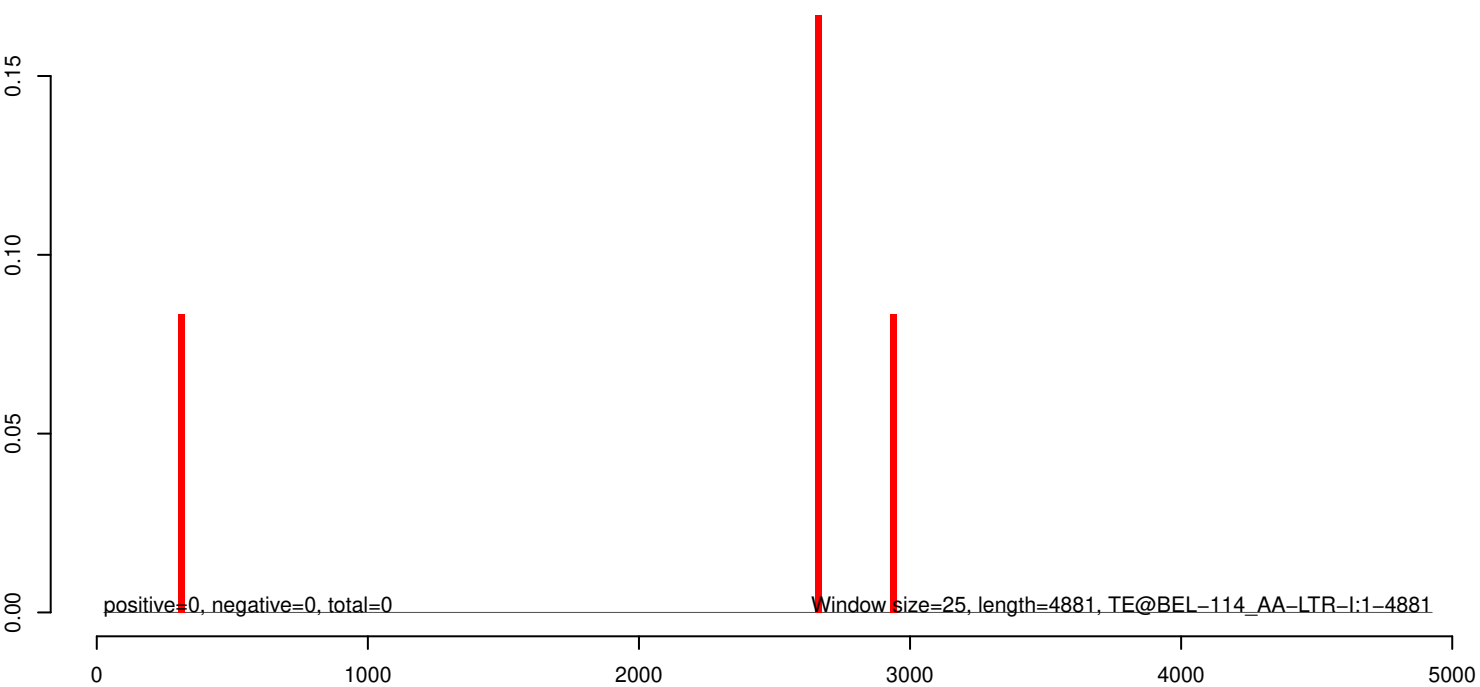
AeAeg_Aag2_Ago2_SINV_RA.18_23.rep



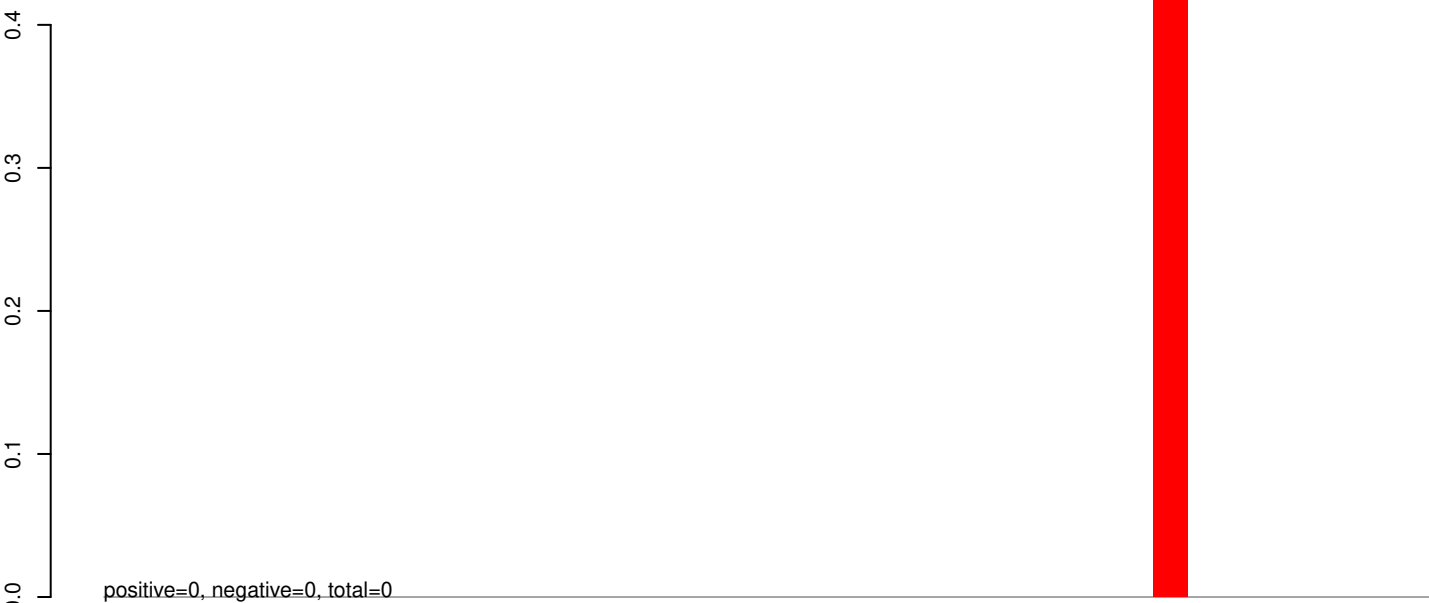
AeAeg_Aag2_Ago2_SINV_RA.24_35.rep



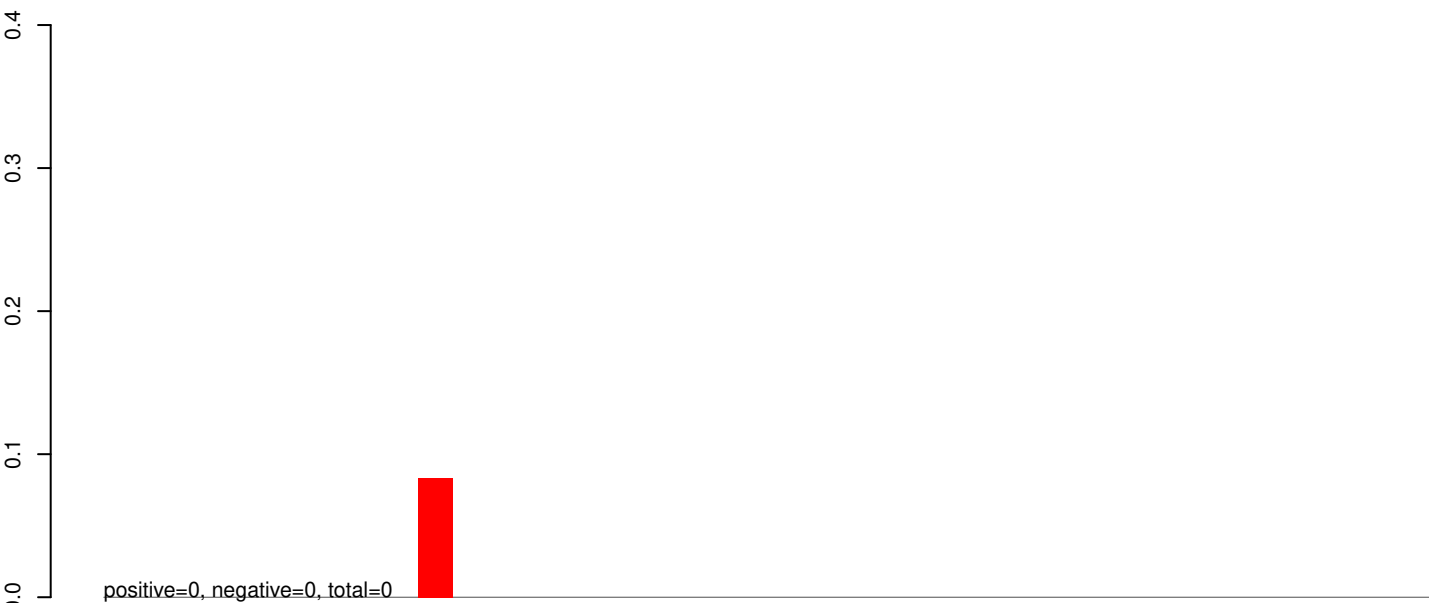
AeAeg_Aag2_Ago2_SINV_RA.rep



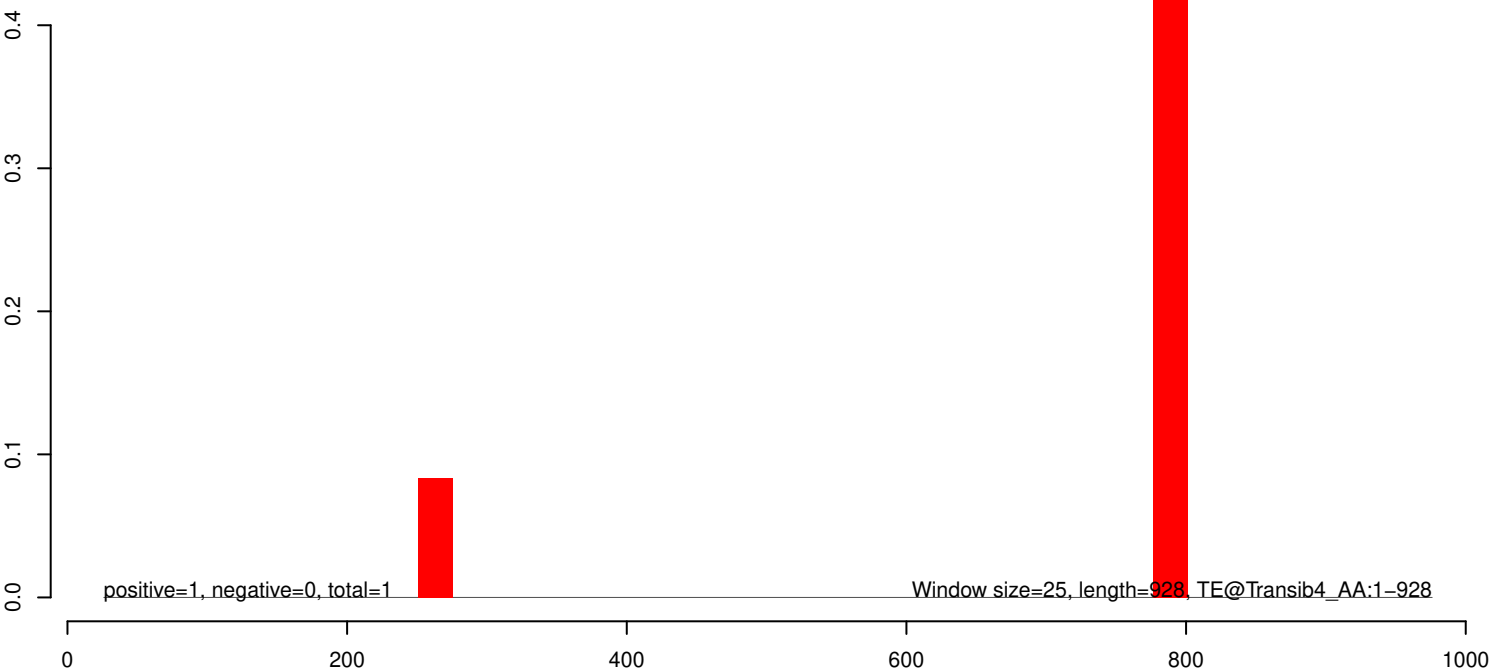
AeAeg_Aag2_Ago2_SINV_RA.18_23.rep



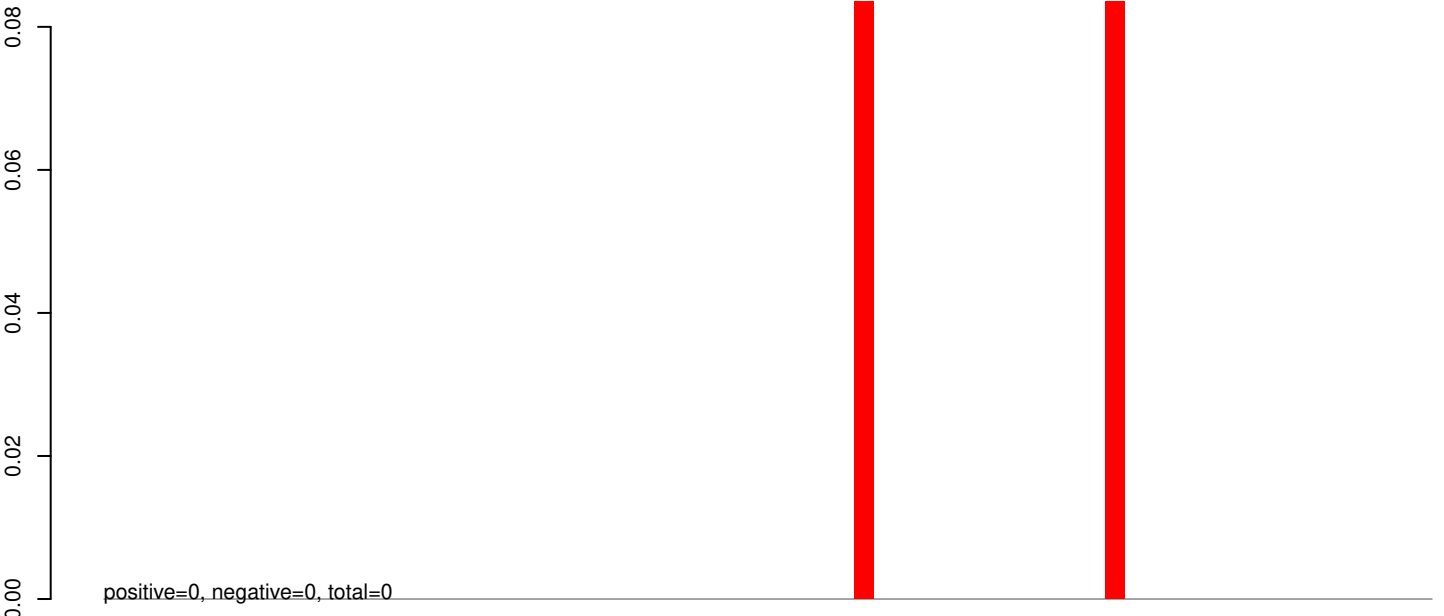
AeAeg_Aag2_Ago2_SINV_RA.24_35.rep



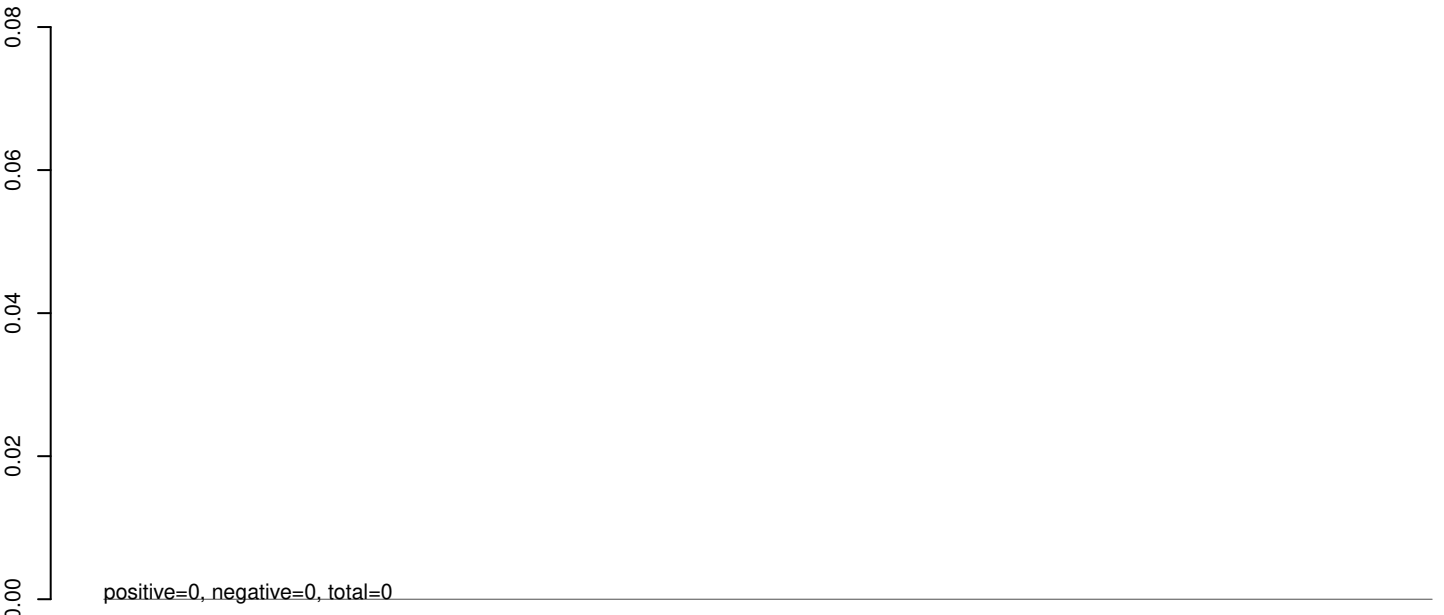
AeAeg_Aag2_Ago2_SINV_RA.rep



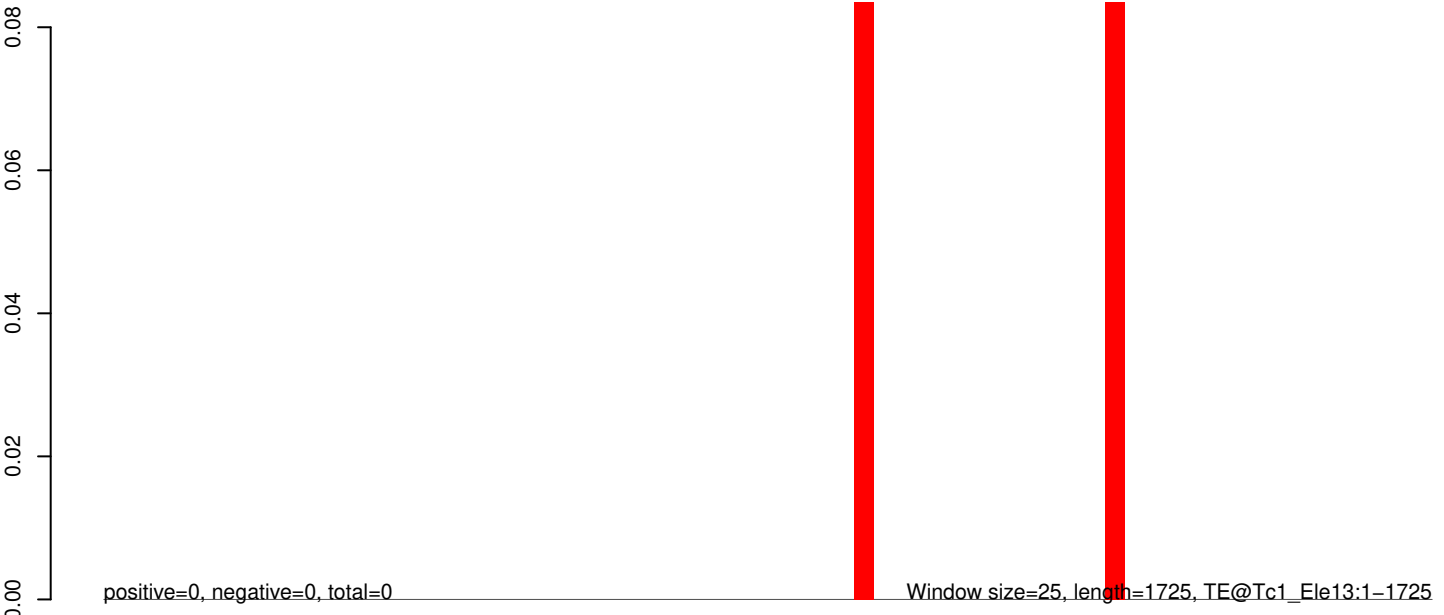
AeAeg_Aag2_Ago2_SINV_RA.18_23.rep



AeAeg_Aag2_Ago2_SINV_RA.24_35.rep

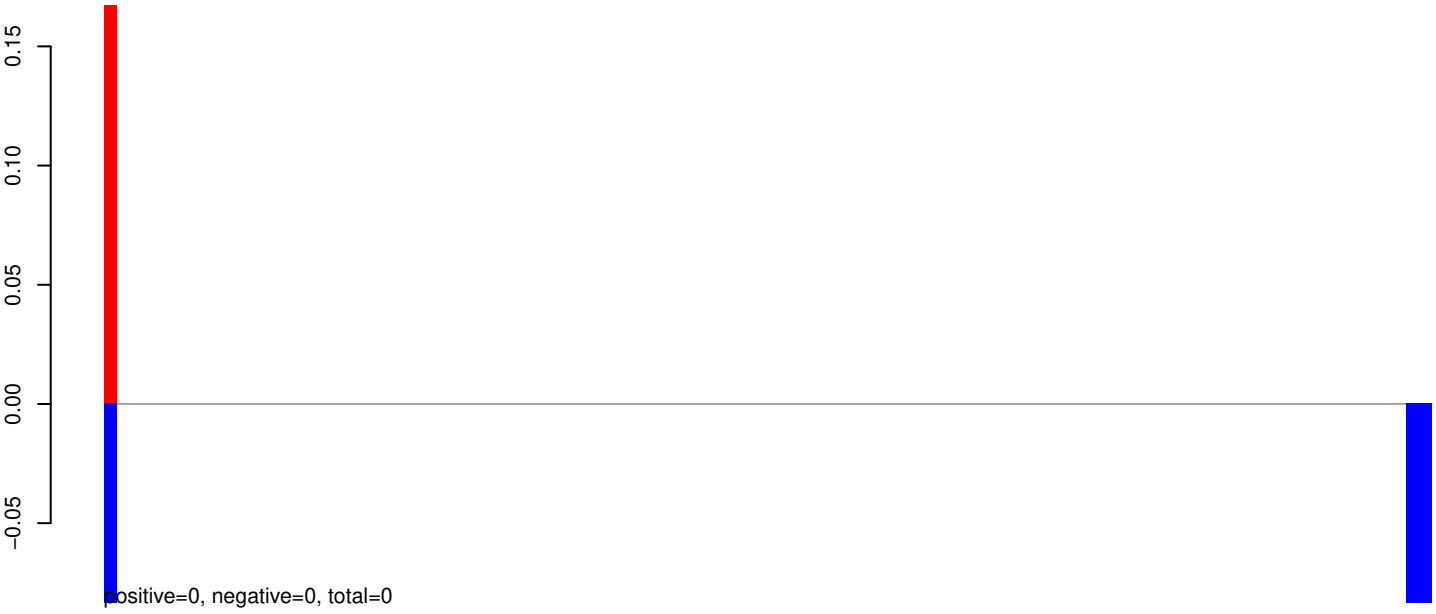


AeAeg_Aag2_Ago2_SINV_RA.rep

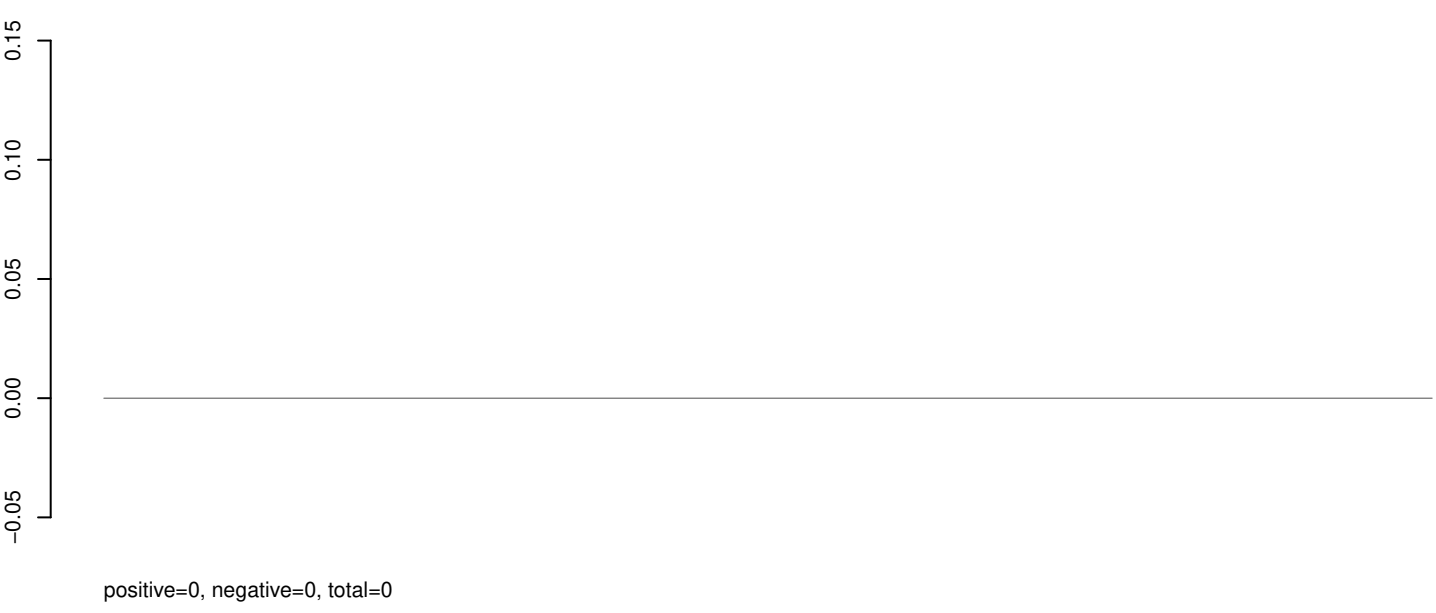


0 500 1000 1500

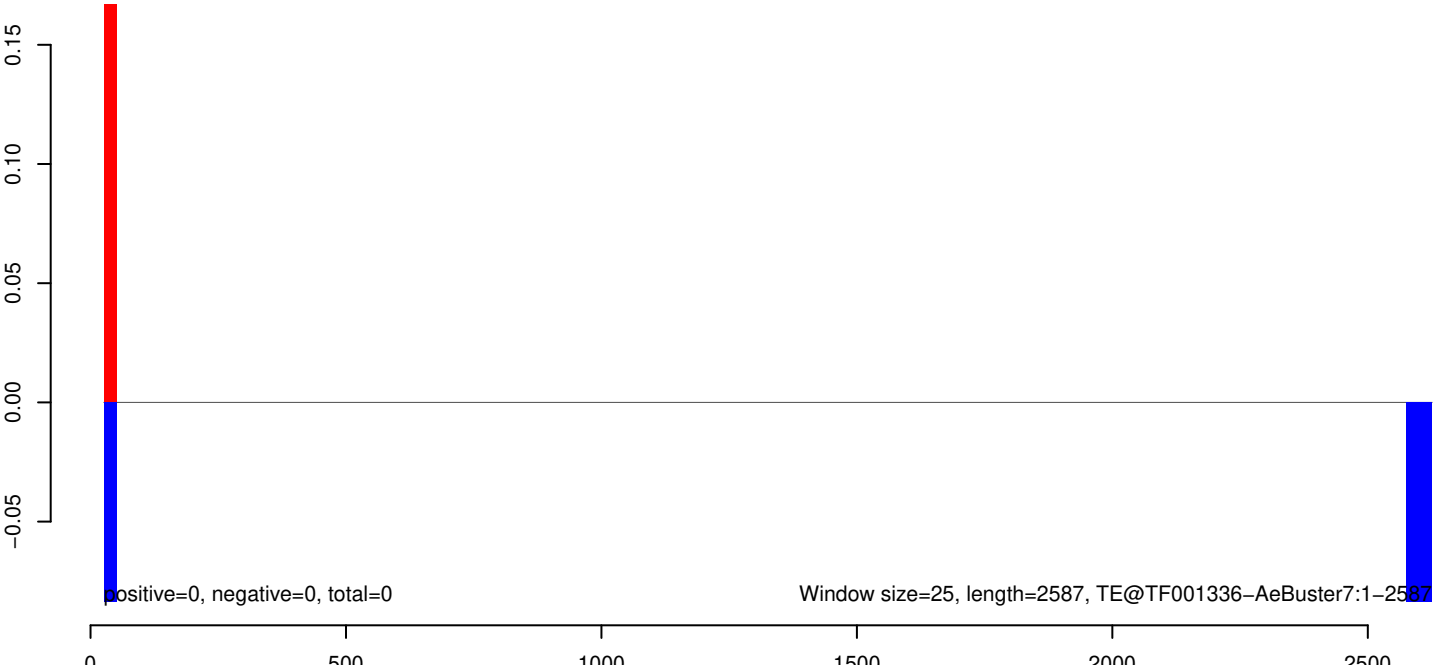
AeAeg_Aag2_Ago2_SINV_RA.18_23.rep



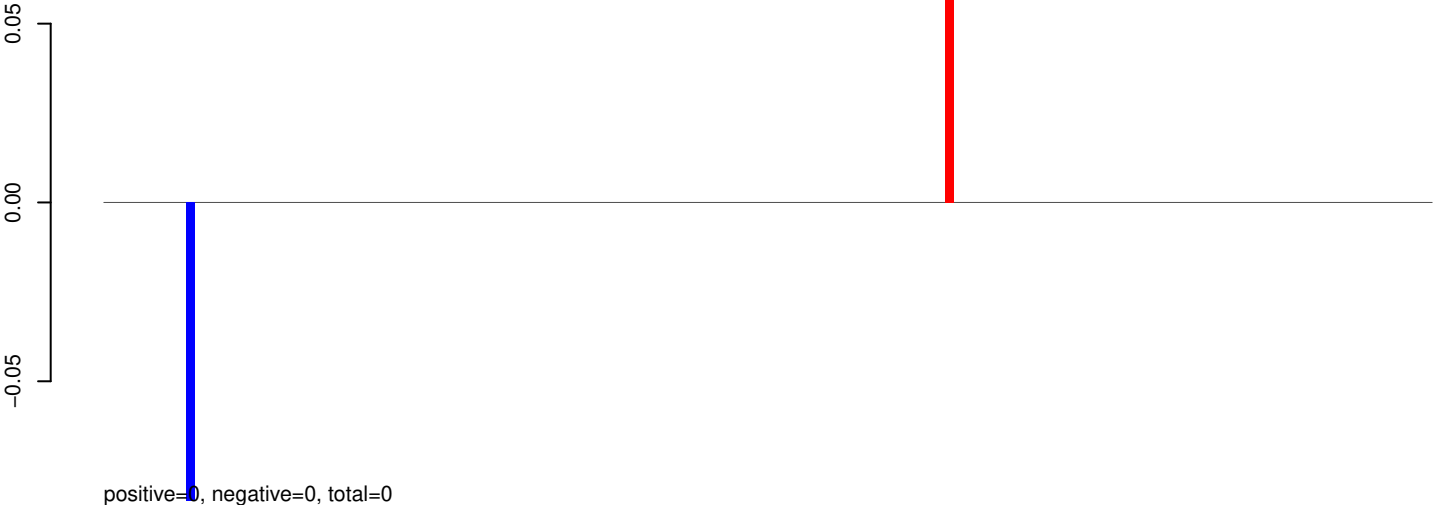
AeAeg_Aag2_Ago2_SINV_RA.24_35.rep



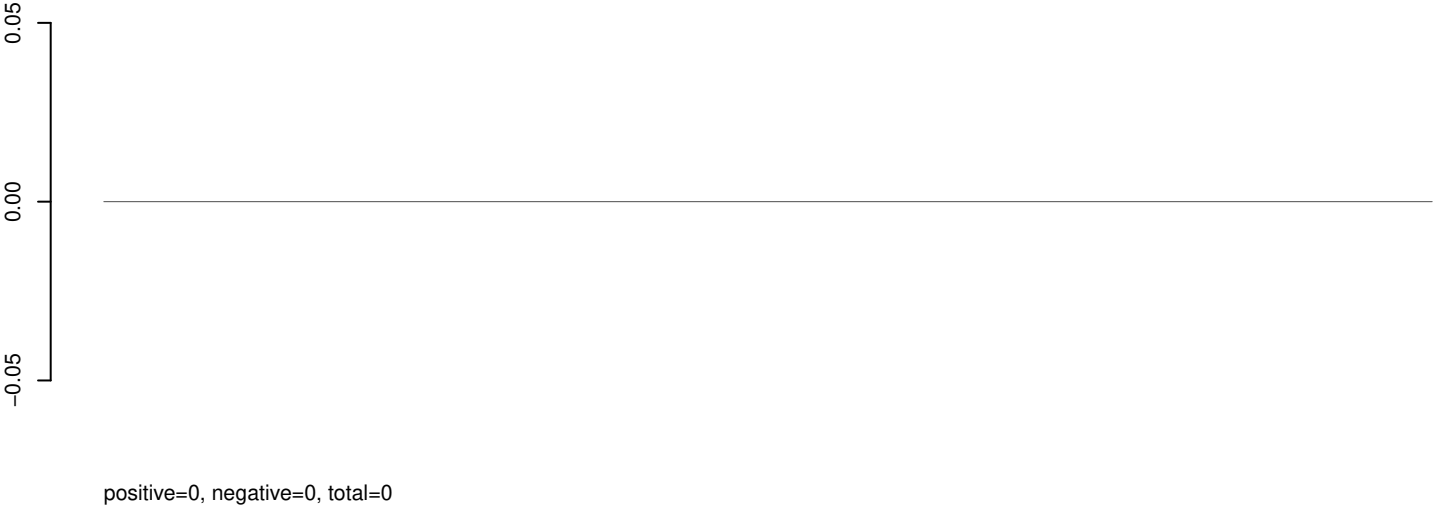
AeAeg_Aag2_Ago2_SINV_RA.rep



AeAeg_Aag2_Ago2_SINV_RA.18_23.rep



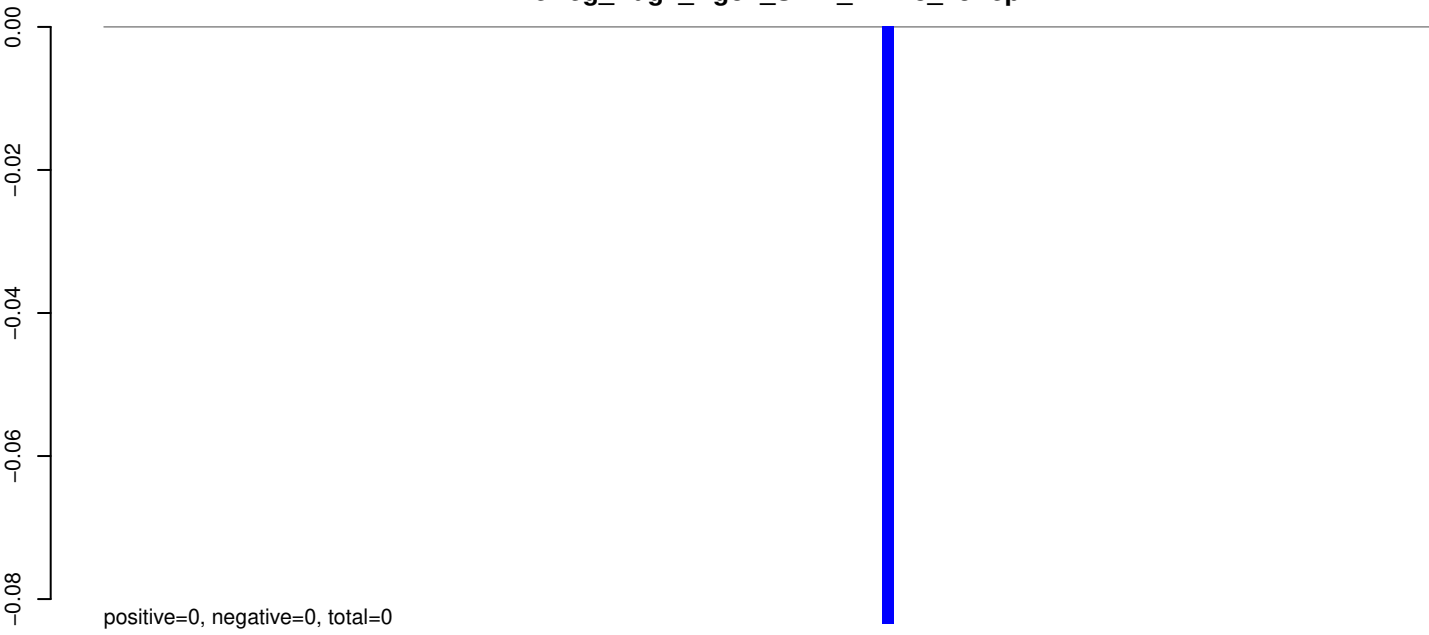
AeAeg_Aag2_Ago2_SINV_RA.24_35.rep



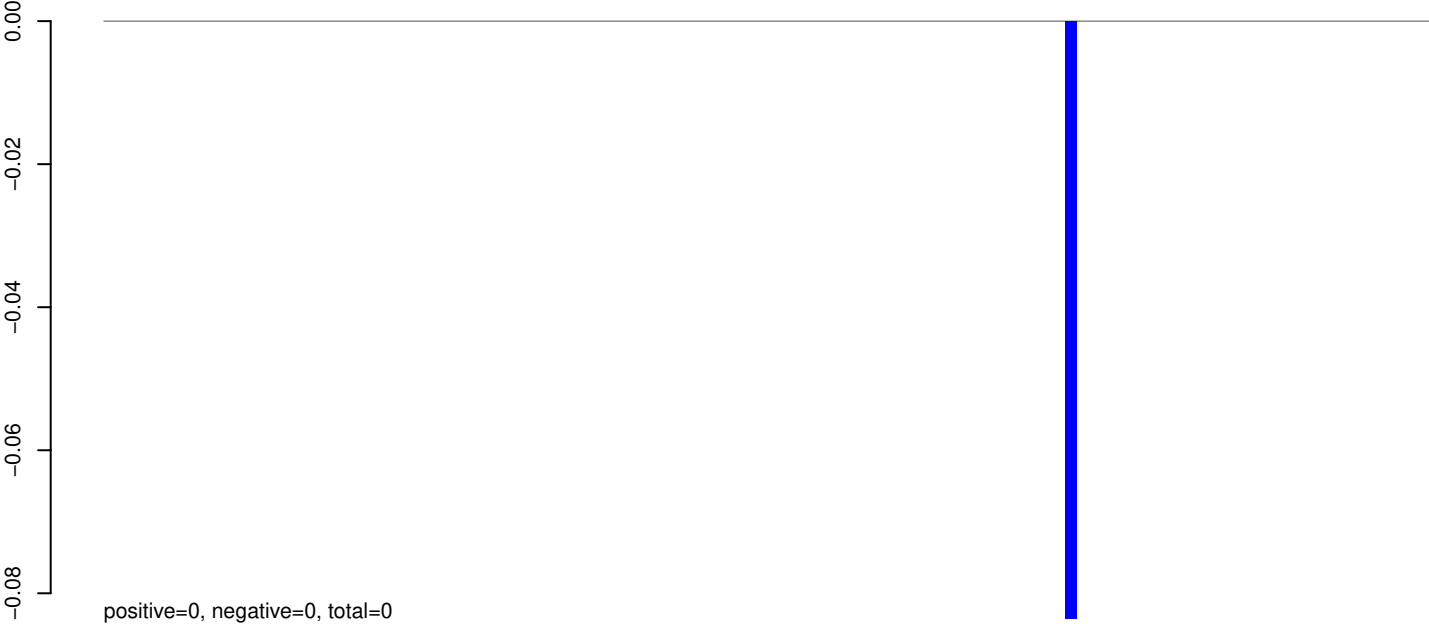
AeAeg_Aag2_Ago2_SINV_RA.rep



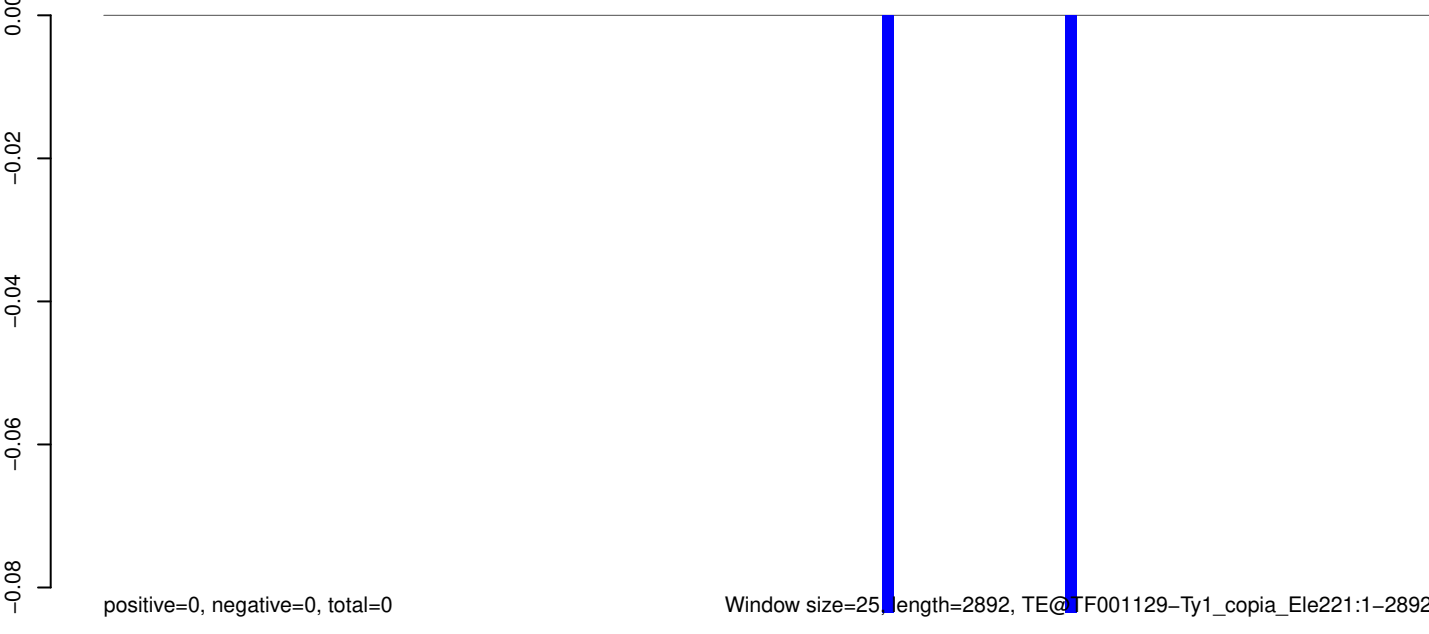
AeAeg_Aag2_Ago2_SINV_RA.18_23.rep



AeAeg_Aag2_Ago2_SINV_RA.24_35.rep

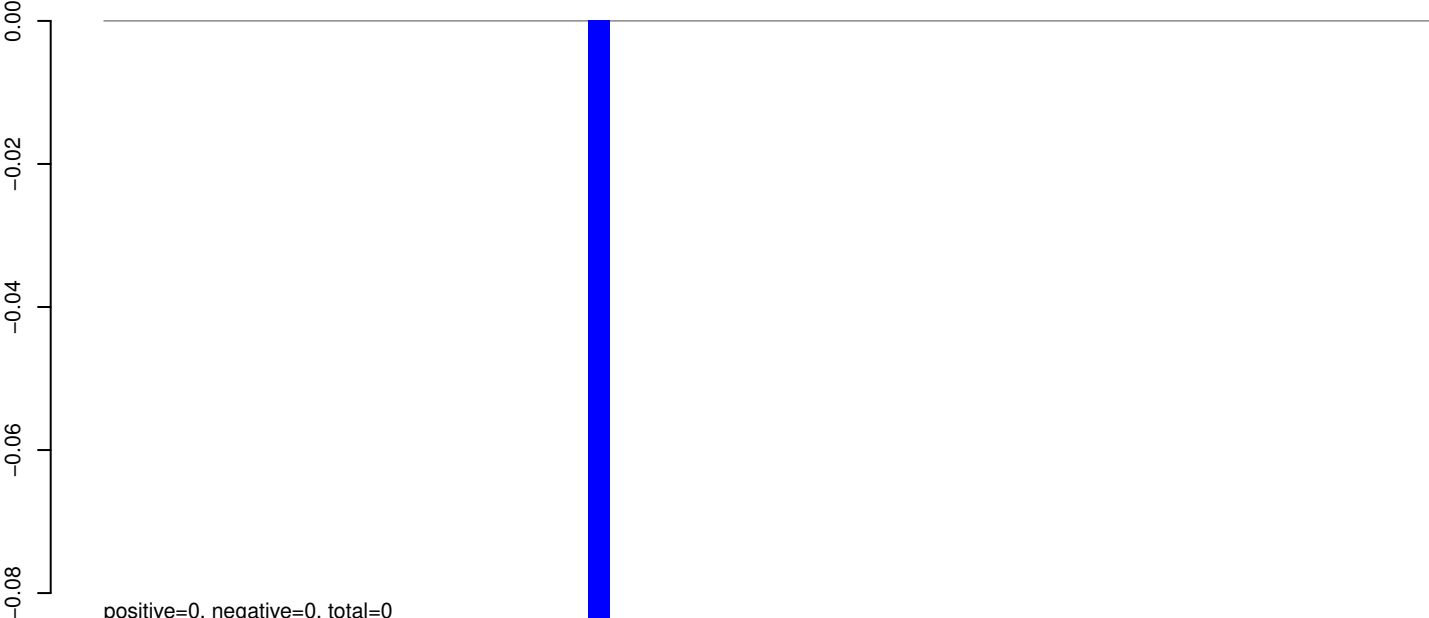


AeAeg_Aag2_Ago2_SINV_RA.rep

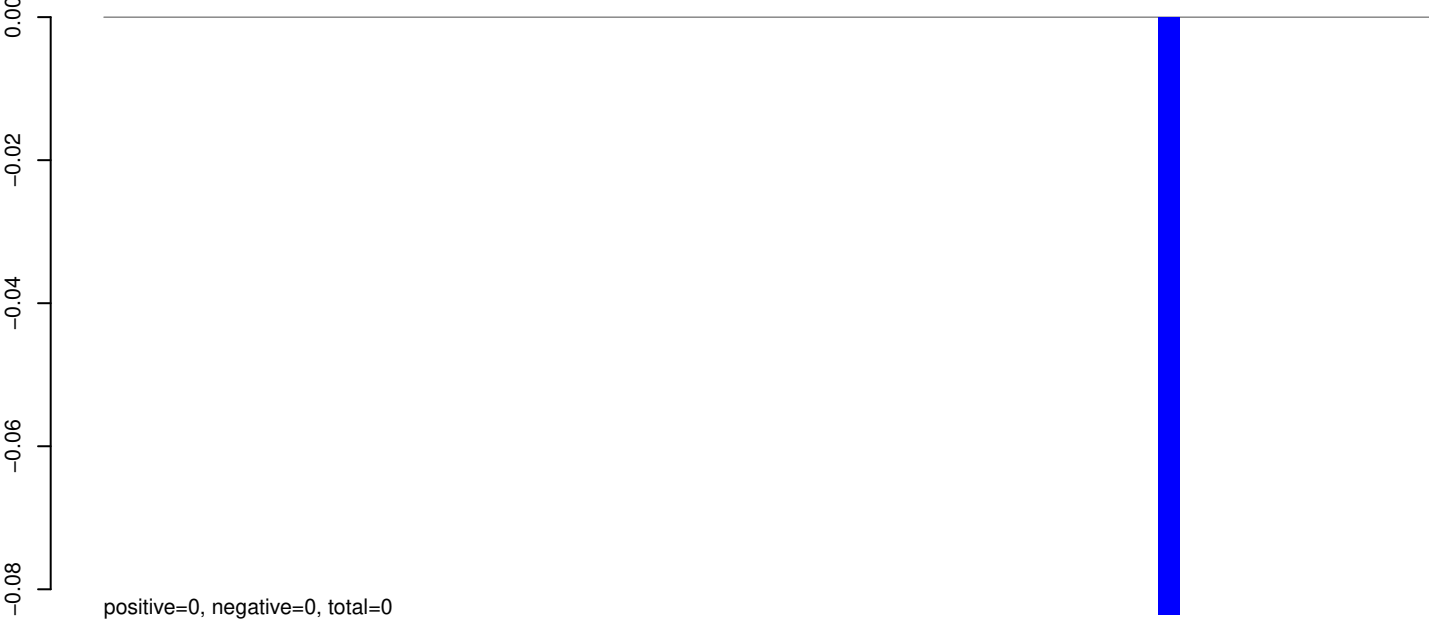


0 500 1000 1500 2000 2500 3000

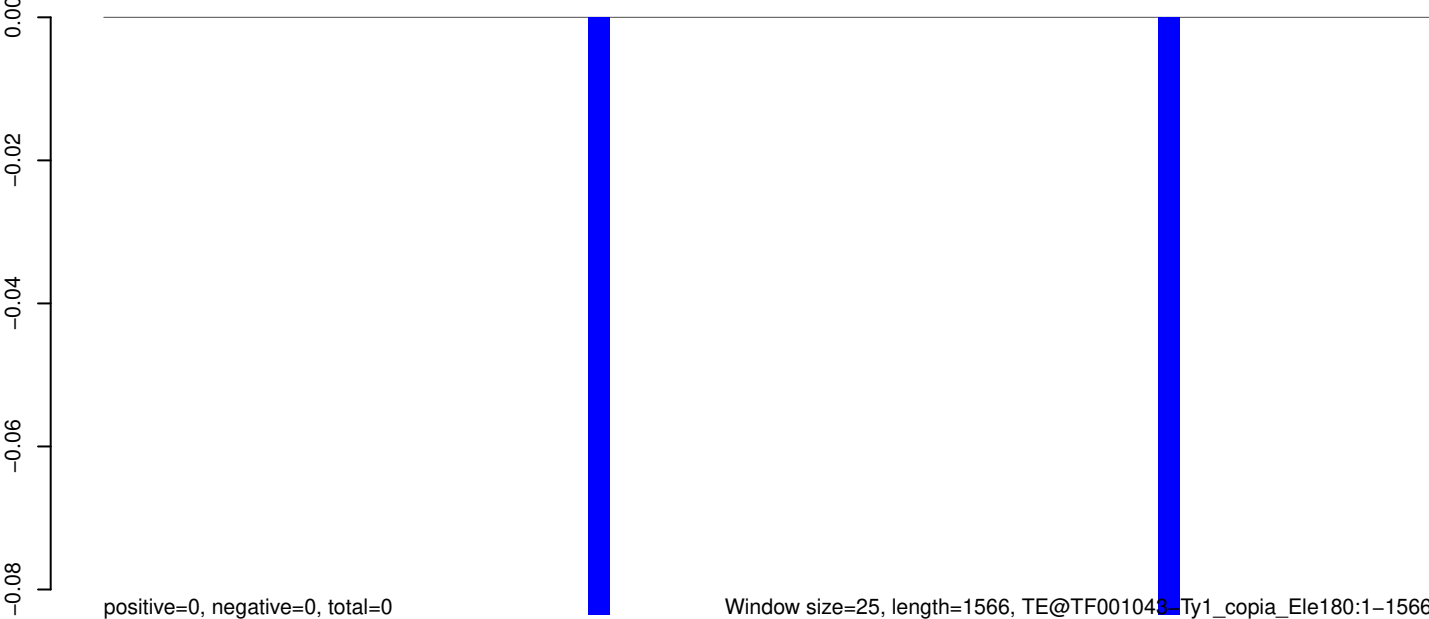
AeAeg_Aag2_Ago2_SINV_RA.18_23.rep



AeAeg_Aag2_Ago2_SINV_RA.24_35.rep

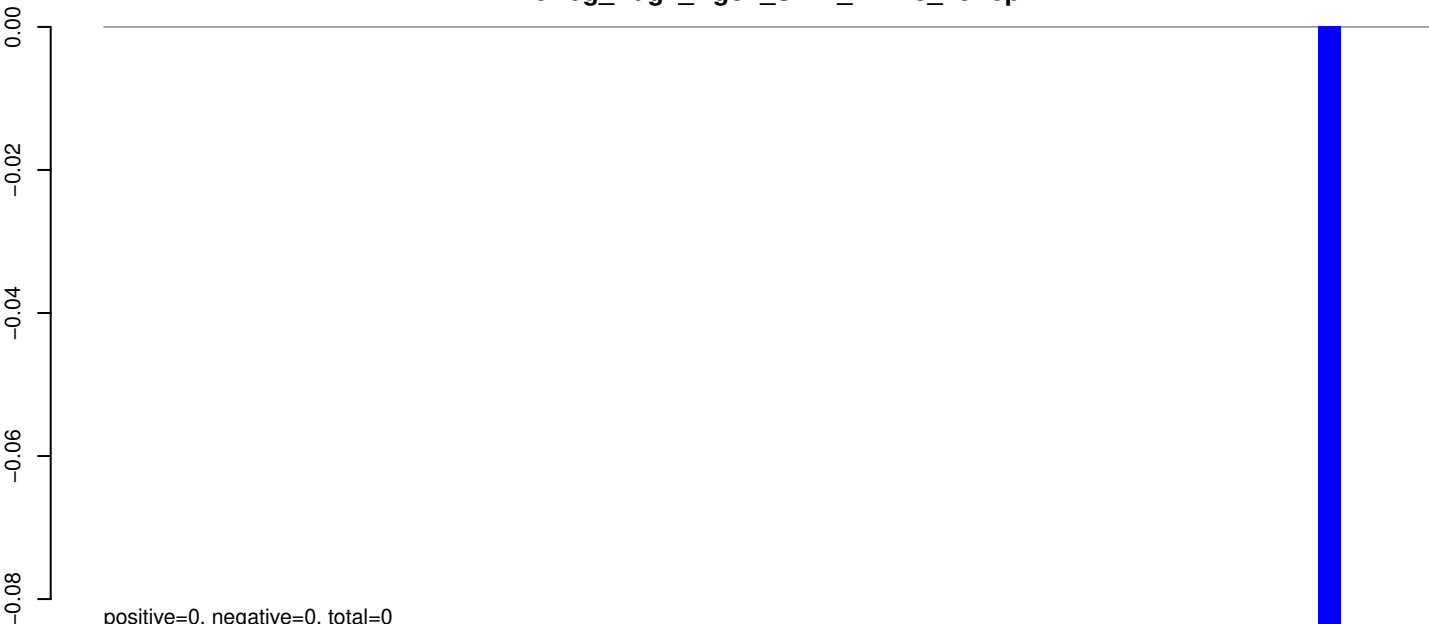


AeAeg_Aag2_Ago2_SINV_RA.rep



0 500 1000 1500

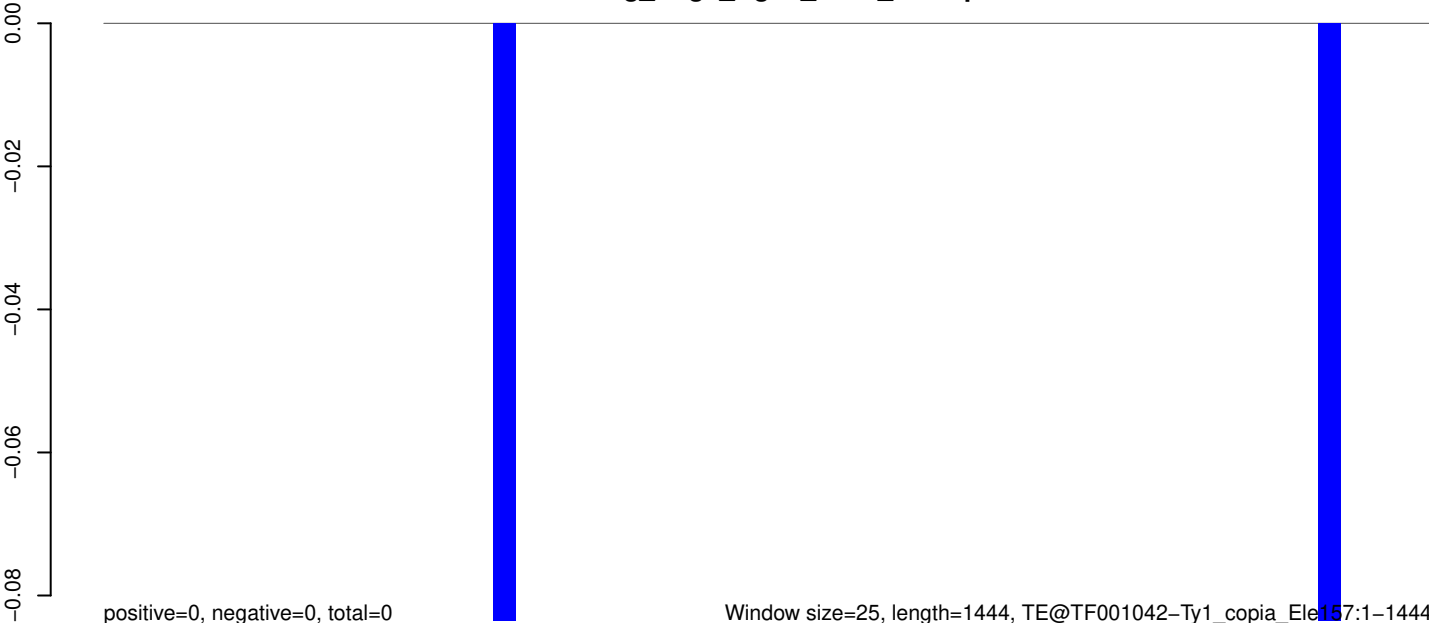
AeAeg_Aag2_Ago2_SINV_RA.18_23.rep



AeAeg_Aag2_Ago2_SINV_RA.24_35.rep



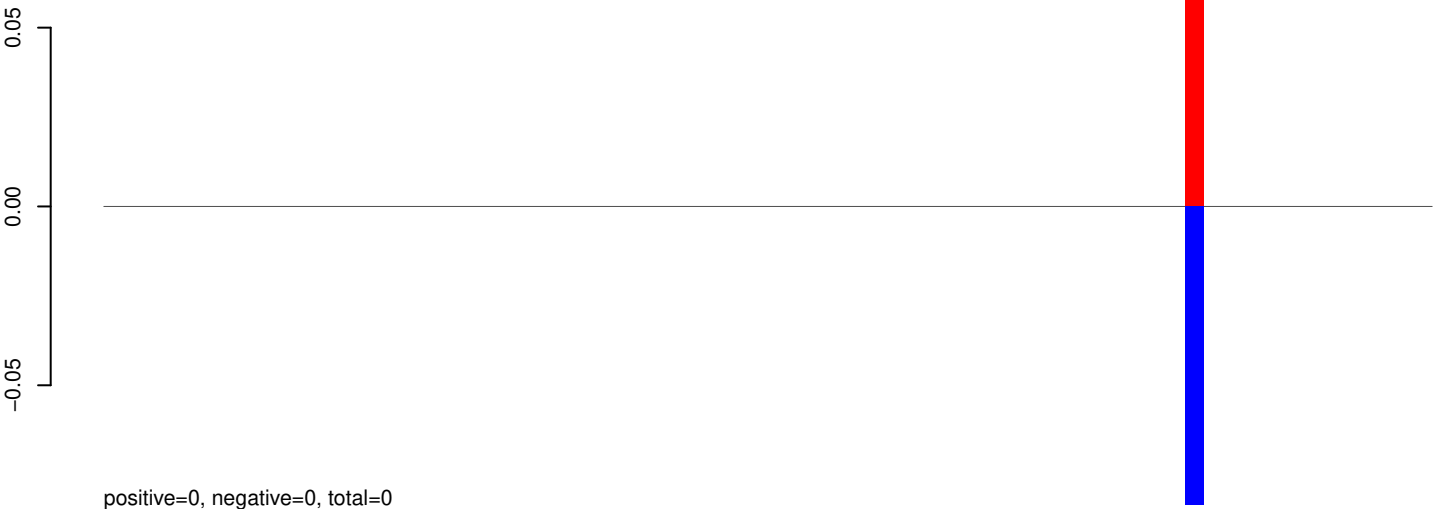
AeAeg_Aag2_Ago2_SINV_RA.rep



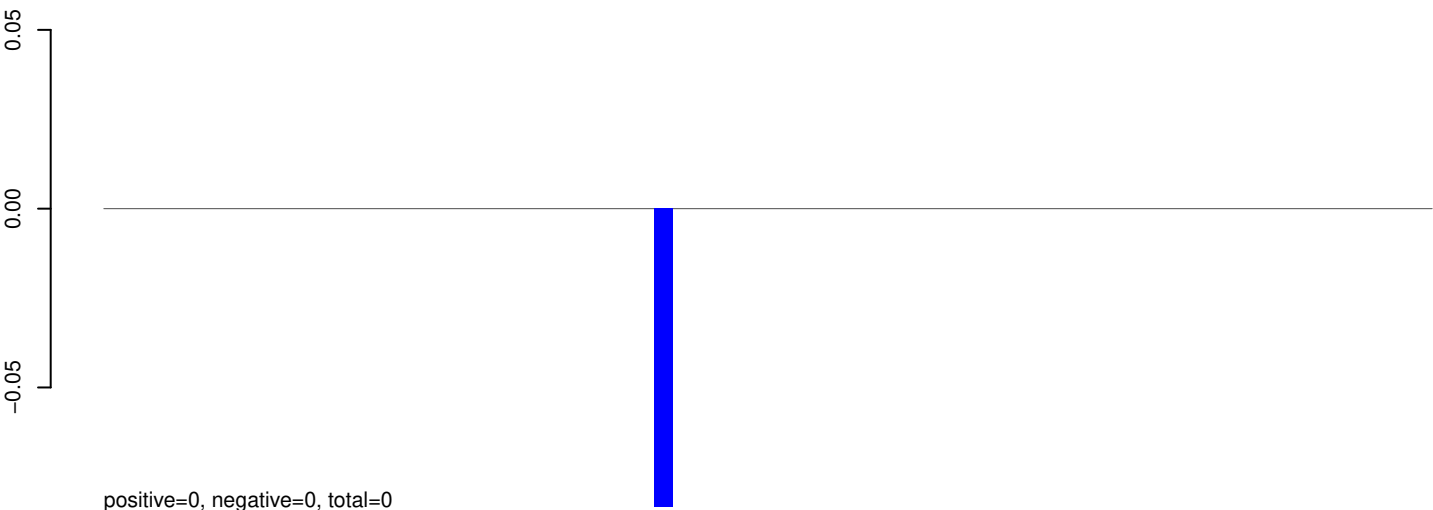
Window size=25, length=1444, TE@TF001042-Ty1_copia_Element157:1-1444

0 500 1000 1500

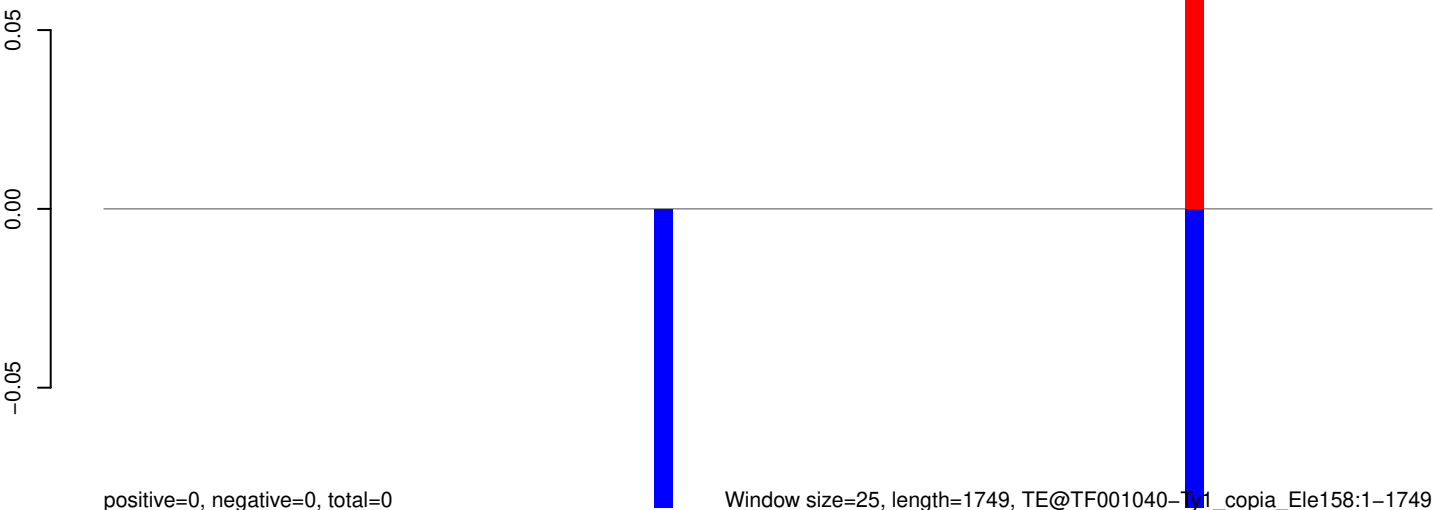
AeAeg_Aag2_Ago2_SINV_RA.18_23.rep



AeAeg_Aag2_Ago2_SINV_RA.24_35.rep



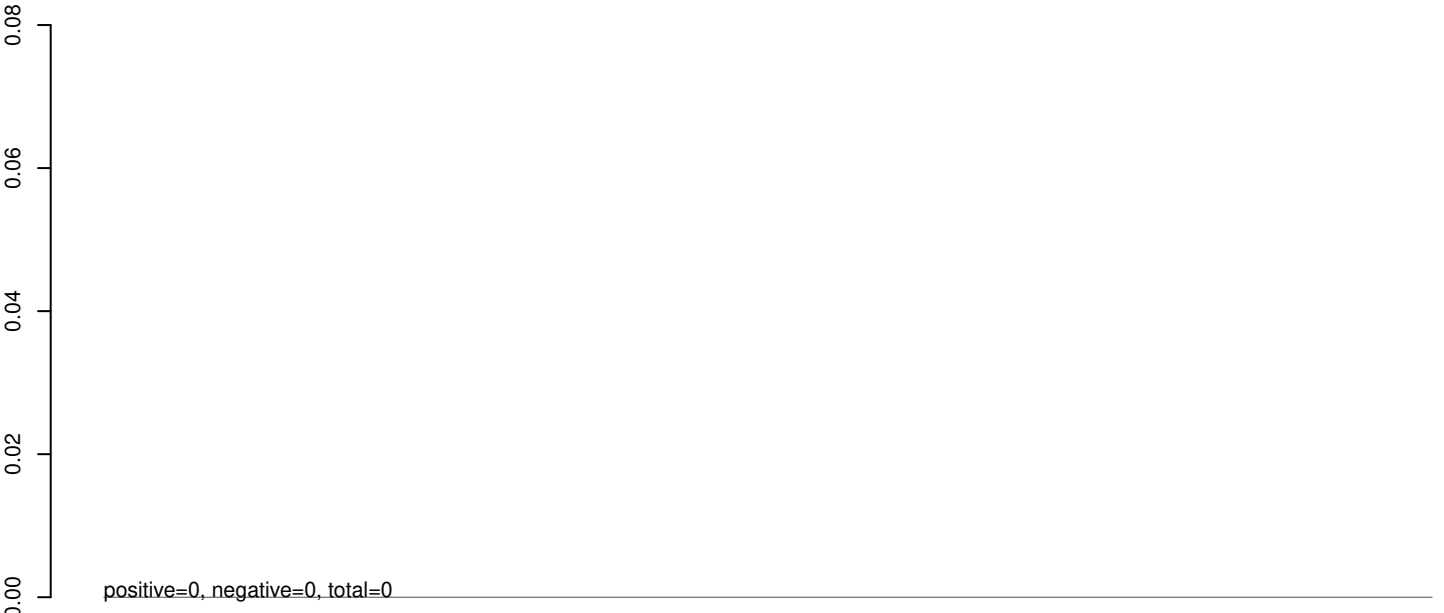
AeAeg_Aag2_Ago2_SINV_RA.rep



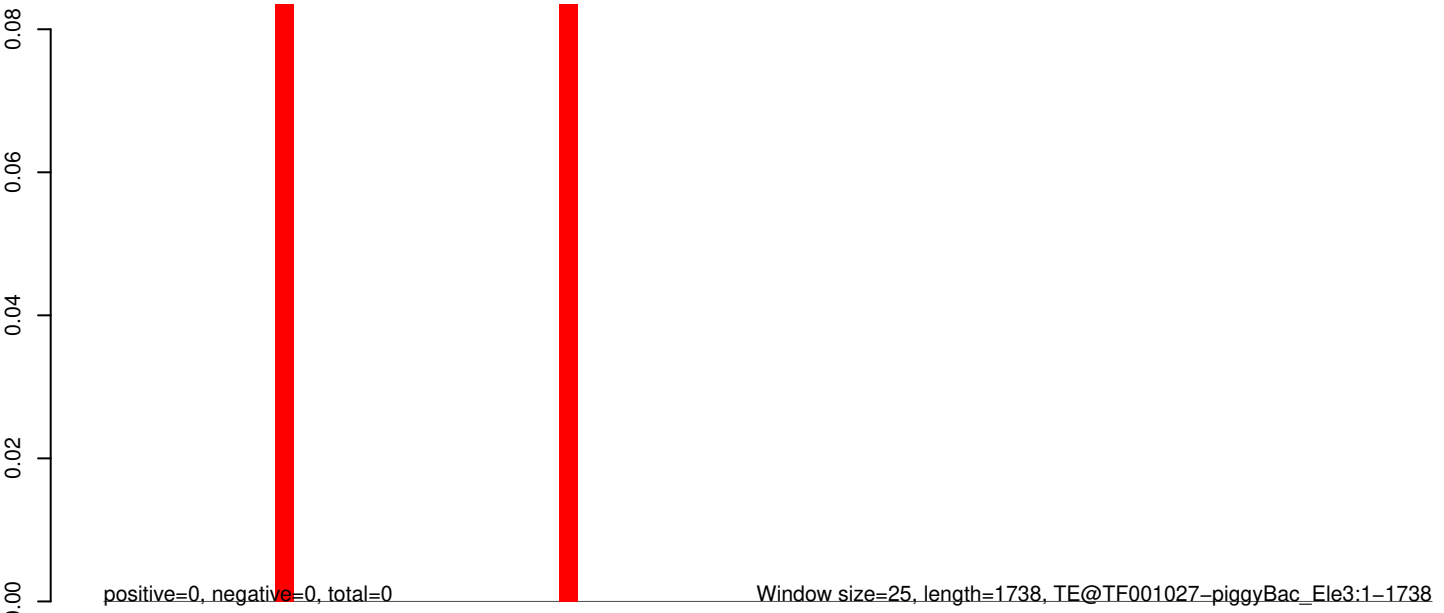
AeAeg_Aag2_Ago2_SINV_RA.18_23.rep



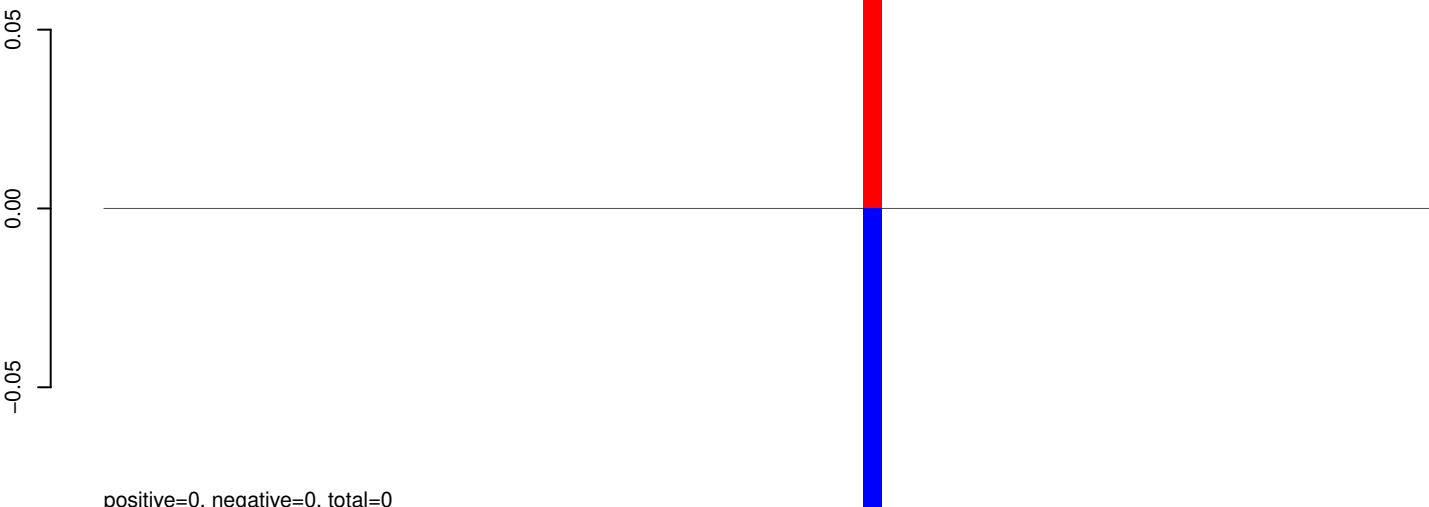
AeAeg_Aag2_Ago2_SINV_RA.24_35.rep



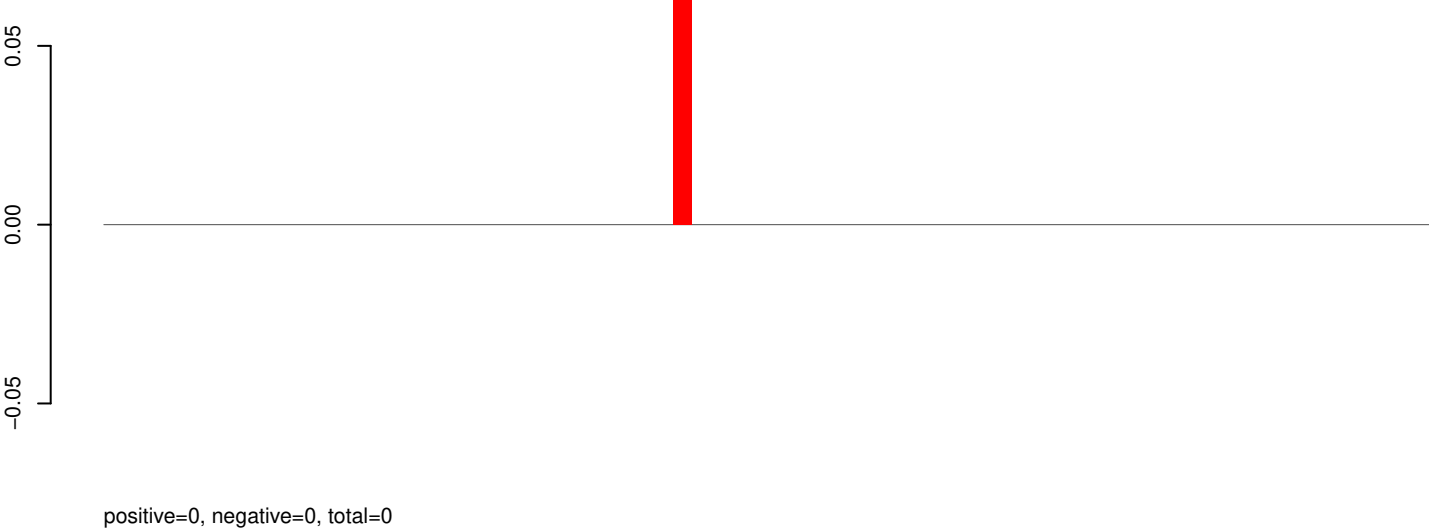
AeAeg_Aag2_Ago2_SINV_RA.rep



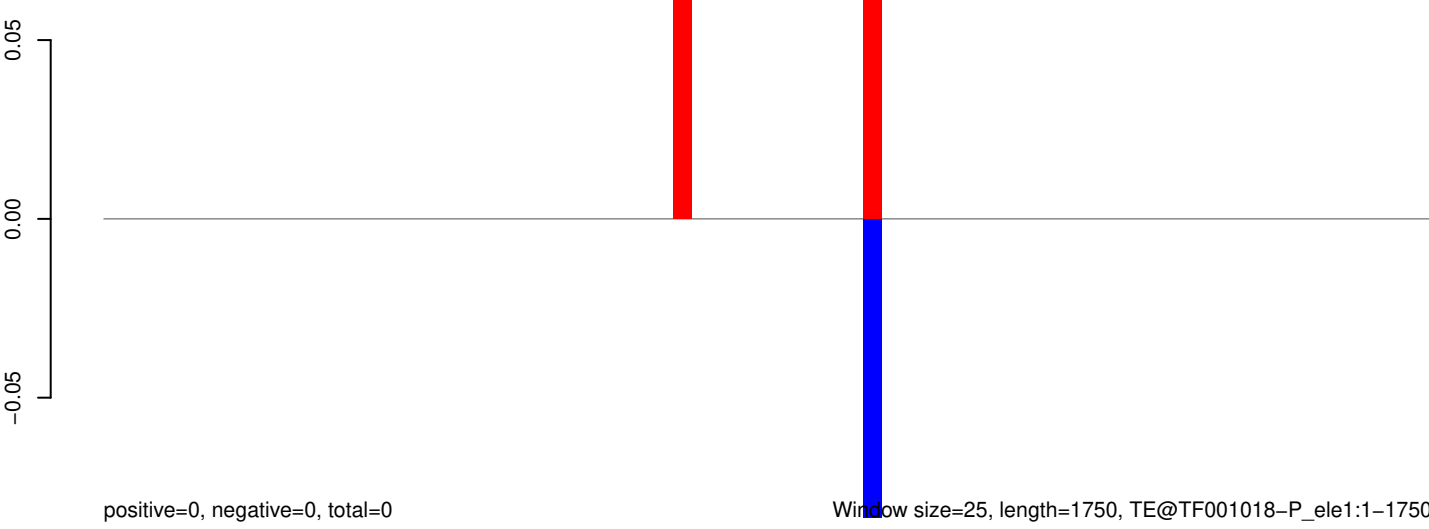
AeAeg_Aag2_Ago2_SINV_RA.18_23.rep



AeAeg_Aag2_Ago2_SINV_RA.24_35.rep

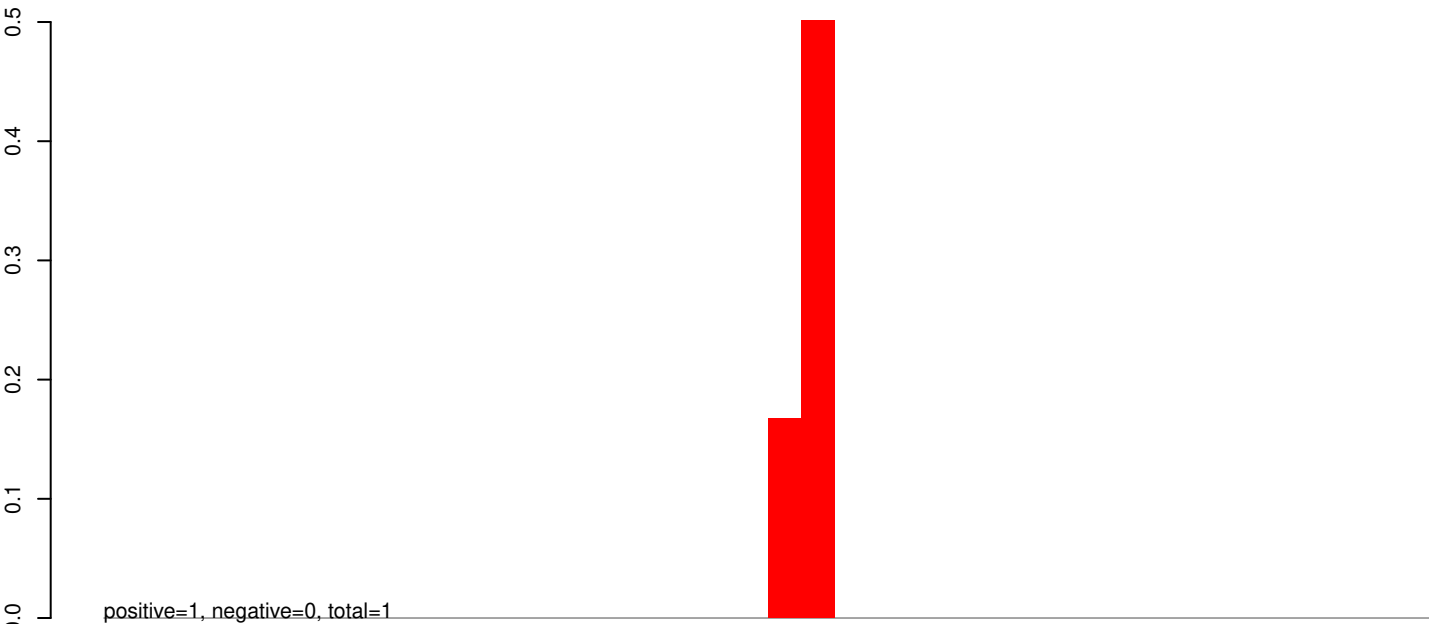


AeAeg_Aag2_Ago2_SINV_RA.rep

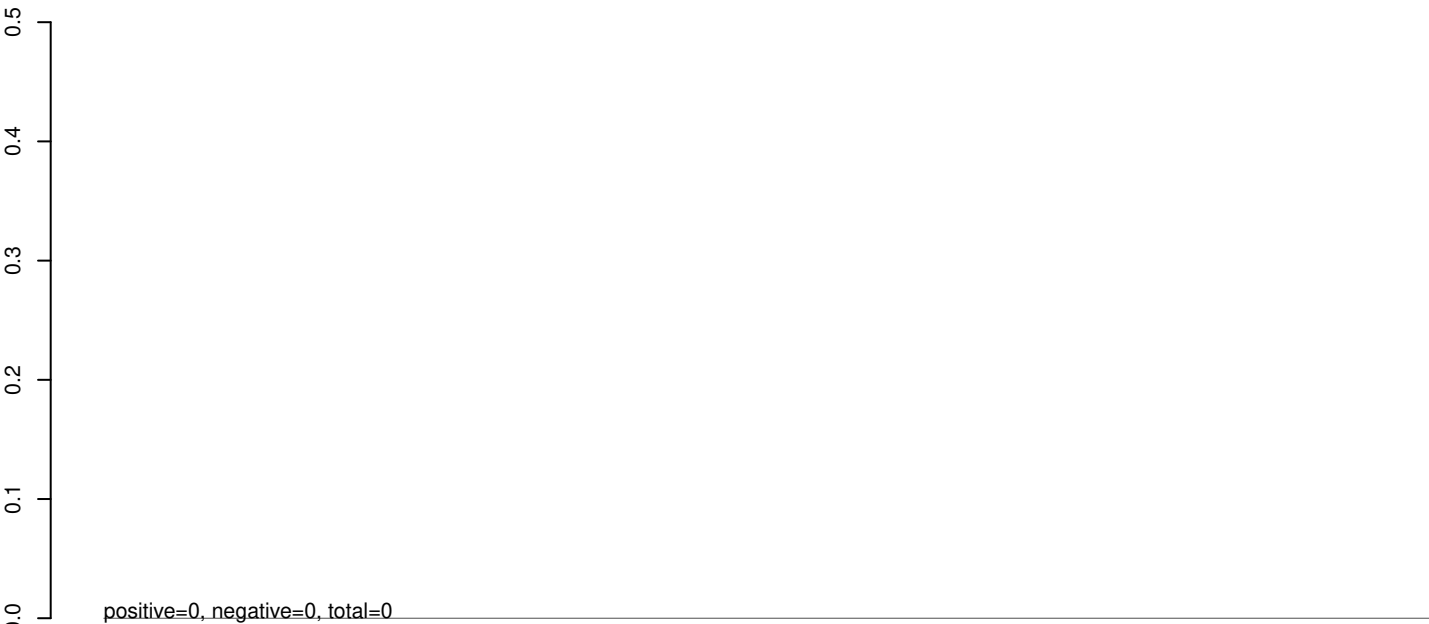


Window size=25, length=1750, TE@TF001018-P_ele1:1-1750

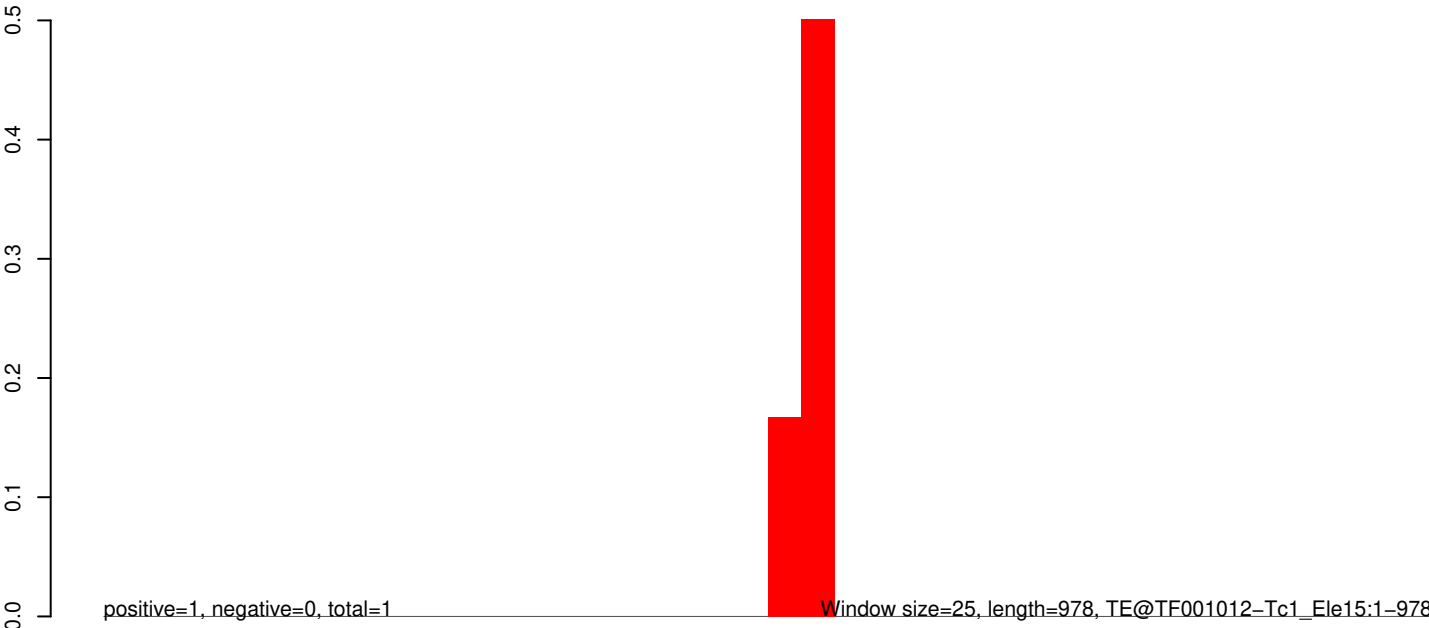
AeAeg_Aag2_Ago2_SINV_RA.18_23.rep



AeAeg_Aag2_Ago2_SINV_RA.24_35.rep



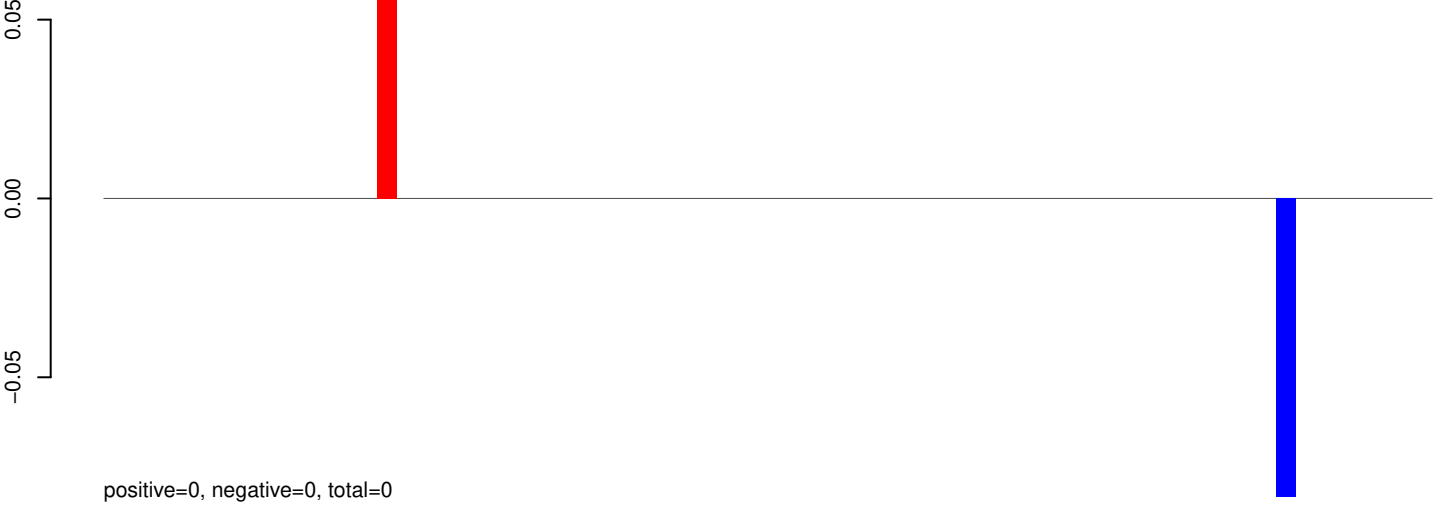
AeAeg_Aag2_Ago2_SINV_RA.rep



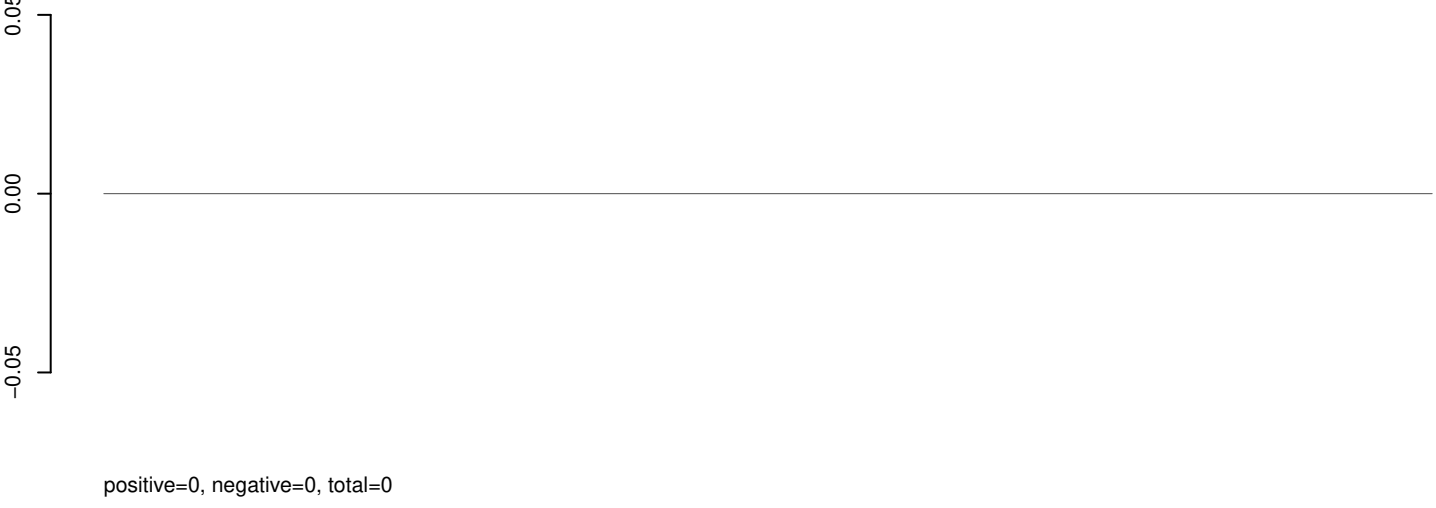
Window size=25, length=978, TE@TF001012-Tc1_Ele15:1-978

0 200 400 600 800 1000

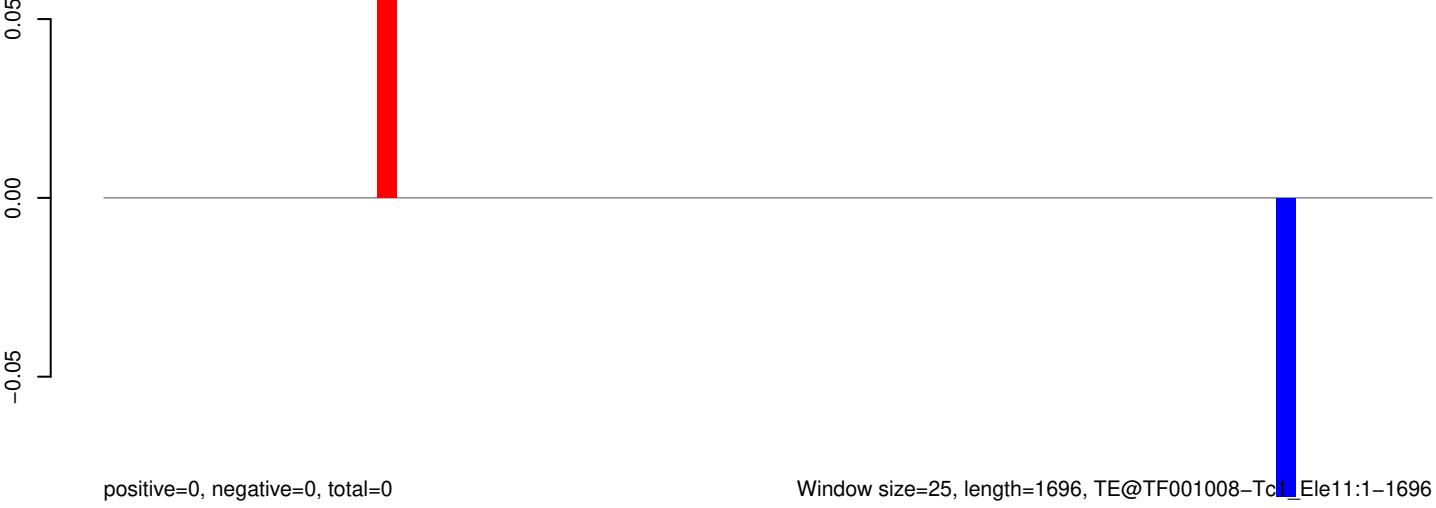
AeAeg_Aag2_Ago2_SINV_RA.18_23.rep



AeAeg_Aag2_Ago2_SINV_RA.24_35.rep



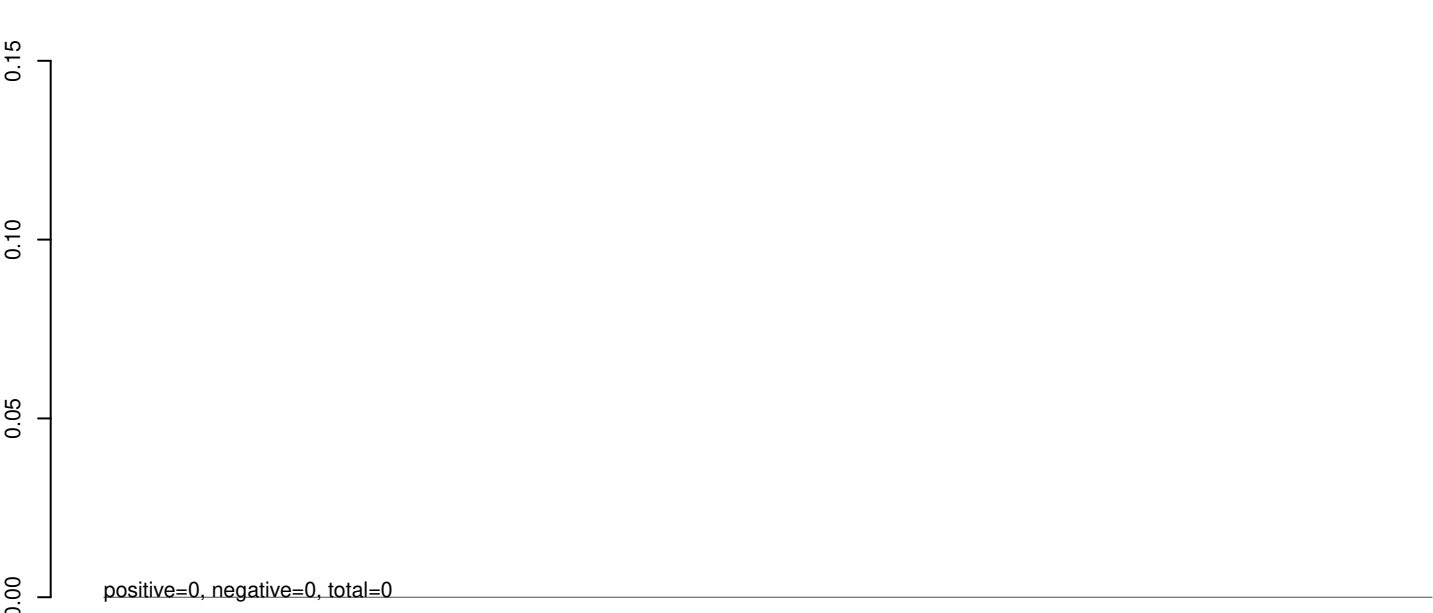
AeAeg_Aag2_Ago2_SINV_RA.rep



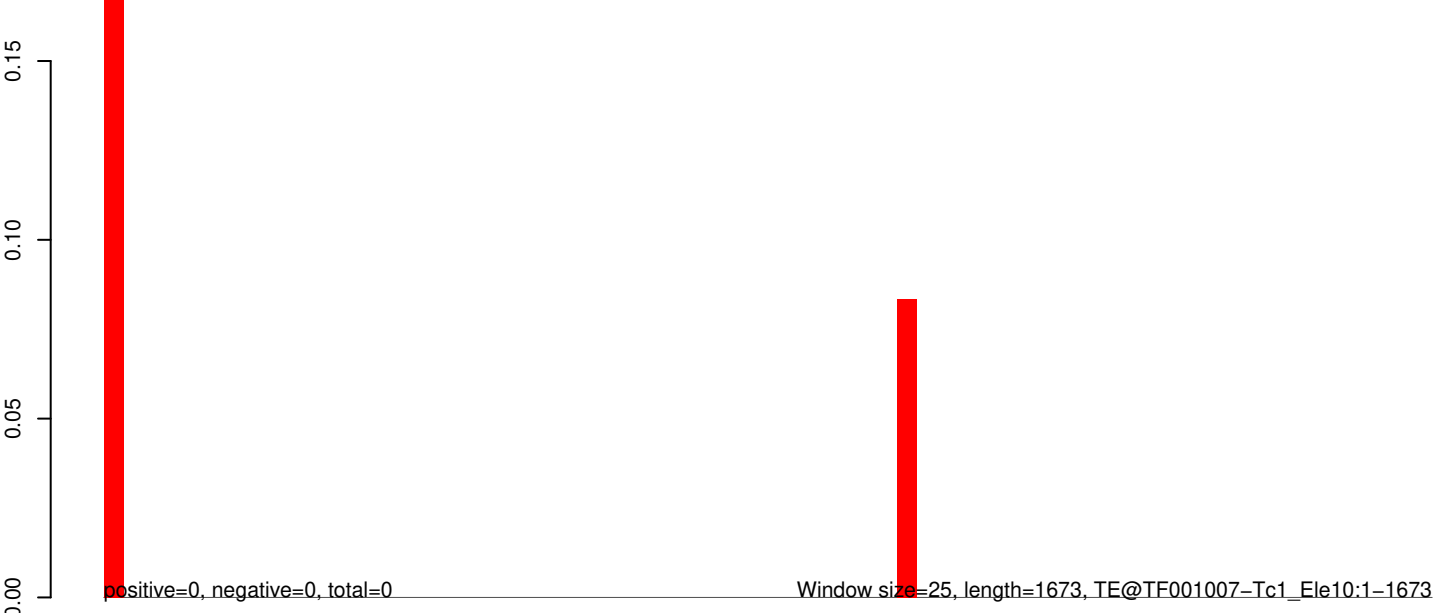
AeAeg_Aag2_Ago2_SINV_RA.18_23.rep



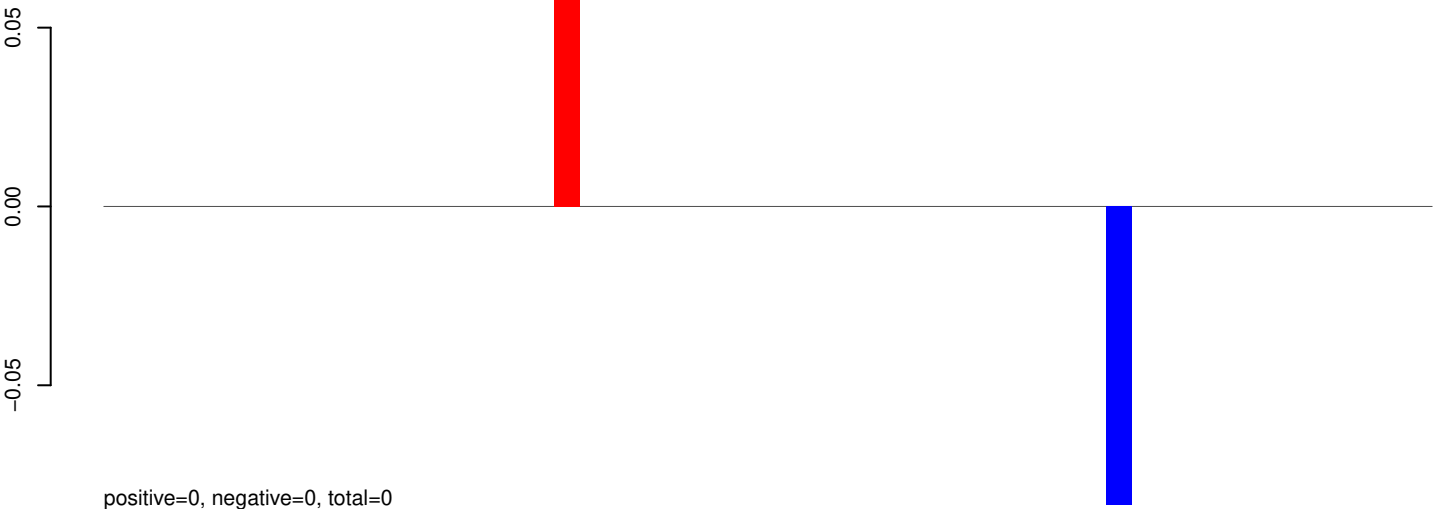
AeAeg_Aag2_Ago2_SINV_RA.24_35.rep



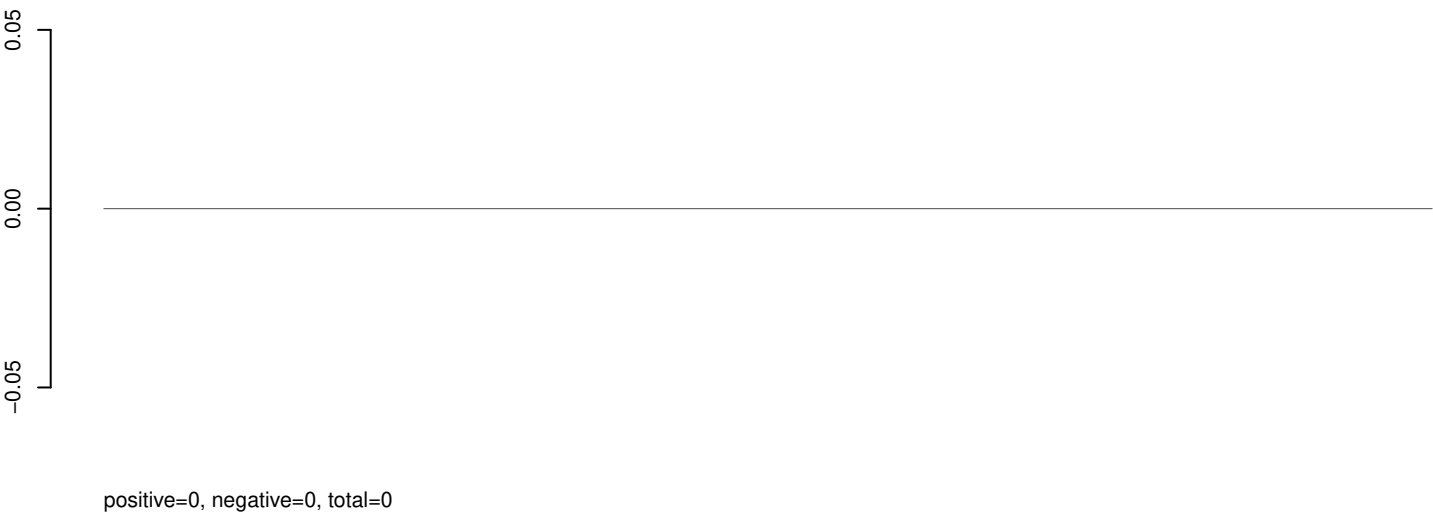
AeAeg_Aag2_Ago2_SINV_RA.rep



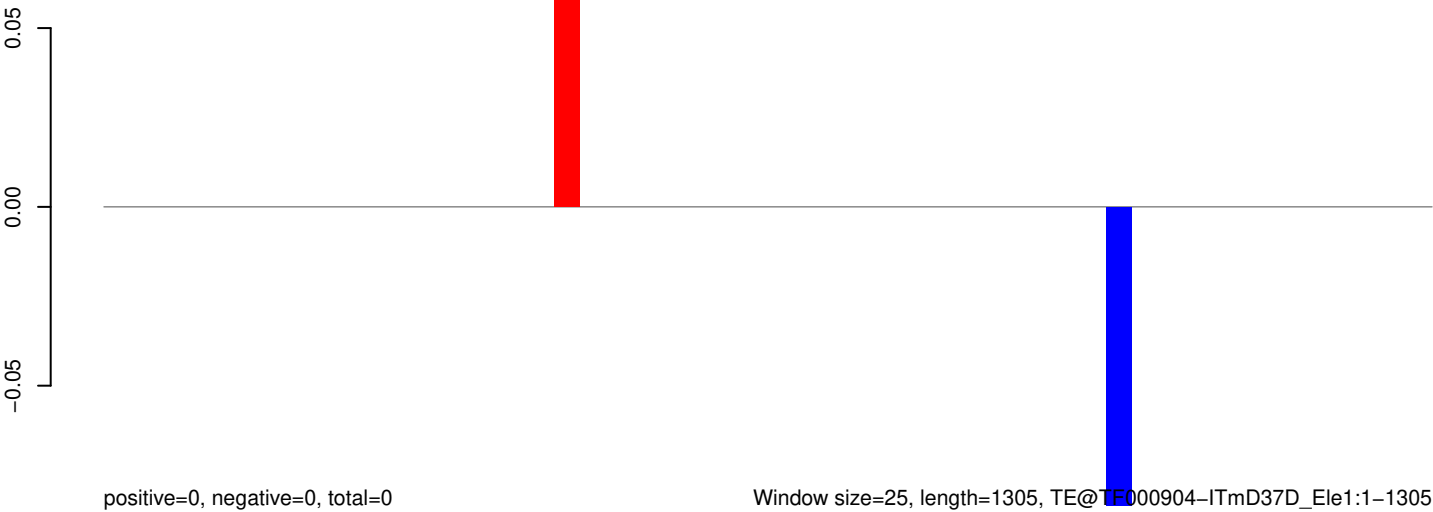
AeAeg_Aag2_Ago2_SINV_RA.18_23.rep



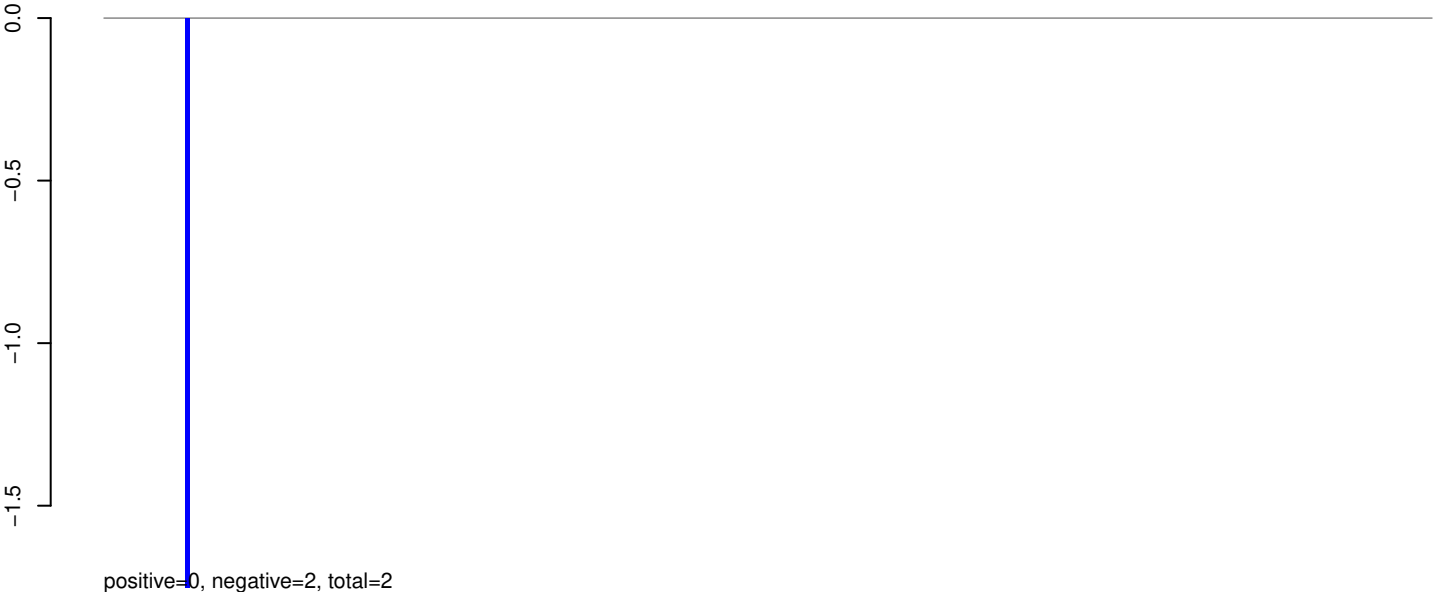
AeAeg_Aag2_Ago2_SINV_RA.24_35.rep



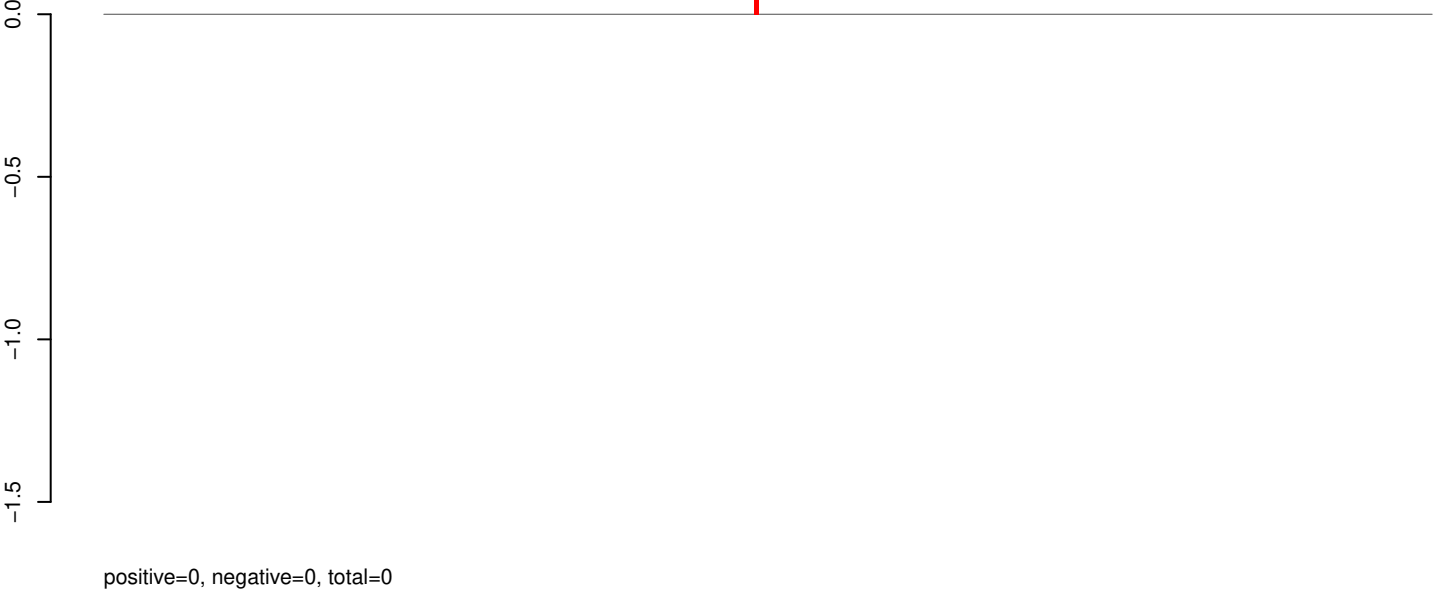
AeAeg_Aag2_Ago2_SINV_RA.rep



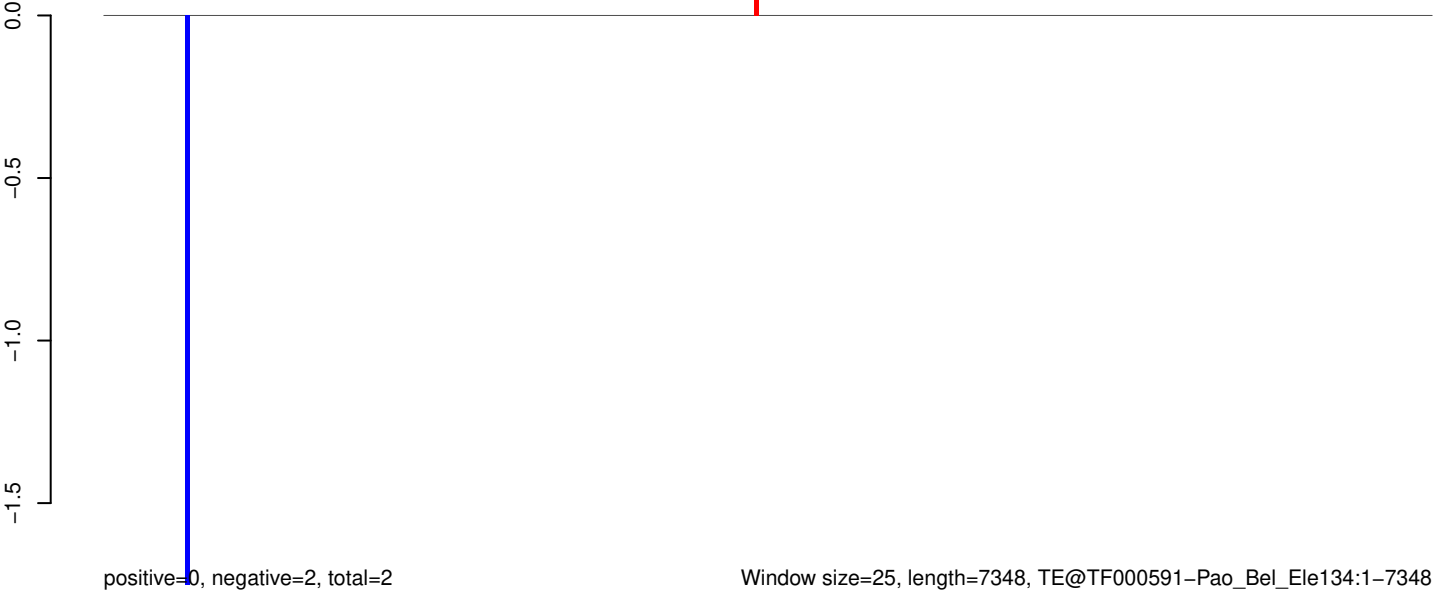
AeAeg_Aag2_Ago2_SINV_RA.18_23.rep



AeAeg_Aag2_Ago2_SINV_RA.24_35.rep



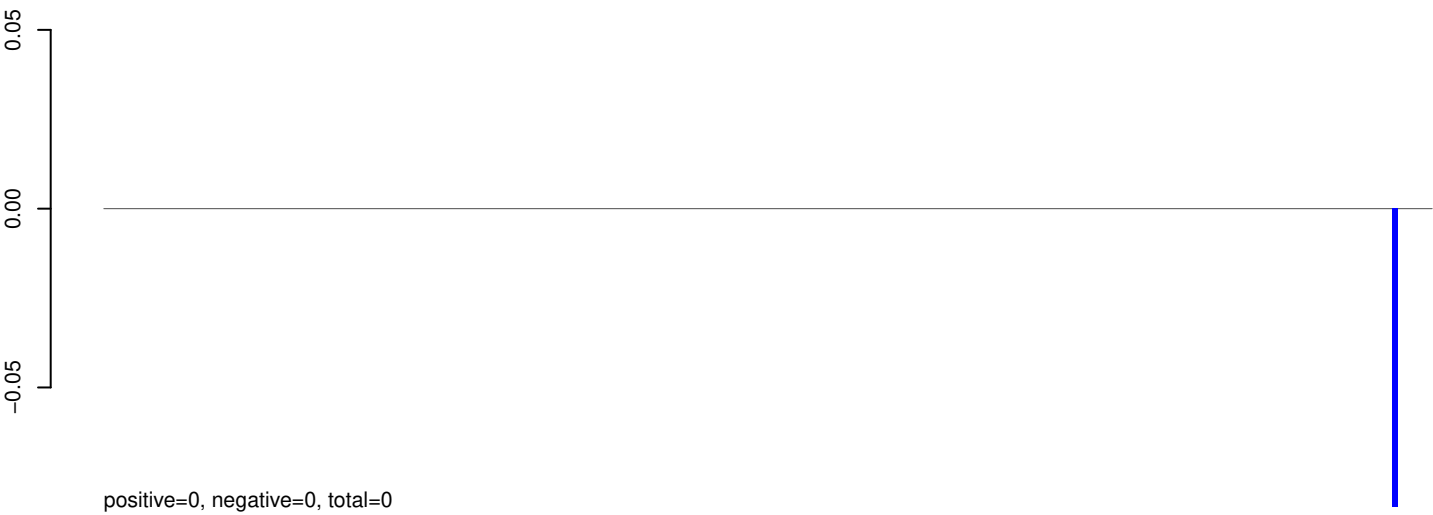
AeAeg_Aag2_Ago2_SINV_RA.rep



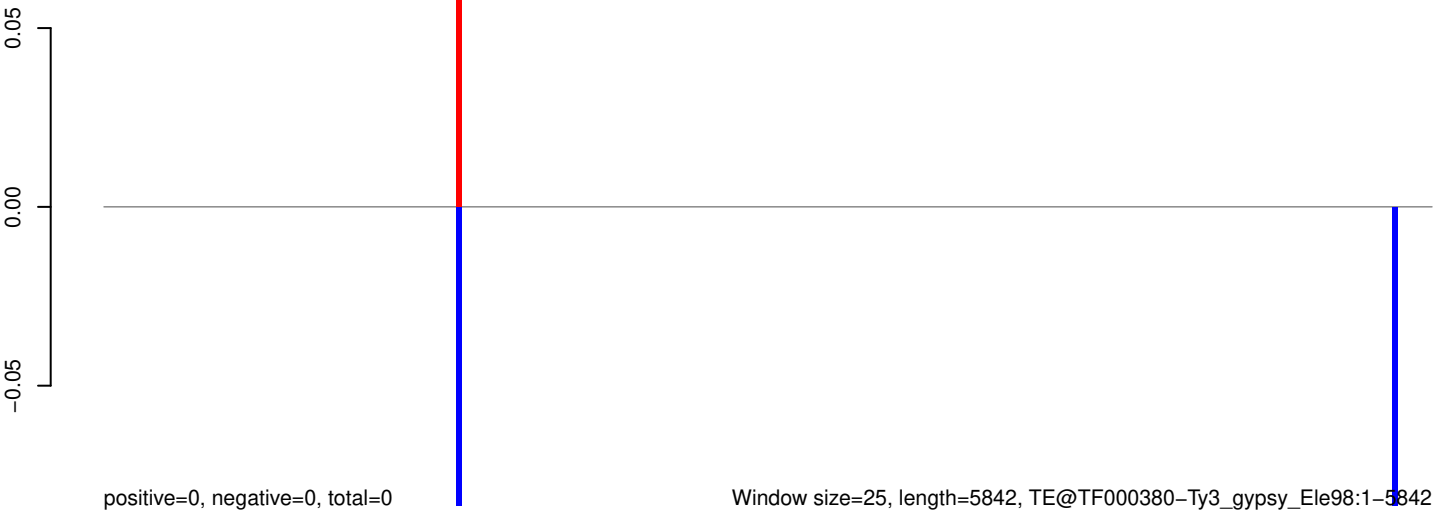
AeAeg_Aag2_Ago2_SINV_RA.18_23.rep



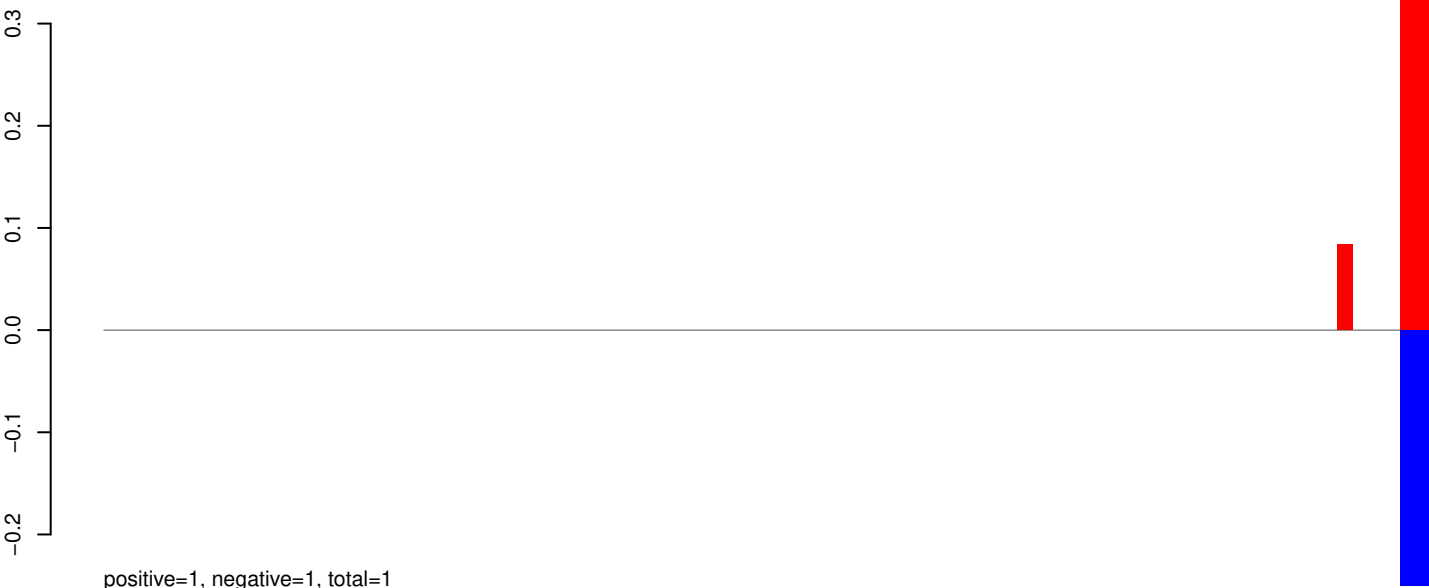
AeAeg_Aag2_Ago2_SINV_RA.24_35.rep



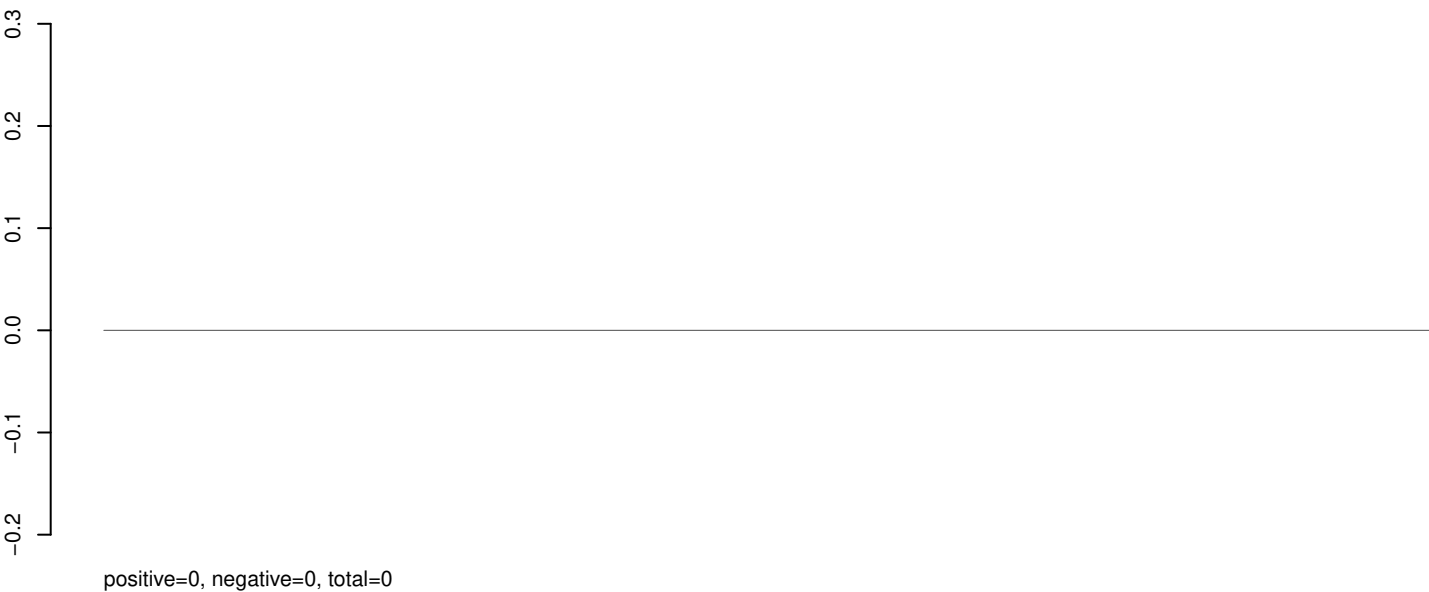
AeAeg_Aag2_Ago2_SINV_RA.rep



AeAeg_Aag2_Ago2_SINV_RA.18_23.rep



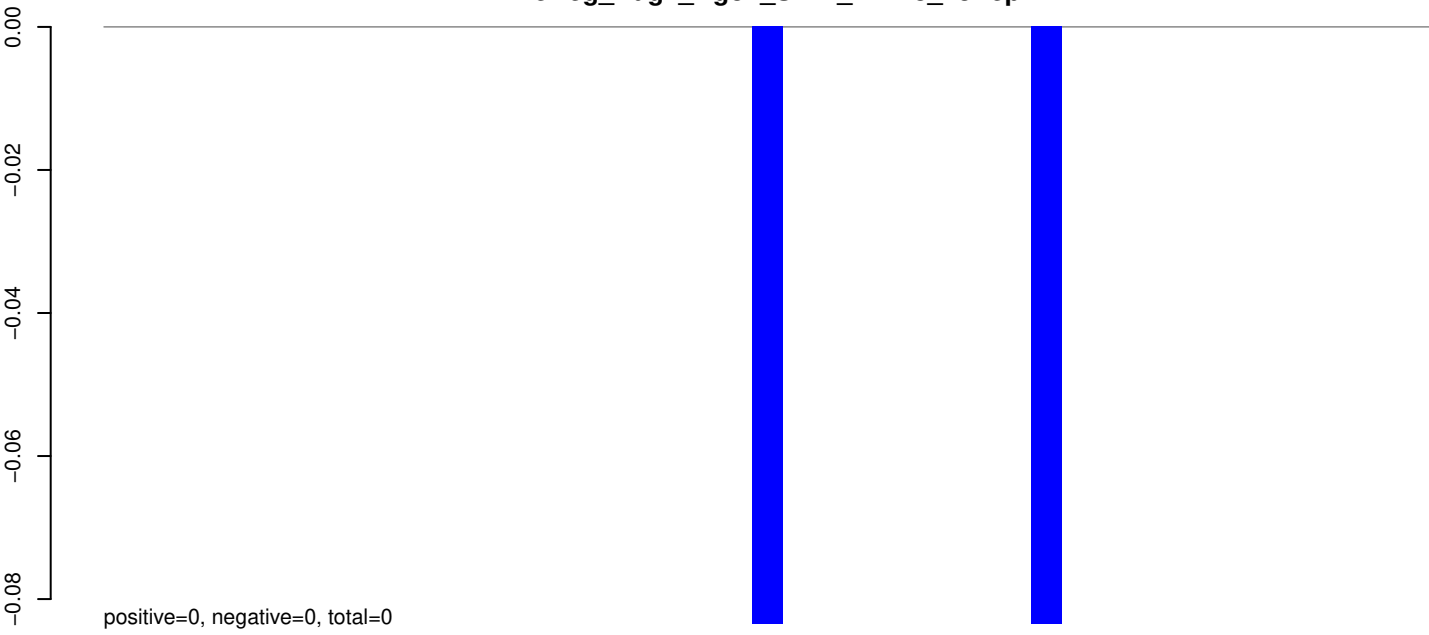
AeAeg_Aag2_Ago2_SINV_RA.24_35.rep



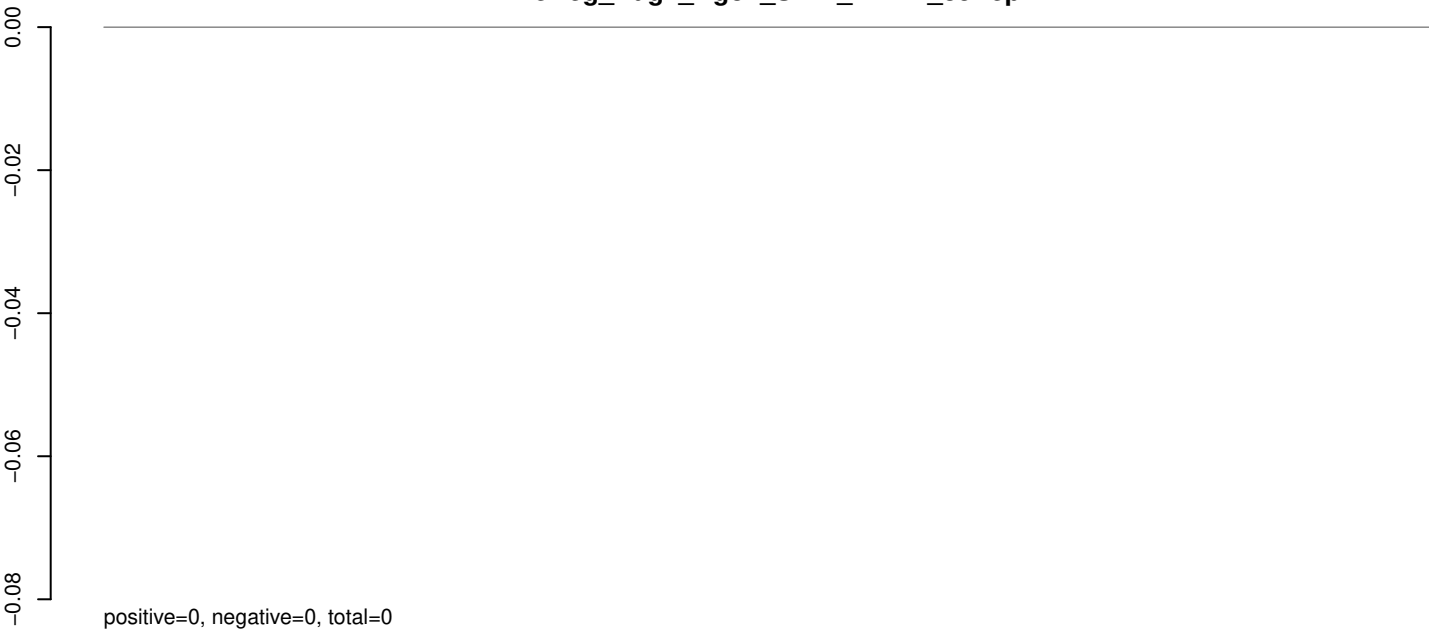
AeAeg_Aag2_Ago2_SINV_RA.rep



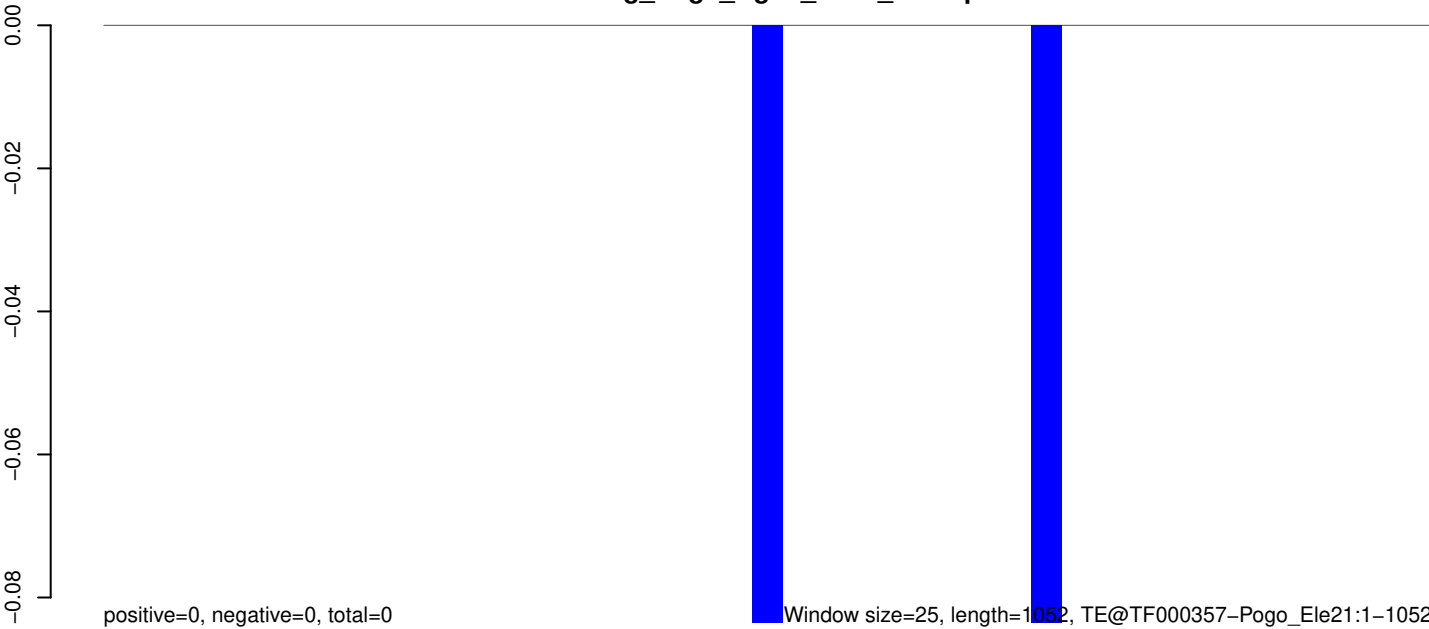
AeAeg_Aag2_Ago2_SINV_RA.18_23.rep



AeAeg_Aag2_Ago2_SINV_RA.24_35.rep

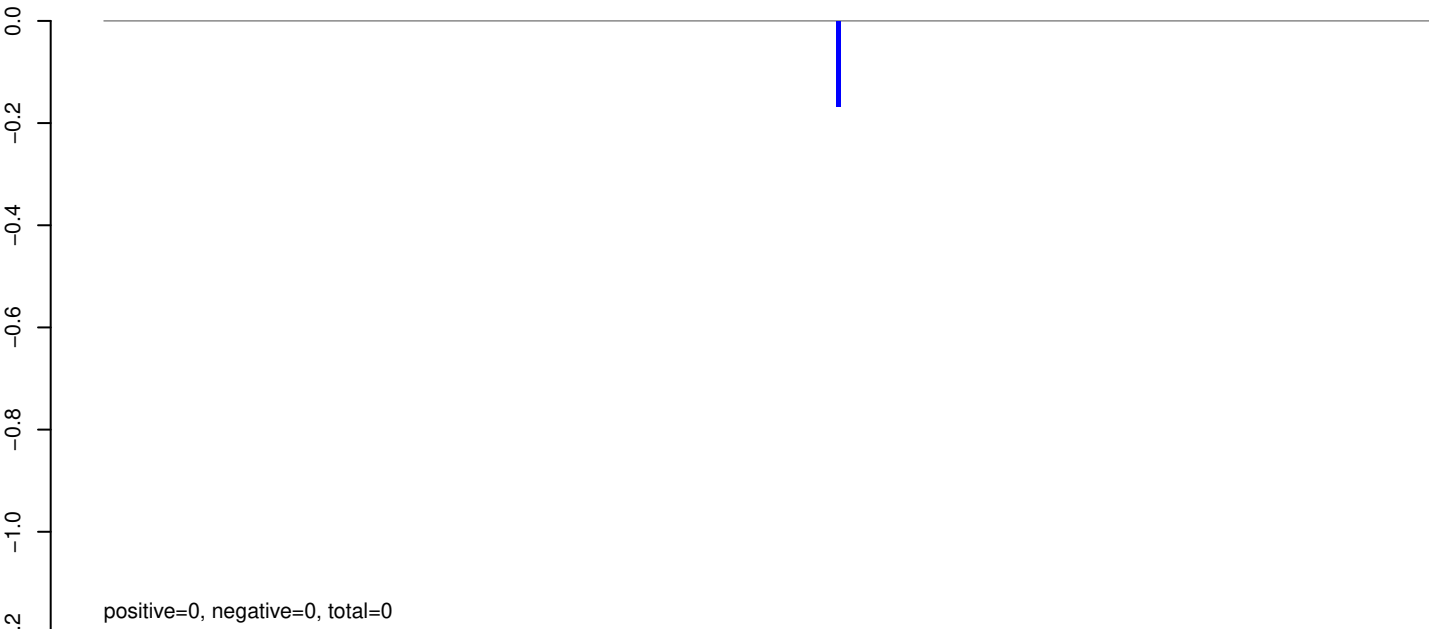


AeAeg_Aag2_Ago2_SINV_RA.rep



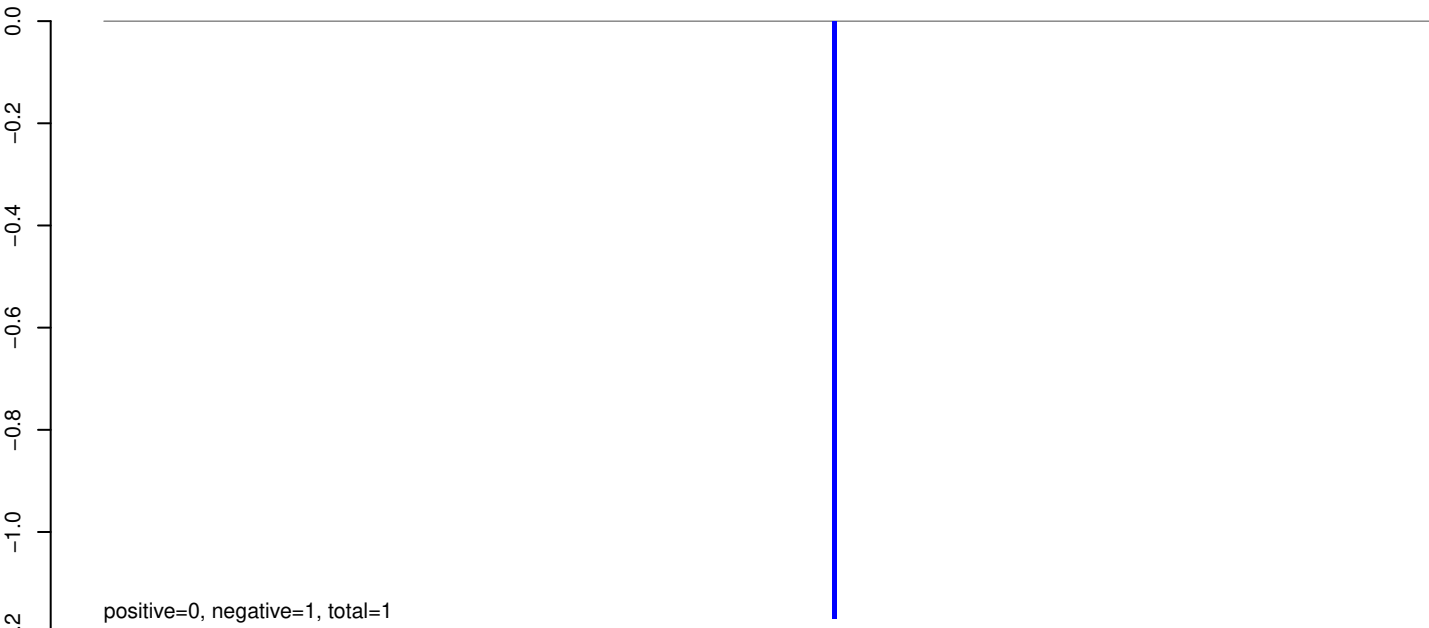
0 200 400 600 800 1000

AeAeg_Aag2_Ago2_SINV_RA.18_23.rep



positive=0, negative=0, total=0

AeAeg_Aag2_Ago2_SINV_RA.24_35.rep



positive=0, negative=1, total=1

AeAeg_Aag2_Ago2_SINV_RA.rep



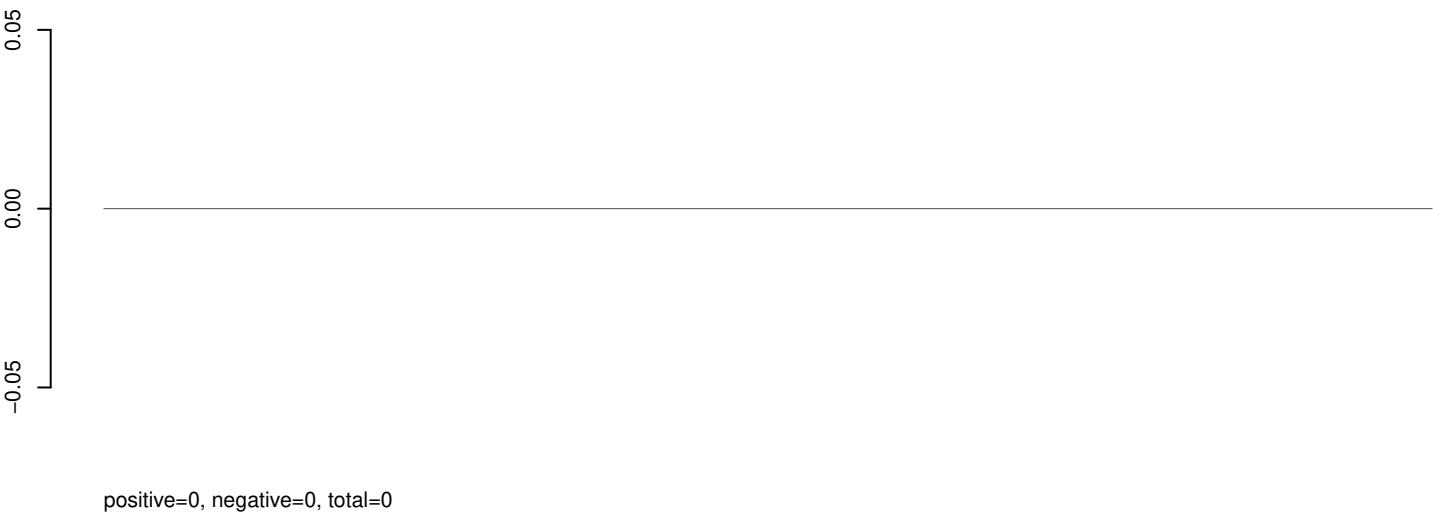
positive=0, negative=1, total=1

Window size=25, length=7730, TE@TF000245-Pao_Bel_Ele47:1-7730

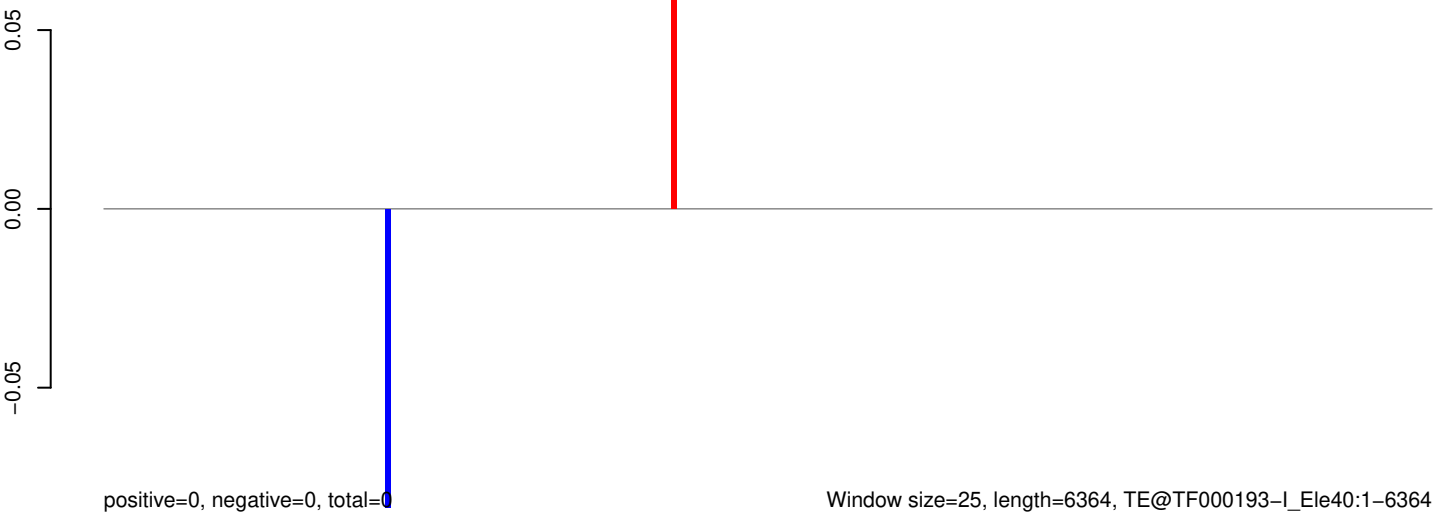
AeAeg_Aag2_Ago2_SINV_RA.18_23.rep



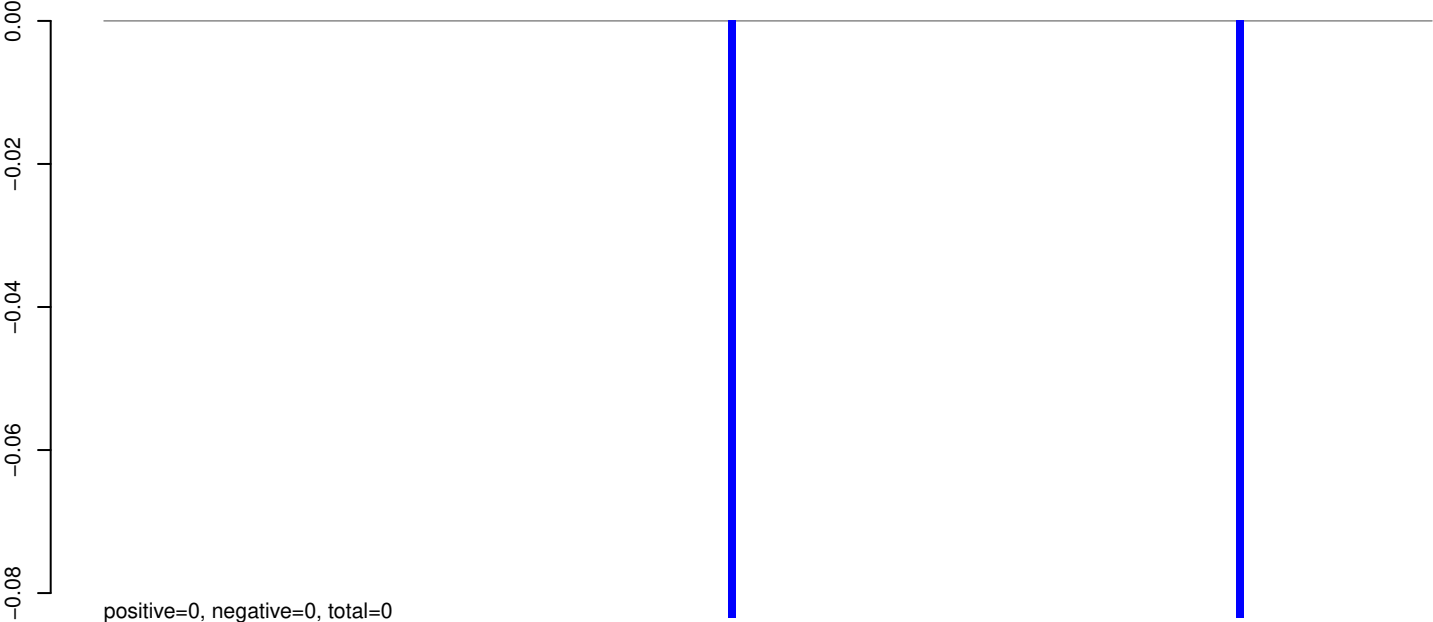
AeAeg_Aag2_Ago2_SINV_RA.24_35.rep



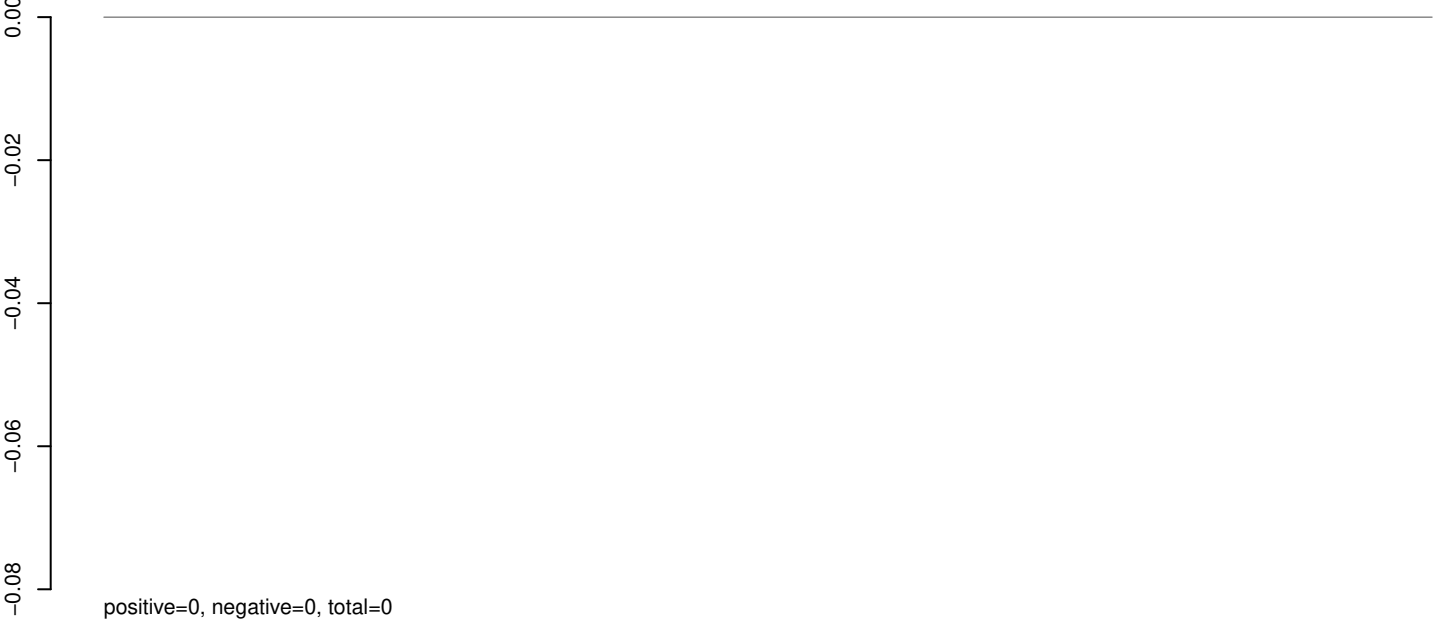
AeAeg_Aag2_Ago2_SINV_RA.rep



AeAeg_Aag2_Ago2_SINV_RA.18_23.rep



AeAeg_Aag2_Ago2_SINV_RA.24_35.rep

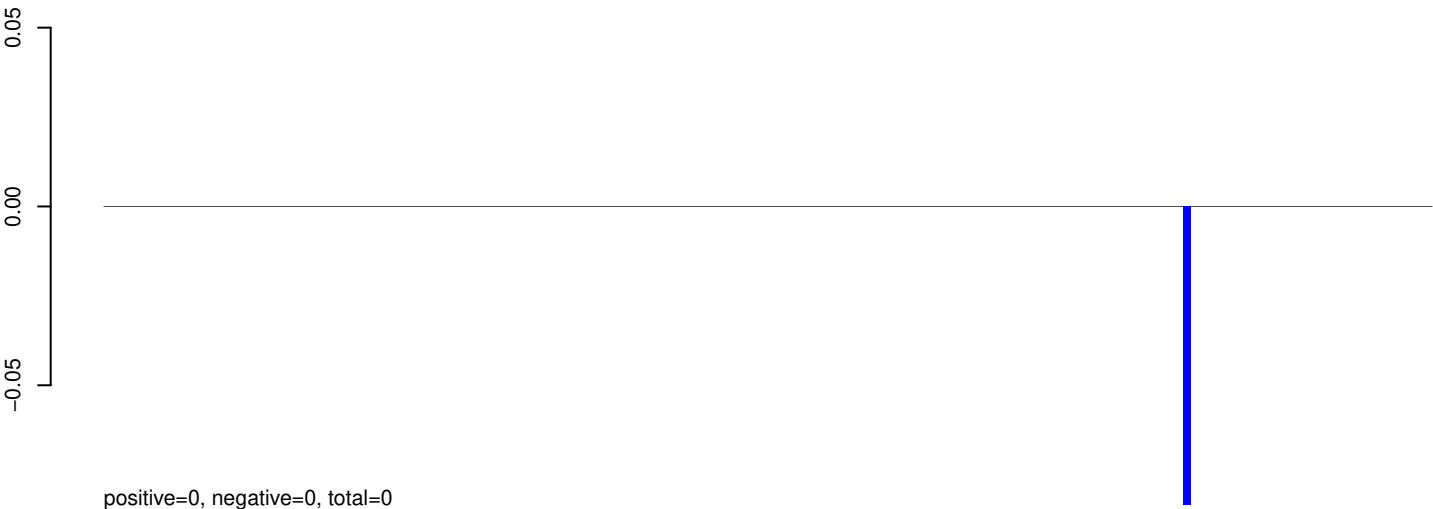


AeAeg_Aag2_Ago2_SINV_RA.rep

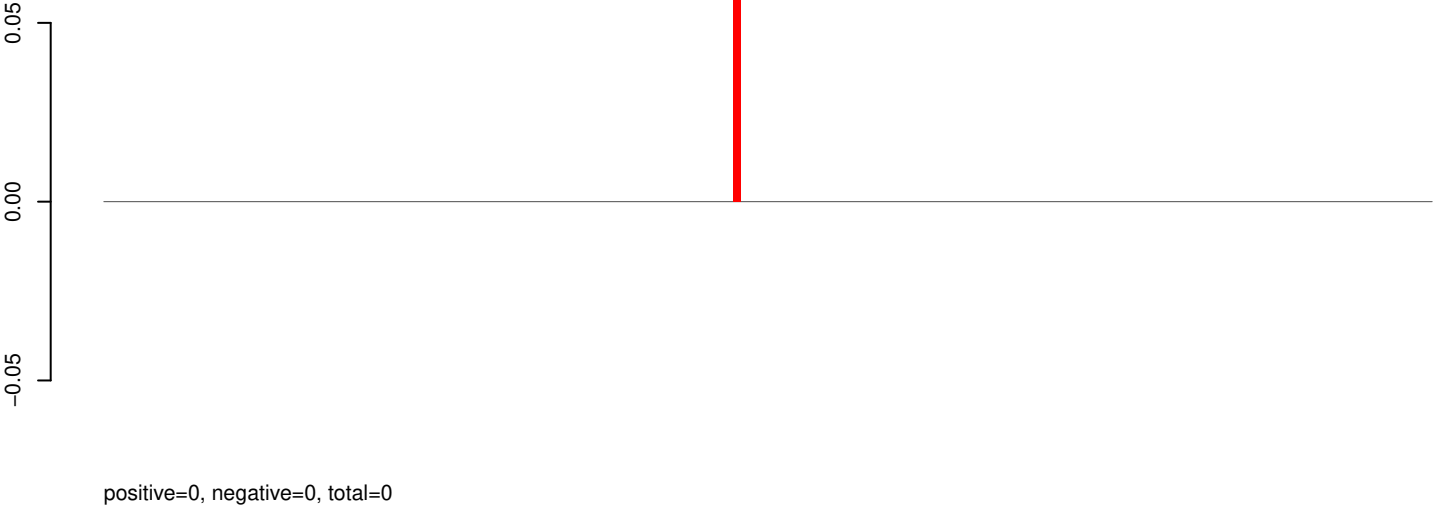


0 1000 2000 3000 4000

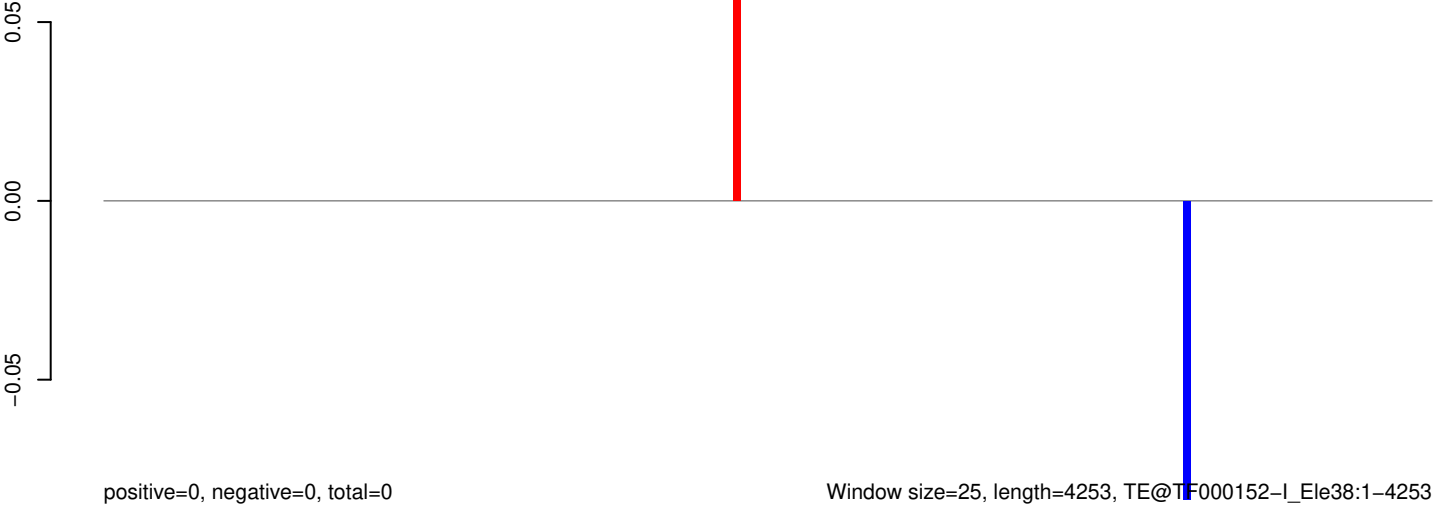
AeAeg_Aag2_Ago2_SINV_RA.18_23.rep



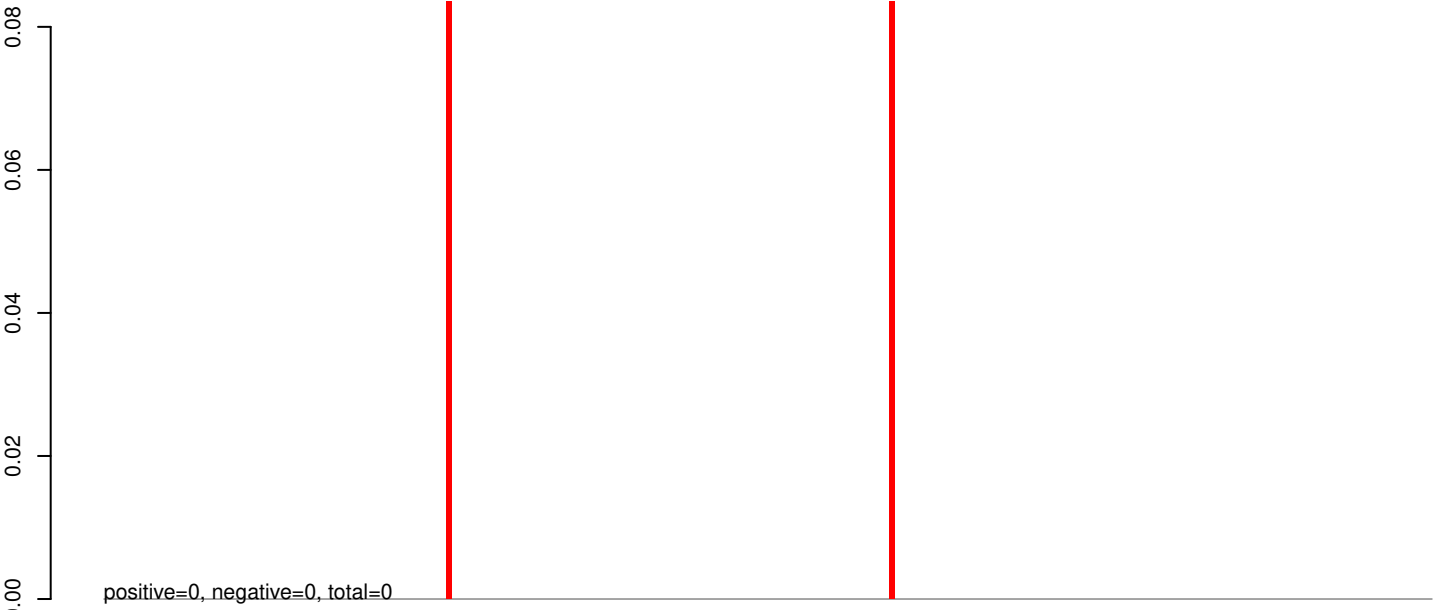
AeAeg_Aag2_Ago2_SINV_RA.24_35.rep



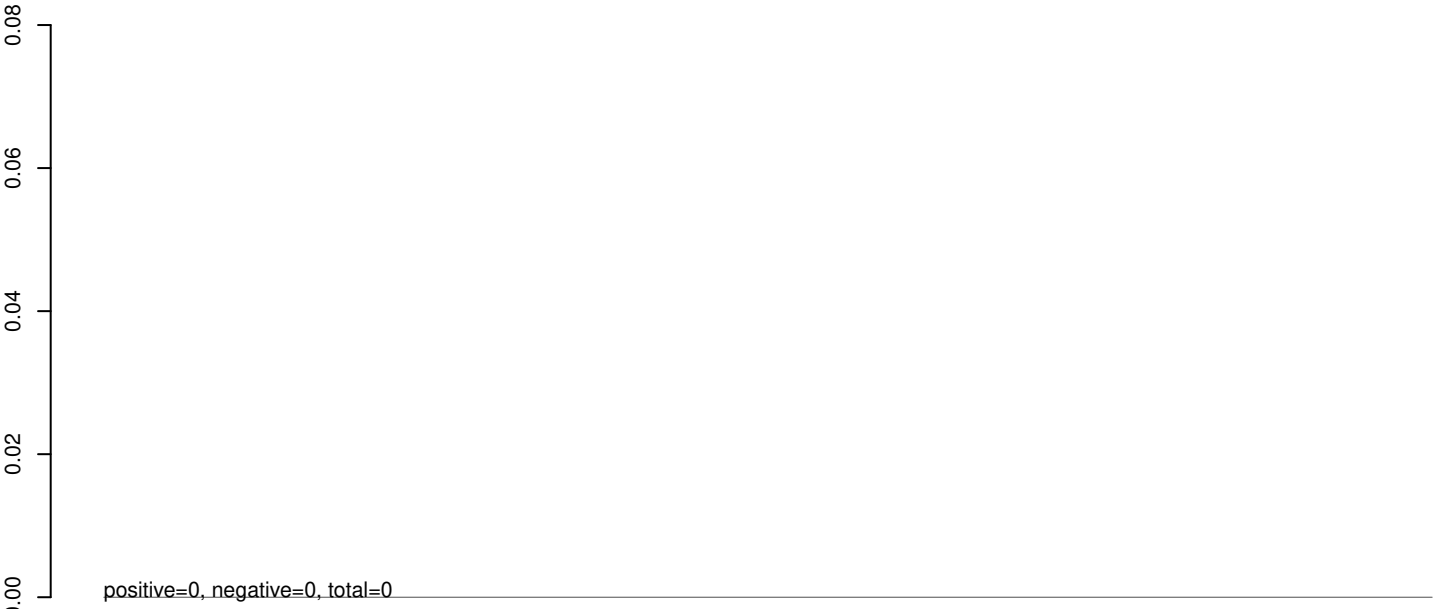
AeAeg_Aag2_Ago2_SINV_RA.rep



AeAeg_Aag2_Ago2_SINV_RA.18_23.rep



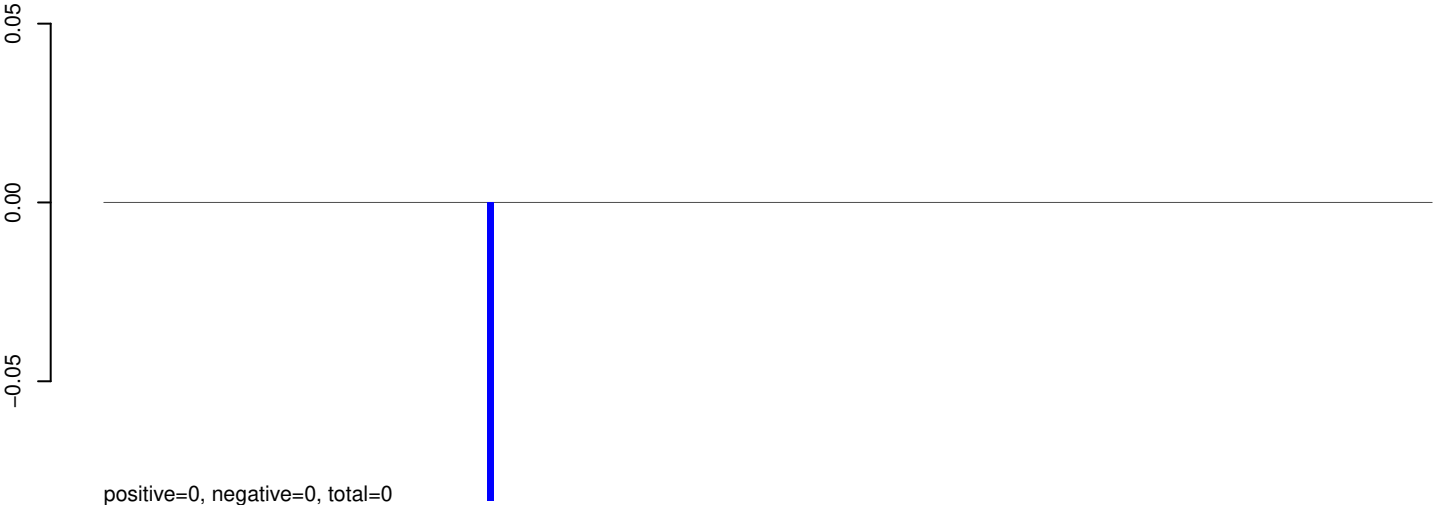
AeAeg_Aag2_Ago2_SINV_RA.24_35.rep



AeAeg_Aag2_Ago2_SINV_RA.rep



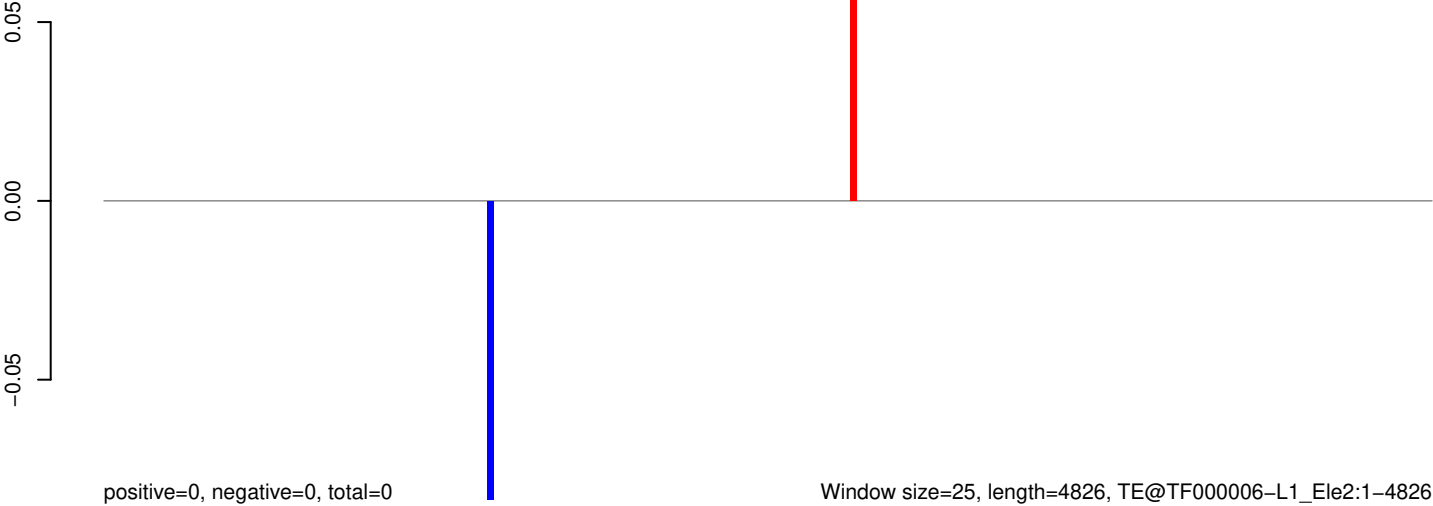
AeAeg_Aag2_Ago2_SINV_RA.18_23.rep



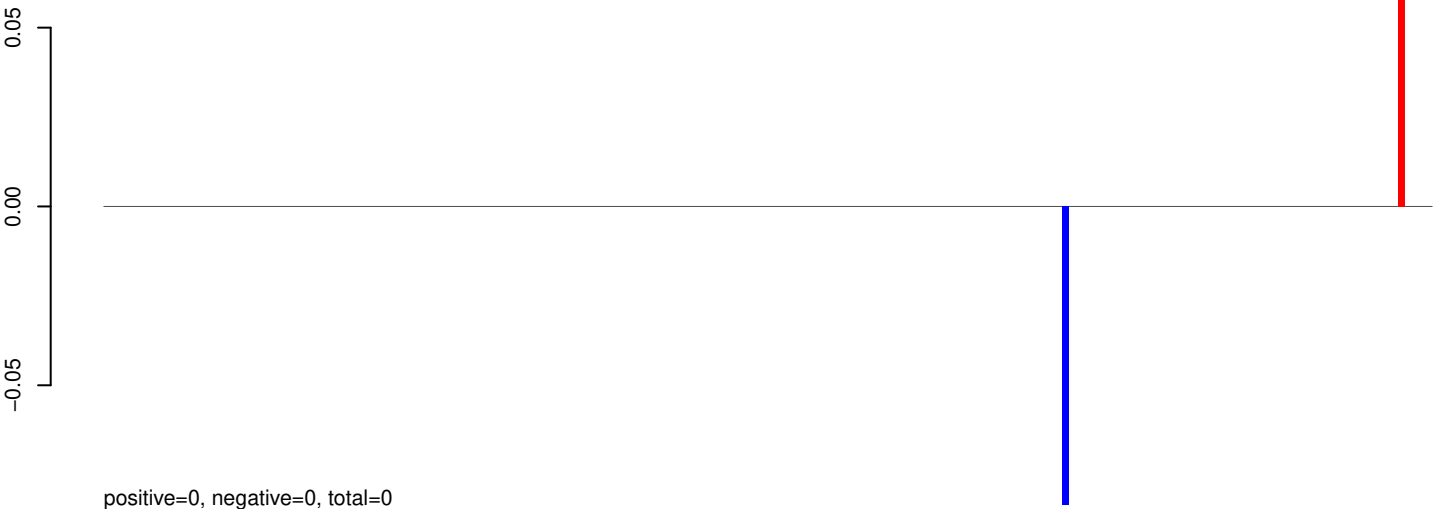
AeAeg_Aag2_Ago2_SINV_RA.24_35.rep



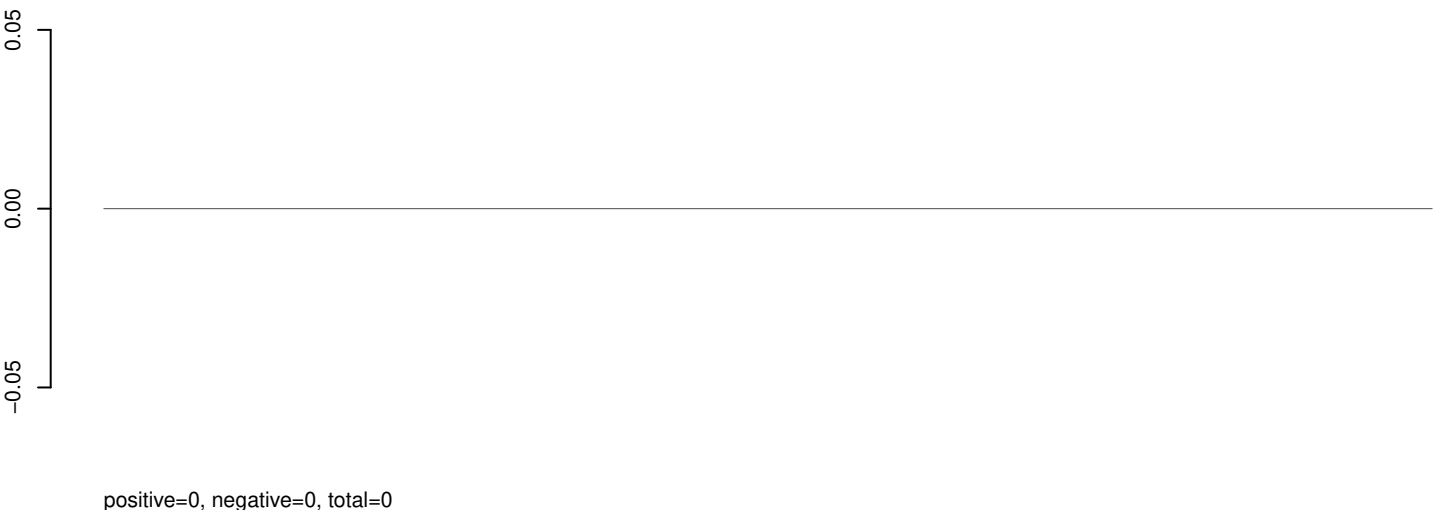
AeAeg_Aag2_Ago2_SINV_RA.rep



AeAeg_Aag2_Ago2_SINV_RA.18_23.rep



AeAeg_Aag2_Ago2_SINV_RA.24_35.rep

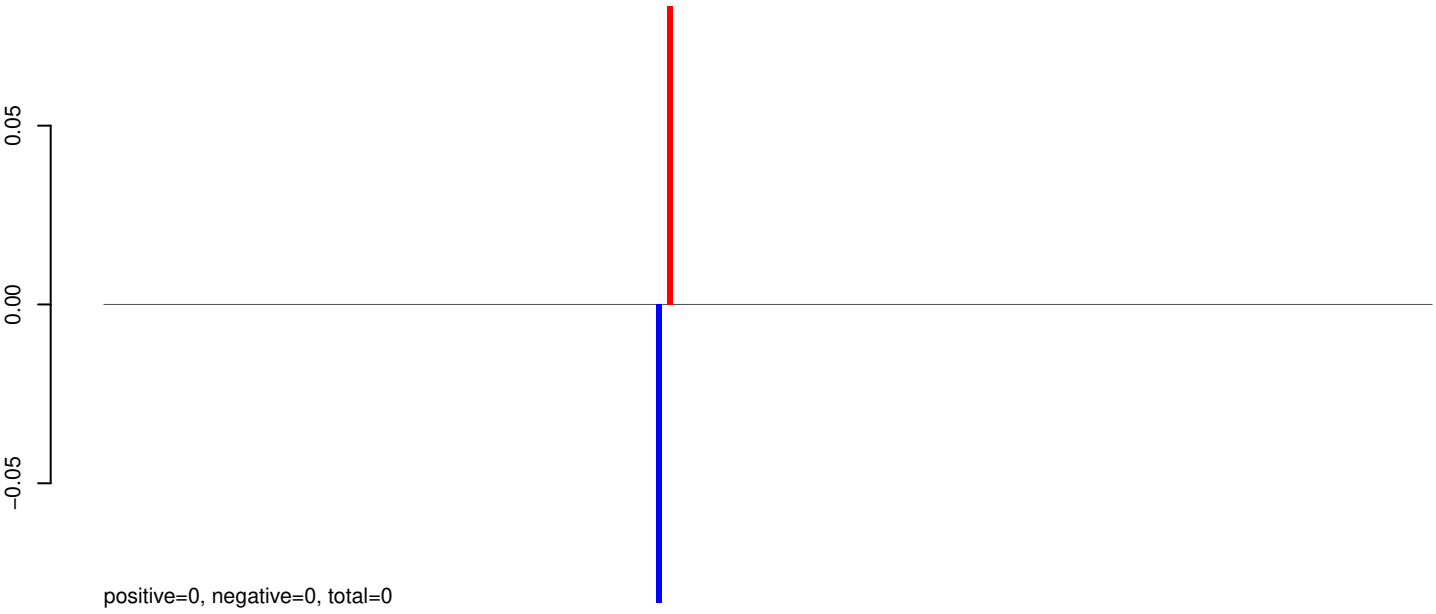


AeAeg_Aag2_Ago2_SINV_RA.rep



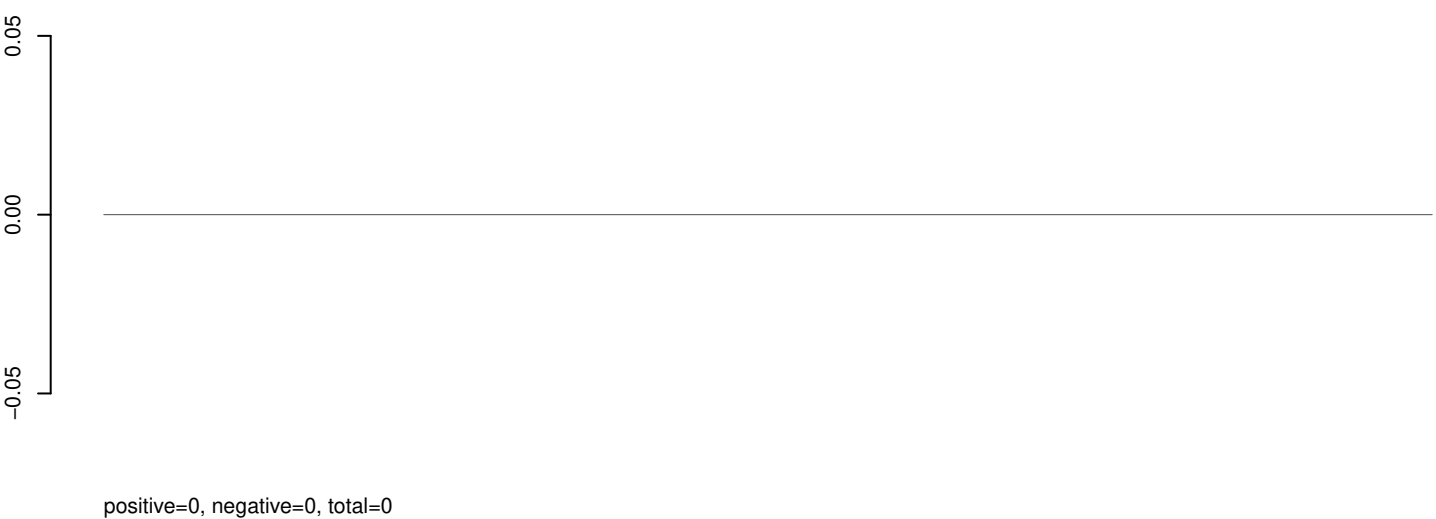
0 1000 2000 3000 4000 5000

AeAeg_Aag2_Ago2_SINV_RA.18_23.rep



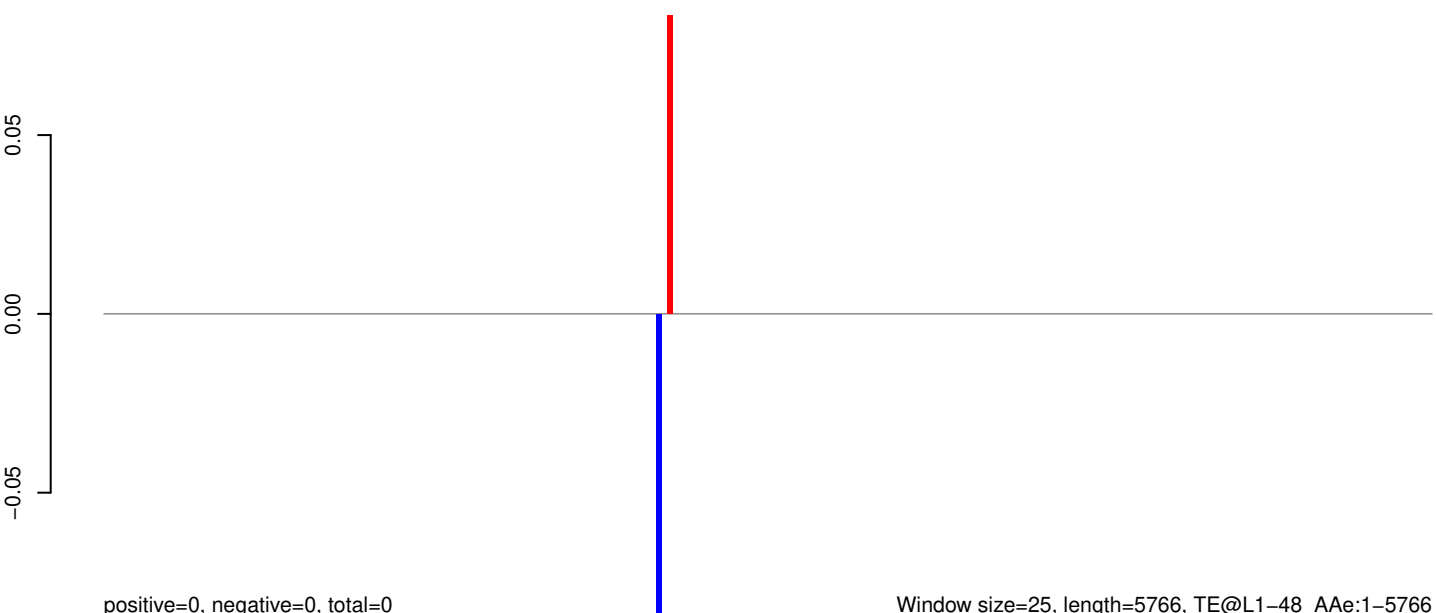
positive=0, negative=0, total=0

AeAeg_Aag2_Ago2_SINV_RA.24_35.rep



positive=0, negative=0, total=0

AeAeg_Aag2_Ago2_SINV_RA.rep

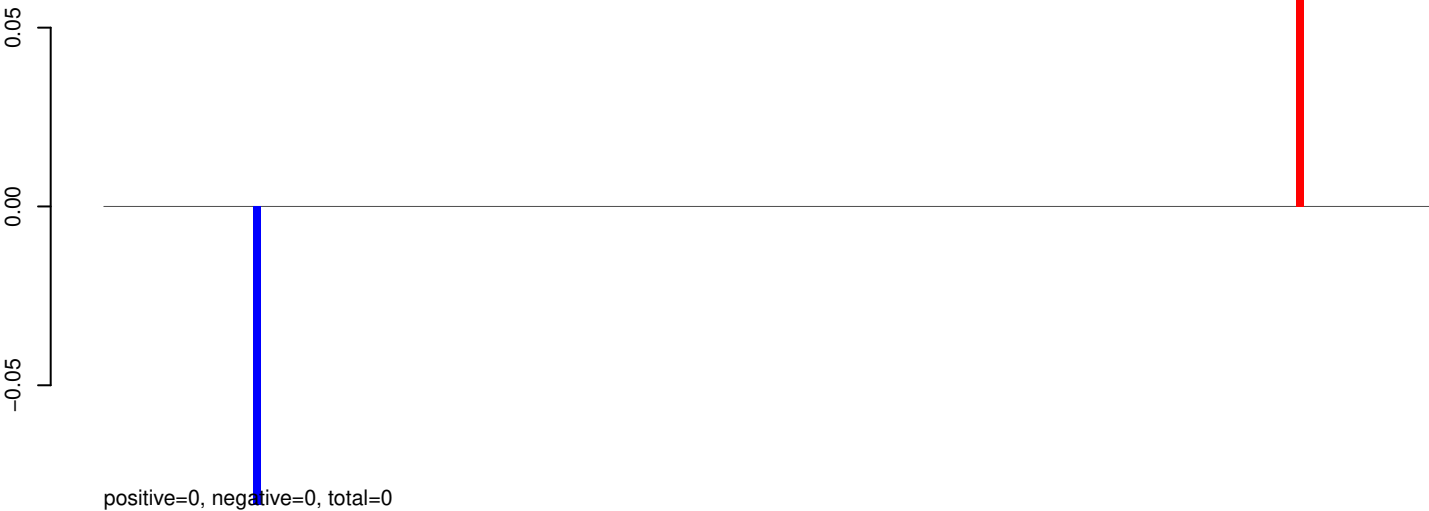


positive=0, negative=0, total=0

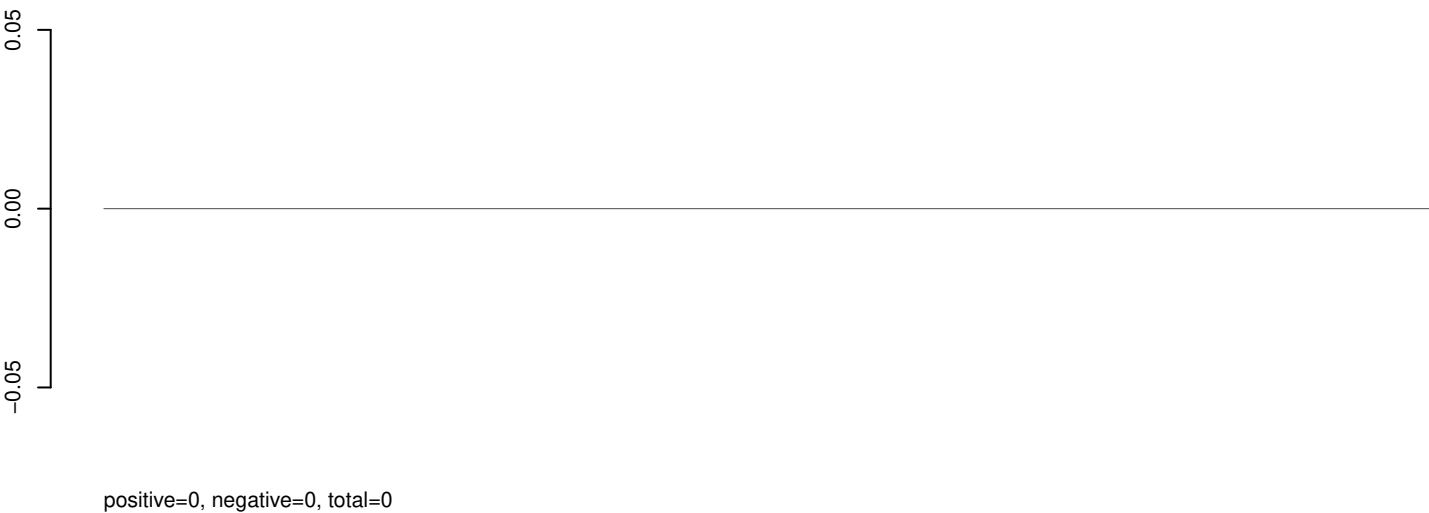
Window size=25, length=5766, TE@L1-48_A Ae:1-5766

0 1000 2000 3000 4000 5000 6000

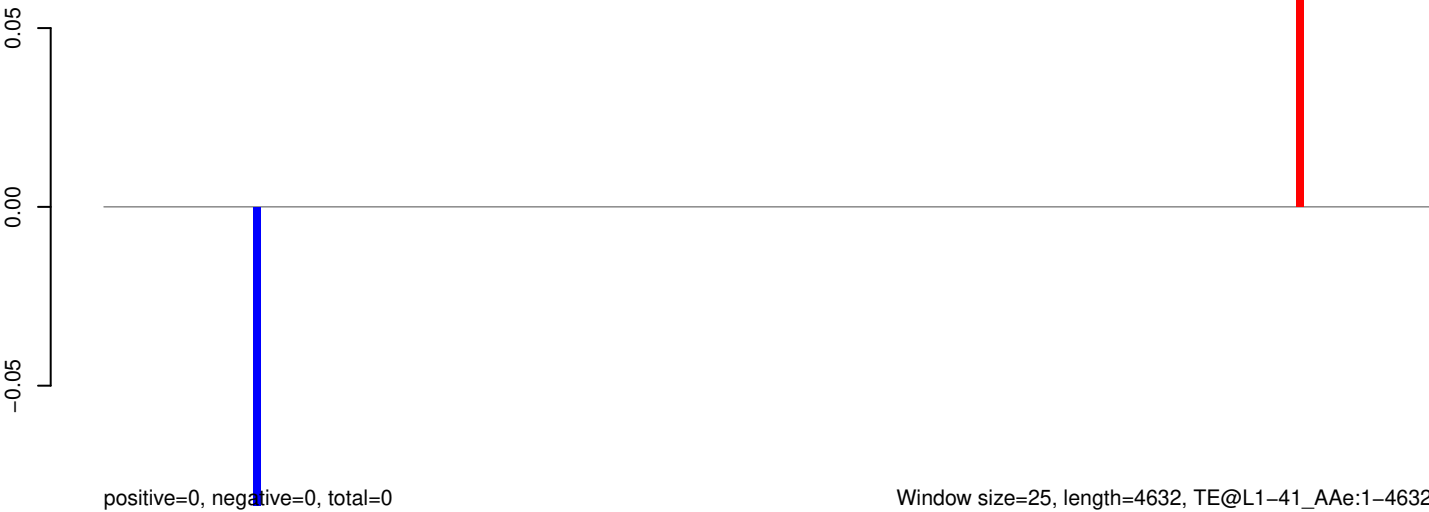
AeAeg_Aag2_Ago2_SINV_RA.18_23.rep



AeAeg_Aag2_Ago2_SINV_RA.24_35.rep



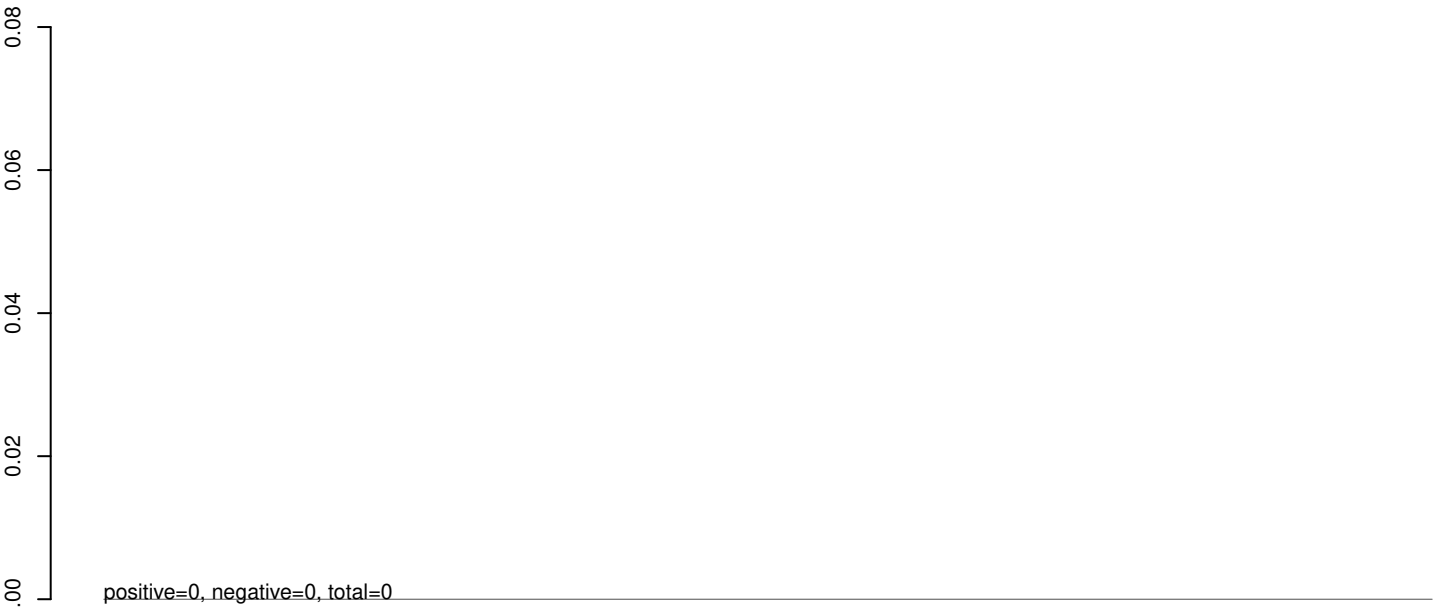
AeAeg_Aag2_Ago2_SINV_RA.rep



AeAeg_Aag2_Ago2_SINV_RA.18_23.rep



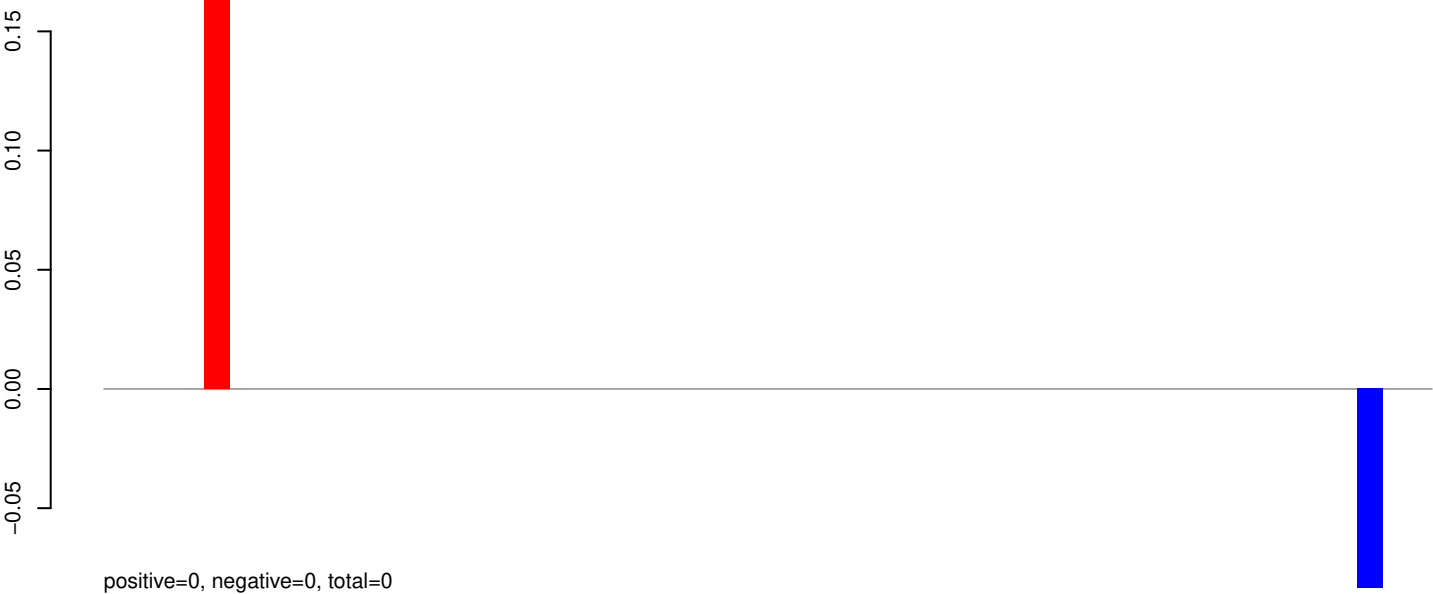
AeAeg_Aag2_Ago2_SINV_RA.24_35.rep



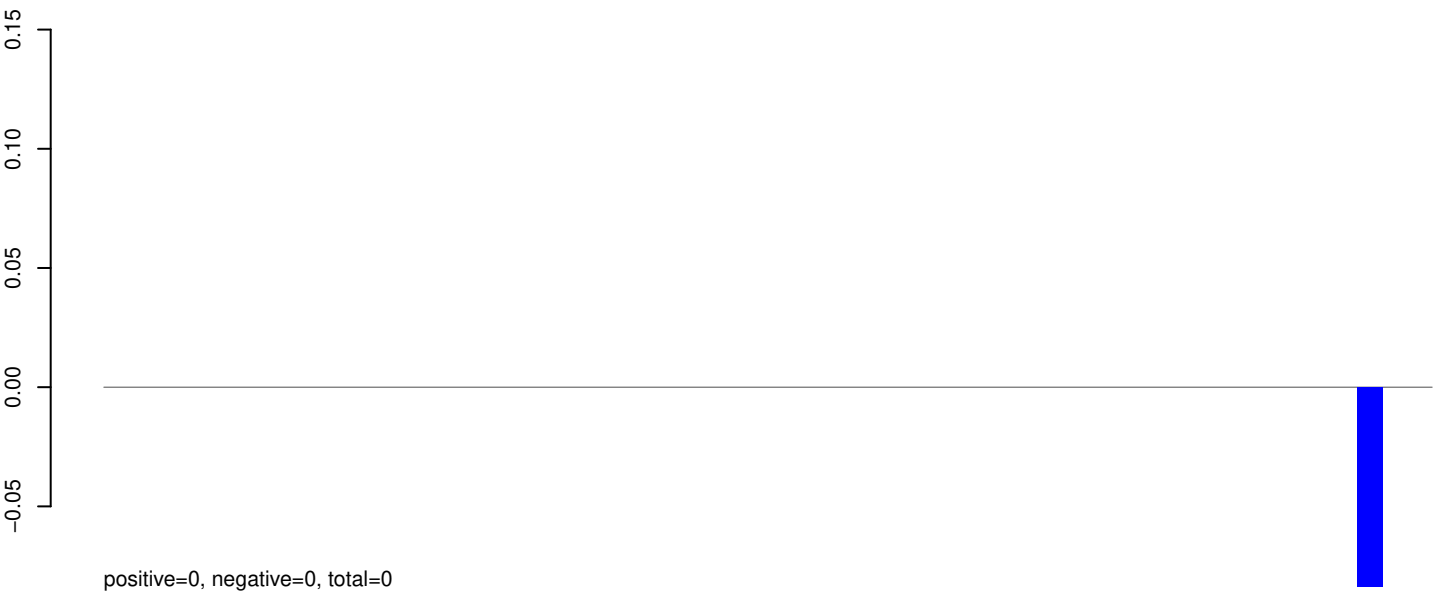
AeAeg_Aag2_Ago2_SINV_RA.rep



AeAeg_Aag2_Ago2_SINV_RA.18_23.rep



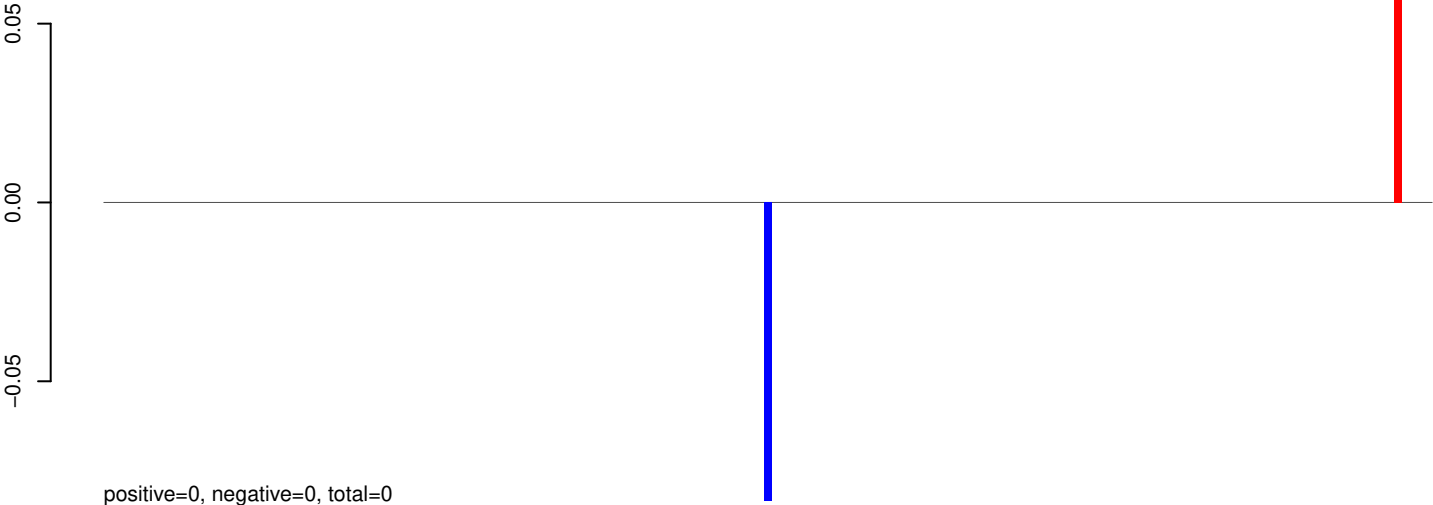
AeAeg_Aag2_Ago2_SINV_RA.24_35.rep



AeAeg_Aag2_Ago2_SINV_RA.rep



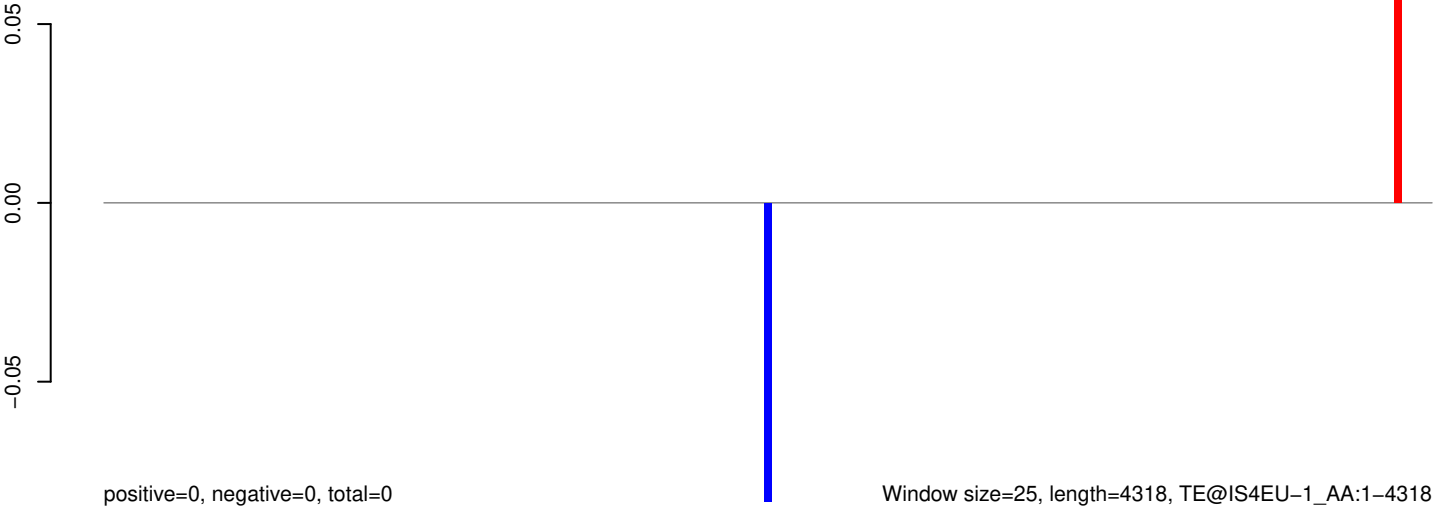
AeAeg_Aag2_Ago2_SINV_RA.18_23.rep



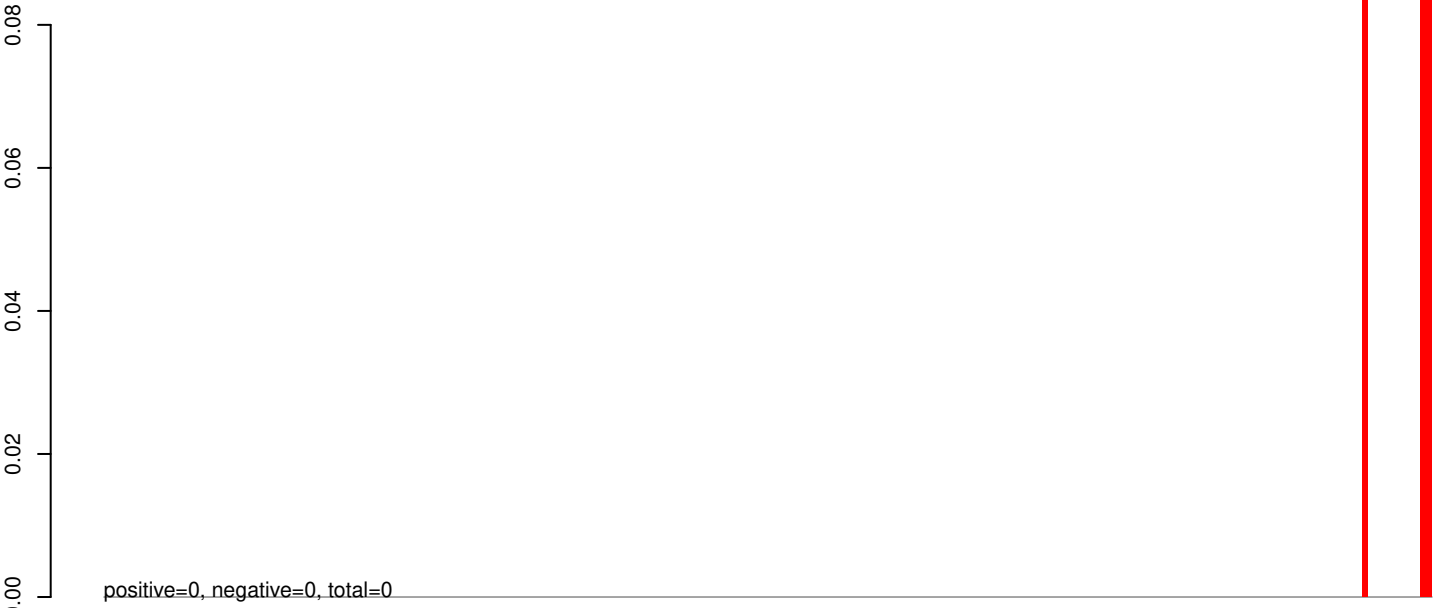
AeAeg_Aag2_Ago2_SINV_RA.24_35.rep



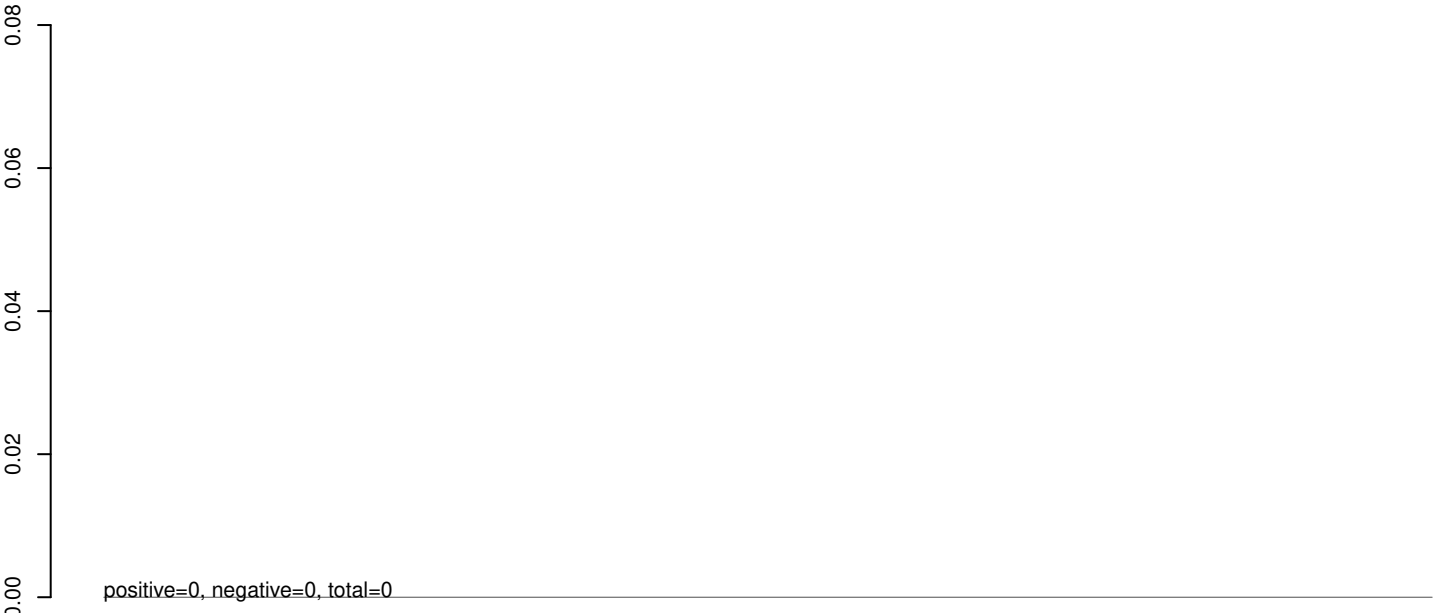
AeAeg_Aag2_Ago2_SINV_RA.rep



AeAeg_Aag2_Ago2_SINV_RA.18_23.rep

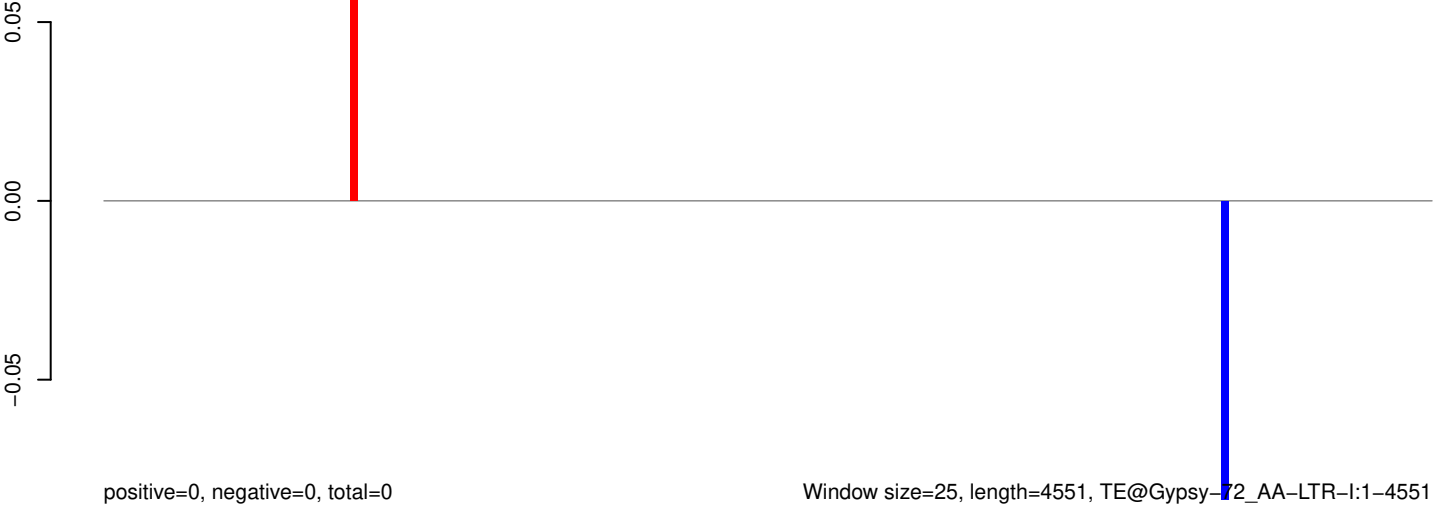
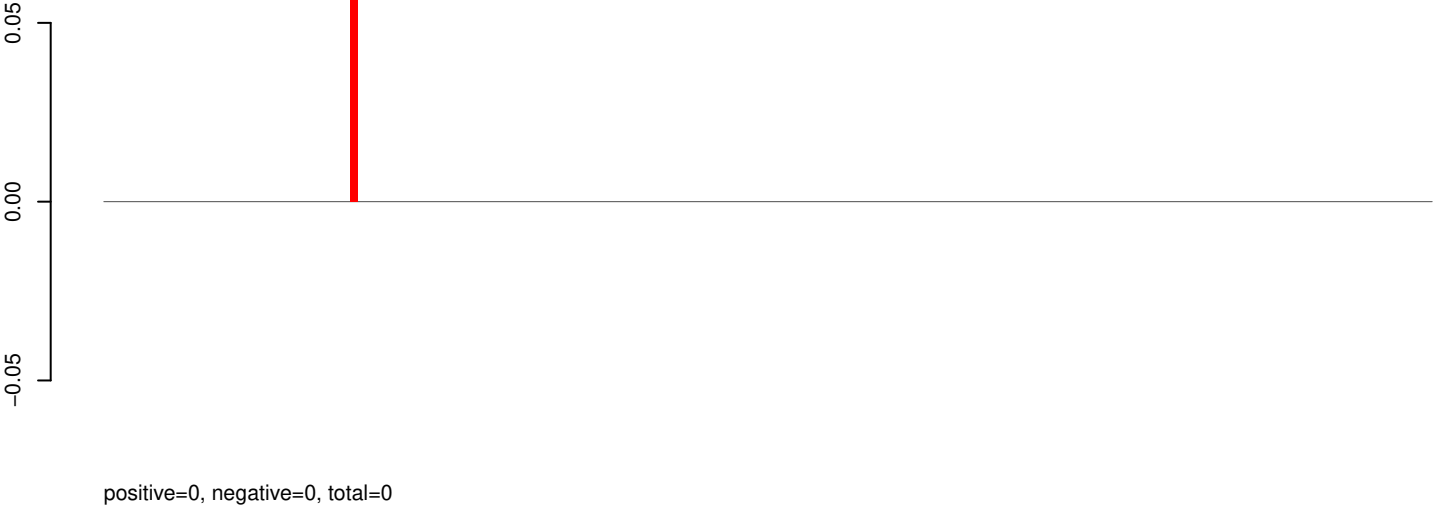
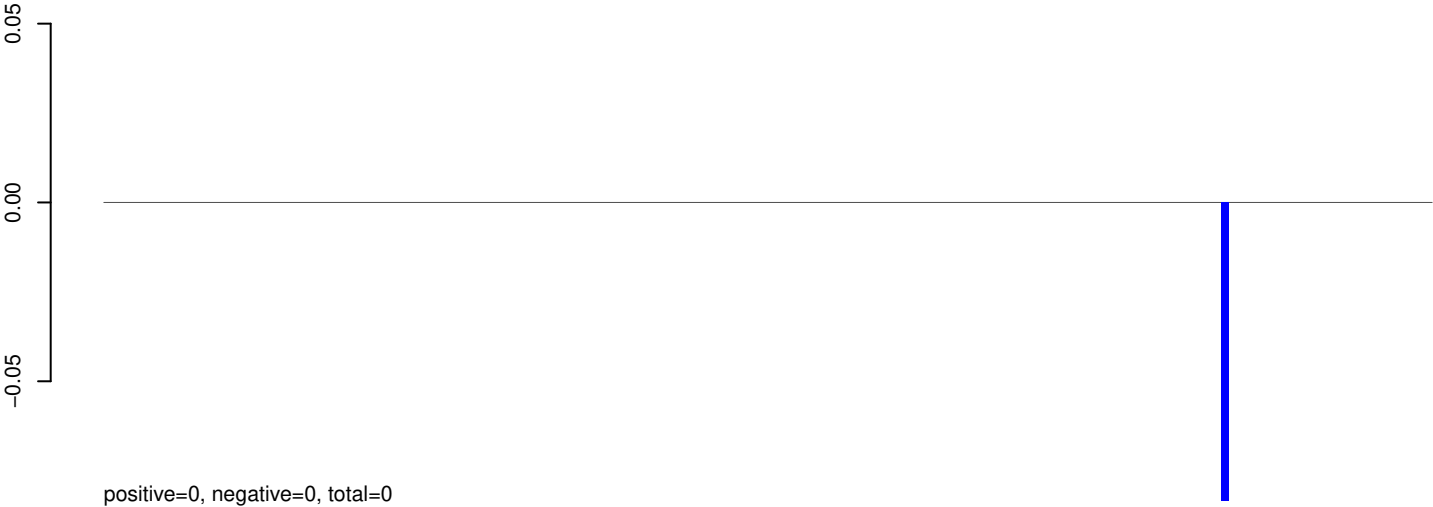


AeAeg_Aag2_Ago2_SINV_RA.24_35.rep

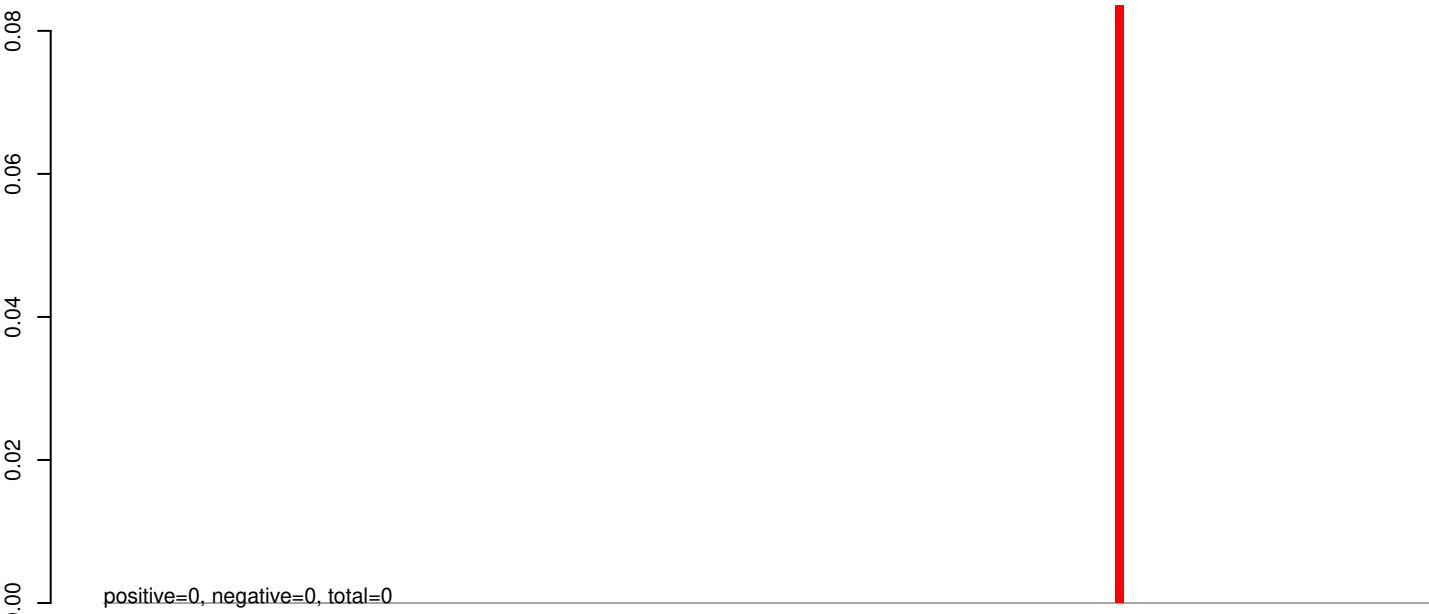


AeAeg_Aag2_Ago2_SINV_RA.rep

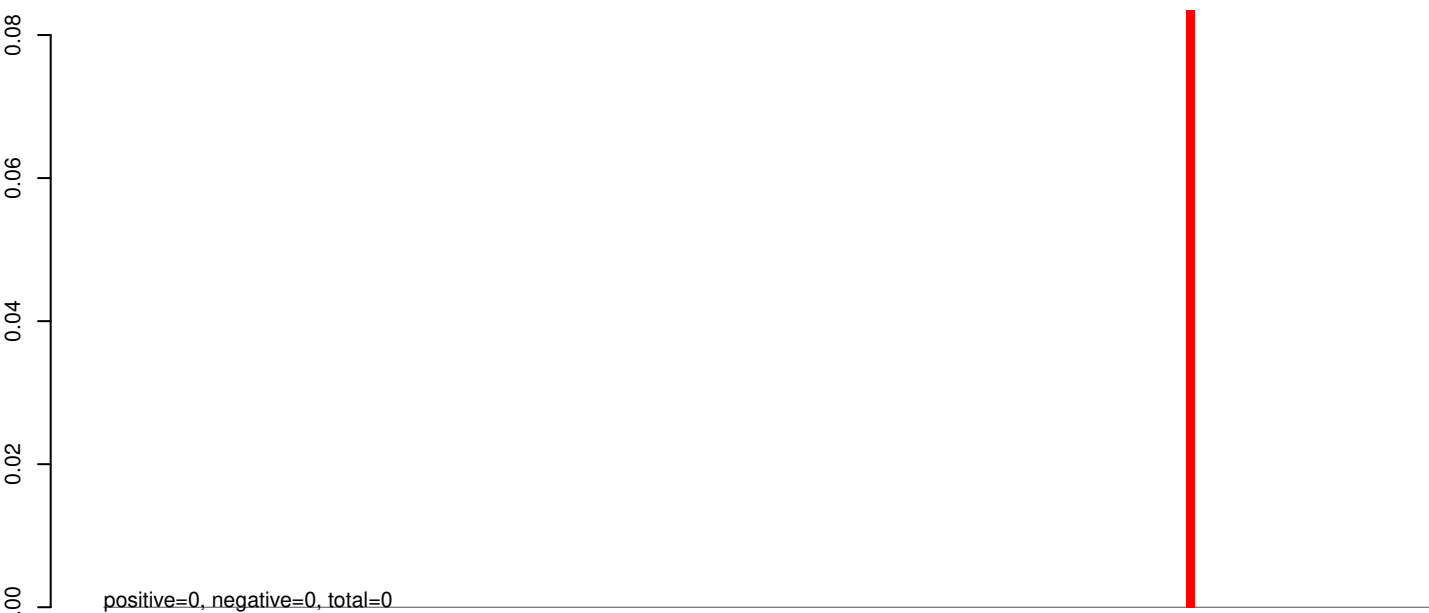




AeAeg_Aag2_Ago2_SINV_RA.18_23.rep



AeAeg_Aag2_Ago2_SINV_RA.24_35.rep



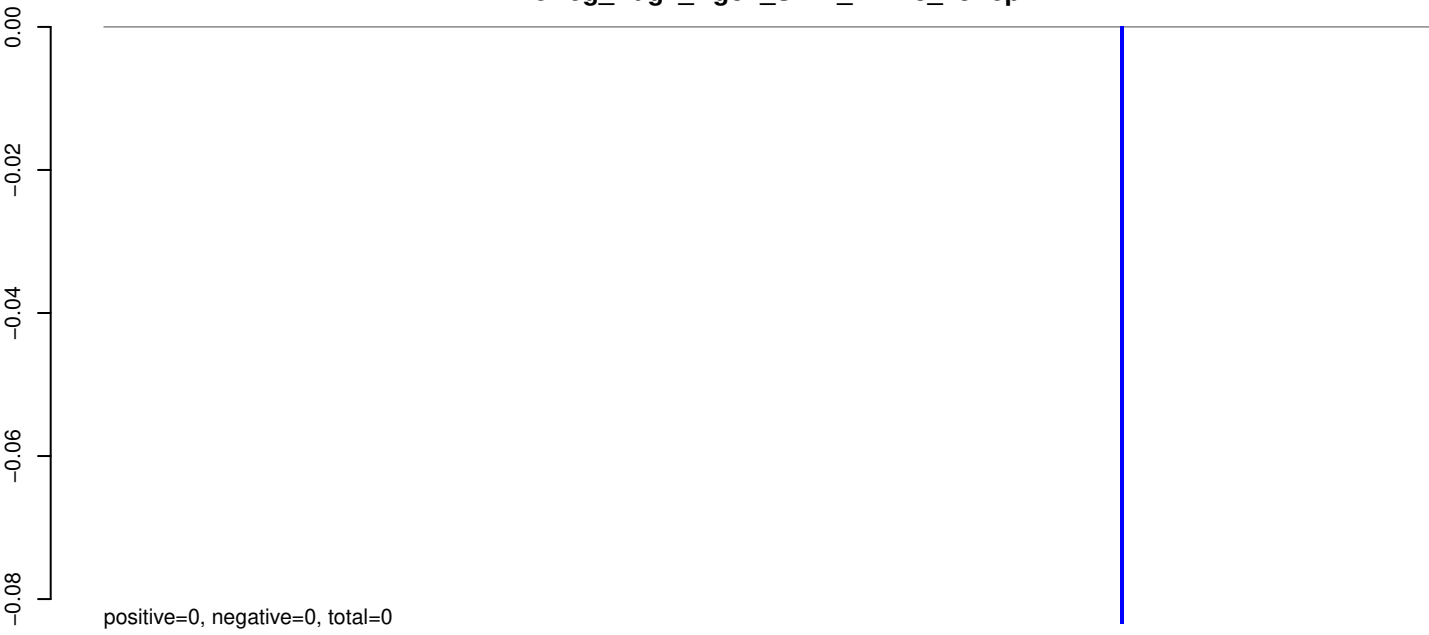
AeAeg_Aag2_Ago2_SINV_RA.rep



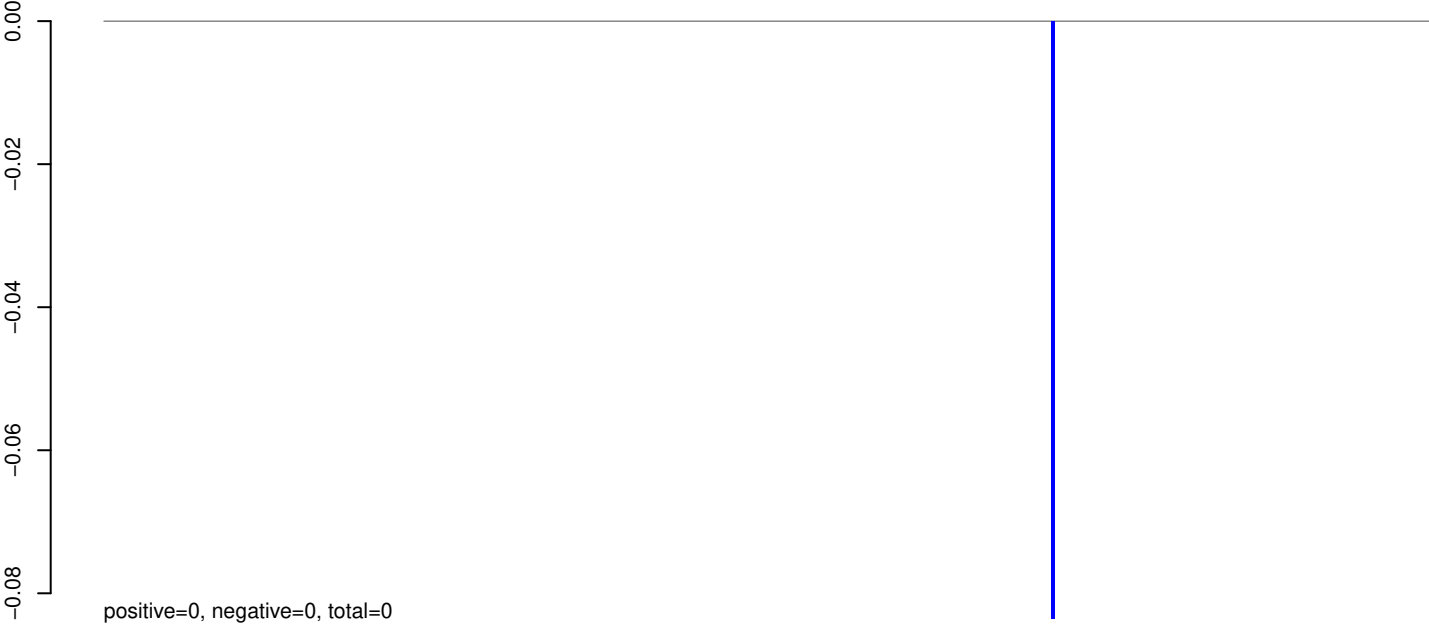
Window size=25, length=3772, T@Gypsy-64_AA-LTR-I:1-3772

0 1000 2000 3000

AeAeg_Aag2_Ago2_SINV_RA.18_23.rep



AeAeg_Aag2_Ago2_SINV_RA.24_35.rep



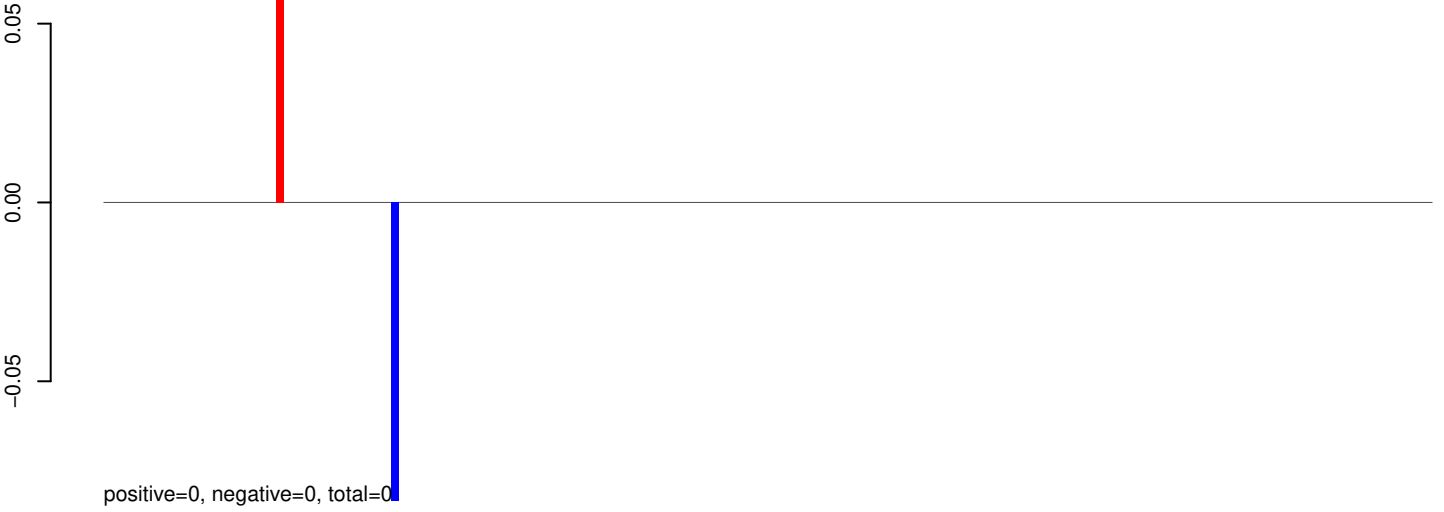
AeAeg_Aag2_Ago2_SINV_RA.rep



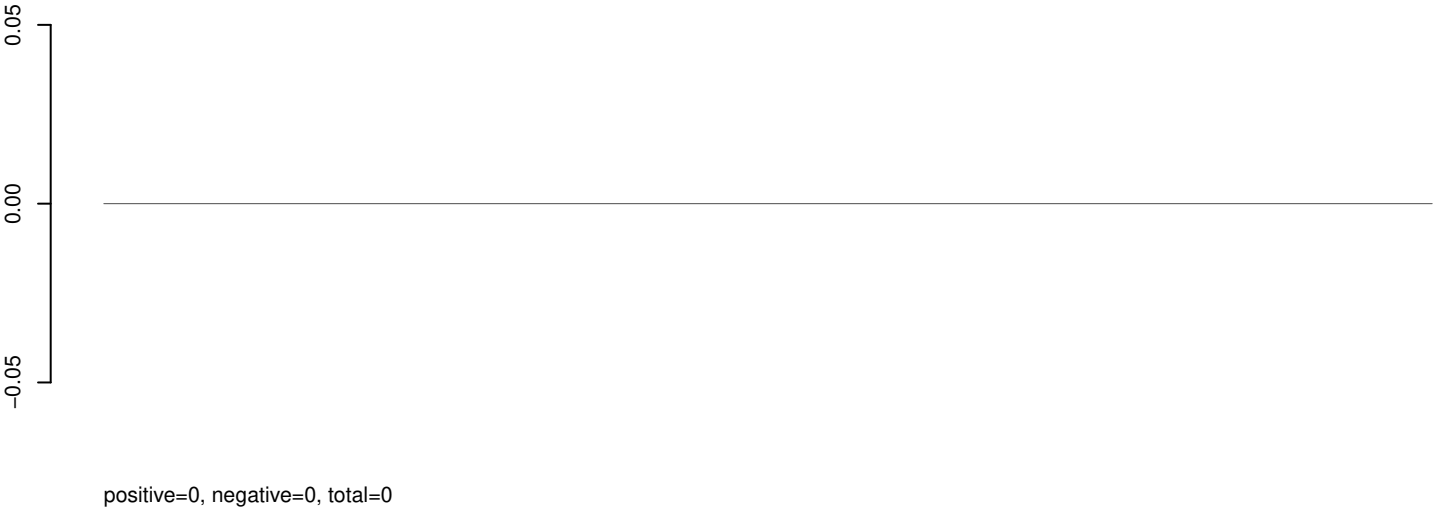
Window size=25, length=8725, TE@Gypsy-271_AA-LTR-I:1-8725

0 2000 4000 6000 8000

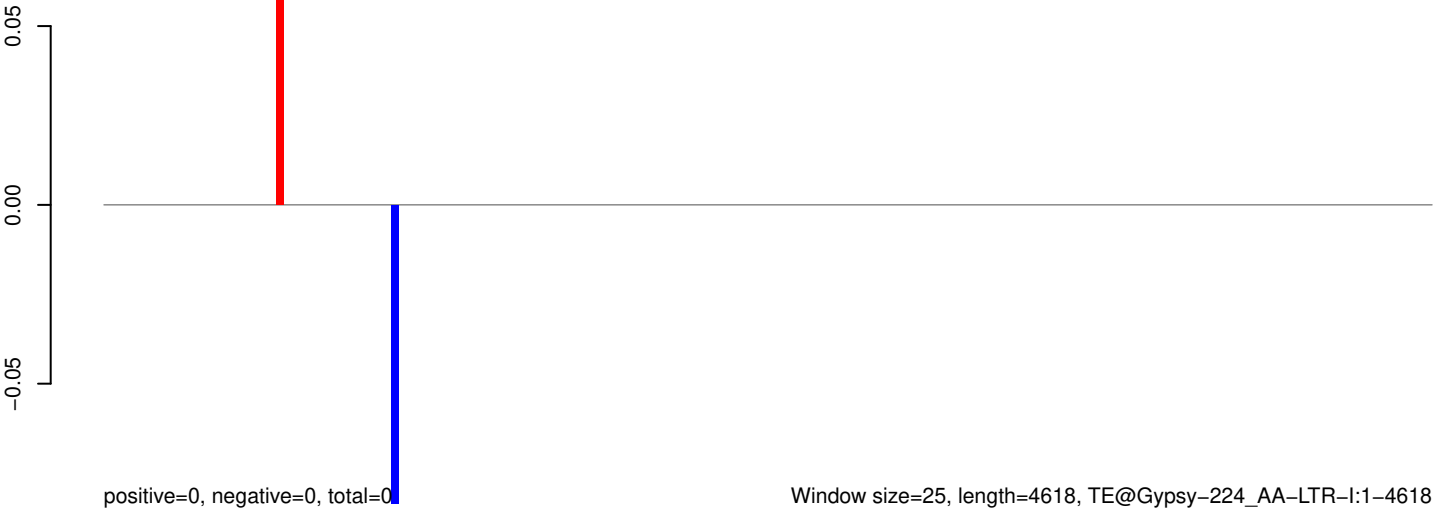
AeAeg_Aag2_Ago2_SINV_RA.18_23.rep



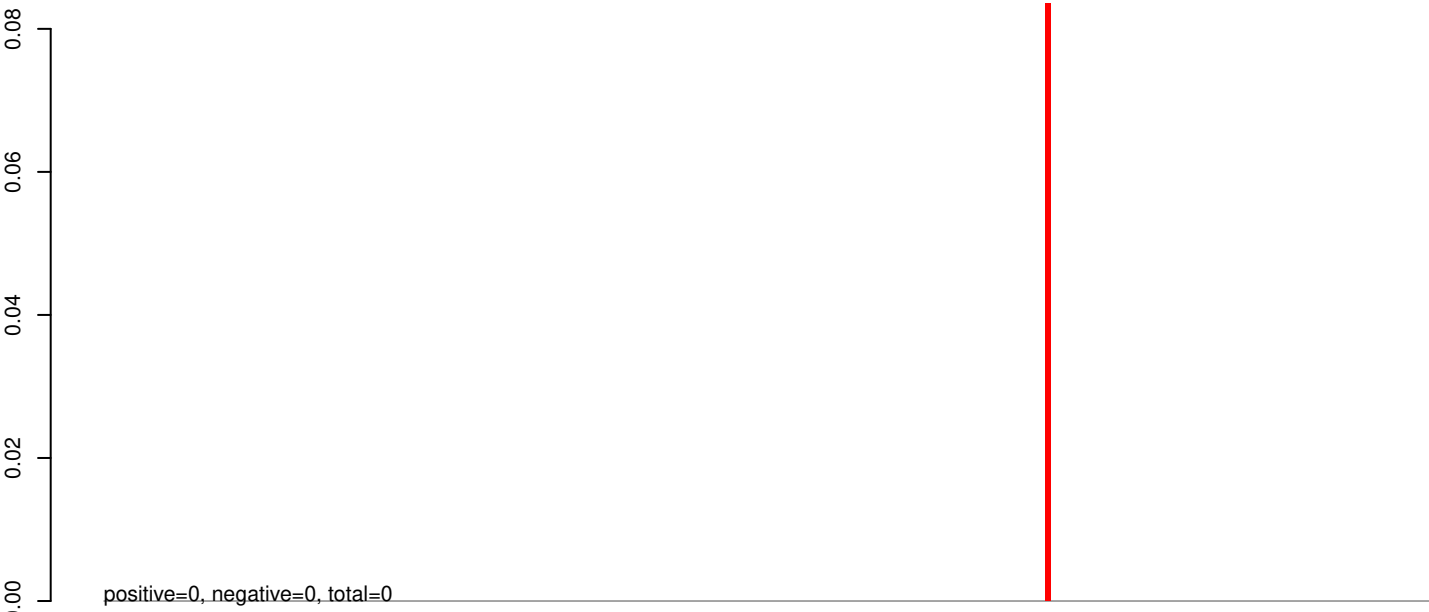
AeAeg_Aag2_Ago2_SINV_RA.24_35.rep



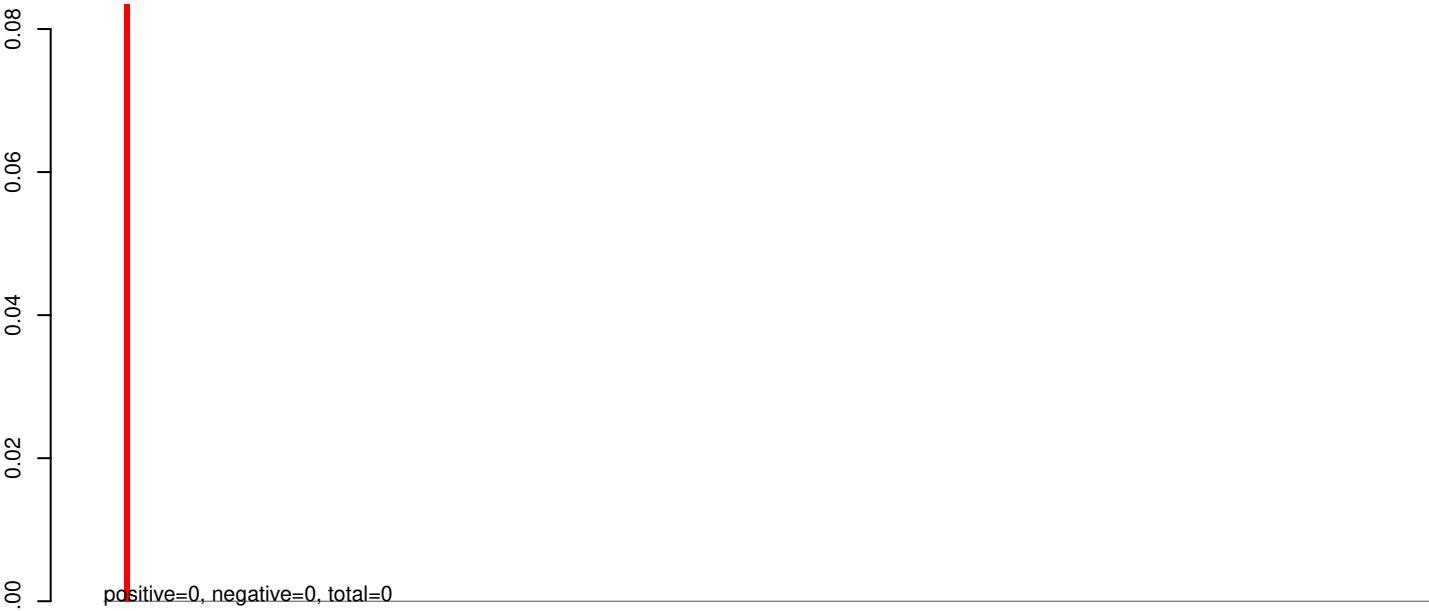
AeAeg_Aag2_Ago2_SINV_RA.rep



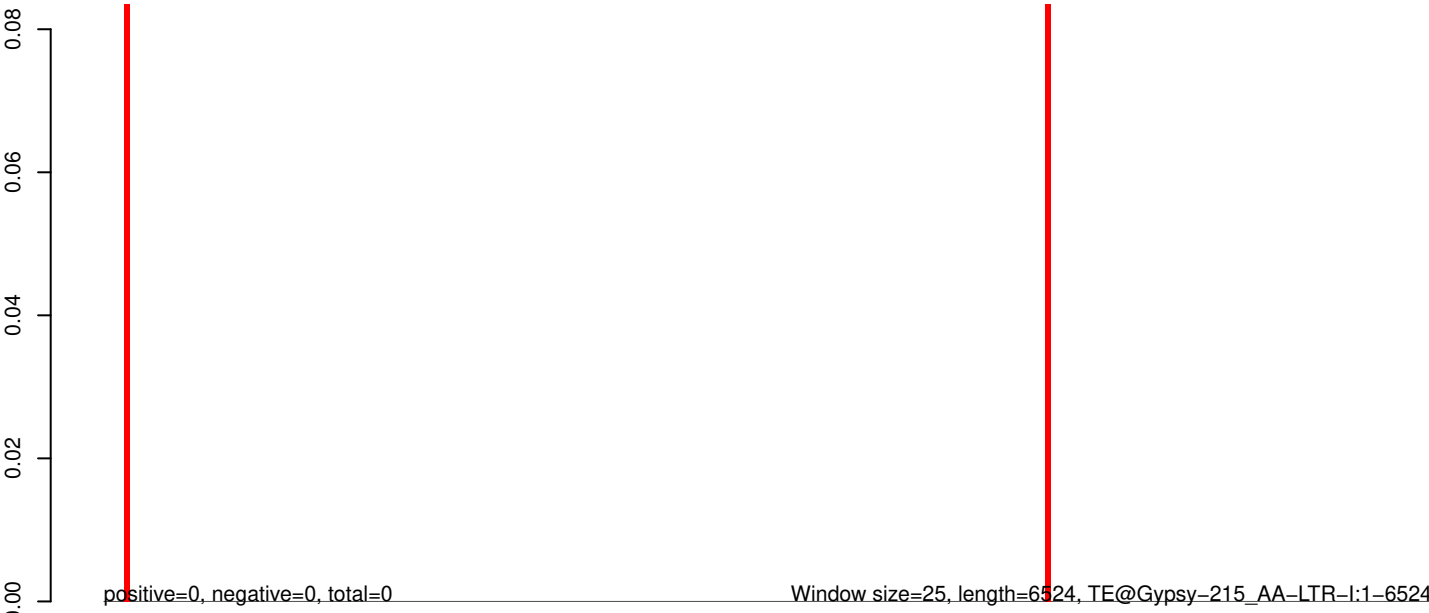
AeAeg_Aag2_Ago2_SINV_RA.18_23.rep



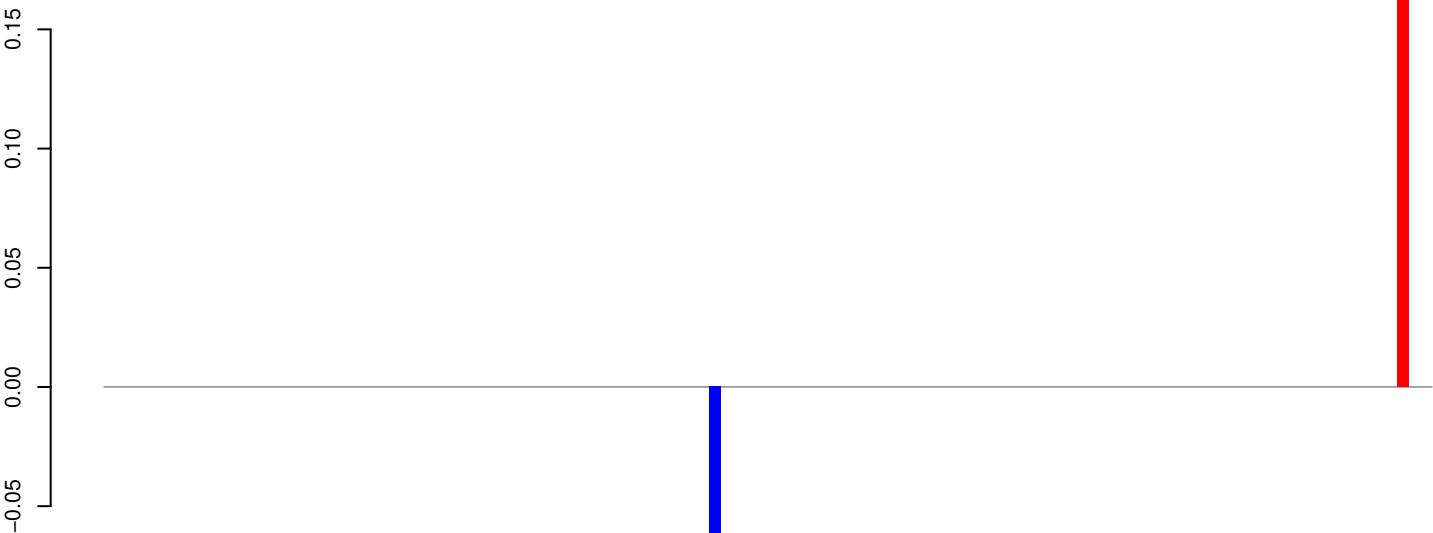
AeAeg_Aag2_Ago2_SINV_RA.24_35.rep



AeAeg_Aag2_Ago2_SINV_RA.rep

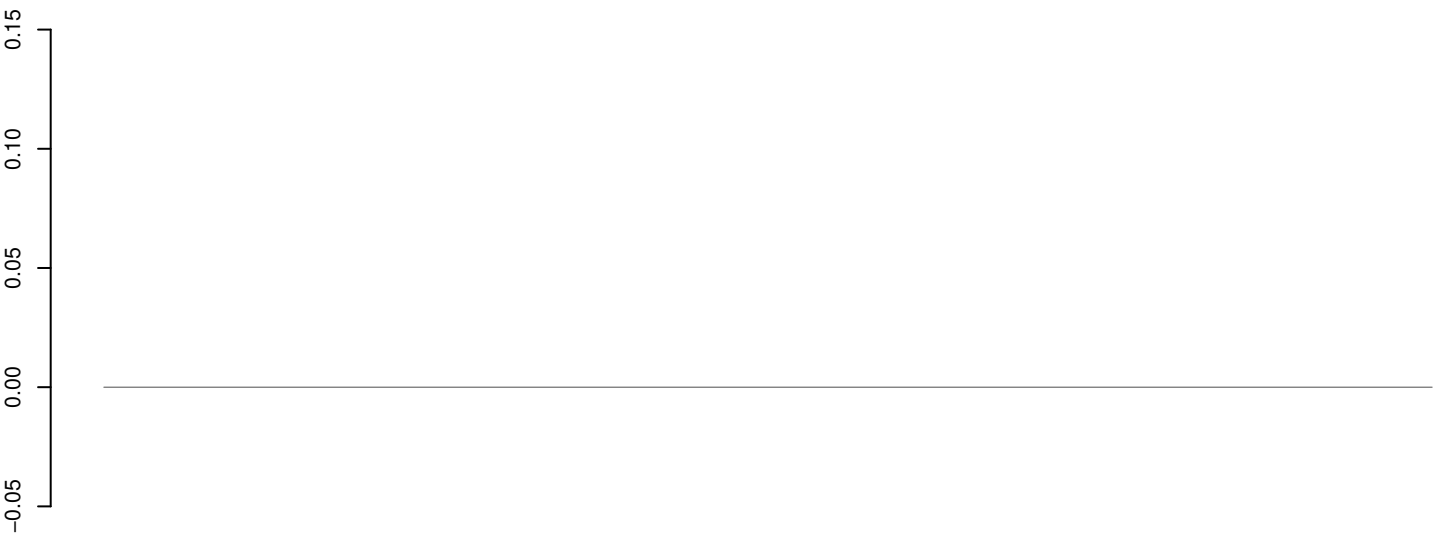


AeAeg_Aag2_Ago2_SINV_RA.18_23.rep



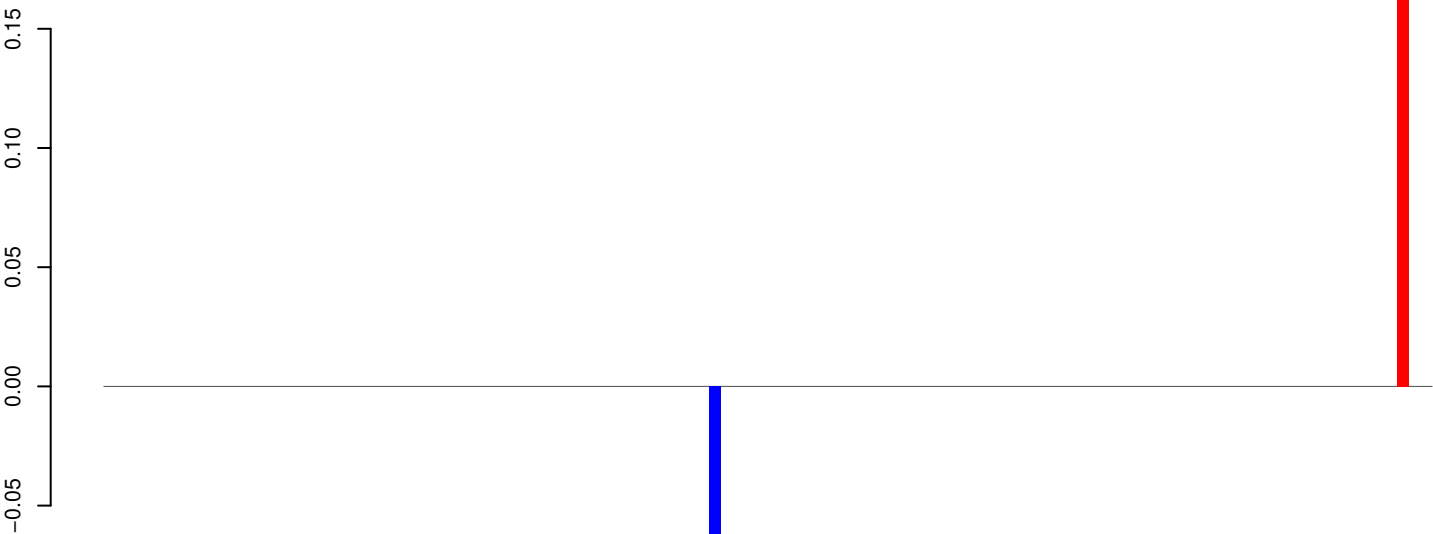
positive=0, negative=0, total=0

AeAeg_Aag2_Ago2_SINV_RA.24_35.rep



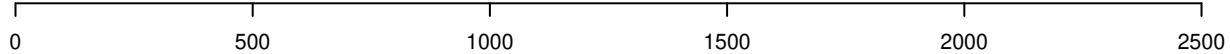
positive=0, negative=0, total=0

AeAeg_Aag2_Ago2_SINV_RA.rep

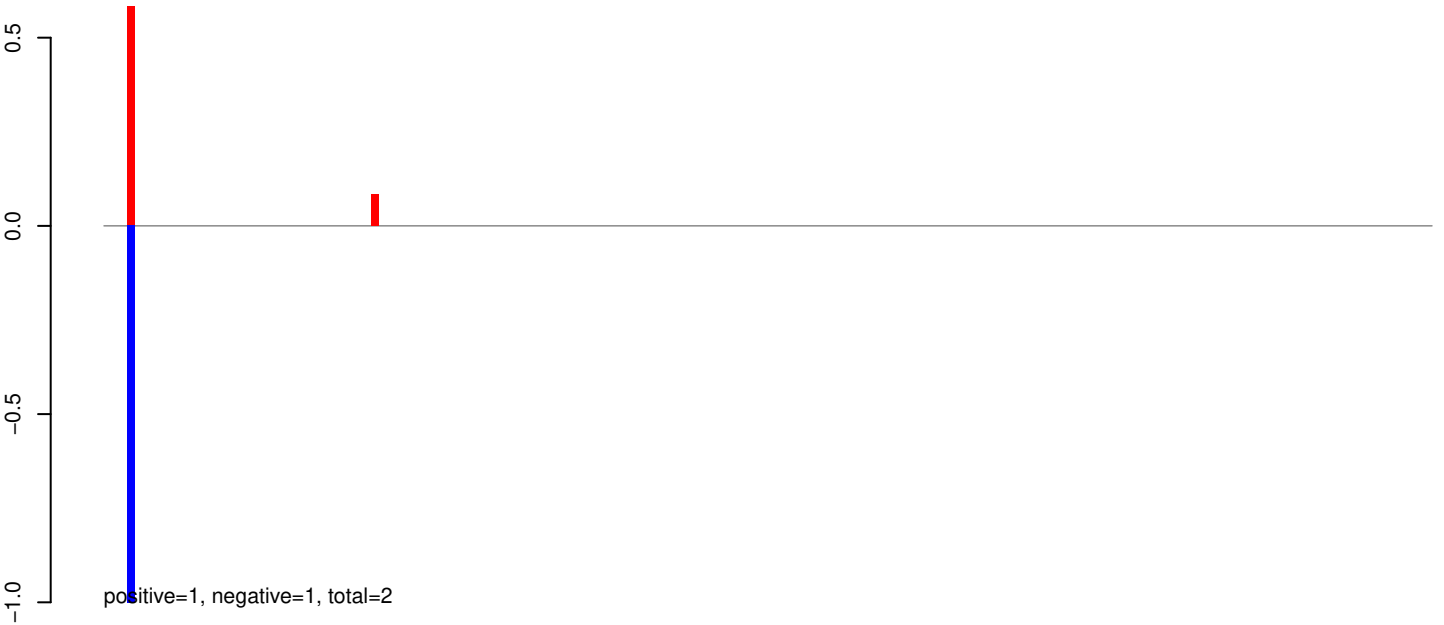


positive=0, negative=0, total=0

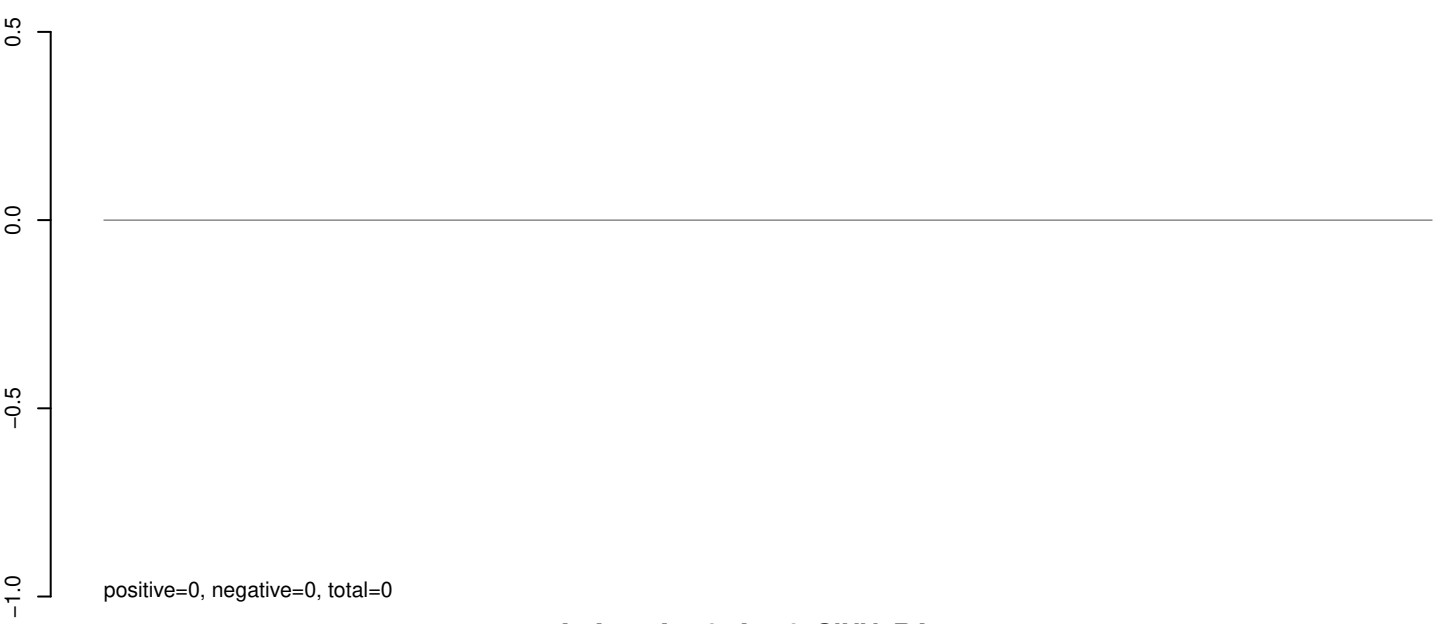
Window size=25, length=2780, TE@Gypsy-205_AA-LTR-I:1-2780



AeAeg_Aag2_Ago2_SINV_RA.18_23.rep



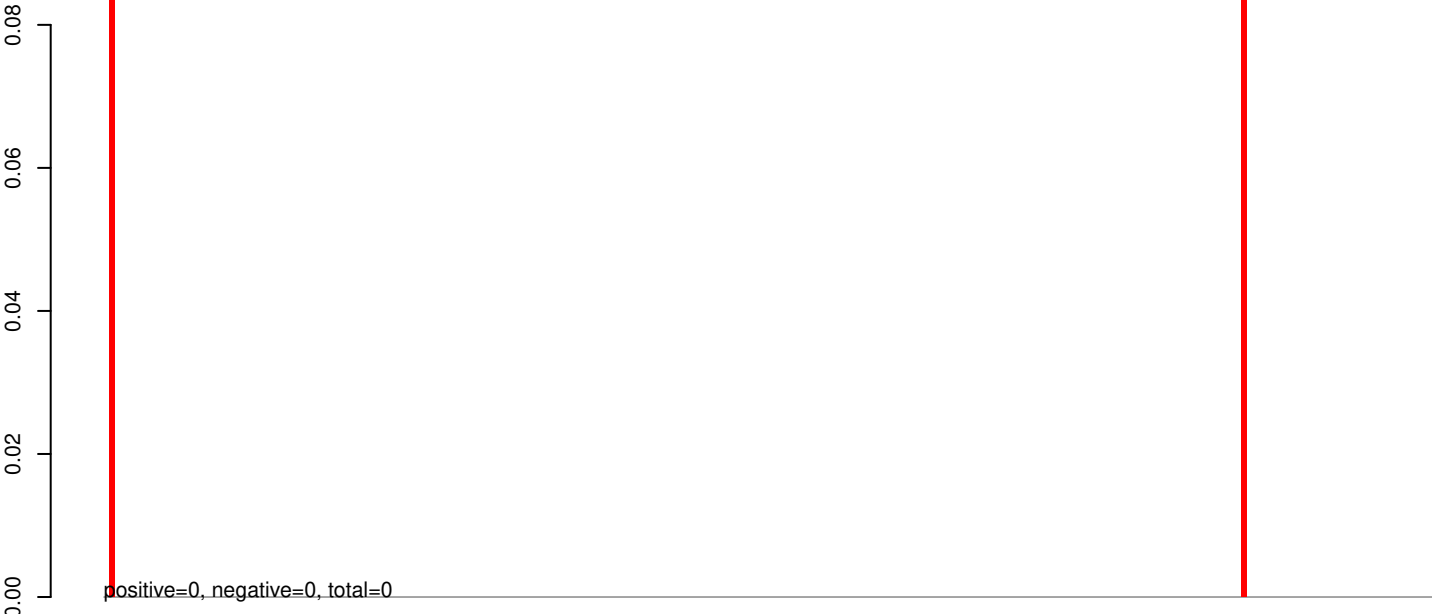
AeAeg_Aag2_Ago2_SINV_RA.24_35.rep



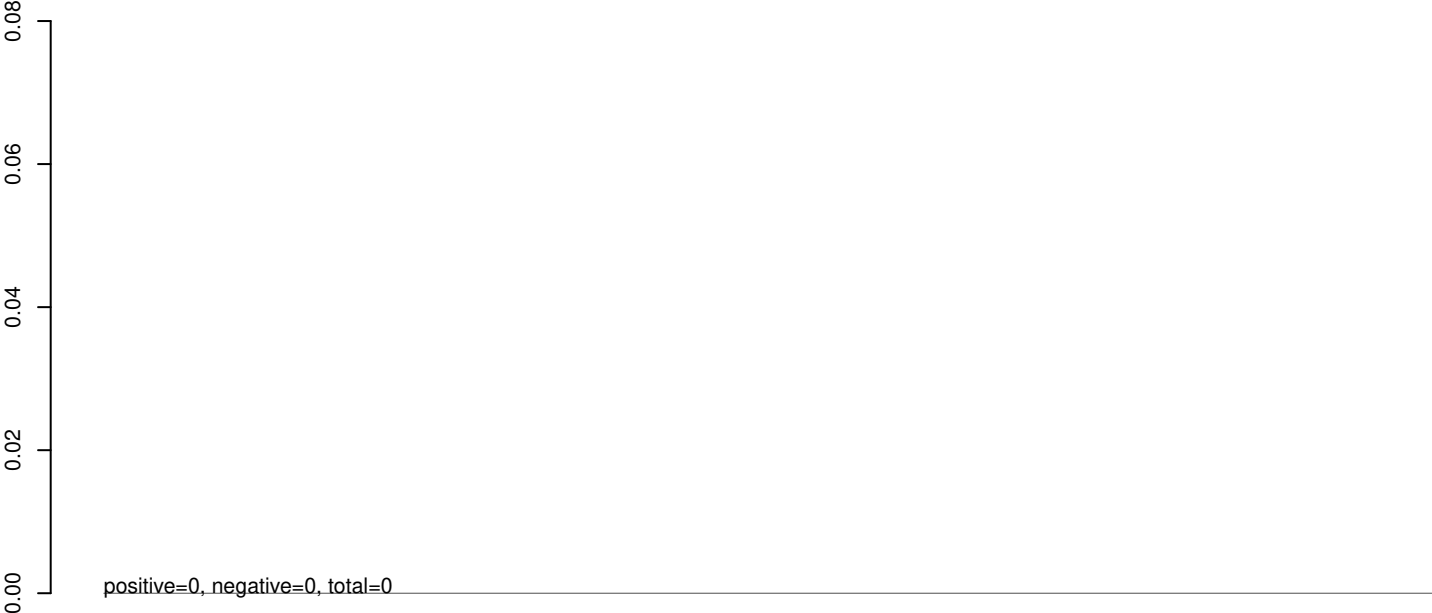
AeAeg_Aag2_Ago2_SINV_RA.rep



AeAeg_Aag2_Ago2_SINV_RA.18_23.rep



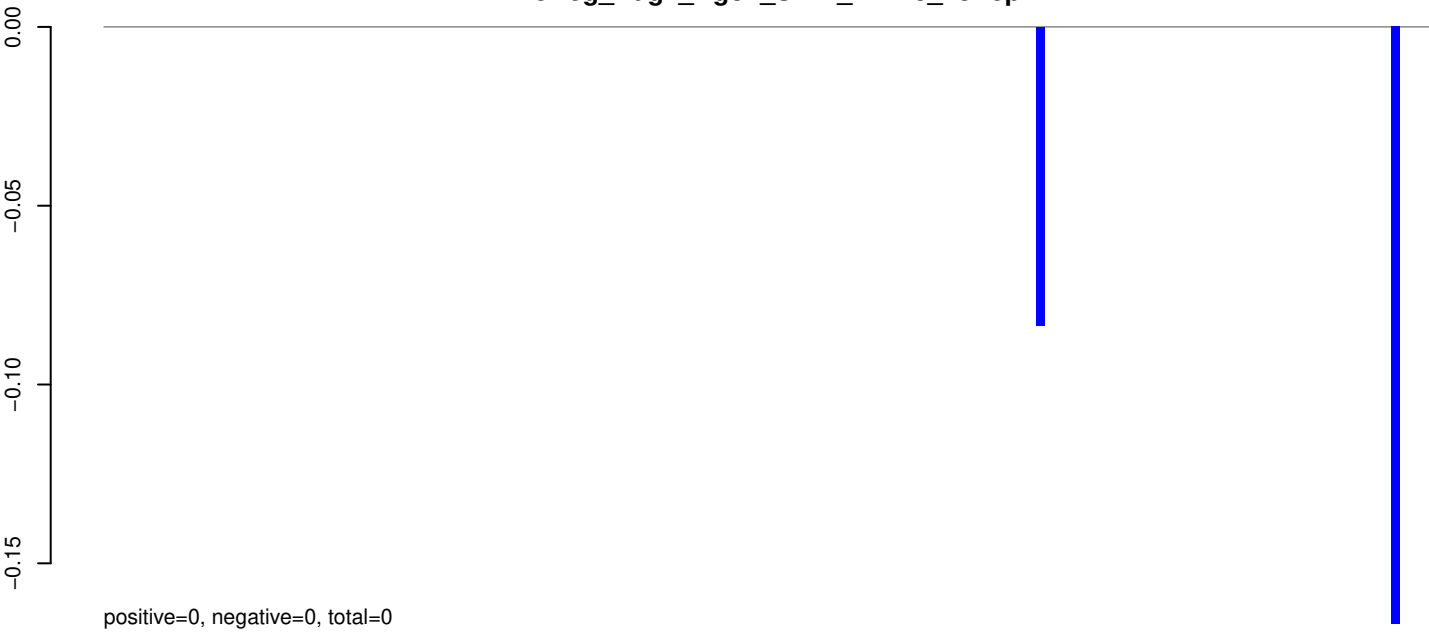
AeAeg_Aag2_Ago2_SINV_RA.24_35.rep



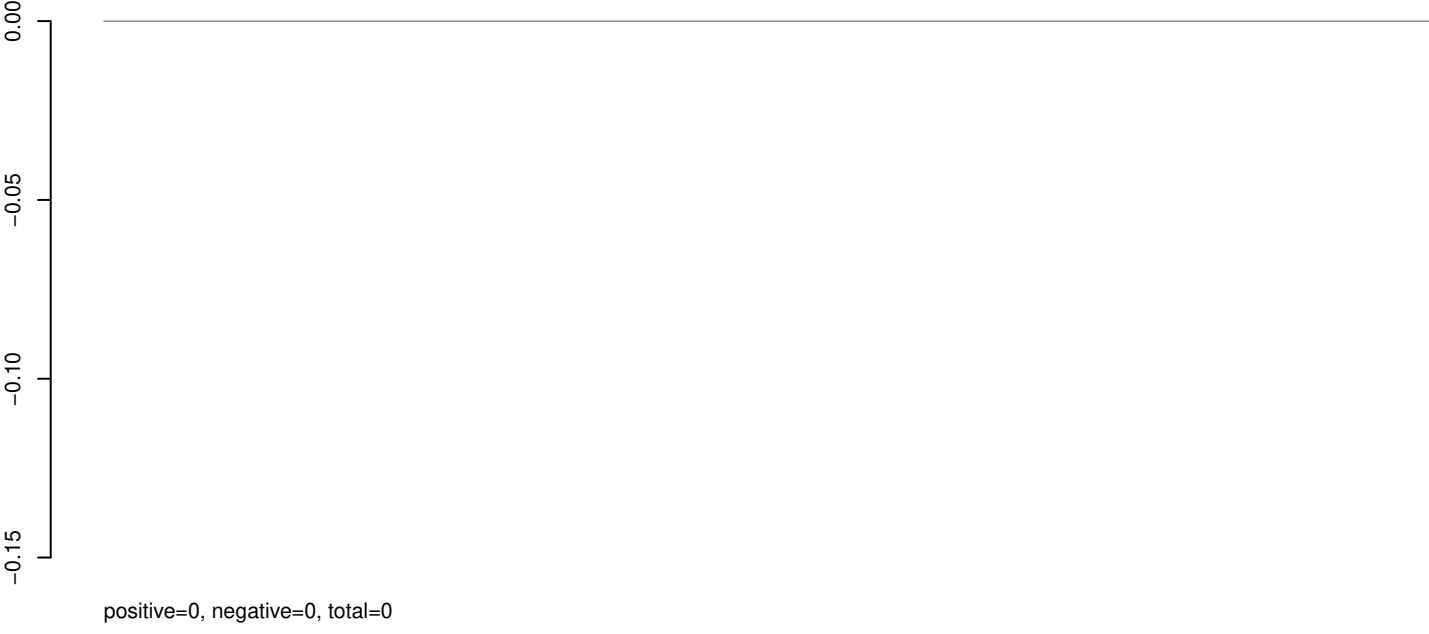
AeAeg_Aag2_Ago2_SINV_RA.rep



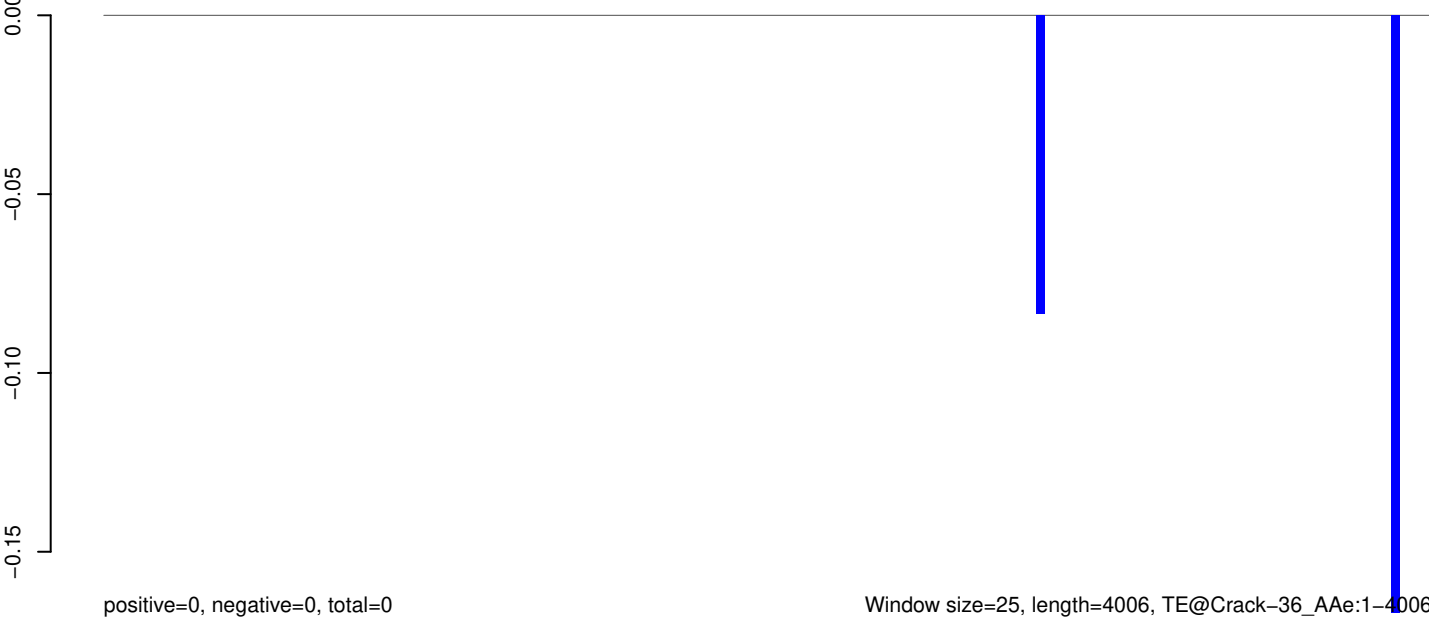
AeAeg_Aag2_Ago2_SINV_RA.18_23.rep



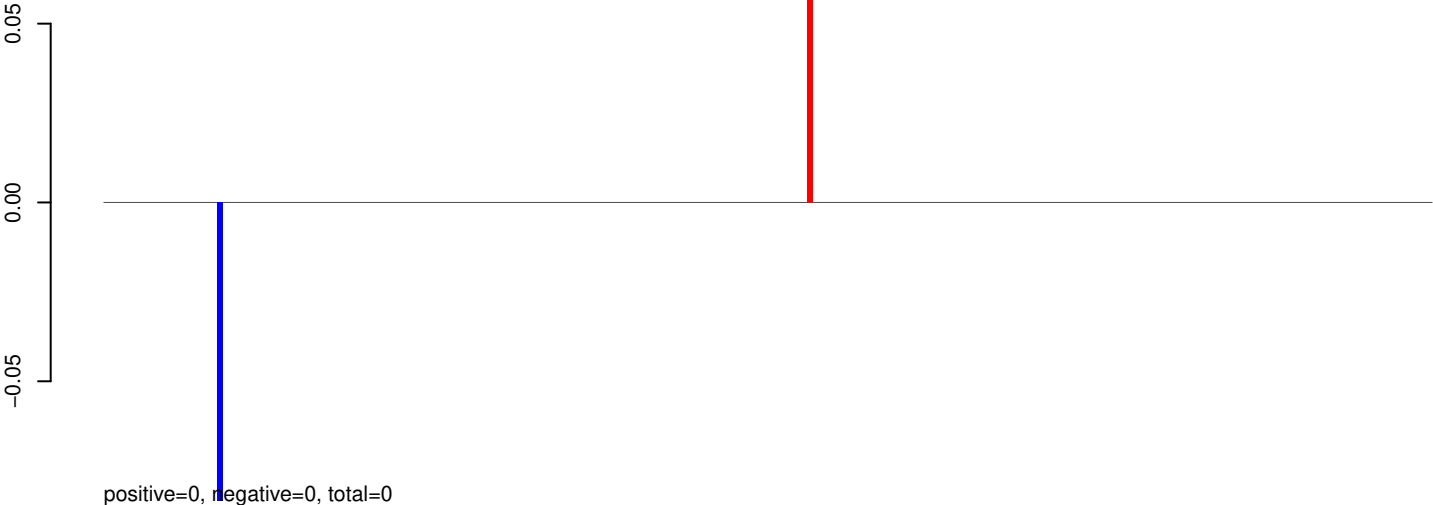
AeAeg_Aag2_Ago2_SINV_RA.24_35.rep



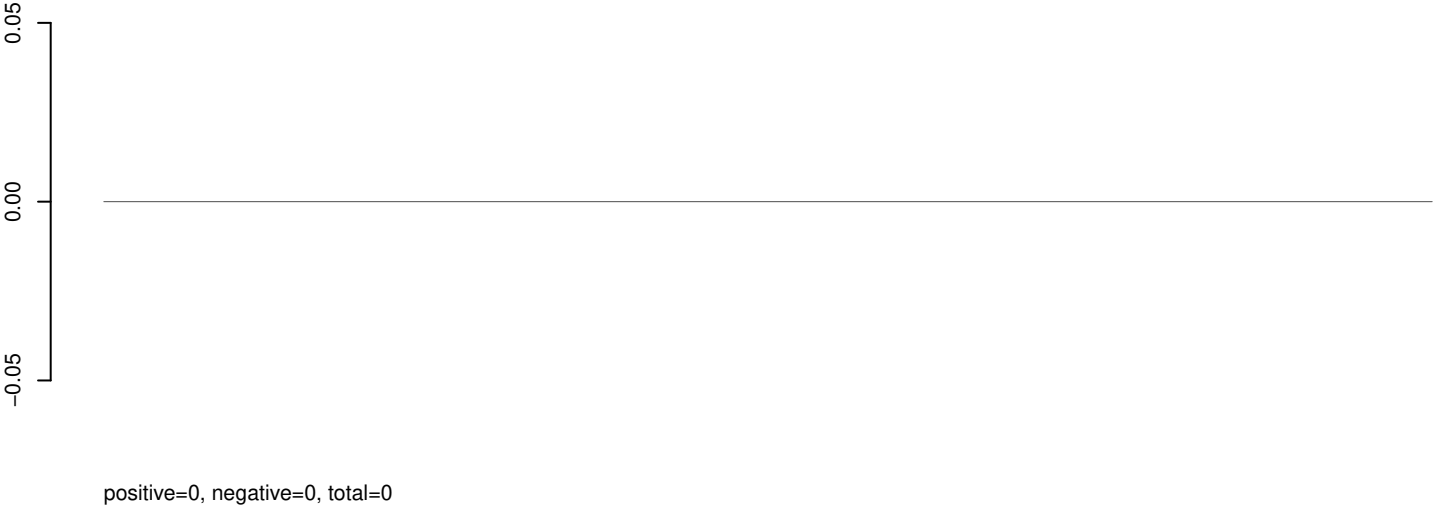
AeAeg_Aag2_Ago2_SINV_RA.rep



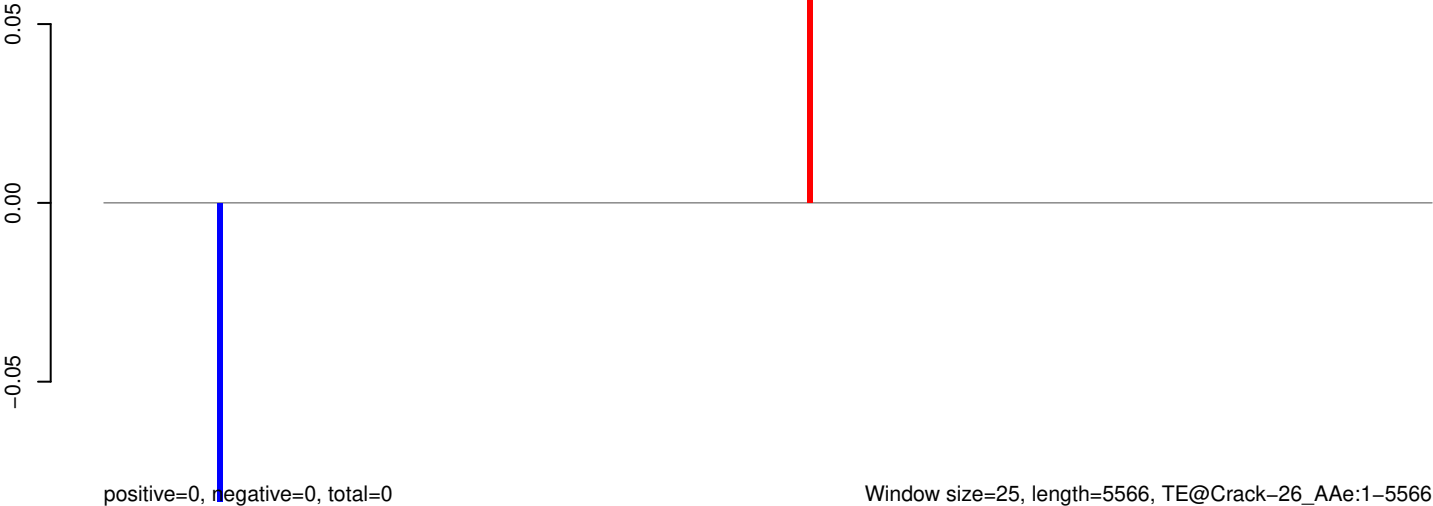
AeAeg_Aag2_Ago2_SINV_RA.18_23.rep



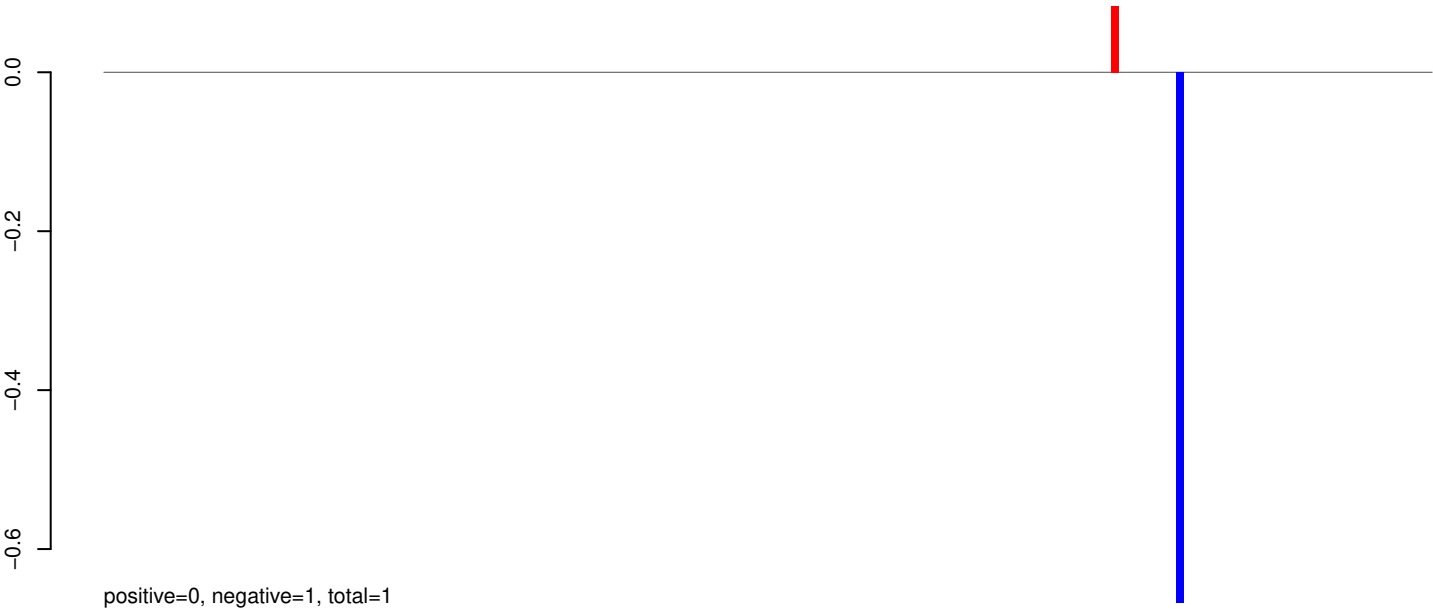
AeAeg_Aag2_Ago2_SINV_RA.24_35.rep



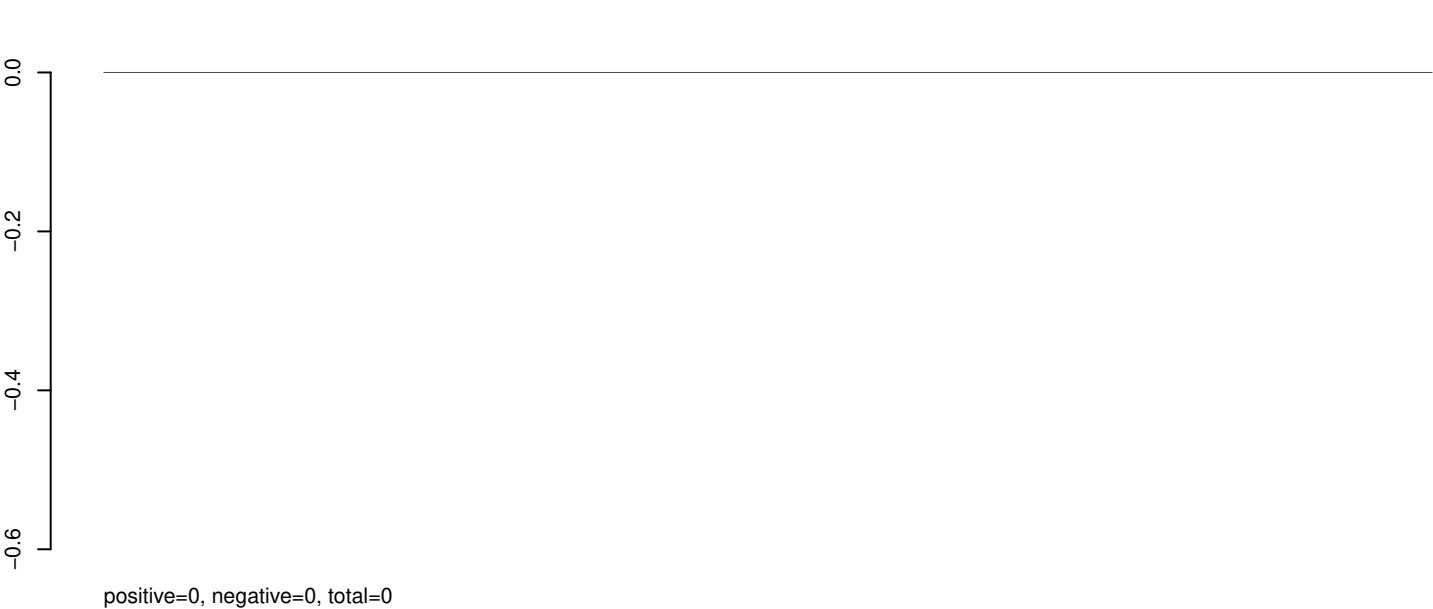
AeAeg_Aag2_Ago2_SINV_RA.rep



AeAeg_Aag2_Ago2_SINV_RA.18_23.rep



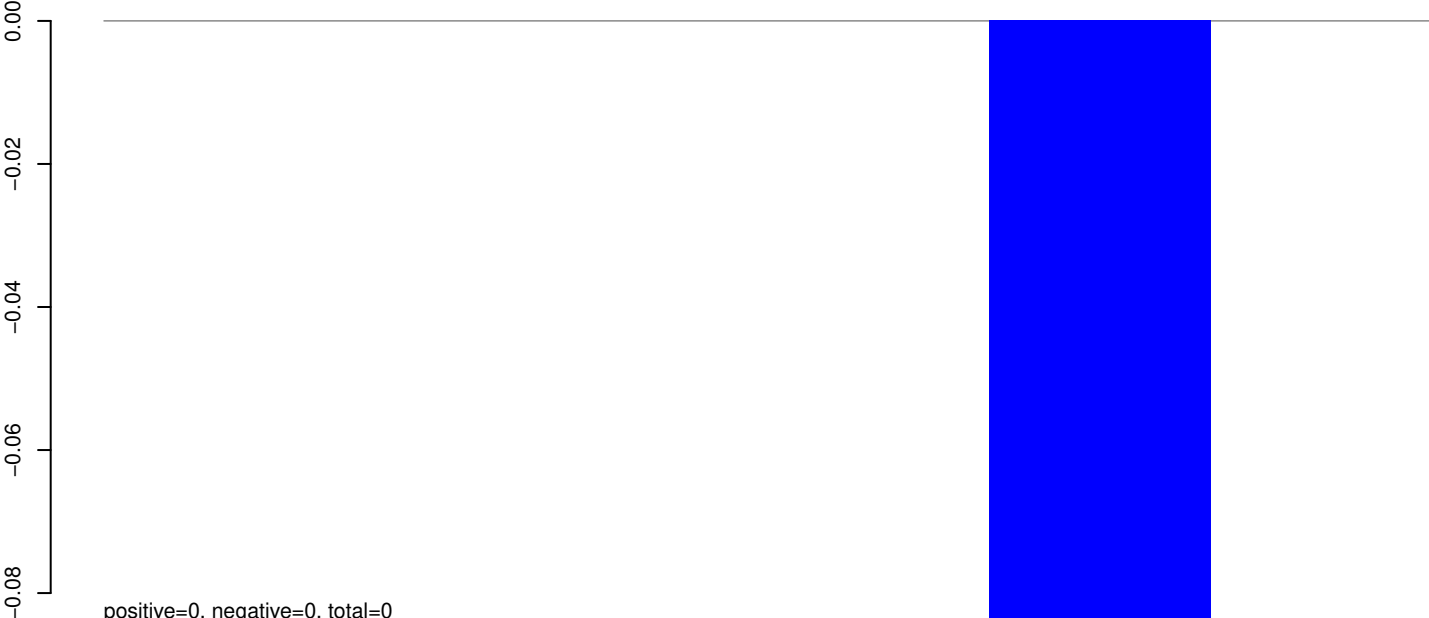
AeAeg_Aag2_Ago2_SINV_RA.24_35.rep



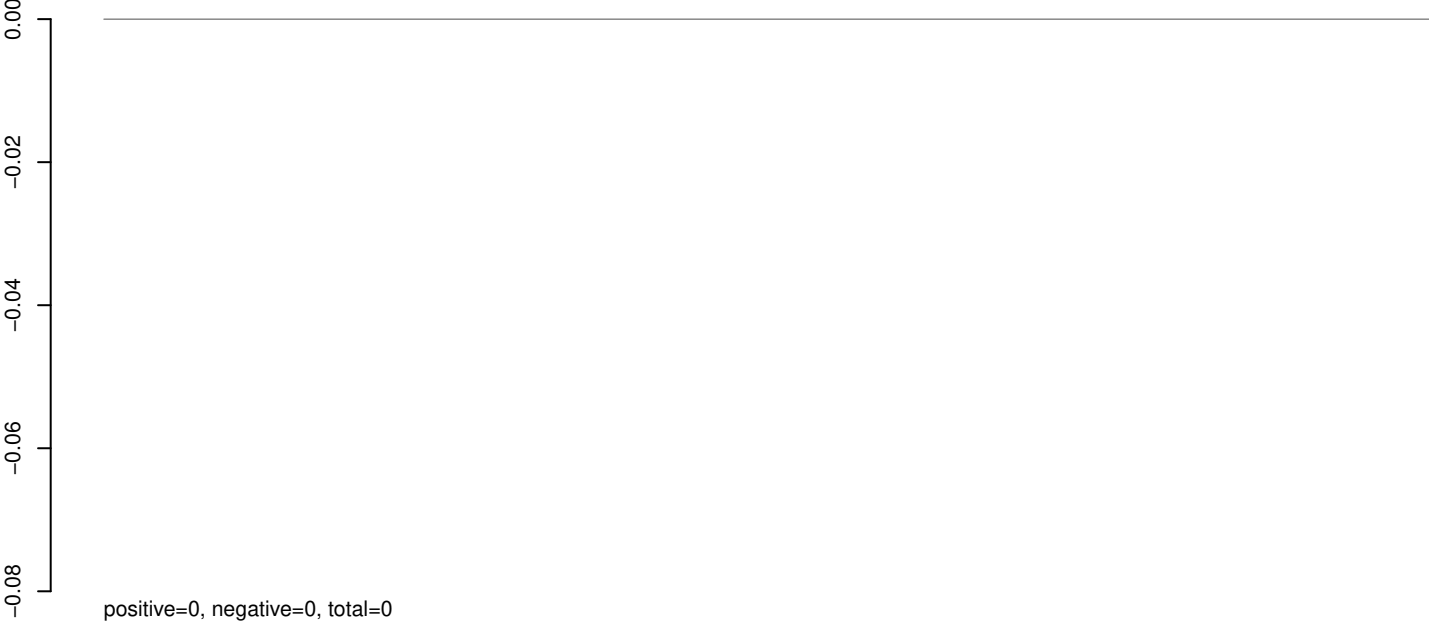
AeAeg_Aag2_Ago2_SINV_RA.rep



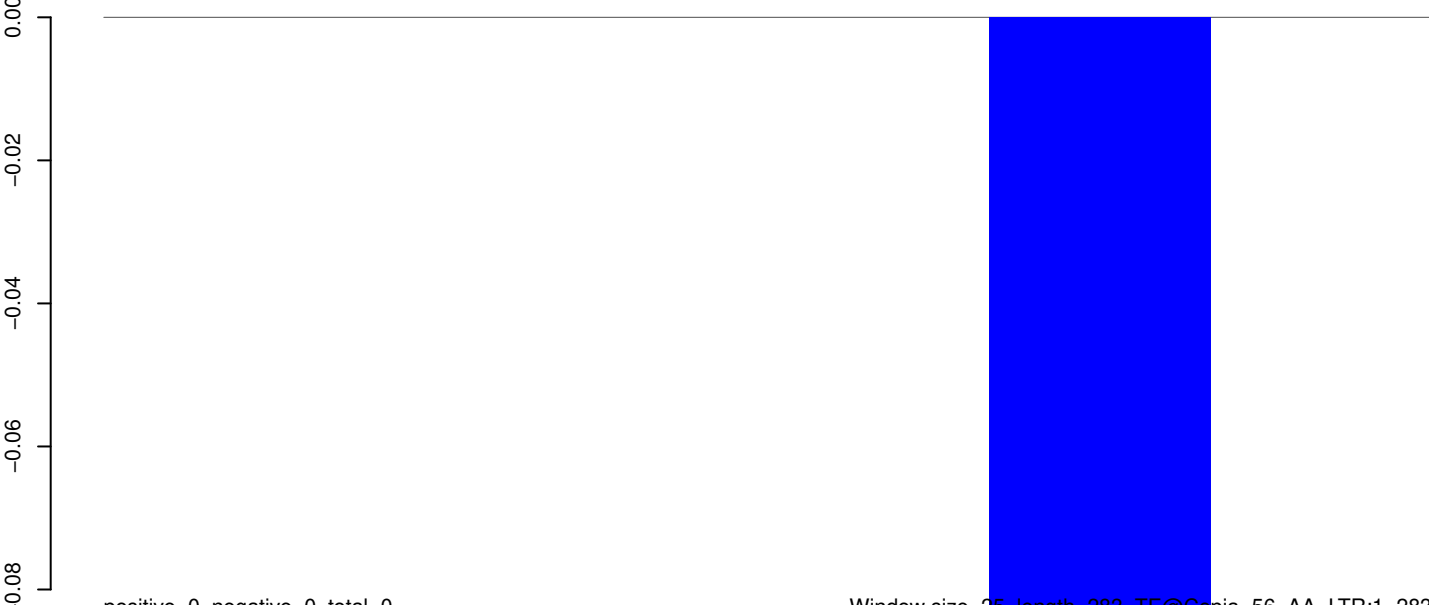
AeAeg_Aag2_Ago2_SINV_RA.18_23.rep



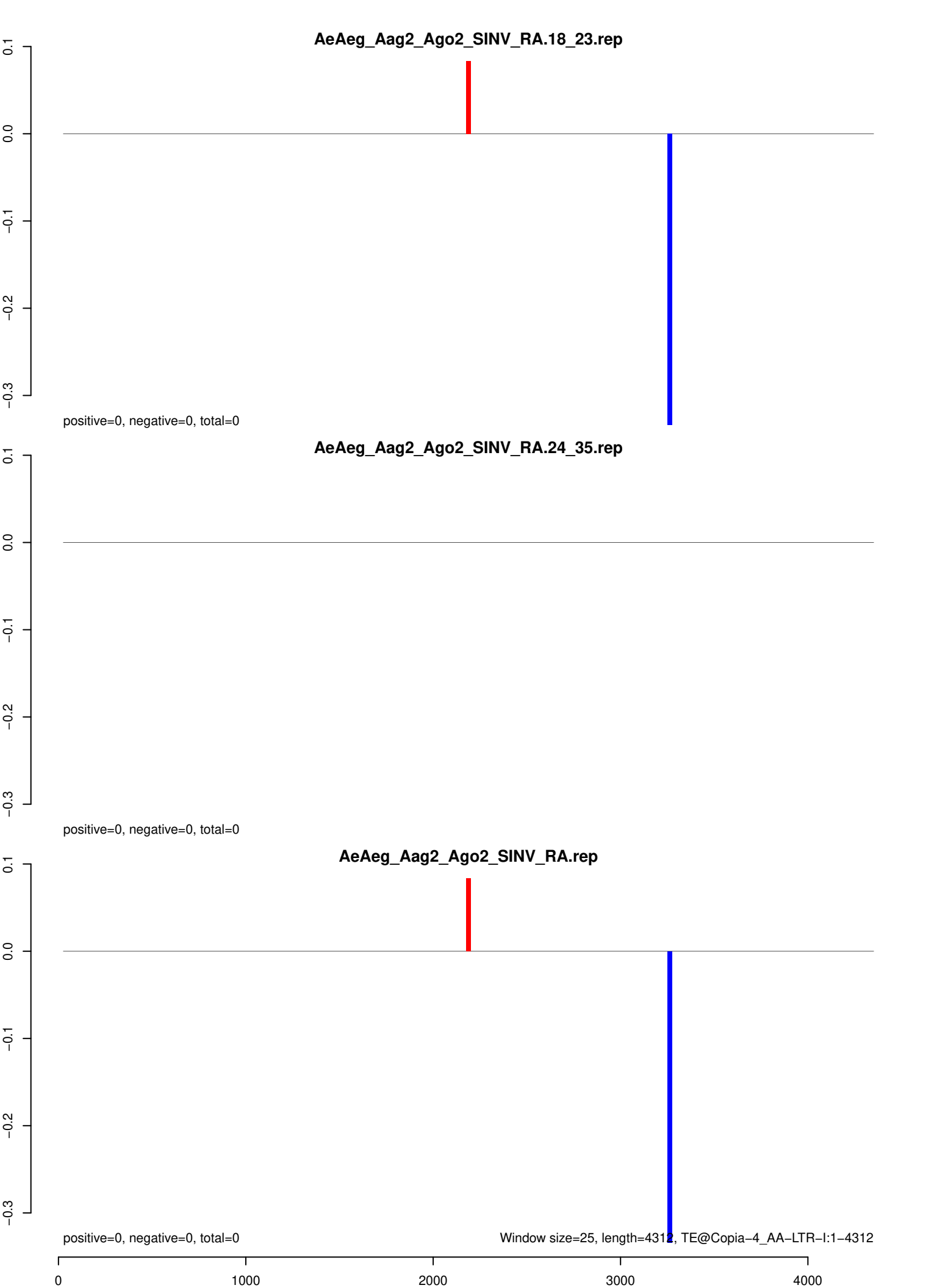
AeAeg_Aag2_Ago2_SINV_RA.24_35.rep



AeAeg_Aag2_Ago2_SINV_RA.rep



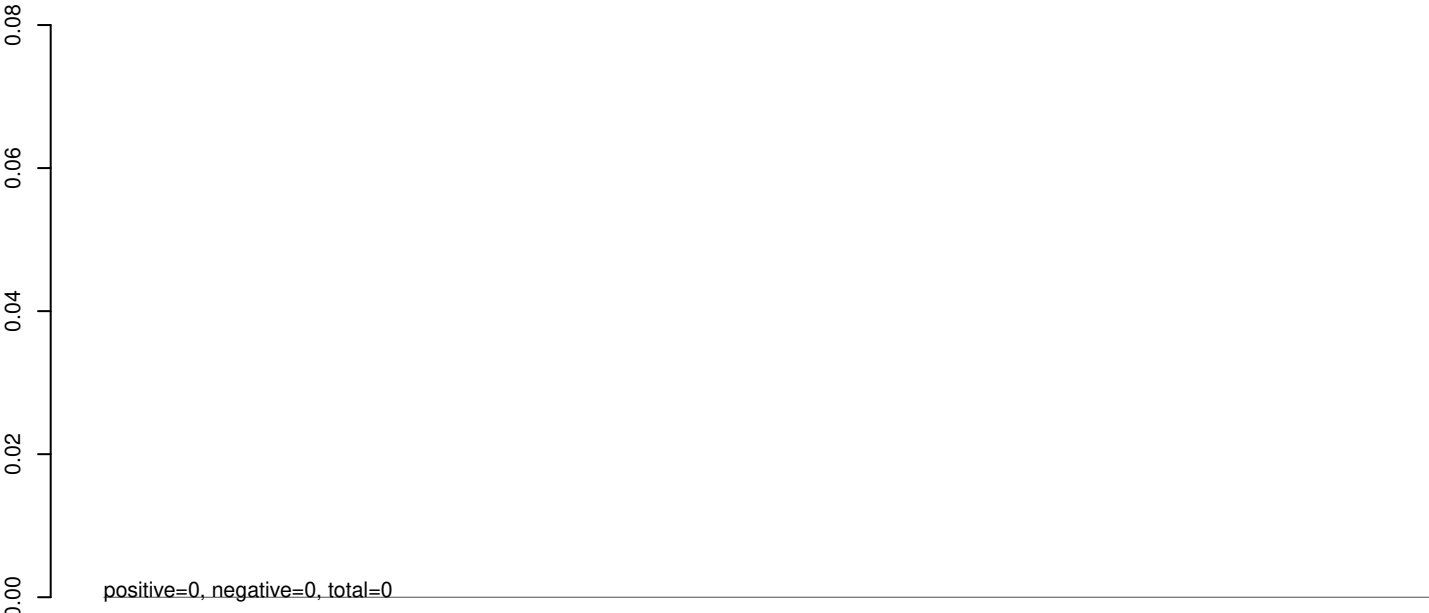
Window size=25, length=283, TE@Copia-56_AA-LTR:1-283



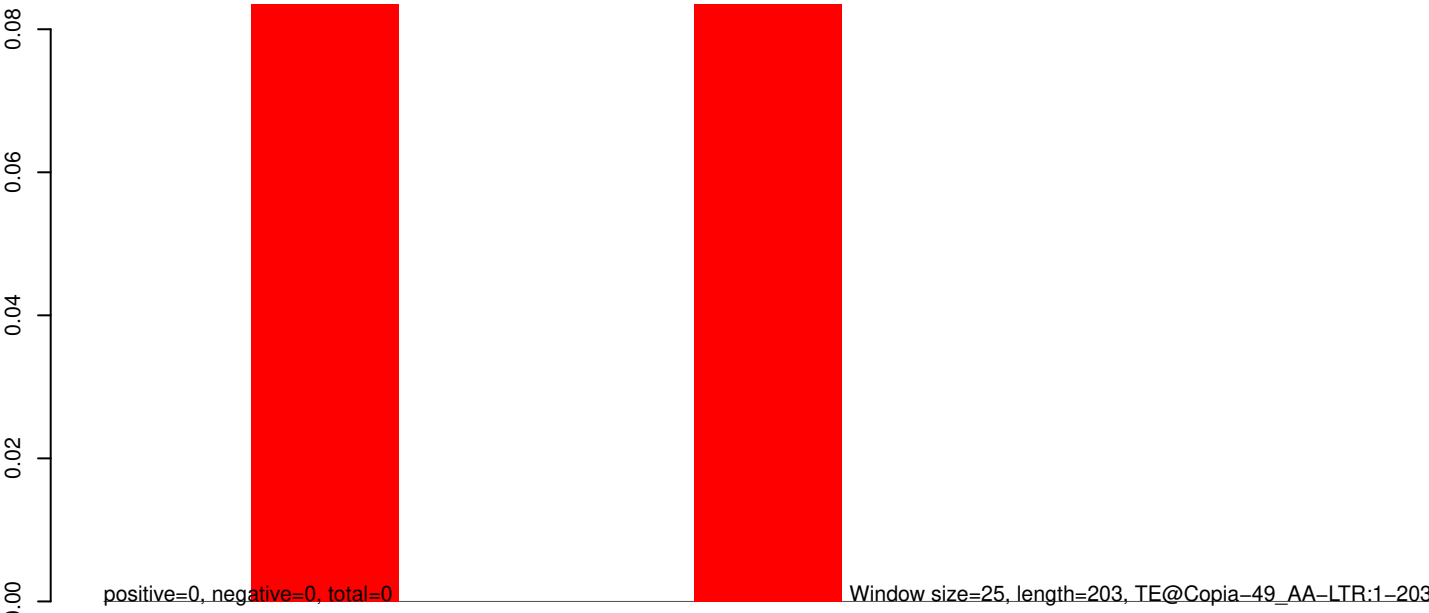
AeAeg_Aag2_Ago2_SINV_RA.18_23.rep



AeAeg_Aag2_Ago2_SINV_RA.24_35.rep

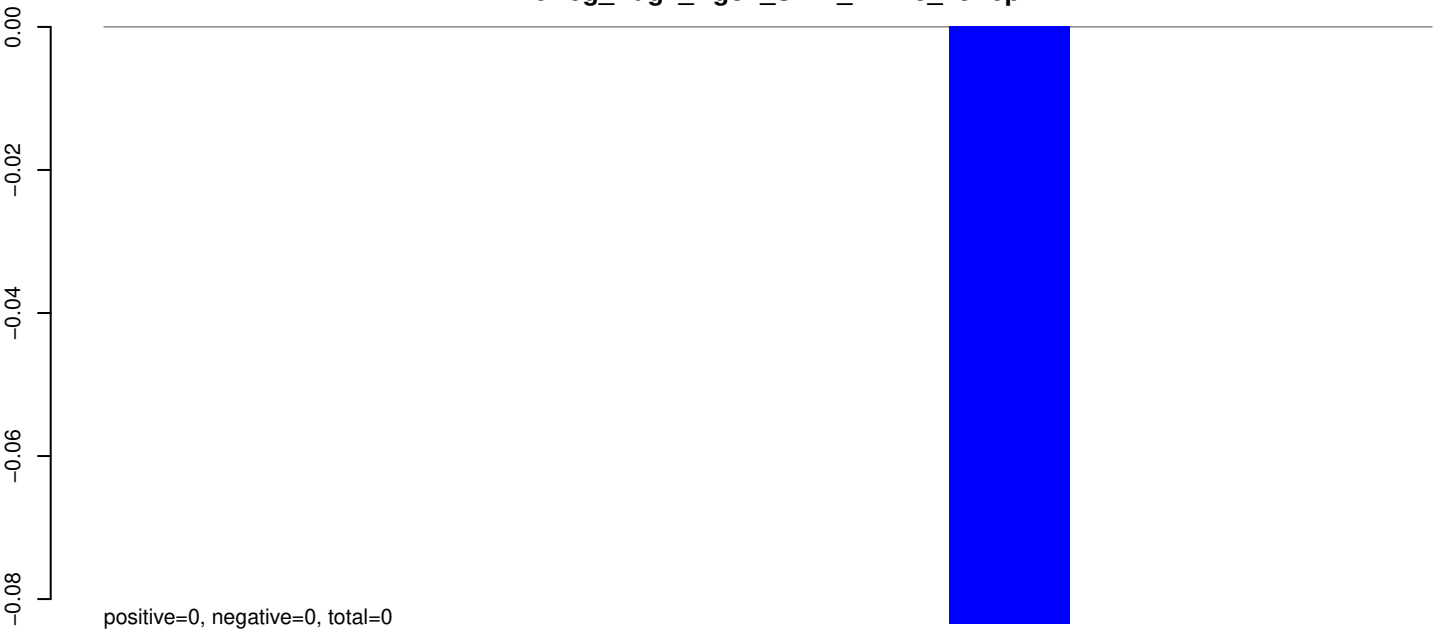


AeAeg_Aag2_Ago2_SINV_RA.rep

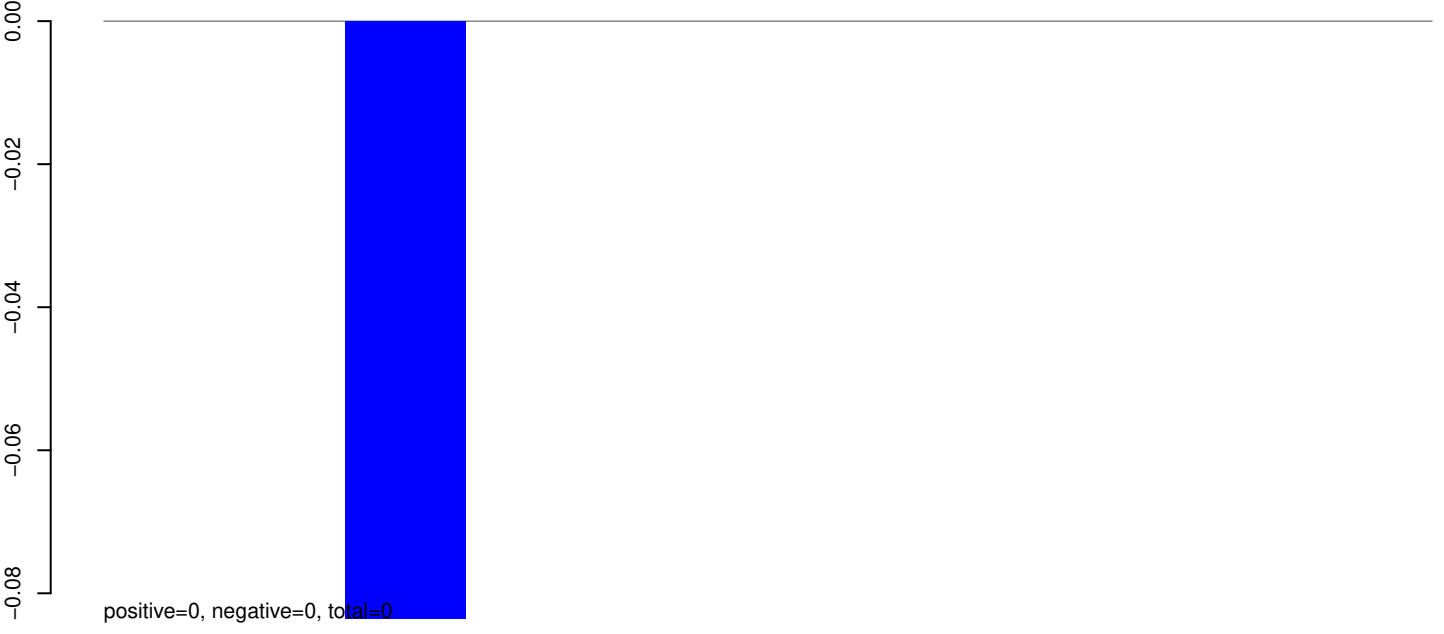


50 100 150 200 250

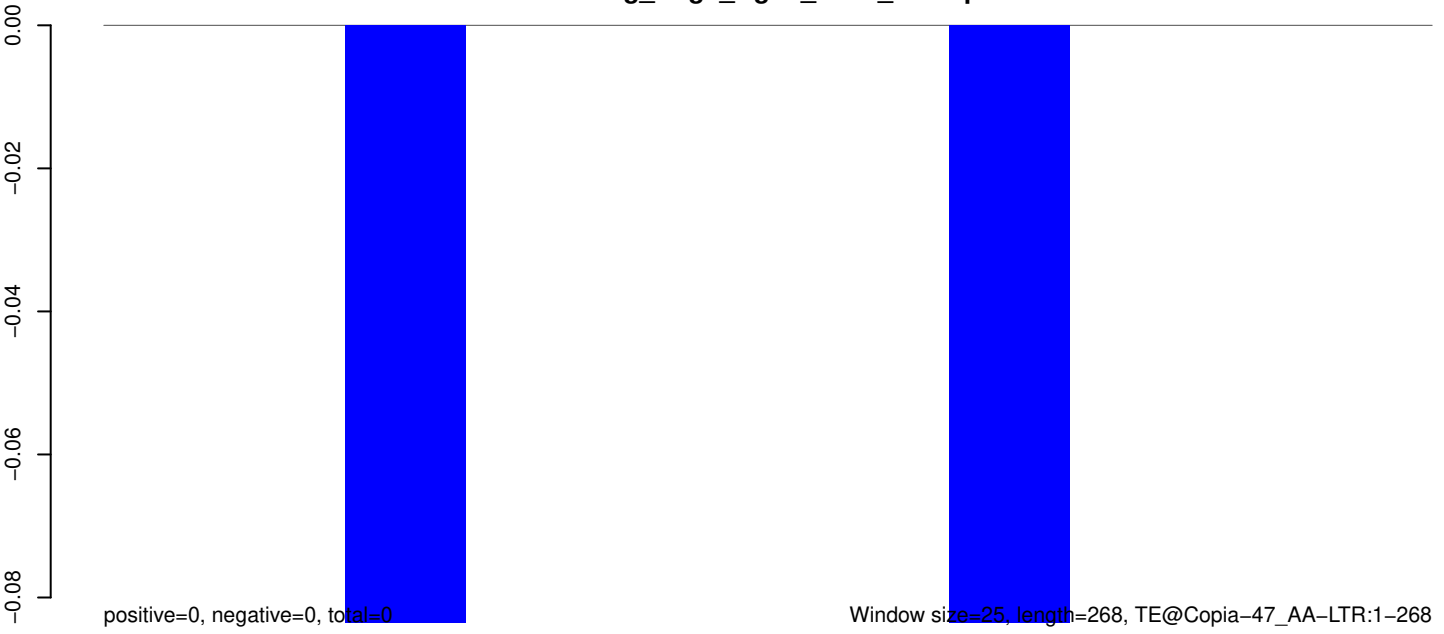
AeAeg_Aag2_Ago2_SINV_RA.18_23.rep



AeAeg_Aag2_Ago2_SINV_RA.24_35.rep

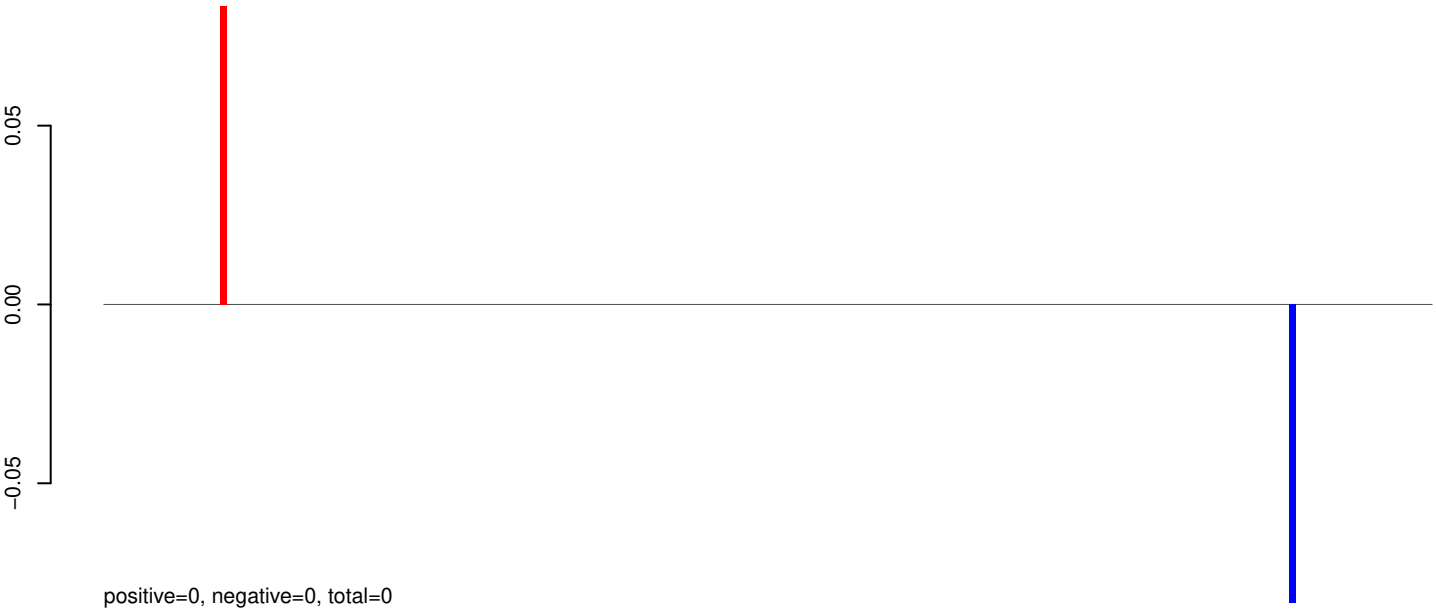


AeAeg_Aag2_Ago2_SINV_RA.rep

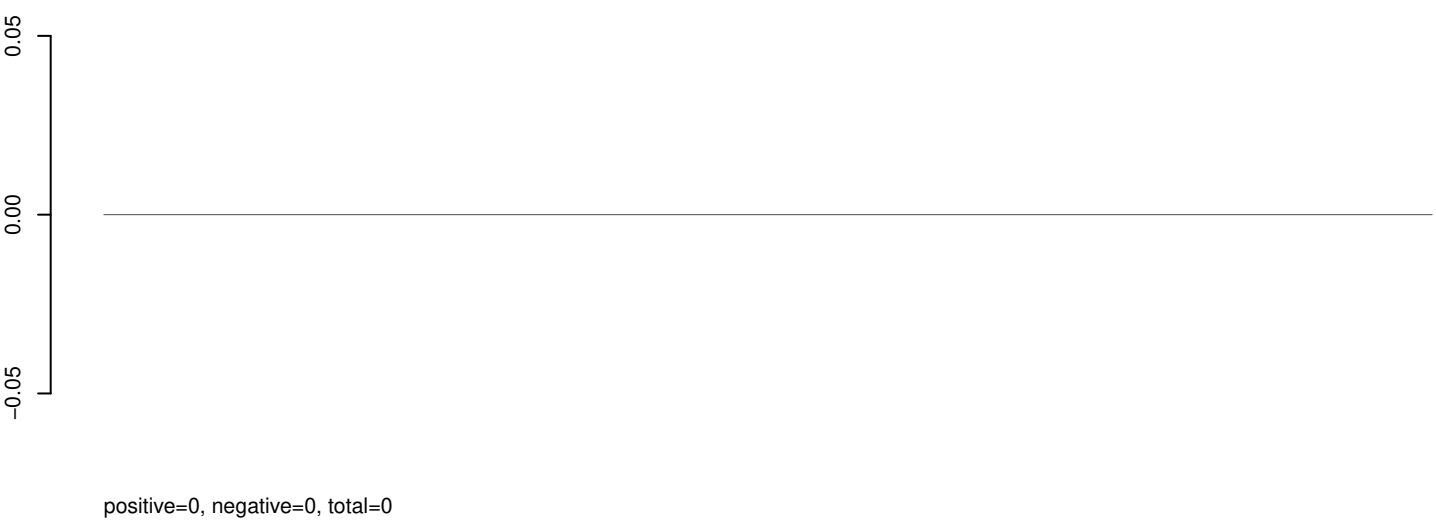


50 100 150 200 250 300

AeAeg_Aag2_Ago2_SINV_RA.18_23.rep



AeAeg_Aag2_Ago2_SINV_RA.24_35.rep



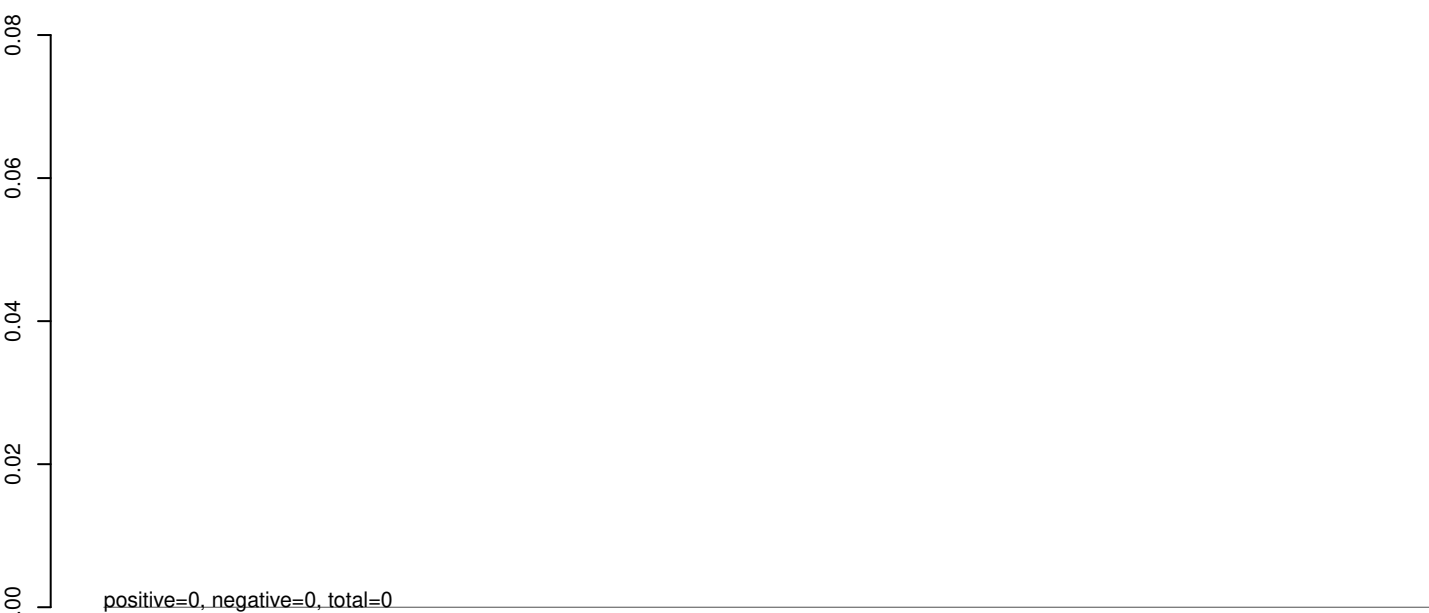
AeAeg_Aag2_Ago2_SINV_RA.rep



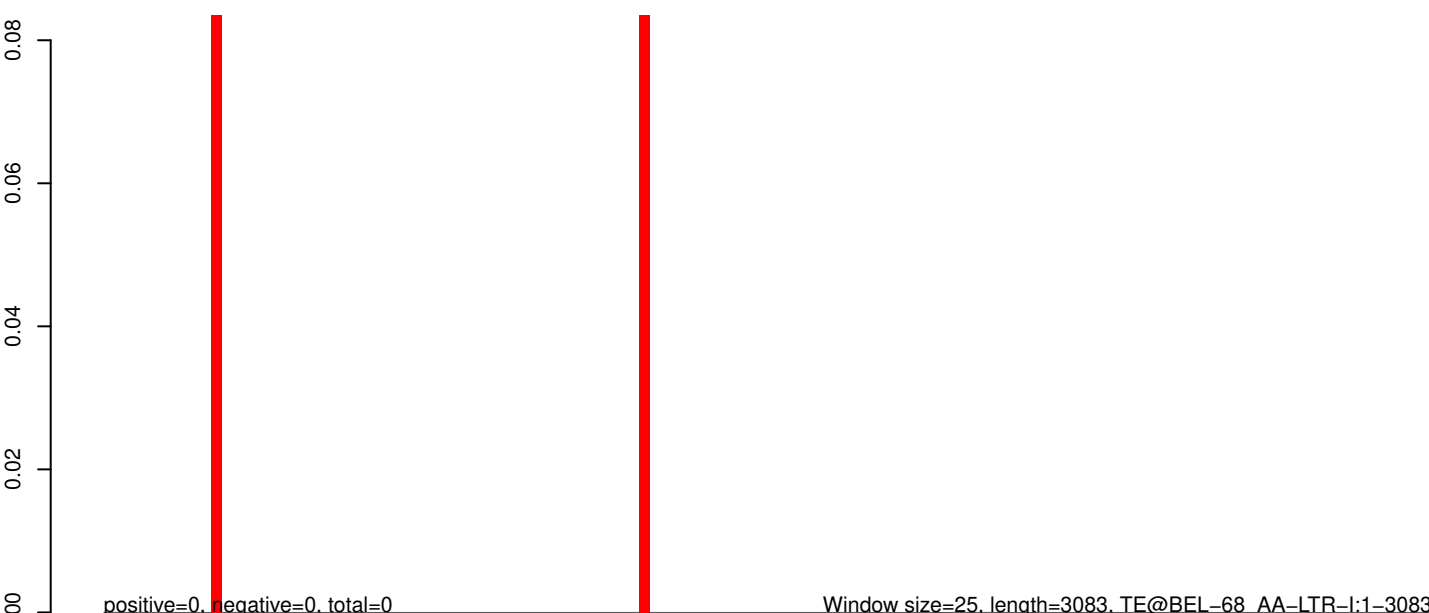
AeAeg_Aag2_Ago2_SINV_RA.18_23.rep



AeAeg_Aag2_Ago2_SINV_RA.24_35.rep



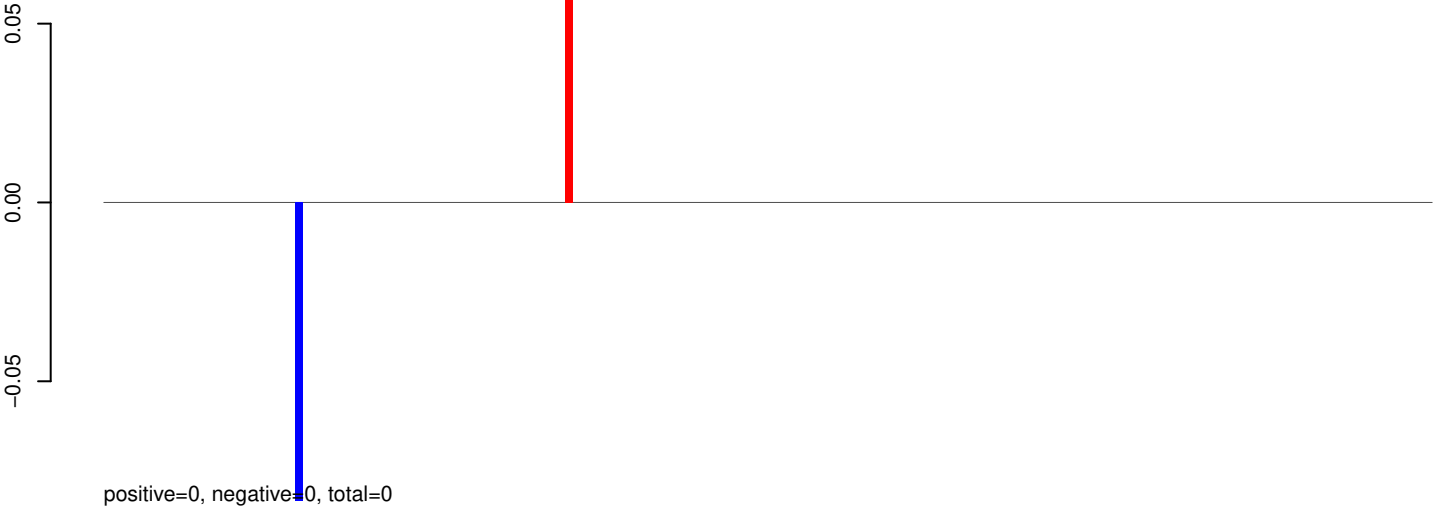
AeAeg_Aag2_Ago2_SINV_RA.rep



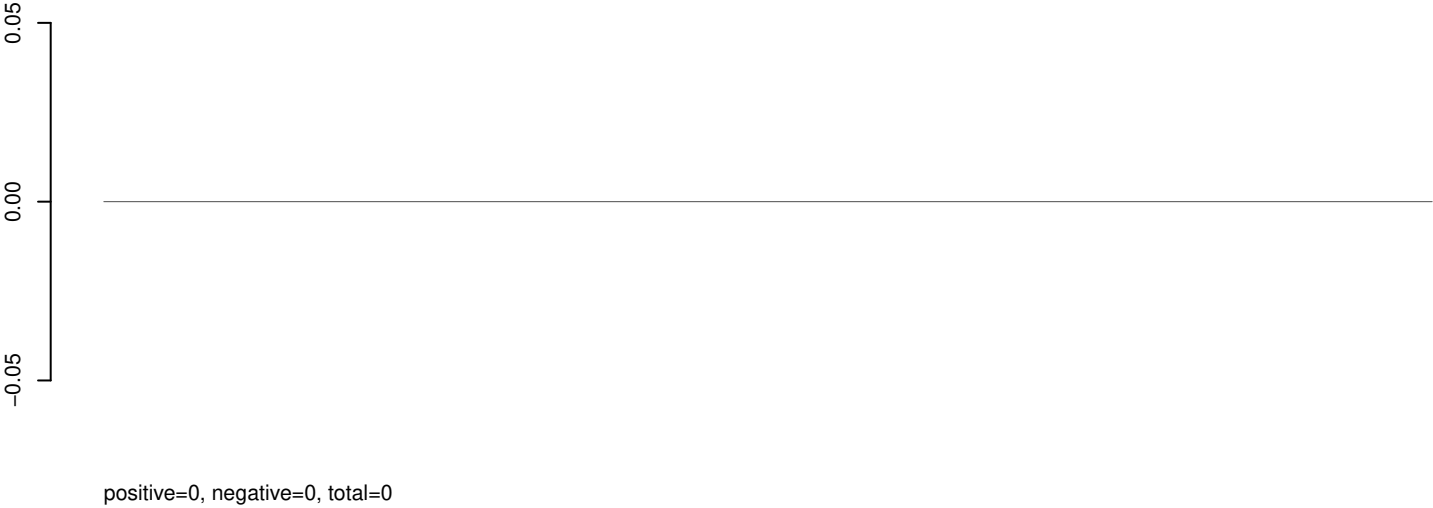
Window size=25, length=3083, TE@BEL-68_AA-LTR-I:1-3083

0 500 1000 1500 2000 2500 3000

AeAeg_Aag2_Ago2_SINV_RA.18_23.rep



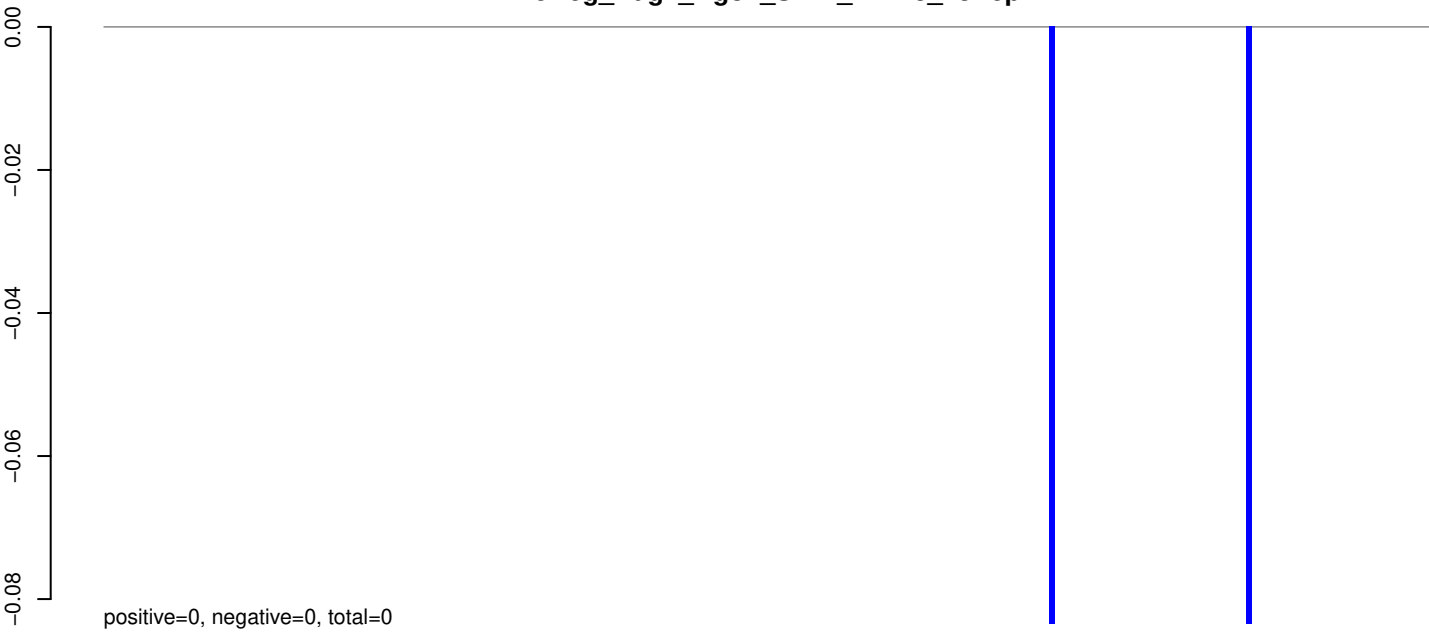
AeAeg_Aag2_Ago2_SINV_RA.24_35.rep



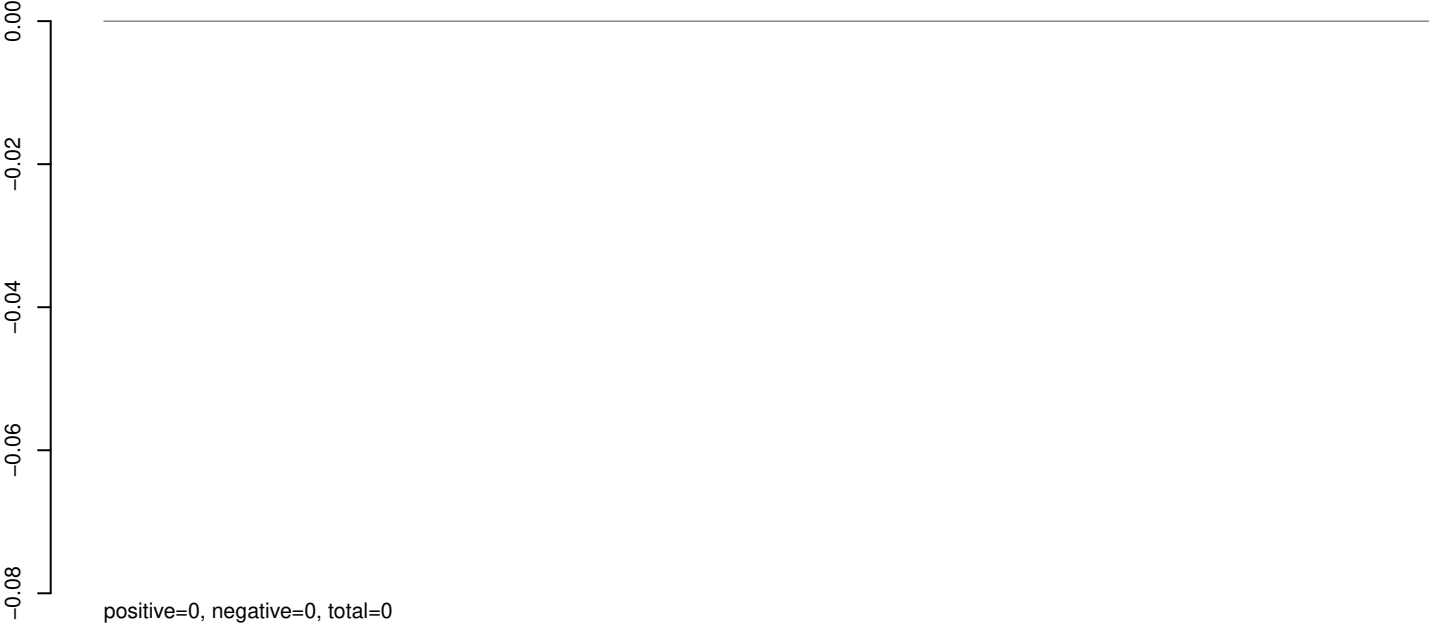
AeAeg_Aag2_Ago2_SINV_RA.rep



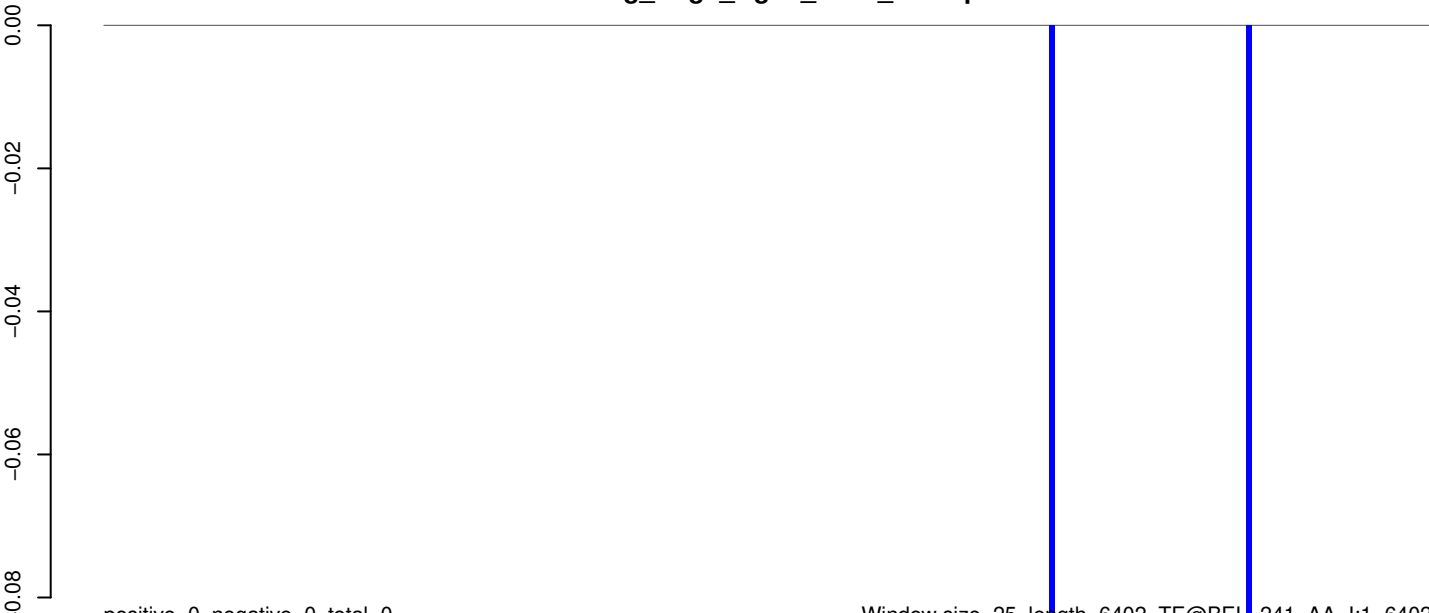
AeAeg_Aag2_Ago2_SINV_RA.18_23.rep



AeAeg_Aag2_Ago2_SINV_RA.24_35.rep

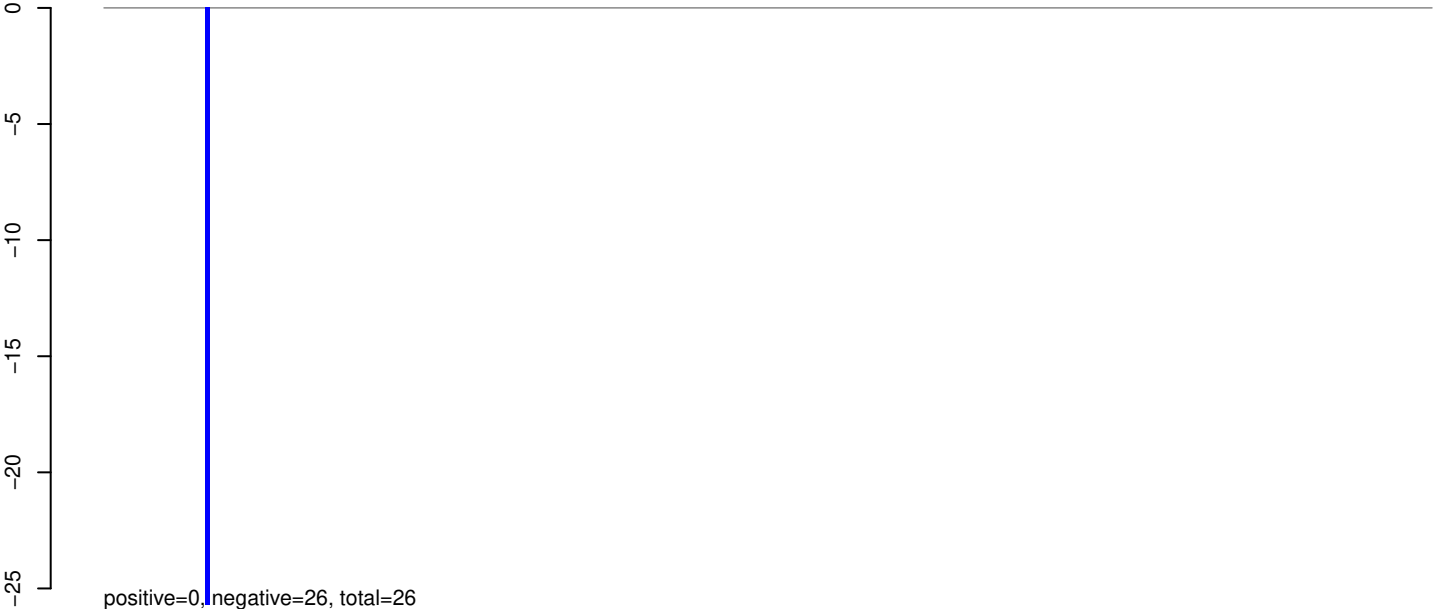


AeAeg_Aag2_Ago2_SINV_RA.rep

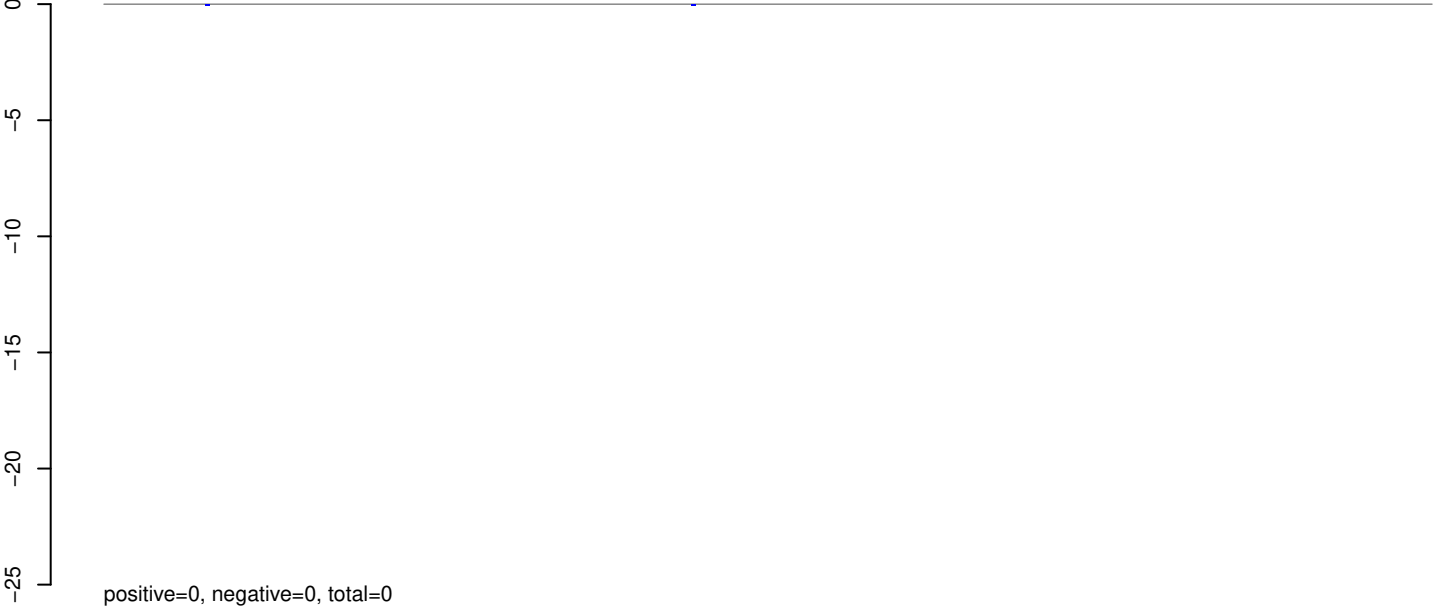


0 1000 2000 3000 4000 5000 6000

AeAeg_Aag2_Ago2_SINV_RA.18_23.rep



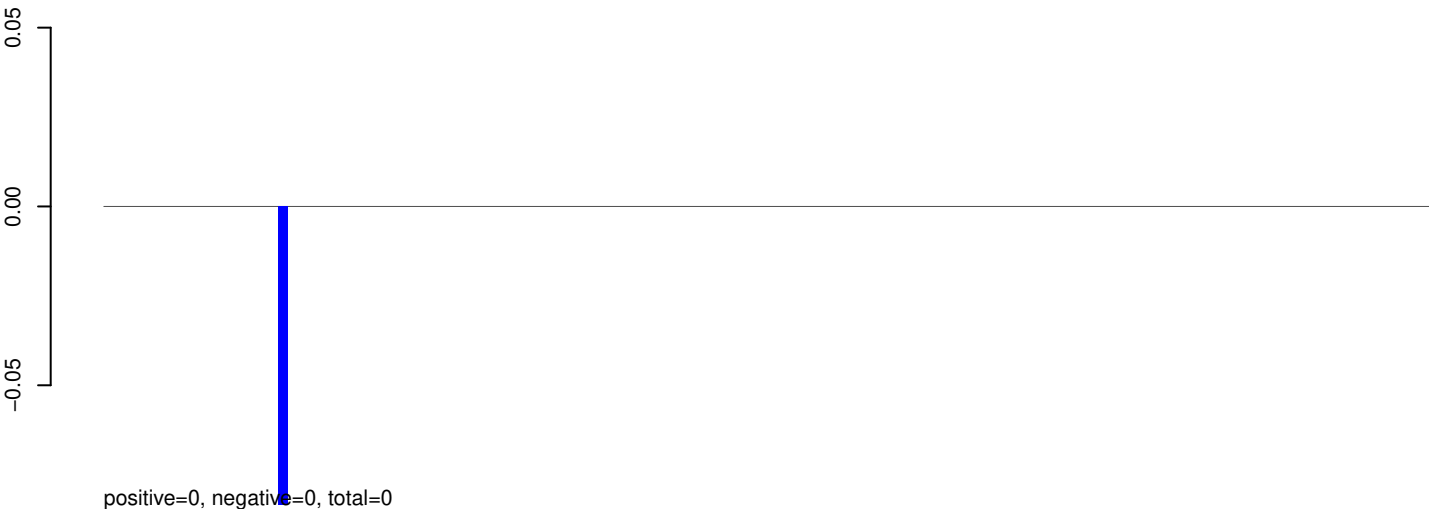
AeAeg_Aag2_Ago2_SINV_RA.24_35.rep



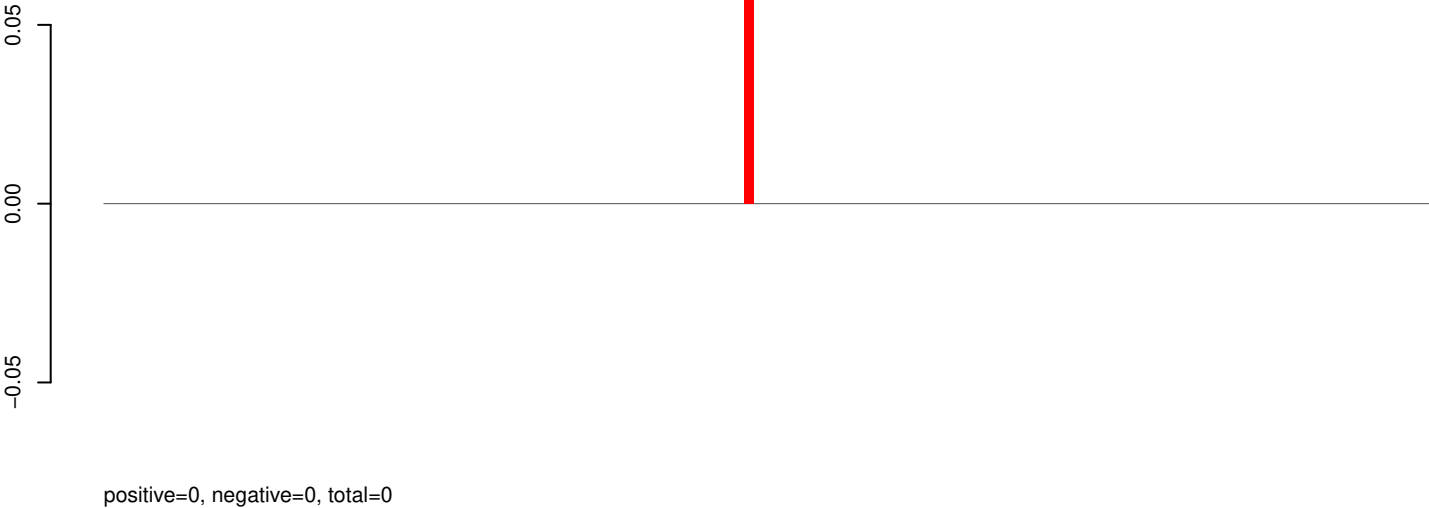
AeAeg_Aag2_Ago2_SINV_RA.rep



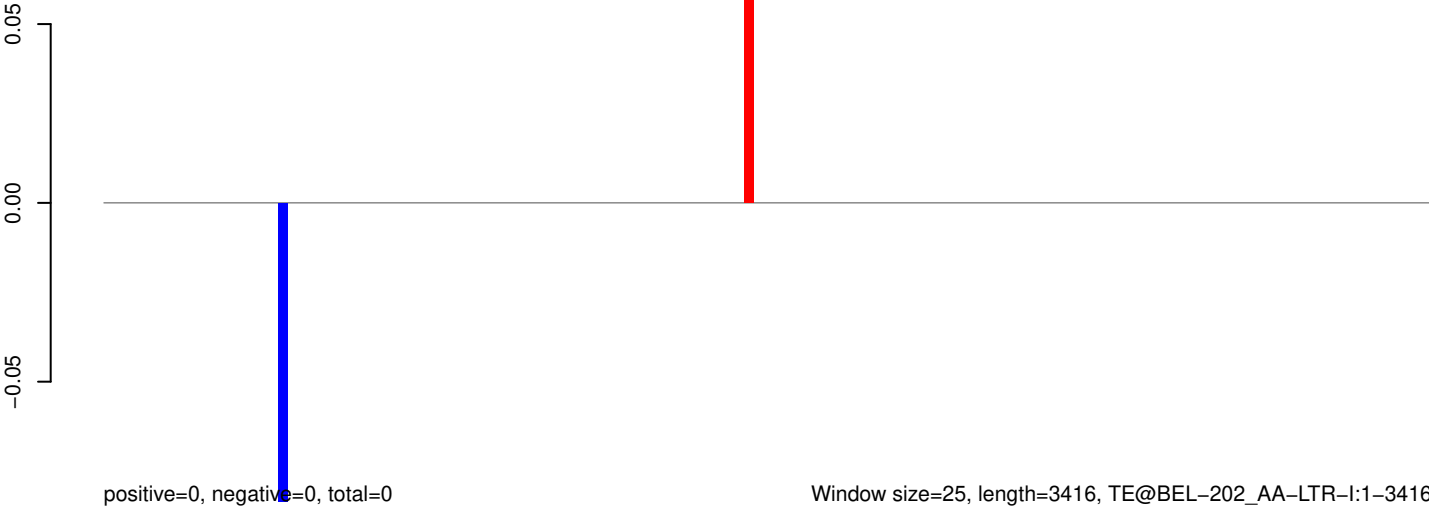
AeAeg_Aag2_Ago2_SINV_RA.18_23.rep



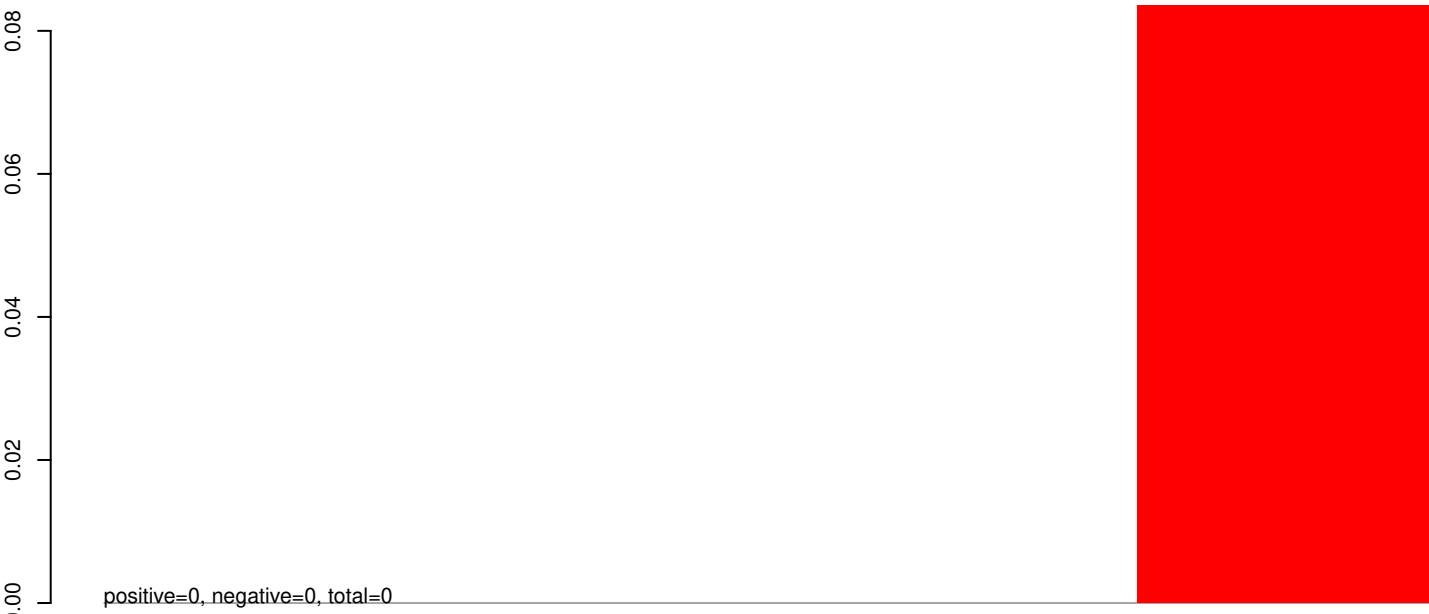
AeAeg_Aag2_Ago2_SINV_RA.24_35.rep



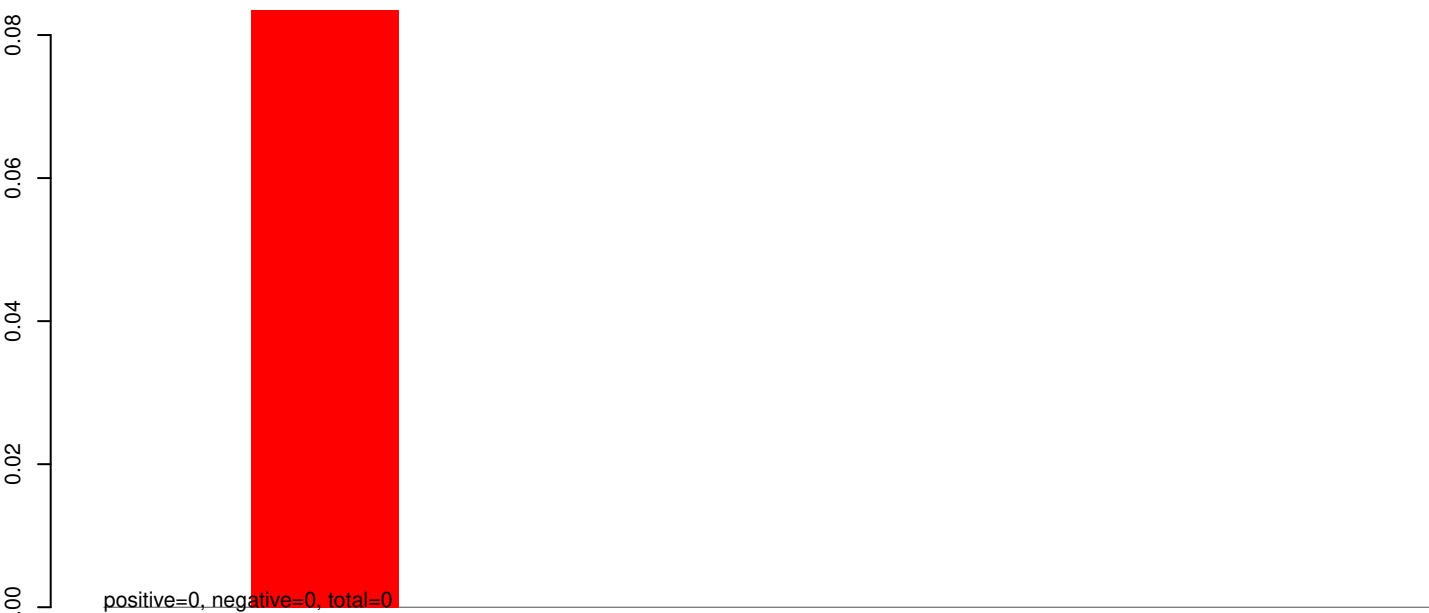
AeAeg_Aag2_Ago2_SINV_RA.rep



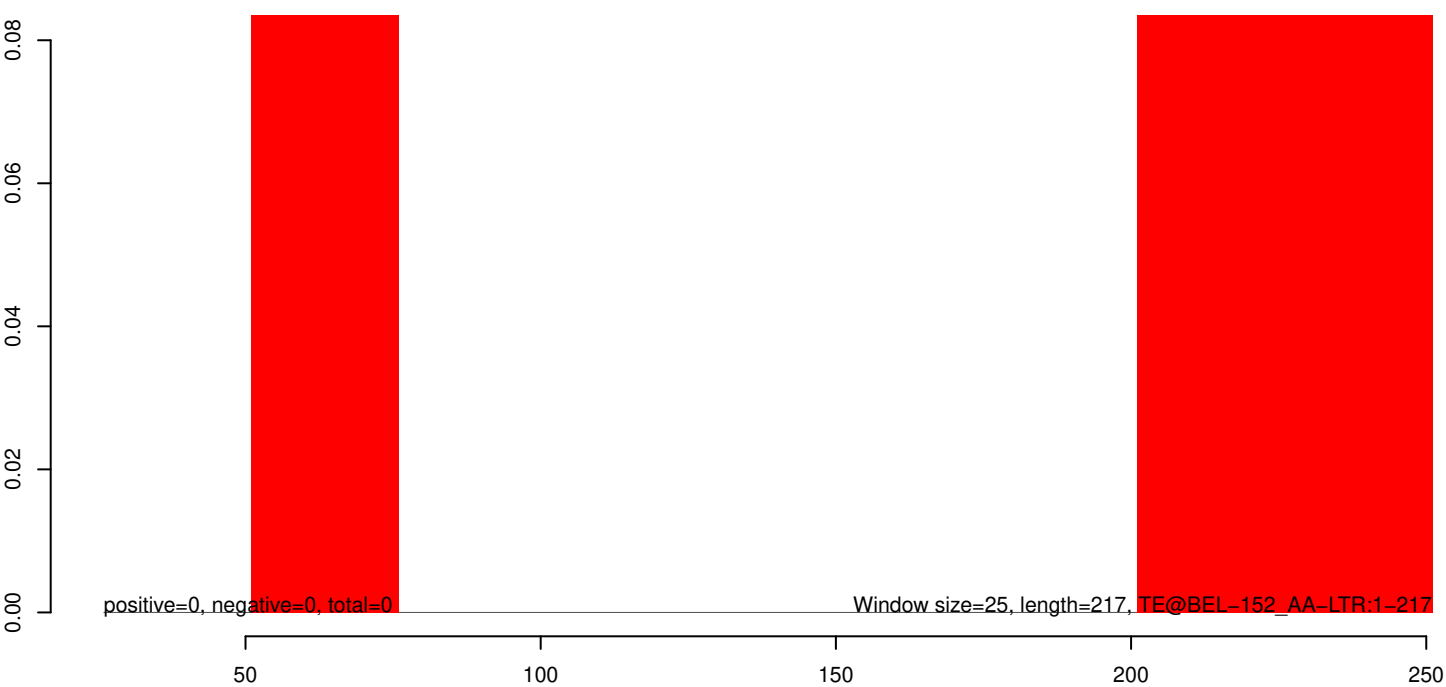
AeAeg_Aag2_Ago2_SINV_RA.18_23.rep



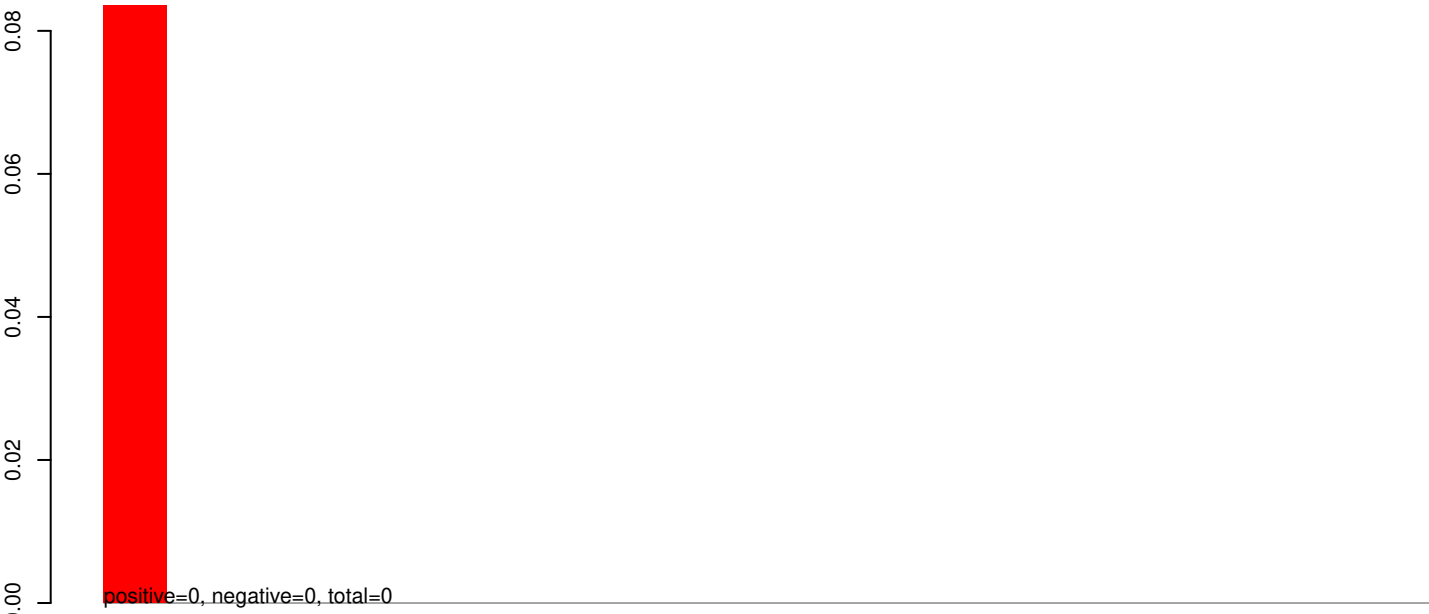
AeAeg_Aag2_Ago2_SINV_RA.24_35.rep



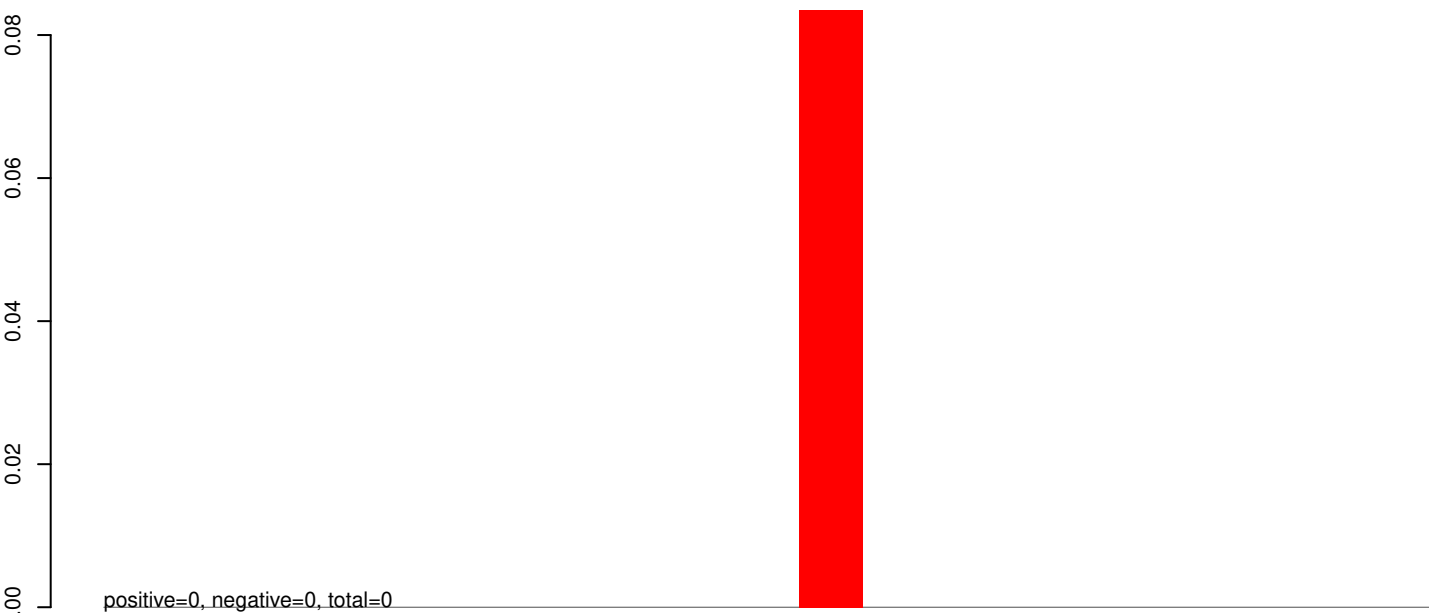
AeAeg_Aag2_Ago2_SINV_RA.rep



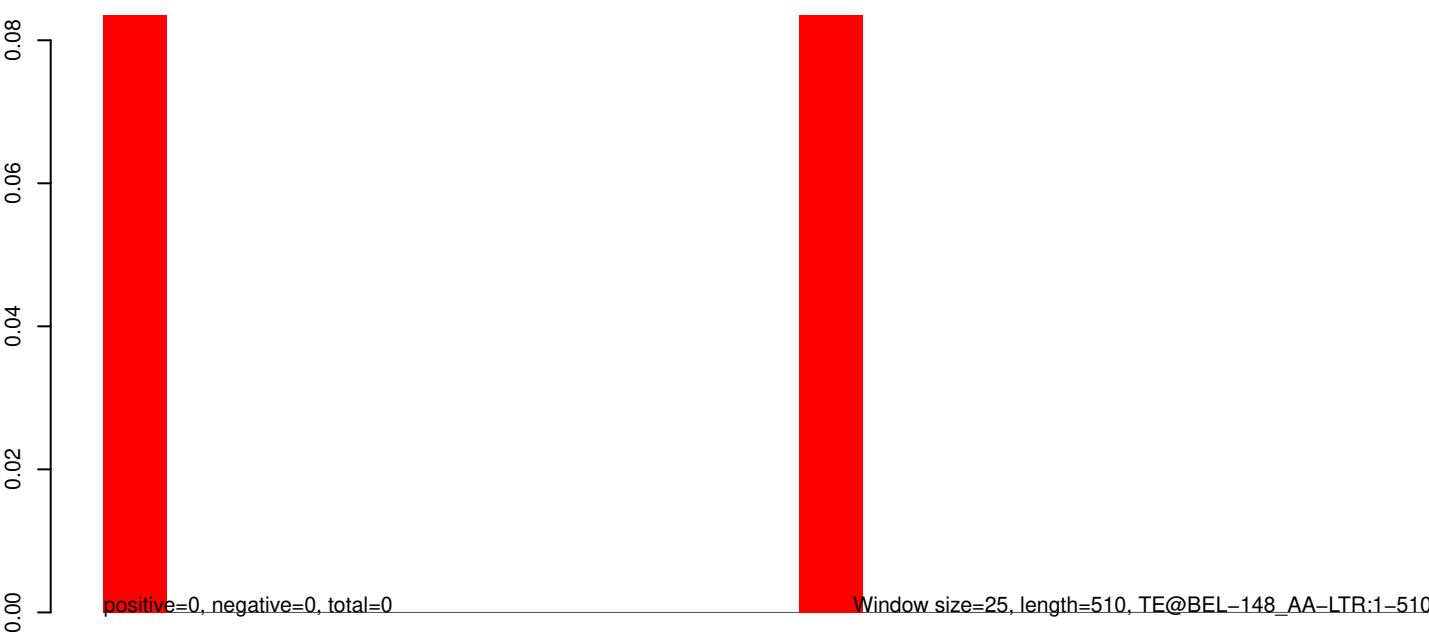
AeAeg_Aag2_Ago2_SINV_RA.18_23.rep



AeAeg_Aag2_Ago2_SINV_RA.24_35.rep

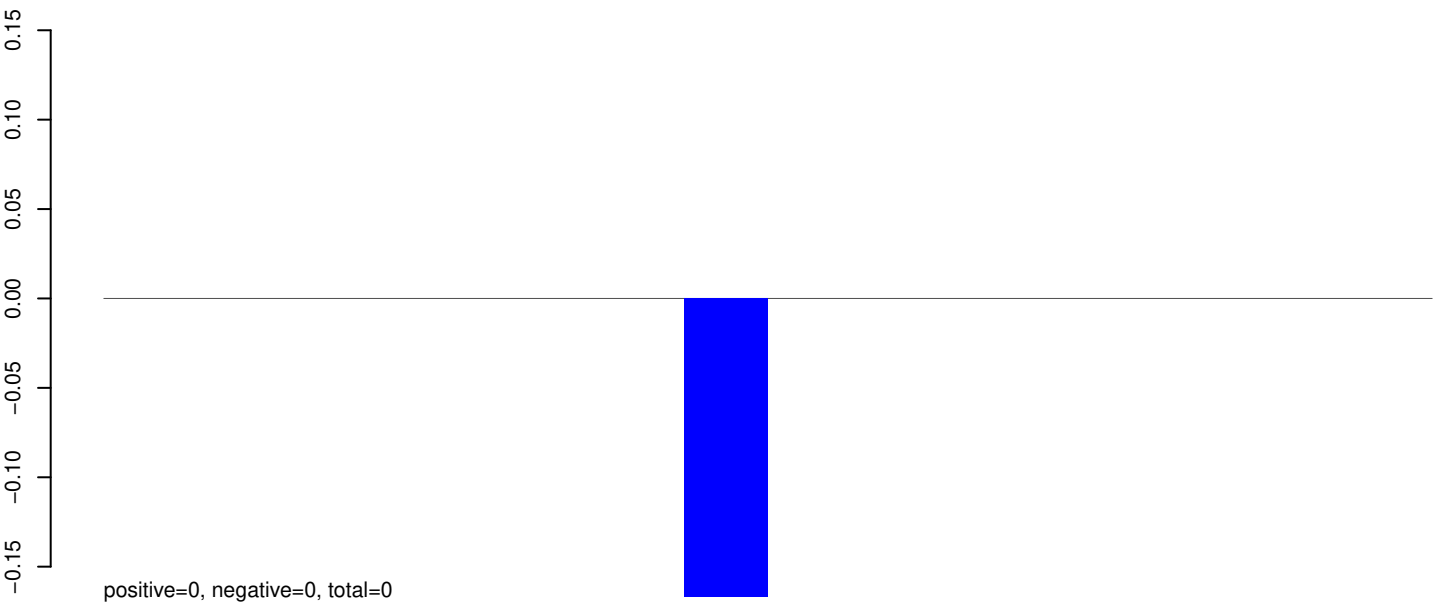


AeAeg_Aag2_Ago2_SINV_RA.rep

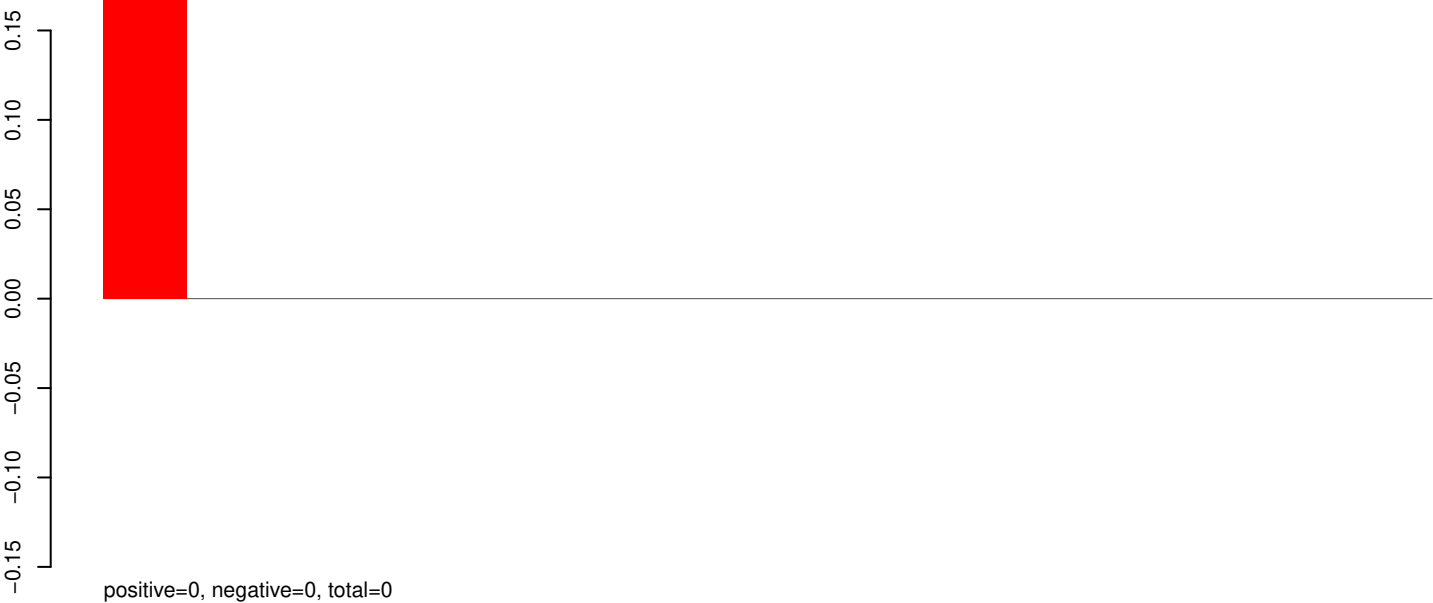


100 200 300 400 500

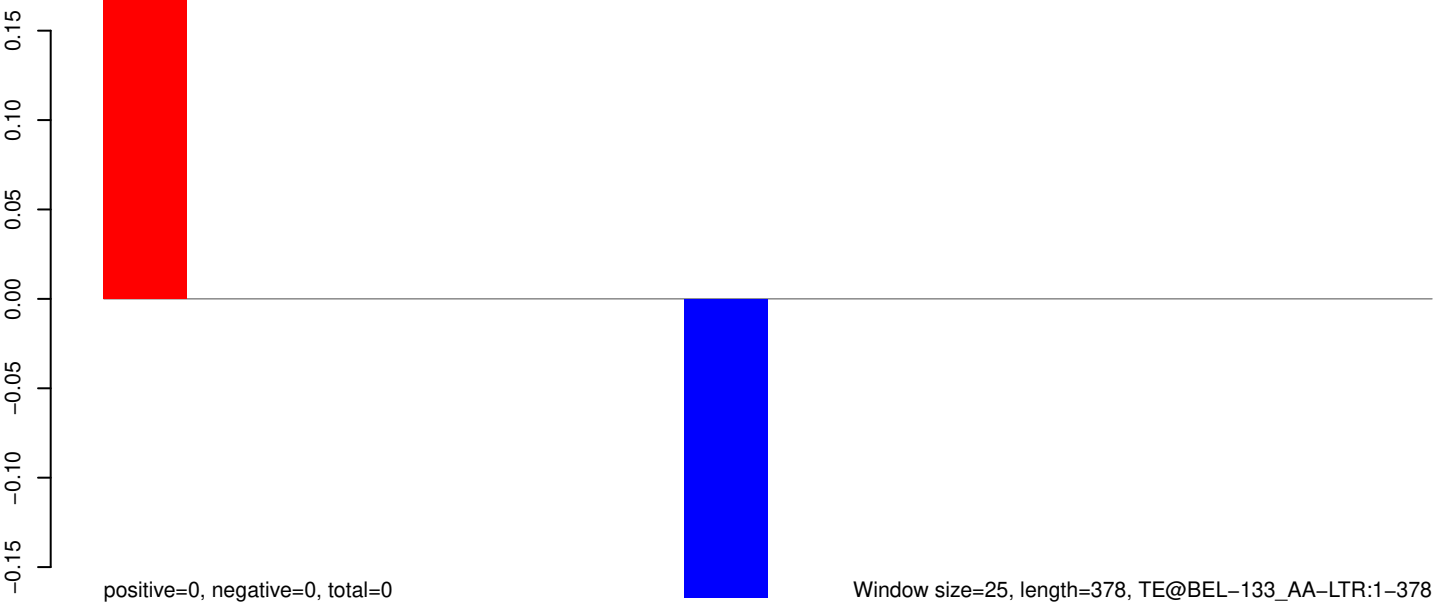
AeAeg_Aag2_Ago2_SINV_RA.18_23.rep



AeAeg_Aag2_Ago2_SINV_RA.24_35.rep



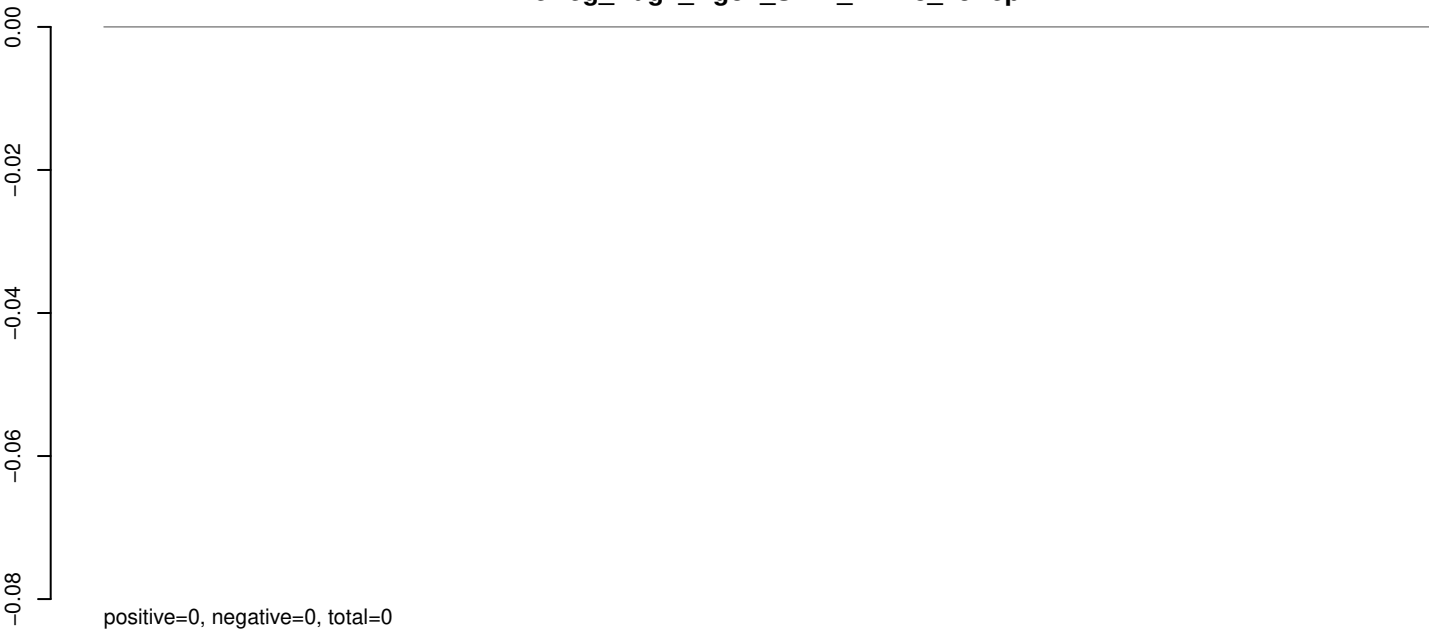
AeAeg_Aag2_Ago2_SINV_RA.rep



Window size=25, length=378, TE@BEL-133_AA-LTR:1-378

100 200 300 400

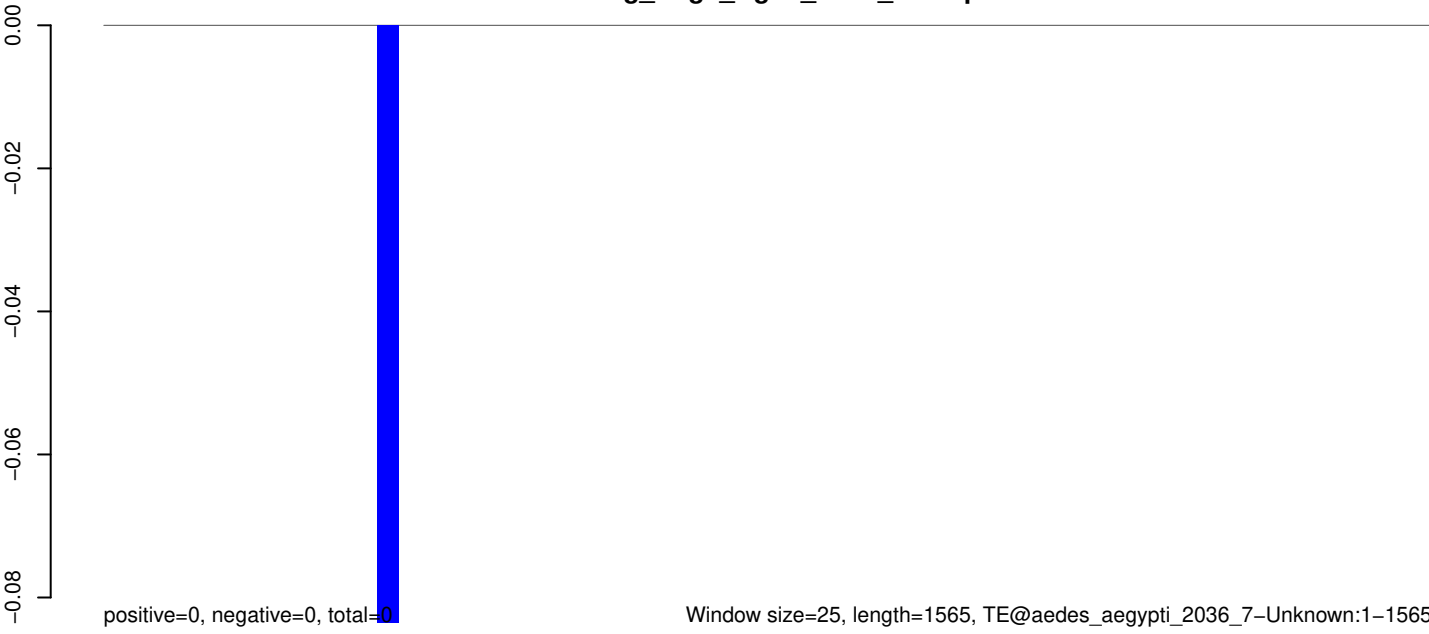
AeAeg_Aag2_Ago2_SINV_RA.18_23.rep



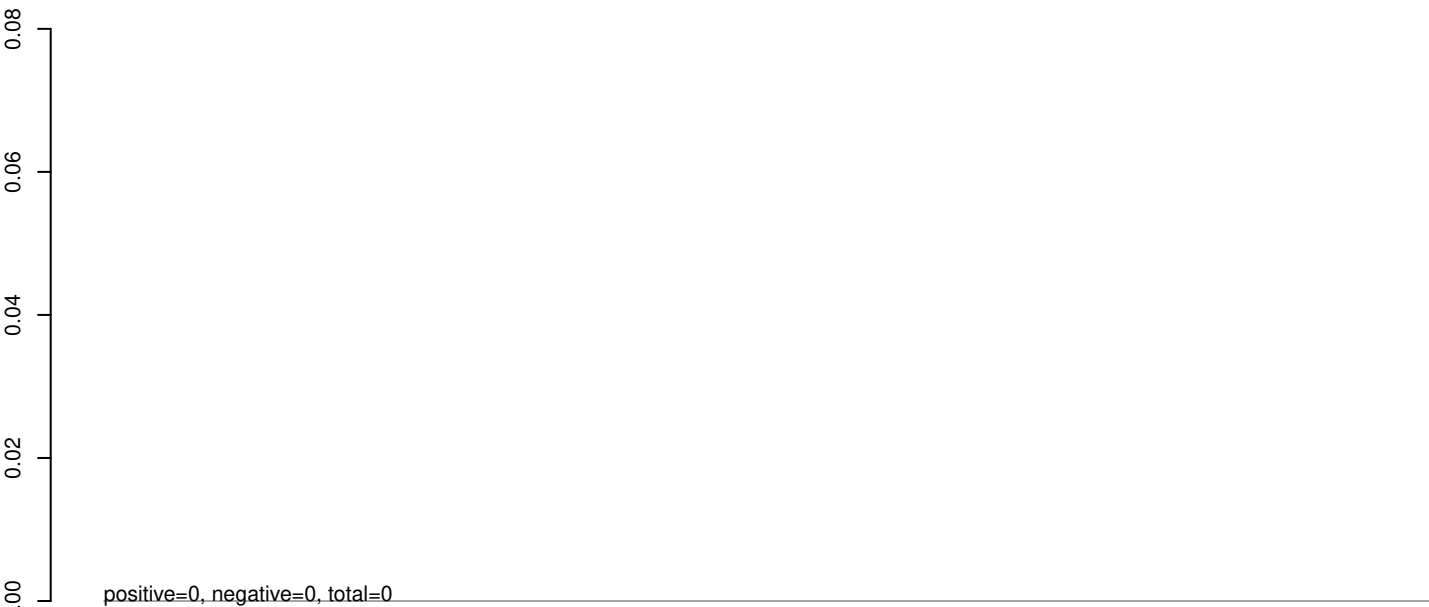
AeAeg_Aag2_Ago2_SINV_RA.24_35.rep



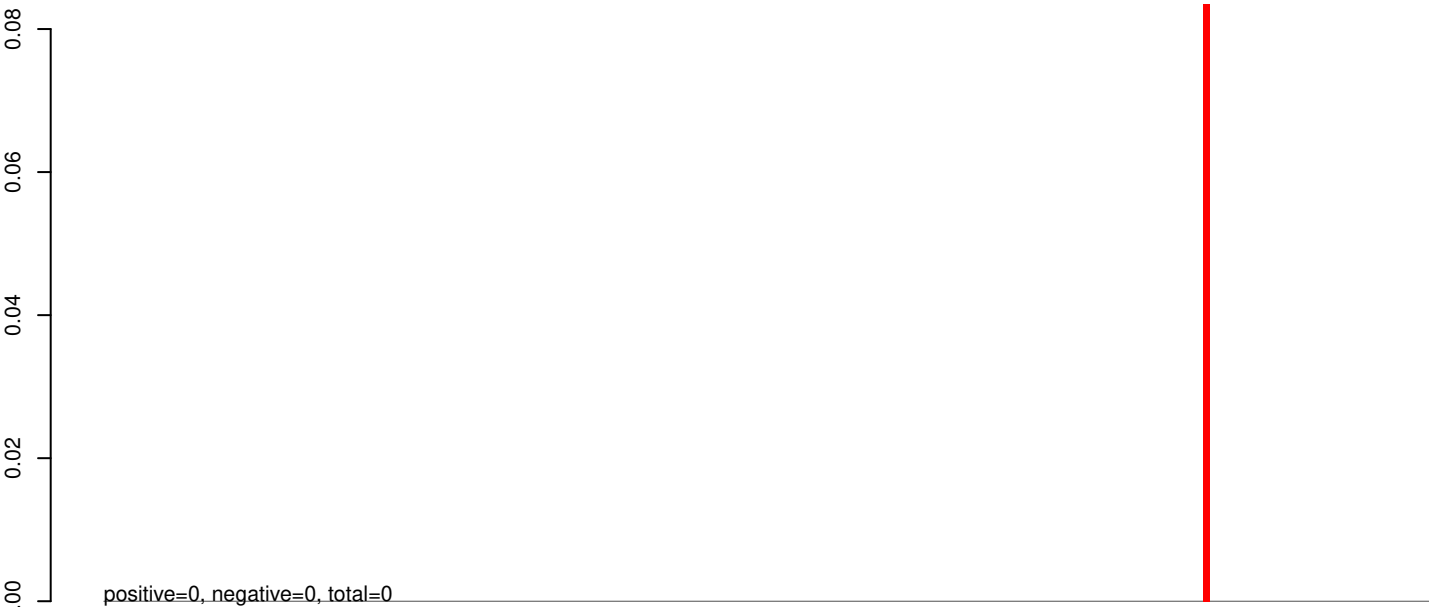
AeAeg_Aag2_Ago2_SINV_RA.rep



AeAeg_Aag2_Ago2_SINV_RA.18_23.rep



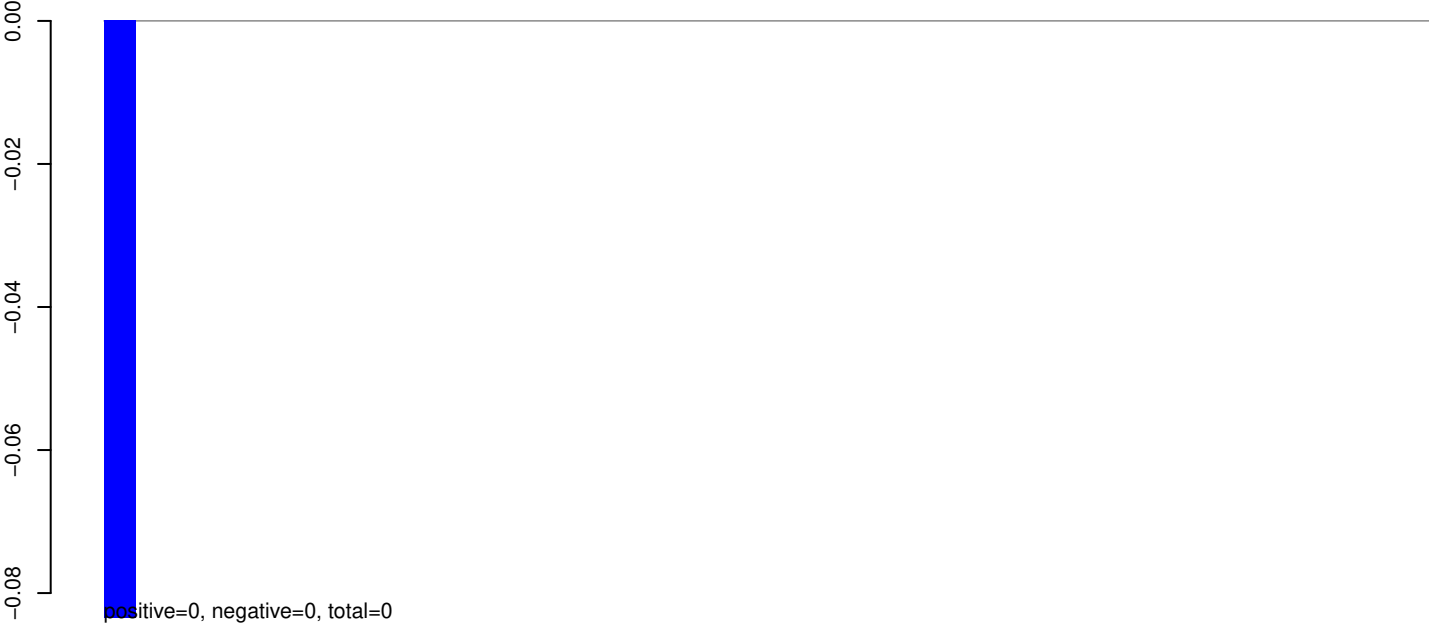
AeAeg_Aag2_Ago2_SINV_RA.24_35.rep



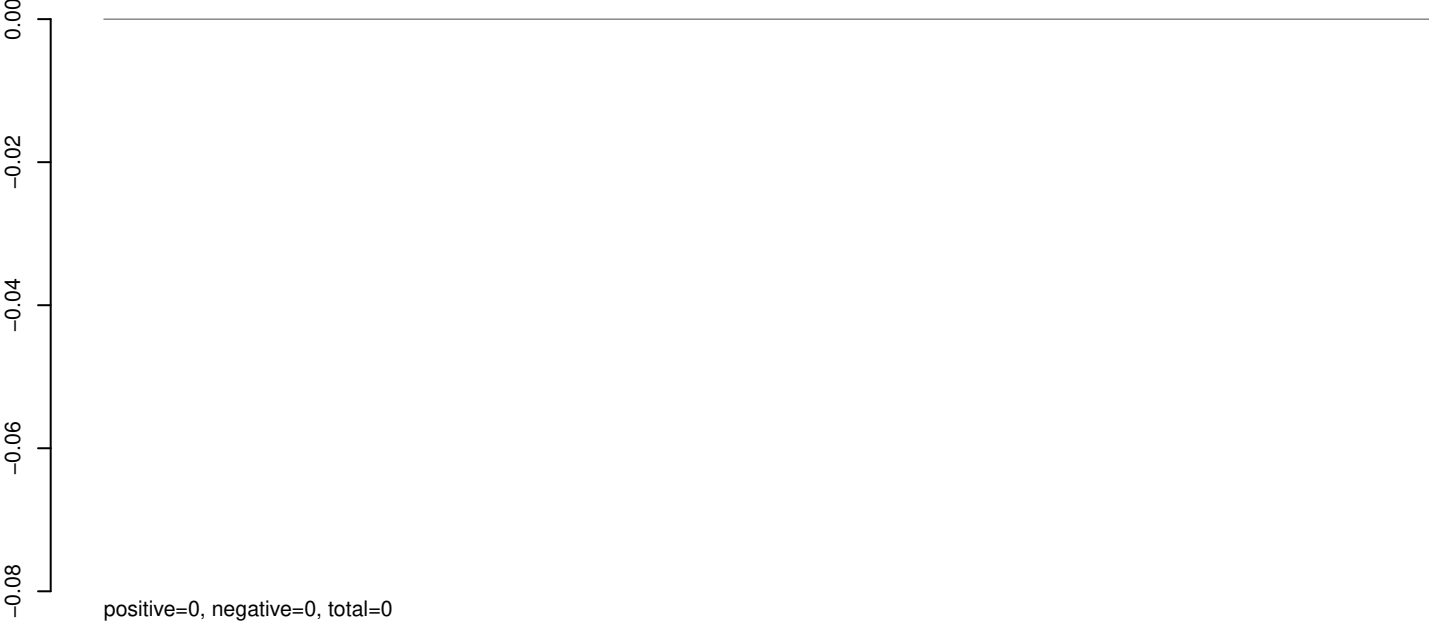
AeAeg_Aag2_Ago2_SINV_RA.rep



AeAeg_Aag2_Ago2_SINV_RA.18_23.rep



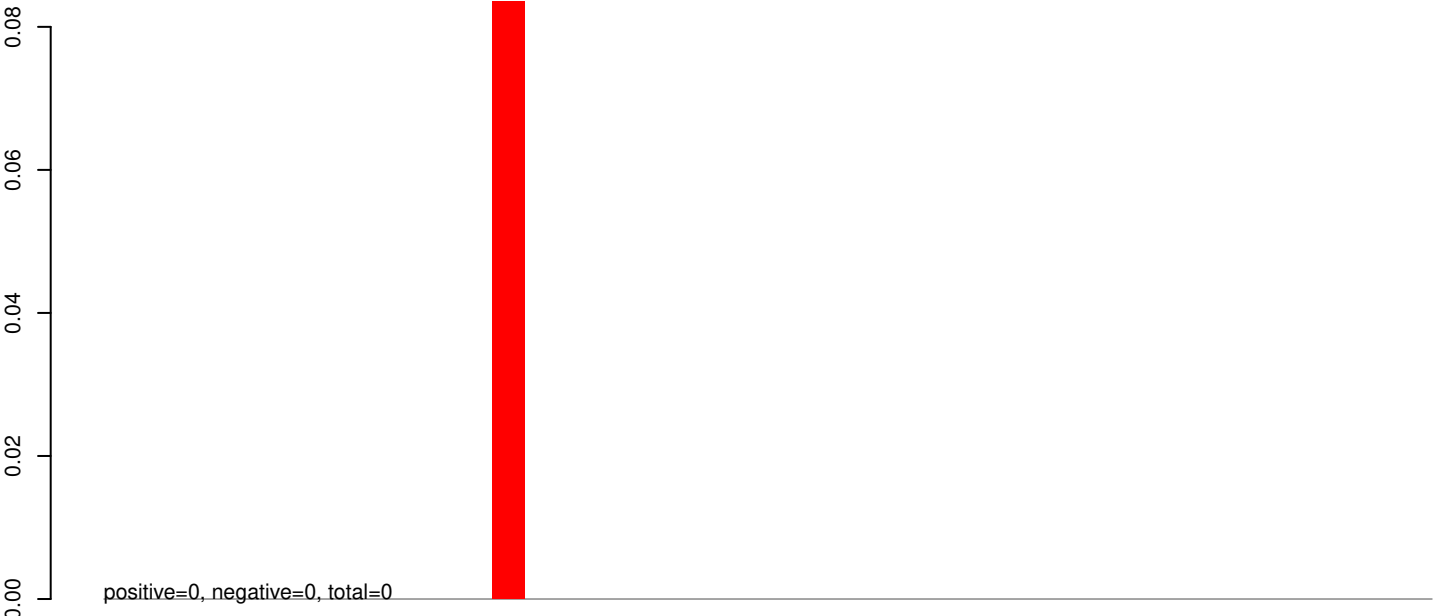
AeAeg_Aag2_Ago2_SINV_RA.24_35.rep



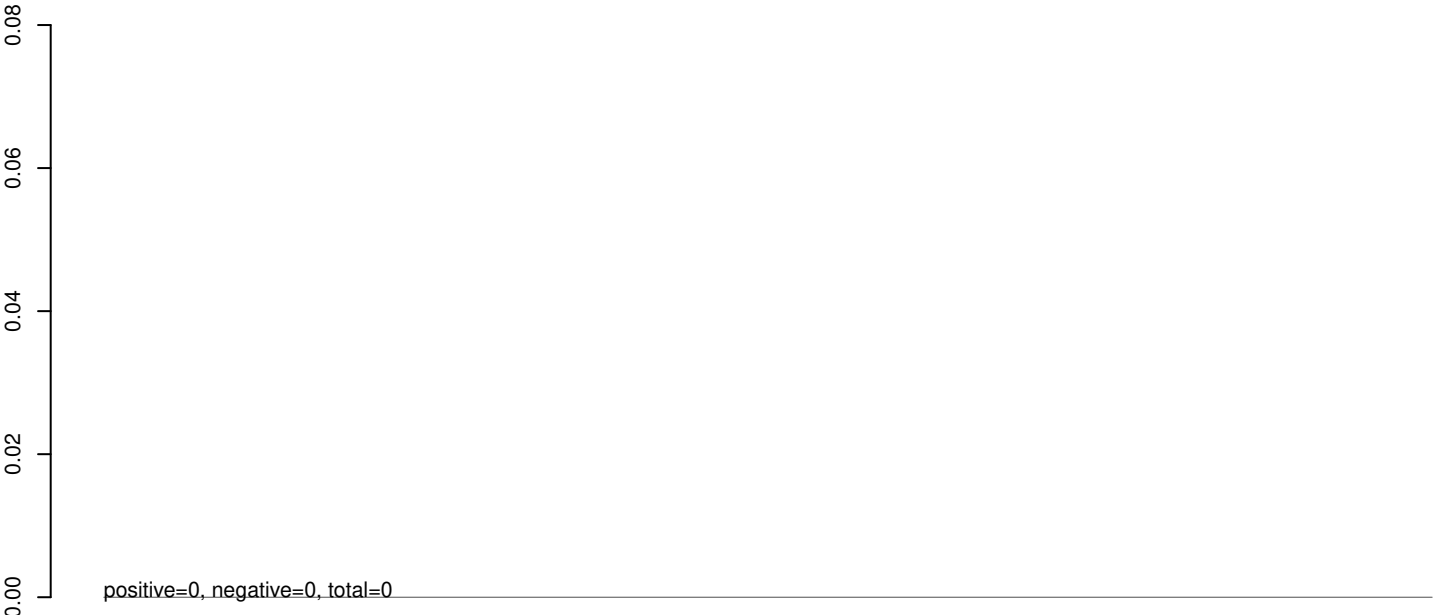
AeAeg_Aag2_Ago2_SINV_RA.rep



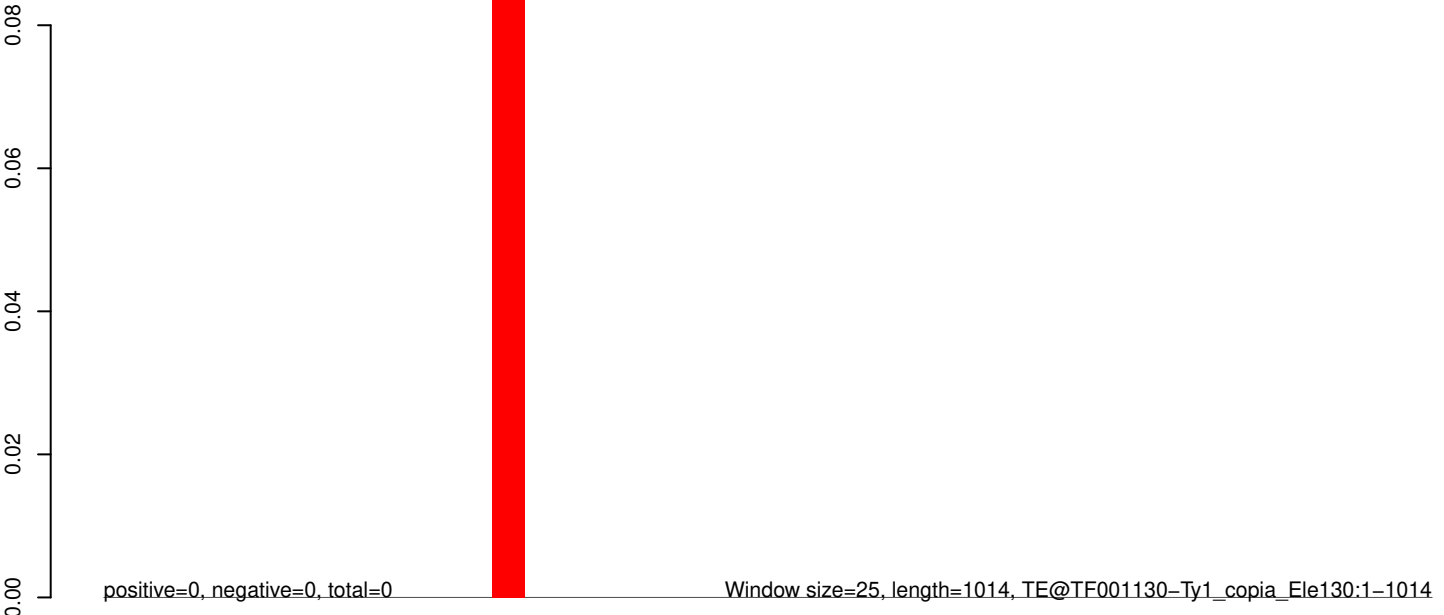
AeAeg_Aag2_Ago2_SINV_RA.18_23.rep



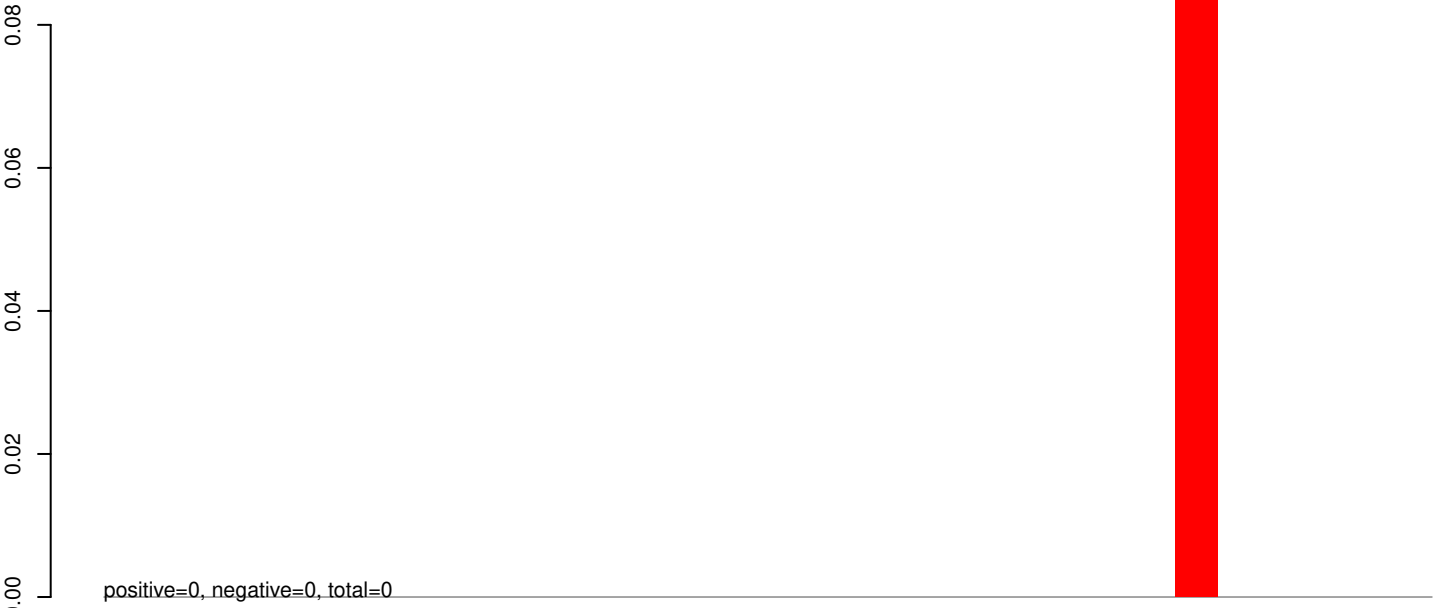
AeAeg_Aag2_Ago2_SINV_RA.24_35.rep



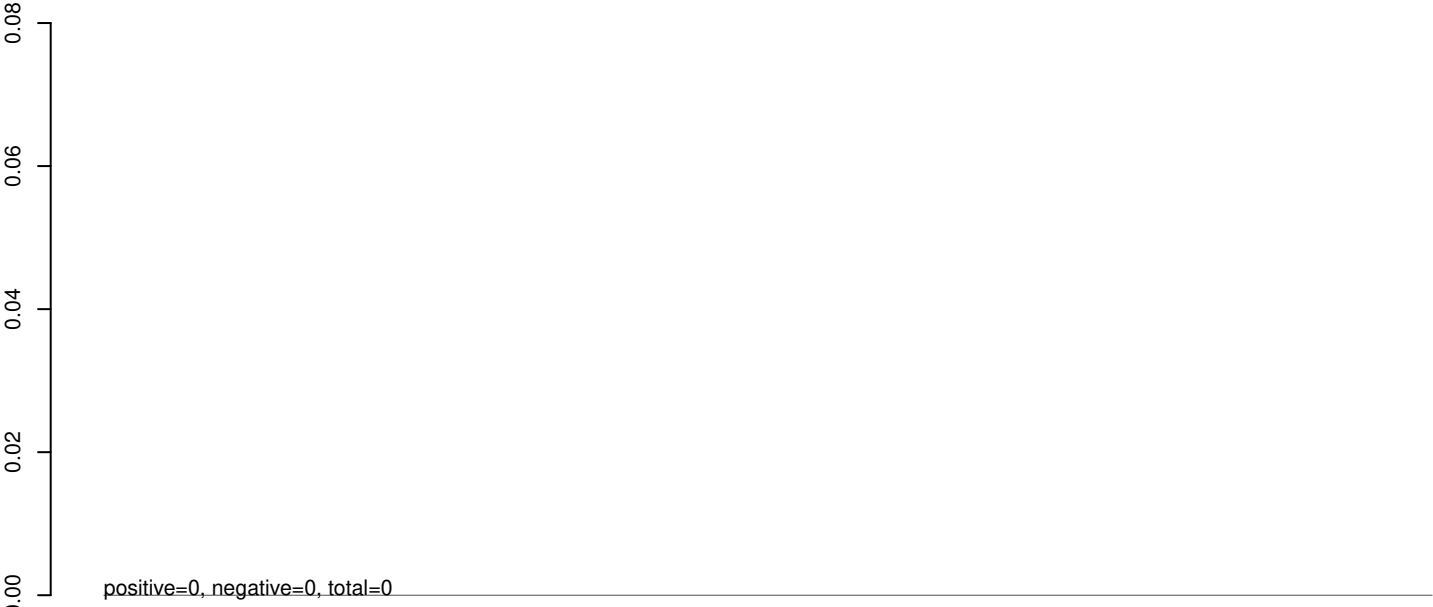
AeAeg_Aag2_Ago2_SINV_RA.rep



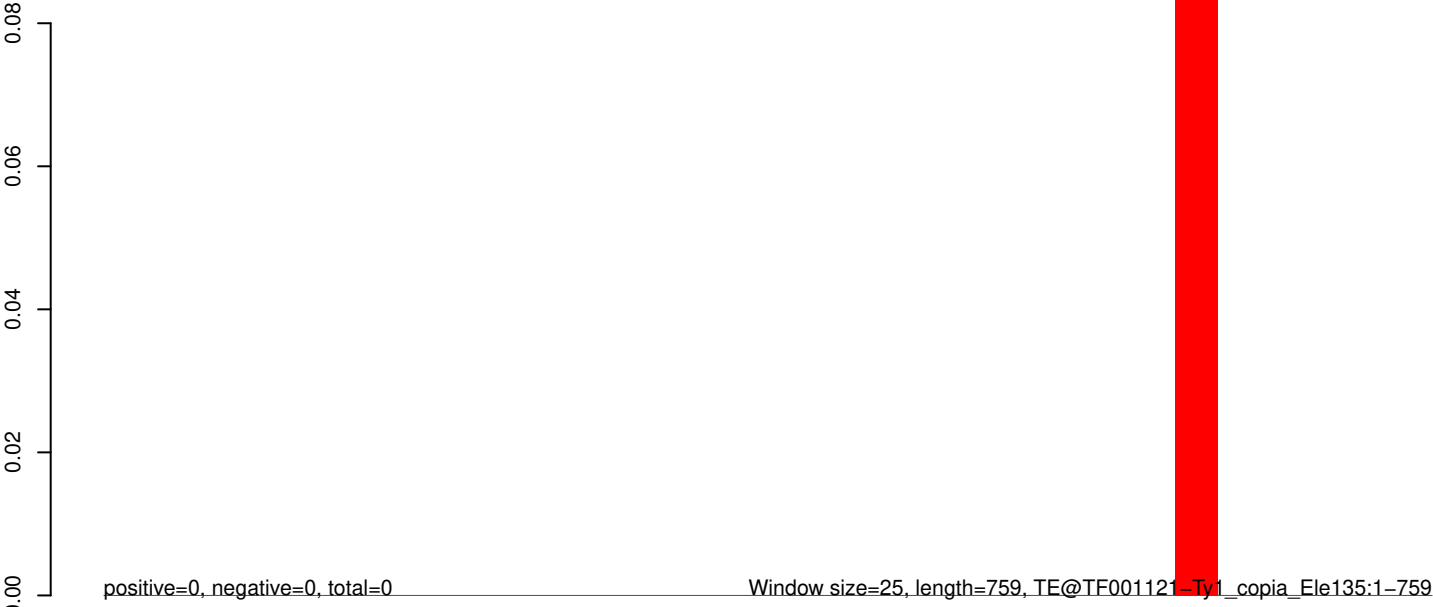
AeAeg_Aag2_Ago2_SINV_RA.18_23.rep



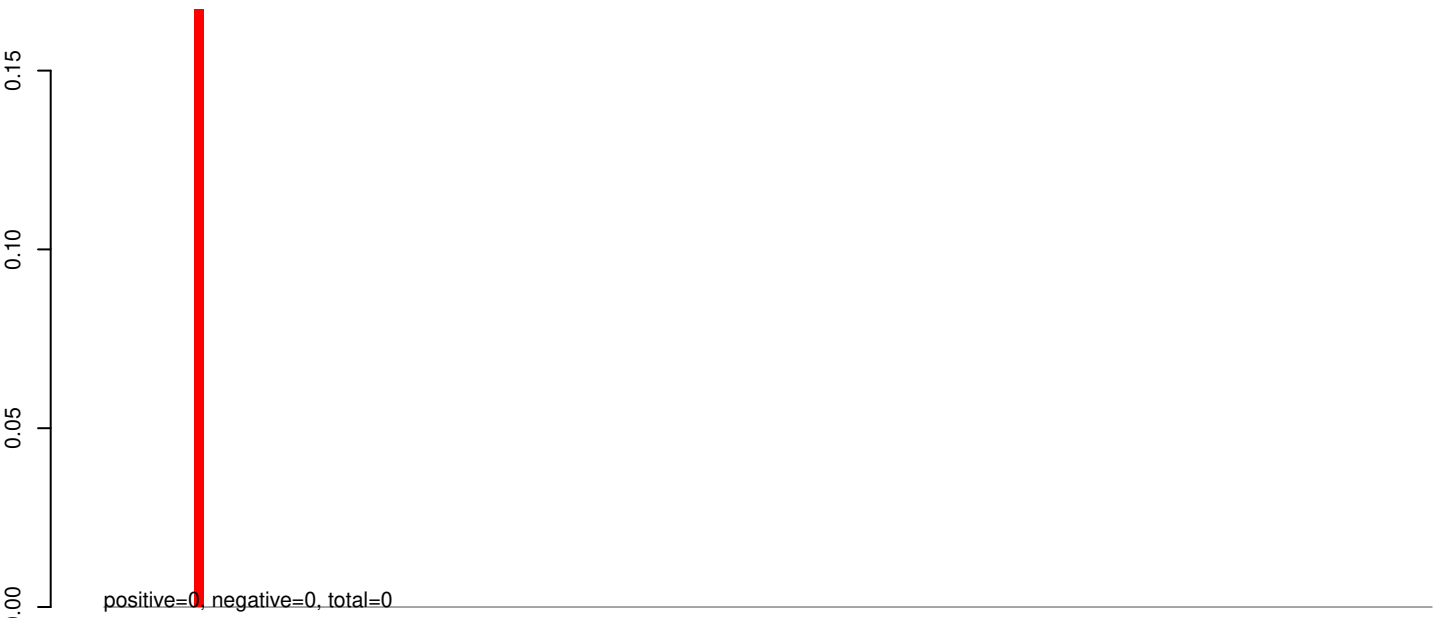
AeAeg_Aag2_Ago2_SINV_RA.24_35.rep



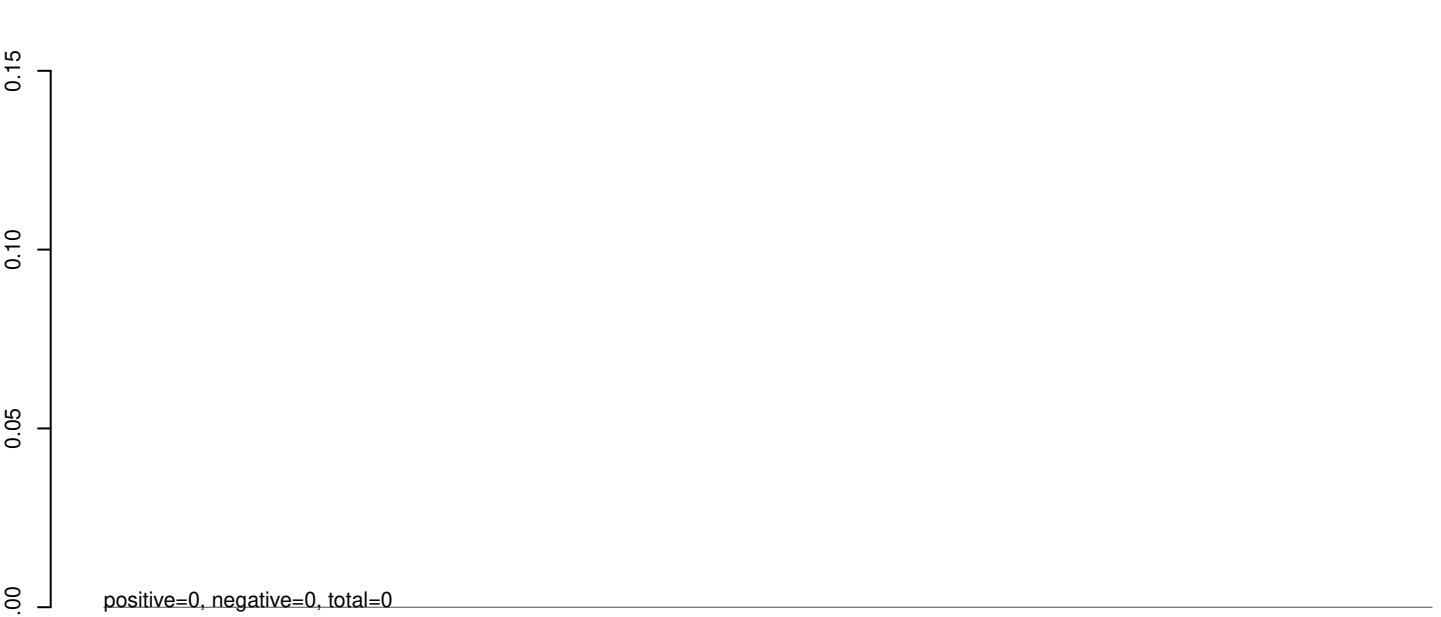
AeAeg_Aag2_Ago2_SINV_RA.rep



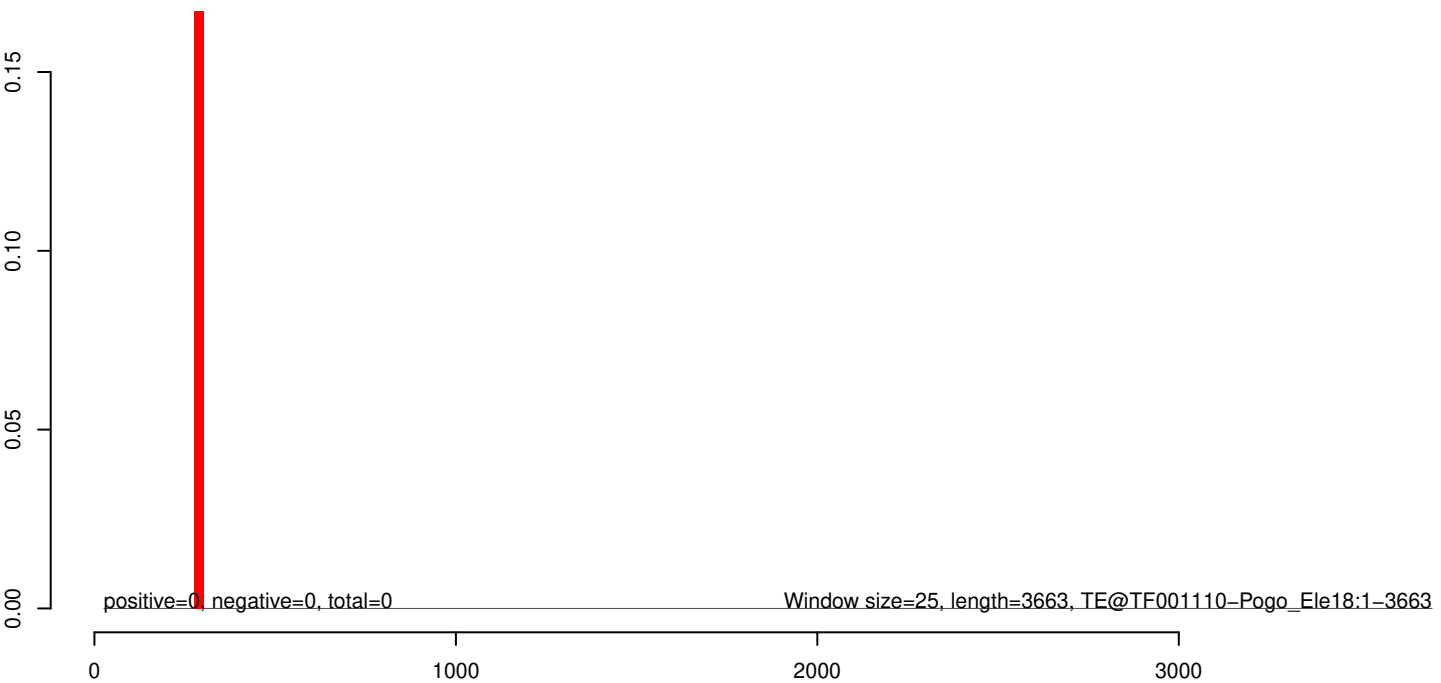
AeAeg_Aag2_Ago2_SINV_RA.18_23.rep



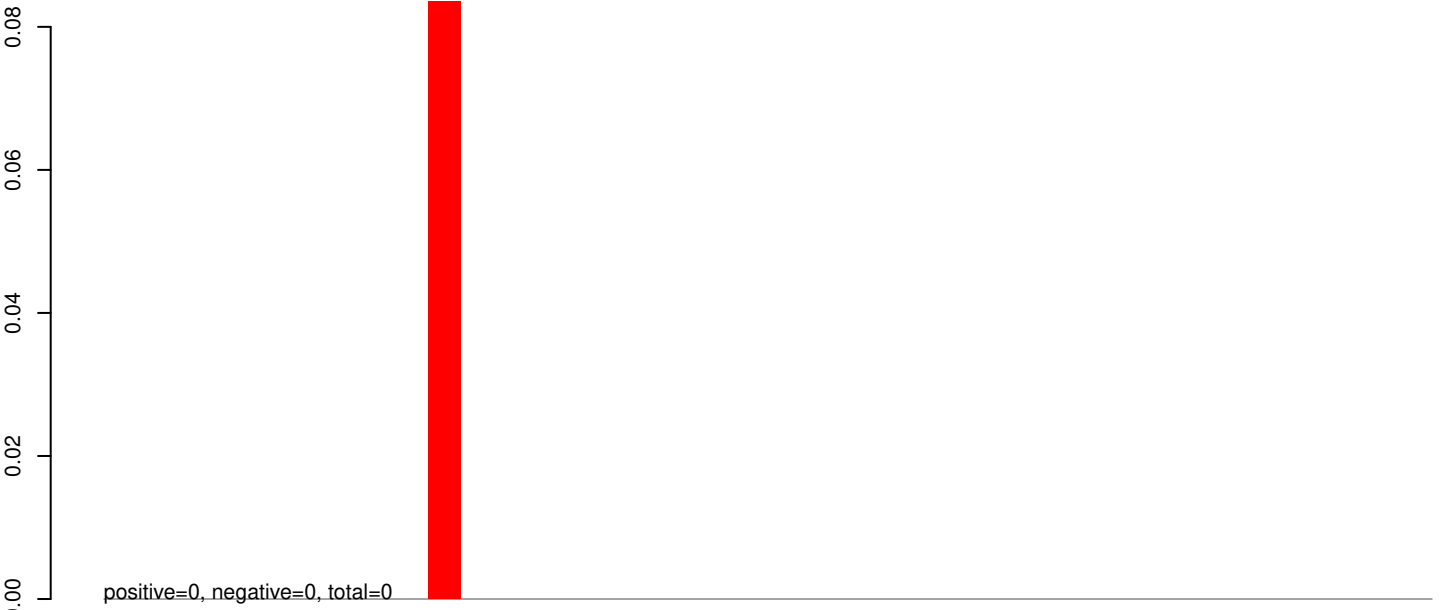
AeAeg_Aag2_Ago2_SINV_RA.24_35.rep



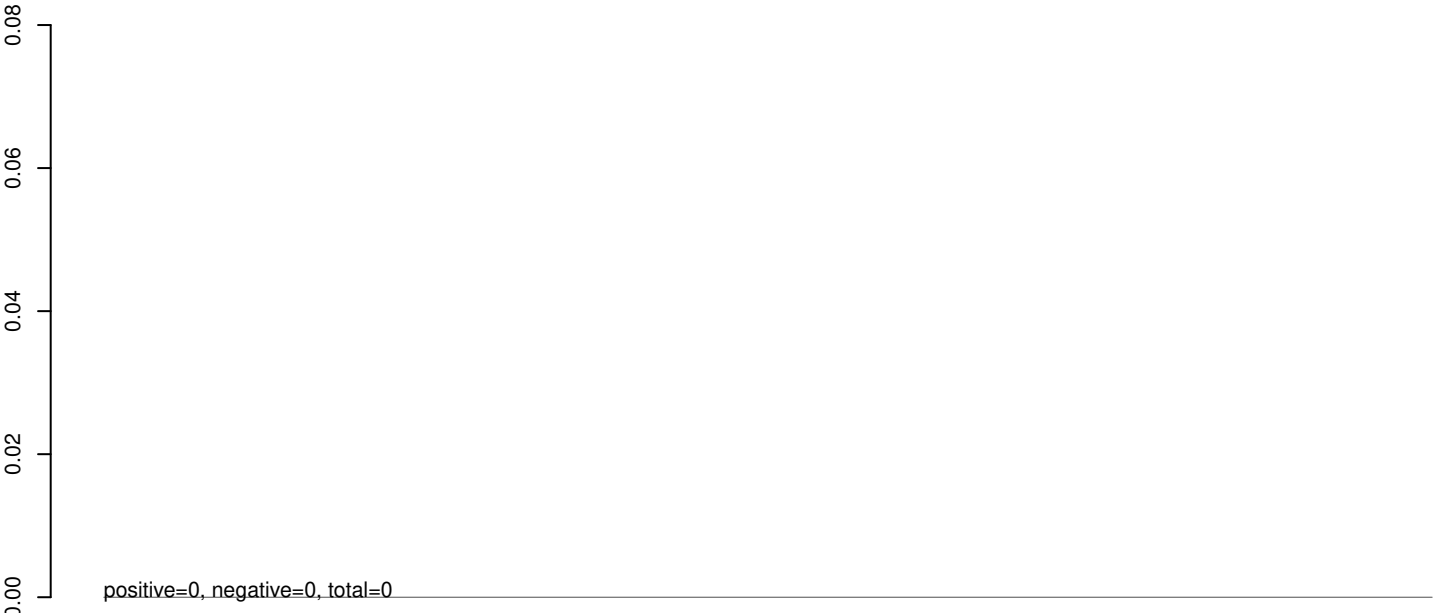
AeAeg_Aag2_Ago2_SINV_RA.rep



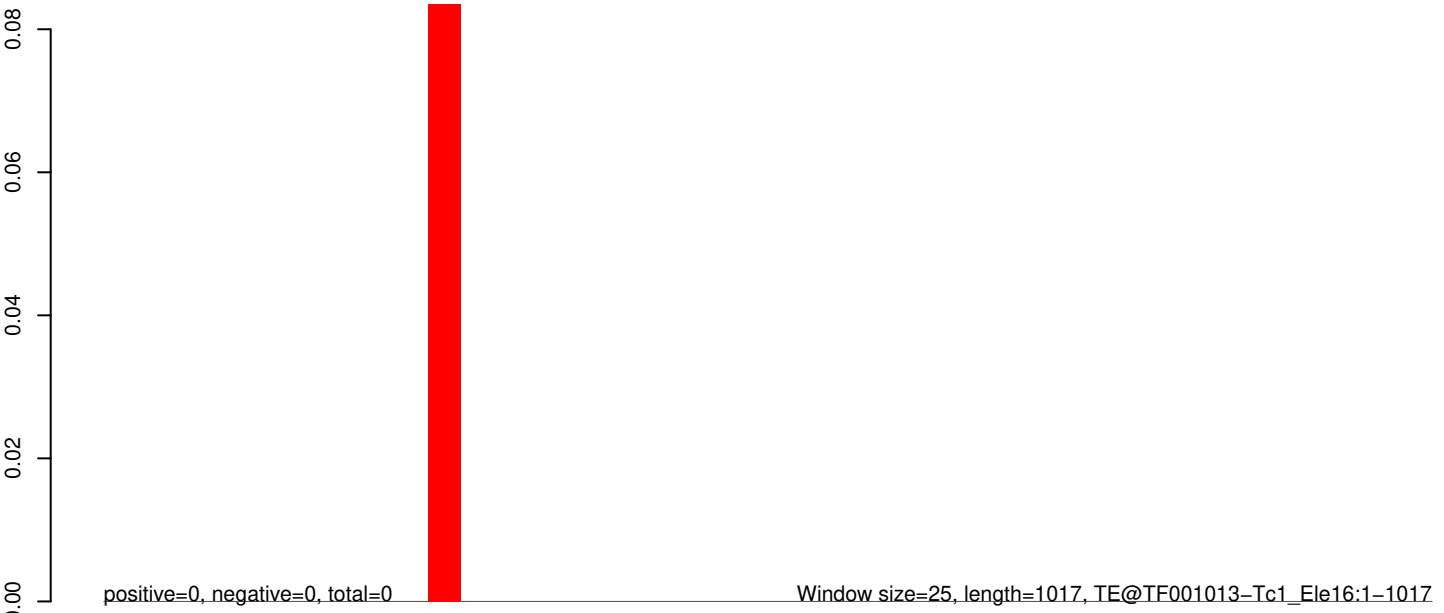
AeAeg_Aag2_Ago2_SINV_RA.18_23.rep



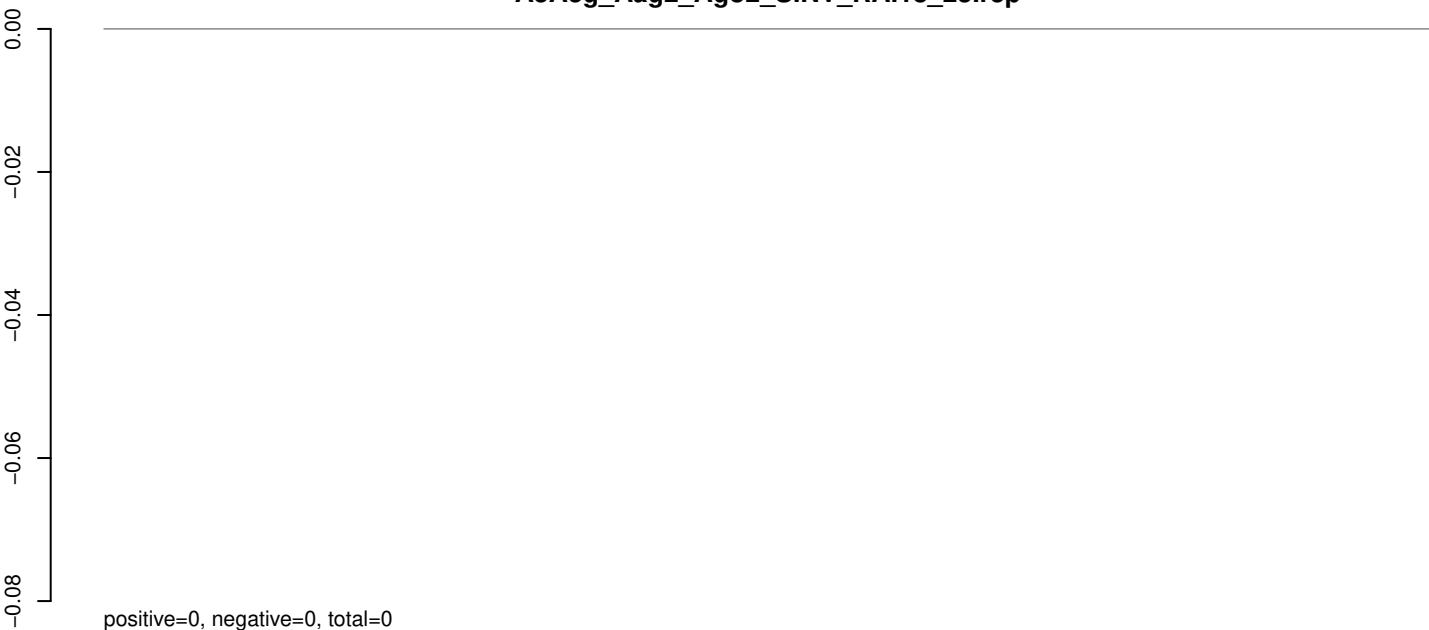
AeAeg_Aag2_Ago2_SINV_RA.24_35.rep



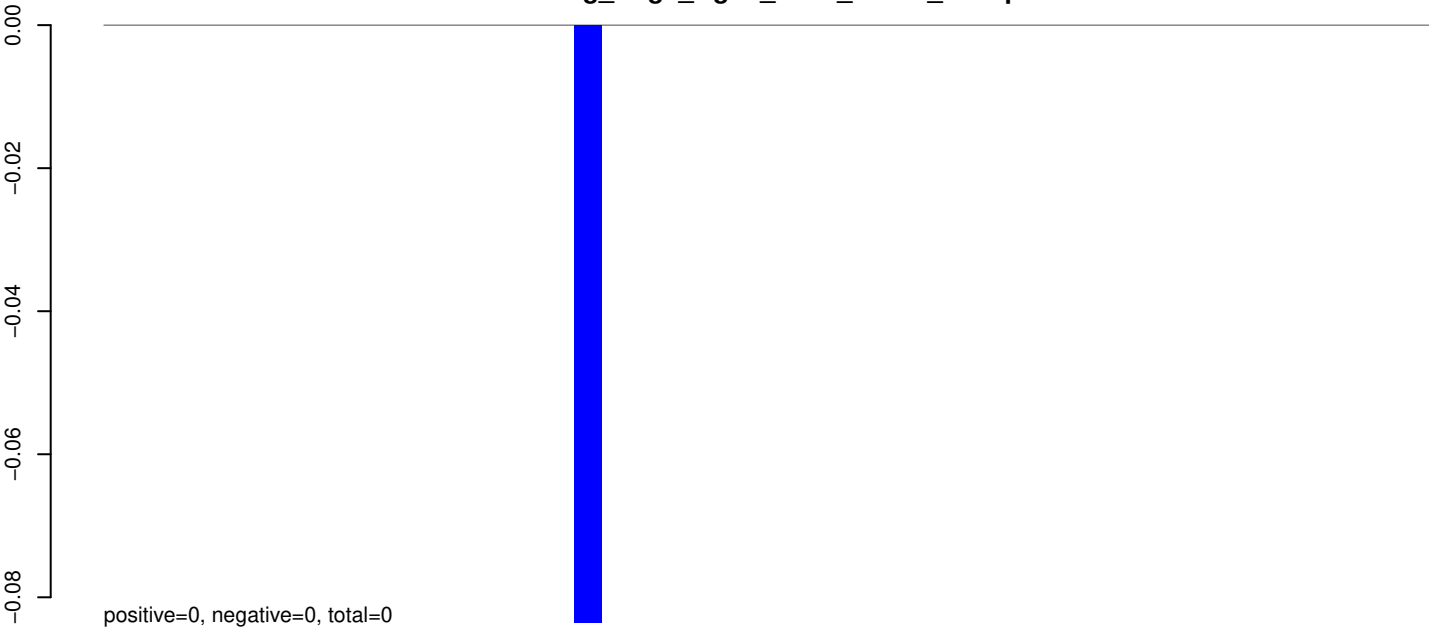
AeAeg_Aag2_Ago2_SINV_RA.rep



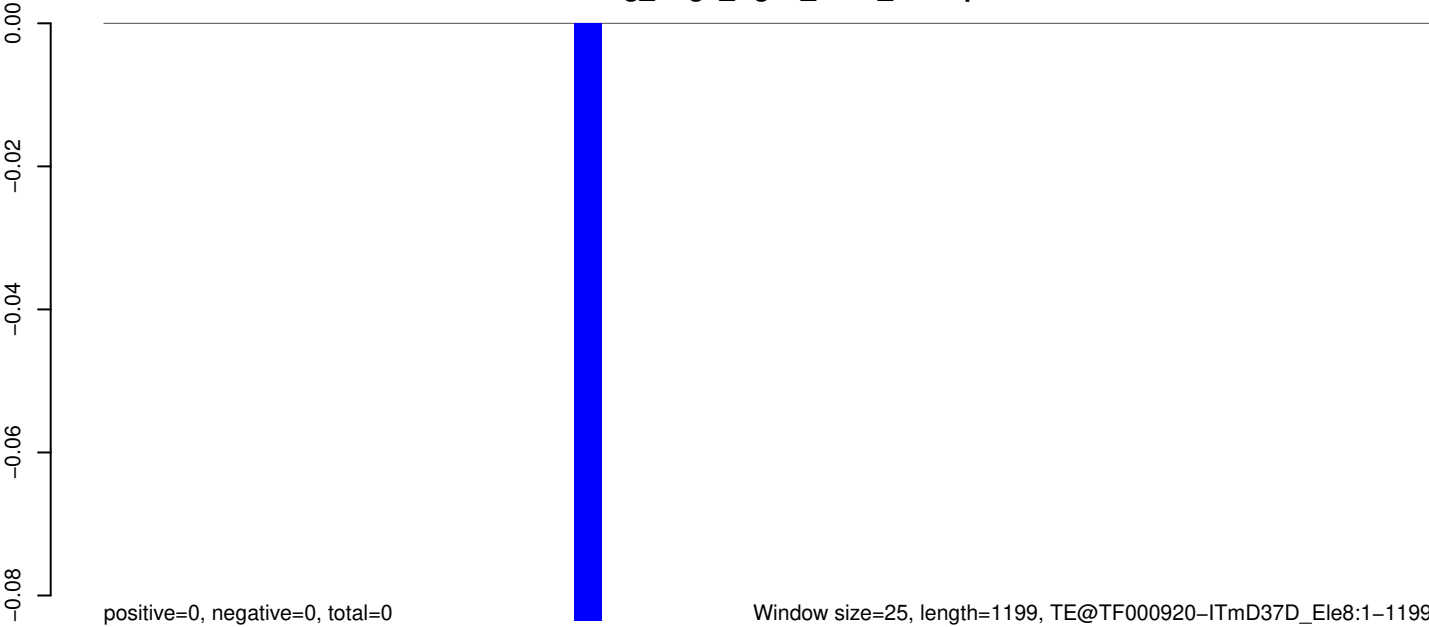
AeAeg_Aag2_Ago2_SINV_RA.18_23.rep



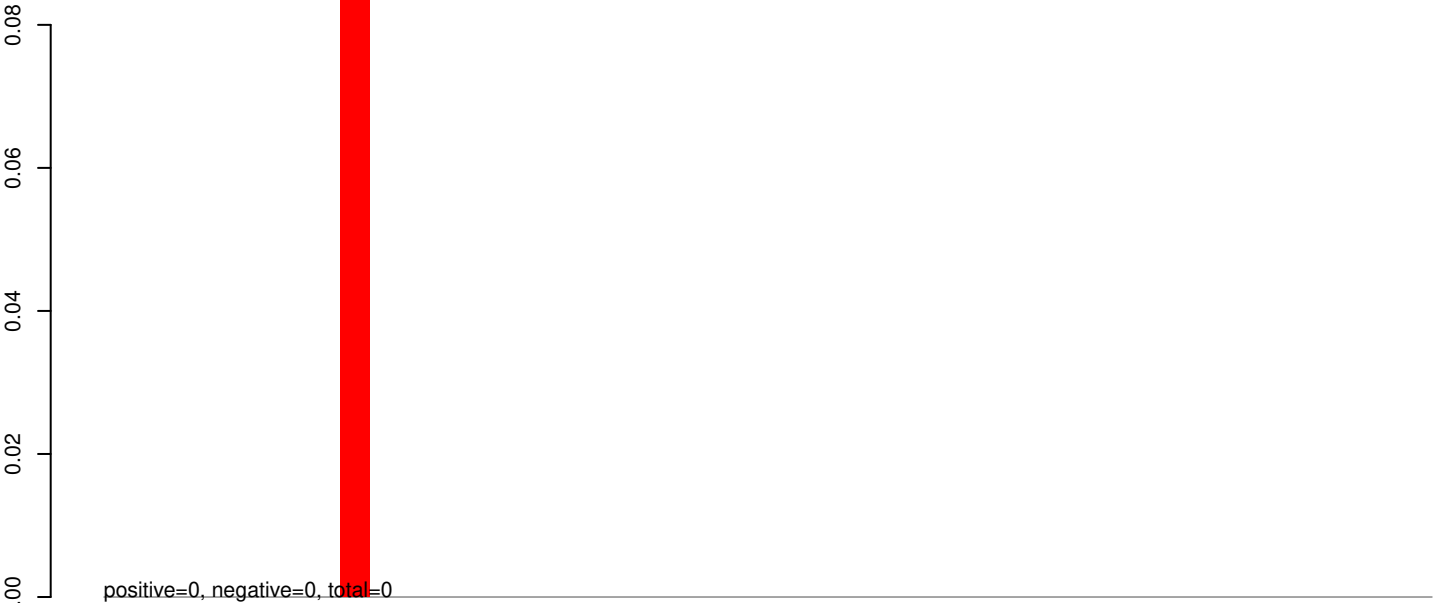
AeAeg_Aag2_Ago2_SINV_RA.24_35.rep



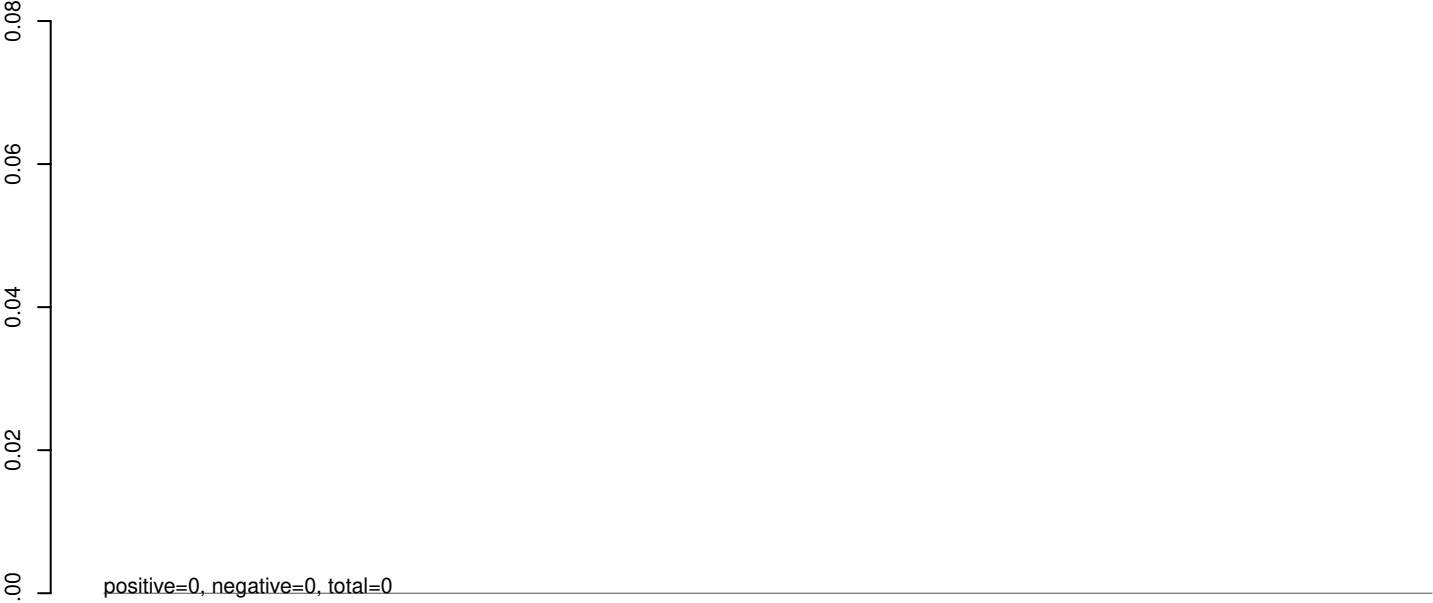
AeAeg_Aag2_Ago2_SINV_RA.rep



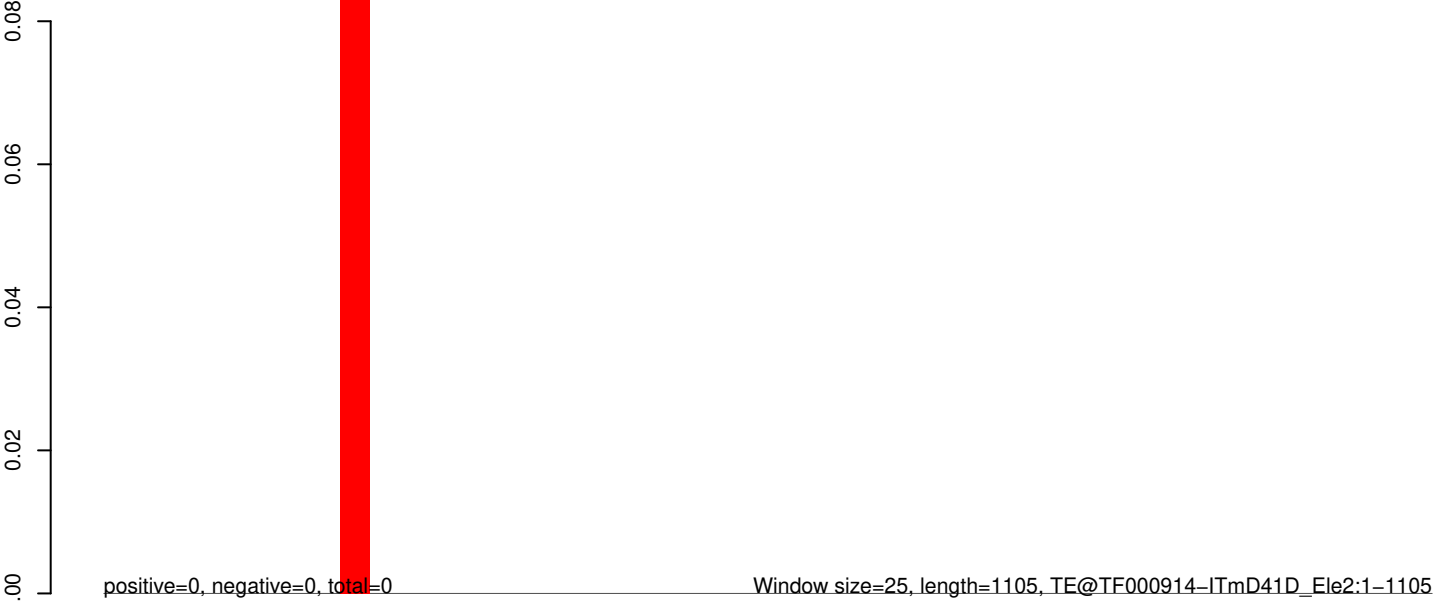
AeAeg_Aag2_Ago2_SINV_RA.18_23.rep



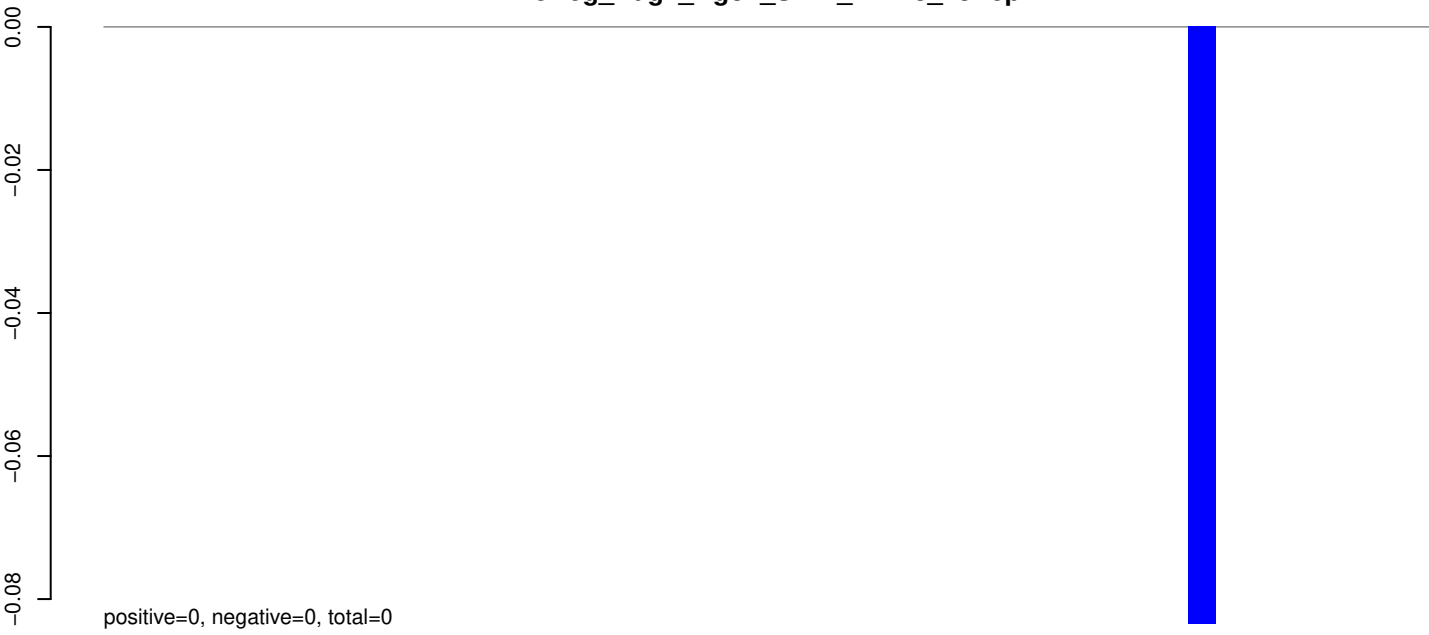
AeAeg_Aag2_Ago2_SINV_RA.24_35.rep



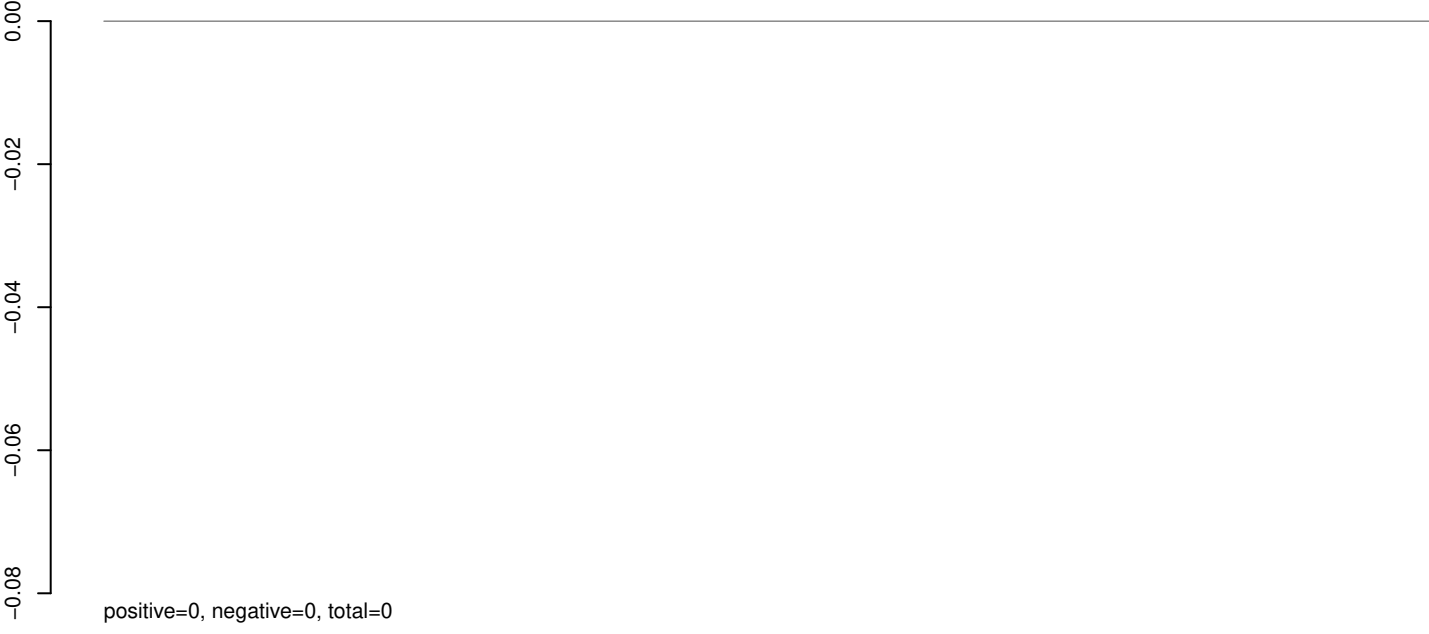
AeAeg_Aag2_Ago2_SINV_RA.rep



AeAeg_Aag2_Ago2_SINV_RA.18_23.rep



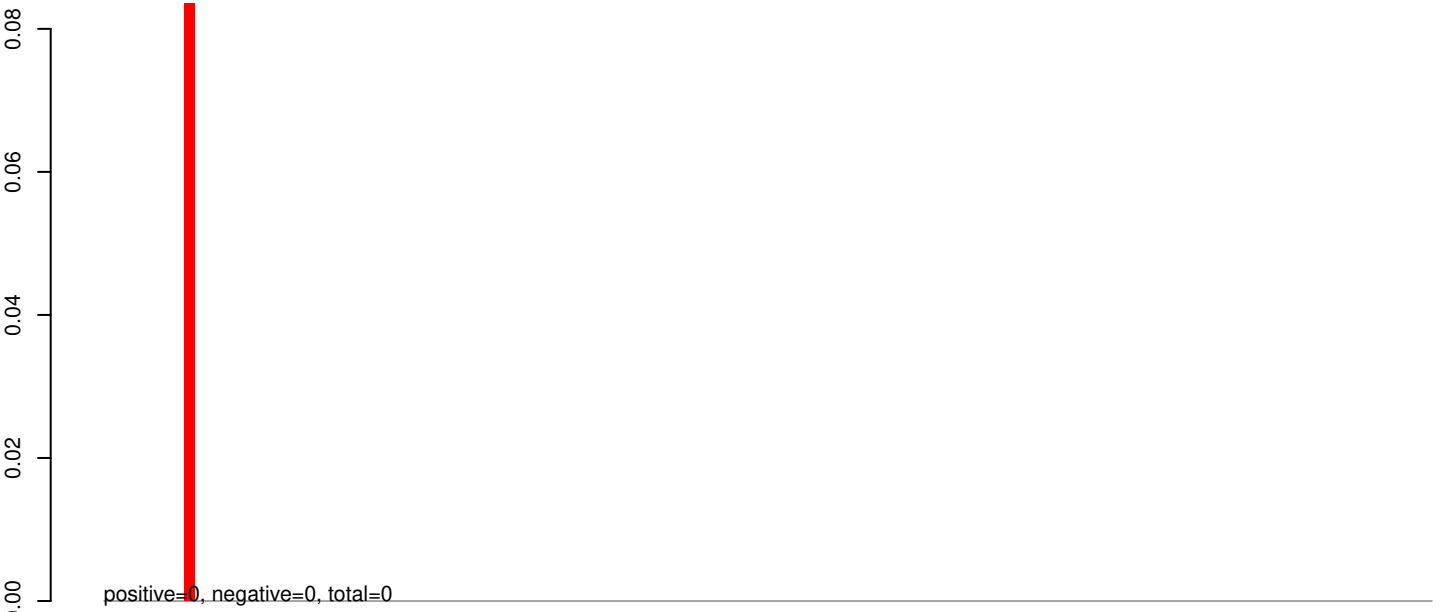
AeAeg_Aag2_Ago2_SINV_RA.24_35.rep



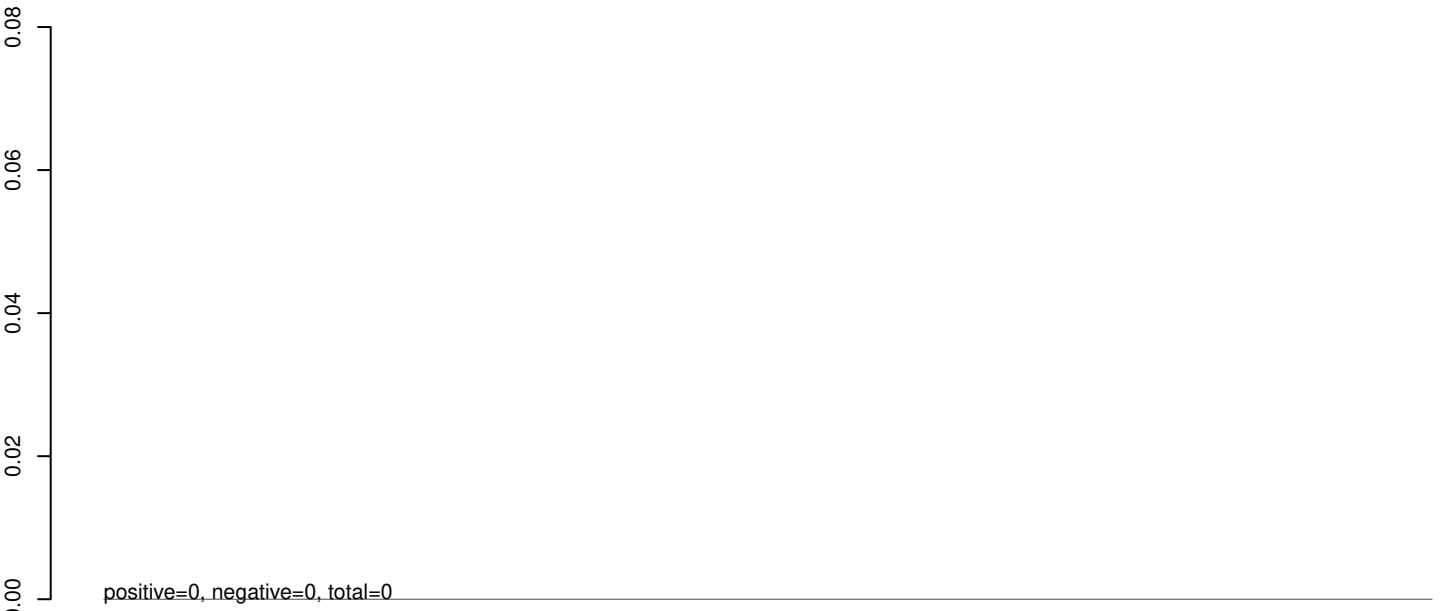
AeAeg_Aag2_Ago2_SINV_RA.rep



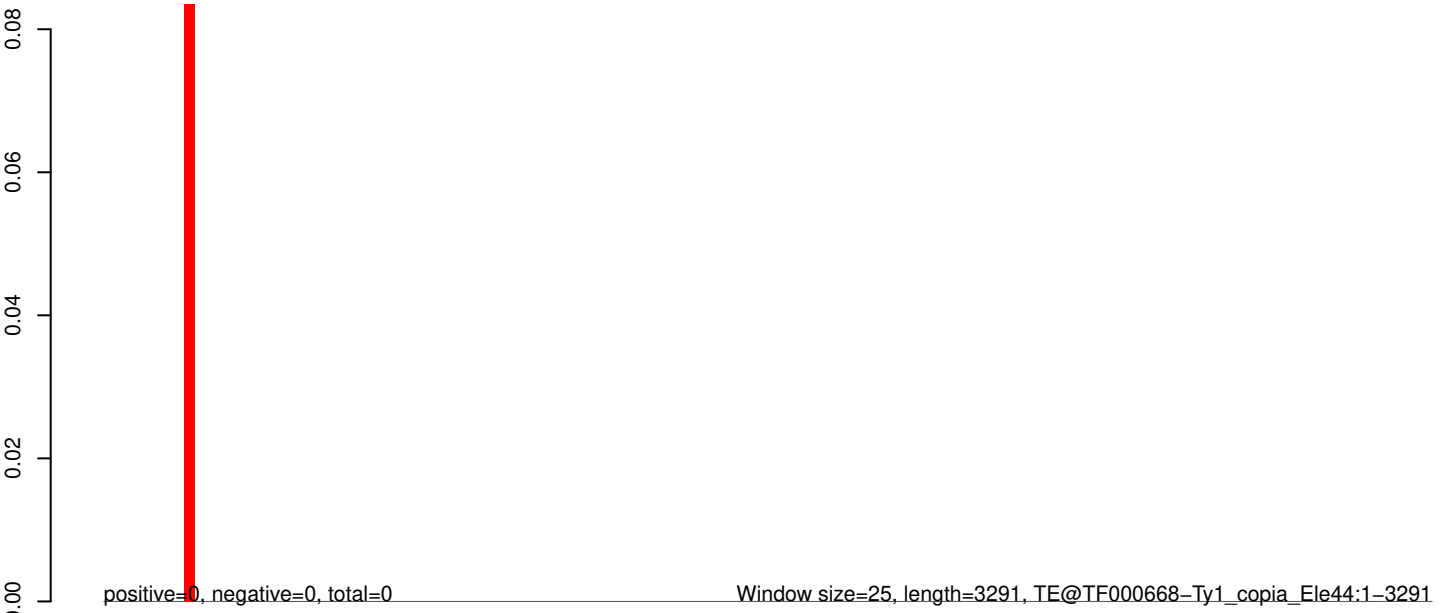
AeAeg_Aag2_Ago2_SINV_RA.18_23.rep



AeAeg_Aag2_Ago2_SINV_RA.24_35.rep



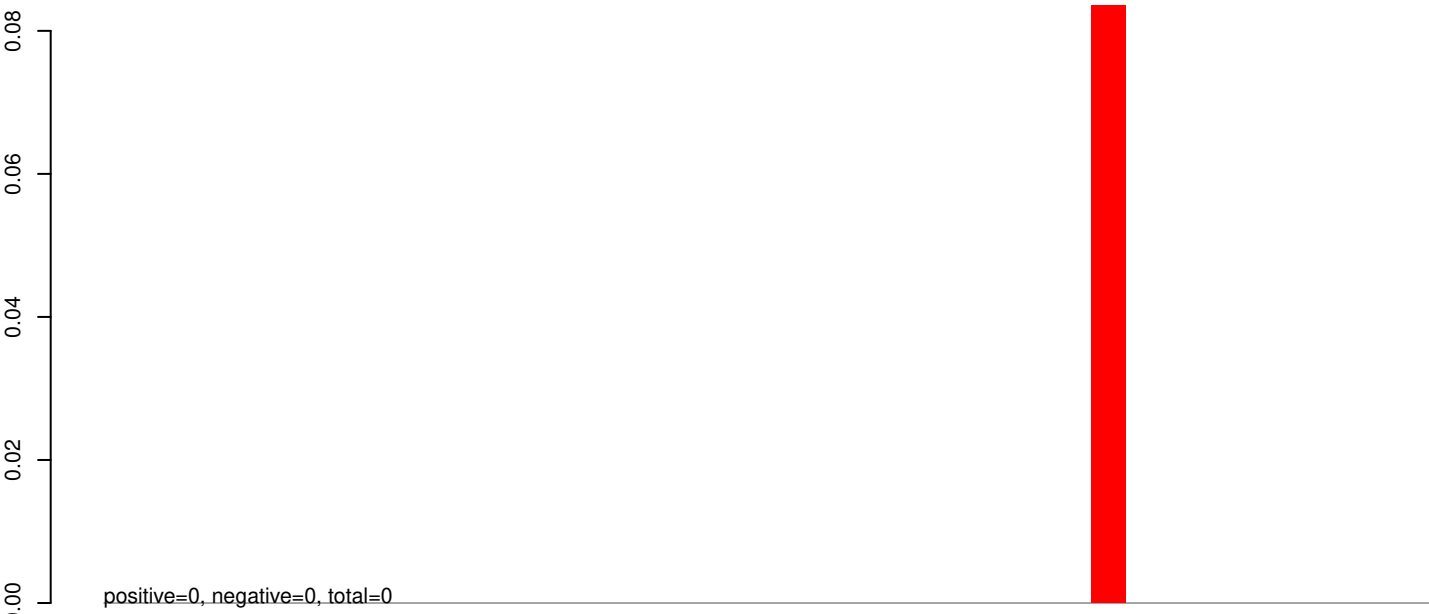
AeAeg_Aag2_Ago2_SINV_RA.rep



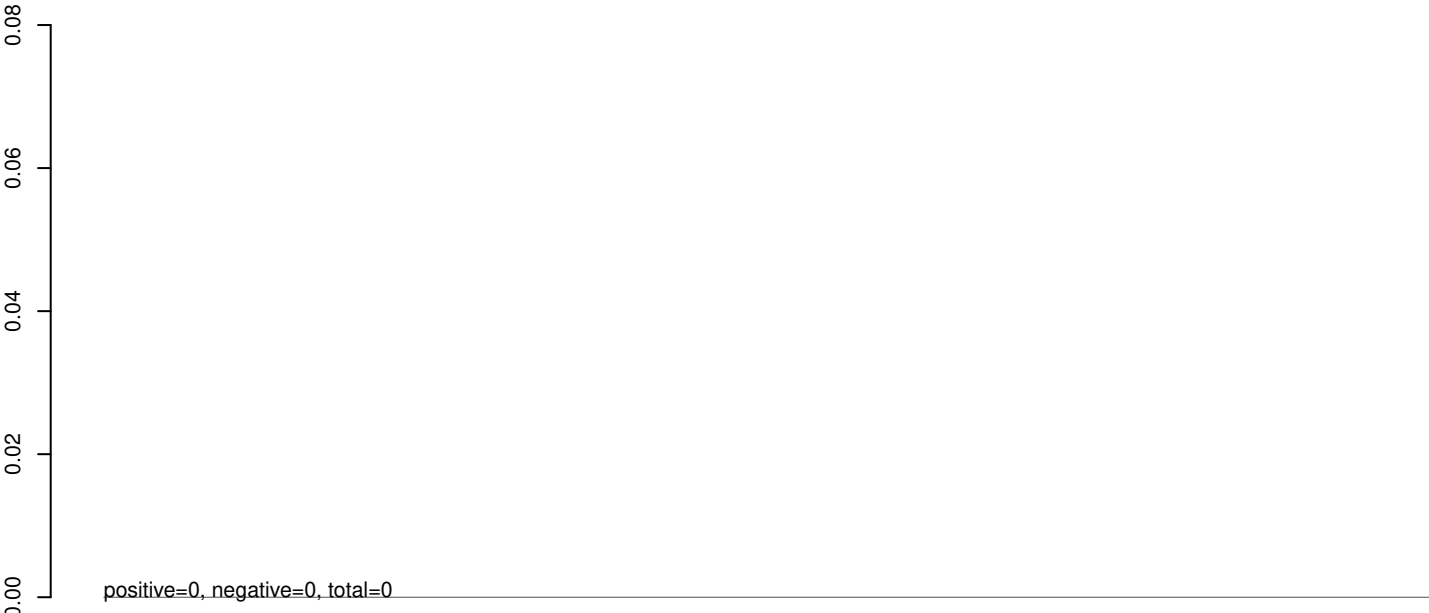
Window size=25, length=3291, TE@TF000668-Ty1_copia_Ele44:1-3291

0 500 1000 1500 2000 2500 3000

AeAeg_Aag2_Ago2_SINV_RA.18_23.rep



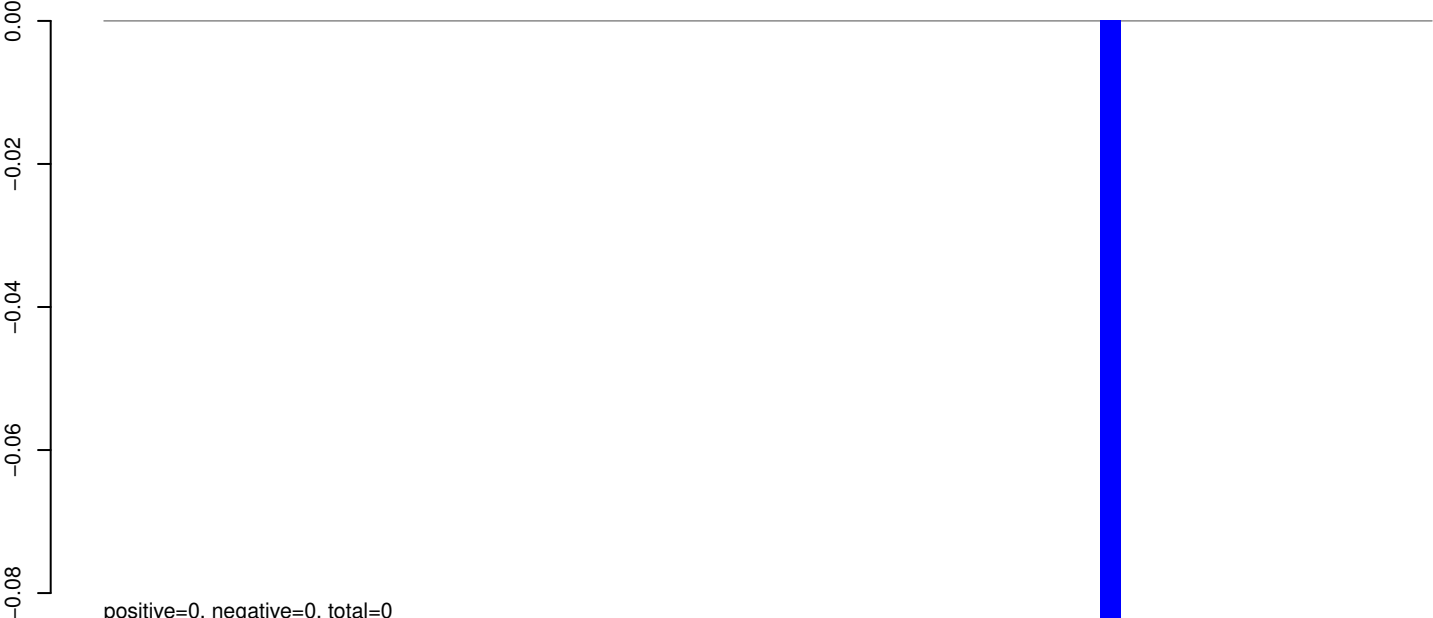
AeAeg_Aag2_Ago2_SINV_RA.24_35.rep



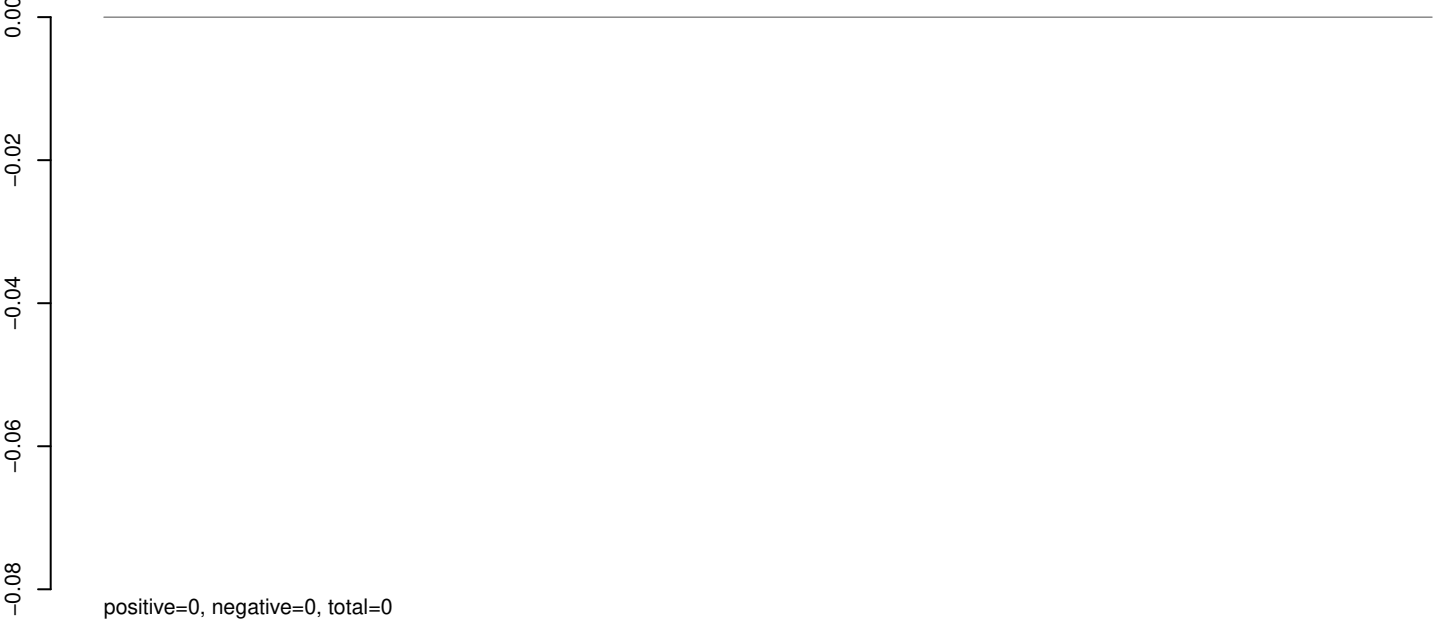
AeAeg_Aag2_Ago2_SINV_RA.rep



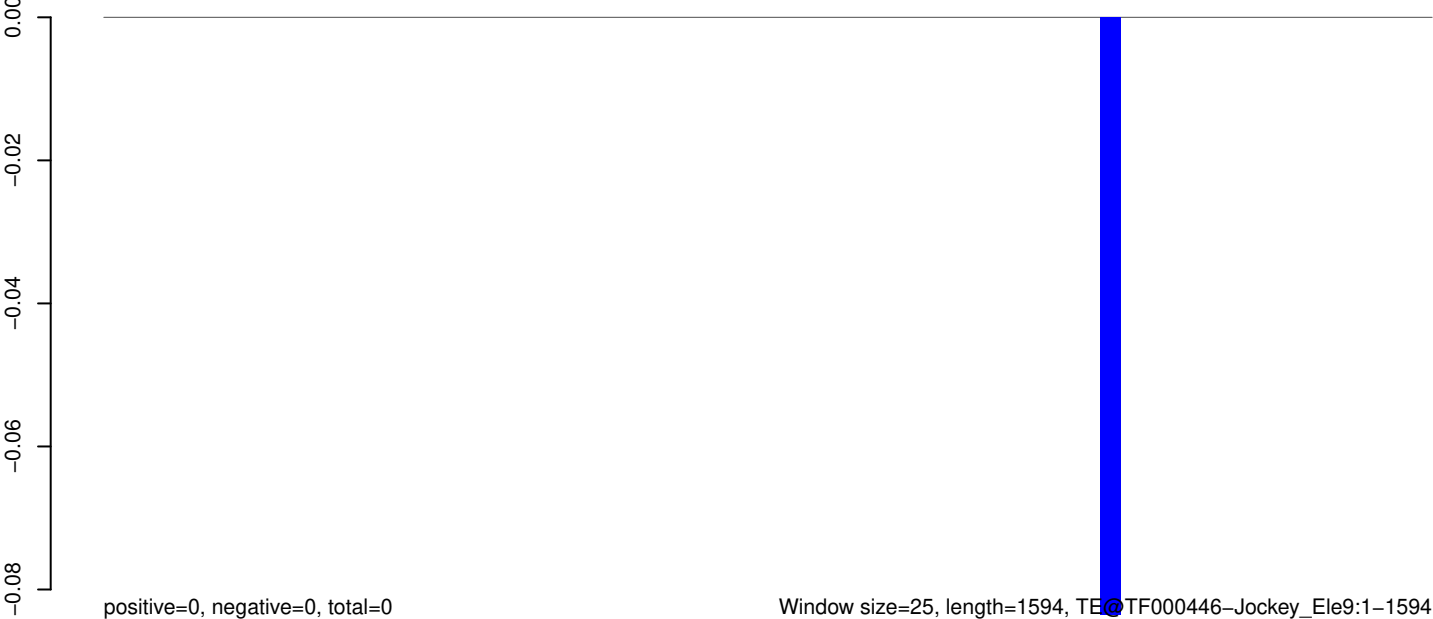
AeAeg_Aag2_Ago2_SINV_RA.18_23.rep



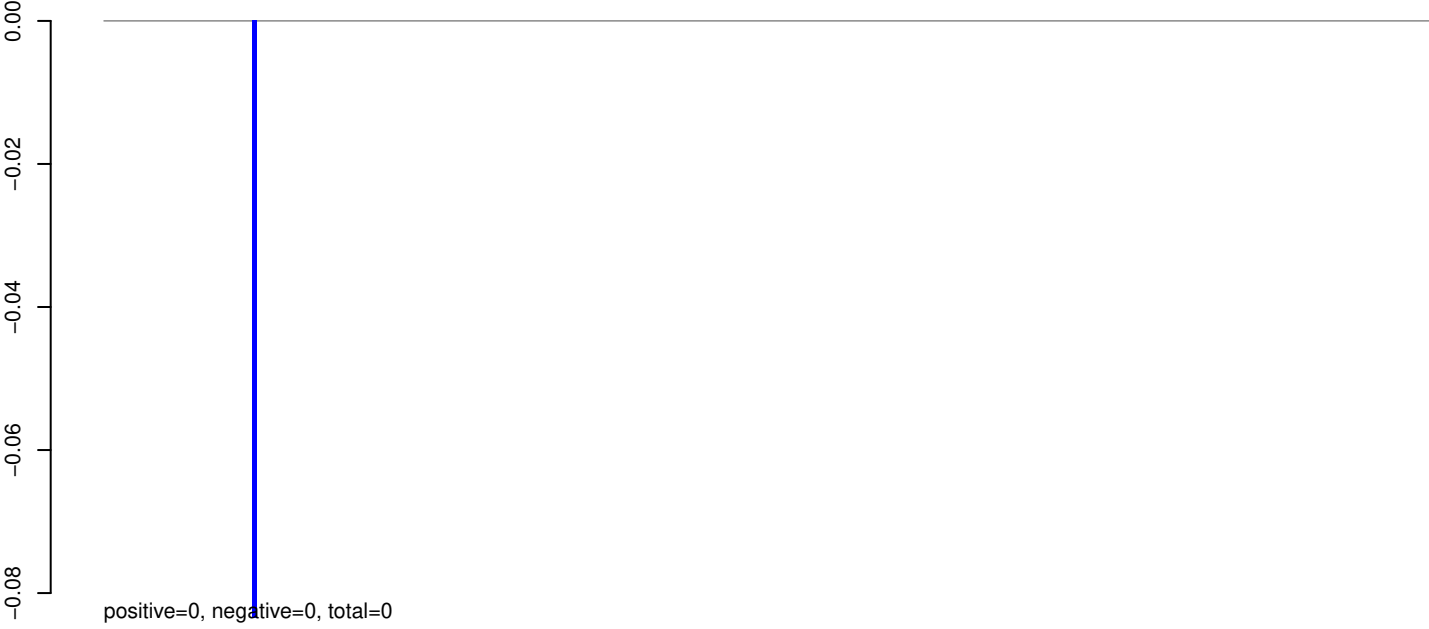
AeAeg_Aag2_Ago2_SINV_RA.24_35.rep



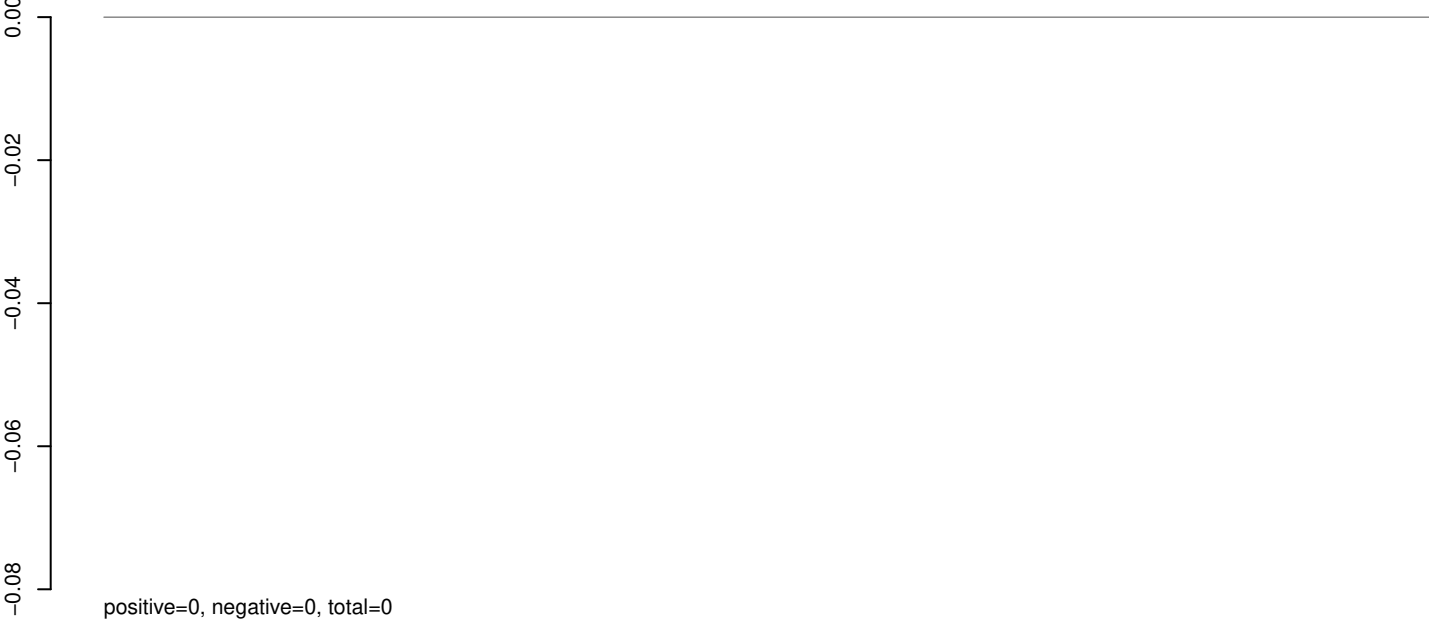
AeAeg_Aag2_Ago2_SINV_RA.rep



AeAeg_Aag2_Ago2_SINV_RA.18_23.rep



AeAeg_Aag2_Ago2_SINV_RA.24_35.rep



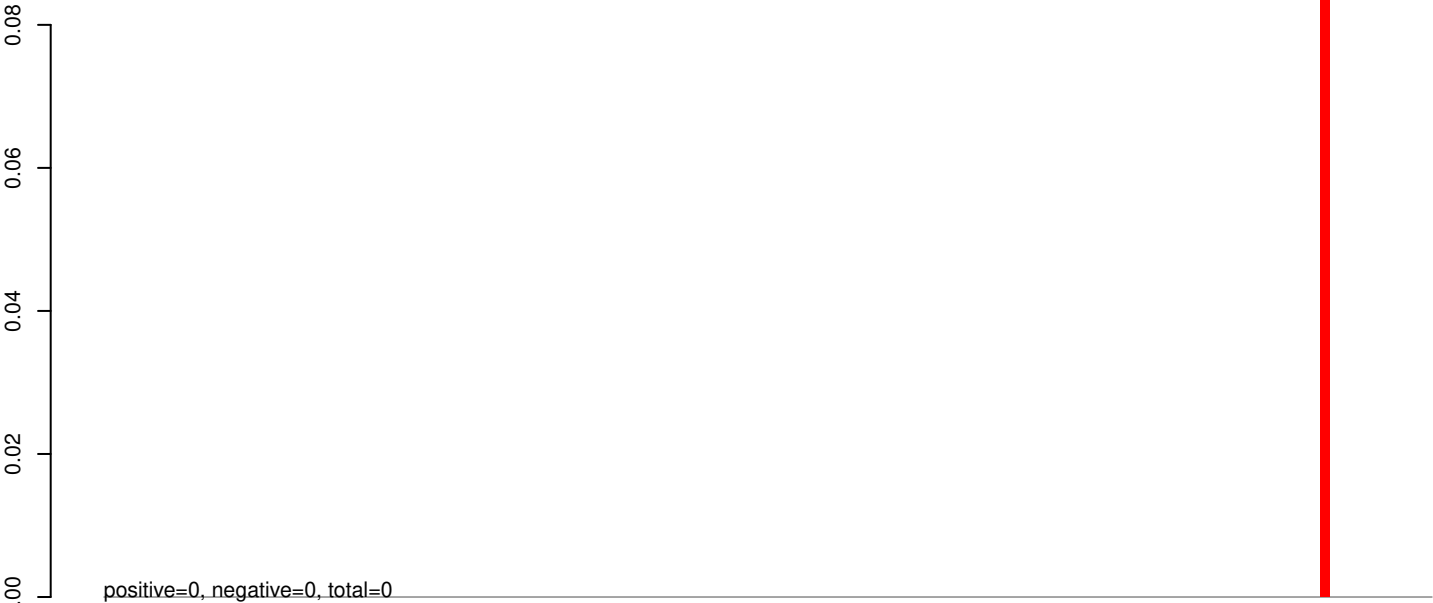
AeAeg_Aag2_Ago2_SINV_RA.rep



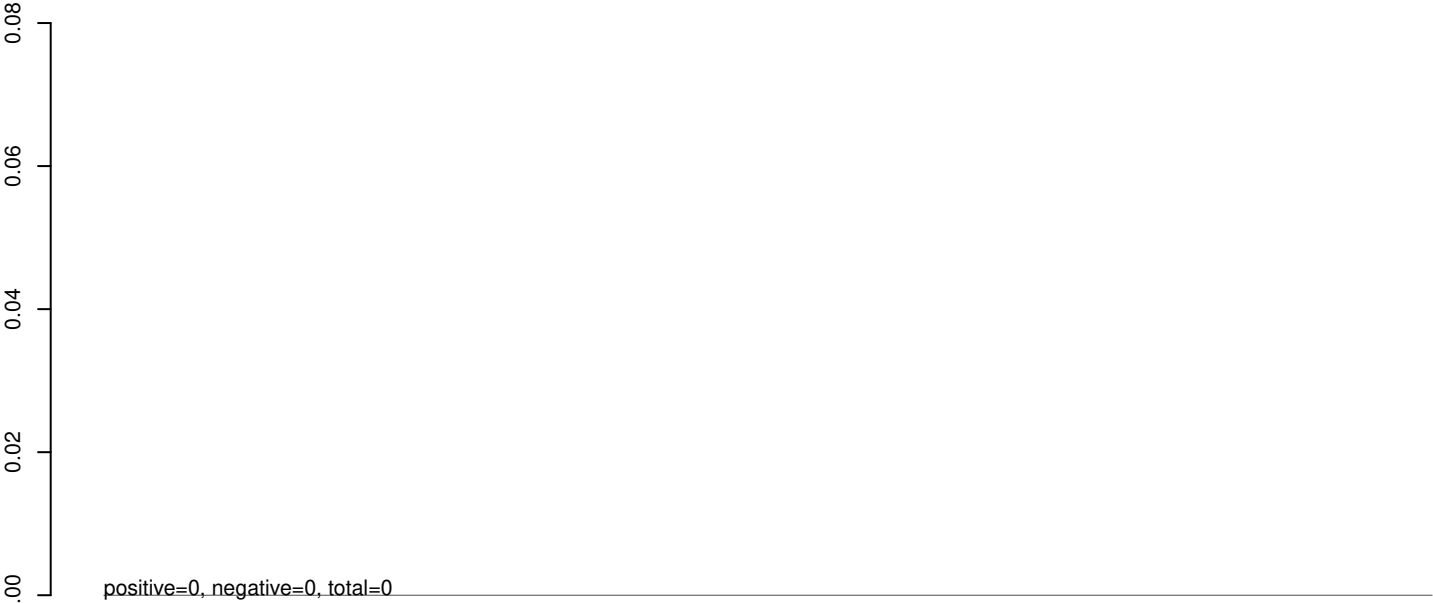
Window size=25, length=6921, TE@TF000262-Pao_Bel_Ele81:1-6921

0 1000 2000 3000 4000 5000 6000 7000

AeAeg_Aag2_Ago2_SINV_RA.18_23.rep



AeAeg_Aag2_Ago2_SINV_RA.24_35.rep

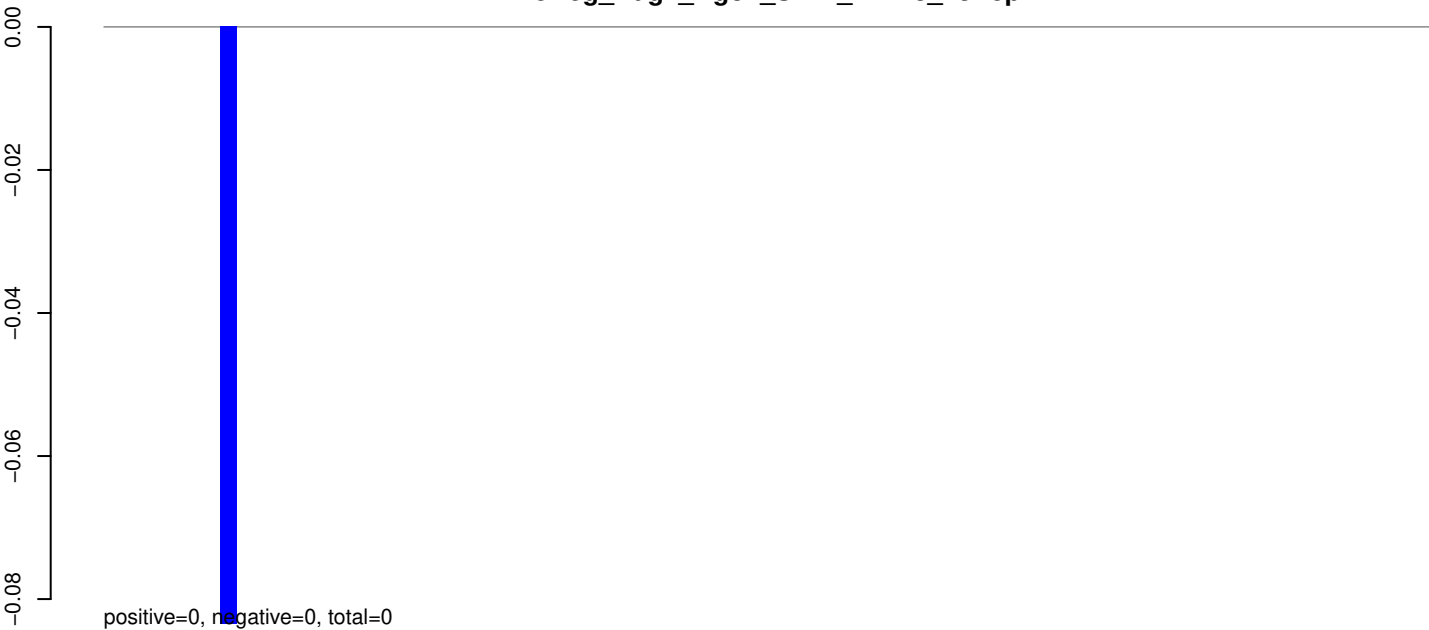


AeAeg_Aag2_Ago2_SINV_RA.rep

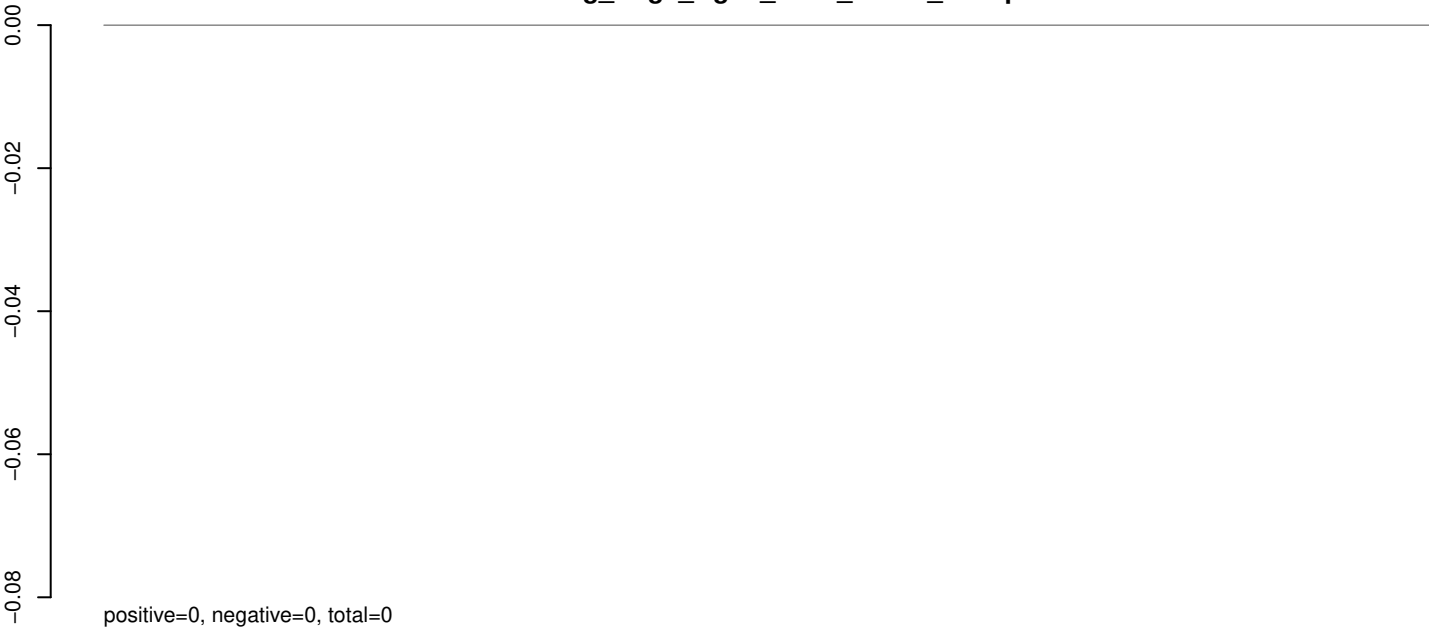


0 500 1000 1500 2000 2500 3000 3500

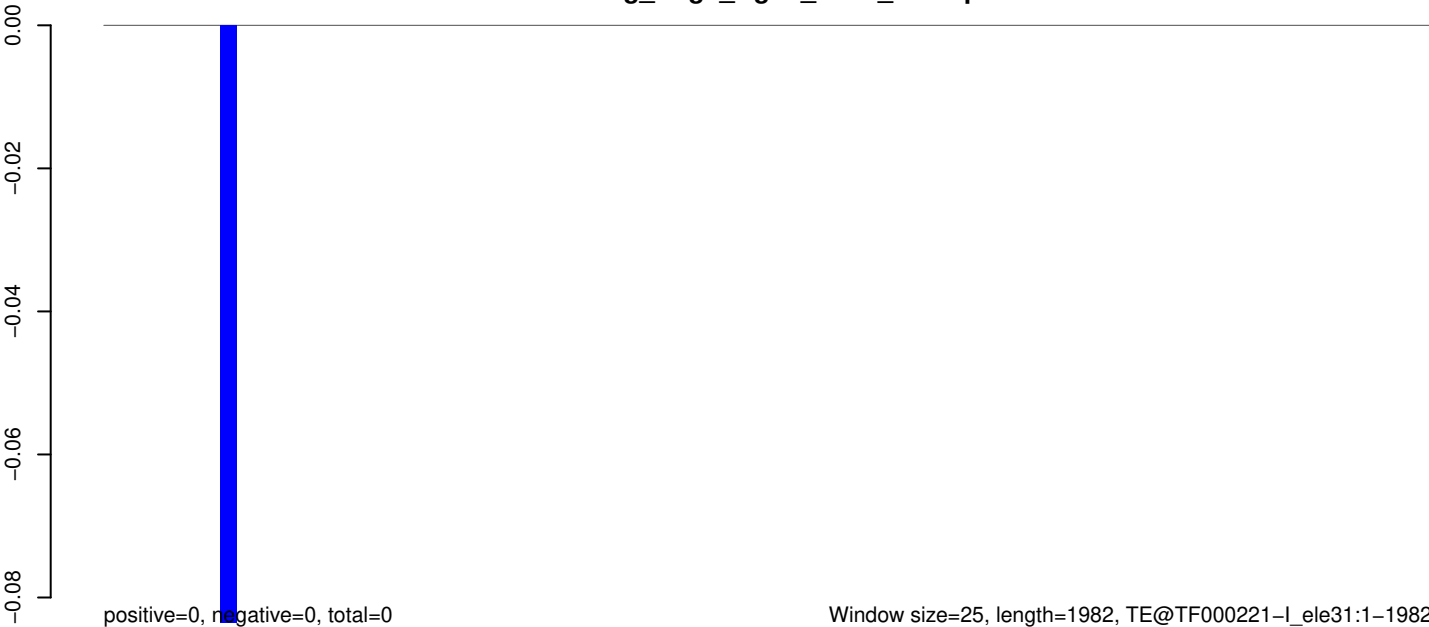
AeAeg_Aag2_Ago2_SINV_RA.18_23.rep



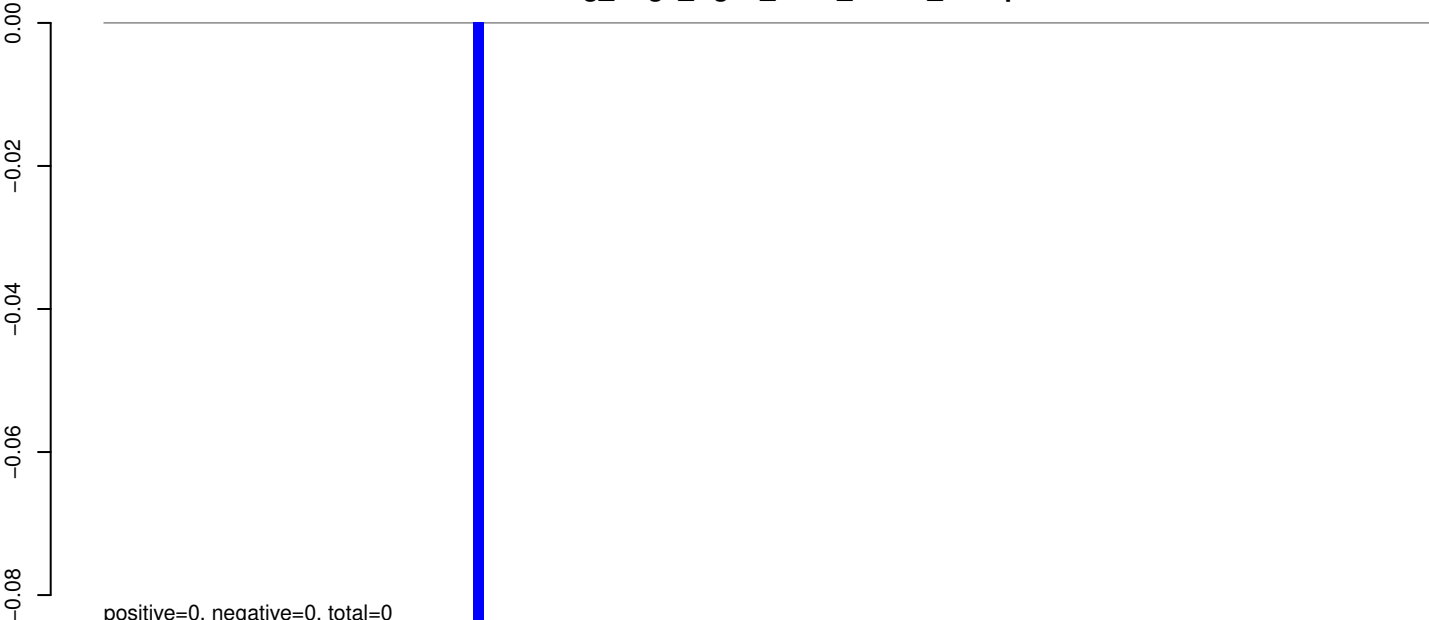
AeAeg_Aag2_Ago2_SINV_RA.24_35.rep



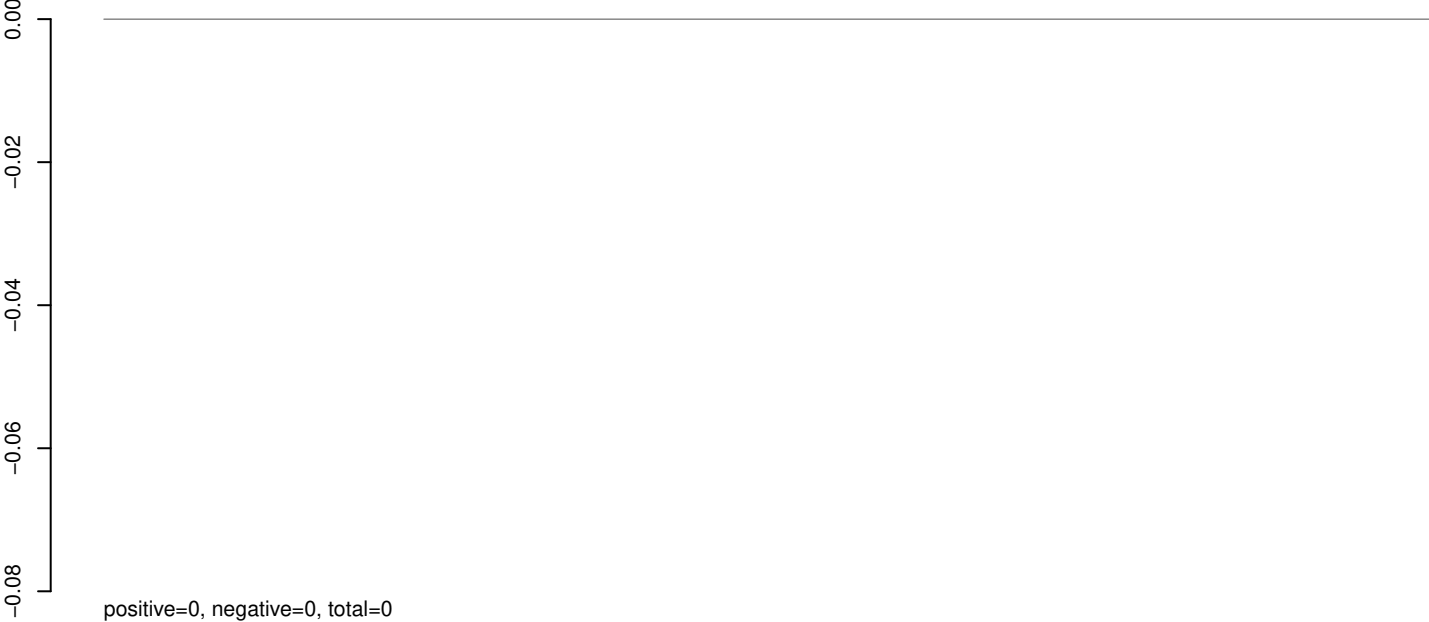
AeAeg_Aag2_Ago2_SINV_RA.rep



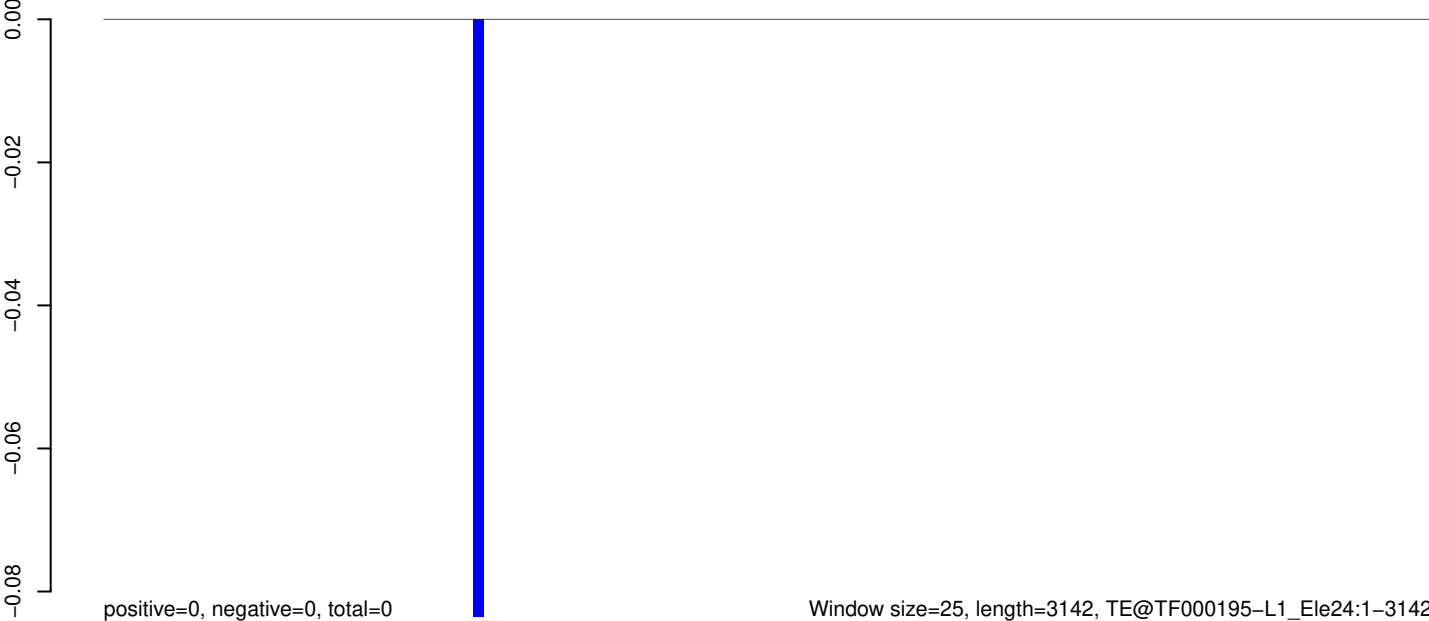
AeAeg_Aag2_Ago2_SINV_RA.18_23.rep



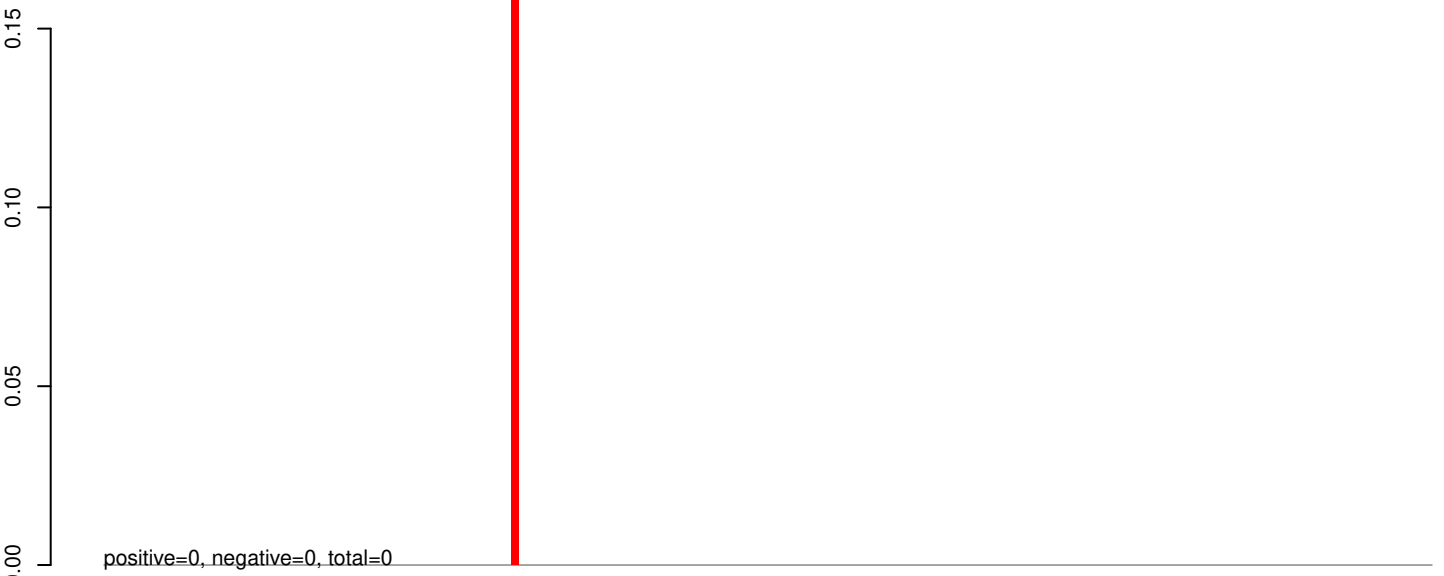
AeAeg_Aag2_Ago2_SINV_RA.24_35.rep



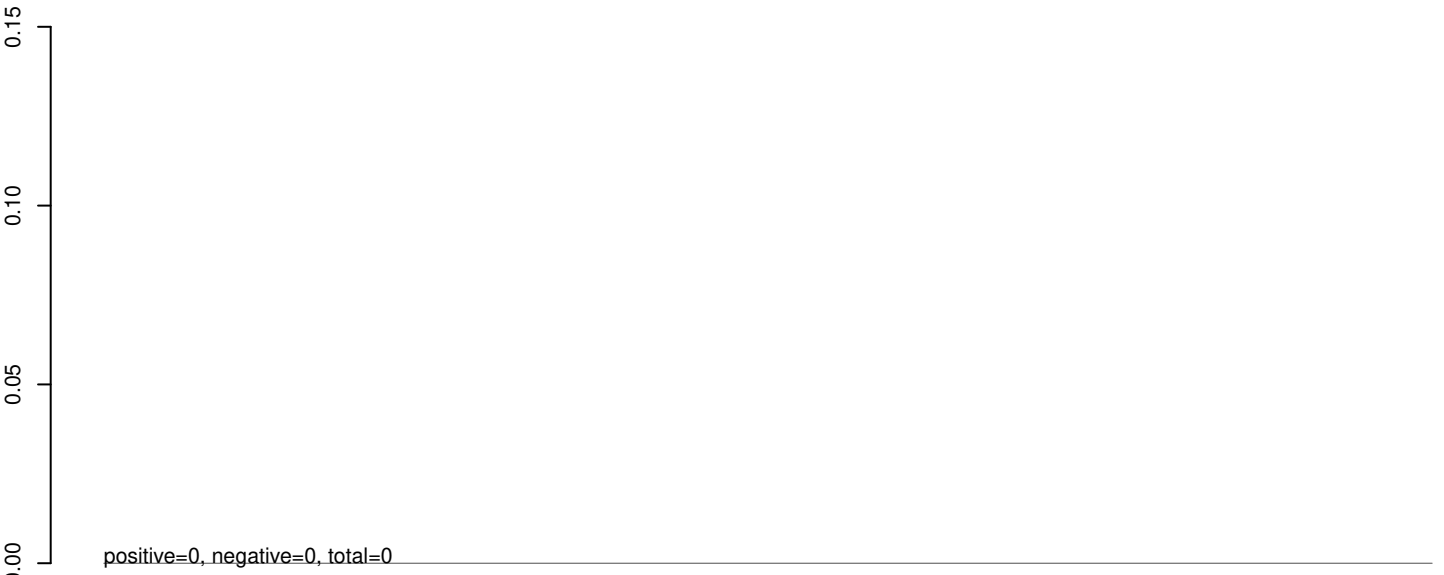
AeAeg_Aag2_Ago2_SINV_RA.rep



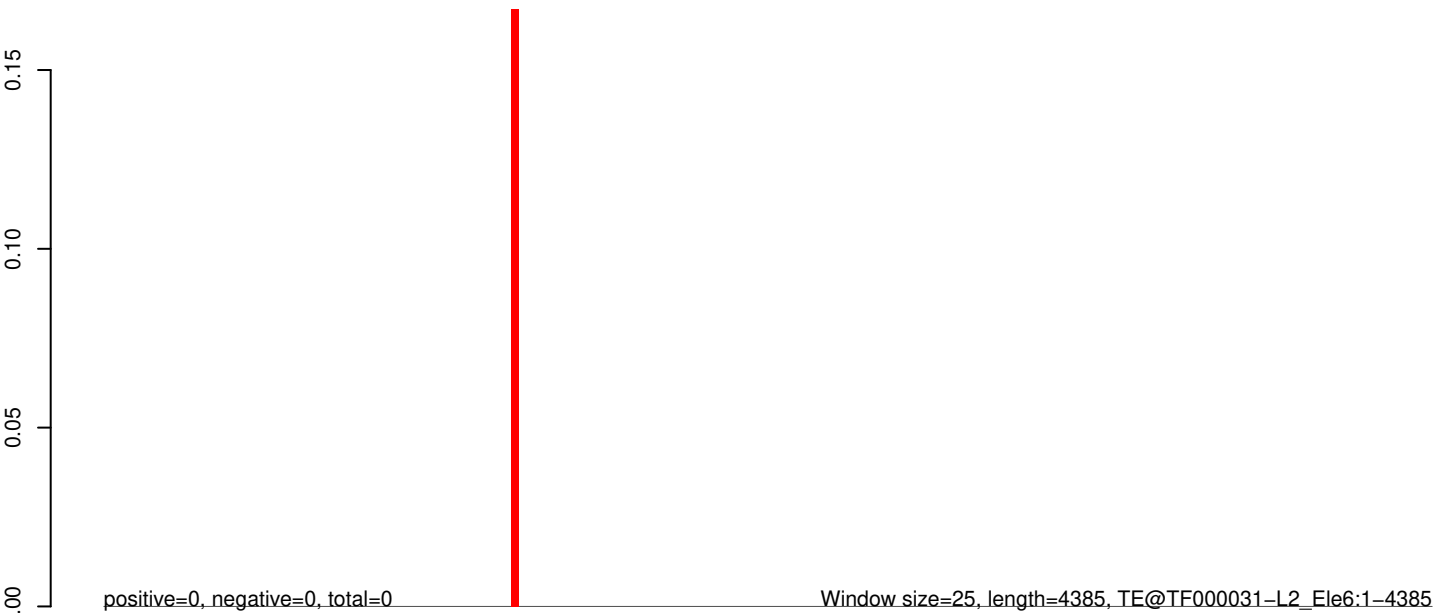
AeAeg_Aag2_Ago2_SINV_RA.18_23.rep



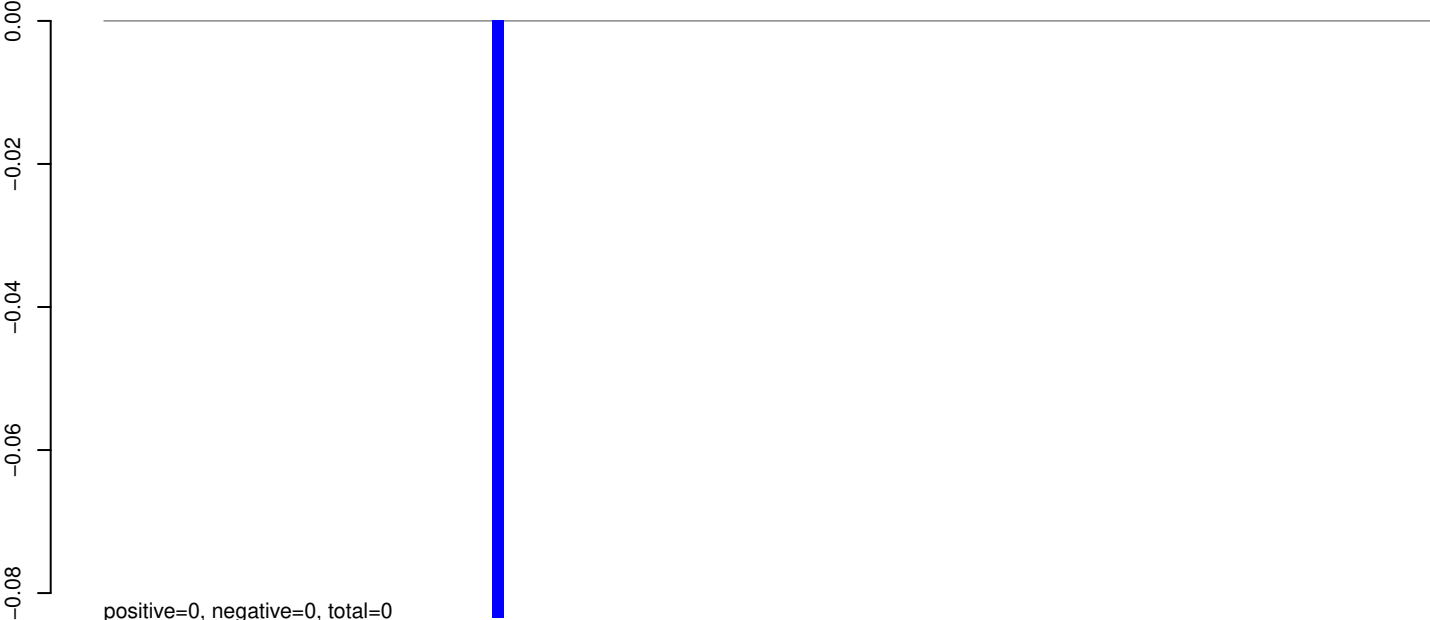
AeAeg_Aag2_Ago2_SINV_RA.24_35.rep



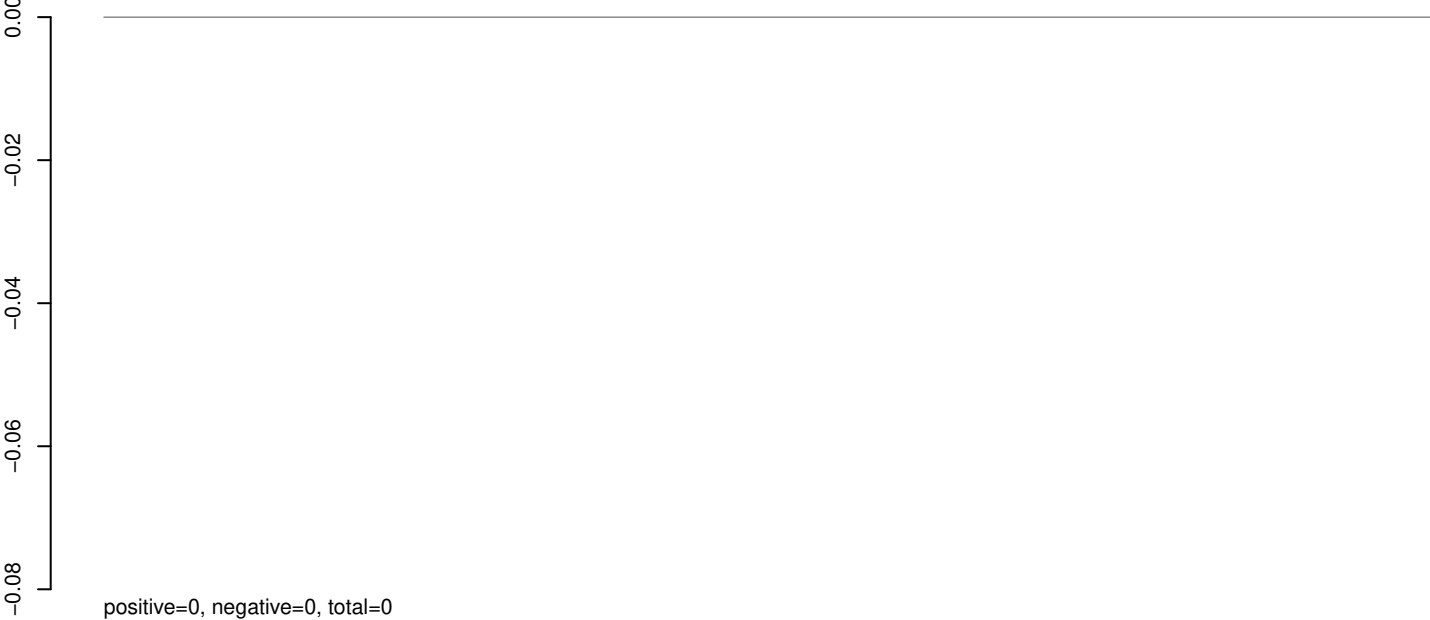
AeAeg_Aag2_Ago2_SINV_RA.rep



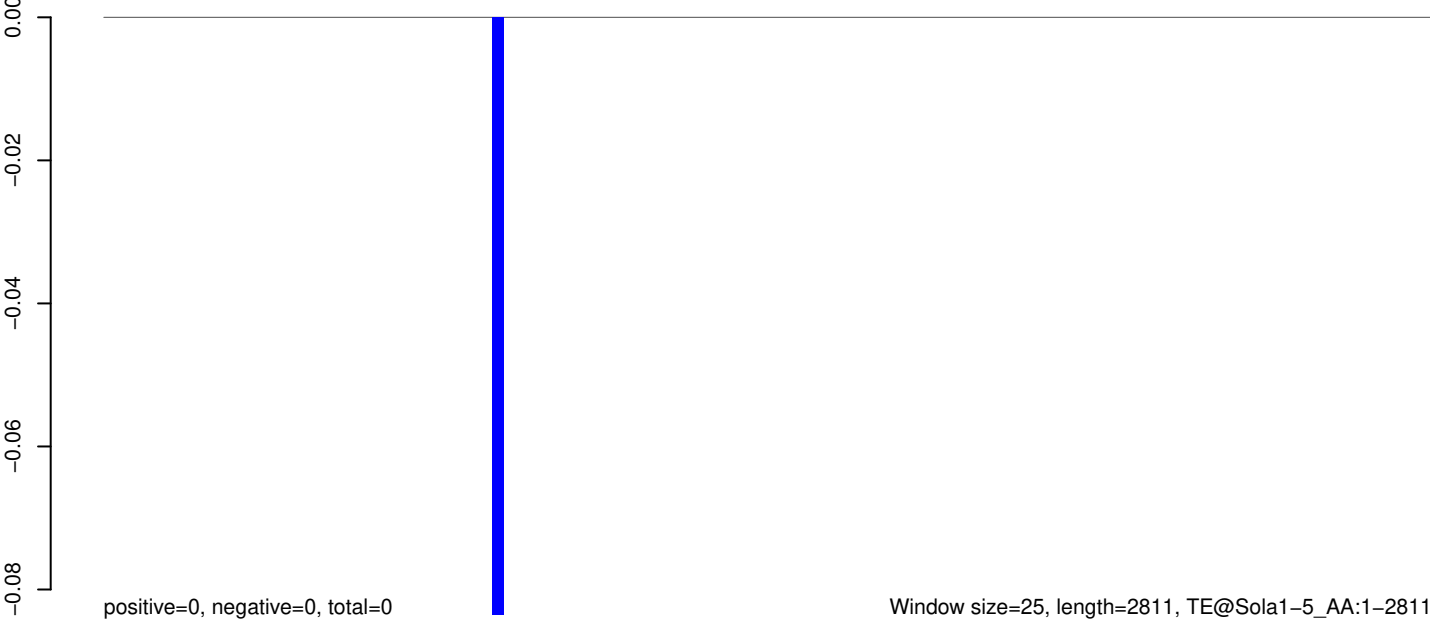
AeAeg_Aag2_Ago2_SINV_RA.18_23.rep



AeAeg_Aag2_Ago2_SINV_RA.24_35.rep



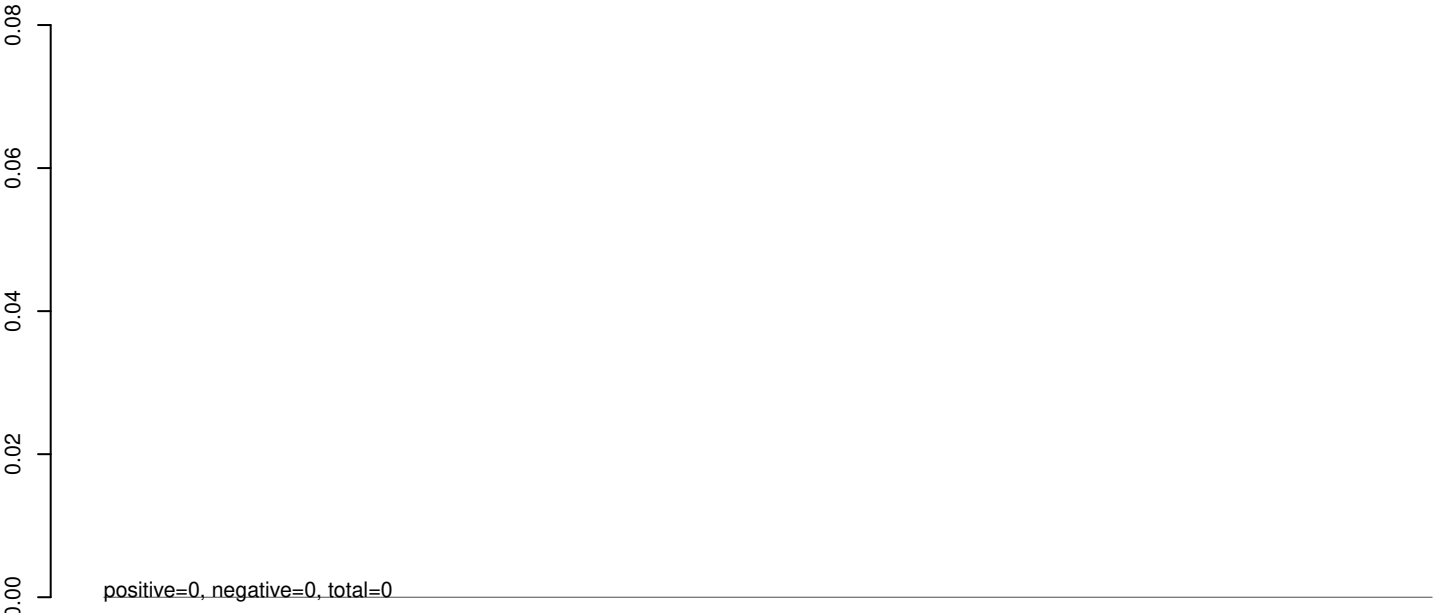
AeAeg_Aag2_Ago2_SINV_RA.rep



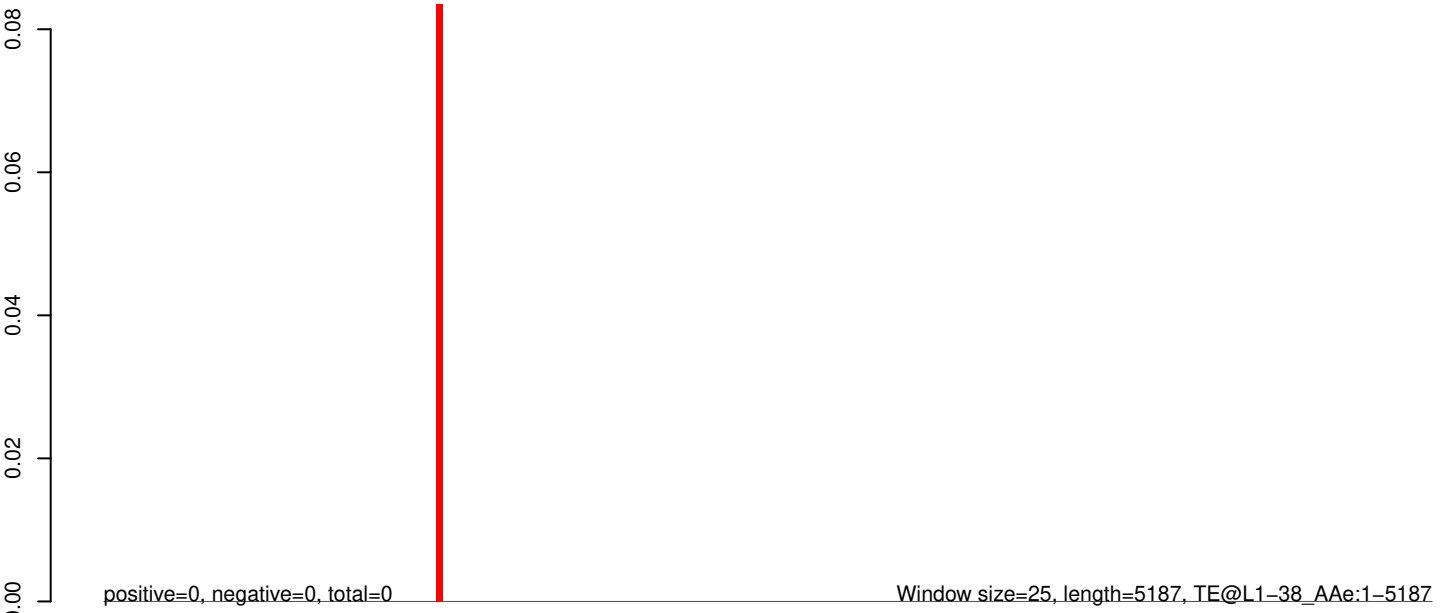
AeAeg_Aag2_Ago2_SINV_RA.18_23.rep



AeAeg_Aag2_Ago2_SINV_RA.24_35.rep

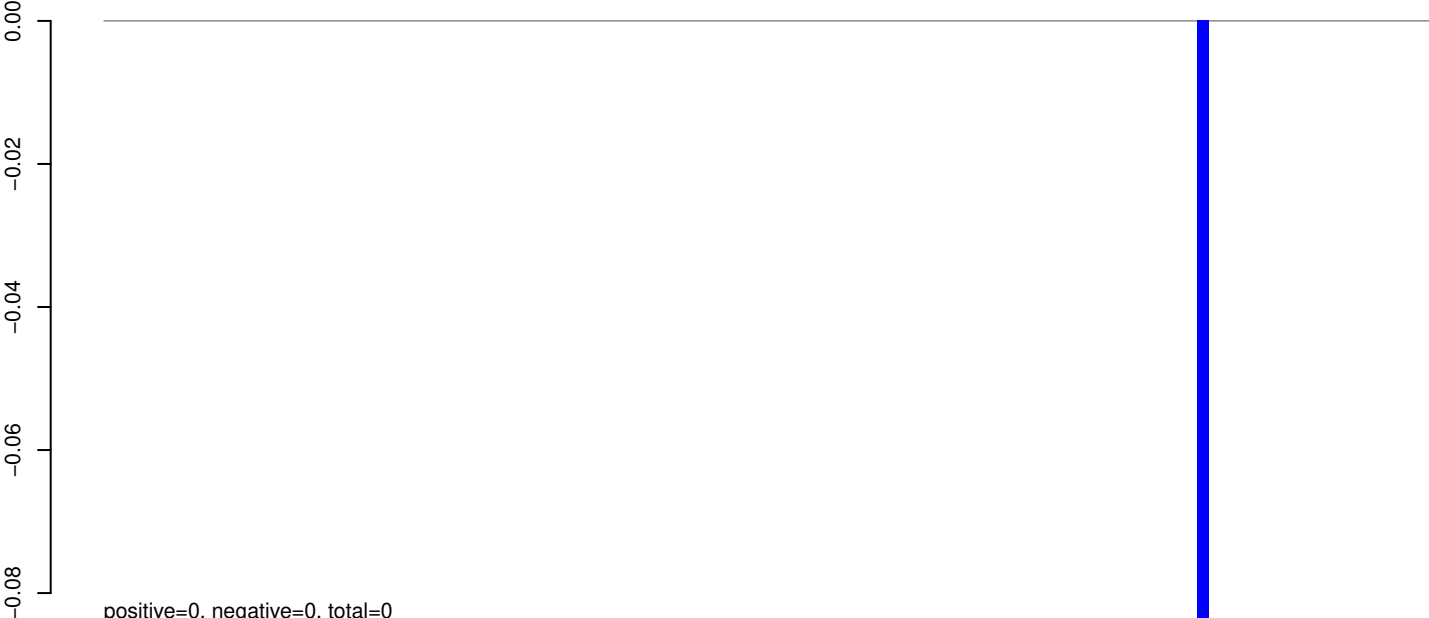


AeAeg_Aag2_Ago2_SINV_RA.rep

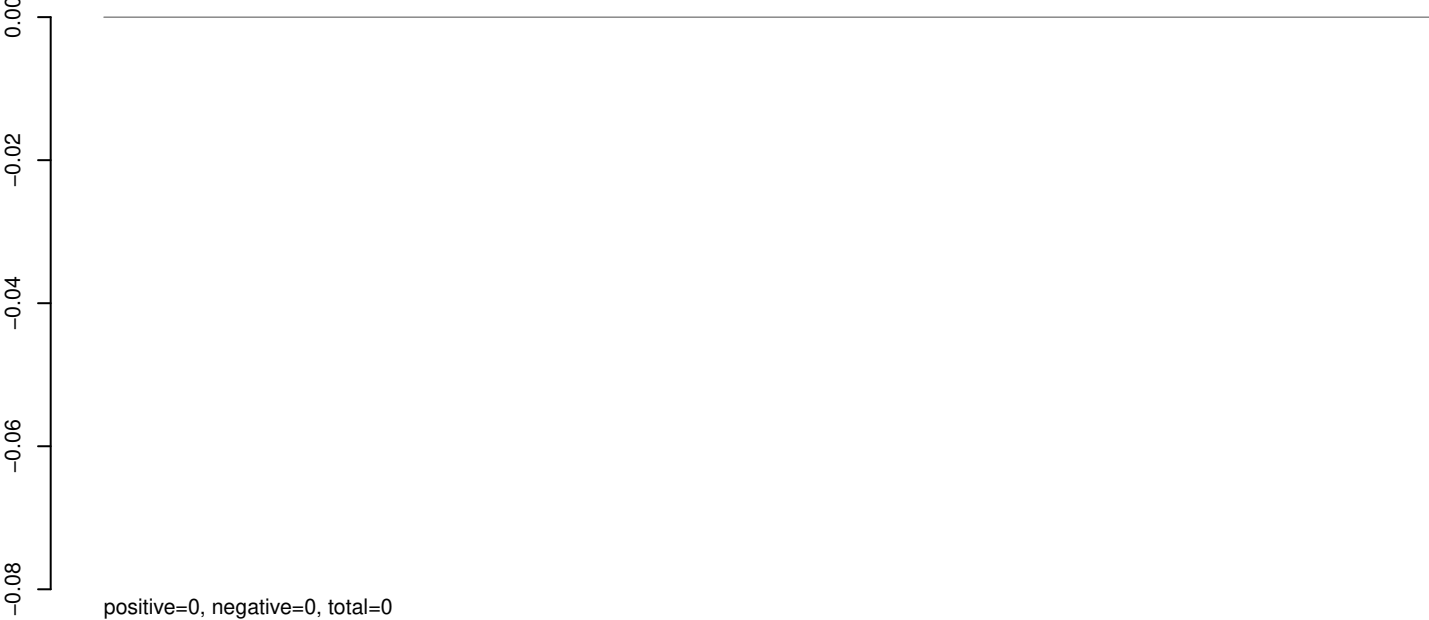


0 1000 2000 3000 4000 5000

AeAeg_Aag2_Ago2_SINV_RA.18_23.rep



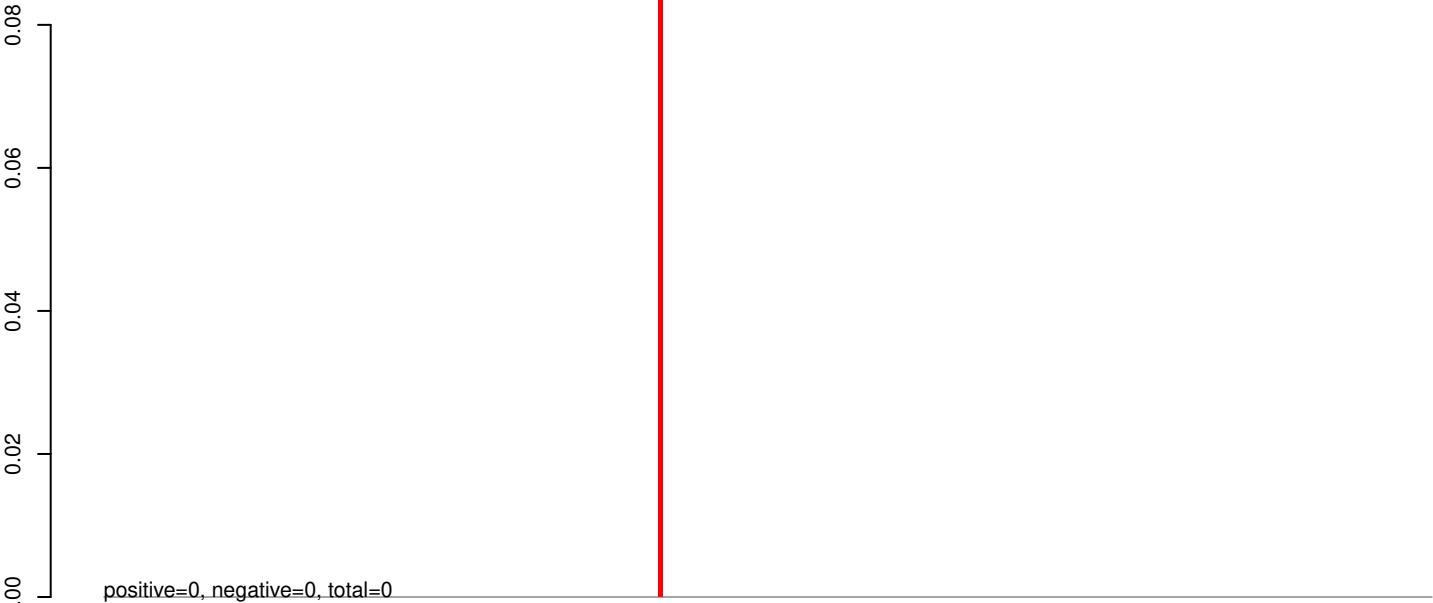
AeAeg_Aag2_Ago2_SINV_RA.24_35.rep



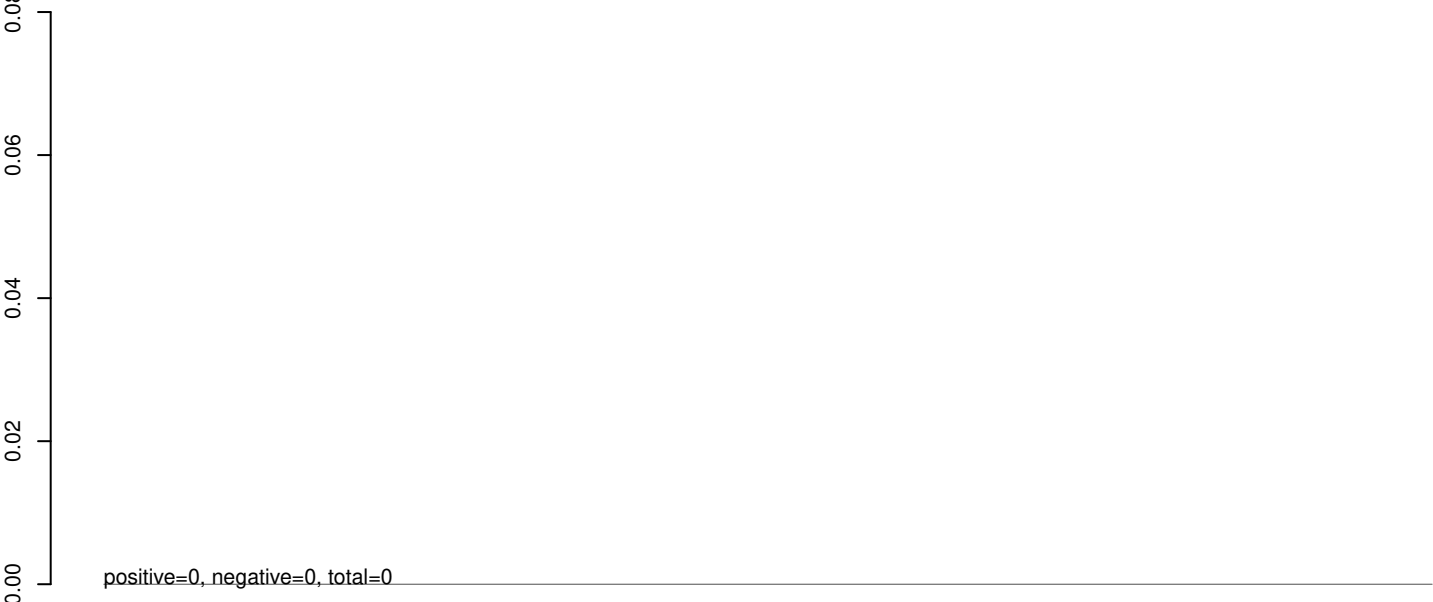
AeAeg_Aag2_Ago2_SINV_RA.rep



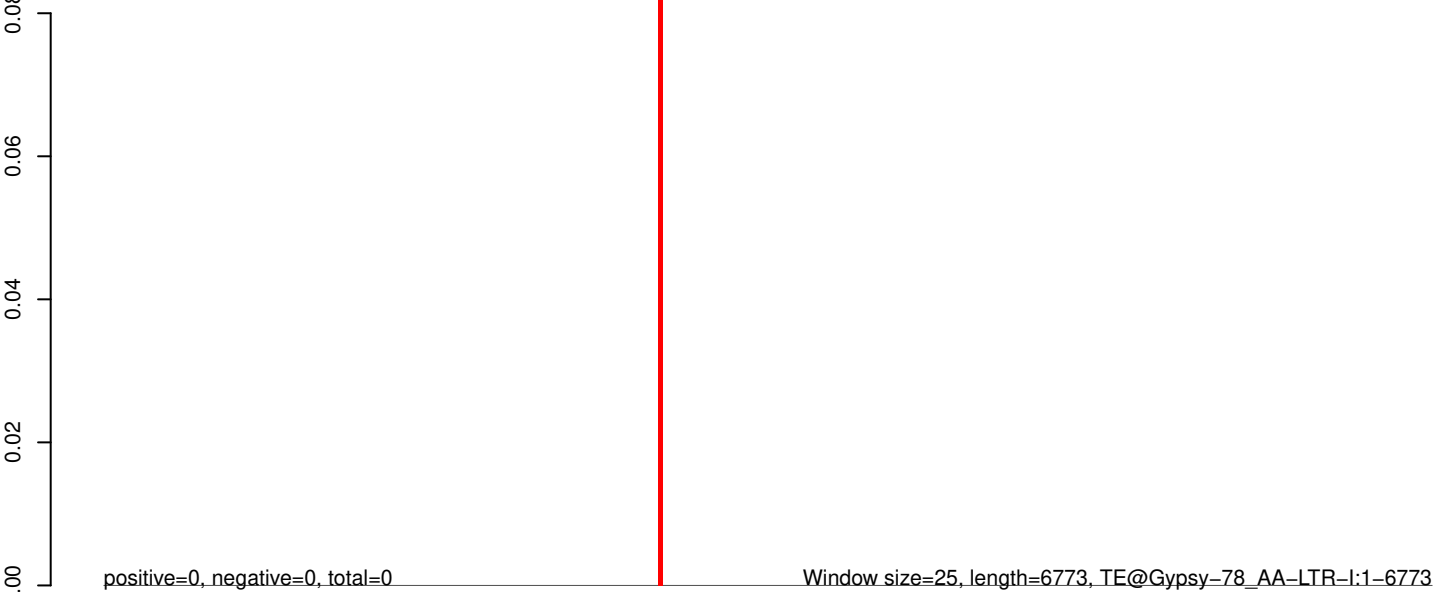
AeAeg_Aag2_Ago2_SINV_RA.18_23.rep



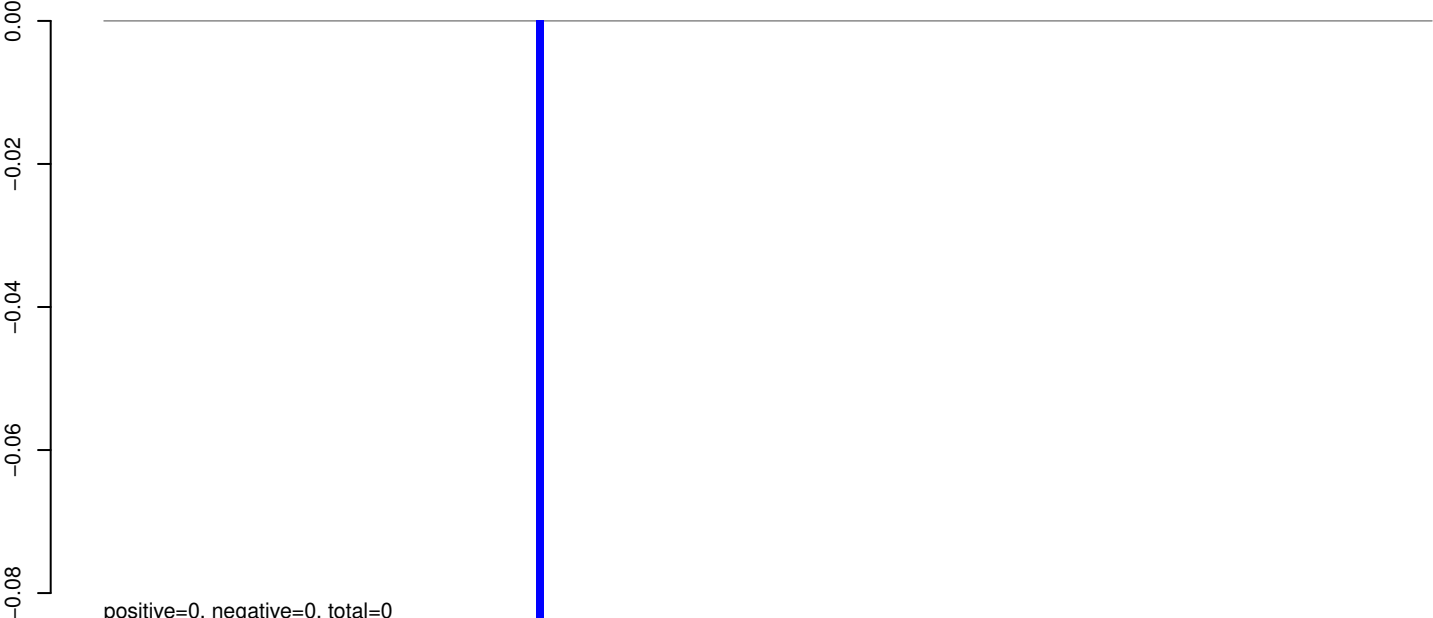
AeAeg_Aag2_Ago2_SINV_RA.24_35.rep



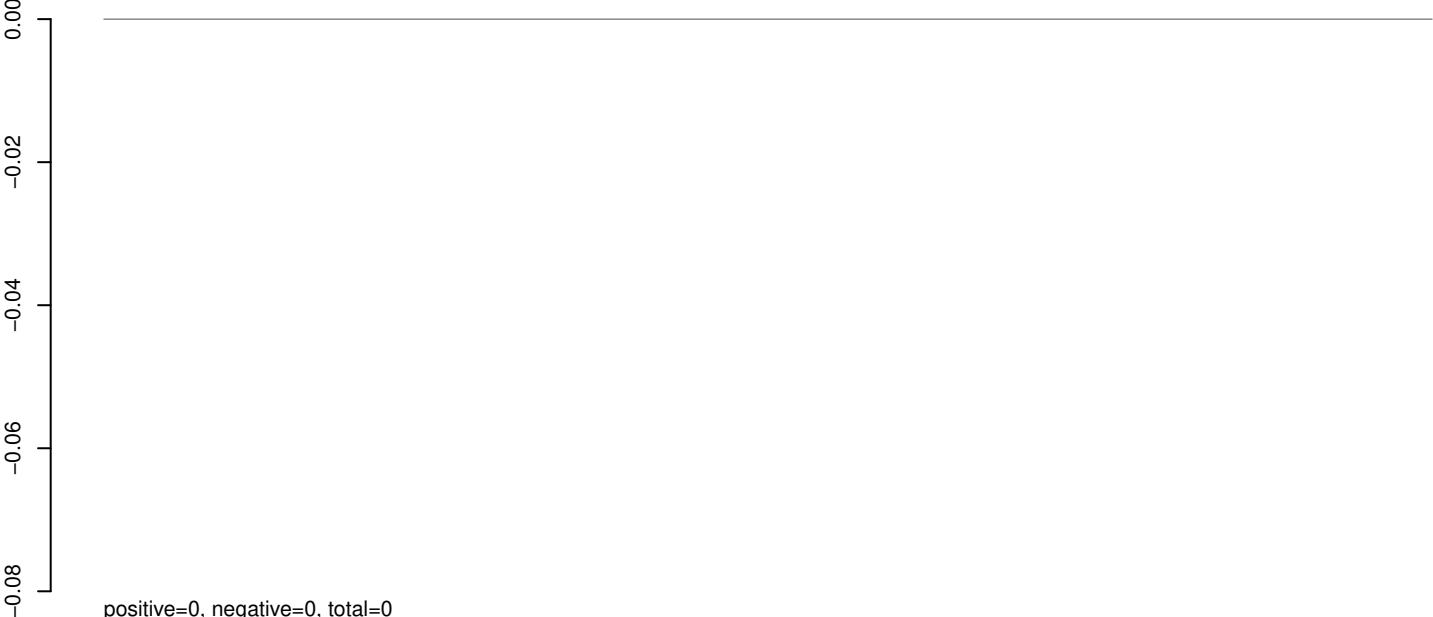
AeAeg_Aag2_Ago2_SINV_RA.rep



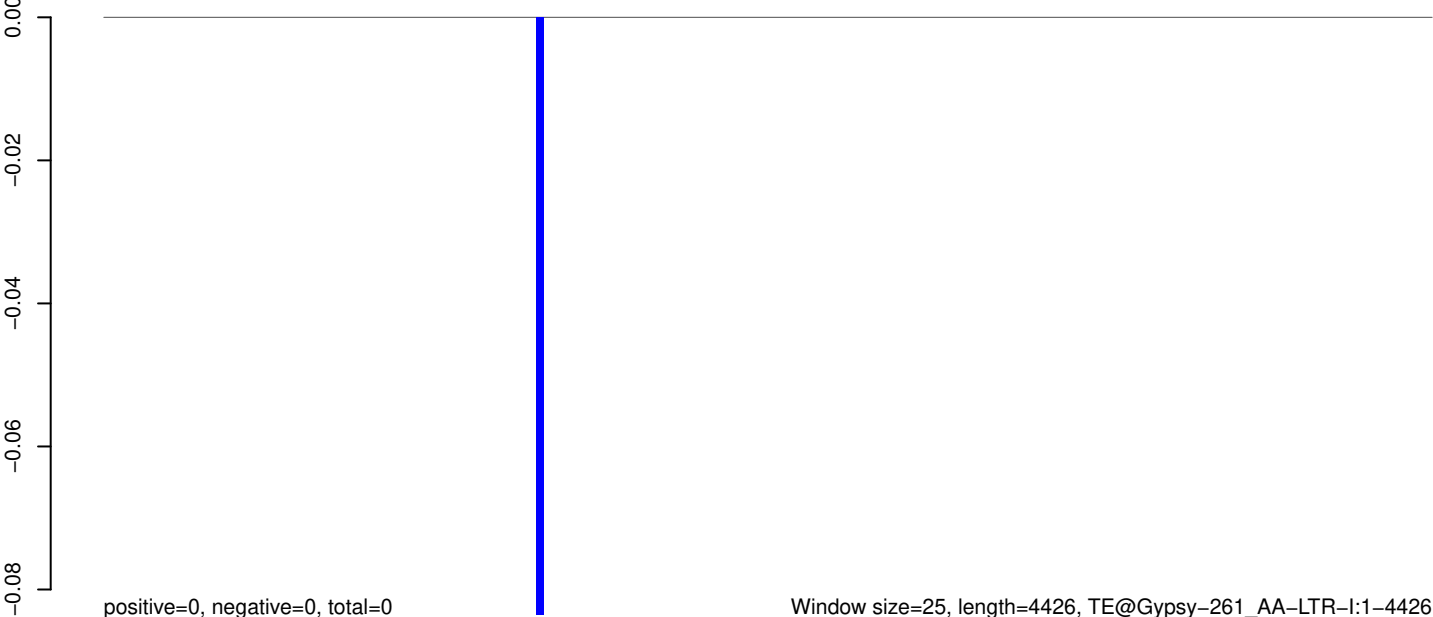
AeAeg_Aag2_Ago2_SINV_RA.18_23.rep



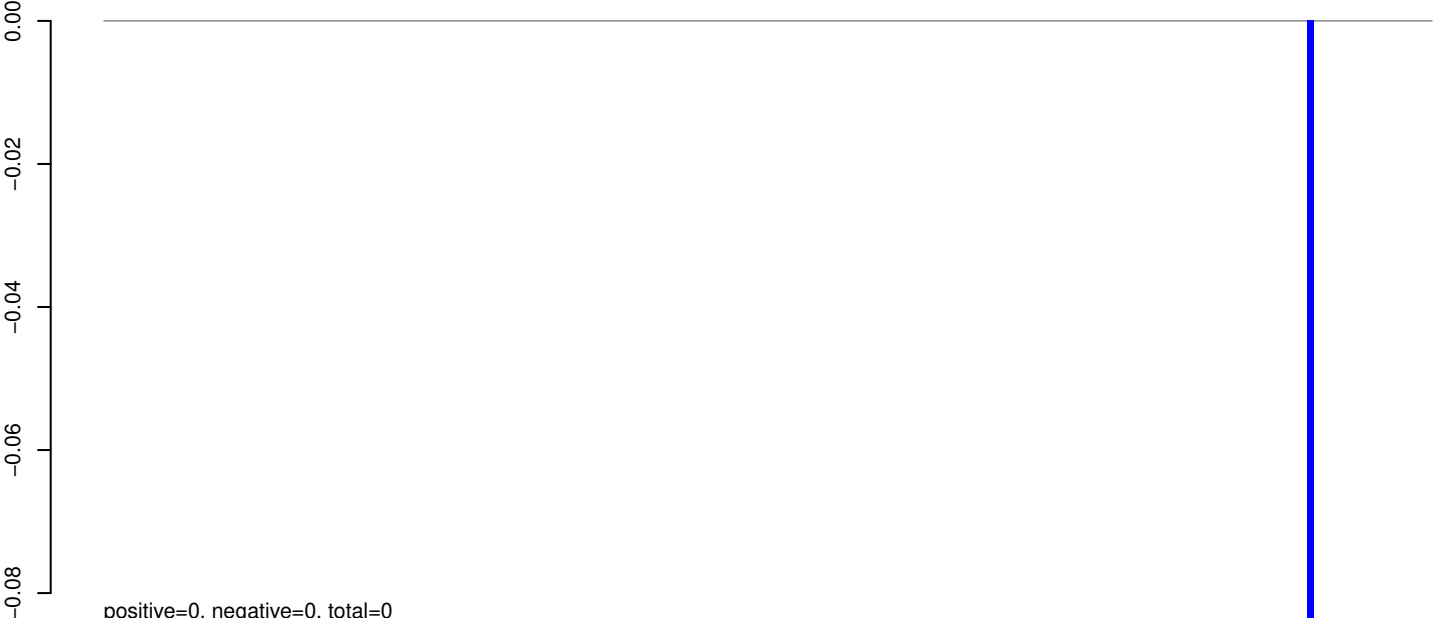
AeAeg_Aag2_Ago2_SINV_RA.24_35.rep



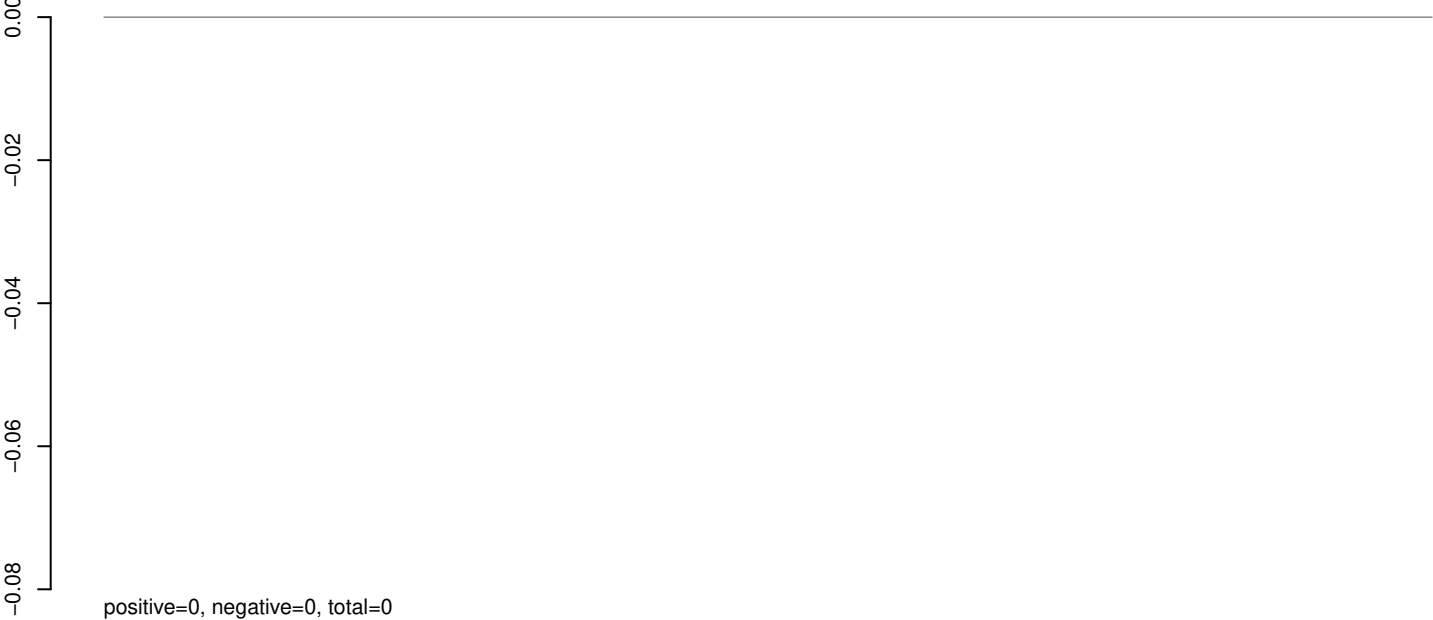
AeAeg_Aag2_Ago2_SINV_RA.rep



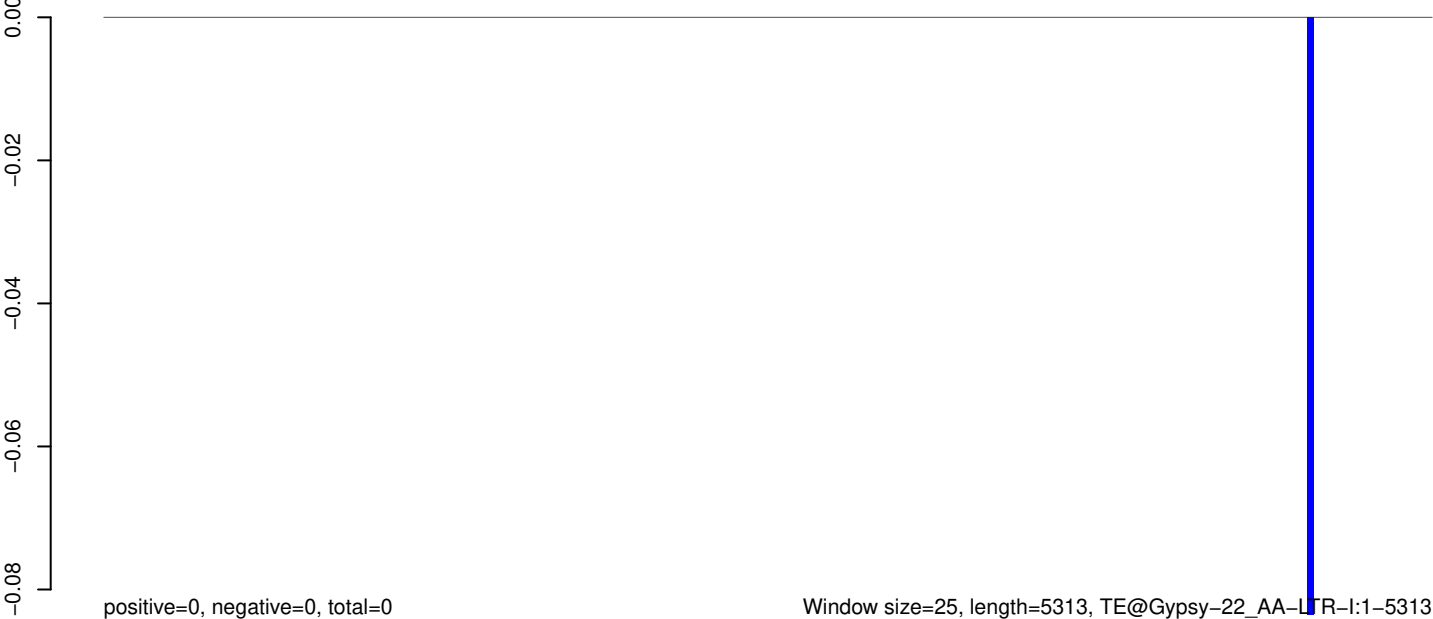
AeAeg_Aag2_Ago2_SINV_RA.18_23.rep



AeAeg_Aag2_Ago2_SINV_RA.24_35.rep



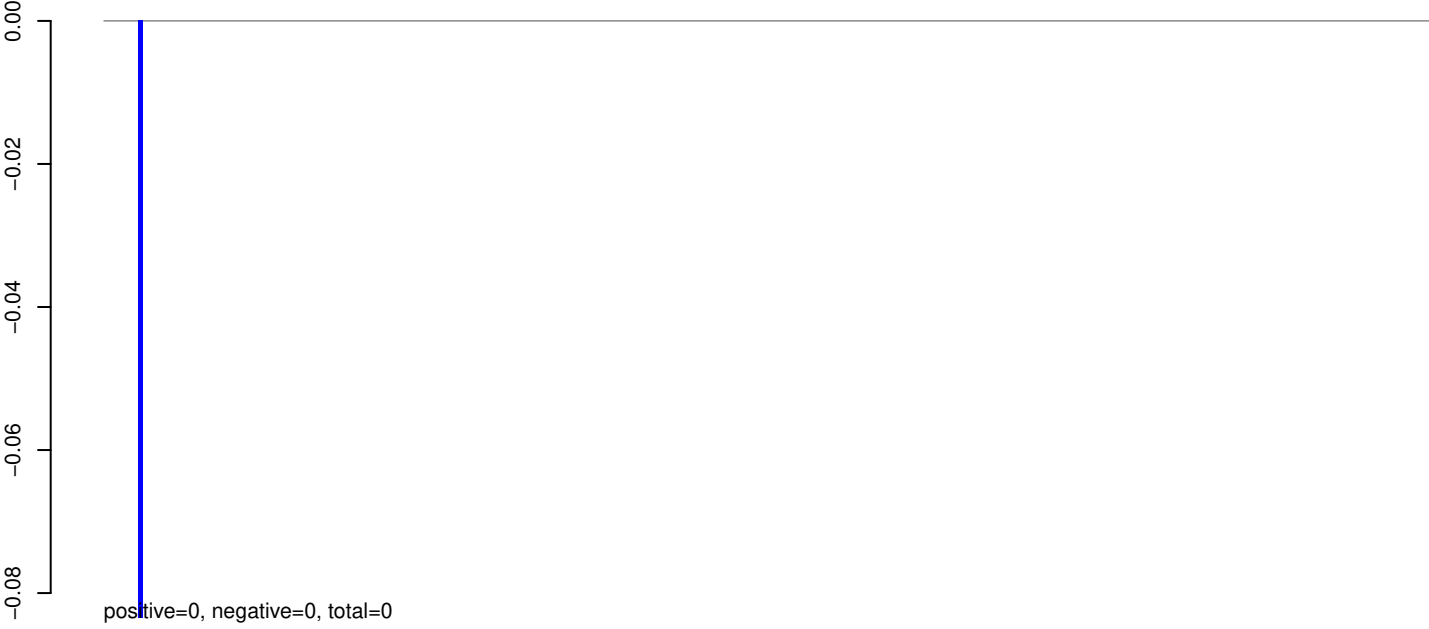
AeAeg_Aag2_Ago2_SINV_RA.rep



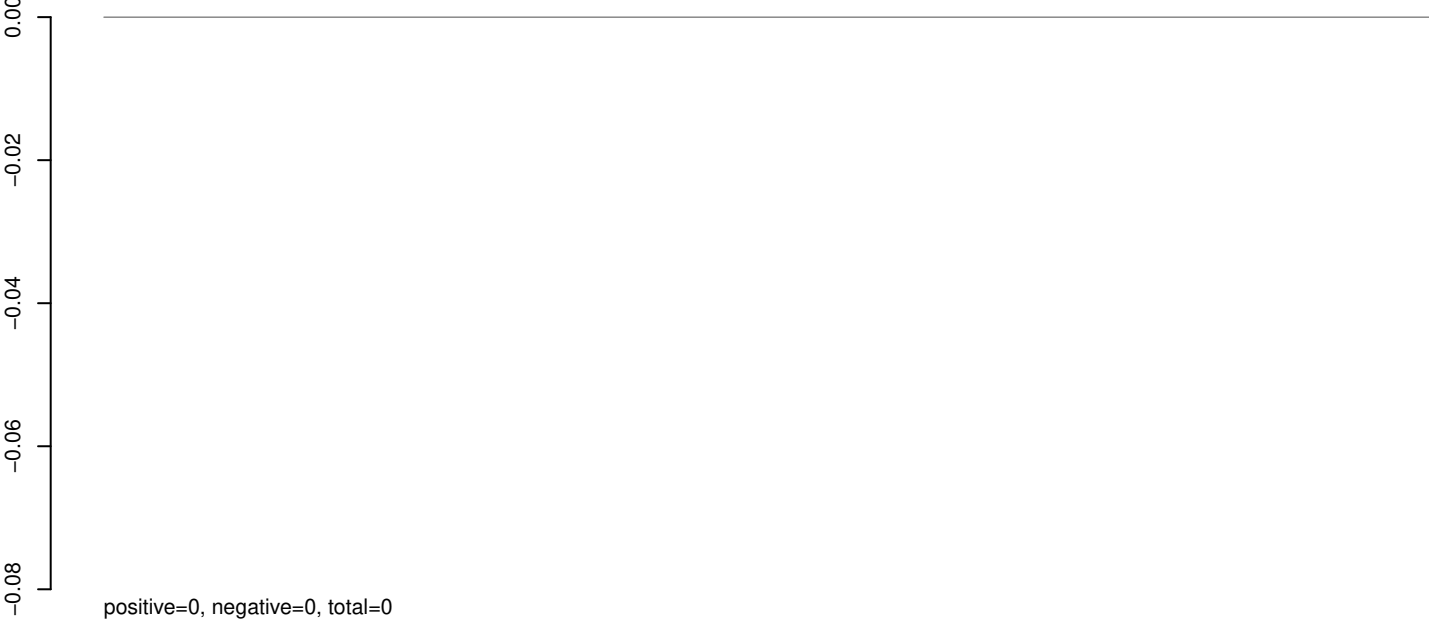
Window size=25, length=5313, TE@Gypsy-22_AA-LTR-I:1-5313

0 1000 2000 3000 4000 5000

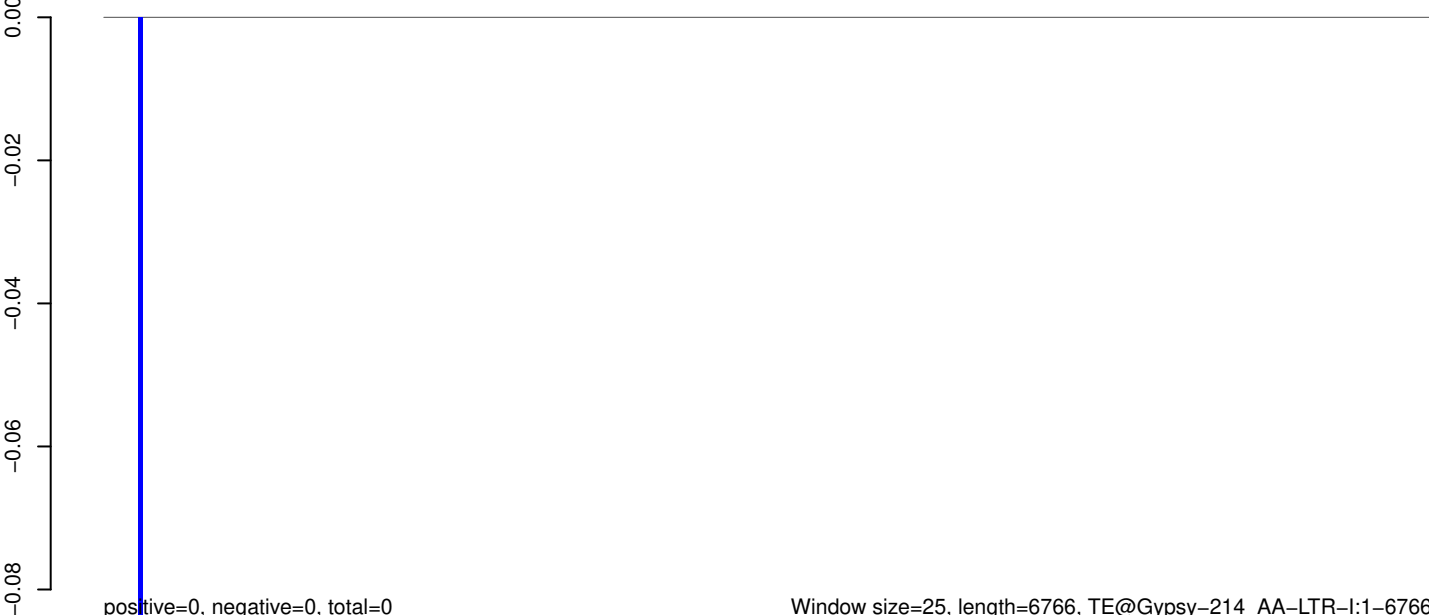
AeAeg_Aag2_Ago2_SINV_RA.18_23.rep



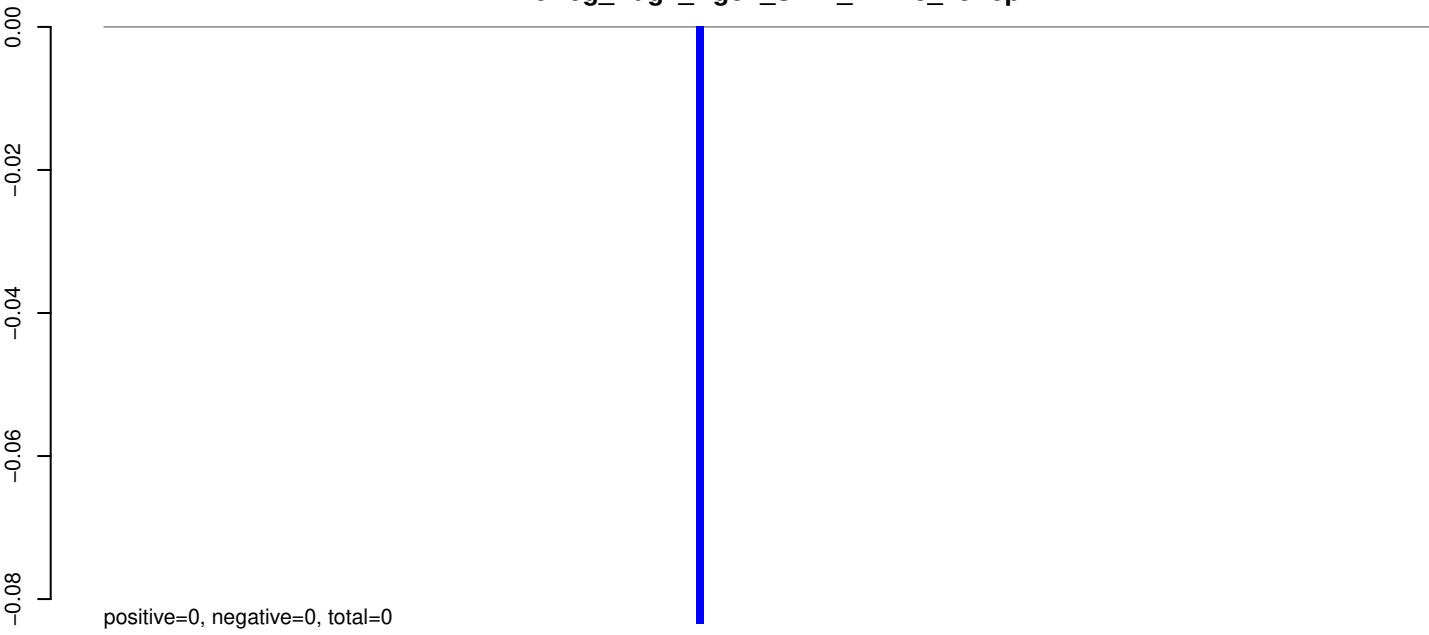
AeAeg_Aag2_Ago2_SINV_RA.24_35.rep



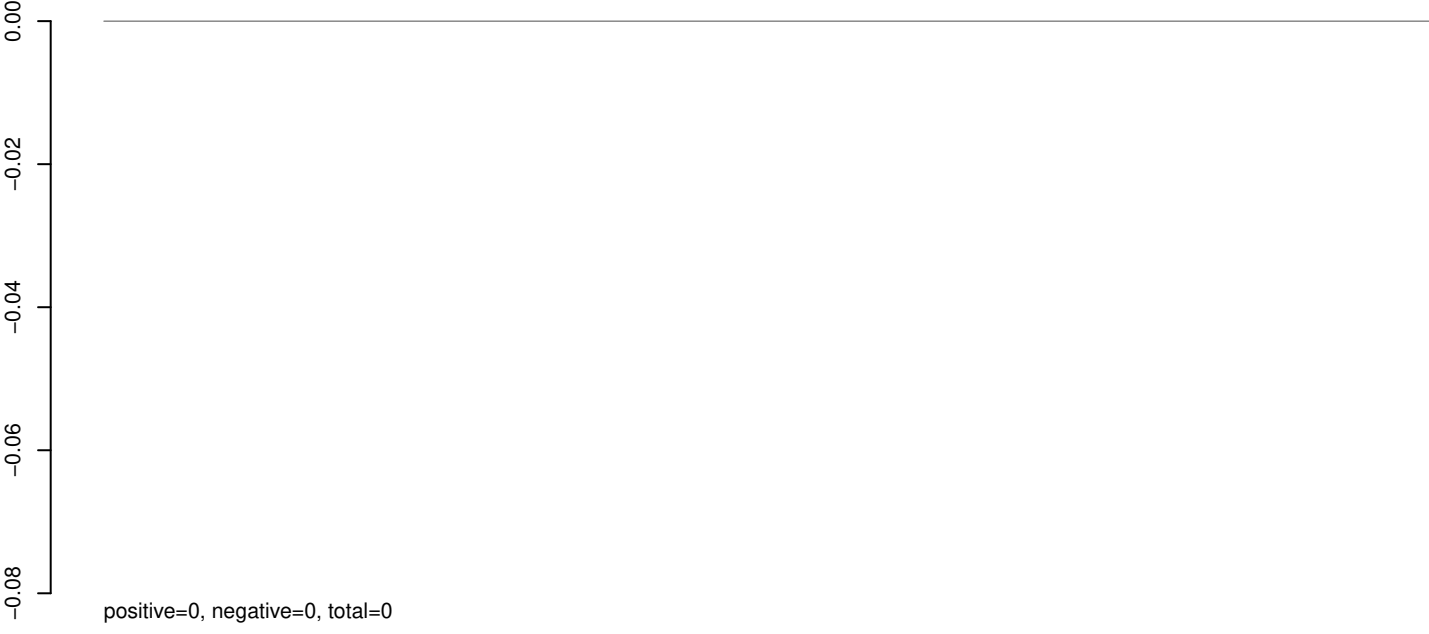
AeAeg_Aag2_Ago2_SINV_RA.rep



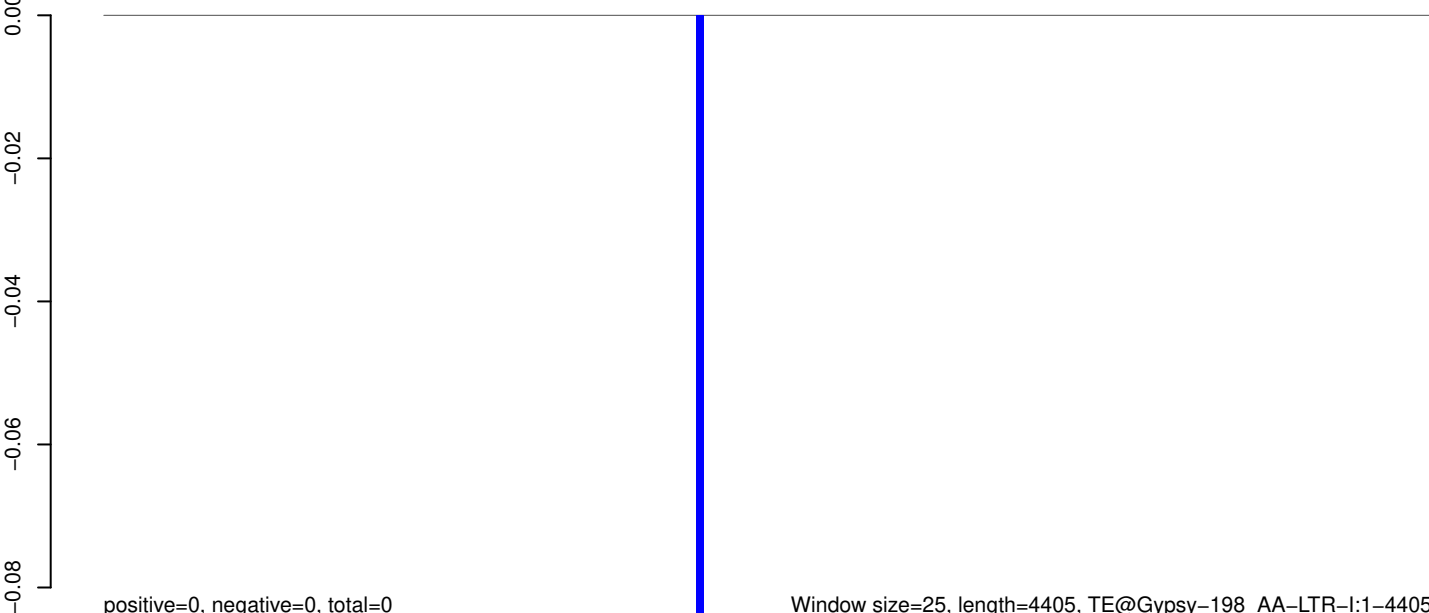
AeAeg_Aag2_Ago2_SINV_RA.18_23.rep



AeAeg_Aag2_Ago2_SINV_RA.24_35.rep

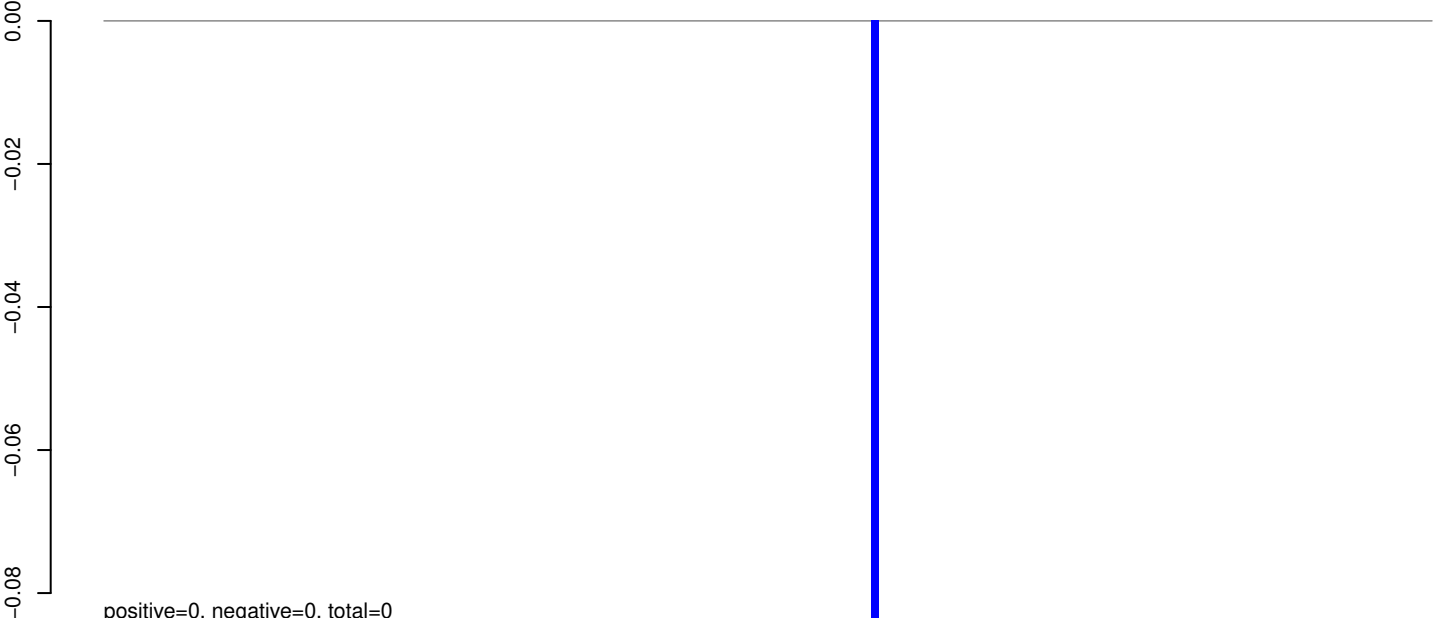


AeAeg_Aag2_Ago2_SINV_RA.rep

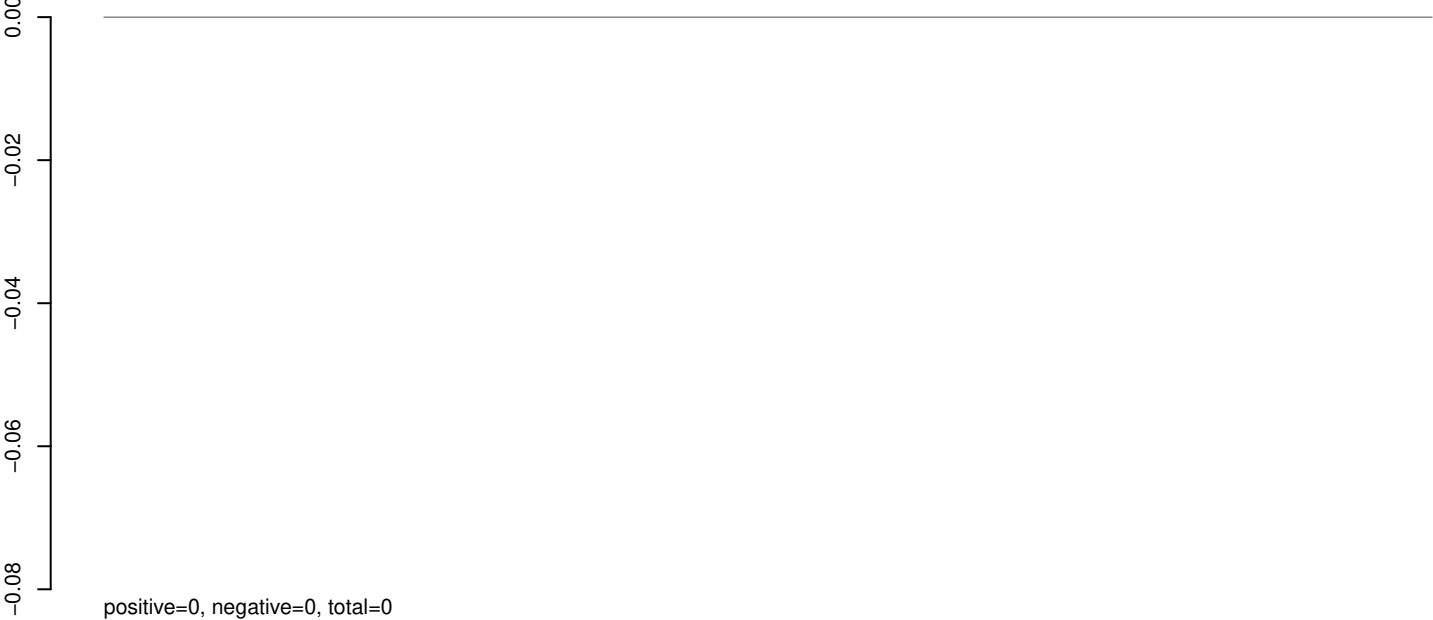


0 1000 2000 3000 4000

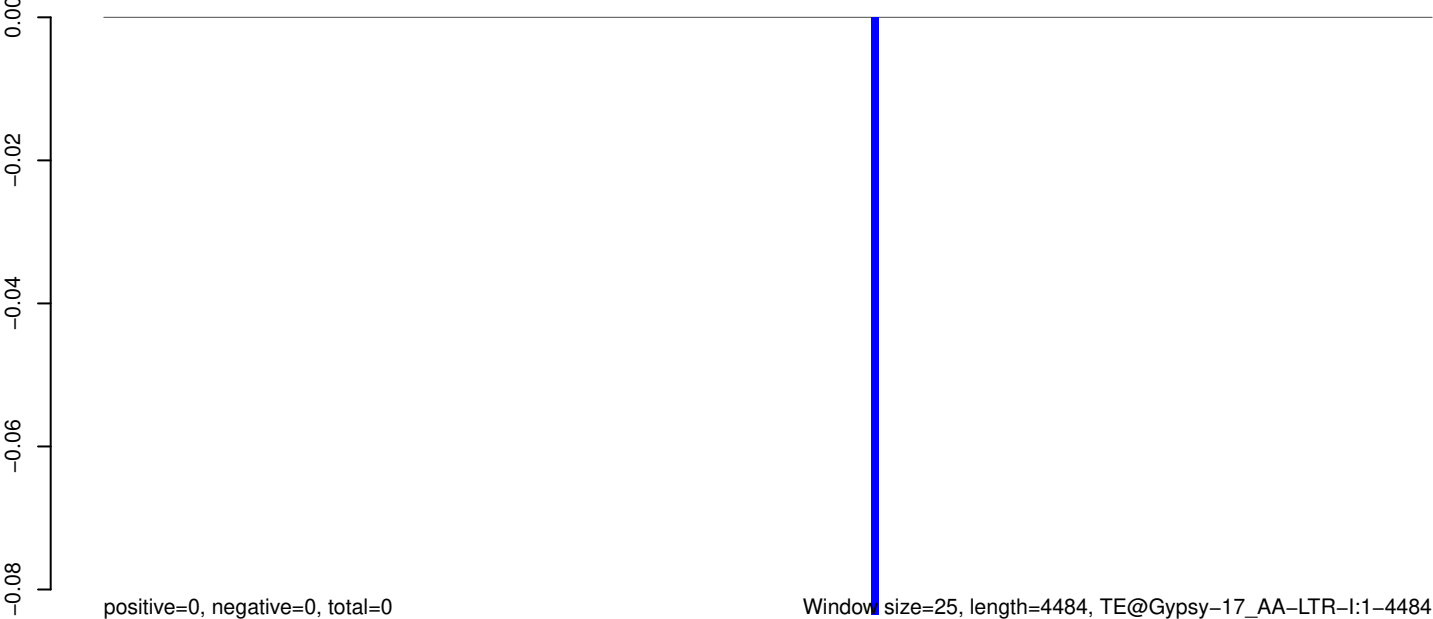
AeAeg_Aag2_Ago2_SINV_RA.18_23.rep



AeAeg_Aag2_Ago2_SINV_RA.24_35.rep

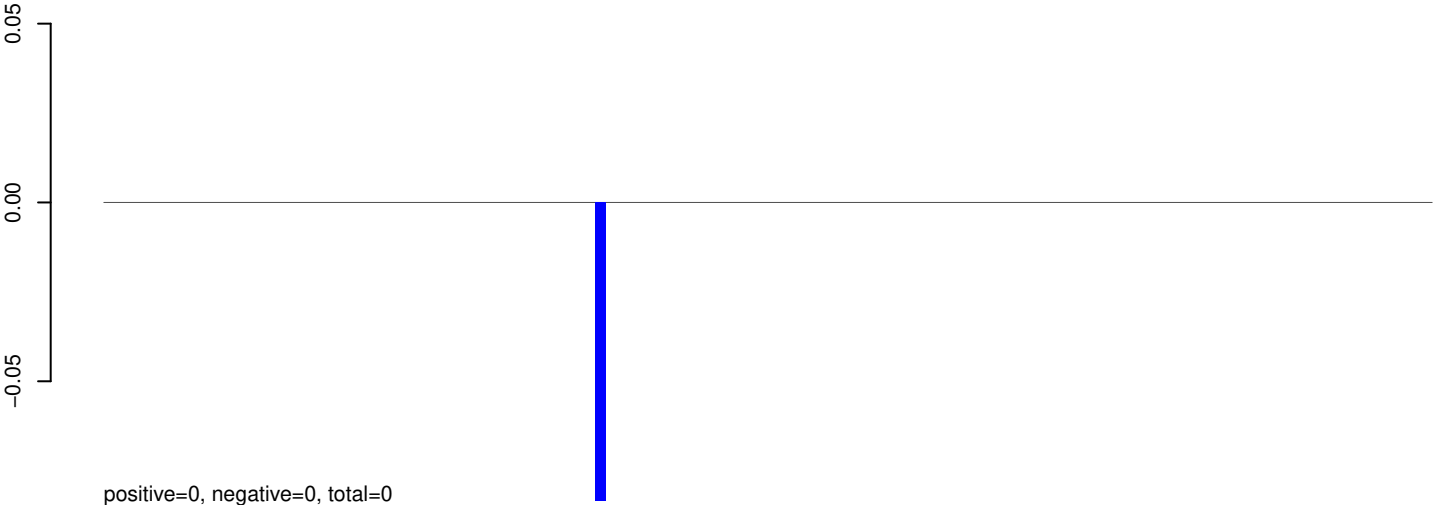


AeAeg_Aag2_Ago2_SINV_RA.rep

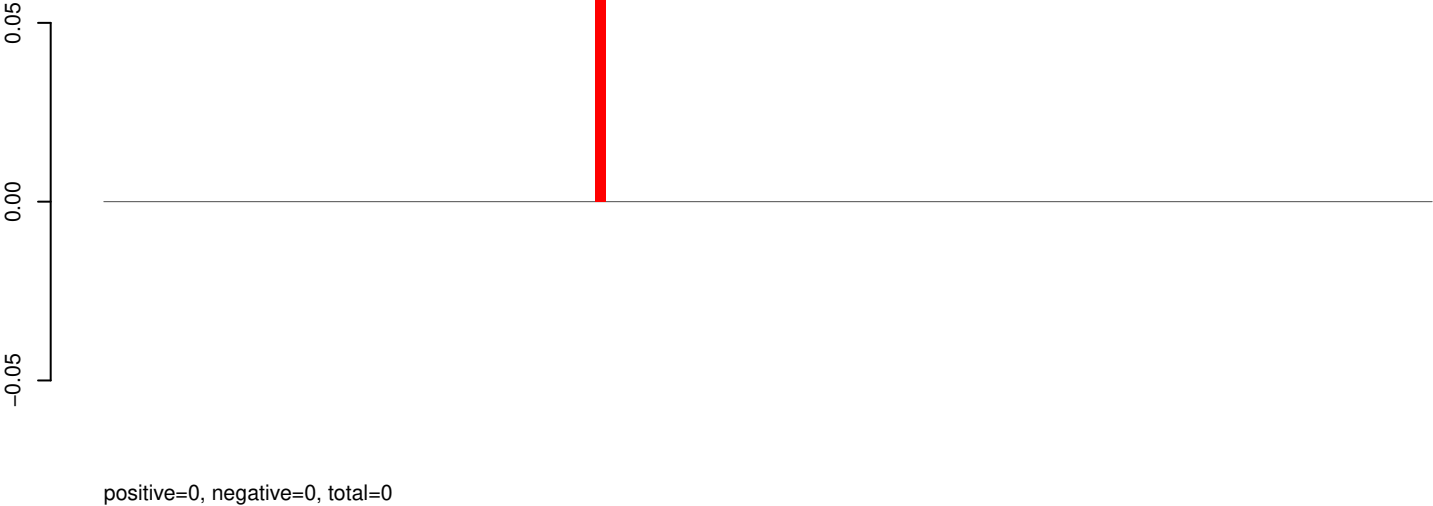


0 1000 2000 3000 4000

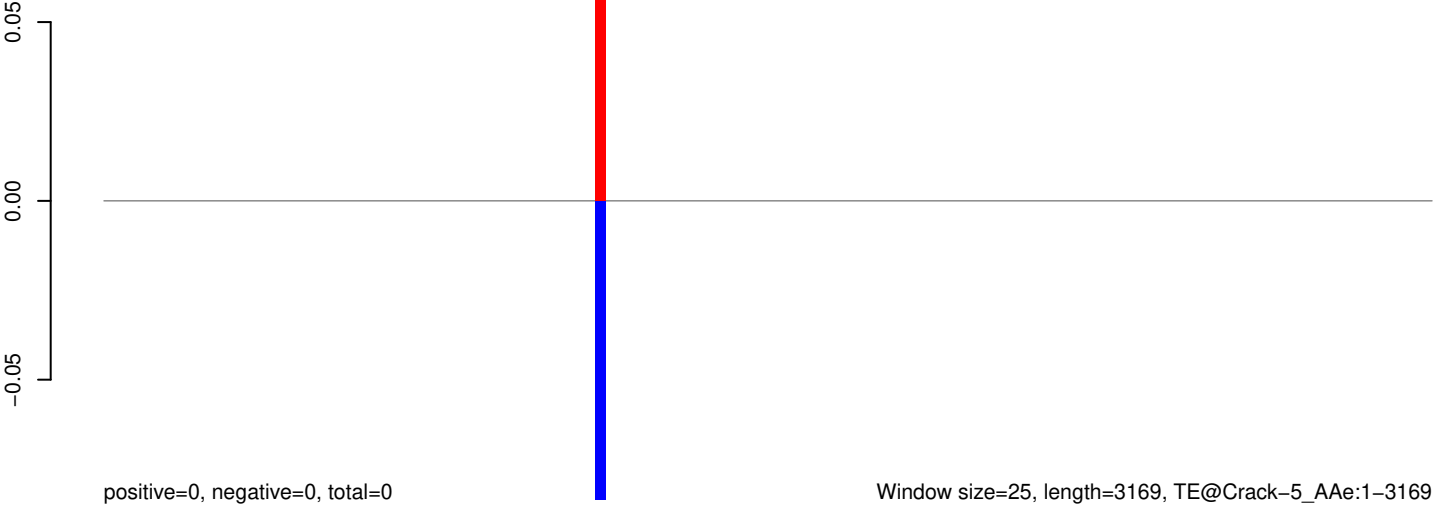
AeAeg_Aag2_Ago2_SINV_RA.18_23.rep



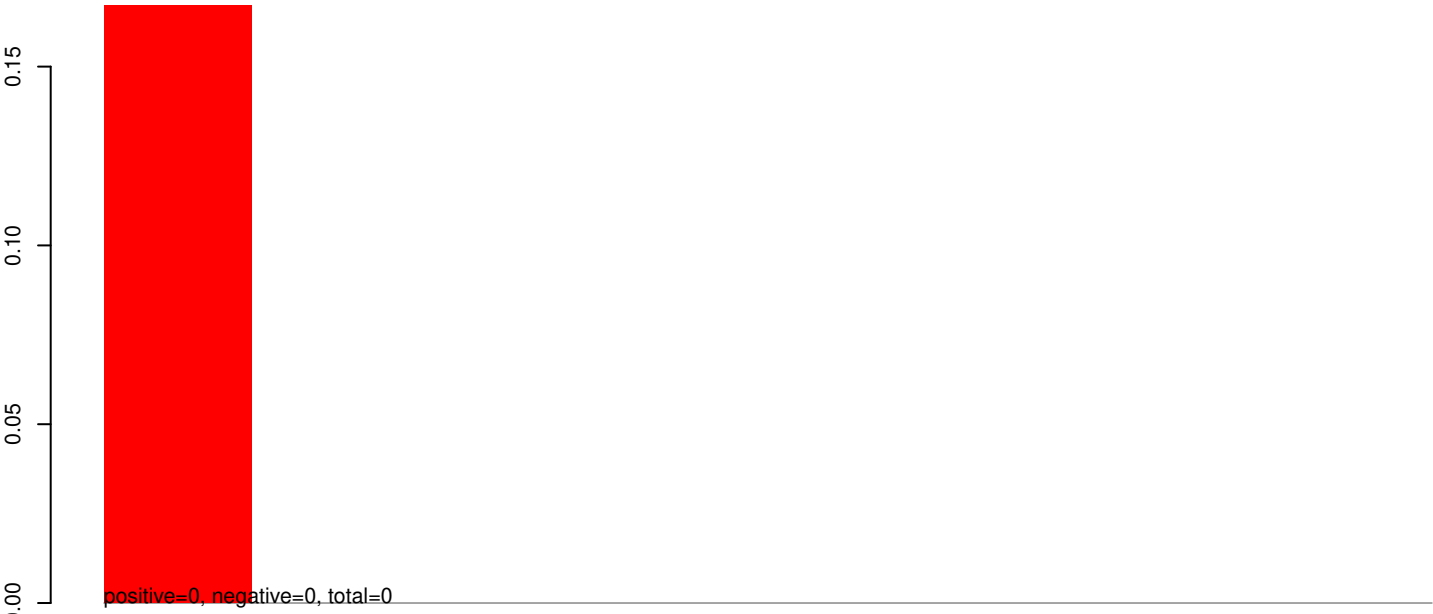
AeAeg_Aag2_Ago2_SINV_RA.24_35.rep



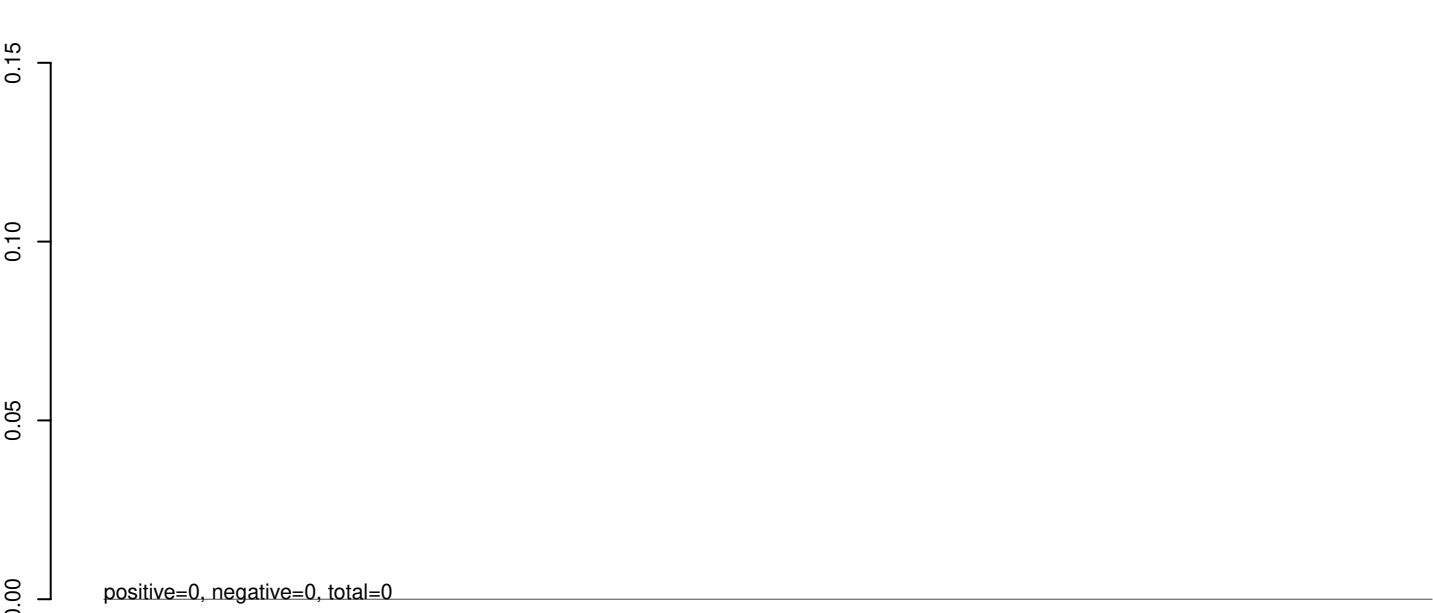
AeAeg_Aag2_Ago2_SINV_RA.rep



AeAeg_Aag2_Ago2_SINV_RA.18_23.rep



AeAeg_Aag2_Ago2_SINV_RA.24_35.rep



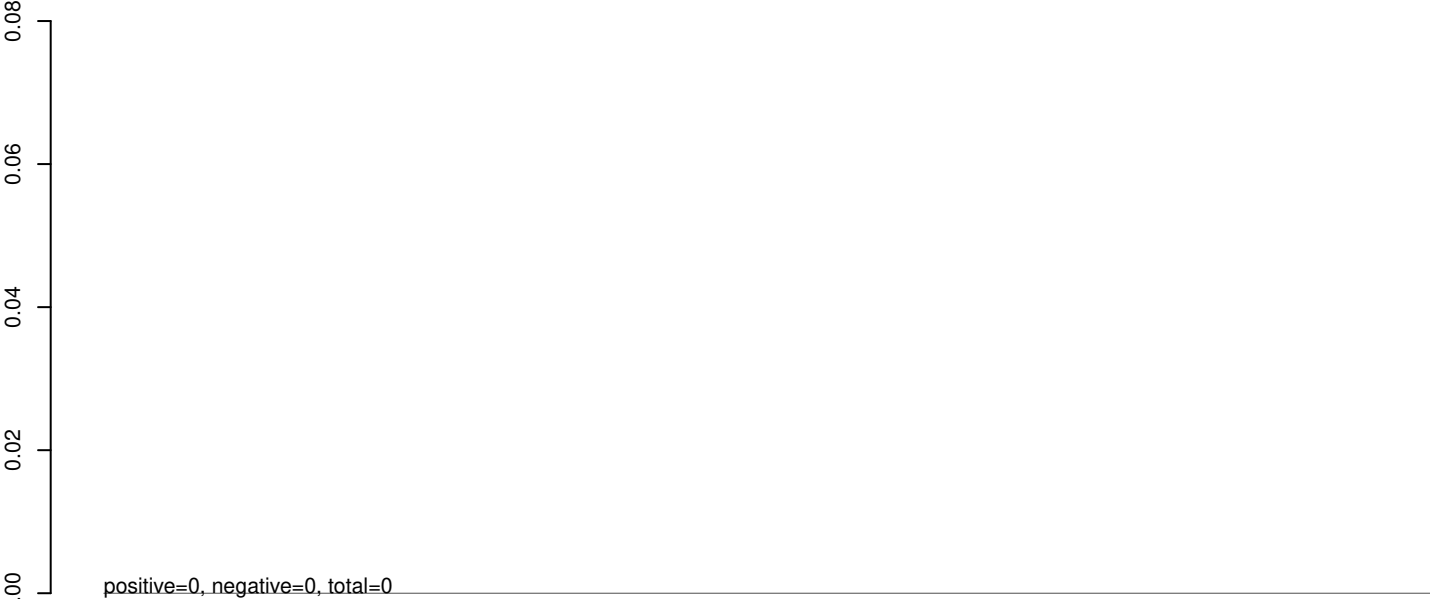
AeAeg_Aag2_Ago2_SINV_RA.rep



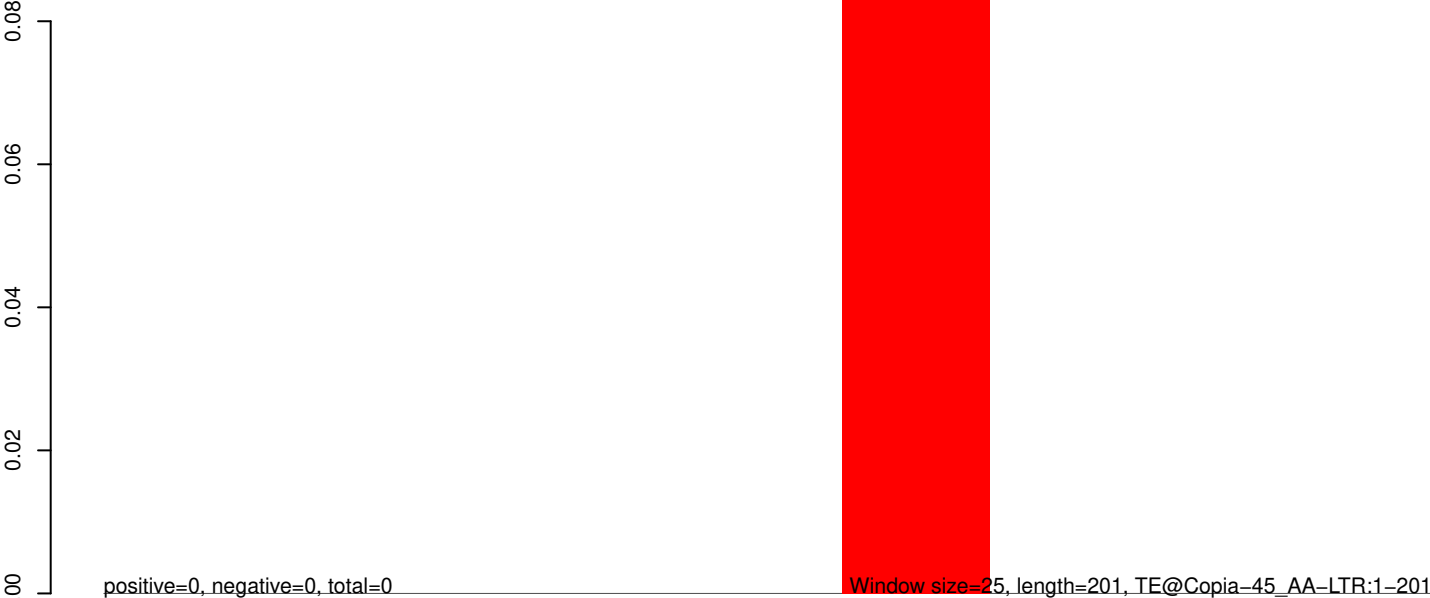
AeAeg_Aag2_Ago2_SINV_RA.18_23.rep



AeAeg_Aag2_Ago2_SINV_RA.24_35.rep

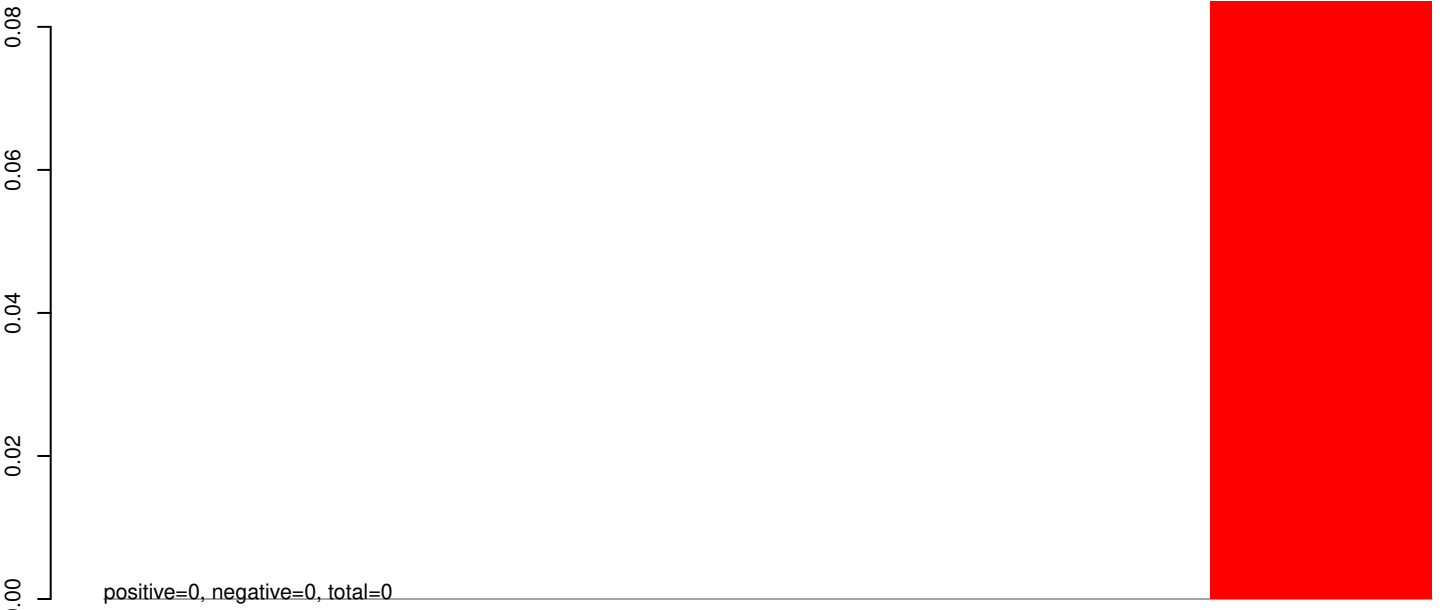


AeAeg_Aag2_Ago2_SINV_RA.rep

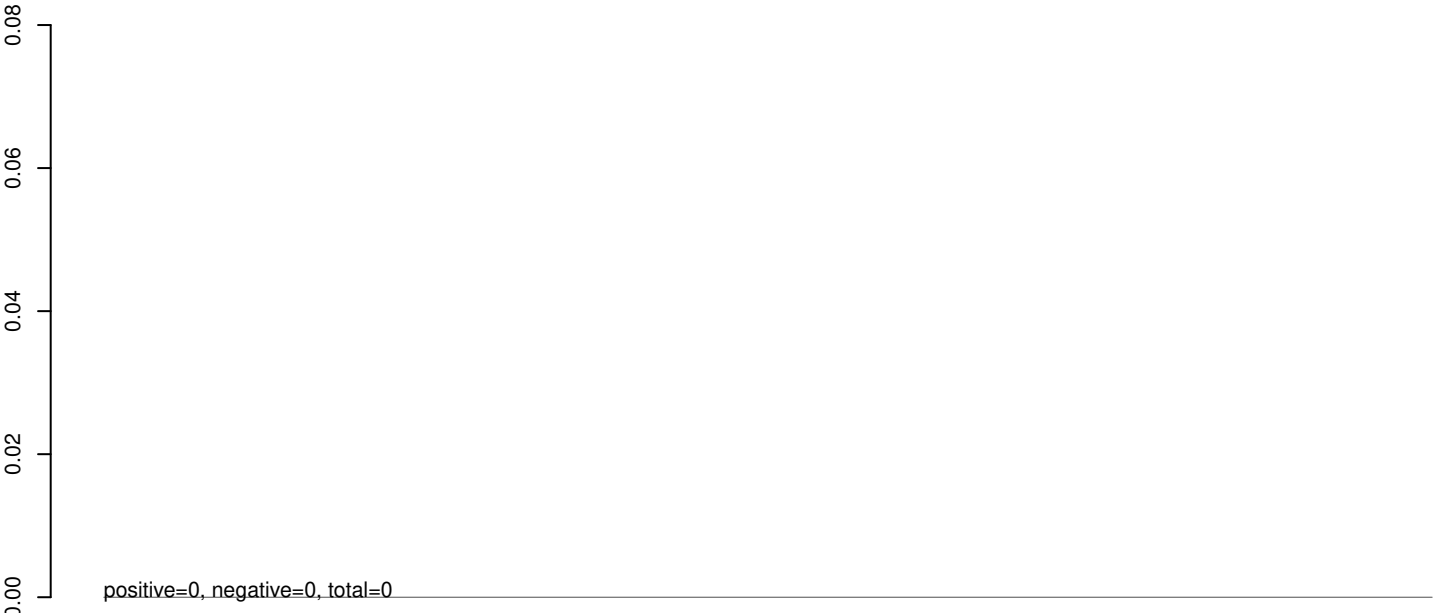


50 100 150 200 250

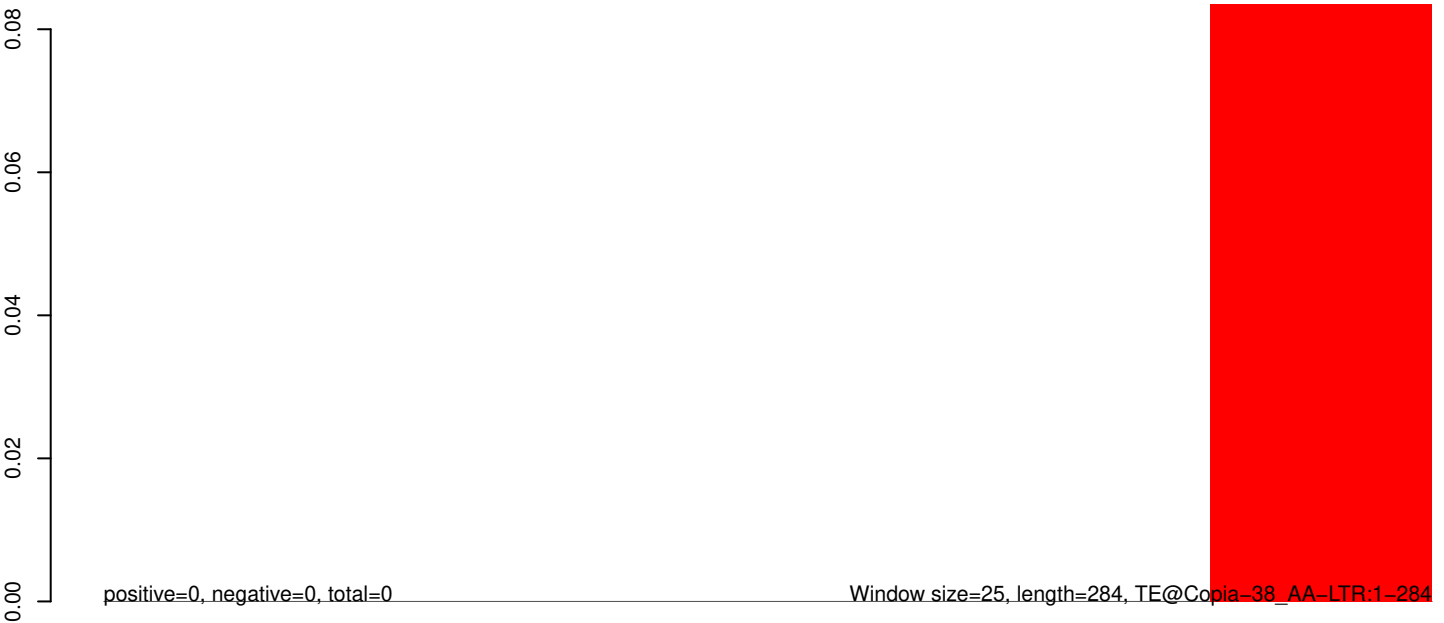
AeAeg_Aag2_Ago2_SINV_RA.18_23.rep



AeAeg_Aag2_Ago2_SINV_RA.24_35.rep

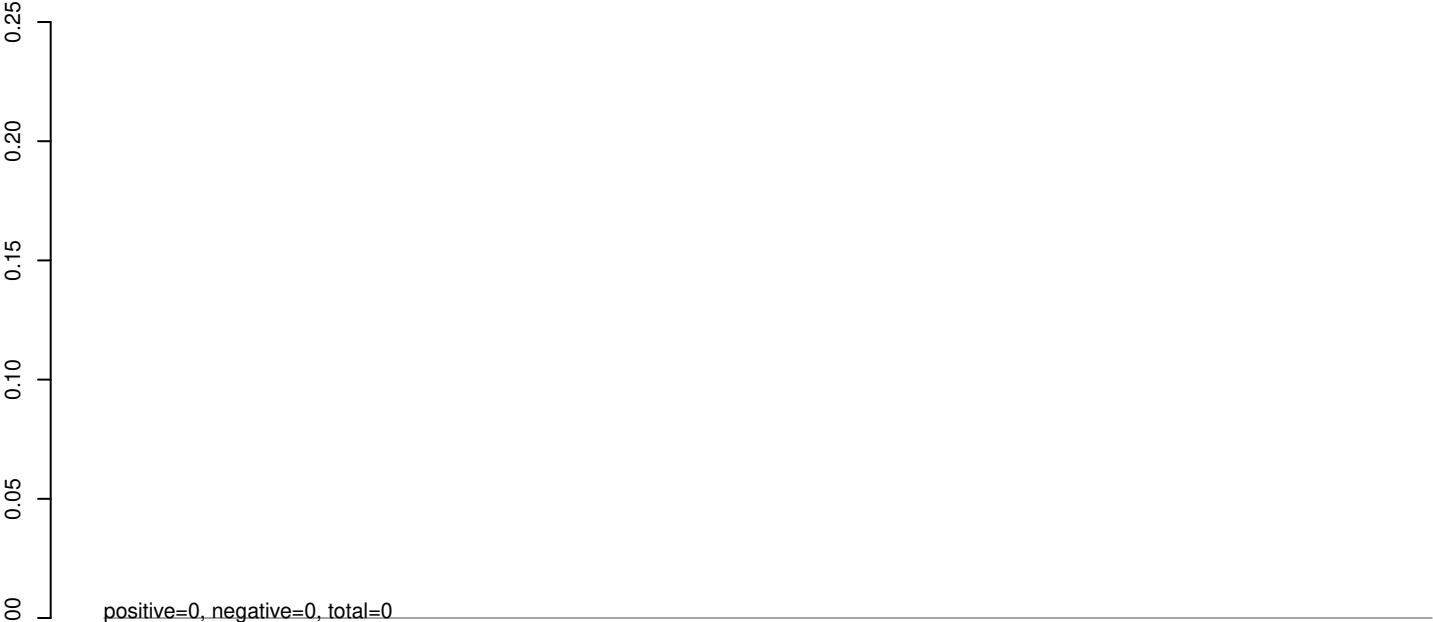


AeAeg_Aag2_Ago2_SINV_RA.rep



50 100 150 200 250 300

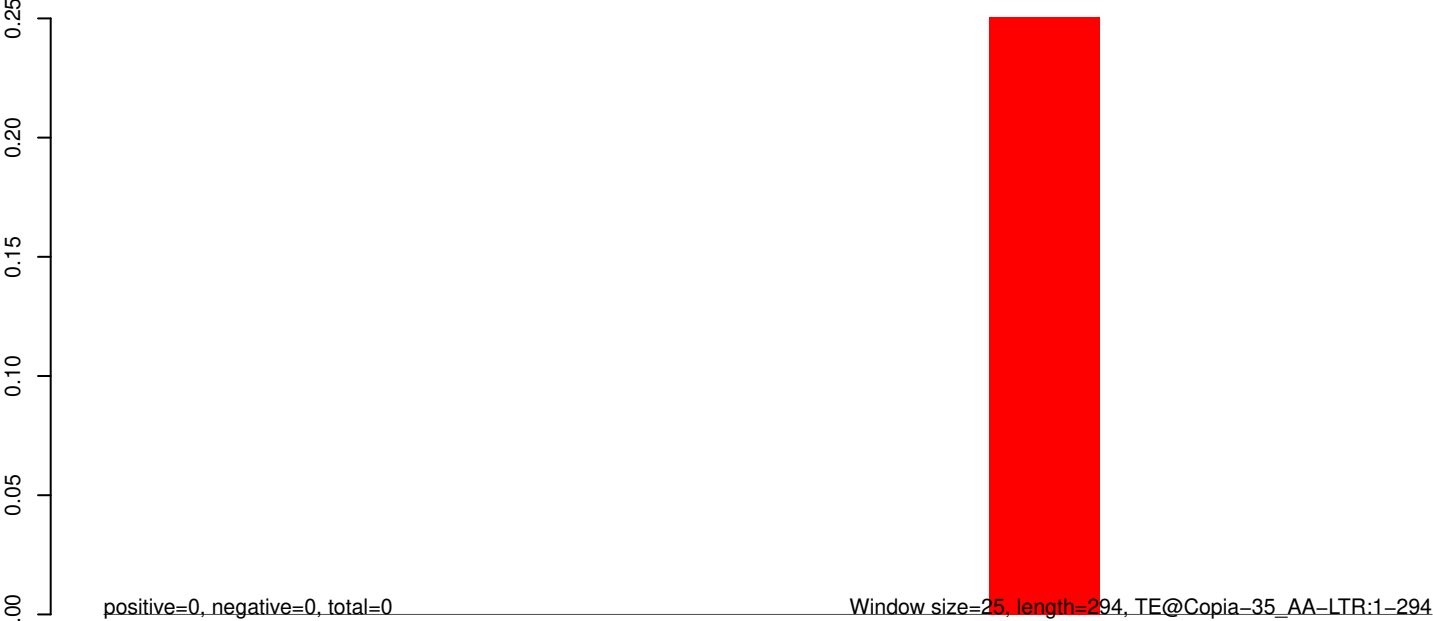
AeAeg_Aag2_Ago2_SINV_RA.18_23.rep



AeAeg_Aag2_Ago2_SINV_RA.24_35.rep



AeAeg_Aag2_Ago2_SINV_RA.rep



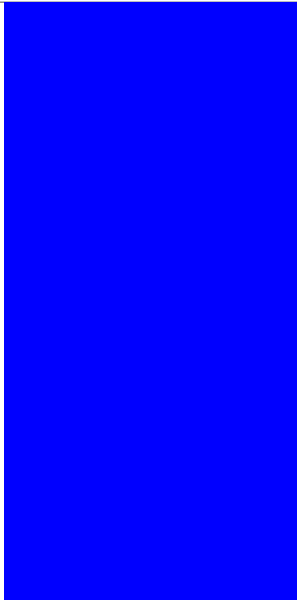
50 100 150 200 250 300

AeAeg_Aag2_Ago2_SINV_RA.18_23.rep

0.00
-0.02
-0.04
-0.06
-0.08
0.00
-0.02
-0.04
-0.06
-0.08
0.00
-0.02
-0.04
-0.06
-0.08
0.00
-0.02
-0.04
-0.06
-0.08

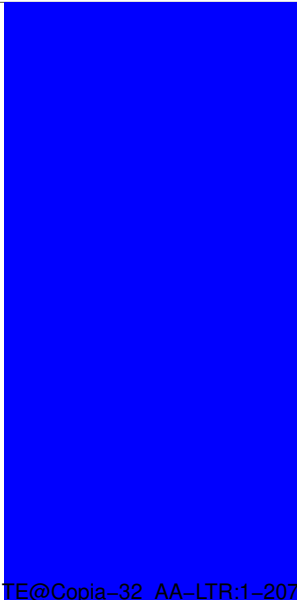
positive=0, negative=0, total=0

AeAeg_Aag2_Ago2_SINV_RA.24_35.rep



positive=0, negative=0, total=0

AeAeg_Aag2_Ago2_SINV_RA.rep

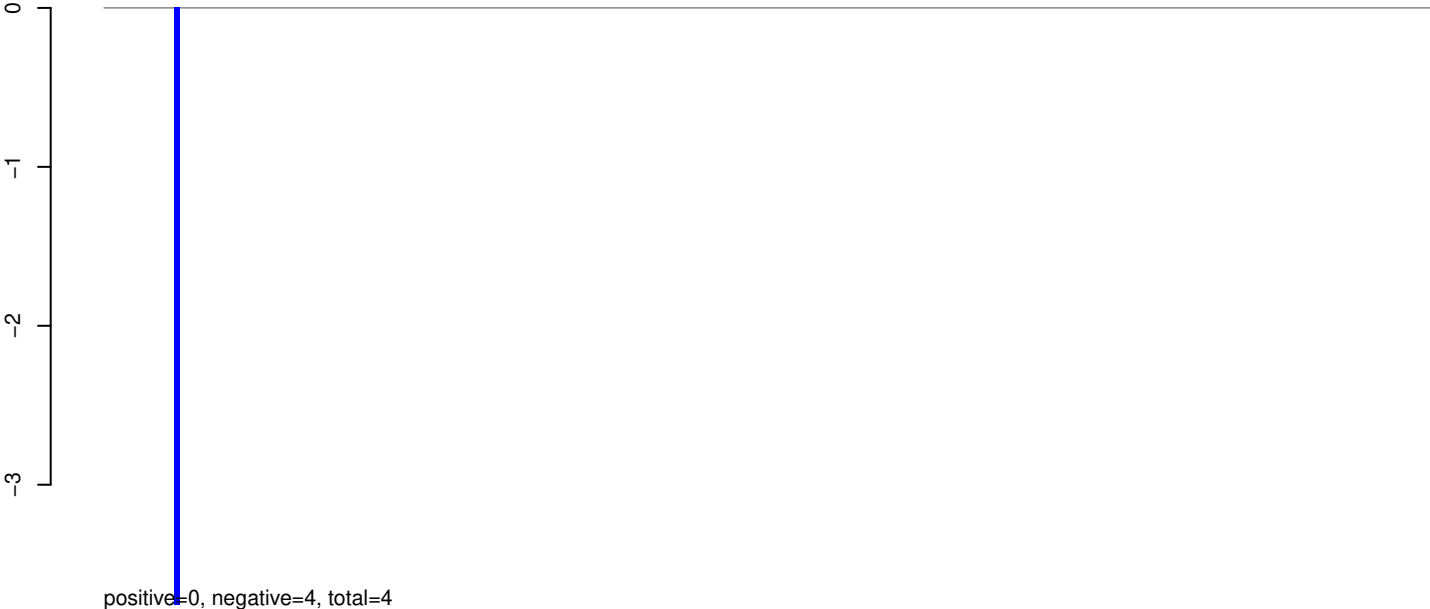


positive=0, negative=0, total=0

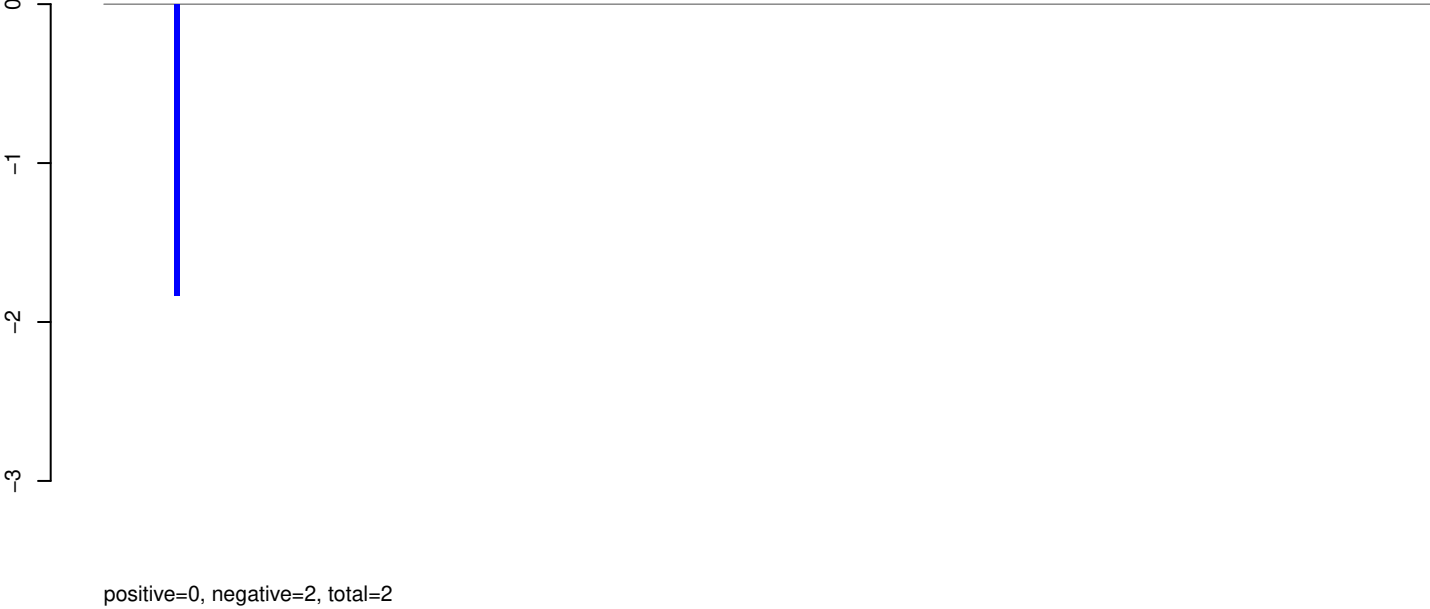
Window size=25, length=207, TE@Copia-32_AA-LTR:1-207

50 100 150 200 250

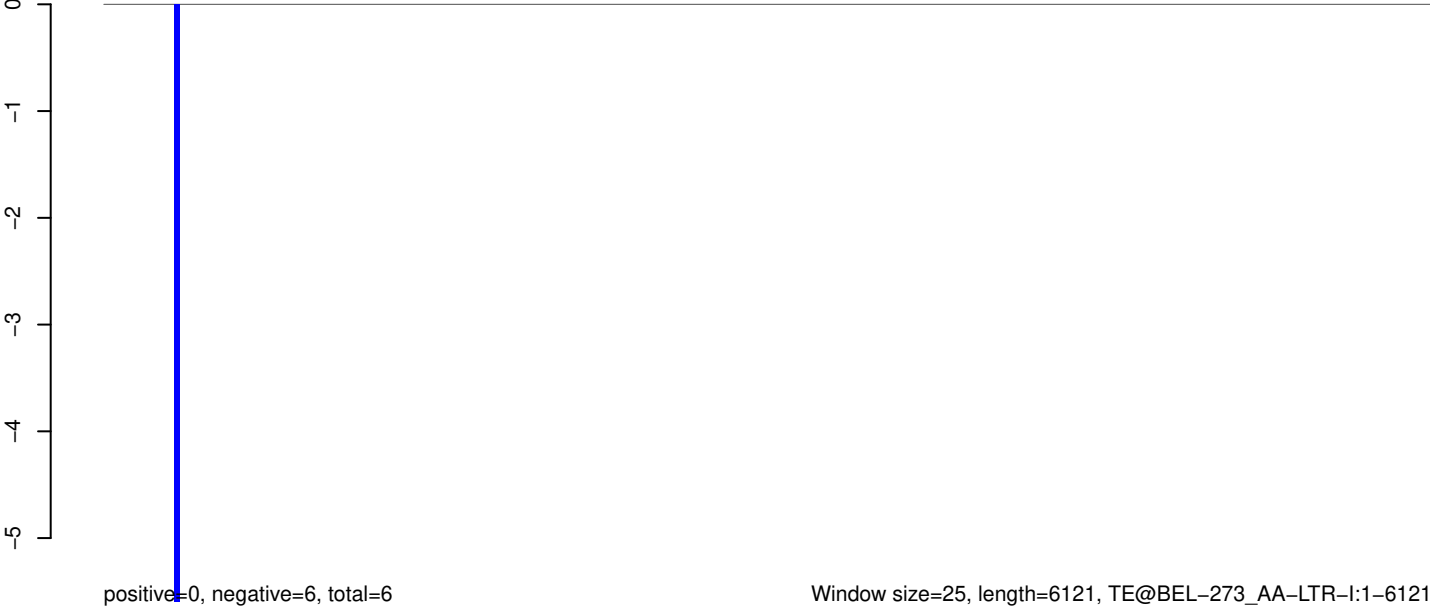
AeAeg_Aag2_Ago2_SINV_RA.18_23.rep



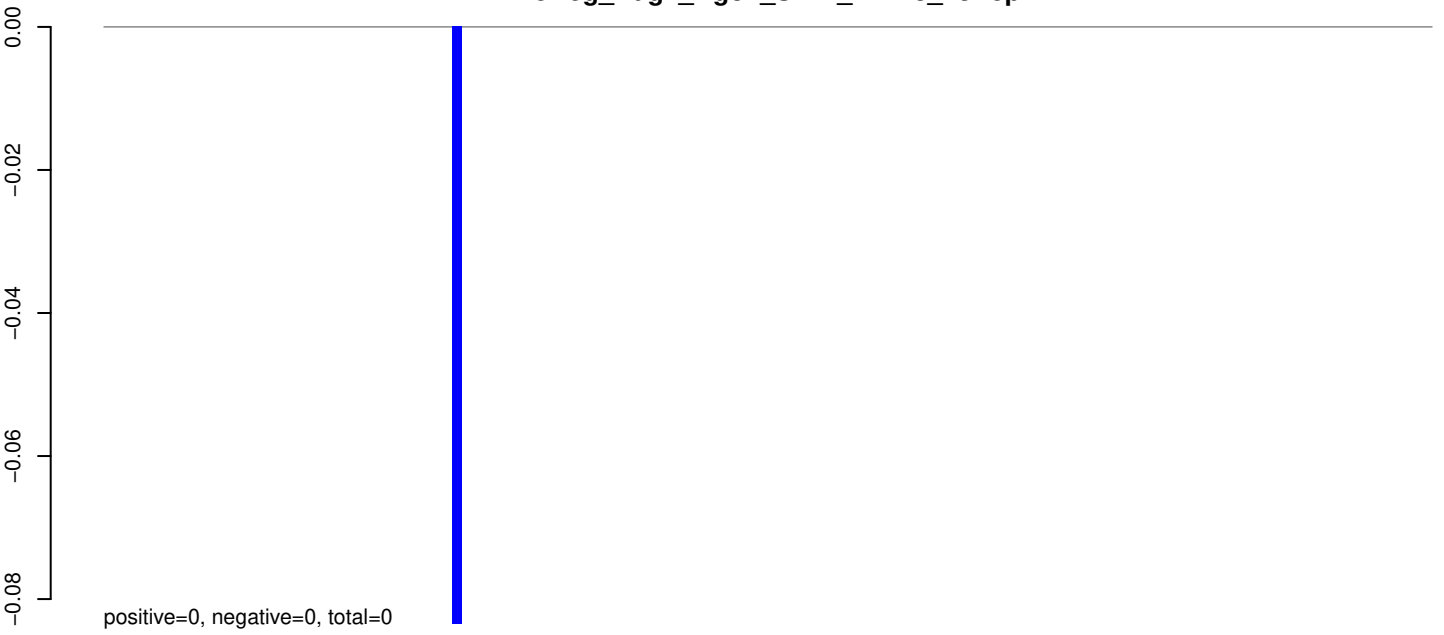
AeAeg_Aag2_Ago2_SINV_RA.24_35.rep



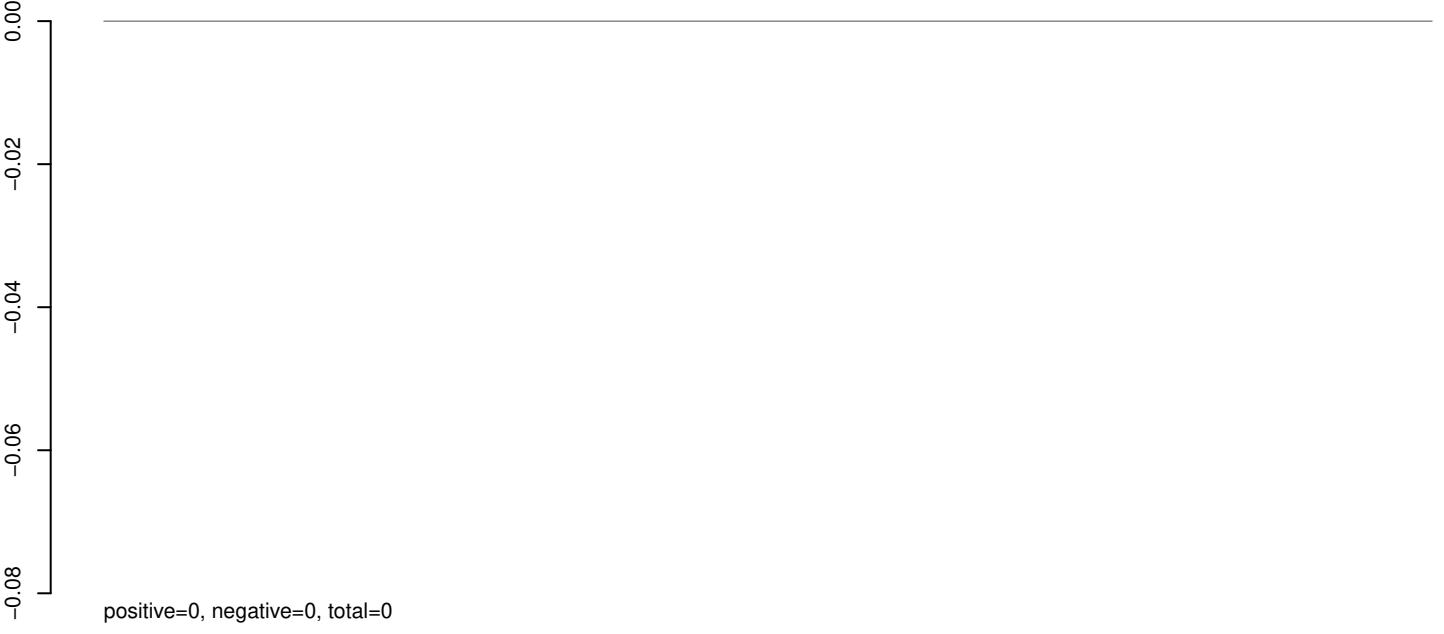
AeAeg_Aag2_Ago2_SINV_RA.rep



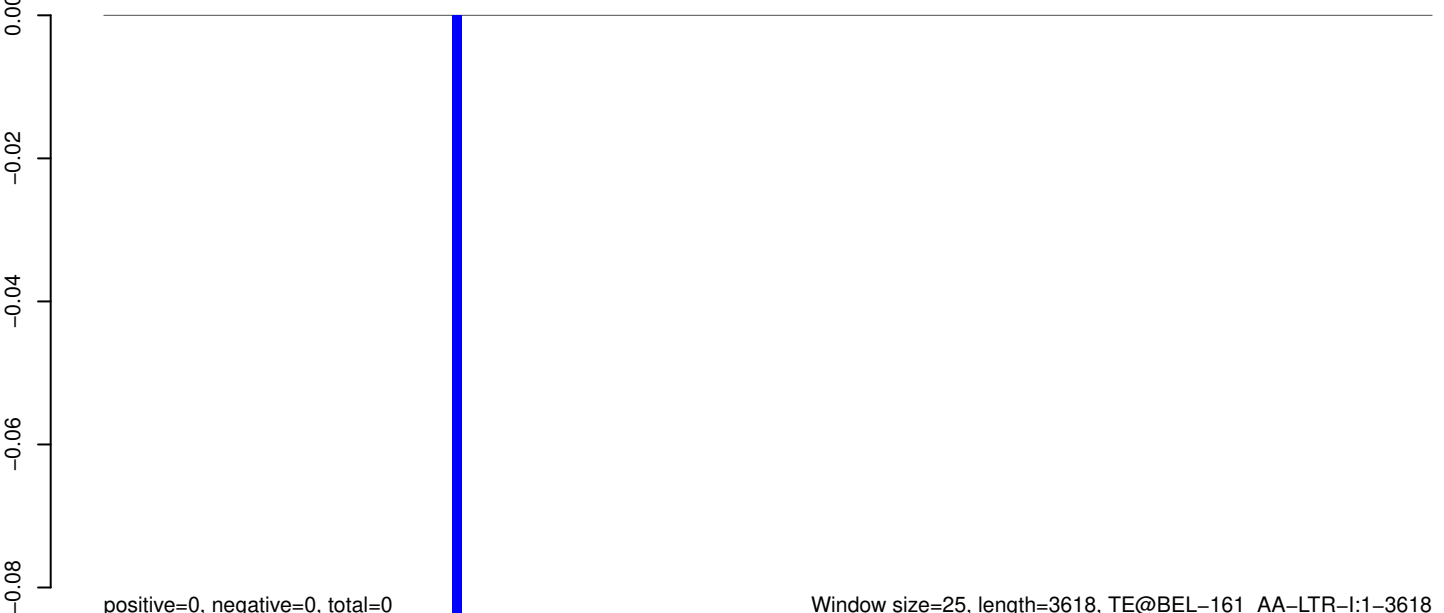
AeAeg_Aag2_Ago2_SINV_RA.18_23.rep



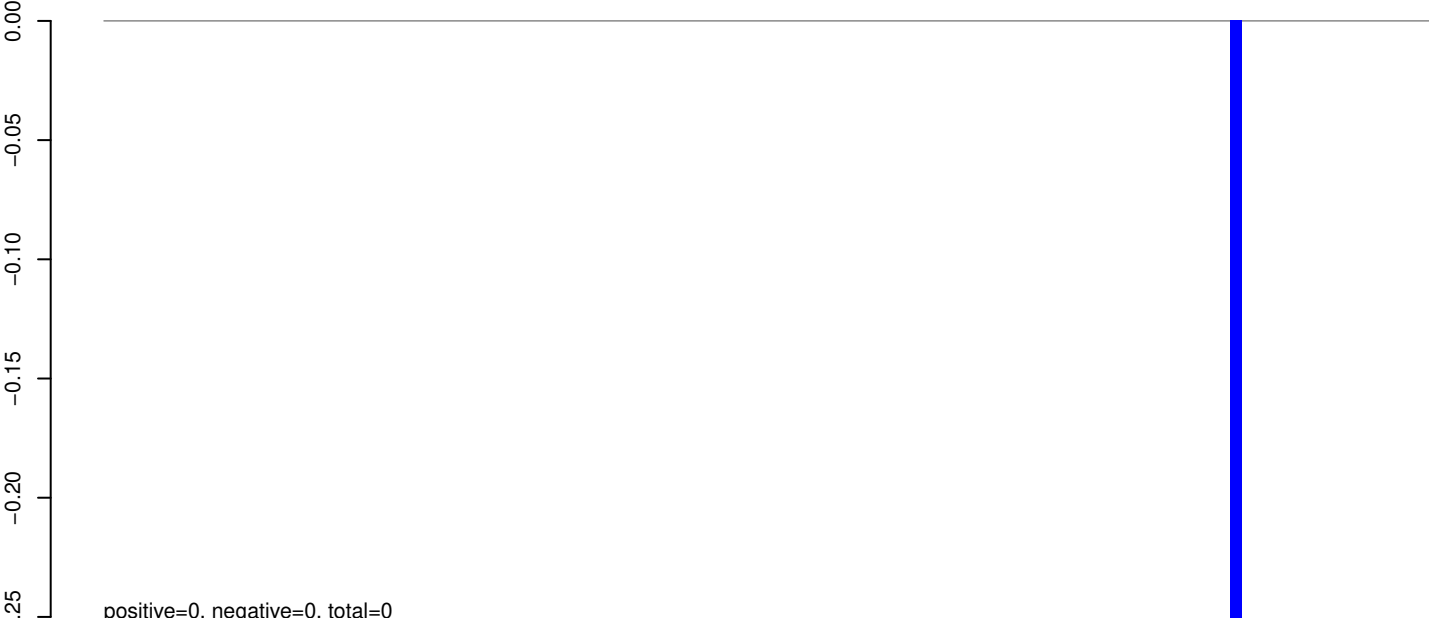
AeAeg_Aag2_Ago2_SINV_RA.24_35.rep



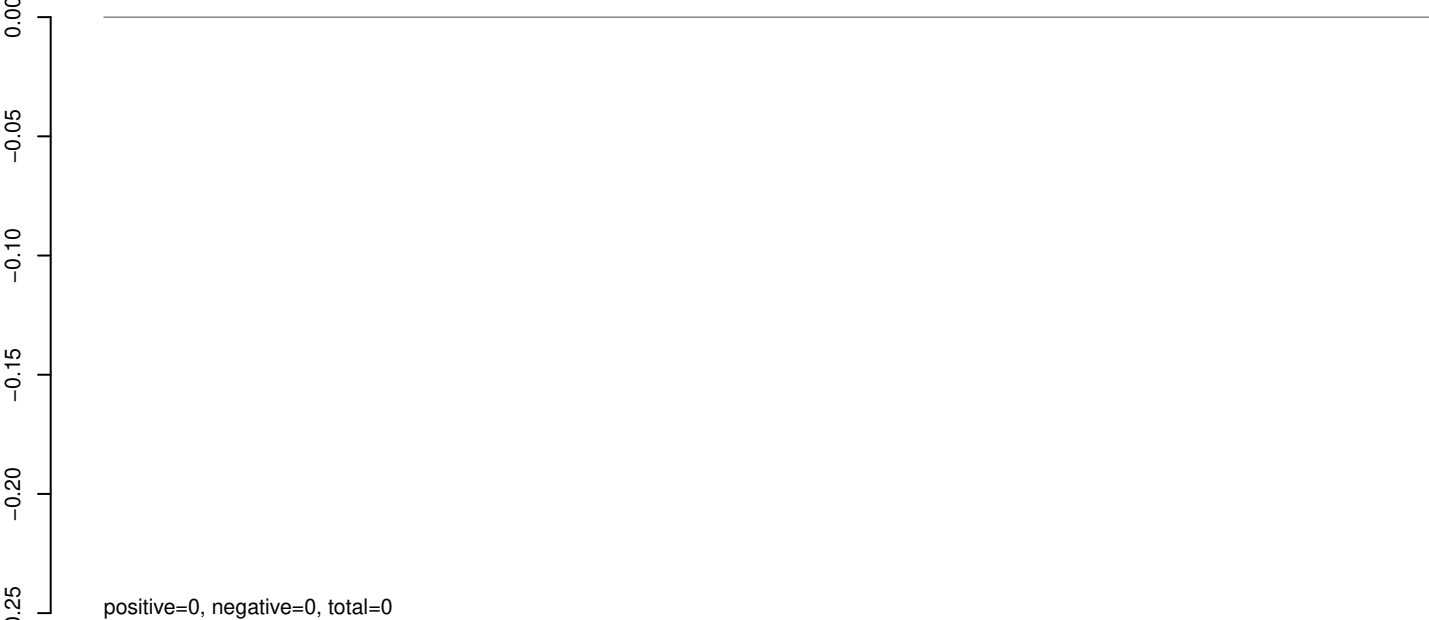
AeAeg_Aag2_Ago2_SINV_RA.rep



AeAeg_Aag2_Ago2_SINV_RA.18_23.rep



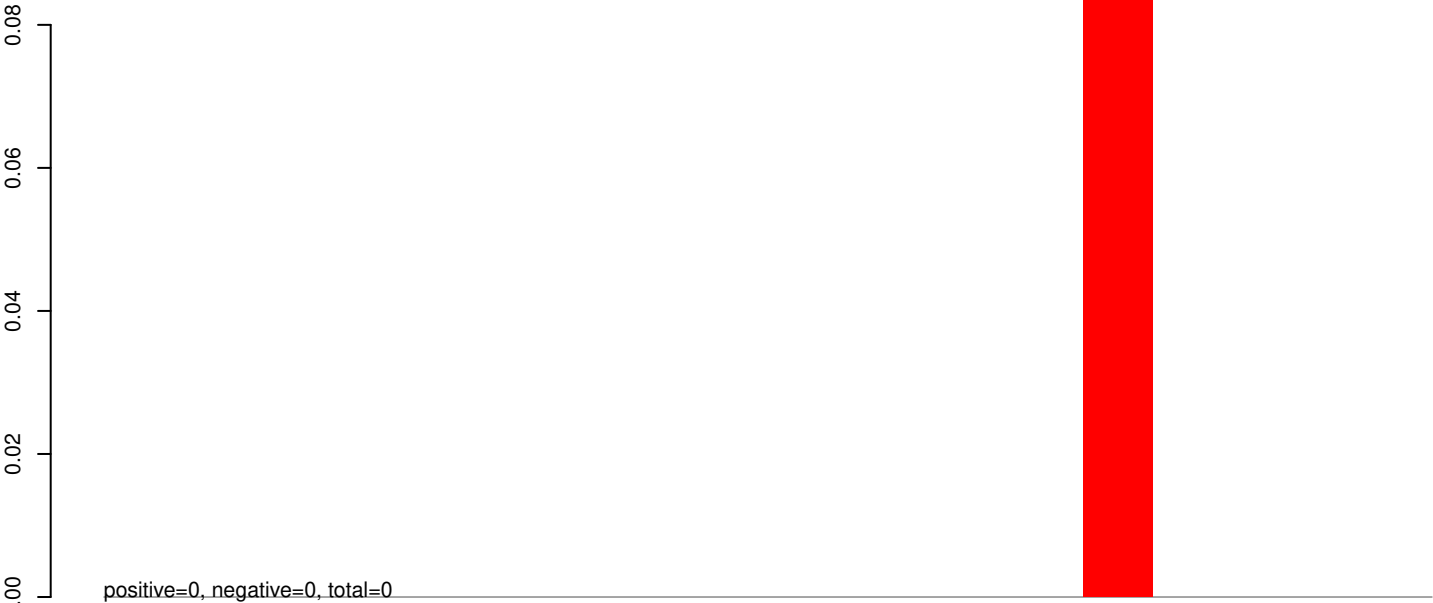
AeAeg_Aag2_Ago2_SINV_RA.24_35.rep



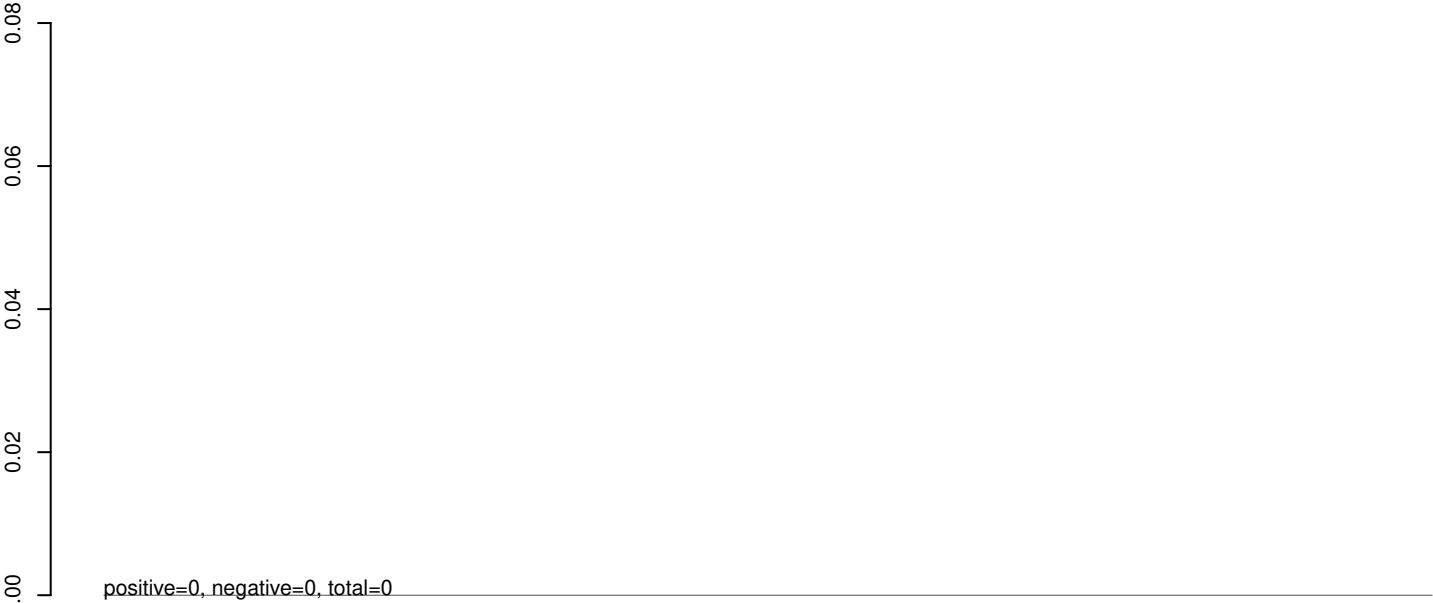
AeAeg_Aag2_Ago2_SINV_RA.rep



AeAeg_Aag2_Ago2_SINV_RA.18_23.rep



AeAeg_Aag2_Ago2_SINV_RA.24_35.rep

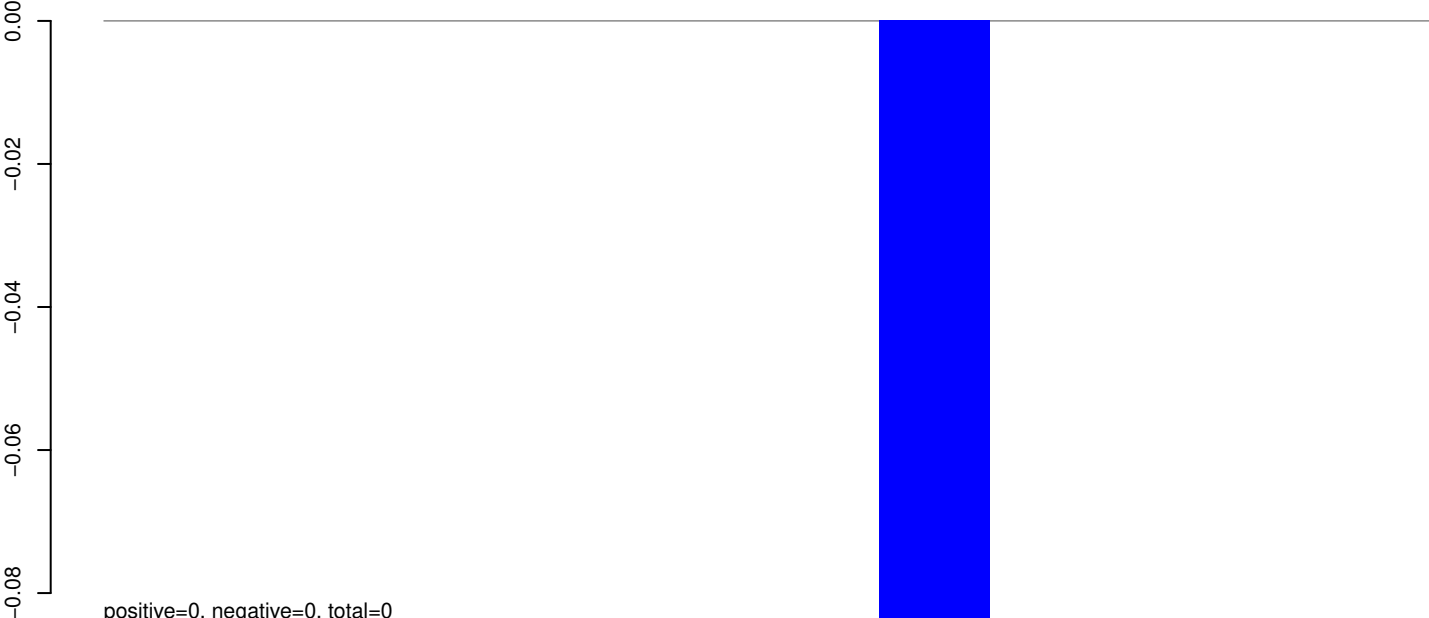


AeAeg_Aag2_Ago2_SINV_RA.rep

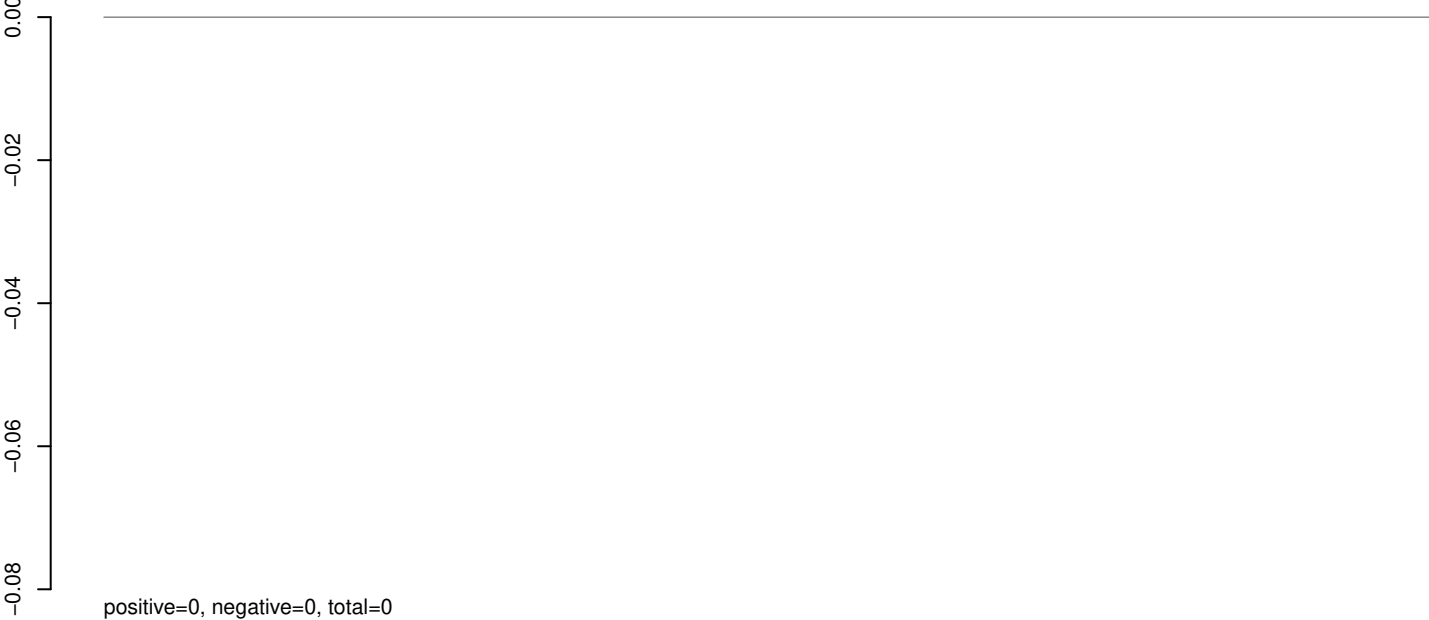


100 200 300 400 500

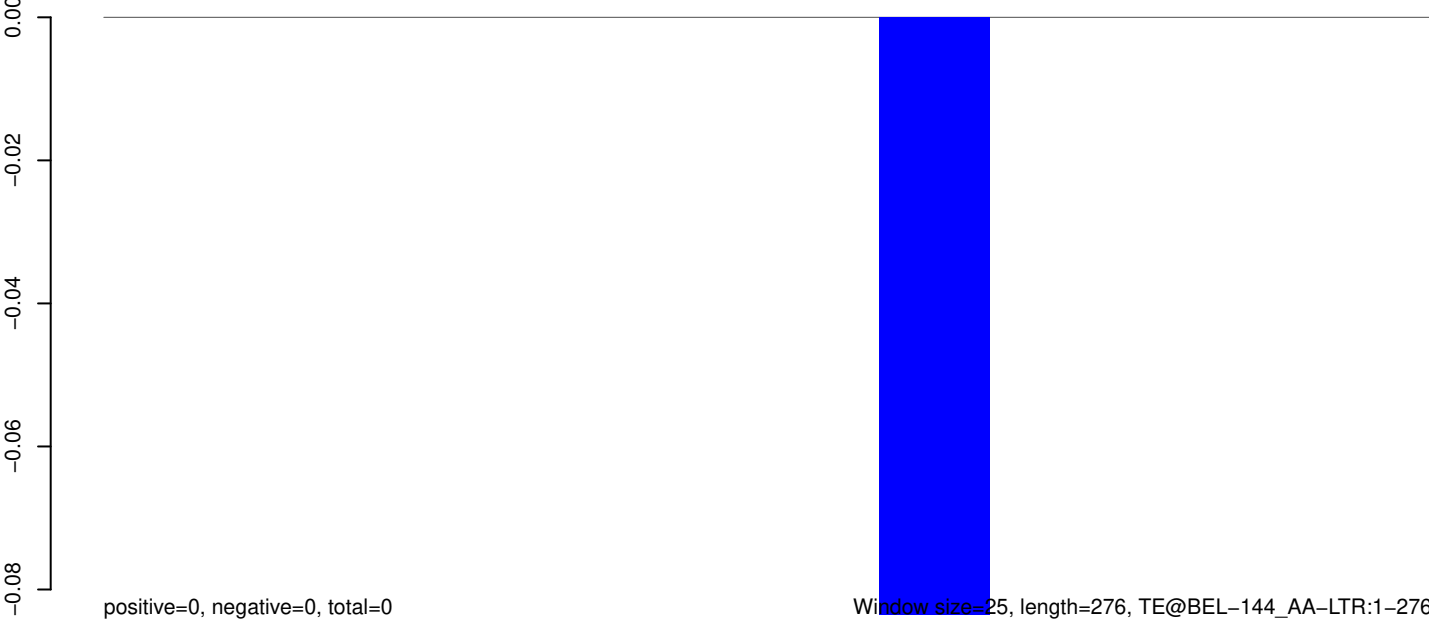
AeAeg_Aag2_Ago2_SINV_RA.18_23.rep



AeAeg_Aag2_Ago2_SINV_RA.24_35.rep

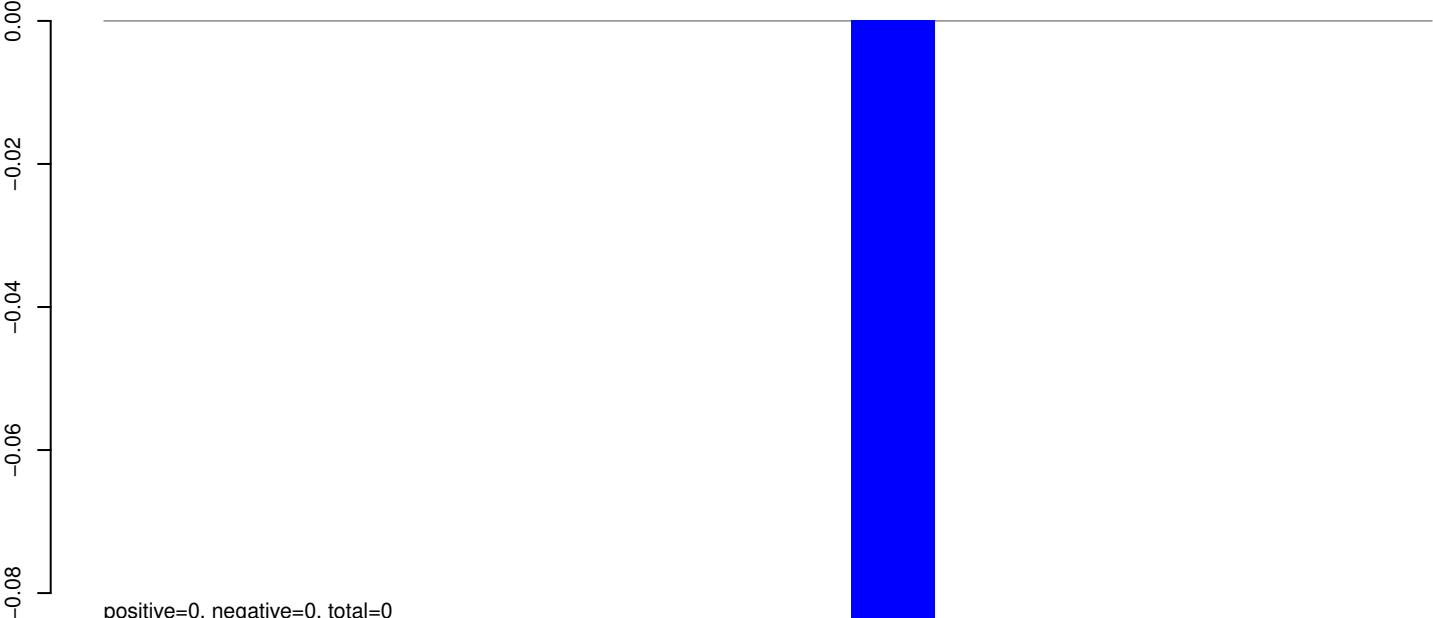


AeAeg_Aag2_Ago2_SINV_RA.rep

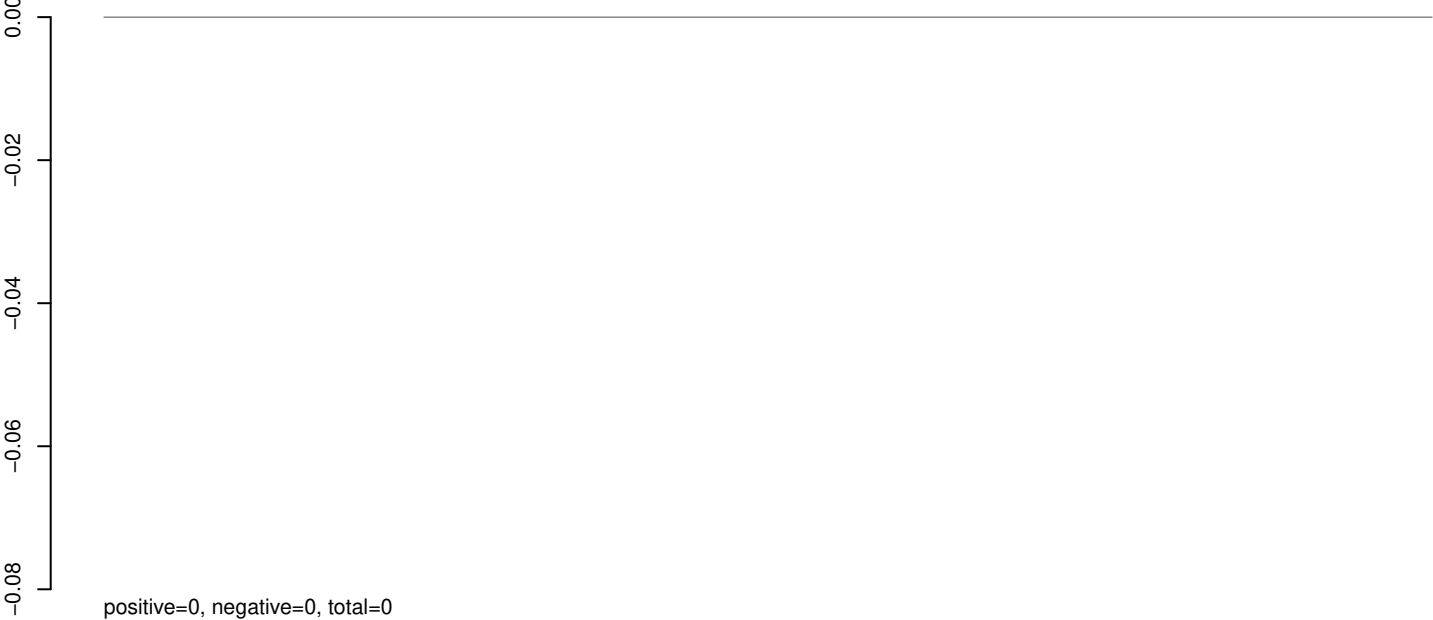


50 100 150 200 250 300

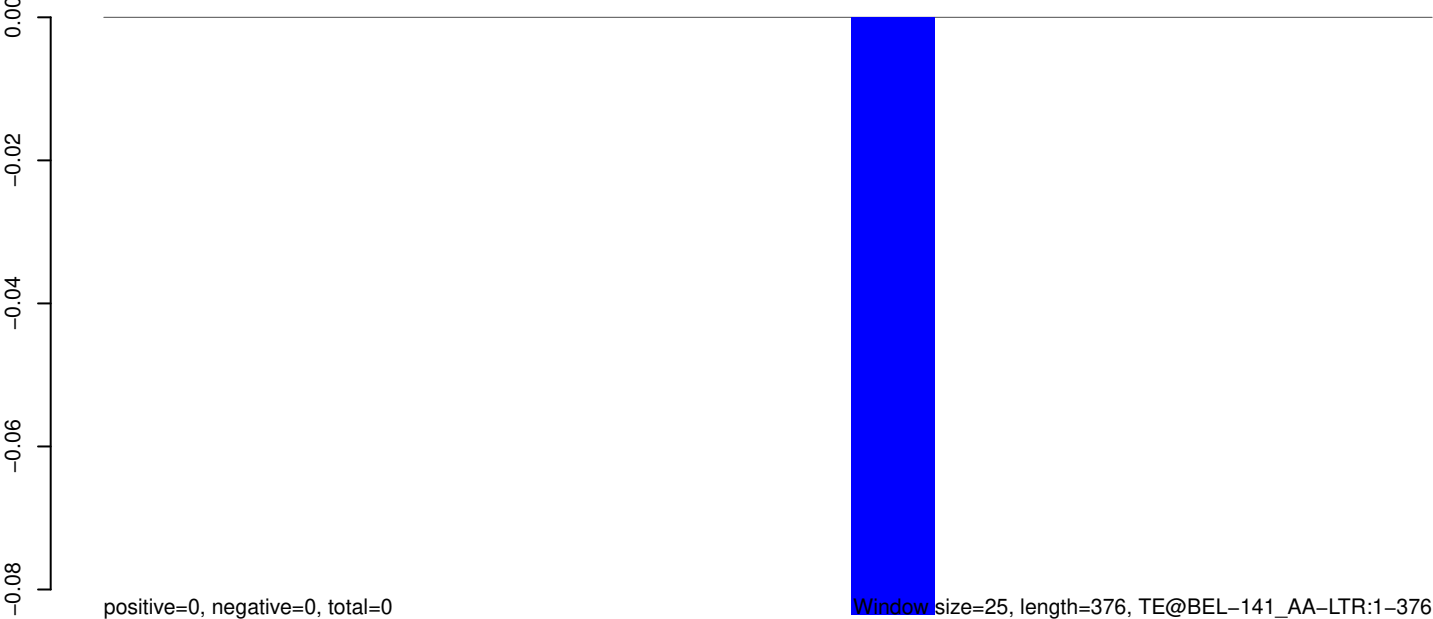
AeAeg_Aag2_Ago2_SINV_RA.18_23.rep



AeAeg_Aag2_Ago2_SINV_RA.24_35.rep



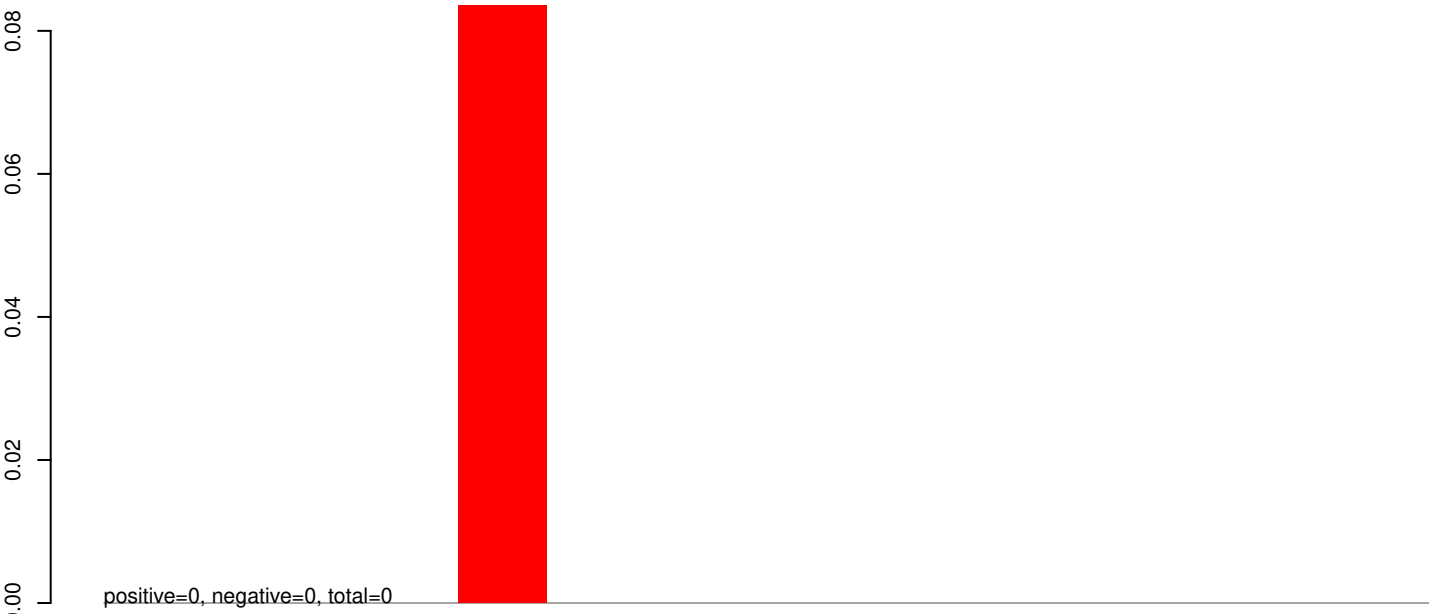
AeAeg_Aag2_Ago2_SINV_RA.rep



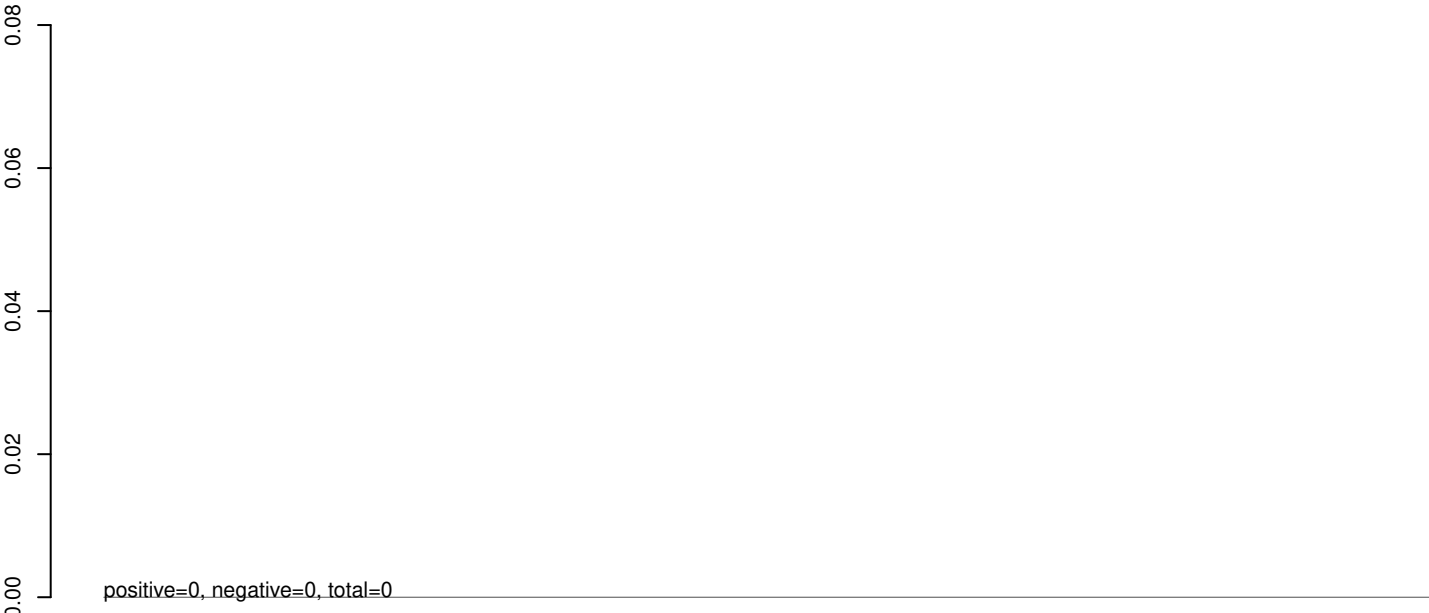
Window size=25, length=376, TE@BEL-141_AA-LTR:1-376

100 200 300 400

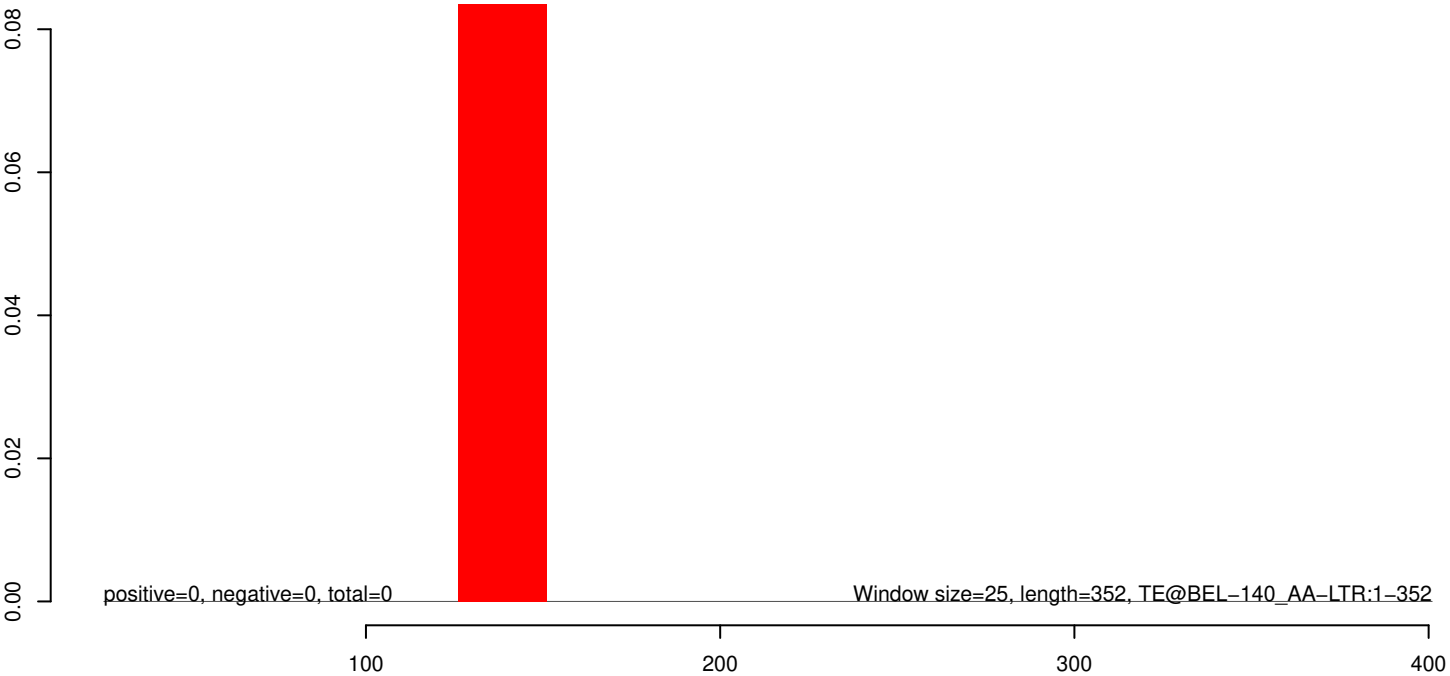
AeAeg_Aag2_Ago2_SINV_RA.18_23.rep



AeAeg_Aag2_Ago2_SINV_RA.24_35.rep



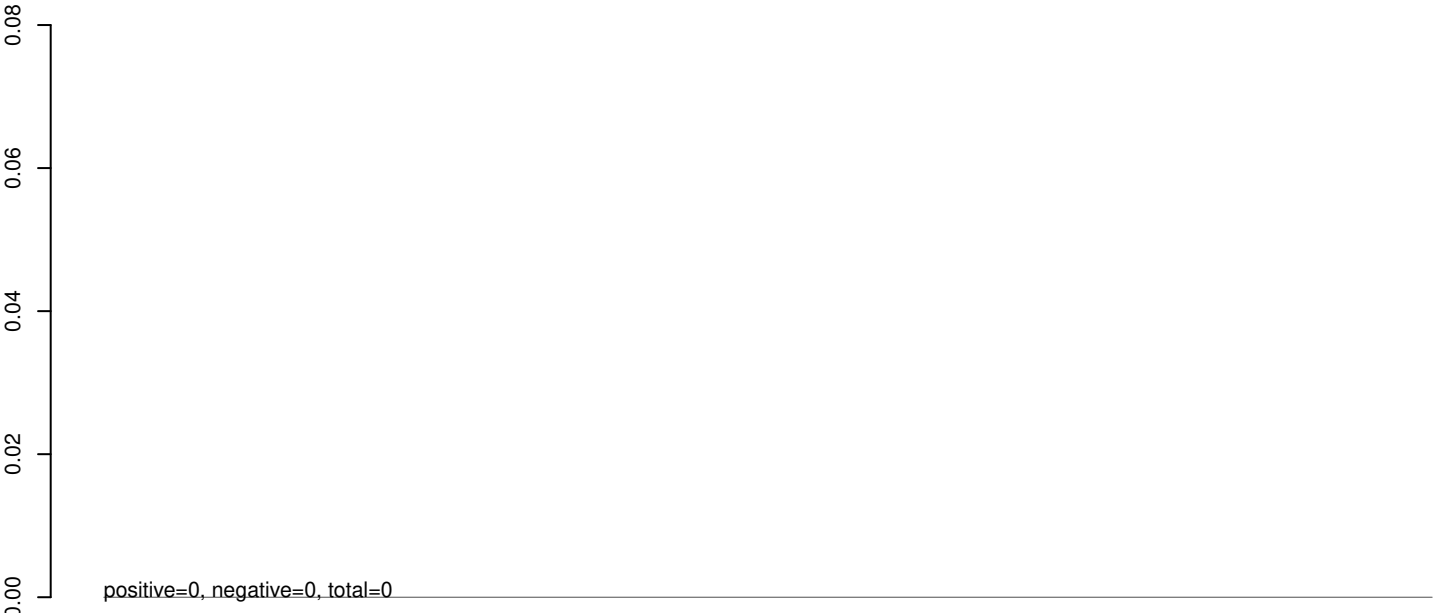
AeAeg_Aag2_Ago2_SINV_RA.rep



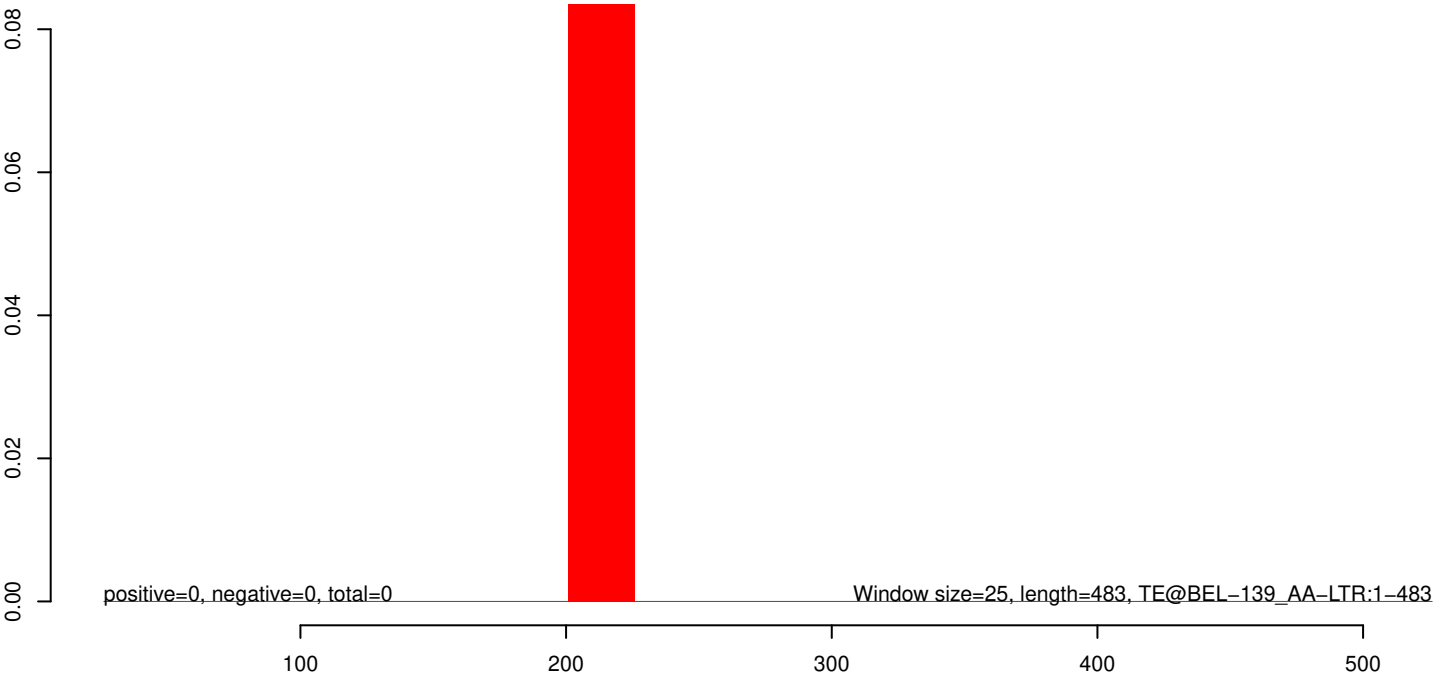
AeAeg_Aag2_Ago2_SINV_RA.18_23.rep



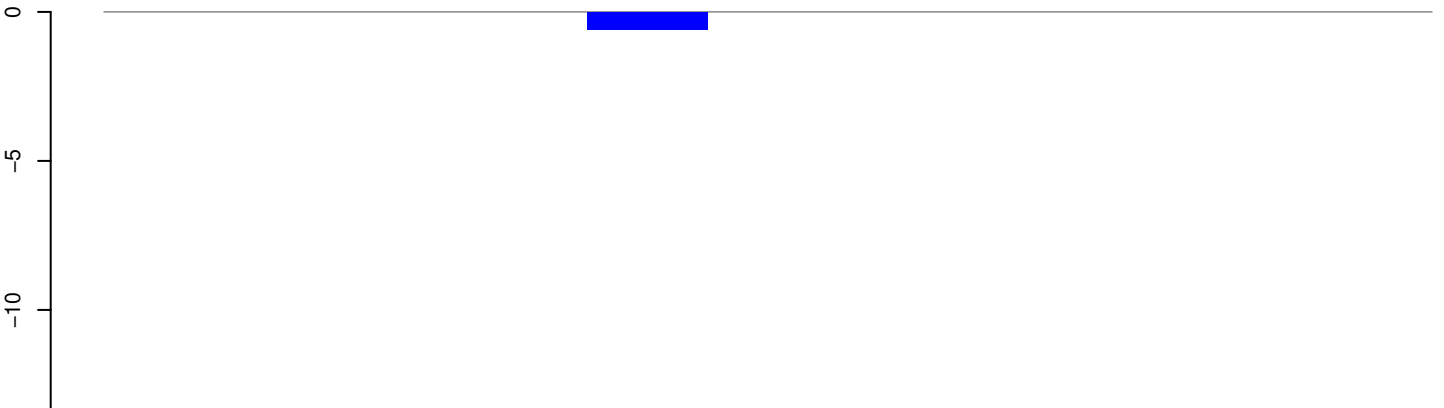
AeAeg_Aag2_Ago2_SINV_RA.24_35.rep



AeAeg_Aag2_Ago2_SINV_RA.rep

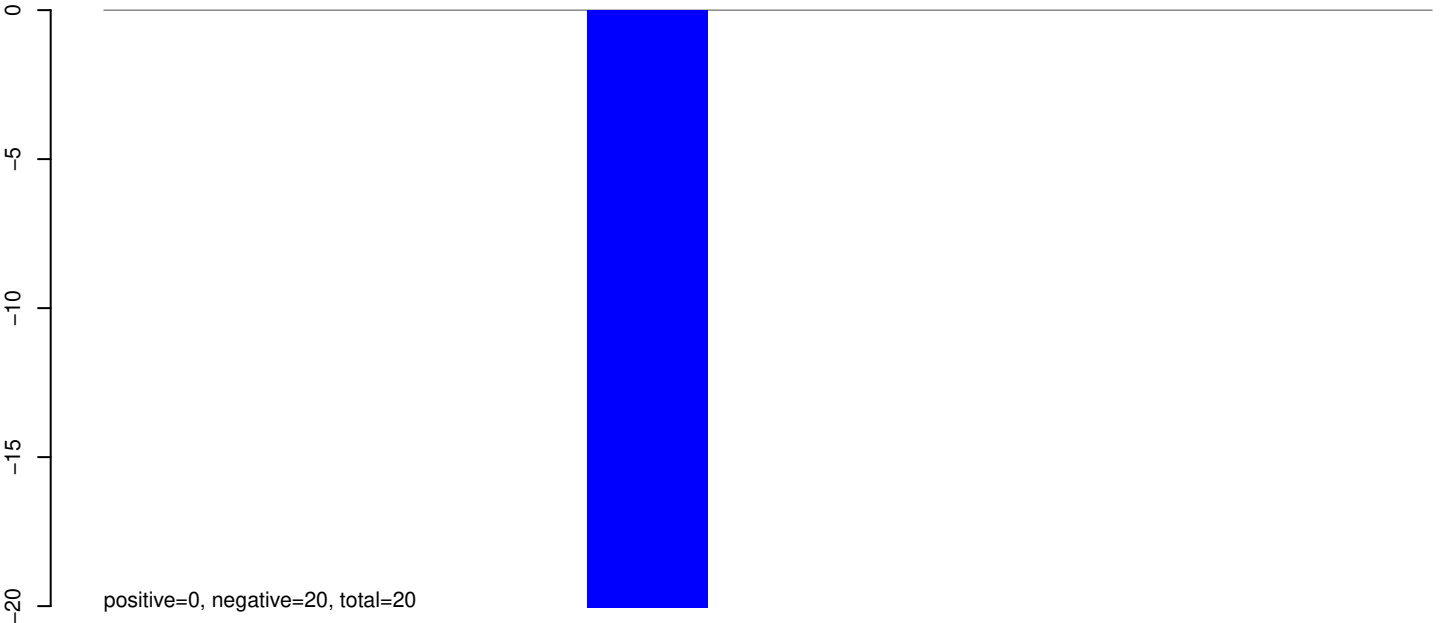


AeAeg_Aag2_Ago2_SINV_RA.18_23.rep



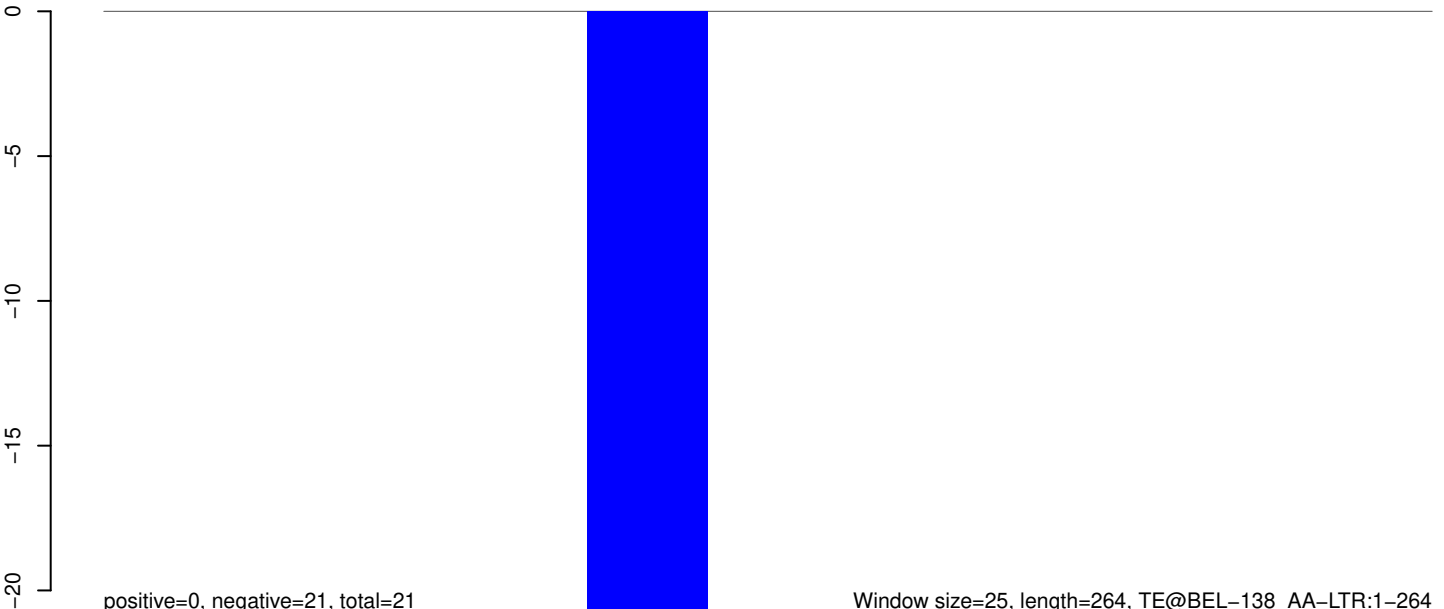
positive=0, negative=1, total=1

AeAeg_Aag2_Ago2_SINV_RA.24_35.rep



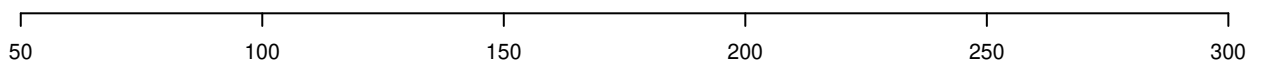
positive=0, negative=20, total=20

AeAeg_Aag2_Ago2_SINV_RA.rep

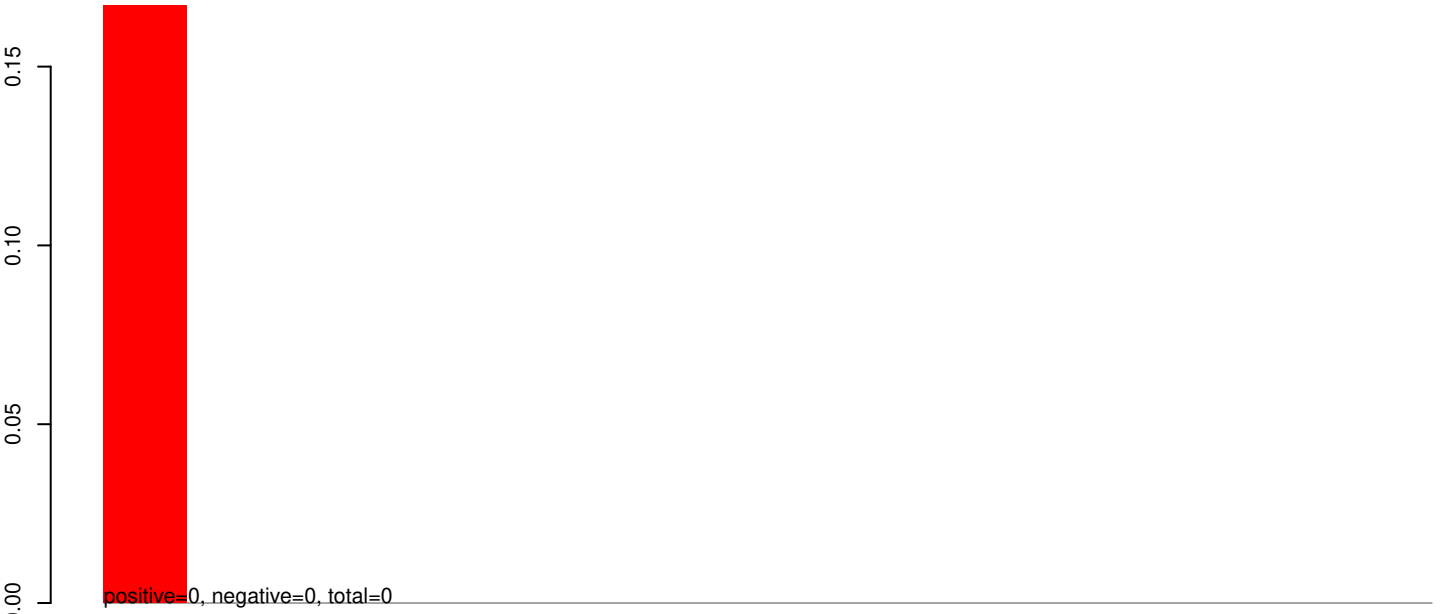


positive=0, negative=21, total=21

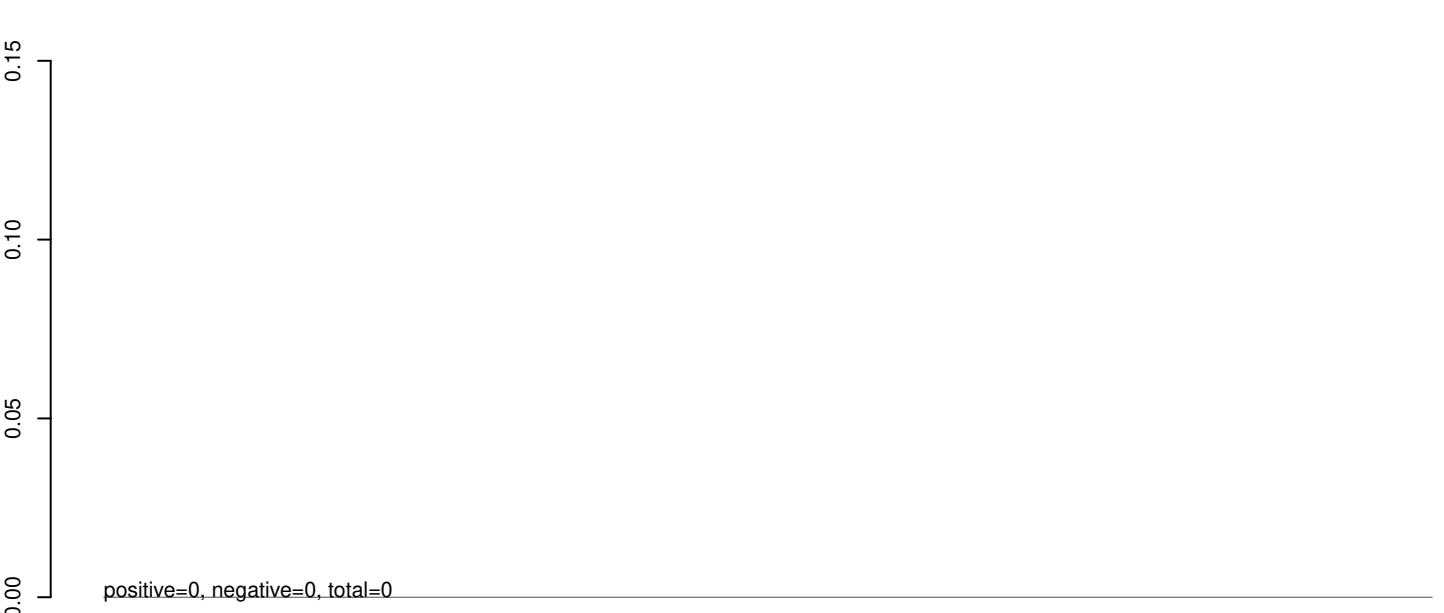
Window size=25, length=264, TE@BEL-138_AA-LTR:1-264



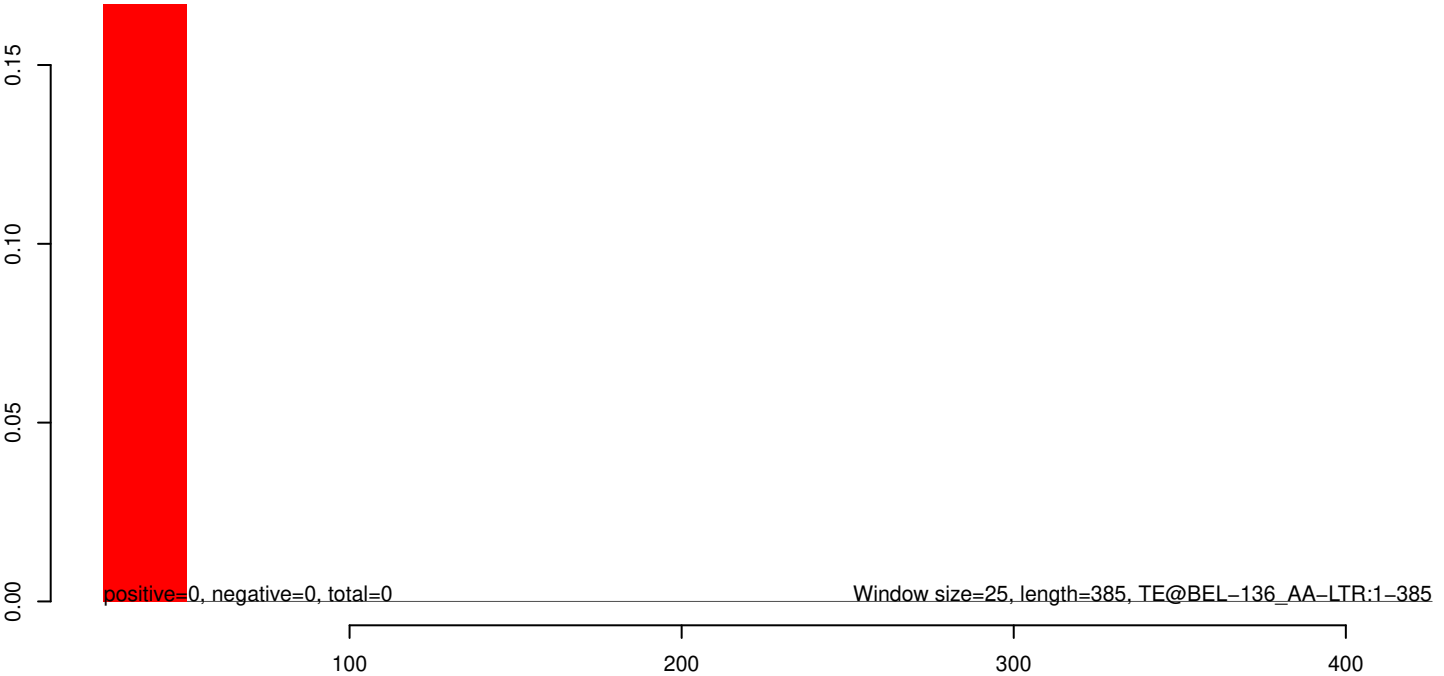
AeAeg_Aag2_Ago2_SINV_RA.18_23.rep



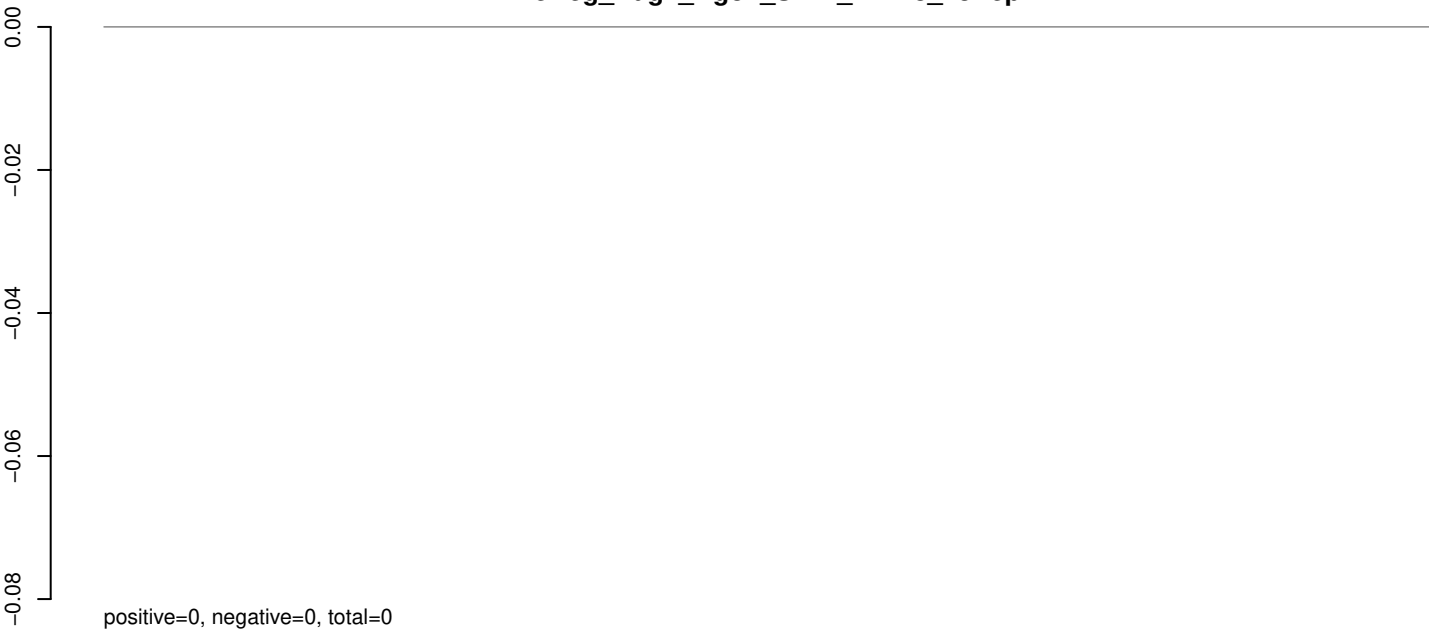
AeAeg_Aag2_Ago2_SINV_RA.24_35.rep



AeAeg_Aag2_Ago2_SINV_RA.rep

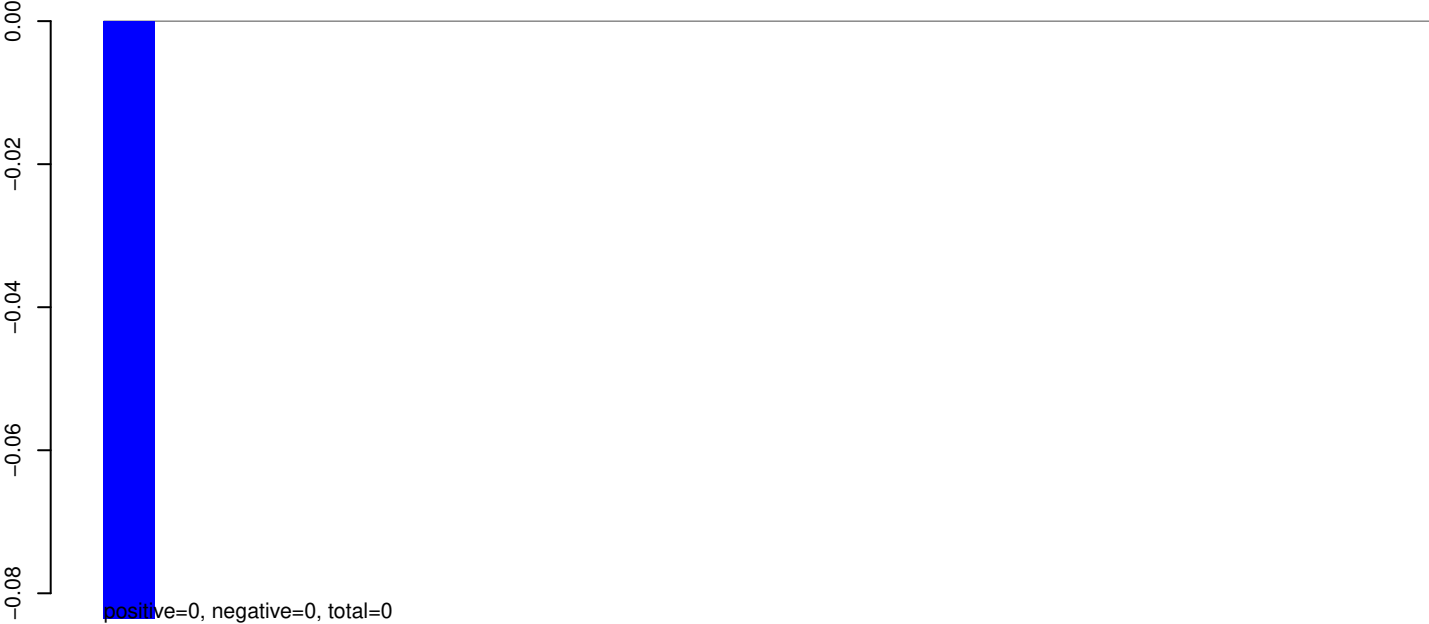


AeAeg_Aag2_Ago2_SINV_RA.18_23.rep



positive=0, negative=0, total=0

AeAeg_Aag2_Ago2_SINV_RA.24_35.rep



positive=0, negative=0, total=0

AeAeg_Aag2_Ago2_SINV_RA.rep



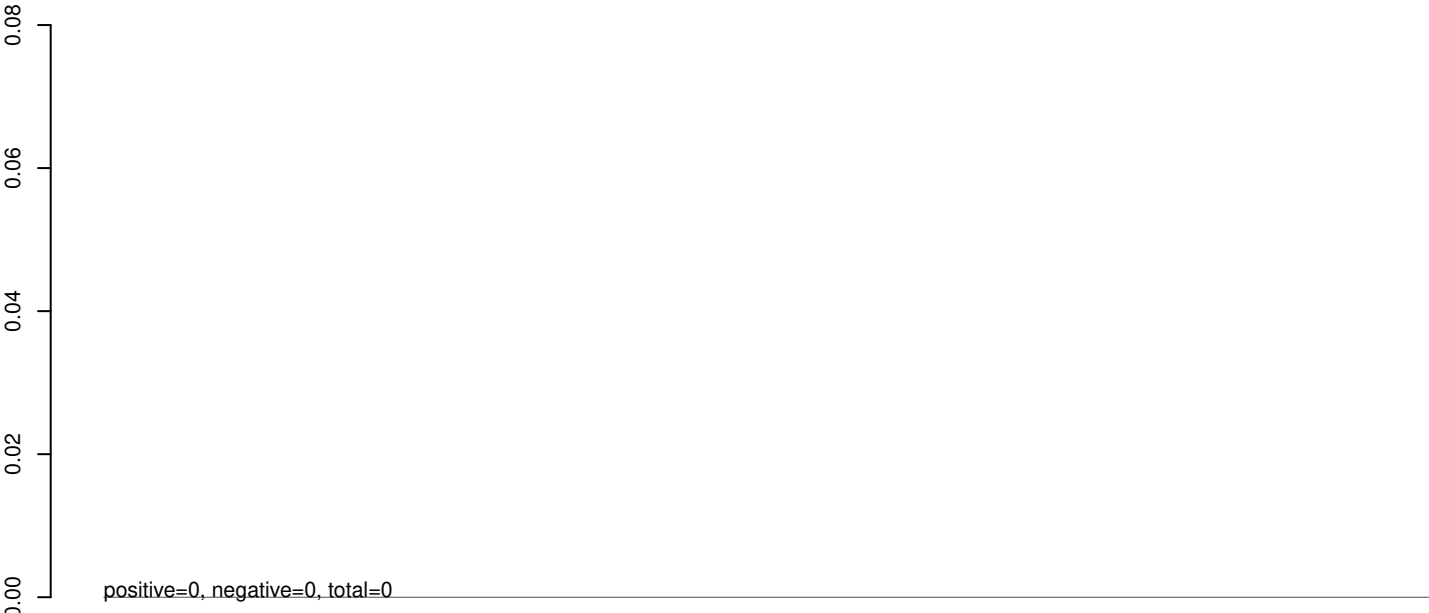
positive=0, negative=0, total=0

Window size=25, length=650, TE@BEL-134_AA-LTR:1-650

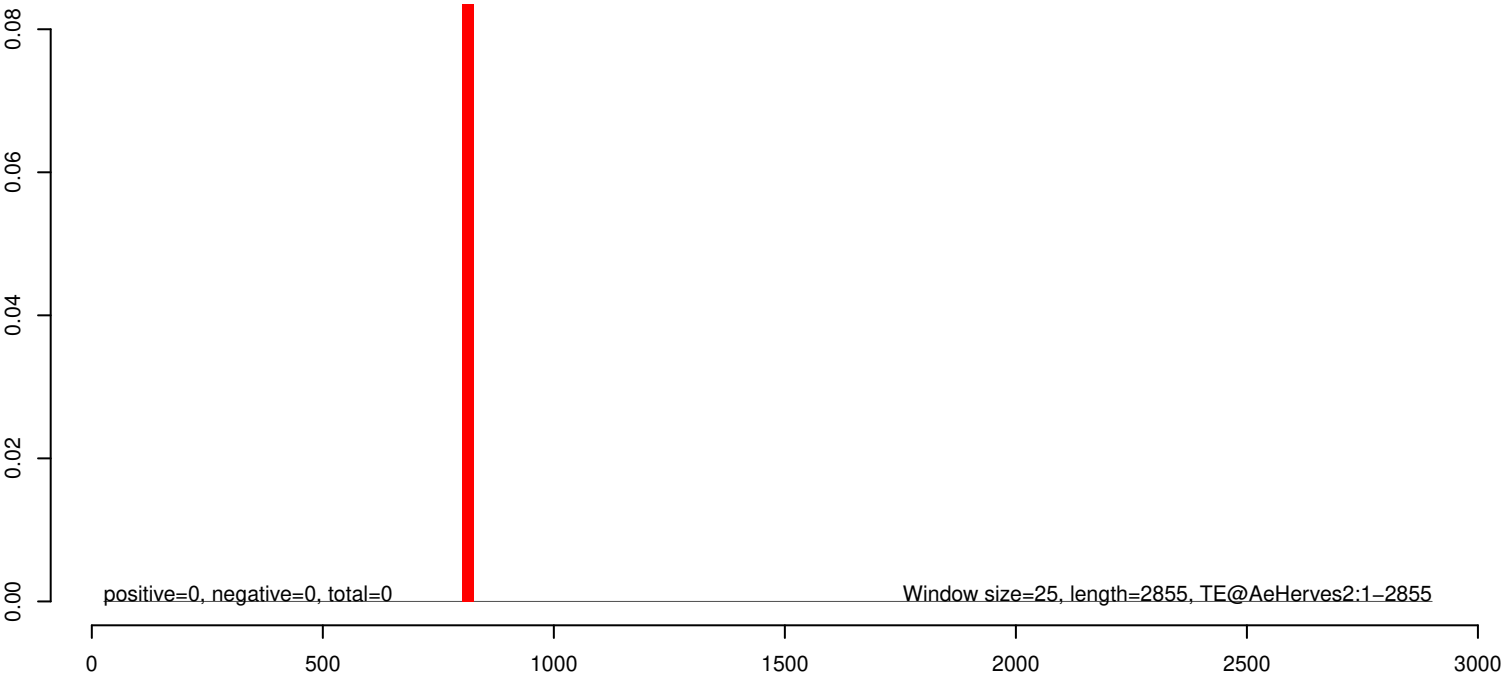
AeAeg_Aag2_Ago2_SINV_RA.18_23.rep



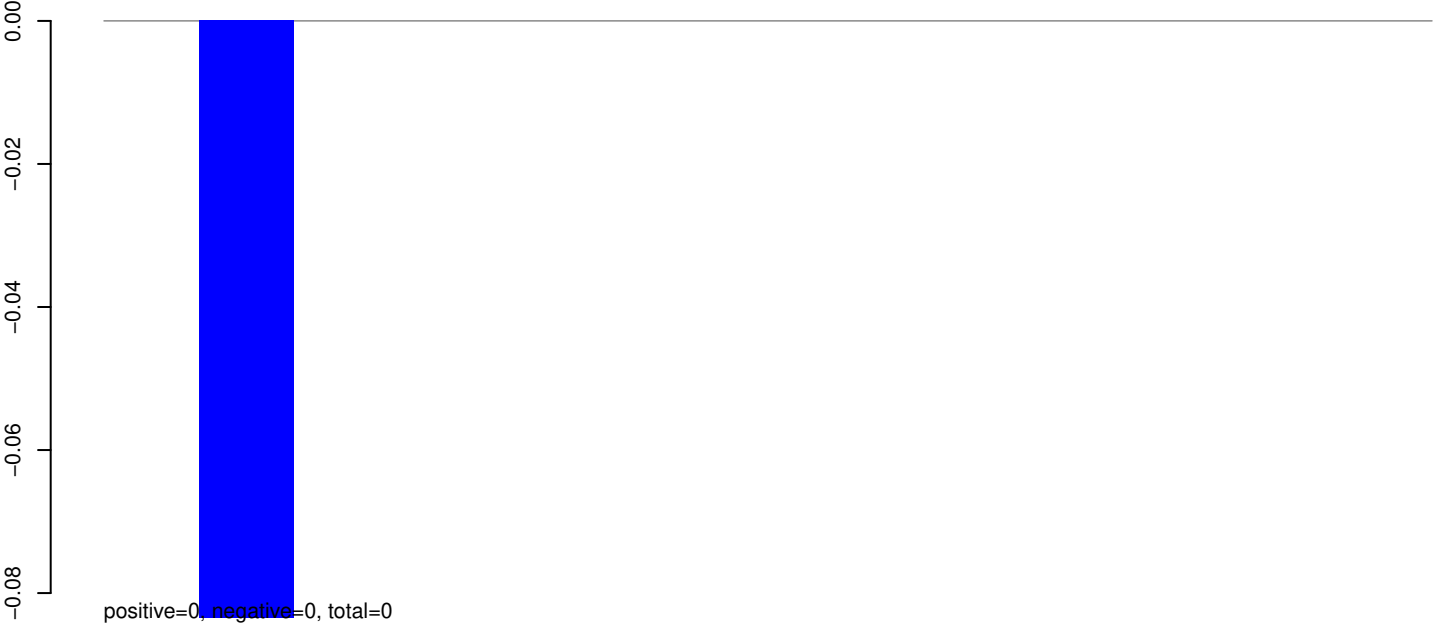
AeAeg_Aag2_Ago2_SINV_RA.24_35.rep



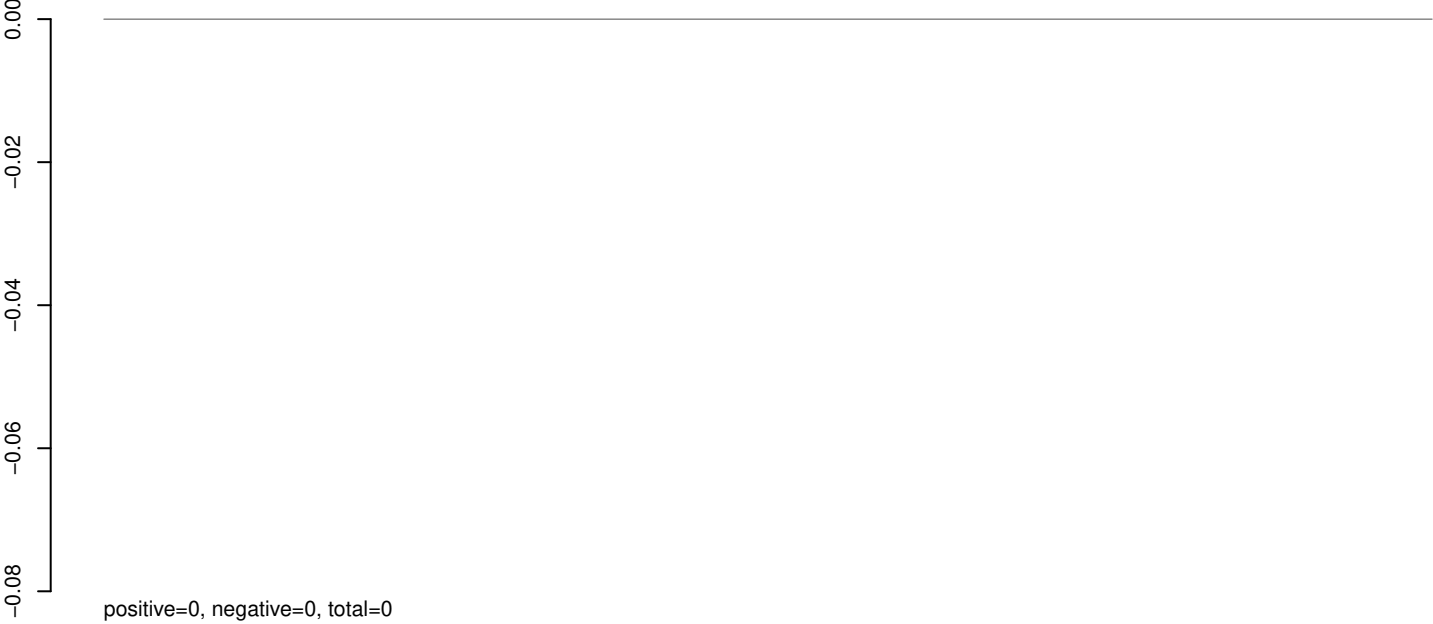
AeAeg_Aag2_Ago2_SINV_RA.rep



AeAeg_Aag2_Ago2_SINV_RA.18_23.rep



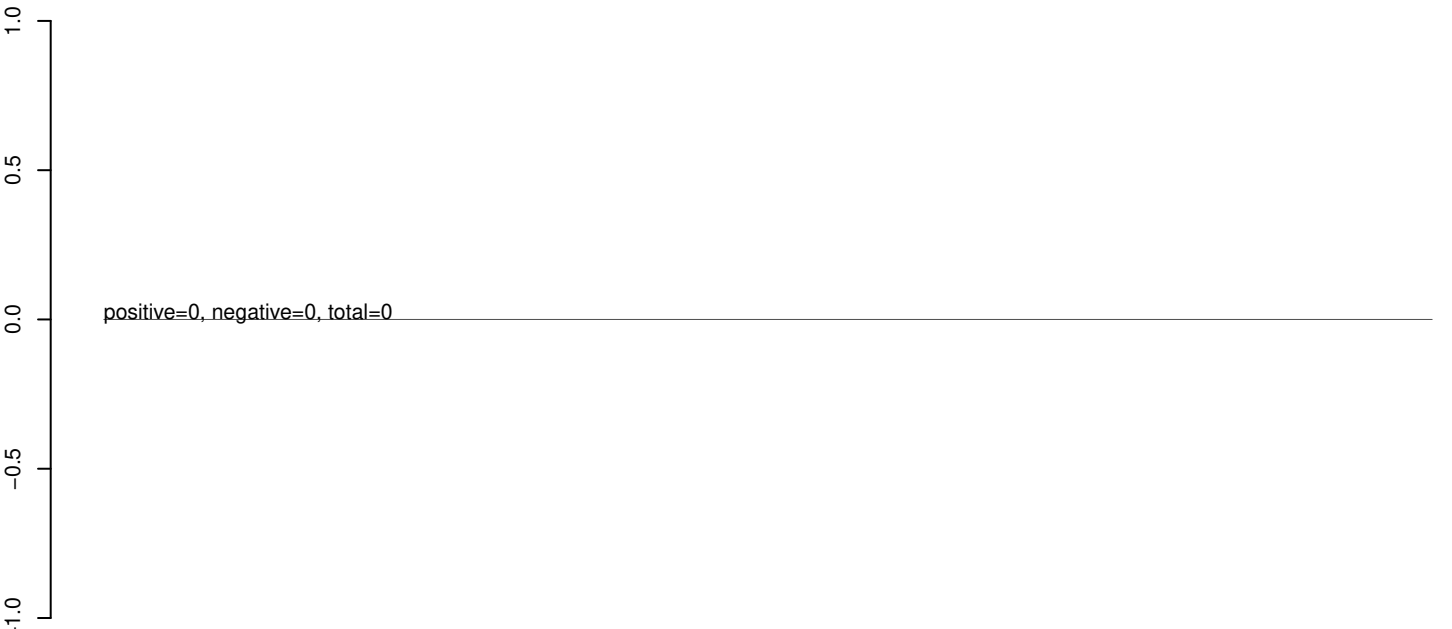
AeAeg_Aag2_Ago2_SINV_RA.24_35.rep



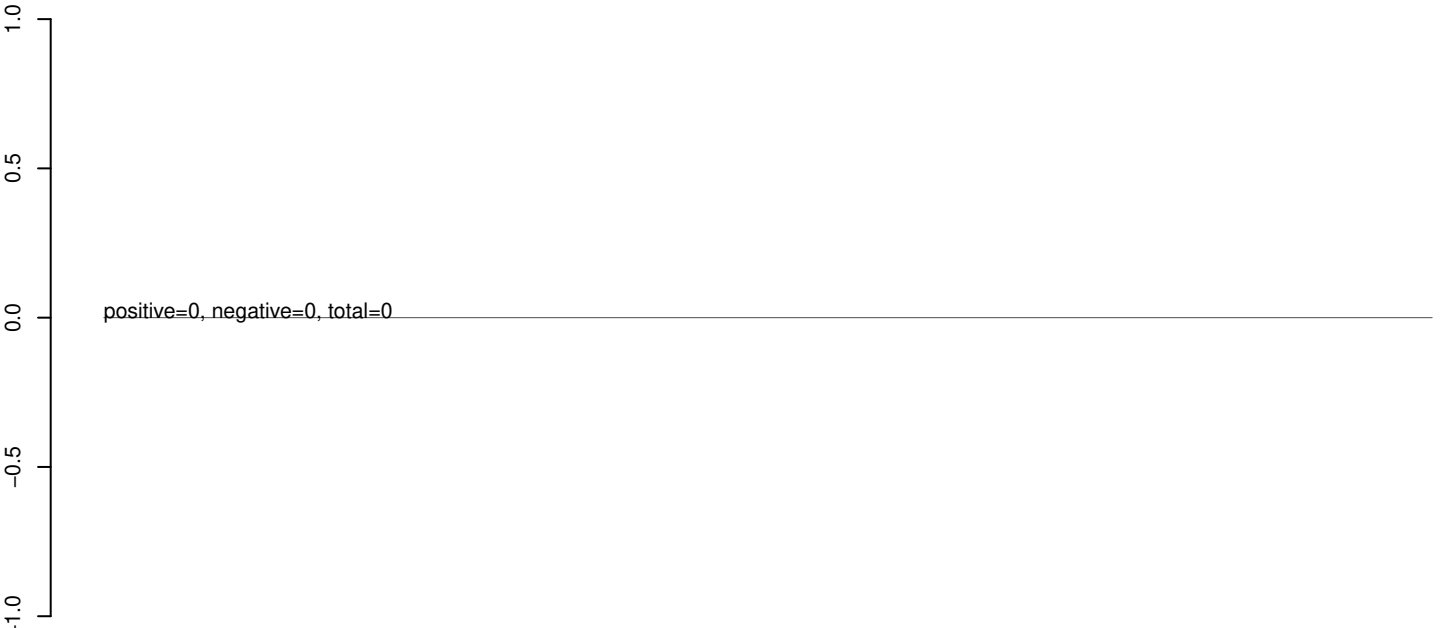
AeAeg_Aag2_Ago2_SINV_RA.rep



AeAeg_Aag2_Ago2_SINV_RA.18_23.rep



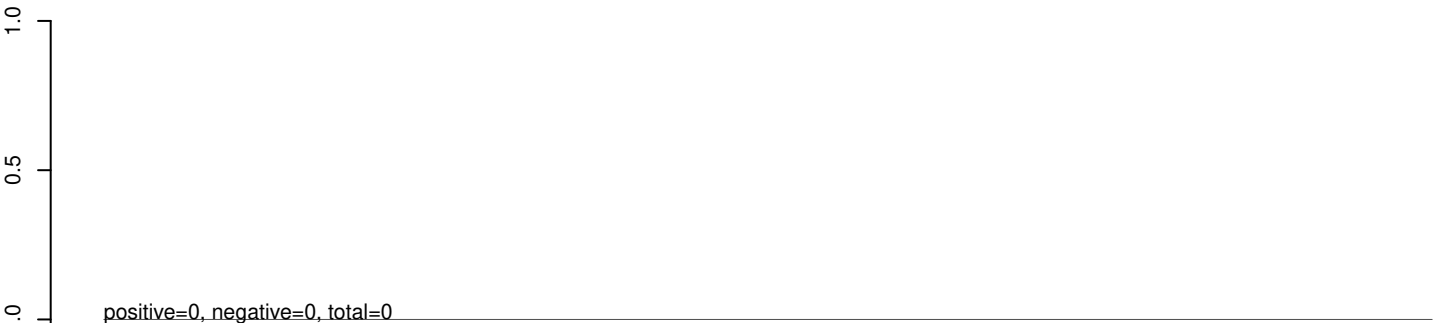
AeAeg_Aag2_Ago2_SINV_RA.24_35.rep



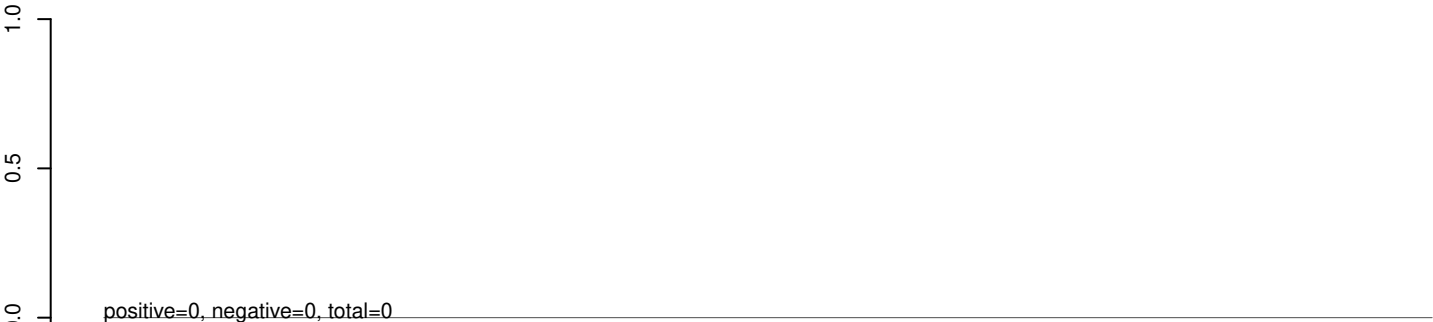
AeAeg_Aag2_Ago2_SINV_RA.rep



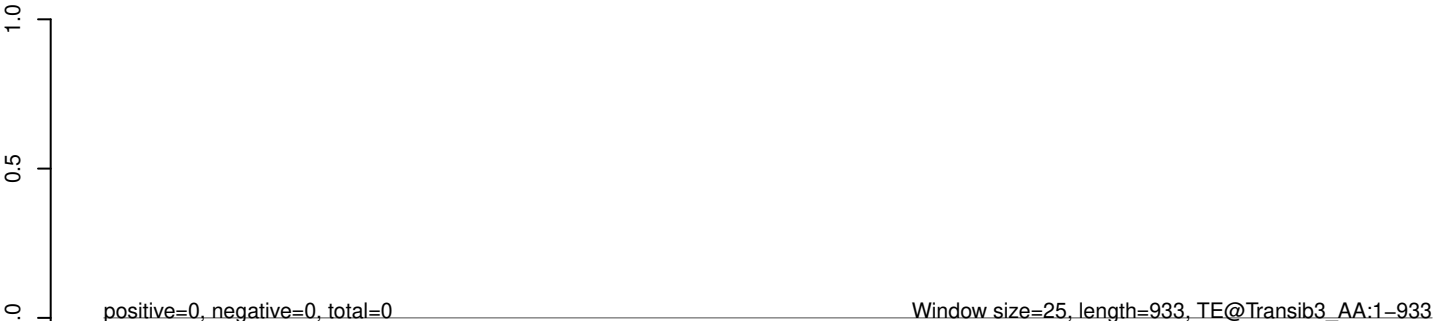
AeAeg_Aag2_Ago2_SINV_RA.18_23.rep



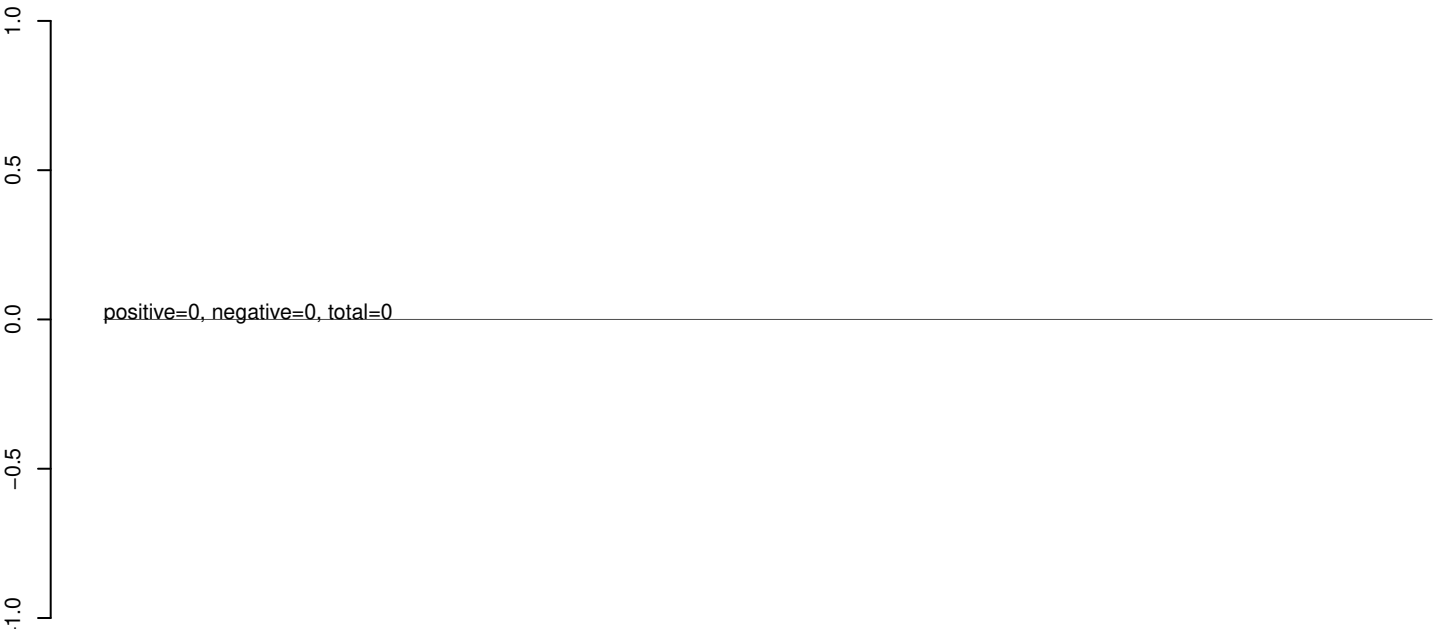
AeAeg_Aag2_Ago2_SINV_RA.24_35.rep



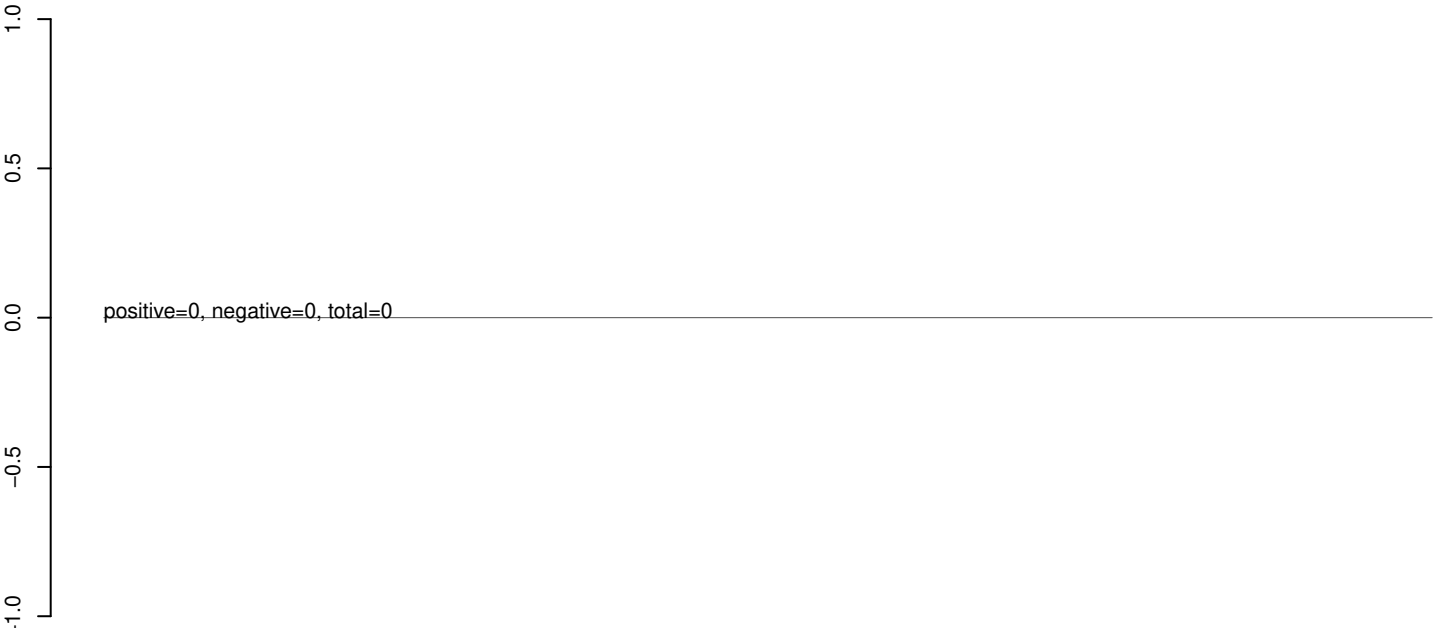
AeAeg_Aag2_Ago2_SINV_RA.rep



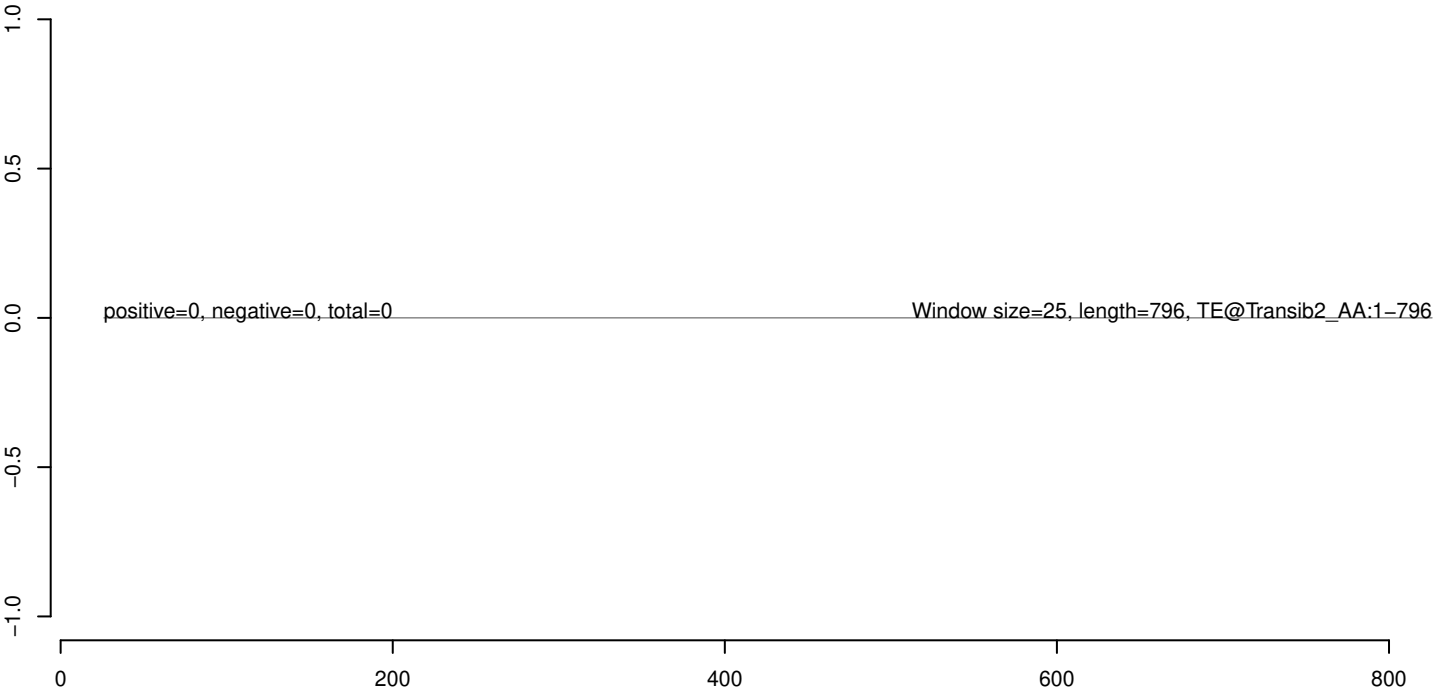
AeAeg_Aag2_Ago2_SINV_RA.18_23.rep



AeAeg_Aag2_Ago2_SINV_RA.24_35.rep



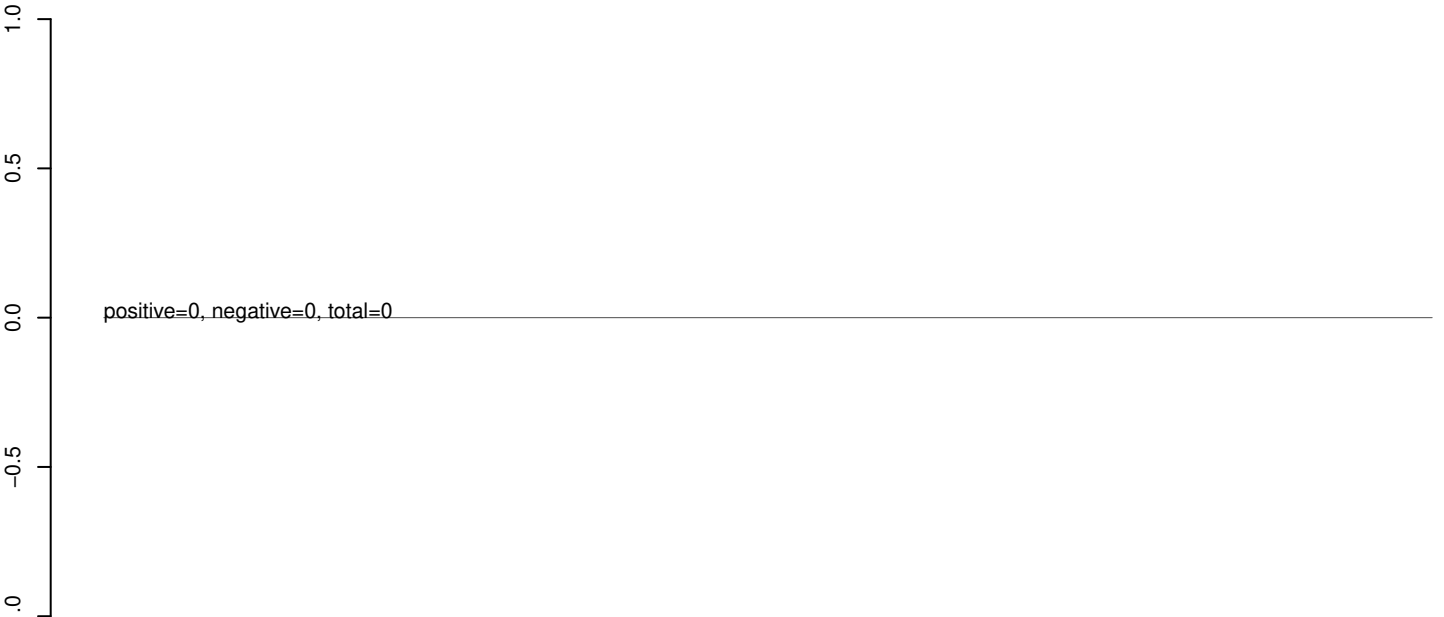
AeAeg_Aag2_Ago2_SINV_RA.rep



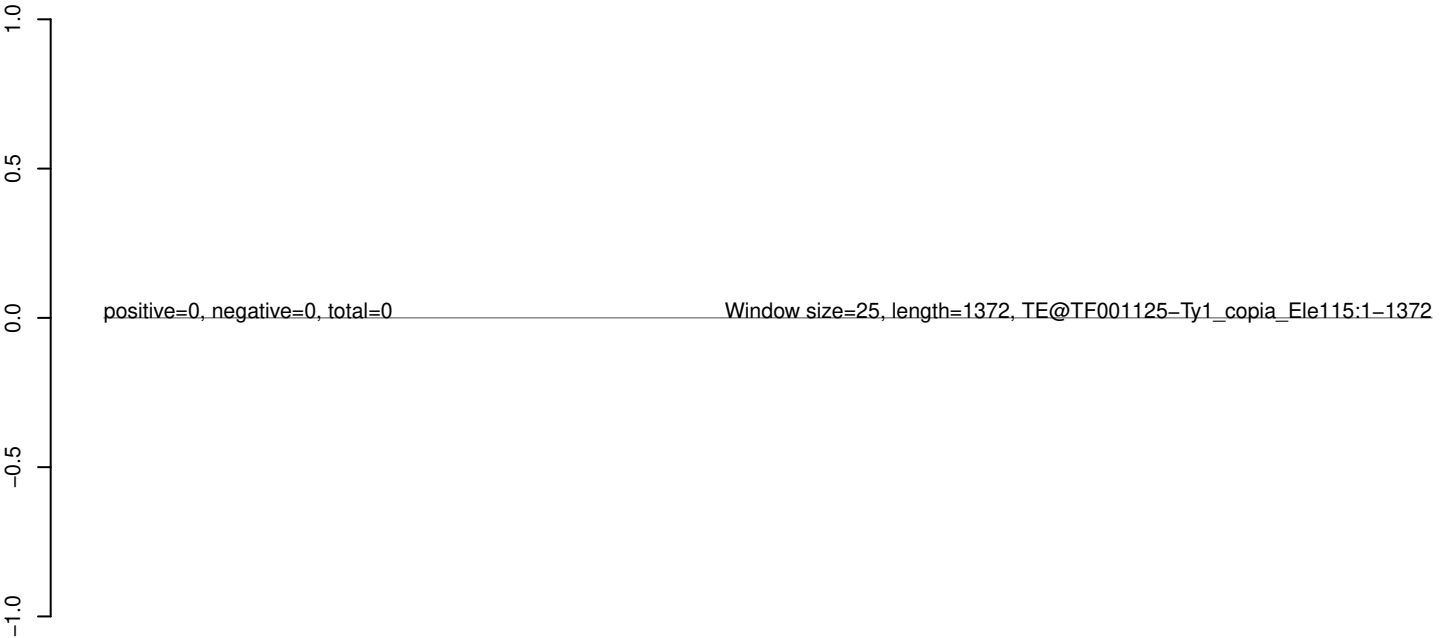
AeAeg_Aag2_Ago2_SINV_RA.18_23.rep



AeAeg_Aag2_Ago2_SINV_RA.24_35.rep



AeAeg_Aag2_Ago2_SINV_RA.rep

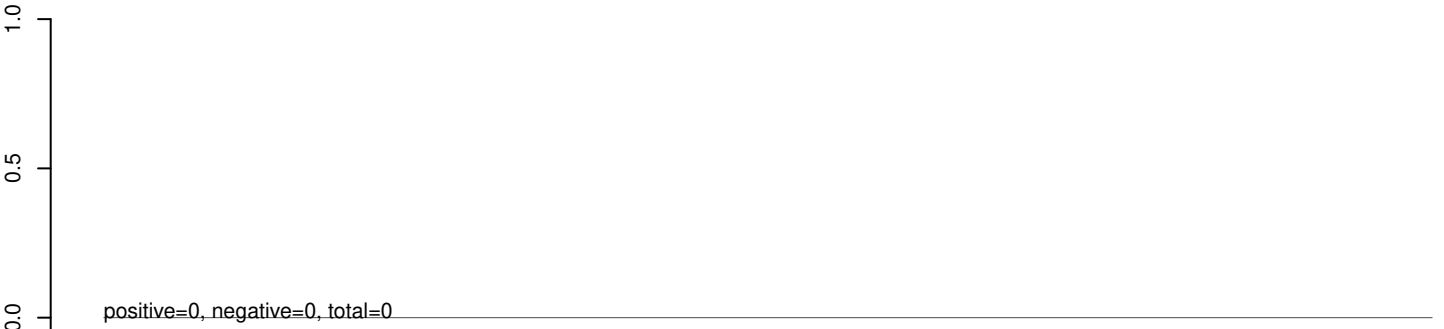


0 200 400 600 800 1000 1200 1400

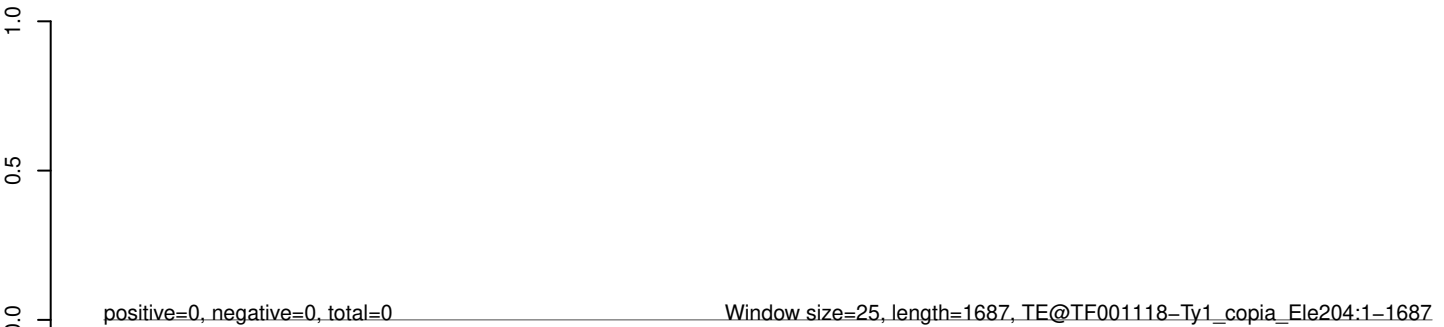
AeAeg_Aag2_Ago2_SINV_RA.18_23.rep



AeAeg_Aag2_Ago2_SINV_RA.24_35.rep



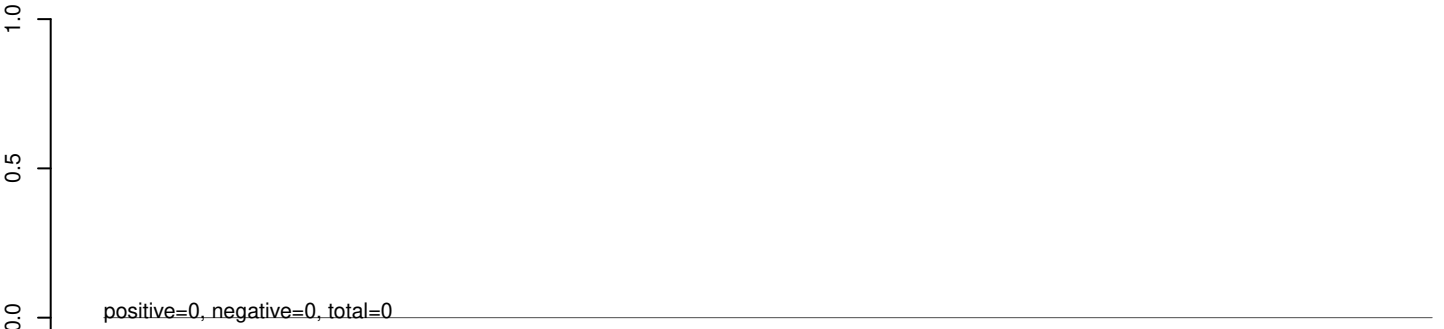
AeAeg_Aag2_Ago2_SINV_RA.rep



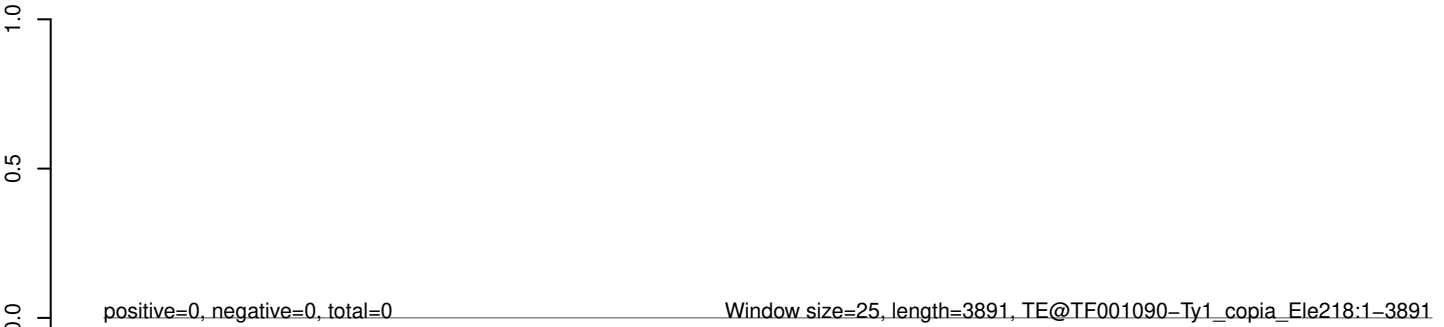
AeAeg_Aag2_Ago2_SINV_RA.18_23.rep



AeAeg_Aag2_Ago2_SINV_RA.24_35.rep

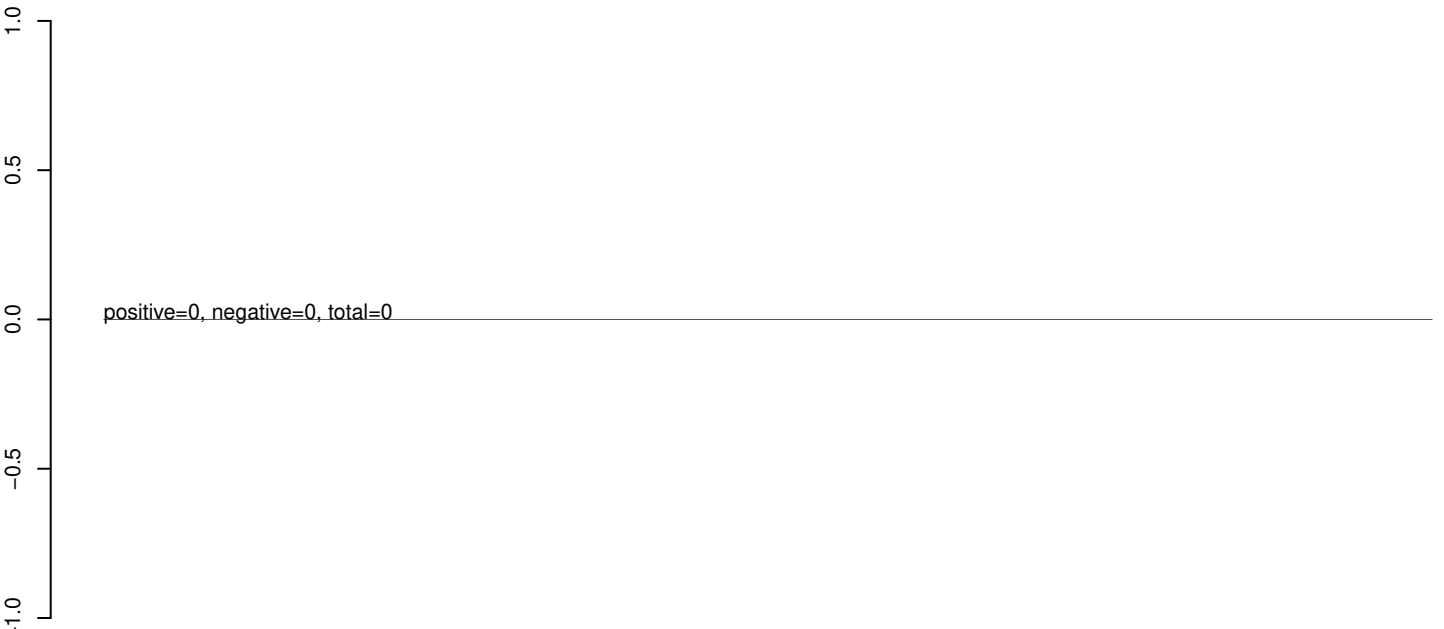


AeAeg_Aag2_Ago2_SINV_RA.rep

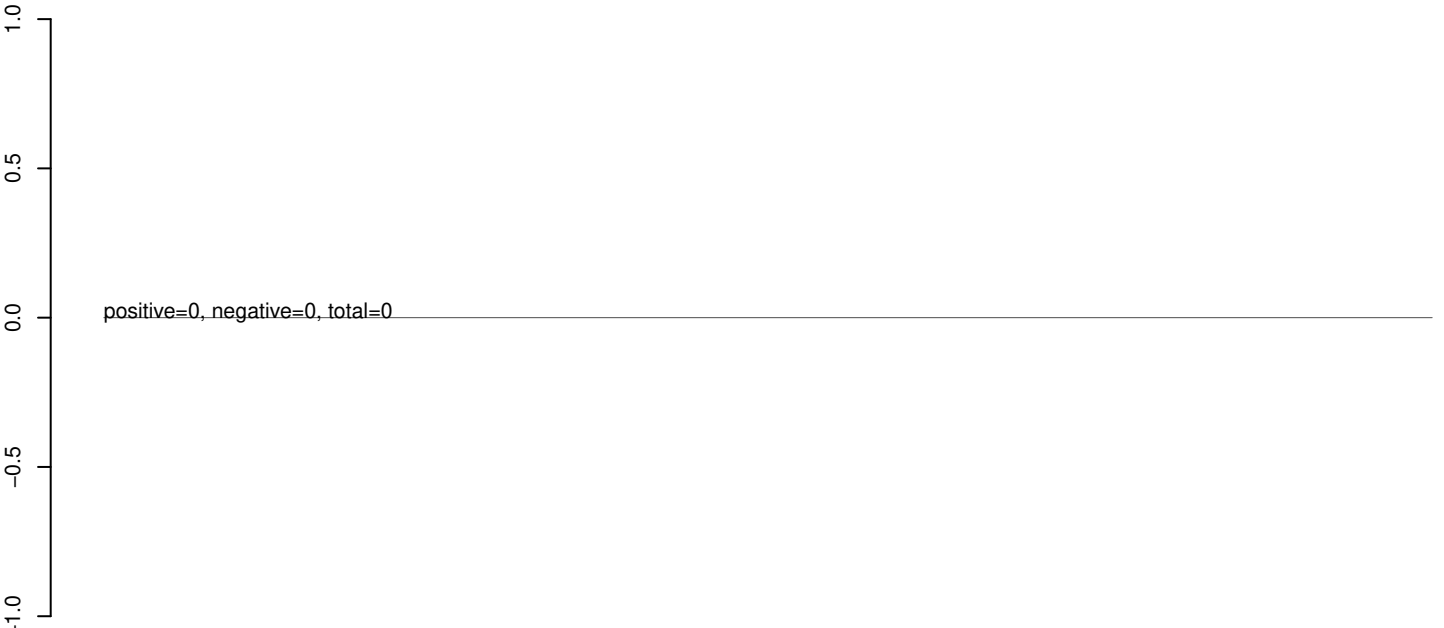


0 1000 2000 3000 4000

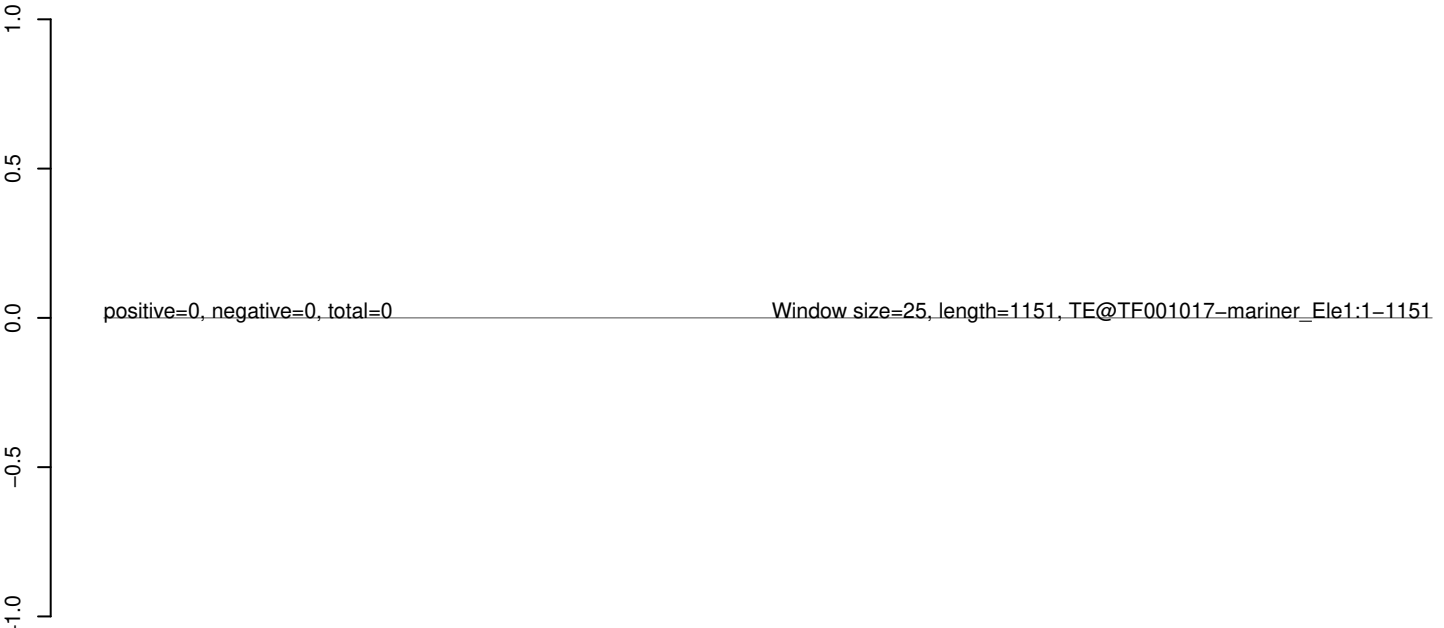
AeAeg_Aag2_Ago2_SINV_RA.18_23.rep



AeAeg_Aag2_Ago2_SINV_RA.24_35.rep



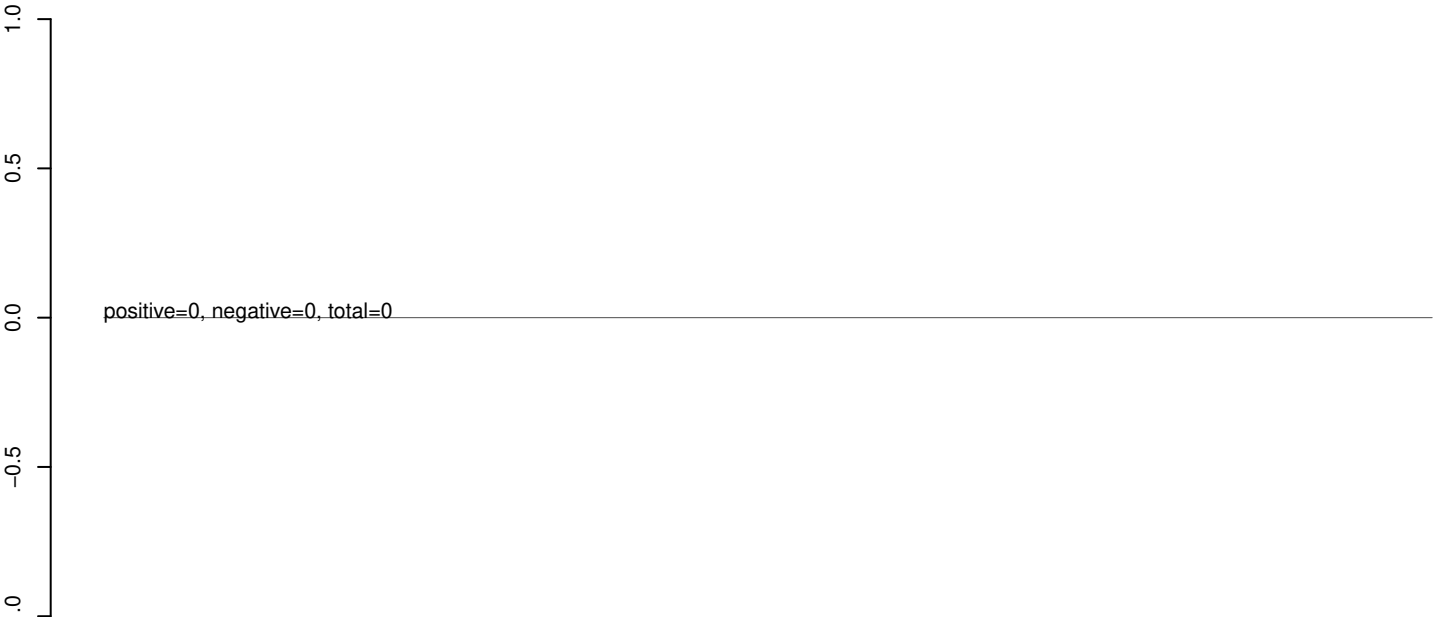
AeAeg_Aag2_Ago2_SINV_RA.rep



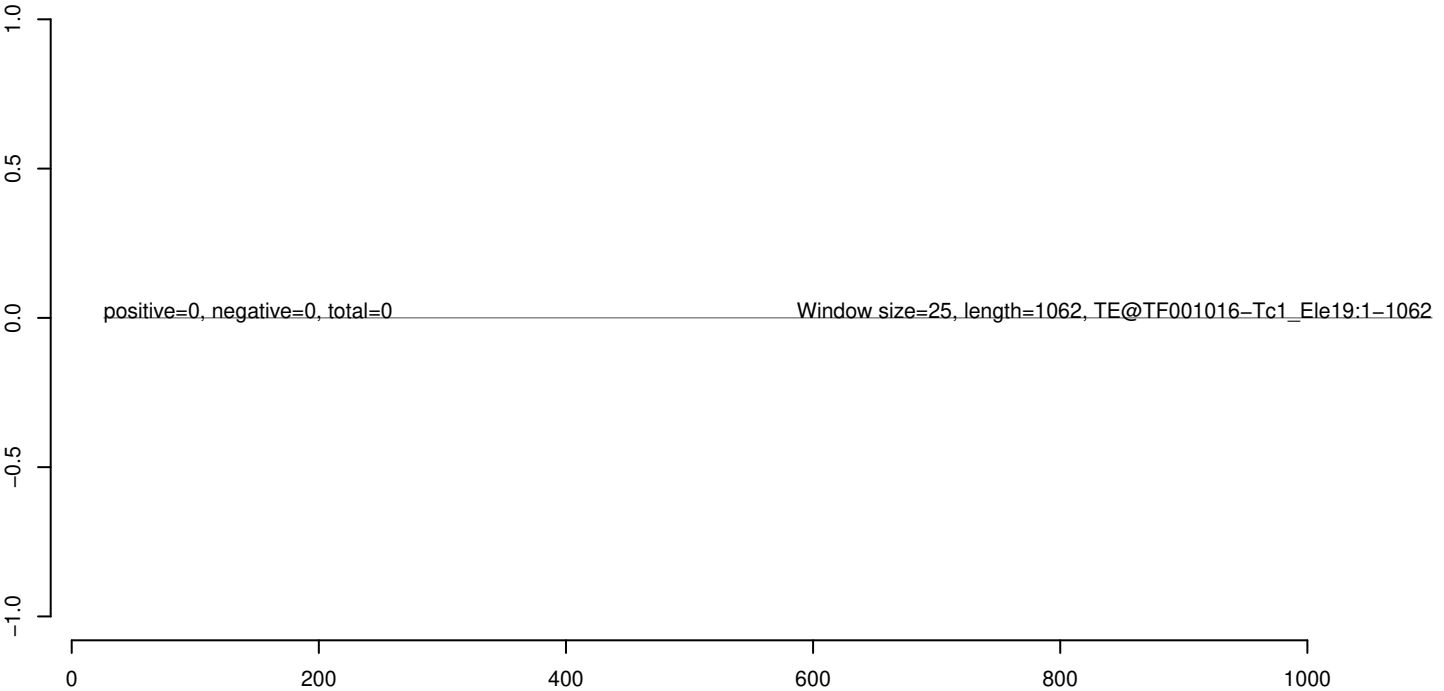
AeAeg_Aag2_Ago2_SINV_RA.18_23.rep



AeAeg_Aag2_Ago2_SINV_RA.24_35.rep



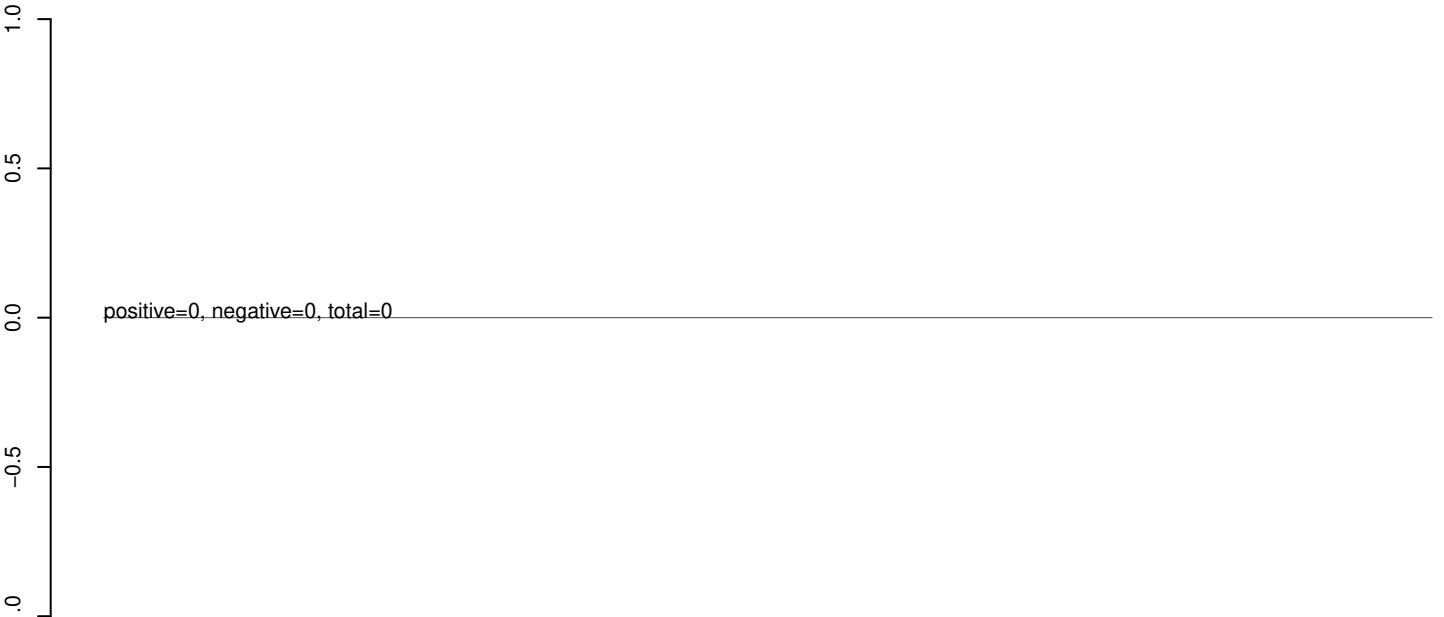
AeAeg_Aag2_Ago2_SINV_RA.rep



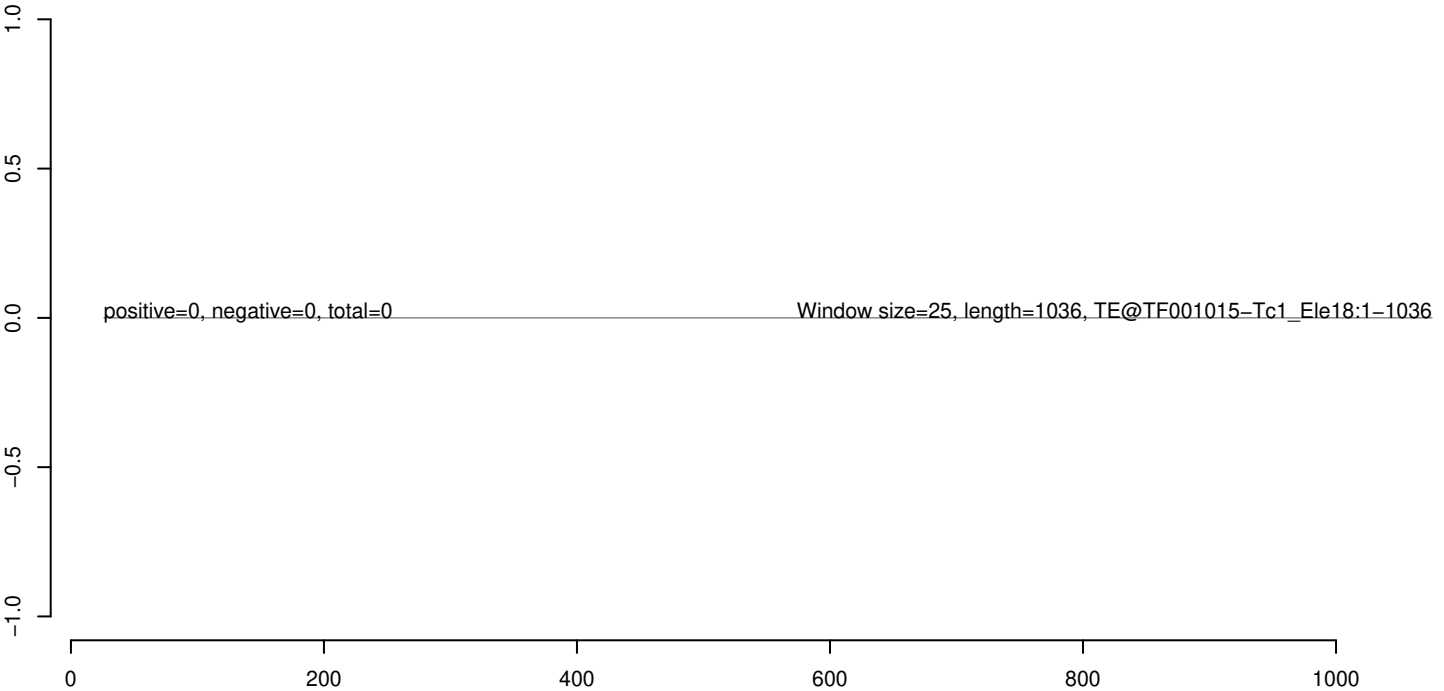
AeAeg_Aag2_Ago2_SINV_RA.18_23.rep



AeAeg_Aag2_Ago2_SINV_RA.24_35.rep



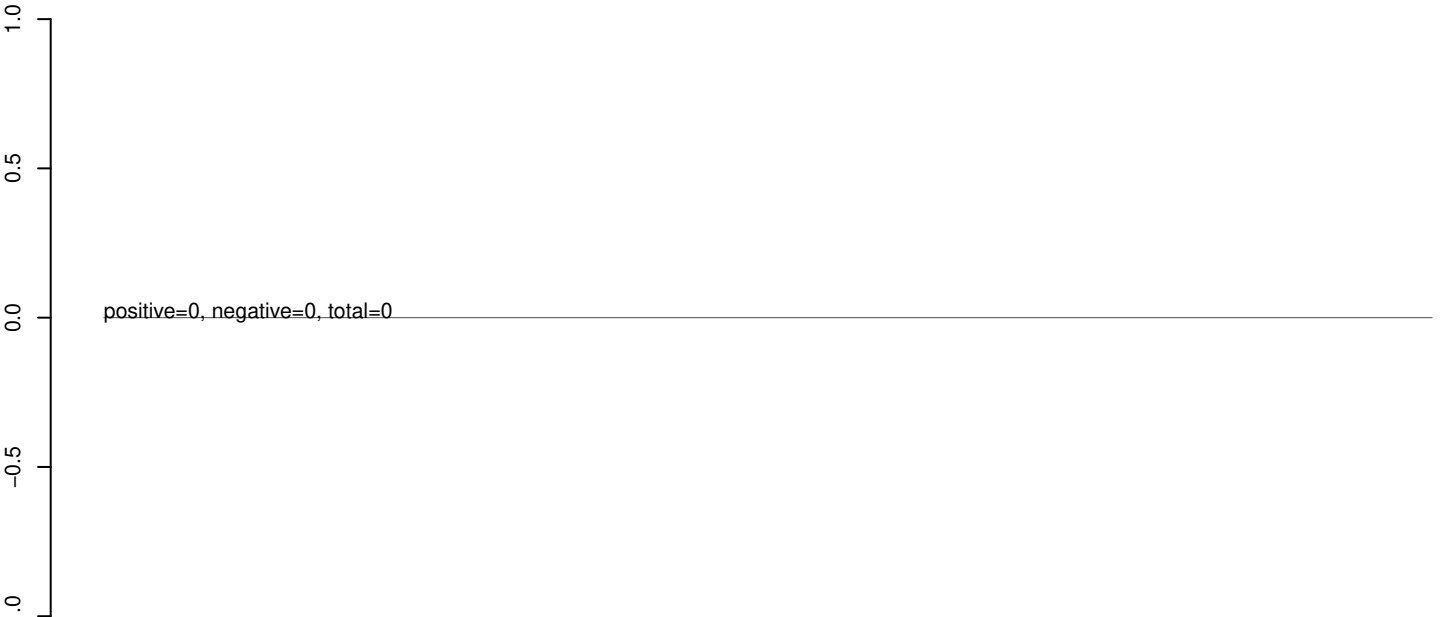
AeAeg_Aag2_Ago2_SINV_RA.rep



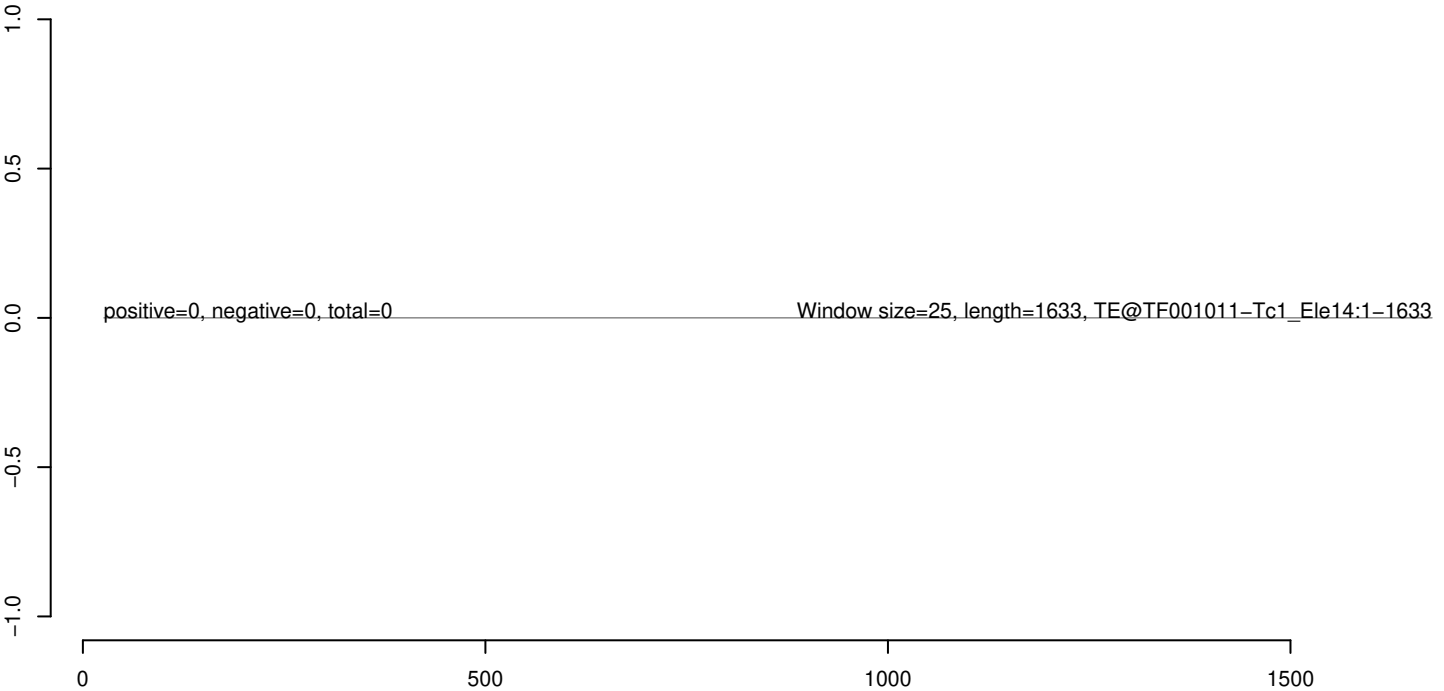
AeAeg_Aag2_Ago2_SINV_RA.18_23.rep



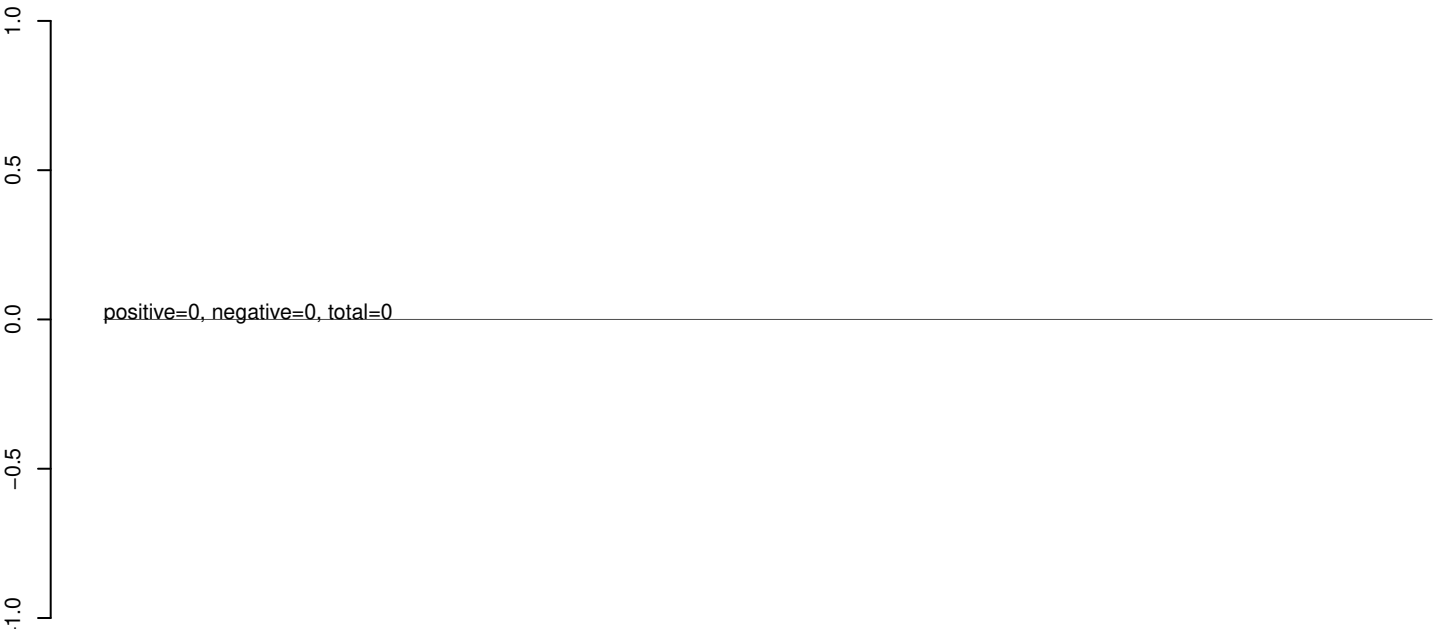
AeAeg_Aag2_Ago2_SINV_RA.24_35.rep



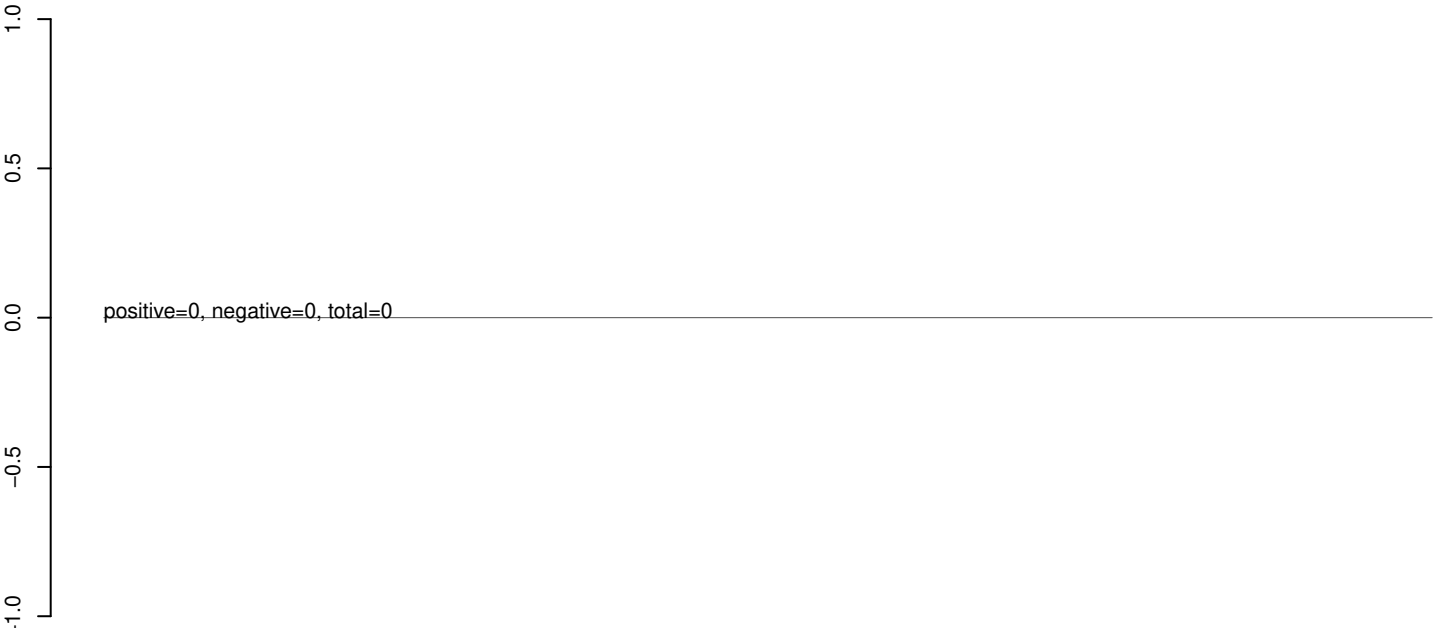
AeAeg_Aag2_Ago2_SINV_RA.rep



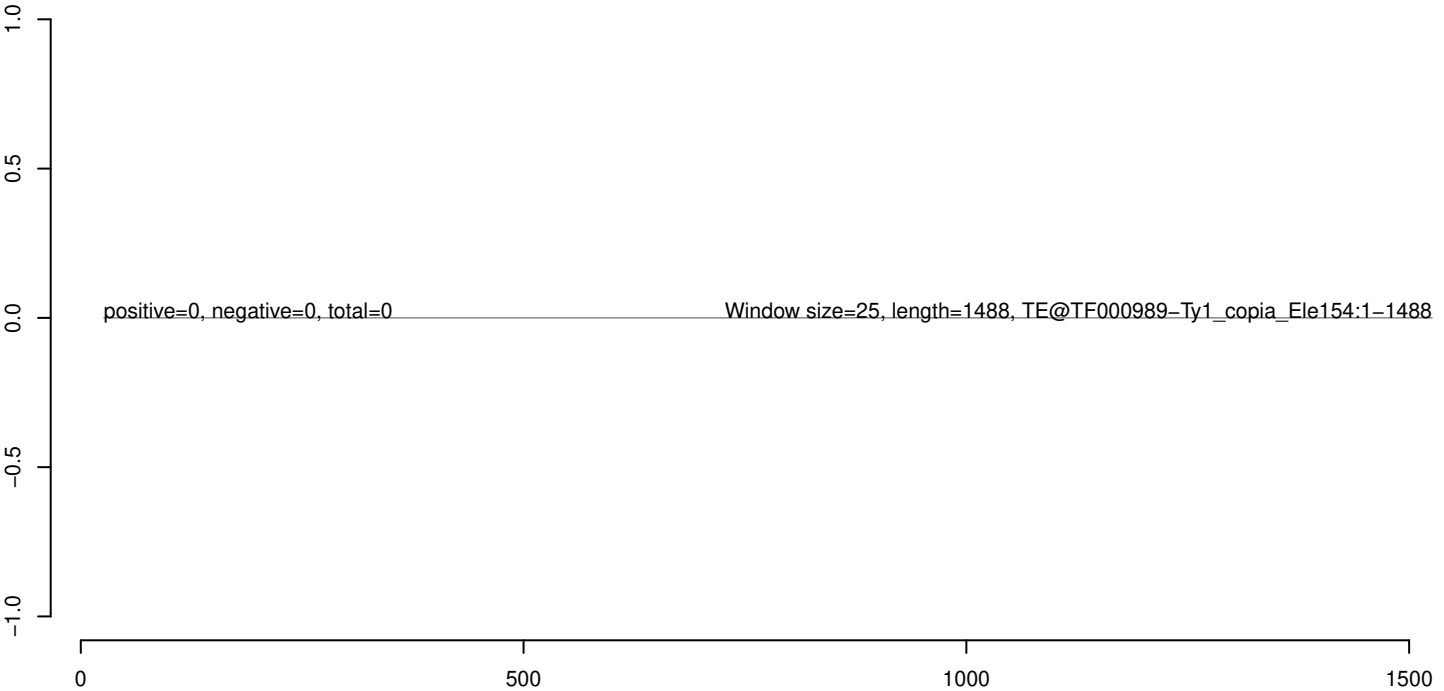
AeAeg_Aag2_Ago2_SINV_RA.18_23.rep



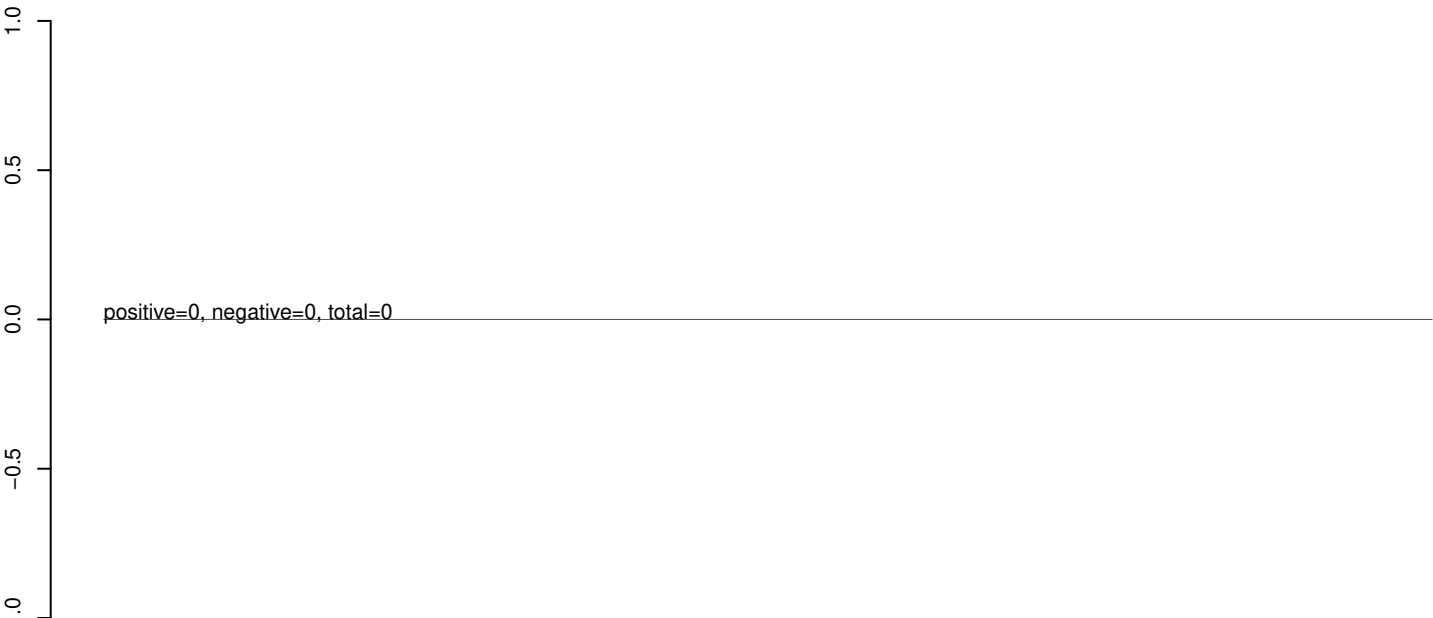
AeAeg_Aag2_Ago2_SINV_RA.24_35.rep



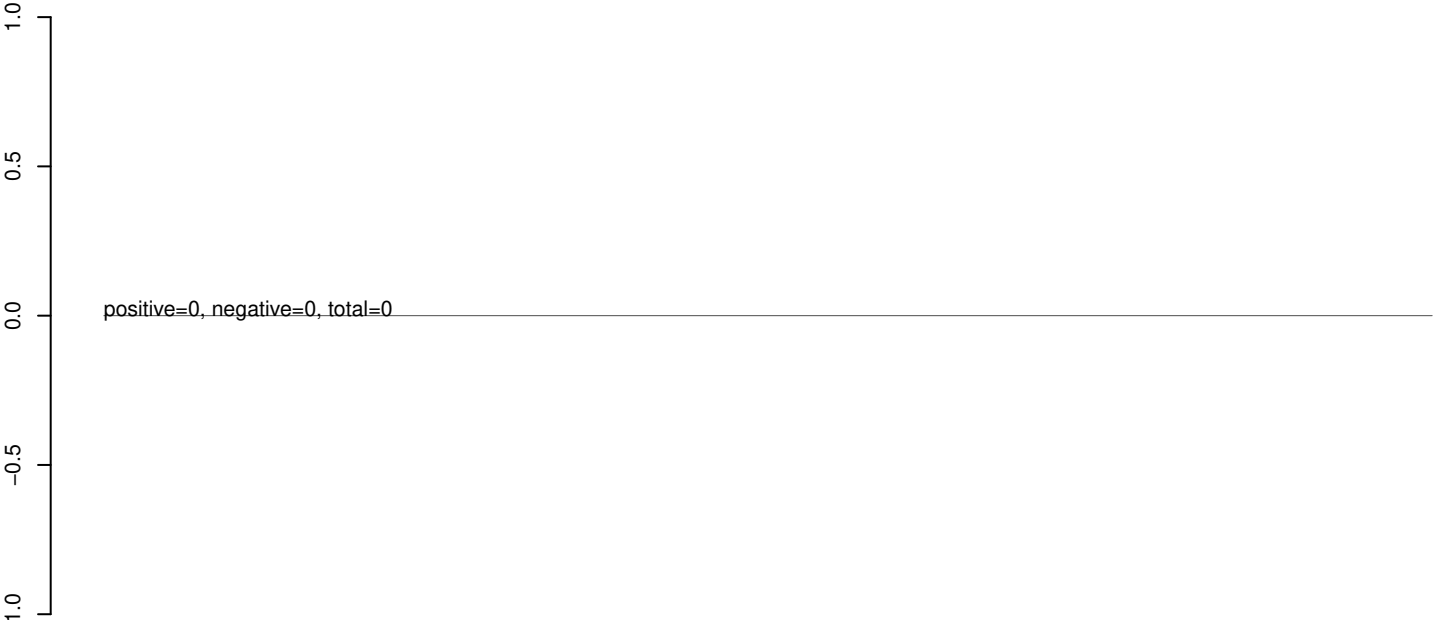
AeAeg_Aag2_Ago2_SINV_RA.rep



AeAeg_Aag2_Ago2_SINV_RA.18_23.rep



AeAeg_Aag2_Ago2_SINV_RA.24_35.rep



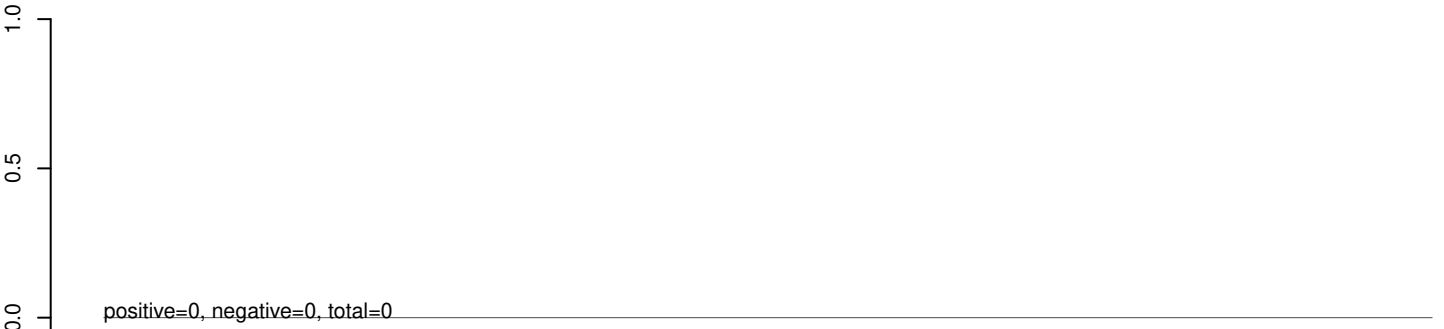
AeAeg_Aag2_Ago2_SINV_RA.rep



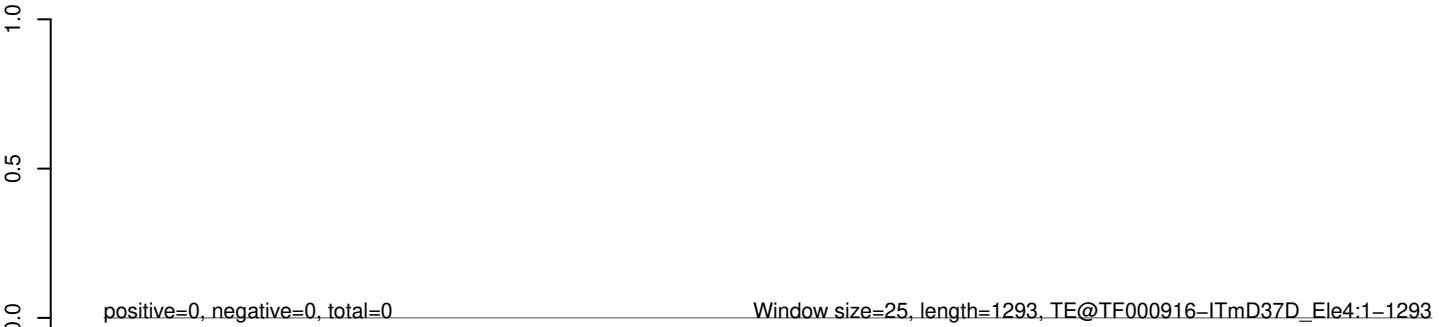
AeAeg_Aag2_Ago2_SINV_RA.18_23.rep



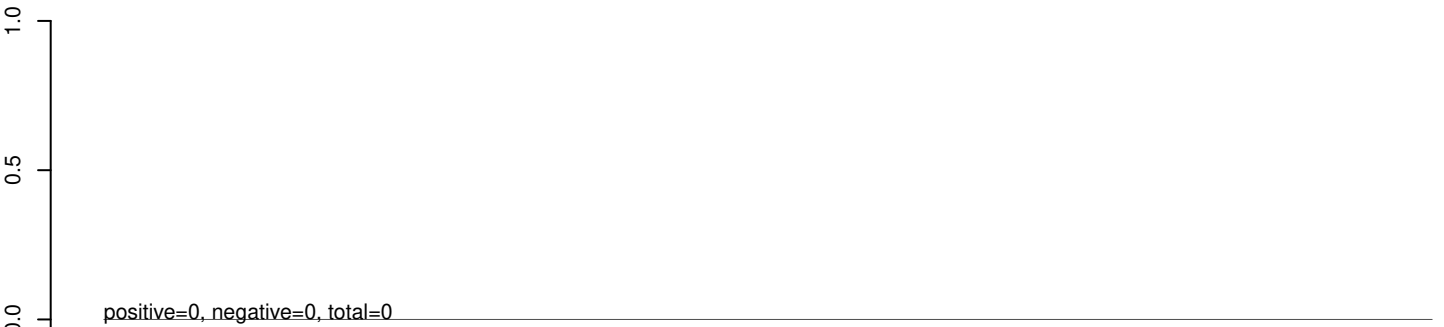
AeAeg_Aag2_Ago2_SINV_RA.24_35.rep



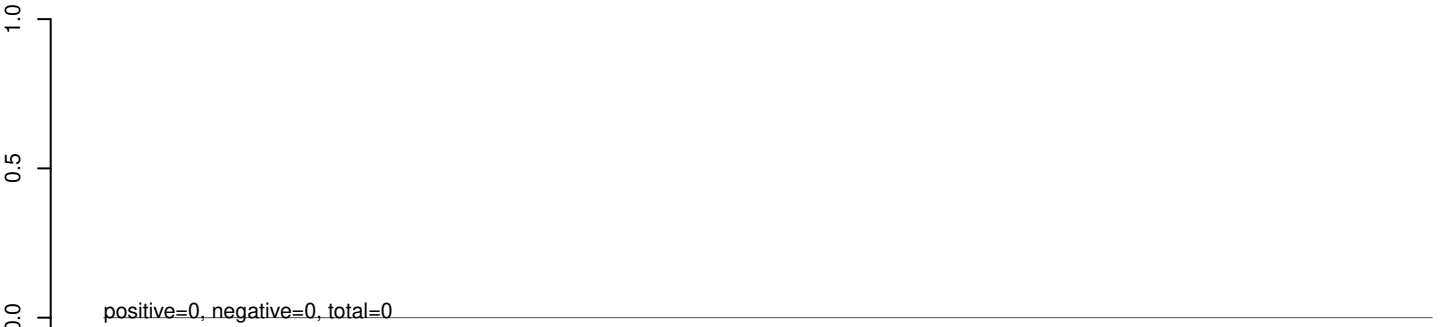
AeAeg_Aag2_Ago2_SINV_RA.rep



AeAeg_Aag2_Ago2_SINV_RA.18_23.rep



AeAeg_Aag2_Ago2_SINV_RA.24_35.rep



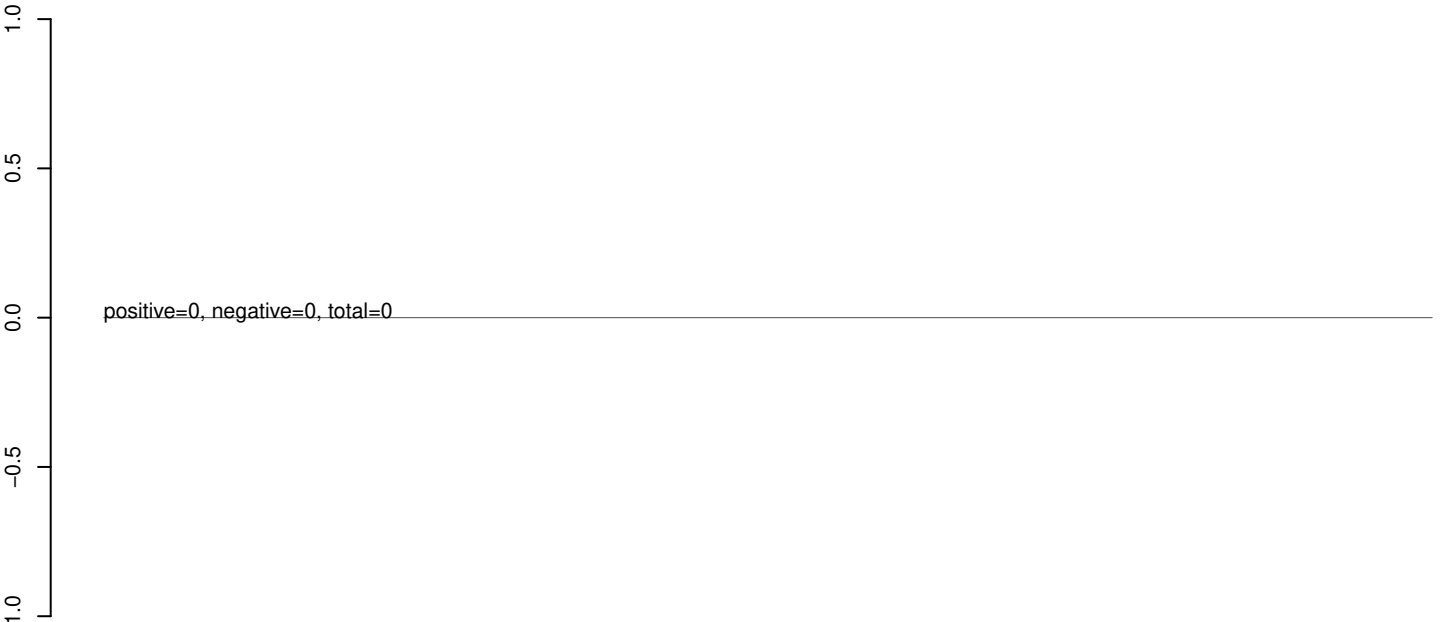
AeAeg_Aag2_Ago2_SINV_RA.rep



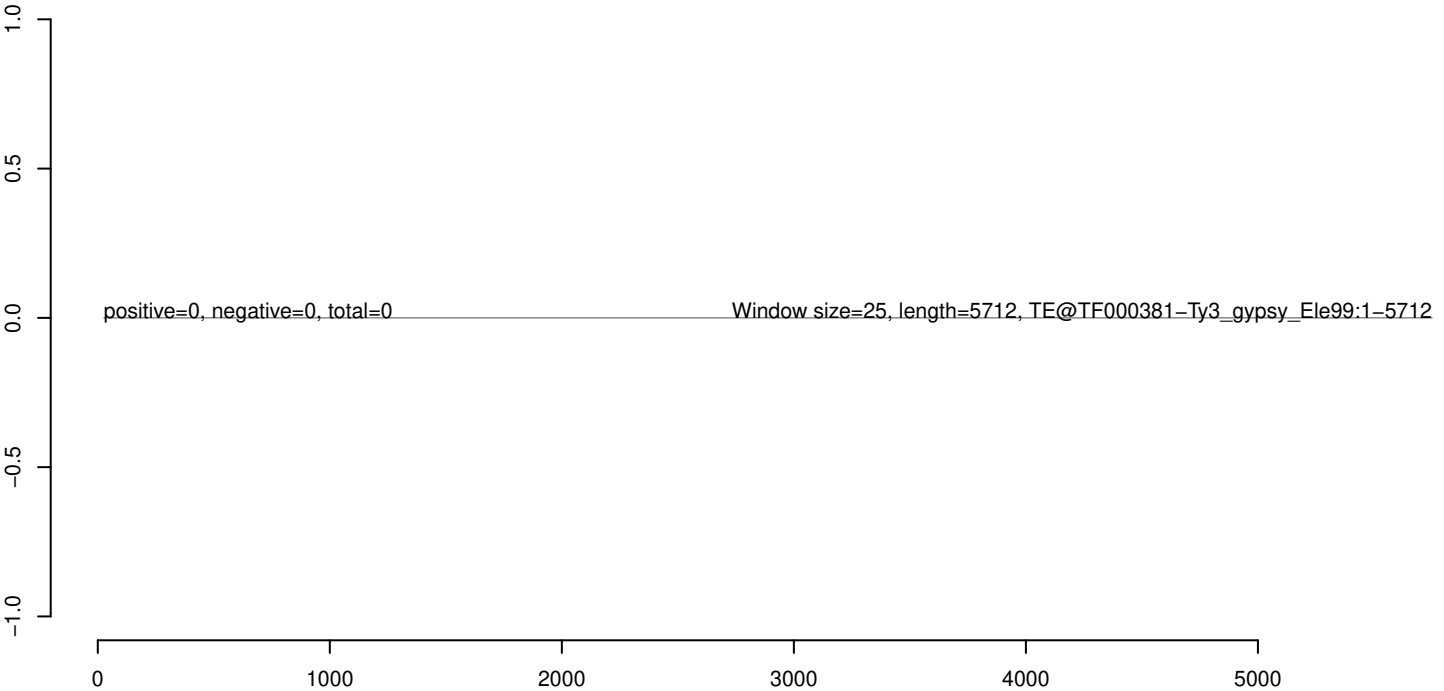
AeAeg_Aag2_Ago2_SINV_RA.18_23.rep



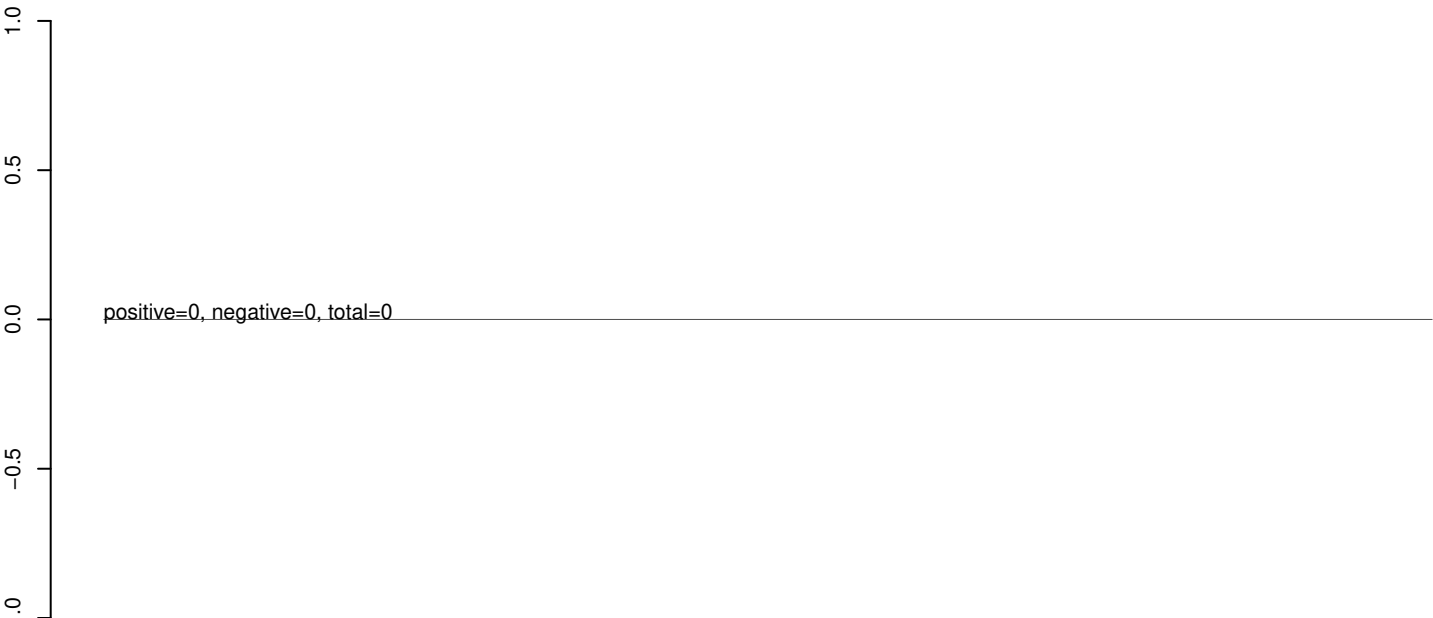
AeAeg_Aag2_Ago2_SINV_RA.24_35.rep



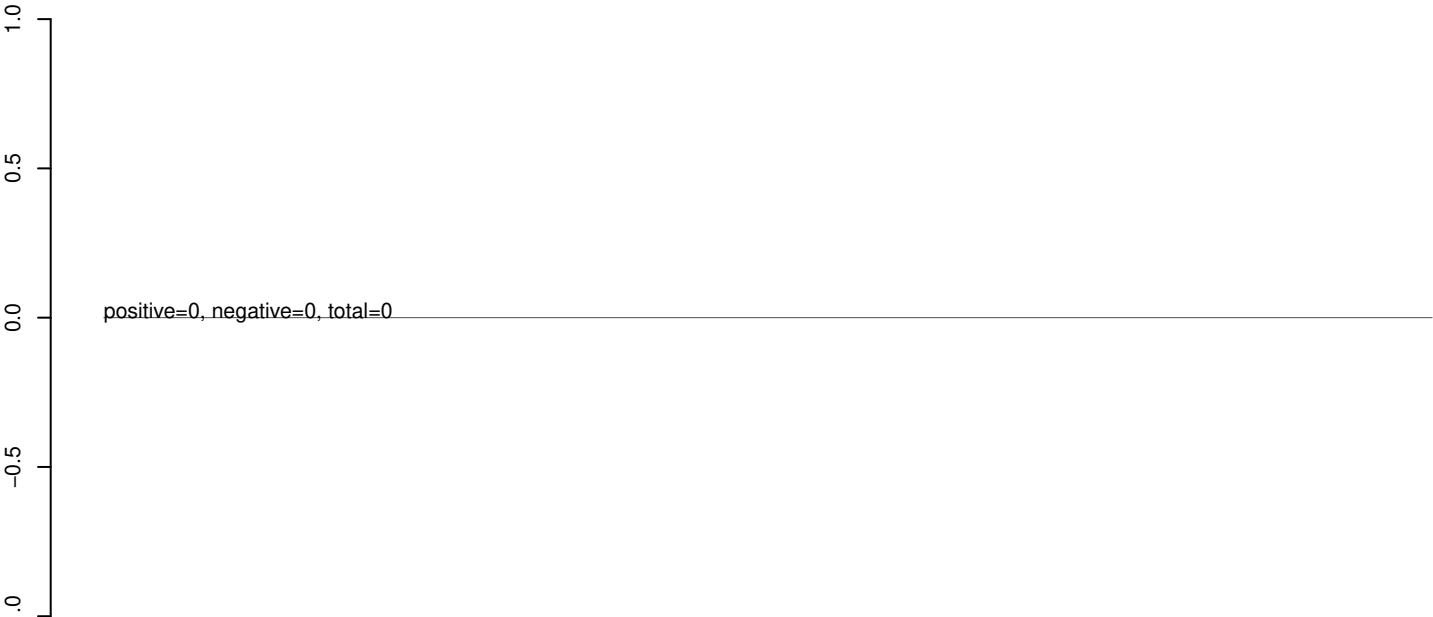
AeAeg_Aag2_Ago2_SINV_RA.rep



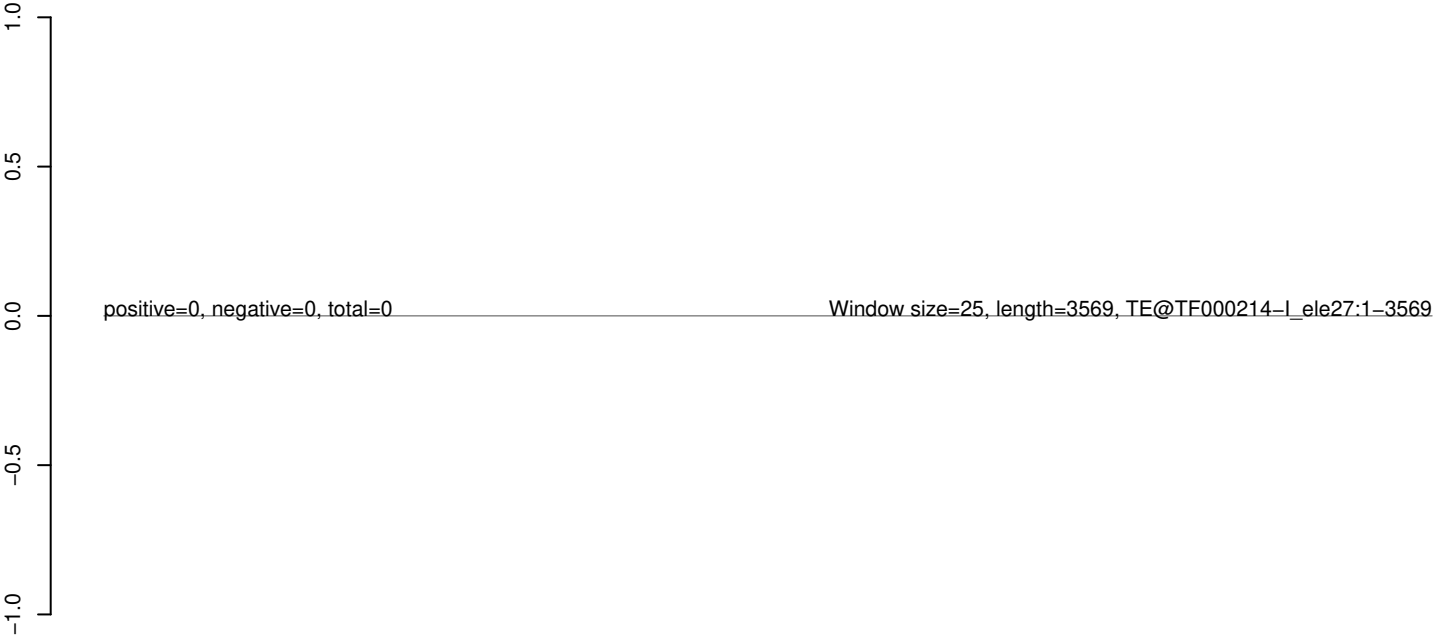
AeAeg_Aag2_Ago2_SINV_RA.18_23.rep



AeAeg_Aag2_Ago2_SINV_RA.24_35.rep



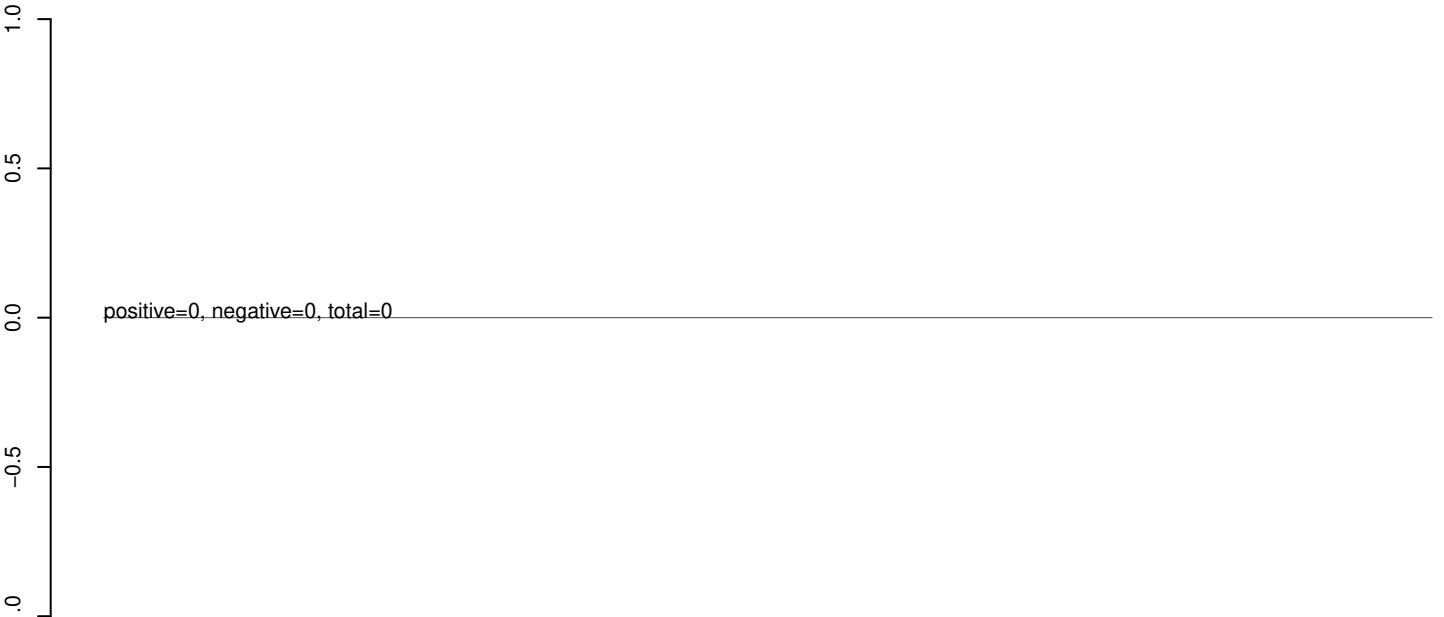
AeAeg_Aag2_Ago2_SINV_RA.rep



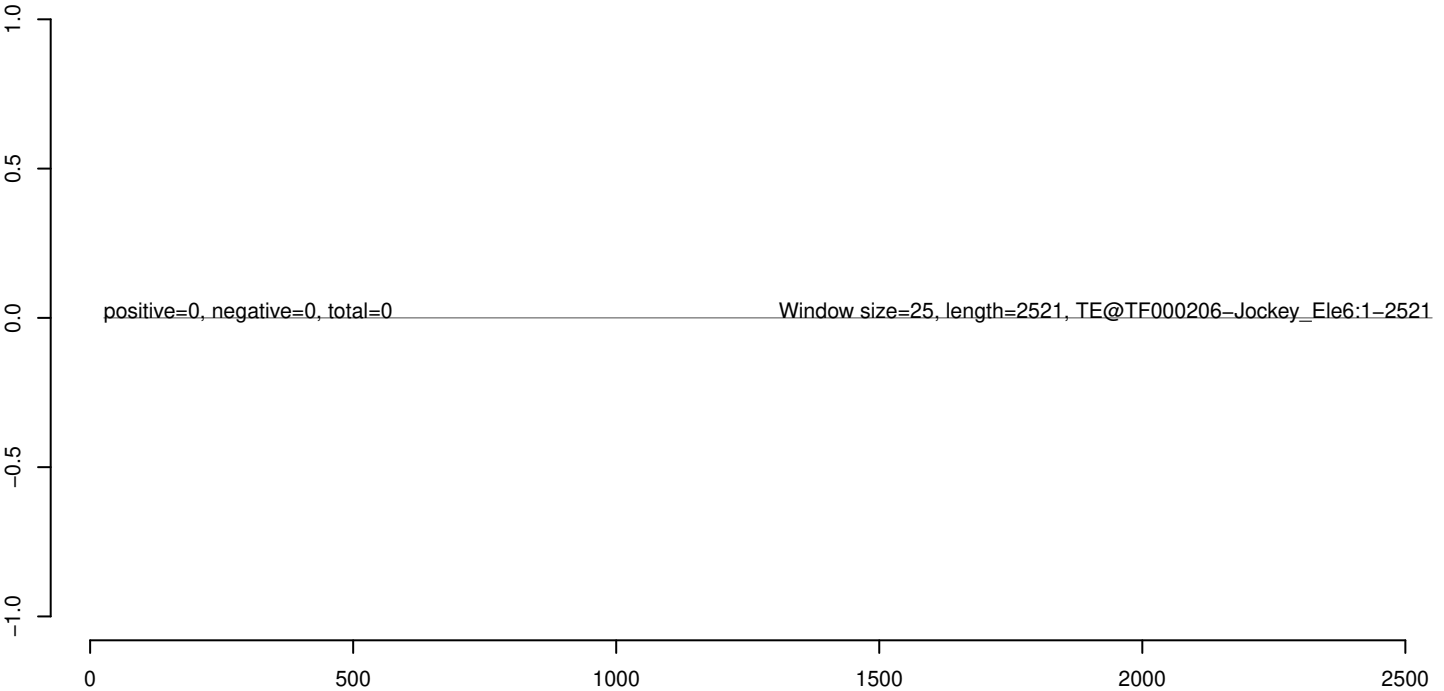
AeAeg_Aag2_Ago2_SINV_RA.18_23.rep



AeAeg_Aag2_Ago2_SINV_RA.24_35.rep



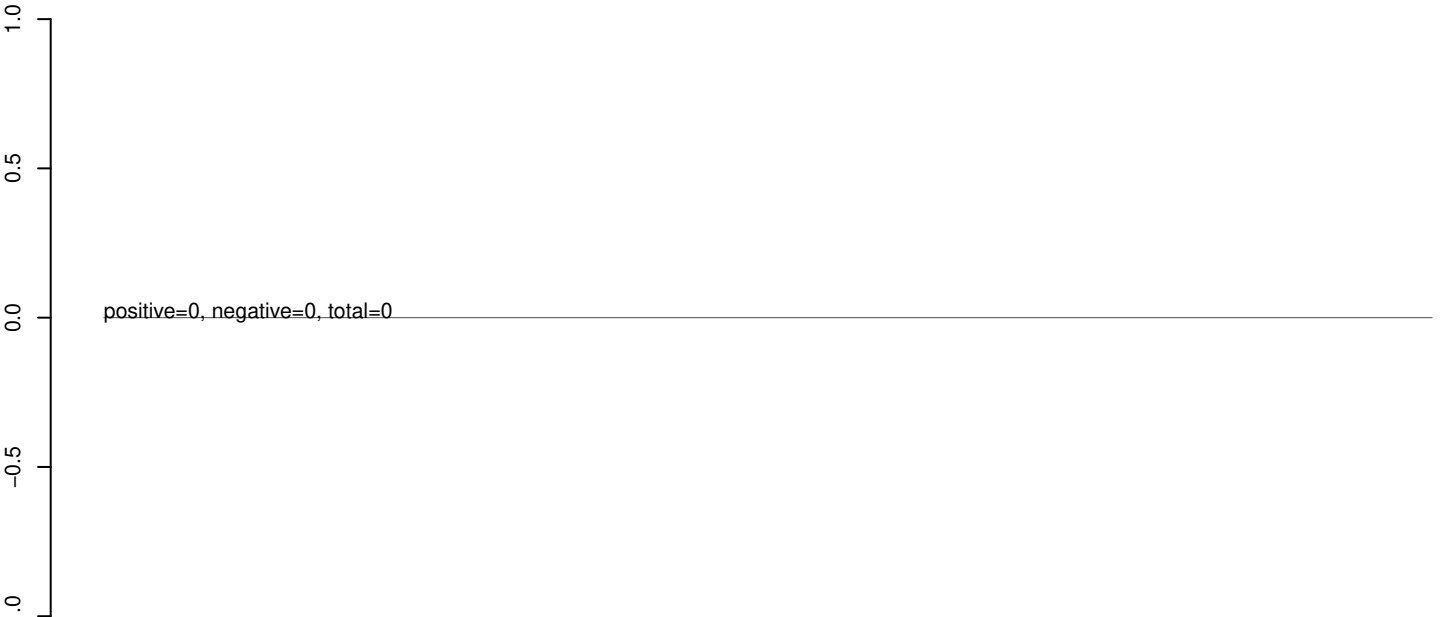
AeAeg_Aag2_Ago2_SINV_RA.rep



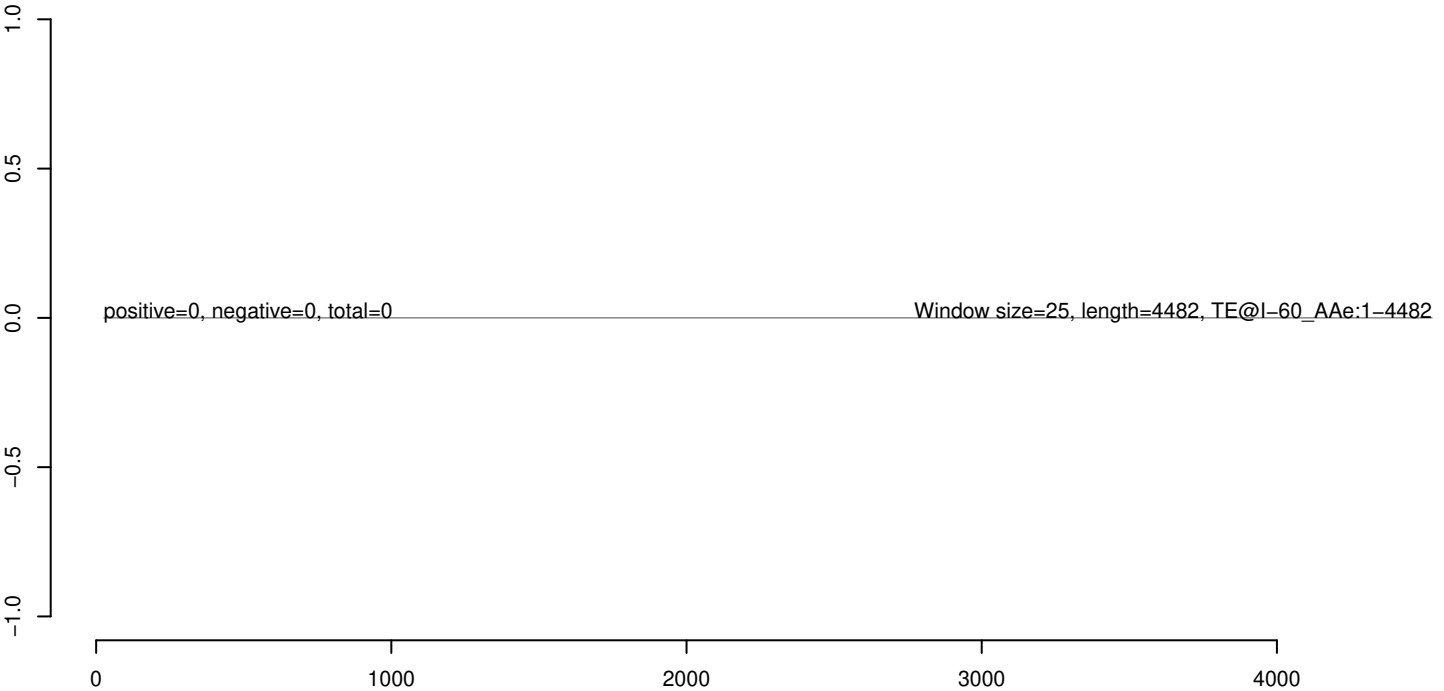
AeAeg_Aag2_Ago2_SINV_RA.18_23.rep



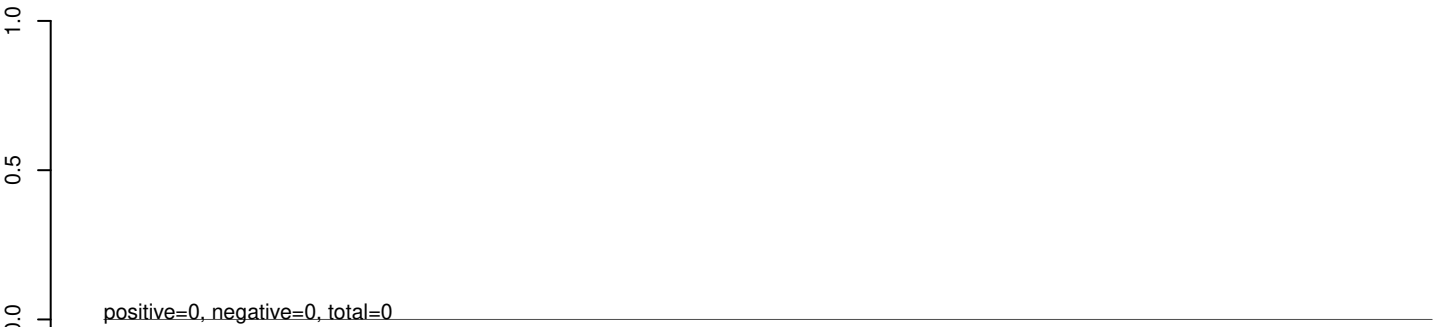
AeAeg_Aag2_Ago2_SINV_RA.24_35.rep



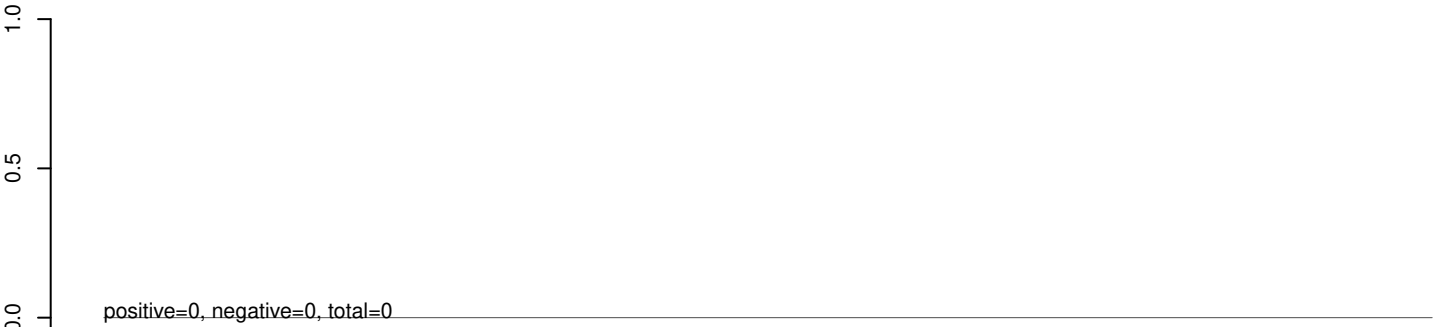
AeAeg_Aag2_Ago2_SINV_RA.rep



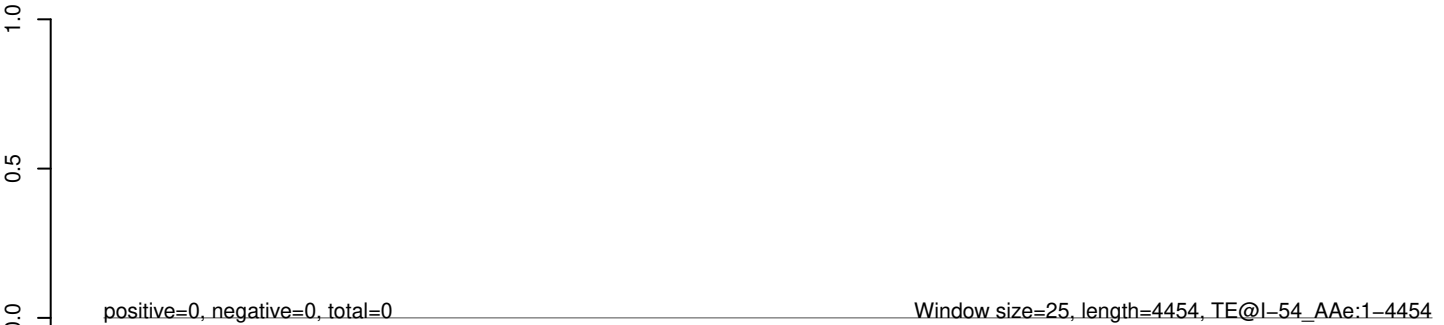
AeAeg_Aag2_Ago2_SINV_RA.18_23.rep



AeAeg_Aag2_Ago2_SINV_RA.24_35.rep



AeAeg_Aag2_Ago2_SINV_RA.rep

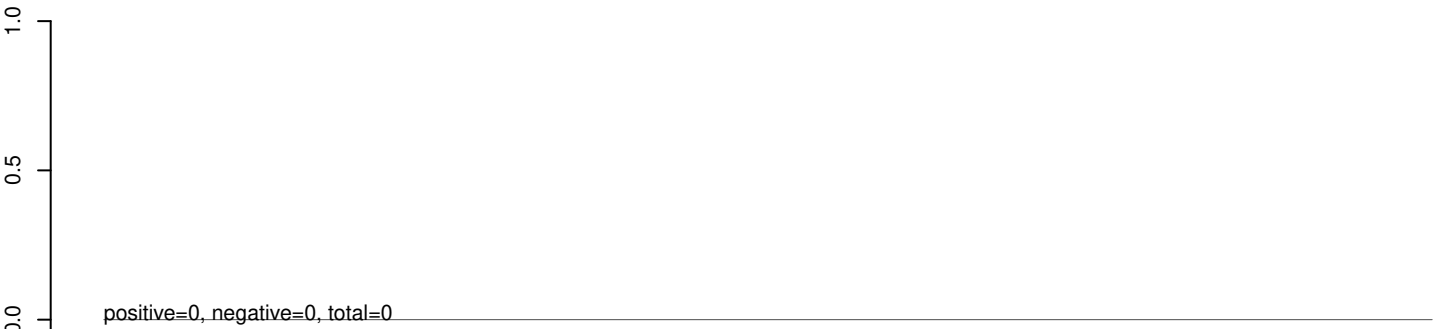


0 1000 2000 3000 4000

AeAeg_Aag2_Ago2_SINV_RA.18_23.rep



AeAeg_Aag2_Ago2_SINV_RA.24_35.rep



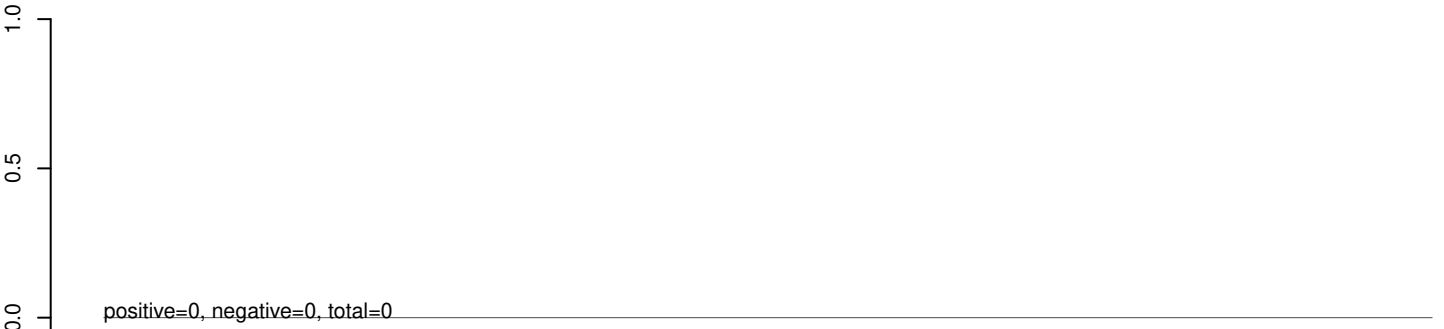
AeAeg_Aag2_Ago2_SINV_RA.rep



AeAeg_Aag2_Ago2_SINV_RA.18_23.rep



AeAeg_Aag2_Ago2_SINV_RA.24_35.rep



AeAeg_Aag2_Ago2_SINV_RA.rep

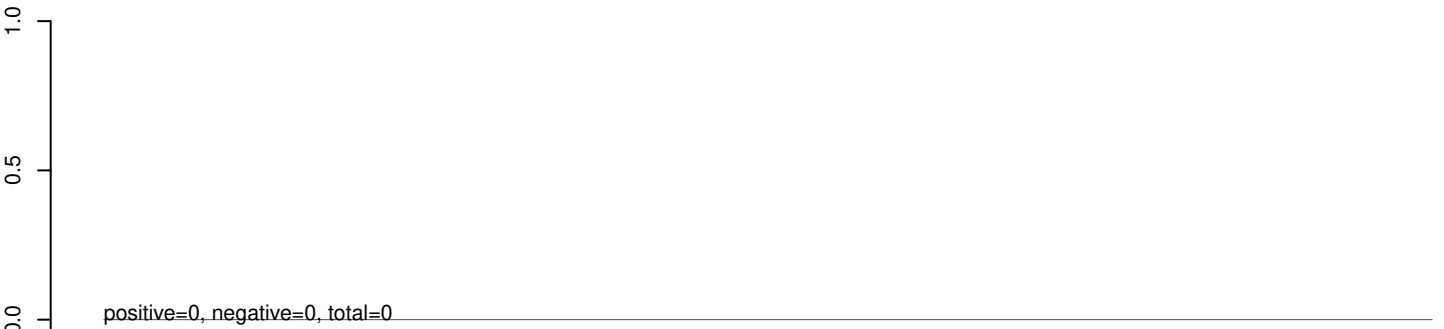


50 100 150 200 250 300

AeAeg_Aag2_Ago2_SINV_RA.18_23.rep



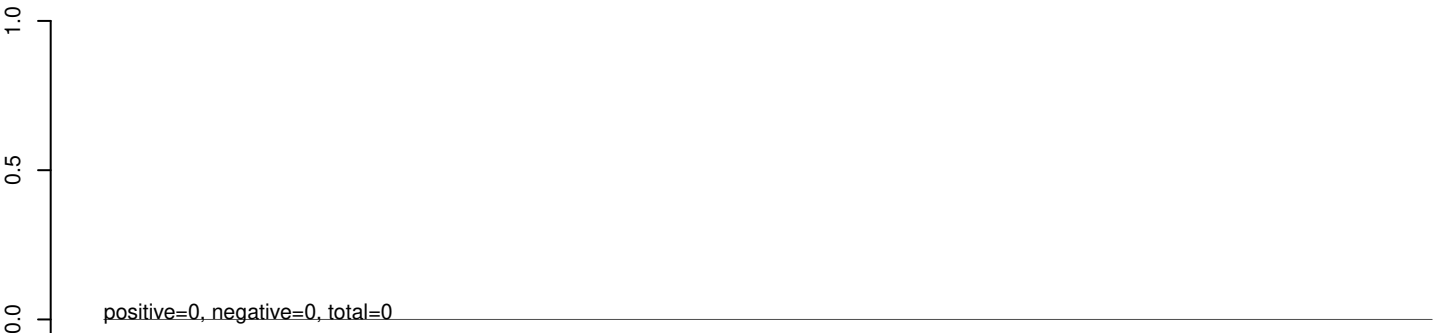
AeAeg_Aag2_Ago2_SINV_RA.24_35.rep



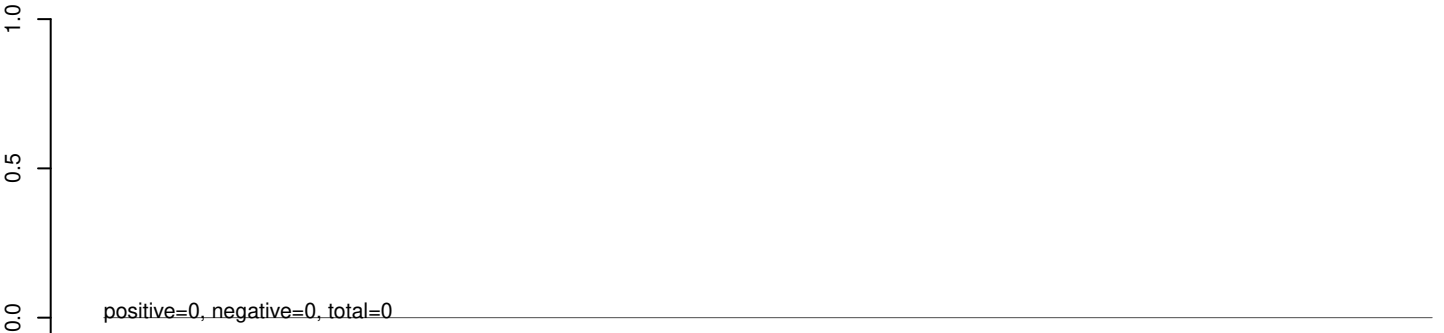
AeAeg_Aag2_Ago2_SINV_RA.rep



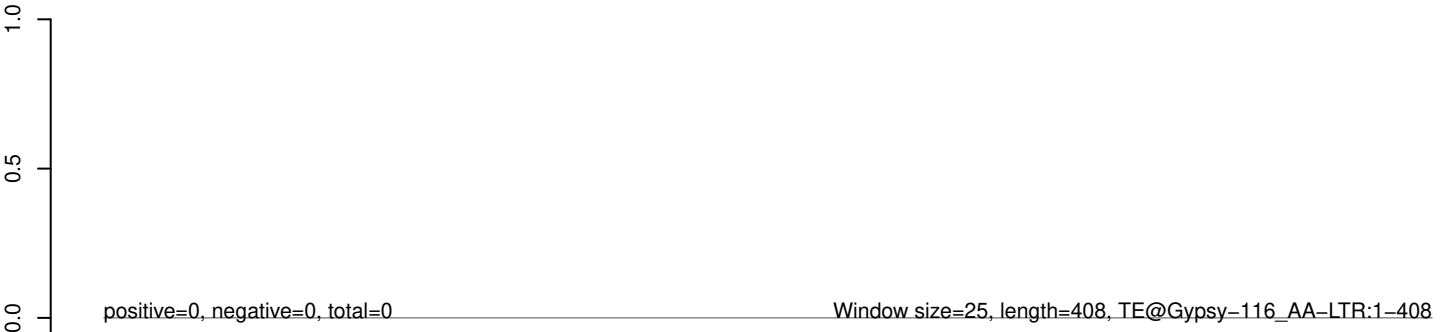
AeAeg_Aag2_Ago2_SINV_RA.18_23.rep



AeAeg_Aag2_Ago2_SINV_RA.24_35.rep



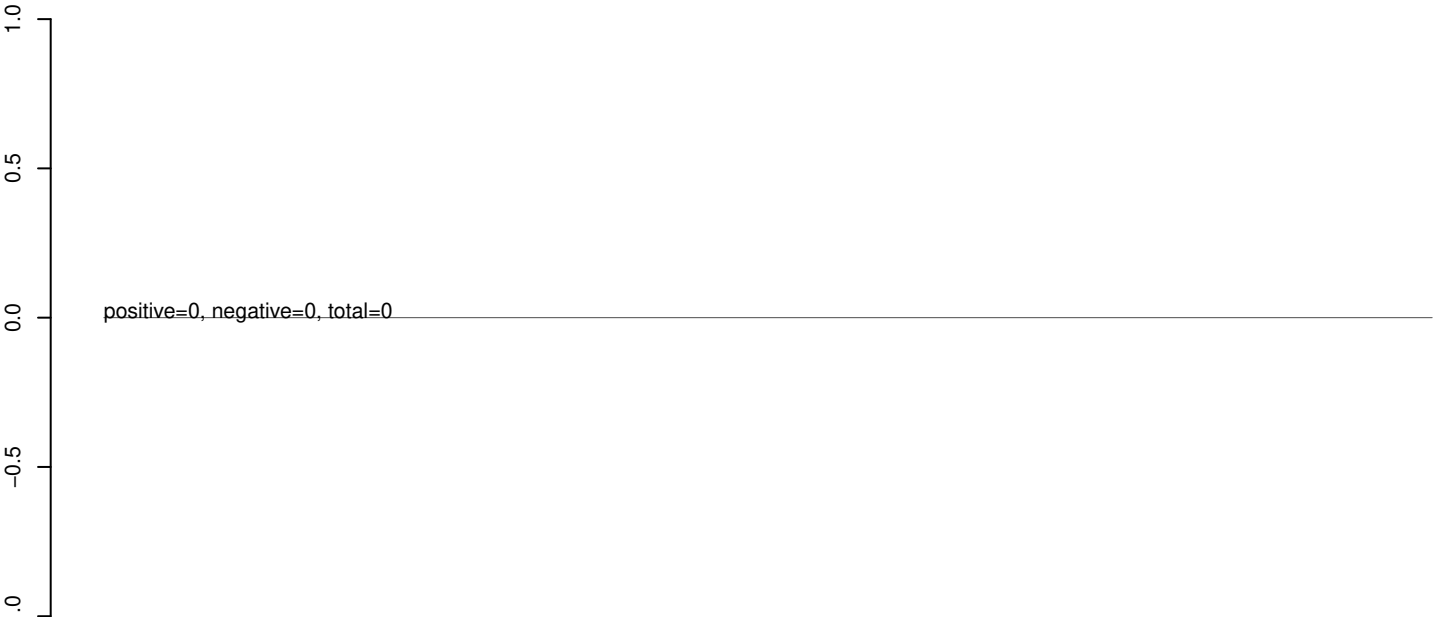
AeAeg_Aag2_Ago2_SINV_RA.rep



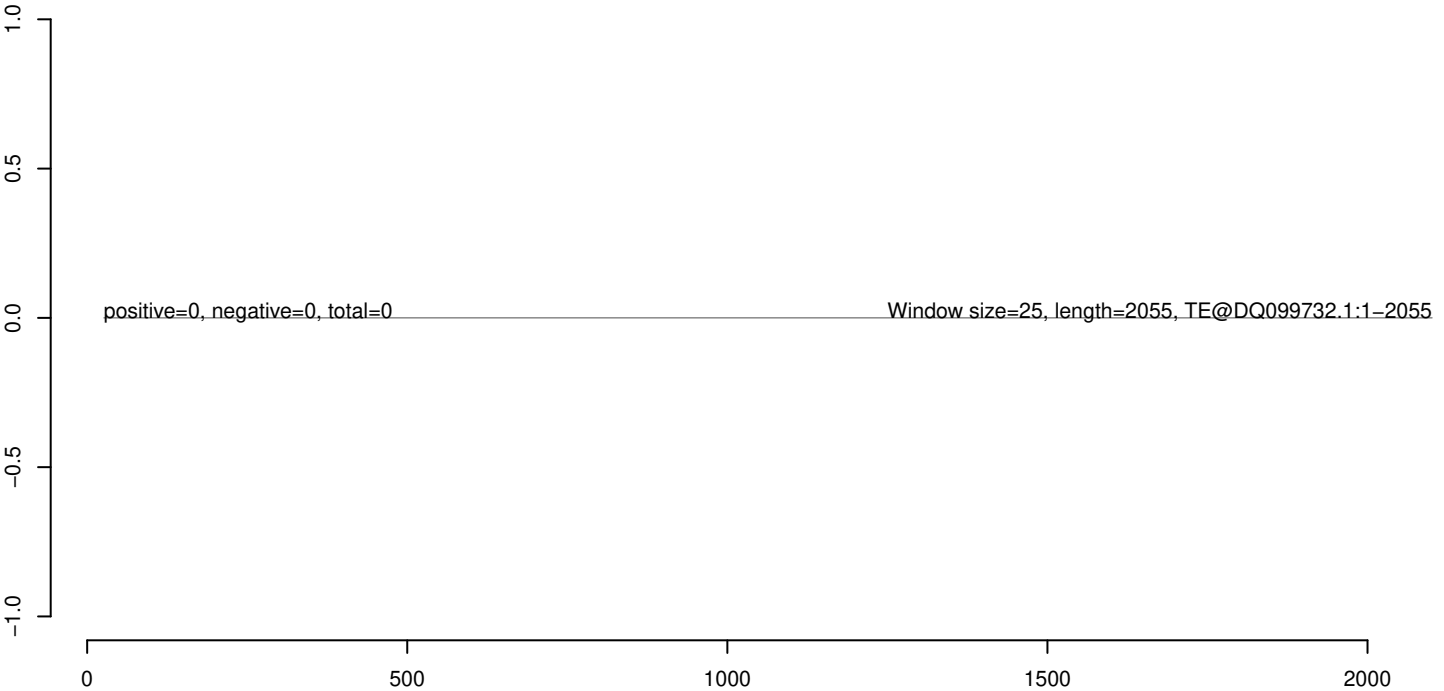
AeAeg_Aag2_Ago2_SINV_RA.18_23.rep



AeAeg_Aag2_Ago2_SINV_RA.24_35.rep



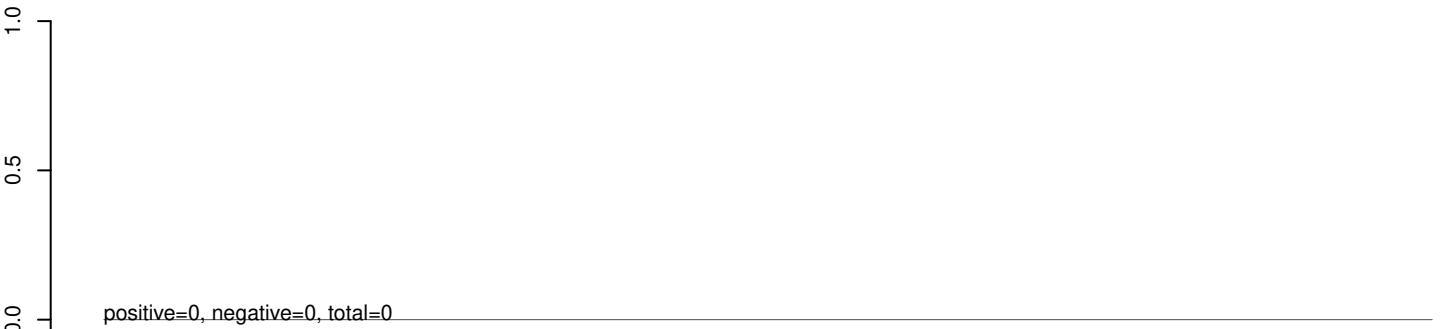
AeAeg_Aag2_Ago2_SINV_RA.rep



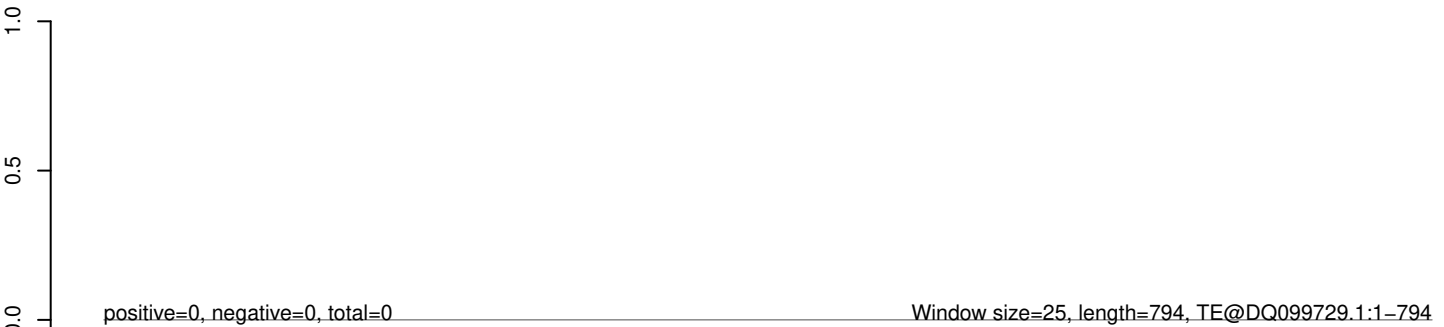
AeAeg_Aag2_Ago2_SINV_RA.18_23.rep



AeAeg_Aag2_Ago2_SINV_RA.24_35.rep



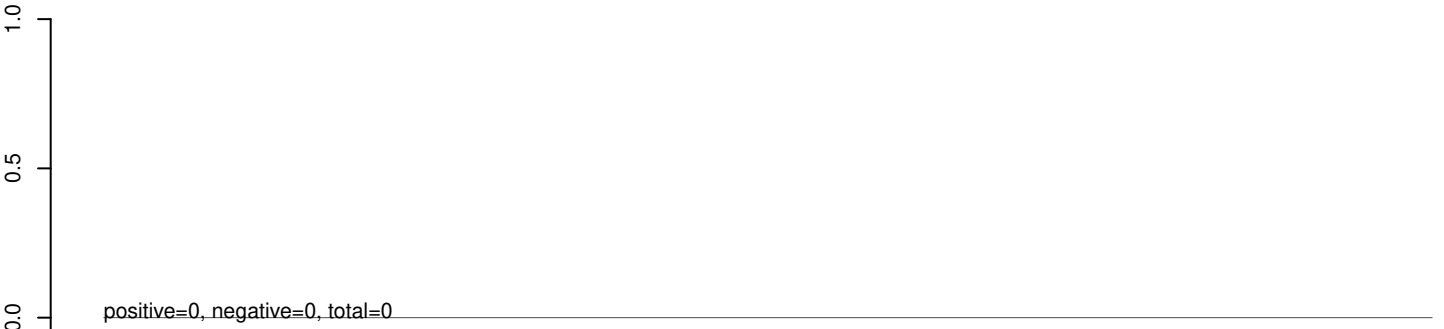
AeAeg_Aag2_Ago2_SINV_RA.rep



AeAeg_Aag2_Ago2_SINV_RA.18_23.rep



AeAeg_Aag2_Ago2_SINV_RA.24_35.rep



AeAeg_Aag2_Ago2_SINV_RA.rep

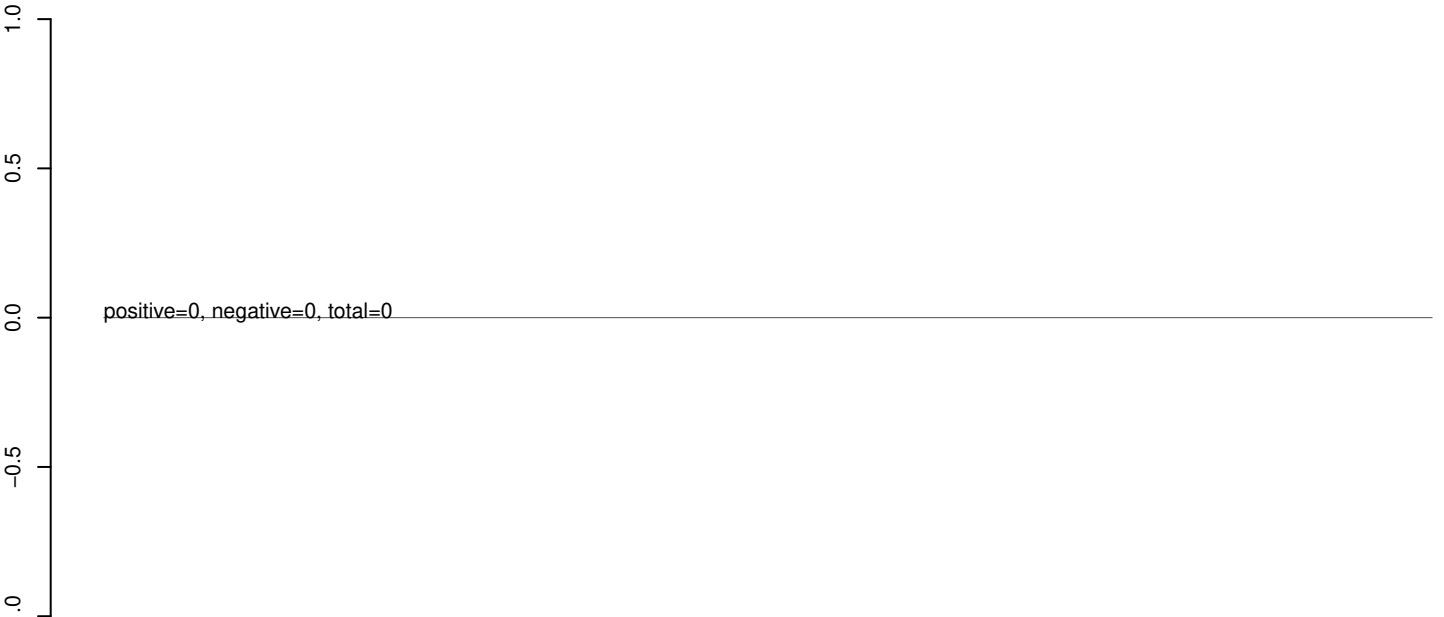


0 1000 2000 3000 4000

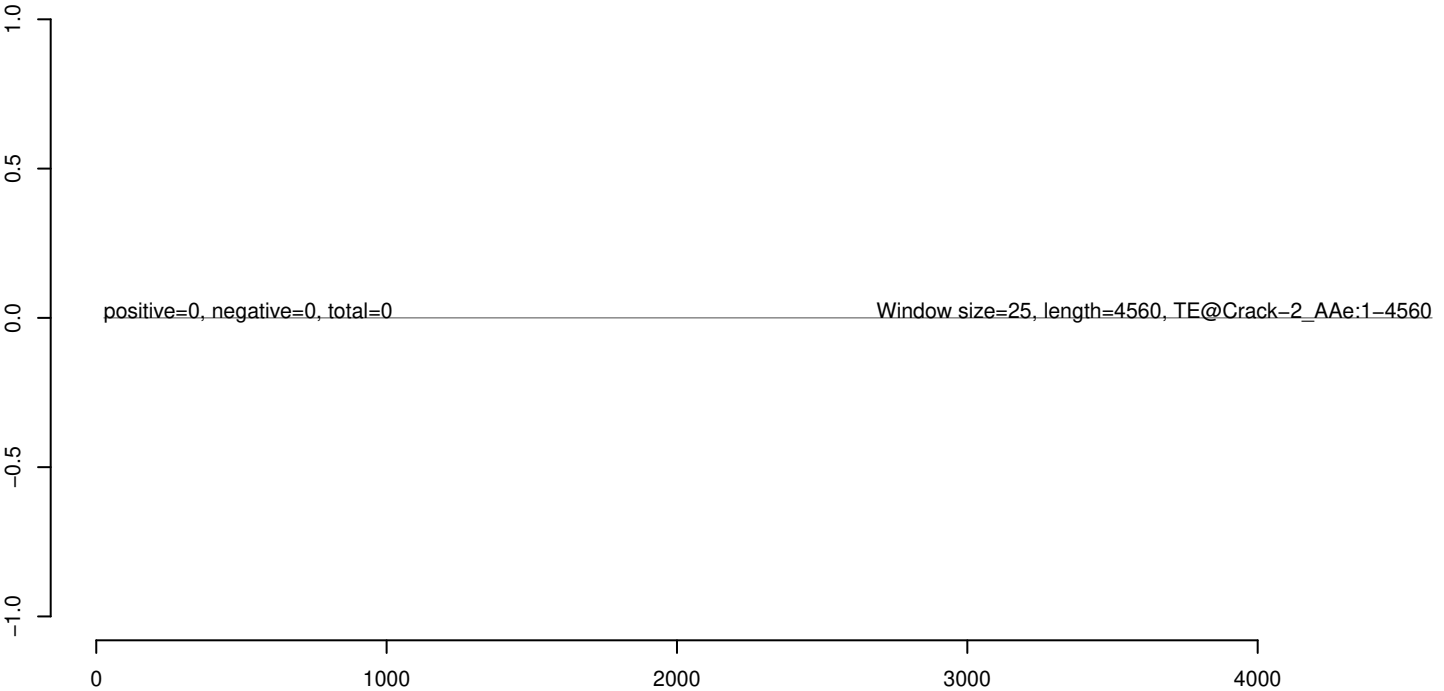
AeAeg_Aag2_Ago2_SINV_RA.18_23.rep



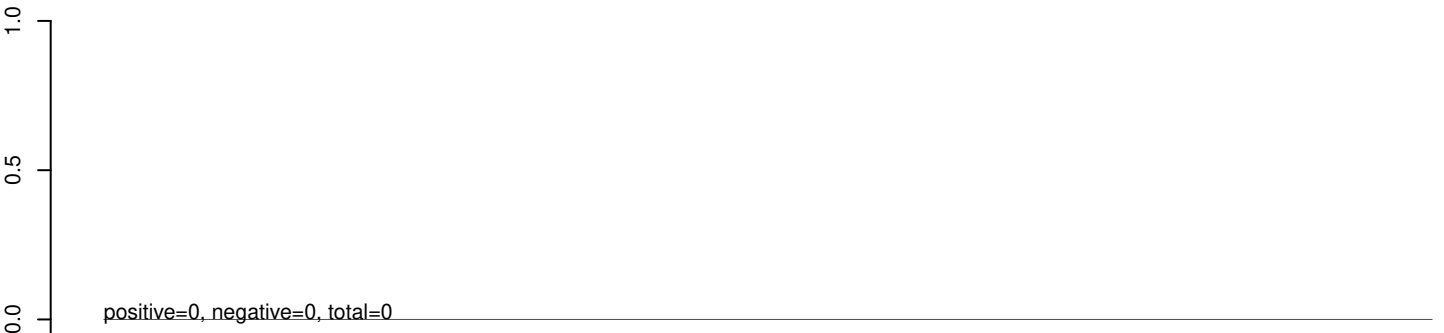
AeAeg_Aag2_Ago2_SINV_RA.24_35.rep



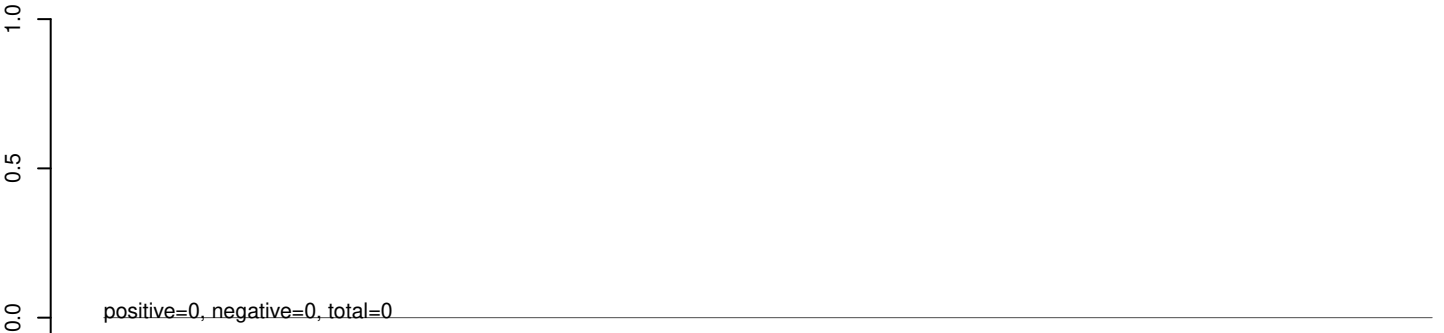
AeAeg_Aag2_Ago2_SINV_RA.rep



AeAeg_Aag2_Ago2_SINV_RA.18_23.rep



AeAeg_Aag2_Ago2_SINV_RA.24_35.rep



AeAeg_Aag2_Ago2_SINV_RA.rep



AeAeg_Aag2_Ago2_SINV_RA.18_23.rep



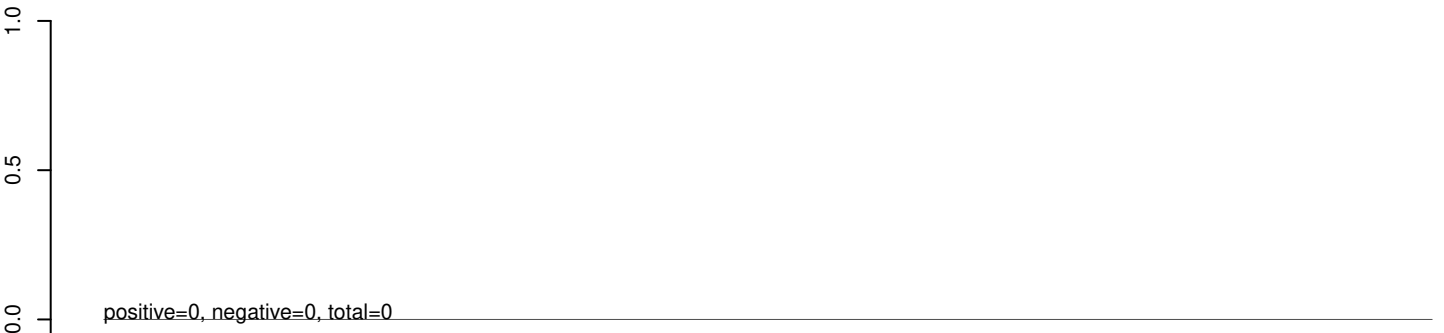
AeAeg_Aag2_Ago2_SINV_RA.24_35.rep



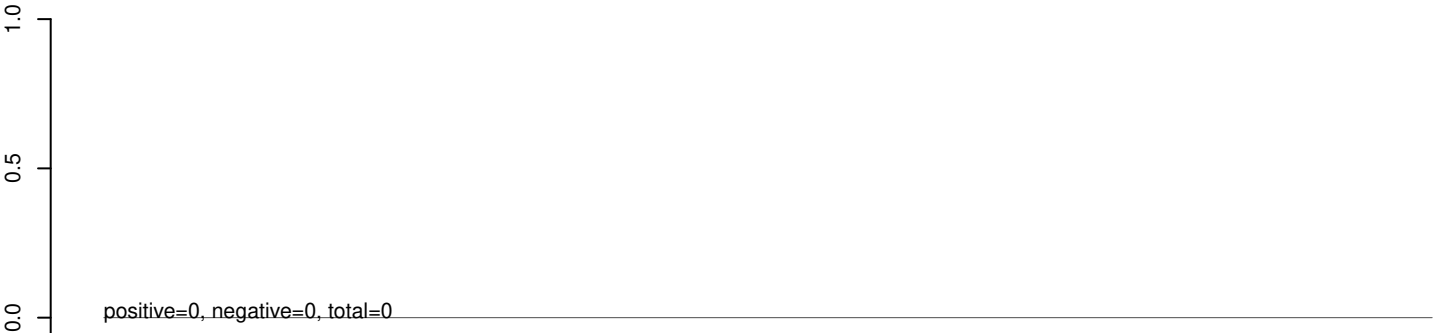
AeAeg_Aag2_Ago2_SINV_RA.rep



AeAeg_Aag2_Ago2_SINV_RA.18_23.rep



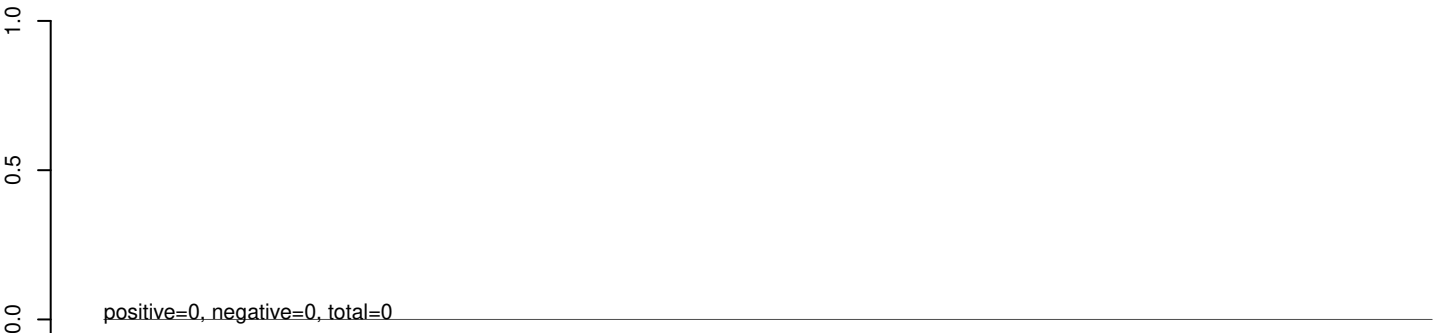
AeAeg_Aag2_Ago2_SINV_RA.24_35.rep



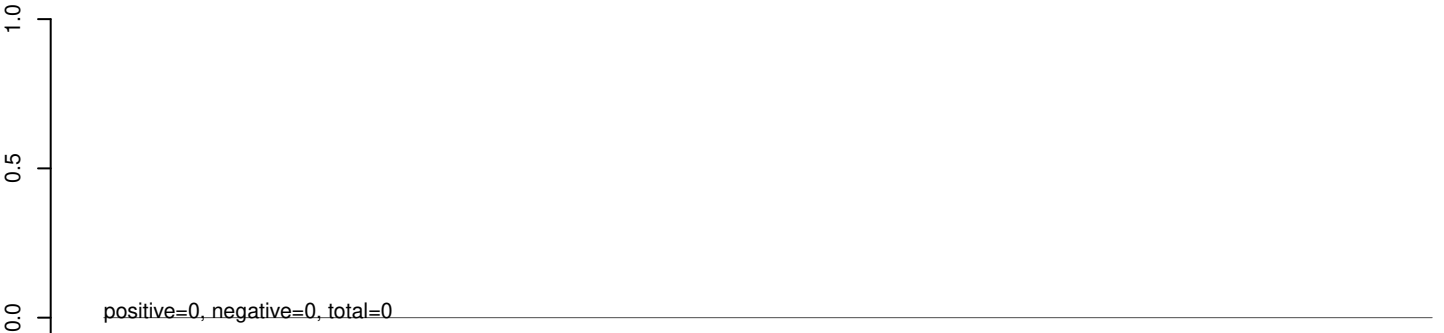
AeAeg_Aag2_Ago2_SINV_RA.rep



AeAeg_Aag2_Ago2_SINV_RA.18_23.rep



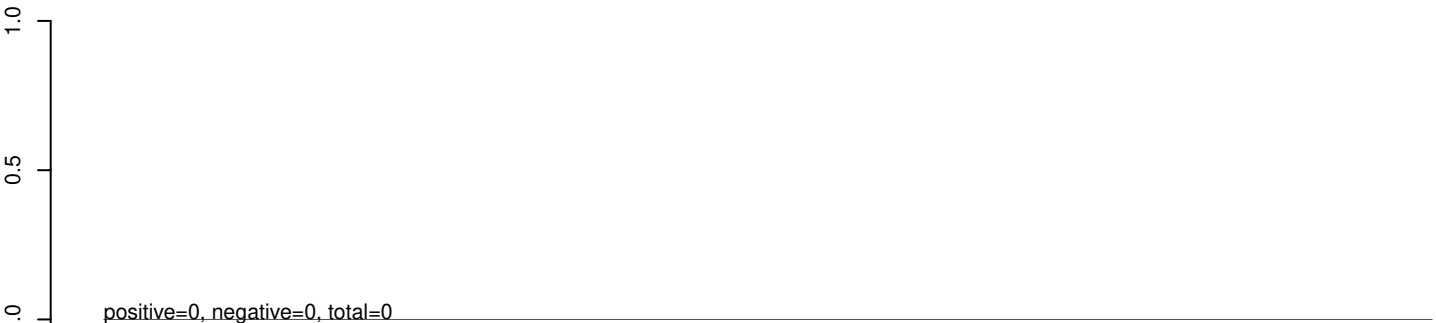
AeAeg_Aag2_Ago2_SINV_RA.24_35.rep



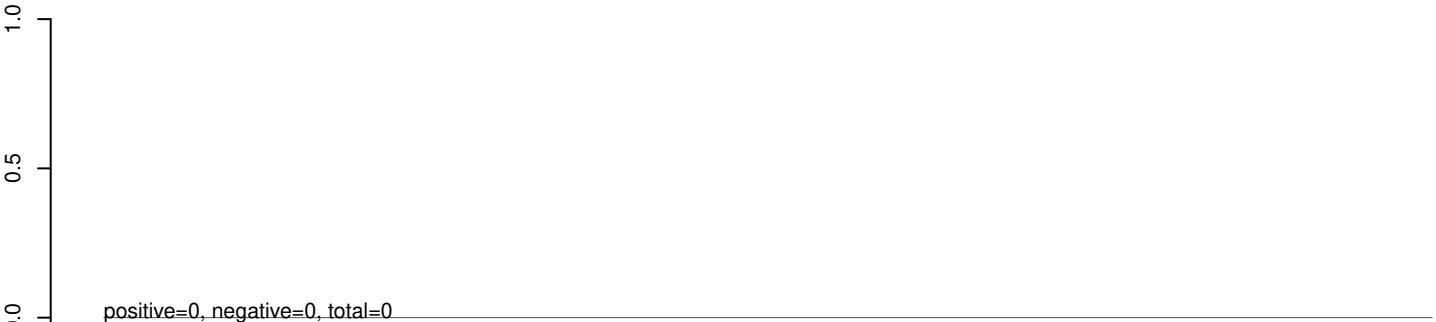
AeAeg_Aag2_Ago2_SINV_RA.rep



AeAeg_Aag2_Ago2_SINV_RA.18_23.rep



AeAeg_Aag2_Ago2_SINV_RA.24_35.rep



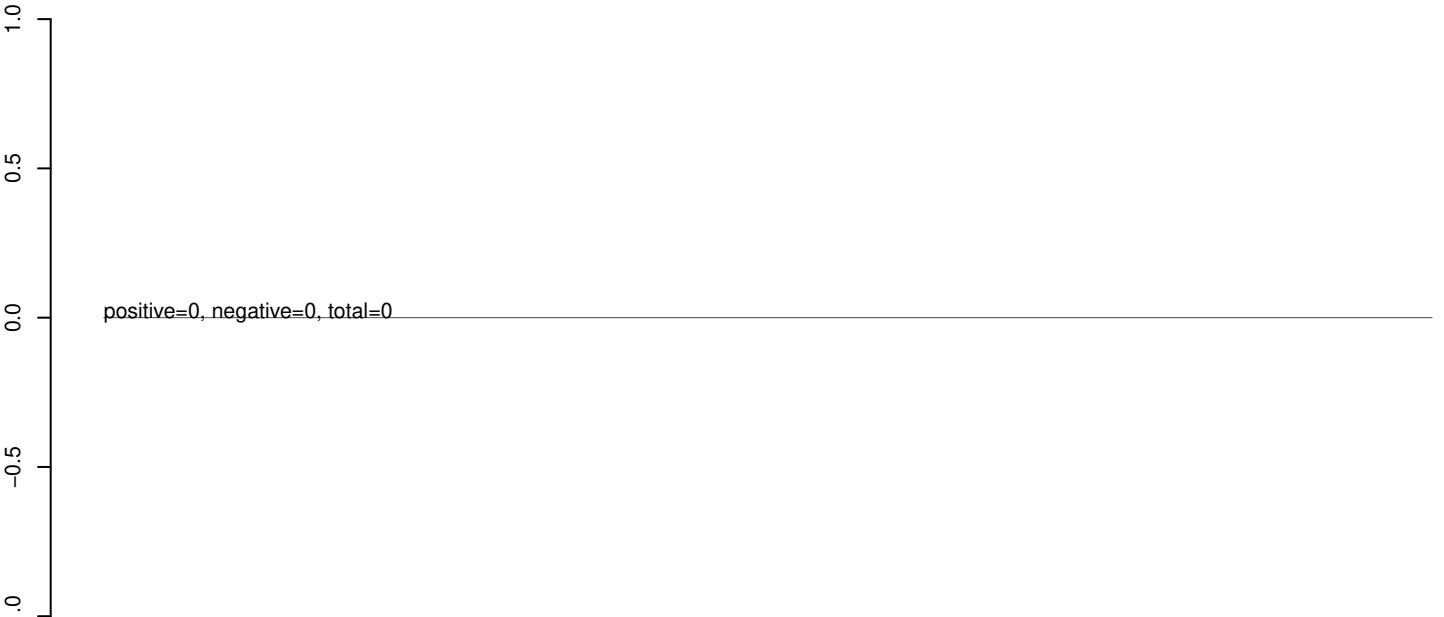
AeAeg_Aag2_Ago2_SINV_RA.rep



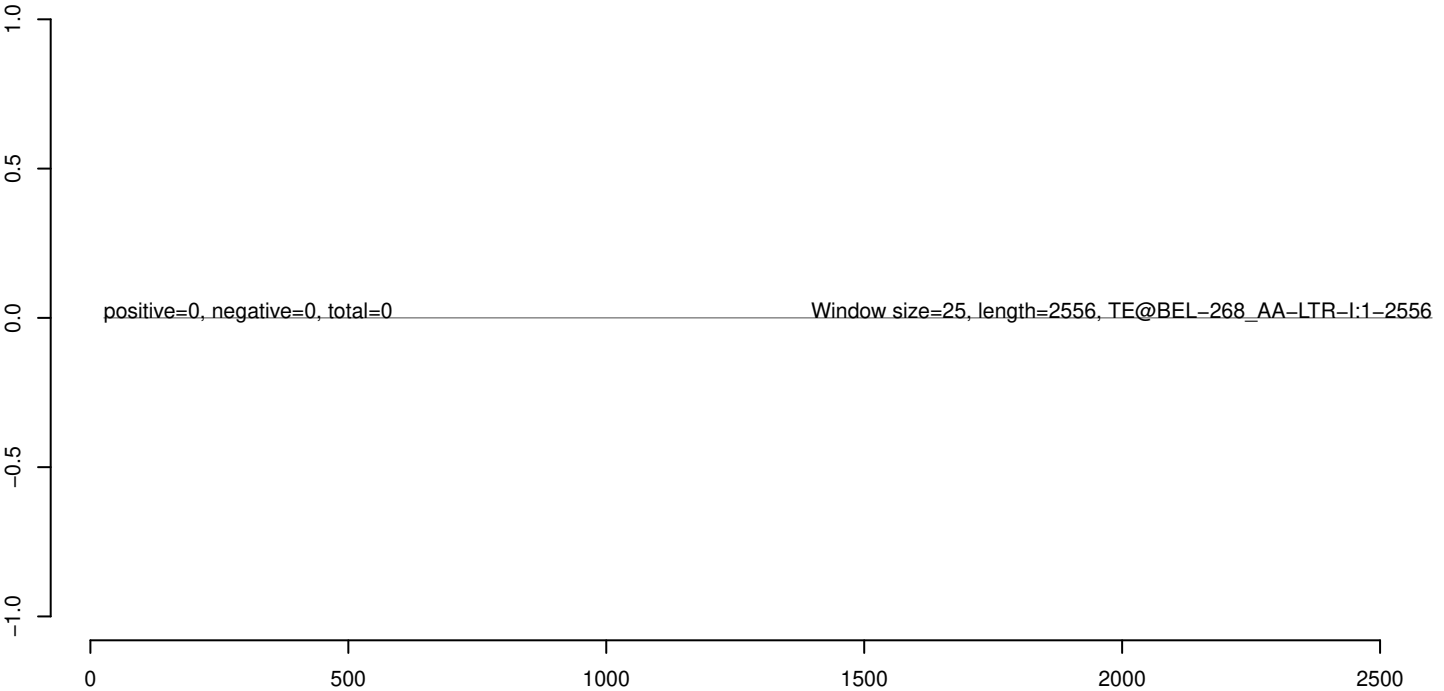
AeAeg_Aag2_Ago2_SINV_RA.18_23.rep



AeAeg_Aag2_Ago2_SINV_RA.24_35.rep



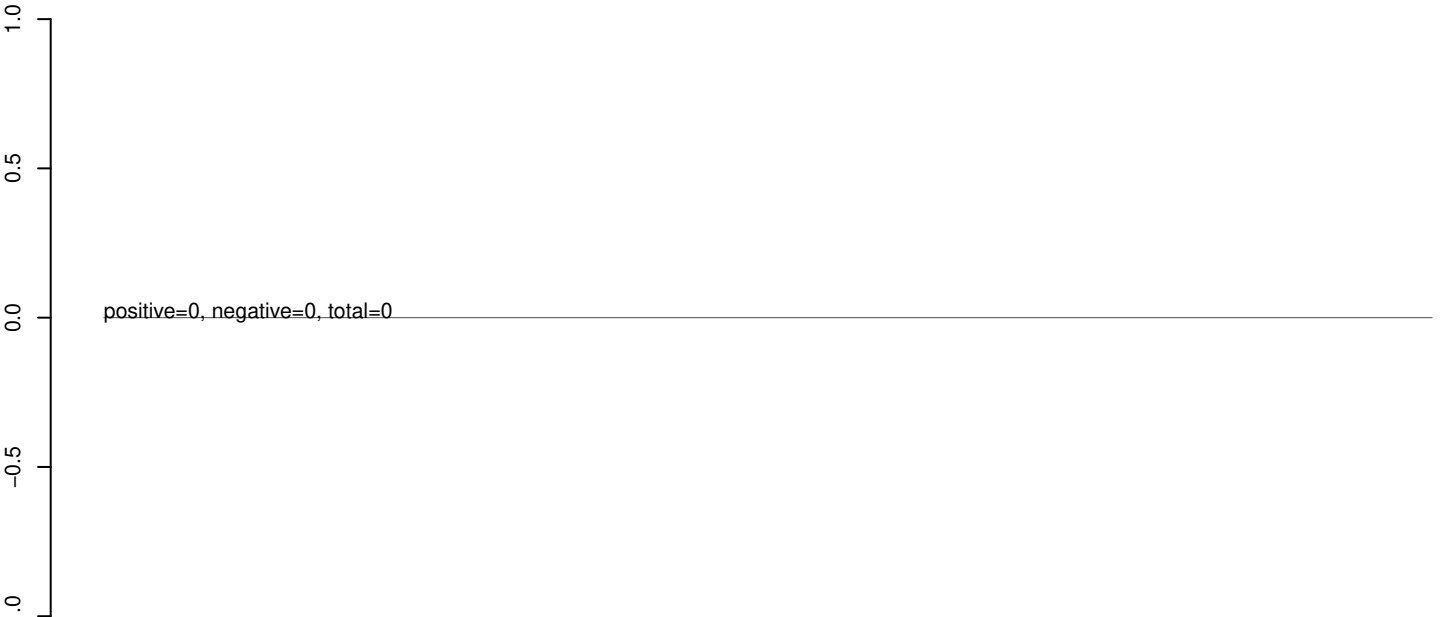
AeAeg_Aag2_Ago2_SINV_RA.rep



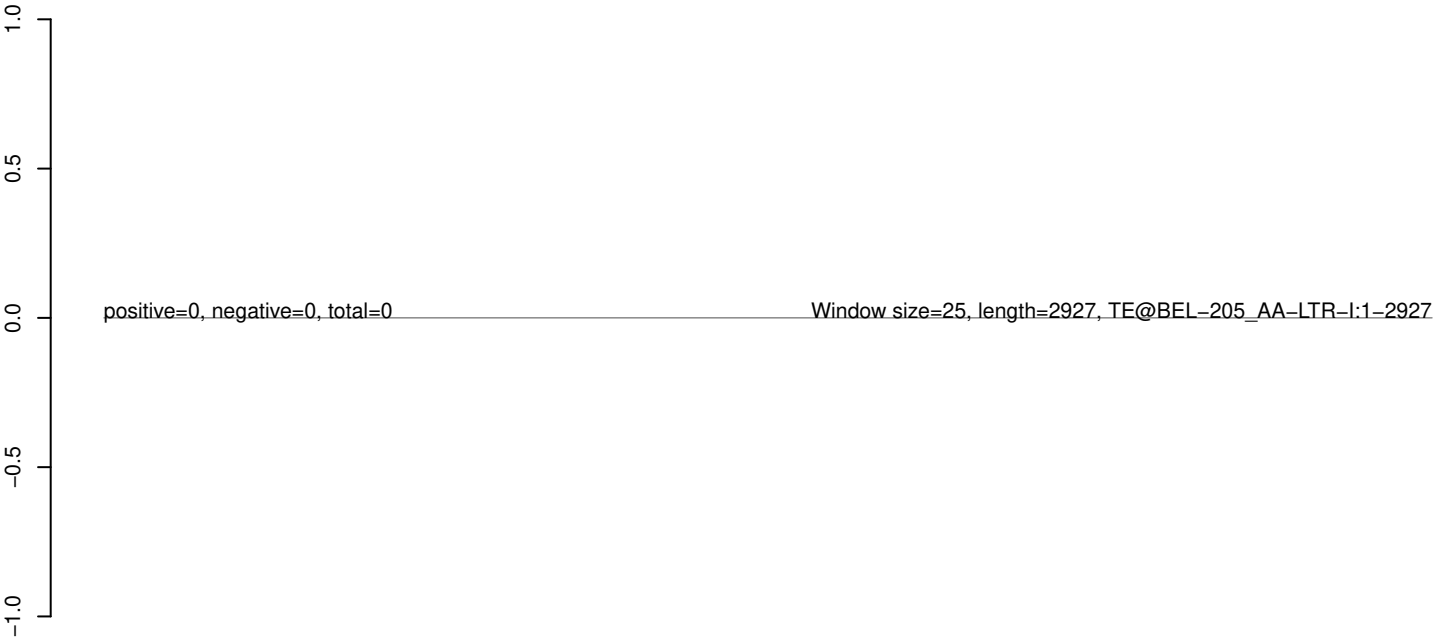
AeAeg_Aag2_Ago2_SINV_RA.18_23.rep



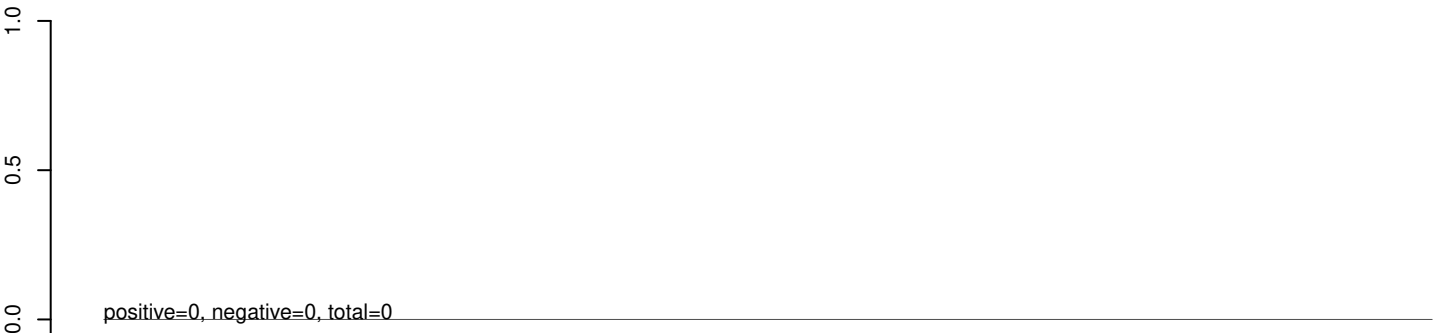
AeAeg_Aag2_Ago2_SINV_RA.24_35.rep



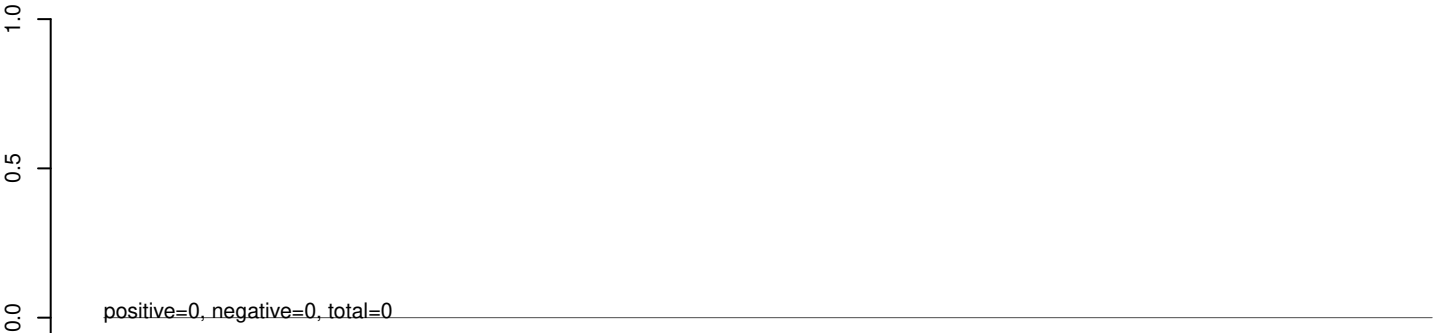
AeAeg_Aag2_Ago2_SINV_RA.rep



AeAeg_Aag2_Ago2_SINV_RA.18_23.rep



AeAeg_Aag2_Ago2_SINV_RA.24_35.rep



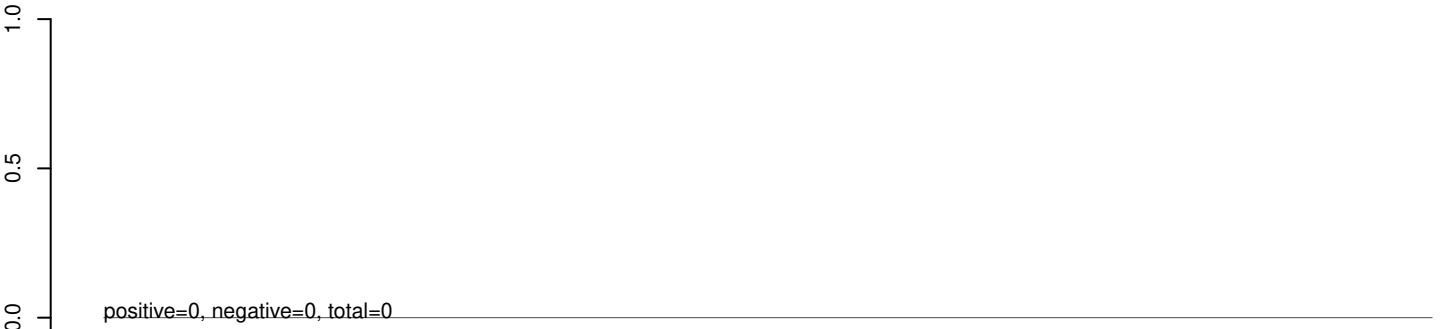
AeAeg_Aag2_Ago2_SINV_RA.rep



AeAeg_Aag2_Ago2_SINV_RA.18_23.rep



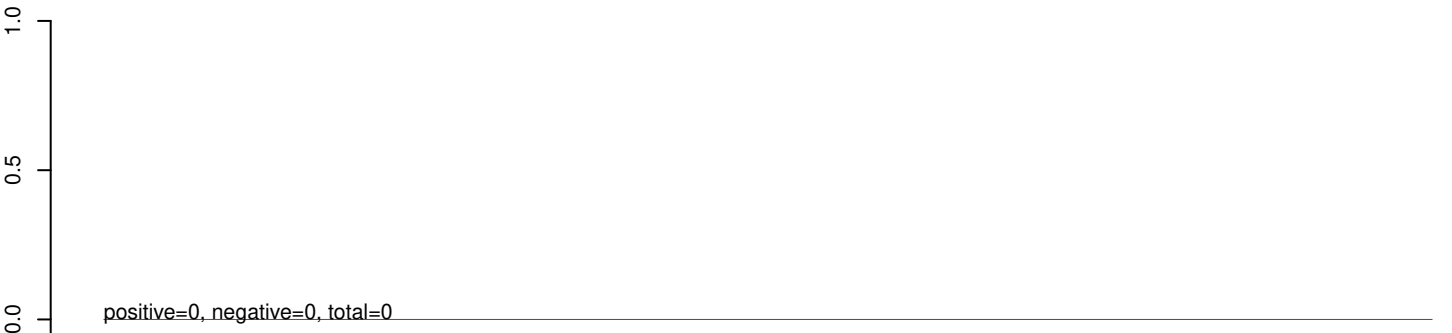
AeAeg_Aag2_Ago2_SINV_RA.24_35.rep



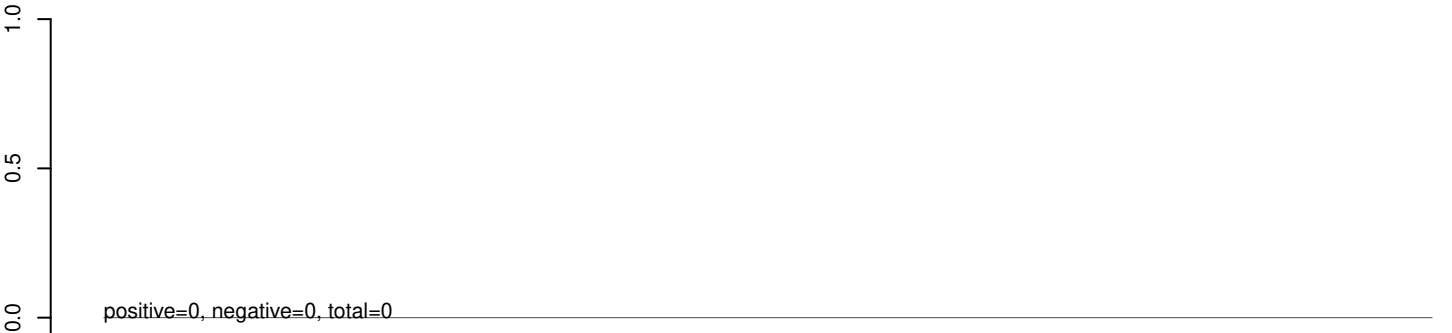
AeAeg_Aag2_Ago2_SINV_RA.rep



AeAeg_Aag2_Ago2_SINV_RA.18_23.rep



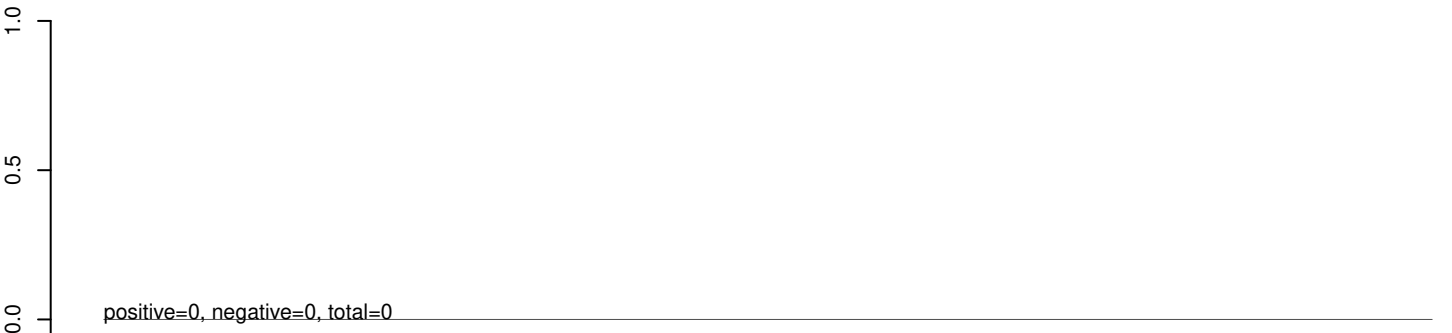
AeAeg_Aag2_Ago2_SINV_RA.24_35.rep



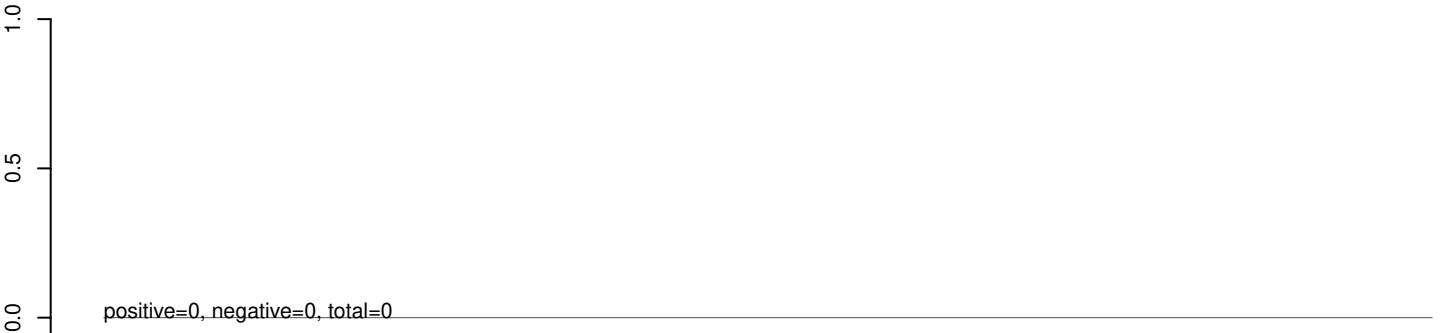
AeAeg_Aag2_Ago2_SINV_RA.rep



AeAeg_Aag2_Ago2_SINV_RA.18_23.rep



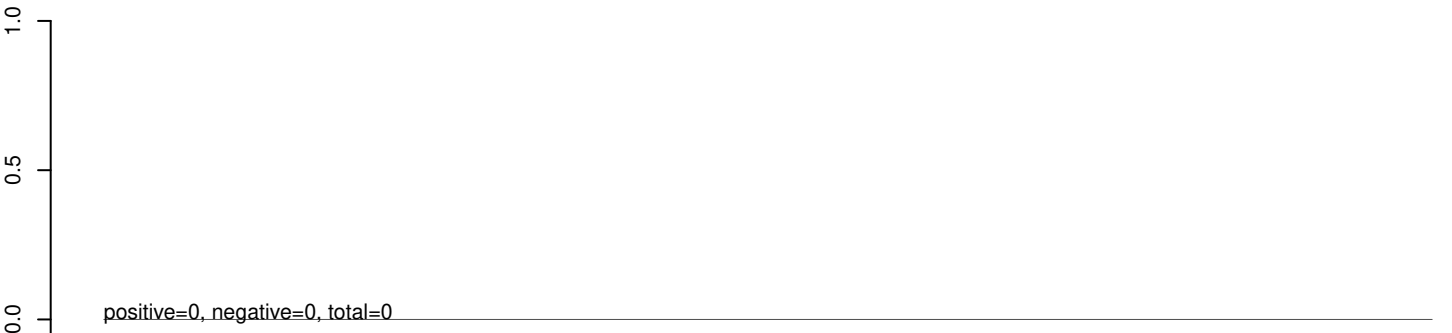
AeAeg_Aag2_Ago2_SINV_RA.24_35.rep



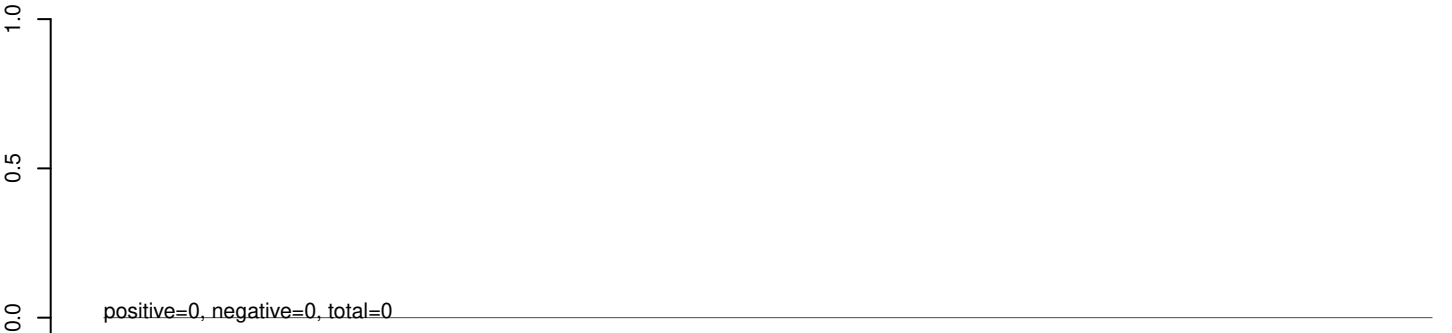
AeAeg_Aag2_Ago2_SINV_RA.rep



AeAeg_Aag2_Ago2_SINV_RA.18_23.rep



AeAeg_Aag2_Ago2_SINV_RA.24_35.rep



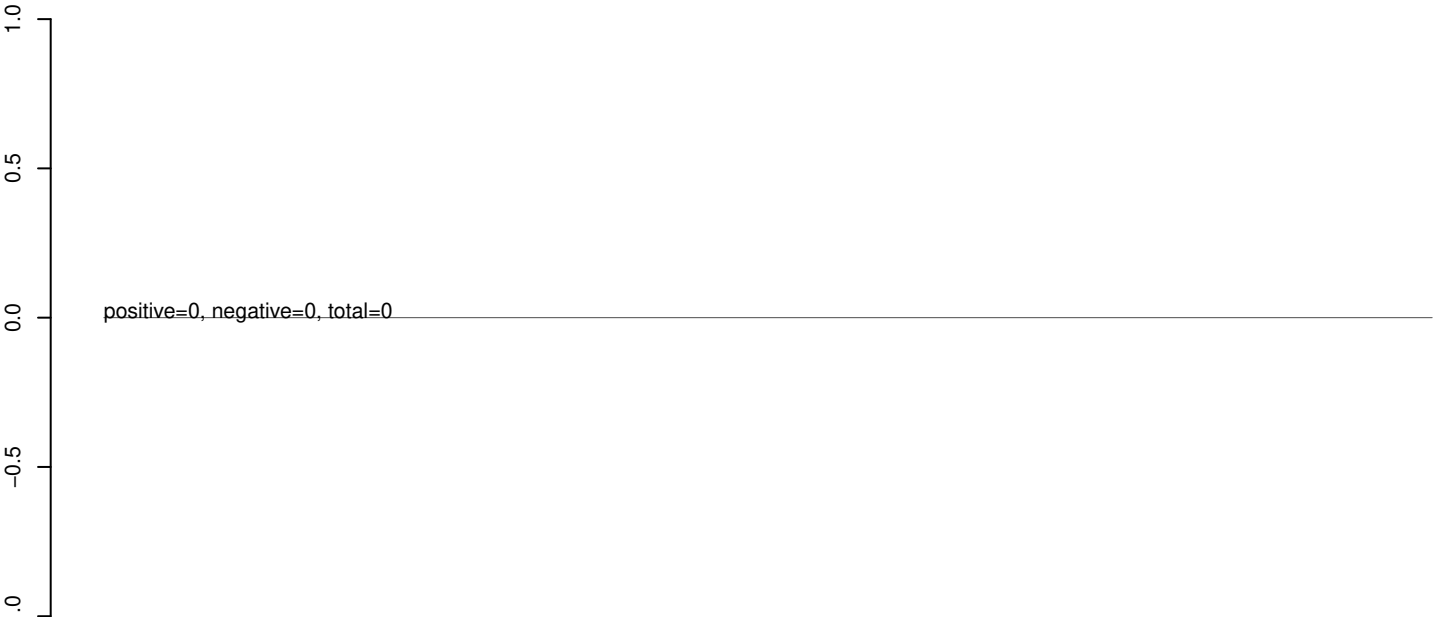
AeAeg_Aag2_Ago2_SINV_RA.rep



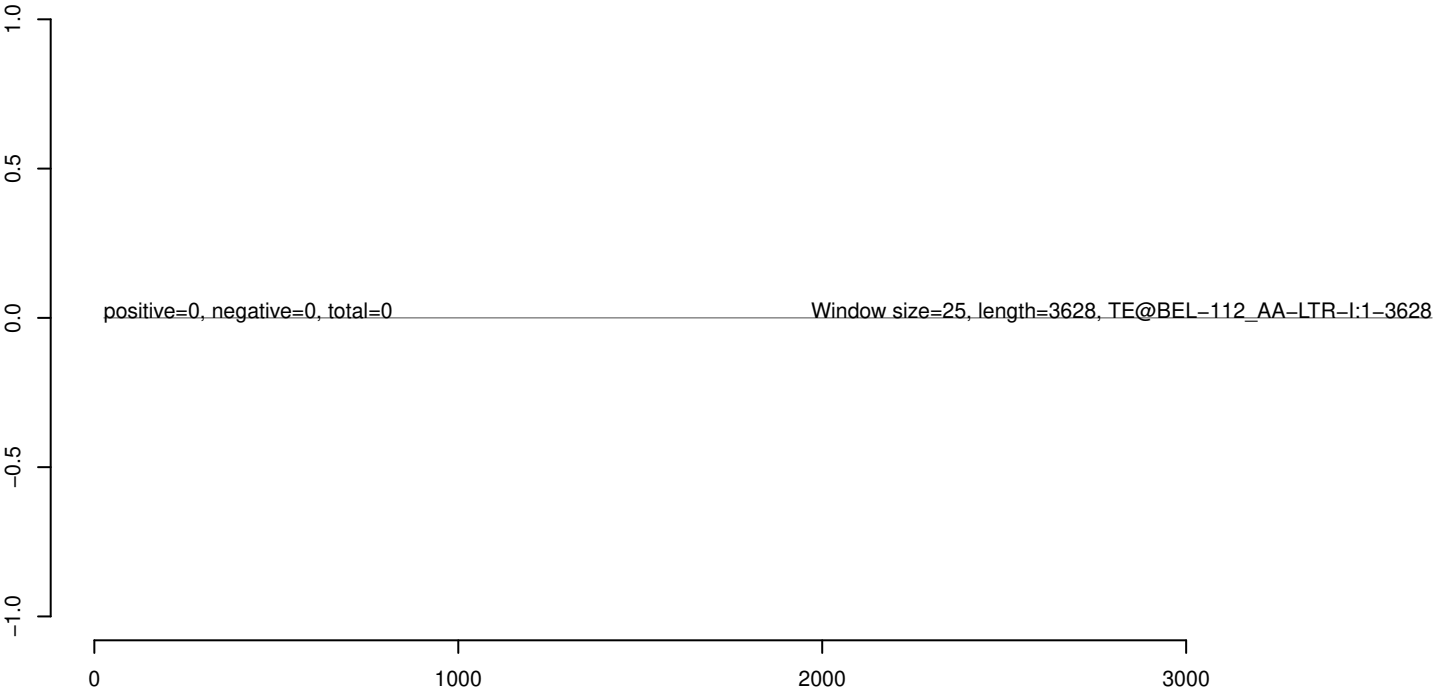
AeAeg_Aag2_Ago2_SINV_RA.18_23.rep



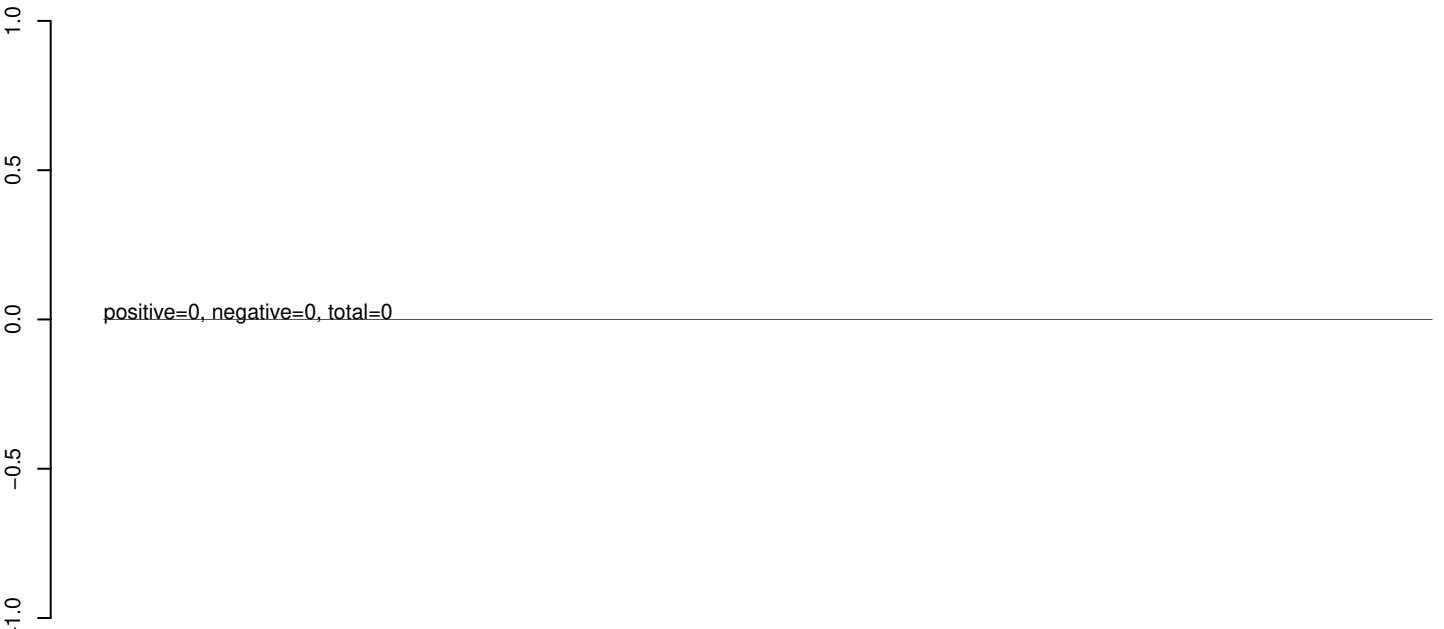
AeAeg_Aag2_Ago2_SINV_RA.24_35.rep



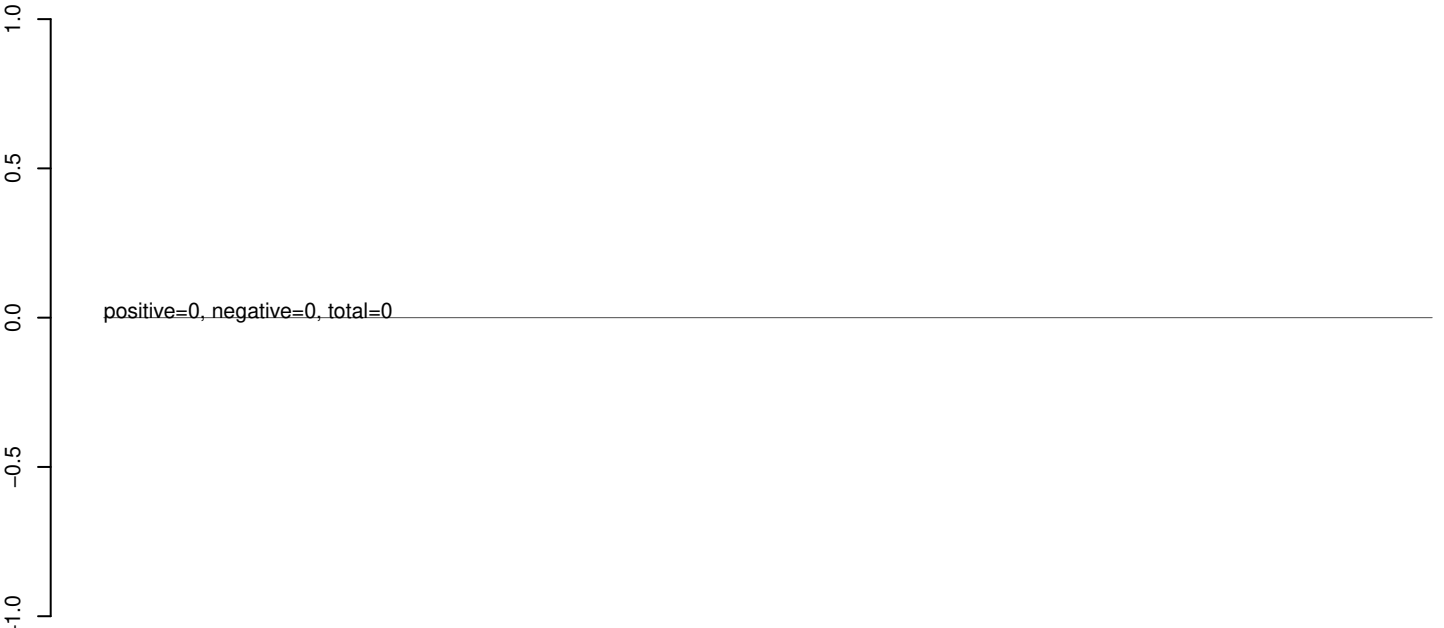
AeAeg_Aag2_Ago2_SINV_RA.rep



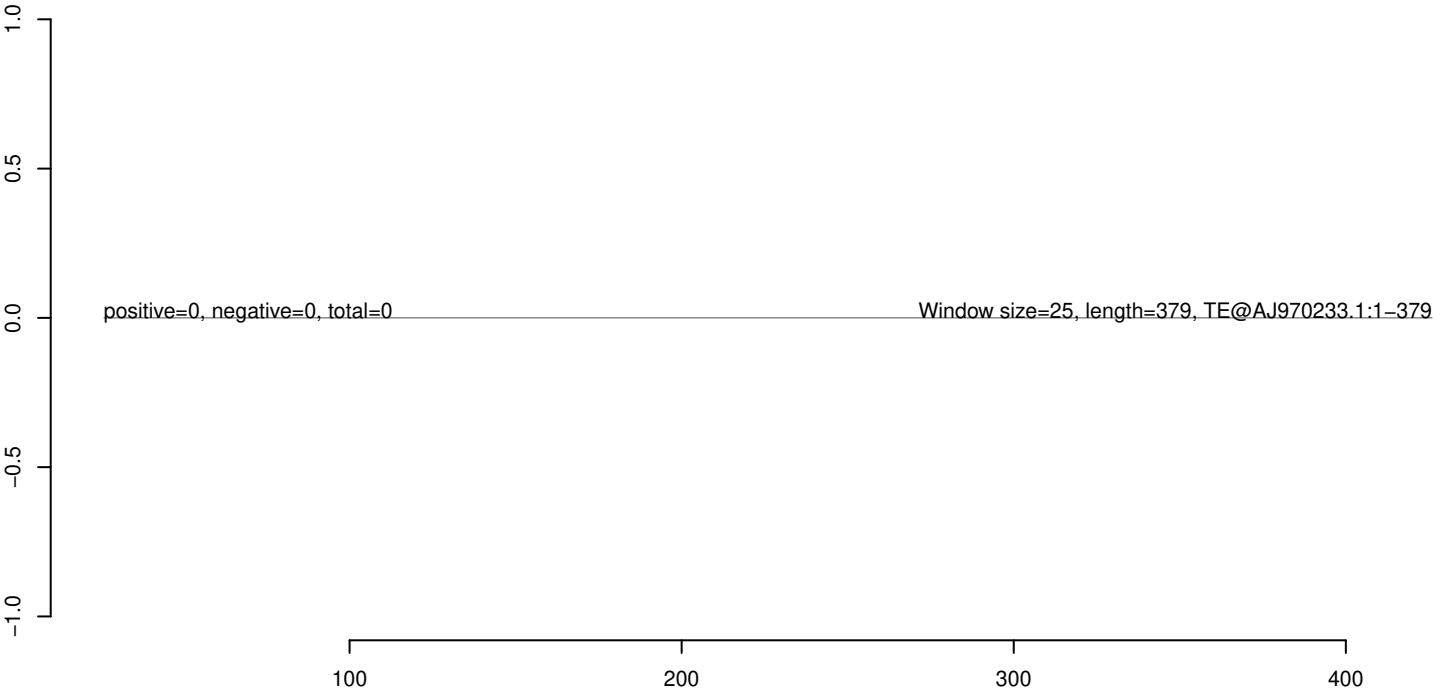
AeAeg_Aag2_Ago2_SINV_RA.18_23.rep



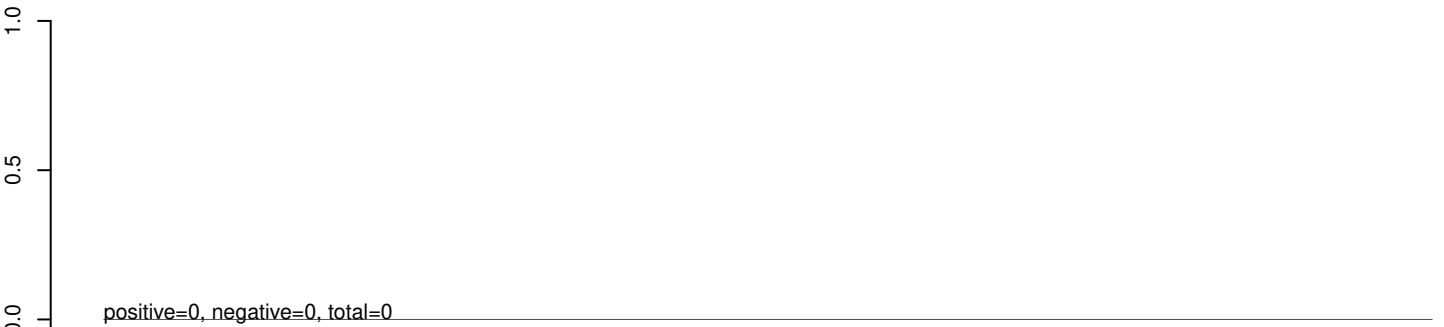
AeAeg_Aag2_Ago2_SINV_RA.24_35.rep



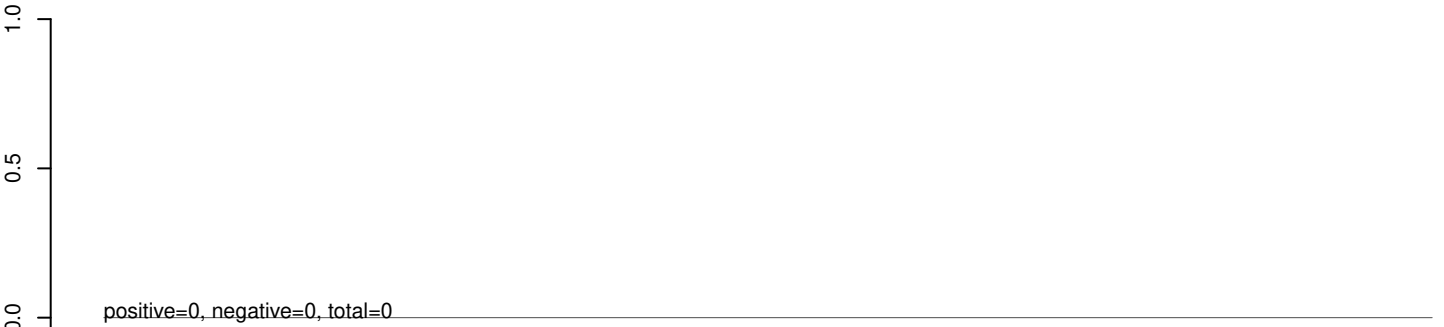
AeAeg_Aag2_Ago2_SINV_RA.rep



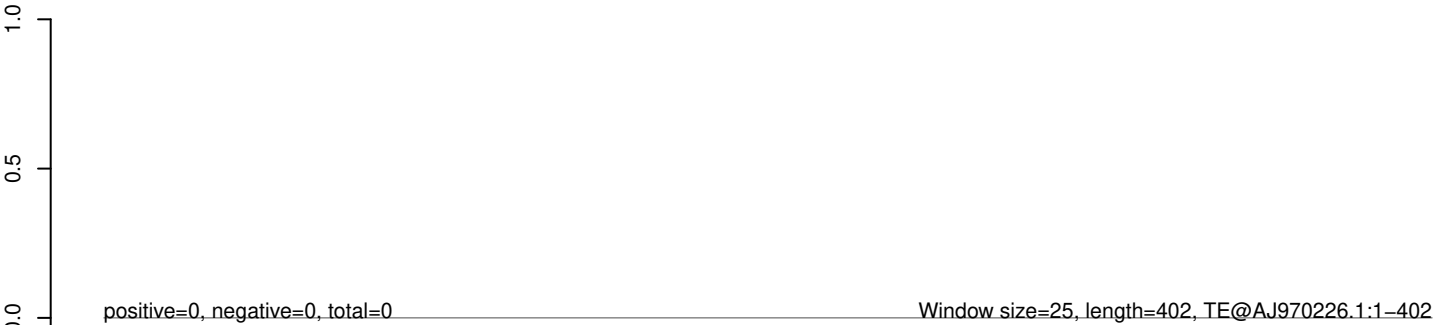
AeAeg_Aag2_Ago2_SINV_RA.18_23.rep



AeAeg_Aag2_Ago2_SINV_RA.24_35.rep



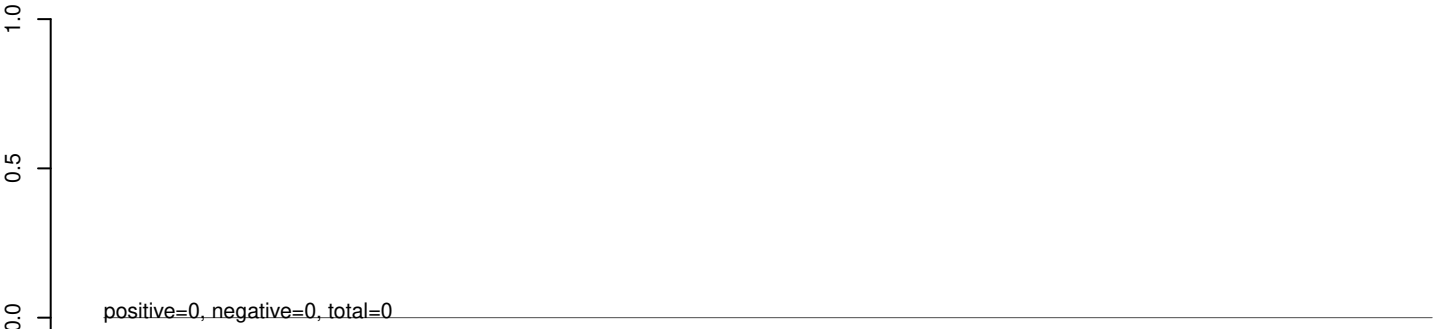
AeAeg_Aag2_Ago2_SINV_RA.rep



AeAeg_Aag2_Ago2_SINV_RA.18_23.rep



AeAeg_Aag2_Ago2_SINV_RA.24_35.rep



AeAeg_Aag2_Ago2_SINV_RA.rep

